

THE UNIVERSITY
OF ILLINOIS
LIBRARY

620.5

Z E

V. 73'

~~ALTBELD HALL STACKS~~

REMOTE STORAGE

The person charging this material is responsible for its return to the library from which it was withdrawn on or before the **Latest Date** stamped below.


Theft, mutilation, and underlining of books are reasons for disciplinary action and may result in dismissal from the University.

To renew call Telephone Center, 333-8400

UNIVERSITY OF ILLINOIS LIBRARY AT URBANA-CHAMPAIGN

JAN 25 1983

JAN 25 1983



Digitized by the Internet Archive
in 2025 with funding from
University of Illinois Urbana-Champaign

V★D★I

ZEITSCHRIFT DES VEREINES DEUTSCHER INGENIEURE

SCHRIFTFLEITER: C. MATSCHOSS

BAND 73
DREIUNDSIEBZIGSTER JAHRGANG
ERSTES HALBJAHR
1 9 2 9

MIT RUND
2300 ABBILDUNGEN IM TEXT
2 TAFELN UND 8 BILDBLÄTTERN

INHALT DER FORSCHUNGSARBEITEN
HEFT 310, 311, 313 BIS 316
AUSZUG AUS DEM INHALT DER VDI-NACHRICHTEN



VDI-VERLAG G.M.B.H. BERLIN NW7

TRADE
SIGNING TO INTERIOR
AREA

REMOTE STORAGE

Namenverzeichnis

* = Abbildung im Text; A = Aufsatz; B = Buchbesprechung; Z = Zuschrift oder Berichtigung

	Seite		Seite		Seite
Ackermann , Neue Untersuchungen über das NICO-Metall	204*	Biedermann , Verwendung großer Rettungsboote in Verbindung mit dem Welin-Maellachlan-Davit auf großen Passagierschiffen	376*	Cammerer , J. S., Der Wärme- und Kälteschutz in der Industrie. B.	627
Akademischer Verein Hütte und A. Stauch , „Hütte“, Taschenbuch für Betriebsingenieure. B.	415	Billiter , J., Technische Elektrochemie. B.	383	Campe und Eberlein , Über Verkehrsregelung und Bekämpfung ihrer Übertreibung, namentlich in Klein- und Mittelstädten	29
Alt , H., Die praktische Bedeutung der Raumtriebe. A.	188*	Birkhofer , F., Tagesfragen im Bau von Webstühlen und Vorberbeitungsmaschinen. A.	279*	Christian , M., Begrenzung der Leistungssteigerung der schnelllaufenden Verbrennungsmaschine durch den Steuervorgang. B.	240
Altmann , Untersuchungen an Schraubengetrieben	359*	Blazey , Die Brüchigkeit von arsenhaltigem Kupfer	797	Clausen , H., Brandgefahren durch Unterstellen von Kraftwagen in ungeeigneten Räumen	609
Ammann und v. Gruenewaldt , Längskräfte im Eisenbahngleis. A.	157*	Block , W., Messen und Wägen. B.	382	Cohn , W. M., Über Wolfarmöfen	203*
Anke , E. A., Ausrüstungsmaschinen für Kunstseide. A.	290*	Blum , Das Ziel der Verkehrspolitik und die Stellung der Allgemeinheit zum Verkehr	219	Le Coutre , Überwachung der Rationalisierung durch das industrielle Rechnungswesen	116
Antz , E. L., Erasmus Kittler †	468	— Das Eisenbahnwesen	219		
Arndt , Bau der großen Elektrizitätswerke	735	— Eisenbahnwesen. Bau und Betrieb	873	Dannemann , F., Vom Werden der naturwissenschaftlichen Probleme. B.	383
Asser , E., Wege zur Rationalisierung des Schiffsanstriches. A.	374	Blunk , P., Ostpreußen und seine deutsche Mission im Osten. A.	841*	Denker , Geräuschverhütung in Webereien	278
Atzler , Aufgaben und Pläne des Kaiser-Wilhelm-Instituts für Arbeitsphysiologie	442	Bock , A., Sternradgetriebe. A.	397*	Derdack s. Teleky.	
Auerbach , F. und W. Hort, Handbuch der physikalischen und technischen Mechanik. B.	383	Böhm , B., Gewerbliche Abwässer. B.	595	Deutsch , Stoffkunde	864
Aufhäuser , Behandlung und Bewertung von flüssigen Brennstoffen	651	Bohny , Die Verwendung hochwertiger Stähle beim Bau großer Brücken und Hochbauten	93	Diepschlag , Hüttenwesen	863
Baer , S., Wasserhebung und Wasserteichung. A.	539*	Bollow , C., Die Fischdampfer „Sergeant Gouarne“ und „Aspirant Brun“ . A.	581*	Dierfeld , B. R., Auto-Diktionär. B.	803
— Einzelbetrieb von Wasserwerkbrunnen	563	Bondy s. Hilpert.		Dingler , H., Das Experiment, sein Wesen und seine Geschichte. B.	207
Bärmig , Die deutsche Normung	882	Brandt , J., Handlöcher für Kraftfahrzeuge	172*	Dischinger , Fr., Großmarkthalle Leipzig	734
Bauer , K. H., Die trocknenden Öle. B.	803	Brandt , G., Englische Elektrizitätswirtschaft. B.	803	Döhmer , Der Busch-Schumann-Projektor, ein Ablesegerät für Brinellsche Kugeleindrücke	764*
Baum , K., Über den Temperaturverlauf im Koksofen und seine Bedeutung für die Wirtschaftlichkeit von Kokereianlagen	444	Breisig s. Feyerabend.		Dolzmann , Entwicklung und Ausichten der Hochdruck-Dampfanlagen	345
Becker s. Lenard.		Bremerkamp , H. und de Haas-Lorentz, Äthertheorien und Äthermodelle. B.	271	Drenckhan , E., Verwendbarkeit von Schwerölen im Explosionsmotor	725
Behrens , Organisation und Werkzeugmaschinen	866*	Brill , A., Vorlesungen über allgemeine Mechanik. B.	628	Durrer , Konstante Brucharbeit als Erklärung für den Bruch durch Ermüdungs- und andere Belastungen	830*
Beiersdorf , H., Das neue Schaltwerk der Siemens-Schuckertwerke. A.	457*	Brink , Das Wesen der Einwirkung des Bergbaues auf die Erdoberfläche	445		
Berdrow , W., Alfred Krupps Briefe 1826 bis 1887. B.	511	Brown , H., Die Hochdrucklokomotive für 60 at, Bauart „Winterthur“. A.	151*	Eberlein s. Campe.	
Bergmann , Leichtmetalle als Baustoff im Kraftwagen	137	Bruchhold , C., Die Schwimmaufbereitung der Moctezuma Copper Co., Macozari, Staat Sonora, Mexiko. A.	26*	Eckhardt , Hafenbau in Helgoland	735
Bergmann , J., Handbuch der Appretur. B.	351	— desgl. Z.	156	Eggers , G., Neuere Bauarten motorischer Wassermesser. A.	557*
Berliner , A., Lehrbuch der Physik. B.	772	Bruins , E. D. und J. Reudler, Kinetische Probleme. B.	271	Eggert , J., Lehrbuch der physikalischen Chemie in elementarer Darstellung	833
Berndt , Untersuchungen an Schraubengewinden	357*	Bühler , Messungen am fertigen Bauwerk	92	Eisner , Hydraulische und mechanische Fragen	233
Bernhard , K., Tagung für Brücken- und Hochbau in Wien	92	Bültmann , W., Psychotechnische Berufseignungsprüfung von Gießereifacharbeitern. B.	447	Elster , A., Urheber- und Erfinder-, Warenzeichen- und Wettbewerbsrecht. B.	480
— 32. Hauptversammlung des Deutschen Betonvereins	734	Bund , H., Schnellschlußventil mit freiem Durchgang	624*	Emperger , F., Handbuch für Eisenbetonbau. B.	660
— Brücken- und Baukonstruktionen	871*	Burghardt , Selbsttätige Steuerung von Zügen der Berliner Hoch- und Untergrundbahn. A.	705*	Endres , W., Der Verbrennungsvorgang im Gas- und Vergaser-Motor. B.	771
Bernhard , R., Meßverfahren bei den statischen und dynamischen Brückenmeßgeräten	93	Burmeister , E., Neue elektrische Verschiebelokomotive für Einphasen-Wechselstrom	621*	Erk s. Jakob.	
Bethke , R., Wie schütze ich meinen Betrieb vor Feuerschaden? B.	208	Busch , H., Ergebnisse der Versuchsspermauer am Stevenson-Creek in Kalifornien	474*	Erlinghagen , Die Arbeiten des Deutschen Normenausschusses und ihre Zusammenhänge mit dem deutschen Eisenbau	139
Beyer , Arbeiten am Kraftwerk Niederwartha	735			v. Escher , H., 800 t-Hochofen der Australian Iron and Steel Ltd.	329

	Seite		Seite		Seite
<i>Eucken, A., Lummer, O. und E. Waetzmann, Müller-Pouille's Lehrbuch der Physik. B.</i>	175	<i>Goerner, Das Technische und das Kaufmännische in der Rationalisierung</i>	116	<i>Heinze, R. und A. Thau, Der gegenwärtige Stand der Kohlen-schwelung in Deutschland. A.</i>	524*
<i>Everling, E., Wege der Luftfahrt-forschung. A.</i>	145*	<i>Goetzche, Hindenburgschleuse — Maschinelle Anlagen. A.</i>	403*	<i>Heller, A., Vorderachsantrieb für Kraftwagen. A.</i>	85*
<i>— und B. Splanemann, Metalle im Flugzeugbau</i>	587*	<i>Gollmer, Erfahrungen auf neuzeitlichen Kokereianlagen des Ruhrgebiets</i>	444	<i>— Stand der Hochdruckdampf-technik</i>	345
F <i>Fahl, Gütertriebwagen für Bahn-unterhaltung</i>	377	<i>Goos, Schiff- und Schiffsmaschinenbau</i>	875	<i>— Kraftfahrzeuge</i>	874
<i>Ferrari, F., Elektrizitätszähler und Tarif-Meßeinrichtungen. A.</i>	17*	<i>Gossow, E., Heinrich Ehrhardt † — Deutsche Verkehrsflugzeuge. A.</i>	356*	<i>Hempel, F., Verbesserungen an Kammgarnkrempeln. A.</i>	301*
<i>Feyerabend, E., H. Heidecker, Fr. Breisig und A. Kruckow, Handwörterbuch des elektrischen Fernmeßwesens. B.</i>	738	<i>Gottwein, K., Schlosserei und Montage-Arbeitszeitermittlung. B.</i>	35	<i>Hentschel, Aufbereitung von Bastfasern</i>	293
<i>Findeisen, Versuche über Lochleibungsdruck</i>	94	<i>Graetz, L., Handbuch der Elektrizität und des Magnetismus. B.</i>	70	<i>Herberg, G., Handbuch der Feuerungstechnik und des Dampfkesselbetriebes. B.</i>	351
<i>Fischer, Verdunstungsversuche</i>	84	<i>Graf, O., Die wichtigsten Ergebnisse der Versuche mit Betonmischmaschinen</i>	734	<i>Herr s. Kantner.</i>	
<i>Fischer, G., Landmaschinen</i>	860*	<i>— desgl. A.</i>	782*	<i>Hertrich, Versuchsanlagen für Maschinen und Maschinenteile</i>	361*
<i>Föppl, O., Feststellung der Dämpfung von Porzellan mittels der Drehausschwingungsmaschine</i>	766*	<i>Griesel, H., Rationalisierung und Standardisierung in der Bauindustrie der Vereinigten Staaten von Amerika. A.</i>	369*	<i>Heyning, C. T. C., Die neue Schleuse in Ymuiden. A.</i>	741*
<i>Foerster, E., Hilfsbuch für den Schiffbau. B.</i>	415	<i>Grinenko, R., und O. Jsaakian, Neuere Versuche mit russischen Dampflokomotiven. A.</i>	339*	<i>Hickernell, W. F., Financial and business forecasting. B.</i>	71
<i>Foerster, M., Taschenbuch für Bauingenieure. B.</i>	239	<i>Gröber, H., H. Rietschels Leitfaden der Heiz- und Lüftungstechnik. B.</i>	627	<i>Hilpert, A., Werkstoffübergang im Schweißlichtbogen — und O. Bondy, Geschweißte Rohrkonstruktionen. A.</i>	805*
<i>Franke, W., Fortbewegungsmittel amerikanischer Baumaschinen — Amerikanische Riesenlöfelfagger</i>	577*	<i>Groß, E., Handbuch der Wasserversorgung. B.</i>	239	<i>Hoff, Luftfahrt</i>	876*
<i>Freund, A., Versuche mit Drahtseilen und Seilscheibenlagern für das Schiffshebewerk Niederfinow. A.</i>	73*	<i>Grünwald, H., Der Kathodenstrahl-Oszillograph und Untersuchungen an Überspannungsschutzapparaten — Der gegenwärtige Stand des Blitzschutzes</i>	30*	<i>Holfelder, Schnellaufender Dieselmotor, Bauart Ricardo</i>	620*
<i>Frey, H. und R. Frey, Spannungsermittlung in Druckstäben</i>	66*	<i>v. Gruenewaldt s. Ammann.</i>	732	<i>Hollbach, O., Neuer Schwingsänder für photographische Kamern</i>	939*
<i>Freyberg, M., Neuerungen im Bau von Elektrohängebahnen</i>	190*	<i>Güttner, Karosseriebau unter besonderer Berücksichtigung der Nichteisenmetalle</i>	137	<i>Holldack, Neuerungen im Landmaschinenbau</i>	109*
<i>Freymann, A., Verhütung von Motorrückschlägen an Kraftwagen. Rückschlagsichere Andrehkurbeln. A.</i>	87*	<i>Guillemin, J., Précis de construction, calcul et essais des avions et hydravions. B.</i>	628	<i>— desgl. Z.</i>	187, 269
<i>— desgl. Z.</i>	448	<i>Guillery, Die Rhein-Main-Donau-Großschiffahrtsstraße</i>	169*	<i>Holm, O., Selbstsaugende Brennstoffpumpe mit kettenschlüssigem Antrieb für Dieselmotoren</i>	410*
<i>Freyssinet, Brücke bei Plougastel</i>	94	Haas, M., 21. Jahresversammlung des Institute of Metals	797	<i>Honda, K., Magnetic properties of matter. B.</i>	35
<i>Friebel, P., Schwedische Vollbahnlokomotiven. Z.</i>	52	<i>de Haas-Lorentz s. Bremerkamp.</i>		<i>Honegger s. a. Twyman. — Festschrift Prof. Dr. A. Stodola. B.</i>	658
<i>Friedrich s. Pfohl.</i>		<i>Hälbig, H., Eisenerz-Röstofen mit Gasheizung</i>	65*	<i>Horn, E., Handtachometer</i>	347*
<i>Fritz s. Jakob.</i>		<i>Haller, R., Chemische Technologie der Baumwolle. B.</i>	596	<i>Hort, H., Stoßdämpfeinrichtung für Förderseile</i>	507*
<i>Fritzsche, Bergversatzwirtschaft des Ruhrkohlenbergbaues</i>	443	<i>Hardy, A. C., Motorshipping. B.</i>	739	<i>Hort, W., s. a. Auerbach. — Physikertagung der Gesellschaft Deutscher Naturforscher und Ärzte</i>	408
<i>Funk, A., Farbspritzen mit 0,05 at Überdruck</i>	625*	<i>Harriman, N. F., Standards and standardization. B.</i>	771	<i>Hottinger, M., Die Heizungs- und Lüftungsanlagen in den verschiedenen Gebäudearten. B.</i>	627
G <i>Gaber, E., Versuche über die Schubfestigkeit von Holz. A.</i>	932*	<i>Hartmann, Fr., Ästhetik im Brückenbau</i>	92	<i>Hund, A., Hochfrequenzmeßtechnik. B.</i>	107
<i>v. Gäsler, Th., Die Entwicklung der Gasgeräte in der letzten Zeit. A.</i>	513	<i>Hartner-Seberich, Der Zündverzug bei flüssigen Brennstoffen. B.</i>	511	Immler, W., Leitfaden der Flugzeugnavigation. B.	383
<i>Garbotz, G., Leistungsversuche an Betonmischmaschinen</i>	734	<i>Hausen, H., Wärmeaustausch in Regeneratoren</i>	431*	<i>Isaakian s. Grinenko.</i>	
<i>— desgl. A.</i>	773*	<i>Hausen, J., Selbsttätige optische Zugsicherung</i>	654*	Jahncke, O., Die ostpreussische Elektrizitätsversorgung. A.	849*
<i>Gascard, E., Einachsschleppkran</i>	728*	<i>Haußner, K., Das Feldgeschütz mit langem Rohrrücklauf. B.</i>	272	<i>Jakob, M., Thermische Eigenschaften und thermodynamische Vorgänge. A.</i>	82*
<i>Gau, R., Die neue Zentralkokerei auf Zeche Emil, Essen-Altenessen. A.</i>	437*	<i>Hebel, M., Selbstanschlußtechnik. B.</i>	416	<i>— Die Verdampfungswärme des Wassers und das spezifische Volumen von Sattedampf für Temperaturen bis 210 °C</i>	82, 176
<i>Gayler, M. L. F., und G. D. Preston, Das Alterungshärten einiger Aluminiumlegierungen</i>	797	<i>Hecker, E., Der Einfluß des Wärmeüberganges auf den indizierten Wirkungsgrad der Gasmaschine. B.</i>	738	<i>— desgl. B.</i>	176
<i>Gehler, Sicherheitsgrad und Beanspruchung</i>	93	<i>Hegelmann, E., Grundfragen der Physik im Lichte Goethescher Erkenntnisart. B.</i>	271	<i>— und S. Erk, Der Wärmeübergang beim Kondensieren von Heiß- und Sattedampf. B.</i>	176
<i>Geiger, C., Handbuch der Eisen- und Stahlgießerei. Bd. 3. B.</i>	627	<i>Heidebroek, Maschinenteile — Neue Forschungen und Erfahrungen</i>	357*	<i>— desgl.</i>	761*
<i>Geipert, R., Gasindustrie</i>	864*	<i>Heidecker s. Feyerabend.</i>		<i>— und W. Fritz, Die Verdampfungswärme des Wassers und das spezifische Volumen von Sattedampf zwischen 210 und 250 °C. A.</i>	629*
<i>Geisler, K., Asbest und seine Verarbeitung. A.</i>	716*	<i>Heilmann, Kommunale Technik</i>	878*	<i>— und Fr. Kretzschmer, Die Durchflußzahlen von Normaldüsen und Normalstaurändern für Rohrdurchmesser von 100 bis 1000 mm</i>	935*
<i>Giesl-Gieslingen, A., Die 1 D 2-Heißdampf-Zwillings-Schnellzuglokomotive R 214 der Österr. Bundesbahnen</i>	441*	<i>Heinrich, Eisenbahnbetriebslehre. B.</i>	35	<i>Jellinek, K., Lehrbuch der physikalischen Chemie. B.</i>	239
<i>Girkmann, K., Knickfestigkeit der Pfosten von K-Fachwerken</i>	573*			<i>Johannsen, O., Textile Rationalisierungsfragen. A.</i>	274
<i>Glafey, H., Mechanische Hilfsmittel zur Veredlung der Baumwolltextilien. B.</i>	596			<i>Jünger, E., Luftfahrt ist not! B.</i>	352
<i>Glocker, Das Röntgenlaboratorium an der Technischen Hochschule Stuttgart. A.</i>	637*				

	Seite		Seite		Seite
Kammer , Tagung des deutschen Eisenbauverbandes	138	Lachmann, K. , Wärme- und Temperaturverlauf in Wänden von beliebiger Form. A.	1127*	Mecke , Straßenbahn - Leichtgewichtmotor	708*
Kantner, C. , und A. Herr , Röntgenverfahren zur räumlichen Ausmessung von Fehlstellen in Werkstoffen. A.	811*	Landsberg, W. , Die Wanderausstellung „Technik im Heim“	523	Mehne, E. , Handbuch für Luftfahrt und Luftfahrt-Industrie. B.	942
Karas , Näherungsrechnung für kritische Drehzahlen. Z.	205*	Langbein , Moderne Abwasserreinigungsanlagen in England und Amerika	29	Meineke, F. , Leerlaufeinrichtungen an Lokomotiven. A.	726*
Keller, H. , Karl Keller †	91*	Lange, O. , Technik der Emulsionen. B.	771	— Eisenbahnfahrzeuge	871*
Kickbusch , Betriebswirtschaftliche Überwachung einer Zeche	443	Larchevêque, M. , Fabrication industrielle des porcelaines. B.	240	Meister, E. , Textiltechnik. A.	273
Kiehne, F. , Instandsetzung und Verlängerung des Trockendocks VI der Deutschen Werke A.-G., Kiel	735	Laudien, K. , Erziehung zum werkstattgerechten Konstruieren. A.	757*	— Die Bedeutung der Luftbefeuchtung in Baumwoll-Spinnereien und -Webereien	308
Kippenberger, A. , Die Kunst der Ofenplatten. B.	802	Lehmann, L. , Die deutschen Forschungsstätten. B.	383	Melan, H. , Näherungsrechnung für kritische Drehzahlen	205*
Kirchhoff, R. , Die Statik der Bauwerke. B.	512	Lenard, P. , F. Schmidt , R. Tomaschek und A. Becker , Phosphoreszenz und Fluoreszenz. B.	382	Meldau, R. , Staubbeseitigung in Textilbetrieben. A.	310*
Kissinger, H. , Kreiselpumpensätze für ein Höchstdruck-Kraftwerk. A.	393*	Lenhart, E. , Dampfkesselfeuerungen für Braunkohle. B.	271	Meller, E. M. , Getreidemühlen. A.	37, 131*
Klaiber, E. , und W. Lippart , Die elektrische Ausrüstung des Kraftfahrzeuges, I. T.: Zündung. B.	415	Leo , Erweiterung der Straßenbrücke über die Norderelbe	139	Merkel, F. , Gustav Anton Zeuner und die technische Wärmelehre. A.	45*
Klein, L. , Vorträge über Hebezeuge. B.	596	Lessels s. Timoshenko.		Merz, L. , Feuerschutz in Häusern und Betrieben. B.	596
Klüsener, O. , Untersuchungen zur Dynamik des Zündvorganges. B.	143	Lewinnek , Gleichstrom-Doppelmaschinen für 12 000 kW	765*	Meyer, P. , Mischungsverhältnis und Verbrennungsvorgänge im Ölmotor. A.	824*
Knoch, C. , Handbuch der neuzeitlichen Milchverwertung. B.	36	Lichtenberger, B. , Neuzeitliche städtische Milchversorgung. A.	787*	Meyer, P. und W. Stollenwerk , Poröse Steine zum Reinigen von Gasen	412*
Köhler, W. , Moderne Lichttechnik in Wissenschaft und Praxis	473	Lindner, W. , Optische Untersuchungen von Explosionsvorgängen	83	Michaelis s. Wolf.	
Koenig, O. , Wasserbedarf und Wasserbeschaffung. A.	548	— Fortpflanzungsgeschwindigkeit der Flamme in Gasgemischen	648*	Michenfelder, C. , Aus der neueren Entwicklung der Fördertechnik. A.	251*
Köttgen , Grundsätzliches über Fließarbeit	125	Link, E. , Wasserreinigung und Wasseraufbereitung. A.	553	v. Mises, R. , Wahrscheinlichkeit Statistik und Wahrheit. B.	352
Kosack, E. , Elektrische Starkstromanlagen. B.	479	Lippart s. Klaiber.		Modersohn , Praktische Berechnung von Pleuelstangen	360
Kothe, E. , Sicherheit im Betrieb. Zur Reichs-Unfallverhütungswoche, 24. Februar bis 3. März 1929. A.	241*	Lippisch s. Stamer.		Müller, F. O. , Beschleunigungsverhältnisse beim sphärischen Kurbeltrieb und verwandten Mechanismen. A.	117*
Kraemer, M. H. , Hochfrequenzofen mit umlaufender Funkenstrecke und veränderlicher Schwingungszahl	170*	List, H. , Kurbelkastenspülung für Zweitaktmotoren. A.	225*	Müller, H. R. , Neuere Hubwagen	799*
Kraft , Die Höchstdruckturbine, eine Baustofffrage	345	Lister, B. , Practical steelmaking. B.	771	Münzinger , Wirtschaftlicher Dampfdruck für Elektrizitätswerke unter Berücksichtigung des Löfflerkessels	315
Krauß , Erfahrungen aus dem Betriebe von Kurbelmaschinen	360	Loch, R. , Staubexplosionen. A.	247	Mundt, R. , Ermüdungsbruch und zulässige Belastung von Wälzquerlagern. A.	53*
Kreckeler s. Wallich.		Lochtkemper s. Teleky.		— desgl. Z.	116
Kretzschmar, B. , Die Londoner Brennstofftagung 1928. Rostfeuerungen für Dampfkessel. A.	261*	Lockhart, L. B. , American lubricants	659	Naderer , Fahrleitungen für Vollbahnen. Bildbl. 3 und 4. A.	697*
Kretzschmer s. Jakob.		Löwenstein , Die Verwendung der Nichteisenmetalle im Kühlerbau	137	Nägel, A. , Wärmekraftmaschinen. A.	853
Kron, O. , Plattenbehälter für Flüssigkeiten	100*	Löwy, R. , Druckschwankungen in Druckrohrleitungen. B.	382	Nägel, A. , Die Bauverfahren für Landstraßen. Z.	136
Kruckow s. Feyerabend.		Lorenz, M. , Aluminiumlegierungen im Motorenbau	267*	Nahnsen, J. , Die Praxis der planmäßigen Entwässerung im Braunkohlenbergbau. B.	659
Krüger, F. A. O. , Über Farbenmessung	465*	Lottes, H. , Die Herstellung von Kakaopulver. A.	60*	Nettmann, P. , Vergleichende Versuche mit Farbspritzpistolen	828*
Krug, C. , Die Stahlbauweise im Maschinenbau. A.	14*	— Die Herstellung von Schokolade. A.	364*	Neumann, K. , Untersuchungen an der Dieselmachine. B.	143
— SchwereFlächenschleifmaschine	346*	Luchsinger , Hochdruck-Wasserkraftanlage Vermont	827*	Niethammer, F. , Selbsttätige Lichtbogen-Schweißmaschinen. A.	209*
Krumme, W. , Gleitwiderstände in Fadenführungen. A.	303*	Lübcke, E. , Akustik neuzeitlicher Sprechmaschinen. A.	333*	— Elektrotechnik	856*
Kühne, G. , Das Landmaschinenwesen als Lehrgebiet für Ingenieure. Landmaschinen-Laboratorium der Technischen Hochschule, München. A.	449*	Lüssenhop, R. , Das Unterpatent	250	Noack, F. , Neuerungen im Funkwesen	95*
Kuhn, O. , Das neue Fernamt in Berlin. A.	709*	Lummer, s. Eucken.		— Die Schwächung drahtloser Wellen über Städten	378*
Kulka, H. , Der Eisenwasserbau, I. Bd.: Theorie und Konstruktion der beweglichen Wehre. B.	415	Mäder, M. , Bordgeräte im neuzeitlichen Verkehrsgroßflugzeug	733*	— Elektrisches Nachrichtenwesen	877*
Kuntze, W. , Zur Festigkeit im Schraubengewinde	469*	Mangold, Gg. , Leistungs- und Zugkraftkurven der Diesellokomotive. A.	729*	Nugey, A. L. , Oil refinery specifications. B.	738
Kutzbach , Praktische Riemenversuche	363	Mann, V. , Rohre. Unter besonderer Berücksichtigung der Rohre für Wasserkraftanlagen. B.	447	Nullau, Der Linealspinnregler. A.	318*
Laas , Schwimmfähigkeit der Fahrgastschiffe nach Havarien und ihre internationale Regelung	376	Marguerre, F. , Technisches und Wirtschaftliches über die 100 at-Anlage des Großkraftwerkes Mannheim	345	Nußelt, W. , Wärmeleitung pulververformiger Körper	82*
		— desgl. A.	913*	— Der Stoßverlust an plötzlichen Erweiterungen in Rohren beim Durchfluß von Gasen und Dämpfen	763*
		Mattern, E. , Erd- und Wasserbau	871*	Obermüller, H. , Über Kokillenguß. A.	613*
		Matula s. Oppenheimer.		Oberste-Brink , Das Wesen der Einwirkung des Bergbaues auf die Erdoberfläche	445
		Maul, F. , Getriebepraxis bei Verpackungsmaschinen. A.	481*		
		Mauz, E. , Neuere Webverfahren, Bildbl. 1. A.	285*		
		— Faserstoffindustrie	870*		

	Seite		Seite		Seite
<i>Oertel, F.</i> , Über die Geschwindigkeitsregelung bei den Ring-spinnmaschinen. A.	313*	<i>Rehbock, A.</i> , Wassermessung mit scharfkantigen Überfallwehren	817*	<i>Schmied, J.</i> , Die Wasserbewegung im Dammkörper. B.	108
<i>Oesterlen</i> , Wasserkraftmaschinen und -anlagen	855*	<i>Retterath, V.</i> , Der Praktiker in der Werkstatt. B.	384	<i>Schmuckler, H.</i> , Vorzüge des Eisenbaues unter besonderer Berücksichtigung des Skelettbaues	139
<i>Oetken, F. A.</i> , Spülgasschwelung. A.	229*	<i>Reudler s. Bruins.</i>		— Wand-Füllbaustoffe für Stahlskelettbauten. A.	385*
<i>Ohl</i> , Elektrische Industrielokomotiven	704*	<i>Richter, O. und R. v. Voß</i> , Bauelemente der Feinmechanik. B.	382	<i>Schnadel</i> , Über Knickung von Platten	377*
<i>Ohmann, O.</i> , Zwei Explosionen durch Wasserstoff-Stahlflaschen	264*	<i>Ring, H.</i> , Mischmaschinen für den Straßenbau. A.	461*	<i>Schneider, L.</i> , Hauptformen des zweiachsigen Lokomotiv-Laufgestells. A.	492*
— Die Gasbehälterexplosion am Wedding zu Berlin	349	<i>Rötscher</i> , Einheitliche Beziehungen der Festigkeitsbegriffe	362	— desgl. Z.	642
<i>Olsen</i> , Untersuchungen über die Zugfestigkeit von Zementmörtel und Beton	734	<i>Rosenthal-Deussen s. Teleky.</i>		<i>Schnell, H.</i> , Der indizierte Wirkungsgrad der Gasmachine. B.	738
<i>Oppenheimer, C. und J. Matula</i> , Kurzes Lehrbuch der Chemie in Natur und Wirtschaft. B.	447	<i>Rosin, P.</i> , Die Brennstofftagung der Weltkraftkonferenz, London 22. September bis 6. Oktober 1928. A.	9	<i>Schöne</i> , Hochdruck-Dampfkraftanlage für 120 at	346
— und <i>L. Pincussen</i> , Die Methodik der Fermente. B.	71, 628	— Thermodynamik der Staubfeuerung. A.	719*	<i>Schönfeld, P.</i> , Hafenverladung der Zeche „Fürst Hardenberg“ der Vereinigten Stahlwerke A.-G. bei Dortmund. A.	191*
<i>Ossberger, F.</i> , Verhütung von Motorückschlägen an Kraftwagen. Z.	448	<i>van Rossum</i> , Technische Tagung des Vereins für die bergbaulichen Interessen des Rheinisch-Westfälischen Steinkohlenbergbaus	442	<i>Schoof, B.</i> , Das Vergleichsverfahren im Betriebe der Spinnereien und Webereien. A.	330*
<i>Ostertag, P.</i> , Die Entropie-Diagramme der Verbrennungsmotoren. B.	511	<i>Rubin, A.</i> , Kabelkrananlage mit Betongießbühne beim Bau der Staumauer Spitalamm des Grimspeicherbeckens. A.	427*	<i>Schultheiß, L.</i> , Heimtechnik. B.	679
— Pumpen und Kompressoren	859*	<i>Rühl, K. H.</i> , Die nordamerikanische Luftfahrt im Jahre 1928	593*	<i>Schulz, E. H.</i> , Rostschutz und schwerrostende Stähle	138
<i>Ostwald, W.</i> , Grundsätzliches zur Geschichte der Technik. A.	1*	<i>Ryba, G.</i> , Handbuch des Grubenrettungswesens. 1. Bd. B.	942	— Fortschritte in der Metallurgie des Stahles für Schiffskörper und Kessel	377
<i>Ower, E.</i> , The measurement of air flow. B.	143	<i>Sachs, G.</i> , Die Bruchgefahr spröder Körper	161	<i>Schulz, W.</i> , Das Förderhöhenverhältnis der Kreiselpumpen für die ideale und wirkliche Flüssigkeit. B.	143
<i>Peiseler, G.</i> , Richtige Akkorde. B.	833	<i>Sachs, K.</i> , Fortschritte im Bau elektrischer Lokomotiven. A.	677, 921*	— Neuere Ergebnisse auf dem Gebiete der Kreiselpumpenfor-schung	454*
<i>Peters, J.</i> , Sechsstellige Tafel der trigonometrischen Funktionen. B.	383	<i>Salingré</i> , Beanspruchung von Schrauben an Marineköpfen	358*	— desgl. Z.	596
<i>Pfleiderer, C.</i> , Der gegenwärtige Stand des Kreiselpumpenbaues. Formgebung und Berechnung der Schaufeln. A.	126*	<i>Sander, A.</i> , Gasprüfung. A.	531*	<i>Schulze, A.</i> , Die thermische Ausdehnung von Magnesium und Magnesiumlegierungen	195
— Der gegenwärtige Stand des Kreiselpumpenbaues. Besonders kennzeichnende Bauformen. A.	177*	<i>Saurau, F. H.</i> , Die Entwicklung der elektrischen Lokomotiven und Triebwagen. B.	207	— Über die Haltbarkeit von Thermoelementen im Betrieb	246
<i>Pfuhl, E.</i> , und <i>E. Friedrich</i> , Die Deutsche Wirtschaft in Karten. B.	660	<i>Schaub</i> , Chemische Industrie	863*	— Über die Struktur des Systems Eisen-Chrom-Kohlenstoff	477
<i>Pigeaud, G.</i> , Bemessung zentrisch und exzentrisch gedrückter Stäbe auf Knickung	93	<i>Schaudt</i> , Härteprüfungen in der Fließarbeit	471*	— Über das Monel-Metall	767*
<i>Pincussen s. Oppenheimer.</i>		<i>Schenck</i> , Vorspannungen an Zylinderdeckeln	362*	<i>Schwab, G. M.</i> , Physikalisch-chemische Grundlagen der chemischen Technologie. B.	35
<i>Planck, M.</i> , Aus der neuen Physik. A.	353	<i>Schenk, J.</i> , Die Lehre von der schöpferischen, Produkte schaffenden Arbeit, die grundlegende Erziehung für den Maschineningenieur. B.	107	<i>Schwarz, O.</i> , Zugfestigkeit und Härte bei Metallen. B.	238
<i>Plank, R.</i> , Wärmediagramme für feste, flüssige und gasförmige Kohlensäure	82	<i>Schiebel</i> , Einfluß der Ausführungsfehler und Abnutzung auf die Festigkeitsbeanspruchung der Zähne an Zahn-rädern	362	— desgl.	792*
— Herstellung und industrielle Verwertung fester Kohlensäure. A.	221*	<i>Schiffner, G.</i> , Eine leichte Seilrolle für den Aufzugbau	104*	<i>Schwenninger</i> , Bügelmaschinen	101*
<i>Ploppa, Th.</i> , Aufgaben des Betriebsingenieurs in Heilanstalten. A.	753*	<i>Schildberger</i> , Über Gesenkstähle	505	— Wägen und Mischen in der Glashütte	508*
<i>Pomp, A.</i> , Mechanische Eigenschaften von Stahlguß bei erhöhten Temperaturen.	102*	<i>Schimank, H.</i> , Bildungswerte der Technik	509*	— Selbsttätig arbeitende Reismühlen	623*
<i>Pressel, K.</i> , Die Vorausbemessung der Gesteintemperatur im Innern von Gebirgsmassen. A.	162	<i>Schlegel</i> , Drehlaufkran als Kleinfördermittel	171*	<i>Schwinning, W.</i> , Beurteilung von Werkstoffen nach Korbversuchen. A.	321*
<i>Preston s. Gayler.</i>		<i>Schlemmer s. Tetzlaff.</i>		<i>Scotari, T.</i> , Elektrische Zugförderung auf der Mailänder Nordbahn	696*
<i>Preuß</i> , Abwasserrückgewinnung in Walzwerken	105*	<i>Schlesinger</i> , Leistung und Sparsamkeit	116	<i>Seewald, F.</i> , Die Luftschraubenfrage	138
<i>Prockat</i> , Die Pittsburger Internationale Kohlentagung	235	<i>Schmid, G. C.</i> , Tagesfragen des Maschinenbaues für die Aus-rüstungsindustrie. A.	294*	<i>Seidel, H.</i> , Vom Bau des Schiffshebewerkes Niederfinow	149*
— Neuerungen in der Gewinnung und Veredlung von Torf	407	<i>Schmidt s. Lenard.</i>		<i>Siemann</i> , Aufgaben und Fortschritte der Dehnungsmessung am Schiff im Seegang	377
— Die Gaswirtschaft auf deutschen Hüttenwerken	538	<i>Schmidt, E.</i> , Wasserumlauf in Siederohrkesseln	83	<i>Smith s. Twyman.</i>	
— Ölbergbau in den Vereinigten Staaten von Amerika	592*	<i>Schmidt, F.</i> , Der indizierte Wirkungsgrad der kompressorlosen Dieselmachine. B.	240	<i>Smithells, C. J.</i> , Impurities in metals. B.	511
— Fortschritte der Kohlenaufbereitung	801	— desgl.	617*	<i>Spackeler</i> , Neueste Erkenntnisse auf dem Gebiete der Gebirgs-druckerscheinungen	443
— Bergbau und Brennstoffe	861*	<i>Schmidt, W.</i> , Das Kapillarphänomen	8	<i>Spangenberg</i> , Weitgespannte Wölbrücken	94
		— 29. Hauptversammlung der Schiffbautechnischen Gesellschaft	376*	<i>Spiers, H. M.</i> , Technical Data on Fuel. B.	479
		— Physikalisch-technische Forschung	880	<i>Spinka, R.</i> , Der Webstuhl-antrieb. Z.	72
		— Über Drahtseile	940*	<i>Spindel</i> , Hochwertiger Beton unter Berücksichtigung der Darstellung im Vierstoffparallelogramm	734
		<i>Schmidtmann</i> , Die strafrechtliche Verantwortlichkeit der Baupolizeibeamten	30	<i>Splanemann s. Everling.</i>	

<i>Stamer, F. und A. Lippisch</i> , Gleitflug und Gleitflugzeuge. B. . .	Seite 144
<i>Stamer, Johs.</i> , Untersuchungen an zugiesten Anschlüssen im Holzbau . . .	584*
<i>Stauch</i> s. Akademischer Verein Hütte.	
<i>Stegemann</i> , Ankermast für Luftschiffe in Kanada . . .	379*
<i>Stenger, H.</i> , Einzelantrieb für Webstühle alter und neuer Bauart . . .	332*
<i>Stendel</i> , Die Metalle im Aufbau des Flugzeuges . . .	137
<i>Stending, H.</i> , Beschleunigungsmesser von Galitzin . . .	263*
<i>Stillmann, Th. B.</i> , Engineering chemistry. B. . .	659
<i>Stollenwerk</i> s. Meyer.	
<i>Swain, G. F.</i> , Festigkeitslehre. B. .	176
<i>Swoboda, J.</i> , Lagerung und Transport des Erdöls und seiner Produkte zu Lande. B. . .	942
<i>v. Sybel</i> s. Vormfelde.	
<i>Tackey, Lochtkemper, E. Rosenthal-Deussen und Derdack</i> , Staubgefährdung und Staubschädigungen der Metallschleifer. B. . .	271
<i>Tetzlaff und Schlemmer</i> , Neuere elektrische Lokomotiven der Deutschen Reichsbahn, Taf. 1 und 2. A.	667*
<i>Thau</i> s. Heinze.	
<i>Thoma, H.</i> , Aufzeichnung schneller Schwingungen. A.	639*
<i>Thomann, R.</i> , Professor Dr. Präsil †	401
<i>Thun, R.</i> , Photographische Objektive. A.	49*
<i>Tils</i> , Die Senkkastengründungen der neuen Rheinbrücken bei Düsseldorf, Köln und Duisburg	734
<i>Timoshenko, S. und J. M. Lessels</i> , Festigkeitslehre. B.	511
<i>Toeniesen, E.</i> , Das Walzenstreckwerk in der Baumwollspinnerei. A.	298*
<i>Tomasehek</i> s. Lenard.	
<i>Toussaint, Fr.</i> , Differential-Greiferwindwerk mit Getriebekasten .	234*

<i>Tracnkner, K.</i> , Gasfernleitungen. A.	Seite 517*
<i>Treukerz, P.</i> , Der Webstuhl-antrieb. Z.	72
<i>v. Tschudi, G.</i> , Aus 34 Jahren Luftfahrt. B.	207
<i>Twyman, F., E. Honegger und D. M. Smith</i> , Anwendungen des Spektrographen in der Metallindustrie. A.	196*
<i>Uller, K.</i> , Die mehrfach geführten Wellen in mehreren fließenden Mitteln	136
<i>Ullmann, F.</i> , Enzyklopädie der technischen Chemie. B. . . .	207
<i>Unger, Fr.</i> , Aufgaben des Elektromaschinenbaues. A.	605*
<i>Utsch, O.</i> , Die Messung des elektrischen Feldes des Menschen. A.	575*
<i>Vormfelde und v. Sybel</i> , Landmaschinenbau in England . .	590*
<i>v. Voß</i> s. Richter.	
<i>Voßnack, E.</i> , Motorrettungsboot „Insulinde“. A.	499*
<i>Waetzmann</i> s. Euken.	
<i>Wallichs, A., und K. Krekeler</i> , Untersuchung der Kühlöle bei der Zahnradbearbeitung. A.	643*
<i>Walther</i> , Tankanlagen für Kraftfahrzeuge. Z.	396*
<i>Walther, A.</i> , Einführung in die mathematische Behandlung naturwissenschaftlicher Fragen. B.	739
<i>Warlimont, P.</i> , Über künstliches Holztrocknen	202*
<i>Weber, A.</i> , Allgemeine Volkswirtschaftslehre. B.	36
<i>Wechmann, W.</i> , Elektrischer Zugbetrieb auf der Reichsbahn. A.	663*
<i>Wedding, F. W.</i> , Bedeutung der Normung für die deutsche Wirtschaft	444
<i>Weicken</i> , Verpackungsfragen . .	16
<i>Weil, S.</i> , Sonderfräswerk für Rippenplatten	201*
— Achsschenkel-Drehbank . . .	477*
<i>Weinreich, H.</i> , Bildungswerte der Technik. B.	509

<i>Westphal, W. H.</i> , Physik. B. . . .	Seite 772
<i>Wewerka</i> , Spannungserhöhung infolge der Kerbwirkung . . .	358
— Dauerbrüche an Ventilspindeln	358
<i>Wiesner, J.</i> , Die Rohstoffe des Pflanzenreichs. B.	239
<i>Willers, Fr. A.</i> , Methoden der praktischen Analysis. B. . . .	71
<i>Wittig</i> , Die Erschütterungen der Gebäude durch Verkehrseinflüsse und die Maßnahmen zu deren Abwehr	30
<i>Woerle, R.</i> , Ein Beitrag zur Klärung der Drahtseilfrage. A. . .	417*
— Hebezeuge und Förderanlagen .	858*
<i>Woeste, Fr.</i> , 60 t-Schwimmdrehkran mit einziehbarem Ausleger	32*
<i>Wolf, J. W.</i> , Tagung der Deutschen Gesellschaft für Metallkunde	137
— und <i>W. Michaelis</i> , Fließarbeit in der Galvanotechnik. A. . .	610*
<i>Wolff, H.</i> , Die natürlichen Harze. B.	207
<i>Wolff, R.</i> , Über die Schmierseicht in Gleitlagern und ihre Messung durch Interferenz. B. . .	478
<i>Wolfram, H. W.</i> , Ingenieur und Gemeindeverwaltung	29
— Tagung des Deutschen Vereines für öffentliche Gesundheitspflege	67
— Neuerungen im Krankenhausbau	67
<i>Würth, K.</i> , Anstrichchemie und Anstrichtechnik	656
<i>Wunder, W.</i> , Messing und Sondermessing. A.	165*
<i>Zenneck, J.</i> , Die Bedeutung der drahtlosen Telegraphie für die Wissenschaft. A.	565*
<i>Zerkowitz, G.</i> , Neuere thermodynamische Fragen des Dampfturbinenbaues	84
<i>Zimmermann, Fr.</i> , Bremsuntersuchungs-Meldeanlagen . . .	411*
<i>Zorn, M.</i> , Die kurzwelligen Strahlen des Nordlichts	355*
<i>Zschimmer, E.</i> , Silikathüttenkunde als Chemie-Ingenieurwissenschaft. A.	434*

Sachverzeichnis

* = Abbildung im Text; A = Aufsatz; B = Buchbesprechung; Z = Zuschrift oder Berichtigung

	Seite		Seite		Seite
Abteufen. Schachtbohrverfahren nach Zäusler	349	Aufbereitung s. a. Brennstoff, Ofen.		Berufseignung s. Arbeiter.	
Abwärme. Abgaskessel in einer amerikanischen Gasanstalt . . .	446	— Die Schwimmaufbereitung der Moctezuma Copper Co., Nacozari, Staat Sonora, Mexiko. Von C. Bruchhold. A.	26*	Beton s. a. Brücke, Dock, Eisenbahnoberbau, Hochbau, Lager- und Ladevorrichtung, Mast.	
— Zusammenarbeit von Herdöfen und Abhitzekeßeln	737	— desgl. Z.	156	— Zerstörungen an Beton durch Moorwasser	34
— Abhitzekeßel mit Kohlenstaub-Zusatzfeuerung	770	— Fortschritte der Kohlenaufbereitung. Verhandlungen der Weltkraftkonferenz London 1928. Von Prockat	801	— Anweisung für Mörtel und Beton. B.	71
Abwässerung. Moderne Abwasserreinigungsanlagen in England und Amerika. Von Langbein	29	Aufzug s. Seil.		— Untersuchungen über die Zugfestigkeit von Zementmörtel und Beton. Von Olsen	437
— Abwasserklärschlamm als Düngemittel	70	Ausbessern s. Werkstätte.		— Handbuch für Eisenbeton. Bd. 6. B.	660
— Abwasserrückgewinnung in Walzwerken. Von Preuß	105*	Ausfuhr s. Industrie.		— Tagesfragen im Eisenbetonbau. Von K. Bernhard	734
— Gewerbliche Abwässer. Von B. Böhm. B.	595	Ausstellung. Die Wanderausstellung „Technik im Heim“. Von Landsberg	523	— Hochwertiger Beton unter Berücksichtigung der Darstellung im Vierstoffparallelogramm. Von Spindel	734
Achse s. Kraftwagen.		— Ausstellung München 1927 „Das Bayerische Handwerk“. B.	943	— Leichtbeton	734
Ästhetik. Kunst im Brückenbau. Von Fr. Hartmann	92	Automobil s. Kraftwagen.		Betriebswissenschaft s. a. Buchführung, Eisenbahn, Fließarbeit, Heimtechnik, Krankenhaus, Zeitstudie.	
Akkord s. Betriebswissenschaft.		Bagger. Grabenbagger für Dränung	478	— Das Technische und das Kaufmännische in der Rationalisierung. Von Goerner	116
Akustik s. Sprechmaschine.		— Löffelbagger mit 6,5 m³ Löffelinhalt	506*	— Betriebswirtschaftliche Überwachung einer Zeche. Von Kieckebusch	443
Aluminium s. a. Glas, Kraftwagen.		— Amerikanische Riesenlöffelbagger. Von W. Franke	577*	— Richtige Akkorde. Von G. Peiseler. B.	833
— Aluminiumlegierungen im Motorenbau. Von M. Lorenz	267*	Bast s. Faserstoff.		Bewässern s. a. Bagger.	
— Das Alterungshärten einiger Aluminiumlegierungen. Von M. L. V. Gayler und G. D. Preston	797*	Baumaschine s. a. Bagger, Lager- und Ladevorrichtung.		— Großfeldregner	656*
Anatomie. Die Messung des elektrischen Feldes des Menschen. Von O. Utesch. A.	575*	— Fortbewegungsmittel amerikanischer Baumaschinen. Von W. Franke	140*	Blech s. Ofen.	
Anfressen s. Metallschutz, Werkstoff.		— Rationalisierung und Standardisierung in der Bauindustrie der Vereinigten Staaten von Amerika. Von H. Griesel. A.	369*	Bleichen s. Faserstoff.	
Anker s. Luftfahrt.		— Betonieranlage für die Verankerung der Kabel der neuen Hudsonbrücke	658	Blitzschutz. Der gegenwärtige Stand des Blitzschutzes. Von H. Grünwald	732
Anlassen. Sicherheits-Andrehkurbeln von F. Obberger, Andrehkurbel von Carl Schürmann, Andrehkurbel und Essener Kurbel der Präwag	88*	Behälter. Plattenbehälter für Flüssigkeiten. Von O. Kron	100*	— Blitzforschung	738
Anstrich s. a. Verein deutscher Ingenieure (Fachausschüsse).		— Hochbehälter der Stadt Kaiserslautern, Wasserturm Lutherplatz in Halle a. S.	546*	Bohren s. Werkzeug.	
— Wege zur Rationalisierung des Schiffsanstriches. Von E. Asser. A.	374	Beleuchtung. Moderne Lichttechnik in Wissenschaft und Praxis. Von W. Köhler	473	Bordgerät s. Messen.	
— Farbspritzen mit 0,05 at Überdruck. Von A. Funk	625*	— desgl. Z.	786	Braunkohle s. Feuerung, Gas.	
— Anstrichchemie und Anstrichtechnik. Von K. Würlth	656	Benzol s. Brennstoff.		Brennstoff s. a. Bergbau, Feuerung, Gas, Kohle, Kohlenstaub, Koks, Petroleum, Torf.	
— Vergleichende Versuche mit Farbspritzpistolen. Von P. Nettmann	828*	Bereggen s. Bewässern, Düse.		— Die Brennstofftagung der Weltkraftkonferenz. London, 22. September bis 6. Oktober 1928. Von P. Rosin. A.	9
Appretur s. Faserstoff.		Bergbau s. a. Abteufen, Aufbereitung, Betriebswissenschaft, Brennstoff, Geologie, Holz, Koks, Lager und Ladevorrichtung, Lokomotive, Petroleum, Unfallverhütung, Versuchsanstalt, Wasserhaltung.		— Das Instill-Benzol-Raffinierungsverfahren	130*
Arbeiter. Aufgaben und Pläne des Kaiser-Wilhelm-Instituts für Arbeitsphysiologie. Von Atzler	442	— Med hammare och fackla. B.	143	— Teersandaufbereitung	175
— Psychotechnische Berufseignungsprüfung von Gießereifacharbeitern. Von W. Bültmann. B.	447	— Die Vorausbestimmung der Gesteintemperatur im Innern von Gebirgsmassiven. Von K. Pressel. A.	162	— Tankanlagen für Kraftfahrzeuge. Von Walther. Z.	396*
Asbest. Asbest und seine Verarbeitung. Von K. Geisler. A.	716*	— Das Wesen der Einwirkung des Bergbaues auf die Erdoberfläche. Von Oberste-Brink	445	— Technical data on fuel. Von H. M. Spiers. B.	479
— Aufbereitanlage, Krepeln, Doppeldraht-Ringspinnmaschine für feine Asbestgarne, Flügelzwirnmachine	716*	— Sandgefüllte Stützen für den Streckenausbau in Bergwerken	626	— Der Zündverzög bei flüssigen Brennstoffen. Von Hartner-Seberich. B.	511
		— Bergbau und Brennstoffe. Von Prockat (Chronik)	861*	— Behandlung und Bewertung von flüssigen Brennstoffen. Von Aufhäuser	651
				— Bergbau und Brennstoffe. Von Prockat (Chronik)	861*
				Brennstoffpumpe s. Pumpe.	
				Brücke s. a. Ästhetik, Baumaschine, Gründung, Seil.	
				— Weitgespannte Wölbbrücken. Von Spangenberg	94

	Seite		Seite		Seite
Brücke.		Dampfkessel, s. a. Abwärme,		Eis s. Kohlensäure.	
— Brücke bei Plougastel. Von <i>Freyssinet</i>	94	Dampfkesselexplosion, Feuerung, Lokomotive, Verein deutscher Ingenieure (Fachausschüsse), Weltkraftkonferenz.		Eisenbahn s. a. Eisenbahnoberbau, Eisenbahnwagen, elektrische Bahn, Kraftwagen, Lokomotive, Signal.	
— Erweiterung der Straßenbrücke über die Norderelbe. Von <i>Leo</i>	139	— Wasserumlauf in Siederohrkesseln. Von <i>E. Schmidt</i>	83	— Eisenbahnbetriebslehre. Von <i>Heinrich, B.</i>	35
— Straßenbrücke mit durchlaufendem Fachwerkträger von 276 m Länge	206	— Versuche an Elektro-Dampfkesseln	106	— Bahnlinie für 19 t Achsdruck	107
— Belastungsprüfung an einer ausgeführten Betonbrücke	238	— Hochdruck - Lokomotivkessel für 60 at, Bauart „Winterthur“, Verbindung von Kesseltrommel und Wasserwänden	153*	— Das Eisenbahnwesen. Von <i>Blum</i>	219
— Vom Bau der Brücke bei Plougastel	770*	— Wirtschaftlicher Dampfdruck für Elektrizitätswerke unter Berücksichtigung des Löfflerkessels. Von <i>Münzinger</i>	345	— Die Eisenbahnen der Erde	595
— Brücken- und Baukonstruktionen. Von <i>K. Bernhard (Chronik)</i>	871*	— Große Hochdruckkesseltrommeln	413	— Eisenbahnwesen. Bau und Betrieb. Von <i>Blum (Chronik)</i>	873
Brunnen s. Wasserversorgung.		— Neue Kessel für das Hell Gate-Kraftwerk	657	Eisenbahnoberbau s. a. Elektrische Bahn, Kraftwagen, Walzen.	
Buchhaltung, Überwachung der Rationalisierung durch das industrielle Rechnungswesen. Von <i>Le Coutre</i>	116	— Ein neuer Rauchröhrenkessel	802	— Längskräfte im Eisenbahngleis. Von <i>Ammann und v. Gruenewaldt, A.</i>	157*
Bügeln s. Faserstoff.		— Hanomag-Kessel mit Brennkammer und Kohlenstaubeuerung der Kohlen-Scheidungs-Ges., Kessel der Maschinenbauanstalt Humboldt mit Brennkammer der AEG für die 100 at-Anlage des Großkraftwerkes Mannheim	919*	— Fahrbare Gleisschotter-Reinigungsanlage	237
Chemie s. a. Öl, Wörterbuch.		Dampfkesselexplosion. Explosion einer Kesseltrommel	594	— Holzschwellen auf Betonbettung für Schnellbahngleise	414
— Physikalisch-chemische Grundlagen der chemischen Technologie. Von <i>G. M. Schwab, B.</i>	35	Dampfmaschine. Die dreizylindrige Dampfmaschine der Hochdrucklokomotive „Winterthur“	153*	— Schmiervorrichtung zur Verminderung der Spürkranzabnutzung	802
— Die Methodik der Fermente. Von <i>C. Oppenheimer und L. Pincussen, B.</i>	71, 628	Dampfturbine. Neuere thermodynamische Fragen des Dampfturbinenbaues. Von <i>G. Zerkowicz</i>	84	Eisenbahnwagen s. a. Elektrische Bahn, Kältetechnik, Kohlenstaub, Kupplung.	
— Enzyklopädie der technischen Chemie. Von <i>F. Ullmann, B.</i>	207	— Dampfturbine für sehr niedrige Drücke	174	— Amerikanischer Eisenbahnwagenbau	142
— Lehrbuch der physikalischen Chemie. Von <i>K. Jellinek, B.</i>	239	— Die Hochdruckturbine, eine Baustofffrage. Von <i>Kraft</i>	345	— Beförderung flüssigen Roh-eisens auf 16,5 km Entfernung	446
— Technische Elektrochemie. Von <i>J. Billiter, B.</i>	383	— 6000 kW - Turbodynamo mit einem Gehäuse	413	— Öffnen und Schließen von Selbstentladewagen mittels Druckzylinders	833
— Kurzes Lehrbuch der Chemie in Natur und Wirtschaft. Von <i>C. Oppenheimer und J. Matula, B.</i>	447	— Die Vorschaltturbine als Druckminderventil	478	Eisenbau s. a. Brücke, Hochbau, Mast, Messen, Normen, Wasserbau.	
— Engineering chemistry. Von <i>T. B. Stillmann, B.</i>	659	— Wirtschaftlichkeit einer neunstufigen 37 500 kW-Turbine	737	— Tagung für Brücken- und Hochbau in Wien. Von <i>K. Bernhard</i>	92
— Technik der Emulsionen. Von <i>O. Lange, B.</i>	771			— Geschweißte Rohrkonstruktionen. Von <i>A. Hilpert und O. Bondy, A.</i>	805*
— Lehrbuch der physikalischen Chemie in elementarer Darstellung. Von <i>J. Eggert, B.</i>	833			— Brücken- und Baukonstruktionen. Von <i>K. Bernhard (Chronik)</i>	871*
Chemische Industrie.				Eisenbeton s. Beton, Brücke.	
— Chemische Industrie. Von <i>Schaub (Chronik)</i>	868*	Dehnung s. Elastizität.		Eisenhüttenwesen s. a. Abwässerung, Eisenbahnwagen, Gas, Hochofen, Hüttenwesen, Ofen, Walzen.	
Chronik s. a. Bergbau, Brennstoff, Brücke, Chemische Industrie, Eisenbahn, Eisenbau, Elektrisches Nachrichtenwesen, Elektrotechnik, Fabrik, Faserstoff, Gas, Hüttenwesen, Kompressor, Kraftmaschine, Kraftwagen, Lager- und Ladevorrichtung, Landmaschine, Lokomotive, Luftfahrt, Normen, Pumpe, Schiff, Städtewesen, Versuchsanstalt, Wasserbau, Wasserkraft, Werkstoff, Werkzeugmaschine.		Diesellokomotive s. Lokomotive.		— Roheisen- und Rohstahlerzeugung 1928	350
— Jahresschau der Technik 1928/29, Bildblatt 5 bis 8	853*	Dieselmachine s. Verbrennungsmaschine.		— Die Gaswirtschaft auf deutschen Hüttenwerken. Von <i>Prockat</i>	538
Damm s. Wehr.		Dock. Instandsetzung und Verlängerung des Trockendocks VI der Deutschen Werke A.-G., Kiel. Von <i>S. Kiehne</i>	735	— Practical steelmaking. Von <i>W. Lister, B.</i>	771
Dampf s. a. Kraftwagen, Mechanik, Verein deutscher Ingenieure (Fachausschüsse).		Dränung s. Bagger, Bewässern.		Elastizität s. a. Holz.	
— Die Verdampfungswärme des Wassers und das spezifische Volumen von Sattdampf für Temperaturen bis 210 ° C. Von <i>M. Jacob</i>	82, 504*	Draht s. Seil.		— Spannungsermittlung in Druckstäben. Von <i>H. Frey und R. Frey</i>	66*
— desgl. B.	176	Drehen s. Werkzeugmaschine.		— Sicherheitsgrad und Beanspruchung. Von <i>Gehler</i>	93
— Verdunstungsversuche. Von <i>Fischer</i>	84	Druckerei. Das Tiefdruckverfahren. Von <i>R. Krug, Fr. Rothe und H. Wenzel, B.</i>	660	— Bemessung zentrisch und exzentrisch gedrückter Stäbe auf Knickung. Von <i>G. Piggeand</i>	93
— Der Wärmeübergang beim Kondensieren von Heiß- und Sattdampf. Von <i>M. Jakob und S. Erke, B.</i>	176	Dünger s. Abwässerung.		— Die Bruchgefahr spröder Körper. Von <i>G. Sachs</i>	161
— desgl.	761*	Düse. Schema und Wirkungsweise der Quadratdüse von Zanninger für Beregnungsanlagen, Hüdig-Drehstrahlregner für Kreisberegnung	113*	— Festigkeitslehre. Von <i>G. F. Swain, B.</i>	176
		— Die Durchflussszahlen von Normaldüsen und Normalstaurändern für Rohrdurchmesser von 100 bis 1000 mm. Von <i>M. Jakob und Fr. Kretschmer</i>	935*	— Spannungserhöhung infolge der Kerbwirkung. Von <i>Weverke</i>	358
		Dynamomaschine. Stromerzeuger im Freien	447	— Einheitliche Bezeichnungen der Festigkeitsbegriffe. Von <i>Röttscher</i>	362
		— Mit Wasserstoff gekühlter Stromerzeuger	737	— Aufgaben und Fortschritte der Dehnungsmessung am Schiff im Segegang. Von <i>Siemann</i>	377*
		— Gleichstrom-Doppelmaschinen für 12 000 kW. Von <i>Lewinnek</i>	765*	— Über Knickung von Platten. Von <i>Schnadel</i>	377
				— Festigkeitslehre. Von <i>S. Timoshenko und J. M. Lessels, B.</i>	511

	Seite		Seite		Seite
Elastizität.		Elektrizitätswirtschaft. Englische		Faserstoff	
— Bestimmung der Dauerfestigkeit von Metallen durch Messung des elektrischen Widerstandes	595	Elektrizitätswirtschaft. Von <i>G. Brandt</i> . B.	803	— Die Rohstoffe des Pflanzenreiches. Von <i>J. Wiesner</i> . B.	239
— Konstante Brucharbeit als Erklärung für den Bruch durch Ermüdungs- und andre Belastungen. Von <i>Durrer</i>	830*	— Die Deckung des Winter-Strombedarfs der Schweiz	832	— Textiltechnik. Von <i>E. Meister</i> . A.	273
Elektrische Bahn s. a. Elektromotor, Lokomotive, Straßenbahn.		— Die ostpreussische Elektrizitätsversorgung. Von <i>O. Jahnecke</i> . A.	849*	— Textile Rationalisierungsfragen. Von <i>O. Johannsen</i> . A.	274
— Gutachten über die Elektrifizierung der Strecke Wien-Salzburg. B.	35	Elektromotor s. a. Faserstoff, Walzen.		— Tagesfragen im Bau von Webstühlen und Vorbereitungs- maschinen. Von <i>F. Birkhofer</i> . A.	279*
— Die Wiener Stadt- und Vorortbahnen	150*	— Berechnung der Kranmotoren für aussetzenden Betrieb. Z.	352	— Neuere Webverfahren. Von <i>E. Mauz</i> , Bildbl. 1. A.	285*
— desgl. Z.	237	— Zwillingmotor der 1 Do 1-Schnellzuglokomotive mit Hohlwellenantrieb	671*	— Webverfahren nach Gabler, nach Nicolet, Rundwebstuhl von Jabouley	285*
— Elektrische Lokomotive von 4000 PS für die Lötschbergbahn	206	— Einphasen-Lokomotivmotor von Bergmann für 3400 PS Stundenleistung, 250 U/min und unmittelbaren Stangenantrieb der 2 C 2-Schnellzuglokomotive der Deutschen Reichsbahn, Ausrückvorrichtung für Tatzelagermotoren von Siemens-Schuckertwerke A.-G., von AEG., Tatzelager-Einphasenmotor mit Rollenlagern der 1 Bo-Bo 1-Schnellzuglokomotive der Deutschen Reichsbahn, Einphasen-Lokomotivmotor mit senkrechter Welle der 1 Do 1-Schnellzuglokomotiven, Reihe 1570 der Österr. Bundesbahnen, Gleichstrom-Zwillingmotor mit Kompensationswicklung der 1 Do 1-Schnellzuglokomotiven der Tschechoslowakischen Staatsbahnen, Drehstrom-Lokomotivmotor der 1 D 1-Schnellzuglokomotiven	678*	— Ausrüstungsmaschinen für Kunstseide. Von <i>E. A. Anke</i> . A.	290*
— Die Entwicklung der elektrischen Lokomotiven und Triebwagen. Von <i>F. H. Saurau</i> . B.	207	— Straßenbahn - Leichtgewichtsmotor. Von <i>Mecke</i>	708*	— Strangfärbemaschine mit Umzughaspel, Jigger-Färbemaschine, Stärkemaschine mit Palmer und Filzkalander, Spann- Rahm- und Trockenmaschine mit Stärkemaschine, Appretbrechmaschine für kunstseidene Waren, Dreiwalzenkalander, Färbemaschine für Strümpfe	291*
— Fünfzig Jahre elektrische Eisenbahn. A.	661*	Elektrotechnik s. a. Anatomie, Blitzschutz, Chemie, Dampfkessel, Dynamomaschine, elektrische Bahn, elektrisches Nachrichtenwesen, Elektrizitätswerk, Elektrizitätswirtschaft, Elektromotor, Gießen, Kabel, Kraftübertragung, Magnet, Messen, Schalter, Schweißen, Werkstoff.		— Aufbereitung von Bastfasern. Von <i>Hentschel</i>	293
— desgl. Z.	943	— Handbuch der Elektrizität und des Magnetismus. Von <i>L. Graetz</i> . B.	70	— Tagesfragen des Maschinenbaues für die Ausrüstungsindustrie. Von <i>G. C. Schmid</i> . A.	294*
— Elektrischer Zugbetrieb auf der Reichsbahn. Von <i>W. Wechmann</i> . A.	663*	— Siemsen-Jahrbuch 1928. B.	107	— Sauerstoff - Kaltbleiche nach Mohr der Zittauer Maschinenfabrik A.-G., Spann- und Trockenmaschine mit neun parallelen Feldern, Zylinder-trockenmaschine mit Kugellagerung, Sonderkalander mit 16 Walzen von C. H. Weißbach	294*
— Stand der elektrischen Zugförderung in außerdeutschen Ländern	666	— Neue Hochspannungssicherungen	392	— Das Walzenstreckwerk in der Baumwollspinnerei. Von <i>E. Toenissen</i> . A.	298*
— Kennzeichnung der Achsfolge und der Antriebsart elektrischer Lokomotiven	666	— Elektrische Starkstromanlagen. Von <i>E. Kosack</i> . B.	479	— Verbesserungen an Kammgarnkrempeln. Von <i>F. Hempel</i> . A.	301*
— Elektrische Zugförderung auf der Mailänder Nordbahn. Von <i>T. Scotari</i>	696*	— Aufgaben des Elektromaschinenbaues. Von <i>F. Unger</i> . A.	605	— Gleitwiderstände in Fadenführungen. Von <i>W. Krumme</i> . A.	303*
— Fahrleitungen für Vollbahnen. Von <i>Naderer</i> . Bildbl. 3 und 4. A.	697*	— Elektrotechnik. Von <i>Niethammer</i> (Chronik)	856*	— Läufer einer Ringspinnmaschine, Klöppel einer Flechtmaschine, Schütze eines Bandwebstuhles	303*
— Stromschiene der ersten elektrischen Bahn (1879) Fahrdrabt - Querschnitte, Hänger und Seitenhalterklemmen	697*	Emaile s. Metallschutz.		— Über die Geschwindigkeitsregelung bei den Ringspinnmaschinen. Von <i>F. Oertel</i> . A.	313*
— Selbsttätige Steuerung von Zügen der Berliner Hoch- und Untergrundbahn. Von <i>Burghardt</i> . A.	705*	Emulsion s. Chemie.		— Der Linealspinnregler. Von <i>Nullau</i> . A.	318*
— Neue Vorortstrecken der englischen Südbahn mit elektrischem Betrieb	941	Energie s. Gas.		— Das Vergleichsverfahren im Betriebe der Spinnereien und Webereien. Von <i>B. Schoof</i> . A.	330*
Elektrisches Nachrichtenwesen. Neuerungen im Funkwesen. Von F. Noack. A.	95*	Energiewirtschaft. Japans Kraftwirtschaft	382	— Einzelantrieb für Webstühle alter und neuer Bauart. Von <i>H. Stenger</i>	332*
— Die Schwächung drahtloser Wellen über Städten. Von <i>F. Noack</i>	378*	Entaschen s. Feuerung.		— Handbuch der Appretur. Von <i>J. Bergmann</i> . B.	351
— Selbstanschlußtechnik. Von <i>M. Hebel</i> . B.	416	Erdbau s. Baumaschine.		— Chemische Technologie der Baumwolle. Von <i>R. Haller</i> . B.	596
— Stromverbrauch amerikanischer Rundfunkhörer	478	Erz s. Ofen.		— Mechanische Hilfsmittel zur Veredlung der Baumwolltextilien. Von <i>H. Glafey</i> . B.	596
— Die Bedeutung der drahtlosen Telegraphie für die Wissenschaft. Von <i>J. Zenneck</i> . A.	565*	Ermüdung s. Elastizität.		— Faserstoffindustrie. Von <i>E. Mauz</i> (Chronik)	870*
— Das neue Fernamt in Berlin. Von <i>O. Kuhn</i> . A.	709*	Experiment s. Versuchsanstalt.		Feder. Schnelllaufende Prüfmaschine für Dauerversuche an Blattfedern	174*
— Handwörterbuch des elektrischen Fernmeldewesens. Von <i>E. Feyerabend</i> , <i>H. Heidecker</i> , <i>Fr. Breisig</i> und <i>A. Kruckow</i> . B.	738	Explosion s. Unfall.		Feinmechanik s. a. Sprechmaschine.	
— Elektrisches Nachrichtenwesen. Von <i>Noack</i> (Chronik)	877*	Fabrik s. a. Jubiläum, Werkzeugmaschine.		— Bauelemente der Feinmechanik. Von <i>O. Richter</i> und <i>R. v. Voß</i> . B.	382
Elektrizitätswerk s. a. Elektrisches Nachrichtenwesen, Elektrizitätswirtschaft, Hochdruckdampf, Pumpe.		— Das neue Schaltwerk der Siemens-Schuckertwerke. Von <i>H. Beiersdorf</i> . A.	457*	— Konstruktions-Elemente der feinmechanischen Technik. B.	382
— Hochdruck-Wasserkraftanlage von 780 m Gefälle	69	— Organisation und Werkzeugmaschinen. Von <i>Behrens</i> (Chronik)	866*	Fernheizwerk s. Heizung.	
— Wasserkraftwerk Lilla Edet. Z.	161	Fahrleitung s. elektrische Bahn.			
— Wasserkraftwerk bei Bombay	657	Farbe s. Anstrich, Messen.			
— Bau der großen Elektrizitätswerke. Von <i>Arndt</i>	735	Faserstoff s. a. Asbest, Lüftung, Unfallverhütung.			
		— Der Webstuhltrieb. Z.	72		
		— Bügelmaschinen. Von <i>Schwenninger</i>	101*		

	Seite		Seite		Seite
Fernsprecher s. elektrisches Nachrichtenwesen.		Gas.		Getriebe.	
Festigkeit s. Elastizität, Schraube.		— Der gegenwärtige Stand der Kohlenschwelung in Deutschland. Von R. Heinze und A. Thau. A.	524*	der Rolle, ruckweiser Vor- schub der Packung in einer geradlinigen Füll- und Schließmaschine, Getriebe zur Umwandlung der gleichför- migen Drehung einer Welle in eine ungleichförmig er- folgende Drehung, Einscheider für eine Paketmaschine, Ein- pressen des Füllgutes mit Ge- genpreßeinrichtungen in einer gradlinigen Füll- und Schließ- maschine, Maschine zum Bear- beiten einer mit gleichförmiger Geschwindigkeit bewegten Stoff- oder Papierbahn, Kol- benabfüllmaschine mit zwei abwechselnd schwingenden Zy- lindern, Zange zum ruckweisen Vorziehen einer Papierbahn, Tellerabfüllmaschine zum gleichzeitigen Abfüllen zweier Arten von Füllgut	482*
Festschrift. Festschrift. Prof. Dr. A. Stodola zum 70. Ge- burtstag überreicht. Von E. Honegger. B.	658	— Ringteller-Schmelofen von Honigmann-Bartling, Spül- gas-Schmelofen für Bri- ketts der Deutschen Erd- öl A.-G.	526*	Gewerbeaufsicht. Jahresberichte der Gewerbeaufsichtsbeamten und Bergbehörden. B.	659
— Junkers. B.	942	— Das neue Entgasungsverfahren beim Städtischen Gaswerk Jena	530	Gewinde s. Normen, Schraube.	
Feuerschutz s. a. Kohle.		— Neues Baseler Gaswerk . . .	530	Gießen s. a. Arbeiter, Kraft- wagen, Ofen, Stahl.	
— Handlöscher für Kraftfahr- zeuge. Von J. Brandl	172*	— Gasprüfung. Von A. Sander. A.	351*	— Sondergießerei für Kolben- ringe	206
— Gasdruckspritze von Mini- max und von Radikal, Löschpulvergebläse von Total	173*	— Fortpflanzungsgeschwindig- keit der Flamme in Gas- gemischen. Von W. Lindner .	648*	— Über Kokillenguß. Von H. Obermüller. A.	613*
— Wie schütze ich meinen Be- trieb vor Feuerschaden? Von R. Bethke. B.	208	— Gasindustrie. Von R. Geipert. (Chronik)	864*	— Handbuch der Eisen- und Stahlgießerei Bd. 3. Von C. Geiger. B.	627
— Feuerschutz in Häusern und Betrieben. Von L. Merz. B. . .	596	Gasanalyse s. a. Messen.		— Die Kunst der Ofenplatten. Von A. Kippenberger. B. . . .	802
— Brandgefahren durch Unter- stellen von Kraftwagen in un- geeigneten Räumen. Von H. Clausen	609	— Vorrichtung für die technische Gasanalyse nach Dr. Brügge- mann, Schwefelprober der Gas- messerfabrik nach H. Raupp, Vorrichtung nach Kattwinkel zur Bestimmung des Benzols im Gase	537*	— Kleine Gießerei mit elektri- schen Schmelzeinrichtungen .	832
Feuerung s. a. Abwärme, Kera- mik, Normen.		Gasreinigung. Poröse Steine zum Reinigen von Gasen. Von P. Meyer und W. Stollenwerk .	412*	Glas. Einfluß von Aluminium und Magnesium auf die Kristalli- sationsfähigkeit von Glas . .	81
— Versuche mit einer neuen Feuerraumauskleidung	34	— Versuche mit Stofffiltern in Kohlenstaub-Bereitungsan- lagen	510	— Regenerativwanne zum Glas- schmelzen nach J. Lamort . . .	436*
— Aschenejektor	257*	— Über Staubabscheider, Bauart Stelz	786	— Wägen und Mischen in der Glashütte. Von Schwennin- ger	508*
— Rostfeuerungen für Dampf- kessel. Die Londoner Brenn- stofftagung 1928. Von B. Kretzschmar. A.	261*	Gebirge s. Bergbau.		Grammophon s. Sprechmaschine.	
— Schacht - Kettenrostfeue- rung, Scheibenkettenrost für Torf nach Makarieff, selbsttätiger Treppenrost mit Vortrockenschacht, Spezial-Plutofeuerung für feuchte Braunkohle	261*	Geologie. Neueste Erkenntnisse auf dem Gebiete der Gebirgs- druckerscheinungen. Von Spackeler	443	Grubenrettungswesen s. Unfall- verhütung.	
— Dampfkesselfeuerungen für Braunkohle. Von E. Lenhart. B.	271	Geräusch s. Unfallverhütung.		Gründung s. a. Maschinengrün- dung.	
— Handbuch der Feuerungstech- nik und des Dampfkesselbe- triebes. Von G. Herberg. B. . .	351	Geschichte s. a. elektrische Bahn, Festschrift, Lebensbeschrei- bung, Lokomotive, Museum.		— Die Erschütterungen der Ge- bäude durch Verkehrsein- flüsse und die Maßnahmen zu deren Abwehr. Von Wittig . .	30
— Kohlenstaubfeuerung auf Frachtdampfern	382	— Grundsätzliches zur Geschichte der Technik. Von W. Ostwald. A.	1*	— Ungewöhnliche Gründung eines Kesselschornsteins . . .	142
— Ölfeuerung für die Millars- Mischmaschine	463*	— Geschichtliche Einzeldarstel- lungen aus der Elektrotech- nik. B.	70	— Senkkasten für die Baugrube des Schiffshebewerks Nieder- finow	150*
— Neuartige Drehtrost- und Schräg- rostfeuerungen für Dampf- kessel	626	Geschütz. Das Feldgeschütz mit langem Rohrrücklauf. Von K. Haupner. B.	272	— Die Senkkastengründungen der neuen Rheinbrücken bei Düsseldorf, Köln und Duis- burg. Von Tils	734
— Thermodynamik der Staub- feuerung. Von P. Rosin. A. . .	719*	Geschwindigkeitsmesser. Hand- tachometer. Von E. Horn . . .	347*	Hängebahn s. Lager- und Lade- vorrichtung.	
Filter s. Gasreinigung.		Gesenk s. a. Stahl.		Härte. Härteprüfung durch Auf- schlagen harter Stahlkugeln .	174
Flasche s. Kellereimaschine, Unfall.		— Geschweißte Gesenke	769	— Härteprüfungen in der Fließ- arbeit. Von Schaudt	471*
Fließarbeit s. a. Metallschutz.		Gesetz s. Patentwesen.		— Härteprüfer von Gerber . . .	471*
— Grundsätzliches über Fließ- arbeit. Von Kötting	125	Gesundheitswesen s. Kranken- haus.		— Der Busch-Schumann-Projek- tor, ein Ablesegerät für Bri- nellsche Kugeleindrücke. Von Döhmer	764*
Fördermaschine s. Seil.		Getreide s. Müllerei.		Härten. Härten der Wellen für Kühlwasserpumpen nach dem Nitrierverfahren	737
Forschung s. Versuchsanstalt.		Getriebe s. a. Kurbeltrieb, Zahn- rad.		Hafen s. a. Beton, Lager- und Ladevorrichtung.	
Fräsen s. Werkzeugmaschine.		— Offene Scheibenkurve, Doppel- scheibenkurve, Rolle an der Stange, offene Scheibenkurve, Doppelscheibenkurve, Rolle am Hebel, Nutscheibenkurve, geschlossene Trommelkurve, offene Trommelkurve, ein- fache Scheibenkurve, Form- schluß mittels zweier Rollen, Verstellen des Rollenhubes an einer Abfüllmaschine, Leimauftrag in einer grad- linigen Füll- und Schließ- maschine, Rollenhub an einer Abfüllmaschine bei unverän- deter Kurvenscheibe, Zufüh- rung eines Umschlagblattes bei Revolver-Doppelpaket- maschinen, ruckweiser Vor- schub in einer gradlinigen Füll- und Schließmaschine, Blattzuführung vom Stapel mit umlaufenden Leimauftragseg- menten, Blattzuführung von		— Hafenbau in Helgoland. Von Eckhardt	735
Fundament s. Gründung, Ma- schinengründung.				Halle s. Luftfahrt.	
Gas s. a. Abwärme, Eisenhütten- wesen, Gasanalyse, Gas- reinigung, Kalorimeter, Kohlensäure, Löten, Mechanik, Messen, Ofen, Rohr, Unfall.				Harz. Die natürlichen Harze. Von H. Wolff. B.	207
— Anwendung von Koksofen- gas in der Eisenindustrie . . .	104				
— Schwelanlage für ein ameri- kanisches Gaswerk	106*				
— Spülgasschwelung. Von F. A. Oetken. A.	229*				
— Lurgi-Großöfen für 360 t Durchsatz	230*				
— Versuchs-Verkockungsanlage .	381				
— Bussey-Tieftemperatur-Ver- kokungsverfahren	510				
— Die Entwicklung der Gas- geräte in der letzten Zeit. Von Th. von Gäsler. A.	513				
— Gasfernleitungen. Von K. Traenckner. A.	517*				

	Seite		Seite		Seite
Hebezeug s. a. Elektromotor, Schiffshebewerk, Schwimmkran, Seil.		Hochdruckdampf.		Kellereimaschine. Flaschenfüller mit mechanischer Anpressung, Einweich- und Spritzmaschine für Milchflaschenreinigung, selbsttätige bürstenlose Flaschenreinigungsmaschine, Milchkannen-Waschmaschine .	789*
— Drehlaufrkan als Kleinfördermittel. Von <i>Schlegel</i>	171*	— Entwicklung und Aussichten der Hochdruck-Dampfanlagen. Von <i>Dolzmann</i>	345	Keramik. Fabrication industrielle des Porcelaines. Von <i>M. Larchevêque</i> . B.	240
— Vereinigte Hub- und Katzfahrwinde, Kranfahrbahn, Schleifleitungskanal und Stromabnehmerwagen	193*	— Technisches und Wirtschaftliches über die 100 at-Anlage des Großkraftwerkes Mannheim. Von <i>F. Marguerre</i>	345	— Verhalten des Mauerwerks bei Kohlenstaub- und Ölfeuerung	381
— Differential - Greiferwindwerk mit Getriebekasten. Von <i>Fr. Toussaint</i>	234*	— Desgl. A.	913*	— Silikathüttenkunde als Chemie-Ingenieurwissenschaft. Von <i>E. Zschimmer</i> . A.	434*
— Greiferdrehkran mit Kletterkatzen und einziehbarem Ausleger, Flußschiffskran mit Senkvorrichtung für den Ausleger, fahrbarer Auslegerkran für Akkumulatorbetrieb, Elektrokarren mit elektrohydraulischer Hubvorrichtung	255*	— Hochdruck - Dampfkraftanlage für 120 at. Von <i>Schöne</i>	346	Kerbwirkung s. Elastizität, Werkstoff.	
— Davit für die großen Rettungsboote der neuen Lloyd-Dampfer	376*	— Erfolge des Hochdruck-Dampfbetriebes	381	Kinematik s. Getriebe, Kurbeltrieb.	
— Vorträge über Hebezeuge. Von <i>L. Klein</i> . B.	596	— Wirtschaftlichkeit des Hochdruck-Dampfbetriebes	510	Knickfestigkeit s. Elastizität, Statik.	
— Einachserschleppkran. Von <i>E. Gascard</i>	728*	— Neues Hochdruckdampf-Kraftwerk	832	Kohle s. a. Aufbereitung, Feuerung, Gas, Kohlenstaub, Koks, Lager- und Ladevorrichtung, Müllerei, Schiff, Trocknen.	
Heilanstalt s. Krankenhaus.		— Hochdruckdampf-Kraftwerke in Amerika	941	— Die Pittsburger Internationale Kohlentagung. Von <i>Prockat</i>	235
Heimtechnik s. a. Verein deutscher Ingenieure (Fachauschüsse).		Hochhofen. Hochofenwinderhitzer in England	59	— Vorrichtung zum Schutz gegen Selbstentzündung gelagerter Kohlen	265
— Heimtechnik. Von <i>L. Schultze</i> . B.	479	— 800 t-Hochofen der Australian Iron and Steel Ltd. Von <i>H. v. Escher</i>	329	Kohlensäure. Wärmediagramme für feste, flüssige und gasförmige Kohlensäure. Von <i>R. Plank</i>	82
— Die Wanderausstellung „Technik im Heim“. Von <i>Landsberg</i>	523	— Hochofen von rd. 920 t Leistung in 24 h	378	— Herstellung und industrielle Verwertung fester Kohlensäure. Von <i>R. Plank</i> . A.	221*
Heizung. Fernheizwerk für die Technische Hochschule Zürich	206	Hochspannung s. Elektrotechnik.		Kohlenstaub s. a. Abwärme, Feuerung.	
— Regeln einer Heizung durch die Außentemperatur	237	Holz s. a. Eisenbahnoberbau.		— Kosten der Kohlenstaubbereitung	478
— H. Rietschels Leitfaden der Heiz- und Lüftungstechnik. Von <i>H. Gröber</i> . B.	627	— Zellstoff aus harzreichem Holz mittels Sulfiteverfahrens	175	— Beförderung von Kohlenstaub	826
— Die Heizungs- und Lüftungsanlagen in den verschiedenen Gebäudearten. Von <i>M. Hottinger</i> und <i>W. v. Gonzenbach</i> . B.	627	— Holztränkung im Bergbau	187	Kokille s. Gießen.	
Heizwert s. Kalorimeter.		— Über künstliches Holz Trocknen. Von <i>P. Warlimont</i>	202*	Koks. Austrocknen und Aufheizen einer Koksofenbatterie mit Öl	238
Hütte s. Taschenbuch.		— Holztränkung	510	— Die neue Zentralkokerei auf Zeche Emil, Essen-Altenessen. Von <i>R. Gau</i> . A.	437*
Hochbau s. a. Baumaschine, Statik.		— Untersuchungen an zugfesten Anschlüssen im Holzbau. Von <i>Johs. Stamer</i> . A.	584*	— Kogag-Verbundofen	438*
— Die strafrechtliche Verantwortlichkeit der Baupolizeibeamten. Von <i>Schmidtman</i>	30	— Neuere Forschungen der Holzbearbeitung	653	— Erfahrungen auf neuzeitlichen Kokereianlagen des Ruhrgebiets. Von <i>Gollmer</i>	444
— Vorzüge des Eisenbaues unter besonderer Berücksichtigung des Skelettbaues. Von <i>Schmuckler</i>	139	— Versuche über die Schubfestigkeit von Holz. Von <i>E. Gaber</i> . A.	932*	— Über den Temperaturverlauf im Koksofen und seine Bedeutung für die Wirtschaftlichkeit von Kokereianlagen. Von <i>K. Baum</i>	444
— Fachwerk in Rohren	200*	Hüttenwesen s. a. Eisenhüttenwesen, Gießen, Metallhüttenwesen, Stahl, Walzen, Werkstoff.		Kolben s. a. Kurbeltrieb.	
— Taschenbuch für Bauingenieure. Von <i>M. Foerster</i> . B.	239	— Hüttenwesen. Von <i>Diepschlag</i> . (Chronik)	863	— Kolbenkonstruktion bei Anwendung von Gußeisen	268*
— Fördern im Hochbau	265*	Industrie s. a. Statistik.		— Messung der Kolbentemperaturen an Kraftfahrzeugmotoren	350
— Künstliches Austrocknen von Neubauten	270	— Die deutsche Maschinenausfuhr	756	Kolbenring s. Gießen.	
— Wand-Füllbaustoffe für Stahlskelettbauten. Von <i>H. Schmuckler</i> . A.	385*	— Ostpreußen und seine deutsche Mission im Osten. Von <i>P. Blunk</i> . A.	841*	Kommunale Technik s. Städtewesen.	
— Stahlskelettwand mit Bimsbeton-Hohlplatten, Hekabauweise, Bauweise Frank, Bimsbeton von Wayß & Freytag, Decke aus Schima-Gasbeton	386*	Ingenieurerziehung s. Konstrukteur.		Kompressor. Pumpen und Kompressoren. Von <i>P. Ostertag</i> (Chronik)	859*
— Wolkenkratzer von 137 m Höhe	478	Ingenieurlaboratorium s. Versuchsanstalt.		Kongreß. Die Pittsburger Internationale Kohlentagung. Von <i>Prockat</i>	235
— Schweißen der Tragkonstruktion eines vierstöckigen Geschäftshauses	658	Ingenieurstand s. Krankenhaus, Städtewesen.		Konstrukteur. Erziehung zum werkstattgerechten Konstruieren. Von <i>K. Laudien</i> . A.	757*
— Die Großmarkthalle Leipzig. Von <i>Fr. Dischinger</i>	734	Jubiläum. Anleitung zum Bau von Schwachstrom-Anlagen. B.	416	Kraftmaschine s. a. Dampfmaschine, Dampfturbine, Turbine, Verbrennungsmaschine.	
Hochdruckdampf s. a. Dampfmaschine, Lokomotive, Pumpe.		Kabel. Kabelstörungen	942	— Umstellung eines Heizkraftwerkes	270
— Schema der Hochdrucklokomotive „Winterthur“ für 60 at	152*	Kabelkran s. Lager und Ladevorrichtung.		— Wärmekraftmaschinen. Von <i>A. Nägel</i> (Chronik)	853*
— Stand der Hochdruckdampf-Technik. Von <i>A. Heller</i>	345	Kältetechnik s. a. Kohlensäure, Wärmeschutz.		Kraftübertragung. Das Hochspannungsnetz in England	657
		— Achtstöckiges Kühlhaus	206		
		— Adsorptions-Kühlmaschine für Eisenbahn-Kühlwagen	351		
		— Neues Verfahren zum Erzeugen von Eis	491		
		Kakao s. Nahrungsmittel.			
		Kalender s. Faserstoff.			
		Kalorimeter. Selbsttätiges Junkers-Kalorimeter, Kalorimeter von Graefe, Union-Gaskalorimeter von Dommer, Heizwertschreiber der Union-Apparatebau-G. m. b. H.	532*		
		Kanal. Die Rhein-Main-Donau-Großschiffahrtstraße. Von <i>Guillery</i>	169*		
		Kapillarität s. Physik.			

	Seite		Seite		Seite
Kraftwagen s. a. Brennstoff, Feuerschutz, Kühlen, Unfallverhütung, Werkstatt, Wörterbuch.		Lager.		Lebensbeschreibung s. a. Festschrift.	
— Der schweizerische Postkraftwagen-Betrieb im Winter . . .	44	— desgl. Z.	116	— Gustav Anton Zeuner und die technische Wärmelehre. Von F. Merkel. A.	45*
— Messung der Fahr- und Brems-eigenschaften von Kraftwagen	70	— Kugellagerbefestigung in Gußeisen und Leichtmetall . . .	268*	— Aus 34 Jahren Luftfahrt. Von G. v. Tschudi. B.	207
— Vorderradsantrieb für Kraftwagen. Von A. Heller. A. . .	85*	— Klapptorlager der Hindenburgschleuse	405*	— Alfred Krupps Briefe 1826 bis 1887. Von W. Berdrow. B. . .	511
— Treibenkrad von Voran, Vorderradantrieb nach Rumpler	85*	— Lagerung der Drehbankspindel	447	— Deutsches Biographisches Jahrbuch. B.	804
— Leichtmetalle als Baustoff im Kraftwagen. Von Bergmann	137	Lager- und Ladevorrichtung s. a. Bagger, Brennstoff, Feuerung, Hochbau.		— Nobel. B.	942
— Karosseriebau unter besonderer Berücksichtigung der Nichteisenmetalle. Von Güttner	137	— Neuerungen im Bau von Elektrohängebahnen. Von M. Freyberg	190*	Leerlaufeinrichtungen s. Steuerung.	
— Neuer Dampfkraftomnibus	156	— Hafenverladung der Zeche „Fürst Hardenberg“ der Vereinigten Stahlwerke A.-G. bei Dortmund. Von P. Schönfeld. A.	191*	Legierung s. a. Messing.	
— Straßenabnutzung durch Lastkraftwagen	206	— Fahrbarer und feststehender Drehkran auf fahrbarem Portal, Verladebrücke der Demag	192*	— Neue Untersuchungen über das NICO-Metall. Von Ackermann	204*
— Elektrokarren mit elektrohydraulischer Hubvorrichtung	256*	— Aus der neueren Entwicklung der Fördertechnik. Von C. Michenfelder. A.	251*	— Über das Monel-Metall. Von A. Schulze	767*
— Eisenbahnbetrieb mit Öltriebwagen	270	— Bau- und Größenentwicklung von Abraumförderbrücken, Verladebrücke mit der Fahrbahn auf dem Speicherdach, fahrbare elektrische Winde, Förderer zum Bretterstapeln . .	251*	Leichtmetall s. Kraftwagen.	
— Gütertriebwagen für Bahnunterhaltung. Von Fahl . .	377	— Tiefladewagen von 85 t Lade-fähigkeit für Landstraßen	270*	Lexikon. Der Große Brockhaus. B.	480
— Verhütung von Motorrück-schlägen an Kraftwagen. Z. .	448	— desgl.	638*	Löten. Selbsttätiges Hartlöten in Wasserstoffatmosphäre	732
— Das deutsche Automobilwesen der Gegenwart. B.	479	— Schaufellader	381*	Lokomotive s. a. Dampfmaschine, Elektromotor, Kupplung, Steuerung, Zahnrad.	
— Jahrbuch des Deutschen Kraft-fahr- und Motorwesens. B. .	803	— Kabelkrananlage mit Beton-gießbühne beim Bau der Stau-mauer Spitalamm des Grim-selspeicherbeckens. Von A. Rubin. A.	427*	— Diesel-elektrische Lokomotive für 2660 PS	34
— Kraftfahrzeuge. Von A. Hel-ler (Chronik)	874	— Bandförderung im Braun-kohlentiefbau	433	— desgl. Z.	352
— Gegossene Rahmen für Kraft-wagen	941*	— Kabelkrananlage für beson-ders schwere Lasten	446	— Englische Tenderlokomotive .	34
Kraftwerk s. Elektrizitätswerk, Kraftmaschine, Wasserkraft.		— Klappkübel - Verladeanlagen mit selbstgreifenden Kübel-geschirren	735*	— Schwedische Vollbahnlokomoti-ven. Von P. Friebel. Z. . . .	52
Krankenhaus s. a. Normen.		— Deckenfördervorrichtungen für Feineisen und Draht in Rollen	770	— 2 D + D 2 - Lokomotive für 51 000 kg Zugkraft	106
— Neuerungen im Krankenhaus-bau. Von H. W. Wolfram . .	67	— Neue Gefäßförderanlage bei der Ilseder Hütte	770	— Die Hochdrucklokomotive für 60 at, Bauart „Winterthur“. Von H. Brown. A.	151*
— Aufgaben des Betriebsinge-nieurs in Heilanstalten. Von Th. Ploppa. A.	753*	— desgl. Z.	943	— Die 1 D 2 - Heißdampf - Zwillings - Schnellzuglokomotive R 214 der Österr. Bundesbahnen. Von A. Giesl-Gies-lingen	174, 441*
Kreiselpumpe s. Pumpe.		— Neuere Hubwagen. Von H. R. Müller	799*	— Neuere Versuche mit russi-schen Dampflokomotiven. Von R. Grinenko und O. Isaakian. A.	339*
Krempel s. Faserstoff.		— Kabelkran von rd. 700 m Spannweite	832	— Vierzylindrige 2 C 1-Zwill-ling-Lokomotive, zwei-zylindrige 1 C 1-Lokomo-tive, zweizylindrige 1 D-Verbundlokomotive für Heißdampf	340*
Kriegsschiff. Französischer Krieg-schiffbau	738	— Hebezeuge und Förderanlagen. Von P. Ostertag (Chronik) .	858*	— Diesel- und Benzinlokomotiven	446
— Entwicklung der Kriegs-marinen im Jahre 1928 . . .	768	— Kohlenverladung im Hafen von Buenos Aires	938*	— Hauptformen des zweiachsigen Lokomotiv-Laufgestells. Von L. Schneider. A.	492*
Kritische Drehzahl s. Mechanik.		Landmaschine. Neuerungen im Landmaschinenbau. Von Holl-dack. A.	109*	— Zweiachsiges Lokomotiv-Laufgestell mit Stützzapfen in der Mitte, schrägen Pendeln und Vierpunktaufhän-gung, mit senkrechten Pen-deln, Rückstellfedern und Schwanenhals-Doppelträgern, mit Dreieckpendeln und Schwanenhalssträgern, Lauf-gestell mit Dreh- und Stütz-zapfen, Keilstützflächen und Schwanenhalssträger, Lauf-gestell, Dreh- und Stützzap-fen in der Mitte, Dreieck-stützen und Vierpunktauf-hängung, amerikanische Dreieckstütze und Schwa-nenhals-Doppelträger, Lauf-gestell mit Drehzapfen in der Mitte, seitlichen Stütz-flächen, Rückstellfedern und Schwanenhals-Doppel-träger, mit Vierpunkt-aufhängung, mit Drei-punktaufhängung	642, 740
Kühlen. Die Verwendung der Nichteisenmetalle im Kühler-bau. Von Löwenstein . . .	137	— Zapfwellen - Bindemäher, Motorgrasmäher von Krupp, Rübenblattwäscher, Alles-zerkleinerer zum Zer-kleinern von Rübenblättern der Alexanderwerke, Case-Mähdrösch	110*, 269	— desgl. Z.	642, 740
— Untersuchung der Kühle bei der Zahnradbearbeitung. Von A. Wallichs und K. Krekeler. A.	643*	— desgl. Z.	187,	— Neue elektrische Verschiebe-lokomotive für Einphasen-Wechselstrom. Von E. Bur-meister	621*
Kunstseide s. Faserstoff.		— Das Landmaschinenwesen als Lehrgebiet für Ingenieure. Landmaschinen - Laboratorium der Technischen Hochschule, München. Von G. Kühne. A. .	449*		
Kupfer. Die Brüchigkeit von arsenhaltigem Kupfer. Von C. Blazey	797	— Sämaschinen-Prüfstand . .	453*		
Kupplung. Die selbsttätige Boirault-Kupplung für Eisen-bahnfahrzeuge	351*	— Landmaschinenbau in Eng-land. Von Vormfelde und v. Sybel	590*		
— Gelenkkupplung der Öster-reichischen Siemens-Schuckert-Werke	687*	— Landmaschinen. Von G. Fischer (Chronik)	860*		
Kurbeltrieb s. a. Pleuelstange.		Landwirtschaft s. Abwässerung, Bewässern, Landmaschine, Milch, Nahrungsmittel, Ver-ein deutscher Ingenieure (Fachausschüsse).			
— Beschleunigungsverhältnisse beim sphärischen Kurbeltrieb und verwandten Mechanismen. Von F. O. Müller. A.	117*				
— Die praktische Bedeutung der Raumgetriebe. Von H. Alt. A. .	188*				
— Erfahrungen aus dem Betriebe von Kurbelmaschinen. Von Krauß	360				
— desgl. Z.	660				

Lokomotive.	Seite	Luftfahrt.	Seite	Messen.	Seite
— Neuere elektrische Lokomotiven der Deutschen Reichsbahn. Von <i>Tetzlaff</i> und <i>Schlemmer</i> . Taf. 1 und 2. A. desgl. Z.	667* 943	— Große Luftschiffhalle in den Vereinigten Staaten von Amerika	658	— Elektrizitätszähler und Tarifmeßeinrichtungen. Von <i>F. Ferrari</i> . A.	17*
— 1 Co + Co 1 - Güterzuglokomotive der Deutschen Reichsbahn, 1 Do 1-Schnellzuglokomotive mit Zwillingmotoren und Hohlwellenantrieb	669*	— Große Brennstoffbehälter für Flugzeuge	802	— Der Kathodenstrahl-Oszillograph und Untersuchungen an Überspannungs - Schutzapparaten. Von <i>H. Grünewald</i>	30*
— Fortschritte im Bau elektrischer Lokomotiven. Von <i>K. Sachs</i> . A.	677, 921*	— Flughandbuch für das Deutsche Reich. B.	833	— Torsionsdynamometer von Bmag-Vieweg mit Ottischer Schreibvorrichtung	77*
— desgl. Z.	931	— Luftfahrt. Von <i>Hoff</i> (Chronik)	876*	— Messungen am fertigen Bauwerk. Von <i>Bühler</i>	92
— E-Güterzuglokomotive, 1D1-Schnellzuglokomotive der Italienischen Staatsbahnen, 1B-B1 - Personenzuglokomotive der Pennsylvania-Bahn, Einzelachsantrieb für Lokomotiven von der AEG - W. Kleinow, 1 Co-Co 1 - Güterzuglokomotive der Löttschbergbahn, von Linke - Hofmann - Busch-Werke A.-G., Krauß-Helmholtz-Drehgestell, Laufrad-Triebwagen, Drehgestell mit Adamslaufachse, Zweiachsiges Drehgestell	678*	— Handbuch für Luftfahrt und Luftfahrt-Industrie. B.	942	— Meßverfahren bei den statischen und dynamischen Brückenmeßgeräten. Von <i>R. Bernhard</i>	93
— Elektrische Industrielokomotiven. Von <i>Ohl</i>	704*	Luftpumpe s. Verbrennungsmaschine.		— Hochfrequenzmeßtechnik. Von <i>A. Hund</i> . B.	107
— Leistungs- und Zugkraftkurven der Diesellokomotive. Von <i>Gg. Mangold</i> . A.	729*	Luftschaube s. Propeller.		— The measurement of air flow. Von <i>E. Over</i> . B.	143
— Die größte Lokomotive der Erde	823	Magnesium s. a. Glas.		— Beschleunigungsmesser von Galitzin. Von <i>H. Steuding</i>	263*
— Rocket	832	— Die thermische Ausdehnung von Magnesium und Magnesiumlegierungen. Von <i>A. Schulze</i>	195	— desgl. Z.	448
— Eisenbahnfahrzeuge. Von <i>F. Meineke</i> (Chronik)	874*	Magnet . Magnetic properties of matter. Von <i>K. Honda</i> . B.	35	— Ferndehnungsmesser für Schiffe	377*
Lüftung . Die Bedeutung der Luftbefeuchtung in Baumwoll-Spinnereien und -Webereien. Von <i>E. Meister</i>	308	Markthalle s. Hochbau.		— Messen und Wägen. Von <i>W. Block</i> . B.	382
Luftbefeuchtung s. Lüftung.		Marktuntersuchung s. Vertrieb.		— Über Farbmessung. Von <i>F. A. O. Krüger</i>	465*
Luftfahrt s. a. Lebensbeschreibung, Mechanik, Messen, Versuchsanstalt.		Maschinengründung . Fundamente für große Turbodynamos	34	— Dehnungsmesser, elektrischer Fernmesser, Neigungsmesser für Talsperrenuntersuchungen	475*
— Luftverkehr in Kanada 1927	70	Maschinenteil s. a. Feder, Feinmechanik, Gießen, Härten, Kolben, Kurbeltrieb, Niete, Pleuelstange, Riemen, Rohr, Schieber, Schraube, Seil, Stopfbüchse, Ventil, Zahnrad, Zylinder.		— Gerät zur Bestimmung des spezifischen Gewichtes des Gases nach Bunsen-Schilling, Bauart Zipperer, selbstanzeigende Gaswaage von Simmance und Abady, Gasdichteschreiber und Gasdruckschreiber der Union-Apparatebau-Gesellschaft, Vorrichtung für die technische Gasanalyse nach Dr. Brüggemann, Schwefelprober der Gasmessfabrik Mainz nach H. Raupp	535*
— Die Metalle im Aufbau des Flugzeuges. Von <i>Steucl</i>	137	— Maschinenteile — Neue Forschungen und Erfahrungen. Von <i>Heidebroek</i>	357*	— Neuere Bauarten motorischer Wassermesser. Von <i>G. Eggers</i> . A.	557*
— Gleitflug und Gleitflugzeuge. Von <i>F. Stamer</i> und <i>A. Lip-pisch</i> . B.	144	— Untersuchungen an Schraubengewinden. Von <i>Berndt</i>	357*	— Flügelrad-Wassermesser, Woltmann-Wassermesser	559*
— Wege der Luftfahrtforschung. Von <i>E. Everling</i> . A.	145*	Mast . 6 m hoher aus Rohren geschweißter Mast	805*	— Bordgeräte im neuzeitlichen Verkehrsflugzeug. Von <i>M. Mäder</i>	733*
— Bauvorschriften für Flugzeuge. B.	175	— Untersuchungen an Betonfüßen für Leitungsmasten	832	Messing . Messing und Sondermessing. Von <i>W. Wunder</i> . A.	165*
— Jahrbuch für Luftfahrt 1928. B.	207	Mathematik . Methoden der praktischen Analysis. Von <i>Fr. A. Willers</i> . B.	71	Metallbearbeitung s. Feinmechanik, Lötten, Metallschutz, Schweißen, Stahl, Werkzeug, Werkzeugmaschine.	
— Taschenbuch der Luftflotten. B.	272	— Wahrscheinlichkeit, Statistik und Wahrheit. Von <i>R. v. Mises</i> . B.	352	Metallhüttenwesen s. Ofen.	
— Luftfahrt ist not! Von <i>E. Jünger</i> . B.	352	— Sechsstellige Tafel der trigonometrischen Funktionen. Von <i>J. Peters</i> . B.	383	Metallschutz s. a. Anstrich.	
— Ankerarm für Luftschiffe in Kanada. Von <i>Stegemann</i>	379*	— Einführung in die mathematische Behandlung naturwissenschaftlicher Fragen. Von <i>A. Walther</i>	739	— Rostschutz und schwerrostende Stähle. Von <i>E. H. Schulz</i>	138
— Leitfaden der Flugzeugnavigation. Von <i>W. Immler</i> . B.	383	Mechanik s. a. Düse, Elastizität, Getriebe, Kurbeltrieb, Messen, Statik.		— Selbsttätige U-förmige Emailieröfen	238
— Metalle im Flugzeugbau. Von <i>E. Everling</i> und <i>B. Splanemann</i>	587*	— Die mehrfach geführten Wellen in mehreren fließenden Mitteln. Von <i>K. Uller</i>	136	— Fließerbeit in der Galvanotechnik. Von <i>J. W. Wolf</i> und <i>W. Michaelis</i> . A.	610*
— desgl. Z.	740	— Näherungsrechnung für kritische Drehzahlen. Z.	205*	— Ringbad, Fördervorrichtung, selbsttätige Fließanlage für Vernicklung	610*
— Die nordamerikanische Luftfahrt im Jahre 1928. Von <i>K. H. Rühl</i>	593*	— Hydraulische und mechanische Fragen. Von <i>Eisner</i>	233	Milch s. a. Kellereimaschine.	
— desgl. Z.	740	— Handbuch der physikalischen und technischen Mechanik. Von <i>F. Auerbach</i> und <i>W. Hort</i> . B.	383	— Handbuch der neuzeitlichen Milchverwertung. Von <i>C. Knoch</i> . B.	36
— Die in den Vereinigten Staaten von Amerika 1928 gebauten Flugzeuge und Motoren	595	— Vorlesungen über allgemeine Mechanik Von <i>A. Brill</i>	628	— Neuzeitliche städtische Milchversorgung. Von <i>B. Lichtenberger</i> . A.	787*
— Deutsche Verkehrsflugzeuge. Von <i>E. Gossow</i> . A.	597*	— Die Beeinflussung von Grenzschichten durch Temperaturfelder	636	— Röhren - Durchflußerhitzer für 1000 l Milch, Tödt-Milcherhitzer, Doppelrohr-Gegenstromerhitzer, Vierzellen-Dauerheißhalter	789*
— Précis de construction, calcul et essais des avions et Hydravions. Von <i>J. Guillemin</i> . B.	628	— Aufzeichnung schneller Schwingungen. Von <i>H. Thoma</i> . A.	639*	Mischen s. a. Waage.	
		— Der Stoßverlust an plötzlichen Erweiterungen in Rohren beim Durchfluß von Gasen und Dämpfen. Von <i>W. Nußelt</i> . A.	763*	— Mischmaschine für den Straßenbau. Von <i>H. Ring</i> . A.	461*

	Seite		Seite		Seite
Mischen.		Nahrungsmittelindustrie.		Physik.	
— Trocken- und Mischanlage, Trommel der Mischmaschine	462*	— einer Eintafelmaschine, Teilvorrichtung einer For- menfüllmaschine	364*	— Handbuch der Experimental- physik. B.	239
— Leistungsversuche an Beton- mischmaschinen. Von G. Gar- bols	734	— Anlage für Fischmehlberei- tung auf einem Fischdampfer	582*	— Kinetische Probleme. Von E. D. Bruins und J. Reudler. B.	271
— desgl. A.	773*	Naturwissenschaft s. a. Physik.		— Äthertheorien und Äther- modelle. Von H. Bremerkamp und de Haas-Lorentz. B.	271
— Aufgeben, Durchgang und Entleeren des Mischgutes bei sieben grundlegenden Mischerbauarten, Freifall- mischer mit geteilter Trom- mel der Allgemeine Bau- maschinen-Ges.	774*	— Vom Werden der naturwissen- schaftlichen Probleme. Von F. Dannemann. B.	383	— Grundfragen der Physik im Lichte Goethescher Erkennt- nisart. Von E. Hegelmann. B.	271
— Die wichtigsten Ergebnisse der Versuche mit Betonmisch- maschinen. Von O. Graf	734	Nico-Metall s. Legierung.		— Aus der neuen Physik. Von M. Planck. A.	353
— desgl. A.	782*	Nieten. Versuche über Lochlei- bungsdruck. Von Findeisen	94	— Die kurzwelligen Strahlen des Nordlichtes. Von M. Zorn	355*
Müllerei s. a. Packen.		Nordlicht s. Physik.		— Handbuch der Experimental- physik. Von P. Lenard, Ferd. Schmidt und R. Tomaschek. B.	382
— Getreidemühlen. Von E. M. Meller. A.	37, 131*	Normen s. a. Verein deutscher Ingenieure (andere Vereine).		— Physikertagung der Gesell- schaft Deutscher Naturforscher und Aerzte. Von W. Hort	408
— Arbeitsplan einer Weizen- mühle für 30 000 kg in 24 h, Mühlenaspirateur, Ge- sämehausleser, Steinausleser, Schälmaschine mit Schmir- gelschlägern, Kammereschäl- maschine, Saugschlauch- filter, Wäschereianlage, An- feuchtvorrichtung, Doppel- walzenstuhl mit schräglie- genden Walzen, Plansichter mit Massenausgleich durch Gegeneinanderschwingen der beiden Hälften, Plan- sichterbürste mit Rollzap- fen, Griesputzmaschine, Auflockerer mit Porzellan- mantel und -konus	37, 131*	— Die Arbeiten des Deut- schen Normenausschusses und ihre Zusammenhänge mit dem deutschen Eisenbau. Von Er- linghagen	139	— Lehrbuch der Physik. Von A. Berliner. B.	772
— Selbsttätig arbeitende Reis- mühlen. Von Schwenninger	623*	— Gewindetoleranzen	224	— Physik. Von W. H. Westphal. B.	772
— Arbeitsplan einer selbst- tätig arbeitenden Reis- mühle, Unterläuferschäl- gang, Schleifgang	623*	— Normblattentwürfe für Rost- stäbe	350*	Pluelestange. Leichtmetall- Schubstangen mit schlechtem und gutem Faserverlauf	269*
— Richtlinien für Untersuchun- gen an Kohlenmühlen	768	— Bedeutung der Normung für die deutsche Wirtschaft. Von F. W. Wedding	444	— Beanspruchung von Schrau- ben an Marineköpfen. Von Salingré	358*
— Kohlenmühle von Curt v. Grueber für die 100 at-Anlage des Großkraftwerkes Mann- heim	917*	— Normblattentwürfe für chirur- gische Geräte	755*	— Praktische Berechnung von Pluelestangen. Von Moder- sohn	360
Museum. Amerikas großes Mu- seum für die Geschichte der Technik	415	— Standards and standardiza- tion. Von N. F. Harriman. B.	771	Porzellan s. a. Keramik.	
Nachruf. Max Schwab	48	— Die deutsche Normung. Von Bärmig (Chronik)	882	— Feststellung der Dämpfung von Porzellan mittels der Drehausschwingungsmaschine. Von O. Föppl	766*
— Emil Schrödter	90*	Öl. Die trocknenden Öle. Von K. H. Bauer. B.	803	Post. Deutscher Reichspost-Kalen- der für 1929. B.	176
— Karl Keller. Von H. Keller	91*	Ofen s. a. Metallschutz.		Propeller. Die Luftschrauben- frage. Von F. Seewald	138
— Heinrich Ehrhardt. Von Gos- sow	356*	— Eisenerz-Röstofen mit Gas- heizung. Von H. Hälbig	65*	Prüfstand s. Versuchsanstalt.	
— Professor Dr. Präšil. Von R. Thomann	401	— Hochfrequenz-Schmelzofen der Metropolitan-Vickers Electri- cal Co.	69*	Psychotechnik s. Arbeiter.	
— Erasmus Kittler. Von E. L. Antz	468	— Selbsttätig arbeitende Blech- glühöfen	106	Pumpe s. a. Härten.	
— Martin Kubierschky	816	— Hochfrequenzofen mit um- laufender Funkenstrecke und veränderlicher Schwingungs- zahl. Von M. H. Kraemer	170*	— Der gegenwärtige Stand des Kreiselpumpenbaues, Form- gebung und Berechnung der Schaufeln. Von C. Pfeleiderer. A.	126*
— Arthur Scherbis	823	— Über Wolframöfen. Von W. M. Cohn	203*	— Das Förderhöhenverhältnis der Kreiselpumpen für die ideale und wirkliche Flü- sigkeit. Von W. Schulz. B.	143
Nahrungsmittel s. a.		— Wärmeaustausch in Regene- ratoren. Von H. Hausen	431*	— Tiefbrunnenpumpe für 195 m Förderhöhe	174
— Milch, Müllerei.		Ofenplatte s. Gießen.		— Der gegenwärtige Stand des Kreiselpumpenbaues. Beson- ders kennzeichnende Baufor- men. Von C. Pfeleiderer. A.	177*
— Die Herstellung von Kakao- pulver. Von H. Lottes. A.	60*	Optik s. Photographie.		— Schöpfpumpe mit Francis- Laufrad von L. W. Bestenbostel & Sohn, Pro- pellerpumpe der MAN und der Maffei-Schwartzkopff- Werke, Speicherpumpe und sechsstufige Kesselspeise- pumpe der Firma Escher, Wyß & Cie., Pumpe für Stufenspeisung von Weise Söhne, Preßwasserpumpe von 2×9 Stufen von Klein, Schanzlin & Becker, Getriebe-Dampfturbopumpe der AEG, Wasserwerk- pumpe von Amag-Hilpert, Pumpe der Maffei-Schwartz- kopff-Werke, Bohrloch- pumpe von Escher, Wyß & Cie., Unterwasserpumpe der Garvenswerke, Schrau- benpumpe Myria von Weise Söhne und Klein, Schanzlin & Becker, Säurepumpe der Rheinütte G. m. b. H. und der Amag-Hilpert	177*
— Brech- und Reinigungs- maschine für Kakaobohnen, Kakaowalzenmühle, Wind- sichter, Kakaopulverisier- anlage von Baumeister, hydraulischer Zweikolben- akkumulator von Hänel, J. M. Lehmann	61*	Oszillograph s. Messen.			
— Die Herstellung von Schoko- lade. Von H. Lottes. A.	364*	Packen. Verpackungsfragen.			
— Längsreiber mit runden Trögen, mit Luftdurchwir- belung oder Überdruck ar- beitender Rundreiber, Ein- fülltrichter mit Teilkopf		— Von Weicken	16		
		— Selbsttätige Absackmaschine	136*		
		— Getriebepaxis bei Verpack- maschinen. Von F. Maul. A.	481*		
		Papier s. Druckerei, Trocknen.			
		Patentwesen. Das Unterpatent. Von R. Lüssenhop	250		
		— Urheber- und Erfinder-, Wa- renzeichen- und Wettbewerbs- recht. Von A. Elster. B.	480		
		Petroleum. Ölbergbau in den Ver- einigten Staaten von Amerika. Von Prockat	592*		
		— Lagerung und Transport des Erdöls und seiner Produkte zu Lande. Von J. Svoboda. 2. T., B.	942		
		Photographie. Photographische Objektive. Von R. Thun. A.	49*		
		— Neuer Schwingständer für pho- tographische Kamern. Von O. Hollbach	939*		
		Physik. Das Kapillarphänomen. Von W. Schmidt	8		
		— Müller-Pouillet's Lehrbuch der Physik. Von A. Eucken, O. Lummer und E. Waetmann. B.	175		

	Seite		Seite		Seite
Pumpe.		Schiff.		Seil s. a. Messen.	
— Kreiselpumpensätze für ein Höchst-Druck-Kraftwerk. Von <i>H. Kissinger. A.</i>	393*	— Tankschiff zur Beförderung von Schmierölen	638	— Versuche mit Drahtseilen und Seilscheibenlagern für das Schiffshebewerk Niederfinow. Von <i>A. Freund. A.</i>	73*
— Höchst-Druck-Kreiselpumpe von Gebr. Sulzer, Stopf- büchse mit Kühlung von innen, Kondensations- pumpengruppe	394*	— Neue Kanalmotorschiffe	638	— Eine leichte Seilrolle für den Aufzugbau. Von <i>G. Schiffner</i>	104*
— Selbstsaugende Brennstoffpumpe mit ketterschlüssigem Antrieb für Dieselmotoren. Von <i>O. Hohn</i>	410*	— Motorshipping. Von <i>A. C. Hardy. B.</i>	739	— Ein Beitrag zur Klärung der Drahtseilfrage. Von <i>R. Woernle. A.</i>	417*
— Neuere Ergebnisse auf dem Ge- biete der Kreiselpumpenfor- schung. Von <i>W. Schulz</i>	454*	— Erz- und Kohlendampfer	833	— Stoßdämpfeinrichtung für För- derseile. Von <i>H. Hort</i>	507*
— desgl. Z.	596	— Schiff- und Schiffsmaschinen- bau. Von <i>Goos (Chronik)</i>	875*	— Brüche an den Tragkabeln amerikanischer Hängebrücken	579
— Geue-Pumpe für Wasserwerke	545*	— Schiffbau. Schiffbautätigkeit im Jahre 1928	175	— Über Drahtseile. Von <i>W. Schmidt</i>	940*
— Pumpen und Kompressoren. Von <i>P. Ostertag (Chronik)</i>	859*	— Schifffahrt s. Schiffshebewerk. Schiffshebewerk s. a. Seil. — Vom Bau des Schiffshebe- werkes Niederfinow. Von <i>H. Seidel</i>	149*	Selbststähler s. Eisenbahnwagen. Sicherung s. Elektrotechnik. Signal. Bremsuntersuchungs-Mel- deanlagen. Von <i>Fr. Zimmer- mann</i>	411*
Rahmen s. Kraftwagen.		— Fortschritte der Bootsmotoren	446	— Signale an Eisenbahnüber- gängen	510
Regenerator s. Ofen.		— Wirtschaftlichkeit neuerer Schiffsdampfanlagen	625	— Selbsttätige optische Zug- sicherung. Von <i>J. Hausen</i>	654*
Riemen. Praktische Riemenver- suche. Von Kutzbach	363	— Erfahrungen mit großen Schiffsdieselmotoren	626	— Neuartige Überwachung von Weichen- und Fahrsignalen	770
Röntgen s. Werkstoff.		Schleifen s. Werkzeugmaschine.		Silikat s. Keramik.	
Rösten s. Ofen.		Schleuse s. a. Lager, Rohr.		Spant s. Schiff.	
Rohr s. a. Eisenbau, Hochbau, Mechanik, Stopfbüchse, Was- serleitung.		— Die Hindenburgschleuse — Ma- schinelle Anlagen. Von <i>Goetz- cke. A.</i>	403*	Speicher s. Wasserkraft.	
— Schachtrohr mit fünf Zylinder- stützen des Sparbeckens der Hindenburgschleuse	405*	— Klapptor am Oberhaupt	404*	Speisewasser s. Vorwärmer.	
— Herstellung von Schweiß- verbindungen bei Gasrohrlei- tungen	426	— Die neue Schleuse in Ymuiden. Von <i>C. T. C. Heyning. A.</i>	741*	Spektrograph s. Werkstoff.	
— Rohre. Unter besonderer Be- rücksichtigung der Rohre für Wasserkraftanlagen. Von <i>V. Mann. B.</i>	447	Schmelzen s. Gießen.		Spermauer s. Talsperre.	
— Schweißverbindungen von Gas- fernleitungen	520*	Schmieden s. Stahl.		Spinnen s. Faserstoff.	
Rolle s. Seil.		Schmieren s. a. Schiff.		Sprechmaschine. Akustik neuzeit- licher Sprechmaschinen. Von <i>E. Lübcke. A.</i>	333*
Rost s. Feuerung, Normen.		— Über die Schmierschicht in Gleitlagern und ihre Messung durch Interferenz. Von <i>R. Wolff. B.</i>	478	Städtewesen s. a. Milch, Verkehr, Wasserversorgung.	
Rosten s. Metallschutz.		— American lubricants. Von <i>L. B. Lockhart. B.</i>	659	— Ingenieur und Gemeindever- waltung. Von <i>H. W. Wolfram</i>	29
Sack s. Packen.		— Oil refinery specifications. Von <i>A. L. Nugey. B.</i>	738	— Kommunale Technik. Von <i>Heilmann (Chronik)</i>	878*
Säge. Der Zerspanungsvorgang bei Kaltkreissägen	604*	Schokolade s. Nahrungsmittel- industrie.		Stahl s. a. Härte, Hüttenwesen, Metallschutz, Werkzeugmaschine.	
Schacht s. Abteufen.		Schornstein s. Gründung.		— Bearbeitbarkeitsprüfung von Stählen	70
Schalter s. a. Fabrik.		Schraube s. a. Pleuelstange.		— Die Verwendung hochwertiger Stähle beim Bau großer Brücken und Hochbauten. Von <i>Bohny</i>	93
— Schubtrennschalter	164*	— Schraubenbefestigung in Guß- eisen und Leichtmetall	268*	— Mechanische Eigenschaften von Stahlguß bei erhöhten Temperaturen. Von <i>A. Pomp.</i>	102*
— Freiluft-Trennschalter für 220 kV	765*	— Zur Festigkeit im Schrauben- gewinde. Von <i>W. Kuntze. A.</i>	469*	— Herstellung von Stahl nach einem neuen Verfahren	368
— Luftschalter als Lokomotiv- hauptschalter der Siemens- Schuckertwerke	923*	Schraubengeräte s. Zahnrad.		— Fortschritte in der Metallurgie des Stahles für Schiffskörper und Kessel. Von <i>Schulz</i>	377
Schieber. Zweiteiliger Absperr- schieber für Druckrohrlei- tungen	106	Schwelen s. Gas.		— Über Gesenkstähle. Von <i>Schildberger</i>	505
Schiff s. a. Feuerung, Kriegs- schiff, Messen, Nahrungsmittel- industrie, Schiffbau, Schiffs- hebewerk, Schiffsmaschine, Schwimmkran, Seerettungs- wesen, Stahl, Vorwärmer.		Schweißen s. a. Eisenbau, Gesenk, Rohr, Werkzeugmaschine.		— Physikalische Eigenschaften von Chrom-Eisen- und Vana- dium-Eisen-Legierungen	752
— Vorschriften für Motorschiffe	28	— Selbsttätige Lichtbogen- Schweißmaschinen. Von <i>F. Niehammer. A.</i>	209*	— Kupferstähle mit hohem Koh- lenstoffgehalt	801
— Hochwertiger Werkstoff für die obere Gurtung von Schif- fen	270	— Selbsttätige Azetylen-Sauer- stoff-Schweißmaschine	414*	Statik s. a. Holz.	
— Hilfsbuch für den Schiffbau. Von <i>E. Foerster. B.</i>	415	— Werkstoffübergang im Schweißlichtbogen. Von <i>A. Hilpert</i>	798*	— Die Statik der Bauwerke. Von <i>R. Kirchhoff. B.</i>	512
— Die Anwendung der Längs- spantenbauart nach Isherwood	436	Schwelle s. Eisenbahnoberbau.		— Knickfestigkeit der Pfosten von K-Fachwerken. Von <i>K. Girkmann</i>	573*
— Elektrisch angetriebene ameri- kanische Fahrgastschiffe	460	Schwimmkran. 60 t-Schwimm- drehkran mit einziehbarem Ausleger. Von <i>Fr. Woeste</i>	32*	Statistik s. a. technische Lehr- anstalt.	
— The motor ship reference book for 1929. B.	479	Schwingung s. Gründung, Mecha- nik, Seil.		— Die Deutsche Wirtschaft in Karten. Von <i>E. Pfohl. B.</i>	660
— Probefahrtergebnisse eines Dampfers der Maier-Schiffs- form	574	Seerettungswesen. Verwendung großer Rettungsboote in Ver- bindung mit dem Welin-Mac- lachlan-Davit auf großen Passagierschiffen. Von <i>Bie- dermann</i>	376*	Staub s. Unfall, Unfallverhütung. Staudamm s. Wehr.	
— Die Fischdampfer „Sergent Gouarne“ und „Aspirant Brun“. Von <i>C. Bollow. A.</i>	581*	— Schwimmfähigkeit der Fahr- gastschiffe nach Havarien und ihre internationale Regelung. Von <i>Laas</i>	376	Staurand s. Düse.	
— Der Holland-Amerika-Dampfer „Statendam“	626	— Das Motorrettungsboot „Insu- linde“. Von <i>E. Voßnack. A.</i>	499*	Stein s. Glas, Keramik.	
— Japanisches Fischmotorschiff	627	— Schraube, Stevenrohr und Tunnel, Hauptspant, Motor- räume	501*	Steuerung s. a. Werkzeugmaschine.	

	Seite		Seite		Seite
Steuerung.		Unfallverhütung s. a. Anlassen,		Verbrennungsmaschine.	
— Druckausgleicher der Deut-		Blitzschutz, Versuchsanstalt,		— Der Verbrennungsvorgang im	
schen Reichsbahn-Gesell-		Verhütung von Motorrück-		Gas- und Vergaser-Motor.	
schaft, von Müller, für Ventil-		schlägen an Kraftwagen.		Von W. Endres. B.	771
steuerung von Rihosek,		Rückschlagsichere Andrehkur-	87*	— Mischungsverhältnis und Ver-	
Druckausgleichschieber von		beln. Von A. Freymann. A. .		brennungsvorgänge im Öl-	824*
Trofimoff, Meineke, Nicolai,		— Sicherheit im Betrieb. Von	241*	motor. Von P. Meyer. A. . .	
Müller	726*	E. Kothc. A.		Verein. Tagung des Deutschen	
Stopfbüchse. Stopfbüchse für Gas-		— Staubgefährdung und Staub-		Vereins für öffentliche Ge-	
fernleitungen	521*	schädigungen der Metallschlei-		sundheitspflege. Von H. W.	
Straßenbahn. Straßenbahn - Ge-		fer. Von Teleky, Lochtkemper,		Wolffram	67
lenkwagenzüge, Bauart Niesky	695*	E. Rosenthal-Deussen und		— Tagung des Ausschusses für	
Straßenbau s. a. Kraftwagen,		Derdack. B.	271	Wärmeforschung im Verein	
Mischen, Tunnel.		— Jahresberichte der gewerb-		deutscher Ingenieure. Von M.	
— Versuche mit Teerung von	107	lichen Berufsgenossenschaften		Jakob. A.	82*
— Die Bauverfahren für Land-		über Unfallverhütung für	271	— Tagung der Deutschen Gesell-	
straßen. Von Nagel. Z. . . .	136	1927. B.		schaft für Metallkunde. Von	
— Der Antrieb von Straßenbau-		— Geräuschverhütung in Webe-	278	Wolf	137
maschinen	233	reifen. Von Denker		— Tagung des deutschen Eisen-	
Streckenausbau s. Bergbau		— Staubbeseitigung in Textilbe-	310*	bauverbandes. Von Kammer .	138
		trieben. Von R. Meldau. A. .		— Verkehrstagung der Hanno-	
		— Handbuch des Grubenrettungs-		verschen Hochschulgemein-	
		wesens. Von G. Ryba. 1. Bd.	942	schaft	219
		B.		— Hauptversammlung der Gesell-	
Tachometer s. Geschwindigkeits-		Unterricht s. Keramik, Land-		schaft für angewandte Mathe-	
Talsperre s. a. Lager- und Lade-		maschine.		matik und Mechanik. Von	233
vorrichtung, Messen.				Eisner	
— Ergebnisse der Versuchssper-		Ventil. Dauerbrüche an Ventil-		— Tagung der Studienkommis-	
rmauer am Stevenson-Creek in	473*	spindeln. Von Wewerka . .	358	sion für Hochdruckanlagen der	
Tank s. Brennstoff.		— Sicherheitsventil für Gaskom-	378*	Vereinigung der Elektrizitäts-	
Tarif s. Messen.		pressoren		werke. Von Heller	315
Taschenbuch. „Hütte“, Taschen-		— Sparbeckenventile der Spar-		— 29. Hauptversammlung der	
buch für Betriebsingenieure.		schleuse der Hindenburg-	406*	Schiffbautechnischen Gesell-	
Von Akademischer Verein Hütte	415	schleuse		schaft. Von W. Schmidt . .	376*
und A. Stauch. B.		— Schnellschlußventil mit freiem	624*	— Physikertagung der Gesell-	
Technik s. a. Geschichte, Heim-		Durchgang. Von H. Bund .		schaft Deutscher Naturforscher	
technik.				und Ärzte. Von W. Hort . .	408
— Die Lehre von der schöpferi-		Verbrennungsmaschine s. a. Alu-		— Verein für die bergbaulichen	
schen, Produkte schaffenden		minium, Kolben, Pumpe,		Interessen des Rheinisch-West-	
Arbeit, die grundlegende Er-		Schiffsmaschine, Versuchs-		fälischen Steinkohlenberg-	
ziehung für den Maschinen-		anstalt, Zündung.		baues. Von van Rossum . .	442
Ingenieur. Von J. Schenk. B.	107	— Optische Untersuchungen von		— Jahresversammlung der Deut-	
— Bildungswerte der Technik.	509*	Explosionsvorgängen. Von	83	schen Beleuchtungstechnischen	
Technische Lehranstalt s. a. Elek-		Lindner		Gesellschaft. Von W. Köhler .	173
trotechnik, Heizung, Keramik,		— Untersuchungen an der Diesel-	143	— 10. Glastechnische Tagung . .	508*
Konstrukteur, Landmaschine,		maschine. Von K. Neumann.		— 32. Hauptversammlung des	
Verein deutscher Ingenieure		B.	143	Deutschen Betonvereins. Von	
(Fachausschüsse), Versuchs-		— Untersuchungen zur Dynamik	143	K. Bernhard	734
anstalt.		des Zündvorganges. Von O.		— 21. Jahresversammlung des	
— Deutsche Hochschulstatistik,	207	Klüsener. B.	143	Institute of Metals. Von M. Haas	797
Sommerhalbjahr 1928. B. .	472*	— Kurbelkastenspülung für Zwei-	225*	Verein deutscher Ingenieure.	
— Neue Technische Hochschulen?		taktmotoren. Von H. List. A.	240	Satzung. Änderung von Nr. 2	
Teer s. Brennstoff, Straßenbau.		— Der indizierte Wirkungsgrad	617*	der Geschäftsordnung. Bes-	
Thermometer. Über die Haltbar-		der kompressorlosen Diesel-		schluß des Vorstandsrates .	944
keit von Thermoelementen im		maschine. Von F. Schmidt. B.		Wissenschaftl. Beirat.	
Betrieb. Von A. Schulze . .	246	— desgl.	240	Sitzung des Wissenschaftlichen	
— Temperaturmessung durch		— Begrenzung der Leistungsstei-		Beirates	834
Farbumschlag	612	gerung der schnelllaufenden		— Geschäftsbericht	890
— Platin-Widerstandsthermo-		Verbrennungsmaschine durch		Vorstand. Wahl von Prof.	
meter zur Messung der	631*	den Steuervorgang. Von M.	240	Nägel zum Kurator. Beschluß	
Tiefadewagen s. Lager- u. Lade-		Christian. B.	510	des Vorstandsrates	943
vorrichtung.		— Zweitakt-Dieselmotor mit neu-		— Wahlen des Vorsitzenden Stell-	
Torf. Neuerungen in der Gewinn-		artiger Luftspritzung . .	511	vertreters und von Beigeord-	
nung und Veredlung von Torf.	407	— Die Entropie-Diagramme der	594	neten. Beschlüsse des Vor-	
Von Prockat		Verbrennungsmotoren. Von		standsrates	943
Tränken s. Holz.		P. Ostertag. B.	594	— Ausscheiden von Lippart als	
Trocknen s. a. Hochbau, Holz.		— Messung der Einspritzdrücke	594	Kurator	944
— Neuzeitliche Pappentrocknung	172*	bei Dieselmotoren	594	Vorstandsrat. Wahlen und	
— Trocknung von Braunkohle		— Dieselmotoren-Anlage für ein		Beschlüsse der Versammlung	
im Röhrentrockner	349	Warenhaus	594	des Vorstandsrates am 22. Juni	
Tunnel s. a. Bergbau.		— Schnellaufender Dieselmotor,		1929 in Königsberg i. Pr. . .	943
— Ein Jahr Straßenverkehr im		Bauart Ricardo. Von Hol-	620*	— Wahlen von Mitgliedern des	
Holland-Tunnel	142	felder		Wahlausschusses. Beschluß	
Turbine s. a. Dampfturbine.		— Einfluß der Länge der Saug-		des Vorstandsrates	943
— Vierdüsiges Einrad-Freistrah-		leitung bei Verbrennungs-	650	Hauptversammlung. 67.	
lurbine von Escher, Wyss &		motoren		Hauptversammlung, Essen	
Cie. für die Anlage Maipo in	855*	— Verwendbarkeit von Schwer-	725	1928. Geschäftsbericht	901
Chile		ölen im Explosionsmotor. Von	840	— 68. Hauptversammlung. An-	
		E. Drenckhan		kündigungen	272, 564
		— desgl. Z.	738	— Aus der Tagesordnung . . .	739
Unfall. Staubexplosionen. Von	217	— Der indizierte Wirkungsgrad		— Ort der 69. Hauptversamm-	
R. Loch. A.		der Gasmaschine. Von H.		lung. Beschluß des Vorstands-	
— Zwei Explosionen durch Was-	264*	Schnell. B.		rates	944
serstoff-Stahlflaschen. Von		— Der Einfluß des Wärmeüber-		Fachausschüsse. Wärme-	
O. Ohmann		ganges auf den indizierten		forschung. Verhandlungen des	
— Die Gasbehälterexplosion am	349	Wirkungsgrad der Gas-	738	Wissenschaftlichen Beirates .	835
Wedding zu Berlin. Von		maschine. Von E. Hecker. B.		— Geschäftsbericht	890
O. Ohmann				— Getriebelehre Geschäftsbericht	891

	Seite		Seite		Seite
Verein deutscher Ingenieure.		Verein deutscher Ingenieure.		Verein deutscher Ingenieure.	
— Mechanische Schwingungen.		— VDI-Nachrichten. Geschäfts-		V erschiedenes. Merkblatt	
Verhandlungen des Wissen-		bericht	886*	für technisch-wissenschaftliche	
schaftlichen Beirates	835	— Technik und Wirtschaft. Ge-		Veröffentlichungen. Verhand-	
— Geschäftsbericht	891	schaftsbericht	886	lungen des Wissenschaftlichen	
— Maschinenelemente. Geschäfts-		— Maschinenbau. Geschäftsbericht	887*	Beirates	837
bericht	891	— Archiv für Wärmewirtschaft		— Abrechnung über die Klingen-	
— Schweißtechnik. Verhandlungen		und Dampfkesselwesen. Ge-		berg-Stiftung und die Bach-	
des Wissenschaftlichen		schaftsbericht	887	Stiftung. Verhandlungen des	
Beirates	835	— Zeitschrift für Metallkunde.		Wissenschaftlichen Beirates . .	840
— Geschäftsbericht	891	Geschäftsbericht	887	— Geschäftsbericht	903
— 4. Farbentag in München	656	— Technik in der Landwirtschaft.		— Vortragswesen. Geschäfts-	
— Anstrichtechnik. Verhandlungen		Geschäftsbericht	888	bericht	899
des Wissenschaftlichen		— Zeitschrift für angewandte		— Berufsfragen. Geschäftsbe-	
Beirates	836	Mathematik und Mechanik.		richt	899
— Geschäftsbericht	892	Geschäftsbericht	888	— Mitglieder des Ausschusses für	
— Staubtechnik. Verhandlungen		Technische Zeitschriftenschau.		Berufsfragen. Beschluß des	
des Wissenschaftlichen Bei-		Geschäftsbericht	888	Vorstandsrates	943
rates	836	— Engineering Progress. Ge-		— Filmmachweis. Geschäftsbericht	900
— Geschäftsbericht	893	schaftsbericht	889*	— Auskunftstelle. Geschäfts-	
— Strömungslehre. Verhandlungen		— El Progreso de la Ingenieria.		bericht	900
des Wissenschaftlichen		Geschäftsbericht	889*	— Pressestelle. Geschäftsbericht	900
Beirates	836	S onstige literarische		— Auslandstelle. Geschäftsbericht	900
— Regeln für Leistungs- und Ab-		U nternehmungen. Techn-		— Ehrensold. Geschäftsbericht . .	903
nahmeversuche. Verhandlungen		nisch-geschichtliche Arbeiten.		— Eingaben des V. d. I.	903
des Wissenschaftlichen		Geschäftsbericht	889	B ezirksvereine. Bezirks-	
Beirates	833	— Forschungsarbeiten auf dem		vereine und Ortsgruppen. Ge-	
— Geschäftsbericht	894	Gebiete des Ingenieurwesens.		schaftsbericht	909
— Dampfkesselwesen. Verhand-		Geschäftsbericht	889	V erkehr s. a. Brücke, Eisenbahn,	
lungen des Wissenschaftlichen		— Buchwerke des VDI-Verlages.		elektrische Bahn, Gründung,	
Beirates	838	Geschäftsbericht	889	Hafen, Kraftwagen, Post, Stra-	
— Geschäftsbericht	893	V erlag und Anzeigen-		ßenbahn, Straßenbau, Tunnel.	
— Drahtseilforschung. Geschäfts-		w esen. VDI-Buchhandlung		— Über Verkehrsregelung und	
bericht	894	und Bücherstube. Geschäfts-		Bekämpfung ihrer Übertrei-	
— Textiltechnik. Geschäftsbericht	894	bericht	901	bung, namentlich in Klein- und	
— Kostenwesen. Geschäftsbericht	895	— Literaturberatung. Geschäfts-		Mittelstädten. Von <i>Campe</i> und	
— Vertriebstechnik. Geschäfts-		bericht	901	<i>Eberlein</i>	29
bericht	895	— Anzeigenberatung. Geschäfts-		— Das Ziel der Verkehrspolitik	
— Hauswirtschaftliche Technik.		bericht	901	und die Stellung der Allge-	
Geschäftsbericht	896	— VDI-Verlag G. m. b. H. Ge-		meinheit zum Verkehr. Von	
E hrenmitglieder und		schaftsbericht	903*	<i>Blum</i>	219
G rashof-Denkünze.		— Beuth-Verlag. Geschäfts-		V erkoken s. Gas.	
Ernennung von Geh. Baurat		bericht	904	V erpacken s. Packen.	
Dr.-Ing. E. h. G. Lippart zum		T echnisch-wissen-		V ersatz. Bergeversatzwirtschaft	
Ehrenmitglied des Gesamtver-		s chaftliche Versuche.		des Ruhrkohlenbergbaues. Von	
eines. Beschluß der 68. Haupt-		S tand der Forschungsarbeiten,		<i>Fritzsche</i>	443
versammlung	944	die mit Unterstützung des Ver-		V erschwelen s. Gas.	
— Verleihung der Grashof-Denk-		eines deutscher Ingenieure im		V ersuchsanstalt s. a. Land-	
münze an Prof. Dr. phil. Dr.-		Jahre 1928 durchgeführt wur-		m aschine.	
Ing. E. h. Ludwig Prandtl. Be-		den. Verhandlungen des Wis-		— Unterirdische Versuchsanlage	
schluß der 68. Hauptversamm-		senschaftlichen Beirates	838	für Flugzeugmotoren	34
G eschäftsbericht und		S chulwesen. Ausbildungs-		— Steinkohlen- Versuchsgrube	
V erwaltung. Das Ge-		wesen. Geschäftsbericht	898	zur Bekämpfung der Unfall-	
schäftsjahr zwischen den		R echtskunde. Technik und		gefahren	142
Hauptversammlungen 1928/29	883	R echt. Geschäftsbericht	896	— Das Experiment, sein Wesen	
— Posteingänge der Geschäfts-		P atentwesen. Patentwesen.		und seine Geschichte. Von	
stelle. Geschäftsbericht	903	Geschäftsbericht	899	<i>H. Dingler</i> . B.	207
— Rechnung des Jahres 1928. Ge-		— Mitglieder des Patentaus-		— Versuchsanlagen für Maschi-	
schäftsbericht	903	schusses. Beschluß des Vor-		n und Maschinenteile. Von	
— Haushaltplan für das Jahr		standsrates	943	<i>Herrtrich</i>	361*
1929/30. Beschluß des Vor-		S onstige Arbeiten des		— Die deutschen Forschungsstät-	
standsrates	944	V ereines. Arbeitsgemein-		ten. Von <i>L. Lehmann</i> . B. . . .	383
— Rechnung des Jahres 1928. Be-		schaft deutscher Betriebsinge-		— Laboratorium des Instituts für	
schluß der 68. Hauptversamm-		nieure. Geschäftsbericht	896	Landmaschinen in München . .	451*
lung	944	— Arbeitsgemeinschaft Technik		— Die neuen elektrotechnischen	
— Wahl zweier Rechnungsprüfer		in der Landwirtschaft. Ge-		Institute der Technischen	
und ihrer Stellvertreter für die		schaftsbericht	897	Hochschule Braunschweig. Von	
Rechnung des Jahres 1929.		A ndere Vereine. Deutscher		<i>F. Unger</i> . A.	605*
Beschluß der 68. Hauptver-		V erband Technisch-Wissen-		— Das Röntgenlaboratorium an	
sammlung	944	s chaftlicher Vereine. Ge-		der Technischen Hochschule	
H ilfsskasse. Ingenieurhilfe.		schaftsbericht	904	Stuttgart. Von <i>Glockner</i> . A. . .	637*
Geschäftsbericht	903	— Deutscher Verband für die		— Deutsche Forschung. B. . . .	833
— Beschluß des Vorstands-		M aterialprüfungen der Techn-		— Physikalisch-technische For-	
rates	944	n ik. Geschäftsbericht	906	schung. Von <i>W. Schmidt</i>	
M itglieder. Mitgliederbewe-		— Deutsche Gesellschaft für Bau-		(Chronik)	880
gung. Geschäftsbericht	902*	ingenieurwesen. Geschäfts-		V ertrieb. Aus einer Marktunter-	
— Mitglidieraufnahme. Geschäfts-		bericht	906	suchung für Sägewerkmaschi-	
bericht	902	— Deutsche Gesellschaft für Met-		nen	69
— Ehrenzeichen. Beschluß des		allkunde. Geschäftsbericht . .	906	— Financial and business fore-	
Vorstandsrates	944	— Deutscher Ausschuß für Tech-		casting. Von <i>W. F. Hickernell</i> .	
— Beitrag für 1930 für die in		nisches Schulwesen. Geschäfts-		B.	71
Deutschland wohnenden Mit-		bericht	907	— Leistung und Sparsamkeit.	
glieder. Beschluß des Vor-		— Deutscher Normenausschuß.		Von <i>Schlesinger</i>	116
standsrates	944	Geschäftsbericht	908*	V olkswirtschaft s. a. Industrie,	
V ereinshaus. Bücherei und		— Reichsausschuß für Arbeits-		S tatistik.	
L esesaal. Geschäftsbericht . . .	900	zeitermittlung. Geschäfts-		— Allgemeine Volkswirtschafts-	
Z eitschriften. VDI-Zeit-		bericht	908	lehre. Von <i>A. Weber</i> . B. . . .	36
s chrift. Geschäftsbericht	885*			V orwärmer. Speisewasser-Rauch-	
				gasvorwärmer auf Seeschiffen	363

	Seite		Seite		Seite
Waage. Neigungswaage einer Mischmaschine für Straßenbau	464*	Wasserversorgung s. a. Behälter, Wasserreinigung.		Werkstoff.	
Wärme s. a. Dampf, Feuerung, Kalorimeter, Lebensbeschreibung, Ofen, Verbrennungsmaschine, Wärmeschutz.		— Handbuch der Wasserversorgung. Von <i>E. Groß</i> . B.	239	— Röntgenverfahren zur räumlichen Ausmessung von Fehlstellen in Werkstoffen. Von <i>C. Kantner</i> und <i>A. Herr</i> . A. . .	811*
— Thermische Eigenschaften und thermodynamische Vorgänge. Von <i>M. Jakob</i> . A.	82*	— Wasserhebung und Wasserspeicherung. Von <i>S. Baer</i> . A. . .	539*	— Stoffkunde. Von <i>Deutsch</i> (Chronik)	861
— desgl. Z.	161	— Wasserwerk Berlin-Lichtenberg, Berliner Städtische Wasserwerke A.-G., Werk Müggelsee, Pumpwerk Westhofen der Dortmunder Wasserwerk G. m. b. H., Breslauer städtisches Wasserwerk Pirscham, Pumpwerk Hengsen der Dortmunder Wasserwerk G. m. b. H., Gruppenwerk Lutzerat (Kr. Cochem, Mosel), erbaut 1926/27	541*	Werkzeug s. a. Gesenk, Kühlen, Säge, Stahl.	
— Wärmeleitung pulverförmiger Körper. Von <i>W. Nußelt</i>	82*	— desgl. Z.	740	— Versuche mit Spiralbohrern	445*
— Wärmestrombild eines Lurgi-Ofens	232*	— Wasserbedarf und Wasserbeschaffung. Von <i>O. Koenig</i> . A. . .	548	— Organisation und Werkzeugmaschinen. Von <i>Behrens</i> (Chronik)	866
— Die Verdampfungswärme des Wassers und das spezifische Volumen von Sattdampf zwischen 210 und 250°C. Von <i>M. Jakob</i> und <i>W. Fritz</i> . A. . .	629*	— Einzelbetrieb von Wasserwerkbrunnen. Von <i>Baer</i>	563	Werkzeugmaschine s. a. Fabrik, Kühlen, Lager, Säge, Vertrieb.	
— Wärmeflußbild der 100 at-Anlage des Großkraftwerkes Mannheim	916*	— desgl. Z.	740	— Die Stahlbauweise im Maschinenbau. Von <i>C. Krug</i> . A. . . .	14*
Wärmeschutz. Der Wärme- und Kälteschutz in der Industrie. Von <i>J. S. Cammerer</i> . B.	627	Weben s. a. Faserstoff.		— Sonderfräsmaschine für Rippenplatten. Von <i>S. Weil</i>	201*
Wärmeübergang s. a. Dampf, Wärme, Wahrscheinlichkeit s. Mathematik.		Wehr s. a. Wassermessung.		— Fräsen von zylindrischen Öffnungen	270
Walzen. Selbsttätiges Walzwerk für nahtlos gezogene Rohre	141*	— Die Wasserbewegung im Dammkörper. Von <i>J. Schmied</i> . B.	108	— Schwere Flächenschleifmaschine. Von <i>C. Krug</i>	346*
— Walzen von Stabeisen aus gebrauchten Schienen	206	— Staudamm in Nord-Carolina . . .	941	— Drehen von Nockenwellen	350
— Zunahme des elektrischen Antriebes in den amerikanischen Walzwerken	478	Welle s. a. Härten.		— Geschweißte Stahlkonstruktionen im Werkzeugmaschinenbau	411*
— Das neue Kupferwalzwerk im Kabelwerk Oberspreewitz	938*	Weltkraftkonferenz s. a. Aufbereitung, Brennstoff, Feuerung, Torf.		— Achsschenkel-Drehbank. Von <i>Weil</i>	477*
Waschen s. a. Kellereimaschine.		— Die Brennstofftagung der Weltkraftkonferenz London, 22. September bis 6. Oktober 1928. Von <i>P. Rosin</i> . A.	9	— Fräsmaschine mit veränderlichem hydraulischen Vorschub . . .	595*
Wasserbau s. a. Schleuse, Talsperre.		Werkstatt. Große Kraftwagen-Ausbesserwerkstätte	142	— Vierspindelautomat	626
— Der Eisenwasserbau. 1. Bd.: Theorie und Konstruktion der beweglichen Wehre. Von <i>H. Kulka</i> . B.	415	— Die neuzeitliche Reparaturwerkstatt für Automobile. B. . .	238	— Doppeltwirkende Hobelmaschine	802
— Erd- und Wasserbau. Von <i>E. Mattern</i> (Chronik)	871*	— Der Praktiker in der Werkstatt. Von <i>V. Retterath</i> . B. . .	384	— Organisation und Werkzeugmaschinen. Von <i>Behrens</i> (Chronik)	866*
Wasserhaltung. Die Praxis der planmäßigen Entwässerung im Braunkohlenbergbau. Von <i>J. Nahsen</i> . B.	659	Werkstoff, s. a. Aluminium, Beton, Brücke, Elastizität, Feder, Glas, Härte, Harz, Holz, Hüttenwesen, Kraftwagen, Legierung, Luftfahrt, Magnesium, Magnet, Messing, Porzellan, Schiff, Schraube, Seil, Ventil.		Winde s. a. Hebezeug.	
Wasserkraft s. a. Elektrizitätswerk.		— Anwendungen des Spektrogrammen in der Metallindustrie. Von <i>F. Twyman</i> , <i>E. Honegger</i> und <i>D. M. Smith</i> . A.	196*	Winderhitzer s. a. Hochofen, Ofen.	
— Speicherkraftwerk Niederwartha a. d. Elbe, waagerechte Verbundanordnung, Speicherkraftwerk Hemfurth a. d. Ederalsperre, senkrechte Verbundanordnung	179*	— desgl. Z.	237	Wörterbuch. Chemisches Fachwörterbuch. Von <i>A. W. Mayer</i> . B.	803
— Ausnutzung der Wasserkraft in den Vereinigten Staaten . .	595	— Maschinen für Härteprüfungen, technologische Versuche und Verschleißprüfungen an metallischen Werkstoffen. Z. . .	237	— Auto-Diktionär. Von <i>B. R. Dierfeld</i> . B.	803
— Arbeiten am Kraftwerk Niederwartha. Von <i>Beyer</i>	735	— Zugfestigkeit und Härte bei Metallen. Von <i>O. Schwarz</i> . B. . .	238	Wolfram s. a. Ofen.	
— Selbsttätiges Wasserkraftwerk . .	737	— Beurteilung von Werkstoffen nach Kerbversuchen. Von <i>W. Schwinning</i> . A.	321*	Zähler s. a. Messen.	
— Die Hochdruck- Wasserkraftanlage Vermunt. Von <i>Luchsinger</i>	827*	— Über die Struktur des Systems Eisen-Chrom-Kohlenstoff. Von <i>A. Schulze</i>	477	Zahnrad. Getriebekasten eines Differential-Greiferwindwerkes	235*
— Wasserkraftmaschinen und -anlagen. Von <i>Oesterlen</i> (Chronik)	855*	— Impurities in metals. Von <i>C. J. Smithells</i> . B.	511	— Untersuchungen an Schraubengetrieben. Von <i>Altmann</i> . . .	359*
Wasserleitung s. a. Schieber.		— Über die Anfrassung und das Rosten von unlegiertem und legiertem Gußeisen	583	— Einfluß der Ausführungsfehler und Abnutzung auf die Festigkeitsbeanspruchung der Zähne an Zahnradern. Von <i>Schiebel</i>	362
— Druckschwankungen in Druckrohrleitungen. Von <i>R. Löwy</i> . B.	382	— Die elektrische Leitfähigkeit von Kupfer, Aluminium und Eisen	619	— Sternradgetriebe. Von <i>A. Bock</i> . A.	397*
Wassermessung. Wassermessung mit scharfkantigen Überfallwehren. Von <i>Th. Rehbock</i> . A. . . .	817*	— Zugfestigkeit und Härte bei Metallen. Von <i>O. Schwarz</i> . A. . .	792*	— Getriebe mit Kegel- und Zahnradstufe	622*
Wasserreinigung. Wasserreinigung und Wasseraufbereitung. Von <i>E. Link</i> . A.	553	— Über die Systeme Wolfram-Kohlenstoff, Wolfram-Eisen und Molybdän-Eisen	810	— Ritzel mit Federung und Lammellendämpfung der BBC-A. Wichert und der Pöge-Elektrizitäts-A.-G.	688
Wasserstoff, s. a. Dynamomaschine, Löten.				Zeitstudie. Schlosserei und Montage-Arbeitszeitermittlung. Von <i>K. Gottwein</i> . B.	35

Tafelverzeichnis

Tafel 1 und 2. <i>Tetzlaff</i> und <i>Schlemmer</i> , Neuere elektrische Lokomotiven der Deutschen Reichsbahn	Seite 667
---	--------------

Bildblattverzeichnis

Bildblatt 1. <i>Mausz</i> , Neuere Webverfahren	Seite 285
Bildblatt 2. <i>Anke</i> , Ausrüstungsmaschinen für Kunstseide	290
Bildblatt 3 und 4. <i>Naderer</i> , Fahrleitungen für Vollbahnen	697
Bildblatt 5 bis 8. <i>Jahresschau der Technik</i>	853

Fachhefte

Nr. 9 Textiltechnik	Seite 273/320
Nr. 16 Gas und Wasser	513/564
Nr. 20 Elektrische Bahnen	661/708
Nr. 25 Hauptversammlung Königsberg, 1929	841/912

Inhalt der im ersten Halbjahre 1929 herausgegebenen Mitteilungen über Forschungsarbeiten auf dem Gebiete des Ingenieurwesens

Heft 310: *Jakob und Erk*: Der Wärmeübergang beim Kondensieren von Heiß- und Sattdampf. *Jakob*: Die Verdampfungswärme des Wassers und das spezifische Volumen von Sattdampf für Temperaturen bis 210 °C.

Der Wärmeübergang beim Kondensieren von Heiß- und Sattdampf: Anlaß und Ziel der Untersuchung. Vorversuche. Endgültiges Meßverfahren. Versuchsanordnung (allgemeine Beschreibung, Überhitzer, Kühleinrichtung, Versuchsrohr). Durchführung der Versuche. Versuchsergebnisse (Einfluß der Temperatur und Geschwindigkeit des Dampfes und der Wandtemperatur, Gütegrad des Wärmeüberganges). Zusammenfassung. — Die Verdampfungswärme des Wassers und das spezifische Volumen von Sattdampf für Temperaturen bis 210° C. Einleitung. Versuchsverfahren. Versuchsanordnung (allgemeine Beschreibung, Siedegefäß, Wasserheizkörper, Dampfenahme, Wärmeschutzmantel, Kondensgefäße und Druckluftgefäße, Manometer und Verbindungsrohre, Ventile, elektrische Betriebs- und Meßeinrichtungen). Die Versuche (eine Versuchsreihe als Beispiel, Zusammenstellung der wichtigsten gemessenen Werte aller Versuchsreihen). Versuchsergebnisse. Ausgleich der Werte der Verdampfungswärme im Bereich von 30 bis 210° C. Berechnung des spezifischen Volumens des Sattdampfes für 30 bis 210° C. Zusammenfassung.

Heft 311: *Jakob und Kretschmer*: Die Durchflußzahlen von Normaldüsen und Normalstaurändern für Rohrdurchmesser von 100 bis 1000 mm.

Einleitung: Anlaß der Untersuchung, Ziel und Weg der Untersuchung. Gemeinsames über die Vergleichsmessungen an Düsen und Staurändern: Versuchsanordnung (allgemeine Beschreibung, Rohrleitungen, Normaldüsen, Normalstauränder, Manometer und Thermometer); Ausführung der Versuche; Auswertung der Versuche. Bestimmung der Durchflußzahlen von Normaldüsen: Vergleichsmessungen an der Hauptnormaldüse (D_0) und zwei von *Jakob* und *Erk* untersuchten Normaldüsen (D_1 und D_2); Bestimmung der Durchflußzahl einer Normaldüse (D_0) durch Staurohrmessungen; Abhängigkeit der Durchflußzahl der Hauptnormaldüse (D_0) von der Reynoldsschen Zahl; Bestimmung der Durchflußzahlen von weiteren 7 Normaldüsen; Gesamtergebnis der Messungen an Normaldüsen. Bestimmung der Durchflußzahlen von Normalstaurändern: Vergleichsmessungen an 35 Normalstaurändern; Einfluß der Rohrweite auf die Durchflußzahl der Normalstauränder (Einfluß der relativen Rauigkeit der Rohrwand auf die Durchflußzahl, von der Rauigkeit unabhängiger Einfluß der Rohrweite auf die Durchflußzahl); Gesamtergebnis der Messungen an Normalstaurändern. Versuche über den Druckrückgewinn hinter Staurändern: Zweck, Anordnung und Ausführung der Versuche; Zusammenstellung der Versuchsergebnisse; der Druckverlauf hinter dem Staurand; Berechnung des Druckrückgewinnes und Vergleich mit den Meßergebnissen. Zusammenfassung. Verzeichnis der benutzten Literatur.

Heft 313: *Schwarz*: Zugfestigkeit und Härte bei Metallen.

Einleitung. Zusammenhänge: Die Kugeldruckhärte; Härtelinie und Druck-Dehnungslinie; Härtelinie und Zug-Dehnungslinie; Härtezah und Zugfestigkeit. Versuche: Versuchsstoffe und Versuchsplan; Versuchsausführung; Genauigkeit der Versuche; der Einfluß des kristallinen Aufbaues und der Walzrichtung auf Härte und Zugfestigkeit; Versuchsergebnisse (Kupfer, Reinnickel, Kupferzinklegierungen — Tombak Ms 90, Tombak Ms 85, Messing Ms 62, Messing Ms 60 —, Aluminium und seine Legierungen — Aluminium, Duralumin, Skleron, Silumin —). Praktische Auswertung der Versuche: Verfahren zur Ermittlung der Zugfestigkeit; Zugfestigkeit und Schlaghärte; Verhältnis von Zugfestigkeit zu Härte in höherer Temperatur (Kupfer, Stahl); Zugfestigkeit und Härte bei Stahl; Zugfestigkeit und Härte bei gegossenen Metallen (Stahlguß, Gußeisen, gegossene Metalle). Zusammenfassung.

Heft 314: *Schmidt*: Der indizierte Wirkungsgrad der kompressorlosen Dieselmachine.

Einleitung: Bestimmung des indizierten Wirkungsgrades von Dieselmotoren; Diskussion der Wirkungsgradformel von *Seiliger*; Die Methode von *Neumann*. Theoretische Grundlagen: Grundlegende Annahmen für den Arbeitsprozeß der vollkommenen Maschine; die daraus abgeleitete Wirkungsgradformel; die Berechnung der Verbrennungstemperaturen unter verschiedenen Annahmen mit Hilfe der chemischen Energie; allgemeine Adiabaten-Gleichung für veränderliche spezifische Wärme nach *Nußelt*. Zahlenmäßige Berechnung des thermischen Wirkungsgrades der verlustlosen Maschine: Entwicklung des Berechnungsganges zur Bestimmung des Wirkungsgrades des Ideal-Prozesses an Hand eines Beispiels mit Annahmen, die Vollast einer gebräuchlichen Motorenausführung entsprechen; Berechnung desselben Beispiels mit der Formel von *Seiliger*; Angaben und Tabellen über 56 weitere berechnete Prozesse; Ermittlung der durch den Höchstdruck bedingten Grenzfälle der Ideal-Prozesse; Berechnung von Gleichraum-Prozessen und Bestimmung des kleinsten möglichen Kompressionsgrades; Diskussion der Gesetzmäßigkeiten bei Änderung des Kompressionsgrades, des Luftüberschusses und Höchstdruckes. Die erforderlichen Korrekturen an den berechneten Wirkungsgraden bei Abweichung von den obengenannten Annahmen: Einfluß der Änderungen des Heizwertes und der Brennstoffzusammensetzung auf den Wirkungsgrad des Ideal-Prozesses; Einfluß der Restgase, der Anfangstemperatur und des Anfangsdruckes. Bestimmung des indizierten Wirkungsgrades η_i aus Versuchsergebnissen: Beispiel für die Anwendung der Tabellen und Diagramme zur Ermittlung von η_i ; Bestimmung von η_i für verschiedene Belastungen aus mehreren Versuchen an ausgeführten Maschinen verschiedener Bauart. Zusammenfassung der Ergebnisse. Literaturverzeichnis.

Heft 315: *Christian*: Begrenzung der Leistungssteigerung der schnellaufenden Verbrennungsmachine durch den Steuer-vorgang.

Bestimmung der Ventilquerschnitte für Zylinderköpfe von 45 bis 80 mm Dmr.; Beziehungen zwischen Hubraum, Zylinderdurchmesser, Drehzahlgrenze und geometrisch erreichbaren Verdichtungsverhältnissen; Vierventilige Zylinderköpfe; Geometrie der Nockenformen der Ventilsteuerung; Analytische Berechnungsmethoden der auftretenden Beschleunigungen; Zusammenstellung und Kritik einer Reihe von Nockenformen für Zylinder von 45 bis 80 mm Dmr.; Analyse der Kräfte an den Steuerorganen; Kritik der zwangsläufigen Ventilsteuerungen; Bewegungs- und Querschnittsverhältnisse und Kräftespiel der Burt-Schiebersteuerung; Knight-Steuerung.

Heft 316: *Schnell*: Der indizierte Wirkungsgrad der Gasmaschine. *Hecker*: Der Einfluß des Wärmeüberganges auf den indizierten Wirkungsgrad der Gasmaschine.

Der indizierte Wirkungsgrad der Gasmaschine: Einleitung. Berechnung des theoretischen thermischen Wirkungsgrades; Berücksichtigung der Verschiedenheit der Exponenten γ vor und nach der Verbrennung; Entwicklung des Berechnungsganges zur Bestimmung des Wirkungsgrades unter Berücksichtigung der Änderung der spezifischen Wärmen mit der Temperatur und der Verschiedenheit der Gaszusammensetzung und Gaskonstanten vor und nach der Verbrennung; Berechnung des Wirkungsgrades für verschiedene Gaszusammensetzungen, Luftüberschußzahlen und Kompressionsverhältnisse; Einfluß der Restgase; Einfluß der Vorwärmung des angesaugten Frischgas-Luftgemisches. Bestimmung des indizierten Wirkungsgrades an Hand von experimentellen Versuchsergebnissen und Ermittlung des Einflusses der verschiedenen Regulierungsarten und der Änderung des Kompressionsverhältnisses: Einfluß der Drosselung (Drosselregulierung); Einfluß des Mischungsverhältnisses (Mischungsregulierung); Einfluß des Kompressionsverhältnisses. Zusammenfassung. Anhang. Literaturverzeichnis. — Der Einfluß des Wärmeüberganges auf den indizierten Wirkungsgrad der Gasmaschine: Einleitung: Definition des thermischen und indizierten Wirkungsgrades; allgemeiner Gang der Berechnung. Bestimmung des indizierten Wirkungsgrades: Aufstellung einer Differentialgleichung für die Abhängigkeit der Gastemperatur vom Hub; Annahme eines speziellen Falles (Ausrechnung der Konstanten für die Differentialgleichung, Wahl der mittleren Wandtemperatur, die spezifische Wärme c_p); Integration der aufgestellten Differentialgleichung (Beschreibung des Integrationsverfahrens, Berechnung der Kompressionslinie, Berechnung der Verbrennungsendtemperatur, Berechnung der Expansionslinie); Ermittlung des thermischen Wirkungsgrades; Berechnung des thermischen Wirkungsgrades für den Idealprozeß. Einfluß der Veränderung des Luftüberschusses auf den indizierten Wirkungsgrad. Einfluß der endlichen Verbrennungsdauer auf den indizierten Wirkungsgrad. Der indizierte Wirkungsgrad bei konstanter Leistung. Einfluß der Drehzahl auf den indizierten Wirkungsgrad. Einfluß der mittleren Wandtemperatur auf den indizierten Wirkungsgrad. Einfluß der Veränderung der Ansaugendtemperatur auf den indizierten Wirkungsgrad. Abhängigkeit des indizierten Wirkungsgrades von der Maschinengröße. Vergleich des theoretisch errechneten indizierten Wirkungsgrades mit dem aus dem Versuch bestimmten. Zusammenfassung. Literaturverzeichnis.

VDI-Nachrichten

Aus dem Inhalt des ersten Halbjahres 1929

In Anbetracht der großen Zahl der Beiträge und Mitteilungen in den VDI-Nachrichten kann nachstehend nur ein Teil der Beiträge nachgewiesen werden.

* bedeutet Abbildung im Text. W bedeutet Aufsatz in der Beilage „Wirtschaft“.

Anstrichtechnik.

- Farbentagung in München.
Von *Kiencke*

Arbeitsmaschinen s. a. Hauswirtschaftliche Technik, Land- und Forstwirtschaft, Papier und Zellstoff, Textiltechnik.

- Maschinen zur Gewinnung und Verarbeitung von Rundholz.
Von *Himmelsbach*
— Eine 15 m lange Vulkanisierpresse
— Werkzeugmaschinen. Von *Häneke*
— Pumpen, Kompressoren, Ventilatoren. Von *Gutmann*
— Getriebe und Getriebepraxis
— 8 200 000 kg Druck in einer Vulkanisierpresse
— Eine Spitzendrehbank mit 1500 mm Spitzenhöhe
— Maschinen zur Weiterverarbeitung des Schnittholzes. Von *Himmelsbach*

Ausland.

- Europa** s. a. Geschichtliches, Rechts-, Patent- und Steuerfragen.
— Die englische Textilindustrie. Textilstudienfahrt deutscher Studenten nach England. Von *Meister*
— Elektrizitätswirtschaft und Wasserkraftnutzung in der Tschechoslowakei. Von *G. Meyer*
— Ural. Bodenschätze und Schwerindustrie. Von *Zienau*
— Rußland. Deutsche Technische Woche in Moskau. Von *Matschoß*
— Die Verkehrsverhältnisse in England. Von *Hardt*
— Aus der italienischen Elektrizitätswirtschaft. Von *Scolari*
— Brennstoff- und Kraftwirtschaft in Rußland. Von *Hollbach*
— Groß-London
— Weltausstellung Barcelona 1929
— Die internationale Ausstellung in Barcelona. Von *Nerenz*
— Erdöl im Ural

Amerika s. a. Schweißtechnik, Wirtschaft.
— Elektrizität in der amerikanischen Industrie. Von *Knabner*

Asien.

- Luftverkehr in Persien
— Kleinasien. Bodenschätze und Verkehr. Von *Schwenninger*

Afrika s. a. Hochschulwesen.

- Deutschlandreise südafrikanischer Ingenieurstudenten

Nr.

Ausland.

- Erhöhung des Staudammes bei Assuan
— Lastkraftverkehr in Südafrika
— Ägypten von heute. Von *Herrmann*

Australien.

- Die Kohlenlage in Australien W 17

Bau- und Werkstoffe s. a. Elektrotechnik und Elektrizitätswirtschaft, Konstruktion und Fertigung, Normung, Schulwesen und Fortbildung.

- Baustoffe im Feuer. Von *Baer*
— Türen aus Silumin
— Stahlgußketten

Bauwesen s. a. Holz, Schweißtechnik, Wirtschaft.

- Vom Bau der „Königinnebrugg“ in Rotterdam. Von *Dunné*
— Künstliche Austrocknung von Neubauten. Von *Huppert*

- Die Einwirkungen des starken Frostes auf Bau- und Verkehrswesen. Von *Herbst*

- Die Leipziger Baumesse 1929. Von *Gödel*

- Große Gasbehälter

- Die Tagung der „Reichsbau-forschung“. Von *Lübbert*

- Der Stahlskelettbau

Bergbau.

- Blaseratz im Bergbau

Beschaffung s. a. Industrielles Rechnungswesen, Verkehrswirtschaft.

- Planmäßige Beschaffungswirtschaft. Von *Philippi*

- Die Tätigkeit des Ingenieurs im technischen Einkauf. Von *Kleinböhl*

- Betriebwissenschaft und -technik s. a. Brennstoffe, Hygiene, Gesundheitstechnik und Unfall-

- schutz, Ingenieurvereine und -tagungen, Schulwesen und Fortbildung.

- Feuerschutz in Fabrikbetrieben. Von *Merz*

- Pünktlichkeit in Fabrikbetrieben

- Betriebstechnische Tagung in Leipzig

- Zeitbegriff und Industrie. Von *Meyenberg*

- Neuezeitliche Schirmfabrikation

Brennstoffe

Feste Brennstoffe s. a. Ausland.

- Eine 650 t-Steinkohlen-Schwellanlage

- Schnellbestimmung des Wassergehalts von Braunkohle

Nr.

Brennstoffe.

- Braunkohle und Elektrowirtschaft. 8. Technische Tagung des Deutschen Braunkohlen-Industrie-Vereins

- Vereinheitlichung der Prüfverfahren für Brennstoffe

Flüssige Brennstoffe s. a. Ausland.

- Deutsches Kapital und deutsche Arbeit in ausländischen Erdölgebieten. Von *Dunaj*

- Aus der Technik der Erdölgewinnung

- Forschungsergebnisse über Klopffestigkeit von Brennstoffen

Gasförmige Brennstoffe s. a. Bauwesen, Ingenieurvereine und -tagungen.

- Probleme der Gasversorgung. Von *Spaleck*

- Der heutige Stand des Gasgerätebaues. Von *Körting*

- Gasfeuerung und Betriebswirtschaft. Von *Albrecht*

- Neue Wege zur Beförderung von Gasen

- Gas und Wasser. Von *Gossow*

Elektrotechnik und Elektrizitätswirtschaft s. a. Ausland, Brennstoffe, Geschichtliches, Hochschulwesen, Land- und Forstwirtschaft, Meßtechnik, Wirtschaft.

- Aus der Elektrizitätsindustrie

- Fortschritte der Elektrotechnik. Von *Parey*

- Leipziger Frühjahrsmesse. Elektrotechnik

- Elektrische Glühöfen. Ausgleich von Spitzenbelastungen in der Elektrizitätswirtschaft und Güteteigerung der Werkstoffe

- Organisation der württembergischen Elektrizitätswirtschaft W 17

- Stromverbrauchsmessungen an elektrischen Herden. Von *Thierbach*

- Ölschalter für 220 kV zur Aufstellung im Freien

- Luftschalter für große Leistungen

- Wendung im Schalterbau?

Fördertechnik s. a. Bergbau, Brennstoffe, Land- und Forstwirtschaft.

- Neuere Entwicklung der Scherenkipper

- Selbsttätige Fördermittel

- Maschinelle Kalkmergelförderung in den Nordseemarschen

	Nr.		Nr.		Nr.
Forschungsarbeiten und -anstalten		Hochschulwesen s. a. Ausland,		Industrielles Rechnungswesen s.	
s. a. Hochschulwesen, Technische Physik und Chemie.		Schulwesen und Fortbildung.		a. Vertriebstechnik.	
— Das Forschungsheim für Wärmeschutz in München. Zu seinem zehnjährigen Bestehen. Von <i>Knoblauch</i>	6*	— Die Universität Kapstadt und ihre Ingenieurabteilung. Zur Deutschlandreise Kapstädter Studenten	1*	— Die Eingliederung des Budgets in das industrielle Rechnungswesen	W 9
— Petition über den Ausbau der Phys.-Techn. Reichsanstalt. Das Kuratorium der Reichsanstalt an den Hauptausschuß des Deutschen Reichstags	14	— Das Hochspannungslaboratorium der Technischen Hochschule Berlin	7*	— Ingenieur und Betriebsrechnung	20
— Für die Wärmeforschung in der Physikalisch-Technischen Reichsanstalt	19	— Festtag in Braunschweig. Die Einweihung der neuen elektrotechnischen Institute der Technischen Hochschule Braunschweig	8	— Verlustquellen im Kapitalumlauf. Von <i>Bader</i>	23*
— Mahnwort	19	— Neue Technische Hochschulen	8	Ingenieurvereine und -tagungen	
— Der heutige Stand der technisch-wissenschaftlichen Forschung. Von <i>Matschoß</i>	25	— Hochschuljubiläen	13	s. a. Ausland, Bauwesen, Betriebswissenschaft und -technik, Brennstoffe, Industrielle Heimatkunde, Land- und Forstwirtschaft, Technische Physik und Chemie, Wärme- und Kraftwirtschaft.	
— Die Notgemeinschaft — eine Sache des deutschen Volkes. Von <i>Nägel</i>	25	— Das Wöhler-Institut in Braunschweig. Laboratorium zur Erforschung der Dauerfestigkeitseigenschaften von Baustoffen. Von <i>Föppl</i>	15*	— Die südafrikanischen Ingenieurstudenten im Ingenieurhaus	5*
		— Hundert Jahre Technische Hochschule Stuttgart. Von <i>Klebs</i>	19	— Verpackungstagung in Leipzig. Von <i>Weicken</i>	11
Geschichtliches s. a. Hochschulwesen, Wärme- und Kraftwirtschaft.		— Der Besuch der deutschen Hochschulen. Von <i>Sikorski</i>	20	— Zum 25jährigen Bestehen des Österreichischen Vereines deutscher Ingenieure. Österreichs Bundespräsident <i>Miklas</i> und Minister <i>Dr. Schürff</i> über deutsche Ingenieurarbeit	12
— Unbekannte Quellen zur Geschichte neuzeitlicher Technik. Von <i>Demeter</i>	1	Holz- und Holzverarbeitung s. a. Arbeitsmaschinen, Bauwesen, Technische Physik und Chemie, Technologie und Werkstoffprüfung, Wärme- und Kraftwirtschaft, Wirtschaft.		— Gas und Wasser	17
— Peter Vischer, der Erzgießer. Gestorben am 7. Januar 1529	2	— Holzprüfung. Von <i>Schuster</i>	1	— Eisenhüttentag 1929. Von <i>Gossov</i>	19
— Im Schwazer Bergwerk. Von <i>Haßler</i>	2	— Die deutsche Holzbilanz. Von <i>Reinhold</i>	1*	— Glastechnische Tagung in Wien. Von <i>Deutsch</i>	22
— Franz Windhausen. Zum 100. Geburtstag eines Pioniers der neuzeitlichen Kältetechnik. Von <i>Lebrun</i>	3	— Das Holz als Wärmelieferant. Von <i>Börnstein</i>	1	— Chemie und Technik	22
— Von alten Salzgewinnungsstätten. Von <i>Antz</i>	4	— Der europäische Holzmarkt	W 2	— Hollandfahrt deutscher Ingenieure	24
— Heinrich Hertz zum Gedenken. Von <i>K. W. Wagner</i>	9*	— Lehrschau Holz	22*	— Der Verein deutscher Ingenieure und seine Arbeiten im Jahre 1928/29	25*
— Zwei Industrieführer des 19. Jahrhunderts. Albert Borsig, Karl von Siemens. Zur 100. Wiederkehr ihres Geburtstages	10*	— Holz für Ingenieurbauten. Von <i>Schaechterle</i>	24*	— Ingenieurtag im deutschen Osten. Bilder von unsrer Hauptversammlung	26*
— Der Schneider von Ulm. Zum 100. Todestag von Albrecht Ludwig Berblinger. Von <i>Scheffold</i>	11*	— Lehrschau Holz	25*	— 68. Hauptversammlung des Vereines deutscher Ingenieure in Königsberg. Wahlen und Beschlüsse des Vorstandes und der Hauptversammlung. Die wissenschaftlichen Verhandlungen	26
— Großindustrie in England. Von <i>Federmann</i>	12	Hüttenwesen s. a. Ingenieurvereine und -tagungen.		Konstruktion und Fertigung.	
— Nach Ostland wollen wir reiten. Von <i>Goerdeler</i>	12*	— Neue Anlagen deutscher Hüttenwerke	10	— Gußeisen als Konstruktionsmittel	3
— Ein halbes Jahrhundert elektrische Eisenbahnen	18*	Hygiene, Gesundheitstechnik und Unfallschutz s. a. Betriebswissenschaft und -technik.		— Gußeisen und geschmiedete Teile als Konstruktionsmittel. Von <i>Erkens</i>	10
— Ein Heldenkampf. Zum 75. Jahrestag der Eröffnung der Semmeringbahn. Von <i>v. Enders</i>	20	— Mehr Sicherheit. Von <i>Barkow</i>	5	— Gruppe Konstruktion. Von <i>Erkens</i>	17
— Anopheles. Von <i>Matschoß</i>	21	— Unfallverhütung und Gewerbehigiene. Von <i>Wenzel</i>	9	Kraftmaschinen s. a. Brennstoffe.	
— Eine technische Schule vor 60 Jahren. Erinnerungen an die alte Provinzialgewerbeschule in Königsberg i. Pr. Von <i>Hartmann</i>	22*	— Unfallsicherheit und Maschinenschutz. Von <i>Schwantke</i>	9*	— Die Hell Gate-Turbine. Die größte Turbodynamo der Welt	5*
Gießereiwesen		— Wirtschaftlicher Unfallschutz. Von <i>Karpinski</i>	9	— Rohölbetrieb bei Vergasermotoren für Kraftwagen	12*
— Einformen einer Schiffschraube	24*	— Die Arbeiterschaft in der Abwehr der Unfallgefahren. Von <i>Sachs</i>	9	Kunst und Technik	
Hauswirtschaftliche Technik s. a. Elektrotechnik und Elektrizitätswirtschaft.		— Der Betriebsingenieur in der Unfallverhütung. Von <i>Schwantke</i>	9	— Wie sie zur Technik kamen. Von <i>Krommer</i>	8
— Technische Sonderfragen des Landhaushaltes. Von <i>Camilla Koch</i>	5*	— „Unfälle verhüten ist besser als Unfälle vergüten“. Von <i>E. v. Borsig</i>	9	— Sehr geehrter Herr Reichskunstwart! Von <i>Koenemann</i>	19
— Zahlen über die wirtschaftliche Bedeutung des Haushaltes. Von <i>Arnold Meyer</i>	12	— Das Gasschutzwesen. Von <i>Lindner</i>	16	— Die Erwidern des Reichskunstwarts. Von <i>Redslob</i>	19
— Die Wanderausstellung „Technik im Heim“	14	— Eine neue Schutzmaske gegen Gas, Staub und Farbnebel	16*	— Zuschrift des Vereines Berliner Künstler	19
— Wanderausstellung Technik im Heim. Von <i>Villwock</i>	15	— Schutz vor Vergasung	21	Land- und Forstwirtschaft s. a. Fördertechnik, Hauswirtschaftliche Technik, Wärme und Kraftwirtschaft.	
— Die richtige Waschmaschine	16	— Arbeitssitz und Arbeitstisch	23*	— Prüfung von Stallungstreuern. Von <i>Engelbrecht</i>	1*
— Haus ohne Schornstein	22	— Zusammenfassung des behördlichen Arbeitnehmerschutzes	23	— Pflugindustrie und Schlepperbau. Von <i>Wenzelburger</i>	5
		Industrielle Heimatkunde s. a. Elektrotechnik und Elektrizitätswirtschaft, Papier und Zellstoff.		— Beginn der „Grünen Woche“ ATL-Jahrestagung am 28. Januar	5
		— Ostpreußen, das Land der 68. Hauptversammlung	17*	— Landwirtschaftliche Meliorationen und Technik. Von <i>Stadermann</i>	5*
		— Ostpreußen. Von <i>Wiegand</i>	17	— Die technischen Hilfsmittel der Milchgewinnung. Von <i>Schäffer</i>	5
		— Danzig	19*		
		— Im Königsberger Hafen	21*		
		— Marienburg und seine Wirtschaft. Von <i>Pawelcik</i>	24*		
		— Das Bernsteinvorkommen im Samland. Von <i>Kiel</i>	25		

	Nr.		Nr.		Nr.
Land- und Forstwirtschaft.		Papier und Zellstoff.		Schulwesen und Fortbildung s. a.	
— Transport in der Landwirtschaft und Wegeunterhaltung. Von <i>Foedisch</i>	5*	— Kleine Schleifereianlagen für Papierholz	2*	— Geschichtliches	4*
— Betriebswirtschaftliche Erfahrungen bei der Einführung von Kraftschleppern. Von <i>Ackermann</i>	5	— Die Großindustrie der Holzchemie in Ostpreußen. Von <i>Lauber</i>	22*	— Neue technische Lehrmittel	4*
— Amerikanische Zugmaschinen. Von <i>Feuerlein</i>	5	Persönliches		— Der industrielle Nachwuchs in der Berufsschule. Zur Gewerbelehrerfrage. Von <i>Lippart</i>	4
— Motorkultur. Von <i>Holdack</i>	5	— Stodola zum 70. Geburtstag. Von <i>Kraft</i>	19	— Ein idealer Lehrplan	13
— Die Landwirtschaftstechnik in der „Großen Woche“. Von <i>Brauer</i>	6	Rechts-, Patent- und Steuerfragen.		— Das Bild als Berufsberater. Von <i>Hanffstengel</i>	13*
— Auch eine Hochleistungsmaschine. Von <i>Brauer</i>	13*	— Das Urheberrecht in Sowjet-Rußland. Von <i>Targonski</i>	1	— Werkstoffkunde	19*
— Kraftwerke im Dienste der Volksernährung. Rauchgase zur Kohlendioxidbindung	21	— Abschreibungen und Steuer. Von <i>W. Prion</i>	6, 7	— Betriebliche Ertüchtigung des technischen Nachwuchses. Von <i>Stauch</i>	19
— Kraftwerke im Dienste der Volksernährung. Die Gewächshausanlage im Großkraftwerk Klingenberg	21*	— Zur Reform der Staatsverwaltung	8	— Arbeiterschulung	19*
— Ingenieurtechnisches von der DLG-Ausstellung. Von <i>Wagner</i>	24	— Das Patentwesen im Lichte der Statistik. Von <i>Toussaint</i>	9*	— Der Betriebsingenieur als Lehrer	19*
Lichtbild- und Filmtechnik, s. a. Nachrichtenverkehr, Technische Physik und Chemie.		— Zur Frage des Schutzes des geistigen Eigentums. Von <i>Alexander</i>	13	— Ausbildung zu technischen Berufen. Von <i>Kothe</i>	25
— Phototechnische Neuerungen. Von <i>Boelcke</i>	4	— Die freien geistigen Berufe gegen die Gewerbesteuer	W 16	Schweißtechnik.	
— Internationale Tonfilmproduktion. Von <i>Noack</i>	14	— Der Ingenieur als Staatsbürger. Von <i>Köttgen und Schiffer</i>	16	— Selbsttätige Lichtbogen-Schweißmaschinen	2*
— Der technische Film 1928. Von <i>Lassally</i>	16	— Die Rechtsformen der Unternehmungen, Rechte und Pflichten ihrer Organe. Von <i>Waldschmidt</i>	17	— Aus der amerikanischen Schweißtechnik. Von <i>Bondy</i>	10
Messtechnik s. a. Luftfahrt.		— Die öffentlich-rechtlichen Bindungen des gewerblichen Unternehmens bei Errichtung eines Betriebes. Von <i>Wenzel</i>	17	— Elektrische Abschmelzschweißung für Karosserien und Fässer. Von <i>Hilpert</i>	12*
— Ein neuer Geschwindigkeitszeiger für Kraftfahrzeuge	11*	— Der Aufbau unsres Rechtssystems. Von <i>Dreus</i>	17	— Schweißungen im Fahr- und Flugzeugbau	19*
— Ein neues Kurvenlineal. Von <i>Fuchs</i>	22*	— Der Aufbau der sozialpolitischen Gesetzgebung. Von <i>Syrup</i>	18	— Autogen - Schneidmaschinen. Von <i>Eberle</i>	22*
— Die Messung des Durchganges von Freileitungen. Von <i>Heimberger</i>	24*	— Grundzüge des Kartellrechtes. Von <i>S. Tschierschky</i>	W 20	— Die Vorgänge beim Überkopfschweißen	23*
Museen und Ausstellungen s. a. Arbeitsmaschinen, Ausland, Bauwesen, Elektrotechnik und Elektrizitätswirtschaft, Hauswirtschaftliche Technik, Holz und Holzverarbeitung, Land- und Forstwirtschaft, Wärme- und Kraftwirtschaft.		Recht und Wirtschaft:		— Geschweißte Rohrkonstruktionen	23*
— Leipziger Frühjahrsmesse 1929. Von <i>Heller</i>	10*	— Hinausschiebung der „laufenden“ Grunderwerbsteuer	W 3	Technik und Techniker s. a. Forschungsarbeiten und -anstalten, Kunst und Technik.	
— Eröffnung der Wanderausstellung „Technik im Heim“	15*	— Freigabe deutschen Eigentums in den Vereinigten Staaten von Amerika	W 5	— Zum Jahreswechsel. Von <i>Köttgen</i>	1*
— Die erste Etappe. Rückschau auf die Essener Ausstellung „Technik im Heim“	20	— Verordnung über die Herstellung von Medaillen und Marken vom 27. Dezember 1928	W 6	— Der Ingenieur im Reichshaushalt für 1929. Von <i>Cremer</i>	7
— Ein Blick hinter die Kulissen des Deutschen Museums. Von <i>Haßler</i>	20*	— Das deutsch-russische Wirtschaftsprotokoll vom 21. Dezember 1928 und der gewerbliche Rechtsschutz	W 9	— Der Diplom-Ingenieur in den Dampfkessel - Überwachungsvereinen	10
— „Bitte einschalten“. Aus dem Reichswirtschaftsmuseum in Düsseldorf. Von <i>Isermann</i>	23	— Die Entlastung des Reichsgerichts	W 9	Technologie und Werkstoffprüfung s. a. Bau- und Werkstoffe, Hochschulwesen, Ingenieurvereine und -tagungen.	
Nachrichtenverkehr s. a. Technisches Schrifttum.		— Patentversicherung in Amerika	W 10	— Spanabhebende Werkzeuge für die Bearbeitung von Aluminium und Aluminiumlegierungen	2*
— Drahtlos steuerbare Nebenuhranlagen. Von <i>Noack</i>	11	— Darf ein Verein nach dem Austritt eines Mitgliedes einen Beschluß des Inhalts herbeiführen, daß die Ausschließung beschlossen worden wäre, wenn das Mitglied nicht schon selbst seinen Austritt erklärt hätte?	W 10	— Die Sicherheit der Lastenkettens	21
— Die Bildtelegraphie im Dienste der Tagespresse	12*	— Die Pflicht zur Aufbewahrung und Rücksendung von Zeugnissen	W 15	— Holzprüfung	22*
— Ein Fernsprechkabel Europa-Amerika?	19	— Rechtsschutz der Wanderausstellung „Technik im Heim“	W 15	— Vergleichende Untersuchungen an Sperrholz und Vollholz	22
— Das neue Fernamt in Berlin	20*	— Aufwertung amerikanischer Lebensversicherungen	W 18	Technisches Schrifttum.	
— Der Rundfunk in Europa und die Entwicklung der Hörerzahlen in den Jahren 1927/28. Von <i>Noack</i>	24	— Zur Neuordnung der Schiedsgerichtsordnung des Deutschen Ausschusses für das Schiedsgerichtswesen	W 19	— Technische Übersetzungen. Von <i>Wagemann</i>	3
Normung und Vereinheitlichung.		— Merkblatt über Wechselversteuerung	W 23	— „Rationalisierung“ der technischen Vorträge. Von <i>Hanffstengel</i>	5
— Abschluß der Werkstoffnormungen für die Kupferlegierungen	8	— Gutachterausschuß für Musterrechtsverletzungen beim Leipziger Meßamt	W 24	— Ausbau des Reichspatentamtes zu einer „Technischen Reichsbücherei“. Von <i>Lüssenhop</i>	7
Papier und Zellstoff s. a. Wärme- und Kraftwirtschaft, Wirtschaft.		— Gesetzentwurf über die Ausbeutung neuer Kohlevorkommen	W 25	— Ingenieure am Mikrophon. Von <i>Landsberg</i>	7
— Die Holzchemie und ihre wirtschaftliche Auswertung. Von <i>Schwalbe</i>	1	— Leuchtzeichen an Rädern	W 26	— Die Ausgestaltung von Vortragsräumen. Von <i>Heintzenberg</i>	11

Technische Physik und Chemie.		Nr.	Verkehr.		Nr.	Wärme- und Kraftwirtschaft.		Nr.
— Schallwellen, die Löcher bohren können. Von <i>Bloch</i> . . .	2		— Zweckmäßige Schiffsformen . .	13*		— Das Holz in der Wärmewirtschaft	26	
— Künstlicher Kautschuk. Technische und wirtschaftliche Probleme. Von <i>Geisler</i> . . .	11		— Die Seezeichen	17		Wasserbau und Wasserwirtschaft s. a. Ausland, Ingenieurvereine und -tagungen, Land- und Forstwirtschaft, Technische Physik und Chemie, Wirtschaft.		
— Um die Einheit der Natur. Einsteins Arbeit zur einheitlichen Feldtheorie. Von <i>Bloch</i> . .	11		— Die Sicherheitseinrichtungen der „Bremen“	26*		— Die Wasserversorgung der Städte. Von <i>Kühne</i>	16*	
— Die Doppelgestalt des Elektrons. Von <i>Bloch</i>	14		Verkehrswirtschaft.			Wirtschaft.		
— Neue Wege der Trinkwasserreinigung. Von <i>Kotte</i>	16		— Die Deutsche Reichsbahn im Jahre 1928	2		Allgemeines s. a. Rechts-, Patent- und Steuerfragen		
— Lärmbekämpfung als Ingenieurberuf. Von <i>Hort</i>	16		— Betriebskostensparnis bei leichten Straßenbahnwagen . .	2		— Das Budget im Industriegebiet. Von <i>Kroner</i>	W 1	
— Neue Berichte über wärmetechnische Forschungsarbeiten. Von <i>Jakob</i>	18		— Verbilligung der Eisenbahnfrachten	W 4		— Der Bericht des Reparationsagenten über die deutsche Wirtschaftslage	W 2	
— Der Ramann-Effekt. Von <i>Bloch</i>	18		— Die Stellung der deutschen Schifffahrt	W 4		— Die deutsche Bauwirtschaft an der Jahreswende 1928/29 . .	W 5	
— Die heterogene Katalyse	21		— Verbilligung der Eisenbahnfrachten auf Grund praktischer Erfahrungen des Saarbergbaues. Von <i>Röchling</i>	4*		— Der deutsche Außenhandel 1928	W 6	
— Die Anwendung hochfrequenter Schallwellen in der Ohrenheilkunde. Von <i>Mülwert</i> . . .	21		— Zahlen aus dem Betrieb der Deutschen Reichsbahn	7		— Der Wohnungsbau in Deutschland. Von <i>Brahl</i>	8	
— Röntgen-Kinematographie auch für die Technik?	26		— Hamburger Handel und Schifffahrt	W 8		— Die Passivität des deutschen Außenhandels	W 10	
Textiltechnik s. a. Ausland, Wirtschaft			— Reichsbahnbeschaffungen und deutsche Wirtschaft	13		— Vertretungen im Auslande . .	W 11	
— Textiltechnik	9*		— Die neue amerikanische Automobil-Statistik. Von <i>Heller</i> . .	13		— Die Wirtschaftslage im Auslande	W 12	
— Textilmaschinen. Von <i>Schwenninger</i>	10*		— Französische Luftfahrtreform. Von <i>Beck</i>	13		— Der deutsche Außenhandel im Februar 1929	W 14	
— Kenaf	12		— Gefahren für die deutsche Luftfahrt	W 18		— Die Notlage der Industrie im besetzten Gebiet	W 15	
— Ein geräuschloser Webstuhl . .	17		— Die deutsche Luftfahrt-Wirtschaft als Gesamtproblem . .	23*		— Auslandsindustrien in Deutschland	W 16	
Verkehr.			— Die Deutsche Reichsbahn im Jahre 1928	23*		— Die deutschen Reparationspläne	W 17	
Allgemeines s. a. Ausland, Verkehrswirtschaft.			— Bedeutung der Marktanalyse und Absatzschätzung für die Fabrikation. Von <i>Schulz-Mehrin</i>	23*		— Die Bedeutung einer nationalen Automobilindustrie für die deutsche Gesamtwirtschaft . .	17	
— Der Großstadtverkehr	1		— Entwicklungen und Aussichten des deutschen Luftverkehrs . .	26*		— Amerikanische und deutsche Wirtschaftsauffassungen. Von <i>Poensgen</i>	17	
— Wettbewerb und Gemeinschaftsarbeit der großen Verkehrsunternehmen. Von <i>Rothaas</i>	4		Vertriebstechnik und Marktanalyse s. a. Industrielles Rechnungswesen.			— Weltenergiestatistik. Von <i>zur Nedden</i>	18	
— Die Verkehrsverhältnisse in Ostpreußen. Von <i>Ruge</i>	21*		— Bilder von einer „Efficiency“-Tagung in Amsterdam. Von <i>Bader</i>	1		— Die Einnahmen im Reichshaushalt	W 18	
Eisen- und Straßenbahn s. a. Ausland, Geschichtliches, Verkehrswirtschaft.			— Vertriebskosten senken	11		— Die Stellung der Reichspost im deutschen Wirtschaftsleben. Von <i>Cremer</i>	W 18	
— Die nordischen und schweizerischen Eisenbahnen im Verein Deutscher Eisenbahnverwaltungen	1		— Konjunkturlehre. Von <i>L. Stephinger</i>	W 11		— Deutschland und die spanische Handelsvertragspolitik .	W 19	
— Dieseltriebwagen für Rußland . .	2*		— Standort, Frachten und Wettbewerb	23*		— Der deutsche Außenhandel im März 1929	W 19	
— Die größte europäische Schnellzuglokomotive	5*		— Schrifttum für den Vertrieb . .	23*		— Die Arbeitslosigkeit in Deutschland	W 20	
Kraftwagen s. a. Ausland, Kraftmaschinen, Land- und Forstwirtschaft, Meßtechnik, Verkehrswirtschaft.			— Monatliche Kennzahlen zur Wirtschaftsentwicklung	W 3		— Wirkungen des deutsch-französischen Handelsvertrages .	W 21	
— Ein Lastkarren mit Antrieb durch Verbrennungsmotor	4		— Marktnoten Januar 1929 . . .	W 9		— Der deutsche Außenhandel im April 1929	W 22	
— Neue Kraftfahrzeuge für kommunale Betriebe. Von <i>Seidel</i> . .	14*		— Marktnoten für Februar 1929 .	W 13		— Aufbau der deutschen Zahlungsbilanz	W 23	
— Luftreifen im Pariser Omnibusverkehr	20		— Marktnoten für März 1929 . .	W 17		— Die Wirtschaftslage des Auslandes	W 24	
— Neuzeitliche Automobilwertung. Von <i>Heller</i>	20		— Marktnoten für April 1929 . .	W 21		Bergbau und Hüttenwesen.		
Luftfahrt s. a. Ausland, Schweißtechnik, Verkehrswirtschaft.			— Marktnoten für Mai 1929 . .	W 26		— Die deutsche Kali-Industrie im Jahre 1928	W 4	
— Die englischen Luftschiffe R 100 und R 101	4*		Wärme- und Kraftwirtschaft s. a. Ausland, Geschichtliches, Hauswirtschaftliche Technik, Holz und Holzverarbeitung, Kraftmaschinen, Land- und Forstwirtschaft, Wirtschaft.			— Die Eisen schaffende Industrie im Jahre 1928	7*	
— Wege der Luftfahrtforschung. Von <i>Everling</i>	5		— Wirtschaftliche Kartoffeltrocknung	2		— Die Erdölindustrie der Welt im vierten Vierteljahr 1928. Von <i>W. Mautner</i>	W 7	
— Ein Versuchs-Luftschiff mit Flugmotoren. Von <i>Goßlau</i> . . .	9*		— Eine Tagung über Hochdruckdampf. Von <i>Heller</i>	9		— Die Erdölindustrie der Welt im ersten Vierteljahr 1929. Von <i>W. Mautner</i>	W 19	
— Schnellste Flugzeuge. Von <i>Goßlau</i>	16		— Maschinen und Geräte für Kraft und Wärme. Von <i>Heller</i> .	10		— Der Welthandel mit Manganerzen	W 22	
— Meßgeräte für den Nebelflug . .	18		— Vom Bau des ersten Großkraftwerks mit Ruthspeichern .	15*		— Die deutsche Eisen- und Stahlindustrie auf dem Weltmarkt .	W 25	
— Sommerluftverkehr 1929	22		— Neuere Dampfkesselforschungen. Von <i>Heller</i>	20		— Die deutsche Braunkohle 1928/29	W 25	
Schifffahrt s. a. Verkehrswirtschaft.			— Wärmewirtschaft in der Zellstoffindustrie	24		Metallbearbeitung, Maschinenbau und Elektrotechnik.		
— Schifffahrt im „Eiserner Tor-Kanal“	4		— Ein halbes Jahrhundert Kältetechnik. Von <i>Linde</i>	25		— Aus der Drahtseilindustrie . .	W 4	
— Das Panzerschiff „Ersatz Preußen“	6*							
— Deutschlands Schiffbau im Jahre 1928	8							

Wirtschaft.		Nr.	Graphische Darstellungen.		Nr.	Graphische Darstellungen.		Nr.
— Kupfer und Aluminium im amerikanischen Automobilbau. Von A. Marcus	W 8		— Frachtkosten für Kohlen	4		— Geldsätze an der Berliner Börse	18	
— Automobilbau und Lokomotivindustrie. Von H. Löffler	W 10		— Metallpreise an der Berliner Börse 1928	5		— Hauptabsatzgebiete der deutschen Maschinenausfuhr 1928	19	
— Die deutsche Maschinenindustrie im Jahre 1928	W 19		— Umsätze an der Berliner Metall-Terminbörse 1928	5		— Deutschlands Maschinenausfuhr 1928 nach Fachverbandsgruppen	19	
— Die Zusammenschlüsse in der deutschen Kugellagerindustrie	W 22		— Die Produktion der Vereinigten Stahlwerke A.-G., Düsseldorf	6		— Die Erdölherzeugung der wichtigsten Länder in vH der Gesamterzeugung	19	
— Fortschreitender Auslesevorgang im deutschen Schiffbau	W 23		— Roheisen- und Rohstahlgewinnung in England und Frankreich	6		— Die Entwicklung des deutschen Außenhandels	20	
— Der deutsche Schreibmaschinen-Außenhandel	W 24		— Die Verteilung der Erdöl-Produktion auf die wichtigsten Länder	7		— Die Schwankungen der Arbeitslosigkeit vor und nach dem Kriege in vH der Gewerkschaftsmitglieder	20	
— Ausfuhrförderung, die Aufgabe der Maschinenindustrie	W 24		— Die Erdölförderung der wichtigsten Länder Ende 1928	7		— Reichsbankausweis 1927/29	20	
— Der deutsche Außenhandel in Maschinen	W 25		— Die Kupfergewinnung der Welt	8		— Die deutsche Ausfuhr an Wirkereimaschinen	21	
Sonstige Industrien			— Die schwedische Erz- und Eisenwirtschaft	8		— Die deutsche Ausfuhr an Wirkwaren	21	
— Die Zementindustrie 1928	W 5		— Kohlenbergbau in Deutsch- und Polnisch-Oberschlesien	9		— Einfuhr von Baumwollgarnen	22	
— Die deutsche Klavierindustrie	W 10		— Deutschlands Eisen-Außenhandel 1928	10		— Einfuhr von Baumwollgeweben	22	
— Die wirtschaftliche Lage der deutschen optischen Industrie. Von S. Boelcke	W 12		— Produktion und Ausfuhr der Klavierindustrie	10		— Monatlicher Güterverkehr der Reichsbahn	23	
— Aus der nordischen Papierstoff- und Papierindustrie	W 14		— Deutschlands Kapitalbedarf seit 1927	11		— Monatlicher Schiffsverkehr der deutschen Seehäfen	23	
— Die deutsche Seidenindustrie	W 15		— Die deutsche Erdöleinfuhr	11		— Die deutsche Schreibmaschinenausfuhr, jährlich nach den wichtigsten Ländern	24	
— Verstrüstung in der deutschen Zigarettenindustrie	W 16		— Die deutsche Rohkupferversorgung	12		— Die deutsche Schreibmaschinenausfuhr, monatlich nach europäischen Ländern	24	
— Aus der Baumwollindustrie	W 22		— Die deutsche Versorgung mit Kupfererzen	12		— Der deutsche Außenhandel in Schreibmaschinen	24	
— Das Holzgewerbe als Quelle von Arbeit und Kapital. Von Reinhold	22*		— Kupferpreissteigerung	13		— Die Rentabilität des deutschen Maschinenbaues im Vergleich zu den andern deutschen Industrien	25	
— Der Wettbewerb des Holzes	22		— Gewicht und Wert der Textilmaschinenausfuhr der wichtigsten Länder	14		— Maschinenausfuhr der wichtigsten Länder	25	
— Standort und Absatzfragen der Sägewerkindustrie	22*		— Die wichtigsten Kreditoren der D-Banken	14		— Kohleförderung im Deutschen Reich 1901 bis 1928	25	
Geldmarkt und Börse			— Produktionswerte der deutschen Textilindustrie	15		— Kohle-, Roheisen- und Rohstahlgewinnung im Saargebiet	25	
— In jedem Heft ein Bericht über „Geldmarkt und Börse“; außerdem			— Baumwollernte	15		— Mineralölverbrauch der Schweiz	25	
— Geldmarkt und Börse im Jahre 1928	W 1		— Rohseideinfuhr nach Deutschland	15		— Schiffsverkehr in Ost- und Nordseehäfen	26	
— Das Kreditgeschäft der deutschen Großbanken im Jahre 1928	W 14		— Der deutsche Außenhandel mit Seidengeweben	15				
Graphische Darstellungen in der Beilage „Wirtschaft“			— Einfuhr von Rohtabak nach Deutschland	16		Fachbeilagen		
— Personen- und Lastkraftwagenherstellung der Welt	1		— Vierteljährliche Herstellung von Zigarren und Zigaretten in Deutschland	16		— Holz und seine Verarbeitung	1	
— Kraftwagenherstellung in Deutschland	1		— Der Auftragsbestand im Seeschiffbau	17		— Technik in der Landwirtschaft	7	
— Deutsche und englische Kohlenförderung	2		— Die Einnahmen aus den wichtigsten Reichssteuern	18		— Unfallverhütung	9	
— Englische Kohlenausfuhr 1928	2		— Überblick über die Einnahmen des Reiches in den Rechnungsjahren 1925/28	18		— Gas und Wasser	16	
— Deutsche und französische Kohlentarife	4					— Ausbildung für den Betrieb	19	
						— Holz und seine Verarbeitung	22	
						— Beschaffung und Vertrieb	23	
						— Feld und Wald	25	

H. S. Hermann G. m. b. H.,
Berlin SW 19

ZEITSCHRIFT DES VEREINES DEUTSCHER INGENIEURE

★ SCHRIFTFLEITER: C. MATSCHOSS ★

bd. 73

SONNABEND, 5. JANUAR 1929

Nr. 1

Grundsätzliches zur Geschichte der Technik

Von WILHELM OSTWALD, Groß-Bothen

Die Geschichte als Wissenschaft des zeitlichen Geschehens hat den zweiten Hauptsatz der Energetik zur Grundlage, der die zeitliche Einsinnigkeit aller Vorgänge bedingt. Die zeitlichen Grundgeschehnisse sind als gleichförmige, periodische und ablaufende Vorgänge dargestellt: das Leben als Energiefluß, Einzel- und Artgeschichte, die Lebenslinie. — Das Seelenleben in der Zeit zeigt sehr große Abweichungen nach Einzelwesen und Art. — Die Wissenschaft ist Voraussicht für die Zukunft, ihre Geschichte ist Kenntnis des Vergangenen. Die Kenntnis des Vergangenen bezweckt aber die Aufstellung von Gesetzen, die die Kenntnis der Einzelfälle entbehrlich machen. Der zeitliche Aufstieg der Erkenntnisgrenze an der Pyramide der Wissenschaften läßt sich verfolgen. In den noch nicht von der Wissenschaft durchdrungenen Gebieten werden die Forderungen des Tages nur ungenügend erledigt. — Keine Scholastik, sondern Sachwissenschaft. Gegenüber der Geschichte der Geisteswissenschaften steht die Geschichte der Technik als Geschichte der Energieerfassung und -gestaltung, als die Verwirklichungsgeschichte des energetischen Imperativs. — Geschichtliche Sondergesetze in der Technik stellen z. B. dar: Funktionsteilung und Organbildung sowie die Abscheidung entbehrlicher Organe.

Stellung der Geschichte der Technik

Während das Verhältnis der andern Hilfswissenschaften der Technologie zu dieser grundsätzlich längst geregelt ist und höchstens über das Ausmaß des Erforderlichen an Mathematik, Geometrie, Physik und Chemie Meinungsverschiedenheiten bestehen, hat die Geschichte der Technik bisher keine derartige unstrittene Stellung gewinnen können. Oft fehlt sie ganz im Lehrplan, und wo sie vorhanden ist, spielt sie eine wunderbarlich unsichere Rolle. Man ist theoretisch bereit, ihre Wichtigkeit anzuerkennen, praktisch aber gewährt man ihr keinen mitbestimmenden Einfluß auf den regelmäßigen Unterricht der werdenden Techniker. Es ist dies offenbar ein Ausdruck der Erfahrung, daß es bisher keinen erkennbaren Unterschied in der Leistungsfähigkeit des Technikers ergeben hat, ob er über geschichtliche Kenntnisse in seinem Fach verfügt oder nicht. In solcher Beziehung stehen übrigens die technischen Wissenschaften nicht vereinzelt da. Auch bei den Mathematikern, Physikern, Chemikern, Medizinern sind geschichtliche Kenntnisse ihres Faches nur ausnahmsweise anzutreffen, ohne daß sich dieser Mangel in verminderten Leistungen der Betreffenden erkennen ließe. Und ob die weitgehenden Anforderungen an geschichtliche Fachkenntnisse, die man von Philosophen gegenüber zu erheben pflegt, die schöpferischen Leistungen in diesem Fach mehr gefördert oder mehr behindert hat, darf zumindest als eine unentschiedene Frage angesehen werden, wenn man sie nicht wie der Verfasser im zweiten Sinne beantwortet.

Es liegen hier somit Fragen grundsätzlicher Art vor, die heute noch als ungelöst angesehen werden, während ihre Lösung doch maßgebend die Bedeutung der Geschichte für die einzelnen Lehrgebiete bestimmt. Da von Seiten der „Geisteswissenschaften“ eine eindringende Untersuchung nicht zu erhoffen ist, da hier der absolute Wert aller geschichtlichen Forschung nicht in Frage gestellt, sondern als Grundlage der ganzen Arbeit vorausgesetzt wird, so müssen die Angehörigen jener andern Fächer ihren Standpunkt selbständig zu finden und zu begründen suchen.

Ich bin darauf gefaßt, daß die nachfolgenden Ergebnisse von den Historikern mit Entrüstung abgelehnt werden, auf Grund des Urteils: mir fehle der „historische

Sinn“. Ich meinerseits halte den historischen Sinn für eine Art kultureller Kinderkrankheit und empfinde die Befreiung von ihm als eine geistige Gesundung.

Die Geschichte als Zeitwissenschaft

Grundsätzlich beruht der Begriff der Geschichte auf der Tatsache, daß die Dinge sich als veränderlich in der Zeit erweisen. Da nun alle Wissenschaft mit der Kenntnis und Sammlung vorhandener und gewesener Tatsachen beginnt und über diese zur Ermittlung gesetzlicher Beziehungen zwischen ihnen fortschreitet, so muß auch die Geschichte als Wissenschaft diese Stufen zurücklegen.

Wir fragen uns daher in erster Linie nach dem Inhalt der Geschichte, d. h. nach jenen besonderen Dingen, an denen sich die zeitliche Veränderlichkeit betätigt. Da ergibt sich zunächst, daß so ziemlich alle Dinge sich in der Zeit ändern. Nur die allgemeinsten Tatsachen der Ordnungswissenschaft und der Mathematik — wie etwa, daß die Winkelsumme jedes n -Ecks gleich $2n - 4$ rechte Winkel ist — sind, soviel wir wissen, von der Zeit unabhängig. Aber die neue Relativitätslehre verbindet schon die Gesamtheit der physikalischen Tatsachen als untrennbar mit dem Zeitbegriff, und dasselbe gilt in immer auffallenderer Weise von den höheren Wissenschaften Chemie, Physiologie, Psychologie und Soziologie. Alle diese Fächer bis in ihre letzten Unterteilungen haben somit ihr geschichtliches Kapitel. Hierunter ist keineswegs die geschichtliche Entwicklung unserer Kenntnisse dieser Wissenschaften anzusehen; denn diese gehört in die Kulturgeschichte und mit dieser in die Soziologie. Vielmehr handelt es sich um die Veränderungen, welche die physikalischen, chemischen, biologischen Gebilde selbst im Laufe der Zeit erfahren.

In solchem Sinne kann von der Geschichte als einer Wissenschaft für sich offenbar nicht die Rede sein. Vielmehr besitzen alle Wissenschaften von der Physik aufwärts ihr geschichtliches, d. h. zeitwissenschaftliches Kapitel, und dieses wird um so umfangreicher und bedeutender, je höher man in der Pyramide der Wissenschaften aufsteigt.

Anorganische Geschichte

In diesem strengen Sinne finden wir den ersten Komplex geschichtlicher Kenntnisse in dem Kapitel, das man die Entwicklungsgeschichte der Materie zu nennen

pflegt. Die Einzeltatsachen hierzu liefert hauptsächlich die Astronomie, die allgemeinen Grundlagen liefert die Energetik und physikalische Chemie. Diese Wissenschaft ist sehr jung und daher noch vielfach hypothetisch. Die zeitlichen Maßstäbe, die hier in Frage kommen, sind außerordentlich groß.

Das Material für die historische Chemie liefert hauptsächlich die Untersuchung der Erdrinde, da uns Stoffe der Himmelskörper nur in sehr geringem Maße (Meteoriten) zugänglich sind. Die entsprechende Wissenschaft heißt daher Geschichte der Erde.

Der zweite Hauptsatz

Das Grundgesetz des zeitlichen Geschehens im Gebiete der Energetik wird durch deren zweiten Hauptsatz festgelegt, nach welchem die Energie sich nur von höherer Spannung zu niedrigerer umwandeln kann und nicht umgekehrt. Hierdurch erhalten alle energetischen Geschehnisse, d. h. alle Geschehnisse, von denen wir überhaupt etwas erfahren können, eine bestimmte Einsinnigkeit in der Zeit, die man als früher oder später unterscheidet. Im übrigen dienen die einfachsten astronomischen Geschehnisse, insbesondere die Bewegungen der Erde um ihre Achse und um die Sonne, als Maß der Zeit, wobei man voraussetzt, daß übereinstimmende Teile der Bewegung, je ein Umlauf, sich in gleichen Zeiten vollziehen. Diese Bewegungen sind praktisch frei von Energiezerstreuung, liegen also außerhalb des zweiten Hauptsatzes.

Die zeitlichen Grundgeschehnisse

Der grundwichtige zeitliche und damit geschichtliche Unterschied zwischen leblosen und lebenden Dingen läßt sich am klarsten energetisch erfassen. Die leblosen Dinge nähern sich sämtlich dem ruhenden Gleichgewicht, d. h. einem dauernden Zustande der Unveränderlichkeit, und zwar im allgemeinen nach einem Exponentialgesetz, nach welchem gleiche Bruchteile der vorhandenen Energiespannungen (s. w. u.) in gleichen Zeiten verlorengehen. Daraus folgt, daß der Vorgang der Annäherung an den dauernden Ruhezustand um so langsamer verläuft, je mehr sich das Gebilde dem Ruhezustande bereits genähert hat. Zu seiner Vollendung ist also, theoretisch gesprochen, unendlich lange Zeit erforderlich.

Die in der Wirklichkeit angetroffenen, höchst mannigfaltigen Verläufe kommen dadurch zustande, daß der zeitliche Maßstab des Geschehens durch vielfältige Beeinflussungen in den weitesten Grenzen geändert werden kann, und daß vorübergehend die Spannung oder das Potential einer der im Gebilde vorhandenen Energien gesteigert werden kann. Die Gesamtrechnung ergibt aber immer einen Abfall der Spannung, und somit ist der Differentialquotient dp/dt (p = Spannung, t = Zeit) immer negativ. Dies gilt für alles Geschehen, auch das organische.

Vergegenwärtigen wir uns die grundlegenden Zeiterscheinungen, so haben wir zunächst den gleichförmigen Vorgang, wo der Gegenstand in gleichen Zeiten gleiche Strecken zurücklegt. Bekanntlich ist dies die Urrerscheinung der Mechanik, entsprechend der Voraussetzung, daß ein mit Bewegungsenergie behafteter Körper keine Kraftwirkung, d. h. keine Vermehrung oder Verminderung dieser Energie erfährt. Alsdann ist die Bewegung endlos; sie enthält in sich keine Ursache der Änderung oder des Aufhörens. Messen wir die Geschwindigkeit auf der Ordinate, die Zeit auf der Abszisse ab, so stellt Abb. 1 diesen Vorgang dar, der auch umgekehrt dazu dient, die Zeit an der Bewegung zu messen.

Der zweite Grundfall entsteht, wenn die Bewegungsenergie periodisch teilweise in andre Formen übergeht, die sich restlos in Bewegungsenergie zurückverwandeln. Die Geschwindigkeit nimmt dann periodisch ab und zu, und das zugehörige Abbild ist eine Wellenlinie, Abb. 2, die gleichfalls endlos ist, solange die Voraussetzung der restlosen Rückverwandlung zutrifft. Bei den Planetenbewegungen um die Sonne ist diese Voraussetzung so nahe erfüllt, daß die zu erwartenden Abweichungen sich kaum von den sehr geringen Beobachtungsfehlern sondern lassen. Im einfachsten Fall ist die Wellenlinie eine Sinuskurve.

Ein bekannter mathematischer Lehrsatz besagt, daß jede beliebige Wellenlinie als Summe von Sinuskurven dargestellt werden kann, deren Längen sich umgekehrt verhalten zu den ganzen Zahlen.

Die vorstehend beschriebenen beiden Fälle entsprechen der Voraussetzung, daß keine Zerstreuung der Energie stattfindet. Unter den auf der Erde bekannten Vorgängen findet es keinen, der dieser Voraussetzung entspricht: Zerstreuung ist immer vorhanden, und der zweite Hauptsatz der Energetik macht sich im Sinn einer Entwertung oder Zerstreuung der vorhandenen Energien geltend.

Man unterscheidet daher zweckmäßig nach Helmholtz freie und gebundene Energie; die erste ist der umwandlungsfähige Anteil, die zweite der entwertete oder ruhende. Für Vorgänge aller Art kommt also nur die freie Energie in Frage, die zuletzt in gebundene übergeht. Der Anteil der Vorgänge erfolgt gemäß einer besonderen Eigenschaft, die jeder Energie nach ihrer Art zukommt und allgemein Spannung genannt werden soll. Für Wärme ist es die Temperatur, für Elektrizität die elektromotorische Kraft, für Volumenergie der Druck usw.

Im einfachsten Fall erfolgt die Zerstreuung der Energie zeitlich im Verhältnis der jeweils noch vorhandenen Spannung. Da diese beständig abnimmt, so nimmt auch die Geschwindigkeit der Zerstreuung gleichermaßen ab, so daß der Vorgang asymptotisch ins Unendliche verläuft. Abb. 3. Der Temperaturengleich zwischen ungleich warmen Körpern ist ein Beispiel hierfür.

Diese einfachste Gestaltung des Vorgangs kann mancherlei Abwandlungen erfahren. Die auffälligste tritt ein, wenn durch den Vorgang ein Umstand entwickelt wird,

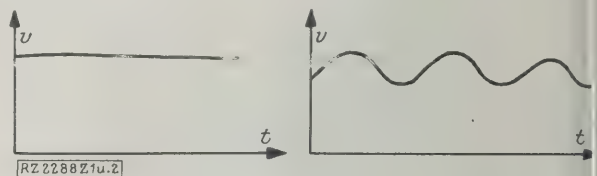


Abb. 1
Die Geschwindigkeit-Zeit-Linie der gleichförmigen Bewegung.

Abb. 2
Die Geschwindigkeit-Zeit-Linie der periodischen Bewegung.

der die Geschwindigkeit erhöht. Alsdann beginnt die Beschleunigung mit einer mäßigen oder kleinen Geschwindigkeit und beschleunigt sich selbst bis zu einem Höchstwert. Zu dem Schluß muß aber jedenfalls die Geschwindigkeit der Umwandlung wieder abnehmen, weil die freie Energie sich erschöpft. Der Gesamtverlauf wird durch Abb. 4 dargestellt. Eine Feuersbrunst, bei der das Feuer sich durch die Temperaturerhöhung der brennbaren Umgebung verstärkt, einen Höchstwert erreicht, zuletzt aber notwendig absinkt, mag als bekanntes Beispiel dienen. In der Chemie entspricht diesem Vorgang die Autokatalyse, bei der durch den Vorgang selbst ein Beschleuniger erzeugt wird. In der Soziologie haben wir Volksaufregungen aller Art, die diesen Verlauf zeigen. Bei ihrer Beurteilung wird vielfach der Fehler gemacht, daß man den zweiten Teil des Vorganges nicht voraussieht.

Das Leben und die Zeit

Während bei den anorganischen Wissenschaften die zeitlich bedingten Geschehnisse hinter den zeitlosen, oder von uns wegen des unverhältnismäßigen Maßstabes als zeitlos angesehenen Verhältnissen wenig zur Geltung kommen, treten sie in den biologischen Wissenschaften ganz und gar in den Vordergrund. Jedes Lebewesen hat eine zeitlich begrenzte Dauer, und zwar ist diese überall vergleichbar mit der des beobachtenden Menschen. Während dieser Lebensdauer erfährt das Wesen gesetzlich geordnete Veränderungen, indem es sich meist aus einem einzelligen Keim zu einem vielzelligen, mit mannigfaltigen Organen ausgestatteten Gebilde entwickelt, das nach Überschreitung seiner Lebenshöhe seine Funktionen verliert, bis schließlich das fließende Gleichgewicht gestört wird, worauf der Tod eintritt. So hat jedes Lebewesen

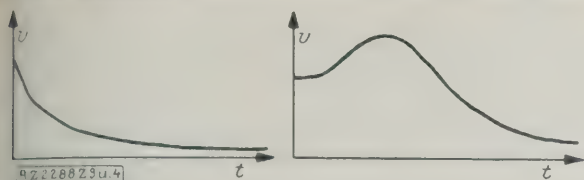


Abb. 3
Asymptotischer Verlauf
eines zeitlichen Geschehens

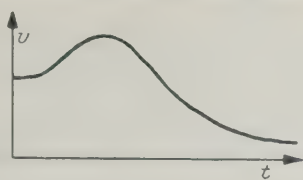


Abb. 4
Die Autokatalyse
im Weg-Zeit-Schaubild.

wesen zunächst seine persönliche Geschichte, die bei Wesen gleicher Art weitgehend übereinstimmend, d. h. gesetzlich, abläuft, wobei Raum bleibt für persönliche Abweichungen, die insbesondere durch die Beschaffenheit der Umwelt bedingt werden. Auch diese lassen sich oft gesetzlich erfassen.

Neben dieser Einzelgeschichte ist noch eine Artgeschichte der Lebewesen zu erforschen. Wiewohl die von gegebenen Eltern erzeugten Kinder in der Hauptsache den Eltern gleich sind, zeigt doch jedes Wesen erkennbare Abweichungen vom Mittelwert. Dieser kann für kürzere Zeiten als unveränderlich angesehen werden. Für längere erweist er sich aber auch veränderlich, und so gibt es neben der Einzelgeschichte des Wesens noch eine Artgeschichte jenes Mittelwertes. Unter den „natürlichen“, d. h. nicht vom Menschen beeinflussten Verhältnissen brauchen die Artveränderungen sehr lange Zeiten, so lange, daß sie bis zum letzten Drittel des neunzehnten Jahrhunderts unter dem Einfluß alter, unwissenschaftlicher Vorstellungen geleugnet wurden. Jetzt werden sie allgemein anerkannt. Durch den Einfluß des Menschen kann die Artveränderlichkeit außerordentlich beschleunigt und in bestimmte Richtungen geleitet werden, so daß heute die Schaffung neuer Arten mit bestimmten Eigenschaften bei Pflanzen wie bei Tieren eine ebenso wichtige wie erfolgreiche technisch-wissenschaftliche Aufgabe geworden ist. Somit haben wir in der Physiologie Einzel- und Artgeschichte zu unterscheiden, von denen jede ihren eigenen Gesetzen unterliegt. Auch von der einen zur anderen bestehen gesetzliche Beziehungen.

Das organische Geschehen ist, wie erwähnt, dadurch gekennzeichnet, daß es vorübergehend zu fließenden Gleichgewichten, vielmehr zu Annäherungen an solche, führt, während das anorganische Geschehen eine allgemeine Annäherung an das ruhende oder vollkommene Gleichgewicht darstellt. Doch gibt es immerhin fließende Gleichgewichte auch im Anorganischen.

Fließendes Gleichgewicht schreiben wir einem Gebilde zu, welches einen konstanten Energieinhalt dadurch wahrhaft, daß es dauernd Energie höherer Spannung aufnimmt und sie mit niedrigerer Spannung im gleichen Betrag ausscheidet, so daß sein eigener Energiebestand nach Art und Spannung erhalten bleibt. Es sei alsbald betont, daß ein solcher Zustand nur vorübergehend und annähernd vom Lebewesen erreicht wird. Genauer unterscheidet man drei Perioden: Jugend, Reife, Alter. In der Jugend wird mehr Energie aufgenommen, als abgegeben: das Wesen wächst. Während der Reife halten sich Aufnahme und Abgabe annähernd die Waage; im Alter überwiegt die Abgabe, bis der Schwellenwert erreicht ist, bei dem eine weitere Verwertung der Energie versagt: das Lebewesen stirbt.

Das fließende Gleichgewicht hat gegenüber dem ruhenden den großen technischen Vorteil, daß es eintretende Störungen zum Verschwinden bringen kann, was beim ruhenden, abgesehen von einigen Ausnahmen, nicht der Fall ist. Dies zeigt sich schon bei den fließenden Gleichgewichten im Anorganischen. Eine Kerzenflamme ist z. B. ein Gebilde fließenden Gleichgewichts; denn ihre

dauernde Form entsteht dadurch, daß am Docht beständig neue Mengen brennbarer Gase entstehen, die sich nach oben bewegen und folgeweise verbrannt werden. Hieraus ergibt sich die kegelförmige Gestalt der Flamme. Hat man diese Gestalt gewaltsam verändert, etwa durch Luftströme, hineingehaltene feste Körper und dergl., so stellt sie sich doch freiwillig wieder her, sobald die Störung aufgehört hat. Ein Gebilde ruhenden Gleichgewichts behält dagegen eine daran bewirkte Entstellung dauernd bei, wie z. B. eine Glasplatte einen Sprung, ein Marmorblock die Gestalt, die ihm der Künstler aufgezwungen hat. Jene besondere Beschaffenheit der Gebilde fließenden Gleichgewichts ist von größter Bedeutung für die Erhaltung des Lebens in einem Wesen, das Schädigungen erfahren hat; denn deren Folgen können nach dem Aufhören der schädigenden Ursache mehr oder weniger vollständig vom Lebewesen beseitigt werden.

Die Lebenslinie

Während also die Kennlinie des anorganischen Geschehens in der Zeit in ihrem ganzen Verlauf bezüglich der freien Energie abfällt, ist die Kennlinie der Lebewesen, die Lebenslinie, von der in Abb. 5 dargestellten Form, mit einem Höchstwert und zwei Wendepunkten vor und nach diesem. Die Enden laufen nicht eigentlich, asymptotisch aus. Denn jedes Lebewesen beginnt als zwar sehr kleine, aber doch meßbare große Zelle und endet nicht durch volle Erschöpfung aller Energieverwertungsmöglichkeiten, sondern bereits durch Versagen eines der vielen lebenswichtigen Organe.

Wie man sieht, hat die Lebenslinie eine Gestalt, die den autokatalytischen Vorgängen im Anorganischen, Abb. 4, entspricht. Die Übereinstimmung ist nicht zufällig und deutet auf wichtige Analogien des Lebens hin, auf die hier nicht eingegangen werden kann.

Gleichheit bei Lebewesen

Durch den unaufhörlichen inneren Wechsel der Elemente, der das fließende Gleichgewicht und damit die Lebewesen kennzeichnet, erfährt der biologische Begriff der Gleichheit eine Erweichung gegenüber dem physikalischen, der sich auf das ruhende Gleichgewicht gründet. Während z. B. ein sorgfältig behandelter Maßstab zwar nicht im allerstrengsten Sinne sich gleich bleibt, wohl aber innerhalb einer sehr engen Schwelle, die ihm seine praktische Brauchbarkeit sichert, sind die zeitlichen Verschiedenheiten an „demselben“ Einzelwesen, sowie die individuellen innerhalb der „gleichen“ Art so groß, daß sie sich auch dem flüchtigen Beobachter aufdrängen. Schon Leibniz hat betont, daß nie zwei Blätter desselben Baumes einander physikalisch gleich sind. Noch weniger sind es Eltern und Kinder, oder Geschwister untereinander.

Daß aber biologische Gleichheit durch die aufeinanderfolgenden Geschlechter besteht und z. B. die Größen der Tausende von gleichzeitigen Nachkommen eines Fisches nicht in weitesten Grenzen um einen Mittelwert schwanken, wie etwa die gleichzeitigen Geschwindigkeiten der Molekeln eines Gases, beruht auf der Vererbung. Die Zelle, aus der sich jedes Lebewesen entwickelt, stammt aus der Substanz der Eltern und überträgt deren Eigenschaften vermöge ihrer chemischen Sonderbeschaffenheit in einer Weise, deren Einzelheiten noch zu erforschen sind.

Die eben umrissenen zeitlichen oder geschichtlichen Lebensgesetze gelten zunächst für alle einzelnen Lebewesen, wobei sie sich für jede Art und Umwelt in gehöriger Weise spezialisieren. Durch Abstammung von ähnlichen Eltern und Erzeugung ähnlicher Kinder erscheint aber jedes Einzelwesen auch als Bestandteil eines allgemeineren Begriffes, der Art. Auch für diese scheinen ähnliche Gesetze zu gelten, denen zufolge eine gegebene Art Jugend, Reife und Alter durchzumachen pflegt. Doch ist hier die Forschung noch zu jung und die Schwierigkeit der exakten Beobachtung zufolge der langen Zeiträume solchen Geschehens zu groß, als daß man hier von sicher nachgewiesenen Gesetzen reden könnte. Ganz parallel werden wohl diese denen der Individualphysiologie gegenüber nicht verlaufen; ins-

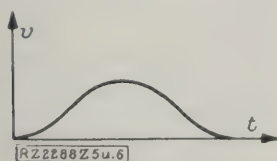


Abb. 5
Lebenslinie.

besondere scheint es möglich zu sein, daß die Arten mehrere Reifezustände (mit dazwischen liegenden Senkungen) im Laufe der Zeit erleben, was bei Einzelwesen im allgemeinen nicht vorkommt. Ebenso ist es zweifelhaft, ob der Tod der Art notwendig ist.

Das Seelenleben in der Zeit

Wir wenden uns nun zur Psychologie und ihren zeitlichen Gesetzen. Im allgemeinen stimmen sowohl die persönlichen Entwicklungslinien wie die der Arten bezüglich des Seelenlebens überein mit denen der physiologischen Funktionen überhaupt, zum Zeichen ihrer grundsätzlichen Wesensgleichheit.

Als Besonderheit erscheint hier aber die viel größere Veränderlichkeit bei verschiedenen Einzelwesen derselben Art wie, davon abhängig, die entsprechend größere zeitliche Aufstiegsmöglichkeit der Art selbst. Daß die Menschen sich zu Herren der Erde gemacht haben, beruht in erster Linie auf der weiten Veränderlichkeit ihres Gehirns und seiner Tätigkeiten, welche eine schnelle Anpassung an neue Verhältnisse ermöglicht, die mehr und mehr vom Menschen selbst zu seinem Nutzen umgebildet oder geschaffen werden. Hieraus entsteht eine sehr stark betonte Einsinnigkeit im zeitlichen Aufbau der psychischen Tätigkeiten. Während Knochengestüt, Muskelbau und Sinnesorgane des Menschen seit Jahrtausenden nur sehr geringe Änderungen erfahren haben, läßt sich in derselben Zeit ein ungeheurer Aufstieg seiner geistigen Fähigkeiten nachweisen.

Die Veränderlichkeit in diesem Gebiet macht sich darin geltend, daß nur einzelne Völker diesen geistigen Aufstieg zeigen. Andre sind dagegen ohne wesentliche Änderung in dem ehemaligen Zustand verblieben. Ebenso zeigen die Angehörigen desselben Volkes und derselben Zeit bei den hochgestiegenen Völkern sehr große geistige Verschiedenheiten, und es ist eine wichtige Aufgabe, diese nach Möglichkeit zu vermindern.

Von den hierhergehörigen Zeitwissenschaften hat sich die der einzelnen geistigen Entwicklung durch Jugend, Reife und Alter noch nicht deutlich von der allgemeinen Psychologie losgelöst, die ihrerseits zur Zeit noch um die Klarstellung ihrer Grundbegriffe ringt; denn sie hat es noch nicht zu einer anerkannten Ordnung gebracht, wie die vorher erörterten allgemeineren Wissenschaften. Dasselbe gilt in noch verstärktem Maße von den oberhalb der Psychologie liegenden sozialen Wissenschaften. Auch die Zeitwissenschaft der geistigen Artentwicklung harret noch ihrer Gestaltung. Sie wird sie voraussichtlich von oben her, nämlich von der Sozialwissenschaft aus, erhalten, da für diese Vorgänge die gemeinsame Betätigung verbundener Menschengruppen von entscheidender Wichtigkeit war und ist.

Die Geschichte der Wissenschaft

Bevor wir uns zu den sozialen Wissenschaften, der obersten Schicht an der Pyramide der Wissenschaften, Abb. 6, wenden, haben wir den zeitlichen Vorgang der Gestaltung der Wissenschaft im allgemeinen vorher zu betrachten. Alle Wissenschaft beginnt als Technik und als Kunst. Technik insofern, als es sich um die Lösung konkreter Aufgaben handelt, und Kunst, als das entsprechende Können zunächst bezüglich der nötigen körperlichen und geistigen Handlungen unterbewußt arbeitet. Der allgemeine Vorgang dabei ist der folgende:

Die allererste Erfahrung, die zur Wissenschaft führt, ist die, daß gewisse Erlebnisse wiederholbar sind. Daß sich der Durst durch Trinken, der Hunger durch Essen stillen läßt, weiß jedes Tier auch ohne entsprechende Begriffsbildung. Die Wiederholbarkeit ermöglicht das Voraussehen, das der maßgebende Zweck aller Wissenschaft ist. Das heißt: bevor ein künftiges (angestrebtes oder befürchtetes) Ereignis eingetreten ist, läßt sich sein Kommen auf Grund gewisser anderer Geschehnisse erwarten, welche erfahrungsmäßig jenem vorausgehen, während es umgekehrt als deren „Folge“ erscheint. Diese Folge ist zunächst rein zeitlich gemeint; der Nebenbegriff ursächlicher Bedingtheit, den wir mit dem Wort Folge zu verbinden pflegen, ist ein viel späterer Zusatz.

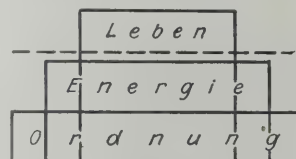
Die ungeheure biologische Bedeutung, welche der Voraussicht künftiger Ereignisse für die Gestaltung und Erhaltung des Lebens zukommt, sichert der Wissenschaft eine zentrale Stellung in der ganzen geistigen Ausstattung und Entwicklung der Menschheit. Es liefert andererseits den Maßstab dafür, was Wissenschaft im eigentlichen Sinne ist. Denn auch noch im zwanzigsten Jahrhundert, dem künftig vielleicht der Ehrentitel des wissenschaftlichen wird erteilt werden könnte, besteht eine große Unklarheit darüber, daß nicht all Wissen auf den Namen Wissenschaft Anspruch erheben kann, sondern nur ein solches, welches Voraussicht und Voraussagung künftigen Geschehens ermöglicht.

Solche Voraussage geschieht mit Hilfe der Gesetze. Alle Gesetze des äußeren wie inneren Erlebens haben die Gestalt: wenn A vorhanden ist, so ist B zu erwarten, wobei für eine ideal vollendete Wissenschaft unter A jedes Erlebnis ohne Ausnahme wird verstanden werden können. Unsere gegenwärtige unvollkommene Wissenschaft muß ihre Aussagen auf gewisse Gruppen von Gegebenheiten A beschränken; ihr Fortschritt besteht darin, daß man einerseits immer mehr Gegebenheiten gesetzlich erfassen und mit Voraussagen bedenken kann und andererseits deren Reichweite beständig zunimmt.

Wir sind hier an einen kritischen Punkt der Untersuchung angelangt, der für die Beurteilung der ganzen Angelegenheit entscheidend ist. Die Geschichte hat gemäß ihrem bisherigen Begriff mit der Vergangenheit zu tun, die Wissenschaft mit der Zukunft. Ist das nicht ein Gegensatz, der die Beziehung der Geschichte in den Kreis nicht nur der vorhandenen, sondern auch der künftigen Wissenschaft ausschließt?

In der Tat gibt es nur eine Wendung, durch welche diese Konsequenz vermieden werden kann. Wenn nämlich die Kenntnis des Vergangenen uns die Voraussicht der Zukunft ermöglicht, und nur

Abb. 6
Die Pyramide
der Wissenschaften.



insofern dies geschieht, hat die Geschichte Anspruch darauf, als Wissenschaft, genauer als Hilfsmittel der Wissenschaft, anerkannt zu werden. Mit andern Worten: Geschichte ist nur soweit Wissenschaft, als sie das Geschehene gesetzlich erfassen kann. Eine Geschichte, die keine Gesetze kennt oder gar deren Möglichkeit leugnet, verzichtet auf Wissenschaftlichkeit.

Wem dies umstürzend oder gar falsch erscheint, denke nur an bekannte einfachere Verhältnisse. Die geschichtliche Kenntnis von Tag und Stunde früherer Sonnenfinsternisse ist sicherlich keine Wissenschaft, solange sie sich auf die genaue Angabe beschränkt, wann und wie sie „eigentlich gewesen“ sind. Wenn aber die Lehre von den astronomischen Bewegungen von Sonne, Mond und Erde gemäß dem Gesetz vom Produkt der Massen und umgekehrten Quadrat der Entfernungen es ermöglicht, künftige Sonnenfinsternisse mit Hilfe der Konstanten abzuleiten, zu deren Bestimmung die Kenntnis der vorangegangenen dient, erlangt diese Kenntnis eine sehr erhebliche wissenschaftliche Bedeutung, allerdings um sie nach Ermittlung der Konstanten weiterhin ganz zu verlieren. Wir brauchen dann die geschichtlichen Nachrichten nicht mehr aufzubewahren, weil sie in der errechneten Formel enthalten sind. Noch eindringlicher wird diese allgemeine Wahrheit in Fällen, wo man die in Frage stehende gesetzliche Erscheinung willkürlich hervorrufen kann.

Aus seinen Briefen wissen wir, daß Heinrich Hertz an einem gewissen Tage in Karlsruhe zum ersten Male die Fernwirkung elektrischer Wellen durch das Funkchen in seinem Empfänger nachgewiesen hat. Die Tatsache selbst ist von höchster Bedeutung; denn ohne

die wäre die märchenhafte Entwicklung der drahtlosen Telegraphie nicht eingetreten. Nachdem Hertz aber die Erscheinung zum ersten Male hervorgerufen hatte, sah er sich in der Lage, sie zu jeder beliebigen Zeit und an jedem beliebigen Orte von neuem zu erzeugen; jene erste Beobachtung ist dadurch zeitlos geworden, ihr Zeitpunkt hat für die sachliche Entwicklung der Angelegenheit keine Bedeutung mehr. Daß er daneben eine gewisse Bedeutung für das Verständnis der Persönlichkeit des Entdeckers hat, gehört nicht in die Physik, sondern in ein anderes Kapitel, nämlich die Individualpsychologie.

Diese Betrachtungen erläutern ein ganz allgemeines Gesetz der Wissenschaftsentwicklung. Zuerst sind natürlich die zusammengehörigen Einzelfatsachen zu sammeln, solange sie noch nicht durch ein Gesetz zusammengefaßt werden. Ist dies geschehen und damit der Zweck der Sammlung erreicht, so wird sie überflüssig und kann fortgeräumt werden. Solange die Botanik eine „beschreibende“ Wissenschaft war, bestrebe sich jede Universität, einen möglichst großen und gut besetzten botanischen Garten zu besitzen. Seitdem wir gelernt haben, kausale und energetische Fragen an die Pflanzen zu stellen, um entsprechende Gesetze zu entwickeln, ist dieses Bedürfnis geschwunden und der Pflanzenphysiologe, der an die Stelle des früheren Systematikers getreten ist, kann seinen Bedarf an Pflanzen in einem mäßig großen Glashause beherbergen, wie mir seinerzeit der ausgezeichnete Botaniker *Wilhelm Pfeffer* erklärt hat. Ebenso sieht der wissenschaftliche Zoologe mit verlegenem Lächeln die Sammlung ausgestopfter Tiere an, die er von seinen Vorgängern im Amt ererbt hat und verflucht die zwecklose Plackerei, die ihm deren Erhaltung auferlegt, wenn ihm auch meist noch der Mut fehlt, ihre Abschaffung zuständigen Ortes zu beantragen. Aber einer seiner Nachfolger wird es tun.

Allgemein gesprochen bewirkt der Fortschritt der Wissenschaft nicht nur eine Vermehrung ihres gedanklichen Umfangs und Inhalts, sondern ermöglicht gleichzeitig eine zuweilen sehr große Verminderung des äußeren Apparates. Was für ein Einzelbeispiel auf ein allgemeines Gesetz zurückgeführt wurde, ist entbehrlich geworden und kann vernichtet, anderweit verbraucht oder doch an einen Ort gebracht werden, wo es nicht im Wege steht.

Diese Entwicklung ist überall um so weiter vorgeschritten, je einfacher die Wissenschaft ist oder je niedriger ihre Schicht in der Pyramide der Wissenschaften liegt. So ist z. B. die Mathematik bereits ganz symbolisch geworden und bedarf überhaupt nicht mehr konkreter Gegenstände, um die Gesetze der Größen auszudrücken. Bei der Geometrie vollzieht sich der gleiche Vorgang, doch kann sie für verwickeltere Gebilde der Anschauung noch nicht entbehren. Von den energetischen Wissenschaften, die eben in voller Entwicklung stehen, ist die Mechanik weitgehend symbolisiert und von den Objekten unabhängig gemacht. Weniger ist dies bei der Physik der Fall und am wenigsten bei der Chemie, obwohl ich selbst schon vor 20 Jahren versucht habe, eine „Chemie ohne Stoffe“ lehrbuchmäßig darzustellen. Die höheren Wissenschaften: Physiologie, Psychologie und Soziologie, haften noch am einzelnen Objekt, und zwar um so mehr, je höher sie in der Pyramide liegen.

Der zeitliche Aufstieg der Wissenschaften

In der Pyramide der Wissenschaften folgen auf die energetischen Gebiete die biologischen: Physiologie, Psychologie und Soziologie oder Kulturwissenschaft, mit der Spitze Geniologie oder Lehre von den ausgezeichneten Menschen.

Die zeitliche Entwicklung der Wissenschaften folgt in der Hauptsache dem gleichen Aufstieg. Zur Zeit sind die Ordnungswissenschaften (Logik, Mathematik, Geometrie, Phronomie) in der Hauptsache bewältigt, wenn auch noch hie und da erhebliche Lücken auszufüllen blieben. Die Hauptarbeit unserer Zeit liegt im Gebiet der energetischen Wissenschaften, denn die praktischen Wunder der Gegenwart, wie Rundfunk, Flugwesen, Stickstoffbindung usw. beruhen auf physikalischen und chemischen Gesetzen mit starker Bevorzugung der ersten.

Die Physiologie als unterste Lebenswissenschaft befindet sich zufolge der großen Schwierigkeiten ihrer Probleme noch in den Anfängen. Sie mußte auf die Entwicklung der physikalischen Chemie warten, deren Gesetze eine unentbehrliche Voraussetzung zum Verständnis der Lebenserscheinungen sind. Von den höheren Wissenschaften kann deshalb zur Zeit im Sinne wissenschaftlicher Bewältigung um so weniger erwartet werden, je höher sie in der Pyramide stehen. Das schließt natürlich nicht aus, daß einzelne Gesetzmäßigkeiten auch in diesen Gebieten von Forschern entdeckt worden sind, die ihrer Zeit erheblich voraus waren oder sind.

Dies gilt vor allen Dingen von den soziologischen oder Kulturwissenschaften, unter denen sich die sogenannten Geisteswissenschaften befinden, die sich auf die verschiedenen Bestandteile der Kultur: Sprache, Kunst, Verfassung, Recht, Wirtschaft, Verkehr usw. beziehen. Hier fehlt es überall nicht nur objektiv an allgemeinen Gesetzen, sondern meist auch subjektiv an dem Willen, solche zu entdecken. Vielmehr wird eine nicht geringe Energiemenge darauf verwendet, das Eindringen der „naturwissenschaftlichen Denkweise“, die eben durch das Aufsuchen von Gesetzen gekennzeichnet ist, nach Möglichkeit zu verhindern.

Ein welthistorischer Widerspruch

Die Entstehung dieser eigentümlichen Einstellung ist durch einen unvermeidlichen Konflikt bedingt, der zwischen den unabweislichen Forderungen des Tages und dem Jahrtausende beanspruchenden Entwicklungsgang der Wissenschaft besteht. Ohne Verfassung kann kein Volk leben, Recht muß täglich gesprochen werden, damit die Gesellschaft überhaupt zusammen bleiben kann. Ebenso verhält es sich mit allen anderen unaufschiebbaren praktischen Notwendigkeiten für das persönliche Dasein, wie Gesundheit, Nahrung usw., die sämtlich nicht warten können, bis die zuständige Wissenschaft so weit entwickelt ist, um diese Notwendigkeiten in vollkommener Form, mit bestem Güteverhältnis zu befriedigen.

Es hat sich deshalb in allen Gebieten eine durch die unmittelbare Notwendigkeit erzwungene unwissenschaftliche Art herausgebildet, solche Dinge einstweilen zu erledigen. Da sie zu den wichtigsten und einflußreichsten für unser persönliches und Gemeinschaftsleben gehören, müssen wir alle schwer unter den Unzulänglichkeiten leiden, die diesen noch nicht durch die Wissenschaft gesicherten vorläufigen Entscheidungen anhaften, deren Quellen meist in sonst überwundenen abergläubischen Vorstellungen weit zurückliegender Zeiten zu suchen sind. An Stelle der wissenschaftlichen Begründung ist das Herkommen und die Gewohnheit maßgebend, und an die Stelle der wissenschaftlichen Erkenntnis tritt die „Überzeugung“, d. h. der Glaube, der jede sachliche Prüfung unter starker Gefühlserregung ablehnt.

Die bisherige Geschichte

Dies sind nun auch die Gebiete, in denen sich die Geschichte, im gebräuchlichen Sinn, angesiedelt hat. Da sie von der vernunftmäßigen Wissenschaft noch nicht erfaßt ist, so muß sich ihre Tätigkeit notwendig auf die Sammlung des Stoffes und die kritische Prüfung seiner Überlieferung beschränken. Und da noch kein Urteil möglich erscheint, was wichtig und was entbehrlich ist, so bleibt nichts übrig, als alles zu sammeln. Dies ist nun wieder eine unmögliche Aufgabe, und der innere Widerspruch kann nicht anders als niederdrückend auf den Betrieb der bisherigen Historik wirken, wenn auch diese Stimmung sich nach außen nicht anders geltend macht, als in steter Kriegsbereitschaft gegen abweichende Meinungen.

Die Technik

Nach diesen ausgedehnten aber zur Zeit noch ganz unentbehrlichen Vorbereitungen sind wir in den Stand gesetzt, die Frage nach der Geschichte der Technik zu untersuchen. Als Grundlage für die Antwort muß zunächst ermittelt werden, an welche Stelle in der Pyramide der Wissenschaft die Technik zu setzen ist.

Es wurde bereits hervorgehoben, daß alle Wissenschaft auf der Technik, d. h. der Bewältigung der Lebensnotwendigkeiten beruht. Hier beginnt das Aufstellen von Regeln und Gesetzen, die den Erfolg der technischen Tätigkeiten voraussehen lassen, und dies führt zum Aufsuchen weiterer Gesetze, auch über die unmittelbare Notwendigkeit hinaus, was für die Wissenschaft kennzeichnend ist. Dieser Vorgang dauert so lange, wie die Menschheit besteht, und erfaßt täglich immer weitere Gebiete. Insofern hat jede Wissenschaft ihren technischen Anteil. Dieser hat gewöhnlich besondere Formen angenommen, da er mit Rücksicht auf die praktischen Zwecke im Sinn einer möglichst schnellen und wirksamen Erledigung der vorliegenden Aufgaben ausgestaltet wird, meist unter Verzicht auf die letzte Genauigkeit, auf die es praktisch nicht ankommt. Daneben pflegt jeder Technik noch ein rein empirischer Teil anzuhaften, der von der Wissenschaft noch nicht erfaßt ist, sei es, daß diese über die erforderlichen Gesetze noch nicht verfügt, oder daß die Angelegenheit überhaupt noch nicht zum Gegenstand einer wissenschaftlichen Untersuchung gemacht worden ist. Dieser Teil wird schnell kleiner, da in unserer Zeit der Wert wissenschaftlicher Forschung von den führenden Technikern voll erkannt und die entsprechende Arbeit weitgehend organisiert ist.

Neben diesen wissenschaftlichen Teilen findet sich aber in aller Technik noch ein gemeinsamer Bestandteil, nämlich der soziale, insbesondere wirtschaftliche Teil. Gemäß dem allgemeinen Gesetz, daß stets alle unteren Wissenschaften den darüberliegenden als Hilfswissenschaften zu dienen haben, nicht aber umgekehrt, werden wir also jene einzelwissenschaftlichen Teile als Hilfswissenschaften zu beurteilen haben und die Wissenschaft von Technik oder die Technologie den sozialen Wissenschaften zuordnen müssen. Sie gelangen hierdurch in die unmittelbare Nachbarschaft der „Geisteswissenschaften“, welche vermutlich nicht wenig verwundert darüber sein werden, nachdem sie sich unter dem irreführenden Einfluß *Platons* seit zweieinhalb Jahrtausenden daran gewöhnt hatten, auf alle Technik verächtlich herabzusehen und ihr eigenes Können auf die Rede oder Schrift zu beschränken.

Die Wanderung der Grenzfläche

Da es sich hier um eine kulturgeschichtliche Tatsache von größter Wichtigkeit handelt, wird es erlaubt sein, sie noch weiter an der Abbildung 6 zu veranschaulichen. Stellt diese die Pyramide der Wissenschaften dar mit den Hauptschichten der Wissenschaften von der Ordnung (Logik, Mathematik, Geometrie, Phronomie), der Energie (Mechanik, Physik, Chemie) und dem Leben (Physiologie, Psychologie, Soziologie), so ist die Grenzfläche, welche die wissenschaftlich erfaßten Gebiete von denen trennt, die sich noch im vorwissenschaftlichen Zustande befinden, langsam von unten nach oben aufgestiegen. Bei den Griechen lag sie zwischen der untersten und der mittleren Schicht: die Ordnungswissenschaften waren einigermaßen erforscht, von den energetischen Wissenschaften war die Mechanik eben in Arbeit genommen. Dort setzte dann nach einer Pause von rund eineinhalb Jahrtausenden die Forschung wieder ein, indem sie zunächst die Mechanik bewältigte und dann durch die Physik zur Chemie aufstieg, die mit dem Beginn des neunzehnten Jahrhunderts in ihre wissenschaftliche Periode eintrat. Den Anfang der Physiologie kann man etwa in die Mitte dieses Jahrhunderts verlegen, die Psychologie an den Anfang des zwanzigsten und die Soziologie liegt zu unsrer Zeit noch in den schwersten wissenschaftlichen Geburtswehen. An dieser Stelle, also ungefähr zwischen Physiologie und Psychologie, liegt gegenwärtig die Trennungsfläche, welche die wissenschaftlichen Gebiete von den vorwissenschaftlichen scheidet. Zu den letzteren gehört mit der Soziologie das ganze Gebiet der Geisteswissenschaften.

Es sei nochmals besonders hervorgehoben, daß diese Grenzfläche niemals scharf war oder ist. Einerseits ist ja niemals die Wissenschaft irgendeines Gebietes vollständig und diese Unvollständigkeit ist unregelmäßig verteilt, als Folge vereinzelter Umstände, welche die Entwick-

lung einseitig beeinflußt haben. Andererseits sendet die Wissenschaft beständig Ausläufer nach den noch nie besiedelten Gebieten aus, die anfangs unabhängig voneinander weitabliegende Punkte erreichen und erst viel später nachdem die Wissenschaft in breiter Front nachgerückt ist, miteinander in Verbindung treten. Aber im großen und ganzen läßt sich der Ort der Grenzfläche wohl bestimmen, und ihr regelmäßiger Aufstieg in der Pyramide ist eine der wenigen Gesetzmäßigkeiten, welche sich der Kulturgeschichte nachweisen lassen.

Unter den Kulturdisziplinen erweist sich die Technologie am bereitwilligsten, sich zu einer Wissenschaft im eigentlichen Sinne umzugestalten. Dies liegt zunächst daran, daß sie sich im engsten Zusammenhange mit den Naturwissenschaften entwickelt hat (die ja ihrerseits an technischen Bedürfnissen der Menschheit ihren Ausgang genommen haben) und dadurch in ihre exaktwissenschaftliche Richtung gelenkt worden ist. Sodann ist die Technologie eine sehr junge Disziplin und daher in hohem Maße umbildungsfähig. Die Forschungen über die Urgestaltung der Pflanzengeschlechter durch Kreuzung und Auslese haben ergeben, daß junge Arten sich verhältnismäßig leicht in einem gewollten Sinn umformen lassen. Alte Arten dagegen, die einen seit Jahrtausenden unveränderlich geliebten Charakter aufweisen, wahren diese auf das hartnäckigste und wissen sich lange mit Erfolg allen Beeinflussungsversuchen einer neuen Umwelt zu widersetzen. Eher gehen sie zugrunde. Ganz dasselbe beobachten wir bei den Kulturwissenschaften. Die älteste sind die Theologie und die Jurisprudenz. Beide leisten die kräftigsten Widerstände gegen alle Bemühungen, sie zu entwickeln, und zwar die Theologie noch stärker als die Jurisprudenz, weil sie von beiden die ältere ist. Die Technologie dagegen als die jüngste ist am meisten bereit und fähig, sich im wissenschaftlichen Sinne zu gestalten.

Ein Beispiel

Wir sind nun in der Lage, das Verhältnis der Geschichte zu den soziologischen Fächern zu übersehen. Weil diese sich der Hauptsache nach noch im vorwissenschaftlichen Zustande befinden, muß sich ihre Tätigkeit fast ausschließlich auf das Sammeln, Prüfen und Ordnen des Stoffes beschränken. Tatsächlich ist dies kennzeichnend für alle „Geisteswissenschaften“. Ein belehrendes Beispiel liegt bei der Sprachkunde vor, wo weitsichtige Köpfe von *Leibniz* bis *Nietzsche* längst die Notwendigkeit konstruktiver oder schaffender Arbeit um die Herstellung einer von logischen und technischen Fehlern freier künstlichen internationalen Hilfssprache eingesehen und ausgesprochen haben. Inzwischen ist sogar dieser Forderung durch die Aufstellung solcher Sprachen von recht befriedigender Beschaffenheit Genüge geschehen. Die ganze Angelegenheit hat aber nirgends eifrigere und entschiedene Feinde, nicht nur Gegner, gefunden, als bei den Fachphilologen, mit ganz wenigen rühmlichen Ausnahmen. So tief hat sich bei ihnen im Unterbewußtsein die Vorstellung verankert, die Philologie müßte sich ausschließlich auf das frühere, höchstens auf das vorhandene Sprachmaterial beschränken und dürfe durchaus nicht über die Grenze in die Zukunft hinausgehen, daß ihnen ein anderes Verhalten wie eine Versündigung am Geiste und Wesen der Philologie erscheint.

Einen Wissensbetrieb nur um des Wissens willen heißt Scholastik. Die wissenschaftliche Unfruchtbarkeit des Mittelalters beruhte darauf, daß es Scholastik trieb, nicht Wissenschaft. Der entscheidende Unterschied zwischen beiden ist die Einstellung auf das Vergangene bei der Scholastik, auf das Kommende bei der Wissenschaft.

Die Geschichte bei den Geisteswissenschaften

Die Stellung oberhalb der wissenschaftlichen Grenzfläche bringt es also mit sich, daß im ganzen Bereiche der „Geisteswissenschaften“ die Geschichte im Sinne des Sammelns von Stoff aus früherer Zeit eine so vorwiegende Rolle spielt, daß sie zuzeiten die ganze Disziplin überdeckt. So erklärten in der zweiten Hälfte des neunzehnten Jahrhunderts die Fachphilosophen die Zeit für unfähig, neue philosophische Systeme zu schaffen (eine andere Art, diese Wissenschaft zu fördern, war

nen nicht bekannt) und sie verlangten, daß in der Philosophie die Gesamtarbeit auf die Erforschung ihrer Geschichte gerichtet werde. Und von den Juristen wurde ebenso der Beruf der Zeit zur Gesetzgebung in Frage und die geschichtliche Forschung als einzig mögliche Aufgabe in den Vordergrund gestellt. Unter Kunstwissenschaft wird noch heute ganz vorwiegend Kunstgeschichte verstanden, die über das Sammeln und Ordnen nur hinausgeht, um sich im Nebel ästhetischen Geredes zu verlieren. Beispielsweise scheint die so einfache und leicht festzustellende Tatsache, daß die ganze ägyptische, griechische und römische Ornamentik nur die zwei- und vierzählige Ordnung ihrer Drehlinge kennt, während die drei-, fünf- und mehrzählige nur im nahen und fernen Osten vorkommen, diesen „Forschern“ bisher entgangen zu sein, obwohl sie auf die psychologischen Gesetze, welche die Entwicklung der Kunst regeln und somit auch in ihre Zukunft Einblicke gestattet, ein sehr aufklärendes Licht wirft.

Ein Ausnahmefall

Wie stellt sich nun die Geschichte der Technik und die von ihr nicht trennbare Geschichte der Wissenschaft zu diesen Verhältnissen ein? Zunächst muß zugegeben werden, daß sie sich bisher zu einem großen Teil im gleichen Zustande der Kindheit befunden hat wie bei den andern sozialen Wissenschaften. Dieser wird durch das Sammeln von Material ohne besondere Kritik seines Wertes gekennzeichnet; dabei werden „Curiosa“ sichtlich bevorzugt. Noch heute kann man diese Einstellung oft an Büchern sowie an Sammlungen erkennen.

Die nächst höhere Stufe ist die entwicklungsgeschichtliche. Hier wird das Zusammengehörige so neben einander gestellt, daß man die zeitliche Folge der entsprechenden Gebilde überschauen kann. Der Gedanke, der die Reihen zusammenfaßt, ist in der technischen Aufgabe enthalten, die mit verschiedenen Mitteln gelöst wird. Der Aufstieg in der Zeit wird durch die beständige wachsende Verbesserung der Lösung gekennzeichnet. Diese aber läßt sich durchgehend energetisch auffassen und definieren: die bessere Lösung, welche die ältere, geringere ersetzt und verdrängt, ermöglicht den gleichen Zweck mit einem geringeren Aufwand von Energie zu erreichen. Der energetische Imperativ: vergeude keine Energie, verwerte und veredle sie! — darf also als allgemeines Leitwort der Technik angesprochen werden, und die Entwicklungsgeschichte der Technik ist die Verwirklichungsgeschichte des energetischen Imperativs.

Die Erfassung der Energiemengen

Neben dieser Entwicklungslinie läßt sich noch eine zweite erkennen, welche mit der ersten insofern verwandt ist, als sie sich gleichfalls als ein Energieproblem darstellt. Und zwar als ein in gewissem Sinne einfacheres, nämlich die Erfassung immer größerer Energiemengen für menschliche Zwecke. Da man aber die ungeheuren Energiemengen, welche die Erde beständig von der Sonne empfängt, und von denen nur der kleinste Teil unter die Herrschaft des Menschen gebracht werden kann, als vergeudet im menschlichen Sinne bezeichnen kann, so liegt auch diese Aufgabe zuletzt im Gebiet des energetischen Imperativs. Die Kulturentwicklung jedes Volkes und gegenwärtig der Menschheit zeigt ihre großen Stufen in dieser zunehmenden Herrschaft über die Energie. Der primitive Mensch verfügt nur über die Energie seiner eigenen Muskeln, und es war schon ein großer Fortschritt, als er lernte, diese Muskelenergie über den Bereich seiner Arme hinaus zu bringen. Zuerst mit Hilfe eines Stabes, oder einer Keule, sodann durch Bewegungsenergie (Wurfspeer, Pfeil) auch in größere Fernen ohne materielle Verbindung. Die erste fremde Energie, über welche er verfügte, war die anderer Menschen, die er beherrschte: Weiber, Kinder, Sklaven, denn andere Energiearten für seine Zwecke zu lenken war ihm noch zu schwierig. Dann lernte er die Muskelenergie größerer Tiere zu verwerten, die er zähmte, d. h. in gewissem Sinne vermenschlichte. Dies war der Kulturstadium, in welchem sich Ägypten, Griechenland und Rom im Altertum befand; er beruhte ganz und gar auf

Sklaverei, indem eine große Anzahl Höriger ein halbtierisches Leben führen mußte, damit eine kleine Anzahl Bevorzugter sich geistig entwickeln konnte.

Es ist kennzeichnend für die ungenügende Auffassung der Geschichte, die in erster Linie Kulturgeschichte sein sollte, daß wir über den nun folgenden grundwichtigen Fortschritt, nämlich die erste Zähmung der anorganischen Energien, nur sehr unvollkommene Nachrichten haben. Er geschah im frühen Mittelalter durch die Benutzung der Energie des fließenden Wassers und der bewegten Luft zum Treiben von Mühlen, wodurch die Sklavenarbeit der Mehlerstellung mit der Hand unnötig und die Befreiung der Hälfte aller Menschen von dieser eintönigen Plage möglich wurde. Es kann nicht oft genug gesagt werden, daß wir das Verschwinden der Sklaverei in Europa ausschließlich der Erfindung der Maschinen zu verdanken haben, welche die anorganischen Energien in den Dienst der Menschheit zwangen.

Das Zeitalter des Dampfes

Wind und Wasser liefern unmittelbar Bewegungsenergie, deren Umwandlung in mechanische Arbeit aller Art eine im Wesen längst gelöste Aufgabe war. Der nächste große Schritt zu Beginn des 19. Jahrhunderts war die Umwandlung von Wärmeenergie in mechanische, die mittels der Dampfmaschine gelang. Der Erfolg war eine Vervielfachung der gezähmten Energie, die von Wind und Wasser nur in begrenztem Betrage hergegeben wurde, und ein entsprechender Kulturanstieg, der sich hauptsächlich in der Überwindung von Raum und Zeit und in der Massenherstellung zahlreicher Lebensbedürfnisse auswirkte.

Das elektrische Zeitalter

Die dritte große Wendung trat ein Jahrhundert später durch die mechanische Herstellung elektrischer Energie mittels der Dynamomaschine ein. Während die Dampfmaschine ihre Energie nur in ihrer nächsten Nähe zu Arbeitszwecken betätigen kann und dadurch ein vielfach ungesundes Zusammendrängen der Arbeiter in den Fabriken bewirkte, läßt sich elektrische Energie auf weite Fernen übertragen und gestattet eine weitgehende Lockerung der Wohnungsdichte. Es ist dies ein Beispiel für ein sehr allgemeines Gesetz über die soziale Wirkung technischer Fortschritte. Diese werden zunächst rein wirtschaftlich, ohne bewußte Rücksicht auf ihre soziale Auswirkung ausgebaut und bewirken deshalb oft starke Benachteiligungen der beanspruchten Menschen. Erst im weiteren Verlauf ihrer Entwicklung wird man sich dessen bewußt, daß auch das Menschenmaterial einen Faktor in der Gesamtrechnung, und zwar einen äußerst wichtigen bedeutet, und erkennt in dessen pflegerischer Verwendung eine Hauptaufgabe der Technik. Wichtig ist ferner die Einsicht, daß Lärm, Schmutz, Rauch usw., die mit einem technischen Vorgang verbunden sind, seine Unvollkommenheit erweisen. Sie bedeuten Energievergeudungen; denn man kann beispielsweise keinen Lärm ohne Energieaufwand, der verloren geht, erzeugen. Man erkennt also, daß schon der energetische Imperativ allein, auch ohne bewußte Rücksicht auf den Menschen, die Beseitigung solcher Schädigungen verlangt und bewirkt. Je vollkommener ein technischer Vorgang eingerichtet ist, um so sauberer, ruhiger, schöner verläuft er. Eine vollkommene Energieumsetzung erweckt schon an sich die Empfindung starker Schönheit; alle unsere Freude an Tanz, Spiel und Sport beruht auf diesem Grunde.

Geschichtliche Gesetze in der Technik.

Versuchen wir, aus der Summe dieser Betrachtungen bestimmte Ergebnisse bezüglich der Geschichte der Technik zu gewinnen, so stellen sich diese günstiger heraus, als auf anderen Kulturgebieten. Zunächst ist für die Entwicklungsgeschichte der Technik im allgemeinen eine ganz bestimmte und eindeutige Richtung angebar, die durch das Energieproblem und den zweiten Hauptsatz gekennzeichnet ist. Bekanntlich haben sich bisher die Historiker der Allgemeingeschichte nicht darüber einigen können, welches die Richtung und das

Ziel der „Weltgeschichte“ sind, und ob solche überhaupt sich angeben lassen, während in der Geschichte der Technik diese Probleme gelöst sind. Dies hat den praktischen Erfolg, daß diese bestimmte Voraussagenen möglich macht, die Weltgeschichte dagegen nicht.

So läßt sich beispielsweise voraussagen, daß als nächster großer Schritt in der Energiebeschaffung, der zeitlich vielleicht noch ziemlich fern ist, die unmittelbare Umwandlung der strahlenden Energie der Sonne in elektrische Energie, als die umwandlungsfähigste und beförderungswilligste aller Energien bevorsteht. Bisher geht die Verwertung der Sonnenenergie ganz vorwiegend über die Pflanze, die bestenfalls nur das äußerst niedrige Güteverhältnis 1:50 erreicht. Soweit menschliche Nahrung und Kleidung in Frage kommt, ist die Pflanze zunächst noch unentbehrlich. Aber für die Bewegungsenergie ist diese Zwischenform ein Umweg. Zur Zeit benutzen wir als wichtigste Rohenergie die fossilen Brennstoffe, die von Pflanzen früherer Zeiten abstammen und der Erschöpfung unterliegen. Unmittelbarer stammt aus der Sonnenstrahlung die Energie bewegter Luft und herabfallenden Wassers, von denen namentlich die zweite zunehmend für die Erzeugung elektrischer Energie benutzt wird. Aber es läßt sich ein noch unmittelbarer Weg denken, nämlich durch photoelektrische Wirkung. Zur Zeit ist dies Gebiet noch sehr wenig erforscht, und vorhanden ist nicht viel mehr, als etwa im Jahre 1800 die Voltasche Säule aus Zink, Silber und nasser Pappe im Verhältnis zu einem modernen Elektrizitätswerk bedeutete. Aber es läßt sich kein Grund absehen, daß nicht dieser Weg technisch gangbar gemacht werden könnte.

Der menschliche Wert der Energien

Ebenso wie der allgemeine Weg läßt sich für jede einzelne technische Aufgabe die Richtung ihrer Entwicklung angeben. Sie ist eindeutig auf Verbesserung des energetischen Güteverhältnisses eingestellt. Dabei muß freilich erwogen werden, daß vom menschlichen Standpunkt aus weder äquivalente Mengen Energie überhaupt, noch auch äquivalente Mengen freier Energie gleichen Wert besitzen. So kann ein Stück Steinkohle kalorisch äquivalent sein einem Stück Braten, während der menschliche Wert, der sich im Preise ausdrückt, sehr verschieden ist. Daher kann eine neue technische Lösung unter Umständen sogar ein ungünstigeres „rohes“ Güteverhältnis bedingen, falls nur das „menschliche“ Güteverhältnis eine Steigerung erfährt.

Funktionsteilung und Organbildung

Die Steigerung des Güteverhältnisses wird hauptsächlich durch einen Vorgang bewirkt, den wir auch bei den Lebewesen als Kennzeichen und Maßstab des Fortschritts zu betrachten gelernt haben, nämlich die Aus-

teilung der verschiedenen Funktionen an besondere Organe. Dem Anfänger erscheint leicht als Ziel ein Gerät, mit dem man alles machen kann, oder doch wenigstens sehr viel Verschiedenes. Der Erfahrene weiß, daß ein solches umfassendes Gerät den einzelnen Aufgaben nur unvollkommen gerecht wird, und beschafft sich lieber ein Dutzend verschiedene Werkzeuge, mit denen er feinere und doch schnellere Arbeit machen kann, in dem er jedesmal das geeignetste wählt. Ebenso war es z. B. bei der Dampfmaschine ein großer Fortschritt, als das gesteuerte Ventil erfunden wurde, durch das die Dampfleinlaß auf das beste Güteverhältnis reguliert werden kann. Dieser Vorgang erreicht sein natürliches Ende dort, wo der Aufwand für die Herstellung und Angliederung des neuen Organs größer zu werden beginnt als die bewirkte Verbesserung des Güteverhältnisses. Solche Grenzen treten um so eher ein, je höher die Maschine oder der Vorgang schon entwickelt worden ist, je näher also das vorhandene Güteverhältnis bereits der idealen Grenzfall gekommen ist, den der zweite Hauptsatz zu berechnen lehrt.

Rudimentäre Organe

Einigermaßen verwandt ist ein anderer technischer Entwicklungsvorgang, den man als die Abscheidung des Entbehrlichen kennzeichnen kann. Wenn man zuers eine Maschine für einen neuen Zweck oder Weg herstellt, wird man sie tunlichst aus vorhandenen Bestandteilen zusammenstellen oder nach ähnlichen Modellen bauen, um sobald wie möglich die Hauptfrage zu beantworten, nämlich ob die Sache überhaupt „geht“. Hat sich dies herausgestellt, so tritt eine neue Aufgabe auf. Jene älteren Teile waren ursprünglich für andere Zwecke erbaut oder angeordnet worden; sie enthalten also voraussichtlich zahlreiche Besonderheiten, die für die neue Anwendung nutzlos oder gar nachteilig sind. Jedes Stück muß von Grund aus daraufhin untersucht werden, ob es die angemessene Zweckform für den neuen Gebrauch bereits erreicht hat und insbesondere ob ihm nicht von seiner früheren Verwendung her allerlei überflüssig und damit schädlich gewordene „Wurmfortsätze“ anhaften, die zur großen Verbesserung des Ganzen abgeschnitten werden können.

Natürlich finden ganz ähnliche Erwägungen auch in den höheren Gebieten der praktischen Betätigung, wie z. B. in der Verwaltung, im Recht, in der Politik statt. Da man dort noch sehr wenig daran gewöhnt ist, vorhandene „ehrwürdige“ Einrichtungen unter dem technischen Gesichtspunkt des energetischen Imperativs kritisch zu betrachten, so kann hier die Philosophie und Geschichte der Technik führend vorangehen und könnte unermesslichen Segen stiften, wenn man ihre Lehren verstehen wollte.

[B 2288]

Das Kapillarphänomen

Gar mancher wird sich schon gefragt haben: Wie ist es möglich, daß hohe Tannen auf felsigem Boden bei wenig Erreich ihrer Nahrung finden und der Boden im allgemeinen immer wieder die Kraft gewinnt, um auch ohne künstliche Düngung Pflanzen und Bäume zu ernähren? Woher kommen die Erzadern und die Quarzdrüsen im Felsgestein? Wie mag sich der Vorgang bei der Versteinerung von Bäumen, Muscheln u. a. abspielen?

Über die Entstehung der Erzadern hatte ich mir bereits vor längerer Zeit die Anschauung gebildet, daß die Begriffe „Kristalloid“ mit großem Diffusionsvermögen und „Kolloid“ mit sehr kleinem den Schlüssel zur Klärung dieser Frage geben könnten, allerdings ohne diese Vermutung beweisen zu können. Nun hat der rührige Leiter des seit zehn Jahren in Frankfurt a. M. bestehenden Instituts für Kolloidforschung, Prof. Dr. H. Bechhold, entdeckt, daß große Massen, die mit Lösungen von Salzen oder sogenannten „Kristalloiden“ (nicht Kolloiden) durchdrängt sind, beim Trocknen die Salze (Kristalloide) restlos an der Oberfläche ausscheiden. Er nennt diese Erscheinung „Kapillarphänomen“ und schreibt in seinem Bericht über die zehnjährige Tätigkeit des Institutes: „Eine Erklärung für diese Erscheinung wurde noch von keiner Seite gegeben, obgleich sich zeigte, daß sie in der Natur eine große Rolle spielt: Bei der Bildung von Erzgängen und Mineraldrüsen

sowie insbesondere in der Bodenkunde lassen sich zahlreiche Beispiele anführen, die auf jenes Phänomen zurückzuführen sind. Der Wechsel von Regen und Trockenheit ist für die Mineralstoffversorgung der Pflanzen von kardinaler Bedeutung, da sich die Mineralsalze infolge des Kapillarphänomens an der Bodenoberfläche stets von neuem anreichern und so, trotz geringer Mengen, in der Bodenfeuchtigkeit den Pflanzen als Nahrung zugänglich werden, statt mit dem nächsten Regen auf Nimmerwiedersehen in die Tiefe gewaschen zu werden. Die Salzauswitterungen in verschiedenen außereuropäischen Gebieten, die Latoritbildung u. a. mehr dürften auf das Kapillarphänomen zurückzuführen sein.“ — Damit scheint eine sehr wichtige Naturerscheinung geklärt zu sein.

Das Frankfurter Institut für Kolloidforschung ist auf Anregung des Arztes Paul Ehrlich aus Mitteln der Stiftung des Arztes Theodor Neuburger errichtet worden und hat daher hauptsächlich Arbeiten aus dem Gebiet der Arzneimittellkunde und Biologie ausgeführt. Daneben sind auch technische Fragen, die in das Gebiet der Kolloidforschung fallen (Zerreißfestigkeit von Leim, Verleimung von Holz, Elektroosmose, Elektro-Ultrafiltration, Imprägnieren von Holz), bearbeitet worden. Außerdem sind im Institut die Hilfsmittel und Verfahren der Kolloidforschung verfeinert worden.

Berlin

[N 2170]

Dr. W. Schmidt

Die Brennstofftagung der Weltkraftkonferenz

London 22. September bis 6. Oktober 1928

Berichterstatter P. ROSIN, Dresden

Der vorliegende Bericht ist lediglich dazu bestimmt, einen kurzen Überblick über die zahlreichen Fragen zu liefern, die bei dieser Teilkonferenz der Weltkraftkonferenz in 148 Aufsätzen aus 19 verschiedenen Ländern behandelt wurden. Er gliedert den fast unübersehbaren Stoff nach den Hauptgebieten der heutigen Brennstoffverwertung: feste Brennstoffe, flüssige Brennstoffe, Kokerei und Gasindustrie, Einzelgebiete der Brennstoffverwendung, Wärmewirtschaft; diesen Gebieten sollen später auf Grund der Verhandlungen noch besondere Aufsätze gewidmet werden.

Die Londoner Tagung war im großen Rahmen der Weltkraftkonferenzen eine Teilkonferenz, die den Brennstoffen gewidmet war. 48 Völker nahmen daran teil, 148 Arbeiten wurden insgesamt von ihnen vorgelegt. Sie verteilen sich folgendermaßen auf die einzelnen Länder:

Land	Zahl der Beiträge	Land	Zahl der Beiträge
1 England	37	11 Holl. Indien	5
2 Deutschland	17	12 Kanada	4
3 Österreich	14	13 Belgien	3
4 V. S. v. Amerika	12	14 Holland	2
5 Japan	12	15 Schweiz	1
6 Rußland	10	16 Dänemark	1
7 Schweden	8	17 Australien	1
8 Tschechoslowakei	7	18 Lettland	1
9 Polen	7	19 Goldküste	1
10 Frankreich	5		

29 der teilnehmenden Länder waren also nicht mit eigenen Beiträgen vertreten.

Man sollte erwarten, daß die der Weltkraftkonferenz vorgelegten Arbeiten in ihrer Gesamtheit jeweils einen Querschnitt des gegenwärtigen Standes von Technik und Forschung in der ganzen Welt auf diesem Gebiet gäben. Dieses Ideal wurde leider in London aus zwei Gründen nicht erreicht. Wie die Übersicht zeigt, ist die Beteiligung mit Beiträgen sehr ungleichmäßig; England lieferte weitaus die größte Zahl, während z.B. die südeuropäischen und Balkanstaaten sowie ganz Südamerika völlig fehlten. Aber auch die vorgelegten Berichte sind in ihrer Gesamtheit mehr einer Festschrift vergleichbar, zu der jeder Beteiligte willkürlich gewählte Beiträge beisteuerte, als einer nach einheitlichen Grundsätzen geordneten Übersicht. Man hatte mehr den Eindruck eines Riesenstraußes mannigfacher und zum Teil sehr schöner Blumen als den wohlangelegter und gepflegter Beete, bei denen Übersicht und Ernte leicht ist.

Die Arbeiten und die mündlichen Verhandlungen waren in Gruppen (Sektionen) eingeteilt. Die Einreihung der einzelnen Vorträge in diese Gruppen war vielfach etwas willkürlich — oft ließen sich auch, da der einheitliche Rahmen fehlte, Überdeckungen der Gruppen nicht vermeiden, und die richtige Einordnung mancher Vorträge war schwierig. Bei Beginn der Tagung lagen alle eingereichten Arbeiten gedruckt vor und wurden als bekannt vorausgesetzt. Für jede Gruppe war ein Generalbericht von der Konferenzleitung angefertigt worden, der die Hauptpunkte der betreffenden Vorträge vereinigte, vom Berichterstatter bei Beginn jeder Gruppensitzung verlesen wurde und als Grundlage für die Diskussion dienen sollte.

Die Verteilung der Arbeiten auf die Gruppen war sehr ungleichmäßig und schwankte in der einzelnen Gruppe zwischen 18 und 1. Da aber die Generalberichte nur einen Umfang von wenigen Seiten haben konnten, wurden sie oft den stark besetzten Gruppen nicht voll gerecht, während sie für die schwach besetzten zu ausführlich wurden. Dasselbe gilt für die Aussprache, die von der Konferenzleitung nicht vorbereitet war.

Die Gruppensitzungen dauerten immer 2½ Stunden, und die Beteiligung an der Aussprache war in den starken Gruppen so lebhaft, daß die Sprechzeit oft auf 5 min

beschränkt werden mußte, was Vor- und Nachteile hatte. Die Aussprache wurde im übrigen zum allergrößten Teil von England bestritten.

Im vorliegenden Bericht wollte ich den heutigen Stand von Brennstoffwirtschaft und -technik und die großen Ziele der Entwicklung schildern, soweit die Arbeiten der Londoner Tagung Einsicht gewähren und Eindruck vermitteln konnten. Aus den angeführten Gründen mußte ich aber hierzu die weitgehende Gruppeneinteilung verlassen und habe den ganzen Stoff in folgende Abschnitte gegliedert:

- 1. Feste Brennstoffe,
- 2. Flüssige Brennstoffe,
- 3. Kokerei und Gasindustrie,
- 4. Einzelgebiete der Brennstoffverwendung,
- 5. Wärmewirtschaft.

Ich habe versucht, die wesentlichen Ergebnisse aller Aufsätze in diese Einteilung hineinzuarbeiten und konnte daher meistens die Einzelberichte nicht gesondert erwähnen. Aus diesem Grund habe ich auf die Nennung der Verfasser völlig verzichtet. Aufschluß hierüber gibt das von der Weltkraftkonferenz herausgegebene Verzeichnis.

Feste Brennstoffe

Das Bedürfnis nach international einheitlicher Einteilung und Benennung der Kohlen kam sehr stark zum Ausdruck, und eine Reihe von Vorschlägen wurde eingereicht. Schon die Aussprache zeigte aber, daß diese Aufgabe besonders schwer für Länder mit verschiedenartigen Kohlenvorkommen sein wird, zumal im internationalen Sprachgebrauch noch völlige Unklarheit über die Bedeutung der Bezeichnungen Lignit und Braunkohle herrscht. Sicher würde schon die Einheitlichkeit in der Benennung der kohlenbildenden Stoffe einen Anfang auf diesem Weg bedeuten.

Am weitesten sind diese Arbeiten in den Vereinigten Staaten gediehen, wo das American Engineering Standards Committee zusammen mit der American Society for Testing Materials drei technische Ausschüsse eingesetzt hat. Der erste behandelt die wissenschaftliche Einteilung der Brennstoffe auf Grund ihrer chemischen und physikalischen Eigenschaften und mit Rücksicht auf Entstehung und Zusammensetzung. Der zweite Ausschuß arbeitet an einer auf dem praktischen Gebrauch begründeten Einteilung, während der dritte die Handels- und Verkaufsunterlagen sammelt. Besonders den zweiten Ausschuß hat man weitgehend gegliedert, um die Belange aller Verbraucherkreise aus Industrie und Haushalt zu erfassen. Bemerkenswert ist, daß diese Ausschüsse mit tätiger Unterstützung der Kohlenherzeuger arbeiten, die von einer sachgemäß durchgeführten Einteilung und einheitlichen Benennung eine viel bessere Verständigung zwischen Verkäufern und Käufern erwarten.

Noch stärker kam die Notwendigkeit internationaler Vereinbarungen zum Ausdruck auf dem Gebiete der Probenahme und Untersuchung der Kohlen, aber gleichzeitig wurden auch die Schwierigkeiten betont, die durch die große Verschiedenheit der Kohlenarten bedingt, immer einzelne Methoden innerhalb der Vorkommen nötigmachen werden. Mit Recht wurde darauf hingewiesen, daß heute noch die Untersuchungsergebnisse infolge der verschiedenen Verfahren oft nicht vergleichbar sind.

Was jedoch nicht zum Ausdruck kam, aber die Grundlage jeder Verständigungsarbeit sein muß, ist die inter-

ationale Vereinheitlichung der Maßbezeichnungen. Solange noch nicht einmal Heizwert, Gewicht, Temperatur, Volumen, Heizflächen usw. nach gleichem Maßstab gemessen werden, dürften auch die anderen Arbeiten kaum fortzuschreiten. Man konnte bei den Verhandlungen oft bemerken, daß die Beachtung der Arbeiten anderer Länder und in der Aussprache schwand, sobald ein fremdes Maßsystem verwendet wurde; mit Recht, denn man verlor sofort den Faden des Verständnisses. Vielleicht wäre es hier eine Hilfe gewesen, wenn die Konferenzleitung eine Umrechnungstafel aller Maßsysteme herausgegeben hätte.

Zur Frage des Heizwertes brachte Deutschland den Antrag ein, der Internationale Hauptausschuß der Weltkraftkonferenz möge einen geeigneten Ausschuß mit der Aufgabe betrauen, Einheitlichkeit in der praktischen Anwendung des oberen und unteren Heizwertes herbeizuführen und der in Berlin 1930 stattfindenden nächsten Weltkraftkonferenz darüber zu berichten. Der Erfolg dieser Bestrebungen erscheint zweifelhaft; denn schon in der Aussprache kam von englischer Seite die völlige Ablehnung des unteren Heizwertes zum Ausdruck, während die Länder mit minderwertigen Brennstoffen auf ihn nicht verzichten zu können glauben; übrigens ist der untere Heizwert auch die einzige Grundlage für thermodynamische Verbrennungsrechnungen, bei denen die fühlbare Wärme maßgebend ist. Die Berichte dieser Gruppen gaben aber wertvolle Aufschlüsse über die in den verschiedenen Ländern und Industrien geübten Methoden der Probenahme und Untersuchung der Kohle.

Die Gruppe Aufbereitung behandelte vor allem die Kohlenreinigungsverfahren, die wohl in keinem Land ein solches Interesse finden wie in England. Besondere Teilnahme wecken die trocken-pneumatischen Verfahren, obwohl ihr Wirkungsgrad grundsätzlich geringer als der nasser Prozesse ist. Hier ist ein neuer statischer Trocknerväschler zu erwähnen, bei dem die Luft nicht in einem Strom durch die Kohle geleitet, sondern das ganze Bett unklassierter Kohle gleich einem Kolben von der Luft gehoben wird, und in diesem Emulsionszustand die spezifisch schwerere Asche sich in den unteren Lagen anreichert. Der bei jeder pneumatischen Reinigung anfallende Kohlenstaub wird am besten unter den Kesseln der Zeche verbrannt.

Als wichtigste Punkte für die Wahl eines Reinigungsverfahrens wurden genannt: Augenblickliche Marktlage, Anteil der Reinigungskosten an den Gesamtgestehungskosten der Verkaufskohle und die Bedingungen, unter denen die Reinigung zu arbeiten hat. Für die Entwässerung gewaschener Kohle wurden als vorteilhaft angegeben: Über 15 mm Korngröße natürliche Entwässerung (Drainagesieb), zwischen 3 und 15 mm Ausschleudern, unter 3 mm Filterpressen bis auf 15 vH Wassergehalt und dann Trocknung durch Wärme.

Ein deutscher Bericht über Trocknung und Brikettierung von Braunkohlen fehlte, was mit Rücksicht auf die deutlich erkennbaren Bestrebungen anderer Länder, ihre Braunkohlevorkommen auszubeuten, bedauerlich war. Vor allem sind Kanada, Australien und Rußland zu nennen, aber auch in den Vereinigten Staaten sind 68 vH der geschätzten Gesamtkohlenvorräte jüngerer geologischen Alters, obwohl sie heute erst 5 vH zur Förderung beisteuern.

Die Schätzung geht dahin, daß nahezu 2,5 Bill. t Kohlen in Nordamerika westlich des 100. Längengrades vorhanden sind; davon sind etwa 40 vH Lignite (Braunkohlen), 42 vH halbbittuminöse und der Rest Koks-kohle. Die australischen Braunkohlen bei Melbourne, die teilweise über 60 vH Wasser enthalten, zeichnen sich durch große Mächtigkeit aus. Bei Morwell wurde ein Bohrloch nach 70 m Abraum durch ein Flöz 240 m tief getrieben, ohne es ganz zu durchstoßen. Der Staat Viktoria hat mit einer großen Brikettfabrik und einem Braunkohlenkraftwerk nach deutschem Muster die Verwertung begonnen¹⁾.

In Australien und Kanada, aber auch in Korea wird die Bedeutung der Braunkohlen in den kommenden Jahren steigen, und die deutschen Erfahrungen können hierbei wertvoll werden. In den Vereinigten Staaten wird diese Entwicklung noch auf sich warten lassen, da noch Überfluß guter Steinkohle nahe den Industriegebieten herrscht, während die Braunkohlenfelder weit ab von den heutigen Industrieorten liegen.

Über die wirtschaftliche Ausnutzung des minderwertigsten Brennstoffes, Torf, und über die Fortschritte auf diesem Gebiet geben die eingereichten Arbeiten ein recht gutes Bild. Insbesondere scheint die Elektrizitätserzeugung in Verbindung mit der Torftrocknung als gangbarer Weg. Hier sind die 18jährigen Versuche der englischen Peco-Gesellschaft zu nennen. Nach ihrem Verfahren erzeugt man aus hochgespanntem Dampf Elektrizität in Gegendruckmaschinen und trocknet mit sehr niedrigem Gegendruck oder gar nur mit Heißwasser unter Anwendung von Mehrfachverdampfern. Zum Trocknen selbst dienen stehende Rohrschlangen, durch die der zerkleinerte Torf geblasen wird. Die Brüdewärme wird immer wieder in der nächsten Stufe nutzbar gemacht, und es gelingt so, mit einer Vierstufenanordnung und 40 at Maschinendruck den Torf mit 20 bis 25 vH seines Heizwertes zu gewinnen und zu trocknen.

In Rußland hat sich die Elektrizitätserzeugung aus Torf bereits in größerem Maßstab bewährt. Werke mit mehr als 100 000 kW sind bis jetzt für die Verfeuerung von Trockentorf eingerichtet. Neben der Trocknung gibt vor allem der Vorgang bei der Gewinnung den Ausschlag für die Wirtschaftlichkeit, und hier stehen sich zur Zeit die maschinelle Torfgewinnung, bei der der Torf in mehr oder weniger dicken Schichten abgehoben und dann zum Trocknen ausgebreitet wird, und das Hydrotorffverfahren, bei dem er durch starke Wasserstrahlen abgespült und in Leitungen auf die Trockenfelder geführt wird, gegenüber.

Über Lagerung und Behandlung der Kohlen beim Verbraucher enthielten die Arbeiten nur Sonderbeispiele mit Ausnahme des englischen Beitrages. Aber man erkennt doch aus ihnen die zunehmende Wichtigkeit der Entladung der auf dem Wasserweg herankommenden Kohle, da die Kraftwerke mit zunehmender Größe immer mehr an die Flußläufe und Küsten gedrängt werden, wo ihnen die nötigen Kühlwassermengen sicher sind. Neuerdings werden sehr schnellaufende Greiferkrane von hoher Fassung bevorzugt, deren Motoren teilweise beim Heruntergehen des Greifers als Stromerzeuger laufen.

Ausgezeichnet waren die Beiträge der Gruppe Kohlenstaub. Der deutsche Bericht über die Forschungsarbeiten des Kohlenstaubausschusses des Reichskohlenrates fand große Aufmerksamkeit, und auf deutsche Anregung hin wurde von amerikanischer Seite beantragt, die Probenahme von Kohlenstaub, die Normung der Siebgewebe, die Ausführung der Siebanalysen und die Richtlinien zur Untersuchung von Kohlenmühlen zum Gegenstand internationaler Vereinbarungen zu machen, einen internationalen Ausschuß mit dieser Aufgabe zu betrauen und hierüber der Weltkraftkonferenz in Berlin 1930 zu berichten, was einstimmig angenommen wurde.

Im Gesamtbild ist festzustellen, daß Ausbreitung und Entwicklung der Staubfeuerung stetig weiterschreiten und daß ihr für große Kraftwerke immer noch, trotz der Fortschritte im Stoker- und Rostbau, eine leichte Überlegenheit zuzubilligen ist. Der Grund hierfür sind einmal die Brennstoffersparnisse, die besonders bei hochwertiger, frachtilich teurer Kohle ins Gewicht fallen, zum andern die Möglichkeit größter Kesselabmessungen, bei denen Roste nicht mehr unterzubringen sind. In Amerika ist man hierin soweit gegangen, für eine 50 000 kW-Turbine nur noch einen einzigen Kessel aufzustellen. Weiterhin mißt man der Unabhängigkeit von der Kohlensorte große Bedeutung zu. Für viele war die aus den Anlagekosten von 11 Stoker-, 6 Staubkraftwerken und einem Ölkraftwerk gewonnene Feststellung überraschend, daß Staubkraftwerke nicht mehr kosten als Stokerwerke, und daß der Dampf in Staubkraftwerken billiger erzeugt werden kann.

¹⁾ Vergl. F. W. Foos: Die Brikettfabrik bei Yellourn, Viktoria Australien, Z. Bd. 71 (1922) S. 223.

Lebhafte Meinungsverschiedenheit entfesselte die Frage, ob Zentral-Mahlanlagen mit Staubbunkern oder unmittelbar mit dem Kessel verbundene Einzelmöhlen vorzuziehen seien. Aus den Äußerungen der Großkraftwerksbauer schien immer noch eine Neigung zur Zentral-Mahlanlage hervorzugehen; unverkennbar aber ist, daß in Amerika die Einzelmühle stark an Boden gewinnt. Darüber, daß die Mahltrocknung notwendig ist, damit man die teuren Sondenrockner vermeiden kann, war man sich allgemein einig. Ebenso war die Sorge um eine billige und wenig Raum beanspruchende Einrichtung zum Zurückhalten der feinen Asche allen Kohlenstaubbetrieben gemeinsam.

Besonderes Interesse fand der amerikanische Bericht über die Kohlenstaubfeuerung auf Schiffen, und es war nur zu bedauern, daß die Zeit fehlte, um den amerikanischen Kohlenstaubbrenner „Mercer“ zu besichtigen, der auf seinen regelmäßigen Fahrten gerade in Rotterdam angekommen war. Von amerikanischer Seite wurde darauf hingewiesen, daß die Mehrzahl der heute gebauten Schiffe Öl verfeuern, daß aber die Ölvorräte der Vereinigten Staaten wahrscheinlich in 15 bis 20 Jahren erschöpft sein dürften, die Kohlenvorräte dagegen nahezu unbegrenzt seien, woraus sich die Rückkehr der Schifffahrt zur Kohle, allerdings in einer technisch verbesserten Form, ergebe. Das amerikanische Shipping Board hat daher Vorschriften für den Umbau von sechs weiteren Überseeschiffen auf Feuerung mit Kohlenstaub herausgegeben.

Man hätte gewünscht, daß über die Verfeuerung von Kohlen auf Rosten ebenso umfassend berichtet worden wäre wie über Stauffeuerungen. Aber hier fehlte nahezu alles — kein Überblick über die wichtige bauliche Entwicklung fester, selbsttätiger Roste und Stoker, über Erfahrungen mit vorgewärmter Luft, gekühlten Feuerraumwänden, Saugzug, Entaschung u. a. Eine empfindliche Lücke war es auch, daß zusammenfassende Arbeiten über die technische und wirtschaftliche Seite der Befuerung großer Elektrizitätswerke in den einzelnen Ländern fehlten.

Flüssige Brennstoffe

Das beherrschende Problem der Ölindustrie ist seit dem Kriege die Aufgabe, den stetig steigenden Benzinbedarf der Kraftwagen zu decken, der sich z. B. in Amerika für den eigenen und den Ausfuhrverbrauch von 1913 bis 1927 etwa verneunfacht hat. Dieser Steigerung konnte die Industrie zum Teil durch vermehrte Erdölgewinnung genügen, zum andern Teil durch eine erhöhte Ausbeute an Benzinen aus dem Rohöl, von dem heute etwa 27 vH in Automotiltriebstoff umgewandelt werden. Daher kommt allen Krack- und Hydrierverfahren, die diese Benzinausbeute zu erhöhen vermögen, dauernd steigende Bedeutung zu. Dasselbe wird in kurzer Zeit auch für Deutschlands Braunkohlenteer-Erzeugung eintreten. Wenn nämlich erst der Inlandbedarf an Paraffin gedeckt ist, was bald der Fall sein dürfte, wird die Wirtschaftlichkeit der Braunkohlenschwelerei davon abhängen, ob in billiger Weise ein höher Anteil des Rohteers in Benzin verwandelt werden kann.

Daher betreffen die größten Fortschritte der Erdölindustrie in den letzten Jahren die Entwicklung des Krackprozesses. Sie sind gekennzeichnet durch den Übergang der Krackung von der gasförmigen auf die flüssige Phase. Durch das letztere Verfahren werden heute ungeheure Mengen Krackbenzine hergestellt; die anfänglichen Schwierigkeiten in der Entwicklung großer Krackanlagen gelten heute als überwunden, und besonders die Wärmewirtschaft ist durch Verbesserung der Ofenbauart, Umlauf der Verbrennungsgase, Verwendung vorgewärmter Luft und die Einführung der Heißölpumpen erhöht worden.

Auch die chemische und physikalische Seite der Krackverfahren ist in den letzten Jahren besser durchforscht worden. Die Aufgabe des Krackens ist nicht mit der Herstellung von Autotreibstoffen erschöpft, sondern durch geeignete Verfahren kann jeder Kohlenwasserstoff erzeugt werden, von Alkoholen über Schmieröle bis zum Asphalt; ferner kann man den Arbeitsgang so regeln, daß man eine möglichst große Ausbeute einer bestimmten Reihe oder gar eines einzelnen Stoffes dieser Reihe erhält. Das bedeutet den Eintritt in das bisher nur wenig erschlossene Gebiet chemischer Nebenproduktgewinnung aus Erdöl.

Für Länder, in denen Öl billiger als Kohle ist, ist auch die Gewinnung von Gas durch Ölcrackung wichtig, und nach den neuesten Verfahren kann man 95 vH des Ölheizwertes in heißem Gas, 80 vH in kaltem Gas erhalten.

In der Raffination besonders der leichter siedenden Anteile, die als Kraftwagentreibstoff Verwendung finden, bricht sich die Erkenntnis Bahn, daß die Reinigung zur Zeit weiter getrieben wird, als es notwendig ist, und man erkennt deutlich die Neigung, die geltenden Bestimmungen daraufhin zu überprüfen und die Raffination auf das notwendigste Mindestmaß zu beschränken. Das ist besonders vom Standpunkt der deutschen Benzinerzeugung aus schweletter zu begrüßen, da die unnötig weit getriebene Schwefelreinigung große Kosten verursacht.

Das Schwefelproblem nimmt überhaupt, auch in der amerikanischen Leichtölraffination, den ersten Platz ein; eine große Anzahl von Verfahren, teils rein chemischer, teils adsorptiver Natur hat man hierfür entwickelt. Glücklicher ist man bei den russischen Erdölen daran, von denen die Quellen bei Baku und Grozny etwa 95 vH liefern. Sie haben nur niedrigen Schwefelgehalt, und die Destillate erfordern wenig Raffination.

Ebenso wie der zulässige Schwefelgehalt der Treibstoffe einer Überprüfung und neuen Vereinbarung bedarf, müssen auch die anderen Eigenschaften auf Grund der heutigen Erfahrungen geprüft und festgelegt werden. Daher hat die deutsche Delegation beantragt, international zu vereinbaren:

1. Methoden zur Feststellung und zum Vergleich von Siedelinien,
2. Maßeinheiten und Bezugspunkte für die Klopfneigung,
3. eine möglichst geringe Anzahl von Treiböarten mit genormten Eigenschaften,
4. ein bei der sogenannten mittelbaren Beurteilung der Kompressionsfestigkeit von Treibölen durch Versuchsmotoren zu verwendendes Bezugs-Treibölmittel mit stets gleichbleibenden Eigenschaften.

Bei den Treibstoffen für Flugzeug- und Automotilmotoren beanspruchen die Klopfneigung und die Mittel zu ihrer Verringerung besondere Aufmerksamkeit, da hierdurch das Verdichtungsverhältnis bedingt wird. Da in Deutschland verhältnismäßig die größten Benzolmengen zur Verfügung stehen, ist hier das Verdichtungsverhältnis höher als in jedem andern Land. Für Flugzeuge allerdings ist einer zu weitgehenden Beimischung von Benzol durch die Gefahr des Einfrierens eine Grenze gezogen.

Auch am Ersatz von Benzin durch andre Kohlenwasserstoffe wird eifrig gearbeitet; hier sind vor allem die schwedischen Versuche beachtlich, in Verbindung mit der ausgedehnten Sulfizellulose-Industrie große Mengen an Alkohol zu gewinnen und als Äthylalkohol für Kraftwagen zu benutzen. Daneben ist aber auch allgemein das Bestreben erkennbar, die eigentlichen Schweröle mehr und mehr als Motorentreibstoffe heranzuziehen, da sie auf lange Zeit hinaus in größerer Menge und zu billigerem Preis zur Verfügung stehen werden als die eigentlichen Benzine. Besonders die schnelllaufenden Schwerölmotoren würden dazu beitragen, einen Ausgleich zwischen den verfügbaren Treibstoffvorräten herbeizuführen, und hier verdienen die deutschen Fortschritte im Bau kleiner, leichter, schnelllaufender Dieselmotoren Erwähnung.

Auf dem Gebiete der Dieselmotoren erschien sonst wenig Neues mit Ausnahme eines ausführlichen russischen Berichtes über die Erfahrungen mit Diesellokomotiven, aus dem hervorgeht, daß auf Grund einer gesamten Fahrtlänge von 85 000 km die Betriebskosten der Diesellokomotive nur 76 vH von denen einer Dampflokomotive betragen.

Kokerei- und Gasindustrie

Es ist ein eigentümliches Zeichen der Zeit, daß es in allen Industrieländern mit eigenen Steinkohlenvorkommen, selbst in den sonst so glücklichen Vereinigten Staaten von Amerika, ein ausgesprochenes Kohlenproblem gibt, das sich in schlechtem Absatz einzelner Sorten, unbefriedigenden Preisen, Arbeitslosigkeit und allgemeinem Niedergang kundtut. Die Ferngaspläne der deutschen Ruhrindustrie als Lösung der Sortenfrage haben deshalb naturgemäß in England den stärksten Widerhall gefunden, und die bisher

in Deutschland gemachten Erfahrungen werden vielfach als Grundlage für ähnliche Pläne herangezogen.

Die englische Regierung hat auf der Konferenz ihre Absicht bekanntgegeben, mittels einer Umfrage die wirtschaftlichen und technischen Möglichkeiten von Koksofen-Ferngasversorgung zu prüfen. Es darf aber nicht übersehen werden, daß die englischen Verhältnisse doch ganz anders geartet sind als die deutschen. Einmal ist die Gasindustrie umfangreicher, während die Kokerzeugung in Eisenwerken geringer ist. Vor allem aber haben die deutschen Ferngaspläne das Ziel, die Einfuhr ausländischer Kohlen für die Gaswerke einzuschränken, während es einen solchen Beweggrund in England natürlich nicht gibt. Nach den englischen Feststellungen würde im Gegensatz zu Deutschland selbst bei ausschließlicher Verwendung von Verbundöfen bei weitem nicht genügend Überschußgas aus den Kokereien für den Bedarf der Städte verfügbar sein.

Schließlich aber stehen der Gasfernversorgung in England so ernste gesetzliche Hindernisse in Gestalt von Privilegien und Monopolen entgegen, daß ohne eine vollständige Neuordnung an eine Gasfernversorgung überhaupt nicht zu denken ist. In Amerika dagegen gewinnt das Überschußgas der Kokereien steigende Bedeutung für die Gasversorgung der Städte; 1926 wurden bereits 2,5 Milliarden m³ Überschußkoksgas an die Städte geliefert.

Ebenso wie bei festen und flüssigen Brennstoffen kam auch bei den Gasen das Bedürfnis nach international vereinbarten Benennungen und Untersuchungsverfahren zum Ausdruck, und die deutschen und österreichischen Vorarbeiten könnten hier als gute Grundlage dienen. Ein weiterer und sehr wichtiger Schritt auf dem Wege, das Verständnis wissenschaftlicher und technischer Arbeiten zu erleichtern, wäre dann die einheitliche Begriffsbestimmung der wichtigsten Verbrennungseigenschaften.

In der eigentlichen Verkokingstechnik scheint dem Mischen verschiedener Kohlenarten, z. T. unter weitgehender Feinmahlung, steigende Wichtigkeit zugewessen zu werden, weil man dadurch die Kokseigenschaften nach Gefallen beeinflussen kann. Hier verdienen auch die japanischen Erfolge Erwähnung, aus einer verhältnismäßig minderwertigen Kohle durch sorgfältige Aufbereitung, Mischung und geeignete Temperaturführung einen brauchbaren Hochofenkoks herzustellen.

Über technische Einzelheiten des Koksofenbetriebes wurde mit Ausnahme des deutschen Berichtes über den Wärmedurchgang durch Koksofenwände wenig Neues gebracht. Allgemein neigt man dazu, durch große Kammern bis zu 24t Beschickung hohe Temperaturen und kurze Durchsatzzeiten den Kapitaldienst zu verringern und gleichzeitig die Güte des Kokes zu verbessern. In der Kokskühlung nimmt die von Amerika kommende Fernlöschung mit Wasser steigenden Umfang an. Bei allen Naßlöschverfahren wird vom Verbraucher weniger Wert auf die Höhe als auf die Gleichförmigkeit des Wassergehaltes gelegt. Die Trockenkühlung verdient weiter Beachtung, ist aber wegen ihrer hohen Anlagekosten auf hinreichenden Erlös aus dem Abtizedampf und höheres Ausbringen an verkaufsfähigem Stückkoks angewiesen.

Überall wird die Erfahrung bestätigt, daß für gesiebten und klassierten Koks bessere Preise zu erreichen sind; denn die Bemühungen, Koks als rauchlosen Brennstoff für Hausbrandzwecke einzuführen, haben in den meisten Ländern, selbst im Wettbewerb mit Anthrazit, guten Erfolg. Alles in allem gewann man den Eindruck, daß die Entwicklung der Gasindustrie und der Gasabsatz in allen Ländern lebhaft steigen, daß aber überall, wo es eine Eisenindustrie mit eigenen Kokereien gibt, die Auseinandersetzung oder Zusammenarbeit zwischen Gas- und Kokswerken unvermeidlich ist.

Die restlose Kohlenvergasung in Generatoren, sei es zu Luft-, Wasser- oder zu Mischgas, fehlte mit Ausnahme eines französischen Berichtes über Abstichgeneratoren merkwürdigerweise völlig. Dagegen lagen zwei wertvolle Arbeiten über Holzvergasung für metallurgische Zwecke in den Kolonien vor. Sauggasmotoren als Ersatz für Benzinmotoren in Kraftfahrzeugen sind nach einem französischen Bericht technisch sehr vereinfacht worden, aber infolge des höheren Gewichtes der gesamten Kraftanlage ist die Trag-

fähigkeit solcher Wagen geringer. Der Brennstoffpreis darf nicht mehr als 40 vH des Benzinpreises betragen, wenn das Sauggas hier wirtschaftlich wettbewerbfähig sein soll.

Besonders groß ist in England das Interesse für die Schwelung, die dort von vielen Seiten als Lösung der Kohlenfrage angesehen wird. Es war bezeichnend, daß Sir Robert Horne in seiner Rede zur Eröffnung der Konferenz diesen Standpunkt teilte und die Kupplung zwischen Schwelung und Elektrizitätserzeugung als das erstrebenswerte Ziel der Kohlenverwertung hinstellte; er nahm hierbei Bezug auf den deutschen Bericht, der die Wege der deutschen Braunkohlenindustrie und die bereits in den Schwelkraftwerken verkörperten Gedanken dieser Entwicklung schilderte.

Die Fachgruppe Schwelung hatte infolgedessen auch die große Zahl englischer Schwelofenkonstrukteure auf den Plan gerufen, und die Redezeit mußte schließlich auf 5 min verkürzt werden. Nach der augenblicklichen Lage ist für Braunkohlen mit hinreichendem Teergehalt, etwa 7 vH der Rohkohle und mit 50 vH Wasser die Wirtschaftlichkeit der Schwelung unbestritten, nicht nur in Deutschland, sondern auch in anderen Ländern, wie erfolgreiche Versuche in Kanada, Rumänien usw. zeigen.

In der Steinkohlenschwelung dagegen bricht sich immer mehr die Erkenntnis Bahn, daß nicht der Teer die Hauptsache ist, daß vielmehr — von der Verarbeitung kannelartiger Kohlen abgesehen — eine Wirtschaftlichkeit nur da erreicht werden kann, wo ein stückiger Halbkoks erzeugt wird, der als rauchloser Hausbrandbrennstoff höhere Preise als die Ausgangskohle erzielt. Diese Aussichten sind am günstigsten, wo der Halbkoks als Anthrazitersatz in Frage kommt. In England ist für diesen Zweck eine ganze Anzahl von Schwelanlagen im Betrieb und neue werden gebaut; der englische Bericht aber enthält sich eines abschließenden Urteils über die Wirtschaftlichkeit der Steinkohlenschwelung, weil erst in einigen Jahren die regelmäßigen Erhaltungskosten der Öfen feststellbar sein werden. Guten wirtschaftlichen Erfolg hat ein französisches Verfahren, das vollständig auf den Anthrazitersatz eingestellt ist, und bei dem die Kohle, mit Pech brikkettiert, verschwelt wird.

Über die Weiterverarbeitung der Schwelteere und über die Verflüssigung der Kohle lagen keine Berichte vor.

Einzelgebiete der Brennstoffverwendung

Leider war keine Fachgruppe vorhanden, in der theoretische und wissenschaftliche Arbeiten über die Verbrennung und die Wärmeübertragung abgehandelt werden sollten. Drei sehr schöne Arbeiten über den Verbrennungsvorgang, über Flammenstrahlung und über die Gasströmung in Öfen wurden in andere Fachgruppen eingereiht, mit denen sie innerlich nichts zu tun hatten, und gingen so völlig verloren.

Mehr beachtet wurde der tschechoslowakische Bericht über Eigenschaften von Hochdruckdampf. Denn die dauernde Druckerhöhung der Kraftwerke macht die Erweiterung der Dampfzylinder nötig, und nach Abschluß der Arbeiten in den einzelnen Ländern ist ein Vergleich der Methoden und Ergebnisse mit dem Ziel international anerkannter Dampfzylinder anzustreben³⁾. In den Vereinigten Staaten wurden in den letzten acht Jahren 100 000 \$ für Forschungen an hochgespanntem Dampf ausgegeben.

Auf dem Gebiet industrieller Öfen scheint es vor allem nötig, eine richtige und allgemein anerkannte Begriffsbestimmung für den Ofenwirkungsgrad zu schaffen, wie es schon lange mit dem thermischen Wirkungsgrad der Kraftmaschinen geschehen ist. Ohne diese Grundlage ist ein Vergleich der internationalen Arbeiten nicht möglich, da, wie die Berichte zeigen, fast jeder Verfasser seine eigene Definition benutzt.

Bei Verwendung fester Brennstoffe haben sich selbsttätige Roste für unterbrochen arbeitende Öfen als zu teuer erwiesen. Gute Erfolge wurden in England mit Luftvorwärmung erzielt, und besonders zu erwähnen ist, daß die hierzu dienenden Stahlrohr-Rekuperatoren als Ersatz für gemauerte sich bis zu Eintrittstemperaturen der Abgase von 1100° bewährt haben sollen. Bei Luftvorwärmung

³⁾ Vergl. Knoblauch: Die spezifische Wärme des überhitzten Wasserdampfes, Z. Bd. 72 (1928) S. 1733.

über 300° werden allerdings die Schlackenschwierigkeiten auf dem Rost zu groß. Die Verwendung von Kohlenstaub für die Öfen der Eisen- und Kupferindustrie nimmt in Amerika weiter zu; Berichte aus andern Ländern hierüber fehlen. Flüssige Brennstoffe bleiben wegen ihres hohen Preises trotz ihrer unbestrittenen Vorteile auf die Ursprungsgegenden und besondere Verfahren beschränkt.

Das weitaus wichtigste Gebiet industrieller Gasverwendung ist das Eisenhüttenwesen, und hier ist der deutsche Bericht grundlegend. Danach wird in Deutschland nunmehr der Turbine, die den Dampf aus Kesseln mit Gichtgasfeuerung erhält, der Vorzug vor der Gasmaschine gegeben, während große amerikanische Werke noch in der Verbindung beider Arten von Kraftmaschinen die beste Lösung sehen. Die Koksöfen werden mit gereinigtem Gichtgas von gleichbleibendem Druck beheizt, wodurch das Koksgas für die Stahlwerköfen frei wird. Siemens-Martin-Öfen können dann mit einem vorgewärmten Gemisch von Koks- und Gichtgas befeuert werden.

Die wichtigste Vorbedingung einer solchen Kupplung ist allerdings der Ausgleich von Gasanfall und Gasverbrauch. Ein französischer Bericht, der die gleichen Wege weist, berechnet, daß bei einer derartigen Kupplung von Hochöfen, Koksöfen und Martinöfen 1,75 t Steinkohle mit 26 vH flüchtigen Bestandteilen für die Erzeugung von 1 t Fertigguß nicht nur ausreichen, sondern noch 257 kWh Überschußenergie neben 25 kg Ammoniumsulfat, 10 kg Benzol, 50 kg Teer und 120 kg Feinkoks liefern, nachdem der ganze Kraft- und Wärmebedarf des gemischten Werkes gedeckt ist.

Von allgemeinen Angaben über die Gasverwendung industrieller Werke sei nur noch erwähnt, daß nach dem Bericht der amerikanischen Gas-Association in den Vereinigten Staaten der Verbrauch an Industriegas in den letzten acht Jahren um 93 vH gestiegen ist. Im übrigen beschränken sich die Berichte auf herausgegriffene Gebiete, aus denen allgemeine Schlüsse auf bestimmte Entwicklungslinien nicht gezogen werden können.

Nur aus den Berichten über Zementherstellung geht hervor, daß der Welt-Zementverbrauch etwa 59 Mill. t jährlich beträgt, wofür 24 Mill. t Brennstoff verfeuert werden; davon könnten allerdings noch etwa 20 vH gespart werden. Das wirksamste Mittel hierfür ist, Abhitze-kessel an die Drehöfen anzuschließen. So sind z. B. in Japan bei 18 von 30 Zementwerken im ganzen Maschinen von 54 000 kW für Betrieb mit Abhitzedampf vorhanden, womit jährlich 500 000 t Kohlen erspart wurden.

Die elektrische Beheizung industrieller Öfen macht ständige Fortschritte. Vor allem sind es die Nieder- und Mitteltemperaturprozesse bis zu etwa 600°, bei denen die Vorteile der Regelbarkeit, Sauberkeit und des besseren Wärmehaushalts die Nachteile der höheren Wärmekosten überwiegen. Auch bedeutet die Abgabe großer Nachtstrommengen eine wesentliche Hilfe für schwachbelastete Kraftwerke und ermöglicht ihnen eine billige Preisstellung. In den Vereinigten Staaten versorgen Maschinen von rd. 2 Mill. kW, entsprechend 10 vH der Gesamtzahl, industrielle Heizungen, und die großen Elektrizitätsgesellschaften setzen alles daran, diese Abgabe zum Nutzen ihrer Belastungslinien zu erhöhen, besonders, da eine 1926 aufgestellte Statistik die Möglichkeit gezeigt hat, 47 Mill. kW für Heizungszwecke abzugeben.

Eine der Gruppen, die am besten mit Berichten beschickt wurde, war die der Haushaltheizung; die Schlußfolgerungen des Konferenzberichtes seien nachstehend mitgeteilt:

„Die Zentralheizung nimmt immer mehr zu. Am meisten werden hierbei feste Brennstoffe verfeuert, aber auch Öl, Gas und selbst Elektrizität finden steigende Verwendung. Gas- und in zweiter Linie elektrische Öfen ersetzen die offenen Kaminfeuer und die nur zeitweise geheizten Öfen und werden in ausgedehntem Maß in Verbindung mit Zentralheizung benutzt. Die Öfen für feste Brennstoffe sind sehr verbessert worden, und Kohle wird durch Koks ersetzt. In der Küche nimmt der Gasverbrauch sehr stark zu, weniger der Stromverbrauch. Das ist besonders in Städten der Fall, wo in absehbarer Zeit

kein fester Brennstoff mehr zu Kochzwecken verwendet werden wird. Ebenso nimmt die Gasverwendung für die Warmwasserheizung zu, besonders da, wo unterbrochener Bedarf vorliegt oder Selbstregelung von Wichtigkeit ist. Sehr oft werden auch selbständige, mit Koks geheizte Warmwasserkessel neben Kochgas benutzt. Elektrische Warmwasserbereitung wird meistens da empfohlen, wo Strom zu herabgesetztem Tarif aus Schwachlasten der Kraftwerke beziehbar ist.“

Die Schlüsse dürften für Deutschland höchstens in den ausgesprochenen Steinkohlenbezirken zutreffen; dagegen beweist die ständige Zunahme der Braunkohlenbriketts als Haushaltskohle, daß von einem Rückgang fester Brennstoffe in ihrem Wirkungsbereich keine Rede ist.

Wärmewirtschaft

Obwohl der größte Teil der Berichte neben der technischen auch die wirtschaftliche Seite stark hervorhebt, behandeln doch einige die vorwiegend organisatorischen Maßnahmen und allgemeinen Richtlinien zur Hebung der Brennstoffwirtschaft. In der Verwertung von Abhitze, für die die Bezeichnung Überschußwärme empfohlen wird, nimmt die Dampferzeugung in allen Fällen, wo Dampfbedarf vorliegt, ständig zu, wobei für niedrige Gastemperaturen der Rauchrohrkessel das Feld beherrscht. Die Vorwärmung der Verbrennungsluft in Rekuperatoren scheint vielfach zugunsten der Dampferzeugung verlassen zu werden. Es sind riesige Energiemengen, die heute durch Abhitzedampf erzeugt werden, und besonders die Eisenindustrie ist hierbei führend gewesen.

Wohl in allen Industrieländern haben sich Organisationen zur Überwachung und Verbesserung der Brennstoffwirtschaft gebildet. Teils sind sie Einrichtungen einzelner Industrie- oder Betriebszweige, wie z. B. der deutsche Bericht über die Brennstoffwirtschaft der Reichsbahn zeigt, teils sind sie auch allgemeiner Art, und ihr Aufgabenkreis umfaßt mehr grundsätzliche Brennstofffragen.

In der Entwicklung sind daher zu unterscheiden Organisationen zur Betriebsüberwachung (z. B. Dampfkessel-Überwachungsvereine oder Wärmewirtschaftsstellen der einzelnen Industrien), Forschung, Ausbildung und schließlich Aufklärung der Verbraucher. Sehr oft ist auch die Bearbeitung aller dieser Aufgaben in einer einzigen Stelle zusammengefaßt. Ausführliche Berichte darüber liegen nur von Deutschland und England vor, und sie zeigen, daß diese Entwicklung in Deutschland ohne jede geldliche Staatshilfe, in England dagegen unter starker Inanspruchnahme staatlicher Mittel vor sich gegangen ist.

Trotz der niedrigeren Kohlenpreise werden die wärmewirtschaftlichen Bestrebungen fortgesetzt, da man erkannt hat, daß eine sorgfältige Brennstoffwirtschaft, selbst in Fällen, wo der Anteil der Kohlenkosten gering ist, gewöhnlich auch mit einer Verbesserung der anderen Arbeitsverrichtungen verbunden ist. Einmal — einerlei auf welchem Gebiet — gewecktes wirtschaftliches Empfinden greift eben auf die ganze Erzeugung über. Über die zweckmäßigste Ausbildung der Wärmeingenieure gingen die Ansichten allerdings stark auseinander.

Zusammenfassung

Blickt man auf die Brennstofftagung der Weltkraftkonferenz zurück, so ist wohl der stärkste Eindruck der des Weltkohlenproblems. Auf der Erzeugerseite überreichliche, zum Teil noch aus dem Krieg herrührende Erzeugungsmittel, auf der Verbraucherseite das Bestreben, den Brennstoffverbrauch mit allen Mitteln, oft sogar mit unwirtschaftlich hohen Kapitalkosten, einzuschränken. Einen Ausgleich dieser Gegensätze durch die persönliche Fühlungnahme der Fachleute aller Völker anzubahnen, dürfte neben der technischen Ausbeute der wichtigste Erfolg der Konferenz gewesen sein, und diese Fühlungnahme wurde begünstigt durch die nicht zu überbietende Gastlichkeit der englischen Regierung und der englischen Veranstalter. Blickt man vorwärts, so erkennt man die Notwendigkeit, für die 1930 in Berlin stattfindende Weltkraftkonferenz möglichst bald ein Rahmenwerk zu schaffen, in dem die Berichte und Aussprachen aller Völker ein umfassendes und übersichtliches Bild ergeben. [B 2290]

Die Stahlbauweise im Maschinenbau

Von Dr.-Ing. CARL KRUG, Frankfurt a. M.

Infolge der Entwicklung der neueren Schweißtechnik ist ein Wechsel der Baustoffe im Maschinenbau und insonderheit im Werkzeugmaschinenbau möglich geworden: Beziehung zwischen Werkstoffeigenschaften — Größe der zu erwartenden Ersparnisse beim Übergang zur Stahlbauweise — Neue Aufgaben hinsichtlich äußerer Gestaltung und inneren Aufbaues — Vorteile der neuen Bauweise.

Die Fortschritte der neueren Schweißtechnik ermöglichen es, von dem bisher fast allgemein für die Maschinenkörper verwendeten Gußeisen abzugehen und die Maschinen aus Stahl in der Form von gewalzten oder gezogenen Blechen, Trägern, Stäben und Rohren zusammenzubauen. Das bedeutet eine Entwicklung im Werkzeugmaschinenbau und in großen Zweigen des allgemeinen Maschinenbaues, die vielfach eine Umwälzung bedeuten wird¹⁾. Deshalb sollen nachstehende Ausführungen auf die Grundzüge und die zu erwartenden Ergebnisse dieser Entwicklung aufmerksam machen.

Einflüsse der Werkstoffeigenschaften

Wir betrachten einen beliebigen Bauteil, ein beliebiges Bauglied einer Werkzeugmaschine.

Es sei:

- P die vom Werkzeug ausgeübte Kraft in kg,
- f die Federung des Maschinengliedes in Richtung von P in cm,
- l die freie Länge des Maschinengliedes in cm,
- q seine Querschnittsfläche in cm²,
- V der Werkstoffaufwand für das Maschinenglied in cm³,
- α die Dehnungszahl des Werkstoffes in cm²/kg,
- E das Elastizitätsmaß (der Elastizitätsmodul) des Werkstoffes in kg/cm²,
- λ die Dehnung unter der Wirkung von P in cm,
- σ die Zugspannung in kg/cm².

Es ist $P = q \sigma$:

durch beiderseitige Erweiterung mit $\frac{l}{\lambda}$ und Einsetzen von $q l = V$ und $\frac{\lambda}{l} = \alpha \sigma$ ergibt sich

$$V = l^2 \alpha \frac{P}{\lambda}$$

Ersetzen wir im elastischen Gebiete die Dehnung λ durch die Federung f , so wird

$$V = l^2 \alpha \frac{P}{f} \quad (1);$$

hieraus ergibt sich

$$\frac{V_1}{V_2} = \frac{\alpha_1}{\alpha_2} = \frac{E_2}{E_1} \quad (2),$$

wenn die Freilänge l und die Starrheit $\frac{P}{f}$ gleich bleiben sollen²⁾.

Wir erhalten somit die wichtige Lehre, daß bei gleichem Starrheitsgrad die Werkstoffaufwände sich verhalten wie die Dehnungszahlen oder umgekehrt wie das Elastizitätsmaß (Elastizitätsmodul) des Werkstoffes. Im Schrifttum finden sich hierüber z. T. irriige Angaben.

Die obigen Betrachtungen gelten für reinen Zug und sinngemäß auch für Druck. Im Maschinenbau kommt diese Beanspruchungsart jedoch selten rein vor. Zur Erweiterung auf den Fall der Biegung beziehen wir uns auf die in meinem Aufsatz „Zum Begriff „Starrheit“ bei Werkzeugmaschinen“²⁾ enthaltenen Ergebnisse.

Es bezeichne weiterhin:

- J_b das Trägheitsmoment in cm⁴,
- b die Querschnittsbreite oder Wanddicke in cm,

n den Gedrungenheitsgrad des betrachteten Maschinengliedes, d. h. das Verhältnis von Querschnittshöhe zu Freilänge,

κ, C und $C' = \frac{1}{C}$ Beiwerte.

Aus Gl. (14) des genannten Aufsatzes,

$$\frac{P}{f} = \kappa \frac{n^2}{l^2} V$$

folgt, wenn aus der zugehörigen Gl. (10)

$$f = \frac{C' \alpha V \sigma^2}{P}$$

eingesetzt wird,

$$V^2 = \frac{P^2 l^2}{C' \kappa \alpha n^2 \sigma^2}.$$

Für den Übergang vom Werkstoff mit der Dehnungszahl α_1 (Elastizitätsmaß E_1) zum Werkstoff mit der Dehnungszahl α_2 (Elastizitätsmaß E_2) ergibt sich dann

$$\frac{V_1}{V_2} = \sqrt{\frac{\alpha_2}{\alpha_1}} = \sqrt{\frac{E_1}{E_2}} \quad (3)$$

wenn P, l, n, C', κ und σ gleich bleiben, d. h. wenn Belastung, Freilänge, Gedrungenheitsgrad, Einspannbedingungen, Verteilung der Spannungen über den Querschnitt die Querschnittform und die Stoffanstrengung gleich bleiben sollen. In diesem Falle verhalten sich also die Werkstoffaufwendungen umgekehrt verhältnismäßig den Quadratwurzeln aus den Dehnungswurzeln oder verhältnismäßig den Quadratwurzeln aus den Elastizitätsmaßen (Elastizitätsmoduln) des Werkstoffes. Daraus folgt, daß man den kleinsten Werkstoffaufwand mit dem Werkstoff der größten Dehnungszahl, also dem nachgiebigsten Werkstoff erzielt. Der Anschauung widerspricht dies. Man schreibt den steifsten Werkstoff den kleinsten Aufwand zu. In der Tat wird aber das obige Ergebnis durch die Forderung verursacht, daß beide Male die Werkstoffanstrengung dieselbe sein soll. Es ist aber gerade das Wesen des festeren Stoffes, daß man ihm eine höhere Beanspruchung zumuten kann. Wir lassen also die Forderung gleicher Stoffanstrengung fallen und stellen die Forderung auf, daß die Dehnung der äußersten Faser gleich bleiben soll.

Setzen wir $\alpha \sigma^2 = \frac{\alpha^2 \sigma^2}{\alpha}$ und führen die Dehnung der

Längeneinheit $\varepsilon = \frac{\lambda}{l} = \alpha \sigma$ ein, so erhalten wir

$$V = \frac{C \alpha P f}{\varepsilon^2} \quad (4)$$

Es sollen nun Belastung, Durchbiegung, Einspannung, Spannungsverteilung, Querschnittform und Dehnung der äußersten Faser gleich bleiben. Damit erhalten wir für verschiedene Werkstoffe

$$\frac{V_1}{V_2} = \frac{\alpha_1}{\alpha_2} = \frac{E_2}{E_1},$$

da im Zähler und Nenner die gleichbleibenden Größen C, P, f, ε einander aufheben; d. h. die Werkstoffaufwendungen verhalten sich jetzt wie die Dehnungszahlen oder umgekehrt wie die Elastizitätsmassen (Elastizitätsmoduln) der Werkstoffe, dasselbe Ergebnis wie Gl. (2) bei reinem Zug.

Es ist bekanntlich

$$\nu^2 \approx \frac{1}{f},$$

wenn ν die Eigenschwingungszahl des Maschinengliedes ist. Dann wird unter den gleichen Voraussetzungen wie bei Gl. (4)

$$\frac{V_1}{V_2} = \frac{\alpha_1}{\alpha_2} \quad \text{und} \quad V_2 = \frac{\alpha_2}{\alpha_1} V_1,$$

also

$$\frac{V_1}{V_2} = \frac{\alpha_1 \nu_2^2}{\alpha_2 \nu_1^2}.$$

¹⁾ Vergl. Hilpert, Einfluß des Schweißens auf die Gestaltung, Z. Bd. 71 (1927) S. 1419, und Lewinnek, Elektrische Maschinen aus geschweißtem Walzeisen, Z. Bd. 71 (1927) S. 1760.

²⁾ Vergl. „Maschinenbau“ Bd. 6 (1927) S. 160.

Da aber für gleiche Freilänge und Starrheit nach Gl. (2) $\frac{V_1}{V_2} = \frac{a_1}{a_2}$ sein soll, so muß $r_1=r_2$ sein. Sind also die Abmessungen so gewählt, daß Gl. (2) erfüllt ist, so haben die Bauteile auch gleiche Eigenschwingungszahlen und gleiche Schwingungsfestigkeit.

Verringert man beim Bau der Maschinen aus Stahl die Wanddicke noch mehr, so muß nach der Gleichung

$$f = \frac{\pi'' P}{b n^3} \dots \dots \dots (5),$$

wenn die Starrheit $\frac{P}{f}$ beibehalten wird, also

$$b n^3 = k = \pi'' \frac{P}{f} \dots \dots \dots (6)$$

sein soll, mit abnehmender Querschnittbreite b der Gedrungenheitsgrad n erhöht werden. Aus Gl. (6) erhalten wir

$$n = k^{\frac{1}{3}} b^{-\frac{1}{3}}$$

und durch Ableitung von n nach b

$$\frac{dn}{db} = \frac{d}{db} k^{\frac{1}{3}} b^{-\frac{1}{3}} = -\frac{k^{\frac{1}{3}}}{3} b^{-\frac{4}{3}}$$

Rechts des Kurvenpunktes b , Abb. 1, dadurch ausgezeichnet, daß $\frac{dn}{db} = 1$ ist, wachsen die Abszissen rascher als die zugehörigen Ordinaten abnehmen; seine Koordinaten sind

$$b = \mp \sqrt[4]{\frac{k}{27}} \quad \text{und} \quad n = \mp \sqrt[4]{3k}.$$

Bei der Auswertung verschwinden die negativen Werte, wenn man die negativen Wurzelwerte wählt. Von dem Punkte

$$b = \sqrt[4]{\frac{k}{27}}, \quad n = \sqrt[4]{3k}$$

ab nach rechts sind somit schon kleine Änderungen des Gedrungenheitsgrades n imstande, größere Änderungen der Querschnittbreite oder Wanddicke b auszugleichen.

Abb. 1 zeigt den Verlauf der Kurve $b n^3 = k$ mit dem Scheitelpunkt, für den $dn = db$ ist.

Werkstoffersparnis

Bezeichnen wir die Kosten für die aufgewendete Werkstoffmenge V_1 mit a_1 und die für die Werkstoffmenge V_2 mit a_2 , so beträgt die Werkstoffersparnis:

$$\mathfrak{E} = \frac{V_1 a_1 - V_2 a_2}{V_1 a_1} \cdot 100 \text{ vH.}$$

Nach Gl. (2) ist $V_2 = V_1 \frac{a_2}{a_1}$. Wenn wir $a_1 = m a_2$ einführen, worin m das Verhältnis des Gußeisenpreises zum Walzstahlpreis bezeichnet, so wird

$$\mathfrak{E} = \left(1 - \frac{a_2}{a_1 m}\right) \cdot 100 \text{ vH.} \dots \dots \dots (7).$$

Wir erhalten beispielsweise für

$$a_1 = \frac{1}{800\,000} \quad \text{und} \quad a_2 = \frac{1}{2\,000\,000},$$

also

$$\frac{a_1}{a_2} = \frac{1}{2,5}$$

die in Abb. 2 dargestellten Ersparnisse.

Die Werkstoffersparnisse sind also recht erheblich, sind aber damit keineswegs erschöpft. Voraussetzung der obigen Beziehungen ist die Bedingung gleicher Starrheit. Nun ist in Wirklichkeit von vornherein der Werkstoffaufwand beim Gußeisen für einen bestimmten Starrheitsgrad in der Regel viel höher, als er an sich zu sein braucht. Lediglich die Rücksicht auf form- und gießtechnische Gründe hat bei der Bemessung der einzelnen Bauglie-

der zu unnötig großen Stoffanhäufungen, insbesondere an den Übergangstellen geführt, ganz abgesehen davon, daß schon die Wandstärken beim Gußeisen aus den sattem bekannten Gründen leider wesentlich höher sind, als den Starrheitsbedingungen entsprechen würde. Beim Übergang zum Walzstahl fallen alle diese Übelstände weg, so daß man nun in der Tat den Werkstoff dort anhäufen kann, wo er am besten ausgenutzt wird. Damit ergeben sich noch weitere erhebliche Ersparnisse.

Aber auch hiermit ist die Kette der Werkstoffersparnisse noch nicht zu Ende. Aus Bearbeitungsrücksichten muß das Gußeisen-Werkstück mit Übermaß angeliefert werden, das durch Zerspanung wieder abzunehmen ist. Auch dieser Mehraufwand fällt zum größten Teil beim Stahl weg.

Einfluß des Werkstoffes auf die Form

Die Abkehr von einem Werkstoff, der seine Formgebung durch ein Gießverfahren erhalten hat, bedeutet natürlich auch eine Abkehr von den diesem Verfahren eigenen Formen. Außerlich werden die geschwungenen Übergänge, Wulste und Rundungen, die durch die Rücksicht auf das Ausheben des Modells bedingte Schräge der Wände, sowie die stark ab- und ausgerundeten Ecken und Winkel verschwinden und geradlinigen, rechteckigen, kantigen und scharfwinkligen Formen Platz machen. Von der konstruktiven Seite aus wird man eine Fülle neuer Bearbeitungsaufgaben lösen müssen, insbesondere hinsichtlich der günstigsten Werkstoffanordnung und der Aufgabe, die bewegten Maschinenteile mit

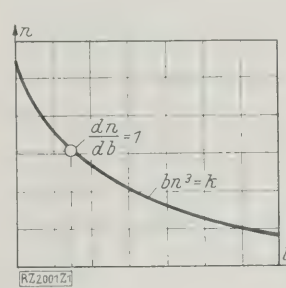


Abb. 1
Beziehungen zwischen Querschnittbreite b und Gedrungenheitsgrad n .

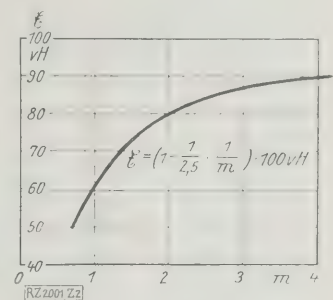


Abb. 2
Werkstoffersparnisse \mathfrak{E} , abhängig von dem Verhältnis m des Gußeisenpreises zum Walzstahlpreis.

ihren Führungs- und Lagerflächen an und in dem Maschinenkörper unterzubringen, sowie hinsichtlich des planmäßigen Aufbaues größerer Maschinenkörper möglichst aus Normteilen, ihres Zusammenbaues und ihrer Zerlegung. Das gleiche wird man von dem Fertigungsmann für den Aufbau der Maschine und insbesondere für die Entwicklung der Schweißtechnik für dieses Sondergebiet verlangen müssen.

Vorteile der Stahlbauweise

Unter der Voraussetzung, daß diese Aufgaben gelöst sind, ergibt die Einführung der Stahlbauweise in den Werkzeugmaschinenbau und auch in weite Gebiete des Maschinenbaues die Aussicht auf eine Reihe von Vorteilen, die nachstehend kurz aufgeführt werden mögen:

I. In der Fertigung:

- a) unmittelbare Ersparnis an Kosten für
 1. Werkstoff,
 2. Bearbeitung auf Werkzeugmaschinen,
 3. Beförderung,
 4. Spachteln und Streichen;
- b) mittelbare Ersparnisse durch Wegfall
 5. von Modellen, der Instandhaltung von Modellen und der hohen Feuerversicherungskosten dafür,
 6. von Ausschuß- und Bruchschäden und der Versicherungskosten hierfür,
 7. von Gußlagern, insbesondere bei Gußstücken von Genauigkeitsmaschinen, die altern sollen,

8. von Stockungen in der Fertigung infolge Ausschußwerdens, Streiks bei den Gießereien und sonstiger Lieferverzögerungen, wogegen der handelsübliche Walzstahl meist unmittelbar vom Lager genommen werden kann,
9. von schweren, sperrigen, häufig schlecht ausgenutzten Werkzeugmaschinen, infolgedessen niedrigere Platz- und Instandhaltungskosten und bessere Ausnutzung der Fertigungsräume,
10. von schweren Hebezeugen und Fördergeräten,
11. von auswärtigen Arbeiten, wodurch ein größerer Teil der Umsatzsumme in eigene Rechnung kommt und der Unkostenzuschlag durch Erhöhung der Summe von produktiven Löhnen sinkt.

II. Im Verkauf:

1. erhöhte Bruchsicherheit,
2. leichte, billige Maschinen,
3. rasche Fertigstellung besondrer und neuer Bauarten,
4. kein Zuschlag für anteilige Modellkosten,
5. geringe Bruchgefahr bei der Verfrachtung,
6. Frachtvorteile, besonders für die Ausfuhr.

Verpackungsfragen

Etwa 200 Teilnehmer aus allen Wirtschaftskreisen waren der Einladung des Ausschusses für wirtschaftliche Fertigung nach Bremen gefolgt. In der am 27. und 28. Sept. 1928 abgehaltenen Tagung des Ausschusses „Verpackungswesen“¹⁾ des Ausschusses für wirtschaftliche Fertigung fand zunächst eine Vorführung von neuen Verschlüssen und Sicherungen für Verpackungszwecke durch die Herstellerfirmen statt. Es wurden einzelne Verschlüsse für Kartonverpackungen, Klebstreifenverschlüsse, ferner Plomben aller Art, Umschnürungen mit Bindfaden, Draht und Stahlband gezeigt, weiterhin Kistenklammern, Kistensiegel, Verschlussvorrichtungen behandelt und praktisch vorgeführt.

Der Rundgang durch die Lagerschuppen zeigte, daß sich gegenüber den Vorjahren schon manches auf dem Gebiete des Verpackungswesens gebessert hat, daß andererseits aber auch noch manche Ersparnisse möglich sind. Man sah Kisten, bei denen noch zu dickes und zu frisches Holz verwendet war. Auch die Vernagelung der Kisten und Verschlüsse läßt noch viel zu wünschen übrig. Die Nägel sitzen zum Teil zu eng, so daß die Spaltungen im Holz von einem Nagel bis zum andern reichen, zum Teil werden auch zu viel und zu große Nägel eingeschlagen.

Hinsichtlich der Umschnürungen wurde festgestellt, daß noch an vielen Kisten Bänder um die Kanten genagelt war und dieses, durch Stechkarren und das Schleifen der Kiste über den Erdboden gelockert, zum Teil gerissen war. Zum Teil beobachtet man bei ganz großen Kisten mit schwerem Inhalt noch Drahtumschnürungen, die über diese große Fläche gespannt, für das schwere Gewicht keine wirkungsvolle Festigung bedeuten können. Es ist vielfach noch nicht bekannt, daß Metallband, richtig und zweckmäßig angebracht, außer Ersparnissen verschiedener Art auch die Außenleisten ersetzt, die im Überseeverkehr bei der Frachtbemessung nach dem eingenommenen Raum eine bedeutende Mehrfracht bewirken. Man sah Verschlüsse falscher Konstruktion mit falscher Ausnutzung des Raumes. Besonders interessant war für die Teilnehmer eine Zusammenstellung aller im Hafenumschlag verwendeten Hilfsmittel zur leichteren Bewegung der verschiedenartigen Stückgüter, z. B. Ketten, kleine Karren, Schlingen, Elektrokarren u. dergl.

Bei dieser Besichtigung hatten die Teilnehmer die Freude, Zeuge der Umladung des Junkers-Flugzeuges „Bremen“ zu sein, das gerade auf dem Lloydampfer „Krefeld“ angekommen war.

Der zweite Tag diente den sachlichen Beratungen. Dipl.-Ing. Setzermann berichtete zunächst über

Aufgaben und Ziele auf dem Gebiete der Verpackung.

Als Aufgaben, die einer besonderen Bearbeitung unterzogen werden sollen, wurde die Aufstellung von internationalen Merkzeichen für Verpackungsgüter und die Bearbeitung von Berichten über Schäden an Überseegeütern genannt. Die Schäden der Versandgüter in Übersee sind zum größten Teil darauf zurückzuführen, daß die Hafen- und Transport-

Besondere Kosten der Walzstahl-Bauweise

Dem stehen gegenüber die besondern Kosten für den Bau aus Walzstahl:

1. für das Schneiden, Zusammenpassen und Schweißen
2. für die neuen Einrichtungen dafür,
3. für die Versuche und das Versuchsfeld, also das Lehrgeld für eine neue Technik,
4. für die Ein- und Umschulung von Meistern, Vorarbeitern und Arbeitern.

Der geistige Aufwand für die Schaffung neuer Bauformen und Bauteile und für die Lösung der neuen Fertigungsaufgaben, um die Stahlbauweise im Werkzeugmaschinenbau und in den geeigneten Gebieten des Maschinenbaues anzuwenden, wird somit einen erheblichen technischen Fortschritt und eine überaus wichtige, wirtschaftliche Auswirkung erzielen. [B 2001]

arbeiter die Markierungen in den verschiedenen Sprachen nicht lesen können. Hier sollen Symbole verwandt werden, die sinfälliger einfach und klar auch Analphabeten die entsprechende Behandlung des Gutes kenntlich machen. Symbole z. B. für „zerbrechlich“, „nicht kanten“, „Gift“, „vorsichtig öffnen“, für die Schwerpunktbezeichnung usw. wirken auffälliger als alle Aufschriften.

Auch die Bearbeitung einzelner Verpackungstoffe hinsichtlich ihrer Verwendung für Verpackungszwecke, z. B. von Papier und Pappe, Blech usw., wurde als neue Aufgabe benannt. In Zusammenarbeit mit der Reichsbahn und den Wirtschaftsverbänden sollen die Verhandlungen über mangelhafte Verpackung in die Wege geleitet werden.

Dipl.-Ing. Fischer, Berlin, erläuterte in seinem Vortrag

Erfahrungen mit neuen Verpackungsmethoden

die Möglichkeiten von Ersparnissen durch wohlüberlegte Ausnutzung der zweckmäßigsten zur Verfügung stehenden Packmittel. An der Hand zahlreicher Abbildungen wurde beschrieben, wie Holzkisten durch Pappbehälter ersetzt und hierdurch beträchtliche Ersparnisse an Gewicht und Fracht erzielt worden sind. Für zerbrechliche Gegenstände hat sich ein neues Packmittel, der Pappenguß, ein bedeutendes Anwendungsfeld dadurch gesichert, daß die äußere Formgebung sich ganz dem Inhalt anpassen läßt und durch geeignete federnde Rippen und Versteifungen den Gegenständen ein fester und zugleich elastischer Halt gegeben werden kann. Bei vielen Gegenständen sind Holzkisten durch Verschlüsse ersetzt worden. Einige Fälle wurden erwähnt, bei denen Verbesserungen an der Verpackung vorgenommen wurden, die zwar eine Verteuerung bringen, letzten Endes aber eine erhöhte Sicherheit und Beseitigung der Bruchgefahr bedeuten. So ist z. B. die neue Verpackung für den Projektor einer Kinomaschine um 6,5 vH schwerer und 35 vH teurer, durch den Fortfall von Beschädigungen aber wirtschaftlicher. Ganz besonders empfindliche Teile, wie z. B. Quecksilber-Dampfgleichrichter, werden in federnden Drahtgurten gelagert. Besonders große und schwere Verpackungen werden immer mehr zu ausgesprochenen Konstruktionen.

Der Vortrag von Dir. Kettler war dem

Einfluß der Tropen auf die seemäßige Verpackung

gewidmet. Da die Waren in tropischen Ländern zum Teil noch auf offener Reede abgenommen werden müssen, ist es wichtig, die Verpackungen diesen Umständen anzupassen. Die Art des Schutzes gegen den Einfluß der Tropen richtet sich natürlich auch nach der Art des verpackten Gutes. Auch ist zu berücksichtigen, daß nicht nur das Umladen selbst, sondern auch eine Weiterbeförderung auf Flüssen, Seen und mit Lasttieren in Übersee notwendig ist. Gegen Feuchtigkeit sollten besonders empfindliche Gegenstände, z. B. Zigarren, für die Tropen stets in Zink eingelötet und dann in Kisten verpackt werden. Bei andern Waren, z. B. Maschinen, hat sich das Ausschlagen der Kiste mit Ölpapier und das Einfetten der blanken Teile als ebensoguter Schutz wie die teuren Zinkkisten erwiesen.

Die weiteren Beratungen des Ausschusses Verpackungswesen galten dem organisatorischen Aufbau des Ausschusses.

Berlin

[N 2107]

Dr.-Ing. Weicken

¹⁾ Die Vorträge und ein eingehender Bericht über sämtliche Vorführungen sind als Sonderheft der Zeitschrift „Die Verpackung“ erschienen.

Elektrizitätszähler und Tarif-Meßeinrichtungen

Von Dipl.-Ing. F. FERRARI, Berlin

Der grundsätzliche Aufbau und die Wirkungsweise der normalen Zähler sind unverändert beibehalten worden. Der Fortschritt der letzten Jahre liegt in der baulichen und meßtechnischen Vervollkommenung. Sehr umfangreich ist die Entwicklungsarbeit auf dem Gebiet der Tarifapparate. In Anlehnung an die gebräuchlichen Tarifarten werden die von der Allgemeinen Electricitäts-Gesellschaft, Berlin, hergestellten hauptsächlichlichen Formen der Meßeinrichtungen behandelt.

Die Entwicklung der Elektrizitätszähler in den letzten Jahren¹⁾ ist dadurch gekennzeichnet, daß die seit vielen Jahren schon eingebürgerten Bauarten konstruktiv vervollkommenet worden sind. Infolge der Fortschritte in der Fertigungstechnik und mit Hilfe der Forschungen konnte man die Abmessungen verkleinern, die Werkstoffe höher ausnutzen und die Meßgenauigkeit weiter verbessern.

Als Gleichstromzähler haben sich die Magnetmotorzähler erhalten, bei denen die stromdurchflossene, im Nebenschluß geschaltete Wicklung auf einer Aluminiumtrommel oder in einer Aluminiumscheibe untergebracht ist. Auch die dynamometrischen Zähler mit umlaufenden Ankern sind in den letzten Jahren nicht wesentlich geändert worden, ebenso wenig wie die dynamometrischen Gleichstromzähler mit schwingenden Ankern.

Hochstromzähler für Gleichstrom

Einen beachtenswerten Fortschritt auf dem Gebiete der Hochstromzähler für Gleichstrom stellt der stromspulenlose Zähler mit schwingendem Anker dar, Abb. 1. Mit Rücksicht darauf, daß die Stromspulen der Gleichstromzähler für mehr als 200 A ungünstig groß wurden, schloß man meist Zähler für etwa 30 bis 50 A an Nebengewiderstände, die in die Hauptleitungen eingeschaltet wurden, an. Diese Nebengewiderstände brauchten bei Stromstärken von einigen tausend Ampere, die in chemischen und Bahnbetrieben nicht selten sind, nicht nur viel Werkstoff und Platz, sie waren auch verlustbringende Stromverbraucher. Die magnetischen Felder der hohen Gleichströme beeinflussten die Meßgenauigkeit ungünstig, wenn die Zähler nicht angemessen weit entfernt von den Hauptstromleitungen hingen. Bei langen Leitungen hinwieder machte sich u. U. auch der Einfluß des Temperaturbeiwertes geltend; Verbindungsleitungen mit kleinem Temperaturbeiwert hätten hohen Spannungsabfall in den Nebengewiderständen und höhere Meßverluste zur Folge gehabt. Der neue Hochstromzähler für Gleichstrom braucht weder Nebengewiderstände oder Leitungen, noch große eigene Stromspulen. Er besteht lediglich aus einer

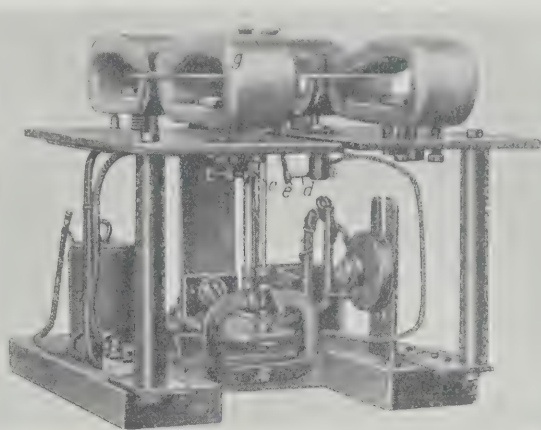


Abb. 1. Stromspulenloser AEG-Hochstromzähler mit schwingendem Anker für Gleichstrom.

- | | |
|------------------------------|-----------------------------|
| a schwingende Spule | e Kontaktfahne an der Achse |
| b unteres Lager | f der schwingenden Spule |
| c, d nachstellbare Anschlag- | g Bremsmagnet |
| kontaktstifte | |

an die Spannung gelegten Spule, die, durch ein Umschaltrelais gesteuert, unter dem Einfluß des Feldes des Sammelschienensstromes hin und her schwingt. Die Schwingungszahl ist dem Sammelschienensstrom verhältnismäßig, so daß der Verbrauch des Stromkreises durch die Anzahl der Schwingungen bestimmt wird. Von dem Zähler auf der Sammelschiene führt eine vieradrige Kontaktleitung geringen Querschnitts zu einem Fernzählwerk auf einer Schalttafel oder in einem Bureauaum, das die bei jedem Richtungswechsel des Ankers gegebenen Stromstöße aufzeichnet. Bei entsprechender Übersetzung kann man unmittelbar die Kilowattstunden ablesen.

Induktionszähler

Bei den Induktionszählern wird das dynamometrische Ferrarisprinzip: in Einphasenstromzählern mit einem Meßwerk, in Drehstrom-Dreileiterzählern mit zwei und in

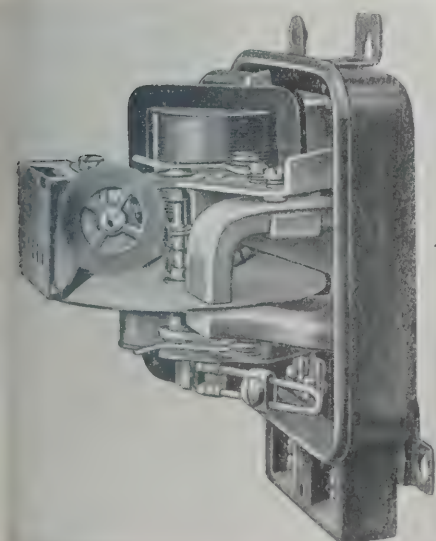
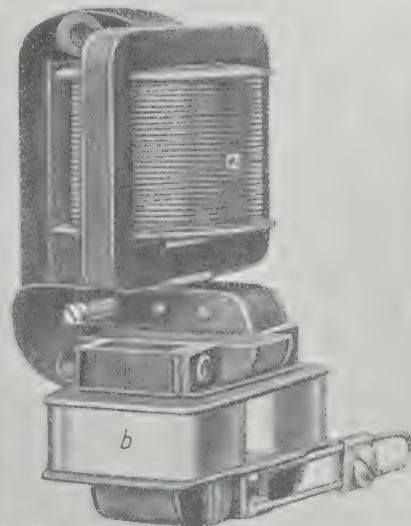


Abb. 2 (links)
Einheits-Wechselstromzähler
der AEG für Kleinabnehmer.

Abb. 3
Magnetsystem des Zählers
Abb. 2. Die Stromspulen haben
hoch überlastbare Bandwick-
lung.

- | |
|------------------|
| a Spannungsspule |
| b Stromspulen |



¹⁾ Vergl. Schmiedel, Die Entwicklung der Elektrizitätszähler nach dem Kriege, Z. Bd. 66 (1922) S. 300.

Drehstrom-Vierleiterzählern mit drei Meßwerken überall angewendet. Der Aufbau aller dieser Zähler wurde nur unwesentlich geändert, in erster Linie strebte man, die Meßgenauigkeit zu erhöhen.

Die meisten elektrischen Anlagen werden heute mit einphasig eingeführtem Drehstrom versorgt. Der Anschlußwert dieser Anlagen nimmt stärker zu. Dies zwang dazu, ganz besonders bei den Einphasen-Wechselstromzählern hohe Meßgenauigkeit über einen sehr großen Bereich zu erstreben; denn in diesen Anlagen muß auch der Verbrauch bei niedriger Belastung genau gezählt werden. Kennzeichen der neuen Einphasen-Wechselstromzähler ist daher eine gegen früher viel flachere Fehlerkurve; Unterschiede sind nur in ihrer Bezeichnung festzustellen. Teils werden die neueren Zähler für 5 A mit verbesserter Fehlerkurve bei Überlastung als Kleinabnehmer-Zähler einheitlich ausgeführt, teils werden Zähler für 10 A Nennstrom bei hochempfindlichem Anlauf als Einheitszähler bezeichnet. Die verlangte Sicherheit gegen ungewöhnliche Überlastungen bedingte Erhöhung der Wärmefestigkeit der Stromspulen, die z. B. als Bandwicklungen Dauerbelastungen von 20 A vertragen, Abb. 2 und 3.

Einfluß der Tarife

Einen sehr großen Einfluß auf die Entwicklung der Zähler üben die zahlreichen verschiedenen Tarife aus, deren Bedeutung immer mehr zugenommen hat. Zu ihrem Verständnis seien die grundlegenden Bedingungen der Tariffbildung kurz gestreift.

Grundlagen der Preisbildung

Die Elektrizität ist nicht ohne größeren Aufwand speicherungsfähig; infolgedessen muß die Leistung der Anlagen für Elektrizitätserzeugung und -verteilung so bemessen werden, daß sie den höchsten überhaupt auftretenden Bedarf decken kann. Ein Blick auf das aus den 365 Tagesbelastungskurven eines Jahres zusammengesetzte Belastungsgebirge eines Elektrizitätswerkes zeigt, daß nur eine ziemlich kleine Leistung dauernd ausgenutzt wird, daß dagegen Belastungsspitzen auftreten, die nur wenige Stunden dauern^{1b)}. In den meisten deutschen Elektrizitätswerken beträgt die Benutzungsdauer der Höchstleistung nur 2000 bis 3000 h im Jahr.

Die Benutzungsdauer des Kraftwerkes kann man durch verschiedene technische Maßnahmen verbessern. Da die höchsten Spitzen verschiedener Kraftwerke sich vielfach zeitlich nicht decken, kann die Kupplung mehrerer Werke bereits zur besseren Ausnutzung der einzelnen Werke führen. Neue Wege sind in den letzten Jahren beschritten worden; sie gehen darauf hinaus, Grundlast und Spitzenlast in der Erzeugung zu trennen. Die Grundlast liefern — im Bau — teure, aber billig arbeitende Werke, für die Spitzenlast werden billigere Einrichtungen vorgesehen, an deren Wirkungsgrad man keine hohen Anforderungen stellt. Der Spitzenstrom ist daher auch noch teuer, zumal die festen Kosten, bezogen auf die erzeugte elektrische Arbeit (kWh), bei der kurzen Benutzungsdauer hoch sind, obwohl die auf die eingebaute Leistung (kW) bezogenen festen Kosten niedrig sind.

Die Verlängerung der Benutzungsdauer bleibt daher auch trotz der technischen Fortschritte auf dem Gebiet der Spitzendeckung die Grundaufgabe der Elektrizitätswirtschaft, und es ist verständlich, daß der wirtschaftliche Stromabsatz immer mehr Beachtung gewinnt. Durch geeignete Strompreise kann man das Verhältnis zwischen Nachfrage und Angebot so gestalten, daß die zur Verfügung stehende Leistung möglichst gleichmäßig in Anspruch genommen wird.

Die Bestrebungen, die Wirtschaftlichkeit durch Regelung des Stromabsatzes zu heben, haben dazu geführt, daß der Einfachtarif immer mehr verschwindet. Da die Erzeugungskosten und die Verteilkosten, die festen Kosten und die beweglichen Kosten, bei den einzelnen Unternehmungen sehr verschieden sind, sowohl in ihrer Höhe als auch in ihrer Zusammensetzung, kann weder die Preislage gleich sein, noch können die Tarife selbst

^{1b)} Vergl. Z. Bd. 71 (1927) S. 528.



Abb. 4
Tragbarer Vergütungszähler.

einheitlich aufgebaut sein. Die Folge davon ist ein scheinbar unentwirrbare Vielgestaltigkeit der Tarife.

Im Zusammenhang damit steht die Vielgestaltigkeit der Zähler für die verschiedenen Tarife; auch sie lassen sich, ebenso wie die Stromtarife, auf wenige Grundbedingungen zurückführen.

Es ist zunächst zu unterscheiden zwischen dem Aufbau der Tarife und ihrer Preislage.

Wertschätzungstarife

Die Preislage ist vielfach durch den Konkurrenzpreis anderer Energieformen bestimmt, bei Großabnehmer auch durch die Selbstkosten bei eigener Erzeugung und allgemein durch den Grad der Wertschätzung des elektrischen Stromes. Die höchste Wertschätzung genießt das elektrische Licht; Kraftstrom dagegen tritt mit Gas- und Ölmaschinen in Wettbewerb. Elektrische Wärme ist nur bei besonders niedrigen Preisen wettbewerbsfähig. Diese Unterschiede der Wertigkeit der Elektrizität werden bei der Strompreisbildung berücksichtigt; damit die Elektrizität recht viel angewendet wird — zur Erhöhung der Werkbenutzungsdauer —, stellt man verschiedene Strompreise für verschiedene Verbrauchszwecke auf.

Vergütungszähler

Bei derartigen Tarifen ergibt sich die Notwendigkeit, zwei oder drei Zähler und getrennte Stromkreise vorzusehen. Naturgemäß sucht man in kleinen Anlagen getrennte Leitungen für Licht und Kraft zu sparen. Dies ist möglich bei der Verwendung sogenannter „Vergütungszähler“, Abb. 4. Diese werden als Zwischenzähler zwischen die Lichtsteckdose und das Verbrauchsgerät, z. B. ein Bügeleisen, geschaltet, das mit billigerem Strom betrieben werden soll. Von dem Rechnungsbetrag nach der Angabe des Hauptzählers wird dann ein Betrag vergütet, der nach den Angaben des Vergütungszählers berechnet wird. Der Vergütungszähler kann bei besonderer Ausbildung der Steckvorrichtung nur für solche Geräte benutzt werden, die passende anomale Stecker haben. Der tragbare Zähler kann an alle Steckdosen angeschlossen werden.

Selbstkostentarife

Von größerem Einfluß auf die Zählerbauarten sind die Tarife, deren Aufbau der Zusammensetzung der Selbstkosten entspricht. Auch bei diesen Tarifen kann die Preislage den Verwendungszwecken angepaßt sein; sie unterscheiden sich von den „Wertschätzungstarifen“ dadurch, daß die Strompreise von der Benutzungsdauer abhängig sind.

Der Aufbau der Tarife ist durch zwei Richtungen gekennzeichnet: die eine Richtung geht darauf hinaus, dem Abnehmer unmittelbar entsprechend der Benutzungsdauer

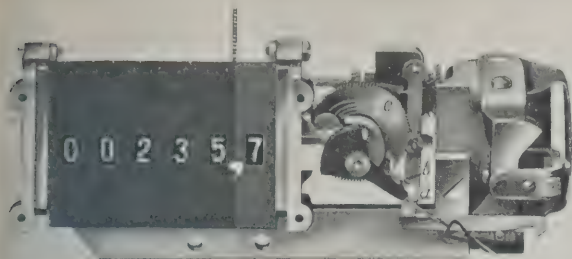


Abb. 5
Meßwerk für Höchstlastanzeiger.

- a Zeiger (die Skala dahinter ist entfernt, damit das Triebwerk sichtbar wird) b Mitnehmer gekuppelt
c Rückdrehfeder

seiner Verbrauchsanlage den Strompreis zu ermäßigen, während die zweite Richtung die Strompreise nach dem im Werk festgestellten Verhältnis von Nachfrage und Angebot in den verschiedenen Jahres- und Tageszeiten regelt.

Zur ersten Richtung gehören:

- der Tarif mit Benutzungsrabatt,
- der Höchstlasttarif,
- der Grundgebührentarif,
- der Pauschentarif,
- der Überverbrauchtarif.

Zur zweiten Richtung gehören:

- die Jahreszeittarife,
- der Doppeltarif,
- der Drei- und Mehrfachtarif,
- der Zeitsondertarif, z. B. Nachtstromtarif.

Tarif mit Benutzungsrabatt

Der Tarif mit Benutzungsrabatt gewährt auf die Stromrechnung einen Nachlaß, dessen Höhe von dem bei dem Abnehmer vorliegenden Verhältnis

$$\frac{\text{verbrauchte Arbeit (kWh)}}{\text{eingebaute Leistung (kW)}}$$

abhängt. Für diesen Tarif genügt ein einfacher Zähler.

Höchstlasttarif

Bei dem Höchstlasttarif (Maximaltarif) richtet sich der Nachlaß auf die Stromrechnung nach dem Verhältnis

$$\frac{\text{verbrauchte Arbeit (kWh)}}{\text{größte beanspruchte Leistung (kW)}}$$

Höchstlastanzeiger

Der Wert der beanspruchten Höchstleistung wird durch besondere mit dem kWh-Zähler vereinigte Höchstlastanzeiger ermittelt. Man könnte die Höchstbelastung durch ein Höchstlast-Wattmeter feststellen, jedoch würde eine solche Messung selbst bei größter Trägheit des Gerätes keine brauchbaren Unterlagen geben.

Beim Einschalten von Motoren und Lampengruppen treten so kurze Stromspitzen auf, daß ihre Höhe nicht als beanspruchte Leistung im Sinne des Tarifes gelten kann. Es genügt, den Wert der mittleren Belastung während eines bestimmten Zeitraumes, z. B. 15, 30 oder 60 min, regelmäßig wiederkehrend festzustellen. Der Höchstwert der fortlaufend gemessenen mittleren Belastungen in der Abrechnungszeit, z. B. in einem Monat, wird dann der Bemessung des Nachlasses zugrunde gelegt. Das Meßwerk des Höchstlastanzeigers zeigt Abb. 5²⁾. Das Rollenzählwerk links zeigt den gesamten Verbrauch in kWh wie ein einfacher Zähler. Unter dem Zeiger rechts befindet sich eine Skala, die hier abgenommen ist, damit das Triebwerk sichtbar wird. Ein Mitnehmer dreht den Höchstlastzeiger im Uhrzeigersinn. Am Ende der Meßzeit, also nach 15, 30 oder 60 min, wird der Mitnehmer entkuppelt und geht durch Federkraft entgegen dem Uhrzeiger in die Nullstellung. Der Höchstlastzeiger bleibt in der Stellung, in die er gedreht wurde. Das Spiel wiederholt sich, der Mitnehmer wird durch ein Uhrwerk wieder

gekuppelt. Ist der Verbrauch in der zweiten Meßzeit kleiner, so erreicht er den Höchstlastzeiger nicht, ist der Verbrauch größer, so dreht er ihn entsprechend weiter. Nach Ablauf der im Tarif vereinbarten Zeit, z. B. nach einem Monat oder Jahr, wird der Höchstwert abgelesen; der Höchstlastzeiger wird vom Ableser auf null zurückgedreht, und die Messung für den neuen Ablesezeitraum kann wieder beginnen.

Die Erfahrung hat gezeigt, daß die Zeitdauer von 15 und 30 min den Ansprüchen des Werkes und den Verhältnissen des Abnehmers genügend gerecht wird. Je kürzer die Meßdauer ist, um so mehr machen sich kurzzeitige Überlastungen im Mittelwert bemerkbar. In Abb. 6 bis 8 ist dies klar zu erkennen; in den drei Fällen ist der Verbrauch gleich. Bei der viertelstündigen Meßzeit ergibt sich ein Höchstwert von 610 W, bei der halbstündigen 395 W, bei der einstündigen 375 W. Man erkennt, daß eine Meßzeit von 10 min, die technisch ohne weiteres möglich ist, tariflich eine Härte bedeuten würde und andererseits die einstündige gegenüber der halbstündigen kaum noch Unterschiede bringt.

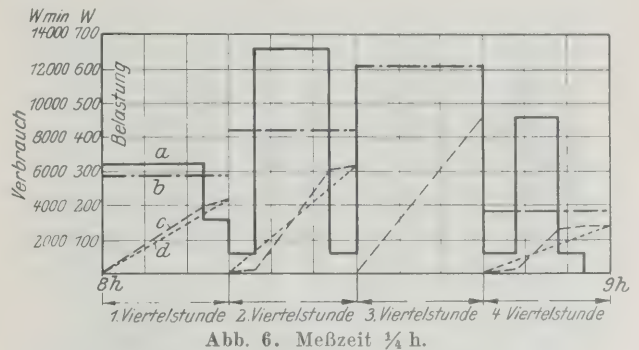


Abb. 6. Meßzeit $\frac{1}{4}$ h.

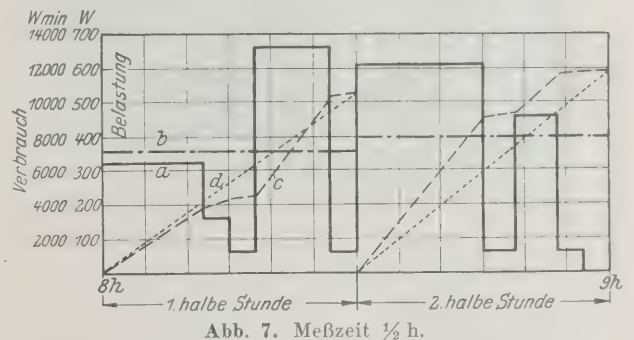


Abb. 7. Meßzeit $\frac{1}{2}$ h.

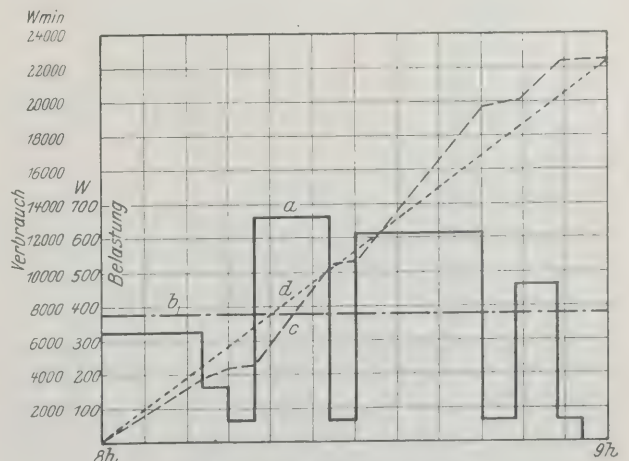


Abb. 8. Meßzeit 1 h.

Abb. 6 bis 8
Ergebnisse der Höchstlastmessung bei verschiedenen Meßzeiten.

- a — Belastung in W c — Verbrauch in Wmin
b — mittlere Belastung in W bei Belastung a
d Verbrauch in Wmin bei Belastung b

²⁾ Vergl. Z. Bd. 69 (1925) S. 1544.

Der Höchstlastanzeiger gibt den Höchstwert der während der Meßzeit überhaupt auftretenden mittleren Belastung an. Über die Höhe der vielen andern mittleren Belastungen gibt er keinen Aufschluß. Es kann vorkommen, daß durch irgendwelche Umstände plötzliche, unverschuldet große Belastung eintritt. Der Höchstlastanzeiger zeigt diese einmalige Spitze an ohne Rücksicht darauf, daß alle andern Höchstwerte vielleicht nur die Hälfte oder ein Drittel seiner Angabe betragen. Das Werk verläßt sich nur auf die Angabe des Zählers. Der beschriebene Fall bedeutet zweifellos eine Härte für den Abnehmer; viele Verträge sind daher so gefaßt, daß eine nachweisbar unverschuldete Spitze oder die Spitze, die in einer Zeit niedriger Werkbelastung aufgetreten ist, für die Auswertung nicht herangezogen wird. Um diesen Nachweis zu erbringen, sind lochende oder schreibende Höchstlastzähler erforderlich, die nicht nur die Höhe jeder einzelnen, in einer bestimmten Meßzeit auftretenden mittleren Belastung verzeichnen, sondern auch über den genauen Zeitpunkt des Auftretens Aufschluß geben.

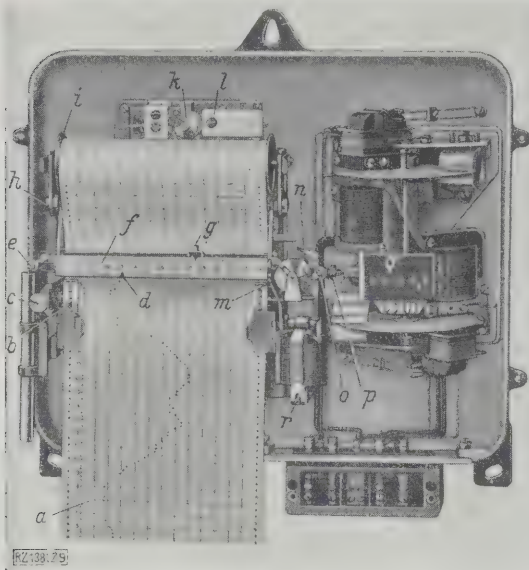


Abb. 9
Dreistromzähler mit schreibender (lochender)
Aufzeichnung der mittleren Höchstlasten.

- | | |
|------------------------------------|---|
| a Papier | i Papiervorratrolle |
| b Papiervorschubrolle | k Uhrwerk |
| c Führungsrohr des Fadengewichts | l Kontaktvorrichtung |
| d Lochstift | m Zahnrad und Seilrolle |
| e Fadenführungsrolle | n Entkuppelhebel |
| f Höchstlastteilung | o Kuppeltrieb |
| g Höchstlastzeiger (Schleppzeiger) | p Kupplung für Zählwerk und Aufschreibeinrichtung |
| h Lagerzapfen | q Zählwerk |
| | r Auslösmagnet |

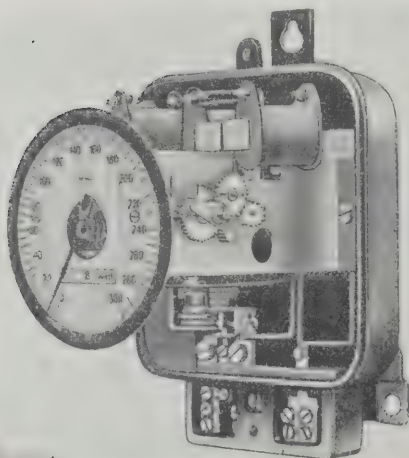
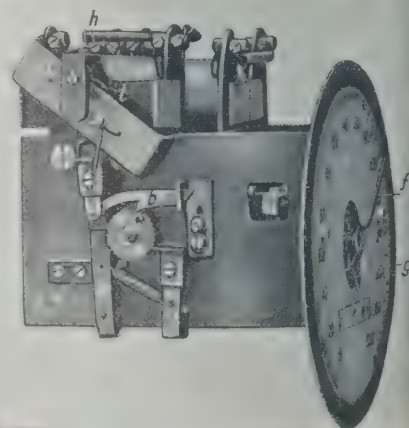


Abb. 10
Höchstlastanzeiger,
geöffnet.

Abb. 11
Schaltrelais des Höchstlast-
anzeigers nach Abb. 10.

- | |
|--|
| a Anker |
| b Sperrklinke |
| c Sperrrad |
| d Anschlag |
| e Sperrhebel |
| f Höchstlastzeiger |
| g Skala |
| h Spannvorrichtung für die Spiralfeder |
| i Spiralfeder |



Hierzu verwendet man

schreibende Höchstlastzähler,

Abb. 9. Der Zeiger gleitet auf einer Schiene; seine Stellung wird jeweils nach Ablauf der einzelnen Meßzeiten auf dem nach Tagen und Stunden eingeteilt, Papierstreifen gekennzeichnet, indem ein Stift alle 30 oder 60 min — je nach der im Tarif festgesetzten Meßzeit — in das Papier gedrückt wird; dann schnell der Zeiger zurück auf null und nimmt von neuem den Mittelwert der folgenden Meßzeit auf. Aus dem Papierstreifen sind dann die sämtlichen mittleren Belastungen je 15, oder 60 min während eines ganzen Monats ersichtlich. Eine eingebaute Uhr steuert die elektromagnetische Auflösung und Einschaltung der Aufzeichnung in den vorgesehenen Zeitabständen und schiebt das Papier um 10 mm/h vor.

Grundgebührentarif

Der Grundgebührentarif lehnt sich noch enger an die Zusammensetzung der Selbstkosten an als der Höchstlasttarif. Bei der Stromerzeugung sind feste Beträge für allgemeine Unkosten, Abschreibung und Verzinsung der Anlage aufzubringen und bewegliche Kosten für Brennstoffverbrauch, Fortleitungsverluste und andere mit der Erzeugungsmenge wachsende Kosten. Die festen Kosten sind abhängig von der Werkgröße, also ungefähr der eingebauten Leistung verhältnismäßig. Dementsprechend hat der Abnehmer eine feste „Grundgebühr“ zu entrichten für jedes kW, das das Elektrizitätswerk für seine Bedarf bereithalten muß. Der Preis für die einzelnen kWh, die sogenannte Arbeitsgebühr, kann dann niedriger bemessen werden.

Der mittlere Strompreis sinkt daher mit zunehmender Benutzungsdauer beträchtlich. Der Grundgebührentarif entspricht in größter Annäherung den Selbstkosten-Verhältnissen der Eigenerzeugung bei Großabnehmern, weshalb er bei diesen schon seit vielen Jahren gebräuchlich ist. Die Grundgebühr wird dabei durchweg nach den Angaben von Höchstlastanzeigern berechnet.

In den letzten vier Jahren ist der Grundgebührentarif in sehr großem Umfang auch bei Kleinabnehmern eingeführt worden. Die große Aufnahmefähigkeit der Masse von Kleinanschlüssen und insbesondere die Elektrifizierung des Haushaltes ist zum Gegenstand größter Aufmerksamkeit zwecks Steigerung der Wirtschaftlichkeit der Elektrizitätswerke geworden. Millionen von elektrischen Geräten mit hohem, zeitlich gut verteiltem Verbrauch können die Benutzungsdauer der Elektrizitätswerke ganz beträchtlich vergrößern. Der Betrieb solcher Geräte ist jedoch nur wirtschaftlich, wenn dafür entsprechende Strompreise eingeräumt werden. Mit dem früher üblichen Preis von 40 bis 55 g/kWh würde allenfalls der Staubsauger für 150 W noch benutzt werden, die wichtigeren Geräte für je rd. 500 W, die auch für den wirtschaftlichen schwachen Abnehmer erschwinglich sind, wie Bügeleisen, Kochtopf, Kochplatte, Strahlöfen und dergl., fänden wenig Verbreitung. Im Grundgebührentarif kann der

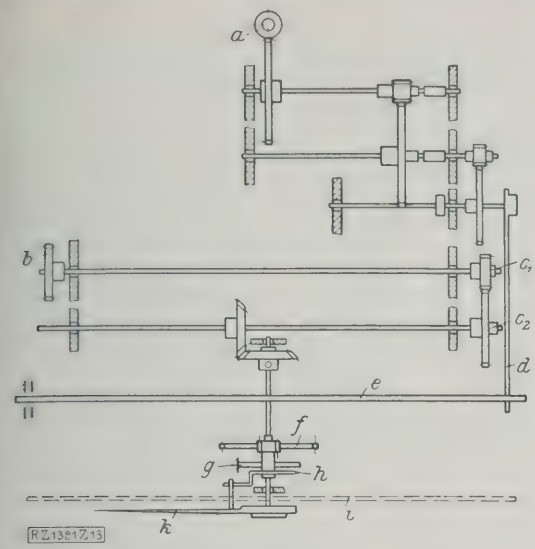


Abb. 13
Getriebschema des Höchstlastanzeigers, Abb. 10.

a Schnecke auf der Anker- achse des Auslös- (Ferraris-)Motors	d Auslöshebel
b Antrieb vom Schalt- relais	e Entkopplungshebel
c ₁ , c ₂ auswechselbare Über- setzung	f Kuppeltrieb (Auslöstrieb)
	g Spiralfeder
	h Mitnehmer
	i Höchstlastskala
	k Höchstlastzeiger

Abnehmer billigen Strom für die Geräte beziehen, ohne daß ein besonderer Zähler vorgesehen wird. Die Grundgebühr wird in den meisten heute üblichen Tarifen nur für die Leistung der angeschlossenen Lampen berechnet, so daß für den durch die Geräte hervorgerufenen Verbrauch nur die Arbeitsgebühr, die bei deutschen Werken zwischen 7 und 25 p liegt, zu bezahlen ist. Im allgemeinen hält man sich bei Haushaltanschlüssen in der Bemessung der Gebühr an vergleichbare Werte, wie Zählermeßbereich, Anzahl der Lichtanschluß-Stellen, Wohnungsgröße, in England z. B. auch an die Wohnungsmiete. Kraftanschlüsse werden nach der eingebauten Leistung oder nach den Angaben des Höchstlastanzeigers berechnet. Man geht jedoch auch schon dazu über, die Haushaltinstallationen mit Höchstlastanzeigern zu versehen, nachdem neuerdings billige, vom Zähler getrennte Geräte dieser Art auf den Markt gekommen sind, die den vorhandenen Zähler weiter zu benutzen gestatten, Abb. 10 bis 13.

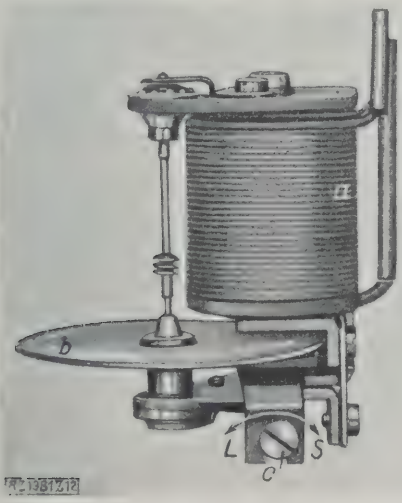


Abb. 12
Ferrarismotor aus dem Höchstlast-
anzeiger, Abb. 10.

a Spannungspule
b Triebscheibe
c Regulierschraube (L = langsam, S = schnell)

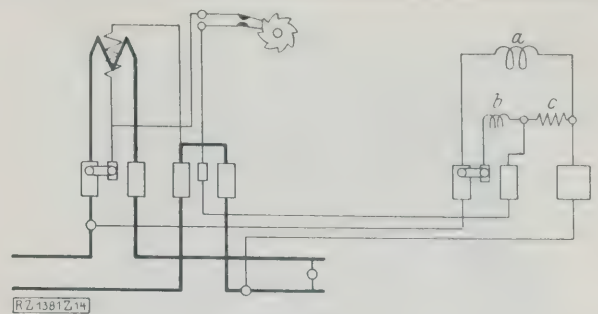


Abb. 14
Schaltung des Höchstlastanzeigers, Abb. 10.

a Ferrarismotor b Relais c Vorwiderstand

Diese Höchstlastmesser arbeiten nach dem gleichen Prinzip wie die in den Zähler eingebaute Anzeigevorrichtung, Abb. 5. In einem Gehäuse von der Größe eines Wechselstromzählers befindet sich ein elektromagnetisches Schaltrelais, ein Höchstlastzeiger mit Rückführung und Skalenblech und ein kleiner Ferrarismotor; die Schaltung zeigt Abb. 14. Das Schaltrelais spricht an, wenn ein von außen eingeführter Stromkreis geöffnet wird. Der Anker des Schaltrelais ist mit einer Klinke verbunden, die ein Zahnrad antreibt und über eine Kupplung den Höchstlastzeiger auf einer Kreisskala dreht. Die Häufigkeit des Stromkreisöffnens und -schließens ist abhängig von der Umdrehungszahl eines Kontaktgebers, Abb. 15, der am Zählwerk des zu dem Höchstlastzeiger gehörenden Zählers angebaut ist und sich entsprechend der Umdrehungszahl des Zählerankers dreht. Nach einer einstellbaren Zeit, z. B. 15 min, schwenkt der Ferrarismotor mittels eines Nockens die Antriebswelle, die mit dem Mitnehmer in Eingriff steht, und der Mitnehmer schnell durch die Kraft der Rückföhrfeder in die Nullage, während der Höchstlastzeiger in der höchsten, in der Ablesezeit erreichten Stellung stehen bleibt. Da der Kontaktgeber in vorhandene Zähler eingebaut werden kann, ist hiermit ein einheitlich für alle Wechsel- und Drehstromanschlüsse verwendbares Gerät geschaffen.

Pauscharif

Beim Pauscharif entrichtet der Abnehmer einen festen Betrag für die Leistung, die er braucht. In diesem Betrag sind die beweglichen Kosten für die schätzungsweise verbrauchte Arbeit mit enthalten. Der Schaden, der durch übermäßige Überschreitung der geschätzten Strommengen entstehen könnte, ist bei Wasserkraftwerken nicht sehr groß; deshalb ist der Pauscharif vorwiegend auf Kleinabnehmer solcher Werke beschränkt.

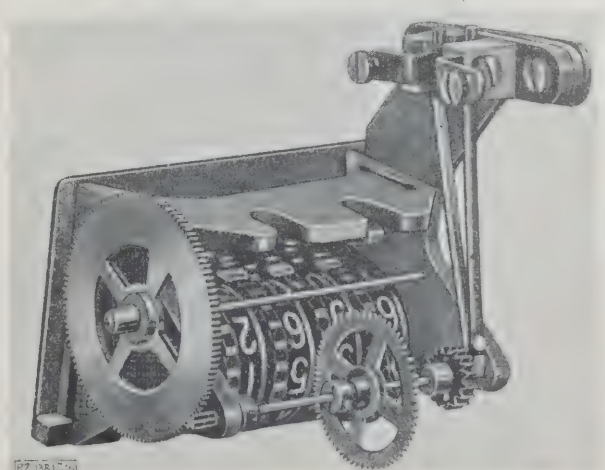


Abb. 15
Kontaktgeber im Zählwerk des zum Höchst-
lastanzeiger gehörenden Zählers.

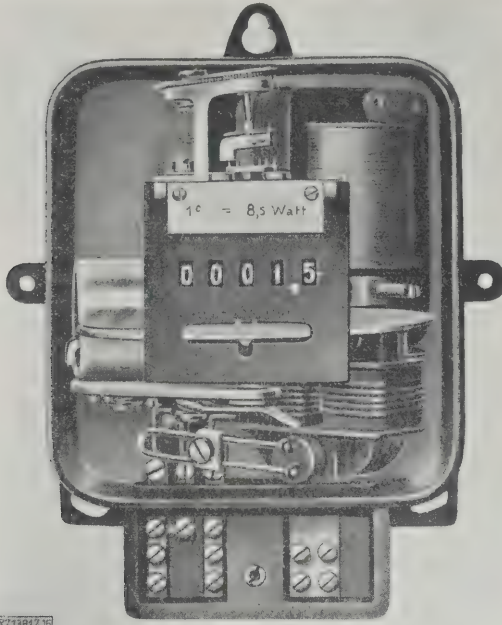


Abb. 16
Überverbrauchszähler mit mechanischem Gegen-
drehmoment.

Strombegrenzer, d. h. elektromagnetisch oder elektrothermisch betätigte Ausschalter, die auf den Wert der vereinbarten Pauschleistung eingestellt sind,

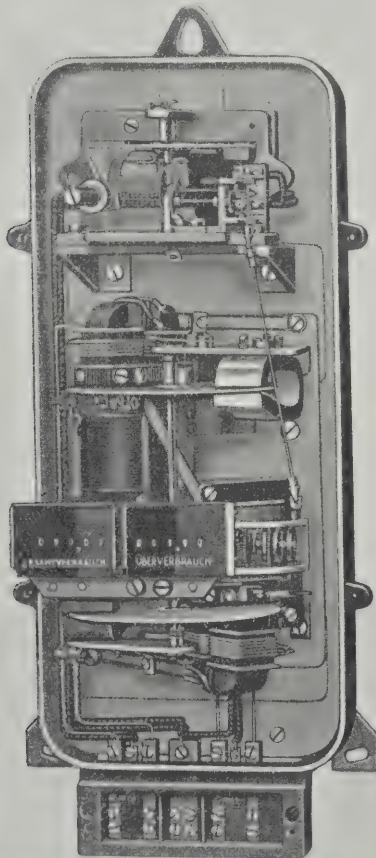


Abb. 17
Überverbrauchszähler mit einge-
bautem Ferrarismotor und Gesamt-
verbrauch-Zählwerk.

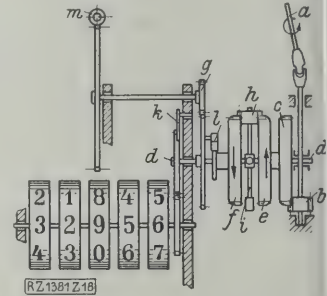
schützen das Elektrizitätswerk vor Überlastungen und Mißbrauch des Pauschtarifes. Der Zählertarif verdrängt neuerdings auch in den wasserkraftreichen Ländern mehr und mehr den Pauschtarif. Der Grund ist darin zu suchen, daß durch den Pauschtarif der Weiterentwicklung der Elektrizitätswirtschaft zu enge Fesseln angelegt werden. Es ist dem Verbraucher nach Pauschleistung, der z. B. ein Abkommen für 200 W Lichtleistung hat, und dessen Strombegrenzer auf diesen Wert eingestellt ist, nicht möglich, Haushaltgeräte zu benutzen. Die Erhöhung der Pauschleistung auf 500 W würde große Schwierigkeiten bei der Bemessung des Geldbetrages ergeben, da die Ausnutzung bei den einzelnen Abnehmern sehr verschieden ist.

Überverbrauchtarif

Der Überverbrauchtarif befreit den Pauschtarif von den angeführten Hemmnissen. Ein Überverbrauchszähler, Abb. 16, tritt an die Stelle des Strombegrenzers. Er unterscheidet sich von dem normalen Zähler durch eine Zusatzeinrichtung, die dem Zählerdrehmoment entgegenwirkt. Eine Stiftscheibe mit sechs Stiften ist mit der durch das Oberlager hindurchragenden Achse des Zählers fest verbunden. In einem spitzen Winkel zu Wagerechten wirkt eine Spiralfeder, deren eines Ende an einer oben am Bock drehbar gelagerten Achse befestigt ist. Das andere Ende der Feder trägt einen Anschlag, an den ein Stift der Stiftscheibe anschlägt, sobald Strom durch den Zähler geht. Dann wird, solange das Drehmoment des Zählers das Gegendrehmoment der Feder nicht überwindet, die Feder gespannt und die

Abb. 18
Überverbrauchgetriebe
im Überverbrauchszähler,
Abb. 17.

- a Antriebsachse des Pauschal-
motors
- b Zahnrad für c
- c Kronenrad
- d Achse des Planetengetriebes
- e, f Sonnenräder, lose auf d
- g Vorgelege
- h Planetenrad
- i Achse des Planetenrades
- k, l Sperrklinke
- m Schnecke der Zählertrieb-
achse



Weiterdrehung des Ankers verhindert. Überwiegt jedoch das Drehmoment des Zählers, so fällt bei $\frac{1}{6}$ Umdrehung der Ankerachse infolge der schrägen Stellung der Feder der Anschlag vom Stift ab und wird von der nächsten um 60° auf der Stiftscheibe versetzten Stift aufgenommen. Hier wiederholt sich der Vorgang; jedesmal muß erst das Federgegenmoment überwunden werden. Infolgedessen ist der Zähler um ein bestimmtes Maß abgebremst. Die Größe des Gegendrehmomentes der Feder ist durch die im Tarif vereinbarte Leistung bestimmt. Es ist dementsprechend in bestimmten Grenzen einstellbar durch Verdrehung einer mit Skala versehenen Einstellschraube.

Durch den Überverbrauchszähler wird nur der über der Pauschleistung entnommene Verbrauch gezählt, d. h. bei einstündiger Entnahme von 500 W werden z. B. bei 200 W Pauschleistung nur 300 Wh gezählt. Dieser Überverbrauch wird neben der Pauschsumme besonders berechnet.

Ein anderer Überverbrauchszähler, Abb. 17, der gleichzeitig den Gesamtverbrauch zählt, enthält als Gegenwirkung einen kleinen Ferrarismotor, der mit einer nach der Pauschleistung einstellbaren gleichbleibenden Drehzahl umläuft. Die von diesem angetriebene Achse a, Abb. 18, überträgt ihre Drehung mittels des Zahnrades b auf das Kronenrad c, das mit dem Sonnenrad e eines Planetengetriebes starr verbunden, los auf einer gemeinsamen Achse d sitzt. Das zweite Sonnenrad f, das ebenfalls lose auf der Achse d sitzt, wird von der Zählerachse m mittels einer Schnecke über das Vorgelege g und die Sperrklinke k angetrieben. Zwischen den beiden Sonnenrädern befindet sich das Planetenrad h, dessen Achse i auf d befestigt ist.

Solange die Pauschgrenze noch nicht erreicht ist, drehen sich die beiden Sonnenräder mit gleicher Geschwindigkeit wirkungslos auf der Achse *d*; das Planetenrad *h* dreht sich gleichfalls wirkungslos auf der Achse *i*. Wird die Pauschgrenze überschritten, dann ist die Geschwindigkeit des von der Zählerachse über das Vorgelege *g* und die Sperrklinke *l* angetriebenen Sonnenrades *f* größer als die des Sonnenrades *e*. Infolgedessen läuft jetzt das Planetenrad *h* um die Achse *d* und der Überverbrauch wird gezählt.

Die Motordrehzahl entsprechend der Pauschalleistung wird von außen mittels einer Stellschraube eingestellt. Unabhängig vom Überverbrauch-Zählwerk kann ein Gesamtverbrauch-Zählwerk angebaut werden, mit dessen Angaben sich dann auch der innerhalb der Pauschalleistung bezogene Strom berechnen läßt.

Der Überverbrauchtarif kommt neuerdings auch als eine besondere Form des Grundgebührentarifes zur Anwendung. Der niedrige Strompreis im Grundgebühren-

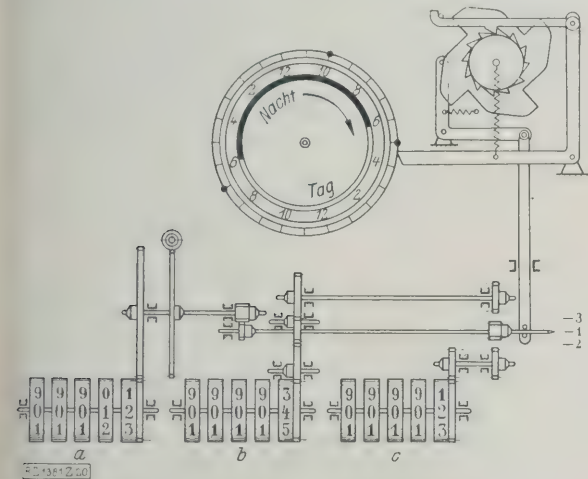


Abb. 20
Dreifachtarif-Zählwerk.

a Gesamtzählwerk *b, c* Zuschaltzählwerke für Tarif II und III
Der Verbrauch zu Tarif I ergibt sich als Unterschied zwischen der Angabe des Gesamtzählwerkes und dem Verbrauch zu Tarif II und III.

tarif hat vielfach nicht nur zur Erhöhung des Stromverbrauches, sondern auch zur Steigerung der Belastungsspitze geführt. Dies ist darauf zurückzuführen, daß bei den Kleinabnehmern zahlreiche Geräte in der Spitzenzeit (Lichtzeit) benutzt werden, wenn die Höchstbelastung nicht gemessen wird. Da die Leistung der Geräte meist nicht in der Grundgebühr berechnet wird, sind Überlastungen durch die Geräte während der Spitzenzeit sehr nachteilig. Diese Folge des Grundgebührentarifes wird erfolgreich verhütet, wenn die niedrige Arbeitsgebühr nur innerhalb der Leistung zugestanden wird, für die die Grundgebühr entrichtet ist. Sobald die Grenzleistung überschritten wird, wird durch den mit dem vorhandenen Gesamtverbrauchszähler in Reihe geschalteten Überverbrauchszähler der Überverbrauch, für den ein Zuschlagpreis zu entrichten ist, gezählt. Ein Grundgebührentarif mit Einschränkung der Überlast läßt daher billigen Betrieb von Geräten nur außerhalb der Lichtzeit zu, der Betrieb in der Lichtzeit ist teuer, was mit Rücksicht auf die höheren Selbstkosten des Werkes für diesen Strom auch berechtigt ist. Außerdem verschwinden bei seiner Anwendung die Schwierigkeiten, die bei der geschätzten Gebührenberechnung auftreten, der Abnehmer kann sich seine Grundgebühr selbst wählen.

Jahreszeittarif

In der zweiten Richtung der Stromtarifsysteme wird die Erhöhung der Benutzungsdauer des Werkes dadurch erstrebt, daß der Strom zur Zeit geringer Nachfrage billiger verkauft wird. Zunächst sind in dieser Art zu nennen: die Jahreszeittarife, bei denen der Sommerstrom billiger ist als der Winterstrom. Diese Maßnahme ist in Deutschland nur

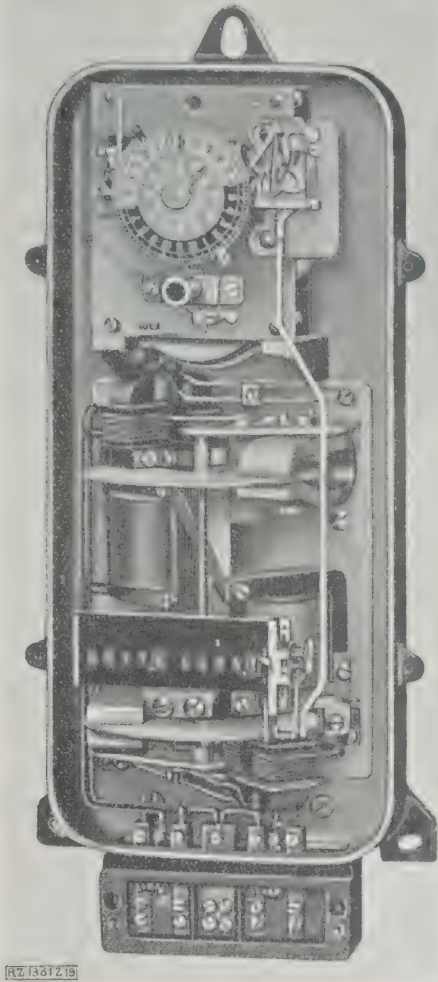


Abb. 19
Doppeltarifzähler mit eingebauter Uhr.

ganz vereinzelt anzutreffen, in der Schweiz jedoch häufiger, wo sie im Wasserreichtum des Sommers begründet und für die Abnehmer der Fremdenindustrie von Wert ist. Die unterschiedlichen Preise berechnet man nach den Angaben einfacher Zähler, da der Tarifwechsel auf einen entsprechenden Ablesetag vereinbart wird.

Einer viel größeren Verbreitung erfreuen sich die Tarife, die sich an das durch die Tagesbelastungskurve gekennzeichnete Verhältnis der wechselnden Nachfrage anlehnen.

Doppeltarif

Der Doppeltarif wird in Deutschland schon seit vielen Jahren in großem Umfang angewandt. Für die zwei verschiedenen Preisstufen ist der Zähler mit einem Doppelzählwerk versehen.

Ständig zu bestimmten Tageszeiten wird der Zählwerkantrieb auf das Zählwerk für den entsprechenden Tarif durch ein Uhrwerk mit mehrwöchiger Gangdauer umgeschaltet; bei den Doppeltarifzählern mit eingebauten Uhren, Abb. 19, kuppelt und entkuppelt es mechanisch mittels einer Stange, während diese Arbeit bei getrennt angeordneter Uhr ein Elektromagnet elektrisch leistet.

Man kann zwei Arten von Doppeltarifen unterscheiden: Doppeltarife, in denen der höhere Preis während des ganzen Arbeitstages, einschließlich der Lichtbenutzungszeit, gilt, und Doppeltarife, in denen der höhere Preis nur während der Lichtbenutzungszeit Geltung hat. Bei den letzteren ist der „Sperrzeitpreis“ besonders hoch, sie sind vorwiegend bei kleinen Kraftanschlüssen in Anwendung, bei denen die Einschaltung während der Sperrzeit leicht zu vermeiden ist. Eine andre Art des Doppeltarifes

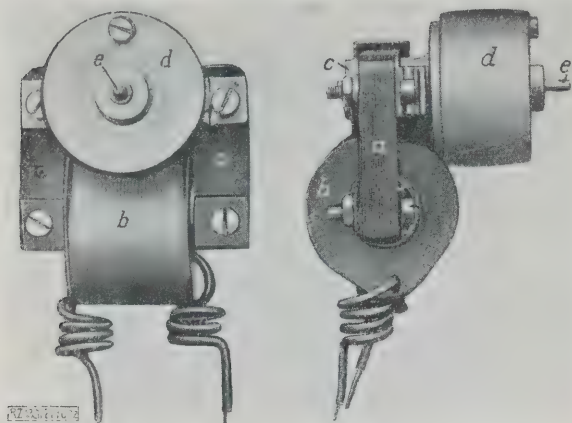


Abb. 21 und 22

Synchronmotor, der asynchron von selbst anläuft, als Zeitschalter. Im Werk wird die Netzfrequenz mittels einer Vergleichs-Pendeluhr genau gleich gehalten; infolgedessen kann man den Synchronmotor als genaue Uhr verwenden. Er zeichnet sich aus durch gleichmäßig gute Durchzugkraft.

a Eisenkern b Spule c Läuferkapsel d Getriebe
e Stundenachse (Achse des Minutenzeigers)

ist dadurch gekennzeichnet, daß der Tagstrompreis normal, der Nachtstrompreis zum Zwecke der Ausfüllung der „Belastungstäler“ sehr niedrig ist.

Drei- und Mehrfachtarif

Der Dreifachtarif und die Mehrfachtarife gestatten noch eine weitergehende Anlehnung der Strompreise an den Verlauf der Tagesbelastung.

Im Dreifachtarif wird ein hoher Preis während der Spitzenzeit, ein mittlerer Preis für die Zeit normaler Belastung und ein niedriger Preis für die Zeit schwächster Belastung erhoben.

Den Zählwerkaufbau eines Dreifachtarif-Zählers zeigt Abb. 20. Ein Zählwerk *a* steht mit der Zählerschnecke dauernd im Eingriff, es zählt den Gesamtverbrauch. Für die Zeit des Tarifes II wird das Zählwerk *b* zugeschaltet, in der Zeit des Tarifes III das Zählwerk *c*. Diese beiden Zählwerke geben daher den Verbrauch der entsprechenden Tarifzeiten an, während der Verbrauch der Tarifzeit I sich als Unterschied zwischen Gesamtverbrauch und Verbrauch II und III ergibt. Dreifachtarif ist in Deutschland nur in einigen Elektrizitätswerken, sehr häufig dagegen in der Schweiz in Anwendung. In der Schweiz wird die Preisunterteilung bei einigen Werken noch weiter durchgeführt und nach dem Vierfach- und Fünffachtarif gerechnet. Die Zähler für solche Tarife sind jedoch ver-

Abb. 24 und 25
Vorgabewerk
des Münz-
zählers.

Der Pfeil zeigt die
Drehrichtung
während des Ver-
brauchs

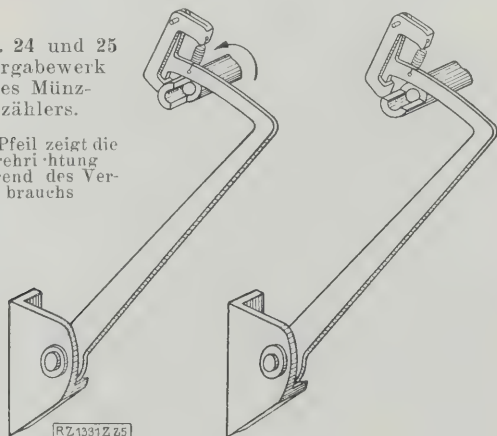
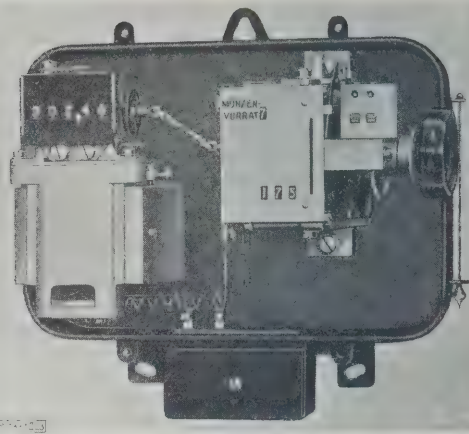
Abb. 24
Eingeschaltet.Abb. 25
Im Augenblick des
Ausschaltens.

Abb. 23

Münzzähler für Einphasen-Wechselstrom.

wickelt und teuer, wenn für jeden Tarif der Stromverbrauch angezeigt werden soll, was in Deutschland und in anderen Ländern vorgeschrieben ist. In der Schweiz sind zum Teil sogenannte Preiszähler im Gebrauch, die die Gesamtsumme der in den einzelnen Tarifzeiten verschiedenen bemessenen Stromkosten anzeigen.

Bei diesen Zählern schaltet eine Uhr die Spannungsschaltung von Zeit zu Zeit ein und aus. Die Dauer der Ausschaltungen wechselt mit den gültigen Tarifzeiten. Z. B. ist während des höchsten Tarifes I die Spannungsschaltung während 1 min volle 60 s eingeschaltet, für Tarif II wird sie in jeder Minute 30 s lang, für Tarif III in jeder Minute 45 s lang und schließlich für den niedrigsten Tarif IV in jeder Minute 57 s lang unterbrochen. Auf diese Weise kann man viele Tarifstufen in einem einfachen Zähler mit nur einem Zählwerk zählen.

Mehrfachtarife dürften sich jedoch nur selten lohnen, da die Preisunterschiede zwischen den einzelnen Stufen nicht so groß sein können, daß eine merkliche verbessernde oder vom Verbrauch zurückhaltende Wirkung erzielt wird.

Zeit-Sondertarife

Die Zeit-Sondertarife sind in den letzten Jahren in sehr großem Umfang zur Einführung gekommen. Durch sie werden zu besonderen Zwecken Vorzugspreise für Nachtstrom und zum Teil auch für den während der industriellen Mittagspause entnommenen Strom gewährt. Die Verbrauchsgüter werden so geschaltet, daß sie nur in den vereinbarten Zeiten in Betrieb genommen werden können; Schaltuhren sperren die Stromkreise während der andern Zeit. Die Zeit-Sondertarife haben den Zweck, die Täler der Belastungskurve auszufüllen, und werden auch bei Kleinabnehmern eingeführt. Mit Rücksicht auf die niedrigen Strompreise müssen die Einrichtungs- und Meßkosten bei den Kleinabnehmern möglichst beschränkt werden. Insbesondere die Sperrschaltuhr, die eine sehr gute Ganggenauigkeit bei einer Gangdauer von mindestens fünf Wochen oder selbsttätigen Aufzug haben muß, verursacht Kosten für Anschaffung und Unterhaltung. Bemerkenswert ist ein neuer Sperrzeitschalter, in dem ein kleiner, asynchron selbstanlaufender Synchronmotor als Antrieb wirkt, Abb. 21 und 22. Diese Zeitschalter sind in der Anschaffung billiger als Uhren und brauchen keine Wartung. Der Motor läuft mit der Netzfrequenz, die im Werk mittels einer genauen Vergleichspendeluhr geregelt werden kann, synchron; er zeichnet sich durch seine gleichmäßige Durchzugkraft aus.

Für die Verwendung billigen Nachtstromes kommen in erster Linie die Speichereinrichtungen in Betracht; Stromsammelwerkzeuge werden nachts geladen für den Betrieb von Elektrokarren, Elektrokraftwagen, Bahntriebwagen usw.; in besonderen Fällen speichern auch Abnehmer mit sehr starkem Lichtbedarf, z. B. Warenhäuser, Lichtstrom für den nächsten Abend. Die Speicherung elektrischer Wärme in Heißwasserspeichern, Raumheizungsöfen und Backöfen macht zusehends Fortschritte. Langsam kochende elek-

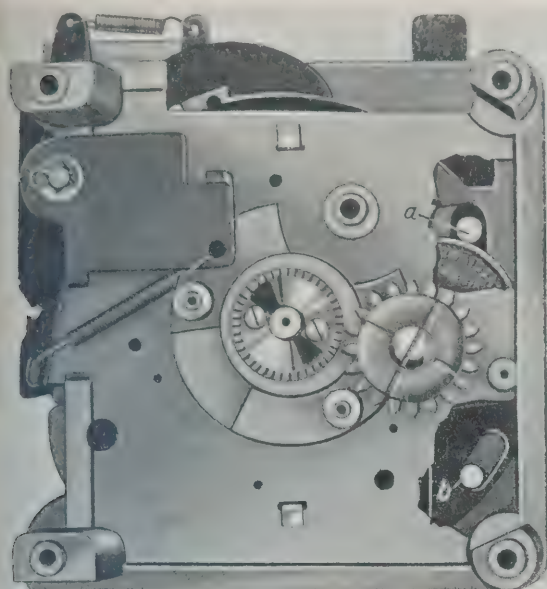


Abb. 26

Prüfung der Münze auf die richtige Dicke.
Stift *a* hält dünne Münzen an,
Stift *b* verhindert dann Weiterdrehung der
Münzscheibe.

trische Futterdämpfer und Waschkessel können mit Nachtstrom wirtschaftlich betrieben werden. Auch die Reklamebeleuchtung wird vielfach für die Nacht oder die Abendstunden über Sperruhren zu Vorzugstarifen angeschlossen.

Die Buntscheckigkeit der heute bestehenden Tarife kommt u. a. dadurch zustande, daß häufig die beiden Grundrichtungen, Benutzungsdauer und Nutzungszeitpunkt, ineinander verweben sind. Ein häufig angewandter Tarif dieser Art ist z. B. der Grundgebührentarif, bei dem der Strom nach dem Doppeltarif berechnet wird. In Großabnehmerstarifen wird von manchen Werken die nachts beanspruchte Leistung, die die Tagesleistung überschreitet, beim Ansatz der Grundgebühr nicht herangezogen oder überhaupt nicht gezählt. In solchen Anlagen wird vielfach auch Blindverbrauch oder Scheinverbrauch berücksichtigt. Die dafür gebräuchlichen Zähler unterscheiden sich, soweit sie praktisch Eingang gefunden haben, nur unwesentlich von den entsprechenden Wirkverbrauchszählern. Die Meßsätze für solche Tarife können aus den Grundformen der Zähler für verschiedene Tarife zusammengestellt werden.

Münzzähler

Der Münzzähler ist ein zwar nicht direkt durch besondere Tarife bedingter, aber durch elektrowirtschaftliche Zusammenhänge besonders in der letzten Zeit an Bedeutung gewinnender Zähler. Während früher Münzzähler vorwiegend zur Sicherstellung der Bezahlung dienten, werden sie heute besonders deshalb bevorzugt, weil sie zur Hebung des Massenverbrauchs beitragen. Die Stromrechnung, ein großes Hemmnis für die Stromwerbung, wird in kleine, kaum fühlbare Einzelbeträge aufgelöst, so daß man den Strom sorgloser verbraucht.

In den Münzzählern, Abb. 23, ist mit dem kWh-Zähler über eine Kardankupplung ein Getriebe verbunden, das die Münzen aufnimmt. Bei dem Einwurf der Münze spannt der Abnehmer zugleich eine Speicherfeder; außerdem wird dabei das sogenannte Vorgabewerk, Abb. 24, vorgedreht. Während des Verbrauches wird diese Vordrehung je nach dessen Stärke mehr oder weniger rasch vom Zähler her aufgehoben. Ist das Guthaben aufgebraucht, so wird die Spei-

cherfeder ausgelöst, Abb. 25, und durch sie der Verbrauchstromkreis ausgeschaltet. Die Zählerkraft wird daher nur für die Rückdrehung des Auslösegliedes beansprucht. Die Münzen gehen auf dem Wege vom Einwurf bis zur Erteilung der Vordrehung durch mehrere Prüfstellen, Abb. 26, die unvorschriftsmäßigen Münzen den Weg sperren. Man kann mehrere Münzen auf Vorrat einwerfen; ein Zählwerk zeigt jederzeit das noch vorhandene Guthaben an, ein zweites Zählwerk die Gesamtzahl der überhaupt eingeworfenen Münzen.

Für den Grundgebührentarif erhalten die Münzzähler eine Sperrvorrichtung, die so eingestellt wird, daß zunächst die der Grundgebühr entsprechende Anzahl Münzen eingeworfen werden muß; erst die nächstfolgende Münze gibt beim Einwurf die Vordrehung des Vorgabewerkes frei. Diese Münzzähler kann man auch für die Einziehung fester Abzahlungsbeträge benutzen; sie haben daher auch eine gewisse Bedeutung für die neuerdings eingeführte Bezahlung von elektrischen Geräten in Raten.

Ein neuer Gebührenmünzzähler ist in der jüngsten Zeit zur Ausführung gekommen, Abb. 27. Hierbei wird auch die feste Gebühr in kleine Einzelbeträge aufgeteilt, bereits nach Einwurf der ersten Münze kann Strom verbraucht werden. Ein Zeitzähler, d. h. ein kleiner Ferrarismotor, Abb. 12, mit gleichbleibender Drehzahl, arbeitet über ein Differentialgetriebe ebenfalls auf das Münztriebwerk und dreht es dauernd im Sinne der Rückdrehung für Stromverbrauch. Die Ablaufgeschwindigkeit wird entsprechend der Grundgebühr eingestellt. Auch wenn kein Strom verbraucht wird, zieht der Ferrarismotor die Gebührenbeträge vom Guthaben ab. Wenn das Guthaben null erreicht hat, wird durch den Ferrarismotor Gebührenschuld gezählt und das Einschaltgetriebe gesperrt, so daß man erst wieder Strom entnehmen kann, wenn die als Schuld aufgelaufene Münzenzahl eingeworfen ist.

Aufgaben

Die Vielseitigkeit der Zähler und Tarifapparate, von denen nur die wichtigsten behandelt wurden, zeigt, daß, solange eine Einheitlichkeit der Tarife nicht hergestellt ist, die Sonderkonstruktionen weiterhin eine umfangreiche Kleinarbeit auf diesem Gebiet nötig machen. Aufgabe der Zählertechnik ist es, im eigenen und in der Wirtschaft Interesse die Vielseitigkeit weniger, wirtschaftlich bewährter, Grundformen weiter zu fördern, damit alle Tarifaufgaben durch Zusammenstellungen dieser Apparate gelöst werden können. [B 1381]

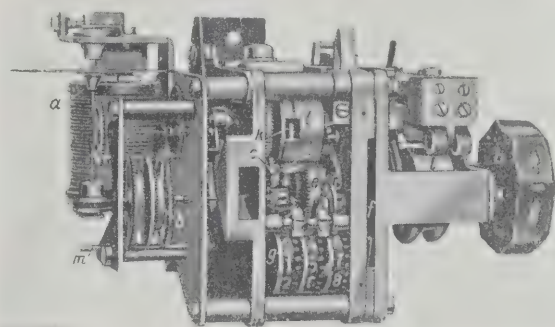


Abb. 27

Münzzähler mit Ferrarismotor, der fortwährend feste Gebühren (Grundgebühr usw.) neben der Stromverrechnung einzieht.

- | | |
|--|---|
| <i>a</i> Ferrarismotor | <i>g</i> Gesamtzählwerk |
| <i>b</i> Differentialgetriebe | <i>h</i> Einschaltknopf |
| <i>c</i> Rückdrehendes Sonnenrad | <i>i</i> Walschalter |
| <i>d</i> Planetenrad | <i>k</i> Guthaben-Zählwerk |
| <i>e</i> beim Münzeinwurf vorgedrehtes Sonnenrad | <i>l</i> Schuld-Zählwerk |
| Münzeinwurf | <i>m</i> Antrieb vom Kilowattstunden-Zähler |

Die Schwimmaufbereitung der Moctezuma Copper Co., Nacozari, Staat Sonora, Mexiko

Von C. BRUCHHOLD, Bergingenieur, Mexiko

Umbau der vorhandenen Herdaufbereitung in eine Schwimmaufbereitung gibt 26 vH Cu-Konzentrate und vermindert die Frachtkosten um 0,5 \$/t. Dies wird durch strenge Einhaltung des Alkaligehaltes der Trübe erreicht, sowie durch Benutzung von Xanthat als Reagens und Trennung der Konzentrate der Schwimmaufbereitung auf einem Herd in Schlämme und Sande, wovon letztere bis auf 7 vH Feuchtigkeit entwässert werden. — Bemerkenswert ist die Benutzung von Würfeln statt Kugeln in den Feinmühlen und die Einführung der Mc Intosh-Zelle mit umlaufendem Boden, um die Verstopfung des Kanavas zu beseitigen, weniger Raum zu beanspruchen und an Kraft zu sparen.



Abb. 1
Schwimmaufbereitanlage im Bau.

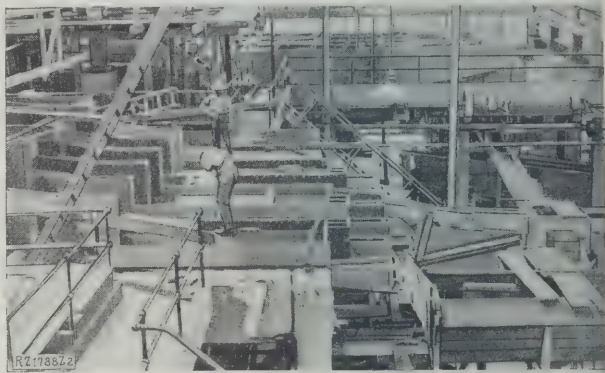


Abb. 2
Schwimmaufbereitgeräte, Bauart Mc Intosh.

Die Schwimmaufbereitanlage der Moctezuma Copper Co., Nacozari, Staat Sonora, Mexiko, ist ein klassisches Beispiel dafür, was man durch die Errichtung einer mit auswählender Schwimmaufbereitung arbeitenden Anlage im Vergleich zur alten Aufbereitung durch Schwerkraft ersparen kann. Das Gewicht der Konzentrate wurde von 175 auf 90 t in je 1000 t Roherz herabgesetzt und dadurch ein jährlicher Gewinn von 360 000 \$¹⁾ erzielt, der nahezu 0,50 \$/t des der Aufbereitung übergebenen Erzes ausmacht.

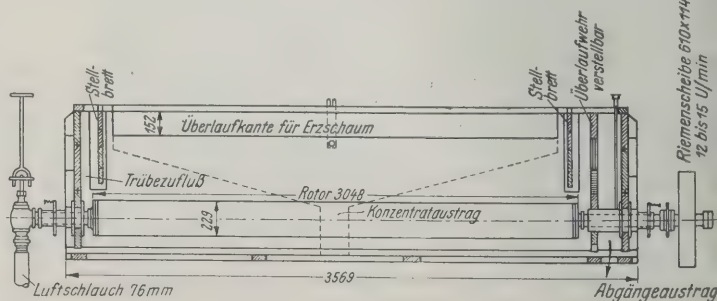
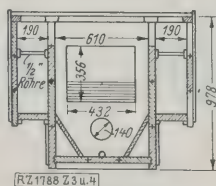
Die Gruben wurden im Jahre 1895 von der Phelps Dodge Corp. erworben, und nachdem umfangreiche Aufschlußarbeiten genügende Mengen anstehenden Erzes ergeben hatten, lag die Aufgabe vor, entweder die vorhandene kleine Schmelzhütte von 250 t täglichem Fassungsvermögen auszubauen oder das Erz durch Aufbereitung soweit anzureichern, daß sich seine Verfrachtung zu der in Douglas, Arizona, gelegenen Großschmelzhütte der Gesellschaft lohnte. Man entschloß sich zu letztem, baute eine regelspurige Eisenbahn von 121 km Länge, um die Hütte mit der Grube zu verbinden und errichtete eine Aufbereitungsanlage mit einer Leistung von 2000 t täglich, die, für Setz- und Herdarbeit ausgerüstet, für damalige Ansichten als Musteranstalt auf dem amerikanischen Festland galt. Obwohl man wegen der äußerst feinen Verwachsung des Erzes die Setzmaschinen bald darauf aufgeben mußte und das Erz nur noch auf Herden anreichte, gelang es nicht, die Anreicherung der 2,95 vH Cu enthaltenden Aufgabe über 11,2 vH Cu in den Konzentraten zu brin-

gen, so daß diese nicht weniger als 175 t auf 1000 t Roherz betragen, während die Abgänge immer noch 1,3 vH Cu enthielten, im großen ganzen ein wenig befriedigendes Ergebnis. Die ausgezeichneten Ergebnisse der im Jahre 1911 begonnenen Versuche mit Schwimmaufbereitung veranlaßten die Gesellschaft, an Stelle der Herde eine Schwimmaufbereitung zu setzen, Abb. 1, die im Dezember 1922 den Betrieben übergeben werden konnte. Sie war für drei Einheiten von je 1000 t geplant; der Umbau kostete fast 1,8 Mill. \$ d. h. rd. 600 \$ für 1 t Fassungsvermögen. Die erste Ausführung bestand noch in einer Verbindung von Schwimmgeräten mit Herden, die man vor und hinter den Schwimmgeräten aufstellte. Aber schon während des Betriebsjahres 1923 ging man dazu über, ausgesprochen alkalische Trübe einzuführen, die Herdarbeit ganz auszuschalten und ausschließlich zur Schwimmaufbereitung überzugehen, mit dem Erfolge, daß der Gehalt der Konzentrate auf 25 bis 26 vH Cu stieg und die Abgänge mit 0,20 vH Cu zu den Absetzteichen geleitet wurden. Die Ausbeute betrug somit 93 vH und das Anreicherungsverhältnis 10,3 : 1. Fast jedes Jahr wurden Verbesserungen eingeführt, deren wichtigste der Ersatz der Callow-Zellen durch Mc Intosh Schwimmgeräte, Abb. 2 bis 4, im Jahre 1926 war. Die Anlage in ihrer jetzigen Gestalt soll im folgenden beschrieben werden, Abb. 5 und 6.

Die Aufbereitung ist durch eine 8,5 km lange Schmalspurbahn mit der Grube Pilares verbunden; die angelieferten Erze bestehen durchschnittlich aus 9 vH Kupferkies und 14 vH Eisenkies in quarziger Grundmasse (70 vH) womit geringe Mengen von Zinkblende, Hämatit und Magnetit brechen. Der Metallgehalt beträgt 2,5 bis 3 vH Cu, 30

¹⁾ 1 \$ = 4,20 RM.

Abb. 3 und 4
Druckluftgerät für
Schwimmaufbereitung,
Bauart Mc Intosh.



Ag und 0,075 g Au in 1 t Erz. Das Grobbrechen ist allen drei Einheiten gemeinschaftlich. Eine McCully-Kegelmühle bricht auf 67 bis 89 mm, eine zweite Kegelmühle, Bauart Tellsmith, auf 19 mm und eine senkrecht stehende Tellermühle, Bauart Symons, auf 35 vH Rückstand auf dem 12,5 mm-Sieb.

Die Erze werden zunächst für jede Einheit getrennt durch je zwei Marcy-Stabmühlen auf 2 mm und anschließend auf zwei gleichen Stabmühlen in geschlossenem Kreislauf mit Dorr-Klassierern auf 0,3 mm feingemahlen (12 vH des Gutes mehr als 0,3 mm, 52 vH weniger als 0,074 mm. Vor dem Eintritt in die Mühlen werden 2,25 bis 2,75 kg Ätzkalk, bezogen auf 1 t Erz, aufgegeben, wodurch sich der Alkaligehalt der Trübe auf 70 bis 150 g freies CaO, bezogen auf 1 t Lösung, einstellt. Sinkt der Alkaligehalt unter diese Grenzwerte, so enthalten die Berge hohen Kupfergehalt; übersteigt er ihn, so vermindert sich die Schaumbildung und gleichzeitig erhöht sich der notwendige Zusatz an Reagenzien. Die genaue Innehaltung des angegebenen freien CaO-Gehaltes bezweckt hauptsächlich, die Unterdrückung des Schwefelkieses während des Ausschwimmens des Kupferkieses so vollständig wie möglich zu regeln, so daß nahezu 90 vH davon in die Abgänge übergeführt werden. Der Alkaligehalt der Trübe wurde im Anfang durch ½stündiges Titrieren ermittelt und später mittels selbstschreibender elektrischer Indikatoren überwacht. Im Jahre 1928 setzte man aber an deren Stelle die Bestimmung der H-Ionen-Konzentration und hält die Sörensen'sche pH-Zahl²⁾ auf 8,5.

Bemerkenswert ist, daß man in einem Teil der Mühlen für die Zerkleinerung von 2 mm auf 0,3 mm statt der Stäbe gußeiserne Würfel von 75 mm Seitenlänge mit abgerundeten Kanten benutzt, die in den Werkstätten selbst gegossen werden. Bekanntlich geben die Würfel statt der einzigen Punktberührung der Kugeln noch Linien- und Flächenberührungen, die häufiger sein müssen, da sich die Würfel durch den Gebrauch nicht abrunden, sondern ihre ursprüngliche Form beibehalten³⁾. Theoretisch müß-

²⁾ Müller: Entwicklung und Bedeutung des pH-Begriffes, Z. f. angew. Chemie Bd. 2 (1928) S. 1368.
³⁾ E. H. Rose, Engineering and Mining Journal Bd. 122 (1926) S. 95; vergl. a. „Metall und Erz“ Bd. 24 (1927) S. 192.

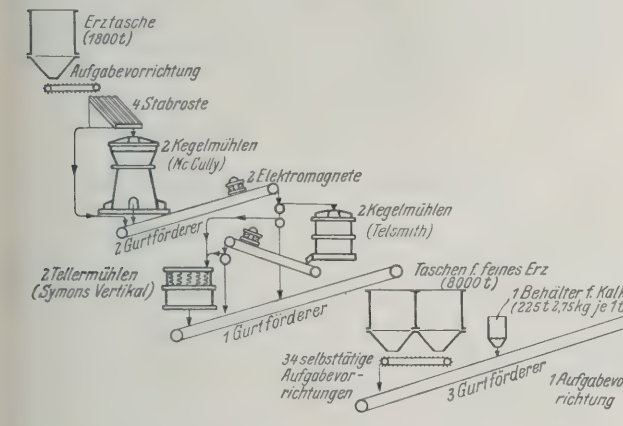


Abb. 5
Stammbaum für eine Einheit der 3000 t-Kupferkies-Schwimmaufbereitungsanlage der Moctezuma Copper Co. zu Nacozari, Sonora, Mexiko. Die Vorzerkleinerung einschließlich der Tellermühle ist allen drei Einheiten gemeinschaftlich.

ten sie daher wie der Reibeblock auf der Reibeplatte arbeiten und die Schlämmeerzeugung begünstigen, während praktisch das Gegenteil eintritt, wohl weil bei der Flächenberührung der Schlag zuerst die größeren Erzteilchen zertümmern muß, bevor er nunmehr abgeschwächt die feineren trifft, die zwischen den größeren eingelagert sind und dadurch vor einem übermäßigen Feinmahlen geschützt bleiben. Man rühmt den Würfeln nach, daß sie weniger Kraft beanspruchen und weniger Schlämme erzeugen; bis jetzt ist aber das Beispiel auf keinen weiteren Aufbereitungen von Bedeutung nachgeahmt worden.

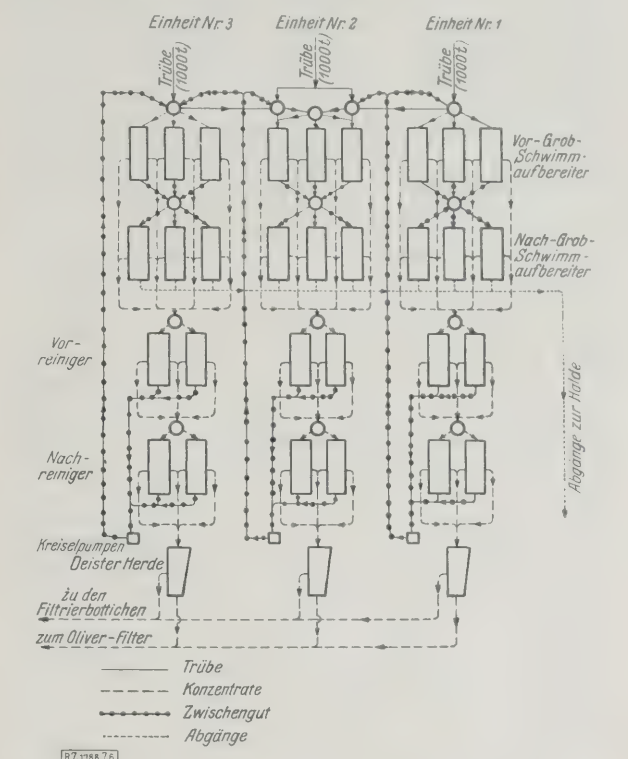
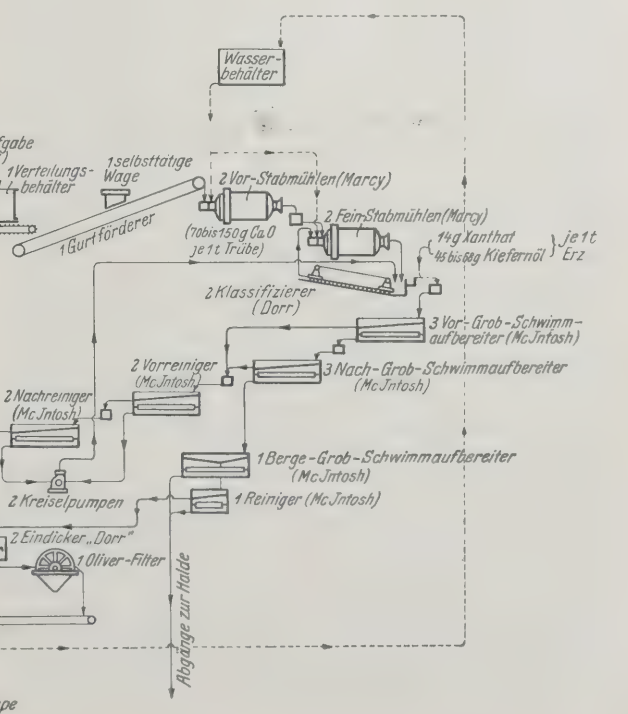


Abb. 6
Grundrißschema der McIntosh-Schwimmaufbereitung.



Bevor die Trübe in die Schwimmgeräte eintritt, werden ihr 14 g Xanthogenat des Kalium- oder Natriumsalzes und 45 bis 68 g Kiefernöl auf 1 t Roherz zugeführt. Ursprünglich hatte man Steinkohlenteer und Kiefernöl im Gewicht von 160 g für 1 t benutzt, ging aber 1923 zur T.T.-Mischung über (80 vH Orthotoluidin und 20 vH Thiokarbanilid). Das Xanthat wurde 1926 endgültig eingeführt.

Bei der eigentlichen Schwimmanlage hat man die ursprüngliche Anordnung zweier parallel geschalteter Callow-Grobschwimmgeräte von zehn Zellen für jede Einheit aufgegeben und dafür sechs 3,05 m lange Mc Intosh-Geräte aufgestellt, die zu je drei in zwei Reihen hintereinander geschaltet sind, so daß die Abgänge der ersten Reihe in der folgenden angereichert werden und man etwas reinere Abgänge erreicht. In diesem Bestreben ist man noch weiter gegangen und hat für jede 1000 t-Einheit ein Schwimmgerät für Abgänge eingebaut, durch das die gesamte Menge der Abgänge einer Einheit in derselben Zeit strömen muß, innerhalb der 333,3 t durch ein Grobschwimmgerät fließen. Folglich ist diese Bergemaschine um das Dreifache überladen, und der schwimmträgere Schwefelkies findet nicht Zeit, in der Trübe, die mit dreifacher Geschwindigkeit durch die Maschine zu gehen hat, mit dem Schaum aufzusteigen, so daß die geringe Menge abgeschiedener Kupferkonzentrate nur der Reinigung in einem kurzen, 1,5 m langen Mc Intosh-Gerät bedarf, um lieferfähige Erzeugnisse zu geben.

Die in beiden Reihen erhaltenen Konzentrate der Grobschwimmgeräte werden ebenfalls doppelt in je zwei hintereinander geschalteten, je 3,05 m langen Mc Intosh-Reinigern gereinigt. Die hierbei entstehenden Zwischenerzeugnisse sollten eigentlich der Theorie gemäß wieder aufgeschlossen werden, aber um die außerordentlich hohen Anlage- und Betriebskosten einer solchen Feinmühle zu umgehen, pumpt man sie zum Klassierer der Stabmühle zurück. Man hofft hierdurch einen großen Teil der Zwischengüter nochmals zu zerkleinern. Jedenfalls ist diese Anordnung im letzten Jahr auf den größeren Schwimm-aufbereitungsanlagen Mexikos allgemein üblich geworden.

Die Konzentrate des letzten Reinigers gehen über einen Plat-O-Herd, der den Schaum bricht und zwei Enderzeugnisse liefert. 40 vH der Herdaufgabe bilden ein Konzentrat von 27 bis 28 vH Cu, das nur aus gröberen Erzteilchen besteht und daher in Filtern mit falschem Boden leicht zum Absetzen gebracht werden kann, so daß nach dem Abhebern des Wassers die Feuchtigkeit auf 7 vH herabgesetzt wird. Die bleibenden 60 vH der Herdaufgabe enthalten nur noch feinste Schlämme von ungefähr 25 vH Cu, die in einem Dorr-Eindicker erst verdickt und dann in einem Oliver-Filter soweit entwässert werden, daß ihre Feuchtigkeit 13 bis 15 vH beträgt. Da nun die Kosten des Abhebers bedeutend niedriger sind als die des Verdickens und mechanischen Filtrierens, ist diese Endbehandlung der Konzentrate auf Herden von maßgebender Bedeutung, um die Eisenbahnfracht wesentlich zu vermindern.

Abb. 6 zeigt, in welcher Weise die einzelnen Einheiten untereinander für den Fall von Betriebsstörungen verbunden werden können, so daß man leicht die Anlage den jeweiligen Verhältnissen anpassen kann.

Da in den gebräuchlichen Callow-Zellen infolge der Verwendung von Kalk zum Alkalischemachen der Trübe die Poren des feststehenden Kanavas-Bodens sich rasch verstopfen, wird der Durchgang der Druckluft verzögert und muß der Luftdruck und damit die Maschinenleistung erhöht werden, wenn man den Boden nicht öfters reinigt. Diesem Übelstand hilft u. a. das 1926 auf den Markt gebrachte Mc Intosh-Schwimmgerät, Abb. 3 und 4, ab, in dem man eine mit 12 bis 15 U/min umlaufende Walze am Boden des Geräts anbrachte, die mit 2 bis 4 Lagen Kanavas bespannt wird. Später wurde der Stoff durch einen fertigen Überzug aus dünnem Kautschuk ersetzt, den man in Abständen von 6 mm mit einer feinen Nadel durchlochte. Um aber die Schwierigkeiten des Straffspannens und Einstopfens des Überzuges zu vermeiden, benutzt man neuerdings mit Erfolg einen dünnen Metallzylinder, der feine Bohrungen hat. Die Druckluft dringt durch einen oder beide Hohlzapfen der Rotorwelle ein, die

durch nachstellbare Stopfbüchsen abgedichtet werden. Die Lagerschalen bestehen aus ungeteiltem, mit Wasser geschmiertem Kautschuk, um ein Lecken und Abnutzen des Zapfen durch eindringenden Sand zu verhindern.

Bei Anwendung der Maschine sinken die Unterhaltung- und Betriebskosten auf ein Fünftel der Kosten für die Callow-Zellen. Die Leistung steigt nahezu auf das Doppelte der üblichen mit Druckluft arbeitenden Geräte, da man auf 1 m² Walzenoberfläche 40 bis 50 t Erz in 24 h verarbeiten kann. Der Kraftverbrauch schwankt zwischen 0,75 und 1 PSh auf 1 t Erz, beträgt also nur $\frac{1}{3}$ der für andere Schwimmgeräte anzunehmenden Betriebskraft. Für die Luftzufuhr sind nur eine oder zwei Verbindungen notwendig, während in der Callow-Maschine jede Zelle besonders angeschlossen werden muß. Endlich ist für das Mc Intosh-Schwimmgerät der umbaute Raum um 55 vH kleiner, da 1 m² davon genügt, um 17,5 t Erz in 24 h aufzubereiten. Diese Maschinen haben daher auf vieler Schwimm-aufbereitungsanlagen Mexikos und der Vereinigten Staaten die Callow-Zellen verdrängt, zumal der Anschaffungspreis nur 750 \$ für die 3,05 m lange Maschine beträgt.

Die Betriebskraft für die gesamte Nacozari-Aufbereitung wird von sechs Dieselmotoren von 1250 bis 2000 PS geliefert. Der Energiebedarf für das ziemlich harte Erz beträgt 0,828 kWh/t, wovon 55 vH auf das Aufschließen entfallen. Sämtliche Maschinen haben elektrischen Einzelantrieb.

Die Betriebskosten für die letzten sechs Monate des Jahres 1926 werden wie folgt angegeben:

Grobbrechen und Zwischenförderung	0,107 \$ auf 1 t Roherz
Feinmahlen	0,341 „
Flotation	0,262 „
Allgemeine Unkosten	0,187 „

Gesamtunkosten 0,890 \$ auf 1 t Roherz.

Die Liefermenge betrug 18 t, bezogen auf einen Mann und eine Schicht.

Zum Schluß sei noch bemerkt, daß die Wohlfahrtseinrichtungen für die Unterbringung der Arbeiterbevölkerung musterergütig sind und in dieser Beziehung von anderen Grubenrevieren Mexikos unter amerikanischer Verwaltung äußerst vorteilhaft abstechen. Seit drei hintereinander folgenden Jahren ist Nacozari Inhaberin der Douglasprämie für Betriebssicherheit, die alljährlich von der Phelps Dodge Co. für ihre sämtlichen Gruben für die kleinste Zahl von Unfällen, auf 1000 Arbeiter bezogen, verliehen wird, obgleich sämtliche Arbeiter Mexikaner sind.

[B 1788]

Vorschriften für Motorschiffe

Auf Grund der Feststellungen über die Ursachen der Motorexpllosion auf dem Motorschiff „Kungsholm“⁽¹⁾ hat das Aufsichtsamt für Dampfkessel und Maschinen, Hamburg, an Motorschiffreedereien und an Werften, die Motoren bauen, ein Rundschreiben gerichtet. Dieses empfiehlt:

1. einen Abzug für etwa auftretende Gase im Kurbelraum zu schaffen, die Ausmündung an ungefährliche Stellen zu verlegen und mit einem Davyschen Schutznetz abzuschließen;
2. den Kurbelraum gut gegen den Maschinenraum abzudichten und eine ausreichende Lüftung im Maschinenraum auch unter den Flurplatten vorzusehen, so daß die Bedienungsmannschaft in keiner Weise Öldämpfen und Verbrennungsgasen aus Undichtheiten ausgesetzt ist;
3. Die Lager sind so durchzubilden und zu schmieren, daß eine übermäßige Erwärmung nicht auftreten kann;
4. Das Schmieröl aus der Kurbelwanne und das Kühlöl der Kolben sind in geschlossene Leitungen unmittelbar einem Sammelbehälter zuzuführen, während Lecköl von anderen Stellen im Maschinenraum einem besonderen Schmutzöl-Sammelbehälter und den Ölschleudern zuzuleiten ist;
5. Ölhaltiges Bilgewater darf weder längere Zeit in den Bilgen bleiben, noch ohne Reinigung über Bord gepumpt werden;
6. Öle von niedrigem Flammpunkt dürfen nicht mit Ölen von hohem Flammpunkt vermischt werden, da der Flammpunkt des Gemisches meist auch tief liegt;
7. Leicht entzündliche Brennstoffe mit einem Flammpunkt unter 21° dürfen an Bord nur in einem besonderen gasdichten Raum, der mit eigener Lüftung und Feuerlöscheinrichtungen versehen ist, verwendet werden. [N 2394]

¹⁾ Z. Bd. 72 (1928) Nr. 52 S. 1926.

R U N D S C H A U

Kommunale Technik

Ingenieur und Gemeindeverwaltung

Anläßlich der Tagung der Vereinigung der technischen Oberbeamten Deutscher Städte in Dresden vom 12. bis 14. September 1928 sprach Verbandsdirektor Dr.-Ing. Schmidt, Essen, der die Tagung mit einem Rückblick auf die fünfundzwanzigjährige Tätigkeit der Vereinigung eröffnete, über

den Techniker und die Rationalisierung der Gemeindeverwaltung.

Er hob die noch nicht allgemein anerkannte Wichtigkeit der städtischen Baudezernate und die Notwendigkeit von geeigneten Führern hervor, die ihre Zeit und ihre Nachfolger zu beeinflussen vermögen, ihr Bestreben aber darauf richten müßten, durch eine klar gegliederte und übersichtliche Bauverwaltung, bei der die maßgebenden Entscheidungen nur von einer Stelle getroffen werden, den häufigen Streit der einzelnen Dezernate unter einander völlig zu beseitigen, da die Bauverwaltung für die Allgemeinheit da sei und mit größter Wirtschaftlichkeit arbeiten müsse.

Im gleichen Sinn betonte Stadtbaurat Dr.-Ing. Leske, Dresden, wie groß die Bedeutung der von den technischen Dezernaten zu erledigenden Aufgaben für den kommunalen Gesamthaushalt sei, und kennzeichnete ferner die oft weit über den Rahmen des Stadtgebietes hinausgehenden Anforderungen an die technischen Beamten einer Stadt, z. B. bei der Aufstellung von Straßenbauplänen, der Versorgung großer Wirtschaftszentren mit Kohle, Elektrizität, Gas usw. Um eine gute Wirtschaftlichkeit zu erreichen, müsse man umfassende Interessengemeinschaften schaffen, die gleichzeitig die immer dringlicher werdenden Verkehrsfragen zu erledigen hätten.

Am Beispiel des die Stadt Dresden mit ihren Vororten von Meißen bis Pirna umfassenden Wirtschaftsgebietes „Elbgau“ erläuterte Dr. Leske seine Ausführungen und schilderte dann die Forderungen der über alle politischen Grenzen hinauswachsenden behördlichen und privatindustriellen Lebensfragen unserer Zeit. Da die Bearbeitung wasserwirtschaftlicher Fragen nur in ihrer Gesamtheit zu lösen sei, so müsse der Techniker jedes Flußgebiet einheitlich behandeln. Empfehlenswert sei die Begründung größerer Zweckverbände, die sich aber keinesfalls zu schwerfälligen Verwaltungskörpern auswachsen dürften; auch die Zersplitterung infolge Bearbeitung derselben wirtschaftlichen oder technischen Frage durch verschiedene Stellen sei unwirtschaftlich, zumal dabei oft abweichende Ergebnisse herauskämen.

Stadtbaurat Ritter, Leipzig, erinnerte daran, daß man noch bis vor kurzem dem Techniker jeden Einblick in die praktische Verwaltungstätigkeit ängstlich verwehrte, auch heute noch gebe es Stadtverwaltungen ohne leitenden Techniker. Unnötige Ausgaben durch Dienstreisen nicht sachverständiger Beamten zu Ausstellungen, Kongressen u. dergl. müßten vermieden werden, ebenso die oft rein persönlichen Reibereien und Zuständigkeitsstreitigkeiten zwischen den einzelnen Dienststellen, am besten durch straffe Organisation. Größere Verantwortlichkeit für die mittleren und unteren Beamten sei wünschenswert, ferner der Ersatz kostspieliger eingehender Kontrollen durch wirkungsvollere Stichproben, Arbeitserleichterung für die technischen Bureaus durch Ausrüstung mit Arbeitsmaschinen, weitergehende Sonderausbildung der Beamten. Die noch in vielen Gemeindeverwaltungen nur zu häufig herrschende Ansicht, daß das Publikum für die Verwaltung da sei anstatt umgekehrt, müsse gründlich ausgerottet werden.

In seinem Schlußwort beleuchtete Verbandsdirektor Dr.-Ing. Schmidt einige kennzeichnende Beispiele für das Aneinandervorbeirutschen einzelner Behörden und Dezernate und betonte, daß bei richtiger Erkenntnis des Begriffes „Städtebau“ die erfolgreiche Durchführung der notwendigen Belange schöpferische Kraft erfordere.

In einer zweiten Tagung, die gemeinsam mit den höheren technischen Baupolizeibeamten stattfand, sprach zunächst Magistratsoberrat Langbein, Berlin, über

moderne Abwasserreinigungsanlagen in England und Amerika

und ihre Bedeutung für die deutsche Städteentwässerung. Auf Grund seiner Erfahrungen als Teilnehmer von Studienreisen der Preussischen Landesanstalt für Wasser-, Boden- und Lufthygiene teilte Langbein mit, daß in England infolge strenger ministerieller Vorschriften alle Abwasserkläranlagen äußerst große Abmessungen haben, da die als Vorfluter dienenden Flüsse verhältnismäßig wasserarm sind.

Dagegen stellt Amerika mit seinen gewaltigen Strömen und Seen die Schaffung von Kläreinrichtungen der eigenen Entschlußkraft seiner Bürger anheim; nötigenfalls sorgen die mit weitgehenden Befugnissen ausgerüsteten Gesundheitsämter der einzelnen Staaten im Verein mit der Bürgerschaft für die Durchführung, meist in großzügigster Weise. Trotz der konservativen Einstellung in England verdrängt auch dort wie in Amerika die Abwasserreinigung mit belebtem Schlamm allmählich alle andern Verfahren, da sie auf künstlichem Wege das natürliche Verfahren der Selbstreinigung in Gewässern durch Belüftung und Umwälzung in beschleunigter Form durchführt, jeden gewünschten Reinigungsgrad ermöglicht, gegenüber andern biologischen Verfahren völlig geruchlos und ohne Fliegenplage arbeitet und keine künstliche Hebung des Wassers sowie verhältnismäßig kleine Bodenflächen braucht, allerdings gewissenhafte Überwachung beansprucht.

Berlin plant mehrere derartige Anlagen für je 100 000 bis 150 000 m³ tägliche Abwassermenge in Parallelschaltung zu den Rieselfeldern, um diese bei geringerem Wasserbedarf zu entlasten und dadurch den landwirtschaftlichen Betrieb der Rieselgüter wirtschaftlicher zu gestalten.

Über Verkehrsregelung und Bekämpfung ihrer Über-treibung, namentlich in Klein- und Mittelstädten,

sprachen Polizeipräsident Dr. Campe, Hamburg, und Stadtbaurat Eberlein, Fulda. Dr. Campe betonte, daß die wirksamste Regelung des Verkehrs nicht von der Polizei, sondern nur von den Straßenbautechnikern geleistet werden könne; beide müßten sich in enger Zusammenarbeit die gegenseitigen Erfahrungen nutzbar machen. Nach Schilderung der für den Verkehrsfachmann idealen Straßenverhältnisse bezüglich Breite, Anlage von Kreuzungen, Vorfahrten, Parkplätzen, Beleuchtung, Haltestellen der Verkehrsmittel, guter Gefahren- und Wegweisung, unter denen dem Verkehrsschutzmann nur noch die Sorge für die Fußgänger zufalle, wurden die Ursachen der heutigen Verkehrsschwierigkeiten und die Abwehrmaßnahmen, wie Einbahn- und Parallelstraßen, Wegweisung, Entlastung der Innenstadt, Kreisverkehr, Schutzinseln, Lichtzeichen usw. besprochen. Einem Hinweis auf die Übertreibungen der Verkehrsregelung schloß sich die Bitte an, durch planmäßige Gemeinschaftsarbeit aller beteiligten Stellen die sogenannten „Buddelereien“ im Sommer auf das denkbar geringste Maß zu beschränken.

Stadtbaurat Eberlein betonte, daß u. U. die Verkehrsregelung in Klein- und Mittelstädten mehr Schwierigkeiten bieten kann als in Großstädten, weil die Zahl der Knotenpunkte und die Verkehrsdauer größer, das Publikum aber weniger geschult ist, andererseits würde aber auch oft des Guten zuviel getan. Häufig genügen die schmalen Straßen wohl für Pferdefuhrwerke, aber nicht für den raschen Kraftwagenverkehr, besonders wenn sie auch noch Straßenbahnen aufweisen, deren Ersatz durch Kraftomnibusse zu empfehlen sei. Zu große Anforderungen an Breite und Befestigung der Straßen erhöhen bei der Beschränkung der Stockwerkzahl und Baublocktiefe die Bodenpreise. Der Durchgangsverkehr wird daher zweckmäßig von der Innenstadt in geeignete Außen- und Umgehungsstraßen unter Zuweisung besonderer Wege an die Radfahrer verlegt, dagegen ist die Schaffung besonderer Kraftverkehrsstraßen, große Industriezentren ausgenommen, ein nicht zu rechtfertigender Luxus.

Zu große Herabsetzung der Geschwindigkeit nimmt den Kraftfahrzeugen ihren Hauptvorzug ohne Erhöhung der Verkehrssicherheit. Unumgänglich ist die Aufstellung eines Verkehrsplanes, der Überschneiden verhindert, Einbahnstraßen, Richtungsschilder, Wegweiser usw. festlegt; letztere müssen augenfällig, gut lesbar, nachts beleuchtet sein und dürfen zu Reklamen nicht benutzt werden. Schildkröten, Blinklichter u. dergl. sind in Mittel- und Kleinstädten ebenso entbehrlich wie der Verkehrsschutzmann, sofern die Polizei die gesetzlichen Vorschriften rücksichtslos durchführt, vor allem auch den besonders gefährlichen Rad- und Motorradfahrern gegenüber. Alle Maßnahmen zur Regelung des Verkehrs erfüllen ihren Zweck nur dann, wenn jeder Beteiligte, vor allem auch der Fußgänger, strenge Selbstdisziplin übt und sich selbstlos dem Gesamtinteresse unterordnet.

Stadtbaurat Dr.-Ing. Trauer, Breslau, erstattete den „Bericht der Kommission über das Ergebnis der Verhandlungen über die Einordnung und Behandlung von Leitungen und Gleisanlagen in den öffentlichen Straßen“ und erläuterte die Richtlinien, die am 28. Januar 1928

in Berlin bei gemeinsamer Beratung von Vertretern zahlreicher Vereinigungen und Behörden aufgestellt worden sind¹⁾.

In der gleichzeitig abgehaltenen Versammlung des Deutschen Baupolizeitages (Vereinigung der höheren technischen Baupolizeibeamten Deutschlands) erörterte u. a. Dr.-Ing. Schmidtman, Stuttgart,

die strafrechtliche Verantwortlichkeit der Baupolizeibeamten.

Auf Grund einer Schilderung der teils durch die wirtschaftliche Lage, teils durch neuere Gepflogenheiten der Bauwelt begründeten Verhältnisse, die die dienstliche Tätigkeit des technischen Baupolizeibeamten äußerst erschweren, wurde die ständige Gefahr gekennzeichnet, in die gerichtliche Verfolgung von Bauunfällen mit hineingezogen zu werden. Die besonderen Beziehungen der Verstöße gegen anerkannte Regeln der Baukunst und der bei Bauunfällen unter Umständen in Frage kommenden Vergehen der fahrlässigen Körperverletzung oder Tötung zum baupolizeiamtlichen Berufsleben wurden eingehend hervorgehoben und zahlreiche Anregungen zur Klärung dieser schwierigen Frage geboten, die ebenso sehr zum Nutzen des Baupolizeibeamten wie der Verwaltung und der Rechtspflege dringend wünschenswert erscheint.

Über

die Erschütterungen der Gebäude durch Verkehrseinflüsse und die Maßnahmen zu deren Abwehr

sprach Oberingenieur Dipl.-Ing. Wittig, Magdeburg. Für die unbedingt notwendigen planmäßigen Untersuchungen über die Wirkung der Verkehrsstöße auf Gebäude genügen die zur Erdbebenmessung dienenden Seismographen nicht, es müssen besondere Verfahren und Geräte gefunden werden. Zu den wirksamen Einflüssen gehören vor allem Beschaffenheit des Geländes und des durch die Witterung beeinflussten Erdbodens, Art und Zustand der Straßendecke, Abstand der Fahrstelle vom Gebäude, dessen Bauweise und Baustoff, Gewicht und Geschwindigkeit des einzelnen Verkehrsmittels; aus dem wechselnden Verhältnis aller dieser Einzelposten zueinander ergeben sich die Verkehrsbeben. Etwaige Abwehrmaßnahmen müßten dem Einzelfall entsprechend getroffen werden; besonders wichtig sind geräuschlose Pflasterung, elastische Gleisbettung, massives Mauerwerk mit starker Balkendecke, Regelung der Fahrgeschwindigkeit. [N 2085]

Berlin

Dr. phil. H. W. Wolfram

Elektrotechnik

Der Kathodenstrahl-Oszillograph und Untersuchungen an Überspannungsschutzapparaten

In den letzten Jahren wurde an verschiedenen Stellen gleichzeitig und im wesentlichen auch unabhängig voneinander an der Entwicklung der Braunschen Röhre zum Kathodenstrahl-Oszillographen gearbeitet. Über den an der Technischen Hochschule Berlin mit Unterstützung der Helmholtz-Gesellschaft und der Studiengesellschaft für Höchstspannungsanlagen, E. V., entwickelten Kathodenstrahl-Oszillographen hat Gábor nunmehr ausführlich berichtet²⁾.

Über die Empfindlichkeitsgrenze des Blondelschen Schleifenoszillographen hinaus war bis vor einigen Jahren eine experimentelle Erforschung der schnellen elektrischen Ausbleichvorgänge unmöglich. Um so umfangreicher waren die theoretischen Untersuchungen auf diesem Gebiete, die aber bei einigermaßen verwickelten Vorgängen auf fast unüberwindliche Hindernisse stießen. Andererseits harrierten eine ganze Reihe von Erscheinungen, wie z. B. die Sprungwellen, der Entladeverzögerung von Funkenstrecken, die Überspannungen atmosphärischer Natur usw., dringend der Aufklärung, ganz besonders, weil sie die Ursachen von Störungen und Schäden sind, an deren Behebung man aus Unkenntnis der Natur der Vorgänge nicht herangehen konnte. Man hat zwar mittelbare Verfahren zur Untersuchung von Wanderwellen entwickelt, aber ihr Anwendungsbereich war doch verhältnismäßig klein. Wie brennend diese Fragen waren, geht schon daraus hervor, daß die Entwicklungsarbeiten für einen brauchbaren Oszillographen an verschiedenen Stellen zugleich aufgenommen wurden. Um die erforderliche hohe Aufzeichnungsgeschwindigkeit von einigen 100 km/s erzielen zu können, kam nur ein möglichst trägheitsloses Schreibglied in Frage, das im Kathodenstrahl der Braunschen Röhre gegeben war.

Die Aufgabe bestand nun darin, in den Strahlengang der Braunschen Röhre eine photographische Platte zu bringen und den Strahl selbst in geeigneter Weise elektromagnetisch

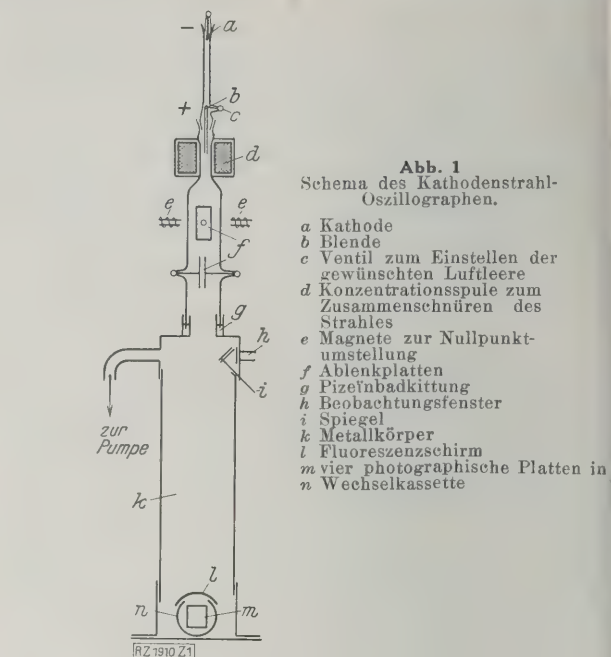


Abb. 1
Schema des Kathodenstrahl-Oszillographen.

oder elektrostatisch durch die zu untersuchenden Erscheinungen aus seiner Richtung ablenken zu lassen, so daß er auf der Platte eine Kurve zeichnet. Für den vorliegenden Oszillographen wurde die innere Photographie gewählt, d. h. die lichtempfindliche Platte wurde in den luftleeren Raum der Braunschen Röhre gebracht.

Das Schema des Gerätes ist aus Abb. 1 ersichtlich. Der in der Braunschen Röhre oben erzeugte Kathodenstrahl wird durch eine Blende und eine Spule zu einem feinen Strahlenbündel zusammengeschnürt. Dieses Bündel durchläuft nacheinander den Zwischenraum zwischen zwei um 90° gegeneinander versetzten Plattenpaaren, den sogenannten Ablenkplatten, die an verschiedene Spannungen gelegt werden, und deren elektrostatische Felder den Strahl in zwei zueinander senkrechten Richtungen ablenken. Unten befindet sich eine auswechselbare Kassette mit vier photographischen Platten, die man nacheinander in den Strahlengang bringen kann. Statt der Platten kann auch ein Fluoreszenzschirm eingeführt werden zur unmittelbaren Beobachtung des Oszillogramms durch ein Beobachtungsfenster mit geeigneter Optik. Der ganze Raum von der Kathode bis zur Kassette steht unter Hochvakuum von rd. $5 \cdot 10^{-3}$ mm Q.-S., das durch einen Pumpensatz erzeugt und erhalten wird. Von den beiden Ablenkplattenpaaren liegt das eine an der oszillographisch aufzunehmenden Spannung, das andere wird für die Zeitablenkung benutzt. Diese Ablenkung des Strahles in zwei Richtungen ist deshalb notwendig, weil die photographische Platte im Gegensatz zu den Schreibflächen der üblichen Schleifenoszillographen feststeht. Die Ablenkung des trägheitslosen Kathodenstrahles bringt ja auch die ganz außerordentlich hohe Empfindlichkeit des Oszillographen mit sich. Die Geschwindigkeit des Schreibflecks auf der Platte beträgt rd. 300 km/s. Zur Erregung der Entladungsröhre dient Gleichspannung von 60 bis 70 kV, die in einer Ventilröhre erzeugt wird.

Für die besondern Zwecke des Oszillographen mußte die Braunsche Röhre mit einigen Zusatzeinrichtungen versehen werden, die die Regelung der Luftleere, die richtige Konzentration des Kathodenstrahles zu einem feinen Strahlenbündel und die Strahlablenkung gestatten. Es hat sich gezeigt, daß man die günstigsten Verhältnisse erzielt, wenn die Gasleere in der eigentlichen Entladungsröhre rd. 0,01 mm Q.-S. und im übrigen Teil, also besonders zwischen den Ablenkplatten, rd. 10^{-3} bis 10^{-4} mm Q.-S. beträgt.

Auch die günstigste Form der Ablenkplatten ist für den Oszillographen zur Erzielung einer möglichst hohen Spannungsempfindlichkeit von ausschlaggebender Bedeutung.

Die Zeitablenkung muß gleichzeitig mit dem Beginn der zu oszillographierenden Vorgänge einsetzen. Dies erreicht man durch die Entladung eines Kondensators über eine Elektronenröhre, die vorher durch eine negative Gitterspannung abgesperrt und bei Beginn der Entladung durch einen plötzlichen positiven Spannungssprung am Gitter zum voll gesättigten Emissionsstrom gebracht wird; die Schaltung zeigt Abb. 2. Um die durch längeres Stehenbleiben des Schreibflecks in der Nullstellung entstehende intensive Schwärzung der photographischen Platte zu vermeiden, lenkt

¹⁾ Vergl. die Zeitschrift „Bauamt und Gemeindebau“, Jg. 10 Heft 13.

²⁾ Forschungshefte der Studiengesellschaft für Höchstspannungsanlagen, E. V. 1. Heft. Kathodenstrahl-Oszillograph, Berlin 1927, Verlag der Vereinigung der Elektrizitätswerke.

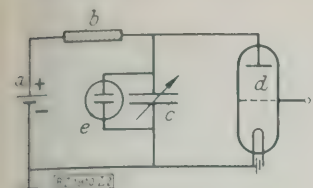


Abb. 2
Schaltung der Zeitablenkung.
a Gleichstromquelle
b Großer Widerstand
c Kondensator
d Elektronenröhre
e Ablenkplattenpaar

man den Strahl vorher von der Platte ab und läßt ihn erst mit dem Beginn des oszillographisch aufzunehmenden Vorganges auf die Platte auftreffen (Vorablenkung).

Versuche können mit Nieder- und mit Hochspannung vorgenommen werden. Bei letzterer ist Spannungsteilung erforderlich, da man selbst bei geteiltem Vakuum an den Oszillographen nur Spannungen bis rd. 10 kV legen kann. Um den bei kleinen Frequenzen in einer kapazitiven Spannungsteilung auftretenden Fehler infolge der Ableitungswiderstände zu vermeiden, wird eine Anordnung gewählt, bei der eine große Kapazität C_2 in Reihe mit einer kleinen C_1 liegt, die aber beide in eine Mischung von Xylol und Methylalkohol so eingebaut sind, Abb. 3 und 4, daß die Ableitungswiderstände R_1 und R_2 im umgekehrten Verhältnis zu den Kapazitäten stehen: $C_1 : C_2 = R_2 : R_1$.

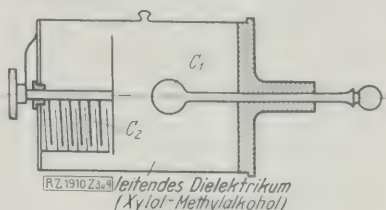
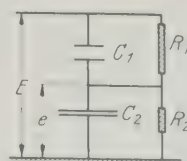
Die nicht ganz einfache Bedienung des Oszillographen, besonders die dauernde Überwachung der Gasleere, bringt es mit sich, daß man zwar willkürlich erzeugbare oder sich periodisch wiederholende Vorgänge oszillographieren kann, nicht aber alle Vorgänge, deren zeitlichen Beginn man nicht beeinflussen kann. Dazu gehören alle Überspannungsvorgänge auf Leitungen und in elektrischen Anlagen. Um deren Aufnahme trotzdem zu ermöglichen, hat Gábor ein Hilfsgerät, das Kipprelais, Abb. 5, entwickelt. Der zu oszillographierende Vorgang „stößt“ ein Relais an, das sämtliche zur Betriebsbereitschaft des Oszillographen erforderliche Handlungen mit denkbar kleinster Zeitverzögerung einleitet. Dies kann durch verschiedene Röhrenschaltungen geschehen, die zwei stabile Gleichgewichtslagen haben; aus einer solchen Ruhelage kann das Relais durch einen Spannungsstoß in die andre „gekippt“ werden. Dieser Vorgang sowie das Einrücken des Kathodenstrahles auf die Platte muß in Bruchteilen einer Millionstel Sekunde abgelaufen sein. Die zum Kippen des Relais erforderliche Arbeit muß selbstverständlich sehr klein sein.

Naturngemäß ergaben sich beim Arbeiten mit dem neugebauten Apparat noch eine ganze Reihe von Schwierigkeiten, die man aber durch planmäßige Weiterentwicklung der Hilfsapparate beheben konnte. Vorablenkelektroden in Form zweier paralleler Drähte, zwischen denen der Strahl hindurchschießt, wurden durch eine bessere Anordnung ersetzt, bei der drei Plattenpaare je nach der angelegten Spannung die Vorablenkung des Strahles herbeiführen.

Auch die räumliche Anordnung des Apparates und der Meßleitungen sind bei der Art der zu untersuchenden Vor-

Abb. 3 und 4
Schaltbild und Schnitt des kapazitiven Spannungsteilers.

C_1 kleine Kapazität (verschiebbare Kugel, 1 bis 5 cm)
 C_2 große Kapazität (Drehkondensator bis 500 cm)
 R_1 großer Widerstand
 R_2 kleiner
 E zu messende Spannung
 e geteilte Spannung



RZ 1910 Z 3 a) leitendes Dielektrikum (Xylol-Methylalkohol)

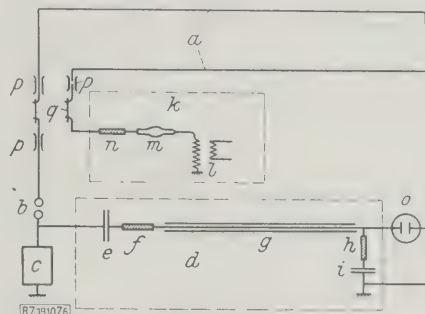


Abb. 6
Versuchsschaltung zur Erzeugung rechteckiger Wanderswellen.

a Versuchsleitung
b Schaltfunkenstrecke
c untersuchter Überspannungsschutz
d Spannungsteilung (e bis i)
e Kondensatoren
f Wasserwiderstände
g geschirmte Meßleitung
h Widerstand
i Kondensator
k Gleichrichteranlage (l bis n)
l Umspanner
m Ventilröhre
n hoher Vorschaltwiderstand (Schutzwiderstand)
o Oszillograph
p Durchführungen im Werk
q Trennschalter

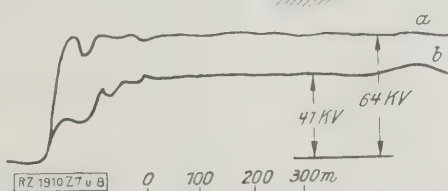
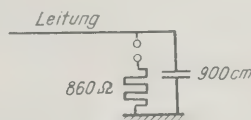


Abb. 7 und 8
Aufnahme von Überspannungswellen einer Leitung ohne (a) und mit (b) Widerstandsableiter mit vorgeschalteter Kugelfunkenstrecke (240 vH Überspannung) und parallel geschaltetem Kondensator von 900 cm Kapazität.
Das Schaltbild zeigt schematisch die Anordnung b.



Abb. 5

Kipprelais, zum Einschalten des Oszillographen bei der Aufzeichnung von Vorgängen, deren zeitlichen Beginn man nicht beeinflussen kann, z. B. Entladung atmosphärischer Überspannungen an Leitungen.

gänge von wesentlicher Bedeutung für das Ergebnis, so daß man bei den Messungen mit dem Oszillographen auf diesen Punkt besonders achten muß.

Um Beeinflussungen durch die elektrostatischen Felder der Hochspannung führenden Leitungen zu vermeiden, sind sorgfältige Abschirmungen aus Metall notwendig. Am besten ist eine ganz gekapselte Ausführung des Oszillographen.

Die Untersuchungen an Überspannungs-Schutzapparaten mit dem Kathodenstrahl-Oszillographen fanden in der Schaltstation der Elektrowerke in Friedrichsfelde bei Berlin statt. Zur Erzeugung der erforderlichen Wanderswellen war eine rd. 1 km lange für 100 kV isolierte Versuchsleitung errichtet worden, die durch eine Ventilröhren-Gleichrichteranlage auf etwa 120 kV gegen Erde gebracht werden konnte. Die Schaltung bei den Versuchen zeigt Abb. 6. Sowie die Schaltfunkenstrecke b bei genügend hoher Spannung überschlägt, liegt die zu untersuchende Schutzzeineinrichtung c an der auf-

geladenen Leitung; die an ihr reflektierte Spannungswelle läuft in die Leitung nach der Gleichspannungsanlage zu hinein, wird an dem hohen Vorschaltwiderstand dort abermals reflektiert und läuft wieder zurück. Während diese Wanderwelle also einen Weg von 2 km mit Lichtgeschwindigkeit zurücklegt, liegt an dem zu untersuchenden Apparat die an ihm reflektierte Spannung. In den meisten Fällen genügt diese Laufzeit, um aus dem Oszillogramm die für den Apparat kennzeichnenden Eigenschaften abzulesen.

Um über das Verhalten der Schutzapparate den Wanderwellen gegenüber Aufschluß zu erhalten, wurde bei gleichen Spannungsverhältnissen jedesmal eine Aufnahme mit angeschlossenem Schutzapparat und eine ohne diesen gemacht. Beide übereinanderkopiert ergeben ein Bild von der Wirksamkeit des Apparates. Untersucht wurde ein Glimmschutz, ein Widerstandsableiter, ein Oxydfilmableiter und ein Westinghouse-Blitzventil.

Während beim Glimmschutz keine wesentliche Schutzwirkung feststellbar war, ergab der Widerstandsableiter einen sehr guten Schutzwert, besonders wenn dem Widerstandsableiter ein Kondensator parallel geschaltet wurde. Die Schaltung und die beiden Oszillogramme zeigen Abb. 7 und 8. Während ohne den Widerstandsableiter die Spannung sehr steil auf 64 kV anstieg, stieg sie nach Anschluß des Widerstandsableiters mit parallel geschaltetem Kondensator nur auf 41 kV, und zwar wesentlich weniger steil. Da der Ableiter eine hohe Überspannung in gleichem Maße herabsetzt wie eine geringe, es aber erwünscht ist, eine größere Überspannung stärker abzusinken, sind Versuche mit Ocelit als Ableiterwiderstand gemacht worden, dessen Widerstand mit steigender Spannung abnimmt. Die Oszillogramme zeigten, daß eine 25 kV-Spannungswelle auf 16 kV, eine 100 kV-Welle auf 39 kV abgesenkt wurde.

Bei dem Oxydfilmableiter und dem Westinghouse-Blitzventil, die in Deutschland weniger zur Verwendung gekommen sind, ergaben die Versuche, daß die Ansprechspannung rd. den 7,5- bis 8fachen Wert der normalen Betriebsphasenspannung ausmachte, so daß diese Ableiter für Anlagen mit üblichen Sicherheiten nicht in Frage kommen. [M 1910]

Berlin-Steglitz

Dr.-Ing. Heinr. Grünewald

Hebezeuge

60 t-Schwimmdrehkran mit einziehbarem Ausleger

Das staatliche Hafenbauamt Pillau¹⁾ besaß zum Heben größerer Lasten zwei mit der Hand zu bedienende Geräte, einen landfesten Spierenkran von 20 t Tragfähigkeit auf seiner Werft und eine schwimmende Steinversetzbrücke von 25 t Tragfähigkeit. Beide Geräte waren infolge hohen Alters nicht mehr genügend betriebsicher. Sie mußten daher ersetzt werden. Die neuen Anlagen sollten folgende Arbeiten verrichten können:

1. Auf der Staatswerft: Auf- und Abtakeln der Fahrzeuge, insbesondere der Bagger, Herausnehmen und Einsetzen von Kesseln, Maschinen usw. Es sollte möglich sein, auch Fahrzeuge, die im Schwimmdock der Staatswerft liegen, zu bearbeiten.
2. Hilfeleistungen bei Bauarbeiten, an den Uferbefestigungen, Dämmen und Molen, besonders an der Südermole Pillau.
3. Hilfeleistungen bei Schiffsunfällen.

Aus wirtschaftlichen Gründen wählte man einen Schwimmdrehkran, der sämtliche Arbeiten ausführen konnte, Abb. 9 und 10 bis 12. Der Kran kann einen lichten Raum von 15 m Höhe und 9,5 m Breite, von Außenbordkante gemessen, bestreichen. Die größte Last am Hauptzughaken beträgt 60 t, daneben ist ein Hilfswerk für 10 t angeordnet. Zum Antrieb dient Drehstrom von 220/380 V, der der Staatswerft vom Ostpreußenwerk geliefert wird.

Der Schwimmdrehkran ist in Pontonmitte aufgestellt. Infolgedessen wird die Menge des zur Gleichgewichtsherstellung notwendigen Ballastzementes und damit der Leertiefgang auf ein Mindestmaß beschränkt. Die hintere von Oberlichten und Niedergängen freie Deckfläche kann für das Absetzen von Arbeitstücken benutzt werden.

Drehkran

Der in vollem Kreise drehbare Kran stützt sich mittels acht kräftiger, in vier Ausgleichswagen gelagerter Stahlgußlaufrädern auf den auf dem Ponton fest verlegten Rollkranz ab und ist in der Mitte um einen Königszapfen geführt, der fest in die Pontonkonstruktion eingesetzt ist. Für ein gutes Übertragen und Abfangen der beim Neigen des Pontons und Kranes auftretenden wagerechten wirkenden Kräfte ist Sorge getragen. Die Antriebe für das Hub-



Abb. 9
60 t-Schwimmdrehkran mit einziehbarem Ausleger
im Hafen von Pillau

und das Drehwerk sind in dem geschlossenen Maschinenhaus angeordnet. Die Steuerung des Kranes erfolgt von einer hochliegenden Führerstation aus, so daß der Kranführer einen guten Überblick über das Arbeitsfeld hat. Um eine leichte Auswechselbarkeit aller Motorenteile zu erreichen hat man für Hub-, Dreh- und Einziehmotor je einen geschlossenen Bergmann-Motor von 36,7 PS Leistung für 45 min gewählt. Die Arbeitgeschwindigkeiten des Hubwerkes betragen bei 30 bis 60 t Last 1,65 m/min, bei 10 bis 30 t Last 3,83 m/min, bis zu 10 t Last 10,8 m/min.

Der Antrieb wird auf die Hubtrommel mittels Stirnrädergetriebe übertragen. Beide Hubwerke werden durch einen gemeinsamen Motor angetrieben, und zwar derart, daß die Bewegung von dem Haupthubwerk auf das Hilfshubwerk und umgekehrt mit der Hand umgeschaltet werden kann. Zum Halten der Last in jeder beliebigen Höhe dient eine kräftige elektromagnetische Bremse und zur Begrenzung der höchsten Hubstellung eine selbsttätige Endausschaltvorrichtung.

Zum Einziehen des Auslegers dient ein besonderer Motor. Dieser überträgt seine Bewegung auf eine starke Stahlspindel, die mit flachgängigem Gewind versehen ist. Die Anordnung mit einer einzigen Spindel hat man aus verschiedenen Gründen gewählt. So ist z. B. bei der großen Länge eine Spindel mit verhältnismäßig großem Querschnitt vorteilhafter als zwei dünnere Spindeln. Ferner ist der Schmiermittelverbrauch geringer. Die auftretenden Kräfte können bei dem Einspindel-Einzieherwerk sicher bestimmt werden.

Die Spindel steht fast senkrecht und ist daher Biegemomenten kaum ausgesetzt. Sie wird am Plattformgerüst festgehalten und greift in die mit Rotgußfutter ausgerüstete Mutter, die im Auslegerobergurt gelagert ist. Zur Übertragung des Antriebes vom Motor auf die Spindelmutter dienen Stirn- und Kegelhädergetriebe. Will man den Ausleger in irgendeiner beliebigen Stellung festhalten, so tritt eine elektromagnetisch betätigte Backenbremse in Tätigkeit. Die höchste und tiefste Auslegerstellung wird von einer elektrischen Endausschaltvorrichtung begrenzt.

Zum Drehen des Kranes dient ebenfalls ein besonderer Motor. Der Motor überträgt seine Bewegung durch ein Schneckengetriebe und Zahnradvorgelege auf ein Triebritzel, das in den auf der Pontonkonstruktion mit dem Rollkranz verbundenen wagerechten schmiedeeisernen Zahnkranz mit Triebstockverzahnung eingreift. In Schneckenrad ist eine Lamellenrutschkupplung eingebaut, die dem normal auftretenden Drehwiderstand entsprechen eingestellt ist. Bei größeren Widerständen jedoch kommt sie zum Rutschen, so daß Brüche vermieden werden. Das Drehwerk erhält eine kräftige elektromagnetisch betätigte Bremse, die den Kran in jeder Stellung sicher festhalten kann. Eine Drehung um 360° dauert 4 min.

Bei dem Hubwerk werden zwei Stränge angezogen. Infolgedessen ist zwar das Windwerk schwer ausgefallen, der Nachteil des Drehens der Unterflasche wird aber mit Sicherheit vermieden. Auch die schräge Lage der Seilführung im unteren Kranteile hat große Vorteile, da hier

¹⁾ Die Angaben zu Beginn dieser Abhandlung wurden mir von Reg. Baurat Prengel, Vorstand des Hafenbauamtes Pillau, freundlichst zur Verfügung gestellt.

bei vorkommendem Schlappseil, das beim Auflegen der Unterflasche am Boden und dergleichen entstehen kann, die Seile nicht aus den Rillen der Trommeln gleiten können und somit ein Ueberinanderwickeln und Beschädigen der Seile ausgeschlossen ist.

Ponton

Der Ponton wird durch wasserdichte Längs- und Querrotten so weit unterteilt, daß durch Leckwerden einer beliebigen Abteilung die Schwimmfähigkeit des Pontons auch dann noch gewahrt bleibt, wenn der mit 50 t belastete Kranponton nach der lecken Seite hin ausgeschwenkt ist. Die äußeren Abteilungen sind als Sicherheitsräume und Lufttanks ausgebildet; sie erhalten je ein Mannloch mit Gitter. Die Außenhaut erhält keine Fenster. Alle Räume, die Lichtzutritt erfordern, sind auf die mittleren wasserdichten Abteilungen vor und hinter dem Kranunterbau verlagert, um an beiden Enden möglichst große Absetzplätze für Lasten frei zu behalten. Es sind dies: der Raum für die elektrische Schaltanlage, die Räume für die Besatzung, der Heiz- und Kesselraum, der Kohlenbunker und einige Wohn- und Gerätekammern. Alle diese Räume erhalten elektrische oder Deckgläser für hinreichende Beleuchtung und bequeme Niedergänge. Der Schwimmkörper ist 34,8 m über Spanten lang, 15 m breit und hat 2,7 m Seitenhöhe.

Bei Ruhelage des betriebsfertigen Kranes mit 16,4 t Zuladung ohne Last bei längs Schiff eingestelltem, nach vorne zeigenden Ausleger beträgt der mittlere Tiefgang mit Kran rd. 1,20 m, der höchste Tiefgang mit Kran rd. 1,30 m.

Bei 50 t Last und 8,5 m Ausladung von Außenkante Scheuerleiste und 50 kg/m² Winddruck ergibt sich der größte Krängungswinkel zu etwa 5 bis 5½°, bei der Probebelastung von 62,5 t etwa zu 7 bis 7½°. Bei unbelastetem Kran und 200 kg/m² Winddruck beträgt der Krängungswinkel rd. 4½ bis 5½°. In allen Fällen behält der Schwimmkörper genügend Freibord.

Die bei diesen Tiefgängen vorausgesetzte Zuladung setzt sich wie folgt zusammen: Öl 3 t, Kohle 10 t, Besatzung 1,4 t, Trinkwasser und Verpflegung 2 t, insgesamt 16,4 t. Das Gesamtgewicht des fertig ausgerüsteten Schwimmkranes mit Zement im Boden ohne elektrische Anlage und Kesselanlage beträgt rd. 300 t.

Der Ponton ist aus Schiffbaustahl nach den Vorschriften des Germanischen Lloyd erbaut und entspricht in seinen Abmessungen den Vorschriften des Germanischen Lloyd für kleine Küstenfahrts mit Eisverstärkung. Das Deck des Pontons kann an bestimmten Absetzstellen Lasten bis zu 50 t tragen.

Die Form des Pontons und seine Abmessungen sind so gewählt, daß er sich leicht schleppen läßt und daß die Standfestigkeit des voll ausgerüsteten Fahrzeuges in unbelastetem Zustande jedem Seegang im Frischen Haff und einem der Windstärke 4 bis 5 entsprechenden Seegang auf offener See gewachsen ist.

Die elektrische Anlage

bestehend aus einem mit einem Drehstromerzeuger für 100 kVA bei 380/220 V Klemmenspannung, $\cos \varphi = 0,8$ und 300 U/min unmittelbar gekuppeltem kompressorlosem vierzylindrigen Zweitakt-Dieselmotor, Bauart Schichau-Sulzer, nebst Maschinenschalttafel, ist auf besonderen Wunsch der Hafenbauverwaltung vom Kranponton getrennt und in einem besonderen Schiffsgefäß untergebracht, wobei die einwandfreie Zusammenarbeit der Anlagen gewährleistet ist. Für eine etwaige spätere Verlegung der Stromerzeugungsanlage in den Kranponton sind auf diesem die notwendigen Maschinenfundamente und das Schalttafelgerüst gleich passend hergerichtet. Jeder der Krammotoren braucht 36,7 PS Leistung, der Antriebmotor für die Lenzpumpe rd. 3 PS und die Beleuchtungsanlage rd. 2 kW.

Die größte Dauerlast des Stromerzeugers beträgt rd. 60 kW, die Spitzenlast erreicht rd. 90 kW. Mit Rücksicht hierauf wurde ein Dieselmotor von 140 PS Dauerleistung und 150 PS Spitzenleistung gewählt.

Zur Überleitung des Stromes von der Stromerzeugungsanlage nach der Verteilstelle des Kranpontons dienen auf dem Deck der beiden Schiffskörper angeordnete und durch fliegende Kabel verbundene Säulensteckanschlüsse. Diese Steckanschlüsse gestatten auch die Speisung der elektrischen Anlage des Kranes aus dem Drehstromnetz der Staatswerft oder umgekehrt die Bespeisung der Staatswerft aus der Stromerzeugungsanlage des Kranes. Die Steckvorrichtungen haben unverwechselbar eingerichtete Steckerteile und sind robust und wasserdicht gebaut.

Der Drehkran wurde von den Ardetlwerken G. m. b. H., Eberswalde, an die Firma F. Schichau, Elbing, geliefert. Diese erbaute als Generalunternehmerin außer dem Ponton auch die gesamte Kraftanlage sowie die Eisenkonstruktion des Kranes nach den Plänen der Ardetlwerke. [M 1647]

Eberwalde

Obering. Fr. Woeste

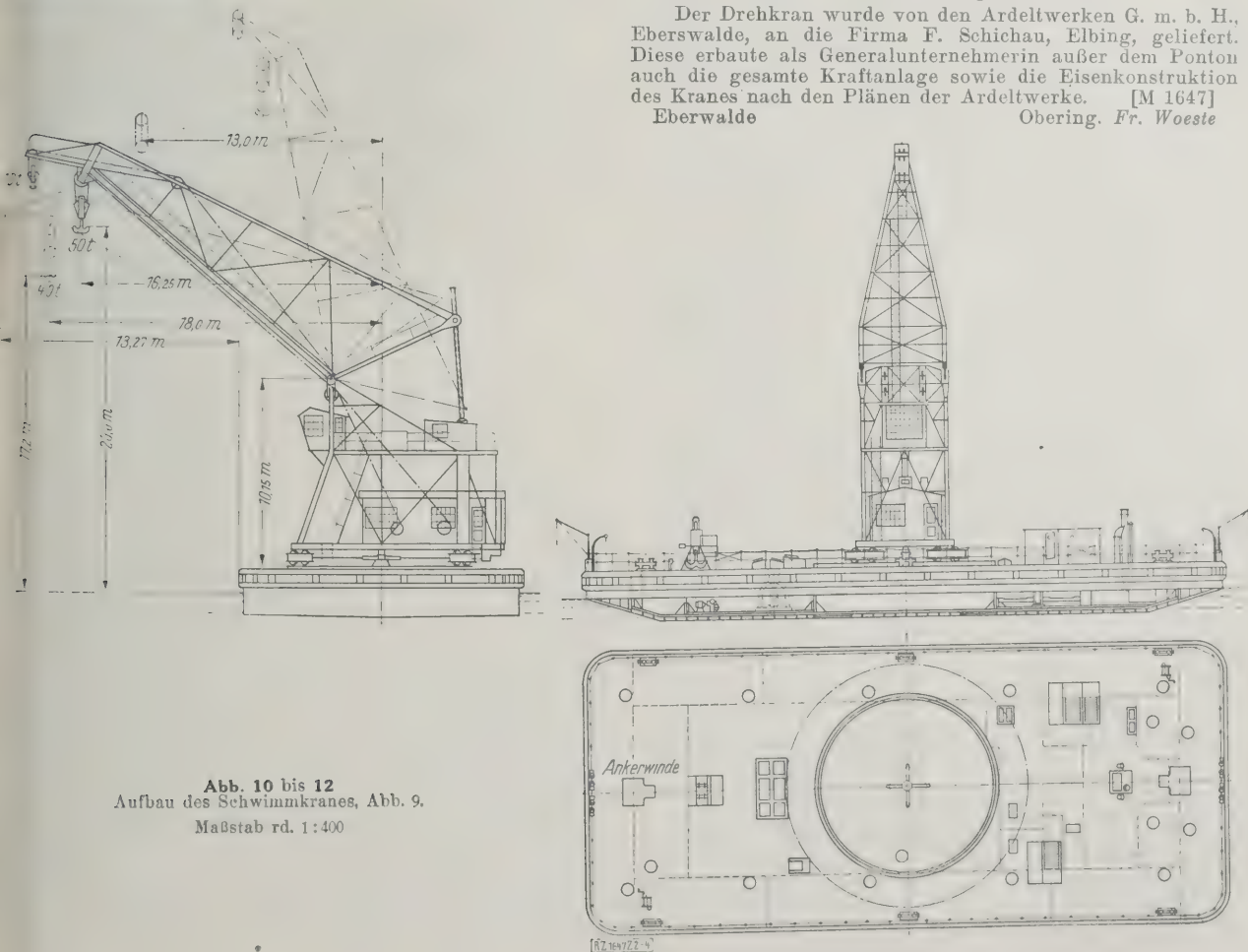


Abb. 10 bis 12
Aufbau des Schwimmkranes, Abb. 9.
Maßstab rd. 1:400

Kleine Mitteilungen

Fundamente für große Turbodynamos

Für die beiden Turbodynamos von je 50 000 kW, die das Delray-Werk 3 der Detroit Edison Co. erhalten wird, hat man Gründungen aus Beton gewählt, die von gewachsenem Fels getragen werden. Die Entscheidung über die Wahl des Baustoffes für die Fundamente gründet sich auf gewisse ungünstige Erfahrungen, die man mit Turbodynamos von genau der gleichen Größe und Bauart im Trenton Channel-Kraftwerk gesammelt hat; diese Turbodynamos ruhen auf Betonplatten von 1,5 m Dicke, die von genieteten Säulen getragen werden, und haben im Betrieb Schwierigkeiten infolge von Schwingungen ergeben. Der unruhige Lauf macht sich besonders beim Anfahren bemerkbar. Man hat festgestellt, daß die Stärke der Störungen von der Dauer des Stillstands abhängt, der der Inbetriebnahme vorausgegangen war, und am größten ist, wenn die Maschine 15 h stillgestanden hat.

Die Ursachen der Störungen sind, wie man vermutet, Verbiegungen der Läufer infolge von Temperaturunterschieden, die sich bei Stillstand innerhalb der Gehäuse einstellen. Durch genaue Vorschriften für das Anwärmen der Turbinen bei der Inbetriebnahme hat man zwar den Übelstand beseitigt, allein man braucht etwa 2 h, bevor man die Turbodynamo belasten kann. Die Verwendung der Betonfundamente, die wesentlich größere Masse haben, als Gründungen aus Eisenkonstruktion, soll der Möglichkeit ähnlicher Störungen bei dem neuen Werk vorbeugen, zumal man schon bei der Anlage am Trenton-Kanal beobachtet hat, daß das Auffüllen der genieteten Fundamentsäulen mit Beton die Schwingungen gedämpft hat. Zu dem Vorteil der höheren Sicherheit gegen Schwingungen kommt noch, daß die Betonfundamente billiger als die Stahlfundamente hergestellt werden können. („Electrical World“ 1. Dez. 1928 S. 1089/91*) [N 2395 a] H.

Versuche mit einer neuen Feuerraumauskleidung

Um ihren steigenden Bedarf an Heiz- und Fabrikationsdampf zu befriedigen, stellte die Carborundum Co., Niagara Falls, N. Y., drei 465 m²-Kessel mit Kohlenstaubfeuerung und gekühlten Feuerraumwänden auf. Hiervon sollten zwei Kessel mit 42 kg/m²h Verdampfleistung die Winterspitzen decken, der dritte sollte zur Aushilfe bereitstehen. Im Sommer braucht nur ein Kessel arbeiten.

Der Aushilfskessel wurde so gebaut, daß er bei 10 at Dampfdruck mit 85 kg/m²h belastet werden konnte. Zu diesem Zwecke kleidete man die Feuerraumwände mit Carbofrax, einem Siliziumkarbiderzeugnis, aus und stellte Versuche an, um die Widerstandsfähigkeit dieses Stoffes bei hohen Belastungen zu prüfen.

Die Carbofrax-Steine werden in drei Ausführungen geliefert und ohne Mörtel oder Zement aneinandergefügt. Der Kessel wurde im April 1928 in Betrieb genommen und seine Belastung allmählich von 17 auf mehr als 85 kg/m²h gesteigert; die Leistungsfähigkeit der Hilfseinrichtungen des Kessels setzte der Steigerung die Grenze. Selbst bei den hohen Belastungen konnten 14 bis 16 vH CO₂-Gehalt der Rauchgase aufrechterhalten werden. Nach unten ließ sich die Feuerraumbelastung bis auf 90 000 kcal/m²h verkleinern, ohne daß die Verbrennung behindert oder Rauch erzeugt wurde. Die Feuerraumauskleidung hat in den sechs Betriebsmonaten den Erwartungen entsprochen. Die Steine bedecken sich im Betrieb mit einer dünnen porösen Schlackenschicht, die sich leicht entfernen läßt. Ihre Oberfläche war nach sechs Monaten von Anfrassungen frei. („Power“ 20. November 1928 S. 839*) [N 2395 b] Le.

Zerstörungen an Beton durch Moorwasser

Die Wasserkraftanlage der British Aluminum Co., Ltd., nützt die Moorwasser des Blackwater-Tals auf der Westseite des Moores von Rannoch aus. Im Lauf der Zeit wurden die Betonbauten, besonders Kanäle, von dem Moorwasser angegriffen. Um den geeigneten Werkstoff zu bestimmen, der für eine Wiederinstandsetzung in Frage kommt, wurden seit dem Jahre 1921 bis jetzt 113 verschiedene Stoffe untersucht, und zwar vor allem Beton mit Portlandzement, mit Schlacken, mit aluminiumhaltigem Zement, ferner Teer, Bitumen, Ziegelsteine, Berappstoffe und chemische Mittel. Die Versuche wurden in einem rd. 100 mm breiten und 100 mm tiefen Kanal gemacht. Die Wasserstoffionen-Konzentration des Moorwassers schwankte von $p_H = 4$ bis $p_H = 8$, also von aktueller Azidität bis zur Alkalinität.

Nach einem Jahre waren die meisten Stoffe angegriffen. Vor allem ging daraus hervor, daß der übliche Portlandzement am wenigsten widerstandsfähig ist. Beton mit stark aluminiumhaltigem Zement zeigte nach sechseinhalb Jahren bei stark saurem Moorwasser (bis zu $p_H = 4$) keine Spuren von Anfrassungen. Der einzige andre Baustoff, der nach sechs Jahren keine Zerstörungserscheinungen zeigte, blauer Ziegelstein von Staffordshire. Auch einige Fa- und Ölanstriche haben sich gut bewährt. Unter weniger schwierigen Bedingungen erwies sich eine Behandlung der Oberfläche mit einer Seifenlösung als hinreichender Schutz. („The Engineer“ 14. Dezember 1928 S. 664)

[N 2395 c]

Schr

Diesel-elektrische Lokomotive für 2660 PS

Die Kanadische National-Eisenbahn hat neuerdings eine große diesel-elektrische Lokomotive für 2660 PS Leistung in Dienst gestellt. Sie besteht aus zwei Lokomotivhälften, auf denen je ein Zwölfzylinder-Dieselmotor, mit einem Gleichstromerzeuger gekuppelt, aufgestellt ist. Vier Gleichstrommotoren übertragen im Einzelantrieb die Kraft auf die Achsen. Sie entwickeln rd. 45 000 kg Zugkraft bei der Anfahrt und rd. 19 000 kg im Beharrungszustand, ihre Drehzahl beträgt 800 U/min. Zum Ingangsetzen dient ein Stromerzeuger, von einer Batterie gespeist, als Motor. Außer Wasserkühlung ist auch Luftkühlung vorgesehen. Der Brennstoff wird mittels Druckluft eingespritzt. In Abgase der Dieselmotoren werden dem Heizkessel zugeführt, der außerdem Ölfuehrung besitzt. Die elektrische Schaltung und Steuereinrichtung ist in üblicher Weise ausgeführt.

Auf jeder Lokomotivhälfte können 3600 kg Brennstoff, 5000 l Wasser für den Kessel und rd. 1400 l Einspritzwasser mitgeführt werden. Das Gesamtgewicht der Lokomotive beträgt rd. 300 t, das Reibungsgewicht rd. 220 t; sie kann auf steigungsfreien Strecken 2800 t mit 64 km/h befördern. („Engineering“ 14. Dezember 1928 S. 736*)

[N 2395 d]

Ro.

Englische Tenderlokomotive

Auf der London, Midland and Scottish Railway wurde vor einiger Zeit eine 1 C 2-Heißdampf-Tenderlokomotive in Dienst gestellt, die sich gut bewährt hat. Die Lokomotive hat zwei außenliegende Zylinder mit 483 mm Bohrung und 660 mm Hub. Bei 85 vH des Kesseldruckes von 14 at beträgt die Zugkraft rd. 10 000 kg. Die Steuerung ist die übliche Walschaert-Bauart, zur Dampfverteilung dienen Kolbenschieber. Eine Dampfbrake wirkt auf alle Räder. Die Hauptkonstruktionszahlen betragen:

Fester Radstand	5 020 mm
Gesamter Radstand	11 750 "
Länge über alles	14 300 "
Gesamte Heizfläche	113 m ²
Überhitzerheizfläche	24,7 "
Rostfläche	2,3 "
Reibungsgewicht	51 t
Leergewicht	69 "
Dienstgewicht	86 "
Kohlenvorrat	3,5 "
Wasservorrat	rd. 9 m ³

(„Engineering“ 14. Dezember 1928 S. 744*)

[N 2395 e]

Krs.

Unterirdische Versuchsanlage für Flugzeugmotoren

Infolge beschränkter Raumverhältnisse innerhalb der Fabrikanlage war die Firma Société des Moteurs Gnome et Rhône in Paris gezwungen, die für die Prüfung von Flugmotoren notwendigen Prüfstände unterirdisch anzulegen. In der Anlage sollten gleichzeitig fünf 500 PS leistende Flugzeugmotoren geprüft werden, wobei vollständig Schallsicherheit gewährleistet werden mußte. Die Flugmotoren werden durch einen offenen Einsaugschacht der fünf Versuchstunneln, in denen die Prüfstände eingebaut sind, zugeführt. Zwischen den Versuchstunneln liegt ein Überwachungstunnel. Die Überwachungsgeräte sind an einer Galerie oberhalb der Tunnelköpfe eingebaut. Gegenüber den Prüfständen liegt ein Raum zur Vorbereitung und etwaigen Überholung der Motoren. Die 18 m langen Versuchstunneln liegen unterhalb eines Lagers und enden in senkrechte, pfeifenförmig auslaufende Öffnungen, in die Schalldämpfeinrichtungen eingebaut sind. („Beton und Eisen“ 5. Dezember 1928 S. 425 u. f.) [N 2393 f] Gu.

BÜCHERSCHAU

Bücher und Zeitschriften des In- und Auslandes, auch solche nichttechnischen Inhaltes, liefert die VDI-Buchhandlung, Berlin NW 7, Ingenieurhaus (Telegrammanschrift: Ingenieurverlag Berlin; Fernspr.: Zentrum 15204).

Schriften der Arbeitsgemeinschaft Deutscher Betriebsingenieure, 5. Bd.: **Schlosserei und Montage-Arbeitszeitermittlung**. Herausgeg. von K. Gottwein. Berlin 1928, Julius Springer. 312 S. m. 139 Abb. u. 106 Zahlentaf. Preis 26 RM.

Ein Buch, das die vielfältigen und schwer zu erfassenden Handzeiten gründlich behandelt, hat bisher gefehlt. Die Arbeitsgemeinschaft Deutscher Betriebsingenieure (ADB) und der Reichsausschuß für Arbeitszeitermittlung (Refa) haben sich durch die Anregung, und Gottwein und seine Mitarbeiter haben sich durch ihre umfangreiche Arbeit ein Verdienst daran erworben, daß wir jetzt einen großen Schritt vorwärtsgekommen sind.

Nach einer Einleitung von Gottwein und Flacker über die Grundbegriffe der Handarbeit gibt Schleif Entwicklungsbeispiele für Teil- und Zusammenbau-Schlosserarbeiten. Gottwein und Wartus bringen Beispiele verschiedener Schlosserarbeiten, Hegner Berechnungsunterlagen für Montagearbeiten. Gottwein, Laufs und Bothe befassen sich weiter mit den Handarbeiten im Eisenbahnwagenbau. Die Lokomotivmontage untersuchen Freund und Wüsthube, Winkel untersucht die Handwerksbetriebe. Der Werkzeugmaschinenbau kommt in dem Abschnitt von Belke über den Zusammenbau einer Rundschleifmaschine zu seinem Recht. Schließlich ist der Großmaschinenbau durch Gottwein und Schulz berücksichtigt worden. Den Abschluß bildet eine Zusammenstellung des Schrifttums.

Infolge dieser Einteilung nach Fachrichtungen kann der Benutzer die für ihn am besten geeigneten Zahlenwerte leicht finden. Ich betrachte dies als Vorteil und teile nicht die Bedenken des Herausgebers darüber, daß infolge dieser Einteilung gleiche Arbeiten an verschiedenen Stellen von verschiedenen Mitarbeitern behandelt werden. Infolge der Vielfältigkeit der Beispiele ist bester Vergleich möglich, und der Leser wird stets darauf hingewiesen, daß es absolute Zahlenwerte nicht gibt, sondern daß die Handzeiten ebenso von den im Betrieb zur Verfügung stehenden Mitteln an Werkzeugen usw. abhängen, wie die Maschinenzeiten vom Maschinenpark.

Die Vergleiche auf S. 203 u. f. der Feilarbeit mit der Zerspanung sprechen noch von empirisch ermittelten Werten und Gesetzen; darüber sind wir jedoch hinaus!

Das mit zahlreichen Bildern, Diagrammen und Zahlentafeln versehene Werk gehört in die Hand jedes Betriebsleiters und Vorkalkulators.

[E 2080]

Priv.-Doz. Dr. Kronenberg

Magnetic properties of matter. Von Kotaro Honda. Tokyo 1928, Syokwabo & Co. 256 S. m. 213 Abb. Preis 6,80 Y.

Das vorliegende Werk des japanischen Gelehrten ist eine englische Neuausgabe seines Buches, das bereits vor einigen Jahren zum ersten Mal in japanischer Sprache erschienen war. Grundgedanke und Ausführung des Werkes können als durchaus glücklich angesehen werden. Sowohl die klare und übersichtliche Einteilung als auch die Beschränkung des Stoffes und die zahlreichen und guten Schaubilder meist eigener Arbeiten stempeln es zu einem neuzeitlichen Lehrbuch des Magnetismus. Im Text sind alle unnötigen Rechnungen und rein theoretisch-spekulativen Betrachtungen vermieden worden und bei allen Aufgaben nur jeweils die mathematische Begründung und die Versuchsergebnisse hervorgehoben.

Der Inhalt gibt einen Überblick über den Magnetismus als einer Eigenschaft der Werkstoffe und damit über die Anwendung der magnetischen Verfahren zu ihrer Erforschung. Einer formalen Begrenzung folgend schließt der Verfasser die magneto-optischen Erscheinungen usw. aus dem Kreise seiner Betrachtungen aus.

Kapitel 1 bringt die Grundbegriffe und die Theorien der Magnetisierung eines Körpers, Kapitel 2 die Meßmethoden und die kennzeichnenden Eigenschaften der ferromagnetischen Werkstoffe. Eine eingehende Beschreibung der einzelnen Apparate ist natürlich unmöglich, die Angaben müssen sich auf das Grundsätzliche beschränken. Bei dem Unterabschnitt Hysterese sind dem Verfasser anscheinend die während des Krieges erschienenen Veröffentlichungen von Steinhaus und Gumlich über die ideale, d. h. hysteresefreie Magnetisierung völlig entgangen. Im übrigen ist auch die einschlägige deutsche Literatur berücksichtigt worden. Kapitel 3 bringt den Zusammenhang des Magnetismus mit den mechanischen Verformungen, Kapitel 4, das leider etwas zu kurz ausgefallen ist, die Temperaturabhängigkeit der ferromagnetischen Stoffe. Kapitel 5

und 6 führen in das engere Arbeitsgebiet des Verfassers ein, den Zusammenhang der magnetischen Erscheinungen mit der Metallkunde. Behandelt werden die thermischen und magnetischen Vorgänge beim Stahl und seinen Umwandlungen und der Ferromagnetismus der Legierungen. Kapitel 7 bringt den Para- und Diamagnetismus, eine Übersicht über die Meßverfahren und die Ergebnisse. Die drei letzten Kapitel sind den theoretischen Fragen über das Wesen des Magnetismus gewidmet und enthalten neben einem Überblick über die bisherigen Theorien die modernen Messungen an Einkristallen und über das magnetische Moment der Atome. Auch hier ist, insbesondere in dem historischen Teil, die überaus klare Darstellungsweise des Verfassers hervorzuheben.

Das Buch kann allen Forschungsingenieuren, die sich mit den physikalischen Grundlagen des Magnetismus zu befassen haben, empfohlen werden.

[E 2017]

A. Kußmann

Eisenbahnbetriebslehre. Von Präsident Dr. Heinrich, unter Mitwirkung von Reichsbahnoberrat Manker. 3. Aufl. Berlin 1928, Verlag der Verkehrswissenschaftlichen Lehrmittelgesellschaft m. b. H. bei der Deutschen Reichsbahn. 532 S. m. 18 Abb. Preis 15 M.

Die in Fachkreisen rühmlichst bekannte „Eisenbahnbetriebslehre“ von Präsident Dr.-Ing. Heinrich in Halle liegt in dritter Auflage vor. Der gegenüber den beiden vorhergehenden Auflagen von 1925 erheblich größere Umfang des Buches ist hauptsächlich dadurch bedingt, daß inzwischen eingetretene Neuerungen: Weiterentwicklung der Druckluftbremse, wissenschaftliche Durchforschung des Betriebes, Rationalisierungsbestrebungen usw. berücksichtigt sind. Das Buch ist vorzüglich geeignet, Eisenbahnern und solchen, die es werden wollen, einen klaren Überblick über die Betriebsführung auf der Deutschen Reichsbahn zu geben. Neben der sehr lehrreichen Einleitung, die den Begriff der Betriebswissenschaft nach Inhalt, Grenzen und Zielen klar herausstellt, werden in drei Kapiteln der Fahrdienst, die Betriebschwierigkeiten und die Betriebsleitung behandelt. Ein erschöpfender Nachweis des Schrifttums vervollständigt das Buch. Wissenschaft und Praxis sind hier zu ihrem Recht gekommen, und die liebevolle Durchleuchtung aller Fragen des Eisenbahnbetriebes, das Eindringen in den Zweck aller Betriebsvorschriften und in ihre Begründung gibt eine Gewähr dafür, daß, wer dies Buch zur Grundlage seines Wissens vom Eisenbahnbetriebe macht, dessen Wesen auch wirklich begreift, so daß er in der Praxis nicht über angelerntes Wissen verfügt, sondern für selbstverständlich findet, was mancher sich mühsam zu erklären versucht. [E 1665]

Lohse

Gutachten über die Elektrifizierung der Strecke Wien-Salzburg. Erstattet an den Herrn Bundesminister für Handel und Verkehr von dem hierzu bestellten Sachverständigenkollegium. Wien 1928, Julius Springer. 163 S. Preis 2,80 RM.

Das Gutachten war auf elf Fragen zu erstatten: Kosten aufwand für Schwachstromleitungen, Zahl und Kosten der Unterwerke, Ersatzteile, Kostenanteil für Unvorhergesehenes, Anlagekosten, Frachtsätze, Bewertung der vom Dampftrieb freierwerdenden Fahrzeuge, Kohlentransportkosten, Energiebedarf, -deckung und -kosten, Unterschied in den Instandhaltungskosten der Triebfahrzeuge bei Dampftrieb und bei elektrischem Betrieb, Personalsparnis. Berufene Fachleute zählen zu den hier zu Wort gekommenen Sachverständigen, ihre auch allgemein geltenden Urteile sind mit eingehenden Begründungen in diesem Buche dargelegt und dürfen eine hohe Bedeutung beanspruchen in allen Fällen, wo die Umstellung von Bahnen auf elektrischen Betrieb in Frage kommt. [E 2223]

Ro.

Chemische Technologie in Einzeldarstellungen: Physikalisch-chemische Grundlagen der chemischen Technologie. Von Georg-Maria Schwab. Leipzig 1927, Otto Spamer. 130 S. m. 32 Abb. Preis 12,50 M.

Die in der Sammlung Chemische Technologie in Einzeldarstellungen erschienene Schrift des jungen Würzburger Physikochemikers G. M. Schwab ist zwar in erster Linie auf die Bedürfnisse der Chemiker hin verfaßt worden, die sich in steigendem Umfange der Notwendigkeit gegenüber sehen, ihr physikalisch-chemisches Rüstzeug zu verbessern. Aber auch viele Ingenieure, besonders die in der chemischen Industrie tätigen, werden die mit großer Lehrbegabung

verfaßte Darstellung *Schwabs* gern und mit Nutzen studieren. um sich ein Bild der neuen Arbeitsrichtung in der chemischen Industrie zu verschaffen. Bei der Darstellung ist die volle Kenntnis der reinen Chemie und Experimentalphysik vorausgesetzt, ebenso die der Schulmathematik mit Einschluß der Differentialrechnung. Die einzelnen Kapitel behandeln Atom und Molekül, Kolloidchemie, die Aggregatzustände, Thermodynamik, Reaktionsgeschwindigkeit, Elektrochemie und Photochemie. Man darf dem Bande jedenfalls auch bei den Ingenieuren eine größere Verbreitung wünschen. [E 1105] *H. Großmann*

Allgemeine Volkswirtschaftslehre. Von *Adolf Weber*. München und Leipzig 1928, Dunker & Humblot. 526 S. Preis 16 RM.

Webers Volkswirtschaftslehre entspricht in hohem Maß allen Anforderungen, die man nach der Seite der Wissenschaft und Praxis an ein Lehrbuch stellen muß. Die umfangreiche eigne Literaturkenntnis sowie langjährige Lehr- und Forschertätigkeit prägen sich in der lebendigen und anschaulichen Darstellungsweise des Verfassers aus. Besonders fesselnd sind die Abschnitte über die gesellschaftlichen Vorbedingungen der Volkswirtschaft, über Markt und Preis sowie über Konjunktur und Krisen und die hier eingeflochtene Lehre vom Geld- und Kapitalmarkt. [E 2252] *RT*

Handbuch der neuzeitlichen Milchverwertung. Von *C. Knoch*. 2. Aufl. Berlin 1927, Paul Parey. 668 S. m. 175 Abb. Preis 26 RM.

In sechs Kapiteln behandelt der Verfasser das umfangreiche Gebiet der Milch und ihrer Verwertung nach dem heutigen Stande der wissenschaftlichen Forschung, die daraus abgeleiteten Verfahren und ihre technischen Hilfsmittel. Es darf als eine Enzyklopädie des Wissens auf diesem Gebiete bezeichnet werden. Die Darstellung ist flüssig und allgemein verständlich gehalten. Dem einzelnen, der sich mit besonderen Problemen beschäftigen will, zeigt er die Wege, wo geeignete Unterlagen im Schrifttum oder in der Praxis zu finden sind.

So erfüllt das Werk in hervorragender Weise den Zweck eines Handbuches für Molkereipraktiker, Chemiker, Ingenieure, Ärzte, Leiter von Milchküchen und für das Gebiet der Milchverwertung in Frage kommende Verwaltungsbeamte. Es bietet eine gute Hilfe bei der Einrichtung neuer und der Verbesserung vorhandener Anlagen. Die sachrichtige Behandlung aller in Betracht kommenden Fragen auf chemischem, physikalischem und bakteriologischem Gebiet, deren Kenntnis erforderlich ist zum Verständnis und zur kritischen Beurteilung der verschiedenen Herstellungsverfahren, ist besonders dankenswert.

Das Werk umfaßt die Kapitel: Wesen, Prüfung und Eigenschaften der Milch (chemische und physikalische Grundlagen, Untersuchungsverfahren); Verwertung der flüssigen Vollmilch (Gewinnung, Reinigung, Versand, Steigerung der Haltbarkeit, Milchpräparate); Verwertung der Milch durch Zerlegung in ihre einzelnen Teile (maschinentechnische Neuheiten); Kondens- und Dunstmilch (Herstellungsverfahren, Behandlung); Trockenmilch und Milchezucker und seine Herstellung.

Alle Kapitel sind nach der wissenschaftlichen, technischen und wirtschaftlich-praktischen Seite hin behandelt. Den Schluß bildet ein vollständiges Verzeichnis sämtlicher

auf dem Gebiet der Milchverwertung vorhandenen (namentlich der erloschenen) Patente und ein ausführliches Namens- und Sachverzeichnis.

Der Verfasser hat durch die übersichtliche, klare auf eingehender Sachkenntnis beruhende Zusammenfassung des vielfach unbekannten, teils in Einzeldarstellungen verstreuten großen Stoffes eine hervorragende Arbeit geleistet, für deren Wert und Anerkennung in Fachkreisen am besten die Tatsache spricht, daß die stattliche erste Auflage schon nach neun Monaten vergriffen war.

[E 2228]

Dipl.-Ing. *Floria*

Richtlinien für Meisterkurs und Meisterertüchtigung. Werk. Von *Adolf Friedrich*. Berlin 1928, Beuth-Verlag. 30 S. Preis 1,75 RM.

Der Weg zur Arbeitsfreude. Von *E. Horneffer*. Berlin 1928, Reimar Hobbing. 47 S. Preis 1,50 RM.

Braunkohlen-Anhaltszahlen. 2. Ausg. (1928). Herausg. vom *Rheinischen Braunkohlen-Syndikat*, Köln 1927, Selbstverlag. 80 S. Preis 2,50 RM.

Briefumschlag-Fabrikation. Von *Th. Gerdon*. Berlin 1928, Carl Hofmann. 105 S. m. 101 Abb. Preis 8 RM.

Der Weggang der Musiknoten. Mappe mit 8 Tafeln u. 2 Seiten Text. Leipzig 1928, Rudolph Becker. Preis 4,50 RM.

Anuario de industrias metalurgicas. Publicado bajo la direccion de la Union industrial metalurgica. Barcelona 1927. 742 S.

Technisches Taschenwörterbuch in drei Sprachen. Von *W. Isendahl* und *C. W. Kollatz*. 3. Aufl. 3 Teile. Berlin 1929, Georg Siemens. 1. T.: 179 S. Französisch—Deutsch—Englisch, 2. T.: 166 S. Deutsch—Englisch—Französisch, 3. T.: 198 S. Englisch—Französisch—Deutsch. Preis je Bd. 4,50 RM.

Uhlands Ingenieur-Kalender 1929. Begr. von *Wilhelm Heinrich Uhland*. 55. Jg. bearb. von *Robert Stück*. Leipzig 1928, Alfred Kröner. 1. T.: Taschenbuch. 340 m. Abb. 2. T.: Für den Konstruktionstisch. 755 S. m. Abb. Preis für beide Teile 5,50 RM.

Technik voran! Jahrbuch mit Kalender für die Jugend 1929. Herausgeg. vom Deutschen Ausschuß für Technisches Schulwesen und vom Reichsbund Deutscher Techniker. Berlin 1929, Deutscher Ausschuß für Technisches Schulwesen. 200 S. m. Abb. Preis 0,95 RM.

Deutscher Postverband Jahrbuch 1928. Bearb. von *Loos*. Berlin 1927, Selbstverlag. 480 S. Preis 1,50 RM.

25 Jahre „Corona“ Industrie für Holzverwertung A.-G. Essen-Altenessen 1928, Selbstverlag. 67 S. m. Abb. Kostenlos.

Sechsstellige Tafel der trigonometrischen Funktionen. Von *J. Peters*. Berlin und Bonn 1929, Ferd. Dümmler. 293 S. Preis 52 RM.

Die Fermente und ihre Wirkungen. Von *Carl Oppenheimer*. 5. Aufl. 3. Bd.: *Die Methodik der Fermente*. Herausgeg. von *Carl Oppenheimer* und *Ludwig Pincussen*. 5. Lfg. Leipzig 1929, Georg Thieme. 313 S. m. 57 Abb. Preis 28 RM.

Kommentar zur Eisenbahn-Bau- und Betriebsordnung vom 17. Juli 1928. Von *F. Besser*. Berlin 1928, Verkehrswissenschaftliche Lehrmittelgesellschaft m. b. H. bei der Deutschen Reichsbahn. 219 S. Preis 6,50 RM.

Schluß des Textteiles

I N H A L T:

	Seite		Seite
Grundsätzliches zur Geschichte der Technik. Von <i>W. Ostwald</i>	1	Rundschau: Ingenieur und Gemeindeverwaltung — Der Kathodenstrahl-Oszillograph und Untersuchungen an Überspannungs-Schutzapparaten — 60 t-Schwimmdrehkran mit einziehbarem Ausleger — Kleine Mitteilungen	2
Das Kapillarphänomen	8	Bücherschau: Schlosserei- und Montage-Arbeitszeitermittlung. Von <i>K. Gottwein</i> — Magnetic properties of matter. Von <i>K. Honda</i> — Eisenbahnbetriebslehre. Von <i>Heinrich</i> und <i>Manker</i> — Gutachten über die Elektrifizierung der Strecke Wien—Salzburg — Physikalisch-chemische Grundlagen der chemischen Technologie. Von <i>G. M. Schwab</i> — Allgemeine Volkswirtschaftslehre. Von <i>A. Weber</i> — Handbuch der neuzeitlichen Milchverwertung. Von <i>C. Knoch</i> — Eingänge	3
Die Brennstofftagung der Weltkraftkonferenz, London, 22. September bis 6. Oktober 1928. Von <i>P. Rosin</i>	9		
Die Stahlbauweise im Maschinenbau. Von <i>C. Krug</i>	14		
Verpackungsfragen	16		
Elektrizitätszähler und Tarif-Meßeinrichtungen. Von <i>F. Ferrari</i>	17		
Die Schwimmaufbereitung der Moctezuma Copper Co., Nacozari, Staat Sonora, Mexiko. Von <i>C. Bruchhold</i>	26		
Vorschriften für Motorschiffe	28		

ZEITSCHRIFT DES VEREINES DEUTSCHER INGENIEURE

★ SCHRIFTFLEITER: C. MATSCHOSS ★

Bd. 73

SONNABEND, 12. JANUAR 1929

Nr. 2

Getreidemühlen

Von Dir. Ing. E. M. MELLER, Gewerbeoberstudienrat, Dippoldiswalde

Beschreibung der Arbeitsvorgänge in einer Getreidemühle und der wichtigsten Müllereimaschinen, wie Reinigungs- und Getreidewaschmaschinen, Walzenstühle, Plansichter mit festem und pendelndem Schwinggewicht und Massenausgleich, Putzmaschinen und Maschinen zum Auflösen der Grieße und Dunste.

Zu den ältesten deutschen Betrieben, in denen Fließarbeit durchgeführt ist, gehören die Getreidemühlen. Schon seit mehr als 50 Jahren hat man in großen Mühlen die Handbeschüttung der einzelnen Müllereimaschinen (Postenmüllerei) aufgegeben und läßt das Getreide und die Zwischenerzeugnisse mittels geeigneter Fördereinrichtungen vom Getreidelager, meist Schachtspeichern (Silos), der Reihe nach die einzelnen Maschinen durchlaufen (selbsttätige Müllerei).

Der Arbeitsplan, Abb. 1, einer solchen Mühle zerfällt in drei Hauptabteilungen: Vorreinigung des eintreffenden Getreides vor der Lagerung, Reinigung des Getreides vor der Vermahlung und Vermahlung.

Vorreinigung

Das Getreide gelangt über eine selbsttätige Waage zu einer Vorreinigungsmaschine (Speicheraspirateur), die, gebaut wie der Mühlenaspirateur, Abb. 6, durch größere Siebneigung einen schnelleren Getreidedurchlauf und dadurch oberflächliche Reinigung einer großen Getreidemenge gestattet und mittels geeigneter Siebe und Windströme, Schrollen, Spreu und Sand, zuweilen auch größere Gesäme wie Mais, Erbsen usw., aus dem Mahlgetreide entfernt. Die Beimengungen (Besatz) werden abgefangen und können später vermahlen werden. Die Staubluft wird mittels eines Schlauchfilters oder eines Schleuderfilters gereinigt.

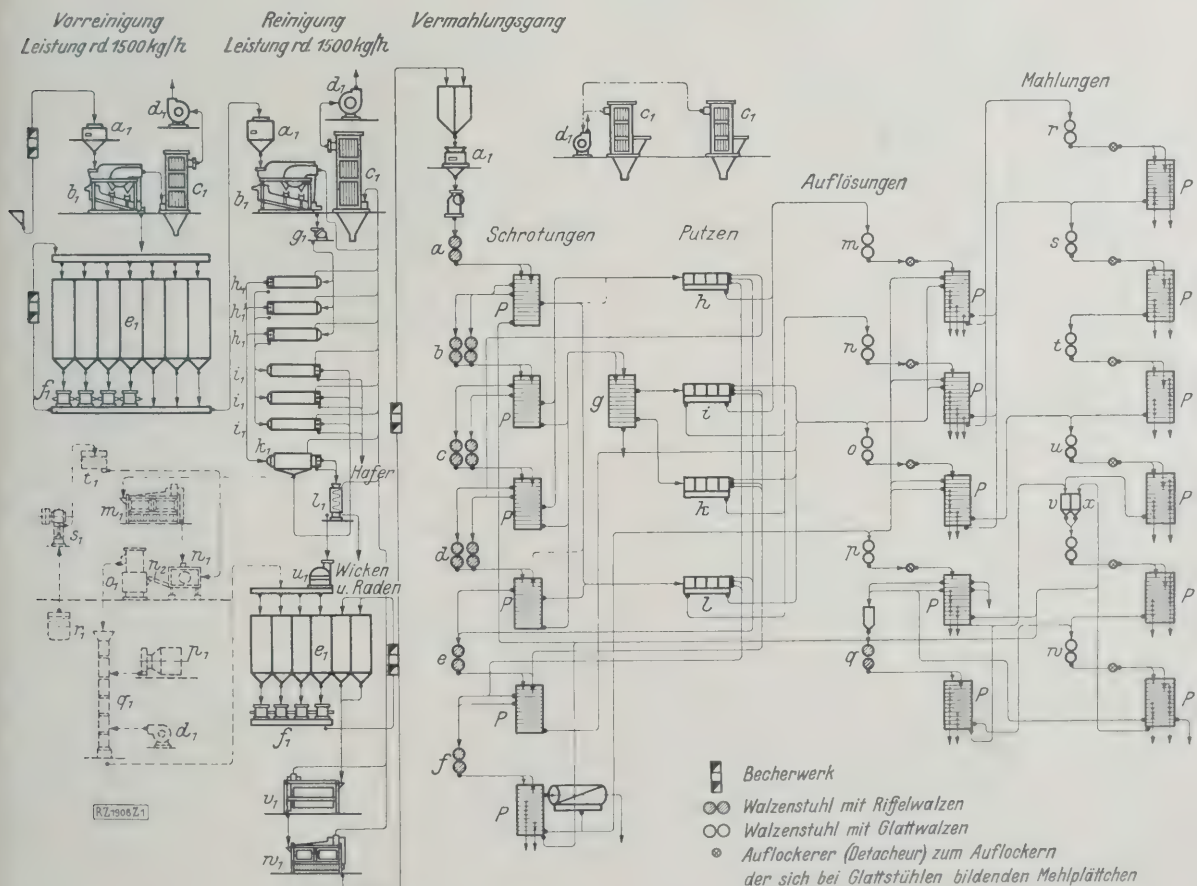
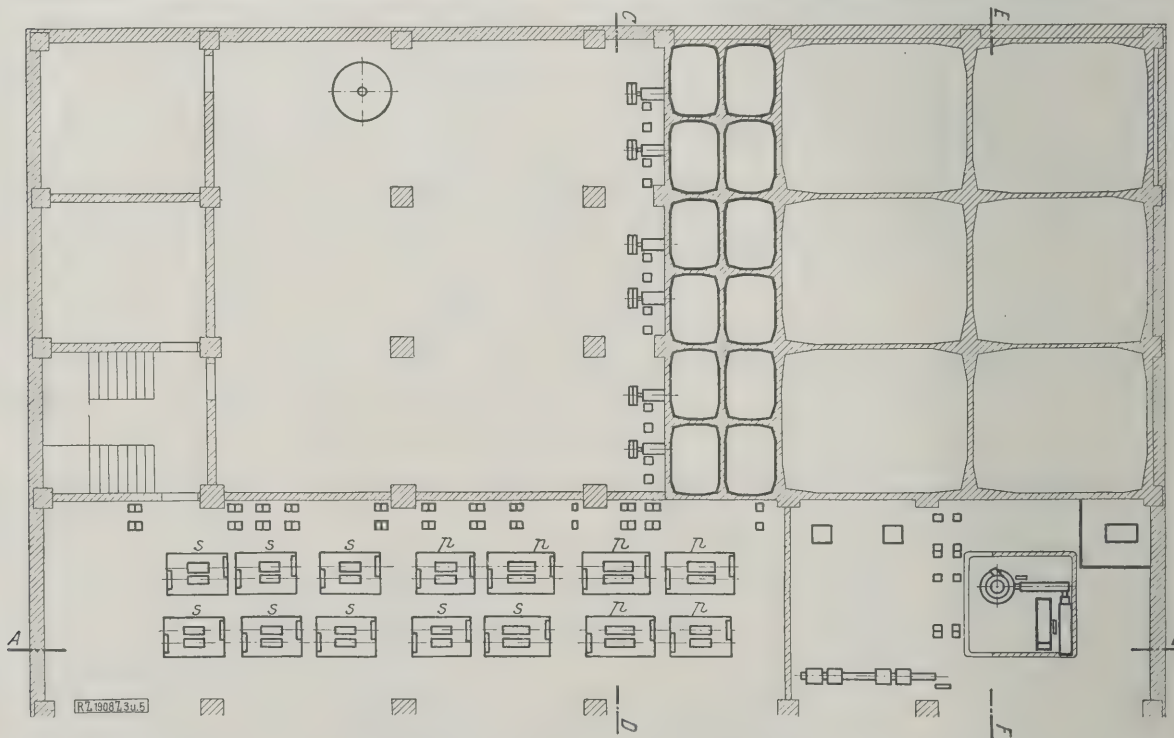
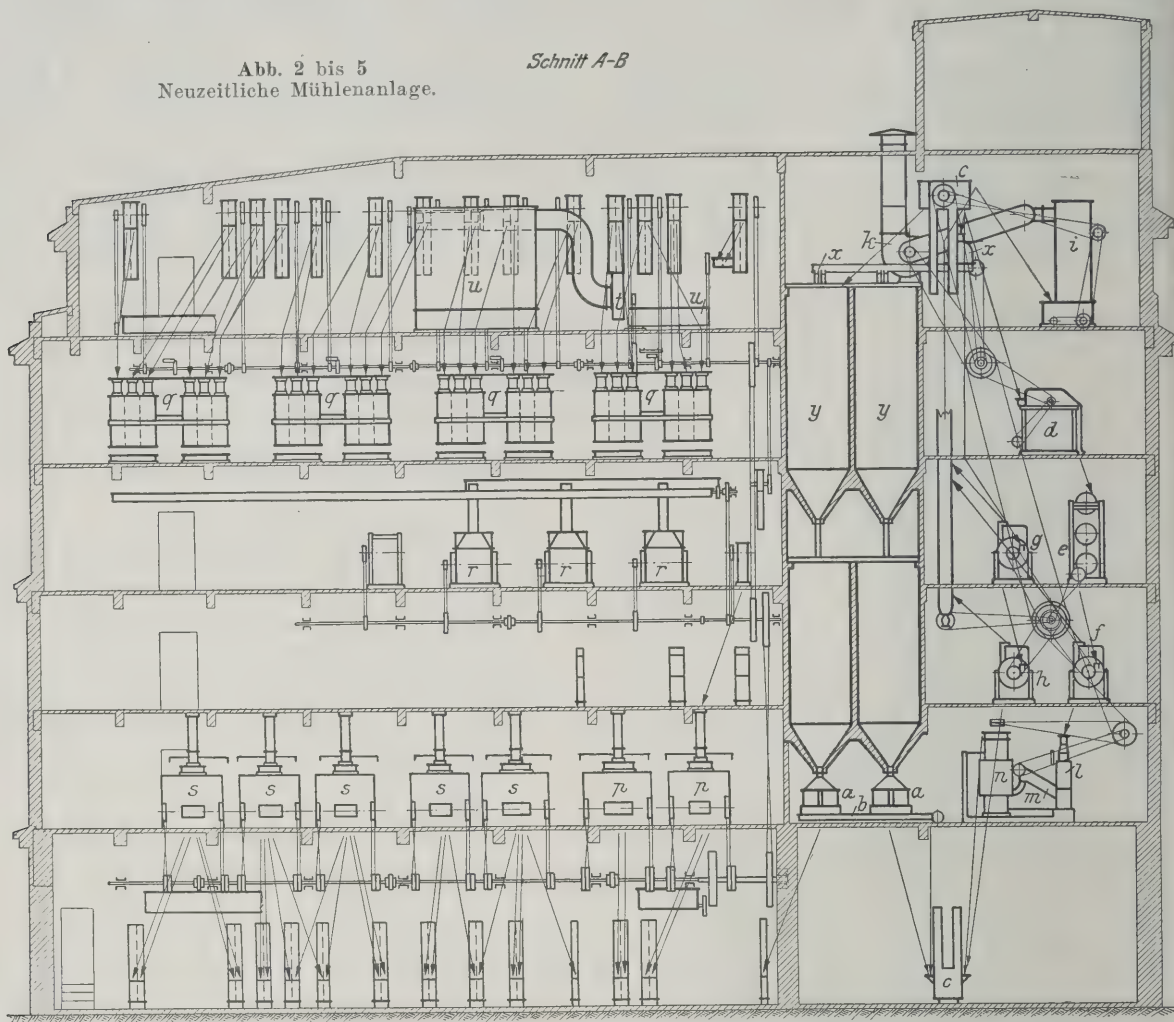


Abb. 1. Arbeitsplan einer Weizenmühle für 30 000 kg in 24 h.

- | | | | | |
|--------------------------------|-----------------------|------------------------|--------------------------------|---------------------------|
| a_1 selbsttätige Waagen | g_1 Überlaufmagnet | n_1 Steinausleser | s_1 Pumpe | g Sortiermaschine |
| b_1 Vorreiniger (Aspirateur) | h_1 Radentrieure | n_2 Abspritzschnecke | t_1 Behälter | h bis f Putzmaschinen |
| c_1 Saugfilter | i_1 Hafentrieure | o_1 Schleuder | u_1 Netzapparat | m bis q Griefauflöser |
| d_1 Sauglüfter | k_1 Nachtrieure | p_1 Heißluftzeuger | v_1 Spitz- und Schälmaschine | stühle |
| e_1 Schachtspeicher | l_1 Schneckenrieure | q_1 Trockensäule | w_1 Poliermaschine | r bis z Mahlstühle |
| f_1 Mischer | m_1 Poliermaschine | r_1 Brunnen | a bis f Schrotstühle | P Plansichter |

Abb. 2 bis 5
Neuzeitliche Mühlenanlage.

Schnitt A-B



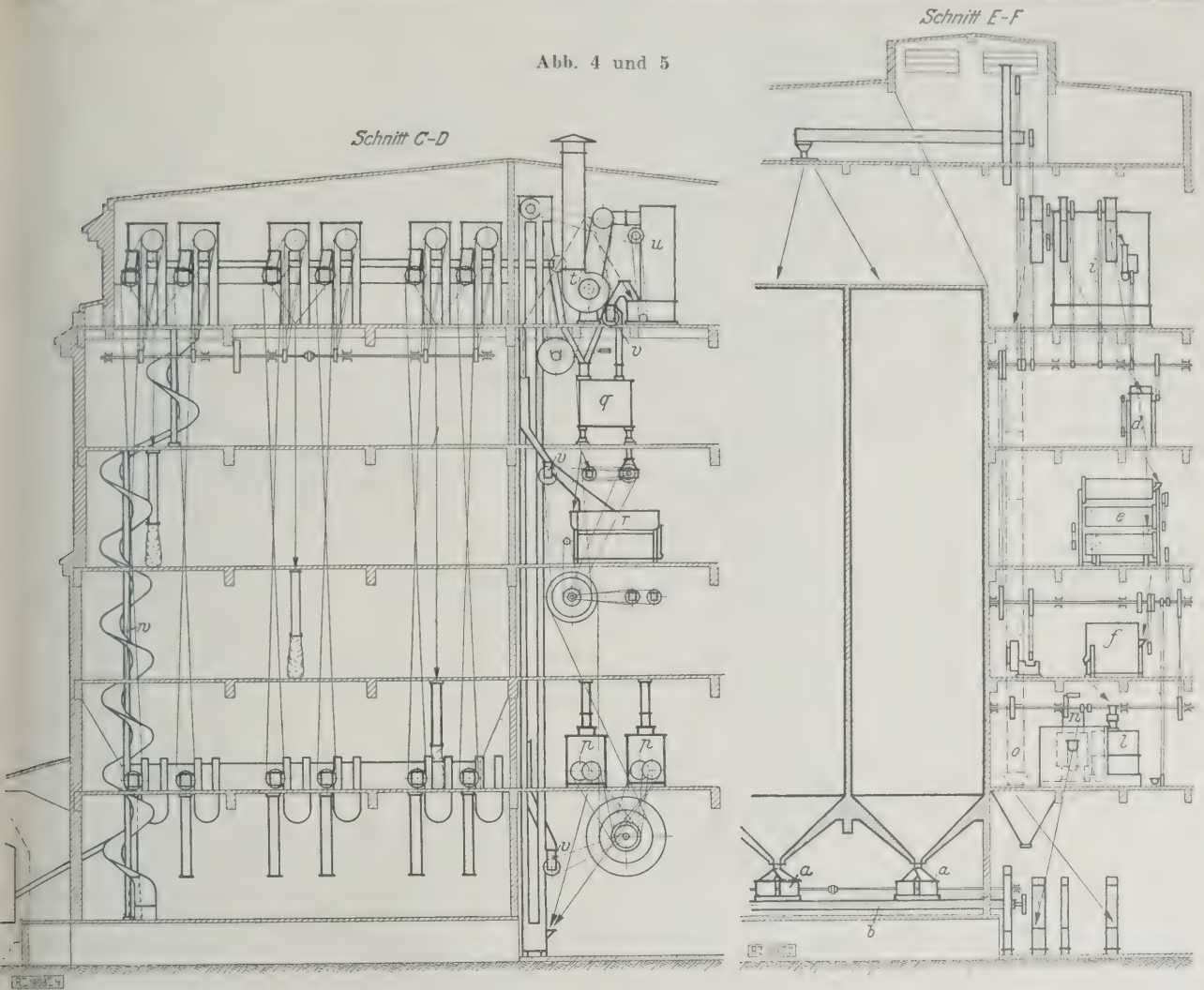
a Getreidemischer
b Förderschnecke
c Becherwerk
d Mühlenaspirateur
e Gesämeausleser (Trieur)
f Vorschälmaschine

g Schälmaschine
h Bürst- od. Poliermaschine
i Saugschlauchfilter
k Sauglüfter
l Waschkübel
m Abspritzschnecke

n Trockenschleuder
o Trockensäule
p Schrotmühle
q Plansichter
r Putzmaschinen
s Glatztühle

t Sauglüfter
u Saugschlauchfilter
v Belüftungsschnecke
w Sackwenderutsche
x Netzapparat mit Schnecke
y Abstebehälter

Abb. 4 und 5



Von hier leitet man das Getreide über ein Becherwerk mittels Verteilschnecken, Förderband mit Abwurfwagen oder Drehrohrverteilern in die Speicherzellen, denen es, nach Sorten getrennt, mittels der Meßapparate und Förderschnecken (Mischapparat) beliebig entnommen werden kann. Das Becherwerk wird auch zum Umstechen, Umleiten des Getreides von einer Zelle in eine andre, besonders bei Erwärmung oder Feuchtwerden des Getreides zum Durchlüften benutzt.

Reinigung und Vermahlung

In dem vorliegenden Plan, Abb. 1, ist eine Weizenvermahlung, sogen. Halbhochmüllerei, dargestellt. Sie zerfällt in vier Gruppen: Schroten, Griesputzen, Griesauflösen und Mahlen.

Die Hauptgrundsätze der Halbhoch- und der Hochmüllerei sind: Allmähliches Zerkleinern des Getreides (Schroten), Absichten der Griesse und Dunste sowie der geringen Mehlmengen, fünf- bis achtmaliges Weiterschroten der Übergänge, Putzen der Griesse, Auflösen der Griesse in Dunste, wobei auch geringe Mehlmengen entstehen, Mahlen der Dunste zu Mehl und zuletzt noch Ausstreifen des letzten Mehles aus den Schalen (Ausmahlen der Kleie). Der Müller hat dabei sein Hauptaugenmerk auf das Getrennthalten und das gesonderte Vermahlen gleicher Griesse und Dunste zu richten, was um so leichter ist, je mehr Maschinen für die einzelnen Arbeitsvorgänge vorhanden sind. Bei kleineren Anlagen hat der Müller besonders auf das richtige Zusammenführen gleichartiger Griesse und Dunste zu achten.

Bei dem vorliegenden Vermahlungsplan gelangt der Weizen zunächst über eine selbsttätige Waage zu einem Schrotputzkasten, der mittels Windströme noch lose Schalenteile entfernt, um den Schrotstuhl und den nachfolgenden Plansichter zu entlasten und die Bildung von

Stippen (zerriebene Schalenteile) im Mehle herabzusetzen. Zuweilen findet man solche Schrotputzkasten bis zum fünften Schrot. Der erste Schrotstuhl soll das Getreide nur ganz wenig zerkleinern, sein Mahlerzeugnis gelangt zum ersten Plansichter oder einem Abteil des Siebers, wo seine Bestandteile: Schrotübergänge, grobe Griesse, feine Griesse, Dunste und Mehl, voneinander getrennt werden. Dies geschieht bei allen Schrotungen. Soweit es die Maschinenanlage und die vorhandenen Maschinen ermöglichen, trennt man die Schrotübergänge noch der Größe nach, so daß die Riffelung der nachfolgenden Schrotwalzen der Größe der Mahlerzeugnisse besser angepaßt werden kann. Man kann den Vermahlungsplan am besten an der Hand der Zahlentafel 1 verfolgen.

Der Roggen wird wesentlich einfacher, schneller, oder, wie der Müller sagt, „flacher“ gemahlen. Während beim Weizen die inneren Stärketeile die besten Mehle liefern, sind beim Roggen die Schrotmehle die besten, so daß man sogleich auf große Mehlergebnisse hinzielt. Man schrotet drei- bis sechsmal flach, d. h. mit eng gestellten Walzen und mahlt dann noch zwei- bis dreimal die Kleie aus; nur selten sichtet man beim ersten und zweiten Schrote die groben Griesse ab und mahlt diese gesondert. Ein Putzen der Griesse findet nicht statt.

Auf Grund des Vermahlungsplanes wird die Mühlenanlage ausgeführt. Der in den Abb. 2 bis 5 dargestellten Mühle liegt ein etwas anderer Vermahlungsplan zugrunde. Sie umfaßt 6 Schrotungen, 7 Gries- und Dunstaufösungen und 10 Mahlungen.

Reinigungsmaschinen

Aus den Speicherzellen gelangt das Getreide durch Mischapparate mittels Förderschnecke und Becherwerk zur Reinigung. Eine vorzügliche Reinigung ist das

Zahlentafel 1. Verteilung der einzelnen Mahlerzeugnisse auf die Maschinen (vergl. Abb. 1)

Arbeitsvorgänge	Bez. in Abb. 1	Be- schüt- tung in vH der Gesamt- leistung	Mehle in vH					Dunste		Grieße				Kleie	gep. Grieße ohne Dunste		Putzerei		Flug- kleie		Auflöse- Dunste		Über- gän			
								z. W.n.	vH	z. W.n.	vH	z. W.n.	vH		z. W.n.	vH	z. W.n.	vH	z. W.n.	vH	z. W.n.	vH		z. W.n.	vH	
			1.	2.	3.	4.	5.																			
																										1.
Schroten	a	98 *				1,5		x	3			i	3												b	9
"	b	90,5						g	6			h	8												c	7
"	c	74,5		3				g	8			h	11												d	5
"	d	54			3,5			g	10			i	8												e	3
"	e	{ 37 }				3		o	8			o	6												f	2
"	f	{ +1 P }																								
"	f	22				2,5		x	6	P	2			11,5												
Sortieren	g	24						l	11	k	13															
Putzen	h	19													m	16	{ d 1,5 }	d	0,5							
"	i	11													{ o 2 }	5	e	3,5	e P	0,5						
"	k	13													{ m 5 }	6	o	1,5	e P	0,5						
"	l	11													{ n 6 }	9	o	1,5	f	0,5						
Grießauflösung	m	21	1	2																	r	9	s	7	{ o }	p
"	n	20		2	1																r	9	s	6	{ o }	p
"	o	21		2	1																s	2	u	5	{ p }	p
"	p	15			2																v	2	w	1	{ p }	p
"	q	15			1	1															v	7	w	6	{ q }	q
Mahlung	r	18	13	2																	s	3				
"	s	18	11	2																	t	5				
"	t	5	1	2																	u	2				
"	u	7		4																	v	3				
"	v	12		1		4															w	7				
"	w	14				1	3														x	5	q	5		
"	x	14					3,5							10,5												
Summe			26	20	15,5	11	3,5																			
Gesamt		98			76									22												

* 2 vH = Reinigungsverlust

** z. W. n. = zur Weiterverarbeitung nach

P = Plansichter.

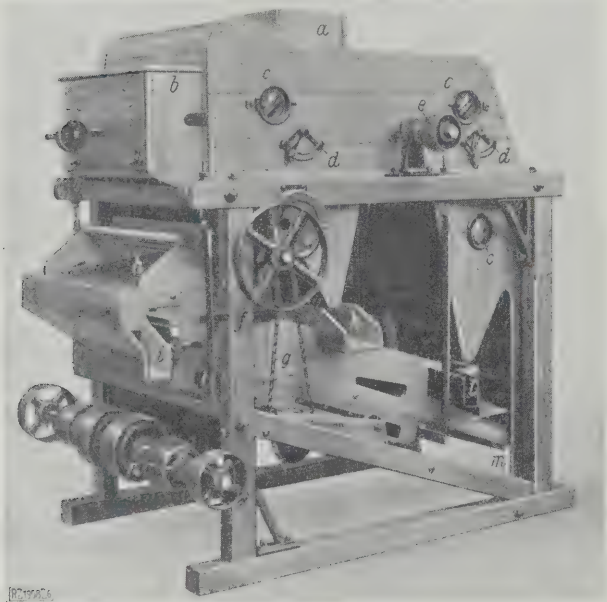


Abb. 6. Möhlenaspirateur.

- a Ausblasekanal
- b Einlaufrichter
- c Schaufenster
- d Windregelklappe
- e Lüfterantrieb
- f Antriebscheibe
- g Antriebskette der Siebreinigungs-
bürste
- h Schrollensieb
- i Schrollenauslauf
- k Auslauf der groben Spreu
- l " dicken Körner
- m Getreidelaufl zur Nachlüftung
- n Exzenter zum Siebantrieb

Haupterfordernis für die Erzeugung guter, heller Mehle. Das Getreide läuft zunächst durch den Möhlenaspirateur (Abb. 6 und 7, der grobe und feine Verunreinigungen (Besatz) entfernt, und zwar Spreu und Staub durch Saugwind, wobei die Windführung so eingerichtet ist, daß die Spreu abgefangen werden kann. Der grobe Besatz (Schrollen), wie Sackbänder, Stroh, Erdklumpen, Stein u. a., wird durch weitmaschige Drahtgewebe oder Blech abgesiebt, die mit 4 bis 6 mm Dmr. gelocht sind. Größere Körner, wie Mais, Erbsen usw., entfernt ein zweites entsprechend engeres Drahtgewebe, während Sand und feinste Gesäme (feiner Besatz) durch ein feines Drahtgewebe oder gelochtes Blech mit feinsten Lochung fallen. Das überlaufende Getreide wird nochmals einem Luftstrom ausgesetzt, der noch Staub und losgeriebenen

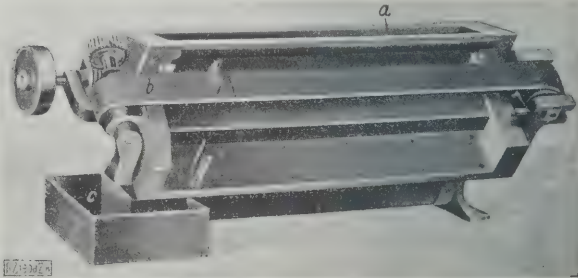


Abb. 8. Überlaufmagnet.

- a Getreideeinlauf
- b Abstreichband für die Eisenteile
- c Sammelkasten

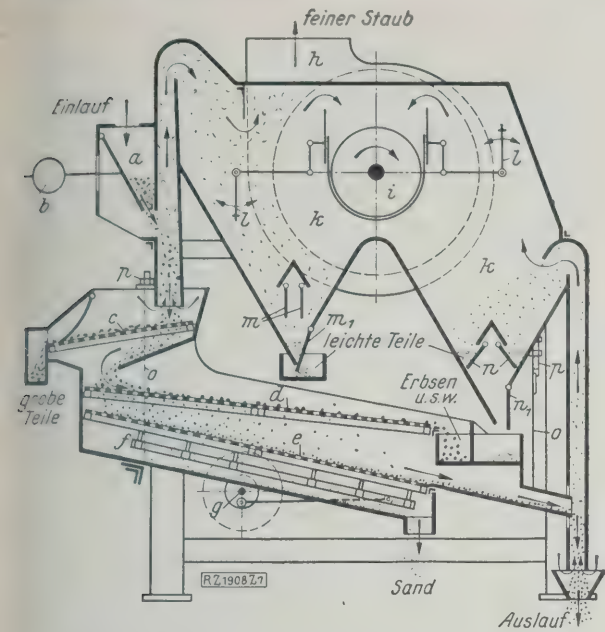


Abb. 7. Schnitt durch den Mühlenaspirateur.

- | | |
|-------------------------------------|---|
| a Einlauftrichter | h Sauglüfter |
| b Regelgewicht für den Einlaufdruck | i Saugöffnung zu h |
| c Schrollensieb | k Sammelräume für Spreu |
| d Sieb für dicke Fremdkörper | l Luftregelklappen |
| e Sieb für Sand und feine Gesäme | m, m ₁ Fingerklappen (offen) |
| f Siebreinhaltebürste | n, n ₁ " " (geschlossen) |
| g Antriebelle mit Bürstenantrieb | o Siebhängfedern |
| | p Stellvorrichtung für die Siebneigung |

Schalenteile absogen. Um Eisenteile, die die folgenden Maschinen beschädigen und durch Funkenbildung zu Mehlsstaubexplosionen führen könnten, auszuschneiden, läßt man das Getreide über einen Magneten, Abb. 8, laufen.

Nunmehr folgt das Entfernen der Wicken, Raden und auch Hafer aus dem Brotgetreide mittels der Gesämeausleser (Trieure), Abb. 9 und 10. Ein sich drehender Zylinder hat innen kleine geeignet geformte Vertiefungen, welche die kleineren Körner so weit mitnehmen, bis diese in im Innern der Zylinder befindliche Tröge mit Förderschnecken fallen. Die größeren Körner bewegen

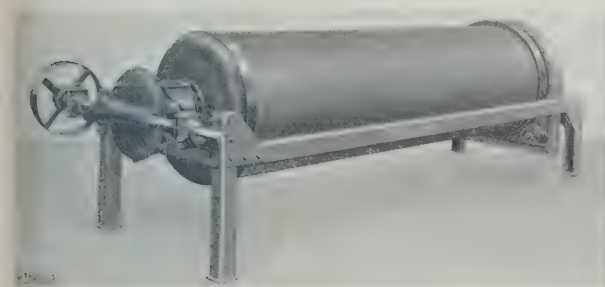


Abb. 9. Geschlossener Gesämeausleser.

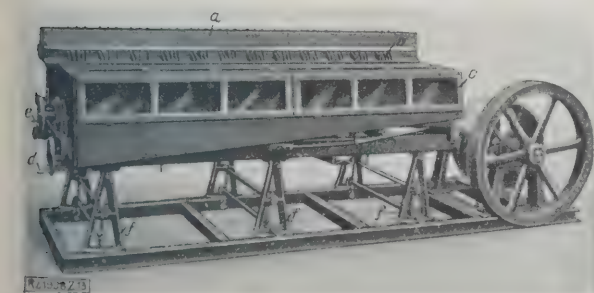


Abb. 13 bis 15. Steinausleser.

- a Verteilrinne b Einlauföffnung c Auslesetisch mit Prallflächen
d Handrad zum Einstellen der Tischneigung e Pendelstützen

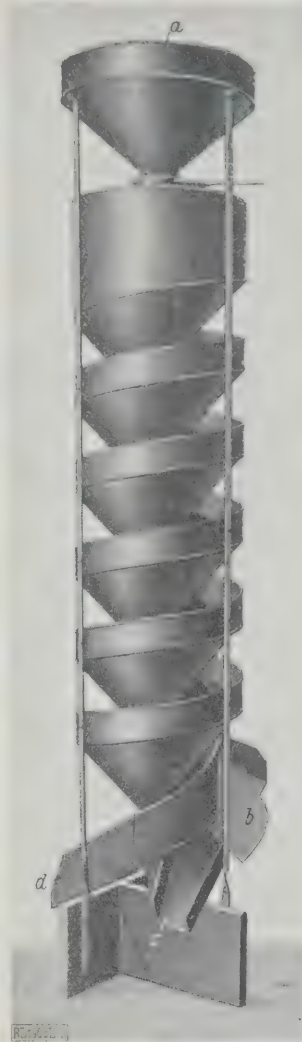


Abb. 12. Schrauben-(Spiral-)Trieur zum Nachlesen.

- a Getreideeinlauf
b Auslauf der Außenschraube
c " " Innenschraube
d " " Mittelschraube

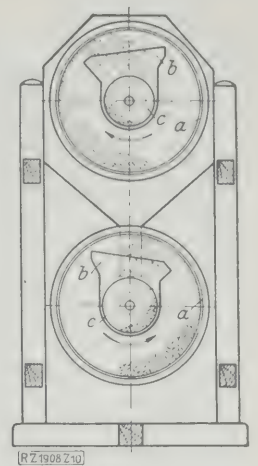


Abb. 10. Querschnitt durch zwei übereinanderliegende Gesämeausleser (Hochleistungstrieure).

- a Mantel mit Vertiefung
b Auffangmulde
c Förderschnecke

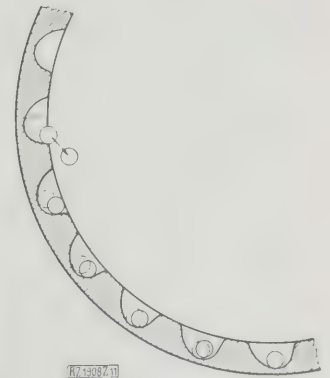


Abb. 11. Form gefräster Vertiefungen im Gesämeausleser.

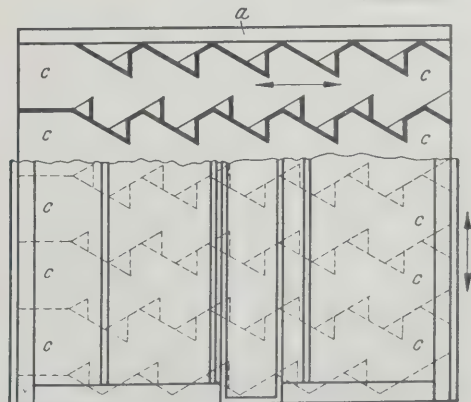
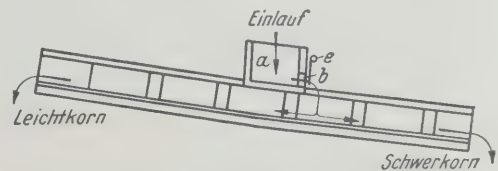


Abb. 14 und 15

- d Handrad zum Einstellen der Tischneigung
f Pendelstützen

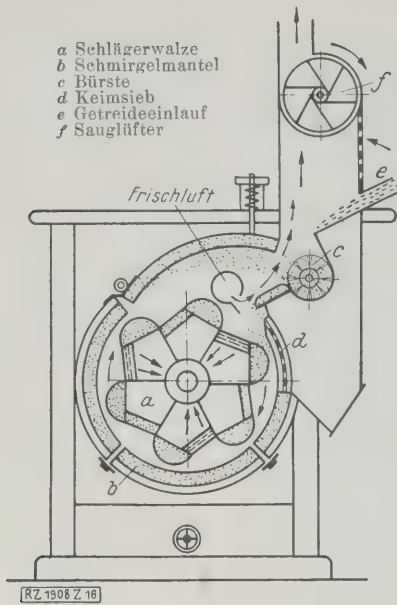


Abb. 16
Schälmaschine mit Schmirgelschlägern, verstellbarem Schmirgelmantel und Zwischenbürste.

sich im Zylindermantel allmählich dem Auslauf zu. Die Vertiefungen, Abb. 11, sind entweder gedrückt oder gefräst. Die Ausführungen aus Zinkblech werden durch solche aus Stahlblech verdrängt, da man mit diesen bei gleichen Abmessungen, aber viel höheren Umlaufzahlen eine vier- bis fünfmal größere Leistung erzielt.

Die Nachlesemaschinen zum Auslesen gebrochener Getreidekörner aus dem Unkraut, größerer Wicken aus dem Unkrautsamengemisch usw. sind nach demselben Prinzip oder als Schraubentrieure, Abb. 12, oder als selbsttätige Lesebänder ausgeführt. In dem Schraubentrieur gleitet das Gemisch aus Körnerbruch, kleinen Rundgesämen und guten, großen Wicken die schraubenförmig gewundene, innere schiefe Ebene hinab, wodurch die drei Bestandteile des Gemisches verschiedene Geschwindigkeiten und infolge der gleichzeitig kreisenden Bewegung verschieden große Flieh-

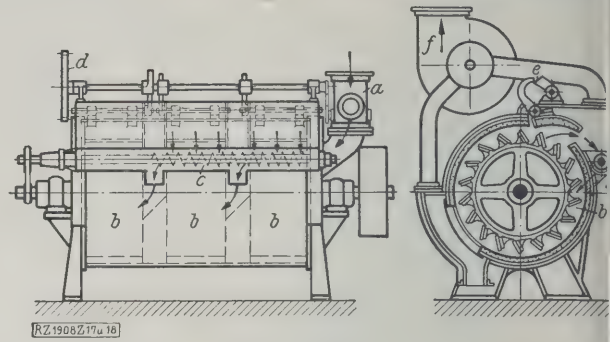
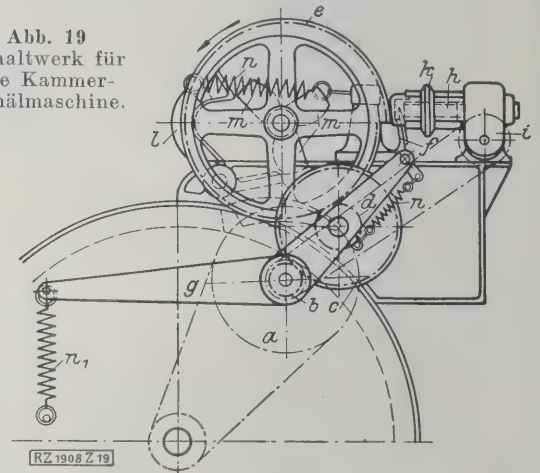


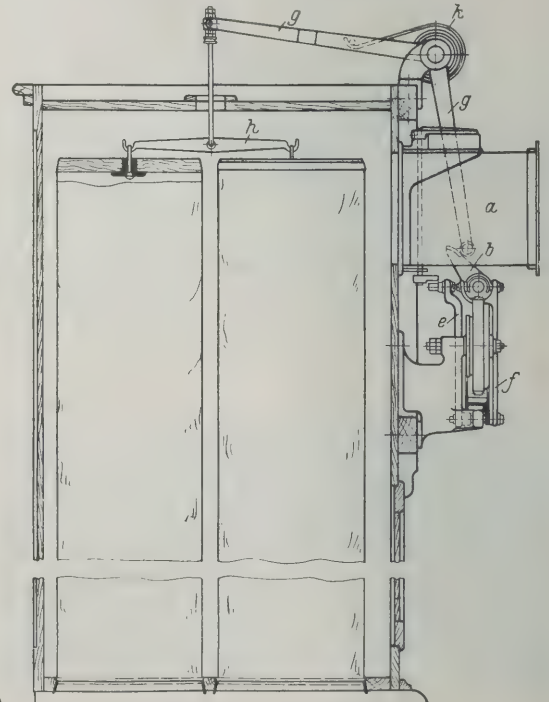
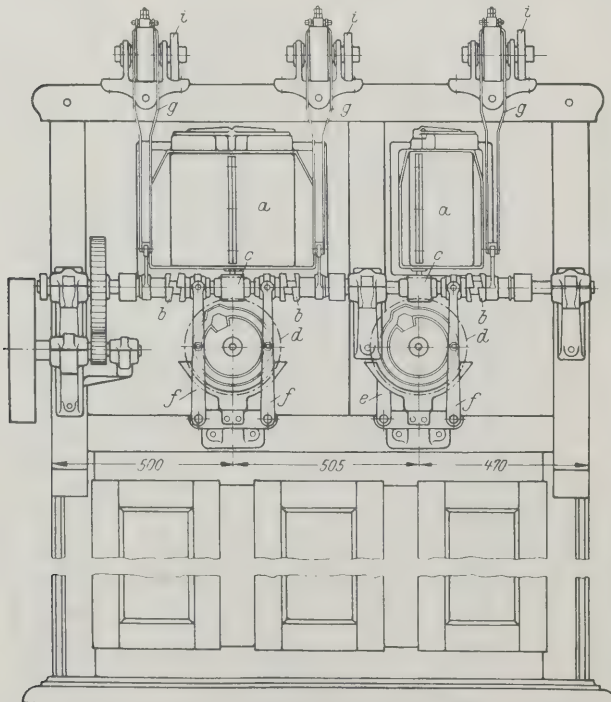
Abb. 17 und 18
Kammerschälmaschine.

- a Einlauf
b Schälkammern
c Förderschnecke von Kammer zu Kammer
d Spiralrad zum Antrieb der Nockenwelle
e Öffnungsnocken
f Sauglüfter

Abb. 19
Schaltwerk für die Kammerschälmaschine.



- a Antrieb
b, c Zahnradübersetzung
d Antriebsritzel
e Spiralrad
f Winkelhebel mit Zunge
g Lager der Räder b bis d
h Gewindespindel
i Antrieb der Spindel
k verstellbarer Anschlagring
l Öffnungshebel der Schälkammer-Verschlussklappe
m Öffnungsnocken
n, n Zugfedern



20 und 21. Saugschlauchfilter, angetrieben mit 50 U/min.

- a Saugstutzen
b Klauen mit Abklopfdaumen
c Schnecken
d Schneckenräder
e Klappenschließhebel
f Klauenverschiebehebel
g Abklopfhebel
h Schlauchhalter
i Sperrräder
k Spiralfeder

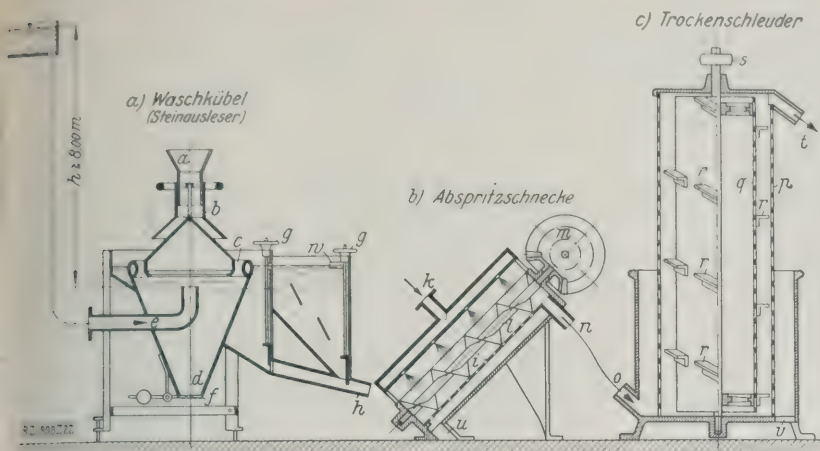


Abb. 22
Wäschereianlage im Schnitt.

- | | |
|-----------------------|---------------------------|
| a Getreideeinlauf | n Getreideaustritt |
| b Einlaufregler | o Getreideeintritt |
| c Wasseraustritt | p feststehender Zylinder |
| d Steinchensammler | q aus geschlitztem Blech |
| e Wassereintritt | u umlaufender Zylinder |
| f Steinchenauslaß- | r aus geschlitztem Blech |
| klappe | r Förderwinkel zum |
| g Regelschieber | Heben des Getreides |
| h Getreideaustritt | s Antrieb |
| i Mulde aus gelochtem | t Getreideaustritt |
| Blech | u, v Wasserauslauf |
| k Frischwassereinlaß | w Überlauf für Wasser mit |
| l Förderschnecke | Spreu |
| m Antrieb | |

kräfte erlangen. Hierdurch werden die kleinen Rund-
zähne in die mittlere, die guten, großen Wicken in die
äußere Bahn geschleudert, so daß man die drei Arten aus
diesen gesondert ableiten kann.

Erwähnt seien noch die Steinausleser (Paddyausleser),
Abb. 13 bis 15, die mittels geeigneter Prallflächen auf hin-
und herbewegten geeigneten Tischen leichtere Körper nach
oben bewegen, schwerere aber nach unten gleiten lassen.
Sie werden sowohl zum Auslesen von Steinchen in Korn-
größe als auch des wilden Knoblauchsamens verwendet.

Wenn aller Besatz entfernt ist, muß man auch noch
das einzelne Getreidekorn reinigen, das von den Keimen,
Bärtchen (feine Behaarung an der Kornspitze) und beson-
ders von der Holzfaserschicht (Schale) tunlichst völlig be-
freit werden soll, ohne daß man die Samenhaut oder gar
den Mehlkern verletzt. Diese Reinigung geschieht in den
Spitz- und Schälmaschinen, Abb. 16, in denen das Ge-
treide durch raschumlaufende Schlagleisten gegen einen
rauen, meist aus einer Schmirgelmasse bestehenden Mantel
geschleudert wird. Bei geringerer Beschüttung wirbeln
die Körner mehr durcheinander, so daß eine größere Spitz-
wirkung erzielt wird; bei größerer Beschüttung lagern sich
die Körner mehr nebeneinander, so daß durch Reibung
der Körner aneinander und an dem Schmirgelmantel das
Getreide mehr geschält wird. Ein Haupterfordernis einer
guten Schälmaschine ist ferner die gute Durchlüftung, da-
mit die losgelösten Teile sofort abgesaugt und durch ge-
eignete Windführung getrennt abgefangen werden können.

Die Schälmaschine, Abb. 17 und 18, schält abwechselnd
(intermittierend) eine durch eine einstellbare Speisevor-
richtung abgepaßte Menge Getreide hintereinander in drei
bis vier Schälkammern, wovon jede eine bestimmte Schäl-
arbeit zu bewältigen hat. Die Schäldauer, Verbleiben des
Weizens in jeder Kammer, und damit die Schälwirkung, ist
durch ein Schaltwerk einstellbar, Abb. 19. Das Antriebs-
ritzel *d* der Nockenwelle für die Kammerklappen dreht das
Rad *e*, bei dem der Teilkreis durch eine Spirale ersetzt ist.
Nach einer Umdrehung hat das Spiralrad *e* das Ritzel nach
unten gedrückt und dadurch den Winkelhebel *g* soweit
gedreht, daß die Spitze der Zunge *f* so tief steht, daß sie
von der zugehörigen Zugfeder *n* unter der Gewindespindel
h bis an den Anschlagring *k* verschoben wird. Die
sich drehende Gewindespindel *h* verschiebt die Zunge *f*
langsam nach links. Ist die Zunge am Ende dieser Spindel
angelangt, so wird der Winkelhebel *g* durch die Zug-
feder *n* wieder in die Eingriffstellung gebracht und das
Spiel beginnt von neuem. Je weiter man also den An-
schlagring nach rechts verstellt, desto länger bleiben die
Kammern geschlossen.

Zuweilen schaltet man hinter die Schälmaschine noch
eine Bürst- oder Poliermaschine, deren Hauptaufgabe das
Abbürsten der gelockerten Schalenteile ist. Alle Staubluff
wird in einem entsprechenden Filter, in größeren Mühlen
heute fast allgemein mittels „Saugschlauchfilter“, mit einer
gemeinsamen Windanlage gereinigt. Diese Filter sind
technisch durch ihre Abklapfvorrichtungen, auch Abklapf-
uhren genannt, Abb. 20 und 21, bemerkenswert.

Getreidewaschmaschinen

Da besonders der Auslandweizen meistens sehr
schmutzig und von Erdklümpchen und Steinchen von Korn-
größe vielfach durchsetzt ist, unterzieht man das Getreide
nach der Besatzentfernung und meistens vor dem Schälen
einer nassen Reinigung.

Der dem Getreide anhaftende Schmutz wird in einem
Waschkübel (Steinausleser) mittels Wasser gelöst und
teilweise entfernt, Abb. 22. Das Wasser wird dabei so be-
wegt, daß das Getreide im Wasser schwimmt, aber die
schweren Steinchen und Erdklümpchen in trichter-
förmige, durch belastete Klappen verschlossene Behälter
sinken, die sich von Zeit zu Zeit infolge des auf ihnen
lastenden Gewichtes öffnen. Staub und Schalenteile
schwimmen obenauf und verlassen den Waschkübel durch
einen Überlauf.

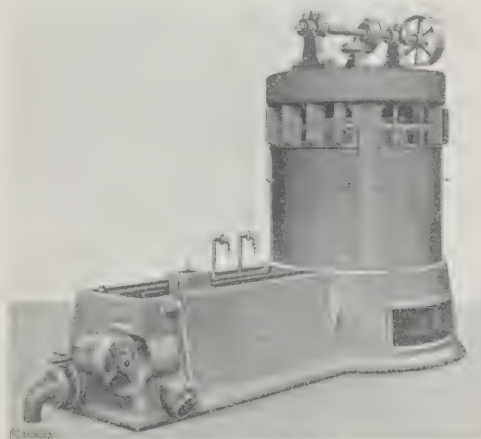


Abb. 23
Getreidewaschmaschine.

Von dem Steinausleser gelangt das Getreide mitsamt
dem Schmutzwasser in eine Vorschleuder, in welcher das
Wasser abgeschleudert wird. Neuerdings verzichtet man
auf das Vorschleudern und gibt das Getreide gleich in die
Abspritzschnecke, in welcher durch zugespritztes
Frischwasser der gelöste Schmutz von dem Weizen ab-
gespült wird. In der Trockenschleuder (Zentri-
fuge) wird das Getreide äußerlich durch Abschleudern
des anhaftenden Wassers getrocknet. Die in Abb. 22
und 23 dargestellte Maschine führt die gesamten Arbeits-
vorgänge einer Wäscherei selbsttätig aus.

Endgültig getrocknet wird der Weizen in der Trok-
kensäule (Trockenkolonne). Diese besteht aus 8 bis
12 m und mehr hohen Schächten aus geschlitztem Blech, in
denen das nasse Getreide langsam nach unten gleitet und
dabei im oberen Teile von Luft von rd. 52°, im unteren
Teile von kalter Luft, durchblasen wird. Der Weizen soll
beim Verlassen der Trockensäule die für die Vermahlung

günstige Feuchtigkeit von 15 bis 16 vH aufweisen. Sodann läßt man das Getreide in einem Behälter 4 bis 8 h abstehen, wodurch sich eine bessere Verteilung der Feuchtigkeit ergeben soll.

In neuerer Zeit ersetzt man die Trockensäule häufig durch einen Weizenvorbereiter, Abb. 24, bei dem durch Einwirken höherer Temperaturen mit abwechselnder Rückkühlung eine Anmälzung des Weizens stattfindet, die von günstigem Einfluß auf die Backfähigkeit des erzeugten Mehles ist. Vor dem Anmälzen im Weizenvorbereiter ist eine geringe Schälung zu empfehlen. Man soll im allgemeinen nur härteren Weizen waschen. Um bei weicheren Weizensorten die Stippenbildung zu vermindern, benetzt man diese mit besonderen Netzapparaten, Abb. 25, die die Netzwassermenge der durchlaufenden Weizenmenge anpassen. Die Schale wird dadurch zäher und nachgiebiger und zerreibt sich bei der Vermahlung nicht so sehr.

Am schwierigsten ist schließlich die Entfernung des Schmutzes aus der Samenfurche. Beim Roggen erreicht man sie durch Quetschen mittels gleichgroßer, mit gleicher Umfangsgeschwindigkeit laufender glatter Walzen und nachfolgender Sieb- oder seltener Bürstvorrichtung, die das sogenannte Blaumehl liefert. Beim Weizen verzichtet man in neuerer Zeit auf die Entfernung dieses Schmutzes. Erstens ist ein Weizenkorn so gestaltet, daß sich beim Quetschen die Samenfurchen nicht öffnen, son-

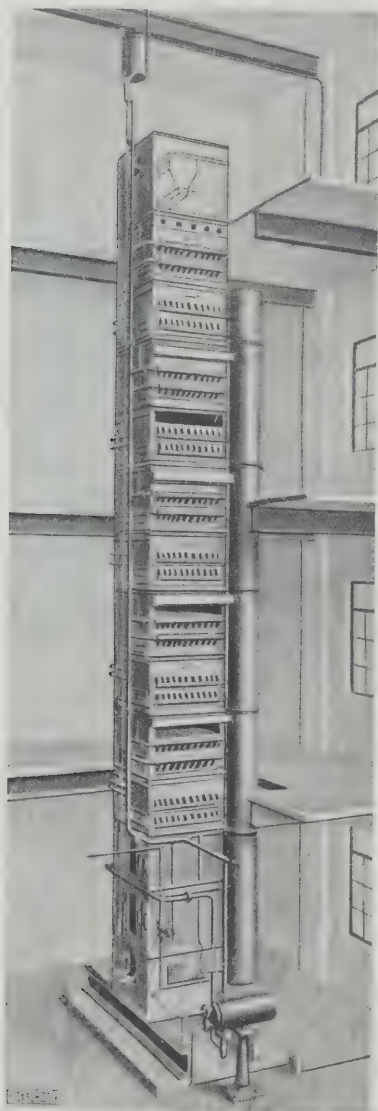


Abb. 24
Weizenvorbereiter.

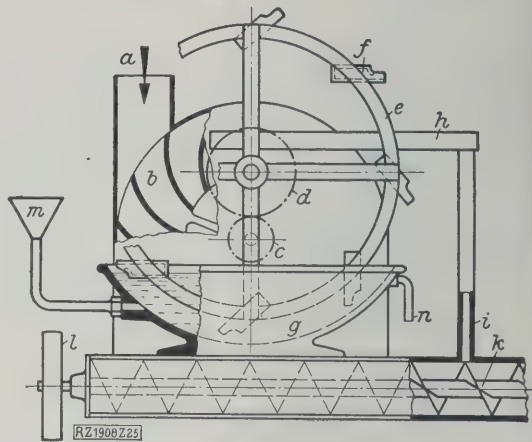


Abb. 25
Anfeuchtvorrichtung.

- | | |
|---|------------------------|
| a Getreideeinlauf | g Wassertrog |
| b Schaufelrad, angetrieben durch das einlaufende Getreide | h Wasserrinne |
| c, d Zahnradübersetzung | i, m Wasserzulauf |
| e Schöpfprad | k Netzschnecke |
| f Schöpfbecher | l Antrieb der Schnecke |
| | n Überlauf |

dern schließen würden. Zweitens brechen die seither verwendeten Brechstühle nur wenige Körner in der Längsrichtung, wodurch allein die Entfernung des Furchenstaubs möglich wäre. Drittens ist das erste Schrotmehl so geringer Güte, daß es zu den Nachmehlen geleitet wird, wobei die vom Furchenschmutz herrührende dunklere Färbung des Mehles ohne Bedeutung ist. [B 1908]

(Schluß folgt.)

Der schweizerische Postkraftwagen-Betrieb im Winter

Bei starken Schneefällen fahren auf den Landstraßen der Schweiz neben den mit einem besondern Gummiraupenantrieb ausgestatteten Personenkraftwagen Schneepflüge, die die Straße bis zu einer gewissen Höhe vom Schnee befreien. Die Fahrzeuge haben neben einem vorn am Rahmen aufgehängten eisernen Pflug an den Seiten verstellbare Blechflügel, die die Straße auf 4,5 m Breite vom Schnee freimachen. Die Pflüge haben sich im ersten Betriebswinter 1926/27 fast überall gut bewährt, nur zeigte sich auf einer Kraftwagenlinie, daß auch die Pflugwagen nicht mehr durchkommen, wenn der seitlich abgepreßte Schnee über 1,2 bis 1,5 m Höhe erreicht. In diesem Falle werden die Schneemassen so hart, daß die Fahrzeuge steckenbleiben, die Pflügeinrichtungen zusammengedrückt und die Antriebe zerrissen werden.

Um diese Schneemauern zu beseitigen, hat die Kriegstechnische Abteilung des Militärdepartements zusammen mit der Firma Ad. Saurer, A.-G., eine Schleudermaschine entworfen, die auch hohe und glasharte Schneemauern fassen und bis zu 30 m Entfernung wegschleudern kann. An einem Kettenschlepper von 50 PS Leistung ist vorn das Schleudergesetz eingebaut. Es besteht aus zwei nebeneinander in einem Stahlgehäuse eingebauten Schaufelrädern von je 1,05 m Dmr. Oben befinden sich zwei verstellbare Auswurföffnungen, während vorn der Schnee durch zwei Mundstücke gegen die Schaufelräder gedrückt wird. Das Gehäuse ist beweglich aufgehängt und läßt sich in der Höhe verstellen.

Zum Antrieb der Schaufelräder dient ein hinter dem Führersitz angebrachter Vierzylindermotor, Bauart Saurer von 67 PS, die Räder machen 270 U/min entsprechend 14 m/s Umfangsgeschwindigkeit. Die Fahrgeschwindigkeit beträgt im dritten Gang 8,6 km/h. Das Gesamtgewicht des Wagens einschl. Wasser und Brennstoff beträgt rd. 11 t. In dem allerdings nicht sehr schneereichen Winter 1927/28 konnten mit den Schneepflügen und der Schleuder die Straßen so geräumt und gleichzeitig geebnet werden, daß auch mit starken Ketten an den Rädern versehene Fahrzeuge ohne Raupen verkehren konnten. Ob man auf die Dauer ohne Raupenbetrieb für die Personenkraftwagen wird auskommen können, müssen die Erfahrungen schneereicher Winter lehren. (Schweiz. Bauzeitg. vom 22. Dezember 1928 S. 321*)

[N 2423]

Sd.

Gustav Anton Zeuner und die technische Wärmelehre

Von Prof. Dr.-Ing. F. MERKEL, Dresden

Vorgetragen im Dresdner Bezirksverein anlässlich des 100. Geburtstages von Zeuner

Die Arbeiten Zeuners auf andern Gebieten. Das erste Erscheinen seiner „Mechanischen Wärmetheorie“ und die Bedeutung dieses Werkes für Physik und Technik. Zeuner als Schöpfer der Lehre von den Dämpfen; erste Dampftabellen. Arbeiten über Kältemaschinen, Wärmespeicherung und binäre Gemische. Die strömende Bewegung von Gasen und Dämpfen, ein von Zeuner besonders umfassend und bahnbrechend bearbeiteter Wissenszweig.

Zeuners Arbeiten sind von ganz besonders bahnbrechender und nachhaltiger Wirkung für die technische Wärmelehre geworden. Seine nicht minder umfangreiche Tätigkeit auf einigen andern Wissenszweigen soll hier nur kurz gestreift werden.

Der Hydraulik wurde Zeuner durch seinen Freiburger Lehrer Weisbach zugeführt, und er hat ihr zeit lebens besondere Liebe zugewandt. Neben rein theoretischen Untersuchungen arbeitete er viel experimentell an Strömungsproblemen, und seine ersten größeren Versuche in Freiberg und Zürich sowie seine letzten im Dresdener Laboratorium lagen auf diesem Gebiete. Viele Abhandlungen über Wasserturbinen und schließlich ein größeres Werk über die Theorie der Turbinen zeugen von seinem überaus fruchtbaren Schaffen. Vom Standpunkt der Wärmelehre aus müssen wir uns über Zeuners hydraulische Arbeiten ganz besonders freuen, weil sie ihn befähigten, die Strömungsvorgänge in Gasen und Dämpfen unter Heranziehung der Wärmelehre in so wundervoller Weise zu behandeln und zu klären.

Die Beschäftigung mit der Dampfmaschine im Anschluß an seine Lehrtätigkeit in Zürich führte Zeuner auf die Behandlung der Dampfmaschinensteuerungen. Das rein empirische Versuchen, auf das man bis dahin beim Entwurf von Schiebersteuerungen angewiesen war, ersetzte er in genialer Weise durch ein anschauliches graphisches Verfahren, das mit einem Schlage das unsichere Suchen ausschaltete. Es gestattete, in streng richtiger Weise die günstigsten Verhältnisse aufzusuchen und die Wirkung konstruktiver Maßnahmen auf die Eigenschaften der Steuerung sofort zu übersehen. Wir können heute kaum mehr ermessen, welche große Bedeutung dieser Gedanken Zeuners damals für die Fortentwicklung der Dampfmaschine gehabt hat. Sein Buch über Schiebersteuerungen erschien im Jahre 1858 zum erstenmal und hat sofort einen unvergleichlichen Siegeslauf in der ganzen Welt angetreten. Es hat wohl am frühesten von allen Büchern Zeuners dazu beigetragen, seinen Namen allen Ingenieuren vertraut zu machen. Er erzählt selbst, wie ihm die Idee zu dem Polardiagramm für den einfachen Schieber, auf dem alle weiteren Folgerungen beruhen, in der Neujahrsnacht 1855/56 gekommen sei, als er mit seiner Frau in seiner Wohnung in Zürich auf das Glockenläuten zum Beginn des neuen Jahres wartete und wie ihm sofort die ganze Tragweite seines Fundes klar vor Augen stand.

Weniger Verbindung mit seinen technisch-wissenschaftlichen Arbeiten haben Zeuners wichtige Untersuchungen auf dem Gebiet der Statistik, mit der er sich dauernd beschäftigte. Als Erster hielt er an einer technischen Hochschule Vorlesungen über mathematische Statistik. Seine Arbeiten, die noch heute von Bedeutung sind, erschienen 1869 als „Abhandlungen aus der mathematischen Statistik“; ihnen folgten dann noch viele einzelne Veröffentlichungen bis in die letzten Lebensjahre Zeuners.

Schließlich sei noch die Doktorarbeit Zeuners über die Foucaultschen Pendelversuche erwähnt, zu der ihn sein Besuch in Paris 1852 anregte. Zeuner sah damals im Pantheon das Pendel, mit dem Foucault die Erddrehung nachgewiesen hatte, und schon im nächsten Jahre reichte er der Universität Leipzig eine mathematisch-physikalische Abhandlung darüber als Dissertation ein. Ein Vortrag, den er 1868 bei einer akademischen Feier in Zürich über die Entstehung der Himmelskörper hielt, ist nur in französischer Sprache veröffentlicht worden.

Auf allen diesen Gebieten sind Zeuners Arbeiten so eigenartig und für die Entwicklung der Technik so grundlegend geworden, daß sie allein gewiß genügt hätten, um ihn zu einem der größten Ingenieure zu machen. Und doch schulden wir Ingenieure ihm noch weit größeren Dank für eine weitere Leistung seiner genialen Forschertätigkeit: Er hat die technische Wärmelehre als selbständiges Wissensgebiet geschaffen. Auf allen andern Gebieten hätte sich die Entwicklung vielleicht nicht anders und nicht viel langsamer voll-

zogen, wenn Zeuners Mitwirkung gefehlt hätte; auf dem Gebiet der technischen Wärmelehre können wir uns aber seine Leistungen nicht hinwegdenken, können wir gar nicht absehen, welchen Weg sie ohne ihn hätte nehmen sollen.

Die Vorbereitungen zu den Vorlesungen über Dampfmaschinen, die Zeuner zur Beschäftigung mit den Schiebersteuerungen führten, gaben ihm in den 50er Jahren Anlaß, sich mit der Wärme zu befassen. Er selbst erwähnt als weitere Veranlassung einen Brief von Redtenbacher, der ihm schrieb, „man muß jetzt nun vor allem über die Wärme sich den Kopf zerbrechen“. Gar nicht lange vor dieser Zeit hatten Robert Mayer und Joule das Gesetz von der Erhaltung der Energie, den ersten Hauptsatz der Wärmelehre ausgesprochen. Er war durchaus noch nicht Allgemeingut der Techniker, noch kaum ein allgemein anerkannter Grundsatz der Physik. Noch viel weni-



Gustav Zeuner

geb. 30. November 1828
gest. 17. Oktober 1907

ger war der zweite Hauptsatz, den *Clausius* wenige Jahre vorher, ausgehend von den *Carnotschen* Untersuchungen, aufgestellt hatte, selbst den Physikern vertraut oder gar allgemein anerkannt. Es gab damals auch von physikalischer Seite her weder in Deutschland noch im Ausland eine zusammenfassende Darstellung der neuen Lehre. Die hierher gehörigen Abhandlungen waren in Zeitschriften verschiedener Sprache zerstreut und nur den Gelehrten zugänglich.

Zeuner erkannte rasch die ungeheure Bedeutung der neuen Lehren für alle mit Wärmeerscheinungen verknüpften Aufgaben der Technik, besonders für das Verständnis der Vorgänge in der Dampfmaschine, über die damals noch ganz unklare Vorstellungen herrschten. In dem Bestreben, einen Ausgangspunkt zu schaffen, von dem aus die physikalisch-theoretischen Forschungen in das Gebiet der praktisch-technischen Anwendungen getragen werden konnten, stellte er die „Grundzüge der mechanischen Wärmetheorie“ zusammen, die als Bändchen mit nur 200 Seiten im Jahre 1859 erschienen. Es war das erste Buch, das überhaupt als in sich abgeschlossenes Werk über Wärmelehre geschrieben worden ist, und hat nicht nur in den Kreisen der Ingenieure, sondern auch unter den Physikern unendlich viel dazu beigetragen, das Verständnis für das Wesen der Thermodynamik zu fördern. Seine nachhaltige Wirkung ist wohl nicht zum mindesten in der meisterhaft klaren, bei aller physikalischen und mathematischen Strenge verständlichen Darstellung begründet, die schon diese wie alle späteren Schriften *Zeuners* auszeichnet. So konnte auch eine fast gleichzeitig von *Rankine* in England verfaßte, ausgezeichnete Abhandlung über Wärmetheorie, die seinem berühmten Buch über die Dampfmaschine beigelegt war, nicht an die Bedeutung der *Zeunerschen* heran kommen. Ihre Wirkung blieb auf einen viel engeren Kreis und ausschließlich auf England beschränkt, während sich das Buch von *Zeuner* rasch das Interesse der Ingenieure und Physiker im In- und Ausland eroberte. Es wurde schon 1863 von *Hirn* ins Französische übersetzt.

Nach der Vorrede sollte das Buch zwei Aufgaben dienen. Einmal sollte es die vielfach für den Techniker schwer zugänglichen Arbeiten von *Clapeyron*, *Clausius*, *Rankine*, *Thomson*, *Joule*, *Hirn* u. a. zusammenhängend darstellen und dann sollte es den Technikern sofort die überaus fruchtbaren Folgerungen aus dieser Theorie für die praktischen Anwendungen, insbesondere für die Dampfmaschine vermitteln. Der erste Teil geht aber weit über eine einfache Wiedergabe der einzelnen Arbeiten hinaus; er ist eine durchaus selbständige Darstellung der neuen Wärmetheorie, bei der das Prinzip des ersten und zweiten Hauptsatzes klar hervortritt. Es war von ausschlaggebender Bedeutung für die Entwicklung der technischen Wärmelehre und damit für die praktische Wärmetechnik, daß dieses Buch ihren Ausgangspunkt gebildet hat, daß ein Techniker durch eine so einwandfreie Wiedergabe der neuen Lehren die Wärmelehre von Anfang an auf den richtigen Weg geleitet hat. Und hinter dem Buche stand *Zeuner* selbst als Lehrer. Waren auch damals noch nicht alle Techniker reif für seine Lehren, so hat er sie doch nicht wenigen hervorragenden Schülern vermittelt, die dann als Praktiker oder selbst als Lehrer für ihre Verbreitung gesorgt haben. Erinnert sei hier nur an *Linde*, den Begründer der Kältetechnik, und *Schröter*, den Lehrer der Thermodynamik an der technischen Hochschule in München.

Für die praktische Auswirkung von *Zeuners* erstem Buch über Wärmetheorie war der zweite Teil, worin er ihre praktische Anwendung behandelt, von größter Bedeutung, besonders die sehr ausführliche Darstellung des Verhaltens von Wasserdampf. Auf Grund der allgemeinen thermodynamischen Beziehungen gelang es *Zeuner*, das Verhalten des Wasserdampfes im Sättigungsgebiet, über das bis dahin viele Unklarheiten herrschten, vollkommen zu erfassen. Damit war auch der Vorgang in der Satteldampfmaschine auf einmal völlig geklärt und der Rechnung zugänglich gemacht. Als unvergleichliches Hilfsmittel schuf *Zeuner* dazu die ersten Tabellen für Wasserdampf, die er in meisterhafter Weise unter Ver-

wendung der thermodynamischen Gesetze aus den immer noch spärlichen Versuchsangaben für das ganze damals praktisch wichtige Gebiet berechnete. Sie sind als die unmittelbaren Vorläufer aller heute vorliegenden Dampftabellen für Wasserdampf und andre Stoffe anzusehen. *Zeuner* stützte sich dabei hauptsächlich auf die berühmten 1847 veröffentlichten Versuche von *Regnault*; die Genauigkeit dieser Messungen war so hoch, daß die von *Zeuner* berechneten Dampftabellen, die sich von 0 bis 200°, also etwa von $\frac{1}{100}$ bis 16 at erstrecken, nur über raschend wenig von den neuesten *Mollierschen* Dampftabellen abweichen.

Vom Erscheinen der ersten Auflage der mechanischen Wärmetheorie an hat sich *Zeuner* bis an sein Lebensende unablässig um den weiteren Ausbau der technischen Wärmelehre bemüht. Die grundlegenden Gesetze suchte er immer klarer und anschaulicher herauszuarbeiten, und allmählich zog er alle praktischen Anwendungen der Wärmelehre in den Kreis seiner Betrachtungen herein, wobei er stets der Weiterentwicklung der Technik aufmerksam folgte. Seine Arbeiten erschienen teils als selbständige Veröffentlichungen, meist im „Civilingenieur“ oder in der „Zeitschrift des Vereines deutscher Ingenieure“, teils in den aufeinanderfolgenden Neuauflagen der mechanischen Wärmetheorie. Bereits 1866 lag eine zweite wesentlich vermehrte Auflage vor. Bald war wieder eine Neuauflage notwendig, aber *Zeuner* konnte keine Zeit zur Bearbeitung finden, da er inzwischen nach Freiberg und dann nach Dresden übersiedelte und dort durch organisatorische Arbeiten neben seiner Lehrtätigkeit völlig in Anspruch genommen war.

Endlich, im Jahre 1887 konnte die neue Auflage erscheinen. Sie war vollkommen umgearbeitet, und *Zeuner* deutet das äußerlich dadurch an, daß er den Titel in „Technische Thermodynamik“ umänderte. Aus der „Grundzüge“ war ein zweibändiges Lehrbuch geworden, das neben den allgemeinen Grundlagen der Thermodynamik alle praktisch wichtigen Anwendungen erschöpfend behandelte und darüber hinaus viele Ausblicke auf fernere Entwicklungsmöglichkeiten gab; ein Lehr- und Handbuch für den Ingenieur in Wissenschaft und Praxis, auf das er immer wieder zurückgreifen mußte, wenn er sich über die Grundlagen seiner Berechnungen klar werden wollte; ein Buch, das in seiner Einzigartigkeit auf die wissenschaftliche Denkweise der Ingenieure und auf das ganze Werden der modernen Wärmetechnik den größten Einfluß ausgeübt hat, nicht nur in Deutschland, sondern vermöge seiner Übersetzungen in der ganzen Welt.

In der „Technischen Thermodynamik“ gebraucht *Zeuner* nun auch den inzwischen von *Clausius* in die Wärmetheorie eingeführten Entropiebegriff und zur bildlichen Darstellung der Zustandsänderungen und Kreisprozesse neben dem alten Druck-Volumen- oder Indikator diagramm in weitem Umfang das Temperatur-Entropie- oder Wärme-Diagramm, das sich so hervorragend dazu eignet, die umgesetzten Wärmemengen zu verfolgen. Durch meisterhafte graphische Darstellungen verstand es *Zeuner*, seine Ausführungen anschaulich zu machen. Wenn auch die Art solcher Darstellungen nicht grundsätzlich von ihm stammt, worauf er gerade beim Wärmediagramm mit großer Gewissenhaftigkeit hinweist, so ist doch der besondere Charakter seiner Zeichnungen für alle thermodynamischen Schriften und für jeden Lehrer solcher Dinge vorbildlich geworden.

Bei der Behandlung der Anwendungen hat *Zeuner* stets einen „verlustlosen“ Prozeß für den betreffenden Fall zu Grunde gelegt, der gegenüber dem tatsächlich ablaufenden so weit vereinfacht war, daß seine vollständige rechnerische Untersuchung auf Grund der Wärmelehre möglich wurde. So konnte er den grundsätzlichen Einfluß aller veränderlichen Betriebsbedingungen verfolgen. Wieweit gegenüber diesem Vergleichsprozeß beim wirklichen Vorgang Verluste auftreten, muß dann durch Versuche ermittelt werden. Gerade, weil die Verluste bei diesem Verfahren so klar hervortreten, ist es für die Entwicklung der Wärmekraftmaschinen und Kältemaschinen so fruchtbar geworden. *Zeuner* hat damit die

kenntnis von den kennzeichnenden Eigenschaften der verschiedensten Kraft- und Arbeitsmaschinen außerordentlich erweitert und Grundlagen für den Vergleich neuer Arbeitsverfahren mit den alten geschaffen.

Überall lag ihm vor allem daran, die gemeinsamen Gesichtspunkte auf den verschiedensten Gebieten aufzudecken und alle Erscheinungen als Folgerungen der gleichen grundlegenden Gesetze darzustellen. So ist zum Beispiel die klare Gegenüberstellung und gemeinsame Behandlung der Kältemaschinen und Wärmekraftmaschinen als gegenseitige Umkehrung für seine Betrachtungsweise kennzeichnend.

Nach diesen mehr allgemeinen Betrachtungen über die Verdienste Zeuners um die Entwicklung der technischen Wärmelehre sei noch seine bahnbrechende Tätigkeit auf einigen Sondergebieten gezeigt. Schon in der ersten Auflage der Wärmetheorie hatte Zeuner die Eigenschaften der Sattdämpfe vollkommen dargestellt. Dagegen entzog sich der überhitzte Dampf damals noch fast ganz der rechnerischen Untersuchung, da kaum Messungen darüber vorlagen. Aber schon wenige Jahre später, 1867, erschien eine ausführliche Arbeit von Zeuner in der Zeitschrift des Vereines deutscher Ingenieure, die unter genauem Abwägen der technischen Bedürfnisse aus wenigen Versuchszahlen mit Hilfe wohlbegründeter theoretischer Erwägungen das Verhalten des überhitzten Wasserdampfes in ausgezeichneter Weise ableitete. Er kam zu einer äußerst einfachen Zustandsgleichung, die erst viel später aufgegeben werden mußte, als neuere Versuche mit überhitztem Dampf sich nicht mehr damit darstellen ließen.

In der „Technischen Thermodynamik“ vom Jahre 1887 wird nun klar ausgesprochen, daß zwischen Gasen und Dämpfen kein grundsätzlicher Unterschied bestehe und daß es keine permanenten Gase im alten Sinne gebe. Aus den Versuchen von Andrews mit Kohlensäure war inzwischen 1869 bekannt geworden, daß es eine kritische Temperatur gibt, oberhalb deren durch noch so hohen Druck keine Verflüssigung der Gase mehr möglich ist. Kurz bevor 1890 der zweite Band der „Technischen Thermodynamik“ erschien, der die Lehre von den Dämpfen enthielt, wurden die theoretischen Untersuchungen von van der Waals bekannt, die den Zusammenhang von Flüssigkeit, gesättigtem und überhitztem Dampf und die Verhältnisse beim kritischen Punkt in ganz neuem Licht erscheinen ließen. Es ist ein besonderes Verdienst Zeuners, daß er die grundsätzlichen Ergebnisse dieser Arbeit sofort dem Verständnis der Ingenieure näher brachte.

Eine weitere bedeutende Leistung war die Berechnung von Dampftabellen für viele Stoffe, soweit Versuchswerte dafür vorhanden waren. Die Tabellen beruhen fast ausschließlich auf Messungen von Regnault und sind so vorzüglich, daß sie heute nur zum Teil überholt sind. Sie enthalten eine Fülle von wertvollsten Angaben, wo sonst nur einige Versuchszahlen nach physikalischen Messungen vorhanden waren, die für den Ingenieur nur schwer zugänglich und nicht ohne weiteres verwendbar sind.

Überblickt man alles, was Zeuner seit dem ersten Erscheinen der „mechanischen Wärmetheorie“ über die Eigenschaften der Dämpfe, über ihre Zustandsänderungen und über die Dampfmaschine geschrieben hat, und denkt man an die vielen Dampftabellen, die er berechnete, so darf man wohl sagen, daß er die technische Wärmelehre der Dämpfe fast allein geschaffen hat.

Auf dem Gebiete der Dampftechnik liegt eine Aufgabe, deren Behandlung durch Zeuner nur wenig bekannt ist, die aber in jüngster Zeit wieder sehr große Bedeutung erlangt hat. Zeuner hat sich schon in den 80er Jahren mit der Wärmespeicherung durch Kondensieren von Dampf in einem teilweise mit Wasser gefüllten Kessel beschäftigt, also mit dem heute bei den Ruths-Speichern angewendeten Verfahren. Die praktischen Aufgaben waren allerdings damals andere als heute, aber das thermodynamische Problem war genau das gleiche, und so haben die Untersuchungen Zeuners ihre Gültigkeit unverändert behalten. Damals handelte es sich um sogenannte feuerlose Lokomotiven, die statt eines unmittel-

bar beheizten einen als Wärmespeicher ausgebildeten Kessel haben. Zeuner untersuchte die Vorgänge beim Laden und Entladen des Speichers thermodynamisch und gab die Gleichungen für die Berechnung dieser Vorgänge an. Mit der bedeutenden Entwicklung der Wärmespeicher in den letzten Jahren ist diese Theorie wieder sehr fruchtbar geworden, da im Grunde alle neueren Berechnungsverfahren auf ihr beruhen.

Kennzeichnend für die Art, wie Zeuner sich sofort mit allen neu auftauchenden Aufgaben der Wärmetechnik auseinandersetzte, ist seine Behandlung der Kaltdampfmaschinen. Bereits 1881, wenige Jahre nachdem Linde mit seiner Kältemaschine an die Öffentlichkeit getreten war, erschien im „Civilingenieur“ ein Aufsatz von Zeuner über die Theorie der Kaltdampfmaschinen. In seiner „Technischen Thermodynamik“ 1890 sind die Kaltdampfmaschinen bereits so abgeschlossen behandelt, daß dieser grundlegenden Darstellung auch heute nichts wesentlich Neues hinzuzufügen ist.

Auch auf Gebieten, auf denen die Technik zu seiner Zeit zwar schon tastende Versuche machte, aber über rein empirisches Vorwärtsdringen noch nicht hinauskam, weil die physikalischen Erkenntnisse noch keine rechnerische Behandlung gestatteten, verdanken wir Zeuner vorbildliche Darstellungen, die noch heute geeignet sind, weiteren Forschungen Wege zu weisen. Ich denke hier an seine überaus interessanten Betrachtungen über binäre Gemische, die im zweiten Bande der „Technischen Thermodynamik“ schon 1890 enthalten sind; Zeuner wurde dazu angeregt durch die Absorptionsmaschine von Carré, die mit Wasser und Ammoniak arbeitete, und durch die Kompressionskältemaschine von Pictet, in der an Stelle von reiner schwefliger Säure ein Gemisch aus schwefliger Säure und Kohlensäure, die sogenannte Pictetsche Flüssigkeit, verwendet werden sollte.

Eine weitere Anwendung von Gemischen, die Zeuner offenbar mit großem Interesse verfolgt hat, spielte zu jener Zeit bei der feuerlosen Lokomotive von Honigmann eine gewisse Rolle. Außer daß sie Wärme in einem mit Wasser gefüllten Kessel speicherte, nutzte diese Lokomotive die Wärme aus, die frei wurde, wenn der Abdampf der Lokomotive in hochkonzentrierter Natronlauge absorbiert wurde. Diese Lokomotiven wollte man im Betrieb von Straßenbahnen verwenden, sie wurden aber bald durch die Entwicklung der Elektrotechnik verdrängt. Heute scheinen ähnliche Anordnungen als Dampfdruckumformer wieder aussichtsreich zu sein, so daß Zeuners Beschäftigung damit von neuem Interesse gewinnt.

Physiker und Chemiker begannen damals erst mit der theoretischen experimentellen Erforschung der überaus vielseitigen Erscheinungen beim Verdampfen und Verflüssigen von Gemischen; quantitative Untersuchungen fehlten noch fast vollständig. So konnte Zeuner noch nicht zu zahlenmäßigen Rechnungen vordringen; aber er gibt in seiner bekannten klaren Weise vom Standpunkt der Wärmelehre aus einen erstaunlich umfassenden Überblick über das Verhalten der Gemische, soweit damals die wenigen physikalischen Arbeiten überhaupt schon glaubhafte Schlüsse zuließen.

Zum Schluß sei noch eines für Zeuners Schaffen besonders kennzeichnenden Zweiges der technischen Wärmelehre gedacht, der Strömung von Gasen und Dämpfen. Die engere Hydraulik, die besonders Weisbach vertrat, beschäftigte sich nur mit den nicht zusammen-drückbaren Flüssigkeiten, besonders mit Wasser, und konnte die Strömungen in Gasen und Dämpfen nur bei sehr kleinen Druckänderungen erklären. Bei stärkeren Druckunterschieden stellen sich aber neben den Geschwindigkeitsänderungen des strömenden Gases auch Zustandsänderungen und damit Wärmeumsetzungen ein. Die Erscheinungen konnten daher nur unter Heranziehung der Thermodynamik geklärt werden.

Hier war es ein ganz besonders glückliches Zusammentreffen, daß Zeuner, der Schöpfer der technischen Wärmelehre gleichzeitig als Schüler Weisbachs ein hervorragender Kenner der Hydraulik war. Und tatsächlich ist die Lehre von der Strömung der Gase und Dämpfe in

vollem Umfang seine Schöpfung und immer sein bevorzugtes Arbeitsgebiet geblieben. Im Jahre 1863 erschien sein klassisches Werk über das „Lokomotivblasrohr, experimentelle und theoretische Untersuchungen über die Zugerzeugung durch Dampfstrahlen und über die saugende Wirkung von Flüssigkeitsstrahlen überhaupt“, die erste Veröffentlichung *Zeuners* in dieser Richtung. Er selbst bezeichnet dieses Buch als das beste, was er je geschrieben hat. 1864 folgte ein Aufsatz im „Civilingenieur“ über den Ausfluß von Dämpfen und hocherhitzten Flüssigkeiten aus Gefäßmündungen und 1874 ein weiterer Bericht über experimentelle Untersuchungen über das Ausströmen der Luft bei starkem Überdruck. Alle weiteren Untersuchungen sind in den ausgedehnten, wundervollen Ausführungen über die Strömung der Gase und Dämpfe der „Technischen Thermodynamik“ enthalten. Viele geistvoll erdachte und durchgeführte Experimente in Zürich und in Dresden haben den theoretischen Untersuchungen den festen Boden gegeben, auf dem sie noch heute unverändert stehen. Alle Messungen anderer Forscher, die zu seinen Lebzeiten erschienen, verfolgte *Zeuner* eifrig, und er konnte sie dem einheitlichen Bild seiner umfassenden Darstellung stets einfügen.

Es gelang *Zeuner*, theoretisch zu erklären, warum bei einem gegebenen Anfangsdruck des Gases in der Mündung eine bestimmte Höchstgeschwindigkeit nicht überschritten werden kann, wie tief man auch den Druck hinter der Mündung senken mag. In weiterer Fortführung dieser Gedanken erklärte *Zeuner* später die zunächst unerklärliche und vielfach umstrittene Wirkungsweise der bekannten *Lavalschen* Dampfturbinendüse, die mit Hilfe einer kegeligen Erweiterung in scheinbar paradoxer Weise weit höhere Geschwindigkeiten ergab.

Damit hat *Zeuner* eine der wichtigsten Grundlagen für die Berechnung der Dampfturbinen geschaffen, deren Entwicklung daher auch in dieser Richtung mit *Zeuners* Namen aufs engste verknüpft ist.

Ein sehr fruchtbarer Gedanke war die Berücksichtigung der Reibungsverluste beim Ausströmen durch einen Ausflußexponenten. Dieser trägt der physikalischen Tatsache Rechnung, daß die Expansion des Gases in der Düse nicht nach einer Adiabate erfolgt, sondern unter Aufnahme der Reibungswärme angenähert nach einer Polytrope mit einem kleineren Exponenten. Damit konnte *Zeuner* auch den Einfluß der Reibung auf die Höhe des kritischen Druckverhältnisses klären.

Das ist in großen Zügen das bewundernswerte Werk *Gustav Zeuners*, der auf den umwälzenden Gedanken des großen Physiker des beginnenden 19. Jahrhunderts den festgefügtten Bau der technischen Wärmelehre fast ganz allein errichtet hat. Es gibt heute keinen Maschineningenieur, dessen Arbeit sich nicht in irgendeiner Richtung auf *Zeuners* Schaffen stützt.

Jedoch ist das Lebenswerk *Zeuners* mit der Wärmelehre noch keineswegs erschöpft¹⁾. Auch auf andern Gebieten der Ingenieurwissenschaft hat er neue Erkenntnisse vermittelt und neue Wege gewiesen. Als genialer Organisator hat er an den Hochschulen in Zürich, Freiberg und Dresden unvergängliche Werte für die Technik geschaffen und in unvergleichlicher Weise hat er die Ergebnisse seines Forschens als ein gottbegnadeter Lehrer einer großen Zahl von Schülern vermittelt, die seine Lehren als begeisterte Anhänger in alle Welt getragen haben. [B 2360]

¹⁾ Vergl. Z. Bd. 51 (1907) S. 2049.

Max Schwab †

Mit Generaldirektor *Max Schwab*, der am 30. Oktober 1928 ganz unerwartet einem Herzschlag erlegen ist, ist ein schaffensfreudiger, tatkräftiger Mann dahingegangen. Er stand erst im 56. Lebensjahr. Am 25. März 1873 in Soest geboren, studierte er nach dem Besuch des Gymnasiums an den Hochschulen in Berlin und Bonn Geodäsie und Kulturtechnik. In den Jahren 1896 bis 1905 war er als Regierungslandmesser bei der Dortmund-Ems-Kanal-Kommission tätig und wurde darauf als Hilfsarbeiter ins Ministerium der öffentlichen Arbeiten in Berlin berufen. Im Jahre 1906 trat er dann in den Vorstand der Rheinischen Bahn-Gesellschaft zu Düsseldorf über. Hier hat er 22 Jahre lang unermüdlich geschaffend und Hervorragendes geleistet.

Düsseldorf wurde seine zweite Heimat, die Rheinische Bahn-Gesellschaft der Boden für die Entfaltung seines reichen Könnens. Sein Arbeitsfeld war anfangs in der Hauptsache das ziemlich umfangreiche Grundstücksgeschäft, der Straßen- und Kleinbahnbetrieb im linksrheinischen Düsseldorf, das Kraftwerk Oberkassel, die Rheinbrücke Düsseldorf-Oberkassel und der Betrieb der Rheinfähre. Mit der Vereinigung der Straßenbahnen der Stadt Düsseldorf mit denen der Rheinischen Bahn-Gesellschaft im Jahre 1920 erhielt er einen hervorragenden Einfluß auf die gesamten Verkehrsangelegenheiten Düsseldorfs. Wenn es galt, Einrichtungen oder Maßnahmen zur Besserung des Verkehrs oder der Betriebe zu treffen, ließ er sich von dem einmal als richtig anerkannten Ziele nicht abbringen. Stets war er bemüht, beizeiten den Anforderungen des Verkehrs gerecht zu werden. Die rechtzeitige Verbreiterung der Rheinbrücke Düsseldorf-Oberkassel sowie die einzig dastehende vorzügliche Lösung dieser Aufgabe und ihre 1925/26 in 10 Monaten gelungene Durchführung sind sein ureigenstes Werk, ebenso wie die in der Entstehung begriffene im Süden Düsseldorfs gelegene Rheinbrücke Düsseldorf-Neuß, deren Vollendung er nicht mehr erlebte. Das Kraftwerk Oberkassel ist unter seiner Leitung vollkommen nach neuzeitlichen Grundsätzen umgebaut worden.

Er war einer der ersten im Westen, der den Kraftomnibus als Verkehrsmittel in die vorhandenen einreichte und durch die Gründung der Rheinischen Kraftwagen-Betriebsgesellschaft m. b. H. eine Reihe von Lücken in den Verkehrsbeziehungen schloß. In der Erkenntnis, daß hier vor allem im Luftverkehr Einheitlichkeit und Zusammenarbeit Not tue, hat er im Auftrage des Reichsverkehrsministeriums die Verhandlungen über den Zusammenschluß der beiden Luftverkehrsgesellschaften Aero Lloyd und Junkers-Luftverkehr geleitet. Er gehörte der Deutschen Luft-Hansa seit ihrer Gründung als Mitglied des Aufsichtsrates an. Im Rheinischen Dampfkessel-Überwachungs-Verein, Düsseldorf, dessen Vorsitzender er seit 1922 war, hat er Bedeutendes geleistet. Darüber hinaus widmete er sich dank seiner großen Tatkraft und Willensstärke auch noch der Pflege der Gesamtwirtschaft, deren Bedürfnisse und Zusammenhänge er mit seltener Klarheit erkannte und beurteilte. In der Industrie- und Handelskammer zu Düsseldorf war er eines der rührigsten, weitestschauenden und angesehensten Mitglieder. Das von ihm ins Leben gerufene Forschungsinstitut für das Straßen- und Kleinbahnwesen legen Zeugnis dafür ab, mit welcher Hingebung und mit welchem Eifer er der gemeinsamen Sache gedient hat.

Dem Niederrheinischen Bezirksverein gehörte der Verstorbene lange Zeit als Mitglied an, und stets hat er die Interessen des Ingenieurstandes mit dem Einfluß seiner ganzen Persönlichkeit vertreten.

Das Bild des leider viel zu früh Dahingegangenen würde nicht vollständig sein, würde man nicht auch seiner menschlichen und seiner Charaktereigenschaften gedenken. Lebensfroh, von geradem, aufrechtem und stets hilfsbereitem Wesen war er ein wertvoller Berater seinen Freunden und Mitarbeitern, ein treusorgender Führer seiner Untergebenen und Helfer aller, die in der Bedrängnis zu ihm kamen.

Niederrheinischer Bezirksverein
des Vereines deutscher Ingenieure

Photographische Objektive

Von R. THUN, Berlin

Die Anforderungen, die an verschiedene optische Systeme gestellt werden, und die rechnerischen Unterlagen, die für die Bestimmung dieser Linsenfolgen, insbesondere von photographischen Objektiven, erforderlich sind, werden so weit behandelt, daß man die Schwierigkeiten erkennt, die bei der Entwicklung neuer, leistungsfähigerer und wirtschaftlich herstellbarer Linsenfolgen überwunden werden müssen.

Das Gebiet der Optik wird von dem Ingenieur meistens vernachlässigt, so daß er optischen Fragen gegenüber unsicher ist. Da optische Instrumente in der Technik als photographische Objektive, Mikroskope, Ablesefernrohre usw. in steigendem Maße Verwendung finden, sind die vorliegenden Fragen auch für den Ingenieur von Bedeutung. Die Anforderungen, die an optische Konstruktionen gestellt werden, sind je nach dem Zweck der Linsenfolgen ganz verschieden.

Die einfachste Form eines Linsensystemes stellt die Lupe, Abb. 1, dar. Sie hat die Aufgabe, von einem bei B befindlichen Gegenstand in einer entfernter liegenden Ebene B' ein Bild zu entwerfen, so daß das auf die entferntere Ebene B' eingestellte Auge ein scharfes Bild von dem näheren Gegenstand B erhält. Es genügt meistens, daß man die Farbenfehler und die sphärischen Fehler vernachlässigt, da die Beanspruchungen der brechenden Flächen gering sind. Bei dem Fernrohr findet bereits eine stärkere Beanspruchung der brechenden Flächen statt. Das Objektiv entwirft von dem in großer Entfernung befindlichen Objekt B , das in Abb. 2 nicht gezeichnet ist, in der Ebene B' ein Bild. Das Okular entwirft von dem in der Ebene B' liegenden Bild ein neues Bild in der Ebene B'' , das von dem Auge betrachtet wird. Wenn das Fernrohr nur in dieser Form benutzt wird, dann ist bei der Konstruktion Objektiv und Okular zweckmäßig als ein System zu betrachten. Das Objektiv kann jedoch auch allein für sich in der Weise benutzt werden, daß das in B' entstehende Bild auf einer photographischen Platte aufgefangen wird. Das Öffnungsverhältnis eines Fernrohr-Objektivs, d. h. das Verhältnis seiner wirksamen Blendengröße zu seiner Brennweite, hält sich meistens in mittleren Grenzen. Die brechenden Flächen des Fernrohr-Objektivs werden also nur mäßig beansprucht. Außerdem ist der Bildwinkel sehr klein, d. h. der Durchmesser des in B' entstehenden Bildes ist klein gegen seinen Abstand vom hinteren Hauptpunkt des Objektivs. Da das in B' entstehende Bild jedoch nachträglich meistens durch das Okular stark vergrößert wird, werden die höchsten Anforderungen an seine Güte gestellt, und es kann auch die Ausdehnung eines Bildpunktes nicht mehr als groß gegen eine Lichtwellenlänge angesehen werden, so daß die weitergehenden Gesetze der strengeren Wellenoptik zu berücksichtigen sind.

Bei dem Mikroskop, Abb. 3, entwirft das Objektiv von dem fast in seinem Brennpunkt befindlichen Objekt B ein stark vergrößertes Bild in der Ebene B' , das von dem

Okular wiederum in die Ebene B'' verlegt wird. Auch hier kann das Okular fortfallen, und statt dessen das Bild in der Ebene B' durch eine photographische Platte aufgefangen werden. Der Unterschied gegenüber dem Fernrohr besteht nur darin, daß das Objektiv eine sehr kurze Brennweite und ein sehr großes Öffnungsverhältnis hat. Bei Mikroskopobjektiven wird allerdings nicht das Öffnungsverhältnis, sondern die numerische Apertur $a = n \sin u$ angegeben. In der nachstehenden Aufstellung ist das den verschiedenen numerischen Aperturen entsprechende Öffnungsverhältnis verzeichnet, um einen Vergleich mit photographischen Objektiven zu erleichtern.

Numerische Apertur und Öffnungsverhältnis bei mikroskopischen Trockensystemen.

Art des Systems	schwach	schwach	mittelstark	stark
numerische Apertur	0,1	0,2	0,65	0,95
Öffnungsverhältnis	1 : 5	1 : 2,5	1 : 0,58	1 : 0,164

Eine zu den schwächeren mikroskopischen Systemen zählende Linsenfolge hat also bereits ein Öffnungsverhältnis, das den lichtstärksten photographischen Systemen entspricht.

Das benutzte Bildfeld ist bei den Mikroskopobjektiven ebenso wie bei den Fernrohr-Objektiven ebenfalls verhältnismäßig sehr klein, dagegen wird das entworfene Bild auch hier meistens nochmals stark durch das Okular vergrößert, so daß an die Güte des Objektivs hohe Anforderungen gestellt werden. Dafür besteht auch bei dem Mikroskop ebenso wie bei dem Fernrohr die Möglichkeit, etwaige Mängel des Bildes durch eine entsprechende Gestaltung des Okulares auszugleichen (Kompensationsokular).

Das photographische Objektiv hat die Aufgabe, von einem in der Ebene B befindlichen Gegenstand ein Bild in der Ebene B' zu entwerfen, Abb. 4. Das Öffnungsverhältnis des photographischen Objektivs soll möglichst groß sein, da die Belichtungszeit bei gegebenen Beleuchtungsverhältnissen um so kürzer sein kann, je größer das Öffnungsverhältnis ist. An die Güte des entstehenden Bildes werden geringere Ansprüche als bei den Fernrohr- oder Mikroskopobjektiven gestellt, da das Bild hier nachträglich meistens nicht so stark vergrößert wird. Dagegen wird von den photographischen Objektiven ein sehr großer Bildwinkel verlangt.

Die möglichen Abweichungen optischer Systeme kann man einteilen in Abweichungen der räumlichen Lage, der Strahlenvereinigung und der Farbenabweichungen.

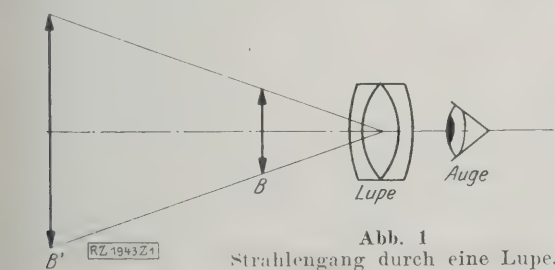


Abb. 1
Strahlengang durch eine Lupe.

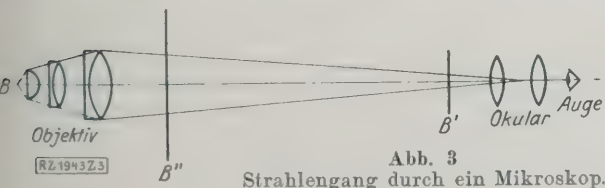


Abb. 3
Strahlengang durch ein Mikroskop.

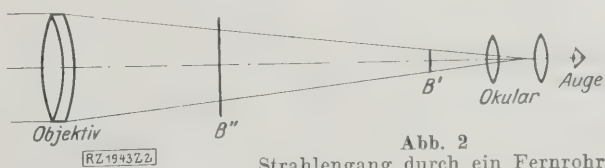


Abb. 2
Strahlengang durch ein Fernrohr.

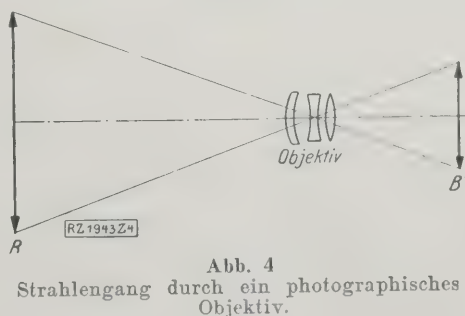


Abb. 4
Strahlengang durch ein photographisches Objektiv.

Abweichungen der räumlichen Lage

Jeder Bildpunkt soll durch das optische System an einer bestimmten Stelle abgebildet werden. Meist wird verlangt, daß alle Bildpunkte in einer Ebene liegen, denn bei photographischen Aufnahmen z. B. wäre es praktisch nur sehr schwer durchführbar, die lichtempfindliche Schicht auf gekrümmten Flächen anzuordnen. Abweichungen der Lage der scharfen Bildpunkte von der gegebenen Ebene bezeichnet man als Bildfeldwölbung. Außerdem soll die Lage der einzelnen Punkte auf der Ebene zueinander den Abständen der gegebenen Vorlage entsprechen. Abweichungen hiervon nennt man Verzeichnung. Die Verzeichnung macht sich derart bemerkbar, daß gerade Linien seitlich der Bildmitte gekrümmt wiedergegeben werden.

Abweichungen der Strahlenvereinigung

Die von einem auf der Achse gelegenen Punkt ausgehenden Strahlen, die das Linsensystem in verschiedener Höhe durchsetzen, vereinigen sich nicht an der gleichen Stelle der optischen Achse. Dies wird als sphärische Abweichung bezeichnet. Die von seitlichen Bildpunkten kommenden Lichtstrahlen durchsetzen das Linsensystem in einem Winkel zur optischen Achse; man bezeichnet sie als schiefe Büschel. Auch unendlich dünne schiefe Büschel vereinigen sich im allgemeinen nicht an der gleichen Stelle. Zwei unendlich benachbarte Strahlen, die in der Ebene liegen, welche durch den schiefen Strahl und die optische Achse gelegt werden kann, vereinigen sich im allgemeinen an einer anderen Stelle, als zwei unendlich benachbarte Strahlen, die in der dazu senkrechten Ebene liegen. Den Abstand dieser beiden Vereinigungspunkte bezeichnet man als astigmatische Abweichung (astigmatische Differenz). Weit geöffnete schiefe Büschel verlieren im allgemeinen ihre Symmetrie zu einer Achse, sie sind nur noch zu einer Ebene symmetrisch. Diese störende Abweichung, welche das Zustandekommen einer scharfen Abbildung bei seitlichen Bildpunkten verhindert, bezeichnet man als Koma.

Farbenabweichungen

Da sich der Brechungskoeffizient mit der Wellenlänge des Lichtes ändert, ist die Lage und die Art der Strahlenvereinigung der Bildpunkte für verschiedene Farben ebenfalls verschieden. Die Verhältnisse müssen also auch für verschiedene Farben untersucht werden.

Die Grundlage der gesamten Optik ist das Brechungsgesetz:

$$n \sin i = n' \sin i' \quad (1),$$

wobei i der Winkel zwischen der Richtung des einfallenden Lichtes mit der Flächennormalen vor der Brechung und i' der entsprechende Winkel nach der Brechung ist. n und n' sind die Brechungskoeffizienten der beiden durch die untersuchte Fläche getrennten Stoffe, d. h. Konstanten, die sich mit der Wellenlänge des Lichtes ändern. Die

Spiegelung (Reflexion) ist nur ein Sonderfall für $\frac{n}{n'} = -1$.

Anwendung des Brechungsgesetzes

Die Schwierigkeiten in der Anwendung des an sich so einfachen Brechungsgesetzes ergeben sich in der Hauptsache dadurch, daß bei den Gleichungen die Winkelfunktionen mit den einfachen Winkelwerten abwechseln. Abb. 5 stellt den einfachsten Fall einer optischen Brechung an einer Kugelfläche mit dem Mittelpunkt M dar. Die untersuchte Fortpflanzungsrichtung des von dem Objektpunkt B ausgehenden Lichtes erleidet eine Brechung, so daß sie nach der Brechung auf den Bildpunkt B' hinzielt. Gegeben ist der Abstand s des Objektpunktes B von dem Scheitel der brechenden Fläche, sowie der Winkel u , den die Fortpflanzungsrichtung mit der Verbindungslinie zwischen Objektpunkt B und Mittelpunkt M der Kugelfläche der optischen Achse bildet. Gesucht wird der Abstand s' des Bildpunktes B' von dem Scheitel der brechenden Fläche, sowie der Winkel u' , den die Fortpflanzungsrichtung des Lichtes nach der Brechung mit der optischen Achse bildet. i und i' sind die Brechungswinkel, φ ist der Winkel, den die für die Brechung maßgebende Flächen-

normale mit der optischen Achse bildet. Die Abstände und s' werden mit Schnittweiten bezeichnet.

Für die Lösung dieser Aufgabe ergibt sich folgendes einfache Rechenschema:

$$\sin i = \frac{s+r}{r} \sin u \quad (2)$$

$$\sin i' = \sin i \frac{n}{n'} \quad (3)$$

$$u' = i - i' - u \quad (4)$$

$$s' = r \left(\frac{\sin i'}{\sin u'} + 1 \right) \quad (5)$$

In allen optischen Instrumenten folgen immer mehrere brechende Flächen hintereinander. Für jede Fläche kann der Lichtweg in der gleichen Weise berechnet werden, die Werte s und u sich ohne weiteres aus den Werten s' und u' der vorhergehenden Fläche ergeben.

Die von einem Objektpunkt B unter verschiedenen Winkeln u ausgehenden Lichtstrahlen haben nach der Brechung im allgemeinen verschiedene Schnittweiten s' . Die Aufgabe des optischen Konstrukteurs besteht nun darin, die verschiedenen Flächen und brechenden Medien derart zu wählen, daß die von einem Bildpunkt kommenden Strahlen nach dem Durchgang des Systems wieder genau nach einem Punkte hinzielen, außerdem soll dieser Punkt eine bestimmte Lage im Raum haben. Diese Au-

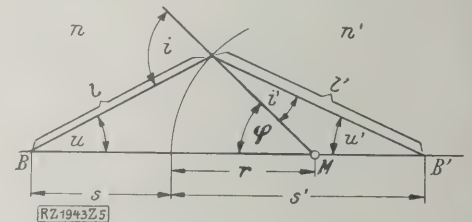


Abb. 5

Einfacher Fall einer optischen Brechung an einer Kugelfläche mit dem Mittelpunkt M .

gabe würde am besten durch Entwicklung einer Gleichung zu lösen sein, welche die Radien und die Abstände der einzelnen brechenden Flächen sowie die Brechungskoeffizienten der verwendeten Glassorten auf der einen Seite enthält und auf der andern die Abweichungen der einzelnen Lichtstrahlen, welche das System auf verschiedenen Wegen durchsetzen. Der Wechsel von Winkelwerten und Winkelfunktionen in dem Gleichungssystem (2) bis (5) bereitet der Ableitung einer solchen Gesamtgleichung Schwierigkeiten. Man ist nun in der Weise vorgegangen, daß man für die Winkelfunktionen die entsprechenden Reihen eingesetzt und die Glieder mit höheren Potenzen vernachlässigt hat.

Werden alle Glieder mit höheren Potenzen als der ersten vernachlässigt, so erhält man die Formel für achsennahe Strahlen. Diese kann geschrieben werden:

$$\frac{s}{s'} = \frac{n'}{n} \left(\frac{n' - n}{n'} \right) + \frac{n}{n'} \quad (6)$$

Ableitungen dieser Gleichung enthält jedes Lehrbuch über geometrische Optik. Die Gleichung ist sehr einfach und gibt Auskunft über die Lage der einzelnen Bildpunkte auf der Achse eines optischen Systemes. Die Vernachlässigung der Glieder mit höheren Potenzen der Winkelfunktionen bedeutet, daß diese Gleichung nur gilt, wenn die Winkel i und u nahezu null sind, d. h. für Linsen mit ganz kleiner Öffnung.

Seidel ist wohl der erste gewesen, der Gleichungen ableitete, die für eine ganze Reihe von brechenden Flächen gelten und auch die quadratischen Glieder der Reihen der Winkelfunktionen berücksichtigen. Die Gleichung für die Abweichung der Lichtstrahlen, die von einem auf der optischen Achse liegenden Objektpunkt ausgehen und das System in verschiedener Höhe durchsetzen, lautet in der Seidelschen Form:

$$\delta_1 = h_1^2 s_1^2 \frac{1}{2} \frac{1}{n_1} \left(\frac{s_2 s_3 s_4 \dots s_k}{s_1' s_2' s_3' \dots s_{k-1}'} \right)^4 \\ n_k' \left(\frac{1}{r_k} - \frac{1}{s_k'} \right)^2 n_k' \left(\frac{1}{n_k' s_k} - \frac{1}{n_k s_k'} \right) \dots \quad (7).$$

In dieser Gleichung bedeutet δ_1 die Abweichung der Schnittweite s_1 von der letzten brechenden Fläche 1 eines Lichtstrahles, der diese Fläche in dem Abstand h_1 von der optischen Achse durchsetzt, von der Schnittweite s_1 eines Lichtstrahles, der das System in der optischen Achse durchsetzt. Die übrigen Buchstaben haben die gleiche Bedeutung wie in den vorhergehenden Gleichungen. Abb. 6 veranschaulicht diese Verhältnisse bei einem System, von dem nur die erste und letzte brechende Fläche gezeichnet ist. Der gestrichelt gezeichnete Lichtstrahl soll das System in einer so geringen Höhe durchsetzen, daß auf ihn die Formel (6) angewendet werden kann. Die Werte s und s' der Gleichung (7) sind nach der Formel für die achsen-nahen Strahlen zu berechnen.

Die Seidelsche Gleichung (7) kann in der Weise abgeleitet werden, daß in den Gleichungen (2) bis (5) die Winkelfunktionen als Reihen eingesetzt werden; und alle höheren als die quadratischen Glieder vernachlässigt werden. Es wird dann das δ der k -ten Fläche gebildet, indem von der so gefundenen Schnittweite die nach der Formel (6) berechnete Schnittweite des Nullstrahles abgezogen wird. Dann denkt man sich die so gefundene Abweichung durch die vorhergehenden Flächen an den Anfang des Systemes projiziert, d. h. es wird die Änderung dieser Abweichung durch die vorhergehenden Flächen bestimmt.

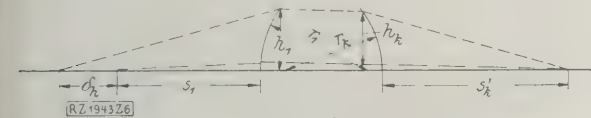


Abb. 6
Strahlengang durch ein Linsensystem.

Die Summe der an den Anfang des Systemes projiziert gedachten Abweichungen aller vorhandenen Flächen muß dann null sein, wenn das System als Ganzes „fehlerfrei“ sein soll.

Die praktische Anwendung der Gleichung (7) auf ein optisches System bedeutet bereits eine sehr erhebliche Rechenarbeit. Es müssen zuerst die Schnittweiten nach der Gleichung (6) für alle Flächen bestimmt werden, dann ist die Gleichung (7) nochmals für alle Flächen anzuwenden, wobei die Werte der Nullstrahlenrechnung aus Gleichung (6) für alle vorhergehenden Flächen benutzt werden müssen. Ist das Endergebnis nicht befriedigend, so muß man durch Probieren eine bessere Flächenfolge suchen. Es ist äußerst schwer, durch rein analytische Untersuchungen die günstigste Linsenfolge aufzufinden, da hierbei sehr unhandliche Gleichungen entstehen.

Die Gleichung (7) stellt aber nur eine Näherungsgleichung dar. Die Vernachlässigung der höheren als quadratischen Glieder in der Reihenentwicklung der Winkelfunktionen bedingt bereits einen Fehler, der praktisch allerdings meist noch erträglich ist. Der Umstand jedoch, daß der Fehler jeder Fläche zum Vergleich mit den Fehlern der anderen Flächen an das eine Ende des Systemes projiziert wird, bringt sehr erhebliche Fehler in die Rechnung, da für diesen Vorgang auch nur Näherungsgleichungen eingeführt werden konnten, um die Schlußgleichung nicht zu unhandlich werden zu lassen. Diese Fehler fallen um so schwerer ins Gewicht, als das Endergebnis die Differenz fast gleichgroßer Zahlen ist. Diese Umstände beschränken die Anwendbarkeit der Seidelschen Gleichungen auf Systeme mit kleinem Öffnungsverhältnis, die heute ohne praktische Bedeutung sind.

Die sphärischen Abweichungen neuzeitlicher lichtstarker Linsensysteme werden deshalb nach den Gleichungen (2) bis (5) berechnet. Da die gesuchte Abweichung der Unterschied der Schnittweiten von Lichtstrahlen ist, die das System auf verschiedenen Wegen durchsetzen, und ihre Zahlenwerte erst in der dritten bis fünften Stelle Unterschiede voneinander zeigen, muß man sehr genau

rechnen. Eine schätzungsmäßige Beurteilung des Einflusses der einzelnen Konstruktionszahlen auf das Endergebnis ist nur auf Grund jahrelanger Erfahrungen möglich. Analytische Untersuchungen sind äußerst schwierig und erfordern ein sehr umfangreiches mathematisches Rüstzeug.

Die vorstehenden Beispiele beziehen sich nur auf die Abbildung von Punkten, die auf der Achse des optischen Systemes liegen, ohne Berücksichtigung der Farbenzerstreuung (Dispersion). Außerdem sind noch eine Reihe weiterer Abweichungen zu berücksichtigen. Besonders die Untersuchung der Fehler seitlicher Bildpunkte bedingt eine erhebliche rechnerische Arbeit, da die hier benutzten Gleichungen verwickelter sind.

Zur Untersuchung der Eigenschaften eines Linsensystemes muß der Verlauf einer ganzen Reihe von Lichtstrahlen durchgerechnet werden. Die Berechnung eines photographischen Objectives erfordert im allgemeinen die zahlenmäßige Bestimmung von folgenden Strahlen: drei Strahlen von einem im Unendlichen auf der Achse liegenden Punkt, die das Objektiv bei verschiedenen Öffnungen durchsetzen; drei Strahlen, die von einem im Unendlichen am Rande des Bildfeldes liegenden Punkte herkommen; drei Strahlen, die von einem im Unendlichen halbseitlich liegenden Punkte herkommen; zwei unendlich benachbarte Strahlen zu den von den seitlich liegenden Bildpunkten herkommenden Strahlen und mindestens noch ein achsen-naher Strahl für eine zweite Farbe, also zusammen 12 Strahlen. Hat das Objektiv 6 Flächen (3 Linsen), so muß die oben angedeutete Rechnung $12 \times 6 = 72$ mal ausgeführt werden. Ein geschickter Rechner kann täglich ungefähr 40 solcher Brechungen mit fünfstelligen und 30 mit sechsstelligen Logarithmen durchrechnen. Mit der oben genannten Mindestzahl von Brechungen kommt man jedoch nur aus, wenn die einzelnen Strahlen geschickt gewählt sind und Rechnungen ähnlicher Systeme bereits vorliegen. Dazu kommt noch, daß leicht Rechenfehler unterlaufen, namentlich in der Bestimmung der Vorzeichen. Es ist deshalb im allgemeinen üblich, daß zwei Rechner parallel zueinander rechnen. Führt ein einzelner die Rechnung durch, so sind wiederholte Kontrollrechnungen erforderlich. Die einmalige Durchrechnung einer Linsenfolge bedeutet also eine Arbeit von 2 bis 3 Tagen. Das Ergebnis besteht im allgemeinen darin, daß die Größe oder die Kleinheit einiger Abweichungen befriedigen, andere jedoch noch unzulässige Werte zeigen. Es sind dann entweder auf Grund allgemeiner Überlegungen und auf Grund von Schätzungen nach Erfahrungen einer langen Rechenpraxis Änderungen der einzelnen Flächen vorzunehmen. Die erneute Durchrechnung zeigt dann die Abnahme einzelner Abweichungen und die Zunahme anderer.

Die oben skizzierte Form einer optischen Rechnung und die vielen kleinzuhaltenden Abweichungen machen es verständlich, daß diese Art der probemäßigen Durchrechnung die einzig praktisch mögliche ist und daß allgemeine analytische Untersuchungen nur Anhaltspunkte dafür geben können, wie eine solche Rechnung am zweckmäßigsten anzulegen ist. Außerdem muß die Werkstattgenauigkeit berücksichtigt werden. Manche Linsenformen, beispielsweise dünne Menisken, deren Halbmesser angenähert gleich sind, lassen sich nur sehr schwer mit einer genügenden Genauigkeit herstellen. Zum Schleifen müssen die Linsen auf Schalen aufgekittet werden, und dabei werden solche dünne Menisken meistens verzogen. Bei manchen Linsenformen ändert wiederum eine geringe Abweichung von den vorgeschriebenen Abmessungen stark den berechneten Korrektionszustand; solche Linsenformen muß man also vermeiden. Die vorstehend erwähnten gußeisernen Schalen, in welche die Linsen beim Schleifen eingekittet werden, müssen für jeden Halbmesser besonders angefertigt werden. Bei der Herstellung werden auf einer Bank, die sechs Spindeln hat, immer nur Flächen mit gleichem Halbmesser geschliffen. Da man für jede Spindel zwei Schalen und verschiedene Schalen für das Fertigschleifen und das Polieren braucht, werden also für jeden Halbmesser 24 Schalen gebraucht; dazu kommen noch je zwei Schalen für das Schrappen und Vorschleifen, also insgesamt 28 Schalen. Da außerdem jedes Objektiv

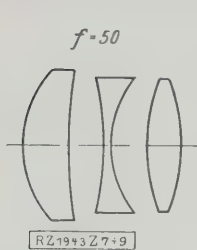


Abb. 7
Dreilinsiges
Objektiv.
Öffnungsver-
hältnis 1:2,5.



Abb. 8
Sphärische
Aberration und
Brennweitenfehler
(gestrichelt).

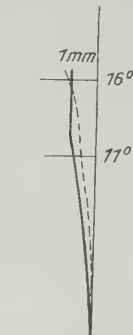


Abb. 9
Astigmatismus.
Sagittastrahl aus-
gezogen, Meridio-
nalstrahl ge-
strichelt.

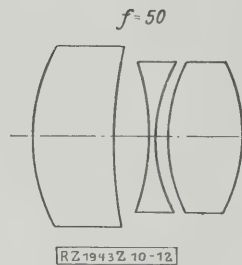


Abb. 10
Dreilinsiges
Objektiv.
Öffnungsverhältnis
1:2.

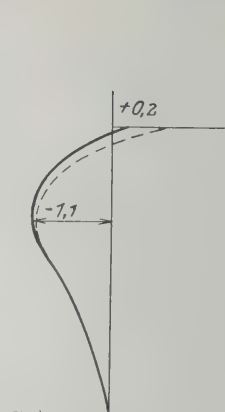


Abb. 11
Sphärische
Aberration und Brenn-
weitenfehler
(gestrichelt).

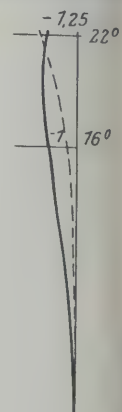


Abb. 12
Astigmatismus.
Sagittastrahl aus-
gezogen, Meridio-
nalstrahl ge-
strichelt.

in mehreren Brennweiten angefertigt werden muß, sind eine sehr große Anzahl verschiedener Schleifschalen erforderlich, wenn der Konstrukteur nicht einige Rücksicht auf die bereits vorhandenen Schleifschalen nimmt. Dazu kommt noch, daß auch eine Beschränkung in der Wahl der Glassorten erwünscht ist. Die einzelnen Schmelzen fallen meist etwas verschieden aus. Wird eine neue Schmelze verarbeitet, so erfordert dies häufig eine geringe Änderung in der Ausführung der Objektive. Deshalb muß man große Schmelzen lagern. Werden mehrere Glassorten verwendet, muß man erhebliche Mittel für das Glaslager aufwenden. Dieser Gesichtspunkt erschwert natürlich die Durchbildung eines neuen leistungsfähigen und wirtschaftlich herstellbaren Objektives.

Die vorstehenden Ausführungen dürften auch dem Fernstehenden ein Verständnis für die Schwierigkeiten bei der Durchbildung neuer, leistungsfähigerer Objektive ermöglichen und es erklären, daß auch erfolgreiche optische Konstrukteure nur in Abständen von ein bis mehreren Jahren neue, leistungsfähigere Arten herausbringen.

In der folgenden Aufstellung ist die Entwicklung eines neuen Objektives in drei Stufen dargestellt. Zwischen je zwei Stufen liegt die Arbeit von ungefähr einem Jahre. Die beistehenden Kurven zeigen, wie es gelang, trotz Ansteigen des Öffnungsverhältnisses, die Abweichungen auch für einen großen Bildwinkel klein zu halten. Besonders beachtenswert ist, daß nur zwei Glassorten Verwendung fanden, so daß eine besonders wirtschaftliche Herstellung dieses Linsensatzes möglich ist.

Entwicklungsstufen eines photographischen Objektives (nach Hahn, Leiter und wissenschaftlicher Mitarbeiter der Firma Rüst-Optik G. m. b. H.)

Bei den Kurven der sphärischen Aberration ist die Ordinate zweimal, die Abszisse zehnmal vergrößert. Bei den Kurven des Astigmatismus entsprechen 5° des halben objektseitigen Winkels in der Ordinate 14 mm, die Abszisse ist vierfach vergrößert. Die Objektive sind im Maßstab 1:1 für $f=50$ mm gezeichnet.

Das dreilinsige Objektiv ist bei einem Öffnungsverhältnis 1:2,5 sphärisch und chromatisch korrigiert, Abb. 7 bis 9. Der sphärische Fehler beträgt bei dieser Öffnung +0,07 mm, der Fehler der Mittelzone -1,1 mm. Die gestrichelte Kurve gibt die Brennweitenfehler an; sie schmiegt sich der sphärischen Aberration gut an. Die Komafehler sind in der Brennebene bei einem halben objektseitigen Bildwinkel von 16° auf einen in der Praxis nicht mehr in Erscheinung tretenden Wert verringert. Die astigmatische Differenz ist ebenfalls sehr gering.

Man vergrößerte nun das Öffnungsverhältnis, wobei die sphärische Aberration sowie der chromatische und der astigmatische Korrektionszustand gleich blieben, Abb. 10 bis 12. Das Bildfeld ist jedoch von 36° auf 44° erweitert

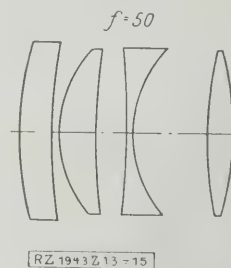


Abb. 13
Vierlinsiges
Objektiv. Öffnungs-
verhältnis 1:2.

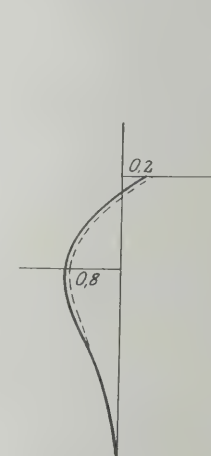


Abb. 14
Sphärische
Aberration und Brenn-
weiten-
fehler (ge-
strichelt).

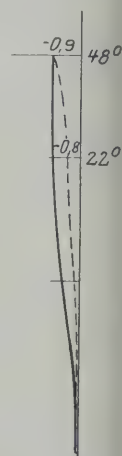


Abb. 15
Astigmatismus.
Sagittastrahl aus-
gezogen, Meridio-
nalstrahl ge-
strichelt.

worden. Wegen der wesentlich größeren Linsendicken kann man das Objektiv nur für kurze Brennweiten ausführen.

Nunmehr wurde ein Objektiv mit vier Linsen entwickelt, Abb. 13 bis 15¹⁾. Bei gleichem Öffnungsverhältnis ist der Bildwinkel auf 48° erweitert, die sphärische und astigmatische Abweichung ist noch etwas verringert, während der chromatische und komatische Korrektionszustand der gleiche wie bei den vorhergehenden Arten ist. Wegen der geringen Restfehler und der günstigen Form der Linsen kann dieses Objektiv auch für lange Brennweiten und Bildgrößen bis 13 cm × 18 cm hergestellt werden, wobei noch bei gleicher komatischer und astigmatischer Korrektur eine Steigerung der Lichtstärke bis auf 1:1,5 möglich ist.

[B 1943]

¹⁾ DRP Nr. 461 083.

Schwedische Vollbahnlokomotiven

Berichtigung

In dem Aufsatz von P. Friebe in Z. Bd. 72 (1928) Nr. 49 muß es auf S. 1660 7. Zeile heißen: Die wichtigsten elektrischen Bahnen Schwedens und Norwegens sind die Riksgränsbahn (450 km), die Strecke Oslo-Drammen (53 km) und die Linie Stockholm-Gothenburg.

[N 2422]

Ermüdungsbruch und zulässige Belastung von Wälzquerlagern

Von Dipl.-Ing. ROBERT MUNDT, Berlin¹⁾

Die Kräfte an den Druckstellen. Berücksichtigung radialer und axialer Belastung. Berechnung der zulässigen spezifischen Belastung als ein Ausdruck für die Zug- und Druckspannungen der Druckfläche. Allgemeine Ermüdungsversuche. Die Schwingungsfestigkeit des Wälzlagerwerkstoffes. Beziehung zwischen der zulässigen spezifischen Belastung und der Zahl der Belastungswechsel bis zum Eintreten des Ermüdungsbruches. Ermittlung der zulässigen Belastung aus Lebensdauer, Drehzahl und Lagerabmessungen.

Der Zerstörungsvorgang im Wälzlager

Einem richtig bemessenen und fehlerfrei eingebauten Wälzquerlager äußert sich die erste Zerstörung durch Klappern der obersten Schicht an den Laufringen an den Wälzkörpern. Ein Lager, bei dem die ersten Zeichen der „Schälung“ eingetreten sind, ist keineswegs mehr unbrauchbar geworden; meistens können derartige Lager noch lange Zeit im Betriebe sein, ohne Störungen zu verursachen. Da das Auftreten der Schälung jedoch im ersten Anfang der sichtbaren Zerstörung bildet, soll damit die „Lebensdauer“ des betrachteten Querlagers als geschlossen betrachtet werden. Der Vorgang der Schälung ist auf Kräftewirkungen innerhalb der Druckfläche in deren unmittelbarer Nähe zurückzuführen. Die Kräfte an den Druckstellen müssen daher den Ausgangspunkt für alle Überlegungen bilden, die über die Berechnung der zulässigen Belastung angestellt werden. Sind die Kräfte bekannt, so ist es nötig, die Spannungen in der Druckstelle und in deren unmittelbarer Nähe zu bestimmen, oder aber einen Ausdruck zu schaffen, der diesen Spannungen Rechnung trägt. Aus diesen Überlegungen heraus ist der Begriff der „zulässigen spezifischen Belastung“ gebildet worden. Die zulässige spezifische Belastung gibt kein vollständiges Bild von der Belastungsstärke eines Querlagers, sobald nicht der Zerstörungsvorgang, der in hohem Maße von der Laufzeit der Lager abhängt, genügend berücksichtigt wird. Es kann heute feststehend gelten, daß beim Lauf des Lagers die Zerstörung infolge Werkstoffermüdung eintritt. Diese Ermüdung, die durch den Wechsel der Belastungen hervorgerufen wird, äußert sich zuerst an der Stelle, die den höchsten Beanspruchungen ausgesetzt ist; die Kenntnis dieser Stelle ist daher von größter Wichtigkeit. Viele Versuche über die Ermüdung von Werkstoffen bei wechselnden Belastungen²⁾ haben gezeigt, daß ein Werkstoff bei einer bestimmten Belastung eine ganz bestimmte Anzahl Belastungswechsel auszuhalten imstande ist. Berücksichtigt man dies alles, so ist es wohl möglich, für eine vorgeschriebene Anzahl Belastungswechsel die zulässige Belastung zu ermitteln. Die angegebenen Gesichtspunkte bilden die Richtlinien für die Untersuchung der zulässigen

Belastung bilden. In Abb. 1 ist ein normales Kugelquerlager, in Abb. 2 ein normales Walzenquerlager³⁾ dargestellt, wie sie im folgenden untersucht werden sollen.

Die Kräfteverteilung im Querlager

Die radial wirkenden Kräfte. Wird ein Querlager durch eine ruhende Kraft Q belastet, so verteilt sich diese Belastung durch die Laufringe hindurch auf die einzelnen Wälzkörper. Die Verteilung der Kräfte im Kugelager ist zuerst von R. Stribeck⁴⁾ untersucht worden. Für den Fall, daß zwischen Kugeln und Laufringen keinerlei Spiel (Luft) besteht und sich die Laufringe bei der Belastung nicht durchbiegen, ergibt sich:

$$Q = \frac{z_w}{4,37} Q_0 \dots \dots \dots (1),$$

wobei z_w die Zahl der Kugeln, Q die Lagerbelastung und Q_0 die Kraft ist, die an den Druckstellen des am meisten beanspruchten Wälzkörpers wirkt. Die zwischen der Lagerbelastung Q und der Kraft Q_0 bestimmte Gesetzmäßigkeit ist aus dem von Hertz⁵⁾ bestimmten Verhältnis zwischen Dehnungen und Belastungen abgeleitet. Die Zusammenhänge an den Druckstellen sind aber von Hertz lediglich für den Fall der Berührung allseitig gekrümmter Körper bestimmt worden; für den Fall der Berührung von Zylinderoberflächen gibt Hertz die Annäherung der beiden Körper nicht an, weshalb auch Gl. (1) für Walzenlager ohne weiteres keine Gültigkeit hat. Die Grenzwerte, innerhalb deren der Nenner von Gl. (1) für Walzenlager liegen kann, ergeben sich zu 4,02 und 4,72. Ein erheblicher Unterschied der Kräfteverteilung bei Walzenlagern und Kugelagern kann daher überhaupt nicht bestehen; wahrscheinlich ist die höchste Beanspruchung einer Walze im Walzenlager kleiner als die einer Kugel im Kugelager. Erweitert man daher die Gültigkeit von Gl. (1) auch auf die Walzenlager, so liegt der weiteren Berechnung eine gewisse Sicherheit zugrunde.

Das normale Wälzquerlager hat meist Spiel („innere radiale Lagerluft“). Hierunter versteht man den Betrag, um den sich der eine Laufring radial gegen den andern bewegen läßt, ohne daß hierbei elastische Formänderungen an den Druckstellen eintreten. Infolge der Unrundheit der Laufringe und der Streuung im Durchmesser der in ein Wälzquerlager eingebauten Wälzkörper ist das Lagerspiel nach den verschiedenen Richtungen hin verschieden. Infolge dieses Unterschiedes im Lagerspiel tritt aber eine Mehrbeanspruchung des Wälzkörpers ein, der an der Stelle des kleinsten Lagerspieles liegt, und damit zugleich eine Erhöhung der an den Druckstellen dieses Wälzkörpers wirkenden Kraft. Die Vergrößerung der Belastung wird erfaßt, wenn man für Kugelager und Walzenlager setzt:

$$Q = \frac{z_w}{5} Q_0 \dots \dots \dots (2).$$

Die Wirkung der Axialkräfte. Der Einbau von Längslagern stößt häufig auf Schwierigkeiten, da hierzu eine besondere Konstruktion der Gehäuse und eine besondere Bearbeitung der Wellen oder Zapfen erforderlich ist. Man ist daher mehr oder weniger oft dazu übergegangen, Längsdrücke, die nicht allzu hoch sind, durch Querlager aufzunehmen. Die axiale Tragfähigkeit der Walzenlager ist bedingt durch die konstruktive Ausbildung

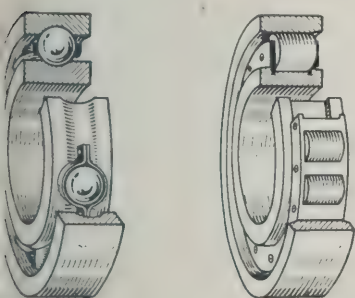


Abb. 1
Normales
Kugelquerlager.

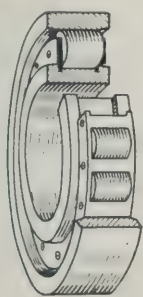


Abb. 2
Normales
Walzenquerlager.

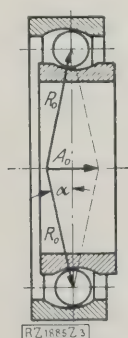


Abb. 3
Zerlegung des
Axialdruckes
in die Radial-
komponenten
bei einem
Kugelquerlager.

Zu Abb. 3

Teilbetrag der Axialkraft, der auf zwei einander gegenüberliegende Kugeln entfällt.
radiale Komponenten
Winkel der Komponenten mit der Senkrechten zur Achse.

²⁾ An Stelle des in der Industrie gebräuchlichen Wortes „Rollerlager“ soll hier von „Walzenlagern“ gesprochen werden, da die die Kräfte übertragenden Wälzkörper im eigentlichen Sinne keine Rollen, sondern Walzen sind.

³⁾ Vergl. R. Stribeck, Kugelager für beliebige Belastungen, Heft 2 der Forschungsarbeiten auf dem Gebiete des Ingenieurwesens, herausgegeben vom V.d.I., S. 23.

⁴⁾ Vergl. H. Hertz, Gesammelte Werke, Bd. 1, Leipzig 1895: Über die Berührung fester elastischer Körper und über die Härte.

der Führungsborde, wie auch durch die an diesen erzeugten Reibungskräfte. Die Aufnahmefähigkeit von Axialkräften bei Kugellagern ist bestimmt durch die Größe des Lagerspieles. Es ist wichtig, zu erfahren, wie sich bei Kugellagern die Axialkräfte auf die einzelnen Kugeln auswirken. Infolge der axialen Verschiebung beider Laufringe werden die Kugeln zwischen den schrägen Tangentialebenen in den Berührungsflächen festgekeilt. Die Axialkraft A_0 zerlegt sich daher in ihrer Wirkung auf die Kugeln in Radialkomponenten, Abb. 3. A_0 ist der Teilbetrag der gesamten axialen Lagerbelastung A ; der auf zwei einander gegenüberliegende Kugeln entfällt. Verteilen sich die Kräfte auf die einzelnen Kugeln gleichmäßig, so wird die auf eine Kugel zur Wirkung kommende Radialkomponente:

$$R_0 = \frac{A}{z_w \sin \alpha}.$$

Für die zulässige Grenzbeanspruchung des Werkstoffes ist der Winkel α bei den verschiedenen Lagern unveränderlich; demzufolge ist

$$R_0 = \frac{5cA}{z_w} \dots \dots \dots (3).$$

Hierbei ist c eine Unveränderliche, die durch die Größe des Winkels α und durch die Zahl der zum Tragen kommenden Kugeln bestimmt ist. Man nimmt im allgemeinen an, daß bei der Belastung durch Axialkräfte nur rd. 80 vH der Kugeln tragen; damit wird $c = \frac{6,25}{5 \sin \alpha}$.

Im allgemeinen werden Kugelquerlager, die zur Aufnahme axialer Kräfte Verwendung finden, auch durch radiale Kräfte beansprucht. Die gesamte Kräftewirkung auf die am stärksten beanspruchte Kugel ergibt sich hierbei aus Gl. (2) und (3). Da die Kräfte Q_0 und R_0 in der gleichen Richtung wirken, können sie arithmetisch addiert werden. Bezeichnet man die aus den Radial- und Axialkräften hervorgehende größte Belastung einer Kugel mit P_0 , so ist

$$P_0 = \frac{5}{z_w} (Q + cA) \dots \dots \dots (4).$$

Die zulässige spezifische Belastung

Die Spannungen in der Druckfläche. Die Vorgänge, die sich bei der Berührung gekrümmter, elastischer Körper an den Druckflächen zeigen, sind zuerst von H. Hertz⁵⁾ untersucht worden. Die Gültigkeit seiner Gleichungen ist jedoch an folgende Bedingungen gebunden: Die Druckflächen, in denen sich die Körper berühren, sind gegenüber ihren Oberflächen sehr klein; es wirken nur senkrecht zur Druckfläche gerichtete Kräfte; die Proportionalitätsgrenze wird nicht überschritten; der Werkstoff beider Körper ist homogen. Aus den Gleichungen von Hertz ergibt sich:

für Kugellager:

$$k = \frac{P_0}{d^2} \varphi_K^2 \dots \dots \dots (5),$$

für Walzenlager:

$$k = \frac{P_0}{dl} \varphi_W \dots \dots \dots (6);$$

d bedeutet hierbei den Durchmesser der Kugeln oder Walzen, l die Länge der Walzen; φ_K^2 und φ_W sind Beiwerte, die dem Verhältnis zwischen Laufringen und Wälzkörpern Rechnung tragen und daher den Ausdruck Anschmiegungsfaktoren erhalten sollen. k ist ein Ausdruck für die größte, in der Mitte der Druckfläche herrschende Spannung σ_{\max} und soll in dieser abgekürzten Form die Bezeichnung „spezifische Belastung“ erhalten.

Die Erfahrungen haben gezeigt, daß die den Gleichungen von Hertz zugrunde gelegten Voraussetzungen keinesfalls den beim praktischen Betriebe der Wälzlager auftretenden Bedingungen entsprechen. So wird insbesondere bei gut ausgenutzten Wälzlagern die Proportionalitätsgrenze überschritten.

Die Versuche von Stribeck haben bewiesen, daß die größten Druckspannungen und die verhältnismäßigen Dehnungen, wie sie in der Mitte der Druckflächen bei Wälzlagern auftreten, für jeden Kugel- oder Walzendurchmesser

auch weit oberhalb der Proportionalitätsgrenze gleich sind, solange der Ausdruck $\frac{P_0}{d^2} \varphi_K^2$ oder $\frac{P_0}{dl} \varphi_W$ konstant wählt wird. Der Gültigkeitsbereich der Hertz'schen Gleichungen ist also in der abgekürzten Form von Gl. (5) und (6) weit über die ursprünglichen Annahmen erweitert worden. Sollen die beiden Gleichungen $k = \frac{P_0}{d^2} \varphi_K^2$ und $k = \frac{P_0}{dl} \varphi_W$ einen Ausdruck darstellen für die zulässige Grenzbeanspruchung des Werkstoffes, so nehmen hierbei die Wälzlager folgende Bedeutung an:

k = zulässige spezifische Belastung in kg/mm²,
 P_0 = zulässige Belastung in kg.

Auf Grund der Ableitung sowie der Versuche haben jedoch die beiden Gleichungen nur Gültigkeit unter folgenden Voraussetzungen:

1. Wälzkörper und Laufringe befinden sich zueinander in Ruhe,
2. die zwischen Wälzkörpern und Laufringen zur Wirkung kommenden Kräfte wirken unverändert,
3. die normal zur Oberfläche in der Mitte der Druckstelle herrschenden Druckspannungen oder die durch diese Spannungen hervorgerufenen Dehnungen stellen die größte Beanspruchung des Wälzlagerwerkstoffes dar.

Eine eingehende Betrachtung dieser Voraussetzungen zeigt jedoch, daß sie keinesfalls erfüllt sind. Im Betriebe befinden sich Wälzkörper und Laufringe zueinander nicht in Ruhe, weshalb sich auch die an den Druckstellen wirkenden Kräfte ständig verändern.

Die Schälung, die als erste Zerstörungserscheinung an Wälzlagern auftritt, ist auf die an der Kante der Druckfläche herrschenden Zugspannungen zurückzuführen. Die größten Beanspruchungen des Werkstoffes werden also nicht durch die Druckspannungen, sondern durch die Zugspannungen hervorgerufen; Gl. (5) und (6) berücksichtigen diese Spannungen keinesfalls. Die auf die Druckfläche wirkenden Kräfte rufen eine Abbiegung des Werkstoffes an der Kante der Druckfläche hervor. Diese Abbiegung findet sowohl bei der Berührung allseitig gekrümmter Oberflächen als auch bei der Berührung von Zylinderoberflächen statt. Die Zugspannungen treten also bei Kugelquerlagern und bei Walzenquerlagern in ganz ähnlicher Weise auf. Eine Berechnung der Zugspannungen ist kaum möglich; sollen die Zugspannungen an der Kante der Druckfläche bei der Berechnung der zulässigen Belastung Berücksichtigung finden, so muß man auf Versuche zurückgreifen. Die ersten sichtbaren Zerstörungen, die überhaupt bei Belastung von Kugeln eintreten und das Wirken der Zugspannungen zeigen, sind die Kreissprünge, die am Rande der Druckfläche entstehen. Die Versuche von Stribeck⁶⁾ haben ergeben, daß die Belastung, bei der der Kreissprung eintritt, dem Quadrat des Durchmessers verhältnisgleich ist. Dies besagt also, daß auch die Zugspannungen an der Kante der Druckfläche ähnlichen Gesetzen folgen wie die Druckspannungen in der Mitte der Druckfläche; die Unveränderliche k , die unter Berücksichtigung der Druckspannungen gefunden wurde, kann daher auch auf die Zugspannungen bezogen werden, wenn man bei der Größenbestimmung die Versuche über die Zugspannungen zugrunde legt. Die zulässige spezifische Belastung k soll daher jetzt stets als ein Ausdruck für die größte, zulässige Zugspannung an der Kante der Druckfläche gelten.

Die Anschmiegungsfaktoren für Kugellager und Walzenlager. Unter dem Anschmiegungsfaktor ist allgemein ein Wert zu verstehen, der das Verhältnis zwischen den Krümmungen der Laufringe und der Wälzkörper ausdrückt. Die Anschmiegungsfaktoren für Außenringe und Innenringe sind stets voneinander verschieden; je größer der Anschmiegungsfaktor ist, um so kleiner wird die zulässige Belastung P_0 . Eine eingehende Untersuchung der üblichsten Lager hat gezeigt, daß der Zusammenhang zwischen Wälzkörperdurchmessern und Laufbahn-Durchmessern sich sehr gut durch eine Gerade darstellen läßt. Die Abweichungen der

⁵⁾ S. S. 53.

⁶⁾ Vergl. Z. Bd. 51 (1907) S. 1445 u. f.

nzeln Punkte von der Geraden sind bei den kleinen urchmessern größer als bei den großen; die hierdurch itstehenden Fehler sind jedoch nicht von Bedeutung.

Hierdurch lassen sich die Anschmiegun

für Kugelquerlager:

$$\varphi_K^2 = a^2 \left(1 - \frac{1}{b^2 d^2}\right),$$

für Walzenquerlager:

$$\varphi_W = \varphi_0 - 2 p \frac{1}{d^2}.$$

erbei sind a , b , φ_0 und p Unveränderliche, die sich aus n Gleichungen für die Geraden ergaben, welche den usammenhang zwischen Kugeldurchmesser und Lauf- inddurchmesser darstellen. Führt man diese Werte ein, ist

für Kugelquerlager:

$$k = \frac{P_0}{d^2} \left(a^2 - \frac{a^2}{b^2 d^2}\right) \dots \dots \dots (7),$$

für Walzenquerlager:

$$k = \frac{P_0}{d l} \left(\varphi_0 - 2 p \frac{1}{d^2}\right) \dots \dots \dots (8).$$

Der Einfluß der rollenden Reibung. isher sind die Vorgänge an den Druckstellen unter der oraussetzung untersucht worden, daß die beiden zur Be-

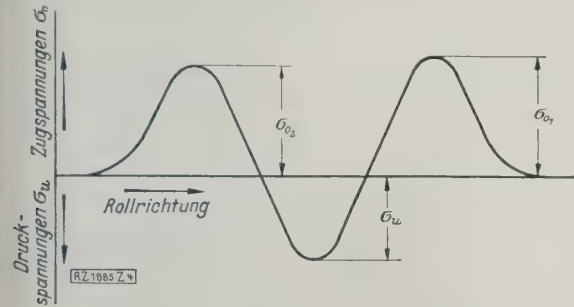


Abb. 4
Wechsel der Beanspruchungen eines Punktes der Oberfläche des Laufringes in einem Wälzlager beim Überrollen eines Wälzkörpers.

führung kommenden Oberflächen sich zueinander in Ruhe befinden. Soll der Begriff der zulässigen spezifischen Beas- tung auch auf die in Bewegung befindlichen Lager seine Anwendung finden, so sind alle Vorgänge zu be- rücksichtigen, die einen Einfluß auf die Druck- oder Zug- spannungen ausüben können. Setzt man voraus, daß bei Kugelquerlagern in der Mitte der Laufbahnen und bei Walzenquerlagern mit zylindrischen Walzen über die ganze Laufbahn hinweg reines Abwälzen eintritt, so muß er durch das Gleiten der Wälzkörper an dem Schmier- mittel und an den Käfigen sowie der durch die Luftwirbel- lung erzeugte Widerstand durch Haftreibung innerhalb der Laufbahnen aufgenommen werden.

Der Wälzkörper wird durch die Reibungskräfte R in Drehung versetzt. Die Haftreibung erzeugt in den Lauf- flächen und in den Wälzkörpern tangential und senkrecht zur Druckfläche gerichtete Formänderungen; infolgedessen verschiebt sich die größte Druckspannung aus der Mitte der Druckfläche. Die vordere Kante der Druckfläche wird daher auch stärker umgebogen, während die Biegung an der hinteren Kante abgeschwächt wird. Die Zugspannun- gen nehmen an der vorderen Kante der Druckfläche zu, an der hinteren Kante der Druckfläche dagegen ab. Be- zeichnet man die zwischen Wälzkörpern und Laufringen zur Wirkung kommende Reibungszahl der Ruhe mit μ , so ist die Tangentialkraft in der einen Berührungsfläche $R = \mu P_0$. Die Tangentialkraft soll durch eine normal in der Mitte der Druckfläche angreifende Kraft ersetzt wer- den, deren Wirkung mit Bezug auf die Größe des Druckes die gleiche ist. Es sei angenommen, daß sich durch diese Kraft auch die Zugspannungen an der Kante der Druck- fläche in der gleichen Weise ändern. Bezeichnet man das

Verhältnis zwischen Dehnung und Querkürzung mit m , so wird die in der Mitte der Druckfläche angreifende resul- tierende senkrechte Kraft

$$P' = P_0 + \frac{\mu}{m} P_0.$$

Versuche über die Abhängigkeit der Reibungszahl μ von der Drehzahl liegen nicht vor. Da die Haftreibung zwischen Wälzkörpern und Laufringen sämtliche Wider- stände, die sich der Drehung der Wälzkörper entgegen- setzen, zu überwinden hat, so liegt die Annahme nahe, daß die Reibungszahl μ mit wachsender Drehzahl n der Welle oder des Gehäuses zunimmt. Die Unveränderliche c' soll diese Beziehung zwischen μ und n ausdrücken:

$$\mu = c' n.$$

Die in der Mitte der Druckfläche senkrecht wirkende Ge- samtkraft wird damit

$$P' = P_0 \left(1 + \frac{c'}{m} n\right).$$

Versuche über die Lebensdauer von Wälzlagern haben er- geben, daß die Beziehungen zwischen zulässiger spezi- fischer Belastung und Drehzahl den praktischen Verhält- nissen sehr nahe kommen, wenn man setzt:

$$P' = P_0 (1 + 0,0001 n).$$

Führt man diesen Ausdruck in Gl. (7) und (8) ein, so erhält man:

für Kugellager

$$k = \frac{P_0}{d^2} \left(a^2 - \frac{a^2}{b^2 d^2}\right) (1 + 0,0001 n) \dots \dots (9),$$

für Walzenlager

$$k = \frac{P_0}{d l} \left(\varphi_0 - \frac{2 p}{d^2}\right) (1 + 0,0001 n) \dots \dots (10).$$

Aus Gl. (9) und (10) läßt sich nach Kenntnis der zu- lässigen spezifischen Belastung k die zulässige Lager- belastung P errechnen. Entsprechend seiner Ableitung werden in dem Ausdruck für die zulässige spezifische Belastung nur die statischen Belastungsvorgänge im Lager berücksichtigt. Die Zerstörung im Querlager beim Lauf tritt infolge Werkstoffermüdung ein. Die Kenntnis des Ermüdungsvorganges gibt nun ein Mittel in die Hand, rechnerische Unterlagen zu schaffen, durch die bei der Ermittlung der zulässigen Belastung die statischen und die dynamischen Vorgänge gleichzeitig erfaßt werden können.

Der Ermüdungsvorgang

Der Ermüdungsbruch. Ermüdungsbruch nennt man einen Bruch, der eintritt, wenn ein Maschinenteil wechselnden Beanspruchungen unterworfen wird, ohne daß diese Beanspruchungen die statische Festigkeit des Werk- stoffes überschreiten. Setzt man voraus, daß die hier be- trachteten Querlager vorwiegend gleichbleibenden Lager- belastungen unterworfen sein sollen, so wechselt die Be- anspruchung nach einer bestimmten, leicht zu ermittelnden Gesetzmäßigkeit.

An der Druckstelle herrschen Zugspannungen und Druckspannungen. Betrachtet man nur die Oberflächen der Laufringe als die am stärksten beanspruchten Teile im Querlager, so findet bei jedem Rollen eines Wälzlagers über einen beliebigen Punkt der Oberflächen der belasteten Laufbahnhälften ein Wechsel zwischen Zug- und Druck- spannungen statt. In Abb. 4 ist dieser Wechsel der Spannungen dargestellt, wobei als Ordinaten die Span- nungen, als Abszisse der Weg des Wälzkörper-Mittel- punktes gewählt ist. Die Spannungen σ_0 bedeuten die Zug- spannungen, die Spannungen σ_w die Druckspannungen. Die Größe der Spannungen σ_{0z} , σ_w und σ_{0z} ist unbekannt. Da die zulässige Beanspruchung des Wälzlager-Werkstoffes auf Zug niedriger ist als auf Druck, so stellen die Zug- spannungen σ_0 die Hauptbeanspruchung dar. Die Span- nung σ_{0z} ist größer als σ_{0z} , da sie, in der Rollrichtung ge- sehen, vor dem Wälzkörper liegt. Der dargestellte Be- lastungswechsel findet in jedem Punkt der gedrückten Lauf- bahnhälften statt, sobald er von einem Wälzkörper über- rollt wird. Jeder Punkt einer Laufbahn erfährt bei der Drehzahl n eine genau bestimmbare Anzahl Belastungs- wechsel in einer Minute. Es ist daher möglich, den Er-

müdungsvorgang im Querlager unmittelbar mit Ermüdungsversuchen in Vergleich zu setzen, bei denen Werkstoffe wechselnden Zug- und Druckbeanspruchungen ausgesetzt wurden.

Bei allen derartigen Versuchen ging man darauf aus, eine Beziehung zwischen den Spannungen und der Zahl der Belastungswechsel zu finden, bei der der Ermüdungsbruch im Werkstoff eintrat. Nennt man die Zahl der Belastungswechsel bis zum Eintreten des Ermüdungsbruches z , so haben die Ermüdungsversuche⁷⁾ mit guter Übereinstimmung ergeben, daß der Zusammenhang zwischen σ und z durch eine Exponentialfunktion dargestellt werden kann⁸⁾. Die Gleichung des Ermüdungsvorganges kann demnach lauten:

$$\sigma = C \cdot z^{-m} \dots \dots \dots (11).$$

C ist hierbei ein unveränderlicher Beiwert für den Werkstoff; das negative Vorzeichen des Exponenten m ist dadurch bedingt, daß mit einer Zunahme der Spannung σ die Anzahl der Belastungswechsel z bis zum Eintreten des Ermüdungsbruches abnehmen muß.

Die Arbeitsfestigkeit. Unter der Arbeitsfestigkeit soll eine Spannung verstanden werden, die der Werkstoff bei Belastungswechsel dauernd ohne Eintreten des Ermüdungsbruches ertragen kann. Wechselt die Beanspruchung zwischen einer oberen Spannung σ_o und einer unteren Spannung σ_u , so sind die wichtigsten Belastungsfälle:

1. Die Spannungen σ_o und σ_u sind gleich groß und entgegengesetzt; $\sigma_u : \sigma_o = -1$. Die sich hierbei ergebende Arbeitsfestigkeit hat den Namen „Schwingungsfestigkeit“ S erhalten.
2. Die Spannungen wechseln zwischen σ_o und $\sigma_u = 0$; $\sigma_u : \sigma_o = 0$. Die entsprechende Arbeitsfestigkeit heißt „Ürsprungsfestigkeit“ U .

Die Spannungen im Querlager wechseln gemäß Abb. 4 zwischen einer oberen Spannung σ_o und einer unteren Spannung σ_u ; es liegt also der Belastungsfall 1 vor, weshalb dem Ermüdungsvorgang im Querlager die Schwingungsfestigkeit S zugrunde gelegt werden soll.

Es ist bereits nachgewiesen worden, daß bei allen Kugel- und Walzenquerlagern die Zugspannungen σ_o und die Druckspannungen σ_u gleich groß sind, sobald die spezifische Belastung k gleich groß gewählt wird; es soll daher in die Ermüdungsgleichung an Stelle der Spannungen σ die spezifische Belastung eingeführt werden. Der Charakter der Exponentialfunktion wird hierdurch nicht gestört, da nach den Hertzschen Gleichungen der Zusammenhang zwischen σ und k gleichfalls durch eine Exponentialfunktion dargestellt wird. Faßt man den bisher betrachteten Vorgang zusammen, so läßt sich der Ermüdungsvorgang durch die in Abb. 5 dargestellte Kurve ausdrücken. Jedem Zahlenwert der Belastungswechsel z entspricht eine bestimmte zulässige spezifische Belastung k .

Die Ermüdungsgleichung. Die Kurve, Abb. 5, ist eine Exponentialfunktion zwischen k und z ; ihre Differentialgleichung lautet:

$$\frac{dk}{dz} = -C_1 \cdot z^{-n}.$$

Die Integration der Gleichung ergibt

$$k + C_2 = -C_1 \frac{(z + C_3)^{1-n}}{1-n}.$$

Durch Vereinfachung der Unveränderlichen wird

$$k = \frac{C}{(z + z_0)^m} + s \dots \dots \dots (12).$$

Sind die in der Ermüdungsgleichung enthaltenen Werkstoffbeiwerte bekannt, so kann die Gleichung unmittelbar zur Bestimmung der zulässigen Belastung herangezogen werden. Auf Grund von Versuchsergebnissen⁹⁾ kann man setzen:

⁷⁾ Vergl. Mailänder, Ermüdungserscheinungen und Dauerversuche. Zusammenfassender Bericht über das bis Ende 1923 bekanntgewordene Schrifttum, „Stahl und Eisen“ Bd. 44 (1924) S. 585 u. f.
⁸⁾ „Stahl und Eisen“ Bd. 40 (1920) S. 91.
⁹⁾ Vergl. A. Palmgren, Die Lebensdauer von Kugellagern, Z. Bd. 68 (1924) S. 339.

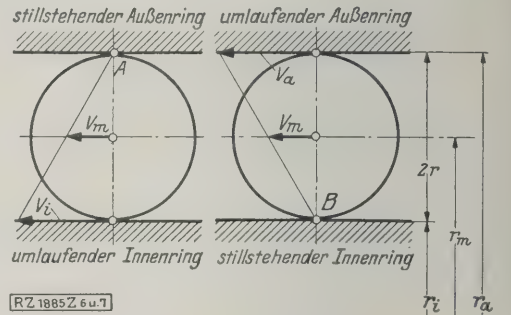
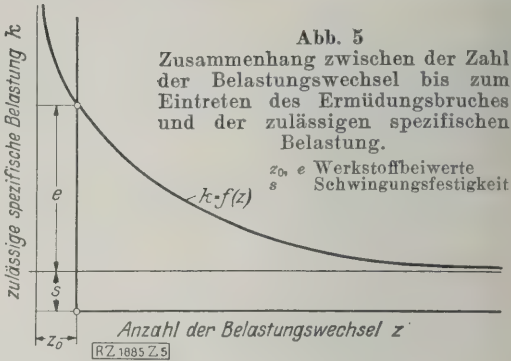


Abb. 6

Geschwindigkeiten bei umlaufendem Innenring

Abb. 7

Geschwindigkeiten bei umlaufendem Außenring

Abb. 6 und 7	
r_a	Halbmesser des Außenringes
r_i	" " Innenringes
r_m	" " bis zur Wälzkörpermitte
V_m	Geschwindigkeit der Wälzkörpermitte
V_a	" " des Außenringes
V_i	" " Innenringes

- für Kugellager $s = 12 \text{ kg/cm}^2$,
 „ Walzenlager $s = 50 \text{ kg/cm}^2$,
 „ Kugel- und Walzenlager . . $m = \frac{1}{3}$,
 „ Kugel- und Walzenlager . . $z_0 = 5 \cdot 10^6$,
 für Kugellager $C = 28\,000 \text{ kg/cm}^2$,
 „ Walzenlager $C = 100\,000 \text{ kg/cm}^2$.

Bei normalen Verhältnissen wird die Anzahl der Belastungswechsel stets so hoch liegen, daß sich Zahlen in Millionen ergeben; um die Rechnung zu vereinfachen, soll den im folgenden benutzten Z -Werten die Bedeutung von Millionen Belastungswechseln gegeben werden. Die Gleichungen lauten dann:

für Kugellager

$$k = \frac{280}{\sqrt[3]{Z+5}} + 12 \text{ kg/cm}^2 \dots \dots \dots (13).$$

für Walzenlager

$$k = \frac{1000}{\sqrt[3]{Z+5}} + 50 \text{ kg/cm}^2 \dots \dots \dots (14).$$

Bestimmung der am meisten beanspruchten Stelle. Es war bisher die Frage offen geblieben, ob die Wälzkörper oder die Laufringe beim Lauf des Lagers die höher beanspruchten Teile sind. In der Druckstelle wird der Werkstoff des Wälzkörpers und des Laufringes senkrecht zu der gemeinsamen Tangentialebene in der Mitte der Druckfläche zusammengedrückt. Nach der Zusammendrückung liegt die beiden Körper gemeinsame Berührungslinie zwischen den ursprünglichen Umfangslinien beider zur Berührung kommenden Körper. Man erkennt, daß der Umfang des stärker gekrümmten Körpers verkürzt, der des schwächer gekrümmten Körpers dagegen gedehnt wird. Der stärker gekrümmte Teil ist aber stets der Wälzkörper, weshalb in der Wälzkörperoberfläche zusätzliche tangentielle Druckspannungen, in der Laufringoberfläche zusätzliche tangentielle Zugspannungen erzeugt werden. Man kann daraus schließen, daß hierbei

ie Zugspannungen an der Kante der Druckfläche bei den aufringen vergrößert, bei den Wälzkörpern dagegen abgeschwächt werden. Da die Zugspannungen die größte Beanspruchung des Werkstoffes darstellen, sind die Laufinge die am meisten beanspruchten Teile im Querlager.

Schwerer ist die Frage zu entscheiden, welcher der beiden Laufringe den höher beanspruchten Teil des Querlagers darstellt. Die Anzahl der Belastungswechsel z ist ei dem stillstehenden Laufring größer als beim umlaufenden. Für den Fall, daß der Außenring umläuft, ist also stets der Innenring höher beansprucht. In dem Fall, wo er Innenring umläuft, ist stets eine genaue Untersuchung notwendig, ob sich aus der spezifischen Belastung des Außenringes oder der des Innenringes unter Berücksichtigung des Ermüdungsvorganges die kleinere zulässige Belastung ergibt. Hierzu ist die Kenntnis der Anzahl der Belastungswechsel nötig, die bei einer Umdrehung den am stärksten beanspruchten Punkt des Innen- oder Außenringes treffen.

Die Anzahl der Belastungswechsel bei einer Umdrehung. Zur Bestimmung der Anzahl der Belastungswechsel bei einer Umdrehung ist vor allem nötig, die Anzahl der Belastungsstöße bei einer Umdrehung zu kennen. Beim stillstehenden Laufring findet ein Belastungsstoß an der am stärksten beanspruchten Stelle jedesmal statt, sobald ein Wälzkörper durch die „Belastungszone“ rollt. Beim umlaufenden Innenring ist die Anzahl der Belastungsstöße bei einer Umdrehung gleich der Anzahl der Überrollungen, die irgendein Punkt der

über einem beliebigen festen Punkt der Innenlaufbahn ist $n_i - n_m$. Die Gesamtzahl t_r der Überrollungen in der gedruckten Laufbahnhälfte oder die Anzahl der Belastungsstöße ist daher:

$$t_r' = \frac{n_i - n_m}{n_i} n_i \frac{z_w}{2}.$$

Für $n_i = 1$ U/min folgt hieraus die Anzahl der Belastungsstöße bei einer Umdrehung

$$t_r = \frac{z_w}{2} \frac{r_a}{r_a + r_i}.$$

Da zwei Belastungswechsel bei einer Überrollung stattfinden, ist die Anzahl der Belastungswechsel bei einer Umdrehung des Innenringes

$$z_r = \frac{z_w r_a}{r_a + r_i} \dots \dots \dots (17).$$

Gl. (17) läßt sich keinesfalls ohne weiteres mit Gl. (15) und (16) vergleichen. Dort finden jedesmal bei der Überrollung der am meisten beanspruchten Stelle des stillstehenden Laufringes die größten, überhaupt möglichen Belastungsstöße statt. Die hierbei auftretenden Kräfte entsprechen in ihrer Größe der Kraft P_0 , lassen also einen unmittelbaren Vergleich zwischen der Ermüdungsgleichung und der Gleichung für die zulässige spezifische Belastung zu. Die Belastungsstöße auf dem umlaufenden Innenring erfolgen jedoch nicht mit gleicher Kraft.

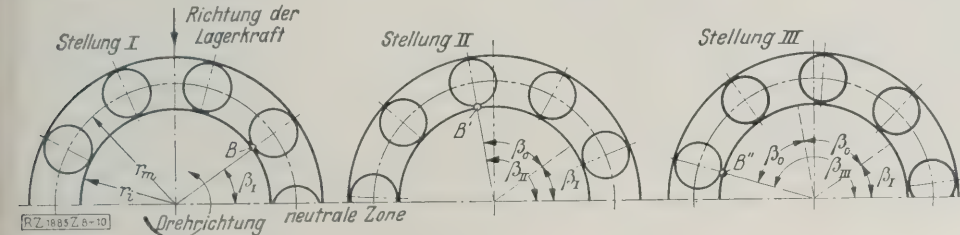


Abb. 8 bis 10
Möglichkeiten der Überrollungen eines festen Punktes der umlaufenden Innenlaufbahn durch die Wälzkörper.

Innenlaufbahn innerhalb der belasteten Lagerhälfte durch die Wälzkörper erfährt. In Abb. 6 und 7 sind die Geschwindigkeitsdiagramme der Wälzkörperbewegung für stillstehenden Außenring und stillstehenden Innenring dargestellt. Es ist angenommen, daß bei dem Wälzvorgang kein Gleiten eintritt, an den Druckstellen zwischen Wälzkörpern und Laufringen also reines Rollen herrscht, wodurch die Umfangsgeschwindigkeit der Wälzkörper V_w gleich der Umfangsgeschwindigkeit des umlaufenden Laufringes V_a bzw. V_i wird. Bezeichnet man mit t die Anzahl der Belastungsstöße bei einer Umdrehung des Innenringes (t_a) oder des Außenringes (t_i)¹⁰⁾, so ist

$$t_a = \frac{r_i}{r_a + r_i} z_w, \quad t_i = \frac{r_a}{r_a + r_i} z_w.$$

Aus der Anzahl der Belastungsstöße läßt sich die Anzahl der Belastungswechsel ermitteln. Hierzu soll auf Abb. 4 zurückgegriffen werden, in der der Belastungsvorgang dargestellt ist, wie er beim Rollen eines Wälzkörpers über einen Punkt der Laufbahn stattfindet. Es treten bei jeder Überrollung eines Punktes der belasteten Laufbahnhälfte zwei Belastungswechsel auf. Die Anzahl der Belastungswechsel z bei einer Umdrehung des Innenringes (z_a) oder des Außenringes (z_i) ist daher

für stillstehenden Außenring:

$$z_a = \frac{2 r_i}{r_a + r_i} z_w \dots \dots \dots (15),$$

für stillstehenden Innenring:

$$z_i = \frac{2 r_a}{r_a + r_i} z_w \dots \dots \dots (16).$$

Es soll nunmehr die Anzahl der Belastungswechsel berechnet werden, die auf dem umlaufenden Innenring stattfinden. Die relative Drehzahl der Wälzkörpermitten gegen-

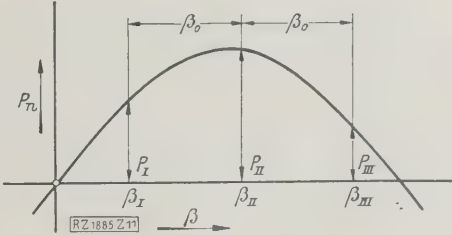


Abb. 11
Hüllkurve aller Belastungsmöglichkeiten, die ein fester Punkt der Innenlaufbahn beim Durchlaufen der belasteten Wälzlagerhälfte erfahren kann.
 P_n Belastung des Punktes in den Stellungen, I, II, III, ... n
 $\beta_i, \beta_{II}, \beta_{III}, \dots n$ Abstand von der neutralen Zone, in welchem die Überrollungen eines festen Punktes der Innenlaufbahn erfolgen
 β_0 Abstand, in welchem die Überrollungen eines festen Punktes der Innenlaufbahn voneinander erfolgen

Bezeichnet man mit β den Winkel zwischen einem beliebigen festen Punkt B der Innenlaufbahn und der neutralen Zone, Abb. 8 bis 10, so ist die Belastung dieses Punktes bei der Überrollung durch einen Wälzkörper in einer beliebigen Stellung innerhalb der belasteten Lagerhälfte

$$P_n = \frac{5}{z} P \sin^3 \beta.$$

Diese Funktion ist die Hüllkurve aller Belastungsmöglichkeiten, die ein fester Punkt der Innenlaufbahn beim Durchlaufen der belasteten Lagerhälfte erfahren kann. In Abb. 11 ist diese Hüllkurve dargestellt; zugleich sind drei Belastungsstöße eingetragen. Bezeichnet man mit β_i den Winkel, den der Fahrstrahl zu dem betrachteten Punkte der Innenlaufbahn bis zu der ersten Überrollung von der

¹⁰⁾ Der Index ist nach dem stillstehenden Laufring gewählt worden.

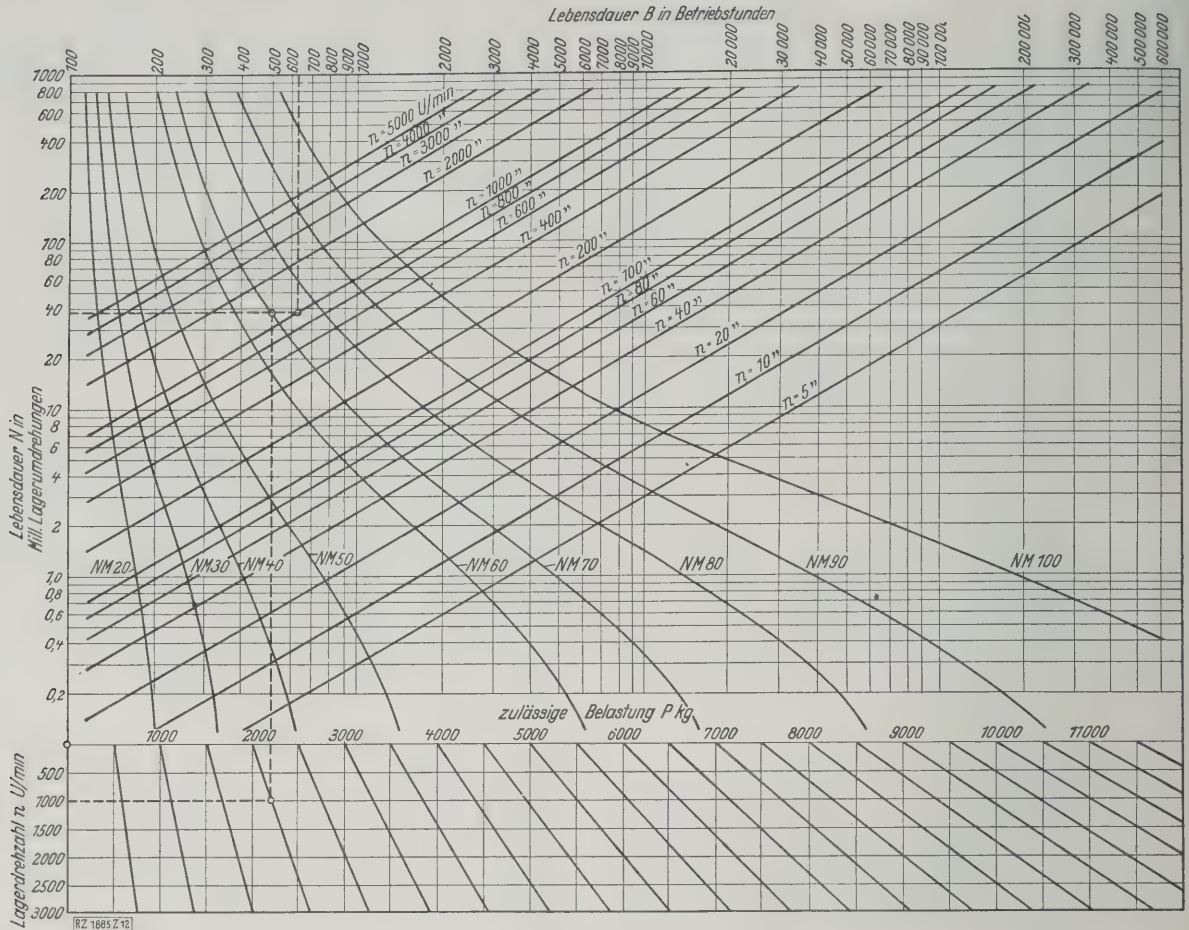


Abb. 12

Zulässige Belastung von Walzenlagern, Bauart NM, mit umlaufendem Innenring, abhängig von der Drehzahl und der Lebensdauer. Die Konstruktion der Walzenlager-Bauart NM entspricht Abb. 2, die Einbaumaße entsprechen DIN 613. Der gestrichelte Linienzug zeigt die Ermittlung der Lebensdauer für die Lagerbauart NM 70 bei 1000 U/min und 2000 kg Lagerbelastung. Umgekehrt kann man auch von der erforderlichen Lebensdauer ausgehen und die zulässige Lagerbelastung oder die zulässige Drehzahl ermitteln.

neutralen Zone aus zurückgelegt hat, so ergeben sich hieraus die Kräfte an den Druckstellen bei jeder Überrollung des Punktes der Innenlaufbahn durch einen Wälzkörper zu:

$$P_I = \frac{5}{z_w} P \sin^{3/2} \beta_I,$$

$$P_{II} = \frac{5}{z_w} P \sin^{3/2} \beta_{II},$$

$$P_{III} = \frac{5}{z_w} P \sin^{3/2} \beta_{III}.$$

Es wäre falsch, wenn man hieraus eine mittlere Kraft bilden wollte; denn der Zusammenhang zwischen k und z wird nicht durch eine lineare Funktion, sondern durch eine Exponentialfunktion dargestellt. Man muß daher auf die Ermüdungsgleichung, Gl. (12), zurückgreifen.

Um die Rechnung möglichst zu vereinfachen, sollen s und z_0 in Gl. (12) vernachlässigt werden; der Einfluß beider Unveränderlichen auf die spezifische Belastung oder auf die Zahl der Belastungswechsel ist bei den üblichen Beanspruchungen verhältnismäßig gering. Die Gleichung lautet dann, mit $m = \frac{1}{2}$,

$$z_I = \frac{C^3}{k^3 \sin^{3/2} \beta_I},$$

$$z_{II} = \frac{C^3}{k^3 \sin^{3/2} \beta_{II}},$$

$$z_{III} = \frac{C^3}{k^3 \sin^{3/2} \beta_{III}}.$$

Die Zahlen z_I , z_{II} und z_{III} stellen hierbei die Lebensdauer der betrachteten Querlager dar, die jeweils bei der Be-

lastung P_I , P_{II} oder P_{III} erreicht werden kann. In Wirklichkeit entspricht die Lebensdauer der Lager keiner dieser Zahlen, sondern einem Wert z , der zwischen z_I und z_{III} einerseits und z_{II} andererseits liegt. Nimmt man an, daß

durch die Wirkung der Kraft P_I der Betrag $\frac{3}{z_I}$ der gesamten Lebensdauer des Lagers verbraucht wird, bei den andern Kräften entsprechend¹¹⁾, so ist:

$$\frac{z}{z_I} + \frac{z}{z_{II}} + \frac{z}{z_{III}} = 1,$$

$$z = \frac{3 C^3}{k^3 \sin^{3/2} \beta_I + \sin^{3/2} \beta_{II} + \sin^{3/2} \beta_{III}} = \frac{1}{f} \frac{C^3}{k^3}.$$

Man erkennt, daß der Einfluß der Belastungsstöße P_I und P_{III} auf die Lebensdauer gering ist. Es wäre daher falsch, wollte man der Lebensdauerberechnung eines Querlagers bei umlaufendem Innenring die in Gl. (17) ermittelte Zahl z_r zugrunde legen. Um die Wirkung der Kräfte P_I und P_{III} zu berücksichtigen, soll die Zahl z_r der Belastungswechsel in einem Punkt des umlaufenden Innenringes bei einer Umdrehung mit einem Faktor f multipliziert werden:

$$z_r = f z_w \frac{r_a}{r_a + r_i} \quad (18).$$

Die zulässige Belastung. Durch die Ermüdungsgleichung ist der Zerstörungsvorgang im Querlager in unmittelbare Beziehung zu der ruhenden Lager-

¹¹⁾ Vergl. A. Palmgren, Z. Bd. 48 (1926) S. 339.

stung und ihren Wirkungen an der Druckstelle ge-
ht worden, da in beiden Fällen die zulässige spezi-
he Belastung als Bezugspunkt gewählt wurde. Man
t am besten die Lebensdauer N in Mill. Umdrehungen
wobei

ir stillstehenden Innenring:

$$Z = z_i N,$$

ir stillstehenden Außenring:

$$Z = z_a N,$$

$$Z = z_r N$$

d. Für die zulässige spezifische Belastung gelten da-
die beiden Gleichungen:

für Kugelquerlager mit stillstehendem Innenring:

$$\left. \begin{aligned} k &= \frac{5P}{z_w d^2} \varphi_{K_i}^2 (1 + 0,0001 n) \text{ kg/mm}^2 \\ k &= \frac{2,8}{3\sqrt{N z_i + 5}} + 0,12 \text{ kg/mm}^2 \end{aligned} \right\} \dots (19),$$

für Walzenquerlager mit stillstehendem Innenring:

$$\left. \begin{aligned} k &= \frac{5P}{z_w d l} \varphi_{W_i}^2 (1 + 0,0001 n) \text{ kg/mm}^2 \\ k &= \frac{10}{3\sqrt{N z_i + 5}} + 0,5 \text{ kg/mm}^2 \end{aligned} \right\} \dots (20).$$

Durch die Vereinigung der beiden zusammengehören-
Gleichungen erhält man eine unmittelbare Beziehung
zwischen P und N , zwischen der zulässigen Belastung und
Lebensdauer. Gl. (19) und (20) haben nur Gültigkeit
den Fall, daß der Außenring des Querlagers umläuft,
so der Innenring am höchsten beansprucht ist. Im all-
gemeinen dreht sich der Innenring; für diesen Fall bleibt
sch zu bestimmen, ob die Rechnung mit der Zahl z_a oder
und entsprechend mit dem Anschmiegungsfaktor des
Außenringes oder dem des Innenringes durchzuführen ist.
is der Berechnung der spezifischen Belastungen ergibt
eb, daß bei den normalen Kugellagern nach Abb. 1 der
Innenring, bei den normalen Walzenlagern nach Abb. 2
der Außenring höher beansprucht ist, sofern der Innen-
ring umläuft. Demzufolge ist

für Kugelquerlager mit stillstehendem Außenring:

$$\left. \begin{aligned} k &= \frac{5P}{z_w d^2} \varphi_{K_a}^2 (1 + 0,0001 n) \text{ kg/mm}^2 \\ k &= \frac{2,8}{3\sqrt{N z_r + 5}} + 0,12 \text{ kg/mm}^2 \end{aligned} \right\} \dots (21),$$

für Walzenquerlager mit stillstehendem Außenring:

$$\left. \begin{aligned} k &= \frac{5P}{z_w d l} \varphi_{W_a}^2 (1 + 0,0001 n) \text{ kg/mm}^2 \\ k &= \frac{10}{3\sqrt{N z_a + 5}} + 0,5 \text{ kg/mm}^2 \end{aligned} \right\} \dots (22).$$

In Gl. (19) bis (22) ist nunmehr ein Mittel ge-
eben, die zulässige Belastung der Wälzquerlager zu be-
rechnen. Hierzu ist allein erforderlich, den Kugeldurch-
messer bei Kugellagern oder den Walzendurchmesser und
die Walzenlänge bei Walzenlagern sowie die Wälzkörper-
zahl und die Laufbahn-Halbmesser bei beiden Lagerarten
zu kennen. Die Drehzahl kann stets als bekannt voraus-
gesetzt werden, so daß zur Bestimmung der zulässigen
Belastung nur die Lebensdauer N festzulegen ist.

Zeichnerische Darstellung. Für den prak-
tischen Gebrauch empfiehlt es sich, die zulässige Be-
lastung P eines Wälzquerlagers einer Linientafel zu ent-
nehmen. Die zeichnerische Darstellung der Gleichung für
die zulässige Belastung ist nicht einfach, da es sich um
eine Gleichung mit vier Veränderlichen handelt; veränder-
lich sind hierin:

1. die Lagerabmessungen,
2. die Drehzahl n ,
3. die Lebensdauer N
4. die zulässige Belastung P .

In Abb. 12 ist die Linientafel für Walzenlager der Bau-
art mit der üblichen Bezeichnung NM mit umlaufendem
Innenring dargestellt.

Die Walzenlager der Bauart NM sind normale Walzen-
lager mit zylindrischen Walzen; die Konstruktion der
Lager ist aus Abb. 2 ersichtlich, die Einbaumaße ent-
sprechen DIN 613.

Zur Darstellung dient am besten ein logarithmisches
Koordinatensystem, um die wichtigsten Werte für N in
möglichst gedrängter Form zu erhalten. Für unveränder-
liche Lagerabmessungen, also für eine Lagergröße, er-
gibt sich ein Linienzug, der die Beziehung zwischen P
und N darstellt. Die Linien haben zwei Wendepunkte,
da sich für $N=0$ und für $N=\infty$ endliche Werte für P er-
geben. Der Einfluß der Drehzahl n wird auf dem unteren
Teil der Linientafel berücksichtigt. Zur Ausrechnung der
Lebensdauer B in Betriebsstunden dient die Gleichung

$$B = \frac{10^6 N}{60 n}.$$

Der Zusammenhang zwischen B und N ergibt für $n=$
konst. im logarithmischen Koordinatensystem Geraden, die
sämtlich parallel zueinander verlaufen. Verhalten sich die
Basen der logarithmischen Teilung wie 1:0,577, so sind
die Geraden unter 30° gegen die B -Achse geneigt.

Zusammenfassung

Die Berechnung der zulässigen Belastung von Wälz-
querlagern ist hier zusammenfassend dargestellt. Die
einzelnen Ursachen, die zu einer Zerstörung der Lager
führen, sind zu dem Zweck verbunden worden, für jeden
Belastungsfall die zulässige Belastung ermitteln zu können.
Die Lösung ist wegen der gemachten Voraussetzungen nur
für den Fall gültig, daß es sich um stoßfreie Belastungen
handelt; liegt Lagerbelastung durch Stoß vor, so muß die
Wirkung dieser Stöße durch eine besondere Umrechnung
der entsprechenden Lebensdauerzahlen berücksichtigt
werden. [B 1885]

Hochofenwinderhitzer in England

Man findet in England¹⁾ häufig Anlagen, bei denen der
Brennstoffverbrauch für die Winderhitzer bis zu 40 vH der
Gesamtmenge des erzeugten Hochofengases beträgt, während
es durch sorgfältiges Reinigen und Verbrennen des Gases
in neuzeitlichen Brennern bei wissenschaftlich durchgearbei-
teter Verbrennungsregelung möglich ist, den Brennstoffver-
brauch auf 20 vH und weniger zu vermindern. Die Herstel-
lung von Roheisen in Hochöfen erfordert einen Koksverbrauch
zwischen 865 und 1525 kg/t, je nach dem Eisengehalt des
Erzes, der Beschickung, dem Zustande des Ofens, der Be-
schaffenheit des Kokses und andrer Einflüsse. 1 t im Hoch-
ofen verbrauchter Koks ergibt ungefähr 4250 m³ Gas bei
Normaltemperatur, so daß die auf 1 t Roheisen erzeugte Gas-
menge bei Normaltemperatur 3600 und 6400 m³ beträgt.

Die Gaszusammensetzung schwankt in gewissen Gren-
zen. Das Gas hat beim Entweichen eine Temperatur zwis-
chen 150 und 450 °C, je nach Höhe des Ofenschachtes, der
Beschickungshöhe und des Zwischenraumes zwischen zwei
Beschickungen. Der Feuchtigkeitsgehalt beläuft sich auf
20 bis 100 g/m³ im kalten Zustand, je nach den Arbeits-
bedingungen des Ofens. Das Hochofengas, das 1 bis 10 g/m³
Flugstaub enthält, wird in Trocken- oder Naßreinigern
bis auf 0,1 bis 0,2 g/m³ Staubgehalt vorgereinigt. Zur Ver-
wendung in Gasmaschinen wird eine Nachreinigung in
Theißen-Waschern, in Halberg-Beth-Gasreinigern oder in
elektrischen Lodge-Coterley-Reinigern notwendig, die das
Gas bis auf 0,1 g/m³ Staubgehalt reinigen. Für kleinere
Hochofenanlagen sind diese Reinerer jedoch zu teuer.

Winderhitzer, mit nur vorgereinigtem Gas beheizt, erfor-
dern Durchgangsquerschnitte des Gitterwerkes von minde-
stens 150 × 200 mm², während bei vollkommen gereinigtem
Gas Durchmesser gerader Durchgänge von 115 mm² genügen.
Um günstige Ergebnisse bei Winderhitzern zu erreichen, soll-
ten 6,5 m² Heizfläche auf 1 m³/min Heißwind vorhanden sein.
Solche Winderhitzer haben bis zu 70 vH Nutzwirkung bei
Windtemperaturen bis zu 700 °C und 260 °C Abgastempera-
tur, sofern geeignete Brenner vorhanden sind, und die Ver-
brennung genau geregelt wird.

[N 2353]

Ste.

¹⁾ Iron and Coal Trades Review Bd. 117 (1928) S. 762 u. f.

Die Herstellung von Kakaopulver

Von Ingenieur HANSGEORG LOTTES, Dresden

Die Kakaobohne und ihre Vorbehandlung im Heimatland — Besprechung der Verfahren und Maschinen, die in neuzeitlichen Fabriken zur Erzeugung von Kakaopulver gebräuchlich sind.

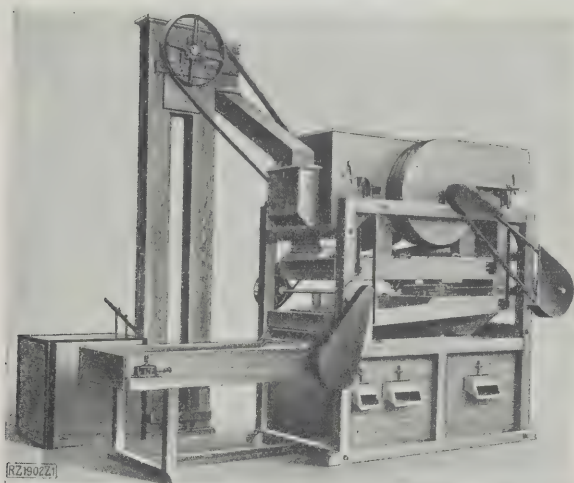


Abb. 1
Bohnenreinigungs- und Auslesemaschine von
J. M. Lehmann, Dresden.

Der Kakaobaum, *Theobroma cacao* L., gedeiht nur in warmen und feuchten Ländern. Die mittel- und süd-amerikanischen Staaten, die Gebiete am Golf von Guinea (Kamerun), die Sundainseln und Ceylon sind die Hauptausfuhrländer. Die Frucht hat die Form eines langgestreckten rot bis gelb gefärbten Kürbisses. In das Fruchtmus (Pulpa) in fünf Längsreihen eingebettet liegen die Kerne, die etwa Form und Größe einer dicken plattgedrückten Bohne haben. Nach Dr. P. Zipperer setzen sie sich zusammen aus 42,79 vH Fett (Kakaobutter), 0,97 vH Theobromin, 10,51 vH Albumin, 2,35 vH Zucker, 4,67 vH Stärke, 20,39 vH Zellstoff und Lignin, 3,70 vH Mineralstoffe und 5,18 vH Wasser.

Die Kakaobutter ist ein hartes, weißgelbliches Fett, dessen Schmelzpunkt zwischen 32 und 35° und dessen Erstarrungspunkt zwischen 21,5 und 23° liegt. Es wird im menschlichen Körper fast so gut wie MilCHFett, etwa zu 92 vH, ausgenutzt. Dem Theobromin, das dem Koffein der Kaffeebohne entspricht, verdankt der Kakao seine nervenbelebende Wirkung. Der Zellstoff bildet die Schale und das Baugerüst der Bohne.

Die abgeernteten, vom Fruchtmus oberflächlich gereinigten Bohnen werden zuerst einem Gärverfahren unterworfen, das man als Fermentieren oder Rotten bezeichnet. Sie werden in flachen Kästen aus Beton oder Holz, 10 cm hoch aufgeschichtet, mit Bananenblättern und Tüchern bedeckt, einige Tage gelagert. Dabei bewirkt das noch anhaftende Fruchtfleisch eine Alkohol- und Essigsäuregärung, und in der gesteigerten Temperatur von 50 bis 70° kommen die Bohnen zum Keimen. Das Fruchtfleisch, das ursprünglich weiß war, färbt sich rotbraun bis braunviolett. Nach dem Rotten, das für die feineren Sorten (Criollo) ein bis vier Tage, für die derberen (Forastero) bis zu vierzehn Tage dauert, unterbricht man das Keimen durch schnelles Trocknen, das am besten in der Sonne erfolgt. Nunmehr werden die Bohnen in die Verbrauchsländer zur weiteren Verarbeitung verschickt.

Vorreinigung

Die in hellen Speicherräumen luftig und trocken gelagerten Bohnen müssen vor der eigentlichen Verarbeitung noch von dem vom Rotten anhaftenden Gärseim, den Sackfasern und andern Unreinigkeiten sorgfältig gereinigt werden. Bei der in Abb. 1 dargestellten Reinigungsmaschine fallen die Bohnen zuerst in einen Schüttelkasten, dessen Boden mit einem schräg seitwärts gezackten Well-

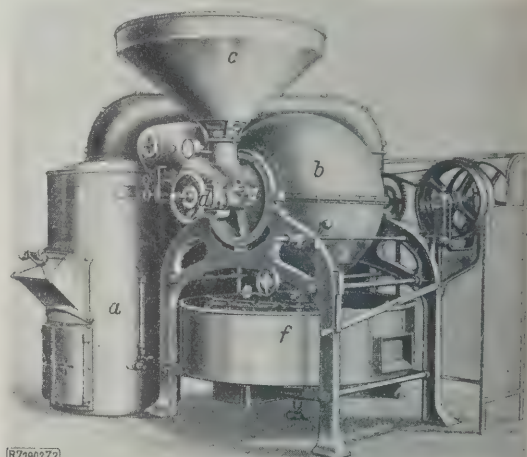


Abb. 2
Schnellröstmaschine mit Heißluftherzeuger,
von J. M. Lehmann.

- | | |
|--------------------------------|----------------------|
| a Heißluftherzeuger | d Handrad zum Öffnen |
| b doppelwandige Röst-
kugel | e Kühlsieb |
| c Einfülltrichter | f Rührwerk |
| | g Probstecher |

blech bezogen ist. Der durch die Rüttelbewegung erzeugte Staub und die leichteren Teile werden durch zwei Exhaustoren abgesaugt, während die schweren Körper, also die Steine, zu Boden sinken und durch die zackigen Rinnen nach einem Ende des Kastens gedrängt und von Zeit zu Zeit durch einen Schieber entleert werden. Die Bohnen wandern zum andern Ende und fallen auf ein Schüttelsieb, das die kleinen Unreinigkeiten aussondert. Die Vielgestaltigkeit der Fremdkörper macht deren völlig selbsttätige Entfernung unmöglich. Die sich weder durch Größe noch Gewicht von den Bohnen unterscheidenden Unreinigkeiten wie taube und angefaulte Bohnen, müssen von einem langsam laufenden Transportband mit der Hand ausgelesen werden. Vorher fallen die Kerne über einen Magnetapparat, der die Eisenteile zurückhält.

Für das nachfolgende Brechen und Rösten ist notwendig, daß möglichst nur Bohnen gleicher Größe verarbeitet werden. Einestheils deshalb, weil sich nur dann ein gleichmäßig geröstetes und gebrochenes Produkt erzielen läßt, zum andern aber, weil die großen Bohnen besser durchgereift sind und für feinere Schokoladen Verwendung finden. Die Trennung in meistens drei verschiedenen Größen besorgt ein Zylindersieb mit zunehmender Maschenweite. Der Gewichtsverlust beim Vorreinigen beträgt etwa 1 bis 2 vH.

Rösten

Das Rösten hat den Zweck, dem Kakao einen weniger herben Geschmack zu geben und den Geruch zu verfeinern. Ferner werden die Schalen durch das scharfe Trocknen spröder, wodurch sie beim Brechen leichter abspringen.

Die Röstmaschinen bestehen aus zylindrischen, kugelförmigen oder kugelförmigen Trommeln, die mit Röstgut gefüllt und in langsame Drehung versetzt werden. Die Kugelform hat den Vorteil, dem Röstgut die kleinste Berührungsfläche zu bieten. Ein Flügelwerk in ihrem Inneren sorgt für gleichmäßiges Durchrösten aller Bohnen. Man heizt entweder mittels Koks oder Gas unmittelbar die Trommelwand oder bläst, was vorzuziehen ist, heiße Luft durch die Trommel. Beide Verfahren werden auch gleichzeitig angewandt. Die Rösttemperatur liegt zwischen 130 und 140°. Damit im Fall eines plötzlichen Aus-

atzens der Antriebskraft: Zerreißen des Riemens, Ausleihen des Stromes, das Röstgut nicht verbrennt, kann die Maschine immer noch mit einer schnell aufsteckbaren Handkurbel in Gang gehalten werden.

Eine Schnellröstmaschine neuester Bauart zeigt Abb. 2. Der Lufterhitzer *a* hat Schrägröstfeuerung. Die heiße Luft wird durch eine Reihe von Prallplatten und tangential verlaufenden Rippen von allen mitgeführten Aschenteilchen gereinigt und von einem Exhauster durch die Röstkugel *b* gesogen. Bevor die Luft durch den Schornstein abzieht, wird sie mittels eines Fliehkraftscheiders von den aus der Röstkugel mitgeführten Unreinigkeiten, wie verkohltenackfasern und abgesplitterten Unreinigkeiten, befreit. Die Röstkugel ist zwecks besserer Isolierung doppelwandig gebaut. Die Innenkugel wird durch den Trichter *c* mit Röstgut beschickt und nach Beendigung des Röstvorganges durch Auseinanderziehen ihrer beiden Hälften mittels des Landrades *d* auf das darunter befindliche Kühsieb *e* entleert. Ein Rührwerk *f* breitet die Bohnen auf dem Sieb aus, während ein Exhauster die entstehenden Dämpfe durch das Sieb absaugt und so die Bohnen kühlt. Aus den Dämpfen werden, bevor sie in den Schornstein gelangen, durch einen zweiten Fliehkraftscheider die durch das Sieb gefallenen kleineren Kernstücke zurückgewonnen.

Der Gewichtsverlust beim Rösten beträgt je nach Dauer 3 bis 7 vH. Dies kann man benutzen, um den Arbeiter durch ein Klingenzeichen auf das Ende des Röstvorganges aufmerksam zu machen. Mit Sicherheit kann dies nur durch eine Geruchs- und Zerdrückprobe festgestellt werden, die der Arbeiter mit dem Probenstecher *g* entnimmt.

Brechen. Schälen und Entkeimen

Die gerösteten Bohnen müssen sofort der Brechmaschine zugeführt werden, da die schnell Feuchtigkeit anziehenden Schalen sonst ihre Sprödigkeit verlieren. Die vollständige Entfernung der Kakaoschalen ist in den meisten Kulturstaaten gesetzlich vorgeschrieben. Früher bereitete das Trennen der gebrochenen Kakaoteile von den Schalen und Keimen große Schwierigkeiten; man mußte immer mit einem Verlust von 30 vH rechnen, während er heute nur 12 bis 15 vH beträgt.

Eine Brechmaschine des heute herrschenden Saugluftsystems zeigen die Abbildungen 3 und 4. Die Bohnen werden in einer aus einer Zackenwalze und der dagegen gedrückten Zackenplatte bestehenden Brechvorrichtung *a* in kleine Stücke zerbrochen und fallen samt den absplittenden Schalen über einen Magneten auf das Schüttelsieb *b* mit allmählich zunehmender Maschenweite. Das in sieben Größen gesonderte Gut fällt durch Schüttrinnen in die Trennschächte *c*, in denen es von einer Schrägfläche zur andern fällt. Der Exhauster *d* saugt nun Luft durch die Jalousieöffnungen *e* ein und zieht diese unter den Schrägflächen fort nach den gegenüberliegenden Öffnungen *f*, wobei die schwersten Teile der Bohnen, die reinen Kerne, frei nach unten fallen, die leichteren Teile aber nach dem Raume *g* mitgerissen werden. Hier breitet sich die Luft

aus. Infolge ihrer dadurch verminderten Geschwindigkeit sinken die mit Kernen noch beschwerten Schalen-teile nach unten. Im Raume *h* wiederholt sich der Vorgang, hier sondern sich die reinen Schalen ab. Die Jalousien *e* sowie die Scheidewände *i* sind verstellbar und gestatten somit eine Regelung der Luftstromstärke und Aussonderung für jede Körnung. Bei *k* verlassen die Schalen die Maschine, während das bei *l* austretende Gut noch einmal aufgegeben wird. Die Fächerwalzen bei *k* und *l* verhindern das Eintreten von „falscher“ Luft.

Die durch die Brechmaschine gesogene Luft führt naturgemäß viel Staub mit sich und wird deshalb zum Reinigen durch ein Druckschlauchfilter, Abb. 5, gedrückt. Das in der Mitte sichtbare Gitter bewegt sich langsam auf und ab, um den sich im Innern der Flanell- oder Moltonschläuche ansetzenden Staub abzuschütteln. Wenn die Luft ins Freie geleitet wird, kann man statt des Schlauchfilters auch einen Fliehkraftscheider verwenden.

In den gebrochenen Bohnen sind nun noch die Keime enthalten. Obwohl ihrer Mitverarbeitung in Deutschland kein gesetzliches Verbot entgegensteht, müssen sie doch für Kakaoerzeugnisse guter Beschaffenheit entfernt werden. Man leitet deshalb den Kakao über ein Schüttelsieb, dessen Maschen so fein sind, daß nur die Keime und gleich große oder kleinere Kakaostücke hindurchfallen können. Das ausgesiebte Gut gelangt in eine Trommel, die kleine Vertiefungen an der Innenseite ihres Mantels hat. Die runden Kakaokörnchen sinken in diese Vertiefungen ein, während die Keime wegen ihrer länglichen Form darin keinen Platz finden. Bei der Drehung der Trommel werden die Kakaokörnchen mit hochgenommen und durch Bürsten in eine Sammelrinne abgestrichen, die sie einem Behälter zuführt. Die zurückgehaltenen Keime entleeren sich am Ende der schrägliegenden Trommel in einen andern Behälter.

Die Schalen und Keime sind das einzige Abfallprodukt der Kakaobohne. Daher hat man sich seit langem bemüht, ein Absatzgebiet für sie zu finden. Wegen ihres hohen Gehalts an Theobromin, im Mittel 0,33 vH, brachte man sie als Kakaotee in den Handel, auch werden sie auf Gewinnung des Theobromins für pharmazeutische Zwecke verarbeitet. Neuerdings kaufen chemische Fabriken alle Kakaobabfälle auf, um daraus mittels Benzin Kakaobutter auszuziehen. Diese minderwertige Butter wird leider häufig zu Verfälschungen mißbraucht.

Aufschließen des Kakaos

Als Vater der neueren Kakaopulverherstellung gilt der Holländer *van Houten*, der Begründer der bekannten Fabrik in Weesp, Holland, der sich vor etwa 100 Jahren mit der Entfettung von Kakaomassen beschäftigte, weil sich aus den geschälten Bohnen, die 50 bis 56 vH Kakaobutter enthalten, nicht ohne weiteres ein vollkommen staubfeines und trockenes Pulver erzielen läßt. Freilich standen *van Houten* damals keine leistungsfähigen Pressen zur Verfügung; er filterte die Masse lediglich durch ein Tuch. Die Verarbeitung des zurückgebliebenen Breies zu Pulver ging aber trotzdem nicht wunschgemäß von statten, deshalb versuchte *van Houten*, das noch immer reichlich darin enthaltene Fett durch einen geringen Alkalienzusatz zu verseifen. Dieses Verfahren hatte Erfolg und wurde im Lauf der Zeit in fast allen Fabriken unter der Bezeichnung „Präparieren“ oder „Aufschließen“ eingeführt. Es gibt fast so viele Verfahren des Aufschließens als Fabriken bestehen, und jede hütet das ihre als wertvolles Geheimnis.

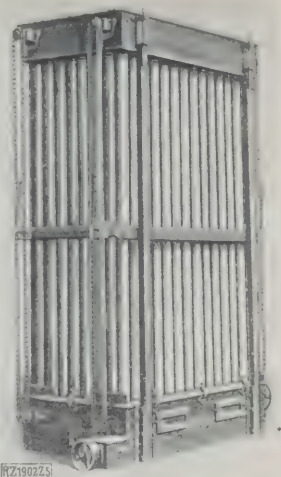


Abb. 5
Druckschlauchfilter der
Seck-Werke, Dresden.

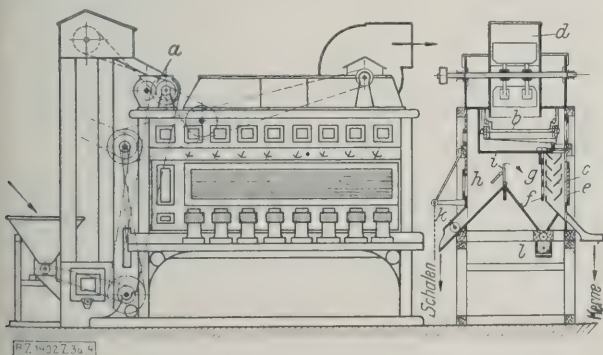


Abb. 3 und 4
Brech- und Reinigungsmaschine für Kakaobohnen, Bauart Bauermeister, Altona-Ottensen.

- | | |
|---------------------------|-----------------------------------|
| <i>a</i> Brechvorrichtung | <i>f</i> Durchsaugschlitze |
| <i>b</i> Schüttelsieb | <i>g, h</i> Expansionsräume |
| <i>c</i> Trennschächte | <i>i</i> verstellbare Scheidewand |
| <i>d</i> Exhauster | <i>k, l</i> Fächerwalzen |
| <i>e</i> Ansaugschlitze | |

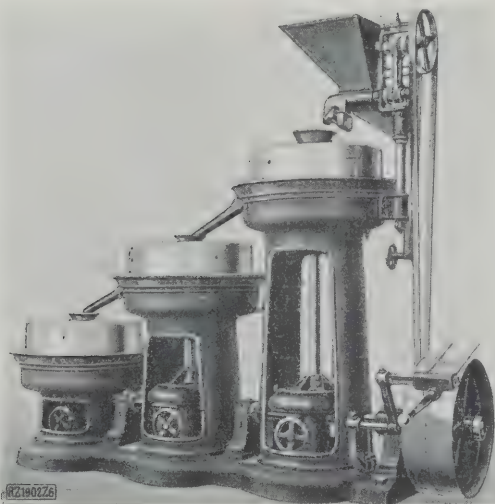


Abb. 6
Drillingsmühle von J. M. Lehmann.

Man kann vor oder nach dem Rösten oder auch erst nach dem Pressen aufschließen, doch erfolgt es meist vor dem Vermahlen. Die Bohnen werden in eine hölzerne Maisch-trommel gefüllt, mit der alkalischen Lösung besprengt und durch Drehen der Trommel vermengt. Man verwendet sowohl feste (Natron, Pottasche, Soda) als auch gasförmige (Ammoniak) Alkalien.

Was für *van Houten* notwendig war, ist heute nur noch eine alte Gewohnheit. Die heute üblichen, stark entfetteten Kakaopulver bedürfen keiner Behandlung mit scharfen, den Wohlgeschmack schädigenden Laugen mehr, um locker und staubfein in die Packung zu kommen. So verliert das Aufschließen, das einst der Kernpunkt der Kakaopulverherstellung war, immer mehr an Bedeutung.

Vermahlen der Bohnen

Zum Vermahlen der gebrochenen Kakaobohnen wird meist die Oberläufermühle verwendet. Bei diesen Mühlen steht der untere, durch Rippenheizkörper mit Dampf beheizte Mahlstein fest, während der obere, durch dessen Mitte das Mahlgut eingefüllt wird, sich dreht und durch sein Gewicht das Zerkleinern des Mahlguts bewirkt. Um

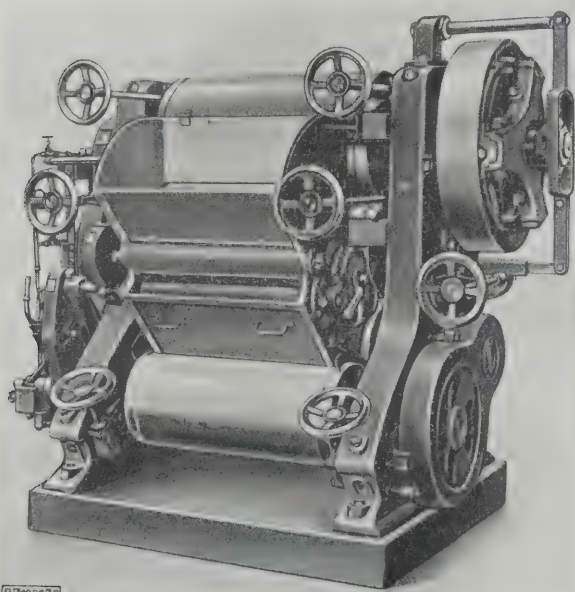


Abb. 7
Kakao-Vierwalzwerk mit angebautem Riffelstuhl, erbaut von J. M. Lehmann.

eine bessere Vermahlung zu erzielen, werden mehrere Steinpaare schräg untereinander angeordnet. Am gebräuchlichsten sind die Drillingsmühlen, Abb. 6. Die Steine bestehen aus sehr hartem französischen Feuerstein, den man nur jährlich einmal aufhauen muß. Der die Mühle verlassende, braunglänzende Brei wird in geheizten Rührwerken gesammelt, ehe das überschüssige Fett abgepreßt wird.

Neuerdings sind verschiedene Fabriken dazu übergegangen, den gebrochenen Kakao nicht mehr stark zu rösten, sondern nur noch zu darren und zu trocknen. Derartige Mahlgut, das im Gegensatz zum gerösteten noch 3 bis 5 vH Feuchtigkeit enthält, läßt sich auf Mühlen der oben geschilderten Bauart nur unter großen Schwierigkeiten verarbeiten, da sich die Masse infolge des Wassergehaltes zwischen den Mahlsteinen festsetzt. Diesen Mißstand beseitigen die Kakaowalzenmühlen, Abb. 7 und 8, die nach Überwindung anfänglicher Schwierigkeiten heute zu hoher

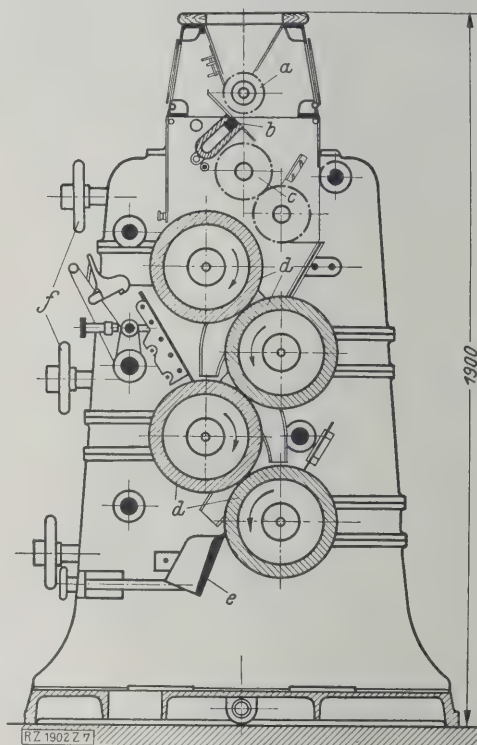


Abb. 8
Kakaowalzenmühle, Bauart Bauermeister.

- | | |
|------------------|----------------------------|
| a Zuführwalze | d Mahlwalzen |
| b Magnet | e Abstreichmesser |
| c Vorbrechwalzen | f Handräder zum Einstellen |

Vollkommenheit gebracht sind und die Drillingsmühle immer mehr ersetzen. Das Mahlgut wird durch eine Zuführwalze *a* der Maschine in gleichmäßigen Gaben zugeführt. Nach Überlauf über einen Magneten *b* wird der Kakao zunächst durch zwei Riffelwalzen *c* vorzerkleinert, ehe ihn die eigentlichen Mahlwalzen ergreifen. Die oberste dieser Walzen dreht sich am langsamsten und jede der folgenden etwas schneller als die vorhergehende. Da sie gleichen Durchmesser haben, wird das Mahlgut nicht nur zerdrückt, sondern auch fein zerrieben. Von der untersten Walze wird es dann durch eine breite Stahlklinge *e* abgestrichen. Mittels der Handräder *f* werden die Walzen eingestellt.

Abpressen des Fettes

Die hydraulischen Kakaopressen werden mit untenstehendem Preßzylinder gebaut. Zwischen den Preßkolben und das obere Querhaupt werden die Preßtöpfe eingeschoben, deren jeder etwa 13 kg Kakaomasse faßt. Boden und Deckel der Preßtöpfe bilden durchlöchernde, axial verschiebbare Platten, vor die noch Filtertücher aus Baumwolle oder Kamelhaar gelegt werden. Zwischen den Preßtöpfen befinden sich die Topfkolben, die ebenso wie das

erhaupt mit Dampf beheizt werden. Jede Presse ist mit zwei vollständigen Topfsätzen ausgerüstet, die abwechselnd gefüllt und abgepreßt werden. Die Pressen arbeiten unter einem Flüssigkeitsdruck von 400 at, was einem Druck von 640 at auf die Kakaomasse entspricht. Als Preßflüssigkeit dient dünnflüssiges Mineralöl oder Glycerin.

Eine nach neuzeitlichen Grundsätzen arbeitende Maschine, Bauart Hänel, wurde in dieser Zeitschrift schon früher besprochen¹⁾. Das Andrücken (Schließen) der Preßflüssigkeit erfolgt hier selbsttätig, das Öffnen durch Flüssigkeitsdruck. Um ein schnelles Sinken des Kolbens zu erreichen, wird ebenfalls Flüssigkeitsdruck zum Herunterdrücken des Kolbens angewandt. Auch das Herausdrücken der steinharten Preßkuchen aus den Töpfen, das den Arbeiter, da es bisher mit einer an jeden Topf anzusetzenen Schraubenspindel geschah, viel Zeit kostete, erfolgt bei dieser Bauart ganz selbsttätig, so daß nur noch die

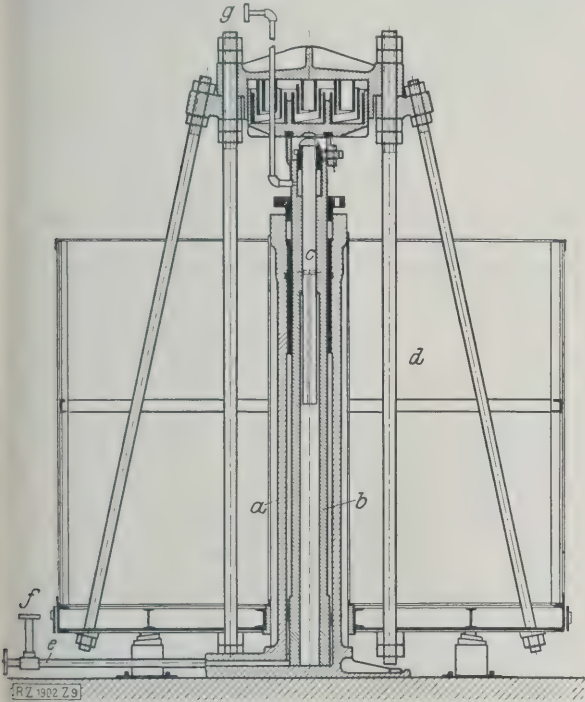


Abb. 9

Hydraulischer Zweikolbenakkumulator, Bauart Hänel, J. M. Lehmann.

- | | |
|---------------------|--------------------------|
| a Preßzylinder | e Pumpenleitung |
| b Niederdruckkolben | f Pressenleitung |
| c Hochdruckkolben | g Hochdruck-Überlaufrohr |
| d Belastungsgewicht | |

Kuchen fortzunehmen sind. Die Preßtöpfe werden mittels eines Fahnes gefüllt, der an eine Rohrleitung für die Kakao-masse angeschlossen ist.

Noch recht selten wird zwischen Pumpe und Presse ein Akkumulator eingeschaltet. Die Kakaopressen darf man nur mit geringem Druck anlassen, und so muß man, wenn mehrere große Pressen vorhanden sind und ein wirtschaftliches Arbeiten erreicht werden soll, einen Hochdruck- und einen Niederdruckspeicher aufstellen, was meist am Platzmangel scheitert. Einen Zweikolbenakkumulator, Bauart Hänel, der Hoch- und Niederdruck vereinigt, zeigt Abb. 9 im Schnitt. Er besteht in seinen Hauptteilen aus dem Druckzylinder a, dem Niederdruckkolben b, dem konzentrisch in ihm sitzenden Hochdruckkolben c und dem Belastungsgewicht d. An den Rohrstützen e ist die Pumpe angeschlossen, der Stutzen f führt zu den Pressen. Eine Kakaopresse braucht zum Anheben der Preßtöpfe zunächst viel Preßflüssigkeit von nur geringem Druck. Dementsprechend hebt sich nur der Niederdruckkolben b. Beim Beginn der eigentlichen Pressung, sobald die Preßtöpfe den Leergang überwunden haben, erreicht der Kolben b schnell seine höchste, durch Anschlag begrenzte Stellung, bei der sich die Niederdruckförderung

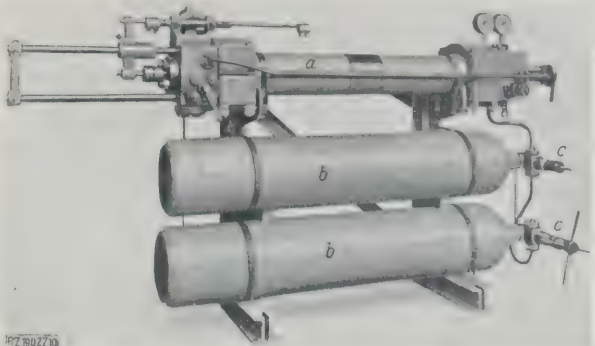


Abb. 10

Hydraulischer Druckluftakkumulator, erbaut von Werner & Pfleiderer, Stuttgart-Cannstatt, 600 at Höchstdruck.

- a Arbeitszylinder b Druckluftflaschen c Luftflaschenventile

der Preßpumpe selbsttätig abschaltet. Unter dem Druck der Pumpe einerseits und dem wachsenden Widerstand der Presse andererseits hebt sich nun auch der Hochdruckkolben c. Beim Anlassen einer zweiten Presse sinkt er wieder herab, um nach der kurzen Zeit, die das Schließen ihrer Töpfe erfordert, aufs neue Hochdruck aufzuspeichern. So erfüllt dieser Akkumulator selbsttätig die Bedingungen: beim Anlassen viel Preßflüssigkeit von geringerem Druck, beim Pressen wenig Preßflüssigkeit von hohem Druck.

Die höchste Stellung des Kolbens c wird durch eine Bohrung in seinem Innern begrenzt, die den Akkumulator durch einen gelochten Zwischenring in seiner oberen Stopfbüchse überlaufen läßt. Das Überlaufrohr g wird an die Pressenleitung angeschlossen.

Die Firma Werner & Pfleiderer, Cannstatt, baut hydraulische Akkumulatoren mit Druckluftbelastung, Abb. 10. Ein solcher besteht aus dem Arbeitszylinder a mit selbsttätiger Steuerung, die bei Druckflüssigkeitsentnahme die Preßpumpenförderung einsetzen läßt und einer Anzahl von Druckluftflaschen b. Die Presse wird liegend oder stehend angeordnet. Zum Inbetriebsetzen werden die Flaschen durch einen Füllkompressor auf 20 bis 100 at aufgeladen. Die erforderliche Erhöhung der Spannung auf den Betriebsdruck von beispielsweise 600 at wird dadurch erreicht, daß die über dem Kolben des Arbeitszylinder

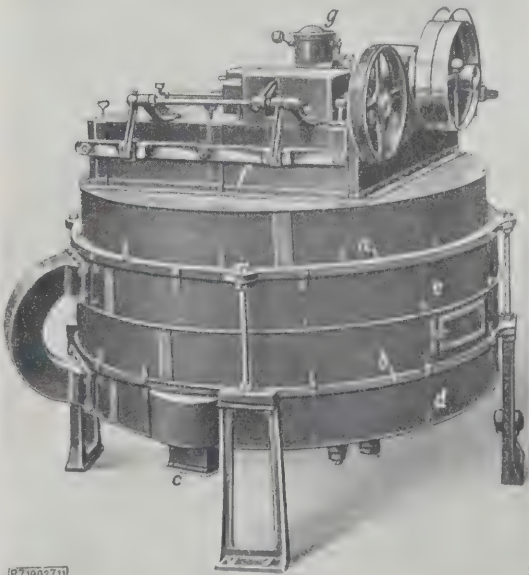


Abb. 11

Kakaopulver-Kühlmaschine von J. M. Lehmann.

- | | |
|------------------------|---------------------|
| a, b Kühlplatten | e Plattenkühlkammer |
| c Auslauf | f Zackenfilter |
| d Kühlschlangen-kammer | g Absaugstutzen |

¹⁾ Z. Bd. 72 (1928) S. 1307 u. f.

ders sich befindende Luft durch Einpumpen von Druckflüssigkeit unter den Kolben in die Luftflaschen hinuntergedrückt wird. Nach Abschluß der Luftflaschenventile *c* wird der Luftraum des Arbeitszylinders erneut durch den Kompressor mit Druckluft von Kompressorhöchstspannung gefüllt und diese Luft wieder, wie vorher, in die Flaschen gedrückt. Diesen Vorgang wiederholt man so oft, bis in den Luftflaschen der gewünschte Betriebsdruck herrscht. Diese eingepumpte Luft dient als Druckerzeuger und bleibt ständig in der Anlage.

Druckluftakkumulatoren arbeiten sehr ruhig und stoßfrei, außerdem haben sie nur geringes Gewicht und beanspruchen wenig Platz. Das macht sie besonders zur Aufstellung in Stockwerken geeignet. In der Druckabgabe sind sie jedoch schwankend, da mit der Flüssigkeitsentnahme auch der Druck sinkt. Demgegenüber weist der Akkumulator mit Gewichtbelastung ein großes Gewicht auf, weshalb er nur im Erdgeschoß gut gegründet aufgestellt werden kann. Wegen seiner Einfachheit ist er aber billiger in der Herstellung, anspruchsloser in der Wartung, und die Druckabgabe bei jeder Flüssigkeitsentnahme bleibt durchaus unverändert.

Mit Kakaopressen stärkster Bauart läßt sich das Fett bis auf einen Rückstand von 8 bis 10 vH abpressen. Die heute im Handel befindlichen Kakaopulver haben meist einen Buttergehalt von 18 bis 22 vH, während die früher hergestellten rd. 30 vH enthielten. Heute bildet die Kakaobutter eine wertvolle, stets knappe Handelsware, da allen feineren Schokoladen und besonders den Überzugsmassen für Pralinen zu ihrem eignen Gehalt an Fett noch reichlich Kakaobutter zugesetzt wird.

Mahlen, Kühlen und Absieben des Kakaopulvers

Der die Presse verlassende Kakaokuchen ist fast so hart wie Ziegelstein und wird deshalb durch Brechwalzen in aufgroße Stücke zerkleinert. Diese Brocken werden zermahlen, erwärmt, wieder abgekühlt und dann gesiebt. Das Erwärmen gibt dem Kakao eine feurig rote Farbe, das schnelle Abkühlen macht diese Färbung dauerhaft und erleichtert das Absieben, da warmes Pulver gern die Siebe verstopft. Das Pulver darf nur bis nahe an den Schmelzpunkt der Kakaobutter, auf rd. 30°, erwärmt werden, damit die Butter nicht an die Oberfläche der Körnchen tritt und dem Pulver ein unschönes graues Aussehen gibt. Sehr fettarmes Pulver wird neuerdings, um ihm die blasse Farbe zu nehmen, sehr stark erwärmt.

Der Preßkuchen wurde früher ausschließlich mittels eines staubdicht gekapselten Kollergangs (Pulverisator), dessen umlaufender Bodenstein durch dampfbeheizte Rohre erwärmt wird, vermahlen. Die Schlagkreuzmühle liefert aber ein gleich feines Pulver in kürzerer Zeit bei geringerem Aufwand an Anschaffungskosten und Bodenfläche. In der Schlagkreuz- oder Schlagstiftmühle, in der auch die Würzstoffe, wie Zimt, Vanille, Kardamom, zugesetzt werden, kann man die durch Reibung erzeugte Wärme durch Zuführen von Frischluft beliebig regeln.

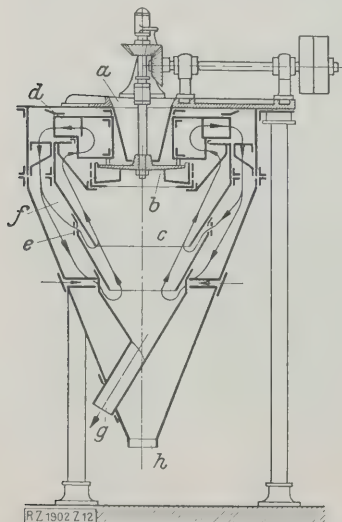


Abb. 12 (links)
Windsichter,
Bauart Bauermeister.
a Einfüllschacht
b Streuteller
c Sieb
d Exhauster
e Gitterschieber
f äußeres Gehäuse
g Überlauf
h fertiges Pulver

Abb. 13 (rechts)
Kakaopulverisieranlage,
Bauart Bauermeister.

- a* Aufgabetrichter
- b* Magnetapparat
- c* Schlagkreuzmühle
- d* Kühlkammer
- e* Saugschlauchfilter
- f* Exhauster
- g* Windsichter
- h* Plansichter
- i* Pulveraustritt
- j* Haaraustritt
- m* Überlauf des Windsichters

Um das Pulver abzukühlen, stäubt man es in einen Raum, den kalte Luft durchzieht und worin es langsam zu Boden sinkt. Nach einem andern Verfahren arbeitet die Kühlmachine, Abb. 11. Das Pulver tritt durch einen Einfüllschacht in die Maschine ein, wird durch Schalen aufeinander auf mehreren kreisförmigen Platten *a* und *b* auseinandergerieben und verläßt die Maschine in diesem Zustande durch die Öffnung *c*. Die kalte Luft, die durch die Kühlschlangen im Räume *d* erzeugt, zieht durch die Räume *a* und *b* und durch die Plattenkühlkammer *e* wird durch ein oben aufgesetztes Zackenfilter *f* abgesaugt. In kurzen Zeitabständen entspannt man das Filter stoßweise, um das sich festsetzende Kakaopulver abzustauben.

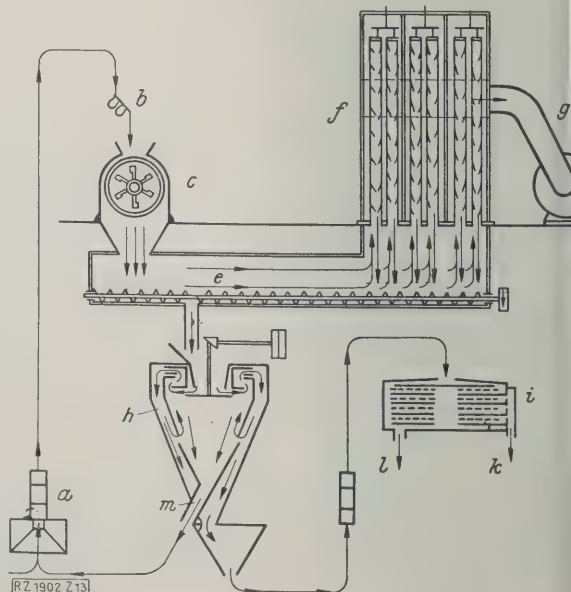
Auf Trommel- oder Plansiebmaschinen wird dann das Pulver abgesiebt. Die Trommelsiebe werden bei manchen Konstruktionen regelmäßig erschüttert und durch Ventilation aus Leder abgestaubt. Im Innern läuft außerdem ein Ventilator. Die Bespannung besteht aus feinsten Seilen oder Bronzegase, die sich trotz aller Vorrichtungen nicht verstopfen.

Diesen Nachteil vermeiden die Windsichter, Abb. 12, die auf dem Grundgedanken beruhen, daß feine Staubpartikel von schwachem Wind fortgetragen werden, während die gröberen zu Boden sinken. Das Kakaopulver geht durch den Schacht *a* auf den umlaufenden Streuteller *b*, der das Gut in den kegelförmigen Siebtraum *c* schleudert. Durch den Siebtraum strömt ein mittels des eingebauten Exhausters *d* erzeugter Luftstrom von unten nach oben. Die Luft wird durch den Gitterschieber *e* eingeführt. Auf ihrem durch Pfeile angedeuteten Wege nehmen sie das Pulver mit in das äußere Gehäuse *f*. Hier wird die feine Staubpartikel infolge der verringerten Luftgeschwindigkeit an den Wänden herunter und verläßt bei *h* die Maschine als fertiges Pulver, während die gröberen Staubteilchen, die für den Luftzug zu schwer sind, bei *g* ausfallen. Die beabsichtigte Feinheit wird durch die Stellung des Luftstromes bestimmt, den man durch Einstellen des Gitterschiebers regeln kann.

Das den Windsichter verlassende feine Pulver geht stets noch durch eine Siebmaschine laufen, um die im Pulver befindlichen Fasern, die sich von den Preßdeckeln lösen, zu entfernen. Doch kann diese Kontrollmaschine eine größere Maschenweite haben.

Alle zum Pulverisieren des Kakaos dienenden Maschinen werden durch Becherwerke und Förderschnecken zu einer selbsttätig und fortlaufend arbeitenden Einheit verbunden. Das Schema einer solchen Anlage ist in Abb. 13 dargestellt. Das fertige Kakaopulver wird mittels Verteilungsmaschinen abgewogen und verpackt und durch Förderbänder dem Lager oder dem Versandraum zugeführt.

[B 190]



RUNDSCHAU

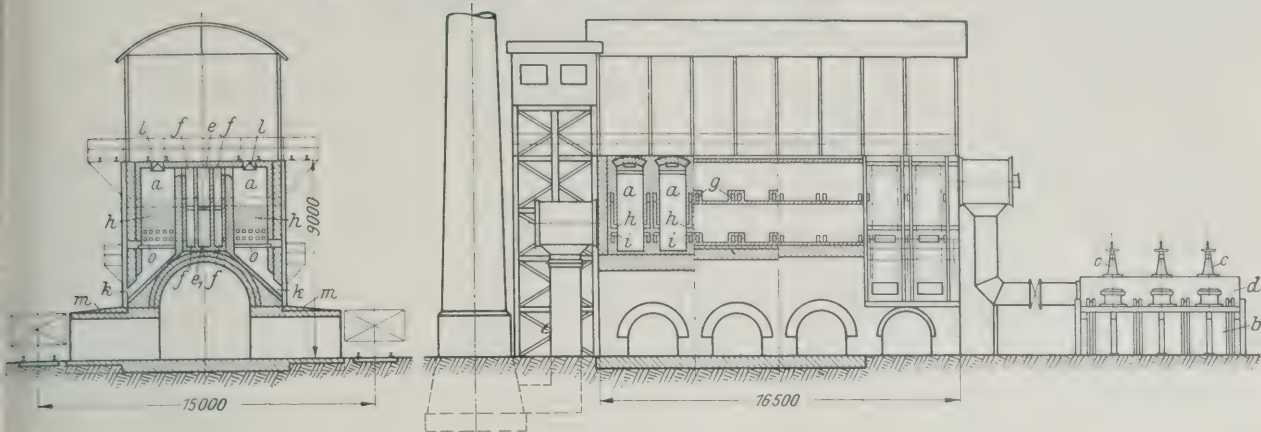
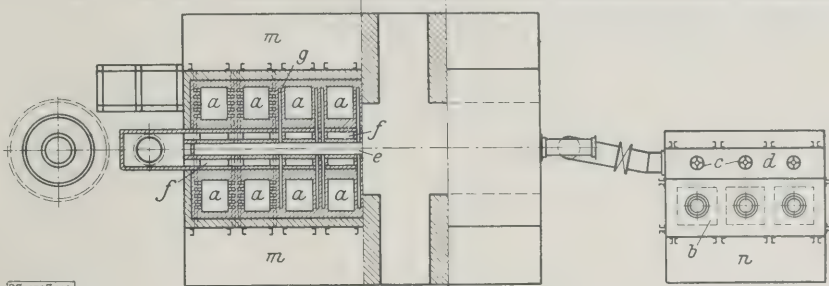


Abb. 1 bis 3
Eisenerz-Röstofen
mit Gasbeheizung.

- a Schächte (Einzelzellen)
- b Gaserzeuger
- c Regelventile
- d Gassammelkanal
- e Gaszuführungskanal
- f Frischluftkanal
- g Abgaskanäle
- h Gaszweigeleitung
- i Gasdüsen
- j Luftdüsen
- k Erzabziehöffnungen
- l Begichtungsöffnungen
- m Erzrampen
- n Gaserzeugerbühne
- o Ofenroste



RZ 1873 Z 1-3

Feuerungstechnik

Eisenerz-Röstofen mit Gasheizung

Die zur Zeit gebräuchlichen Röstöfen bestehen aus einem hohen Schacht mit eisernem Blechmantel, den man innen ausmauert. Die Ofen werden mit Streuf Feuerung betrieben. Der Ofenblock des mit Gas beheizten Röstofens, Abb. 1 bis 3, setzt sich dagegen aus einer Anzahl von Einzelzellen *a*, die in zwei einander gegenüberliegenden Reihen liegen und einen rechteckigen Querschnitt mit abgerundeten Ecken bilden, zusammen. Die Schächte sind verhältnismäßig niedrig. In dem Ofen kann man stückige und malmige Eisenerze rösten. Da der Ofen eine verhältnismäßig niedrige Hütthöhe hat und das unter Druck stehende Gas und die Luft die Erzschiicht leicht durchdringen können, werden die Erze fast vollkommen geröstet. Der Brennstoffverbrauch des Ofens ist gering.

Man kann den Ofen mit Erdgas, Hochofengas, Koksengas, Gas aus Gaserzeugern bei Verwendung minderwertiger Brennstoffe usw. beheizen. Sind einfache Schachtgaserzeuger vorhanden, so kann man in ihnen kleinstückige Erzkohlen unter Beimischung von 20 bis 30 vH Staubkohlen vergasen. Bei Wahl von Drehrost-Gaserzeugern kann man bis 50 vH feinkörnige Bestandteile beimischen; auch kann man in ihnen Braunkohlen oder Braunkohlenpreßgas vergasen.

Die Gaserzeuger *b* werden mit Druckluft betrieben. Der einzelne ist mit einem Absperr- oder Regelventil *c* ausgerüstet. Die Gase werden in einen feuerfest ausgekleideten Gassammelkanal *d* geleitet, der mit dem Ofen verbunden ist. In der Mitte der Ofenanlage, zwischen den beiden Zellenreihen, liegen zwei übereinander angeordnete Gasanäle *e*, die an ihren Längsseiten von je zwei weiteren, übereinander liegenden Kanälen *f* begrenzt sind. Von den beiden erstgenannten mittleren Kanälen dient der obere als Gaszuführungskanal *e* und ist mit dem Gassammelkanal *d* verbunden. Durch den unteren, *e*, wird die Frischluft zugeführt. Die vier seitlichen Kanäle *f* sind Abgaskanäle und führen das Frischgas und die Frischluft an. Durch je eine Gaszweigeleitung *g*, die zu beiden Seiten jeder Zelle liegen, strömt das Gas in je fünf schräg nach ihrer Mündung ausströmende Düsen *h* in die einzelnen Zellen. Unter den Gasdüsen liegen die Luftdüsen *i*. Das einströmende Gas mischt sich mit der Frischluft und verbrennt. Eine weitere Luftmenge wird den Zellen durch die Verschlüßtüren der Erz-

abziehöffnungen *k* zugeführt, die mit regelbaren Luftöffnungen versehen sind. Hierdurch wird die Verbrennungsluft angewärmt und auch die durchgerösteten Erze werden angeköhlt. Der 3 m hohe Schacht der einzelnen Zellen hat quadratischen Querschnitt ($1,2 \times 1,2 \text{ m}^2$).

Innerhalb 24 h liefert jede Zelle 10 t geröstete Erze, so daß die jährliche Leistung einer Zelle, bei Annahme von 300 Arbeitstagen 3000 t beträgt. Der durchschnittliche Brennstoffverbrauch in gleicher Zeit beträgt, unter Verwendung von Steinkohlen mit rd. 6500 kcal je nach dem Feuchtigkeitsgehalt der Erze und ihrer Struktur rd. 75 t, also rd. 2,5 vH des Ausbringens. Bei einer Röstofenanlage mit einer Jahresleistung von 100 000 t gerösteten Eisenerzen beträgt der Brennstoffverbrauch in gleicher Zeit 2500 t. Für die Vergasung von jährlich 3000 t Erz genügt ein Gaserzeuger mit Drehrost von 2 m lichte Schachtdurchmesser oder zwei einfache Schachtgaserzeuger mit einem lichten Schachtquerschnitt von $1,75 \times 1,75 \text{ m}^2$. Für ein jährliches Ausbringen von 100 000 t gerösteten Erzen sind 100 000 : 3000 = rd. 34 Zellen erforderlich.

Jede Ofenzelle hat eine Begichtungsöffnung *l*, die mit einem dichtschießenden, kegelförmigen Verschuß ausgerüstet und durch Gegengewicht ausgewuchtet ist. Die Verschlüsse liegen zwischen den Schmalspurbahngleisen, auf denen die vom Aufzug nach der Ofengicht beförderten Wagen, mit Erzen beladen, den einzelnen Begichtungsöffnungen zugeführt werden. Die Wagen verjüngen sich am Boden und haben an diesem Segmentverschlüsse. Nach Öffnung der Verschlüsse fallen die Eisenerze auf die kegelförmigen Begichtungsverschlüsse der Zellen, öffnen sie durch ihr Eigengewicht und stürzen in den Ofenschacht, worauf sich die Verschlüsse selbsttätig schließen. Die fertig gerösteten und stark abgekühlten Erze werden nach den an beiden Längsseiten der Ofenbatterie liegenden Erzrampen *m* entleert und in Eisenbahnwagen verladen. Die Brennstoffe werden in Eisenbahnwagen nach der Gaserzeugerbühne *n* befördert und dort entladen. Zur leichten Beobachtung der einzelnen Zellen und zur Abhilfe bei etwa eintretenden Störungen sind Beobachtungs- und Stochlöcher angeordnet. Die Ofenroste *o* sind nur für die Inbetriebsetzung bestimmt und werden nach einigen Stunden aus den Zellen herausgezogen. Der Ofenbetrieb geht ununterbrochen durch.

Infolge der zweckmäßigen Konstruktion des Ofens und der leichten Begichtungs- und Entlademöglichkeit wird zweifellos an Arbeitern gespart. Die Arbeiter werden von den

Rauchgasen nicht belästigt, da die Abgase durch den Kamin aus den einzelnen Zellen abgesogen werden. Bei Neuzustellungen oder andern Ausbesserungen der Zellen ist mit einem weit geringeren Betriebsausfall zu rechnen als bei Schachtöfen mit großem Fassungsraum, da bei Ausschaltung von ein oder zwei Zellen der Leistungsausfall gering ist.

Kattowitz [M 1873]

H. Hübzig

Technische Mechanik

Spannungsermittlung in Druckstäben

Der Konstrukteur ist gewohnt, mit zulässigen Spannungen zu rechnen. Will er aber auf Druck belastete Stäbe berechnen, so ist er auf Formeln angewiesen, die von der Knicklast oder der Knickspannung ausgehen, und wobei er dann eine Sicherheitszahl wählen soll, die schon wegen der weiten dafür angegebenen Grenzen sein Mißtrauen erregen muß. Dazu kommt, daß die „Sicherheit“ sich bei der Euler-Formel auf die Belastungen, bei der Tetmajer-Formel auf die Spannungen bezieht.

In einem durch eine axiale Druckkraft belasteten Stabe treten Druck- und Biegungsspannungen auf. Maßgebend ist die höchste gesamte Druckspannung

$$\sigma = \frac{P f}{W} + \frac{P}{F},$$

f = Durchbiegung des Stabes in der Mitte in cm, W = kleinstes Widerstandsmoment in cm³. Bei der zulässigen Höchstspannung k ist dann die zulässige Belastung

$$P = \frac{k}{\frac{f}{W} + \frac{1}{F}}.$$

Ist der Stab an den Enden drehbar gelagert, so ist die Biegelinie eine Sinuslinie mit

$$q_{\min} = \frac{l^2}{\pi^2 f} = \frac{E J}{W k_b}$$

und

$$\frac{f}{W} = \frac{k_b l^2}{E J \pi^2} = \frac{k_b}{P_K},$$

somit

$$P = \frac{k}{\frac{k_b}{P_K} + \frac{1}{F}} = \frac{1}{\frac{k_b}{k P_K} + \frac{1}{F k}}.$$

Wir können $k_b = k$ setzen, für Stahl ohne weiteres, für Gußeisen jedoch ebenfalls, weil Zugspannungen nur bei schlanken Stäben auftreten und auch da in ausschlaggebender Größe erst bei ganz ungewöhnlichen Verhältnissen, wie aus dem Nachfolgenden noch zu ersehen sein wird. Es ist also

$$\frac{1}{P} = \frac{1}{P_K} + \frac{1}{F k} \quad (1)$$

und

$$\sigma + \sigma_b = \frac{P_K P}{F(P_K - P)} \quad (2),$$

d. h. die Gesamtspannung ist nur abhängig von F und dem Verhältnis von $P : P_K$.

Setzt man $P_K = 1$, so ergibt sich das Anwachsen der Gesamtspannung $\sigma + \sigma_b$ in Abhängigkeit von $P : P_K$, Abb. 4. Für $P = 0,5 P_K$ wird $\sigma + \sigma_b = 1 : F$, wodurch der Maßstab für die Spannungen bestimmt ist. Für $P = 1$ wird die Druckspannung $\sigma = 1 : F$. Man erhält durch die Tangente im Punkte $P = 0$ die Teilung der Gesamtspannung in σ und σ_b . Die Biegungsspannungen bleiben mit wachsendem $P' = P : P_K$ zunächst klein, nehmen dann aber rasch zu und werden für $P = P_K$ unendlich groß.

Für den Maschinenbauer ist nun durch die Proportionalitätsgrenze die Grenze für P' gezogen. Über die Fließgrenze hinaus darf der Werkstoff überhaupt nicht beansprucht werden. Es sei z. B. $P = 40 \text{ t}$, $k = 300 \text{ kg/cm}^2$ und $P_K = 140 \text{ t}$ gewählt, somit $P' = 0,2857$. Durch die Wahl von P_K ist J bestimmt und aus Gl. (2) auch F . Es ergibt sich $\sigma = 214 \text{ kg/cm}^2$ und $\sigma_b = 86 \text{ kg/cm}^2$. Steigt jetzt die Belastung von $0,2857 P_K$ auf $0,8 P_K$, so wird die Gesamtspannung = 3000 kg/cm^2 , $\sigma = 840$ und $\sigma_b = 2160 \text{ kg/cm}^2$. Für Flußeisen ist also die Proportionalitätsgrenze bei dieser Belastung erreicht, so daß wir $0,8 \cdot 140 = 112 \text{ t}$ als P_{\max} bezeichnen können.

Die Sicherheit, bezogen auf die Belastung, ist bei 40 t somit $112 : 40 = 2,8$ bezogen auf die Spannungen dagegen 10fach. Nach Euler erhält man dagegen $\sigma = 3,5$. Die Sicherheit von 2,8 wird durchaus genügen, wenn eine Überschreitung von P_{\max} ausgeschlossen ist.

Außer dem Einfluß von $P : P_K$ ist die Spannungsteilung in Abhängigkeit vom Schlankheitsgrad $\lambda = l : r$ zu untersuchen. Durch Einsetzen von $\sigma + \sigma_b = k$ und $P : P_K$ in Gl. (1) erhält man

$$\sigma_b = \frac{P_K - P}{P} k.$$

Weiterhin kann σ eliminiert werden:

$$\frac{P}{P_K - P} = \frac{\sigma_b}{k - \sigma_b}$$

$$\frac{\sigma_b}{k} = \frac{P}{P_K} = \frac{P}{\pi^2 E F l^2} = \frac{P}{\pi^2 E F l^2}$$

$$\sigma_b = (k - \sigma_b) \frac{1}{\pi^2 E} l^2 k$$

$$\sigma_b = \frac{k^2 l^2}{E \pi^2 + k l^2}.$$

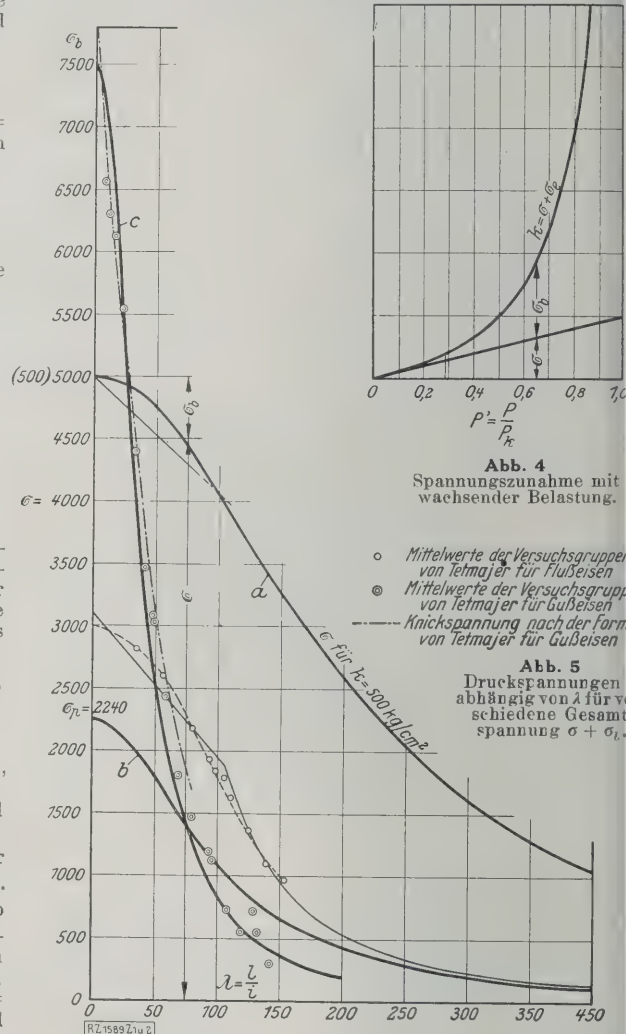


Abb. 4
Spannungszunahme mit
wachsender Belastung

○ Mittelwerte der Versuchsgruppen
von Tetmajer für Flußeisen
● Mittelwerte der Versuchsgruppen
von Tetmajer für Gußeisen
--- Knickspannung nach der Formel
von Tetmajer für Flußeisen

Abb. 5
Druckspannungen
abhängig von λ für ver-
schiedene Gesamt-
spannung $\sigma + \sigma_b$

In Abb. 5 ist in Kurve a die Spannung σ abhängig von λ für $k = 500 \text{ kg/cm}^2$ dargestellt. Zur leichteren Beurteilung ist die Spannungsgrade von Tetmajer für Flußeisen mit $\sigma = 6,65$ eingezeichnet, was für $\lambda = 0$ ebenfalls 500 kg/cm^2 ergibt. An Stelle dieser Geraden, die ja nur Mittelwerte nach den Tetmajerschen Versuchen wiedergeben soll, erhalten wir für λ bis 90 einen Verlauf, den Versuchsergebnissen von Tetmajer besser entspricht als die von ihm gewählte Gerade. Im weiteren Verlauf hat die Kurve dann Ähnlichkeit mit der Eulerschen Kurve. Der Übergang ist nicht wie bei den bisherigen Berechnungen durch einen scharf ausgeprägten Grenzwert gekennzeichnet. Ebenso verschwindet die bisher übliche Grenzspannung, bis zu der ein Stab nur auf Druck berechnet werden sollte. Bemerkenswert sind nun aber die Kurven b und c . Die Kurve b ist gezeichnet für $k = 2240 \text{ kg/cm}^2$, die Proportionalitätsgrenze, die für das von Tetmajer verwendete Flußeisen angegeben ist. Darüber sind die Versuchsergebnisse von Tetmajer eingezeichnet.

Daß die gestrichelte Kurve durchweg höher verläuft als die berechnete, ist nicht verwunderlich, da es sich ja bei ersterer um Knickspannungen handelt. Diese werden von der Fließgrenze abhängen, die für die Berechnung auf zulässige Beanspruchung nicht in Frage kommen kann. Die *b*-Linie verläuft jedenfalls ähnlich der gestrichelten Linie nach den Versuchsergebnissen. Noch deutlicher zeigt sich die Übereinstimmung mit den Versuchsergebnissen an Fließbeisen. Hier gibt es weder Proportionalitäts- noch Fließgrenze. Die Linie *c* ist deshalb mit der hier maßgebenden Druckfestigkeit $\sigma_B = 7500 \text{ kg/cm}^2$ bestimmt worden. Sie deckt sich mit den Versuchsergebnissen *Tetmajers* auch noch bei Werten für λ , für die die Tetmajer-Formel nicht mehr angewendet werden soll. Die durch die Formel bestimmten Knickspannungen sind durch die strichpunktierte Linie wiedergegeben. Beachtenswert ist diese weitgehende Übereinstimmung besonders auch mit Rücksicht darauf, daß für $\lambda > 45$ bereits Zugspannungen auftreten müssen, da hier $\sigma_b > \sigma$ wird.

Die Linie *a*, für das beliebige $k = 500 \text{ kg/cm}^2$, mußte der Deutlichkeit wegen in zehnfachem Maßstab gezeichnet werden. Dennoch sieht man beim Vergleich der drei Linien, daß je höher *c* gewählt ist, die Linie um so steiler verläuft, d. h. daß schon bei kleinerem λ das Verhältnis $\sigma : \sigma_b = 1$ erreicht wird.

Zu den *Tetmajers*chen Versuchswerten ist die Gerade der Tetmajer-Formel für Flußeisen und daran anschließend die Euler-Kurve gezeichnet. Letztere nähert sich für sehr große Werte von λ der berechneten Linie *b*. Es mag noch darauf hingewiesen werden, daß auch die Versuche *Kármáns* ähnliche Kurven ergeben. Nur liegen die Knickspannungen bei sehr kurzen Stäben, $\lambda < 30$, wesentlich höher. Da es sich auch hier um Knickspannungen handelt und diese besonders bei kleinem λ zweifellos noch von andern Dingen als von den einfachen Beziehungen abhängen, die der oben aufgestellten Formel zugrunde liegen, so braucht darauf nicht weiter eingegangen zu werden, zumal diese Abweichung höchstens bedeuten würde, daß die Sicherheit noch größer ist, als wir sie mit dieser Formel berechnen können.

Wird z. B. der Stab vorübergehend durch eine quergerichtete Kraft durchgebogen, so kann die dadurch hervorgerufene Biegungsspannung berechnet werden. Der Konstrukteur ist nun in der Lage, entweder die vorübergehende Überschreitung des zugelassenen *k* zu berechnen oder von vornherein σ_b entsprechend klein zu wählen. Aus $Pf = W\sigma_b$ läßt sich die Durchbiegung *f* berechnen.

Ein Beispiel möge die Anwendung der Gleichungen (1) und (2) erläutern. Eine Schubstange sei für $P = 20 \text{ t}$ zu berechnen bei $l = 200 \text{ cm}$, $E = 2\,200\,000$ und $\sigma_b = 3500 \text{ kg/cm}^2$. Durch Fliehkräfte werde die Stangenmitte ausgebogen um $f' = 0,0233 \text{ cm}$ und durch Reibungsmomente an den Zapfen um $f'' = 0,0037 \text{ cm}$. Wir schätzen den Stangendurchmesser zu 120 mm mit $J = 1017$ und $F = 113$. Es ergibt sich $P_K = 550 \text{ t}$.

Nach Gleichung (2) ist $\sigma + \sigma_b = 183,6 \text{ kg/cm}^2$
 $\sigma + P : F = 177,0$ „

Durch Fliehkräfte entsteht $\sigma_b' = 92,5$ „

Durch Reibung $\sigma_b'' = 14,8$ „

Durchbiegung durch *P* $f_P = 0,058 \text{ cm}$

„ „ Fliehkräfte $f' = 0,0233$ „

„ „ Reibung $f'' = 0,0037$ „

Gesamtdurchbiegung $f = 0,0850 \text{ cm}$.

Dabei wird $\sigma_b = \frac{Pf}{W} = 28,8 \text{ kg/cm}^2$.

Die gesamte Biegungsspannung wird:

$28,8 + 92,5 + 14,8 = 136,1 \text{ kg/cm}^2$

$\sigma = 177,0$ „
 Gesamtspannung $313,1 \text{ kg/cm}^2$.

Für die Proportionalitätsgrenze wird aus Gl. (1) $P = 232 \text{ t}$. Mit Rücksicht auf die Einflüsse von Fliehkraft und Reibung schätzen wir die Höchstbelastung zu 220 t .

Dann wird $\sigma + \sigma_b = 3250 \text{ kg/cm}^2$

$\sigma = 1940$ „

$\sigma_b = 1310 \text{ kg/cm}^2$.

Durchbiegung $f_P = 1,02 \text{ cm}$

$f' = 0,0233$ „

$f'' = 0,0410$ „

Gesamtdurchbiegung $= 1,0843 \text{ cm}$.

Dabei wird nun $\sigma_b = \frac{Pf}{W} = 1380$

$\sigma_b' = 92,5$

$\sigma_b'' = 163$

Gesamte Biegungsspannung $= 1635,5 \text{ kg/cm}^2$

$\sigma = 1940,0$ „

$\sigma + \sigma_b = 3575,5 \text{ kg/cm}^2$.

Nun ergibt sich folgende Sicherheit:

bezogen auf die Belastungen $220 : 20 = 11$ fach

nach Euler „ Spannungen $3500 : 313,1 = 11,2$ „

„ „ „ $550 : 20 = 27,5$ „

„ Tetmajer $= \frac{3350(1 - \lambda \cdot 0,00185)F}{20} = 16,6$ „

Ein Blick auf Abb. 4 zeigt uns, daß nur deshalb, weil die Spannungen für die Normalbelastung so klein oder *J* so groß gewählt wurde, sich für Belastungen und Spannungen fast gleiche Sicherheitsgrade ergeben. Auch für die Proportionalitätsgrenze bleibt in diesem Fall $P' = P : P_K = 0,4$ klein.

Die sonst übliche statistische Behandlung, die einen vollkommen gleichartigen Stoff und durchaus regelmäßige Spannungsverteilung voraussetzt, führt somit auch hier zum Ziele, während sie bei Versuchen, die Knickspannung oder die Knicklast zu bestimmen, stets nur angenähert richtige Werte ergeben kann, da das eigentliche Ausknicken von kleinen Unregelmäßigkeiten des Stoffes und der Spannungsverteilung sehr stark beeinflußt werden kann.

Für den Konstrukteur sind nur die Verhältnisse bis zu den praktisch zulässigen Belastungen von Bedeutung. Nun kann der Berechnung das Verhältnis $\sigma_f : k = \alpha$ oder das Verhältnis $P_{\max} : P = \beta$ oder auch beide zugrunde gelegt werden. Wie Abb. 1 zeigt, muß für eine axiale Belastung stets $\alpha > \beta$ sein. Es werde α und β gewählt, dann ist nach Gl. (1)

$$kF = \frac{P}{1 - \frac{P}{P_K}} = \frac{x}{1 - x}.$$

Es sei $P : P_K = x_1$ und $P_{\max} : P_K = x_2$.

$$Fk = \frac{x_1}{1 - x_1}; \quad F\sigma_f = \frac{x_2}{1 - x_2}$$

$$F\alpha k = \frac{\beta x_1}{1 - \beta x_1}$$

$$\frac{x_1}{1 - x_1} = \frac{\beta}{\alpha} \frac{x_1}{1 - \beta x_1}$$

$$1 - x_1 = \frac{\alpha}{\beta} - \alpha x_1$$

$$x_1 = \frac{\alpha - \beta}{\beta(\alpha - 1)} \quad (\alpha > \beta!).$$

$$\text{Es ist also } P' - P_K \frac{\alpha - \beta}{\beta(\alpha - 1)} = \frac{\pi^2 EJ}{l^2} \frac{(\alpha - \beta)}{\beta(\alpha - 1)}$$

$$J = \frac{\beta(\alpha - 1)}{(\alpha - \beta)} \frac{l^2 P'}{\pi^2 E}; \quad P_K = \frac{P'}{x_1}.$$

Aus Gl. (1)

$$\frac{1}{F} = \frac{k}{P} (1 - x_1)$$

$$F = \frac{P}{k} \left(\frac{1}{1 - x_1} \right) = \frac{P}{k} \frac{\beta}{\alpha} \left(\frac{\alpha - 1}{\beta - 1} \right).$$

Das heißt: Es kann jetzt nicht nur *J*, sondern auch das kleinste *F* ermittelt werden, was also den Stab mit kleinstem Gewicht ergibt. Statt wie bisher von der Knicklast oder von der Knickspannung auszugehen, kann der Konstrukteur auch bei Druckstäben die tatsächlich auftretenden Spannungen seiner Berechnung zu Grunde legen und die wirklich vorhandene Sicherheit bestimmen. [M 1589]

Berlin-Waidmannslust.

H. Frey und R. Frey

Gesundheitsingenieurwesen

Neuerungen im Krankenhausbau

Der Deutsche Verein für öffentliche Gesundheitspflege hielt am 10. und 11. September 1928 in Leipzig eine Tagung ab, auf der u. a. das Thema „Neuerungen im Krankenhausbau“ behandelt wurde. Stadtmedizinalrat Prof. Dr. v. Drigalski, Berlin, wies einleitend

darauf hin, daß die letzten Jahre den deutschen Krankenhäusern eine dauernde Erhöhung der Zahlen für die Verpflegungstage, die mittlere Belegungsstärke und die Zugänge an Kranken gebracht haben. Diese „Spitzenleistung“ belastet die Gemeinden mit außerordentlich hohen Kosten, deren Herabsetzung unbedingt notwendig und auch durchaus möglich erscheint, wenn man sich vergegenwärtigt, daß z. B. in Amerika die durchschnittliche Verpflegungszeit eines Kranken nur 15 bis 18 Tage beträgt, während sie bei uns fast die doppelte Höhe erreicht. Um nun günstigere Verhältnisse zu erzielen, müssen wir also darauf hinarbeiten, die für den einzelnen Patienten erforderliche Behandlungsdauer möglichst zu verkürzen, ein weiterer Weg bietet sich in der Herabsetzung der jetzigen äußerst hohen Baukosten für Krankenhäuser.

Nach näheren Ausführungen über verschiedene ansteckende Krankheiten, die für die Aufenthaltsdauer im Krankenhause maßgebend sind, bezeichnete der Vortragende als Hauptursache für die geringere Widerstandsfähigkeit gegenüber Krankheiten die sogenannten „Domestikationserscheinungen“, die bei einer ursprünglich-einfachen Lebensführung nicht auftreten würden und auf einem Mangel an Lebensreizen beruhen. Von der allergrößten Wichtigkeit ist für Krankenhäuser größte Reinheit der Luft und als bestes Hilfsmittel hierfür reichste Lichtzufuhr; gründen doch berühmte Heilstätten wie Davos und Arosa ihren Ruf in erster Linie auf die bakterien- und keimfreie Luft, die durch die reich strahlende Lichtfülle geschaffen wird. Regelmäßige, gründliche Durchlüftung, ungehinderter Zutritt des Sonnenlichtes bringen die Krankheitskeime zum Absterben, von der Sonne bestrahlter Schmutz ist nicht mehr schädlich. Will man dies erreichen, so muß der alte, feste Kasernenbau mit seinen zahlreichen Stockwerken verschwinden, leicht gebaute Baracken, deren in Fenster aufgelöste Wände Licht und Luft ungehinderten Zutritt gewähren, strahlendes Weiß der Decken und Wände können allein zu dem gewünschten Erfolge führen. Bei der verhältnismäßigen Billigkeit derartiger einfacher Bauten fällt ihre vielleicht kürzere Lebensdauer kaum ins Gewicht.

Reg.-Baumeister Dr.-Ing. Petrick, Berlin, erörterte das gleiche Thema vom Standpunkt des Architekten und Technikers. Auch er ging von dem neuzeitlichen therapeutischen Grundsatz aus, daß eine wirkungsvolle Krankenbehandlung nur in genügend durchlüfteten Räumen möglich ist. Da die Lebensweise des Kranken sich denkbar weitgehend der natürlichen anpassen soll, muß die Luft im Innern der Zimmer und Säle der Außenluft entsprechen, soweit sich das irgend erreichen läßt. Alle künstlichen Lüftungs- und Luftreinigungsanlagen haben diese Forderung bisher nicht im erforderlichen Maß erfüllen können, man muß daher eine völlig neue Krankenhaus-Bauart schaffen, die der Vortragende als „Freiluftpavillon“ bezeichnete.

Bei dem nur einstöckigen Bau wird die Vorderwand ganz in dreiteilige Fenster aufgelöst, die Kranken liegen mit dem Gesicht nach dem Fenster zu, durch dünne, leicht zu entfernende Zwischenwände von einander getrennt, die den gegenseitigen Verkehr von Ohr zu Ohr nicht unterbinden; im Sommer wie im Winter, am Tage wie in der Nacht kann ganz nach Wunsch die Freiluftbehandlung durchgeführt werden. Der ungehinderte Ausblick auf die freie Natur trägt zweifellos dazu bei, die seelische Stimmung der Kranken zu heben, die ideale Luftdurchspülung beseitigt nicht nur alle Gerüche, sondern nimmt auch den Bakterien und schädlichen Keimen die Lebensfähigkeit. Endlich bringt die leichte und einfache Bauart der Freiluft-Krankenhäuser auch erhebliche wirtschaftliche Vorteile, die der Vortragende einleuchtend zur Geltung brachte.

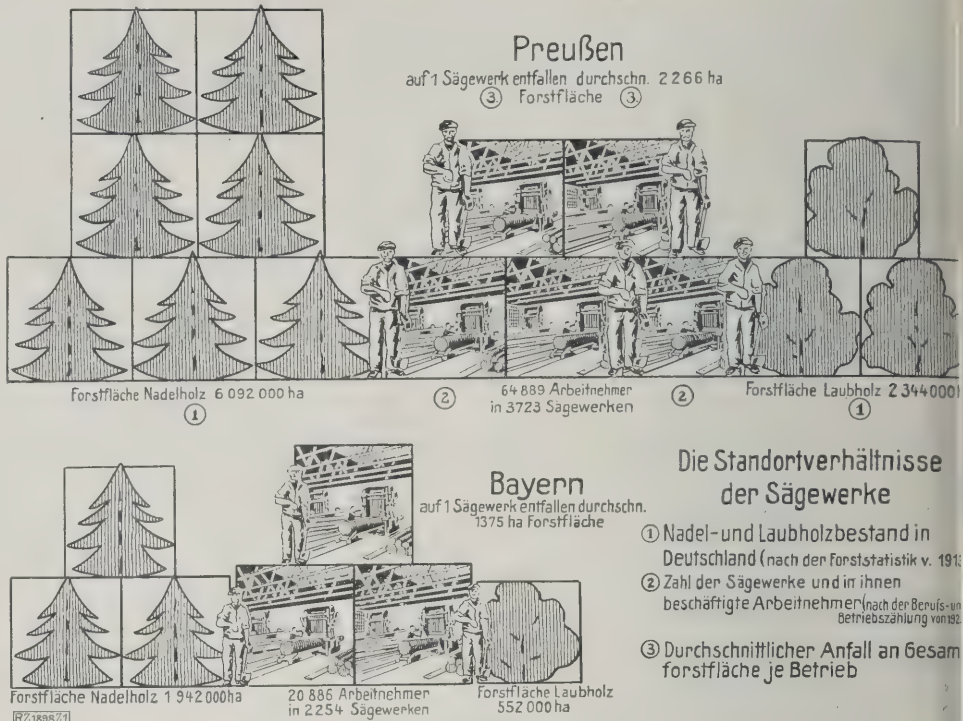


Abb. 6. Bildliche Darstellungen für die Untersuchung

Im anschließenden Meinungsaustausch wurde mehrfach darauf hingewiesen, daß kostspielige Luxusbauten, für die heute noch häufig große Vorliebe besteht, in gesundheitlicher Beziehung oft viel weniger vollkommen sind als einfache, zweckmäßig gegliederte Häuser. Wenig Anklang fand eine Äußerung gegen die reinweiße Farbe, die sich auf das „leichte und schnelle Schmutzen“ stützte, gerade die deutliche Kenntlichmachung selbst geringerer Unreinlichkeiten und Staubmengen ist einer ihrer größten Vorteile. Dagegen wurde die Frage, ob man auch den Fußboden mit weißem Anstrich versehen solle, als entschieden zu weitgehend bezeichnet, wenn auch auf Fugenlosigkeit und Staubfreiheit der größte Wert zu legen ist.

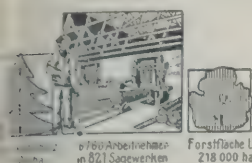
Sanitätsrat Dr. Dosquet, Berlin-Niederschönhausen, wies darauf hin, daß er die von den Vortragenden geschilderte neue Bauweise und die Freiluftbehandlung bereits seit zwei Jahrzehnten in seinem Krankenhaus „Nordend“ mit bestem Erfolge praktisch durchgeführt habe. Das neuzeitliche Krankenhaus muß die Behandlung von akut wie chronisch Kranken und Genesenden in gleich zweckmäßiger Weise gestatten, es soll einfach und leicht gebaut sein, am Rande der Großstadt inmitten eines großen, schönen Gartens liegen und reichlich von freien, unbebauten Flächen zwecks Förderung natürlicher Durchlüftung umgeben sein. Die durch Flachbau bedingte größere Grundfläche wird hier weniger ausschlaggebend sein, bei einer späteren Ausdehnung der Stadtgrenzen wird das Steigen des Grundwerts voraussichtlich die Kosten der Verlegung und des Neubaus decken.

Von besonderer Wichtigkeit für die Behandlung des Kranken ist der Grundsatz der „Entwärmung“, der allerdings noch vielfach angefochten wird, aber sich mehr und mehr durchzusetzen vermag. Der Kranke, in erhöhtem Maße der Fiebernde, muß zur Erhaltung seiner Eigentemperatur durch Haut und Atmungsorgane ständig Wärme abgeben, durch Strahlung kann das nicht in genügendem Umfange geschehen, weil die Umgebung meist höhere Wärmegrade aufweist, womöglich sogar Heizkörper am Kopfende des Bettes aufgestellt sind. Ferner vermögen selbst die vollkommensten Lüfteinrichtungen nicht zu verhindern, daß infolge der stündlichen Ausscheidung von 50 g Wasser durch den Kranken die relative Feuchtigkeit zugleich mit der Wärme steigt und schädliche Wirkung ausübt.

Dr. Dosquet hat daher in seinem Krankenhaus große und tiefe Säle oder Einzelzimmer durch lange, flache Hallen ersetzt, deren Frontseite offen und nur durch besonders gebaute Schiebefenster verschließbar ist; durch Heben des unteren Fensters entsteht eine Öffnung von 1,80 m Höhe. Die Betten sind zwecks ungehinderten Durchgangs mit ihrem Fußende 60 cm vom Fenster entfernt, dadurch auch vor Regen geschützt, von einander durch etwa mannshohe,

Württemberg

auf 1 Sägewerk entfallen durchschn. 736 ha Forstfläche



Baden

auf 1 Sägewerk entfallen durchschn. 744 ha Forstfläche



Sachsen

auf 1 Sägewerk entfallen durchschn. 641 ha Forstfläche

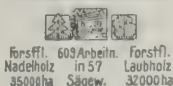


absatzmarktes von Sägewerkmaschinen.

Die in Bearbeitung befindliche Forststatistik von 1927 wird weitere feststellungen ermöglichen z. B. Mengen und Güteklassen des in den Sägewerken zu verarbeitenden Holzes

Oldenburg

auf 1 Sägewerk entfallen durchschn. 719 ha Forstfläche



Lippische Staaten

auf 1 Sägewerk entfallen durchschn. 375 ha Forstfläche



Waldeck

auf 1 Sägewerk entfallen durchschn. 2273 ha Forstfläche



Hessen

auf 1 Sägewerk entfallen durchschn. 1604 ha Forstfläche



Braunschweig

auf 1 Sägewerk entfallen durchschn. 1102 ha Forstfläche



Anhalt

auf 1 Sägewerk entfallen durchschn. 1538 ha Forstfl.



Thüringen

auf 1 Sägewerk entfallen durchschn. 726 ha Forstfläche



Mecklenburg

auf 1 Sägewerk entfallen durchschn. 3240 ha Forstfläche



Vertrieb

Aus einer Marktuntersuchung für Sägewerkmaschinen

Beim Absatz von Maschinen kommt es wesentlich darauf an, eine klare Vorstellung von den Bedingungen zu gewinnen, unter denen die Ausrüstung vorhandener Betriebe mit den neuesten, leistungsfähigsten Maschinen möglich ist. Die Fachgruppe für Vertriebsingenieure im Verein deutscher Ingenieure hat kürzlich begonnen, eine Untersuchung über den Absatzmarkt von Sägewerkmaschinen durchzuführen; ein Teilergebnis hieraus gibt Abb. 6 wieder.

Jede derartige Untersuchung muß mit den am wichtigsten erscheinenden Zusammenhängen des Absatzmarktes beginnen. Das ist z. B. bei Sägewerkmaschinen die Höhe der Vorräthen für den Rohstoff der Sägewerke; es wird viel vom günstigen oder ungünstigen Standort eines Sägewerkes abhängen, ob man den Werkleiter für die Neuananschaffung von Maschinen gewinnen kann oder nicht. Der erste, in Abb. 6¹⁾ wiedergegebene Teil der Untersuchung wurde dementsprechend auf die Klärung der Standortverhältnisse der Sägewerke in deutschen Landesteilen beschränkt, um festzustellen, wieviel Forstfläche an Nadel- und Laubholz auf die im jeweiligen Gebiete heimischen Werke entfällt, wie viele Sägewerke sich in den einzelnen Landesteilen befinden und wie groß die Betriebe, an der Belegschaft gemessen, im Mittel sind. Naturgemäß erfordert die Auswertung der Ergebnisse weitere umfangreiche Arbeit; sie bieten aber auch in der vorliegenden Gestalt bereits wertvolle Einblicke in die außerordentlich verschiedene Rohstoffversorgung und in die unterschiedlichen mittleren Betriebsgrößen in den einzelnen Gebieten.

chend auf die Klärung der Standortverhältnisse der Sägewerke in deutschen Landesteilen beschränkt, um festzustellen, wieviel Forstfläche an Nadel- und Laubholz auf die im jeweiligen Gebiete heimischen Werke entfällt, wie viele Sägewerke sich in den einzelnen Landesteilen befinden und wie groß die Betriebe, an der Belegschaft gemessen, im Mittel sind. Naturgemäß erfordert die Auswertung der Ergebnisse weitere umfangreiche Arbeit; sie bieten aber auch in der vorliegenden Gestalt bereits wertvolle Einblicke in die außerordentlich verschiedene Rohstoffversorgung und in die unterschiedlichen mittleren Betriebsgrößen in den einzelnen Gebieten.

[M 1898]

Zdl.

20 m lange, 20 cm vom Fußboden abstehende, abwaschbare Wischenwände, die leicht zu entfernen sind, getrennt, am offenen durch einen verschiebbaren Vorhang gegen den hinter befindlichen Gang abschließbar. Die dauernde leitende Verbindung mit der freien Atmosphäre verursacht eine durch keine künstliche Vorrichtung zu ersetzende Luftbewegung; trotzdem kommen Erkältungen weit seltener als unter sonstigen Verhältnissen. Im Winter sorgen Hintergrund der Halle befindliche Dauerbrandöfen für genügende Raumerwärmung vor den Mahlzeiten, wenn etwa eine Viertelstunde vorher die Schiebefenster geschlossen werden¹⁾.

Berlin Dr. phil. H. W. Wolffram

¹⁾ Vergl. hierzu Z. f. öffentl. Gesundheitspflege, Jg. 1:25/26 Heft 9/10 d. „Gesundheits-Ingenieur“ Bd. 43 (1920) S. 595.

¹⁾ Farbige Wandtafeln aus der Wanderschau „Der Vertriebsingenieur“ des Vereines deutscher Ingenieure.

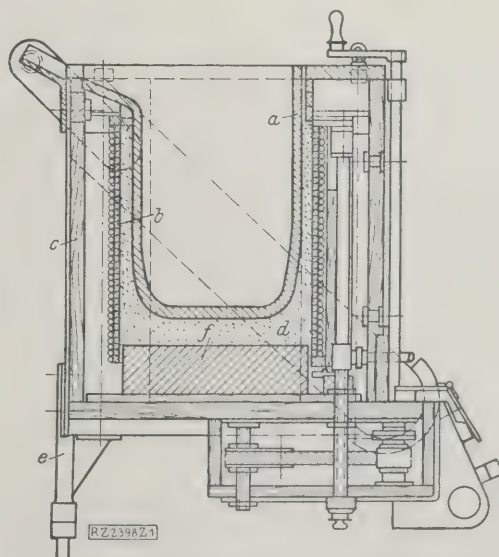
Kleine Mitteilungen

Hochfrequenz-Schmelzöfen der Metropolitan-Vickers Electrical Co., Ltd.

Zum Schmelzen von Stahl und Nichteisenmetallen hat die Firma Metropolitan-Vickers Electrical Co., Ltd. Induktionsöfen entwickelt; sie sind für einen Fassungsraum von 145 bis 230 kg bei 500 Per./s gebaut worden. Ein Teil a, s. Abb., ist innerhalb der Induktionsspule b aufgestellt und von dieser durch eine Sandlage d getrennt, die wiederum auf einem Zementblock f ruht. Alle Teile sind in einem kräftigen Holzgehäuse c untergebracht. Ein besonderer Vorzug liegt in der starken Bauart der Induktionsspule, die man mittels Wasser kühlen kann. Die Induktionswicklung kann man teilweise ausschalten, um die Wärmezufuhr dem Bedarf anzupassen. Zur Erzeugung des Stromes von 500 Per./s wird ein Zweimaschinenumformer genutzt; zwei Sätze Kondensatoren sowie ein Druckkontaktalter regeln die Leistung. („Engineering“ 21. Dezember 1928 S. 769*) [M 2398 a] Ste.

Hochdruck-Wasserkraftanlage von 780 m Gefälle

In Kalifornien hat die Feather River Power Company die Bucks Creek Anlage errichtet. Diese umfaßt zwei Peltonräder mit wagerechter Welle, je zwei Düsen von 200 mm Durchmesser und mit je einem Stromerzeuger gekuppelt, die 1000 kW leisten und bei einem Leistungsfaktor von 0,8 Drehstrom von 60 Per./s und 11 000 V erzeugen. Für den Maschinensatz ist ferner eine Erregermaschine vorhanden, die mittels eines Peltonrades mit einer Leistung von 450 PS bei 900 U/min angetrieben wird. Die Hauptturbinen leisten je 35 000 PS bei 780 m Gefälle und 450 U/min.



Elektrischer Induktionsofen der Metropolitan-Vickers Electrical Co., Ltd.

- a Schmelztiegel
- b Induktionsspule
- c Holzgehäuse
- d Sandisolierung
- e Rahmen zum Kippen
- f Betonboden

Die obere Hälfte der Rohrleitungen besteht aus genieteten Rohren von rd. 1,37 bis 1,06 m Dmr. und zunehmender Wanddicke von 16 bis 22 mm, die untere Hälfte aus Rohren von 915 mm Dmr. und 16 bis 25 mm Wanddicke, die mit stählernen Ringen bewehrt sind. Diese bewehrten Rohre teilen sich im Krafthaus je in zwei Rohre von 660 mm Dmr., die zu den Düsen führen. Die Abschlußorgane am Staubecken, am Tunnel und im Wasserschloß werden vom Krafthaus aus gesteuert. („The Engineer“ 21. Dezember 1928 S. 685) [M 2398 b] Ls.

Messung der Fahr- und Bremseigenschaften von Kraftwagen

Ein sehr einfaches Verfahren zum Aufzeichnen des Weg-Zeit-Diagrammes eines Kraftwagens, des sichersten Mittels zum Beurteilen der Fahr- und Bremseigenschaften eines Kraftwagens, hat J. Lipschitz angegeben. Bei der Versuchsfahrt läßt man mit dem zu prüfenden Wagen das Laufrad eines gewöhnlichen Fahrrades mitlaufen, das an einem leichten Hilfsrahmen am Wagen so befestigt ist, daß man es im gewünschten Augenblick mit der Fahrbahn in Berührung bringen oder von ihr abheben kann. Die Drehung dieses Rades wird mittels eines Kettenzuges auf die obere Spitze des Hilfsrahmens und von da mittels biegsamer Welle auf eine Gewindespindel übertragen, auf der sich der Stift eines Schreibgerätes führt. Dieser Stift zeichnet dann auf einem Papierstreifen, der sich vermöge eines Uhrwerkantriebes gleichförmig proportional der Zeit fortbewegt, eine Linie, deren Ordinaten den insgesamt zurückgelegten Wegen des Wagens in aufeinanderfolgenden Zeitabschnitten entsprechen. Aus diesem Diagramm lassen sich in bekannter Weise die Linien der Geschwindigkeiten und der Beschleunigungen über der Zeit ableiten. Der Vorzug des Verfahrens ist, daß es sich auch für die laufende Prüfung von Kraftfahrzeugen, z. B. für die Nachprüfung der Güte einer Ausbesserung, eignet und Werte liefert, die ausreichend genau und vom persönlichen Einfluß des Prüfers unabhängig sind. („Der Motorwagen“ 10. Dezember 1928 S. 829/31*) [M 2398 c] II.

Luftverkehr in Kanada 1927

Nach dem Bericht des Canadian Department of National Defence bestanden im Jahre 1927 in Kanada 20 Luftverkehrsunternehmen, die über 67 einmotorige Flugzeuge verfügten. Im ganzen wurden 1326 400 km geflogen und 18 932 Fluggäste, 4943,6 t Fracht und 66,1 t Post befördert. 36 Flughäfen waren in Betrieb. 246 900 km² Wald wurden überwacht, um Waldbrände rechtzeitig zu melden. In den Jahren 1924 bis 1927 sind 163 000 Luftbilder im Auftrag von sieben verschiedenen staatlichen Behörden hergestellt worden, wodurch 515 980 km² erfaßt wurden. Die senkrechten Luftbildaufnahmen werden besonders für die Planung von Wasserkraftanlagen und andern Ingenieurbauten bevorzugt. Zahlreiche Flüge wurden im Auftrage der Marine und der Fischerei zur Untersuchung der Eisverhältnisse in der Hudson-Straße unternommen. Ferner wurden Flug-

zeuge zur Überwachung der Küsten und zur Bekämpfung von Schädlingen in Wäldern eingesetzt. 75 000 \$ wurden vom Parlament zum Ausbau der Flugpostlinien bewilligt und 400 000 \$ wird das Government of the Dominion für den weiteren Ausbau im Jahre 1929 bereitstellen. („Engineering“ 14. Dezember 1928 S. 733) [M 2398 d] G.

Bearbeitbarkeitsprüfung von Stählen

Im Cutting Tools Research Committee of the Institution of Mechanical Engineers hat E. G. Herbert einen Bericht vorgetragen über seine Untersuchung der Bearbeitbarkeit verschiedener Stähle. Die Proben, Wellen von 38,1 Dmr., wurden mit 18,59 m/min Schnittgeschwindigkeit 0,462 mm/U Vorschub und 6,35 mm Spantiefe abgedreht. Verhältnis zum Durchmesser erscheint diese Spantiefe sehr groß. Nur bei besonders harten Stählen wurden Schnittgeschwindigkeit und Spantiefe herabgesetzt. Bei allen Versuchen verwendete man ohne Rücksicht auf den Werkstoff Drehstähle gleicher Form und Abmessung. Bei der Bedienung des Abdrehens ließ man den letzten Span in Verbindung mit der Probe, schnitt mit der Handsäge eine Scheibe dieser Welle ab und untersuchte die Härte an Welle und Span mit einem Herbert-Pendelhärteprüfer¹⁾ an einer Diamantkugel von 1 mm Dmr. Herberts Ansicht lautet: „Die Härte des Spanes ist das Maß der Bearbeitbarkeit“ und „da die Kalthärtung der Metalle bei der Verformung verschieden ist und die Bearbeitungsverfahren sich in der ihnen hervorgerufenen Verformung unterscheiden, ist die Bearbeitbarkeit keine Eigenschaft der Metalle, die getrennt vom einzelnen Bearbeitungsvorgang meßbar ist.“ („American Machinist, London“ 22. Dezember 1928 S. 267 E u. 270 E*) [M 2398 e] Pa.

¹⁾ Z. Bd. 71 (1927) S. 431.

Abwässerschlämmschlamm als Düngemittel

Mit dem Abwässerschlämmschlamm der Stadt Baltimore hat man in den Jahren 1923 bis 1927 planmäßige Düngerversuche an verschiedenen der Ernährung dienenden Pflanzen unternommen. Wenn auch die Ergebnisse dieser Versuche insbesondere infolge vielfach ungünstiger Witterung und anderer schwer abzuwägender örtlicher Einflüsse, nur zu einer gewissen Vorsicht aufzunehmen sind, so konnte man doch wichtige Schlüsse auf das Verhalten der verschiedenen Pflanzen gegenüber dieser Art der Düngung ziehen.

Gedüngt wurden Kartoffeln, Zuckerrohrpflanzen, Spinat, Tomaten, verschiedene Kohlarten und grüne Bohnen. In allen Pflanzen, mit Ausnahme des Zuckerrohrs, ergab 20 t an der Luft getrockneten Schlamms eine bessere Ernte als 40 t nassen Schlamms. Besonders günstig wirkte die Düngung auf Zuckerrohr, sodann auf Kartoffeln und Kohl. Spinat und Tomaten zeigten dagegen die geringste Wirkung. Die Düngewirkung erstreckte sich bei Zuckerrohr und Kohl sogar noch auf das der Düngung folgende zweite Jahr. („Engineering News-Record“ 6. Dezember 1928 S. 837*) [M 2398 f] Sd.

BÜCHERSCHAU

Bücher und Zeitschriften des In- und Auslandes, auch solche nichttechnischen Inhaltes, liefert die VDI-Buchhandlung, Berlin NW 7, Ingenieurhaus (Telegrammschrift: Ingenieurverlag Berlin; Fernspr.: Zentrum 15204).

Handbuch der Elektrizität und des Magnetismus. Herausgeg. von L. Graetz. 5. Bd. 1. bis 3. Lief.: Zeitliche Vorgänge — Technik. Leipzig 1926 bis 1928, Johann Ambrosius Barth. 5. Bd. vollst. 896 S. m. 836 Abb. Preis 76 RM. Einzelne Lieferungen werden nicht abgegeben.

Der durch sein Werk „Die Elektrizität“ weit über die Fachkreise bekannte Herausgeber hat in dem neuen Handbuch ein Werk geschaffen, das die Bezeichnung „Handbuch“ in vollem Maße verdient. Mit der nunmehr erschienenen dritten Lieferung ist der fünfte Band „Zeitliche Vorgänge — Technik“ zum Abschluß gekommen. Durch die Heranziehung von namhaften Mitarbeitern aus den Fachgebieten der Praxis ist es gelungen, das Wesentliche gründlich und klar darzustellen. „Induktion“ und „Elektrische Schwingungen“ sind von dem Herausgeber selbst bearbeitet. In den einzelnen Abschnitten werden sodann behandelt: Theorie der Wechselströme, Gleichstrommaschinen, Transformatoren, Umformer, Gleichrichter, Kraftwerke, Kommutatormaschinen, Hochfrequenztechnik.

Die theoretischen Zusammenhänge sind durchweg gut zu verfolgen. Infolgedessen bietet das Werk dem Physiker wie dem Techniker vorzüglich Gelegenheit, sich das physikalische Verständnis solcher Fragen anzueignen, die ihm im Beruf nicht unmittelbar nahe liegen. Auch die Praxis ist zu ihrem Recht gekommen. Konstruktion und Berechnung von Maschinen und Anlagen nehmen in den entsprechenden Abschnitten den gebührenden Raum ein.

Von besonderem Wert sind für den Gebrauch des Handbuches die ausführlichen Nachweise des Schrifttums, das weitgehend unterteilte Sachverzeichnis und das umfassende Namenverzeichnis. Zahlreiche drucktechnisch gut wiedergegebene Bilder ergänzen den Text. [E 2284] Fi.

Geschichtliche Einzeldarstellungen aus der Elektrotechnik

Herausgeg. vom Elektrotechnischen Verein E. V. 1. H. Berlin 1928, Julius Springer. 98 S. m. 99 Abb. Preis 7 RM.

Schon vor dem Kriege hatte der Elektrotechnische Verein zu Berlin beschlossen, durch seinen geschichtlichen Unterausschuß die Veröffentlichung von Arbeiten zur Geschichte der Elektrotechnik zu fördern, der Krieg und seine Folgeerscheinungen haben jahrelang verhindert, die Absicht in dem gewollten Umfang auszuführen. Jetzt tritt der Elektrotechnische Verein zum ersten Male mit einer nach Inhalt und Ausstattung ausgezeichneten Bändchen geschichtlicher Einzeldarstellungen an die Öffentlichkeit, und es ist zu wünschen, daß ihm noch recht viele folgen mögen.

Der erste Teil des vorliegenden Bandes enthält ein Neudruck des von L. Schüller in der ETZ Bd. 38 (1915) S. 185 veröffentlichten Aufsatzes über die Geschichte der Transformatoren. Daran schließt sich, ein nachachtungswerter Gedanke, ein Neudruck zweier für die Theorie der Transformatoren geradezu klassisch gewordener Arbeiten von Gisbert Kapp aus den Jahren 1888 und 1895, sowie ein

nsatzes von *Dolivo-Dobrowolsky* aus dem Jahr 1892. Den
schluß bildet ein von *W. Stumpner* in der ETZ Bd. 47 (1926)
601 bereits abgedruckter Aufsatz über die Geschichte
des Elektrizitätszählers. [E 2246] Schn.

ie Methodik der Fermente. Unter Mitarbeit von Fach-
genossen herausgeg. von *Carl Oppenheimer* und *Ludwig*
Pincussen. 4. Liefgr. Leipzig 1928, Georg Thieme. S. 945
bis 1264 m. 59 Abb. Preis 28 RM.

Die Hauptabschnitte der vierten Lieferung des um-
ngreichen Werkes, auf dessen Bestimmung als ausführ-
ches Hilfsbuch bei experimentellen Untersuchungen auf
chemischem Gebiet ich in dieser Zeitschrift Bd. 72 (1928)
1691 bereits hingewiesen habe, betreffen Arbeiten mit Pro-
asen und mit Desmolasen. Von den Proteasen sind nament-
ch die im Tierkörper wirksamen (Trypsin und Pepsin) von
ichtigkeit, und die ausführlichen Angaben, die über die
ethodik ihrer Untersuchung gemacht werden, dürften,
nso wie die sich anschließenden Vorschriften und Be-
erkungen über die Methodik der Untersuchung des Labes
und über die der neuen und neuesten Zeit angehörige Metho-
k der Untersuchungen über die Autolyse einer häufigen
achtung sicher sein. Unter den die Desmolasen behan-
elnden Abschnitten ist, neben vielen andern, besonders der
on *C. Neuberg* und *Maria Knobel* verfaßte Abschnitt
ber den Abbau der Hexosen von Interesse, der zahl-
reichen Einzelangaben über die die Vergärung in ihren
ei Formen betreffenden Versuche bringt, jene Versuche,
ie seinerzeit zu umfangreichen technischen Anlagen ge-
führt haben, in denen Glycerin durch Vergärung von Zucker-
arten in alkalischer Lösung in großem Maßstab (1 Million
g im Monat) gewonnen wurde, und die für unser Vater-
nd von unschätzbbarer Bedeutung gewesen sind, als die
ewinnung von Fettglyzerin durch die feindliche Blockade
unserer Küsten unmöglich gemacht wurde. — Das Erschei-
en der vierten Lieferung in verhältnismäßig kurzer Zeit
nach der dritten ist eine Gewähr dafür, daß dieses Standard-
werk in absehbarer Zeit vollendet vorliegen wird.

[E 2257] Böttger
öschens Lehrbücherei; 1. Gr. 12. Bd.: *Methoden der prak-
tischen Analysis*. Von *Fr. A. Willers*. Berlin und
Leipzig 1928, Walter de Gruyter & Co. 344 S. m.
132 Abb. Preis 21,50 RM.

Der Verfasser hat, vom Standpunkt der Mathematiker
ausgehend, ein Gebiet bearbeitet, das für das Ingenieur-
wesen von außerordentlicher Wichtigkeit ist: einmal weil
sich dauernd anhäufende Menge von Versuchsergeb-
nissen der Ingenieurlaboratorien zur Übersicht eine zu-
ammenfassende Bearbeitung erfordert und außerdem, weil
ich viele Rechnungen, die Ingenieure dauernd auszuführen
aben, durch ein zweckmäßiges Rechenverfahren bedeutend
okürzen lassen. Behandelt sind: das Zahlenrechnen und
eine Hilfsmittel, die Interpolation, die angenäherte Inte-
ration und Differentiation, praktische Gleichungslehre,
analyse empirischer Funktionen, angenäherte Integration
gewöhnlicher Differentialgleichungen. Dabei werden die
ferstellung von Rechenblättern, der Gebrauch vom Rechen-
chieber, Rechenmaschinen, Planimetern und Integrativen er-
lärt, ferner verschiedene numerische und zeichnerische
erfahren im Anschluß an theoretische Betrachtungen er-
eutert. Natürlich läßt sich keine Regel für jeden Fall
eben, aber die Frage hätte noch mehr in den Vordergrund
estellt werden können, wie man bei einer Reihe von ge-
ebenen Werten ohne viel Mühe feststellen kann, nach
welchem Gesetz sie sich wahrscheinlich ändern. Die „Dar-
tellung durch Exponentialfunktionen“ ist etwas kurz aus-
gefallen. Die Abbildungen sind oft zu stark verkleinert.
edenfalls ist jedes derartige Werk vom Ingenieurstand-
punkt aus zu begrüßen. [E 2237] W. Schmidt

Anweisung für Mörtel und Beton. Herausgeg. v. d. Deut-
schen Reichsbahn-Gesellschaft. Berlin 1928, Wilhelm
Ernst & Sohn. 66 S. m. 15 Taf. Preis 4 RM.

Das übersichtliche, trefflich geordnete Buch enthält
eine Zusammenfassung wichtiger Erkenntnisse über die Be-
andteile sowie über die Eigenschaften von Mörtel und
Beton. Hieran schließen sich Richtlinien für die Wahl des
Mörtels und des Betons, ferner Zahlentafeln für den Stoff-
bedarf. Schließlich ist die Bauüberwachung ausführlich be-
handelt.

Das vorliegende Buch wird die oft recht schwierige
Aufgabe, aus den zur Verfügung stehenden Baustoffen auf
Baustellen Mörtel oder Beton mit bestimmter Druckfestig-
keit oder Biegefestigkeit oder Undurchlässigkeit oder mit
andern bestimmten Eigenschaften zu schaffen, wirksam
unterstützen. Allerdings dürfte es wegen seines Umfanges
her als Nachschlage- oder Lehrbuch denn als Anweisung
wirken. [E 2343] Graf

Financial and Business Forecasting. Von *Warren F.*
Hickernell. Bd. 1 und 2. New York 1928, Bureau
of Business Conditions, Alexander Hamilton Institute.
426 S. m. Abb. 488 S. m. Abb. Preis 10 \$.

In diesen beiden Bänden ist in klar ersichtlicher Ent-
wicklung die Methodik behandelt, die amerikanische Wirt-
schaftstheoretiker und -praktiker zur Aufhellung des Kon-
junkturproblems anwenden: es ist nicht mehr von Kon-
junkturforschung die Rede, sondern von Vorausschätzung
des Finanzbedarfes und der Verkaufsumfängen.

Im ersten Bande wird, zurückgreifend auf das Jahr 1815,
ein Abriß über die wirtschaftliche Entwicklung Amerikas
unter dem Gesichtspunkt gegeben, aus dieser Betrachtung
durch Analyse für die zukünftige Entwicklung etwas vor-
auszusagen. Betrachtung und Analyse, die sich im wesent-
lichen auf die gegenseitigen Beziehungen der drei Märkte:
Geld, Effekten und Ware erstrecken, sind ebenfalls in ge-
schichtlicher Form gehalten. Schon im Vorwort des zwei-
ten Bandes kommt die Abkehr von allgemeiner Wirtschafts-
prognose und die Umkehr zur speziellen Marktforschung
zum Ausdruck. So sind die neueren Arbeitsverfahren, die
in der Vorausschätzung drüber angewendet werden, be-
schrieben, und an einer Reihe von Beispielen aus den ver-
schiedensten Märkten sind diese Verfahren erläutert. Das
Buch ist kein volkswirtschaftlich-theoretisches, es will viel-
mehr dem Praktiker Verfahren zeigen, die er in seinem
Unternehmen nutzbringend verwenden kann. Volkswirt-
schaftliche Theorie und betriebswirtschaftliche Praxis sind
in eine Form gegossen, die dem Beschauer wertvolle An-
regungen gibt. [2344] J. A. Bader

„Hütte“, Taschenbuch für Betriebsingenieure. Herausgeg.
vom Akademischen Verein Hütte, E.V. und A. Stauch.
3. Aufl. Berlin 1929, Wilh. Ernst & Sohn. 1215 S. m.
Abb. Preis 32 RM.

Systematische Fabriks-Rationalisierung. Von *R. von Hol-
zer*. München und Berlin 1928, R. Oldenbourg. 152 S. m.
20 Abb. u. 2 Tab. Preis 6 RM.

Wärmetechnik im Schmiede-, Glüh- und Härtebetrieb.
Von *Friedrich Böhm*. Berlin 1928, Verkehrswissenschaft-
liche Lehrmittelgesellschaft m. b. H. bei der Deutschen
Reichsbahn. 108 S. m. 40 Abb. Preis 5 RM.

Report on Tabulating the Results of Heat Engine Trials.
Presented to the Council of the Institution of Civil Engi-
neers by the Heat Engine Trials Committee. 1927. Lon-
don, William Clowes & Sons, Ltd. 330 S. m. Abb.
Preis 5 sh.

Festigkeitslehre. Von *S. Timoshenko* und *I. M. Lessells*.
Ins Deutsche übertragen von *I. Malkin*. Berlin 1928,
Julius Springer. 484 S. m. 391 Abb. Preis 28 RM.

Fördermittel zum Bekohlen und Besanden von Lokomotiven.
Von *Max Gottschalk*. Berlin 1928, Verlag der Verkehrs-
wissenschaftlichen Lehrmittelgesellschaft bei der Deut-
schen Reichsbahn. 172 S. m. 58 Abb. Preis 7 RM.

Die Reichweite von Grundwasserabsenkungen mittels Rohr-
brunnen. Von *Hermann Weber*. Berlin 1928, Julius Sprin-
ger. 57 S. m. 22 Abb. Preis 4,50 RM.

Rohre. Unter besonderer Berücksichtigung der Rohre für
Wasserkraftanlagen. Von *Victor Mann*. München und
Berlin 1928, R. Oldenbourg. 208 S. m. 138 Abb. Preis
13,50 RM.

Der Einfluß des $\cos \varphi$ auf die Tarifgestaltung der Elek-
trizitätswerke. Von *Hans Nissel*. Berlin 1928, Julius
Springer. 52 S. m. 44 Abb. Preis 4,50 RM.

Sammlung Göschens, 197. Bd.: *Elektrotechnik*. Von *J. Herr-
mann*. 2. T.: Die Gleichstromtechnik. 5. Aufl. Berlin
und Leipzig 1928, Walter de Gruyter & Co. 135 S. m.
121 Abb. u. 16 Taf. Preis 1,50 RM.

Berichte aus dem Institut für Mechanische Technologie und
Materialkunde der Technischen Hochschule zu Berlin.
Herausgeg. von *P. Riebensahm*. 2. H.: Über die Anlaß-
vorgänge in abgeschreckten Chrom- und Manganstählen.
Von *Hans Gocrisch*. Berlin 1928, Julius Springer. 35 S.
m. 27 Abb. Preis 3,60 RM.

Motorshipping. Von *A. C. Hardy*. London 1928, Chapman
& Hall Ltd. 166 S. m. Abb. Preis 15 sh.

Die deutschen Forschungsstätten. Dargest. von *Leopold Lch-
mann*. Berlin 1929, Verlag für Kulturpolitik. 163 S. m.
Abb. Preis 8 RM.

RKW-Veröffentlichungen, Nr. 24: *Die neuzeitliche Repara-
tur-Werkstatt für Automobile*. Herausgeg. vom Ausschuß
für wirtschaftliche Fertigung. Berlin 1928, Beuth-Verlag.
92 S. m. 28 Abb. Preis 1,80 RM.

Sammlung Göschens, 695. Bd.: *Graphische Statik* mit beson-
derer Berücksichtigung der Einflußlinien. Von *Otto*
Henkel. 2. T. 2. Aufl. Berlin und Leipzig 1928, Walter
de Gruyter & Co. 175 S. m. 91 Abb. Preis 1,50 RM.

Bildungswerte der Technik. Von *Hermann Weinreich*. Ber-
lin 1928, VDI-Verlag. 151 S. m. Abb. Preis 7 RM, für
Mitglieder des V.d.I. 6,30 RM.

Deutscher Ausschuß für Eisenbeton, 59. H.: Abbrucharbeiten und Brandversuche am Feuerwehrturm der „Gesolei 1926“, Düsseldorf. Berichterstatte Petry, Schulze und Krüger. Berlin 1928, Wilh. Ernst & Sohn. 48 S. m. 50 Abb. u. 6 Taf. Preis 7,40 RM.

Social Work and Legislation in Sweden. Veröffentlicht auf Veranlassung der Schwedischen Regierung. Stockholm 1928, P. A. Norstedt & Söner. 289 S. m. Abb. Preis 3 Kr.

Lehrbücher und Grundrisse der Rechtswissenschaft, 8. Bd. Urheber- und Erfinder-, Warenzeichen- und Wettbewerbsrecht. Von Alexander Elster. 2. Aufl. Berlin und Leipzig 1928, Walter de Gruyter & Co. 611 S. Preis 19,50 RM.

Musterbuch der deutschen Papier-Erzeugung. Ausgabe 1928. Herausgeg. vom Wochenblatt für Papierfabrikation Biberach-Riß/Württ. 1928, Güntter-Staib. 536 Papiermuster. Preis 18,50 RM.

ZUSCHRIFTEN AN DIE SCHRIFTFÜHRUNG

Der Webstuhltrieb

Der Aufsatz von Direktor Spinka in Z. Bd. 72 (1928) Nr. 26 S. 916, der für den Verbraucher recht übersichtlich und bemerkenswert ist, bedarf noch einiger ergänzender Bemerkungen. Den Hauptwert legt Spinka auf die Dämpfung der Drehzahlschwankungen des Webstuhles und des Motors. Durch das erste soll hauptsächlich die Erhöhung der Stuhldrehzahl möglich sein, durch das zweite der Motor geschont werden.

Hierzu ist zu bemerken, daß eine vollständige Vergleichmäßigung der Drehzahl des Webstuhles für das Weben durchaus nicht vorteilhaft ist; dies ließe sich ja z. B. ohne weiteres durch Schwungräder oder Schwungmassen erreichen. Versuche in dieser Richtung hatten keinen Erfolg, da die einzelnen Arbeitsphasen des Stuhles ineinander gezogen werden, sondern man muß im Gegenteil z. B. die Lade während des Schusses etwas verlangsamen, um dem Schützen genügend Zeit zum Zurücklegen seines Weges zu geben. Die Steigerung der Drehzahl beim Einzelantrieb ist dadurch möglich, daß der Webstuhl die einmal eingestellte Schußzahl, die gerade noch ein störungsfreies Arbeiten ermöglicht, immer genau einhält und daß sie beim Anfahren sofort erreicht wird, so daß der erste Schlag so stark ist wie die folgenden. Diese Eigenschaft haben mehr oder weniger alle elektrischen Einzelantriebe, sofern bei ihnen ein Schlupf der Antriebsmittel nicht möglich ist.

Wippenantriebe sind für den Webstuhl nicht deshalb ungeeignet, weil sie Riemenrutsch zulassen und den Gang des Webstuhles nur ungenügend dämpfen, sondern, weil sie den Stuhl nicht kräftig genug durchziehen können und daher auch die Schlagstärke nicht genügend einhalten. Durch richtig angewendete Spannrollen wird der Riemen-schlupf herabgesetzt, allerdings auf Kosten der Haltbarkeit des Riemens, der unter der wechselnden Biegung stark leidet und dauernder Wartung und häufiger Erneuerung bedarf. Die Biegearbeit, ebenso wie das fortwährende Spannen der Feder oder das Anheben des Belastungsgewichtes der Spannrolle, müssen durch den Antriebsmotor aufgebracht werden, der hierdurch sicher nicht besonders geschont wird.

Im übrigen hat sich im Betrieb gezeigt, daß der Motor mit Kurzschlußläufer sich zum Einzelantrieb mittels Zahn-rädern von Webstühlen eignet und nicht im geringsten angegriffen wird. Größere Stöße, wie beim „in die Puffer fahren“, kann man hier durch genau einstellbare Rutschkupplungen unschädlich machen, was man beim Spannrollenantrieb nicht mit gleicher Sicherheit erzielen kann. Der Unterzeichnete hat selbst beobachtet, wie bei einem Baumwollwebstuhl, der durch einen Motor mit gewichtbelasteter Spannrolle angetrieben wurde, das „in die Puffer

fahren“ zu einer starken Formänderung der Kurbelwelle führte. — Vorstehende Ausführungen sollen den Spannrollenantrieb nicht herabsetzen, sondern nur eine Klärung der Eigenschaften der einzelnen Antriebe herbeiführen, von denen der Zahnrad-Einzelantrieb zweifellos immer noch der vorteilhafteste sein dürfte.

Paul Treuherz.

Erwiderung

Das Streben nach vollständiger Vergleichmäßigung der Drehzahl des Webstuhles bezeichnet Ing. Treuherz als unvereinbar mit den einzelnen Arbeitstufen, bestätigt aber daß der elektrische Einzelantrieb den verschiedenartigen Vorgängen im Webstuhl Rechnung trägt. Hierzu bemerke ich, daß man natürlich nicht die Arbeitstufen beeinflussen darf, sondern die im Gefolge liegenden Verzerrungen. Das sind also Überschreitungen in der Bewegung, wie sie durch die Eigenart der Arbeitsweise des Webstuhles ausgelöst werden.

Von dem Wippmotor mit federnder Spannrolle darf man nicht auf Mängel des Spannrollenmotors schließen. Bereits in meinem Aufsatz hatte ich diese verfehlte Bauart abgelehnt. Verschiedene andere fehlerhafte Bauarten bei einträchtigten die Einführung des Spannrollenmotors zum Antrieb von Webstühlen sehr. Mir selbst wurde auf der Suche nach dem richtigen Antrieb von einer bedeutenden Motorenfabrik ein Webstuhlmotor mit fester Spannrolle geliefert. Die Verdrehung einer Kurbelwelle beweist als nichts. Bei unrichtiger Einstellung der Rutschkupplung am Zahnradmotor sind ähnliche Beschädigungen am Webstuhl möglich. Die Nachteile, wie Biegearbeit und Erneuerung des Riemens sind, wie die Praxis zeigt, erträglich. Beim Zahnradmotor dürfen die Einstellarbeit an der Rutschkupplung, Pflege und Erneuerung des Zahnradritzel am Motor nicht vergessen werden.

Einfach aber ist die Kontrolle, ob auch die nahestehende schlupflose Verbindung zwischen Spannrollenmotor und Webstuhl, z. B. bei Saisonwechsel, d. h. bei Übergang von leichten auf schwere Gewebe, beibehalten ist. Die einschwingende Spannrolle und das Einziehen des ablaufenden Riementums zeigen richtiges Arbeiten, was man auch bei einer großen Anzahl von Antrieben leicht feststellen kann. Dies ist wesentlich, weil sonst die erwartete Mehrerzeugung nicht erreicht wird.

Zu dem Vorteil der erschütterungsfreien Aufstellung des Spannrollenmotors gesellt sich noch dessen geringerer Platzbedarf, wobei man auch den Webstuhl nicht abändern muß. Die zahlreichen an mich gerichteten Zuschriften und meine weiteren Beobachtungen haben ergeben, daß mit dem richtig gebauten Spannrollenmotor in der Weberei wesentliche Vorteile erreicht werden können.

[D 2298]

R. Spinka.

Schluß des Textteiles

I N H A L T:

	Seite
Getreidemühlen. Von E. M. Meller	37
Der schweizerische Postkraftwagen-Betrieb im Winter	44
Gustav Anton Zeuner und die technische Wärmelchre. Von F. Merkel	45
Max Schwab	48
Photographische Objektive. Von R. Thun	49
Berichtigung: Schwedische Vollbahnlokomotiven	52
Ermüdungsbruch und zulässige Belastung von Wälzquerlagern. Von R. Mundt	53
Hochofenwinderhitzer in England	59
Die Herstellung von Kakaopulver. Von H. Lottes	60
Rundschau: Eisenerz-Röstofen mit Gasheizung — Spannungsermittlung in Druckstäben — Neuerung	

gen im Krankenhausbau — Aus einer Marktuntersuchung für Sägewerkmaschinen — Kleine Mitteilungen	6
Bücherschau: Handbuch der Elektrizität und des Magnetismus. Von L. Graetz — Geschichtliche Einzeldarstellungen aus der Elektrotechnik — Die Methodik der Fermente. Von C. Oppenheimer und L. Pin-cussen — Methoden der praktischen Analysis. Von Fr. A. Willers — Anweisung für Mörtel und Beton — Financial and Business Forecasting. Von W. F. Hickernell — Eingänge	7

ZEITSCHRIFT DES VEREINES DEUTSCHER INGENIEURE

★ SCHRIFTFLEITER: C. MATSCHOSS ★

Bd. 73

SONNABEND, 19. JANUAR 1929

Nr. 3

Versuche mit Drahtseilen und Seilscheibenlagern für das Schiffshebewerk Niederfinow

Von Regierungsbaurat Dr.-Ing. A. FREUND, Schwedt a. d. O.

Auf einem für diesen Zweck in Berlin-Dahlem errichteten Versuchsturme sind Seilscheibe, Lager, Drahtseile, Seilöpfe und Spannvorrichtungen für das neue Schiffshebewerk Niederfinow in natürlicher Größe erprobt und die Anfahr- und Bewegungswiderstände mittels besonderer neuartiger Vorrichtungen ermittelt worden.

Allgemeiner Überblick über die Versuche

Im Zusammenhang mit den Vorarbeiten zum Bau des Schiffshebewerkes Niederfinow¹⁾ hat die Reichs- Wasserstraßen-Verwaltung (Verwaltung der Märkischen Wasserstraßen, Neubauamt Eberswalde) in den Jahren 1924/1925 auf dem Gelände des staatlichen Materialprüfungsamtes, Berlin-Dahlem, eine Versuchsanlage errichtet, auf der Seile, Seilscheiben und Seilscheibenlager in natürlicher Größe unter voller Belastung erprobt werden.

Die Untersuchungen über Lagerreibung mußten sowohl auf Gleitlager wie auf Wälzlager (Rollenlager) ausgedehnt werden. Für die beim Schiffshebewerk herrschenden Verhältnisse, sehr geringe Umlaufgeschwindigkeit bei hohen Flächendrücken, kurzer Laufzeit und dauernd wiederholtem Richtungswechsel zeigten sowohl das Schrifttum als auch der Erfahrungsschatz der betagten Fachstellen eine klaffende Lücke. Die bei hohen Umdrehungszahlen und langen Laufzeiten ohne Richtungswechsel gewonnenen Erfahrungen in bezug auf Reibungsbeiwerte in Verbindung mit Schmierung, Schmiermittel, Lagermetallen, zulässigen Flächenpressungen usw. lassen sich nicht auf die Arbeitsbedingungen der Gleitlager beim Schiffshebewerk übertragen. Ebenso fehlte es an Unterlagen für die Ermittlung des aus der Seilsteifigkeit zu erwartenden Widerstandes.

Als Ausgangspunkt für die Versuche diente die vom Reichsverkehrsministerium vorgesehene doppelrillige Seilscheibe von 3,50 m Dmr. in der Seilachse. Als höchste Seillast wurden 22,5 t zugrunde gelegt, so daß auf eine Seilscheibe 90 t und bei einem Eigengewicht der Seilscheibe von 5 t auf jedes Seilscheibenlager ein höchster Druck von 47,5 t entfällt.

Der Hub des Schiffshebewerkes Niederfinow schwankt je nach den Wasserständen der Haltungen zwischen 35,6 und 37,11 m. Die mittlere Hubgeschwindigkeit ist nach den Erfahrungen am Schiffshebewerk Henrichsburg zu 12 cm/s angenommen. Mit Rücksicht auf die Kosten mußte bei der Versuchsanlage darauf verzichtet werden, den vollen Hub des Schiffshebewerkes herzustellen; man beschränkte sich darauf, wenigstens eine halbe Umdrehung der Seilscheibe zu erzeugen, damit die gekrümmte Seilstrecke einmal gerade gestreckt werden konnte.

Die Drahtseile

Da eine fünffache Bruchsicherheit auf Grund der mit Drahtseilen im Förderbetrieb und im Aufzugbau gesammelten Erfahrungen ausreichend schien, so wurde zunächst die fünffache Sicherheit unter Berücksichtigung der Seilkrümmung als erste Grundbedingung für die Bemessung der Drahtseile festgelegt. Hiernach würde das Normseil C 56 DIN 655 mit $k_z = 13\,000\text{ kg/cm}^2$ den Anforderungen genügt haben. Die ratgebenden Fachstellen

hatten jedoch gewisse Bedenken. Diese Bedenken wurden noch bestärkt durch die beiden damals gerade erschienenen Aufsätze von Herbst^{1a)} und von Woernle²⁾ gegen die große Zahl der Drähte, da diese eine ungleichmäßige Kraftverteilung im Seilquerschnitt sowie eine Auflockerung der äußeren Drähte zur Folge haben könne. Weiterhin ergebe eine zu niedrig gewählte Bruchfestigkeit der Drähte von $k_z = 13\,000\text{ kg/cm}^2$ ein zu dickes und zu steifes Seil, wobei zu beachten ist, daß sich der Elastizitätsmodul des Stahles mit zunehmender Festigkeit nicht merklich ändert.

Nach Ansicht maßgebender Fachstellen kann man mit der Drahtfestigkeit unbedenklich bis $16\,500\text{ kg/cm}^2$ gehen, weil die auf Sprödigkeit des Werkstoffes zurückzuführenden Schäden an Förder- und Kranseilen im allgemeinen erst bei Festigkeiten von etwa $k_z = 18\,000\text{ kg/cm}^2$ ab auftreten. Mit Rücksicht auf die zulässige Abweichung von der vorgeschriebenen Durchschnittsfestigkeit, die nach DIN 655 $\pm 10\%$ beträgt, wurde demnach die Festigkeit $k_z = 15\,000\text{ kg/cm}^2$ als zweite Grundbedingung für die Bemessung der Drahtseile festgelegt. Schließlich hat man von der Reihe C des Norm-Entwurfes Abstand genommen und ein nach Reihe B im Sinne des DIN-Blattes 655 aufgebautes, also aus 6 Litzen zu je 37 Drähten, zusammen 222 Drähten, bestehendes Drahtseil gewählt. Dieses Seil hat bei $k_z = 15\,000\text{ kg/cm}^2$ einen Seildurchmesser von 52 mm, einen Einzeldrahtdurchmesser von 2,4 mm, einen Querschnitt sämtlicher Drähte im Seil von rd. 10 cm^2 , ein Gewicht von rd. 9 kg/m und eine rechnerische Bruchlast von rd. $150\,000\text{ kg}$. Nach der Formel von Isaaksen ergibt sich für das gebogene Seil die Beanspruchung von

$$\sigma = \frac{22\,500}{10} + \frac{1}{2} \cdot 2\,150\,000 \cdot \frac{0,24}{350} = \text{rd. } 2990\text{ kg/cm}^2,$$

mithin eine Bruchsicherheit von

$$s = \frac{15\,000}{2990} = 5,03\text{ fach.}$$

Während die Normung nur Rundlitzenseile vorsieht, kommen für das Schiffshebewerk auch Dreikantlitzenseile in Betracht.

Bei der Auslese zwischen den beiden einzig in Betracht kommenden Schlagarten, nämlich Kreuz- und Längsschlag, war zunächst der Umstand zu beachten, daß Längsschlagseile weniger steif sind als Kreuzschlagseile. Dafür haben die Längsschlagseile mehr Drall, ein Mangel, der sich beim Schiffshebewerk dadurch teilweise, ausgleichen läßt, daß die Seile paarweise angeordnet werden und jedes Paar aus einem

^{1a)} Schäden in Förderseilen, „Glückauf“ Bd. 59 (1923) S. 261.

²⁾ Über den Einfluß der Schlagart auf die Lebensdauer der Drahtseile, „Maschinenbau“ Bd. 3 (1924), „Gestaltung“ S. 763.

¹⁾ Vergl. a. Ellerbeck, Z. Bd. 71 (1927) S. 787.

links- und einem rechtsgängigen Seil besteht. Da auch bei der Versuchsanlage eine zweirillige Seilscheibe vorgesehen war, so konnte diese paarweise Anordnung bei den Versuchen erprobt werden. Ferner findet man die Ansicht vertreten, daß der innere Verschleiß beim Kreuzschlagsseil größer ist als beim Längsschlagsseil, weil die Überschneidungswinkel beim ersteren stumpfer, also die Überschneidungsflächen kleiner sind als beim letzteren. Diese Ansicht ist aus Erfahrungen im Bergbaubetrieb hergeleitet, wo aus diesem Grunde die Längsschlagsseile häufig bevorzugt werden. Es dürfte aber immerhin fraglich sein, ob es ohne weiteres angängig ist, diese Erfahrungen auf den andersgearteten Betrieb des Schiffshebewerks mit seiner fast stoßfreien Beanspruchung der Seile unter den sehr langsamen Laufgeschwindigkeiten zu übertragen. Wahrscheinlich dürfte im Bergbau-Förderbetrieb der innere und im Hebewerkbetrieb der äußere Verschleiß überwiegen. Die im folgenden mitgeteilten Versuche erstrecken sich zunächst nur auf die Ermittlung der zahlenmäßigen Größe der Seilsteifigkeit. Natürlich genügen diese Zahlen noch nicht, um hiernach

eisen hergestellt werden soll. Sie ist mit einem Zahnkranz für den elektrischen Antrieb und mit einer an Umfang angebrachten, auf die Seilmitte bezogenen Teilung für die Versuchsmessungen versehen, Abb. 7. Um die konzentrische Lage zu den Rillen und dadurch den genauen Lauf der Seile zu gewährleisten, hat man die Seilscheibe nach Einsetzen der Welle fertig gedreht.

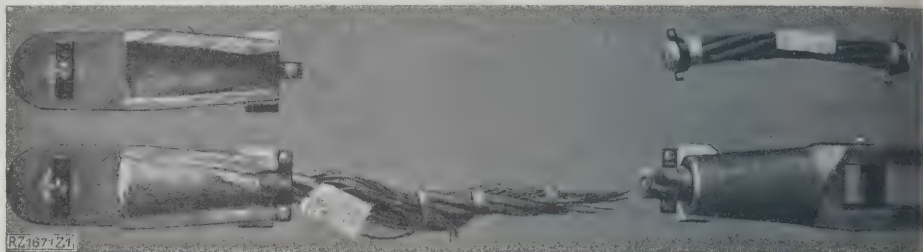
Gleitlager

Untersucht sind einfache Gleitlager mit Kugelbewegung der Lagerschale im Lagerkörper und Ölumlaufschmierung. Nach den Vorversuchen der Bamag, Dessau auf ihrem Versuchsfelde hängt die Betriebssicherheit des Gleitlagers und ihr Verhalten in bezug auf die Reibungswiderstände vor allem von der Art der Zuführung des Schmiermittels, von dem Schmiermittel selbst, von dem Werkstoff der Lagerschale und von der Ausbildung der Lagerschale ab.

Die genaue Bearbeitung der Lagerflächen ist bei der Ausführung des Lagers von größter Wichtigkeit. Insbesondere wird der Öleintritt in den Lagerspalt durch die

Abb. 1

Links: Aufgeschnittener Seiltopf nach einem Zerreißversuch. Rechts: unten ungeschnittener Seiltopf von dem andern Ende des zerrissenen Seiles; oben Probe des beim Zerreißversuch verwendeten Rundlitzenseils.



die für den Schiffshebewerk-Betrieb geeignetste Seilart zu finden. Es sind daher noch Dauerversuche mit einer Seilbiegemaschine in Aussicht genommen.

Die Einzeldrähte müssen beim Hebewerkbetrieb blank und verzinkt sein, weil hierbei unter Voraussetzung sorgfältiger Unterhaltung eine höhere Lebensdauer für die Seile zu erwarten ist.

Die Seiltöpfe

Der zur Verbindung zwischen den Seilenden und den Gewichten gewählte Seiltopf, Abb. 1, ist aus einem Stück Schmiedestahl herausgearbeitet.

Die Seiltöpfe sind so bemessen, daß die Beanspruchungen bei der rechnerischen Bruchlast des Seiles von 150 000 kg etwas unter der Streckgrenze bleiben. Die Versuche zeigen nun, daß die Seiltöpfe nicht nur die Bruchlast der Seile ertragen haben, die Bruchstellen der Seile lagen durchweg außerhalb der Einbandstrecke, sondern daß sie auch keine mit gewöhnlichem Meßgerät feststellbare Formänderung zeigen. Um festzustellen, wie der Bleikegel nach dem Zerreißversuch aussah, hat man einen der Seiltöpfe nach dem Zerreißversuch aufgeschnitten.

Die Spannvorrichtungen

Die Spannvorrichtungen, Abb. 2, dienen zum erstmaligen Einziehen der Seile und zum Ausgleich der Seildehnungen. Sie bestehen aus einer Spindel aus Schmiedestahl St 60, einer Hülse aus geschmiedeter Bronze oder geschmiedetem Deltametall mit einer Bruchfestigkeit von 6000 kg/cm² und einem würfelförmigen Kopfstück, ebenfalls aus Stahl. Die Spindel hat Rechts-, die Ausbohrung des Kopfes Links-, die Bronzehülse demnach innen Rechts- und außen Linksgewinde. Spindel und Kopf bleiben immer in zueinander paralleler Lage. Gegen Herausschrauben der Spindel aus der Hülse und damit gleichzeitig der Hülse aus dem Kopfe sichert eine in die Eisenkonstruktion eingreifende Hubbegrenzung am unteren Ende der Spindel.

Die Seilscheibe

Die bauliche Ausbildung der Seilscheibe ist dadurch bedingt, daß sie zweirillig ist — der Abstand der Rillennitten beträgt 100 mm — und ungeteilt aus Guß-

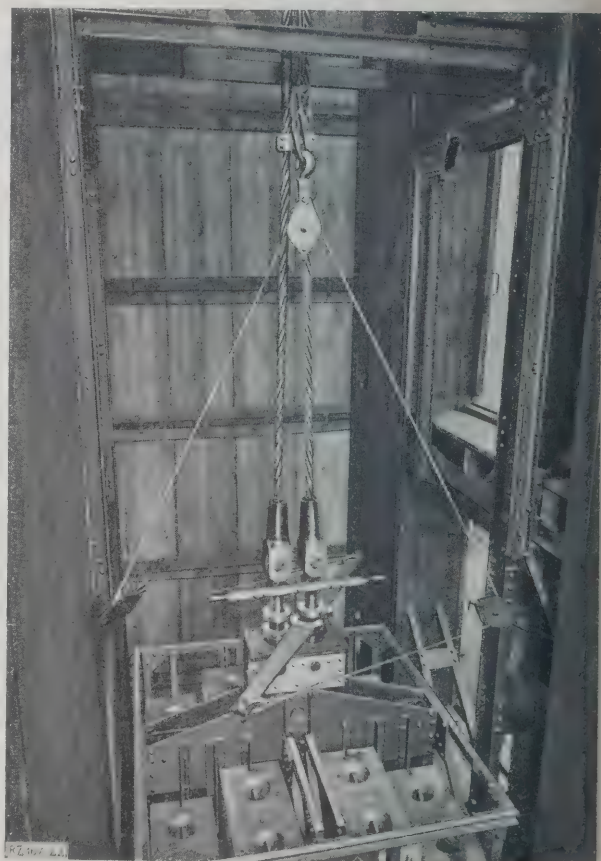


Abb. 2

Aufhängung des einteiligen Gewichtskorbes an den beiden Versuchseilen mittels Seiltöpfen, Spannvorrichtungen und Wagebalken. Die rechte Spannvorrichtung wird gerade mittels des Krans und einer Hilfsvorrichtung unter voller Last angezogen.

tige Ausbildung der Fase am oberen Rande der Lagerschale beeinflusst. Die Zuführung des Schmieröls in die Zone des höchsten Druckes mittels Preßluftleitung hat sich bei den vorliegenden hohen Lagerdrücken bis 80 kg/cm^2 als grundsätzlich falsch erwiesen. Lagerzapfen hat 220 mm Dmr., die Lagerschalen sind 1 mm breit. Die Lagerwelle ist aus S.-M.-Stahl von $k_z = 1$ bis 6000 kg/cm^2 , Härte 3, 20 vH Dehnung hergestellt ebenso wie die Lagerschalen auf Hochglanz poliert. Lagerkörper und Lagerdeckel bestehen aus Gußeisen, Kugellager aus Stahlguß. Bei den Versuchen mit Schmieröl befindet sich über dem Lagerzapfen ein mit Preßluft gefülltes Rohrstück. Das über die Lagerzapfen geflossene Öl zieht durch eine Öffnung in den Lagerkörper wieder ab. Der Ölraum wird durch O-Ringe abgedichtet. Für die Versuche mit Fettschmierung hat man eine Messingkappe hergestellt, die über die Lagerwelle gestülpt und mit Fett gefüllt wird. Auf das Ölpolster wird ein Teller mittels einer Feder gedrückt, mittels eines Handrades nachgespannt werden kann, Abb. 3.

Wälzlager

Für die Versuche in Dahlem hatte man zunächst Tonlager aus der Kugelfabrik Fischer, Schweinfurt a. M., beschafft. Die Erprobung weiterer Bauarten ist beabsichtigt. Ein Vergleich verschiedener Wälzlagerarten wird durch Dauerversuche möglich sein. Diese sind geplant, die Versuchseinrichtung soll auch die genaue Ermittlung der Reibungswerte ermöglichen. Die Wälzlager haben 180 mm Bohrung, 390 mm Dmr. Außenringes und 132 mm Breite. Jedes Lager hat 4 Rollen, die 85 mm lang sind und einen größten Durchmesser von rd. 60 mm haben. In die seitlichen Lager-

deckel der Versuchslager hat man Glasfenster eingesetzt, die eine bequeme Beobachtung der Lager während der Versuche ermöglichen.

Der Versuchsturm

Das Tragwerk besteht aus zwei im unteren Teile völlig voneinander getrennten Turmhälften aus Eisenschachtfachwerk, zwischen denen der Versuchsschacht mit einer nutzbaren Breite von rd. 2,0 m und einer nutzbaren Länge von rd. 8,5 m freibleibt, Abb. 4 und 5. Jede Gerüsthälfte hat sieben Bühnen. In der Grube unter dem Versuchsschacht laufen die Ketten zum Ausgleich des Seilübergewichtes um. Weiterhin sind darin die mit Sandsäcken abgedeckten Prellhölzer angebracht.

Gewichtskörbe mit den Belastungsgewichten

Da die Gegengewichte beim Schiffshebewerk so angeordnet werden sollen, daß alle Seile unabhängig voneinander gleich hoch belastet werden, wurde auch am Versuchsturm der eine Gewichtskorb zweiteilig ausgeführt. Um die beiden Seilenden möglichst nahe beieinander zu behalten, ist indes nicht jeder Teilkorb am Seil unmittelbar aufgehängt, sondern es ist ein Wagebalken dazwischengeschaltet, Abb. 4. Aus baulichen Gründen ist auch beim einteiligen Gewichtskorb ein solcher Wagebalken zwischen Seile und Korb eingelegt. Die Wagebalken gestatten nun auch ein voneinander unabhängiges Recken der beiden Seile. Dem Schiefstellen der Wagebalken kann man durch Nachspannen der Spannvorrichtungen begegnen. Da die Drallmomente der Seile sich nicht ganz beseitigen lassen, sind die Körbe mit einfachen Gleitführungen versehen. Als Belastungsgewichte dienen 72 gußeiserne Blöcke von je rd. 1 t, 16 von je rd. 0,5 t und 8 von je rd. 0,4 t Gewicht, im ganzen 83,2 t.

Für die Versuche mit dem Gewichtsverfahren sind auf den Gewichtskörben sowohl feste Gewichtschalen, als auch lose aufgesetzte Eisenrahmen mit Gewichtbehältern angeordnet. Die festen Gewichtschalen erhalten die zur Überwindung der Bewegungswiderstände erforderlichen Zusatzgewichte. Die losen Rahmen erhalten die Beschleunigungsgewichte beim Messen von Bewegungswiderständen und die gesamten Zusatzgewichte beim Messen von Anfahrwiderständen. Sie werden am Ende der Beschleunigungsstrecke durch Abfangvorrichtungen von den Körben abgehoben.

Da die beiden Drahtseile, je nach der Bauart, 8 bis 10 kg/m wiegen können, so verwendet man zum Ausgleich der bei den Versuchen auftretenden ungleichen Seillänge kalibrierte Ketten, die unter den Gewichtskörben angehängt sind, Abb. 5.

Meßvorrichtungen

Die von R. Fueß, Berlin-Steglitz, angefertigte Schreibvorrichtung für Zeit-, Weg- und Geschwindigkeitsaufzeichnung zeichnet zwei voneinander unabhängige Kurven auf. Die untere Kurve stellt ein Zeit-Weg-Diagramm dar, aus dem die Geschwindigkeit nachträglich ausgemessen wird. Die obere Kurve gibt für die Beobachtung der Versuche das Geschwindigkeitsdiagramm unmittelbar wieder, Abb. 11.

Das Fueßsche Gerät, Abb. 6, besteht aus einer Schreibtrommel, die von einem Uhrwerk gleichmäßig gedreht wird. Es sind zwei Geschwindigkeitsstufen vorhanden. Der Drahtzug des unteren Schreibstiftes zum Aufzeichnen des Seilweges läuft über eine Schnurscheibe, die auf der Stirnseite der Seilscheibenwelle befestigt ist, Abb. 7. Zum Aufzeichnen der Geschwindigkeit dient ein Flüssigkeitskreislauf, der aus drei mit Quecksilber teilweise gefüllten kommunizierenden Röhren besteht. Die mittlere kurze Röhre liegt in der Drehachse und enthält den Schwimmer, der durch einen Drahtzug über Rollen mit dem oberen Schreibstift verbunden ist. Der Kreislauf wird vom Umfang der Seilscheibe, auf dem eine gewichtsbelastete Reibungsrolle läuft, angetrieben. Das Übersetzungsverhältnis zwischen Seilscheibe und Kreislauf kann im Verhältnis 1:2 verändert werden. Der Kreislauf zeigt Geschwindigkeiten von rd. 2 bis 30 cm/s am Umfang der Seilscheibe an.

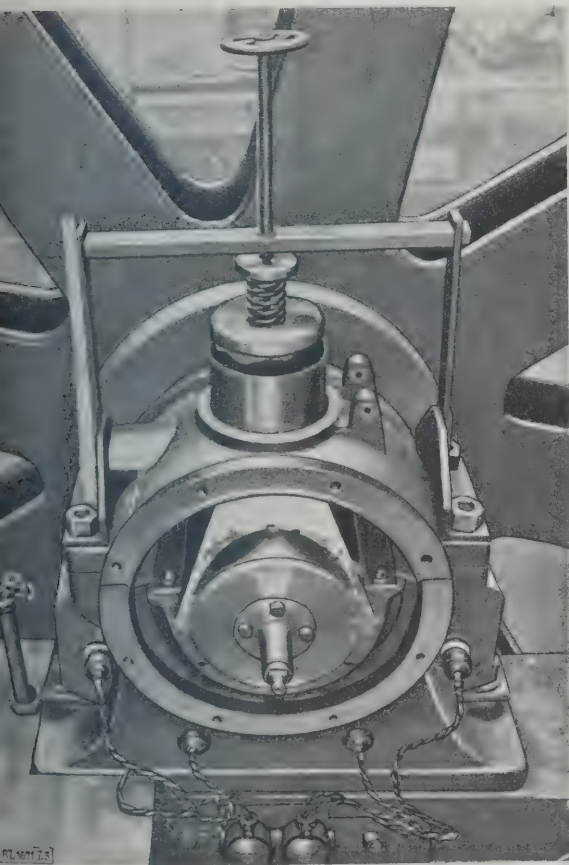


Abb. 3

Gleitlager (Bauart Bamag) mit Schmierhaube. Lagerdeckel abgenommen, um Lagerwelle und Lagerschale zu zeigen. Die verlängerte Lagerachse dient zum Anbringen der Schnurscheibe für die Meßvorrichtung. Unten die vier elektrischen Heizpatronen.

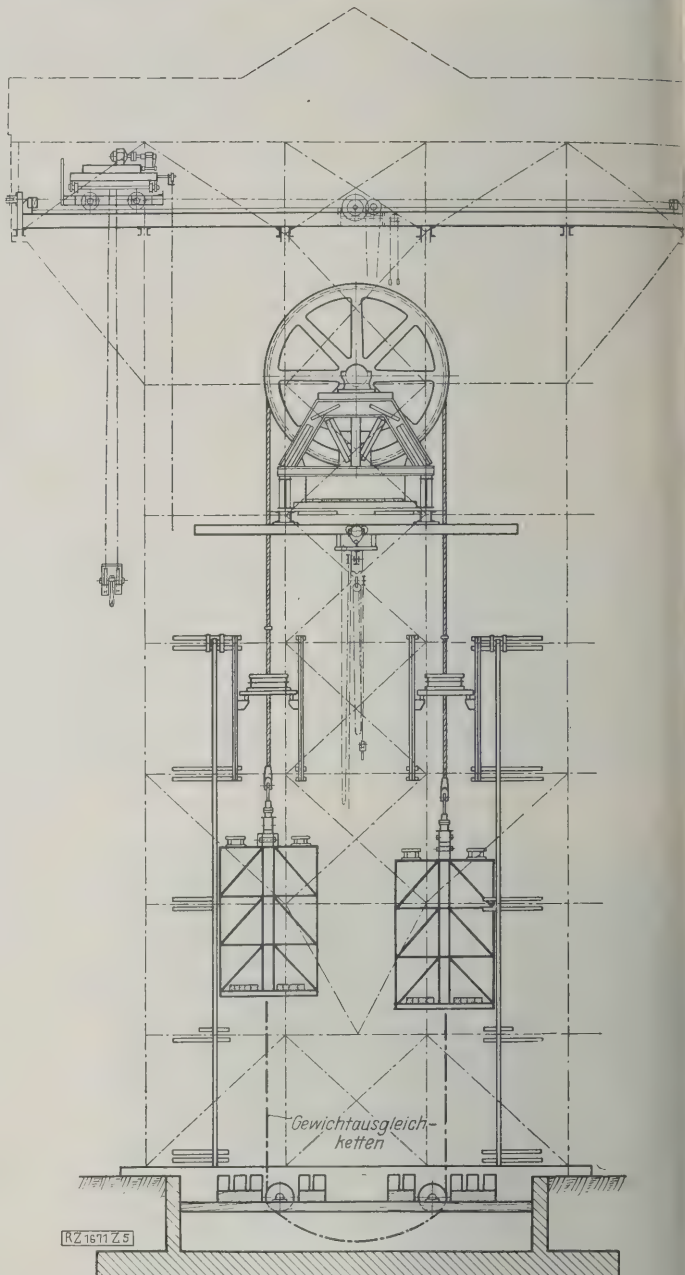
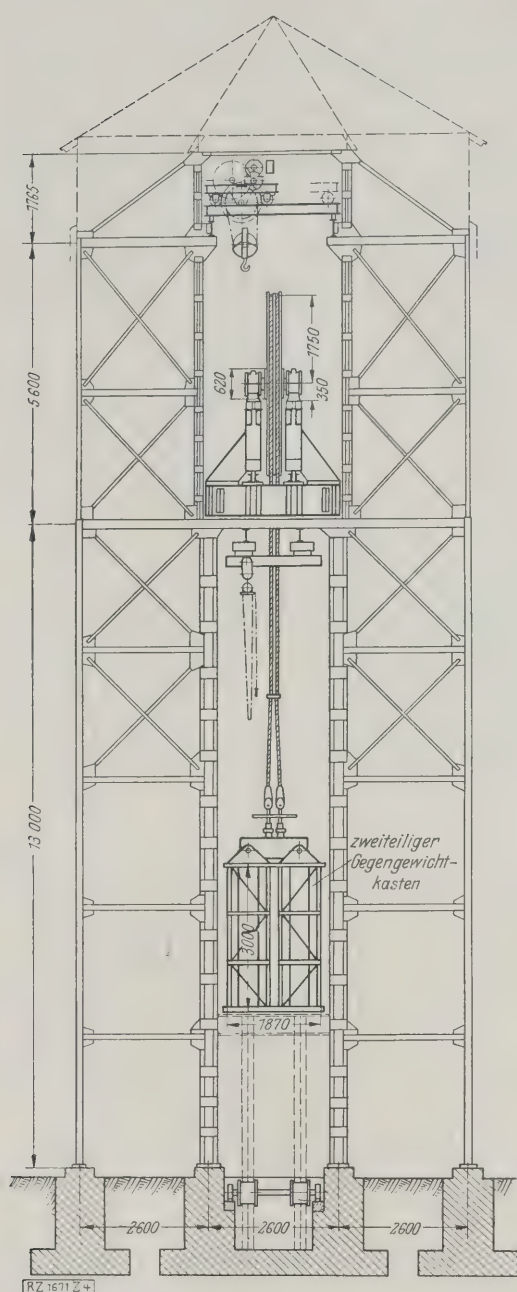


Abb. 4 und 5

Querschnitt und Längsschnitt durch den Schacht des Versuchsturmes. Die Ketten gleichen das einseitige Seilgewicht in Lagen außerhalb der Mittelstellung aus.

Elektrischer Antrieb und Torsionsdynamometer

Der nachträglich eingebaute Elektromotor treibt die Seilscheibe über Riemenvorgelege, wovon eines dreistufig ist, Schnecke und Zahnradvorgelege an. Mittels der Drehzahlregelung des Motors und des Stufenvorgeleges lassen sich alle Seilgeschwindigkeiten zwischen 5 und 30 cm/s erzielen.

Auf der letzten Vorgelegewelle ist ein Torsionsdynamometer, Bauart Bamag-Vieweg²⁾, mit der dazu gehörigen Schreibvorrichtung der Firma Ott, Kempten, eingebaut. Die Verdrehung der beiden Elektronscheiben, Abb. 8 und 9, gegeneinander, die die Verdrehung der Meßwelle anzeigen, wird mittels Stahlband und Kettenzug auf die Schreibvorrichtung übertragen, die auf der einen Scheibe befestigt ist.

Da ein Teil der Versuche im Winter vorgenommen und wegen Zeitmangels auch schon im Winter abgeschlossen werden mußte, wurde eine elektrische Heiz-

vorrichtung in die Lager eingebaut, Abb. 3. Durch die Lagerdeckel eingeführte Winkelthermometer zeigten die Lagertemperatur an.

Vorversuche der Firma Bamag, Dessau

Schon bevor mit dem Bau des Seilversuchsturmes Dahlem begonnen worden war, hatte die Forschungsabteilung der Bamag eigene Vorversuche mit Modellgleitlagern begonnen, um die Hauptfragen vor der Herstellung der Versuchslager für Dahlem zu klären. Bei Abnutzung der Lagerschalen bei den Dauerversuchen wurde nach 7600 Umdrehungen trotz der häufigen Durchschneidung des Gebietes der halbflüssigen und halbtrockenen Reibung nicht festgestellt. Der kleinste erreichte Reibungsbeiwert für das Anfahrmoment ergab sich zu 0,067.

Auch die Tonnenlager sind dort in entsprechend Vorversuchen untersucht worden. Wesentliche Unterschiede zwischen Anfahr- und Bewegungswiderstand des Lagers allein konnten nicht festgestellt werden. Na-

²⁾ „Maschinenbau“ Bd. 2 (1923) S. 1023.

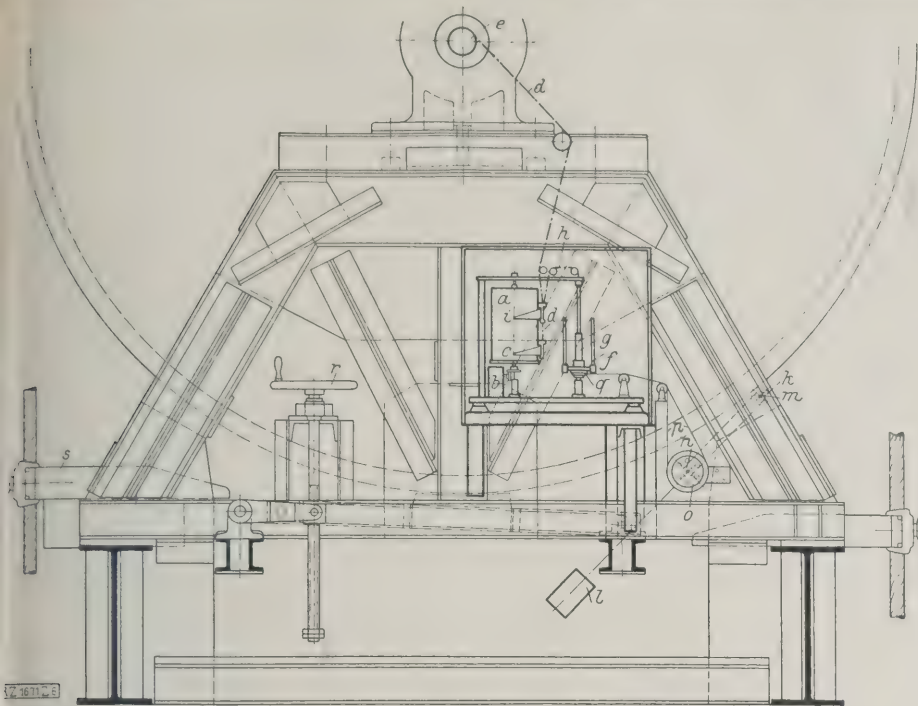


Abb. 6.
Fueßsche Meßeinrichtung am Seilscheibenbock zur Bestimmung des Seilweges und der Geschwindigkeiten.

- a Schreibtrommel
- b Uhrwerk zum Antrieb von a
- c Schreibstift für das Zeit-Weg-Diagramm
- d Schnur und Draht zum Antrieb des Schreibstiftes c
- e Schnurscheibe, auf der Seilwelle aufgeschraubt
- Das Ende der Schnur d ist auf der Schnurscheibe e befestigt, da der Umdrehungswinkel $\leq 180^\circ$ bleibt.
- f verstellbare Seitenröhren des Kreisels
- g Mittelröhre des Kreisels mit dem Schwimmer
- h Schnur zum Antrieb des oberen Schreibstiftes i
- i Schreibstift für die Geschwindigkeit
- k Reibungsrolle zur Übertragung der Seilgeschwindigkeit vom Umfang der Seilscheibe auf den Kreisel
- l Gegengewicht für k
- m Schnurscheibe, konzentrisch zur Reibungsrolle k
- n kleine Schnurscheibe
- o große Schnurscheibe
- p Schnur von der Scheibe o zum Kreisel
- q große und kleine Schnurscheibe am Kreisel
- r Handrad zur Bremse
- s Seilklemmvorrichtung

7000 Umdrehungen hatten sich die Widerstände um etwa 25 vH vermindert. Rechnet man die durch die Versuche gefundenen Reibungswerte der Modell-Tonnenlager so um, daß sie einer in der Seilachse wirkenden Kraft bei den natürlichen Größenverhältnissen des Heberwerks entsprechen, so ergeben sich für die beiden Versuchs-lager zusammen anfänglich 15 kg, später 11 kg, d. h.

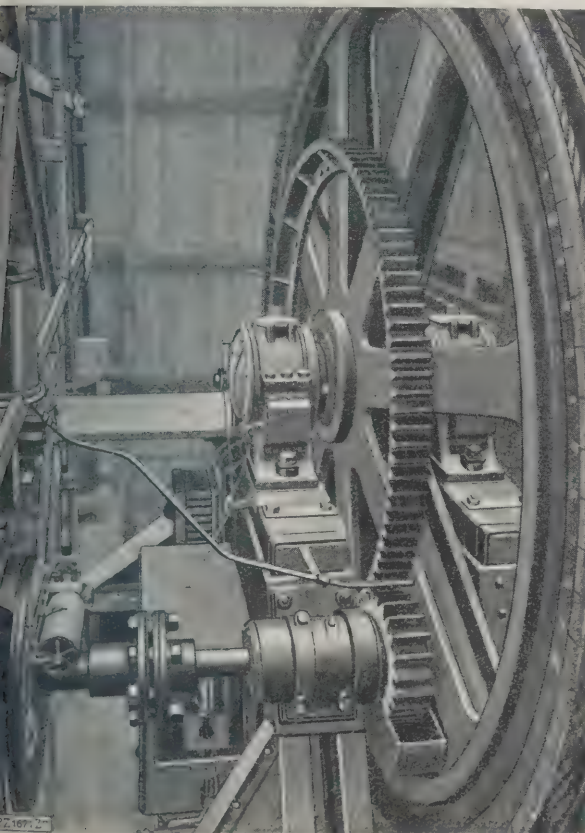


Abb. 7
Versuchstand mit Seilscheibenantrieb, Gleitlager, Fueßscher Meßvorrichtung und Torsionsdynamometer, Bauart Bamag-Vieweg, mit Ott-scher Schreibvorrichtung.

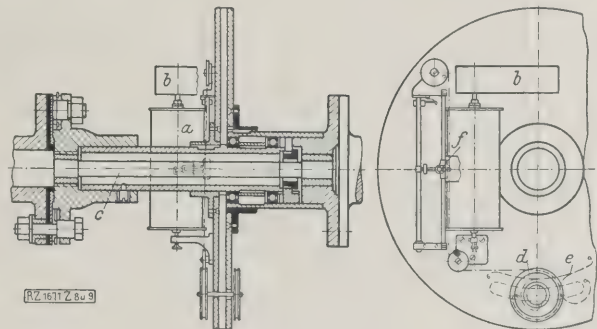


Abb. 8 und 9
Torsionsdynamometer, Bauart Bamag-Vieweg, mit Ott-scher Schreibvorrichtung.

- a Schreibtrommel
- b Uhrwerk zum Antrieb von a
- c Drehfeder (Torsionsstab)
- d Rolle zum Antrieb von f
- e Feder zur Übertragung des Drehwinkels auf die Rolle d
- f Schreibstift

rd. 0,1 vT der Lagerbelastung. Für die Dahlemer Versuche, bei denen Lagerreibung und Seilsteifigkeit nicht getrennt werden konnten, war die Feststellung durch die Dessauer Vorversuche sehr wichtig.

Entwicklung der Versuchsverfahren auf dem Seilversuchsturm

Die Versuche wurden Ende August 1925 mit dem Gewichtsverfahren begonnen. Die Messung der Anfahrwiderstände war zuerst mit Schwierigkeiten verknüpft. Es zeigt sich vielfach, daß der Anfahrwiderstand während der ersten sehr langsamen Bewegung zunahm, so daß die Seilscheibe wieder zum Stehen kam oder die Bewegung immer langsamer und langsamer wurde, Zahlentafel 1. Die Bewegungswiderstände wurden beim Gewichtsverfahren derart ermittelt, daß man einen Teil des Übergewichtes nach einer gewissen Strecke abhing und dieses Teilgewicht oder die Beschleunigungsstrecke solange veränderte, bis die gewünschte gleichmäßige Geschwindigkeit auftrat. Bei der Ausführung der Versuche zeigte es sich, daß das beabsichtigte Verfahren nur sehr langsam zum Ziele führte, weil einmal die Anfahrwiderstände sich dauernd änderten, vor allem aber weil nach der kurzen Strecke, die zur Beschleunigung rechnerisch erforderlich erschien, der Übergang von der halb-brockenen zur flüssigen Lagerreibung noch nicht vollzogen

Zahlentafel 1

Anfahrwiderständen nach langen Stillstandzeiten mit Gleitlagern (Bamag) und Kreuzschlag-Rundlitzenseilen

Die Versuchsergebnisse sind in der richtigen Zeitfolge auszuweisen wiedergegeben

	Stillstands-dauer h	Lager-temperatur °C	Widerstände bei						Schmier-mittel		
			Linksdrehung			Rechtsdrehung					
			kg	kg	kg	kg	kg	kg			
Messungen nach dem Gewichts-verfahren 2. Oktober bis 4. November 1925	—	+18	616	722,5	722,5				Verschiedene Schmieröle		
	1	+18				662,3	758	758			
	69	+11				722	762	772			
	15 $\frac{3}{4}$	+12				712	784	784			
	4 $\frac{1}{4}$	+9	682	763	763						
	18 $\frac{3}{4}$	+2	811	811	811						
	3	+8				734	734	734			
	15	+4,5				710	710	710			
	4 $\frac{1}{2}$	+6,5				659	757	757			
	44 $\frac{3}{4}$	+5	626	763	763						
	16	+1	676	773	773						
	15 $\frac{1}{4}$	+6				720	720	720			
	16 $\frac{1}{4}$	+14				752,7	811	811			
	16 $\frac{1}{4}$	+12				901	901	901			
	5 $\frac{1}{2}$	+16				879	879	879			
	2	+15	626	626	626						
	20 $\frac{1}{4}$	+10,5	875	875	875						
	44	+6,5	679	679	679						
	23	+8,5	614	614	614						
	24	+13	740	740	740						
Messungen mit Zahnradantrieb und Torsionsdynamometer 18./23. 2.*) 1926	14	+7	750	785		700	785		Sondermineralfett		
	8 $\frac{1}{2}$	+34,7	765	720		720	785				
	43 $\frac{1}{2}$	+6,9	740	750		725	805				
	6 $\frac{1}{2}$	+33	750	750		715	770				
	15 $\frac{1}{2}$	+9,1	750	785		715	820				
	14	+7,6	800	580		405	495				
	8	+28,6	530	520		395	475				
	16	+9,2	565	565		440	550				
	3	+35,3	870	760		640	690				
	44	+35,1	770	770		720	785				
	21	+5,4	775	775		720	785				
	15 $\frac{1}{2}$	+7,8	840	775		750	810				
	6 $\frac{1}{4}$	+37,6	990	995		985	1035				
	15 $\frac{1}{2}$	+4,9	1060	1220		1055	1220				
	8	+34,8	1070	1155		1185	1220				
	2. bis 8. 3. 1926										Vollöl
9. bis 15. 3. 1926									Vollöl		

*) Vermutlicher Beginn der Zerstörungerscheinungen in den Lagerflächen.

Bemerkungen: 1. Bei den Messungen nach dem Gewichtsverfahren stellen die drei aufeinander folgenden Zahlen folgende Werte dar: 1. Eintritt der ersten sichtbaren Bewegung, die von selbst wieder zum Stillstand kommt; 2. Eintritt der ersten unbeschleunigten Bewegung; 3. Beginn der beschleunigten Bewegung.

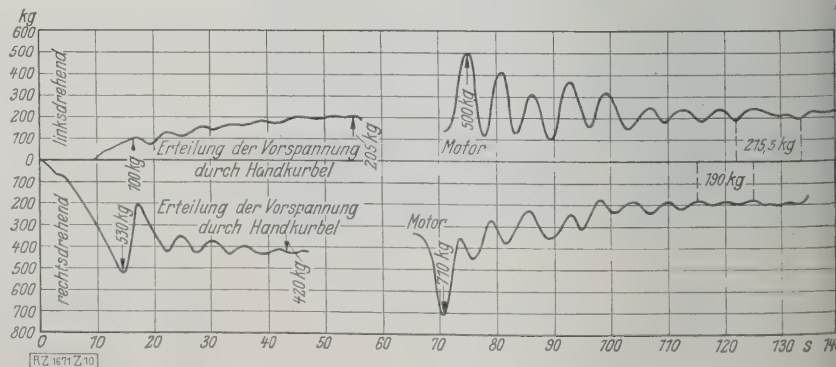
2. Bei den Messungen mit dem Torsionsdynamometer bezeichnet die erste Zahl den bei Eintritt der Bewegung gemessenen Anfangswiderstand, die zweite Zahl den während einer darauf folgenden sehr langsamen Bewegung entstandenen Höchstwert.

3. Bei den Messungen mit dem Torsionsdynamometer ist die Rechtsbewegung gleich im Anschluß an die Linksbewegung oder umgekehrt ausgeführt worden. Wegen der langsamen Geschwindigkeit (0,5 bis 1 cm/s am Seil gemessen) ist der für den Widerstand allein nahegebende Zustand des Schmierfilmes für beide Drehrichtungen derselbe geblieben.

4. Bei den Messungen mit dem Torsionsdynamometer sind die Temperaturen in den Lagerschalen gemessen; die hohen Temperaturen sind durch künstliche (elektrische) Anwärnung erzielt. Die Temperaturen bei den Messungen mit dem Gewichtsverfahren sind in der freien Luft festgestellt.

Abb. 10

Schaulinien der Anfahr- und Bewegungswiderstände, mit der Drehmoment-Meßvorrichtung von Bamag-Vieweg-Ott. aufgenommen.



war. Dieser Übergang konnte, wie die Vorversuche d. Bamag auch gezeigt hatten, erst nach mindestens etw. 0,4 Umdrehung der Seilscheibe eintreten.

Der elektrische Antrieb wurde Ende 19 in den Versuchsturm eingebaut. Gleichzeitig wurde d. elektrische Lagerheizvorrichtung angebracht. Bei ein Außentemperatur von +4 °C erwärmte sie in fünf St. den beide Lager bis +32 °C. Mit dem Anlasser des Motors wurden Vorrichtungen zum elektromagnetisch. Ein- und Ausrücken der Laufwerke für die Fußsch. und die Ottischen Geräte verbunden, wodurch sich der Bedienung wesentlich vereinfachte. Der elektrische Antrieb mit dem Torsionsdynamometer ermöglichte, die gewünschte Geschwindigkeit ohne Probieren zu erreichen ferner durch gleichzeitige Aufnahme der Diagramme d. den Fußsch. und Ottischen Meßgeräten den gesamten Bewegungsvorgang und den in jedem Zeitpunkt der Bewegung vorhandenen Gesamtwiderstand von Lager u. Seil zahlenmäßig zu erfassen und festzuhalten und die Versuchszeit bedeutend abzukürzen.

Wohl traten zweierlei Art Störungen auf. Erster entstanden beim Anfahren mit dem Motor Massenschw. gungen, zweitens überlagerte sich dem Anfahrwiderstar aus Lagerreibung und SeilstEIFigkeit noch der Masse trägheitswiderstand infolge der Anfahrbeschleunigung. Zur Herabsetzung der Anfahrbeschleunigung wurde zunächst der Anfahrstoß durch Vorschalten eines Flüssigkeitsanlassers gemildert. Dann wurde vor jeder Fahr der Torsionsstab unter Vorspannung gesetzt. Auch tr. die bessere Übung der Versuchsmannschaft beim Einschalten zur Verminderung der Schwingungen bei. Der eigentliche statische Anfahrwiderstand wurde schließlich gefunden, indem die Motorwelle mittels einer Handkurbel vorsichtig angedreht wurde, bis die erste Bewegung eintrat. Abb. 10 und 11 zeigen zusammengehörige Diagrammblätter der Fußsch. und Ottischen Meßgeräte. Vor jeder Bewegungsmessung ist der statische Anfahrwiderstand mittels Handkurbel bestimmt, womit dem Torsionsstab zu gleich die zur Verminderung des Anfahrstoßes erwünschte Vorspannung gegeben wurde. Das Bewegungsdiagramm ergibt zunächst den dynamischen Anfahrwiderstand und dann den Bewegungswiderstand.

Anfahrwiderstände nach langen Stillstandspausen mit Gleitlagern

Sämtliche nach längeren Stillstandspausen gemessenen Anfahrwiderstände sind in Zahlentafel 1 in zeitlicher Aufeinanderfolge zusammengestellt. Die gemessenen Widerstände geben die Summe von Lagerreibung und Seilwiderstand an. Die später angestellten Versuche mit Rollenlagern gestatten es jedoch unter Verwendung der Dessauer Versuchsergebnisse, eine ungefähre Trennung vorzunehmen, und zwar sind von den Werten in Zahlentafel 1 etwa 100 bis 150 kg für den Seilwiderstand abzusetzen.

Das Verhalten der Gleitlager während der Messungen mit dem Gewichtsverfahren und in der ersten Woche der Messungen mit elektrischem Antrieb war normal. Der höchste, mit dem Gewichtsverfahren gemessene Anfahrwiderstand beträgt 901 kg bei Voltöl-Schmierung +12 °C Luft- und Lagerwärme, 16 1/4 h vorangegangene Stillstandzeit und 95 t Gesamtlast für beide Lager.

Zahlentafel 2

sammenstellung einiger Versuchsreihen über die Messung von Anfahrwiderständen nach
rzerer Stillstandsdauer mittels Torsionsdynamometer und Handkurbelantrieb (Auszug).

Tag der Versuche	Art der Versuche	Nr. des Ver- suchs	Lager- wärme °C	Zahl der Fahrten vor dem Versuch	Geschwindig- keit bei den vorher ausge- führten Fahrten cm/s	Stillstands- dauer vor der Messung min	Anfahrwider- stand bei Beginn der Bewegung kg	Widerstand während der Be- wegung mittels Handkurbel kg	Dreh- richtung L = links R = rechts
1. Febr. 1926	I. Mineralfettschmie- rung Ungeheizte Lager	1	8,3	—	—	170	770	786,5	L
		2	8,2	2	7,4	27	355	366,5	R
		3	8,2	3	8,0	20	360	415	L
		4	8,1	3	8,0	25	300	365	R
		13	—	3	14,4	10	220	260	L
		14	9,0	13	12,0	15	175	260	R
		15	—	3	12,4	9	150	200	L
5. Febr. 1926	II. Mineralfettschmie- rung Geheizte Lager	1	34,6	—	—	1120	635	520	R
		2	34,6	3	9,4	25	560	540	L
		7	34,9	3	15,0	15	560	625	R
		8	31,7	13	12,0	20	485	530	L
		9	28,5	3	11,8	10	325	440	R
2. März 1926	III. Volltölschmierung Ungeheizte Lager	1	5,4	—	—	135	865	881,5	L
		2	5,5	3	9,9	20	455	410	R
		7	5,9	3	14,8	5	160	260	L
		8	5,6	13	12,0	25	160	240	R
		9	6,2	3	12,0	12	315	340	L
4. März 1926	IV. Volltölschmierung Geheizte Lager	1	35,9	—	—	1130	1185	1084,5	L
		2	35,2	3	9,8	30	1070	1114	R
		7	32,9	3	14,7	13	790	920	L
		8	35,2	13	12,0	22	1050	1035,5	R
		9	35,7	3	12,3	5	835	941	L
9. März 1926	V. Valvolineölschmie- rung Ungeheizte Lager	1	9,8	—	—	450	865	695,5	L
		2	9,9	3	10,0	13	740	592	R
		3	10,0	3	9,8	8	390	483	L
		4	9,9	3	9,9	52	950	697,5	R
		7	10,0	3	15,0	5	390	453	L
		8	10,0	13	12,0	29	350	345,5	R
		9	10,0	3	12,0	8	370	461	L
1. März 1926	VI. Valvolineölschmie- rung Geheizte Lager Mittlere Temperatur	1	21,0	3	—	220	1265	1000,5	R
		2	21,5	3	9,7	10	780	906	L
		7	22,0	3	14,0	3	950	884	R
		8	20,5	13	12,0	18	700	699	L
		9	19,8	3	11,4	5	985	912	R
11. März 1926	VII. Valvolineölschmie- rung Geheizte Lager Hohe Temperatur	1	35,0	—	—	375	1010	1054	L
		2	33,4	3	9,7	19	1040	1071,5	R
		7	35,5	3	14,7	10	945	1022	L
		8	35,8	13	12,0	30	1100	1084,5	R
		9	34,6	3	12,0	10	895	1032,5	L

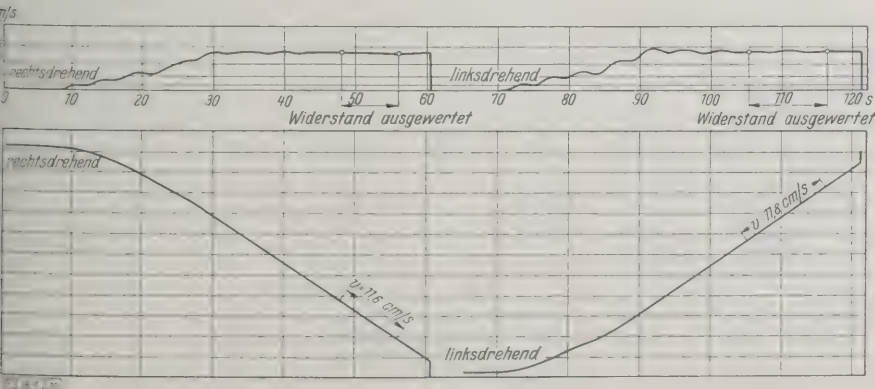
Die Zahlenwerte sind auszugsweise in der Reihenfolge wiedergegeben, in der sie ermittelt worden sind. Die durch den Handkurbelantrieb
vorverurufene Bewegung wurde so lange fortgesetzt, bis der Höchstwert oder ein annähernd gleichmäßiger Wert des Widerstandes erreicht wurde. Die
Geschwindigkeit bei dem Handkurbelantrieb betrug 0,5 bis 1 cm/s.

er kleinste Anfahrwiderstand beim Gewichtsverfahren
ergab sich zu 614 kg bei +8,5°C Luft- und Lager-
wärme, 23 h vorangegangener Stillstandzeit, alles andere
wie vor. Die Anfahrwiderstände bei der Fettschmierung
schwankten zwischen 680 und 830 kg. Die Lagerwärme
hatte keinen Einfluß auf die Anfahrwiderstände; ein Be-
weis dafür, daß halbmetallischer Berührungszustand vor-
liegen mußte. Das Verhalten der Gleitlager nach dem

23. Februar kann dagegen nicht mehr als normal be-
zeichnet werden. Bei den Versuchen selbst zeigte sich
zunächst noch nichts Auffälliges. Erst am 3. März wurde
ein merkliches Anwachsen der Widerstände und am
8. März 1926 wurden die ersten Anfressungen an einem
Zapfen beim Reinigen der Lager zufällig entdeckt. An
den folgenden Tagen stellten sich beim Anfahren knir-
schende bis schlagartige Geräusche ein. Die Diagramme
am Torsionsdynamometer bei
den Fahrversuchen zeigten be-
deutende Schwankungen. Später
zeigten sich weitere Anfressun-
gen am Zapfen.

Das Versuchstagebuch gibt
an, daß am 23. Februar die Ver-
suche zum ersten Mal in der
Weise durchgeführt worden
sind, daß vor der Messung erst

Abb. 11
Weg - Zeit - Diagramm, mit dem
Fußschen Gerät aufgenommen,
oben Geschwindigkeitsdiagramm,
zu den beiden Motorfahrtkurven
von Abb. 10 gehörig.



fünfmal, ohne zu messen, hin und her gefahren wurde. Diese unsanfte Behandlung der Lagerschalen mag der erste Anlaß gewesen sein, durch den das Gefüge der Oberflächenschicht der Lagerschale gelockert wurde; denn nach dem 23. Februar fiel der Anfahrwiderstand erst plötzlich ab und stieg dann allmählich bis zu einem Höchstwert von 1220 kg an, der am 5. März erreicht wurde; die hohen Werte blieben bis zum 15. März bestehen. Da es auch beim Schiffshebewerk möglich wäre, daß sich an den Lagern hin und wieder Anfressungen bilden, so würde man für die Bemessung der Antriebsmaschinen bei Verwendung von Gleitlagern auch die hohen gemessenen Werte des Anfahrwiderstandes teilweise berücksichtigen müssen. Das Ergebnis der Anfahrwiderstand-Messungen nach längeren Stillstandspausen wäre daher einschl. der Seilsteifigkeit von 100 bis 150 kg:

Kleinstwert rd. 600 kg oder 1,33 vH der Seillast, normaler Höchstwert rd. 900 kg oder 2 vH der Seillast, außergewöhnlicher Höchstwert rd. 1200 kg oder 2,67 vH der Seillast.

Als Mittelwert ergibt sich also 2 vH der Seillast.

Anfahrwiderstände nach kurzen Stillstandzeiten

Die Anfahrwiderstände nach kurzen Stillstandzeiten sind wesentlich niedriger als die nach langen Stillstandzeiten. Die untere Grenze ist hier der Bewegungswiderstand, der vor der Messung am Ende der vorhergegangenen Fahrt geherrscht hatte. Mit wachsender Stillstandzeit und mit wachsender Lagertemperatur werden die Anfahrwiderstände immer größer. Die in Zahlentafel 2 dargestellten Meßergebnisse sind bei Handkurbelantrieb gewonnen. Die Zeitdauer vom Ende der letzten Bewegung bis zum Eintritt des Höchstwertes für den Anfahrwiderstand hängt vom Schmiermittel, von der Lagerwärme und andern Umständen ab. Sie schwankt zwischen wenigen Minuten und mehreren Stunden. Wegen der frühzeitigen Aufgabe der Gleitlagerversuche konnten die in dieser Hinsicht angestellten Beobachtungen nicht zum Abschluß gebracht werden.

Bewegungswiderstände

Die mit dem Gewichtsverfahren gewonnenen Ergebnisse sind in der Zahlentafel 3 wiedergegeben. Der kleinste Wert beträgt 170 kg bei einer Geschwindigkeit von 9,7 cm/s und einer Luftwärme von +15°C. Zahlentafel 4 enthält Ergebnisse der mit dem elektrischen Antrieb gemessenen Bewegungswiderstände. Bei jeder einzelnen Versuchsfahrt wurden drei Zahlenwerte gewonnen, nämlich

- 1. der vor der ersten Motorfahrt mit der Handkurbel gemessene statische Anfahrwiderstand;
- 2. der beim Anziehen des Motors aufgezzeichnete Anfah- und Beschleunigungswiderstand, dynamische Anfahrwiderstand;
- 3. der nach dem Übergang von der halbtrockenen zu fast flüssigen Reibung wirkende Bewegungswiderstand. Es erscheint unsicher, ob die flüssige Reibung erreicht worden ist.

Der kleinste Wert des letzteren betrug 175,5 kg bei Voltolölschmierung, ungeheizten Lagern, einer Lagerwärme von +6,0°C und einer Geschwindigkeit von 12 cm/s. Jede Versuch bestand aus einer Reihe von drei Fahrten Links—Rechts—Links und Rechts—Links—Rechts.

Zahlentafel 3

Übersicht über die mittels des Gewichtsverfahrens gemessenen Bewegungswiderstände bei Gleitlagern der Bamag und mit Kreuzschlag-Rundlitzenseilen von 52 mm Dm

Versuch	Geschwindigkeit	Größter Bewegungs- widerstand		Kleinsten Bewegungs- widerstand		Zahl der zu Grund- liegend Messun- gen
		L=Links-drehung R=Rechts-drehung				
	cm/s	L	R	L	R	
1	2,5	426				1
2	4,5 bis 5,0	516	643	256	302	5
3	5,1 „ 6,0	—	573	—	236	5
4	6,1 „ 7,0	491	570	271	196	12
5	7,1 „ 8,0	376	480	261	241	5
6	8,1 „ 9,0	376	540	251	216	14
7	9,1 „ 10,0	386	465	170	179	13
8	10,1 „ 11,0	356	480	249	179	10
9	11,1 „ 12,0	389	536	180	196	17
10	12,1 „ 13,0	311	526	190	186	18
11	13,1 „ 14,0	331	526	286	179	15
12	14,1 „ 15,0	351	345	251	189	10
13	15,1 „ 20,0	291	464	261	179	18
14	20,1 „ 25,0	301	444	256	189	33
15	25,1 „ 28,4	311	375	251	209	31

Gesamtzahl aller Messungen 207

Der Vergleich der angegebenen Zahlenwerte läßt erkennen, daß der offenbar nur geringfügige Einfluß der Geschwindigkeit und der Luftwärme auf die Größe der Bewegungswiderstände durch den Einfluß des Zustandes des Schmierfilmes völlig überdeckt wird.

Die Versuche wurden in der Zeit vom 9. bis 30. Oktober 1922 angestellt.

Die Lufttemperaturen schwankten zwischen +5 und +15,5°C.

Zahlentafel 4

Zusammenstellung einiger Versuchsreihen über die Messung von Bewegungswiderständen beim elektrischen Antrieb der Seilscheibe (Auszug).

Gleitlager (Bamag). Schmiermittel: Sonder-Mineralfett (Bamag). Kreuzschlag-Rundlitzenseile. Die Messungen sind mit dem Torsionsdynamometer ausgeführt.

Tag der Versuche	Art der Versuche	Nr. des Versuchs	Lager-temperatur °C	Links-drehung				Rechts-drehung			
				Statischer Anfahrwiderstand (Handkurbelantrieb)	Statischer und dynamischer Anfahrwiderstand (Motorantrieb)	Kleinsten Bewegungswiderstand bei der Motorfahrt	Geschwindigkeit bei der Motorfahrt zur Zeit des kleinsten Bewegungswiderstandes	Statischer Anfahrwiderstand (Handkurbelantrieb)	Statischer und dynamischer Anfahrwiderstand (Motorantrieb)	Kleinsten Bewegungswiderstand bei der Motorfahrt	Geschwindigkeit bei der Motorfahrt zur Zeit des kleinsten Bewegungswiderstandes
				kg	kg	kg	cm/s	kg	kg	kg	cm/s
17. Februar 1926	I. Während des Versuchs allmählich geheizte Lager	1	+ 5,6	409	715	290	5,0	—	480	271	9,6
		4	+ 15,3	350	540	271	10,5	357,5	590	252,5	10,6
		7	+ 25,2	470	720	318,5	13,9	404	660	294	12,5
		11	+ 34,9	705	810	448	12,4	510	730	444,5	12,4
23. Februar 1926	II. Ungeheizte Lager	1	+ 8,3	786,5	1060	399,5	7,8	—	715	346	8,1
		7	+ 8,1	300	560	230	9,9	235	600	215	10,1
		11	+ 8,3	210	450	203,5	11,5	350	585	200	15,0
		16	+ 8,5	285	530	214,5	17,0	225	525	195	17,4
26. Februar 1926	III. Lager vor dem Versuch angeheizt	1	+ 34,6	325	650	366	9,8	635	770	301	9,4
		5	+ 34,9	635	890	426,5	11,7	450	780	372	10,0
		10	+ 34,9	470	790	412	14,8	625	940	341,5	15,2
		16	+ 23,9	315	640	328,5	12,0	540	815	273,5	12,2

Schlußbemerkung zu den Versuchen mit Gleitlagern

Der Vergleich mit den Dessauer Versuchen, bei denen der Reibungsbeiwert der flüssigen Reibung 0,0033 betrug, so daß dementsprechend der Grenzwert des Bewegungswiderstandes bei flüssiger Reibung bis etwa 120 kg einschl. der SeilstEIFigkeit von etwa 10 kg hätte herabgehen müssen, lehrt, daß bei den Gleitlager Versuchen der untere Grenzwert des Bewegungswiderstandes nicht erreicht worden ist. Der kleinste gemessene Wert beträgt 170 kg bei Vollölschmierung und Lagerschalen aus Bleibronze. Es folgt daraus weiter, daß die zur Bildung eines tragenden Ölfilmes notwendigen Grundbedingungen bei den Dahlauer Versuchen nicht gegeben waren. Die Hauptursachen dafür mögen folgende gewesen sein:

1. Die zu kurzen Fahrstrecken, so daß ungenügende Selbstschmierung vorhanden war. Das Gebiet der reinen Flüssigkeitsreibung wurde im Gegensatz zu den Dessauer Versuchen und den beim Hebewerk zu erwartenden Verhältnissen nicht erreicht.
2. Die pendelartigen Bewegungen des Lagerzapfens, so daß der in Bildung begriffene Ölfilm zerrissen wurde.
3. Die Erwärmung der Lagerkörper.

Versuchserfahrungen mit den Rollenlagern

Über die wirklichen Anfah- und Bewegungswiderstände der Lager ließ sich am Versuchsturm nichts feststellen, weil der Lagerwiderstand hier nur einen kleinen Bruchteil des Gesamtwiderstandes von Lagern und Seilen ausmacht. Die Versuchsergebnisse haben daher ihren Hauptwert für die Feststellung der reinen SeilstEIFigkeit.

SeilstEIFigkeit

Zunächst wurden die beiden Kreuzschlag-Rundlitzenseile (Felten & Guilleaume) untersucht, die bereits bei den Gleitlagerversuchen benutzt worden waren. Die gemessenen Anfahwiderstände schwankten zwischen 115 und 160 kg und lagen im Mittel bei 130 kg. Zieht man 10 bis 15 kg für die Lagerreibung der Rollenlager ab, so bleibt für den Anfahwert der SeilstEIFigkeit ein zwischen den Grenzen 100 und 150 kg schwankender Wert. Die untere Grenze ist hierbei gleich dem Bewegungswiderstand. Stillstandzeiten hatten auf den Anfahwiderstand keinen merklichen Einfluß. Für ein einzelnes Seil ergibt sich ein Anfahwiderstand von 50 bis 75 kg oder 0,22 bis 0,33 vH der Seillast.

Die gemessenen Bewegungswiderstände lagen zwischen 110 und 120 kg, die dabei gemessenen Seilgeschwindigkeiten zwischen 11,0 und 28,4 cm/s. Eine Abhängigkeit des Bewegungswiderstandes von der Seilgeschwindigkeit konnte innerhalb dieses Bereiches nicht festgestellt werden; auch Luft- und Lagerwärme machten nichts aus. Nach Abzug der Lagerwiderstände bleibt für die SeilstEIFigkeit während der Bewegung ein Wert von 95 bis 110 kg, oder für ein einzelnes Seil von 47,5 bis 55 kg, d. i. 0,21 bis 0,24 vH der Seillast.

Über die Ergebnisse der weiteren Versuche sei hier nur noch mitgeteilt, daß bei den Längsschlag-Dreikant-Rundlitzenseilen von Felten & Guilleaume die Anfahwiderstände einschließlich Lagerreibung der Tonnenrollenlager zwischen 130 und 95 kg lagen, und im Mittel 110 kg betrugen, während die Bewegungswiderstände im Mittel 100 kg erreichten. Bei den Längsschlag-Rundlitzenseilen von Felten & Guilleaume lagen die Anfahwiderstände zwischen 120 und 90 kg, sie betrugen im Mittel 106 kg; die Bewegungswiderstände beliefen sich im Mittel auf 95 kg. Alle Zahlen liefern nach Abzug der Lagerreibung eine schätzungsweise 15 kg die gesuchte SeilstEIFigkeit für die Doppelseillast von 45 000 kg.

Seildehnung

Über die Dehnung der Seile wurden zahlreiche Messungen angestellt. Bei jeder Messung befanden sich die Körbe in der Mittellage. Die Meßmarken sind

auf der Oberfläche der Seile in Abständen von etwa 1,0 m angeritzt. Das Ostseil zeigte nach achtmonatlicher Liegezeit eine Gesamtdehnung von 177 mm, davon als bleibende Dehnung 111,2 mm und als elastische Dehnung 65,8 mm, das Westseil wies eine Gesamtdehnung von 169,5 mm, eine bleibende Dehnung von 81,3 mm und eine elastische Dehnung von 88,2 mm auf. Die Dehnung bei den 1 m langen Einzelstrecken verhalten sich nicht gleichmäßig, was durch das Aufdrehen der Seilenden beim Befestigen in den Seiltöpfen verursacht ist.

Reibung zwischen Seil und Seilscheibe

Bei den Versuchen über die Reibung der Kreuzschlag-Rundlitzenseile auf der Seilscheibe trat beim Entlasten des Südkorbes um 14 000 kg ganz langsames, unbeschleunigtes Gleiten ein. Der Korb wurde wieder teilweise aufgefüllt und der Versuch wiederholt. Diesmal begann das Gleiten bereits bei einer Entlastung von 12 900 kg. Ein dritter Versuch ergab wieder Gleiten bei 12 900 kg Entlastung. Darauf wurde das Gleiche beim Nordkorb versucht. Hierbei begann das Gleiten nacheinander nach einem Entlasten um 14 700 kg, 13 100 kg, 13 400 kg. Berechnet man die zugehörigen Reibungsbeiwerte μ aus der Formel

$$e^{\mu \alpha} = \frac{T}{t}$$

(α = Umschlingungswinkel, hier $= \pi = 3,14$, $T = 45\,000$ kg, $t = 45\,000$ kg abzüglich Entlastung),

so findet man für

$$t_{\min} = 30\,300 \text{ kg} \quad \mu_{\max} = 0,126$$

und für

$$t_{\max} = 32\,100 \text{ kg} \quad \mu_{\min} = 0,107.$$

Die erste Messung ergab einen größeren Wert als die folgenden, weil das Seil sich in die weiche Oberfläche der gußeisernen Seilrille eindrückt und aus dem Bett erst herausgerissen werden muß.

Bei der Vorbereitung und Durchführung der Versuche haben als Maschinenbaufachleute beratend und helfend mitgewirkt die Herren Oberingenieur *Johannes Westphal* (vom Neubauamt für den zweiten Abstieg des Hohenzollernkanals, Eberswalde), Professor *G. Fiek* (vom Materialprüfungsamt Berlin-Lichterfelde) und Diplomingenieur *Hertrich* (von der Forschungsabteilung der Barmag-Dessau). [B 1671]

Einfluß von Aluminium und Magnesium auf die Kristallisationsfähigkeit von Glas

Die Ergebnisse der Untersuchung von 1000 der Kristallisation unterworfenen Proben 76 verschiedener Glassorten haben nach einer Arbeit von *I. I. Kitaigorodsky* zu folgenden Schlüssen geführt:

Das Vorhandensein von Al_2O_3 im Glase vermindert nicht in allen Fällen die Kristallisationsfähigkeit. Bei zunehmendem Gehalt an Alkalien wird bei sonst gleichbleibenden Nebenbedingungen die Kristallisationsfähigkeit geringer. Die Glassorten, in denen viele verschiedene Bestandteile enthalten sind, haben verhältnismäßig geringe Kristallisationsfähigkeit. Der Gehalt an CaO sollte 10 vH nicht übersteigen, auch wenn im Glase andre Bestandteile, darunter Al_2O_3 , vorhanden sind. Mit abnehmendem Gehalt an CaO wird die Kristallisationsfähigkeit geringer.

Die Glassorten aber, in denen bei Vorhandensein von nicht mehr als 14 vH Alkalien der Gehalt an CaO 11 vH übersteigt, weisen hohe Kristallisationsfähigkeit auf. Dadurch, daß SiO_2 durch Al_2O_3 oder durch Al_2O_3 und MgO ersetzt wird, wird die Kristallisationsfähigkeit nicht abgeschwächt. Die Glassorten, in denen Al_2O_3 fehlt, weisen bei unverändertem Gehalt an CaO die höchste Kristallisationsfähigkeit bei geringstem Alkalienghalt auf. Die Kristallisationsfähigkeit in einem Normalglas wird beim Ersetzen von CaO durch MgO erhöht, falls MgO als Magnesit eingeführt wird. (Bericht der Versuchsanstalt für Gesteinkunde des Plekhanoff-Institutes für Volkswirtschaftslehre, Moskau 1928).

[N 2452]

Gw.

Thermische Eigenschaften und thermodynamische Vorgänge

Von MAX JAKOB, Berlin

Auszüge aus den Vorträgen bei der Tagung des Ausschusses für Wärmeforschung¹⁾,
Dresden, 1. Dezember 1928.

Aus den Vorträgen ist das herausgehoben, was sich zu einer vorläufigen, schnellen Bekanntgabe eignet. Die Vorträge betrafen Eigenschaften einfacher Stoffe: Wasser und sein Satt- und Heißdampf, gasförmige, flüssige und feste Kohlensäure, und zusammengesetzter Stoffe: Lösungen, Pulver mit komprimierten Gasen in seinen Zwischenräumen, sowie thermodynamische Vorgänge: Verbrennung, Verdampfung, Verdunstung und das Arbeiten nassen Dampfes in der Dampfturbine.

Thermische Eigenschaften einfacher und zusammengesetzter Stoffe

Eigenschaften des Wassers und des Wasserdampfes

Am Tage der Sitzung des Ausschusses für Wärmeforschung in Dresden (1. Dezember 1928), über deren Ergebnisse hier berichtet werden soll, ist in dieser Zeitschrift der Vortrag erschienen, in dem *Knoblauch* die neueste Etappe der vor nahezu einem Vierteljahrhundert im Münchener Laboratorium für technische Physik begonnenen Messungen der spezifischen Wärme des überhitzten Wasserdampfes behandelt hat. Diese neuesten Versuche, von *Koch* durchgeführt, erstreckten sich auf Drücke von 30 bis 120 at und Temperaturen von Sättigung bis 450° und führten bis zu der spezifischen Wärme 1,967 (bei 120 at und 327°), also bis zum Doppelten der spezifischen Wärme des Wassers. Im übrigen muß auf die Veröffentlichung verwiesen werden²⁾.

Auch der Vortrag von *Jakob* über die Verdampfungswärme des Wassers und das spezifische Volumen von Satttdampf bei Temperaturen bis 250° soll hier erscheinen. Die Untersuchung, die gemeinsam mit *W. Fritz* ausgeführt wurde, ist eine Fortsetzung der bis 210° reichenden Versuche³⁾ nach dem Verfahren von *Henning* und wurde mittels einer neuen Versuchseinrichtung für hohe Drücke und Temperaturen ausgeführt. Das Siedegefäß aus Chromnickelstahl ist zum Schutz gegen radiale Wärmeverluste von einem 800 mm langen und 65 kg schweren Aluminiumzylinder umschlossen, der durch drei elektrische Heizwicklungen auf die gleiche Temperatur gebracht wird wie das Siedegefäß und selbst ebenso wie Boden und Deckel des Siedegefäßes durch Aluminiumfolien und Luftschichten (Alfol-Isolierung nach *E. Schmidt*) isoliert ist. Die Ausführung der Versuche ist in der genannten Veröffentlichung³⁾ genau beschrieben. Messungen wurden bei 210, 230 und 250° ausgeführt, Werte für Zwischentemperaturen interpoliert. Aus den Werten der Verdampfungswärme des Wassers wurden dann die des spezifischen Volumens v'' des Satttdampfes mit Hilfe der Gleichung von *Clapeyron-Clausius* berechnet. Die Genauigkeit der in Zahlentafel 1 mitgeteilten Werte wird auf etwa 2 vT geschätzt.

Wärmediagramme für feste, flüssige und gasförmige Kohlensäure

R. Plank, Karlsruhe, berichtete über eine gemeinsam mit *J. Kuprianoff* ausgeführte Untersuchung des thermischen Verhaltens der Kohlensäure. Für die Berechnung

¹⁾ Zum Teil nach eigenen Berichten der Vortragenden.

²⁾ *Os. Knoblauch* und *We. Koch*, Z. Bd. 72 (1928) S. 1733. Auch diese Arbeiten sind zum großen Teil mit Geldmitteln des Vereines deutscher Ingenieure durchgeführt worden.

³⁾ *M. Jakob*, Forschungsarbeiten Heft 310 (1928) S. 9.

Zahlentafel 1

Verdampfungswärme des Wassers und spezifisches Volumen von Satttdampf

t °C	r kcal/kg	v'' m ³ /kg
210	453,2	0,1041
220	443,1	0,08595
230	432,5	0,07141
240	421,3	0,05964
250	409,5	0,05006

von Anlagen zur Erzeugung der „Trockeneis“ genannte festen Kohlensäure, die in neuester Zeit, besonders in Amerika, industrielle Bedeutung gewonnen hat, braucht man thermodynamische Diagramme der Kohlensäure, die alle drei Aggregatzustände umfassen. Die reichlicher aber in der Literatur verstreuten Versuchsangaben, woraus die wenig bekannten Drosselversuche von *Jenkin* und *Pye*, *Jenkin* und *Shorthose* sowie von *Burnett* genannt werden sollen, boten genügenden Anhalt, um ein neues T,s-Diagramm und ein neues i,p-Diagramm aufzustellen, das sich über Temperaturen von -100° bis +150° und Drücke von 0,1 at bis 120 at erstreckt und alle drei Aggregatzustände wiedergibt. Wichtige, zum Teil systematische Abweichungen von den älteren Diagrammen von *Langen* und von *Eichelberg* wurden erörtert. Besonders wurde darauf hingewiesen, daß die Linien konstanter Wärmeinhalte in dem neuen T,s-Diagramm die Grenzkurven nach Neigung und Art so durchsetzen, wie es die Thermodynamik verlangt, z. B. die obere Grenzkurve mit einem Knick, den kritischen Punkt mit einer Wendekurve⁴⁾.

Spezifische Wärme von Lösungen

Leitner, Berlin, hat die spezifische Wärme wässriger Kochsalzlösungen unter verschiedenen Bedingungen kalorimetrisch gemessen und ihre Abhängigkeit von Temperatur und Konzentration im ganzen möglichen Bereich durch ein räumliches Diagramm dargestellt⁵⁾. Hier nach steigt die spezifische Wärme bei kleiner Konzentration mit der Temperatur zunächst ein wenig an und fällt dann in der Nähe des Siedepunktes ziemlich steil ab; bei großer Konzentration fehlt der Anstieg gänzlich.

Wärmeleitung pulverförmiger Körper

Nach der klassischen kinetischen Gastheorie ist die Wärmeleitfähigkeit der Gase vom Druck unabhängig; daher dürfte auch die „äquivalente“ Wärmeleitfähigkeit eines Pulvers durch den Druck der Luft in den Zwischenräumen nicht beeinflusst werden. Es ist das Verdienst *Smoluchowskis*, schon im Jahre 1910 durch Messungen gezeigt zu haben, daß mit abnehmendem Gasdruck die Wärmeleitfähigkeit von Pulvern stark sinkt, z. B. bei einer Verringerung des Luftdrucks von 730 auf 0,1 mm Q-S auf $\frac{1}{100}$ des ursprünglichen Wertes. Er erklärte die Erscheinung mit dem von ihm noch 10 Jahre früher entdeckten Temperatursprung an der Berührungsstelle zwischen Gas und Pulverkorn. *W. Nußelt* berichtete nun über gemeinsam mit *Hengst* ausgeführte Versuche auf diesem Gebiet, wobei der Druck bis 50 at gesteigert und die Art des Gases zwischen den Pulverkörnern geändert wurde. *Nußelt* ist von der Seite der hohen Drücke her auf das Problem gestoßen, nämlich bei neueren chemischen Verfahren, bei denen hohe Drücke und Temperaturen gleichzeitig angewendet werden, was dazu führt, daß die Wärmeisolation unter Druck stehen muß, wie bei der Darstellung von Ammoniak aus der Luft nach *Haber-Bosch*.

Zur Messung der Wärmeleitfähigkeit des Pulvers (bisher ausschließlich Diatomitmehl) haben *Nußelt* und *Hengst* das Kugelfahren benutzt. Abb. 1 zeigt die Abhängigkeit der äquivalenten Wärmeleitfähigkeit des Pulvers von Druck und Art des Gases bei 50° für Luft, Wasserstoff, Methan, Kohlensäure und ein Gasol genanntes Kohlenwasserstoffgemisch. Man beachte die verhältnismäßig hohe Wärmeleitfähigkeit bei Füllung mit Wasserstoff. Die

⁴⁾ Die Arbeit wird in den Beiheften zur Zeitschrift für die gesamte Kälteindustrie erscheinen.

⁵⁾ *A. Leitner*, Archiv f. Wärmewirtschaft Bd. 9 (1928) S. 233.

beschleunigte Zunahme der Wärmeleitzahl mit dem Druck bei Kohlensäure und Gasol scheint durch die Nähe des kritischen Punktes bedingt zu sein.

Die Versuche werden mit andern Pulvern und bei höheren Drücken (möglichst bis 1000 at) fortgesetzt werden.

Thermodynamische Vorgänge

Verbrennungsvorgänge

Bošnjaković, Dresden, führte seine auf der Zustandsbeziehung der Verbrennungsgase beruhende Brennanalyse mit der Bombe vor⁶⁾. Bei diesem Verfahren hat man für die Analyse keine einzige besondere Wägung mit der chemischen Waage nötig. Man bließ man die Analyse an die Heizwertbestimmung an, kann man in weniger als $\frac{1}{2}$ h Heizwert und Analyse erhalten, während die übliche Analyse im Verbrennungsgas etwa 3 h erfordert. Mollier, Dresden, wies in der Aussprache darauf hin, daß man mit diesem Schnellverfahren zugleich, wie an Normalstoffen und durch Vergleichsanalysen nachgewiesen sei, eine große Genauigkeit (etwa 2 vT) erziele.

Über die Fortschritte seiner optischen Untersuchungen von Explosionsvorgängen berichtete Lindner, Dresden. Wie bereits in der Januaragung 1928⁷⁾ mitgeteilt, benutzte er das Töplersche Schlierenverfahren. Hierbei wird die in einer kugelförmigen Bombe bei der Explosion auftretende Änderung der Dichte durch zwei Fenster der Bombe auf eine umlaufende Filmscheibe photographiert. Die Scheibe macht 1000 U/min, und es werden jeweils 7 Bilder der Explosi-

sion während eines einzigen Umlaufes aufgenommen. Dies erfordert eine außerordentlich feine Steuerung der Zündung, des elektrischen Beleuchtungsfunkens und der Zeitmarkierung. Bei jedem Umlauf der Filmscheibe fällt zweimal ein Lichtstrahl durch eine radiale Bohrung der Welle auf eine photoelektrische Zelle, die den Lichtblitz in eine elektrische Stromschwankung umsetzt; diese Schwankung wird über Verstärkerrohren auf einen Glimmlicht-Chronographen übertragen. Außer der Glimmlichtschwankung werden auf der Filmscheibe auch die Schwingungen einer Stimmgabel aufgenommen.

Aus der Reihe der vorläufigen Versuche wurden u. a. Lichtbilder der Flammenfront der Explosionswelle für verschiedenartige Zündungen gezeigt. Man sah ferner, daß der Höchstwert der in der üblichen Weise aufgenommenen Explosionsdrucklinie eintritt, sobald die Flamme die Wand der Bombe erreicht hat. Eine Nachverbrennung würde eine weitere Drucksteigerung hervorrufen. Es ist somit bewiesen, daß das beim Auftreffen der Welle auf die Wand einsetzende Nachleuchten nicht von einer Nachverbrennung, sondern von der hohen Temperatur des Gases herrührt. Auch ein Bild der Schallwelle des Zündfunkens war zu sehen.

Verdampfen und Verdunsten

Die bisherige Theorie des Wasserumlaufes in Siederohrkesseln vernachlässigte die Relativgeschwindigkeit der Dampfblasen gegen das Wasser und berücksichtigte nur die Dampfblbildung an der Rohrwand durch äußere Wärmezufuhr. E. Schmidt, Danzig, führte aus, daß diese Relativgeschwindigkeit nicht vernachlässigt werden kann und daß in einer aufsteigenden Wassersäule von Sättigungstemperatur auch ohne äußere Wärmezufuhr infolge der Abnahme des Druckes von unten nach oben eine Selbstverdampfung eintritt, die in den meisten Fällen die Verdampfung an der Rohrwand erheblich übersteigt. Er zeigte ferner, wie man aus der Selbstverdampfung die oft beobachtete Umkehr des Umlaufs in Rohrbündeln erklären kann, wobei die Flüssigkeit im stark beheizten Rohr fällt und im schwach oder gar nicht beheizten Fallrohr steigt. Schmidts neue Theorie des Wasserumlaufes geht aus von einer Differentialgleichung für die Dichte des Dampf-Wasser-Gemisches in Abhängigkeit von der Höhe des Rohres bei gegebener Umlaufmenge und von einer aus dem Impulssatz folgenden Beziehung zwischen der Umlaufmenge und der mittleren Dichte des Gemisches. Aus diesen Gleichungen läßt sich die Umlaufgeschwindigkeit in einem Rohr bei gegebener Heizflächenbeanspruchung ermitteln, wenn die Relativgeschwindigkeit der Dampfblasen gegen das Wasser bekannt ist. Hierzu wurden Versuche mit einem offenen Rohr angestellt, worin das Wasser durch Zufuhr der Wärme von unten her verdampft und unten dafür neues Wasser zugeführt wurde. Es ergab sich, daß die Relativgeschwindigkeit vom Rohrdurchmesser abhängt, mit zunehmendem Dampfgehalt des Gemisches ansteigt und in praktischen Fällen meist zwischen 1 und 2 m/s liegt.

In der Aussprache machte u. a. Krainer, Berlin, darauf aufmerksam, daß das Reichsmarineamt über eine Fülle von Angaben verfügt, die auszuwerten lohnen würde. Schack, Düsseldorf, und Eichelberg, Winterthur, bemerkten, daß die von Schmidt seinen überschlägigen Berechnungen zugrundegelegten Verhältnisse von innerer zu äußerer Verdampfung (12:1 bei 1 at, 1:1 bei 25 at und 1:2 bei 100 at) von einer äußeren Verdampfung von 36 kg/m²h ausgingen, daß aber diese Verhältnisse nur für die hinteren Rohrbündel eines Steilrohrkessels angenommen werden dürften, während vorne die Verdampfung durch äußere Heizung leicht zehnmal so groß sein könne. In der Praxis sei daher der Einfluß der inneren Nachverdampfung außerordentlich viel geringer als von Schmidt berechnet. Eichelberg erklärte ferner das Eintreten des verkehrten Umlaufes daraus, daß beim Anheizen nur die vorderen Rohrbündel Dampf, die hinteren dagegen und ebenso die obere Trommel kaltes Wasser enthielten; sei hierdurch der umgekehrte Kreislauf einmal eingeleitet, so könne er dann unter Umständen nach Schmidts Berechnung stabil werden.

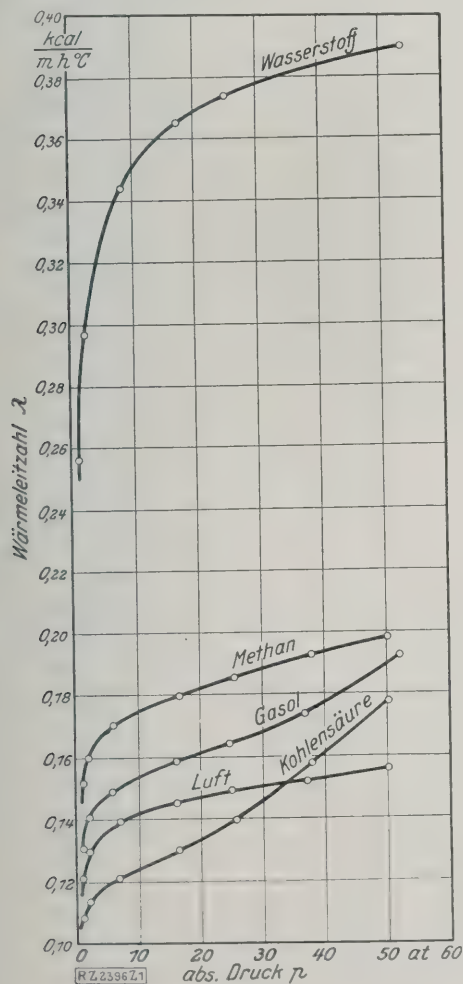


Abb. 1

Die scheinbare Wärmeleitzahl von Diatomitpulver, bedingt durch Art und Druck des seine Zwischenräume ausfüllenden Gases, bei 50 °.

⁶⁾ F. Bošnjaković, Archiv für Wärmewirtschaft Bd. 9 (1928) S. 309.

⁷⁾ M. Jakob, Z. Bd. 72 (1928) S. 380.

Über seine Verdunstungsversuche⁸⁾ trug Fischer, Dresden, vor. Er ließ Luft von verschiedener Feuchtigkeit über eine ruhende Wasseroberfläche streichen und aus ihr Wasser aufnehmen. Die Hauptschwierigkeiten, die noch zu überwinden sind, bestehen in der Bestimmung der Temperatur der Wasseroberfläche, da bisher nur die mittlere Temperatur des Wassers gemessen werden konnte, und im Auftreten starker Wellen bei etwa 4 bis 6 m/s Luftgeschwindigkeit. Verändert wurden bei den Versuchen diese Geschwindigkeit, die Lufttemperatur bis 120° und die Feuchtigkeit.

Bedeutung

W die in der Zeiteinheit auf die Flächeneinheit verdunstete Wassermenge,

$x' = \frac{0,622 h'}{H - h'}$ den Wassergehalt gesättigter Luft von der Wassertemperatur (s. „Hütte“ 25. Aufl. Bd. 1 S. 49),

$x = \frac{0,622 h}{H - h}$ den Wassergehalt der Luft,

wobei H den Barometerstand, h' den Sättigungsdruck und h den Teildruck des Wasserdampfes bedeutet, so kann man nach Merkel entsprechend der Wärmeübergangszahl durch $\sigma = \frac{W}{x' - x}$ eine „Wasserübergangszahl“ definieren und dann für die Verdunstung ebenso wie für den Wärmeübergang dimensionslose Kenngrößen aufstellen und nach dem Ähnlichkeitsprinzip einheitliche Funktionen, z. B. Potenzgesetze, gewinnen. Dabei zeigen sich deutlich die Einflüsse der Oberflächengestaltung, indem beim Einsetzen der ersten leichten Wellen der Exponent des Potenzgesetzes plötzlich größer wird, so wie man es beim Übergang von laminarer in turbulente Strömung bei Strömungsvorgängen gewohnt ist.

Neuere thermodynamische Fragen des Dampfturbinenbaues

G. Zerkowitz, München, trug über die Wirkung der Dampfnässe in der Turbine und die geeigneten Gegenmittel etwa Folgendes vor: Nasser Dampf in der Turbine verschlechtert den Wirkungsgrad gegenüber Heißdampf aus drei Gründen: wegen Unterkühlung, vermehrter Reibung und Bremswirkung der Wassertropfen. Bei der vielstufigen Turbine kommt vollständige Unterkühlung gar nicht, Teilunterkühlung nur in beschränktem Maß in Betracht. Dagegen bilden sich Wassertropfen, und zwar offenbar größere, wie man aus den Anfrassungen an Niederdruckschaufeln schließen muß. Im Augenblick des „Ausfallens“ des Wassers entsteht kein Energieverlust, weil die Gesamtmasse des Arbeitsmittels unverändert bleibt und die Wassertropfen beibehalten; im weiteren Verlauf stören dagegen die Wassertropfen die Strömung beträchtlich.

Ist der Dampfzustand vor der Leitvorrichtung einer beliebigen im Naßdampfgebiet arbeitenden Stufe durch den Druck p_0 und den Dampfgehalt x_0 , der Dampfzustand hinter der Leitvorrichtung durch p_u und x_u gegeben, so tritt bei homogener Entspannung des Dampf-Wasser-Gemisches — von der Reibung abgesehen — bei adiabatischem Ausströmen die Geschwindigkeit c_0 auf, die sich aus

$$c_0^2 = 2g \int v dp \approx 2g x_m \int v'' dp \quad (1)$$

errechnet, worin $x_m = \frac{1}{2}(x_0 + x_u)$ bedeutet. Bei Trennung der beiden Phasen folgt der Dampf der oberen, das Wasser der unteren Grenzkurve. Der Dampf erlangt eine Geschwindigkeit c_{0d} , entsprechend

$$c_{0d}^2 = 2g \int v'' dp \quad (2)$$

Aus Gl. (1) und (2) folgt angenähert $c_{0d} = \frac{c_0}{\sqrt{x_m}}$.

⁸⁾ Vergl. M. Jakob, Z. Bd. 72 (1928) S. 342.

Während nun die Leistung am Radumfang der Überdruckturbine bei homogener Entspannung

$$L_{u,h} = (2c_1 \cos \alpha_1 - u) \frac{u}{g} \quad (3)$$

(u = Umfangsgeschwindigkeit, c_1 = Dampfgeschwindigkeit) betragen würde, ergibt sich bei inhomogener Entspannung, gut angenähert,

$$L_{u,i} = (2c_1 \sqrt{x} \cos \alpha_1 - u) \frac{u}{g} \quad (4)$$

Setzt man nun $\lambda = \frac{L_{u,i}}{L_{u,h}}$ und $\xi = \frac{u}{c_1}$, so wird

$$\lambda = \frac{2\sqrt{x} \cos \alpha_1 - \xi}{2 \cos \alpha_1 - \xi} \quad (5)$$

($1 - \lambda$) gibt in Hundertteilen den Arbeitsverlust durch die Wasserbindung in der Turbine an. Nach Gl. (5) wird für $\alpha_1 = 20^\circ$, $x = 0,9$ und $\xi = 0,6$ der Gütegrad $\lambda = 0,91$ für $\alpha_1 = 40^\circ$, $x = 0,6$ und $\xi = 0,8$ der Gütegrad $\lambda = 0,527$. Gelangt es, das Wasser aus dem Arbeitsraum zu entfernen, so entsteht dadurch nur ein geringer Arbeitsverlust.

Ein andres Mittel zur Vermeidung der schädlichen Wirkung des ausgefallenen Wassers ist die Zwischenüberhitzung, die zugleich den thermischen Wirkungsgrad des Prozesses erheblich verbessert. So ergibt sich bei 50 at Anfangsdruck des Dampfes, 400° Anfangstemperatur und 0,05 at Enddruck für den Clausius-Rankine-Prozeß als thermischer Wirkungsgrad $\eta_R = 0,381$. Bei Dauerüberhitzung, und zwar isothermischer Expansion bei 400°, die aber nur so weit durchgeführt wird, daß die nachfolgende adiabatische Expansion am Ende gerade trocken gesättigten Dampf ergibt, erhält man einen Wirkungsgrad von 0,427. Für den idealen Grenzfall unendlich vielstufiger Anzapfvorwärmung, die zugleich mit dem obengenannten Prozeß angewendet werden möge, erhält man als Wirkungsgrad 0,469. Dies ist der höchste mögliche thermische Wirkungsgrad, der zwischen den erwähnten Druckgrenzen und bei der angenommenen Anfangstemperatur für Wasserdampf überhaupt erreichbar ist.

Der Gütegrad einer mit Zwischenüberhitzung arbeitenden Dampfturbine ergibt sich aus dem Verhältnis der erzielten zur verfügbaren Arbeit. Bedeuten p_1 und t_1 Druck und Temperatur des eintretenden Dampfes, p_2 und t_2 die bei Sättigung liegenden Endwerte von Druck und Temperatur, H_0 das adiabatische Wärmegefälle zwischen p_1 , t_1 und p_2 , ferner $\Sigma Q_{ü}$ die gesamte zugeführte Zwischenüberhitzungswärme, $\Sigma \Delta s_{ü}$ die gesamte hierdurch hervorgerufene Vermehrung der Entropie, so ist die verfügbare Arbeit

$$A L_0 = H_0 + \Sigma Q_{ü} - T_2 \Sigma \Delta s_{ü} \quad (6)$$

Zum Schluß seiner Ausführungen wies der Vortragende darauf hin, wie wichtig es sei, die Zähigkeit des Wasserdampfes bei hohen Drücken zu bestimmen.

In der Aussprache erwiderte Jakob, daß auf Anregung des Ausschusses für Wärmeforschung Versuche hierüber bereits in den letzten Arbeitsplan der Physikalisch-Technischen Reichsanstalt aufgenommen seien. Zu der Frage der Zwischenüberhitzung bemerkte E. A. Kraft, Berlin, daß die Verwendung nichtrostender Stähle und solcher von hohem Nickelgehalt es ermögliche, bis zu Eintrittstemperaturen von 475° zu gehen, was selbst bei 100 at die Zwischenüberhitzung bei Kondensationsturbinen unnötig mache. Zweifache Überhitzung komme überhaupt kaum mehr in Frage, einfache nur, wenn man für Fabrikationszwecke überhitzten Dampf der Turbine entnehmen wolle. Zerkowitz erwiderte, daß man bereits über 100 at gehe, z. B. beim Bensonverfahren, wobei man ohne Zwischenüberhitzung wieder in das Gebiet des Naßdampfes komme. In der Aussprache kam ferner Lewicki, Dresden, zu Wort, dessen Verdienste um die Zwischenüberhitzung bekannt sind⁹⁾.

⁹⁾ Vergl. Nachrowski und Dahlke, Z. Bd. 49 (1905) S. 1816.

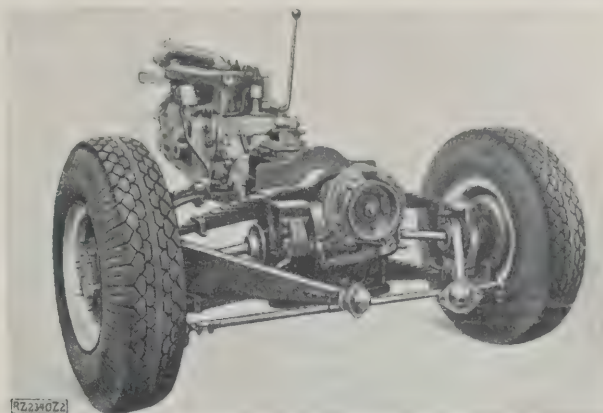
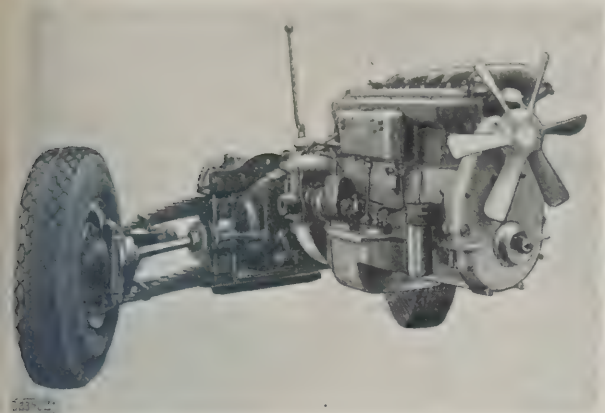


Abb. 1 und 2. Vorderradantrieb für Kraftomnibusse, Bauart der Firma Voran, Automobilbau-A.-G.

Vorderachsantrieb für Kraftwagen

Von Dr. techn. A. HELLER, Berlin

In neuerer Zeit hat der Vorderachsantrieb bei Omnibussen und Nutzkraftwagen größere Bedeutung erlangt. Wirkungsweise der Bauarten „Voran“ und Rumpier.

Der Streit über die Frage, ob man die Gefahren des „Schleuderns“ von Kraftwagen dadurch beseitigen könne, daß man ihre Vorderräder statt, wie heute allgemein üblich, die Hinterräder antreibt, schwebt schon seit den ersten Jahren des Kraftwagenbaues. Wenn man geneigt wäre, anzunehmen, daß die nun schon über 50jährige praktische Erfahrung gegen den Vorderradantrieb entschieden hat, so beweisen doch die immer wiederholten Versuche, daß man die Hoffnung nicht aufgeben hat, zu einer brauchbaren Lösung zu gelangen.

Man sollte meinen, daß es für den Regelfall, d. h. wenn der Kraftwagen mit verhältnismäßig hoher Geschwindigkeit in die Straßenkrümmung einläuft, gleichgültig sei, welche Achse angetrieben wird, da dann zu meist der Vergaserhebel geschlossen ist und der Wagen nur unter dem Einfluß seiner lebendigen Kraft rollt; für das Verhalten des Wagens hierbei wäre es nebensächlich, ob der Antrieb auf die Vorder- oder auf die Hinterräder wirkt. Allein, häufig kommen Ausnahmen von dieser Regel vor, d. h. Fälle, in denen beim Einfahren in die Krümmung der Motor nicht abgeschaltet werden kann, z. B. auf starken Steigungen, und dann beeinflusst die Lage des Antriebes auch die Lage des Gesamtschwerpunktes, die das Verhalten des Wagens bei schnellem Fahren in der Krümmung in hohem Maß bestimmt. Zweifellos wäre es für das Vermeiden des seitlichen Schleuderns in der Krümmung günstig, wenn der Wagen schwerpunkt weiter vorn läge als bei den heutigen Wagen mit Hinterradantrieb, so daß sich die Fliehkraftwirkungen gleichmäßiger auf die Achsen verteilen. Das lehren insbesondere die Erfahrungen mit dem Vorderachsantrieb bei den großen Automobilrennen.

In neuerer Zeit hat aber der Vorderradantrieb dadurch eine größere praktische Bedeutung erlangt, daß die Möglichkeit bietet, den gesamten Antrieb des Kraftwagens im vorderen Teil zusammenzudrängen, so daß im hinteren Teil des Wagens die Form und insbesondere die Höhe des Rahmens über der Straße ohne Rücksicht auf den Wagenantrieb gewählt werden können. Das ist bei gewissen Nutzfahrzeugen und vor allem bei Kraftomnibussen wichtig, bei denen man aus Rücksicht auf die Bequemlichkeit der Fahrgäste beim Ein- und Aussteigen sowie auf die Standsicherheit der mitunter sehr hohen Wagenkasten auf möglichst tiefe Lage des Wagenkastens bedacht sein muß. Daneben finden, offenbar unter dem Einfluß der Kriegserfahrungen, auch Kraftfahrzeuge erhöhte Beachtung, bei denen alle Räder angetrieben werden, wegen ihrer Fähigkeit, Schwierigkeiten des Geländes infolge ihrer günstigeren Abhäsionsverhältnisse leichter zu überwinden.

In den weiteren Fachkreisen hat insbesondere der Entschluß der Allgemeinen Berliner Omnibus-A.-G., einen Versuch mit einem Kraftomnibus mit Vorderradantrieb im Berliner Straßenverkehr anzustellen, vor einigen Monaten Aufsehen erregt. Die Gesellschaft hat sich zu diesem Versuch entschlossen, nicht zur Sicherung gegen das Gleiten der Räder, sondern um den Fußboden der Wagenkasten noch tiefer legen zu können, als bisher möglich war. Die zur Ausführung bestimmte Anordnung, Abb. 1 und 2, der Firma Voran, Automobilbau A.-G., Berlin¹⁾, beruht darauf, daß im Zuge der schwingenden, am inneren Ende durch ein Gelenk mit dem Getriebe verbundenen Treibwelle zu beiden Seiten jedes Lenkzapfens zwei weitere Kreuzgelenke angeordnet sind, damit im Antrieb der Lenkräder weder durch die Lenkung noch durch das Federspiel zu große Winkelausschläge entstehen.

Die bauliche Ausführung dieses Antriebes für den erwähnten Omnibus ist aus Abb. 3 zu ersehen. Das Ende

¹⁾ DRP 456 925.

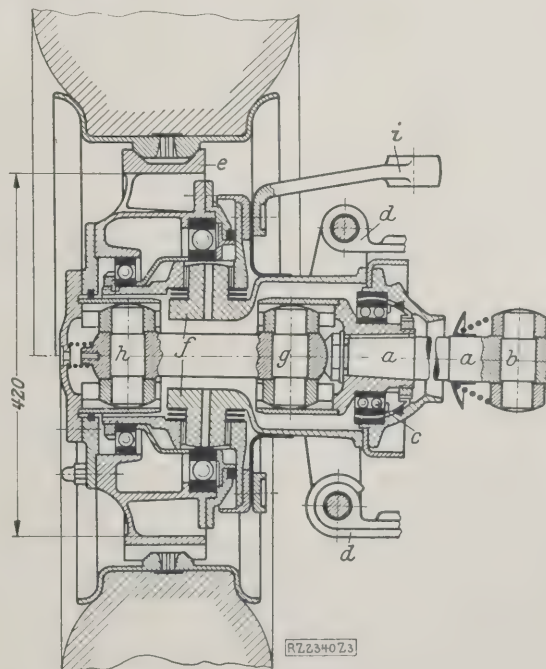


Abb. 3

Senkrechter Schnitt durch ein Treiblenkrad nach Abb. 1 u. 2.

- | | | | |
|---|---------------------------|------|------------|
| a | Antriebswelle | e | Laufachse |
| b | Kreuzgelenk | f | Lenkzapfen |
| c | doppelreihiges Kugellager | g, h | Gelenke |
| d | vordere Querfedern | i | Lenkhebel |

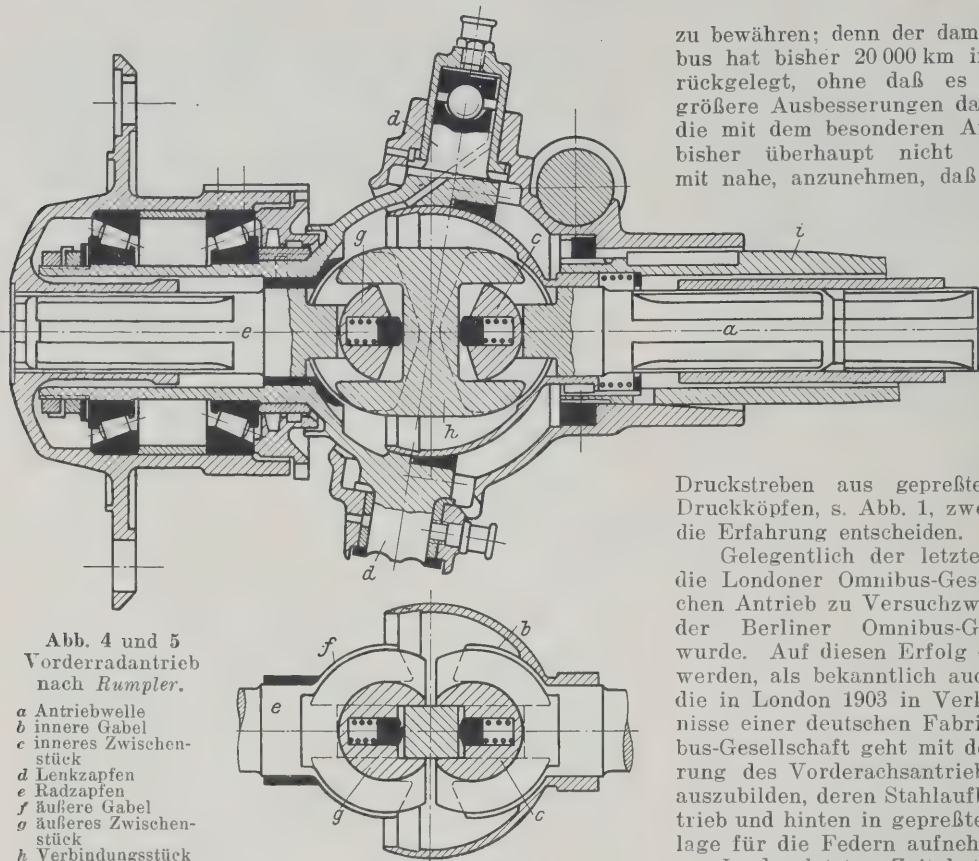


Abb. 4 und 5
Vorderradantrieb
nach Rumpler.

- a Antriebswelle
- b innere Gabel
- c inneres Zwischenstück
- d Lenkzapfen
- e Radzapfen
- f äußere Gabel
- g äußeres Zwischenstück
- h Verbindungsstück
- i Achsschutzrohr

der Antriebswelle *a*, die über das Kreuzgelenk *b* mit dem im abgefederten Rahmen befestigten Ausgleichgetriebe verbunden ist, läuft in einem doppelreihigen Kugellager *c*, das an den Enden der vorderen Querfedern *d* des Wagens angebracht ist und mit diesen ebenso wie das Laufrad *e* und dessen Lenkzapfen *f* während der Fahrt senkrechte Schwingungen ausführt. Die hierdurch eintretenden Längsschwingungen und Wirbeländerungen der Antriebswelle *a* werden durch die Gleitsteine des Kreuzgelenkes *b* und die Kugelbewegung des Lagers *c* ausgeglichen, damit das äußere Ende der Antriebswelle ohne Zwang den Schwingungen der Federn folgen kann.

Zu beiden Seiten der senkrechten Ebene, die man sich durch die Achse der Lenkzapfen *f* gelegt denkt, sind in der Verlängerung der Antriebswelle zwei weitere Gelenke *g* und *h* angeordnet, von denen das äußere *h* den Antrieb auf den Radkörper überträgt. Beide Gelenke haben Längsbewegung, damit ihre Gleitflächen gegen die unvermeidlichen seitlichen Rückwirkungen der Fahrtstöße möglichst entlastet und nur durch die Drehmomente beansprucht werden, während die Fahrtstöße in der Hauptsache die Lager der Lenkzapfen *f* belasten.

Sieht man zunächst vom Federspiel ab und denkt man sich das Rad beim Lenken mittels des Hebels *i* um die Zapfen *f* geschwenkt, so verteilt sich dieser Ausschlag der Drehachse des Rades gegen die Achse der Welle *a* auf die Gelenke *g* und *h* derart, daß jedes von ihnen nur um den halben Lenkwinkel ausschlägt, im Zuge des Antriebes also nur der halbe Ausschlag eintritt. Insoweit bietet somit die Anordnung einen Vorteil gegenüber der bisher bekannten, bei der statt der Gelenke *g* und *h* ein einziges Gelenk in der Mittelebene der Lenkzapfen *f* benutzt wird.

Zweifelhaft scheint allerdings, ob diese Vermehrung der Gelenkstellen die Gleichförmigkeit des Radumlaufes verändern kann, wenn der Wagen durchfedert, weil dann das Wellenstück zwischen den Gelenken *g* und *h* gegen die entsprechende Seitenwelle des Getriebes stark geneigt sein kann. Soweit aber aus dem bisherigen Verlauf der Versuche geschlossen werden kann, scheint sich der Antrieb

zu bewähren; denn der damit ausgerüstete Berliner Omnibus hat bisher 20 000 km im regelmäßigen Verkehr zurückgelegt, ohne daß es notwendig geworden wäre, größere Ausbesserungen daran auszuführen. Störungen, die mit dem besonderen Antrieb zusammenhängen, sind bisher überhaupt nicht aufgetreten. Es liegt so mit nahe, anzunehmen, daß etwaige Ungenauigkeiten des

Antriebes durch die Nachgiebigkeit der Luftstreife ausgeglichen werden, wenn gleich man den Abschluß der Versuche abwarten muß. Auch darüber, ob die Abstützung der Räder gegen den Rahmen, vor der die wagerechten Rückwirkungen des Fahrwiderstandes aufgenommen werden, durch die beiden

Druckstreben aus gepreßtem Stahlblech mit kugelförmigen Druckköpfen, s. Abb. 1, zweckmäßig gelöst ist, kann nur die Erfahrung entscheiden.

Gelegentlich der letzten Automobil-Ausstellung hat die Londoner Omnibus-Gesellschaft ebenfalls einen solchen Antrieb zu Versuchszwecken bestellt, der gerade bei der Berliner Omnibus-Gesellschaft zusammengebaut wurde. Auf diesen Erfolg darf um so mehr hingewiesen werden, als bekanntlich auch die ersten Kraftomnibusse die in London 1903 in Verkehr gesetzt wurden, Erzeugnisse einer deutschen Fabrik waren. Die Berliner Omnibus-Gesellschaft geht mit dem Gedanken um, bei Bewährung des Vorderradsantriebes Fahrzeug ohne Rahmen auszubilden, deren Stahlaufbauten vorn den gesamten Antrieb und hinten in gepreßten Blechkasten die Gummiauflage für die Federn aufnehmen sollen.

In der letzten Zeit hat Dr.-Ing. E. Rumpler, Berlin eine einfachere Anordnung für den Vorderradantrieb vorgeschlagen, Abb. 4 und 5, die in Verbindung mit seinem bekannten Schwingachsenantrieb²⁾ benutzt werden soll. Die Antriebswelle *a*, die ohne Verwendung eines Gelenkes infolge der besonderen Anordnung der Kegelräder im Ausgleichgetriebe senkrecht auf- und abwärts schwingen kann, ohne daß dies ihren Antrieb stört, ist am äußeren Ende zu einer Gabel *b* ausgebildet, die sich in Nuten eines Zwischenstückes *c* führt. Symmetrisch hierzu, bezogen auf die senkrechte Ebene durch die Achse der Lenkzapfen *d*, sind der Radzapfen *e* mit der Gabel *f* und dem Zwischenstück *g* angeordnet. Die beiden Zwischenstücke aus Bronze sind durch ein Stahlstück *h* verbunden, das sich mit Gabeln in entsprechenden Nuten der Zwischenstücke führt. Diese Gabeln sind jeweils um 90° gegen die Gabel der Antriebswelle und des Radzapfens versetzt.

In bezug auf die Wirkung der Federschwingungen liefert diese Anordnung den beachtenswerten Erfolg, daß sich die Lage der Wellenstücke *a* und *e* beim Durchfedern überhaupt nicht ändert; infolgedessen fallen Reibungsverluste und Abnutzungen der Gelenke infolge der Federschwingungen fort, und da die Federn während der Fahrt fast ohne Unterbrechung schwingen, so wird damit der wichtigste Anlaß zur Abnutzung der Gelenke beseitigt.

Beim Fahren in Krümmungen hat diese Anordnung den Vorteil, daß sich der Lenkausschlag immer genau auf die beiden Gelenke verteilt, weil das Mittelstück *h* des Doppelgelenkes seine Lage unverändert beibehält. Dadurch lassen sich Ungleichförmigkeiten der Drehbewegung des Radzapfens *e* sicherer vermeiden.

Vereinfachend wirkt ferner, daß die Schubkräfte im angetriebenen Rad nicht über die Vorderfedern und besondere Streben, sondern durch die zylindrische Führung des Achsschutzrohres *i* auf dem Getriebegehäuse abgefangen werden sollen. Mit den äußeren Enden dieser Rohre sind die Gehäuse verbunden, in denen die Lenkzapfen und die Radlager angeordnet sind. Der Antrieb ist bis jetzt an einem Personenkraftwagen angewendet, der sich durch besonders gute Wendigkeit auszeichnet. [B 2340]

²⁾ Z. Bd. 65 (1921) S. 1011.

Verhütung von Motorrückschlägen an Kraftwagen

Rückschlagsichere Andrehkurbeln

Von Obering. A. FREYMANN, Dortmund

Unfallverhütungs-Vorschriften für Kraftwagenmotoren.
Sicherung von Spätzündung beim Andrehen durch Abschnappkupplung oder selbsttätige Zündzeitpunkt-Versteller, rückschlagsichere Andrehkurbeln, Entkupplung der Handkurbelwelle durch Drehung des Kurbelheftes mit der Hand, durch Rückbewegung der Welle beim Rückschlag, durch Sperre mit Rutschkupplung.

Die Unfälle beim Andrehen von Verbrennungskraftmaschinen mit Handkurbel können verhindert werden: durch Vorrichtungen, die das Entstehen des Motorrückschlages, d. h. das Anspringen des Motors in umgekehrter Drehrichtung, überhaupt verhindern; durch Sicherheitskurbeln, die beim Rückschlag des Motors nicht mitlaufen.

Die neuen Normal-Unfallverhütungsvorschriften für Kraftwagenmotoren sind zwar noch nicht endgültig vom Verband der Deutschen Berufsgenossenschaften angenommen; es ist aber zu erwarten, daß die Forderung, z. B. die Berufsgenossenschaft der Fahrzeug- und Mithalterungen aufgestellt hat, daß nämlich alle Kraftwagenmotoren mit rückschlagsicherer Andrehkurbel auszurüsten sind, nicht übernommen wird. Die maßgebenden Ausschüsse des Verbandes der Deutschen Berufsgenossenschaften und der Arbeitsgemeinschaft für Unfallverhütung haben erkannt, daß Motorrückschläge durch Frühzündung im Zylinder entstehen können und daß infolgedessen eine gegen Rückschlag gesicherte Andrehkurbel nicht erforderlich ist, wenn am Motor durch eine selbsttätig wirkende Vorrichtung beim Andrehen zwangsläufig Spätzündung eingestellt wird.

Es ist zuzugeben, daß sich glühende Ölkohle im Zylinder zur Zündung ansetzen kann; bisher ist aber kein einziger Fall einer solchen Glühzündung beim Andrehen des Motors bekannt geworden, obgleich die gewerblichen Berufsgenossenschaften schon vor einigen Jahren von der Zentralstelle für Unfallverhütung gefordert werden, Unfälle durch Motorrückschlag in Folge von Glühzündungen mitzuteilen. Bremsstandversuche stark belasteten und daher hocherhitzten Motoren haben ebenfalls bestätigt, daß selbst bei ganz kurzer Betriebsunterbrechung die Temperatur im Zylinder für Frühzündungen zu niedrig wird. Daß bei laufendem Motor Glühzündungen beobachtet wurden, darf aber nicht zur Annahme führen, daß diese Gefahr auch beim Andrehen besteht.

Die Frage, ob man die Andrehkurbel bei Vorhandensein eines elektrischen Anlassers gegen Rückschlag sichern muß, wenn die anderen Voraussetzungen hierfür erfüllt sind, ist zu bejahen; denn die Gefahr eines Unfalls durch Motorrückschlag ist besonders groß, wenn der Motor im allgemeinen elektrisch und nur ausnahmsweise mit der Kurbel angedreht wird. Schwere Rückschlagunfälle an Kraftwagenmotoren haben sich im letzten Jahr insbesondere an Motoren ereignet, deren elektrische Anlasser gerade zur Zeit des Unfalls nicht verwendet werden konnten.

Da sich der Dieselmotor auch als Kraftwagenmotor immer mehr einführt — in Leipzig stellten im Frühjahr 1928 aus: MAN, Daimler-Benz, Junkers, Henschel, Maffei usw. —, so ist auch bei diesen Motoren die Rückschlaggefahr zu prüfen. Die Frage, ob beim Dieselmotor die Kurbel gegen Rückschlag gesichert sein müsse, haben die schon erwähnten Ausschüsse endgültig verneint. Maßgebend hierfür waren die Ergebnisse zahlreicher Versuche in drei Motorenfabriken; sie lieferten

den Beweis, daß beim Vorkammer-Dieselmotor der sogenannte Zündverzöger keine Frühzündung mit Rückschlag hervorruft.

Mittel zur Verhinderung von Frühzündungen

Frühzündungen beim Andrehen entstehen — richtig Einbau der Zündvorrichtung vorausgesetzt — dadurch, daß man den mit der Hand bedienten Hebel zum Verstellen des Zündzeitpunktes versehentlich oder zum Erleichtern des Ankurbelns absichtlich in der Frühzündstellung beläßt, anstatt die größte Spätzündlage einzustellen. Zum Schutz hiergegen dient eine Abschnappkupplung für Magnetzündler, die beim Vierzylindermotor die Zündung beim Andrehen selbsttätig um rd. 40° Kurbelwinkel verzögert. Sie erleichtert außerdem das Anspringen des Motors, indem sie bei langsamem Drehen des Motors dem Anker des Magnetzünders eine hohe Geschwindigkeit erteilt, wodurch kräftige Zündfunken erzeugt werden.

Die Abschnappkupplung von Robert Bosch, A.-G., Stuttgart, wird auf dem Wellenende des Magnetzünders angebracht, sie besteht aus zwei Teilen, Abb. 1 und 2, die durch eine Schraubenfeder miteinander gekuppelt sind; beim Andrehen wird der Anker des Zünders durch Sperrklinken *a*, die in feststehende Nasen am Magnetzündler greifen, an der Drehung verhindert; infolgedessen spannt sich die Feder solange, bis einer der Nocken *b* die Sperrklinke auslöst. Die freigewordene Feder bewegt nun den Anker schnell durch das Magnetfeld. Bei höheren Drehzahlen — wenn der Motor angesprungen ist — schaltet sich die Schnappkupplung selbsttätig aus.

Die größte Frühzündung, die ein Motor vertragen kann, ohne zu klopfen, beträgt bis zu 10 vH des Kolbenhubes oder 36° Kurbelwinkel; da man den Zündpunkt am Magnetzündler ohnedies nur in einem Bereich von 40° verstellen kann,

kann man den Magnetzündler so einbauen, daß die Handverstellung als größte Frühzündung 36° ergibt. Dann erhält man durch die von der Schnappkupplung herbeigeführte Verzögerung eine Spätzündung von mindestens 4° hinter dem Totpunkt. Beim Vierzylindermotor sichert also die Abschnappkupplung im allgemeinen, daß beim Andrehen Spätzündung eingestellt ist, gleichviel ob der Zündhebel auf Früh- oder Spätzündung steht.

Beim Sechszylindermotor ist allerdings die Sache nicht so sicher, da der Magnetzündler mit der 1½fachen Kurbelwellendrehzahl läuft und der Schnapper infolgedessen den Zündzeitpunkt nur um $40 : 1\frac{1}{2} = 27^\circ$ Kurbelwinkel verzögert. Stünde also beim Andrehen der Zündhebel wie für Leistung und Brennstoffverbrauch am günstigsten auf 36° Vorzündung, so würde durch die Abschnappkupplung die Zündung bei $36 - 27 = 9^\circ$ vor dem Totpunkt erfolgen und Rückstoßgefahr bestehen, es sei denn, die Vorzündung würde ein für allemal auf 27° vor dem Totpunkt vermindert.

In der Praxis hat sich die Schnappkupplung bei sehr vielen Anwendungen als Schutz gegen Motorrückschläge seit Jahren gut bewährt. Voraussetzung für ihre Wirksamkeit ist, daß der Magnetzündler richtig eingestellt und der Schnapper sachgemäß behandelt, d. h. mit gutem, dünnflüssigem Öl geschmiert wird. Die Abschnappkupplung ist nur bei Magnetzündung, aber nicht bei Batteriezündung und bei vereinigten Lichtzündmaschinen, verwendbar; ihr nachträglicher Einbau macht manchmal wegen Platzmangel oder bei Magneten mit senkrechter Welle Schwierigkeiten.

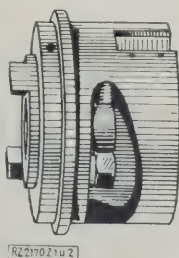


Abb. 1 (links)
Mitnehmerscheibe
mit Klauenring.

Abb. 2 (rechts)
Klinkenträger,
dem Magnetzündler
zugekehrte Seite.

a Sperrklinken
b Nocken

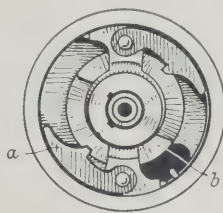


Abb. 1 und 2. Abschnappkupplung von Bosch.

Eine andre Vorrichtung, die beim Andrehen selbsttätig die Zündung verzögert, der Selbstversteller, ist ein Fliehkraftregler, der mit steigender Motordrehzahl größere Frühzündung, bei fallender Motordrehzahl kleinere Frühzündung oder Spätzündung einstellt, Abb. 3 und 4. Kugeln oder Schwinggewichte wandern bei höherer Drehzahl infolge ihrer Fliehkraft nach außen und verstellen dabei die Ankerwelle gegenüber der Motorwelle. Man erreicht so eine Verstellung des Zündpunktes bis zu 30° Kurbelwinkel beim Vierzylindermotor, oder von 20° beim Sechszylindermotor. Spätzündung beim Andrehen wird nur dann immer sicher eingestellt, wenn die größte Vorzündung nicht mehr als 30° (20°) beträgt.

Bei Batteriezündung kann man den Stromverteiler mit dem Selbstversteller ausrüsten; hier beträgt der Verstellbereich, den die Vorrichtung liefert, 40 oder 20° Kurbelwinkel. Bei Lichtzündmaschinen mit reiner Selbstverstellung beträgt der Verstellbereich 40° .

Da Selbstversteller den Zündzeitpunkt nur in Abhängigkeit von der Drehzahl des Motors verändern, während der günstigste Zündzeitpunkt von verschiedenen Umständen abhängt, geben viele Kraftwagenfabriken der Handverstellung den Vorzug. Auch wenn man Handverstellung und selbsttätige Verstellung verbindet, weil der Verstellbereich des Reglers nicht genügt, verhindert die Handverstellung, daß beim Andrehen sicher auf Spätzündung eingestellt wird.

Rückschlagsichere Andrehkurbeln

Diese Kurbeln müssen sich selbsttätig auskuppeln, wenn der Motor in umgekehrter Drehrichtung anspringt, da sonst der daran tätige Arbeiter stark gefährdet wäre. Eine brauchbare Andrehkurbel muß folgende Bedingungen erfüllen:

1. Der Rückweg des Kurbelheftes bei Rückschlag, bis die Kurbel entkuppelt ist, muß möglichst kurz sein; nach Prof. Dr. Hartmann¹⁾ darf die Kurbel auch keine kleine Rückwärtsbewegung machen, da durch solche schon schwere Unfälle entstanden sind. Schon ein kurzer Rückstoß des Kurbelheftes kann infolge seines überraschenden Eintritts und bei ungünstiger Armstellung des Andrehenden eine Unfallgefahr bedeuten.
2. Die Kurbel darf nach dem Entkuppeln weder vorwärts noch rückwärts schwingen, muß vielmehr dann unbeweglich sein, da sonst der Andrehende der Gefahr ausgesetzt ist, bei plötzlichem Auskuppeln zu Boden zu stürzen.

¹⁾ „Allgemeine Unfallverhütung in gewerblichen Betrieben“ S. 480

Bei den zur Zeit bekannten Sicherheitskurbeln werden die drei Verfahren der Rückschlagsicherung verwendet: Andrehkurbeln, die durch die Bewegung des Kurbelheftes beim Rückschlag ausgekuppelt werden, sind vom ortsfesten Motor her bekannt. Während des Andrehens muß man das Kurbelheft durch Drehung im Sinne der Motordrehrichtung gekuppelt erhalten, das Hand muß also auf dem Heft gleiten. Beim Rückschlag wird die Kurbel durch Zurückdrehen des Kurbelheftes entkuppelt.

Die Bedienung dieser Kurbel stellt an den Andrehenden so hohe Anforderungen, daß sie für Kraftwagen kaum in Betracht kommt.

Bei einer andern Art der Rückschlagsicherung bewirkt die durch den Motorrückstoß verursachte Drehung der Handkurbelwelle das Entkuppeln unabhängig vom Andrehenden.

Die Kurbel Beta von F. Oßberger, Weißenburg in Bayern, Abb. 5 und 6, benutzt als Mitnehmer ein Klinken *a*, die in eine Kerbe des Andrehstummels *b* und eine Lücke des Gesperrekranks *c* eingreift. Beim Andrehen schiebt man den Andrehstummel in den Gesperrekrank ein, der sich dann mitdreht. Sein Freilauf besteht aus der unbeweglichen Exzenterhülse *d*, dem Keilring *e* und der Keilbacke *f*, die beim Rückstoß infolge der Exzenterizität den Gesperrekrank am Zurückdrehen hindert. Bei der weiteren Rückdrehung der Welle wird die Kurbelklinge aus der Lücke des Gesperrekranks und hiernach auch aus der Kerbe des Andrehstummels herausgedrückt. Die Kurbel ist dann entkuppelt.

Der Weg, den das Kurbelheft zurücklegen muß, bevor beim Rückschlag die Kurbel vom Andrehstummel getrennt wird, setzt sich zusammen aus dem kurzen Weg des Gesperrekranks bis in die Sperrlage und dem größeren Weg, den die Kurbel macht, bis sich die Klinge, üb-

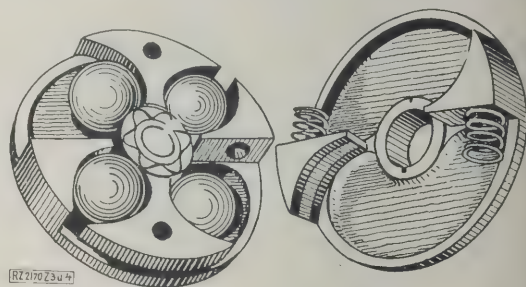


Abb. 3 und 4. Einzelteile des Selbstverstellers.

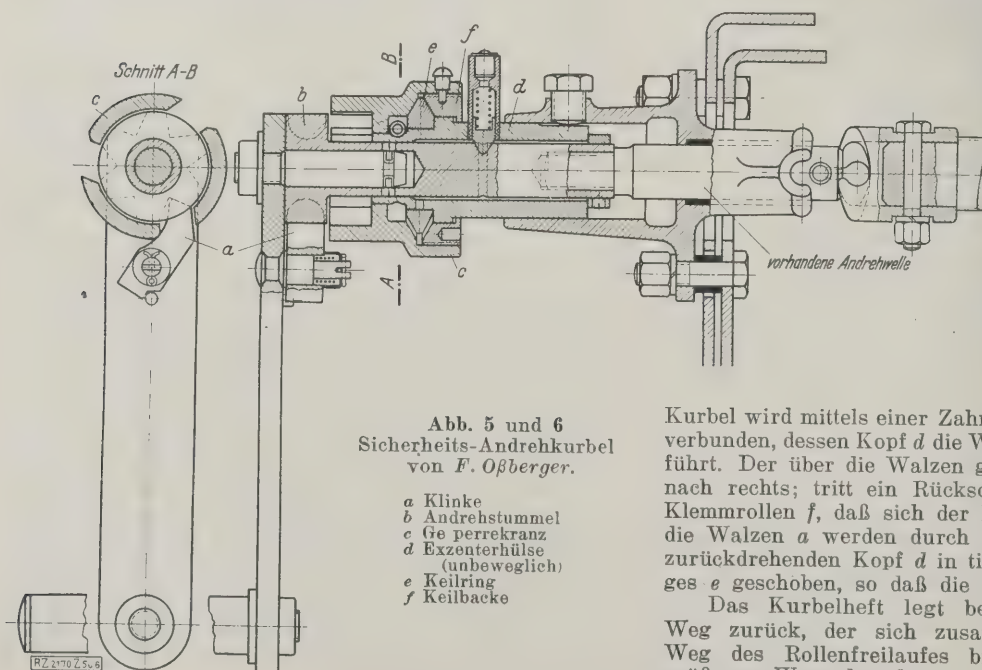


Abb. 5 und 6
Sicherheits-Andrehkurbel
von F. Oßberger.

- a Klinge
- b Andrehstummel
- c Gesperrekrank
- d Exzenterhülse
(unbeweglich)
- e Keilring
- f Keilbacke

den Gesperrekrank gleitend, aus der Kerbe des Andrehstummels herausbewegt hat. Nach dem Entkuppeln kann die Kurbel frei rückwärts schwingen. Dieser vom Rückstoß her rührende Schwingen ist nach Versuchen erheblich.

Bei der Andrehkurbel der „Präwag“, Präzisions-Werkzeug- und Apparatebau-G. m. b. H., Hamburg, Abb. 7 bis 9, dienen zur Mitnahme drei Walzen *a*, die in entsprechende Nuten der Welle *b* eingreifen; die

Kurbel wird mittels einer Zahnkupplung mit dem Gehäuse verbunden, dessen Kopf *d* die Walzen in den Nuten der Welle führt. Der über die Walzen greifende Ring *e* hat Freilauf nach rechts; tritt ein Rückschlag ein, so verhindern die Klemmrollen *f*, daß sich der Ring *e* rückwärts dreht, und die Walzen *a* werden durch den sich mit der Motorwelle zurückdrehenden Kopf *d* in tiefere Aussparungen des Ringes *e* geschoben, so daß die Handkurbel entkuppelt wird.

Das Kurbelheft legt bei einem Rückschlag einen Weg zurück, der sich zusammensetzt aus dem kurzen Weg des Rollenfreilaufes bis zur Sperrlage und dem größeren Weg, den die Kurbel machen muß, bevor die

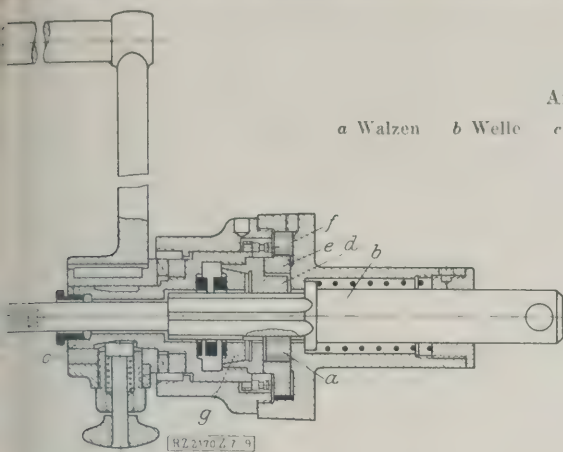


Abb. 7 bis 9
Andrehkurbel der „Präwag“, Hamburg.

a Walzen b Welle c Gehäuse d Gehäusekopf e Ring f Rollen g Bremskegel

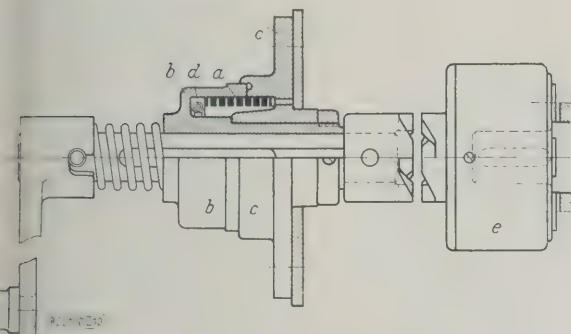


Abb. 10

Andrehkurbel von Carl Schürmann, Berlin.

a Feder, lückenlos gewunden b, c Hülsen d Gleitring
e Rutschkupplung

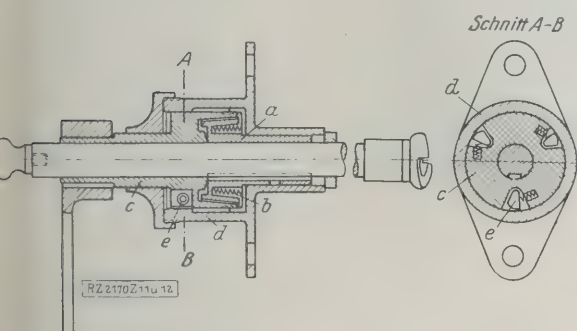


Abb. 11 und 12

Essener Kurbel der „Präwag“, Hamburg.

a innerer Kegel b Feder c Gesperrekörper d Hülse
e Klemmkörper

alzen die Nuten der Welle verlassen haben. Das freie ausschlagen der Kurbel nach dem Entkuppeln verhindert ein Bremskegel g auf der Welle.

Bei den Versuchen mit dieser Kurbel ergab sich, daß sich bei eintretendem Rückschlag die Zahnkupplung plötzlich löste und die Kurbel infolge des vom Rückstoß verursachten Schwunges nicht festgehalten werden konnte. Die Beseitigung dieser Gefahr macht konstruktiv große Schwierigkeiten.

Bei der dritten Art von Rückschlagsicherungen wird eine gegen Linksdrehung wirkende Gesperre verwendet, so daß man die Handkurbel nur nach rechts drehen kann. Diese Gesperre muß entweder das gesamte Rückschlagmoment, oder, wenn man eine Rutschkupplung benutzt, einen Teil dieses Momentes aufnehmen. Auf die Rutsch-

kupplung kann man kaum verzichten, da sonst Motorwelle, Klauen und das Gesperre zu stark beansprucht werden.

Die Andrehkurbel von Carl Schürmann, Berlin, benutzt als Gesperre ein Schraubenfeder-Schaltwerk. Abb. 10. Die lückenlos gewundene Feder a befindet sich in den beiden Hülsen b und c. Hülse b ist mit der Handkurbelwelle gekuppelt, Hülse c ist am Kraftwagenrahmen befestigt und unbeweglich. Die Schraubenfeder wird beim Motorandrehen durch den Gleitring d zusammengerollt, beim Rückschlag aber auseinandergerollt; hierdurch werden die Hülsen b und c, d. h. die Handkurbelwelle mit der unbeweglichen Hülse gekuppelt. Die Rutschkupplung e ermöglicht Rückdrehung des Motors bei stillstehender Handkurbel.

Meine Versuche mit dieser Kurbel haben aber nicht ergeben, daß dieses Gesperre genügend rückschlagsicher wirkt.

Bei der sogenannten Essener Kurbel, Abb. 11 und 12, deren Herstellung die Präzisions-Werkzeug- und Apparatebau-G. m. b. H., Hamburg, übernimmt, wird eine Reibkupplung verwendet; ihr innerer Kegel a dreht sich mit der Motorwelle und wird durch eine Feder b in die Öffnung eines mit der Handkurbel verbundenen Gesperrekörpers c gedrückt, der in einer mit dem Rahmen des Kraftwagens verbundenen Hülse d läuft. Das gegen Linksdrehung wirkende Gesperre besteht aus Klemmkörpern e, die in Ausschnitten des beim Ankurbeln umlaufenden Gesperrestückes kippen können.

Die Rutschkupplung wird so bemessen und eingestellt, daß sich beim Andrehen die Motorwelle mit der Handkurbel vorwärts dreht. Bei einem Rückschlag des Motors wird der mit der Handkurbel verbundene Hohlkegel durch die Klemmwirkung des Gesperres unbeweglich und der Reibungswiderstand in der Kupplung überwunden, so daß sich die Motorwelle rückwärts drehen kann.

Von Dezember 1927 bis September 1928 habe ich mit Kurbeln dieser Bauart in drei verschiedenen Betrieben Versuche wiederholt ausgeführt; die Ergebnisse waren ausnahmslos gut. Das Gesperre wirkt fast spielfrei, so daß sich der Rückschlag dem Andrehenden nur durch die Unbeweglichkeit der Kurbel bemerkbar macht. Das Kurbelheft macht beim Rückschlag einen kaum wahrnehmbaren Rückweg und kann weder vor- noch rückwärts ausschlagen; die Rutschkupplung arbeitet einwandfrei, so daß der Motor bei Frühzündung rückwärts laufen kann, ohne daß sich die Handkurbel mitdreht. Allerdings fehlt noch eine Feder, die die Handkurbelwelle beim Anspringen des Motors auswirft oder eine diese Feder ersetzende Sicherung gegen unbeabsichtigtes Wiedereinrücken der Klaue. Dieser Mangel läßt sich auf einfache Weise beseitigen.

Im allgemeinen müssen Sicherheitskurbeln-sorgfältiger gewartet werden als gewöhnliche Andrehkurbeln. Wichtig ist auch die zentrische Lage der Handkurbelwelle gegenüber der Motorwelle; die Klauen für diese Wellen sind mitunter zu schwach, um einen Teil des Rückstoßes aufnehmen zu können.

[B 2170]

Emil Schrödter †

Am 31. Oktober 1928 ist *Emil Schrödter* in Bonn an den Folgen einer Operation gestorben und am 3. November 1928 in Mehlen, wo er seit seinem Rücktritt von seiner Stellung als Geschäftsführer des Vereines deutscher Eisenhüttenleute der wohlverdienten Ruhe pflegte, zu Grabe getragen worden. Mit ihm verliert die Eisenindustrie einen Schildträger, der ein Menschenalter mit ihr aufs engste verknüpft war, ihrem Aufstieg den Weg mit bereitete und mit allen Fasern seines Lebens an diesem Gewerbe hing.

Am 26. Februar 1855 als Sohn eines früh verstorbenen Mechanikers und Optikers zu Düsseldorf geboren, studierte er nach erfolgreichem Besuch der Düsseldorfer Realschule und praktischer Ausbildung, Maschinenbau auf dem Polytechnikum zu Karlsruhe und der Gewerbeakademie zu Berlin. Seine erste Stellung nach vollzogener einjähriger Dienstzeit hatte er bei der Maschinenfabrik Ernst Schiess in Düsseldorf, aber bereits seine zweite Stellung, bei den Hulschinsky-Werken in Oberschlesien, führte ihn zur Eisenhüttenindustrie. Sein Wunsch, eine Betriebsstellung zu bekleiden, wurde unterbunden durch eine schwere Erkrankung an Gelenkrheumatismus, und so folgte er einem Ruf in die im Jahre 1881 in Düsseldorf errichtete Geschäftsstelle des Vereines deutscher Eisenhüttenleute. Dieser Verein war im Jahre 1880 aus dem Verein deutscher Ingenieure, dem er als „Technischer Verein für das Eisenhüttenwesen“ seit seiner Gründung, im Jahre 1860, als Zweigverein angehört hatte, ausgetreten und hatte sich, um freiere Beweglichkeit zu erlangen, selbständig gemacht und eine eigene Zeitschrift begründet.

Schon nach kurzer Zeit übernahm *Schrödter* von dem ausscheidenden damaligen Geschäftsführer *F. Osann* die Leitung der Vereinsgeschäfte und zugleich die Schriftleitung der Zeitschrift „Stahl und Eisen“; damit wurde *Schröders* Name verknüpft mit dem Aufstieg des deutschen Eisenhüttenwesens, den die Einführung des Thomas-Verfahrens und den Siegeszug des Flußeisens kennzeichnete.

Die literarische Tätigkeit *Schröders*, die in zahlreichen Aufsätzen außer in „Stahl und Eisen“ auch in der „Zeitschrift des Vereines deutscher Ingenieure“¹⁾ über Tagesfragen der deutschen Eisenindustrie, insbesondere auch die Frachtenfrage, zum Ausdruck kam, brachte *Schrödter* in Verbindung mit zahlreichen Fachgenossen des In- und Auslandes. Diese Verbindungen verstärkte er durch Studienreisen nach England, Belgien, Frankreich, Schweden und nach den Vereinigten Staaten von Amerika, was ihm die Möglichkeit gab, Fachgenossen, die das Ausland bereisen wollten, die Wege zu ebneten, wie er auch fremden Eisenhüttenleuten die Pforten der deutschen Hütten öffnete.

Seine wissenschaftlichen Verdienste fanden Anerkennung dadurch, daß die Technische Hochschule Aachen ihn zum Doktor-Ingenieur Ehren halber ernannte, daß der Verein deutscher Eisenhüttenleute ihm die Carl Lueg-Denk-münze und das American Institute of Mining Engineers sowie das Londoner Iron and Steel Institute ihm die Ehrenmitgliedschaft verliehen.

Schrödter war indessen auch auf wirtschaftlichem Gebiete tätig, seine Freundschaft mit *Carl Lueg*, dem lang-

jährigen Vorsitzenden des Vereines deutscher Eisenhüttenleute, machte ihn zum Vertrauensmann der vielen Verbände und Konventionen, die in jener Zeit den wirtschaftlichen Zusammenschluß der deutschen eisenverarbeitenden Industrie vorbereiteten und die in der Schaffung des Stahlwerksverbandes ihre Krönung fanden. A weit über die Eisenindustrie hinaus reichte das Vertrauen, das *Schrödter* entgegengebracht wurde. A die eisenverarbeitende Industrie in Rheinland und Westfalen berief ihn bei der Gründung des Verbandes d Rheinisch-Westfälischen Maschinenfabriken zu ihrem Geschäftsführer, welches Amt er auch behielt, als dies Verband sich im Jahr 1892 zu dem sich über ganz Deutschland erstreckenden Verein Deutscher Maschinenbau-Anstalten weitete. Erst im Jahre 1910 hat er dieses Amt an *Fr. Frölich* abgegeben; aber bei einer Anzahl kleiner Konditionen-Kartelle und Preisvereinbarungen

des Maschinenbaues ist *Schrödter* noch lange Jahre später Treuhänder geblieben, und 1911 ernannte ihn der Verein Deutscher Maschinenbau-Anstalten zu seinem Ehrenmitgliede.

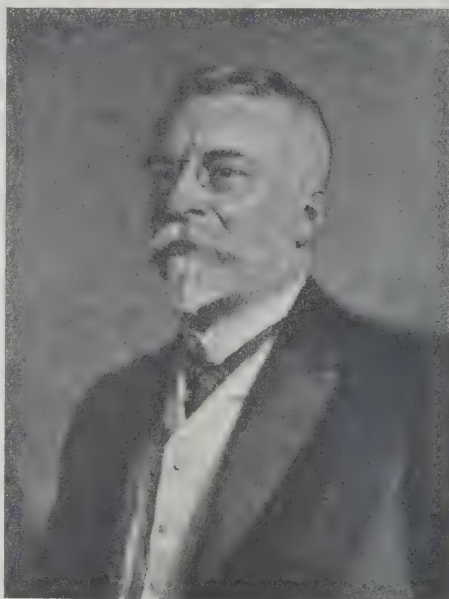
Obwohl diese vielseitige Inanspruchnahme *Schrödter* über Gebühr belastete, entzog er sich doch nicht den Aufgaben der Allgemeinheit. Er war lange Jahre Mitglied der Düsseldorfer Stadtverordnetenversammlung und des Rheinisch-Provinziallandtages; zusammen mit *Heinrich Lueg* war er führend beteiligt bei dem Aufbau und der Durchführung der Düsseldorf-Ausstellung von 1902, und wendete sich auch an den technischen und wirtschaftlichen Kongresse, von denen viele vor dem Kriege in Düsseldorf tagten, sind ohne leitende Mitwirkung von *Schrödter* veranstaltet worden.

Als Düsseldorfer Kind und durch verwandtschaftliche Beziehungen war *Schrödter* ein Freund der Künstlerkreise, und d Malkasten, dieser Mittelpunkt rheinischen Künstlerlebens, zählte ihn zu seinen eifrigsten Mitgliedern.

Dieser künstlerischen Neigung, gepaart mit seinem Sinn für die geschichtliche Entwicklung, verdankt die Ofenplattensammlung ihr Entstehen, die im Düsseldorfer Eisenhüttenhaus untergebracht war und die jetzt im Städtischen Kunstmuseum zu Düsseldorf weiteren Kreisen zugänglich gemacht worden ist.

Das Hauptwerk *Schröders* aber ist und bleibt der Verein deutscher Eisenhüttenleute, den er aus kleinen Anfängen emporgeführt hat zu einer machtvollen Organisation, geachtet wegen der Gründlichkeit seiner wissenschaftlichen Arbeit, die nicht nur in dem Hauptverein sondern auch in den Zweigvereinen, den Eisenhütten Oberschlesien und Süd-West, blüht, geachtet auch, weil ihm *Schrödter* den finanziellen Rückhalt schuf durch die Gliederung eines selbständigen Verlagsunternehmens, des „Verlages Stahl und Eisen“. So war es der Eisenhüttenindustrie schon frühzeitig möglich, die wissenschaftliche Forschungsarbeit in zahlreichen Einrichtungen und insbesondere an der Technischen Hochschule Aachen kräftig und wirksam zu fördern.

Dieses von *Schrödter* geschaffene Rüstzeug ermöglichte es der Deutschen Eisenhüttenindustrie, die schwerer Kriegs- und Nachkriegszeit zu bestehen. Die erste Kriegszeit sah ihn noch rastlos tätig, für rechtzeitig und ausreichende Versorgung des Heeres mit Munition zu sorgen. Ende 1916 aber legte er sein Amt in die Hände seines Nachfolgers, Dr.-Ing. *Otto Petersen*. In der



Emil Schrödter
geb. 26. Februar 1855 gest. 31. Oktober 1928

¹⁾ Vergl. Z. Bd. 35 (1891) S. 1234 u. f.; Bd. 39 (1895) S. 75; Bd. 49 (1905) S. 1491 und mehrere Berichte über Vorträge und Aufsätze.

in Kraft des Schaffens trat er ab von der Bühne der öffentlichen Wirksamkeit, aber noch lange blieb er der Berater und Vertrauensmann der eisenverarbeitenden Industrie, die ihn zum Ehrenmitgliede des Vereines deutscher Eisenhüttenleute ernannte, und weiter Kreise der rheinisch-westfälischen Industrie. Dem Niederrheinischen Bezirksverein des Vereines deutscher Ingenieure gehörte Schrödter seit 1879 an.

An der Seite seiner Gattin, *Gisela von Bülow*, und im

Kreise seiner Kinder waren ihm schöne Tage beschaulicher Ruhe auf seinem Landsitz in Mehlem am Rhein vergönnt, die er, der Sohn des Rheinlandes, auszukosten verstand. An seiner Bahre aber trauert die Eisenhüttenindustrie und ein großer Kreis persönlicher Freunde: denn wer *Schrödter* nahegestanden, war ihm Freund geworden. [P 2337]

Niederrheinischer Bezirksverein
des Vereines deutscher Ingenieure

Karl Keller †

Das reiches Ingenieur- und Forscherleben ist mit dem Hinscheiden des Geheimen Rates Dr. phil., Dr.-Ing. E. h. *Keller* erloschen. Der am 3. November 1928 zu München im Alter von 89½ Jahren nach kurzer Krankheit entschlafene Gelehrte war am 25. April 1839 in Karlsruhe geboren als Sohn des Kabinettsrates *Joh. Nep. Keller*. Er durfte eine an kulturellen wie politischen Entwicklungen und Wandlungen reichere Zeit durchleben und nahm an diesen Geschehnissen lebhaften Anteil, freilich nicht ohne tiefste seelische Ergriffenheit, die im Jahr 1818 das Deutsche Reich bis in die Grundfesten erschütterte.

In Augsburg und München besuchte er das humanistische Gymnasium, das er mit der besten Note absolvierte; er blieb zeitlebens von humanistischen Idealen erfüllt und herrschte bis in die hohen Achtziger hinein in Wort und Schrift über Griechische und Lateinische Sprachen; er hat übrigens nichts sehr aus seinem ersten Bildungswege in die Lebensarbeit genommen wie den Zug geistlicher Betrachtung, der, auch in den Technischen, seinem Schaffen den ganz unverkennbaren Stempel aufdrückte. Auf der Universität in Karlsruhe widmete er sich den mathematischen, naturwissenschaftlichen und namentlich technischen Studien; vor allem war es Karlsruhe, das für ihn als Bildungsstätte die größte Bedeutung gewann.

Durch, daß hier *Redtenbacher*, der die jungen Ingenieure aus der ganzen Welt zu seinen Füßen versammelte, sein Lehrer wurde. Diesem Großen fühlte er sein ganzes Leben lang verpflichtet, und besonders Ehren hielt er ein von des Lehrers künstlerischer und geschaffener Landschaftsbild, das er dereinst zum Geschenk bekommen hatte. So war es ihm Ehre und Erfüllung einer Dankspflicht, als er, bereits im Ruhestand lebend, im Jahre 1909 bei der von der Karlsruher technischen Hochschule zu *Redtenbachers* 100. Geburtsfeier veranstalteten Feier auf seinen Lehrer die Festrede lesen durfte.

Nach praktischer Tätigkeit bei *Kramer-Klett* (Nürnberg) und *Maffei* (München) erhielt er im Jahr 1868 — im selben Jahr, in dem er Mitglied des Vereines deutscher Ingenieure geworden ist, dessen Karlsruher Bezirksverein er im Jahr 1882 mitbegründet hat — einen Ruf auftrag und nach einem Jahre die Stellung eines öffentlichen Professors für Maschinenbau an seinem eigenen Karlsruher Polytechnikum, der späteren Technischen Hochschule, der er dann 38 Jahre lang als Lehrer mit reichem Erfolg und nicht minder reichem Anerkennung diente. Seine Antrittsvorlesung behandelte „Entwicklung des Lokomotivbaues“, seine Lehraufträge gingen im Laufe der Jahre auf „Elemente des Maschinenbaues und der Maschinenlehre“, „Hebemaschinen“, „der hydraulischen Motoren“, „Wasserkraftanlagen“,

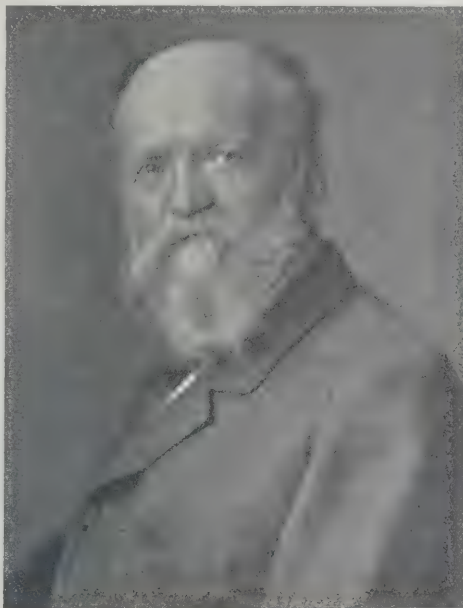
„Lokomotivbau“; letzterer Gegenstand bildete dann das eigentliche Feld seines Studiums und seiner Lehrtätigkeit. Neben den Vorlesungen hatte er, viele Jahre lang ohne jede Hilfskraft, die Konstruktionsübungen in Maschinenelementen zu leiten; diese anstrengenden Übungen und dann die Herausgabe seiner „Triebwerke“, für die er sämtliche technischen Zeichnungen selbst herstellte, strengten zeitweise seine Kräfte weit über das erträgliche Maß hinaus an, namentlich auch seine Augen, so daß er während der Vorbereitung einer neuen Auflage seines Hauptwerkes plötzlich das Augenlicht verlor, eine Gefahr, die späterhin durch ärztliche Kunst und die eigene kraftvolle Natur in einem Maße überwunden wurde, daß er bis in sein höchstes Alter hinein Nähe und Ferne ohne jedes Glas zu beherrschen vermochte. Seine „Triebwerke“ sind in vier Auflagen erschienen, von der dritten an auch in französischer Übersetzung.

Aber nicht genug war es mit der Tätigkeit an der Karlsruher Hochschule: von 1872 bis 1880 hatte er im Auftrage des badischen Kultusministeriums wöchentlich zweimal an der Universität Heidelberg Vorlesungen zu halten über „Landwirtschaftliches Maschinenwesen“. In den 80er Jahren hatte er auch die Materialprüfung, besonders für Baustoffe, unter sich, eine Aufgabe, die ihn außerordentlich interessierte und ihm, dem unterdessen schon ins fünfte Lebens-

jahrzehnt eingetretenen Manne, die wissenschaftliche Grundlage lieferte zur Promotion an der Universität München, die ihm den Titel eines Doktors der Philosophie „summa cum laude“ verlieh. Die amtliche Tätigkeit an der Karlsruher Hochschule wurde gekrönt durch seine Erwählung zum Rektor der Hochschule für 1892/93; seine Antrittsrede, eine seiner schönsten Reden überhaupt, behandelte den „Charakter der technischen Umwälzungen des 19. Jahrhunderts“. In das Jahr seines Rektorats fiel auch seine Entsendung zu der Dreihundertjahrfeier von *Galilei's* Professorentätigkeit an der Universität Padua, wobei er eine inhaltlich wie formell meisterhafte lateinische Ansprache hielt und ehrenhalber zum Doctor natural. philosophiae ernannt wurde. Und als die Karlsruher Hochschule 1900 die Feier der Jahrhundertwende beging, hatte er die Festrede zu halten, in der er das Lebensbild des berühmten Mechanikers *Reichenbach* zeichnete.

Auch der Zeitschrift des Vereines deutscher Ingenieure widmete er seine geschätzte Mitarbeit als Verfasser vieler Aufsätze.

Das Jahr 1907 brachte ihm nach einer mehr als 38jährigen Tätigkeit die Versetzung in den Ruhestand, worauf er bald in seine Heimatstadt München übersiedelte und in den großen Kreis seiner dortigen Angehörigen eintrat. Aber auch im Ruhestande ruhte er nicht und eine fast unübersehbare Fülle von historischen Einzelschriften



Karl Keller
geb. 25. April 1839 gest. 3. November 1928

legt Zeugnis ab von seiner nimmermüden Arbeitskraft und seinem Interesse, so, um nur einiges zu nennen, über den Philosophen *Hirn*, über *Montgolfier*, *Regnault*, *Gras-hof*, *Kessler*, *Robert Mayer*, *Riggenbach*.

Als der Weltkrieg das Aufgebot des vaterländischen Hilfsdienstes nötig machte, meldete er sich zum ehrenamtlichen Dienste bei der „Maschinen-Ausgleich-Stelle“, die vom Bayerischen Bezirksverein des Vereines deutscher Ingenieure errichtet, später dem Kriegsamt unterstellt wurde. Schwer litt der greise Mann unter dem unglücklichen Ausgang des Krieges, unter dem Zusammenbrechen des Reiches, bei dessen Aufbau er selbst im Jahre 1870/71 in den Reihen des Sanitäts-Personals begeistert mitgearbeitet hatte; und als er am 25. April 1919 in körperlicher und geistiger Rüstigkeit seinen 80. Geburtstag beging, da war es mitten in der traurigsten Epoche der bayerischen und besonders der Münchener Geschichte, als hier die kommunistische Räteregierung ausgerufen wurde. Und doch, es war wie ein Ruf aus einer glücklichen Schaffenszeit, als ihm an diesem Tage die Technische Hochschule Karlsruhe den hohen Ehrentitel eines Dr.-Ing. verlieh „in Anerkennung seiner hervorragenden

Verdienste um die Förderung der technischen Wissenschaften, als langjährigem Hochschullehrer an *Fridericiana*, als Forscher und Schriftsteller auf dem Gebiete des Maschinenwesens“.

Dies, sein der Öffentlichkeit zugewandtes Leben, wäre ja sonst noch zu berichten über seine reiche künstlerische Veranlagung, die sich in oft entzückender Weise in seinen musikalischen Betätigungen, in dichterischen Schöpfungen, vor allem in zeichnerischen Feinarbeiten äußerte. Von seinen drei Kindern erlag sein Sohn Hermann, Oberingenieur der Henschel-Werke in Kassel, ein schöpferisches Genie auf dem Gebiete des Instrumentenbauwesens, drei Tage vor dem Tode des Vaters einem Schlaganfall. Des greisen Gelehrten Asche hat auf dem Friedhof von Tegernsee, wo er seit seinen Jugendtagen jährlich sein Ferienglück hatte erleben dürfen, gegen dem Grabe seines Jugendfreundes *Karl Stieler*, die letzte stille Ruhe gefunden. [P 233]

Oberstudiendirektor Dr. *Hans Keller*, Nürnberg

Karlsruher Bezirksverein
des Vereines deutscher Ingenieure

Internationale Zusammenarbeit im Brücken- und Hochbau

Von Dr.-Ing. E. h. KARL BERNHARD, Berlin

Im Anschluß an einen kurzen Bericht in den VDI-Nachrichten Nr. 40 vom 3. Oktober 1928 über den Verlauf der zweiten internationalen Tagung für Brücken- und Hochbau in Wien in der Zeit vom 24. bis 28. September 1928 soll hier auf einige besonders lehrreiche Fachverhandlungen näher eingegangen werden. Der Inhalt der wichtigsten Vorträge war bereits in einem vorläufigen Abdruck¹⁾ veröffentlicht. Das gab in der Verhandlung Anlaß zu gut vorbereiteten Erörterungen, wodurch auch die mengenmäßige Leistung des Kongresses erheblich gesteigert werden konnte. Außerdem besteht noch bei der Kongreßleitung die Absicht, alle Erörterungen in einem zusammenhängenden großen Werke herauszugeben, das den Sonderfachleuten als weitere Quelle der Forschung dienen wird. Ziel nachstehenden Berichtes kann nur sein, auf das Wesentliche hinzuweisen und den Weg zu verfolgen, auf dem sich der neuzeitliche Brücken- und Hochbau entwickelt. Der Übersichtlichkeit wegen sei hier, im Gegensatz zu der Tagesordnung, der Inhalt der Verhandlungen gruppenweise zusammengefaßt:

Kunst im Brückenbau

Prof. Dr. *Fr. Hartmann*, Wien, der verdienstvolle Vorsitzende des Kongresses, behandelte die Ästhetik im Brückenbau und nimmt Bezug auf sein kürzlich erschienen Buch über das gleiche Thema²⁾. Für den, der sich in der Entwicklung des neuzeitlichen Brückenbaues betätigt hat, ist nicht viel Neues geboten. Die anerkannten Gesichtspunkte für die schönheitliche Behandlung großer Brücken, wie sie auch in dieser Zeitschrift³⁾ seit Jahrzehnten zum Ausdruck gebracht worden sind, sind von *Hartmann* scharf zusammengefaßt, besonders die Frage nach der Einpassung der Brücke in die Umgebung, worüber seltsamerweise die Ansichten noch recht weit auseinandergehen. Nur eines wird allseits bestätigt, was ich schon seit Jahrzehnten in Abhandlungen und Vorlesungen vertreten habe, daß nur der Brückenfachmann allein die ästhetische Frage entscheiden kann und muß und daß deshalb die Ausbildung der Brückenbauer nach dieser Hinsicht besser als bisher vor sich gehen muß, jedenfalls nicht wie früher in die Hände von Architekten gelegt werden kann. Die Zusammenarbeit von Architekt und Ingenieur hat keine Fortschritte in der Brückenästhetik im neuzeitlichen Sinne gebracht.

Das erhärtete auch der Vortrag von Prof. O. *Linton*, Stockholm, „Über die Kunst, Tragwerke zu bauen“. Es trifft wirklich zu, wenn er sagt, daß beim Entwurf einer tragenden Konstruktion der Ingenieur damit beginnt, als ob er Architekt sei, daß er dann eine Zeitlang als Architekt und Ingenieur arbeitet und das Werk als Ingenieur abschließt.

Prof. *Mecenseffy*, München, bestätigte als Architekt die vorgenannte Richtung und verlangt, daß Begabung des Ingenieurs nach der ästhetischen Richtung geweckt und besser

geschult werden muß — Anschauungen, die in den letzten 25 Jahren wiederholt zu Wort gekommen sind. Gegenüber neuerdings stark in den Vordergrund tretende Bevorzugung vollwandiger eiserner Tragwerke an Stelle der Fachwerkaufbauweise, hat der Verfasser dieses Berichtes kurz Stellung genommen und die Fälle besonders hervorgehoben, wo Vollwandlösung weder künstlerisch noch konstruktiv wirtschaftlich empfehlenswert erscheint.

Messungen am fertigen Bauwerk

Als Einleitung dieser Vortragsgruppe kann man den Vortrag des Sektionschefs für Brückenbau der schweizerischen Bahnen, *Bühler*, bezeichnen, der Ziel, Ergebnisse und Wert der Messungen an Bauwerken behandelte. Er führte aus, daß zur statischen Berechnung und Messung an Bauwerken eine gegenseitige Befruchtung, eine gegenseitige Befruchtung von Theorie und Praxis stattfinden müsse, um dem Fortschritte den Weg zu ebnen. Wir sind heute in die dynamische Zeit eingetreten. Alle statischen und dynamischen Belastungen müssen durch Messungen am Bauwerk verfolgt werden, auch die Beobachtungen, Erschütterungen an Bauwerken aus Stahl und Beton, an Brücken- und Talsperren, an eisernen Bauwerken, kurz alles Nötige zur Ermittlung der Nebenspannungen und Stoßwerte. Bei den Eisenbauten ist man am meisten vorgerückt. Die Übereinstimmung der genauen Berechnungen und der Messungen befriedigen hier derart, daß man zu sachgemäß berechneten und ausgeführten Eisenbauwerken das größte Vertrauen haben darf. Für Eisenbetonbauten ist das Ergebnis auch gut, wenn dabei die Auflagerbewegungen gut erfüllt sind und keine Reibungseinflüsse stören. Die Rißbildung bei Betonbrücken ist noch nicht einwandfrei geklärt, deshalb sind in weitestem Ausmaß hierfür noch Versuche nötig. Ebenso ist auch die meßtechnische Behandlung von Holzbauten, Schwingungsmessungen an Brücken und Türmen nötig. In hohem Maße erzieherisch wirkt in praktischer und theoretischer Hinsicht die Meßtechnik am fertigen Bauwerk jeglichen Alters und jeglicher Bauart. rechtfertigt somit die Bereitstellung erheblicher Mittel.

Prof. *Fuller*, Iowa-Universität, Ver. Staaten von Amerika, kleidete in einem Bericht Meßergebnisse für die Stöße auf Straßenbrücken in eine Form. Bis zu einer Geschwindigkeit von 27,5 km/h sind die Stöße durch die Wirkungen der Geschwindigkeit verhältnismäßig, sie wachsen erheblich beim Überwinden von Unebenheiten, sind abhängig von den Nutzlasten, abhängig von nicht abgedeckten Teilen und der Nachgiebigkeit der Bereifung sowie von der Beschaffenheit der Fahrbahnoberfläche. Die Stöße wirken steigend sich auf das Mehrfache der statischen Last je nach Art und Masse der Straßenfahrbahn.

Prof. *Godard*, Paris, sprach über dynamische Wirkungen bewegter Lasten auf eisernen Brücken und entwickelte gleichfalls eine Stoßformel. Die neuen französischen Vorschriften geben eine besondere Formel an, in der die Spannweite und das Verhältnis der ruhenden Gesamtlast zur beweglichen Last zum Ausdruck kommt, wobei der Wert 2 nicht überschritten werden kann. *Mendizabal*, Madrid, berichtete über die spanische Form zur Bestimmung des Stoßbeiwertes auf Grund spanischer Versuche, nach denen der Stoß gegenüber den anderen Lasten bei mäßigen Spannweiten erheblich erhöht werden soll.

¹⁾ Wien 1928, Julius Springer.

²⁾ Leipzig-Wien 1928, Deuticke.

³⁾ Vergl. u. a. *Schächterle*, Z. Bd. 71 (1927) S. 1213.

merkwürdige Untersuchungen über die dynamische Wirkung der Trägheitskräfte und die entsprechende Phasenverschiebung, sowie die Störung der Proportionalität zwischen Kraftwirkung und Verformung. Prof. Streletzky, Moskau. Er ging besonders auch auf die Knotenpunktverschiebung durch die Einstrahlung ein. Streletzky betonte die Notwendigkeit, die dynamischen Belastungskoeffizienten zu trennen. Die Belastungskoeffizienten haben auf glatten Gleisen große Bedeutung, für die Konstruktion und den allgemeinen Zustand der Brücke dagegen mehr. Gleisunebenheiten verursachen stärkere Resonanzerscheinungen, die bei der Dampflokomotive geringere. Die russischen Untersuchungen und Ergebnisse⁴⁾ zeugen von dem großen Interesse mit dem dort auf diesem Gebiete gearbeitet worden ist.

Über das Meßverfahren und die Schwierigkeiten, die bei den statischen und dynamischen Brückenmeßgeräten zu überwinden werden müssen, sprach Reichsbahnrat Dr.-Ing. f. Bernhard, Berlin⁵⁾. Er faßte die statischen Anforderungen dahin zusammen, daß bei einer Mindestanzahl von 1000 Spannungsänderungen Längenänderungen von 0,5 μ erreicht werden können und deshalb eine 1000fache Vergrößerung nötig sei, wobei zu beachten ist, daß eine Schrägung des Meßgerätes zur Meßfaser von nur 10 min. Fehler von 0,8 μ und 1° Temperaturunterschied Fehler von 2,4 μ ausmacht. Noch weit schwerer zu erzielende Bedingungen stellen die dynamischen Anforderungen. Die Eigenfrequenzen der Geräte dürfen nicht unter 1200 Schwingungen in 1 s liegen, wenn Spannungsschwingungen von 300 in 1 s unverzerrt wiedergegeben werden sollen. Da die bisherigen Prüfeinrichtungen diese Anforderungen nicht erfüllen, sind bei der Deutschen Reichsbahn bereits elektrische Meßverfahren ausgebildet. Grundlage der elektrischen Berührungswiderstand von aufeinandergeriebenen Kohlenplättchen. So werden die Dehnungsänderungen auf elektrischem Wege aufgezeichnet, man hat bei Spannungsschwingungen von 4000 bei 20 000facher Vergrößerung erreicht, so daß die Hoffnung berechtigt ist, daß Diagramme über die aller kleinsten Veränderungen beachtliche Bauteile im fertigen Bauwerk erhält, aus denen großer Sicherheit alle statischen und dynamischen Wirkungen abgeleitet werden können. Durch besonders gebaute Schwinger und Erschütterungsmaschinen soll der auf der Brücke fahrende Eisenbahnzug ersetzt werden. Mit Erschütterungsmaschine wird durch exzentrisch gelagerte Antriebskräfte der Kraftverbrauch als Diagramm aufgezeichnet. Eine solche Bauart nach Späth-Losenhausen ist in Wien bei einer Eisenbahnbrücke vorgeführt worden. Die dynamischen Eigenschaften und vor allem auch der jeweilige Zustand kann so durch Dauerversuche festgestellt werden. Aus diesen kurz angedeuteten Vorträgen ist zu erkennen, überall auf diesem Gebiete zurzeit gearbeitet wird und die Brückenbautechnik in der Erkenntnis der verwickelten Vorgänge von Bauwerken unter bewegten Lasten sich dem Wege des Fortschritts befindet. Es zeigt sich deutlich, wie hier Theorie und Praxis zusammenarbeiten.

Messungen in den Versuchsanstalten

In einer Reihe von Vorträgen und Erörterungen wurden Laboratoriumsversuche behandelt, die in engster Beziehung mit den Vortragsgruppen stehen. Es handelt sich hierbei um die Baustofffrage und um die Entwicklung der hochwertigen Stähle. Den Auftakt hierzu bot der Vortrag Baurat Dr. Bohny, Sterkrade, der darauf hinwies, wie die das Anwachsen der Stabquerschnitte und durch das Anschwellen des Eisengewichtes der eisernen Überbauten die Verwendung hochwertiger Stähle beim Bau von Brücken und Hochbauten hervorgerufen worden ist. Quadratmeter Querschnittfläche bezeichnet Bohny als Grenzwert für Konstruktionsglieder. Sie würden in Stahl normaler Güte 14 000 t, bei Ausführung in St. 48 das Doppelte und bei neuem deutschen Si-Stahl das 1,5fache, also Kräfte von 21 000 t, aufnehmen. Bei der neuen Hudsonbrücke bei Fort Lee beträgt die zu übernehmende größte Last schon 75 000 t. In Zahlentafel 1 sind nach Waddell die oberen Grenzen vernünftiger und auch wirtschaftlicher Ausführungen verschiedener Brückenarten angegeben:

Der wirtschaftliche Gewinn bei Si-Stahl gegenüber St. 37 beträgt vom Verhältnis der Mehrkosten zur Gewichtsersparnis er beträgt bei 50 m Spannweite: 10 bis 15 vH, bei 100 m: 15 bis 18 vH, bei 150 m: 15 bis 21 vH, bei 200 m: 18 bis 25 vH. Die Streckgrenze bleibt maßgebend für die Querschnittbestimmung. Mit 36 kg/cm² Mindestgrenze überragt

Zahlentafel 1

Werkstoff	Balken- und Bogen- brücke	Ausleger- brücke	Hänge- brücke
	m	m	m
einfacher Flußstahl	300	500	700
hochwertiger Flußstahl von 25 vH höherer Streckgrenze	400	600	850
desgl. von 50 vH höherer Streckgrenze	500	700	1000
desgl. von 75 vH höherer Streckgrenze	600	800	1200
Haupttragglied in Draht	—	—	1500

der deutsche Si-Stahl die Baustähle anderer Länder. Die bisherige Entwicklung des Si-Stahls in Deutschland ist in der Nachkriegszeit derart schnell vor sich gegangen, daß die meisten großen Brücken aus diesem Baustoff hergestellt worden sind, und zwar bis Ende 1927 allein 100 000 t von der deutschen Reichsbahn. Die Baustoffentwicklung hat aber mit dem Si-Stahl noch nicht ihr Ende erreicht, und Anzeichen sprechen dafür, daß bald eine weitere Verbesserung eintritt.

Ausführlich besprach Prof. Dr. Gehler, Dresden, die aus den Versuchen hervorgehende Nachprüfung von

Sicherheitsgrad und Beanspruchung

ein Bericht, der allseitige Zustimmung in der Versammlung fand und in folgenden drei wertvollen Leitsätzen gipfelt:

1. Bei rein statischer Belastung und bei normaler Querschnittausbildung der Stäbe (ohne Behinderung der Querdrehung, also ohne Kerbwirkung) ist unser übliches Verfahren des Spannungsmaßstabes zur Bemessung des Sicherheitsgrades ausreichend, ebenso auch die Höhe der heute zulässigen Beanspruchung, z. B. bei Siliziumstahl im Eisenbrückenbau $\sigma_{zul} = 2100 \text{ kg/cm}^2$ bei 3600 kg/cm² Mindeststreckgrenze.

2. Bei statisch unbestimmten Systemen besteht die Hoffnung, daß man später einmal auch den plastischen Bereich (zwischen P-Grenze und Streckgrenze) ausnutzen wird. Künftige Versuche müssen zeigen, ob auf Grund der Gesetze von Wöhler und Bauschinger oder neuer Erkenntnisse etwa ein Dehnungsmaßstab mit einer zulässigen bleibenden Dehnung für statisch unbestimmte Grundformen vorgeschrieben werden kann.

3. Bei dynamischer Beanspruchung muß die Zeit berücksichtigt werden. Die gemessenen Größen sind Weg und Zeit. Sie werden durch die Zeit-Dehnungslinie dargestellt. Auch Arbeit und Leistung kommen als Kennzahlen in Betracht, die durch das Arbeitsleistungs-Diagramm darzustellen sind. Künftige Versuche müssen lehren, welche Grenzen hierbei einzuhalten sind.

Lebhafte Erörterungen knüpften sich dann an die Frage der Bemessung

zentrisch und exzentrisch gedrückter Stäbe auf Knickung

Hierzu sprachen G. Pigeaud, Paris, und Professor Ros, Zürich. Beide stützten sich auch auf eingehende Versuche. Von Ros wurde festgestellt, daß das Knickproblem eine Gleichgewichtsfrage sei, die sich nicht auf das Erreichen einer bestimmten Randspannung zurückführen lasse. Die Übereinstimmung von Theorie und Versuch ist gut. Bei

$l < 100$ vermindert die exzentrische Lage des Kraftangriffes viel stärker die Tragkraft als bei schlanken Stäben, und zwar innerhalb der vorgenannten Grenze um 55 vH, gegenüber zentrisch gedrückten Stäben. Mit wachsender Exzentrizität nimmt das Tragvermögen in geringerem Maß ab, als die Exzentrizität selbst zunimmt. Da Exzentrizität praktisch nicht zu vermeiden ist, empfiehlt es sich, den Kraftangriff im Viertel der Kernweite anzunehmen. Durch Einspannung der Stäben wird in diesem Fall für mittelschlank Stäbe die Knickfestigkeit nur wenig erhöht. Das gilt namentlich bei den Knotenblechen eiserner Tragwerke, d. h. es muß die ganze theoretische Stablänge als Knicklänge angenommen werden. Auch die Knickkraft für die zur Exzentrizitätsebene winkelrechte Richtung wird bei rechteckigem Querschnitt um höchstens 45 vH vermindert, was jedoch von besonderen Untersuchungen im einzelnen Hauptachsen exzentrisch sind, liegen die Verhältnisse noch verwickelter. Es bedarf daher erst weiterer Versuche, um ein gutes Rechenverfahren zu erlangen. Für eine Querbildung ergeben sich jedoch brauchbare Verfahren bei Berücksichtigung einer graphischen Darstellung, die aus den Versuchsergebnissen abgeleitet werden kann. Wichtig ist hier, daß die Knickberechnung sich wirklich auf vorbildliche einwandfreie Ver-

⁴⁾ Sammelheft XXII der Abteilung für Ingenieuruntersuchungen, Bau 1928, Bd. 83.

⁵⁾ „Bautechnik“ Bd. 6 (1928), Beilage „Der Stahlbau“ Bd. 1 (1928) S. 15.

suche stützt, ein Weg, der vor den rein theoretischen Ableitungen für den Konstrukteur unbedingt den Vorzug verdient.

Über die

Versuche über Lochleibungsdruck,

die in Dresden für sämtliche Stahlsorten vorgenommen worden sind, berichtete Reg.-Baurat *Findeisen*. Die bleibenden Locherweiterungen werden bedenklich, wenn das Verhältnis der zulässigen Lochleibung zur zulässigen Stabspannung 2 wird; bei kegeligen Bolzen ist das Verhältnis 2,5 unzulässig. Ob im allgemeinen der Wert 2,5 zu hoch ist und wie sich mehrere Niete hintereinander verhalten, sind noch offene Fragen. Ebenso ist bei wechselnder Belastung noch nicht festgestellt, wie sich der Einfluß dynamischer Kräfte auf die bleibende Formänderung gestaltet. Nach Ansicht *Dörnens*, Dortmund, ist die Annahme der Reichsbahn mit 2,5 keineswegs bedenklich. Auch *Weidmann*, München, stützt sich auf die Versuche und die Beobachtung bei den bayerischen Brücken, wo seit *Gerbers* Zeiten Berechnungen mit 2,5 zu keinerlei Nietlockerungen geführt haben. Bei Längsträgeranschlüssen empfiehlt *Dörnen* zur Verbesserung der Nietverbindungen Kontinuitätsplatten sowohl unten wie oben.

Eine wissenschaftliche Übersicht über das gleiche Thema erörterte Dr.-Ing. E. h. *Gallik*. Er sprach besonders über die Umstände, die die Scherfestigkeit und den Lochleibungsdruck in der Vernietung beeinflussen, auf Grund der ungarischen Versuche, die zu besonderen Vorschriften über die zulässige Beanspruchung in Ungarn geführt haben.

Erwähnenswert sind noch in Verbindung hiermit die Versuche über die Schweißverbindungen in Fachwerkträgern verschiedener Bauart, auf die Reichsbahnoberrat *Füchsel*, Berlin, hinwies⁹⁾.

Bauausführungen und Entwürfe

Die praktische Anwendung bildet natürlich das Rückgrat bautechnischer Tagungen, da hierbei die Berichterstatte mit Lichtbildern und Filmen meist selbst geleitete oder entworfene Bauwerke lebendig vor Augen führen. Sie zeigen, welche praktischen Fortschritte auf dem behandelten Fachgebiet neuerdings gemacht worden sind. In einem kurzen Bericht ist es ohne Bildardarstellung nicht möglich, auch nur annähernd eine Vorstellung von dem Mitgeteilten wiederzugeben. Es seien hier erwähnt die Vorträge von *Schmuckler*, Berlin, über Stahlkonstruktionen für Wohnungen und Hochbau, wobei die neuen deutschen Leichtprofile, und zwar mit Füllung des Skeletts durch den in Schweden gut bewährten Zellenbeton, Verwendung gefunden haben. Dadurch erscheint es möglich, die Bauzeiten von neun auf fünf Monate zu verkürzen.

Ferner sei auf einen Vortrag von *P. Joosting*, Utrecht, über die von der Gutehoffnungshütte konstruierten Eisenbahn-Hubbrücke über dem Königshaven, Rotterdam, die durch anderweitige ausführliche Veröffentlichungen bereits bekannt ist, hingewiesen. *Zeliski*, Wien, berichtete über die Tragwerke und Hochbauten bei den neuen Personen-Seilschwebbahnen in Österreich und behandelte beachtenswerte neue Bauausführungen über dieses in Österreich in hoher Entwicklung stehende Sondergebiet.

Der Altmeister des Brückenbaues, Prof. Dr.-Ing. *Melan*, Prag, führte den Entwurf zu einer neuen Elbbrücke bei Aussig vor. Hierbei soll eine Mittelöffnung von 123,30 m mit Vollwandbogen von 2 m Scheitel- und 4 m Kämpferdicke überbrückt werden, die nach den beiden Seitenöffnungen zu auskragen. Auf die Kragenden legen sich dann die einwandigen Endschleppträger, während die Hauptkonstruktionen doppelwandig sind. Das Stahlgewicht hierfür beträgt 1960 t. Professor *Hawranek*, Brünn, hat sich mit verschiedenen Aufgaben des Großbrückenbaues beschäftigt; er wies darauf hin, daß bei großen Bogenbrücken mit einer genaueren Verteilung des Eigengewichtes Ersparnisse erzielt werden können. Über den Eisenbau in der Tschechoslowakei mit besonderer Berücksichtigung des Wettbewerbes um einen Entwurf der Nußlbrücke in Prag berichtete *L. Kopecek*, Pilsen. Diese Brücke soll zur vielleicht gar zu schnellen Erweiterung der Stadt Prag dienen und ist als Bogenbrücke in einer 480 m weiten Hauptöffnung mit Halbbogen in den Seitenöffnungen gedacht, sie ist jedoch als noch nicht ausführungsfähig zurückgestellt.

Günstige Lösungen des versteiften Stab Bogens bei einer Straßenbrücke in Győr in Ungarn behandelte *Beke*, Budapest. Es handelt sich um Fachwerk-Parallelträger mit *Langerschen* Stab Bogens, die besonders gut wirken, aber nicht viel Neues bieten. Auf Glasdächer und Korrosion weist *Eberspächer*, Eßlingen, hin und empfiehlt Emaillierung der Sprossen gegen Verrosten. Hier

möge auch noch der Entwurf und die Ausführung der Sgerbundhalle in Wien, eine hervorragende gespannte Holzkonstruktion, erwähnt werden von Dr.-Ing. *Erhardt* in Wien in wenigen Wochen entworfen und erbaut worden ist.

Rein theoretischer Natur war der Vortrag von *K. Schein*, Prag, über Berechnungen von Hänbrücken unter Vergleich der bekannteren Verfahren einem neueren eigenem. Professor *Kulka*, Hannover, in klarer Weise die angreifenden Kräfte im Eisenwasser besonders die Druckverteilung des Wassers gegen den der, dar. Prof. *Karner*, Zürich, wies auf die Verringerung der Baukosten, besonders Verminderung des Eigengewichtes hin, wenn bei Bogenbrücken von 100 bis 500 m Spannweite Kabel als Zugbänder verwendet werden.

Der Eisenbetonbau

Die Verhandlungen lassen sich auch in theoretischer praktischer Hinsicht gruppieren; sie können hier aber kurz und zusammenfassend gestreift werden. Prof. *Spanberg*, München, brachte eine allgemeine Betrachtung weitgespannte Wölbrücken, besonders

flache Bogen, wofür der Wert $\frac{l^2}{f}$ als Kühnheitsmaßstab g kann. Das Raumgewicht von 2,4 reicht bei derartigen gen nicht aus; 2,5 bis 2,6 ist zutreffender. Zu beachten bei großen Weiten aber besonders der Gleitwiderstand Baugrund für verschiedene Bodenarten. Strebt man einer Verbesserung der Baustoffe und günstigerer Schnittausbildung, vervollkommen man die Bauverfahren so werden sich die Wirtschaftlichkeit großer Wölbr erhöhen und infolgedessen die Spannweiten steigern lassen. Heute liegt das Hauptgebiet größter Wölbrücken bei Spannweiten zwischen 80 und 150 m.

Durch Versuche mit stahlbewehrten tonbalken kommt Prof. *Saliger*, Wien, zu dem Ergebnis, daß die zulässigen Beanspruchungen im Verhältnis höheren Streckspannung vergrößert werden können, die größeren Ansprüche an Schubwiderstand und Verberücksichtigt werden; auch ist mit stärkerer Ausschäler der Beton-Zugzone zu rechnen.

Prof. *Mörsch*, Stuttgart, erläuterte an der Hand einer Reihe von Versuchen die zur Erhöhung der Schubfestigkeit des Betons erforderliche Bewehrung an Bogen und aufgebogenen Eisen. Besonders zu beachten ist die stige Wirkung der Vouten beim durchlaufenden Balken. Ist aber auf die Schub sicherung besondere Sorgfalt zu wenden, ihr Nachweis wird bei größeren Balken unumgänglich nötig.

Prof. *Probst*, Karlsruhe, besprach die Rissebildung bei wiederholter Belastung von Betonbrücken. Die Rissebildung ist unterhalb der Elastizitätsgrenze des Eisens sehr klein. Bis zu Spannungen 100/2000 kg tritt in den bleibenden Rißweiten nach der Entlastung harrung noch vor einer Million Belastungen ein. einer Million atmen die vorhandenen Risse, d. h. sie schließen sich fast vollständig.

Prof. *Hawranek*, Brünn, brachte einen Überblick den heutigen Stand der Theorie der Seitensteifigkeit offener und geschlossener Brücken empfiehlt nach Theorie *Engesser* mindestens eine sechs nach Theorie *Bleich* eine drei- bis vierfache Sicherheitsgrunde zu legen. Auch Prof. *Ostenfeld*, Kopenhagen, handelt diese Frage.

Unter den

ausgeführten Bauwerken aus Eisenbeton hebt sich die Brücke bei Plougastel besonders vor, über die Ing. *Freyssinet*, Paris, mit Hilfe ausgezeichneter Filme berichtete. Die Brücke kann als eine glänzende Leistung französischer Baukunst bezeichnet werden. Sie hält drei gleiche Bögen von je 186 m Spannweite, größten bisher erreichten, als hohle Eisenbetongewölbe, oben eine Straße und im Innern eine Eisenbahn tragen, auf im Meeresarm mittels Druckluft gegründeten Pfeilern ruhen. Das Lehrgerüst bestand aus Holzfachwerkbogen eisernen Zugbändern, die auf den Ufern als Ganzes für die Öffnung hergestellt und schwimmend nacheinander zwischen die Pfeiler bugsiert und festgestellt wurden. Die Filmführung ihrer Einfahrt, Aufstellung, Senkung und Ausfahren bis zur Wiedereinfahrt in die nächste Öffnung bildete einen würdigen Abschluß der technischen Verhandlungen.

Die nächste Tagung soll 1931 oder 1932 in Paris stattfinden. Die technisch-wissenschaftliche Entwicklung des Brücken- und Hochbaues durch Austausch von Theorie und Praxis kann in der Fortsetzung der internationalen Tagungen im höchsten Maße gefördert werden. Mögen sie als geistige Brücken zum Besten der ganzen Menschheit dienen!

⁹⁾ Vergl. a. *Bung*, Z. Bd. 72 (1928) S. 1105.

Neuerungen im Funkwesen

Dr. F. NOACK, Berlin-Schlachtensee

Die fünfte Große Deutsche Funkausstellung gab einen umfassenden Überblick über die Neuerungen im Funkwesen, und zwar nicht nur im Rundfunk mit den dazu gehörenden Geräten, sondern auch in den Grenzgebieten, die sich in steter Entwicklung befinden, wie z. B. Fernsehen, Bildfunk, Gleichlaufkino. Der folgende Aufsatz stützt sich im wesentlichen auf die auf der Ausstellung vorgeführten Neuerungen.

Die fünfte Große Deutsche Funkausstellung Berlin 1928 war ohne Zweifel die größte und bedeutendste ihrer Art und man behauptet sogar, daß sie mit ihrer großen Ausstellungsfläche von rd. 11 000 m² und ihren rd. 375 Ausstellern auch die größte aller Funkausstellungen in der ganzen Welt gewesen sei.

Sie ließ nicht nur auf dem Gebiete der Rundfunktechnik, sondern auch auf anderen Gebieten der allgemeinen Funktechnik, außerordentliche Fortschritte erkennen. Zu der Funktechnik gehören heute auch der sprechende Film, die Fern-Telegraphie, das Fernsehen, der Gleichlaufkino usw.

Tonfilm.

Der Tonfilm nach dem Tri-Ergon-Verfahren¹⁾ wurde in dem inzwischen gegründeten Tonbild-Syndikat der Öffentlichkeit vorgeführt. Wenn auch der Tonfilm bereits auf einer sehr hohen Stufe der Vollkommen-

¹⁾ Vergl. Z. Bd. 70 (1926) S. 199.

heit steht, wie die Vorführung des sogenannten „Rundfunk“-Films während der Ausstellung bewiesen hat, so darf andererseits nicht verschwiegen werden, daß ihm noch Mängel anhaften, die aber wohl zu beheben sind. Es hat sich nämlich ergeben, daß die tiefen Frequenzen noch recht mangelhaft übertragen werden, so daß zum Beispiel Geräusche nur sehr schwach zur Wiedergabe kommen. Es dürfte dies in der Hauptsache auf die elektrostatischen Lautsprecher zurückzuführen sein. Doch ist auch denkbar, daß die geringe Ablaufgeschwindigkeit des Filmes daran schuld ist.

Gleichlaufkino

Eine weitere Besonderheit der Großen Funkausstellung bedeutete die Vorführung des Gleichlaufkinos. Hier handelt es sich um eine Einrichtung, die den gleichzeitigen Ablauf gleicher Filme in verschiedenen Kinos und die Übertragung der Begleitworte durch Lautsprecher bewirkt. Sämtliche Kinoprojektoren werden durch Stimmgabelfrequenz, Abb. 1, im Gleichlauf gehalten und beginnen zu gleicher Zeit mit dem Ablauf des Filmes; auch an der Zentralstelle läuft der gleiche Film. Der Ansager gibt an der Hand des in der Zentralstelle ablaufenden Filmes die begleitenden Worte.

Fernsehen

Die Firma Telefunken führte den Fernsehapparat von Prof. Karolus vor²⁾. Dieser löst das zu übertragende Bild

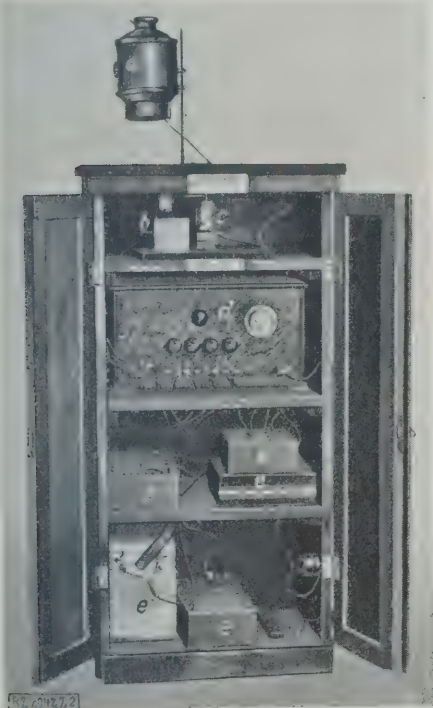


Abb. 2

Fernsehsender von v. Mihály. Die Lampe *a* beleuchtet den zu übertragenden unter ihr bewegten Gegenstand. Senkrecht unter der Lampe ist in der oberen Platte des Schrankes eine Öffnung mit einer Mattglasscheibe, über die der zu übertragende Gegenstand gelegt wird. Senkrecht darunter befindet sich die Photozelle, bzw. die Punkt Lampe *b* zur Umwandlung der optischen in elektrische Impulse. Der kleine Synchronmotor *c*, s. a. Abb. 3, trägt auf seiner senkrechten Achse (im Bild nicht sichtbar) die Nipkowsche Spirallochse, deren Lochrand sich unmittelbar unter der Mattglasscheibe befindet. *d* ist der Verstärker, *e* sind Batterien.

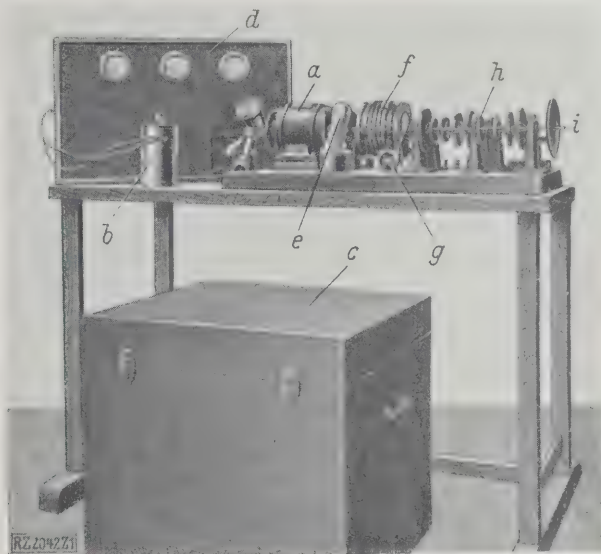


Abb. 1

Antrieb des Gleichlaufkinos.
Der Gleichlauf wird durch einen mittels Stimmgabeln erzeugten Wechselstrom erreicht.

- | | |
|--|---|
| <i>a</i> Gleichstrommotor | <i>d</i> Verstärker für die Stimmgabel-Wechselspannung. |
| <i>b</i> Stimmgabelbehälter | <i>e</i> Glühlampe für stroboskopische Überwachung der Drehzahl |
| <i>c</i> Wärmeschutzkasten zum Schutz der Stimmgabel gegen Veränderung der Stimmgabelfrequenz durch Temperatureinflüsse. Zur Überwachung der Temperatur ist ein Thermoelement eingebaut. | <i>f</i> Tonrad |
| | <i>g</i> Handreglung des Gleichlaufs |
| | <i>h</i> Wechselgetriebe |
| | <i>i</i> Antriebswelle zum Kino-Vorführapparat |

in 10 000 Bildpunkte auf und überträgt es mittels eines umlaufenden Spiegelkranzes auf einen Bildwerferschirm.

Auch v. Mihály führte seinen Fernsehapparat „Telehor“ vor³⁾. Im Gegensatz zu Telefunken-Karolus wirft v. Mihály das Bild auf eine rd. 30 × 40 mm² große Mattscheibe; auch er löst, wie er sagt, sein Bild in 10 000

²⁾ Vergl. a. Z. Bd. 70 (1926) S. 725. Ein ausführlicher Aufsatz über den gegenwärtigen Stand des Fernsehens wird demnächst in dieser Zeitschrift erscheinen.

³⁾ Z. Bd. 69 (1925) S. 1507.

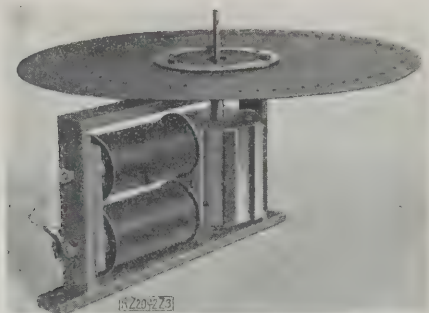


Abb. 3
Synchronmotor mit Nipkowscher Spirallochschleife für Sende- und Empfangsgerät des „Telehor“ von v. Mihály.

Bildpunkte auf. Die absolute Bildschärfe wäre demnach bei beiden gleich. Das Empfangsgerät von v. Mihály enthält nur einen kleinen Synchronmotor, eine Nipkowsche Lochschleife, eine Neonlampe und ein Linsensystem. Der Erfinder behauptet, das Empfangsgerät zu einem Preise von rd. 100 RM auf den Markt bringen zu können. Sendeseitig tastet v. Mihály das Bild ebenfalls mittels einer Nipkowschen Scheibe und einer Photozelle ab, Abb. 2 und 3. Der Gleichlauf wird entweder dadurch erreicht, daß man die Synchronmotoren an das gleiche Wechselstromnetz anschließt oder daß man sendeseitig und empfangseitig Stimmgabeloscillatoren benutzt. Wenn der Empfänger außer Gleichlauf kommt, verschiebt sich das empfangene Bild seitlich wie bei einem Kinoapparat, dessen Bildfenster sich verschoben hat. Es genügt, den Motor selbst nachzudrehen, um die Phasengleichheit wieder herzustellen.

Die Apparatur von Prof. Karolus ist sehr umfangreich, da zur Steuerung auf der Empfängerseite die aus der Bildtelegraphie bekannte Kerrzelle⁴⁾ Verwendung findet. Gegenüber dem v. Mihályschen System hat demnach das Telefunktensystem den Vorrang, daß es ausbaufähiger ist, weil die von v. Mihály empfangseitig verwendete Neonlampe größere Übertragungsgeschwindigkeiten kaum zulassen dürfte.

Trotz guter Fortschritte auf dem Gebiet des Fernsehens befinden wir uns jedoch noch durchaus im Anfang der Entwicklung. Vom brauchbaren Fernsehen sind wir noch weit entfernt!

Bildrundfunk⁵⁾

Für den Bildrundfunk waren die Geräte „Fultograph“ und „Radiolytteren“ ausgestellt. Das elektrolitische Bildschreiberverfahren von Telefunktensystem, Abb. 4, kommt ja wohl für den Bildrundfunk nicht in Frage, da es einerseits wohl in der Herstellung zu teuer ist, andererseits hauptsächlich für wissenschaftliche Zwecke gedacht ist.

Mit dem Fultograph ist am 20. Dezember 1928 der Versuchsbetrieb in Deutschland aufgenommen worden. Der dänische Kurzwellen-Bildfunk arbeitet nach dem Verfahren „Radiolytteren“. Beide Verfahren, Fultograph und Radiolytteren, stimmen im Grunde überein; sie unterscheiden sich nur im Raster und im Bildwalzendurchmesser; wie mir mitgeteilt wurde, soll Aussicht bestehen, daß auch dieser Unterschied verschwindet. Beide Verfahren arbeiten elektrolytisch, d. h. ein mit Jodkali-Stärkelösung getränktes Papier wird über die Bildwalze gespannt, die den einen Pol eines Gleichstromkreises bildet, und von einem Platinstift, der den anderen Teil des Stromkreises bildet, abgetastet. Sendeseitig wird eine Metallfolie benutzt, auf die das zu übertragende Bild aufkopiert ist, Abb. 5 bis 7. Zur Erzielung von Halbtönen bei der Übertragung von Photographien wird zwischen Folie und Bild ein Linienraster eingeschaltet, dessen Linien sich durch Beugung der Lichtstrahlen bei großer Stärke der durchtretenden Lichtstrahlen auf der Folie verbreitert abbilden (Abb. 6). Getastet wird senkrecht zu den

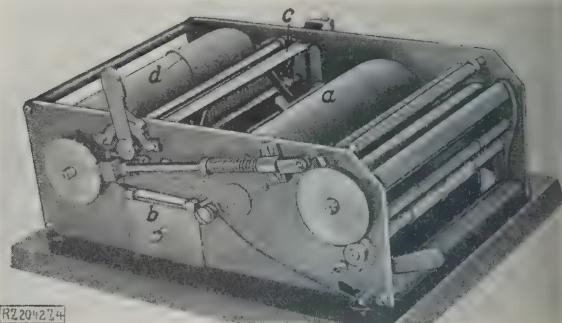


Abb. 4
Elektrischer „Querschreiber“ von Telefunktensystem zur funktentelegraphischen Übertragung von Bildern, insbesondere von Wetterkarten. Ein mit Jodkali-Stärkelösung vorbehandeltes Papierband wird im Wasserbad angefeuchtet und zwischen einer Kontaktschneide und einem Draht abgetastet, der schraubenförmig auf eine Walze gewickelt ist.

a Papiertrommel c Kontaktschneide
b Wasserbecken d Abtastdraht mit Walze

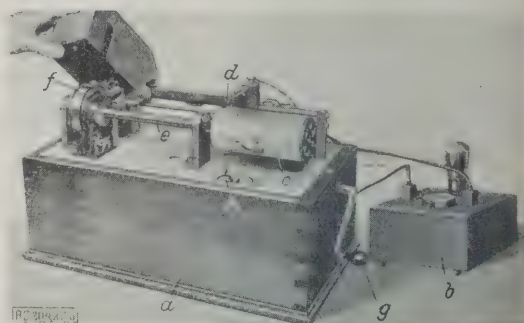


Abb. 5
Fultograph-Empfängergerät.

a Empfänger b Gleichrichter c Bildwalze d federnder Schreibstift, aufklappbar
e Spindel mit 0,4 mm Steigung zur Querbewegung des Schreibstiftes
f Magnetkupplung des Bildwalzenantriebes
g Handkurbel zum Aufziehen des Antriebsuhrwerkes
h Drehzahlreglung

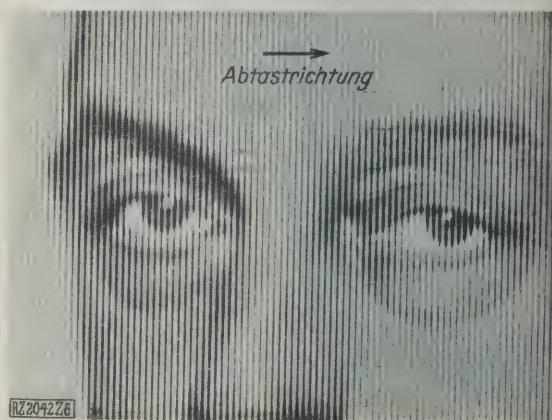


Abb. 6
Vergrößerter Teil einer Photographie, die unter Einschaltung eines Linienrasters auf die Metallfolie des Senders übertragen worden ist. Durch Beugung sind die Rasterlinien dort verbreitert, wo beim Kopieren besonders stark belichtet wurde. Das Bild wird so auf die Metallfolie übertragen, daß die Linien parallel zur Achse der Bildwalze, also senkrecht zur Bewegungsrichtung der Walze liegen. Die Linien werden vom Abtaststift senkrecht geschnitten. Demnach erscheinen die Bildzeichen-Stromstöße verschieden lang. Empfangseitig erscheinen demnach kurze oder lange Striche, die die Halbtönenwirkung hervorbringen.

⁴⁾ Z. Bd. 70 (1926) S. 729.

⁵⁾ Vergl. Z. Bd. 71 (1927) S. 227.

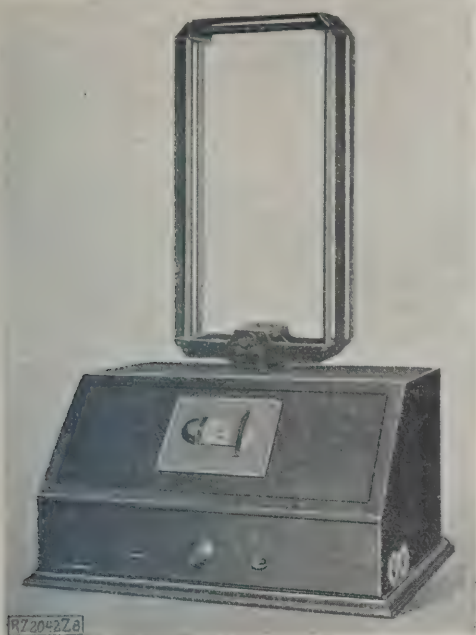


Abb. 8

Hochselektiver und hochempfindlicher Acht-röhren-Tropadyneempfänger der Deutschen Telefonwerke und Kabelindustrie, A.-G. (DTW). Einknopfbedienung. Durch die beleuchtete Trommel werden die auf gemeinsamer Achse sitzenden Drehkondensatoren für die Einstellung des Wellenkreises und des Hilfskreises betätigt. Eine Kompensation gestattet Einstellungsunterschiede auszugleichen; im allgemeinen ist dies aber unnötig. Der Rahmen enthält einen Umschalter von Rundfunk-Wellenbereich auf Langwellenbereich. Für ersteren sind die Windungen parallel, für letzteren hintereinander geschaltet, so daß tote Windungen vermieden sind. Der Empfänger hat einen neutralisierten Zwischenfrequenzverstärker sowie Gegenaktverstärkung in der letzten Niederfrequenzstufe; ein Netzanschlußgerät ist nicht eingebaut; man kann Batterieröhren oder netzgeheizte Röhren ohne Umschaltung einsetzen.

sterlinien. Die Folie wird durch einen Platinstift oder einem in Kürze auch in Deutschland zur Einführung kommenden neueren Verfahren mittels einer Photozelle getastet und gibt auf den Funksender kürzere oder längere Töne, die durch einen besonderen Tonerzeuger hergerufen werden. Der Bildsender wird wie ein Funk- sender moduliert. Empfangseitig werden die Wechsel- stöße durch eine Gleichrichterröhre in Gleichstromstöße umgewandelt. Der Synchronismus wird beim Fultogra- phen und bei Radiolytteren dadurch bewirkt, daß zu Beginn jeder Umdrehung der Sendewalze ein längerer Ton erzeugt wird, der im Empfänger ein Relais betätigt, das

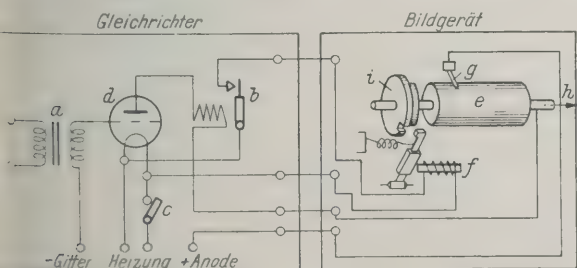


Abb. 7

Schaltung des Bildfunkverfahrens „Fultograph“.

- | | |
|-------------------|--|
| a Transformator | f Auslösemagnet |
| b Relais | g Schreibstift |
| c Schalter | h Spindel mit Vorschubeinrichtung für den Schreibstift |
| d Verstärkerröhre | i Synchronisiervorrichtung |
| e Walze | |

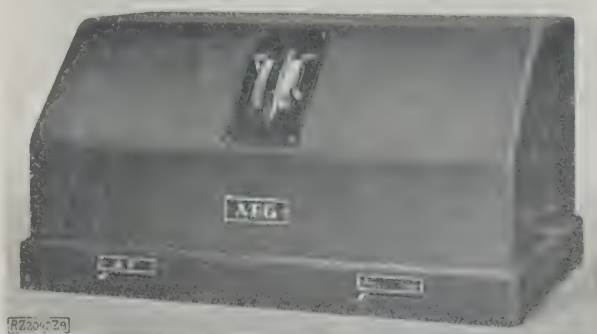


Abb. 9

Vierröhrenempfänger der AEG mit Schirmgitterröhre und eingebautem Netzanschlußgerät. Die Schirmgitterröhre dient als erste Hochfrequenz-Verstärkerröhre.

nur auf längere Stromstöße anspricht und diese ein wenig schneller als die Sendewalze laufende Empfangswalze nach jeder Umdrehung um ein Geringes abgestoppt. Die beiden Verfahren unterscheiden sich demnach wesentlich vom elektrolytischen Bildschreiber von Telefunken; bei diesem bewirken Stimmgabeln den Synchronismus, die die Antriebmotoren auf der Send- und Empfangseite steuern. Telefunken ist demnach in bezug auf Einhaltung des Gleichlaufs von atmosphärischen und sonstigen Störungen unabhängiger. Allerdings verteuert die Stimmgabel-Synchronisierung das Verfahren, so daß das Telefunkenverfahren auch schon aus diesem Grunde für den Bildrundfunk kaum in Frage kommen dürfte.

Rundfunk-Empfangsgeräte

Die Hochleistungsempfänger sind gegenüber dem Vorjahr schaltungstechnisch kaum geändert worden. Es ist in der Hauptsache auf Vereinfachung der Bedienung, Abb. 8 bis 10, und Verbesserung der Klangfarbe Wert gelegt worden. Die Einknopfschaltung hat sich auch beim Überlagerungsempfänger durchgesetzt; das wurde einerseits dadurch erreicht, daß eine geeignete Zwischenfrequenzstufe gewählt wurde, andererseits dadurch, daß der Schwingkreis für den Empfang bei gutem Wirkungsgrad aperiodisch zum zu empfangenden Wellenbereich gemacht wurde, so daß nur die Hilfsfrequenz eingestellt wird. Dadurch ist es auch möglich geworden, daß die Einstellung der Hilfsfrequenz statt mittels eines Drehkondensators mittels Druckknopfes über einmal einzustellende Blockkondensatoren vorgenommen wird.

Der Neutrodyneempfänger beherrscht noch immer das Feld; der Überlagerungsempfänger ist ihm gegenüber zurückgetreten, doch wird er noch überall da am Platze sein,

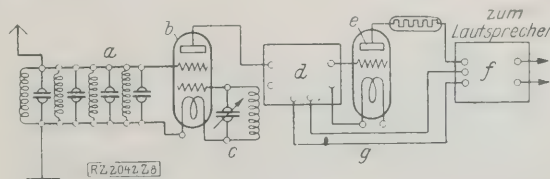


Abb. 10

Schaltbild des Überlagerungsempfängers von Kramolin. Der Antennenkreis ist auf Rundfunkwellen von 200 bis 600 m Länge durch ein besonderes Filter abgestimmt, braucht demnach nicht nachgestellt zu werden. Zur Abstimmung ist lediglich die Einstellung der Hilfsschwingung erforderlich. Dadurch ist vollkommene Einknopfbedienung oder Einstellung von zwanzig Sendern durch zwanzig Druckknöpfe möglich, die zwanzig kleine Preßblockkondensatoren an Stelle des Abstimmkondensators des Hilfsschwingkreises betätigen.

- | | |
|----------------------------------|---|
| a Vierfachen Filter (Siebkette) | d Zwischenfrequenz-Verstärker |
| b Milchröhre | e Richtverstärker-Audionröhre der Reflexstufe |
| c Abstimmung der Hilfsschwingung | f Niederfrequenzverstärker |
| | g Rückleitung der Reflexstufe |

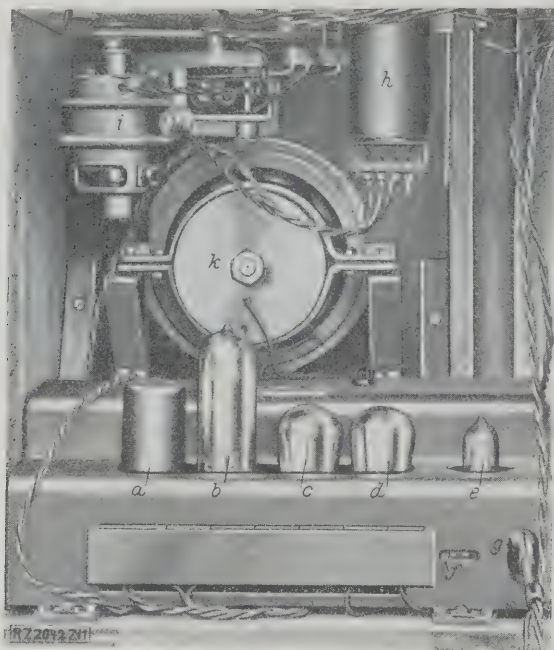


Abb. 11

wo größte Selektivität verlangt wird. Die Ausstellung zeigte Überlagerungsempfänger mit so großer Selektivität, daß in der Ausstellungshalle der Berliner Sender (Wellenlänge 483,9 m) unmittelbar unter der Sendeanenne nur noch in einem Wellenlängenbereich von rd. 450 bis 550 m zu hören war.

Im allgemeinen haben die meisten Firmen auch die Vierröhrenapparate so gebaut, daß ohne weitere Umschaltung Batterieröhren durch netzgeheizte Röhren, demnach Batterien durch Netzgeräte ersetzt werden können, die Anodengleichspannung und Wechselstrom für die Heizung liefern.

Netzanschlußgeräte zur Lieferung von Netzgleichspannung sind fast verschwunden, da sich die Industrie fast ganz auf die Benutzung wechselstromgeheizter Röhren eingestellt hat. Ein großer Teil der namhaften Firmen hat in diesem Jahr Netzanschlußgeräte in die Empfänger eingebaut, sogar in Neutrodynegeräte. Es ist gelungen, die Geräte so zu bauen, daß ein Netzton überhaupt nicht mehr zu hören ist. Gleichstromgeräte treten hinter den Wechselstromgeräten zurück, da es bei Gleichstrom-Netzbetrieb nur schwer möglich ist, die hohe Anodenspannung zu erzeugen. Trotzdem haben einige Firmen doch auch Empfänger mit eingebautem Netzgleichstrom-Gerät geliefert. Die Industrie hat sich mit Rücksicht auf die Vor-

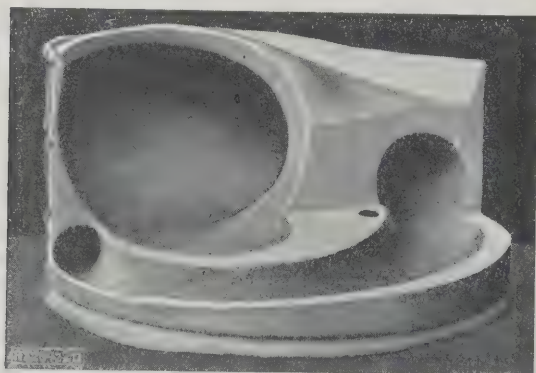


Abb. 13

Tonführung des elektromagnetischen Trichterlautsprechers „Lenzola“. Der Trichter hat Exponentialform und eine Länge von 1,20 m, so daß auch die tiefen Frequenzen gut wiedergegeben werden.

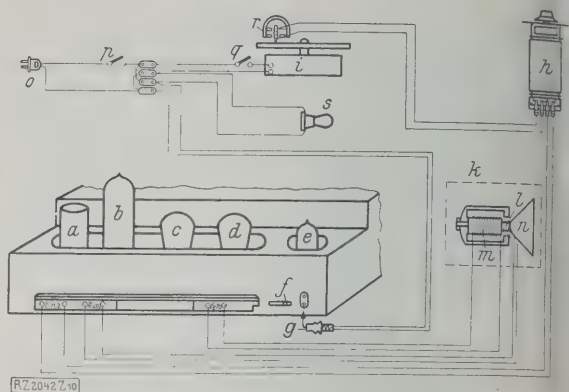


Abb. 12

Abb. 11 und 12
Ansicht und Schaltbild des elektrischen Grammophon-Wiedergabegerätes „Polyfar“ der Deutschen Grammophon-A.-G.

- | | | |
|----------------------------------|---------------------------|----------------------------|
| a, b Verstärkerröhren | } Kraftverstärker der AEG | k Lautsprecher (Rice-Koll) |
| c, d Gleichrichterröhren | | l Schwingspule |
| e Eisen-Wasserstoff-Widerstand | | m Feldspule |
| f Verriegelung der Anschlüsse | | n Membran |
| g Stecker | | o Netzanschlußstecker |
| h Lautstärkeregel | | p Hauptschalter |
| i Motor für die Grammophonplatte | | q Motorschalter |
| | | r Polyphor-Tonabnehmer |
| | | s Prüflampe |

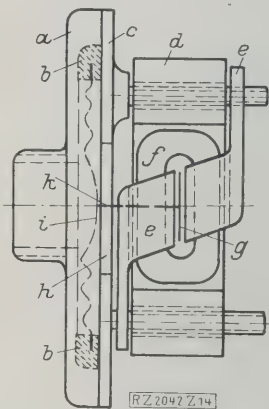


Abb. 14

Schnitt durch die Lenzola-Lautsprecher-Schalldose.

- | |
|---|
| a Abschußdeckel mit Ansatzstutzen für den Trichter |
| b Gummiring für die Kolbenmembran i |
| c Unterer Abschußring mit Öffnung |
| d Hufeisenmagnet |
| e Magnetpolschuhe |
| f Magnetwicklung |
| g Blattanker mit Verbindungsstange k zur Kolbenmembran i |
| h Öffnung des unteren Abschußringes c |
| i Blattdünne geriffelte Aluminiumkolbenmembran, die im Gummiring b weich gelagert ist |
| k Verbindungsstange zwischen Blattanker g und Kolbenmembran i |

schriften des Verbandes Deutscher Elektrotechniker in wenigen Ausnahmen von dem Bau selbständiger Netzgleichstrom-Geräte ferngehalten.

Elektronenröhren

Die Röhren sind sehr verbessert worden. Es gibt heute Wechselstromröhren für alle Verwendungszwecke. Die Kraftverstärkerröhren hat die Röhrenindustrie besondere Aufmerksamkeit gewidmet. Es sind auch Röhren mit mehreren Systemen für Verstärkeranlagen konstruiert worden. Die Schirmgitterröhre hat sich nur vereinzelt eingeführt; nur wenige Firmen verwenden sie als Eingangs-röhre.

Elektrische Grammophon-Wiedergabe

Die Ausstellung 1928 zeigte auch die Verbindung der Grammophontechnik mit der Rundfunktechnik. Nachdem das elektrische Grammophon-Aufnahmeverfahren⁶⁾ große Vorteile gezeigt hat, hat die Industrie auch den Bau elektrischer Wiedergabegeräte aufgenommen. Diese Wiedergabe ist möglich geworden durch die Erzeugung hochwertiger Netzgeräte, Transformatoren und Kraftverstärkerröhren. Sehr viele Firmen haben sich dem Bau besonderer Kraftverstärker für Grammophonwiedergabe gewidmet, die in verschiedenen Leistungen in Widerstandschaltung, einfacher Transformatorenschaltung und Gegentaktschaltung ausgeführt werden. Abb. 11 und 12. Fast alle Niederfrequenzverstärker sind so bemessen worden, daß sie gleichzeitig für die elektrische Grammophonwiedergabe verwendbar sind.

⁶⁾ Vergl. den demnächst in dieser Zeitschrift erscheinenden Aufsatz „Akustik neuzeitlicher Grammophone“ von Dr. E. Lücke.

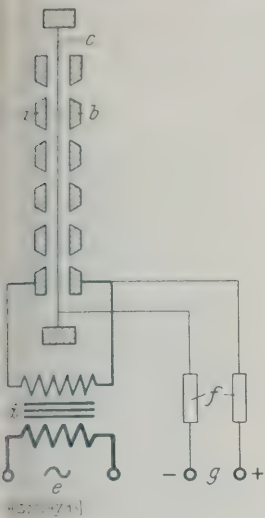


Abb. 15
Grundschriftung des elektro-
statischen Differential-Laut-
sprechers.

- a, b starre Belege, durchlöcher-
c schwingende Membran
d Transformator, führt den Be-
legen a und b Wechselspannung
von rd. 500 V zu
e Wechselstromanschluß
f starke Schutzwiderstände
g Gleichstromanschluß, rd. 500 bis
800 V.

Nachdem sich die elektrische Grammophon-Wieder-
gabe eingeführt hat, war es selbstverständlich, daß die In-
dustrie sich auch der Herstellung elektrischer Tonabnehmer
zuwandte, die fast alle auf der Bewegung eines Ankers
in einem Magnetfeld beruhen⁷⁾.

Lautsprecher

Möglich wurde die elektrische Grammophonwiedergabe
eigentlich erst dadurch, daß es gelungen ist, Lautsprecher
großer Leistungen von vorzüglicher Wiedergabe zu bauen.
Der elektromagnetische Lautsprecher hat sich immer noch
gehalten, weil er an normale Rundfunkempfänger an-
geschlossen werden kann und im allgemeinen auf geringe
Lautstärke anspricht; er wird heute auch großen An-
sprüchen gerecht. Der Trichterlautsprecher beginnt sich
allmählich wieder neben dem Konuslautsprecher zu be-
haupten, allerdings in anderer Form als früher. Die
Trichter haben eine Länge bis zu 2 m mit Exponential-
form⁸⁾ und werden aufgewickelt, so daß sie trotz der
großen Länge nur wenig Raum einnehmen, Abb. 13. Die
große Länge gibt den Lautsprechern eine Erweiterung des
Frequenzbereiches besonders nach den unteren Frequenzen
hin. Vielfach ist die Anordnung so getroffen, daß die An-
triebsdose an der Vorderseite des Lautsprechers liegt, so
daß sie die hohen Frequenzen z. T. unmittelbar ausstrahlt.
Abb. 14 zeigt die Schalldose eines Lenzola-Lautsprechers.
Bemerkenswert ist, daß der Anker des Elektromagneten
eine dünne, in sich starre, in Gummi gefaßte Aluminium-
membran wie einen Kolben hin- und herbewegt.

Die Kegellautsprecher haben manche interessanten
Verbesserungen erfahren. Erwähnenswert ist besonders
einer, bei dem der Kegel⁹⁾ aus einem vierteiligen, nach
der Mitte zu eingezogenen, quadratischen Blatt besteht,
dessen eingezogene Spitze durch den Antrieb bewegt wird,
während die vier Dreiecke unabhängig voneinander schwin-
gen. Die Größe der Gesamtmembran ergibt eine gute Ver-
schiebung der Frequenzempfindlichkeit nach unten, wäh-
rend die hohen Frequenzen dadurch gut wiedergegeben
werden, daß die vier Dreiecke unabhängig schwingen.
Andere Firmen haben gleichmäßige Frequenzempfindlich-
keit dadurch zu erreichen versucht, daß sie in dasselbe
Lautsprechergehäuse zwei getrennte Kegelmembranen
einsetzen, die auf verschiedene Frequenzen abgestimmt
sind und getrennt oder gemeinsam angetrieben werden.

Der elektrodynamische Lautsprecher gewinnt allmäh-
lich an Verbreitung. Die meisten elektrodynamischen
Lautsprecher bestehen aus einem sehr leichten und kleinen
Kegel, der selbst nicht schwingt, fast reibungslos gelagert
ist und an der Spitze eine Spule trägt, durch die der Wech-
selstrom geschickt wird; diese Spule befindet sich in dem
starken Feld eines Stahlmagneten oder eines Elektroma-
gneten. Bei einer bemerkenswerten Ausführungsform be-
findet sich die Antriebsschule nicht an der Spitze des Kegels.

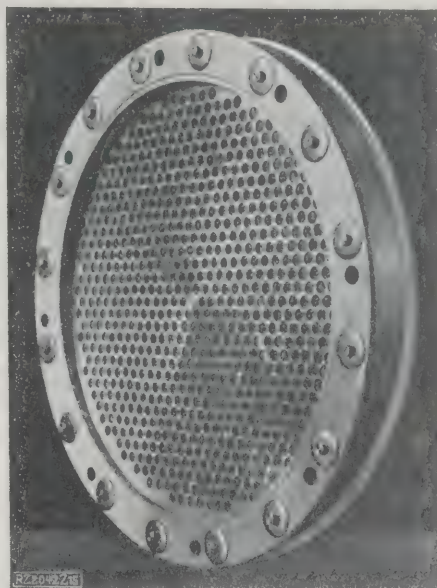


Abb. 15 und 16
Elektrostatischer Differentiallautsprecher
von Vogt, bestehend aus zwei durchlöcher-
ten, gegen einander isolierten festen Belegen,
zwischen denen eine bewegliche Membran
ausgespannt ist. Durch die Löcher der
festen Membran treten die Schallwellen
nach außen. Der Lautsprecher ergibt eine
reichlich gleichmäßige Verstärkung der
tiefsten bis zu den höchsten Tonfrequenzen
bei großer Schalleistung. Kapazität rd.
900 cm, Dmr. 385 mm, Breite 55 mm.

sondern ist um den Kegelrand gelagert, wobei das Gehäuse
den Magnet darstellt. Die elektrodynamischen Lautsprecher
mit Stahlmagneten lassen sich, entweder unmittelbar —
allerdings ist das selten der Fall — oder unter Einschalt-
ung eines Ausgangstransformators an den Niederfrequenz-
verstärker anschalten. In den meisten Fällen aber, beson-
ders bei Lautsprechern großer Leistung, werden besondere
Kraftverstärker geliefert, die oft selbst einen Ausgangs-
transformator tragen. Bei den elektrodynamischen Laut-
sprechern mit Elektromagnet wird der Magnetisierungs-
strom entweder dem Heizakkumulator oder einem Netzan-
schlußgerät entnommen.

Von den elektrostatischen Lautsprechern ist einer für
größte Leistungen besonders erwähnenswert, der zwei
durchlöchernte starre Belege enthält, zwischen denen sich
die schwingende Membran befindet, Abb. 15 und 16. Die
Wechselspannung wird den beiden starren Belegen zu-



Abb. 17
Zweizellen-
Akkumulator
von Varta mit
zwischen geschalte-
ter Ölzelle zum
Auswaschen der
beim „Kochen“
mitgerissenen
Schwefelsäure.

⁷⁾ Vergl. Anm. ⁹⁾ S. 98.

⁸⁾ Vergl. Anm. ⁹⁾ S. 98.

⁹⁾ Oder vielmehr die Pyramide.

geführt. Die schwingende Membran erhält gegenüber den beiden festen Belegen eine Gleichspannung. Man vermeidet hierdurch den Nachteil der älteren Ausführungen mit nur einem starren und einem schwingenden Belag. Infolge der an beiden Belegen liegenden Gleichspannung wurde der schwingende Belag in der Ruhelage eingebaut und verursachte Verzerrungen bei der Wiedergabe.

Batterien

Die Batteriefabriken haben in diesem Jahre große Anstrengungen gemacht, um die ihnen durch die Einführung der Netzanschlußgeräte drohende Gefahr abzuwenden. Erwähnenswert ist ein Akkumulator mit zwei Zellen, zwischen denen in einem Glaskörper eine Waschzelle mit Ölfüllung eingefügt ist; durch diese müssen bei Überladung des Akkumulators die Gase hindurchgehen, Abb. 17.

Plattenbehälter für Flüssigkeiten

Großbehälter für Flüssigkeitsspeicherung in bestehende Räume einzubauen, verursacht häufig erhebliche Umstände. Behälter sehr großer Abmessungen müssen schon wegen der Beförderung mit der Bahn in mehrere Teile zerlegt werden; zumeist ist wegen ungenügender Durchgangsöffnungen in dem betreffenden Bauwerk noch eine weitergehende Unterteilung nötig. Am Aufstellungsort sind dann die einzelnen Schüsse durch Niete oder Schweißen miteinander zu verbinden; eine wegen örtlicher Beengung, Nachbarschaft bewohnter Räume oder anderer Ursachen oft sehr lästige Arbeit.

In England werden für solche Fälle rechteckige Behälter verwendet, die aus Einheitsplatten zusammengesetzt sind und verhältnismäßig einfach zusammengebaut werden können. Zur Sicherung jedes Plattenstoßpunktes in seiner räumlichen Lage sind gegenüberliegende Stoßpunkte in den Seitenwänden durch Zuganker miteinander verbunden; bei größeren Behältern werden Stoßpunkte der Seitenwände mit Stoßpunkten des (ebenfalls aus Platten bestehenden) Bodens zusammengehängt. Dadurch ergeben sich zahlreiche Innenanker, die in der Behälterflüssigkeit liegen. Hierin liegt eine Schwäche dieser sonst so einfachen Bauart; denn es werden so mittelbar der Behälterhöhe und dem Bereich der möglichen Temperaturen in der Speicherflüssigkeit verhältnismäßig enge Grenzen gesetzt. Auch können wegen der schmiedeisernen Innenanker solche Plattentanks für manche Speicherflüssigkeiten nicht in Betracht kommen, für die z. B. ein gußeiserner Behälter (mit oder ohne Innenauskleidung) an sich gut geeignet wäre.

Wohl aus diesen Gründen hat sich in Deutschland der Plattenbehälter noch nicht eingeführt, wiewohl auch bei uns ein Bedarf für Behälter dieser Art zweifellos vorhanden ist.

Eine neue Behälterbauart macht die Innenanker entbehrlich. Man hat die ebene Wandform verlassen und ist auf die Unterteilung der Wandflächen in stehende, flache, gegen

Das Öl entfernt aus ihnen die Schwefelsäure; man kann also diesen Akkumulator gefahrlos in Wohnräumen laden. Bei Anodenbatterien ist die Amperestundenzahl und die Leistung so erhöht worden, daß sie auch für stärkere Anodenströme geeignet sind. Der verschiedenen Belastung der einzelnen Batterieelemente ist dadurch Rechnung getragen worden, daß sie entsprechend der Belastung verschieden stark bemessen worden sind.

Kurzwellenempfang

Der Kurzwellenempfang hat in der Industrie keine genügende Beachtung erfahren; nur vereinzelt sind Kurzwellenempfänger von den Fabriken hergestellt worden. Einen Notbehelf stellen die Kurzwellenvorsätze dar mit einem Kurzwellenaudion, das durch einen Stecker an Stelle des normalen Audions in den Empfänger eingeschaltet wird. [B 2042]

das Behälterinnere gerichtete Gewölbe übergegangen. In Abb. 1 ist der Grundriß einer Behälterecke dargestellt, aus der im einzelnen zu ersehen ist, wie Wandgewölbe mittels schräg angesetzter Plattenflansche gebildet werden. In einem solchen Wandgewölbe bedarf die einzelne Platte als „Gewölbebaustein“ keiner besonderen Sicherung durch Zuganker; das Gewölbe ist in sich steif, und die Platten stützen einander durch ihre Flansche ab. Nur die Gewölbeenden brauchen eine Sicherung und finden diese in einem außerhalb des Behälterraumes angeordneten Stützgerüst aus sparsam bemessenen Profileisenstücken und Zugankern. Wegen der Gewölbekonstruktion sind die Flansche der Platten ohne Zugspannung; baucht man den Flächenteil der

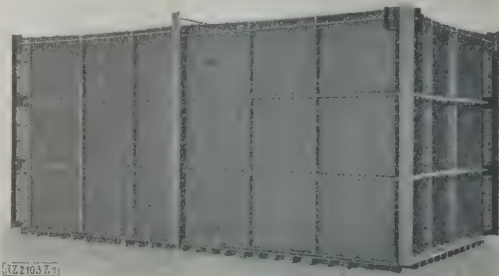


Abb. 2
Plattenbehälter ohne Innenanker von 12 m³ Inhalt.

Platten gegen das Behälterinnere etwas aus, so ist auch in diesen Flächenteilen jede Zugbeanspruchung vermieden. Auf diese Weise ist es möglich, bei Wahl von Gußeisen als Baustoff auf geringere Wanddicken herunterzugehen als bei dem englischen Plattentank.

Der in Abb. 2 dargestellte kleine Tank von insgesamt 12 m³ Inhalt der neuen Bauart wurde aus quadratischen gußeisernen Platten von 600 mm Quadratseitenlänge und 7 mm Wanddicke im Flächenteil zusammengebaut. Als Dichtungsmittel diente ein Erdwachs (in dünner Schicht, ohne jede weitere Zutat), das gegen Säuren, Alkalien und hohe Temperaturen unempfindlich ist und sich auch gut zur Innenauskleidung von Behältern eignet. Die Wandplatten haben das sehr handliche Gewicht von 28 bis 30 kg; die am Rande liegenden Bodenplatten sind wegen des Vorspringens der Gewölbeenden etwas größer und schwerer. Die gewählte Wanddicke reicht für jede praktisch vorkommende Behälterhöhe aus, so daß bei sehr großen Behälterabmessungen ein solcher Gußeisenbehälter nur um wenig schwerer ist als ein Blechbehälter gleichen Fassungsraumes. Zu dem abgebildeten Tank wurden sechs, teilweise nur durch den Flanschenansatzwinkel voneinander abweichende Plattenarten verwendet; bei Hinzufügung einer besonders geformten siebenten Art ist es möglich, aus diesen Elementen Behälter jeder beliebigen Länge, Breite und Höhe zusammenzustellen, wenn nur diese Abmessungen durch 600 mm, d. h. die Länge einer Plattenseite, teilbar sind. Zwischengrößen lassen sich durch Verwendung halber Platten zusammenbauen.

Berlin [M 2103]

Dr. techn. O. Kron

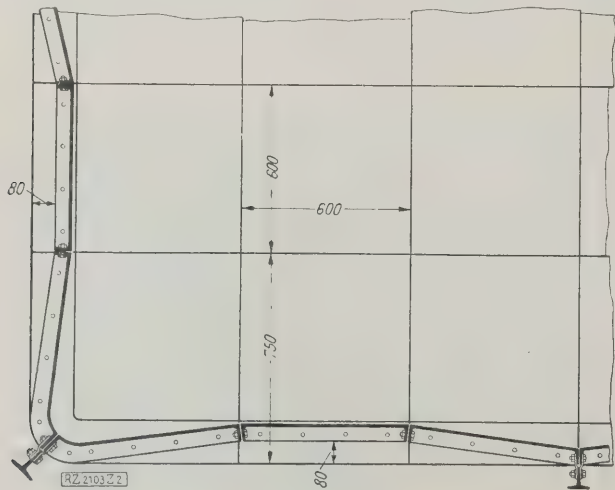


Abb. 1
Grundriß einer Ecke des Plattenbehälters.

RUNDSCHAU

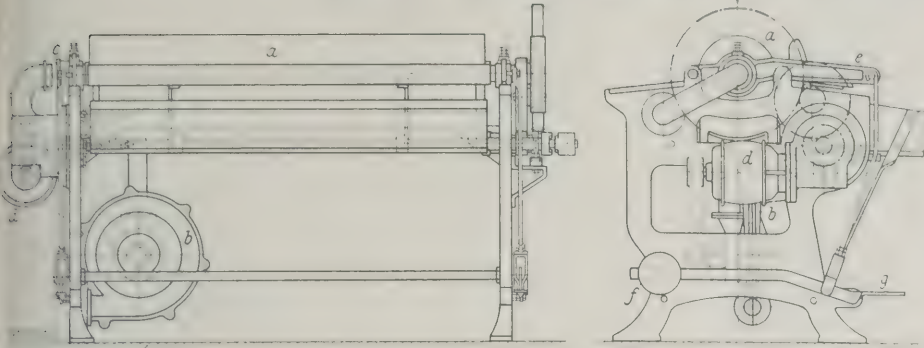


Abb. 1 und 2
Muldenplättmaschine von
C. A. Heinemann & Co.,
Düsseldorf, mit Absaugung
der Wäshedämpfe

- a Plättwalze, 3 bis 5 U/min
bei 270 mm Dmr.
- b Sauglüfter
- c Saugstutzen
- d Antriebmotor für a
und b
- e Hebel zur beweglichen
Lagerung der Walze
- f Verstellbares Gegen-
gewicht
- g Fußhebel

Technik und Haushalt Bügelmaschinen

In den Wäschereien setzt sich auch die maschinelle Behandlung der Wäsche nach dem eigentlichen Waschvorgang immer mehr durch. Eine wichtige Maschine zur Bearbeitung glatter Wäschestücke ist die Mangel¹⁾. Neben der Zylindermangel führt sich auch die Muldenmangel mit Absaugung ein. Vielfach geht man dazu über, die Mulde der Mangel elektrisch zu beheizen.

Eine neuere Ausführung einer elektrisch beheizbaren Muldenplättmaschine zeigen Abb. 1 und 2. Aus der sich mit 3 bis 5 U/min drehenden Walze a werden durch den Sauglüfter b bei c die Bügeldämpfe abgesogen, wodurch die Arbeitsleistung der Mangel bedeutend erhöht wird. Der Antriebmotor d der Walze treibt zugleich über einen Riemen den Sauglüfter an. Die Walze selbst ist in den Hebeln e beweglich gelagert. Mittels des verstellbaren Gegengewichtes f kann man den Druck, den die Walze auf die Mulde ausübt, regeln, und mittels des Fußhebels g wird die Walze beim Stillsetzen von der Mulde abgehoben.

Das Schema der elektrischen Heizung für Drehstrom zeigt Abb. 3. Die Leistungsaufnahme beträgt bis zu rd. 8 kW. Die Maschine dient hauptsächlich zum Plätten glatter Wäschestücke wie Tisch- und Bettwäsche, Taschen- und Handtücher.

Da man mittels der Mangeln nur glatte Stücke plätten kann, hat man für die Bearbeitung der verschiedenen Kragenformen u. a. besondere Maschinen gebaut. Für die Be-

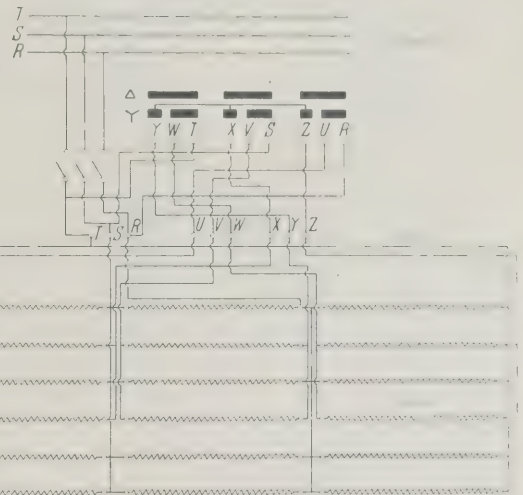


Abb. 3
Schaltung für drei Heizstufen von 5,4, 6,3 und 8,1 kW
Leistungsaufnahme

¹⁾ Z. Bd. 71 (1927) S. 1348.

handlung schwieriger Stücke haben sich besonders die Bügelpressen eingeführt^{1a)}. Eine neuartige Maschine, die sich vor allem auch zum Plätten faltenreicher Wäschestücke, sowie für Kleidungsstücke eignet, ist in Abb. 4 dargestellt. Der Hauptbestandteil dieser Kreiselpresse (des sog. Preßrotors) ist das 60 kg schwere, sich um die senkrechte Achse drehende Bügeleisen, das mittels Kette und Laufkatze pendelnd und fahrbar an einer hebelartig gelagerten Rollbahn hängt.

Die Laufkatze a trägt den Antriebmotor b, der mittels biegsamer Welle das Plätteisen c von 360 mm Dmr. mit 105 U/min dreht. Dieses Plätteisen wird durch einen unter der Haube c befindlichen Brenner mittels Preßgas oder eines Gemisches von Gas und Druckluft geheizt. Statt eines Brenners kann man auch elektrische Heizung einbauen. Mittels des Steuerrades d, an dem sich auch der Druckschalter e zum Anlassen des Motors befindet, wird das sich drehende Eisen über die Wäschestücke geführt. Das Plätten wird also dem einfachen Vorgang der Handbehandlung nachgeahmt und so in bezug auf das Aussehen der Wäsche eine ähnliche, teilweise noch bessere Plättwirkung erzielt.

Zum Anheben oder Senken des Motors tritt die Plättlerin die Fußleiste m nieder, wodurch sie das durch einen besonderen Hubmotor g betätigte Hubgetriebe f einschaltet. Die Wirkungsweise dieses Hubgetriebes ist aus Abb. 5 und 6 zu ersehen. In der gezeichneten Stellung läuft das Getriebe leer. Von der Scheibe a angetrieben, drehen sich die Zahnräder b, c und d auf der Hubwelle und das auf der Leerlaufbüchse f festgekeilte Zahnrad. auf der Kuppelwelle g. Zieht man durch kurzes Niedertreten der Fußleiste den Ausrückhebel l hoch, so verbindet der Kuppelbolzen g die auf der Kuppelwelle g aufgekeilte Büchse h mit der Leerlaufbüchse f. Nunmehr treibt Ritzel m das auf der Hubwelle p aufgekeilte Zahnrad n, und die Hubkurbel o hebt oder senkt mittels einer einstellbaren Stange l, Abb. 4, die Rollbahn und damit auch den Motor

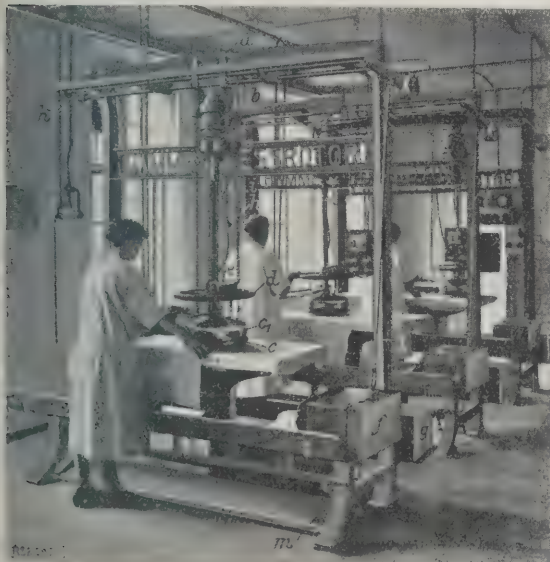


Abb. 4

Kreiselpressen von Hammer & Co., Berlin, im Betrieb.

- a Laufkatze
- b Antriebmotor
- c Plätteisen
- d Haube über dem Plätteisen
- e Steuerrad
- f Hubgetriebe
- g Hubmotor
- h Gasleitung
- i Schalterleitung
- k ausschwingbare Rollbahn
- l Hubstange
- m Fußleiste

^{1a)} Vergl. Anm. ¹⁾.

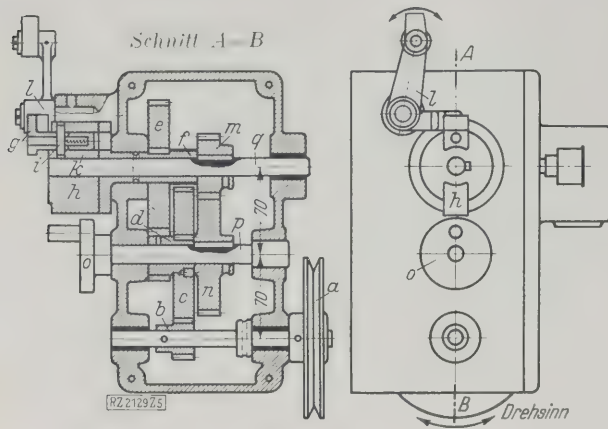


Abb. 5 und 6
Hubgetriebe für die Kreispresse, Abb. 4.

- | | |
|------------------------|---------------------------|
| a Antriebscheibe | i Führungsstift |
| b Antriebsritzel | k Kupplungsfeder |
| c Zahnrad | l Ausrückhebel |
| d Ritzel für Leerlauf | m Ritzel für Hubbewegung |
| e Zahnrad für Leerlauf | n Zahnrad für Hubbewegung |
| f Leerlaufbüchse | o Hubkurbel |
| g Kuppelbolzen | p Hubwelle |
| h Kuppelbüchse | q Kuppelwelle |

und das Plättchen. Die Übersetzungen im Getriebe sind so gewählt, daß die Hubbewegung beendet ist, sobald der Kuppelbolzen *h* eine Umdrehung gemacht hat und nun von dem Ausrückhebel *l*, Abb. 5 und 6, der inzwischen wieder durch eine an der Fußleiste angebrachte Zugfeder in die gezeichnete Stellung zurückgeholt worden ist, aus der Leerlaufbüchse mittels einer am Hebel *l* angefrästen Keilfläche aus der Leerlaufbüchse herausgezogen wird. Bei einer zur Zeit in der Ausarbeitung befindlichen Neukonstruktion soll dieses Hubgetriebe mit dem Übersetzungsgetriebe des Antriebmotors zusammengebaut und auch von diesem angetrieben werden, so daß man nur einen Motor braucht.

Die Arbeitsleistung der Maschine kann ebenfalls durch Absaugen der Bügeldämpfe aus dem Plättchen erhöht werden. Mehrere Maschinen können an eine gemeinsame Saugleitung angeschlossen und von einem Sauglüfter entlüftet werden. Werte über Arbeitsleistung der Maschine können nicht angegeben werden, da keine einheitlichen Bezugswäschestücke, nach denen Untersuchungen vorgenommen werden könnten, festgelegt sind. Für die Heizung braucht man rd. 600 l/h Preßgas oder bei elektrischer Heizung rd. 2,5 kW. Hubmotor und Antriebmotor brauchen zusammen 0,4 kW.

Berlin

Schwenninger

Werkstoffe

Mechanische Eigenschaften von Stahlguß bei erhöhten Temperaturen

F. Körber und A. Pomp¹⁾ haben zwölf Sorten Stahlguß untersucht, die die aus Zahlentafel 1 zu ersiehende Bezeichnung erhielten. Von den zwölf Güssen stammen sieben (A, B, C, J, K, L, M) aus basischen Siemens-Martin-Öfen von 5 bis 28 t Fassungsvermögen. Guß D ist im sauren Siemens-Martin-Ofen von 25 t Fassungsvermögen hergestellt. Der 5t-Elektroofen, in dem der Guß E erschmolzen worden ist, war basisch zugestellt. Die drei Güsse F, G und H stammen aus der Kleinbessemerbirne.

Die Proben der Schmelzungen B, C, J, L und M sind stehend gegossen, die der übrigen Schmelzungen liegend, und zwar teils in einfacher Lage (F und H), teils zu zweien übereinander (A, D, E, G und K).

Die chemische Zusammensetzung der zwölf Schmelzungen geht aus Zahlentafel 1 hervor. Die Güsse A bis E sind unlegierte Stähle aus dem Siemens-Martin-Ofen. Zur Erreichung der anzustrebenden Festigkeit von 50 bis 55 kg/mm² hat man bei Guß C und E einen erhöhten Mangangehalt (0,74 und 0,85 vH) zugegeben, während man bei Guß D den Kohlenstoffgehalt auf

0,53 vH erhöhte. Von den drei Güssen F, G und H aus der Bessemerbirne weist der Guß F einen verhältnismäßig geringen Gehalt an Phosphor und Schwefel ($P + S = 0,107$ vH) auf, während bei den Güssen G und H die Summe der Phosphor- und Schwefelgehalte verhältnismäßig hoch liegt (0,14 und 0,165 vH). Die beiden Güsse J und K ähneln in ihrer chemischen Zusammensetzung dem hochsiliziumlegierten Baustahl. Der Siliziumgehalt beträgt 0,84 und 0,92 vH. Von den beiden nickellegierten Güssen L und M weist der Guß L einen Nickelgehalt von 1,05 vH, der Guß M einen solchen von 2,68 vH auf. Sämtliche zwölf Güsse haben geringe Kupfergehalte (0,08 bis 0,27 vH). Guß E aus dem Elektroofen weist einen Nickelgehalt von 0,21 vH auf, während die übrigen Güsse, abgesehen von L und M, Nickelgehalte von 0,0 bis 0,17 vH haben.

Die Güsse A, B, C, D, F, J und K weisen eine ziemlich gleichmäßige Verteilung der Ferrit- und Perlitanteile auf, während bei den Güssen E, G, H, L und M der Perlit mehr oder weniger deutlich netzartig ausgebildet ist, was auf ein Glühen im Umwandlungsgebiet schließen läßt.

Zahlentafel 1
Analyse der Stahlgußschmelzungen

Bez.	C vH	Si vH	Mn vH	P vH	S vH	Ni vH	Cu vH
A	0,12	0,25	0,32	0,011	0,023	0,04	0,11
B	0,14	0,29	0,45	0,016	0,037	0,07	0,19
C	0,28	0,37	0,74	0,036	0,028	0,17	0,15
D	0,53	0,22	0,28	0,058	0,046	0,03	0,12
E	0,26	0,38	0,85	0,016	0,012	0,21	0,15
F	0,18	0,19	0,77	0,064	0,043	0,06	0,12
G	0,24	0,24	1,07	0,107	0,068	0,06	0,09
H	0,17	0,23	0,67	0,079	0,068	0,04	0,08
J	0,20	0,84	0,90	0,147	0,076	0,14	0,17
K	0,10	0,92	0,74	0,089	0,076	0,06	0,20
L	0,16	0,33	0,35	0,165	0,033	1,05	0,27
M	0,18	0,33	0,45	0,015	0,027	2,68	0,18

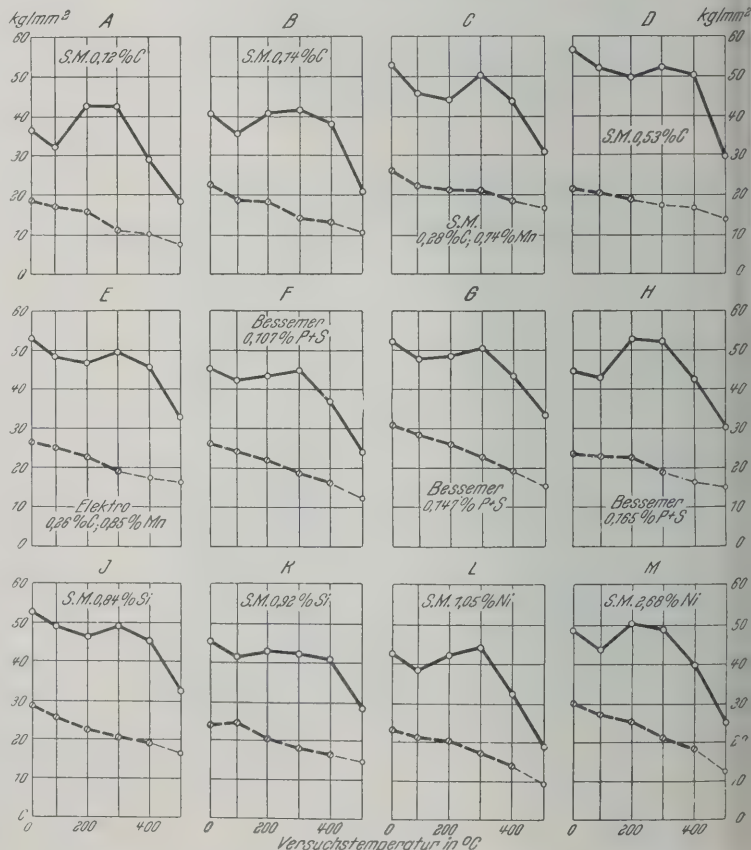


Abb. 7. Zugfestigkeit und Streckgrenze der Stahlgußproben nach Zahlentafel 1 bei erhöhten Temperaturen.

¹⁾ F. Körber und A. Pomp, Mitt. d. Kaiser Wilhelm-Inst. f. Eisenforsch. Bd. 10 (1923) S. 91.

Zugversuche

Die Versuche wurden auf einer 50 t-Amsler-Zerreißmaschine (25 t-Skala) im Temperaturgebiet von 20 bis 500 °C vorgenommen. Bei jedem Versuch wurde das Spannungszugs-Schaubild selbsttätig von der Maschine aufgenommen. Sämtliche Versuche wurden mit einer Spannungserhöhung von etwa 0,2 kg/mm²/s bis zur Erreichung der Streckgrenze durchgeführt. Nach Erreichung der Streckgrenze wurde der Zugversuch mit einer Dehngeschwindigkeit von 0,2 mm/s fortgesetzt. Die Ergebnisse der Zugversuche sind in Abb. 7 und 8 getrennt für die einzelnen Güsse in Abhängigkeit von der Prüftemperatur schaubildlich aufgetragen.

Streckgrenze (Naturgrenze). Die bei Raumtemperatur aufgenommenen Spannung-Dehnungs-Schaubilder lassen zum Teil ein deutliches Fließintervall auf, zum Teil sieht sich die Streckgrenze nur durch einen Knick in der Schaulinie zu erkennen. In einzelnen Fällen treten auch obere und untere Streckgrenzen auf. Die Unterschiede zwischen oberer und unterer Streckgrenze sind bei den unteren Stahlgußproben nur gering. Sie überschreiten in einem Falle den Wert von 2 kg/mm². Bis zu Versuchstemperaturen von 200 °C gibt sich die Streckgrenze im Spannung-Dehnungs-Schaubild im allgemeinen deutlich zu erkennen. Bei 300 und 400 °C konnte nur noch bei einem Teil der Proben eine ausgeprägte Streckgrenze beobachtet werden. Bei 500 °C war keine Unregelmäßigkeit auf der Spannung-Dehnungs-Schaubild mehr wahrzunehmen. In Abb. 7 sind in allen den Fällen, in denen keine ausgeprägte Streckgrenze (Naturgrenze) festgestellt werden konnte, die 0,2-prozent eingesezt und durch dünnere Strichführung kenntlich gemacht.

Die Streckgrenze sinkt bei allen untersuchten Stahlgußproben mit steigender Prüftemperatur stetig zu niedrigeren Werten ab. Die Lage der Streckgrenze sowohl bei Raumtemperatur als auch bei den höheren Prüftemperaturen ist in hohem Maße von der chemischen Zusammensetzung, insbesondere vom Kohlenstoffgehalt, abhängig, eine Erhöhung der Streckgrenze verursacht. In diesem Sinne wirken Mangan und Silizium. Eine verhältnismäßig hohe Streckgrenze (26,2 kg/mm²) bei Raumtemperatur hat Stahlguß C mit 0,74 vH Mn. Auf derselben Höhe (26,0 kg/mm²) bewegt sich die Streckgrenze des aus dem Elektrofen stammenden Stahlgusses E mit gleichfalls hohem Kohlenstoffgehalt (0,85 vH). Von den drei aus der Bessemer-Ofen stammenden Güssen F, G und H hat G entsprechend

dem hohen Kohlenstoff- und Mangangehalt auch die höchste Streckgrenze (30,9 kg/mm²). Der verhältnismäßig hohe Schwefel- und Phosphorgehalt der Güsse G und H übt keinen schädlichen Einfluß auf die Lage der Streckgrenze aus. Der Einfluß des Siliziums in den beiden hochsiliziierten Güssen J und K auf die Lage der Streckgrenze ist weniger groß, als auf Grund der Untersuchungen an hochsiliziumhaltigem Baustahl zu erwarten stand. Allerdings liegt der Kohlenstoffgehalt bei Stahlguß K verhältnismäßig niedrig (0,10 vH). Ein Nickelzusatz von 1 vH bei Guß L ist ohne Einfluß auf die Lage der Streckgrenze bei Raumtemperatur; dagegen bewirkt ein Nickelgehalt von 2,68 vH (Guß M) eine Steigerung der Streckgrenze auf 30,5 kg/mm².

Zugfestigkeit. Die Zugfestigkeits-Temperatur-Schaubild zeigt den von früheren Untersuchungen her bekannten Verlauf: Zunächst ein schwaches Absinken der Zugfestigkeit bis zu Versuchstemperaturen von etwa 100 °C, sodann ein erneuter Anstieg mit einem Höchstwert bei 200 bis 300 °C und schließlich ein rascher Abfall mit weiterer Erhöhung der Prüftemperatur.

Die Zugfestigkeit sowohl bei Raumtemperatur als auch bei den höheren Prüftemperaturen ist in starkem Maße von der chemischen Zusammensetzung der Proben abhängig. Durchweg ist eine Steigerung der Zugfestigkeit mit steigendem Kohlenstoff- und Mangangehalt zu beobachten.

Die bei 500 °C ermittelten Zugfestigkeitswerte bewegen sich zwischen 45 und 68 vH der bei Raumtemperatur festgestellten Werte. Sie schwanken je nach der Stahlgußsorte zwischen 18,3 und 34,2 kg/mm². Bei den unlegierten kohlenstoffarmen Güssen A und B ist die Zugfestigkeit bei 500 °C auf rund die Hälfte des Wertes bei Raumtemperatur gefallen. Stahlguß C und E mit höheren Mangangehalten weisen einen Rückgang der Zugfestigkeit bei 500 °C auf nur 60 bis 61 vH des bei 20 °C gefundenen Wertes auf; Stahl D mit hohem Kohlenstoff- und niedrigem Mangangehalt zeigt dagegen einen Rückgang auf 53 vH. Bei den Güssen G und H aus der Bessemerbirne mit hohem Schwefel- und Phosphorgehalt ist ein Rückgang der Zugfestigkeit auf 65 und 68 vH zu verzeichnen, während die an Phosphor und Schwefel weniger reiche Bessemer-Schmelzung F ein viel weitergehendes Absinken der Zugfestigkeit auf 55 vH des Wertes bei Raumtemperatur erfahren hat. Ein erhöhter Phosphor- und Schwefelgehalt ruft also keine schädliche Beeinflussung der Zugfestigkeit in der Wärme hervor. Bei den beiden hochsiliziumhaltigen Güssen J und K geht die Zugfestigkeit bei 500 °C auf 63 vH des Wertes bei Raumtemperatur zurück, während der Stahlguß L mit 1,05 vH Ni einen Rückgang der Zugfestigkeit auf 45 vH und Stahlguß M mit 2,68 vH Ni einen Rückgang auf 52 vH des Wertes bei Raumtemperatur erleidet.

Dehnung. Die bei Raumtemperatur ermittelten Dehnungswerte liegen durchweg wesentlich höher als DIN 1681 für Stahlguß entsprechende Festigkeit vorschreibt. Nur bei den Güssen B und M werden die vorgeschriebenen Dehnungswerte um ein geringes unterschritten, und zwar werden bei Stahlguß B statt 20 nur 18,6 vH und bei Stahlguß M statt 16 nur 14,5 vH erreicht. Da bei den Schmelzungen B und M die Proben stehend gegossen worden sind, dürfte es nicht unwahrscheinlich sein, daß die verhältnismäßig niedrigen Dehnungswerte auf die besondere Lage der Proben beim Gießen zurückzuführen sind. Diese Ansicht findet darin eine Stütze, daß bei diesen beiden Schmelzungen wiederholt auf der Bruchfläche des Zerreißstabes kleine Fehler beobachtet wurden, die auf Lunkerhöhlräume schließen ließen. Versuche an drei weiteren Stahlgußschmelzungen ähnlicher Zusammensetzung desselben Werkes mit stehend und liegend gegossenen Proben ergaben jedoch praktisch keine Unterschiede in den Ergebnissen der Festigkeitseigenschaften, insbesondere der Dehnung zwischen diesen beiden Gußanordnungen.

Mit steigender Prüftemperatur nimmt die Dehnung ab. Die Dehnungs-Temperatur-Schaubild zeigen bei etwa 200 bis 300 °C einen Tiefstwert auf und steigen sodann mit Erhöhung der Prüftemperatur wieder an. In einigen Fällen tritt auch ein geringer Anstieg der Dehnung bis zu Versuchstemperaturen von 100 °C ein.

Einschnürung. Die Einschnürungs-Temperatur-Schaubild zeigen annähernd denselben Verlauf auf wie die Dehnungs-Temperatur-Schaubild. Auch in diesem Falle durchlaufen die Kurven einen Tiefstwert im Temperaturbereich von etwa 200 bis 300 °C. Die Schwan-

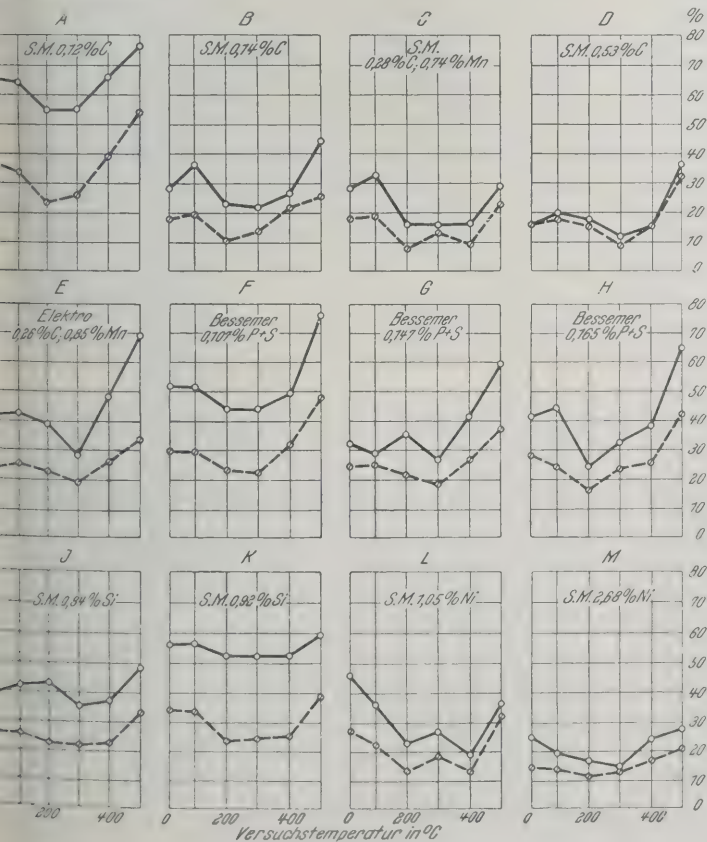


Abb. 8. Einschnürung und Dehnung der Stahlgußproben bei erhöhten Temperaturen.

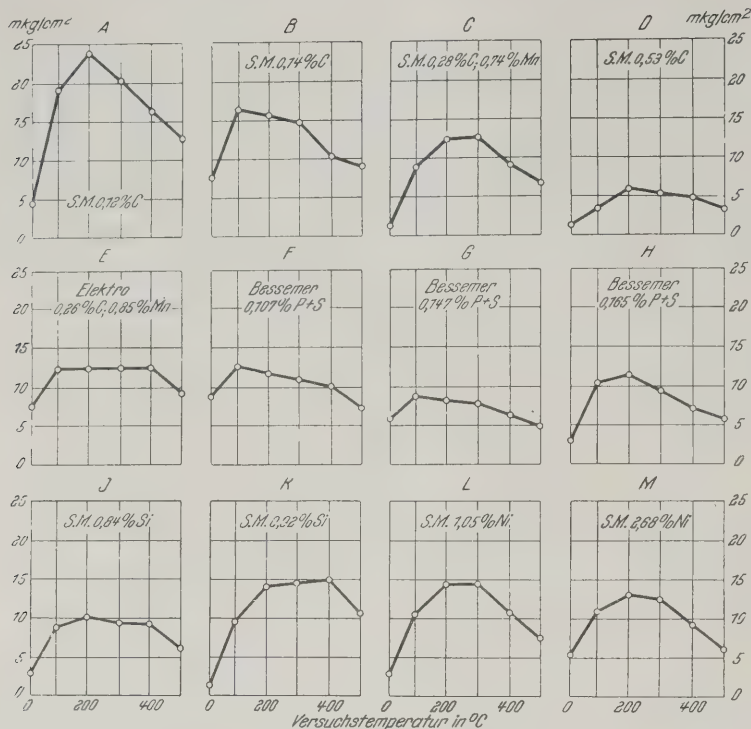


Abb. 9
Kerbzähigkeit von Stahlguß bei erhöhten Temperaturen.

kungen in den Dehnungs- und Einschnürungswerten sind zum Teil recht erheblich, was in der Natur des Stahlgusses begründet ist.

Kerbzähigkeit

Die Kerbzähigkeits-Temperatur-Schaulinie, Abb. 9, weist in Übereinstimmung mit früheren Untersuchungen folgenden allgemeinen Verlauf auf. Sie steigt, von Raumtemperatur ausgehend, mit steigender Prüftemperatur mehr oder weniger steil an, durchläuft einen Höchstwert bei Prüftemperaturen von 100 bis 200° und fällt sodann wieder ab. Bei Raumtemperatur liegen die ermittelten Kerbzähigkeitswerte zwischen 1,3 und 7,8 mkg/cm^2 . Verhältnismäßig niedrige Werte (unter 2 mkg/cm^2) weisen die unlegierten Güsse C, D und der siliziumlegierte Guß K auf. Die höchsten Werte (über 7 mkg/cm^2) sind bei den Güssen B, E und F zu finden. Die bei 500° ermittelten Kerbzähigkeitswerte liegen zum Teil auf gleicher Höhe wie die bei Raumtemperatur beobachteten, zum Teil liegen sie beträchtlich höher.

In einem Anhang wird der Einfluß der Probenform und der Lage der Probe im Gußstück auf die Ergebnisse der Kerbschlagprüfung näher untersucht und gezeigt, in wie hohem Maße gerade bei Stahlguß das Ergebnis der Kerbschlagprüfung von der Art der Probenahme abhängig ist.

Düsseldorf [M 2087]

A. Pomp

Eisenhüttenwesen

Anwendung von Koksofengas in der Eisenindustrie

Das Koksofengas ist in der Eisenindustrie schon heute ein viel und gern gebrauchter Brennstoff. Es setzt sich im allgemeinen zusammen aus 45 bis 65 vH Wasserstoff, 20 bis 35 vH Methan, 5 bis 7 vH Kohlenoxyd und einer geringen Menge schwerer Kohlenwasserstoffe, die wegen ihrer Leuchtkraft und ihres hohen Heizwertes im Gase beliebt sind. Der untere Heizwert des Gases liegt zwischen 4000 und 4300 kcal/m^3 . Da die Feuerungen praktisch mit der theoretisch nötigen Luftmenge betrieben werden können, ist die Wärmeausnutzung des Gases in Höhe von 55 bis 66 vH des Heizwertes bedeutend höher als bei festen Brennstoffen. Wegen der guten Regelbarkeit kann man die Gasfeuerung jeder Belastung (Anheizen, Pausen usw.) genau anpassen, so daß man im allgemeinen bei Umstellung, z. B. von handgefeuerten Stoß- und Rollöfen auf Koksgasbetrieb, mit 15 bis 25 vH Wärmeersparnis rechnen kann.

In der Eisenindustrie wird das Koksgas häufig als Zusatz zu anderen Brennstoffen verwendet. Am einfachsten wird das Gas in einer mit andern Brennstoffen betriebenen Feuerung durch im Brennraum angeordnete Zusatzbrenner

zugesezt. Eine andre Möglichkeit bildet Vermischen des Gases mit andern Gasen. Zusatzgas kann Armgas von 1000 kcal/m^3 in Form von Generatorgas oder Gichtgas verwendet werden, so daß ein Mischgas von 1600 bis 2200 kcal/m^3 entsteht. Die technische Durchbildung der Feuerungen in Stoß- und Rollöfen ist bei der Verwendung von Mischgas oder von reinem Koksofengas praktisch gleich.

Ein besonders großes Anwendungsgebiet für Koksgas bilden die Siemens-Martin-Weilöfen. In der Hauptsache Mischgas verheizen, Brennstoffverbrauch und Ausbringen sind wöhnlich besser als bei Öfen, die man mit Generatorgas heizt. Nach den vorliegenden Erfahrungen wird die Güte des Gases durch Verwendung von Koksofengas nicht einflußt. Bei Beheizung von Stoß- und Rollöfen durch Misch- oder Koksgas wird bei neueren Bauarten meist auf Luftvorwärmer verzichtet. Das Gas wird durch Stirnbrenner in Abständen von 500 bis 700 mm je Brennstoffeingebringer zugeführt. Bei Anbringung von Seitenbrennern ergibt sich ein langsamerer Temperaturabfall im Ofen von Brenner bis zum Stoßherd; die Stirnbrenner dienen bei der Ofen der Temperaturregelung. Der Koksofen kommt grundsätzlich mit kürzerem Brennraum als ein Halbgasofen aus. Die bei mit hoher Temperatur ziehenden Abgasen sind zweckmäßig noch zur Abhitzedampferzeugung oder im Rekuperator auszunutzen. Gegenüber Kohlen- und Generatorgasbetrieben ergaben sich bei Verwendung von Koksgas in Stoßöfen im allgemeinen erhebliche Leistungssteigerungen bei 15 bis 25 vH Wärmeersparnis. Bei der Verwendung von Koksgas zur Tiefenbeheizung stellen sich bei gleichmäßiger und günstiger Leistung die Gasverbrauchszahlen auf 30 bis 130 m^3/t Gas je nach dem verwendeten Blockgewicht und dem Wärmeinhalt der eingesetzten Blöcke.

Als besonders geeigneter Brennstoff erscheint das Koksofengas für Kleinöfen wie Stangenwärm- oder Mutterprüfofen. Noch bei einem Preis von 3,9 ¢/m^3 Koksofengas freier Ofen ist die Umstellung auf Koksgas so vorteilhaft, daß sich die nötigen Neuanlagen in kurzer Zeit bezahlen lassen²⁾.

Die für die Verbrennung des Koksgases benutzten Brenner sind hauptsächlich sogenannte Mischbrenner, bei denen Gas und Luft im Brenner selbst gemischt werden. Koksgas und Luft schon vor dem Brenner zu mischen hat sich wegen der Gefahr des Zurückschlagens als unmöglich erwiesen, doch wird bei einigen Bauarten ein Teil der Luft bereits vor dem Brenner dem Gase zugemischt, die Restluft jedoch erst im Brenner selbst. Wegen des häufig ungleichmäßigen Verbrauchs von Koksgas in der Eisenindustrie ist die Speicherung des Gases in Gasbehältern erforderlich, die wegen ihrer vielfachen Vorteile heute fast ausschließlich als Scheibengasbehälter aufgebaut werden.

[N 2310]

¹⁾ Archiv f. d. Eisenhüttenwesen Bd. 1 (1923) S. 710.

²⁾ Archiv f. d. Eisenhüttenwesen Bd. 2 (1923) S. 107.

Hebezeuge

Eine leichte Seilrolle für den Aufzugsbau

Die Seilrollen im Aufzugsbau sind wesentlich anders belastet als Transmissionsscheiben, Zahnräder, Kettenräder usw., da sie beinahe kein Drehmoment zu übertragen haben, sondern nur durch Druckkräfte in den Armen beansprucht werden; der Kranz ist durch das aufliegende Seil ähnlich einer Kettenlinie belastet und durch Biegekräfte beansprucht.

Diese besondere Beanspruchung kommt aber bei den meisten Ausführungen nicht zum Ausdruck, diese ähneln vielmehr den oben angeführten Arten. Da die Rollen Durchmesser von rd. 400 bis 1000 mm haben, besteht bei leichten, d. h. dünnwandigen Ausführungen, der Nachteil, daß sie sich wegen der häufigen Fehlgüsse schlecht in Grauguß ausführen lassen; was noch besonders dadurch bedingt wird, daß der Kranz, weil auf Biegung beansprucht, meistens verhältnismäßig schwer gegenüber den Armen ausfällt; ohne neue Wege einzuschlagen, kann man daher die gestellte Forderung kaum erfüllen.

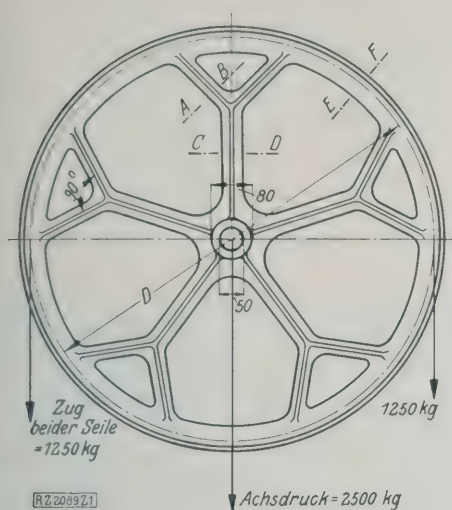


Abb. 10
Leichte Seilrolle mit gegabelten Armen
für den Aufzugaub.

Die bisher übliche Bauweise versteht die Rollen mit etwa 5 bis 6 Armen, wobei 5 Arme entschieden vorzuziehen sind, da sich dann die auftretenden Gußspannungen deshalb viel besser ausgleichen, weil einem Arm auf der einen Seite immer zwei auf der anderen gegenüberstehen, die herenartig federn, wenn sich der Arm streckt oder kürzt. Das freitragende Stück des Kranzes beträgt $\frac{1}{10}$ des Umfanges.

Eine neue Rolle, Abb. 10, die von der Firma Union Mécanique S. A., Colmar, gebaut wird und vielfach in Betrieb ist, hat gegabelte Arme, derart, daß das freitragende Kranzstück nur $\frac{1}{10}$ des Umfanges ausmacht; eine Nachrechnung ergibt sofort, daß dieses Stück nur rd. $\frac{1}{4}$ des Widerstandsmomentes der vorigen Rolle haben muß, also bei gleicher Bemessung viermal so viel trägt. Die Arme sind nicht belastet wie früher, die Gabelstücke bei der gewählten Form mit dem 1,414. Teil. Außerdem sind die Arme viel weniger starr als früher, und der Gußfachmann sieht sofort, daß die Fehlgußmöglichkeit sehr klein ist.

Abb. 11 bis 13 zeigen die Profile einer ausgeführten Rolle für zwei Seile, die bei einer zulässigen Biegungsspannung im Kranz von rd. 300 kg/cm^2 und Druckspannung von 50 kg/cm^2 in den Armen mit insgesamt 2500 kg Achsdruck belastet werden kann, wie in Abb. 10 angegeben. Die frühere Rolle trägt bei gleichen Kranz- und Armabmessungen nur $\approx 833 \text{ kg}$. Die neue Rolle wiegt etwa 16 bis 18 kg, je nach der Art, wie sie im Sand eingestampft wird, die alte Rolle, wie sie heute meistens ausgeführt wird, zeigt Gewicht von 40 kg und mehr bei 500 mm Teilkreisdurchmesser und 2500 kg zulässigem Achsdruck. [M 2089]

Stuttgart

Obering. G. Schiffner

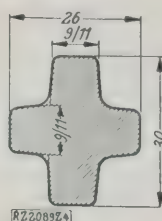


Abb. 11 (links)
Schnitt A-B.

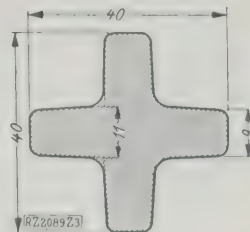


Abb. 12 (rechts)
Schnitt C-D.

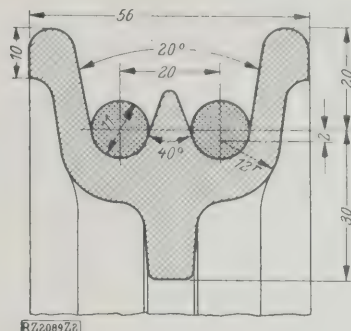


Abb. 13
Schnitt E-F.

Abwässerung

Abwasserrückgewinnung in Walzwerken

Die Frage der wirtschaftlichen Verwendung des Wassers ist für manchen Walzwerkbetrieb von schwerwiegender Bedeutung, insbesondere dort, wo Leitungswasser knapp und teuer, oder wo Oberflächen- oder Grundwasser durch ihre chemische Zusammensetzung ungeeignet sind. Durch eine geeignete Rückgewinnungsanlage für die Abwässer werden die Beschaffungskosten von frischem Leitungswasser auf ein Mindestmaß beschränkt, die schädlichen Wirkungen „schlechten“ Oberflächen- oder Grundwassers auf Maschinen, Kessel, Eisenteile, Rohrleitungen vermieden.

Abb. 14 zeigt die Gesamtansicht einer vor einigen Monaten in Betrieb genommenen Abwasser-Rückgewinnungsanlage für ein Röhrenwalzwerk. Die Anlage besteht aus der Kläranlage und der Abwasserförderanlage. Es werden ihr die gesamten durch Öl und Feinsinter verunreinigten Walzenkühlwässer, ferner aber die infolge des zerklüfteten Geländes in großen Stößen plötzlich ankommenden Niederschlagswässer zugeführt. Hierzu dienen offene, ausgemauerte Kanäle zu beiden Seiten. Der Kläranlage ist ein Regenüberfall mit Ölrückhaltevorrichtung vorgeschaltet, um Überlastungen fernzuhalten.

Die eigentliche Kläranlage für rd. 250 m^3 Abwasser (bei Trockenwetter) besteht aus einem kreisrunden Flachbrunnen von etwa 9 m Dmr. mit Einführung des Abwassers in die Mitte des Klärraumes, s. a. Abb. 15. Das strahlenförmig nach allen Seiten gleichmäßig durch den Wärmeraum strömende Abwasser folgt dem durch verschiedene Tauchwände vorgeschriebenen Weg und vermindert dabei seine Geschwindigkeit immer mehr, je weiter es sich von der Mitte entfernt. Leichtes Öl und schwerer Sinter werden festge-

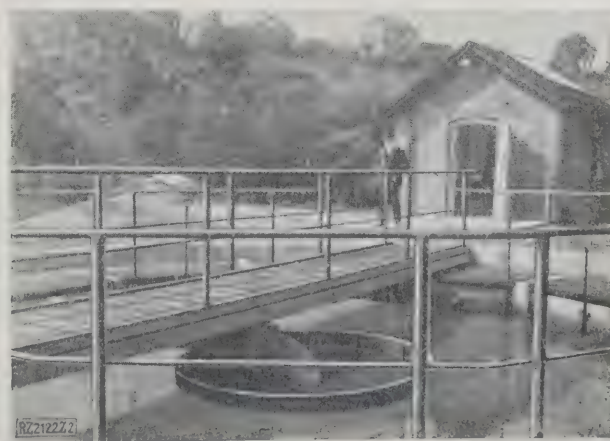


Abb. 14 und 15
Kläranlage für Walzwerkabwässer der Mannesmann-Röhrenwerke Remscheid-Bliedinghausen.

halten, die geklärten Abwässer am Umfang abgenommen und zum Pumpensumpf geführt.

Die geklärten Abwässer werden zusammen mit dem zurückgehaltenen, als Zusatz sehr geeigneten Regenwasser mittels Kreiselpumpen etwa 70 m hoch auf einen Haupt-hochbehälter gefördert, um von dort den Verwendungsstellen wieder zuzufließen und den beschriebenen Weg im Kreislauf immer zu wiederholen.

Das Abwasser ist für Betriebszwecke unbedenklich wieder verwendbar, im vorliegenden Fall, begünstigt durch

den Zusatz von Regenwasser, vor allem sehr weich, im Gegensatz zu dem früher aus dem Vorfluter gepumpt, außerordentlich harten Wasser. Ein ganz geringer Zusatz an Frischwasser genügt, um den in trockener Jahreszeit eintretenden Verlust durch Verdunstung und Versickerung auszugleichen.

Die Gesamtanlage ist von der Deutschen Abwasser-Reinigungs-Ges. m. b. H., Städtereinigung, Wiesbaden, baut.

Wiesbaden

[M 2122]

Dipl.-Ing. Preuß

Kleine Mitteilungen

Schwelanlage für ein amerikanisches Gaswerk

Vor etwa Jahresfrist hat die Kohlenscheidungs-Gesellschaft, Berlin, mit dem Bau einer Schwelanlage für 650 t Tagesdurchsatz auf dem Werk der Public Service Electric & Gas Co. of New Jersey begonnen. Die Anlage, die kurz vor der Vollendung steht, soll aus billiger Feinkohle täglich 50 000 m³ Schwelgas von 7500 kcal/m³ Heizwert erzeugen, das, mit Wassergas gemischt, ein Gebrauchsgas von 4720 kcal/m³ Heizwert ergeben soll. Der erste Ausbau umfaßt acht Drehrohrröfen von rd. 23 m Länge und 3 m Dmr. mit elektrischem Antrieb, die in einem Baublock aus Eisenkonstruktion und Beton untergebracht sind. Die Trommeln werden außen durch Feuergase und innen mit Dampf beheizt. Das beigefügte Bild zeigt eine der Trommeln in der amerikanischen Zusammenbauwerkstatt, vom oberen Ende aus gesehen, an dem die Gase austreten. Die Dampfleitungen, die mittels eines biegsamen Rohres gespeist werden, sind am Kopf der Trommel zu sehen. Am andern Ende befinden sich der Antrieb sowie die Stellen für den Eintritt der Kohle und den Austritt des Halbkokes. [M 2451 a] H.

Versuche an Elektro-Dampfkesseln

In einem Krankenhaus der Stadt Basel ist ein elektrischer Dampfkessel von Gebr. Sulzer, A.-G., Winterthur, von 3 m Höhe und 1,8 m Dmr. aufgestellt, dessen Belastung man durch Verschieben von Zylindern, die je drei Drehtrommotoren teleskopartig umschließen, bei 6400 V bis auf 2400 kW steigern kann. Der Kessel ist ausgerüstet mit einer Umwälzpumpe, einem Elektromotor zum Verschieben der Zylinder, selbsttätigen Vorrichtungen zum Regeln von Belastung, Dampfdruck und Wasserstand, elektrisch angetriebener Speisepumpe, Speisewasserfilter und Schaltgeräte. Der Kessel ist mit drei andern Kesseln verbunden, die mit Kohlen geheizt werden. Die Anlage regelt sich selbsttätig auf gleichbleibende Last oder gleichbleibenden Druck.

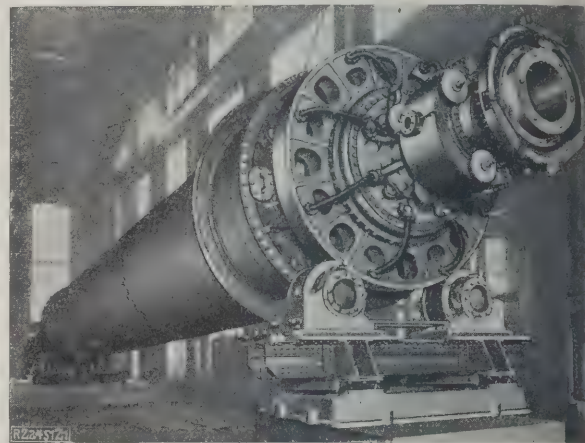
Durch das Verdampfen wird das Kesselwasser allmählich salzhaltiger und besser leitend. Bei Kesseln mit niedriger Belastung genügt es, einmal täglich abzublasen, bei großen Kesseln muß dies aber fortlaufend geschehen. Wärmeverluste werden durch Wärmeaustauscher vermieden.

Ein Versuch von 2 h 45 min Dauer ergab einen Arbeitsverbrauch des Kessels einschl. Pumpe von 2980 kWh und eine Verdampfung von 4084 kg. Der mittlere Dampfdruck betrug 8,23 at und die mittlere Speisewassertemperatur 62,4 °. Dies ergibt einen Wirkungsgrad von 96,05 vH. Die mittlere Belastung betrug 1033 kW bei 6220 V. Da sich die Verluste des Kessels mit der Last nicht ändern, steigt der Wirkungsgrad bei 2400 kW auf 98,3 vH. („Engineering“ 4. Januar 1929 S. 30*) [M 2451 b] Le.

Selbsttätig arbeitende Blechglühöfen

Bei der Otis Steel Co., Cleveland, ist von der Surface Combustion Co., Toledo, Ohio, ein 42,7 m langer selbsttätig arbeitender Ofen zum Glühen hochwertiger Tiefziehbleche für Kraftwagen aufgestellt worden. Die 30,5 m lange Glühkammer und die 12,2 m lange Kühlkammer sind 2,13 m breit. 60 Brenner sind in der Ofendecke und 60 im Boden an den Seiten eingebaut. Die Bleche werden von kreisrunden Scheiben, die auf hohlen wassergekühlten Achsen befestigt sind, durch den Ofen befördert. Die Ofentemperatur, die zwischen 925 und 955 °C schwankt, wird mittels vier Pyrometer überwacht. In 24 h durchlaufen den Ofen 140 t Bleche.

Einen ähnlichen 47,2 m langen und 2,13 m breiten Ofen hat in einem großen Stahlwerk die Rust Engineering Co., Pittsburgh Pa., aufgestellt. Die Anwärms- und Glühzone ist 22,8 m, die Kühlzone 24,4 m lang. In der Glühzone hat man auf beiden Seiten des Ofens je 20 Ölbrenner eingebaut. Auch bei diesem Ofen werden die Bleche durch Scheiben, die auf 155 Achsen befestigt sind, durch den Ofen befördert. („The Iron Age“ 20. Dezember 1928 S. 1577* und „The Blast Furnace and Steel Plant“ Dezember 1928 S. 1571*) [M 2451 c] Gw.



Drehrohrofen der Kohlenscheidungs-Gesellschaft für New Jersey.

Zweiteiliger Absperrschieber für Druckrohrleitungen

In eine Druckwasserleitung von rd. 3 m l. W. d. Southern California Edison Co. hat man einen mittels Elektromotors von 10 PS betätigten zweiteiligen Schieber eingebaut, der für rd. 39,5 m³/s Durchflußmenge bei rd. 18 Druckhöhe entworfen ist. Die Leitung ist an dieser Stelle auf 2,4 m l. W. verengt. Der Schieber besteht aus zwei gleichen gußeisernen Platten von je 2,6 t Gewicht, die rd. 2,6 m lang, 1,25 m breit und 0,35 m dick sind und gleichzeitig von beiden Seiten her in wagerechter Richtung nach der Rohrmitte zu bewegt werden. Die senkrechten schmalen Kanten der Platten treffen, bestehen aus Bronze.

Der Antriebmotor sitzt oben über dem Schieber auf der Rohr- und arbeitet auf eine senkrecht zur Rohrachse gelagerte Welle. Diese überträgt mittels Stirn- und Schneckenradübertragung die Kraft auf die beiden untereinander angeordneten Spindeln von 89 mm Dmr., die jede Schieberplatte steuern. Sobald der Spalt zwischen den Platten nur noch 12,5 mm weit ist, wird der Motor selbsttätig abgeschaltet, der vollständige Abschluß muß dann mit der Hand vorgenommen werden. Bei Erreichen der Stellung, in der das Wasser frei durchfließen kann, tritt ebenfalls eine selbsttätige Abschaltung ein. (Engineering News Record 20. Dezember 1928 S. 913*) [M 2451 d] Sd.

2 D + D2-Lokomotive für 51 000 kg Zugkraft

Diese von den Baldwin-Werken gebaute Lokomotive ist nach der Mallet-Anordnung ausgeführt und weist außer ihrer gewaltigen Größe und Leistung auch in der sonstigen Anordnung Bemerkenswertes auf. Die Lokomotive fährt mit dem Führerstand voraus, während an die Rauchkammerseite der Tender anschließt. Diese Anordnung ist deshalb möglich, weil die Lokomotive mit Öl gefeuert wird und das Öl in langen Leitungen dem Verbrennungsraum mittels Druckluft zugeführt werden kann. Die hierbei erzielte gute Streckensicht und die Vermeidung des Rauchniederschlags auf den Fenstern des Führerstandes ist besonders auf tunnelreichen Strecken, wie im vorliegenden Falle, sehr vorteilhaft. Lokomotiven in ähnlicher Anordnung wurden seit 1909 bereits mehrere gebaut.

Hauptkonstruktionszahlen:

Reibungsgewicht	214 t
Gewicht einschl. Tender	290 „
Kesseldruck	16,5 at
Heizfläche	1300 m ²
Rost	12,8 m ²
Gesamtlänge ohne Tender	rd. 23000 mm.

(„Railway Age“ 15. Dezember 1928 S. 1181*) Ro.

Bahnlinie für 40 t Achsdruck

Die Hamilton Coke and Iron Co. in Hamilton, Ohio, hat das flüssige Roheisen für die 18 km entfernten Walzwerke der American Rolling Mill Co. in Middletown. Das Eisen wird in Gießpfannen befördert, die mit Zapfen auf vierachsigen Unterstellern ruhen. Ein solcher Wagen hat bei 17,16 m Länge zwischen den Puffern 311 t, somit ist der Achsdruck 39 t. Um diese nicht ungefährliche Last möglichst von den Hauptgleisen der Baltimore-Ohio-Fern zu halten, wurden zwei besondere Verbindungsbrücken erbaut, die eine 276 m lange Brücke über den Miami-Fluß und eine solche von 244 m Länge über die Gleisanlagen der Hauptbahn erforderten. („Railway Age“ 8. Dezember S. 1124*) [M 2451 f] M.

Versuche mit Teerung von Landstraßen

wurden in Amerika unter verschiedenen Bedingungen der Beanspruchung, der Art der Fahrzeuge u. a. durchgeführt. Bei diesem Verfahren wird der Teer auf 55 °C erwärmt, unmittelbar auf die vorbereitete Oberfläche aufgespritzt und mit Torfsand bedeckt. Die Beimengung von Kalziumchlorid bindet den Staub sehr gut und macht die Teerschicht haltbarer. Derartig geteerte Straßen lassen eine tägliche Verkehrsbelastung von 1500 Fahrzeugen als wirtschaftlich zu, ohne daß nennenswerte Zerstörungen der Oberfläche eintreten; für ungeteerte Straßen beträgt die größte Belastung 600 Fahrzeuge. Infolge dieser günstigen Ergebnisse hat sich das Verfahren in Amerika bereits sehr eingebürgert. („Engineering“ 4. Januar 1929 S. 19) [M 2451 g] Ro.

BÜCHERSCHAU

Bücher und Zeitschriften des In- und Auslandes, auch solche nichttechnischen Inhaltes, liefert die VDI-Buchhandlung, Berlin NW 7, Ingenieurhaus (Telegrammschrift: Ingenieurverlag Berlin; Fernspr.: Zentrum 15204).

Lehre von der schöpferischen, Produkte schaffenden Arbeit, die grundlegende Erziehung für den Maschineningenieur. Von Julius Schenk. 1. Bd.: Das Wesen der schöpferischen, Produkte schaffenden Arbeit. Breslau 1928, Alfred Fritzsche. 94 S. Preis 3,50 RM.

Die Erörterungen über die zweckmäßigste Art der Ingenieur-Erziehung an den Hochschulen sind durch die scharfe Tagung in besonders lebhaften Fluß gekommen. Die stürmische Entwicklung auf allen Arbeitsgebieten der Technik stellt die Hochschulen sowohl der Menge des Lehrstoffes nach als auch hinsichtlich der Tiefe der Erkenntnis neue Aufgaben, die mit den bisherigen Mitteln nicht mehr befriedigend gelöst werden können. Es schälen sich in den naturwissenschaftlichen Untersuchungen zwei Strömungen immer deutlicher heraus. Die eine will nach Möglichkeit mehr die Lösung von vielem stofflichem Beiwerk; sie will die wissenschaftliche Erkenntnis in reiner Form vertiefen, den Unterricht auf eine möglichst weitgehende Beherrschung naturwissenschaftlichen Grundlagen abstellen. Die andere zielt auf eine stärkere Betonung des wirtschaftlichen Endzweckes der Technik, auf die Fähigkeit, durch Beherrschung der Fertigungsmethoden, der güterzeugenden Vorgänge den Gesamtwirkungsgrad der Ingenieurarbeit zu heben.

In die Auseinandersetzung dieser beiden Richtungen tritt die Schrift von Prof. Schenk, Breslau, ein. Mit starker Betonung sieht er den Drehpunkt jeder technischen Erziehung in der Auffassung, daß die grundlegende Erziehung des Maschineningenieurs in der „Lehre von der schöpferischen, Produkte schaffenden Arbeit“ zu erblicken sei. Nach der allgemeinen Abhandlung über das Wesen dieser Lehre findet sich der bisher erschienene erste Band in polemischer Form gegen Veröffentlichungen von anderer Seite, insbesondere die Ausführungen von Geisler¹⁾, Romberg²⁾, van Dyck³⁾.

Der Verfasser umgreift seine Lehre von der schöpferischen Arbeit mit großem Idealismus von der sittlichen Seite aus: „Die schöpferische, Produkte schaffende Arbeit ruft und fördert den Menschen in seinen sittlichen und geistigen Fähigkeiten. Schöpferische, Produkte schaffende Arbeit bedeutet Leben, sie zwingt folgerichtig zur Höchstleistung, und in der den Menschen zur Höchstleistung anregenden Eigenarbeit ruhen die Quellen der Persönlichkeit. Schöpferische, Produkte schaffende Arbeit erhebt zum höchsten; je höherwertig ihr Schaffen ist, um so bedeutender die Höhe des Menschentums, auf der der Schaffende ruht.“ Dieser moralischen Grundforderung will er jede technische Arbeit unterordnen und demzufolge die technische Erziehung grundsätzlich auf den produktiven Endzweck einrichten. Die wissenschaftliche Erkenntnis ist ihm dabei nur Mittel zum Zweck; sie kann also nicht Kernaufgabe der Erziehung sein.

Die „Technik“ und ihre produktive Arbeit besitzen diese Eigenschaften nicht allein; sie teilt sie mit jeder anderen schaffenden Tätigkeit auf den Gebieten der Landwirtschaft, von Handel und Gewerbe, der Kunst usw. Über das Wesen der Gütererzeugung haben uns hervorragende Vertreter der Wirtschaftswissenschaften bereits grundlegende Erkenntnisse vermittelt. Es ist ein Irrtum, anzunehmen, die Technik nehme darin letzten Endes eine Sonderstellung ein, der Qualität nach; höchstens der Steigerungsgrad ihrer Äußerungen führt sie in der Gegenwart mehr in den Vordergrund der Betrachtungen. Zahlreiche Ingenieure und Hochschullehrer sind sich dieser Grundfragen auch früher bewußt gewesen. Aber mit dem Bewußtsein allein ist es nicht getan. Die Erkenntnis in eine tragbare Form der

Erziehung umzuwandeln, ist die viel schwierigere Aufgabe. Um diese geht es jetzt. In dieser Hinsicht gibt das Buch noch keine neuen Richtlinien; die Polemik gegen andere Richtungen ist zunächst negativ eingestellt. Den positiven Inhalt der von ihm mit großer Liebe und Idealismus entwickelten Methoden verspricht der Verfasser für die folgenden Bände des Werkes.

Man wird diesen weiteren Arbeiten mit Erwartung entgegensehen. Um vorher aber die Grundfragen zu klären, empfiehlt sich das Studium des Werkes für jeden nachdenkenden Ingenieur, dem die Erziehungsfragen unseres Nachwuchses am Herzen liegen. Um so stärker wird nach dem Durchlesen aber wieder die Erkenntnis wachgerufen, in wie hohem Maße jede erzieherische Tätigkeit von der Persönlichkeit des Lehrers beeinflußt wird.

[E 2354]

Heidebroek

Hochfrequenzmeßtechnik. Von August Hund. 2. Aufl. Berlin 1928, Julius Springer. 526 S. m. 287 Abb. Preis 39 RM.

Entsprechend der schnellen Entwicklung der Hochfrequenztechnik in den letzten Jahren ist die vorliegende zweite Auflage dem Umfang nach um etwa 60 vH gegenüber der ersten Auflage¹⁾ vermehrt worden. Unter den neu angegebenen Meßgeräten befinden sich Röhrenspannungsmesser und Spannungsteiler; daneben sind die Messung des Modulationsgrades und die Prüfung von piezoelektrischen Resonatoren behandelt, die wichtigen Methoden zur Erhöhung und Messung der Konstanz elektrischer Wellen, insbesondere der Kurzwellen. Neu aufgenommen sind Abschnitte über elektrische und magnetische Feldstärken; systematische Feldstärkenmessungen sind das wesentlichste Mittel, um Versuchsunterlagen für die Ausbreitungserscheinungen bei kurzen Wellen zu gewinnen. Die künstlichen Leitungen (Kettenleiter) werden in den Laboratorien viel benutzt, so daß auch die ausführliche Zusammenstellung über die Theorie und Berechnung derartiger Siebketten sehr wertvoll ist. Sieht man davon ab, daß auch bei den neueren Arbeiten solche amerikanischen Ursprungs bevorzugt werden, was vom Standpunkt des Verfassers aus naheliegend und für den deutschen Ingenieur vielleicht ganz anregend ist, so kann man nur sagen: das Buch ist gut, brauchbar und nützlich. [E 2211]

Lübcke

¹⁾ Vergl. Z. Bd. 67 (1922) S. 723.

Siemens-Jahrbuch 1928. Herausgeg. von Siemens & Halske, A.-G., und den Siemens-Schuckertwerken, A.-G., Berlin 1928, VDI-Verlag. 504 S. m. 352 Abb. Preis 12 RM.

Zum zweitenmal erscheint in mustergültiger Druck- und Bildausstattung das Siemens-Jahrbuch. Es gibt in einem Aufsatz von Dr. C. Koettgen Kunde von der Entwicklung der Siemens-Schuckertwerke in den 25 Jahren seit ihrem Zusammenschluß. Ein buntes Vogelschaubild gewährt einen guten Überblick über die gewaltige Ausdehnung der Fabrikanlagen in Siemensstadt, und ein ebenso treffliches Bild liefert der Inhalt des Jahrbuches, der in wechselnder Fülle Zeugnis ablegt von der Mannigfaltigkeit des in den Siemenswerken schaffenden Geistes.

Seekabel, Bau von Kraftwerken, Hochspannungslaboratorium des Kabelwerkes, Fernsprechanlagen und -apparate, Erzeugung von Hochdruckdampf, Fördermaschinen, Schweißmaschinen, Triebwagen der Berliner Stadtbahn, wärmewirtschaftliche Meßgeräte, ausländische Fabrikanlagen, Blindleistungsmaschinen, neue Drehstrommotoren, Schaltgeräte, Flugzeugmotoren, Bodenfräsmaschinen, Einkristalle von Metallen, Wohlfahrtspflege: das sind einige aus dem reichen Inhalt herausgegriffene Stichworte.

¹⁾ „Technik und Kultur“ Bd. 19 (1928) S. 33.

²⁾ „Technik und Kultur“ Bd. 18 (1927) S. 203.

³⁾ Mitteilungen des Verbandes Deutscher Hochschulen Bd. 8 (1928) S. 4.

Die Aufsätze sind knapp gehalten und flüssig geschrieben. Jeden Siemens-Mann wird das schön ausgestattete Buch mit stolzer Freude erfüllen. Aber auch für die Außenstehenden bietet es eine Fülle des Fesselnden und Lehrreichen; wer es zur Hand nimmt, wird gern darin lesen. Darüber hinaus aber darf man der Firma Glück wünschen zu solch vornehmer Art der Werbung. Um das Buch auch weiteren Kreisen zugänglich zu machen, ist es diesmal auch im Buchhandel zu haben. [E 2327] M. K.

Die Wasserbewegung im Dammkörper. Von Ignaz Schmied. Wien 1928, Julius Springer. 198 S. m. 150 Abb. Preis 22 RM.

Wenn ein Praktiker der Donauregulierungskommission mit fast 30jähriger Dienstzeit eine ausgedehnte, in den Jahren 1909/11 durchgeführte Versuchsreihe nach 17 Jahren veröffentlicht und in den 100 Versuchsergebnissen an 8 cm hohen Sanddämmen verschiedener Querschnittformen und aus verschiedenen Sandsorten Bestätigung von Naturbeobachtungen an meterhohen Dämmen und die Möglichkeit konstruktiver Vorschläge für Neubauten gefunden zu haben glaubt, darf eine Kritik nicht leichtfertig sein. Trotzdem sei hier, von allen anderen Bedenken abgesehen, lediglich auf die Unähnlichkeit (zwischen Modell und Natur) der kapillaren Steighöhe, der Druck- und Lagerungsverhältnisse in den „tieferen“ Dammschichten, auf die aus der Versuchsanordnung sich vielfach ergebende Rückstauung des abfließenden Wassers bis in den Damm hinein hingewiesen. Beobachtet wurde der Verlauf der Pegelstände außen und innen, die „Abfallkurve“ (= Sickerlinie), Durchfeuchtungszeit und ähnliches.

[E 1981] Regierungsbaumeister Dr.-Ing. Eisner

Dampfkesselfeuerungen für Braunkohle. Von E. Lenhart. Berlin 1928, Julius Springer. 116 S. m. 65 Abb. Preis 13,50 RM.

Vorträge über Hebezeuge. Von Ludwig Klein. 4. Aufl. Hannover 1929, Helwingsche Verlagsbuchhandlung. 239 S. m. 151 Abb. Preis 13,75 RM.

Handbuch der Eisen- und Stahlgießerei. Herausgeg. von C. Geiger. 2. Aufl. 3. Bd.: Schmelzen, Nacharbeiten und Nebenbetriebe. Berlin 1928, Julius Springer. 747 S. m. 967 Abb. Preis 68,50 RM.

Elektrische Starkstromanlagen. Von Emil Kosack. 7. Aufl. Berlin 1928, Julius Springer. 342 S. m. 308 Abb. Preis 9,50 RM.

Sammlung Götschen, 711. Bd.: Elektrische Schaltgeräte, Anlasser und Regler. Von Fritz Kesselring. 1. Bd. Berlin und Leipzig 1928, Walter de Gruyter & Co. 142 S. m. 80 Abb. Preis 1,50 RM.

Reduktions-Tabelle für Heizwert und Volumen von Gasen. Von K. Ludwig. 3. Aufl. München und Berlin 1928, R. Oldenbourg. 16 S. Preis 1,50 RM.

Werkstattbücher, 36. H.: Das Einrichten von Halbautomaten. Von J. van Himbergen, A. Bleckmann und A. Waßmuth. Berlin 1928, Julius Springer. 52 S. m. 45 Abb. Preis 2 RM.

Siemensbauten. Von Hans Hertlein, mit einer Einleitung von Hermann Schmitz. 2. Aufl. Berlin 1928, Ernst Wasmuth. 130 S. m. Abb. Preis 15 RM.

Städtebau. Von Le Corbusier. Übers. u. herausgeg. von Hans Hildebrandt. Stuttgart, Berlin und Leipzig 1929, Deutsche Verlags-Anstalt. 261 S. m. 218 Abb. Preis 16 RM.

Sammlung Götschen, 997. Bd.: Stein- und Betonbrücken. E. Richter. Berlin und Leipzig 1928, Walter de Gruyter & Co. 108 S. m. 41 Abb. Preis 1,50 RM.

Eisenbahnen und Autostraßen. Friedrich List im Spiegel Gegenwart. Werbeschrift 1: Deutscher Verkehrsverlag Bremen. Leipzig 1928, Theodor Weicher. 61 S. P. 0,60 RM.

Das deutsche Automobilwesen der Gegenwart. Herausg. von Allmers, R. Kaufmann, C. Fritz, E. Kleinrath, Pflug. Berlin 1928, Reimar Hobbing. 272 S. Text, 19 wirtschaftlicher Anhang m. Abb. Preis 30 RM.

Veröffentlichungen des Reichsverbandes der Automobilindustrie E. V.: Tatsachen und Zahlen aus der Kraftfahrzeugindustrie 1928. Zusammengestellt vom Reichsverband Automobilindustrie E. V. Berlin 1928, Selbstverlag. 16 m. Abb. Preis 3 RM.

Illustrierte Taschenbücher. Motorrad und Motorradsp. Von Joachim Fischer. Stuttgart, Berlin und Leipzig 1928, Union Deutsche Verlagsgesellschaft. 108 S. m. 67 Abb. Preis 2,20 RM.

Einführung in die mathematische Behandlung naturwissenschaftlicher Fragen. Von Alwin Walther. 1. T.: Funktion und graphische Darstellung, Differential- und Integralrechnung. Berlin 1928, Julius Springer. 220 S. 174 Abb. Preis 9,60 RM.

Enzyklopädie der technischen Chemie. Unter Mitwirkung von Fachgenossen herausgeg. von Fritz Ullmann. 2. A. 2. Bd.: Auslaugapparate bis Calciumcarbid. Berlin Wien 1928, Urban & Schwarzenberg. 785 S. m. 309 Abb. Preis 48 RM.

Sammlung Götschen, 1003. Bd.: Partielle Differentialgleichungen. Von G. Hoheisel. Berlin und Leipzig 1928, Walter de Gruyter & Co. 159 S. Preis 1,50 RM.

Sammlung Götschen, 999. Bd.: Mengenlehre. Von E. Kämmer. Berlin und Leipzig 1928, Walter de Gruyter & Co. 15 m. 6 Abb. Preis 1,50 RM.

Thermenpalast, Kur-, Erholungs-, Sport-, Schwimm-Badeanlage. Von J. Goldmerstein und Karl Stodieck. Berlin 1928, Wilhelm Ernst & Sohn. 89 S. m. 29 Abb. Preis 12 RM.

Luegers Lexikon der gesamten Technik. 3. Aufl. Herausgeg. von E. Frey. 5. Bd.: Masse bis Schiffbau. Stuttgart Berlin und Leipzig 1928, Deutsche Verlags-Anstalt. 85 m. Abb. Preis 45 RM.

DIN-Taschenbuch 9: Normalprofile. 2. Aufl. Herausgeg. vom Deutschen Normenausschuß. Berlin 1928, Beuth-Verlag. 91 S. Preis 2,25 RM.

Alfred Krupps Briefe 1826 bis 1887. Herausgeg. von Wilhelm Berdrow. Berlin 1928, Reimar Hobbing. 447 S. m. 8 B. tafeln. Preis i. Leinen 16 RM, i. Halbleder 20 RM.

Deutscher Reichsbahn-Kalender 1929. Herausgeg. Hans E. mann. Leipzig 1929, Konkordia-Verlag. 160 Blatt. Abb. Preis 4 RM.

Encyclopédie de chimie industrielle: Fabrication Industrielle des Porcelaines. Von Marc Larchevêque. Paris 1928, Librairie J.-B. Baillière & Fils. 480 S. m. 194 Abb. Preis 92 Fr.

Deutscher Weltwirtschafts-Kalender 1929. Herausgeg. der Deutschen Weltwirtschaftlichen Gesellschaft, E. Berlin 1929, Reimar Hobbing. Preis 3 RM.

Rheinisch-Westfälischer Industrie-Kalender 1929. Kreis 1929, Willy Klever. Preis 3 RM.

Zement-Kalender 1929. Herausgeg. Riepert. Berlin-Chaatenburg 1929, Zementverlag. 412 S. m. Abb. Preis 3,60 RM.

Schluß des Textteiles

I N H A L T:

	Seite	
Versuche mit Drahtseilen und Seilscheibenlagern für das Schiffshebewerk Niederfinow. Von A. Freund	73	Neuerungen im Funkwesen. Von F. Noack
Einfluß von Aluminium und Magnesium auf die Kristallisationsfähigkeit von Glas	81	Plattenbehälter für Flüssigkeiten
Thermische Eigenschaften und thermodynamische Vorgänge. Von M. Jakob	82	Rundschau: Bügelmaschinen — Mechanische Eigenschaften von Stahlguß bei erhöhten Temperaturen — Anwendung von Koksofengas in der Eisenindustrie — Eine leichte Seilrolle für den Aufzugbau — Abwasserrückgewinnung in Walzwerken — Kleine Mitteilungen
Vorderachsantrieb für Kraftwagen. Von A. Heller	85	Bücherschau: Die Lehre von der schöpferischen, Produkte schaffenden Arbeit, die grundlegende Erziehung für den Maschinen-Ingenieur. Von J. Schenk — Hochfrequenzmeßtechnik. Von A. Hund — Siemens-Jahrbuch 1928 — Die Wasserbewegung im Dammkörper. Von I. Schmied — Eingänge
Verhütung von Motorrückschlägen an Kraftwagen. Rückschlagsichere Andrehkurbeln. Von A. Freymann	87	
Emil Schrödter †	90	
Karl Keller †	91	
Internationale Zusammenarbeit im Brücken- und Hochbau. Von K. Bernhard	92	

ZEITSCHRIFT DES VEREINES DEUTSCHER INGENIEURE

SCHRIFTFLEITER: C. MATSCHOSS ★

H. 73

SONNABEND, 26. JANUAR 1929

Nr. 4

Erneuerungen im Landmaschinenbau

Von Prof. Dr. HOLLDACK, Leipzig

Die Bedingungen für den Landmaschinenbau waren in Deutschland nach dem Kriege teils günstiger, teils weniger günstig als früher; der Landmaschinenbau befindet sich jedenfalls in lebhaftester Entwicklung. Im Vordergrund stehen Werkstoff-, Normungs- und Typungsfragen. Die Verwendung des Schleppers übt auch auf den sonstigen Landmaschinenbau grundlegenden Einfluß aus. — Neue Wege im Dreschmaschinenbau und im Förderwesen; zunehmende Verbreitung der Melkmaschinen, Kühlanlagen und Regenanlagen, kleine Bauart eines Rübenblattwäschers, amerikanische Mähdreschmaschine.

Die technische Entwicklung jeden Fachgebietes ist abhängig von den Fortschritten in der Herstellung und Verarbeitung der Werkstoffe, von der jeweiligen Erkenntnis über die besonderen Bauformen und von dem Umfang und der Dringlichkeit des Bedarfes.

In allen drei Punkten sind die Grundbedingungen des Landmaschinenbaues in Deutschland in der Nachkriegszeit weitgehend verändert, und zwar teils verschlechtert, teils verbessert. Ohne näher darauf eingehen, sei daran erinnert, daß die Landwirtschaft bei verminderter Kaufkraft infolge erschreckender und vorwiegend anhaltender Leutenot stark wachsenden Bedarf an technischen Betriebsmitteln aufweist. Andererseits hat die Umstellung der Industrie auf veränderten In- und Auslandsabsatz eine Menge technischer Kräfte auf das Landmaschinengebiet geführt und die Werke zugleich zu besonderen Anstrengungen veranlaßt, vielfach unter Aufwendung der irgend noch verfügbaren Kapitale. Auch die Teilnahme der Öffentlichkeit und der Behörde ist heute wesentlich stärker als vor dem Kriege, wie z. B. die Gründung des Reichskuratoriums für Technik in der Landwirtschaft gezeigt hat.

Alles in allem befindet sich das Landmaschinenwesen zur Zeit in einer überaus lebhaften Entwicklung, die sich einmal in der großen Zahl und vielgliedrigen Verzweigung der Entwicklungsrichtungen und zum anderen im scharfen Tempo ihrer Verfolgung ausdrückt.

Von den auf allen Gebieten des Maschinenbaues im Vordergrund stehenden großen Fragen finden das Streben nach Werkstoffverbesserung und die Aufgaben der Normung auch im Landmaschinenbau steigende Beachtung.

Hochwertige Baustoffe

Bezeichnend für die Betriebsverhältnisse vieler landwirtschaftlicher Maschinen ist es, daß sie des öfteren plötzlich außergewöhnlichen Höchstbeanspruchungen durch Stöße u. dergl. ausgesetzt werden. Der Schlepper, der sich eingewöhnt hat, unter dessen Räder man Bohlen und Faschinen gesteckt hat, und der nun ausser von ihm selbst gegrabenen Grube mehr oder weniger gewaltsam und ruckweise heraussteigen soll, ist in Beispiel dafür; desgleichen die Dreschtrommel, die eine ganze unaufgeschnittene Garbe erfaßt, oder der Grassmäher, der einen Maulwurfshaufen oder gar ein Stück Holz erfaßt und sich darin festbeißt. Trotz hoher Beanspruchungen soll die Landmaschine aber leicht sein, soweit sie im Fahren arbeiten muß, und zwar sowohl im Hinblick auf den Aufwand für Fahrarbeit als wesentlich auch, um Druckschäden auf ihrer mehr oder weniger empfindlichen Fahrbahn, dem „Boden“, zu vermeiden.

Man hat daher vielfach Ursache, zu hochwertigen Baustoffen zu greifen. Wie weit man darin geht, zeigt u. a. ein neuer Motoranhängepflug von Rudolf Sack, Leipzig, bei dem auch der Rahmen aus hochwertigem Stahl hergestellt wird. Man verwendet für diese Zwecke Flußstahl bis zu 75 kg/mm² Zugfestigkeit und für besonders hoch beanspruchte Teile auch vergüteten Stahl.

Fortschritte in Anhängegeräten für Schlepper

Mancherlei Fortschritte sind in Konstruktion und Bau von Anhängegeräten für Motorschlepper zu verzeichnen, die notwendig waren, weil die Beanspruchungen beim Kraftbetrieb eben doch ungleich höher sind, als sie bei tierischem Zug jemals auftreten können. Wenn man sich erinnert, in wie naiver Weise ursprünglich für Pferdezug bestimmte

Anhängepflüge

an Motorschlepper gehängt wurden, wird man sich dessen bewußt werden. Der ganze Aufbau, die Art der Aushebung und Einteilung der Anhängepflüge ist klarer und übersichtlicher geworden, das Kräftespiel ist besser berücksichtigt und vielfach eine bemerkenswert sichere Führung des Pfluges in der Furche erreicht worden.

Auch wird jetzt, ähnlich wie bei Kraftwagen, mehr und mehr zur Fettpreßschmierung gegriffen; sie hat gegenüber der Staufferbüchsen-Schmierung den großen Vorteil des hohen Druckes, so daß Verstopfungen der Schmierkanäle mit größerer Sicherheit überwunden werden und damit eine zuverlässige Schmierung aller Lagerstellen gewährleistet bleibt; bei derart dem Staub und schmirgeinder, feuchter Bodenpaste ausgesetzten Reibflächen, wie in keineswegs schwach belasteten Pflugrädern, hat das sicherlich volle Berechtigung.

Neuerdings ist auf Grund der Messungen von Becker die Frage weiterer Erhöhung der Pfluggeschwindigkeit lebhaft behandelt worden, und sicherlich war es gut, daß das Reichskuratorium für Technik in der Landwirtschaft Versuche darüber eingeleitet hat, inwiefern eine weitere Erhöhung der Pfluggeschwindigkeit beim Kraftbetrieb mechanisch günstig, wirtschaftlich möglich und technologisch, d. h. in bezug auf die erzielte Arbeitsgüte, förderlich sein könnte.

Zapfwellen-Bindemäher

Mit dem Übergang zum Kraftbetrieb bedarf nicht nur der Anhängepflug, sondern ebenso die anzuhängende Mäh- und Sämaschine der konstruktiven Ausgestaltung, die heute allenthalben in vollem Gange ist. Beispiele dafür bieten die Bindemäher für Schlepperzug der

Firmen Fahr und Lanz-Wery, die beide an ihren Maschinen die Antriebskette aus Temperguß durch eine solche aus Stahl mit Laufrollen ersetzt haben und statt roher Gußräder solche mit gefrästen Zahnflächen verwenden.

Bindemäher werden außerdem jetzt nicht mehr in reinem Schleppzug benutzt¹⁾, sondern in steigendem Maße gleichzeitig vom Schleppermotor aus mittels einer besonderen Gelenk- oder „Zapfwelle“ angetrieben, Abb. 1 und 2. Die Gleichförmigkeit des Antriebes wird dadurch so erhöht, daß die Leistungsfähigkeit wesentlich größer ist. Wenn der Umfang der Benutzung entsprechend steigt, muß natürlich auch auf stärkere Abmessungen und bessere Ausgestaltung im einzelnen Bedacht genommen werden. Das um so mehr, als bei Ableitung der Bewegung von einem 30 PS-Verbrennungsmotor jedwede Störung, wie Klemmungen, Abfallen von Ketten, viel größere Stöße hervorruft als beim Zug durch ein gut eingefahrenes Gespann, das bei ungewöhnlichem Widerstand rasch stillzuhalten pflegt.

Auch das Studium der Abnutzungsverhältnisse gewinnt dadurch ganz andre Bedeutung, und daher ist es zu begrüßen, daß nach dem Vorgang von *Gustav Fischer* mit Unterstützung durch das Reichskuratorium für Technik in der Landwirtschaft seit einiger Zeit planmäßige Untersuchungen über die Werkstoffbeanspruchungen durchgeführt werden, soweit sie sich aus der Eigenart der landwirtschaftlichen Betriebsweise ergeben.

Bedeutsame Werkstofffragen folgen ferner zuweilen aus der Rücksicht auf so überaus empfindliche Erzeugnisse wie Milch, Früchte u. a. Daher verdienen und finden z. B. die Milchkannen aus nichtrostendem Stahl von Fried. Krupp, A.-G., volle Beachtung; ihrer allgemeinen Einführung steht allerdings der hohe Preis noch etwas im Wege.

Normung und Typisierung

Größere Gleichmäßigkeit und besondere Wohlfeilheit aller Sonderwerkstoffe ist natürlich nur zu erreichen, wenn die Landmaschinen-Industrie mit genügend großen Einzelaufträgen an die Eisen und Stahl erzeugende Industrie herantreten kann, und das setzt vor allem eine Vereinheitlichung der Typen und auch eine weitergehende Normung voraus, als sie heute besteht. Es ist unverkennbar, daß der Gedanke der Normung im Landmaschinenbau neuerdings viel mehr Verständnis begegnet als früher; während man früher bei der Normung

von Einzelteilen, wie z. B. der Messerklingen für Mäschinaschinen stehengeblieben war, ist jetzt durch die Bildung einer Normungs-Arbeitsgemeinschaft zwischen sieben bedeutendsten Mähmaschinenfabriken ein wesentlicher Fortschritt gemacht worden. Als erstes Ergebnis dieser Zusammenarbeit wurde ein Schneidapparat der Arbeitsgemeinschaft gezeigt, bei dem alle Teile normiert sind, so daß Ersatzteile von allen beteiligten Firmen ohne Nacharbeit passen, ein Vorteil, durch den manche unerquickliche, in der Ernte immer eilige Ersatzteilbeschaffung beseitigt worden ist.

Wie sich sehr deutlich u. a. auf der Wanderversammlung 1928 der Deutschen Landwirtschafts-Ges. in Leipzig zeigte, ist die von einigen führenden Firmen des Dresch- und Hackmaschinenbaues durchgeführte Normung, zunächst wenigstens des Vorderwagens dieser Maschinen, mittlerweile auch von der großen Zahl sonst auf diesem Gebiet arbeitender Unternehmungen nachträglich ebenfalls angenommen und durch ihren Anschluß wirksam gemacht worden. Trotzdem dürfen die seitherigen Ergebnisse nicht darüber täuschen, daß das Zeitmaß der einschlägigen, sehr schwierigen Normungsarbeit dem wirtschaftlichen Erfordernis doch noch längst nicht entspricht und daß eine weitere Beschleunigung von allergrößter Bedeutung wäre. Gelegenheit zur Normung in Hülle und Fülle geboten, obwohl die Ungleichartigkeit der Anforderungen an Landmaschinen so sehr über alles gewohnte Maß hinausgeht und obgleich sich auscheinbar schon einigermaßen hinsichtlich Bauart und Aufbau feststehende Maschinen neuerdings wieder in lebhafter Entwicklung oder Umgestaltung befinden. Das gilt z. B. für Getreidereinigungsmaschinen und sogar für Dreschmaschinen, deren ungezählte Ausführungsformen sich doch im Grunde schon auf wenige, ziemlich übereinstimmende Bauarten zurückführen ließen.

Dreschmaschinen

Bei den Dreschmaschinen hat das Bestreben zur Vereinfachung und Verbilligung dahin geführt, tiefgreifende Änderungen vorzusehen, um die große Zahl der Einzelteile zu verringern und die sehr verwickelte und umständliche Getriebeführung für die einzelnen Arbeitselemente zu beschränken. Einen wesentlichen Fortschritt nach dieser Richtung brachte vor Jahren der Schwingschütler, der mehr und mehr Eingang findet, und neuerdings zeigen einen vielversprechenden Weg dazu die Maschinen der Dreschmaschinenbau-Gesellschaft „Erntesege“, Bremen. Das Wesentliche dieser Anordnung

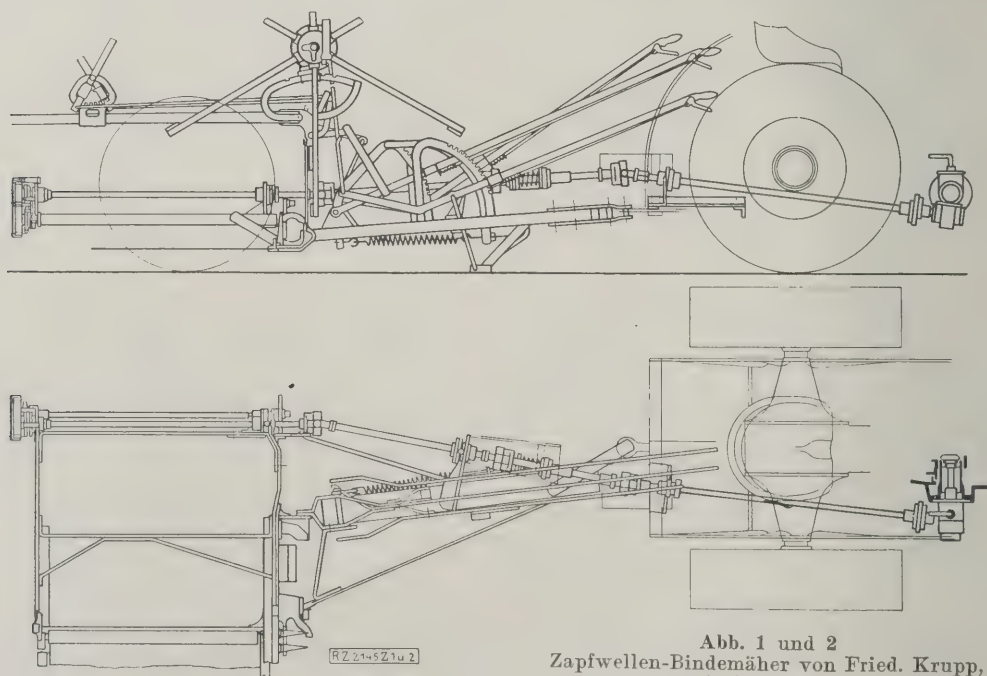


Abb. 1 und 2
Zapfwellen-Bindemäher von Fried. Krupp,
A.-G., Essen.

¹⁾ Vergl. Z. Bd. 72 (1928) S. 57.

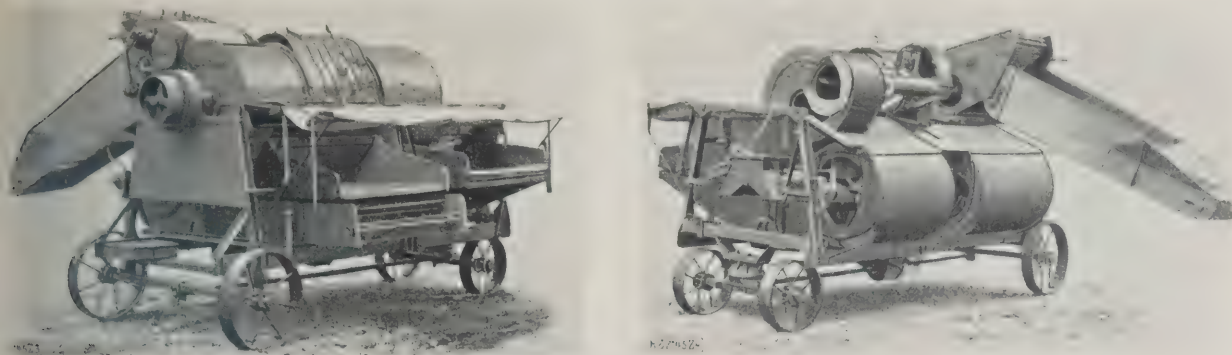


Abb. 3 und 4
Dreschmaschine, Bauart *Schlayer-Heliaks*, des Standardwerkes Schulze, Hannover.

...gt u. a. darin, daß man statt der mit Druckwind
...reitenden Bläser Saugwindgebläse angewendet
...t, die neuerlich als vorteilhafter angesehen werden,
...sich mit schwächerem Luftstrom gleiche Wir-
...ng erzielen läßt; es beruht das darauf, daß weniger
...rchwirbelungen stattfinden und infolgedessen die ab-
...saugenden, durch die Schüttelbewegung oben auf der
...rnerschicht liegenden Strohteilchen dem Luftstrom
...ist die günstigsten Angriffsflächen bieten. Als wei-
...rer Vorteil der Unterdruckförderung ergibt sich gerin-
...re Belästigung der Bedienung durch Staub. Bei der
...uart „Ernteseegen“ ist das Saugwindgebläse unmittel-
...r auf die Dreschtrommelwelle aufgesetzt und somit
...ne weitere Vereinfachung durch Verringerung der Zahl
...re Wellen und Lager erzielt, derart, daß außer der
...trommelwelle nur noch eine Hauptantriebswelle für die
...schüttelorgane vorhanden ist.

Gänzlich neue Wege beschreitet ferner das Stan-
...ardwerk Schulze, Hannover, mit seiner Dreschmaschine
...uart *Schlayer-Heliaks*, Abb. 3 und 4, einer Erfindung
...s deutschen Konsuls Dr. *Schlayer*, Madrid, zu der er

durch die Beobachtung der in südlichen Ländern üblichen
Strohzerraffung angeregt wurde.

Der Arbeitszylinder dieser Dreschmaschine ist axial
angeordnet, also parallel zur Längsachse der Maschine.
im Gegensatz zu sämtlichen andern Bauarten. Er ist in
verschiedene Kammern geteilt, in denen die Werkzeuge
zum Dreschen, sowie solche zum Zerreißen des Strohes
angebracht sind. Ein solches Zerreißen des Strohs hat
in der Tat für viele Zwecke seine Vorzüge, denn das
bei uns bisher gewünschte unzerschlagene, möglichst
wenig geknickte Langstroh wird ja heute, nachdem der
Bedarf der Militärverwaltung fortgefallen ist, nur in sel-
tenen Fällen eine Bedeutung haben, wie z. B. zur Her-
stellung von Deckmatten für den Gutsgarten. Die Werk-
zeuge sitzen auf einer sich in einem feststehenden Zy-
linder drehenden Welle und haben die Form von Mit-
nehmern und gezahnten Schneiden. Die Werkzeuge sind
so verteilt, daß in den letzten Kammern des Zylinders
das Stroh zerrissen und zerspalten wird, nachdem die
Körner in den ersten Kammern ausgedroschen worden
und durch den unteren, als Sieb ausgebildeten Zylinder-
mantelteil gefallen sind. Diese Dresch-
maschine arbeitet also ohne Strohschüttler, was einestails vereinfachte
Anordnung, andernteils ruhigen Gang
ergibt.

Weiterhin hat der an sich alte
Holz-Eisen-Bau infolge der hohen
Preise für harte Hölzer neuerdings
ebenso wie in England und Frankreich
wiederum Aufnahme gefunden. Solche
Dreschkasten, bei denen die Rahmen
aus Winkeleisen zusammengesetzt wa-
ren, während Holz nur noch für die
Füllungen Anwendung fand, wurden
lange vor dem Krieg, u. a. bei den
Dreschmaschinen der ungarischen
Staatsbahnwerke, verwandt und waren
1928 in Leipzig von den Bremer
Dreschmaschinenwerken ausgestellt.
Man ist bei diesem Schritt nicht stehen-
geblieben und hat versucht, auch die
hölzernen Füllungen durch Bleche zu
ersetzen und ähnlich wie im Eisen-
bahnwagenbau vom Gemischt- zum
reinen Eisenbau überzugehen. Der Ge-
fahr, daß eiserne Wandungen wie ein
Resonanzboden das Summen der
Dreschtrommel in unzulässigem Maße
verstärken könnten, wird sich dabei
ja sicherlich begegnen lassen, und
Voraussetzung ist hier, wie an allen
anderen Stellen, Beschränkung der
Zahl der Baumuster, Vereinheit-
lichung der Konstruktionen.

Von einer gegenseitigen Verständ-
igung der Firmen nach dieser Rich-
tung ist leider im Landmaschinenbau
noch wenig zu spüren. Sicherlich

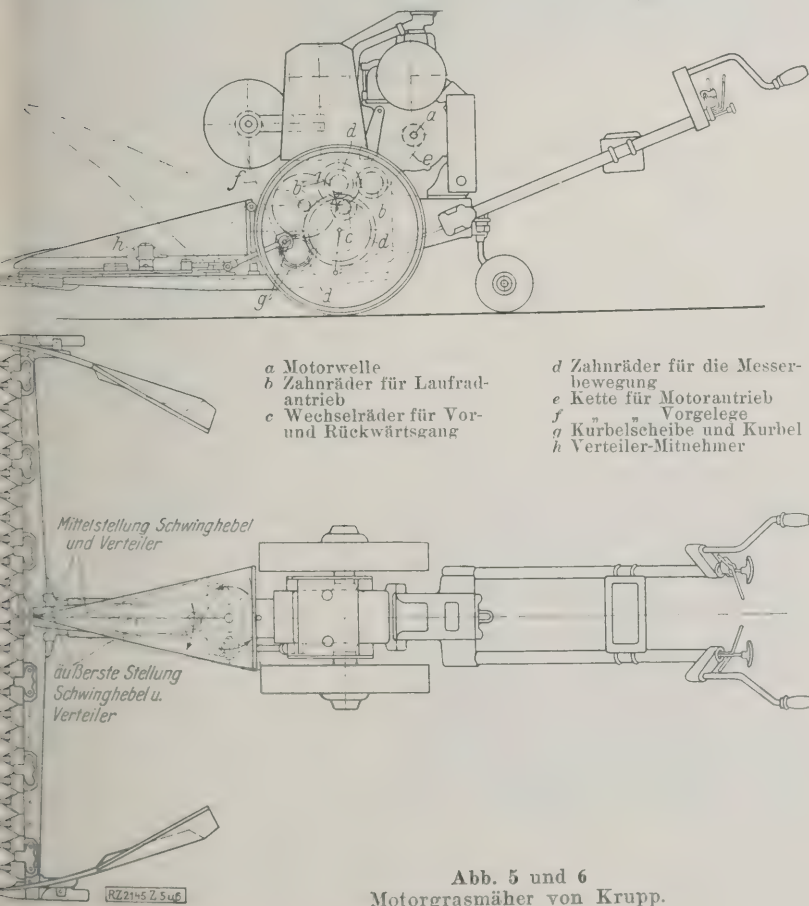


Abb. 5 und 6
Motorgrasmäher von Krupp.

sind die natürlichen Vorbedingungen für solche Zusammenschlüsse, wie sie z. B. die Kraftwagenindustrie neuerdings zeigt, auf dem Landmaschinengebiet wesentlich weniger günstig, jedoch wird auch hier die gleiche treibende Kraft, die amerikanische Gefahr, immer fühlbarer werden und sicherlich wird man auch ohne weitgehenden Zusammenschluß auf dem Wege der Verständigung vorgehen müssen, wenn die Landmaschinenindustrie als solche mit genügend großen, gleichartigen Aufträgen an die eisen-erzeugende Industrie herantreten will, um mit ihren Sonderbedürfnissen Berücksichtigung zu finden.

Ein weiterer, für das Gebiet bezeichnender Zug ist die Zurückdrängung bzw. der Ersatz fehlender menschlicher und tierischer Arbeitskräfte durch Kraftmaschinen. Daß der

Kraftbetrieb in der Bodenbearbeitung

kommen wird und kommen muß, sollte nicht zweifelhaft sein, obgleich eine restlose Lösung dieser Frage noch keineswegs gelungen ist. Trotzdem erweist sich schon jetzt, wie oben erwähnt, der Kraftbetrieb als Ausgangspunkt für allerhand weitgehende Änderungen im Bau der zugehörigen Arbeitsgeräte und -maschinen und verleiht z. B. der Kraftpflugindustrie eine Art Schlüsselstellung.

In diesem Zusammenhang mag auch die Motorschneidemaschine von Krupp erwähnt werden, die nicht wie die sonstigen, namentlich englischen, Maschinen dieser Art zum Mähen auf Park- und Sportplätzen, sondern zum Mähen in der Landwirtschaft bestimmt ist. Der Aufbau und die Getriebeführung sind aus Abb. 5 und 6 ersichtlich. Größere Einführung dieser Sondermaschine wird durch die etwas einseitige Verwendbarkeit beeinträchtigt. Günstiger wäre in dieser Beziehung die Vereinigung der Mähvorrichtung mit den kleinen Bodenfräsen, wie sie z. B. von der Stahlbau-G. m. b. H. in Rotenburg a. F., Abb. 7, sowie den Siemens-Schuckertwerken gebaut werden, und die ja ähnlichen Aufbau zeigen, wie die Kruppsche Maschine. Aber die Vereinigung beider Zwecke: des Mähens und des Fräsens, ist mechanisch nicht einfach und deshalb nicht ganz einwandfrei gelöst.

Was die Verwendung der Kraftmaschine für sonstige Antriebszwecke anlangt, so ist unverkennbar ein Rückgang der Dampflokomobilen, die z. B. auf der erwähnten Ausstellung nach einer Vereinbarung der Industrie-gruppe überhaupt nicht vertreten waren, und andererseits eine hohe Zunahme der Verbrennungsmotoren aller Art, vom Vergasermotor zum Glühkopf- und neuerdings Dieselmotor, wie er von *Junkers* in seiner neuesten Ausführung des Doppelkolben-Motors und in den Deutzer Klein-Dieselmotoren gebaut wird, festzustellen. Eine außerordentliche Zunahme ist weiter bei den Elektromotoren zu verzeichnen. Demgemäß kam auch die Elektrizität in der Landwirtschaft in Leipzig in einer besonderen Abteilung der Ausstellung, und zwar in äußerst geschickter und wirksamer Weise zum Ausdruck. Der für ländliche Verhältnisse so hervorragend geeignete Elektromotor wird nicht nur mit Vorliebe zum Antrieb bekannter vorhandener Arbeitsmaschinen, zum Dreschen, Häckseln, Schrotten usw. gebraucht, sondern bietet seinerseits Anreiz zur Schaffung immer neuer Arbeitsmittel; denn er ist bis zu gewissem Grade Voraussetzung für gedrängte und einfach bedienbare Einrichtungen, wie Förder-, Kühl- und Melkanlagen.

Melkanlagen

Nach Melkmaschinen besteht ein außerordentlich großes Bedürfnis, weil es immer schwieriger wird, leistungsfähige und zuverlässige Melker zu bekommen.

Melkmaschinen sind auch an sich technisch sehr weitgehend durchgebildet und werden, sobald die Reichskuratorium für Technik in der Landwirtschaft geleiteten Forschungen über gewisse Schädigungen Tiere Klarheit gebracht haben, nicht allzu schwer zur letzten Vervollkommenung erhalten können. Sie würden für leistungsfähige Firmen dann einen willkommenen Zweig bilden. Die Saugpumpen der Melkanlagen treibt man im allgemeinen mittels Elektromotoren, denn die Befreiung von anstrengender Muskelarbeit hat ja Sinn und Zweck des ganzen Maschinenmelkens, ist interessant, daß nichtsdestoweniger auch eine Melkmaschine für Handbetrieb angeboten wird. Eine solche Anordnung kann höchstens in sehr kleinen Betrieben und unter besonderen Verhältnissen einige Erleichterung bringen.

Kühlanlagen

Was die Kleinkühlanlagen anlangt, so sollte sie bei jedem Kuhstall zu finden sein, auch kommen ihnen im ländlichen Haushalt, der in ganz anderer Weise als der städtische, auf Vorratswirtschaft eingestellt ist, muß und in viel größerem Umfange mit leicht verderblichen und frisch aus den Gärten und Ställen hereinkommenden Erzeugnissen zu rechnen hat, höchst bedeutsame Aufgaben zu. Sie sind in letzter Zeit von zahlreichen

leistungsfähigen Firmen in vielgestaltiger Weise durchgebildet worden und finden größte Beachtung und zunehmende Verbreitung. Dieses Erfordernis für Güte von Milcherzeugnissen ist Tiefkühlung unmittelbar nach dem Melken, also dem Versand, sowie vor Verarbeitung, gleiches von Gemüse und namenhaft Obst, zumal dem höchst empfindlichen Beerenobst. Bedingung ist vor allem Betriebssicherheit, einfache Bedienung und niedriger Preis.

Kleinkältemaschinen werden für halb- und ganz selbsttätigen elektrischen Betrieb hergestellt und arbeiten sowohl mit Luftverdichtung, als auch mit



Abb. 7
Bodenfräse der Stahlbau-G. m. b. H., Rotenburg a. F.

unterdruck, als auch, mit Luftverdichtung. Bei den ersten stehen noch in heißem Wettbewerb. Die ersteren sind einfacher im Aufbau und demgemäß billiger; die letzteren etwas verwickelter und daher teurer, aber auch leistungsfähiger. Die Beurteilung der Auswahl wird daher von Fall zu Fall nach dem Verwendungszweck erfolgen müssen. Die zahlreichen, alle halbwegs auftauchenden Konstruktionen lassen erkennen, daß sich hier ein überaus aussichtsreiches Betätigungsfeld für großen Markt eröffnet.

Förderanlagen

Auf dem Gebiet der Förderanlagen zeigt sich ebenfalls lebhafteste Entwicklung. Einmal gibt es

Heulademaschinen,

wie sie seit vielen Jahren bestehen, ohne sich recht ändern zu können. Sie werden an die Heuwagen angehängt, nehmen mittels einer umlaufenden Greifertrommel den vom Schwadenrechen zusammengebrachten Schwaden vom Boden auf und fördern ihn durch ein endloses Förderband auf den Wagen; sie leiden nur an dem Uebelstand, daß die Verteilung und das Packen des Gutes auf der Plattformwagen sehr viel anstrengender ist, weil sie die ganze Ladegut zunächst am hinteren Wagenende ablegen, während es beim Aufladen von Hand auf den Wagen von vornherein viel zweckmäßiger aufgebracht und verteilt werden kann. In dem Maße, in dem jedoch mechanische Heuabläder und Hebewerke zur Förderung von Fuder in die Scheunen Verbreitung finden, dürfte auch die Heulademaschine vermehrte Beachtung finden.

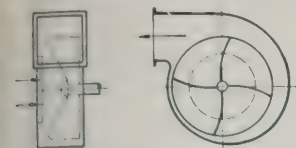


Abb. 8 und 9
Gebläse mit seitlicher
Einführung des
Fördergutes.

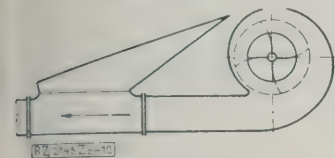


Abb. 10
Gebläse mit axialer
Einführung.

Des weiteren werden jetzt in vermehrtem Maße Senk-
tfortförderwerke für Heu, Stroh, Garben, Säcke gebaut.
 allem aber geht man neuerdings zur senkrechten
 d wagerechten Förderung all solchen Materials mit-
 : Druckluft in umfangreichen Rohrleitungen aus-
 ch über, und diese

Gebläseförderung

geradezu als große Mode der Saison bezeichnet wor-
 t. In Leipzig wurden umfangreiche Ausstellungs-
 nde mit derartigen Einrichtungen, z. B. von den
 men Wilhelm Lanvermeyer und I. A. Lanvermeyer in
 lle, Osterrieder, Klinger und Pinneberg, gezeigt. Nach
 tersuchungen von Denker²⁾ sind jedoch bei manchen
 ser Ausführungen die besonderen Verhältnisse, die
 h aus der schwierigen Förderung von Heu und Garben
 l ähnlichen Stoffen ergeben, noch keineswegs bis ins-
 zte erforscht und berücksichtigt worden, und der er-
 liche Kraftbedarf solcher Anlagen wird sich bei wei-
 r konstruktiver Vervollkommenung dieser hochbedeu-
 ten Arbeitsmittel noch herabsetzen lassen. Abb. 8
 9 zeigen ein solches Gebläse mit seitlicher Einführung
 Förderguts, während Abb. 10 einen Aufsatztrichter
 n axialen Einschleusen der Garben darstellt. Wie
 ichtlich, liegt bei seitlicher Einführung das schnell-
 fende Gebläserad nicht so verdeckt, daß unbeabsich-
 te Berührung beim Ausgleiten oder dergl. aus-
 gessen wäre. Man wird zur Vermeidung schwerer
 fälle entsprechende Schutzvorrichtungen vorsehen
 ssen.

Beregnungsanlagen

Zu einem gewissen vorläufigen Abschluß scheinen
 e Beregnungsanlagen gekommen zu sein. Während
 n früher nur Düsenrohr-Regner
 nnte, bei denen das Wasser brau-
 artig in Rechteck-, Quadrat- oder
 eiflächen verteilt wurde, ent-
 nden um 1926 die sogenannten
 eitstrahl-Regenanlagen.
 denen eine um die senkrechte
 hse drehbare Strahldüse in lang-
 mer Drehung das Wasser verteilt.
 gleich ging man von der Kreis-
 regnung ab wegen der Unwirt-
 aftlichkeit und Ungleichmäßig-
 it der Kreisbogenüberschneidun-
 n und baut heute nur noch Düsen
 r Quadratberegnung. Eine Aus-
 nme hiervon stellt nur der weiter
 ten erwähnte Hüdig-Regner dar.

Abb. 11 und 12 zeigen schematisch
 e Wirkungsweise der feststehen-
 n Quadratdüse, Bauart Lan-
 nger, mit der man bei 1,5 at Was-
 rdruck an der Düse eine Fläche
 a $12 \times 12 = 144 \text{ m}^2$ brausenartig

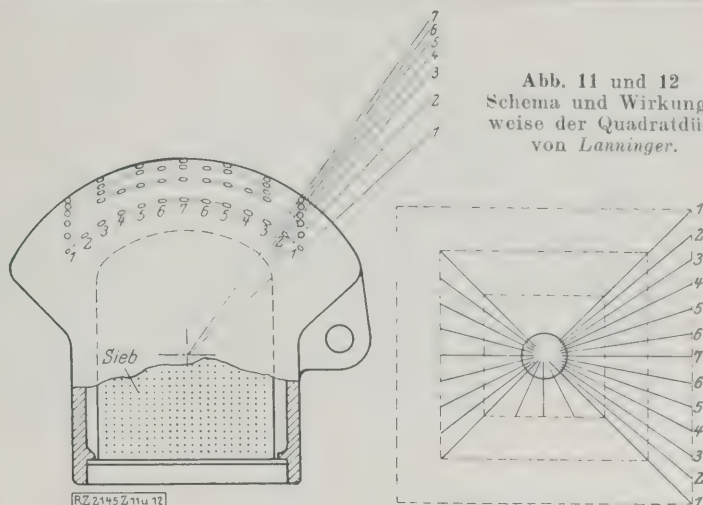


Abb. 11 und 12
Schema und Wirkungs-
weise der Quadratdüse
von Lanninger.

beregnen kann. Abb. 13 zeigt die Großquadratdüse der
 Weitstrahl-Regenanlagen der gleichen Firma. Die Groß-
 quadratdüse wird von der in der Abbildung links sicht-
 baren, um einen Zahnkranz sich drehenden Treibdüse
 (Grundsatz des Segnerschen Wasserrades) angetrieben.
 Die Treibdüse beregnet dabei zugleich den inneren Teil
 der Quadratfläche. Die quadratische Form der bereg-
 neten Fläche, s. Abb. 11 und 12, wird dadurch erzeugt,
 daß die Quadratdüse während einer Umdrehung vier-
 mal mechanisch entsprechend gehoben und gesenkt wird.

Die Regnerleitungen sind ebenfalls vervollkommenet
 worden. So hat Lanninger Einheitsregenanla-
 gen geschaffen, bei denen alle Leitungen, also Stamm-,
 Feld- und Regnerleitungen genormt, d. h. austauschbar
 sind. Die Düsen (Brausen und Großquadratdüsen)
 können ebenfalls gegeneinander ausgewechselt werden,
 so daß eine Anlage für beide Beregnungszwecke verwend-
 bar ist. Man ist auch dazu übergegangen, die Rohre aus
 Leichtmetall (Aluminium) herzustellen, um die Gewichte
 zu verringern, um die fliegenden Leitungen leichter und
 rascher verlegen und zusammenbauen zu können. Die
 Kupplungen der einzelnen Rohrstränge sind in sinn-
 reicher Weise verbessert worden, so daß man mit einem
 Handgriff sicher kuppeln kann.

Weitere Verbesserungen liegen darin, daß man nach
 dem Vorgang von Lanninger die Düsen in die Kupplun-
 gen hineinverlegt, so daß man die eigentlichen Rohre in
 der Form, wie sie vom Lieferwerk eintreffen, unter Fort-
 fall jeder besonderen Bearbeitung verwenden kann, und
 man infolgedessen an Fracht- und Lagergebühren spart.

Der einzige Vertreter der Kreisberegnung ist der
 Regner von Hüdig geblieben, dessen Antrieb insofern
 bemerkenswert ist, als er die Regen-
 düse nicht nach Art des Segnerschen
 Wasserrades, sondern mittels eines
 Wassermotors antreibt, Abb. 14
 und 15. Nach Öffnen des Ventils *a*
 tritt durch den Kanal *b* ein kleiner
 Teil des Hauptwasserstrahles in den
 Zylinder *c* und treibt dort den Kol-
 ben *d* abwärts. Am Schaft *e* des Kol-
 bens sitzt eine gelenkige Verbindungs-
 stange *f*, die die Hubbewegung auf
 die Klinken *g* überträgt. Der Kolben
 wird durch den Wasserdruck so
 lange vorwärtsgetrieben, bis das
 Ventil *h* den Öffnungsquerschnitt
 freigibt, so daß das Wasser in die
 Kammer *i* abfließen kann. Durch die
 hiermit verbundene Druckminderung
 im Zylinder wird der Kolben durch
 die Feder *k* zurückgedrückt, das
 Ventil schließt wieder und der Vor-
 gang beginnt von neuem. Die Rege-
 lung der Drehbewegung erfolgt
 durch Verstellung des Ventils *a*. Der
 aus der Düse *l* austretende Wasser-

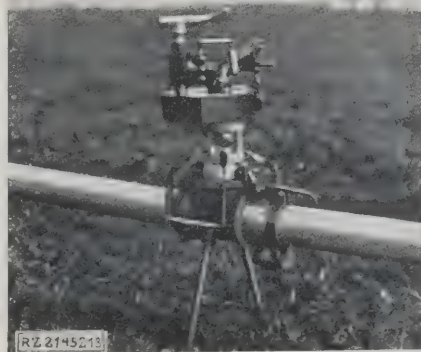


Abb. 13
Lanninger-Großquadratdüse bis
60 m² Beregnungsfläche.

²⁾ RKT-L-Schriften 1928 Heft 1.

strahl wird durch die Schaufel *m* in zwei Strahlen zerlegt. Der Hauptstrahl beregnet den Außen- und der Nebenstrahl den Innenkreis.

Die künstliche Beregnung, die sich in kleinen, intensiven, d. h. vor allem gärtnerischen Betrieben bereits stark eingeführt hat, könnte, wenn es gelänge, sie auch in größeren Ausführungen in großem Maßstabe zu ver-

breiten, sehr wesentlichen Einfluß auf die Lebensmit-
tererzeugung gewinnen, einmal, weil die tatsächliche
Pflanzen zur Verfügung stehende Wassermenge in
den Teilen Deutschlands Höchsternten nicht ohne
weiteres erlaubt, und ferner, weil die zeitliche Verteilung
der Niederschläge und die Möglichkeit in ganz bestim-
ten Entwicklungsstufen den Pflanzen Wasser zuzuführen
von entscheidendem Einfluß auf die Erntemenge ist.

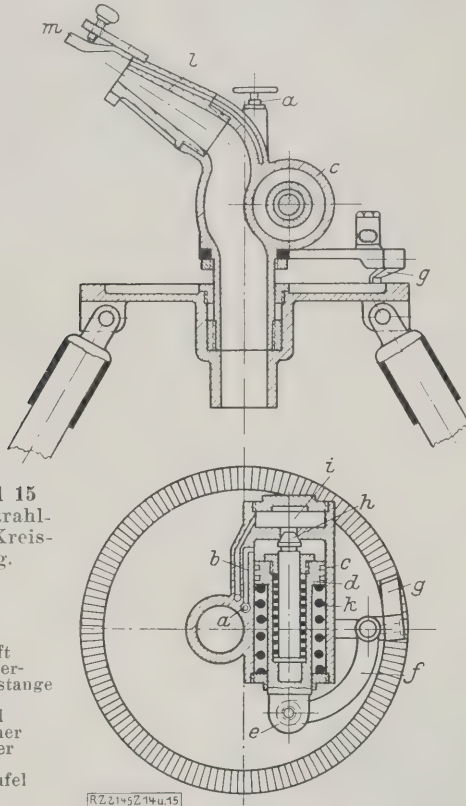


Abb. 14 und 15
Hüdig-Drehstrahl-
regner für Kreis-
beregnung.

- a* Ventil
- b* Teilkanal
- c* Zylinder
- d* Kolben
- e* Kolbenschaft
- f* gelenkige Ver-
bindungsstange
- g* Klinke
- h* Auslaßventil
- i* Abflußkammer
- k* Rückholfeder
- l* Düse
- m* Zerteilschaufel

RZ 2145 Z 14 u. 15

Rübenblattwäscher

Noch einer Neuerscheinung mag Erwähnung ge-
werden, nämlich der Rübenblattwäscher
Alexanderwerkes, A. v. d. Nahmer, Remscheid. Die Fi-
hat erstmals eine vereinfachte und verbilligte Aus-
führung ihrer größeren Anlage herausgebracht, die allerdi-

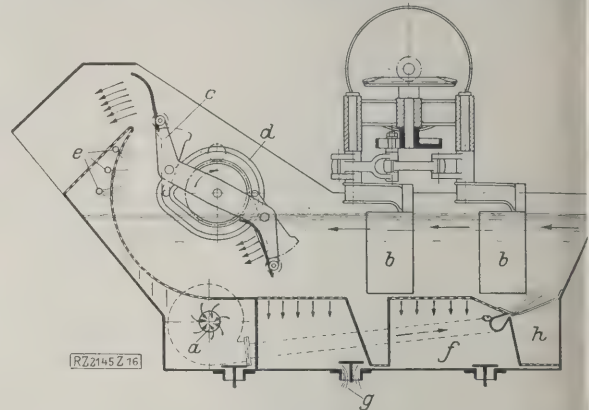


Abb. 16

Rübenblattwäscher der Alexanderwerke, Remscheid.

- a* Kreispumpe
- b* schwingende Ruder
- c* Auswerfer
- d* Kurvenscheibe
- e* Berieselungsdüsen
- f* Schlammfänger
- g* Schlammablaßventile
- h* Steinfang

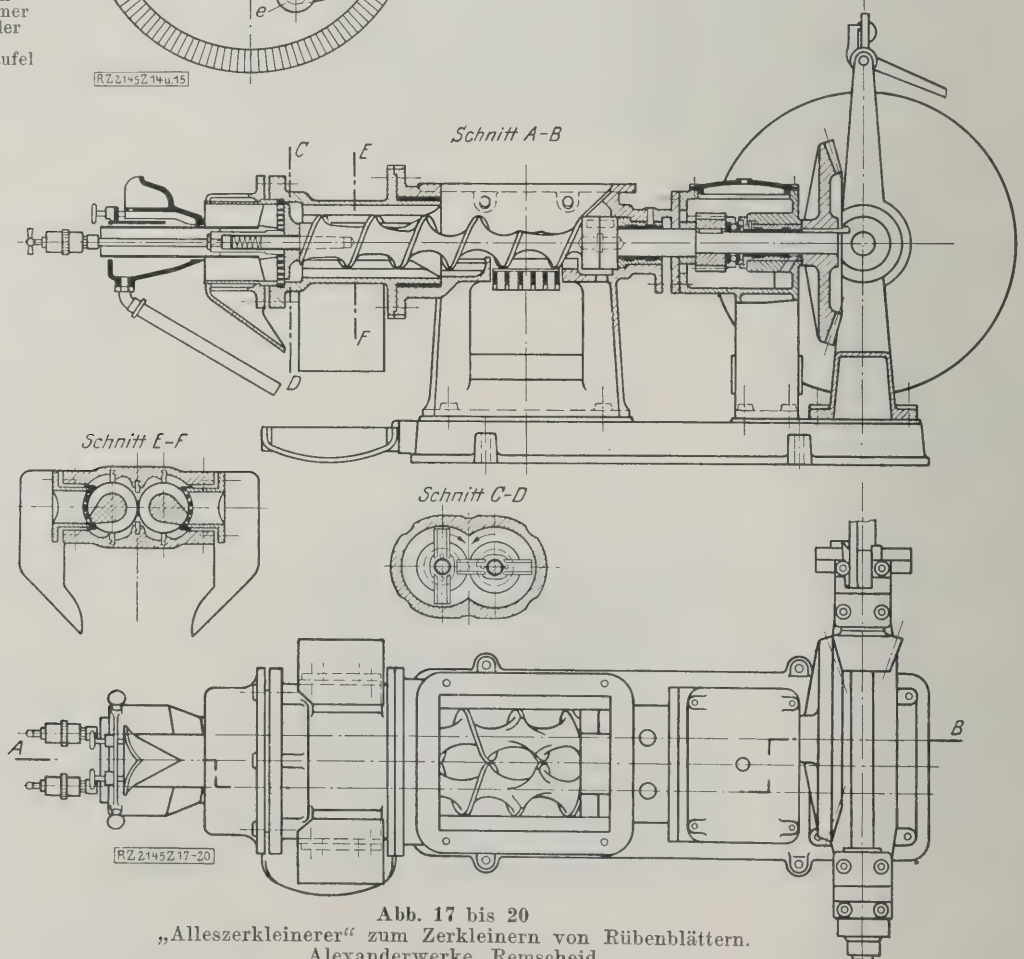


Abb. 17 bis 20
„Alleszerkleinerer“ zum Zerkleinern von Rübenblättern.
Alexanderwerke, Remscheid.

Abb. 21
Amerikanischer Mähdrescher.

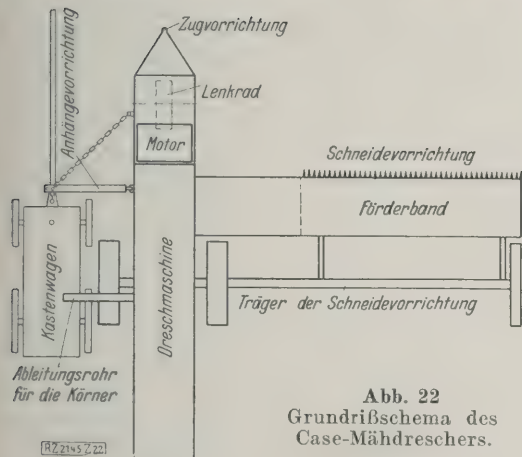
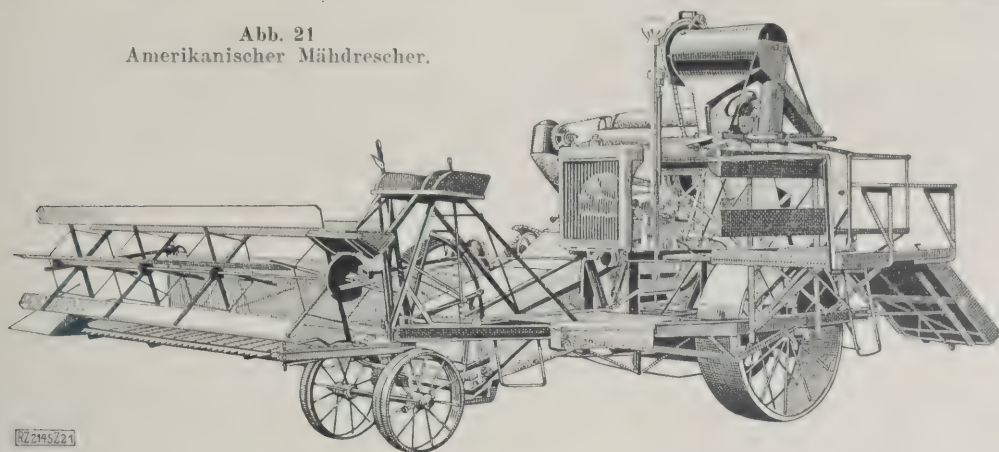


Abb. 22
Grundrißschema des
Case-Mähdreschers.

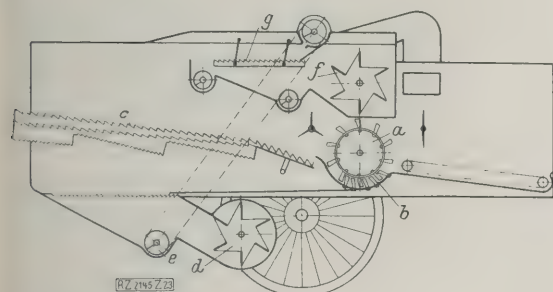


Abb. 23
Längsschnitt durch die Dreschvorrichtung
des Mähdreschers.

- | | |
|------------------------------------|--------------------------------------|
| a Stiftenkorn | e Becherwerk |
| b Dreschkorn | f zweites Windgebläse |
| c Strohschüttler | g obere oder zweite Reinigungsanlage |
| d Gebläse für die untere Reinigung | |

weider immer noch so groß ist, daß sie nur für sehr umfangreiche Zuckerrübenwirtschaften in Betracht kommt. Die Rübenblätter werden im Spätherbst gewöhnlich durch die anhaftende Erde so verunreinigt geerntet, daß ihre Verfütterung Gefahren für die Rindviehbestände mit sich bringt, weil sich die Blättermagen mit der Zeit mit Sand vollsetzen.

Die Rübenblatt-Waschanlage, Abb. 16, arbeitet vollständig selbständig und ist in allen Einzelheiten auf Grund reicher Erfahrungen sehr zweckmäßig durchgebildet. Das Reinigungsgut wird rechts, Abb. 16, in einen mittels Kreiselpumpe *a* erzeugten Wasserstrom eingeführt, von mehreren schwingenden Rudern *b* gewaschen und gleichzeitig nach links, der Pfeilrichtung entsprechend, bewegt. Die gereinigten Blätter werden dann von einem Auswerfer *c* erfaßt, aus dem Wasser gehoben, nochmals von Berieselungsdüsen *e* überbraust

und in den Abführungskanal geleitet. Der während des Waschprozesses gelöste Schmutz sammelt sich unten in den Schlamm-sammlern *f*, die in bestimmten Zeitabständen durch selbsttätige Schlammablaßventile *g* geleert werden.

Die gereinigten Blätter können entweder auf Horden getrocknet oder zunächst im „Alleszerkleinerer“ der gleichen Firma, Abb. 17 bis 20, zerschnitten werden. Diese Maschine arbeitet nach dem gleichen Grundsatz wie die gewöhnlichen Fleischwölfe, wobei die Zuführschnecken zugleich das überschüssige Wasser entfernen. Durch diesen Arbeitsvorgang kann ein sehr wertvolles Futter in erheblichen Mengen gewonnen werden, und wenn es gelänge, noch kleinere, wohlfeilere Anlagen für diese Zwecke, vielleicht in Vereinigung mit Kartoffelwäschern, zu schaffen, so würde damit einem wesentlichen Bedürfnis aller in größerem Maße Rübenbau treibenden Wirtschaften entsprochen werden.

Mähdrescher

Als neueste Erscheinung müssen endlich die amerikanischen Mähdrescher, Abb. 21, erwähnt werden, die im vorigen Jahr erstmals bei uns auf einer Ausstellung gezeigt wurden. Ihre Benutzung bedeutet eine vollständige Änderung des Ernteverfahrens, da die Getreidernte als solche in einem Arbeitsgang beendet ist, während bei unsern Verfahren die Ähren mindestens ein halb dutzendmal in Bewegung gebracht werden, und eine entsprechend lange Schönwetterzeit abgewartet werden muß.

Man schneidet mit dem Mähdrescher das Getreide am oberen Halmteil, also unter Zurücklassung ungewöhnlich langer Stoppeln, drischt unmittelbar während des Fahrens über das Feld, und hat nachträglich höchstens noch für Bergung des zurückgelassenen Stroh zu sorgen, auf das wir, im Gegensatz zu den Amerikanern, nicht verzichten können. In Abb. 22 ist der Grundriß eines Case-Mähdreschers schematisch, aber maßstäblich wiedergegeben. Der Schlepper, der die ganze Maschine über das Feld zieht, greift an der Zugvorrichtung an. Die mehr als 3 m breite Schneidevorrichtung kann mit Hilfe eines Handrades vom Führerstand leicht und schnell hoch und tief gekurbelt werden, so daß sich die Schnitthöhe über dem Boden dauernd nach dem Stande der Halme einstellen läßt. Schneidmesser, Förderbänder und die schmale Stiftdreschmaschine treibt ein in die Maschine eingebauter 20 PS-Motor an; die Körner fallen unmittelbar in den angehängten Kastenwagen. Die Bedienung besteht aus drei Mann, einschließlich Schlepperführer. Abb. 23 zeigt den Längsschnitt der Dreschmaschine zum Mähdrescher.

Sicherlich ist es ein kühner Gedanke, eine solche Maschine zu schaffen; er konnte nur unter amerikanischen landwirtschaftlichen Verhältnissen auftauchen, weil man dort ganz andere Anbau- und Wirtschaftsverhältnisse hat. Jedoch ist es eine bemerkenswerte Leistung, daß solche Maschinen drüben in verhältnismäßig kurzer Zeit entwickelt und in großem Umfang in die Praxis eingeführt werden konnten. Die Maschinen, auf die bereits Philipp vor Jahren unter dem Kopfschütteln

unserer Praktiker hingewiesen hat, haben denn auch erhebliches Aufsehen erregt, und bei näherem Zusehen wird man an diesen scheinbar unförmlichen, unsymmetrischen Maschinen eine Fülle durchaus folgerichtiger Gedanken und interessanter Einzelformen finden, die eben nur aus reicher praktischer Felderfahrung im Verein mit technischer Schulung sich ergeben können, wenn man sich vom schulmäßig Überlieferten vollkommen freigemacht hat.

Ob diese Mähdrescher im übrigen bei uns praktische Bedeutung werden erlangen können, mag dahingestellt bleiben. Sicherlich werden mindestens allerhand Änderungen erforderlich werden, um sie für unsere Verhältnisse und die heute gewohnten, auch nicht unabänderlichen Anforderungen verwendbar zu machen. Aber schon die gründliche Prüfung dieser Frage, die das Reichskuratorium für Technik in der Landwirtschaft aufgegriffen hat, wird von wesentlichem Vorteil sein, u. a. weil sie die weitere einschließt: ob wir überhaupt mit unserem Dreschmaschinenbau auf dem richtigen Wege sind. Denn drüben wird allgemein die Schmaldreschmaschine mit Stiftenrommel, bei uns mit Vorliebe die Breitdreschmaschine mit Schlagstentrommel verwendet. All solche Entwicklungen sind natürlich nicht zufällig, aber einmal sind zuweilen doch recht äußerliche Gründe richtunggebend, und außerdem ändern sich nach und nach die zugrundegelegten Verhältnisse. Die vom Reichskuratorium eingeleiteten Untersuchungen werden zeigen, ob nicht durch die neuen technischen Möglichkeiten in der Körnerernte und -gewinnung grundlegende Fortschritte

auch bei uns erreichbar geworden sind, die der Wettbewerblichkeit unseres Getreidebaues zugute kommen werden. Jedoch sollte nicht übersehen werden, daß derartige Umstellungen nicht von heute auf morgen möglich sind und erst genügend geprüft und vorbereitet sein müssen, bis sie für die Praxis in Frage kommen können. Einstweilen handelt es sich um Aufgaben für den Ingenieur, die um so reizvoller sind, je größere wirtschaftliche Auswirkungen durch ihre Lösungen verursacht werden könnten.

Schlußwort

Umgestaltung der Getreideverfahren, Vervollkommen der Rüben- und der Kartoffelerntemaschinen, Verbesserung und Normung der Fördervorrichtungen, Bodenbearbeitung mittels Schleppern — wahrlich eine Fülle von Problemen und Aufgaben. Schon allein die Einführung der Melkmaschinen wäre eine bedeutsame Hilfe, insbesondere für die große Zahl dörflicher Betriebe mit ihrer schweren, körperlich anstrengenden Arbeit. Der so unerwünschte Zug der bäuerlichen Jugend wie der ländlichen Arbeiterschaft nach der Stadt erfordert Entlastung von körperlicher Arbeit durch mechanische Hilfsmittel; die Notlage der Landwirtschaft, die ihre Erzeugnisse mit Vorkriegspreisen bewertet sieht, bedingt Verbilligung der Erzeugung durch die Technik; Sicherung der Volksernährung zwingt zu gesteigerter inländischer Nahrungsmittelerzeugung auf gegebener Fläche, d. h.: zu Fortschritten der „Technik in der Landwirtschaft“ in weitestem Sinne des Wortes. [B 214]

Das Technische und das Kaufmännische in der Rationalisierung

Im Arbeitsausschuß Technisch-Wissenschaftlicher Veranstaltungen in Stuttgart hielten in einer Versammlung am 9. Oktober Prof. Dr.-Ing. Schlesinger und Prof. Dr. Le Coutre zwei Vorträge, deren Leitgedanken war, daß Rationalisieren ohne planmäßiges Wirtschaften nicht möglich ist.

Prof. Dr.-Ing. Schlesinger, Berlin, der über

Leistung und Sparsamkeit

sprach, betonte besonders die so notwendige Zusammenarbeit zwischen dem Techniker — dem Erzeuger — und dem Kaufmann — dem Verkäufer. Es ist eine müßige Frage, festzustellen, wer von beiden zuerst da war oder wer sich nach dem anderen zu richten hat. Notwendig ist, daß der eine die Arbeitsbedingungen des andern anerkennen muß. Es ist keine Kunst, trotz der 40 katalogmäßigen Sorten von Erzeugnissen schließlich eine 41. Ausführung zu verkaufen, wenn der Käufer glaubt, gerade diese verlangen zu müssen. Die Kunst des Verkaufens besteht darin, das zu verkaufen, was der Techniker anfertigt. Dem Verkäufer soll einmal klar gemacht werden, wie unheilvoll sich jede Änderung, die der Käufer verlangt, im Betrieb — und nicht zuletzt im Preis — auswirkt. Gewiß ist der Kunde König; ihm bricht aber kein Zacken aus der Krone, wenn er eigenwillige und unberechtigte Sonderwünsche zurückstellt.

Eine der vielen Vorbedingungen für wirtschaftliches Arbeiten ist eine fertigungsreife Konstruktion. Eine fertigungsreife Konstruktion herauszubringen, heißt nicht nur gewährleisten, daß „die Maschine läuft“, sondern daß sie mit den vorhandenen Werkzeugen, Vorrichtungen und Maschinen so hergestellt werden kann, daß auch in der Reihen- und Massenfertigung keine Schwierigkeiten auftreten, die eine Änderung nach sich ziehen.

Fertigungsreif ist eine Konstruktion auch erst, wenn alle zu erwartenden Einwände und Gegenvorschläge des Käufers nach Möglichkeit berücksichtigt sind. Eine weitere Vorbedingung für wirtschaftliches Arbeiten in einem industriellen Unternehmen ist möglichst weitgehende Beschränkung auf eine Mindestzahl von Typen. Bei diesen Typungsarbeiten muß allerdings die Geschäftsleitung Geduld haben, da sich die Erfolge der Beschränkung auf eine gewisse Zahl von Baumustern nicht schon nach kurzer Zeit zeigen können.

Der Verkäufer steht zwischen Erzeuger und Käufer. Seine Kunst besteht darin, das zu verkaufen, was erzeugt wird, gleichzeitig aber auch dem Käufer das anzubieten, was er braucht. Fließarbeit auf den ersten Wurf einrichten zu wollen, ist selbst einer großen Zahl von erstklassigen Fachleuten unmöglich. Bei der Einrichtung der Fließfertigung ist schrittweise vorzugehen, die Praxis muß von Schritt zu Schritt über die Zweckmäßigkeit der Maßnahmen entscheiden, dann können Fehlschläge vermieden werden. Erhöhung

der Leistung ist Sparsamkeit; deshalb wird man meist zuerst an Leistungserhöhung und dann an Sparsamkeit denken müssen. Die Werbung für ein in großen Reihen gefertigtes Erzeugnis darf nicht zu früh einsetzen, sonst kann sie vollständig erfolglos sein.

Hinsichtlich der Materialzugaben, z. B. für Schmiedestücke, können wir von Amerika viel lernen. Eine Kurbelwelle für ein Fertiggewicht von 21 kg wiegt unbearbeitet in Amerika 24 kg, in Deutschland dagegen 40 kg. Die 16 kg, die wir in Deutschland mehr versparen, bedeuten zum überwiegenden Teil einen Verlust. Klarlegung der Kosten, an denen sich der Preis eines Erzeugnisses zusammensetzt, ist eine der wichtigsten Bedingungen für die Erhöhung der Leistung und der Einführung von Sparmaßnahmen.

Prof. Dr. Le Coutre, Mannheim, sprach über die

Überwachung der Rationalisierung durch das industrielle Rechnungswesen.

Eine der wichtigsten Aufgaben des Rechnungswesens ist, die Betriebsleitung über die Wirtschaftlichkeit des Betriebes laufend zu unterrichten und ihr zu helfen, Verlustquellen aufzuspüren. Die wirtschaftlichen Maßnahmen spiegeln sich in den Ergebnissen des Rechnungswesens wider. Schwierigkeiten für seine Durchführung nach neuzeitlichen Verfahren sind weniger sachlicher als persönlicher Art.

Das industrielle Rechnungswesen soll auch Anregung für wirtschaftliche Verbesserungsmaßnahmen geben. Eine Schwierigkeit besteht allerdings darin, daß nicht nur Geldwerte, sondern häufig auch Mengen miteinander verglichen werden müssen.

Der Vortragende kam dann auf die Bedeutung der Voll- und Nachkalkulation und ihre Aufgaben zu sprechen. Häufig ist es schwierig, den richtigen Schlüssel für die Verrechnung der Gemeinkosten zu finden. Die Ergebnisse der Kalkulation müssen statistisch festgehalten werden. Besonders wichtig für die Kalkulation ist, darzulegen, wie sich bei Steigerung oder Verminderung des Beschäftigungsgrads bestimmte Kosten erhöhen oder vermindern. Schließlich wurde noch das Wesen der Verlust- und Gewinnrechnung und der Bilanz erörtert. Die Bilanz soll zur Aufdeckung der Schwächen des Unternehmens dienen und zeigen, ob das angewendete Kapital noch vorhanden ist. [N 2152]

Stuttgart

Goerner

Berichtigung

Ermüdungsbruch und zulässige Belastung von Wälzquerlagern

In dem Aufsatz von R. Mundt in Z. Bd. 73 (1929) Nr. 53 muß es auf S. 54 in der 24. Zeile (letzte Zeile d.

1. Absatzes) heißen: $c = \frac{1,25}{5 \sin \alpha}$. [N 2474]

Beschleunigungsverhältnisse beim sphärischen Kurbeltrieb und verwandten Mechanismen

Dr. techn. FELIX O. MÜLLER, Magdeburg-Buckau

Es werden die Änderungen der Beschleunigungsverhältnisse sowie die freien Massenwirkungen der Kolben bei Zylinder-Kolben-Getrieben mit Schiefscheiben- oder Taumelscheibenantrieb in Abhängigkeit vom Schrägstellungswinkel des schiefen Zapfens, und zwar ausgehend vom einfachsten sphärischen Kurbeltrieb untersucht. Gleichzeitig wird immer ein anschaulicher Vergleich mit dem gewöhnlichen ebenen Kurbeltrieb angestellt. Die sphärischen Getriebe zur Überleitung der drehenden in eine geradlinig hin- und hergehende Bewegung sind in übersichtlicher Weise zusammengestellt.

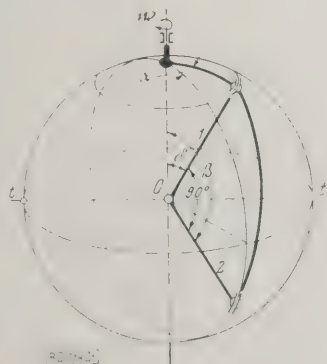
Die Untersuchung erstreckt sich auf jene sphärischen Getriebe, die eine geradlinige hin- und hergehende oder eine umlaufende Bewegung umsetzen oder umkehrt. Abarten des sphärischen Kurbeltriebs sind in den letzten Jahren zum Teil ausgeführt worden, zum Teil findet man sie in Patentschriften. Es erscheint daher angebracht, sie besonders auf die Veränderungen im Verlauf der Beschleunigungen zu untersuchen, die durch Wahl des Schrägstellungswinkels des schiefen Zapfens entstehen. Dies erschien mir um so wichtiger, als bisher Schrifttum fast immer nur die Bewegungsgesetze für ein bestimmtes Verhältnis der Abmessungen der Glieder eines Getriebes aufgezeichnet sind. Für den Konstrukteur wäre es aber sicher von größtem Wert, wenn sich nicht erst durch zeitraubendes Versuchen ein anschauliches Bild von den Änderungen im Geschwindigkeits- und Beschleunigungsverlauf eines Getriebes bei verschiedenen Größenverhältnissen der Glieder verschaffen müßte, sondern es in einer übersichtlichen zeichnerischen Darstellung bereits vorfände. Selbstverständlich würden sich diese Untersuchungen in erster Linie auf die Grundarten der Getriebe zu erstrecken haben.

In vorliegender Arbeit werden immer die Beschleunigungen der sphärischen Getriebe in anschaulicher Weise mit denen des ebenen Kurbeltriebes verglichen, um so notwendiger erscheint, als im Schrifttum¹⁾²⁾ die Bemerkung zu finden ist, daß für „kleine Schrägstellungswinkel“ des schiefen Zapfens die Abweichungen im Bewegungsgesetz gegenüber dem ebenen Kurbeltrieb gering und bei unendlich langer Schubstange sogar zu vernachlässigen seien. Es muß daher auch Klarheit über den nichtssagenden Begriff „kleiner Winkel“ geschaffen werden. Der Vergleich der Schaubilder wird zeigen, daß für die gebräuchlichen Schrägstellungswinkel von rd. 0° bis 35° diese Vernachlässigung nicht erlaubt ist.

Als Vorteile der „schiefen Scheiben“ gegenüber dem ebenen Kurbeltrieb sind zu nennen: Gedrängte Bauart, geringeres Gewicht³⁾, guter Gleichgang (infolge der großen Zahl der parallel zur Hauptwelle im Kreis herum angeordneten Zylinder); bei den reinen Schiefscheibenantrieben vollkommener Massenausgleich; nicht zuletzt eine einfache Möglichkeit, den Hub der Kolben durch Änderung der Neigung der Scheibe zu verändern. Als einer der Hauptnachteile muß dem ebenen Kurbeltrieb gegenüber wohl der verwickeltere Getriebebau in Rechnung gestellt werden. Ausgangspunkt für die Untersuchung ist der gewöhnliche sphärische Kurbeltrieb.

¹⁾ Vergl. Reuleaux, Kinematik Bd. 1, Braunschweig 1875, S. 615.
²⁾ Vergl. Grashof, Theoret. Maschinenlehre 2. Bd., Leipzig 1883, S. 168.
³⁾ Die australische Firma Rankless Ltd. gibt an, daß ihre Motoren mit Ökeilwirkung nach dem Michell-Prinzip einen mechanischen Wirkungsgrad von mehr als 90 vH (Wirkungsgrad und das Gewicht des Motors nur $\frac{2}{3}$ desjenigen eines gleich starken gewöhnlichen Kurbelwellenmotors bis 100 PS beträgt).

Abb. 1
Schema des gewöhnlichen sphärischen Kurbeltriebes.
Drehachse des Halbstrahles 1
Schwingachse des Halbstrahles 2



Sphärische Getriebe, deren Kolbenbewegungen sich durch ein ebenes Ersatzgetriebe darstellen lassen⁴⁾.

Gewöhnlicher sphärischer Kurbeltrieb (räumlicher Koppeltrieb)

Sein bekanntes Schema zeigt Abb. 1. Halbstrahl 1 drehe sich gleichförmig um die Achse w ; der mit Halbstrahl 1 starr verbundene Halbstrahl 2 ist gezwungen, um eine zur Achse w senkrecht stehende und durch Punkt O gehende Achse tt zu schwingen. Bezeichnen wir mit α den veränderlichen Winkel, den die Ebene, gebildet durch Halbstrahl 1 und Achse w , mit der feststehenden Hauptebene (gebildet von Halbstrahl 2 und Achse w) einschließt und mit δ den Winkel, den die Achse w mit Halbstrahl 1 einschließt; β sei der Winkel, den die Achse w mit Halbstrahl 2 einschließt; endlich werde der starre Winkel von 1 mit 2 für alle zu besprechenden Getriebe mit 90° angenommen; dann ergibt sich (Winkel im Bogenmaß gemessen)

Winkelweg β :

$$\beta = \arccos(-\tan \delta \cos \alpha) \quad (1);$$

Winkelgeschwindigkeit $\frac{d\beta}{dt}$ (vorausgesetzt Halbstrahl 1 dreht sich gleichförmig mit Winkelgeschwindigkeit ω):

$$\frac{d\beta}{dt} = -\frac{\omega \sin \delta \cos \delta \sin \alpha}{1 - \sin^2 \delta \sin^2 \alpha} \quad (2);$$

⁴⁾ Vergl. „Maschinenbau“ Bd. 6 (1927) S. 1141.

Maßstäbe
 $\alpha: \frac{\pi}{180} = 1/4 \text{ mm},$
 $\delta: \frac{\pi}{180} = 1/4 \text{ mm},$
 $d\beta/dt: 300 \left(\frac{n}{1800} \right)^2 \frac{1}{s^2} = 1/4 \text{ mm},$
wobei $n = U_{\text{min}}$ des Halbstrahles 1

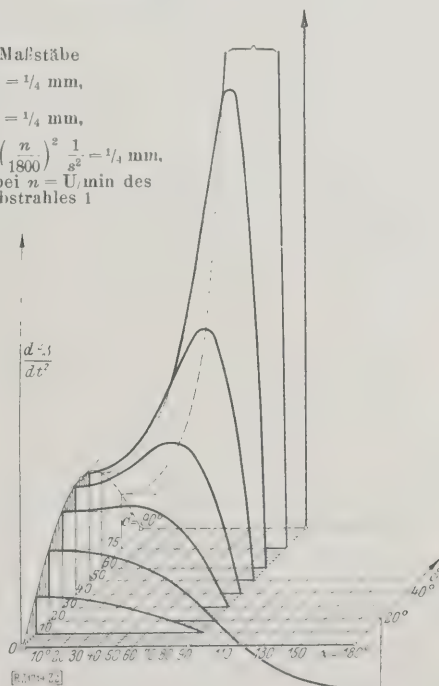


Abb. 2
Raumschaubild. Verlauf der Winkelbeschleunigung $\frac{d^2 \beta}{dt^2}$ in Abhängigkeit von dem der Zeit proportionalen Winkelweg α .

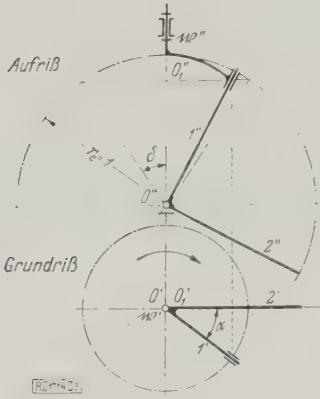


Abb. 3

Zeichnerische Darstellung der Winkelbeschleunigung beim sphärischen Kurbeltrieb mittels Grund- und Aufrisses.

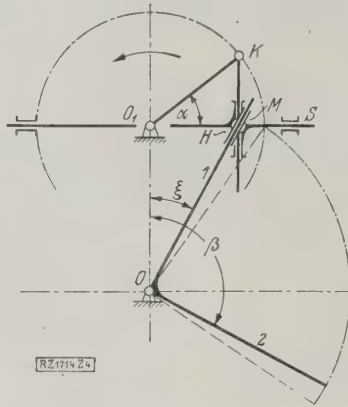


Abb. 4

Ebenes Ersatzgetriebe für den sphärischen Kurbeltrieb.

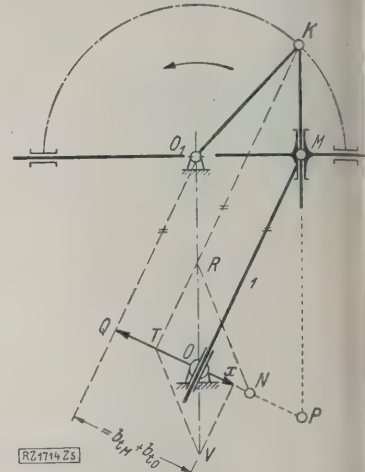


Abb. 5

Einfache graphische Ermittlung der Winkelbeschleunigung des Halbstrahles 1.

Winkelbeschleunigung $\frac{d^2 \beta}{dt^2}$:

$$\frac{d^2 \beta}{dt^2} = \frac{-\omega^2 \sin \delta \cos \delta \cos \alpha (1 + \sin^2 \alpha \sin^2 \delta)}{(1 - \sin^2 \delta \sin^2 \alpha)^2} \quad (3).$$

Wir wollen jetzt den Verlauf der Winkelbeschleunigung des Halbstrahls 2 (in bezug auf die Drehung um die feste Achse tt) unter Zugrundelegung verschiedener Werte des Winkels δ untersuchen. Da der Halbstrahl 1 mit 2 den konstanten Winkel von 90° einschließt, ist die Veränderung des Winkels δ gleichbedeutend einer Veränderung des Wertes

$$\lambda = \frac{\text{Kurbelhalbmesser}}{\text{Schubstangenlänge}} \text{ beim ebenen Kurbeltrieb.}$$

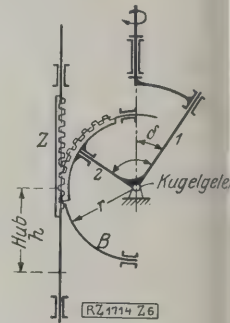
Im Raumschaubild, Abb. 2, ist der Verlauf der Winkelbeschleunigung $\frac{d^2 \beta}{dt^2}$ über dem der Zeit proportionalen Winkelweg α aufgetragen. Aus Gl. (3) ist sofort zu ersehen, daß die Kurven der Winkelbeschleunigung bezüglich des Durchgangspunktes durch die Nulllinie $\alpha = 90^\circ$ zentrisch symmetrisch verlaufen, weshalb als Beispiel nur die Kurve für $\delta = 20^\circ$ eingetragen wurde. Aus diesem Raumschaubild ist schon zu ersehen, wie sich mit steigendem Wert des Winkels δ der Verlauf der Winkelbeschleunigung immer mehr von der Sinuslinie entfernt; die dem gewöhnlichen ebenen Kurbeltrieb mit unendlicher Schubstange entsprechen würde. Für $\delta = 0$ hätten wir genau sinusförmigen Verlauf, was jedoch in Abb. 2 nicht mehr zum Ausdruck kommt, da für diesen Fall auch der Winkelweg des Halbstrahls 2 gleich null wird und somit der Verlauf der Winkelbeschleunigung eine wagerechte Gerade durch den Nullpunkt wird. Aus der Symmetrie des Getriebes folgt ferner, daß der Verlauf der Kurven für $\alpha = 180^\circ$ bis 360° analog ist dem für $\alpha = 0^\circ$ bis 180° , jedoch mit entgegengesetztem Vorzeichen.

Zeichnerische Ermittlung der Winkelbeschleunigung beim sphärischen Kurbeltrieb

Wegen der räumlichen Bewegung glaubt man zunächst gezwungen zu sein, Grund- und Aufriß zu Hilfe zu nehmen. Die hier betrachteten sphärischen Kurbeltriebe sollen jedoch, wie gesagt, alle die Besonderheit haben, daß der Winkel zwischen den Halbstrahlen 1 und 2, Abb. 1, 90° beträgt. Infolgedessen kann man das räumliche durch ein ebenes Getriebe ersetzen⁶⁾; denn wir wollen hier nur die Bewegungszustände des Halbstrahls 2 in bezug auf seine Bewegung in der Schwingungsebene untersuchen und nicht etwa die Winkelbeschleunigung des räumlichen Systems des Halbstrahls 1 und 2. In Abb. 3 sei O wieder der Fixpunkt des Getriebes und Halbstrahl 1 drehe sich gleichförmig mit der Winkelgeschwindigkeit ω um die Achse m , wodurch Halbstrahl 2 in der Aufrißebene

Abb. 6

Überführung der schwingenden Bewegung des Halbstrahles 1 mittels Zahnbogens B und Zahnstange Z in eine geradlinig hin- und hergehende Bewegung vom Hub h zum Vergleich zwischen sphärischen und dem ebenen Kurbeltrieb.



schwingt. Wenn nun bei orthogonaler Projektion Schenkel eines rechten Winkels in der Aufrißebene liegend bleibt der rechte Winkel erhalten. Verschieben wir den Grundriß so weit in den Aufriß, daß sich O' mit O'' decken, dann erhalten wir das ebene Ersatzgetriebe, Abb. 4. In dem Ersatzgetriebe die Halbstrahlen 1. und 2. das gleiche Bewegungsgesetz aufweisen, genügt es, die Winkelbeschleunigungen des Halbstrahls 1 zu untersuchen. Da für die Winkelbeschleunigung des Halbstrahls 1 in erster Linie die Winkelbeschleunigung des Halbstrahls 2 bemerkenswert ist, sei hierfür eine einfache graphische Ermittlung, ohne Coriolis-Beschleunigung, kurz angefügt. Die Bewegung des Halbstrahls 1 bezüglich seiner Winkelgeschwindigkeit kann man sich auch so erzeugt denken, daß Halbstrahl 1 im Punkt M fest an den Schieber S angelagert ist, während das andere Ende von Halbstrahl 1 in einem Punkt O drehbaren Hülse gleitet. Wir haben also jetzt einen Konchoidenlenker. Man sucht sich zunächst den Pol der Stange 1 in P . Durch Halbierung der Strecke OP , gleich ON , ergibt sich der Krümmungsmittelpunkt des sich gerade mit dem Punkt O deckenden Punktes (Stange 1⁶⁾). Sind die Komponenten der Absolutbeschleunigung in Richtung senkrecht zur Geraden 1 der beiden Punkte O und M gegeben, so findet sich bekanntlich die Winkelbeschleunigung der Geraden 1 aus:

$$\frac{d^2 \beta}{dt^2} = \frac{b_{tM} \pm b_{tO}}{OM}.$$

Das Pluszeichen gilt für verschiedene Richtung der Beschleunigungskomponenten, das Minuszeichen für gleiche Richtung.

Wählt man den Maßstab so, daß für Punkt K der Kurbel $v = r \omega$ wird, so ist durch Ziehen der Parallelen O_1Q zu OM die Komponente b_{tM} durch OQ gefunden. Durch TK parallel OM finden wir die Geschwindigkeit des Stangendeckpunktes mit O gleich OT . Durch den Linienzug $NRTVX$ finden wir die Komponente $b_{tO} = OX$.

$$\frac{d^2 \beta}{dt^2} = \frac{QO + OX}{OM} = \frac{QX}{OM}.$$

⁶⁾ Vergl. Federhofer, Räumliche Kinematik Berlin 1928.

⁶⁾ Vergl. M. Grubler, Getriebelehre, Abschn. Krümmung der Bahnenkurven.

Um einen Vergleich zwischen dem sphärischen und ebenen Kurbeltrieb anstellen zu können, denken wir uns die schwingende Bewegung des Halbstrahls 1, Abb. 6, durch den in der Schwingungsebene im Hauptkreis gelegten Zahnbogen B, der in die senkrechte Zahnstange Z

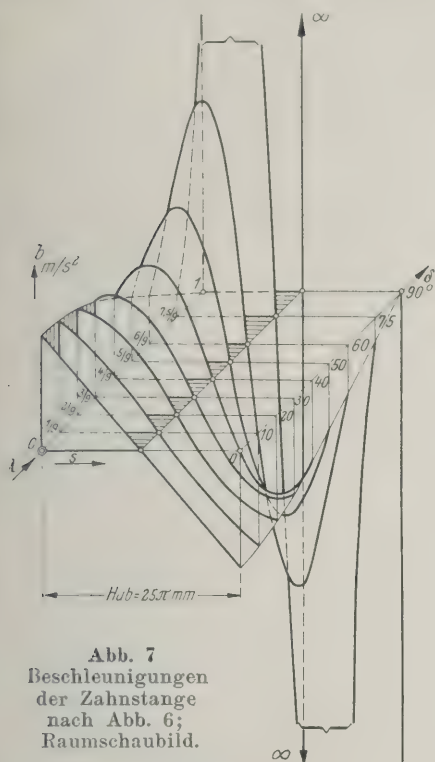


Abb. 7
Beschleunigungen
der Zahnstange
nach Abb. 6;
Raumschaubild.

Maßstäbe:
Hubweg s : 0,001 m = $\frac{1}{3}$ mm der Zeichnung
Beschleunigung b : $30 \left(\frac{n}{1800} \right)^2 \text{ m/s}^2 = \frac{1}{3} \text{ mm}$
 $\lambda = \frac{\delta}{\pi/2} : \frac{1}{90} = \frac{1}{3} \text{ mm}$

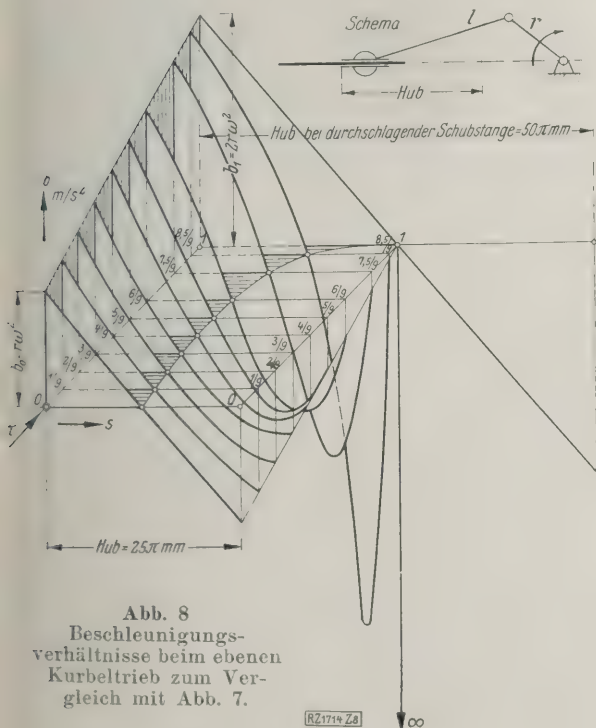


Abb. 8
Beschleunigungsverhältnisse
beim ebenen
Kurbeltrieb zum Vergleich
mit Abb. 7.

Maßstäbe: Hubweg s : 0,001 m = $\frac{1}{3}$ mm
Beschleunigung b : $30 \left(\frac{n}{1800} \right)^2 \text{ m/s}^2 = \frac{1}{3} \text{ mm}$
 $\lambda = \frac{r}{l}, \lambda = \frac{1}{90} = \frac{1}{3} \text{ mm}$

eingreift, in eine geradlinig hin- und hergehende Bewegung vom Hub = h übergeführt. Beim sphärischen Kurbeltrieb ist das Verhältnis

$$\lambda = \frac{\delta}{\pi/2} = \left(\frac{2}{\pi} \right)^2 \delta = \text{Const.}(\delta).$$

Für die zu vergleichenden ebenen Kurbeltriebe wollen wir den Beschleunigungsverlauf des Kreuzkopfes über dem zugehörigen Hubweg als Abszisse für gleiche Umdrehungszahl n (hier $n = 1800$ angenommen), gleichen Hub $h = 25\pi \text{ mm}$, jedoch für verschiedene Verhältniszahlen λ oder das dem λ proportionale δ beim sphärischen Kurbeltrieb untersuchen. Für den sphärischen Kurbeltrieb ergibt sich der dem jeweiligen λ oder δ entsprechende Halbmesser r des Halbstrahls 2 zu:

$$r = \frac{h}{2\delta} = \frac{25\pi}{2\delta} = \frac{25\pi}{\lambda\pi} = \frac{25}{\lambda} \text{ mm}.$$

Die Beschleunigungen der Zahnstange Z, Abb. 6, sind mit den entsprechenden Maßstäben in Abb. 7 eingetragen. Der entsprechende Verlauf des hiermit zu vergleichenden ebenen Kurbeltriebes ist in Abb. 8 dargestellt. Ein Vergleich beider Schaubilder zeigt, wie mit wachsendem Werte δ die Abweichungen im Beschleunigungsverlauf immer größer werden.

Erweiterte sphärische Kurbelgetriebe

Durch die Überleitung der schwingenden Bewegung des Halbstrahls 2, Abb. 4, mittels der Koppel P, Abb. 9, in die geradlinig hin- und hergehende des Gelenkes K_1 , dessen Bahn ebenfalls in die Schwingungsebene des Halbstrahls fällt, erweitern wir den einfachen sphärischen Kurbeltrieb zu dem in Abb. 9 dargestellten Ersatzgetriebe. Das in Abb. 6 dargestellte Getriebe stimmt eigentlich ebenfalls mit diesem überein. Man darf nur das höhere Elementenpaar der Verzahnung durch Hinzufügung eines Hilfsgliedes, entsprechend der Koppel P, in ein niedrigeres auflösen. Im Schema von Abb. 9 liegt auch die Bewegung der Koppel in der Schwingungsebene des Halbstrahls 2.

Punkt G fällt in den Halbstrahl 2, Pleuelstange P wird endlich

Liegt bei endlicher Pleuelstangenlänge der Gelenkpunkt G, Abb. 9, im Halbstrahl 2, so entsteht das Getriebeschema, das Abb. 10 im Aufriß darstellt. Dieses Schema liegt der englischen Verbrennungskraftmaschine „Synchro-Balance“ zugrunde⁷⁾. Ihre Pleuelbeschleunigungen sind in Abb. 11 dargestellt. Im Beschleunigungsmaßstab ist $n = \text{U/min}$ der Hauptwelle. Die stark ausgezogene Linie stellt den Verlauf der Beschleunigung dar, wie er im Getriebe wirklich auftritt. Zum Vergleich ist noch der Verlauf eingezeichnet, falls man die endliche Pleuelstangenlänge vernachlässigt, und schließlich noch für gleichen Hub und gleiche Umdrehungszahl der Verlauf für einen ebenen Kurbeltrieb für $\lambda = 0$ und $\lambda = \frac{1}{4}$. Der

⁷⁾ Vergl. Z. Bd. 69 (1925) S. 81.

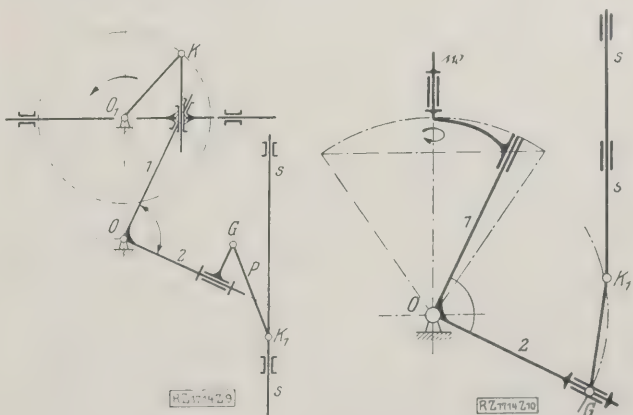


Abb. 9
Beispiel für ein erweitertes
sphärisches Kurbelgetriebe.

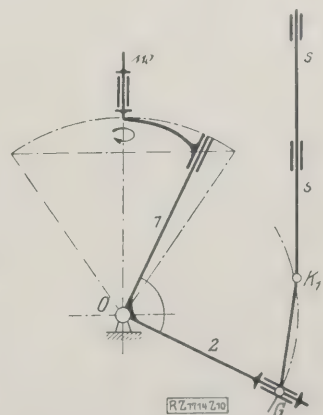
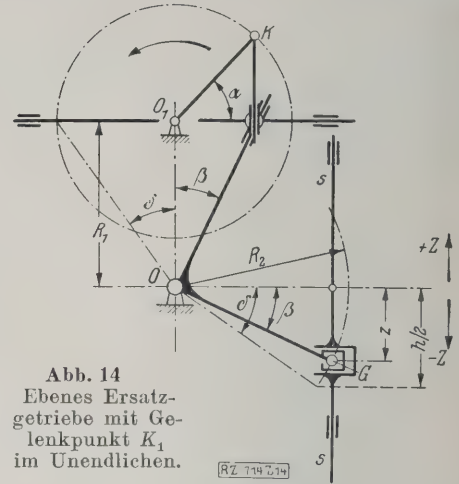
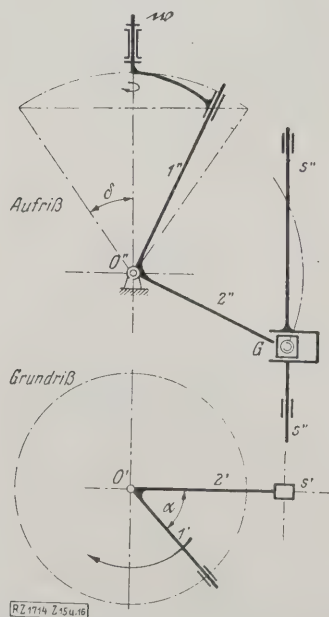
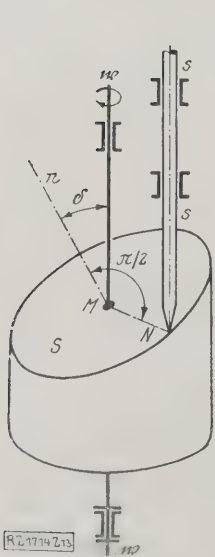
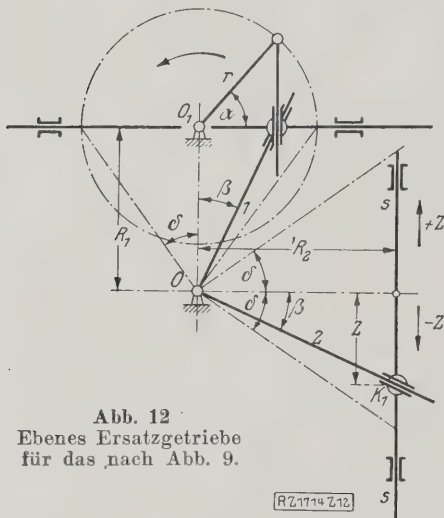
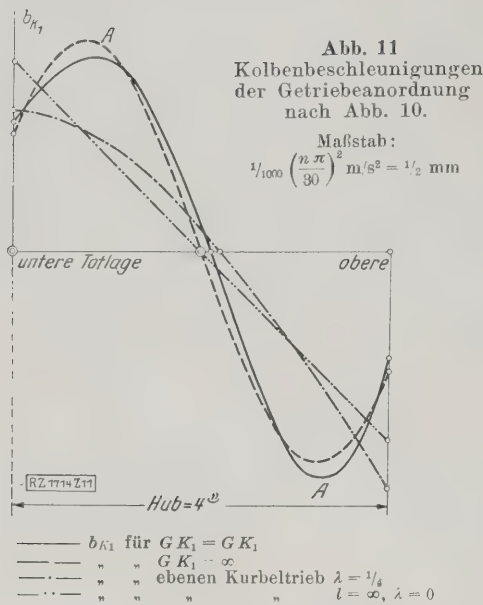


Abb. 10
Getriebeschema, das der
englischen Verbrennungskraftmaschine
„Synchro-Balance“ zugrundeliegt.



Winkel δ der Schrägstellung der schiefen Zapfen wurde in obigem Beispiel mit 37,5 Grad ausgeführt, was auch die starke Abweichung vom Verlauf der Beschleunigung bei angenähertem Ersatz der Bewegung durch einen ebenen Kurbeltrieb erklärt. Die Annäherung an die Bewegung verhältnisse des ebenen Kurbeltriebes trifft also bei diesem großen Winkel δ nicht mehr zu.

Gelenk G liegt im Unendlichen

Rückt der Gelenkpunkt G , Abb. 9, senkrecht zur Richtung des Halbstrahls 2 in dessen Schwingungsebene in das Unendliche, und lassen wir den Gelenkpunkt K_1 in die Schnittpunkt der Richtung des Halbstrahls 2 mit der Schieberichtung ss fallen, so entsteht das ebene Ersatzgetriebe Abb. 12. Wie leicht nachzuweisen ist, vollführt der Schieber eine Bewegung übereinstimmend mit der des ebenen Kurbeltriebes mit unendlicher Schubstange. Der Hub $h = 2 R_2 \tan \delta$ ergibt sich mit den Bezeichnungen aus Abb. 12. Dieser Sonderfall ist ohne weiteres auf den von Reuleaux behandelten Mechanismus⁸⁾, genannt „Schiefe Scheibe“, anzuwenden. Scheibe S , Abb. 13, vollführt eine reine Drehbewegung um die Achse m . Die Verbindungslinie der Spitze N des Schiebers mit dem Durchstoßpunkt M der Achse m ist gezwungen um M in der Ebene der Achsen m und ss zu schwingen; andererseits schließt die Normale auf die Scheibenebene in jeder Stellung mit MN einen rechten Winkel ein, so daß diese beiden Geraden stets verbunden gedacht werden können. Denken wir uns mehrere Schieber (Kolben und Zylinder) im Kreis herum parallel zur Achse m angeordnet, so gilt Abb. 13 als schematische Darstellung der englischen kurbellosen Kraft- oder Arbeitsmaschine mit Verwendung der Ölkeilwirkung nach dem Michell-Patent⁹⁾.

Gelenk K_1 liegt im Unendlichen

Rückt der Gelenkpunkt K_1 in Richtung der Stange s in das Unendliche und liegt das Gelenk G im Halbstrahl 2, so erhält man das ebene Ersatzgetriebe, Abb. 14. Das richtige räumliche Getriebe stellen Abb. 15 und 16 dar. Unter Annahme einer gleichförmigen Drehbewegung der Achse m oder der Kurbel O_1K im Ersatzgetriebe soll nun das Bewegungsgesetz der Stange ss aufgestellt werden. Als Ausgangspunkt für die Zählung des Hubweges gilt die Hubmitte. Es ist $\text{Hub } h = 2 R_2 \sin \delta$,

Der Aufbau der Gleichung für den Hub h zeigt, daß ein vorgeschriebener Hub durch unendlich viele Kombi-

$$z = \frac{-R_2 \sin \delta \cos \alpha}{\sqrt{(1 - \sin^2 \delta \sin^2 \alpha)}} = \frac{-h \cos \alpha}{2 \sqrt{(1 - \sin^2 \delta \sin^2 \alpha)}} \quad (4)$$

$$\frac{dz}{dt} = \left(\frac{h}{2} \omega \sin \alpha \right) \frac{\cos^2 \delta}{(1 - \sin^2 \delta \sin^2 \alpha)^{3/2}} \quad (5)$$

$$\frac{d^2 z}{dt^2} = \frac{h}{2} \omega^2 \cos \alpha \frac{\cos^2 \delta (1 + 2 \sin^2 \delta \sin^2 \alpha)}{(1 - \sin^2 \delta \sin^2 \alpha)^{5/2}} \quad (6)$$

⁸⁾ Vergl. Reuleaux, Lehrbuch der Kinematik 2. Bd., Braunschweig 1900, S. 548.

⁹⁾ Vergl. Z. Bd. 71 (1927) S. 366.

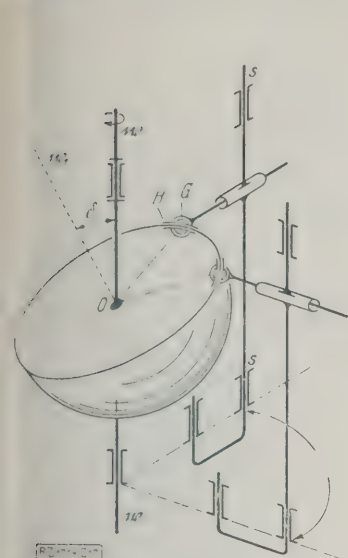


Abb. 17
Getriebeschema zur Anordnung
nach Abb. 15 und 16.

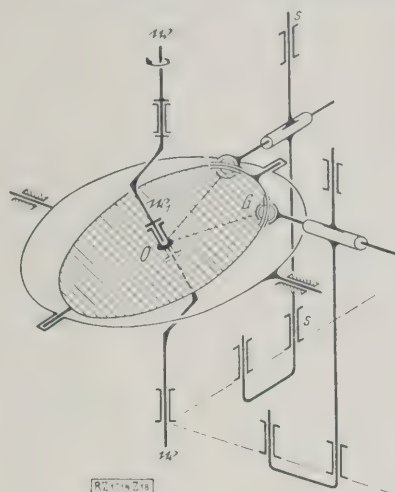


Abb. 18
Getriebe mit gleichem Bewegungsgesetz der Schieber ss wie nach Abb. 17, jedoch mit Kardanaufhängung der Scheibe.

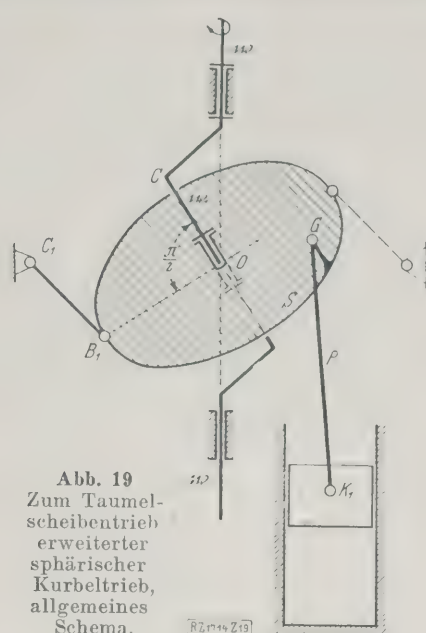


Abb. 19
Zum Taumelscheibentrieb
erweiterter
sphärischer
Kurbeltrieb,
allgemeines
Schema.

ationen von R_2 und δ erreicht werden kann. Das Bewegungsgesetz ist hierbei jedoch im Gegensatz zu dem in Abb. 12 abhängig von der besonderen Wahl eines der beiden Faktoren R_2 oder δ .

Für eine gleichbleibende Hubhöhe h wurden die Veränderungen des Höchstwertes im jeweiligen Beschleunigungsverlauf für die verschiedenen Winkel δ untersucht. Bei $\delta = \text{rd. } 25^\circ$ erreichen wir bei gleichem Hub und gleicher Umdrehungszahl den kleinsten Höchstwert der Beschleunigung. Hat man für die Wahl der relativen Größenabmessungen eines Getriebes, wenn Hub und Umdrehungszahl gegeben sind, nur die kinematischen Verhältnisse zu berücksichtigen, dann wird man am besten 25° wählen. (Vorausgesetzt, daß die Lage dieses Höchstwertes auf den Kurvenverlauf selbst keinen Einfluß hat.)

Das Getriebeschema zu Abb. 15 und 16 für im Kreis herumliegende, parallel zur Achse w angeordnete Zylinder (angedeutet durch Schieberstangen ss) ist in Abb. 17 dargestellt. Der Kreis S ist starr mit der Welle w verbunden und beschreibt eine reine Drehbewegung. Der Deutlichkeit halber ist die zum Hauptkreis der Kugel gehörige Halbkugel eingezeichnet, da man dieses Getriebe auch als eine Art Kugel-Schubkurventrieb auffassen kann¹⁰⁾. Kreis S ist die Führung für die Hülsen H . Um die Reibungsverluste in den Hülsen H herabzusetzen, kann eine konstruktive Änderung derart getroffen werden, daß der Kreis S nur noch eine taumelnde Bewegung ausführt, was durch Kardanaufhängung, Abb. 18, erreicht wird¹¹⁾. Das Bewegungsgesetz¹²⁾ ist jedoch für alle im Kreis liegenden Schieber (Kolben) dasselbe wie schon früher in Gl. (4) in (6) angegeben.

Zum Taumelscheibentrieb erweiterte sphärische Kurbeltriebe

Das allgemeinste Schema hierzu zeigt Abb. 19. Es handelt sich hier um einen Antriebsmechanismus für eine Anzahl von Kolben, wobei die Zylinder im Kreis herum angeordnet sind, daß ihre Achsen parallel zu der durch den Mittelpunkt dieses Kreises gehenden Welle w liegen. Wie im schiefen Zapfen w_1 der Welle w in einem Wälzlager drehbar gelagerte Scheibe S wird durch den Lenker GC_1 , dessen Gelenkpunkte als Kugelzapfen ausgebildet sind, gezwungen, eine zwangläufige taumelnde Bewegung um den Fixpunkt O auszuführen; an den mit der Scheibe S verbundenen Kugelgelenken G greifen die Pleuelstangen P an, die über Kugelgelenke K_1 den Kolben eine zur

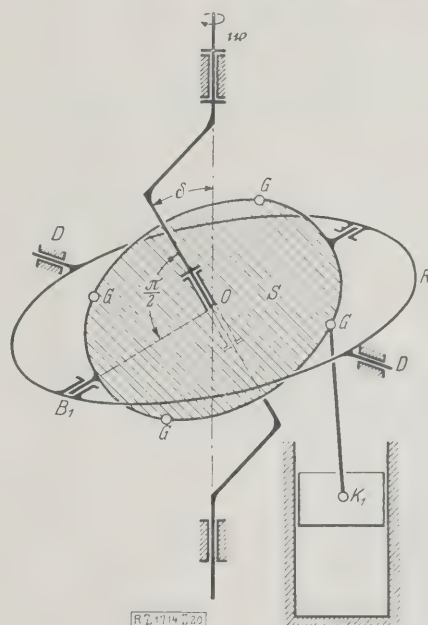


Abb. 20
Sonderfall zu Abb. 19. Punkt G liegt
in der Scheibe S , die eine reine
Kardanbewegung ausführt.

Achse w parallele hin- und hergehende Bewegung erteilen. Der Unterschied dieser „Taumelscheiben“ gegenüber den reinen „schiefen Scheiben“ besteht darin, daß bei Taumelscheiben die Bahnen der Scheibenpunkte achterförmige Kurven sind, die auf einer Kugeloberfläche liegen, während bei schiefen Scheiben die Punkte der Scheibe lauter Kreise beschreiben, deren Ebene senkrecht zur Achse w steht.

Aufhängung der Taumelscheibe in einem Kardangelenke, Pleuelstange endlich.

Wird der Winkel C_1OB_1 gleich 90° und fällt der Gelenkmittelpunkt G in die Ebene der Scheibe S , so erhalten wir eine Kardanaufhängung der Scheibe, Abb. 20¹³⁾¹⁴⁾¹⁵⁾.

Während der Bewegung ist die Abweichung der Pleuelstangenachse von der Zylinderachse für die gebräuchlichen Schrägstellungswinkel δ des schiefen Zapfens

¹⁰⁾ Vergl. Reuleaux, Die praktischen Beziehungen der Kinematik zur Geometrie und Mechanik, 2. Bd., Braunschweig 1900, S. 552.

¹¹⁾ DRP Nr. 428 341/46a.

¹²⁾ Ableitung der Beziehung zwischen Schieberweg und Winkelweg der Pleuelstange findet sich schon im Werk von Grashof, Theoretische Maschinenlehre 2. Bd., Leipzig 1883, S. 167.

¹³⁾ Vergl. „Maschinenbau“ Bd. 6 (1927) S. 1141, Bild 29 bis 31.

¹⁴⁾ DRP Nr. 148 466/46a.

¹⁵⁾ DRP Nr. 387 481/46b.

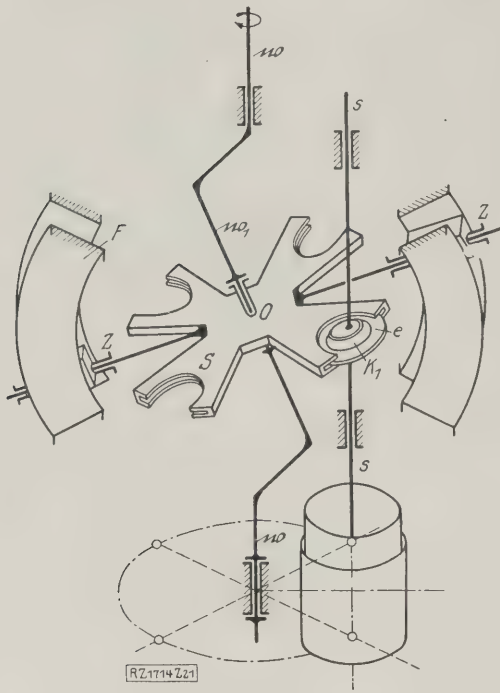


Abb. 21

Sonderfall von Abb. 19, Kardanaufhängung der Taumelscheibe, Pleuelstange unendlich lang, Gelenk G im Unendlichen.

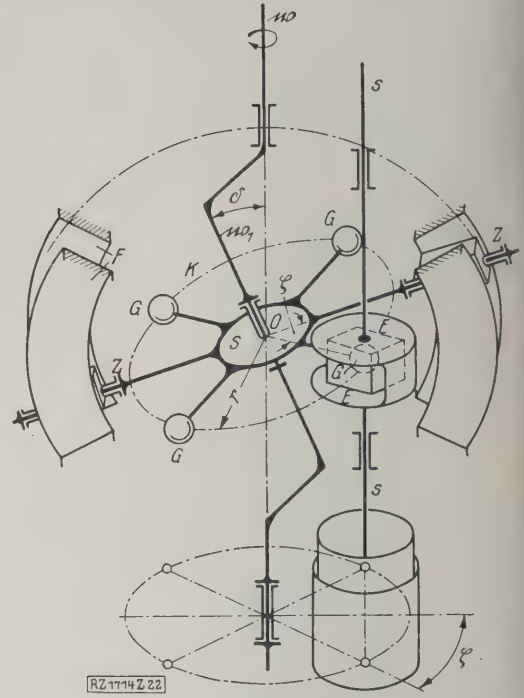


Abb. 22

Sonderfall von Abb. 19, Kardanaufhängung der Scheibe, Pleuelstangen unendlich lang, Gelenk K_1 im Unendlichen.

gering. Es gelten somit die im folgenden abgeleiteten Bewegungsgesetze für den Kolben bei unendlich langer Schubstange auch hier mit guter Annäherung.

Kardanaufhängung der schiefen Scheibe, Pleuelstange unendlich lang, Kugelgelenk G im Unendlichen.

Wandert der Gelenkpunkt G senkrecht zur Scheibe S in das Unendliche und liegt der Kolbenpunkt K_1 in der Scheibe, so entsteht das Getriebschema nach Abb. 21. Die Bewegungsgesetze der Kolben entsprechen genau dem ebenen Kurbeltrieb mit unendlicher Schubstange, Abb. 12. Zeitlich ist natürlich der Kurvenverlauf der Bewegungen zweier benachbarter Kolben je um eine Phase $\frac{2\pi}{p\omega}$ verschoben, dabei ist p die Anzahl der gleichmäßig im Kreis verteilten Zylinder und ω die Winkelgeschwindigkeit der Achse m . Durch die Anwendung der bei m_1 meist auf Wälzlager gelagerten Taumelscheibe ist im Gegensatz zu dem Getriebe von Abb. 13 der an der Stelle N auftretende große Reibungsverlust sehr verringert; durch die Anwendung der Ölkeilwirkung wird er bei den hohen

den Ebenen E geführt. Den Winkel, den Achse bei der gleichförmigen Drehung um m beschreibt, zählen wir, von der Anfangslage in der Ebene der Führungen als Nullage an, positiv von oben gesehen im Uhrzeigersinn und bezeichnen ihn mit α . Den Winkel, den der Scheibenhalm OG mit dem Führungshalm OZ einschließt, bezeichnen wir mit ζ . Die ist auch jener Winkel, den die Ebene der Achse m und der jeweiligen Zylinderachse mit der Mittelebene der Führungen FF einschließt. Winkel ζ wird, ebenfalls von oben gesehen, im Sinne des Uhrzeigers als positiv gezählt. Für die Wege der Zylinder gilt die durch O gehende Normalebene zur Achse als Nullebene und die Wege nach aufwärts werden $+z$, nach abwärts $-z$ bezeichnet.

Für die den verschiedenen Winkeln ζ zugeordneten Zylinder ergibt sich:

$$z = \frac{-[r \sin \delta (\cos \zeta \cos \alpha + \sin \zeta \sin \alpha \cos \delta)]}{\sqrt{1 - \sin^2 \delta \sin^2 \alpha}} \quad (9)$$

$$\dot{z} = \frac{dz}{dt} = \frac{-r \omega \sin 2\delta (-\cos \zeta \sin \alpha \cos \delta + \sin \zeta \cos \alpha)}{2(1 - \sin^2 \delta \sin^2 \alpha)^{3/2}}$$

$$\ddot{z} = \frac{d^2 z}{dt^2} = \frac{-r \omega^2 \sin 2\delta [-\cos \zeta \cos \delta \cos \alpha (1 + 2 \sin^2 \delta \sin^2 \alpha) - \sin \zeta \sin \alpha (\cos^2 \delta - 2 \sin^2 \delta \cos^2 \alpha)]}{2(1 - \sin^2 \delta \sin^2 \alpha)^{5/2}}$$

Gleitgeschwindigkeiten auf ein Mindestmaß herabgedrückt. Die Relativbewegungen in den Kugelgelenken und den Ebenenführungen e sind sehr gering¹⁶⁾.

Kardanaufhängung der schiefen Scheibe, Pleuelstange unendlich lang, Gelenkpunkt K_1 im Unendlichen.

Verschiebt man in Abb. 20 den Gelenkpunkt K_1 des Kolbens in das Unendliche in Richtung der Zylinderachse, so entsteht das Getriebe, Abb. 22. Die Kardanaufhängung der Scheibe S ist wie in Abb. 21 dadurch bewerkstelligt, daß die zylindrischen Zapfen Z durch Prismenführungen gezwungen sind, sich in Kreisführungen zu bewegen, deren Mittelebene durch die Achse m geht. Auf dem Kreis K der Scheibe S sind gleichmäßig verteilt und starr mit der Scheibe die Kugelzapfen G befestigt. Die prismatischen Steine werden zwischen zwei mit dem Kolben starr verbundenen und zu ihrer Hubrichtung ss senkrecht stehen-

Abb. 23 zeigt für eine nach dem Getriebschema von Abb. 22 gebaute schwedische Verbrennungskraftmaschine¹⁷⁾ wie sich hier gemäß der Gl. (9) die Kolbenbeschleunigung in Abhängigkeit vom Winkel ζ ändert. Diese Verbrennungskraftmaschine hat einen Schrägstellungswinkel $= 23^\circ 35'$, eine Umlaufzahl $n = 1400$ U/min einen Halm $r = 0,055$ m. Die Beschleunigungskurven für Aufwärtsbewegung des Kolbens sind in Abb. 23 gezeichnet. Ein zentrisch symmetrischer Verlauf bezüglich Hubmitte ergibt sich nur für $\zeta = 0^\circ$ und $\zeta = 90^\circ$, oder $\zeta = 180^\circ$ und $\zeta = 270^\circ$. Für jeden Winkel ζ jedoch sind die Beschleunigungskurven für Auf- und Abwärtsgang der Kolben bezüglich einer durch die Hubmitte gehenden senkrechten Geraden symmetrisch, was für $\zeta = 13^\circ$ eingezeichnet ist. Zum Vergleich ist für gleiche Hub- und gleiche Umdrehungszahl der Beschleunigungsverlauf eines ebenen Kurbeltriebes mit unendlich langer Schubstange über der Abszisse $\zeta =$

¹⁶⁾ Vergl. Z. Bd. 72 (1928) S. 459.

¹⁷⁾ Vergl. Z. Bd. 69 (1925) S. 1405.

zeichnet als Gerade eingezeichnet. Es ist sofort zu erkennen, daß der Ersatz dieser etwas verwickelteren genauen Beschleunigungsverhältnisse durch einen ebenen Kurbeltrieb (mehr zulässig ist. Wie früher wurde auch für das Beschleunigungsschema von Abb. 22 die Veränderung der Beschleunigungswerte durch Änderung der Größenverhältnisse der der wenigstens für die Totpunkte untersucht, wenn bei bleibendem Hub $h=2r\sin\delta$ und gleicher Umdrehungszahl der Winkel δ oder r verändert wird. Mit der Annäherung gelten diese Untersuchungen auch für in Abb. 19 dargestellte Getriebe.

Es ergibt sich, daß der Beschleunigungswert im Totpunkt für $\zeta=90^\circ$ über $\delta=25$ bis 30° hinaus besonders stark ansteigt, so daß es nicht zu empfehlen ist, δ für die Konstruktion größer als 25 bis 30° zu nehmen.

Es sei jetzt schon darauf hingewiesen, daß der Ausschlag der freien Massenwirkungen eines Getriebes mit im ζ angeordneten Zylindern durch ein praktisch nur in ζ kommendes, mit der gleichen Winkelgeschwindigkeit ω mitumlauendes Gegenmoment gleichbleibender Größe um so weniger vollkommen wird, je mehr sich der Verlauf der Beschleunigung der einzelnen Kolben, gemäß verschiedenen Werten ζ , unterscheidet.

Taumelscheibenbewegung, erzeugt durch Abrollen zweier Kegel mit gemeinsamer Spitze und gleichem Öffnungswinkel.

Die Taumelbewegung kann außer durch Kardanaufbewegung auch dadurch erzeugt werden, daß die Scheibe S, Abb. 24, mit dem Kegel k_1 starr verbunden ist, der auf dem feststehenden Kegel k_2 ohne zu gleiten abrollt; die gemeinsame Spitze O ist gleichzeitig Mittelpunkt des Scheibenkreises. An diesem sind wiederum gleichmäßig verteilt die Kugelgelenke G angeordnet, die durch Pleuelstangen mit den Kegelzapfen K_1 der im Kreis angeordneten Pleueln verbunden sind. Werden die endlichen Pleuelstangen vernachlässigt, so entspricht das Bewegungsgesetz der Pleueln, gleichmäßige Drehung der Achse w vorausgesetzt, demjenigen für gewöhnlichen ebenen Kurbeltrieb mit unendlich langer Schubstange¹⁸⁾).

¹⁸⁾ Vergl. Österr. Patentschrift Nr. 60665/47h.
¹⁹⁾ Vergl. „Engineering“ Bd. 117 (1924) S. 741.

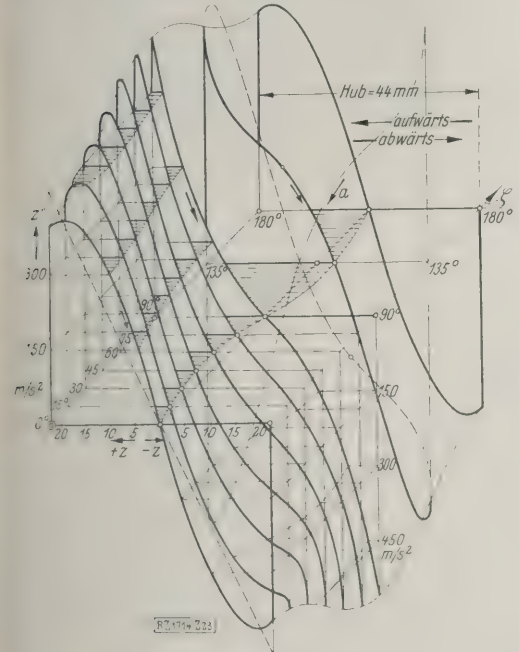


Abb. 23.

Raumschaubild des Beschleunigungsverlaufes der Kolben für verschiedene ζ nach Abb. 22, zahlenmäßig ausgewertet nach einer von Auriol Lind, Stockholm, ausgeführten Konstruktion.

Maßstäbe:

Hubweg: 0,0005 m = $\frac{1}{20}$ mm der Zeichnung
 ζ : 5; 1,5 = $\frac{1}{3}$ " " "
Beschleunigung z'' : 5 m/s² = $\frac{1}{3}$ " " "

Freie Massenwirkungen und Massenausgleich

Untersuchung der freien Massenwirkungen bei den reinen „schiefen Scheiben“ und Taumelscheibentrieben; Möglichkeiten des Massenausgleiches.

Die Aufklärung der Beschleunigungsverhältnisse setzt uns in die Lage, einen Überblick über die Massenwirkungen zu erhalten. Eine Untersuchung des Ungleichförmigkeitsgrades an Getrieben findet sich in der bereits früher erwähnten Arbeit von K. Stein²⁰⁾.

Im folgenden sollen zunächst die Massenwirkungen der Kolben allein besprochen werden. Die Winkelgeschwindigkeit der Welle w sei, wie früher, konstant, und die Abmessungen und Gewichte der Kolben seien für jeden der im Kreis mit Halbmesser r_0 gleichmäßig verteilten Zylinder die gleichen; der Schwerpunkt der geradlinig translatorisch hin- und herbewegten Kolbenmassen bleibe dauernd in der zur Hauptachse w parallelen Zylinderachse.

Getriebe, deren Kolbenbewegungsgesetz dem beim ebenen Kurbeltrieb mit unendlich langer Schubstange entspricht.

In Betracht kommen die Getriebe nach Abb. 13, 21 und bei Vernachlässigung der endlichen Schubstangenlänge auch das nach Abb. 24. Es ist leicht nachzuweisen, daß von einer Zylinderzahl $n=3$ aufwärts die resultierende freie Massenwirkung der Kolben in einem reinen Moment besteht, des mit der gleichförmigen Winkelgeschwindigkeit ω wie die Welle w selbst umläuft. Die Größe des hierbei auftretenden resultierenden Massenmomentes ist gegeben durch

$$M_0 = \frac{p m r_0}{2} \left(\frac{h}{2} \omega^2 \right) \dots \dots \dots (10),$$

worin bedeutet:

- ω die Winkelgeschwindigkeit der Welle w ,
- r_0 den Halbmesser des Kreises, auf dem die Zylinderachsen angeordnet sind,
- h Hub des Kolbens,
- m Masse des Kolbens,
- p Anzahl der im Kreis r_0 gleichmäßig verteilt angeordneten Zylinder.

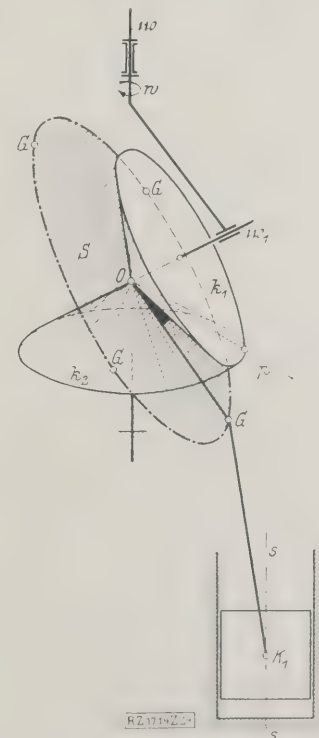


Abb. 24

Taumelscheibenbewegung, erzeugt durch reines Abrollen zweier Wälzkegel mit gemeinsamer Spitze und gleichem Öffnungswinkel.

Erscheint im Grundriß dieser im Kreis angeordneten Zylinder die Achse w als Punkt O , Abb. 25, so tragen wir die Momentenvektoren der resultierenden freien Massenmomente der Kolben M_0 nicht von O aus, sondern von einem Kreis K nach außen auf, wobei der jeweilig dazu gehörende Winkelweg der Welle w mit α bezeichnet ist. Die Projektion des schiefen Zapfens w_1 , s. Abb. 22, die zu der jeweiligen Lage des Momentenvektors M_0 gehört, ist durch den Halbstrahl α gegeben. Durch eine entsprechend kräftig durchgebildete schiefe Scheibe ist beim Michell-Motor²¹⁾ dieses freie Kolbenmassenmoment für jede Stellung der Welle w durch das Gegenmoment M_0 ausgeglichen, so daß nach außen keine freien Massenkräfte auftreten.

²⁰⁾ Vergl. Z. Bd. 72 (1928) S. 459.
²¹⁾ Vergl. Z. Bd. 71 (1927) S. 366.



Abb. 25

Verlauf der freien resultierenden Massenwirkungen M_R der Kolben bei den Getrieben nach Abb. 13, 21, und angenähert auch Abb. 24.

Taumelscheibengetriebe, deren Kolbenbeschleunigung nicht der beim ebenen Kurbeltrieb entspricht

Zunächst soll das in Abb. 22 dargestellte Getriebe besprochen werden. Die Ergebnisse können mit guter Annäherung auch auf das in Abb. 20 gezeichnete Getriebe angewendet werden. Wir verwenden die gleiche graphische Darstellung des freien resultierenden Kolbenmassenmomentes wie in Abb. 25 und tragen in Abb. 26 über dem Kreis K die Massenmomentenvektoren M_x für die senkrechte und M_y für die wagerechte Komponente ein (M_x, M_y). Auch hier ist in der Projektion die zu dem jeweiligen resultierenden Massenmoment $M_R = \sqrt{M_x^2 + M_y^2}$ gehörige Stellung des schiefen Zapfens durch den gleichförmig mit der Winkelgeschwindigkeit ω sich drehenden Halbstrahl a gegeben. Wir erhalten:

$$M_x = \frac{m p r_0 (r \omega^2 \sin 2\delta) [(1 + 2 \sin^2 \delta \sin^2 \alpha) \cos \delta \cos \alpha]}{4 \sqrt{(1 - \sin^2 \delta \sin^2 \alpha)^5}} \quad (11),$$

$$M_y = \frac{m p r_0 (r \omega^2 \sin 2\delta) [(\cos^2 \delta - 2 \sin^2 \delta \cos^2 \alpha) \sin \alpha]}{4 \sqrt{(1 - \sin^2 \delta \sin^2 \alpha)^5}} \quad (12),$$

wobei natürlich M_x und M_y als zusammengehörige Werte für den Winkel α einzusetzen sind. In Abb. 26 ist der Verlauf der resultierenden freien Massenmomente durch die strich-punktierte Kurve eingezeichnet. Sie ist zur x - und y -Achse symmetrisch. Die Schwankungen dieser

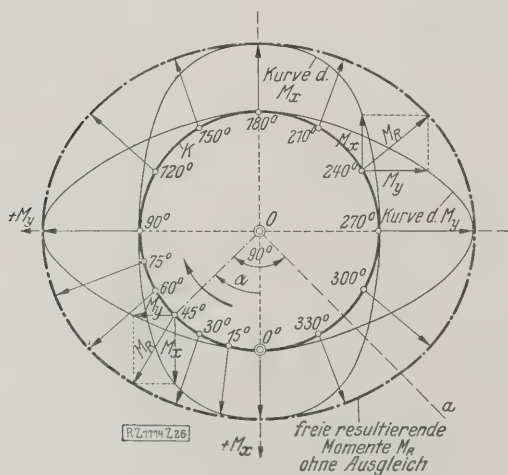


Abb. 26

Verlauf der freien resultierenden Massenwirkungen M_R der Kolben bei den Getrieben nach Abb. 22 und angenähert auch 20.

Kurve sind im Verlauf einer Umdrehung der Welle gegeben durch

$$\frac{M_{R90^\circ}}{M_{R0^\circ}} = \eta_1;$$

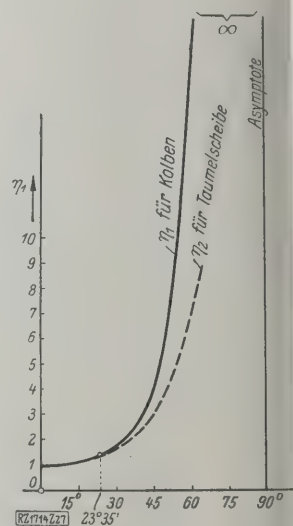
der Wert η_1 ergibt sich für $\alpha = 0^\circ$ und $\alpha = 90^\circ$ gesetzt zu

$$\eta_1 = \frac{1}{\cos^4 \delta} \dots \dots \dots$$

Der Wert η_1 für die Ungleichförmigkeit des freien Kolbenmassenmomentes ist also nur vom Winkel δ und nicht der Zylinderzahl p abhängig. Trägt man nun η_1 für verschiedene Neigungswinkel δ auf, Abb. 27, so sieht man, daß für δ von rd. 30° der Wert η_1 schnell ansteigt, daß ein Ausgleich der freien Massenkräfte durch ein mit gleicher Winkelgeschwindigkeit ω drehendes Gegenmoment, was praktisch nur in Frage kommt, mit wachsendem Winkel δ und daher Vergrößerung des Wertes immer unvollkommener wird. In Abb. 28 sind nun die resultierenden freien Massenwirkungen M_R mit Verwendung eines Ausgleichsmomentes von gleichbleibender Größe M_G , vom Kreis K nach innen zu aufgetragen, gezeichnet, dabei ist

$$M_G = \frac{M_{R90^\circ} + M_{R0^\circ}}{2} \dots \dots \dots$$

Abb. 27
Schwankung der Massenwirkung in Abhängigkeit von δ ohne Ausgleichsmoment: η_1 für die Kolben bei Getrieben nach Abb. 22, η_2 für die Taumelscheibe bei Kardanaufhängung.



Zu beachten ist, daß die mittlere Winkelgeschwindigkeit von M_R dreimal so groß ist wie die der Welle also gleich 3ω .

Massenwirkungen der Kolben bei Taumelscheibenantrieben nach Abb. 17 und 18

Die Kolben haben je den gleichen Beschleunigungsverlauf, jedoch um die Phase $\frac{2\pi}{p\omega}$ zeitlich gegeneinander verschoben. Das freie resultierende Massenmoment der Kolben erreicht dann die gleiche Größe, wenn der schiefen Zapfen m_1 die Stellungen $\alpha_1 = \zeta_1, \alpha_2 = \zeta_2$ usw. (Winkel siehe Abb. 22) einnimmt. Es ist also zu erwarten, daß bei größerer Zylinderzahl p auch die Schwankungen im Kolbenmassenmoment geringer werden, was auch die Untersuchung bestätigt. In Abb. 29 sind die Werte η_1 in Abhängigkeit von der Zylinderzahl p und vom Wert δ dargestellt. Der Massenausgleich durch das vorerwähnte Gegenmoment M_G gestaltet sich also bei Zylinderzahl über $p = 8$ schon ziemlich vollkommen²²⁾. Die Werte für die Massenwirkungen der Taumelscheibe selbst bei Kardanaufhängung sind in Abb. 27 dargestellt. Wie zu erwarten war, verschlechtern die Massenwirkungen der Taumelscheiben noch den Massenausgleich; dies fällt doch nicht so sehr in das Gewicht, da die Massenwirkungen der Taumelscheibe im Verhältnis zur Massenwirkung der Kolben gering ist. Der Vektor des Massenmomentes der Taumelscheibe hat jedoch auch eine Komponente in der Richtung der Hauptachse des Getriebes, was bei

²²⁾ DRP Nr. 428 341/46a.

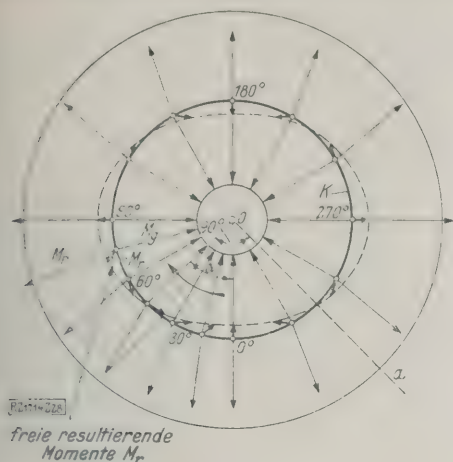


Abb. 28

Die Massenwirkungen nach Abb. 26 sind durch ein mit der gleichen Winkelgeschwindigkeit ω mit umlaufendes Gegenmoment M_g teilweise ausgeglichen.

Frankierung des Motors an der Auflagerkonstruktion zu berücksichtigen ist. Der Momentenvektor der Massenwirkung der Taumelscheibe bei Getrieben nach Abb. 24 liegt jedoch immer senkrecht zu den Achsen w und w_1 und richtet sich also in gleichbleibender Größe mit der Winkelgeschwindigkeit ω mit.

Zusammenfassung

Bei Untersuchung des Beschleunigungsverlaufes in Abhängigkeit vom Neigungswinkel δ des schiefen Zapfens ergibt sich Winkel δ mit 0 bis 30° als am günstigsten. Ein angenäherter Ersatz des Bewegungsgesetzes des räumlichen Getriebes durch ein ebenes Kurbeltriebes ist bei den üblichen Winkeln δ von 25° bis 35° nicht mehr zulässig. Vollständiger Massenausgleich ist bei den Getrieben nach Abb. 13, 17 und 18, verbessert sich bei steigender Zylinderzahl. Der Massenausgleich bei den Getrieben, Abb. 17 und 18, verbessert sich bei steigender Zylinderzahl. [B 1714]

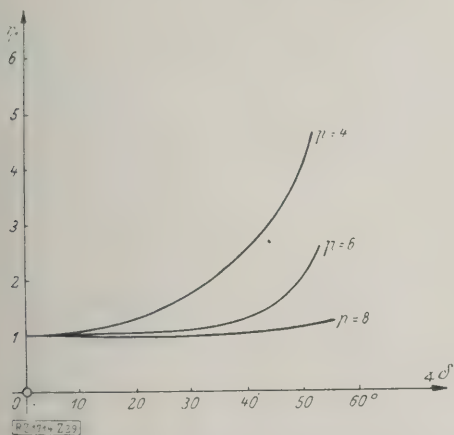


Abb. 29

Schwankungen der Massenwirkung der Kolben bei Getrieben nach Abb. 17 und 18 in Abhängigkeit von δ und der Zylinderzahl p .

Grundsätzliches über Fließarbeit

Anläßlich einer Besichtigung der Fließfertigungsanlagen der Siemens-Schuckertwerke, Berlin-Siemensstadt, hat Dr.-Ing. E. h. Kötting ausführlich über „Grundsätze und Aufgaben der Organisation der Fließarbeit“ gesprochen¹⁾.

Fließarbeit ist eine örtlich fortschreitende, zeitlich bestimmte, lückenlose Folge von Arbeitsgängen, für deren Durchführung eine im einzelnen genau durchdachte Arbeitsvorbereitung sowie die Verwendung von entsprechenden Fördereinrichtungen, Vorrichtungen, Werkzeugen und Maschinen notwendig ist.

Voraussetzung für die wirtschaftliche Lösung der Fließarbeit ist die zweckmäßige Gestaltung von Einzelteilen, aus denen sich der herzustellende Gegenstand zusammensetzt, da die Einrichtungen für die Fließarbeit in der Regel nur mit erheblichen Mitteln auf eine Änderung der Konstruktion umgestellt werden können. Ebenso muß man die Auswahl und Zuführung des Werkstoffes so treffen, daß von dieser Seite Störungen, die ja immer den ganzen Arbeitsfluß erfassen, ausgeschlossen sind. Um beim Zusammenbau Verlustzeiten zu vermeiden, muß man die vorgeschriebenen Toleranzen weitgehend einhalten.

Da von den Durchlaufzeiten der Werkstücke der Raumbedarf beeinflusst wird, muß man geeignete Förderanlagen verwenden. Falls die Werkstücke nur geringes Gewicht haben und Arbeitsplatz neben Arbeitsplatz liegt, ist am einfachsten das Weitergeben von Hand zu Hand. Einfache Förderanlagen sind auch Rutschen. Sehr vorteilhaft läßt sich manchmal die Schwerkraft ausnutzen. Für größere Werkstücke verwendet man häufig Rollenordnungen. Bei größeren Entfernungen oder Gewichten ist ein mechanischer Hilfsantrieb oft nicht zu umgehen. Dies hängt davon ab, ob der Arbeiter nach seinem Willen das Werkstück der Bahn entnimmt und nach Beendigung des Arbeitsvorganges wieder auf die Bahn legt, oder ob dem Arbeiter die Zeit durch die Fördergeschwindigkeit vorgeschrieben ist.

Die Verwendung von Vorrichtungen, Werkzeugen und Maschinen ist am Platze, wenn es sich um stets wiederkehrende Bearbeitungsvorgänge handelt, für die Universalmaschinen unwirtschaftlich wären. Oft ist es möglich, vorhandene Werkzeugmaschinen für einen bestimmten Arbeitsvorgang umzubauen. Die Absicht geht dahin, die Arbeiter vom Kraftaufwand möglichst zu entlasten und diesen der Maschine zu übertragen, um die Aufmerksamkeit auf den Arbeitsgang, auf die Maßhaltigkeit oder auf die Einhaltung der vorgeschriebenen Zeitspannen zu beschränken.

Die Wirkungen der Fließarbeit auf die Beteiligten, sowohl auf die Arbeiter wie auch auf die Betriebsleiter, wird durch helle luftige Räume und durch günstige äußere Arbeitsbedingungen wesentlich gemildert. In den Vereinigten Staaten von Amerika ist durch die hohe Fertigungsziffer der Arbeitsvorgang häufig nur auf einen einzigen Handgriff beschränkt, z. B. das Anziehen von Schraubenmutter, das selbst wieder in drei Vorgänge unterteilt wird: Aufsetzen der Mutter, Aufschrauben, Festziehen. In Deutschland werden in der Regel mehrere Arbeitsvorgänge in einen einzigen zusammengefaßt, wodurch ein Wechsel in den Handgriffen und damit eine gewisse Ablenkung eintritt.

Für den Betriebsleiter bedeutet die Fließarbeit eine Fülle von verantwortungsvoller Tätigkeit. Für jeden Arbeitsvorgang ist eine genaue Festlegung und eine gegenseitige Abstimmung notwendig, damit die Stetigkeit des Fertigungsflusses nicht unterbrochen wird und eine lückenlose Zusammenarbeit stattfindet. In diesem natürlichen Zwang zur Festlegung der Werkstoffanlieferung, der Arbeitsvorgänge und der Arbeitszeiten liegt gleichzeitig der wirtschaftliche Erfolg der Fließarbeit. Durch den Einbau von selbstschreibenden Zählwerken gelingt es leicht, den Fluß zu beobachten, Stockungen sofort wahrzunehmen und für deren Abstellung zu sorgen.

Wenn durch die Einführung der Fließarbeit heute noch keine sofortige und allgemeine Wirkung auf die Preise festzustellen ist, so liegt es auch daran, daß sie bis jetzt nur einen kleinen Teil der Gesamtproduktion erfaßt. Doch ist nicht zu verkennen, daß trotz der verminderten Kaufkraft des Geldes gewisse Erzeugnisse, z. B. Glühlampen, Elektrizitätszähler, Staubsauger usw., unverändert im Preis geblieben sind, was einer Preissenkung gleichkommt.

[N 2349]

Schi.

¹⁾ Zentralblatt für Gewerbehygiene und Unfallverhütung, Beiheft 12, Fließarbeit: Berlin 1928.

am ersten Laufrad mehrstufiger Pumpen, ebenso einstufigen Pumpen, sofern die Förderhöhe eines an die Grenze, die mit Rücksicht auf Hohlraumbildung als größtmöglich zu betrachten ist, herankommt. Bei ist aber im Auge zu behalten, daß diese Grenzhöhe H_{\max} mit zunehmender manometrischer Saughöhe H_s kleiner wird, etwa so, daß die bei den Wasser- inen gebräuchliche Größe $\sigma = \frac{A - H_t - H_s}{H_{\max}}$, wo A Atmosphärendruck, H_t die Wasserdampfspannung in S. bedeutet, näherungsweise einen für eine bestimmte Bauart charakteristischen Wert erhält, der mit zunehmender Schnelligkeit anwächst⁶⁾.

Leitvorrichtung

Die Spiralgehäuse stellen für mittlere spezifische Drehzahlen die günstigste Leitvorrichtung dar. Sie sind früher meist zu eng. Werden ihre Abmessungen richtig berechnet, wobei auch der Einfluß der Reibung

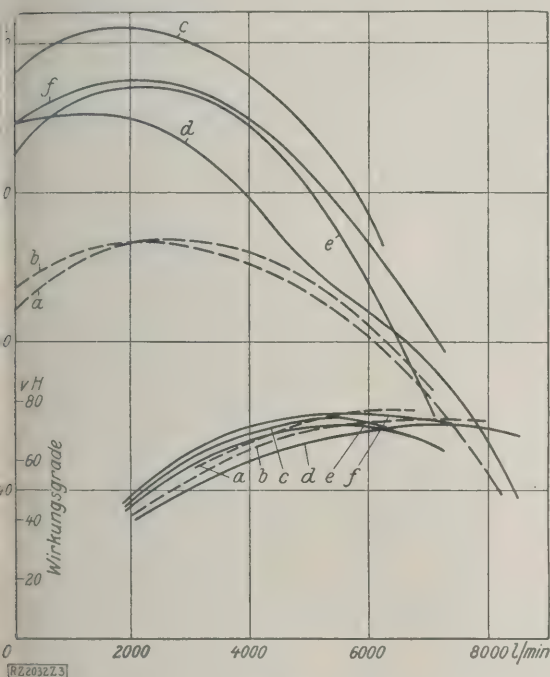


Abb. 3

Förderhöhen und Wirkungsgrade eines Rades von 435 mm Dmr. unter verschiedenen Einbauverhältnissen bei der gleichen Beschauelung.

einstufig mit Spiralgehäuse ohne Leitrad,	doppelseitiger Einlauf
" " " " mit " " " " " " " "	einseitiger " " " " " " " "
" " " " " " " " " " " " " "	doppelseitiger " " " " " " " "
zweistufig ohne " " " " " " " " " " " "	einseitiger " " " " " " " "
(6+5stufig " " " " " " " " " " " "	" " " " " " " "

erungsweise berücksichtigt werden kann⁷⁾, so ergibt eine erheblich stärkere Zunahme des Spiralquermittes als der Proportionalität mit dem Zentriwinkel φ entspricht, wie Abb. 2 zeigt. Der Anstieg ist besonders, wenn die Reibung mit berücksichtigt wird (Kurve B). Das proportionale Anwachsen ist bei der esserturbine (Kurve C) noch zu rechtfertigen, keines aber bei der Pumpe.

Bei den Leitschaufeln zeigen neuere Versuche, die Eintrittsweite mit Vorteil größer ausgeführt wird, der Bedingung des stoßfreien Eintritts entspricht⁸⁾,

zwar ist die nötige Weite mindestens das $\left(1,15 \frac{t_a}{t_s - s_a}\right)$ derjenigen, die sich für den stoßfreien Eintritt bei

⁶⁾ „Hydraulische Probleme“ S. 68 u. f. Neben der Größe σ kann die Zahl $s = \frac{A - H_t - H_s}{u^2 \cdot 2g}$ benutzt werden, die von Föttinger, (S. 61) vorgeschlagen ist und sich weniger stark mit der speziellen Drehzahl ändern dürfte, als σ .

⁷⁾ Literaturangabe Fußbemerkt. 3 S. 115 und Forschungsarb. Heft 84.

⁸⁾ Vergl. die demnächst erscheinende Dissertation Siebrecht.

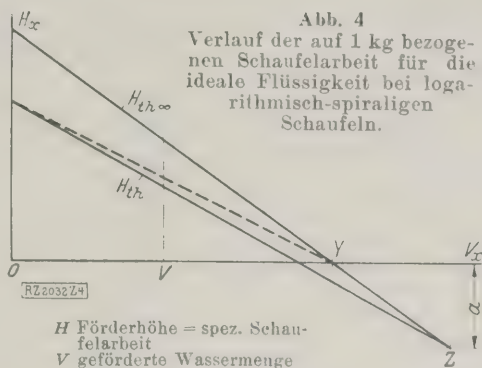


Abb. 4

Verlauf der auf 1 kg bezogenen Schaufelarbeit für die ideale Flüssigkeit bei logarithmisch-spiraligen Schaukeln.

H Förderhöhe = spez. Schaufelarbeit
 V geförderte Wassermenge

Benutzung der logarithmischen Spirale findet, $\frac{t_a}{t_s - s_a}$ ist der Verengungsfaktor, herrührend von der endlichen Dicke der Leitschaufelspitzen.

Die Evolvente erweist sich als Eintrittsverlauf weniger günstig als die logarithmische Spirale. Letztere wird wieder übertroffen von einer Linie, deren Steigung nach außen zunimmt und die innen mit dem Winkel des stoßfreien Eintritts beginnt.

Die Vorausberechnung der Radleistung

unterliegt immer noch einer gewissen Unsicherheit, obwohl die Wissenschaft sich gerade mit dieser Aufgabe in neuerer Zeit besonders eingehend befaßt hat⁹⁾. Soweit diese Arbeiten auf der Voraussetzung der idealen, d. h. reibungslosen Flüssigkeit beruhen, sind sie aber nur zur Gewinnung eines gewissen Einblicks in den Mechanismus der Strömung geeignet, weil bei Kreisrädern, insbesondere solchen mit sich verlangsamender Strömung, die Wirbelablösung der wirklichen Flüssigkeit von der Wand, d. h. die Totraumbildung, das Bild durchgreifend ändert. Außerdem vermögen sie die verschiedenartige Zu- und Abführung des Wassers im Rad nicht zu berücksichtigen. Wie groß dieser Einfluß ist, zeigt Abb. 3, die auf dem Versuchsstand ermittelt ist. Hier sind die Förderhöhen, ebenso die Wirkungsgrade eines Rades von 435 mm Dmr. in Abhängigkeit der Wassermenge für die unter der Figur näher bezeichneten Einbauverhältnisse angegeben, nämlich bei Verwendung ohne und mit Leitrad, als ein- und doppelseitiges Laufrad und für die ein- und mehrstufige Pumpe, wobei die Schauflung und die Schauflerbreiten übereinstimmen. Dabei hat auch der Einlaufstutzen die verschiedenen bei diesen Bauarten üblichen Formen. Die großen Unterschiede im Verlauf der Förderhöhen zeigen, wie stark die Art der Zu- und Abführung des Wassers die Leistung beeinflusst. Dabei soll nicht unerwähnt bleiben, daß die Formgebung dieser Kanäle für die Erzielung kleinstmöglicher Widerstände bemessen ist, also nennenswerte Unterschiede in den Reibungshöhen nicht vorliegen.

Wenn sonach nur der Versuch in letzter Linie den richtigen Einblick zu gewinnen erlaubt, so können doch Rechnungsunterlagen, die dann naturgemäß nur Näherungscharakter haben können, nicht entbehrt werden. Eine größere Zahl von Beobachtungen der letzten Jahre scheint zu bestätigen, daß die elementare Turbinentheorie brauchbare Unterlagen liefert, wenn die Auseinanderstellung der Schauflern durch Verwendung einer rechnungsmäßigen theoretischen Förderhöhe $H_{th \infty}$ (spezifischen Schaufelarbeit) an Stelle der wirklichen H_{th} berücksichtigt wird¹⁰⁾, wobei

$$H_{th \infty} = H_{th} \left(1 + k \sin \beta_2 \frac{r_2^2}{S^2}\right) \dots \dots (1)$$

(z = Schauflerzahl, r_2 der äußere Halbmesser des Laufrades, S das statische Moment des mittleren Wasserradens im Meridianschnitt, k eine der verwendeten Bauart eigene Konstante, die insbesondere von der Art

⁹⁾ Spannhake, Hydraulische Probleme S. 180, Pfeiderer, Die Kreiselpumpen, Sörensen, Potentialströmungen durch Kreisräder, Diss. Karlsruhe 1926, Schühanst, Näherungsweise Berechnung von Auftrieb und Druckverteilung in Flügelgittern, Vortrag in der Wiss. Gesellsch. f. Luftfahrt, Wiesbaden 1927, Schulz, a. Fußbem. 2, Busemann, Z. f. ang. Math. u. Mech. Bd. 8 (1928) Nr. 5 S. 372.
¹⁰⁾ Vergl. Hydraulische Probleme S. 201 ff., „Hütte“ 2. Bd. 25. Aufl. S. 847 ff.; Pfeiderer, Die Kreiselpumpen S. 98.

der Leitvorrichtungen abhängt, und zwar bei Leitrad-pumpen zwischen 2 und 3, bei Spiralgehäusepumpen etwas höher liegt).

Es sei hier noch eine Bemerkung über die Größe H_{th} eingeschaltet. Für die ideale Flüssigkeit verläuft dieser Wert bei konstanter Drehzahl in Abhängigkeit von der Wassermenge V_x sowohl bei endlicher (H_{th}) als auch unendlicher Schaufelzahl ($H_{th\infty}$) als Gerade, sofern tangentiales Abströmen von den Schaufelspitzen angenommen wird. Die H_{th} - und $H_{th\infty}$ -Gerade schneiden sich in einem Punkt Z , der nach neueren Feststellungen¹¹⁾ für die logarithmisch-spiralige Schaufel in einem bestimmten Abstand a unterhalb der V_x -Achse liegt, Abb. 4. Die Bestimmung der Größe a für den allgemeinen Fall ist bis heute noch nicht gelungen. Gl. (1) setzt einen Schnittpunkt Y auf der V_x -Achse voraus, wie gestrichelt eingetragen, was nur in Sonderfällen genau zutrifft. Die H_{th} -Linie der wirklichen Flüssigkeit ist aber überhaupt keine Gerade. Wie bei den Tragflügeln¹²⁾ bilden sich nämlich auf der Saugseite der Schaufelenden Toträume x , Abb. 5, die eine Verkleinerung des wirklichen Schaufelaustrittswinkels β_2^* , also auch von H_{th} und im ganzen ein rascheres Abfallen der H_{th} -Linie gegenüber dem tangentialen Abströmen bedingen. Der Unterschied $\beta_2 - \beta_2^*$ ist nun mit V_x veränderlich, so daß das der geradlinigen H_{th} -Linie zugrunde liegende tangential Abströmen selbst bei Annahme einer ideellen Schaufel nicht bestehen bleibt.

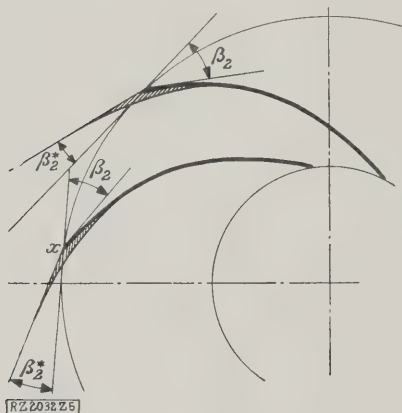


Abb. 5
Verkleinerung des
relativen Austritts-
winkels infolge
Totraumbildung
 x an den
Schaufelenden.

Man versteht unter H_{th} entweder die theoretische Förderhöhe, bestimmt durch die Drallzunahme im Rad aus der Eulerschen Gleichung (Impulssatz) oder die spezifische Schaufelarbeit. Obwohl der Impulssatz auch für die reibungsbehaftete Strömung gilt, sind beide Werte für die wirkliche Flüssigkeit nicht identisch. Bestimmt man nämlich die H_{th} -Werte durch den Versuch als die auf 1 kg Förderflüssigkeit entfallende Schaufelarbeit, indem man also die Rad- und Lagerreibung sowie den Spaltverlust aus der gemessenen Antriebsarbeit aus-scheidet, so erhält man weit größere Abweichungen, als sie nach den vorstehenden Überlegungen gerechtfertigt sind. In Abb. 6 ist der Verlauf angegeben, wie er für ein und dasselbe Rad bei Verwendung verschiedener Leitvorrichtungen, die alle in eine und dieselbe Pumpe eingebaut werden, erhalten wurde¹³⁾. Linie a bezieht sich auf feste Leitschaufeln, b auf den glatten Leitring ohne Leitschaufeln, c auf drehbare Leitschaufeln, d auf den Spaltschieber. In den Fällen c und d sind die Leitschaufel- bzw. Spaltschieberweite bei jeder Liefermenge stets auf den besten Gesamtwirkungsgrad eingestellt. Ferner sind eingetragen die Liefermenge für stoßfreien Laufradeintritt und die Liefermenge besten Wirkungsgrades der Pumpe mit festen Leitschaufeln, ebenso zum Vergleich die Linie $H_{th\infty}$. Man sieht, daß die Verhältnisse nach Abb. 4 keinesfalls gewahrt bleiben und die Versuchslinien bei kleinen Wassermengen die

Linie $H_{th\infty}$ sogar überschneiden, um asymptotisch an Ordinatennachse heranzulaufen. Die starke Krümmung der aufgenommenen Linien nach oben kann nun durch die oben besprochene Totraumbildung allein nicht erklärt werden. Es ist auch nicht möglich, daß die so mitgeteilten Werte mit den aus dem Impulssatz erhaltenen

$$H_{th} = \frac{\omega}{g} (r_2 c'_{2u} - r_1 c_{0u}) \dots$$

der auch für die reibungsbehaftete Strömung gilt, nicht übereinstimmen, denn sonst würden sich bei kleinen Wassermengen undenkbar große Umfangskomponenten c'_{2u} ausbreitender Flüssigkeit einstellen. Die erhaltenen Werte seien deshalb zur Unterscheidung mit H_{thL} bezeichnet.

Der Unterschied wird nur verständlich, wenn man zusätzliche Reibungsverluste, etwa durch den Charakter der Radreibung angenommen werden, die in dem von der Wellenleistung gemachten, zug nicht enthalten sind und mit abnehmender Fördermenge stark zunehmen. Die Entstehung dieser zusätzlichen Verlustströmung kann aus dem Strömungsbild der reibungslosen Flüssigkeit für kleinen Durchflüssen erklärt werden, da die Übereinstimmung der Verdrängungs- mit der Zirkulations-

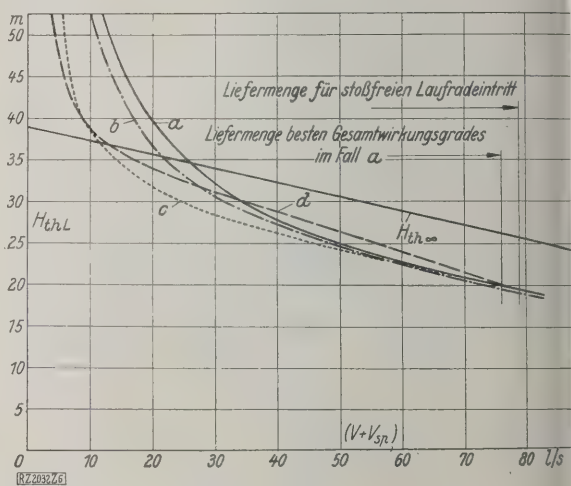


Abb. 6

Verlauf der auf 1 kg Wasser bezogenen Schaufelarbeiten H_{thL} für ein und dasselbe Rad von 415 mm

Dmr. bei verschiedenen Leitvorrichtungen im gleichen Pumpengehäuse, wobei sich bezieht:

- a auf ein festes Leitrad normaler Eintrittsweite
- b „ den glatten Leitring ohne Leitschaufeln
- c „ drehbare Leitschaufeln (auf besten Pumpenwirkungsgrad eingestellt)
- d „ den zylindrischen Spaltschieber e, Abb. 6a (Punkte besten Gesamtwirkungsgrades)

$H_{th\infty}$ auf ein (gedachtes) Rad mit unendlich vielen Schaufeln in der idealen Flüssigkeit

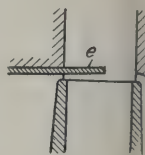


Abb. 6a

Strömungsbild mit starken Verzögerungen und Beschleunigungen des zwischen dem Spalt und Laufrad ausgetauschten Wassers ergibt, die bei der wirklichen Flüssigkeit ohne Wirbel- und Totraumbildung d. h. ohne zusätzliche Verluste nicht denkbar sind. Die Zusatzströmung legt sich um den Radumfang gewissermaßen wie ein Bremsband herum, das mit abnehmender Fördermenge immer stärker angezogen wird und dessen Bremswirkung bei der normalen Wassermenge wahrscheinlich gleich null gesetzt werden kann.

Sie wird, wie aus den Verschiedenheiten der Linien bis d , Abb. 6, ersichtlich ist, von der Art der Wasserführung hinter dem Rad stark beeinflusst. Sie ist größten bei festen Leitschaufeln, erheblich kleiner bei schaufellosen Ringraum (b). Die drehbaren Leitschaufeln (c) haben den kleinsten Zusatzverlust,

¹¹⁾ s. Fußbem. ²⁾ S. 6 u. f., ferner Busemann, Fußbem. ³⁾

¹²⁾ Vergl. z. B. Betz in Geiger-Scheel, Handbuch der Physik 7. Bd., Berlin 1927, S. 222.

¹³⁾ Nach Versuchen an einer Drehschaufelpumpe der Maffei-Schwartzkopf-Werke in dem Laboratorium für Dampfmaschinen und Pumpen der Technischen Hochschule Braunschweig. Näheres Diss. Siebrecht.

bei kleinen Liefermengen noch vom Spaltschieber unterschritten wird. Das günstige Verhalten der beiden Regelungsarten bei Leerlauf erklärt sich aus, daß die geschlossenen Drehschaufeln ebenso wie Spaltschieber sich als glatte Fläche dicht um das Rad herumlegen und Austauschströmungen weitgehend unterbinden.

Diese Beobachtungen geben Veranlassung, einige Überlegungen über die verschiedenen Regelungsarten von Kreiselpumpen, insbesondere die Drehschaufelregelung, einzuschalten.

Regelung von Kreiselpumpen

Bei der am häufigsten angewendeten Regelung durch Drosselung ist für irgendeinen Betriebspunkt B , z. B. 7, der auf der Kennlinie DE der Rohrleitung liegt, die Vernichtung der überschüssigen Druckhöhe BC durch Drosselorgan nötig, so daß der Wirkungsgrad JL im Verhältnis $JB:JC$ auf JK verkleinert. Die Kurve der maßgebenden Wirkungsgrade ergibt sich mit als die Linie OKF , die offenbar erheblich niedriger liegt als die für die ungedrosselte Pumpe geltende Linie I .

Ist bei der Regelung durch Änderung der Drehzahl der Verlauf der maßgebenden Wirkungsgrade bestimmen, Abb. 8, so liegt es nahe, den zum Betriebspunkt B zugeordneten Punkt C auf der für eine be-

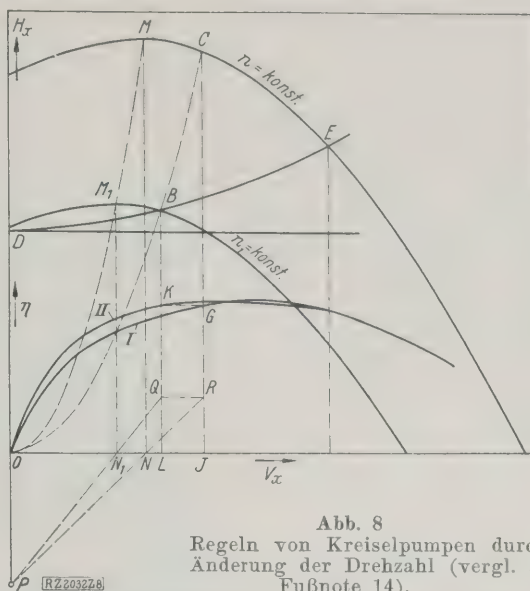


Abb. 8
Regeln von Kreiselpumpen durch Änderung der Drehzahl (vergl. a. Fußnote 14).

- Linie I Wirkungsgrade bei unveränderter Drehzahl n , bezogen auf die Drosselkurve
Linie II Wirkungsgrade bei sich ändernder Drehzahl, bezogen auf die verlangten Förderhöhen gemäß der Rohrleitungskennlinie DE

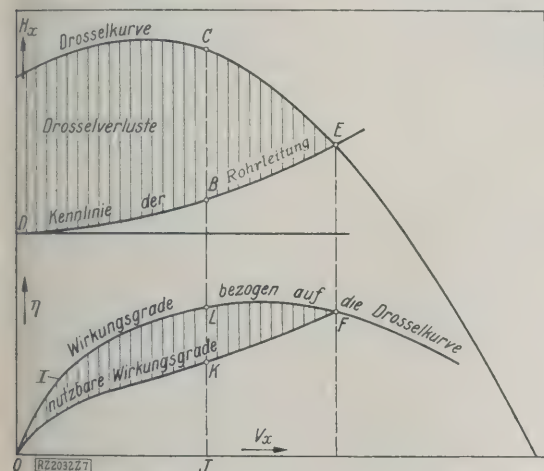


Abb. 7

Regeln von Kreiselpumpen durch Drosselung.

stimmte Drehzahl n gegebenen Drosselkurve durch Einzeichnen der Parabel OBC aufzusuchen und den zu C gehörigen Wirkungsgrad JG aus der Wirkungsgradkurve I der Pumpe als den gesuchten Wert entsprechend $J=KL$ zu entnehmen. Man kann aber das Zeichnen der Parabel OBC sparen und gleichzeitig auch die zu B gehörige Drehzahl n_1 erhalten, wenn man das Konuenzgesetz benutzt¹⁴⁾.

Die nutzbaren Wirkungsgrade verlaufen bei dieser Regelungsart, wie der Vergleich mit Abb. 7 lehrt, wesentlich günstiger als bei Drosselregelung und für einen weiten Bereich sogar über der Linie der Wirkungsgrade I , bezogen auf den ungedrosselten Wasserstrom.

Bei der Regelung durch Drehung der Drehschaufeln glaubt man die Vorteile in der Möglichkeit der Vermeidung des Eintrittstoßes in das Leitrad suchen zu sollen. Dies trifft nicht zu. Würde die Leistungsaufnahme des Laufrades die gleiche wie bei stehenden Drehschaufeln sein, d. h. die Linie der H_{th} unverändert bleiben, was nach der elementaren Tur-

bintheorie zutreffen sollte und auch bisher in der Literatur als zutreffend angenommen wurde, so müßte der durch den verminderten Eintrittstoß erzielte Gewinn an Förderhöhe durch verstärkte Drosselung hinter der Pumpe wieder vollständig vernichtet werden, da er nicht verwertet werden kann.

Die Förderhöhe der ungedrosselten Drehschaufelpumpe, Linie GH in Abb. 9, würde bei dieser Annahme um die Ordinaten der Parabel LVK des Leitradstoßverlustes über der Förderhöhe der Pumpe mit feststehenden Schaufeln (Linie FA_1E) liegen, z. B. $JJ_1 = AA_1$. Da aber die Kennlinie der Rohrleitung (Linie DE) die verlangten Förderhöhen vorschreibt, so vergrößert sich eben die Drosselfläche der Abb. 7 um diesen scheinbaren Gewinn. Wird nur mittels der Drehschaufel, also ohne Drosselschieber, geregelt, so müssen die Drehschaufeln auch als Drosselorgane wirken und können deshalb auf stoßfreien Eintritt — abgesehen von der nor-

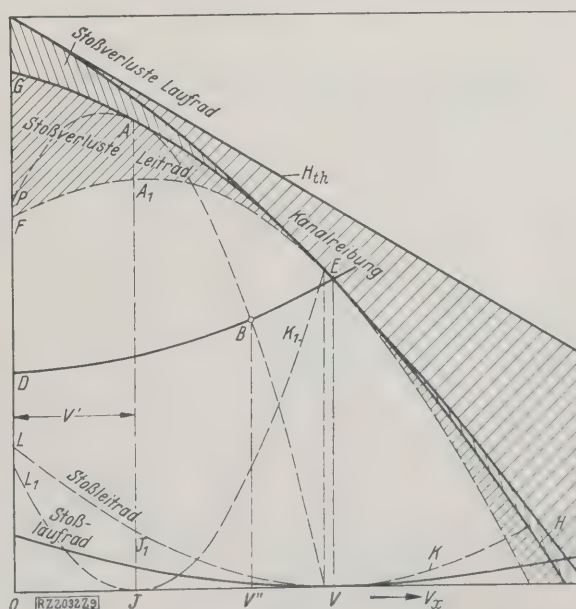


Abb. 9

Regeln von Kreiselpumpen durch Drehung der Drehschaufeln bei konstanter Drehzahl, Schaufelarbeit H_{th} unabhängig von der Drehschaufelstellung.

¹⁴⁾ Verschiebt man nämlich die Drosselkurve parallel mit sich so, daß der höchste Punkt M längs der Parabel OM wandert und ist M_1 die Lage von M für die durch B gehende Drosselkurve, so geben die Abszissen ON und ON_1 von M und M_1 in einem unveränderlichen Verhältnis die zugehörigen Drehzahlen n und n_1 an. Da andererseits die Abszissen der Punkte C und B sich auch wie n zu n_1 verhalten, so ergibt sich folgende einfache Bestimmung von GJ :

Man verbinde einen beliebigen Punkt P der Ordinatenachse mit den Punkten N und N_1 von M und M_1 und ziehe durch den Schnittpunkt von PN mit der Ordinatenachse die Waagrechte bis zum Schnittpunkt R mit PN_1 . Die Senkrechte durch R gibt nun den Punkt G .

malen Wasserlieferung — überhaupt nicht eingestellt werden, wie auch folgende Betrachtung zeigt.

Hält man eine bestimmte Leitschaukelstellung fest, die einen stoßfreien Leitradeintritt bei der Wassermenge $V' = \overline{OJ}$ und die Stoßparabel L_1JK_1 des Leitradstoßes¹⁵⁾ ergibt, so bekommt man nach Abzug dieser Stoßverluste von den Ordinaten der Linie GEH als zugehörige Drosselkurve die Linie PAB . Der im Schnitt mit der Rohrleitungs-Kennlinie liegende Betriebspunkt B zeigt, daß die Durchflußmenge V'' stets wesentlich größer ist als die des stoßfreien Leitradeintritts V' . Die Drosselkurve GEH des stoßfreien Leitradeintritts ist offenbar die Umhüllende der zu den einzelnen Leitschaukelweiten gehörigen Drosselkurven PAB .

Der Gewinn durch die Drehbarkeit der Leitschaukeln beruht bei unveränderlicher Drehzahl einzig und allein auf der im Anschluß an Abb. 6 besprochenen Verkleinerung der Leistungsaufnahme des Laufrades, mit der die Vermeidung des Leitradstoßes nichts zu tun hat. Abb. 10 veranschaulicht den Kraftbedarf der vier verschiedenen Fälle, die Abb. 6 zugrunde liegen, wobei aber jetzt die gleichzeitig eingetragene Rohrleitungs-kennlinie zugrunde gelegt ist. Ein einwandfreier Vergleich ist ja nur möglich, wenn ein mit der Wirklichkeit im Einklang stehender Förderhöhenverlauf vorliegt.

Bemerkenswert ist, daß der Spaltschieber, d. h. ein ausgesprochenes Drosselmittel, von nicht zu übertreffender Einfachheit, bei kleiner Teillast den Drehschaukeln gleichwertig ist und bei Leerlauf sogar die geringste Energie braucht. Für die untersuchte Pumpe beträgt der Leerlaufbedarf bei festen Leitschaukeln 38,5 vH, beim schaufellosen Ringraum 35 vH, bei den Drehschaukeln 24,2 vH und beim Spaltschieber 19,8 vH des Kraftbedarfs bei voller Last.

Nur wenn man die Drehschaukelregelung mit der Änderung der Drehzahl verbindet, ist es bei jeder Wasserlieferungsmenge möglich, die Drehschaukeln auf stoßfreien Leitradeintritt ohne zusätzliche Drosselung einzustellen. Dieser Fall stellt den denkbar günstigsten dar, da sich die geringe Leistungsaufnahme und die Stoßfreiheit mit den Vorteilen der Drehzahländerung vereinigen.

¹⁵⁾ Nach Pfeleiderer, Die Kreiselpumpen, S. 131, beträgt dieser Stoßverlust

$$h_{s2} = \frac{\varphi}{2g} \left(1 - \frac{V}{V'}\right)^2 \left(\frac{u_2}{1+p} r_2\right)^2$$

worin V' die der augenblicklichen Leitradweite entsprechende stoßfreie Wassermenge, also \overline{OJ} in Abb. 9, r_2 bzw. r_1 die Halbmesser des Laufradumtanges bzw. Leitradeintritts und φ ein Zahlenwert etwa zwischen 0,6 und 0,7, $1+p$ der Klammerausdruck in Gl. (1) ist.

Das Instill-Benzol-Raffiniervverfahren

Das Wesentliche des Instill-Verfahrens¹⁾ gegenüber dem sauren Verfahren ist die Verwendung eines besonders geeigneten Absorptionsmittels an Stelle des Vitriolöles. Dieses Absorptionsmittel, das aus der Mischung einer absorbierenden Erde mit einer bestimmten Art von Eisensulfat besteht, hat eine ähnliche Wirkung wie Schwefelsäure, ist aber viel milder. Während es die harzbildenden und schädlichen Schwefelverbindungen beseitigt, werden die wertvollen ungesättigten Kohlenwasserstoffe nur leicht angegriffen, gleichzeitig werden die Harze und der freie Schwefel von dem Absorptionsmittel aufgenommen, weshalb der Vorlauf, der bei dem sauren Verfahren durchaus notwendig ist, wegfällt. Das saure und das Instill-Verfahren verlaufen nach nebenstehender Zusammenstellung.

Beim Instill-Verfahren werden also wie beim sauren Verfahren zuerst die Basen ausgewaschen, da sie leicht Verbindungen mit dem Raffiniermittel eingehen und es flockig und weniger wirksam machen. Nachdem die Pyridinsäure abgelassen ist, wird nicht mit Wasser nachgewaschen, sondern das Rohöl wird mittels einer in dem Wascher angebrachten Heizschlange unmittelbar auf etwa 55 °C erwärmt, bei welcher Temperatur die Reaktion leicht vor sich geht. Während des Erwärmens wird bereits ein Teil des Raffiniermittels zugesetzt und der Inhalt des Washers in ständiger Bewegung gehalten, solange sich das Raffiniermittel darin befindet. Die Menge des zugesetzten Raffiniermittels ändert sich mit den Verhältnissen,

Für eine erschöpfende Beurteilung der Drehschaukelregelung ist aber auch ihr betriebliches Verhalten von Bedeutung. Während bei der Francis-Turbine das Wasser in die Drehschaukeln mit kleinster Geschwindigkeit gleichmäßiger Strömung eintritt, so daß die Schaukeln einer ruhenden Last ausgesetzt sind, tritt es bei der Pumpe am Ort der größten Geschwindigkeit mit einer durch Vorbeistreichen der Laufschaukeln bedingten pulsierenden Strömung ein. Dadurch geraten die beweglichen Schaukeln leicht in Schwingungen, die durch das unvermeidliche in den Gelenken des Verstellgetriebes und die schlechte Ausführung der Schaukelspitzen begünstigt werden, eine vorzeitige Abnutzung der Lagerstellen sowie einen unruhigen Gang bedingen. Aus diesem Grunde kommt die Drehschaukel bei der Kreiselpumpe in erster Linie die Bedeutung einer rasch zu betätigenden Abschaltvorrichtung zu¹⁶⁾.

In einem zweiten Aufsatz, der in einer der nächsten Nummern dieser Zeitschrift erscheinen soll, werde ich die neuesten Bauformen von Kreiselpumpen behandeln.

¹⁶⁾ Vergl. a. Escher-Wyß-Mitteilungen 1928 Heft 3 S. 76.

[B 2032 a]

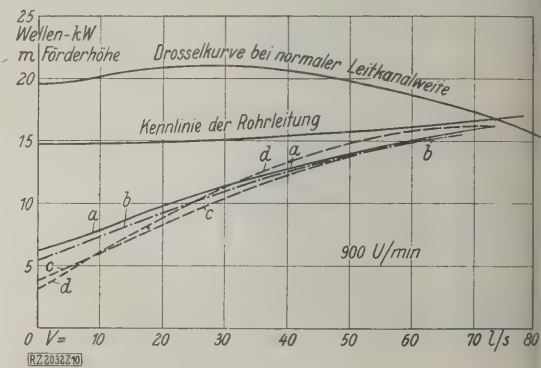


Abb. 10

Kraftbedarfslinien eines und desselben Rades von 415 mm Dmr. unter Zugrundelegung eines bestimmten Förderhöhenverlaufes (Kennlinie der Rohrleitung) bei folgenden Arten der Regelung:

- a Drosseln des Schiebers in der Druckleitung bei normaler Leitkanalweite (19,5 mm)
- b Drosseln des Schiebers in der Druckleitung bei glatter Leitung
- c Drehen der Leitschaukeln
- d Verstellen eines Spaltschiebers (vergl. Abb. 6a)

Saures Verfahren

Rohstoffe
Auswaschen der Basen 1 h
Auswaschen m. Wasser 0,5 h
Erste Destillation . . . 30 h
Vorlauf
Auswaschen mit Säure
Auswaschen mit Wasser
Neutralisieren
Kraftspiritus
Harzrückstände

Instill-Verfahren

Rohstoffe
Auswaschen der Basen
Behandlung mit dem Absorptionsmittel
Filtern 1
Neutralisieren
Waschöl
Naphthalin
Kraftspiritus
Lösungsmittel

man kann jedoch mit der Hälfte des Gewichtes der bei dem sauren Verfahren zugesetzten Säure rechnen. Die Bewegung des Inhaltes des Washers wird so lange fortgesetzt, bis das Rohöl vollkommen raffiniert ist, was ungefähr 1 h dauert. Ein kleiner Kondensationstopf auf dem Wascher verhindert etwaige Verdampfungsverluste. Wenn das Raffinieren beendet ist, läßt man den Inhalt des Washers durch ein Filter laufen, um das Raffiniermittel von dem raffinierten Spiritus zu trennen. [N 2348]

¹⁾ The Iron and Coal Trades Review Bd. 117 (1928) S. 719.

Getreidemühlen

Von Dir. Ing. E. M. MELLER, Gewerbestudienrat, Dippoldiswalde
(Schluß von S. 44)

Walzenstühle

In den großen Mühlen hat der Walzenstuhl, Abb. 26 und 27, den alten Mahlgang fast ganz verdrängt; nur zum Ausstreifen des letzten Mehles aus den Schalen (Kleiausmahlen) findet man noch zuweilen. Man unterteilt Stühle mit Riffelwalzen und solche mit Glattwalzen. Erstere dienen in der Weizenmüllerei nur der Schrotarbeit, d. h. dem allmählichen Zerkleinern der Körner ohne wesentliche Mehlbildung. Die Hauptprodukte dabei sind: Grieße und Anste und bei der letzten Schrotung auch Kleie. Die Walzen bestehen aus bestem, zähem Hartguß, damit glatte Riffelwalzen entstehen. Die Riffeln müssen neben einer bestimmten Riffel- (Riffel-)Form einen entsprechenden Drall haben. Bei- des muß man der fortschreitenden Zerkleinerung anpassen. Damit zwecks Verminderung der Mehlbildung eine in der Haupt- scheidende Wirkung erreicht wird, wählt man der Weizenschroterei eine große Riffelsteigung (geringer Drall) von 6 bis 14 vH und kleine Schneidenwinkel ($\alpha = 85$ bis 95°), Abb. 28 und 29.

In der Weizenmüllerei haben die Walzen gleichen Durchmesser von 220 und 250 mm, seltener 300 mm, besonders in Mühlen, in denen man auf den gleichen Stühlen auch gelegentlich Roggen schroten will. Die Walzen haben verschiedene Umdrehungszahlen, die sich verhalten wie 2 bis 1 : 2,75. In Deutschland verwendet man zur Übertragung in Öl laufende Stirnräder mit Schrauben- oder Finkelzähnen, die zwecks geräuschlosen Laufes genau bearbeitet sein müssen. Die Walzen werden noch nicht einheitlich angeordnet, doch werden die meisten Walzenstühle heute mit schräg übereinander gelagerten Walzen aus-

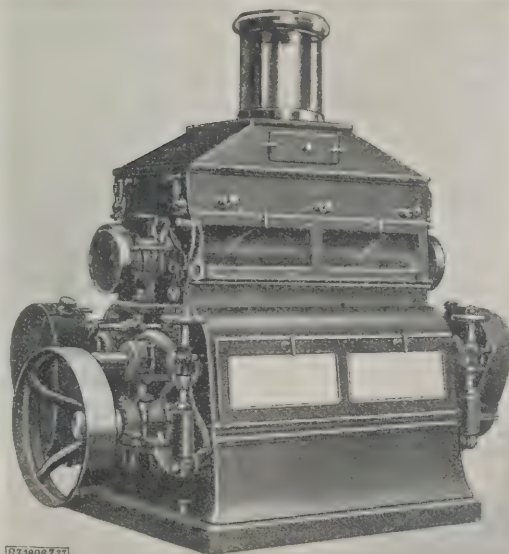


Abb. 26
Doppelwalzenstuhl.

geführt, wobei die Speisung, d. i. die Leitung des Mahlgutes in die eigentliche Mahlzone, besonders zu beachten ist. Im allgemeinen bevorzugt man heute die sogenannte unmittelbare Speisung, d. h. das Mahlgut wird in den Mahlpalt ohne Leitbleche geführt, obwohl man bei richtiger Ausführung der Leitbleche in Form und Material, etwa nach der Art der Leitschaufeln in Turbinen, sicher eine noch bessere Führung des Mahlgutes erreichen könnte. Das Getreide soll möglichst schleierförmig zugeführt werden, was man heute fast ausnahmslos mittels zweier Speisewalzen, einer Zubringer- und einer Verteilwalze, bewirkt. Mit Hilfe eines einstellbaren Speiseschiebers kann man die Menge regeln.

Ein weiterer wichtiger Bestandteil des Walzenstuhles ist die Einstellvorrichtung der Walzen, die mit der Anpressvorrichtung verbunden ist,

Abb. 30. Das Anpressen, d. h. der erforderliche Walzdruck, erfolgt durch einstellbare Federn. Die Einstellvorrichtung der Walzen besteht aus einer Stellvorrichtung für die Walzenentfernung, man spricht von Hochmahlen bei größerer Walzenentfernung, von Flachmahlen bei enger Walzenstellung, und der Einrichtung zur genauen Parallelstellung der Walzen (Feineinstellung). Bemerkenswert sind noch die Einrichtungen zum Schonen der Walzen bei Leerlauf, d. h. beim Aufhören des Mahlgutzuflusses und kurz vor dessen Beendigung. Sie bestehen in einer Vorrichtung zur Entfernung der Walzen voneinander; diese wird betätigt durch eine Klappe, die bei Entlastung vom Mahlgutdruck im Speisebehälter in Tätigkeit tritt. In Verbindung damit steht die Ausrückvorrichtung der Kupplung des Speisewalzenantrie-

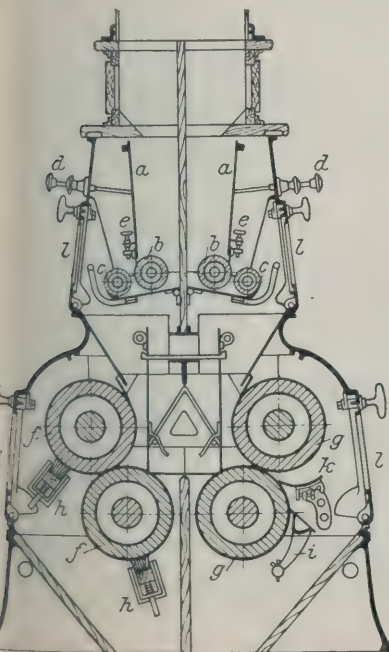


Abb. 27
Doppelwalzenstuhl
mit schrägliegenden
Walzen.

- a Speiseklappen
- b Zubringer-Speisewalzen
- c Verteilwalzen
- d Speisedruckregler
- e Speisepaltregler
- f Schrotwalzen
- g Glattwalzen
- h Reinigungsbürsten
- i Abstreifer
- k Staumulde
- l Beobachtungstüren

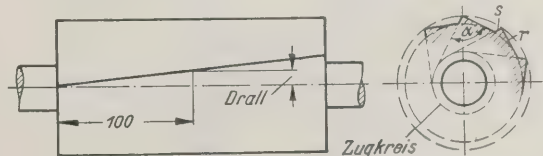
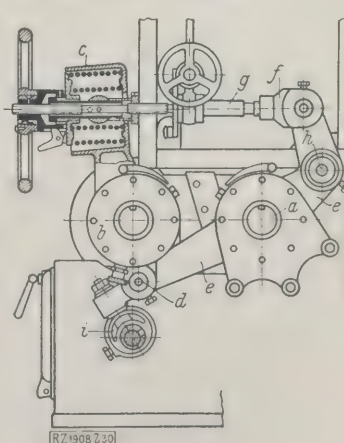


Abb. 28 und 29. Riffelung der Schrotwalzen.
a Schneidwinkel s Schneide r Rücken

Abb. 30
Walzenlagerung eines
Walzenstuhles mit wag-
rechter Anordnung der
Walzen.

- a Festes Lager
- b bewegliches Lager
- c Federgehäuse, an b ange-
gossen
- d Bolzen
- e an Lager a angegossene
Arme
- f Stangenkopf
- g Zugstange
- h Kugelgelenk
- i Exzenter zum Verstellen
von b



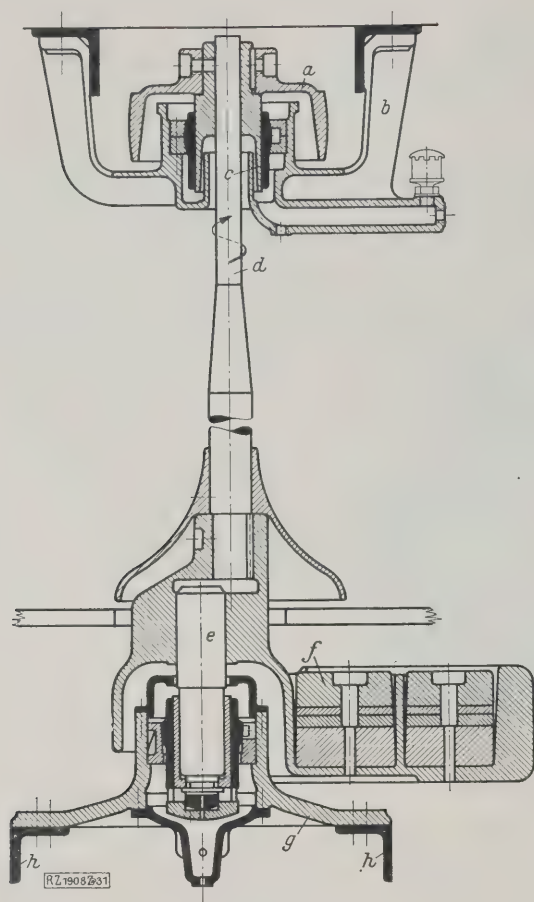


Abb. 31

Antrieb eines Plansichters mit festem Schwinggewicht.

- | | |
|--------------------------|---------------------|
| a Antriebscheibe | e Kurbelzapfen |
| b Deckenaufhängung | f Schwinggewicht |
| c kugelbewegliche Lager- | g Stützlager |
| d Antriebswelle | h Plansichterrahmen |

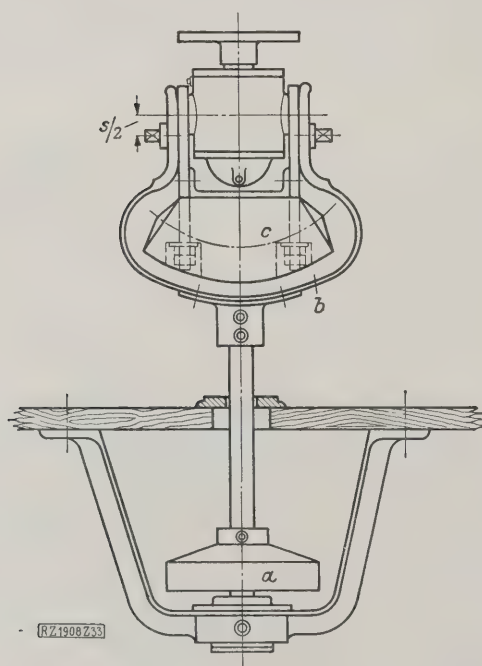


Abb. 33

Antrieb eines Plansichters mit pendelndem Schwinggewicht.

- | | |
|------------------|---------------------------|
| a Antriebscheibe | e Schwinggewicht |
| b Antriebsbügel | s/2 halber Plansichterhub |

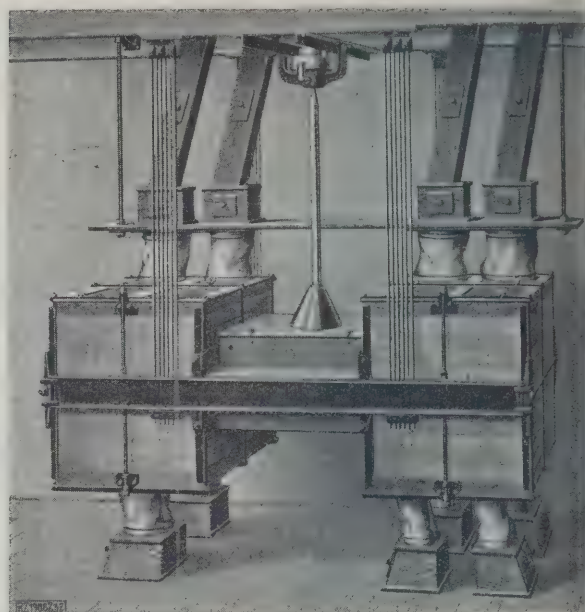


Abb. 32

Plansichter mit festem Schwinggewicht.

bes, die noch mit einer Signalglocke in Verbindung stehen. Die Riffelwalzen werden mittels Bürsten, die Glattwalzen mittels messerartiger Abstreifer reingehalten.

Sehr umstritten ist die Frage, ob man die angetriebene schnelllaufende Walze oben oder unten anordnen soll. Zweifellos bietet die letztgenannte Anordnung wesentliche Vorteile. Erstens wird das Kippmoment der wagerechten Seitenkraft (Horizontalkomponente) des fast stets schräg gerichteten Riemenzuges kleiner, so daß der Stuhl selbst in leichter Bauart ruhiger arbeitet. Zweitens wird das Material, da man auf die raschlaufende Walze speist, schnell eingezogen, so daß die Leistung des Stuhles größer wird. Man kann infolgedessen den Stuhl bei gleicher Leistung mit geringerer Drehzahl, also ruhiger, arbeiten lassen.

Plansichter

Von den Schrotstühlen gelangt das Gesamtmahlprodukt zu den Sichtmaschinen, in großen Mühlen fast ausnahmslos Plansichter, worin mit Hilfe vieler übereinander liegender Siebe die weiterzuschrotenden Übergänge von den Griesen, Dunsten und Mehlen abgesiebt und diese dabei häufig noch in mehrere Sorten getrennt werden. Während bei den Walzenstühlen noch größere Unterschiede im Aufbau, z. B. in der Walzenlage, Antrieb, Speisung u. a. vorhanden sind, sind die Plansichter schon sehr einheitlich ausgebildet. Nach dem Ausgleich der Kräfte der schwingenden und kreisenden Massen gehend, könnte man unterscheiden:

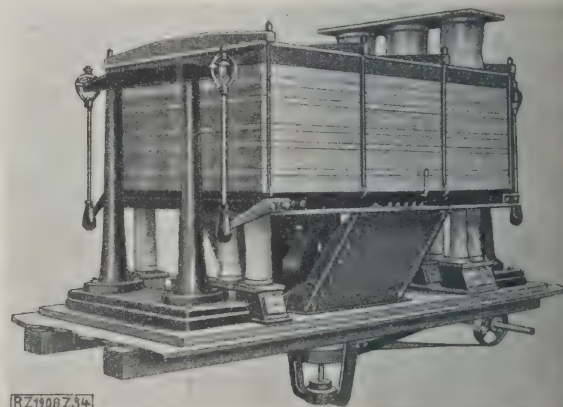


Abb. 34

Plansichter mit pendelndem Schwinggewicht.

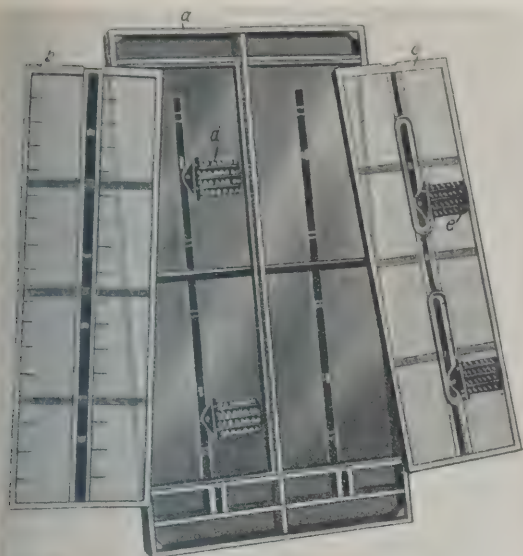


Abb. 36

Zweiteiliger Siebrahmen für Großplansichter mit geteiltem Bürstenlauf.

a Siebrahmen b Einlegesieb mit Prallblechen (Oberseite)
c Einlegesieb mit Bürstenführung (Unterseite) d Bürste
mit Rollzapfen (Oberseite) e Bürste mit Stützborsten
(Unterseite)

1. Plansichter mit festem Schwunggewicht, Abb. 31 und 32,
2. Plansichter mit pendelndem Schwunggewicht, Abb. 33 und 34,
3. Plansichter, bei denen die beiden Hälften gegeneinander schwingen und so den Massenausgleich bewirken, Abb. 35.

einzelnen Siebrahmen, jetzt meist mit auswechselbaren Sieben, Abb. 36 und 37, werden übereinander angeordnet und dicht aufeinander geschraubt. Für die Schrotübergänge benutzt man im allgemeinen Drahtgewebe, für die Grieße und Dunste zieht man besonders starke Seidengewebe (Grießgaze) vor und benutzt seltener entsprechende Bronzegewebe. Für die Mehlsiebe wird fast allgemein Seidengaze benutzt. Selbstverständlich müssen ge-

a Siebrahmen d Bürstenführung
b Oberseite des Siebes e Reiterbürste
c Unterseite des Siebes

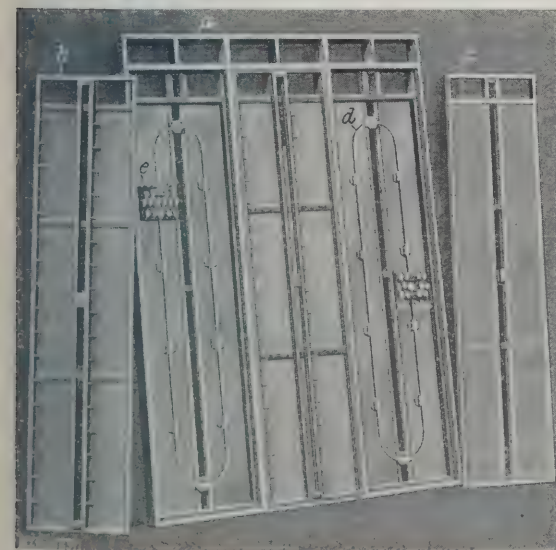


Abb. 37

Dreiteiliger Siebrahmen, Mittelsieb eingelegt, Außensiebe abgenommen.

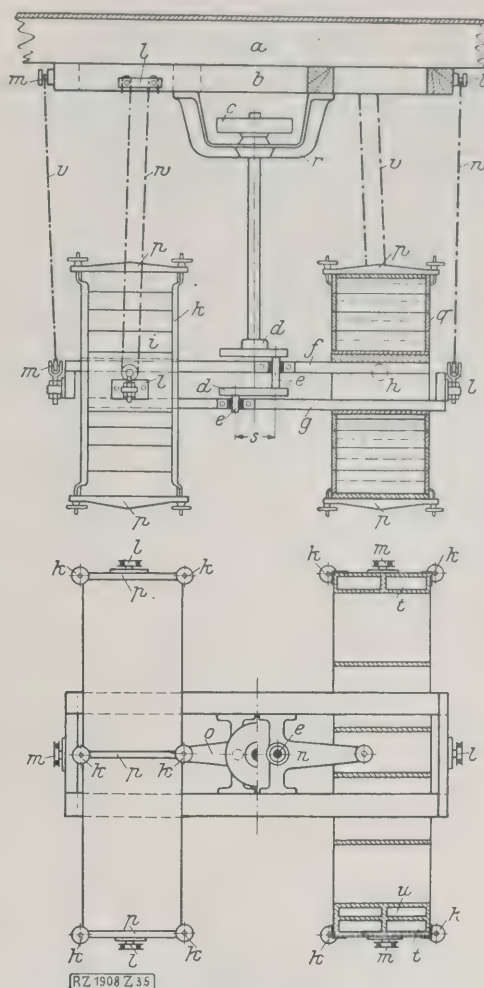
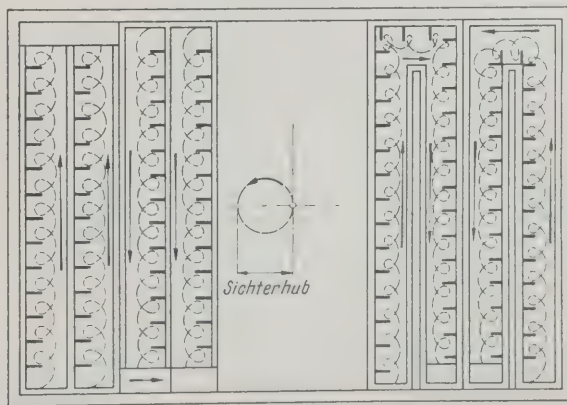


Abb. 35 und 35a

Plansichter mit Massenausgleich durch Gegeneinanderschwingen der beiden Hälften.

a Deckenbalkenlage n Antrieblager der rechten Sichterhälfte
b Aufhängerahmen o Antrieblager der linken Sichterhälfte
c Antriebscheibe p Spannholme
d Kurbelscheiben q Einzelsichterahmen
e Kurbelzapfen r Aufhängerahmen für die Antriebwellen
f Rahmen der rechten Sichterhälfte s Sichterhub
g Rahmen der linken Sichterhälfte t Durchlaufkanäle
h rechte Sichterhälfte im Schnitt u Überführungskanäle
i linke Sichterhälfte in Ansicht v Drahtseil für die Aufhängung der linken Hälfte
k Verspannungen w Drahtseil für die Aufhängung der rechten Hälfte
l Aufhängungen der rechten Sichterhälfte
m Aufhängungen der linken Sichterhälfte



(RZ 1908 Z 36)

Abb. 38

Bewegung des Sichtgutes in einem Plansichterrahmen mit Prallblechen.

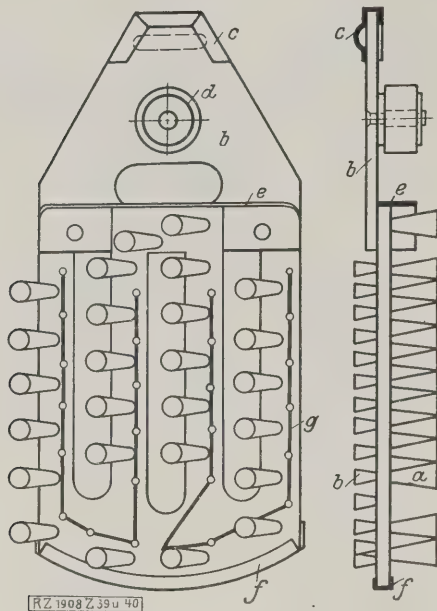


Abb. 39 und 40
Plansichterbürste mit Rollzapfen.

- a Reinigungsbüschel
- b Stützborsten
- c Gleitkufe
- d Rollzapfen
- e Führung
- f Verstärkungsbleche
- g Bindendraht

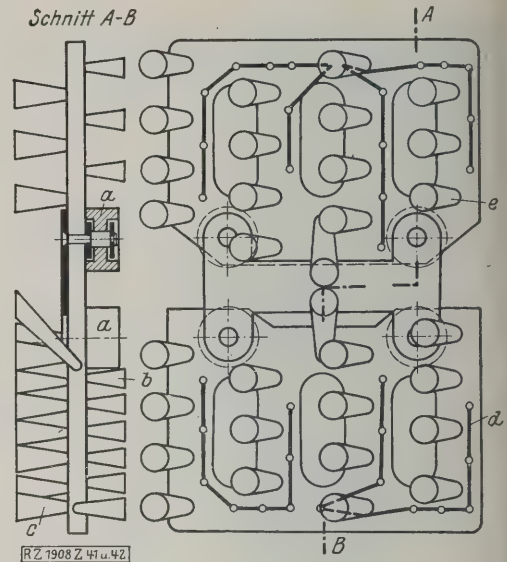
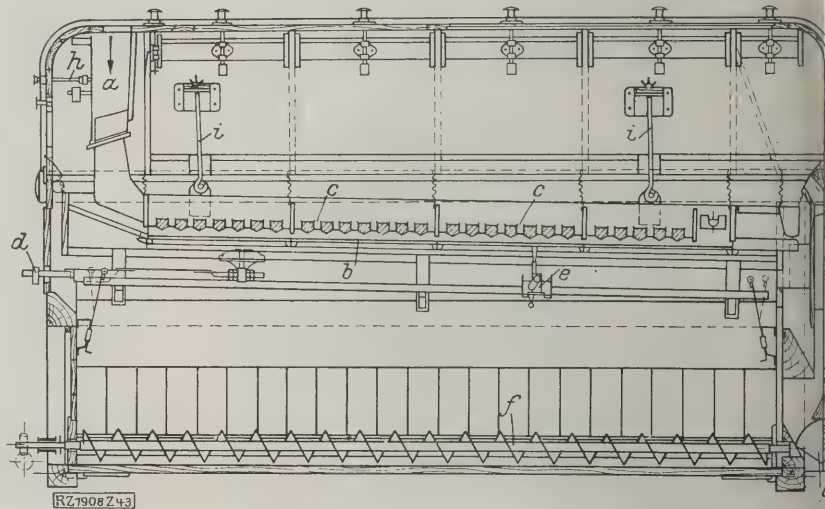


Abb. 41 und 42. Reiterbürste.

- a Rollzapfen aus Vulkan-
faser
- b Stützborsten
- c Reinigungsbüschel
- d Bindendraht

Abb. 43
Schnitt durch eine Griefsputz-
maschine.

- a Griefeinzulauf
- b Plansieb mit vier Abteilungen
- c Fangkanäle für die Flugkleie
- d Exzenterantrieb des Siebes
- e Siebreinigungsbürste mit selbst-
tätiger Umkehrbewegung
- f Sammel Schnecke für geputzte
Griefe
- g Auslauf der Köpfe
- h Speiseregulierung
- i regelbare Siebaufhängung



eignete Leitkanäle in den Sichtern vorhanden sein. Das Sichtgut wird durch Prallbleche, Abb. 38, auf den Sieben fortbewegt. Für das Reinhalten der Siebe benutzt man teilweise sogenanntes Putzgut, z. B. Weizenkörner, Gummikugeln, Gummwürfel usw., das mit dem Sichtgut die Siebe durchläuft, hinter dem letzten Sieb abgesiebt und durch geeignete schiefe Ebenen wieder auf das erste Sieb gehoben wird. In Deutschland wendet man diese Siebreinigung nur sehr selten an, weil damit nur die Sieboberfläche reingehalten wird, während bei dem deutschen weichen Weizen sich besonders auch Sichtgut an die Unterseite der Siebe anhängt. Man bevorzugt daher in Deutschland die Bürstenreinigung. Eine Bürste bewegt sich unter den Sieben so, daß die schräggestellten Borsten sowohl die Maschen reinigen als auch die Bürste fortbewegen. Die Bürsten werden bei den meisten Plansichtern mittels Rollzapfen, Abb. 39 und 40, geführt. Eine andre Art sind die Reiterbürsten, Abb. 41 und 42. Andere Ausführungen haben sich nicht durchgesetzt.

Putzmaschinen

Von den Plansichtern gehen nun die verschiedenen Schroterzeugnisse verschiedene Wege, so z. B. die feineren Griefe und Dunste zu einem Sortierplansichter, der sich von einem normalen Plansichter nur durch die Siebbespannungen unterscheidet und das Sichtprodukt in mehr oder weniger viele Arten trennt. Die großen Griefe fallen durch

Kanäle in die Griefsputzmaschinen, Abb. 43 und 44. Mittels Siebe werden die Griefe in 3 bis 5 Größen getrennt, Windströme heben die mit Schalenteilchen behafteten Griefe, sogenannte Köpfe oder Koppfen, an die Oberfläche, während die reinen Griefe durch die Siebe fallen. Die Köpfe schwimmen also sozusagen auf den reinen Griefen über die Siebe dem Auslauf zu. Die leichten Teile (Flugkleie) werden durch enge Kanäle zwischen Fangrinnen zunächst in einen weiten Raum gehoben, fallen dann bei

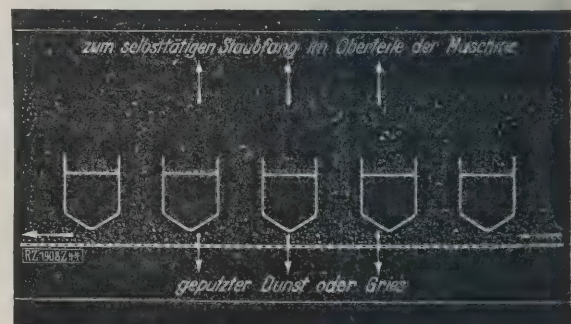


Abb. 44
Stoffbewegung in der Griefsputzmaschine.

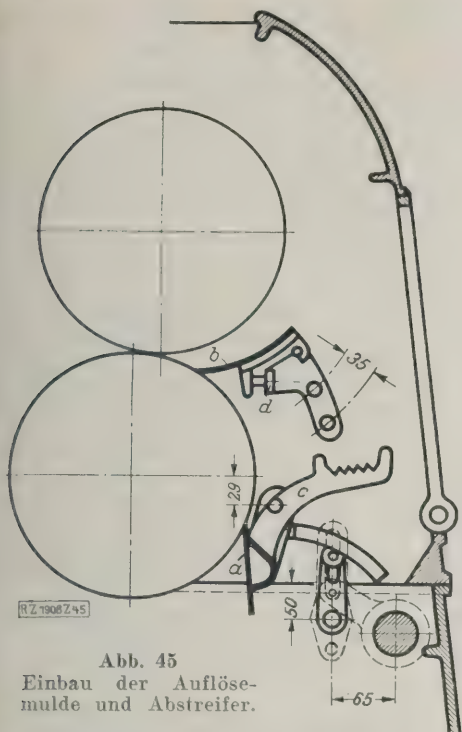


Abb. 45
Einbau der Auflösemulde und Abstreifer.

- | | |
|----------------|--------------------|
| a Abstreifer | c Belastungshebel |
| b Auflösemulde | d Stellvorrichtung |

lassen der Luftgeschwindigkeit in die Fangrinnen und gelangen von hier durch Seitenkanäle zum Ausgang. Der Staub geht mit dem Saugwind in die Staubsammler.

Grießauflösen und Dunstmahlen

Die aus der Grießputzmaschine kommenden reinen Grieße werden nun aufgelöst, d. h. wieder mit geringer Mehlbildung zu feineren Grießen und zu Dunsten zerrieben. Dieses Grießauflösen und das nachherige Mahlen der Dunste zu Mehl erfolgt auf Glattstühlen mit meist platten Hartgußwalzen. Der Hartguß dieser Walzen braucht nicht so zähe zu sein wie der für geriffelte Wal-

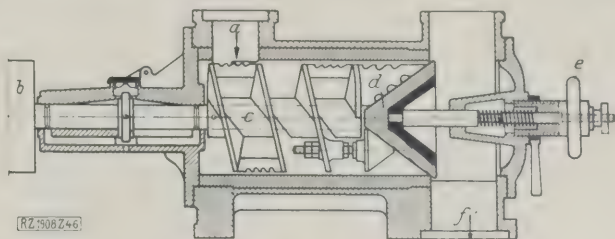


Abb. 46
Auflockerer mit Porzellanmantel und -konus.

- | | |
|----------------|---------------------------------------|
| a Mehleinlauf | d Porzellankegel |
| b Antrieb | e Stellvorrichtung für den Druckspalt |
| c Preßschnecke | f Auslauf |

zen, doch legt man großen Wert darauf, daß diese Walzen bei der notwendigen Härte „griffig“ bleiben, d. h. beim Mahlen nicht so glatt werden, daß die Dunste nicht mehr zerrieben, sondern nur zu Blättchen plattgedrückt werden. Weiche Dunste mahlt man zuweilen auch auf Porzellanwalzen. Die Mahlstühle sind im großen und ganzen gebaut wie die Schrotstühle, doch muß die Speisung dem Gut angepaßt sein; die Bürsten muß man durch Abstreifer ersetzen. Der Geschwindigkeitsunterschied zwischen den Walzen beträgt 3 : 4 bis 6 : 7. Man ordnet hinter der Mahlbahn manchmal auch eine Stauvorrichtung an, Abb. 45, in der etwaige Mehlplättchen noch zerrieben oder durch ein eingebautes Messer zerschnitten werden. Da sich besonders bei weichen Weizensorten doch noch Plättchen bilden, die die nachfolgenden Plansichter ungesiebt durchlaufen würden, schaltet man zwischen Glattstuhl und Plansichter häufig noch einen Auflockerer (Detacheur), Abb. 46, der die Plättchen zu Mehl auflockert.

Eine neuzeitliche Mühle muß vollkommen staubfrei arbeiten. Deshalb wird die Staubluft von allen Maschinen abgesogen. Der gemeinsame Sauglüfter saugt die Staubluft unter Anwendung besonderer Lüftungsschnecken durch

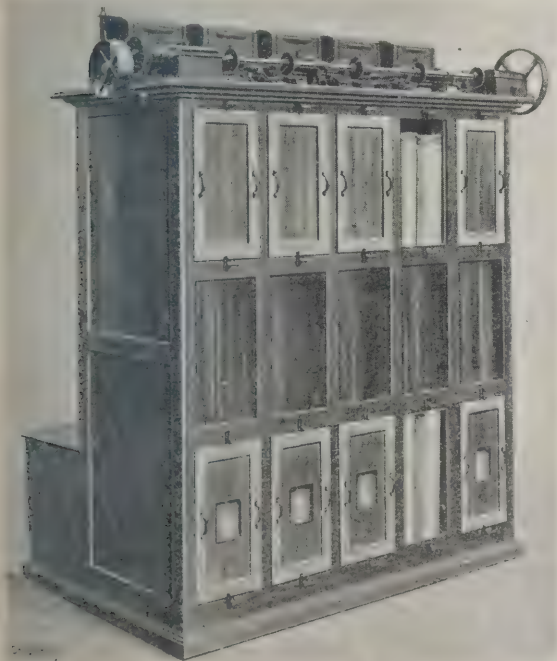


Abb. 47

Luftabsauganlage nach dem Gedanken des Schlauchfilters arbeitend.

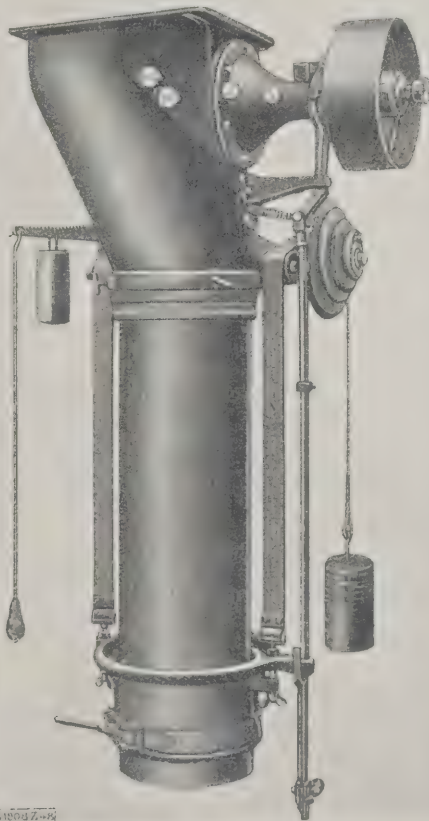


Abb. 48

Selbsttätige Absackmaschine
(s. a. Abb. 49 und 50).

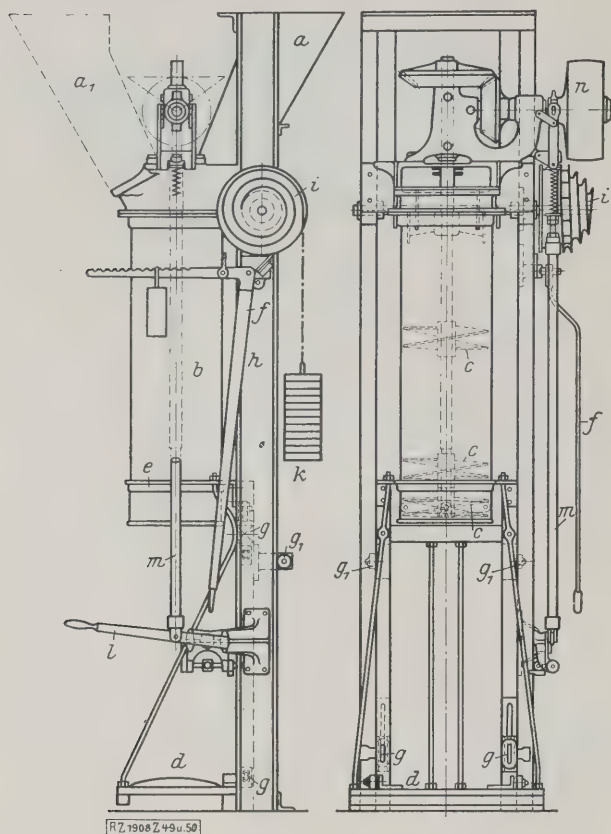


Abb. 49 und 50
Selbsttätige Absackmaschine.

- | | |
|------------------------------|---|
| a und a ₁ Einlauf | h Hängeband für die Sackstütze |
| b Füllrohr | i Spiraltrommel |
| c Rührwerke | k Füllgewicht |
| d Sackstütze | l Steuerhebel |
| e Gleitrohr mit Sacksehnalle | m Steuerstange für den Rührwerkanttrieb |
| f Bremshebel | n Antriebscheibe mit Kupplung |
| g Gleitschuhe | |
| g ₁ Gleitrollen | |

ein Saugschlauchfilter, Abb. 47¹⁾, dessen einzelne Abteilungen abwechselnd angeklopft werden, so daß der Staub in einen Sammelbehälter fällt. Das Abklopfen erfolgt durch Entspannen und Wiederspannen der Filterschläuche, wobei die abklopfende Abteilung aus der Staubluftleitung ausgeschaltet und ein Frischluftstrom durchgeleitet wird. Die Mehle werden dann meistens in drei Sorten gemischt und mittels Absackmaschinen²⁾, Abb. 48 bis 50, abgesackt.

Alle hier besprochenen Maschinen und Vorrichtungen sind durch auch in ähnlichen Betrieben vorkommende Anlagen wie Becherwerke³⁾, Förderschnecken, Rinnen, Förderbänder, Saug- oder Druckluftförderer verbunden. Andre Nebenarbeiten werden durch Sackreinigungs-, Sackstopf- und Sackverschleißmaschinen verrichtet. In jedem neuzeitlichen Mühlenbetrieb ist auch eine Sprinkleranlage aufgestellt.

[B 1908]

¹⁾ s. a. Nr. 2. S. 42 Abb. 20 und 21.

²⁾ Vergl. a. Petzel u. Behrends, Z. Bd. 72 (1928) S. 1286 u. Seidel, Z. Bd. 72 (1928) S. 1533.

³⁾ Vergl. Z. Bd. 72 (1928) S. 1338.

Berichtigung

Die Bauverfahren für Landstraßen

Zu dem Aufsatz von Oberbaurat Dr.-Ing. E. h. Nagel in Z. Bd. 72 (1928) S. 631 schreibt uns Dipl.-Ing. W. Geck, Offenbach, daß bei der Herstellung von Betonstraßen (a. a. O. S. 635) kein Kieselsäuresand, sondern Kalksteinsplitt und Kalksteinsand, zum Abdecken verwendet werden muß, da nur bei Verwendung von Kalkstein eine Verkieselung der Schotterdecke durch das Beton, worauf die Wirkung des Betonverfahrens beruht, eintreten kann.

[2377]

Die mehrfach geführten Wellen in mehreren fließenden Mitteln

Wenn die mathematische Darstellung der Sinuswellen gesucht wird, die sich beiderseits der Grenzfläche zweier idealer Flüssigkeiten im Schwerfeld fortpflanzen, so geht das bisherige Verfahren so vor, daß es ein fiktiv stationäres, geschlängelter Geschwindigkeitsfeld in beiden Mitteln sucht und dieses sich dann mit unveränderlicher Geschwindigkeit wagerecht bewegt denkt. Für die zweidimensionalen Stromfunktionen hat man gefunden:

$$\psi_1 = -v_{01} \{z - \beta e^{kz} \cos kx\}; \quad \psi_2 = -v_{02} \{z - \beta e^{-kz} \cos kx\}$$

v_{01} und v_{02} sind die unveränderlichen Geschwindigkeiten im Unendlichen. In $z=0$ liefert $\psi_1 = 0 = \psi_2$ als Profil der gewellten Grenzfläche $h = \beta \cos kx$. Die noch beliebige Periode $2\pi/k$ der Schlägelung, die voraussichtliche Wellenlänge, liefert die Stetigkeit des Druckes. Man kann nun leicht beweisen, daß diese Darstellung nur widerspruchsfrei ist, wenn $v_{01} = v_{02}$ ist. Das verlangt nämlich die Stetigkeit der Normalkomponente $v_z = \frac{\partial \psi}{\partial x}$.

Damit ist bewiesen, daß das Verfahren unmöglich ist, wenn beide Mittel gleiten. Und wie verfährt man, wenn die Welle keine reine Sinuswelle ist oder die Fortpflanzungsgeschwindigkeit von der Tiefe abhängt, oder die Grenzfläche gekrümmt ist? Diese wie jede andre Wellenaufgabe ist auf ganz andre Weise annahmefrei darzustellen¹⁾. Man muß nämlich, allgemein gesprochen, vornehmlich aus den Grundgleichungen des vorgelegten Feldes das Gleichungssystem der möglichen Wellen herauslösen. Dies ist jedoch eine Aufgabe, die man bisher nicht lösen konnte, nicht etwa wegen mathematischen Schwierigkeiten, sondern grundsätzlich nicht, nämlich wegen Unkenntnis eines entscheidenden Wellenprinzips. Di habe ich entdeckt und Interferenzprinzip genannt²⁾. Man kann es kurz so aussprechen, daß die Wellennormalen der Wellenflächen in einer Überlagerung von Wellen sich nicht addieren lassen. Mit ihm läßt sich aus Feldgleichungen das Gleichungssystem der möglichen Wellen entwickeln.

Eine an der Grenzfläche zweier Mittel entlang laufende Welle setzt sich nun aus je einem Wellenstück in den Mitteln zusammen: Die Grenzfläche verbindet die beiden Flanken dauernd miteinander und führt die „Zweimittelwelle“. Außer den physikalischen Grenzbedingungungen hat man also zuerst noch die Wellenkohärenzbedingung einzuführen. Denn es gilt der allen physikalischen Theorien vorangehende, wellenkinematische Satz: Von welchem Standort auch immer man Wellen betrachtet, stehen alle an einer Grenzfläche zusammenhängende Wellen gleiche Spurgeschwindigkeiten längs der Grenzfläche. Dies ist unsere Wellenaufgabe grundsätzlich immer lösbar.

In der reinen Hydro- und Aerodynamik lehrt nun die Analyse, vorausgesetzt, daß die Wellenerregung ohne Drehung der Teilchen vor sich geht: An der Trennfläche zweier Mittel, die mit beliebigen Flußgeschwindigkeiten reibungslos aneinandergleiten, gibt es gebundene Wellen mit bestimmten Wellenlängen und Verlöschungen, und zwar mindestens drei Arten. Sie zeichnen sich durch einen Sprung ihres Geschwindigkeitspotentials in das entgegengesetzte Vorzeichen sowie durch die Unveränderlichkeit ihrer Normalkomponente der Geschwindigkeit längs der Grenzfläche aus, soweit diese sich erstreckt. Dies bedeutet eine Führung der Welle seitens der Grenzfläche. Schließlich zeigt sich, daß die geführte Welle Gleitung in der Grenzfläche verursacht. Gleitung deutet aber in einer wirklichen Flüssigkeit auf Wirbelbildung hin. Eine geführte Welle ist also Ursache von Flächenauflösung und von elektrischen Ladungen. Falls eine oder zwei ideale Flüssigkeiten, die eine mit freier Oberfläche, über einem ebenen, festen und wagerechten Boden im Schwerfeld geschichtet ruhen und eine Welle an den Grenzflächen mehrfach geführt entlangläuft, besteht nur bei Abwesenheit von Grenzflächenspannungen und bei ungedämpften Sinuswellen keine Tangentialverlöschung. Andererseits ist in gedämpften Sinuswellen selbst bei Abwesenheit von Grenzflächenspannungen diese Verlöschung vorhanden, obgleich nach Voraussetzung das Mittel keine Spur von Energie verschlucken kann. — Die Abwesenheit der Zwischenfläche in der dreifach geführten Welle verändert die Struktur dieser Welle von Grund auf. Sie zeigt keine einheitlich durch die ganze Tiefe gehende Wellenbewegung und Wellenlänge; sie läßt die Flüssigkeiten am Boden praktisch in Ruhe.

[N 2097]

Gießen

K. Uller

¹⁾ K. Uller, Z. f. angew. Math. u. Mech. Bd. 8 (1928) S. 233.

²⁾ K. Uller, Physikalische Zeitschrift Bd. 18 (1917) S. 101.

R U N D S C H A U

Metallkunde

Die Metalle im Kraftwagen-
und Flugzeugbau.

Gelegentlich der Internationalen Automobilausstellung 1928 in Berlin veranstaltete die Deutsche Gesellschaft für Metallkunde eine Tagung, die die Aufmerksamkeit der Werkstoffhersteller und Werkstoffverbraucher im Kraftwagen- und Flugzeugbau zur gemeinsamen Aussprache zusammenzuführen. Die Wahl und Vervollkommenung der Werkstoffe für Kraftwagen- und Flugzeuge ist eine der wichtigsten und verantwortungsvollsten Aufgaben des Konstrukteurs und Metallfachmannes geworden. Die Metalle im Kraftwagenbau bildeten den Gegenstand der Verhandlungen am Vormittag des 15. November. Zunächst erörterte Dr. Bergmann, Berlin-Charlottenburg, die

Leichtmetalle als Baustoff im Kraftwagen.

Seine Ausführungen unterstrichen die bereits des öfteren in den Vordergrund getretene Forderung, daß der Konstrukteur, der diese Maschinenteile in Leichtmetallen ausführt, von den überlieferten Formen der Konstruktionslehre abgehen muß. Die Frage der Verwendung von Leichtmetallen wird nicht allein gelöst durch größere Werkstoffquerschnitte, es oft zu bedenklichen Schwierigkeiten in der Raumverteilung der Maschinenteile führen können. Die Warmfestigkeit der Leichtmetalle ist ebenfalls eine Frage, der der Konstrukteur besondere Aufmerksamkeit schenken muß.

Die fortgeschrittene Beherrschung der Leichtmetalle in technologischer Hinsicht gestattet heute bereits, wichtige Teile des Wagentriebwerkes und des Laufwerkes in Leichtmetall auszuführen. Wenn auch die Liste dieser Teile ziemlich umfangreich ist, so finden wir heute, wie Bergmann ausführte, die Leichtmetalle doch in erster Linie bei den großen Luxuswagen. Bei den billigen Wagen verwendet man bedauerlicherweise die Leichtmetalle nur sehr wenig. Es dürfte vielleicht darauf zurückzuführen sein, daß nicht genügend berücksichtigt wird, daß der verhältnismäßig hohe Preis der Leichtmetalle durch besonders günstige Verarbeitungsmöglichkeiten nicht nur eingeholt wird, sondern sogar einen Gewinn versprechen kann. So gibt es z. B. Werkzeugmaschinen zur Bearbeitung von Wechselgetrieben aus Leichtmetall, die diese Wechselgetriebe in 5 min fertig bearbeiten¹⁾, während die Bearbeitung vorher 3 h in Anspruch nahm. Einen Beweis bietet der Vergleich der Kosten eines fertigen Leichtmetallgußstückes im Vergleich zu andern Werkstoffen, wie er aus einer von der I.-G. Farbenindustrie aufgestellten Rechen tafel für Elektron in Erscheinung tritt. In letzter Zeit ist auch die Verwendung von Leicht- und Schwermetallen des öfteren zur günstigen Wirkung vereinigt worden. Dies trifft z. B. bei dem Nelsonkolben zu, der mit Invar aus Invar-Stahl einen außerordentlich günstigen Wärmeausgleich im Kolben schafft.

Anschließend daran erörterte Dipl.-Ing. Güttner, Berlin-Phannisthal, den

Karosseriebau unter besonderer Berücksichtigung der Nichteisenmetalle.

Im allgemeinen Karosseriebau²⁾ hat sich das Stahlblech Eingang verschafft und auch seine Stellung behaupten können. Die Zahl der im Karosseriebau verwendeten Nichteisenmetalle ist z. Z. nicht sehr groß. Verwendung finden für weniger verwickelte Konstruktionen Leichtmetalle für Behälter und Türgriffe, Spritzguß von Zink-, Kupfer-, Aluminiumlegierungen. Schließlich werden verschiedene Aluminiumgußlegierungen wie Silumin, Elektron und andre für Pfosten und Stützen von Windschutzscheiben angewendet. Die Frage, ob die Leichtmetall herstellende Industrie mit einer größeren Verwendung im Karosseriebau rechnen darf, behält der Vortragende. Für den Karosseriebau kommen Legierungen in Frage, die in Blechen von etwa 0,3 bis 10 mm Dicke und in Abmessungen von 800 bis 1500 mm Breite und 200 bis 3000 mm Länge geliefert werden können. Mancherorts Schwierigkeiten der Gestaltung bestimmter Teile dürfen durch entsprechende Vorbehandlung der Bleche überwunden werden können. Hingegen sieht der Vortragende als Nachteil den Umstand an, daß die Schweißung vergüteter Aluminiumlegierungen zum Teil die Festigkeit recht ungünstig beeinflusst. Auch der hohe Preis der Leichtmetalle steht der Verwendung im Karosseriebau noch im Wege.

Die Lackierung der Karosserien dürfte wohl allgemein mit Nitrozelluloselacken ausgeführt werden. Nicht ganz richtig ist die Ansicht, daß die auf Leichtmetall aufgetragene Lackschicht weniger elastisch sei, aber eher dem

Angriff unterliege als bei Karosserien aus Stahlblech. Wie bei jedem Oberflächenschutz wird auch hier die größte Sauberkeit die Grundlage für ein einwandfreies Haften der Überzüge bilden.

Die Verwendung der Nichteisenmetalle im Kühlerbau

behandelte Kommerzienrat Löwenstein, Berlin. Man sei heute wieder zum Kupfer zurückgekehrt, das bereits vor 30 Jahren als Baustoff für Kühler verwendet worden war. Die älteste Bauart bestand aus Kühlschlangen, die aus reinem Kupfer hergestellt und mit hochwertigem Zinn gelötet waren. Danach kamen die Bienenwabenkühler in Gebrauch, wobei man das Kupfer durch Messing ersetzte. Aus dem Bienenwabenkühler entstand dann der Lamellenkühler in verschiedensten Formen und Abarten. Auch hier bildete Messing den Baustoff. Die Bauart war in der Herstellung billiger als die Bienenwabenkühler. Einzelne Werke haben später den Lamellenkühler durch den Rohrkühler, bestehend aus senkrechten Rohren mit Wärmeableitern, ersetzt. Bei diesen Rohrkühlern war der Werkstoff wieder Messing oder Kupfer und für die Wärmeableiter Weißblech. Das Eisen, das zu Kriegsende versuchsweise benutzt wurde, wies nicht die Lebensdauer wie Kupfer auf, die als wirtschaftlich notwendig erachtet werden mußte.

Die letzte Zeit hat ausgedehnte Versuche mit Messing und Kupfer gebracht und, wie Löwenstein ausführte, zu dem Ergebnis geführt, nur noch Kupfer sowohl für die Lamellen als auch für die Rohrkühler zu verwenden. Messing weist zu häufig Korrosionserscheinungen auf. Für die Lötung des Kühlers wird zweckmäßigerweise Lötzinn mit etwa 50 vH Zinn verwendet, während für Lamellenkühler Lötzinn mit etwa 40 vH Zinn ausreicht. Die Kühlerkonstruktion der letzten zwei Jahre bestand fast ausschließlich in der Verwendung eines besonderen Kühlnetzes mit einer darüber gestülpten Verkleidung. Diese Verkleidung (Kapotte) wird aus doppelt dekapiertem Stahlblech (sogenanntes Patentblech) hergestellt, das zuerst verkupfert und dann vernickelt wird. Kühler aus Aluminium haben noch zu keinem befriedigenden Ergebnis geführt, obwohl auch hier die Gewichtsersparnis für Flugzeuge von großem Vorteil wäre. Für alle wasserberührten Teile des Kühlers und für die Wärmeableiter sollte man Weißblech verwenden.

Die Vorträge des Nachmittags behandelten die Metalle im Flugzeugbau. Zunächst erörterte Ob.-Ing. Steudel, Dessau,

die Metalle im Aufbau des Flugzeuges.

An bemerkenswerten Beispielen zeigte er, in wie weitem Maße die Eigenschaften des Werkstoffes für die Gestaltung der einzelnen Bauteile bestimmend sind³⁾. Die meisten Teile des Flugzeuges werden wechselweise belastet und haben sowohl Zug- wie Druck- und Knickkräfte zu übertragen. Die ungünstigste Belastungsart rufen die Knickkräfte hervor. Infolgedessen müssen die meisten Bauteile auf Druck- und Knickfestigkeit berechnet werden. Die Anforderungen, die an die Baustoffe im Flugzeugbau gestellt werden, sind sehr mannigfaltiger Art. Nicht nur technische, sondern auch wirtschaftliche Erwägungen beeinflussen in starkem Maße die Entscheidung. Für die Konstruktion sind vor allem die Festigkeitseigenschaften gegenüber statischen und dynamischen Beanspruchungen zu beachten. Für die Herstellung sind die plastische Kalt- und Warmverformbarkeit, die Bearbeitbarkeit durch spanabhebende Werkzeuge, die Schweißbarkeit und Art der Warmbehandlung von Bedeutung. Schließlich spielt für die Instandhaltung des Flugzeuges im Luftverkehr die Wetterbeständigkeit der Werkstoffe eine große Rolle.

Der Metallflugzeugbau sucht in erster Linie die Leichtlegierungen zu verwenden. Auf Stahl kann nicht immer verzichtet werden, obwohl er ein höheres spezifisches Gewicht hat. Die beste Aussicht haben die veredelten Aluminiumlegierungen, in neuerer Zeit ist auch das Elektron mehr in Erscheinung getreten. Hinsichtlich der Knickbeanspruchungen hat sich, wie Steudel ausführte, ergeben, daß die Leichtmetalle fast im ganzen Knicklängenbereich erheblich besser abschneiden als der Stahl, insbesondere als St C 16/61 jedoch wird für Bauteile, deren äußere Abmessungen sehr klein gehalten werden müssen, Stahl als Baustoff bevorzugt; solche Teile sind die Streben des Fahrgestelles oder des Schwimmergestelles. Als Grundelement für die Bauteile des Flugzeuges haben sich hauptsächlich geschlossene oder offene Hohlkörper als zweckmäßig erwiesen, da die Knickfestigkeit als erste Beanspruchungsart in Betracht zu ziehen ist. Zum Ausgleich der im Innern des Flugzeuges auftretenden hohen Kräfte ist eine hohe

¹⁾ Vergl. Z. f. Metallk. Bd. 19 (1927) S. 108.

²⁾ Vergl. H. Brand, Z. Bd. 72 (1928) S. 1585.

³⁾ Vergl. K. H. Rühl, Z. Bd. 72 (1928) S. 1403, u. P. Brenner, a. a. O. S. 1881.

Bruchdehnung des Werkstoffes erwünscht. Die oberste Grenze dürfte z. Z. bei etwa 20 vH Dehnung liegen, die niedrigste bei etwa 10 vH.

Die Schwingungsfestigkeit spielt nur bei bestimmten Bauteilen eine Rolle. Sichere, zahlenmäßige Angaben über Dauerbeanspruchungen fehlen noch. Was die Verarbeitung der Baustoffe betrifft, so treten die normalen Verarbeitungsverfahren des Maschinenbaues, wie Schmieden, Pressen, zurück, gegenüber dem Verfahren des Blechbaues, nämlich Biegen, Bördeln, Treiben usw. Die Warmbildsamkeit der im Flugzeugbau verwendeten Aluminium- und Magnesium-Legierungen ist recht gut. Desgleichen ist die gute Warmverformbarkeit des Stahles bekannt. Die Kaltverformbarkeit der Leichtmetalle ist erheblich geringer als die von Stahl mit gleicher Festigkeit. Bei Duralumin können die meisten Formgebungen kalt durchgeführt werden. Eine unter Umständen notwendig werdende Warmbehandlung ist einfach und zuverlässig auszuführen. Bei den Legierungen von der Art des Lautals sind mehr Warmverformungs- oder Glüharbeiten notwendig. Der Stahl St C 16/61 läßt sich als Blech leicht kalt verarbeiten. Hingegen treten bei dem hochwertigen Stahl VCN 100/12 ähnliche Schwierigkeiten auf, wie bei den veredelten Leichtmetallen.

Was das Schweißen, eine im Flugzeugbau gern durchgeführte Arbeit, betrifft, so sei darauf hingewiesen, daß die veredelbaren Aluminium-Legierungen nur als bedingt schweißbar anzusehen sind.

Andere Metalle als Leichtmetalle und Stahl werden gegenwärtig im Flugzeugbau nicht verwendet. Im gewissen Umfange findet man Kupfer und Messing für Kühler und Kühlwasserrohre sowie Brennstoff- und Schmierölaraturen und -leitungen. Als Lager wird an einzelnen Stellen noch Bronze benutzt, die aber immer mehr dem Stahlgugellager weichen muß.

Den nächsten Vortrag hielt Dr.-Ing. F. Seewald, Berlin-Adlershof, über

die Luftschraubenfrage.

Er führte aus, daß die letzten Jahre immer mehr das Bestreben der Konstrukteure zeigten, Luftschrauben aus Metall herzustellen. Als Gründe führte er die höhere Motorleistung und die hohen Umfangsgeschwindigkeiten an den Flügelspitzen der Luftschraube an. Ist die Umfangsgeschwindigkeit größer als die Schallgeschwindigkeit, so sind sehr dünne und scharfe Profile für Luftschrauben notwendig, die sich aus Holz nur sehr schwer herstellen lassen. Schließlich wird als letzter Grund der Umstand angeführt, daß sich Metallschrauben fabrikationstechnisch sicherer und einfacher herstellen lassen als Holzschrauben. Die Schwierigkeiten, die vielfach den Bau von Metallschrauben erschweren, liegen darin, daß wir die Kräfte nicht genau angeben können, die auf eine Luftschraube im Betrieb einwirken, abgesehen von der gleichmäßigen Belastung des Schraubenblattes. Durch Fliehkräfte und Luftkräfte treten periodisch wechselnde Beanspruchungen und ganz plötzliche Belastungen auf. Erstere haben ihre Ursache in dem ungleichförmigen Drehmoment der Verbrennungsmotoren, letztere in dem ungleichförmigen Geschwindigkeitsfeld um das Flugzeug. Es fehlt uns z. Z. noch jede Handhabe, um die Beanspruchungen zu ermitteln, die in der Luftschraube durch die verschiedenartigen Belastungen hervorgerufen werden. Daher läßt sich über die Entwicklung der Metallluftschraube wenig aussagen. Immerhin steht man heute auf dem Standpunkt, daß man einen Werkstoff mit möglichst geringem spezifischen Gewicht und möglichst hoher Schwingungsfestigkeit für Metallschrauben verwenden muß.

Der dritte Vortrag des Nachmittags von Dr.-Ing. Gößlau, Berlin, brachte bemerkenswerte Ausführungen über ein Sonderbeispiel des Flugmotorenbaues⁴⁾. Gößlau zeigte, wie durch zweckmäßige Anbringung eines Leichtmetallkopfes beim luftgeköhlten Siemens-Sternmotor wesentliche Leistungssteigerungen erreicht worden sind.

Den letzten Vortrag hielt Dr.-Ing. Rackwitz⁵⁾, Berlin, über das Verhalten metallischer Baustoffe der Luftfahrt gegenüber den Einflüssen der Witterung und des Seewassers. Die bisher im Flugzeugbau verwendeten Legierungen bieten im ungeschützten Zustand keine genügende Beständigkeit gegen Angriff durch Seewasser. Sie wurden bisher fast ausschließlich durch Anstrichstoffe geschützt, hingegen hat man im letzten Jahr anodische und andre Oxydationsverfahren mit Erfolg angewandt. Als vielversprechend wird der Schutz der Leichtmetalle durch Plattieren mit reinem Aluminium angesehen, wie es in Amerika schon vielfach angewendet wird.

An die Vorträge des Vor- und Nachmittags schloß sich ein reger Meinungsaustausch, der zeigte, daß die behandelten Fragen durchaus allgemeine Beachtung gefunden haben.

Berlin [N 2388]

Wolf.

⁴⁾ Vergl. Z. Bd. 72 (1928) S. 1335.

⁵⁾ Vergl. Z. Bd. 71 (1927) S. 1538.

Eisenkonstruktionen

Gegenwartsaufgaben des deutschen Eisenbaues

Der Deutsche Eisenbauverband pflegt seit jährlichen Tagungen in regelmäßigem Wechsel in Städten zu verlegen, die Sitz einer Technischen Hochschule sind, damit schon rein äußerlich zum Ausdruck zu bringen, daß er auf ein stetiges Zusammenarbeiten der Eisenverarbeitenden Werke mit den Technischen Hochschulen, auf eine innige Verbundenheit von Theorie und Praxis großen Wert legt. Die Hauptversammlung des Jahres 1927 fand in Danzig statt¹⁾, die letzte in Darmstadt und zwar am 19. Oktober 1928.

Der erste Tag war hauptsächlich für Beratungen der Verbandsmitglieder über innere Angelegenheiten des Eisenbauverbandes bestimmt, u. a. wurde beschlossen, daß der Verband den Namen „Deutscher Stahlbauverband“ annehmen solle. Neben diesen Verhandlungen fand auch eine Besprechung zwischen Mitgliedern des Verbandes und Vertretern der einzelnen Technischen Hochschulen über die praktische Ausbildung der Bauingenieure statt. In dieser Aussprache wurde außer der Ausgestaltung des Studiums für Eisenbauingenieure auch das große, weite Gebiet der wissenschaftlichen Vorbildung der Bauingenieure gestreift; es herrschte eine erfreuliche Übereinstimmung der Vertreter aus Praxis und Theorie über die Ziele der technischen Ausbildung auf der Hochschule, und die sehr gründlichen Beratungen haben den Teilnehmern viele wichtige Anregungen mitgegeben.

Am Freitag, dem 19. Oktober, wurden wissenschaftliche Vorträge gehalten. Zuerst sprach der Direktor des Eisenbauverbandes, Dr. Oelert, Berlin. Er gab einen Überblick

die augenblickliche wirtschaftliche Lage

und hob u. a. hervor, daß die an das Berichtsjahr geknüpften Erwartungen sich leider nicht erfüllt haben. Zwischen im abgelaufenen Jahre die Auftragserteilung eine Zunahme um etwa 5 vH auf, aber die erzielten Preise lagen unter dem Durchschnitt des Vorjahres. Trotzdem seien sowohl Löhne als auch Eisenpreise erhöht worden. Die Eisenbauindustrie habe im besonderen auch dadurch stark zu leiden, daß im letzten Jahre die Aufträge der Reichsbahn sehr zurückgegangen sind. Von der Erhöhung der Tarifs der Reichsbahn befürchtete der Vortragende schwerwiegende wirtschaftliche Schädigungen. Besonders zu denken gebe die Hinweise des Redners auf die Tarifierleichterungen, die die wichtigsten mit Deutschland in Wettbewerb stehenden Länder ihrer Eisenindustrie gewähren.

Sodann sprach Dr.-Ing. E. H. Schulz, der Leiter des Forschungsinstitutes der Vereinigten Stahlwerke, Dortmund, über

Rostschutz und schwerrostende Stähle.

Die Bedeutung des Rostschutzes ist für den Eisenbau in Rücksicht auf den Wettbewerb mit andern Baustoffen, insbesondere mit dem Eisenbeton und dem Holz sehr groß. Für die Bekämpfung des Rostens stehen als wesentlichste Mittel zum Rostschutz einmal die rostschützenden Überzüge, dann die Herstellung schwerrostender Eisenverbindungen an der Oberfläche der Tragkonstruktionen und schließlich die Farbanstriche zur Verfügung. Metallische Überzüge kommen für Eisenkonstruktionen wegen des hohen Preises und der schwierigen Herstellung kaum in Frage. Hier sind noch Versuche im Gange; so soll in neuerer Zeit die Deutsche Reichsbahn-Gesellschaft mit elektrolytischen Verbleiung gute Erfahrungen gemacht haben. Am häufigsten werden jedoch Farbanstriche verwendet. In neuerer Zeit beschäftigen sich deutsche Firmen mit ausgedehnten Versuchen über schwerrostende Stähle. Durch Zusatz von Kupfer läßt sich die Rostgefahr beträchtlich vermindern. Der Kupferzusatz beträgt höchstens 0,5 vH, im Durchschnitt etwa 0,25 vH. Größere Beimengungen von Kupfer haben sich wegen der nachteiligen Einwirkung auf die Festigkeit nicht als günstig erwiesen. Auch die Amerikaner haben umfangreiche Versuche in dieser Richtung mit ähnlichem Ergebnis durchgeführt.

Bei dem hochwertigen Baustahl St 48 läßt sich eine erhebliche Verminderung der Rostgefahr erreichen durch geringen Zusatz von Kupfer. Während der Kupfer-Silizium-Stahl einen besonders hohen Rostwiderstand aufweist, setzt der nicht mit Kupfer legierte Si-Stahl dem Rost einen geringeren Widerstand entgegen als der gewöhnliche Baustahl. Von den Amerikanern wird ein technisch reines Eisen hergestellt, das Armeo-Eisen; die Beimengungen betragen höchstens 0,15 vH. Dieses Eisen rostet nur sehr wenig und läßt sich leicht bearbeiten. Mit Rücksicht auf seine große Reinheit weist es eine sehr geringe Festigkeit auf.

¹⁾ s. Z. Bd. 71 (1927) S. 1816.

Der Direktor der Firma Fried. Krupp A.-G., Rheinen, Dr.-Ing. E. h. *Erlinghagen*, hielt einen Vortrag über **Arbeiten des Deutschen Normenausschusses und ihre Zusammenhänge mit dem deutschen Eisenbau.**

Die ersten Anfänge reichen bis in die Vorkriegszeit zurück. Anders notwendig erwies sich dann die Normung bei Durchführung des Hindenburg-Programmes. Im Jahre wurde der Deutsche Normenausschuß gegründet²⁾. Bis Oktober 1927 sind in mühsamer Arbeit 39 Gebiete getätigt worden. Etwa 2800 endgültige Normenblätter liegen Zeit vor, rund 800 sind im Entwurf fertiggestellt. Ein jährlich im Beuth-Verlag, Berlin, erscheinendes Normenblattverzeichnis gibt über die laufenden Arbeiten Auskunft.

Im Bauwesen sind zur Zeit über 300 Normenblätter vorhanden; der Eisenbau ist allerdings nur wenig vertreten. Ist sehr bedauerlich; hier ist noch viel Arbeit zu leisten. Die Normung fehlt z. B. noch vollständig im Betrieb der Werkstätten und Baustellen. Es wird die Gründung des Fachnormenausschusses für Eisenbau vorgeschlagen und angeregt, daß auch die Deutsche Reichsanstalt, die ja auf dem Gebiete der Vereinheitlichung der Vorschriften für die Ausführung eiserner Brücken viel zu tun hat, gemeinsam mit dem Deutschen Normenausschuß eine Reihe von Normenblättern herausgibt. Dann würde man das Ausland, z. B. die Länder Südamerikas, sich allmählich daran gewöhnen, für die in Deutschland erzeugten Konstruktionen auch deutsche Bedingungen anzuerkennen und nicht englische oder amerikanische vorschreiben. Zum Schluß nahm *Erlinghagen* Bezug auf die Ausführungen von Dr. *Dessauer*, die dieser anläßlich eines Vortrags auf der Jahresversammlung des Deutschen Normenausschusses gemacht hat³⁾.

Hierauf gab Oberbaudir. *Leo*, Hamburg, Erläuterungen zu einem soeben erst fertig gewordenen Film, der die Arbeiten für die

Erweiterung der Straßenbrücke über die Norderelbe

Hamburg veranschaulichte. Die alte, allen Hamburgern vertraute Brücke überspannt den Strom in drei Öffnungen mit je 100 m. Sie reicht für den stark angewachsenen Verkehr nicht mehr aus; man faßte daher zunächst den Plan, die alte Brücke durch eine neue zu ersetzen. Infolge der hohen Baukosten (rd. 10 Mill. RM) wurde jedoch von diesem Abstand genommen, und man entschied sich dafür, unmittelbar neben die alte Brücke eine neue zu setzen, die sie breiter ist. Hierdurch erreicht man eine um das Dreifache gesteigerte Leistungsfähigkeit der Verkehrsanlage. Die Kosten für die Ausführung dieses Entwurfes betragen rd. 3,3 Mill. RM.

Bedenken wurden hauptsächlich in schönheitlicher Hinsicht gehegt. Die alte Brücke ist nach dem System der Lohse-Träger gebaut, einer Bauart, an die man wegen ihrer statischen Unbestimmtheit in neuerer Zeit nicht mehr herantritt. Es war also die Frage zu entscheiden, ob man bei der neuen Brücke ebenfalls dieselbe kennzeichnende Form der Hauptträger beibehalten oder etwa ein anderes System für die Hauptträger wählen sollte, das in bewußtem Gegensatz zu der alten Lösung stehe. Man entschied sich ebenfalls für den Lohse-Träger. Die Gurtungen der neuen Brücke haben dieselbe Form wie die der alten, sind aber vollständig ausgebildet.

Besondere Beachtung bietet der Bauvorgang. In der ersten Hälfte der drei je 900 t schweren Brückenüberbauten werden die dem festen Lande zusammengebaut, auf große Schiffsflöße hinübergerollt und unter Ausnutzung von Ebbe und Flut eingeschleppt. Infolge der sorgfältigen Vorbereitungen konnten die Bauarbeiten in ganz kurzer Zeit durchgeführt werden. Der Schiffsverkehr auf dem Strom brauchte ungefähr eine Stunde lang gesperrt zu bleiben. Der Film zeigte in sehr anschaulicher Weise den Bauvorgang.

In der anschließenden Erörterung wurde das Bedauern ausgesprochen, daß dieser Film nicht bereits auf der diesjährigen internationalen Tagung in Wien⁴⁾ gezeigt werden konnte, da er ein charakteristisches Zeichen für die Leistungsfähigkeit der deutschen Ingenieurbaukunst darstellt.

Dir. *Schmuckler*, Berlin, behandelte das Thema

Vorzüge des Eisenbaues unter besonderer Berücksichtigung des Skeletthaues.

Schmuckler gab zunächst einen kurzen geschichtlichen Überblick über die Entwicklung des Eisenbaues, insbesondere eine Gegenüberstellung der Eisenbauweise und des Stahlbetonbaues. Er wies darauf hin, daß bei Tragwerken aus Eisenbeton die Architekten mit Rücksicht auf die Verarbeitbarkeit des Eisenbetonbaues mit dem Massivbau leicht-

ter eine ästhetisch befriedigende Lösung erzielen könnten. weil ja hierfür alte anerkannte und erprobte Regeln zur Verfügung ständen. Beim Eisenbau seien dagegen für die Tragformen neue Gesetzmäßigkeiten zu entwickeln. Daher müßten auf diesem Gebiet noch viele Vorarbeiten erledigt werden, aber die neuen Ausführungen der Eisenbaukunst zeigten bereits Lösungen, die in ästhetischer Hinsicht das Kennzeichnende des Eisenbaues sehr glücklich zum Ausdruck bringen.

Beim Geschosßbau erweist sich für die Deckenkonstruktion Eisen im allgemeinen wirtschaftlicher als Eisenbeton. Bei den Stützen dagegen ist die Ausführung in Eisenbeton günstiger⁵⁾. Es scheint also zweckmäßig zu sein, die Decken in Eisenkonstruktionen, die Stützen in Eisenbeton auszuführen, und zwar empfiehlt sich eine Ausbildung der Stützen nicht mit Rundisenbewehrung, sondern nach dem Vorgang der Bauweise Melan eine Ausbildung mit Profilen. In diesem Fall nimmt das Eisengerüst das Eigengewicht auf, während der Beton, der ja an und für sich zur Ummantelung der Eisen wegen der Feuersgefahr erforderlich ist, zur Aufnahme der Nutzlasten herangezogen wird. *Schmuckler* regte an, daß der Eisenbauverband mit Rücksicht auf die Wichtigkeit dieser Fragen für Versuche und theoretische Untersuchungen zu ihrer Klärung Mittel bereitstellen möchte.

Eine weitere wichtige Frage ist es, ob man im Hochbau ähnlich wie im Brückenbau hochwertige Baustähle verwenden soll. Hier sieht *Schmuckler* keine großen Vorteile in der Verwendung hochwertiger Baustoffe. In der Regel wird die Gewichtersparnis durch beträchtliche Überpreise wettgemacht. Dagegen könnten nach Ansicht *Schmucklers* durch Einführung der Schweißung Ersparnisse erwartet werden. Dann weist er noch darauf hin, daß die Unterhaltung der Tragglieder im Eisenhochbau gewöhnlich nicht so hoch sein werde, wie im allgemeinen angegeben wird, da ja das Eisen vor Witterungseinflüssen geschützt sei. Als weitere Vorzüge der Eisenbauweise sei hervorzuheben, daß die Ausführung in der Werkstätte und auf dem Bau in ganz kurzer Zeit durchgeführt werden könne und daß infolge der Schlankheit der Stützen der Nutzraum größer sei als bei andern Baustoffen. Weiterhin lassen sich notwendig werdende Änderungen, Verstärkungen und Aufstockungen in der Eisenbauweise leicht durchführen. Die Ausführung in Eisen läßt sich viel leichter überprüfen, als es beim Eisenbetonbau möglich ist. Es sei nur auf die katastrophalen Einstürze in Prag und Paris hingewiesen, die in jüngster Zeit die Öffentlichkeit stark beunruhigten. Infolge ihrer großen Steifigkeit gestattet die Eisenkonstruktion bei Hallenbauten die Überdeckung sehr großer Spannweiten.

Ein neues Gebiet hat sich der Eisenbau in letzter Zeit erobert: den Stahl-Skelett-Wohnbau. Auch hier treten die Vorzüge der Eisenbauweise deutlich hervor. Die Bauzeit ist bei dieser Bauweise nur halb so groß wie bei der üblichen Ausführung in Ziegelmauerwerk. Bei gleich umbautem Raum wird ferner der gewonnene Nutzraum um 8 bis 10 vH größer. Auch lassen sich die erforderlichen Baumassen auf die Hälfte herabsetzen. Zum Ausfüllen der Wände stehen heutzutage bessere Baustoffe zur Verfügung als der bisher übliche Ziegelstein, nämlich Bimsbeton, der einen guten Wärmeschutz bietet, weiter Gasbeton, Zellenbeton u. a. m. Diese Baustoffe werden in fertigen Platten geliefert und können schnell eingebaut werden.

Zum Schluß sprach Dr. *Ostern*, Hannover, über **Eisenbau und Berufsgenossenschaften.**

Er führte aus, daß im Jahre 1880 Bismarck die Berufsgenossenschaften als Selbstverwaltungsorgane der Industrie ins Leben gerufen habe, wobei dem Staat nur ein Aufsichtsrecht zustehe. Im Gegensatz zu andern sozialen Lasten, wie Krankenkasse, Invalidenversicherung, sind sie allein vom Arbeitgeber aufzubringen. Sie hängen im wesentlichen ab von der Gefährlichkeit, die für jeden Unternehmer auf Grund langjähriger statistischer Beobachtungen festgestellt wird. Wichtig erscheint es für die Zukunft, daß in der Geschäftsführung der verschiedenen im Reich in Betracht kommenden Berufsgenossenschaften eine Vereinheitlichung durchgeführt wird. Eine Unterstützung der Bestrebungen der Berufsgenossenschaft seitens der Arbeitgeber ist besonders wichtig und notwendig, gerade in der jetzigen Zeit, wo von den Gewerkschaften an einer Umgestaltung der Berufsgenossenschaft gearbeitet wird.

An die einzelnen Vorträge knüpfte sich oft eine längere Aussprache, die bewies, daß die behandelten wichtigen Fragen lebhaft Beachtung gefunden hatten. [N 2304]

Darmstadt

Prof. Dr.-Ing. *Kammer*

²⁾ Vergl. a. *Hellmich*, Zehn Jahre deutscher Normung, Z. Bd. 71 S. 1525.

³⁾ Vergl. a. VDI-Nachrichten Nr. 52 vom 28. Dezember 1927.

⁴⁾ Vergl. a. *Bernhard*, Internationale Zusammenarbeit im Brücken- und Hochbau, Z. Bd. 73 (1929) Nr. 3 S. 92.

⁵⁾ E. *Frank*, Vergleichende Betrachtungen über die Wirtschaftlichkeit in der Verwendung von Eisen und Eisenbeton im Großgeschosßbau, Dissertation T. H. Braunschweig 1926; G. *Spiegel*, Stahl und Eisenbeton im Geschosßgroßbau, Berlin 1928, J. Springer.

Aus dem Ausland

Baumaschinen

Fortbewegungsmittel
amerikanischer Bau-
maschinen¹⁾

Die mit Raupen zur Fortbewegung ausgestatteten Bagger, Krane und sonstigen Baumaschinen erfreuen sich in den Vereinigten Staaten steigender Beliebtheit, und durch außerordentlich zahlreiche Reihenausführungen haben die einzelnen Firmen Gelegenheit gehabt, die Bauart der Raupen nebst Antrieb und Steuerung weitgehend zu vervollkommen. Mit Rädern ausgestattete Baumaschinen sind kaum noch anzutreffen und selbst die größten Einheiten der Löffelbagger mit einem Dienstgewicht von etwa 1000 t werden auf Raupen oder Raupenpaaren ausgeführt. Mehrere dieser Großbagger habe ich in den Werkstätten der Marion Steamshovel Co. in Marion (Ohio) und in den Steinkohlentagebauten an der Strecke Chicago - St. Louis im Zusammenbau oder im Betrieb gesehen. Diese meist mit elektrischem Antrieb versehenen Bagger arbeiten in der Regel auf festem Untergrund oder Steinkohle, und bei Bemessung der tragenden Raupenflächen ist man mit den Werten für die Bodendrücke ziemlich hoch gegangen. Man kann dies deshalb tun, da die Fahrbewegung im Gegensatz zu den Kleinbaggern verhältnismäßig selten und mit geringer Geschwindigkeit ausgeführt wird. So findet man durch Nachrechnen Werte von etwa 3 bis 4 kg/cm² außer Betrieb und 5 bis 8 kg/cm² im Betrieb. Bei den kleineren Baggern und sonstigen Baumaschinen, die mitunter auf weichem Boden arbeiten müssen, kann man derartig hohe Werte nicht zulassen, da sonst die Raupen viel zu stark einsinken würden, man läßt daher höchstens 1 bis 1,5 kg/cm² zu. Bei sehr wenig tragfähigem Boden, z. B. in sumpfigem Gelände, sind auch diese Zahlen noch zu hoch, und um die Abmessungen der Raupen zu beschränken, hat man durch Anwendung anderer mechanischer Mittel versucht, eine zweckentsprechende Lösung zu finden.

Seit einigen Jahren hat sich ein von der Monighan Machine Corp., Chicago, auf den Markt gebrachter Eimerseilbagger, der eine sogenannte „Schreibbewegung“ (Walking device) ausführt, in Sonderfällen gut bewährt, vorzugsweise bei Ausführung von Baggerarbeiten auf nachgiebigem Boden.

Die Arbeitsweise ist etwa folgende: Unter Vermittlung des auf der Antriebshauptwelle sitzenden Zahnrades, Abb. 1, werden die beiden Exzentrumscheiben in Drehung versetzt. Durch die Führung dieser Scheiben einerseits in einem ovalen Rahmen und andererseits durch eine Kurbelführung wird erreicht, daß bei der Schreibbewegung beide Schuhe zunächst gegen den Boden gedrückt werden, wobei sich die Maschinenplattform mit Ausleger vorwärtsschiebt und sodann auf den Boden absetzt. Hieran anschließend folgt das Abheben der Schuhe von der Erde, Abb. 2, wobei je nach Drehung des Maschinenoberteiles beliebige Kurven durchschritten werden können. Kenn-

¹⁾ Reisebericht aus Cleveland (Ohio).

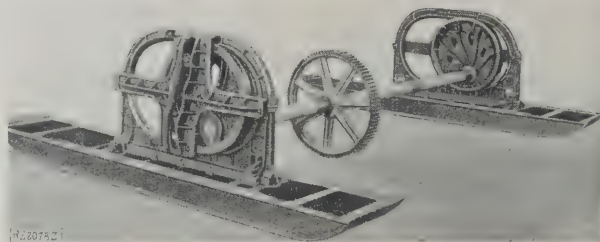


Abb. 1
Schreitbagger eines amerikanischen Eimerseilbaggers
mit Antriebszahnrad und Getriebe.

zeichnend für die Schreibbewegung ist, daß die Stützfläche ständig wechselt und von den Schuhen auf das Maschinenteil übergeht. Die den Raupenbaggern umständlichen mechanischen Mittel erreicht die Fahrbewegung in Wegkrümmung wird hier in einfacher Weise durch das Drehwerk, was als wesentlicher Vorteil dieser Bauart anzusehen. Dabei können scharfe Krümmungen durchfahren oder der Stelle gedreht werden ohne daß der Boden irgendwie beschädigt wird. Die gleitende Reibung während der Kurvenfahrt tritt bei der Schreibbewegung nicht auf.

Infolge der gelenkigen Abstützung der Schuhe können sich diese bei Bodenunebenheiten seitlich einstellen, so daß das Maschinengewicht ziemlich gleichmäßig auf die Schuhe verteilt. Die Tragflächen der beiden Schuhe des Maschinenunterteils sind etwa gleich, und Bodendruck wird bei Festlegung der Abmessungen höchstens mit 0,4 kg/cm² in Ansatz gebracht.

Der Monighan-Eimerseilbagger wird fast ausschließlich mit Antrieb durch Dieselmachine ausgeführt. Die übrigen Einzelheiten in der Anordnung der mechanischen Teile gehen aus Abb. 3 hervor. Durch den Wegfall des Raupenfahrwerkes tritt eine Vereinfachung der Konstruktion ein. Es sind wiederholt derartige Eimerseilbagger mit einem Eimerinhalt bis zu 4 m³ ausgeführt worden, so z. B. für Wasserbauarbeiten am Mississippi.

Eine hiervon abweichende Bauart hat die Page Engineering Co. ausgearbeitet, die etwa die gleichen Vorteile der vorher beschriebenen Konstruktion von Monighan aufweist. Auch hier wird beim Arbeiten des Baggers die untere Plattform auf den Boden gesetzt und die Stützfüße werden hochgezogen, Abb. 4. Zwei dieser Füße sind symmetrisch unter dem Vorderteile der Maschinenplattform geordnet, während sich der dritte Fuß im rückwärtigen Bereich in der Mitte befindet. Diese drei mit Tragschuhen ausgerüsteten Füße übernehmen bei der Fortbewegung abwechselnd mit der unteren Plattform die Abstützung des Baggers gegen den Boden. Die Füße werden dabei gleichzeitig auf- und abbewegt und sind miteinander durch mechanische Zwischenglieder gekuppelt. Kennzeichnend für die Bauart ist noch, daß sich die obere Maschinenplattform und die untere Stützfläche durch eine Geradföhrung gegenseitig verschieben und somit ihre gegenseitige Lage durch die Gleitbewegung verändern können, wodurch eben die Vorwärtswegung zustande kommt. Dabei kann die Hubhöhe der Füße beim Schreiten je nach den Bodenverhältnissen eingestellt werden, so daß die untere Plattform nicht auf der Erde schleift oder einsinkt. Durch Kugelgelenke an den Füßen wird außerdem eine vollkommene Anpassung der Tragflächen an Bodenunebenheiten erreicht.

Auch diese, vorläufig noch wenig zur Ausführung gelangte Maschine weist auch die Vorzüge des Monighan Baggers auf, da hier ebenfalls die Fahrbewegung in Wegkrümmungen durch das Schwenkwerk erzeugt wird.

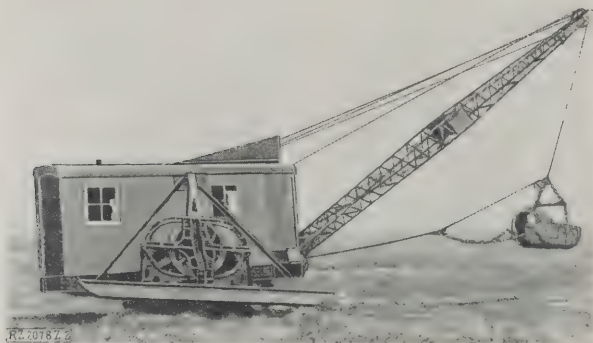


Abb. 2
Schreibbewegung eines Eimerseilbaggers der Monighan Machine Corp., Chicago. Während die Maschinenplattform auf dem Boden aufsetzt, heben sich die Schuhe von der Erde ab und machen dabei eine Vorwärtsbewegung.

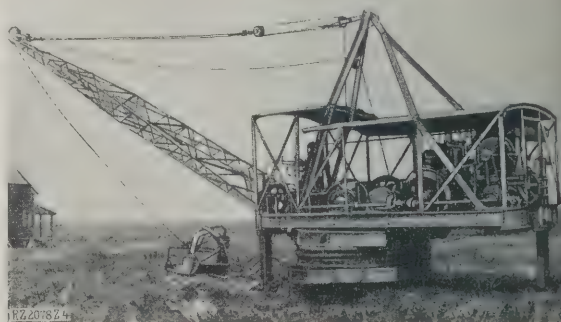


Abb. 4
Schreitbagger der Page Eng. Co. (Abstützung auf drei Füßen, Gleitführung zwischen Maschinenplattform und Untergestell).

Da sowohl diese mit Schreit-
zen, aber auch die mit Rau-
ausgestatteten Baumaschinen
nur verhältnismäßig langsam
wegen können, setzt man
Maschinen, wenn man
von einer Baustelle zur
sten kommen will, vielfach
kräftige, mit Gummirädern
hene Unterwagen, soge-
"Trailer", auf denen die
derung mit erheblicher Ge-
windigkeit vor sich geht. Um
auch von diesem Hilfs-
l, das nicht immer zur Stelle
abhängig zu werden, hat
versucht, die vorteilhaften
schaften von Rad und Raupe
ner einzigen Maschine zu ver-
en, die wahlweise auf Rädern
auf Raupen — je nach den
verhältnissen — laufen kann.
Über diese vorteilhafte Kon-
ktion, die beim Bau der
en New Yorker Untergrund-
n (8. Avenue) von mir viel-
im Betriebe beobachtet
de, soll später berichtet wer-
d. Es sei nur vorausgeschickt,
die Umstellung innerhalb von
bis 15 min bewerkstelligt wer-
kann.
[M 2078]
resden Dr.-Ing. W. Franke.

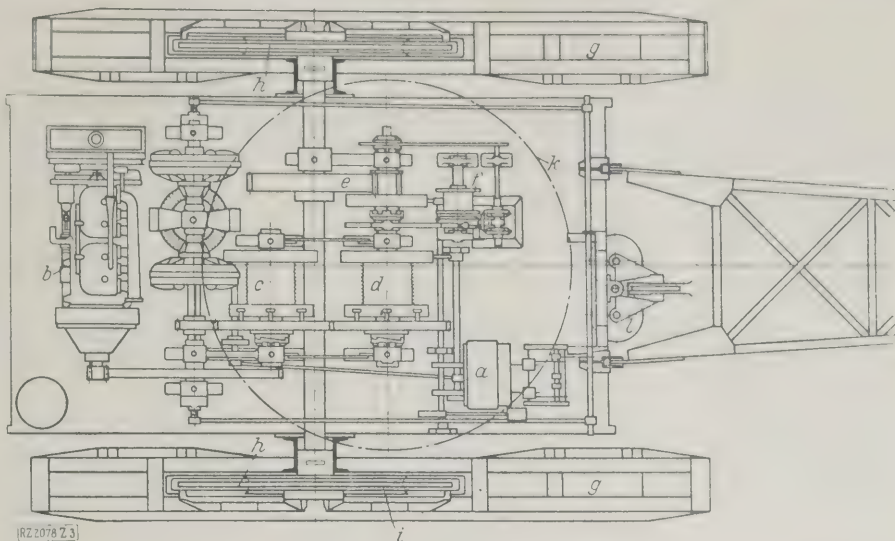


Abb. 3
Maschinenplattform von Monighan.

a Führerstand
b Dieselmachine
c Hubtrommel
d Schürftrommel

e Antriebszahnrad für das
Schreitwerk
f Auslegerhubwinde
g Schuhe zur Schreitbewegung

h Führungsrahmen für Exzenter
i Exzenter
k Dreh- bzw. Kurvenfahrwerk
l Seilführung

Eisenhüttenwesen

Selbsttätiges Walzwerk für nahtlos gezogene Rohre

In der Aliquippa-Anlage der Jones & Laughlin Steel
Corp., Pittsburgh, wurden zwei selbsttätige Walzwerke für
nahtlose Rohre aufgestellt, von denen das eine Rohre von
3 bis 178,3 mm Dmr. und das andere solche von 178,3 bis
304,8 mm Dmr. herstellt. Die 3050 mm langen Blöcke von
100 × 200 mm² Querschnitt werden in offenen Behältern
gelegt und sorgfältig untersucht, ehe sie in einen der bei-
den Rollöfen, die das Rundeisen-Vorwalzwerk bedienen, ein-
gesetzt werden. Das Vorwalzwerk besteht aus zwei Duo-
gerüsten, auf denen man die Blöcke zu Rundblöcken vor-
rollt. Sie werden dann auf Warmsägen auf Länge ge-
schnitten und erhalten auf einer mittels Druckluft und
Wasserpumpe betriebenen Presse eine tiefe Mittelpunktein-
drückung. In besonders gebauten Wagen werden die vor-
bearbeiteten Rundblöcke mittels Lokomotiven zur Einsetz-
stelle einer der beiden Rollöfen gebracht, die das Mannes-
mann-Walzwerk zum Lochen der Blöcke bedienen, dort mit
einer Gabel, die 8 bis 10 Rundblöcke zugleich faßt und an
einem Laufkran hängt, in einen der Rollöfen so eingesetzt,
daß alle Mittelpunkteindrückungen nach der Seite des Walz-
werkes zu liegen. In diesem Ofen rollen die Blöcke durch
die Walzkraft zum andern Ende des Ofens.

Die Walzwerke liegen nicht in einer Reihe hinterein-
der, sondern sind seitlich gegeneinander versetzt, um eine
bessere Anpassungsfähigkeit zu gewährleisten. Die einzel-
nen Rollgänge und Kühlbetten sind durch Querzüge ver-
bunden. Die Blöcke werden in einem Mannesmann-Walzwerk
mit Dorn gelocht, Abb. 5 und 6, wobei der Druck auf den
Dorn durch ein Spurlager mit 17 Einkragungen, ähnlich
wie bei einer Schiffsschraube, aufgenommen wird. Außer-
halb des Walzwerkes wird der Rundblock von Rollen er-
göt, die ihn in Drehung versetzen und gegen die Spitze
des Dornes drücken. Unter der Wirkung der mit ihren
Achsen gegeneinander versetzten kegelförmigen Walzen
wird der Block hohl gewalzt, selbst wenn kein Dorn vor-
handen wäre. Durch den Dorn wird der Block geführt
und das Loch konzentrisch und gleichmäßig. Infolge der
Werkstoffverschiebung tritt gleichzeitig eine Verlängerung
des Blockes ein.

Der gelochte Block wird nun, wenn größere Rohr-
durchmesser gewalzt werden, durch seitliche Verschiebung
in einem zweiten ähnlichen Mannesmann-Walzwerk ge-
bracht, dem Aufweitwalzwerk, Abb. 7 und 8, aus dem
mit dünner Wandung und größerem Durchmesser
hertritt. Dann wird das Rohr durch Querzug in die Rich-
tung des Dornwalzwerkes geleitet. Das Walzwerk hat ge-
wöhnliche Kalibrierwalzen, wobei jedoch ebenfalls ein Dorn
benutzt wird, Abb. 9 und 10; die schon ziemlich dünne
Wandung des Rohres wird in zwei Stichen noch weiter her-

untergewalzt. Da das Walzwerk kein Umkehrwalzwerk ist,
sind hinter dem Walzwerk Greifwalzen angebracht, die in
entgegengesetzter Richtung laufen, und das Rohrstück nach
dem ersten Durchgang und nach Öffnen der Walzen mittels
einer Stellschraube zurückschieben, damit es nach einer
Drehung um 90° um die Rohrachse zum zweiten Male durch
die Walzen gehen kann.

Nach dem Verlassen des Walzwerkes hat das Rohr un-
gefähr schon die Wanddicke des fertigen Rohres; die
Wände sind jedoch innen und außen noch etwas rau, und
das Rohr ist nicht genau rund. Es wird daher noch zu
einem Glättwalzwerk gebracht, Abb. 11. Man hat zwei
Glättwalzwerke aufgestellt, da die Durchgangsgeschwindig-
keit geringer als bei den andern Walzwerken ist, damit die
andern Walzwerke nicht behindert werden. Das Glättwalz-
werk hat ebenfalls kegelige, mit den Achsen gegen ein-
ander versetzte Walzen wie das Mannesmann-Walzwerk, je-
doch von anderer Form und unter geringerem Winkel gegen-
einander versetzt. Die schwach dehnende Wirkung des
Walzwerkes bewirkt nur ein Glätten der Innen- und Außen-
wandung, wobei der Dorn einen etwas geringeren Durch-
messer hat als das fertige Rohr. Die Walzen geben dem
Rohr eine Vorwärtsbewegung und üben zugleich einen Druck
aus, so daß es die genaue Wanddicke erhält.

Das Rohr kommt dann noch in warmem Zustand in die
Kalibrierwalzen, die aus 5 Paar Duowalzgerüsten bestehen,
deren Walzen um je 90° gegen das vorherige Gerüst ver-
setzt sind, während die Gerüste selbst unter 45° geneigt auf-
gestellt sind. [M 2376]

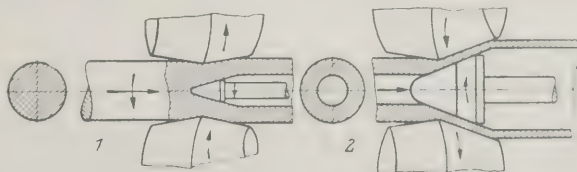


Abb. 5 und 6
Lochen mit Dorn.

Abb. 7 und 8
Aufweiten.

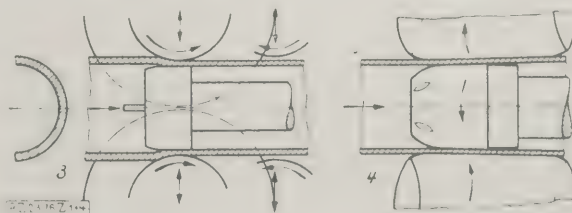


Abb. 9 und 10
Herunterwalzen im Dornwalzwerk.

Abb. 11
Glätten im Glättwalzwerk

Abb. 5 bis 11. Die verschiedenen Arbeitsgänge der Herstellung
nahtlos gezogener Rohre.

Kleine Mitteilungen

Ein Jahr Straßenverkehr im Holland-Tunnel

Am 12. November 1928 war der rd. 3,2 km lange Holland-Tunnel¹⁾ zwischen Manhattan und Jersey City, New York, ein Jahr in Betrieb. In dieser Zeit haben über 8,5 Mill. Fahrzeuge den Tunnel durchfahren, und zwar 4,27 Mill. den Nordtunnel, 4,24 Mill. den Südtunnel. 78,8 vH aller Fahrzeuge waren Personenkraftwagen.

Der 6 m breite Fahrweg jedes Tunnels mit einem 15 cm breiten Strich in der Mitte bietet Raum für je zwei in der gleichen Richtung verkehrende Fahrzeuge. Er hat sich bisher allen Anforderungen des Verkehrs gewachsen gezeigt. Während des ersten Verkehrsjahres hat sich kein ernstster Unfall ereignet. Zur Beleuchtung dienen an der Decke angebrachte 150 W-Lampen, die in 6 m Abstand voneinander angeordnet sind. Ihre Wirkung wird noch verstärkt durch die aus weißen glasierten Ziegelsteinen bestehenden Wände, die jede Woche einmal abgewaschen werden. In jeder Nacht wird die Fahrbahn der Tunnel mit einer selbstaufladenden Kehrmaschine, an der vorn eine Sprengvorrichtung angebracht ist, gereinigt. Diese Maschine fährt mit 9,5 bis 19 km/h und durchwandert die Tunnel zweimal in beiden Richtungen. Feuer brach an Fahrzeugen im ersten Betriebsjahr 192mal aus, meist infolge Heißlaufens der Bremsen. Das Feuer wurde mühelos mittels einfacher Handlöscher vom Aufsichtspersonal gelöscht. Die hierdurch hervorgerufene Verkehrsstockung dauerte in einem Fall 6 min, sonst höchstens 5 min. Auch die Lüftanlagen arbeiteten zur vollen Zufriedenheit, die Leistung der Lüfter konnte erheblich herabgesetzt werden, da die Messung bei normaler Lüfterleistung einen CO-Gehalt der Luft weit unter der Grenze von 0,025 vH ergab.

An Tunnelabgaben wurden insgesamt 3,25 Mill. \$ eingenommen. Die augenblickliche Verkehrsleistung beträgt rd. 50 vH der dem Tunnel zugrunde gelegten Höchstbelastung. Da voraussichtlich diese Höchstbelastung 1934 erreicht werden wird, kann man von diesem Jahr ab mit 7 Mill. \$ jährlicher Einnahmen rechnen. („Engineering News-Record“ 27. Dezember 1928 S. 942*) [N 2494 a] Sd.

¹⁾ Vergl. a. Z. Bd. 72 (1928) S. 1464.

Vergleichsversuche zwischen Caprotti- und Heusinger-Steuerung

Die Baltimore- und Ohio-Bahn in den Vereinigten Staaten hat im August und September 1927 auf dem Prüfstand in Altoona Vergleichsversuche mit zwei 1 D-Lokomotiven durchgeführt, von denen die eine mit Caprotti- (Ventil-Dmr. = 160 mm), die andre mit Heusinger-Steuerung (Kolbenschieber-Dmr. = 305 mm) ausgerüstet waren.

Mit der Caprotti-Steuerung ergaben sich gegenüber der mit Heusinger-Steuerung ausgerüsteten Lokomotive folgende Ersparnisse:

	Dampfersparnis		Kohlenersparnis	
	mittlere größte		mittlere größte	
bezogen auf die Zylinderleistung vH	5	12,3	8,45	27,3
bezogen auf die Zugkraftleistung . . vH	7,6	23,2	11,48	35,8
Kohlenverbrauch (bei 10 vH Füllung und 70 km/h . . . kg/PS _{ih})	mittlerer		geringster	
Dampfverbrauch (wie vor) kg/PS _{ih}	0,95		0,68	
	7,2		6,12	

Die Versuche wurden bei Fahrgeschwindigkeit von 11,8, 23,4, 35, 47, 58,5 und 70 km/h durchgeführt. Die größten Ersparnisse wurden erzielt bei 10 vH Füllung und 58,5 km/h Fahrgeschwindigkeit. Bei dieser Fahrgeschwindigkeit erreichte man außerdem mit der mit Caprotti-Steuerung ausgerüsteten Lokomotive eine größte Zugkraftsteigerung von 12,5 vH („Revue générale des chemins de fer“ Dezember 1928 S. 623) [N 2494 e] Ws.

Große Kraftwagen-Ausbesserwerkstätte

Die Stadt New York hat im Jahre 1924 für die Instandhaltung ihres Kraftfahrzeugparks eine Hauptwerkstätte eingerichtet, die in einem zehnstöckigen Eisenfachwerkbau von rd. 107 × 53 m² Grundfläche untergebracht ist und für über 4000 Fahrzeuge dient. Durch das Zusammenlegen der Einrichtungen von rd. 50 Einzelwerkstätten, die früher dafür notwendig waren, gewann man nicht nur eine vollständige Maschinenausrüstung für das neue Werk, sondern auch alle Vorteile in bezug auf die Ausnutzung der Anlagen sowie Überwachung und Gleichmäßigkeit der Arbeit, die mit dem

Großbetrieb verbunden sind. Das gemeinsame Ersatzlager, das für 120 000 verschiedene Stücke bemessen ist, einer Einkaufsabteilung unterstellt ist, befindet sich im zweiten Stockwerk. Im Erdgeschoß sind die Abteilungen für Ein- und Ausgang der Fahrzeuge untergebracht, worin auszuführenden Arbeiten festgestellt und nach Ausführung geprüft werden. Von hier aus werden dann die Arbeiten in richtiger Reihenfolge auf das Gebäude verteilt. 80 Fahrstühle, davon drei mit Plattformen von 9,4 × 4 m für ganze Wagen, besorgen den Verkehr zwischen den Stockwerken. Die eigentliche Maschinenwerkstatt befindet sich im dritten Stockwerk. Sie enthält auch einen Motorenprüfstand, während ein Wagenprüfstand zum Nachprüfen überholten Fahrzeuge im Erdgeschoß untergebracht ist („Motor Transport“ 31. Dezember 1928 S. 777/81*) [N 2494 b]

Amerikanischer Eisenbahnwagenbau

Das Jahr 1928 hat im Eisenbahnwagenbau Amerikas einiges Bemerkenswertes gebracht. Etwa 2000 Güterwagen wurden mit Untergestellen ausgerüstet, bei denen Zugstoßvorrichtung vollkommen voneinander getrennt ist. Diese Anordnung schützt den Wagenkasten und die Achsen viel besser vor den Folgen etwaigen starken Anpralls. Ferner hat man Wagen mit Kurzkupplung ausgestattet, aber die Angriffspunkte der Kräfte gekuppelter Wagen nicht starr verbindet. Infolgedessen werden Stoßwirkungen heftig gemildert und die Möglichkeit des Aufsteigens somit des Ineinanderschiebens bedeutend verringert.

Neue Entwürfe liegen vor, um die Konstruktion der bruchlichen Wagen so zu halten, daß die Mitteltüren den Bedarf später ohne Umbau durch Türen an den Enden ersetzt werden können. Bei Kühlwagen macht man Versuche, Kohlensäure an Stelle von Eis als Kühlmittel zu verwenden. („Railway Age“ 5. Januar 1929 S. 35*) [2494 d]

Ungewöhnliche Gründung eines Kesselhauses

Die Illinois Glass Co. in Gas City, Ind., hat kürzlich ein Heizwerk mit zwei 455 m²-Kesseln in Betrieb genommen. Dieses Esse infolge von Platzmangel und aus wirtschaftlichen Gründen nicht auf einem vom Kesselhaus unabhängigen Fundament, sondern auf dem Stahlgerüst des Gebäudes errichtet wurde. Die Stahlträger für die Kohlenbunker, das Gebäude, die Kessel, die Vorwärmer und Rohwasserspeicher sind mit den Trägern für die Esse mittelbar verbunden. Diese wiegt 284 t, ihre Höhe über der Bedienungsbühne beträgt 66 m, der Innendurchmesser am oberen Ende 1,8 m. Als Baustoff wurden Ziegelsteine gewählt, da die Verwendung von Beton infolge der zu wartenden hohen Rauchgastemperaturen nicht ratsam schien. Die gute Raumaussnutzung, die durch diese Maßnahme erreicht wurde, wird dadurch bewiesen, daß das Verhältnis der bebauten Grundfläche des Kesselhauses zur Heizfläche des Kessels nur 0,25 beträgt. („Power“ 25. Dezember 1928 S. 1041*) [N 2494 e]

Steinkohlen-Versuchsgrube zur Bekämpfung der Unfallgefahren

Am 2. November 1927 haben das Deutsche Reich, Preussische Staat und die Knappschafts-Berufsgenossenschaft eine Versuchsgruben-Gesellschaft gebildet mit dem Zweck auf einer Steinkohlengrube wissenschaftliche Versuche zur Erforschung und Bekämpfung der Unfallgefahren im Bergbau durchzuführen. In Aussicht genommen sind Versuche zur Erforschung der Entstehung und des Verlaufes von Schlagwetter- und Kohlenstaubexplosionen, zur Erprobung von Mitteln zur Einschränkung und Verhütung von Schmelzwetterexplosionen, zur Erprobung von Maßnahmen zur Bekämpfung von Grubenbränden, zur Erprobung von Fangrichtungen an Förderkörben, zur Erforschung der Beanspruchung und Sicherheit von Förderseilen und Unterseilen, zur Erforschung von Maßnahmen gegen Seilrutsch, Treibscheibenmaschinen und zur Erprobung von Maßnahmen zur Verhütung des Übertreibens von Förderkörben.

Man hat mit Explosionsversuchen und Versuchen dem Gebiete der Seilfahrt begonnen¹⁾. Die Explosionsversuche erstrecken sich vorerst auf Versuche über die Entstehung von Explosionen, und zwar wiederum in erster Linie Untersuchungen über die Schußgefahr. Bei den Seilfahrtversuchen wird zunächst die Seilrutschgefahr bei Treibscheibenmaschinen erforscht. Die Ergebnisse der Versuche sollen s. Z. veröffentlicht werden. [N 2494 f] Gs.

¹⁾ Zeitschrift für das Berg-, Hütten- und Salinenwesen im Preussischen Staate 3. Abhandlungsheft 1928.

BÜCHERSCHAU

Bücher und Zeitschriften des In- und Auslandes, auch solche nichttechnischen Inhaltes, liefert die VDI-Buchhandlung, Berlin NW 7, Ingenieurhaus (Telegrammanschrift: Ingenieurverlag Berlin; Fernspr.: Zentrum 1594).

schungsarbeiten auf dem Gebiete des Ingenieurwesens. V. H.: Das Förderhöhenverhältnis der Kreiselpumpen ist die ideale und wirkliche Flüssigkeit. Von Wilhelm Schulz. Berlin 1928, VDI-Verlag. 28 S. m. 35 Abb. und 1 Taf. Preis 5 RM, für Mitglieder des V. d. I. 4,50 RM.

Die neueren Bestrebungen, die Strömungen durch ischräder theoretisch genauer zu erfassen, als es mit einer dimensionalen Theorie möglich ist, gehen den Weg, an den der Rechnung zugänglichen Beispielen zu zeigen, wie Strömung einer idealen Flüssigkeit durch ein Kreisrad entstehen würde. Daß dies nicht das Endziel der theoretischen Untersuchung sein kann, liegt auf der Hand. Es vielmehr danach gestrebt werden, die Druckverteilung idealen Strömung zum Ausgangspunkt einer weiteren, sinnvollen der Prandtl'schen Grenzschichtentheorie verlaufenden Untersuchung zu machen, die abzuschätzen gestattet, wie die theoretische Strömung umbildet. Jede Sonderuntersuchung ist bei der Fülle der Aufgaben von Wert.

Ein besonderes Verdienst hat sich der Verfasser der vorliegenden Arbeit erworben. Denn er hat weder die außerordentliche Mühe der theoretischen Untersuchung, noch die so große Mühe umfangreicher praktischer Versuche gespart. Außerdem hat er durch Erörterung der mathematischen Lösungen und der beobachteten Ergebnisse das Problem physikalisch anschaulich beleuchtet. Daß er in seiner Lösung einen Kunstgriff verwendet, der seine Lösung von der herein zu einer Näherungslösung macht, schadet um so weniger, als inzwischen durch eine Arbeit von Busemann¹⁾ das Idealproblem genau gelöst ist.

Die Arbeit von Schulz gliedert sich in drei Teile. Im ersten wird die Leistungsaufnahme (spezifische Schaufelarbeit) für eine parallelkränzige Kreiselpumpe mit zylindrischen, nach logarithmischen Spiralen gekrümmten Schaufeln für verschiedene Halbmesserverhältnisse, Schaufelwinkel und -zahlen berechnet und das Ergebnis in ausführlichen Linienscharen dargestellt. Im zweiten wird über ähnliche Versuche an einer besonders angefertigten und zu Zwecken des Vergleichs dem Idealfall angepaßten Kreiselpumpe berichtet. Die Beobachtungen sind nicht auf die Leistungsaufnahme beschränkt, sondern auch auf Druckmessungen, Geräuschbeobachtungen usw. ausgedehnt und in den Kurventafeln übersichtlich zusammengestellt. Im dritten Teil vergleicht der Verfasser unmittelbar das Verhalten der gleichen Räder in idealer mit dem in wirklicher Flüssigkeit.

Die Abhandlung bringt eine Fülle lehrreichen Stoffes, der schon durch die weitgedehnten Grenzen der Änderung der Hauptgrößen (an Schaufelwinkeln wurden 20°, 30°, 40°, 90°, an Schaufelzahlen 1, 2, 3, 4, 5, 6, 8, 10, 15, 20) von größtem Wert ist. Die Darstellung ist durchgehend genau und klar, über manche Schlußfolgerungen und Begründungen kann man abweichender Ansicht sein. Dies aber dem Wert der Arbeit keinen Abbruch; denn immer wird man dazu angeregt, neben dem Studium der strengen Rechnung auch den rein physikalischen Überlegungen des Verfassers zu folgen. Dem in der Praxis stehenden, physikalisch denkenden Ingenieur wird die Arbeit eine starke Anregung sein, auch wenn er von dem rein mathematischen keinen Gebrauch macht. [E 2383] Spannhake

Untersuchungsarbeiten auf dem Gebiete des Ingenieurwesens. V. H.: Untersuchungen an der Dieselmachine. Von Kurt Neumann. Untersuchungen zur Dynamik des Zündvorganges. Von Otto Klüsener. Berlin 1928, VDI-Verlag. 25 S. m. 64 Abb. u. 6 Taf. Preis 6 RM, für Mitglieder des V. d. I. 5,40 RM.

Die erste Arbeit²⁾ berichtet über Versuche an einer eindringenden Viertakt-Vorkammermaschine von 18 PS. Die Untersuchung der Strömungsvorgänge in Vorkammer und Zylinder ergibt die gleichen Werte für die Strömungsenergie wie beim klassischen Dieselverfahren. Ebensovienig unterscheidet sich die Hauptverbrennung im Zylinder. Das Endresultat ist für das Vorkammerverfahren recht günstig.

Die zweite Arbeit³⁾ befaßt sich mit Versuchen in einem zylindrischen Explosionsgefäß von 5 l Inhalt, die die Fortpflanzung der Flammenfront und die Entstehung der Druckwelle aufklären sollten. Eine tatsächliche kennzeichnende Veränderung des Druckverlaufes in dem Punkt, wo die Kugelflammfront den Zylindermantel erreicht, erhärtet die An-

schauung von der kugelförmigen Fortpflanzung der Flamme. Es gelingt auch, aus den Schaulinien Zeitpunkt und Zustand zu ermitteln, bei dem die Druckwellenzündung einsetzt. [E 2389] Dr.-Ing. Leitner

Med Hammare och Fackla. Jahrbuch. 1. Bd. Herausgeg. von der St. Georgs-Gilde. Stockholm 1928, Selbstverlag. 188 S. m. Abb. Preis 5 Kr., zuzüglich 50 Öre für Porto.

In Schweden hat sich unter dem Namen „St. Örjans-Gilde“ (St. Georgs-Gilde) die alte Brüdergemeinschaft der Bergleute neu zusammengefunden, um die stolzen Überlieferungen früherer Jahrhunderte im Gedächtnis zu bewahren und um gemeinsam geschichtliche Forschung zu betreiben. Die erste Veröffentlichung der Gesellschaft in Form eines Buches mit dem Titel „Mit Hammer und Fackel“, enthält eine Reihe größerer und kleinerer Arbeiten, die auch in Deutschland Interesse finden dürften, weil namentlich früher vielfache Beziehungen zwischen dem schwedischen und dem deutschen Bergbau bestanden.

Schon der erste und umfangreichste Aufsatz über die Geschichte eine Reihe mittelschwedischer Bergwerke von 1532 bis 1627 beginnt mit der Mitteilung, daß der Stralsunder Bürger Joachim Piper 1532 ein Privilegium zur Ausübung des Bergbaues in Schweden von König Gustav Wasa erhielt. Andre Deutsche folgten ihm, namentlich Leiter und Facharbeiter in allen neuen Unternehmungen, traten aber später gegenüber schwedischen Kräften zurück. Man gründete Gewerkschaften, gab Anteile aus und betrieb die Unternehmungen, wenn man nach den vielen Zahlenangaben urteilen darf, ganz kaufmännisch.

Daß die St. Georgs-Gilde nicht nur der schwedischen Berggeschichte Beachtung schenkt, beweist ein kleiner Aufsatz über die Erzveredelung und Schmiedekunst im alten Israel, der sich in der Hauptsache auf Angaben in der Bibel und auf Ausgrabungen stützt.

Besonders bemerkenswert ist für uns Deutsche eine Arbeit über den schwedischen Bergbau in Georg Agricolas Schriften. Vorweg sei aber bemerkt, das Agricolas „De re metallica“⁴⁾ nichts Unmittelbares über die schwedischen Verfahren der Gewinnung und Verarbeitung von Erzen berichtet. In andern seiner Schriften finden sich aber mehr Angaben über den schwedischen Bergbau, die mit Erläuterungen wiedergegeben werden, weil sie teilweise recht unbestimmt sind, offenbar weil Agricola weder aus eigener Anschauung Schweden kannte, noch über unmittelbare Quellen verfügte. Ein Teil seiner Mitteilungen dürfte aus einer geographischen Arbeit von Jakob Ziegler aus dem Jahre 1532 stammen.

Einem Abschnitt über die Geschichte des Osmundseisens im 17. und 18. Jahrhundert folgt ein Bericht über die Erzeugnisberechnungen bei Stora Kopparberget in den Jahren 1625, 1660 und 1681. Wer glaubt, eine genaue Selbstkostenermittlung sei erst eine Errungenschaft der jüngsten Zeit, befindet sich im Irrtum. In den Berechnungen von Stora Kopparberget findet man genau angegeben, wieviel Erz, Holz, Kohle usw. in der Woche gebraucht werden, was die Rohstoffe kosten und wie groß die zu erwartende Ausbeute an Kupfer ist.

Eine Fahrt in die Sala-Grube, von einem französischen Reisenden beschrieben, gibt einen Eindruck von den damaligen Arbeitsverhältnissen, die so waren, daß man meistens nur Gefangene und auch Kriegsgefangene als Arbeiter verwenden konnte.

Bemerkenswert ist ein Bericht über die Taten schwedischer Bergleute in Spanien im 18. Jahrhundert. Welche Bedeutung in Schweden seinerzeit dem Bergbau im Staatsleben beigelegt wurde, geht daraus hervor, daß für die Bergwerksleiter und -Beamten eine besondere vom König genehmigte Uniform festgelegt wurde.

Es ist zu hoffen, daß die mit dem ersten Jahrbuch begonnene Schriftenreihe der St. Georgs-Gilde fortgesetzt wird, um historisch wichtige Geschehnisse in kritischer Bearbeitung aufzuzeichnen und so eine bedeutsame Quelle für die Geschichte des schwedischen Bergbaues zu werden.

[E 2367] Reichardt

The measurement of air flow. Von E. Over. London 1927, Chapman & Hall, Ltd. 199 S. m. 73 Abb. Preis 15 sh.

Das vorliegende Buch ist aus den Studien des Verfassers im National Physical Laboratory und aus seiner Fühlungnahme mit Ingenieuren und Firmen der Ventilatorenindustrie entstanden. Es ist daher wissenschaftlich ein-

¹⁾ Z. f. angew. Math. u. Mech. Bd. 8 (1928) S. 372. Vergl. a. S. 126.

²⁾ Vergl. a. Z. Bd. 72 (1928) S. 1241.

³⁾ Vergl. a. Z. Bd. 72 (1928) S. 1580.

⁴⁾ Vergl. Z. Bd. 72 (1928) S. 1479.

wandfrei und dabei nicht zu schwer verständlich ausgefallen. Behandelt sind die Strömung von Luft in Rohren, das Pitotrohr, Düse, Staurand und Venturirohr, das Flügel-Anemometer, das Hitzdraht-Anemometer und die bei Strömungsmessungen üblichen Manometer. Die Ausführungen über das Pitotrohr und die Flügel-Anemometer beruhen zum großen Teil auf eigenen Untersuchungen des Verfassers. Besonders gründlich sind die Ähnlichkeitsbetrachtungen (S. 73 bis 76), bei denen auch der Einfluß der Schallgeschwindigkeit mit einbezogen ist. Ausführlich werden die vorläufigen Ergebnisse der Staurandmessungen von Jakob und Kretzschmer mit denen von Hodgson verglichen (S. 80 u. f.). Der Verfasser überschätzt aber ihre Übereinstimmung ein wenig, da ihm die endgültigen Versuchsergebnisse Jakobs und Kretzschmers (Forschungsarbeiten, Heft 311) noch nicht zugänglich waren. Auf S. 90 wird Düsenform für Venturirohre empfohlen; diese ist in Deutschland längst bekannt und eingeführt. Auf weitere Einzelheiten kann hier nicht eingegangen werden, so bemerkenswert noch vieles in dem Buch wäre. Es kann auch deutschen Lesern wohl empfohlen werden.

[E 2350]

Max Jakob

Flugzeugbau und Luftfahrt, 12. H.: Gleitflug und Gleitflugzeuge. Von F. Stamer und A. Lippisch. 2. T.: Bauanweisungen und Bauzeichnungen. Charlottenburg 1928, C. J. E. Volekmann Nachf. 19 S. m. 8 Abb. und 5 Taf. Preis 2,50 RM.

Die Verfasser geben in äußerst gedrängter Form eine Bauanweisung für ein einfaches Gleitflugzeug. Der Aufbau ist an der Hand von 5 Tafeln mit Werkstattzeichnungen klar und übersichtlich erläutert. Die Anweisung erscheint geeignet, auch dem im Segelflugzeugbau noch Unerfahrenen die Möglichkeit zu geben, ein Gleitflugzeug herzustellen, das sich bereits in vielen Ausführungen auch bei Wettbewerben gut bewährt hat. Das Heftchen sei besonders den Gleit- und Segelflugvereinen empfohlen. [E 2373]

H. Rietschels Leitfaden der Heiz- und Lüftungstechnik. 8. Aufl. Von Heinrich Gröber. Mit einem Abschnitt über Hygiene von J. Bürgers. Berlin 1928, Julius Springer. 319 S. m. 308 Abb., 26 Zahlentaf. und 10 Hilfstaf. Preis 36 RM.

Die Heizungs- und Lüftungsanlagen in den verschiedenen Gebäudearten. Von M. Hottinger und W. v. Gonzenbach. Berlin 1929, Julius Springer. 191 S. Preis 10 RM.

Lehrbuch der Elektrotechnik. Von E. Blattner. 2. T. 4. Aufl. Bern 1928, K. J. Wyß Erben. 393 S. m. 342 Abb. Preis 15 RM.

VDE. Fachberichte der 33. Jahresversammlung des Verbandes Deutscher Elektrotechniker in Berlin 1928. Berlin 1928, Geschäftsstelle des Verbandes Deutscher Elektrotechniker. 129 S. m. Abb. Preis 8 RM.

Selbstanschlußtechnik. Von Martin Hebel. München und Berlin 1928, R. Oldenbourg. 423 S. m. 240 Abb. u. 1 Anh. Preis 18 RM.

Der praktische Telegraphenhandwerker, 7. T.: Aufbau- und Fernsprechanlagen. Herausgeg. von Carl Westphal unter Mitwirkung von H. Benzig und H. Utesch. Lübeck, Franz Westphal. 163 S. m. 135 Abb. Preis 4,80 RM.

Der neuzeitliche Straßenbau. Herausgeg. von Hentrich. 1. T.: Allgemeine Straßenplanung. Bearb. von Ph. Rappaport und Karl Heller. Halle a. d. S. 1928, Wilh. Knapp. 83 S. m. 46 Abb. Preis 8,20 RM.

Johow-Foerster, Hilfsbuch für den Schiffbau. 5. Aufl. E. Foerster. Berlin 1928, Julius Springer. 1. Bd.: 99 S. m. 688 Abb. 2. Bd.: 55 S. m. 56 Taf. Preis zus. 88 RM.

Psychotechnische Berufseignungsprüfung von Gießereiarbeitern. Von Wilhelm Bültmann. Berlin 1928, Julius Springer. 78 S. m. 32 Abb. Preis 8,25 RM.

Leitfaden für Gießereilaboratorien. Von Bernhard Os. 3. Aufl. Berlin 1928, Julius Springer. 64 S. m. 12 Abb. Preis 3,30 RM.

Spanlose Formung der Metalle in Maschinenfabriken d. Gießen, Schmieden, Schweißen und Härten. Von E. Preger. 2. Bd.: Schmieden und Stanzereitechnik. 9. Aufl. Leipzig 1929, Max Jänecke. 152 S. m. 165 Abb. Preis 3 RM.

Abhandlungen zur praktischen Geologie der Bergbauwissenschaften, 17. Bd.: Das Panderitvorkommen von A. Schlüter. Halle a. d. S. 1928, Wilhelm Knapp. 57 S. m. 18 Abb. Preis 5,80 RM.

Die Fermente und ihre Wirkungen. Von Carl Oppenheimer. 5. Aufl. 3. Bd.: Die Methodik der Fermentforschung. Herausgeg. von Carl Oppenheimer und Ludwig Cussen. 5. Lfg. Leipzig 1929, Georg Thieme. 31 S. m. 57 Abb. Preis 28 RM.

Wege zum Wissen, 95. Bd.: Die Kohle und ihre Wandlungen. Von Max Naphtali. Berlin 1928, Verlag Ullstein. 137 S. Preis 1,35 RM.

Sechsstellige Tafel der trigonometrischen Funktionen. J. Peters. Berlin und Bonn 1929, Ferd. Dümmler. 29 S. Preis 52 RM.

Vom Werden der naturwissenschaftlichen Probleme. Friedrich Dannemann. Leipzig 1928, Wilhelm Engelmann. 376 S. m. 82 Abb. Preis 19 RM.

Handbuch für den Außenhandel. Herausgeg. von W. Müller, Walther Becker, Max Findeklee. Leipzig 1928, J. J. Arnd. 1491 S. Preis 20 RM.

Baedekers Berg-Kalender 1929. 74. Jg. Vollst. neu bearb. Essen 1929, G. D. Baedeker. 1. Bd.: 276 S. m. Abb. 2. Bd.: 268 S. m. Abb. Preis zus. 6 RM.

Deutsches Biographisches Jahrbuch. Herausgeg. vom Deutschen Akademien. Überleitungsband 1917 bis 1920. Stuttgart, Berlin und Leipzig 1928, Deutsche Verlags-Anstalt. 770 S. Preis 24 RM.

The Colloid Chemistry of the Rubber Industry. Von A. Hauser. London 1928, Humphrey Milford. 53 S. m. 13 Abb. Preis 2 sh 6 d.

Handbuch des Reichsverbandes der Automobilindustrie, 4. T. (Nachtragssammelband): Typentafeln für Konstruktionen 1929 von Personenkraftwagen, Lastkraftwagen, Omnibussen, Schleppern, Krafttraktoren, Transportern und einbaufertigen Aggregaten mit einbaufertigen Dreisprachenverzeichnis (deutsch - französisch - englisch) der in den Typentafeln vorkommenden Wörter Fachausdrücke. Berlin 1929, Ernst Valentin Verlag. 194 S. m. Abb. Preis 2 RM.

Lebensfragen der deutschen Luftfahrt. Von Otto L. und Carl Pirath. Stuttgart 1928, W. Kohlhammer. 6 S. Preis 2,50 RM.

Jahresberichte der Gewerbeaufsichtsbeamten und Behörden für das Jahr 1927. 1. bis 4. Bd. Berlin 1928, Reichsarbeitsministerium. Preis zus. 15 RM.

Kommentar zur Eisenbahn-Bau- und Betriebsordnung 17. Juli 1928. Von F. Besser. Berlin 1928, Verkehrs-wissenschaftliche Lehrmittelgesellschaft m. b. H. bei Deutschen Reichsbahn. 219 S. Preis 6,50 RM.

Schluß des Textteiles

I N H A L T :

	Seite
Neuerungen im Landmaschinenbau. Von Holldack . . .	109
Das Technische und das Kaufmännische in der Rationalisierung . . .	116
Berichtigung: Ermüdungsbruch und zulässige Belastung von Wälzquerlagern . . .	116
Beschleunigungsverhältnisse beim sphärischen Kurbeltrieb und verwandten Mechanismen. Von F. O. Müller . . .	117
Grundsätzliches über Fließarbeit . . .	125
Der gegenwärtige Stand des Kreiselpumpenbaues. Formgebung und Berechnung der Schaufeln. Von C. Pfeleiderer . . .	126
Das Instill-Benzol-Raffiniervorgehen . . .	130
Getreidemühlen. Von E. M. Meller . . .	131
Die mehrfach geführten Wellen in mehreren fließenden Mitteln . . .	136

Berichtigung: Die Bauverfahren für Landstraßen . . .
Rundschau: Die Metalle im Kraftwagen- und Flugzeugbau — Gegenwartsaufgaben des deutschen Eisenbaues — Fortbewegungsmittel amerikanischer Baumaschinen — Selbsttätiges Walzwerk für nahtlos gezogene Rohre — Kleine Mitteilungen
Bücherschau: Das Förderhöhenverhältnis der Kreiselpumpen für die ideale und wirkliche Flüssigkeit. Von W. Schulz — Untersuchungen an der Dieselmachine. Von K. Neumann — Untersuchungen zur Dynamik des Zündvorganges. Von O. Klüsener — Med Hammare och Fackla — The measurement of air flow. Von E. Ower — Gleitflug und Gleitflugzeuge. Von F. Stamer und A. Lippisch — Eingänge . . .

ZEITSCHRIFT DES VEREINES DEUTSCHER INGENIEURE

SCHRIFTFLEITER: C. MATSCHOSS



73

SONNABEND, 2. FEBRUAR 1929

Nr. 5

Bege der Luftfahrtforschung

Von E. EVERLING, Berlin-Schlachtensee

Während man der rechnerischen und versuchsmäßigen Forschung vorzuwerfen pflegt, daß sie den Ereignissen nachteile, ist sie in der Luftfahrttechnik oft führend gewesen; das zeigen Beispiele aus verschiedenen Teilgebieten des Faches. Daher kann auch für die Zukunft der wissenschaftlichen Forschung sowohl für unmittelbar drängende Fragen, als für weitere Ziele und für Sonderaufgaben eine führende Rolle zugewiesen werden. Das wird ausgeführt für die Strömungslehre, die Flugzeugdynamik, die Festigkeit des Aufbaues und die Eigenschaften der Baustoffe, für die Motoren, Meßgeräte und Hilfseinrichtungen.

Forschung und Anwendung

on dem Gestalter und mehr noch von dem Verkäufer technischer Werte wird dem Forscher mit seinen Rechnungen und Versuchen häufig vorgeworfen, er ne mit seinen Ergebnissen zu spät, er hinke hinter der tatsächlichen Entwicklung her, er mäge gewissermaßen den Gleisen warum und wieso, nachdem der Schnell-; längst sicher vorbeigebraust sei; und damit nicht ung, er verfolge die toten Nebenstrecken, statt sich an Hauptrichtung des Fortschritts zu halten.

Es mag manchesmal zutreffen, daß der Forscher, der Versuchsbedingungen vereinzelt, um nicht in der lle der Veränderungen unterzugehen, oder den Grund- der Rechnung Zwang antut, um überhaupt etwas setzen und die Gleichungen auswerten zu können, über Einstellung auf seine Fragen das Ziel des Ganzen s dem Auge verliert und die Richtlinien seines Auf- gs als Zwang erachtet. Es kommt häufig vor, daß erhoffte wissenschaftliche Erkenntnis und das för- liche Forschungsergebnis sich nicht termingemäß und ht im erwünschten Umfange liefern läßt. Das hat er erlebt, der innerhalb eines Fabrikbetriebes mit chen Aufgaben betraut war. Auch möchte der For- mer weiter ausholen oder tiefer schürfen, er möchte vor em seine Ergebnisse sorgfältiger abrunden und ele- nter darstellen. Darauf kann aber der auf irgendein zept unbedingt angewiesene, von der Peitsche der eferfrist gehetzte Nutznießer dieser Forschungserge- bisse meist nicht warten. So hat sich zwischen For- ung und Anwendung, zwischen Wissenschaft und Gel- tung, zwischen Theorie und Praxis eine Kluft ge- net, die in vielen Fachgebieten nur einige wenige istesriesen wirklich zu überschreiten vermögen. Die hrzahl aber, die Kampftruppe technischen Fortschritts, ngt hüben oder drüben, fühlt sich unsicher und halb- rtig.

Diese Kluft zu überbrücken, ist Aufgabe der ver- ndnisvollen persönlichen Zusammenarbeit, ist auch s Ziel des Vereines deutscher Ingenieure und seiner itschrift. So sind sich gerade die führenden Gestalter r darüber, daß es auch in Zeiten schlechter Kon- ktur und im Ringen um die äußerste Verbesserung s Wirkungsgrades gerade am meisten notwendig ist, n Forscher in seiner Arbeit über den augenblicklichenarf, über die Antwort auf die drängenden Fragen aus gewähren zu lassen; scheinbar völlig entlegene rgebnisse der reinen Wissenschaft führen oft unver- tet zu technisch-wissenschaftlichen Auswirkungen, e sich der Entdecker selbst vielleicht am wenigsten te träumen lassen.

Das schlagendste Beispiel hierfür scheinen mir die rsuche der Physiker mit Kathodenstrahlen zu

sein, die durch einen Zufall und durch den Scharfblick eines Forschers der Ausgangspunkt der heute so um- fang- und segensreichen Röntgentechnik mit ihrer Anwendbarkeit sogar auf die Prüfung schwerer Metall- teile wurden. Auf dem Wege über glückliche Einfälle und planmäßige Entwicklung wurden dieselben Kathoden- strahlen fast ein Menschenalter später auch der Funk- technik dienstbar gemacht; der Rundfunk, der dem Beginn unseres Vierteljahrhunderts das Gesicht gibt, wäre ohne sie nicht denkbar.

Ein andres Beispiel bietet die mathematische Theorie der analytischen Funktionen komplexer Zahlen, die auf verschiedenen Gebieten der Technik, z. B. zur Untersuchung einander rechtwinklig schneiden- der Kurvenscharen, wertvolle Dienste leisten können und in der Strömungslehre, vor allem für die Zwecke der Luftfahrt, eine Reihe praktischer Anwendungen, z. B. zum Bestimmen der Druckverteilung auf angebla- senen Körpern, gefunden haben.

Die Luftfahrt ist überhaupt ein Zweig der Technik, der sich in seiner ganzen Entwicklung in besonderem Maß auf wissenschaftliche Forschungen, Berechnungen wie Versuche, stützen konnte, auch auf solche, die der eigentlichen Entwicklung, der praktischen Gestaltung weit voraus eilten. Dies näher zu begründen, die Be- deutung der Forschertätigkeit für die Luftfahrt, die Ziele der Luftfahrtforschung und ihre Einzelaufgaben dar- zulegen, wird im folgenden versucht.

Luftfahrt und Forschung

Ein beinahe tragikomisches Beispiel dafür, wie die Luftfahrtforschung den Tatsachen vorausseilt, bietet der Segelflug. Da läßt sich theoretisch erweisen, daß ein Flugzeug und ein Vogel nicht bloß im Aufwind ohne Vortrieb Höhe erhalten oder gar gewinnen können, sondern auch durch zweckvolle Bewegungen, z. B. taktmäßiges Kreisen, in Windsprüngen oder in bestimmten regel- mäßigen Windschwankungen, wie sie gelegentlich wohl vorkommen können¹⁾. Einwandfrei beobachtet ist aber trotz aller Bemühungen bisher bei Segelflug-Wettbewer- ben, wie beim Abdröseln von Motorflugzeugen oder beim Betrachten und Vermessen von Flugtieren lediglich der erstgenannte statische Segelflug im Aufwind, der durch Übergang der Luftströmung von Wasser auf Land, durch Stau an Dünenketten, Gebirgen (und Meereswellen), wie durch die verschiedene Wärmewirkung der Sonnen- strahlen entsteht und gelegentlich durch die begleitende Kondensation und Wolkenbildung zu erkennen ist. Das Heraus kämmen der Energie aus den Windschwankun-

¹⁾ Vergl. die Zusammenstellung von E. Everling, Zur Mechanik des Segelflugs, Z. f. Flugtechnik und Motorluftschiffahrt Bd. 14 (1928) S. 152.

gen oder Windsprüngen ist bisher nicht verwirklicht worden²⁾; man kann also sagen, das dynamische Segeln ist bisher nur den Theoretikern gelungen.

Mag es nun beim Segelflug praktisch-wirtschaftlich nicht bedeutsam genug erscheinen, die Verwirklichung der theoretischen Möglichkeiten zu erzwingen, so lehrt das folgende Beispiel deutlich, daß die Strömungsforschung bahnbrechend und der Luftfahrttechnischen Gestaltung Wege zum Erfolg weisen konnte: die Grenzschicht strömender Flüssigkeiten und Gase an der Oberfläche umströmter Körper, die *Prandtl* als fruchtbare Arbeitshypothese zur Erläuterung der Strömungskräfte an Körperoberflächen einführte, später auch sichtbar machte und gemeinsam mit *Betz* und beider Schülern sogar körperlich zu erfassen, zu messen und — zu entfernen vermochte. So ergab sich neben der Erklärung vieler Vorgänge auch das Mittel, sie zu beeinflussen und zu beherrschen. Die Theorie der Potentialströmung reibungsloser Flüssigkeiten reicht ja nicht aus, den Widerstand und das erste Entstehen der Zirkulation, also des Auftriebs oder des Quertriebs, zu erklären. Die Berücksichtigung der Zähigkeit in den Strömungsgleichungen bietet mathematische Schwierigkeiten, wenn man nicht die Trägheit vernachlässigen kann. Das ist aber gerade da gestattet, wo die Zähigkeit nicht vernachlässigt werden darf, eben nahe der Oberfläche des umströmten Körpers, in der Grenzschicht, die also wie die Schmier-schicht eines Lagers behandelt werden kann.

Physikalisch betrachtet, stellt die Grenzschicht den Teil der Flüssigkeit vor, der infolge der Wandreibung seine Strömungsenergie teilweise verloren hat, daher seine Geschwindigkeit nicht mehr in den Gegendruck am Körperende umsetzen kann, sich also zusammen-schoppt, ablöst und zu Wirbeln aufrollt (strömungs-mechanisch stellt die Grenzschicht selbst schon einen Wirbel dar), die dann als Wirbelstraße den Widerstand und als wegschwimmende Anfangswirbel die zurück-bleibende Zirkulation, z. B. um einen Tragflügel und damit dessen Auftrieb, erklärlich machen. Ist es auch nicht gelungen, den Ort dieser Ablösung für alle Körper vorauszurechnen, die Wirbel und ihre Widerstand-wirkung vorherzubestimmen, so konnte doch manches bis dahin Rätselhafte, z. B. die Verminderung des Widerstands in turbulenter Strömung, durch diese Anschauung erklärt werden.

Vor allem ließen sich Richtlinien für die zweckmäßige Gestaltung umströmter Körper und Maßnahmen zum Verringern des Widerstandes auch bei durchströmten Düsen, zum Erhöhen des Auftriebs in bestimmten Fällen durch Absaugen der Grenzschicht, durch Wegblasen der Grenzschicht, vor allem mittels der Spaltflügel³⁾, durch Bewegen der Körperoberfläche bei den Windwalzen (Rotoren) gewinnen; dabei handelt es sich stets um eine Energiezufuhr⁴⁾ zur Grenzschicht oder um Beseitigung des energieschwachen zum Ablösen und zur verlustreichen Wirbelbildung bereiten Teiles der strömenden Flüssigkeit.

Auch die Tragflügeltheorie *Prandtl's* und seiner Schule, deren Ergebnisse durch Modellversuche im Windkanal glänzend bestätigt wurden, gab dem Gestalter der Tragwerke größere Sicherheit und neue Wege: End-scheiben z. B. bringen keine wesentlichen Vorteile; aber die gegenseitige Beeinflussung der beiden Tragflächen von Doppeldeckern läßt sich ebenso vorausbestimmen wie der Abwind des Tragdecks am Ort des Höhen-leitwerks.

Auch die Naturforschung hat wertvolle Fingerzeige geliefert: schon vor dem Kriege wies *Ahlborn* auf den eigenstabilen Zanonien-Samen hin, der das Vorbild für die Tauben wurde, aber aus Gründen der Wendigkeit und Wirtschaftlichkeit andern Formen weichen mußte.

²⁾ Eine von mir in den „Physikalischen Berichten“ Bd. 2 (1921) Heft 9 S. 503 wiedergegebene gegenteilige Beobachtung von *E. H. Hankin* steht vereinzelt da; ich vermag sie nicht zu glauben. Die verfügbaren Windenergien dürften übrigens nur in Ausnahmefällen ausreichen.

³⁾ Z. Bd. 71 (1927) S. 645.

⁴⁾ Von diesem Gesichtspunkt aus ist die Grenzschichtfrage behandelt in meinem Beitrag: „Strömungskräfte an Fahrzeugen“ zum Handbuch der Physikalischen und Technischen Mechanik von *F. Auerbach* und *W. Hort*, Bd. 6, Lieferung 2, Leipzig 1928, Johann Ambrosius Barth, S. 548 bis 600, mit ausführlichen Literaturangaben.

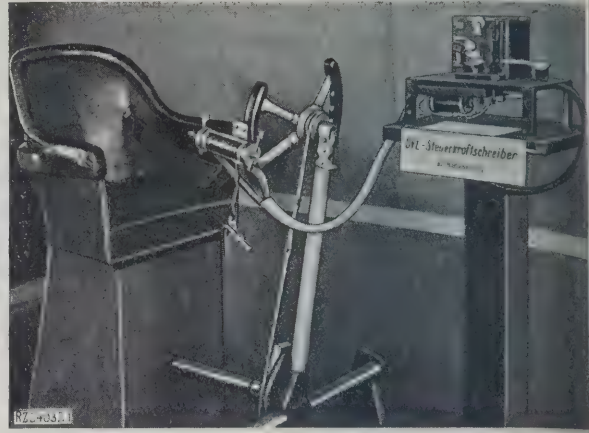


Abb. 1. Steuerkraftschreiber der DVL am Handrad einer Flugzeugsteuerung vor dem Führersitz.

Abb. 1 bis 5. Von der Ausstellung der Deutschen Versuchsanstalt für Luftfahrt, Berlin 1928.

Sogar in der Frage des Gesamtaufbaues hat die Forschung einen Vorsprung: bereits 1910 meldete *Junkers* das Nurfügelflugzeug zum Patent an, das sich gewissermaßen in allen Teilen selbst trägt⁵⁾. Bis heute kommt es, auch bei den größten geplanten Baumustern, nicht verwirklicht werden, da vor allem die Bodenberührung abweichende Formen bedingt. *Junkers*, der seinen Fabrik eine besondere Forschungsanstalt angegliedert hat, ist auch nur durch planmäßige rechnerische und Versuchsarbeit zu seiner heutigen Leichtmetallbauweise mit freitragenden Tiefdeckern gekommen, die bereits dem kleinen Versuchsflugzeug, Baumuster F 13, einen bemerkenswerten Höhepunkt erreicht hat.

Auf dem Gebiete der Flugzeugmechanik sind Leistungsgrenzen⁶⁾, auch für Treibschräuben⁷⁾, festgelegt worden, die vor allem stark abweichenden Neuerungen gegenüber eine gewisse Sicherheit in der Beurteilung geben. Die rechnerische Untersuchung des Höhenfluges mit noch heute den Höhenrekorden voraus, auch seit den Höhenmotoren in Betracht kommen.

Aerologisch wurde der zukünftige Höhenluftverkehr bereits vor dem Kriege durch Freiballon-Hochfahrten vorbereitet, unter denen die von *A. Wigand*⁸⁾ und seinen Mitarbeitern neben meteorologischen, optischen und elektrischen Beobachtungen auch die Zusammensetzung der Luft, die schädliche Strahlung, die funkentelegraphische Empfangsstärke, die Ursachen der Wolken- und Nebelbildung bis zu 9,4 km erfaßte.

Nach diesen Beispielen brauchen wir nicht erst die von andern Gebieten übernommenen Forschungsergebnisse und ihre Wirkungen im Motorenbau, bei der Entwicklung der Leichtmetalle und anderes mehr zum Beweise heranzuziehen, daß in der Luftfahrt die Forschung die allgemein wissenschaftliche, wie die besondere Ziele zustrebende, der Gestaltung oft vorausgeeilt ist.

Aufgaben der Luftfahrtforschung

Im Vorigen wurde absichtlich die Rolle unterstrichen, die der Gewinnung allgemeiner Erkenntnisse neben der Untersuchung mit unmittelbaren Einzelzielen Hand in Hand mit der Prüfung, zukommt. Diese werden dadurch in ihrer Bedeutung für die nächsten Schritte der Fortentwicklung nicht herabgesetzt. Daß wir d

⁵⁾ Bei dieser Gelegenheit weisen wir darauf hin, daß Prof. Dr.-Ing. E. Dr. h. c. H. *Junkers*, dem der Verein deutscher Ingenieure im Jahre 1919 seine höchste Auszeichnung, die Grashofdenkmünze, verliehen hat, am 3. Februar d. J. sein 70. Lebensjahr vollendet. Vergl. a. das Buch *Junkers*, Berlin 1929, VDI-Verlag.

⁶⁾ Z. Bd. 68 (1924) S. 1041.

⁷⁾ Siehe den Beitrag nach Anmerkung 4).

⁸⁾ *G. Madelung*, Beitrag zur Theorie der Treibschräuben. Jahrbuch 1928 der Deutschen Versuchsanstalt für Luftfahrt, E. V., München und Berlin, R. Oldenbourg, S. 27.

⁹⁾ *A. Wigand*, Die Halleschen Wissenschaftlichen Freiballonfahrten. Beiträge zur Physik der freien Atmosphäre, Bd. 7 (1917) Heft 4; auch *A. Wigand* und *E. Everling*, Spannungsgefälle und vertikaler Leistungsstrom bei Hochfahrten im Freiballon, Annalen der Physik Bd. 66/4 (1920) S. 26; beide mit Literaturangaben.

forschung überhaupt leisten können, beruht auf Schatz allgemeiner Erkenntnisse, auf den wir zu- greifen können; daß wir sie auch da leisten müssen, die breitere Forschungsgrundlage erwünscht wäre, größtenteils an unserer Wirtschaft: wie ein armer seine Vorräte nicht im Großen für längere Zeit be- kann, so muß auch unsere technische Wirtschaft auf die Ersparnis verzichten, die in einer Gewinnung zusammenfassenden Forschungsergebnissen an Stelle einzelner Erkenntnisse läge.

Daß in der Luftfahrt die Forschung auf weite Sicht mit breiter Grundlage nicht zu kurz kommt, ver- gen wir neben den mehrfach erwähnten Göttinger ehern und andern Instituten der Deutschen Ver- anstalt für Luftfahrt Berlin-Adlershof, die außer laufenden Prüfungen des Luftfahrtgeräts und außer

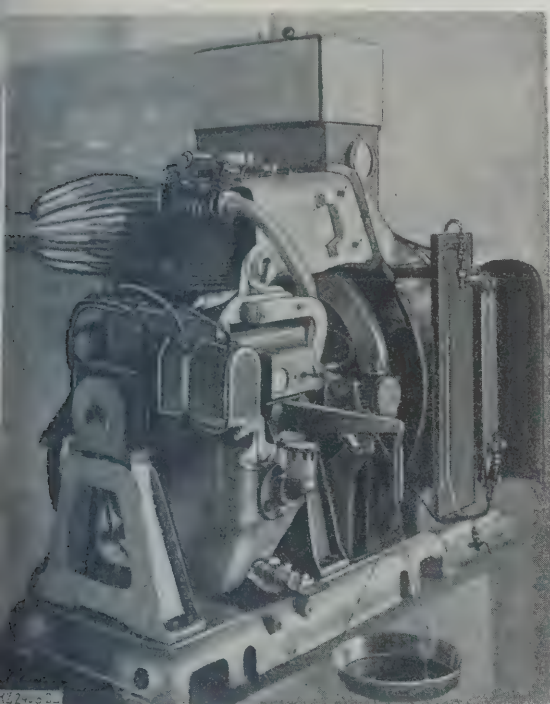


Abb. 2

Einzyklindermotor der DVL für Höhenflugversuche.

erforderlichen Lösung von Tagesfragen und Einzel- gaben, wie der Entwicklung besonderer Meßgeräte, h eine großzügige allgemeine Forschung betreibt; e Richtung vermag der Eingeweihte in dem bunten aik der zahlreichen, nur scheinbar auseinanderstre- renden Einzelveröffentlichungen aus der Deutschen suchsanstalt für Luftfahrt¹⁰⁾ zu erkennen.

Auf einer Ausstellung wie der Internationalen fahrt-Ausstellung 1928, vergl. Abb. 1 bis 5, lassen a freilich nur Meßgeräte, Versuchsanordnungen, Ver- ren. Ergebnisse und Anwendungen der Einzelfor- ung darstellen. Doch steckt z. B. hinter den Ver- ühen an belasteten Tragflügeln, Abb. 5, die große ge, wie weit man aus der Durchbiegung eines be- teten Leichtbaufachwerkes auf seine Bausicherheit l Bruchfestigkeit schließen kann, die für die wirt- äftliche Herstellung neuer Muster ohne Zerstörung Probestückes bedeutsam ist: und die Versuche, bei gmotoren den Leistungsabfall in abnehmender Luft- te zu vermeiden, sind ein Teil aus dem Forschungs- iet des Höhenflugs und Höhenluftverkehrs, der auf e Verkürzung der Reisezeit bei gleichzeitig verbesserter wirtschaftlichkeit abzielt.

Wirtschaftlichkeit¹¹⁾ ist ja die große Kern- gabe der Luftfahrtentwicklung und damit auch der

Luftfahrtforschung. Nicht nur deshalb, weil die Unter- nehmer des Luftverkehrs^{11a)} wie auch anderer Anwendungen des Flugzeugs auf die Dauer Dividenden verteilen wol- len; die in öffentlichen Beihilfen verkörperte Arbeits- kraft der Allgemeinheit mag gleichfalls nicht viele Jahr- zehnte lang den überwiegenden Kostenanteil der Luft- fahrtbetätigung tragen; denn der Anteil an den Energie- vorräten der Erde, den ein Glied der Technik beansprucht, muß im richtigen Verhältnis zu seiner Gesamtleistung stehen. Auch hier ist ja der Maßstab das Geld: solange die Aufwendungen für einen Flug nicht höher sind als die Summe der Beträge, die von Benutzern und allen andern Interessenten (z. B. vom Reich mit Rücksicht auf die kulturelle Bedeutung der Luftfahrt oder von einzel- nen Städten zwecks Anschluß an den Luftverkehr) bei- gesteuert werden, so lange ist das energiewirtschaftliche Gleichgewicht gegeben. In verschiedenen Ländern ist aber schon heute ein Abbau der Luftverkehrsbeihilfen vorgesehen; mit andern Worten, wir nähern uns allmäh- lich der kritischen Grenze für jenes Gleichgewicht.

Das Fliegen muß also billiger werden, damit die Grenze zurückverlegt wird; die Selbstkosten, vor allem der Betriebsstoffverbrauch, der an sich allein jetzt für das Personenkilometer dem Preis einer Fahrt in der zweiten Schnellzugklasse gleichkommt, müssen vermin- dert werden. Auf der anderen Seite sind die Zeiterspar- nis der Gesamtreise und andre Vorzüge des Luftver- kehrs, auch die Bequemlichkeit, ferner die Verkehrs- häufigkeit, die Zuverlässigkeit, Regelmäßigkeit und Sicherheit so zu erhöhen, daß den beförderten Reisenden und dem Versender von Frachtgütern höhere Preise zugemutet werden können, daß die Anlieger zu Opfern bereit sind, den Verkehr zu fördern.

^{11a)} Vor zehn Jahren, am 5. Februar 1919, nahm die Deutsche Luft- reederei die erste deutsche Luftverkehrsstrecke, und zwar zwischen Berlin und Weimar, in Betrieb.



Abb. 3

Neuzeitliche Profile von Flugzeugbauteilen der Firma Dornier Metallbauten G. m. b. H.

¹⁰⁾ Vergl. die zahlreichen Berichte im Jahrbuch 1928 der DVL, Anmerkung 9.

¹¹⁾ Vergl. Z. Bd. 72 (1928) S. 1374, auch O. Blum und C. Pirath, Ansfragen der deutschen Luftfahrt, Stuttgart 1928, W. Kohlhammer.

daß man sich allgemein der Flugpost, die schon jetzt wirtschaftlich sein könnte, bei jeder Gelegenheit bedient¹²⁾.

Als besonders wichtige Teilaufgabe der Forschung mit dem Ziel größerer Wirtschaftlichkeit seien die Mittel zur Förderung des Fliegens ohne Sicht der Erde, des Nacht- und Nebelfluges¹³⁾, sowie die z. Zt. durch besondere Maßnahmen der beteiligten Stellen vervielfachten Bemühungen zum Vermeiden von Ermüdungsbrüchen¹⁴⁾, vor allen an den hoch beanspruchten Kurbelwellen, erwähnt.

Wege der Luftfahrtforschung

Wie diese Ziele erreicht werden, kann wiederum lediglich an Beispielen aus den verschiedenen Arbeitsgebieten gezeigt werden; dabei werden wir uns mit der Schilderung des schon Errungenen bescheiden müssen, um den berufenen Sonderfachleuten nicht vorzugreifen.

Die Strömungslehre, die noch gegen Kriegsende von damals maßgebenden Persönlichkeiten als ein ganz untergeordnetes Gebiet angesehen wurde, hat an der Weiterentwicklung der Flugzeuge seitdem den Löwenanteil: die Vervollkommnung der Formen, die Vermeidung aller schädlichen Widerstände, die sorgfältige Wahl günstiger Flügel-schnitte für jeden Zweck, die planmäßige Erforschung des Zusammenwirkens von Tragflügel und Treibschraube, die Sicherung gegen Überziehen durch selbsttätig vorkippende Hilfsflügel, die Verfeinerung der Rechenverfahren für besondere Anordnungen. Auf diesen und andern Wegen schreitet die Forschung, vor allem mit Hilfe der Modellversuche im Windkanal und der Messung im großen Flugzeug, stetig vorwärts. Auf theoretischem Gebiet gilt es unter anderm, eine einfache Formel für Flügelprofile zu finden, die die planmäßige Anordnung der Versuchsergebnisse zu verallgemeinern gestattet.

In der Flugzeugdynamik, der Mechanik des Fluges, hat vor allem die Erforschung der verwickelten Trudelmovungen als Sondergebiet der Flugzeugstabilität Fortschritte gemacht. Die künstliche Stabilisierung der Flugzeuge, die sich nicht nur auf die Sicherung des Fluges — dazu genügt ja ein Querstabilisator —, sondern darüber hinaus auch auf die Kurshaltung und Höhenregelung erstreckt, ist in den Grundzügen längst theoretisch geklärt¹⁵⁾, aber erst neuerdings praktisch verwirklicht worden. Die Wichtigkeit der Versuche im fliegenden Flugzeug¹⁶⁾ mit genauen Messungen war schon vor dem Krieg erkannt, doch machte die Ausbildung der Meßgeräte erhebliche Schwierigkeiten; der VDL ist es aber gelungen, auch die Steuerkraft, die der Führer aufzuwenden hat, aufzuzeichnen, Abb. 1. Bei Berechnen der Flugleistungen und Flugeigenschaften sind zeichnerische Verfahren¹⁶⁾ vorteilhaft; sie bedürfen der weiteren Durchbildung als wertvolles Hilfsmittel der Forschung.

In diesem Zusammenhang sei auch eines noch viel zu wenig verwendeten Hilfsmittels der Flugzeugforschung gedacht, der Statistik ausgeführter Flugzeuge, die mit geeigneten Umrechnungsverfahren und Vergleichsgrößen wertvolle Ergebnisse liefert¹⁷⁾.

¹²⁾ Z. Bd. 72 (1928) S. 1394.

¹³⁾ s. z. B. Z. Bd. 72 (1928) S. 1426 und E. Everling, Meßgeräte für den Luftverkehr im Nebel, Verkehrstechnische Woche Bd. 20 (1928) S. 632.

¹⁴⁾ Z. Bd. 72 (1928) S. 1881.

¹⁵⁾ R. Grammel, Der Kreisel; Braunschweig 1920, Friedr. Vieweg & Sohn, S. 285.

¹⁶⁾ s. den in Anmerkung 9) angeführten Beitrag.

¹⁷⁾ Vergleichsgrößen zur Flugzeugstatistik, Z. f. Flugtechnik und Motorluftschiffahrt Bd. 17 (1928) S. 202; dort weitere Literatur.

Die Flugzeugstatik, die einerseits äußerliche Gewichtsersparnis zulassen, andererseits Sicherheit gegen bleibenden Formänderungen auch gegen örtliche Kollisionsangriffe und gegen Schwingungsbeanspruchungen gewährleisten soll, muß verwickelte Raumbauwerke, eins- oder allseitig mittragende Flügelbekleidungen und belastete Knotenpunkte betrachten. Sie hat die Rechenverfahren vor allem für mehrfach unbestimmte Flugwerke vervollkommen und die Belastung einzelner Teile, Abb. 4, wie ganzer Flugzeuge, Abb. 5, so ausgebaut, die Rechnungen nachgeprüft und weitere Erkenntnisse gewonnen werden konnten.

Hand in Hand damit sind die Baustoffe auf Schwingungsfestigkeit, Bearbeitbarkeit, Abb. 3, Festigkeit und Wetterbeständigkeit zu untersuchen. Auch hier neben dem planmäßigen Prüfen die tiefere Erforschung des Feingefüges dem Fortschritt Wege gewiesen. Eine weitere Aufgabe stellt der Bedarf an Bauteilen, die bei höherer Temperatur fest genug bleiben.

Dies ist vor allem für den Höhenmotor wichtig, der seine Leistung bei geringem Luftdruck durch ein Abgasturbinenverdichter aufrecht erhält, Abb. 2. Neben dem Verdichter ist es gelungen, durch Hineinverlegen des Verdichters in die Turbine deren Schaufeln mit der Frischluft zu kühlen. Daneben bleibt die Frage eines Schwachölmotors von — wenigstens für längere Flüge — hinreichend geringem Gewicht und sparsamem Verbrauch, die eine Fülle brennstoffchemischer, thermodynamischer, konstruktiver und baustofftechnischer Forschungsaufgaben bedeutet. Ergebnisse ganz abgelegener Fachgebiete sind zu verwerten bei dem Bestreben, das Auspuffschall der Motoren und auch das Geräusch der Luftschrauben zu dämpfen; hier ist man nach anfänglichen wissenschaftlichen Ansätzen lange Zeit fast nur durch tastendes Versuchen und sehr langsam vorwärts gekommen.

Von dem Flugzeugzubehör sei das Funkgerät erwähnt, das nach neueren Versuchen vor allem auf den kurzen Wellen wertvolle Dienste zu leisten verspricht, dessen Verwendung für Peilzwecke aber eine weitere Klärung der Wetter- und Geländeeinflüsse bedarf; ferner die Bordgeräte, vor allem die Kompass, die es von den Bewegungen des Flugzeuges und von den Störungen durch dessen Eisenmassen unabhängig zu machen gilt; der Kreisel, der sich für Neigungsmesser und Wendezeiger bewährt hat, konnte diesem Zweck wegen des hohen Gewichts bisher nicht dienstbar gemacht werden.

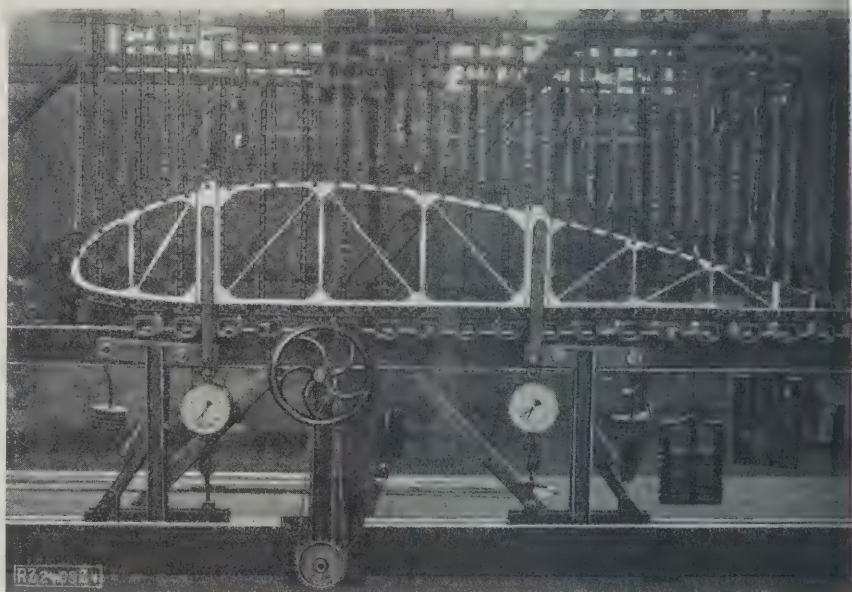


Abb. 4
Prüfstand der DVL für Durchbiegung und Festigkeit von Flugzeugrippen.

Is Sicherheitsgerät sei
lich noch der Fall-
arm genannt, über den
vereinzelte wissenschaft-
Arbeiten veröffentlicht
en; hier gilt es vor allem,
ffnungsvorgang rechne-
und versuchsmäßig ge-
zu erforschen, da von
richtigen Leitung die
chkeit abhängt, auch bei
Fluggeschwindigkeiten
Entfaltungsstoß für den
ringenden erträglich zu

von Sonderbauar-
mit Schwingen, Hub-
rauben oder Tragschrau-
versproche ich mir im
blick auf die Wirtschaft-
keit nicht viel. Der Rück-
stößantrieb scheint
für die nächste Zeit nur
der Registrierrakete zur
erforschung verwendbar. Im übrigen bedarf hier die
e des Heizstoffes gründlicher Klärung, zumal der Wir-
tsgrad eines Rückstoßvortriebes um so schlechter
mit je besserem Wirkungsgrad und je größerer Steig-
die Rakete selbst arbeitet.

Luftfahrtforschung und Nachwuchs

So schließt die Betrachtung aller Gebiete mit einem
zeichnen, das nur in wenigen Fällen die Einzelfor-
ng beantworten kann. Aber der vertieften wissenschaft-

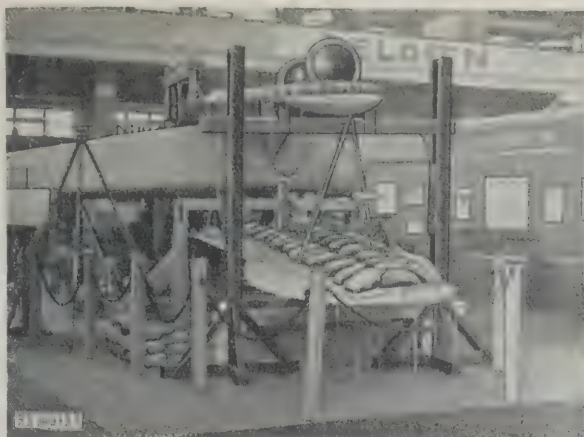


Abb. 5
Flügelstabilitätsprüfung der DVL an einem
Junkers-Doppeldecker T 26 im Belastungsfall
des Abfluges.

lichen Forschung sind die
Zeiten nicht günstig. In einem
verarmten Volk, das die Hand-
arbeit höher bewertet, als die
Kopfarbeit, das seine Zivilisa-
tionsideale in der Neuen Welt
sucht und das technische Er-
zeugnis, sogar das Herstellver-
fahren, höher schätzt als die
geistige Erkenntnis und die
Denkvorgänge, ist wenig
Raum für den Forscher, der
auf den Grund zu dringen
strebt.

Diese Denkweise hat auch
unsere Hochschulen schon er-
griffen. Es ist nicht nur das
Werkstudententum, nicht nur
die Not daheim schuld, wenn
heute Jünger der Wissenschaft
seltener als früher bereit sind,
sich bis zum Letzten in eine
Aufgabe zu vertiefen, wenn
viele das übermittelte Re-
zept der erarbeiteten Erkenntnis vorziehen. Hier droht
der Zukunft unserer Technik eine Gefahr, auf die von
Lehrern und Freunden der Technischen Hochschulen,
von Vertretern der Behörden und der Wirtschaft mehr-
fach eindringlich hingewiesen worden ist. Mögen ihre
Stimmen überall Gehör finden, ehe es zu spät ist! Möge
der Nachwuchs auch in der Luftfahrt und für die Luft-
fahrtforschung von der alten Garde, von den Pionieren
und Autodidakten, lernen!
[B 2403]

Der Bau des Schiffshebewerkes Niederfinow

Das nach dem Entwurf der Reichswasserstraßen-Ver-
waltung¹⁾ im Bau befindliche Schiffshebewerk im Groß-
fahrtsweg Berlin-Stettin²⁾ wird mit 36 m Hubhöhe,
Troglänge und 12 m nutzbarer Trogbreite alle bisher
ehenden Schiffshebewerke bei weitem übertreffen. Es

¹⁾ Vergl. a. Ellerbeck, Z. Bd. 71 (1927) S. 787.

²⁾ s. Mattern, Z. Bd. 57 (1913) S. 1331 u. f., s. Buchholz, Z. Bd. 57 (1913)
99 u. f., Bd. 58 (1914) S. 88 u. f.

wird zur Überwindung des Höhenunterschiedes zwischen
dem Hohenzollernkanal und der Alten Oder dienen und
somit die seit 1914 in Betrieb befindliche, aus vier Stufen
von je 9 m Gefälle bestehende Schleusentreppe, die den An-
forderungen des ständig größer werdenden Verkehrs³⁾ nicht
mehr gewachsen ist, entlasten. Da der Hang außerordent-
lich schlechte Bodenverhältnisse aufweist, wird das Hebe-

³⁾ Der Verkehr auf dem Kanal ist von 868 000 t im Jahre 1923 und
1 662 000 t 1925 auf 2 110 000 t im Jahre 1927 gestiegen.



Abb. 1
Baugrube für das Schiffshebewerk Niederfinow, Bauzustand im November 1928.

werk in einem größeren Abstand vom Hang erbaut und durch eine Kanalbrücke von 156 m Länge mit der oberen Wasserhaltung verbunden.

Den Zustand der Baugrube im November 1928 zeigt Abb. 1. Die Bauarbeiten an den Gründungen sind bereits so weit vorgeschritten, daß im Herbst 1929 mit dem Aufbau der Eisenkonstruktionen begonnen werden kann. Infolge der Ungunst der Bodenverhältnisse mußte man die Gründungen bis auf 20, teilweise sogar bis auf 21,5 m unter die Geländeoberfläche hinunterführen. Zu diesem Zwecke wurde die Baugrube unter Grundwassersenkung zunächst bis auf 8 m Tiefe ausgehoben, sodann wurden insgesamt 9 Senkkasten, Bauart der Firma Christoph & Unmack, Tiefbau G. m. b. H., Berlin, Abb. 2 bis 4, nach dem Druckluftverfahren abgesenkt. Von diesen Kasten hat einer $6 \times 15 \text{ m}^2$, je zwei haben $10,5 \times 12,4 \text{ m}^2$ und $12,3 \times 23,5 \text{ m}^2$, die vier übrigen $11,5 \times 16,5 \text{ m}^2$ Grundfläche. Das Grundwasser war hierbei um etwa 10 m gesenkt und wurde mittels Druckluft auf der erforderlichen Tiefe gehalten. Nach der Absenkung werden jetzt die Kasten ausbetoniert und die vollen Betonblöcke durch eine 4 m dicke Betonplatte verbunden.

Zur Erzeugung der Druckluft dient eine in einem besonderen Maschinenhaus aufgestellte Lokomobile von 120 PS, für die ein Elektromotor von 100 PS als Aushilfe dient. Sie treibt fünf Verdichter von je 600 m³/h Leistung.

Der Beton wird aus der Mischanlage in Loren selbsttätig mittels unendlichen Seiles unter einen Kabelkran von 3 t Tragkraft gebracht, der mit rd. 240 m Spannweite die Baugrube überspannt und die Betonkübel zu den Senkkästen befördert.

Berlin

- a Motor zum Antrieb von
- b Vorgelege
- c Aufzugseil
- d Förderkübel
- e Deckel von
- f Bodenrinne
- g Klappe
- h Einsteigtür
- i Schleusen-vorraum
- k Tür
- l Bänke
- m Schleuse
- n Luftrohr
- o Schachtröhre
- p Rutsche
- q Gleis
- r Leiter
- s Betonrinne mit
- s₁ Einwurf und
- s₂ Klappe

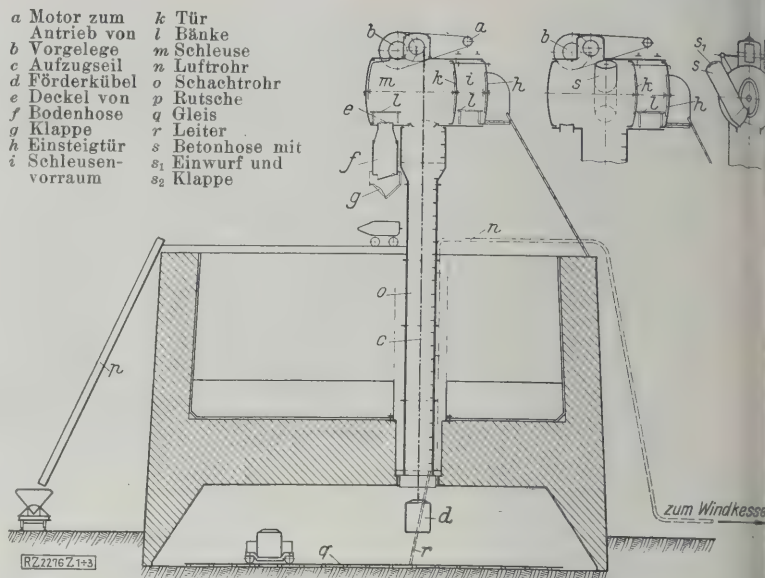


Abb. 2 bis 4. Schnitt durch einen Senkkasten.

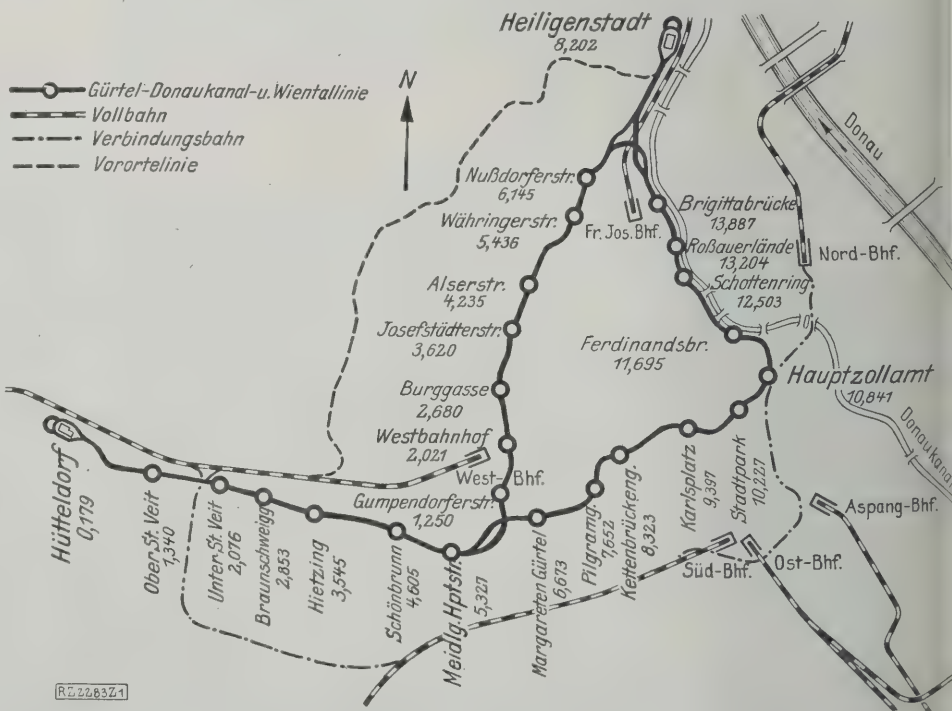
53 Sitz- und Stehplätze. Der Wagenkasten ruht auf ein zweiachsigen Laufgestell von 3,6 m Radstand. Die Wagen sind mit zwei 750 V-Gleichstrommotoren ausgerüstet deren Stundenleistung bei 680 U/min 70 kW beträgt. 0,5 m/s² Anfahrbeschleunigung, 0,7 m/s² Bremsverzögerung und 38 km/h Fahrgeschwindigkeit werden 24 km/h Reiseschwindigkeit erreicht. Eine selbsttätige Signalanlage eingerichtet und ermöglicht eine Zugfolge von 14 min.

Die Straßenbahnen wurden durch bedeutende Umbauten ebenfalls auf eine höhere Verkehrsleistung gebracht. Dank aller Maßnahmen hat das Verkehrsbedürfnis und die Verkehrsleistung bedeutend zugenommen; die Stadtbahn beförderte im Jahre 1926 90 Mill. Fahrgäste (141 Mill.), die Verkehrsleistung der zusammengeschlossenen Verkehrsmittel (Stadtbahn, Straßenbahn und Autobus) trug im gleichen Jahr 627 Mill. Fahrgäste. (Spängler, „Städtischen Straßenbahnen“, Sonderabdruck aus dem Stadtwerk „Das Neue Wien“, Wien 1928.)

Die Wiener Stadt- und Vorortbahnen

Die Verkehrsnot der Stadt Wien nach dem Kriege war infolge der Einstellung des Betriebes auf der Stadtbahn außerordentlich groß; daß diese im Jahre 1922 teilweise wieder in Betrieb genommen wurde, bedeutete nur eine unmerkliche Entlastung für den Straßenbahnverkehr. Eine wesentliche Verkehrserleichterung versprach man sich auch von der vollen Indienststellung mit Dampftrieb nicht, und man beschloß daher die Umstellung wenigstens der Wiental-, Gürtel- und Donaukanallinie, s. den Streckenplan, auf elektrischen Betrieb, die abschnittsweise durchgeführt, am 20. Oktober 1925 auf dieser Bahn vollendet war. Von einem engen Zusammenschluß des Stadt- und Straßenbahnbetriebes erhoffte man weitere Vorteile. Im Hinblick auf die voraussichtliche gemeinsame Entwicklung dieser Bahnen wird die Stadtbahn mit Straßenbahnwagen betrieben; maßgebend war hierbei wohl der Plan einer Untergrundbahn, dessen Verwirklichung an der finanziellen Seite des Planes vorläufig gescheitert ist.

Auf der Stadtbahn verkehren Züge von drei bis neun Wagen; Trieb- und Anhängewagen haben gleiche Abmessungen. Das Gewicht eines Dreiwagenzuges beträgt 34,8 t. Der Wagenkasten ist 10,7 m lang. Die Triebwagen bieten 47, die Anhängewagen



Das Netz der Wiener Stadt- und Vorortbahn.

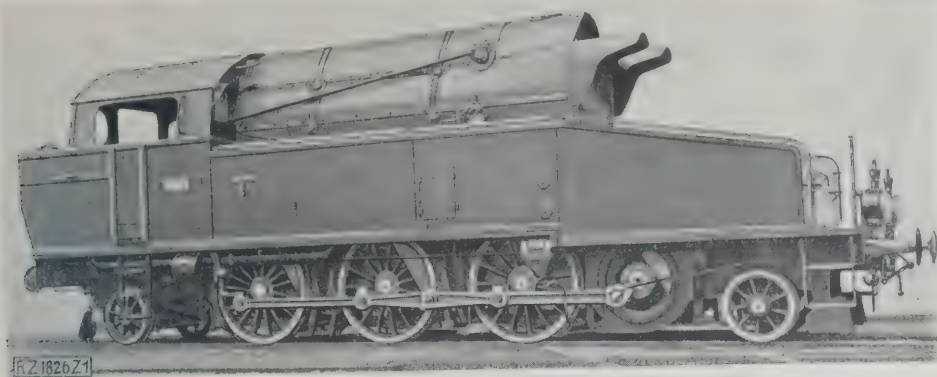


Abb. 1
Hochdrucklokomotive „Winterthur“ der Schweizerischen
Lokomotiv- und Maschinenfabrik für 60 at Kesseldruck.

Die Hochdrucklokomotive für 60 at, Bauart „Winterthur“

Von Dr.-Ing. H. BROWN, Winterthur, Schweiz

Die Überlegungen, die zum Entwurf dieser neuartigen Hochdrucklokomotive geführt haben, Beschreibung der wichtigsten Kesselteile und der Dampfmaschine, Versuchsergebnisse auf dem ortfesten Prüfstand und auf der Strecke. Kohlenersparnis von rd. 35 vH gegenüber der Heißdampf-Niederdrucklokomotive. Vorteile des Hochdruckdampfes im praktischen Eisenbahnbetrieb erwiesen.

Die Schweizerische Lokomotiv- und Maschinenfabrik Winterthur hatte nach eingehenden Untersuchungen erkannt, daß eine Dampfdruckerhöhung bei Lokomotiven auf 60 at eine erhebliche Kohlenersparnis erwarten läßt. So begann sie 1926 den Bau einer solchen Versuchlokomotive.

Da es sich um eine Erstaussführung handelte, wurden zunächst nur der Kessel und die Dampfmaschine fertiggestellt, die dann zusammen über ein Jahr lang im ortfesten Betrieb untersucht wurden. Auf Grund der Versuchsergebnisse wurde die Lokomotive, Abb. 1, endgültig gebaut. Ende November 1927 konnten die ersten Versuchsfahrten stattfinden.

Grundlagen des Entwurfs

Beim Entwurf des Kessels und der Dampfmaschine dieser Hochdrucklokomotive sind ganz neue Wege eingeschlagen worden. Den hohen Anforderungen an die Einfachheit und Sicherheit des Lokomotivbetriebes wurde in jeder Hinsicht entsprochen.

Kesseldruck 60 at. Die Wahl des Kesseldruckes von 60 at läßt sich an der Hand von Abb. 2 und 3 begründen. Im Entropiediagramm, Abb. 2, sind die verfügbaren adiabatischen Wärmegefälle für verschiedene Arbeitsdrücke eingetragen. Die daraus errechneten thermischen Wirkungsgrade η_{th} sind in Abb. 3 wiedergegeben. Die Wirkungsgradkurve steigt im Gebiete niedriger bis mittlerer Dampfdrücke ziemlich steil, um mit zunehmendem Drücken stets flacher zu verlaufen. Berücksichtigt man die zunehmenden konstruktiven Schwierigkeiten bei sehr hohen

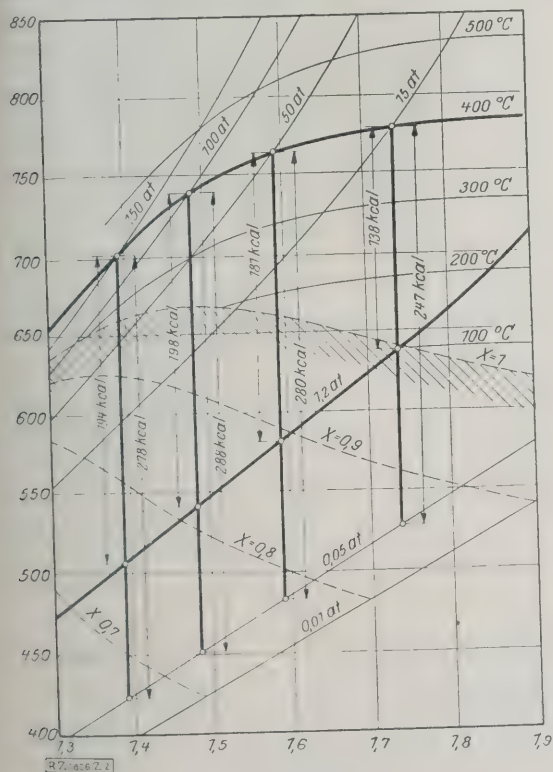
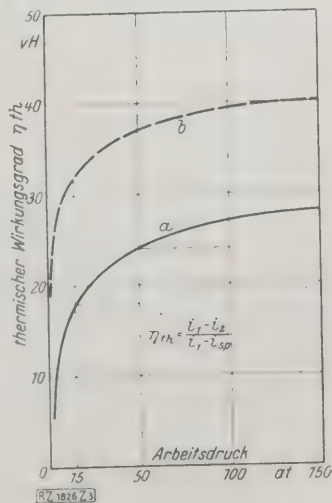


Abb. 2
Dampf-Entropiediagramm.

Adiabatische Wärmegefälle bei	15	50	100	150	at abs. Druck
Thermischer Wirkungsgrad bei Auspuff	0,180	0,240	0,272	0,281	
Thermischer Wirkungsgrad bei Kondensation	0,322	0,378	0,395	0,402	
Wärmegefälle bei	15	50	100	150	at abs. Druck
Auspuff	100	133	151	156	vH
Kondensation	100	117	122	125	

Abb. 3
Thermischer Wirkungsgrad in Abhängigkeit vom Arbeitsdruck.

a Betrieb mit Auspuff
b „Kondensation
 i_1, i_2 Wärmeinhalt des Dampfes vor und nach der Dehnung
 i_{sp} Wärmeinhalt des Speisewassers



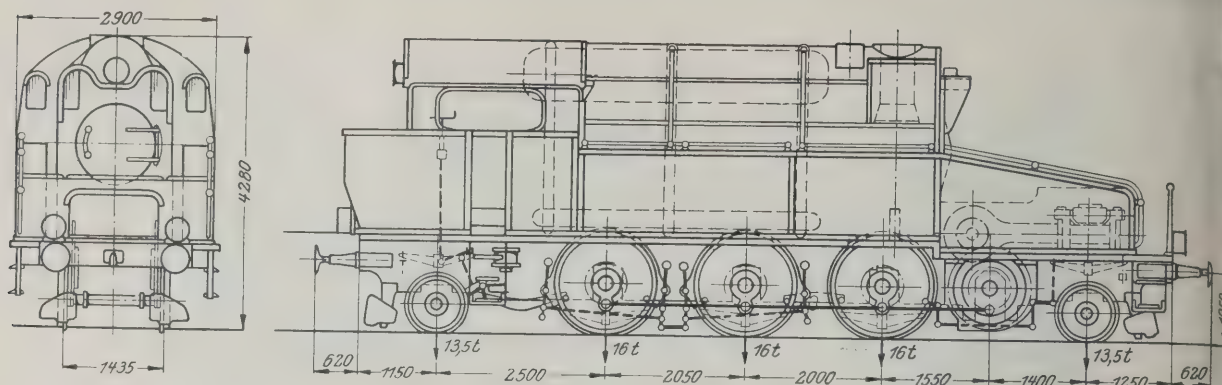


Abb. 4 und 5

1 C1-Hochdrucklokomotive der Schweizerischen Lokomotiv- und Maschinenfabrik Winterthur.

Zyl.-Dmr.	215 mm	Wasserinhalt des Kessels	2700 l	Zahnradübersetzung 1:2,5	Überhitzer-Heizfläche . . .	20 m ²
Kolbenhub	350 "	„ der Vorrat-	6200 l	Treibrad-Dmr.	Leergewicht	62,8 t
Dampfüberdruck	60 at	Kohlenvorrat	2,7 t	Rostfläche	Dienstgewicht	75 "
Zahl der Zylinder	3			Heizfläche	Reibungsgewicht	48 "
Einstufige Dehnung					Höchstgeschwindigkeit . . .	80 km/h

Dampfdrücken, so dürfte aus dieser Überlegung ein Kessel-
druck von 60 at gerechtfertigt sein. Außerdem steigt mit
zunehmenden Kesselldrücken die Sättigungstemperatur, und
da die höchstzulässige Frischdampf-temperatur bei Kol-
benmaschinen zwischen 400 und 420° liegen dürfte, so
kann die Überhitzung bei Hochldrücken nur gering ge-
wählt werden.

Auspuffbetrieb. Die Kondensation wurde von
vornherein abgelehnt, da die vielen erforderlichen Hilfs-
betriebe die Lokomotive im Aufbau zu sehr verwickelt
machen und der Wärmefwand für den Antrieb der Hilfs-
anlagen den durch Kondensation erzielten Gewinn emp-
findlich herabdrücken. Der einzige Vorteil des kessel-
steinfreien Kondensats kann in diesem Falle die genann-
ten Nachteile nicht ersetzen.

Als Antriebsmaschine wurde eine
raschlaufende Kolbenmaschine mit
Ventilsteuerung

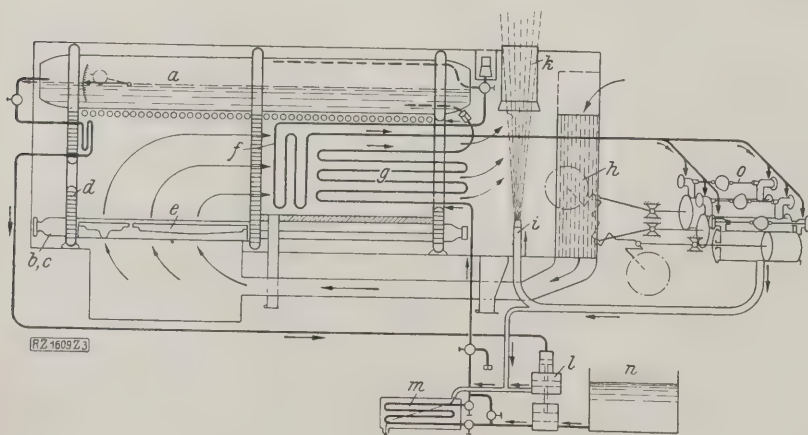
gewählt, die überwiegende Vorteile gegenüber allen
andern Lösungen bietet. Einmal werden die Abmessun-
gen, besonders bei diesen hohen Drücken, klein, indem
sich Maschineneinheiten bis 3000 PS in einen Rahmen
einbauen lassen. Ferner gestattet die Steuerung mittels
Ventile höhere Überhitzungstemperaturen als bei An-
wendung von Kolbenschiebern. Der Kurbelantrieb und die
Steuerung selbst laufen in staubdicht geschlossenen Öl-
kasten, wodurch der Verschleiß der reibenden Teile gegen-
über der gewöhnlichen Anordnung auf ein Mindestmaß
herabgedrückt wird. Bezüglich der Wahl der Zylinder-
zahl ist man frei und kann die zweckmäßigste wählen.
Bei Anordnung mehrerer Zylinder kann der Ungleich-
förmigkeitsgrad bedeutend verringert werden, wobei
außerdem die Reibungsverhältnisse zwischen Rad und
Schiene bedeutend besser werden. Als besonderer Vor-
teil der raschlaufenden Maschine ist das Parallel-
kurbelgetriebe hervorzuheben, das völlig aus-

geglichen werden kann und somit die Hammerwirkung
der hin- und hergehenden Massen auf die Schiene
vermeidet. Der statische Achsdruck kann also unbeden-
lich erhöht werden, was einer Leistungssteigerung gleich-
kommt. Außerdem erlaubt das Parallelkurbelgetriebe
gegenüber dem üblichen Lokomotivantrieb höhere Un-
drehungszahlen; die Triebraddurchmesser können in-
folgedessen kleiner und die Radstände, besonders bei
mehrfach gekuppelten Schnellzuglokomotiven, kürzer
gemacht werden.

Der allgemeine Aufbau der Lokomotive

Der allgemeine Aufbau der nach Ideen von
J. Buchli entworfenen Lokomotive ist aus Abb. 4 und
5 zu entnehmen. Es sei lediglich darauf hingewiesen, daß
die kurze Bauart des Kessels die Anordnung der Dampf-
maschine vor dem Kessel gestattet, ohne daß dadurch der
Radstand unzulässig groß wird. Dank dieser Anordnung
ist die Dampfmaschine von allen Seiten gut zugänglich.

Die Kesselanlage ist in Abb. 6 schematisch
dargestellt, woraus auch der Verdampfvorgang zu ent-
nehmen ist. Der Kessel besteht aus zwei Hauptteilen
nämlich aus den beiden Vorwärmern *m* und *g* und den
eigentlichen Verdampfern, der sich aus den Trom-
meln *a*, *b* und *c*, den drei Wasserwänden *d* und einer
Anzahl Rohrelemente zusammensetzt. Diese Anordnung
hat den außerordentlichen Vorteil, daß sich im Ver-
dampferraum des Kessels kein fester Kesselstein abgelagert,
da das Speisewasser bis zum Eintritt in die obere Trom-
mel nahezu auf Verdampf-temperatur vorgewärmt wird
der feste Kesselstein lagert sich lediglich in den beiden
Vorwärmern *m* und *g* ab. Beide Vorwärmer sind nun
so eingerichtet, daß sie sich leicht reinigen lassen.
Weiterhin ist hervorzuheben, daß die Verbrennungs-
kammer allseitig von wasserführenden Teilen um-
schlossen ist, wodurch einmal eine gute Wärmeaus-
nutzung erzielt und andererseits die obere Trommel

Abb. 6
Schema der Hochdrucklokomotive
„Winterthur“.

- a Oberkessel
- b, c Grundrohre
- d Wasserkammern
- e Rost
- f Überhitzer
- g zweiter Speise-
wasservorwärmer
- h Luftvorwärmer
- i Blasrohr
- k Schornstein
- l Speisepumpe
- m erster Speisewasser-
vorwärmer
- n Wasserkasten
- o Dampfmaschine

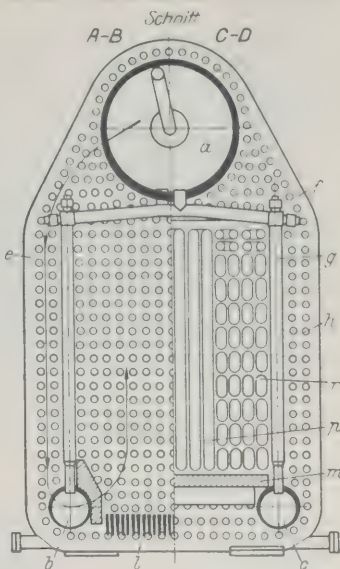
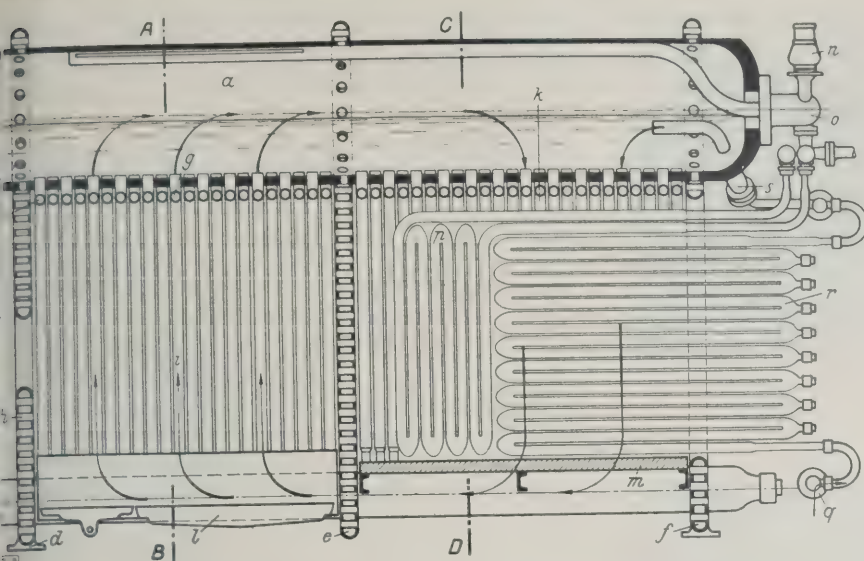


Abb. 7 und 8
Hochdruck-Lokomotivkessel für 60 at, Bauart „Winterthur“. Längs- und Querschnitte.

a obere Kesseltrommel
b, c untere Kesseltrommeln
d, e, f Wasserwände
g Röhrenelemente
h Stehrohre

e Feuerbüchse
f Kesselvorderwand
g Röhrenelemente
h Stehrohre
i Feuerbüchse
k Überhitzer und Vorwärmerkammer

l Rost
m feuerfester Boden
n Sicherheitsventil
o Regler

p Überhitzer
q Speisekopf
r Rauchgasvorwärmer
s Rückschlagventil

ch die Verdampferelemente vor Strahlung geschützt
d; schädliche Wärmespannungen in diesen dicken
mmelwänden werden dadurch vermieden.

Der Hochdruck-Lokomotivkessel, Abb. 7
8, besteht zur Hauptsache aus einer oberen Trom-
a, die als Dampfsammler dient und zwei kleineren
mmeln b und c, die einen lebhaften Wasser-
lauf ermöglichen (s. die eingezeichneten Pfeile).
Trommeln sind durch die drei Wasserwände d, e, f
eine Anzahl Röhrenelemente untereinander verbunden.
Wasserwände bestehen aus einfachen Bördelblechen,
mittels Stehrohre nach einem besonderen Sicher-
tsverfahren versteift sind und eine hohe Betriebsicher-
t gewährleisten.

Die Verbindungsstellen zwischen den Wasser-
nden und den Trommeln, Abb. 9, die zusammen einen
sserraum bilden, sind elektrisch geschweißt.
s Bördelblech kann innen und außen mit der Trommel
schweißt werden, wodurch eine sehr sichere Schweiß-
bindung entsteht. In ausgedehnten Vorversuchen
d alle diese Herstell- und Arbeitsverfahren unter-
ht worden, und Probeelemente von solchen Wasser-
nden haben Kaltdrücke von 370 at anstandslos aus-
halten. Diesen Vorversuchen ist es auch zu verdanken,
ß sich der fertiggestellte Kessel von Anfang an in
er Beziehung bewährt hat. Nach dieser Bauart lassen
h Kessel mit Arbeitsdrücken bis 100 at einwandfrei
stellen.

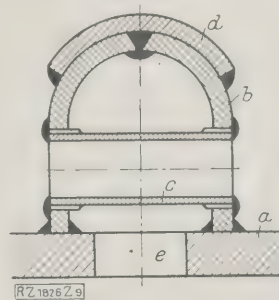
Der Überhitzer besteht aus einem senkrechten
hrbündel; die Rohrenden sind verschweißt. Er läßt
h leicht aus dem Kessel ausbauen und in einzelne
emente zerlegen, so daß er für die Untersuchung gut

zugänglich ist. Einbau und Anordnung des Überhitzers
und Vorwärmers sind aus den Abbildungen 7 und 8 zu
ersehen.

Der Rauchgasvorwärmer besteht aus wag-
recht angeordneten Rohren. Die rauchkammerseitigen
Rohrbogen haben mit Reinigungsbolzen verschlossene
Öffnungen, durch die eine kleine Turbine eingeführt
werden kann, um die Rohre einzeln mechanisch zu rei-
nigen. Die Betriebsversuche haben jedoch ergeben, daß

Abb. 9
Verbindung von Kessel-
trommel und Wasser-
wänden.

a Kesseltrommel
b Wasserwand
c Stehrohr
d Höhlens-Lasche
e Verbindungsloch
zwischen Trommel
und Wand
Schwarz eingezeich-
net sind die Schweiß-
stellen.



sich in diesem Vorwärmer nur weicher Kesselstein ab-
setzt, der leicht herausgewaschen werden kann. Die
mechanische Reinigung dürfte nach den Erfahrungen bis
heute nur bei der Hauptuntersuchung erforderlich sein.

Die Dampfmaschine

Die drei Zylinder der Dampfmaschine, Abb. 10 bis 12,
arbeiten mit einfacher Dampfdehnung. Diese
Wahl bedarf einer besonderen Begründung, da in ver-
schiedenen Ländern schon bei niedrigen Drücken für

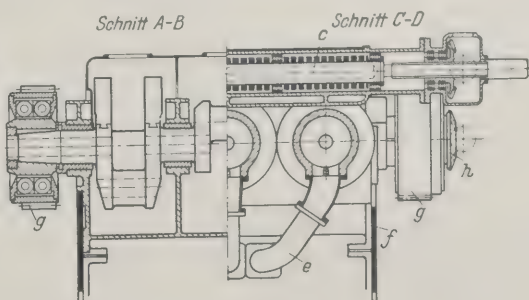
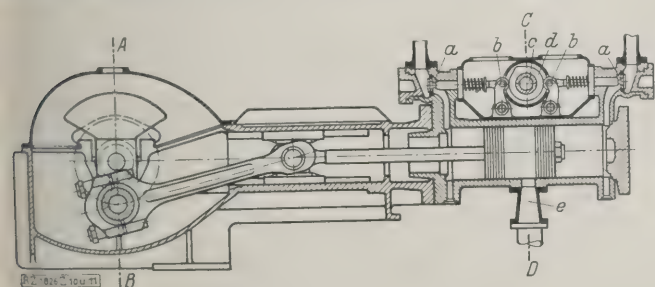


Abb. 10 und 11. Die dreizylindrige Dampfmaschine.

a Einlaßventile
b Nockenrollen

c Nockenwelle
d Nocken

e Auspuffrohr
f Lokomotivrahmen

g Antriebsritzel
h Regelrad zum Antrieb der Steuerung

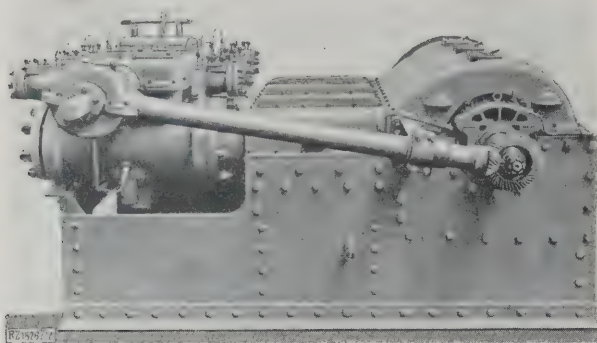


Abb. 12
Gesamtbild der Hochdruck-Dampfmaschine.

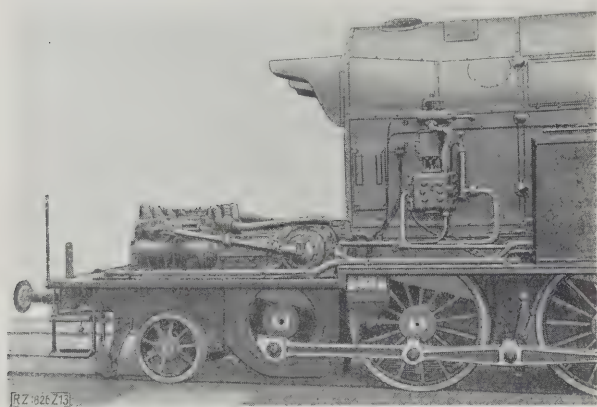


Abb. 13
Vorderer Teil der Hochdrucklokomotive mit abgehobenem Vorbau.

Lokomotiven die Verbundwirkung bevorzugt wird. Um so mehr sollte man erwarten, daß bei Hochdruckbetrieb diese Arbeitsweise des Dampfes ebenfalls vorzuziehen wäre. Es ist jedoch hervorzuheben, daß die einstufige Dehnung die denkbar einfachste Bauart ergibt; die Gleichstrom-Dampfmaschine erfordert nur Einlaßventile, da der Arbeitskolben selbst den Auslaß steuert. Die Verbundanordnung würde hingegen die Steuerung sehr verwickelt machen. Die Auslaßventile des Hochdruckzylinders müßten als Doppelsitzventile gebaut werden, die jedenfalls bei so hohen Arbeitsdrücken unzuweckmäßig sind.

Die Dampfmaschine ist doppeltwirkend; die Kolben sind selbsttragend, wodurch nur eine Stopfbüchse erforderlich wird. Diese besteht aus federnd um die Kolbenstange angeordneten Metallringsegmenten, die leicht ausgewechselt werden können. Die Zylinder sind einzeln am Kurbelgehäuse befestigt und können sich frei nach vorn ausdehnen; das Kurbelgehäuse dient gleichzeitig als Rahmenversteifung.

Von der Kurbelwelle wird die Kraft mittels Zahnradvorgelege auf eine Blindwelle und von hier mittels Kuppelstangen auf die Lokomotivachsen

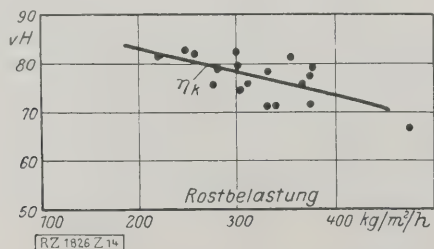


Abb. 14
Wirkungsgrad des Kessels ab Tenderwassertemperatur.

übertragen, Abb. 13. Die höchste Drehzahl der Maschine beträgt 700 U/min, was bei dem Übersetzungsverhältnis des Vorgeleges von 1:2,5 einer Fahrgeschwindigkeit von 80 km/h entspricht. Alle Getriebeteile sind aus hochwertigem Werkstoff hergestellt, um möglichst das Gewicht der hin- und hergehenden Massen niedrig zu halten.

Die Nockenwelle der Steuerung wird mit Kegelrädern von der Kurbelwelle aus angetrieben, s. Abb. 10 und 11. Auf der Nockenwelle sitzen für Vorwärts- und Rückwärtsfahrt je sechs Nocken von verschiedener Länge. Die Nockenwelle ist verschiebbar, daß zwecks Füllungsveränderung die verschiedenen Nocken zum Eingriff gebracht werden können. Um Verschiebung leicht zu ermöglichen, sind die Rollen der Ventilspindeln auf seitlich gefederten Gabeln gelagert. Bei Leerfahrt werden die Ventile mittels einer besonderen Vorrichtung von ihren Sitzen abgehoben, um Verdichtung in den Arbeitszylindern zu vermeiden. Eine Kolbenpumpe führt den dampfführenden Teilen, eine Zahnrad-Umwälzpumpe der Steuerung und dem Triebwerk das Schmieröl zu.

Versuche der ortfesten Anlage

Bei den Versuchen der ortfesten Anlage hat lediglich, infolge der veränderten Verhältnisse, die Feueranfachung durch den Auspuff der Dampfmaschine Schwierigkeiten bereitet, die aber bald behoben werden konnten.

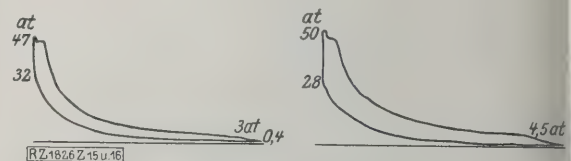


Abb. 15 und 16
 $\epsilon = 4,9 \text{ vH}$ $p_{m_i} = 5,36 \text{ at}$ $\epsilon = 5,9 \text{ vH}$ $p_{m_i} = 8,92 \text{ at}$

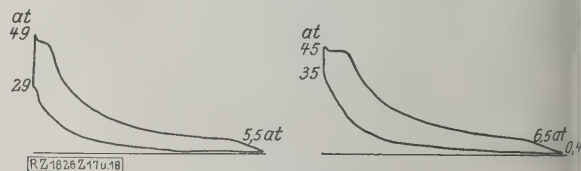


Abb. 17 und 18
 $\epsilon = 7 \text{ vH}$ $p_{m_i} = 10,1 \text{ at}$ $\epsilon = 10 \text{ vH}$ $p_{m_i} = 14,3 \text{ at}$

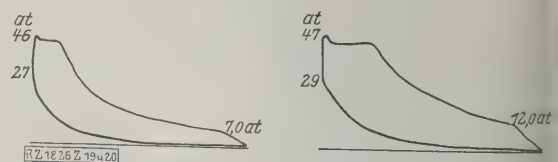


Abb. 19 und 20
 $\epsilon = 12,5 \text{ vH}$ $p_{m_i} = 13,6 \text{ at}$ $\epsilon = 22,8 \text{ vH}$ $p_{m_i} = 20,6 \text{ at}$

Zahlentafel 1. Vergleichsfahrten mit der Hochdrucklokomotive

Tag	Strecke	Länge km	Zug tu
1928			
12. Juni	Winterthur-Romanshorn / zurück	112,2	S
18. "	" " " "	"	"
16. "	" " " "	"	"
18. "	" " " "	"	"
14. "	Winterthur-Stein-Säckingen, zurück	149	G
15. "	" " " "	"	"
19. "	Winterthur-St. Gallen / zurück	114,4	S
19. "	" " " "	"	"

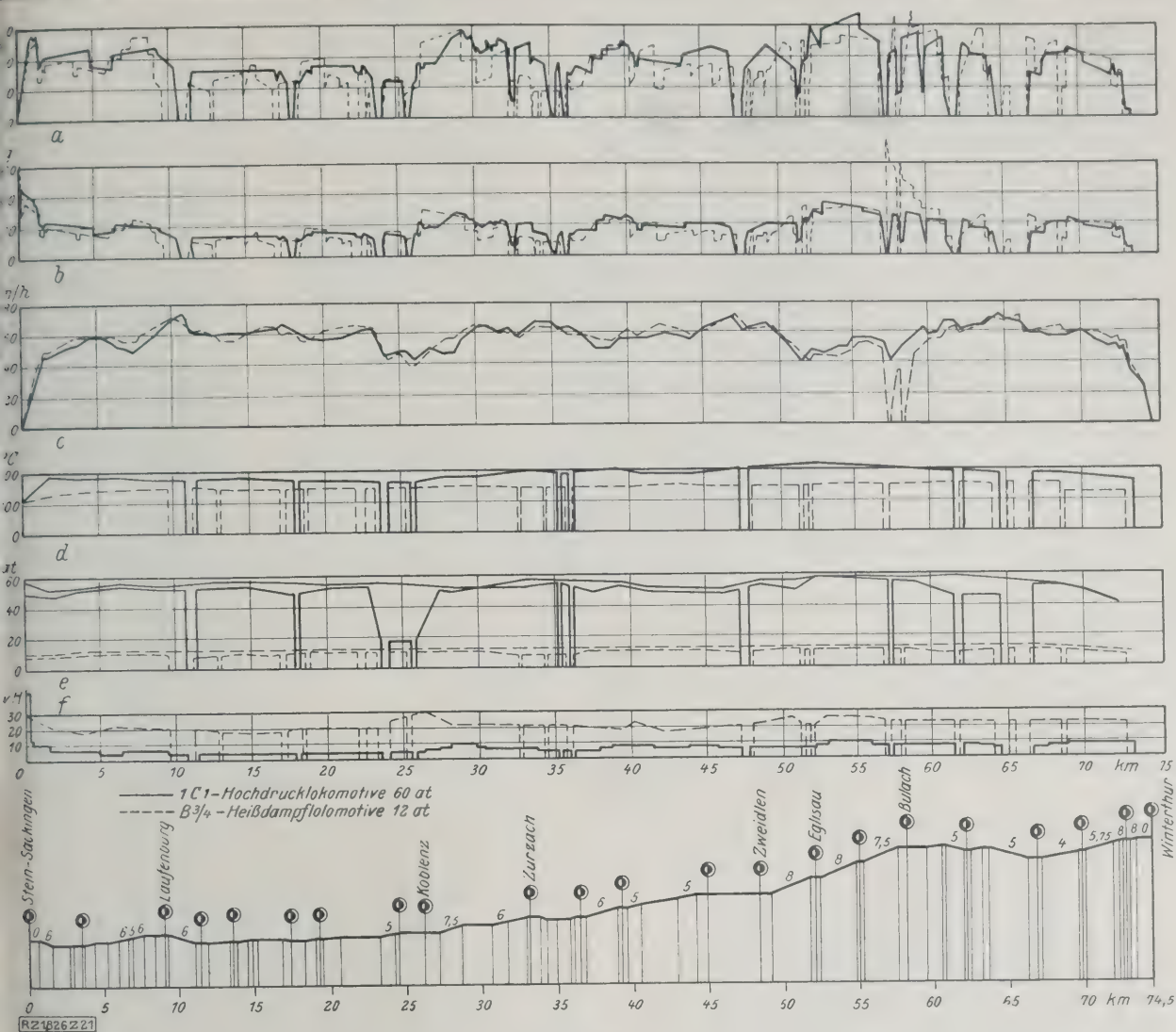


Abb. 21

Vergleichsverfahren der Hochdrucklokomotive „Winterthur“ mit einer B³/₄-Heißdampf-Zwillingslokomotive (12 at).

- a Leistung am Zughaken in PS c Fahrgeschwindigkeit in km/h e Druck im Kessel und vor der Maschine in at
b Zugkraft am Haken in kg d Überhitzung in °C f Zylinderfüllung in vH

m ganzen sind 50 Dauerversuche durchgeführt worden. Die Dauerversuche sind unter den verschiedensten Bedingungen bis zu acht Stunden ausgedehnt worden. Bei Kesseldrücken von 52 bis 56 at ist abzüglich des Speisepumpendampfes eine stündlich verfügbare Höchst-Dampfmenge von 4300 kg erreicht worden. Dies entspricht einer 8,8fachen Verdampfung und einer Verdampfungsleistung von 3250 kg auf 1 m² Rostfläche in 1 h.

Die erhaltenen Kesselwirkungsgrade sind in Abb. 14 zusammengestellt. Sie schwanken je nach der Belastung zwischen 70 und 80 vH.

Füllungsveränderung in Stufen. Die aufgenommenen Dampfdrucklinien der Maschine sind in Abb. 15 bis 20 für die sechs verschiedenen Füllungen dargestellt; sie sind denjenigen von Dieselmotoren sehr ähnlich und zeichnen sich durch eine scharf ausgeprägte

rucklokomotive „Winterthur“ (60 at) und der B³/₄-Heißdampflokomotive der SBB (12 at)

Lokomotivserie	Anhängergewicht t	Lokomotivgewicht t	Mittlere Geschwindigkeit km/h	Arbeit am Zughaken (aus dem Streifen ermittelt)		Kohlenverbrauch			Wasserverbrauch			Verdampfungs- zahl
				mt	PSh	Gesamtverbrauch kg	auf Zughaken bezog. kg/PSh	Ersparnis der Hochdrucklokomotive vH	Gesamtverbrauch kg	auf Zughaken bezog. l/PSh	Ersparnis der Hochdrucklokomotive vH	
Hochdrucklok.	343,7	74	55 58	193 545	715	860	1,2	35,5	5 600	7,84	51	6,5
B ³ / ₄ -Lok.	351,9	90,5	55 49	181 230	671	1252	1,86	—	10 700	15,9	—	8,55
Hochdrucklok.	347,62	74	44 43	282 795	1045	1206	1,15	30,5	9 350	8,95	36	7,75
B ³ / ₄ -Lok.	351,9	90,5	52 40	276 750	1026	1693	1,65	—	14 400	14,0	—	8,5
Hochdrucklok.	442,22	74	41 40	218 850	811	1119	1,38	25,5	8 400	10,3	38,3	7,5
B ³ / ₄ -Lok.	441,12	90,5	40 35	225 630	837	1548	1,85	—	13 950	16,7	—	9,0
Hochdrucklok.	296,7	74	57 60	186 540	691	787	1,14	38,4	6 600	9,5	42,5	8,4
B ³ / ₄ -Lok.	296,7	90,5	50 55	171 420	635	1176	1,85	—	10 500	16,5	—	8,95

Füllungslinie aus, die nur mit einer Präzisionssteuerung erreicht wird. Die Füllung wird also nicht stetig, sondern stufenweise verändert. Die Stufen 1 bis 5 ergeben die Füllungen für die normale Fahrt, Stufe 6 dient lediglich zum Anfahren; die ihr entsprechende Füllung mußte mit Rücksicht auf ein zuverlässiges Anfahren auf 78 vH erhöht werden. Die abgebremste Leistung der Maschine betrug auf Stufe 4 bei 50 bis 55 at 1200 PS, der Dampfverbrauch, auf die Nutzleistung bezogen, im Mittel 6 kg/PS_h und der Kohlenverbrauch 0,7 bis 0,8 kg/PS_h.

Versuchsfahrten

Nach dem günstigen Verlauf dieser ortfesten Versuche wurde die Lokomotive mit dem Probekessel und der Probekesselmaschine zusammengebaut, und die Versuchsfahrten begannen Ende November 1927. Auffallend war der ruhige Lauf der Lokomotive.

Um Vergleichsgrundlagen mit Lokomotiven der Regelbauart zu erhalten, fanden Vergleichsfahrten mit der Heißdampflokomotive B $\frac{3}{4}$ der SBB im Januar 1928 mit Meßwagen statt, Abb. 21. Die Züge, Bedienung und Strecke, waren bei allen Fahrten für beide Lokomotiven die gleichen. Als Brennstoff wurden Preßkohlen von 7350 kcal/kg unterem Heizwert verfeuert. Es ergaben sich, auf die Leistung am Zughaken bezogen, 35 bis 40 vH Kohlenersparnis und 47 bis 55 vH Wasserersparnis. Nach diesen Meßfahrten wurden Probefahrten in fahrplanmäßigen Schnellzügen und Personenzügen bis 350 t, ferner Güterzügen bis 480 t auf 12 vT Steigung ausgeführt; auch hier zeigte sich die Hochdrucklokomotive hinsichtlich Anfahrvermögen, dank der Zahnradübertragung, wie auch in der Überwindung der Steigungen überlegen. So wurden z. B. folgende Höchstleistungen gemessen:

Strecke Winterthur—St. Gallen, Steigung 10 vT	
Höchstleistung am Zughaken:	
Hochdrucklokomotive	950 PS
B $\frac{3}{4}$ -Lokomotive	750 PS
Strecke Winterthur—Romanshorn, Steigung 12 vT	
Hochdrucklokomotive	1050 PS
B $\frac{3}{4}$ -Lokomotive	750 PS

Dabei ist zu berücksichtigen, daß die Rostfläche der Hochdrucklokomotive um 1 m² kleiner ist als die der Vergleichslokomotive. Mitte Juni 1928 sind dann weitere, abschließende Meßfahrten durchgeführt worden. Die hierbei ermittelten Kohlen- und Wasserverbrauchszahlen sind in den Abbildungen 22 und 23 aufgetragen und in Zahlentafel 1 zusammengestellt.

Die im Januar 1928 gemessenen Ersparnisse haben sich demzufolge neuerdings bestätigt. Die Ergebnisse zeigen außerdem, daß sich die Hochdrucklokomotive „Winterthur“ für Schnellzug-, Personenzug- und Güterzugbetrieb eignet und gleich hohe Ersparnisse ergibt. Besonders ist hervorzuheben, daß auch bei den vielen Anfahrten bei Personenzugbetrieb immer noch eine Kohlenersparnis von 30,5 vH erzielt wurde, lediglich die Wasserersparnis ist etwas geringer geworden.

Es ist üblich, die spezifischen Verbrauchszahlen auf die Ebene zu beziehen, d. h. die Arbeit für die Hebung der Lokomotive zur Nutzleistung am Haken hinzuzurechnen. Auch diese Verbrauchszahlen sind in Abbildung 22 und 23 graphisch dargestellt, und es ist hervorzuheben, daß diese Zahlen die niedrigsten darstellen, die je an einer Dampflokomotive gemessen worden sind.

Diese Ergebnisse stellen einen außerordentlichen Erfolg dar. Nicht allein die Kohlenersparnis ist wichtig, sondern auch die Wasserersparnis, da sie den Fahrbereich bei gleicher Zuglast nahezu verdoppelt. Die Kesselstein- und Schlammansammlungen schreiten nur halb so rasch vorwärts, der Kessel muß also weniger ausgewaschen werden, was besonders dort eine große Rolle spielt, wo schlechte Wasserverhältnisse vorliegen. Für größere Einheiten fällt das Baugewicht nicht höher aus als bei üblichen Lokomotiven, demzufolge stellt sich der Beschaffungspreis auf die Leistungseinheit nur unwesentlich höher. Durch die Möglichkeit, höhere Achsdrücke zu verwenden, kann die Leistungsfähigkeit be-

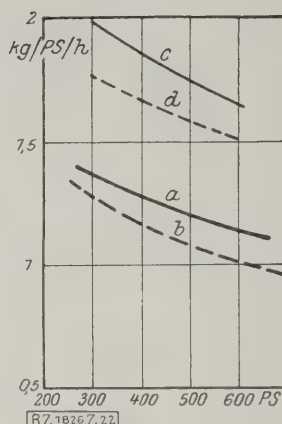


Abb. 23
Kohlenverbrauch in kg/PS_h (Leistung auf den Zughaken bezogen.)

a Hochdrucklokomotive 60 at (gemessen)
b „ „ (auf die Wagerechte umgerechnet)
c B $\frac{3}{4}$ Lokomotive 12 at (gemessen)
d „ „ (auf die Wagerechte umgerechnet)

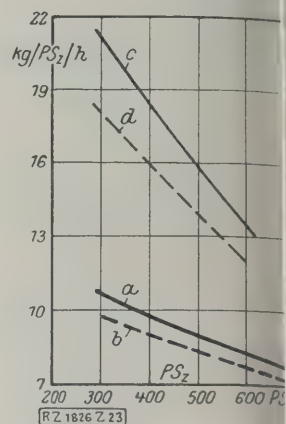


Abb. 22
Wasserverbrauch in kg/PS_h (Leistung auf den Zughaken bezogen.)

deutend gesteigert werden. Ferner ist die Bedienung der Lokomotive äußerst einfach; die geringe Zahl von Hilfseinrichtungen beschränkt die Störungsquellen auf ein Mindestmaß.

Alle diese Tatsachen geben der Dampflokomotive eine weitere Entwicklungsmöglichkeit und es darf wohl angenommen werden, daß sich die Einführung des Hochdruckdampfes auf Grund der ermittelten Ergebnisse durchsetzen wird. [B 1826]

Neuer Dampfkraftomnibus

Die Firma Delling Motors Co., Camden, N. J., hat von kurzem erfolgreiche Probefahrten mit einem Kraftomnibus für 27 Personen ausgeführt, durch den der oft versuchte Dampfbetrieb verwirklicht werden soll. Die wesentlichste Neuerung ist, daß der Dampferzeuger als liegender zylindrischer Engrohrkessel ausgebildet ist; sein Mantel ist bei 40 bis 50 at Betriebsdruck sowie 865 mm Länge und 660 mm Dmr. aus rd. 10 mm dickem Blech unter dem Hammer geschweißt und durch fünf Lagen von Klaviersaitendraht gegen den Innendruck verstärkt. In die ebenen Boden des Kessels, die gleichfalls nur rd. 10 mm dick sind, sind 686 Kupferrohre von rd. 16 mm Außendurchmesser eingewalzt. Sie sind so verteilt, daß sie stets unter dem Wasserspiegel des Kessels liegen und unter den Rohren etwa 25 mm freie Höhe verbleibt. In diesen Raum reicht ein Rohr zum Abblasen des Kesselschlammes hinein, das in regelmäßigen Zeitabständen betätigt wird.

Die mit gewöhnlichem Heizöl betriebene Feuerung hat einen senkrecht nach unten gerichteten Bunsenbrenner, dessen Flamme zunächst eine Rohrschlange der Brennstoffleitung, dann eine Überhitzer-Dampfschlange bespült und dann durch die Engrohre des Kessels in einen aufwärts gerichteten Schornstein abzieht. Die Rauchgase heizen vor ihrem Austritt einen Speisewasservorwärmer sowie den Führerraum des Wagens. Die Brennstoffzufuhr wird thermostatisch in Abhängigkeit vom Wasserstande des Kessels gesteuert. Der in der liegenden Dreizylinder-Dampfmaschine verbrauchte Dampf schlägt sich in drei Kondensatoren nieder, von denen zwei am hinteren Wagenende angeordnet sind. Die Gebläse dieser Kondensatoren werden von der verlängerten Treibwelle des Wagens angetrieben. Das Fahrgestell wiegt rd. 5300 kg. („Automotive Industries“ 29. Dezember 1928 S. 940/43*) [N 2508] H.

Berichtigung

Die Schwimmmaufbereitung der Moctezuma Copper Co., Nacozari, Staat Sonora, Mexiko.

In der Arbeit von C. Bruchhold in Z. Bd. 73 (1929) Nr. 1 lautet die Quellenangabe in Anm. 2) S. 27 rechte Spalte richtig: Z. f. angew. Chemie Bd. 39 (1926) S. 1368. [N 2507]

Längskräfte im Eisenbahngleis

Von Prof. Dr.-Ing. AMMANN und Privatdozent Dr.-Ing. v. GRUENEWALDT, Karlsruhe i. B.

Ermittlung der Spannungen im Gleis infolge von Temperaturänderung. Temperaturmessung. Versuche über Beweglichkeit der Schienen gegenüber Laschen und Schwellen. Bestimmung der Widerstandsfähigkeit eines Gleises gegen Längs- und Querverschiebung auf einem besonderen Gleisprüfstand. Versuchsergebnisse und weiteres Versuchsprogramm.

Verschiedene Gründe haben dazu geführt, in den letzten Jahren immer größere Schienenlängen zu verwenden — so werden jetzt Schienen in einer Länge von 320 m gewalzt; mittels Schweißen der Schienenstöße sind noch viel größere Längen hergestellt worden — bis zu 320 m. Die Versuchsanordnungen, die von der Reichsbahn mit geschweißten Schienen angelegt worden sind, haben befriedigende Ergebnisse gezeitigt¹⁾. Auf diesen Strecken sind an den Enden der geschweißten Schienen oder bei kürzerer Schienenlänge am Ende einer Gruppe von geschweißten Schienen besondere Ausziehstöße angeordnet worden, die die Längsänderungen der Schienen infolge von Temperaturwirkungen auszugleichen haben.

Spannungen im Gleis infolge Temperaturänderungen
Es fragt sich nun, ob es nicht möglich wäre, auf die Längenänderung zu verzichten und dafür im Gleis Temperaturspannungen zuzulassen; es gilt also erstens zu erforschen, wie groß die Kräfte sind, die im Gleis durch Temperaturänderungen hervorgerufen werden, und zweitens festzustellen, welche Längskräfte das Gleis ohne Gefahr des Ausknickens aufnehmen kann.
Die Größe der Spannung infolge einer Temperaturänderung von 1°C ergibt sich aus:

$$\sigma = E \alpha \dots \dots \dots (1),$$

wo E den Elastizitätsmodul = 2 200 000 kg/cm² bedeutet und α den Beiwert der Temperaturdehnung für Stahl = 0,000 011 7, zu 25,75 kg/cm², die entsprechende Längskraft für die Schiene S 49 von 62,28 cm² Querschnitt 1 600 kg. Um also die Frage nach den infolge von Temperaturänderungen möglichen Längskräften zu beantworten, ist es nur erforderlich, die Größe dieser Temperaturänderungen zu kennen. Die zweite Frage nach der Widerstandsfähigkeit des Gleises gegenüber solchen Kräften muß durch Versuche nachgeprüft werden.

Die Versuchseinrichtungen

Im Laboratorium des Instituts für Straßen- und Eisenbahnbauwesen an der Technischen Hochschule Karlsruhe wurde zunächst das Verhalten eines gewöhnlich verlaschten Stoßes gegenüber Längskräften durch Auseinanderziehen und Zusammenstößen in einer besonders konstruierten Maschine untersucht²⁾, Abb. 1. Zwischen die hydraulischen Pressen und den Waagebalken wurden Holzklötze gesetzt.

¹⁾ Über diese Versuchstrecken ist mehrfach im Organ f. d. Fortsch. Eisenbahnwesens berichtet worden.
²⁾ Vergl. „Organ“ Bd. 82 (1927) S. 78.

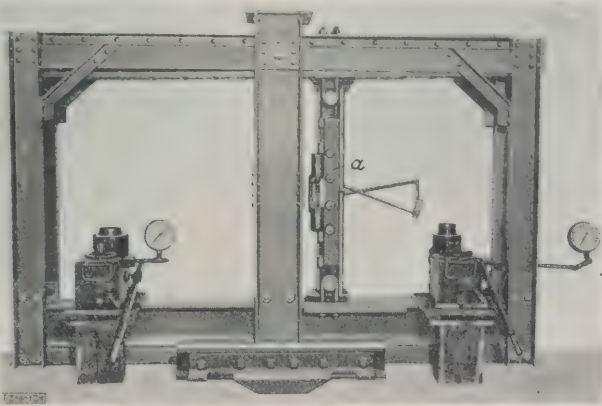


Abb. 1
Maschine zum Prüfen von Schienenstößen.
a eingespannter Schienenstoß

Um hierbei den Einfluß der Kraft, mit der die Laschenschrauben angezogen sind, genau zu messen, mußten erst zwei neue Vorrichtungen entworfen und gebaut werden. Es sind dies ein Meß- und Schraubenschlüssel³⁾, der unmittelbar das Drehmoment mißt, mit dem eine Schraube angezogen wird, Abb. 2, und ein mit diesem Schlüssel zusammen zu verwendender Zugkraftmesser, Abb. 3, der es gestattet, die Zugkraft der Schraube in Abhängigkeit vom Drehmoment zu messen, mit dem die Schraubenmutter angezogen wird.

Mit diesem Schraubenschlüssel, der eine Länge von 600 mm hat und an dem eine Kraft bis zu 50 kg angreifen kann, lassen sich Drehmomente bis zu 3000 kgcm genau messen. Die Bewegung des Zeigers an der Meßvorrichtung wird durch die Verbiegung einer stählernen Plattenfeder bewirkt.

³⁾ Dieser Schlüssel wird jetzt im großen vom Losenhausenwerk, Düsseldorf, hergestellt.



Abb. 2
Meßschlüssel.

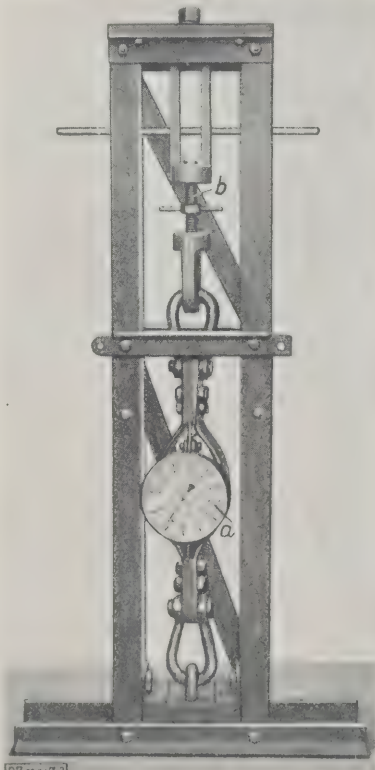


Abb. 3
Schrauben-Zugkraftmesser.
a Kraftmesser b Schraube mit Rechts- und Linksgewinde

Die zweite Vorrichtung, s. Abb. 3, besteht aus einem Kraftmesser a , der einerseits am Boden des Rahmens befestigt ist und andererseits an der zu untersuchenden Schraube aufgehängt wird. Um Schraubenbolzen von verschiedener Länge prüfen zu können, ist eine Schraube b mit Rechts- und Linksgewinde zwischen den Kraftmesser und den zu prüfenden Bolzen eingeschaltet. Diese Vorrichtung ergibt unmittelbar die Anzugkraft des Bolzens in Abhängigkeit vom Drehmoment, mit dem die Mutter festgezogen ist; das Drehmoment wird hierbei am Meßschlüssel, die Bolzenkraft am Kraftmesser abgelesen.

Rechnerische Grundlagen

Ist M das Drehmoment in kgcm, mit dem die Schraube angezogen wird, so ist die von der Schraube ausgeübte Druck- oder Zugkraft

$$Q = \frac{M}{r [\operatorname{tg}(\alpha + \varphi) + 1,4 \mu_1]} \text{ kg} \quad (2)$$

wo r der Halbmesser der Schraube in cm, α ihr Steigungswinkel, φ der Reibungswinkel zwischen Schraube und Mutter und μ_1 die Reibungszahl zwischen Mutter und Lasche bedeutet.

Da sich die Werte φ und μ_1 einzeln nicht bestimmen lassen, so kann in der vorstehenden Gleichung

$$\operatorname{tg}(\alpha + \varphi) + 1,4 \mu_1 = \mu_2 \quad (3)$$

gesetzt werden. Es ist dann

$$Q = \frac{M}{r \mu_2} \quad (4)$$

Der Wert μ_2 wurde zu 0,17 bis 0,25, im Mittel zu 0,20 bestimmt.

Die beim Auseinanderziehen oder Zusammendrücken der Stöße zu überwindende Reibungskraft ist verschieden, je nachdem ob sich nur die Schiene gegen die Lasche bewegt oder ob sich auch noch der Bolzen gegen die Lasche verschiebt.

1. Nur die Schiene bewegt sich gegen die Lasche.

In diesem Fall ist die Reibungskraft

$$K = n \frac{Q}{2 \sin \alpha} \mu \quad (5)$$

wo n die Zahl der Bolzen an einem Schienenende, α den Neigungswinkel zwischen Schienenkopf oder Schienenfuß und der Wagerechten, Abb. 4, μ den Reibungswert zwischen Schiene und Lasche bedeuten.

2. Bei Bewegung zwischen Bolzen und Lasche kommt noch zu 1. hinzu

die zusätzliche Kraft

$$K' = n 2 Q \mu' \quad (6)$$

wo μ' den Reibungswert zwischen Lasche und Schraubenmutter bedeutet ($\mu' < \mu$).

Im zweiten Zustand ist also die zu überwindende gesamte Reibungskraft

$$K + K' = n \frac{Q}{2 \sin \alpha} \mu + n 2 Q \mu' \quad (7)$$

Bei der Schiene S 49 ist $\operatorname{tg} \alpha = \frac{1}{3}$; die Reibungswerte μ und μ' wurden durch Versuche mit geringem Reibungsdruck zu rd. 0,3 ermittelt. Durch Messungen mit dem Meßschlüssel an den Stößen von Betriebsgleisen wurde das Drehmoment festgestellt, das erforderlich ist, um die Laschenschrauben weiter anzuziehen; dieses Drehmoment betrug vielfach 3000 kgcm und auch mehr. Einem Drehmoment von 3000 kgcm entspricht bei den üblichen Laschenschrauben, die im Laboratorium geprüft waren, eine kleinste Bolzenkraft $Q = 5000 \text{ kg}$. Zum Bewegen eines mit einem Drehmoment von 3000 kg/cm verlaschten Stoßes mit vier Laschenbolzen ist mithin mindestens eine Kraft

$$K + K' = n Q \mu \left(\frac{4}{2 \sin \alpha} + 2 \right) \\ = 2 \cdot 5000 \cdot 0,3 (6,30 + 2) = 25000 \text{ kg}$$

erforderlich.



Abb. 5
Gleisprüfstand von Westen.

Die Ergebnisse der Versuche⁴⁾ mit dem Auseinanderziehen und Zusammendrücken der Schienenstöße zeigten zum Teil eine gute Übereinstimmung mit den rechnerisch ermittelten Werten, zum Teil lagen sie höher, was auf die grobe Bearbeitung der Fläche zurückzuführen ist, die sich unter dem starken Druck ineinander verzahnen, so daß bei der Bewegung der Oberbauteile gegeneinander Materialzerstörung stattfindet und der scheinbare Reibungswert sehr hoch wird. Die Erschütterungen der Gleise durch fahrende Züge werden allerdings bewirken, daß sich die Schienen in den Laschen im Betriebsgleise bei wesentlich geringeren Kräften bewegen, als hier rechnerisch und durch Versuch ermittelt worden ist.

Die Kraft, mit der eine Schiene durch die Klemmplatten auf die Schwellen angedrückt wird, läßt sich auf einfache Art berechnen und ergibt sich für eine 15 m lange Schiene zu 120 t, wobei angenommen ist, daß die Schrauben mit einem Drehmoment von rd. 1500 kgcm angezogen sind.

Nachdem durch diese Versuche und Berechnungen die im verlaschten Oberbau durch das Festschrauben erreichten Verspannungen geklärt waren, wurde an die Errichtung eines besonderen Gleisprüfstandes gegangen, der im Institut für Straßen- und Eisenbahnwesen errichtet und auf dem Gelände der Hochschule errichtet wurde.

Der Gleisprüfstand

Auf diesem Prüfstand ist ein 45 m langes Gleis (dreifach) des Reichsbahnoberbaues B mit Eisenschwellen auf gebräuchlicher Schotterbettung von 0,4 m Höhe und 3,5 m Kronenbreite) zwischen zwei eisenbewehrten Betonblöcken von 2,5 m Breite und 7 m Länge eingebaut. Abb. 5 und 6. Am östlichen Block sind zwischen den

⁴⁾ Vergl. Anm. 2).

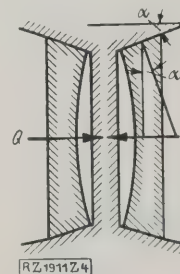


Abb. 4
Kraftübertragung
zwischen Lasche
und Schiene.

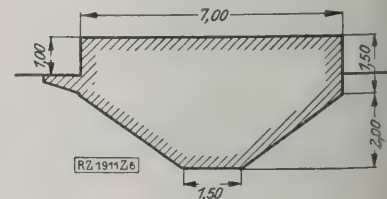


Abb. 6
Längsschnitt durch das
Widerlager.

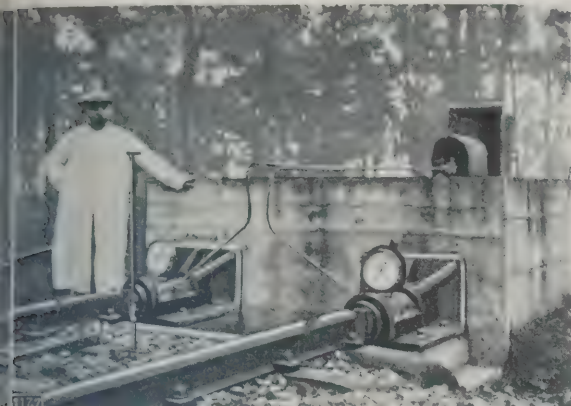


Abb. 7

Druckpressen des Gleisprüfstandes für je 60 t Druckkraft.

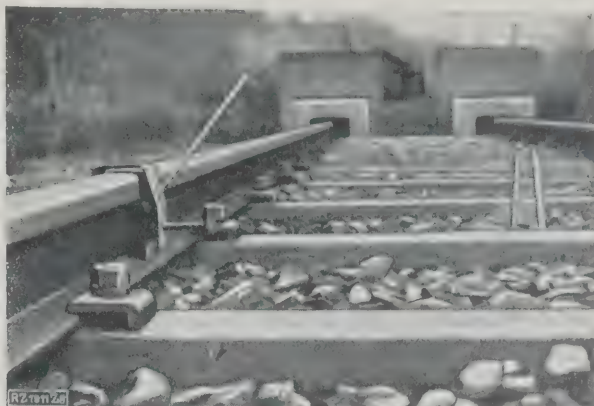


Abb. 8

Einbau der Thermometer in das Versuchsgleis.

nehenden und die Stirnwand des Blocks wagerechte (sichtigkeitspressen eingeschaltet, Abb. 7, mit denen ein Block bis zu 60 t⁵⁾ je Schiene ausgeübt werden kann; zu den Pressen gehörige Pumpe ist oben auf dem Block aufgestellt und ebenso wie die Pressen mit ihm durch Ankerschrauben verbunden. Die Pressen können wohl einzeln als auch gemeinsam betätigt werden.

Zwischen dem westlichen Block und den Schienen kleine Betonklötze aufgesetzt, aber nicht fest mit verbunden; sie können gegebenenfalls entfernt und durch Meßdosen ersetzt werden.

Am Gleisprüfstand wurden zunächst

ergleichende Temperaturmessungen an den Schienen, den Schwellen, der Schotterbettung und der Luft vorgenommen. Die Lufttemperatur wurde an zwei Stellen gemessen — eine mehr im Schatten, die andere der Sonnenbestrahlung ausgesetzt.

Im Schotter waren zwei Thermometer angebracht, ein Stockthermometer, von denen eines die Schottertemperatur in 20 cm Tiefe maß; das andere war dicht an der Schiene eingebracht und zeigte deren Temperatur an der Unterkante (10 cm unter Schienenunterseite) an.

An den Schienen waren drei Thermometer angebracht. Um die Schienen nicht durch Anbohren zu schwächen, wurden Laschenstücke ausgebohrt und die Bohrungen mit Quecksilber gefüllt, in das die Thermometer gesteckt wurden; diese Laschenstücke wurden fest an die Schiene gepreßt und der Zwischenraum zwischen Schiene und Lasche mit Blei vergossen, Abb. 8 und 9.

Die Temperaturen wurden dreimal täglich abgelesen. Und zwar um 8³⁰, 13 und 18 h; gleichzeitig wurden die Meßstellen mittels Meßkeils nachgemessen. Die höchste im Schatten gemessene Lufttemperatur betrug 31°, die im Schatten — 19,5°.

An warmen Tagen liegt bei kühlen Nächten die Temperatur der Bettung merklich unter der Lufttemperatur, da der Boden seine Temperatur naturgemäß nur langsam ändert und die Temperatur des Schotters (in 20 cm Tiefe) zwischen Boden- und Lufttemperatur liegt; dementsprechend ist im Winter bei rascher Abkühlung die Temperatur der Bettung höher als die

⁵⁾ Am Druckmesser, dessen Einteilung nur bis 60 t reicht, wurden 70 t geschätzt.

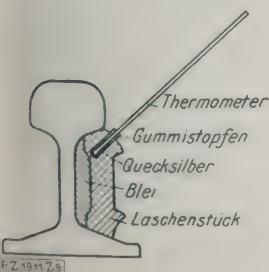


Abb. 9 (links)
Anordnung des Thermometers an der Schiene.

Abb. 10 (rechts)
Temperaturbewegung am 12. Juli 1928.

a Temperatur der Luft in der Sonne
b " " " " " " " " " " " "
c " " " " " " " " " " " "
d " " " " " " " " " " " "
e " " " " " " " " " " " "

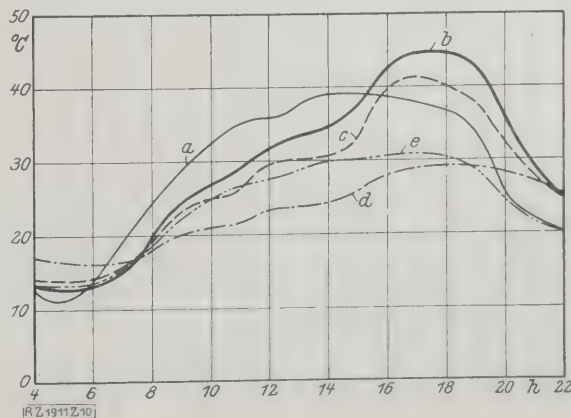
Lufttemperatur; die mittlere Temperatur der Bettung folgt der mittleren Lufttemperatur im Abstand von einigen Tagen.

Die Temperatur der Schiene folgt meist recht genau der Lufttemperatur, der Unterschied zwischen beiden ist selten größer als 1°; wenn die Bettungstemperatur sehr stark von der Lufttemperatur abweicht, macht sich dies in einer Erhöhung oder Ermäßigung der Schwellentemperatur gegenüber der Lufttemperatur bemerkbar; bei sehr heißem Wetter steigt die Temperatur der von der Sonne bestrahlten Schiene merklich über die Lufttemperatur.

Die Temperatur der Schiene liegt fast durchweg über der Lufttemperatur und auch über der Temperatur von Schwellen und Bettung, folgt aber der Lufttemperatur nicht sofort, sondern erst in einigen Stunden, so daß sie u. U., z. B. bei schnell ansteigender Lufttemperatur (an warmen Tagen nach kühlen Nächten), zeitweilig unter der Lufttemperatur liegt. Bei starker Sonnenbestrahlung nimmt die Schiene eine wesentlich höhere Temperatur an als die gleichfalls in der Sonne gemessene Lufttemperatur.

Die Temperaturbewegung am 12. Juli 1928, die stündlich von 4 bis 22 Uhr gemessen wurde, ist in Abb. 10 dargestellt. Es liegt hier die Höchsttemperatur der Schiene um 6° über der höchsten am gleichen Tage in der Sonne gemessenen Lufttemperatur. Die Spanne zwischen der tiefsten und höchsten Temperatur der Schiene betrug an diesem einen Tage 33°.

Aus diesen Zahlen ist ersichtlich, daß die Höchsttemperatur der Schiene merklich über der höchsten in der Sonne gemessenen Lufttemperatur liegt, und daß, wenn diese zu 50° angenommen wird, wohl mit einer Schienentemperatur von mindestens 60° zu rechnen ist. Es zeigt sich auch, daß die im Laufe eines Tages auftretende Temperaturänderung recht bedeutend sein kann, denn mit 33° wird wohl kaum das Höchstmaß erreicht sein.



Folgerungen aus der Temperaturbewegung

Da nun Druckkräfte in der Schiene unangenehmer sind als Zugkräfte, die wohl ein Abscheren der Laschenschrauben, aber keine Verwerfung des Gleises hervorrufen können, wird man gut tun, die Temperatur, auf die die mittlere Stoßlückenöffnung eingestellt wird, höher zu wählen als bisher üblich, und zwar vielleicht zu $+20^\circ$.

Die Messung der Stoßlücken ergab, daß die tatsächliche Dehnung der Schienen um ein Bedeutendes hinter der rechnerisch ermittelten Temperaturdehnung zurückbleibt — der größere Teil der Dehnung kommt nicht zur Auswirkung, sondern wird vom Gleis als Spannung aufgenommen (ein merklicher Teil selbst bei nur lose aufliegender Schiene).

Wird das Gleis bei $+22,5^\circ$ lückenlos verlegt, so ruft eine Temperaturerhöhung auf $+60^\circ$ in der Schiene S 49 eine Längskraft von rd. 60 t hervor (für diese Kraftwirkung sind die Pressen des Prüfstandes gebaut worden).

Damit ist die erste Frage nach der Größe der in dem an der Ausdehnung verhinderten Gleis infolge von Temperaturänderungen auftretenden Längskräfte wohl für unser Klima ausreichend genau beantwortet, doch werden die Temperaturmessungen noch weiter fortgesetzt.

Zur Untersuchung der Widerstandsfähigkeit des Gleises gegen Längskräfte wurde

die Verschiebbarkeit des Gleises in der Längs- und Querrichtung durch Versuche festgestellt.

Vorversuche

Das ganze Gleis wurde durch Pressen in seiner Längsrichtung verschoben, und zwar getrennt ein Joch, zwei und drei Joche — der erforderliche Druck der Pressen ergab sich übereinstimmend aus einer Reihe von Versuchen zu rd. 20 t für je 1 Joch. Wie nicht anders zu erwarten, bewegten sich hierbei die Schienen mitsamt den Schwellen im Bettungsschotter vorwärts, während eine Relativbewegung der Schiene gegenüber den Zwischenschwellen nicht stattfand.

Ein Verschieben des Gleises in der Querrichtung ließ sich mit der vorhandenen Einrichtung nicht bewerkstelligen. Da es aber im Hinblick auf mögliche Knickungen wichtig ist, diesen Widerstand wenigstens angenähert festzustellen, so wurden einzelne Schwellen bei abgenommenen Klemmplättchen und Laschenschrauben unter der Schiene hervorgezogen: hierbei ergaben sich Kräfte von 900 bis 2400 kg; mit 2400 kg Kraft wurde die Schwelle um 23 mm seitlich herausgezogen. Auf ein Meter Gleislänge umgerechnet ergibt das einen

Widerstand gegen seitliche Verschiebung

von $\frac{900}{0,625}$ bis $\frac{2400}{0,625} = 1400$ bis 3750 kg (0,625 m ist der Schwellenabstand).

Allerdings werden bei einer Verschiebung des Gleises in seiner Gesamtheit wohl nicht ganz so große Kräfte angenommen werden können, da bei diesen Versuchen die Schienen nicht entfernt waren und daher infolge der Form der Schwellen (schräges Auflager) eine gewisse Keilwirkung zwischen der Schwelle und Schiene und der Bettung zur Geltung gekommen sein mag. Aus diesem seitlichen Widerstand, der nach vorstehendem zu mindestens 1000 kg/m angenommen werden kann, läßt sich leicht die

zulässige Längskraft für das gekrümmte Gleis ermitteln; sie beträgt

$$S = p R$$

(S = Längskraft im Gleis — zwei Schienenstränge, p = Widerstand je m Gleis und R = Krümmungshalbmesser). Im geraden Strang sind diese Beziehungen rechnerisch nicht so einfach zu erfassen.

Hauptversuche: Gleis im Betriebszustand

Die bisher beschriebenen Versuche trugen mehr Charakter von Vorversuchen — die Hauptversuche bestanden darin, daß das ganze gut verlaschte Gleis (Bolzenkräfte waren genau bestimmt) mittels der Pressen einem Längsdruck bis zu 60 t⁹⁾ je Schiene, zusammen

also 120 t (oder bis 140 t), ausgesetzt wurde und die dabei entstehenden Bewegungen genau gemessen wurden. Bei allen diesen Versuchen zeigte es sich, daß zu dieser Belastung, die allerdings am Westende des Gleises nur etwa 60 t betrug, da der Rest von der Bettung aufgenommen war, nur ganz geringfügige Verschiebungen (unter 5 mm) in der Senkrechten und Wagerechten zu verzeichnen waren.

Um doch noch ein Ausknicken der Schiene beobachten zu können, wurde sie durch kräftige Stöße mit einem Rammbock ausgebogen, wobei der Druck der Pressen ständig auf 60 t (70 t) je Schiene gehalten wurde; erst als die größte Ausbiegung infolge der Rammstöße ein Maß von 25 cm erreicht hatte, begann das Gleis sich unter dem Einfluß des Längsdruckes auch nach Aufhören der Rammstöße wieder auszubiegen, wobei der Längsdruck auf 45 t je Schiene sank.

Die Kraft, die tatsächlich die Ausbiegung herbeiführte, kann hierbei zu rd. 35 t je Schiene angenommen werden, da das zweite Joch verbogen wurde und etwa 10 t je Schiene zur Längsverschiebung des ersten Joches erforderlich sind. Der Krümmungshalbmesser der Ausbiegung, die sich nur auf einer kurzen Strecke bemerkbar machte, Abb. 11, wurde zu rd. 25 m ermittelt.

Die seitliche Widerstandskraft p der Bettung

ergibt sich danach zu $\frac{2 \cdot 35}{25} = 2,8$ t, entspricht also recht gut den durch das Herausziehen der Schwellen ermittelten oberen Werten.

Bei einem späteren Versuch wurde nur ein Schienenstrang mit 60 t abgepreßt, während der andere unbelastet blieb, die Verschiebungen nach Seite und Höhe betrugen auch hierbei nur wenige Millimeter. Es gelang nicht durch 36 Rammstöße ein Ausknicken des Gleises hervorzurufen. Die größte Ausbiegung des Gleises betrug dabei nur 26 mm.

Versuchsergebnis

Diese Versuche⁷⁾ haben gezeigt, daß der Reichsbahnoberrat B auf eisernen Schwellen bei guter Verlegung eine große Widerstandsfähigkeit gegenüber Längskräften hat; doch wird geplant, die Versuche mit wesentlich erhöhten Drücken zu wiederholen, um größere Klarheit über die Frage der Knicksicherheit des Gleises zu erlangen, da die jetzt angewandten Drücke nur den im Betrieb infolge Temperaturänderungen möglichen Spannungen entsprechenden Längskräfte aber auch noch aus anderen Ursachen entstehen können (Wandern der Schienen usw.).

⁹⁾ Vergl. Anm. 5).

⁷⁾ Ein ausführlicher Bericht über die meisten der vorstehend kurz beschriebenen Versuche findet sich im „Organ“ Bd. 83 (1928) S. 30.



Abb. 11
Gleis nach dem Ausknicken von Osten.

Geplante neue Versuche

t der schon vorhandenen Versuchseinrichtung sollen an dem Reichsbahnoberbau auf eisernen Schwellen die Versuche vorgenommen werden.

Versuch mit einem in einer Krümmung von 300 m Halbmesser verlegten Gleis (Pfeilhöhe rd. 0,9 m auf Prüfstandlänge).

Genaue Untersuchung der Fortpflanzung des Druckes im Gleis.

Die Bruchgefahr spröder Körper

Während die Bedingungen für das Fließen plastischer in den letzten Jahren durch eingehende experimentelle und theoretische Untersuchungen im wesentlichen geklärt werden konnten, fehlt vorläufig noch ein wirkliches Bildnis für das Wesen und die Gesetzmäßigkeiten der Vorgänge. M. Roß und A. Eichinger haben sich die Aufgabe gestellt, bei einer Reihe verschiedener den Einfluß zusätzlichen allseitigen Druckes bei Zug-Druckbeanspruchungen auf die Brucherscheinungen festzustellen. Bisher liegen die Ergebnisse an Marmor, Zementmörtel, Porzellan, Kunstharz, Gips, natürlichen Steinen und Beton vor¹⁾.

Zunächst wird gezeigt, wie außerordentlich schwierig es spröden Stoffen ist, die wirklichen Verhältnisse bei der Beanspruchung zu erkennen. Während bei den plastischen die geringe unvermeidliche Abweichungen vom homogenen Spannungszustand auf das Ergebnis kaum von Einfluß sind, konnte schon Föppl zeigen²⁾, daß Würfel von Marmor ungeschmiert fast doppelt soviel hielten wie mit geschmierten Auflagerflächen. Während nun die bisherige Auffassung dahin geht, daß eine solche Schmierung die Druckkräfte in den Auflagern beseitigt und die Übertragung der Druckkräfte auf den Probekörper gleichmäßig verteilt, muß nach Roß und Eichinger bei geschmierten Proben der Druck von der Mitte der Druckfläche nach den Seiten hin abnehmen. Infolgedessen tritt durch Spreizung der Außenzonen des Probekörpers ein verfrühter Bruch ein. Bewiesen wird dies dadurch, daß auch bei sehr langen Proben noch ein erheblicher Unterschied in der Festigkeit geschmierter und ungeschmierter Probekörper besteht. Als geeignet zur Ermittlung der wirklichen Druckfestigkeit wird dagegen das von Föppl angegebene Verfahren angesehen, bei dem über ein dünnes Messingblech eine Gummihaut gespannt und die Belastung mittels Flüssigkeitsdruckes erzeugt wird. Die auf diese Weise an Würfeln ermittelte Festigkeit fällt etwa ebenso groß aus wie die an langen Prismen ohne besondere Vorkehrungen feststellte.

Auf Grund ihrer Versuche kommen Roß und Eichinger zum Schluß, daß eine einfache und allgemeine Theorie für die Bruchgefahr von Stoffen, die im gewöhnlichen Sinne spröde sind, unmöglich ist. Die Bruchgefahr jedes einzelnen Stoffes hängt von seinem inneren Aufbau ab. Während die amorphen und im Sinne der physikalischen Chemie flüssigen Stoffe Glas und Porzellan unter allen praktisch möglichen Belastungsverhältnissen vollkommen spröde bleiben, werden kristallin aufgebaute Stoffe bei hohen allseitigen Drücken weitgehend plastisch. Marmor ließ sich B. dann um 25 vH bleibend stauchen. Aber auch bei kristallinen Stoffen sind die Bruchgesetze zumindestens sehr verwickelt, da am gleichen Stoff ganz verschiedene Bruchformen auftreten können. Unterschieden werden der Bruchungsbruch, der Gleitungsbruch und eine Vereinigung beider, der Verschiebungsbruch.

Zur Veranschaulichung der Ergebnisse wird die Darstellung der Mohrschen Spannungskreise gewählt. Trägt man die größte und kleinste Hauptspannung beim Bruch auf der Abszissenachse ab und schlägt darüber einen Kreis, so geben die Ordinatenwerte Schubspannungen an. Dem Spannungszustand entspricht ein besonderer Kreis. Nach der Theorie von Mohr über die Bruchgefahr³⁾, die von den Anschauungen den Versuchsergebnissen am weitestgehend angepaßt werden kann, soll die Hüllkurve aller dieser Kreise allgemein ein Gebiet möglicher Beanspruchungen umgrenzen.

Nach Beendigung dieser Versuche sollen ähnliche Versuche wie die beschriebenen an einem Oberbau mit Holzschnellen vorgenommen werden.

Ferner wird noch geplant, mit besonderen zu diesem Zweck gebauten Pressen (Druckkraft bis zu je 120 t) Versuche in einem Betriebsgleis vorzunehmen, um die Auswirkung des Längsdruckes in einem beliebig langen Gleis zu untersuchen und dabei noch die Möglichkeit zu haben, das Gleis gleichzeitig mittels stillstehender oder bewegter Fahrzeuge zu belasten. [B 1911]

spruchungen umgrenzen. Ferner soll der Berührungspunkt der Hüllkurve mit einem besonderen Bruchkreis den Neigungswinkel der Bruchfläche bei diesem besonderen Spannungszustand festlegen. Die Versuche zeigen jedoch, daß Zug- und Druckversuche (unter allseitigem Druck verschiedener Größe) nur bei einigen Stoffen unter einer gemeinsamen Hüllkurve unterzubringen sind. Bei anderen Stoffen liegt entweder die Hüllkurve für Zug oder diejenige für Druck höher. Die wirklichen Bruchwinkel zeigen für solche Proben, bei denen ein Gleitungsbruch vorliegt, eine gute Übereinstimmung mit der Theorie von Mohr; bei Verschiebungsbrüchen ist die Übereinstimmung schlecht und bei Trennungsbrüchen nicht vorhanden.

Der Einfluß der Bruchausbildung wird durch die verschiedenartige Auslösung der Spannungen beim Bruch erklärt. Bei einem gewöhnlichen, vielkristallinen Werkstoff muß der Spannungszustand in einem Probekörper durch die gegenseitige Wirkung der einzelnen Kristalle sehr ungleichmäßig sein. Beim Trennungsbruch sind es nun Zugspannungen, die den Bruch einleiten, und zwar stets die höchsten, die wesentlich über den allein meßbaren mittleren Spannungen liegen können. Wie groß diese „vagabundierenden“ Spannungen sind, läßt sich daraus erschließen, daß der Verschiebungsbruch offenbar ebenfalls durch Zugspannungen eingeleitet wird, die nach der gewöhnlichen Rechnung gar keine Daseinsberechtigung haben. Diese Spannungen müssen etwa von gleicher Größe sein wie bei Zugversuchen. Bei den verschiedenen Stoffen schwankt das Verhältnis der Zugfestigkeit mit Trennungsbruch zur Druckfestigkeit mit Verschiebungsbruch zwischen 1:6 und 1:14 (Marmor 1:7,3; Zement 1:10; Zementmörtel 1:6; Porzellan 1:14,3), woraus sich ein annähernder Begriff von den Spannungsschwankungen im Stoffe ergibt. Beim Gleitungsbruch schließlich tritt der Bruch durch Abgleiten längs einer annähernd ebenen Fläche ein, wobei der Widerstand der Kristalle in dieser Fläche überwunden sein muß. Hierbei ist also nicht ein Höchstwert der Spannungen, sondern ein Mittelwert maßgebend.

Die vorliegende Arbeit läßt erkennen, wie wichtig für eine planmäßige Ausnutzung der Eigenschaften eines Baustoffes genaue Untersuchungen nach neuesten Gesichtspunkten sind. Hoffentlich wirken sich die neueren Ergebnisse über die Fließ- und Bruchgefahr von Metallen und nichtmetallischen Baustoffen auch bald auf die Konstruktionspraxis aus, die vielfach noch nach veralteten und widerlegten Regeln rechnet. [N 2224]

Berlin-Dahlem

G. Sachs

Berichtigungen

Wasserkraftwerk Lilla Edet

Im Aufsatz von A. Ekwall und H. Munding, Z. Bd. 72 (1928) S. 1361 muß es auf S. 1366 l. Sp. 7. Z. v. u. statt: Die Stromerzeuger usw. heißen: Die Kühlluft wird von unten angesogen und durch die im Zwischenboden untergebrachten Luftkanäle abgeleitet, Abb. 16, Schnitt in Höhe + 11 m.

Maschinenanlage des Kraftwerkes Lilla Edet

Im Aufsatz von A. Ekwall und H. Munding, Z. Bd. 72 (1928) S. 1873 muß es heißen unter Abb. 10 Mitchellager der Kaplan-Turbine, in Abb. 20, letzte Zahl rechts, Abnahme 7250 kW und in der Buchstabenerklärung zu Abb. 22 fällt bei b weg: der Kaplan-Turbine. [N 2453]

Thermische Eigenschaften und thermodynamische Vorgänge

In dem Bericht von M. Jakob über die Tagung des Ausschusses für Wärmeforschung, Z. Bd. 73 (1929) Nr. 3, ist ein Druckfehler zu berichtigen. Auf S. 84 muß es in Anm. 9) statt Nachrowski richtig heißen Nadrowski. [N 2504]

¹⁾ M. Roß und A. Eichinger, Versuche zur Klärung der Frage der Bruchgefahr, II. Nichtmetallische Stoffe, Eidgenöss. Materialprüfungsanstalt a. d. E. T. H., Zürich, Disk. Ber. 1928 Nr. 28.

²⁾ A. Föppl, Mitt. Mech. Techn. Lab. T. H. München 1900 Heft 27.

³⁾ O. Mohr, Z. Bd. 44 (1909) S. 1524 u. f.

Die Vorausbestimmung der Gesteintemperatur im Innern von Gebirgsmassiven

Von Prof. K. PRESSEL †, München

Die für den Bau langer, tiefliegender Alpentunnel wichtige Frage nach den Gesteintemperaturen, die im Innern des Gebirges zu erwarten sind, ist erst seit dem Bau des Simplontunnels wissenschaftlich behandelt worden. Man versuchte, die Aufgabe auf rechnerischem Wege zu lösen. Im Gegensatz dazu beschreibe ich den Weg des Modellversuchs. Zwei Möglichkeiten solcher Versuche werden angedeutet; ein dritter, „elektrischer“, der an zwei bekannten Tunnelgebieten auf seine Brauchbarkeit geprüft worden ist, wird näher beschrieben. Die wichtigsten Ergebnisse dieser Prüfung werden mitgeteilt.

Bedeutung der Temperaturvorausbestimmung

Die Frage, was für Temperaturzustände im Innern eines Gebirgsmassivs, tief unter der Erdoberfläche, herrschen, spielt bei der Planung und beim Bau von langen, hochüberlagerten Tunneln eine sehr wichtige Rolle. Im allgemeinen wird man dort um so höheren Gesteintemperaturen begegnen, je dicker die Erdkruste ist, die der Wärmestrom auf seinem Wege aus dem Erdinnern nach der Erdoberfläche zu durchdringen hat. Auf Tunnelstrecken, auf denen solche Überlagerungsverhältnisse herrschen, kann die Gesteintemperatur so hohe Werte erreichen, daß nur durch ganz außergewöhnliche, kostspielige Maßnahmen erträgliche Arbeitsbedingungen für die vielen im Tunnel beschäftigten Leute zu schaffen sind. Die in den Tunnel eingeblassene Luft mit ihrer geringen spezifischen Wärme genügt dann bei weitem nicht mehr zum Abführen der aus den freigelegten Gesteinflächen und aus angeschlagenen, naturgemäß heißen Wassern ihr zuströmenden ungeheuren Wärmemengen; hier muß vielmehr zu einem Kälteträger mit hoher Wärmeaufnahmefähigkeit gegriffen werden. Deshalb ist es ungemein wichtig für die Planung eines tiefliegenden Tunnels, die Gesteintemperaturen, die zu erwarten sind, einigermaßen zutreffend voraussagen zu können.

Zur Zeit der Planung und Erbauung der Alpendurchstiche des Mont Cenis-, Gotthard- und Simplontunnels war man noch, in Ermangelung einer genaueren Erkenntnis der Verhältnisse, die die Temperaturzustände im Innern eines Gebirges bedingen, auf rohe, unsichere Schätzungen angewiesen. Man wußte zwar, daß im allgemeinen bei ebener Erdoberfläche und bei lotrechtm Eindrängen in die Erdkruste die Temperatur auf 100 m durchschnittlich ungefähr um 3° zunimmt; man wußte auch, daß die sogenannte geothermische Tiefenstufe, d. h. die Eindringtiefe in Metern, die der Erhöhung der Gesteintemperatur um 1° entspricht, unter Bergspitzen oder Kämmen größer, unter Tälern kleiner sei als bei ebener Oberfläche; ebenso, daß sie in steil einfallenden Schichten einen größeren Betrag aufweise als in flach einfallenden; aber über die Größe der Abweichungen vom Durchschnitt war man noch sehr im Unklaren.

So konnte es auch kommen, daß zur Zeit unmittelbar vor dem Bau des Simplontunnels, dessen außerordentlich günstige niedrige Höhenlage von 700 m ü. M., schon in den Jahren um 1850 zu ersten, flüchtigen Studien veranlaßt hatte, eine Höchsttemperatur von 41 bis 42° erwartet wurde, während sich in Wirklichkeit beim Aufschließen des Richtstollens eine Höchsttemperatur von 56° herausstellte. Bemerkenswert ist, daß schon viel früher ganz abweichend von allen übrigen Voraussagen Stockalper die zu erwartende Höchsttemperatur des Gesteins auf 53° geschätzt hatte.

Diese außerordentliche Überschreitung der vorausgesetzten Höchsttemperatur, die für die Bauunternehmung in finanzieller Hinsicht, neben anderen Schwierigkeiten, so verhängnisvoll geworden ist, hat den Anstoß gegeben, eine wissenschaftlich begründete, brauchbare Lösung des Wärmeproblems in tiefliegenden Gebirgsdurchstichen zu suchen.

Wertvolle Vorarbeiten hierfür hatte beim Bau des Gotthardtunnels der Geologe *Stapff* geleistet¹⁾. In seiner Schrift hat er die ausgedehnten Temperaturbeobachtungen im Tunnel und auf der Erdoberfläche über dem Tunnel

zusammengestellt und den Versuch gemacht, die Gesteintemperatur im Tunnel einmal als Funktion des lotrechten Abstandes des Meßpunktes von der Erdoberfläche, anderndmal als Funktion ihres kürzesten Abstandes darzustellen, Gleichungen, die jedoch Gültigkeit haben für die besonderen Verhältnisse des Gotthard.

Schrifttum über die Temperaturbestimmung

Die ersten grundlegenden Arbeiten zur Lösung der Wärmefragen in Gebirgen verdanken wir einerseits *J. Königsberger* und *E. Thoma*²⁾ hinsichtlich der Voraussage der Gesteintemperatur, andererseits *Heerwagen*³⁾ hinsichtlich der Berechnung der der Tunnelluft aus dem Gestein zuströmenden Wärmemengen.

Thoma und *Königsberger* schlagen zur Ermittlung der zu erwartenden Gesteintemperaturen den rechnerischen Weg ein. Dieser Weg zwingt zu sehr bedeutenden Vereinfachungen und Ausgleichen, um zu einer rechnerischen Behandlung zugänglichen symmetrischen Funktion als Darstellung eines ausgeglichenen Längenschnitts in der Lotebene durch die Tunnelachse zu gelangen. Die besondere Gestaltung der Erdoberfläche in der Einzelheiten und die Veränderlichkeit der Bodentemperatur auf der Oberfläche kommen dabei nicht zur Geltung.

Ein weitgehendes Heranziehen der der Messung zugänglichen Einflüsse läßt sich dagegen durch Modellversuche erreichen, was überdies dem Ingenieur, abgesehen von der größeren erreichbaren Genauigkeit, geläufiger und zusagender sein dürfte, als ein rechnerisches Vorgehen.

Die Grundgedanken einiger solcher Lösungen des Wärmeproblems durch Modellversuche habe ich veröffentlicht⁴⁾. Eine ausführliche Beschreibung der Methode und ihrer Durchführung an zwei Beispielen: Simplon und Gotthard, ist kürzlich erschienen⁵⁾.

Einflüsse auf die Temperatur im Berginnern

Bevor ich einige denkbare Arten von Modellversuchen und die aller Erwartung nach brauchbarsten handle, mögen die Einflüsse erörtert werden, von denen an irgendeiner Stelle des Berginnern die Temperatur als unveränderlich zu betrachtenden Wärmestromes abhängt.

Diese Einflüsse sind:

1. Die Gestalt der Erdoberfläche.
2. Das Jahresmittel der Bodentemperatur der Erdoberfläche.
3. Die innere Wärmeleitfähigkeit des Gesteins.
4. Die Neigung, das Einfallen der geologischen Schichten und das Maß ihrer Zerklüftung.
5. Die innere Wasserführung des Gebirges.
6. Das Verhalten des Gesteins in bezug auf die chemische Wärmeerzeugung.
7. Die Wärmeerzeugung durch radioaktive Stoffe.

²⁾ *J. Königsberger*, Normale und anormale Werte der geothermischen Tiefenstufe, Zentralblatt für Mineralogie, Geologie u. Jg. 1907 Nr. 22; derselbe, Neues Jahrbuch für Mineralogie, Geologie u. Jg. 1911; derselbe, Über die Beeinflussung der geothermischen Tiefenstufe durch Berge und Täler, Schichtstellung durch fließendes Wasser und durch Wärme erzeugende Einlagerungen, *Eclogae geologicae Helveticae* Bd. 9 Nr. 1; *E. Thoma*, Über das Wärmeverteilungsproblem in der wellig begrenzten Oberfläche und Anwendung auf Tunnelbauten, *K. u. K. Anzeiger* 1906.

³⁾ Über *Heerwagens* Arbeit siehe: *C. Andrae*, „Der Bau des tiefliegenden Alpentunnel“, Berlin 1926, S. 96.

⁴⁾ Sitzungsbericht der Königlich Bayerischen Akademie der Wissenschaften, Mathematisch-Physikalische Klasse, 1912.

⁵⁾ Experimentelle Methode der Vorausbestimmung der Gesteintemperatur im Innern eines Gebirgsmassivs, München und Berlin, 1927.

¹⁾ Studien über die Wärmeverteilung im Gotthard, Bern 1877.

Von diesen Einflüssen sind in jedem Fall und mit der wünschenswertesten Genauigkeit nur die Gestalt der Oberfläche und die mittlere Jahrestemperatur an der Oberfläche zu erfassen. Die sehr einflußreiche Wärmeleitfähigkeit des Gesteins läßt sich wohl an verhältnismäßig kleinen Probestücken im Laboratorium bestimmen. Bei der Übertragung der so gewonnenen Ergebnisse auf das ganze Gebirge mit seinem oft verwickelten Aufbau, seinen Klüften, Verwerfungen, seiner Wasserführung, ist kaum durchführbar und zulässig erscheinen. Abgesehen hiervon ist die geologische Voraussage bei sehr ungewisser Lage des Tunnels naturgemäß mit Unsicherheit behaftet. Von dem Einfluß der Neigung der Schichten ist dasselbe wie für die Wärmeleitfähigkeit. Den Einfluß der inneren Wasserführung auch nur einigermaßen annähernd erfassen zu wollen, ist unmöglich. Weder die Menge der Gebirgswasser noch die Größe ihrer Berührungsoberfläche mit dem Gestein läßt sich schätzen. In geringem, nur örtlichem Einfluß dürften die beiden letzten Punkte sein.

Wenn nun auch die vorgenannten Einflüsse sich in einzelnen entweder gar nicht oder doch nur mit geringer Annäherung feststellen lassen, so ist es doch möglich, ihre Gesamtwirkung, wenigstens im Durchschnitt des ganzen Tunnelbereiches allmählich im Lauf der bei so großen Tunneln längeren Bauzeit mit stetig wachsender Genauigkeit rechtzeitig genug zu ermitteln und in Rechnung zu ziehen. Günstig für die Voraussage der Gesteintemperatur ist es jedenfalls, daß die beiden erstgenannten Einflüsse, die sich einzeln sehr genau bestimmen lassen, zugleich die wirksamsten sind.

Thermischer Modellversuch

Man stellt in größerem Maßstab ein genaues Modell des Tunnelgebietes etwa aus Gips her, seitlich durch vertikale Ebenen symmetrisch zur Tunnelachse und in den Tunnelmündungen abgegrenzt, während die untere Abgrenzung durch eine wagerechte Ebene in etwa 6 bis 10 m Tiefe unter dem Meeresspiegel gebildet werde, so daß diese untere Ebene mit genügender Annäherung als Geo-Isothermfläche, d. h. als Fläche mit überall gleicher Temperatur, angesehen werden kann. Die lotrechten Seitenflächen sind gut gegen Wärmedurchgang zu schützen. Die obere Begrenzungsfläche, die Erdoberfläche, muß stellenweise dauernd auf den Temperaturen gehalten werden, die in der Natur im Mittel auf den einzelnen Abschnitten vorkommen, während die untere wagerechte Grenzfläche auf eine Temperatur geheizt werden müßte, wie sie, etwa berechnet aus der mittleren geothermischen Tiefenstufe, für die gewählte Tiefenlage angenommen werden kann.

Durch feine Bohrungen könnte dann nach Erreichung des Beharrungszustandes des Wärmestromes mittels Thermoelementen an jedem beliebigen Punkt des Modells, vornnehmlich natürlich längs der Tunnelachse, die zu erwartende Gesteintemperatur ermittelt werden.

Kalorischer Modellversuch

Bei diesem Versuch wird der Boden eines seitlich rechteckig abgegrenzten Gefäßes als getreue Nachbildung der Erdoberfläche im fraglichen Tunnelgebiet, ebenso ausreichend bemessen wie beim vorhergehenden, etwa aus Kupfer hergestellt, während die lotrechten ebenen Umfassungswände aus einem möglichst schlechten Wärmeleiter bestehen.

Füllt man das Gefäß mit Wasser oder einer anderen geeigneten Flüssigkeit und taucht es in den Verdampfer einer Kältemaschine, deren Sole dauernd auf etwa -5 bis -10° gehalten wird, so setzt sich eine allmählich immer dicker werdende Eiskruste an, deren Oberfläche in jedem Augenblick die Gestalt einer Isothermfläche innerhalb eines Körpers besitzt, dessen obere Ebene und untere nach der Erdoberfläche geformte Grenzfläche dauernd auf zwei verschiedenen Temperaturen gehalten werden. Durch Abtasten der jeweilig gebildeten Eiskrusten könnte eine Folge von Isothermflächen ihrer Form nach festgestellt werden.

Die so gewonnenen Isothermflächen stellen eine konforme Abbildung der Geo-Isothermflächen des Gebirgs-

massivs dar, unter der Voraussetzung, daß die Erdoberfläche innerhalb des gewählten Gebietes überall dieselbe Bodentemperatur, das Jahresmittel des ganzen Gebietes, hat. Der Temperaturwert der einzelnen Isothermflächen läßt sich leicht bestimmen, wenn eine oder mehrere Gesteintemperaturen in größerer Tiefe durch Bohrlöcher, in Schächten oder Stollen ermittelt worden sind. Da die nun folgende Art von vornherein überlegen erscheint und sich auch bei der Anwendung als sehr zweckmäßig und genau erwiesen hat, soll nicht weiter auf die beiden obigen Arten eingegangen werden.

Aus diesem Grund sind sie auch gar nicht der Prüfung unterzogen worden.

Elektrischer Modellversuch

Die Art dieses Versuches besteht darin, daß die gesetzmäßigen Beziehungen zwischen den Größen, die für den Temperaturzustand eines von Wärme in der Beharrung durchströmten Körpers und auch für mehrere andere physikalische Zustände oder Vorgänge maßgebend sind, durch den gleichen mathematischen Ausdruck, wie die Beziehungen zwischen den entsprechenden Größen in einem elektrostatischen Feld, dargestellt werden. Man kann also einen Beharrungswärmestrom durch ein elektrostatisches Feld „konform abbilden“.

Dafür hängt man, elektrisch gut isoliert, an der Decke des Versuchsraumes eine metallische Hohlform der Erdoberfläche von ausreichender Ausdehnung auf. Unterhalb der Hohlform wird, ebenfalls elektrisch gut isoliert, ein ebenes Blech in solcher Tiefe wagrecht gelegt, daß die ihm in der Natur entsprechende Ebene als Geo-Isothermfläche betrachtet werden kann, daß also die Unebenheiten der Erdoberfläche dort nicht mehr von Einfluß sein dürften.

Das obere Blech wird auf einer beliebigen elektrischen Spannung, etwa 200 bis 300 V, gehalten. Die Hohlform ist in einzelne elektrisch gegeneinander isolierte Teilflächen zerlegt. An diese Teilflächen werden elektrische Spannungen gelegt, die den mittleren in der Natur beobachteten Bodentemperaturen der zugehörigen Teilflächen entsprechen.

Mißt man nun in dem elektrostatischen Felde zwischen dem Blech und der Hohlform an den für die Lösung der gestellten Aufgabe in Betracht kommenden Orten die elektrische Spannung, so kann man aus diesen Spannungen durch Vervielfältigen mit einer Verhältniszahl sofort die an den entsprechenden Orten der Natur herrschenden Temperaturen ableiten, wenn man nur für eine oder besser für einige beliebige Stellen im Innern des Gebirges die Felstemperatur durch Tiefbohrungen oder, bei einem im Bau begonnenen Tunnel, im Richtstollen ermittelt hat.

Die Einführung dieser Modellversuche zur Erforschung der Form und der Lage der Flächen gleicher Spannung im elektrischen Erdfeld, also zu rein elektrischen Zwecken, ist H. Ebert, dem vorstorbenden Professor der Physik an der Technischen Hochschule in München, zu verdanken⁶⁾.

Mit großer Genauigkeit gelten die Messungen in der senkrechten Mittelebene des Modellraumes und in deren Nähe. Gegen die Ränder zu weicht die Form der Äquipotentialflächen von jener der entsprechenden Geo-Isothermflächen ab. Doch sind diese Abweichungen in der Nähe der Modellgrenzen ohne Bedeutung für den angestrebten Zweck, da man, z. B. bei einem Tunnel, nur die Felstemperaturen in der Lotebene durch die Tunnelachse, ja eigentlich nur die Temperaturen längs dieser Achse selbst zu kennen braucht.

Man wird deshalb das Modellgebiet so abgrenzen, daß die Tunnelstrecke in die Mitte des Modells zu liegen kommt und daß die Ränder genügend weit über die Tunnelmündungen hinausgreifen. Bezüglich der Einrichtung und Verwendungsart des „Wassertropausgleichers“, mit dem die Spannung im elektrischen Feld gemessen wird, sowie bezüglich der Art, wie die Verhältniszahl ge-

⁶⁾ H. Ebert und C. W. Lutz, Der Freiballon im elektrischen Feld der Erde in „Beiträge zur Physik der freien Atmosphäre“, Straßburg 1908, sowie K. Hoffmann, Experimentelle Prüfung der durch verschiedene Messungsanordnungen in einem homogenen elektrischen Feld hervorgerufenen Störungen der Niveauflächen, Dissertation, München 1911.

funden wird, mit deren Hilfe die Spannungswerte auf Temperaturgrade zurückgeführt werden, muß ich auf meine oben erwähnte Schrift¹⁾ verweisen.

Das Hohlmodell der Erdoberfläche wurde bei den zwei ersten zur Prüfung der neuen Methode durchgeführten, die Gebiete des Simplon- und des Gotthardtunnels umfassenden Versuchen aus eisenbewehrtem Gips, belegt mit Aluminiumfolie, hergestellt. Seine Umgrenzung bildete im Grundriß ein Rechteck von $2 \times 0,76 \text{ m}^2$. Als ebene Fläche wurde eine Zinkblechtafel von $2 \times 1 \text{ m}^2$ verwendet. Zum Aufladen der Tafel und des Aluminiumbelags des Modells dienten Akkumulatorenbatterien.

Die Einstellung des für die Spannungsmessung entscheidenden Zerstäubungspunktes des etwa 0,2 mm dünnen Wasserstrahlchens am Wassertropfausgleicher erfolgte mittels eines kleinen Reisetheodoliths und eines Kathetometers. Zur Spannungsmessung diente anfänglich ein *Lutz-Edelmannsches* Saitenelektrometer, später ein *Ebertsches* Quadrantelektrometer. Eine Übersicht über die Versuchseinrichtung, die in dankenswerter Weise im physikalischen Institut der Münchener Technischen Hochschule untergebracht werden konnte, enthält meine obengenannte Schrift. Das Modell des Simplongebietes war im Maßstab 1 : 15 000, das des Gotthardgebietes im Maßstab 1 : 20 000 ausgeführt.

Die Anwendung in einem gegebenen Falle, wo es sich um Vorausbestimmung der Felstemperatur in der Achse eines langen, tiefliegenden Tunnels handelt, ist etwa in folgender Weise gedacht. Man ermittelt nach gewissen Vorversuchen, auf die hier nicht eingegangen werden kann, zunächst ein- für allemal die Spannungskurve. Zu ihrer Umwandlung in die gesuchte Felstemperaturkurve verwendet man, wenn der Tunnelbau überhaupt noch nicht begonnen worden ist, Temperaturmessungen in Tiefbohrlöchern oder — wenn auch solche nicht zu erhalten sind — zieht zu vorläufigen Schätzungen die Erfahrungszahlen betreffs der geothermischen Tiefenstufe in ähnlichem geologischen Gebiet heran.

Ist aber der Richtstollen des Tunnels bereits begonnen, so wird man die darin gemessenen Felstemperaturen verwerten. Auf diese Weise wird von selbst den mittleren geologischen Verhältnissen Rechnung getragen. In dem Maß, als der Richtstollen vorschreitet, gewinnt man die Möglichkeit, in einfachster Weise die Temperatur-

kurve zu berichtigen. Dabei wird man die Gebiete, in denen nennenswerte Quellen angeschlagen werden, oder wo ein für den Kenner auffallend ungewöhnlicher Verlauf der tatsächlich im Stollen gemessenen Felstemperaturen sich erweist, unberücksichtigt lassen.

Da der Bau eines langen Tunnels mehrere Jahre in Anspruch nimmt (der Gotthardtunnel mit einer Länge von 15 km wurde in rd. 8 Jahren, der 20 km lange Simplontunnel in rd. 7 Jahren gebaut) erfährt man frühzeitig genug, auf welche Felstemperaturen überhaupt und insbesondere, auf welche Höchsttemperatur man gefaßt sein muß, um die erforderlichen Maßnahmen zu ihrer Bekämpfung treffen zu können.

Es sei hier noch ein kleiner Auszug aus den bei den erwähnten beiden ersten Versuchen zur Prüfung der Temperaturvorausbestimmung erzielten Ergebnissen mitgeteilt:

Tunnel	Länge km	Höchste Über- lage- rung m	Zur Umwandlung der Spannungs- kurve verwertete Strecken	Höchste Fels- temperatur		
				aus dem Ver- such ab- geleitet °C	im Tunnel gemessen °C	
Gotthard	14,92	1700	Nord 0 bis 3 km ¹⁾ Süd 0 „ 3 „ Nord 0 „ 4 „ Süd 0 „ 4 „ Nord 0 „ 5 „ Süd 0 „ 5 „	{ 33,1 32,5 31,8	30	
Simplon (Richt- stollen)	19,73	2134	Nord 0 „ 4 „ ²⁾ Süd 0 „ 1,5 „ Nord 0 „ 4 „ Süd 0 „ 2 „	{ 55,7 55,8		56

¹⁾ Von Nord 0 bis 3,5 km unter der Andermatt-Ebene sind infolge von chemischen Zersetzungen (Pyrite) ungewöhnlich hohe Felstemperaturen aufgetreten.

²⁾ Jenseits von Süd 2 km kündigte sich bereits durch Senkung der wirklich gemessenen Felstemperatur der große, abkühlende Einfluß der starken kalten Quellen an (bei Süd 4,4 km 1300 l/s).

Zum Schluß sei noch hervorgehoben, daß alle Vorbereitungen zum Versuch, wenn sie auch großer Sorgfalt und Zuverlässigkeit bedürfen, doch rein handwerksmäßiger Natur sind und daß die eigentliche Messung, nämlich die Spannungsmessung längs der Tunnelachse, in wenigen Stunden erledigt werden kann. [B 1946]

Schubtrennschalter

In Schaltanlagen, bei denen der zur Verfügung stehende Raum weitgehend ausgenutzt werden muß, ist es oft nachteilig, daß die Schaltmesser der Trennschalter üblicher Bauart in ausgeschaltetem Zustand weit ausladen. Das vermeidet das Sachsenwerk, Niedersiedlitz in Sachsen, mit seinen neuen Schubtrennschaltern, Abb. 1 und 2¹⁾. Statt der starren Schaltmesser dienen zur Stromübertragung feindrähtige

¹⁾ DRP Nr. 470 434.

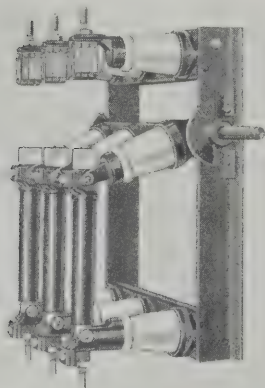
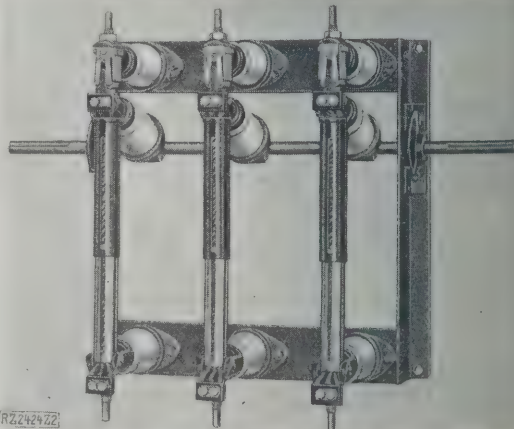


Abb. 1 und 2
Dreipoliger Schubtrennschalter
des Sachsenwerkes für 600 A
Nennstrom

Abb. 1 (links)
ausgeschaltet

Abb. 2 (rechts)
eingeschaltet



verdrillte Kupferseile, die in zwei Stahlrohren schraubenförmig aufgewickelt liegen; die beiden Stahlrohre sind teleskopartig ineinander verschiebbar. Zur Hubbegrenzung dient ein Anschlag auf der Schaltwelle. Die Schubtrennschalter sind zwar etwas höher als die Messertrennschalter im allgemeinen ist der Raum aber in der Höhe nicht so beschränkt wie im Grundriß. Die Biegungsbeanspruchung der beiden Stützsäulen, die die Kontakte tragen, ist mit der neuzeitlichen Stützerauführung ohne Schwierigkeit auszunutzen. [M 2424]

Pa.

Messing und Sondermessing

von Oberingenieur W. WUNDER, Berlin-Karlshorst

Alte und neue Herstellverfahren der Zink-Kupfer-Legierungen. Zustandschaubild und Gefügebau. Spanlose Formung im festen Zustand und Verwendungsgebiete der α - und $\alpha + \beta$ -Messinge. Unterschied im Gefüge am Anfang und Ende einer $\alpha + \beta$ -Preßstange und die hierdurch entstehenden Schwierigkeiten bei der weiteren spanlosen Formung. Rekristallisationserscheinungen der α -Messinge bei verschiedenen Reckgraden und Temperaturen. Aufreißen kaltgereckter Messinghalbzeuge und Beseitigung der Gefahr des Aufreißens durch mechanische und thermische Behandlung der Erzeugnisse. Verbesserung der Eigenschaften der Messinge durch Zusätze. Wertkoeffizienten der Zusätze. Berechnung des ungefähren Gefügebauens. Regeln für die richtige Abstimmung der Zusätze. Herstellung der Sondermessinge mittels Vorlegierungen. Verwendungsgebiete und die handelsüblichen Sorten.

Messing

Messing, die Zweistofflegierung aus Zink und Kupfer, stellte man bis zu Anfang des neunzehnten Jahrhunderts nicht aus Kupfer und metallischem Zink, sondern aus Kupfer und Zinkerzen, vor allem aus Galmei, her; man nannte dieses Verfahren Zementation. Zunächst wurde Galmei mit Kohle gemischt und dann dieses Gemisch mit Kupfer in einem Ofen zusammengeschmolzen. Die Mischung blieb in großen Töpfen 9 h lang im Ofen und wurde dann in eine Grube gegossen. Das so gewonnene Messing zerbrach man, bevor es abgekühlt war, in Stücke. Auf diese Weise erhielt man bereits im Altertum ein hellgelbes, leichter bearbeitbares Metallgemisch, das gegenüber Kupfer und Bronze gewisse Vorteile aufwies. Das Messing ist wahrscheinlich auf den griechischen oder kleinasiatischen Inseln erfunden worden, vielleicht auf Cypern, wo Kupfer- und Galmeierze vorkamen. Erst im sechzehnten Jahrhundert wurde von *Paracelsus* zum ersten Male metallisches Zink gewonnen. Zu Anfang des achtzehnten Jahrhunderts wurde das Zink aus Zinkerzen im großen technisch hergestellt. Das Galmeiverfahren hat noch bis zur Mitte des neunzehnten Jahrhunderts das Feld behauptet. Von dieser Zeit ab fertigt man Messing fast ausschließlich aus Zink und Kupfer.

Kupfer und Zink mischen sich im flüssigen Zustand in allen Verhältnissen. Bei der Erstarrung jedoch treten Mischungslücken auf. Abb. 1 zeigt das Zustandsschaubild der Zink- und Kupferlegierungen nach O. Bauer und M. Hansen¹⁾.

Als Abszisse wählt man die Gehalte der Legierungen an Kupfer und Zink und als Ordinate die Temperaturen; trägt man in dieses Koordinatensystem die Temperaturen von dem Beginn und dem Ende der Erstarrung sowie die der Umkristallisationen für jede Zusammensetzung ein und verbindet entsprechende Punkte durch Kurven, so erhält man Felder, die den Aufbau in Abhängigkeit von der Zusammensetzung und der Temperatur wiedergeben. Oberhalb des Kurvenzweiges *ABCDEFG* sind alle Legierungen von 100 bis 0 vH Kupfer flüssig, unterhalb des Kurvenzweiges *AQPOCNMLKIHG* sind sämtliche Legierungen fest. Innerhalb der Felder, die durch diese beiden Kurvenzweige gebildet werden, befinden sich die Legierungen in teigigem Zustand, d. h. die Legierungen bestehen aus je einem festen und einem flüssigen Bestandteil.

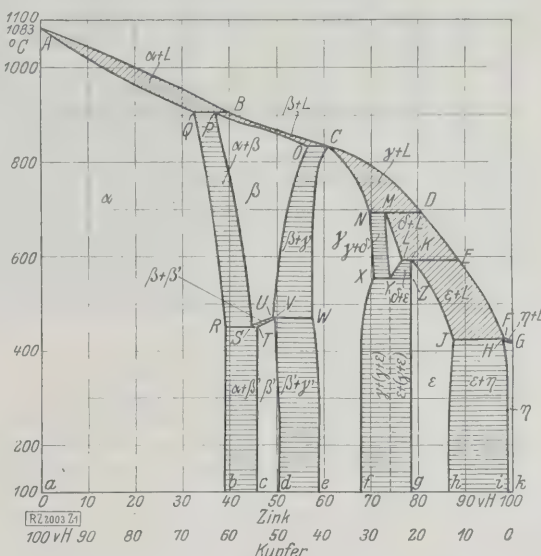


Abb. 1
Erstarrungs- und Umwandelungsschaubild der
Kupfer- und Zinklegierungen nach O. Bauer und
H. Hansen.

In dem Gebiet *AQRbaA* bestehen die Legierungen nur aus einer Art von Mischkristalliten, Abb. 2, Ms 72 (28 vH Zn, 72 vH Cu), d. h. die einzelnen Kristallite sind homogen, man kann weder Kupfer- noch Zink-Kristallite beobachten, man benennt diese Kristallite α -Mischkristalle. In dem Gebiet *QPSRQ* befinden sich die Legierungen im heterogenen Gebiet $\alpha + \beta$, Abb. 3, Ms 60 (40 vH Zn, 60 vH Cu), d. h. sie bestehen aus zwei Kristallarten, und zwar aus dem kupferreichen α - (hell) und dem zinkreichen β -Mischkristall (dunkel). Im Gebiet *POUSP* sind die Legierungen wiederum aus einer Art von homogenen Mischkristallen aufgebaut, und zwar aus den zinkreichen β -Mischkristallen. Im Gebiet *RSTebR* befinden sich die Legierungen im heterogenen Gebiet $\alpha + \beta'$, Abb. 3.

Im Gebiet $TvdCT$ sind die Legierungen aus einer Art von homogenen Mischkristallen β' aufgebaut. Die andern Gebiete fallen aus der Betrachtung, da sie zu den Zinklegierungen gehören.

In der Technik spielen nur zwei Messingarten eine wichtige Rolle, und zwar diejenigen, die aus den kupferreichen α -Mischkristallen bestehen, die α -Messinge, und jene, die aus dem kupferreichen α - und dem zinkreichen β -Mischkristall bestehen, die $\alpha + \beta$ -Messinge. Die α -Messinge zeichnen sich durch hohe Zähigkeit bei Raumtemperatur und die $\alpha + \beta$ -Messinge durch hohe Zähigkeit bei Rotglut aus.

Die spanlose Formung der α -Messinge mit < 100 bis > 62 vH Cu, Rest Zn, im festen Zustand erfolgt in den meisten Fällen bei Raumtemperatur. Durch Walzen stellt man Bleche, Bänder und Profile (z.B. Turbinenschaufeln), durch Ziehen auf der Ziehbank Rohre, Profilstangen und Drähte, durch Ziehen auf der Ziehpresse oder durch Drücken auf der Drückbank Hohlkörper aller Art her. Die gebräuchlichsten und vom Deutschen Normenausschuß genormten Legierungen sind die Tom-

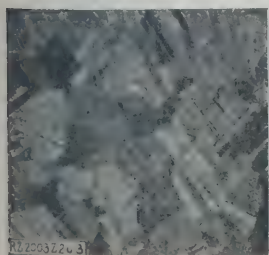


Abb. 2
 α -Messung (Me 72).

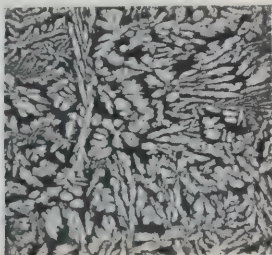


Abb. 3
 $\alpha + \beta$ -Messing (Ms 60).

¹⁾ Z. f. Metallk., Bd. 19 (1927) S. 423.

bake Ms 90 (90 vH Cu, Rest Zn); Ms 85 (85 vH Cu, Rest Zn); Ms 72 (72 vH Cu, Rest Zn) und der Halbtombak Ms 67 (67 vH Cu, Rest Zn); und das Messing Ms 63 (63 vH Cu, Rest Zn). Die spanlose Formung der $\alpha + \beta$ -Messinge mit < 62 vH Cu bis > 55 vH Cu, Rest Zn, im festen Zustand wird in der Hauptsache bei Rotglut (500° bis 850°) ausgeführt. Durch Walzen fertigt man Bleche und Rohre, durch Pressen auf der Strangpresse (*Dicksche Presse*), Abb. 4. Bänder, Profilstangen, Rohre und Drähte, durch Pressen im Gesenk (Teilpresserei) Teile aller Art für die verschiedensten Zwecke, z. B. für die Eisenbahn, für die Straßenbahn-Oberleitung, Gas- und Wasser-Armaturen, Armaturen für Hochspannungsleitungen, Abb. 5, Teile für den Handelsschiffbau und für den Fahrzeugbau, Abb. 6, u. a. Die am häufigsten verwendeten und vom Deutschen Normenausschuß genormten Legierungen sind die Messinge Ms 60 (60 vH Cu, Rest Zn), und Ms 58 (58 vH Cu, 2,5 vH Pb, Rest Zn).

Die spanlose Formung der α -Messinge kann auch bei Rotglut und die der $\alpha + \beta$ -Messinge bei Raumtemperatur vorgenommen werden. Je höher der Cu-Gehalt der α -Messinge ist, um so höher liegt die Temperatur und um so kleiner wird der Temperaturbereich für die Warmverformung und je niedriger der Cu-Gehalt der $\alpha + \beta$ -Messinge ist, um so tiefer liegt die Temperatur und um so größer wird der Temperaturbereich für die Warmverformung. Die $\alpha + \beta$ -Messinge kann man, je niedriger der Cu-Gehalt ist, um so weniger stark kaltrecken.

Die $\alpha + \beta$ -Messinge werden zum großen Teil auf der *Dickschen Presse*, Abb. 4, warm verformt. In einem dickwandigen Zylinder (Rezipient), der vorn durch eine Matrize mit einer oder mehreren Öffnungen verschlossen werden kann und hinten mit einem Stempel versehen ist,

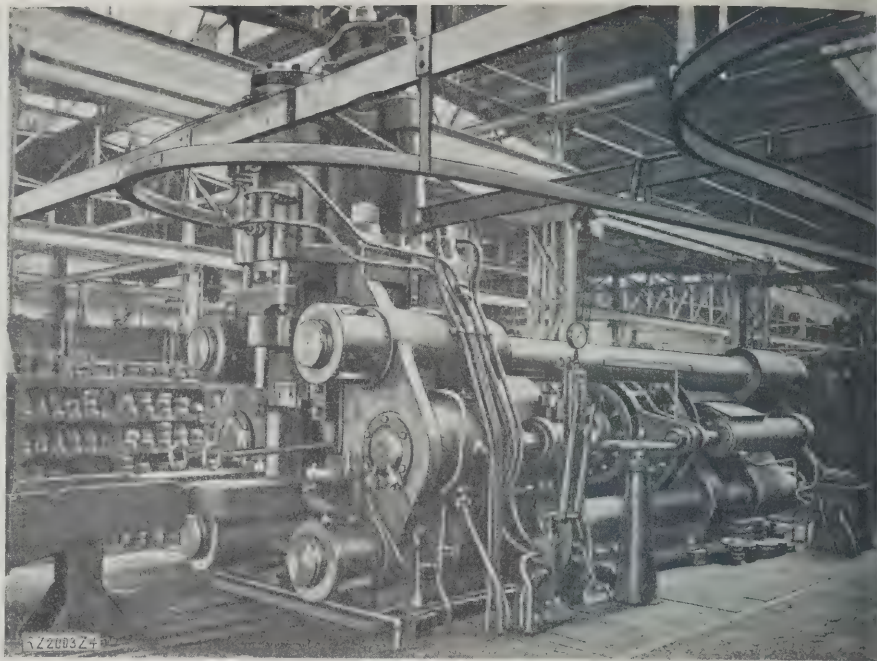


Abb. 4
Strangpresse (*Dicksche Presse*).

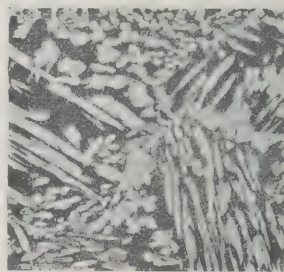


Abb. 7
Nadeliges
 $\alpha + \beta$ -Gefüge.

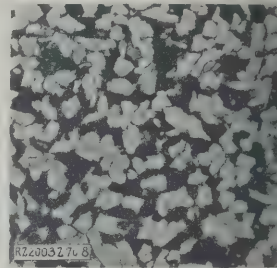


Abb. 8
Körniges
 $\alpha + \beta$ -Gefüge.

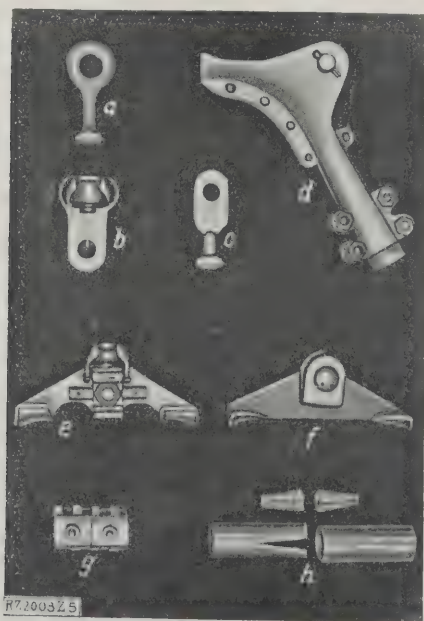


Abb. 5
Armaturen für Hochspannungs-Freileitungen.

- a Aufhängeöse
- b Klöppelpfanne
- c Laschenklöppel
- d Abspann-
klemme
- e Pfannentrag-
klemme
- f Rutschklemme
- g Stromklemme
- h Hülsevenbin-
der



Abb. 6
Messingpreßteile für den Fahrzeugbau.

der rotglühende Gußbarren eingeführt. Die Matrize hierauf mittels eines Vorlegers verriegelt und derel durch hydraulischen Druck in den Rezipienten gefahren. Aus der Öffnung der Matrize kommt die Stange heraus. Anfang und Ende einer so gepreßten Stange sind verschieden im Gefüge. Der Anfang der Stange zeigt ein nadliges $\alpha + \beta$ -Gefüge, Abb. 7, das Ende ein körniges $\alpha + \beta$ -Gefüge, Abb. 8.

Während sich nun der Anfang der Stangen einwandeln der Gesenkpresserei verpressen läßt, zeigen die Enden der Stange hergestellten Preßteile Risse. Diese Risse infolge Grobkristallinität der Randzone. Diese Risse (s. Abb. 2) ist auf Kaltwerden des Endes des Gußbarrens beim Pressen zurückzuführen. Es findet kein Aufweichen, sondern ein Kaltpressen statt. Bei der Erzeugung des Stangenabschnittes auf Preßtemperatur tritt ein Grobwerden des Gefüges ein, das zur Rißbildung führt. Mechanische Eigenschaften des Anfangs und des Endes einer Stange sind:

	Festigkeit kg/mm ²	Dehnung vH	Brinellhärte (5 250/30) kg/mm ²
Anfang	44	40	87
Ende	46	34	96

Das körnige $\alpha + \beta$ -Gefüge kann man durch Glühen innerhalb des β -Gebietes, Abb. 1, nadlig werden lassen. Die Rekristallisationserscheinung der α -Messinge bei verschiedenen Temperaturen und Reckgraden hat Wittneben³⁾ untersucht und gefunden, daß ähnliche Verhältnisse herrschen wie bei andern homogenen Metallen. Abb. 9 und 10 zeigen, daß bei kleinen Reckgraden die Korngröße stark ansteigt. Verarbeitet man einen derartigen grobkristallinen Werkstoff kalt durch Ziehbeanspruchung, so erhält man Oberflächen, die glatt und sauber sind und dadurch ansehnlich werden, Abb. 11.

Durch Einhaltung des richtigen Kaltreckgrades und der richtigen Glühtemperatur kann man jedoch Halbzeuge erhalten, die infolge kleiner Korngrößen glatte Oberflächen bei Kaltrecken erhalten. Eine Korngröße um $800 \mu^2$ (nach dem Kreis- oder Flächenmeßverfahren ermittelt) bleibt bei der spanlosen Formung glatte und saubere Oberflächen.

Kaltverformte Messingerzeugnisse reißen beim Längs- oder im Betriebe des öfteren lang und quer auf, so z. B. gezogene Rohre, Stangen, Drähte und Hohlkörper. Dieses Aufreißen ist auf Eigenspannungen zurückzuführen, die durch Korrosion der Oberflächen ausgetrieben werden. Die Anfressung wird durch Ammoniak derart eingeleitet, hierbei entstehen Haarrisse, die dann durch Kerbwirkung vergrößert werden. Quecksilber und seine Salze wirken noch schneller als Ammoniak; man benutzt sie daher zum Nachweis von Eigenspannungen im Messing.

²⁾ Dr. Hinzmann, Die Wärmebehandlung und Gefügeausbildung des α -Messing, Z. f. Metallk. Bd. 19 (1927) S. 297.

³⁾ Dr. Wittneben, Über die Rekristallisation von α -Messing bei Kaltverformung, Z. f. Metallk. Bd. 20 (1928) S. 316.



Abb. 11
Narbige, raue Oberfläche eines gezogenen Napfes aus grobkristallinem Ms 63.

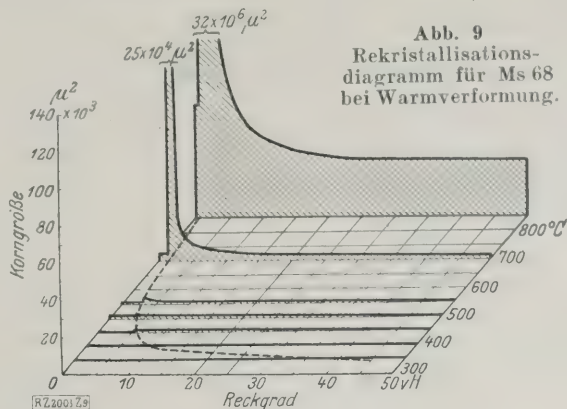


Abb. 9
Rekristallisationsdiagramm für Ms 68 bei Warmverformung.

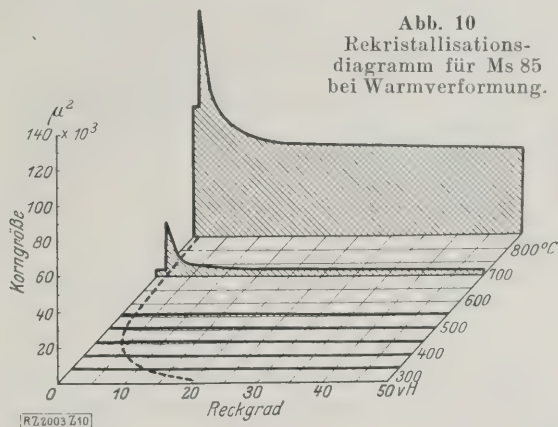


Abb. 10
Rekristallisationsdiagramm für Ms 85 bei Warmverformung.

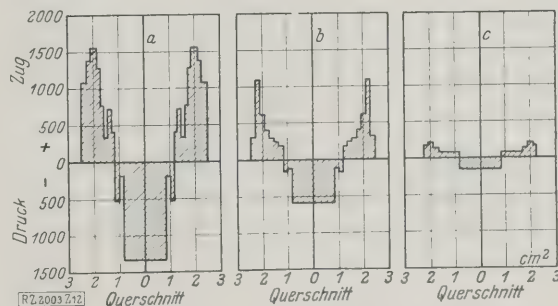


Abb. 12
Reckspannungen in kalt gerecktem Messing (57,8 Cu, 40,8 Zn, 1,35 Pb)

a Rundstange, kalt gezogen
b " 3 h bei 160° erhitzt
c " 3 h " 230° "

niak; man benutzt sie daher zum Nachweis von Eigenspannungen im Messing.

Heyn und Bauer⁴⁾, Masing⁵⁾ und Sachs⁶⁾ haben die Eigenspannungen in gezogenen Gegenständen durch eingehende Versuche nachgewiesen, indem sie Schichten ab- oder ausgedreht und die Veränderungen der Längen oder der Querschnitte gemessen haben. Aus den Veränderungen haben sie dann mit Hilfe des Elastizitätsmoduls die Spannungen berechnet, Abb. 12.

Durch nichtmetallische und metallische Überzüge läßt sich das Aufreißen nur sehr selten völlig beseitigen, hingegen fast völlig durch mechanische Beanspruchung, wie Abklopfen mit dem Hammer oder Richten in der Richtmaschine. Durch Anlassen der gezogenen Gegenstände auf Temperaturen von 225 bis 300° je nach dem Kupfergehalt, erreicht man eine völlige Gewähr für das Nichtaufreißen; hierbei tritt noch keine nennenswerte Be-

⁴⁾ Heyn und Fauer, Über Spannungen in kaltgereckten Metallen. Intern. Z. f. Metallographie Bd. 1 (1911) S. 16; Wunder, Eigenspannungen in gezogenen Werkstoffen, Technisches Vorlesungswesen Groß-Berlin am 12. November 1920.

⁵⁾ Masing, Das Aufreißen von Messing durch innere Spannung, Z. f. Metallk. Bd. 16 (1924) S. 257 u. f.

⁶⁾ Sachs, Der Nachweis innerer Spannungen in Stangen und Rohren, Z. f. Metallk. Bd. 19 (1927) S. 352 u. f.

einträchtigung der Festigkeit ein. Man sollte gezogene oder gedrückte Gegenstände stets anlassen, um ein Aufreißen zu vermeiden. Zieht man eine in der Strangpresse hergestellte Messingstange aus Ms 58 von 22,5 mm Dmr. auf 22 mm Dmr. und taucht eine im Anlieferungszustand und eine, 1 h auf 275° angelassen, in Quecksilber, so reißt nach 8 s die Stange im Anlieferungszustand auf, während die angelassene Stange unbeeinflusst bleibt, Abb. 13.

Sondermessing

Die Zugfestigkeit der reinen Messinge, die im gegossenen Zustand etwa 20 und im gereckten und weichgeglühten Zustand etwa 40 kg/mm² beträgt, kann man durch Zulegieren eines oder mehrerer Elemente erhöhen. Man kann somit Festigkeiten für den gegossenen Zustand von 40 bis 70 kg/mm², für den gereckten Zustand von 50 bis 90 kg/mm² bei Brinellhärten > 200 kg/mm² erreichen.

Hierdurch werden Werkstoffe geschaffen, die den guten Stahlsorten und Bronzen gleichkommen. Durch die Zusätze werden die Mischkristallgrenzen für die kupferreichen α - und die zinkreichen β -Mischkristalle, falls sie von diesen beiden Mischkristallarten auch im festen Zustand gelöst werden, verschoben. Je nachdem nun die Grenzen nach der Kupfer- oder der Zinkseite verlegt werden, unterscheidet man zwei Gruppen von Zusätzen: die eine Gruppe erhöht scheinbar den Kupfergehalt, die Mischkristallgrenzen werden also nach der Zinkseite verschoben, während die andere Gruppe scheinbar den Kupfergehalt erniedrigt, die Mischkristallgrenzen werden nach der Kupferseite gerückt. Zur ersten Gruppe gehört das Nickel und zur zweiten alle andern Elemente, wie Mangan, Aluminium, Zink, Magnesium, Silizium, Blei und Eisen. Den einzelnen Zusatzelementen kommen Wertkoeffizienten zu, die zur Berechnung des scheinbaren Zinkgehaltes dienen. Aus diesem scheinbaren Zinkgehalt kann man den Gefügebau voraussagen; denn es hat sich mit einiger Annäherung gezeigt, daß der Gefügebau dieser Sonderlegierungen dem der reinen Messinge mit dem errechneten scheinbaren Zinkgehalt entsprechen. Nachstehend sind die Wertkoeffizienten aufgeführt: Al + 6, Sn + 2, Mg + 2, Si + 10, Pb + 1, Fe + 0,9, Mn + 0,5 und Ni - 1,4. Bezeichnet man den scheinbaren oder auch fiktiven Zinkgehalt mit B' , den wirklichen Zinkgehalt mit B , den Kupfergehalt mit A , die Menge des zugesetzten Elementes mit q und den Wertkoeffizienten mit t , so ergibt sich:

$$B' = \frac{(B + \sum t) 100}{A + B + t \sum q}$$

Werden die zugesetzten Metalle nicht in homogener Mischkristallbildung aufgenommen, so können neue Phasen auftreten, deren Wirkung im voraus nicht bestimmt werden kann; hier muß der Versuch entscheiden. Derartige Legierungen mit Sonderbestandteilen eignen sich unter Umständen sehr gut als Lagermetalle.

Es lassen sich zwei Regeln für die richtige Abstimmung der Zusätze aufstellen:

1. Die zugesetzten Elemente dürfen einen scheinbaren Zinkgehalt von höchstens 45 vH ergeben, da sonst die Sondermessinge zu spröde werden. Wenn das Sondermessing im festen Zustand besonders gut spanlos warmformbar sein soll, so muß der scheinbare Zinkgehalt möglichst in den Grenzen von 45 bis 38 vH liegen, und wenn es im festen Zustand besonders gut kaltformbar sein soll, so muß der scheinbare Zinkgehalt möglichst in den Grenzen 0 bis 38 vH liegen.

2. Zur Berechnung des scheinbaren Zinkgehaltes gelten als Wertziffern für die zugesetzten Elemente die oben angegebenen. Nickel kann den Messingen in beliebiger Weise zugesetzt werden, ohne daß die Sondermessinge spröde werden, die andern Elemente dürfen, wenn sie allein oder zu mehreren zugesetzt werden, nur in solchen Mengen zulegiert werden, daß der scheinbare Zinkgehalt < 45 vH wird. Bei Zusatz von Nickel und gleichzeitigem Zusatz der andern Elemente können die Mengen an diesen Elementen größer gewählt werden,

als wenn sie allein zugesetzt werden. Der scheinbare Zinkgehalt darf auch hier nicht größer als etwa 45 vH sein.

Zur Herstellung der Sondermessinge werden nur die Bestandteile als Vorlegierungen zugesetzt. So Nickel in Form von Nickel-Kupfer, Mangan von Man-

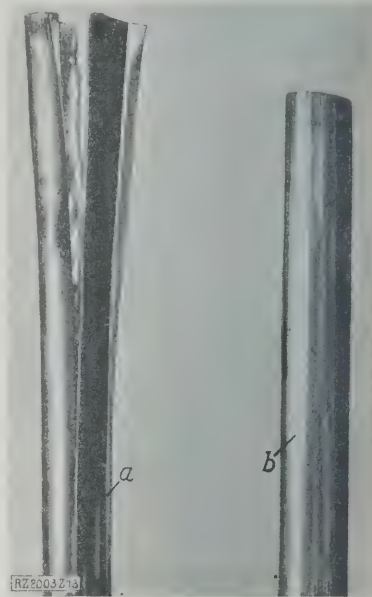


Abb. 13
Gezogene Ms 58-Messingstange in Hg getaucht.

a Anlieferungszustand
b angelassen 1 h auf 275°

Kupfer, Eisen von Ferro-Zink oder von Eisen-Kupfer, Aluminium von Aluminium-Kupfer; die niedrigschmelzenden Elemente können unmittelbar zugesetzt werden. Die chemisch sehr aktiven Elemente wie Aluminium, Blei, Zinn usw. werden erst nach dem Schmelzvorgang vor dem Gießen zugesetzt.

Die Sondermessinge haben sich in der Technik im langen Jahren gut bewährt, sie werden dort benutzt, wo es auf hohe Festigkeit oder Härte, hohe Widerstandsfähigkeit gegen Chemikalien und Atmosphären, Festigkeit usw. ankommt. Sie kommen fast ausschließlich unter besonderen Namen in den Handel, so z. B. Delta-, Sprundana-, Admos-, Aeterna-, Selva-, Finow-Metall, Hohenzollern, Rübelbrunze usw. Diese Metallegierungen enthalten in den weitaus meisten Fällen nicht nur ein Legierungsmetall, sondern mehrere gleichzeitig, z. B. Al, Fe, Sn, Ni und Pb.

Zusammenfassung

Die handelsüblichen α -Messingarten (> 62 vH Rest Zn) werden hauptsächlich spanlos im festen Zustand bei Zimmertemperatur und die $\alpha + \beta$ -Messinge (< 62 vH bis > 55 vH Cu, Rest Zn) bei Rotglut geformt. Blech, Bänder, Drähte, Rohre, Profilstangen für Sonderzwecke sind deshalb aus α -Messing herzustellen, während Platin-Profilstangen und Preßteile jeglicher Art aus $\alpha + \beta$ -Messingen anzufertigen sind. Kaltgereckte Messingerzeugnisse muß man, um zu verhindern, daß sie aufreißen, mechanisch oder noch besser thermisch nachbehandeln. Der Kaltreckungsgrad und die darauffolgende Glühbehandlung muß so erfolgen, daß Grobkristallinität nicht entsteht. Durch Zusätze wie Al, Sn, Pb, Fe, Mn und zu den reinen Messingen werden chemische, mechanische und sonstige Eigenschaften unter Umständen stark verbessert, so daß diese Sondermessinge sehr gut Stahl und Bronzen gleichgestellt werden können und diese unter Umständen sogar übertreffen. Man muß die Zusätze so wählen, daß der scheinbare Zinkgehalt 45 vH nicht übersteigt.

[B 2003

RUND SCHA U

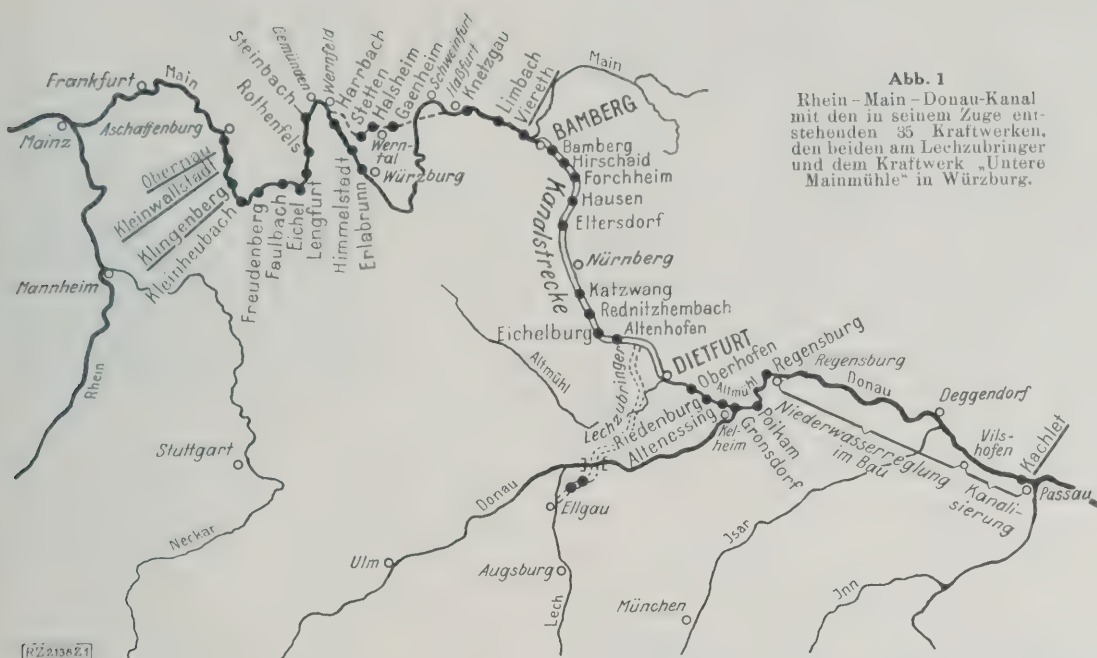


Abb. 1

Rhein-Main-Donau-Kanal mit den in seinem Zuge entstehenden 35 Kraftwerken, den beiden am Lechzubringer und dem Kraftwerk „Untere Mainmühle“ in Würzburg.

Schiffs- und Seewesen

Die Rhein-Main-Donau-Großschiffahrtsstraße

Im Bau begriffen sind zur Zeit die drei Staustufen bei Bernau, Kleinwallstadt und Klingenberg am Main oberhalb Aschaffenburg, und die Niederwasserregelungen der Donaustrecke von Regensburg bis Vilshofen, 28 km oberhalb Passau, Abb. 1. Von Vilshofen bis Passau ist die Donau auf der Kachletstrecke in einem einzigen Stau, bis zu 5 m größter Stauhöhe, dem nutzbaren Gefälle des 1927 vollendeten Kachletwerkes, aufgestaut, weil der Granitboden dieses Engpasses nicht zu Sprengungen im erforderlichen Ausmaße geeignet ist. Außer dem letzteren Werke ist die Staustufe nebst Kraftwerk bei Vierzeh, am Main unterhalb Bamberg, fertig und im Betriebe. Stetig, wenn auch notgedrungen weit langsamer als erwünscht, schreitet auch für Europa bedeutungsvolle Werk voran, wobei zunächst den allerdringendsten Bedürfnissen der Schifffahrt auf Main und Donau abgeholfen wird. Der Umbau des alten Ludwig-Kanals¹⁾ von Bamberg nach Dietfurt an der Altmühl, und der Ausbau dieses Flusses bis zu seiner Mündung in die Donau bei Kelheim, kommt planmäßig²⁾ zuletzt in die Reihe. Am Main und der Donau erhält jede Staustufe in die Reihe. Am Main und der Donau erhält jede Staustufe in die Reihe; auf der Strecke Kelheim-Bamberg soll nach Möglichkeit das Gefälle nahe zusammenliegender Staustufen zum Betriebe eines Kraftwerkes vereinigt werden. Einer ferneren Zukunft bleibt es vorbehalten, auch die Donaustrecke oberhalb Kelheim, bis Ulm, mit Staustufen und Kraftwerken auszubauen, wodurch 145 000 PS mit einer Jahresleistung von 850 Millionen Kilowattstunden nutzbar gemacht werden könnten. Einstweilen werden auf dieser Donaustrecke nur die nötigen Hochwasser-Schutzbauten durch die Staatsbauverwaltung ausgeführt, wodurch immerhin der künftige weitere Ausbau erleichtert wird. Die Mainstrecke von der Mündung bis Aschaffenburg ist schon für die Schifffahrt fertig ausgebaut. Die sämtlichen Kraftwerke des Rhein-Main-Donau-Kanals werden mit den übrigen großen Kraftwerken des Landes, dem Walchenseewerk³⁾, Achen-see⁴⁾ und andern Werken zusammen auf dasselbe Hochspannungsnetz arbeiten und einander unterstützen. Die Überwachung und Regelung geschieht einheitlich. Die einzelnen Kraftwerke werden jeweils nach Fertigstellung an das gemeinsame Netz angeschlossen. Die Einnahmen aus dem abgegebenen elektrischen Strom erleichtern den Fortbau des Ganzen. Das Recht zur Ausnutzung der Wasserkräfte ist der Rhein-Main-Donau-Aktiengesellschaft auf hundert Jahre übertragen.

Schon bei dem alten Ludwig-Kanal war die Speisung der Scheitelhaltung zeitweilig schwierig. Der voraussichtlich weit stärkere Verkehr auf dem neuen Kanal mit Kähnen von 1200 bis 1500 t, gegenüber 120 bis 130 t beim alten Kanal, in großen Schleppzügen und bei den entsprechend langen Schleusen bedingt eine Wasserzuführung von 10 bis 12 m³/s zum höchsten Punkte des Kanals im südlichen Teile zwischen Altmühl und Nürnberg. Diese Speisung kann zweckdienlich nur vom Lech aus erfolgen. Um die Anlage wirtschaftlicher zu gestalten, macht man den Zuleitungskanal, der in Ellgau vom Lech abzweigt, so groß, daß er der Scheitelhaltung etwa das Siebenfache der für die Schifffahrt notwendigen Wassermenge zuführt. Die überschüssige Wassermenge fließt zum Main und wird dort ausgenutzt, außerdem werden zwei Kraftwerke in den Zubringer eingebaut. Diese Zubringerleitung wird ein Bauwerk für sich, indem sie über Donau und Altmühl hinweg und durch zwei Tunnel von insgesamt 6 km Länge geführt werden muß. Das nach dem Main hin abgeleitete überschüssige Wasser wird von Haßfurt ab, 19 km oberhalb Schweinfurt, unter Abschnidung der Mainkrümmungen über den Main hinweg durch das Werntal geführt und fließt oberhalb Gemünden wieder zum Main, dessen Wassermenge durch die Schneeschmelze des Hochgebirgs in der wasserarmen Jahreszeit verstärkend. Das unterste der drei im Werntal einzubauenden Kraftwerke erhält mit 37 m das höchste Druckgefälle der ganzen Kanalanlage, während für die neu zu bauende Kanalstrecke im Zuge des alten Ludwig-Kanals Druckhöhen von 20 bis 32 m vorgesehen sind, unter Zusammenfassung der Druckhöhen benachbarter Staustufen. Die Kanalstrecke von der Scheitelhöhe bis nach Bamberg erhält nur 16 Schleusen mit einer Stufenhöhe bis zu 12 m, gegen 68 kleine Schleusen des alten Kanals auf dieser Strecke.

Die gesamte Leistung der künftigen Kraftwerke wird im Mittel auf 254 255 PS berechnet, die im Laufe eines Jahres erzeugbare elektrische Energie auf 1475 Mill. kWh. Davon entfällt fast ein Fünftel, 60 500 PS höchste und 47 500 PS mittlere Jahresleistung, entsprechend einer möglichen Jahresleistung von 275 Mill. kWh auf das im Jahre 1927 fertiggestellte Kraftwerk der Kachletstufe⁵⁾. Das nutzbare Gefälle beträgt hier 8,9 m, die verfügbare Wassermenge 720 m³/s. Die Doppelschleusen haben je 230 m nutzbare Länge und 24 m lichte Weite gegen 32 m Länge und 4,5 m Breite der 101 Schleusen des Ludwig-Kanals. Während im Walchenseewerk Francis-Doppelspiralturbinen mit liegender Welle für die den Drehstrom an das Bayernwerk liefernde Maschinenanlage und Zwillings-Freistrahlturbinen zum Betriebe der den Bahnstrom liefernden Einphasenstromerzeuger aufgestellt sind, hat man für das Kachletwerk

¹⁾ Z. Bd. 61 (1917) S. 295 u. Bd. 65 (1921) S. 832.

²⁾ Z. Bd. 64 (1920) S. 990.

³⁾ Z. Bd. 66 (1923) S. 1; Bd. 70 (1926) S. 1177; Bd. 71 (1927) S. 327.

⁴⁾ Z. Bd. 72 (1928) S. 389.

⁵⁾ Z. Bd. 72 (1928) S. 1137.

Kaplan-Turbinen mit senkrechter Welle verwendet. Diese haben einen Durchmesser von 4600 mm und sechs feste Schaufeln.

Ferner ist seit Mai 1923 das kleine Kraftwerk der unteren Mainmühle in Würzburg in Betrieb mit einer Leistung von 850 PS und seit Anfang 1925 die Staustufe nebst Kraftwerk in Viereth unterhalb Bamberg, zwischen Oberhaid und Staffelbach. Das Kraftwerk hat Kaplanräder von 2900 mm Dmr. mit neun Schaufeln. Das Nutzgefälle beträgt hier 5,3 m, die mittlere Jahresleistung 3000 PS, die Höchstleistung 4500 PS, die Stromausbeute 17 Mill. kWh. Das Werk wird nur mit Mainwasser betrieben; das überschüssige Wasser aus dem Lechzubringer hat eine besondere Leitung.

Weiter abwärts wird der Main von Aschaffenburg bis zur Einmündung der Lechwasser-Zuführung und darüber hinaus bis Würzburg ausgebaut, um auch diese bedeutende Stadt noch an den Großschiffahrtsweg anzuschließen. Von Würzburg aufwärts bis nach Haßfurt ist auf den Ausbau verzichtet, weil die kostspieligen Bauten für diese Strecke in absehbarer Zeit keinen hinreichenden wirtschaftlichen Nutzen bringen könnten und für die Belange der Fernschiffahrt durch den Wertalkanal gesorgt ist.

Möchten bessere Zeiten das ganze Werk, eine Kanalschleife, die einen großen Teil des Jahres hindurch dem oberen Laufe des Mittelrheins als Schifffahrtsstraße überlegen ist, zum baldigen gedeihlichen Abschluß bringen.

Pasing bei München [M 2138]

Guillery

Hüttenwesen

Hochfrequenzofen mit umlaufender Funkenstrecke und veränderlicher Schwingungszahl

Die neuzeitliche Metallkunde fordert in ihrem Bestreben nach Veredlung des Werkstoffes hochwirksame elektrische Öfen, die es gestatten, Metalle zu schmelzen und hoch zu überhitzen, ohne gezwungen zu sein, schädliche Beeinflussungen durch Lichtbögen oder Ofengase dabei in Kauf zu nehmen. In den Versuchsanstalten, wie auch schon im Betrieb hat sich für diese besonderen Verwendungszwecke in der letzten Zeit der Hochfrequenzofen sehr gut eingeführt. Gasuntersuchungen in Metallen, größere Versuchsschmelzen verschiedenster Art, wie auch die betriebsmäßige Herstellung von Legierungen von bestimmten magnetischen Eigenschaften werden heute schon laufend durch den Hochfrequenzofen bewirkt. Die Tatsache, daß in der Deutschen Eisenindustrie in kurzer Zeit Öfen von 3 t Inhalt zur Herstellung von Stählen besonderer Reinheit aufgestellt werden, zeigt, welche Bedeutung diesem neuen Schmelzverfahren zukommt, das z. B. allein durch die infolge der Wirbelströme, des *Pinch*-Effektes, bewirkte mechanische Durchwirbelung des Bades ganz neue metallurgische Möglichkeiten eröffnet.

Lange vor dem Kriege wurden schon in Deutschland Versuche über diese Schmelzweise angestellt, jedoch erst der Amerikaner *Northrup* brachte durch seine Arbeiten und baulichen Ausführungen neue Anregung und erste Erfolge¹⁾. Sämtlichen Hochfrequenzöfen ist der Grundgedanke gemeinsam, daß eine Spule aus Flachkupfer oder wassergekühltem Kupferrohr mit Strömen von hoher Schwingungszahl gespeist wird, und daß das in der Spule in einem Tiegel oder in einer keramischen Stampfmasse befindliche Metall durch die auf induktivem Wege in ihm erzeugten Wirbelströme erhitzt und schließlich geschmolzen wird. Verschieden aber sind die Wege, die zur Erzeugung dieser hochfrequenten Ströme führen.

Vorbild war dabei die Entwicklung der drahtlosen Telegraphie und Telephonie. Genau wie dort unterscheidet man auch beim Schmelzbetrieb Anlagen, die mit Funkenstrecke, Lichtbogensender, Hochfrequenzmaschine oder Röhre ausgestattet sind. Größere Ofeneinheiten werden bisher durchweg mit Stromerzeugern ausgerüstet, die mit einer Schwingungszahl je nach dem Bau der Maschine von 500 bis 8000 Hertz arbeiten. Mittlere und kleinere Öfen arbeiten zum Teil auch mit Stromerzeugern, hauptsächlich aber sind sie mit feststehender oder umlaufender Funkenstrecke verschiedenster Ausführung versehen, womit man je nach dem Bau der Gesamtanlage auf Schwingungszahlen von 200 000 und mehr kommen kann. Den Lichtbogensender hat man ganz fallen lassen, und Öfen mit Röhren werden vorläufig erst als kleine Versuchsanlagen gebaut, lassen aber nach den bisherigen Ergebnissen eine günstige Entwicklung erhoffen, da man mit ihnen außerordentlich hohe Frequenzen erreichen kann²⁾.

Bemerkenswert sind die Erfolge, die mit einer ursprünglich als kleiner Versuchsofen gedachten Anlage im Eisenhüttenmännischen Institut der Technischen Hochschule, Berlin, erreicht wurden³⁾. Dieser Hochfrequenzofen wurde

in seiner Grundlage gleichzeitig mit ähnlichen Arbeiten von *Ribaud* in Straßburg in der Physikalisch-Technischen Reichsanstalt, Berlin, in einer Kleinanlage entwickelt und in dem genannten Institut weiter ausgebaut. Die Wirkungsweise der Bauart beruht auf dem *Thomson'schen* Schwingungskreis und ist als solche verblüffend einfach.

In Abb. 2 bedeuten *a* eine Batterie von parallel geschalteten Kondensatoren, deren Gesamtkapazität sich durch Öffnen oder Abschalten der Einheiten verändern läßt, *b* die Ofenspule, die im Schwingungskreis die ebenfalls veränderliche Selbstinduktion darstellt, und *c* die Unterbrechungsstrecke, in diesem Falle eine umlaufende Funkenstrecke. Diese Anlage ist an die Hochspannungsseite eines Transformators angeschlossen, der mit Wechselstrom von 220 V und 50 Per./s. gespeist wird. Der Hochspannungsstrom von 8000 V lädt die Kondensatoren auf, die sich in einer Schwingungszahl, die Ausmaß in der Hauptsache von der Größe der gerade eingeschalteten Kapazität und Selbstinduktion abhängt, umladen. Durch die örtlichen Verhältnisse war es bedingt, daß der Transformator nicht vom Netz gespeist werden konnte, sondern der benutzte Wechselstrom von einem Umformer geliefert werden mußte. Dies hatte den Vorteil, daß die Energie bis zu dem Höchstwert, der in diesem Falle 25 kW beträgt, durch einen Nebenschlußwiderstand von Stromerzeugern aus leicht zu regeln ist. Bei unmittelbarem Netzanschluß müßte man hier eine veränderliche Drosselspule vor dem Transformator anordnen.

Eine feinstufige Regelung, mit der man für Glühwerkzeuge die gewünschte Temperatur genau einstellen kann, ist durch die Veränderung der Drehzahl der Funkenstrecke möglich.

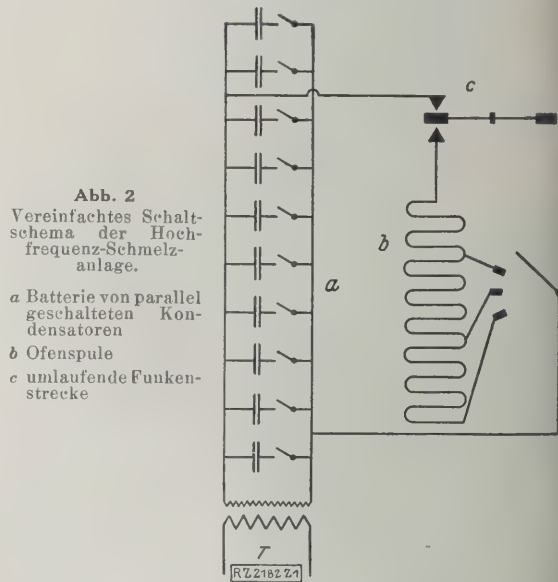


Abb. 2
Vereinfachtes Schalt-
schema der Hoch-
frequenz-Schmelz-
anlage.

a Batterie von parallel
geschalteten Kon-
densatoren
b Ofenspule
c umlaufende Funken-
strecke

lich. Im regelmäßigen Schmelzbetrieb macht die Funkenstrecke 4300 U/min, was einer Funkenzahl von 537 in 1 s entspricht, da die Scheibe acht Zacken hat. Bei langsamem Lauf und dadurch bedingter geringerer Funkenzahl ist aus der Energieumsatz im Kreis geringer bei natürlich gleichbleibender Schwingungszahl. Ein Sternrad aus Stahl, Abb. 2, trägt acht auswechselbare Kupferbacken, die in geringe Entfernung zwischen zwei wassergekühlten Backen hindurchgehen. An diesem Luftspalt bildet sich der Funkenbogen, der trotz der raschen Aufeinanderfolge doch jedesmal sicher zum Verlöschen gebracht wird. Die verwendeten Öfen zeigen die bekannte Ausführung, jedoch mit dem Unterschied, daß die Ofenspule verschieden angezapft wird, um auch die Selbstinduktion und dadurch die Schwingungszahl im Kreis ändern zu können.

Die unbedingten Vorteile der Anlage liegen einmal in den verhältnismäßig geringen Beschaffungskosten und der einfachen und betriebsicheren Handhabung. Dann aber zeigt dieser Ofen eine Anpassungsfähigkeit an die verschiedensten Erfordernisse des Schmelzbetriebes, die in dieser Form neu ist. Um einen günstigen Wirkungsgrad in einer solchen Ofenanlage zu erreichen, ist es notwendig, daß durch geeignete Abstimmung der Schwingungszahl auf den Durchmesser des Schmelzgutes eine gute elektrische Kopplung bewirkt wird. Eine Rolle spielt dabei nicht nur die Größe des Gesamteinsatzes, wie er am Ende des Schmelzens an einheitlicher Körper vorliegt, sondern vor allen Dingen die Einzelstückgröße der eingesetzten Beschickung. Wesentlich ist dabei auch die spezifische Leitfähigkeit, Permeabilität

¹⁾ Th. Metzger, Z. Bd. 70 (1926) S. 349.

²⁾ Z. Bd. 70 (1926) S. 1656 und Bd. 72 (1928) S. 895.

³⁾ M. H. Kraemer, „Stahl und Eisen“ Bd. 48 (1928) S. 1120.

Hebezeuge

Drehlaufkran als Kleinfördermittel

Für die Beförderung von Stückgütern aller Art ist in dem Universal-Drehlaufkran der Mitteldeutschen Stahlwerke A.-G., Lauchhammerwerk, ein Gerät geschaffen, das die Arbeitsleistungen mehrerer ortsbeweglicher Kleinfördermittel wie Lastwagen, Elektrokarren, Hebekrane, Sackaufzüge, Stapler usw. in sich vereinigt.

Der Drehlaufkran wird mit heb- und senkbarem Lastausleger in zwei Größen auf den Markt gebracht. Die kleinere ist für 1400 kg höchste Tragfähigkeit, die größere für eine solche von 2400 kg gebaut. Die hauptsächlichsten Abmessungen des größeren Kranes gehen aus Abb. 4 und 5 hervor. Die Standfestigkeit des Kranes ist so bemessen, daß erst bei der 1,5fachen Last die Hinterräder abgehoben werden.

Das kennzeichnende Merkmal des Kranes ist die Verstellbarkeit der Laufräder. Fahrbare Karrenkrane wurden bisher so konstruiert, daß ein Ausleger gemeinschaftlich mit dem Windwerk drehbar auf einem während des Schwenkens feststehenden Unterteil aufgesetzt war. Im ausgesprochenen Gegensatz hierzu weist der Universal-Drehlaufkran verstellbar gelagerte Vorder- und Hinterräder auf, mit denen jede nur denkbare Drehung ausgeführt werden kann. Es ist leicht möglich, mit dem Kran vor- und rückwärts, links und rechts, seitlich und in Bogen und Windungen zu fahren. Abb. 6 bis 8 zeigen die Verstellbarkeit der Hinterräder, Abb. 9 bis 11 diejenige der Vorderräder.

Beide Vorderräder werden durch je einen geschlossenen Motor angetrieben. Zur Steuerung dieser Motoren werden gleichzeitig zwei Fußhebel betätigt, die bei Nichtbenutzung stets von selbst in die Nullstellung zurückkehren. Beide

anz besonders der Oberflächenwiderstand der einzelnen setzten Stücke gegeneinander. Ist man nun z. B. bei mit Stromerzeuger an eine bestimmte Frequenz gen, so können beim Einschmelzen unter Umständen ganz liche Schwierigkeiten auftreten. Bei der vorliegenden re läßt sich nun durch die erwähnte Änderung der Induktion und der Kapazität die Schwingungszahl zwischen 230 000 und 14 000 Hertz verändern. Dadurch ist es ch, sowohl pulverförmige Metalle wie auch Einsatz- ie von mehreren Zentimetern Durchmesser gleich mit ünstigsten Frequenz einzuschmelzen. Die Energiever- ang im Schmelzgut ist daher sehr hoch und eine kurze melzzeit gewährleistet. Der Ofenwirkungsgrad er- ie in einem Falle den sehr günstigen Wert von 31 vH. Ein geeignetes Gebiet für einen solchen Ofen ist zunächst Versuchsanstalt, um Probeschmelzen oder Schmelzen zu antersuchungen aus Drehspänen, Drähten, dünnen en und dergleichen in kleinen Mengen herstellen zu en. Darüber hinaus scheint der Ofen aber durchaus met für größere Betriebsausführungen, wenn es sich um handelt, hochwertige Metalle, die in kleinstückiger anfallen, einzuschmelzen, oder wenn besonders hohe peraturen verlangt werden. Das Hochfrequenz-Schmel- schren birgt noch eine Reihe von wichtigen Fragen ellurgischer, keramischer und ofenbaulicher Natur, die Lö- sung und Auswertung harren. Erwähnt sei nur die urgische Anwendung der Erscheinung des Pinch- fates, die Herstellung eines zweckmäßigen Baustoffes für el und Auskleidung und die möglichste Vermeidung von llbeschlägen beim Bau des Ofens selbst. [M 2182]

berlin
Dipl.-Ing. M. H. Kraemer

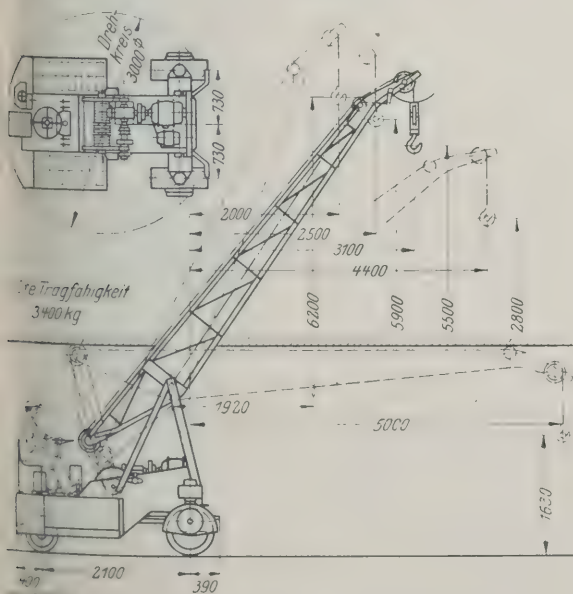


Abb. 4 und 5

Schematische Darstellung der Bauart des Drehlaufkranes für 2400 kg Tragfähigkeit.

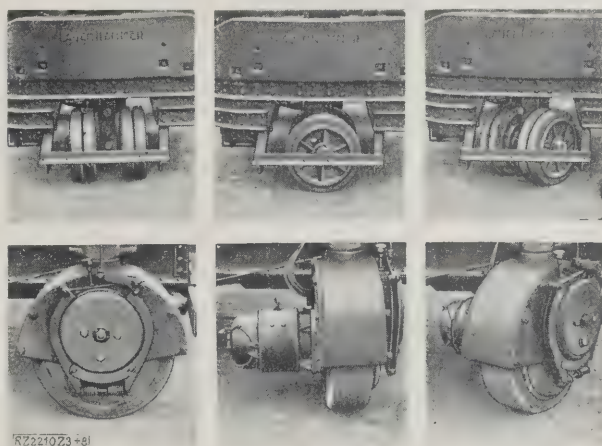


Abb. 6 bis 11

Verstellbarkeit der Räder.

Abb. 6 bis 8 (oben) Hinterräder. Abb. 9 bis 11 (unten) Vorderräder.

Vorderräder können durch eine sicherwirkende Fußtrittbremse schnell zur Ruhe gebracht werden. Während der Fahrt hat der Kranführer die Hände am Steuerrad zur Betätigung der Hinterräder. Die Anordnung der Laufräder ergibt eine Lagerung des Kranes auf drei Punkten, so daß also auch auf unebenem Boden alle Räder tragen. Die Räder sind mit Vollgummireifen versehen, um einen ruhigen elastischen Lauf zu gewährleisten.

In der Hauptsache besteht der Kran aus dem Untergestell mit den Rädern, dem eingebauten Lasthubwerk, das gleichzeitig als Ausleger-Einziehwerk dient, dem heb- und senkbaren Ausleger und der Akkumulatorenbatterie. Im hinteren Teil des Untergestelles befindet sich ein gußeisernes Gegengewicht.

Das Gerüst zur Aufnahme des Hubwerkes und Lagerung der Laufräder ist in kräftiger Profileisenkonstruktion gehalten unter Verwendung starker Seitenschilder. Das Hub- und Einziehwerk wird durch einen gemeinsamen Motor in geschlossener Ausführung angetrieben. Eine mit der Hand leicht zu steuernde Kupplung verbindet jeweils das eine oder andere mit diesem Motor. Die Kupplung ist derart in Wechselwirkung mit der Bremse verbunden, daß während des Schaltens weder die Last noch der Ausleger abstürzen kann. Beim Ausschalten des Arbeitstromes bewirkt eine elektromagnetisch betätigte Backenbremse selbsttätig das Festhalten der Last oder des Auslegers in jeder beliebigen Höhenlage. Ein selbsttätig arbeitender Schalter begrenzt die Endstellungen. Der Ausleger kann mit und



Abb. 12
Benzol-elektrisch betriebener Drehlaufkran.

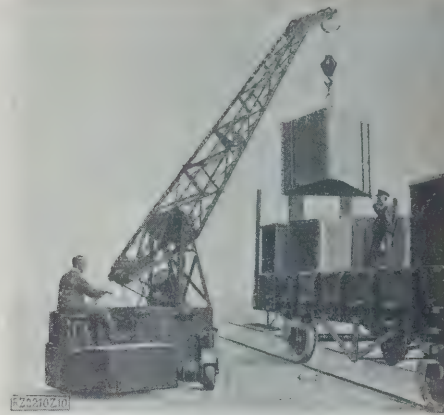


Abb. 13
Drehlaufkran mit Antrieb durch Akkumulatoren-
batterie mit 80 V Betriebsspannung.

ohne Last gewippt werden. Es ist möglich, während der Hub- oder Senkbewegung zum Wippen überzugehen und umgekehrt. Um Lasten stromlos senken zu können, bedarf es lediglich der Betätigung eines kleinen Handhebels. Die in jeder Auslegerstellung zulässige Last wird an einer Zeigervorrichtung abgelesen.

Der Gesamtstrom kann vom Führersitz aus jederzeit abgeschaltet werden. Geheizt werden die einzelnen Motoren, Hupe und Beleuchtung aus einer vierziggelligen Akkumulatorenbatterie mit 80 V Betriebs- und 110 V Ladespannung. Diese Batterie ist zu gleichen Teilen in je einem geschlossenen Kasten auf beiden Seiten des Kranuntergestelles federnd gelagert und dient zum Teil als Gegengewicht.

Die größere Ausführung wird auch mit einer eigenen Energieerzeugeranlage ausgestattet. Dieses besteht aus einem mehrzylindrigen Benzolmotor von etwa 20 PS und einem elektrischen Stromerzeuger von etwa 10 kW Leistung. Dieser Kran wurde auch bereits mit einem Lasthebemagnet geliefert, für die Verladung von Eisenteilen, Trägern usw. Abb. 12 zeigt einen solchen benzol-elektrisch betriebenen Kran in Betrieb. Ein Beispiel für die kleinere Bauart gibt Abb. 13.

Der Drehlaufkran wird vorteilhaft auf Asphalt, Beton, Holzpflaster, Bohlen- und Plattenbelag, glattem Straßenpflaster, wie überhaupt auf jedem genügend ebenen und festen Untergrund verwendet. Er eignet sich besonders für Kaianlagen, Speicher, Lagerschuppen, Werkstätten und Fabrikhöfe beim Heben, Stapeln, Befördern von Einzelteilen im Fertigungsgang, beim Um- und Verladen von Waren und Stückgütern aller Art, Ziehen von Eisenbahnwagen usw.

Lauchhammer [M 2210]

Obering. Schlegel

Verarbeitende Industrien

Neuzeitliche Pappentrocknung

Bei der Herstellung der Pappe trocknet man diese vielfach noch in mehr oder weniger einfacher Art¹⁾. Früher wurde das Trockengut ausnahmslos hängend befestigt, weshalb an den Befestigungsseiten immer ein Abfallstreifen entstand. Zum Trocknen dienten entweder besondere Kammern oder eigens hierzu gebaute Kanäle. Abb. 14 zeigt die in den Trockenkammern getrockneten Pappen, während Abb. 15 Pappen aus der Kanaltrocknung darstellt. Wie aus den Bildern ersichtlich ist, entstehen bei der Hängetrocknung starke einseitige Schwindspannungen, weil die Ränder und die Oberfläche schneller als die Tafelmitte und das Tafelinnere trocknen. Die so getrockneten Pappen mußten durch

Wiederanfeuchten und gewaltsames Geraderichten v. Satinieren in die richtige Form gebracht werden. Arbeitsgang erforderte teilweise bis zu 10 vH der schaft.

Einen wesentlichen Fortschritt bedeutet das Trocknen auf dem laufenden Band unter Anwendung eines Verfahrens für Umlufttrocknen. Die Hauptbestandteile dieser Pappentrockenmaschine zeigen Abb. 16 und 17 schematisch. Das Trockengut wird auf das Band *a* gelegt, das zwischen Heizregistern *b* läuft. Die zum Trocknen notwendige warme Luft wird durch zwei oder mehr Ventilatoren *c* seitig auf das Trockengut *d* gebracht. Die Ausbläseöffnungen der Ventilatoren sind durch Bleche *e* so verkleidet, daß die Ventilatoren schräg abwärts oder schräg aufwärts durch Heizklappen *b* gegen das Trockengut *d* bläst. Durch unterteilte zwangsläufige Bewegung und Führung der Pappentafeln auf beiden Seiten gleichmäßig getrocknet. Die auf diese Weise getrockneten Pappen der gleichen Zusammensetzung wie die nach Abb. 14 und 15 zeigt Abb. 16. Die leichte Wellung der Ränder ist ohne Bedeutung, da diese Pappen bereits nach kurzer Stapelung in einer Walzenwerk bearbeitet werden können.

Da die Trockendauer bei Pappe je nach der Zusammensetzung des Stoffes verschieden ist, schwankt auch der Dampfverbrauch. Als Wärmequelle wurde bei den Trockenkammern meist Frischdampf benutzt, während bei den neueren Trockeneinrichtungen Abdampf wirtschaftlich ausnützt. Durch das neue Trockenverfahren wird die Handarbeit gespart, weil die erwähnte Arbeit durch Befeuhen und Geraderichten fortfällt, dem ist die Trockenzeit wesentlich geringer. Nach dem alten Verfahren brauchte man rd. 8 h zum Trocknen, während nach dem neuen Verfahren dieselbe Pappe in 2 h trocknet. [M 2210]

Gesundheitsingenieurwesen

Handlöcher für Kraftfahrzeuge

Brandherde an Verkehrsmitteln sind allgemein zugänglich. Zum Brandschutz des Vergasers wurden Feuerlöschvorrichtungen (erfunden¹⁾). Dem Feuer kann auch mit Handlöschern²⁾ besonderer Bauart entgegengewirkt werden. Unter diesen sind die Syphonspritzen sowie CO₂-Schneelöcher mechanisch einfach. Die CO₂-Schneelöcher und die Kesselspritzen brauchen nur ein nicht giftiges Mittel.

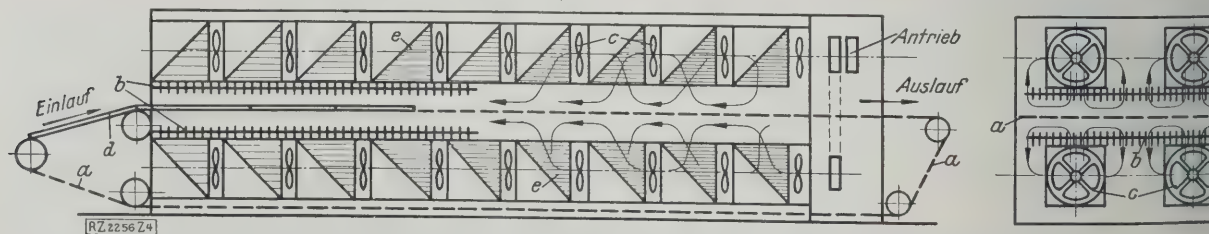


Abb. 16 und 17. Pappentrockenmaschine mit laufendem Band und Umlufttrocknung.
a Laufendes Band b Heizung c Lüfter d Trockengut (Pappe) e Leitbleche für die Luft

¹⁾ Vergl. Bischoff in „Zellstoff und Papier“ Bd. 8 (1928) S. 732.

²⁾ Vergl. Z. Bd. 71 (1927) S. 835 u. 1761. ³⁾ Z. Bd. 70 (1926)

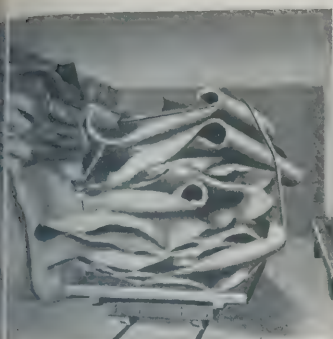


Abb. 14

In Kammern getrocknete Pappen.

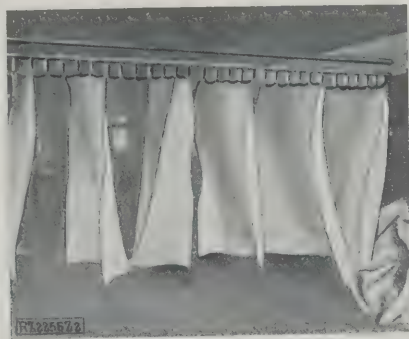


Abb. 15

Pappen aus der Kanaltrocknung.

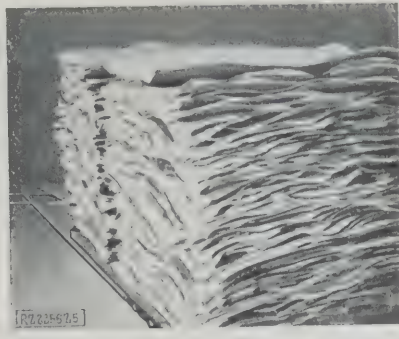


Abb. 18. In der Pappentrockenmaschine auf laufendem Band getrocknete Pappe.

Die Handpumpen der Kesselspritzen saugen über Kugelhähne an. Beim Hubwechsel wird die Löschrüssigkeit (Tetra) durch die hohle Kolbenstange und ein feststehendes Kernrohr nach der Düse gedrückt. Chemisch besonders geeignet sind die Reaktionspatronenspritzen, Abb. 19, und Schaumhandlöscher.

Bei Abb. 19 wird mit Aufschlagen des Stoßknopfes der Gasbolzen *g* eingetrieben und die bruchempfindliche Säure *d* zerstört. Der Inhalt der Zelle muß in dem basischen Gemisch *e* voll neutralisiert werden. Hierdurch wird *e* frei und treibt das Löschmittel nach der Ventilkammer *i*.

Man gliedert die Löscher mit Gasförderung in Dauer- und Bedarfsdrucksysteme. Eine Zwischenstufe bilden die Reaktionspatronen, Abb. 20 und 21, mit der dauernd unter Gasspannung stehenden CO_2 -Zelle *c*. Die Löschstoffbehälter ohne Sicherheitsventil werden bis 25 at und die Gasflaschen auf 190 at geprüft. In den dauernd unter Druck stehenden Geräten steht ein Gaspuffer (N_2 , CO_2 oder Luft) die Flüssigkeitssäule mit einem Druckgefälle von rd. 7 at bis auf $\frac{1}{2}$ at aus.

Die Gasspannungen sind stark von der Außentemperatur abhängig. Längere Betriebsbereitschaft der Dauerdrucksysteme setzt also besonders zuverlässige Armaturen voraus. Dichtungungen werden durch doppelsitzige Ventile oder Ventile, genutete Ventilteller auf gelidertem Sitz erreicht. Unterordnet man auch zwei Ventile hintereinander an, so läßt sich der Strahl am sparsamsten ausströmen.

Dem Strahlrohrventil kann man auch einen im Bedarfsfall zu zerstörenden Blindflansch vorlagern, Abb. 20. Nur beim Schaumhandlöscher und Pulvergebläse, Abb. 21, ist

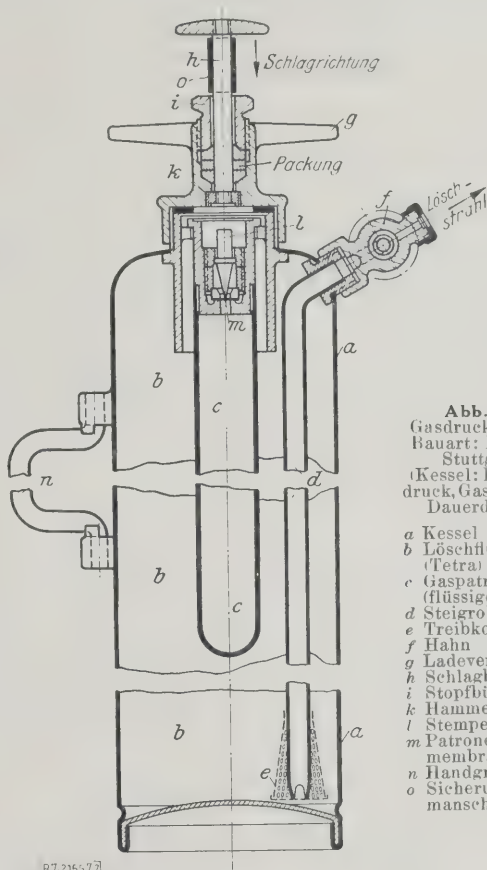


Abb. 20
Gasdruckspritze,
Bauart: Radikal-
Stuttgart
(Kessel: Bedarfs-
druck, Gaspatrone:
Dauerdruck).

- a Kessel
- b Löschrüssigkeit (Tetra)
- c Gaspatrone (flüssige CO_2)
- d Steigrohr
- e Treibkorb
- f Hahn
- g Ladeverschluß
- h Schlagbolzen
- i Stopfbüchse
- k Hammer
- l Stempel
- m Patronenmembran
- n Handgriff
- o Sicherheitsmanschette

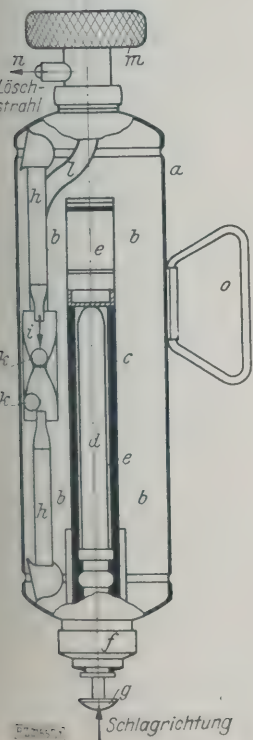


Abb. 19

Gasdruckspritze (Bedarfsdrucksystem mit Schlagpatrone)

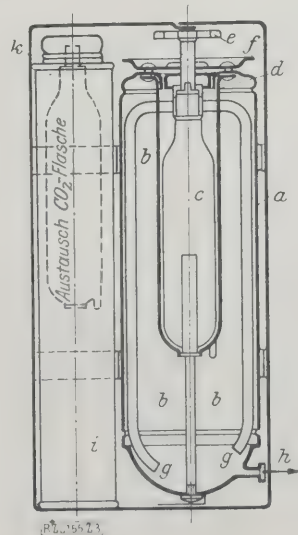
Bauart: Minimax, Berlin

- a Kessel
- b Löschrüssigkeit (Tetra)
- c zweizellige Reaktionspatrone
- d Glaszelle mit mineralischer Säure
- e Futter aus basischen Chemikalien
- f Ladeverschluß
- g Schlagbolzen
- h Steigrohr zur Ventilkammer
- i Ventilkammer
- k Kugelhähne
- l Steigrohr zum Hauptventil
- m Handrad des Hauptventils
- n Strahlrohr
- o Handgriff

Abb. 21
Löschpulvergebläse,
Bauart: Total-Berlin
(nur Stahlflasche dauernd unter Druck).

- a Kessel
- b Löschpulver*)
- c Stahlflasche mit flüssiger CO_2
- d Ventil mit Gabelstück
- e Ventilhandrad
- f Ladeverschluß
- g Blasrohr
- h Strahlrohr
- i Aushilfsfüllung (Pulver und CO_2 Flasche)
- k Gerätekanister

*) Natriumbikarbonat mit geringen Zusätzen von Ocker oder Infusorienerde zur Verhütung des Backens.



der Gasdruck einstellbar. Im Schaumlöcher befindet sich eine sogen. Kippatrone zum Unterschied von der Schlagtuba *d* in Abb. 19. Nach Lüften eines Ventiles kann durch Schwenken der Schaumgas-Druckspritze in ihrer Querachse das Mischen der sauren und basisch-schäumenden Chemikalien und damit das Schaumblähen geregelt werden. Die Gasdruckspritzen nach Abb. 19 haben an beiden Kesselböden Speiserohre *h*, die je nach Heben oder Senken des Strahlrohres über selbsttätige Schwerkraftventile *k* mit der Düse in Verbindung stehen. Bei sämtlichen Geräten, mit Ausnahme der Schneehandlöcher, kann man somit den Löschstoffaustritt steuern.

Bei den Löschern mit nicht gelüftetem Strahlrohr beugt man Verlusten am Löschmittel durch Ausrüsten der Druckleitung oder Düse mit gefederten Ventilen (Kesselspritze), Klappen (ähnlich dem Mündungsschoner eines Gewehres), Gummistrümpfen oder Paraffinpflanzen vor. Bei keinem Gerät ist es möglich, das Mittel restlos in jeder Lage zu verspritzen oder den Angriffsinhalt ohne zu wiegen nachzuweisen oder während des Löschens gleichzeitig zu laden. Der Gasdruck in Geräten der Dauerdruckgruppe läßt sich durch angebaute entlastbare oder bei der Prüfung angesetzte Manometer usw. prüfen. Ferner plombiert man die Ventilhand-

räder und -hebel oder umhüllt die Schlagbolzen, *A* mit einer Manschette. Sodann kann der Aufhängedienstungsarmatur unzugänglich machen, Abb. 19.

Mit Wasserfüllungen in den Kessel- und Syphon lassen sich Löschproben kostenlos ausführen. Wird eine Ladung angebrochen, so soll sie erneuert werden. Kesselspritze ist am einfachsten zu laden. In Herd kann der Druckluftpuffer selbst mittels Luftpumpe drückt werden. Vor jedem Füllen ist allgemeines Reinigen und Untersuchen auf Anfrassungen läßlich.

Sämtliche Geräte sind am Instrumentenspannt, über Führersitz oder Trittbrett ohne Spiel, mitunter federbefestigen. Das gilt auch für Ersatzfüllungen *i*, *A* die vielfach den Gerätekanistern *k* beigelegt sind. Die Löschstoffbehälter selbsttätiger Vergaserregenerungen lassen sich abgekuppelt als Handfeuerlösch verwenden. Dabei wird der Patronenschlagbolzen *er* mittels Druckluft oder mechanisch bewegt.

Die Geräte wiegen je Liter Löschstoff 2 bis 3 kg. Fahrzeugen mit Brennstoffbehältern ist ein Handpolizeilich vorgeschrieben.

München

[M 2509 c]

J. B.

Kleine Mitteilungen

Schnellaufende Prüfmaschine für Dauerversuche an Blattfedern

Die von dem National Physical Laboratory vorgenommenen Dauerversuche an Blattfedern wurden ursprünglich an ganzen Blattfedersätzen in normaler Ausführung auf besonders dafür gebauten Prüfmaschinen, die 150 bis 200 U/min machten, vorgenommen. Im Verlauf der Untersuchungen erschien es jedoch notwendig, das Verhalten der einzelnen Blätter zu prüfen, wozu die vorhandene Maschine ungeeignet erschien. Für den Bau einer vollkommen neuen Prüfmaschine waren folgende besondere Gesichtspunkte ausschlaggebend: Die Maschine mußte wenigstens 1100 U/min machen, das zu prüfende Stück durfte gar nicht oder nur wenig bearbeitet werden, es mußte einem gleichmäßigen Biegemoment über 50 bis 100 mm Länge unterworfen werden können, und der aufgewendete Druck mußte unabhängig von der Bewegungsgeschwindigkeit der Maschine sein.

Bei der nach diesen Vorbedingungen gebauten Maschine ist die Flachprobe etwa 455 mm lang bei höchstens 50 × 9,5 mm² Querschnitt, sie kann gerade oder gekrümmt sein und wird nur auf Länge geschnitten. Die Probe *b*, s. Abb., wird an den Enden durch Klammern festgehalten und durch gleich große in der gleichen Richtung wirkende Kräfte beansprucht. Diese Druckstäbe werden durch eine Kurbel *a* in oszillatorische Bewegung gesetzt. Die auf das Probestück ausgeübten Kräfte werden durch Beobachtung der Ablenkungen an dem drehbaren Stab ermittelt. („Engineering“ 11. Januar 1929 S. 36*) [M 2509 a] Stc.

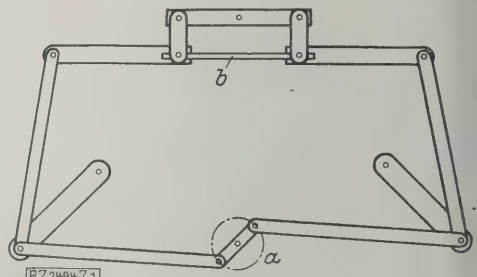
Härteprüfung durch Aufschlagen harter Stahlkugeln

Legt man ein Stück Stahl in einen Strahl harter Stahlkugeln, die sich mit hoher Geschwindigkeit bewegen, so prallen die Stahlkugeln zurück, wenn die Stahlfläche hart ist, ohne sie anzugreifen, dagegen rauhen sie eine weiche Stahlfläche auf. Auf diese Weise kann man die genaue Form und Lage von weichen Stellen feststellen, während bei den bisherigen Verfahren nur wenige und bestimmte Stellen geprüft werden. Mit harten Stahlkugeln kann man aber auch eine Stahlfläche künstlich härter machen, indem man auf die Oberfläche harte Stahlkugeln schleudert. Man hofft, daß man mittels dieses Verfahrens die Oberflächen von Zahntrieben und andern Teilen, die einer besonders großen Härte bedürfen, härten kann.

Es sind bereits mehrere solche Schleuderprüfmaschinen im Bau, bei denen der gleichmäßige Zustrom der Kugeln durch Becherwerke oder andre Hilfsmittel gewährleistet wird. Bei diesen Maschinen werden 20 000 Kugeln in 10 bis 30 s geschleudert, und zwar können sie auf einen Kreis von 100 mm Dmr. oder eine Fläche von 200 × 200 mm² zusammengedrängt werden. Nach dem Verfahren sollen weiche Teile härter gemacht, weiche Stellen an einzelnen Teilen beseitigt, die Härte von Metallteilen geprüft und harte Stahlstücke im ganzen oder einzelne ihrer Teile an der Oberfläche gehärtet werden. („The Iron Age“ 10. Januar 1929 S. 145) [M 2509 b] Stc.

Dampfturbine für sehr niedrige Drücke

Die bei den Versuchen von Claude und Boucherot in Ougrée-Marhaye im Mai 1928 verwendete Dampfturbine der Société Alsacienne de Constructions Mécaniques wurde



Wirkungsweise der Dauerversuchsmaschine für Blattfedern
a Kurbel b Probe

im Juni 1928 unter ungünstigeren Verhältnissen als geprüft¹⁾. Die Temperatur des der Maas entnommenen wassers betrug zu dieser Zeit 19 °, so daß als adiabate Wärmegefälle des Dampfes nur 13,9 kcal/kg (gegen 23 kcal/kg, die dem Entwurf zu Grunde lagen) zur Verfügung standen. Trotzdem hat die Dampfturbine hydraulischen Wirkungsgrad von 68,2 vH erreicht, w nach der Berechnung nur 67,1 vH erwartet wurden. Turbine leistete hierbei 54,9 kW bei 5500 U/min, der trat mit 0,06 at abs und 35,8 ° in die Schaufeln des rades ein und verließ sie mit 0,0387 at abs und 28 ° arbeitete wurden 6110 kg/h Dampf, das Verhältnis 1 Geschwindigkeit : Umfangsgeschwindigkeit betrug 1,4 Houille Blanche“ September/Okttober 1928 S. 144*) [M 2509 c]

¹⁾ Vergl. Z. Bd. 72 (1928) S. 932.

Tiefbrunnenpumpe für 195 m Förderhöhe

Eine von der Etiwanda Water Co., Kalifornien, e Kreiselpumpe kann 0,136 l/s Wasser auf 195 m Höf dern. Der in dem rd. 240 m langen und 0,5 m weiten loch geführte Pumpenschacht von 150 m Länge trägt in unteren Teil eine fünfzehnstufige Druckpumpe von Länge und 0,43 m Außendurchmesser. Diese Pumpe das Wasser in eine rd. 135 m höher liegende sechs Pumpe von 3,3 m Länge, die es um weitere 60 m l unterschied auf die Spitze eines Hügels befördert. V aus wird das Wasser verteilt, um als Trinkwasser o Bewässerung zu dienen.

Die Pumpe wiegt 27 t. Ihre Lager sind für W schmierung eingerichtet, damit das geförderte Wasser durch Öl verunreinigt werden kann. Der über der Fläche auf der senkrechten Pumpenwelle sitzende A motor leistet 350 PS bei 950 U/min. („Power“ vom 8. 1929 S. 60*) [M 2509 d]

Schwere österreichische 1 D 2-Schnell Lokomotive

Die Wiener Lokomotivfabrik, Floridsdorf, hat vo zem an die österreichischen Bundesbahnen eine Schn lokomotive abgeliefert, die gegenwärtig wohl als die europäische Schnellzuglokomotive gilt.

Hauptkonstruktionszahlen:

Zahl der Zylinder . . .	2	Gesamtgewicht der Lokomotive mit Tender 175 t
Dmr. . .	650 mm	Länge über die Puffer rd. . . 13 m
Hub . . .	721 "	Kesseldruck . . . 15 at
Rad-Dmr. . .	1940 "	Zugkraft (bei 85 vH des Kesseldruckes) . . . 20 000 kg
Reibfläche . . .	284 m ²	Höchstzulässige Fahrgeschwindigkeit . . . 110 km/h
Erhitzerfläche . . .	100 "	
Stillefläche . . .	54 "	
Leistungsgewicht . . .	70 t	
Gesamtgewicht der Lokomotive . . .	118 t	

Der Dampf wird mittels *Lentz*-Ventilsteuerung verteilt. Die Lokomotive ist aus dem besten Werkstoff, das Gewicht der Lokomotive verhältnismäßig niedrig hält. Die Lokomotive befördert eine von 550 bis 600 t Gewicht auf 10 vH Steigung mit einer Geschwindigkeit. („The Engineer“ 18. Januar 1929 S. 80) [M 2509 e] Ro.

Schiffbautätigkeit im Jahre 1928

Ende 1928 betrug der im Bau befindliche Schiffsraum 242 794 t in England, 382 422 t in Deutschland, 182 229 t in Holland, 161 566 t in Frankreich und 118 580 t in Japan. Der scheinbare Aufschwung des englischen Schiffbaues infolge des Kohlenstreiks war im Jahre 1928 beendet, erst im letzten Vierteljahr war wieder eine Zunahme zu verzeichnen. In Deutschland hat der Neubauschiffsraum seit dem 1. September 1928 um 10 vH abgenommen.

Die Gesamtleistung der im Bau befindlichen Maschinenanlagen betrug Ende 1928 2 024 558 PS, hiervon entfallen 53 360 PS auf Kolbendampfmaschinen und 1 210 908 auf Verbrennungsmotoren. Die zunehmende Verwendung von Motorschiffen ist auch daraus zu ersehen, daß von den Neubauten über 8000 t z. Z. 62 Motorschiffe und nur 22 Dampfer sind. Die im Bau befindlichen Maschinenanlagen verteilen sich nach Leistung nach wie folgt: England 894 323 PS, Deutschland 270 965 PS (darin sind die Turbinenanlagen nicht enthalten), Dänemark 117 600 PS, Holland 115 080 PS und Schweiz 102 030 PS. („Engineering“ 18. Januar 1928 S. 81) [M 2509 f] Ls.

Zellstoff aus harzreichem Holz mittels Sulfidverfahrens

Zur Herstellung von Zellstoff für die Papiererzeugung aus harzreichen Hölzern ist das übliche Sulfidverfahren nicht geeignet. Mittels des Verfahrens nach *Mitscherlich* ist es nun in Australien gelungen, aus dem Holz der dort heimischen Eukalyptusbäume, das wegen seines Harzgehaltes bis jetzt nicht verarbeitet wurde, einen guten Zellstoff zu gewinnen. Die Schnitzel waren bei den Versuchen 25 bis 38 mm lang und rd. 3 mm dick und wurden in einer Lauge von 1,6 vH gebundener und 3 vH freier schwefliger Säure während fünf bis sechs Stunden bei rd. 140 ° gekocht. Die eisernen, mit Dampf beheizten Kocher sind ausgefüttert, die Rohrleitungen bestehen aus Blei oder Sonderbronze. Die schweflige Säure wird, wie üblich, durch Rosten von Pyrit, das aber kein Selen enthalten darf, gewonnen. Der Stoffbrei muß gut gesiebt werden, da auch nach sehr langer Kochzeit unaufgeschlossenes Holz den Kocher verläßt. („Engineering“ 4. Januar 1929 S. 13) [M 2509 g] Schr.

Teersandaufbereitung

Die natürlichen Teersandvorkommen in der Provinz Alberta, Kanada¹⁾, werden nach mehreren verschiedenen Verfahren aufbereitet. In den Jahren 1899 bis 1913 behandelte man den Teersand in heißem Wasser. Dann benutzte man organische Lösungsmittel, mit denen man den Teer aus dem Sand löste; die Masse wurde destilliert; hierbei gingen jedoch zuviel Lösemittel verloren. Auch die unmittelbare Verarbeitung des Teersandes in Retorten, wobei man die Gase niederschlug, war unwirtschaftlich.

Im Jahre 1923 errichtete man an der Universität Alberta, Edmonton, eine Versuchslage, in der man 3 t Teersand mit einer kiesel-sauren Sodaaufbereitung vorbehandelte. Das Gemisch leitete man bei 85 °C durch mehrere Behälter, wobei der Sand sich absetzte und mittels Förderschnecken entfernt wurde. Der gewonnene Teer enthielt 28 vH Wasser, 65 vH Teer und 7 vH mineralische Bestandteile. Der ausgewaschene Sand enthielt noch 2 vH Teer. Auf Grund dieser Erfolge errichtete man 1924 eine 500 t-Anlage, in der der Teersand unter den gleichen Bedingungen aufbereitet wird. („Engineering“ 18. Januar 1929 S. 91) [M 2509 h] Gw.

¹⁾ Vergl. Z. Bd. 69 (1925) S. 1515.

BÜCHERSCHAU

Bücher und Zeitschriften des In- und Auslandes, auch solche nichttechnischen Inhaltes, liefert die VDI-Buchhandlung, Berlin NW 7, Ingenieurhaus (Telegrammanschrift: Ingenieurverlag Berlin; Fernspr.: Zentrum 15'04).

Müller-Pouillet's Lehrbuch der Physik. 11. Aufl. Herausgeg. von A. Eucken, O. Lummer und E. Waetzmann. 5. Bd. 1. H.: Physik der Erde. Herausgeg. von Alfred Wegener unter Mitwirkung von G. Angenheister, H. Benndorf, H. v. Ficker, B. Gutenberg, H. Heß, V. F. Heß, A. Nippoldt, H. Thorade, E. Wiechert. Braunschweig 1928, Fried. Vieweg & Sohn. 840 S. m. 341 Abb. u. 7 Taf. Preis 53 RM.

Erst kürzlich ist ein neuer Band dieses altbekannten und geschätzten Lehrbuches erschienen, in dem die Umwelt der Erde, der Kosmos, vom physikalischen Standpunkt aus behandelt wird¹⁾. Der vorliegende Halbband enthält dagegen über die „Physik der Erde“ und gibt in seinem ersten Abschnitt eine Einführung in die Grundlagen der Meteorologie, kurz des Energieaustausches zwischen Erdoberfläche, Wasser und Wind infolge der Sonnenstrahlung. Im zweiten Teil werden Schallerscheinungen in verschiedenen Fällen und ihre Beeinflussung durch Wind und Temperatur beschrieben. Der dritte Abschnitt enthält die Optik der Atmosphäre (Strahlenbrechung, diffuse Reflektion, Lichterscheinungen in Kondensationspunkten), der vierte die Physik des Meeres, seine Eigenschaften und Bewegungsvorgänge. Die folgenden Abschnitte behandeln die Physik der Gletscher, den Erdmagnetismus, Polarlicht und Luftelektrizität; der Schlußabschnitt hat die Überschrift Mechanik und Thermodynamik der Erdkörper erhalten und bringt im einzelnen die Anhaltspunkte für ein Bild des Erdinneren. Man erkennt aus dieser kurzen Inhaltsangabe die Reichhaltigkeit dieses Bandes, der allen willkommen sein wird, die an den Naturvorgängen Anteil nehmen.

Über ein äußerst wichtiges Gebiet beim Aufbau der Formationen, nämlich über die Diffusionserscheinungen von Lösungen in Gesteine, wodurch Versteinungen entstehen, Nährsalze an die Oberfläche befördert und ganze Gesteinslager umgewandelt werden, hätte einiges gebracht werden können. Auch Naturaufnahmen, die die Wirkung der Kräfte erkennen lassen, die zur Gebirgsbildung führen, wären bei

einer Neuauflage zu begrüßen. Wir haben im Harz und seiner Umgebung in dieser Hinsicht so überraschend schöne Aufschlüsse, daß die Anfertigung solcher Bilder keine besondere Mühe macht. [E 2326] W. Schmidt

Bauvorschriften für Flugzeuge. August 1928, herausgeg. von der Deutschen Versuchsanstalt für Luftfahrt, E. V. Berlin-Adlershof, Selbstverlag. 142 S. Preis 5 RM.

Die Schrift bringt im ersten Teil die Anforderungen an die verschiedenartigen im Flugzeugbau verwendeten Baustoffe, sowie die Regeln für ihre Verarbeitung. Daran schließen sich Vorschriften für die bauliche Ausbildung des Flug- und Triebwerkes im Ganzen und für die zweckmäßige Anordnung der Einzelbauteile und des Zubehörs, wie überhaupt der ganzen Ausrüstung, teils in Form von allgemeinen Regeln, Gesichtspunkten und Anweisungen, teils als zahlenmäßig gefaßte Vorschriften, alles in knappster Zusammenfassung ohne jedes entbehrliche Beiwerk; überall ist auf die einschlägigen Normen (DIN) hingewiesen. Die Bauvorschriften sollen auch dem Prüfer die Grundlage für die Muster- und Stückprüfung eines Flugzeugs bieten.

Die Schrift ist als Niederschlag aller Erfahrungen anzusehen, die aus der Forschungs- und Prüftätigkeit der Deutschen Versuchsanstalt für Luftfahrt in Zusammenarbeit mit der Flugzeugindustrie und den Luftfahrtunternehmen gewonnen worden sind. Sie geben somit dem Flugzeugkonstrukteur und Werkstattingenieur ein äußerst wertvolles Hilfsmittel an die Hand, das durch weitere Bauvorschriften für Motoren, Luftschrauben und Naben, Fallschirme und Kühler noch ergänzt und stets auf dem neuesten Stand der Technik gehalten werden soll. Zweifellos leistet die Deutsche Versuchsanstalt für Luftfahrt mit dieser Arbeit dem deutschen Luftfahrzeugbau den größten Dienst. Nur muß auf das schärfste der Absicht entgegengetreten werden, diese Bauregeln zu einem Bestandteil einer behördlichen Verordnung zu machen. Das könnte nach den Erfahrungen auf andern technischen Gebieten der jungen deutschen Luftfahrzeugindustrie nur zum Nachteil gereichen. [E 2329] Meuth

¹⁾ Z. Bd. 72 (1928) S. 1559.

Festigkeitslehre. Von *George Fillmore Swain*. Übers. von *A. Mehmel*. Berlin 1928, Julius Springer. 630 S. m. 463 Abb. Preis 34 RM.

Ein Lehrbuch, das durch seine vorzügliche Anpassung an die Erfordernisse der Praxis bemerkenswert ist. Der Verfasser legt besonderen Wert darauf, dem Versuch als Grundlage aller Rechnung einen breiten Raum anzuweisen. Der Leser soll nicht verleitet werden, über exakten mathematischen Entwicklungen die allenfalls bestehende Unsicherheit der Voraussetzungen zu vergessen. Dementsprechend beschränkt *Swain* die Rechnungen auf das Elementare zugunsten einer besonders ausführlichen Behandlung der Werkstoffkunde.

In der Auswahl der Probleme ist die Praxis vorzüglich berücksichtigt. Man findet unter andern besondere Abschnitte über Eisenbetonbalken und über Nietverbindungen. Bemerkenswert ist, daß *Swain* Problemen, die praktisch wichtig, aber schwer zu behandeln sind, niemals ausweicht, sondern hierfür Näherungsverfahren angibt. Unverständlich ist dagegen, weshalb in den Abschnitten über Balkenbiegung nicht vom Satz von *Castigliano* Gebrauch gemacht ist. Die Darstellung wäre dadurch bedeutend vereinfacht worden und zugleich hätte sich leicht die Berechnung anderer statisch unbestimmter Systeme, z. B. Rahmen, anschließen lassen.

Der Übersetzer hat sich dadurch, daß er an Stelle einer wörtlichen Übersetzung das Buch in die deutsche Darstellungsweise und Symbolik übertragen hat, ein Verdienst erworben. [E 2302] Frhr. v. *Boutteville*

Forschungsarbeiten auf dem Gebiete des Ingenieurwesens, Heft 310: **Der Wärmeübergang beim Kondensieren von Heiß- und Satttdampf.** Von *M. Jakob* und *S. Erk*. Die Verdampfungswärme des Wassers und das spezifische Volumen von Satttdampf für Temperaturen bis 210 °C. Von *M. Jakob*. Berlin 1929, VDI-Verlag. 20 S. m. 23 Abb. und 9 Zahlentaf. Preis 3,50 RM, für Mitglieder des V. d. I. 3,15 RM.

In der ersten Abhandlung wird durch Versuche festgestellt, daß Heiß- und Satttdampf als Wärmeträger ziemlich gleichwertig sind, wenn eine Kondensation an der wärmeübertragenden Fläche erfolgt. Eine brauchbare Grundlage für den Vergleich von verschiedenen hoch überhitztem und verschiedenen hoch gespanntem Dampf wird entwickelt und angewendet. Die *Nußeltsche* Theorie der Oberflächenkondensation des Wasserdampfes wird diskutiert.

Die zweite Arbeit enthält die Beschreibung einer neuen Versuchsanordnung und die Mitteilung der gemessenen Werte der Verdampfungswärme. Aus den Versuchsergebnissen, denen eine Genauigkeit von etwa 2 vT zugesprochen werden kann, wird das spezifische Volumen des Satttdampfes berechnet und in Tabellen mitgeteilt.

Deutscher Reichspost-Kalender für 1929. Leipzig 1928, Konkordia-Verlag. 160 S. m. zahlreichen Abb. Preis 4 RM.

Der vorliegende Kalender ist mit seinen zahlreichen guten Abbildungen, denen vorbildlich kurze, das Wesentliche kennzeichnende Erläuterungen beigefügt sind, besonders geeignet, weitesten Volkskreisen einen Begriff davon zu geben, welche Rolle die Technik für das neuzeitliche Nachrichtenwesen spielt. Sehr anschaulich werden u. a. die mechanischen Hilfsmittel für die Paketbeförderung und -verteilung, der Aufbau von Selbstanschlußbäumen für den

städtischen Fernsprechnetz, die Einrichtungen in Postschekämtern behandelt. Die mannigfachen graphischen Darstellungen, die an der Hand statistischer Erhebungen gefertigt sind, veranschaulichen eindringlich die Bedeutung der Deutschen Reichspost für die gesamte deutsche Volkswirtschaft. [E 2459]

Der Dampfbetrieb. Herausgeg. von *E. Höhn*. Berlin 1928, Julius Springer. 240 S. m. 229 Abb. u. 10 Zahlentaf. 6 RM.

Technologisches Handbuch der Elektrotechnik und Elektrochemie. Herausgeg. von *Alfred Schlomann*. Berlin 1928, Technischer Wörterbücher-Verlag, Auslieferung VDI-Verlag. 1492 Spalten m. 3493 Abb. Preis 45 RM. Mitglieder des V. d. I. 40 RM.

Anleitung zum Bau von Schwachstromanlagen. 8. Jubiläumsausgabe 1879 bis 1929. Herausgeg. von *Min. Genest A.-G.*, Berlin-Schöneberg 1928. 710 S. m. 672 Preis 13,50 RM.

Englische Elektrizitätswirtschaft. Von *Günther Braun*. Berlin 1928, Julius Springer. 112 S. Preis 6 RM.

Theoretische Grundlagen der Galvanotechnik. Von *H. V. ner*. Leipzig 1929, Eugen G. Leuze. 68 S. Preis 4 RM.

ADB - Werkzeugmaschinen - Blätter. Entw. und bearb. von *E. Toussaint*. Herausgeg. von der Arbeitsgemeinschaft deutscher Betriebsingenieure im Verein deutscher Ingenieure. Berlin 1928, Beuth-Verlag. Mappe mit 40 Blättern. Preis 9 RM; Einzelblätter 0,30 RM, Doppelblätter 0,45 RM.

AWF- und VDMA-Getriebeblätter. Herausgeg. vom Ausschuß für wirtschaftliche Fertigung beim Reichskuratorium für Wirtschaftlichkeit. Berlin 1927 u. 28, Beuth-Verlag. Sammelmappe mit 14 Blättern, Preis 9 RM; Preis einzelnes Blatt, Bild und Text, 0,60 RM.

Angewandte Hydraulik. Von *F. Bundschu*. Berlin 1928, Julius Springer. 75 S. m. 55 Abb. Preis 6,90 RM.

Lehrbuch der Algebra. Von *Robert Fricke* verfaßt mit Benutzung von *Heinrich Webers* gleichnamigem Buch. 3. Bd.: **Algebraische Zahlen.** Braunschweig 1928, Friedr. Vieweg & Sohn. 506 S. m. 41 Abb. Preis 22,50 RM.

Vorlesungen über Differential- und Integralrechnung. Von *R. Courant*. 2. Bd.: **Funktionen mehrerer Veränderlicher.** Berlin 1929, Julius Springer. 360 S. m. 88 Abb. Preis 18,60 RM.

Die Elemente der Differential- und Integralrechnung. Von *K. Düsing*. 9. Aufl. Bearb. von *Ernst Wilde*. Leipzig 1929, Max Jänecke. 118 S. m. 89 Abb. Preis 3,60 RM.

Einführung in die Algebra. Von *K. Düsing*. 6. Aufl. Bearb. von *E. Wilde*. Leipzig 1929, Max Jänecke. 124 S. m. 39 Abb. Preis 1,80 RM.

Grundbegriffe des Städtebaues. Von *K. A. Hoepfner*. 2. Aufl. Berlin 1928, Julius Springer. 198 S. m. 120 Abb. Preis 15,50 RM.

Biologie der Trink- und Brauchwasseranlagen. Von *Herbert Beger* und *Else Beger*. Jena 1928, Gustav Fischer. 104 S. m. 46 Abb. Preis 6 RM.

Deutscher Verein von Gas- und Wasserfachmännern e. V. 48. Statistische Zusammenstellung der Betriebsergebnisse von 705 Gaswerksverwaltungen für das Jahr 1926 bis 1926/27. Herausgeg. vom Deutschen Verein von Gas- und Wasserfachmännern e. V. Berlin, Geschäftsstelle des Vereins. 167 S. Preis 15 RM.

Graphische Hilfsbücher für den Buchhersteller. 1. H.: **Manuskript und Korrektur.** Von *Wilhelm Hellwig*. Leipzig 1928, Eugen Kollektor. 15 S. Preis 1 RM.

Schluß des Textteiles

	I	N	H	A	L	T:
						Seite
Wege der Luftfahrtforschung. Von <i>E. Everling</i> . . .						145
Vom Bau des Schiffshebewerkes Niederfinow . . .						149
Die Wiener Stadt- und Vorortbahnen . . .						150
Die Hochdrucklokomotive für 60 at, Bauart „Winterthur“. Von <i>H. Brown</i> . . .						151
Neuer Dampfkraftomnibus . . .						156
Berichtigung: Die Schwimmaufbereitung der Moctezuma Copper Co., Nacoziari, Staat Sonora, Mexiko . . .						156
Längskräfte im Eisenbahngleis. Von <i>Ammann</i> und <i>v. Gruenewaldt</i> . . .						157
Die Bruchgefahr spröder Körper . . .						161
Berichtigungen: Wasserkraftwerk Lilla Edet — Maschinenanlage des Kraftwerkes Lilla Edet — Thermische Eigenschaften und thermodynamische Vorgänge . . .						161
Die Vorausbestimmung der Gesteintemperatur im Innern von Gebirgsmassiven. Von <i>K. Pressel</i> . . .						162
Schubtrennschalter . . .						
Messing und Sondermessing. Von <i>W. Wunder</i> . . .						
Rundschau: Die Rhein — Main — Donau-Großschiffahrtsstraße — Hochfrequenzofen mit umlaufender Funkenstrecke und veränderlicher Schwingungszahl — Drehlaufkran als Kleinfördermittel — Neuzeitliche Pappentrocknung — Handlöcher für Kraftfahrzeuge — Kleine Mitteilungen . . .						
Bücherschau: Müller-Pouille's Lehrbuch der Physik. Von <i>A. Eucken</i> , <i>O. Lummer</i> und <i>E. Waetzmann</i> — Bauvorschriften für Flugzeuge — Festigkeitslehre. Von <i>G. F. Swain</i> — Der Wärmeübergang beim Kondensieren von Heiß- und Satttdampf. Von <i>M. Jakob</i> und <i>S. Erk</i> — Die Verdampfungswärme des Wassers und das spezifische Volumen von Satttdampf für Temperaturen bis 210 °C. Von <i>M. Jakob</i> — Deutscher Reichspost-Kalender 1929 — Eingänge . . .						

ZEITSCHRIFT DES VEREINES DEUTSCHER INGENIEURE

SCHRIFTFLEITER: C. MATSCHOSS ★

73

SONNABEND, 9. FEBRUAR 1929

Nr. 6

Der gegenwärtige Stand des Kreiselpumpenbaues

Besonders kennzeichnende Bauformen

Prof. Dr.-Ing. C. PFLEIDERER, Braunschweig

Schöpfwerkpumpen mit Francislauftrad im Beton-Spiralgehäuse oder mit Propeller- oder mit Konuslauftrad. Anordnungen und Ausführungen für hydraulische Kraftspeicherung. Die Kesselspeisepumpe und die besonderen Rücksichten bei Heißwasserförderung; die Druckwassererzeugung. Die Wasserwerkpumpen mit Antrieb durch Dampfturbine und Elektromotor. Die Tiefbrunnenpumpe mit axialer Beaufschlagung, die bewegliche Abteufpumpe der Garvenswerke Hannover mit Unterwassermotor, die selbstansaugenden Kreiselpumpen mit vorgeschalteter Wasserringluftpumpe oder mit Wasserschraube, Säurepumpen aus Metall und aus Steinzeug. Bedeutung der Forschung.

Am Anschluß an den in Z. Nr. 4 vom 26. Januar 1929, S. 126, erschienenen Aufsatz sollen einige den heutigen und besonders kennzeichnende Bauformen besprochen werden. Vorauszusehen ist, daß die bekannten Vorzüge der Kreiselpumpe ihren Anwendungsbereich gegenüber der Kolbenpumpe erheblich vergrößert haben und von früher eine Steigerung des Wirkungsgrades, ferner der Pumpenleistungen, sowohl was die Fördermenge als auch die Nutzleistung anlangt, eingetreten ist.

Die häufigen Überschwemmungen der letzten Jahre zusammen mit der Inangriffnahme neuer Kanalbauten und das Bestreben, tropische Landstriche durch Bewässerung nutzbar zu machen, haben die Bedeutung der

Schöpfwerkpumpen,

die große Wassermengen auf kleine Höhen bei möglichst hoher Drehzahl fördern, stark hervortreten lassen.

Besonders bevorzugt ist die Anordnung mit stehender Welle, weil dann das Lauftrad ins Unterwasser gesetzt werden kann und damit das Anfüllen überflüssig ist.

Abb. 1 und 2 zeigen eine solche Anlage von L. W. Bestenbostel & Sohn, G. m. b. H., Bremen, wobei die Wasserringluftpumpe in Beton ausgeführt ist. Die durch Verteilung eines Zahnradgetriebes *b* mit dem Elektromotor *a* verbundene Turbinenwelle ist unter- und oberhalb des mit eingegossenen Schaufeln versehenen Lauftrades *c* in wassergeschmierten Weißmetallagern geführt. Das Kugellager ist im Kasten des Zahnradgetriebes untergebracht. Zum Einschalten des Motors dient ein Selbstanlasser *e*, der mittels eines Schwimmers *f* im Saugwasserspiegel betätigt wird.

Die Notwendigkeit, zur Anwendung einer genügend hohen Motordrehzahl ein Zahnradgetriebe anzuordnen, bringt Unbequemlichkeiten mit sich, die sich aber bei diesen Pumpen nicht vermeiden lassen wegen des hohen Drehmomentes und des schlechten Wirkungsgrades langsam laufender Motoren. Die Entwicklung ging deshalb bei diesen Niederdruckpumpen in Richtung einer möglichst starken Steigerung der Drehzahl, ganz ähnlich wie bei den Niederdruckturbinen. Ein Mittel hierzu ist die doppelseitige Beaufschlagung, die aber teuer und nur bei ungerechter Welle zweckmäßig ist. Die größte Schnelligkeit liefert aber fraglos der Propeller, der bis zu spezifischen Drehzahlen von 1400 U/min und mehr ausführbar ist. Dieser hat ähnlich wie das Lauftrad der Kaplan-Turbine nur wenig, nämlich 2 bis 4, Schaufeln mit Profilen, die den Tragflügeln entlehnt sind¹⁾.

¹⁾ Hinsichtlich ihrer Berechnung vergl. Pfeiderer, Die Kreiselpumpen, Berlin 1924, S. 224 u. f.

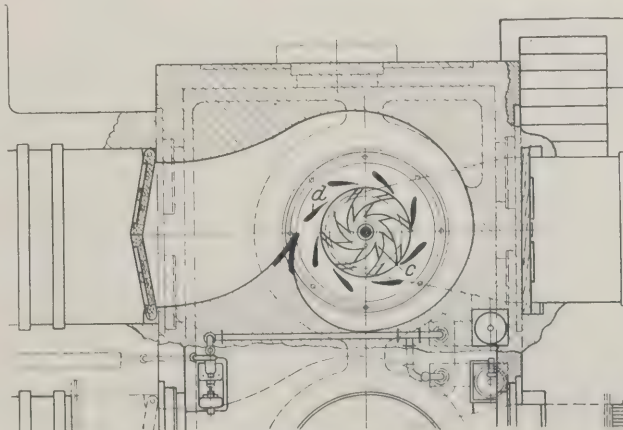
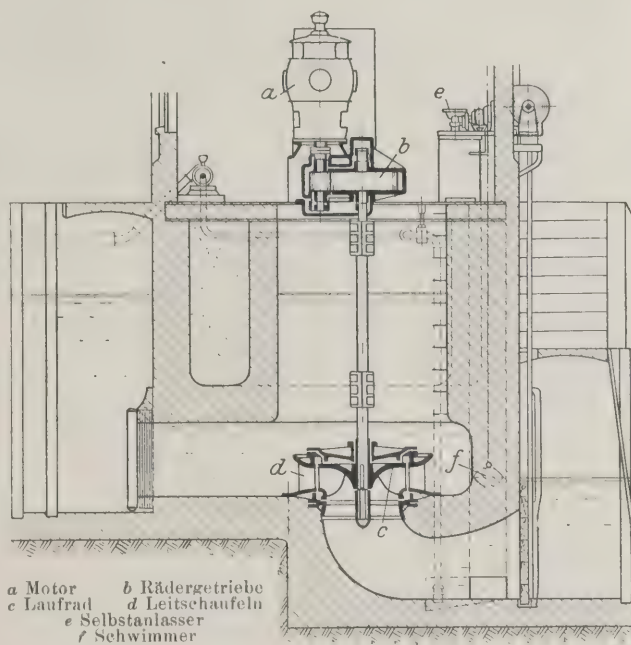


Abb. 1 und 2

Schöpfpumpwerk mit Francis-Lauftrad, ausgeführt von L. W. Bestenbostel & Sohn, G. m. b. H., Bremen.

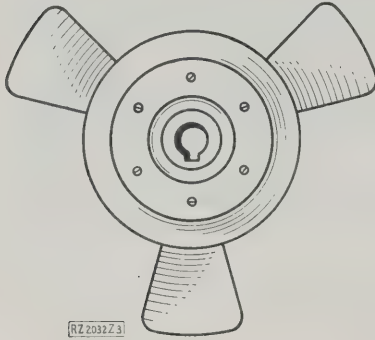


Abb. 3
Laufrad einer Propellerpumpe der Maschinenfabrik Augsburg-Nürnberg mit drei weit auseinandergestellten Schaufeln.

Abb. 3 zeigt ein Laufrad der MAN, das durch die weitere Auseinanderstellung der Schaufeln bemerkenswert ist. In Abb. 4 ist eine Anlage der MAN mit wägerechter Wellenanordnung und Antrieb mittels Dieselmotors ersichtlich. Abb. 5 gibt einen Querschnitt durch die Bauart der Maffei-Schwartzkopff-Werke wieder. Wie sehr sich diese, an Einfachheit nicht zu übertreffende Pumpenbauart in den letzten Jahren vervollkommen hat, zeigen die in Abb. 6 angegebenen Kennlinien, aus denen ein Wirkungsgrad von 79 vH zu entnehmen ist.

Wenn sonach die Wirkungsgrade dieser Pumpen durchaus befriedigen, so haben sie doch den Nachteil, daß sie wegen der Kavitationsgefahr, die durch die kleine tragende Schaufelfläche in Verbindung mit der hohen Schnellläufigkeit bedingt ist, auf kleine Förderhöhen beschränkt sind. Ferner sind der verhältnismäßig rasche Abfall der Wirkungsgradlinie und der hohe Leerlaufbedarf zu beanstanden. Dieses Verhalten rührt von der Verschiedenheit der Umfangsgeschwindigkeit längs der Austrittskante der Schaufel her. Wenn man bedenkt, daß der Leerlaufdruck einer Kreiselpumpe unabhängig vom Schaufelwinkel²⁾ proportional dem Quadrat der Umfangsgeschwindigkeit u_2 am Austritt ist, also von der Nabe nach außen sehr stark zunimmt, so ist klar, daß bei Teillast Rückströmen des Wassers an der Nabe stattfindet, das bei Nulllast am größten ist.

Dieses Rückströmen bei Teillast mit seinen nachteiligen Folgen wird stark verringert durch Drehung der Laufschaufel, wie bei der Kaplan-Turbine, wobei ins-

²⁾ a. a. O. S. 148, 222.

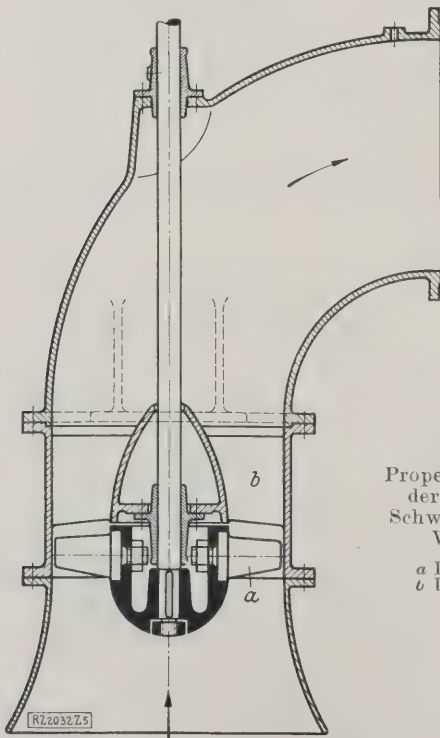


Abb. 5
Propellerpumpe der Maffei-Schwartzkopff-Werke
a Laufrad
b Leitrad

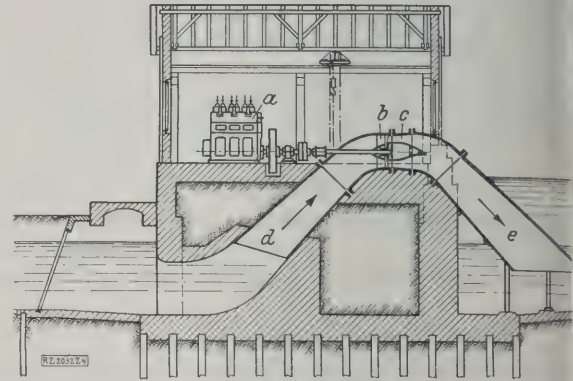


Abb. 4
MAN-Propellerpumpe in Heber-Anordnung, gekuppelt mit MAN-Dieselmotor.
a Dieselmotor b und c Lauf- und Leitrad der Pumpe
d Saugrohr e Auslaufrohr

besondere die Wirkungsgrade bei Teillast erheblich bessert werden. Das Rückströmen wird — allerdings unter Einbuße an Schnellläufigkeit — beseitigt, man die Austrittskante im Meridianschnitt annähernd parallel zur Achse legt, d. h. das Axialrad verläßt. axiale Wasserabführung der Propellerpumpe aber in letzterem Fall wegen der kleinen Umfangsgeschwindigkeit am Austritt $c_{3u} = \frac{1}{u_2} g H_{th}$ beibehalten werden.

falls hohe Schnellläufigkeit, d. h. ein großes u_2 gewählt wird. Das sonst übliche Spiralgehäuse würde in diesem Fall wegen der kleinen Geschwindigkeit in der Spindel unausführbar große Abmessungen erhalten. Auch ermöglicht die axiale Abführung, die einfache Heberanordnung der Propellerpumpe beizubehalten. Auf diese Weise ist die in Abb. 7 nach einer Ausführung der Maffei-Schwartzkopff-Werke angegebenen kegelförmig aufschlagten Pumpe mit axialen Laufschaufeln entstanden, deren Kennlinien, Abb. 8, einen durchaus günstigen Verlauf sowohl des Leistungsbedarfs wie des Wirkungsgrades erkennen lassen. Die Fläche der Laufschaufel ist hier offenbar ebenso doppelt zu krümmen, wie die Laufschaufeln.

Bei größeren Förderhöhen, also auch größeren Leistungen c_{3u} , ist es möglich und mit Rücksicht auf den Wirkungsgrad vorteilhaft, die radiale Wasserabführung im Gehäuse beizubehalten. Welche günstigen Ergebnisse richtiger Ausbildung der doppelte gekrümmten Schaufeln erzielt werden können, zeigen die in Abb. 9 angegebenen Kennlinien einer Pumpe von Klein, Schanzlin & Baur mit einem doppelseitig beaufschlagten Rad von 500 mm äußerem, 450 mm innerem Raddurchmesser und Spiralgehäuse. Der Eintritt wird von zwei Einlaufkrümmungen gebildet. Das Leitrad aus Bronze ist in ein Spiralgehäuse eingebaut.

Bei den mehrstufigen Pumpen hat sich eine Aufteilung des Gehäuses in einzelne Ringe, entsprechend der Zahl der Stufen, — Gliederpumpe oder Ringbauart —

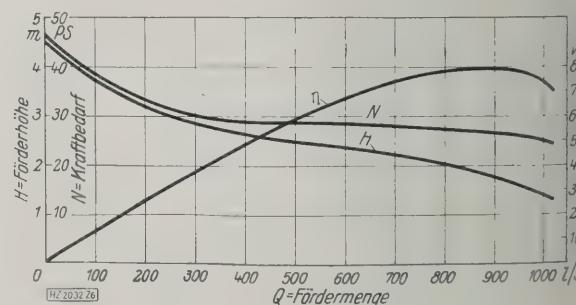


Abb. 6
Kennlinien der Propellerpumpe, Abb. 5, der Maffei-Schwartzkopff-Werke für $0,85 \text{ m}^3/\text{s}$ auf $1,85 \text{ m}$ Förderhöhe bei 360 U/min .

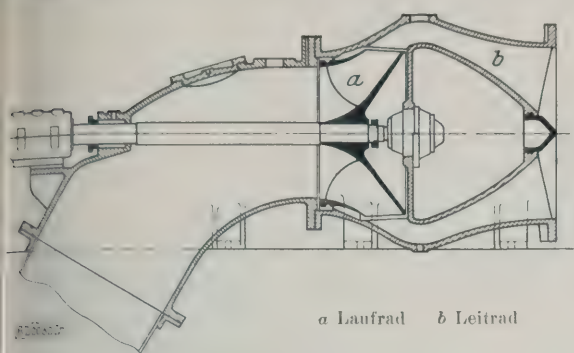


Abb. 7
Axialpumpe der Maffei-Schwartzkopf-Werke.

...durchweg dann durchgesetzt, wenn größere Stufen-
...vorliegen, weil hier der große Vorzug dieser Bau-
...ise, daß der Ausbau auch nach langer Betriebszeit
...ine Schwierigkeiten bereitet, stark in die Wagschale
...ll. Da bei Gliederpumpen die Genauigkeit des Zu-
...nmenbaues schwierig ist, so führt sich auch die Teil-
...g des Gehäuses nach einer wagerechten Mittelebene
...beispielsweise für die Kesselspeisung — ein.

Der Achsschub wird bei den größeren Ausführungen
...gemein durch die bekannte Ausgleichscheibe in Verbin-
...ng mit einer zweiten Drosselstelle ausgeglichen, weil
...durch auch die Hochdruck-Stopfbüchse weitgehend ent-
...stet wird. Das Leckwasser dieses Organs wird für die
...ühlung der Lager benutzt. Es sind heute Bestrebun-
...im Gange, die radialen Abmessungen dadurch her-
...terzudrücken, daß die Umföhrungsschaufeln als Fort-
...tzung der Leitschaufeln ausgebildet und die Anker-
...rauben in die hohlen Leitschaufeln eingebettet werden.

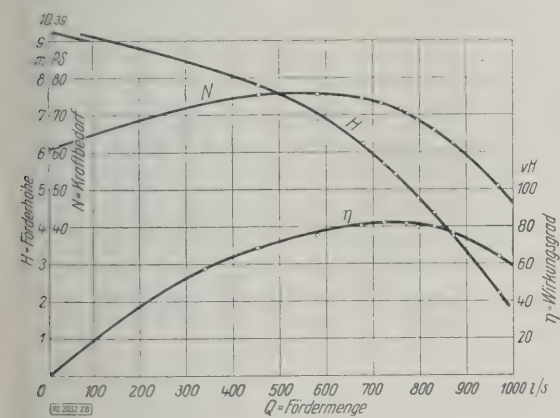


Abb. 8
Kennlinien der Axialpumpe, Abb. 7, der
Maffei-Schwartzkopf-Werke.

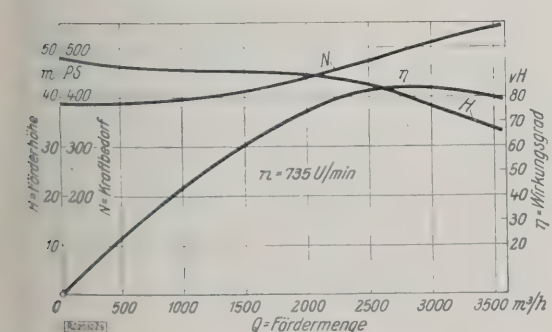


Abb. 9
Kennlinien einer Mitteldruckpumpe mit
doppelseitig beaufschlagtem Francis-Lau-
frad von 500 mm äußerem, 450 mm innerem
Dmr., radial ausgebildeten Leitschaufeln
und Spiralgehäuse der Firma Klein,
Schanzlin & Becker, Frankenthal.

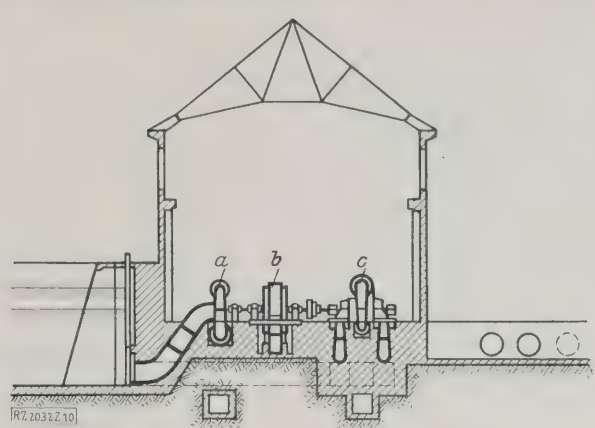


Abb. 10
Speicherkraftwerk Niederwartha a. d. Elbe.
Wagerechte Verbundanordnung.
a Hochdruckturbine b Synchron-Drehstrommaschine
c Speicherpumpe

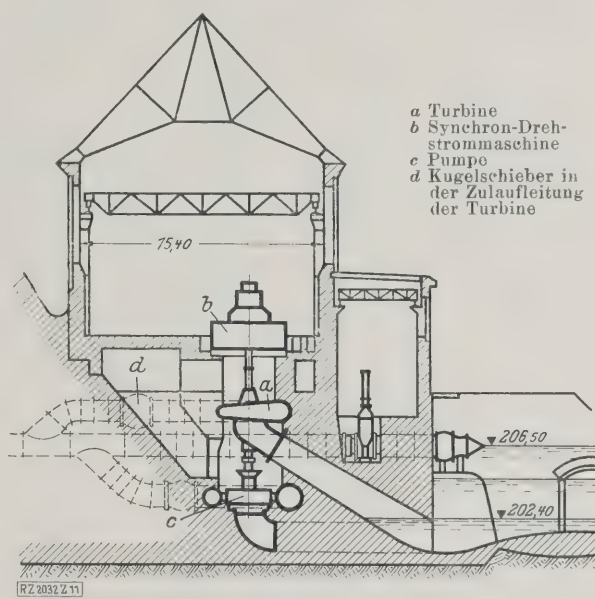


Abb. 11
Speicherkraftwerk Hemfurth a. d. Edertalsperre.
Senkrechte Verbundanordnung.

Ein besonders wichtiges und dankbares Betätigungsfeld
ist dem Kreiselpumpenbau in der

hydraulischen Kraftspeicherung

erwachsen, die in den letzten Jahren eine rasch aufsteigende
Entwicklung genommen hat. Die hier vorliegende Aufgabe,
überschüssige hydraulische oder elektrische Energie da-
durch für die Belastungsspitzen aufzuspeichern, daß Was-
ser in einen hochgelegenen Behälter gepumpt wird, wurde
zuerst von der Firma Gebr. Sulzer, Winterthur, Ludwigs-
hafen, bearbeitet, die die erste Anlage im Jahr 1894 in
Italien aufgestellt hat. Seitdem sind solche Anlagen im
In- und Ausland in steigender Zahl errichtet worden. Be-
sonders erwähnenswert sind einige Hochspeicheranlagen
größten Ausmaßes für die Speicherung elektrischer Ener-
gie. Vom Rheinisch-Westfälischen Elektrizitätswerk wird
eine Anlage bei Hengstey an der Ruhr mit drei Speicher-
pumpen, Bauart Voith-Sulzer, für je 12 m³/s auf 166 m
Höhe entsprechend einer Antriebsleistung von je 32 500 PS
gebaut und von der Energieversorgung Groß-Dresden,
A.-G., bei Niederwartha eine solche mit Pumpen von
Escher, Wyß und Cie. und Voith-Sulzer von je 27 000 PS.
Die Anordnung des Maschinensatzes der Anlage Nieder-
wartha zeigt Abb. 10. Zwischen Turbine und Pumpe sitzt
beiderseits lösbar gekuppelt der Synchron-Drehstrommotor,
der als Stromerzeuger arbeitet, falls er von der Turbine

angetrieben wird. Die stehende Anordnung, die dem von Escher, Wyß & Cie. ausgeführten Speicherkraftwerke Hemfurth (Leistung einer Pumpe 8350 PS) entspricht, zeigt Abb. 11, wobei die Synchronmaschine oben sitzt. Die Turbine muß hier beim Pumpenbetrieb durch Schließen des Kugelschiebers *d* und Belüften des Saugrohrs entleert werden und läuft dann im Luftraum unbelastet mit, während beim Turbinenbetrieb die Pumpe, die unter dem Saugwasserspiegel sitzt, abgekuppelt werden muß. Neben diesen Verbundanordnungen verwendet man auch getrennte Maschinensätze für Turbine und Pumpe (z. B. beim Leitzachwerk der Stadt München).

Die Speicherpumpen der Firma Sulzer sind bereits anderwärts beschrieben³⁾. Abb. 12 und 13 zeigen eine zweistufige Ausführung von Escher, Wyß & Cie. mit doppelseitigem Einlauf und der im vorausgegangenen Aufsatz besprochenen Drehschaufelregelung⁴⁾. Die Pumpe läuft im Schwarzenbachwerk der Badischen Landes-Elektrizitäts-Versorgungs-A.-G. (Badenwerk). Die beweglichen Leitschaufeln des mittleren Rades und der seitlichen Räder sind durch ihre Drehzapfen miteinander gekuppelt. Zur Verstellung dienen drehbare, außen sitzende Regulerringe, die mittels Laschen auf dem Drehzapfen sitzende Hebel betätigen. Ein Servomotor schließt selbsttätig die Leitvorrichtung, wenn die Periodenzahl des Drehstroms unter ein zulässiges Maß fällt. Die Schließbewegung wird durch einen Fliehkraftregler, der synchron mit der Periodenzahl umläuft, eingeleitet. Bei der neunstufigen Speicherpumpe für 8000 PS aus der Werkstatt der gleichen Firma für das Kraftwerk Tremorgio⁵⁾ ist auf eine Verstellung der Leitschaufeln verzichtet worden. Der Achsschub wird durch eine besondere⁶⁾ Entlastungseinrichtung der Firma, die am Druckende eingebaut ist, ausgeglichen.

Mit der Zunahme der Größe der Dampfkesselheizfläche hat sich die Hochdruck-Kreiselpumpe als

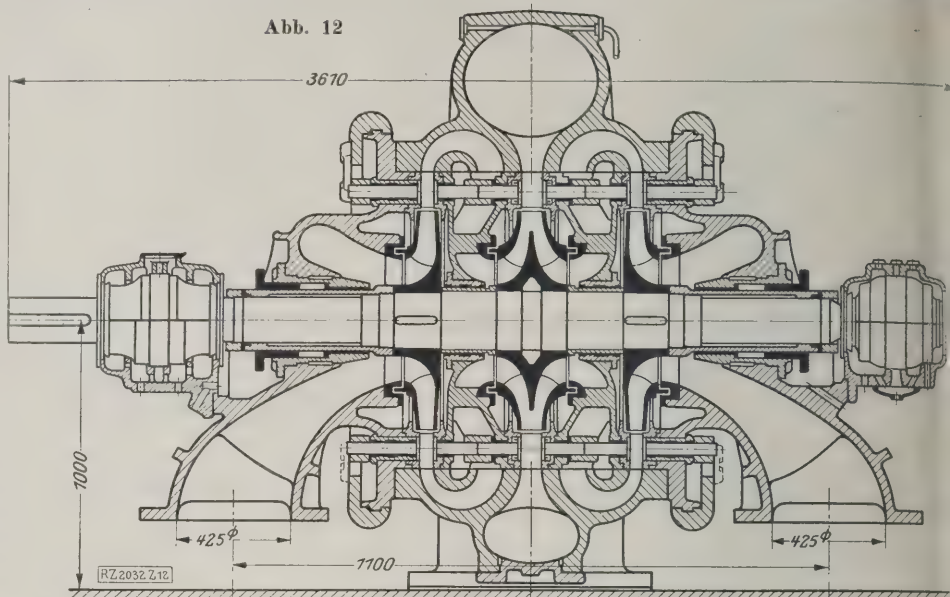
Kesselspeisepumpe

mehr und mehr Eingang verschafft, da sie vor der Kolbenpumpe den Vorteil des bequemen Antriebes, geringen Platzbedarfs, des reinen Abdampfes für den Fall des Dampftriebes und nicht zum wenigsten die Möglichkeit der Förderung entgasteten Speisewassers, infolge Wegfalls der Windkessel, voraus hat. Um die Gefahr des Eindringens von Luft durch die Stopfbüchsen zu beseitigen und jederzeit ihre Betriebsbereitschaft zu sichern, läßt man das Wasser der Pumpe mit Gefälle zulaufen. Das ist bei der Förderung von Heißwasser schon allein zur Vermeidung der Hohlraumbildung stets zu fordern. Dabei muß allein die geodä-

tische Zulaufhöhe ausreichen, um die Widerstände zum Einlauf in das erste Rad zuzüglich der Geschwindigkeitshöhe der früher besprochenen⁷⁾ Übergeschwindigkeiten am Eintritt des Laufkanals, die mit der Förderhöhe stark wachsen, zu überwinden, auch wenn, wie bei Heißwasser, der Dampfdruck über dem Saugwasserspiegel größer als der Atmosphärendruck ist.

Bei der Förderung von Heißwasser über 100 °C die genügende Kühlung der Stopfbüchsen eine Lebensfrage der Pumpe, weil das aus der Stopfbüchse austretende Undichtheitswasser andernfalls große Dampfmengen entwickelt⁸⁾. Die mit einer möglichst langen Drosselstrecke versehene Stopfbüchse erhält entweder Oberflächenkühlung, die mit einer Anzapfung des Undichtheitsstroms verbunden sein kann, oder es wird Kühlwasser unmittelbar in den Packungsraum geleitet, wie bei der Firma Sulzer durch die durchbohrte Welle zwischen beiden Wellenenden aus geschieht, so daß auch die Motowelle durchbohrt werden muß. Um die Stopfbüchse der Druckseite und insbesondere das Organ, für den Achsschubausgleich mit seinem bedeutenden und deshalb schwer zu kühlenden Undichtheitswasser zu vermeiden, bildet Escher, Wyß & Cie. die Pumpe gemäß Abb. 14 mit gegenläufigen Rädern aus. Die Wasserführung ist a

Abb. 12



³⁾ Z. Bd. 73 (1929) Nr. 4 S. 126.

⁸⁾ Vergl. Weyland, Z. Bd. 72 (1928) S. 317; ferner Knörlein, „Wärme“, 1. Jahrg. (1928) Nr. 41 S. 770 ff.

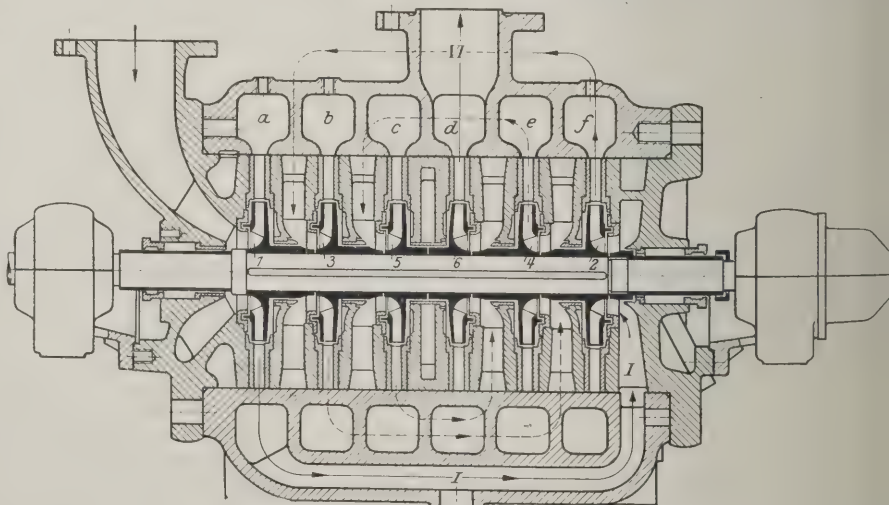


Abb. 14

Sechsstufige Kesselspeisepumpe der Firma Escher, Wyß & Cie. mit gegenläufigen Rädern 1 bis 6.

³⁾ Vergl. Z. Bd. 67 (1923) S. 827, ferner Zeitschr. f. d. ges. Turbinenwesen Bd. 4 (1 07) S. 329, Schweiz. Bauzeitg. Bd. 76 (1 20) S. 129, Z. Bd. 60 (1 16) S. 314 u. f., „Le Génie Civil“ Bd. 84 (1-24) Nr. 2 S. 29, Bd. 86 (1-25) Nr. 19 S. 449.

⁴⁾ Z. Bd. 73 (1929) Nr. 4 S. 129; vergl. a. Z. Bd. 68 (1 24) S. 1161 u. f. sowie Escher-Wyß-Mitteilungen 1928 Nr. 3.

⁵⁾ Z. Bd. 71 (1-27) S. 1169.

⁶⁾ Pfleiderer, Die Kreiselpumpen S. 250.



Abb. 12 und 13

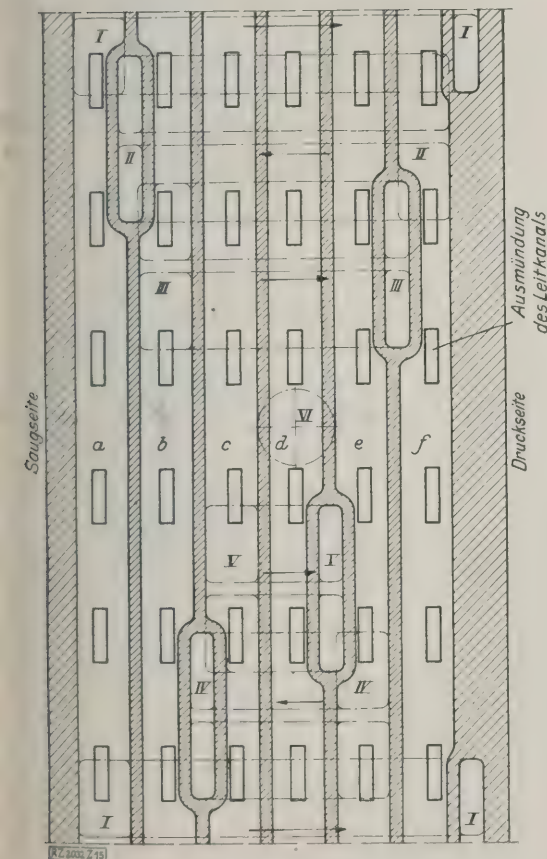
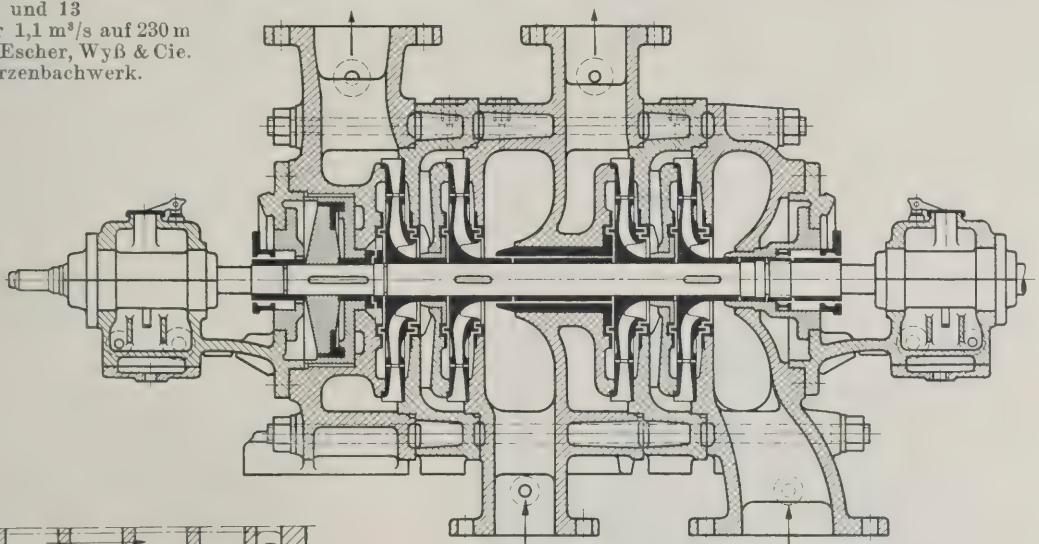
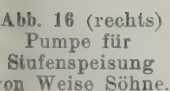


Abb. 15

Die heute üblichen hohen Kesseldrücke in Verbindung mit der Vorwärmung des Wassers durch Anzapfdampf oder im Rauchgasvorwärmer, wobei letzterer, wenn er aus Guß-

Kesselspeisepumpen, die unter gewissen Umständen nur mit einem Bruchteile der normalen Fördermenge belastet sind, zeigen bisweilen ein ungleichmäßiges Arbeiten^{8a)}, das sich in regelmäßig wiederkehrenden Schwankungen der Wasserlieferung oder sogar in starken Schlägen der Speiseleitung äußert. Diese Erscheinung, die man häufig an Kreiselverdichtern, aber sonst nicht an

^{8a)} Vergl. die in Anm. ¹⁾ erwähnte Arbeit S. 144 u. f.

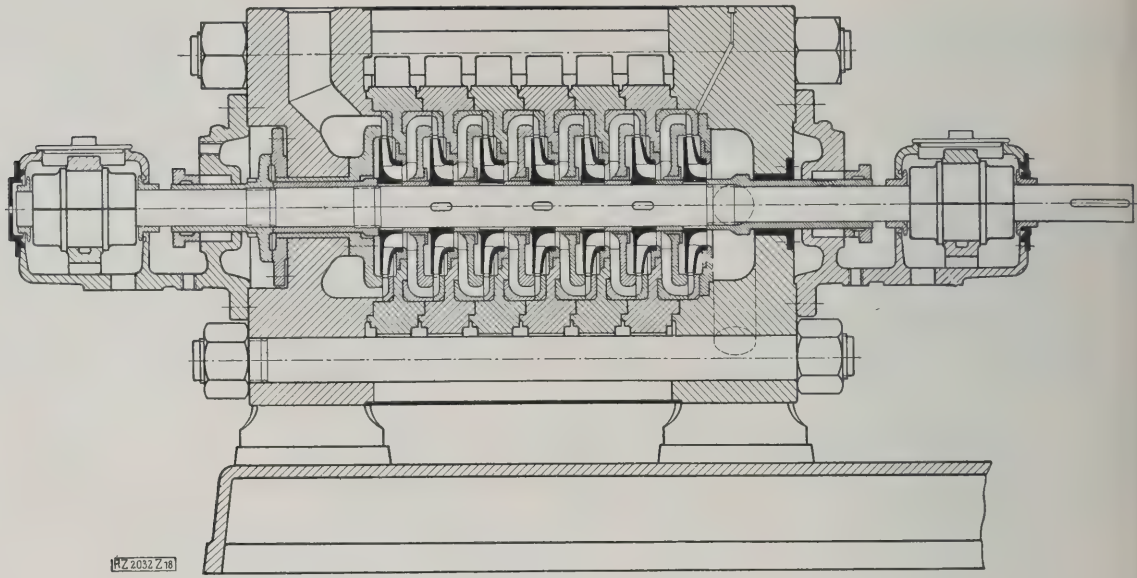


Abb. 18
Schnitt durch ein Gehäuse der Preßwasserpumpe von 2 × 9 Stufen für 80 m³/h auf 2300 m bei 4520 U/min von Klein, Schanzlin & Becker.

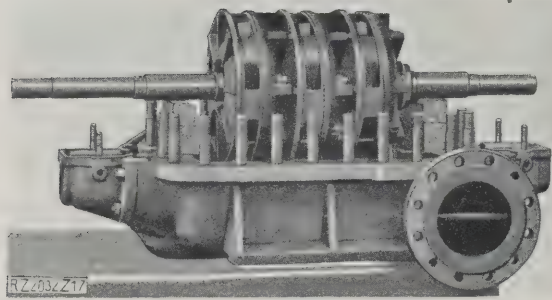


Abb. 17
Dreistufige Kesselspeisepumpe für 7,5 m³/min auf 285 m auf 28,5 at bei 2600 U/min und 130 °C Wassertemperatur, erbaut von C. H. Jaeger & Co.

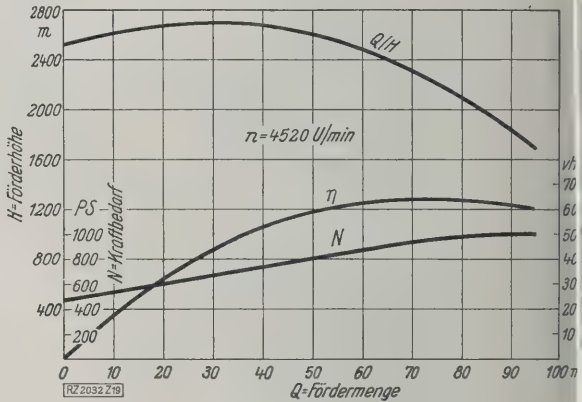


Abb. 19
Kennlinien der 2 × 9stufigen Preßwasserpumpe nach Abb. 18.

Kreiselpumpen mit der gewöhnlichen Druck-Volumen-Linie (Drossellinie), die eine wagerechte Tangente hat, beobachtet, entsteht hier dadurch, daß die Speiseleitungen mit ihren zahlreichen federnden Krümmungen, Ausgleicheinrichtungen für Wärmedehnung und den eingeschalteten schmiedeisernen Vorwärmern eine hohe Elastizität haben und dadurch wie Energiespeicher wirken. Der Kesselinhalt selbst dürfte trotz seines großen Speichervermögens nur in verschwindendem Maße mitwirken, weil er durch ein Drosselorgan von der Speiseleitung abgetrennt ist. In solchen Fällen empfiehlt es sich, Drosselkurven der Pumpen ohne wagerechte Tangente, also ohne labilen Zweig anzustreben.

Wie schon oben erwähnt, hat sich bei Kesselspeisepumpen auch die wagerechte Gehäuseeteilung eingebürgert. In Abb. 17 ist das Bild einer dreistufigen Jaeger-Pumpe für 7,5 m³/min auf 285 m Höhe bei 2670 U/min und 130 °C Wassertemperatur wiedergegeben.

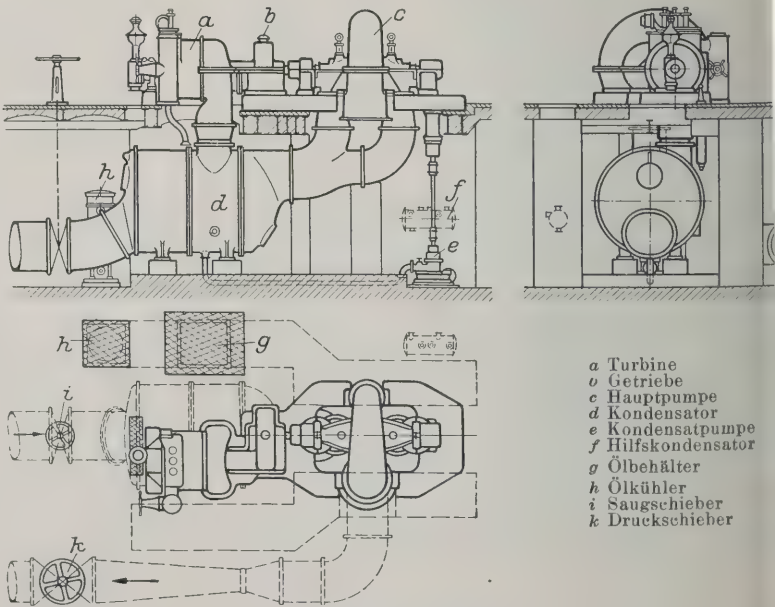


Abb. 20 bis 22
Getriebe-Dampfturbopumpe der AEG.

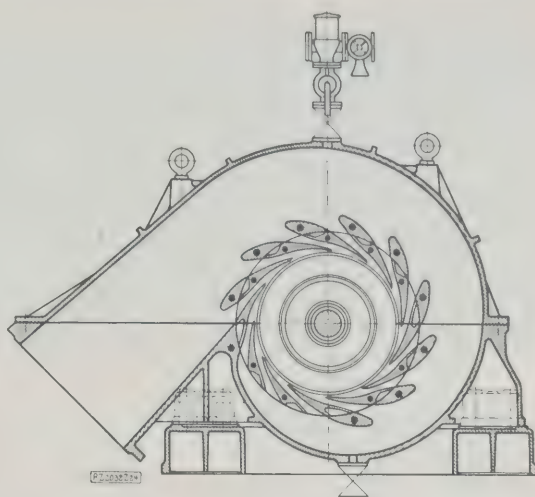
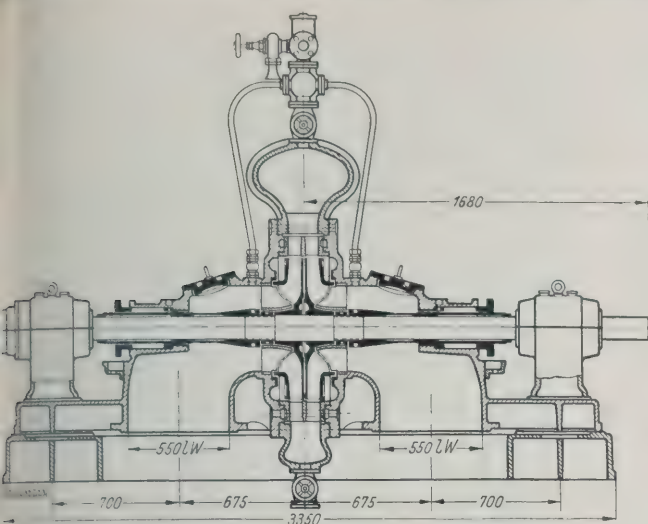


Abb. 23 und 24. Durch Dampfturbine angetriebene Wasserwerkpumpe der Firma AMAG-Hilpert für das Hamburger Wasserwerk. Leistung $4000 \text{ m}^3/\text{h}$ auf 60 m bei 855 U/min der Pumpe und 5400 U/min der Dampfturbine.

Die größten Drücke kommen bei der

Druckwassererzeugung

Eine solche Pumpe für große Leistung nach einer Ausführung von Klein, Schanzlin & Becker ist in Abb. 18 im Schnitt wiedergegeben. Zwei solcher Gehäuse mit neun Stufen werden hintereinandergeschaltet und fördern $80 \text{ m}^3/\text{h}$ auf 2300 m bei 4520 U/min . Saug- und Druckdeckel, ebenso die Zwischenglieder sind aus Siemens-Martin-Stahl geschmiedet. Die Laufräder bestehen aus Stahlguß und die Leiträder aus Tiegelguß. Die Lager haben Druckölschmierung. Zum Antrieb dient ein Drehstrommotor mit zwischengeschaltetem doppelten Zahnradgetriebe. Die Kennlinien der Pumpe sind in Abb. 19 zu ersehen.

Die mit Dampfturbinen angetriebenen

Wasserwerkumpen

haben durch die Vervollkommenung der raschlaufenden Zahnradgetriebe hinsichtlich des Dampfverbrauchs erheblich gewonnen, da sowohl Turbine wie Pumpe bei der

günstigsten Drehzahl laufen können. Abb. 20 bis 22 geben einen Überblick über die Gesamtanordnung und die Wasserführung bei einer solchen Anlage nach einer Ausführung der AEG⁹⁾. Die Pumpe, die in Abb. 23 und 24 nach einer Ausführung der AMAG-Hilpert-Pegnitzhütte, Nürnberg, gezeichnet ist, wird nicht mehr nach Mehrstromanordnung, d. h. mit mehreren parallel geschalteten Rädern kleiner Abmessung ausgeführt, sondern erhält im vorliegenden Fall ein einziges Rad mit reichlich großen Kanälen, also gutem Wirkungsgrad. Als spezifische Förderleistung sind mit einem solchen Maschinensatz im Hamburger Wasserwerk¹⁰⁾ 60 mt für 1 kg Dampf von 15 at Überdruck und 350° erreicht worden, so daß der Dampfverbrauch dem der besten Kolbenmaschinen entspricht. Auch die mehrstufige Anordnung ist selbst bei großen Wasserlieferungen im Gebrauch, wie Abb. 25, eine zweistufige Pumpe der Maffei-Schwartzkopff-Werke, erkennen läßt. Bemerkenswert ist

⁹⁾ Die Bauart der AEG-Wasserwerkumpen ist in Z. Bd. 70 (1926) S. 1523 eingehend beschrieben worden.

¹⁰⁾ Vergl. den Bericht von Holthusen und Schröder in „Industrie-Bibliothek“ 4. Jahrg. Bd. 25 (1-28) S. 45.

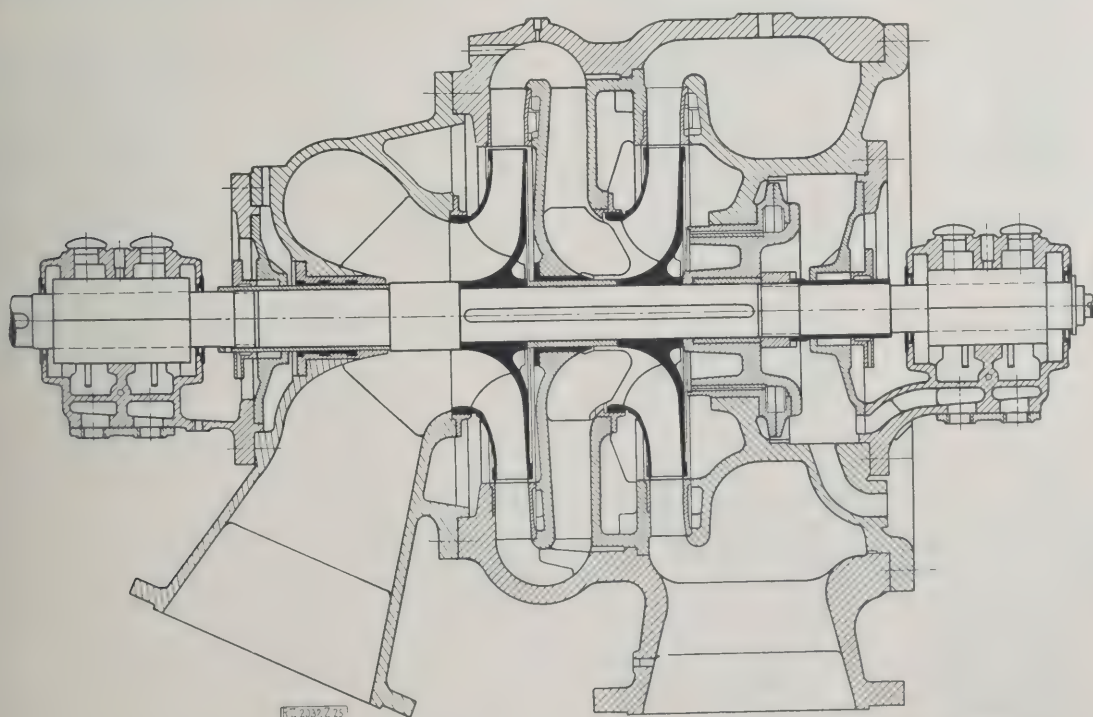


Abb. 25. Pumpe der Maffei-Schwartzkopff-Werke für Antrieb durch Dampfturbine und Getriebe; $25 \text{ m}^3/\text{min}$ auf 120 m bei 985 U/min .

bei diesen Pumpen die Ausführung der Räder mit doppelt gekrümmten Schaufeln, die mit Rücksicht auf die verhältnismäßig große Stufenförderhöhe in Verbindung mit der vorliegenden Saughöhe geboten erscheint.

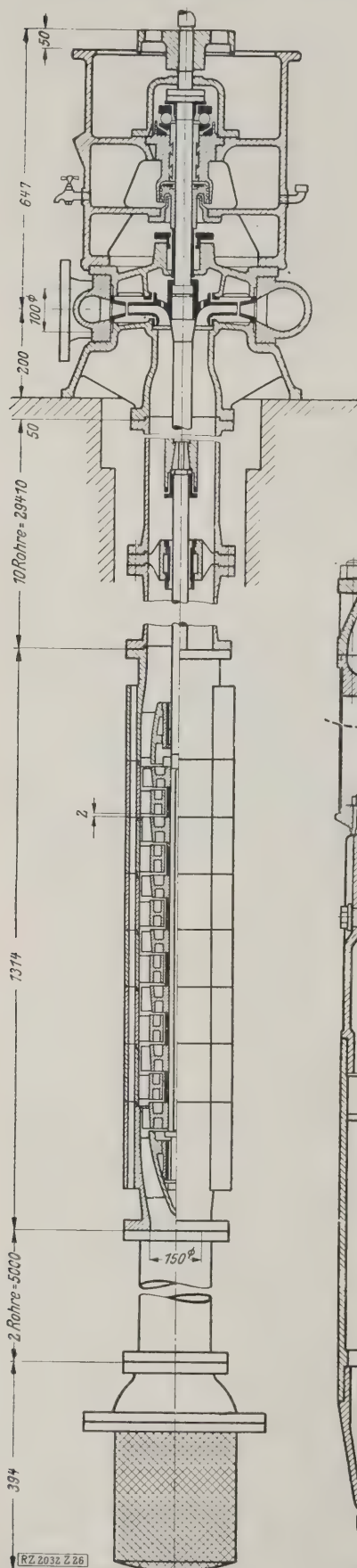
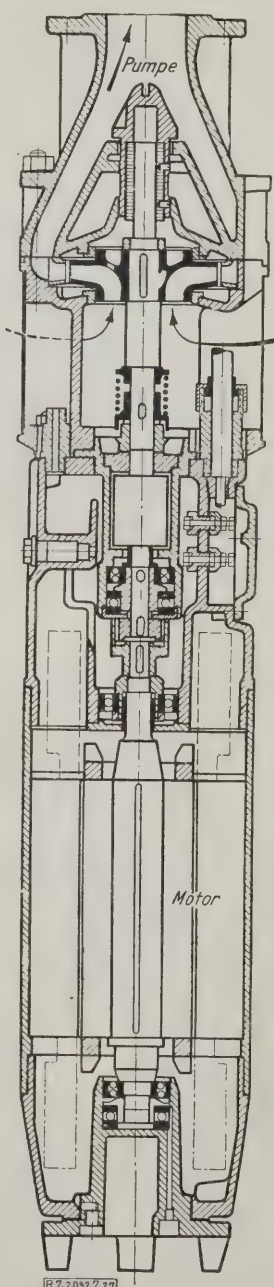


Abb. 26 (links)
Bohrlochpumpe von
Escher, Wyß & Cie. mit
sieben axial beaufschlagten Stufen der
Zubringerpumpe.

Abb. 27 (unten)
Unterwasserpumpe
der Garvenswerke,
Hannover-Wülfel, für
ein enges Bohrloch.



Werden Pumpen, die für Wasserversorgung von Gemeinden oder Einzelgehöften bestimmt sind, elektrisch getrieben, so gestattet die Einfachheit der Kreiselpumpenanwendung bedienungslosen Betriebes, wobei für kleine Leistungen sowohl das An- und Abstellen (vollselbsttätig) bei mittleren und großen Leistungen nur das Abstellen des Motors (halb selbsttätig) durch einen Schwimmer ein Manometer veranlaßt wird.

Bei

Tiefbrunnenpumpen

wird die lichte Weite des Bohrloches durch den Gesamtdurchmesser der Bohrlochpumpe bestimmt, der deshalb möglichst klein zu halten ist. Dementsprechend müssen die Laufräder mit geringer radialer Erstreckung ausgeführt werden. Die Firma Sulzer unterteilt deshalb häufig die Wassermenge, indem sie einmal doppelseitig beaufschlagte Laufräder und außerdem zwei parallel geschaltete Pumpen in einer Gehäuse anwendet¹¹⁾. Bei besonders engen Löchern geht man heute auch zur axialen Beaufschlagung, die den kleinstmöglichen Durchmesser ergibt, wobei man eine Vergrößerung der Stufenzahl und eine Verschärfung des Wirkungsgrades mit in den Kauf nehmen muß. In Abb. 26 ist eine solche Ausführung von Escher, Wyß & Cie. mit sieben axial beaufschlagten Stufen der Zubringerpumpe dargestellt. Die einstufige Hauptpumpe sitzt am oberen Ende der Welle außerhalb des Brunnschachtes.

Eine besondere Ausbildung erfordern

die beweglichen Abteufpumpen,

die zum Abteufen neuer Schächte oder zum Auspumpen soffener Schächte dienen. Diese Pumpen werden meist mit dem Motor in einem kräftigen Rahmen aus Stahl untergebracht, der frei im Schacht hängt. Dabei besteht die Notwendigkeit, den Rahmen entsprechend den Schwankungen des Wasserspiegels zu heben und zu senken, einerseits ein Ersaufen des Motors, andererseits ein Überspringen der größtmöglichen Saughöhe zu verhindern. In dieser Beziehung bedeuten die Unterwasserpumpen der Garvenswerke, Hannover¹²⁾, einen beachtlichen Fortschritt, weil dort das Motorgehäuse als luft- oder gaserfüllte Tauchglocke ausgebildet ist. Der Druck in dieser Glocke wird von einem über Tage befindlichen Druckregler in Verbindung mit einer Luftpumpe oder einem Windkessel selbsttätig entsprechend der Eintauchtiefe so eingestellt, daß kein Wasser in das Motorgehäuse gelangen kann. In Abb. 27 zeigt die Ausführung dieser Pumpe für den Fall eines sehr engen Bohrloches, wobei der Motor unterhalb der Pumpe sitzt, damit die Rohrführung nicht gestört wird. Der Motor muß mit kleinem Durchmesser in gestreckter Sonderform ausgeführt werden.

Es sei hier noch bemerkt, daß die Garvenswerke auch das Conti-Gummilager¹³⁾, das in Amerika entstanden ist, ausführen, bei dem die Lagerbüchsen aus Bronze mit einer hochelastischen Gummischicht ausgekleidet sind. Die Lager werden mittels tiefer Spiralnuten durch Wasser geschmiert, was das mechanisch verunreinigt sein darf, und sollen sich durch lange Lebensdauer, geringer Reibung und Dämpfungsfähigkeit gegen Schwingungen auszeichnen. Der gemeinen Anwendung dieser Gummilager steht aber verhältnismäßig hoher Preis noch im Wege.

Selbstansaugende Kreiselpumpen

Die Kreiselpumpe hat gegenüber der Kolbenpumpe den Nachteil, daß sie vor der Inbetriebsetzung mit Wasser angefüllt werden muß und beim Eindringen von Luft die Saugleitung leicht versagt. Dieser Mangel tritt bei solchen Verwendungszwecken, wo es sich um rasche Inbetriebsetzung oder um selbsttätiges An- und Abstellen handelt, besonders stark in die Erscheinung. Hier ist es möglich geworden, durch Vorschalten einer Wasserring-Luftpumpe, die zuerst von den Siemens-Schuckertwerken, Berlin, ausgeführt worden ist und als reine, nur zum Teil beaufschlagte Kreiselpumpe arbeiten kann, Abhilfe zu schaffen¹⁴⁾. Die Arbeitswe-

¹¹⁾ Z. Bd. 57 (1913) S. 323, insbesondere Abb. 5.

¹²⁾ Z. Bd. 72 (1928) S. 441.

¹³⁾ DRP Nr. 381 475.

¹⁴⁾ Vergl. Neumann, Z. Bd. 70 (1926) S. 1573.

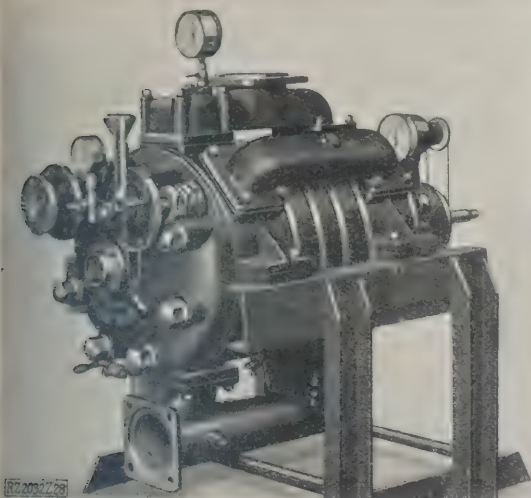


Abb. 28

Selbstansaugende Feuerlöschpumpe der AMAG-Hilpert-Pegnitzhütte für Wechselschaltung; Leistung bei Parallelschaltung der Laufräder 400 l/min auf 50 m, bei Hintereinanderschaltung 200 l/min auf 100 m bei 1850 U/min.



Abb. 29

Laufrad und Gehäuse der Schraubenpumpe Myria von Weise Söhne.

eser Wasserring-Luftpumpe kann hier als bekannt vorausgesetzt werden.¹⁵⁾ Sie gestattet, die der Wassertemperatur entsprechende Luftleere zu erreichen. Abb. 28 zeigt eine selbstansaugende Feuerlöschpumpe der Firma Amag-Hilpert-Pegnitzhütte, die gleichzeitig als Schaltpumpe ausgebildet ist in der Weise, daß durch Betätigen des Handrades die vier Laufräder sowohl hintereinander als auch zu je zweien parallel arbeiten können. Diese Pumpe wird auf Fahrzeugen und Feuerlöschbooten verwendet.

Auch die

Schraubenpumpe,

ie zuerst von Weise Söhne in der bekannten Form¹⁶⁾ der Myriapumpe eingeführt worden ist, und von der Abb. 29 in Bild des Laufrades mit Gehäuse wiedergibt, eignet sich zum selbsttätigen Ansaugen des Wassers auf eine Höhe bis zu 2 m, sofern durch eine Führung der Abgleitung, wie sie Abb. 30 erkennen läßt, dafür gesorgt wird, daß immer eine gewisse Wassermenge in der Pumpe zurückbleibt. Das Laufrad arbeitet dann offenbar als Förderschnecke, wobei die Luft zwischen Wasserkolben eingeschlossen ist. Infolge ihrer weiten Kanäle ist sie auch als Schlammpumpe und über-

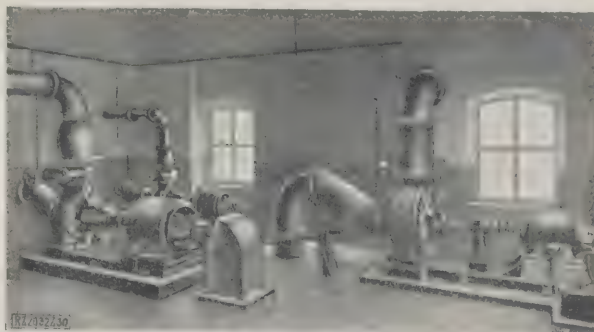


Abb. 30

Drei Myria-Schraubenpumpen, selbstansaugend, ohne Fußventil, in einer Zuckerfabrik zur Förderung der Abwässer aus der Rübenwäsche.

haupt zur Förderung von breiigen und ätzenden Flüssigkeiten (Papierstoff) geeignet. Werden nur zwei Schaufeln eingebaut, so kommt sie auch für sehr grobe Verunreinigungen (Rübenschnitzel, Kanalwasser) in Betracht. In Abb. 31 ist eine Myriapumpe, die zur Erhöhung der Schnellläufigkeit mit doppelseitigem Einlauf versehen ist, wiedergegeben.

Abb. 32 zeigt eine ähnlich gebaute Schraubenpumpe von Klein, Schanzlin & Becker. Das Diagramm, Abb. 33, läßt erkennen, daß sie mit sehr gutem Wirkungsgrad arbeitet. Das Wasserlager dicht hinter dem Rad soll bei Förderung unreiner Flüssigkeiten von dem Ringraum aus mit Reinwasser gespült werden. Wegen der kurzen Schaufeln dürfte die Fähigkeit, selbsttätig anzusaugen, fehlen.

Eine ausgesprochene

Säurepumpe

ist die stopfbüchsenlose Pumpe der Rheinhütte, G. m. b. H., Biebrich, deren Vertrieb in den Händen von Weise Söhne liegt. Abb. 34 gibt einen Schnitt durch die Pumpe wieder. Der Baustoff besteht aus einer dem jeweiligen Zweck angepaßten Eisenlegierung. Der Verzicht auf die Stopfbüchse soll dadurch möglich sein, daß an einem kurz vor den Laufschaufeln befindlichen Spalt eine gewisse, wenn auch geringe, Ejektorwirkung von der Strömung erzeugt wird, die auf die Durchgangsstelle der Welle durch das Gehäuse, d. h. auf die Stelle übertragen wird, wo sonst die Stopfbüchse sitzt. Die Abdichtung bei Stillstand führt ein federbelastetes Ventil herbei, das im Betrieb durch einen in das Lager eingebauten Fliehkraftregler von seinem Sitz abgehoben wird. Um die Zugänglichkeit der Innenteile zu erleichtern, sind sowohl der Saug- wie auch der Druckstutzen am Gehäuse angeschlossen, so daß beim Öffnen des in Scharnieren schwenkbaren Deckels keine Rohrleitung abgenommen zu werden braucht. Die gleiche Pumpe wird auch als Zementschlammpumpe benutzt, wobei aber die das Schaufelrad umgebenden Wände durch austauschbare Verschleißplatten geschützt sind.

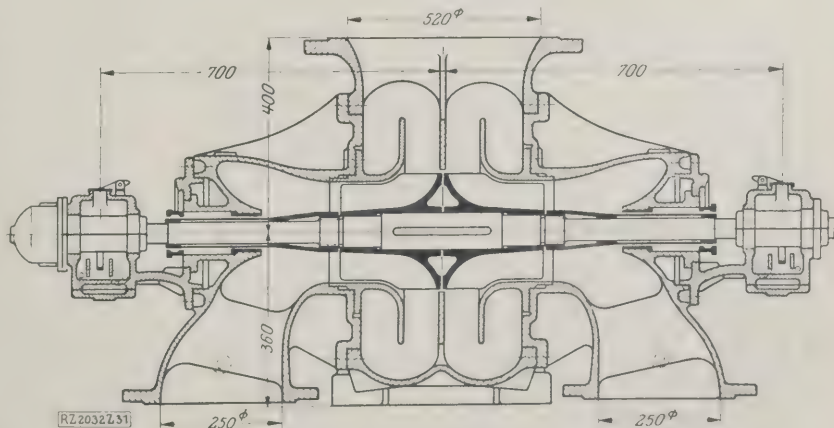


Abb. 31

Schraubenpumpe Myria von Weise Söhne mit doppelseitigem Einlauf.

¹⁵⁾ Z. Bd. 67 (1 23) S. 875.
¹⁶⁾ Z. Bd. 67 (1 23) S. 802. Diese Art Schraubenpumpen mit radialer Wasserführung weisen aus den S. 178 angegebenen Gründen eine wesentlich geringere Schnellläufigkeit auf als die Propellerpumpen, Abb. 3 bis 5.

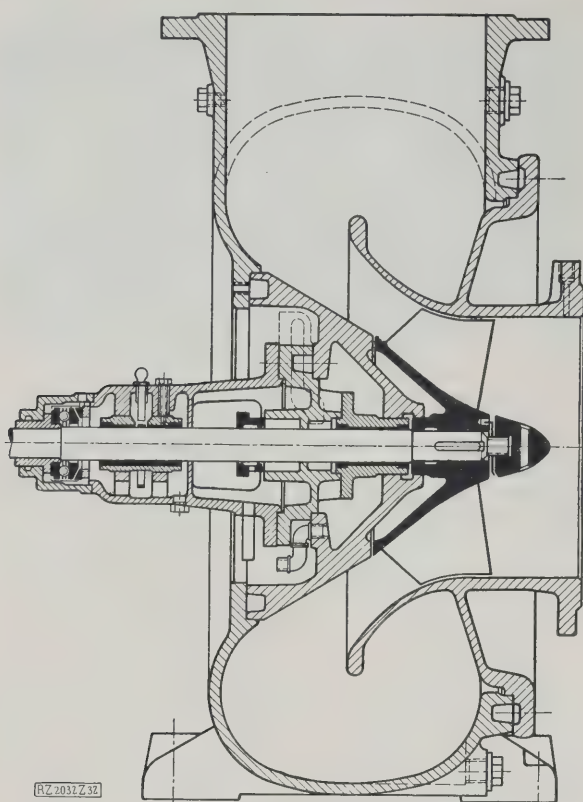


Abb. 32
Schraubenpumpe von Klein, Schanzlin & Becker.

Säurepumpen in vervollkommneter Ausführung baut auch die AMAG-Hilpert-Pegnitzhütte. Die Bauweise zeigt Abb. 35. Der Baustoff der Pumpe besteht, soweit er mit der Säure in Berührung kommt, aus dem Thermisilid von Fried. Krupp, A.-G., Essen, einer Eisen-Silizium-Legierung mit 18 vH Si-Gehalt, bei der ein vollständig gleichmäßiges und dichtes Gefüge erreicht ist. Thermisilid ist zwar schwer zu bearbeiten, aber gegen Schwefel- und Salpetersäure, sowie die meisten organischen Laugen außerordentlich widerstandsfähig. Außer der doppelwirkenden und entlasteten Stopfbüchse ist kein Dichtungsstoff verwendet. Diese Stopfbüchse wird aber auch hier dadurch entlastet, daß die Öffnungen des Laufrades als Axialschaufeln ausgebildet sind. Die Eisenteile sind sorgfältig vor der Berührung mit der Säure geschützt. Die gleiche Firma stellt auch Säurepumpen nebst den zugehörigen Armaturen aus V2 A-, V4 A- und V6 A-Stahl der Firma Krupp her. Der geeignete Werkstoff muß in jedem einzelnen Fall auf Grund besonderer chemischer Untersuchung ausgewählt werden.

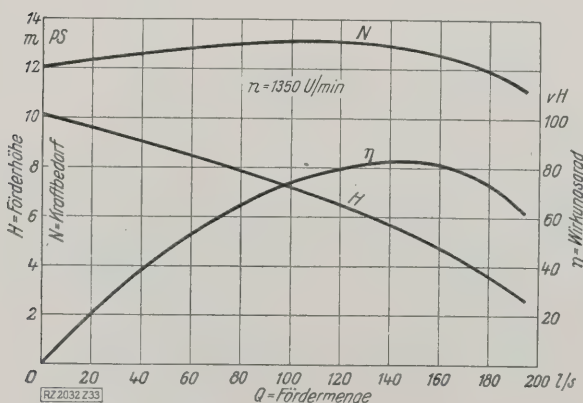


Abb. 33
Kennlinien einer Schraubenpumpe für 250 kW
nach Abb. 32.

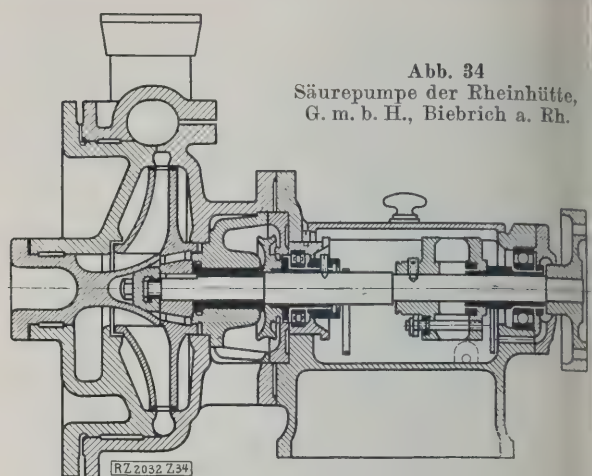


Abb. 34
Säurepumpe der Rheinhütte,
G. m. b. H., Biebrich a. Rh.

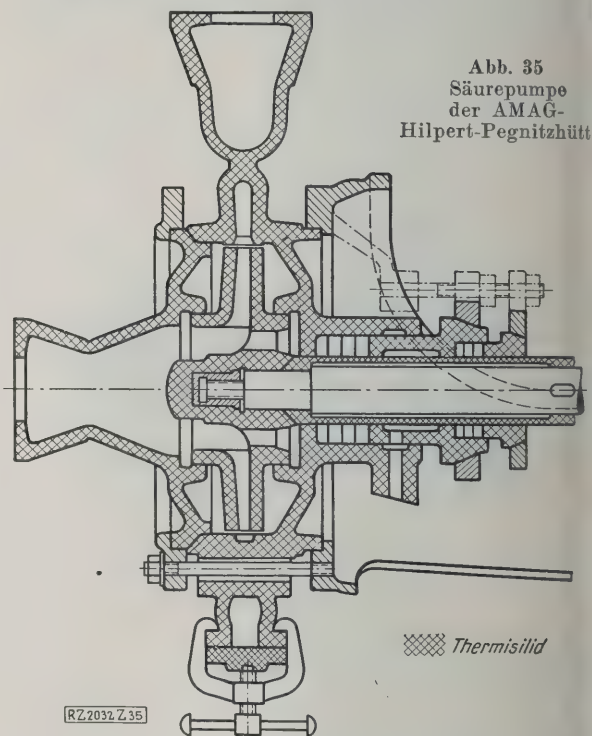


Abb. 35
Säurepumpe
der AMAG-
Hilpert-Pegnitzhütte

Der Vollständigkeit halber sollen auch die
Pumpen aus Steinzeug

(Deutsche Ton- und Steinzeug-Industrie A.-G., Charlottenburg) erwähnt werden, die insofern eine gewisse Bedeutung beanspruchen dürfen, als man heute in der Lage ist, keramische Massen mit fast 7000 kg/cm² Druckfestigkeit¹⁷⁾ herzustellen, diese in Eisenmäntel einzupanzern und Steinzeug gut gegen Säure (ausgenommen Flußsäure) fest ist. Ebenso sind auch Metallauskleidungen aus Gummi (Gummiwerk Ernst Kniepert, Löbau i. Sa.) oder Blei im Gebrauch.

Forschung

Neben den bisher besprochenen wissenschaftlichen und baulichen Gesichtspunkten kommt auch der versuchs-technischen Seite gerade bei den Kreiselpumpen eine große Bedeutung zu. Die zweckmäßige Einrichtung des Versuchstandes und eine wissenschaftlich einwandfreie Durchführung der Versuche sind für die Gewinnung neuer sicherer Erkenntnisse sehr wesentlich. Auch in dieser Beziehung ist im Laufe der letzten Jahre viel geschehen. Auf Anregung des Vereines deutscher Ingenieure haben sich ferner die beteiligten Kreise zur Aufstellung von Regeln für Leistungsversuche an Kreiselpumpen, die auch wichtige, genau umrissene Angaben über die Versuchsanordnung und Durchführung enthalten, entschlossen. Di-

¹⁷⁾ F. Singer, Z. Bd. 71 (1927) S. 122, W. Demuth, a. a. O. S. 1560.

technische Seite wird zur Zeit weiter verfolgt und be-
trachtet in dem ebenfalls vom Verein deutscher Ingenieure
organisierten Hydraulikausschuß und dem Aus-
schuß für Strömungsmesser, und es ist mit Be-
sonntheit aus diesen Arbeiten eine Klärung dieser für den
Fortschritt im Kreiselumpenbau so sehr wichtigen Fragen
zu erwarten.

Der vorstehende Überblick über den gegenwärtigen
Stand des Kreiselumpenbaues könnte noch in mancher Be-
ziehung vervollständigt werden, aber mit Rücksicht auf den
verfügbaren Raum mußte eine gewisse Beschränkung statt-
finden. Der Fortschritt, der sich sowohl im Wirkungsgrad
als in erhöhter Betriebsicherheit, Bewältigung neuer

schwieriger Aufgaben ausdrückt, dürfte aus dem Gesagten
deutlich hervorgehen. Er wäre gerade auf diesem Gebiete
ohne die wissenschaftliche Vertiefung des Ingenieurs nicht
möglich gewesen. Im Hinblick auf die recht zahlreichen
wichtigen Fragen, die gerade im Kreiselumpenbau noch der
Lösung harren, ist der beteiligten Industrie zu wünschen,
daß sie die Notwendigkeit des Zusammenwirkens von Wis-
senschaft und Praxis, insbesondere die Notwendigkeit
der Verwendung wissenschaftlich hochwertiger Kon-
strukteure klar erkennt, damit Deutschland auf diesem
wichtigen Industriezweig seine führende Stellung gegen-
über dem vielfach unter günstigeren Bedingungen arbei-
tenden Auslande behauptet. [B 2032]

Holztränkung im Bergbau

Das im Bergbau verwendete Holz findet in den feucht-
warmen Wettern unter Tage die für eine lange Standdauer
günstigsten Bedingungen vor. Gerade in Temperaturen
zwischen 20 und 24° und bei einem Mindestfeuchtigkeits-
gehalt der Wetter von 70 vH, der besonders in den aus-
trocknenden Wetterstrecken anzutreffen ist, gedeihen die Holz-
pilze am besten. Zur Bekämpfung des schädlichen Pilz-
wuchses des Grubenholzes werden gewöhnlich pilztötende
organische oder anorganische Giftstoffe in das Holz ein-
geführt¹⁾.

Entsprechend dem Aufbau des Kiefernholzes, das im
Bergbau am meisten angewendet wird, ist eine Durchträn-
kung des Holzes im günstigsten Falle nur bis an den
Kern heran möglich. In vielen Fällen werden die Lösun-
gen in axialer Richtung nur wenig eindringen und nur eine
geringe Splintdurchtränkung ermöglichen. Technisch sind
zwei Tränkverfahren zu unterscheiden: die Tauchträn-
kung und die Drucktränkung. Bei der Tauchtränkung wird
das Holz in der gewöhnlich auf etwa 80° erwärmten Tränk-
flüssigkeit längere Zeit untergetaucht; hierbei wird an Stelle
des z. T. entweichenden Luft Tränkflüssigkeit in das Holz
eingebracht. Die im Holz verbleibende Luft legt sich wie ein
Haut um das Innere des Holzes und gestattet nur eine
geringe Durchtränkung der äußeren Schichten des Holzes. Dieser
Schutzring wird dann leicht durch Bearbeitung des
Holzes oder Entstehen von Trockenrissen unterbrochen, so
daß die Pilze frische Angriffsflächen finden.

Diesen Nachteil will man bei den Druckverfahren ver-
meiden, bei denen man die Widerstände, die durch das
Eindringen von restlicher Luftmengen im Holz entstehen,
durch Anwendung von Druck überwindet. Hierdurch er-
reicht man gegenüber bloßer Tauchtränkung einen fast
zweifachen höheren Fäulnisschutz. Bei der Verwendung von
Kochsalz (mit mindestens 6 vH sauren Bestandteilen, von
denen die fäulniswidrige Wirkung hauptsächlich ausgeht) als
Tränkmittel wird gewöhnlich mit sogenannter Spar-
tränkung gearbeitet, bei der man das Holz zunächst einem
Vakuumdruck von 4 at aussetzt, so daß sich die Zellen-
räume mit Druckluft füllen. Hierauf wird das Teeröl mit
bis 8 at in das Holz eingepreßt und nach der Entspannung
das nicht aufgenommene und überschüssige Öl durch die
Vakuumluft im Innern des Holzes wieder herausgepreßt. Es
lassen sich hierdurch 60 vH Teeröl gegenüber der Voll-
tränkung einsparen. Trotz guter fäulniswidriger Eigen-
schaften hat das Teeröl jedoch für den Grubenbetrieb ver-
schiedene Nachteile, u. a. Wetterverschlechterung, Er-
höhung der Brandgefahr. Im Gegensatz zur Teeröltränkung
wird bei der Tränkung mit Salzen das Holz zur Entfernung
der Luft zunächst einem Unterdruck ausgesetzt und hierauf
eine Salzlösung mit 5 bis 8 at in das Holz getrieben. Hier-
durch wird eine vollständige Tränkung des Holzes erreicht,
die bis auf den Kern vordringt.

Von den wasserlöslichen Tränkmitteln werden im Berg-
bau angewendet: Kochsalz, Zinkchlorid, Sublimat, Basilit,
Triolith und Glückauf-Basilit. Bei der Verwendung von
Kochsalz und Zinkchlorid wird mit konzentrierter Lösung
getränkt. Trotz des durch den starken osmotischen Druck be-
dingten hohen absoluten Hemmungswertes des Kochsalzes
läßt sich wegen der leichten Auslaugbarkeit des Salzes nur
eine Verdoppelung der Lebensdauer der Hölzer erreichen.
Das Zinkchlorid wird in der Hauptsache in den Vereinigten

Staaten von Amerika angewendet und ist im Jahre 1925 in
einer Menge von 11 800 t zur Holztränkung benutzt worden²⁾.
Das sehr giftige Sublimat wird in einer Lösung (0,66 vH)
zur Tränkung verwendet und hat die größte pilzwidrige
Wirkung. Es läßt sich überdies infolge chemischer Bindung
an die Holzmasse nur schwer auslaugen³⁾. Da das Subli-
mat sich durch Eisen zersetzt, wird bei gemischtem Ausbau
(Holzstempel mit Eisenkappe) der Fäulnisschutz an diesen
Stellen schnell verlorengehen und bereits nach kurzer Zeit
ein Abfaulen der Stempelköpfe eintreten.

Das aus 89 vH Natriumfluorid und 11 vH Dinitrophenol-
anilin bestehende Basilit wird in einer Lösung von 2 vH
angewendet. Das stark pilzwidrige Dinitrophenolanilin
reichert sich infolge chemischer Bindung mit der Holz-
masse im äußeren Teil an, wodurch von außen angreifende
Holzerstörer abgehalten werden, während das Natrium-
fluorid bis auf den Kern vordringt und in diesem während
der Standdauer des Holzes noch 1 bis 2 mm hineinzudiffun-
dieren vermag. Das Ostro-Verfahren will durch eine punkt-
weise Stichimpfung das pilztötende Dinitrophenol möglichst
bis zum Kern im Holz verteilen und durch anschließende
Behandlung mit Teeröl eine Splinttränkung erreichen. Das
ebenfalls in einer Lösung von 2 vH zur Verwendung kom-
mende Triolith enthält neben 85 vH Fluornatrium und 10 vH
Dinitrophenol noch 5 vH Natriumbichromat, während das
Glückauf-Basilit aus 15 vH Triolith und 85 vH Kochsalz
besteht; letztes soll die Entflammbarkeit des Holzes herab-
setzen.

Bei dem Velo- und dem Torkret-Verfahren wird das Holz
mit einer 1 bis 2 mm starken Zementschicht umgeben, die
ein Eindringen von Holzerstörern in das Holz verhüten
sollen. Bei dem Velo-Verfahren wird der Zement überdies
mit konzentrierter Kochsalzlösung angerührt. Dieses Salz
dringt jedoch nur sehr wenig in das Holz ein und ist
daher von sehr geringer fäulniswidriger Wirkung. Durch
das Abplatzen des spröden Zementüberzuges im rauen
Grubenbetriebe wie auch durch die Luftdurchlässigkeit des
porösen Zementes dürfte im Grubenbetrieb ein Schutz des
Holzes nach diesem Verfahren nicht zu erreichen sein.
Außerdem vermindern die Verfahren die Festigkeit der
Hölzer um etwa 13 vH.

Die übrigen Verfahren, die Salze zur Tränkung ver-
wenden, führen nur eine unwesentliche Festigkeitsvermin-
derung des Holzes herbei, während sich bei der Teerölträn-
kung sogar eine Erhöhung der Holzfestigkeit um etwa
10 vH ergibt; allerdings wird bei diesem Verfahren das
Warnvermögen des Holzes vernichtet. Der Fäulnisschutz
erstreckt sich bei Anwendung von Teeröl und Sublimat auf
etwa zehn Jahre, von Basilit und Triolith auf mindestens
zwanzig Jahre. Die Wirtschaftlichkeit einer Tränkung des
Holzes ist gegeben, wenn man bei nicht zu hohem Gebirgs-
druck mit einer Standdauer des Holzes von mindestens vier
Jahren rechnen kann⁴⁾. [N 2311] Pr.

Berichtigung

Neuerungen im Landmaschinenbau

In dem Aufsatz von Prof. Holldack in Z. Bd. 73 (1929)
Nr. 4 muß es in der Unterschrift zu Abb. 13 S. 113 statt
„60 m² Berechnungsfläche“ 60 × 60 = 3600 m² heißen.

[N 2549]

¹⁾ Vergl. Z. Bd. 67 (1923) S. 335 und 415; Bd. 68 (1924) S. 1273; Bd. 69
(1925) S. 375.

²⁾ „Coal Age“ Bd. 31 (1927) S. 298.

³⁾ „Glückauf“ Bd. 64 (1928) S. 1477.

⁴⁾ „Coal Age“ Bd. 33 (1928) S. 682.

Die praktische Bedeutung der Raumgetriebe

Von Prof. Dr.-Ing. H. ALT, Dresden

Vorgetragen am 24. September 1928 bei der Tagung für Getriebelehre in Dresden

Es wird ein Weg angegeben, um die für die Praxis wichtigen Raumgetriebe zu ordnen und die einfachsten Arten der Raumgetriebe aufzustellen. — Raumgetriebe von drei und vier Gliedern. — Die Analyse der Raumgetriebe ist bereits ausgebildet, aber auch die Synthese der Raumgetriebe erfordert wegen ihrer großen Bedeutung für die Aufgaben der Praxis eine entsprechende Bearbeitung und Entwicklung.

Zur Umformung von Bewegungen verwendet man in der Praxis fast ausschließlich ebene Getriebe, d. h. Getriebe, bei denen die Bahnen sämtlicher Punkte in Ebenen liegen, die einander parallel sind. Die ebenen Getriebe sind hinsichtlich ihrer Analyse, d. h. der Untersuchung der bei ihnen auftretenden Bewegungen, seit langer Zeit so gut wie erschöpfend behandelt worden, aber auch ihre Synthese hat man in nahezu allen für die Praxis wichtigen Fällen zu Lösungen geführt.

Von der Praxis wird häufig gefordert, Raumgetriebe statt der ebenen Getriebe zu verwenden, und zwar in denjenigen Fällen, in denen von der in der Regel gegebenen Drehbewegung einer Antriebswelle die Bewegung eines Gliedes abgeleitet werden soll; die Punkte dieses Gliedes sollen Bahnen beschreiben, die nicht mehr in Ebenen liegen, die zur Antriebswelle senkrecht stehen. Man kann zwei Gruppen von Raumgetrieben unterscheiden. Bei der einen führt jedes Glied des Getriebes eine komplane Bewegung aus, d. h. die Bahnen aller Punkte des Gliedes liegen in Ebenen, die einander parallel sind. Aber diese Bewegungsebenen der einzelnen Glieder sind einander nicht parallel, sondern unter bestimmten Winkeln gegeneinander geneigt. Diese Raumgetriebe, die ich als uneigentliche Raumgetriebe bezeichnen will, bieten dem Konstrukteur den Vorteil, daß er jedes Glied in seiner Ebene und ferner das ganze Getriebe aufzeichnen kann, indem er je zwei Punkte sowie die Neigungswinkel der Ebenen der einzelnen Glieder gegen die zur Antriebswelle senkrechte Ebene angibt. Der Konstrukteur hat also die Möglichkeit, von den uneigentlichen Raumgetrieben Werkstattzeichnungen nahezu ebenso einfach und übersichtlich herzustellen, wie bei den ebenen Getrieben.

Wie schon erwähnt, kommt man mit den uneigentlichen Raumgetrieben in denjenigen Fällen aus, in denen jedes Glied des Getriebes eine ebene (komplane) Bewegung vollzieht. Wenn aber verlangt wird, daß ein oder mehrere Glieder nicht mehr komplane, sondern räumliche Bewegungen ausführen, erhalten wir Getriebe, die ich als eigentliche oder allgemeine Raumgetriebe oder Raumgetriebe schlechthin bezeichnen will. Die uneigentlichen Raumgetriebe stellen Sonderfälle der eigentlichen Raumgetriebe dar, ebenso sind die ebenen Getriebe als Sonderfälle der uneigentlichen Raumgetriebe anzusprechen. Die folgenden Darlegungen beziehen sich auf die allgemeinen Raumgetriebe.

Das Schraubenpaar

Bei der Behandlung der Raumgetriebe ist es für die in der Praxis auftretenden Aufgaben ausreichend, als Verbindungen der einzelnen Glieder nur niedere, keine höheren Elementenpaare vorzusehen. Bei Raumgetrieben ist das allgemeinste niedere Elementenpaar das Schraubenpaar, aus dem sich das Drehgelenk (das Drehkörperpaar) ergibt, indem man den Steigungswinkel der Schraube gleich

null setzt. Nimmt man dagegen die Steigung der Schraube unendlich groß an, so erhält man das Prismenpaar. Schraubenpaar ist ein zwangsläufiges Elementenpaar, daher ist auch die Relativbewegung zweier durch Schraubenpaar verbundener Körper (Getriebeglieder) gegeneinander zwangsläufig, besitzt also den Freiheitsgrad $f=1$. Bei den folgenden Untersuchungen benutze ich die Gedankengänge von Grübler¹⁾.

Ein Körper K_0 , Abb. 1, sei mit einem Körper K_1 durch ein Schraubenpaar S_1 verbunden. Die Relativbewegung von K_1 gegen K_0 hat daher den Freiheitsgrad 1. Verbindet man mit K_1 durch ein Schraubenpaar S_2 einen Körper K_2 , so hat dessen Bewegung gegen K_1 den Freiheitsgrad 1, aber gegen K_0 den Freiheitsgrad 2. Die Relativbewegung von K_2 gegen K_0 ist also nicht mehr zwangsläufig. Mit K_2 soll durch das Schraubenpaar S_3 ein weiterer Körper K_3 , Abb. 2, verbunden werden, dessen Relativbewegung gegen K_0 nunmehr den Freiheitsgrad besitzt. Verbindet man weiterhin mit K_3 durch das Schraubenpaar S_4 einen Körper K_4 , dann mit K_4 durch

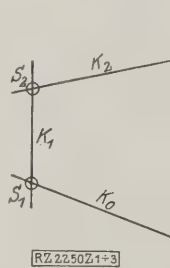


Abb. 1
Räumliche kinematische Kette mit 3 Gliedern und 2 Schraubenpaaren.

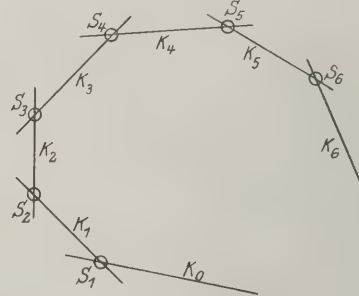


Abb. 2
Räumliche kinematische Kette mit 7 Gliedern und 6 Schraubenpaaren.

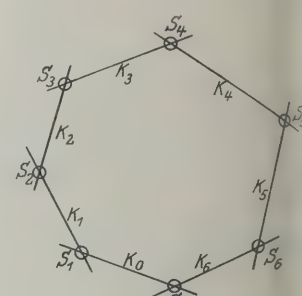


Abb. 3
Zwangsläufige räumliche kinematische Kette mit 7 Gliedern und 7 Schraubenpaaren.

das Schraubenpaar S_5 einen Körper K_5 und schließlich mit K_5 durch das Schraubenpaar S_6 einen Körper K_6 , so hat dieser gegen den Körper K_0 den Freiheitsgrad 6. Wenn ein Körper gegen einen anderen den Freiheitsgrad 6 hat, so ist er vollkommen frei beweglich, unterliegt also keiner Bewegungsbeschränkung. Daher ist der Körper K_6 , Abb. 3, gegen K_0 vollkommen frei beweglich, er kann also gegen K_0 in jede beliebige Lage gebracht werden. Über die Bewegung von K_6 gegen K_0 kann man also noch beliebig verfügen, insbesondere kann man dem Körper K_6 gegen K_0 eine beliebige zwangsläufige Bewegung erteilen, indem man K_6 und K_0 durch ein Schraubenpaar S_0 miteinander verbindet, Abb. 3. Hierdurch erhält man eine geschlossene räumliche Kette von $n=7$ Gliedern und $s=7$ Schraubenpaaren. Die Bewegung der Glieder K_1 bis K_6 dieser Kette gegen das Glied K_0 ist zwangsläufig. Daraus folgt, daß gegen irgendeines der sieben Glieder die Relativbewegung der sechs übrigen und daher die ganze kinematische Kette zwangsläufig ist. Dabei ist vorausgesetzt, daß die sieben Schraubenpaare beliebig im Raum gelegene Achsen und beliebige Steigungen besitzen. Wenn zwischen den Lagen der Schraubenachsen oder zwischen den Steigungen besondere Bedingungen bestehen, z. B. derart, daß einige der sieben Schraubenachsen einander in einem Punkte schneiden, so treten Abweichungen auf, die eine besondere, über den Rahmen dieser Arbeit hinausgehende Untersuchung erfordern.

Wie Grübler²⁾ allgemein nachgewiesen hat, läßt sich die Bedingung des Zwangslaufs der räumlichen kinematischen Ketten

¹⁾ Vergl. M. Grübler, Das Kriterium der Zwangsläufigkeit der Schraubenketten, Berlin 1 16, S. 124 bis 133.

²⁾ Vergl. M. Grübler, a. a. O., S. 125.

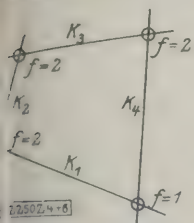


Abb. 4
Freiheitsgrade
1, 2, 2, 2

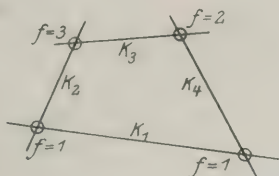


Abb. 5
Freiheitsgrade
1, 1, 3, 2

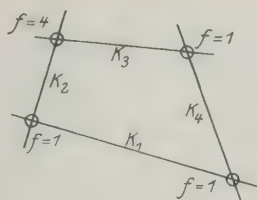


Abb. 6
Freiheitsgrade
1, 1, 1, 4.

Abb. 4 bis 6

Zwangläufige räumliche kinematische Ketten mit 4 Gliedern und 4 Elementenpaaren.

den Ketten und daher der Raumgetriebe in der Form

$$5s - 6n + 7 = 0.$$

den bereits behandelten Fall der einfachsten räumlichen kinematischen Kette, die $s = 7$ Schraubenpaare und 7 Glieder besitzt, erkennt man sofort die Richtigkeit angegebenen Beziehung. Diese liefert nun die sämtlichen überhaupt möglichen zwangläufigen räumlichen kinematischen Ketten, die sich aus der folgenden Übersicht

der Glieder	s	7	12	17	22	...	$5i + 2$...
„ Schraubenpaare . . .	n	7	13	19	25	...	$6i + 1$...
		i	1, 2, 3, ...					

die praktischen Anwendungen kommt in der Hauptsache nur die räumliche kinematische Kette mit geringster Gliederzahl, d. h. für $n = 7$ und $s = 7$, in Betracht.

Läßt man in Abb. 3 die Entfernung zweier aufeinander stehender Schraubenpaare, z. B. S_3 und S_4 , zu Null werden, so verschwindet das Glied K_3 als selbstständiges Glied und das Elementenpaar S_{34} , in dem die beiden Schraubenpaare S_3 und S_4 vereinigt sind, muß die Beweglichkeit der Schraubenpaare zusammengefaßt aufweisen, den Freiheitsgrad 2 besitzen, wenn der Zwanglauf erhalten bleiben soll. Wir erhalten auf diese Weise also eine räumliche kinematische Kette, die nicht mehr sieben, sondern nur noch sechs Glieder und ebenso nur sechs Elementenpaare besitzt. Von diesen hat aber eines den Freiheitsgrad 2. Hieraus folgt, daß wir die Gliederzahl der räumlichen kinematischen Kette vermindern können, daß aber die Summe der Freiheitsgrade aller Elementenpaare unverändert gleich sieben bleiben muß.

Elementenpaare mit Freiheitsgrad größer als 1

Für die praktischen Anwendungen sind diejenigen räumlichen kinematischen Ketten am wichtigsten, deren Gliederzahl möglichst klein ist. Daher ist es erforderlich, zu untersuchen, welche Ketten sich durch Verminderung der Gliederzahl ergeben und wie weit man mit der Verminderung der Gliederzahl gehen kann. Bevor ich diese Untersuchungen weiterführe, will ich zunächst auf die Elementenpaare eingehen, deren Freiheitsgrad größer als 1 ist.

Die Elementenpaare, die zwangläufig sind, also den Freiheitsgrad 1 haben, sind, wie bereits angegeben wurde, Schraubenpaar und seine Sonderfälle. Soll ein Ele-

mentenpaar den Freiheitsgrad 2 haben, so sind folgende drei Fälle möglich:

1. zwei Drehungen: Kreuzgelenk;
2. eine Drehung und eine Schiebung:
3. zwei Schiebungen: Kreuzschieber.

Beim Freiheitsgrad 3 treten folgende Möglichkeiten auf:

4. drei Drehungen: Kugelgelenk oder kardanisches Gelenk;
5. zwei Drehungen und eine Schiebung: Kreuzgelenk in einer Hülse verschiebbar;
6. eine Drehung und zwei Schiebungen: Kreuzschieber mit einfachem Gelenk;
7. drei Schiebungen: dreifach. Schieber.

Beim Freiheitsgrad 4:

8. drei Drehungen und eine Schiebung: Kugelgelenk, das längs einer Geraden geführt ist;
9. zwei Drehungen und zwei Schiebungen: Kreuzgelenk und Kreuzschieber;
10. eine Drehung und drei Schiebungen: dreifacher Schieber mit einfachem Gelenk.

Und beim Freiheitsgrad 5:

11. drei Drehungen und zwei Schiebungen: Kugelgelenk mit Kreuzschieber;
12. zwei Drehungen und drei Schiebungen: Kreuzgelenk mit dreifachem Schieber.

Berühren sich zwei Körper in einer Ebene, so hat ihre Relativbewegung den Freiheitsgrad 3, da eine Drehung um eine Achse senkrecht zur Berührungsebene und zwei Schiebungen in Richtung dieser Ebene möglich sind. Wenn dagegen die beiden Körper mit Flächen ausgestattet sind, zwischen denen in jedem Augenblick die Berührung in einem Punkt erfolgt, so hat die Relativbewegung zwischen den beiden Körpern den Freiheitsgrad 5, da drei Drehungen um Achsen durch den Berührungspunkt und zwei Schiebungen in der Tangentialebene der beiden Flächen möglich sind. Welche von den eben angegebenen zwölf Möglichkeiten sich praktisch am besten verwirklichen lassen und wie die entsprechenden Elementenpaare konstruktiv auszubilden sind, soll hier nicht untersucht werden.

Räumliche kinematische Ketten

Die räumlichen kinematischen Ketten, d. h. die Arten der Raumgetriebe, mit vier Gliedern sind in den Abbildungen 4 bis 6 angegeben. In Abb. 4 hat nur eines der vier Elementenpaare den Freiheitsgrad 1, ist also zwangläufig, während die drei übrigen den Freiheitsgrad 2 aufweisen. Bei der kinematischen Kette nach Abb. 5 sind zwei Elementenpaare zwangläufig, die beiden anderen haben den Freiheitsgrad 2 bzw. 3. Man wird hier zweckmäßig das Glied K_1 , das die beiden zwangläufigen Elementenpaare trägt, als ruhendes Glied (Gestell) und das Glied K_2 als treibendes Glied benutzen und das zwangläufige Elementenpaar K_2/K_1 , das allgemein ein Schraubenpaar sein könnte, als Drehkörperpaar (Gelenk) ausbilden. In den Abbildungen 7 bis 10 sind die räumlichen kinematischen Ketten mit nur drei Gliedern angegeben. Abb. 11 zeigt das Modell eines Getriebes nach Abb. 10, das mir von Geheimrat Prof. Dr. Gräßler zur Verfügung gestellt wurde. Am Gestell K_1 ist im Elementenpaar E_{12} , das den Freiheitsgrad 2 besitzt, das Glied K_2 gelagert, das sich gegen K_1 um eine feste Achse drehen und längs dieser Achse verschieben kann. Das Glied K_3 , das mit dem Gestell K_1 durch ein kardanisches Gelenk E_{13} (Freiheitsgrad 3) verbunden ist, vollzieht gegen K_1 eine sphärische Bewegung. Schließlich sind die Glieder K_2 und K_3 miteinander durch das Elementenpaar E_{23} (Freiheitsgrad 2) verbunden, das von derselben Art ist wie

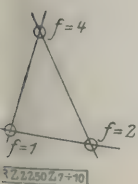


Abb. 7
Freiheitsgrade
1, 2, 4.

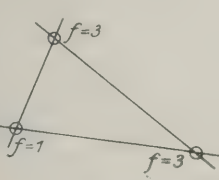


Abb. 8
Freiheitsgrade
1, 3, 3.

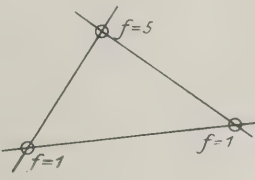


Abb. 9
Freiheitsgrade
1, 1, 5.

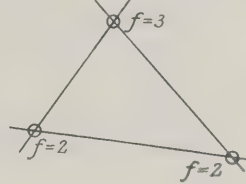


Abb. 10
Freiheitsgrade
2, 2, 3.

Abb. 7 bis 10

Zwangläufige räumliche kinematische Ketten mit 3 Gliedern und 3 Elementenpaaren.

das Elementenpaar E_{12} , also eine Drehung um eine Achse und eine Schiebung längs dieser Achse gestattet. In Abb. 11 ist deutlich zu erkennen, daß es in einfacher Weise möglich ist, durch ein Raumgetriebe, das nur zwei bewegliche Glieder besitzt, bestimmte räumliche Bewegungen zu verwirklichen. Die Weiterentwicklung der Lehre von den Raumgetrieben ist daher für die praktischen Anwendungen von großer Bedeutung.

Die Behandlung der räumlichen Getriebe wird durch die Schwierigkeiten der graphischen Darstellung sehr behindert. Durch *Federhofer*³⁾, der das von *B. Mayor* und *R. v. Mises* entwickelte Abbildungsverfahren auf die räumlichen Getriebe angewendet hat, sind die genannten Schwierigkeiten im wesentlichen behoben worden. Durch die von *Federhofer* angegebenen graphischen Verfahren gelingt es, die Analyse der Raumgetriebe, d. h. die Untersuchung der bei ihnen auftretenden Bewegungen, Geschwindigkeiten und Beschleunigungen zu behandeln. Zweifellos bilden die Un-

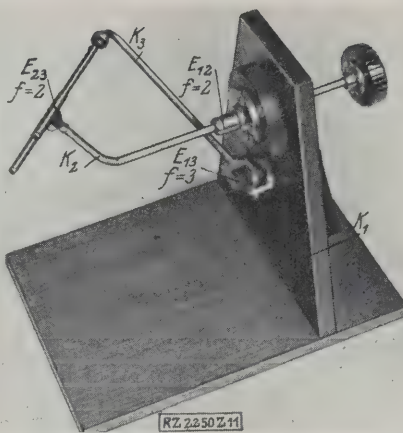


Abb. 11. Modell eines räumlichen Getriebes mit drei Gliedern nach Abb. 10.

K_1 Gestell K_2, K_3 Getriebeglieder
 E_{12}, E_{13}, E_{23} Elementenpaare f Freiheitsgrad

tersuchungen von *Federhofer* gleich einen wesentlichen Beitrag zur Entwicklung einer Synthese der Raumgetriebe, d. h. zur Behandlung der Aufgabe, die Abmessungen und die Gestalt der Glieder eines Raumgetriebes zahlenmäßig derart zu ermitteln, daß bestimmte, vorgeschriebene Bedingungen erfüllt werden.

Wenn wir imstande sind, diese Grundaufgabe der Synthese zu praktisch brauchbaren Lösungen zu führen, dann werden die Raumgetriebe bei der Konstruktion von Getriebemaschinen in umfassender Weise benutzt werden können. Während man jetzt beim Bau von Getriebemaschinen die häufig geforderten räumlichen Bewegungen meist nicht anders als durch Zusammensetzung ebener Bewegungen, d. h. mit Hilfe mehrerer ebener Getriebe verwirklichen kann, wird man bei Verwendung räumlicher Getriebe einfachere und billigere Konstruktionen erhalten. Jedenfalls wird es einen wesentlichen technischen Fortschritt bedeuten, wenn der Konstrukteur befähigt wird, außer den ebenen Getrieben auch die Raumgetriebe zu verwenden und planmäßig für bestimmte vorgeschriebene Bedingungen zu konstruieren. [B 2250]

³⁾ Vergl. *K. Federhofer*, Graphische Kinematik und Kinetostatik des starren räumlichen Systems, Wien 1928.

Neuerungen im Bau von Elektrohängebahnen

In neuester Zeit ist man dazu übergegangen, die Bahnen mit festen Zungenweichen zu versehen. Diese Weichen sind nur bei Unterflanschfahrt der Laufkatze möglich, und zwar muß der Unterflansch des I-Trägers, wenn man eine vollkommen wagerechte Lauffläche erreichen will, beiderseits mit Flachstahlschienen belegt werden, deren untere Begrenzung sich der Neigung des Trägerflansches anpaßt. Oberflanschfahrt der Laufkatze ist bei dieser Bauart nicht möglich. Sie scheidet also in allen den Fällen aus, wo Oberflanschfahrt mit Rücksicht auf fahrbare Brücken, die durch sogenannte Schleppzungenweichen mit festen Fahrbahnen in Verbindung stehen, unbedingt erforderlich ist. In diesem Falle müssen nach wie vor die bisher üblichen Ausführungen verwendet werden.

Die feststehende Zungenweiche¹⁾ der ATG, Allgemeinen Transportanlagen-Gesellschaft m. b. H. in Leipzig, Abb. 1 bis 3, braucht nicht gestellt zu werden. Da sie keine beweglichen Teile hat, so sind auch keine Sicherheitsvorrichtungen zur Verhütung von Unfällen mehr erforderlich. Sie werden bei Laufkatzen mit Führerbegleitung angewendet und erfordern eine Sonderausführung mit lenkbarem Fahrwerk. Zum Lenken der Katze dient eine am Fahrwerk angebrachte Leitrolle *a*, die vom Führer durch Seilzug gehoben und gesenkt werden kann. Bei gesenkter Rolle behält die Laufkatze in der Weiche ihre Fahrtrichtung bei, fährt also geradeaus, durch die gehobene Rolle wird sie in die Abzweigung abgelenkt. Die Weiche, ein einheitlicher Stahlgußkörper, hat zu diesem Zweck eine abgegossene gebogene Führungsleiste *b*, in der die eingelegte Leitrolle entlangläuft. Dabei dreht sie das Fahrwerk aus der geraden Fahrtrichtung in die Richtung des abzweigenden Stranges. Bei Laufkatzen mit zwei Fahrwerken lenkt die Leitrolle *a* nur das vorausfahrende Fahrwerk aus, während das zweite durch den sich in der Krümmung schräg stellenden Windenrahmen mittels einstellbaren Anschlag selbsttätig in die Krümmung eingelenkt wird.

Feste Weichen und lenkbare Katzen ermöglichen einen freizügigen Förderbetrieb auf verzweigten Bahnen; denn gibt an den Weichen keine Bedienung und auch keine Fahrunterbrechungen. Besondere Vorteile bieten die beschriebenen Weichen bei dauernd wechselnden Fahrwegen, wie sie z. B. beim Stückgutumschlag in Lagerhäusern vorkommen, wo die ankommenden Güter zwecks Sortierung nach Herkunft- oder Bestimmungsort, Art und Beschaffenheit getrennt gestapelt werden müssen. [M 2125]

M. Freyberg

¹⁾ DRP Nr. 351 018 u. 338 870.

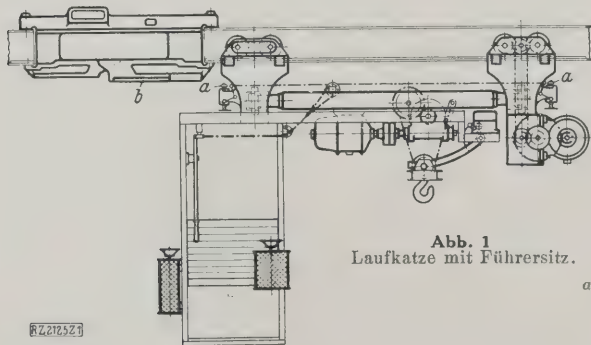


Abb. 1
Laufkatze mit Führersitz.

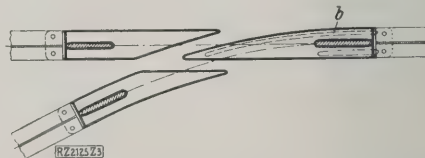


Abb. 2
Grundriß der Weiche.

Abb. 3 (rechts)
Führungsleiste.

a Leitrolle *b* Führungsleiste



Hafenverladung der Zeche „Fürst Hardenberg“ der Vereinigten Stahlwerke A.-G. bei Dortmund

Von Maschinendirektor Regierungsbaumeister a. D. P. SCHÖNFELD, Dortmund

Neue Einrichtungen für den Kohlenumschlag. Größe und Bauart von Klappkübeln für den Umschlag von Eisenbahnwagen in Kanalschiffe. Verladebrücke mit geradliniger Verladung (kein Drehkran), mit feststehendem Windwerk neuer Art und Drehstrom-Reihenschlußmotoren. Sichere und schnelle Bewegung der Lasten mit einfachsten Handgriffen. Kranbahn, Uferwand und schützloser Schleifleitungskanal sind mit Rücksicht auf Bodensenkungen neuartig ausgebildet.

Die Zeche „Fürst Hardenberg“ grenzt mit ihren Tagesanlagen an den Stichkanal Herne-Dortmund und an das im Eigentum der Stadt Dortmund befindliche Hafengebiet. Dieser Stichkanal ist für 600 t-Schiffe erbaut, so daß ein Großverkehr sich bisher noch nicht entwickeln konnte, zumal von Dortmund bis Ruhrort sieben Schleusen zu überwinden sind. Das Hebewerk bei Henrichenburg überwinden werden müssen. Der Verkehr in der Richtung Münster-Emden ist aber beschränkt, weil der so oft schon erstrebte Hanskanal, die Verbindung mit den Hansestädten, noch nicht hergestellt ist. Trotzdem legte man Wert auf eine gute Verladeanlage, die auch gesteigerten Anforderungen in der Zukunft gerecht wird.

In erster Linie sollten Kohlen der Zeche „Fürst Hardenberg“ auf dem Wasserwege ihrer Bestimmung zugeführt werden, aber es war auch vorgesehen, Gruben- und dergl. durch Schiffe für den Bedarf der Zeche beziehen.

Klappkübel für Kohlenumschlag

Daß nur die in den Häfen des westlichen Kohlenlandes so vielfach bewährten Klappkübel zur Verladung von Kohlen in Frage kommen konnten, stand fest, und es galt zu prüfen, welche Form und Größe die Kübel erhalten sollten. Nach Besichtigung verschiedener Häfen wurde die

Die Größe der Kübel festzulegen, war Gegenstand besonderer Erwägungen, da leider auf diesem Gebiet in früheren Jahren keine Normen geschaffen waren, so daß Kübel zwischen 6 und 15 m³ Inhalt in den verschiedensten Bauformen in den Häfen des Ruhrgebietes üblich sind. Weil die verfügbare Uferlänge nur sehr kurz ist, strebte man nach höchster Leistungsfähigkeit, auch um kurze Löschzeiten und die damit verbundenen Frachtnachlässe zu erreichen. Man war versucht, deshalb Kübel von 15 m³ Inhalt zu wählen.

Bei diesen Kübeln wurden aber folgende verschiedene Nachteile beobachtet. Ihre Bauhöhe ist so groß, daß beim Füllen infolge der Sturzhöhe eine starke Zerkleinerung weicher Kohle unvermeidlich ist. Die Verladebänder der Zeche können nicht in die Kübel bis auf deren Grund hinabgelassen werden, weil die üblichen Abmessungen der Verladebänder zu groß sind. Ferner läßt sich ein Kübel größten Inhalts gegebenenfalls nicht zwischen die Spanten bis auf den Boden eines kleineren Schiffes hinabsenken, so daß auch in diesem Fall wieder weiche Kohle stark zerkleinert werden würde. Schließlich wurde beobachtet, daß die schwersten Kübel schwieriger zu steuern sind als leichtere und daß sie bei starkem Pendeln und Anstoßen u. U. größeren Schaden anrichten. Gewählt wurden schließlich Kübel von 12,5 m³ Inhalt mit 1800 kg Eigengewicht.

Die Verladebrücke

Da der Wunsch bestand, mit dem zu wählenden Kran auch den anstoßenden Lagerplatz bestreichen zu können, plante man zunächst einen Drehkran auf Portal über den Gleisen, der, mit Fahrwerk ausgestattet, auf eine größere, den Lagerplatz überspannende fahrbare Brücke, verfahren werden kann, Abb. 3. Von dieser Konstruktion wurde aber Abstand genommen in der Erkenntnis, daß ein fahrbarer Drehkran auf hohem Portale schwieriger mit der gewünschten Geschwindigkeit und Genauigkeit gesteuert werden kann. Auch wurde bei Nebel festgestellt, daß von einem so hoch gelegenen Führerstande aus die Beobachtung des Schiffes sehr schwierig wird. Ein einfacher, zu ebener Erde laufender Drehkran ist wesentlich wendiger, zumal bei kleinem Kübelinhalt, hat aber nur einen begrenzten Bestreichungshalbmesser und wurde ausgeschieden, weil der kurzen Uferlänge halber mehrere Aufstellgleise vorgesehen werden mußten.

Daher kam nur ein feststehender Drehkran auf fahrbarem Portal nach Abb. 4 oder ein Verlader nach Abb. 5 in Frage. Gewählt wurde der Verlader, dessen Ausleger zwei Kähne überspannt. Abb. 6 zeigt die von der Demag A.-G. Duisburg, gebaute Anlage nach ihrer Fertigstellung. Von einem Drehkran ist Abstand genommen worden, weil beim Abbremsen des Schwenkens bei größerer Ausladung ganz gewaltige Kräfte wirksam werden, die Beschädigungen herbeiführen können. Auch wurde angenommen, daß ein in gerader Richtung bewegter Kübel leichter genau an den Bestimmungsplatz,

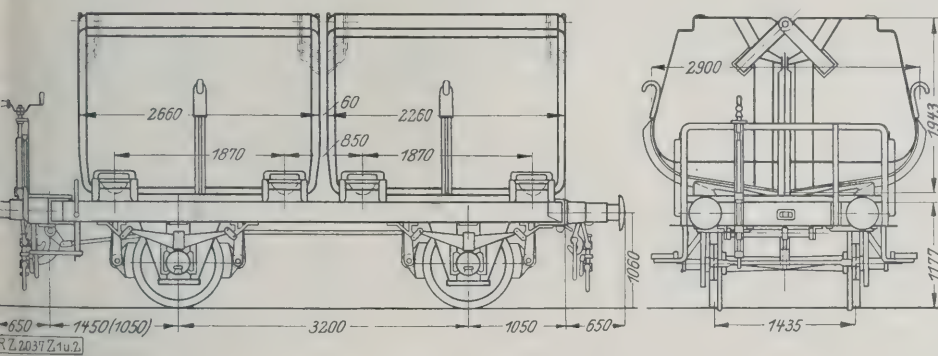


Abb. 1 und 2

Klappkübel von je 12,5 m³ Inhalt. Stirnbleche 6 mm, Mantelbleche 7 mm dick, Eigengewicht 1800 kg.

Quart der Waggonfabrik Uerdingen, Abb. 1 und 2, gewählt. Die geschweißten Kübel aus gepreßtem Blech haben eine scharfen Ecken und Vorsprünge mehr, an denen sich die Kohlen früher festsetzten. Steifigkeit und Festigkeit verbessert, das Eigengewicht ist vermindert. Zwei Kübel stehen auf einem normalspurigen Untergestell und sind so ausgebildet, daß sie voneinander nur einen geringen Abstand haben. Infolgedessen kann nur wenig Kohle beim Füllen der Kübel zwischen die Gleise fallen. Jeder Kübel wird durch vier warzenartige Wulste an seiner Unterseite auf dem Eisenbahn-Untergestell allseitig so festgehalten, daß ein Verrücken im Verschiebedienst verhindert und seiner Schluß gesichert ist. Die Eisenbahn-Untergestelle, geliefert von der Firma Siegerner Eisenbahnbedarf A.-G. in Siegen, haben keine wesentlichen konstruktiven Besonderheiten. Es sei nur erwähnt, daß in der Mitte eine Rinne mit Abflußrohr vorgesehen ist, um das von der Aschkohle sich trennende, zuweilen salzhaltige Wasser unter möglicher Schonung des Fahrzeuges zum Boden ableiten zu können.

sei es Schiff, sei es Eisenbahnwagen, gebracht werden kann als ein geschwenkter Kübel. Diese Annahme hat sich nach der Ausführung in vollem Umfang bestätigt. Es mag aber auch der Umstand, daß sämtliche Getriebeelager als Wälzlager ausgebildet wurden, zu diesem Erfolge beigetragen haben. Bei Gleitlagern muß beim Anfahren jeweils die Reibung der Ruhe überwunden werden, die sofort nach Beginn der Bewegung etwa auf die Hälfte sinkt, und umgekehrt, so daß ein genaues Fahren viel schwieriger wird, als wenn die Reibung gleich bleibt, wie das bei Wälzlagern annähernd der Fall ist.

Eine fahrbare Katze mit Führerstand und Windwerk ist vermieden worden, weil durch deren Gewicht der wasserseitige Ausladearm von 19,37 m unverhältnismäßig schwer geworden wäre und außerdem das Gewicht der Katze mit sämtlichen Motoren bei jeder Bewegung hätte beschleunigt oder verzögert werden müssen. Man wählte feststehende Windwerke und ordnete sie auf der dem Lande zugekehrten Seite des Verladers an, während der Kübel nur mit einigen Laufrollenträgern den Weg über den Untergurt des Verladers zurückzulegen hat. Auf diese Weise wird die Stütze auf der Wasserseite etwas entlastet; sie ist als Pendelstütze ausgebildet, die andre Stütze ist fest. Der geringere Raddruck auf der Wasserseite entlastet die Ufermauer.

Der Führerstand ist, mit reichlich großen Fenstern und einer elektrischen Heizeinrichtung für die kalten Zeiten ausgestattet, vor der dem Wasser zugekehrten Stütze des Verladers angeordnet, also ungefähr in der Mitte zwischen vier Gleisen und dem etwa vorfahrenden zweiten Kahn; er gewährt gute Beobachtung des Kübels in allen Stellungen.

Das Windwerk ist, gemeinsam mit dem Katzfahrwerk, in einem feststehenden Maschinenhaus am Brückende an der Landseite untergebracht. Es ist entsprechend den Anforderungen des Klappkübelbetriebes genau wie ein Greiferwindwerk mit zwei Trommeln ausgerüstet. Jeder Bewegungsart ist ein besonderer Motor zugeordnet; es ist also ein Motor für Heben und Senken, der andre für Öffnen und Schließen des Kübels bestimmt. Die Trommeln und die beiden Motoren sind über ein Differentialgetriebe¹⁾ derart miteinander verbunden, daß der für die gesamte Hubleistung bemessene Hubmotor immer beide Trommeln antreibt, während der etwa halb so starke Schließmotor nur die Schließtrommel antreiben kann. Laufen beide Motoren gleichzeitig, so überlagern sich die Trommelnbewegungen. Man kann also während des Hebens und Senkens den Kübel öffnen und schließen. Zur Steuerung dienen lediglich die Fahrswitcher der beiden Motoren, durch die auch die Magnetbremsen in der üblichen Weise betätigt werden. Eine Entleerbremse und elektrische oder mechanische Kupplungen zwischen den beiden Trommeln sind nicht vorhanden. Die vier Seile laufen von den Trommeln aus über vier Rollen in der Laufkatze und tragen an ihren Enden das Drehkreuz, das zum Aufnehmen der Klappkübel bestimmt ist.

¹⁾ Über ein solches Differentialgetriebe werden wir demnächst ausführlicher berichten.

Abb. 3
Fahrbarer Drehkran auf fahrbarem Portal (nicht ausgeführt).

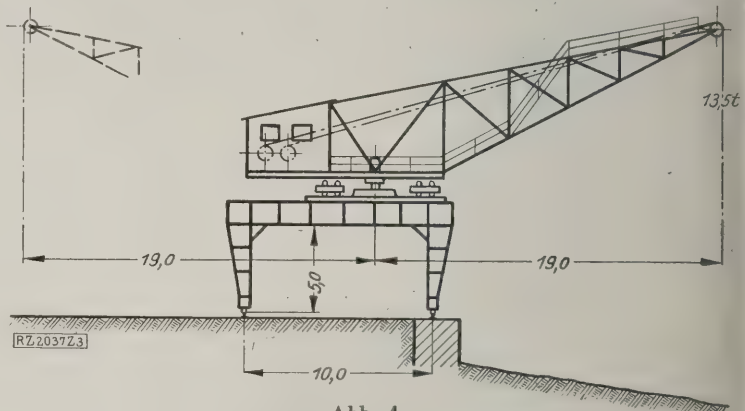
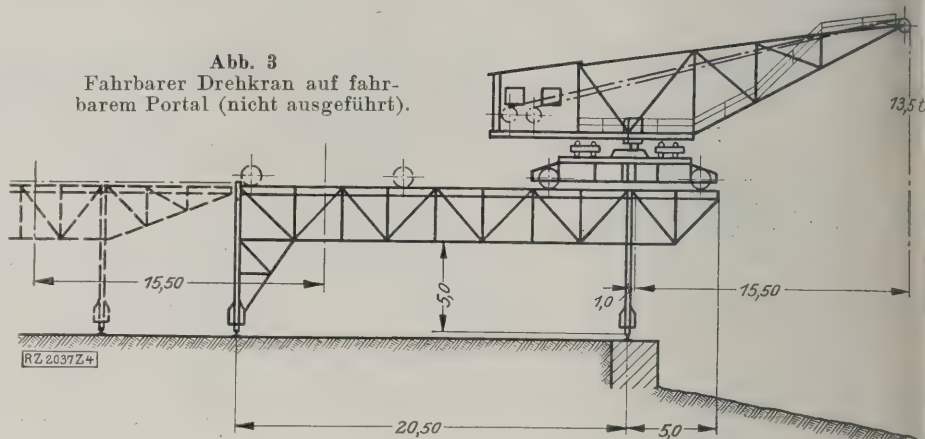


Abb. 4
Feststehender Drehkran auf fahrbarem Portal (nicht ausgeführt).

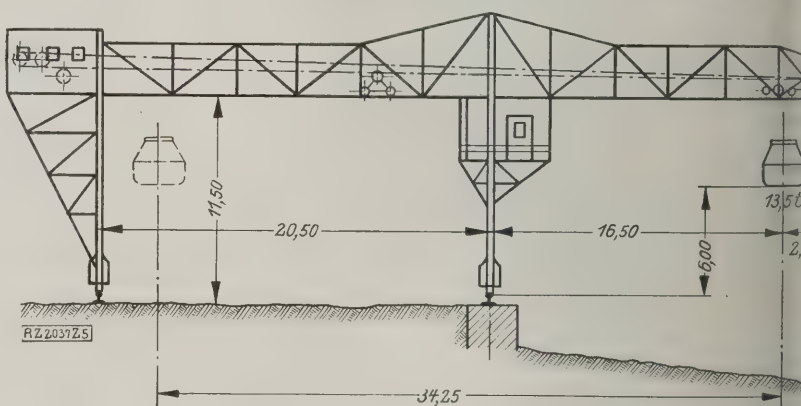


Abb. 5. Verladebrücke, ausgeführt von der Demag.

Abb. 3 bis 5.

Die für den Entwurf zu berücksichtigenden Bauarten der Umschlaganlagen

Zum Verfahren der Laufkatze sind zwei Seilstränge von der Katze aus über Rollen am vorderen Ende des Auslegers zu einer Trommel im Maschinenhaus geführt. Diese Trommel wird durch den Katzfahrmotor bewegt. Beim Anziehen der Seile fährt die Katze nach vorn, beim Nachlassen der Seile gleitet sie infolge der Belastung nach rückwärts. Damit sich nun die Last beim Verfahren der Katze nicht hebt oder senkt, ist das Fahrwerk mit dem Windwerk durch ein zweites Differentialgetriebe derart gekuppelt, daß bei Bewegung der Fahrtrommel sich auch die beiden Windwerktrommeln im Hub- oder Senksinne je nach Fahrtrichtung der Katze drehen.

Das Schema dieses vereinigten Hub- und Fahrwindwerkes zeigt Abb. 7. Denkt man sich den Hubmotor und den Schließmotor stillstehend, so stehen auch die Sonnenritzel *d* und *k* still. Wird nun der Fahrmotor angelassen



Abb. 6
Ansicht der Verladebrücke.

bringt er über Vorgelege *a b* das Umlaufrad *c* zum Lauf um *d*; gleichzeitig dreht sich auch das Ritzel *e* und treibt die Fahrttrommel an. Das Umlaufrad *c* setzt das Rad *f* in Umdrehung und dieses nimmt Ritzel *g* mit, das die Haltetrommel antreibt. Durch Rad *f* wird auch das Rad *h* angetrieben, das wiederum Umlaufrad *i* zum Umlauf um *k* bringt. Dadurch wird Ritzel *l* in Umdrehung versetzt und die Schließtrommel angetrieben. Die Übersetzungen der Getriebe (Durchmesser der Trommeln sind so gewählt, daß die Heiß- und Halteseile um das gleiche Stück nachgelassen werden können, wie die Katze nach vorwärts oder rückwärts fährt. Der Fahrmotor braucht also keine Leistung abzugeben, sondern hat nur die Fahrwiderstände der Katze, Beschleunigungskräfte und die Reibungswiderstände der Seilrollen und Getriebe zu überwinden.

Zum Heben und Senken der Last läuft der Hubmotor an. Da der Fahrmotor abgestellt ist, steht auch die Fahrttrommel still und das Umlaufrad *c* wird in seiner Lage festgehalten. Das Ritzel *d* treibt also über *c* das Rad *f* an. Dieses nimmt das Ritzel *g* mit, das die Haltetrommel treibt und dreht das Rad *h*, das das Umlaufrad *i* in Umlauf um das stillstehende Sonnenritzel *k* bringt. Dadurch wird das Ritzel *l* und damit die Schließtrommel angetrieben.

Der Schließmotor dient nur zum Öffnen und Schließen des Kübels. Läuft er, während die andern Motoren stillstehen, so bewegt sich nur der innere Teil des einen Laufgetriebes. Das Umlaufrad *i* wälzt sich auf dem inneren Zahnkranz des Rades *h* ab und treibt über Ritzel *l* die Schließtrommel.

Es ist natürlich nicht erforderlich, daß immer zwei Motoren stillstehen, wenn der dritte läuft. Diese Annahme wurde nur bei der Beschreibung zugrunde gelegt, das Verständnis der Wirkungsweise zu erleichtern. Der Hauptvorteil dieser Art der Kupplung von verschiedenen Triebwerken besteht sogar darin, daß man mehrere Bewegungen überlagern kann. Es ist also z. B. ohne weiteres möglich, Fahren und Heben, Öffnen und Schließen oder auch Heben, Schließen und Fahren gleichzeitig vorzunehmen.

Fast das ganze Getriebe ist in einem ölgefüllten Kasten aus Stahlblech untergebracht; Abb. 8. Die drei Motoren sind an der einen Seite, die Trommeln an der andern Seite des Kastens nebeneinander angeordnet. Die Zahnräder sind mit Genauigkeitsverzahnung versehen und aus Stahlguß, die Ritzel aus geschmiedetem Stahl gefräst. Auf leichte Zugänglichkeit und Ausbaumöglichkeit aller Teile ist größter Wert gelegt.

Die Tragfähigkeit an den Seilen beträgt 13,5 t. Die für das Anhängen der Kübel bestimmte Vorrichtung ist als Drehkreuz mit Kugellagerung ausgebildet. Das Anschlagen an die Kübel geschieht durch eine kleine Drehbewegung, wobei sich die vier Haken der Vorrichtung gleichzeitig in die Haken oder Ösen des Kübels einhaken.

Der Führerstand weist nur vier Hebel für Heben und Senken, Öffnen und Schließen, Katzfahren und Brückenfahren auf. Die Hebel sind besonders übersichtlich angeordnet. Als Sicherheitsvorrichtung für Gefahr und Unglücksfälle ist noch ein Fußtrittschalter zum plötzlichen Ausschalten des Stromes vorhanden.

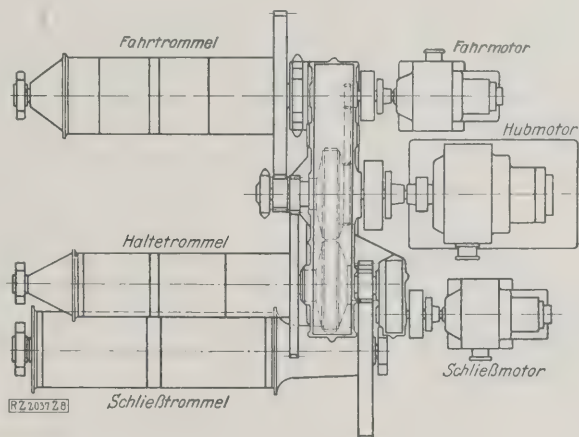


Abb. 8
Vereinigte Hub- und Katzfahrwinde.

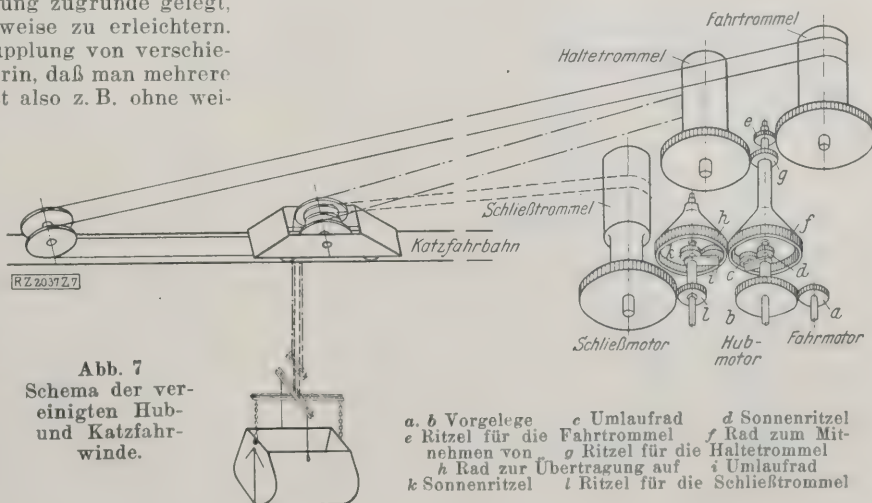


Abb. 7
Schema der vereinigten Hub- und Katzfahrwinde.

- a, b* Vorgelege
c Umlaufrad
d Sonnenritzel
e Ritzel für die Fahrtrommel
f Rad zum Mitnehmen von
g Ritzel für die Haltetrommel
h Rad zur Übertragung auf
i Umlaufrad
k Sonnenritzel
l Ritzel für die Schließtrommel

Elektrische Einrichtungen

Für die Verladeanlage sind Drehstrom-Reihenschlußmotoren mit doppeltem Bürstensatz der Siemens-Schuckertwerke, Berlin, verwendet. Zum Heben mit 37 m/min dient ein Motor von 100 kW Stundenleistung bei 590 U/min und je ein gleicher Motor von 50 kW Stundenleistung und 725 U/min zum Schließen mit 25 m/min, für Katzfahren mit 120 m/min und Brückenfahren mit 70 m/min.

Die Kollektoren sind mit zwei Bürstensätsen ausgerüstet, nämlich einem verschiebbaren und einem zweiten feststehenden, wobei die Sekundärwicklungen des Transformators zwischen gegenüberstehende Bürsten geschaltet sind. Diese Ausführung gibt diesem Kollektormotor gegenüber einem solchen mit nur einem verschiebbaren Bürstensatz den Vorteil stetigen Verhaltens, auch bei kleinsten Bürstenverschiebungswinkeln, eine Eigenschaft, die für den Kranbetrieb besonders wertvoll ist.

Das Anlassen und Steuern geschieht lediglich durch Bürstenverschiebung. Die Drehzahlregelung beim Heben ist genau so gut wie beim Gleichstrommotor mit Hauptstromwicklung. Insbesondere ist die selbsttätige Drehzahlregelung in Abhängigkeit von der Größe der Last bei einer und derselben Bürstenverstellung — leichte Lasten werden rascher gehoben als schwere — eine willkommene Eigenschaft des Kollektormotors. Hinzu kommt die Fähigkeit, das Fünffache des normalen Drehmomentes ausüben zu können.

Die SSW haben für das Senken eine besondere Schaltung ausgebildet, durch die erreicht wird, daß der Kollektormotor bei derselben Bürstenverschiebung als Motor oder als Stromerzeuger arbeitet. Demzufolge kann der leere Haken bei derselben Steuerhebelauslage mit nahezu gleicher Geschwindigkeit wie größere Lasten gesenkt werden. Das kann sonst nur mit dem Gleichstrom-Reihenschlußmotor oder bei der Leonard-Schaltung erreicht werden. Die höchste Senkgeschwindigkeit beträgt beim Senken der Vollast und bei größter Steuerhebelauslage etwa das Doppelte der normalen Hubgeschwindigkeit und kann vom Kranführer auf keinen Fall überschritten werden. Da innerhalb des Senkbereiches keine Umschaltungen vorgenommen werden, ist keine

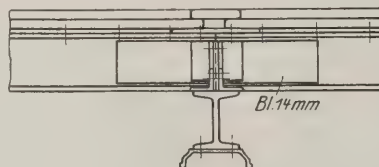
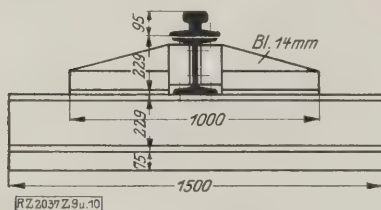


Abb. 9 und 10
Konstruktion der Kranfahrbahn.

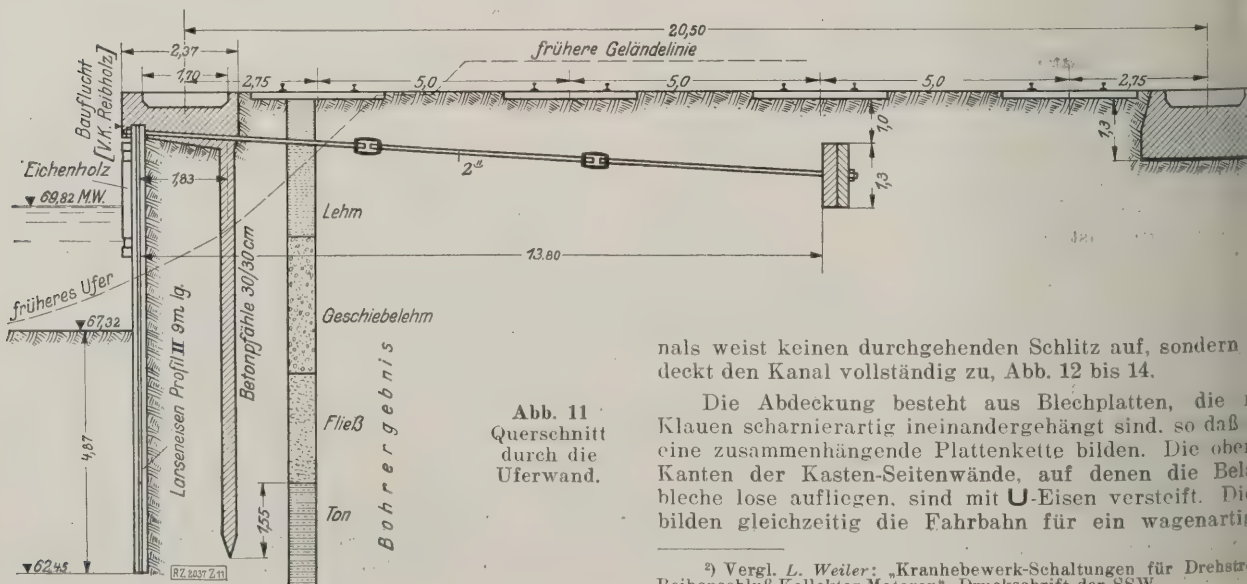


Abb. 11
Querschnitt
durch die
Uferwand.

Freifallstellung oder Gefahrstellung vorhanden. Zusätzliche Apparate wie Fliehkraftschalter und dergl. werden vollständig vermieden²⁾.

Die Beleuchtungseinrichtung der Krananlage wird von einem Einphasen-Trockentransformator, der die Betriebsspannung von 380 auf 110 V umspannt, gespeist.

Bauliche Einzelheiten

Der Ausbau der Ufermauer war ebenfalls Gegenstand von Reisebeobachtungen und Überlegungen. Die Baustelle liegt im Bergbaugebiet, und es muß mit der Möglichkeit von Bodensenkungen gerechnet werden. Solche Senkungen betragen z. B. in Ruhrort, Wanne usw. und mehr. Es stand deshalb fest, daß man die Fahrschienen nicht fest auf einen Unterbau verlegen darf, sondern man die Möglichkeit des Nachrutschens offenhalten muß. Infolgedessen wurde eine Fahrbahnkonstruktion, Abb. 9 und 10, ausgeführt; diese legt sich mit verstärkten Schwellen auf ein Schotterbett, das sich jederzeit nachstopfen läßt. Das Schotterbett wurde, da der Baugrund geschüttet war, auf der Wasser- und auf der Landseite in einen Betontrag eingefüllt, der erforderlichenfalls bei Betriebsstörung erhöht werden kann. Die Abstützung des Schottertroges an der Wasserseite ist beachtenswert.

Die von den Vereinigten Stahlwerken, A.-G., Abteilung Dortmunder Union, gerammte und gelieferte Larsenwand ließ sich am schnellsten und billigsten bauen. Beobachtungen an ausgeführten Larsenwänden zerstreuten die ursprünglich gehegten Befürchtungen über schnelles Verrosten: Ein geringer Kupferzusatz zum Stahl der Larsenwände ist außerdem ein vorzüglicher Rostschutz. In dem weichen, oben angeschütteten und unten mit Fließ durchsetzten Boden war eine sorgfältige Verankerung der Uferwand erforderlich. Obwohl der Baugrund als ungewöhnlich schlecht bezeichnet werden muß, Abb. 11, sind dank dieser sorgfältigen Bauweise die von der Firma A.-G. für Hoch- und Tiefbauten, vorm. Gebr. Helfmann, in Essen, ausgeführt wurde, nicht die geringsten Schäden aufgetreten.

Die Ausbildung des Schleifleitungskanals ist bemerkenswert. Fest verlegte Stromzuleitungen haben sich im bergbaulichen Senkungsgebiet als nachteilig erwiesen. Zugleich ist der übliche Schlitz durch den ein Stromabnehmer an die unterirdischen festverlegten Stromschienen herankommt, von Nachteil. Der von der Firma Elektrotechnische Industrie G. m. b. H., Duisburg, entworfene Schleifleitungskasten ist als langgestreckter unten offener Blockkasten mit Winkelleisenversteifung ausgeführt und zum Zweck guter Entwässerung und leichten Nachrutschens auf Schotter gelagert. Die Abdeckung des K

nals weist keinen durchgehenden Schlitz auf, sondern deckt den Kanal vollständig zu, Abb. 12 bis 14.

Die Abdeckung besteht aus Blechplatten, die in Klauen scharnierartig ineinandergehängt sind, so daß eine zusammenhängende Plattenkette bilden. Die oberen Kanten der Kasten-Seitenwände, auf denen die Blechbleche lose aufliegen, sind mit U-Eisen versteift. Die Klauen bilden gleichzeitig die Fahrbahn für ein wagenartiges

²⁾ Vergl. L. Weiler: „Kranhebewerk-Schaltungen für Drehstrom-Reihenschluß-Kollektor-Motoren“, Druckschrift der SSW.

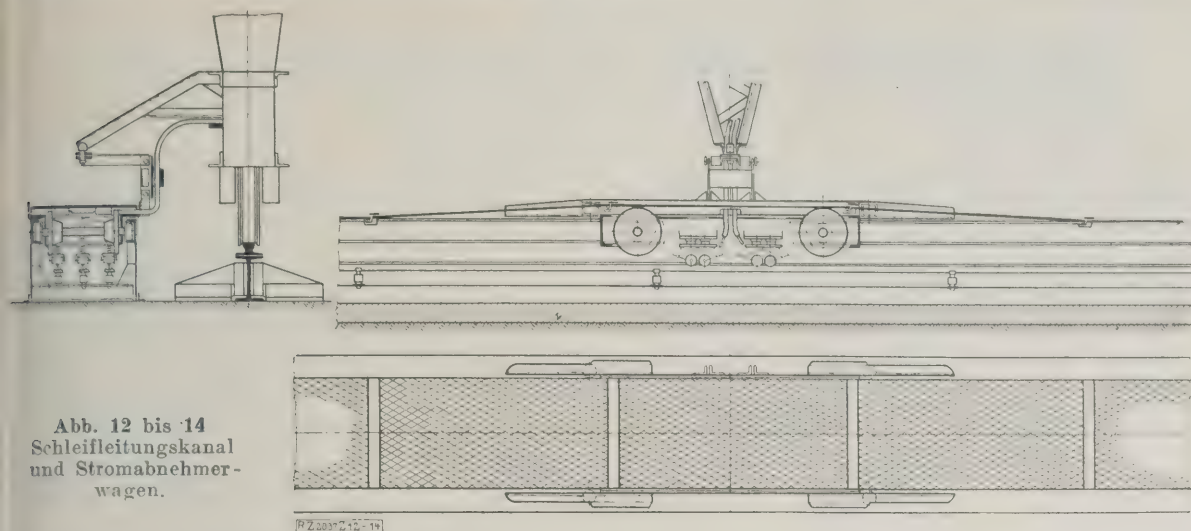


Abb. 12 bis 14
Schleifleitungskanal
und Stromabnehmer-
wagen.

stell, das die Stromabnehmer trägt und mit der Ver-
brücke durch ein Gelenkstück verbunden ist. Fährt
Brücke, so wird also der Stromabnehmerwagen mit-
kommen. Dabei werden durch besondere Lüftungs-
en, die auf den Achsen der Laufrollen sitzen, die
eckplatten des Kanals nacheinander so weit an-
läuft, daß das Verbindungsgelenkstück und der
gen darunter hindurchstreichen kann. Der Kanal
ibt dabei stets geschlossen. Da die senkrechten
ie von den Laufrollen aufgenommen werden, bleibt
Anpreßdruck der Stromabnehmer an die Schleif-
ungen immer gleich, auch wenn infolge von Boden-
kungen und Verlagerungen der Schleifleitungskanal
ht mehr mit der Kranfahrbahn genau parallel läuft.
s gelenkige Verbindungsstück zwischen Brückenfuß
l Stromabnehmerwagen dient also nur zum Mitnehmen
Wagens; Abweichungen des Abstandes zwischen den
en Fahrbahnen in wagerechter oder senkrechter
htung beeinträchtigen das Arbeiten der Stromabneh-
r nicht.

Will man zwecks Überprüfung der Schleifleitungen
er Überholung der Stromabnehmer die Abdeckplatten
Kanals entfernen, so werden die Befestigungsschrau-
n der Verbindungsklauen um einige Gewindegänge
öst, worauf man die Platten mit einem Hebel an-
en und abnehmen kann. Die oberen Flansche der
Fahrbahn für den Stromabnehmerwagen dienenden
Eisen sind an mehreren Stellen mit je vier Aus-
rungen versehen, so daß auch der Stromabnehmer-

wagen im Bedarfsfalle leicht herausgehoben werden kann.
Die Erwartungen, die an diesen Stromabnehmer geknüpft
wurden, sind in vollem Umfang erfüllt.

Betriebserfahrungen

Die gesamte Einrichtung des Kranes hat bisher gut
und ohne Störung gearbeitet. Im Betrieb macht sich vor
 allem die leichte und einfache Steuerung vorteilhaft be-
merkbar. Gegenüber andern Windwerken und andern
Kupplungsarten zwischen Windwerk und Katzfahrwerk
bedeutet es eine große Erleichterung für den Kranführer,
daß er bei dieser Winde für jede Bewegungsart nur
einen Steuerhebel hat, den er unabhängig von den andern
bewegen kann. Er kann, ohne Umschaltungen vornehmen
zu müssen, von einer Bewegung zur andern übergehen
und die vier verschiedenen Bewegungsarten (Brücken-
fahren, Katzfahren, Heben—Senken, Öffnen—Schließen)
beliebig ineinanderfließen lassen. Die Handgriffe der
vier Steuerhebel liegen zu je zweien dicht nebeneinander,
wodurch die Handhabung noch weiter erleichtert wird.
Mißgriffe, die Betriebsstörungen zur Folge haben könnten,
sind ausgeschlossen.

Der Betrieb mit dem Verloader wurde mit Schlos-
sern aufgenommen, die niemals vorher als Kranführer
tätig gewesen waren. Dank der einfachen Konstruktion
und außergewöhnlichen betrieblichen Anordnung gelang
es diesen, innerhalb acht Tagen eine solche Sicherheit
in der Bedienung zu erreichen, daß bis zu 300 t/h Lei-
stung von ihnen mühelos bewältigt werden konnte.

[B 2037]

Die thermische Ausdehnung von Magnesium und Magnesiumlegierungen

P. Hildert und W. T. Sweeney¹⁾ berichten über sehr ein-
zende und sorgfältige Untersuchungen der thermischen
Ausdehnung von Magnesium und Magnesiumlegierungen.
Mehrere Sorten des Magnesiums mit einem Reinheits-
grad von 99,97, 99,99 und 99,996 vH wurden zwischen
183° und +500°C nach verschiedenen Meßverfahren
untersucht. Die thermische Ausdehnung der einzelnen
Magnesiumsorten ist nur unwesentlich voneinander ver-
schieden. Zwischen Zimmertemperatur und +500°C läßt
sich durch die Gleichung

$$L_t = L_0 (1 + \beta t) = L_0 [1 + (24,80 \cdot t + 0,00961 t^2) 10^{-6}]$$

ergeben. In Zahlentafel 1 sind die einzelnen Werte der
Ausdehnungszahlen angegeben.

Der Vergleich mit älteren Beobachtungen, die haupt-
sächlich in der Physikalisch-Technischen Reichsanstalt
(H. Riesen, A. Schulze, Disch) und im Bureau of Standards
(P. Hildert) ausgeführt sind, zeigen eine sehr gute Übere-
stimmung.

Von den Magnesiumlegierungen sind die Magnesium-
aluminium-Legierungen untersucht worden. Hierbei hat
man ergeben, daß ein Zusatz bis über 10 vH Al die thermi-
sche Ausdehnung des Magnesiums nicht verändert. Stellt

Zahlentafel 1
Thermische Ausdehnungszahlen
von Magnesium

Temperaturgebiet °C	$\beta \cdot 10^{-6}$	Temperaturgebiet °C	$\beta \cdot 10^{-6}$
Zwischen 20 und +100	26,0	Zwischen 20 und 200	26,9
„ 100 „ 200	27,7	„ 20 „ 300	27,9
„ 200 „ 300	29,6	„ 20 „ 400	28,8
„ 300 „ 400	31,5	„ 20 „ 500	29,9
„ 400 „ 500	33,4	„ 20 „ -183	21,5

man also die Ausdehnungszahlen in Abhängigkeit von
dem Al-Gehalt dar, so erhält man für alle Temperaturen
gerade Linien. Da die Löslichkeit des Aluminiums in Ma-
gnesium nach dem Zustandschaubild von Hanson und
Gayler²⁾ bei 435° etwa 11 vH und bei Zimmertemperatur
etwa 8 vH beträgt, so machte sich bei den Legierungen mit
10 vH Al das Überschreiten der Löslichkeitslinie durch
Hysteresiserscheinungen in der Kurve der thermischen Aus-
dehnung in der Gegend von 200°C bemerkbar.

Fügt man zu den Magnesium-Aluminium-Legierungen
etwas Mangan (0,3 oder 0,9 vH) hinzu, so verringert sich
die thermische Ausdehnung ein wenig.

Berlin

[N 2517]
A. Schulze

¹⁾ Journal of Bureau of Standards, Research Pap. 1928 Nr. 29 S. 71.

²⁾ Journ. Inst. of Metals (London) Bd. 24 (1920) S. 201.

Anwendungen des Spektrographen in der Metallindustrie

Von F. TWYMAN, London, Dr.-Ing. E. HONEGGER, Dozent an der Eidg. Techn. Hochschule. Zürich,
und D. M. SMITH, Birmingham

Vorteile der spektrographischen Analysenverfahren besonders bei Verwendung der ultravioletten Linien. Die Schwankung der Linienzahl und Liniendicke führt zu einem zahlenmäßig begründeten Urteil. Beispiele neuzeitlicher Spektrographen und Spektroskope. Der zu prüfende Stoff muß zum Leuchten gebracht werden. Unmittelbar übereinanderliegende Spektren sind für den Vergleich besonders vorteilhaft. Das Verfahren ist für Nichteisenmetalle besser geeignet als für Stähle, da Eisen ein sehr verwickeltes Spektrum aufweist; bei Anwendung photometrischer Verfahren wird die Spektralanalyse auch für eisenhaltige Legierungen anwendbar.

Im Gegensatz zur gewöhnlichen chemischen Metallanalyse, deren Durchführung z. T. umständlich und zeitraubend ist, arbeitet man mittels der Spektralanalyse sehr schnell. Das Verfahren gibt gewöhnlich in einem Bruchteil einer Stunde ein vollständiges qualitatives Bild der vorhandenen Metalle, unabhängig von deren Legierungs- oder Verbindungszustand, und gelegentlich auch Anhaltspunkte über die vorhandenen Nichtmetalle. Über das hinaus gewährt es auch einen Einblick in die zahlenmäßige Zusammensetzung, ohne allerdings vorläufig mit der quantitativen chemischen Analyse in Wettbewerb treten zu können. Die raschen Fortschritte der letzten Jahre machen die quantitative Spektralanalyse heute schon zu einem wertvollen technischen Hilfsmittel und berechtigen zu den größten Hoffnungen für deren künftige Entwicklungsmöglichkeiten.

Bis dahin hat sich die Spektralanalyse bei der Lösung folgender Aufgaben, die über die rein qualitative Untersuchung hinausgehen, bestens bewährt:

1. für die angenäherte quantitative Untersuchung, z. B. für die Unterscheidung verschiedener Legierungen,
2. für die Bestimmung kleiner und kleinster Gehalte, insbesondere für die Prüfung auf Reinheit,
3. für Untersuchungen an kleinsten Probenmengen, die für eine chemische Untersuchung nicht mehr ausreichen würden.

Berücksichtigt man ferner noch, daß die rasch durchgeführte qualitative Analyse ganz allgemein die Arbeit im chemischen Laboratorium weitgehend erleichtert, daß man ferner mittels des Spektrographen im Laboratorium auch oft Niederschläge, Lösungen oder Rückstände prüft, so wird an der großen praktischen Nützlichkeit dieses Verfahrens kaum mehr gezweifelt werden können. Trotzdem ist der Spektrograph heute bei weitem nicht in allen metallanalytischen Laboratorien zu treffen, was wohl gewöhnlich darauf zurückzuführen ist, daß die Vorteile, die aus der Verwendung dieses Gerätes erwachsen, noch nicht genügend bekannt sind.

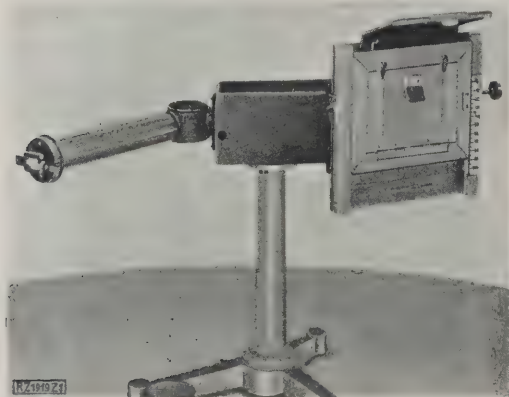


Abb. 1
Kleiner Quarzspektrograph.

Grundlagen der quantitativen Spektralanalyse

Für die neuere Entwicklung der Spektralanalyse die Einführung der Quarzspektrographen von großer Bedeutung, da man jetzt auch die unsichtbaren, ultravioletten Linien photographisch aufnehmen kann. Die sichtbaren Linien des Lichtspektrums reichen von 400 bis rd. 8000 Angström; mittels Quarzprismen und Linien kann man außerhalb des violetten Gebietes liegende Linien bis auf 2100 Angström oder noch etwas weiter unter (1850) photographisch festhalten. Diese Erleichterung ist um so wertvoller, als zahlreiche für die Erkennung der Metalle besonders kennzeichnende Linien gerade im ultravioletten Gebiete liegen.

Die quantitative Spektralanalyse nutzt vor allem von de Gramont und von Hartley beobachteten Umstand aus, daß bei zunehmendem Gehalt einer Legierung die Lösung an einem bestimmten Metall, dessen Linien in allen gleichzeitig, sondern in ganz bestimmter Reihenfolge auftreten. Das Vorhandensein gewisser Linien und Fehlen anderer gestattet einen Schluß über die enthaltene Menge an dem betreffenden Element, vorausgesetzt, stets genau gleiche Bedingungen eingehalten werden, Licht, Spalt, Belichtungszeit, Platte usw. gleichbleiben. Für ein Element zuerst erscheinenden oder bei abnehmendem Gehalte zuletzt verschwindenden Linien hat Hartley als beständige, de Gramont als letzte Linien bezeichnet. Auf diese wird die Aufmerksamkeit in allererster Linie gerichtet sein, da sie anzeigen, ob das betreffende Element überhaupt in feststellbarer Menge vorhanden ist. Nach Hartleys Feststellung an Funkenspektren metallischer Lösungen sind nicht immer die kräftigsten Linien auch die beständigsten. Neuere Untersuchungen Gerlachs haben

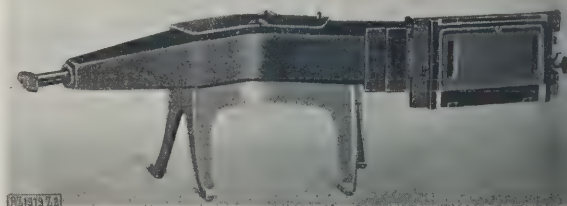


Abb. 2
Mittlerer Quarzspektrograph, Ganzmetallausführung.

allerdings gezeigt, daß starke Linien oft nur Überlagerungen verschiedener Linien sind, die bei starker Dispersion als unabhängige Linien erkannt werden. In diesen weitergehend aufgelösten Spektren scheint Beständigkeit und Lichtstärke ausnahmslos parallel zu gehen¹). Im sichtbaren Spektrogramm gelegene beständige Linien zeichnen sich oft durch große Lichtstärke aus.

Neben dem Auftreten der Linien läßt sich auch aus der Stärke bestimmter Linien ein Schluß auf den Gehalt an dem betreffenden Metall ziehen. Als Maßstab wird dazu am besten eine bestimmte benachbarte Linie des Grundmetalles benutzt, mit der der Vergleich bequem durchführbar ist. Nach Schweitzer und Gerlach kann das Spektrum eines Hilfsmetalls zur Erleichterung des Vergleichs überlagert werden²).

Hartley und seine Nachfolger Pollok und Leonard untersuchten eine ganze Reihe von Metallspektren, stellen deren wichtigste Linien in Zahlentafeln zusammen und

¹) Z. f. anorganische und allgemeine Chemie, Bd. 142 (1925) S. 165.
²) Z. f. anorganische und allgemeine Chemie, Bd. 164 (1927) S. 364. In einem neueren Aufsatz, Z. f. Metallk., Bd. 19 (1928) S. 248, weisen Gerlach und Schweitzer nochmals auf die Vorteilhaftigkeit der Überlagerung hin. Als homologe Paare bezeichnete Linien zweier verschiedener Elemente, die bei bestimmtem Mengenverhältnis gleiche Intensität zeigen.

neten die Beständigkeit der Linien mit griechischen
Staben:

τ = im Metall sichtbar, nicht in starken Lösungen,
 γ = in starken Lösungen sichtbar, nicht in Lösun-
gen von 1 vH,
 δ = in Lösungen von 1 vH sichtbar, nicht in Lösun-
gen von 0,1 vH,
 λ = in Lösungen von 0,1 vH sichtbar, nicht in Lö-
sungen von 0,01 vH,
 ρ = in Lösungen von 0,01 vH sichtbar, nicht in Lö-
sungen von 0,001 vH,
 ϕ = in Lösungen von 0,001 vH sichtbar.

Die Lichtstärke wird gewöhnlich durch Zahlen an-
geben 1 bis 10 oder 1 bis 100.

Eine gewisse Menge eines Metalls muß jedenfalls zu-
gen sein, bis dessen beständige Linie unter bestimm-
ten Versuchsbedingungen auftritt; daraus ergibt sich die
Grenze der Beobachtungsmöglichkeit, die von
Metall zu Metall verschieden ist. Mit wachsendem Gehalt
nehmen nun mehr und mehr Linien auf und die vorhande-
nen Linien nehmen an Lichtstärke zu, bis man eine be-

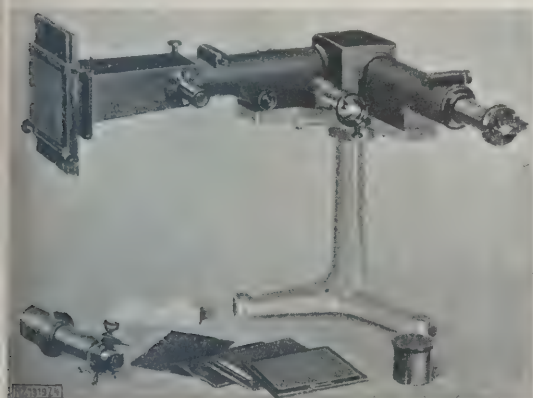


Abb. 4
Wellenlängen-Spektrometer.

unte obere Beobachtungsgrenze erreicht, über der
keine weitere Veränderung im Spektrum mehr feststell-
bar ist. Zwischen den erwähnten beiden Grenzen läßt
sich der Gehalt an dem betreffenden Metall abschätzen;
Genauigkeit, mit der dies möglich ist, hängt von den
zur Verfügung stehenden Vergleichsspektren und in
Abhängigkeit von den zusammengestellten Beobachtungen ab³⁾.

Die untere Grenze liegt meistens sehr tief, so daß
die meisten technisch bemerkenswerten Mengen ohne
weiteres spektrographisch festgestellt werden können, in
der Tat reicht unsere Untersuchung oft weiter als die
chemische Analyse. Zu wenig Unterlagen sind z. Z. zu-
mangestellt, um auch über die obere Grenze schon
ein sicheres Urteil zu fällen, doch läßt sich schon ver-
muten, daß sie oft tiefer liegt als uns erwünscht wäre,
daß der Bereich der quantitativen Spektralanalyse in
dieser Richtung eher eng begrenzt erscheint. Erwähnt
wird aber, daß nach Prof. Henris Feststellung diese Grenze
durch Einschaltung einer wachsenden Selbstinduktion er-
reicht werden kann.

In dem zwischen beiden Grenzen liegenden Gebiete
muß man stets vor allem jene Linie berücksichtigen, die
der Nachbarschaft des vorhandenen Gehaltes die größ-
ten Schwankungen aufweist.

³⁾ In einer sehr beachtenswerten Arbeit „Die Schnellbestimmung
Legierungsbestandteilen in Eisen durch quantitative Emissions-
spektralanalyse“ weisen G. Scheide und A. Neuhäuser, Z. f. angew.
Chem. Bd. 41 1928 S. 1218, auf die
Möglichkeit der Photometrierung mit
logarithmischem Sektor gegen-
über der Beurteilung der Intensität
der Linien mit bloßem Auge hin.
Erreichbare Meßgenauigkeit kann
durch, ohne vergrößerten Zeitauf-
wand, wesentlich gesteigert werden.
Das verbesserte Verfahren macht
die spektrographische Analyse auch
für Eisen und Stahl weitgehend an-
wendbar.



Abb. 5
Sonderspektrograph für die rasche Beurteilung
des Nickel-Chrom-Gehalts des Stahls.

Neuzeitliche Spektrographen und deren Benutzung

Obschon einzelne Forscher schon früher mit Quarz-
spektrographen gearbeitet haben, wurden in jeder Weise
zweckmäßige Konstruktionen von der Firma Adam
Hilger, Ltd., London, 1909 erstmals auf den Markt ge-
bracht. Abb. 1 zeigt einen kleineren Spektrographen in
der ursprünglichen Ausführung, Abb. 2 eine neue, ganz
metallene Ausführung des mittleren Gerätes, Abb. 3 das
1912 hergestellte große Gerät sehr starker Dispersion.

Die kleinen Geräte, Abb. 1 und 2, sind mit Wellen-
längeneinteilung ausgerüstet; unmittelbar unter das
Spektrum wird die Einteilung auf die photographische
Platte aufgenommen. Natürlich können die Wellenlängen
an der Hand der Einteilung nur näherungsweise abge-
lesen werden. Das große Gerät, Abb. 3, hat keine
Wellenlängeneinteilung. Das Spektrum wird in diesem
Gerät in vier aufeinanderfolgende Teilstücke zerlegt,
deren Bereiche etwa sind: 1950 bis 2100 Angström, 2100
bis 2600 Angström, 2600 bis 3500 Angström, 3500 bis
8000 Angström. Die einzelnen Teilstücke erhält man
durch Verschieben und Verdrehen des Prismas. Auf der
gleichen Stelle im Spektrum erscheinen also je nach der
Prismenstellung Linien ganz verschiedener Wellen-
längen. Mittels Vergleichsspektren kann man die Wellen-
längen der einzelnen Linien sehr genau bestimmen.

Der Vollständigkeit halber sollen noch einige weitere
Geräte angeführt werden^{3a)}. Abb. 4 zeigt einen Wellen-
längen-Spektrometer, aufgebaut auf dem von der Firma
Hilger 1904 eingeführten Grundsatz unter Anwendung
eines Prismas mit fester Ablenkung. Abb. 5 zeigt das
für die Untersuchung von Ni-Cr-Stählen besonders kon-
struierte Gerät. Das Spektroskop ist so gebaut, daß
die für Nickel kennzeichnenden Linien im einen, die für
Chrom im andern Okular sichtbar sind.

Lichtquellen

Die spektrographische Metallprüfung beruht aus-
schließlich auf der Untersuchung von Emissionsspektren.
Man unterscheidet vier verschiedene Möglichkeiten, um
einen zu prüfenden Stoff in passender Weise zum
Leuchten zu bringen, so daß die ausgesandten Strahlen,
spektrographisch analysiert, ein Urteil über den Stoff
erlauben: durch Erhitzen in der Flamme, durch elektri-
sche Lichtbogenentladung, durch elektrische Funken-
entladung und durch Entladung in der Vakuumröhre.

Nur gewisse Metalle senden in der Flamme für Spek-
tralanalysen geeignete Strahlen aus: die Alkali-Metalle
und die Metalle der alkalischen Erden, ferner Indium und
Tantal. Die Bunsenflamme wird daher wenig benutzt.

Alle Metalle und die fünf Nichtmetalle: Kohlenstoff,
Silizium, Bor, Phosphor und Arsen kann man durch die
Strahlung des Lichtbogens
nachweisen; ein Lichtbogen
läßt sich aber nur zwischen

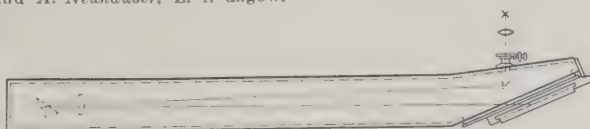


Abb. 3
Strahlengang im großen Quarzspektrographen.

^{3a)} R. Fuess, Berlin-Steglitz,
Dr. C. Leiß, Berlin-Steglitz, Carl Zeiß,
Jena, stellten u. a. gleichfalls Spektro-
graphen und vollständige Geräte-
anordnungen für quantitative Metall-
analysen her.



Abb. 6

Spektren, von unreinem (a) und fast reinem (b) Zink, mit einem mittleren Quarzspektrographen photographiert. Die Linien von eingeschlossenen Metallen sind angedeutet.

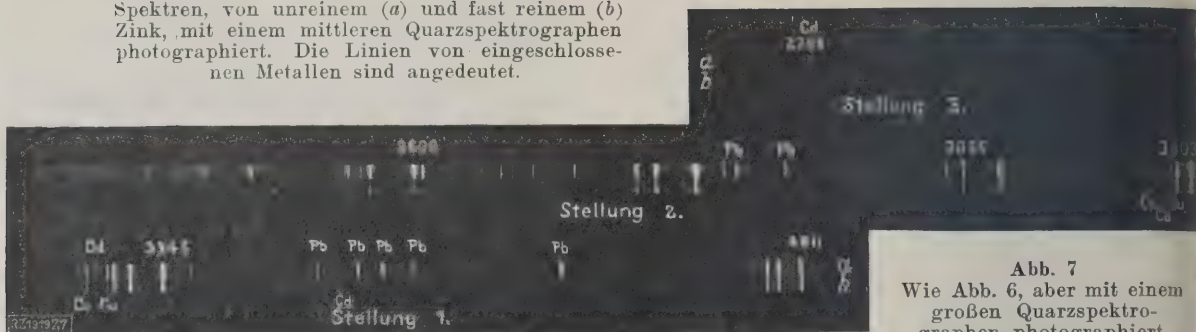


Abb. 7

Wie Abb. 6, aber mit einem großen Quarzspektrographen photographiert.

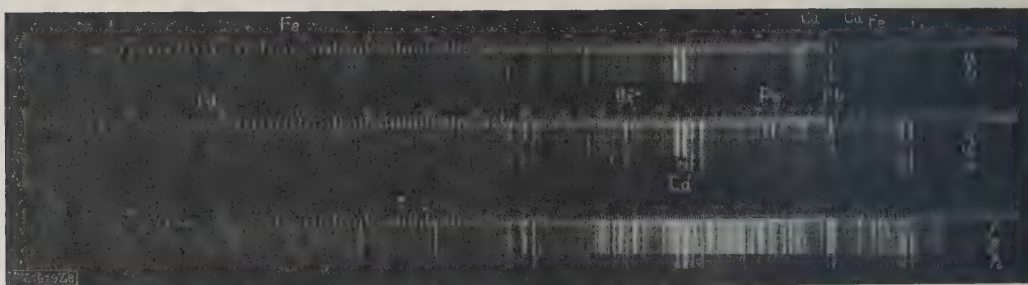


Abb. 8

Vergleichsspektrum, photographiert mit einem mittleren Quarzspektrographen.

a Handelskupfer
b ziemlich reines Kupfer

c 60:39 Messing mit 1,5 vH Pb
d 72:28 Messing

e reines Zink
f 85:15 Kupfer-Nickel

g 61:18:21 Kupfer-Nickel-Zink
h 72:28 Messing

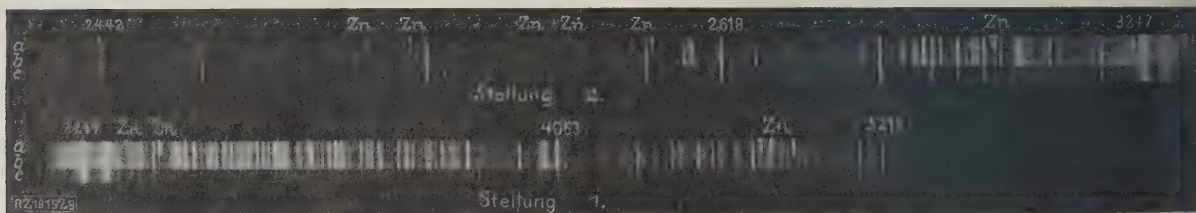


Abb. 9

Vergleichsspektrum, photographiert mit einem großen Quarzspektrographen.

a 61:18:21 Kupfer-Nickel-Zink b 85:15 Kupfer-Nickel c elektrolytisches Kupfer

festen Körpern herstellen. Gewöhnlich wird der Lichtbogen zwischen zwei Stücken des zu prüfenden Metalles gezogen oder zwischen einem Metallstück und einer Elektrode aus Kohle oder einem reinen Metall.

Im Gegensatz dazu kann eine elektrische Funkenentladung auch auf eine Lösung übergehen. Neben allen Metallen, verrät sie die Anwesenheit sehr vieler Nichtmetalle, z. B. Fluor, Chlor, Brom, Jod, Sauerstoff, Stickstoff, Schwefel und Selen. Bei Funkenentladungen kommen gewöhnlich auch die Luftlinien zum Vorschein, doch lassen sie sich durch Einschalten einer Induktionsspule fernhalten.

Für Analysen wendet man Entladungen in Vakuumröhren kaum an. Bei den Entladungen werden nur die Linien des verdünnten Gases sichtbar, während das Metall der Elektroden im Spektrum nicht vorgefunden wird.

Vergleichsspektren

Für genaues Arbeiten ist es zweckmäßig, mehrere Spektren unmittelbar übereinander aufzunehmen, so daß man die Linien unmittelbar zum Vergleich heranziehen

kann. Soll z. B. festgestellt werden, ob ein bestimmtes Metall ein andres enthält, so nimmt man zuerst das Spektrum des Grundmetalles in chemisch reinem Zustand auf, unmittelbar darunter das Spektrum des zu prüfenden Metalles und hierauf das des darin vermuteten Metalles. Aus dem Vergleich der ersten beiden Spektren kann man fort ein Schluß auf den Reinheitsgrad des Metalles gezogen werden. Zeigt das zweite Spektrum viele im ersten nicht enthaltene Linien, so ist offenbar das geprüfte Metall unrein. Aus der Lage der Linien stellt man die Art der Verunreinigungen fest. Stimmen die Linien mit denen des dritten Spektrums überein, so ist das vermutete Metall tatsächlich vorhanden; kommen noch weitere Linien vor, die weder im ersten noch im dritten Spektrum vertreten sind, so sind neben dem vermuteten verunreinigenden Metall noch weitere metallische Bestandteile vertreten, Abb. 6 bis 11.

Natürlich kann man das gleiche Verfahren wiederholt anwenden, unter Benutzung verschiedener Metalle für das dritte Spektrum, bis man alle Linien kennt hat.



Abb. 11

Emissionsspektrum des Kaliums in Zink									
Cd vH									
0.75	3610,5	3466,2	3403,6	3261,1	2980,6	2880,0	2288,0	2265,0	2144,4
0.25	"	"	"	"	schwach	kaum sichtbar	"	"	"
0.10	"	"	"	"	"		"	"	schwach
0.01	—	kaum sichtbar	—	"	—	—	"	schwach	—
0.001	—	—	—	—	—	—	"	—	—

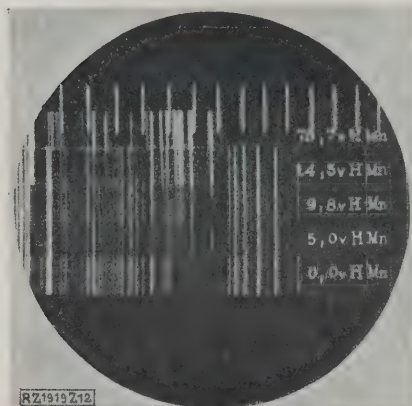
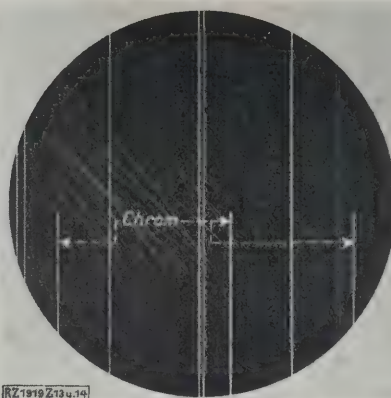
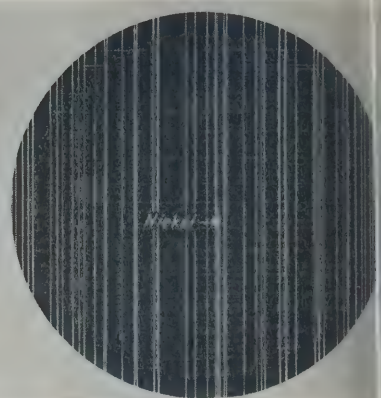


Abb. 12
Stahl mit abnehmendem Mangan-
gehalt.



Gesichtsfeld des linken Auges.



Gesichtsfeld des rechten Auges.

Abb. 13 und 14. Sonderspektroskop zur Untersuchung von Chromstahl oder Chrom-Nickel-Stahl.

von Nickel-Stahl und Chrom-Stahl wendet man bei der Sortierung von Schrot in großem Maßstab an. Das Gerät, Abb. 5, ist so eingerichtet, daß in einem Okular nur Chrom-, im andern nur Nickel-Linien sichtbar sind. Ein ungelernter Arbeiter kann daher sofort Chrom-Stahl von Nickel-Stahl oder Nickel-Chrom-Stahl unterscheiden. Mit einiger Übung kann er sogar den Gehalt an beiden Elementen in den nachfolgenden Grenzen: 1, 2, oder 4 vH Nickel und 0,5, 1 oder 1,5 Chrom abschätzen, Abb. 13 und 14.

Zusammenfassung

Die spektrographische Analyse ergibt in kurzer Zeit alle in einer Legierung vorhandenen Metalle; oft gestattet sie auch ein gutes Urteil über die zahlenmäßigen Anteile. Die Analyse eisenhaltiger Metalle ist erschwert infolge zahlreicher Linien dieses Elementes. Die Nichtmetalle werden von ihr nur zum Teil festgestellt. Als wesentliche Vorteile sind anzuführen: geringer Zeitaufwand; Möglichkeit kleinste Gehalte festzustellen, sehr kleiner Stoffbedarf.



Abb. 3
Kulibaracken für Niederländisch-Indien, ausgeführt in Rohrkonstruktion.
Grundfläche der Baracken je $33 \times 16 \text{ m}^2$.

Fachwerk in Rohren

In Z. Bd. 72 (1928) S. 1107 weist A. Bung auf die Schwierigkeiten hin, die sich bei Rohrkonstruktionen bezüglich der Verbindung der Rohre ergeben. Bung schlägt vor, die Rohrenden flach zu drücken, auf die Knotenbleche zu legen und zu umschweißen.

Die Firma N. V. Buiswerken, Den Haag (Holland) führt die *Stiftsche Bauart*¹⁾ aus, bei der die nahtlosen Rohre mit flachen Enden versehen werden, die nach Abb. 1 an beiden Seiten ringförmige Vorsprünge tragen. Diese passen in Bohrungen der Knotenbleche, Abb. 2, so daß die Stabkräfte unmittelbar auf die Bleche übertragen werden. Die Bolzen, die die Bleche zusammenhalten, sind sonach von Schubkräften entlastet.

¹⁾ Holl. Patente Nr. 9128, 32151.

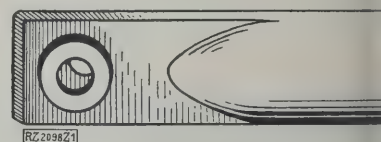


Abb. 1
Form des Rohres an der Verbindungsstelle.

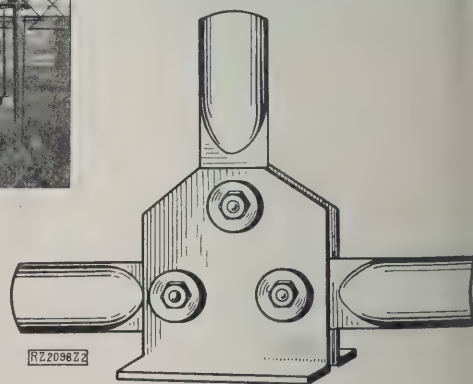


Abb. 2
Verbindungsstelle.

Die Herstellung ist sehr einfach, da sowohl die Rohrenden wie die Knotenbleche in Matrizen gepreßt werden. Gegenüber der Ausführung in Profileisen verringert sich bei diesem Rohrfachwerk das Gewicht um 40 bis 50 v. H. Dementsprechend hat die Bauart namentlich Eingang in Niederländisch-Indien gefunden. Abb. 3; in Holland selbst u. a. die Flugzeughalle in Soestenberg (70 m Länge, 20 m Breite) nach Bauart *Stift* ausgeführt worden.

[M 2098]

P. J.

RUNDschau

Metallbearbeitung

Sonderfräswerk für Rippenplatten

Die Rippenplatten für Eisenbahnschienen¹⁾ haben in den Rippen schwalbenschwanzförmige Aussparungen, die dem Vollen herausgefräst werden müssen. Für diese Arbeit baut die Maschinenfabrik Schieß-Defries, A.-G., Seldorf, eine Sondermaschine, Abb. 1, die in ununterbrochener selbsttätiger Arbeit stündlich rd. 60 Platten ausfräst. Rippenplatten werden auf einem um eine wagrechte Achse drehbaren würfelförmigen Aufspannkopf mittels Zellen festgespannt, und zwar auf jeder der vier Seiten des Kopfes zwei Rippenplatten oder eine breite Stoßplatte. Zu beiden Seiten des Tisches arbeiten die Fräswerkzeuge, rechts zwei senkrechte Spindeln, von denen jede zwei teckige Scheibenfräser zum Vorfräsen der Nuten trägt, während die gegenüberliegenden Fingerfräser die Schwalbenschwanzform fertig fräsen. Ab- und aufgespannt werden die Platten während des Fräsens. Der Aufspannkopf wird während des Tischrücklaufes mit der Hand gedreht. Der Vorschub des Aufspannkopfes beträgt 45 mm/min, der Tischlauf ist beschleunigt. Abb. 2 stellt schematisch die Arbeitsweise der Fräsmaschine dar.

Abb. 3 zeigt einen Schnitt durch die Spindelkästen. Der Fräsmotor, der 30 PS leistet, treibt die beiden senkrechten Frässpindeln mit 52 U/min mittels einer wagrechten und einer senkrechten Welle über spiralgezahnte Kegel- und Nutenräder an. Der Fräsdorn wird mittels Kegelzapfens eingesetzt und von oben mit einem durch die Spindel gehenden Bolzen festgezogen; zur senkrechten Feineinstellung der Spindel dient eine Gewindebüchse in der oberen Haube des Spindelkastens. Unten wird der Fräsdorn in einem abnehmbaren Lager am Spindelkasten geführt.

Die vier wagrechten Spindeln können gemeinsam durch einen Bolzen des Spindelkastens wagrecht verschoben werden. Jede einzelne läßt sich in der Achsrichtung mittels Vorhülshen im hinteren Lager fein einstellen. Die Fingerfräser in der vorderen Kegelbohrung der wagrechten

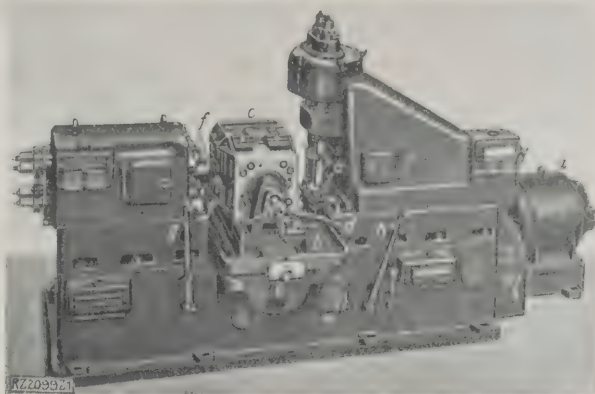


Abb. 1
Fräsmaschine für Rippenplatten von Schieß-Defries, A.-G.

- | | |
|---------------------------------------|-------------------------------------|
| a Motor 30 PS | e Vorfräser, 52 U/min |
| b Aufspanntisch | f Fertigfräser, 160 U/min |
| c Spannkopf für 8 Rippenplatten | g Schalthebel für den Vorschub |
| d Kreuz zum Schwenken des Spannkopfes | h Schalthebel für die Hauptkupplung |

Spindeln, die 160 U/min machen, werden mittels Gewindebüchse befestigt. Die Hauptantriebsstellen werden von vier selbsttätigen Preßölen geschmiert.

Als sich die Notwendigkeit ergab, die neuen Rippenplatten in großen Mengen wirtschaftlich zu bearbeiten, war man durchaus noch nicht überzeugt, daß man mit dem Fräser günstige Ergebnisse erzielen würde, weil einerseits großer Fräserverbrauch und viele Fräserbrüche, andererseits zu geringe Leistungsfähigkeit befürchtet wurden. Zunächst wurden die Platten auf anderen Maschinen vorgefräst und dann fertiggefräst auf einer Fräsmaschine mit vier wagrechten Fräsern, von denen je zwei einander gegenüberstanden.

Eine weitere Entwicklungsstufe bedeutete die Konstruktion eines Vierfach-Fräswerkes zum Vor- und Fertigfräsen. Bei dieser Maschine werden vier Platten derart aufgespannt, daß je zwei hintereinander liegen und die beiden Plattenpaare einander gegenüberstehen, so daß die hintereinander aufgespannten Platten von je zwei Fräsern bearbeitet werden. Abb. 4 zeigt den Grundriß dieser Maschine. Mittels zusammengesetzter Formfräser kann aus dem Vollen geformt werden. Nach dem Ausfräsen zweier Platten werden neue Platten eingesetzt, während das zweite Plattenpaar geformt wird. Diese Maschine wird von einem Motor für 20 PS angetrieben und fräst bei rd. 135 U/min stündlich rd. 40 nicht vorgefräste oder rd. 60 vorgefräste Rippenplatten.

Die weitere Verbesserung bestand darin, daß die Aufspannvorrichtung um eine wagrechte Achse drehbar und zum Aufspannen von acht Platten eingerichtet wurde. Ferner

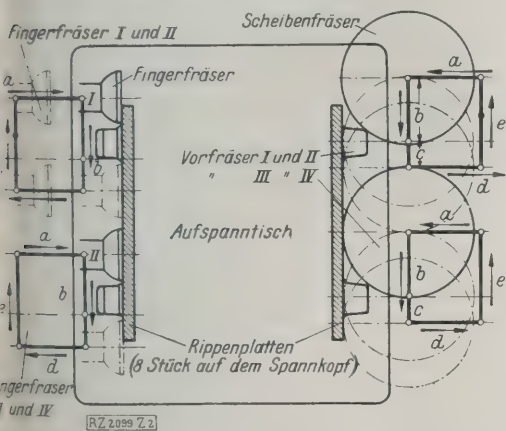


Abb. 2
Arbeitschema der Fräsmaschine für Rippenplatten.

Fräservorschub
Fräsgang 45 mm/min (hierbei wird der Aufspanntisch vorgeschoben)
Durhbfahren des Fräsers
Zurückziehen
schnelles Zurückfahren in die Anfangstellung (der Aufspanntisch fährt zurück)

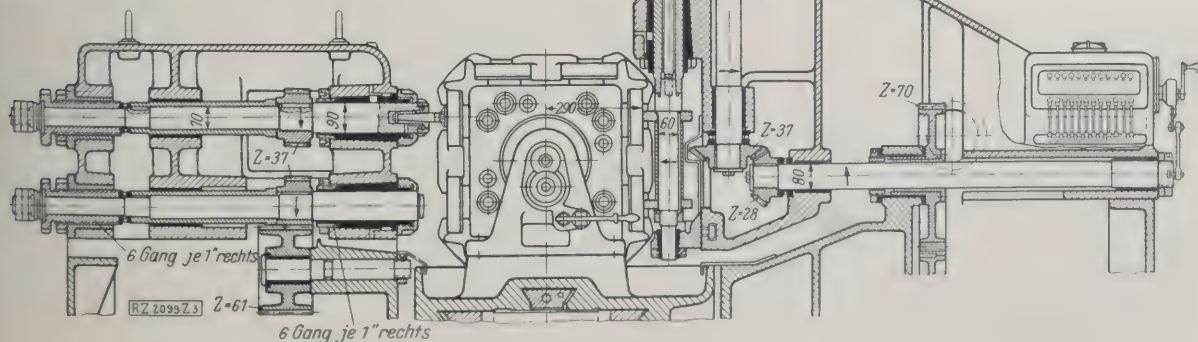


Abb. 3
Schnitt durch die Spindelkästen.

wurde statt der zwei wagrechten Fingerfräser rechts eine senkrechte Frässpindel angeordnet mit zwei Scheibenfräsern an einem Dorn zum Vorfräsen und mit selbsttätigem Fräsvorschub. Hierbei erhielt der Tisch mit dem Spannkopf einen Vorschub von 37 mm/min, der Schlitten mit den beiden Vorfräsern einen Relativvorschub von 137 mm/min. Um die Leistung noch zu steigern und die infolge der großen Schrubb-Vorschubgeschwindigkeit erhebliche Abnutzung der Fräser zu vermindern, erhielt die beschriebene neue Bauart zwei Vorfrässpindeln mit je zwei Scheibenfräsern. Der ungünstige Relativvorschub zwischen Vor- und Fertigfräsarbeit fällt hierbei fort; nur der Tisch mit dem Spannkopf wird vorgeschoben.

Frankfurt a. M. [M 2099]

S. Weil

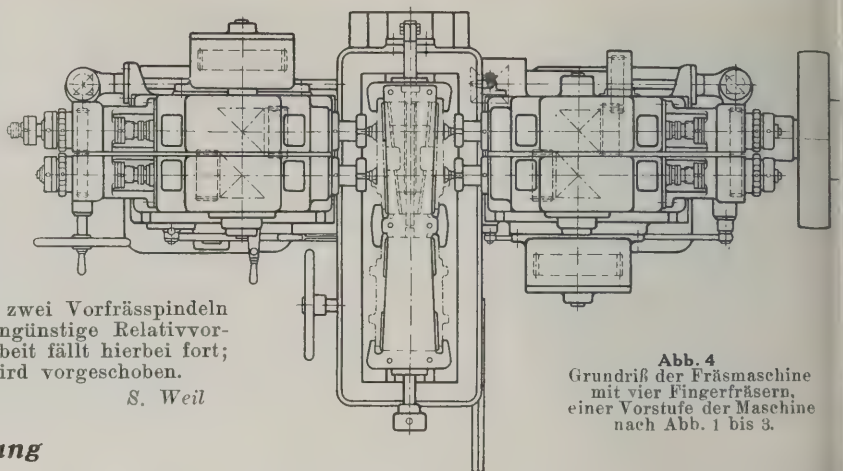


Abb. 4
Grundriß der Fräsmaschine
mit vier Fingerfräsern,
einer Vorstufe der Maschine
nach Abb. 1 bis 3.

Holzbearbeitung

Über künstliches Holz Trocknen¹⁾

Die grundlegende Erkenntnis des Holz Trocknens ist: Holz, gleich welcher Art, stellt sich bei hinreichend langer Einwirkung von Luft einer gewissen Temperatur und relativen Feuchtigkeit auf einen bestimmten Feuchtigkeitsgehalt (Nässegehalt) ein. Diese Beziehung ist in Abb. 5 dargestellt²⁾. Das Schaubild zeigt, daß Unterschiede der relativen Luftfeuchtigkeit weit mehr den Nässegehalt des Holzes beeinflussen als die Temperatur, ferner, daß der unbestimmte Begriff „Lufttrockenheit“ mit etwa 13 vH Holzfeuchtigkeit zahlenmäßig festlegbar ist.

Bei künstlicher Trocknung spielen genau die gleichen Mittel wie bei natürlicher Trocknung eine Rolle. Dies ist die Bewegung, Feuchtigkeit und Wärme der Luft. Das Verfahren des Trocknens mit überhitztem Dampf ist grundsätzlich gleicher Natur. Bei künstlichem Trocknen kann man diese Mittel nur viel gleichmäßiger, also ohne die Schwankungen, die der Atmosphäre eigen sind, und weit wirksamer anwenden. Genaue Untersuchungen über die Luftgeschwindigkeiten in der Trockenkammer liegen noch wenig vor. Die Bemühungen sind vorerst noch darauf gerichtet, einen gleichmäßigen, die ganze Kammer bestreichenden Luftstrom zu erzielen. Die vorteilhaftesten für die einzelnen Holzarten und für ungleich lange Wege über das Trockengut zweifellos verschieden großen Luftgeschwindigkeiten sind noch nicht eingehend untersucht.

Die einzelne Holzzelle schwindet erst, nachdem sie das freie Wasser abgegeben hat und die Zellwände auszutrocknen beginnen. Dies nennt man den Fasersättigungspunkt, der bei 25 bis 30 vH Nässegehalt liegt. Das Schwinden setzt sich von da ab gemäß der Abgabe von Feuchtigkeit fort. Das Schwindmaß steht ungefähr im Verhältnis zu dem spezifischen Gewicht der betreffenden Holzart. Die Schwindung ist in tangentialer Richtung einhalb- bis dreimal so groß wie in radialer. Beim Trocknen entsteht und besteht dauernd ein Feuchtigkeitsgefälle dadurch, daß Wasser an der Oberfläche verdampft

und von innen fortwährend nachströmt. Der Fasersättigungspunkt wird demnach in den einzelnen Schichten verschiedenen Zeiten unterschritten. Über den Holzquerschnitt hin besteht also im Schwinden eine Phasenschiebung.

Zwei Ursachen der inneren Trockenspannungen sind zu unterscheiden:

1. Der durch die Holzart gegebene Schwindungsunterschied innerhalb der einzelnen Schichten infolge des größeren Schwindmaßes in tangentialer gegenüber demjenigen in radialer Richtung. Die hieraus sich ableitende Spannung kann man nicht unmittelbar beeinflussen. Der Trockenvorgang muß ermöglichen, daß die Spannungen ihren Ausgleich durch innere Zellenverlagerungen finden.
2. Der Schwindungsunterschied zwischen den einzelnen Schichten infolge des Feuchtigkeitsgefälles, abhängig von der Größe dieses Gefälles. Diese Spannung kann man planmäßig regeln. Vergleicht man die Durchflußmenge an Feuchtigkeit durch die Holzscheiben in der Zeiteinheit mit der Stromstärke, so läßt sich das Feuchtigkeitsgefälle mit der Spannung E , so wie die inneren Kräfte (Spannungen) bei gleichbleibendem Produkt IE , also bei gleicher Trockenleistung, umkleinern, je größer I und je kleiner E ist. Das zu erreichen, ist die Hauptaufgabe des Holz Trocknens.

Die Zahlentafeln 1 und 2³⁾ zeigen das Ergebnis eingehender Versuche, deren Zweck es war, für die verschiedensten Holzarten diejenigen Temperaturen und relativen Luftfeuchtigkeitsgehalte (Maß des Unterschiedes der Wärme und der relativen Luftfeuchtigkeit gegenüber den dem zeitigen Zustand des Trockengutes entsprechenden Grad ausfindig zu machen, unter deren Einwirkung auf Trockengut bei den jeweiligen Nässegehalten des Holzes ein starker Feuchtigkeitsfluß bei kleinem Feuchtigkeitsgefälle stattfindet.

Jedoch ist auch beim Arbeiten nach diesen Trockentafeln ein Eintreten von Spannungen nie ausgeschlossen. Eine geringe Zugspannung in der äußeren Schicht ist eine unabänderliche Folge des Voreilens des Trocknens und damit auch Schwindens dieser Schicht. Bei sehr starkem Feuchtigkeitsgefälle findet das äußere Schwinden von innen her, die inneren Schichten, die den Fasersättigungspunkt noch nicht unterschritten haben, heftigen Widerstand. Die äußeren Schichten trocknen „stehend“, d. h. ohne Verformung. Die Auswirkung des der Feuchtigkeitsabgabe entsprechenden Schwindens, und legen sich wie eine Schale um das Innere. Wenn nunmehr auch die inneren Schichten allmählich Fasersättigungspunkt unterschreiten, so erzeugen sie durch ihr Schwinden in der „Schale“ Druckspannungen, was als „Verschalung“, unzutreffend mit „Oberflächenhärtung“ bezeichnet. Sie wirkt nicht nur stark verzögernd auf den Trockenvorgang, sondern hat auch vor allem bei der Weiterarbeit höchst unangenehme Folgen, die meist irrtümlich auf ungenügenden Trockengrad zurückgeführt werden.

Zum Verfolgen der Spannungszustände während des Trocknens gibt es einfache Verfahren. Die Verschalung wird durch Behandlung des Trockengutes mit hoher relativer Luftfeuchtigkeit, unter Umständen von 100 vH, bekämpft. Diesem Zweck dient in erster Linie das Dämpfen, nicht aber, wie vielfach geglaubt wird, die „Auslaugen“ des Holzes, das ziemlich zwecklos, nach Ansicht vieler sogar schädlich ist und außerdem bei

¹⁾ Auszug aus dem gleichnamigen Aufsatz des Verfassers in der Zeitschrift „Maschinenbau“ Bd. 7 (1928) Heft 23 S. 1089.

²⁾ Nach A. Koehler und Rolf Thelen: The Kiln Drying of Lumber New York, Mc Graw Hill Book Co.

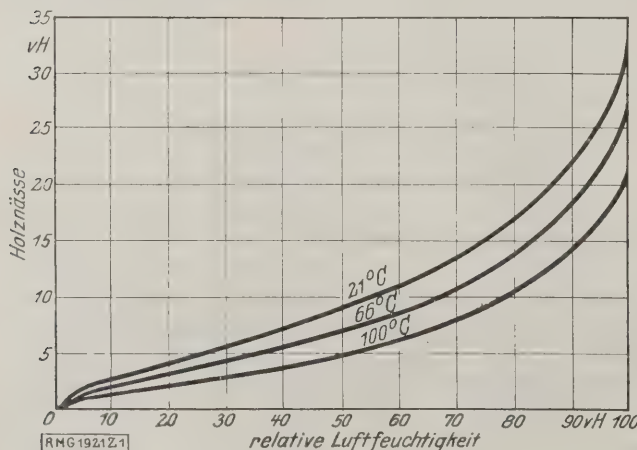


Abb. 5

Beziehung zwischen relativer Luftfeuchtigkeit und Nässe des Holzes bei verschiedenen Temperaturen.

³⁾ Kiln Drying Handbook a. a. O.

Zahlentafel 1
Trockentafel für Hartholz.

Trockenheits- grad des Holzes in vH	8		7		6		5		4		3		2		1		
	T	F	T	F	T	F	T	F	T	F	T	F	T	F	T	F	
	°C	vH	°C	vH	°C	vH	°C	vH	°C	vH	°C	vH	°C	vH	°C	vH	
er 40	41	85	43	85	46	80	49	80	52	80	54	80	57	80	60	80	Sp. 1 gültig für Linde, Birke, Pappel
40	43	80	46	80	49	75	52	75	54	75	57	75	60	75	63	75	" 2 " " Esche, Ulme, Weide
30	46	75	49	75	52	70	54	70	57	70	60	70	63	70	66	70	" 3 " " Buche, Ahorn
25	49	70	52	65	54	65	57	65	60	60	63	60	66	60	68	60	" 4 " " Mahagoni
20	52	60	54	55	57	55	60	55	63	50	66	50	68	50	71	50	" 5 " " Buchsbaum, Kirsche,
15	54	50	57	45	60	45	63	45	66	40	68	40	71	35	74	35	Hickory, Akazie, Maul-
weniger	57	40	60	35	63	30	66	30	68	25	71	25	74	20	77	20	beer, Walnuß
																	" 6 " " Eiche verschiedener
																	" 7 " " Härte
																	" 8 " " " " " " " " " "

T = Temperatur im Trockenofen

F = relative Luftfeuchtigkeit im Ofen

Zahlentafel 2
Trockentafel für Weichholz.

Trockenheits- grad des Holzes in vH	03		02		01		004		003		002		001		0004		0003		0002		0001		
	T	F	T	F	T	F	T	F	T	F	T	F	T	F	T	F	T	F	T	F	T	F	
	°C	vH	°C	vH	°C	vH	°C	vH	°C	vH	°C	vH	°C	vH	°C	vH	°C	vH	°C	vH	°C	vH	
beginn	57	85	57	85	57	85	71	85	71	85	71	85	71	85	82	85	82	85	82	85	82	85	Sp. 03 gültig z. B. f. Spruce
40																							mm
30																							64 bis 76
20																							" 02 " " Zeder
10																							" 01 " " Zyp.
																							" 004 " " Douglas
																							" 0.3 " " Zeder
																							" 002 " " Hemlock
																							" 001 " " "
																							" 00.4 " " Spruce
																							" 0003 " " Nord. Kiefer
																							" 0002 " " "
																							" 0.01 " " Fichte

T = Temperatur im Trockenofen

F = relative Luftfeuchtigkeit im Trockenofen

maß, in dem es in Trockenanlagen zur Anwendung kommt, nur in recht unvollkommener Weise erreicht wird. Ofenarten unterscheidet man nach der Arbeitsweise: al- und Kammeröfen, nach der Art der Regelung der relativen Luftfeuchtigkeit: Ofen mit natürlicher oder künstlicher Lüftung und mit Kondensation.

In Kanalöfen, in denen man das Trockengut be- und der Ofen in seiner Längsrichtung Luft allerseits von naß-kühl bis trocken-warm enthält, kann man es so fein regeln, wie es zum Erzielen guter Trocknungsergebnisse notwendig ist. Sie sind daher nur für grobes Trocknen, z. B. von Kistenholz, oder zum Vortrocknen des Frachtersparnis geeignet.

Die Kammeröfen, in denen das Trockengut nicht bewegt wird und die Stufen von naß-kühl bis zu trocken-warm zeitlich fortschreiten, herrschen entschieden vor. Wärme und die relative Luftfeuchtigkeit kann man leicht zu regeln. Die Wärmewirtschaft ist in zahlreichen Fällen ohne große Bedeutung, da in vielen Holzbetrieben Dampf zur Verfügung steht. Die größte Schwierigkeit besteht stets in der Erzielung einer gleichmäßigen Luftführung, die, abgesehen von guter Zu- und Abfuhr, weitgehend nach entsprechendem Stapeln des Holzes bedingt ist.

Für den Trockenheitsgrad, bis auf den herabzutrocknen und der zwischen 4 und 15 vH liegt, ist nicht die Holzart, sondern allein Zweck und Ort der Verwendung der Ergebnisse maßgebend. [M 2262]

Heidelberg-Rohrbach

Dipl.-Ing. P. Warlimont

Elektrische Öfen über Wolframöfen

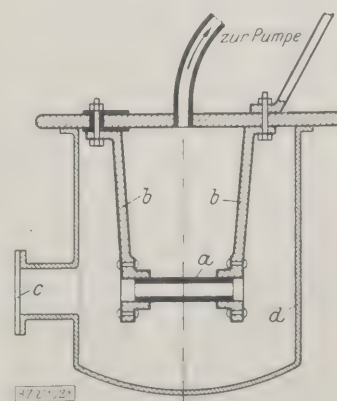
Für Untersuchungen bei hohen Temperaturen kann man das Temperaturgebiet bis zu 1500 °C Öfen mit Platin-klung, sowie Öfen mit Leuchtgas- oder Sauerstoffgebläse verwenden. Für Arbeiten bei Temperaturen zwischen 1500 und 3000 °C benutzt man folgende Ofenbauarten: Öfen mit Platinrohr oder Kohlengrüß in Kurzschlußanordnung, Gasöfen aus Zirkonoxyd, Iridium-, Molybdän-, Wolframöfen, Induktionsöfen. Temperaturen über 3000 °C erreicht man mittels des elektrischen Lichtbogens. — Von besonderer Bedeutung sind in den letzten Jahren die Wolframöfen geworden. Die Höhe der in diesen Öfen erreichbaren Temperaturen wird von der Temperaturbeständigkeit der übrigen Ofenbaustoffe begrenzt; bei Verwendung freistehender Wolframheizkörper kann man Temperaturen von mehr als 3000 °C erreichen.

In gleicher Weise wie Molybdän¹⁾ kann man auch Wolfram bei hohen Temperaturen nicht in oxydierender Atmosphäre verwenden. Daher müssen sich die Heizkörper bei allen Wolframöfen im Vakuum oder in reduzierender oder neutraler Atmosphäre befinden. Die Öfen werden entweder als Kurzschlußöfen gebaut oder mit einer Drahtwicklung versehen (Widerstandserhitzung). Zusammenfassende Darstellungen mehrerer Ofenarten finden sich in Arbeiten von v. Wartenberg²⁾, Ruff³⁾ und C. Müller⁴⁾.

Kurzschlußöfen. Abb. 6 zeigt einen von v. Wartenberg⁵⁾ entwickelten Wolfram-Kurzschlußofen. Ein gepreßter und gesinterter Zylinder aus Wolframmetall ist freitragend zwischen den Stromzuführungen angeordnet. Ähnliche Ofenbauarten haben Podszus⁶⁾, Fehse⁷⁾ u. a. entwickelt.

Öfen mit freistehender Spirale. Bei einer anderen Ausführungsform von Wolframöfen benutzt man frei zwischen Stromzuführungsklemmen ausgespannte Spiralen aus Wolframdraht; Abb. 7 zeigt einen derartigen Ofen nach v. Wartenberg und Mitarbeitern⁸⁾. Die bei hoher Temperatur zu untersuchende Masse wird unmittelbar oder auf einer Unterlage aus einem hochschmelzenden Oxyd (Zirkonoxyd oder dergl.) in die Spirale gebracht.

Innenwicklungsöfen. Ein Wolframofen mit Widerstandspirale nach Fehse⁷⁾ — ähnlich gebaut wie z. B. ein Chromnickel- oder Platinwiderstandsofen — ist in Abb. 8 dargestellt.

Abb. 6
Wolfram-Kurzschlußöfena Wolframrohr b Stromzuführungen
c Schauglas d gasdichtes Gehäuse¹⁾ Z. Bd. 72 (1928) S. 556²⁾ Z. f. Elektrochemie Bd. 30

(1924) S. 351.

³⁾ Z. f. Elektrochemie Bd. 30

(1924) S. 356.

⁴⁾ Handbuch der Physik

(Geiger-Scheel), Berlin 1926,

11. Bd. S. 340.

⁵⁾ Z. f. Elektrochemie Bd. 15

(1909) S. 866.

⁶⁾ Sprechsaal Bd. 50 (1917)

Heft 8.

⁷⁾ W. Fehse, Elektrische

Öfen mit Heizkörpern aus Wol-

fram, Braunschweig 1928.

⁸⁾ H. v. Wartenberg, J. Brox

und R. Reinicke, Z. f. Elektro-

chemie Bd. 29 (1923) S. 214;

H. v. Wartenberg und H. Moehl,

Z. f. phys. Chemie Bd. 128

(1927) S. 439.

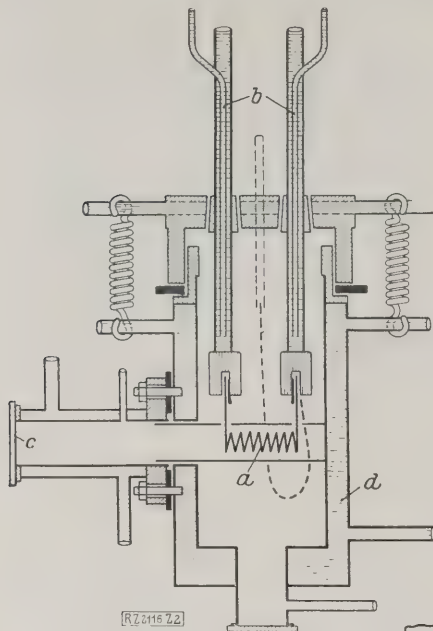


Abb. 7
Wolframofen
mit freistehender
Spirale.

- a Wolframdraht-
spirale, 1 mm
Dmr.
- b Stromzuführung,
wassergekühlt
- c Schauglas
- d Wassermantel

Die Heizspirale ist von vorgesintertem, hoch schmelzendem Zirkonoxyd umgeben (Schmelzpunkt etwa 2700 °C), so daß man in diesem Ofen bedeutend höhere Temperaturen erreicht als im Platinofen. Der Ofen kann auch in der gleichen Art gebaut, jedoch mit einem Wolframband ausgerüstet werden, wie es z. B. Goetz⁹⁾ angegeben hat.

Ein wesentlicher Nachteil der Innenwicklungsöfen liegt darin, daß die zu untersuchende Masse, in gleicher Weise wie bei den Kurzschlußöfen und den Öfen mit freigespannter Spirale, nur im Vakuum oder in reduzierender oder neutraler Atmosphäre untersucht werden kann. Mit den Innenwicklungsöfen wurden bisher etwa 1800 °C unter Verwendung von Alundum erreicht (nach Angaben von Bidwell¹⁰⁾; Fehse⁷⁾ und W. M. Cohn¹¹⁾ kamen unter Verwendung von Zirkonoxyd auf 2000 °C.

Außenwicklungsöfen. Abb. 9 zeigt eine kürzlich von mir¹¹⁾ entwickelte Bauart von Wolframöfen mit Außenwicklung: Die Wolframspule befindet sich zwischen zwei gasdichten Rohren, deren Zwischenraum mit Schutzgas durchspült wird. Im eigentlichen Ofenraum kann man daher Untersuchungen in beliebiger Atmosphäre durchführen. Die Höhe der mit diesem Ofen erreichbaren Temperatur hängt nur davon ab, Schutzrohre zu erhalten, die bei hohen Temperaturen gasundurchlässig sind. Bisher wurden etwa 2000 °C mit Zirkonoxydrohren erreicht.

Ersatz von Platin. Zum Ersatz der teuren Platinöfen für Arbeiten bis zu 1500 °C kann man die beiden zuletzt erwähnten Ofenbauarten mit Innen- oder Außenwicklung benutzen, da Wolframdraht bedeutend billiger als Platindraht ist. Die Herstellung der Spiralen gestaltet sich insofern etwas schwieriger, als Wolframspiralen am besten in der Wärme (schwach rotglühend) gewickelt werden müssen. Bis zu 1500 °C benutzt man die üblichen keramischen Massen auch für Wolframöfen, wobei sie für Außenwicklungsöfen genügend gasundurchlässig sein müssen.

⁹⁾ Z. f. Phys. Bd. 42 (1927) S. 329 und Bd. 43 (1927) S. 531.

¹⁰⁾ J. of Opt. Soc. Amer. Bd. 12 (1926) S. 495; Bd. 13 (1926) S. 502.

¹¹⁾ Z. f. techn. Physik Bd. 9 (1928) S. 110.

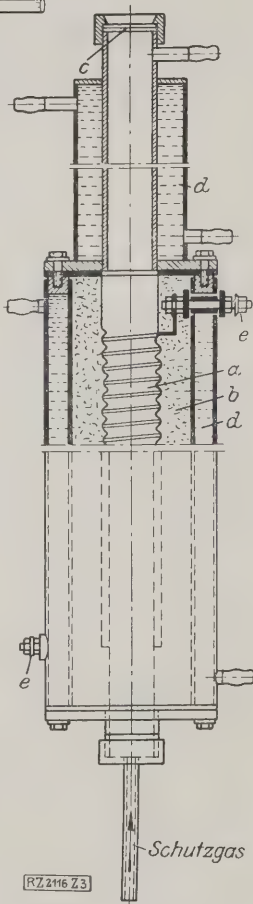


Abb. 8
Wolframofen mit Innen-
wicklung.

- a Wolframdraht
- b Zirkonoxyd
- c Schauglas
- d gekühlte Ofenmängel
- e Stromzuführungen

Wolframöfen verwendet man u. a. bei Gleichgewichtsuntersuchungen, bei Fragen der Mineralsynthese und Chemie, bei dem großen Gebiet der spektroskopischen und astrophysikalischen Untersuchungen, bei der Bestimmung thermischer Eigenschaften der Materie und bei Strahlungsmessungen. Auch in der Technik haben sich Wolframöfen für manche Zwecke eingeführt; hier sei nur auf die Herstellung der Wolframstäbe verwiesen, die man für die Glühlampenherstellung verwendet. Mit der weiteren Verfeinerung der Öfen werden sich für die Technik weitere Anwendungsmöglichkeiten ergeben. [M 2116]

Berlin-Dahlem

Dr.-Ing. W. M. Cohn

Werkstoffe

Neue Untersuchungen über das NICO-Metall

In dieser Zeitschrift¹⁾ wurden die metallographischen und mechanischen Eigenschaften der NICO-Legierung unter besonderer Berücksichtigung des Verhaltens bei Beanspruchungen nach dem Verfahren von Prof. Kamme bei flüssiger und nach dem Blöckchenverfahren bei halbflüssiger Reibung behandelt. Da als wesentliches Betriebsmoment noch das Verhalten eines Lagermetalles bei absetzender Schmierung zu betrachten ist, wurden von Prof. Dr.-Ing. Rötischer²⁾ im Vergleich zu dem anerkannten NICO-Metall mit 83,4 vH Zinn, 5,6 vH Kupfer und 11 vH Antimon und den hauptsächlichsten Lagermetallen des Normblattes DIN 1703 mit steigenden Zinngehalten Versuche bei vollständig trockener Reibung ausgeführt.

Abb. 10 zeigt schematisch die Versuchsanordnung. Mittels Wasserdruckes, den man mit der Meßdose a bestimmen kann, werden die zwei im pendelnd aufgehängten Rahmen einander genau gegenüberliegenden Proben c₁ und c₂ mit steigenden Flächenpressungen gegen die Bremsstahlscheiben von 500 mm Dmr. gepreßt. Die Abnutzungsversuche wurden bei 10 m/s Gleitgeschwindigkeit = rd. 380 U/min durchgeführt. Die Proben (30 × 30 × 12 mm) mit Reibflächen von 30 × 12 = 360 mm² arbeiteten, nachdem sie eingelaufen waren, je eine halbe Stunde bei gleichem Flächenpressdruck, anfangend mit 1,5 kg/cm² bis zu 12 kg/cm². Abb. 11 zeigt die Versuchsergebnisse. Bis zu 12 kg/cm² Flächenpressdruck sind die NICO-Legierungen allen DIN-Weißmetallen von 5 bis 83 vH Zinn bei versagender Schmierung weit überlegen. Die Grenze für das zähere NICO 2 mit rd. 100 vH höherer spezifischer Schlagfestigkeit als NICO 1 liegt hier

zwischen 10 bis 11 kg/cm² entsprechend einem $p \cdot v = 110 \frac{\text{kg}}{\text{cm}^2} \cdot \frac{\text{cm}}{\text{min}}$ bei vollständig trockener Reibung, wobei diese Legierung die niedrigste Abnutzung von kaum 0,2 cm³/h aufweist. Auffällig und die Gleitversuche mit halbflüssiger Reibung nach dem älteren Blöckchen-Kurzverfahren³⁾ v

¹⁾ Z. Bd. 71 (1927) S. 1691.

²⁾ Ausgeführt im Laboratorium für mechanische Technologie der Techn. Hochschule Aachen unter Mitwirkung von Dipl.-Ing. Hermann, denen auch an dieser Stelle für die eingehende Durchprüfung gedankt sein soll.

³⁾ Z. Bd. 71 (1927) S. 1692 Abb. 10; vergl. hierzu Bd. 72 (1928) S.

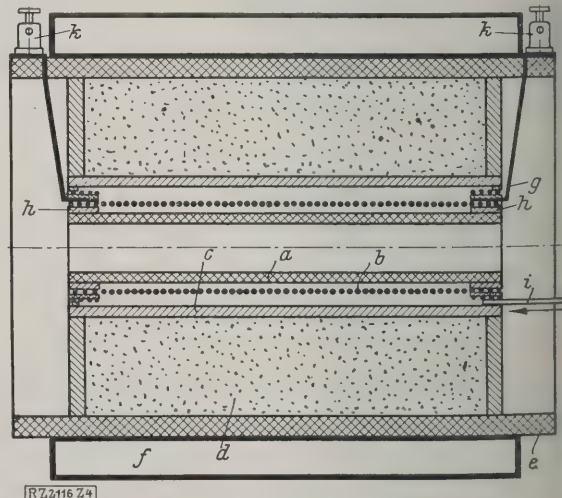


Abb. 9
Wolframofen mit Außenwicklung.

- a inneres Zirkonoxydrohr
- b Wolframspule
- c äußeres Zirkonoxydrohr
- d Mischung von hoch und niedrig gebranntem Zirkonoxypulver
- e Schamottezylinder
- f Wassermantel
- g Band aus Wolframblech
- h Ringkörper aus hochfeuerfestem Werkstoff
- i Schutzgasleitung
- k Stromzuführungen

stigend ist der Befund, daß auch bei trockener Reibung die Abnutzung WM 42 die größte Abnutzung zeigt. Weiterhin lassen diese Versuche, wie außerordentlich günstig der Ersatz des Kupfers durch Nickel auf die Gleiteigenschaften wirkt und die Betriebssicherheit erhöht. Die WM 10-Legierung mit 1,5 vH Kupfer und 10 vH Zinn weist gegenüber der Legierung NICO 2 mit 1 vH Nickel und ebenfalls 10 vH Zinn (neben mehreren andern verfestigenden Komponenten) bei einem $p v$ von nur $60 \frac{\text{kg/m}}{\text{cm}^2 \text{s}}$ mit rd. $1 \text{ cm}^3/\text{h}$ nur fünfmal größere Abnutzung auf als die NICO-Legierung mit nur $0,2 \text{ cm}^3/\text{h}$ bei einem $p v$ vom 110.

[M 2149]

Dipl.-Ing. Ackermann.

Angewandte Mathematik

Näherungsrechnung für kritische Drehzahlen

Zuschrift an die Schriftleitung

Zu der Abhandlung von Dr.-Ing. Karas, Brünn, Z. Bd. 72 (1918) S. 1648, möchte ich bemerken, daß ich im Jahre 1917 einer Veröffentlichung¹⁾ auf die Verwendbarkeit des Ritzschen Verfahrens zur angenäherten Berechnung kritischer Drehzahlen hingewiesen habe. Insbesondere ist in dort der Fall längsbelasteter Wellen, Kompressoren, Turbinenantrieb, Schiffswellen, meines Wissens zum ersten Mal eingehender behandelt und als Grenzwertintegral der Druck

$$J_n = \frac{1}{2} \left[\int_0^{x_0} y''^2 dx - \int_0^{x_0} c^2 y y'' dx - \frac{\mu \omega_k^2}{E J} y_1^2 \right] = \text{Min}$$

verwandelt worden. Es wurde mit dem sehr einfachen Ansatz $y = f(a_i)$ der Sinusreihe, wie die dort gebrachten Abweichungen zeigen, schon in der ersten Näherung gute Übereinstimmung mit den theoretischen Werten gefunden. Die theoretisch richtige Lösung der aus dem Variationsproblem resultierenden Differentialgleichung

$$y'' - c^2 y + k_1 = 0, \quad x = 0$$

mit $c^2 = \frac{H}{E J}$, H Horizontalschub, für die Durchbiegung einer längsbelasteten Welle mit der Querkraft P in der Mitte lautet

$$y = \frac{1}{2} \frac{P}{H} \left\{ x - \frac{1}{c} \frac{\sin h(c x)}{\cos h(c b)} \right\} \text{ mit } b = \frac{1}{2} \text{ Wellenlänge.}$$

zeichnet man mit ω_{0k} die kritische Drehzahl erster Ordnung einer Welle ohne Längsbelastung ($\pm H = 0$), so wird die kritische Drehzahl bei Längsbelastung

$$\omega_{k(1)} = \sqrt{\omega_{0k(1)}^2 \pm \frac{H}{P} \left(\frac{\pi}{2} \right)^2 \frac{2g}{2}}$$

brauchbare Näherungslösung für den einfachsten Fall.

$$\omega_{0k(1)} = \frac{\pi^4 E J}{2 l^3 \mu}$$

In erster Näherung ist, so erhalten wir ungefähr die Werte der Zahlentafel, die Karas auf S. 1649 zum Beweis der Genauigkeit der Verfahren von Hencky und Ritz anführt. In

¹⁾ Z. d. S. I. u. A. V. Bd. 69 (1917) S. 610.

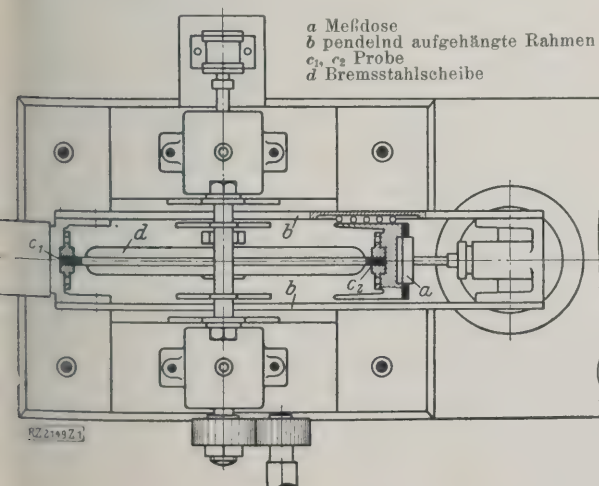


Abb. 10

Versuchsanordnung zur Prüfung von Lagermetallen bei trockener Reibung.

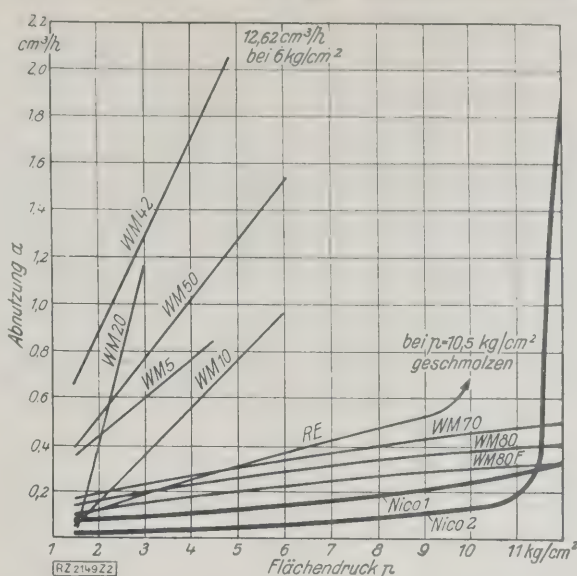


Abb. 11

Ergebnisse von Abnutzungsversuchen verschiedener Lagermetalle.

meiner Abhandlung habe ich aber auch nachgewiesen, daß im praktischen Maschinenbau eine wesentliche Beeinflussung der kritischen Drehzahl durch Längsdruck oder Zug nur selten festzustellen ist. Das Verfahren des genialen, leider viel zu früh verstorbenen Mathematikers W. Ritz hat aber wieder seine große praktische Bedeutung bewiesen, auf die schon früher oft hingewiesen wurde²⁾.

Auch die Schiefstellung der Radscheibe kann mit dem Ritzschen Verfahren behandelt werden. Fällt der Scheibenschwerpunkt mit der Wellenmitte zusammen, so entsteht ein Zusatzmoment $M = \Theta \omega^2 y' = H y$, das durch eine Horizontalkraft H hervorgerufen gedacht werden kann. Der Arbeitsbetrag ist gleich

$$\frac{1}{2} \int_0^{x_0} \Theta \omega^2 y'^2 dx.$$

und die Änderung des Grenzwertintegrals

$$J_n = \frac{1}{2} \left[\int_0^{x_0} y''^2 E J dx + \int_0^{x_0} \Theta \omega^2 y'^2 dx - \int_0^{x_0} \mu \omega^2 y^2 dx \right]$$

ergibt

$$y'''' E J - \Theta \omega^2 y'' - \mu y \omega^2 = 0$$

die mit Stodola übereinstimmende Differentialgleichung³⁾, in der wieder in bekannter Weise die (a_i) nach Ritz in dem Ansatz $y = f(a_i)$ gerechnet werden können. Auch für Schaufelschwingungsrechnungen bei ND-Laufrädern von Dampfturbinen kann das Verfahren mit Erfolg verwendet werden. Besonders bemerkenswert erscheint mir in der Originalarbeit von Karas, daß dort der Nachweis gebracht wird, daß bei Stabilität der Faktor λ im Integral J_n gleich 1 wird. Bei diesen Aufgaben hört bekanntlich der Integrand auf, eine definite Form zu sein. Nach Ritz ist die Lösung nicht mehr eindeutig⁴⁾, die Werte a_i kommen nur quadratisch vor, doch ist das Verfahren gut zu verwenden, wenn auch der Konvergenzbeweis von Ritz nicht erbracht worden ist.

Berlin-Siemensstadt

H. Melan

Erwiderung

Auf obige Zuschrift von Dr.-Ing. H. Melan möchte ich erwidern⁵⁾, daß ich in meiner Originalarbeit allerdings nicht klar genug hervorgehoben hatte, daß Dr.-Ing. Melan darin bereits auf die gute Verwendbarkeit des Ritzschen Verfahrens in diesen Fällen hingewiesen und auch mit Erfolg Gebrauch davon gemacht hatte, was hiermit gerne nachgeholt sei. Darauf, sowie auf die Mitbeachtung der Kreiselmomente aufgekeilter Scheiben werde ich außerdem noch an anderer Stelle ausführlicher zurückkommen.

[D 2261]

Karas

²⁾ Vergl. Karman, Z. Bd. 55 (1911) S. 1889; Pöschl, „Armierter Beton“ Bd. 5 (1912) S. 169; H. Lorenz, Z. Bd. 57 (1913) S. 543; Stodola, Schw. Bauztg. Bd. 63 (1914) S. 251 u. a.

³⁾ Vergl. Stodola, Dampfturbinen, 3. Aufl. S. 160.

⁴⁾ Vergl. Ritz, Paris 1913, S. 246.

⁵⁾ Vergl. Karas, Zeitschrift für Bauwesen Bd. 78 (1928) S. 252, wo in Anm. ⁵⁾ bei Aufzählung von Arbeiten, die sich des Ritzschen Verfahrens bedienen, auch die Arbeit von Melan erwähnt ist.

Kleine Mitteilungen

Fernheizwerk für die Technische Hochschule Zürich

Da die Heizanlagen der Eidgenössischen Technischen Hochschule z. T. ersetzt und erweitert werden müssen, beauftragte das Departement des Innern die Direktion der eidg. Bauten Entwürfe für ein Fernheizwerk auszuarbeiten. Diese liegen nunmehr vor. Der erste sieht ein Fernheizwerk mit, der zweite ein solches ohne elektrische Kraftherzeugung vor. Obwohl das Kraftheizwerk für Betrieb und Unterricht die beste und wirtschaftlichste Lösung darstellen würde, entschied man sich mit Rücksicht auf seine hohen Kosten von rd. 2½ Mill. RM für das reine Heizwerk. Dieses wird auf 1,17 Mill. RM veranschlagt; davon entfallen auf das Kesselhaus mit Regelraum 342 000 RM, auf die Fernheizkanäle 135 000 RM, auf die Kesselanlage 348 000 RM und auf die Heizanlage 302 000 RM.

Der Dampfkessel von 330 m² Heizfläche und 35 at Überdruck wird mit selbsttätiger Rostbeschickung und zur Aushilfe mit Ölfeuerung versehen. Seine Wärmeleistung beträgt 11 Mill. kcal/h und genügt für den Heizbedarf sämtlicher Bauten der Hochschule und des Kantonspitals, das ebenfalls angeschlossen werden soll, bis zu -9,5° Außentemperatur. Zur Deckung der Spitzen bei noch tieferer Temperatur soll ein Teil der alten Heizkessel in das neue Kesselhaus verlegt werden. (Schweizerische Bauzeitung 26. Januar 1929 S. 46*.) [N 2550 a] Lc.

Elektrische Lokomotive von 4000 PS für die Löttschbergbahn

Zur Beförderung schwerer Schnellzüge über die Tunnelstrecke der Löttschbergbahn haben die schweizerischen Bundesbahnen vor kurzem eine elektrische Lokomotive von 4000 PS Leistung in Dienst gestellt. Sie hat sechs von je zwei Motoren angetriebene Achsen, insgesamt also zwölf Motoren, die wagerecht gelagert sind, und je eine Laufachse vorn und hinten. Die Motoren leisten je 375 PS und ergeben zusammen 24 300 kg Stunden- und 34 000 kg Anfahrzugkraft. Die beiden Achsmotoren sind in Reihe geschaltet. Die Fahrdrachtspannung beträgt 15 000 V und wird im Transformator auf 880 V herabgesetzt. Über zwölf luftbetätigte Schützen wird der Strom den Motoren zugeführt.

Das Gesamtgewicht beträgt rd. 140 t, das Reibungsgewicht 115 t, die Achsbelastung rd. 19 t, die Länge über die Puffer 20 260 mm, der Gesamtradstand 16 800 mm und der feste Radstand 4100 mm. Die Schwierigkeiten der Konstruktion, die sich aus der Notwendigkeit ergaben, die Treibräder bei 10 t Raddruck mit Rücksicht auf die starken Krümmungen möglichst klein zu halten, konnte man durch eine neue Anordnung der die Radreifen und Achse nachgiebig verbindenden Federn beheben, und zwar sind die Federn paarweise angeordnet. Das für die große Achsbelastung erforderliche Federspiel ist somit reichlich. Bei den Versuchsfahrten beförderte die Lokomotive 550 t Zuggewicht über 37 ‰ Steigung mit 50 km/h Fahrgeschwindigkeit. Den elektrischen Teil lieferten die Ateliers de Sécheron, Genf, den mechanischen die Breda-Werke, Mailand. („The Engineer“ 25. Januar 1929 S. 97*.) [N 2550 c] Ro.

Straßenabnutzung durch Lastkraftwagen

Versuche des Deutschen Straßenbauverbandes, bei denen zwei Lastkraftwagen mit je 5 t Belastung und 45 km/h Geschwindigkeit, ein Lastkraftwagen mit 10 t Belastung und 35 km/h Geschwindigkeit und ein Lastkraftwagen mit 15 t Belastung und 25 km/h Geschwindigkeit vier Monate hindurch auf drei verschiedenen Versuchsbahnen und Rädern mit hochelastischen Vollgummireifen erprobt wurden, haben ergeben, daß die Straßen durch den 10 t-Wagen um 10 vH weniger als durch die beiden 5 t-Wagen abgenutzt wurden und der 15 t-Wagen die Straßen nicht wesentlich stärker abnutzte als die beiden 5 t-Wagen. Dabei war die Verkehrsbelastung der Straßen mit 2100 t täglich nahezu das Neunfache der mittleren Beanspruchung einer entsprechenden Strecke im braunschweigischen Straßennetz. Gleichzeitig mit drei Pferdefuhrwerken in Braunschweig in Angriff genommene Versuche mußten schon nach fünf Tagen abgebrochen werden, da die Straße durch die Eisenreifen beschädigt war.

Die Ergebnisse dieser Versuche dürften für die nächst bevorstehenden Beratungen über die Erhöhung zulässigen Gesamtgewichts eines Kraftfahrzeuges voll sein. [N 2550 d]

Straßenbrücke mit durchlaufendem Fachwerkträger von 276 m Länge

Über den Mississippi bei St. Joseph, Mo., ist gegenwärtig eine Straßenbrücke im Bau, deren zwei Hauptöffnungen von je 138 m l. W. von einem durchlaufenden Fachwerkträger aus St-Steel überspannt werden. Für Wahl des durchlaufenden Fachwerkträgers entschied man sich, daß sich gegenüber zwei getrennten Tragwerken 25 000 \$ oder rd. 7 vH der Gesamtbaukosten ersparen ließen. Die Ersparnis, die man durch die Verwendung von St-Steel erzielte, betrug sogar 37 000 \$. Alle Tragverbinder sind genietet. („Engineering News-Record“ 17. Januar 1929 S. 100*.) [N 2550 e]

Achtstöckiges Kühlhaus

In Chicago wurde ein achtstöckiges Kühlhaus erbaut, in dem man in 56 630 m³ gekühlten und gelüfteten Räumen rd. 1300 bis 1500 Wagenladungen lagern kann. Das Gebäude selbst ist rd. 78 m lang und rd. 34 m breit. Alle Räume, die den zweiten bis achten Stock umfassen, sind Kork isoliert. Den Warenverkehr bewältigen vier elektrisch betriebene Lastenaufzüge von je rd. 2¼ t Tragfähigkeit.

In die stärker zu kühlenden Räume wird die Sole einer Temperatur von rd. -29 °C und in die weniger kühlenden Räume mit -12 °C gepumpt. Obgleich das Gebäude vollständig feuersicher gebaut ist, hat man in den Räumen eine Sprinkleranlage eingebaut, die, da re Wasser in den Röhren einfrieren würde, mit einer Kalklösung gefüllt ist. Bei einer Feuersbrunst wird die Anlage nach Verbrauch der Kalklösung selbsttätig an die Wasserversorgung angeschlossen. („Railway Age“ 12. Januar 1929 S. 140.) [N 2550 b] Sch.

Sondergießerei für Kolbenringe

Die Firma Perfect Circle Co., Newcastle, Ind., hat eine Sondergießerei für Kolbenringe eingerichtet, in der täglich 175 000 Kolbenringe gegossen werden können. Die Formen werden auf 58 Hebelprüß-Formmaschinen hergestellt, wo man für die 2500 verschiedenen Größen der Kolbenringe nur drei verschiedene, aber in der Befestigungsvorrichtung der Formmaschine gleich durchgebildete Formkästen einsetzt, einen, vier und sechs einzelne Kolbenringe verwendet. Innerhalb 8 h kann ein Former täglich 1000 bis 1200 Formen herstellen. Zwei Kuppelöfen von je 1524 mm Innendurchmesser verarbeiten täglich, von zwei Mann bedient, 24 bis 28 t Rohstoffe, und zwar wird dreimal innerhalb 24 h gegossen. („The Iron Age“ 17. Januar 1929 S. 201*.) [N 2550 f] G.

Walzen von Stabeisen aus gebrauchten Schienen

Die Schienen werden warm mitten zwischen Kopf und Fuß gespalten. Die Walzen der Walzgerüste sind so geordnet, daß Kopf und Fuß, an denen noch ein Teil Steges sitzt, gleichzeitig gewalzt werden können. Ein Laufkran läuft durch die ganze Länge des 185 m langen, 30 m breiten Gebäudes. Lange Schienen werden auf einer 4,5 m gebrochenen und mittels des Kranes zu einem doppel-ölgelieferten Ofen gebracht, der etwa 9 m breit und 4 m lang ist. Die Schienen werden mittels Entladevorrichtung über einen Rollgang zur Spaltvorrichtung gebracht. Das Walzwerk besteht aus sechs Triegergerüsten mit Walzen von 255 mm Dmr., von denen vier Vorgerüste sind. Diese sind mit einander gekuppelt und werden unmittelbar von einem 500 PS-Gleichstrommotor angetrieben. Die zwei Ferngerüste sind ebenfalls mit einander gekuppelt und werden von einem 300 PS-Motor angetrieben, der zwischen 225 und 450 U/min geregelt werden kann. Ein Walzenende ist das Walzen der Köpfe und das andere zum Walzen der Schienfüße kalibriert. Die Leistung des Walzwerkes beträgt 200 t in neunstündiger Schicht. Gewalzt werden Rundeisen von 6 bis 50 mm Dmr., Vierkanteisen ähnlicher Abmessung und Winkel von 20/20 mm bis 75/75 mm. Die Rundeisen werden in der Hauptsache für Eisenbeton verwendet. („The Iron Age“ 17. Januar 1929 S. 208*.) [N 2550 g] St.

BÜCHERSCHAU

Bücher und Zeitschriften des In- und Auslandes, auch solche nichttechnischen Inhaltes, liefert die VDI-Buchhandlung, Berlin NW 7, Ingenieurhaus (Telegrammanschrift: Ingenieurverlag Berlin; Fernspr.: Zentrum 15 04).

Experiment, sein Wesen und seine Geschichte. Von Hugo Dingler. München 1928, Ernst Reinhardt. 262 S. Preis 8,80 RM.

Es ist ein erfrischendes Zeichen, daß sich der Forscher wieder stärker als vor einigen Jahrzehnten um die Grundlagen seiner Wissenschaft bemüht. Der Gefahr eines Spezialistentums wird damit entgegengetreten. Es ist die Möglichkeit gegeben, sich den Zusammenhang der Teilarbeit mit dem Ganzen vor Augen zu führen. Verständlich wird jeder diesen Zusammenhang anders sehen. Doch liegt darin keine Gefahr. Die Sinngebung der Angelegenheit der Person. Erst die aus der Sinngebung entspringenden Kräfte dienen der Gesamtheit. Sie hindern es, ohne einander zu stören. Obgleich ihr Ursprung im Persönlichen wurzelt, wird die Richtung ihres Wirkens durch das objektiv Gegebene, d. h. für alle gleichmäßig, bestimmt. Das vorliegende Buch bemüht sich um das eben bezeichnete Erlebnisgebiet. Wer soll es daher anschauen und lesen? Antwort: Jeder experimentell Arbeitende, sich mit dem Sinn seines Tuns auseinanderzusetzen will sich bei der Lektüre eines Buches nicht daran stoßen, daß die Person des Verfassers etwas stark in den Vordergrund tritt. Das läßt sich bei solchen im Persönlichen wurzelnden Fragen nicht immer vermeiden. Im systematischen wird der Leser alles erfahren, was der Verfasser über den Aufbau und Bedeutung des Experiments zu sagen vermag. Der kurze Anhang spricht über die Entwicklung des Experiments im Verlauf der Wissenschaftsgeschichte. Gerade die Betrachtung des historischen Ablaufs kann die Herausarbeitung der eigenen Stellungnahme und damit die Auseinandersetzung mit den vorgetragenen Ansichten wesentlich erleichtern. Doch nicht nur allgemein interessierte Experimentatoren werden zu dem Buch greifen, jeder Erkenntnistheoretiker wird sich mit ihm auseinandersetzen müssen. Möchte man zu wünschen, daß es dieser „Erkenntnistheoretiker“ allen Berufen recht viele gäbe. [E 2299]

Viktor Engelhardt

Statistische Hochschulstatistik, Sommerhalbjahr 1928, mit textuellen Erläuterungen und graphischen Darstellungen. Herausgeg. von den Hochschulverwaltungen. Berlin 1928, Gruppe & Winkler. 459 S. Preis 18 RM.

Zum ersten Mal ist die Statistik der deutschen Hochschulen — Universitäten, Technische Hochschulen, Forst- und Landwirtschaftliche, Tierärztliche und Handelshochschulen sowie Bergakademien und andre Akademien — gemeinlich erschienen, nachdem die Zahlen bisher nach Hochschulen oder Ländern getrennt herausgegeben wurden oder überhaupt kaum zugänglich waren. Die Statistik bringt die Zahlen sowohl nach Hochschulen gesondert als auch nach Hochschulklassen gesammelt; die Zahlen der Studierenden sind aufgeteilt nach Fachrichtungen (Fakultäten), nach dem Geschlecht und Studienalter, dem Bekenntnis, der Vorbildung, der nach dem Berufsziel, der Staatsangehörigkeit, der Befähigung (als Werkstudent) und nach dem Beruf des Vaters; außerdem ist angegeben, wieviel Studierende unbeschäftigt zur Hochschule gegangen sind und wieviele vor dem Ende des Berufs ausgeübt haben. Man ersieht schon aus der Aufzählung den Umfang des bearbeiteten Stoffes, dessen Wert sich erst in der Zukunft noch recht zeigen wird, in sich diese einheitliche Hochschulstatistik über Jahre hinweg, so daß weitgehende Vergleiche möglich sind. Erschwerend wäre es, wenn die Statistik noch ausgebaut würde, daß z. B. auch die Zahl derer erfaßt wird, die die Hochschulen nach bestandener Prüfung verlassen haben.

Die umfangreichen Zahlenangaben wie die eingehende Wertung im Text und in den Schaulinien werden allen zum großen Nutzen sein, die sich irgendwie mit Fragen der chemischen Ausbildung oder des Nachwuchses zu befassen haben. [E 2480]

Parcy

Monographien aus dem Gebiete der Fett-Chemie. Herausgeg. von K. H. Bauer. 10. Bd.: Die natürlichen Harze. Von H. Wolff. Stuttgart 1928, Wissenschaftliche Verlagsgesellschaft. 379 S. m. 5 Abb., 4 Taf. und 5 Tab. Preis 8 RM.

Der vorliegende Band schildert den neuesten Stand der Fettforschung. Da auch die analytischen Verfahren eindringend dargestellt sind, ist das Buch für den Gebrauch im Laboratorium äußerst anregend und wertvoll. Der Verfasser ist fast 25 Jahre auf dem Gebiete der Harzanalyse tätig und seine reichen Erfahrungen kommen dem Inhalt zum vollen Nutzen. Die Auswahl des Darzustellenden geschah

einerseits nach der chemischen und andererseits nach der praktischen Bedeutung der Harze. Im allgemeinen Teile sind die chemische Erforschung, die Kennzahlen und die Löslichkeit sowie die Harze als Kolloide behandelt. Der Sonder-Teil umfaßt folgende, nach den Pflanzenfamilien eingeteilten Harze der Gymnospermae, Monocotylae und Dicotylae, ferner den Stocklack als tierisches Erzeugnis und Rohstoff des Schellacks. Den Schluß bilden einige Beispiele über Untersuchung von Harzgemischen, Füllungspunkt der Harze, Kapillaranalyse von Harzen und Harzgemischen und Untersuchungen über das Verhalten der Harze im Ultraviolettlicht der Analysenquarzlampe. [E 2410]

Schr.

Die Entwicklung der elektrischen Lokomotiven und Triebwagen. Von F. X. Saurau. 3. Aufl. Wien 1928, „Vienna“ Rudolf Jannig. 144 S. m. 76 Abb. Preis 5,60 RM.

Innerhalb kurzer Zeit hat dieses Buch eine dritte Auflage erfahren, ein Zeichen, wie gern gelesen sein Inhalt ist. Mit der neuen Auflage verbindet der Verfasser eine bedeutende Erweiterung des Inhalts, indem er alle Fortschritte, insbesondere auf dem Gebiete der elektrischen Zugförderung, neu aufnimmt. Die Geschichte der Umstellung von Vollenbahnen auf elektrischen Betrieb in allen beteiligten Ländern ist bis in die neueste Zeit behandelt. [E 2407]

Ro.

Jahrbuch für Luftfahrt 1928. Herausgeg. vom Reichsverband der Deutschen Luftfahrt-Industrie unter Mitwirkung der Wissenschaftlichen Gesellschaft für Luftfahrt, des Deutschen Luftfahrt-Verbandes, des Aero-Clubs von Deutschland und des Deutschen Lufrates in Berlin. München 1928, Richard Pflaum. 277 S. m. 34 Abb. Preis 16,50 RM.

Das Jahrbuch für Luftfahrt 1928 enthält aus der Feder hervorragender Sachverständiger hauptsächlich den Luftverkehr behandelnde Arbeiten. Nach Aufsätzen über die Luftfahrtindustrie Deutschlands und des Auslandes folgt eine Übersicht des Luftverkehrs in fünf Weltteilen mit besonderen Abhandlungen über Deutschland, Frankreich, Italien, Holland, Österreich und Polen. Weitere Berichte erörtern die wirtschaftlichen Grundlagen des Luftverkehrs, die Verkehrsflughäfen, die Luftpost, die Bordgeräte des neuzeitlichen Verkehrsflugzeuges, die wissenschaftliche Forschung, die Wetterkunde, das Luftrecht und die Luftversicherung. Das Schlußkapitel bildet eine Zusammenstellung der Luftfahrtliteratur. Das gemeinlich geschriebene Jahrbuch ist für alle am Luftverkehr Interessierten unentbehrlich. [E 2435]

Gw.

Aus 34 Jahren Luftfahrt. Von Georg v. Tschudi. Berlin 1928, Reimar Hobbing. 186 S. m. 50 Abb. Preis 9 RM.

Das Erscheinen seiner Lebenserinnerungen hat Tschudi nicht mehr erlebt. Er, der nach vielen, schweren Arbeiten der Vorbereitung die erste Internationale Luftfahrt-Ausstellung 1909, Frankfurt a. M., geleitet hat, ist am 8. Oktober 1928 gestorben, ohne der Eröffnung der „Ila“ 1928, Berlin, beiwohnen zu können. Selbsterlebtes wird in diesem Werk in der von Tschudi bekannten fesselnden und lebensfrischen Form dargestellt. Man erlebt die Entwicklung des Luftschiffes und des Flugzeuges und ersieht, daß Tschudi sein Leben der deutschen Luftfahrt vollkommen gewidmet hat. [E 2434]

Gw.

Enzyklopädie der technischen Chemie. Unter Mitwirkung von Fachgenossen herausgeg. von Fritz Ullmann. 2. Aufl. 2. Bd.: Auslaugapparate bis Calciumcarbid. Berlin und Wien 1928, Urban & Schwarzenberg. 785 S. m. 309 Abb. Preis 48 RM.

Der vorliegende 2. Band umfaßt die Stichworte „Autogene Metallbearbeitung“ bis „Calciumcarbid“. Eigentlich sollte die Schreibweise von Wörtern wie Kalzium, Kadmium u. a. für alle Nachschlagewerke einheitlich geregelt werden. Es wäre zu überlegen gewesen, ob man nicht auch hier, wie es nunmehr in dem zur Zeit in neuer Auflage erscheinenden „Lexikon der gesamten Technik“ von Laeger der Fall ist, die amtliche deutsche Rechtschreibung auf diese Wörter hätte anwenden und auf die sogenannte „gelehrte“ hätte verzichten können. Manche Abbildungen entsprechen nicht dem sonstigen Hochstand des Werkes. Autotypen sind zum Teil recht schlecht wiedergegeben, zum Teil sieht man ihnen zu sehr die kritiklose Übernahme aus irgendwelchen Firmenschriften an. Im übrigen muß man nochmals die glückliche Anordnung des Stoffes in zusammengehörige Gebiete und die sehr tiefgehende Bearbeitung hervorheben. Auch die zahlreichen Angaben über Quellen und Schrifttum erhöhen den Wert des Werkes sehr, so daß es für alle Ingenieure,

deren Interessen sich irgendwie mit denen der Chemie schneiden, sowie allen Chemikern, die in der Industrie, wenn auch rein wissenschaftlich, tätig sind, ein ausgezeichnete Führer und Wegweiser bleibt. [E 2413] *Schr.*

Wie schütze ich meinen Betrieb vor Feuerschaden? Von *Rudolf Bethke*. 2. Aufl. Nürnberg 1928, E. Nister. 297 S. Preis 10 RM.

Die überaus günstige Beurteilung der ersten, in 14 Monaten vergriffenen Auflage dieses trefflichen Buches wird auch der soeben erschienenen 2. Auflage zuteil werden. Wenn diese auch keine grundlegenden Änderungen aufweist, so ist doch der maschinentechnische Teil des Buches, der sich mit den Wärmekraftanlagen, ihren Betriebsstoffen und ihrem Feuerschutz befaßt, sachgemäß erweitert worden; auch sind die Abschnitte über den Brandschutz bei technologischen Fabriken und bei Anlagen, die mit verdichteten Gasen und feuergefährlichen Stoffen, besonders mit brennbaren Flüssigkeiten arbeiten, sehr eingehend bearbeitet.

Auch bei der zweiten Auflage des wertvollen Buches fehlt leider eine Auswahl von guten Zeichnungen und Abbildungen der wichtigsten technischen Einzelheiten des Buchinhaltes. Zweifellos würde die „Sprache des Ingenieurs“ manche Erklärung kürzer und leichter verständlich gestalten, ohne daß damit Preis und Buchumfang wesentlich erhöht werden müssen. Es ist zu wünschen, daß diese Verbesserung des empfehlenswerten Buches bei der wohl bald erforderlichen werdenden 3. Auflage berücksichtigt werden kann.

[E 2380]

M. Gercke

Die Betriebspraxis der Eisen-, Stahl- und Metallgießerei. 6. H.: **Die Praxis der Herstellung von Hartguß.** Von *F. W. Friese*. Halle a. d. Saale 1928, Wilhelm Knapp. 74 S. m. 89 Abb. Preis 7 RM.

Die Betriebspraxis der Eisen-, Stahl- und Metallgießerei. 7. H.: **Die metallurgischen und metallographischen Grundlagen des Gußeisens.** Von *K. von Kerpely*. Halle a. d. Saale 1928, Wilhelm Knapp. 120 S. m. 135 Abb. Preis 8,90 RM.

Schweiz. Verband für die Materialprüfungen der Technik. 7. Bericht: **Die Eigenschaftsänderungen von Kupfer, insbesondere elektrolytisch hergestellter Kupferbleche durch Kaltwalzen und Ausglühen.** Zürich 1927. Eidgenössische Materialprüfungsanstalt an der E. T. H. 43 S. m. 62 Abb. Preis 6 Fr.

Fachausschuß für Anstrichtechnik beim Verein deutscher Ingenieure, 1. H.: Vergleichende Versuche mit Farbspritzpistolen. Von *Paul Nettmann*. Berlin 1929, VDI-Verlag. 24 S. m. 59 Abb. und 9 Zahlentaf. Preis 3,50 RM, für Mitglieder des V. d. I. 3,15 RM.

Handbuch der physikalischen und technischen Mechanik. Herausgeg. von *F. Auerbach* und *W. Hort*. 7. Bd., 2. Lfg. Leipzig 1929, Johann Ambrosius Barth. 252 S. m. 68 Abb. Preis 24 RM.

Handbuch der physikalischen und technischen Mechanik. Herausgeg. von *F. Auerbach* und *W. Hort*. 4. Bd. 1. Lfg. Leipzig 1929, Johann Ambrosius Barth. 198 S. m. 186 Abb. Preis 20 RM.

Lehrbuch der physikalischen Chemie in elementarer Darstellung. Von *John Eggert*. 2. Aufl. gemeinsam bearb. mit *Lothar Hock*. Leipzig 1929, S. Hirzel. 552 S. m. 123 Abb. Preis 27 RM.

Engineering Chemistry. Von *Thomas B. Stillman*. 6. erweiterte Aufl. bearb. von *Albert L. Stillman*. Easton, Pa. 1928, The Chemical Publishing Co. 1093 S. m. 235 Abb. Preis 12,50 \$.

Taschenbuch für Gaswerke, Kokereien, Schwelereien Teerdestillationen 1929. Herausgeg. von *H. Winter*. Mitarbeit von *W. Fitz*, *L. Alberts*, *Fr. Müller* und *H. Novsky*. 4. Jg. Halle a. d. Saale 1929, Wilhelm Knapp. 604 S. m. 126 Abb. Preis 7,20 RM.

Méthodes et Procédés Métallurgiques. Von *M. Régnier*. Paris 1929, Gauthier-Villars & Cie. 342 S. m. 107 Abb. Preis 60 Frcs.

Oil Refinery Specifications. Von *A. L. Nugey*. Easton, Pa. 1927, The Chemical Publishing Co. 210 S. m. 34 Abb. Preis 3,50 \$.

American Lubricants. Von *L. B. Lockhart*. 3. Aufl. Easton, Pa. 1927, The Chemical Publishing Co. 408 S. m. 107 Abb. Preis 5 \$.

Manuale dell' Ingegnere progettista e costruttore di Centri di Armati. Von *G. Arosio*. Milano 1928, Ulrico Hoepli. 396 S. m. 613 Abb. Preis 28 Lire.

Die Entwicklung der bremischen Hafenanlagen bis 1928. Baugeschichtliche Entwicklung der bremischen Hafenanlagen. Von *Peter Hedde*, unter Mitarbeit von *Paul L. Hedde*. Die Entwicklung der Umschlageinrichtungen in den bremischen Häfen. Von *Tillmann*, unter Mitarbeit von *Hedde* und *Agatz*. Sonderdruck aus dem Jahrbuch der Hafenbautechnischen Gesellschaft 1926, ergänzt bis 1928. 165 S. m. 135 Abb.

Mitteilungen des Deutschen Wasserwirtschafts- und Wasserkraft-Verbandes, E. V. Nr. 23: Preußische Wassernutzungsrechte, erworben durch unvordenkliche Verjährung, Ersitzung oder Verleihung staatlichen Regals. Von *Leo Sternberg*. Berlin-Halensee 1928. Verbandsgeschichte. 42 S. Preis 2 RM.

Précis de Construction, Calcul et Essais des Avions et des dirigeables. Von *J. Guillemain*. Paris 1929, Gauthier-Villars & Cie. 442 S. m. 583 Abb. Preis 100 Frcs.

Schlachtblut- und Abfallstoff-Verwertung. Von *Karl Guttmann*. Berlin 1928, Allgemeiner Industrie-Verlag. 19 S. m. 100 Abb. u. Tab. Preis 12 RM.

Deutsche Wirtschaftsbücherei 8. Bd.: Die deutsche Textilindustrie im Besitze von Aktien-Gesellschaften. Herausgeg. auf Veranlassung maßgebender Textilverbände. 26. Aufl. Berlin u. Leipzig 1929, Verlag für Börsen- und Finanzliteratur. 603 S. Preis 25 RM.

Heimtechnik. Von *Ludwig Schultheiss*. München 1929, R. Oldenbourg. 158 S. m. 127 Abb. Preis 8,50 RM.

Kali-Kalender 1929. 4. Jg. Bearb. von *C. Hermann*. Halle a. d. Saale 1929, Wilhelm Knapp. 173 S. m. Tab. Preis 5,20 RM.

La Pratica delle Misure Radiotecniche (Die Praxis der physikalischen Messungen). Von *Giuseppe Pession*. 2. Aufl. Milano 1929, Ulrico Hoepli. 411 S. m. 184 Abb. Preis 42 Lire.

Zwölf Jahre Ruhrbergbau. Von *Hans Spethmann*. 2. Aufl. Aufstand und Ausmaß vor und nach dem Kapp-Putsch zur Ruhrbesetzung. Berlin 1928, Reimar Hobbes. 355 S. m. Abb. Preis 8 RM.

Jahrbuch des Deutschen Postverbandes 1929. Bearb. von *Loeb*. Berlin 1928, Selbstverlag. 396 S. Preis 3 RM.

Meyers Lexikon. 7. Aufl. 9. Bd.: Oncken bis Rechen. Leipzig 1928, Bibliographisches Institut. 1659 S. m. 107 Abb. Preis 30 RM.

Der Große Brockhaus. Handbuch des Wissens in zwanzig Bänden. 15. Aufl. 1. Bd.: A bis Ast. Leipzig 1928, F. A. Brockhaus. 780 S. m. Abb. Preis mind. 25 RM (Einkaufspreis 22,50 RM).

Schluß des Textteiles

I N H A L T:

	Seite
Der gegenwärtige Stand des Kreislumpenbaues. Besonders kennzeichnende Bauformen. Von <i>C. Pfeiderer</i>	177
Holztränkung im Bergbau	187
Berichtigung: Neuerungen im Landmaschinenbau	187
Die praktische Bedeutung der Raumgetriebe. Von <i>H. Alt</i>	188
Neuerungen im Bau von Elektrohängebahnen	190
Hafenverladung der Zeche „Fürst Hardenberg“ der Vereinigten Stahlwerke A.-G. bei Dortmund. Von <i>P. Schönfeld</i>	191
Die thermische Ausdehnung von Magnesium und Magnesiumlegierungen	195
Anwendungen des Spektrographen in der Metallindustrie. Von <i>F. Twyman</i> , <i>E. Honegger</i> und <i>D. M. Smith</i>	196

Fachwerk in Rohren	196
Rundschau: Sonderfräswerk für Rippenplatten — Über künstliches Holztrocknen — Über Wolframöfen — Neue Untersuchungen über das NICO-Metall — Näherungsrechnung für kritische Drehzahlen — Kleine Mitteilungen	196
Bücherschau: Das Experiment, sein Wesen und seine Geschichte. Von <i>H. Dingler</i> — Deutsche Hochschulstatistik, Sommerhalbjahr 1928 — Die natürlichen Harze. Von <i>H. Wolff</i> — Die Entwicklung der elektrischen Lokomotiven und Triebwagen. Von <i>F. X. Saurau</i> — Jahrbuch der Luftfahrt 1928 — Aus 34 Jahren Luftfahrt. Von <i>G. v. Tschudi</i> — Enzyklopädie der technischen Chemie. Von <i>F. Ullmann</i> — Wie schütze ich meinen Betrieb vor Feuerschaden? Von <i>R. Bethke</i> — Eingänge	196

ZEITSCHRIFT DES VEREINES DEUTSCHER INGENIEURE

SCHRIFTFLEITER: C. MATSCHOSS



SONNABEND, 16. FEBRUAR 1929

Nr. 7

sttätige Lichtbogen-Schweißmaschinen

Von Prof. Dr. F. NIETHAMMER, Prag

Fortschritte auf dem Nachbargelände, dem selbsttätigen Betrieb von Widerstand-Schweißmaschinen. Die wesentlichen Teile der selbsttätigen Lichtbogen-Schweißmaschine sind der Schweißautomat, der aus dem Schweißkopf und dem Steuerkasten besteht, und der selbsttätig bewegte Schweißwagen oder das selbsttätig bewegte Tragorgan des Schweißstückes. Bei den halbselbsttätigen Schweißmaschinen fehlt in der Regel dieses zweite Element. Als Elektrode benutzt man meist Stahldraht, der von einem Bund abgewickelt wird, aber auch Kohle. Die Schweißautomaten dienen sowohl der Auftragschweißung abgenutzter Maschinenteile, vor allem der Spurkränze, aber auch der Nahtschweißung; es werden Längs-, Kreis- und Nähte beliebiger Kurven selbsttätig gezogen. Besonders erwähnt ist das Aufschießen von Unterlegplatten auf Schwellen. Weitverbreitet ist schon die Herstellung der Gehäuse und Läufer elektrischer Maschinen und der Apparategestelle mittels selbsttätiger Lichtbogen-Schweißmaschinen. Beim selbsttätigen Schweißen ist auf besondere Güte des Schweißdrahtes zu achten; es hat sich die Benutzung einer Wasserstoff-Atmosphäre um den Lichtbogen sowie von magnetischen Blasfeldern eingebürgert. Gleichstrom ist allgemein üblich.

Je mehr Sie mit dem Lichtbogen schweißen, desto mehr werden Sie.“ Dieser Ausspruch ist in Amerika schon Sprichwort geworden. Da nur geübte Facharbeiter Lichtbogen-Handschweißung einwandfrei ausführen können, ist angesichts der schnellwachsenden Verträge und der ausgezeichneten Erfolge der Lichtbogen-Schweißmaschinen (Schweißautomaten) zu erwarten, ohne weiteres begreiflich. Mit den selbsttätigen Schweißmaschinen kann man die Arbeitsproduktivität wesentlich steigern und bei größerer Härte eine bessere, gleichmäßigere Schweißarbeit erzielen).

Bei elektrischen Widerstand-Schweißmaschinen²⁾ arbeiten schon seit geraumer Zeit Einrichtungen, mittels derer sie mehr und mehr selbsttätig arbeiten. Die Werkstücke werden selbsttätig durch Vorrichtungen mit Nocken und Magnethaltern ein- und ausgetauscht. Das Anpressen der Elektroden an das Werkstück, der Vorschub des Werkstückes oder der Elektroden fortlaufend über geeignete Übersetzungselemente (Druckluft oder Druckwasser oder mit Elektromotoren).

Vergl. E. Rosenberg: Maschinelle Auftrags- und Nahtschweißung. Elektrische Lichtbogen; „Elektrotechnik und Maschinenbau“ Wien. Sonderheft Schweißtechnik S. 29. Z. Bd. 72 (1928) S. 305.

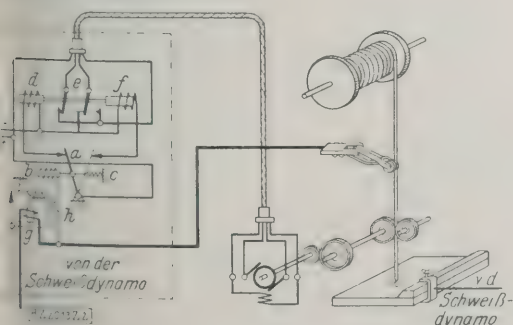


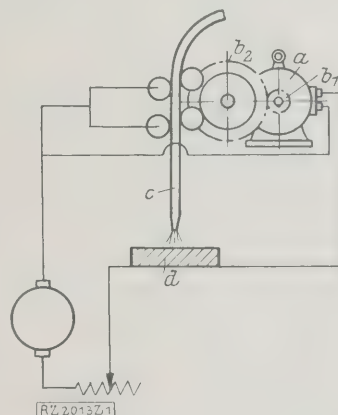
Abb. 2

Schema der selbsttätigen Schweißvorrichtung der Siemens-Schuckertwerke.

a) Lichtbogenmaschine
b) Schweißkopf
c) Elektrode
d) Werkstück
e) doppelpoliger Umschalter
f) Spule zum Verlängern des Lichtbogens
g) Stromrelais
h) Widerstand

Abb. 1
Schema einer selbsttätigen Lichtbogen-Schweißanlage (General Electric Co.).

a) Hilfsmotor
b₁, b₂ Zahnräder
c) Schweißdraht
d) zu schweißendes Werkstück



gneten und vor allem mit Elektromotoren, so daß man nur Druckknöpfe oder sinnfällig bewegte Hebel zu bedienen braucht. Die Leistungsfähigkeit wird so leicht um 40 bis 50 vH gesteigert und die Gleichmäßigkeit der Ware gesichert. Beim Rollenschrittverfahren für Längsnähte kommt man auf Schweißgeschwindigkeiten von 6 m/min. Es gibt amerikanische Punktschweißmaschinen zur Herstellung feuersicherer Türen, die 17 Paare Elektroden und 9 Schweißtransformatoren haben; sie stellen 1088 Schweißstellen in 1 min her. Die Bleche und Werkstücke führt man der Schweißmaschine mittels absatzweise arbeitender Walzen- oder Bandförderung zu.

Die vollkommen selbsttätig arbeitende Lichtbogen-Schweißmaschine, der „Vollautomat“, gleicht im Aufbau der selbsttätig arbeitenden Werkzeugmaschine mit angebauten Hebe- und Fördervorrichtungen, allerdings ist die Schweißgeschwindigkeit wesentlich geringer als die Dreh- und Hobelgeschwindigkeit. Gegenüber den Handschweißgeräten handelt es sich bei der Schweißmaschine um zwei wesentliche Einrichtungen: den Schweißautomaten sowie den selbsttätig bewegten Schweiß- oder Tragwagen.

a) Der Schweißautomat.

An Stelle des mit der Hand geführten Schweißkolbens (der Schweißzange) mit kurzem oft zu erneuernem Elektrodenstift tritt das selbsttätige Zünden und Nachstellen des Lichtbogens einer endlosen Eisenelektrode, die fortlaufend von einer Schweißdrahtrolle, von

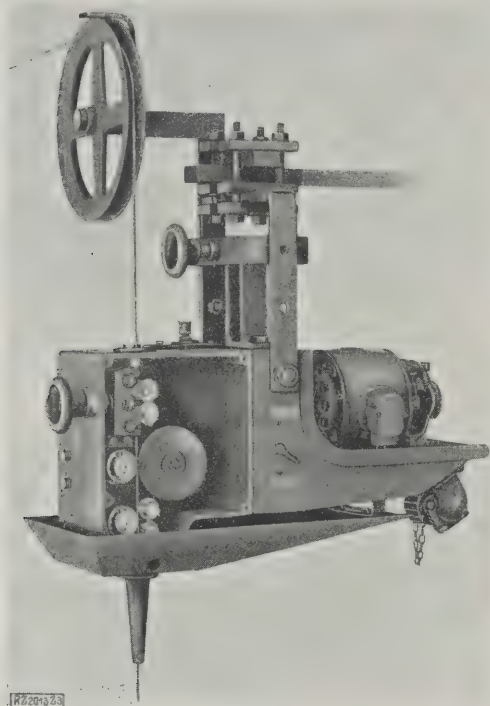


Abb. 3
Schweißkopf des Lichtbogen-Schweißautomaten
der Siemens-Schuckertwerke, geöffnet.

einem Bund abgewickelt wird; beim Zünden ist das Festkleben der Elektrode am Werkstück zu bekämpfen. Der Schweißdraht wird mittels Reibrollen, Abb. 1, nachgeschoben, die ein Hilfsmotor *a* über ein Zahngetriebe *b*₁, *b*₂ antreibt und die gleichzeitig den 4 bis 6 mm dicken Eisendraht *c* gerade richten und den Strom zum Lichtbogen zuführen.

Abb. 2 zeigt das Schema³⁾ für die Schaltung des umsteuerbaren Drahtvorschubmotors der Siemens-Schuckertwerke (SSW) und der Stromzufuhr zum Schweißdraht mit einer besonderen Rolle. Der wesentliche Bestandteil einer solchen Steuerung ist das Kontaktrelais *a*, dessen Kontaktstellung von dem Verhältnis der Zugkraft einer Spule *b* und einer Gegenfeder *c* abhängt. Überwiegt die Zugkraft der Spule die der Feder, dann wird der Kontakthebel gegen den linken Kontakt gedrückt, dadurch die Wicklung der Spule *d* erregt und der doppelpolige Umschalter *e* nach links geschaltet. Dadurch wird der Motor so eingeschaltet, daß er den Draht dem Werkstück nähert. Überwiegt hingegen die Federspannung, dann wird der Kontakthebel *a* und durch die dadurch bedingte Erregung der Spule *f* auch der Umschalter nach

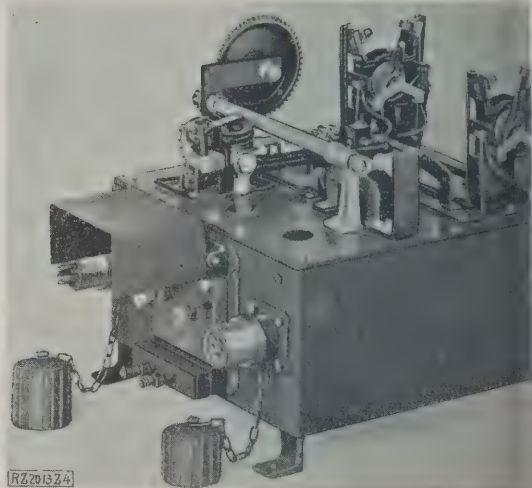


Abb. 4
Steuerkasten des Lichtbogen-Schweißautomaten
der Siemens-Schuckertwerke, geöffnet.

rechts gelegt und der Motor so umgesteuert, daß Draht vom Werkstück wegzieht.

Die Spule *b* wird an die Klemmen der Schweißmaschine gelegt und die Zugkraft von Spule und so eingestellt, daß bei einer bestimmten Lichtbogen-

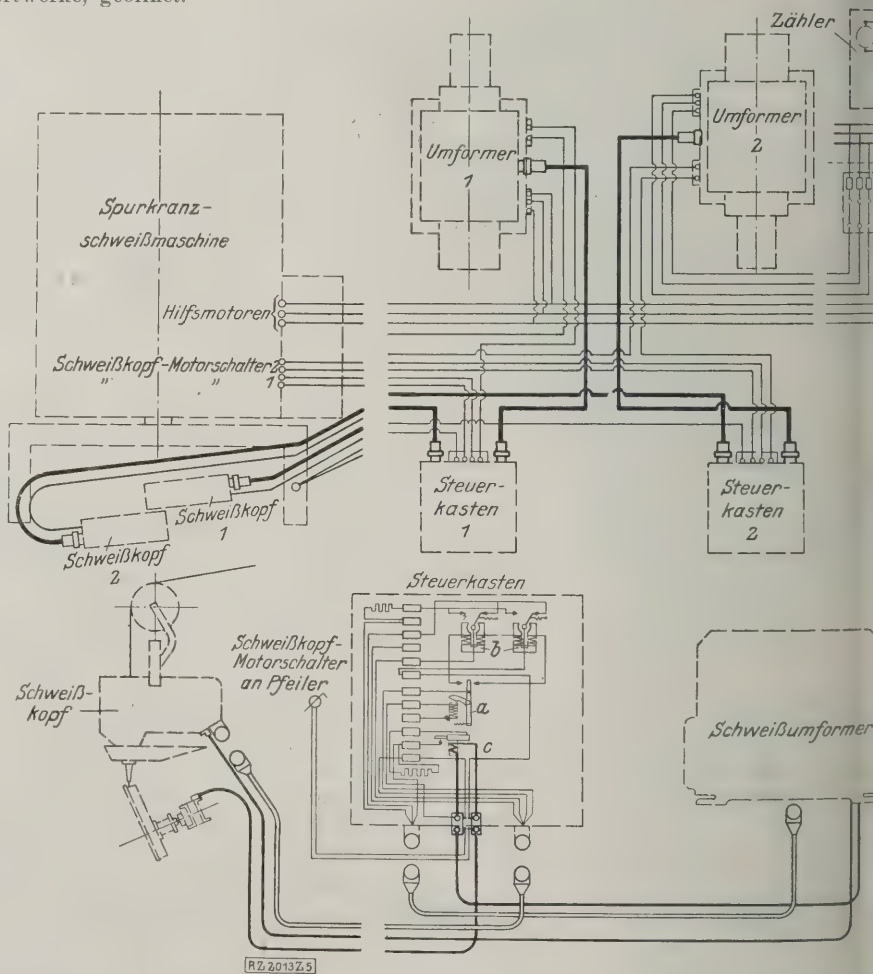


Abb. 5
Schaltschema des Lichtbogen-Schweißautomaten der Siemens-Schuckertwerke,
angewendet auf eine Spurkranz-Schweißmaschine der Firma Stahl & Eisen
Handelsges. m. b. H., Nürnberg, für Drehstrom.

a Spannungsrelais *b* zwei Schaltrelais mit Z-Anker *c* Stromrelais

³⁾ K. Meller, Elektrische Lichtbogen-Schweißung (Leipzig 1925) S. 81.

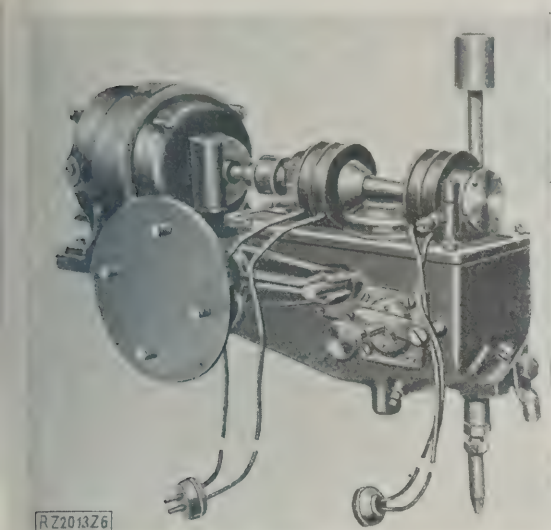


Abb. 6
Schweißkopf der General Electric Co.,
geöffnet.

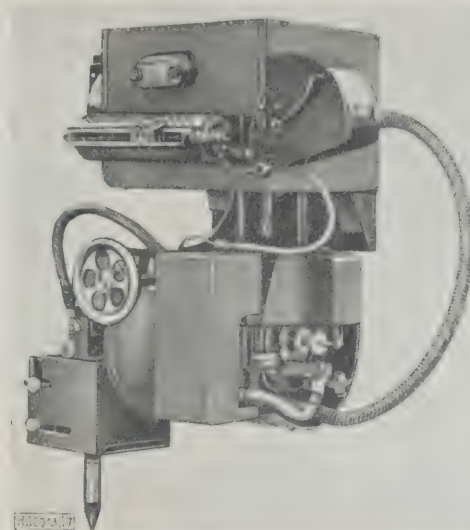


Abb. 7
Schweißkopf für Drahtschweißung mit Licht-
bogen-Ziehspule der Firma Elin, Weiz, Steiermark.

und der dadurch bedingten Lichtbogen- oder Maschinen-
spannung der Kontakthebel *a* sich in der Mittellage
zwischen den beiden Kontakten befindet. Wird der Licht-
bogen länger und steigt dementsprechend die Spannung
an der Maschine, dann wird ein stärkerer Strom durch die
Spule fließen; dadurch wird die Zugkraft der Spule so-
lange wachsen, bis der Kontakthebel nach links gelegt
wird. Umgekehrt wird mit abnehmender Lichtbogen-
spannung die Spannung an der Maschine niedriger, der Strom
an der Spule und damit die Zugkraft kleiner, bis die
Feder den Hebel und damit den Motor umschaltet. Der
Wechsel zwischen Vor- und Rücklauf geht im praktischen
Betrieb so schnell vor sich, daß sich eine mittlere Licht-
bogenlänge einstellt.

Um bei einer Unterbrechung des Schweißvorganges
das Gerät in Gang bringen zu können, ist noch das
Stromrelais *g* und der Widerstand *h* vorgesehen. Fließt
kein Strom durch den Schweißdraht, dann wird der Kon-
takt des Stromrelais unterbrochen und die Spule über
den Widerstand in die Leerlaufspannung der Schweiß-
maschine angeschlossen. Der Widerstand ist so be-
rechnet, daß die Zugkraft der Spule überwiegt und der
Motor so eingeschaltet wird, daß sich der Draht vor-
schiebt. Berührt der Draht das Werkstück, dann wird
der Schweißstromkreis geschlossen, dadurch der Wider-
stand *h* kurzgeschlossen und so die normale Regelung
eingeschaltet.

Der neue Siemens-Lichtbogen-Schweißautomat⁴⁾ be-
steht aus einem Schweißkopf, Abb. 3, und einem davon
getrennten Steuerkasten, Abb. 4; die elektrische Schal-
tung des SSW-Schweißautomaten, das Zusammenwirken
von Schweißkopf, Steuerkasten und Schweißumformer,
angewendet auf eine Spurkranz-Schweißmaschine der
Firma Stahl & Eisen Handelsges. m. b. H., Nürnberg,
sicht Abb. 5. Der Schweißdraht läuft von der Führungs-
rolle durch eine Eintrittsdüse, Abb. 3, in das Schweiß-
kopfgewölbe, wo ihn zunächst zwei feste und drei durch
ein Handrad der Drahtdicke entsprechend einstellbare
rollen geraderichten. Darunter sieht man das gehärtete,
mit scharfen Zähnen versehene Förderrad, gegen das
der Schweißdraht durch ein auf einem Exzenter sitzen-
des Kugellager mit starker Feder gepreßt wird. Der
rechts sichtbare Motor, Abb. 3, ein Gleichstromneben-
schlußmotor mit elektrischer Umsteuerung und Geschwin-
digkeitsregelung, der durch den links davon sitzenden
Schalter ein- und ausgeschaltet wird, dreht über zwei
Schneckenradvorgelege das Förderrad, das den Draht
vor- und rückwärts bewegt. Zu unterst sind zwei eben-
falls mit Gegendruck-Kugellager angepreßte Stromzu-
führungsrollen aus Hartkupfer eingebaut, die gemeinsam

mit dem Förderrad und den Geraderichtrollen den
Stromübergang zum Schweißdraht vermitteln. Zuletzt
läuft der Schweißdraht durch die Schweißdüse, über die
er 25 bis 30 mm vorstehen soll. Der Aufhängebügel, der
isoliert befestigt werden muß, kann durch Drehen an
einem Handrad in kleinen Grenzen verstellt werden.
Die untere Blechabdeckung dient als Wärmeschutz, um
das Gerät vor der beim Schweißen auftretenden Hitze
und den Metaldämpfen zu schützen. Man kann auch
eine Wasserkühlanlage einbauen. Das Kabel des Schweiß-
stromes schließt man an eine hinten angebrachte An-
schlußschraube und das für den Motor an eine fünf-
fache Anschluß-Steckdose mit beweglichen Kabeln, Abb. 5.

Der in einem Blechkasten abgeschlossene Steuer-
kasten, Abb. 4, enthält:

1. das Spannungsrelais *a*, Abb. 5, das die Lichtbogen-
spannung beim Schweißen auf 20 bis 25 V gleich-
bleibend einstellt; die Schweißspannung regelt man
durch Verstellen der Relaisfeder mit einem Drei-
kantschlüssel.
2. Die zwei Schaltrelais *b*, Abb. 5, mit Z-Anker- und
Kupferkontakten steuern den Drahtvorschubmotor
im Schweißkopf beim Schweißen vor- und rück-
wärts.
3. Das Stromrelais *c*, Abb. 5, dessen Spule vom
Schweißstrom durchflossen wird, schaltet beim Ab-
reißen des Lichtbogens zum Schutz einen großen
Widerstand vor das Spannungsrelais, so daß sich
eine Zündspannung (Leerlaufspannung) von 60 bis
95 V einstellen kann. Das Schweißstromkabel wird
an den Steuerkasten in einem außen angebrachten
Kabelanschlußkasten angeschlossen; für den An-
schluß der Relais sind zwei Steckdosen, eine mit
Hülsen, die andere mit Stiften, vorhanden.

Der Drahtvorschubmotor des Schweißkopfes bei der
Bauart der General Electric Co., Abb. 6, arbeitet in Ver-
bindung mit einer magnetischen Wende- und Kupplung
und einem Wechselgetriebe für drei Geschwindigkeiten,
so daß man auch einen Motor mit Kurzschlußanker benutzen
kann. Die Schweißgeschwindigkeit läßt sich auch durch
regelmäßiges Stillsetzen oder Umsteuern des Drahtvor-
schubmotors regeln, vereinzelt verwendet man auch
einen Gleichstrom-Reihenschlußmotor mit Vorschalt-
widerstand. In Abb. 1 wird der nicht umsteuerbare Vor-
schubmotor von der Lichtbogen-Spannung selbst betätigt,
so daß er den Vorschub bei wachsender Bogen-Spannung
rascher besorgt. Beim Beginn des Schweißens treibt der
Motor den Draht soweit vor, bis er das Werkstück be-
rührt. In diesem Augenblick wird die Motorspannung
null und der Motor bleibt stehen, worauf die Drahtkuppe
abbrennt und damit der Lichtbogen eingeleitet wird.

⁴⁾ DRP Nr. 449 929.

Sicherer ist es, den Lichtbogen wie bei manchen Bogenlampen durch einen Elektromagneten in Reihe mit dem Bogenstrom ziehen zu lassen, indem er den Schweißkopf einige Millimeter hebt. Reißt der Lichtbogen ab, so läßt die Magnetspule den Schweißkopf fallen und der Zündvorgang wiederholt sich. In dieser Art ist der Schweißkopf der Firma Elin, Weiz, Abb. 7, ausgerüstet.

Man kann der Schweißdüse oder dem ganzen Schweißkopf durch Kurbel oder Exzenter oder einen Elektromagneten eine hin- und hergehende Bewegung, eine Art Zitterbewegung, zur Herstellung einer Schweißnaht in Wellenform, erteilen.

Bei Kohlenelektroden, deren Abbrand gering ist, stellt man häufig die Elektrode während des Durchschweißens einer Naht nicht nach. Sie dienen übrigens vor allem auch zum Schneiden von geraden, kreis- und kurvenförmigen Trennfugen in Metall- und Werkstücken.

b) Der selbsttätig bewegte Schweiß- oder Tragwagen.

Die unsichere Führung des Schweißkolbens mit der Hand wird in der Schweißmaschine ersetzt durch die selbsttätige maschinelle Bewegung des Schweißkopfs gegen das Werkstück, bei festem Schweißkopf in drehbankähnlicher Ausführung der Rundnähte, nach der Art der Hobel- und Stoßmaschine bei Längsnähten oder mittels eines Mechanismus wie bei der Ausleger-Bohr- oder Querböbelmaschine, wenn der Schweißkopf beweglich ist. Den auf einem Wagen befestigten Schweißkopf bewegt ein Fahrmotor wie eine Laufkatze auf einem Bock- oder Krangerüst längs einer wagerechten oder lotrechten Längsschweißnaht, oder ein Schwenkmotor (Drehmotor) auf einem Drehgestell längs einer Kreis- oder beliebigen Kurvenschweißnaht, z. B. mit Rollen in einer rinnenförmigen Kurvenschablone.

Der Schweißstrom und der Strom zum Fahrmotor werden durch bewegliche Kabel oder Schleifdrähte mit Stromabnehmerrollen oder Schleifhülsen und bei kreisender Bewegung mit Schleifringen und Schleifbürsten zugeführt. Die Stromzufuhr entfällt oder vereinfacht sich, wenn man das Werkstück gegenüber dem stillstehenden Schweißkopf bewegt, z. B. auf einer Drehscheibe oder einem runden Tisch durch einen Motor dreht. Der antreibende Fahr- oder Drehmotor muß umsteuerbar und zwecks Anpassung an verschiedene Arbeiten möglichst in der Geschwindigkeit regelbar sein; er wird mittels Steuerwalze, Schützen oder Druckknöpfe betätigt. Der Fahrmotor ist gegen den Drahtvorschubmotor so zu verriegeln, daß die Fahrbewegung erst nach Eintritt der Lichtbogenbildung möglich wird. Beim Abreißen des Lichtbogens soll die Fortbewegung aufhören, der Schweißkopf sich etwas zurückbewegen und dann von neuem mit der Schweißung einsetzen.

Es gibt auch sogenannte halbselbsttätige Schweißmaschinen, z. B. Schweißpistolen, die mit der Hand längs der Schweißnaht geführt werden, aber mit selbsttätigem Drahtnachschieber ausgerüstet sind. — An manchen Schweißmaschinen hat man Vorrichtungen zum Festklemmen und Zusammendrücken der Schweißstücke und Schweißendflächen mit kegeligen Preß- und Ziehringen

(DRP Nr. 448 066 für Längsnähte an Zylindern) und in Klammern eingebaut, wobei auch Druckluft und Druckwasser benutzt werden. Die Werkstücke führt man mittels Rollen- und Bandförderer zu und fort. Die Schweißmaschine muß in allen Fällen so abgedeckt werden, daß man mit ihr auch im Freien arbeiten kann.

Schweißmaschinen mit Kohlenelektrode

Zum Zusammenschweißen von Boden und Zylinderwand sowie des Verstärkungsringes eines Blechfaßes Abb. 8 und 9, mittels Kohlenelektrode wird das Faß auf den Drehscheibentisch der von der Firma Elin, Weiz gebauten Faßschweißmaschine, Abb. 10, gestellt. Die Kreisschweißnaht wird mit 250 bis 666 mm/min Geschwindigkeit unter dem langen Lichtbogen der 12 bis 16 mm dicken für eine Schweißung festeingestellten Kohlenelektrode bei 200 bis 400 A und 50 bis 60 V gezogen. Der Schweißkopf mit magnetischem Gebläse und Wasserkühlung, Abb. 11, ist zusammen mit der Führungsrolle an der Hand einstellbar, so daß er den Unregelmäßigkeiten des Faßrandes folgen kann. Die elektrische Schaltung der Faßschweißmaschine zeigt Abb. 12.

In der Zeitschrift „Elektrotechnik und Maschinenbau“, Wien, Bd. 47 (1929), Nr. 3, S. 60, beschreibt R. Reith die Verwendung der Elin-Rundschweißmaschine, Abb. 10, zur Herstellung von Stahlblechrädern, die nur ein Fünftel der Gußeisenräder kosten.

Grundsätzlich die gleiche Einrichtung hat eine Längsschweißmaschine der Firma Elin, Weiz, zur Herstellung der Wellblech-Ölkessel für Öltransformatoren. Das umgebördelte Blech bewegt sich unter dem feststehenden Schweißkopf mit gleich großer Geschwindigkeit fort. Bei 1 mm Blechdicke hat die Kohlenelektrode 4 mm Dmr. bei 35 V. Der Lichtbogen wird durch ein Spannungsrelais, das einen Elektroden-Nachschieber steuert, auf gleich hoher Spannung gehalten.

Auftragschweißung

Die selbsttätigen Schweißeinrichtungen, Abb. 3 bis 5, wurden von den Siemens-Schuckertwerken zunächst zur Schweißmaschinen für die Instandsetzung abgenutzter Maschinenteile zusammengebaut und in Eisenbahn- und Maschinen-Ausbesserwerkstätten zur Auftragschweißung verwendet. Die Rollenschweißmaschine der Firma Siemens-Schuckert, Abb. 13, dient zum Aufschweißen abgenutzten Leitrollen von Baggern. In dem Tischkasten ist ein Motor mit Zwischengetriebe zum Drehen der lotrechten Spindel, auf die Leitrollen aufgesetzt werden, eingebaut; der Motor treibt auch die kreisende Drahtbürste zum Reinigen der Rolle über eine biegsame Welle, wodurch gleichzeitig der Rolle der Strom zugeführt wird, an. Durch den vorn sichtbaren Hebel kann über ein Zwischenvorgelege die Umfangsgeschwindigkeit der zu erneuernden Rolle geändert werden, während man den beiden Handrädern der Schweißkopf und die Drahtbürste wagrecht verschoben werden, damit Rollen verschiedener Durchmesser aufgeschweißt werden können. Eine Weiterentwicklung zum gleichzeitigen Aufschweißen von zwei abgenutzten Leitrollen und Rollen von Eisen

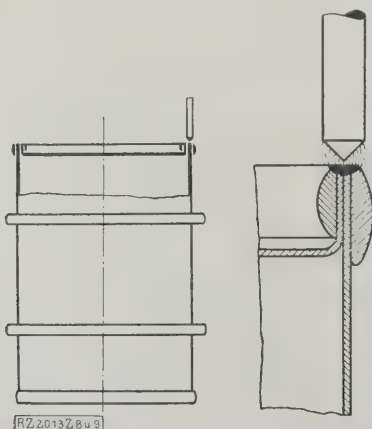
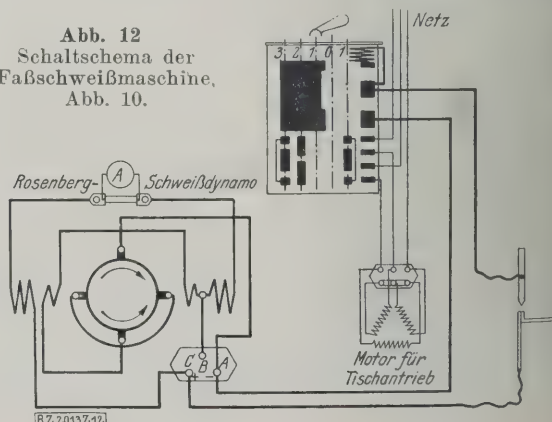


Abb. 8 und 9
Schweißung
eines Faß-
randes mittels
Kohlen-
lichtbogen.

Abb. 12
Schaltschema der
Faßschweißmaschine,
Abb. 10.



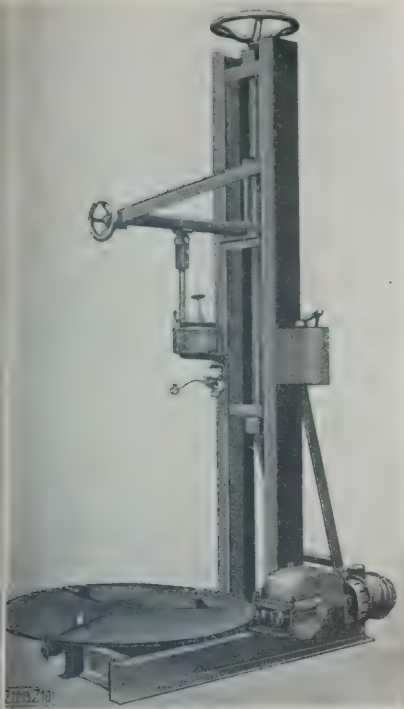
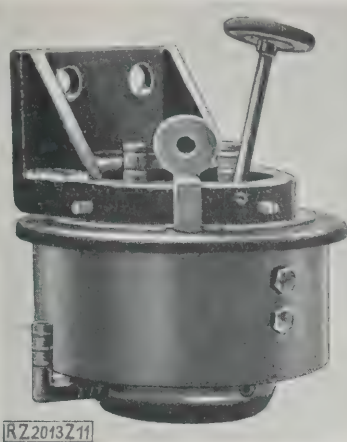


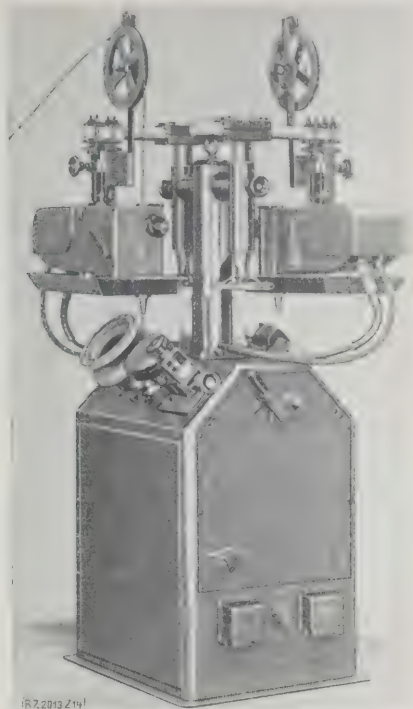
Abb. 10
Mit Kohlenelektrode arbeitende Faß-
schweißmaschine der Firma Elin, Weiz.



RZ 2013 Z 11

Abb. 11
Schweißkopf mit Kohlenelektrode
der Faßschweißmaschine, Abb. 10,
mit magnetischem Gebläse und
Wasserkühlung.

Abb. 14 (rechts)
Selbsttätige Auftragschweiß-
maschine mit zwei Schweißköpfen
zum gleichzeitigen Schweißen von
zwei Rollen, gebaut von den
Siemens-Schuckertwerken.



RZ 2013 Z 14

Abb. 14. Die Motoren zum Drehen der
rollen und der Drahtbürsten sitzen in einem Gehäuse.
Die abgenutzten Rollen werden auf Futter aufgespannt
und die Drahtbürsten mittels Handräder eingestellt. Das
Gestänge, an dem die Schweißköpfe befestigt sind, ist in
der Höhe verstellbar.

Die elektrische Auftragschweißung abgenutzter Spur-
ränge bedeutet eine ganz erhebliche Ersparnis und hat
sich schon vielfach eingebürgert. Für diesen Zweck haben
die Siemens-Schuckertwerke eine selbsttätige Spurkranz-
schweißmaschine für die Instandsetzung von Förderwagen-
rädern, Abb. 15, durchgebildet. Der Radsatz wird in wage-
rechter Lage von einem halbkreisförmigen Bügel in Kör-
perspitzen mit verstellbaren Schraubenspindeln gefaßt,

worauf der Bügel mit dem Radsatz so gedreht wird, daß
man den aufgehängten Schweißkopf und die Reinigungs-
bürste richtig anstellen kann. Eine Reibrolle, die ein
Motor über ein Schneckenvorgelege antreibt, dreht den
Radsatz während des Schweißvorganges.

Die Firma Stahl & Eisen, Handelsges. m. b. H.,
Nürnberg, baut für die Eisenbahnwerkstätten vollständige
Anlagen von Spurkranz-Schweißmaschinen, Abb. 16 bis 18,
mit einem kräftigen Eisengerüst, an dem zwei Schweiß-
köpfe k_1 und k_2 , Bauart SSW, hängen. Der auf einem
Gleis angerollte Radsatz wird in einen drehbaren U-för-
migen Bügel b eingespannt, der über zwei Schnecken-
getriebe vom Schwenkmotor s mittels der Steuerwalze o um
die Königswelle d in die richtige Schrägstellung geschwenkt
wird, so daß ein Heruntertropfen des aufgetragenen Werk-
stoffes vor dem Erstarren ausgeschlossen ist. Bei der erst-
gebauten Schweißmaschine wurde der Radsatz mittels
eines Kranes in einen schwenkbaren Wagen eingespannt.



Abb. 13
Selbsttätige Auftragschweißmaschine der Siemens-
Schuckertwerke für Leitrollen.

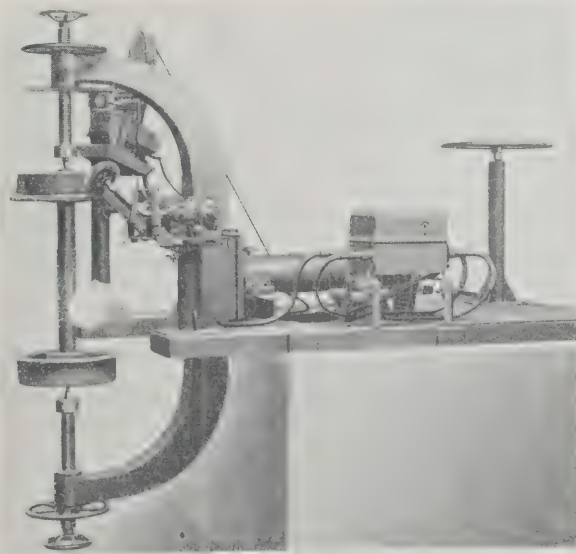


Abb. 15
Selbsttätige Spurkranz-Schweißmaschine der
Siemens-Schuckertwerke.

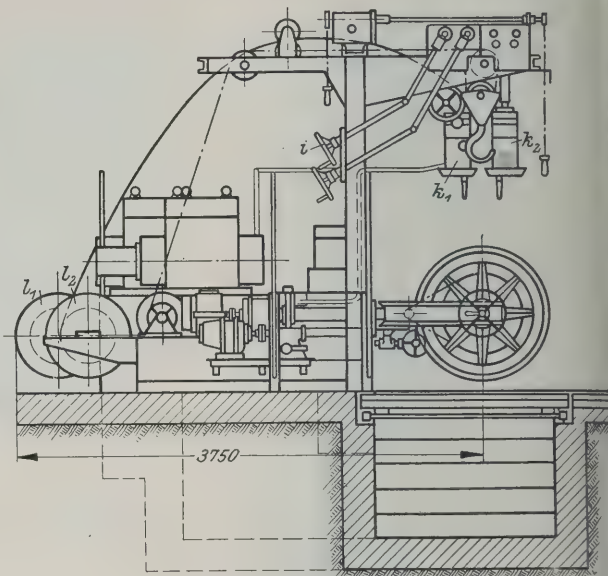
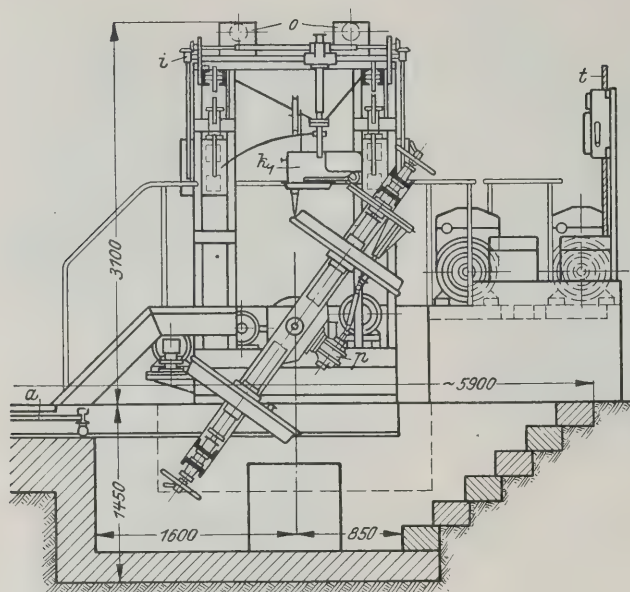
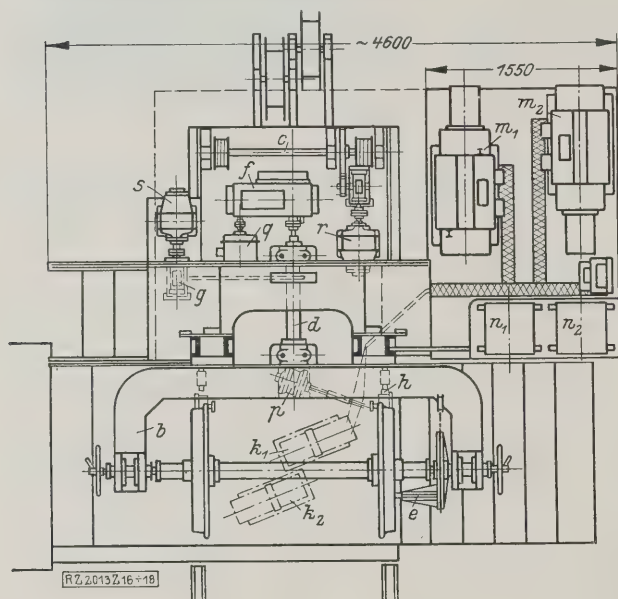


Abb. 16 bis 18

Selbsttätige Spurkranz-Schweißmaschine der Firma Stahl & Eisen, Handelsges. m. b. H., Nürnberg. Spurweite 1435 mm, größter zu schweißender Rad-Dmr. 1000 mm, Hubgeschwindigkeit 3,5 m/min, Tragkraft des Hubwerkes 1400 kg, Schweißgeschwindigkeit 140 bis 260 mm/min, Dauer einer Radsatzumkehrung 8,5 bis 22 min, Kraftbedarf bei einem Lichtbogen 17 kW, bei zwei Lichtbogen 29 kW, Schweißdrahtdicke 4 bis 5 mm.

- | | |
|--------------------------------------|---------------------------------|
| a Schiebebühne | k_1, k_2 Schweißköpfe |
| b Bügel zum Einspannen des Radsatzes | l_1, l_2 Schweißdrahttrommeln |
| c Hubwerk | m_1, m_2 Schweißumformer |
| d Königswelle | n_1, n_2 Relais |
| e Triebarm | o Steuerwalzen |
| f Drehvorrichtung | p Bürstenmotor |
| g Schwenkvorrichtung für den Bügel | q Drehmotor |
| h Bürstvorrichtung | r Hubmotor |
| i Schweißkopfbewegung | s Schwenkmotor |
| | t Kabelanschluß |



Mittels eines Hubwerkes *c*, bestehend aus zwei Seiltrommeln und dem Hubmotor *r* sowie Schnecken- und Stirnradvorgelege und Steuerwalze *o* mit Kettenzug wird der Radsatz mit 3,5 m/min Hubgeschwindigkeit in die Spitzenhöhe gebracht. Die umlaufende Bürstvorrichtung *h* zum Reinigen der Schweißstelle betreibt der Motor *p* mit einer Gelenkwelle.

Während des Schweißvorganges wird der Radsatz mit einer von 140 bis 260 mm/min regelbaren Geschwindigkeit entsprechend einer Radsatzumkehrung in 22 bis 8,5 min durch eine als Kettenrad ausgebildete Mitnehmerscheibe mit dem Triebarm *e* gedreht; der Antrieb erfolgt durch den umsteuerbaren Drehmotor *q* mit dem Getriebe *f* durch die hohle Königswelle und dann mittels Kegelräder. Die Schweißköpfe k_1, k_2 sind am Ausleger mit Handrad, Kardan Gelenk und Kegelrädern senkrecht und wagerecht verstellbar; durch eine biegsame Welle lassen sich die Schweißköpfe um einen gewissen Winkel schrägstellen. Der auf isolierten Blechtrommeln l_1, l_2 aufgewickelte Schweißdraht wird über Rollen zu den isoliert aufgehängten Schweißköpfen geführt. Durch Abnehmen einer Seitenwand der Trommeln lassen sich neue Drahtringe rasch aufliegen. Die elektrische Schaltung ist bereits in Abb. 5 wiedergegeben.

Man schweißt in der Regel von der Hohlkehle aus auf, bei wenig abgenutzten Rädern genügen 4 bis 5 Raupen, sonst 8 bis 15 Raupen. Bei mehr als einer Raupenschicht

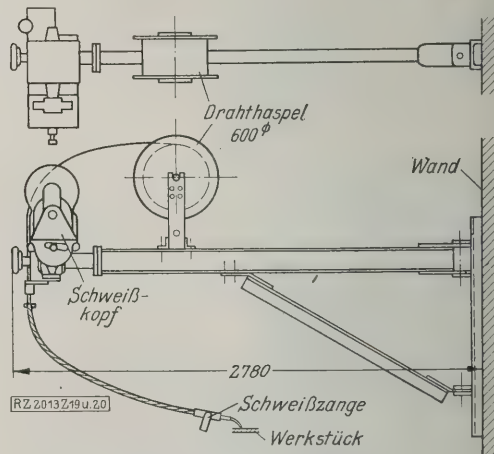


Abb. 19 und 20

Halb selbsttätige Schweißeinrichtung zum Schweißen von Rohnrähten der General Electric Co., vertreten von der AEG, Berlin.

werden die neuen Raupen zwischen die früheren gelegt. Bei 3 bis 5 mm Lichtbogenlänge braucht man 160 bis 180 A. Der Schweißer ist mit einem Asbestanzug und Holzschuhen, Schweißerkappe und Brille zu schützen. Ein Segeltuch unter die Maschine dient zum Abfangen der Funken. Jed. Schweißmaschine bearbeitet in 8 h sechs Wagenradreifen oder etwa drei G 10-Lokomotivreifen. Für einen Wagenradreifen werden in 1,5 h Laufzeit etwa 40 m Schweißdraht von 4 bis 5 mm Dmr. und 20 kWh verbraucht.

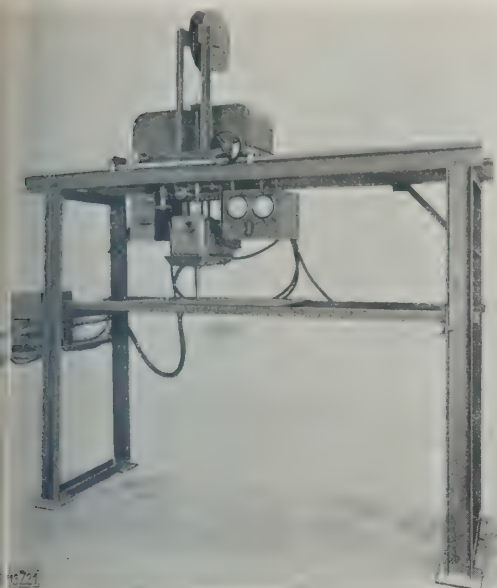


Abb. 21
Selbsttätige Längsnaht-Schweißmaschine,
Bauart SSW.

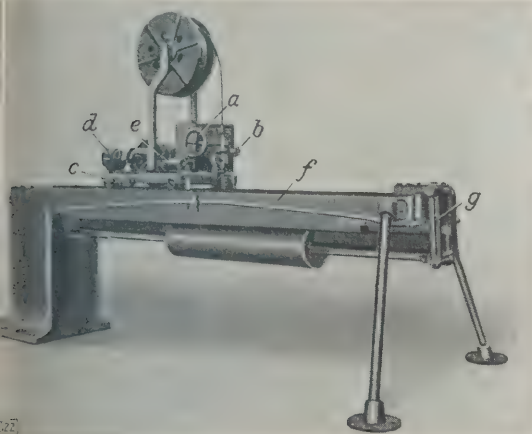


Abb. 22
Selbsttätige Längsnaht-Schweißmaschine der Westing-
house Electric & Mfg. Co.

a Handrad zum Inbetrieb-
setzen des Vorschubmotors
für den Schweißdraht
b Rädchen zum Einstellen
verschiedener Drahtdicken
c Wagen
d Umsteuermotor
e Steuerwalze
f Klemmbacken
g Sicherheitshebel

Längs- und Kurvennahtschweißmaschinen

zum Schweißen der Längs- und Rundnähte an Kes-
seln und Rohren mit großem Durchmesser verwendet man
selbsttätige Schweißeinrichtungen der General Elec-
tric Co., Abb. 19 und 20. Der Schweißkopf ist auf einem
Kran oberhalb des Werkstücks verschiebbar
angebracht und schiebt durch ein langes, biegsames Rohr den
Schweißdraht in die vom Schweißer mit der Hand geführte
Schweißpistole, die 6 m vom Nachschubmotor entfernt sein
muss. Beim Schweißen von Rundnähten stützt der
Schweißer seine Hand mit der Pistole auf einen Tisch,
auf dem das Rohr auf Rollen gedreht wird. Der Hand-
kran zum Stillsetzen des Nachschubmotors hängt an
dem biegsamen Rohr.

Die selbsttätige Längsnaht-Schweißmaschine, Bauart
Abb. 21, ist aus einem fahrbaren Schweißkopf, Abb. 3,
einem seitlich sitzenden Steuerkasten, Abb. 4, auf einem
Schweißgerüst zusammengebaut und dient zum Schweißen
von Längsnähten an ebenen Blechen oder Fachwerk-
konstruktionen oder an Zylindern von Kesseln, Behältern und
Rohren. Für selbsttätiges Schweißen

von Rohren haben die Firmen General Electric Co. und
Westinghouse Electric & Mfg. Co., Abb. 22, Geräte durch-
gebildet. Der Schweißkopf, Abb. 22, hat ein Handrad *a*
zum Inbetriebsetzen des Vorschubmotors für den Schweiß-
draht und ein kleines Rädchen *b* zur Einstellung auf ver-
schiedene Drahtdicken. Den auf vier Rollen laufenden
Wagen *c* treibt ein mit Reibkupplung ausgerüsteter Um-
steuermotor *d* mit der Steuerwalze *e*. Die Schweiß-
flächen werden durch Klemmbacken *f* mittels Druckluft
auf die Führungsschiene gepreßt, und zwar, wenn der
Sicherheitshebel *g* geschlossen und das Rohr richtig ein-
gestellt ist. Man schweißt Durchmesser bis 1 m und dar-
über von 2,5 bis 6 m Länge. Bei einem 1,29 mm dicken
Blech beträgt die Schweißgeschwindigkeit 760 mm/min bei
140 A Stromstärke und bei 9 mm dickem Blech 178 mm/min
bei 300 A.

Eine andre selbsttätige Längsnaht-Schweißmaschine,
Bauart Elin, für Rohre und Kessel, eingerichtet für
Schweißstahldraht und ausgerüstet mit einem Längsver-
schiebemotor zeigen Abb. 23 und 24.

Für dicke Bleche, 10 mm und mehr, benutzt die
Firma General Electric Co. einen Schweißwagen mit zwei
Schweißköpfen, die zwei Metallschichten auf der Schweiß-
naht niederschlagen, so daß die Schweißgeschwindigkeit
verdoppelt wird, die außerdem durch die magnetische Be-
einflussung des Lichtbogens und die Preßluftklemmen für
die Schweißflächen erhöht wird. Für die Massenherstel-
lung von Rohren und Behältern bis 12 m Länge rüstet
die gleiche Firma die Schweißmaschine mit zwei bis vier
auf zwei Schienen fahrenden Schweißkopfwagen, jeder mit
zwei Lichtbogen-Schweißstellen und Stromzuführung
durch zwei längs der Fahrschienen laufende Schleif-
drähte aus.

Die 12,7 mm dicken Bleche werden für den V-Stumpf-
stoß, der von Halbkreisen⁵⁾, nicht Geraden, begrenzt ist,
mit diesen Abschrägungen, Abb. 25, versehen und zu zwei
Halbkreisen gebogen, die an je 400 mm voneinander entfern-
ten Stellen durch Handschweißung geheftet werden. Dann
bringt man das Rohrstück in das Schweißmaschinen-
gestell, das im wesentlichen aus drei Kastenträgern besteht, zwei
oberhalb, einer unterhalb des Rohres, der letztere ist mit
Druckluftansätzen durchsetzt, so daß das Rohr genau fest-
gepreßt werden kann. Man schweißt bei zwei Doppel-
Schweißköpfen fast 7 m/h Naht, wenn der erste Bogen
380 und der zweite 330 A aufnimmt. Der Verbrauch an
Schweißdraht von 4,8 mm Dicke beträgt etwa 1,2 bis 1,3 kg
für 1 m Naht und an elektrischer Energie 7,2 und 6,5 kWh
für 1 m Naht.

⁵⁾ In DIN 1912 Blatt 1 nicht vorgesehen.

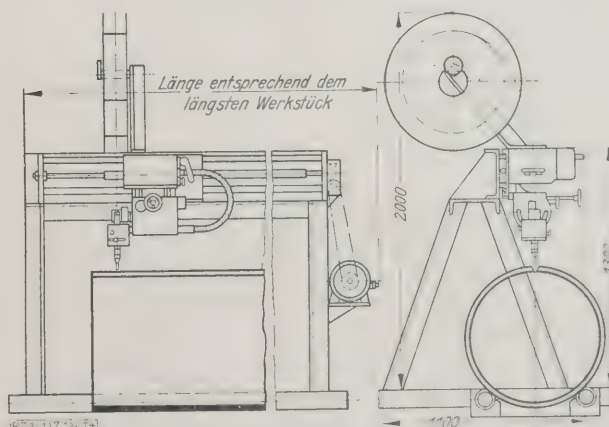
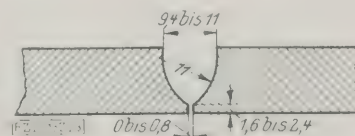


Abb. 23 und 24
Selbsttätige Längsnahtschweißmaschine,
Bauart Elin.

Abb. 25
Abschrägung des
V-Stumpfstößes für die
Schweißnaht bei 12,7 mm
dicken Blechen.



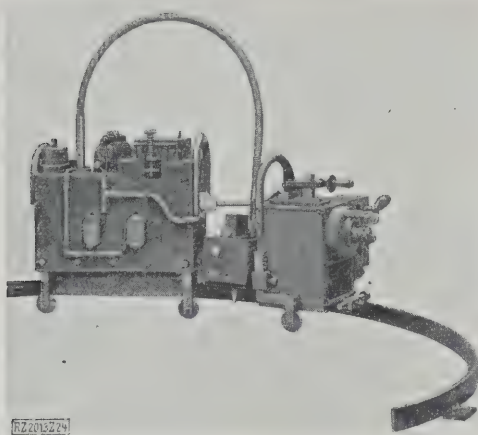


Abb. 26
Schweißwagen mit Schienenführung in beliebiger Krümmung der Firma Elin, Weiz.

Den Schweißkopf betätigt man durch einen Druckknopf-Schaltkasten, und zwar mittels einer Schütze für den Schweißstrom, eines Spannungsrelais für den Lichtbogen, eines Relais für den Fahrmotor und eines Zeitrelais, das den Drahtvorschubmotor abschaltet, bevor der Schweißstrom unterbrochen wird, damit kein Kleben der Elektrode am Nahtende und keine Kraterbildung eintritt. Die Regelwiderstände für die Lichtbogenspannung und den Fahrmotor sind außen auf dem Kasten befestigt. Auf einer kleinen Tafel sind noch ein Spannungszeiger für den Lichtbogen und ein Stromzeiger für den Schweißstrom untergebracht. In den Fordschen Kraftwagenwerken benutzt man regelmäßig eine große Zahl dieser Schweißautomaten zur Lichtbogenschweißung⁶⁾.

Nach Abb. 26 wird der Schweißkopf der Firma Elin, Weiz, Abb. 7, längs einer Führungsschiene auf einer wagerechten Unterlage mittels Rollen verschoben, so daß man beliebig gekrümmte Nähte schweißen kann. Der Fahrmotor treibt den von ihm getrennten Schweißkopfswagen mittels biegsamer Welle an.

Die Schweißmaschine der General Electric Co., Abb. 27⁷⁾, mit zwei Schweißköpfen und Rollenförderern für Zu- und Abfuhr der Werkstücke dient zum Aufschweißen von Unterlegplatten auf Schwellen, die aus zwei parallelen zugeschnittenen Stücken von alten Eisenbahnschienen hergestellt werden. Die Platten werden mittels Druckluft auf den beiden Schienenköpfen festgepreßt. Die Einspannvorrichtung kann um 45° gedreht werden, damit in den beiden Endstellungen die vier verschiedenen Kanten der Platten geschweißt werden können. Die Winkelschienen zum Zusammenhalten an den beiden Enden werden mit der Hand aufgeschweißt. Eine Schwelle ist in 5 min fertiggestellt, wozu zwei Arbeiter und ein Schweißumformer von 1500 A für vier Schweißstromkreise notwendig sind.

Die Siemens-Schuckertwerke haben eine äußerst sinnreiche selbsttätige Schweißeinrichtung, Abb. 28 und 29⁸⁾, entwickelt, um Schienenunterlagplatten (Buchholz-Rippen- oder Hakenplatten) auf die Schwellen aufzuschweißen, wobei der Schweißkopf *b* mit einer Rolle längs einer Schablonenrinne *d* um die durch einen Stempel *a* niedergedrückte Platte *c* rundherum geschwenkt wird. Der Schweißkopf wird durch den oben eingebauten Schwenkmotor über ein Kettenvorgelege angetrieben. Eine zweite Schablone *e* dreht den Schweißkopf *b* um seine Aufhängeachse *f*, so daß der aus der Düse austretende Schweißdraht jeweils im richtigen Winkel zu den Kanten der Platte steht. Der Schweißstrom und der Strom für den Vorschubmotor des Drahtes wird durch den Schleifringkörper *g* zugeführt. Zwei

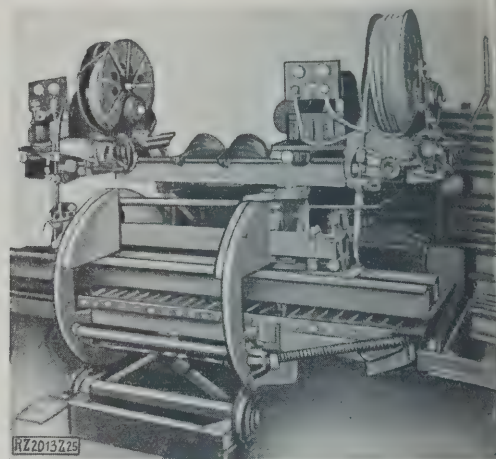


Abb. 27
Schweißmaschine der General Electric Co. mit zwei Schweißköpfen und Rollenförderern für Zu- und Abfuhr der Werkstücke.

Platten werden immer gleichzeitig auf eine Schiene aufgeschweißt, und zwar werden die Platten mit blonen auf die Schwellen gelegt und zunächst nur an einzelnen Stellen durch Schweißen geheftet.

Bei der Vorrichtung der Firma Fried. Krupp A. G. zum gleichzeitigen Aufschweißen von mehreren Platten auf eine Unterlage, Abb. 30 und 31, dient die Aufnahme der Unterlage ein schwenkbarer als hauptsächlich ausgebildeter Träger *d*, der beim Schweißen unter Druck gehalten wird, daß die Platten an die Unterlage angepreßt werden. Zunächst schweißen die Schweißköpfe *f*₁, *f*₂, *g*₁, *g*₂ die vier Längsnähte der Platten und in der geschwenkten Stellung die vier Quernähte *h*₁, *h*₂, *i*₁, *i*₂ die vier Quernähte. Eine ähnliche Vorrichtung der AEG zeigt Abb. 32.

⁶⁾ DRP Nr. 462 371.

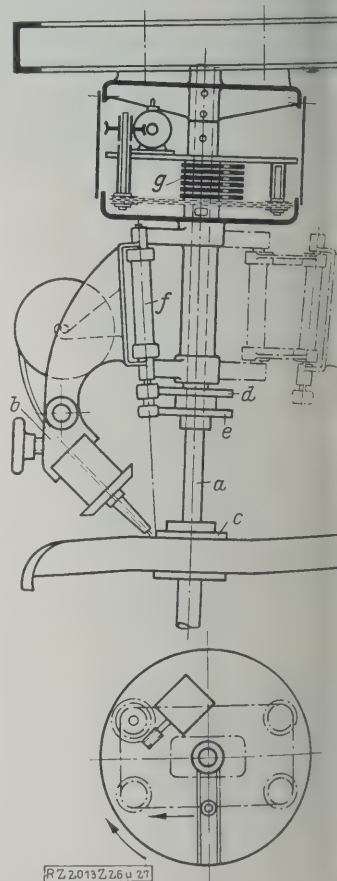


Abb. 28 und 29
Selbsttätige Schweißeinrichtung für Unterlagplatten auf Schwellen (SSW).

- a Stempel
- b Schweißkopf
- c aufzuschweißende Unterlagplatte
- d, e Schablonenrinne
- f Aufhängeachse
- g Schleifringkörper

⁶⁾ s. a. VDI-Nachrichten 1928 Nr. 35 S. 3.

⁷⁾ „The Iron Age“ Bd. 122 (1928) S. 145.

⁸⁾ C. Ritz, Selbsttätige Lichtbogen-Schweißeinrichtung zum Aufschweißen von Schienen-Unterlagplatten, Siemens-Jahrbuch (Berlin 1928) S. 231.

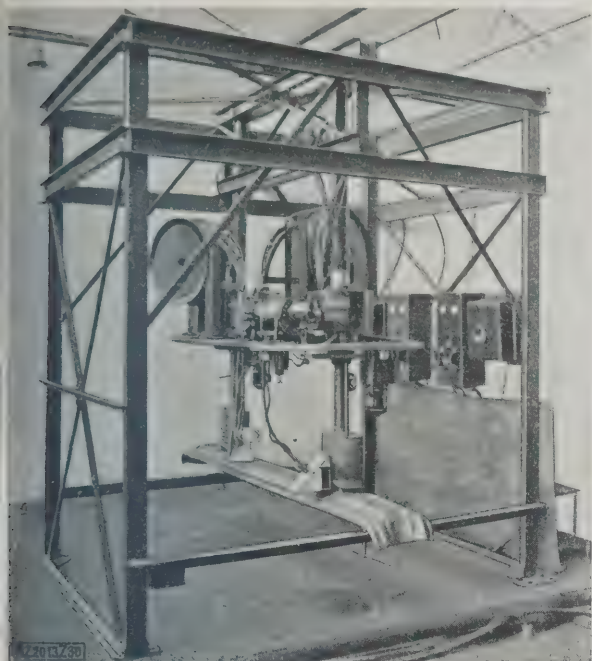


Abb. 32
Selbsttätige Schweißanlage der AEG mit zwei Schweißköpfen zum gleichzeitigen Aufschießen von Hakenplatten auf eisernen Schwellen.

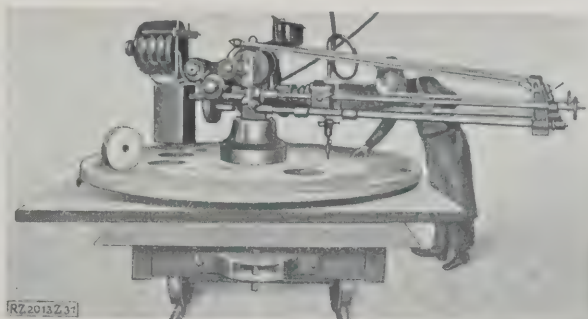


Abb. 33
Halbselbsttätige Leuchtgasflammen-Schneidmaschine zum Zuschneiden von Blechplatten.

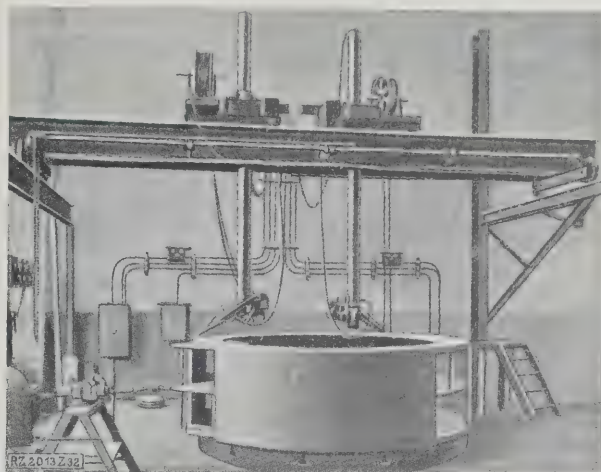


Abb. 34
Schweißmaschine für Ständergehäuse; Außendurchmesser bis 4,25 m; kreisendes Gehäuse, stillstehende Schweißköpfe.

Schweißen der Gehäuse elektrischer Maschinen

Zu den größten Fortschritten der Anwendung der Lichtbogenschweißung gehört die Herstellung der Ständergehäuse und Läuferkörper elektrischer Maschinen aus gewalzten und verschweißten Blechen¹⁰⁾, erstere für Außendurchmesser bis 12 m bei wagerechten und senkrechten Langsamläufers bis 40 000 kVA und bis 3 m für Turbomaschinen mit Leistungen bis 100 000 kVA. Auf diese Weise stellt man solche Maschinen billiger her,

¹⁰⁾ A. P. Wood, Schweißen und Herstellen großer elektrischer Maschinen, Journal of the A.I.E.E. Bd. 47 (1928) Märzheft. R. H. Rogers, geschweißter Walzstahl ersetzt Gußstücke, General Electric Review Bd. 30 (1927), S. 330. A. Hilpert, Einfluß des Schweißens auf die Gestaltung, Z. Bd. 71 (1927) S. 1449.

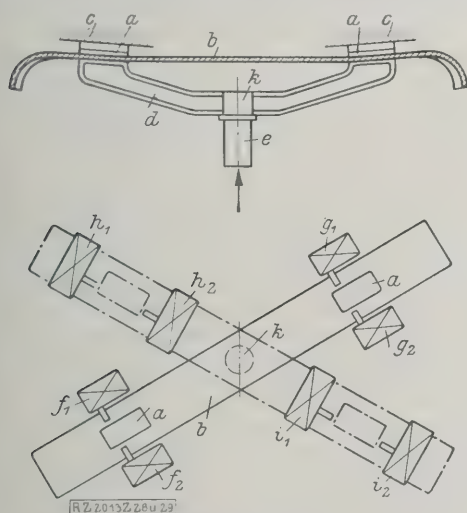


Abb. 30 und 31
Vorrichtung der Firma Fried. Krupp A.-G. zum gleichzeitigen Aufschießen mehrerer Platten auf eine Unterlage.

- | | |
|------------------|-------------------------------|
| a Unterlagplatte | f ₁ f ₂ |
| b Schwellen | g ₁ g ₂ |
| c Gegenplatte | h ₁ h ₂ |
| d Träger für b | i ₁ i ₂ |
| e Preßkolben | k Zapfen |

verringert ihr Gewicht, die Modelle und die Gußstücke mit ihren Fehlern fallen fort, die Lieferzeit wird wesentlich verkürzt, um so mehr als auch die Bearbeitung wesentlich vermindert wird. Die erforderlichen Blechplatten werden in der Regel auf halbselbsttätigen Leuchtgasflammen-Schneidmaschinen mit Längs-, Quer- und Kreisbewegung, Abb. 33, zugeschnitten, und zwar 25 mm dicke Platten mit 270 mm/min Geschwindigkeit.

Magnetgestelle von Gleichstrommaschinen^{11a)} und Jochringe von Synchronmaschinen werden aus Stahlstangen warm zwischen Walzen in Kreisen oder Halbkreisen rund gebogen. Große kreisrunde Ständerplatten schweißt man aus Segmenten mit einem Halbautomaten ähnlich Abb. 20, wobei für den Wasserstoff-Lichtbogen 25 A bei 50 bis 60 V notwendig sind. Bei mäßigen Ständeraußendurchmessern bis etwa 4,25 m kreist das Gehäuse auf einer mit Motor angetriebenen Drehscheibe; die Schweißköpfe der Ständergehäuse-Schweißmaschine, Abb. 34, dagegen stehen auf einem Laufkrangerüst während des Schweißvorganges still.

Für große Durchmesser benutzt die General Electric Co. eine Ständergehäuse-Schweißmaschine, deren radiale Arme mit den Schweißköpfen sich wie Drehkrane mittels Motorantriebes drehen. Außerdem verwendet man Längsnaht-Schweißmaschinen, bei denen das Werkstück stillsteht und der Schweißkopf wandert.

Die Schweißgeschwindigkeit bei den Ständergehäuse-Schweißmaschinen beträgt 1,2 bis 2,5 m/min bei 300 bis 400 A und 20 bis 30 V.

Die geschweißten Gehäuse bestehen aus zwei oder mehr ringförmigen Stahlplatten mit angeschweißten Füßen; auf diese Ringe wird außen ein Deckblech in Form eines Zylindermantels mit Ringnähten aufge-

^{11a)} Marthens, Brinton und Hague: Genormte lichtbogengeschweißte Gleichstrommaschinen, „The Electric Journal“ (1928) S. 575.

schweißt. Die Lüftungslöcher werden mittels Flamme ausgeschnitten und können mit gestanzten Blechen abgedeckt werden. Am Innenrand der Plattenringe werden axiale Längsrippen mit Führungskeilen für die Dynamobleche eingeschweißt, die mit unmagnetischen geschweißten Preßflanschen zusammengedrückt werden.

Auch Grundplatten werden aus Trägern zusammengeschweißt. Bei großen Stromerzeugern mit senkrechter Welle bestehen die Tragarme der oberen Lagerschilder aus entsprechend gebogenen I-Trägern, an die das Schild und das Spurlager angeschweißt sind, falls die Belastung 350 t nicht übersteigt. Der Aufbau der Läufer aus Stahlplatten bietet keine Schwierigkeit und hat den großen Vorteil, daß das Werkstück im Gegensatz zu Gußstücken ganz gleichmäßig zäh ist.

Die Lichtbogen-Schweißautomaten verwendet man neben den aufgeführten Herstellverfahren, bei Hochhäusern, Werkstättenhallen und andern Gebäudefachwerken, von Brücken¹¹⁾, Kranen, Eisenbahnwagen, Schiffen, Leitungsmasten, Funktürmen, Öl- und Gasbehältern, ferner bei Hochdruckrohren, Hochdruckkesseln und allgemein zur Wiederherstellung von abgenutzten Gleit- und Laufflächen. Das geräuschlose saubere Arbeiten der Schweißmaschinen ist gegenüber Niet- und Stemmarbeiten ein sehr großer Vorteil.

Schweißdraht und Lichtbogen

Auch für Schweißmaschinen ist es wesentlich, guten Schweißdraht¹²⁾ frei von Feuchtigkeit und Wasserstoff zu verwenden; die mit Schweißmittel ummantelten Elektroden bewähren sich aber offenbar bei selbsttätiger Schweißung weniger gut als die blanken Schweißdrähte. Die Firma General Electric Co. verwendet einen Rohrdraht: zwischen Stahlrohr und Stahlkern sind Flußmittel untergebracht. Zur Vermeidung des Oxydierens der Schweißstellen umgibt man den Lichtbogen mit einer Atmosphäre von Wasserstoff oder Ammoniak, der in N und H zerfällt, von Helium oder gewissen Kohlenwasserstoffverbindungen, z. B. Methanol, wodurch eine zähe Schweißnaht erreicht wird¹³⁾.

Die General Electric Co. hat die atomare Wasserstoff-Lichtbogen-schweißung entwickelt. Die zwischen die beiden Wolframelektroden strömenden Wasserstoffmoleküle zerfallen im heißen Wechselstrom-Bogen in Atome, die sich an den kühleren Schweißstellen wieder vereinigen, wobei große Hitze frei wird, so daß besonders zähe Schweißungen entstehen, stumpfe Stöße ohne V-Rinne bis 15 mm Blechdicke und auch Legierungen geschweißt werden, die ohne Schutzgas nicht geschweißt werden können. Das in den Lichtbogen eingeleitete Methanolgas (CH_3OH) zerfällt bei 700°C in $2\text{H}_2 + \text{CO}$. Die Kosten des Schweißens werden bei diesem Verfahren wohl verdoppelt, aber die Schweißgeschwindigkeit wird auch doppelt so groß. Bei Verwendung von Wasserstoff im Lichtbogen ist eine hohe Zündspannung von 120 V und eine Schweißspannung von 38 V notwendig; ist CO anwesend, werden diese Spannungen wieder niedriger. Wassergekühlte Elektroden erfordern eine sehr hohe Zündspannung. In Dämpfen von Alkalimetallen oder Alkalierden zwischen den Elektroden läßt sich der Lichtbogen leichter zünden und erhalten als in der Luft.

In der Mehrzahl der Fälle wird der negative Pol mit dem Schweißdraht, der um 500°C wärmere positive Pol durch eine Anschlußzange mit dem gut geerdeten Werkstück verbunden; von anderer Seite wird jedoch auch die umgekehrte Verbindung der Pole empfohlen.

Magnetfelder und Stromlieferung

Vielfach werden magnetische Blasfelder zur Beruhigung und Richtungsgebung des Lichtbogens angewendet. Die General Electric Co. legt einen isolierten Stromleiter unter die Stützstange, auf der die Rohrnaht aufliegt, Abb. 22, so daß ein bestimmter Teil des Schweißstromes ihn durchfließt und ein geeignetes Magnetfeld auf den Lichtbogen einwirkt. Die Firma Lincoln Electric Co., Cleveland, Ohio, bringt in ihren Electronic Tornado genannten Schweißmaschinen den Lichtbogen durch ein starkes magnetisches Feld in sehr rasch kreisende Bewegung, so daß er geradlinig bleibt und von benachbarten Schweißköpfen nicht beeinflusst wird. Die Klammern für Ölbrunnenkolbenrohre, Abb. 35, werden auf der Schweißmaschine, Abb. 36, mit zwei Schweißköpfen zunächst geheftet und dann fertiggeschweißt, wobei sie mit etwa 200 mm/min Geschwindigkeit mittels Kette

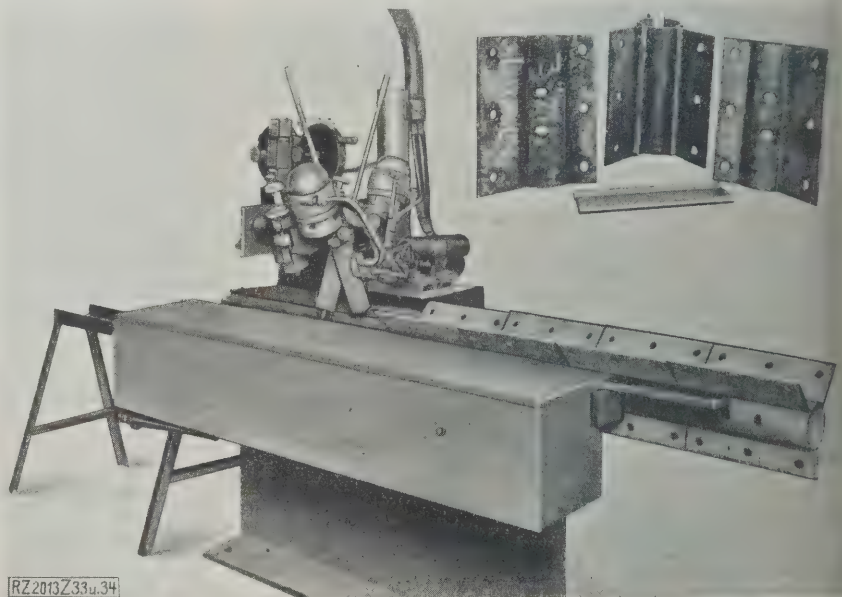


Abb. 35 (rechts oben)

Klammern für Ölbrunnenkolben, hergestellt auf der Schweißmaschine, Abb. 36.

Abb. 36

Selbsttätige Schweißmaschine der Lincoln Electric Co., Cleveland, Ohio, mit zwei Schweißköpfen und starkem magnetischem Feld zur Herstellung von Klammern für Ölbrunnenkolben.

vor dem Lichtbogen vorbeigeführt werden. Die Zitterbewegung des Lichtbogens ergibt eine sehr gleichförmige Schweißnaht. Übergelagerte Hochfrequenzströme, wie sie die Firma Société Alsacienne (*J. Bethérod*) anwendet, erleichtern die Zündung und die Aufrechterhaltung des Bogens.

Für selbsttätige Schweißmaschinen kommt in der Regel bei kurzem Bogen Gleichstrom bis etwa 200 und 300 A aus einem selbstregelnden wettersicheren Schweißumformer in Frage. Über fremd-, selbst- oder gemischterregte Schweißdynamos mit Erreger- und Vorschaltwiderständen ist in der Fachliteratur alles Wesentliche zu finden, vergl. Abb. 5, so daß ich hier nur auf die Querfelddynamo, Abb. 12¹⁴⁾, mit Reihenschlußerregung und mit Regelpolen in Form radial verstellbarer Eisenkolben verweise, die ohne Regelwiderstände arbeitet und sich auch für Schweißautomaten bewährt hat. Bei großen Stromstärken schaltet man häufig mehrere Schweißdynamos parallel, wobei die Punkte B, Abb. 12, aller Maschinen durch eine Hilfsschiene verbunden werden. Bei zwei und mehr Schweißköpfen dürfen sich die

¹¹⁾ *Rung*, Lichtbogenschweißung von Eisenkonstruktionen, Z. Bd. 72 (1928) S. 1102; Geschweißte Eisenkonstruktionen, Z. Bd. 72 (1928) S. 932; *A. M. Cuddy*, Geschweißte Fachwerke und Brücken, Journal of the A. I. E. E. Bd. 47 (1928) S. 274. Schalttafelgerüste s. El. World Bd. 20 (1928) S. 775.

¹²⁾ Z. Bd. 72 (1928) S. 1151.

¹³⁾ Z. Bd. 70 (1926) S. 753.

¹⁴⁾ *E. Rosenberg*, El. u. Maschinenbau Bd. 46 (1928) S. 61.

edenen Schweißdrähte nicht berühren. Beim
den langer Rohrleitungen an Ort und Stelle in
enen Gegenden wird die Schweißdynamo von
(Benzin- oder Ölmotor angetrieben und der ganze
auf einem Pferdewerk oder Kraftwagen
per) aufgestellt. Es empfiehlt sich, einen Zähler
Stromzuführung der Schweißumformer zu legen.

Zusammenfassung

selbsttätige Lichtbogen-Schweißmaschine bedeu-
die Massenherstellung von Maschinenteilen als
für Nietverbindungen und Gußstücke einen

Tagesfragen des Verkehrs

e Hannoversche Hochschulgemein-
t hatte ihren zehnten Hochschultag am 17. Novem-
8 als „Verkehrstagung“ ausgebildet mit dem doppel-
1, einmal die Entwicklung der Verkehrsmittel seit
ieg an einigen Beispielen darzustellen, zum andern
zeigen, wie die Verkehrspolitik nach festen Grund-
zu leiten ist und in welcher Weise die verschiedenen
smittel zu einheitlichem Zusammenwirken gebracht
müssen, damit der größte Nutzen für die Allgemein-
tritt.

leitend erörterte Prof. Dr.-Ing. Otto Blum, Han-

das Ziel der Verkehrspolitik.

heitliche Verkehrspolitik ist notwendig, weil bei der
inen Bedeutung des Verkehrs der Staat regelnd ein-
muß. Der Verkehr ist für alle Gebiete der Wirt-
wichtig, da ein wesentlicher Teil der Gesteigungs-
aller Erzeugnisse Transportkosten sind; das kul-
Leben und die Volksgesundheit werden stark durch
rkehr, insbesondere Ausflug- und Sportverkehr, be-
; die großen Verkehrsanstalten erfordern außer-
lich große Kapitalien, weshalb der Staat vorsorgen
aß der Kapitalmarkt nicht für unrichtige Verkehrs-
men zu stark in Anspruch genommen wird; die
anstalten sind die größten Auftraggeber für alle
ezweige und sie beschäftigen die größten Heere von
rn und Angestellten (die 700 000 Arbeitnehmer der
en Reichsbahn bilden mit ihren Frauen und Kindern
hendes Heer von fast 3 Mill. Menschen).

ie richtige Verkehrspolitik muß mit kleinstem Auf-
von Mitteln größten Nutzen für die Allgemeinheit er-
Dazu ist notwendig, daß jeder Transport dem rich-
beförderungsmittel zugeführt wird, und wo Verkehrs-
zusammenarbeiten, muß die volkswirtschaftlich gün-
Weise des Zusammenarbeitens und der Aufeinander-
gesichert werden. Der einzelne Frachtgeber oder
e sucht nicht immer das richtige Verkehrsmittel aus;
rschiedenen Verkehrsmittel werden aber auch vom
n der Gesetzgebung, Rechtsprechung, Kapitalzuwen-
sw. nicht gleichmäßig behandelt.

or allem muß verlangt werden, daß jedes Verkehrs-
seine vollen Selbstkosten selbst deckt; d. h. nicht
triebskosten, sondern auch die Kosten für Unterhal-
nd Erneuerung seiner Verkehrswege sowie Verzin-
nd Tilgung des gesamten Anlagekapitals einschließ-
ssen für die Verkehrswege usw., u. zw. anteilig, so-
die Wege nicht allein benutzt. In dieser Beziehung
u große Fehler gemacht, indem die Allgemeinheit
Provinz, Städte usw.) einzelnen Verkehrsmitteln Zu-
ngen macht.

bei müssen selbstverständlich junge Verkehrsunter-
ngen während ihrer Entwicklungszeit Unterstützung
halten, z. B. der Luftverkehr, solange er sich noch im
Rahmen der einzelnen Länder oder der Erdteile hält
Transoceanverkehr über die Versuche noch nicht hin-
kommen ist. Zuwendungen sind ferner berechtigt, wo
entliche Wohl es verlangt, z. B. die Erschließung ab-
der Landesteile oder von Vororten; aber solche an-
hen Ausnahmerscheinungen dürfen nicht zu einem
zustand werden.

bei sind zu unterscheiden Verkehrsmittel, die ein-
ol besitzen, und solche, bei denen ein Wettbewerb
h ist; bei letzteren muß ein klar abgestimmtes Zu-
narbeiten erreicht werden, damit sie höchsten wirt-
lichen Nutzen erbringen. Das trifft in besonderem
zu bei den drei Verkehrsmitteln des Binnenverkehrs,
isenbahn, den Binnenwasserstraßen (einschließlich
afahrt und Umschlagverkehr) und den Landstraßen.

geradezu umwälzenden Fortschritt; sie ermöglicht häufig
die Herabsetzung der Werkstoff- und Lohnkosten auf
einen kleinen Bruchteil der früheren Kosten. Modelle
können ganz entfallen, die Abmessungen der herge-
stellten Gegenstände lassen sich von Fall zu Fall ändern,
da die Schweißmaschinen auf beliebige Durchmesser ein-
gestellt werden können, und die Lieferzeiten lassen sich
wesentlich verkürzen. Die Lichtbogenschweißung lie-
fert zuverlässige, zähe Verbindungen. Die selbst-
tätige Lichtbogen-Schweißmaschine gehört zur Rationali-
sierung der Betriebe in alle Maschinenwerkstätten, ob sie
neue Maschinen herstellen oder der Ausbesserung dienen.

[B 2013]

Ein Sondergebiet besonderer Wichtigkeit im Binnen-
verkehr ist der städtische Personennahverkehr,
innerhalb dessen die Schnellbahnen eine besondere Stel-
lung einnehmen. Die großen Kapitalerfordernisse des
Stadtverkehrs erfordern schärfste Wirtschaftlichkeitsberech-
nung, um große Verluste von der Allgemeinheit abzuwen-
den¹⁾. Gerade der Stadtverkehr aber stellt an die Technik
zurzeit die höchsten Anforderungen und bringt die größten
Fortschritte und Erfolge zutage.

In Einzelvorträgen sprachen Oberbaurat P. Hedder,
Bremen, über die deutsche Schifffahrt, Direktor Dr.-Ing.
E. H. W. Stein, Hamburg, über den städtischen Per-
sonennahverkehr und Prof. Dr.-Ing. Kurt Risch,
Hannover, über den Straßen- und Luftverkehr²⁾.

Prof. Dr.-Ing. Blum, Hannover, behandelte sodann

das Eisenbahnwesen.

Das deutsche Eisenbahnwesen ist durch den Krieg an
Material und an Personal geschwächt worden. Während
des Krieges und noch Jahre nach dem Krieg ist für
Erhaltung und Erneuerung des Materials nicht das getan,
was hätte geschehen müssen. Große Mengen rollenden
Gutes sind in Feindesland geblieben, große Mengen mußten
nach dem Friedensvertrag abgeliefert werden. Das Per-
sonal hat große Verluste erlitten, und wohl alle, die heil
zurückgekehrt sind, waren durch Überanstrengung und
Entbehrung geschwächt. Wertvolle Gebiete mit hoch-
industrieller Entwicklung hat die Eisenbahn verloren:
Oberschlesien, Elsaß-Lothringen, das Saargebiet.

Aber das deutsche Eisenbahnwesen ist durch den Krieg
auch gestärkt worden, indem der Krieg die Eisenbahner
vor neuartige Aufgaben stellte, die mit unzulänglichen Mit-
teln und meist in kürzester Frist gelöst werden mußten.
Die anfänglich unlösbar scheinenden Aufgaben hat man
schließlich im letzten Augenblick doch noch gelöst,
und das Eisenbahnwesen ist so für die Wirtschaftlichkeit
im Frieden gut geschult worden, wo es darauf ankommt,
mit kleinen Anlagen, zu deren Erweiterung und Verbes-
serung das Geld fehlt, den Verkehr glatt und sicher zu be-
wältigen. Der Wirtschaftlichkeit ist auch zugute gekom-
men, daß viele Eisenbahner, die sich während ihrer Tätig-
keit im Felde theoretisch-wissenschaftlich nicht betätigen
konnten, nach ihrer Rückkehr einen großen Wissens- und
Arbeitsdrang in sich fühlten; diese theoretisch-wissenschaft-
liche Arbeit ist zum Teil bereits mit gutem Erfolg in die
Praxis umgesetzt worden.

Die Fortschritte des deutschen Eisenbahnwesens
liegen auf den verschiedensten Gebieten. Auf dem verwal-
tungstechnischen Gebiet mußten die Staatsbahnen rechtlich
zur „Deutschen Reichsbahn“ zusammengeschweißt werden,
und ihr mußten neue Rechtsformen gegeben werden; ebenso
mußte man die Rechtsverhältnisse des Personals neu ordnen.

Die Statistik ist sehr erweitert worden, insbeson-
dere erfaßt sie heute die Ergebnisse nicht nur des gesamten
Eisenbahnnetzes, sondern jedes einzelnen Direktionsbezir-
kes; sie arbeitet so viel schneller, daß bereits wenige Tage
nach Monatsende das Ergebnis des Monats veröffentlichungs-
reif vorliegt. So können sich nicht nur alle im Wirt-
schaftsleben stehenden oder für die Wirtschaftspolitik ver-
antwortlichen Personen ein genaues Bild von der Finanz-
lage der Reichsbahn machen, sondern auch die einzelnen
Eisenbahndirektionen sehen, wie sich ihr Ergebnis im
Rahmen der übrigen stellt. Daß Bezirke mit hochentwickel-
ter Industrie und Landwirtschaft Überschubbezirke und
andre mit ungünstigeren wirtschaftlichen Grundlagen Zu-
schubbezirke sind, bleibt dabei unberührt.

¹⁾ Vergl. W. Stein, Über den wirtschaftlichen Geltungsbereich der
verschiedenen öffentlichen Verkehrsmittel, Z. f. d. 72 (1928) S. 689.

²⁾ Diese und die hier auszugsweise wiedergegebenen Vorträge von
Prof. Dr.-Ing. Blum werden im vollen Wortlaut wiedergegeben in Heft 11
der „Mitteilungen der Hannoverschen Hochschulgemeinschaft“, das Ende
Februar erscheinen wird (VDI-Verlag, Preis 7,50 RM).

Das Finanzwesen ist grundlegend umgestaltet worden; unter gleichzeitigem Übergang von der kameralistischen zur kaufmännischen Buchführung ist für genaue Erfassung der Anlagewerte, für ausreichende Erneuerung und für scharfe Trennung von Kapital- und Betriebsrechnung Sorge getragen.

Auf maschinentechnischem Gebiete sind zunächst die vielen verschiedenen Lokomotivbauarten durch einige wenige ersetzt worden, wodurch die Freizügigkeit der Lokomotiven erhöht und ihre Untersuchung, Unterhaltung und Erneuerung vereinfacht worden ist. Austauschbau hat die Überholungszeit in den Werkstätten stark gekürzt, was die Zahl der Lokomotiven bei gleichem Verkehr verringert. Der Ersatz der kleineren Lokomotiveinheiten durch größere gestattet, die schwerer gewordenen Züge durchweg mit nur einer Lokomotive zu fahren.

Die Güterwagen sind verbessert worden, allerdings nicht einfach durch Erhöhung der Tragkraft; denn es gibt weite Gebiete in Deutschland und große Wirtschaftskreise, die Ladungen von 15 und 20 t nicht gleichzeitig beziehen können, sondern ein Bedürfnis für kleinere (5 t) Wagen haben. Wo ein Massengüterverkehr zwischen großen Erzeuger- und Verbrauchsgebieten nutzbringend eingerichtet werden kann, ist der Großgüterwagen am Platze. Solche Massengüter sind Kali, Holz, Koks, in gewissem Umfang auch Erze und Erden; aber selbst Kohle ist bei den zahlreichen Kohlsorten nicht durchweg Massengut. Die Reichsbahn, die für das ganze Volk arbeiten muß, kann nicht den Großgüterwagen allgemein einführen, weil er für sie und gewisse Gebiete und Erwerbskreise billiger und geeigneter ist, sondern sie hat auch die Pflicht, die Schwachen und Kleinen, das Kleingewerbe und den Kleinbauer, zu stützen und ihnen die kleineren Güterwagen zu erhalten.

Als sehr wertvoll hat sich die Einführung der durchgehenden Kunze-Knorr-Güterzugbremse erwiesen. Zunächst dadurch, daß Bremsen gespart und so viele Tausende von einer anstrengenden und nicht ungefährlichen Arbeit befreit worden sind; sodann weil dadurch die Geschwindigkeit der Güterzüge erheblich gesteigert werden konnte, und zwar bis auf die Geschwindigkeit der Personenzüge. Auf diese Weise konnten die wichtigen Verkehrsgebiete Deutschlands, die in lebhaftem Güterzugverkehr miteinander stehen, durch die Fahrt einer Nacht verbunden werden; außerdem fällt vielfach das Überholen der Güterzüge durch die Personenzüge fort, wodurch die Leistungsfähigkeit der freien Strecken und vor allem der Bahnhöfe beträchtlich gesteigert worden ist, und die Güterüberholungsgeleise können für andere Zwecke ausgenutzt werden. So hat eine „technische Einzelheit“ den Verkehr verbessert, den Betrieb verbilligt und Anlagekapital gespart.

Auf bautechnischem Gebiete haben die schwereren Lokomotiven zu einer Verstärkung sowohl des Unterbaues, namentlich der Brücken, als auch des Oberbaues geführt; allerdings dürfen diese Verstärkungen nur im Rahmen der planmäßigen Erneuerung durchgeführt werden. Daher sind zunächst diejenigen Linien, auf denen die durchgehenden Schnellzüge verkehren, und die großen Güterabfahrlinien (z. B. von Oberschlesien, von Basel, vom Saargebiet, aus dem Ruhrkohlengebiet und dem Mitteldeutschen Industriegebiet usw.) umgebaut worden. Die Fortschritte der technischen Wissenschaften haben dabei dazu geführt, daß heute bei gleichem Materialaufwand das Doppelte wie etwa vor 15 Jahren geleistet wird und daß die Brücken bei nur wenigen Hundertteilen Mehrgewicht heute Lastzüge von doppeltem Gewicht tragen.

Von den Bahnhöfen können die Personenbahnhöfe und Ortsgüterbahnhöfe auf lange Zeit hinaus wegen Kapitalmangel doch nicht verbessert werden. Die nach dem Krieg einsetzende starke theoretische Forschungsarbeit auf dem Gebiete der Bahnhofswissenschaft ist in der Hauptsache den Verschiebeshöfen und der Verschiebetechnik zugute gekommen, auf welchem Gebiete die Vertreter der deutschen Reichsbahn, der Wissenschaft und der Großindustrie mit Erfolg zusammengearbeitet haben, um den Rangierbetrieb zu beschleunigen und zu verbilligen, seine Gefahren und die unvermeidlichen Beschädigungen herabzusetzen.

Die Erfolge der neuen Verschiebetechnik zeigt folgendes Beispiel. Bei Beginn des englischen Kohlenstreiks ging der Verkehr in Deutschland sprunghaft in die Höhe; von Ostoberschlesien mußten täglich zwei Dutzend Kohlensonderzüge nach Hamburg gefahren werden; die Binnenflotten des Niederrheins und des Rhein-Herne-Kanals konnten die vom Niederrhein nach England zu verfrachtenden Kohlen nicht aufnehmen; auch Hamburg konnte zeitweilig die zuströmenden Kohlen nicht auf die Seeschiffe verfrachten. Trotzdem war es nicht notwendig, die vordem

im Ruhrkohlenbezirk auf der Grundlage der verbesserten Technik stillgelegten Verschiebeshöfe wieder in Betrieb zu nehmen. Die verbesserte Verschiebetechnik hat auch bereits ein Sinken der Selbstkosten im Gefolge gehabt.

Ist die deutsche Reichsbahn auf absehbare Zeit in Lage, den wachsenden Verkehr zu bewältigen? Maßgebend hierfür ist die Verkehrszunahme. Vor dem Kriege verdoppelte sich der Eisenbahnverkehr in je etwa 14 Jahren. Damit ist heute nicht mehr zu rechnen; denn Deutschland hat zu viel Absatzgebiete in der Welt verloren, und Herstellkosten sind in Deutschland zu stark gestiegen, kommt, daß Rationalisierung auch Ersparnis an verarbeiteter Förderarbeit bedeutet. Ferner, daß das wichtigste Transportgut, die Brennstoffe, dauernd in seiner Menge ringiert wird infolge der Bestrebungen, Kraft und Wärme in anderer Form, mittels Drähten und Röhren, zu verfrachten und daß diese Entwicklung erst im Anfang steht, wenn auch die Gasfernversorgung für die Binnenschiffe gefährlicher ist als für die Eisenbahn, so bedeutet dies wägend doch, daß das verarmte Deutschland in die verlorenen Werte, wie Eisenbahn, Binnenschifffahrt und Luftstraßen, nur das an weiteren Kapitalien hineinstecken was unbedingt notwendig ist.

Die gesamte Reichsbahn ist heute mit höchstens 80% ihrer Leistungsfähigkeit ausgenutzt. Bei einer Steigerung des Verkehrs von Jahr zu Jahr um je 2 bis 3 vH wird die Frage einer weiteren Steigerung der Leistungsfähigkeit des Eisenbahnwesens erst in etwa 8 bis 10 Jahren brennend.

In einem Schlußworte erörterte Prof. Blum noch

Stellung der Allgemeinheit zum Verkehr.

Unter Hinweis auf die in den einleitenden Ausführungen für eine richtige Verkehrspolitik aufgestellten Grundsätze des größtmöglichen Nutzens für die Allgemeinheit bei kleinstem Aufwand und der Eigenwirtschaftlichkeit jedes einzelnen Verkehrsmittels sprach der Redner, indem er sich für die Eisenbahn für die Eisenbahn einsetzte, aus: es ist ein Fehler der deutschen Verkehrspolitik, wenn sie von der deutschen Reichsbahn nicht nur verlangt, daß sie ihren gesamten Selbstkosten deckt, ihr Anlagekapital verzinsen sehr hoch tilgen muß, daß sie die Eisenbahn dann noch den politischen Lasten der sogenannten Wiedergutmachung belastet; dieser Fehler muß auf die Dauer zu Schädigungen der allgemeinen Volkswirtschaft führen.

Auf der andern Seite ist es ungerecht, daß andere Verkehrsmittel Zuwendungen erhalten, indem für die Verfrachtung und Tilgung der in den Wegen und Häfen angelegten Kapitalien keine Abgaben und für deren Erhaltung, Erneuerung und Verwaltung Abgaben nur in unzureichender Höhe erhoben werden.

Dabei ist zu beachten, daß in den Binnenwasserstraßen die außer den Landstraßen hieraus Nutzen ziehen, große Kapitalien angelegt sind und viele Tausend Menschen arbeiten. Auch bei den Straßen wären vor allem die Kraftfahrzeuge zu den Lasten heranzuziehen; die Kraftfahrindustrie aber steht in scharfem Wettbewerb mit dem Land, und das verarmte Deutschland kann es sich nicht leisten, vorhandene Werte untergehen zu lassen oder Werte, die im Inland erzeugt werden können, vom Ausland ausfließen zu lassen. Also ist vorsichtig vorzugehen, wenn als Ziel im Auge zu behalten ist, daß im Laufe von Jahrzehnten die gleichmäßige Behandlung der verschiedenen Verkehrsmittel erzielt werden muß.

Schließlich macht der Redner auf einen wesentlichen Unterschied in der Behandlung der verschiedenen Verkehrsmittel aufmerksam, der sich zu Ungunsten der Eisenbahn auswirkt. Die Eisenbahn hat unbedingte Beförderungspflicht, während die übrigen Verkehrsmittel nicht lohnende Transporte ablehnen und bei besonders günstigem Wetter den Verkehr einstellen können. Infolge der Haftpflicht wird die Eisenbahn in höherem Maße betroffen als die andern Verkehrsmittel. Vor allem aber ist die Eisenbahn mit hohen, allgemeinen Aufwendungen für Staat und Volk belastet, auf die bereits in den einleitenden Ausführungen hingewiesen ist. Diesen darf sich die Reichsbahn nicht entziehen, sondern muß es als ihre heiligste Pflicht ansehen, alles an Menschen- und Volkskraft zu erhalten, was lebensfähig bleibt, solange es der Eisenbahn gestützt wird, aber zum Siechtum verurteilt ist, wenn die Eisenbahn ihre stützende Hand entzieht.

Das Ziel der deutschen Verkehrspolitik muß also im Einzelfall das richtige Verkehrsmittel auszuwählen und gutes Zusammenarbeiten der verschiedenen Verkehrsmittel zu sichern, einen schädlichen Wettbewerb der Verkehrsmittel auszuschalten, aber einen gesunden Wettbewerb zwischen ihnen hochzuhalten. [N 2457] Fr. I.

Herstellung und industrielle Verwertung fester Kohlensäure

Von R. PLANK, Karlsruhe¹⁾

Daß im Laufe der letzten Jahre die Herstellung fester Kohlensäure in den Vereinigten Staaten von einer physikalischen Kuriosität aus dem Laboratorium zu einem beachtenswerten Industriezweig angewachsen ist, kann als einer der interessantesten Beweise für die „unbegrenzten Möglichkeiten“ in diesem Lande angesehen werden. Für den Europäer würde die Tatsache, daß feste Kohlensäure eine Temperatur von $-78,9^{\circ}$ hat und für die Gewichtseinheit etwa 15 mal so teuer ist wie gewöhnliches Eis, völlig ausreichen, um ihre Anwendung in das Reich der Phantasie zu verweisen. Aber der Optimismus hat nach gründlicher Prüfung aller Möglichkeiten den Amerikanern schon manche Erfolge gebracht.

Herstellung fester Kohlensäure^{1a)} beruht auf der Ausnutzung des Joule-Thomson-Effektes, von dem auch bei der Luftverflüssigung nach Linde Gebrauch gemacht. Der Unterschied besteht nur darin, daß das Linde'sche Verfahren der Ausgangsstoff gasförmig, der Endstoff flüssig, hier aber der Ausgangsstoff flüssig, der Endstoff fest ist. Flüssige Kohlensäure, die in Flaschen für rd. 65 $\frac{\text{g}}{\text{kg}}$ in den Handel gebracht wird, bei Zimmertemperatur (20°) einen Dampfdruck von 8 at abs hat, wird durch eine enge Öffnung auf 1 at ent, wobei die Temperatur auf $-78,9^{\circ}$ sinkt. Wie in der Zählentafel 1 zu ersehen ist, tritt schon bei der Senkung des Drucks auf 5,3 at abs, die der Sättigungstemperatur $-56,6^{\circ}$ entspricht, die Verfestigung der Kohlensäure ein; dabei wird die latente Erstarrungswärme der Kohlensäure (rd. 46 kcal/kg) gebunden, was durch Verflüssigen eines großen Teils der flüssigen Kohlensäure erreicht.

Zählentafel 1
Dampfdrücke über flüssiger und fester Kohlensäure.

Temperatur $^{\circ}\text{C}$	Dampfdruck at abs	Aggregatzustand
Kritischer Punkt)	75,0	flüssig
30	73,3	"
25	65,6	"
20	58,5	"
15	51,9	"
10	46,0	"
5	40,5	"
0	35,5	"
-10	27,0	"
-20	20,0	"
-30	14,6	"
-40	10,3	"
-50	7,0	"
-56,6 (Tripelpunkt)	5,3	fest
-60	4,2	"
-70	2,0	"
-78,9	1,0	"

Im gewöhnlichen Laboratoriumsversuch ohne besondere Vorsichtsmaßregeln verdampfen 85 bis 90 vH der Kohlensäure und nur 10 bis 15 vH gehen in Schnee über. Bei der industriellen Herstellung wird man Kältevermeidung weitgehend vermeiden und außerdem noch die große Menge des sehr kalten Kohlensäuredampfes, genau wie im Linde'schen Verfahren, im Gegenstrom zum Kühlen des Ausgangsstoffs, hier also der flüssigen Kohlensäure, abgeben. Dadurch wird ihr Wärmeinhalt bedeutend vermindert und die Ausbeute an fester Kohlensäure praktisch von 33 vH gesteigert. Theoretisch beträgt der Grenzgehalt der Ausbeute rd. 40 vH.

Die feste Kohlensäure nennt man in Amerika Trockeneis (dry ice), weil sie bei Wärmezufuhr nicht schmilzt, sondern sublimiert²⁾. Die Herstellung zerfällt in folgende Abschnitte: Herstellung des reinen CO_2 , Verdichten und Verflüssigen des Gases, Drosseln der Flüssigkeit mit teilweiser Schneebildung, Verdichten der Flüssigkeit zu verkaufsfertigen Blöcken.

Dieser Aufsatz ist ein Kapitel aus dem Buch „Amerikanische Kälte- und Kühltechnik“ des Verfassers, das demnächst im VDI-Verlag erscheint. Vergl. D. H. Killefer, Industrial and Engineering Chemistry 1927, S. 192; H. Howe, Nations Business, New York, Juli 1927. Die führende Herstellerin ist die Dry-Ice Corporation of America, New York. Die maschinellen Einrichtungen liefert die Nitrogen Corporation in New York.

Herstellung reiner Kohlensäure

Die reine Kohlensäure wird gewonnen: durch Einwirkung von Säuren auf billige Karbonate (CaCO_3 , MgCO_3), bei Gärungsvorgängen, durch vollständige Verbrennung von Koks oder aus natürlichen Kohlensäurequellen.

Obgleich die Gewinnung der Kohlensäure aus billigen Karbonaten scheinbar sehr wirtschaftlich wäre und das Gas im Gärungsgewerbe als Abfall auftritt, geht man praktisch in den meisten Fällen doch von Koks als Rohstoff aus; denn man braucht für das Reinigen und Verflüssigen der Kohlensäure viel mechanische Arbeit und Wärme, fast mehr als man beim Verbrennen der zur Erzeugung der Kohlensäure notwendigen Koks menge gewinnen kann.

Der Koks wird unter einem Dampfkessel mit geringem Luftüberschuß verbrannt, so daß die Verbrennungsgase rd. 18 vH Kohlensäure, ein wenig Sauerstoff und im übrigen nur Stickstoff enthalten, also von Kohlenoxyd frei sind. Man kühlt die Gase zuerst in einem Speisewasservorwärmer auf rd. 150° und wäscht sie dann mit kaltem Wasser, um Flugasche und sonstige Verunreinigungen zu entfernen. Aus den Waschtürmen wird das Gasgemisch mittels eines Ventilators abgesaugt und in die Absorptionstürme gepumpt, in denen Soda- oder Pottaschelösung von 10 vH Salzgehalt über geschichteten Koks rieselt. Die Lösung absorbiert aus dem Gasgemisch die Kohlensäure, wobei teilweise Bikarbonat entsteht, während Stickstoff und Sauerstoff oben aus den Absorptionstürmen entweichen.

Die Lösung wird schließlich in die Kohlensäureerzeuger gepumpt und mit dem Abdampf der Kraftanlage, dem etwas Frischdampf zugesetzt wird, auf 115° erwärmt; dadurch wird die Kohlensäure wieder ausgetrieben, wobei auch erhebliche Mengen von Wasserdampf entweichen; das Gemisch wird dann wieder abgekühlt, der mitgerissene Wasserdampf niedergeschlagen und Kohlensäure von 99,9 vH Reingehalt gewonnen. Die heiße regenerierte Lösung wird im Gegenstrom zur kalten Lösung unter Wasserzusatz in die Absorptionstürme zurückgepumpt.

Verdichten und Verfestigen der Kohlensäure

Das Verdichten des Kohlensäuregases in dreistufigen Kompressoren, das Verflüssigen, das Drosseln auf 1 at, teilweise unter Bildung von fester Kohlensäure, und schließlich das mit der nutzbaren Kälteleistung verbundene Sublimieren der festen Kohlensäure sind zusammen nichts anderes als der übliche Arbeitsvorgang der Kältemaschine, nur daß beim Drosseln nicht ein Gemisch von Kaltdampf und Flüssigkeit, sondern von Kaltdampf und festem Stoff entsteht und daß es sich um eine offene Kaltdampfmaschine handelt. Der Kreisprozeß schließt sich in der Tat nicht; denn das Sublimationsprodukt entweicht ins Freie, während der Kompressor neben dem beim Drosseln gebildeten Kaltdampf immer wieder neuerzeugte Kohlensäure ansaugt. Der Verdampfer ist hier räumlich von der übrigen Anlage getrennt; er befindet sich am Ort der jeweiligen Verwendung der festen Kohlensäure.

Der Idealprozeß einer Anlage zur Erzeugung fester Kohlensäure ist daher der einer Kaltdampfmaschine mit mehrstufiger Verdichtung³⁾. Da aber das Druckverhältnis im Kompressor bei Herstellung der festen Kohlensäure etwa 1:70 beträgt, reicht eine zweistufige Verdichtung nicht mehr aus; man muß in drei Stufen verdichten, wobei das

³⁾ Vergl. R. Plank, Z. f. d. ges. Kälte-Ind. Bd. 35 (1928) S. 17.

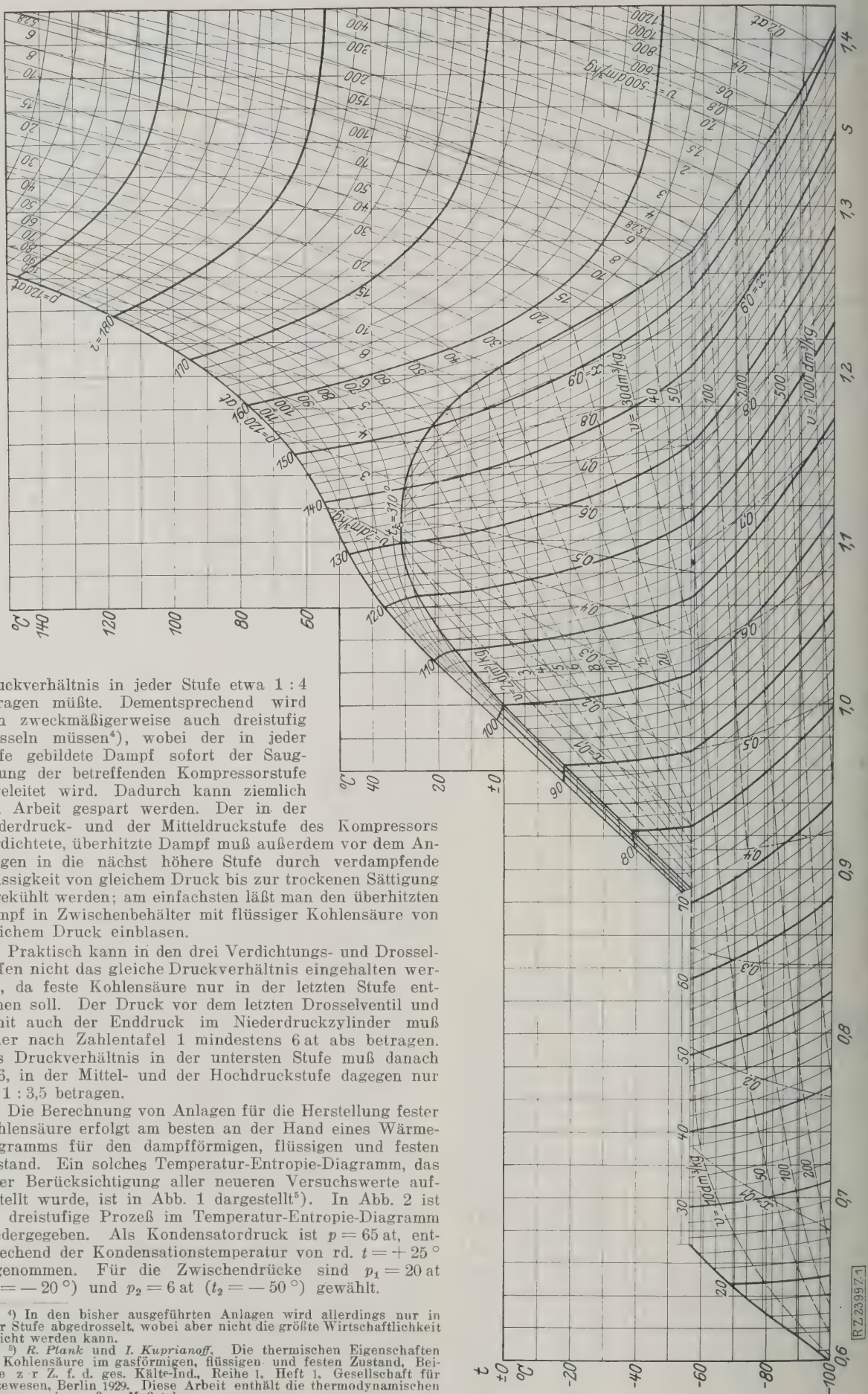


Abb. 1. Temperatur-Entropie-Diagramm für Kohlensäure (fest — flüssig — dampfförmig).

Druckverhältnis in jeder Stufe etwa 1:4 betragen müßte. Dementsprechend wird man zweckmäßigerweise auch dreistufig drosseln müssen⁴⁾, wobei der in jeder Stufe gebildete Dampf sofort der Saugleitung der betreffenden Kompressorstufe zugeleitet wird. Dadurch kann ziemlich viel Arbeit gespart werden. Der in der Niederdruck- und der Mitteldruckstufe des Kompressors verdichtete, überhitzte Dampf muß außerdem vor dem Ansaugen in die nächst höhere Stufe durch verdampfende Flüssigkeit von gleichem Druck bis zur trockenen Sättigung abgekühlt werden; am einfachsten läßt man den überhitzten Dampf in Zwischenbehälter mit flüssiger Kohlensäure von gleichem Druck einblasen.

Praktisch kann in den drei Verdichtungs- und Drosselstufen nicht das gleiche Druckverhältnis eingehalten werden, da feste Kohlensäure nur in der letzten Stufe entstehen soll. Der Druck vor dem letzten Drosselventil und damit auch der Enddruck im Niederdruckzylinder muß daher nach Zahlentafel 1 mindestens 6 at abs betragen. Das Druckverhältnis in der untersten Stufe muß danach 1:6, in der Mittel- und der Hochdruckstufe dagegen nur rd. 1:3,5 betragen.

Die Berechnung von Anlagen für die Herstellung fester Kohlensäure erfolgt am besten an der Hand eines Wärmediagramms für den dampfförmigen, flüssigen und festen Zustand. Ein solches Temperatur-Entropie-Diagramm, das unter Berücksichtigung aller neueren Versuchswerte aufgestellt wurde, ist in Abb. 1 dargestellt⁵⁾. In Abb. 2 ist der dreistufige Prozeß im Temperatur-Entropie-Diagramm wiedergegeben. Als Kondensatordruck ist $p = 65$ at, entsprechend der Kondensationstemperatur von rd. $t = +25^\circ$ angenommen. Für die Zwischendrucke sind $p_1 = 20$ at ($t_1 = -20^\circ$) und $p_2 = 6$ at ($t_2 = -50^\circ$) gewählt.

⁴⁾ In den bisher ausgeführten Anlagen wird allerdings nur in einer Stufe abgedrosselt, wobei aber nicht die größte Wirtschaftlichkeit erreicht werden kann.

⁵⁾ R. Plank und I. Kuprianoff. Die thermischen Eigenschaften der Kohlensäure im gasförmigen, flüssigen und festen Zustand, Beihfte z R. Z. f. d. ges. Kälte-Ind., Reihe I, Heft 1, Gesellschaft für Kältewesen, Berlin 1929. Diese Arbeit enthält die thermodynamischen Diagramme in großem Maßstab.

Wenn in der Hochdruckstufe und im Kondensator kg CO_2 umläuft, das hinter dem Kondensator auf etwa 15° (Punkt *a*) unterkühlt wird, dann entstehen bei der ersten Drosselung auf $p_1 = 20$ at rd. $x_1 = 0,28$ kg Dampf, die sofort von der Hochdruckstufe des Kompressors abgesogen werden, während $1 - x_1 = 0,72$ kg Flüssigkeit (Punkt *b*) in der zweiten Stufe auf $p_2 = 6$ at drosselt werden. Das entstehende Gemisch hat $x_2 = 0,20$ spezifischen Dampfgehalt, es besteht also aus $(1 - x_1) = 0,144$ kg Dampf, der sofort von der Mitteldruckstufe des Kompressors abgesogen wird, und aus $(1 - x_2) (1 - x_1) = 0,576$ kg Flüssigkeit (Punkt *c*).

Diese Flüssigkeit wird nun in der dritten Stufe auf $p_3 = 1$ at gedrosselt, wobei die Temperatur auf $-78,9^\circ$ sinkt und ein Gemisch aus $x_3 = 0,41$ Teilen Dampf und $1 - x_3 = 0,59$ Teilen Schnee entsteht. Die zugehörigen Gewichtsteile sind $x_3 (1 - x_2) (1 - x_1) = 0,236$ kg Dampf und $(1 - x_3) (1 - x_2) (1 - x_1) = 0,340$ kg Schnee. Der Niederdruckzylinder des Kompressors saugt in dieser Stufe gebildeten Dampf an ($0,236$ kg); außerdem muß ihm so viel frisches Kohlendioxidgas zugeführt werden, wie dem Kreisprozeß in Form von Schnee entzogen wurde ($0,34$ kg).

Aus 1 kg im Kondensator verflüssigter Kohlensäure erhält man also $0,34$ kg 34 vH Schnee. Der in der letzten Drosselstufe gebildete kalte Dampf kann zur weiteren Unterkühlung der verflüssigten Kohlensäure herangezogen werden, bevor er in die Niederdruckstufe des Kompressors eintritt. In diesem Fall rückt Punkt *a* weiter nach links und die Ausbeute an fester Kohlensäure nimmt noch etwas zu; gleichzeitig steigt aber auch der Arbeitsverbrauch der Niederdruckstufe des Kompressors. Ebenso kann man auch den Dampf von -50° aus der zweiten Drosselstufe zur Kühlung der flüssigen Kohlensäure heranziehen. Auf diese Weise kann man die Ausbeute an fester Kohlensäure auf etwa $0,4$ vH, bezogen auf 1 kg Flüssigkeit im Kondensator steigern.

Eigenschaften und Vorteile der festen Kohlensäure als Kühlmittel

Der bei diesem Verfahren gebildete Kohlensäureschnee ist sehr locker und sublimiert ziemlich rasch. Er wird in hydraulischen Pressen mit 50 bis 100 at Druck zu festen Blöcken verdichtet. Das höchste spezifische Gewicht, das man durch Ausfrieren von flüssiger Kohlensäure erhält, beträgt bei $-78,5^\circ = 1,56$ kg/l. Es wird jedoch beim Pressen des Schnees nicht erreicht; man begnügt sich in Amerika vielmehr mit einem spezifischen Gewicht von 1,1; Würfel von 50 mm Seitenlänge wiegen dabei 17 bis 18 kg. Durch Erhöhen der Drücke in den Pressen ließe sich das spezifische Gewicht leicht auf 1,3 bis 1,4 steigern, was zu Gunsten der Platzersparnis und des langsameren Verdunstens ratsam erscheint.

Die feste Kohlensäure hat, wie schon erwähnt, bei 60 mm Q.-S. Druck eine Temperatur von $-78,5$; sie schmilzt nicht bei Wärmezufuhr, sondern geht unmittelbar in den dampfförmigen Zustand über (Sublimation). Hierbei werden für 1 kg 137 kcal verbraucht, und da sich der entstehende sehr kalte Dampf im Kühlraum noch bis nahe an die Raumtemperatur erwärmen kann, bevor er

entweicht, so erhält man z. B. bei 0° Austrittstemperatur des Dampfes eine Kälteleistung von 152 kcal/kg. Das ist also fast doppelt so viel wie die Kälteleistung von 1 kg Eis.

Infolge ihres höheren spezifischen Gewichts ergibt die feste Kohlensäure auch auf die Raumeinheit bezogen eine wesentlich höhere spezifische Kälteleistung als Eis; das Verhältnis beträgt etwa $\frac{152 \cdot 1,35}{80 \cdot 0,9} = 2,85$. Die damit verbundene Möglichkeit besserer Raumaussnutzung im Kühlschrank, Eisenbahnwagen oder dergl. kann sich allerdings nicht voll auswirken, weil die feste Kohlensäure zu schnell verdampfen und den Raum zu tief kühlen würde, wenn man sie, wie Eis, einfach in einen offenen Behälter legte. Vielmehr muß man den Behälter für feste Kohlensäure isolieren⁶⁾, was den Platzbedarf wieder vergrößert.

Immerhin bleibt die Platzersparnis beim Kühlen mit fester Kohlensäure beachtenswert. Bei gleichem Raumbedarf der Kühlkörper im Kühlraum braucht dieser mit fester Kohlensäure viel seltener als mit Eis beschickt zu werden, was bei Eisenbahn-Kühlwagen wie auch bei Haushalt-Kühlschränken offenbare Vorteile ergibt. Da die Kosten der Eiszufuhr ein Mehrfaches der Eiszerzeugungskosten betragen, so muß jede Verringerung der Anzahl von Beschickungen zu Ersparnissen führen. Auf der Eisenbahn vermindert dies die Zahl der Anlagen und der Aufenthalte für das Auffüllen mit frischem Kälte Träger.

Beim Verfrachten und Aufbewahren von Kühlgütern, die Temperaturen unter 0° erfordern (Gefrierfleisch, Fische, Wild, Geflügel) muß man ferner dem Eis große Mengen von Salz zusetzen, was Kosten und starke Verrostungen der Behälter verursacht; hier öffnet sich der Kohlensäure ein mögliches Anwendungsgebiet. Einer der größten Vorteile der Verwendung fester Kohlensäure an Stelle von Eis ist der Fortfall des Schmelzwassers, das hygienisch nachteilig ist, Eisenteile angreift und sehr feuchte Kühlräume ergibt.

Aussichten der festen Kohlensäure

Daß die feste Kohlensäure das gewöhnliche Eis als Kühlmittel verdrängen wird, ist nicht zu erwarten. Sie kann sich aber gewisse Gebiete der Kältetechnik erobern, bei denen ihre hervorstechenden Vorteile besonders scharf zum Ausdruck kommen.

Die wichtigste Frage dabei ist der Verkaufspreis. Feste Kohlensäure muß stets erheblich teurer als Eis werden, weil ihre tiefe Verdampftemperatur von $-78,9^\circ$ durch höheren Energieaufwand erkaufte werden muß. Bei Zugrundelegung der heutigen Preise der flüssigen Kohlensäure wäre jede industrielle Verwertung fester Kohlensäure ausgeschlossen; denn für flüssige Kohlensäure werden heute in Deutschland 65 bis 70 g/kg bezahlt, und da man aus 1 kg flüssiger Kohlensäure nur etwa 0,3 kg feste erhalten kann, so müßte feste Kohlensäure 2 RM/kg kosten.

Indessen wird der Preis der flüssigen Kohlensäure vorwiegend durch die Abschreibungen des in den Stahlflaschen angelegten Kapitals gesteigert, deren hohe Tara (220 vH des Reingewichts) auch die Versandkosten erhöht. Der Fortfall der Stahlflaschen gibt daher der festen Kohlensäure einen gewaltigen Vorsprung vor der flüssigen. In Amerika zahlt man für feste Kohlensäure je nach der abgenommenen Menge 45 bis 90 g/kg , also etwa das 15fache der Eispreise oder für gleiche Kälteleistung bei fester Kohlensäure etwa den 8fachen Eispreis.

Bei dem bisherigen Herstellungsverfahren ist mit dem Einbringen des Kohlensäureschnees in die Pressen und dem Verdichten noch ziemlich viel Handarbeit und Kälteverlust verbunden. Durch Rationalisierung des Verfahrens wäre es also möglich, beim Verkauf der festen Kohlensäure rund mit dem fünffachen Eispreis, bezogen auf gleiche Kälteleistung, auszukommen. Immerhin erkennt man aus dieser Gegenüberstellung, daß

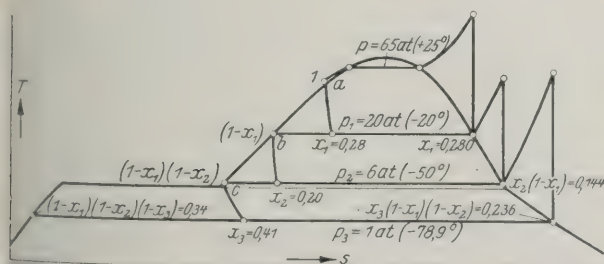


Abb. 2

Kreisprozeß der Herstellung fester Kohlensäure (dreistufig).

⁶⁾ Die Behälter werden häufig aus dem sehr leichten und die Wärme schlecht leitenden Balsaholz hergestellt.

von einem allgemeinen Ersatz des Eises durch feste Kohlensäure keine Rede sein kann.

Am weitesten ist die feste Kohlensäure in Amerika beim Versand von Rahmeis verbreitet. Während man hier früher schwere Verpackungen für das Roheis-Salzgemisch brauchte, so daß die Tara ein Vielfaches des Reingewichts betrug, und die Kisten zurückgeschickt wurden, versendet man jetzt das Rahmeis in leichten Pappkästen unter Beigabe eines Stückes fester Kohlensäure.

Ein anderes Verwendungsgebiet ist das Verschicken von gekühlten oder gefrorenen Fischen in Eisenbahnwagen⁷⁾. Die feste Kohlensäure wird in isolierten Kammern an der Decke der Kühlwagen untergebracht. Die Wagen müssen auch gut isoliert sein und insbesondere ihre Türen sehr dicht schließen. Da Kohlensäuredampf viel schwerer als Luft ist, fällt er von der Decke zum Boden, so daß der ganze Inhalt in eine Kohlensäurewolke gehüllt wird; der Dampf entweicht schließlich durch kleine Öffnungen in der Decke. Die Verdrängung des Luftsauerstoffs ist dabei insofern vorteilhaft, als dadurch Fäulnisvorgänge gehemmt werden und bei fetten Fischen die Oxydation der Fette unterbleibt.

Nach Berichten von H. F. Taylor ist der Versand von Fischen mit fester Kohlensäure in Kühlwagen und auf Schiffen selbst auf große Entfernungen (z. B. von New York nach St. Louis, Kansas City oder Jamaika) gut gelungen, doch waren hin und wieder auch Mißerfolge zu verzeichnen. Bei Kühlung mit fester Kohlensäure können die Wagen ganz mit Fischkisten vollgepackt werden, während es bei Eiskühlung üblich ist, die Wagen nur auf rd. $\frac{1}{2}$ der Höhe vollzupacken, damit die Luft besser umlaufen kann.

Feste Kohlensäure eignet sich auch für den Versand von Fischen, Hummern, Austern, Butter und dergl. in Postpaketen mit sehr leichter Verpackung. Besondere Vorteile wird sie ferner beim Versand schnell verderblicher Lebensmittel durch Flugpost bieten, was in Deutschland bald wirtschaftlich bedeutungsvoll werden kann.

In der Hauptversammlung des Institute of American Meat Packers 1928 hat A. Horr, Brooklyn, über Versuche mit der Verwendung von fester Kohlensäure beim Versand von frischem Fleisch in Lastkraftwagen berichtet⁸⁾. Für 270 bis 320 kg Fleisch brauchte man bei den ersten Versuchen täglich rd. 36 kg feste Kohlensäure im Werte von 16,80 RM, während die Eiskühlung nur 5,30 RM gekostet hätte. In verbesserter Anordnung soll es dann gelungen sein, den Verbrauch an fester Kohlensäure für die gleiche Fleischmenge auf 18 kg herabzusetzen, so daß die Kosten nicht mehr wesentlich höher sind als bei Eiskühlung. Die Temperatur der Kühlräume betrug dabei $+4^{\circ}$.

⁷⁾ H. F. Taylor, Refrigeration of fish, Bureau of Fisheries, Nr. 1016 S. 564, Washington 1927.

⁸⁾ „Ice and Cold Storage“, London, Bd. 31 (1928) S. 326.

Gewindetoleranzen

Nachdem DIN Vornorm 2244, Gewindetoleranzen, rd. zwei Jahre lang erprobt worden war, wurden von verschiedenen Seiten Wünsche laut, die Toleranzen im Hinblick auf größere Wirtschaftlichkeit bei der Herstellung zu ändern. Um die einzelnen Wünsche der Hersteller und Verbraucher kennenzulernen, wurde im Juni 1928 eine Rundfrage erlassen. Die hierauf eingegangenen Vorschläge sind in einer von Prof. Berndt, Dresden, ausgearbeiteten ausführlichen Denkschrift niedergelegt worden, die als Beratungsunterlage für die Gewindesitzung am 30. November 1928 diente.

Am Vorabend dieser Sitzung hielt Prof. Berndt in der Technischen Hochschule Charlottenburg einen Vortrag über „Neue Versuche über Gewinde, Messungen, Verhalten zu den Schneidwerkzeugen, Festigkeit“. Dieser Vortrag klärte einen großen Teil der Fragen, die am nächsten Tage auf der Sitzung selbst besprochen werden sollten. Im Anschluß daran berichtete Schaurte über Messungen in seinem Betriebe, Dr. Härtel über Innengewindemessungen nach dem Abgußverfahren und Werksinspektor Nabholz über Gestaltung der Schneidwerkzeuge.

Die Gewindesitzung selbst war von 115 Vertretern der verschiedensten an den Gewindefragen beteiligten Kreise besucht. Auf Grund sehr eingehender Vorarbeiten durch den Obmann, Prof. Dr. Schlesinger, und durch die bereits er-

Die Versuche, feste Kohlensäure auch beim Obstversand zu verwenden, haben noch keine endgültigen Ergebnisse geliefert. Der Luftsauerstoff ist hier für das Atmen des Obstes notwendig, und der Kohlensäuregehalt darf daher eine für jede Obstart bestimmte Grenze nicht übersteigen. Nach englischen Versuchen beim Versand australischer Äpfel nach London⁹⁾ darf der Kohlensäuregehalt der Luft in den Laderäumen ohne Schaden für die Früchte bis zu 10 vH steigen; bei höherem Gehalt treten jedoch Stoffwechselkrankheiten (Braunfärbungen der Kerngehäuse) auf, die das Obst unbrauchbar machen. Bei Kühlung durch feste Kohlensäure müßte man daher für Lüfterneuerung sorgen, was die Vorteile dieses Kühlfahrers in Frage stellen kann. Weitere Versuche mit süd-afrikanischen Apfelsinen¹⁰⁾ zeigten, daß diese Früchte gegen hohe Kohlensäure-Konzentrationen weniger empfindlich sind als Äpfel; wichtig ist, daß die schädliche Wirkung der Kohlensäure bei tiefen Temperaturen viel größer ist als bei höheren Temperaturen; so wurde nach fünfwöchiger Lagerung von Apfelsinen in einem Raum mit 25 bis 40 vH CO₂ bei $+1^{\circ}$ eine sehr deutliche Schädigung beobachtet, während bei $+7^{\circ}$ und $+13^{\circ}$ keinerlei Entwertung zu bemerken war.

Wichtig ist noch, ob die freiwerdende Kohlensäure in bewohnten Räumen — z. B. bei Verwendung fester Kohlensäure in Haushalt-Kühlschränken — gefährlich werden kann. Aus 1 kg fester Kohlensäure entstehen etwa 0,5 m³ Gas von 0° und 1 at. Ein mittlerer Haushalt braucht etwa 3 bis 4 kg feste Kohlensäure in 24 h, so daß täglich $1\frac{1}{2}$ bis 2 m³ CO₂-Gas gebildet werden. Da in jeder Küche oder Speisekammer, besonders in der warmen Jahreszeit, die Fenster geöffnet werden, so ist eine gefährliche Anreicherung der Luft mit Kohlensäure kaum zu befürchten.

Immerhin muß man auf gute Lüftung der betreffenden Räume achten, da schon 3 bis 5 vH (Raumteile) CO₂ in der Luft bei längerem Einatmen belästigen. Da sich die schädliche Wirkung auf den Körper langsam steigert und in Kopfschmerzen, Schläfrigkeit und Schwindelgefühlen äußert, so kann man durch Öffnen der Fenster eine ernstere Gefahr stets rechtzeitig abwenden. Gegen allzugroße Befürchtungen spricht die Tatsache, daß sich auch in den Gärkellern der Brauereien dauernd große Mengen Kohlensäure entwickeln und irgendwelche Nachteile für das Bedienungspersonal damit nicht verbunden sind.

Es ist jedenfalls damit zu rechnen, daß feste Kohlensäure als Kühlmittel für Sonderzwecke auch in Deutschland Bedeutung erlangen wird. Das Herstellverfahren kann aber noch nicht als vollkommen gelten; Vereinfachungen und Verbesserungen wären im Interesse einer Preissenkung des Erzeugnisses sehr angebracht. [B 2399]

⁹⁾ Food Investigation Board, London, Special Report Nr. 23 (1925) vergl. a. Special Report Nr. 21 und Nr. 22 (1925).

¹⁰⁾ Food Investigation Board, Report for the Year 1927.

wählte Denkschrift von Prof. Berndt könnten für den größeren Teil der sehr umfangreichen Tagesordnung endgültige Beschlüsse gefaßt werden. Für verschiedene Punkte, wie Toleranzen des Kerndurchmessers der Mutter und des Bolzens für mittel und grob, Vorschläge für Feintoleranz, für Gewindefestsitz, für Feingewindetoleranzen, Toleranzen für Rohr-, Trapez-, Sägen-, Rund- und dampfdichte Gewinde wurden von der Versammlung Unterausschüsse eingesetzt und diesen für die Weiterbearbeitung Richtlinien gegeben.

Nachdem der Unterausschuß für Kerndurchmesser des Bolzens und der Mutter für mittel und grob endgültige Beschlüsse gefaßt hat, werden die Normen über die Toleranzen und Grenzwerte für diese beiden Gütegrade als Vollnormen herausgegeben. Als nächste Arbeit des Ausschusses folgt dann die Festlegung der Toleranzen und Grenzwerte für den Gütegrad fein. Da für diese im Gegensatz zu den bisherigen Festlegungen in DIN Vornorm 2244 neue Vorschläge zu Grunde gelegt werden, sollen die Toleranzen und Grenzwerte für fein bis Ende 1930 noch als Vornormen herausgegeben werden, damit die Industrie diese neuen Festlegungen erproben kann. Als weitere Arbeit folgt dann die Festlegung der Blätter über Gewindelehren und Gewinderachenlehren. Ein ausführlicher Bericht über die Beschlüsse der Sitzung ist in den DIN-Mitteilungen vom 17. Januar 1929, „Maschinenbau“ Bd. 8 Nr. 2, veröffentlicht. [N 2555]

Kurbelkastenspülung für Zweitaktmotoren

Von Dr.-Ing. HANS LIST, o. Professor der Tung-chi-Universität, Technische Fakultät, Woosung, China

Der Luftaufwand bei Zweitaktmaschinen mit Kurbelkastenspülung wird berechnet und das Ergebnis graphisch dargestellt. Ferner wird ein Verfahren zur experimentellen Bestimmung des Liefergrades bei solchen Zylindern mitgeteilt. Das Verfahren gestattet, den mittleren Kolbendruck und die günstigste Länge der Einlaßschlitze von Zweitaktmaschinen mit Kurbelkastenspülung zu berechnen.

Bei Zweitakt-Dieselmotoren mit Kurbelkastenspülung müssen mit sehr niedrigem mittleren Kolbendruck arbeiten, wenn die Verbrennung vollständig sein soll. Die Ursache ist die schlechte Spülung der Maschinen, also die geringe Luftmenge, die für die Verbrennung zur Verfügung steht. Die Spülluft ist dadurch begrenzt, daß der Kolben mit seiner Innenseite als Pumpenkolben arbeitet, und kann den Hubraum nicht wesentlich überschreiten. Für die vollständige Entfernung der Abgase aus dem Zylinder ist diese Luftmenge zu gering, da während der Spülung unmittelbar nachher große Mengen von Spülluft durch die Auslaßschlitze verlorengehen. Diese Verdrängung ist die Hauptursache der unzureichenden Spülung, hier ist hauptsächlich anzusetzen, wenn man die Verhältnisse dieser Maschinen verbessern will. Der Wirkungsgrad der Kurbelkasten-Spülpumpe ist hoch, insbesondere dann, wenn man die dynamische Wirkung der Ventilsäule ausnutzt. Doch auch dort, wo dafür besondere Vorkehrungen getroffen werden, liegt er zwischen 95 und 100 vH, wie unter andern auch Verfasser durch genaue Luftmessungen an einem Zweitakt-Dieselmotor nachweisen konnte.

Bei Vorausberechnung des erreichbaren mittleren Kolbendrucks muß man die für die Verbrennung verfügbare Luftmenge kennen. Man kann sie berechnen, wenn man den Luftaufwand, den Wirkungsgrad der Spülung, die Länge der Auspuffschlitze kennt. Unter Spülluft ist das Verhältnis der eintretenden Spülluft zum Hubraum, unter Spülwirkungsgrad das Verhältnis der nach der Spülung im Zylinder verbleibenden Luftmenge verstanden.

Der Luftaufwand ergibt sich bei Spülung mit nahezu veränderlichem Spüldruck aus diesem Druck, den Zylinder- und Schlitzausmessungen und der Drehzahl, wenn eine Erfahrungszahl, die Durchflußzahl des Systems (Skal-Zylinder-Auslaßkanal, kennt. Diesen Erfahrungswert kann man bei Neukonstruktionen auf Grund der Ergebnisse ähnlicher Maschinen schätzen, bei ausgetriebenen Maschinen durch Luftmessungen bestimmen. Bei Maschinen mit Kurbelkastenspülung sinkt aber der Spüldruck während der Spülung von einem Höchstwert auf nahezu null. Die Verhältnisse liegen hier etwas ungünstiger als bei konstantem Spüldruck, sind aber bei Kenntnis der Durchflußzahl ebenfalls theoretisch voraussetzbar.

Bei konstantem σ_e das Verhältnis der Länge der Einlaßschlitze zum Hubraum, so öffnet der Kolben die Schlitze, wenn er vom unteren Totpunkt entfernt ist. Da die Kolbenbewegung während des Spülens ihre Richtung wechselt, sind die Kolbengeschwindigkeiten im Vergleich zu Luft- und Abgasgeschwindigkeiten klein, so daß die Kolbenbewegung auf die Spülung keinen merklichen Einfluß aus. Man kann sie daher vernachlässigen und annehmen, die Spülung erfolge aus einem Gefäß mit unveränderlichem Rauminhalt, dessen mittlere Luftmenge mit dem zeitlich mittleren Inhalt des Kurbelkastens während der Spülung übereinstimmt. Da dieser jedoch dem Inhalt des Kurbelkastens V_r bei der inneren Totlage nur wenig abweicht und die unsicheren Angaben der Rechnung diese Vereinfachung durchgerechnet, kann man den Kolben als während

des Spülens im inneren Totpunkt ruhend annehmen. V_h sei der Hubraum. Mit

$$\frac{V_r}{V_h} = x$$

wird das Verdichtungsverhältnis

$$\frac{V_r}{V_r + V_h} = \frac{x}{x+1}$$

Bei adiabatischer Verdichtung ist der Enddruck der Verdichtung

$$p_r = p_a \eta_v \left(\frac{x+1}{x} \right)^k,$$

worin $p_a \eta_v$ der Druck zu Beginn der Verdichtung ist (p_a = Außendruck, η_v trägt den Ventilwiderstand Rechnung). η_v sei vorläufig gleich 1 gesetzt.

Während des Spülens expandiert der Inhalt des Kurbelkastens, der Spüldruck sinkt. Nach Schüle¹⁾ gilt für den Ausfluß aus einem Gefäß mit konstantem Rauminhalt und bestimmtem Anfangsdruck folgende Beziehung zwischen dem Zeitquerschnittintegral $\int f dt$ und dem Druck p_i im Gefäß

$$\int f dt = \frac{1}{k} \frac{V}{\varphi} \frac{1}{\sqrt{p_r v_r}} \left(\frac{p_r}{p_a} \right)^{\frac{1}{2} - \frac{1}{2k}} \int_{p_i}^{p_r} \frac{1}{\left(\frac{p_a}{p_i} \right)^{\frac{1}{2k} + \frac{1}{2}} a} d \left(\frac{p_a}{p_i} \right);$$

hierbei ist angenommen, daß die Expansion adiabatisch verläuft. Das stimmt zwar mit der Wirklichkeit nicht überein, der Unterschied beeinflusst das Ergebnis jedoch wenig, da der hierdurch entstehende Fehler weit kleiner ist als die Annäherung, mit der man z. B. φ schätzen kann. In der Formel ist V der Inhalt des Gefäßes, p_r sein Anfangs-, p_a der Außendruck, v_r und v_a die zugehörigen spezifischen Volumina, φ ein Ausströmungskoeffizient, hier die Durchflußzahl, p_i der Druck beim Abschluß der Schlitze, k der Exponent der Adiabate und

$$a = \sqrt{2g \frac{k}{k-1} \left[\left(\frac{p_a}{p_i} \right)^k - \left(\frac{p_a}{p_i} \right)^{\frac{k+1}{k}} \right]}.$$

Trägt man den Ausdruck unter dem Integralzeichen als Funktion von $\frac{p_a}{p_i}$ auf, so ist nach Schüle $z = f \left(\frac{p_a}{p_i} \right)$ die Integralkurve. Damit wird

$$\int f dt = \frac{1}{k} \frac{V}{\varphi} \frac{1}{\sqrt{p_r v_r}} \left(\frac{p_r}{p_a} \right)^{\frac{1}{2} - \frac{1}{2k}} (z_i - z_r)$$

wobei z_i der Abszisse $\frac{p_a}{p_i}$, z_r der Abszisse $\frac{p_a}{p_r}$ entsprechen.

Das dem Kurbelkasten entnommene Luftgewicht ist, wenn der Druck von p_r auf p_i gesunken ist,

$$G = \frac{V_h x}{v_a} \left(\frac{v_a}{v_r} - \frac{v_a}{v_i} \right).$$

Nun ist

$$\frac{v_a}{v_r} = \left(\frac{p_r}{p_a} \right)^{\frac{1}{k}}, \quad \frac{v_a}{v_i} = \left(\frac{p_i}{p_a} \right)^{\frac{1}{k}},$$

daher

$$G = \frac{V_h x}{v_a} \left[\left(\frac{p_r}{p_a} \right)^{\frac{1}{k}} - \left(\frac{p_i}{p_a} \right)^{\frac{1}{k}} \right].$$

Bezieht man die Luftmenge auf Außenluft, so ist die eintretende Luftmenge

$$V_a = V_h x \left[\left(\frac{p_r}{p_a} \right)^{\frac{1}{k}} - \left(\frac{p_i}{p_a} \right)^{\frac{1}{k}} \right].$$

¹⁾ Technische Thermodynamik, 2. Aufl. Bd. 2, S. 524 u. f.

Setzt man

$$V_a = \lambda V_h,$$

wobei λ der auf V_h bezogene Luftaufwand der Spülung ist, so ist

$$\frac{p_i}{p_a} = \left(\frac{x+1-\lambda}{x} \right)^k, \quad \frac{p_r}{p_a} = \left(\frac{x+1}{x} \right)^k.$$

Daraus lassen sich, wenn x und λ gegeben sind, z_i und z_a mit Hilfe der Integralkurve bestimmen.

Für $\int f dt$ findet man, wenn ψD die Schlitzbreite, σ' die augenblicklich freie Schlitzlänge und $\frac{r}{l}$ das Schubstangenverhältnis sind, einen zweiten Ausdruck

$$\int f dt = \psi D s \int \sigma' dt$$

und mit

$$dt = \frac{30}{\pi n} da$$

und

$$\int \sigma' da = \left(1 + \frac{r}{2l} \right) \frac{\sigma_e^{3/2}}{370} \quad (\text{nach Föppl})$$

$$\int f dt = \psi D s \frac{30}{\pi n} \left(1 + \frac{r}{2l} \right) \frac{\sigma_e^{3/2}}{370}.$$

Setzt man die beiden Ausdrücke gleich, so ergibt sich

$$x(z_i - z_r) = \frac{4,3 \varphi \psi \left(1 + \frac{r}{2l} \right)}{D n} \sigma_e^{3/2} = 4,3 A \sigma_e^{3/2} = U.$$

Die linke Seite der Gleichung ist eine Funktion von x und λ , die rechte hängt von Erfahrungs- und Konstruktionswerten ab. σ_e ist in vH einzusetzen.

In Abb. 1 ist λ als Funktion von x und U dargestellt, andererseits U zu A und σ_e in Beziehung gebracht. Um λ für bestimmte Verhältnisse zu finden, geht man von A aus. Man fährt wagerecht so weit nach links, bis man die entsprechende Linie σ_e schneidet, dann aufwärts bis zum Schnitt mit der Linie des durch die Baumaße festgelegten Wertes von x und kann dann links den Wert von λ ablesen. Damit kann man nach Schätzung der Durchfließzahl φ den Luftaufwand berechnen.

Die Verluste an Spülluft entstehen dadurch, daß Spülluft mit den Abgasen abströmt, und daß ein Teil des Zylinderinhaltes durch den Kolben verdrängt wird. Dieses Verdrängen erfolgt in der Hauptsache, nachdem die Spülung vollendet ist. Das gilt insbesondere bei Spülung mit sinkendem Spül Druck, für die vorliegenden Ableitungen aber mit hinreichender Annäherung auch für die Spülung mit konstantem Spül Druck. Man kann daher angenähert beide Vorgänge als zeitlich getrennt annehmen und ihre Verluste gesondert behandeln.

Der Verlust an Spülluft während des Spülens läßt sich nicht berechnen, da sich die Strömungs- und Mischungsverhältnisse im Zylinder während des Spülens noch nicht mathematisch erfassen lassen. Diesen Teil des Spülvorganges kann man daher nur durch Versuche klären, indem man entweder die Strömung im Zylinder untersucht oder durch Analysen des Zylinderinhaltes vor und nach dem Spülen die Wirksamkeit der Spülung prüft. Die Untersuchung der Strömung gibt wohl Aufschluß darüber, welche Stellen der Spülluftstrom nicht berührt, liefert aber,

da sie die Mischungsverhältnisse nicht umfaßt, nur ungenügende Grundlagen für die Beurteilung der Spülwirkung, auf die es allein ankommt.

Die Versuchseinrichtung

Andererseits ist die Bestimmung des Spülwirkungsgrades durch Analysen umständlich und ungenau, insbesondere, wenn man den Einfluß verschiedener Formen und Größen untersuchen will. Ich habe daher eine Einrichtung entworfen, an der man planmäßige Untersuchungen über die Spülung in kleineren Zylindern ausführen kann. Der Spülwirkungsgrad hängt theoretisch ab von der Anordnung der Ein- und Auslaßschlitze, der Form von Kolbenboden und Zylinderdeckel, vom Hubverhältnis, vom Spül Druck, von den Zylinderabmessungen, vom Öffnungsgrad der Luftquerschnitte und von der eintretenden Spülluftmenge. Alle diese Größen muß man verändern können, wenn man die Spülung untersuchen will.

Das mit Kohlensäure gefüllte Zylindermodell *a*, Abb. 2, wird mittels einer bestimmten Luftmenge ausgespült, darauf die im Zylinder verbleibende Kohlensäure durch Absorption in Kalilauge gemessen wird. Das Zylindermodell ist so geteilt, daß die Schlitzanordnung, das Hubverhältnis und die Form von Kolbenboden und Zylinderdeckel durch Auswechseln einzelner Stücke verändert werden können. Die einströmende Luftmenge regelt ein Ventil *b*, das sich unter der Wirkung eines Fallgewichtes nach dem gleichen Gesetz öffnet, nach dem der Kolben Schlitze freigibt. Der Spülluftbehälter *d* hat den gleichen Inhalt wie der schädliche Raum der Kurbelkasten-Spülpumpe. Er wird auf den Enddruck der Verdichtung gepumpt. Durch Verändern seines Inhalts und Druckes kann man die Spülverhältnisse bei verschiedenen schädlichen Räumen der Kurbelkasten-Spülpumpe untersuchen. Um den Inhalt des Behälters zu ändern, füllt man ihn teilweise mit Wasser. Öffnungszeit und Zylinderquerschnitt des Einlaßventils kann man durch die Federhöhe des zum Öffnen des Ventils dienenden Gewichtes und die Federspannung beeinflussen.

Der Arbeitsvorgang des Modells weicht von der Spülung im Motor insofern ab, als der Einlaßkanal *e* ausgespült und der Inhalt des Auslaßkanals *f* bis zur Oberkante des Auslaßschlitzes mitgemessen wird. Durch ein Berichtigungsverfahren werden die Ergebnisse der Messungen von den dadurch bedingten Fehlern befreit.

Abb. 2
Zylindermodell
Schlagventil
Untersuchung
über die Spülung

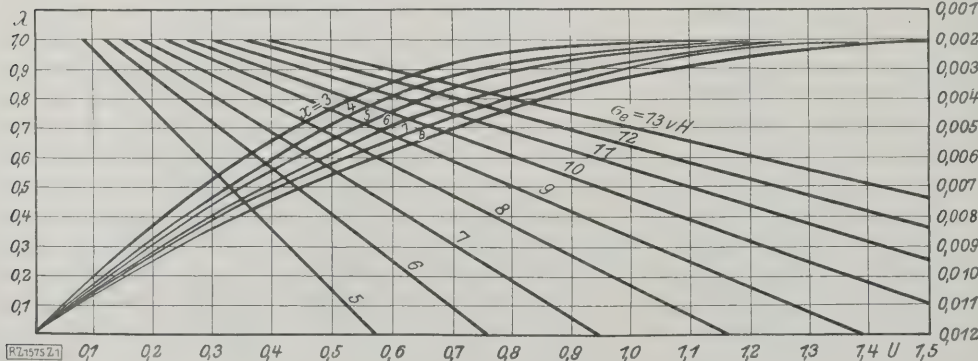
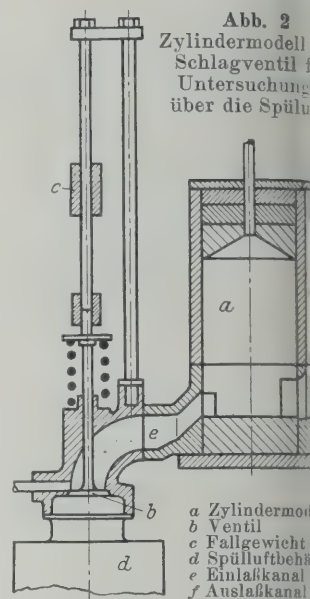


Abb. 1. Luftaufwand bei Kurbelkastenspülung.

Bei der Darstellung der Ergebnisse trägt man zweckmäßig als Abszisse den Luftaufwand, als Ordinaten den Liefergrad des Spülvorganges. Der Liefergrad der Spülung η_i' ist dabei das Verhältnis der unmittelbar nach Beendigung der Spülung im Zylinder befindlichen Luftmenge zum Hubraum.

Untersucht wurden fünf Anordnungen der Spül schlitze, von denen vier in Abb. 3 bis dargestellt sind. Die le-

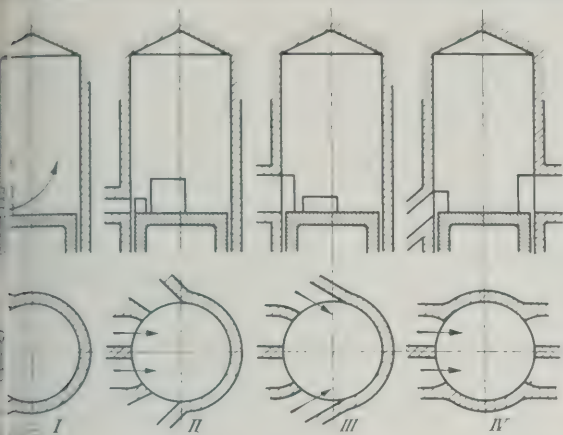


Abb. 3 bis 10. Untersuchte Schlitzanordnungen I bis IV.

nung entspricht der eines Junkers-Motors. Sie ist für die Kurbelkastenspülung aus baulichen Gründen in Betracht, ist aber zum Vergleich auch herangezogen.

Umkehrspülung (Abb. 3 bis 8). Abb. 11 zeigt die Liefer- und Spülwirkungsgrade bei übereinanderliegenden Ein- und Auslaßschlitzen, Abb. 3 und 4. Die Verhältnisse bei den Hubverhältnissen 1,2, 1,48, 1,76

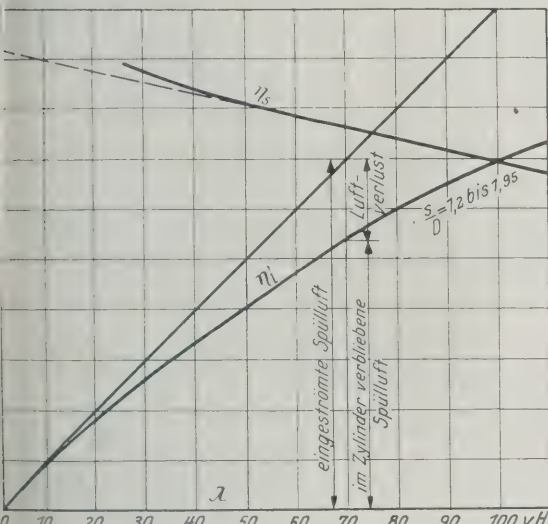


Abb. 11. Schlitzanordnung I.

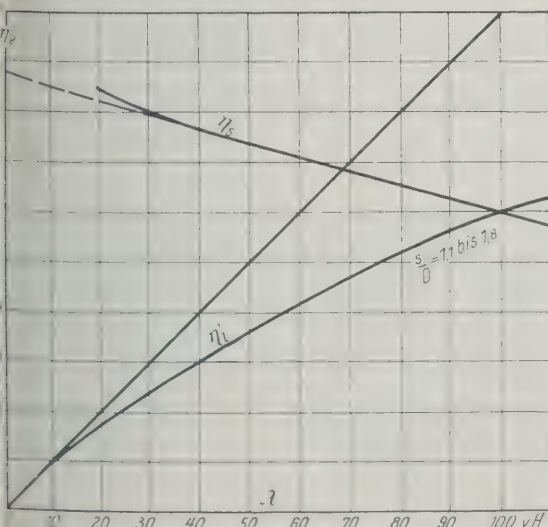


Abb. 12. Schlitzanordnung II.

und 1,95 mit großer Annäherung zusammenfallende Werte. Auch bei Abb. 12, die für zwei Einlaßschlitze in der Mitte und zwei seitliche Auslaßschlitze, Abb. 5 und 6 (II), gilt, fallen die Werte für Hubverhältnisse von 1,1 bis 1,8 praktisch zusammen. Dagegen nimmt in Abb. 13 für zwei Auslaßschlitze in der Mitte und zwei seitliche Einlaßschlitze, Abb. 7 und 8 (III), der Liefergrad etwas mit wachsendem Hubverhältnis ab. Man erkennt aber, daß sich alle drei Anordnungen für große Hubverhältnisse gut eignen.

Durchgangspülung. Abb. 14 zeigt die Ergebnisse der Messungen bei flachem Kolbenboden nach IV, Abb. 9 und 10. Der Liefergrad nimmt mit wachsendem Hubverhältnis stark ab und ist überhaupt wesentlich kleiner als bei der Umkehrspülung. Der flachkegelige Kolbenboden und ein Kolbenboden mit Ausnehmungen zur Ablenkung des Spülluftstromes lieferten ähnliche Ergebnisse.

Spülung bei Doppelkolbenmaschinen nach Junkers. Abb. 15 zeigt die bemerkenswert hohen Liefergrade der Spülung, die auch ganz anders als bei den anderen Anordnungen verlaufen.

Auswertung der Ergebnisse

Der Einfluß der Form des Zylinderdeckels auf den Liefergrad wurde unter Beibehaltung der übrigen Größen und Verhältnisse geprüft. Bei Umkehrspülung und Durchgangspülung sowie bei großen und kleinen Hubverhältnissen ergaben sich nur ganz geringfügige Abweichungen für verschiedene Deckelformen. Der Liefergrad ist daher praktisch bei allen Anordnungen der Spülung von der

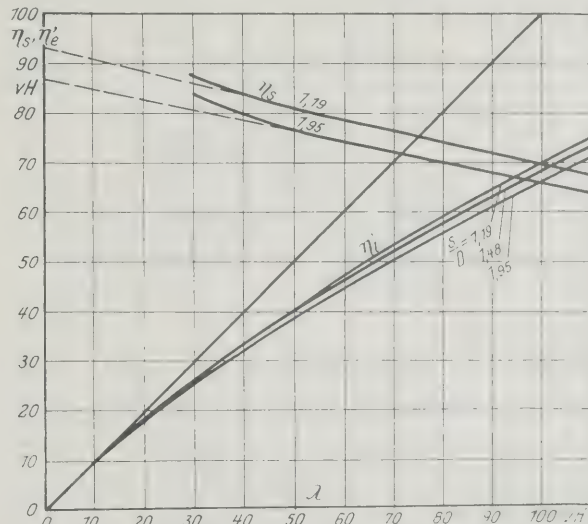


Abb. 13. Schlitzanordnung III.

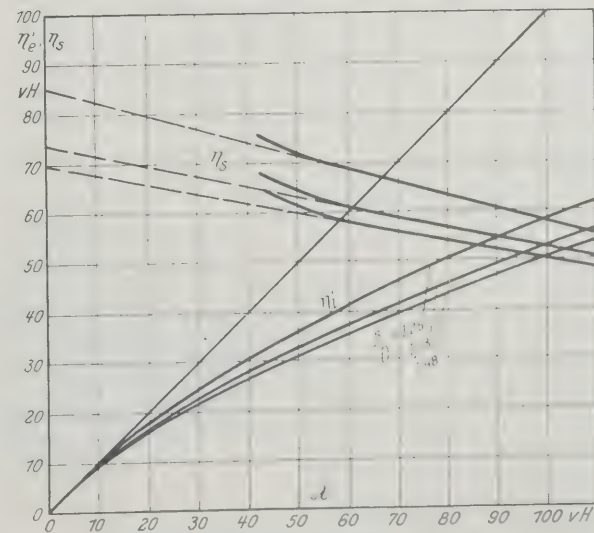


Abb. 14. Schlitzanordnung IV.

Abb. 11 bis 15

Spülwirkungsgrade η_s und Liefergrade η_e' der Spülung bei verschiedener Anordnung und Länge der Spülchlitze.

Spülgasschmelzung

Dr.-Ing. F. A. OETKEN, Frankfurt a. M.

Das Verfahren der Spülgasschmelzung wird gekennzeichnet und die zu überwindenden technischen Schwierigkeiten werden dargelegt. Es wird gezeigt, wie die Spülgasschmelzung nach dem Lurgi-Verfahren praktisch durchgeführt worden ist. Betriebseinheiten großer Leistung (100 bis 200 t 24 h Durchsatz) sind errichtet worden, in denen die konstruktive Entwicklung heute ihren vorläufigen Abschluß erreicht hat. Betriebsergebnisse verschiedener Anlagen — Ausblick auf die weitere Entwicklung.

Die Spülgasschmelzung nimmt unter den verschiedenen Verfahren der Kohlenveredelung eine Sonderstellung ein. Ihr Hauptkennzeichen besteht in der unmittelbaren Übertragung der für den Schmelzvorgang erforderlichen Wärme mittels Heizgase, die eine Kohlenschicht durchströmen. Für einen Erhitzungsvorgang (auf rd. 1000 °C) verspricht die unmittelbare Berührung des zu schmelzenden Stoffes mit dem Heizmittel gegenüber einer Erwärmung durch eine Wandung hindurch bedeutende Vorteile. In wenigen Kennworten zusammengefaßt sind es folgende:

— ein starker Wärmeaustausch,
— eine große spezifische Leistung,
— eine genaue Regelung der Heiztemperatur,
— eine schonende Behandlung der Schmelzerzeugnisse,
— eine einfache Arbeitsweise; betriebsichere, einfache Bauart.

Den Vorteilen stehen gewisse Nachteile gegenüber, z. B. die Verdünnung der Schmelzerzeugnisse durch das Heizmittel dienende Spülgas, was sich in einer Vergrößerung der Kondensationsanlage auswirkt. Ziel der Entwicklung eines technischen Verfahrens ist die Verwirklichung der theoretisch erkannten Vorteile unter Einhaltung der Nachteile bei der praktischen Konvention. Auf dem Gebiet der Spülgasschmelzung ist in der Linie dieser Erkenntnis die rasche Entwicklung bestimmter Spülgas-Verfahren, des Lurgi-Verfahrens, zu verdanken, über das näher berichtet werden soll. Das Verfahren ist früher in dieser Zeitschrift beschrieben worden¹⁾.

Das Spülgas-Schmelzverfahren

Der Brennstoff durchwandert in einem oben offenen Schacht nach unten durch die Koksaustragvorrichtungen abgetrennten Schacht die drei Zonen, die Trockenzonen, die Schmelzzone und die Koksabfuhrzone, Abb. 1. In diesen Zonen wird dem Brennstoff durch kreisende Spülgase für die Trocknung und Schmelzung Wärme zugeführt, für die Kühlung Wärme entzogen. Durch die Verengung der Gasströme wird die dem Koks entzogene Wärme sofort für die Schmelzung nutzbar gemacht. Da der Brennstoff vor der Schmelzung weitgehend getrocknet ist, so brauchen nur ganz geringe Wärmemengen zur Schmelzung selbst zugeführt zu werden. Man leitet die Mengen verbrannter Gase zu den kreisenden

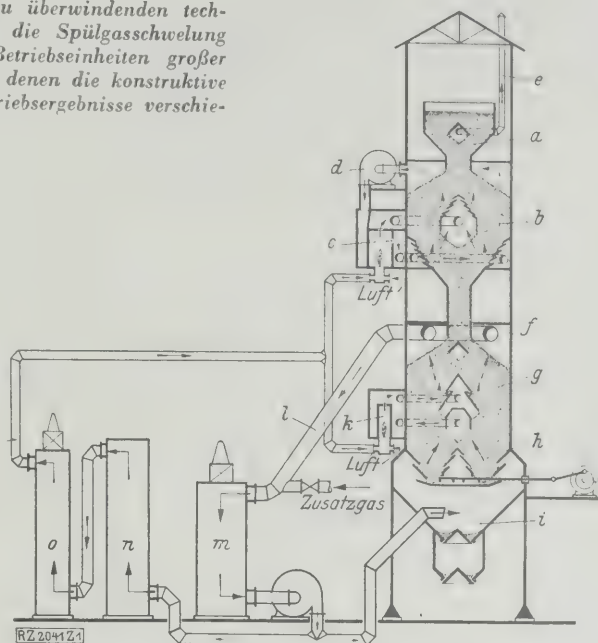


Abb. 1
Arbeitsschema einer Spülgas-Schmelzanlage, Bauart Lurgi.

- | | |
|---------------------------|---------------------------|
| a Rohkohlenbunker | h Kühlzone |
| b Vortrockner | i Koksaustragung |
| c Verbrennungssofen für b | k Verbrennungssofen für g |
| d Gebläse | l Schmelzgas |
| e Abschwaden | m elektr. Teerabscheider |
| f Schmelzschacht | n Kühler |
| g Schmelzzone | o Leichtölbwäscher |

Spülgasen, die in einem besonderen Verbrennungssofen erzeugt werden. Die Menge der Verbrennungsgase ist so gering, daß das Gemisch mit den in der Schmelzzone freiwerdenden Schmelzgasen stets gut brennbar bleibt (mit einem Heizwert von 1300 bis 1500 kcal/m³).

Der Brennstoff wird gleichfalls durch Spülgase getrocknet, die von einem Gebläse umgewälzt werden und vor ihrem jedesmaligen Eintritt in den Brennstoff durch Beimischen von heißen Verbrennungsgasen aus einem Ofen auf etwa 200 bis 250 °C gebracht werden. Die Spülgase bestehen aus Verbrennungsgasen und Wasserdampf ohne wesentlichen Anteil an freiem Sauerstoff.

Das Arbeitsverfahren läßt sich in kleinen Ofeneinheiten verhältnismäßig leicht beherrschen. Sobald es sich jedoch um die Verwirklichung großer Leistungen handelt, muß man eine Reihe von Schwierigkeiten überwinden, deren wesentlichste darin besteht, eine gute Gleichmäßigkeit des Vorganges zu erreichen.

Die zu behandelnden Brennstoffe sind von ganz verschiedenartiger Beschaffenheit bezüglich ihrer physikalischen Eigenschaften. Wenn man vorwegnimmt, daß backende Brennstoffe nach einem solchen Verfahren unter normalen Bedingungen nicht behandelt werden können, so bietet allein schon die verschiedenartige Stückgröße und die mehr oder minder große Neigung zum Zerfallen technische Hindernisse, Abb. 2

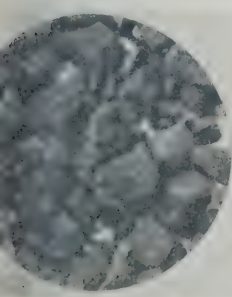


Abb. 2
Deutsche Rohbraunkohle (rd. 45 vH Wassergehalt). Maßst. 1:5.

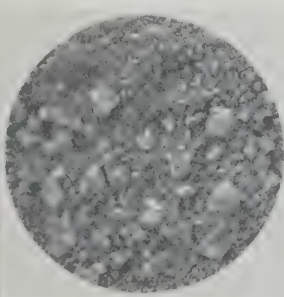


Abb. 3
Getrocknete mitteldeutsche Braunkohle (rd. 2 vH Wassergehalt). M. 1:5.

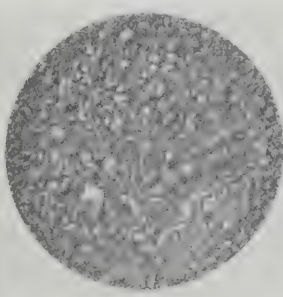


Abb. 4
Halbkoks aus mitteldeutscher Braunkohle (trocken). M. 1:5.

1) Z. Pd. 69 (1925) S. 561. Vergl. a. Sonderheft „Entgasen und Ver-“; Berlin 1926, VDI-Verlag, S. 53.

bis 4 zeigen z. B. die verschiedenen Zwischenstufen, die eine mitteldeutsche Braunkohle bei der Verschwelung durchläuft.

Die ursprünglich ziemlich stückige Rohbraunkohle zerfällt während der Verarbeitung in ein feinkörniges, staubhaltiges Gut. Daher muß das Gut gleichmäßig durch die Ofenanlage wandern und vom Heizgas gleichmäßig durchströmt werden. Mittels des gleichen Verfahrens muß man aber auch sperrigen Brennstoff und ebenso Brennstoffe, die bei der Erwärmung sintern, verarbeiten können. Da der Brennstoff lediglich auf Grund der Schwere durch den Ofen wandert, muß eine Bildung von Brücken ausgeschlossen werden. Abb. 5 und 6 zeigen Beispiele für die Sperrigkeit solcher Stoffe. In beiden Fällen handelt es sich um Halbkoks, der in einer Lurgi-Spülanlage erzeugt worden ist.

Wesentlich für die Beherrschung der stofflichen Schwierigkeiten ist die gleichmäßige Aufgabe und Entnahme, außerdem die Ausschaltung von Brückenbildungen und die gleichmäßige Zuführung der Heizgase. Aufgabe und Entnahme lassen sich durch geeignete maschinelle Einrichtungen beherrschen. Für die Aufgabe hat man eine besondere Beschickmaschine entwickelt, durch die der Brennstoff nicht entmischert werden kann. Der frische Brennstoff wird von einem Förderer zugebracht und durch die Beschickmaschine auf die Bunker verteilt. Bei den Großöfen entnimmt man mittels Schiebeteile den verschwelten Brennstoff.

Bei dem Schwelen mit Spülgasen werden gegenüber dem mit von außen beheizten Retorten die gewinnbaren Teererzeugnisse und Gase verdünnt. Infolge der Einführung der Heizgase in das Brennstoffbett wird das entwickelte Schwelgas mit dem Heizgas vermischt und die gasförmigen und flüssigen Schwelerzeugnisse werden auf eine größere Gasmenge verteilt. Der dadurch entstehenden Vergrößerung der Kondensationsanlagen ist man mit verschiedenen Maßnahmen entgegengetreten. Der Brennstoff wird vollständig getrocknet und vorgewärmt, bevor er in die Schwelzone gelangt, Abb. 1. Dadurch wird die Leistung der Schwelzone verringert. Eine weitere Entlastung tritt durch die hier angewendete Kreislaufführung der Gase ein. Das Heizgas wird zuerst durch die fühlbare Wärme des Halbkokes vorgewärmt, so daß der Restbetrag der durch Zumischung von Verbrennungsgasen einzuführenden Wärme gering ist. Trotzdem ist die Verdünnung der Schwelerzeugnisse in dem Gas, das den Ofen verläßt, größer als bei Retortenanlagen. Sie hält sich aber durch die verschiedenen angewendeten Mittel in annehmbaren Grenzen, so daß es keine Schwierigkeiten macht, die Kondensation in wirtschaftlicher Weise durchzuführen und nicht nur

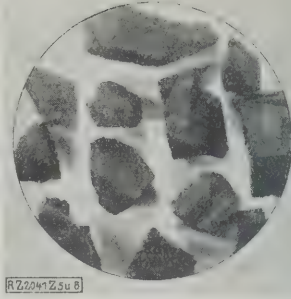


Abb. 5
Halbkoks aus Cannel-Kohle
(England). Maßst. 1:5.

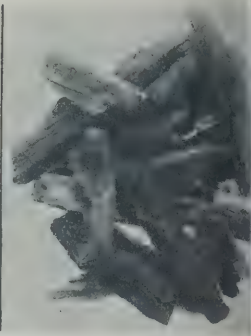


Abb. 6
Halbkoks aus Hylit (Göchenland). M. 1:5.

die in Nebelform auftretenden Teerbestandteile, sondern auch die in Gasform anfallenden Benzine zu gewinnen.

Im Zusammenhang mit der Frage der Gasführung muß besonders die Beherrschung der Staubfrage erwähnt werden, weil diese früher bei der Spülgasschwelung unüberwindlich hingestellt worden ist. Bekanntlich es bis heute keine Mittel, um stark staubhaltigen im Großbetrieb erfolgreich aufarbeiten zu können. Staub- und Wassergehalt des erzeugten Teeres muß aber unter allen Umständen gering gehalten werden. Durch die gleichmäßige Brennstoffführung, durch Entlastung der Schwelzone, durch hinreichende Messung der Gasaustrittsquerschnitte läßt sich die Staubentwicklung auf ein Mindestmaß beschränken. Es ist keine Schwierigkeiten, den Teer mit weniger als 0,1% Staubgehalt zu gewinnen.

Bei der Konstruktion der Lurgi-Schwelanlage darauf hinzuweisen, daß diese ganz in gewöhnlichen Eisen- und Steinwerkstoffen gebaut werden, da nur wenige Teile besonders beansprucht werden, z. B. Roste für die Einführung des Schwelmittels und Brüdenaustritte aus dem Trockner. Bewegte Teile innerhalb der Öfen fehlen vollkommen.

Von maßgebender Bedeutung ist ferner die Verdünnung der Förderung und Handhabung von getrockneter und erhitzter Kohle und von heißem Koks, ebenso auch die Einschränkung des Abwasseranfalls durch Vortrocknung auf weniger als 5 vH Restfeuchtigkeit.

Für die Durchführung des Verfahrens im Großbetrieb hat man grundsätzlich die Anordnung, Abb. 7 und 8, beibehalten. Die großen Brennstoffmengen, die in den Öfen von 100 bis 200 t Tagesleistung zu verarbeiten

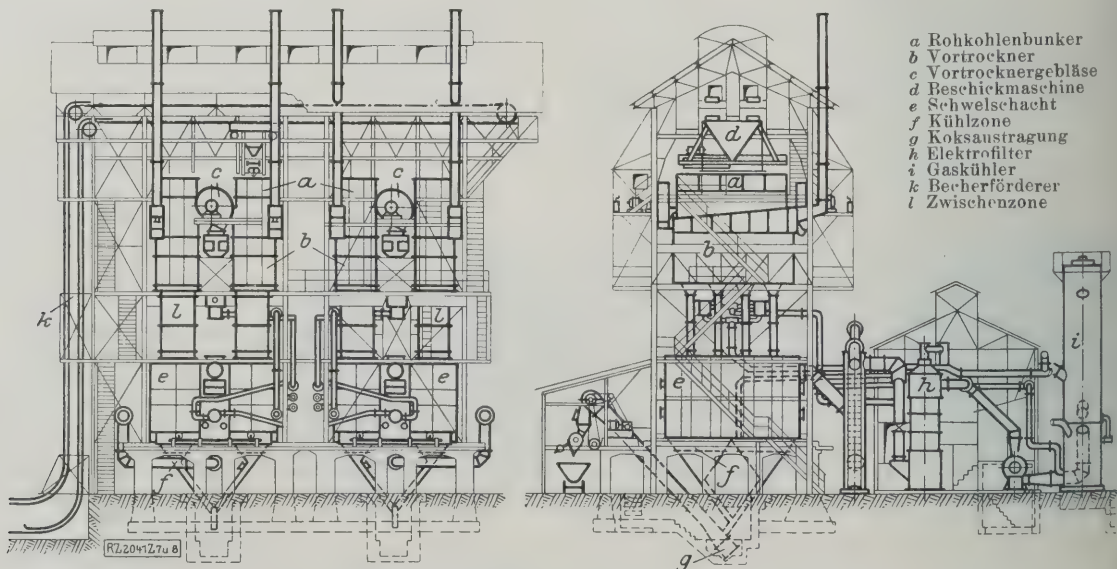


Abb. 7 und 8
Anlage von zwei Lurgi-Großöfen für einen Durchsatz von 360 t Lignit in 24 h.

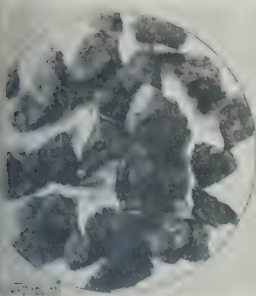


Abb. 10
Halbkoaks aus Glanzkohle
(Utah, Nordamerika).
M. 1 : 5.

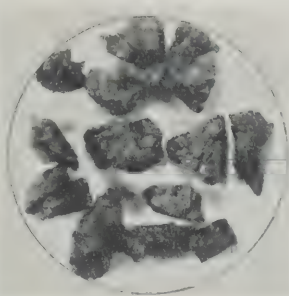


Abb. 11
Halbkoaks aus Lignit
(Spanien). M. 1 : 5.

erfordern jedoch große Querschnitte. Daher hat man in einem Großofen zwei Schächte mit entsprechenden Einbauten vereinigt, zwischen denen man die Einrichtungen zum Aufheizen und zum Zu- und Abführen der Gase angeordnet hat. Der Bunker, durch den der Brennstoff dem Trockner zugeführt wird, ist auch bei den Großöfen offen, ebenso wie innerhalb des Trockners und des Schwelschachtes und zwischen beiden allerlei Abschlüsse oder bewegte Teile angeordnet sind. Auf diese Weise ergibt sich eine sehr gedrungene, völlig geschlossene Bauart der Anlagen. Hierzu trägt auch die enge Verbindung mit den für die Gasbewegung erforderlichen Maschinen bei, insbesondere den Trockneranlagen, die unmittelbar mit dem Trockner selbst verbunden sind. Sämtliche Teile der Anlagen sind leicht zugänglich. Reinigungsarbeiten, wie die Entfernung von Schlacke, können daher ohne Unterbrechung des Betriebes ausgeführt werden.

Auch bei den Großöfen beherrscht man die Kreislaufbewegung der Gase ohne Schwierigkeit, so daß die Regelung der Anlagen von einer Stelle aus auch von weniger als zehn Arbeitern durchgeführt werden kann. Mittels besonderer Einrichtungen in der Gasführung werden die Anlagen schnell in Betrieb genommen und abgestellt.

Die Einrichtungen für die Kondensation der Teer- und Gasflüssigkeiten schließen sich an ähnliche bewährte Einrichtungen der Gastechnik an. Mit besonderem Vorteil konnte die elektrische Ausscheidung nach Cottrell-Möller angewendet werden, die sich bezüglich des Kraftverbrauchs und der Wirksamkeit der Niederschlagung andern Verfahren vorlegen gezeigt hat.

Großofenanlagen

Die Großöfen, Abb. 7 bis 9, verschwelen je nach der Art der zur Verarbeitung gelangenden Brennstoffe 100 bis 200 t Brennstoffe in 24 h in einem Ofen. Den eigentlichen Ofenbetrieb bedienen bei Anlagen bis zu drei Öfen nur drei Arbeiter je Schicht, nämlich ein Mann für die Beschickung und Austragung und ein Mann für den Maschinenbetrieb. Bei Anlagen von mehreren Öfen werden Kohlen-, Koks- und Gasförderung soweit mit Fördermitteln durchgeführt, daß auch für die Förderarbeiten nur ganz wenige Arbeiter notwendig sind.

Die Anwendbarkeit des Verfahrens für ganz verschiedene Brennstoffarten geht bereits aus Abb. 4 bis 6 hervor. Halbkoaks aus nordamerikanischer Glanzkohle und spanischem Lignit (Abb. 10 und 11). Der Halbkoaks, Abb. 10, ist während der Verschmelzung gesintert.

Betriebsangaben

Einige Betriebszahlen von Anlagen für südeuropäische Lignit und für deutsche Braunkohle sind in Zahlentafel 1 und 2 zusammengestellt.

Zahlentafel 1

Betriebsangaben einer Anlage für Lignit

Allgemeine Zusammensetzung des Lignits:

Wassergehalt	37,3 vH
Asche	5,4 ..
Brennbares	57,3 ..

Schwelanalyse (Aluminiumretorte):

Wasser	47,07 vH
Teer	5,21 ..
Koks	33,80 ..
Gas	14,92 ..

Erzeugter Teer: Spezifisches Gewicht bei 50°C = 1,11; daraus gewonnen:

Heizöl:

Spezifisches Gewicht	1,056
Flammpunkt	99 °C
Oberer Heizwert	8100 kcal

Pech:

Asche	0,4 vH
Schmelzpunkt	81 °C
Oberer Heizwert	7800 kcal

Zusammensetzung des Kokes:

	Stückkoks (über 10 mm)	Feinkoks (unter 10 mm)
Stückkoks und Feinkoks	vH 70 bis 85	30 bis 15
Wasser	4	6
Fester Kohlenstoff	84	68
Flüchtige Bestandteile	9	10
Asche	3	16
Oberer Heizwert	kcal 7100	6000

Der Feinkoks wird mit Pechzusatz brikettiert.

Zusammensetzung der Preßlinge:

Wasser	5 vH
Fester Kohlenstoff	70 ..
Flüchtige Bestandteile	10,5 ..
Asche	14,5 ..
Oberer Heizwert	6300 kcal

Zusatzbrennstoff ist nicht erforderlich, da das aus dem Brennstoff entwickelte Gas für den Betrieb des Verfahrens einschließlich der Vortrocknung ausreicht.

Bei der Anlage für Lignit ist die Kokserzeugung Hauptzweck der Verschmelzung, während die Teergewinnung an Bedeutung zurücktritt. Die Wirtschaftlichkeit ist in diesem Falle dadurch gewährleistet, daß ein großer Teil des Kokes in außerordentlich hochwertiger Be-

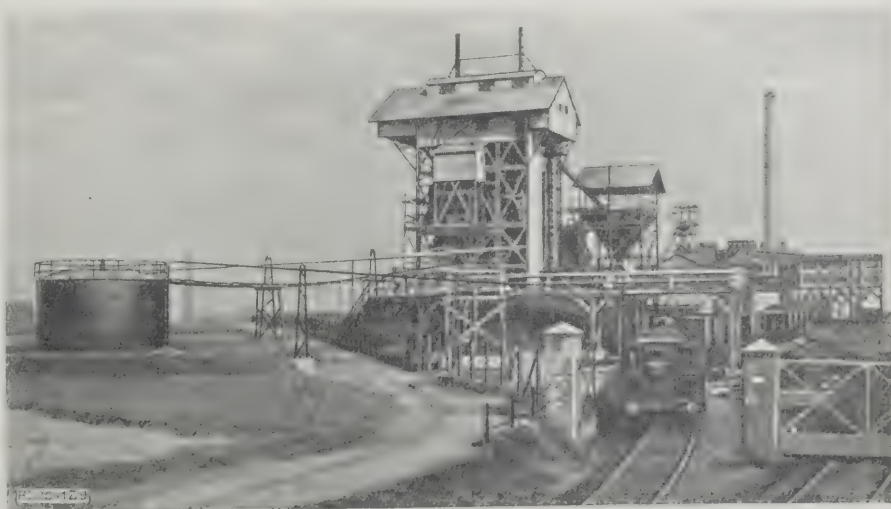


Abb. 9. Lurgi-Großofen zum Verschwelen von deutscher Rohbraunkohle; Durchsatz 120 t in 24 h.

schwindigkeiten proportional dem Mittelwert u gesetzt werden dürfen. Dann folgt Ähnlichkeit des Geschwindigkeitsfeldes in einem Rohr mit dem Temperaturfeld, wenn die *Reynoldssche* Zahl gleich der vorhandenen *Pécletschen* ist. Das ergibt mit den empirischen Widerstandsgesetzen der Hydromechanik eine neue einfache Gleichung für den Wärmeübergang, die für Gase und Flüssigkeiten ($\sigma = 1$ und $\sigma < 1$) gilt, gut mit den Versuchen und mit den Ergebnissen nach *Nusselts* empirischer Gleichung übereinstimmt und auch in Übereinstimmung mit neueren Betrachtungen von *Prandtl* ist, wenn man hier einen Wert empirisch einführt, um dessen Größe es sich in der *Prandtl'schen* Theorie handelt.

Mechanische Schwingungsmesser hoher Empfindlichkeit

G. Reutlinger, Darmstadt, führte zwei Geräte, einen großen Senkrechtsschwingungsmesser von 30 kg und eine kleine Meßdose von 3 kg Gewicht vor. Die Empfindlichkeit kann man verändern. Die Aufzeichnung geschieht optisch-elektrodynamisch bei langsamen Störungen mittels Drehimpulsinstrumentes und bei schnellen Störungen mittels Saiten- oder Schleifenoszillographen.

Über Strahlungs- und Richtwirkungseigenschaften von Schallwellen

H. Backhaus, Berlin, teilte die Ergebnisse der Untersuchung der Schwingungsformen von Klangkörpern der Streichinstrumente bei Abstimmung mit Kondensatoren in Hochfrequenzkreisen mit. Besonders die Richtwirkungen wurden untersucht. Für einen Kugelstrahler hat *Rayleigh* rechnerische Ergebnisse erhalten, die auch allgemeinere Schlüsse gestatten.

Über Vierpole und Siebketten

W. Cauer, Göttingen, berichtete, daß theoretische Untersuchungen u. a. folgende Eigenschaften ergeben haben: Ein symmetrischer Vierpol mit gewünschten, ihn kennzeichnenden Frequenzfunktionen kann in Form einer Brückenschaltung durch Konstruktion von Zweipolen dargestellt werden, die die Frequenzfunktionen als Widerstandscharakteristiken aufweisen. Jeder Vierpol hat eine ähnliche Frequenz wie gewisse kanonische Schaltungen mit im allgemeinen gegenseitigen Induktionen. Jede Schaltung von Selbstinduktionen und gegenseitigen Induktionen gleicht einer Schaltung, in der nur feste Kopplungen vorkommen. Die Frage, ob Schaltungen mit entgegengesetzten Frequenzen zu Zwei- und Vierpolen gemacht werden können, wird behandelt.

Fragen aus der Physik der Hochspannungsventilröhren

K. Pohlhausen, Berlin, hat eine Anordnung von zur Zylinderachse parallelen Glühfäden einer Röhre mit zylindrischer Anode und einer Halterung an bestimmter Stelle gefunden, die derart berechnet sind, daß die Drähte spannungsfrei werden. Die Berechnung der Kapazität, der Feldstärkenverteilung auf der Kathodenoberfläche und des Gütegrades ist durchgeführt. Indem die Anode teilweise durch die Halterung gegenüber den von den Drähten ausgesandten Elektronen abgeschirmt ist, ergibt sich ungleiche Temperatur auf dem Anodenzyylinder; die berechnete Temperaturverteilung stimmt mit der Messung überein.

Berlin [N 2369] Dr.-Ing. Eisner

Hebezeuge

Differential-Greiferwindwerk mit Getriebekasten

Bereits kurz nach der Einführung des elektrischen Antriebes in den Hebezeugbau ging man wegen der damit verbundenen Vorteile dazu über, jeder einzelnen Kranbewegung einen besonderen Motor zuzuordnen. Obwohl dieser Grundsatz des Einzelantriebes sehr schnell allgemein anerkannt und durchgeführt wurde, wird er noch heute bei den Greiferwindwerken vielfach vernachlässigt; denn obschon auch beim Greiferbetrieb zwei verschiedene Bewegungen (Heben-Senken, Öffnen-Schließen) vorliegen, wird dafür doch meistens nur ein Motor vorgesehen, der unter Zuhilfenahme von Kupplungen auf die beiden Windwerktrommeln arbeitet. Gleichzeitiges und unabhängiges Ausführen der beiden Greiferbewegungen ist dabei natürlich ausgeschlossen.

Ähnlich liegen die Verhältnisse bei den sogenannten getrennten Winden, bei denen jede Trommel durch einen besonderen Motor angetrieben wird. Auch hier können die Greiferbewegungen nicht gleichzeitig vor sich gehen, ein sicheres Ineinanderfließen der Steuerbewegungen ist ausgeschlossen, und man braucht zudem noch besondere Vorrichtungen, um überhaupt das Heben und Senken des Greifers in geschlossenem und geöffnetem Zustand sicher zu ermöglichen, Motorüberlastungen einzuschränken oder das Voreilen eines Motors und damit unbeabsichtigtes Öffnen und Schließen des Greifers zu vermeiden.

Folgerichtige Beachtung der Erfahrungen aus den fängen des elektrischen Kranbetriebes und der Erfahrung mit den bisherigen Greiferwindwerken muß dazu führen, nicht jeder Trommel, sondern jeder Greiferbewegung einen besonderen Motor zuzuordnen. Die einzige bisher bekannte Möglichkeit, diesen idealen Einzelantrieb auf Greiferwindwerke anzuwenden, bietet das Windwerk mit Differentialgetriebe.

Wirkungsweise des Differentialwindwerkes

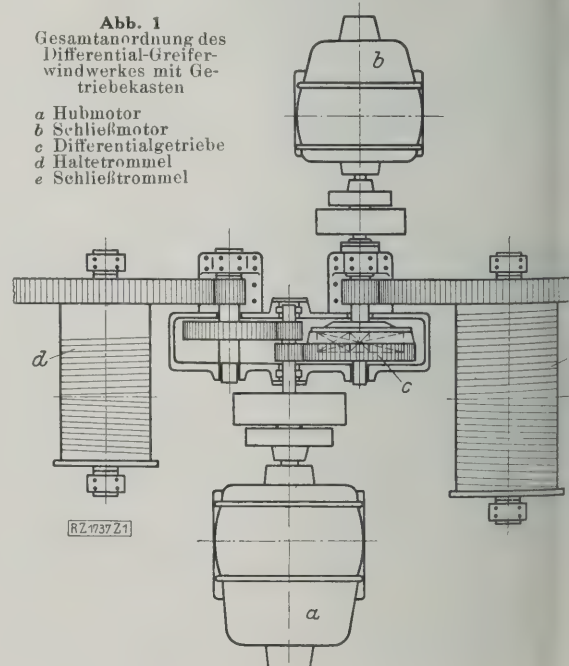
Entsprechend den Anforderungen des Einzelantriebes sind zwei Steuerorgane vorhanden, von denen das eine das Heben und Senken, das andere nur das Öffnen und Schließen steuert. Entleerbremse, Rutschkupplung und Bandschaltung sind nicht vorhanden, auch elektrische Zwangsschaltungen erübrigen sich, so daß jede ein Greiferwindwerk verwendet werden kann. Die mechanische Zwangsläufigkeit der beiden Trommeln wird lediglich durch Zahnradgetriebe erreicht. Der Hubmotor *a* ist für die gesamte Hubleistung bemessen und treibt über zwei Vorgelege die Haltetrommel *d* und über ein Planetengetriebe und ein Vorgelege die Schließtrommel *e* an, während etwa halb so starke Schließmotor *b* über das Planetengetriebe *c* und das Trommelvorgelege nur die Schließtrommel *e* antreibt, Abb. 1. Läuft nur der Hubmotor, drehen sich beide Trommeln mit gleicher Umfangsgeschwindigkeit, der Greifer wird also gehoben oder gesenkt. Ist zusätzlich der Schließmotor eingeschaltet, wird dieser Bewegung zusätzliche der Schließtrommel überlagert, die das Öffnen und Schließen des Greifers veranlaßt. Es ist also möglich, sowohl den Greifer geöffnet oder geschlossen zu heben, als auch während des Heb- oder Senkvorganges mit beliebiger Geschwindigkeit zu öffnen oder zu schließen. Die Schließtrommel dreht sich dabei mit der Summe des Unterschiedes der ihr durch den Hub- und Schließmotor erteilten Geschwindigkeiten. Unbeabsichtigtes Öffnen und Zuklappen des Greifers während des Hebens oder Senkens ist ausgeschlossen, da der Hubmotor unabhängig von der Stellung der Greiferschaukeln immer sämtliche Greifer gleichmäßig anzieht oder nachläßt.

Beim Schließen arbeitet der Schließmotor allein, der Greifer vollständig geschlossen, so wird der Schließmotor abgestellt und der Hubmotor eingeschaltet. Soll der Greifer während des Schließens angehoben werden, so wird der Hubmotor während des Schließvorganges eingeschaltet. Der Greifer läßt sich also ohne Kunstfertigkeit des Kranführers über Bodenhindernisse hinweg schließen, ohne daß diese berührt oder gar mitgenommen werden. Sollte bei zu spätem Ausschalten des Schließmotors Schließseil entstehen, so kann dieses ohne Unterbrechung der Bewegung durch ein kurzes Zuschalten des Schließmotors im Entleersinne leicht beseitigt werden. Notwendig ist jedoch nicht, da der Hubmotor durch Schlappseil überlastet wird.

Zum Entleeren wird der Schließmotor auf Öffnen gelassen, bis der Greifer vollständig geöffnet ist.

Abb. 1
Gesamtanordnung des
Differential-Greifer-
windwerkes mit Ge-
triebekasten

- a Hubmotor
- b Schließmotor
- c Differentialgetriebe
- d Haltetrommel
- e Schließtrommel



es gleichgültig, ob die Hubperiode im Gange ist oder der Hub bereits still steht. Desgleichen auch sofort, nachdem der Greifer leer ist, das Senken schon beginnen. Das vollständige Öffnen erfolgt dann während der Senk-
bewegung. Umgekehrt kommt es vor, daß man den Greifer nur in einer kleineren Öffnung auf das Förderband absetzen will, damit er sich nur wenig füllt, während es zum Entleeren erforderlich ist, ihn vollständig zu öffnen. Auch in diesem Falle wird mit der Differentialwinde Ersparnisse an Zeit zu erzielen, da die Einstellung auf die geeignete Öffnungsweite während des Absenkens erfolgen kann.

Wenn es sich als notwendig erweist, z. B. beim Durchfahren einer engen Schiffs Luke, kann der Greifer durch Anstellen des Schließmotors auch während des Senkens vorübergehend etwas geschlossen und wieder geöffnet werden.

Konstruktive Ausführung

Das ganze Getriebe mit Ausnahme der Trommelvege ist in einem staubdichten, ölgefüllten Getriebekasten untergebracht, Abb. 2 und 3. Sämtliche schnelllaufenden Wellen haben Wälzlager, für die übrigen sind gut zugängliche Gleitlager vorgesehen. Das Differentialgetriebe ist

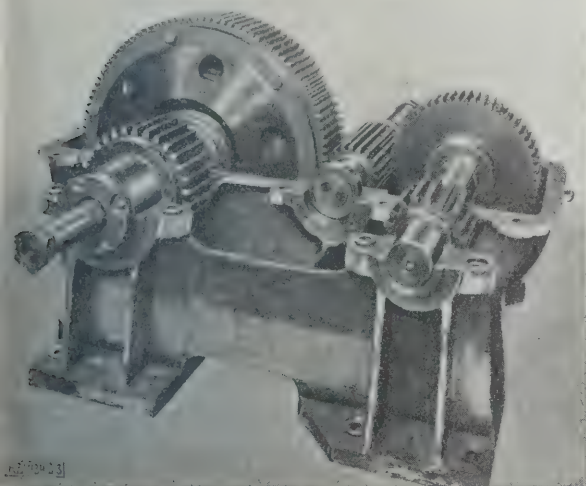


Abb. 2

Geöffneter Getriebekasten des Differential-Greiferwindwerkes.

so beschaffen, daß es betriebfähig, so daß es außerhalb des Kastens zusammengebaut und auf einwandfreies Arbeiten geprüft werden kann. Da es sehr zweifelhaft ist, ob mit der üblichen Genauigkeit der Bearbeitung zwei Umlaufritzel gleichzeitig in Eingriff zu bringen sind und somit ohnehin nur ein Ritzel *a*, Abb. 3, für die Kraftübertragung in Anrechnung zu bringen ist, andererseits aber erhöhte Genauigkeit auch erhöhte Herstellkosten bedingt, hat man auf das zweite Umlaufritzel überhaupt verzichtet. Das bleibende Ritzel hat eine etwas größere Zahnbreite erhalten und ist zur Erzielung einer gleichmäßigen Anlage auf der ganzen Breite der Zahnflanken mit selbsteinstellender Wälzlagerung *b* ausgerüstet. Der Wirkungsgrad des ganzen Windwerkes errechnet sich zu etwa 90 vH, wenn für die Verluste in Lagerungen und Zahneingriffen die bekannten Erfahrungswerte eingesetzt werden. Er läßt sich sogar noch um einige Hundertteile höher treiben, wenn sämtliche Lagerungen im Kasten mit Wälzlagern ausgerüstet werden.

Die Bremsen sind unmittelbar am Getriebekasten derart befestigt, daß ihre Arbeitsweise nicht beeinträchtigt wird und die Magneten durch Verlagerung der Teile nicht überlastet werden können. Der Kasten hat Dreipunktlagerung, so daß ein gleichmäßiges Aufsitzen gewährleistet und schädliche Beanspruchungen infolge Verziegens des Windwerkes ausgeschlossen sind.

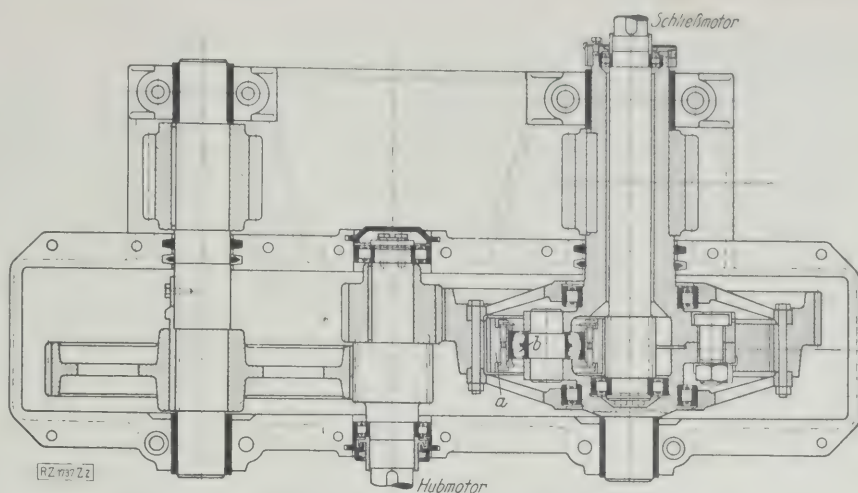


Abb. 3. Getriebekasten mit Getriebe eines Differential-Greiferwindwerkes.

a Umlaufritzel *b* selbsteinstellende Wälzlagerung

Wartung und Bewährung im Betrieb

Die Wartung des mechanischen Teiles der Winde beschränkt sich lediglich auf die Schmierung und gelegentliches Nachsehen der beiden Bremsen, die als ganz normale Backenbremsen ausgebildet sind. Für die Schmierung der Gleitlager dienen leicht zugängliche Staufferbüchsen, während das Getriebe selbst im Ölbad läuft, also keiner Wartung bedarf. Da für die Motoren eine einfache Kranschaltung verwendet wird, erfordert auch die Wartung und Instandhaltung des elektrischen Teiles keinen besonderen Aufwand.

Im Betrieb macht sich vor allem die leichte Steuerbarkeit der Winde vorteilhaft bemerkbar. Die Bedienung der beiden Steuerschalter erfordert im Gegensatz zur Bedienung von Kupplungs- und Bremshebeln nur ganz geringe Kraftanstrengung von seiten des Kranführers. Auch die zum Steuern erforderliche Denkarbeit ist sehr gering. Bereits nach einigen Spielen hat der Kranführer sich daran gewöhnt, ganz selbsttätig mit der einen Hand das Heben und Senken, mit der andern das Öffnen und Schließen des Greifers zu steuern. Diese Umstände, sowie die Möglichkeit, die Greiferbewegungen zu überlagern, bringen eine Beschleunigung des Arbeitszeitmaßes mit sich.

Das Getriebe hat sich, wie folgender Vorfall zeigt, als äußerst betriebsicher und widerstandsfähig erwiesen. Während der Hubwerk-Endschalter wegen Ausbesserung außer Betrieb war, fuhr infolge Unachtsamkeit des Kranführers der Greifer einer Auslegerkatze mit solcher Wucht gegen den Auslegerkopf, daß die Seile rissen und der Greifer abstürzte. Trotz dieser überaus heftigen Stoßbeanspruchung, die mindestens das fünfzehnfache der zulässigen Höchstbelastung betrug, versah die Winde nach Erneuerung der Seile nach wie vor ihren Dienst.

Entwurf und Ausführung dieser Kastengreiferwinden stammen von der Demag, Duisburg. [M 1737]

Duisburg

Fr. Toussaint

Brennstoffe

Die Pittsburgher Internationale Kohlentagung

Die 2. Internationale Kohlentagung in Pittsburgh, die vom 19. bis 24. November 1928 unter Teilnahme von Vertretern von 22 Ländern stattfand, zeigte die immer wachsende Bedeutung der Veredelung der aus der Grube kommenden Rohkohle zu höherwertigen Erzeugnissen. Die auf der Tagung gehaltenen 105 Vorträge waren in folgenden 11 großen Gruppen zusammengefaßt: Allgemeines; Entstehung, Zusammensetzung und Einteilung der Kohle; Aufbereitung; Krafterzeugung und Verbrennung; Kohlenstauberstellung; Schwelung; Verkokung; Teer und Öl; Verflüssigung; Gasfortleitung und -auswertung; Gewinnung von Nebenerzeugnissen. Besonders hervorzuheben verdient die kurze Einführung jedes Redners durch den Vorsitzenden der einzelnen Gruppen, wodurch man einen Überblick über den Hauptbildungsgang, die Beschäftigungen und Hauptverdienste jedes einzelnen Redners auf wissenschaftlichem und technischem Gebiete bekam.

Als einleitender Vortrag wurde von Dr. Krauch, Ludwigshafen, der von dem Präsidenten Teagle der Standard

Oil Co., New-Jersey, mit Worten der Anerkennung seiner bisherigen Leistungen eingeführt wurde, ein längerer Bericht: Zur Umwandlung von Hydrokohlenstoffen angewandte Katalysen, gehalten. Er behandelte hierbei die Anwendung von Katalysatoren auf die Umwandlung von Kohlenwasserstoffen, wobei er darauf hinwies, daß uns die Natur selbst diesen photochemischen Vorgang in großartiger Weise in der Umwandlung von Kohlensäure durch das Sonnenlicht zeigt. Nach Besprechung der in den letzten Jahren durch die I.-G. Farbenindustrie durchgeführten Arbeiten über die katalytische Umwandlung von Kohlenwasserstoffen ging *Krauch* auf die Oxydierung und Hydrierung ein und erwähnte die Verfahren der Deutschen *J. Frank* und *N. Caro* sowie des Amerikaners *R. W. Wood*. Es sei in den letzten Jahren gelungen, eine neue Klasse von Katalysatoren zu finden, die sich für die Behandlung mit Wasserstoff eignen. Die anfänglichen Schwierigkeiten bei der Herstellung von Kunstbenzin aus Braunkohle im Leunawerk wurden in verhältnismäßig kurzer Zeit überwunden, so daß 1928 die Jahreserzeugung der Leunawerke an Kunstbenzin aus Braunkohle und Krackölen zur Zeit 70 000 t beträgt. Man hofft bis Ende 1929 die Erzeugung auf 250 000 t zu erhöhen.

Prof. *Bergius*, Heidelberg, berichtete in seinem Vortrage: Beiträge zur Kenntnis der Umwandlung von Zellulose und Lignin in Kohle, über Versuche, die er zum Zwecke des Studiums der chemischen Natur der Kohle angestellt hat. Er hat mit seinen neuen Versuchsergebnissen eine neue Stütze für seine bereits früher im Gegensatz zu andern Forschern vertretene Theorie gefunden, daß nicht nur das Lignin, sondern in entsprechendem Maße auch die Zellulose an der natürlichen Kohlenbildung beteiligt ist.

Dipl.-Ing. *zur Nedden* vom Reichskohlenrat Berlin wies in seinem Vortrag: Kohlenveredelung und Kapital¹⁾ auf die Abnahme der relativen Wichtigkeit der Kohle als Rohkohle hin und stellte fest, daß im Gegensatz zu Deutschland, wo der größte Teil des zur Energiegewinnung aufgewandten Kapitals in Fabriken zur Kohlenveredelung und in Wärmekraftwerken angelegt wird, Amerika den größeren Teil dieses Kapitals darauf verwendet, Bohrlöcher niederzubringen und Wasserkraft auszubauen. Er führte aus, daß die Kapitalanlage je Einheit des jährlichen Kohlendurchsatzes um so größer wird, in einen je edleren Energieträger man die Kohle umwandelt. In chemischen Anlagen zur Anlagerung von Wasserstoff an Kohlenstoff werde das Kapital in kürzeren Zeiträumen umgesetzt als in Kraftanlagen. Wegen der Planung auf lange Sicht, die bei Anlagen zur Energieversorgung nötig ist, wirkt diese Art der Kapitalanlage als Stabilisator für die Beschäftigung von Industrie und Arbeitskräften.

Dr. *F. Hofmann* vom Schlesischen Kohlenforschungsinstitut, Breslau, sprach über die Herstellung von künstlichem Gummi aus Kohle, betonte hierbei jedoch, daß augenblicklich das Kunsterzeugnis noch keine Wirtschaftlichkeit gegenüber dem Naturgummi aufweist. — Die Berginisierung von Schwelteeren bei Gegenwart von Katalysatoren behandelte Dr. *A. E. Dunstan*, London, und stellte fest, daß die erhaltenen Kohlenwasserstoffe ähnlich dem Benzol klopfreie Eigenschaften aufweisen und sich für die Mischung mit bestimmten Benzinarten eignen. — Dr. *R. Thiessen*, Pittsburgh, legte die Notwendigkeit einer größeren Genauigkeit und Gleichmäßigkeit der Bezeichnungen für verschiedene Kohlenarten und Bestandteile dar, ähnlich wie dies im deutschen Schrifttum²⁾ vor kurzem auch gefordert wurde.

In der Gruppe über

Kohlenaufbereitung

sprach Prof. *Glinz*, Berlin, über Gegenwärtige Aufbereitungsprobleme. Er gab zunächst eine Darstellung über die Beziehungen zwischen den physikalischen und chemischen Eigenschaften der Kohle zu den verschiedenen Aufbereitungsverfahren. Insbesondere machte er dabei auch auf die Wichtigkeit der Kleingefügeforschung bei den verschiedenen Kohlenarten, besonders im Hinblick auf die Verkokung aufmerksam und gab die neueren qualitativen und quantitativen Untersuchungsverfahren an. In wirtschaftlicher Hinsicht forderte er vor allem stärkere Unterschiede in der Wertbemessung der Aufbereitungserzeugnisse, da die jetzt zu gleichem Marktpreis gehandelten Erzeugnisse für den Verbraucher je nach ihren Beimengungen und ihrem Wassergehalt verschiedenen Wert haben. Auch müsse der Betrieb so eingerichtet werden, daß nicht eine Zeche mit wenig Mittel-(Abfall-)Produkten wertvolle Reinerzeugnisse zur Krafterzeugung verbrauche, während andre Zechen mit Überfluß an Zwischengut dieses nicht völlig

verwerten können. Zu diesem Zweck muß man Zentralsanlagen zur Verwertung minderwertiger Abfallstoffe schaffen.

Dir. *Sperr*, Pittsburgh, bemerkte in seinem Vortrag über Gasreinigung in Beziehung zum Schwefelgehalt der Kohle, daß es infolge der Fortschritte auf dem Gebiete der Gasreinigung möglich sei, Kohle mit höherem Schwefelgehalt zu verwenden, ohne sie vorher abzureinigen zu müssen.

Aus der Vortragsreihe über

Krafterzeugung und Verbrennung

sind die Vorträge von *Christie*, *Robinson* und *Dolch* von Bedeutung. *Christie*, Baltimore, berichtete über Kesselfeuerungen für Weichkohle, wobei er auf die Verhinderung der Schlackenbildung, die Verwendung vorgewärmter Luft, die Anwendung wassergekühlter Brennraumwände und die zunehmende Größe der Roste hinwies. *W. L. Robinson*, Baltimore, gab einen Überblick über die Anforderungen, die an Kohle für Lokomotivfeuerungen gestellt sind und besprach die Wirkung der Menge an flüchtigen Bestandteilen und Asche sowie der Staubkohle auf die Verbrennung. Dr. *Dolch*, Halle, ging auf die gewöhnlichen Verfahren der Probenahme von Brennstoffen ein und auf die Notwendigkeit, sie den Erfordernissen der Praxis mehr anzupassen. Er schilderte ein Schnellverfahren zur Wasserbestimmung in Brennstoffen, das bei nur 10 min Dauer befriedigende Ergebnisse zeitigt.

Über

Kohlenstaub

und seine verschiedenen Anwendungsgebiete sprach I. *G. Blythe*, London³⁾, der auf die Notwendigkeit der Turbulenz im Ofen hinwies und feststellte, daß für die Kohlestauberstellung Kugel- und Walzenringmühlen am wirtschaftlichsten seien. Von den Kohlenstaubbrennern sei die Bauart, die lange Flammen ergibt, besonders für Zementöfen geeignet, im allgemeinen werden jedoch Streubrenner vorgezogen. Dr. *Rosin*, Freiberg, erwähnte in seinem Vortrag: Thermodynamische Grundlagen der Kohlenstaubverbrennung den Einfluß der Feinvermahlung auf die Anzahl der für 1 m³ und 1 h im Brennraum entwickelten Wärmeeinheiten. Durch Untersuchungen ist nachgewiesen worden, daß ein Brenndauer von wenigen Zehntelsekunden erreicht wird, dadurch Brennraumbelastungen gewählt werden können, das Mehrfache der jetzt üblichen ausmachen.

H. *Kreisinger*, New York, teilte mit, daß auch in Amerika zur Flugstaubausscheidung aus Rauchgasen zum Teil elektrische Entstaubung angewendet wird. *J. W. Armon*, Worcester, schilderte in seinem Vortrag die Fortschritte, die in den letzten Jahren auf dem Gebiete der Rostfeuerungen gemacht wurden und brachte einen Vergleich mit Kohlestaubfeuerungen. — Über die Anwendung von Kohlenstaub in Schiffskesseln handelte der Vortrag von *C. J. Jefferson*, New York, und *J. J. Broshek*, Philadelphia. Es wurde die Anlage auf dem Schiff „Mercer“ geschildert und die wirtschaftlichen Vorteile des Kohlenstaubes für Schiffsfahrzwecke hervorgehoben.

Dr. *J. P. Goossens*, Aachen, berichtete über die verschiedenen Arten der Kohlenstaubförderung. Für Entfernungen über 10 km ist die Beförderung des Kohlenstaubs in Eisenbahnsonderwagen wirtschaftlicher als die Beförderung in Rohrleitungen mittels Druckluft.

In der Vortragsgruppe über

Schwelung

behandelten *A. W. Gauger* und *D. J. Salley*, North-Dakota, den Einfluß von anorganischen Beimengungen bei der Braunkohlenschwelung, bei der das Vorhandensein von Aluminiumverbindungen einen harten Pseudokoks an Stelle des gewöhnlichen Grudekoks ergibt. Direktor *Pfaffmann*, Duisburg, gab eine Darstellung des Rundzellenofens der Chemisch-Technischen Gesellschaft Duisburg⁴⁾, der sich nach neueren Versuchen für die Schwelung der verschiedensten Arten von Kohlen und Kohlegemischen und auch für die wirtschaftliche Schwelung von Staub eignet.

W. H. Allen, New York, führte in seinem Vortrag: Kohlenschwelung nach dem Karbocit-Verfahren⁵⁾ aus, daß Schwelung in Verbindung mit zentraler Krafterzeugung⁶⁾ die Möglichkeit erhöhter Wirtschaftlichkeit in sich schließt. — *R. H. Crozier*, London, betonte die Wichtigkeit der Schwelung für Großbritannien zur Gewinnung eines hochwertigen rauchlosen Brennstoffes. — Ein neues Verfahren für die Umwandlung von Staubkohle in einem Ersatz für Anthrazit wurde von *A. Léauté*, Paris, mitgeteilt. Nach diesem Verfahren wird der Staub vor der Schwelung verpreßt, wobei das Bindemittel nach Maßgabe der gewünschten Schwelzerzeugnisse gewählt wird. D

¹⁾ „Der deutsche Volkswirt“ Bd. 3 (1928) S. 238.

²⁾ Archiv f. Wärmewirtschaft Bd. 9 (1:28) S. 388.

³⁾ Mining Journal Bd. 163 (1928) S. 975.

⁴⁾ Z. Bd. 71 (1927) S. 1184.

⁵⁾ Z. Bd. 70 (1926) S. 1025.

⁶⁾ Z. Bd. 70 (1926) S. 1201.

anthrazit genannte künstliche Anthrazit hat die gleichen Eigenschaften der natürlichen Anthrazite, weist jedoch eine bessere Verbrennlichkeit auf.

Professor Rittmann, Pittsburgh, kündigte ein neues Verfahren zur Herstellung von Gaslinkohle aus Petroleum an. Nach diesem Verfahren Verfahren Petroleum-Rückstände, beim Kracken von Schwerölen anfallen, erhitzt und durch mehrere 100 m lange Rohrleitungen geführt. Hierdurch wird der Rückstand in 75 vH für die Benzinerzeugung geeignetes Öl und 25 vH Restkohle zerlegt, die in flüssigem Zustand aus den Apparaten anfällt und sich besonders für anschließende Verflüssigung eignet. — F. S. Sinnatt, London, gab in seinem Vortrag über Grundlagen der Gewinnung von Koks und die Bildung von Hohlkugeln (Cenosphaeres) eine Erklärung der Bildung der Hohlkugeln bei der Schwelung, die er verschiedenen Bläueigenschaften der einzelnen Kohlenfraktionen zuschreibt.

Von den Vorträgen über

Verkoken

die von Dr. Terres und D. W. Wilson von besonderer Bedeutung. Dr. Terres, Braunschweig, äußerte sich über die Wichtigkeit der Wärmewirtschaft bei der Verkoken und ein Verfahren für die Bestimmung der Wärmebilanz der Verkoken mit einer Genauigkeit von ± 1 vH. Dr. Wilson, New York, stellte hierbei die technischen und wirtschaftlichen Vorteile einer Trockenkühlung des Kokes fest. Über neue katalytische Verfahren für die Aufbereitung rohen

Steinkohlenteeren,

besondere Rohanthrazen, durch selektive katalytische Oxidation der Verunreinigungen berichtete Dr. A. O. Jaeger, Pittsburgh. Die Verbindung von katalytischen und chemischen Verfahren für die Aufbereitung von rohen Steinkohlenteeren machte die Erzeugung sowohl von gereinigtem Anthracen wie auch Phenanthracen aus rohem Anthracen möglich.

Die Abhandlung von Generaldirektor Pott, Essen, hatte

Gasfernversorgung

Deutschland zum Gegenstand. Es wurde die wachsende Verwendung billiger Brennstoffe für die Beheizung von Kessel- und Koksöfen hervorgehoben und über den heutigen Wohnungsbau, das Kreuzen von Straßen, Bahnlinien und Gasen, die Ausführung der Rohrschweißungen und die Verwendung von Muffenverbindungen berichtet. Der Ausbau des Leitungsnetzes ist soweit vorgeschritten, daß bis Ende 1929 insgesamt 950 km Rohrleitungen zur Verfügung stehen, ein Gebiet von 11 000 km² mit etwa 10 Millionen Einwohnern mit Gas versorgen. Der Gasabsatz dürfte sich auf dem Netz Ende 1929 auf 2 Milliarden m³ stellen. Reinigung, Verdichtung und Messung des Gases kann durch die großzügigen Modernisierung und Rationalisierung der Kokereien im Ruhrgebiet mit der Erzeugung von Zentralkokereien, bei denen jeweils 400 bis 500 Millionen m³/Jahr anfallen, auf den einzelnen Zechen durchgeföhrt werden.

Kleine Mitteilungen

Regeln einer Heizung durch die Außentemperatur

Die Einrichtung der Firma Warren Webster & Co., Camden, N. J., regelt die ins Rohrnetz gehende Heizleistung ganz selbsttätig in Abhängigkeit von der Außentemperatur. Ein Luftverdichter im Keller fördert Luft bei gleichbleibendem Druck in einen Thermostaten auf das Dach des Gebäudes. Dieser besteht aus einem Ventil und einem Messingrohr von je 2,1 m Länge. Die Unterschiede in der Wärmeabfuhr der Rohre bewirken, daß sich ein Ventil in der Druckluftleitung verschließen öffnet. Die Luft tritt nach dem Austritt aus dem Ventil durch eine Düse ins Freie, die mit der Hand verstellt werden kann. Der Druck vor der Mündung ist infolge dieser Anordnung verhältnismäßig der Außentemperatur. Dieser Druck wirkt mittels einer Quecksilberwaage auf das Steuerventil einer Druckkölleitung. Das Drucköl erzeugt eine Gasmenge mit dem Luftverdichter elektrisch angetriebene Pumpe. Es dient zum Steuern des Regelventils in der Hauptleitung der Heizanlage. Düsen in den Zweigleitungen und in jedem Heizkörper passen die Dampfmenge dem Bedarf an der betreffenden Stelle an, während Wechsel im Dampfdruck des ganzen Netzes als Änderung des Druckunterchiedes zwischen Vor- und Rücklauf mittels einer zweiten

C. Simon, Paris, schilderte die Möglichkeit der Anwendung von Gasen als Betriebsstoff für Lastautomobile und Traktoren. Es wurde ein Verfahren zur Erzeugung von Wassergas zur Mischung mit Koksofengas dargelegt, dessen Heizwert durch Zufuhr von Methan oder anderen heizkräftigen Restgasen erhöht wird. — Über die Wichtigkeit einer Entfernung des organischen Schwefels aus dem Gase sprach W. J. Huff, Baltimore. Der Vortragende hält die Anwendung bestimmter Katalysatoren zur Entfernung des Schwefels für möglich. — Der Vortrag von Prof. Dr. Fischer, Mülheim-Ruhr, handelte von der Bildung von Benzol und anderen Kohlenwasserstoffen mittels Einwirkung von Hitze auf Methan. Die in Verbindung mit Pichler, Meyer und Kich durchgeföhrt Versuche haben die Möglichkeit der Umwandlung von Methan in Benzin und andere Benzin-Kohlenwasserstoffe gezeigt, wenn man das Methan auf eine Temperatur von 1000 bis 1200 ° erhitzt; die Dauer der Erhitzung muß hierbei unter 10 s liegen. Das Verfahren kann bei gewöhnlichem Druck ohne Anwendung von Katalysatoren ausgeföhrt werden, wobei man die Bedingungen auswählen kann, daß in der Hauptsache Benzin-Kohlenwasserstoffe mit über 50 vH Benzin anfallen. Die ungesättigten Kohlenwasserstoffe und das Restgas können auf eine Menge von 4 vH vermindert werden; die Bildung von freiem Kohlenstoff lasse sich fast völlig vermeiden.

Dr. E. E. Slosson, Washington, äußerte sich über die Fortschritte der synthetischen Chemie während des letzten Jahrhunderts und gab hierbei einen Überblick über die verschiedenen Verfahren der Ammoniaksynthese, über die in dieser Zeitschrift erst vor kurzem ausführlich berichtet wurde).

Der Präsident des Carnegie-Instituts, Dr. Th. Baker, regte in seiner Abschlusrede die Errichtung einer Versuchs- und Forschungsanstalt zum Studium der Weichkohle in Pittsburgh an, wobei er die Hoffnung aussprach, daß die Forschungsanstalt durch Bereitstellung der erforderlichen Mittel möglichst bald errichtet werden könne. [N 2409]

Berlin

Prockat

7) Z. Bd. 72 (1928) S. 975.

Berichtigungen

Maschinen für Härteprüfungen, technologische Versuche und Verschleißprüfungen an metallischen Werkstoffen

Der in Abb. 11 der Arbeit von Deutsch und Fiek in Heft 43 Bd. 72 (1928) S. 1542 dieser Zeitschrift dargestellte Rockwellprüfer wird von der Firma Wilson Maeulen Co., New York, gebaut. [N 2567]

Die Wiener Stadt- und Vorortbahnen

In Z. Bd. 73 (1929) Nr. 5 S. 150 muß es statt: eine Zugfolge von 14 min heißen: 1½ min. Ferner ist der Pfeil der Stromrichtung in verkehrter Richtung eingezeichnet. [N 2598]

Anwendungen des Spektrographen in der Metallindustrie

In Z. Bd. 73 (1928) Nr. 6 S. 197 muß die Anmerkung 3*) lauten: R. Fuess, Berlin Steglitz, Dr. C. Leiß, Berlin Steglitz, Carl Zeiß, Jena, stellen u. a. gleichfalls Spektrographen usw. her. [N 2599]

Quecksilberwaage auf das Regelventil der Hauptleitung übertragen werden. („Power“ 15. Januar 1929 S. 101*)

[N 2592 a]

Le.

Fahrbare Gleisschotter-Reinigungsanlage

Die Pennsylvania-Eisenbahn hat zur Reinigung des Schotter auf ihren Gleisen eine Anlage eingerichtet, die aus einem Zug von mehreren Wagen besteht. Auf dem vordersten Wagen ist die Maschinenanlage zum Antrieb der Seilwinde, mittels deren sich der Zug langsam fortbewegt, und der beiden Bagger sowie der Reinigungsvorrichtung untergebracht. Daran schließen sich etwa sechs Wagen zur Aufnahme des anfallenden Staubes und Schmutzes.

Die Maschinenanlage besteht aus einem 300 PS-Ölmotor und einem Gleichstromerzeuger, der den Strom für die zahlreichen Reinigungs- und Fördervorrichtungen und für den Luftverdichter liefert. Auf der einen Seite des vordersten Wagens befinden sich die beiden Bagger, die den Schotter zwischen den Enden der Schwellen aufgraben und ihn in einen Trichter entleeren. Von hier aus gelangt das Reinigungsgut mittels Fördervorrichtung zu den Sieben des zweiten Wagens, wo es mittels Gebläse von Staub und Schmutz gereinigt wird. Der gereinigte Schotter fällt durch einen

Trichter wieder zur Gleisbettung zurück. Er wird dabei mittels einer Schleudervorrichtung verteilt. Der Staub hingegen wird über Förderanlagen den Behältern der angehängten Wagen zugeführt.

Die Anlage rückt immer je 2,1 m, der Arbeitsbreite entsprechend, vor, die Tagesleistung beträgt rd. 2300 m Gleisstrecke, wobei etwa 1500 m³ Schotter gereinigt werden. („Engineering News-Record“ 24. Januar 1929 S. 131*)

[N 2592 e]

Ro.

Der Antrieb von Straßenbaumaschinen

Der Bericht über die Straßenbauausstellung 1929 in Cleveland weist namentlich auf den Rückgang in der Verwendung der Dampfkraft für den Antrieb von Straßenbaumaschinen hin. Es war nur ein Dampf-Schaufelbagger ausgestellt. Während im übrigen der Benzinmotor als Antriebsmaschine vorherrscht, macht der Dieselmotor so große Fortschritte, daß er bald als erster Bewerber in Betracht kommen wird. Die Harnischfeger Co. stellte einen 0,75 m³-Bagger aus, der von einem Buda-MAN-Dieselmotor von 85 PS angetrieben wird, ihr 1 m³-Bagger hat einen Atlas-Imperial-Dieselmotor von 190 mm Zyl.-Dmr. und 267 mm Hub. Die Marion Steam Shovel Co. stellte einen 1 m³-Bagger mit Dieselmotor und elektrischer Kraftübertragung aus, dessen Bauart, soweit die elektrische Ausrüstung in Betracht kommt, mit einem im Jahr zuvor ausgestellten benzin-elektrischen Bagger übereinstimmt. Die mit unveränderlicher Drehzahl laufende Stromerzeugergruppe versorgt drei Gleichstrommotoren, die das Hubwerk, das Drehwerk und das Fahrwerk des Baggers antreiben. Bemerkenswert als ein Zeichen der Verfeinerung der Bauweise war noch ein 1 m³-Bagger der Ohio Power Shovel Co., in den 62 Wälzlager eingebaut sind. Bei diesem Bagger sind Kettengetriebe grundsätzlich vermieden und durch Zahnradgetriebe ersetzt, die in öldichte Gehäuse eingeschlossen sind. Die Fettschmierleitungen zu den Teilen des Fahrwerkes werden vom Führerstand aus gemeinsam unter Druck gesetzt. („Engineering News Record“ 24. Januar 1929 S. 160/64)

[N 2592 d]

H.

Belastungsprüfung an einer ausgeführten Betonbrücke

An einer vor fünf Jahren erbauten Straßenbrücke über den Yadkin-Fluß, Nord-Carolina, die einem neuen Staudamm für eine Wasserkraftanlage Platz machen soll, wurden Spannungs- und Verformungsmessungen unter sehr großen Lasten vorgenommen. Die Brücke besteht aus drei Bogen von je 42,5 m Spannweite und einer 6,1 m breiten Fahrbahn, die mittels Quermauern an den Bogen hängt. Zur Belastung dienten zwei hölzerne Behälter, die einschließlich ihrer Wasserfüllung je 300 t wogen. Die Messungen wurden einmal mit unversehrter Fahrbahndecke vorgenommen, sodann wiederholt, nachdem der einheitliche Zusammenhang der Decke durch mehrere Risse gestört war.

Bei der größtmöglichen Belastung wurde ein Bogen zwei Stellen verbogen, ohne zusammenzubrechen. Die Veränderungen entsprachen den aus den Festigkeitsberechnungen gefundenen Werten. Ebenso wurden die Ergebnisse Versuche am Modell bestätigt, nach denen die unversehrte Fahrbahndecke auf die Bogen versteifend wirkt. („Engineering News-Record“ 24. Januar 1929 S. 138)

[N 2592 e]

Austrocknen und Aufheizen einer Koksofenbatterie mit Öl

Um eine hohe Leistungsfähigkeit einer Semet-Sol-Regenerativ-Koksofenbatterie im Betrieb zu gewährleisten war es wichtig, daß, außer sorgfältiger Bauweise, die Öfen gut getrocknet und aufgeheizt wurden. Hierzu wurde eine Ölfeuerung benutzt. Der Ölbehälter zur Speisung des Brenners war mit Rücklauf ausgerüstet, um immer einen gleichmäßigen Öldruck an den Brennern aufrechtzuerhalten. Der Ölbehälter wurde mittels Pumpe aus einem Hauptbehälter gespeist. Außer den Brennern in den Abgas- und Ofenkanälen wurden solche in den Regeneratoren zu beiden Seiten angeordnet, im ganzen in den Abgaskanälen 60, in den Regeneratoren 120 und in den Ofenkanälen 480 Brenner.

Der Brennstoffverbrauch konnte von 0,5 l/h bis 2,9 l/h für jeden Brenner geregelt werden, wobei die Flamme 150 mm bis 610 mm lang war. Die Zerstäubung war bei einem Verbrauch von 0,5 l/h vollkommen, während bei einem Verbrauch von 2,9 l/h unzerstäubte Mengen verloren gingen; erst nach Aufstellung eines Gitters an der Flammenspitze konnten sie vollkommen verbrannt werden. Der Luftdruck betrug zweckmäßig 20 mm Q.-S. bei einem mittleren Ölverbrauch. Zur Zerstäubung des Öles war mindestens 5 mm Q.-S. Druck notwendig. Das Öl-Luft-Gemisch wurde entzündet, indem zuerst die Luft- und die Ölleitung und eine Fackel von 100 mm Flammenlänge hinter die Brenner eingeschaltet wurde, wobei die Flamme durch die Zusatzluftöffnungen gezogen und das zerstäubte Öl entzündet wurde. Der Gesamtölverbrauch für das Trocknen und Aufheizen zur Betriebsübernahme betrug 454 000 l. („Iron and Coal Trades Review“ 1. Februar 1929 S. 183*)

[N 2592 b]

Selbsttätige U-förmige Emaillieröfen

Bei der General Electric Co. hat man erfolgreiche Versuche mit elektrisch beheizten selbsttätigen U-förmigen Emaillieröfen durchgeführt. Die Heizbänder sind an dem geschlossenen Ende des Ofens eingebaut, so daß die Werkstücke nebeneinander in den Ofen eingeführt und herab befördert werden, wobei die kalten Werkstücke vorgewärmt und getrocknet werden. Mittels selbsttätiger Temperaturüberwachungsgeräte, die in den einzelnen Abteilungen des Ofens eingebaut sind, überwacht man den Ofengang und regelt die Geschwindigkeit des Förderbandes. Die einzelnen Ofengrößen leisten 450 bis 3600 kg/h Werkstücke. („Iron Age“ 24. Januar 1929 S. 284.)

[N 2592 f]

BÜCHERSCHAU

Bücher und Zeitschriften des In- und Auslandes, auch solche nichttechnischen Inhaltes, liefert die VDI-Buchhandlung, Berlin NW 7, Ingenieurhaus (Telegrammanschrift: Ingenieurverlag Berlin; Fernspr.: Zentrum 15204).

Forschungsarbeiten auf dem Gebiete des Ingenieurwesens, Heft 313: **Zugfestigkeit und Härte bei Metallen.** Von Otto Schwarz, Berlin 1929, VDI-Verlag. 34 S. m. 51 Abb. und 20 Zahlentaf. Preis 6 RM, für Mitglieder des V. d. I. 5,40 RM.

Die Werte für die Umrechnung von Brinellhärtezahlen in Zugfestigkeitswerte bei verschiedenen Metallen schwanken in so weiten Grenzen, daß bei den meisten Nichteisenmetallen, bei manchen Stahllegierungen und bei gegossenen Metallen die praktische Ausnutzung einer Beziehung zwischen Härte und Zugfestigkeit unmöglich wird.

Schwarz gibt in seiner Arbeit einen Beitrag zur Klärung der Frage, worauf die Abweichungen zurückzuführen sind, und kommt zu dem Schluß, daß eine lineare Beziehung zwischen beiden Kennziffern unmöglich ist. Rechnerisch ergibt sich bei vereinfachenden Voraussetzungen eine recht verwickelte Beziehung von Zugfestigkeit zu Härte, deren zeichnerische Auswertung unter Beachtung gewisser Gesichtspunkte eine Umrechnung mit 5 vH Genauigkeit gestattet. Für Metalle bei höheren Temperaturen gilt das gleiche, bei gegossenen Metallen treten besondere Schwierigkeiten auf.

Die auf Anregung von R. Baumann durchgeführte Arbeit enthält umfangreiche Zahlenangaben und bietet auch für die Normung der Nichteisenmetalle beachtenswerte Unterlagen. [E 2439]

Deutsch

RKW-Veröffentlichungen, Nr. 24: **Die neuzeitliche Reparaturwerkstatt für Automobile.** Herausgeg. vom Aussch. für wirtschaftliche Fertigung. Berlin 1928, Beuth-Verl. 92 S. m. 28 Abb. Preis 1,80 RM.

Anlaßlich der Internationalen Automobilausstellung 1928 veranstaltete der AWF eine Ausstellung „Musterparaturwerkstätte“, nachdem schon im Frühjahr eine ähnliche Ausstellung in Stuttgart vorangegangen war. Im Abschluß an die Ausstellung gibt das Reichskuratorium je eine Zusammenstellung der neuzeitlichen Gesichtspunkte der Errichtung und zum Betriebe einer kleinen bis mittleren Ausbesserwerkstatt für Automobile heraus.

Das Heft befaßt sich mit den Aufgaben, Anlagen und Einrichtungen, der Arbeitsführung und Betriebswirtschaftlichen Werbung und den Rechtsverhältnissen bei Ausbesserung.

Die Absicht, die Arbeitsführung und Geschäftsgebarung der Ausbesserwerkstätten in dem Sinne zu beeinflussen, daß die Güte der Instandsetzungen und die geschäftliche Behandlung der Kundschaft verbessert wird, ist sehr zu begrüßen, da man noch oft Klagen über unzuverlässige Ausbesserungen hört.

Inhaltlich entspricht das Heft den heutigen Forderungen an eine sachgemäß arbeitende Instandsetzung im allgemeinen gut; im einzelnen sei darauf hingewiesen, daß die Unterbringung und Anordnung des Werkzeugs und der Einzelteile mehr Aufmerksamkeit verdient hätte. Bei

Die Zahl von Werkzeugen ist es wichtig, daß jedes Werkzeug im Werkzeugschrank oder an der Werkbank seinen unvertauschbaren Platz hat, damit es sofort gefunden werden kann.

Das Aufbewahren der zerlegten Einzelteile eines Werkzeugs in Regalen erscheint unzweckmäßig, weil dabei die Arbeit des Einordnens gemacht werden muß und die Einzelteile oder Abhandelnkommen unvermeidlich. Viel zweckmäßiger ist es, die Teile in übereinander gestapelten Kisten aufzubewahren, wobei die Teile in den Kisten bis zum Gebrauch liegen bleiben und ein Umstapeln nicht nötig ist.

Eine Einrichtung zum Nachlackieren kleiner Lackteile wird vermißt, dagegen erscheint hier die Reifensanierung unangebracht, da sie heute in brauchbarem Zustand nur durch Heißvulkanisieren in Spezialwerkstätten herstellbar ist. Bei der Ausbesserung wird häufig der Lack abgerieben und das Polster beschmutzt. Hinweise auf die Vermeidung und die Behebung solcher Schäden wären zweckmäßig gewesen. [E 2414] Karpinski

Handbuch für Bauingenieure. Herausgeg. von Max Foerster. 5. Aufl. Berlin 1928, Julius Springer. 1. Bd.: 115 S. m. Abb. 2. Bd.: 1422 S. m. Abb. Preis zusammen 50 RM.

Gegenüber der 1922 erschienenen vierten Auflage ist die fünfte Auflage vollkommen neu gestaltet. Der erheblich gewachsene Inhalt entspricht durchaus den großen wissenschaftlichen Fortschritten, die in den letzten Jahren das Bauingenieurwesen gemacht hat. Auch die Verteilung der Fachgebiete auf die beiden Bände ist wesentlich anders geworden.

Während der erste Band die theoretischen Hilfswissenschaften und die technischen Nachbargebiete wie Maschinenbau und Elektrotechnik, Eisenbahnsicherungswesen u. a. so Grundzüge des Bau- und Enteignungsrechtes behandelt, der zweite Band den eigentlichen Bauingenieurwissenschaften und den Grenzgebieten des Hochbaues gewidmet.

Das Buch, dessen Wert für den in der Praxis befindlichen Bauingenieur wie für den Studierenden des Bauingenieurwesens nicht besonders hervorgehoben zu werden braucht, wird auch dem Maschineningenieur, der sich mit technischen Fragen zu beschäftigen hat, z. B. als Fabrikarchitekt oder Konstrukteur von Wasserkraftmaschinen und -anlagen oder als kommunaler Beamter, ein willkommener Ratgeber sein. [E 2455] Sd.

Handbuch der Wasserversorgung. Von Erwin Groß. München und Berlin 1928, R. Oldenbourg. 427 S. m. 187 Abb. Preis 22 RM.

Ein deutsches gründliches wissenschaftliches Werk über die gesamte Wasserversorgung ist seit Jahren nicht erschienen. Ein solches ist daher an und für sich schon zu begrüßen, um so mehr, wenn sein Verfasser praktische und andere wissenschaftliche Erfahrungen hat. Groß ist Abteilungsleiter der Preussischen Landesanstalt für Wasser-, Gas- und Lufthygiene in Berlin-Dahlem, und es liegt daher nahe, daß er mit seinem Buch besonders die Grenzgebiete zwischen Wasserversorgung, Chemie, Bakteriologie, Hygiene und Biologie berücksichtigen will. Glücklicherweise — vom Standpunkt des Technikers aus gesehen — ist der Ingenieur und sein Wirken im Inhalt immer wieder im Vordergrund. Das Buch bringt in sieben Abschnitten eine ausführliche, lehrreiche Wiedergabe des vielseitigen Gebietes der Wasserversorgung. So ist ein Handbuch entstanden, das nicht nur den Studierenden, sondern auch den Praktikern ein zuverlässiges Lehr- und Nachschlagewerk geworden ist.

Die Absicht des Verfassers, dem Anfänger und dem Fachtechniker Kenntnisse zu vermitteln, hat vielleicht dazu geführt, daß er einige Kapitel über Hydromechanik zu weit ausgebaut hat, anstatt auf die jedem Techniker geläufigen gemeinen Werke der Mechanik zu verweisen. Bei der Neuaufgabe wäre es wünschenswert, diese Kapitel zugunsten technischer Ausführungen zu kürzen, wie sie beispielsweise in dem Abschnitt über Betriebskostenberechnungen recht ansprechender Form bereits jetzt gegeben sind. [E 2472] Baer

Handbuch der Experimentalphysik. Herausgeg. von W. Wien und F. Harms. Unter Mitarbeit von H. Lenz. 13. Bd.: Physik der Glühelktroden. Von W. Schottky und J. Rothe. Herstellung der Glühelktroden. Von H. Simon. Technische Elektronenröhren und ihre Verwendung. Von J. Rothe. Leipzig 1928, Akademische Verlagsgesellschaft. 92 S. m. 179 Abb. Preis 46 RM.

Die Elektronenemission glühender Metalle hat in den letzten Jahren außerordentliche Bedeutung für die Technik gefunden. Der vorliegende Teil des Wien-Harmschen Handbuchs erscheint demnach zur rechten Zeit.

Im ersten Abschnitt finden wir zunächst eine Einführung in die thermodynamische Behandlung des Problems, der die Anwendung auf den wichtigen Fall der Verdampfung von Elektronen von heißen Metallen im Vakuum folgt. Diese Betrachtungen werden darauf im nächsten Kapitel auch auf die Verdampfung von Ionen und neutralen Atomen ausgedehnt. Das Problem des Temperaturanges der Elektronenaustrittsarbeit wird in der Weise angeschnitten, daß, immer unter Benutzung der zuerst besprochenen allgemeinen thermodynamischen Beziehungen, die möglichen Schlüsse hieraus abgeleitet werden und dann auf die thermodynamischen Verdampfungswärmen und auf die Bedeutung der Clausius-Clapeyronschen Gleichung eingegangen wird. Es folgen die Verhältnisse bei stationärem Elektronenübergang und die Besprechung der hierher gehörigen experimentellen Methoden und deren Ergebnisse. Thermische Erscheinungen, die bei Ionenumsetzungen auftreten, bilden den Schlußteil dieses Kapitels. Nach einer Besprechung der Beziehungen zu Voltaspannung und Thermoelektrizität folgen Betrachtungen über die Einwirkung von Fremdatomen auf der Oberfläche von Metallen, sowie die der Salze und Oxyde. Untersuchungen über die Bewegung der Elektronen im Vakuum, über das Bild- und Atomkraftfeld und dann die bekannten Schwingungserscheinungen, der Schrot- und der Funkel-Effekt, schließen den ersten Abschnitt. — Der Inhalt der beiden folgenden Abschnitte erhellt aus den Überschriften: 2. Die Arten der Elektroden, deren Materialien und Anordnung, die Evakuierungsmethoden und die Temperaturbestimmung. 3. Die technischen Elektronenröhren als Verstärker, als Schwingungserzeuger und als Gleichrichter.

Wie von allen Bänden dieses hervorragenden Handbuchs kann man auch von dem vorliegenden Teile sagen: er bringt das, was der Interessierte sucht, in klarer, verständlicher und tiefgründiger Form, so daß der Glühelktroden-Praktiker ihn oft zur Hand nehmen wird. [E 2301] Prof. Dr. Bergwitz

Lehrbuch der physikalischen Chemie. Von Karl Jellinek. Ferdinand Enke, Stuttgart 1928. 2. Aufl. 2. Bd. 5. Lfg. S. 273 bis 560 m. Abb. 242 bis 276. Preis 24 RM. — 2. Aufl. 2. Bd. 6. Lfg. S. 561 bis 924 m. Abb. 277 bis 384. Preis 32 RM. 2. Bd. 1. bis 6. Lfg. vollständig 92 RM.

Die ersten vier Lieferungen der im Erscheinen begriffenen zweiten Auflage sind in Z. Bd. 72 (1928) S. 451 und 1102 kurz besprochen worden. Die letzte hiervon enthält vorwiegend die Behandlung des festen Aggregatzustandes in experimenteller Hinsicht. In der vorliegenden 5. und 6. Lieferung wird diese Betrachtung nach der theoretischen Seite hin fortgesetzt, wobei die Entropie reiner Stoffe besonders ausführlich und von verschiedenem Standpunkt aus behandelt wird. Dabei wird auch nachgetragene, was im Einzelfalle über den gasförmigen und flüssigen Aggregatzustand zu sagen ist.

Behandelt werden die von einer ganzen Reihe namhafter Forscher aufgestellten Theorien der Atomwärme, der Entropie, der Verdampfung, des Schmelzens und Gefrierens sowie der kristallisierten Phase. Damit erhält der Leser einen Einblick in viele geistreiche Forschungen, besonders aus den letzten Jahrzehnten, bei denen vor allem die Quantentheorie weitgehend angewandt worden ist.

Im folgenden Teile werden die Erscheinungen bei verdünnten Lösungen beschrieben, so bei den gasförmigen vor allem die Diffusionserscheinungen, bei den flüssigen die osmotischen Drucke, der Dampfdruckverminderung, der Siedepunkterhöhung und der Gefrierpunktniedrigung und bei den kristallisierten Lösungen (Mischkristallen) die des Dampfdruckes, des Ausfrierens, der Diffusion und der Entropie.

Da es heute auch den mathematisch geschulten Ingenieuren nicht leicht ist, die Entwicklung der modernen Physik auf Schritt und Tritt laufend zu verfolgen, und diese immer mehr in technisch wichtige Gebiete übergreift, so ist das Werk von Jellinek besonders aus dem Grunde sehr zu begrüßen, weil es die neueren, bis einschließlich 1927 bekannten gewordenen Theorien im Zusammenhang behandelt. [E 2426] W. S.

Die Rohstoffe des Pflanzenreichs. Von Julius Wiesner. 4. Aufl. Herausgeg. von Paul Krais und Wilh. von Brehmer. Leipzig 1927, Wilh. Engelmann. 1. Bd.: Alkaloide bis Hefen. 1122 S. m. 307 Abb. Preis 49 RM. 2. Bd.: Hölzer bis Zucker. 1130 S. m. 217 Abb. Preis 49 RM.

Nach v. Wiesners Tode haben es Krais und v. Brehmer übernommen, eine neue Auflage dieses grundlegenden Werkes auf technologisch-wissenschaftlichem Gebiet unter Mitwirkung vieler neuer Mitarbeiter zu bearbeiten und herauszugeben. Sie haben die Rohstoffe des Pflanzenreiches zu Gruppen zusammengefaßt und diese Gruppen alphabetisch geordnet. Im ersten Band werden die Alkaloide, die äthe-

rischen Öle und Kampfer, die Bitterstoffe, die Eiweißstoffe, die Enzyme (Katalysatoren), die Farbstoffe, die Fasern und Baste, die Fette und Öle, die Gerbstoffe, die Gummianten, die Harze und Balsame und die Hefen behandelt. Der zweite Band berichtet über die Hölzer, über Kautschuk, Gutta-percha und Balata, den Kork, die Saponine, die Schleime, die Stärke, die Vitamine, die Wachse und den Zucker. Am Ende jedes Abschnittes findet sich eine ausführliche Angabe des Schrifttums. Die Abbildungen sind gut.

Das Werk, das sich mit den technisch angewandten Rohstoffen des Pflanzenreiches beschäftigt, ist übersichtlich zusammengestellt und für den wissenschaftlich und den technisch gerichteten Fachmann leicht benutzbar. Jedem mit pflanzlichen Rohstoffen Arbeitenden wird das Nachschlagewerk bald unentbehrlich werden.

[E 2527]

Gw.

Encyclopédie de chimie industrielle: **Fabrication Industrielle des Porcelaines.** Von *Marc Larchevêque*. Paris 1928, Librairie J.-B. Baillière & Fils. 480 S. m. 194 Abb. Preis 92 Fr.

Der Verfasser hat in dem vorliegenden Buche seine früheren Veröffentlichungen und seine reichen Erfahrungen als Professor der Keramik an der Fachschule in Vierzon niedergelegt. Das Buch beginnt mit einer allgemeinen Betrachtung der keramischen Erzeugnisse. Ein breiter Raum ist der Zusammensetzung der Grundmasse, der Beschaffenheit der Grundstoffe und ihrer Wirkung auf das fertige Porzellan gewidmet. Die zur Vorbereitung der Stoffe erforderlichen Maschinen wie Brecher, Schlämmanlagen, Windsichter, Filter u. a. sind eingehend beschrieben. Ein größerer Abschnitt ist dem Vorkommen der Grundstoffe und dem Abbau gewidmet. Besonders hervorzuheben ist eine Zusammenstellung der verschiedenen Prüfverfahren für die Masse und deren einzelne Bestandteile, auf Grund deren man die Mischungen nach den an das Erzeugnis gestellten Anforderungen zusammensetzen kann. Zum Schluß werden noch praktisch ausgeführte Mischanlagen, die Herstellung von Glasflüssen für Porzellan, die Erzeugung feuerfester Stoffe und der Gips behandelt.

Das Buch ist hauptsächlich für den Betrieb bestimmt und bietet dem Fachmann außerordentlich viele Anregungen. Die zahlreichen Bilder sind recht lehrreich und gut ausgewählt, die druckmäßige Wiedergabe dagegen sehr schlecht und erreicht nicht annähernd die Ausstattung deutscher Verlagswerke. [E 2437]

Schr.

Forschungsarbeiten auf dem Gebiete des Ingenieurwesens, Heft 314: **Der indizierte Wirkungsgrad der kompressorlosen Dieselmachine.** Von *Fritz Schmidt*. Berlin 1929, VDI-Verlag. 22 S. m. 27 Abb. und 15 Zahlent. Preis 4,50 RM, für Mitglieder des V. d. I. 4 RM.

Die Bestimmung des indizierten Wirkungsgrades (Gütegrades) setzt die Möglichkeit voraus, die Leistung der verlustlos arbeitenden Maschine ermitteln zu können. Es wird ein Idealprozeß als Vergleichsprozeß aufgestellt und sein thermischer Wirkungsgrad mit den verschiedensten Annahmen berechnet. Der dann sich ergebende indizierte Wirkungsgrad wird aus Versuchsergebnissen verschiedener Maschinen nachgeprüft; er schwankt zwischen 75 und 85 vH¹⁾.

¹⁾ Ein Auszug wird demnächst in dieser Zeitschrift erscheinen.

Forschungsarbeiten auf dem Gebiete des Ingenieurwesens, Heft 315: **Begrenzung der Leistungssteigerung der schnelllaufenden Verbrennungsmaschine durch den Steuervorgang.** Von *Manfred Christian*. Berlin 1929, VDI-Verlag. 19 S. m. 20 Abb. u. 4 Zahlent. Preis 3,75 RM, für Mitglieder des V. d. I. 3,40 RM.

Die Drehzahl ist nach oben begrenzt 1. durch die Möglichkeit, die erforderlichen Ein- und Austrittsquerschnitte zu verwirklichen, 2. durch die Beanspruchung der Bauteile der Steuerorgane infolge hoher Beschleunigungen. Das Ergebnis weist auf starke Unterteilung des Hubraumes, Spitzenleistungen. Ein Vergleich der Ventilsteuerungen, Schiebersteuerungen (*Burt, Knight*) zeigt zwar die Unmöglichkeit der letzteren für die Erreichung von Höchstzahlen, muß aber hinsichtlich der Betriebssicherheit dem Viertakt arbeitenden Ventilmotor den Vorrang einräumen. [E 2489]

RKW-Veröffentlichungen, Nr. 23: **Graphisches Rechnen.** Bearb. von *H. Schwerdt* unter Mitarbeit von *W. Gütsch*, *Iris Runge*, *Felix Wolf*. Berlin 1928, Benth-Verlag. 14 m. 71 Abb. Preis 2,75 RM.

Technische Fachbücher. Herausgeg. von *Arnold Meyer*. 9. Bd.: **Dampfkraftmaschinen.** (Kolbenmaschinen und Turbinen.) Von *Heinrich Döbel*. München 1928, C. W. Kiehl. 120 S. m. 64 Abb. Preis 2,25 RM.

Deutscher Werkmeister-Kalender 1929, 5. Bd.: **Betriebsbedingungen.** Herausgeg. u. bearb. von *C. E. Berck*. Wittenberg (Bez. Halle) 1929, A. Ziemsen. 440 S. m. 153 Abb. Preis 3,50 RM.

Deutscher Werkmeister-Kalender 1929, 8. Bd.: **Handbuch des Werkstättenbetrieb.** Herausgeg. u. bearb. von *C. E. Berck*. Wittenberg (Bez. Halle) 1929, A. Ziemsen. 566 S. m. 287 Abb. Preis 3,50 RM.

The Role of Scientific Societies in the Seventeenth Century. Von *Martha Ornstein*. Chicago, Illinois, 1928, The University of Chicago Press. 308 S. Preis 3 \$.

Lehrbuch der Physik in elementarer Darstellung. Von *Arnold Berliner*. 4. Aufl. Berlin 1928, Julius Springer. 658 S. m. 802 Abb. Preis 19,80 RM.

Städtebau und Landesplanung. Von *Otto Bünz*. Berlin 1928, Carl Heymanns Verlag. 116 S. Preis 5 RM.

Der Quecksilberdampf-Gleichrichter. Von *Kurt E. Mühl*. Lübeck. 2. Bd.: **Konstruktive Grundlagen.** Berlin 1928, Julius Springer. 350 S. m. 340 Abb. u. 4 Taf. Preis 42 RM.

Forschungsarbeiten auf dem Gebiete des Ingenieurwesens, Heft 311: **Die Durchflußzahlen von Normaldüsen und Normalstaurändern für Rohrdurchmesser von 100 bis 1000 mm.** Von *M. Jakob* und *Fr. Kretzschmer*. Berlin 1928, VDI-Verlag. 35 S. m. 98 Abb. und 14 Zahlentaf. Preis 5,50 RM, für Mitglieder des V. d. I. 5 RM.

Taylorix-Fachschrift, 19. H.: **Taylorisierte Buchhaltung der Elektrizitätswerke, Straßenbahnen, Gas-, Wasser- und Eiswerke.** Von *A. Wermuth*. Stuttgart 1928, Taylorix-Organisation. 75 S. Preis 3,50 RM.

Sammlung Vieweg, 95. H.: Die Bildtelegraphie. Von *P. Vieweg*. Braunschweig 1929, Friedr. Vieweg & Sohn. 86 S. m. 39 Abb. und 3 Taf. Preis 5,80 RM.

Sammlung Vieweg, 93. H.: Die Adsorption. Von *Otto Bär* und *Nandor Stark*. Braunschweig 1929, Friedr. Vieweg & Sohn. 136 S. m. 30 Abb. Preis 7,75 RM.

Schluß des Textteiles

I N H A L T :

	Seite	
Selbsttätige Lichtbogen-Schweißmaschinen. Von <i>F. Niethammer</i>	209	gen des Spektrographen in der Metallindustrie — Kleine Mitteilungen
Tagesfragen des Verkehrs	219	Bücherschau: Zugfestigkeit und Härte von Metallen. Von <i>O. Schwarz</i> . Die neuzeitliche Reparaturwerkstatt für Automobile — Taschenbuch für Bauingenieure. Von <i>M. Foerster</i> — Handbuch der Wasserversorgung. Von <i>E. Groß</i> — Handbuch der Experimentalphysik. Von <i>W. Wien</i> und <i>F. Harms</i> — Lehrbuch der physikalischen Chemie. Von <i>K. Jellinek</i> — Die Rohstoffe des Pflanzenreichs. Von <i>J. Wiesner</i> , <i>P. Kraus</i> und <i>W. v. Brehmer</i> — Fabrication Industrielle des Porcelaines. Von <i>M. Larchevêque</i> — Der indizierte Wirkungsgrad der kompressorlosen Dieselmachine. Von <i>F. Schmidt</i> — Begrenzung der Leistungssteigerung der schnelllaufenden Verbrennungsmaschine durch den Steuervorgang. Von <i>M. Christian</i> — Eingänge
Herstellung und industrielle Verwertung fester Kohlensäure. Von <i>R. Plank</i>	221	
Gewindetoleranzen	224	
Kurbelkastenspülung für Zweitaktmotoren. Von <i>H. List</i>	225	
Spülgasschwelung. Von <i>F. A. Oetken</i>	229	
Rundschau: Hydraulische und mechanische Fragen — Differential-Greiferwindwerk mit Getriebekasten — Die Pittsburgher Internationale Kohlentagung — Berichtigungen: Maschinen für Härteprüfungen, technologische Versuche und Verschleißprüfungen an metallischen Werkstoffen — Die Wiener Stadt- und Vorortbahnen — Anwendun-		

ZEITSCHRIFT DES VEREINES DEUTSCHER INGENIEURE

SCHRIFTFLEITER: C. MATSCHOSS ★

73

SONNABEND, 23. FEBRUAR 1929

Nr. 8

Sicherheit im Betrieb

Zur Reichs-Unfallverhütungswoche, 24. Februar bis 3. März 1929

Von Reg.-Baumeister E. KOTHE, Berlin

Für Sicherheit im Betrieb zu sorgen, ist gleichermaßen Pflicht des Staates wie Aufgabe aller im Betriebe Tätigen. Der Staat erläßt zum Schutze seiner Bürger Gesetze und Verordnungen. Die in Berufsgenossenschaften zusammengeschlossenen Unternehmer geben, mit staatlichen Vollmachten ausgestattet, Unfallverhütungsvorschriften heraus. Aufsichtsbeamte des Staates und der Selbstverwaltung überwachen die Betriebe. In diesen müssen Unternehmer, Ingenieure, Meister und Arbeiter zusammenarbeiten, um durch immer wiederholte Aufklärung bei allen Betriebsangehörigen den Sinn zu wecken für die Pflicht zur Erhöhung der Sicherheit.

Sicherheit im Betriebe senkt die Zahl der Unfälle, bewahrt Leben und Gesundheit der Arbeiter, hält Not und Sorge von ihren Familien fern. Sie zu fördern, ist ein Gebot des Herzens. Sicherheit im Betrieb steigert auch die Hingabe an die Arbeit, hebt ihren Leistungsgrad, schaltet betriebliche Störungen aus. Sie ist also ebenso eine betriebstechnische Aufgabe. Sicherheit im Betrieb spart dem Unternehmer Kosten mannigfaltiger Art, für Heilung und Renten, für Einstellen und Ernen neuer Arbeiter, für Ausfälle und Schäden an Maschinen, Werkzeug und Einrichtungen. Im gleichen Maße wie menschliche Errungenschaften müssen rechnerische Feststellungen dazu kommen, jeden Betrieb, in dem Menschen schaffen, unsicher zu gestalten.

Welche Bedeutung hat die Unfallverhütung in deutschen Betrieben, mögen zunächst einige Zahlen zeigen. Wer in gewerblichen, landwirtschaftlichen oder staatlichen Betrieben beschäftigt wird, ist durch Gesetz gegen Unfälle versichert. Träger dieser Versicherung sind die Berufsgenossenschaften. Die Zahl der Unfallversicherten beträgt den Kreis der durch Betriebsunfälle gefährdeten Personen. Im Jahre 1927 waren es 22,8 Mill., das ist genau ein Drittel der gesamten Bevölkerung.

Die Gefährdung ist im gewerblichen Betrieb stärker als im landwirtschaftlichen. Zu beachten ist hierin, daß der Anteil der in Industrie und Forstwirtschaft Beschäftigten in den Jahren 1913 bis 1925 von 40 auf 23 vH zurückgegangen, während im gleichen Zeitraum der Anteil der in Industrie und Handwerk Tätigen von 35 auf 41,3 vH gestiegen ist. Will man diese Zahlen miteinander vergleichen, so muß man unterscheiden zwischen gemeldeten und entschädigten Unfällen. Im Jahre 1913 verhielt sich die Zahl der entschädigten Unfälle zur Zahl der gemeldeten wie 1 : 5,64, im Jahre 1927

wie 1 : 9,56. Das seltenere Auftreten von Unfällen in landwirtschaftlichen Betrieben gegenüber den gewerblichen tun folgende Zahlen für 1927 dar:

	in gewerblichen Betrieben	in landwirtschaftlichen Betrieben	
eine Unfallmeldung kommt auf	10	70	Vollarbeiter
ein entschädigter Unfall kommt auf	170	200	..
ein tödlicher Unfall kommt auf	2000	5000	..

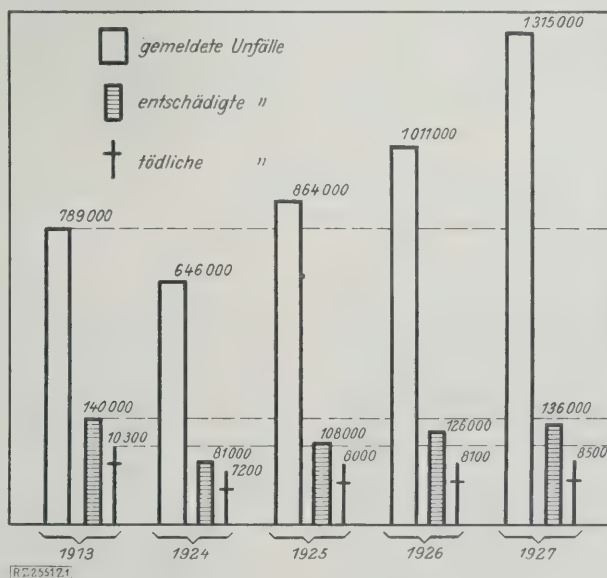


Abb. 1
Unfälle in deutschen Betrieben.

Maßstäbe: Gemeldete Unfälle 1 mm = 20.000, entschädigte Unfälle 1 mm = 10.000, tödliche Unfälle 1 mm = 1000

Die Zahl der gemeldeten, der entschädigten und der tödlichen Unfälle für alle Betriebe zusammen in den Jahren 1913 und 1924 bis 1927 sind in Abb. 1 dargestellt. Wenn auch bei den entschädigten und bei den tödlichen Unfällen erfreulicherweise die Zahlen des Jahres 1913 nicht wieder erreicht werden, so ist doch der jährliche Tod von 8530 Menschen, die mitten aus der Arbeit abgerufen werden, erschreckend und beschämend groß. Von den Toten der Arbeit entfallen allein auf die gewerblichen Betriebe 5284, das bedeutet bei 300 Arbeitstagen im Jahr und bei achtstündiger Arbeitszeit, daß etwa alle halbe Stunde ein tödlicher Unfall eintritt. Wer sich diese Zahl vor Augen hält, wird sicherlich bereit sein, das seinige zu tun, um Unfälle zu verhüten.

Entwicklung der Unfallverhütung

Der Kampf gegen die Gefahren ist so alt wie die Menschheit selbst. In alten Schriften finden wir Mitteilungen, die dies bestätigen. *Plinius der Ältere* spricht in seiner *Historia naturalis* von den Maßnahmen, die der Brunnengräber trifft, um sich gegen giftige Gase zu schützen. *Georgius Agricola* schreibt in seinem Werke „De re metallica“ den schönen Satz nieder: „denn wir

müssen größeren Wert auf die Erhaltung der Gesundheit legen, als auf den Gewinn, damit wir ungehindert mit unseren Kräften die Arbeit verrichten können". An anderer Stelle berichtet *Agricola* von einer betrüblichen Erscheinung, die wir heute in genau dem gleichen Maße beobachten müssen: von der eigenen Fahrlässigkeit der Leute und von der Notwendigkeit, Schutzeinrichtungen so zuverlässig anzubringen, daß sie nicht entfernt werden können.

Die Notwendigkeit, durch Gesetz das Leben der Betriebstätigen zu schützen, ergab sich mit der allgemeinen Einführung der Dampfmaschine. Das erste Gesetz in Deutschland war die preußische Kabinettsordre vom 1. Januar 1831, betreffend die Aufstellung von Dampfmaschinen. Ihr folgte das Regulativ vom 9. März 1839. Dieses verbot die Kinderarbeit, regelte die Arbeitszeit der Jugendlichen und übertrug den zuständigen Ministern den Erlaß von sanitäts-, bau- und sittenpolizeilichen Anordnungen.

Fabrikinspektoren werden erstmalig 1853 erwähnt. Die Gewerbeordnung für den Norddeutschen Bund schuf 1869 einheitliches Recht in den zugehörigen Staaten, nach Reichsgründung ward es Reichsgesetz.

Das Arbeiterschutzgesetz vom 1. Juni 1891 enthielt wesentliche Verbesserungen, und seine Bestimmungen bilden heute noch die Grundlage des Arbeiterschutzes. Bei diesen gesetzgeberischen Arbeiten hat der Verein deutscher Ingenieure als sachverständige und beratende Körperschaft lebhaft mitgewirkt.

Außerbetriebliche Einwirkung

Berufsgenossenschaften

Das Jahr 1884 brachte dann das Unfallverhütungsgesetz. Die Unfallverhütung und -versicherung wurde auf genossenschaftliche Grundlage gestellt. Gemeinsame Haftung gleicher Gewerbebezüge ist bis zum heutigen Tage die starke Stütze der Unfallverhütung geblieben. „Arbeiterschutzvorschriften sind ein Spiegelbild der Arbeitsmethoden und ein Maßstab für die Bewertung der Arbeitsmethoden und ein Maßstab für die Bewertung der Arbeitskraft durch den Staat“, so wurde damals verkündet, und wenn man die staatliche Fürsorge in Deutschland mit den Verhältnissen in andern Ländern vergleicht, so muß man wohl zu dem Ergebnis kommen, daß die Arbeitskraft bei uns stets hoch geachtet wurde.

Die auf Grund des Gesetzes vom Jahre 1884 entstandenen Berufsgenossenschaften erhielten vom Staate bestimmte Aufgaben zugewiesen und wurden mit Vollmachten ausgestattet. Ihre Aufgabe kann man mit den drei Worten umreißen: „Verhüten, Heilen, Entschädigen“. Mit Recht haben die Berufsgenossenschaften stets den Nachdruck auf das „Verhüten“ gelegt; denn verhüten ist billiger, aber auch menschlicher als vergüten. Die „Unfallverhütungsvorschriften“ sollen Unternehmer und Arbeiter an ihre Pflichten mahnen und auf die Gefahren hinweisen. Ihr Vorbild fanden sie in Vorschriften, die schon im Jahre 1871 von den fortschrittlichen Augsburger Fabrikanten zusammengestellt und in ihren Fabriken ausgehängt worden waren.

Gegenwärtig gibt es 68 gewerbliche und 44 landwirtschaftliche Berufsgenossenschaften. Die Geldmittel werden durch Mitgliedsbeiträge aufgebracht, die nach Lohn- und Gefahren tarif gestaffelt sind. Die Einstufung in die Gefahrenklasse nimmt leider kaum davon Notiz, ob der Unternehmer in besonderem Maß Aufwendungen für die Sicherheit seines Betriebes macht. Diesen offensichtlichen Mangel zu beheben, ist eine der dringendsten Zukunftsaufgaben. Wertvoll ist ein Überblick über die Ausgaben der Berufsgenossenschaften. Sie sind für die gewerblichen und landwirtschaftlichen Berufsgenossenschaf-

ten aus Abb. 2 zu entnehmen. Den weitaus größten Anteil der Kosten beanspruchen die Entschädigungen. Beim Vergleich mit den verhältnismäßig geringen Kosten für die Verhütung, die nach dem oben Gesagten auffallen müssen, ist zu beachten, daß die Entschädigungen für Unfälle aus langen Reihen von Jahren zu zahlen sind, während die Kosten für die Verhütung sich jeweils nur auf das laufende Jahr erstrecken.

Die Gesamtausgaben aller Berufsgenossenschaften betragen:

1924	645 Mill. RM,
1925	224 „ „
1926	322 „ „
1927	332 „ „
1928	rd. 358 „ „

Die starke Steigerung der Ausgaben von 1925 auf 1928 ist verursacht durch drei Verordnungen und Gesetze, die dem Jahre 1925, die

1. gewerbliche Berufskrankheiten mit einbeziehen,
2. die Unfälle auf dem Wege von und zur Arbeit erfassen,
3. die Lastenverteilung zwischen Krankenkassen, Berufsgenossenschaften neu regeln in dem Sinne, daß die Berufsgenossenschaften die Behandlung nicht erst, wie früher, 13 Wochen, sondern sofort dem Unfall zu übernehmen haben.

Die Überwachung ihrer Betriebe lassen die Berufsgenossenschaften durch ihre technischen Aufsichtsbeamten vornehmen. Für die rd. 87% ihrer Aufsicht unterstehenden Betriebe haben die gewerblichen Berufsgenossenschaften 393 technische Aufsichtsbeamte, das bedeutet, auf einen Beamten 2229 Betriebe entfallen, eine Zahl, die zweifellos viel zu groß ist, wenn man wünscht, daß ein wirksamer Einfluß auf die Verbesserung der Betriebsicherheit von den technischen Aufsichtsbeamten ausgeübt wird. Dieser Einfluß und enge Fühlung mit im Betriebe verantwortlichen Tätigkeiten sind aber notwendig. Hieraus ist aber klar die Forderung nach einer Vermehrung der Stellen für Aufsichtsbeamten.

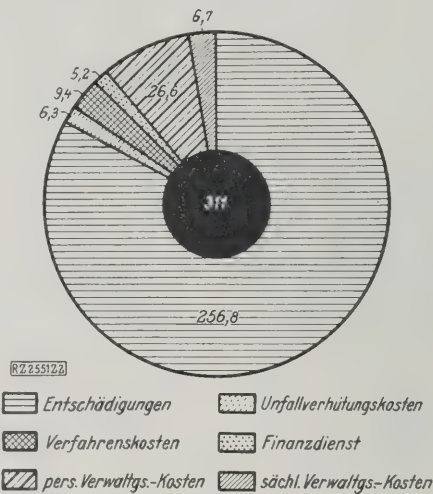


Abb. 2
Ausgaben bei den gewerblichen und landwirtschaftlichen Berufsgenossenschaften 1927 in Mill. RM.

Staatliche Überwachungsbehörden

Neben den Berufsgenossenschaften, die, wie schon, Sondervorschriften erlassen und ihre Befolge im staatlichen Auftrag überwachen, hat der Staat in der schon erwähnten Reichsgewerbeordnung (1869) eigene Anordnungen für gewerbliche Betriebe herausgegeben, deren sachmäßige Durchführung den Gewerbeaufsichtsbeamten übertragen ist. Sie sind nicht bestimmten Berufsgruppen zuständig, sondern ihr Wirkungsbereich ist örtlich oder bezirklich abgegrenzt. Tätigkeit geht auch weit über den Rahmen der Unfallverhütung hinaus. In Preußen gibt es 207 Gewerbeaufsichtsbeamte, in den übrigen Staaten 107, zusammen 314. Daneben 120 jüngere Beamte, 90 weibliche Kräfte und außerordentliche Hilfsbeamte, aus den Reihen der Arbeiter und angelernten entnommen, in der Gewerbeaufsicht tätig, zusammen etwa 670 Personen.

Im Bergbau sind für Aufrechterhaltung der dort besonders wichtigen Betriebsicherheit die Bergpolizeibehörden zuständig. Die grundsätzlichen Bestimmungen brachte für Preußen das allgemeine Berggesetz, die preußischen Staaten von 1865. Die Oberbergämter lassen die Bergpolizeiverordnungen, die Überwachung wird durch Bergrevierbeamte (in Preußen 65) ausgeübt. Grubenkontrolleure aus dem Arbeiterstande sind ebenfalls tätig. In den übrigen Ländern bestehen ähnliche Einrichtungen.

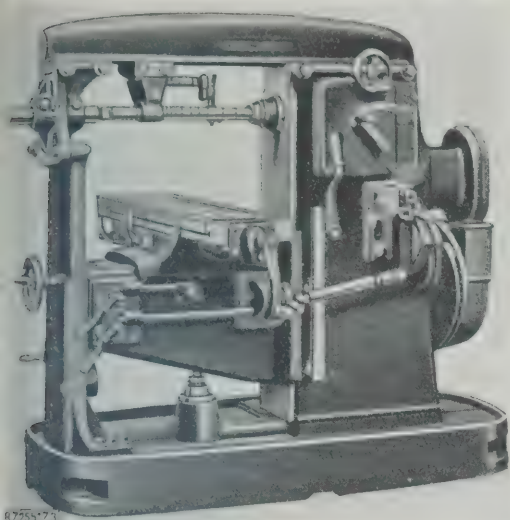
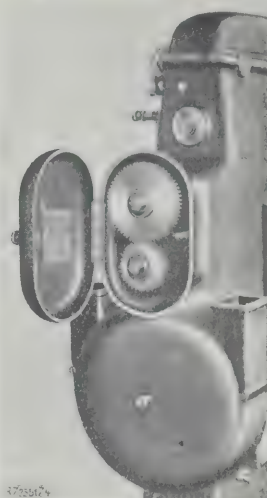


Abb. 3 bis 6
Gute Beispiele unfall-
sicherer Werkzeug-
maschinen.

Abb. 3 und 4
Universal-Fräsmaschine.

Abkapselung für den Geschwin-
digkeitswechsel des Werkzeug-
antriebes und Sicherung beim
Riemeneinlauf.



Während die bisher behandelten Aufsichtstellen vor-
nehmlich technisch vorgebildete Beamte verwenden, hat
Staat sehr frühzeitig erkannt, daß die Hilfe des
Arztes unentbehrlich ist, wo es doch um Leben und
Gesundheit seiner Bürger geht. In dem preußischen Re-
gierungsverordn. vom 18. März 1839 wurde schon die Zuziehung von Ärzten
angeordnet. In Baden wurde 1906 erstmalig ein Arzt Ge-
werbeaufsichtsbeamter, in Bayern 1909 ein Landes-
gewerbearzt eingestellt. Sachsen hat demnächst in jedem
Bezirk einen Arzt in der Gewerbeaufsicht, Preußen hat
1928 acht Gewerbemedizinalräte.

Dampfkesselaufsicht

Eine Sonderregelung besteht für die Überwachung
Dampferzeuger. Hier sind staatliche Vorschriften er-
lassen, ihre Innehaltung wird durch Beamte überwacht.
In Preußen sind die Kesselbesitzer angestellt sind.
In Preußen hat 27 derartige Vereine, die übrigen Länder 11,
deutsche Reich also 38. Neben Kesseln der Mit-
telkraft können auch sonstige in Privatbesitz befindliche
Kessel geprüft werden. Durch die Überwachung von
Kesseln, elektrischen Anlagen und Kraftfahrzeugen ist
der Wirkungsbereich der Dampfkessel-Überwachungs-
behörde inzwischen erheblich erweitert worden. Der
Staat läßt seine eigenen Kessel durch Staatsbaubeamte
überwachen, und endlich haben Besitzer großer Kessel-
anlagen, die als zuverlässig gelten, das Recht, durch
eigene Beamte die vorgeschriebenen Untersuchungen vor-
nehmen zu lassen. Ein etwas buntes Bild, aber die Er-
fahrungen haben gelehrt, daß die in weitem Umfange
vorgesehene eigene Verantwortung der Besitzer hin-
reichender Ansporn zu gewissenhaftester Durchführung
der staatlichen Vorschriften ist. Kein Grund ist erkenn-
bar, warum bewährte Einrichtungen geändert werden sollen.

Betriebliche Maßnahmen

Wie der Staat die Verpflichtung erfüllt, Gefahren für
das Leben seiner Angehörigen abzuwehren, zeigten uns
die bisherigen Betrachtungen; wie die Betriebe selbst
in diesem Sinne wirken können und wirken, soll im
folgenden untersucht werden. Es ist das schöne Vorrecht
des Ingenieurs und des Unternehmers, daß er, wie kaum
ein anderer Beruf, mit dem schaffenden Mann am Schraub-
stock in unmittelbare enge Berührung kommt, mit ihm ge-
meinsam für dasselbe Ziel — wirtschaftliche Gütererzeu-
gung — arbeitet. Aus dieser engen Bindung erwächst gleich-
zeitig dem Ingenieur die Verpflichtung, das kostbarste
Gut, die menschliche Arbeitskraft, pfleglich zu behandeln,
die Verantwortung, Schäden und Gefahrenquellen zu be-
seitigen, die Aufgabe, mit den übrigen Werkangehörigen
gemeinsam an einer Steigerung der Sicherheit im Betriebe
zu arbeiten.

Maschinenschutz

Die nächstliegende Arbeit war und ist noch heute,
die Maschine unfallsicher zu gestalten. Wohl wird meist
die Gefahr, die hier lauert, überschätzt. Die Statistik

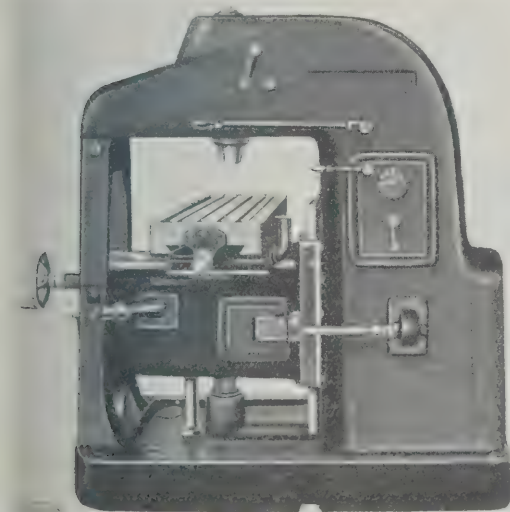


Abb. 5
Senkrechtfräsmaschine.

Antrieb und sämtliche Getriebe sind im Innern der Maschine
untergebracht.

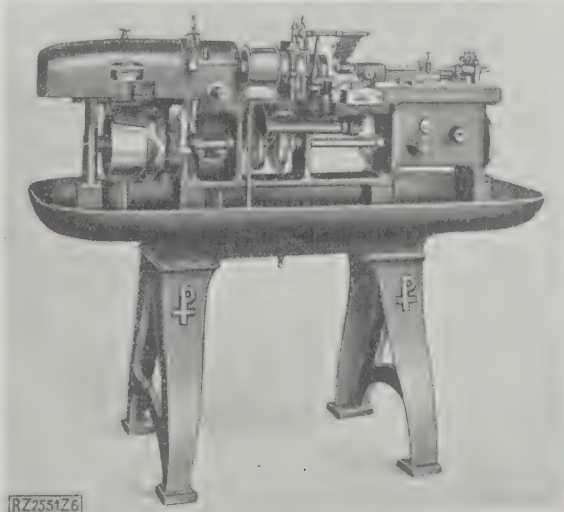


Abb. 6
Form- und Schraubenautomat.

Schutz der Übertragungen des Antriebs auf Schaltungen
und Werkzeuge.

lehrt, daß heute nur noch 25 vH aller Unfälle an Maschinen auftreten, und doch ist es wichtig, gerade bei diesen besonders umsichtig zu Werke zu gehen. Maschinenunfälle wirken begreiflicherweise stärker als alles andre auf die Seele des Arbeiters ein. Sie sind anderseits in den meisten Fällen durch Einbau guter Schutzvorrichtungen zu vermeiden. Die Arbeitsgemeinschaft für Unfallverhütung, vom Verein deutscher Maschinenbau-Anstalten, den Berufsgenossenschaften, Gewerbeaufsichtsbeamten, Gewerkschaften und Betriebsingenieuren gegründet, hat zunächst den Maschinenschutz aufgegriffen. Ein im Auftrage dieser Arbeitsgemeinschaft herausgegebenes Buch faßt alle wichtigen Unfallverhütungsvorschriften für den Bau von Maschinen und Apparaten zusammen¹⁾. Wichtig ist, daß auf die Hersteller der Maschinen eingewirkt wird, damit sie schon beim Entwurf auf die Sicherheit der Bedienung Rücksicht nehmen. Ein einwandfrei wirkender Schutz soll nicht nachträglich angebaut, sondern als ein wesentlicher Teil der Konstruktion neben dem Sachzweck vom Erbauer durchdacht und eingebaut werden. Angehängte Verkleidungen werden erfahrungsgemäß gar zu leicht vom Arbeiter abgenommen. Zu fordern ist namentlich auch, daß eine Schutzvorrichtung nicht bei der Arbeit behindert, sonst ist der Anreiz zum Entfernen dadurch schon gegeben. Gute Beispiele unfallsicherer neuzeitlicher Werkzeugmaschinen zeigen Abb. 3 bis 6.

Wer unsere deutschen Werke kennt, weiß, wie von allen im Betriebe Tätigen unablässig daran gearbeitet wird, die Sicherheit der Maschinen zu erhöhen. Ein besonders wohlgelungenes Beispiel einer solchen Verbesserung zeigt Abb. 7. Bekannt ist, daß Fingerverletzungen in Stanzereien recht häufig vorkommen. Im vorliegenden Fall²⁾ handelt es sich um das Stanzen von dünnen Blechen, die schon mit gestanzten Durchbrüchen versehen sind und in einem zweiten Arbeitsgang weiter gestanzt werden sollen. Da aus geldlichen Gründen Ersatz der stehenden

¹⁾ „Der Maschinenschutz“, herausgegeben vom Verein deutscher Maschinenbau-Anstalten, Berlin 1926.

²⁾ s. Ludwig, „Maschinenbau“ Bd. 6 (1927) S. 1125.

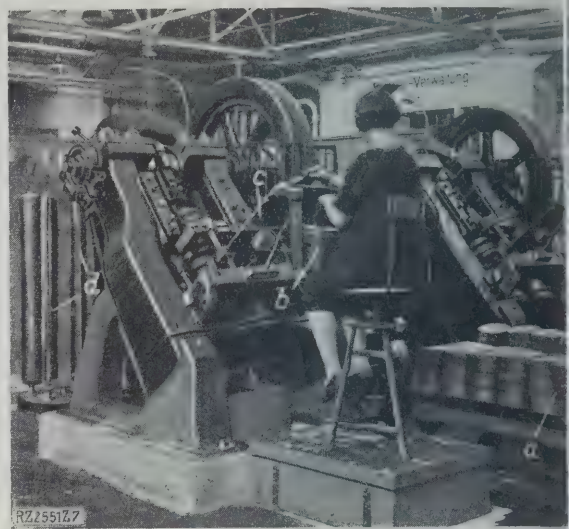


Abb. 7
Durch Aufsetzen auf schrägen Sockel und Vorbau in Rutsche unfallsicher gemachte Stanze.

Die auf Karren angefahrenen Bleche *a* werden der Arbeiterin handgerecht zugelegt (*b*), gleiten auf der Rutsche *c* zum Stempel und werden von dort zum Stapel *d* geführt.

Exzenterpressen durch schwenkbare nicht in Frage kommt, hat man die Pressen auf einen schrägen gußeisernen Unterbau gesetzt. Eine vorgebaute Rutsche *c* macht der Arbeiterin unmöglich, mit den Händen unter den Stempel zu kommen. Die Bleche werden einzeln oben auf die Rutsche gelegt, gleiten zum Stempel, der Abfall fällt unten durch, und das fertige Stück wird durch Abstreifen und Förderband über ein Zählwerk zum Stapel geführt. Diese Einrichtung bietet nicht nur wirksamsten Schutz, sondern gestattet gleichzeitig, Leistung und Verdienst der Arbeiterin zu erhöhen.

Ein so treffliches Beispiel, gedankliche Durchschauung zweier wichtige triebzwecke durch Änderung vorhandener Maschinen erreichen läßt

Unfallverhütungsvorschriften und -bilder

Sehr viel schwerer sichere Maschinen zu bauen ist es aber, Unfälle im Betriebe zu verhüten, ohne Einfluß von Maschinen entstehen. Aus den früher üblichen Zusammenstellung von Unfallursachen kann man nehmen, welcher solche Unfälle sind. Zahlentafel 1 ist gleichzeitig angegeben, in welchem Umfang bei einzelnen Berufsgenossenschaften einige der am besten verbreiteten Unfallursachen zu erstmalig Entschädigung geführt werden. Die hier mitgeteilten Zahlen³⁾ lassen erkennen, wie außerordentlich verschieden in den einzelnen Gewerben die vorherrschenden Unfallursachen sind. Man kann hier

Zahlentafel 1
Die häufigsten Unfallursachen in einigen gewerblichen Berufsgenossenschaften.
Erstmalig entschädigte Unfälle 1926 (Zahlen absolut und in Hundertteilen).

Betriebseinrichtungen und Vorgänge, bei denen sich die Unfälle ereigneten									Berufsgenossenschaften
Motoren, Transmissions- u. Fr.-maschinen	Zusammenbruch, Einsturz, Herabfallen von Gegenständen	Fall von Leitern, Treppen usw., in Vertiefungen, auf ebener Erde	Auf- u. Absteigen in d. Hand Heben, Tragen usw.	Führwerk (Überfahr-, Absurz- u. Karren all. Art)	Eisenbahnbetrieb (Überfahren usw.)	sonstige weitere Ursachen zusammen	Gesamtzahl		
402 3,9	3827 37	906 8,7	820 7,9	314 3	1970 19	2101 20,5	10 340 100	Knappschafts-B.-G.	
315 20,2	171 11	240 15,4	155 10	45 2,9	117 7,5	514 33	1 557 100	Hütten- und Walzwerks-B.-G.	
596 32,3	183 9,9	282 15,3	174 9,4	104 5,6	19 1	485 26,5	1 843 100	Maschinenbau- u. Klein-eisenindustrie-B.-G.	
290 23	144 11,5	158 12,4	195 15,4	41 3,2	39 3,1	400 31,4	1 267 100	Nordwestliche Eisen- und Stahl-B.-G.	
117 13,7	164 19,2	138 16,4	35 4,1	107 12,5	167 19,5	125 14,6	853 100	Ziegelei-B.-G.	
343 17,1	149 7,4	383 19,1	228 11,3	148 7,4	114 5,7	646 32	2 011 100	B.-G. der chemischen Industrie	
139 38,6	22 6,1	77 21,4	27 7,5	28 7,8	5 1,4	62 17,2	360 100	Norddeutsche Textil-B.-G.	
1047 49,5	189 8,9	302 14,3	174 8,2	115 5,4	10 0,5	276 13,2	2 113 100	Norddeutsche Holz-B.-G.	
68 7,1	180 18,8	297 31,1	87 9,1	57 6	35 3,7	231 24,2	955 100	Bayrische Baugewerks-B.-G.	
31 3,2	40 4,1	59 6,1	187 19,4	486 50,5	12 1,2	149 15,5	964 100	B.-G. für gewerbsmäßige Fahrzeughaltungen	
77 3,2	237 9,7	347 14,2	949 38,8	158 6,5	301 12,3	373 15,3	2 442 100	Tiefbau-B.-G.	

³⁾ Amtliche Nachrichten Reichsversicherung, Berlin



Abb. 8

Als ungeeignet beurteiltes Unfallverhütungsbild.



Abb. 9

Als günstig beurteiltes Unfallverhütungsbild.

ermessen, daß es nicht annähernd so leicht ist, Maßnahmen zu ergreifen gegen einen in so alltäglicher Gestalt drohenden Feind wie gegen die hinterhergehenden oder sich drehenden Teile einer Maschine. Jede Berufsgenossenschaft hat ihre Erfahrungen in der Zusammenstellung von Vorschriften verwertet. Sie enthalten alles Wissenswerte, haben aber wenig Wirkung, weil sie von denen, für die sie bestimmt sind, nicht gelesen werden.

Nach amerikanischem Muster hat die Unfallverhütungsgesellschaft m. b. H. beim Verband der deutschen Berufsgenossenschaften in den letzten Jahren bildliche Darstellungen von Unfällen geschaffen. Sie greifen einen Einzelfall heraus, schildern die Folgen von Unachtsamkeit und Verstoß gegen die Vorschriften, oder zeigen die Möglichkeit der Abwehr. Sicher ist, daß diese Art der seelischen Beeinflussung eher zu Erfolgen führt als die nüchterne Aufzählung von Maßregeln in den gedruckten Vorschriften. Allerdings ist allerdings, daß die Bilder, wenn sie nützen, in ständigem Wechsel und nicht in großen Mengen an einer Stelle aufgehängt werden, sonst erlahmt die Aufmerksamkeit sehr bald.

Um bei den vielfach sich widersprechenden Ansichten wenigstens einen Anhalt über die Bewährung der Unfallbilder zu gewinnen, hat die Arbeitsgemeinschaft deutscher Betriebsingenieure eine Rundfrage unter ihren Mitarbeitern in den verschiedensten Industriezweigen veranstaltet. Das Ergebnis war, daß zwar große Abweichungen in der Beurteilung einzelner Bilder bestehen, daß aber über einige Hauptfragen doch Übereinstimmung herrscht. Übereinstimmend wurden z. B. blutrünstige und hässliche Darstellungen abgelehnt. Sie sind inzwischen ausgemerzt worden. Abb. 8 und 9 zeigen zwei Bilder, von denen das erste überwiegend als ungeeignet, das zweite günstig beurteilt ist.

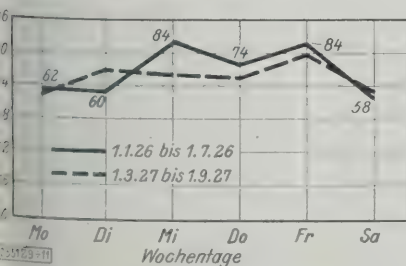


Abb. 10

Unfallhäufigkeit in Abhängigkeit vom Wochentag.

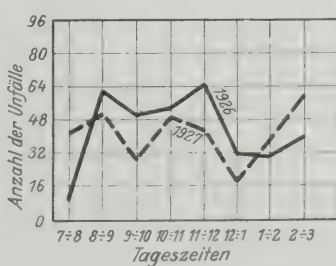


Abb. 11

Unfallhäufigkeit in Abhängigkeit von der Tageszeit.

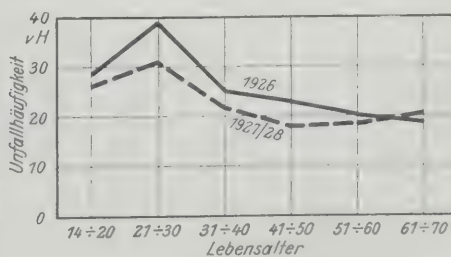


Abb. 12

Unfallhäufigkeit in Abhängigkeit vom Lebensalter.

aller Unfallzahlen recht beachtliche Ergebnisse zeitigt und wertvolle Schlüsse zuläßt. Der Betriebsmann muß wissen, bei welcher Art von Tätigkeit oder in welchen Werkabteilungen oder an welchen Maschinen und Einrichtungen erfahrungsgemäß die meisten Unfälle eintreten. Dort muß er zuerst Hand anlegen, wenn er die Sicherheit seines Betriebes bessern will. Er muß wissen, welche Folgen die Unfälle nach sich ziehen, und er wird dort zuerst eingreifen, wo die schwersten Unfälle auftreten. Es wird ihm weiter wertvoll sein, zu erfahren, an welchen Wochentagen, zu welchen Tageszeiten Unfälle sich häufen, welche Lebensalter besonders gefährdet erscheinen. Abb. 10 bis 12 bringen einige Beispiele solcher Untersuchungen, die bei der Firma A. Borsig, Tegel, durchgeführt worden sind. Sie sollen nicht ihrer Ergebnisse wegen wiedergegeben werden, die von besondern Umständen beeinflusst sein mögen; sie sollen nur zeigen, welche Feststellungen nützlich sein können, und sollen zu ähnlichen Arbeiten anregen. Bemerkenswert ist immerhin, daß z. B. unter den Wochentagen der Montag durchaus nicht, wie vielfach vermutet wird, besonders unfallschwer ist. Dieses Ergebnis deckt sich mit dem, was auch an andern Stellen ermittelt ist. Daß junge Leute im Lebensalter von 20 bis 30 Jahren stärker der Unfallgefahr ausgesetzt sind als ältere, wird niemanden überraschen. Sehr beachtlich ist aber wiederum, was Abb. 13 zeigt, daß nämlich nach den Ermittlungen von Bitter⁴⁾ im Stahlwerk Hoesch 45 vH aller Unfälle den Arbeitern zustoßen, die weniger als 60 Tage im Werke tätig sind. Dieses eine Ergebnis schon ist von großem Wert. Es gibt den Werken die Lehre, den Arbeiterwechsel mit allen verfügbaren Mitteln hinten zu halten, eine Forderung, die übrigens auch aus andern Grunde jeder vernünftige Betriebsmann stellen wird.

Mag man sich zur Statistik stellen wie man will, Unfallverhütung ohne Statistik kann nur in sehr beschränktem Maße zum Ziele führen. Jeder Leiter eines Werkes sollte sich bemühen, so schnell wie möglich, wenn auch in einfachster Form, sein eigenes Unfallmaterial zu verarbeiten. Nach welchen Regeln er hierbei vorgeht, ist zunächst gleichgültig. Kann er die bewährten Einrichtungen von Nachbarwerken als Vorbild verwenden, dann hat er den Vorteil, daß seine Zahlen nicht nur mit den eigenen Zahlen früherer Jahre, sondern gleichzeitig mit denen anderer Werke vergleichbar werden. Der große Wert von Betriebsvergleichen wird sich auch in der Unfallverhütung bald bemerkbar machen.

Belehrung und Zusammenarbeit

Wertvoller als alle andern Arbeiten ist ohne jeden Zweifel, wenn es gelingt, der ganzen Belegschaft des eigenen Betriebes den Geist gemeinsamer Verantwortlichkeit für die Sicherheit einzupflanzen. Vom Werkleiter bis zum jüngsten Lehrling müssen alle den festen Willen haben, nicht nur sich selbst zu schützen, sondern vor allem auch den Kameraden. Mit der Aufklärung und Erziehung zu dieser Gesinnung, die von wahren Menschentum geleitet werden muß, ist zu beginnen bei den jungen Menschen, die von der Schulbank her in den Betrieb kommen, um hier ihre Ausbildung für die Arbeit des Lebens zu empfangen; wenn verständige Lehrer und Meister ihnen das Verständnis dafür einzuhämmern vermögen, wie wertvoll ein Menschenleben ist und wie schnell es durch Unvorsichtigkeit oder Nachlässigkeit ausgelöscht sein kann, dann wird in der Zukunft die Sicherheit in unsern Betrieben besser sein als heute.

Neben der Anleitung der Jugendlichen muß verstärkte Sorgfalt auf das Anlernen der Neulinge verwandt werden, damit sie schnellstens im Betrieb heimisch werden, die Gefahren kennen und vermeiden lernen. Auch die älteren Arbeiter und die Meister werden von Zeit zu Zeit über die notwendigen Maßnahmen zur Unfallverhütung zu belehren sein. Heranziehung der Arbeiterschaft zur Mitwirkung, Bildung von Sicherheitsausschüssen, Beteiligung des Betriebsrates an den Untersuchungen sind Mittel zur Ausbreitung des richtigen Verständnisses. Alle im Werke müssen erkennen, daß es sich hier um eine Aufgabe handelt, wo es keinen Unterschied gibt zwischen Arbeitgeber

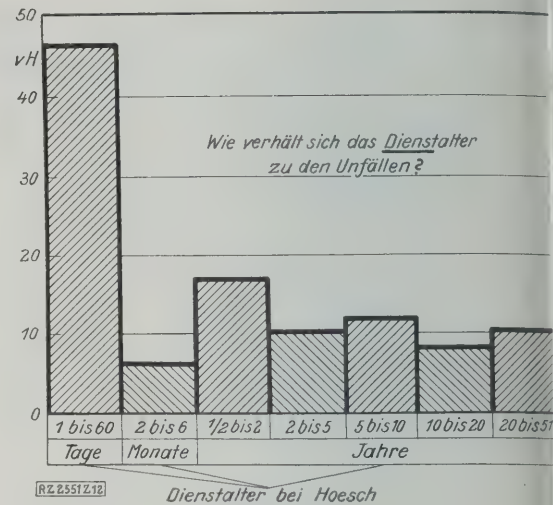


Abb. 13

Verhältnis des Dienstalters zur Zahl der Unfälle.

und Arbeitnehmer, zwischen Hand- und Kopfarbeiter, schen Kapital und Arbeit. Über allen Arbeiten, die Sicherheit im Betrieb gelten, steht das eine Wort: Zusammenarbeit!“ [B 255]

Über die Haltbarkeit von Thermoelementen im Betrieb

Um zu untersuchen, welche Art von Drähten (aus edlen Metallen oder Legierungen) sich am besten zu baren und alterungs- und korrosionsfreien Thermoelementen eignen, haben H. Lent und F. Kofler¹⁾ Chronindrähte mit folgenden Legierungen gepaart:

1. Chronin-Konstantan, 2. Chronin-V2A-Stahl,
3. Chronin-NCT 3, 4. Chronin-Cekas, 5. Chronin-Nickel.

Die Zusammensetzung der Drähte ist folgende:

	Ni	Cr	Mn
Chronin vH	83,7	14,7	—
Konstantan „	43	—	—
V2A „	8	15,7	—
NCT 3 „	17,5	37,6	0,48
Cekas „	59,7	11,2	2
Nickel „	98,9	—	—

Festgestellt wurde die Haltbarkeit dieser Thermoelemente in Kokereiflammgasen und in Gichtgas-Flammgasen bei der Schenkel- und geschützten den Gasen ausgesetzt waren, ergab sich, daß die Alterung (d. h. Nachlassen der Thermokraft) und die Zerstörung in Kokereigasen im allgemeinen schneller verlaufen als in den Abgasen aus der Verhüttung von Gichtgas. Als empfehlenswerte Zusammenstellung kann nach den vorliegenden Versuchen Chronin-Cekas gelten, die allerdings oberhalb 800 °C eine verhältnismäßig geringe Empfindlichkeit aufweist; hierbei ist beim Gichtgas in Gichtabgasen kein Altern festzustellen. Eine genügende Haltbarkeit zeigen sowohl in Kokereigasen als auch in Gichtgasen Chronin-Nickel-Elemente, die sich bis zur Temperatur von 1100 °C als brauchbar erwiesen.

Die Ursache für das verschiedene Verhalten in Kokereigasen oder auch Gichtgas-Feuergasen konnte trotz der gedehnten metallographischen Untersuchungen nicht eindeutig festgelegt werden. Der Grund für die Alterungserscheinung liegt jedoch nicht in einer Widerstandsänderung des geätzten Elementes.

Bei dieser Gelegenheit sei auf eine Arbeit von F. Schenkel und A. Schulze²⁾ hingewiesen, die in der Physikalisch-Technischen Reichsanstalt ausgeführt ist. Hier sind an einer großen Reihe von Thermoelementen aus unedlen Metallen Dauererhitzungen vorgenommen und die Änderung der Thermokraft bei verschiedenen Temperaturen beobachtet worden. Dabei haben sich Elemente, deren einer Schenkel aus Chronin (verschiedener Zusammensetzung) besteht, als Kohle-Nickel-Elemente gut bewährt. Die Empfindlichkeit sowohl wie die Thermokraft waren groß. Die Thermoelemente konnten teilweise bis 1000 °C und 1200 °C bei geringen Beanspruchungen benutzt werden.

Berlin [N 2623]

A. Schu

¹⁾ Vergl. Archiv f. d. Eisenhüttenw. Bd. 2 (1928/29) S. 178; und Eisen“ Bd. 48 (1928) S. 1473.
²⁾ Vergl. ETZ B. 41 (1920) S. 427.

⁴⁾ „Stahl und Eisen“ Bd. 48 (1928) S. 1193.

Staubexplosionen

Von Obering. R. LOCH, Berlin

Vorgetragen im Fachausschuß für Staubtechnik beim Verein deutscher Ingenieure
am 10. Oktober 1928

Beim Auftreten von Staubexplosionen wirken drei Dinge zusammen: der brennbare Staub, dann Luft, d. h. der darin enthaltene Sauerstoff, sowie irgendeine Kraft, die als Zündmittel wirkt. Die Verhütung läuft also darauf hinaus, eine dieser drei Ursachen zu vernichten oder ihr Entstehen zu verhindern. Mittel und Wege hierfür werden angegeben.

Schrifttum über Staubexplosionen war bis in die jüngste Zeit hinein außerordentlich spärlich. Erst letzten zwei bis drei Jahre haben zwei Sonderheften über diesen Gegenstand gebracht, das amerikanische Buch von Price und Brown und die Schrift von Beyersdorfer. Die Beyersdorfersche Schrift ist zwar sehr umfangreich als die von Price und Brown, sie ist sehr lehrreich und im Aufbau des Stoffes vorzüglich.

Alles, was vorher gewesen ist, liegt in den verschiedenen Fachschriften zerstreut und ist schwer auffindbar. Unter den älteren Arbeiten ragt eine hervor, die in die des ehemaligen Professors an der Techn. Hochschule Charlottenburg, Weber. Wenn von Staubexplosionen die Rede ist, wird man seine Arbeiten nicht umgehen können.

Vor etwa 50 Jahren wurden die Wesermühlene zu Hameln a. W. durch eine Staubexplosion bis in die Grundmauern zerstört. Der damalige Besitzer Wesermühlwerke veranlaßte Weber, Untersuchungen über Staubexplosionen anzustellen. Die Untersuchungen von Weber umfaßten die Staubarten organischen Ursprungs, die wir gemeinhin Mehl nennen, also die aus Gräsergewächsen Roggen, Weizen usw. stammenden. Er teilte nur

unteren Explosionsgrenzen für Luft-Staub-Gemische und war ein äußerst genauer Beobachter, denn seine Angaben sind heute noch gültig und neuere Untersuchungen haben sie voll bestätigt. Das ist um so verwunderlich, als Weber mit den einfachsten Mitteln arbeitete und es durchaus nicht leicht ist, homogene Luft-Staub-Gemische herzustellen, die für Versuchszwecke geeignet sind. Einige Ergebnisse der Untersuchungen von Weber seien hier wiedergegeben.

Er hat festgestellt, daß 23 g entzündbaren Weizenstaubes in 1 m³ Luft verteilt sein müssen, um ein explosionsfähiges Gemisch zu erzielen, dabei darf der Wassergehalt des Staubes 11 vH nicht übersteigen. Bei Gerstenmehlstaub liegen die Werte bei dem gleichen Wassergehalt, je nach der Beschaffenheit des Roggenes, zwischen 20 und 27 g. Gerstenstaub muß zu 1 m³ Luft vorhanden sein. Gerste in der Form von Körnern aber nur zu 20 g. Erbsenmehl zeigt mit 35 g den höchsten Bestandteil an Staub für die untere Explosionsgrenze. Der Wassergehalt darf bei Gersten-, Malz- und Erbsenstaub 9 vH nicht übersteigen.

Bei diesen Zahlen fällt der erhebliche Unterschied zwischen Gerstenstaub in Naturform und in Malzform bei gleichem Wassergehalt auf. Darauf werde ich später zurückkommen.

Was es aber bedeutet, Luft-Staub-Gemische mit Staub zu erzeugen wie die genannten zu haben, mag daraus hervorgehen, daß der allerdichteste Nebel höchstens einen Bruchteil der aufgeführten Gewichtsmengen an feinverteiltem Staub in 1 m³ Luft aufweist. Man kann daran erkennen, daß die Luft aussehen muß, die 20 bis 35 g/m³ Staub enthält, welcher Art trägt. Derartige Luft gibt es in den Räumen unserer Industrien nicht, aber innerhalb der Maschinen: der Mahl-, Sieb- und Mischmaschinen, Filter und Staubsammler, Rohrleitungen usw. der verschiedensten Industrien ist sie vorhanden.

Man muß allerdings davor warnen, alle diese Zahlen als unbedingt feststehend anzunehmen. Bei Luft-Gas-Gemischen, deren Explosionsvorgänge eine große Ähnlichkeit mit den Vorgängen bei Staubexplosionen haben, ist es bekannt, daß die Form des Versuchsgefäßes oder -raumes einen wesentlichen Einfluß auf die Explosionsgrenze ausübt. Ob auch diese merkwürdige Erscheinung auf Staubexplosionen zutrifft, ist bisher nicht nachgewiesen, dürfte jedoch bei der Ähnlichkeit der Explosionsvorgänge anzunehmen sein.

Weinmann hat festgestellt, daß die untere Explosionsgrenze für Zuckerstaub bei weniger als 72 g/m³ Luft liegt, die obere Grenze bei über 4,5 kg/m³. Außerdem stellte er für verschiedene Saarkohlen frischen Abbaues die untere Grenze bei 258 bis 344 g/m³ fest, dagegen sank die Gewichtsmenge auf 172 bis 215 g/m³ nach zwanzigtägiger Lagerung der Kohlen. Von anderer Seite werden diese Zahlen bestritten oder angezweifelt. Die Unterschiede verschiedener Untersuchungsergebnisse erklären sich wohl aus der Schwierigkeit, gleichartige Luft-Staub-Gemische für den Versuch herzustellen.

Versuche, die Bauer mit Aluminiumstaub unternommen hat, ergaben als untere Explosionsgrenze, wenn sich Luftgewicht und Staubgewicht wie 1:3 verhalten.

Für die oberen Explosionsgrenzen fehlen vollkommen sichere Zahlen, dort, wo das Gemisch durch Staubübersättigung wohl noch brennbar, aber nicht mehr explosibel ist.

Die Lücke versuchte Dr. Jaekel auf rechnerische Art auszufüllen, indem er der Überlegung stattgab, daß die obere Explosionsgrenze durch den beschränkten Sauerstoffgehalt eines Explosionsraumes bedingt ist und dieser bestimmte Sauerstoffvorrat auch nur der Verbrennung einer bestimmten Staubmenge dienen kann. Auf dieser Grundlage hat Dr. Jaekel allgemeingültige Formeln für die Berechnung des Grenzwertes entwickelt.

Jeder feste Stoff kann in die Staubform übergeführt werden. Staub kann ungewollt als lästiges Nebenerzeugnis bei Zerkleinerung fester Körper auftreten, er kann aber auch das gewollte Endergebnis einer Fertigung sein. In allen Fällen aber kennzeichnet die Feinheit der Teilchen den Staub. Die Staubteilchen haben eine im Vergleich zu ihrem Volumen große Oberfläche, und das Verhältnis der Oberfläche zum Volumen wächst mit der Feinheit der Teilchen. Durch immer weitere Zerkleinerung der Teilchen wird die Oberflächensumme der Teilchen stark gesteigert.

In dieser Vergrößerung der Oberfläche liegt aber eine wesentliche Ursache für die Explosionsfähigkeit und Empfindlichkeit eines Luft-Staub-Gemisches. Jede Oberfläche hat die Eigenschaft, das sie umgebende gasförmige Mittel zu absorbieren. Da nun die Gesamtheit der feineren Staubteilchen bei gleichem Gewicht eine größere Oberfläche darstellt als gröbere Teilchen, so wird auch eine größere Menge des den Staub umspülenden Gases adsorbiert. Die Aufnahme eines Gases von Stoffen, die adsorbieren können, hängt hauptsächlich von der Wesensart des Gases selbst ab. Für Staub kommt fast stets nur atmosphärische Luft in Betracht. Der Sauerstoff der Luft aber läßt sich eher verdichten als der Stickstoff; daher dürfte auch eine größere Menge Sauerstoff als Stickstoff von den Staubteilchen aufgenommen werden, wodurch die Explosionsfähigkeit erhöht wird.

Die Entzündungstemperatur des feineren Staubes liegt zum Teil niedriger als die des gröberen. Nach Stockmeier hat Aluminiumbronzepulver eine Entzündungstemperatur von 480 bis 490°, dagegen der feinere Staub aus Aluminiumschliff eine Entzündungstemperatur von nur 230°. Ganz allgemein kann also gesagt werden, daß

mit der Feinheit der Staubeilchen auch die Empfindlichkeit, also auch die Gefährlichkeit des Gemisches wächst.

In diesem Zusammenhang muß noch die mechanische Mischung des Staubes mit der Luft betrachtet werden, oder, anders gesagt, der Abstand der Staubeilchen voneinander ist von Bedeutung. Die dichteste Zusammenballung des Staubes ist vorhanden, wenn der Staub in Schichten oder Haufen lagert. In dieser mechanischen Lagerung der Staubeilchen zueinander ist eine Explosionsmöglichkeit nicht gegeben. Mit dem Wachsen des Teilchenabstandes wird der Staub lockerer, und langsam werden die Teilchen in die Luft schwebend übergehen. Es wird ein Punkt der Konzentration erreicht, bei dem Entflammung eintritt und eine Explosion erfolgt. Bei weiterer Vergrößerung des Teilchenabstandes wird schließlich die Entflammbarkeit aufhören. Nur innerhalb dieser beiden Grenzen sind also Explosionen möglich.

Bei gleicher Staubkonzentration, aber verschiedener Teilchengröße, ist der Teilchenbestand im Luft-Staub-Gemisch der Teilchenlänge verhältnismäßig. Das bedeutet aber, daß kleinere Teilchen auch kleineren Abstand von einander haben und daß sich die Entzündung von Teilchen zu Teilchen leichter fortpflanzt, d. h. wiederum: die Empfindlichkeit des Gemisches wächst. Wird bei gleicher Staubkonzentration, also gleicher Gewichtsmenge auf die Maßeinheit, der Teilchendurchmesser um das n -fache verringert, so steigt die Teilchenzahl in dritter Potenz, d. h. um n^3 . Also auch so gesehen wächst die Gefahr mit der Feinheit der Teilchen.

Zündmittel bei Explosionen

Mag aber ein Luft-Staub-Gemisch aussehen, wie es will, es kann nicht zur Entzündung kommen, wenn nicht ein geeignetes Zündmittel, ein sogenannter „Initialimpuls“ vorhanden ist. Dem Initialimpuls ist bei allen Explosionen eine außerordentliche Bedeutung beizumessen. Bei gewollten Explosionen unter Anwendung von Sprengmitteln liegen die Verhältnisse sogar so, daß man nicht ohne Grund gesagt hat, die Wirkung einer Explosion hänge mehr vom Zündmittel als vom Explosionsmittel ab. Auch sind die wirklichen Sprengmittel gegenüber den verschiedenen Zündmitteln verschieden empfindlich. Das gilt auch für Luft-Staub-Gemische, doch ist ihre größere oder kleinere Empfindlichkeit gegenüber den verschiedenen Zündmitteln nur wenig erforscht.

Wärme,

namentlich dann, wenn sie einer unmittelbaren Wärmequelle entspringt, ist stets ein wirksames Zündmittel. Die offene Flamme eines Streichholzes, das offene Licht, eine zerspringende elektrische Birne, alles das sind sichere Zündmittel, wenn sie auf ein Staubgemisch von explosibler Eigenschaft treffen. Diese Wärmequellen haben alle eine Temperatur von über 500 °C; die Entzündungstemperatur der meisten Staubarten liegt aber unter diesem Wert.

Eisenteile,

die bei Vermahlungen mit dem Mahlgut durch die Maschine gegangen und infolgedessen glühend geworden sind, sind nicht unbedingte Zündmittel. Es dürfte sogar richtig sein, zu sagen, daß kleine glühende Nägel und dergl. — von den Vermahlungsmaschinen zum Glühen gebracht — nur in den seltensten Fällen zünden. Sonst müßten Brände und kleine Explosionen innerhalb dieser Maschinen viel zahlreicher sein, denn kleine Eisenteile, wie Nägel und Schrauben, finden sich vielfach in jedem Mahlgut; es sind längst nicht überall Magnete den Mahlmaschinen vorgeschaltet, die für Entfernung der eisernen Beimengungen sorgen. Es scheint, daß die Aufnahmefähigkeit für Wärme bei kleineren, glühenden Eisenstückchen nicht groß genug ist, um die Zündung des lagernden Staubes und dann die Explosion des Luft-Staub-Gemisches hervorzurufen. Größere, glühende Metallstücke sind dagegen unbedingte Zündmittel.

Der mechanisch erzeugte Funken ist für manche Luft-Staub-Gemische kein Zündmittel. Es ist beispielsweise möglich, ganze Funkenbündel auf Schmirgelscheiben erzeugt, in ein explosionsfähiges Mehlstaubgemisch zu werfen, eine Zündung wird dadurch nicht erreicht.

Das Zündmittel aber, das für die Industrien, Produkte staubförmig sind oder die Staub weiterarbeiten, die größte Wichtigkeit erlangt hat, ist

die statische Elektrizität.

Sie ist in allen Betrieben als sogenannte Riemenelektrizität bekannt. Ist die umgebende Luft großem Feuchtigkeitsgehalt, dann findet ein unbrochener Übergang der elektrostatischen Ladung in die Atmosphäre statt. Ist jedoch die Luft trocken, so sich ganz gewaltige Spannungen. Es finden dann ununterbrochen Entladungen statt, die die Form Funken annehmen können. Bei Versuchen hat man Spannungen von 13 000 V künstliche Entladungen Riemens vorgenommen, die alle 20 s eine Funken von 2 bis 3 cm ergaben.

Die gleichen Erscheinungen wie bei Riementrifugen finden sich auch bei Förderbändern, Becherwerken und dergl. mehr. Bei allen diesen Triebwerken sind Riemen und Scheiben entgegengesetztpolig geladen. Riemenelektrizität ist eine dem Staub fremde Ladung, sie wird nur dann gefahrbringend, wenn der Riemen innerhalb der Maschine läuft, wie das z. B. bei Bechergurten der Becherwerke der Fall ist.

Aber daneben treten elektrostatische Spannungen innerhalb der Maschine auf, die ständige Gefahrenquelle darstellen. Läßt man durch nicht geerdetes Metallrohr nur wenige Kilogramm gemahlene Zuckers durchrieseln, so sind bald Spannungen von mehreren 1000 V meßbar. Derselbe Vorfall aber kann in jeder Maschine, die staubförmige Stoffe herstellt, verarbeitet oder weiterleitet, beobachtet werden. Bei feuchter Luft wird die erzeugte statische Elektrizität so schnell in den freien Luftraum übergehen, das Vorhandensein statischer Elektrizität gar nicht bemerkt wird.

Auch die Lage der Maschinen zur Erde wird in reichen Fällen eine stete Ableitung ohne besondere gebrachte Erdung ergeben. Steht aber die Maschine auf Isolatoren oder laufen Wellen in guter Ölschicht im Luftraum, so daß sie auch als isoliert gelten können, so wird die statische Elektrizität ansammeln, und die potentielle Energie wird stetig steigen bis zu dem Punkt, bei dem der Widerstand der umgebenden Luft gebrochen und die Entladung in Gestalt eines Funkens nach irgendeinem benachbarten nicht geladenen Körper hin vor sich geht. Die Funken können sich in schneller Folge wiederholen, wenn statische Elektrizität in genügender Menge erzeugt wird. Auf diese Weise wird die statische Elektrizität zum Zündmittel innerhalb der Maschinen, in denen explosive Luft-Staub-Gemische vorhanden sind. Zahlreiche Explosionen und Brände sind einwandfrei auf diese Zündungsursache zurückzuführen.

Aber nicht alle statische Elektrizität wird durch den Betrieb der Maschine erzeugt, sondern der Staub selbst ist Erzeuger. Jede Staubaufwirbelung, gleichgültig welcher Art der Staub ist, erzeugt statische Elektrizität auf den Staubeilchen und in der umgebenden Luft. Ob durch Entladung dieser dem Staub selbst anhängenden Elektrizität Zündungen erfolgen, ist nicht mit Sicherheit nachweisbar. *Beyersdorf* hält die Zündungsmöglichkeit für sehr wahrscheinlich. Die Amerikaner bejahen sie.

Aus eigener Erfahrung kann ich hierüber berichten. Eine Maschinenfabrik hat mich vor etwa ¼ Jahren ersucht, ihr ein Gutachten über eine Schwefelstaubexplosion zu erstatten. Es hatten sich in einer von der Firma gelieferten Schwefelmahlanlage in kurzer Zeit etwa 40 Explosionen und Brände ereignet, die in mehr oder minder großen Schaden angerichtet hatten. Die Mahlanlage bestand aus einer Schlagkreuzmühle, in der der Schwefel in Stückform zugeführt wurde. Der Schlagkreuzmühle förderte eine Förderschnecke gemahlene Schwefel zu einem Becherwerk, das Mahlgut auf einen runden *Bunge*-Plansichter hochführte. Das abgesackte Schwefelmehl wurde abgesackt, während die Übergänge durch eine zweite Schnecke zurück zur Schlagkreuzmühle gelangten, wo sie mit den Schwefelstücken zusammen wieder vermahlen wurden.

Offenes Feuer schied als Zündursache vollkommen da man jede Flamme ferngehalten hatte. Ferner es nicht wahrscheinlich, daß eine Zündung durch Teile, die in der Schlagkreuzmühle zur Glut geht worden waren, stattgefunden hätte; denn der An war ein starker Elektromagnet vorgeschaltet, der s mitkommende Eisenstückchen mit Sicherheit zu halten konnte. Ferner war die Anlage so aufgestellt, eine stetige Ableitung statischer Elektrizität von den Maschinen gewährleistet erschien. Nun ist Schwefel ein echter elektrischer Leiter, aber Schwefel wird durch ungemein heftig elektrisch erregt, so daß angenommen ist, daß durch das Vermahlen und die Weiterleitung die Schwefelteilchen stark mit Elektrizität aufgeladen worden waren, für die keinerlei Ableitung innerhalb der Maschinenanlage vorhanden war. Deshalb ist die Wahrscheinlichkeit vor, daß Entladungen aus der Staubwolke selbst heraus die Zündungen hervorgerufen haben. Da die Anlage zerstört war, konnte eine eingehende Untersuchung nicht vorgenommen werden.

Ich will das Kapitel über Zündmittel nicht schließen, weil die pyrophoren Kohlen erwähnt zu haben. z. B. Holz der Einwirkung einer dauernden Wärmequelle — Dampfheizung oder dergl. — ausgesetzt, so wird es nach und nach äußerst stark porös und ist im Grunde, sehr große Mengen Sauerstoff in sich aufzunehmend. Infolgedessen sinkt seine Entflammungstemperatur unter Umständen bis auf 140° herab, so daß ein Zündmittel eigener Art entstehen kann. Die vermehrte Aufnahme von Sauerstoff durch Wärmeeinwirkung ist auch bei anderen organischen Stoffen möglich. Hier liegt auch scheinend der Schlüssel zur Erklärung des Unterschiedes in der Staubkonzentration für die untere Explosionsgrenze zwischen Gerstenstaub als Naturerzeugnis und Gerstenstaub in der Form von Malz. Durch die Einwirkung der Wärme wird auf der Darre eine Vergrößerung der Poren und damit eine vermehrte Sauerstoffaufnahme geschaffen. Die Übersättigung an Sauerstoff hat dann eine leichtere Entflammbarkeit des Staubes und ein Luft-Staub-Gemisch von erhöhter Empfindlichkeit zur Folge.

Verhütung von Staubexplosionen

Nach den vorstehenden Ausführungen sind bei einem explosiven Vorgange wie bei jeder Verbrennung drei Dinge nötig, und zwar:

1. brennbarer Stoff, d. h. in unserem Falle Staub,
 2. Luft, d. h. Sauerstoff und
 3. ein Zündmittel, d. h. irgendeine Kraft, die als solches wirken kann, also elektrische oder Wärmeenergie.
- Als passende Zusammentreffen dieser drei Ursachen ergibt die Explosion. Fehlt eine Ursache, so ist eine Explosion eine Unmöglichkeit. Die Verhütung von Staubexplosionen läuft also darauf hinaus, einen dieser drei Faktoren zu vernichten oder seine Entstehung zu verhindern. Eine vollständige Vernichtung eines dieser Faktoren wird zwar nicht gelingen, man kann seine Wirkung aber vermindern, daß die Gefahr gebannt wird.

Fernhaltung des Staubes

Überall, wo staubförmige Stoffe hergestellt werden ist ein wirtschaftliches Erfordernis, keinen Staub in Verfall geraten zu lassen; ihn vielmehr restlos zu sammeln. In allen diesen Industrien sind auch deshalb meistens von Einrichtungen vorhanden, die zwar die Technologie der Fabrikation verlangt hat, die aber gleichzeitig die Sammlung größerer explosibler Luft-Staub-Gemische verhindern. So hat z. B. jede bessere Getreidemühle in ihren Teilen, einschließlich der Rohre und Fördermaschinen, eine Staubabsaugung. Ein ununterbrochener Luftstrom zieht durch alle Maschinen, der die feinen und feinsten Staubteilchen mitnimmt. Infolgedessen wird ein stetiges dieses feinsten Staubes in den Maschinen und Fördermitteln verhindert und die Gefahr auf ein Mindestmaß verringert. Der so abgesogene Staub wird zu einem Staubabsammler geführt. Als Staubabsammler finden sich heute einzeln noch sogenannte Staubkammern, die als explo-

sionsgefährlich gelten müssen. Sie beherbergen große Mengen lagernden Staubes und große Luftmengen. Die Gefahr einer Explosion ist dabei stets gegeben. Die Beseitigung der Staubkammern ist geboten; an ihre Stelle sollten Filter treten. Auch sie bieten keine vollkommene Sicherheit, sind aber den Kammern weit vorzuziehen. Filter trennen den Staub von der Luft und führen ihn aus dem Filter hinaus. Das Verhältnis Luftmenge zu Staubmenge wird ungünstig, wodurch die Möglichkeit einer Explosion vermindert wird.

Eine wirksamere Bekämpfung der Gefahr mittels Staubentfernung kann bei den Staubarten vorgenommen werden, die lösbar sind. Das ist z. B. bei Zuckerstaub der Fall. Bei Kohlenstaub hat sich das sogenannte Gesteinstaubverfahren insofern bewährt, als es eine auftretende Explosion im Weiterschreiten verhindert.

Der Kampf gegen den Staub ist von Wichtigkeit, aber er führt nicht restlos zum Ziel, es muß hinzutreten der

Kampf gegen das Zündmittel.

In erster Linie muß das offene Licht aus Staubräumen heraus, nur elektrisches Licht mit sicherer Leitungsanlage ist zulässig. Das Hineingeraten von metallenen Fremdkörpern (Nägel usw.) in die Maschine muß durch Vorschalten starker Magnete verhindert werden.

Von besonderer Wichtigkeit ist es, die statische Elektrizität als Zündmittel unwirksam zu machen. Es ist dabei verhältnismäßig leicht, die den Riemen, Wellen, Maschinen und Förderanlagen usw. eigene statische Elektrizität unschädlich zu machen. Zur Ableitung der Riemenelektrizität wird empfohlen, die Riemen mit Schleifkontakten zu versehen und zu erden. Oder es sollen in geringem Abstand vom Riemen und parallel zu ihm Kupferdrähte gezogen werden, die dann auch zu erden sind. Maschinen und Fördermittel sind zu erden, wenn ihre Aufstellung nicht sowieso schon Gewähr für stetige Ableitung bietet. Wellen, die isoliert liegen, oder durch die Ölschicht im Lager isoliert sind, sollen durch Schleifkontakte mit der Erde verbunden werden. Die amerikanischen Fachleute behaupten, daß durch diese und ähnliche Maßnahmen Feuer und Explosionen seit Jahren aus Betrieben verbannt sind, in denen früher diese Erscheinungen an der Tagesordnung gewesen sind.

Schwieriger ist es, die Elektrizität aus dem staubförmigen Erzeugnis selbst zu entfernen. Ein Teil wird durch Berührung mit geerdeten Maschinen im Verlauf der Fabrikation entzogen werden können. Aber die hauptsächlichste Gefahr liegt unmittelbar an der Zerkleinerungsstelle. Hier aber ist eine Ableitung meistens technisch nicht ausführbar. Könnte die Luft leitend gemacht werden, so wäre jede Gefahr beseitigt. Die Luft durch Befeuchtung leitend zu machen, ist bei fast allen Vermahlungen ein nicht gangbarer Weg. Wo es aber möglich ist, den Feuchtigkeitsgehalt der Luft verhältnismäßig hoch zu halten, sollte es auch geschehen, z. B. in der Textilindustrie.

Eine dritte Möglichkeit, Staubexplosionen zu verhüten, besteht in der

Fernhaltung des Sauerstoffes.

Die technischen Schwierigkeiten aber, die sich einer Entfernung oder einem Ausschluß der Luft in einem zusammenhängenden Maschinensatz entgegenstellen, sind außerordentlich groß. Eine vollständige Entfernung der Luft wäre allerdings nicht nötig, vielmehr würde eine Verringerung des Sauerstoffes um 50 bis 70 vH genügen, um eine Zündung zu verhindern.

Die Herstellung staubförmiger Waren in luftdichten Maschinen und unter inerten Gasen gäbe eine vollkommene Sicherheit, vorausgesetzt, daß das Erzeugnis nicht selbst Sauerstoff enthält. Aber auch hier besteht die Schwierigkeit der Dichthaltung.

Zum Schluß sei noch erwähnt, daß es mechanische Mittel gibt, die zwar keine Verhütung bedeuten, aber das Weiterschreiten einer Explosion wirksam bekämpfen. Die hauptsächlichsten Mittel dieser Art sind Siebe, die in Rohrleitungen eingebaut werden, und Klappen, die sich unter dem Druck der Explosionswelle öffnen und die Welle ins Freie leiten. [B 2191]

Das Unterpatent

Von Obering. R. Lüssenhop, Magdeburg

Ein Patent hat eine rechtliche, eine technische und eine volkswirtschaftliche Seite. In den mehr als 50 Jahren, die in Deutschland seit dem Erlaß des Patentgesetzes vergangen sind, haben die rechtliche und die technische Seite des Patentes feste Formen erlangt. Dagegen hat man sich mit der wirtschaftlichen Seite des Patentes und mit der Wirtschaftlichkeit des Patentwesens, d. h. mit der Frage, wie die Patente wirtschaftlich oder volkswirtschaftlich gewirkt haben, weniger befaßt. Daß eine Anzahl Patente eine große Rolle im Wirtschaftsleben und im Wirtschaftskampfe gespielt haben und noch heute spielen, ist bekannt. Über den Wert der Patente in ihrer Gesamtheit kann man sich an der Hand der Statistiken einen gewissen Aufschluß verschaffen.

Die Statistik über die Lebensdauer der Patente¹⁾ zeigt, daß im Durchschnitt der Jahre 1891 bis 1923 zu Beginn des 2. Patentjahres rd. 13 vH, zu Beginn des 3. Patentjahres rd. 34 vH und zu Beginn des 4. Patentjahres rd. 48 vH der Patente gelöscht, also fallen gelassen wurden.

Diese Zahlen beweisen, daß nach dem kurzen Lauf von drei Jahren im Mittel fast jedes zweite Patent verfällt. Rechnet man die Zeit von der Anmeldung bis zur Bekanntmachung oder Erteilung des Patentes, im Mittel ein bis zwei Jahre, ab, so bleiben als wirksame Dauer fast der Hälfte der erteilten Patente nur ein bis zwei Jahre, während die mögliche Laufzeit 15 bis 18 Jahre und bei kriegsverlängerten Patenten 23 Jahre betragen würde.

Vom Standpunkt der Volkswirtschaft aus sind somit für diese vorzeitig verfallenen Patente unnütze Arbeit und Kosten aufgewendet worden. Die Hälfte der Arbeit, die das Patentamt auf die Prüfung der Anmeldungen verwendet, ist für den Papierkorb bestimmt, da die Zahl der Patente, die während der ganzen Schutzdauer aufrecht erhalten werden, verschwindend klein ist, gegenüber den Patenten, die vor Ablauf der Schutzdauer erlöschen. Die Kommission des Deutschen Vereins für den Schutz des gewerblichen Eigentums hat schon anlässlich des Kongresses für den gewerblichen Rechtsschutz 1900 in Frankfurt a. M. erklärt:

„Die Durchschnittsdauer eines Patentes beträgt hier nach 4,9 Jahre (von 1877 bis 1898). Sicherlich sind an dem schnellen Verfall zum Teil die hohen Jahresgebühren schuld, zum größeren Teil aber unzweifelhaft die Tatsache, daß die Erfindungen sich in der Praxis nicht bewähren.

Hieraus aber folgt, daß die enorme, auf die Prüfung der Anmeldungen verwendete Arbeit zum überwiegenden Teil vergeblich ist. Weder die Erfinder noch das Publikum haben Interesse an den Irrwegen des Erfindungsgeistes, den überlasteten Beamten aber erwächst aus den stets wiederkehrenden Beobachtungen des schnellen Verfalles der Patente das niederdrückende Gefühl, daß sie immer und immer wieder unter Aufopferung ihrer Gesundheit für den Papierkorb arbeiten.“

Seit 1900 ist es in dieser Hinsicht nicht besser, sondern noch schlechter geworden. Auch das Ansehen der Reichsbehörde und der erteilten Patente wird dadurch nicht gefördert. Man kann nicht allgemein vom Wert der Patente sprechen, wenn sie nach so kurzer Zeit wertlos werden.

Volkswirtschaftlich ist es daher, diese kurzlebigen Patente in einen anderen Kanal zu leiten. Dieser Kanal soll die Erteilung von „Unterpatenten“ sein. Einen ähnlichen Vorschlag hat schon v. Hejner-Altenack mit dem „Freipatent“ gemacht²⁾. Es sollte eine Art Anmeldepateat gegenüber dem Prüfungspatent bedeuten. Dieser Vorschlag wurde abgelehnt „wegen der in bestimmten Kreisen verbreiteten Abneigung gegen Erleichterung in der Patenterlangung“.

Das jetzt vorgeschlagene Unterpatent soll, wie sein Name besagt, unter dem Patent stehen. Es soll, abgesehen von Förmlichkeiten, nicht geprüft werden und kann, genau wie ein Freipatent, jederzeit zu einem (wirklichen) Patent werden. Dagegen soll das Unterpatent kein positives oder negatives Recht bedeuten, sondern nur die Unterlage für ein etwa später zu erlangendes Patent bilden mit dem Hauptmerkmal, daß es die Priorität oder den Anmeldetag sichert.

Das Unterpatent soll also die amtliche Bescheinigung für die Niederlegung einer möglichen Erfindung sein, die den Anmelder berechtigt, ein Patent zu erlangen. Solange das Patent nicht erteilt ist, ist es für die Allgemeinheit praktisch nicht vorhanden. Damit ist dem berechtigten Einwand der Industrie entsprochen, die nicht mit ungeprüften Schutzrechten, z. B. Gebrauchsmustern, überschwemmt werden will.

Um dem einzigen möglichen Nachteil des Unterpatentes — seiner Priorität — den Stachel für die Industrie nehmen, könnte man bestimmen, daß, wer seit der Anmeldung des Unterpatentes drei Jahre lang die gleiche Erfindung ausgeführt hat, ohne vom Inhaber auf sein Unterpatent hingewiesen worden zu sein, das kostenlose Mitbenutzungsrecht an der Erfindung haben soll; denn es ist stets verdienstlich, einer Erfindung zum Leben verholfen zu haben. Auch könnten Dritte verlangen dürfen, daß die Erfindung ein Unterpatent beim Patentamt auf Kosten des Inhabers geprüft werde. Käme der Inhaber des Unterpatentes die Begehren nicht nach, so könnte das Unterpatent gelöscht werden. Das wäre gleichzeitig eine Art von Hemmung, zu leichtfertige Anmeldungen von Unterpatenten: Entweder Verfall oder Nutzung, d. h. wirtschaftlicher Wert.

Die Vorteile des Unterpatentes wären:

1. Für fast die Hälfte der heute angemeldeten Erfindungen besteht kein Bedürfnis, eine so große Prüfungsarbeit aufzuwenden, wie für Patente heute vorgesehen ist. Erfindungen werden nur angemeldet, um einen wirtschaftlichen Nutzen daraus zu erzielen. Stellt sich dieser nicht bald ein, so läßt man sie fallen. Für diese „Probe aufs Exempel“ genügt das Unterpatent; dem Inhaber geht dadurch eine gewisse Schutzdauer verloren.

Allerdings läßt sich eine geprüfte Erfindung wahrscheinlich leichter verwerten. Die Praxis der Verwertung von Erfindungen hat aber bewiesen, daß für die ersten Schritte zur Verwertung der Nachweis der Anmeldung vielfach genügt; denn diese ersten Schritte ins praktische Leben entscheiden meist schon über das weitere Schicksal der Erfindung. Selbst die Industrie würde von Unterpatenten Gebrauch machen; denn viele Industriepatente werden nur angemeldet, um gewisse Wege zu sperren, aber nicht, um unmittelbar auszubeuten. Niedrige Anmelde- und Jahresgebühren wären ein Vorteil des Unterpatentes und würden seine Einführung fördern.

2. Durch die Einführung des Unterpatentes würde man unter den Erfindungen die Spreu vom Weizen trennen und den Wert der Patente steigern. Duisberg sagte schon 1900: „Wir zählen die Patente nicht, wir wägen sie, und was uns gesagt wird, daß in andern Ländern drei- bis viermal mehr Patente als bei uns erteilt werden, so kann uns das nicht überzeugen“. Das Monopolrecht aus dem Patent verdienen auch nur Erfindungen, die in Wahrheit Leistungen sind. Unter dem Schutz des Unterpatents kann sich eine Erfindung auch immer noch zum Patent entwickeln.

3. Der bekannte Mangel an Vorprüfern beim Reichspatentamt würde aufhören; vielleicht würde sogar ein Teil von den vorhandenen frei werden für bedeutungsvolle neue Aufgaben des Reichspatentamts, insbesondere die, das wissenschaftlich-technische Schrifttum für die Allgemeinheit nutzbar zu machen.

4. Die lange Dauer der Prüfung der Patente, die bekanntlich zu großen Klagen geführt hat, fiel fort; zu dem Vorteil aller Beteiligten würde über eine zum Patent angemeldete Erfindung in kurzer Zeit Klarheit geschaffen. Das Patent dem Fortschritt dienen oder diesen bringen sollte, ist seine baldige Bekanntgabe für alle wichtig.

5. Die „Erfindungsfreudigkeit“ würde das Unterpatent sogar fördern; denn das Unterpatent erhält der Anmelder sofort — praktisch müßte er es in drei Monaten erlangen können — und was er darin offenbart, bleibt ihm geschützt. Verspricht die Erfindung einen praktischen Erfolg, das ist es noch Zeit, das Patent nachzusuchen.

Die Zahl der Gebrauchsmuster, also der ungeprüften Schutzrechte, würde vielleicht abnehmen, weil der Erfindung das Unterpatent vorzuziehen. Dieses ist für die Industrie ganz unschädlich. Mancher Erfinder würde vielleicht das Unterpatent schon seiner Bezeichnung wegen dem Gebrauchsmuster vorziehen. Er hätte dabei die Aussicht, daß sein Schutz etwas „Großes“ werden könnte, was einem Gebrauchsmuster ausgeschlossen wäre. Diese Aussicht — Illusion — ist gerade das Verlockende und Triebfeder des Erfindens und der möglichen Erfindung.

6. Von jedem Unterpatent würde eine Beschreibung gedruckt werden. Schon diese könnte ein Grund sein, ein Unterpatent anzumelden. Der Staat könnte sich daraus eine Einnahmequelle schaffen.

7. Endlich können Unterpatente Anregungen für Dr. bilden und insofern könnte auch die Industrie Vorteile davon haben. Mißverständnisse oder Täuschungen durch Unterpatente dürften nach kurzer Zeit vermieden werden, wenn man vorschreibt, daß in Ankündigungen und dem das Wort „Unterpatent“ nicht abgekürzt werden darf.

¹⁾ Blatt für Patent-, Muster- und Zeichenwesen, Bd. 33 (1927) S. 67.

²⁾ Gewerblicher Rechtsschutz und Urheberrecht Bd. 7 (1902) S. 118.

s der neueren Entwicklung der Fördertechnik

Von Oberbaurat Dipl.-Ing. C. MICHENFELDER, Akademiedirektor, Wismar

Die Entwicklung der Ausfuhr von Fördermitteln in der letzten Zeit. — Größtausführungen von Kranen und Verladebrücken. — Die neuesten Abraumförderbrücken. — Auf einem Speicherdach fahrende Verladebrücken. — Spannweitenentwicklung bei Seilschwebbahnen. Verminderung der Tragselbeanspruchung durch die Kuppelvorrichtung „Zenith“. — Gummi-gefüllte Laufrollen und mehrgeschossige Kabinen bei Drahtseilbahnen. — Kabelkrane in Lauf- und Bockkranform; Raupenfahrwerke. — Verbreitung und bauliche Entwicklung von Einziehkränen. — Krane mit Kletterkatzen. — Boot- und Speicherkrane. — Elektrokarren mit hydraulischer Hebeeinrichtung. — Hydraulische Aschenförderung. — Aufzüge mit Treibscheiben- und mit Feineinstellungsbetrieb. — Fahrtreppen. — Fahrbarer Gichtaufzug. — Stapler mit Umlaufbetrieb. — Fördertechnische Hilfsmittel für Fließfertigung.

Die nachstehenden Betrachtungen wollen einige Fortschritte der Fördertechnik in der letzten Zeit, insbesondere der deutschen, hinsichtlich ihrer äußeren und inneren Entwicklung kurz behandeln, wobei die äußere Entwicklung gekennzeichnet ist vor allem durch die Veränderung der Abmessungen, der Leistungen oder auch des Anwendungsgebietes an sich bekannter Fördermittel, die innere durch bauliche Neugestaltungen.

Die beträchtliche Zunahme der Ausfuhr deutscher Krane, Aufzüge und sonstiger Fördermittel¹⁾ von 15 880 t Gewicht und 19 401 000 RM Wert i. J. 1925, 18 t und 24 104 000 RM i. J. 1926 auf 29 334 t und 64 000 RM i. J. 1927, also fast eine Verdoppelung in drei Jahren²⁾ — läßt mit Genugtuung erkennen, daß der Ruf deutscher Fördertechnik den durch den Krieg verlorenen Weltmarkt sich wiedererobern beginnt.

Eine ansteigende Entwicklung hat die Fördertechnik allerdings auch durch die Schaffung von

Größtausführungen

erfahren können.

Nachdem schon bald nach Kriegsende ein Hammer von 350 t Tragkraft (gebaut von der amerikanischen Mc Myler-Interstate Co.) im Marinearsenal zu Philadelphia errichtet, ein Schwimmkran gleicher Tragfähig-

keit (gebaut von der englischen Firma Cowans, Sheldon & Co.) für Japan geliefert worden war und, Ende 1923, ein für die französische Marine nach Gâvres gelieferter fahrbarer Bockkran (erbaut von den französischen Etablissements Daydé) erstmalig sogar die ungeheure Nutztragkraft von 400 t — 480 t Probetragfähigkeit — erreicht hatte³⁾, ist ihm inzwischen ein gleich hubkräftiger Schwimmkran verladebrückenähnlicher Bauart und deutscher Herkunft (Demag) für den italienischen Hafen Bari gefolgt⁴⁾.

Auch sind in der Zwischenzeit die beiden riesigen Verladebrücken,

die die Demag für Rotterdam-Vlaardingen schon seit längerem in Auftrag hatte, in Betrieb genommen worden; sie haben dabei mit Hilfe ihrer 16-t-Greifer und einer Katzfahrtgeschwindigkeit von 6 m/s die gewährleistete Leistung von je 550 t/h noch erheblich überschritten. Gleichfalls für den Erbumschlag im Rotterdamer Hafen hat die MAN vor kurzem drei Verladebrücken, grundsätzlich gleicher Bauart wie die für Vlaardingen, geliefert, von denen jede sogar 800 t/h leistete.

Eine besondere Größenentwicklung haben die Abraumförderbrücken⁵⁾

genommen, und zwar an Ausdehnung in gleichem Maße wie an Leistung. Während noch vor kaum drei Jahren — kurz nachdem die Erstauführung (Bleichert) für Bubendorf mit 110 m größter Spannweite und 325 m³/h Leistung entstanden war — die Plessaer Brücke (ATG)

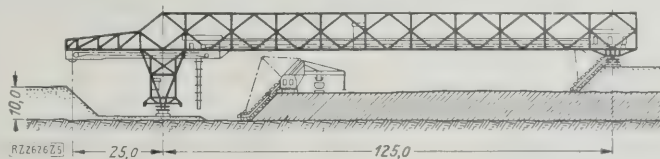
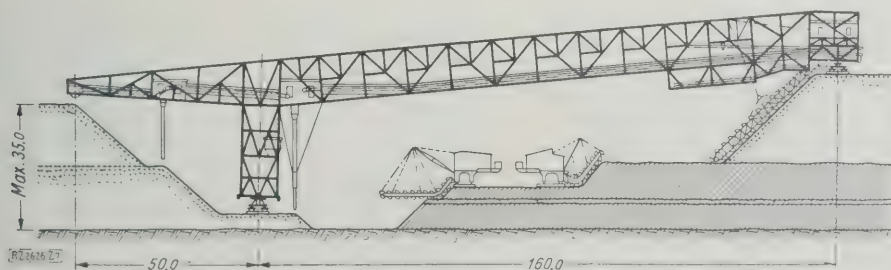
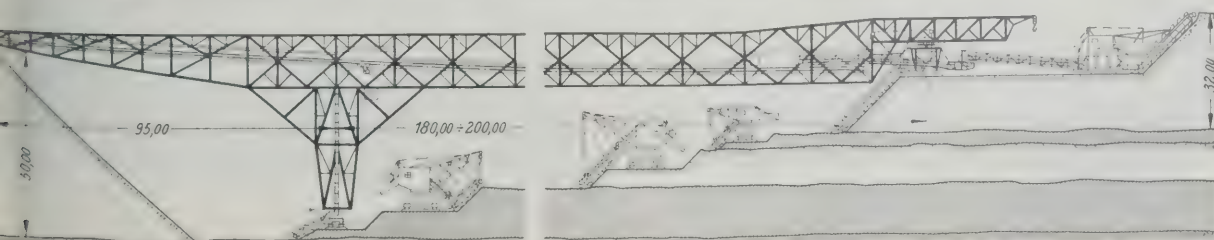
¹⁾ s. „Le Génie Civil“ Bd. 90 (1927) S. 569.

²⁾ Z. Bd. 71 (1927) S. 1613.

³⁾ Vergl. auch Z. Bd. 71 (1927) S. 341.

Abb. 1 bis 3

u- und Größenentwicklung von Abraumförderbrücken. Die drei Brücken sind im gleichen Maßstab gezeichnet.

Abb. 1 (links)
Grube „Agnes“,
Plessa, N.-L.Abb. 2 (links)
„Prinzessin Victoria“,
Neurath (Rheinland).Abb. 3 (unten)
Grube „Böhlen“ der
A.-G. Sächsische
Werke.

mit 128,5 m größter Spannweite und 400 m³/h Leistung eine vielbestaunte Größtausführung darstellte, ist sie darin heute schon mehrfach und sehr erheblich übertroffen worden. Besonders stellen die von der ATG inzwischen gebauten Abraumförderbrücken für die Gruben Neurath, Werminghoff und Böhlen sehr wesentliche Fortschritte dar. (Die Inbetriebnahme der beiden letztgenannten Brücken mit 1500 und 1950 m³/h Leistung ist im Herbst d. J. zu erwarten.)

In bezug auf die Spannweite stellt die Böhleener Förderbrücke mit 200 m, wozu noch eine Ausladung von 95 m kommt, m. W. jetzt die Größtausführung aller Verladebrücken dar; sie wird die bisher größte, amerikanische Verladebrücke (Erbauer: Heyl & Patterson in Pittsburg) mit 165 m Spannweite, die, mit einer 12-t-Greiferkatze ausgerüstet, dem Kohlenumschlag in Superior, Wisc., dient⁶⁾, also noch weit übertreffen.

Abb. 1 und 2 veranschaulichen die Unterschiede zwischen der Plessaer und der Neurather Brücke, während Abb. 3 mit einer Skizze der neuen für die Grube Böhlen gebauten Brücke den jüngsten Fortschritt auf diesem Gebiet sinnfällig vor Augen führt.

Wie stark bei den entsprechend vermehrten Eigengewichten solcher Riesengebilde — bei Bubendorf noch kaum 200 t, bei Plessa bereits rd. 600 t, bei Neurath schon mehr als 1100 t und bei Böhlen gar rd. 2000 t — jede Konstruktions- oder Werkstoffverbesserung sich auswirkt, geht z. B. daraus hervor, daß bei der Neurather Brücke allein die durch erstmalige Verwendung des hochwertigen Baustahles St 48 erzielte Gewichtsersparnis rd. 120 t, d. i. etwa 15 vH des Gewichtes der Eisenkonstruktion, ausmacht, während bei der Brücke „Böhlen“ die durch Verwendung von Si-Stahl gegenüber St 37 erzielte Gewichtsersparnis sogar auf 350 bis 400 t zu schätzen ist^{6a)}.

Verladebrücken weisen in der jüngsten Zeit bei uns eine bemerkenswerte Entwicklung noch insofern auf, als ihre Fahrbahn vom Flur auf das Gebäudedach verlegt worden ist. Auf diese Weise hat man sich im Stettiner Hafenfreibezirk die Vorteile des Verladebrückensystems

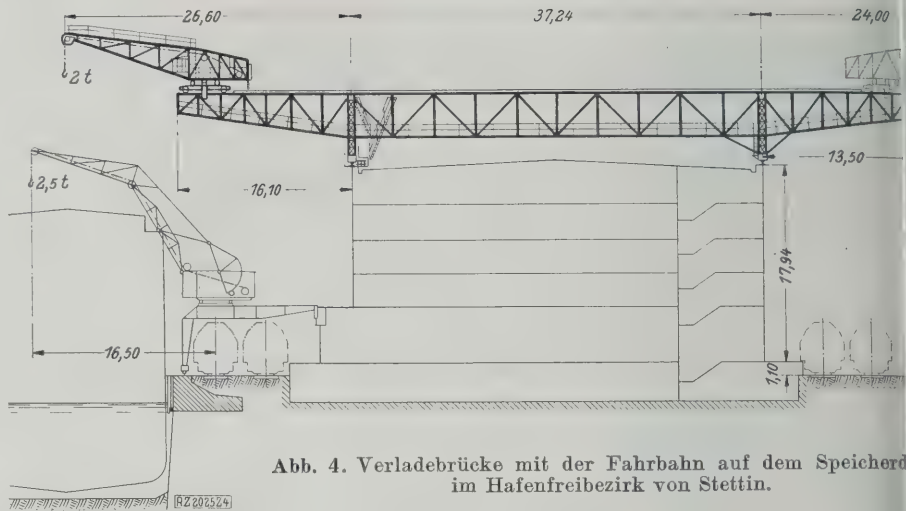


Abb. 4. Verladebrücke mit der Fahrbahn auf dem Speicherdach im Hafenfreibezirk von Stettin.

— ähnlich wie es mit einfachen Auslegerkranen bei „Dachkranen“ ja schon wiederholt, namentlich an den engsten englischen Hafenkais, durchgeführt ist — a dort zu nutze gemacht, wo die Bodenfläche durch andere Baulichkeiten, die von der Brücke aber nicht mehr beansprucht werden können, in Anspruch genommen ist. Die allgemeine Anordnung und die Hauptabmessungen gegenwärtig im Bau begriffenen Anlage gehen aus Abb. 4 hervor. Die drei Dachbrücken werden hier wasseitig dem Umschlag vom Schiff zum Speicher und wasseitig dem vom Speicher zu den Wagen dienen⁷⁾.

Die Spannweitengröße hat auch bei den

Seilschwebbahnen,

bei denen sie ja, mehr noch als bei den Verladebrücken eine wesentliche, oft ausschlaggebende Eigenheit bilden. In der letzten Zeit eine weitere Entwicklung erfahren. So ist im Jahre 1926 von der Cia. Minera Disputada de Condes, Santiago de Chile, eine Drahtseilbahn, Bau Bleichert, in Betrieb genommen worden, die auf mehreren freien Überspannungen von über 1000 m breiten Schluchten, eine größte Spannweite von 1655 m, in Wagerechten gemessen, aufweist. Damit ist auf dem Gebiete der schon bisher ungemein weit gespannten Drahtseilbahnen — von neueren z. B. die Zugspitzenbahn 1006 m, Oropabahn mit 1108 m und Haflingbahn sogar 1467 m — eine neue Höchstleistung geschaffen.

Die Frage der Spannweiten bei Drahtseilbahnen steht mit der der Tragseilbeanspruchung in engem Zusammenhang, und diese wieder kann wesentlich

⁷⁾ Die Anlage wird demnächst in dieser Zeitschrift ausführlich beschrieben werden.

⁶⁾ Vergl. „Werft, Reederei, Hafen“, Bd. 8 (1927) S. 252.
^{6a)} Hiervon entfällt ein erheblicher Teil auch auf die Fahrwerke, die entsprechend dem leichteren Gewicht der Brückenkonstruktion auch wesentlich leichter ausgeführt werden können.



Abb. 5

Seilbahn mit Kuppelvorrichtung älterer Bauart.



Abb. 6

Bleichertscher Zugseilkuppler neuerer Bauart.

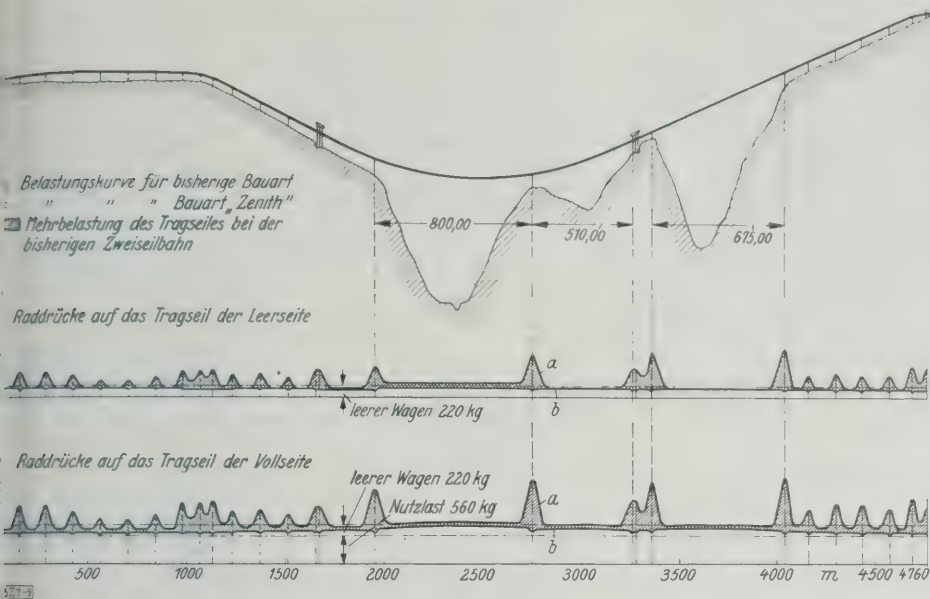


Abb. 7 bis 9
Vergleichende Darstellung der Tragseilbelastungen bei der bisherigen Zweiseilbahn und der Seilbahn „Zenith“.

ußt werden durch die Behandlung oder Führung Zugseile. Auch nach dieser Richtung sind in neuerer erhebliche Vervollkommnungen geschaffen worden. Bleichertsche Seilbahn-Kuppelapparat „Zenith“ schaltete zusätzliche Beanspruchung der Tragseile von Seilbahnen, die von der Zugseilrückwirkung an den Seilüberhängen herrührt, dadurch aus, daß das Zugseil an den Stützen in Höhe der Tragseile über Rollen geführt wird. Abb. 5 und 6 lassen diese Verhältnisse bei der Seilbahn mit Kuppelapparaten älterer und neuerer Art erkennen. Hierdurch wird die vom Gewicht und der Spannung des Zugseils beeinflusste Rückwirkung nicht mehr von den Tragseilen über die Wagenlaufwerke, sondern unmittelbar von den Stützen selbst aufgenommen. Mit nun beim Übergang eines Wagens über die Stütze das Zugseil von der Führungsrolle nicht abgehoben und dadurch die angestrebte Wirkung aufgehoben wird, ist die Klemme lotrecht verschieblich im Kuppler gelagert, daß die wechselnden Höhenunterschiede zwischen Zug- und Tragseillage ausgeglichen werden. Die Folge mit dieser neuen Anordnung erreichten geringeren

nügt nunmehr ein solches von 30,8 mm Dmr. und 4,80 kg/m Eigengewicht, auf der Seite der leeren Wagen an Stelle eines 30,8 mm dicken Seiles ein solches von 21 mm Dicke und 2,25 kg/m Eigengewicht.

Im Gegensatz zur Disputada-Bahn mit 24 100 m Gesamtlänge⁸⁾, die über Höhen von mehr als 3000 m in den Kordilleren Chiles Güter befördert, sind die weitgespannten Bahnen auf die Zugspitze, von Oropa in der Provinz Turin und nach Hafiling bei Meran dem neueren System Bleichert-Zuegg für Personenbeförderung⁹⁾ angepaßt.

Besondere Bestrebungen im Seilbahnbau erstreckten sich auf Vergrößerung vor allem der Lebensdauer und

⁸⁾ Auch hierin mit nur wenigen noch längeren Seilschwebbahnen an der Spitze marschierend: z. B. der argentinischen Kordillerenbahn mit rd. 34 km, der Siebenrichterbahn mit etwa 25 km und der chinesischen Tolibahn mit gleichfalls rd. 24 km. Die leichten Einseilbahnen sind allerdings mit z. T. noch wesentlich größeren Längen ausgeführt worden: So ist in Kolumbien bei Mariquita vor wenigen Jahren für den Kaffeetransport eine solche Bahn mit einer Gesamtlänge von nahezu 74 km fertiggestellt worden; eine zweite gleichartige Bahn ist dort bei Villeta von annähernd der gleichen Länge z. Z. im Bau und eine dritte bei Gamarra am Magdalenafluß soll jetzt auf die Länge von sogar 170 km fortgeführt werden; vergl. VDI-Nachr. 1928 Nr. 39. ⁹⁾ Z. Bd. 70 (1926) S. 1755.

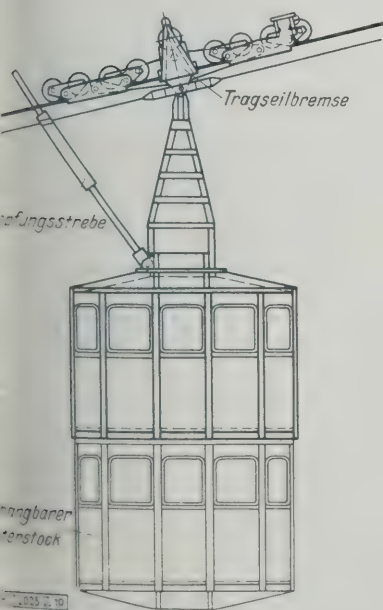


Abb. 10 (links)
Mehrgeschossige Kabine
neuester Bauart.

Abb. 11 (rechts)
Drahtseilbahngondel
der Haflingbahn, die noch
vor sechs Jahren dem Per-
sonenverkehr diente.



Betriebsicherheit sowie der Leistung solcher Bahnen. Die Lebensdauer wird erhöht durch eine weitere Verringerung der Tragseilabnutzung, die bei diesem System ja ohnehin schon durch die besonders spannungsstarke Seilauflegung und die dadurch erzielte Verminderung der Seilbiegung an den Stützen in weitgehendem Maß erreicht ist¹⁰⁾, mit Hilfe einer Gummiaussfütterung der Laufräder. Es hat sich nämlich herausgestellt, daß die Abnutzung der Tragseile weniger durch die gleichsam feilende Wirkung der gleitenden Reibung als durch das Schlagen der Laufräder hervorgerufen wird, das dadurch entsteht, daß sie infolge der Unebenheit der Seiloberfläche gewissermaßen von einem Draht auf den andern fallen. Laufräder mit Gummieinlage haben sich als Schutz gegen die schädlichen Wirkungen außerordentlich bewährt: die Seilabnutzung ist praktisch gleich null, und außerdem ist die Fahrt fast geräuschlos.

Die Leistungsvergrößerung der Personenseilbahnen wird durch Erhöhung des Aufnahmevermögens der Kabinen angestrebt, wozu aber, aus wirtschaftlichen Gründen, nicht einfach die Kabine erweitert, sondern vielmehr auf-, oder, richtiger gesagt, angestockt wird. Man wird also dazu übergehen, für Bahnen mit großen Leistungen zweistöckige Kabinen zu bauen, deren unteres Stockwerk man an- und abhängen kann, um in Zeiten nur mäßigen Betriebes nicht unnötig viel tote Last mitschleppen zu müssen. Selbstverständlich müssen dann auch die Bahnsteige zweistöckig ausgebaut werden. Die gewaltige und schnelle Entwicklung, die die Personenseilbahnen in den letzten Jahren genommen haben, läßt sich augenfälliger kaum beweisen, als durch die Gegenüberstellung einer solchen mehrgeschossigen Kabine auf Gummirädern, mit Telephoneinrichtung u. a., Abb. 10, die ein halbes hundert Menschen sanft und bequem, sicher und schnell durch die Lüfte trägt, mit dem Kasten, der nach Abb. 11 bei der — inzwischen von Bleichert umgebauten — Hafningbahn noch vor sechs Jahren dem Personenverkehr gedient hat!

Auch in der Form der

Kabelkrane

haben die Seilbahnen eine weitere Größenentwicklung in neuester Zeit erfahren. Hier sei nur auf den seit etwa Jahresfrist auf Gräfin Johanna-Schacht bei Bobrek in Oberschlesien arbeitenden, schwenkbaren Kabelkran, Bauart Bleichert, von 18,5 t Tragfähigkeit und 270 m Spannweite hingewiesen, der mit nahezu 250 t/h der leistungsfähigste aller bisher, auch in Amerika, gebauten Kabelkrane sein dürfte¹¹⁾.

Der ursprünglich, erstmalig auf der Leipziger Herbstmesse 1924, bei reinen Laufkränen in den sogenannten Kabellaufläufkränen ausgeführte Gedanke, die starre Katzenfahrbahn durch eine elastische Seilfahrbahn mit nur druckbeanspruchter Endversteifung zu ersetzen und dadurch die Weitspannigkeit unter Kleinsthaltung des Gewichtes des biegungsfreien Trägers zu vergrößern, hat inzwischen bekanntlich in den

Brückenkabelkrane

eine weitere Ausdehnung gefunden¹²⁾.

Die neueste Ausführung als Brückenkabelbagger für die Grube Vereinigte Ville der Braunkohlen- und Briкетwerke Roddergrube A.-G. in Brühl bei Köln geht durch Übertragung des Gedankens auf eine mit Ausleger versehene Brücke und durch Ausbildung des Fahrwerkes mit Raupenrädern noch einen Schritt weiter¹³⁾. Die Einrichtung wirkt als Schürfbagger zur Beiseiteschaffung des lockeren Abraumes und stellt somit eine andersartige Lösung dieser wichtigen Aufgabe dar. Die Fähigkeit auch recht umfangreicher, fahrbarer Fördermaschinen, sich durch Verwendung von Raupenrädern leicht dem Gelände

anzupassen, ist jetzt auch bei den großen Eimerbaggern zum Ausheben des Kanalprofils für das Shannon-Kanalwerk ausgenutzt worden¹⁴⁾.

Bei Löffelbaggern, selbst schwerster Art (500 t und mehr Eigengewicht), hat man zuerst in Amerika, dann auch in Europa, z. B. in einer neuesten Ausführung von Menck & Hambrock von 6,5 m³ Löffelladung, 28,4 m größter Ausschüttweite und 400 000 kg Arbegewicht, seit Jahren Raupenfahrwerke eingebaut.

Eine nicht unbedeutende Entwicklung hat der Kranbau in den letzten Jahren auch für das Schiffbau- und Hafenwesen in den

Einziehkrane

erfahren. Auf die weite Verbreitung dieser, namentlich für den Kaibetrieb ebenso wirtschaftlichen wie anwendungsfähigen Kranart in England¹⁵⁾ weist der Umstand hin, daß dort von einer einzigen Firma (Stoll & Pitt, Bath) seit 1910 mehr als 500 solcher Krane gebaut worden sind.

In Deutschland hat vor allem die Demag diese Kranart in bisher nahezu 200 Ausführungen gepflegt. So hat sie 1907 als eine der allerersten Ausführungen einen 80 t-Ausrüstungskran der Frerichswerft für wagerechte Wipplastbewegung eingerichtet¹⁶⁾ — und neuerdings durch auch weiter ausgebildet, daß außer der Last auch noch die Auslegerschnabelrolle mittels eines Doppellenkersystems rein wagerecht bewegt wird. Infolgedessen schiebt sich der Auslegerkopf leicht unter die Take und die Antennen des Schiffes, wie der unlängst für Altonaer Kai- und Lagerhaus-Gesellschaft gelieferte Kran erkennen läßt¹⁷⁾, dessen Ausladung, bei 40 t Tragkraft, in der erwähnten Art von rd. 10 m auf 25 m ausgestellt werden kann.

Der Vorteil des wagerechten Schnabelrollenwerkes zeigt sich besonders bei Schwerlastkränen, weil trotz mehrsträngigen Hakenflashes ein besonderer Seilgleich zur Erzielung des wagerechten Lastweges nicht erforderlich ist. Da bei diesen neuesten Einziehkränen somit beim Einziehen der Last auch das Gewicht des Auslegers in allen Stellungen durch ein am oberen Ende des Auslegers hinten angreifendes Gegengewicht ausgeglichen ist, so erfordert die Bewegung des Auslegers lediglich einen geringen, durch Reibung, Wipplast und Beschleunigungsarbeit verursachten Kraftaufwand.

Bezeichnend für die vielfältigen Aufgaben und Stellungen des neuzeitlichen Kranbaues ist, wie in der Zusammenfassung nur kurz erwähnt werden soll, die Konstruktion eines Wippkranes mit gleichbleibender Ausladung, die von der Surrey Engineering Co., Ltd., London, unlängst für eine englische Werft geschaffen worden ist, damit die aus örtlichen Gründen erforderliche radiale Stellungsänderung des Auslegers keinen Einfluß auf die Weite der Ausladung ausübt. Die Lösung beruht auf einer Verschiebbarkeit der Lagerung des Auslegerfußes derart, daß dieser beim Einziehen des Auslegers, das normalerweise mit einer Verkleinerung der Ausladung verbunden ist, um den entsprechenden Betrag nach außen schwingt und umgekehrt¹⁸⁾.

Eine bemerkenswerte Neuerung im Kranbau ist in letzter Zeit mit den

Kletterkatzen

der ATG, Allgemeine Transportanlagen-Gesellschaft Leipzig, geschaffen worden, die gleichzeitig Windwerk und Ausgleichgewicht sind. Da hierbei also das Eigengewicht der Kletterkatze, das sonst im feststehenden Fahrwerk enthalten ist, als Hauptanteil des Gegengewichtes dient, kann der Kran erheblich leichter und billiger gebaut werden. Während z. B. bei einem Drehkran die Last gegen die Schnabelrollen des Auslegers hochgezogen wird, klettert die Katze am hinteren Teile des Gerüsts des Kranes abwärts, daß zwei Triebstockritzel in Zahnstangen greifen, wobei vier Laufrollen in Schienen an den Zahnstangen die Führung der Kletterkatze übernehmen.

¹⁰⁾ s. a. Z. Bd. 71 (1927) S. 28.

¹¹⁾ Z. Bd. 72 (1928) S. 581 u. 674.

¹²⁾ Vergl. Z. Bd. 71 (1927) S. 667.

¹³⁾ Zu der Ausstattung einer so gewaltigen Konstruktion von rd. 250 m Längsausdehnung u. 650 t Eigengewicht mit 8 riesigen Raupenrädern steht in beachtenswertem Gegensatz die neuerdings (in England) vorgenommene Raupenradausrüstung gewöhnlicher Handschubkarren, die dadurch auch auf weichstem Boden arbeiten können.

¹⁴⁾ Z. Bd. 72 (1928) S. 1481.

¹⁵⁾ Z. Bd. 69 (1925) S. 65.

¹⁶⁾ Vergl. Jahrb. d. Schiffbautechn. Gesellschaft Bd. 11 (1910) S. 1296.

¹⁷⁾ Z. Bd. 72 (1928) S. 1296.

¹⁸⁾ s. „The Engineer“ Bd. 144 (1927) S. 548.

Der Vorteil der neuartigen Bauart ergibt sich, daß der Laufweg des Greifers besonders bei kleinen Hubhöhen sehr kurz ist; denn beim Anheben des Hubvorsprungs wirkt das Eigengewicht des Greifers, das Abbremsen des Vorganges aber das Gewicht der Kletterkatze den Hebe- und Absetzkräften entgegen. Dies bewirkt, daß die Hebezeuge mit Kletterkatzen ein sanftes Anheben und Absetzen bewirken und eine merkliche Schonung der elektrischen Ausrüstung bewirken. Die Kletterkatze enthält empfindliche Mechanismen, die sonst in Greifersteuerungen nicht vorkommen und teuer sind; ferner sind Reibkupplungen, Bremsen und Sperren sowie auch andere Sondervorrichtungen bei der Kletterkatze vermieden worden. Andererseits kann man die Motoren des Winden wesentlich kleiner wählen, weil die Kletterkatze einen Teil der Last hebt.

- a Angriffspunkt des Auslegers
- b Einziehseile
- c Greiferseile
- d Schlaufe von c
- e Einzieh-Kletterkatze
- f Greifer-Kletterkatze
- g Greifer
- h Schwinghebel
- i Verbindungsflasche
- k Drehpunkt

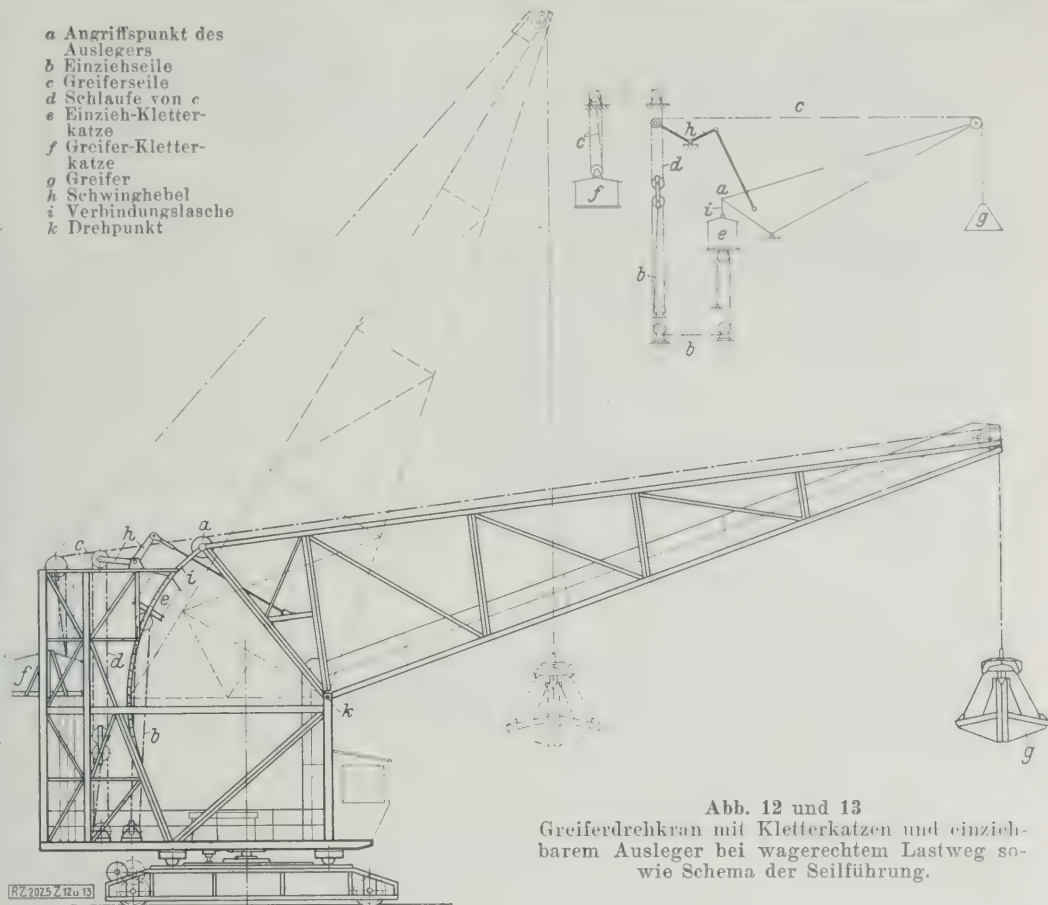


Abb. 12 und 13
Greiferdrehkran mit Kletterkatzen und einziehbarem Ausleger bei wagerechtem Lastweg sowie Schema der Seilführung.

Die neue Bauart ist in Abb. 12 und 13 an einem Greiferdrehkran mit einziehbarem Ausleger und wagerechtem Lastweg dargestellt. Dabei ist außer der Huberkatze f noch eine Einziehkletterkatze e angeordnet, zwischen gekrümmten Zahnstangen läuft. An dieser greift ein Seil b an, das die Schlaufe d der Greiferseile c berührt, so daß die Schlaufe d der Greiferseile c derart beeinflusst wird, daß der Greifer g sich bei Bedienung am Ende des Auslegereinziehens in gleicher Höhe befindet (sofern natürlich die Greifer-Kletterkatze f stillsteht); ein Schwinghebel h bewirkt, daß die Greifbewegung vollkommen wagerecht verläuft. Bei dem Schiffsumschlag und dem Lagerhausbetrieb ist dieser Kranbauart neuerdings auch durch die Ausbildung einiger

Kleinkrananlagen

entwickelt worden. Abb. 14 zeigt den grundsätzlichen Aufbau und die Arbeitsweise eines Flußschiffs-

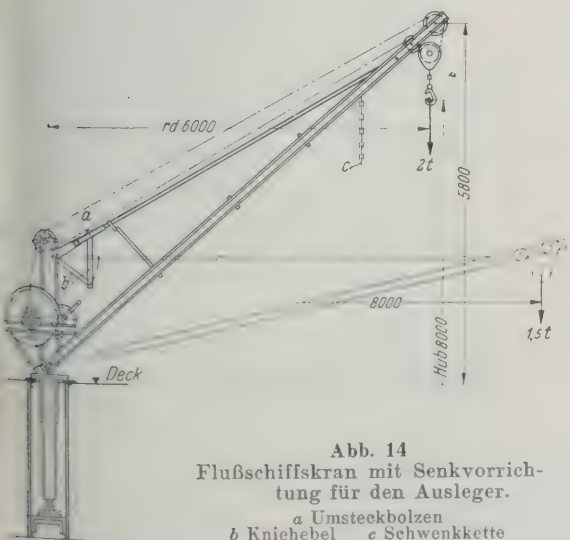


Abb. 14
Flußschiffskran mit Senkvorrichtung für den Ausleger.
a Umsteckbolzen
b Kniehebel c Schwenkkette

kranes (Petravič), der, mit einem handbetriebenen Seilwindwerk und Spill ausgerüstet, für die besonderen Bedürfnisse der Flußschiffahrt noch mit einer einfachen Senkvorrichtung für den Ausleger versehen ist, damit das Schiff auch bei Hochwasser noch unter den Brücken hindurchfahren kann. Der Ausleger wird dadurch gesenkt, daß zunächst die Seilflasche an den Kopf des Auslegers herangezogen wird, bis die Zugstrebe spannungslos wird. Dann wird nach Lösen des Umsteckbolzens a der Ausleger unter Streckung des Kniehebels b mit dem Hubseil bis in seine größte Ausladung gesenkt.

Für den Güterverkehr, insbesondere in Hafenschuppen, ist das in Abb. 15 dargestellte Hebezeug (Gese) geschaffen worden, das in seiner Durchbildung auf die besonderen Anforderungen aus dieser Verwendung Rücksicht nimmt. Vor allem ist geringes Eigengewicht, das nicht nur für die Manövrierfähigkeit des Kranes, son-

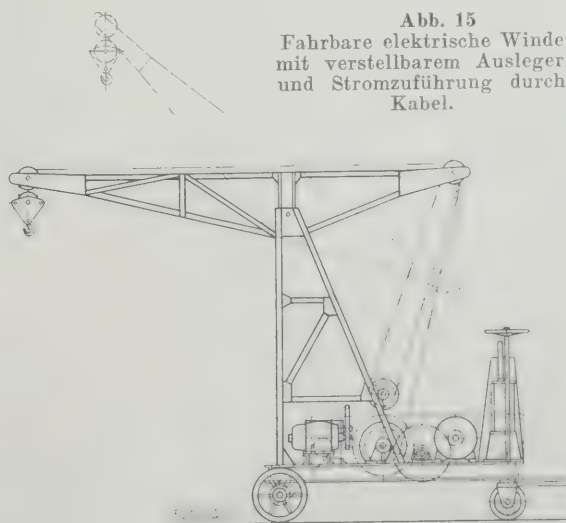
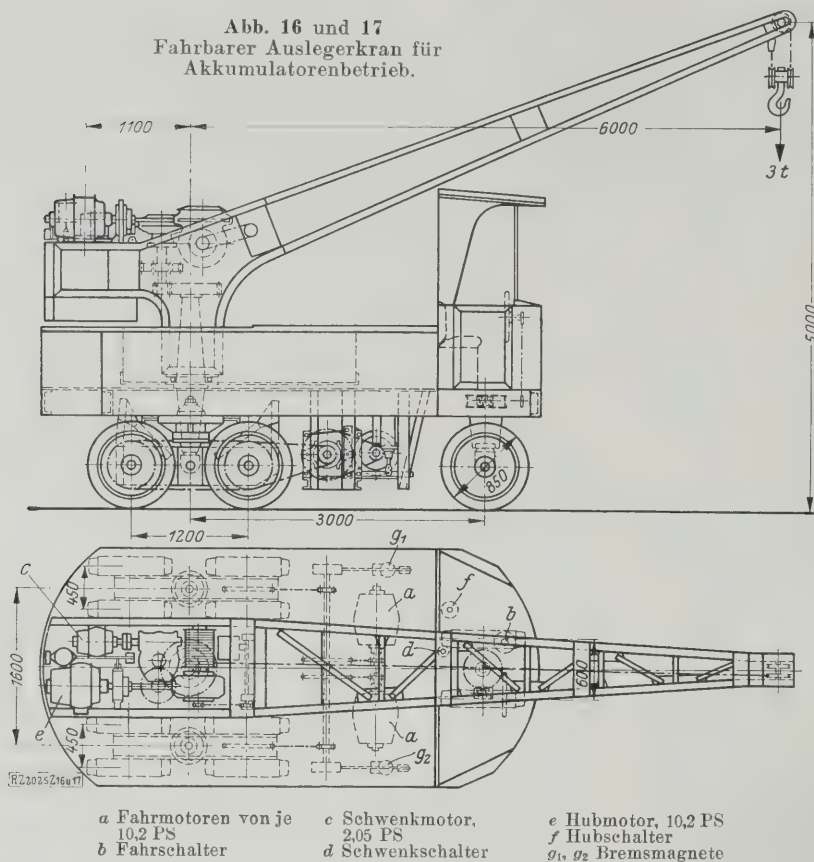


Abb. 15
Fahrbare elektrische Winde mit verstellbarem Ausleger und Stromzuführung durch Kabel.

Abb. 16 und 17
Fahrbarer Auslegerkran für
Akkumulatorenbetrieb.



dern auch für die Schonung des Bodenbelages, namentlich der Holzfußböden in den Schuppen, von wesentlichem Einfluß ist, bei dieser Ausführung durch den Fortfall der Akkumulatoren gewahrt. Der fahrbare Kran nach Abb. 15 wiegt für 800 kg mit Führerstand und Stromzuführung durch rd. 50 m Kabel und Kabeltrommel etwa 2300 kg, für 2000 kg Nutzlast etwa 3300 kg; wohingegen bei einem Akkumulatorenkran gleicher Leistung mit etwa dem Doppelten dieses Eigengewichtes gerechnet werden kann. Diese leichten fahrbaren Schuppenkrane weisen in der kleineren Ausführung mit 800 kg größter Tragkraft und 3 m größter Ausladung bei einem Hubmotor von 4,1 PS und einem Fahrmotor von 1,5 PS eine Hubgeschwindigkeit von 9 m und eine Fahrgeschwindigkeit von 35 m/min auf, die größere Bauart für 2000 kg größter Tragfähigkeit und 2 m Ausladung, Hub- und Fahrgeschwindigkeiten von 15 m/min bei 6,1 PS und 35 m bei 3,1 PS.

Ein für unbegrenzten Verladeaußendienst bestimmter fahrbarer elektrischer Auslegerkran erhält dagegen eine eigene Akkumulatoren-Stromquelle. Ein solcher Kran mit 100zelliger Batterie von 58 kWh Arbeitsfähigkeit ist in entsprechend schwerer Ausführung — sein Gesamtgewicht beträgt nicht weniger als 28 t — in jüngster Zeit von der MAN für 3 t Tragkraft und 6 m Ausladung gebaut worden. Er zeigt nach Abb. 16 und 17 in seinem wagenartigen Unterbau große Ähnlichkeit mit einem gewöhnlichen Lastkraftwagen. Die neuartige Durchbildung dieses beweglichen und weitverwendbaren Hebezeuges geht aus der Zeichnung klar hervor.

Im kleinen sind ähnliche Kraftfahrkrane ja schon seit längerer Zeit als eine Ausführungsart der

Elektrokarren,

als sogen. Krankarren, bekannt und im Gebrauch. Die Entwicklung, die dieses Gebiet der neuzeitlichen Fördertechnik in letzter Zeit genommen hat, ist außer in einer zunehmenden Einführung der bequemen, „führerscheinfreien“ Elektrokarren im allgemeinen, nicht zumindest in den verschiedensten städtischen Betrieben, auch in der Schaffung neuer Bauarten in die Erscheinung getreten.

Besonders eigenartig bei diesen ist die Hilfeaufnahme von Druckwasser als Antriebsmittel bei Elektrohubwagen, und zwar das Anheben der Wagenplattform (zw. Aufnahme von Ladegestellten).

Für die zunächst wohl auffällige Führung eines flüssigen Krafttragungsmittels (Öl) sind Erwägungen trieblicher und fabrikatorischer Art gebend gewesen. Ferner führt auch das Streben, den gesamten Antrieb- und Tragungsmechanismus leicht und schmal nachsehbar und gegen Verschmutzung schützt, anzuordnen, zu einer Anordnung wie sie z. B. aus Abb. 18 und 19, einer Ausführung der Maschinenfabrik Linien, hervorgeht.

Die Arbeitsweise beim Heben und Senken der Plattform geht nun mit dieser elektro-hydraulischen Einrichtung folgendermaßen vor sich, s. Abb. 20, 21: Der kleine, schnellaufende Elektromotor *a* (0,5 kW bei 3000 U/min), gleich den Fahrmotoren von der Batterie des Fahrzeuges gespeist wird, überträgt seine Leistung durch ein Ritzel *b* und ein innenverzahntes Stirnrad *c* über eine Zenterwelle *d* auf eine kleine Ölpumpe, bestehend aus zwei Zylindern *e*₁ und *e*₂ und einem Doppelkolben *e*₃. (Dadurch, daß die Pumpe doppelt wirkt, wird eine stoßfreie Drucksteigerung erzielt.) Der Drucköl gelangt durch die Druckschieber *f*₁ und *f*₂ je nach Stellung des Hebels *g* in die Rohrleitung *h* oder *i*, damit in den schwingend gelagerten Druckzylindern *k*. Die durch den Kolben *m* vorgedrückte oder zurückgezogene Kolbenstange *m* hebt oder senkt nun mittels der auf der Achse *n* aufgesetzten Hebel *o* und *p* die beiden Tragschienen *q*, mit denen die Last verladen wird, gehoben und gesenkt wird, und wobei die Last in der wagerechten Lage während des Bewegungsvorganges auf der Stützhebel *r* beibehalten wird.

Die Hubhöhe der Tragschienen beträgt 140 mm. Die Hubzeit bei einer Belastung mit 1500 kg etwa 12 s. Senken der Last wird die Pumpe vom Führerstand *s* mittels des (neuerdings als Fußtritt ausgebildeten) Hebels *g* umgeschaltet. Der Schalter für die Einschaltung des Pumpenmotors *a* ist am Schaltbrett des Fahrzeuges angebracht; die Ausschaltung geschieht selbst-

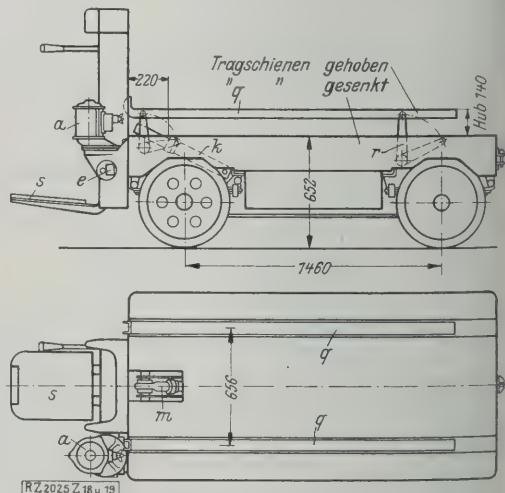


Abb. 18 und 19
Elektrokarren mit elektro-hydraulischer Hubvorrichtung (vergl. a. Abb. 20 und 21).

- a Elektromotor
- e Ölpumpe
- k schwingend gelagerter Druckzylinder
- q Tragschienen
- r Stützhebel
- s Führerstand, Fußtritt

leichfalls einer neben dem Führerstand angeord-
jedoch mit Handhebel betriebenen Druckpumpe
Anheben der Karrenplattform bedient sich eine
Ausführung der AEG-Elektrokarren. Bei ihr kann
ganze Plattform mittels zweier seitlich angreifender
en mit etwa 12 bis 15 Hüben um 115 mm angehoben
en, was in 10 bis 15 s möglich ist.

Venn nun auch eine solche hand-hydraulische Hub-
schaltung — bei der die Hubzeit ja stets von dem
tstempo oder -willen des Bedienungsmannes abhängt
st — die Anschaffung des Karrens natürlich etwas
higt, so hat doch die elektrisch-hydraulische Vor-
ung demgegenüber den Vorteil, daß die Hubzeit
bleibend und damit auch die Ausnutzbarkeit und
schäftlichkeit des Karrens mit größerer Sicherheit
bestimmbar ist. Daß die Leistung auch beim hand-
hydraulischen Elektrohubkarren ganz beträchtlich sein
a, haben die Ermittlungen in einem Industriebetrieb
ren, wo nach Einführung des Hubmechanismus in-
der beschleunigten Verladearbeit eine Leistungs-
erung um 43 vH eintrat.

Die Benutzung flüssiger Arbeitsmittel in der För-
technik, die nach Verdrängung des hydraulischen An-
es durch den elektromotorischen nur für ganz we-
Sonderzwecke der Hütten- und der Zuckerindustrie
geblieben war, hat in neuerer Zeit vor allem wieder
rch an Bedeutung gewonnen, daß sie zur

Aschenbeseitigung

Dampfessel- und industriellen Feuerungen ver-
let wird. Dies steht mit der Entstehung und Ausbrei-
der feuerbetriebenen Kraftwerke in ursächlichem
mmenhang. Die bei der Entfernung so großer Mengen
Verbrennungsrückständen durch Handarbeit oder
adung in kaum noch erträglicher Weise auftretende
b- und Hitzeentwicklung läßt, in Verbindung mit
wegen der hohen Temperatur dieses Fördergutes
nders starken Verschleiß an den mechanischen und
an den pneumatischen Fördervorrichtungen, das
er als Antriebsmittel von natürlicher Zweckmäßig-
erscheinen. Hinzu kommt noch der Vorteil, daß auch
abgezogene Asche und Schlacke nach selbst sehr ab-
liegenden Halden ohne Umladung in ein andres
ermittel befördert werden kann.

Von den beiden Hauptarten der hydraulischen
Aschenbeseitigung, der druckschwachen Fortspülung
in en oder dem Fortdrücken in Rohren — wobei der
serbedarf sich ungefähr wie 3:1 verhalten soll —,
die zweite durch Abb. 22 und 23 mit der kennzeich-
den Anordnung der Druckwasserejektoren in der
ildung von Schichau, Elbing, dargestellt, wie sie z. B.

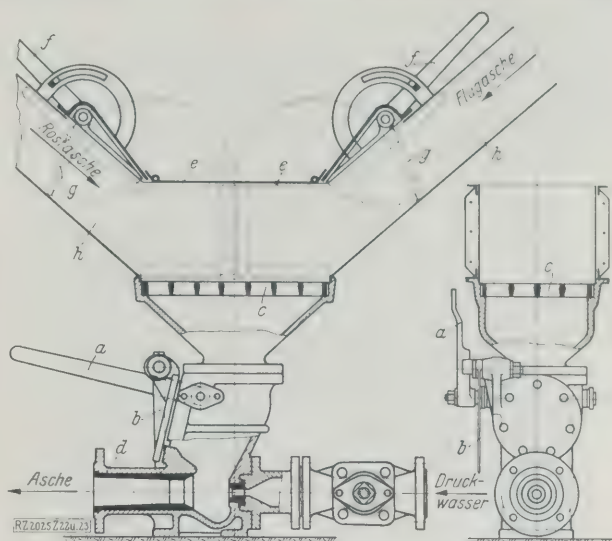


Abb. 22 und 23
Aschenejektor.

- | | |
|--------------------------|----------------------------|
| a, b Schalthebel für die | e Verschlussklappen |
| Förderung | f Betätigungshebel für die |
| c Stahlgukrost | Regelklappen g |
| d Ejektorstutzen | h Zuführschurren |

für die Entaschung des Großkraftwerkes Golpa-Zschorne-
witz mit 386 Ejektoren für 108 Kessel zufriedenstellend
in Betrieb ist. Dabei sind zwei Hauptleitungen er-
forderlich, eine Druckwasserleitung und eine Aschen-
förderleitung; hieran werden die Ejektoren, durch die
die Aschenförderung erfolgt, in der aus der Abbildung
ersichtlichen Art angeschlossen. Bei Beginn eines Ent-
aschungsvorganges wird zunächst das Druckwasser eines
Ejektors angestellt; sodann wird, nach Öffnen des zu-
gehörigen Verschlusses, die Asche mittels Schurren h aus
den Aschentrichtern zugeleitet (größere Schlackenstücke
— sie werden bis zu einer Stückgröße von 60 mm befördert
— können auf einem im Einlauftrichter eingebauten
Rost c mit der Hand zerkleinert werden). Nach Lee-
rung eines Aschentrichters wird zuerst die Aschenzufuhr
und dann der Ejektor abgestellt; das Druckwasser läuft
so lange weiter, bis der nächste Ejektor angestellt ist.

An eine Aschenförderleitung können bis 30 Ejektoren
angeschlossen werden, jedoch ist immer nur einer in
Betrieb; die anderen werden mittels der Hebel a und b
ausgeschaltet. Im Zusammenhang mit dieser Betätigung

der Ejektoren muß die Aschenzufuhr mit-
tels der eingezeichneten Klappen geregelt
werden. Die Asche kann in dieser Art bis
zu 10 m Höhe und 800 m Entfernung un-
mittelbar, bei größeren Höhen und Ent-
fernungen unter Einschaltung einer
Aschenförderpumpe befördert werden.

Aufzüge

Im Aufzugbau hat die letzte Entwick-
lung weitere Fortschritte in der Richtung
gemacht, die schon seit mehreren Jahren
besonders durch die Einführung des
Treibscheibenantriebes und
der Feineinstellung gekennzeichnet
ist. Die mit der Benutzung einer
Treibscheiben-Aufzugmaschine an Stelle
einer Trommelwinde alter Bauart sich er-
gebenden Vorteile: Erhöhung der Be-
triebsicherheit infolge der Verminderung
der Seilbiegeanstrengung, Verringerung
des Platzbedarfes und Eigengewichtes der
Maschine zufolge ihrer kleineren Bau-
breite, Erleichterung der Normung der
Maschine wegen ihrer Unabhängigkeit
von der Hubhöhe des Aufzuges — diese
und noch andere Vorteile haben den
Treibscheibenaufzügen eine schnelle und

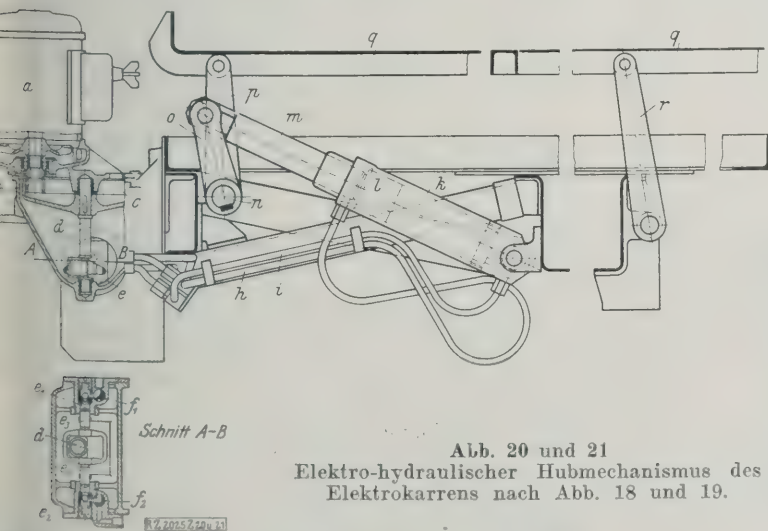


Abb. 20 und 21
Elektro-hydraulischer Hubmechanismus des
Elektrokarrens nach Abb. 18 und 19.

- | | | |
|---|--|----------------------------|
| Elektromotor | f ₁ , f ₂ Drehschieber | l Kolben |
| Stirnrad | g Hebel zum Einstellen | m Kolbenstange |
| verzahntes Stirnrad | der Pumpe | n Achse für o und p |
| Exzenterwelle | h, i Rohrleitungen | o, p Hubhebel |
| Pumpe mit Zylindern e ₁ , e ₂ | k schwingend gelagerter | q Tragschienen |
| und Doppelkolben e ₃ | Druckzylinder | r Stütz- und Führungshebel |

weite Verbreitung auch bei uns in Deutschland verschafft. So haben die Otis-Aufzugwerke, die in Amerika — wo bei der größeren Höhe der Gebäude die hiervon unabhängige geringe Breite der Maschine ja besonders schätzenswert ist — diese Bauart schon länger und weitgehend pflegen konnten, bisher in Deutschland schon rd. 1000 solche Anlagen ausgeführt. Während die zunehmende Ausstattung

neuezeitlicher Aufzugsanlagen mit Treibscheiben in erster Linie Wirkungen wirtschaftlicher Art erstrebt und erreicht, hat das andre Entwicklungsmerkmal, die Ausrüstung der Anlagen mit einer Feineinstellvorrichtung, seine Ursache in dem Streben nach Erhöhung der Bequemlichkeit und Vollkommenheit der Aufzugbenutzung. Den besonderen Zweck, die selbsttätige Herbeiführung einer mit dem Stockwerkfußboden scharf bündigen Einstellung des Fahrkorbbodens, erreicht die Feineinstellung in ihren verschiedenen Bauarten auf rein elektrische oder mechanische Art, wobei entweder nur mit einem Motor oder mit Haupt- und Hilfsmotor gearbeitet wird¹⁹⁾. In den Vereinigten Staaten von Amerika, wo in den Hochhäusern die Expressaufzüge mit dem Mehrfachen der bei uns zulässigen Geschwindigkeit fahren, und wo demzufolge das Über- oder Unterfahren der Halte-

stellen besonders leicht eintrat, hat das Bedürfnis nach dauernd genauer Halteinstellung begreiflicherweise zur Schaffung von Aufzugsanlagen mit Feineinstellung geführt. In Deutschland wurde die erste Anlage von der Otis-Gesellschaft i. J. 1924 eingerichtete rasch weitere Ausführungen der gleichen Gesellschaft bis Ende 1926, d. i. bis zum Inkrafttreten der neuen Aufzugsvorschriften, schon mehr als 100 — und viele deutscher Firmen folgten (Flohr, Tenner, ATG, Urah Liebzig u. a.)²⁰⁾.

Schon einmal, um die letzte Jahrhundertwende, schienen den Personenaufzügen in den Schrägbänder umlaufenden Geländern ein Nebenbuhler an Orten des Verkehrs zu entstehen. Es blieb damals in Deutschland bei einigen wenigen Ausführungen, während Benutzung dieser Steigbänder infolge der Schrägstellung der Trittfläche wohl doch als zu unbequem empfunden wurde und auch weil die Anlage im Ruhezustand als Verbindung zwischen den Geschossen für den allgemeinen Verkehr nicht zu gebrauchen war.

Nachdem jedoch die Ausbildung fahrbarer wirklicher Treppen in amerikanischen Kaufhäusern inzwischen weitere Fortschritte gemacht hatte, haben diese Fördermittel neuerdings auch bei uns wieder Eingang gefunden. In der Ausbreitung der Großwarenhäuser dürfte sich die neuezeitlichen Fahrtreppen — deren Benutzungsschritte zeichnen die unmerkliche Überleitung des Fahrgastes in die Steigbewegung ist — eine bessere Zukunft als die Steigbänder wohl beschieden sein.

Die Vielartigkeit ihrer Benutzung — in Ruhezustand in Fahrt, treppauf und treppab — sowie die Ansehbarkeit ihrer Leistung — rd. 4000 Personen stündlich der bisher kleinsten Ausführung (von 0,6 m Breite mit 0,45 m/s Schrägeschwindigkeit der Stufen²¹⁾ — weichen eine solche Zukunft durchaus rechtfertigen. Auch sind neueren Fahrtreppen, in Anpassung an die Sicherheitsvorrichtungen bei senkrechten Aufzügen, mit selbsttätigen Vorrichtungen ausgestattet, die bei Bruch oder zu fahrdrohender Dehnung der Tragketten und bei Überschreiten der normalen Fahrgeschwindigkeit die Treppen sofort stillsetzen.

In besonders weitgehendem, richtig amerikanischem Maße wird das am Hermannplatz in Berlin-Neukölln bestehende Warenhaus von Karstadt mit diesem Beförderungsmittel ausgestattet werden: hier werden weniger als 25 solcher Fahrtreppen eingebaut, die auf dem Bahnsteig der Untergrundbahn²²⁾ beginnen und durch alle Stockwerke des Kaufhauses bis zum Gartengarten hinaufführen²³⁾. Doch werden auch hier die Treppen die Aufzüge nicht überflüssig machen, die der stattlichen Zahl von 24 Stück — besonders für Durchgangsverkehr und von alten, ungewandten Leuten weiter bevorzugt werden dürften. Zur fördertechnischen Ausstattung dieses unseres neuesten Warenhauses gehören an Aufzügen noch acht für Groß- und 13 für Kleinstlasten sowie ein besonderer für Kraftwagen.

Als weitere Vervollkommnung für den Betrieb der Aufzüge, die schon in dem vorgenannten Kaufhaus in Hamburg vorgenommen worden ist, sei noch die mechanische Vorrichtung zum Bewegen der Aufzugtüren erwähnt. Mußte bisher der Aufzugführer durch eigene Kraft die Türen öffnen und schließen, so genügt jetzt ein Druck auf einen Hebel, um die Türen — der Kabine des Schachtes — schnell und geräuschlos zu bewegen.

Von aufzugartigen Fördermitteln aus letzter Zeit scheinen noch die beiden nachstehenden bemerkenswerter sonderheit wegen der Fahrbarkeit der ungewöhnlich hohen und leistungstarken Anlage und wegen des zur Ein-

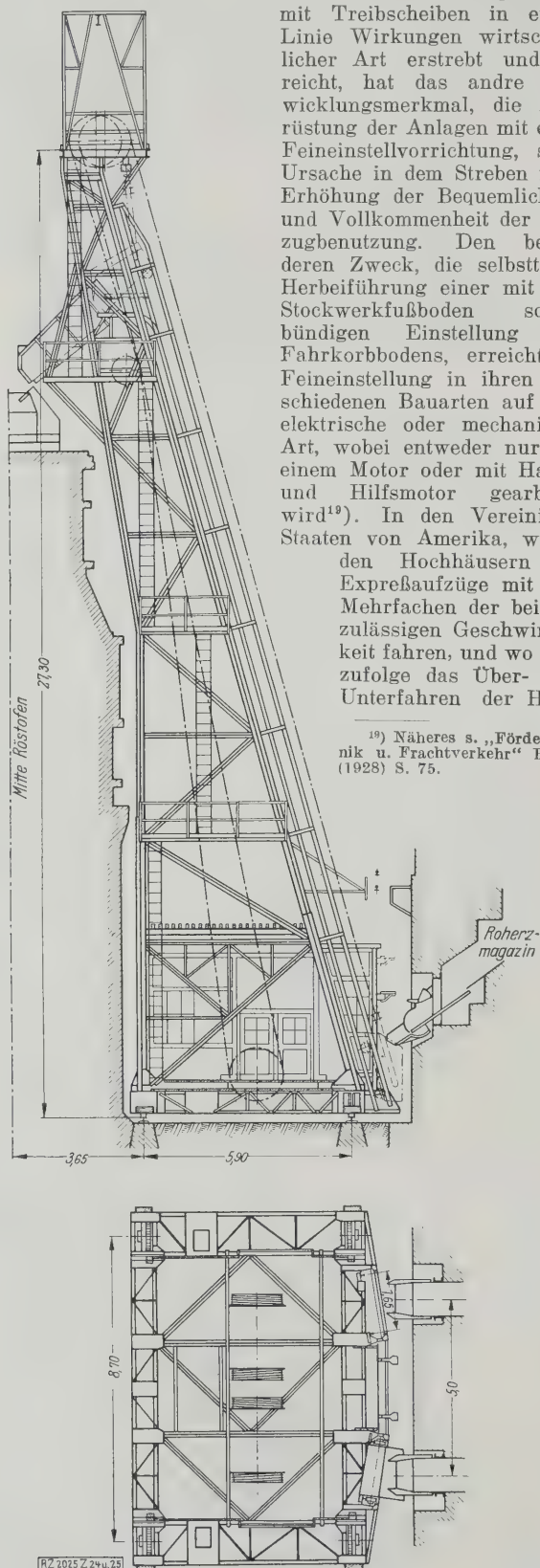


Abb. 24 und 25
Fahrbarer Doppel-Gichtaufzug.

²⁰⁾ Z. Bd. 71 (1927) S. 1166.

²¹⁾ Wenn auf der bewegten Treppe die Menschen auch noch gehen — eine weitere vorteilhafte Gebrauchsmöglichkeit gerade bei den Fördermitteln —, so kann die Leistung natürlich noch wesentlich gesteigert werden, und zwar leicht um 50 vH und mehr.

²²⁾ Zur Bewältigung des Bahnhofsverkehrs sind erstmalig auch bei dem kürzlich in Betrieb genommenen „Bahnhof Ausstellung“ bei Löttenburg Fahrtreppen herangezogen worden, die, mit 1,22 m Tritt und 0,5 m/s Steiggeschwindigkeit bei 30° Neigung, stündlich 8000 Gäste vom unteren zum oberen Bahnsteig befördern können.

²³⁾ Z. Bd. 72 (1928) S. 361. Die Förderrichtung kann gegebenenfalls mittels Druckknopfsteuerung umgeschaltet werden, so daß z. B. kurz nach Geschäftsschluß zum schnelleren Hinausschaffen des Publikums alle Personen abwärts laufen können.

der wagerechten Lage der umlaufenden Tragorgane
enden Mechanismus. Die erste, von der Maschinen-
Wagonbau-Fabriks-A.-G. in Simmering nach Abb. 24
25 gebaute Anlage ist ein fahrbarer Doppel-
r ä g a u f z u g, der zur Beschickung von Erzröstöfen
Donawitz dient. Die gesamte Bauhöhe der Konstruk-
tion beträgt über 30 m, ihr Gewicht rd. 80 000 kg. Die
Anlage wird, fast bei jedem Hubspiel, längs der einzelnen
Ladefüllstellen verfahren, und zwar mittels eines
S.-Elektromotors mit etwa 40 m/min Geschwindigkeit.
Die Leistung jedes dieser beiden in Donawitz vorhan-
denen Fahraufzüge beträgt 150 t/h, sie wird mit je zwei
Ladefüllstellen von 2 m³ Inhalt (4 t Erz) und 50 m/min
Geschwindigkeit erreicht.

Der in Abb. 26 beim Bretterstapeln dargestellte För-
derer ist zum Durchfahren der schmalen Zwischenräume
zwischen den Stapelreihen selbst außerordentlich schmal
gebaut. Er hat bei der bekannten umlaufenden Arbeits-
weise der Paternoster mit pendelnd aufgehängten und
ständig sich wagerecht einstellenden Tragflächen je-
weils für die Wahrung der wagerechten Lage seiner aus-
stretenden Tragpatzen noch eine besondere Einrichtung,
im einzelnen aus Abb. 27 und 28 hervorgeht.

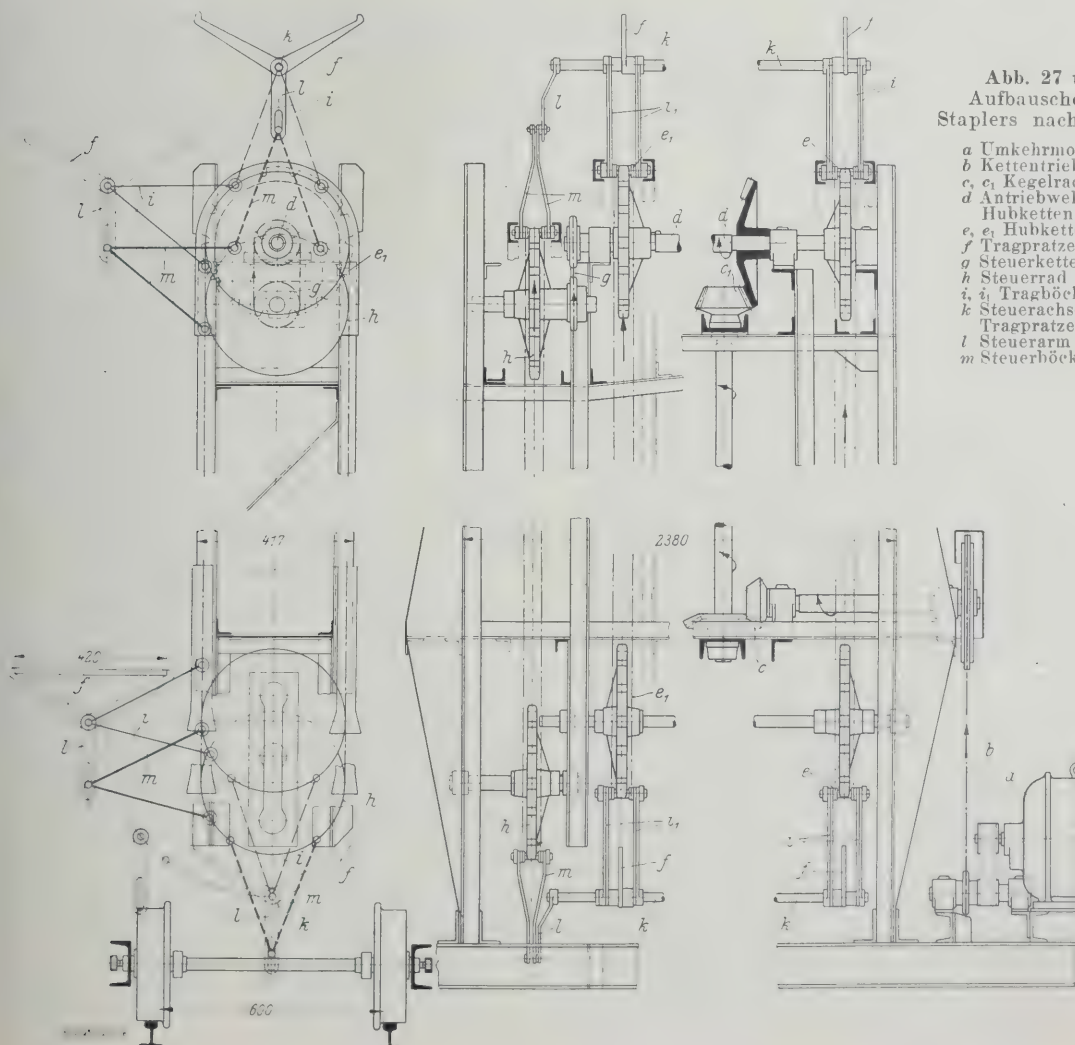
Mit dem eigentlichen Hubantrieb, der von einem
Elektromotor *a* aus mittels eines Kettentriebes *b* und
zweier Kegelradgetriebe *c*, *c*₁ auf die obere gemeinsame
Antriebswelle *d* der beiderseitigen Hubketten *e*, *e*₁ erfolgt,
wird gleichzeitig der Mechanismus zur Erhaltung der
wagerechten Lage der Patzen *f*: zunächst wird von
der Welle *d* durch Kettentrieb *g* eine gleichsinnig mit
den Hubketten umlaufende Steuerkette *h* angetrieben.
Diese von den Hubketten *e*, *e*₁ ausladenden Flacheisen-
eisen *i*, *i*₁ tragen die Achsen *k*, auf denen die Patzen *f*



Abb. 26
Förderer zum Bretterstapeln.

Abb. 27 und 28
Aufbauschema des
Staplers nach Abb. 26.

- a* Umkehrmotor, 25 PS
- b* Kettentrieb
- c*, *c*₁ Kegelradgetriebe
- d* Antriebswelle für die
Hubketten
- e*, *e*₁ Hubketten
- f* Tragpatzen
- g* Steuerkettentrieb
- h* Steuerrad
- i*, *i*₁ Tragböcke
- k* Steuerachse für die
Tragpatzen *f*
- l* Steuerarm
- m* Steuerböcke



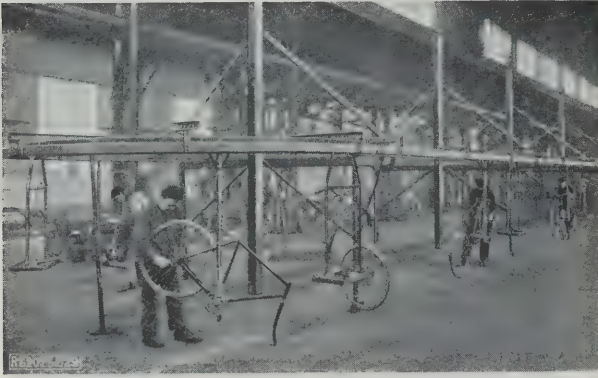


Abb. 29. Hängebahn für den fließenden Zusammenbau von Fahrrädern.

festgemacht sind. Die Achsen selbst wieder und damit also auch die Pratzen, werden durch den Arm *l* von einem Steuerbock *m*, dessen Fußpunkte an den Gelenkpunkten der Steuerkette *h* angeschlossen sind, so beeinflusst, daß sie stets in der gleichen, wagerechten Stellung bleiben und daß auch an der oberen Umkehrstelle des Förderers die Last nicht abgeworfen wird, sondern sanft in die andere Förderrichtung übergeht.

Der Grundsatz ununterbrochener Arbeitsweise, der diesem Stapler in senkrechter Förderrichtung eigen ist, ist in ausschließlich oder doch überwiegend wagerechter Richtung das Merkmal der neuzeitlichen

Fördermittel für fließende Fertigung.

Die Entwicklung, die dieses in den letzten Jahren fast überreichlich behandelte Gebiet bis heute genommen hat, ist weniger eine bauliche als betriebliche, d. h. sie ist weniger in der Schaffung von an sich neuen Fördervorrichtungen zum Ausdruck gekommen, als vielmehr in der neuartigen Einführung bekannter Fördermittel in den Bearbeitungsgang schon der allerverschiedensten Erzeugnisse, und zwar von der Anfuhr der Rohstoffe bis zum Verpacken und zum Versand der Fertigware. Daß dabei vereinzelt auch Vervollkommnungen konstruktiver Art vorgenommen worden sind, ändert nichts an der Tatsache der vorwiegend doch nur quantitativen Entwicklung dieses Gebietes in fördertechnischer Hinsicht.

Hierin, allerdings ist die Entwicklung, veranlaßt durch das allgemeine Streben nach gewinnversprechender Betriebsrationalisierung durch Einführung von Fließarbeit, vielfach geradezu stürmisch gewesen. Man möchte fast von einer Rationalisierungsepidemie sprechen, die auch solche Betriebe zu ihrem Nachteil zu ergreifen droht, bei denen die Voraussetzungen für die Zweckmäßigkeit einer solchen, an sich oft recht kostspieligen Einführung gar nicht vorliegen: genügend große Herstellungsmengen oder Absatzmöglichkeiten, Genauigkeit der Arbeitsvorbereitung, hochwertige Bearbeitungsverfahren (Austausch-Präzisionsarbeit), weitgehende Unterteilbarkeit der Arbeitsvorgänge oder die Ermöglichung gleichbleibender Einzelhantierungen u. a. m.

Daß bei der Fertigung gerade so vielfach zusammengesetzter Erzeugnisse, wie Kraftwagen und Fahrrädern (mit rd. 3000 bzw. 1500 Einzelteilen!), aber nicht bloß eine amerikanische Riesenproduktion die Durchführung von Fließarbeit rechtfertigt, beweisen unsere großen deutschen Werke, deren Entwicklung gleichzeitig die

Wechselwirkung zwischen Fließarbeit und Erzeugung nicht nur in der selbstverständlichen Steigerung der Mengen, sondern auch in der Hebung der Güte zeigt²⁴.

So haben z. B. die Opelwerke mit der zunehmenden Einführung der Fließfertigung seit 1924 die Tageserzeugung von Fahrrädern auf etwa das Fünffache, von Kraftwagen sogar auf das Zehnfache steigern können; dabei auch die Güte der Arbeit sich noch gehoben. Das beweist der trotz zunehmenden Wettbewerbes wachsende Ruf der Erzeugnisse. Ähnlich liegen die Verhältnisse auch bei den Brennbabor-Werken, die als erste deutsche Kraftwagenfabrik schon gleich nach Kriegsende einen Teil ihrer Zusammenbauarbeiten die fließende Fertigung, wenn auch noch ohne motorischen Antrieb, eingeführt haben.

Die jetzt wohl am meisten angewendeten Formen der Fördermittel für Fließarbeit, die Kette und den Laufband (der bei senkrechter Ablenkung gewöhnlich als Fließband bezeichnet wird, auch wenn er stofflich mit der Kette keinerlei Ähnlichkeit hat) zeigen Abb. 29 bis 31 in charakteristischen Ausführungen (Schenk). Die für den Zusammenbau von Fahrrädern bestimmte Anlage, Abb. 29, besteht aus einer von einem 1 PS-Motor angetriebenen Förderkette von 72 m Länge, die mittels kleiner Walzen abwechselnd ein nach unten auskragendes Rohr mit

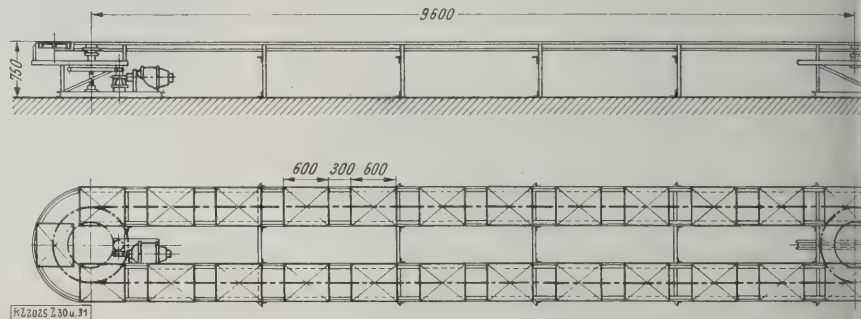


Abb. 30 und 31
Wandertisch zur fließenden Bearbeitung von Silbergeräten.

einstellbaren Vorrichtung zum Befestigen der Fahrradteile auf einer Plattform mit den zusammenzubauenden Teilen.

In Gegenüberstellung zu solchen platzsparenden Hängebahnen zeigen Abb. 30 und 31 die heute viel üblichere Anordnung und Arbeitsweise einer auch als Laufbandbahn bezeichneten Wandertischanlage, wie sie als Arbeitshilfsmittel für Form- und Gießzwecke, für sonstige Werkstattarbeiten benutzt wird. Die dargestellte Ausführung dient in der Silberwarenfabrik von Schwäb. Gmünd zum „fließenden“ Polieren und Überprüfen der Fertigwaren, wobei die Vermeidung von Beschädigungen der empfindlichen Silberwaren die Tischplatten aus Holz hergestellt sind.

Zusammenfassung

Als Endziel fast aller Entwicklungsbestrebungen der Fördertechnik kann man wohl zusammenfassend die Erhöhung der Wirtschaftlichkeit der Fördervorgänge nennen: sei es nun unmittelbar durch bauliche Verbesserung der Fördermittel mit Verbesserung des Wirkungsgrades oder mittelbar durch Vergrößerung ihrer Leistungsfähigkeit bei Ersparnis weiterer menschlicher Arbeitskräfte oder durch Neueinführung in bisher unberührte Fertigungsgebiete mit Betriebsrationalisierung. Ist allgemein schon eine Fördereinrichtung ein Selbstzweck, sondern nur Mittel zum Zweck, so ist der Zweck der letztjährigen fördertechnischen Bestrebungen — eben die Erhöhung der Wirtschaftlichkeit — in heutiger Zeit wirtschaftlicher Not leider ebenso selbstverständlich wie zwingend.

[B 202

²⁴⁾ Vergl. a. Z. Bd. 72 (1928) S. 256.

Londoner Brennstofftagung 1928

Rostfeuerungen für Dampfkessel

Von Dipl.-Berging, B. KRETZSCHMAR, Berlin

Die Vorträge gelegentlich der Brennstofftagung in London bestätigen die Überlegenheit der selbsttätigen Rostfeuerungen gegenüber den Feuerungen mit Handbeschickung für alle festen Brennstoffe, auch die minderwertigen. Berichte aus dem europäischen und außereuropäischen Ausland ergeben weiter, wie schon deutsche Erfahrungen, daß für Holz und Torf Kettenroste, für Braunkohle Ketten- und selbsttätige Treppenroste und für geringwertige Kohle neben Wanderrosten die Unterschubfeuerungen als die wirtschaftlichsten Rostfeuerungen zu bezeichnen sind.

den Vorträgen der Internationalen Brennstofftagung der Weltkraftkonferenz wurden Feuerungen mit Handbeschickung sowie mit selbsttätigen Rosten für verschiedene feste Brennstoffe, wie Holz, Torf, Braunkohle und Steinkohle behandelt. Die Vorträge haben besonders hinsichtlich der Verwendbarkeit geringwertiger Brennstoffe auf selbsttätigen Rosten für die Dampferzeugung wertvolle Erfahrungen der Allgemeinheit zugänglich gemacht.

Holz

Das Thermo-Technische Forschungsinstitut in Moskau beschäftigt eingehend mit der wirtschaftlichen Verbrennung von Holz (bafa¹). Bei der Verbrennung von Holz wird ein Vorteil der geringen Verluste infolge des geringen Wassergehaltes und der großen Stückelung teilweise dadurch aufgewogen, daß die Rauchgasverluste höher als bei der Kohle sind, weil das Holz, bezogen auf die erzeugte Wärmeeinheit, wegen des hohen Wassergehaltes eine größere Rauchgasmenge ergibt. In großen Stücken und das Holz noch vielfach mit Handbeschickung auf Wanderrosten oder in Schachtfeuerungen verbrannt. Planroste haben als Nachteile die unregelmäßige Beschickung und den großen Luftüberschuß. Die dadurch bedingte unregelmäßige Verbrennung kann man durch Anwendung von Gebläsen an Stelle des natürlichen Zuges oder liegender Roste mit hochliegenden Feuertüren benutzen, die den Zustrom kalter Luft unter Ausnutzung des natürlichen Zuges gestatten. Man erreicht so Verdampfungsleistungen von 25 bis 30 kg/m²h bei Wirkungsgraden von 86 vH.

Schachtfeuerungen mit geneigter oder senkrechter Lage des Brennstoffbettes gestatten doppelt so große Verdampfungsleistungen wie Planrostfeuerungen, bei einem Wärmeinput von 3 Mill. kcal/m²h, bezogen auf die Rostfläche,

und beim Verfeuern von Holz mit 45 bis 50 vH Feuchtigkeit. Trotz dieser hohen Leistungsfähigkeit des Rostes ist die erzielte Verdampfungsleistung infolge der zu niedrigen Rauchgastemperaturen zu gering. Außerdem ist die Bedienung der Feuerung zu kostspielig. Unter Mitarbeit der russischen Papierindustrie hat daher das Thermo-Technische Forschungsinstitut Versuche über Holzfeuerung auf Kettenrosten mit Erfolg durchgeführt.

Holzspäne von 50 × 30 × 5 mm³ mittlerem Inhalt und 27 bis 43 vH Feuchtigkeit lassen sich dabei mit Unterwind, der bis auf 150° vorgewärmt ist, bei einer Wärmebelastung des Rostes von 900 000 kcal/m²h und einer Wärmebelastung des Feuerraumes von 300 000 kcal/m²h verfeuern. Die Verluste durch unvollständige Verbrennung und durch den Kraftverbrauch der Feuerung, die mit der Rostbeanspruchung wachsen, betragen bei obiger Beanspruchung 1,5 vH, während der Luftüberschuß bei wechselnder Beanspruchung nahezu mit 40 vH gleich bleibt. Auf diese Weise kann man ohne Erhöhung der Brennstoffkosten die selbsttätige Verbrennung von Holz selbst in großen Anlagen hoch wirtschaftlich lösen.

Torf

Untersuchungen an Torffeuerungen hat weiter das russische Torf-Forschungsinstitut angestellt²). Am besten hat sich die von Makarieff entworfene Schacht-Kettenrostfeuerung, Abb. 1, in der Praxis bewährt, mit der man Verdampfungsleistungen von 50 kg/m²h und mehr bei Verfeuerung von Torf mit 45 vH Feuchtigkeit auf schwach geneigten Kettenrosten *a* erzielt. Der Torf wird vor der Aufgabe auf den Rost auf besonderen Stufengewölben *k* nach Durchgang durch den Beschickungsschacht *b* vortrocknet, und die Dicke der Brennstoffschicht auf dem Rost wird durch Verändern der Rostgeschwindigkeit geregelt; nur bei wechselnder Feuchtigkeit sind Regelschieber *d* zu empfehlen. Von großer Bedeutung ist, besonders bei feuchtem Torf, die Ausgestaltung der Verbrennungskammer *c*. Zuführung der Luft in getrennten Schichten durch Regelvorrichtungen *g* ist sehr wichtig, weil man dadurch die Güte der Verbrennung regeln kann. Hinter dem Schlackenbrecher *l* am Rostende befindet sich der Aschenkanal *f*, der mit einem Zusatzrost zur vollständigen Verbrennung von noch teilweise unverbranntem Koks versehen ist. Infolge der günstigen Ergebnisse dieser Rostfeuerung hat man das Elektrizitätswerk auf dem Schatura-Moor, das zur Zeit drei Turbodynamos von je 16 000 kW enthält und bis auf 100 000 kW Gesamtleistung ausgebaut werden kann, mit Torffeuerung ausgerüstet. Die Feuerung erzeugt auf 1 m² Rostfläche über 3 Mill. kcal/h und verbrennt mehr als 1000 kg/h Torf.

Diese hohen Leistungen bei verhältnismäßig hoher Feuchtigkeit des Brennstoffs sind erstaunlich. Die Erfahrung hat gezeigt, daß bei wechselnder Verdampfungsleistung die Temperatur der Rauchgase nicht in dem Maße steigt, wie man zunächst annahm. Das ist für ein Kraftwerk sehr wichtig, da man die Kesselbelastungen in weiten Grenzen ändern kann, ohne den Gesamtwirkungsgrad zu verschlechtern. Der niedrige Luftüberschuß und die geringen mechanischen Verluste ergeben Wirkungsgrade des Kessels bis 87,6 vH. Auch bei uns hat man die Vorteile dieser Feuerung erkannt und sie mit Erfolg im Kraftwerk Wismoor und in den Hesper

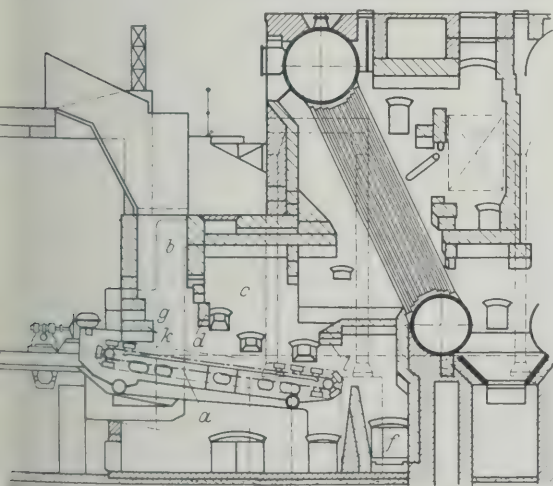


Abb. 1

Schacht-Kettenrostfeuerung von Makarieff für einen mit Torf geheizten 39 m²-Garbe-Kessel des Straßenbahn-Kraftwerkes Leningrad.

- | | |
|-------------------------------|-------------------------------|
| a Kettenrost | f Aschenkanal |
| b Beschickungsschacht | g Luft-Regelvorrichtung |
| c Verbrennungskammer | k Vortrocknungs-Stufengewölbe |
| d Brennstoff-Regelvorrichtung | l Schlackenbrecher |

² Scientific Experimental Institute of Peat: Peat combustion practice in U.S.S.R.

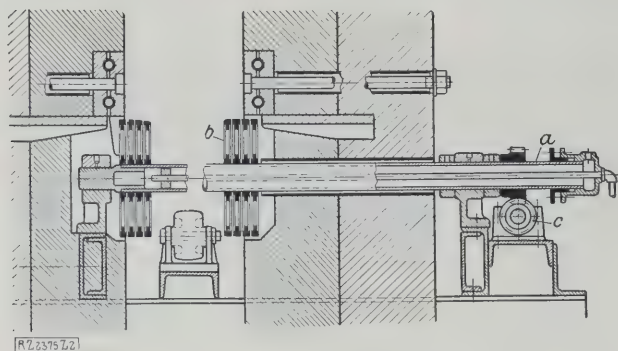


Abb. 2
Aufbau eines Scheibenkettenrosts für Torf
nach Makarieff.

a Hohlwelle b Rostscheiben c Schneckenradantrieb

Torfwerken bei Meppen angewandt. Versuche in der Zuckerraffinerie Kalinin haben die Vorteile der Luftvorwärmung mittels der Verbrennungsgase bewiesen.

Nachteilig ist allerdings, daß bei der hohen Verdampfungsleistung von $50 \text{ kg/m}^2\text{h}$ die Rauchgastemperatur hinter dem Kessel etwa 400° beträgt; sie sinkt infolge der Luftvorwärmung auf 130° beim Verlassen des Kesselhauses. Lufttemperaturen von 300 bis 340° wirken ungünstig auf die Kettenroste, die auf die Dauer höchstens 200° aushalten. Um dem zu begegnen, hat man die Schachtfeuerung mit selbsttätigem Scheibenkettenrost, Abb. 2, entwickelt; diese gestattet, in regelmäßigen Zeitabschnitten bis auf 350° vorgewärmte Luft einzublasen, indem man die Scheiben b des Wanderrosts in verschiedenen Brennzonen auf verschiedene Weite der Luftquerschnitte einstellt. Die Hohlwelle a, auf der die Scheiben sitzen, hat innere Wasserkühlung und wird mittels einer Schnecke c langsam gedreht. Der Scheibenrost enthält etwa 30 Rostglieder, die aus runden, nebeneinander angeordneten Scheiben mit 200 mm Dmr. bestehen. Über die Scheibenbreite hinausstehende Naben gestatten genügende Spaltenöffnungen für den erforderlichen Luftdurchtritt. Die Bauart ermöglicht vollständige Verbrennung und verhindert Rostverstopfungen. Für Torfmuß wird der Scheibenrost stark geneigt angeordnet, damit der Rostdurchfall nicht zu groß wird.

Braunkohle

Sehr bemerkenswerte Berichte liegen über die Verfeuerung australischer Braunkohle aus dem Staate Victoria vor, wenn auch betont werden muß, daß sich die hier mitgeteilten Erkenntnisse, insbesondere in bezug auf die Trockenanlagen, größtenteils auf deutsche Erfahrungen und Lieferungen gründen³⁾. Die Kohlen, die im Staate Victoria vorkommen, wechseln wesentlich in physikalischer und chemischer Beschaffenheit, so daß ein Kraftwerk, das ursprünglich Kohle mit 45 bis 50 vH Feuchtigkeit verfeuerte, jetzt eine solche mit 4 vH Feuchtigkeit verfeuern muß. Die erste Kohle kann man auf Kettenrosten mit verteiltem Unterwind am vorteilhaftesten verbrennen. Hierbei sind weit nach vorn gezogene Feuergewölbe und Verbrennungskammern zur Verlängerung der Flammenwege von Vorteil. Die stündliche Rostbelastung beträgt 400 kg/m^2 , entsprechend einer Wärmebeanspruchung von rd. 1,2 Mill. kcal/m²h. Die Kohle mit 64 vH Feuchtigkeit muß man dagegen vor der Aufgabe auf den Rost trocknen; man trocknete sie zunächst in einer schrägen Rinne mittels der Rauchgase und erzielte bei Auftrocknung um 10 vH um 30 vH höhere Höchstleistung der Kessel.

Die Korngröße der Kohle ist hierbei sehr wichtig für die Leistungsfähigkeit der Trockenanlage. Siebt man die Kohle ab, um das grobe Korn zur Dampferzeugung und das feine Korn für Briкетtierzwecke zu verwerten, so macht die Siebverstopfung Schwierigkeiten, läßt man feineres Korn dagegen bei der Kohle, so verstopft sich die Trockenrinne infolge der Plastizität der Kohle. Die

³⁾ State Electricity Commission of Victoria: Progress in the development of combustion of Victorian brown coal. Vergl. a. Z. Bd. 71 (1927) S. 223.

Abb. 3
Mit Rauchgasen geheizter
Versuchstrockner für
Braunkohle.

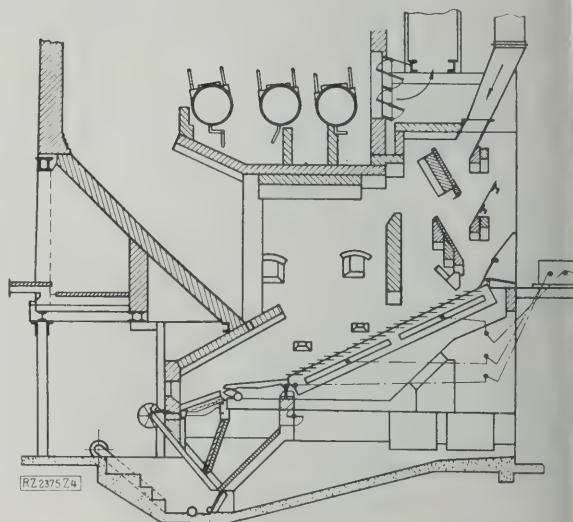
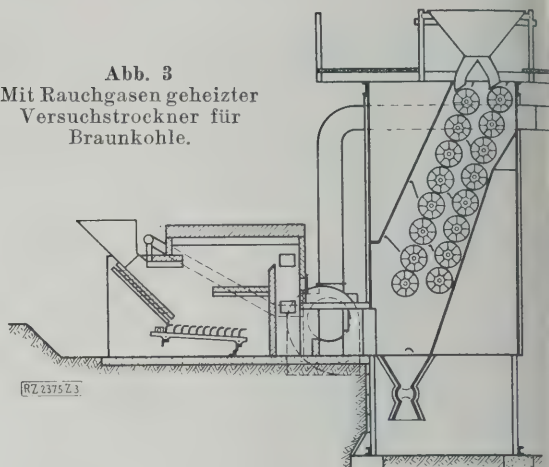


Abb. 4
Selbsttätiger Treppenrost mit Vortrockenschacht
im Kraftwerk Yallourn.

Größe des Zuges, die Bemessung der Trockenrinne und die Führung und Berührung der Gase mit der Kohle entscheiden über den Erfolg der Vortrocknung.

Abb. 3 zeigt einen mit besonderen Leitblechen ausgerüsteten Trockenschacht, der als Vortrockner für den Anbau an vorhandene Kessel entwickelt wurde. Die Gase treten hier von unten in den Schacht ein und streichen an der herabfallenden Kohle vorbei. Doch nicht genügende Besserung im Zugverlust, große Staubverluste und eine zu verwickelte Bauart infolge der vielen beweglichen Teile stellen den Erfolg in Frage. Wenn auch die Vortrocknung die Möglichkeit schneller Annahme von Spitzenleistungen bietet, da man größeren Mengen von schnell verfeuerbarer Kohle über dem Rost bunkern kann, so hat man doch mit der Zeit infolge der praktischen Schwierigkeiten und des nicht genügenden Trockenraumes die Trocknung in der Brennkammer vorgezogen und zu diesem Zwecke die Roste mittels vorgesetzter geneigter, zunächst fester Treppenroste, vergrößert. Versuche haben gezeigt, daß selbsttätig bewegte Zugsatzroste für das Verfeuern von Kohle von veränderlicher Korngröße vorteilhafter sind. Bei der Treppenrostfeuerung ist wichtig, daß sich die Kohle auf dem Rost in der Vortrocken- oder Trockenzonen sowie in der Verbrennungszonen verschieden schichtet. Ferner muß das Kohlenbett von unten her brennen, wenn man eine gute Trocknung erreichen will. Das Zurückschlagen der Flamme wird durch gutes Regeln der Kohlenzufuhr vermieden.

Ein großer Vorteil des selbsttätigen Treppenrosts ist seine leichte Anpassung an schwankende Zusammen-

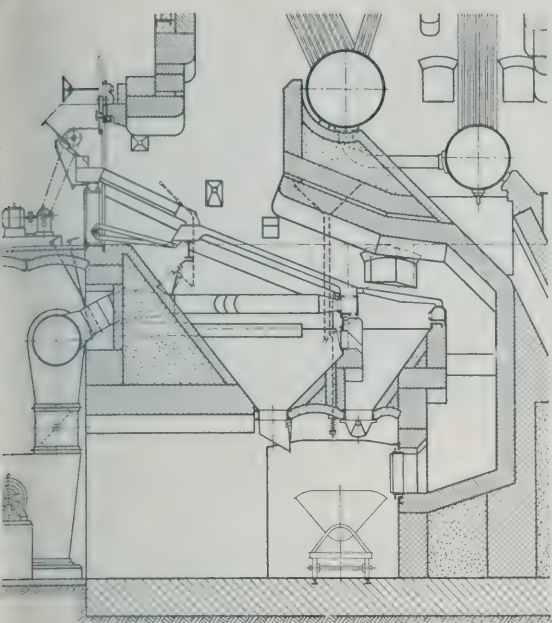


Abb. 5
Spezial-Plutofeuerung des Überlandkraftwerkes
Ebenfurth für feuchte Braunkohle.

g der Kohle und Änderungen der Belastung. Auch
ndet man Treppenroste in Verbindung mit Trok-
ächten; die Kohle wird hier im Zickzackweg zwi-
Feuergewölben hindurchgeführt, s. Abb. 4. Durch
e Durchmischung der Kohle und bessere Trocken-
ng der Gase bei Vergrößerung der Kohlenober-
und bessere Ausnutzung der Strahlungswärme von
und Wänden sind günstige Erfolge erzielt worden.
che an dieser Feuerung ergaben einen Wärme-
t von 820 000 kcal/m²h; diese Leistung läßt sich
Vorwärmen der Luft auf 200° und Vorwärmen
eiswassers mittels Turbinenabampfes noch um 15
vH erhöhen, da die Verluste durch Strahlung und
Unverbranntes bei mittlerer Verdampfleistung nur
5 vH betragen. Auch beim Verfeuern von russischer
kohle auf Kettenrosten macht sich der günstige
ß der Luftvorwärmung und der richtigen Mischung
ft mit den Rauchgasen geltend. Die vorteilhafteste
ung des Feuerraumes beträgt hier 300 000 kcal/m³h.

Geringwertige Kohle

ie Wiener Elektrizitätswerke sind infolge des Ver-
wichtigster Kohlenfelder durch den Krieg, gezwun-
einheimische, minderwertige Braun- und Stein-
zu verfeuern⁴⁾. Bei dem dadurch notwendig
denen Umbau der teilweise noch mit Handbeschik-
arbeitenden Planrost-Feuerungen hat sich als wirt-
lichste Rostfeuerung die Unterschubfeuerung mit
n Unterwind erwiesen. Durch Verkürzen der
Hohlroste um die Schwelzone hat man die Rost-
auf die eigentliche Brennbahn beschränkt und da-
den Feuerraum wesentlich vergrößert, was für die
ernung von feuchter Braunkohle vorteilhaft ist, s.
5. Der Unterwind wird dem Schwelrost durch
hm abdeckenden Schamotteplatten, dem Hohlrost
die hinteren Rostbalken und dem Anhängerrost im
fsfalle durch Klappen zugeführt. Auch durch Vor-
n der Luft auf 120° wird die Rostleistung erhöht.
schlacke wird unter Wasserabschluß selbsttätig aus-
sen.

für das Verfeuern der sehr weichen, gasreichen,
ackenden, langflammigen und aschenarmen Tertiär-
Holl. Ostindiens⁵⁾ mit Handbeschickung gelten
de Bedingungen:

1. kleiner Rost bei möglichst großem Brennraum,
2. Aufgabe der Kohle in nicht zu dünner, aber regel-
mäßiger Schicht in kurzen Zeitabständen zur Ver-
meidung von freien Stellen auf dem Rost.
3. Regelbare Zuführung der Verbrennungsluft bei ge-
nügender Menge von Oberluft.

Die Möglichkeit, den Rost um 0,1 bis 0,5 seiner Länge
zur Erzielung höherer Leistung verkürzen zu können,
ist wesentlich. Die Rostbelastung läßt sich durch künst-
lichen Zug bis auf 160 kg/m²h steigern. Zur besseren
Sammlung der Wärme im Feuerraum und innigeren
Mischung von Gas und Luft sowie zur Vermeidung von
zu starkem Zug im Verbrennungsraum hat sich das Er-
höhen der Feuerbrücken als günstig erwiesen.

Für die wirtschaftliche Verbrennung ist es jedoch
angebracht, diese Kohle auf selbsttätigen Rosten zu ver-
feuern. Neben Wanderrosten sind die Unterschubfeu-
erungen vorteilhaft, auch bei Schiffskesseln, für die man
die Kohle zumeist verbraucht. Die Roste werden über
einen am Fuße des Vorratbunkers angebrachten Gleit-
boden beschickt, dessen veränderliche Geschwindigkeit
das Regeln der Brennstoffmenge gestattet. Bei feinen
Kohlen muß der Unterwind kräftig genug sein, um das
Verstopfen der Rostmulden zu verhindern, auch muß man
auf gleichmäßige Verteilung der teils von unten in die
Mulde und teils über diese geführten Luft achten.

Die Rostfläche vergrößert und verkleinert sich selbst-
tätig. Zusatzroste vergrößern die Rostfläche bei höherer
Kesselleistung und sammeln außerdem die Asche, die
selbsttätig entfernt wird. Der Wirkungsgrad beträgt
72 vH. Selbsttätige Rostfeuerungen liefern mit dieser
Kohle um 20 vH geringeren Verbrauch und einen um
9 vH höheren Wirkungsgrad als Handfeuerung.

[B 2375]

Beschleunigungsmesser von Galitzin

Ein idealer Beschleunigungsmesser darf keine Rückwir-
kung und keine Eigenschwingungen haben; die Rückwirkung
bemißt sich nach der Bewegungsänderung an der Koppel-
stelle, an der die Beschleunigungskraft auftritt, die Eigen-
schwingung vermeidet man, indem man die Eigenfrequenz
verhältnismäßig sehr groß oder die Eigenschwingungsdauer
sehr klein bemißt.

Ein solches Gerät zum unmittelbaren fortlaufenden Auf-
zeichnen der Beschleunigung hat Galitzin bereits 1915¹⁾ an-
gegeben. Das Verfahren beruht auf der piezoelektrischen
Erscheinung von Kristallen. Gegen
Erscheinung von Kristallen. Gegen
eine nach einer elektrischen Achse
gerichteten und mit einem Metall-
überzug auf den beiden gegenüber-
liegenden Seiten versehenen Quarz-
oder Turmalinplatte *s*, Abb. 1, lehnt
sich ein Gewicht *g* und überträgt
seinen Druck mittels eines Ebonit-
plättchens auf diese Platte, deren
innere Seite geerdet ist; die äußere
Seite erhält eine in weiten Grenzen
dem Druck proportionale elek-
trische Ladung, die mittels eines
Saiten-Elektrometers gemessen oder
photographisch aufgezeichnet wird.

Tritt eine Beschleunigung *b*
auf, so ist der Druck $P = Mg \sin \alpha + Mb \cos \alpha = P_0 + Mb \cos \alpha$, somit
der Druckunterschied $p = P - P_0 = Mb \cos \alpha$. Dem Druck P_0 entspricht
die Nulllinie auf dem Lichtpapier, so daß die Ordinaten *y* proportional
den Druckunterschieden *p* oder den
Beschleunigungen *b* sind, $y = Ab$, wobei *A* eine mittels Zu-
satzgewichtes leicht bestimmbare Konstante des Geräts ist.

Galitzin hat das Verfahren auf einem Schütteltisch er-
probt und große Genauigkeit und besondere Empfindlichkeit
für Beschleunigungen mit kurzen Perioden gefunden. Mit
Rücksicht auf die große praktische Bedeutung²⁾ dieses Meß-
verfahrens ist es wichtig, darauf besonders hinzuweisen und
gleichzeitig einen Irrtum zu berichtigen, der mir auf S. 63
und 221 meines Buches³⁾ unterlaufen ist und auf den mich
Dr.-Ing. Lürenbaum freundlichst aufmerksam gemacht hat.
Breslau [M 2594] H. Steuding

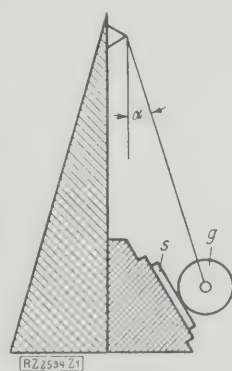


Abb. 1
Schema des Beschleunigungsmessers von Galitzin.

F. Siedle, Die Entwicklung der Feuerungsanlagen der Wiener
Elektrizitätswerke.
H. T. Pakker, The combustion of tertiary coal on ships of the
Dutch Packet Navigation Co in the Indian Archipelago.

¹⁾ Comptes Rendus Bd. 161 S. 281, 304.

²⁾ Vergl. Zorn, Z. Bd. 71 (1927) S. 1722.

³⁾ „Messung mechanischer Schwingungen“, Berlin 1928.

RUNDSCHAU

Unfallverhütung

Zwei Explosionen durch Wasserstoff-Stahlflaschen

Eine Anregung zur Unfallverhütung

Am 20. Dezember 1928 abends explodierte auf dem Verschiebeshof Berlin-Pankow ein großer gedeckter Güterwagen. Der Wagen war nördlich von Berlin mit 554 teils Sauerstoff, teils Wasserstoff enthaltenden Stahlflaschen beladen worden und wurde als Bremswagen eines Güterzuges zusammen mit einem andern beladenen Güterwagen auf ein Nebengleis abgelassen. Die beiden gekoppelten Wagen fuhren auf den um die eine Schiene gelegten Bremschuh auf. Dabei ereignete sich eine Explosion, die der durch den Vorderwagen geschützte Rangierer beobachten konnte.

Unter starkem Knall erhellte eine große Flamme für einen Augenblick die Dunkelheit. Das ganze Dach des Wagens wurde abgedeckt, Abb. 1, und zerrissen, so daß viele Holzsplitter umherflogen; der Hauptteil des Daches fiel etwa 7 m entfernt nieder. Die Umfassungswände des Wagens wurden stark nach außen gebogen, die Schiebetüren herausgeschleudert. Acht bis zehn Stahlflaschen fielen auf jeder Seite heraus, aber alle Flaschen, auch die herausgefallenen, blieben unversehrt, mit Ausnahme einer Wasserstoffflasche!

Der zerstörte Güterwagen hatte 8 m Länge, 15 t Ladegewicht, 17,5 t Tragfähigkeit und 21,3 m² Bodenfläche und an jeder Längsseite sechs eiserne Streben außer den Eckstützen. Diese Streben, auch die der Querseiten, waren von unten an bis zu 45° nach außen gebogen.

Die Wasserstoffflasche, die Ursache der Explosion, wurde in ein großes Stück, das noch die unversehrte Schutzkappe enthielt, Abb. 2, in den ziemlich glatt abgetrennten runden Boden, in ein Stück von 85 cm Länge und bis zu 11 cm Breite, dann in drei Stücke von 20 bis 35 cm Länge und etwa 15 kleinere Stücke bis zu 10 cm Länge zerknallt.



Abb. 2
Das größte Stück
der explodierten
Wasserstoffflasche

Vom Fußkranz der Flasche war nichts zu entdecken; es fehlte also scheinbar die „das Rollen der Flasche verhin-dernde Vorrichtung, die sich bei Flaschen für den Bahntransport nicht an der Schutzkappe befinden darf“¹⁾. Die Flasche hatte rd. 1 m Rohrlänge und 20 cm Dmr.

Es ist möglich, daß die Flasche eine fehlerhafte Stelle hatte, an der sich etwa 1 bis 2 h vor der Explosion infolge ungünstiger Lagerung und infolge der Erschütterungen beim Verschieben des Wagens ein kleiner Riß gebildet hatte. Aus diesem könnte das Gas langsam ausgeströmt sein und mit der Luft des verschlossenen Wagens Knallgas gebildet haben, ähnlich wie sich bei den letzten großen Gasexplosionen mit Hauseinstürzen in Berlin Leuchtgas langsam mit Luft mischen konnte. Durch den unvermeidlichen Stoß beim Auffahren des Wagens auf den Bremschuh kann sich das Gemenge entzündet haben.

Dieser Annahme steht, wenn auch nur zum Teil, die große Diffusionsgeschwindigkeit des Wasserstoffs entgegen. Wahrscheinlicher ist daher, daß die fehlerhafte Flasche hoch gelagert war und bei dem Verschiebestoß herabgefallen ist. Die Flaschen waren von den beiden Querwänden aus aufgestapelt; der eine Stapel mit den etwas kleineren Sauerstoffflaschen war 1,30 m, der andere 1,80 m hoch und zwischen den Stapeln blieb noch eine beträchtliche Lücke frei. Beim Herunterfallen jener Flasche strömte sehr schnell das Gas, mehr als 3 m³, aus, wobei, vielleicht an mehreren Stellen des Bruches, die Temperatur auf die Zündgrenze (rd. 600°) stieg. Hierdurch wurde die chemische Vereinigung mit dem Luftsauerstoff, der noch im Überschuß vorhanden war, ausgelöst — gleichsam ein wissenschaftliches Experiment in großem Maßstabe. — Glücklicherweise wurde kein Mensch geschädigt; der Materialschaden betrug etwa 1700 RM. Daß alle übrigen Flaschen unversehrt geblieben sind, beweist, wie vorzüglich sich die Stahlflaschen aus nahtlosem Stahlrohr, ihre sichere Füllungsweise und ihre amtliche Prüfung bewähren.

Der vorliegende Fall mahnt allgemein und eindringlich, mit den gefüllten Wasserstoffflaschen besonders vorsichtig

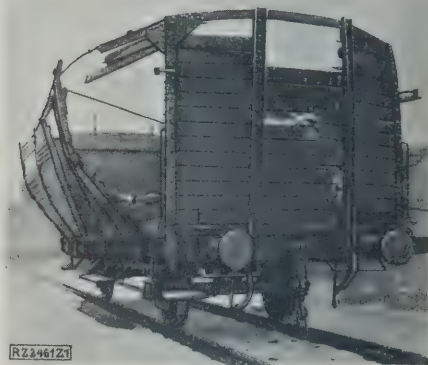


Abb. 1
Großer gedeckter Güterwagen nach der
Explosion.

umzugehen und sie namentlich vor dem Fall zu bewahren, denn Explosionen von Wasserstoffflaschen sind, wegen der möglichen Knallgaswirkung, unvergleichlich schlimmer als solche von Sauerstoff- oder Kohlensäureflaschen²⁾.

Bei der Bahnbeförderung empfiehlt es sich, vor dem Aufladen der Wagen mit gefüllten Stahlflaschen stets einen abgedeckten gleichen Wagen laufen zu lassen. Solche Wagen sollten aber neben dem Schutzwagen nur langsam abgestoßen werden und auf den Bremschuh auffahren. Zu diesem Zweck ist es nützlich, das im Eisenbahnbetrieb bereits übliche Paralleldreieck mit dem Aufdruck „Explosiv“ in den vergitterten Verschlag unten am Wagen einzulegen. Vorsicht ist besonders im Sommer notwendig (bei dem Unfall betrug die Temperatur —6 bis —8°). Die schweren Flaschen an den Querwänden aufzustapeln, erscheint nicht zweckmäßig, sicherer ist es, die Bodenfläche mit den Flaschen zu bedecken oder die Flaschen aufrecht hinstellen. Stoßdämpfer-Einlagen zwischen den Stahlflaschen, etwa Strohballen, Strohwickel oder dergl., wären in Erwägung zu ziehen, um unverbrennlich zu machen, bietet heute keine Schwierigkeit. z. B. waren auf der Düsseldorfer Ausstellung 1926 neben Strohballen, bedrucktem Papier unverbrennlich gemacht, dünne Hobelspäne ausgestellt. Die Farben rot, blau, usw. zur Kennzeichnung von Wasserstoff, Sauerstoff, Kohlensäure usw. dürften erst aufgetragen werden, nachdem die Flasche auf fehlerhafte Stellen hin geprüft worden ist. Gefüllte Stahlflaschen sollten endlich niemals in den letzten Wagen eines Güterzuges, den Bremswagen, verladen werden, damit der Bremsen nicht gefährdet wird.

Am 7. Februar 1929 ereignete sich ein anderer Fall auf dem Gelände der Osram-G. m. b. H., Berlin. Hier handelte es sich in erster Linie nicht um eine eigentliche Wasserstoff-Explosion, sondern um eine unaufgeklärte Selbstentzündung von ausströmendem Wasserstoff bei ordnungsmäßigem Entspannen von Wasserstoff-Stahlflaschen. In einem Schuppen des Lagerplatzes wurden gleichzeitig 400 Wasserstoffflaschen in einem kleineren Vorraum entladen, der mit etwa 10 Flaschen enthielt; vor jede der sechs Flaschen ein Rossignol-Ventil geschaltet. Der anschließende Lageraum enthielt rd. 400 mit Wasserstoff gefüllte Flaschen unter einem gemeinsamen Dach; alle Flaschen hatten einen Rauminhalt von 10 m³. Aus den sechs Flaschen wurde der Wasserstoff zunächst in große zweihalsige Woulfesche Flaschen, dann zu weiterem Verbrauch nach einem entfernt gelegenen Gasometer geleitet. Der mit dem Entspannen beschäftigte Arbeiter vernahm das regelrechte Signal (Glockensignal, das anzeigt, wann der Gasometer gefüllt oder wann er entleert und wieder gefüllt werden soll. In dem Augenblick, als er zum Abstellen des drei Schritt entfernten Signals überging, ereignete sich die Entzündung des Wasserstoffs. Schon die Selbstentzündung kann stattfinden, wenn Wasserstoff aus einer Stahlflasche zu schnell entströmt. In der Regel brennt das Gas ruhig aus, ohne daß ein Zerknall der Flasche eintritt. Die Flamme verursachte nun einen kleinen Brand, der den Arbeiter veranlaßte, die Hausfeuerwehr zu alarmieren. Diese war sofort zur Stelle, der Brand wurde aber inzwischen auf das benachbarte Lager übergegriffen, so daß die 400 Wasserstoffflaschen nach und nach ausbrachen, indem sie von der Stelle des geringeren Widerstandes

¹⁾ Vergl. Die Unfallverhütungsvorschriften der Berufsgenossenschaft der chemischen Industrie (Berlin 1922) S. 176.

²⁾ Vergl. O. Ohmann, Die Unfallverhütung im chemischen physikalischen Unterricht als Grundlage der Unfallverhütung in der Arbeit und Technik (Berlin 1928) S. 58 u. f.

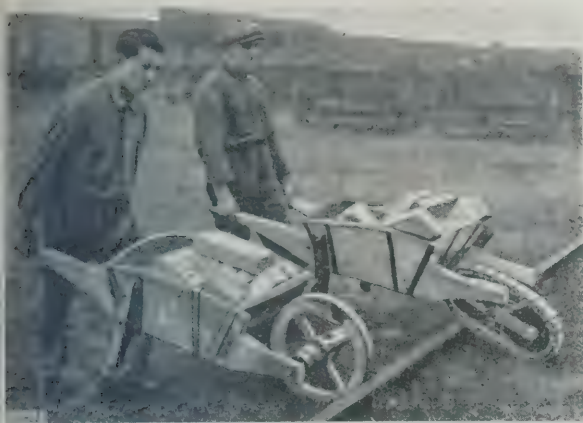


Abb. 3

arren mit Raupenrad: Schienen, Balken usw. bilden kein Hindernis.



Abb. 4

Einschienebahn für Bauzwecke von G. Schlösser, Berlin-Cöpenick.

nlich vom Ventil aus durch die Hitze des Brandes ent-
det wurden; fünf Flaschen, die vielleicht durch herab-
ende Dachbalken besonders stark erhitzt wurden, wurden
ch inneren Überdruck gesprengt, was überaus heftige
onationen hervorrief. Diese Flaschen zeigten das be-
ante Aussehen zerrissener nahtloser Röhren.

Daß von den 400 ausgebrannten Flaschen nur fünf zer-
allten, beweist die außerordentlich hohe Widerstand-
igkeit und Sicherheit dieser Behälter. Bei dem Brande,
durch die ungeheure Menge von ausströmendem Wasser-
stoff — jede Flasche lieferte 6 m³ — lebhaft genährt wurde,
rde kein Arbeiter und kein Mann der Feuerwehren ver-
tzt. Was die erste Entzündung des Wasserstoffs veranlaßt
t, ist nicht festgestellt worden.

Berlin-Pankow

Prof. O. Ohmann

Schutzvorrichtung gegen Selbstentzündung gelagerter Kohlen

Zur Beobachtung und Entdeckung von gefährlichen
meentwicklungen bei gelagerten Kohlen hat man nach
relangen Versuchen zwei Geräte, unter dem Namen Pro-
tometer, hergestellt.

Die Kohlen erwärmen sich infolge der Oxydation an der
ft; solange die Temperatur 50 ° nicht überschreitet, be-
ht die Gefahr der Selbstentzündung nicht. Man hat zwar
obachtet, daß in einzelnen Fällen auch bei 60 ° noch keine
bstentzündung eintrat; dagegen ging die Temperatur
ht mehr zurück, sobald sie auf 65 ° gestiegen war. Man
t daher 65 ° als gefährliche Temperatur angenommen, bei
r Vorsichtsmaßnahmen zur Verhütung von Selbstentzün-
ngen getroffen werden müssen.

Das eine der neuen Geräte ist eine Beobachtungsvor-
richtung; sie besteht aus einem säurebeständigen Stahlrohr,
s senkrecht oder schräg in das Kohlenlager eingeführt
ird. In dem Rohr sind Feder und Kolben angeordnet, die
rch eine Kette mit leicht schmelzbaren Gliedern zusammen-
gungen werden. Die Glieder haben 600 mm Abstand von-
ander und sind gegeneinander isoliert, so daß jedes einen
sonderen Raum einnimmt. Die Glieder schmelzen bei
°C; infolgedessen wird der Signalkopf 250 mm über das
ohrende hinausgeschleudert und zeigt an, daß an dieser
elle gefährliche Temperaturen vorhanden sind.

Ist eine gefährliche Temperatur festgestellt, dann wird das
weite, ein Zeigergerät, verwendet. Dieses besteht ebenfalls
s einem säurebeständigen Stahlrohr, in dem drei empfind-
iche Thermoelemente in drei verschiedenen Abständen
m untern Ende des Rohres angeordnet sind. Jedes Element
hrt zu einem Zeigermessgerät mit unmittelbarer Ab-
sung. Etwa 3 bis 5 min nach dem Einstecken erhält man
e höchste Ablesung. Auf diese Weise wird der Umfang
r gefährlichen Zone und die Temperatur in drei Höhen
gemessen. Bei 4,5 bis 6 m hoher Lagerung kann man
it einem Beobachtungs-Protometer 75 bis 150 t Kohle
erwachen. („Railway Age“ Bd. 86 (1929) Nr. 3 S. 210*.)
[M 2614 f]

Bauingenieurwesen

Fördern im Hochbau

Wie man auch bei den verhältnismäßig rohen Förder-
mitteln des Hochbaues durch fortgesetzte sorgfältige Prü-
fung und Überwachung im Betrieb die Leistung außer-
ordentlich erhöhen und damit die Wirtschaftlichkeit des ge-
bauten Bauunternehmens heben kann, zeigte ein sehr beach-



Abb. 5

Einschienebahn mit anschließendem schwenkbarem Auslegeraufzug.

tenswerter Vortrag¹⁾, den Dipl.-Ing. O. Rode im Rahmen der
Veranstaltung der Baumesse Leipzig²⁾ im Herbst 1928
hielt. Im ersten Teil bespricht Rode kritisch die verschie-
denen im Hochbau benutzten Fördergeräte, um anschlie-
ßend zu zeigen, auf welche Weise der Bauunternehmer die
richtige Auswahl treffen kann.

Für die

wagerechte Förderung

stehen außer dem menschlichen Träger verschiedene mecha-
nische Fördermittel zur Verfügung. Der Förderkarren
soll so gebaut sein, daß die Radachse stets in der Nähe des
Schwerpunktes der Last liegt. Zum besseren Überwinden
der im Baugelände und auf den Gerüsten auftretenden Hin-
dernisse dient die Ausrüstung mit einem Raupenrad, Abb. 3.
Eine große Rolle werden noch die Förderbänder spielen,
wenn erst die Hochbauunternehmer alle Vorteile und die
Verwendungsmöglichkeiten richtig erkannt haben und die
Preise der Bänder wesentlich gesenkt sind. Insbesondere
beim Bodenaushub sind Förderbänder gut zu gebrauchen.
Hier lassen sich große Ersparnisse erzielen.

Die sogenannte Baukraftanlage, Abb. 4 und 5,
ist eine Einschienebahn, die sich aus leicht aufstellbaren
Teilen zusammensetzt, mit einem anschließenden Aufzug.
Auf der Einschienebahn wird ein Kasten, dessen Form sich
der aufzunehmenden Baustoffart anpaßt, mit der Hand vor-

¹⁾ Vergl. a. „Die Bauwelt“ Bd. 19 (1928) S. 989.

²⁾ Vergl. a. Z. Bd. 72 (1928) S. 1892.

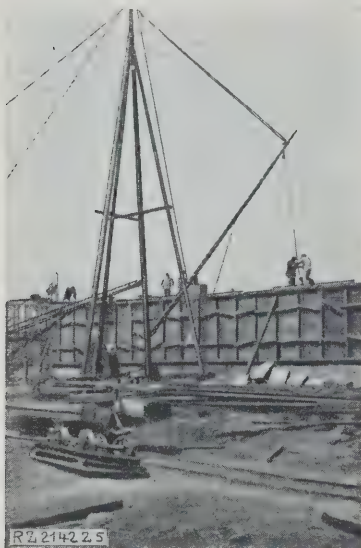


Abb. 7 (links). Wippmast (Derrick).

Abb. 8 (rechts). Baustelle, bei der die Steine auf Tragbrettern zugebracht und abgeworfen werden.

Abb. 9. Neue Arbeitsstelle des Maurers. Steine werden auf Rahmen herangebracht und abgesetzt.

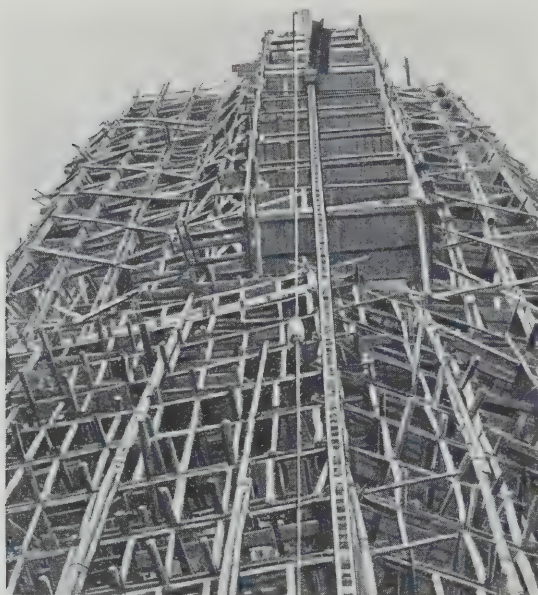


Abb. 6. Bauaufzug „Hexe“, schräg von unten gesehen, beim Ullstein-Bau, Tempelhof.

wärts bewegt; er läuft auf den Ausleger eines Aufzuges auf und kann, nachdem er hochgezogen worden ist, wieder an ein Einschienen Gleis abgegeben werden. Es handelt sich hier also um eine Verbindung von wagerechter und senkrechter Förderung. Zur

senkrechten Förderung

dient immer noch Rolle und Flaschenzug, ein Gerät von außerordentlich geringer Leistung. Eine Verbesserung stellt der Schwenkkran dar. In Verbindung mit Mörtelmischanlagen sieht man vielfach Hochzüge mit selbsttätig kippbarem Kübel. Eine Abart sind die Schrägzüge, die meistens für Aushubförderung verwendet werden.

Einen drehbaren Ausleger, der in einer Schienenkonstruktion mittels Motorwinde hochgezogen wird, den sogenannten Bauaufzug „Hexe“, zeigt Abb. 6. Die Schienenteile kann man beliebig verlängern. Die Vorzüge dieses Aufzuges bestehen in seiner einfachen und billigen Aufstellungsmöglichkeit und einfachen Handhabung.

Konstruktiv ähnlich der „Hexe“ sind die Plattformaufzüge. Die rechteckige, an einem Ausleger befestigte Plattform ist $1,4 \times 1,5 \text{ m}^2$ groß und wird an einer Führung aus U-Eisen oder aus Rohren, ähnlich wie in Abb. 5, hochgezogen. Die Führung aus Rohren hat den Vorzug, daß die Plattform herumgeschwenkt werden kann. Diese bietet Raum für zwei Karren. Dort, wo zur wagerechten Förderung menschliche Träger dienen, wird auf der Plattform ein besonderer Aufbau zum Absetzen und Aufnehmen der Traglasten angebracht.

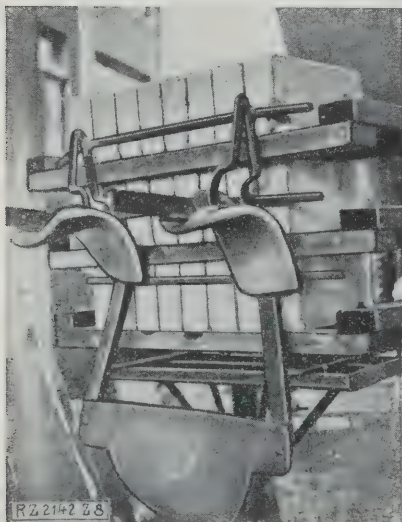


Abb. 10
Eisernes Traggerüst zur Förderung von 24 Steinen auf drei Rahmen.



Abb. 11
Gerüst zum Absetzen des Traggerüsts.

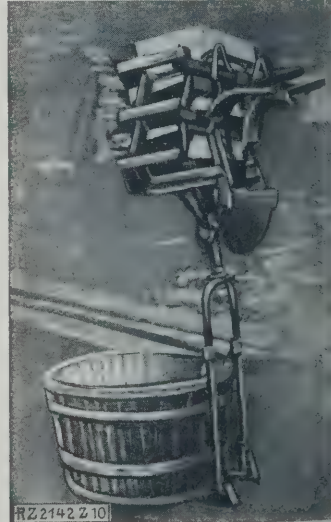


Abb. 12
Traggerüst auf dem Absetzgerüst.

Der Wippkran (Derrick), Abb. 7, der auf amerikanischen Hochbaustellen stets anzutreffen ist, wird sich auch noch erfolgreich durchsetzen, da er leicht und dabei ordentlich leistungsfähig ist. Andre Krankonstruktionen sind im Hochbau bei weitem nicht so wirtschaftlich. Es ist großen Anklang gefunden haben die Elektro- und die bei vielen Verwendungsmöglichkeiten keine Aufstellkosten und keine besonderen Gerüste beanspruchen.

Auswahl mittels Leistungsprüfung

Bei der bisher im allgemeinen geübten Praxis der Hochbauteilnehmer werden Leistung und Wirtschaftlichkeit der Bauteile leider nicht hinreichend beachtet. Die Bauteilnehmer kaufen auf Geradewohl heute ein Erzeugnis dieser, morgen eines jener Firma, ohne sich darüber zu werden, welches Gerät gerade für ihren Betrieb am besten paßt. Richtig durchgeführte Berechnungen der Wirtschaftlichkeit auf Grund dauernder Betriebsbeobachtungen findet man so gut wie gar nicht. Infolgedessen ist es den Lieferfirmen ganz unmöglich gemacht, irgendwelche wirklichen Verbesserungen an den Geräten vorzunehmen.

Will man hier Wandel schaffen, soll man nicht nur den Arbeitsgang einzeln beobachten, sondern muß auch der Hand des Baueinrichtungsplaners prüfen, die einzelnen Arbeitsvorgänge am besten ineinander greifen. Durch fortgesetztes Beobachten einzelner Maschinen und des Gesamtarbeitgangs können genaue Leistungszahlen ermittelt werden, die über die Leistungsfähigkeit und Verwendbarkeit jeder Maschine Aufschluß geben. So kann eine reinigende Auslese unter den vielen Fabrikaten getroffen werden und die Maschinenindustrie bestimmte Anregungen erhalten.

In einem Beispiel sei hier gezeigt, wie sogar die Ardes Maurers auf Grund der vorher erwähnten Studien verbilligt worden ist. Im Gegensatz zu der alten Arbeitsstelle, Abb. 8, bei der die Steine auf Tragern zugebracht und abgeworfen werden, zeigt Abb. 9 eine Arbeitsstelle, bei der die Steine auf Rahmen herangeführt und abgesetzt werden. Wird über die Hand gemauert, so kann man jeweils sechs Rahmen mittels Karrens heranbringen. Wird vom Außengerüst gemauert, so erhält der Träger ein besonders konstruiertes Traggerüst für drei Arbeiter, Abb. 10. Der Träger setzt das Traggerüst auf ein Gerüst, Abb. 11 und 12, das drehbar eingerichtet ist, so daß die Größe des Steinträgers durch Einschieben der Rohrteile anpassen läßt. Die drei Rahmen werden rechts und links vom Kalkkasten in der für den Träger günstigsten Griffstellung abgelagert. Die Förderer für den Mörtel lassen sich ebenfalls herabsenken, so daß man ihn dünnflüssig erzeugt und von einem Speicher aus unmittelbar in das Troggefäß einfüllt. Die Leistung des Maurers konnte mit diesen Verbesserungen von 700 auf 1250 bis 1400 Steine, die des Trägers von 4500 Steine und einer entsprechenden Menge Mörtel abgesetzt werden. Dabei ergab sich außerdem noch ein Bruchverhältnis von 11:1. [M 2142] Sd.

Werkstoffe

Aluminiumlegierungen im Motorenbau

Gestützt auf langjährige, reiche Erfahrungen gibt H. Steudel, Dessau¹⁾, eine sehr anschauliche Darstellung vom Anwendungsgebiet der Leichtmetalle im Motorenbau und von den Möglichkeiten, die sich dem Konstrukteur bei richtigem Verständnis der besonderen Eigenarten dieser Baustoffe schon jetzt bieten und in Zukunft vielleicht in noch größerem Umfang bieten können.

Als allgemeine Vorteile treten insbesondere das geringe Gewicht, die für bestimmte Fälle erwünschte hohe Wärmeleitfähigkeit und auch die leichte Bearbeitbarkeit in den Vordergrund, die der Einführung der Leichtlegierungen in den Maschinenbau den Weg ebneten. Diese Vorteile hat sich zunächst der Fahrzeugbau zunutze gemacht, dessen Ansprüche hinsichtlich Gewichterleichterung und Leistungssteigerung die Verwendung von Leichtmetallen auch im Motorenbau immer notwendiger machten. Die bei rascher Beschleunigung und Verzögerung bewegter Teile auftretenden Massenkräfte können durch den Gebrauch von Leichtmetallen bis zu gewissem Grad eingeschränkt werden. Es wäre aber verfehlt und hat schon oft zu Rückschlägen und Mißtrauen geführt, wenn bisher in Eisen und Stahl konstruierte Bauteile nun einfach in Leichtmetall ausgeführt würden. Man braucht nur, wie es Steudel tut, die wichtigsten Festigkeitseigenschaften von Aluminiumlegierungen und Stählen miteinander zu vergleichen, Abb. 13 bis 17, um zu erkennen, welche Grenzen im Motorenbau mit seinen hochbeanspruchten Bauteilen der Verwendung von Leichtmetall gesetzt sind. Ihr niedriger Elastizitätsmodul, geringe Stoßfestigkeit, Härte und Verschleißwiderstand verbieten den Einbau in vielen

¹⁾ H. Steudel, Aluminiumlegierungen im Motorenbau, Z. f. Metallk. Bd. 20 (1928) S. 165.

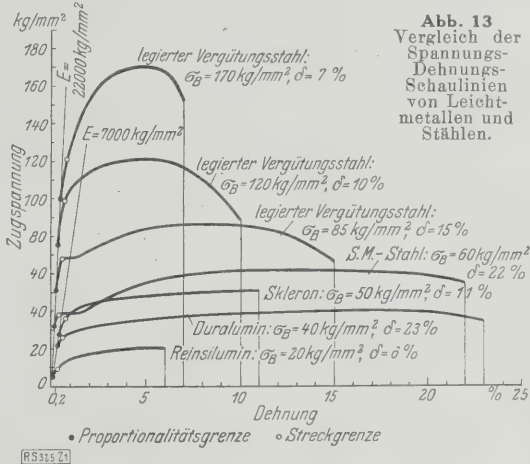


Abb. 13
Vergleich der
Spannungs-
Dehnungs-
Schaubild-
linien von
Leicht-
metallen und
Stählen.

DRGM Nr. 1 048 806.

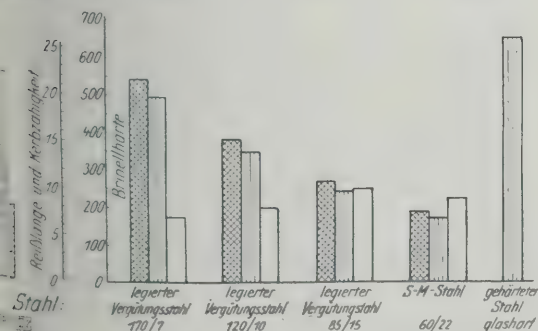
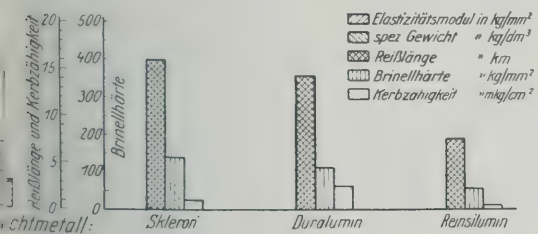


Abb. 14 und 15

Vergleich der Festigkeiten von Leichtmetallen und Stählen.

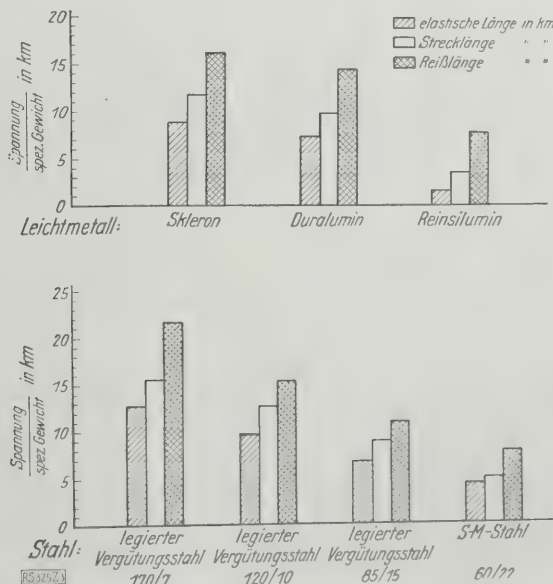


Abb. 16 und 17. Vergleich der Grenzspannungen bei Belastung durch Eigengewicht von Leichtmetallen und Stählen.

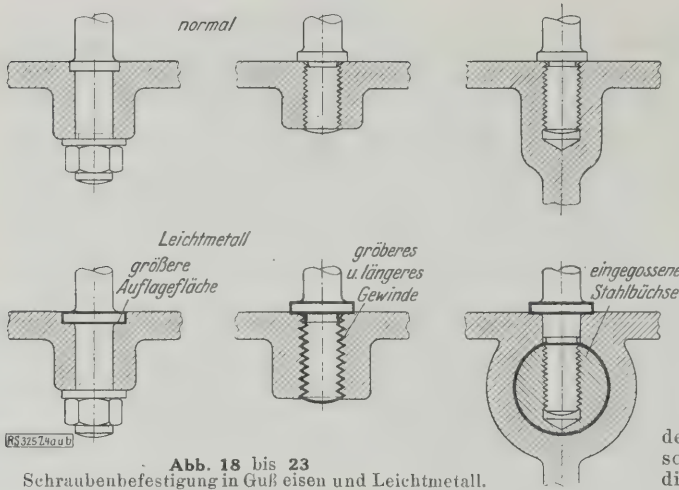


Abb. 18 bis 23
Schraubenbefestigung in Gußeisen und Leichtmetall.

Füllen. Auch Beanspruchungen bei sehr hohen Wärmegraden sind Aluminiumlegierungen nicht so gewachsen wie Stähle. Als größter Vorteil bietet sich noch die Gewichtsersparnis dar, die bei Gehäuseteilen aller Art in Erscheinung tritt und schon zu weitgehender Verdrängung des Eisengusses im Motorenbau geführt hat. Steudel hat die Möglichkeiten der Herstellung von Motorenbauteilen in einer Übersichtstafel in lehrreicher Weise zusammengestellt.

Der Konstrukteur muß besondere Eigenheiten der leichtmetallischen Baustoffe beachten, wenn er sich zu ihrer Verwendung entschlossen hat. Die verhältnismäßige Weichheit verlangt geringere Flächendrücke, als man von Eisen und Stahl gewohnt ist. Abhilfemaßnahmen, die sich in der Praxis gut bewährt haben, zeigen Abb. 18 bis 25.

Neben der Gewichtsersparnis ermöglicht die gute Wärmeleitfähigkeit der Leichtmetalle ihre Verwendung auch zu Teilen, die mit dem Verbrennungsvorgang näher in Zusammenhang stehen. Und zwar kommt in Frage die Herstellung von Zylinderköpfen und -gehäusen aus Leichtlegierungen, insbesondere aber die Verwendung zu Kolben.

Der Leichtmetallkolben ist auf dem besten Wege, den gußeisernen Kolben völlig zu verdrängen. Er erfüllt die hauptsächlichsten Anforderungen, die an Kolben gestellt werden, in weitgehendem Maße, z. B. ausreichende Festigkeit zur Übertragung der auftretenden Beanspruchungen, gute Lauffähigkeit, genügende Härte und, was bei Verbrennungsmotoren besonders erwünscht ist, hohe Wärmeleitfähigkeit. Nachteilig ist die etwas höhere Wärmeausdehnung, die durch etwas größeres Spiel bis zu gewissen

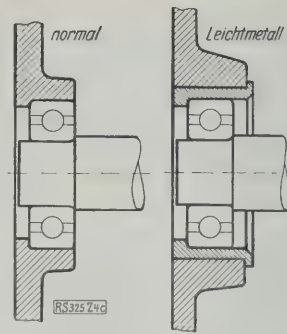


Abb. 24 und 25
Kugellagerbefestigung in Gußeisen und Leichtmetall.

der geringeren Festigkeitswerte des Leichtmetalles, sondern bei erhöhter Temperatur, und im Hinblick die bessere Wärmeableitung muß der Leichtmetallkoll völlig umkonstruiert werden. Man strebt sogar danach, ihn konstruktiv so einfach zu gestalten, er nach Möglichkeit auch durch Pressen hergestellt den kann, weil bei dieser Ausführungsart gewisse unvernünftige Fehlerquellen des Gießverfahrens wegfallen und Weg zur Verwendung schmiegbarer Leichtlegierung offensteht.

Diese schmiedbaren Leichtmetalle zeichnen sich aus dem bedeutend höhere Festigkeitswerte, die durch das Formgebeim Schmieden oder Pressen erreicht werden. Außerdem besteht bei ihnen die Möglichkeit, durch zusätzliche, besondere Warmbehandlung (Vergütung) die Festigkeitswerte weiter erheblich zu steigern. Als bemerkenswertes Beispiel für diese Verwendungsart wird das aus Duralumin gegossene Gehäuse des englischen Bristol-Jupiter-Flugmotors erwähnt.

Bei der Verwendung vergütbarer Leichtmetalle Schubstangen und andern auf Knickung beanspruchten Teilen muß der Konstrukteur beachten, daß infolge des niedrigeren Elastizitätsmoduls der Leichtmetalle der Vorteil geringeren Gewichtes gegenüber Stahl in der Hauptwieder verlorengelht, wenn es sich um höchste Beanspruchungen handelt. Das Beispiel des Kraftfahrrad- und -wagens beweist aber, daß sich Schubstangen aus Leichtmetall bei geeigneter Ausführung und nicht zu hoher Inanspruchnahme auch recht gut bewähren können. Beim Entwurf solcher Bauteile ist aber noch besonders zu beachten, daß geschmiedete Leichtmetalle infolge ihres Gefügebauausgeprägter Faserstruktur neigen, wodurch eine ungünstige Spannungsverteilung in der Querrichtung befördert wird. Die Form der Schmiederohlinge ist daher unter Berücksichtigung der werkstatmäßigen Endgestaltung so zu wählen, daß die Faser dem Kräfteverlauf innerhalb des Bauteiles vergehend entspricht und durch die Fertigbearbeitung nicht abgeschnitten wird, weil sich erungsgemäß an solchen Stellen der Widerstand gegen dauernde Wechselbeanspruchung vermindert. Recht sinnfällg hat Steudel diese Verhältnisse in Abb. 26 bis 33 dargestellt.

Im zweiten Teil der besprochenen Abhandlung werden im einzelnen Angaben über die meist verwendeten Legierungen gebracht, nachdem die Bedeutung der Festigkeitswerte im allgemeinen geprüft worden ist.

Steudel weist mit Recht darauf hin, daß die Wichtigkeit der Bruchgrenze und Dehnung der Konstrukteur meist überschätzt wird. Da bleibende Verformung eines Bauteiles im Betriebe bei der Anfang vom Ende ist, so dürfte die Kenntnis der Streckgrenze wichtiger sein, wenn sie auch vielen Werkstoffen im Zern nicht zum Ausdruck kommt und solchen Fällen verabredungsgemäß die Spannung bei 0,2 bleibender Dehnung gesetzt wird. Bei dauernder hoher Wechselbeanspruchung ist aber selbst die Festlegung noch ungenügend,

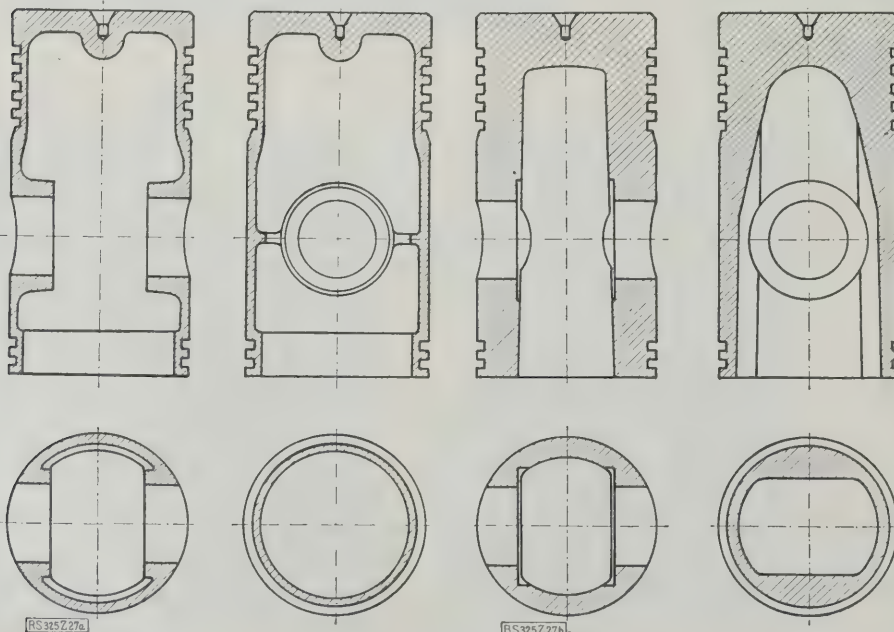


Abb. 26 bis 33
Kolbenkonstruktion bei Anwendung von Gußeisen, Abb. 26 bis 29, und von Aluminiumguß, Abb. 30 bis 33. Gewicht in Gußeisen rd. 780 g und in Aluminiumguß rd. 600 g.

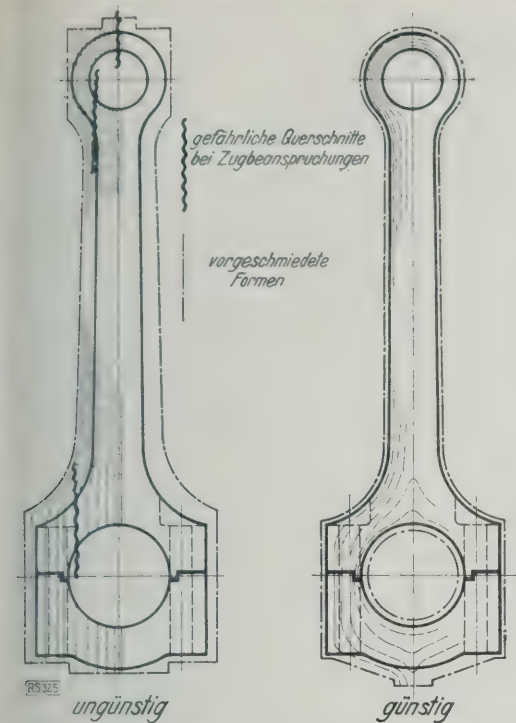


Abb. 34 und 35
Leichtmetall-Schubstangen mit schlechtem und gutem Faserverlauf.

ist gut daran, seiner Berechnung eine Höchstspannung zuzulegen, bei der der Werkstoff noch rein elastisch beansprucht wird, d. h. eine bleibende Streckung von 0,001 vH nicht überschreitet (sog. konventionelle Elastizitätsgrenze). liegt in der Linie dieser Erwägungen, daß hohe Bruchrechnung bei dauernder Wechselbeanspruchung nicht ungünstig nötig ist, wenn sie auch erwünscht sein kann.

Bei der Besprechung der verschiedenen Gußlegierungen (deutsche, amerikanische Legierung und Silumin) erwähnt Verfasser insbesondere Vor- und Nachteile hinsichtlich Gießverhaltens, der Bearbeitbarkeit sowie des Widerstandes gegen Anfrassungen. Sonderwünsche letzterer Art liegen zur Entwicklung der Gußlegierung KS-Seewasser geeignet. Auch auf die Kolbenlegierungen, die der Verfasser als

Merkblatt für das Werkstoffhandbuch „Nichteisenmetalle“ bearbeitet hat, wird näher eingegangen.

Große Bedeutung kommt weiterhin den Legierungen des Magnesiums, bekannt unter dem Namen Elektron, zu, die man besonders für Gehäuseguß in letzter Zeit weitgehend benutzt. Als wesentliche Vorteile dieser bisher leichtesten Legierungen, mit nur 1,8 spezifischem Gewicht, werden neben guten Festigkeitseigenschaften ihre gute Gießbarkeit, feines Bruchgefüge und gute Bearbeitbarkeit bezeichnet.

Im letzten Abschnitt behandelt der Verfasser die vergütbaren Walzlegierungen des Aluminiums, deren Überlegenheit gegenüber den Gußlegierungen hinsichtlich der Festigkeitswerte in Abb. 36 und 37 noch einmal dargestellt ist.

Zusammengefaßt ergibt die Arbeit ein getreues Abbild von der Verwendung der Leichtmetalle im Motorenbau und ihrer vermutlichen Weiterentwicklung, die sich im Rahmen gegenseitigen Erfahrungsaustausches zwischen Hersteller und Verbraucher fortsetzen wird. Es liegt besonders in der Absicht Steudels, zu dieser Gemeinschaftsarbeit auch den Konstrukteur mit heranzuziehen.

[M 2307]
M. Lorenz

Berichtigung

Neuerungen im Landmaschinenbau — Kreisregner

Prof. Dr. Holldack teilt zum Kapitel „Berechnungsanlagen“ seines Aufsatzes in Z. Bd. 73 (1929) Nr. 4 S. 113 mit, daß der ursprünglich als Bericht über die Ausstellung der Deutschen Landwirtschafts-Gesellschaft in Leipzig niedergeschriebene Artikel für die viele Monate später erfolgte Veröffentlichung unter anderem Titel leider nicht ganz genügend umgeändert wurde, so daß sich Unstimmigkeiten ergeben haben. Es wurden z. B. die Firmen Lanninger und Hüdig bevorzugt genannt, da sie auf dieser Ausstellung ihre Erzeugnisse im Freien, z. T. auch im Betrieb, gezeigt hatten. Ferner waren in einer der Hallen von der Hydor-G. m. b. H. Hydor-Regner verschiedener Bauart, sowie Siemens- und nochmals Hüdig-Regner ausgestellt. Es ist zu bemerken, daß nicht allein die Firma Hüdig Kreisberechnungsgeräte baut, sondern auch Hydor. Endlich mag erwähnt werden, daß auch Mertens-Michaelis (Horten) Weitstrahl-Kreisberechnung anwendet. Das hängt damit zusammen, daß bei Weitstrahlregnern wegen der hier mehr in den Vordergrund tretenden Einflüsse des Windes auch die konstruktiv einfacheren Kreisberechnungsapparate ausreichen. Im übrigen gehen die Meinungen über größere Zweckmäßigkeit der Weitstrahl-Viereck- oder Kreisberechnung oder der Düsenflügelberechnung noch auseinander, zumal letztere auch in größeren landwirtschaftlichen Anlagen wesentliche Verbreitung gefunden hat; vor allem spielen bei der Wahl auch rein örtliche Verhältnisse: regelmäßige Feldform, ebene Lage, Boden- und Kulturart, eine Rolle.

[N 2630]

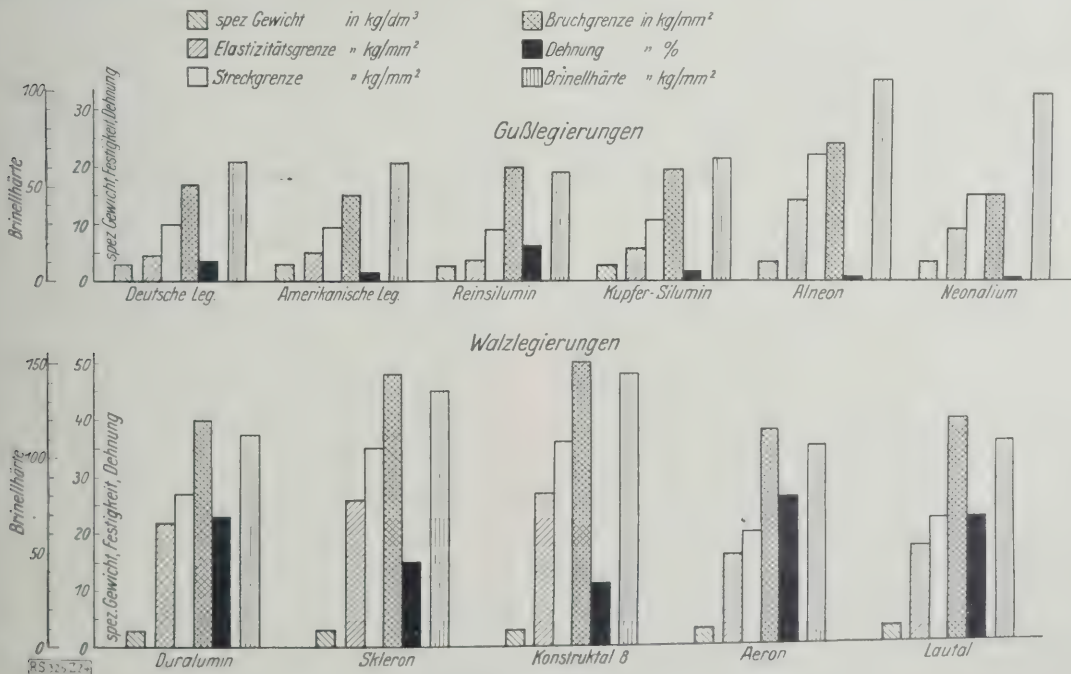
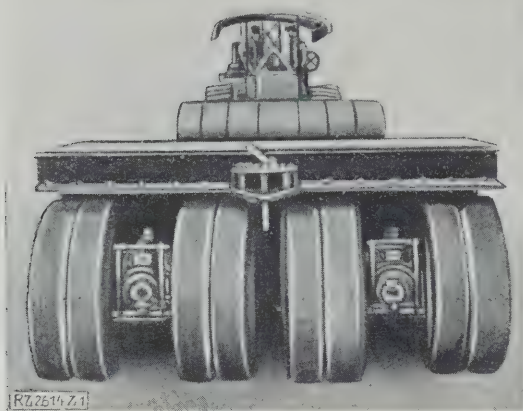


Abb. 36 und 37
Gesamtübersicht der Festigkeitswerte von Aluminiumlegierungen.

Kleine Mitteilungen



Tiefladewagen von 85 t Ladefähigkeit für Landstraßen

Um große Werkstücke, z. B. solche, die das Eisenbahnprofil und den Achsdruck überschreiten, auf der Landstraße befördern zu können, hat John Fowler, Leeds, einen Tiefladewagen für 85 t gebaut. Der U-förmig durchgebogene, als Plattform ausgebildete Rahmen ruht auf zwei achtradrigen Drehgestellen, u. zw. sind je vier Doppelräder quer zur Wagenlängsachse in einer Reihe angeordnet. Zwei innere und zwei äußere Räder mit gemeinsamer, seitenschieblicher Achse sind jeweils wieder in einem Rahmen zusammengefaßt, der seinerseits gegen das Hauptdrehgestell in der Längsachse verschiebbar ist, vergl. Abb. Infolgedessen ist auch unebenes Gelände leicht befahrbar. Eine am vorderen Drehgestellrahmen angebrachte um wagerechte Zapfen drehbare Deichsel dient zum Anhängen an den Schlepper. Die Länge des Wagens beträgt rd. 11 m, die Breite der Plattform 2,36 m, die Länge des lichten Laderaumes 4,9 m. („The Engineer“ 8. Februar 1929 S. 166*) [M 2614 a]

Eisenbahnbetrieb mit Öltriebwagen

Die Cincinnati-Nordbahn bedient seit September 1925 den Personenverkehr auf der 390 km langen Strecke Cincinnati—Ohio—Jackson mit geringer Ausnahme nur mit diesel-elektrischen Triebwagen. Bisher waren acht Dampflokomotiven für den Personenverkehr vorhanden, während nunmehr nur vier Triebwagenzüge den Verkehr bewältigen. Eine Dampflokomotive wird zum Einsetzen für etwaigen stärkeren Verkehr bereitgehalten. Die Züge bestehen aus dem Triebwagen mit 225 PS Leistung und einem gewöhnlichen Personenwagen, der 82 Sitzplätze bietet; das Gewicht dieses Wagenzuges beträgt 75 t. Die Betriebsergebnisse sind sehr günstig; die Kosten für einen Zugkilometer sind bei der neuen Verkehrsbedienung um rd. 35 vH niedriger als beim Dampfverkehr. („Railway Age“ 26. Januar 1929 S. 247*) [M 2614 b]

Hochwertiger Werkstoff für die obere Gurtung von Schiffen

Die vor kurzem veröffentlichten Pläne des italienischen Motorschiffes „Vulcania“ von 24 000 B.-R.-T. zeigen, daß bei dessen Bau hochwertiger Stahl in beträchtlichem Umfang angewendet worden ist. Das Hauptdeck (C-Deck) sowie die beiden darüber befindlichen Aufbautendecks hat man mittelschiffs auf reichlich 60 vH der Schiffslänge aus hochwertigem Stahl mit hoher Elastizitätsgrenze hergestellt, ebenso die Stringer, den Scheergang und die Seitenbeplattung dieser Decks auf 70 bis 75 vH der Schiffslänge.

Mit dem hochwertigen Baustoff hat man 400 t Gewichtersparnis erreicht. Diese Gewichtersparnis ist vor allem für die Stabilität des Schiffes von Vorteil gewesen, da es sich durchweg um hochliegende Verbände handelte; man konnte daher das Schiff schmaler halten, als sonst möglich gewesen wäre. („Shipbuilder“ Februar 1929 S. 147) C.

Umstellung eines Heizkraftwerkes

Die Franklin Sugar Refining Co. in Philadelphia, Pa., hat kürzlich ihre 48 wagerechten Wasserrohrkessel von je 232 m² Heizfläche durch fünf 950 m²-Kessel der Bauart Stirling ersetzt. Während die alten Kessel nicht nur sehr viel

Platz beanspruchten, sondern auch der Belastung nicht gewachsen waren, kann man von den neuen Kesseln, die zu Ausbesserungszwecken stillsetzen, ohne daß der Vollbetrieb gestört wird. Die neuen Kessel haben Kohlenstauffeuerungen und durch Wasser gekühlte Feuerraumwände. Von den Einblasemühlen werden sechs elektrisch, die übrigen Terry-Dampfturbinen angetrieben. Eine 1500 kW-Wasserpumpe-Anzapfturbine, die z. Zt. noch nicht aufgestellt ist, soll bei 14 at Anfangsdruck und 38 ° Überhitzung Dampfes Anzapfdampf von 7 at und Abdampf von rd. 3 at Überdruck der Zuckerfabrik liefern. Als Aushilfe dient ein Benzinmotor, der mit einem 50 kVA-Stromerzeuger unmittelbar gekuppelt ist. Gegenwärtig erzeugt die Anlage 30 t Dampf in 24 h, wobei fünf Mann in jeder Schicht beschäftigt werden. Vor dem Umbau waren dagegen 15 bis 18 Mann in jeder Schicht erforderlich. („Power Plant Engineering“ 1. Dezember 1928 S. 1240*) [M 2614 c]

Fräsen von zylindrischen Öffnungen

Die Hall Planetary Co., Philadelphia, Pa., baut Fräsmaschinen zum Bearbeiten von zylindrischen Innen- und Außenflächen, deren gemeinsames Merkmal es ist, daß das Werkstück immer stillsteht, während das Werkzeug an der Drehung um die eigene Achse eine Planetenbewegung ausführt. Die Innenfräser erhalten Durchmesser, die um 20 vH kleiner sind, als die Durchmesser der zu bearbeitenden Flächen. Beim Fräsen von Außenflächen gibt der Fräser das Werkstück vollständig, wobei sein äußerer Durchmesser um rd. 20 vH größer ist als der der zu bearbeitenden Fläche. Auf die Bearbeitung von Gewindeflächen angewendet, liefert das Verfahren Flächen, die im Gegensatz zu dem von Drehwerkzeugen hergestellten frei von scharfen leicht wegbrechenden Kanten sind. Auch zum Bearbeiten von besonders gestalteten Innenflächen, z. B. Laufingen von Kugellagern, eignet sich das Verfahren. Man dafür vorbereitete Formfräser verwenden kann. Der größte Vorteil des Verfahrens besteht aber darin, daß in dieser Weise mehrere Innendurchmesser und Stoßflächen in einem Zug fertig bearbeiten kann. Mit zwei Fräsern auf der gleichen Achse bearbeitet man z. B. in einer Minute drei Zylinderflächen und drei anstoßende Anschlüsse. („Machinery“ Dezember 1928 S. 241/47*)

Künstliches Austrocknen von Neubauten

Beim Austrocknen von Neubauten kommt es vor, daß man darauf an, daß der Mörtel im Mauerwerk res abbündet. Das Trocknen mittels der Verbrennungsgase Koksöfen oder offenen Koksöfen, die innerhalb des Baues aufgestellt werden, hat den Nachteil, daß meist nur der Putz oberflächlich abbündet, da die Heizgase nicht tief in das Mauerwerk eindringen. Eine Lösung der Aufgabe, Kohlensäure unter Druck in das Mauerwerk hineinzutreiben, stellt das Verfahren der Deutschen Bautrocknungsgesellschaft m. b. H., Hannover, dar.

Die Verbrennungsgase werden auf fahrbaren Herdzeugen, die außerhalb des Baues stehen und damit die Feuergefahr ausschließen. Die Luftzuführung ist so geregelt, daß praktisch eine vollkommene Verbrennung stattfindet, wie eingehende Untersuchungen der Verbrennungsgase ergeben haben. Ein auf dem Herdwagen sitzender Elektromotor angetriebener Lüfter saugt die Verbrennungsgase ab und drückt sie durch Röhren Überdruck in den zu trocknenden vollkommen abgeschlossenen Bau hinein. Der Überdruck treibt die Gase durch das Mauerwerk nach außen; der beim Abbünden entstehende Wasserdunst wird infolge des Überdruckes ebenfalls nach außen abgeführt. Die Trocknungstemperatur beträgt zu Beginn rd. 30 °, sie läßt sich je nach Wunsch allmählich auf rd. 300 ° steigern.

Das Trocknen dauert nur fünf bis sechs Tage. Seiner Kosten betragen etwa die eineinhalbfache Monatsmiete getrockneten Raumes. Hieraus sind ohne weiteres die Einsparnisse zu ersehen, die ein Bauherr insbesondere im Winter erreichen kann. Bisher hat man mit dem beschriebenen Verfahren rd. 3 Mill. m³ umbauten Raumes getrocknet. Irgendwelche Anstände haben sich dabei nicht ergeben. Eingehende Untersuchungen an dem künstlich getrockneten Mauerwerk, die von unabhängigen Sachverständigen für die nächste Zeit in Aussicht genommen sind, werden darüber genaueren Aufschluß geben, bis zu welchem Grade es mit dem Verfahren gelingt, den Mörtel im Inneren des Mauerwerkes abzubinden. Dann wird man über das Verfahren ein abschließendes Urteil gewinnen können. [M 2614 e]

BÜCHERSCHAU

Bücher und Zeitschriften des In- und Auslandes, auch solche nichttechnischen Inhaltes, liefert die VDI-Buchhandlung, Berlin NW 7, Ingenieurhaus (Telegrammanschrift: Ingenieurverlag Berlin; Fernspr.: Zentrum 15204).

heit und Gesundheit. Schriftenreihe zum Reichsarbeitsblatt. Herausgeg. von Martineck. 9. H.: Staubgefährdung und Staubschädigungen der Metallschleifer, insbesondere der des bergischen Landes. Von Teleky, Lochtkemper, Erika Rosenthal-Deussen und Derdack. Berlin 1928, Reimar Hobbing. 205 S. m. Abb. Preis 14 RM.

Das Reichsarbeitsministerium will mit dieser Schriftenreihe die enge Verbindung mit der Praxis pflegen. Teleky wert eine ausgezeichnete Sozial- und Gesundheitsgeschichte der Schleifer bei. Der Schlüssel zum Verständnis der Verhältnisse ist die hausindustrielle Unabhängigkeit. Das Schleifen ist fast völlig aufgegeben. Künstliche Schleife sind weitgehend eingeführt. Die Tuberkulosegefahrlichkeit ist erschreckend hoch, weil die nötigen technischen und gewerbehygienischen Verbesserungen noch nicht kräftig durchgeführt sind. Der Staub wurde im Konimeter Owens gezählt. In die Lunge gelangen fast nur Teilchen von $\frac{1}{2}$ bis 2 Mikron Durchmesser. Die heute übliche Saugung genügt nicht, die Stauberzeugung der Arbeitsmaschinen wird teilweise falsch geschätzt, auffallend stauben Sandsteine. Die Röntgenbilder staubkranker Lungen (Lochkemper) sind sehr gut und genügend groß wiedergegeben. Die Hauptursache der Schädigungen ist Quarzstaub. Regelmäßige Untersuchung der Schleifer durch einen erfahrenen, völlig unabhängigen Arzt wird gefordert. Das Werk stellt als Ganzes eine wertvolle Bereicherung des Schrifttums dar.

Die technischen Staubmessungen und Meßverfahren sind jedoch nicht bekannt zu sein. Die Absaugung des Luftstroms mit der Geschwindigkeit des zu untersuchenden ist nicht „durch nichts begründet“, sondern eine in der Technik seit langem international befolgte physikalische Unbedingung, deren Nichtbeachtung das ganze Ergebnis Frage stellt; besonders wenn das Konimeter noch als benutzt wird, weil größere Staubteilchen unerwünscht sind. Ich vermisste eine versuchsmäßige Begründung für die gewöhnlichen Abweichungen von anderweitigen Erfahrungen. [E 2391]

Meldau

Sonderheft zum Reichsarbeitsblatt: Jahresberichte der gewerblichen Berufsgenossenschaften über Unfallverhütung für 1927. Herausgeg. vom Reichsarbeitsministerium. Berlin 1929, Reimar Hobbing. 632 S. m. 248 Abb. Preis 32 RM.

Der Jahresbericht der gewerblichen Berufsgenossenschaften bringt eine Fülle wertvoller Feststellungen über Unfälle, über Maßnahmen zur Verhütung von Unfällen, gewerblichen Berufskrankheiten, für erste Hilfe und für viele allgemeine Beobachtungen.

In den meisten Fällen wird von den Berufsgenossenschaften gern anerkannt, daß das Verständnis für die Notwendigkeit ausreichender Schutzeinrichtungen gegen Unfälle und Gewerkekrankheiten zunimmt. Andererseits ist noch eine große Anzahl von Unfällen auf Mangel an Verständnis zurückzuführen. Einige Berichte zeigen, daß in Betrieben, in denen viele ungelernete Arbeiter beschäftigt werden, z. B. in der chemischen Industrie oder in der Seidenindustrie, ein großer Teil der Unfälle auf das Zusammenwirken von Betriebsstörungen und zufälligen Ereignissen zurückzuführen ist. Auch daß der häufige Arbeiterwechsel, wie schon bekannt, von großem Einfluß auf die Häufigkeit der Unfälle ist, wird erwähnt. Im Gegensatz zu den in der Maschinenindustrie bei Akkordarbeit gewonnenen Beobachtungen wird vom Baugewerbe berichtet, daß eine Zahl von Unfällen auf das oft terminmäßig bedingte beschleunigte Tempo der Arbeit zurückzuführen ist.

Man wird wohl von dem nächsten Jahresbericht erwarten dürfen, daß er die psychologischen Ursachen, die zu Unfällen führen, stärker als bisher berücksichtigt. Menschliches Versagen ist in 70 vH aller Fälle die Ursache von Unfällen, und von diesen wiederum 40 bis 45 vH ein mangelndes Erkennen der Umwelteinflüsse unter dem Einfluß des Seelenlebens zurückgeführt.

Ein sehr großes Feld bleibt freilich noch für die allgemeine Aufklärung offen. Nach dieser Richtung wird die Unfallverhütungswoche vom 24. Februar bis 3. März vielfach einen starken Anstoß ergeben. [E 2631]

Schildberger

Explosionen für Braunkohle. Von E. Lenhart. Berlin 1928, Julius Springer. 116 S. m. 65 Abb. Preis 3,50 RM.

Die vorliegende Schrift ist nicht als Lehrbuch zu betrachten, da sie die grundlegenden Kenntnisse der Wärmelehre und des Feuerbetriebes voraussetzt. Sie be-

zweckt nur, das gegenseitige Verständnis zwischen Konstrukteur und Betriebsmann zu fördern. Einleitend werden Vorkommen, Abbaufahrten, Aufbereitung, Transport und Lagerung der Braunkohle kurz behandelt, während im technischen Teil auf die Verbrennungsvorgänge eingehend hingewiesen wird. Die beiden Hauptabschnitte befassen sich mit der Feuerung für rohe und für veredelte Braunkohlen.

Bei den einzelnen Feuerungen werden jeweils unterschieden: Der Brennstoff mit seinen Forderungen an die Ausbildung der Feuerung, die Ausführungsformen und die Betriebsergebnisse. Neben der Muldenrostfeuerungen wird vor allem der Treppenrostfeuerungen, allen in Böhmen und Deutschland gebräuchlichen mechanischen Rostfeuerungen, der Kohlenstaubfeuerungen und der Kohlenstaub-Zusatzfeuerungen eingehende Beachtung geschenkt. Anschauliche Abbildungen erhöhen den Wert der Zusammenstellung.

Zum Schluß werden die richtige Auswahl der Feuerungen für einen gegebenen Betrieb mit Bezug auf die Wirtschaftlichkeit der Dampferzeugung und kurz die weiteren Aussichten für die Entwicklung der Rohkohlenfeuerungen in den nächsten Jahren besprochen. [E 2473] Kretzschmar

Vorlesungen über theoretische Physik an der Universität Leiden. Herausgeg. von H. A. Lorentz. 2. Bd.: Kinetische Probleme. Bearb. von E. D. Bruins und J. Reudler. 136 S. m. 23 Abb. 3. Bd.: Äthertheorien und Äthermodelle. Bearb. von H. Bremerkamp. 78 S. m. 19 Abb. Ins Deutsche übersetzt von G. L. de Haas-Lorentz. Leipzig 1928, Akademische Verlagsgesellschaft. Beide Bände in einem Buch. Preis 18 RM.

Nachdem einleitend verschiedene Strömungsvorgänge in zähen Flüssigkeiten hydrodynamisch behandelt werden, besprechen die Verfasser Aufgaben der kinetischen Gastheorie, namentlich eingehend die Versuche von Knudsen über den Geschwindigkeits- und Temperatursprung an den Grenzflächen verdünnter Gase und die Richardsonschen Untersuchungen über Thermionen und Vakuumkontakte. Stets werden zuerst die Versuchsergebnisse zusammengestellt und dann klar und leicht verständlich die dazugehörigen Theorien entwickelt. Dabei weisen die Verfasser besonders auf die Punkte hin, wo die Theorie nicht im Stande ist, die Versuchsbeobachtungen zu erklären, oder wo ein Widerspruch zwischen Theorie und Versuch besteht.

Der Hinweis auf die Mängel der einzelnen Theorien wird im zweiten Teil, der sich mit Äthertheorien befaßt, geradezu als Leitfaden für den Aufbau des Werkes benutzt und erweist sich dabei didaktisch besonders geeignet. Die Aberration des Lichtes führt auf die Theorien vom mitgeführten und vom ruhenden Äther. Der Versuch, die Maxwell'schen Gleichungen mit den Äthertheorien in Übereinstimmung zu bringen, zwingt zu einem weiteren Ausbau der Theorien, wodurch sie aber immer gekünstelter werden. Nach den mechanischen Äthertheorien werden die Kelvin'schen Äthermodelle behandelt und schließlich im letzten Kapitel die Anziehung und Abstoßung pulsierender Kugeln.

Bei der Bedeutung, die die Vorgänge in verdünnten Gasen heute auch für die Technik erlangt haben, wird namentlich der erste (größere) Teil des vorliegenden Buches für alle, die auf dem Gebiet der Vakuumtechnik tätig sind, wegen der Vollständigkeit der physikalischen Übersicht und der leicht verständlichen theoretischen Darstellung sehr willkommen sein. [E 2384] S. Erk.

Grundfragen der Physik im Lichte Goethescher Erkenntnisart. Mit dem Versuch einer neuen Darstellung der Hauptsätze der Wärmelehre. Von E. Hegelmann. Mannheim 1928, Selbstverlag. (Auslieferung Mannheimer Bücherstube E. Reischmann.) 124 S. m. 15 Abb. Preis 3,50 RM.

Diese Schrift wurde als Dissertation unter dem Titel: „Zur Methodik der Physik, insbesondere der Wärmelehre auf Grundlage Goethescher Erkenntnisart“ von der Technischen Hochschule Darmstadt genehmigt. Die Goetheschriften Rudolf Steiners hatten dem Verfasser Goethes naturwissenschaftliche Denkmethode nahe gebracht. An einer sehr klaren Gegenüberstellung charakteristischer naturwissenschaftlicher Anschauungen werden deren Voraussetzungen aufgezeigt. Aufgabe einer Methode im Sinne Goethes ist es, aus den Naturtatsachen die Urphänomene und deren Metamorphosen auszugliedern. Durch eingehende erkenntnistheoretische Untersuchung dieser Methode und ihrer Entwicklungsmöglichkeiten gelangt der Verfasser zu neuartigen Gesichtspunkten gegenüber Problemen wie: der Unterschied von Qualität und physikalischer Dimension, primäre und

sekundäre Qualitäten, die Grundlagen der meßbaren Zusammenhänge, die Zeit als abgeleitete Größe.

Für den Physiker erstet die Forderung, bei der mathematischen Behandlung seiner Beobachtungen den Proportionscharakter der physikalischen Maßbeziehungen stets im Auge zu halten und sich bei Darstellung der Ergebnisse nicht durch abstrakte Hilfsvorstellungen von den Phänomenen abdrängen zu lassen. Auf dem Gebiete der Wärmelehre sieht der Verfasser den Grund für das immer wieder auftretende Unbefriedigtsein in einem logischen Widerspruch zwischen Energiegleichung und Entropiegleichung. Er kommt auf das *Daltonsche* Zuordnungsprinzip als eine natürliche Temperaturfunktion und stellt den Begriff einer der Entropie entsprechenden, statischen und einer dynamischen, umwandelbaren Wärmemenge auf, woraus sich dann eine exakte, qualitativ faßbare Darstellung der beiden Hauptsätze ergibt. Die mit zahlreichen Literaturnachweisen versehene Schrift erscheint wohl geeignet, dem nach wirklichkeitsnaher physikalischer Erkenntnis strebenden Ingenieur und Forscher neue Wege zu weisen.

[E 2447]

Hermanusz

Taschenbuch der Luftflotten. Jg. 1928/29. Herausgeg. von *Werner von Langsdorff*. Frankfurt a. M. 1928, H. Bechhold. 626 S. m. 912 Abb. Preis 12 RM.

Das dreisprachige Taschenbuch (deutsch-englisch-französisch) gibt einen Überblick über die im letzten Jahr im Betrieb befindlichen Luftfahrzeuge aller Staaten der Welt. Die kennzeichnenden Angaben der Motorflugzeuge, der motorlosen Flugzeuge, der Luftschiffe, der Luftfahrzeugmotoren und der Fallschirme sind übersichtlich zusammengestellt. Den Schluß bilden eine Liste der Luftfahrzeugfirmen und Umrechnungstabellen. [E 2436] Gw.

Das Feldgeschütz mit langem Rohrrücklauf. Von *Konrad Haußner*. München und Berlin 1928, R. Oldenbourg. 130 S. m. Abb. Preis 8 RM.

„In der Geschichte des Artilleriegerätes bedeutet die Einführung des langen Rohrrücklaufes den Beginn einer neuen Entwicklungsstufe. Der lange Rohrrücklauf erhöht die Feuergeschwindigkeit, gestattet die wirkungsvolle Anbringung von Schutzschilden und erleichtert das mittelbare Richten. Seine Bedeutung besteht auch heute noch, denn ein neuzeitliches Feldgeschütz ohne langen Rohrrücklauf ist undenkbar.“ So urteilt man heute in der deutschen Reichswehr über die schon 1888 gemachte Erfindung eines deutschen Ingenieurs, deren Bedeutung die maßgebenden deutschen Persönlichkeiten im Frühjahr 1894 nicht erkannten und sich daher für die Federspornlafette einsetzten. Frank-

reich dagegen machte sich diese Erfindung zunutze, was jahrelang in waffentechnische Unterlegenheit Frankreich gegenüber brachte und unnötige Geldopfer auferlegte.

Die Darstellung des mühseligen Weges einer Erfindung, die erst nach langen Jahren zur Geltung kam, und die schlichte eines Erfinders, dessen Name nur wenigen bekannt ist, verdient besonders in Ingenieurkreisen Beachtung. [E 2438]

Unfallverhütung. Augen auf! Das Büchlein zur Unfallverhütung für Jung und Alt. Herausgeg. vom Verband deutschen Berufsgenossenschaften in Verbindung mit dem Deutschen Reichsbahn-Gesellschaft und der Deutschen Schul-Verkehrswacht durch *Werner Lindner* und *Carl Lindner*. 64 S. m. Abb. Preis 0,15 RM. — **Landwirtschaftliche Unfallverhütung.** 1. Ausg. Herausgeg. vom Verband der deutschen landwirtschaftlichen Berufsgenossenschaften in Kassel. 64 S. m. Abb. Preis 0,15 RM. — **Unfallverhütungskalender 1929.** Herausgeg. von der Unfallverhütungsbild-G. m. b. H. beim Verband der deutschen Berufsgenossenschaften. 64 S. m. Abb. Preis 0,15 RM. Berlin-Tempelhof 1929, H. A. Braun & Co.

Arbeit und Gesundheit. Schriftenreihe zum Reichsarbeitsblatt. Herausgeg. von *Martineck*. 10. H.: **Lärmarbeit.** Ohr. Von *K. Beck* und *F. Holtzmann*. Berlin 1929, Springer-Verlag. 46 S. m. 14 Abb. Preis 3,60 RM.

The Principles of Underdrainage. Von *Reginald L. Walker*. London 1929, Chapman & Hall. 223 S. m. 70 Abb. Preis 15 sh.

Impurities in Metals. Von *Colin J. Smithells*. London 1929, Chapman & Hall. 157 S. m. 166 Abb. Preis 18 s.

Das Großstadtproblem und die Wege zu seiner Lösung. Von *K. v. Mangoldt*. Berlin, Stuttgart, Leipzig 1928, Pöhlmann-Verlag. 51 S. Preis 1,70 RM.

Fachauschuß für Anstrichtechnik beim Verein deutscher Ingenieure. 2. H.: **Seifenbildung in Anstrichen.** Von *W. Droste*. Berlin 1929, VDI-Verlag. 14 S. m. 83 Abb. Preis 5,50 RM, für Mitglieder des V. d. I. 5 RM.

Mitteilungen des Instituts für Kraftfahrwesen an der Sächsischen Technischen Hochschule Dresden. Herausgeg. von *Otto Wawrziniok*. 6. Sammelbd. Berlin 1929, Klasing & Co. 88 S. m. 145 Abb. Preis 4 RM.

Die Kunst der Ofenplatten, dargestellt an der Sammlung des Vereins deutscher Eisenhüttenleute in Düsseldorf. Von *Albrecht Kippenberger*. Herausgeg. vom Verein deutscher Eisenhüttenleute. Düsseldorf 1928, Verlag Stahleisen. 52 S. m. 69 Taf. Preis 22,50 RM.

ANGELEGENHEITEN DES VEREINES

Die 68ste Hauptversammlung des Vereines deutscher Ingenieure

findet **Sonntag, den 23., und Montag, den 24. Juni 1929, in Königsberg,** statt.

Der Hauptversammlung geht eine Versammlung des Vorstandes am Sonnabend, dem 22. Juni, in Königsberg vor. Anträge, die in diesen Versammlungen zur Verhandlung kommen sollen, sind gemäß §§ 35, 37 und 46 der Satzung spätestens bis zum 23. März d. Js. schriftlich bei der Geschäftsstelle einzureichen.

Die Tagesordnung wird rechtzeitig veröffentlicht werden.

C. Köttgen

Vorsitzender des Vereines deutscher Ingenieure

Schluß des Textteiles

I N H A L T:

	Seite	
Sicherheit im Betrieb. — Zur Reichs-Unfallverhütungs- woche vom 24. Februar bis 3. März 1929. Von <i>E. Kothe</i>	241	Bücherschau: Staubgefährdung und Staubschädigungen der Metallschleifer. Von <i>Teleky, Lochtkemper, E. Rosenthal-Deussen</i> und <i>Derdack</i> — Jahresberichte der gewerblichen Berufsgenossenschaften über Un- fallverhütung für 1927 — Dampfkesselfeuernungen für Braunkohle. Von <i>E. Lenhart</i> — Kinetische Probleme. Von <i>E. D. Bruins</i> und <i>J. Reudler</i> — Äthertheorien und Äthermodelle. Von <i>H. Bremer- kamp</i> — Grundfragen der Physik im Lichte Goethescher Erkenntnisart. Von <i>E. Hegelmann</i> — Taschenbuch der Luftflotten. Von <i>W. von Langs- dorff</i> — Das Feldgeschütz mit langem Rohrrück- lauf. Von <i>K. Haußner</i> — Eingänge
Über die Haltbarkeit von Thermoelementen im Betrieb Staubexplosionen. Von <i>Loch</i>	246	
Das Unterpatent. Von <i>R. Lüssenhop</i>	247	
Aus der neueren Entwicklung der Fördertechnik. Von <i>C. Michenfelder</i>	250	
Die Londoner Brennstofftagung 1928. — Rostfeuerung für Dampfkessel. Von <i>B. Kretzschmar</i>	251	
Beschleunigungsmesser von <i>Galitzin</i>	261	
Rundschau: Zwei Explosionen durch Wasserstoff-Stahl- flaschen — Schutzvorrichtung gegen Selbstentzünd- ung gelagerter Kohlen — Fördern im Hochbau — Aluminiumlegierungen im Motorenbau — Berich- tigung: Neuerungen im Landmaschinenbau — Kreisregner — Kleine Mitteilungen	263	Angelegenheiten des Vereines: Die 68ste Hauptver- sammlung des Vereines deutscher Ingenieure
	264	

ZEITSCHRIFT DES VEREINES DEUTSCHER INGENIEURE

SCHRIFTFÜHRER: C. MATSCHOSS



Bd. 73

SONNABEND, 2. MÄRZ 1929

Nr. 9

Textiltechnik

Vorwort

Von Prof. Dr.-Ing. E. MEISTER, Dresden

Der Anstoß für die Herausgabe dieses zweiten Fachheftes¹⁾ gab die am 17. und 18. November vorigen Jahres in Stuttgart abgehaltene Textiltagung²⁾, zu der die Wissenschaftliche Beirat des Vereines deutscher Ingenieure eingeladen hatte. Die dort gehaltenen Vorträge sollten in einem Fachheft gesammelt erscheinen. Für eine solche Tagung, deren Teilnehmer aus allen Kreisen der Textilindustrie, sowie der Unterrichts- und Forschungsinstitutionen erwartet worden waren, sollte aus den verschiedensten Gebieten des Textilwesens etwas geboten werden, mit möglichst jeder Teilnehmer irgendeine Anregung mitnehmen konnte. Die lebhafteste Aussprache, die sich an die meisten Vorträge anschloß, zeigte auch, daß man mit diesen Gedanken das Richtige getroffen hatte. Leider konnte ein Meinungsaustausch nicht mit veröffentlicht werden, da der verfügbare Raum hierzu nicht ausreichte.

Die deutsche Textilindustrie kämpft gerade jetzt besonders schwer um die Wiedergewinnung ihres ausländischen und die Behauptung des inländischen Absatzmarktes. In diesem Kampf ist einerseits eine erhöhte Wachsamkeit und geschärftes Urteilsvermögen den technischen Verbesserungen gegenüber und andererseits verständnisvolle Zusammenarbeit zwischen den Textilbetrieben, dem Textilmaschinenbau und denjenigen Stellen erforderlich, die Anregungen geben oder durch wissenschaftliche Untersuchungen die beste Entwicklung schnell und sicher fördern können.

In dieser Beziehung muß bei uns mehr Gemeinschaftsarbeit geleistet werden. Wir müssen endlich mit gegenteiligen Anschauungen aufräumen. In den Kreisen der Textilindustrie hört man gelegentlich die Behauptung, daß der ärgste Feind der deutschen Textilbetriebe der eigene deutsche Textilmaschinenbau sei! Er setze ja erst das Ausland durch die Lieferung von Spinnereimaschinen, Webstühle, Strickmaschinen usw. in den Stand, mit der einheimischen Ausfuhrindustrie erfolgreich in Wettbewerb zu treten. Wer so denkt, übersieht nur, daß die Maschinenfabriken durch ihre Auslandsbeziehungen vielfach auf wichtige Neuheiten aufmerksam gemacht und infolge des vergrößerten und stetigeren Absatzes nach dem In- und Ausland eher Neukonstruktionen herausbringen können, an denen dann das Inland doch den ersten Nutzen hat und einen wirtschaftlichen Vorsprung vor dem ausländischen Wettbewerb erringen kann. Ferner müssen wir diesem Fall aber auch sagen, daß es vom Standpunkt unserer ganzen Volkswirtschaft doch immer noch besser ist, wenn deutsche Maschinen ins Ausland gehen, als wenn uns Engländer, Amerikaner oder Franzosen auch diese Aufträge wegnehmen. Unsere Spinnereien

und Webereien sollten aus ihrer Zurückhaltung etwas mehr heraustreten, über Verbesserungen und neue Erfahrungen berichten, oder derartige Untersuchungen in ihren Betrieben ermöglichen, wobei für Wahrung wirklicher Fabrikationsgeheimnisse sicher in irgendeiner Form gesorgt werden könnte. Auf diese Weise könnten wieder die Textilmaschinenfabriken manche Anregungen erhalten, die zur Verbesserung ihrer Maschinen führen würden, und der Forschung würden Aufgaben gestellt werden, deren Lösung die Versuchseinrichtungen und alles Rüstzeug wissenschaftlicher Institute erfordert.

Die in dem vorliegenden Heft wiedergegebenen Vorträge sollten in der angedeuteten Richtung Anregungen zum Gedankenaustausch geben und möchten von diesem Gesichtspunkt aus gewertet werden. Deshalb befassen sich auch sämtliche Aufsätze nicht mit den theoretischen Grundlagen, sondern mit Tagesfragen der Textiltechnik, die sich zu einer Aussprache in einem Kreise von Praktikern und Wissenschaftlern eignen.

Manche der behandelten Tagesfragen sind freilich durchaus nicht neu, sondern schon vor Jahren aufgetaucht und seitdem oft erörtert worden; aber die wiederholte Behandlung auf Grund neuer Versuche oder Erkenntnisse ist durchaus berechtigt, weil eine Klärung bisher eben nicht möglich gewesen ist. Und das ist kennzeichnend für das Wesen der Textiltechnik, der sehr zu Unrecht von manchen Seiten Rückständigkeit vorgeworfen wird. Das in der Textilindustrie übliche Mehrheitsprinzip erfordert fast stets die gleichzeitige Umstellung ganzer Betriebsgruppen und damit beim Übergang auf ein neues Verfahren von vornherein das Wagnis eines sehr großen Kapitalaufwands.

Der Erfolg einer solchen Umstellung ist dann oft deshalb sehr schwer nachzuprüfen, weil man zwar eine höhere Leistung der Menge nach einwandfrei feststellen, weniger leicht aber die etwaige Veränderung der Eigenschaften des Gespinnstes oder Gewebes beurteilen kann. Eine Verschlechterung der Güte ist aber in solchen Fällen immer zu befürchten, weil für alle Spinnverfahren zunächst der Grundsatz gilt, daß man mengenmäßig höhere Leistungen nur durch geringere Güte erzielen kann. Die Nachprüfung der Wirkung eines neuen Herstellverfahrens auf die Beschaffenheit des Fertigfabrikates ist ferner in Textilbetrieben viel schwieriger als in anderen Industrien, weil man sie meistens nur mittelbar und erst am fertigen Garn oder Gewebe selbst machen kann.

So ist auch zu erklären, daß man über wichtige Vorgänge beim Verspinnen von Faserstoffen, z. B. den Verzugsvorgang oder die Drehungserteilung, eine grundlegende Erkenntnis so schwer gewinnen kann, und allgemein gültige Gesetze noch nicht aufstellen konnte. Man ist hauptsächlich auf Versuche angewiesen, die aus den angegebenen Gründen im laufenden Betriebe viel Schwierigkeiten bereiten und keinen sicheren Erfolg verbürgen.

¹⁾ Das erste ist als Nr. 42 dieser Zeitschrift Bd. 66 (1922) erschienen.

²⁾ VDI-Nachrichten Nr. 50 vom 12. Dezember 1928.

Textile Rationalisierungsfragen

Von Prof. Dr.-Ing. OTTO JOHANNSEN, Reutlingen

Vorgetragen in der vom Verein deutscher Ingenieure am 17. und 18. November 1928 in Stuttgart veranstalteten Textiltagung.

Die wichtigsten Gesichtspunkte, die für die Rationalisierung von Textilfabriken einzeln sind, werden behandelt: Vorbereitung des Rohstoffes, des Kettfadens für die Automatenweberei, Textilindustrie und Taylorismus, Erfassung der Maschinenarbeit und Arbeitsteilung, Ringspinnmaschinen und Arbeitsteilung, Anlernen von Arbeitern, Maschinenüberwachung, der Einfluß der Veränderlichen, die Veränderlichen des Rohstoffs und des Betriebs, Arbeitsbedingungen der einzelnen Maschinen, Fadenbruchzahl, Anwendung höherer Verzüge, Verteilung der Arbeitsaufgaben.

Die Rationalisierung von Textilfabriken, im besonderen die der Spinnereien und Webereien, ist gleichbedeutend mit der Verkürzung und Verrbilligung der Arbeitswege und Arbeitsverfahren. Man kann hierzu rechnen: die Vervollkommenung und Automatisierung der Arbeitsmaschinen, die Ausschaltung aller der Herstellung hemmenden Vorgänge, die Überprüfung der einzelnen Arbeitsgänge auf die Möglichkeit ihrer Beschränkung und Vereinfachung, die Verminderung des der eigentlichen Herstellungsmaschine vorgelagerten toten Ganges, die Aufrechterhaltung der höchsten Leistungsfähigkeit der Maschinen durch gute Beobachtung und Überprüfung, die Ein- und Verteilung der Arbeitskräfte auf Grund ihrer körperlichen und geistigen Leistungsfähigkeit, die genaue Untersuchung der für die Einzelverrichtungen notwendigen Zeiten (Zeitstudien), die Durchführung der Arbeitsteilung nach dem Grundsatz, daß die erzeugenden Hauptkräfte durch Hilfskräfte zu entlasten sind und für die Einzeltätigkeit die größtmögliche Geschicklichkeit erreicht wird.

Auch Nebeneinflüsse verlangen in den Faserindustrien aufmerksamste Berücksichtigung, da sie die Güte des Erzeugnisses und die Größe der Erzeugung wesentlich beeinflussen können, wie z. B. Wärme- und Feuchtigkeitsgrad und die Abführung von Staub und Flug.

Daß die Rationalisierung alter Betriebe besondere Schwierigkeiten machen kann, ist bekannt. Zu enge Transportwege, schlechte Tagesbeleuchtung und andre mit den Gebäudeverhältnissen zusammenhängende Übelstände sind meist schwer zu beheben.

Vorbereitung des Rohstoffes

Die Bestrebungen, die Zusammenhänge planmäßig zu erforschen, sind alt, und nach meinen Beobachtungen war es in manchen deutschen Spinnereien und Webereien schon lange üblich, durch gründliche Betriebs- und Leistungsnachweisungen, die immer die Grundlage für die Entschleierung mangelhafter Vorgänge sein werden, zu einer Klärung und Verbesserung zu gelangen. Es ist aber wohl zuzugeben, daß in den Vereinigten Staaten von Amerika unter dem wachsenden Druck der Lohnfrage in den Herstellungsgang so etwas wie eine wissenschaftlich-praktische Ordnung gebracht worden ist, wobei der leitende Grundgedanke etwa in die Formel gekleidet werden kann, daß die Minderung der Unkosten trotz steigender Löhne durch Erhöhung der Erzeugung in bezug auf die Arbeits- und Lohneinheit angestrebt werden müsse. Es lag nahe, dies zunächst für die Massenerzeugung bestimmter Warenarten mit Hilfe weitestgehender Einführung selbsttätigen Betriebes und durch die Vermehrung der erzeugenden Einheiten, bezogen auf die arbeitende Hand, die als Lohneinheit gelten kann, zu erreichen.

Der bedeutendste Fortschritt ist in den letzten 50 Jahren auf diesem Gebiete wohl die Einführung des automatischen Webstuhles gewesen und früher schon die Umgestaltung der für Kurzfasern unwirtschaftlichen alten Flügelspinnmaschine in die viel leistungsfähigere Ringspinnmaschine. Auch gewisse Vereinfachungen in der Handhabung der mechanischen Weberei, wie sie die Kotschere und die selbsttätige Anknüpfmaschine mit sich brachten, sind in diesem Zusammenhang zu erwähnen, ebenso die Fort-

schritte in der Spulerei und Zettlerei, die z. B. von der Schlafhorstmaschine und neuerdings von den Automaticspoolern und den Highspeed warpers von Barber-Colman erreicht werden.

Vorbereitung des Kettfadens für die Automatenweberei

Die Automatenweberei ist bekanntlich besonders von der Beschaffenheit der Kette abhängig, und da man ein Massengewebe, das billig sein soll, keine hohen Rohstoffpreise anlegen kann, war es notwendig, die Fehler des Gespinstes schon in der Vorbereitung vorbeugend nachzugehen, damit sie im eigentlichen Leistungsgang auf dem Webstuhl nicht störend und mindern auf die Leistung wirkten. Der Sinn des Automaten liegt darin, daß er rastlos fortarbeitet und möglichst wenig stillsteht. Der Gedanke, die den Leistungsgang des Webstuhles herabdrückenden Fadenbrüche der Kette schon in der Vorbereitung, also in der Spulerei herauszusuchen, ist zwar durchaus nicht neu, es vielmehr von jeher in der Aufgabe des Kettspulers dieses Ziel zum Teil zu erreichen. Aber der Erfolg war eingeschränkt durch das andre Bestreben, möglichst viele Spulspindeln auf eine Arbeitshand zu vereinigen und die Fadenbruchzahlen deshalb nicht zu hoch steigen lassen. Sowie diese Rücksichtnahme aufhört, und man trifft für den neuen Automaticspooler zu, gewinnt die Vorbereitung ganz außerordentlich an Bedeutung für die Entwicklung der Automatenweberei. Gerade dieses Beispiel zeigt besonders deutlich, wie die Leistung der erzeugenden Maschine aufs engste mit der „rationalisierten“ Vorprüfung des zu verarbeitenden Materials zusammenhängt.

Die Ausschaltung der Fehlerquelle, die Bruchstellen des Fadens, wird nicht mehr der eigentlichen Leistungsmaschine, dem Webstuhl überlassen, sondern sie wird der billiger arbeitenden Vorbereitung des Spulens vorgelegt und dort durch eine sinnreiche Automatisierung noch weiter verbilligt. Allerdings stehen wir mit dieser Entwicklung erst am Anfang; denn die Einrichtungen sind zunächst nach ihrer Leistungsgröße und Kostspieligkeit nur für Großbetriebe geeignet. Aber der Grundgedanke behält doch für jede Betriebsgröße seine Geltung, eben für jede Art Warenherstellung. Ganz genau ebenso verhält es sich mit der verschärften Vorprüfung in der Vorbereitung der Spinnerei, und jeder Fortschritt, z. B. die Prüfung der Vorgespinste behufs rechtzeitiger Abstellung von Fehlern anbahnt, wirkt rationalisierend auf die Leistung der Feinspinnmaschine.

Textilindustrie und Taylorismus

Der Rationalisierung durch selbsttätigen Betrieb, zunächst bei der Vielfältigkeit der Erzeugnisse, die nur beschränkt sein konnte, hat dann Taylor den Gedanken der Rationalisierung durch folgerichtige Durcheinanderbildung der Tätigkeit des Arbeiters hinzugefügt. In Anstoß hierzu kam aus der Werkstatt des Maschinenbauers. Die Textilindustrie hat mit dem Taylorismus nicht viel anzufangen gewußt. In der Spinnerei war die Handtätigkeit schon seit langem auf wenig gut ausgeklügelte Griffe zurückgegangen, und das Mellesprinzip, d. i. die Vereinigung einer möglichst hohen Zahl von erzeugenden Einzelwerkzeugen (Spindeln) an eine arbeitende Hand, war längst in einem Umfange durchgeführt, wie er bis heute meines Wissens noch v-

andern Industrie erreicht worden ist. Aber es zeigt doch, daß durch geeignete Maßnahmen eine weitere Steigerung dieses Mehrheitsprinzips auch noch möglich ist. Diese Steigerung beruht allerdings nicht auf einer besseren Durchbildung der Handarbeit, sondern auf der wohlgedachten Durchschaltung einer wirtschaftlichen Arbeitsverteilung nach dem Grundsatz, daß Herstellerarbeit und Hilfsarbeit voneinander getrennt sind. In der Automatenweberei sind die Verhältnisse ähnlich wie in der Spinnerei, so daß man zu begreifen begann, daß der Automatenstuhl die Aufgabe, für die er geschaffen ist, erfüllen kann, wenn es gelingt, nicht nur 10 bis 12, sondern 50 bis 100 Stühle auf eine Hand zu vereinigen. In den Vereinigten Staaten ist man durch die Verteilung der Arbeitsaufgabe in die des nur erzeugenden, des instandhaltenden Mechanikers und des helfenden Schleppers heute so weit, daß man nach den neuesten Berichten bis 100 Stühle und sogar darüber auf eine solche Arbeitergruppe vereinigt.

Wenn der Taylorismus aus den oben angegebenen Gründen in der Textilindustrie auch zunächst keinen besonderen Einfluß zu gewinnen vermochte, so barg er doch eine weitere Entwicklung, die wir heute als Rationalisierung bezeichnen, in sich. Diese Bestrebungen, für die verschiedenen der wichtigsten Gesichtspunkte zusammenzufassen, sind lange Zeit in den europäischen Industrieländern nicht so beachtet worden, wie sie verdient hätten. Erst nach dem Kriege geändert; man ist unter dem Druck der Verhältnisse wesentlich tätiger geworden, besonders in Deutschland. Die wirtschaftlichste Gestaltung eines Betriebes ist für uns zur eisernen Notwendigkeit geworden.

Grundlagen der Betriebsrationalisierung

Die Frage nach den Grundlagen der Betriebsrationalisierung muß dahin beantwortet werden, daß die schärfste Erfassung der Maschinenarbeit und

eine wohlgedachte Arbeitsteilung notwendig sind. Fehler auf diesen Gebieten können sich verheerend sowohl auf die wirtschaftliche Leistung wie auf die Güte der hergestellten Ware auswirken. Es ist natürlich nicht möglich, im Rahmen dieser kurzen Darlegungen, die nur anregen sollen, einen großen, mit vielen Beispielen belegten Plan zu entwickeln; aber ich denke, es genügt, wenn ich einige Fälle anführe und das Bild durch einige Äußerungen, die in dem amerikanischen Schrifttum veröffentlicht sind, erweitere.

Ringspinnmaschinen und Arbeitsteilung

In der Baumwollspinnerei besteht bis heute noch eine vollständig einheitliche Ansicht, ob es besser sei, die Ringspinnmaschinen Arbeitsteilung einzuführen oder nicht. Wir können bei uns Werke finden, die die Arbeiterinnen alle Arbeit (Spinnen, Beobachten, Ansetzen, Becken, Putzen, Absetzen bsw.) verrichten lassen, das Verfahren der gegenseitigen Hilfe anwenden. Es gibt aber auch bei uns Betriebe, die mindestens für das Putzen ständige Helferinnen und für das Absetzen, immer tote Zeit verursacht, eine besondere Absetzmaschine anstellen. Ich will gar nicht in Erörterung treten, wie das eine oder andere Verfahren durch örtliche Verhältnisse oder auch durch örtliche Überlieferung bedingt ist, sondern nur darauf hinweisen, daß die Bedeutung der Herstellung überwachenden Arbeiterinnen für die Leistung nach Menge und Güte der Fabrikates erfahrungsgemäß nicht zu günstigen Ergebnissen führt, wie bei einer wenigstens teilweise durchgeführten Arbeitsteilung. Die Herstellung einwandfreier Kops, die Überwachung der Spindelantriebe, das Aufstecken, die Beobachtung der Fadenbrüche und ihre Ursachen (Zylinderfehler, schlecht laufende Röhren, Grobfäden und Andreher usw.) ist die produktivste wichtige Arbeit, von deren Pünktlichkeit die sich anschließende ganze Weiterverarbeitung auswirkende Gleichmäßigkeit der Garngüte abhängt. Man sollte also diese Hauptaufgabe nicht durch Hilfstätigkeiten einschränken. Aber

auch für die Nebenarbeiten gilt der Satz, daß sie um so billiger werden, wenn man sie dem Gesetz unterwirft, nach dem die höchste Fertigkeit durch Beschränkung der Tätigkeit erreicht wird. Die Gesamtleistung steigt mit der Erhöhung der Einzelleistung, die von der Zersplitterung der nun einmal vorhandenen verschiedenen Tätigkeiten losgelöst wird durch die Arbeitsverteilung. Eine Erhöhung der von einer arbeitenden Hand zu versorgenden Spindelzahl hängt nicht nur ab von größeren Ringdurchmessern und Hüben, wie sie in den Vereinigten Staaten angewendet werden, die sich aber nicht überall anwenden lassen, sondern sie ist ebenso sehr bedingt durch die rationelle Verteilung der Arbeitsaufgaben. Selbstverständlich spielen auch noch andere Fragen herein, deren Wichtigkeit nicht zu verkennen ist.

In den Vereinigten Staaten ersetzt man die Spinnerin vielfach durch den Spinner, der eine größere Spindelzahl übernehmen kann, ferner stellt man kürzere Ringmaschinen auf, für die die tote Zeit kürzer ausfällt, und führt die Aufstellung so durch, daß die von einem Spinner zu bedienende Spindelzahl möglichst in einer Flucht liegt.

Hier spielt auch die Frage des Bedienungsraumes herein. Bei Neuanlagen sollte man unbedingt auch bei uns in der Bemessung der Zwischengänge weiter als bisher gehen.

Anlernen von Arbeitern

Eine andre wichtige Frage ist die der Anlernung neuer Arbeiter. Abgesehen von psychotechnischen Eignungsprüfungen, die vereinzelt heute bei uns durchgeführt werden, ist es im allgemeinen üblich, die Leute im Betrieb anzulernen, indem man sie den gelernten Arbeitskräften zuteilt. Ich halte es für wesentlich zweckmäßiger, wenn man mit besonderen Anlernsortimenten arbeitet, die nicht für erstklassige Ware bestimmt sind. Mit diesen Schulungsabteilungen wäre die Beobachtung der Eignung zu verbinden. Eine über eine gewisse Zeit ausgedehnte Eignungsprüfung in der hierzu bestimmten praktischen Umgebung führt sicher zu zuverlässigeren Urteilen, als wenn der Neuling auf Grund von irgendeiner vorübergehenden Dienstleistung beurteilt wird.

Maschinenüberwachung

Ich habe oben darauf hingewiesen, daß die scharfe Überprüfung der Maschine und ihrer Arbeitsweise in der Textilindustrie grundlegend für ein wirtschaftliches Arbeitsverfahren ist. Dieser Standpunkt wird auch von *Sydney S. Paine*, dem Präsidenten der Textile Development Co. in Boston vertreten¹⁾. *Paine* weist darauf hin, daß die von ihm dargelegten Gesichtspunkte nicht neu seien, denn sowohl *Taylor* wie auch *Gantt* und andre hätten wertvolle Beiträge für eine planmäßige Arbeitsgestaltung geliefert; diese Verfahren seien aber z. B. auf die Baumwollindustrie, die er im besonderen im Auge hätte, nicht angewendet worden, da diese Industrie derart auf die Maschine eingestellt sei, daß die Arbeit des Menschen kaum mehr beeinflußt werden könne. Wie ich weiter oben schon dargelegt habe, hat der Taylorismus auch tatsächlich nur wenig Einfluß in der Textilindustrie gewonnen, obwohl andererseits zugegeben ist, daß man unter seinem Einfluß wenigstens angefangen hat, sich manche Gewohnheitsverfahren etwas genauer anzusehen.

Der Einfluß der Veränderlichen

Als Kern der ganzen Rationalisierungsfrage müssen wir nach *Paine* die Unsicherheit der sogenannten „Veränderlichen“ betrachten, die den Arbeitsgang verschieben und ihn natürlich schädlich beeinflussen, wenn man ihnen nicht nachgeht, sie ständig überwacht und für sie nicht nach Normen sucht, die es erleichtern, ihren schädigenden Einfluß abzuschwächen. Wenn man Rohstoffe verarbeitet, die von so vielen Unsicherheiten abhängen, wie die Faserstoffe, sollte die Erzeugung immer unter gründlichster Beobachtung gehalten werden. Ich habe schon in Vorkriegszeiten als Leiter einer großen textilen Lehranstalt auch darauf hingewiesen, daß die Meister in den

¹⁾ Vergl. *Paine*, „Mechanical Engineering“ Bd. 48 (1926) S. 432.

Fabriken im allgemeinen nicht genügen, um die Arbeitsgänge unter ständiger Beobachtung zu halten, daß hierzu vielmehr ein kleiner Stab von jüngeren Technikern notwendig sei, der nichts anderes zu tun hätte, als die Maschinen, die Veränderlichen usw. zu überprüfen und seine Beobachtungen der Fabrikleitung zur Kenntnis zu bringen.

Die Veränderlichen des Rohstoffes

In einem Punkt sind wir in der Baumwollverarbeitung in Deutschland andern ohne Zweifel mit gutem Beispiel vorangegangen, d. i. die genaue Untersuchung der technischen Eigenschaften der größten Veränderlichen: des Rohstoffes. Die verschärfte Untersuchung des Stapels ist bei uns schon voll entwickelt gewesen, als man anderwärts erst begann, sich mit dieser außerordentlich wichtigen Frage eingehender zu befassen und nach Vorrichtungen Umschau zu halten, die für die genaue Überprüfung dieser grundlegenden Veränderlichen geeignet wären. Wenn *Paine* heute sagt, der Rohstoff sei die größte Veränderliche, so können wir mit Recht entgegen, daß wir alle Mittel besitzen, um uns ein genaues Bild von dieser Veränderlichen in jedem Einzelfall zu machen. Es ist ja eigentlich an sich merkwürdig, daß man früher die wechselnden Eigenschaften des Rohstoffes nur einer ziemlich oberflächlichen Vorprüfung unterzogen hat. Bis zu einem gewissen Grade kam der Rohstoff selbst früher dieser Oberflächlichkeit entgegen: er war besser und gleichmäßiger, man konnte sich sozusagen mehr auf ihn verlassen. Gewisse Entartungserscheinungen in den Anbauländern haben diese Zuverlässigkeit inzwischen zuungunsten einer wirtschaftlichen Arbeitsgestaltung geändert.

Wenn man sich seit einem Menschenalter mit der Verarbeitung von Faserstoffen zu Gespinnsten befaßt, muß einem auffallen, daß sich die Fälle häufen, in denen der Spinner in bezug auf den mangelhaften Ausfall des Gespinnstes zunächst vor einem Rätsel steht. So z. B. wenn der Spinner in der guten Absicht, seinen 42er Schuß zu verbessern, in der Klasse hinaufgeht und einen höheren Kaufstapel wählt, sein Erzeugnis aber in der Reißlänge herunter- und in der Ungleichmäßigkeit hinaufgeht. Untersucht man diesen Rohstoff, so ergibt sich, daß der Mittel- und Häufigkeitsstapel des neuen Erzeugnisses schlechter ist als früher, und da der geringere Teil an längeren Fasern den großen Anteil der kürzeren Mittelfasern in seinem verschlechternden Einfluß nicht auszugleichen vermag, fällt naturgemäß das Gespinnst schlechter aus; denn es hat nicht nur zu wenig Drehung, sondern es ist auch schnittiger, weil die Zahl der im Verzugfeld schwimmenden Fasern zu groß geworden ist.

In einem andern Falle kauft der Spinner, um eine besonders günstige Reißlänge zu erreichen, einen guten „Strong Staple“ und muß zu seinem Erstaunen erkennen, daß das Gespinnst weniger Reißlänge aufweist als das, welches aus weniger kräftiger Faser vorher hergestellt wurde. Geht er der Sache nach, so findet er, daß er die Feinheit der Faser vorher hätte bestimmen sollen; denn eine gesunde Faser von Nr. engl. 2800 leistet im Faden mehr als eine solche von Nr. engl. 2300, weil die Gesamtreibungsfläche mit der Faserzahl zunimmt. Diese Beispiele können leicht vermehrt werden; ich habe sie nur angeführt, um darzulegen, wie sehr der Spinner an einer genauen Vorprüfung der Veränderlichen des Rohstoffes beteiligt ist. Die Rationalisierung des gesamten Spinnprozesses macht also die genaue Kenntnis des Rohstoffes nötig; denn es ist nicht sehr wirtschaftlich, den Arbeitsgang auf unsicherer Grundlage zu beginnen und ihn erst richtig zu gestalten, wenn das Fabrikat durch seine Mängel hierzu zwingt.

Die vollkommene Erfassung aller Veränderlichen des Rohstoffes ist schwierig, und es ist richtig, daß der Stoff innerhalb einer Partie wechseln kann, man aber nicht in der Lage ist, diesen Wechsel sofort zu erfassen. Er muß sich erst durch die in den Zwischenfabrikaten auftretenden Schwankungen zeigen, so daß nun die verschärfte Beobachtung und Prüfung des Arbeitsganges einzusetzen hat,

um dieser Veränderlichen des Rohstoffes beizukommen. Man kann also sprechen von den Veränderlichen des Rohstoffes, die sich

1. vor der Verarbeitung feststellen lassen, und jenem
2. erst im Arbeitsverlaufe durch verschärfte Beobachtung und Überprüfung ermittelt werden können

Die Veränderlichen des Betriebes

Zu den Veränderlichen des Rohstoffes kommen vielen Betriebsveränderlichen, die von den Maschinen ihrer Behandlung, von der maschinellen Organisation, unzweckmäßigen Anordnungen in der Aufstellung, ungenügenden Raumbemessungen, mangelhaften Förderwegeinrichtungen, atmosphärischen Einflüssen und sonstigen Nebenumständen herrühren. *Paine* z. B. rügt es, daß in den Fabriken zu sehr mit Meinungen anstatt mit Tatsachen gearbeitet wird. Er weist darauf hin, daß die Ergebnisse als Tatsachen bewertet, in den seltensten Fällen aber den Grund richtig suche, warum sie so sind. Ganz kann ich ihm hierin allerdings in Hinsicht auf die deutschen Verhältnisse nicht zustimmen, aber richtig ist es, wenn er sagt: es müßten meßmäßig festgelegte Größenlagen in jeder Fabrik gesucht werden — sogenannte „Standardgrößen“, die für Maschinen und Leistung gehalten werden.

Für die Richtigkeit seiner Ansicht führt *Paine* Beispiele an, die ich erwähne, weil sie zeigen, was an unwirtschaftlichen Vorkommnissen möglich ist. In der krasseste Fall ist wohl der, wo an sieben Ringmaschinen eine Wirtelvermischung von 1 und $\frac{1}{2}$ Zoll festzuwar, so daß die sich hieraus ergebende Ungleichmäßigkeit der Drehung zu sehr ungleichmäßigen Gespinnsten führte, worauf man dann einfach den Draht erhöhte, aber ohne jeden Erfolg. Es ist ein schwerer Organisationsfehler, wenn es vorkommen kann, daß z. B. beimputzen die Spindeln verschiedener Maschinen verwendet werden, und es ist weiter ein höchst unvernünftiges, unwirtschaftliches Verfahren, eine Steigerung der Drehbruchzahlen, wie sie im vorliegenden Falle eingetreten war, kurzweg mit einer Drahterhöhung zu beantworten.

In einem andern Fall ergab sich, daß für den Rohstoff in derselben Spinnerei die verschiedensten Drehungen angewendet wurden. Sie betrugen an den Grob- 1,05 bis 1,56, an den Mittelbänken 1,18 bis 1,65, an den Feinbänken 1,2 bis 1,93, an den Ringmaschinen für 4,65 bis 5,41 und für Schuß 3,65 bis 4,85. Eine derartige Uneinheitlichkeit kann natürlich keinen Anspruch auf eine rationelle Gestaltung des Arbeitsganges erheben. Abweichungen sind auch in deutschen Betrieben festgestellt worden. Der Umstand, daß Fabriken, die denselben Rohstoff verarbeiten, für gleiche Nummer verschiedene Drehungen anwenden, gibt zu denken. Liegt die Ursache für höhere Drehungen in der Drehbruchzahl; man steigert den Draht, um über die Drehung einer schlechten Vorbereitung besser hinwegzukommen, ohne der eigentlichen Ursache nachzuforschen. So ist nicht dasselbe, ob man die Baumwolle mischt oder mittelbar in den Arbeitsgang einführt, und es wird zu verschiedenen Ergebnissen führen, wenn man den Draht durch eine schonende Stufenballenbrechung vor der Schlägerei zuleitet oder dies nicht tut.

Es würde zu weit führen, wenn ich die Zahl der Drehungen vermehren würde. Man kann sagen, daß die Kenntnis des den Faden aufbauenden Mittelstapels dem Techniker vor einer Übersteigerung der Drahtstärke schützt. Stellt sich das Bedürfnis nach solcher Erhöhung ein und ist sie durch den Stapel nicht zu begründen, so ist eine gründliche Durchforschung des Arbeitsganges notwendig. Auch *Paine* deutet an, daß sich für die Beurteilung des Rohstoffes eine Grundlage schaffen lasse, die als Rohstoffstandard nennt. Dann kann der Leiter sagen: die Drehungsgrößen in meinem Betrieb sprechen dem Stapel nicht, es müssen andere Fehlerhanden sein, die zu suchen sind. Als Merkwürdigkeit führt *Paine* Unterschiede in der Erzeugung in verschiedenen Spinnereien bei gleichen Rohstoffverhältnissen an, wobei die durch fehlerhafte Maschineneinstellungen bedingten Überdrehungen einen großen Bruchteil der Mindererzeugung verschulden.

Arbeitsbedingungen einzelner Maschinen

Wir können schließlich niemals zum Ziel gelangen, wir die Arbeitsstandards der einzelnen Maschinen nicht genau kennen. Wir müssen wissen, unter welchen Umständen die Maschinen für bestimmten Rohstoffen Höchstwert an Güte und Menge liefern. Die Wichtigkeit liegt nun nach *Paine* nicht darin, daß eine bestimmte Baumwolle nicht bestimmte Ergebnisse ermöglicht, sondern daß eine kleinere Versuchseinrichtung, auf diese Baumwolle voruntersucht wurde, eben immer so arbeitet als die Maschinen des eigentlichen Großbetriebes. Es ist bekannt, daß neue kleine Versuchsmaschinen anders, und zwar meist bessere Ergebnisse zeigen als die normalen Maschinen des Fabrikbetriebes. Es ist leichter, ein paar hundert Spindeln oder ein Dutzend Stühle sehr genau einzustellen und unter genauester Nachprüfung zu halten, als 30 000 Spindeln oder viele Stühle. Die Ursache liegt aber nicht nur an der freien Unbeweglichkeit und Unübersichtlichkeit des Großbetriebes, sondern man pflegt gewöhnlich zu sehr auf die Kosten zu sparen; es ist niemand da, der die unentbehrliche notwendige Maschinenbeobachtung ununterbrochen durchführt. Die Meister können diese Beobachtungsarbeit nicht bewältigen, da sie durch andere Aufgaben voll in Anspruch genommen sind. Jeder Betrieb sollte vielmehr, wie man schon angedeutet habe, einige Beobachtungstechniker zur Verfügung haben, die lediglich die Aufgabe haben, Maschinenstandards festzulegen und die Fehler zu beheben. Daß hierdurch beste Ergebnisse erzielt werden, hat die Praxis schon bewiesen. Schließlich sind die Instandhaltungsmechaniker, denen man in den Vereinigten Staaten von Amerika 70 bis 100 Automatenstühle zuteilt, nichts anderes als solche Beobachtungstechniker.

Die Fadenbruchzahl

Eines der besten Merkmale für die wirtschaftliche Arbeit der Spinnmaschinen ist die zeitweilige Zählung der Fadenbrüche. Im allgemeinen ist diese Zählung, wenn sie regelmäßig, schon von jeher üblich gewesen; denn stieg die Fadenbruchzahl, dann konnte die Spinnerin nicht mehr die Spindelzahl bedienen. Auch hier hat man sich dann gewöhnlich willkürlich mit einer Erhöhung des Drahtes geholfen, ohne die Ursachen, die meist ganz wo anders zu suchen sein wären, nachzugehen. Gelegentlich der zweijährigen Versuche mit Kugel- und Rollenlagerspindeln und mit Durchzugstreckwerken verschiedener Bauart hat das Forchungsinstitut Reutlingen-Stuttgart die Fadenbruchzahl für die Beurteilung herangezogen. Wir haben für amerikanische Baumwolle 50 Fadenbrüche auf 1000 Spindeln in 1 h, d. s. 0,05 auf eine Spindel als zulässig gefunden, allerdings für die bei uns übliche Arbeitseinteilung und etwa 700 Spindeln auf 1 Spindel. *Paine*, der ebenfalls betont, daß die Heranziehung der Fadenbruchzahl für die Beurteilung der Leistung sehr unzulässig sei, gibt in einem Falle 65 Fadenbrüche auf 1000 Spindeln in 1 h (0,065 auf eine Spindel in 1 h), in einem anderen 40 Brüche auf 1000 Spindeln in 1 h (0,04 auf eine Spindel in 1 h) an, betont aber, daß oft viel höhere Werte vorkommen. Er meint, daß eine Maschine mit 0,04 Fadenbrüchen je Spindel in 1 h unter den besten Bedingungen laufe; dieser Wert ist mit dem guten Stoff, den Amerika im allgemeinen für Kette verwendet wird, Mittelwert sicher erreichbar. Für unsere Verhältnisse dürfte diese Zahl etwas zu günstig liegen; wir befinden uns nicht in der Lage, den Rohstoff so zur Hand zu haben wie die Amerikaner; die Durchschnittsgüte der Kette verwandten Baumwolle liegt bei uns niedriger, der Draht höher und ebenso auch die Fadenbruchzahl. Der mir oben angegebene Wert von 0,05 je Spindel in 1 h ist der Wirklichkeit näher kommen, und auch 0,03 ist noch als zulässig gelten dürfen. Aber diese Werte sind oft wesentlich überschritten: mir liegen auch Angaben wie 0,08 und 0,1 und mehr vor. Die höheren Fadenbruchwerte hängen meist mit einer größeren Ungleichmäßigkeit des Gespinnstes zusammen und lassen infolgedessen ohne weiteres Schlüsse auf die Schnittigkeit und Gleichmäßigkeitsgrad zu.

Sinkt die Fadenbruchzahl auffallend herab, so ist dies aus keinem Zeichen für besonders günstige und wirt-

schaftliche Arbeitsverhältnisse. Auch *Paine* vertritt diese Ansicht und gibt an, daß z. B. in einem Falle nur 0,025 Fadenbrüche je Spindel in 1 h entstanden sein, daß dieser günstige Wert aber nur durch Erhöhung der Herstellungskosten erreicht werden konnte. Die Geschwindigkeit war wesentlich herabgesetzt worden, den Draht hatte man erhöht und der Rohstoff war besser. Die durch Draht und Geschwindigkeit herabgedrückte Erzeugung gestattet zwar eine Steigerung der Spindelzahl je Arbeiter, das Verfahren bleibt aber trotzdem unwirtschaftlich, weil der Nachteil den Vorteil überwiegt.

Man sollte für die Stoffarten, die man zu verarbeiten pflegt, den Standard der zugehörigen Fadenbruchzahl genau kennen, um durch wiederholte Nachprüfungen ein Bild von der wirtschaftlichen Gestaltung der Arbeit der eigentlichen Erzeugungsmaschine zu erhalten. In diesen Bruchzahlen ist auch die Beschaffenheit der Vorgespinnte, also die wirtschaftliche Vorarbeit bis zu einem gewissen Maß enthalten. Die willkürliche Verminderung der Geschwindigkeit bei zunehmender Bruchzahl gehört mit zu den bedenklichsten Gedankenlosigkeiten, sie steht ungefähr auf gleicher Höhe mit dem Allheilmittel der Drahterhöhung ohne Überprüfung und ohne Nachforschung nach dem eigentlichen Grundübel. Da der elektrische Einzelantrieb die Geschwindigkeitsänderung sehr erleichtert, liegt die Verführung sehr nahe, die Maschine einfach mit einer anderen Schalthebelstellung weiterlaufen zu lassen.

Anwendung erhöhter Verzüge

In diesem Zusammenhange glaube ich mit einigen Worten auf die Rationalisierung durch die Verkürzung des toten Weges der Vorbereitung eingehen zu sollen. Ein Mittel hierfür ist, wenn sogenannte Durchzugstreckwerke benutzt werden, erhöhte Verzüge auf den Feinspinnmaschinen anzuwenden. Dies muß aber nicht unbedingt durch Ausschaltung eines Flyers geschehen, wodurch eine wertvolle Dublierung verloren geht, sondern man erreicht durch den gesteigerten Feinspinnverzugauf eine wesentliche Herabsetzung sämtlicher Nummern der Vorspinnerei bis zur Strecklunte herab, so daß die Ersparnis an Maschineneinheiten bei drei und zwei Flyern fast dieselbe ist. Ich habe in dieser Frage manche Berechnung und manchen Versuch angestellt und gefunden, daß die Beibehaltung der dreifachen Flyerei die wirtschaftlichere Lösung ist. Soweit ich unterrichtet bin, vertritt man diese Anschauung auch in vielen Kreisen der Praxis.

Das Durchzugstreckwerk ist ja bekanntlich eine Erfindung der europäischen Industrie, und Deutschland nimmt in bezug auf die Durchbildung und Anwendung dieses Verfahrens ohne Zweifel einen Ehrenplatz ein. Das Walzendurchzug-Streckwerk ist ja überhaupt in seiner heutigen vollendeten Form das Ergebnis deutscher Arbeit. In England ist man nur langsam an diese Frage herangetreten, weil man gewisse unzweifelhaft vorhandene Vorzüge, die das alte Klemmstreckwerk besitzt, nicht vermissen wollte. Erst seitdem das Vierwalzen-Streckwerk so durchgebildet ist, daß die Vorteile der Klemmkonstruktion nicht verloren gehen, z. B. bei der Bauart *Toennissen*, haben die englischen Maschinenfabriken sich dem Durchzug allgemeiner zugewendet²⁾.

In Amerika beginnt, wie ich höre, die Industrie ebenfalls Interesse für den Durchzug zu entwickeln. Soweit ich unterrichtet bin, geht man aber dort von der dreifachen Flyerei nicht ab: man steht vielmehr auf dem Standpunkt, daß das Mittel des erhöhten Verzuges auf der Feinspinnmaschine dazu benutzt werden müsse, um durch doppelte Aufsteckung auf der Ringmaschine die Gleichmäßigkeit des Gespinnstes noch zu steigern. Das ist eine durchaus nicht neue Auffassung; denn der höhere Gleitstreckwerkverzugauf ist, wie mir bekannt ist, in deutschen und schweizerischen Spinnereien für bessere Garne unter demselben Gesichtspunkt für doppelte Aufsteckung seit langem angewendet worden. Hinsichtlich der Durchzugstreckarten möge hier der Hinweis genügen, daß sowohl das Lederbandsstreckwerk von *Casablanco*, wie auch die Drei- und Vierzylinderbauarten mit Walzendurchzug die Wirtschaftlichkeit durch Vereinfachung der Vorbereitung wesentlich zu fördern vermögen.

²⁾ Vergl. a. S. 298 dieses Heftes.

Verteilung der Arbeitsaufgaben

Paine ist der Ansicht, daß keine Hand mit mehr Arbeit belastet werden sollte, als sie unbedingt leisten kann, weil sonst unrationelle Arbeit entsteht. Um jede Überlastung zu vermeiden, schlägt er vor, daß für jede Arbeit ein gewisser Zeitüberschuß vorzusehen wäre, wobei er sogar von 20 vH Zeitüberschuß spricht. Wenn dieser Zeitüberschuß nicht nur verbraucht wird, sondern die verfügbare Zeit sogar zu knapp ist, der Arbeiter also anfängt, oberflächliche Arbeit zu leisten, müßten unbedingt Fehler vorliegen, deren Behebung nicht zur Arbeitsaufgabe dieses Arbeiters gehöre. Wenn z. B. in einer Weberei ein bestimmtes Gewebe mit 0,58 Stillständen in der Zeiteinheit hergestellt wird, in anderen Webereien dasselbe Gewebe in derselben Einheit aber 1 bis 2 Stillstände verursacht, so habe der Weber in diesem zweiten Betriebe bis viermal mehr Fadenbrüche, gemeint sind natürlich Automatenstühle, zu beheben.

Es ist Sache der Vorbereitung, dies zu verhindern, und ich darf wohl auf das hinweisen, was ich hierüber schon eingangs dieser Darlegungen gesagt habe. In einem anderen Falle brauchte ein Weber für eine bestimmte Arbeit, die nicht näher angegeben ist, 44 Sekunden; er brauchte 2 Minuten, wenn die Vorbereitung schlecht war. Die Ursache lag in der Schlichterei. *Paine* weist darauf hin, daß, wenn für eine bestimmte Arbeit infolge grundlegender Feststellungen bekannt ist, welche Zeit sie erfordert, falls alles in Ordnung ist, so sei es möglich, wirtschaftlich zu arbeiten. Zeitstudien sind also ein wichtiges Glied in der Reihe der Rationalisierungsbestrebungen. Das bezieht sich natürlich nicht nur auf Handhabungen, sondern auch auf zurückzulegende Wege und all das, was zu der Sonderaufgabe des betreffenden Arbeiters gehört.

Nach *Paine* steigert die Entlastung des Hauptarbeiters durch Hilfsarbeiter seine Leistung ohne Überlastung und erniedrigt die Unkosten. Die Grundlage der eigentlichen Rationalisierung sei also die Festlegung der Standardwerte, die es ermöglichen, bei allen Vorgängen sofort zu erkennen, ob sie sich fehlerhaft abgespielt haben oder nicht.

Schließlich seien hier noch einige Bemerkungen aus einem mir zur Verfügung gestellten amerikanischen Be-

richt eingeschaltet, weil sie die dort herrschende Auffassung gut beleuchten. Es wird gesagt, daß der Lohn des Arbeiters sehr hoch sei, man müsse daher die ganze Aufmerksamkeit darauf richten, eine dem Lohn entsprechende hohe Gegenleistung zu erhalten. Wir müssen uns natürlich die Frage vorlegen, ob das, was in den Vereinigten Staaten ohne wesentliche Widerstände sich durchzuführen vermag, auch bei uns durchführbar ist. Das wird durchweg der Fall sein. Ich habe aber schon darauf hingewiesen, daß unsere Industrie sich hinsichtlich der Herstellkosten infolge ihrer hohen Belastung mind. in derselben Zwangslage befindet wie die amerikanische Industrie.

Zusammenfassung

Wir müssen, wenn wir wettbewerbsfähig bleiben wollen, den Grundsatz der Arbeitsteilung und der durchgreifenden Rationalisierung der Arbeitsvorgänge behufs Verminderung der Unkosten bei steigenden Löhnen durchführen und den Grundsatz befolgen, daß nur die Erhöhung der Erzeugung auf eine Lohn- und Erzeugungseinheit zum Ziele führen kann. Erhöhte Erzeugung zu geringeren Gestehungskosten je Erzeugungseinheit ist in den Vereinigten Staaten mit sehr hohen Löhnen verbunden und aus den Berichten, die vorliegen, hat die Erkenntnis von der Notwendigkeit der Rationalisierung in diesem Sinne sich in Kreisen der Arbeitnehmer wie Arbeitgeber durchgesetzt. Diese Rationalisierung aber hat, wie ich nochmals kurz zusammenfassen möchte, zu bestehen aus:

1. Genauer Vorprüfung des Rohstoffes und seiner Veränderungen;
2. Feststellung aller Veränderlichen der Arbeitsvorgänge und ihre Zusammenfassung in Arbeitsstandards;
3. ununterbrochener Beobachtung aller Erzeugungsvorgänge durch eine besondere Arbeitsgruppe, die die Fehler und Fehlerquellen nachgeht und die Einhaltung der Arbeitsstandards nachprüft;
4. Durchführung einer Arbeitsteilung nach dem Grundsatz, daß die eigentliche Erzeugungsarbeit getrennt sein muß von jeder Neben- und Hilfsarbeit.

[B 234]

Geräuschverhütung in Webereien¹⁾

Der bei der Deutschen Gesellschaft für Gewerbehygiene bestehende Ausschuß zur Bekämpfung von Lärmschwerhörigkeit befaßt sich auch in einem Unterausschuß, dessen Obmann Dr.-Ing. *Denker* ist, mit den technischen Maßnahmen zur Lärmverhütung an den Webstühlen. Dabei muß betont werden, daß man daraus, daß man sich mit den technischen Fragen der Lärmbekämpfung befaßt, nicht unbedingt auf die Entstehung von Lärmschwerhörigkeit schließen muß. Ob also der in den Webereien vorhandene Lärm geeignet ist, gesundheitliche Beeinträchtigungen oder sogar Lärmschwerhörigkeit herbeizuführen, gehört nicht in diesen Aufgabenkreis.

Hinsichtlich der Lärmbeseitigung in Webereien stehen wir noch so ziemlich in den Anfängen. Um eine Klärung herbeizuführen, müssen dem Unterausschuß noch Sonderfachverständige, und zwar sowohl Sonderkonstrukteure für Webstühle wie auch „Schallingenieure“, angegliedert werden. Das ohrenbetäubende Geräusch in den Webereien geht vom Webstuhl aus. Der Schützenschlag ist das Geräusch, das für alle Webstühle kennzeichnend ist und das man je nach der Zahl der Stühle und der Drehzahl als Hauptgeräuschquelle bezeichnen muß. Im einzelnen rührt es vom Antrieb der Schützen durch ein Schlagwerk her, vom Aufschlagen der Picker auf den Schützen und vom Aufschlagen der Schützen auf den gegenüberliegenden Kasten, wo er durch die Kastenzungen mehr oder weniger sanft abgebremsst wird. Ein Mittel, diese Geräuschquelle zu beseitigen, wäre, auf den Schützen zu verzichten. Solche Versuche sind aber ohne nennenswerte Erfolge geblieben.

Neuerdings ist von den Berlin-Karlsruher Industriewerken die schützenlose Gabler-Webmaschine²⁾ herausgebracht worden, deren Hauptmerkmal darin liegt, daß der frei auf einer bewegten Bahn fliegende Webschützen und die Schützenschlagvorrichtung beseitigt wurden. Diese vom rein technischen Standpunkt aus sehr mangelhaften Teile sind durch einfache Greifvorrichtungen ersetzt. Inwieweit

die Gabler-Maschine den Schützenwebstuhl verdrängen muß die Zukunft lehren. Eine gewisse Geräuschverminderung bringt sie sicher mit sich. Nach Messungen von Dr. *Holtzmann* betrug in einem mit Gabler-Webstühlen versehenen Websaal die Geräuschstärke sieben bis acht Ph.

Mit dem Wegfallen des Schützenschlages sind aber nicht alle Ursachen der Geräuschbildung beseitigt. Auch dem Schützenschlag ist noch das Geräusch der Plattenbewegung hervorzuheben, das teilweise den Schützenschlag noch übertönt und bei offenen Fenstern auch in Umgebung hörbar ist. In amerikanischen Tuchfabriken wird vorwiegend mit Offenbach-Maschinen gearbeitet, denen sich das Platinengeräusch wegen der auf die Herabgesetzten Schaffbewegungen um 50 vH ermäßigt. Der Wechsel verursacht ein ziemlich kräftiges Geräusch. Eine Reihe weniger spezifisch hörbarer, aber in der Summe doch beachtlicher Nebengeräusche entsteht durch Zahnradübertragungen. Verhältnismäßig gering ist das Geräusch der Jacquardmaschinen.

Es wird wohl kaum möglich sein, die Geräuschquellen einzeln zu betrachten. Erforderlich scheint der Einbau von Kugellagern, die Verwendung gefräster Zahnräder und Hautritzel oder Räder aus Novotext. Die Webstühle so kinematisch und dynamisch so durchgebildet werden, daß sie stoß- und erschütterungsfrei laufen. Die eventuelle Verteuerung der Maschinen wird durch geringeren Kastenbedarf und längere Lebensdauer der Webstühle sowie durch Steigerung des Arbeitswillens und der Arbeitsleistung in ihrem Nervensystem weniger beanspruchten Weber wettgemacht werden können.

Außer der eigentlichen Lärmquelle muß man noch den Bodenschall und die Erschütterungen betrachten. Die „Sauberkeit“ des Raumes muß möglichst günstig sein. Um Nachhall möglichst zu unterdrücken, kann man die Wände schalldurchlässig machen oder man verputzt sie mit Absorptionstoffen. Schließlich ist noch die Absorption der Menschen, die um so größer ist, je mehr Menschen im Arbeitsraum sind, in Betracht zu ziehen. Diese Punkte muß man bei Neubauten berücksichtigen.

[B 241]

Frankfurt a. O.

Dr.-Ing. *Denker*

¹⁾ Auszug aus einem in der Textiltagung in Stuttgart gehaltenen Vortrag.

²⁾ Vergl. den Aufsatz von *Mauz* in diesem Heft S. 285.

Tagesfragen im Bau von Webstühlen und Vorbereitungsmaschinen

Bedürfnisse, Wünsche und Anregungen aus der Seidenweberei

Von Dir. FRITZ BIRKHOFFER, Krefeld

Vorgetragen in der vom Verein deutscher Ingenieure am 17. und 18. November 1928 in Stuttgart veranstalteten Tagung für Textiltechnik

Die Gesichtspunkte, die für die Weiterentwicklung der in der Seidenweberei verwendeten Arbeitsmaschinen in Betracht kommen, sind zusammengestellt. Der Zweck ist, den Herstellern der Maschinen die Wünsche der Verbraucherkreise vor Augen zu führen und die Punkte anzugeben, in denen Verbesserungen notwendig erscheinen. Außerdem sollen aber auch den Verbrauchern Anregungen für die wirtschaftliche Benutzung der Maschinen und Auskunft über die in den letzten Jahren gemachten Erfahrungen und Fortschritte gegeben werden. — Allgemeinen Forderungen des neuzeitlichen Maschinenbaues in Bezug auf die Seidenwebereimaschinen, wie Einheitlichkeit der Bauarten, Übersichtlichkeit, Einfachheit, Verwendung von Passungen, Anwendung der bestehenden Normen, Werkstofffragen, Lagerung und Schmierung. — Einzelteile des Webstuhles: Der Schlag, die Bauweisen von Gabler, Souzek und Nullau, der Verschleiß an Schlägern und Pickern, die Lade, Einrichtungen zum Suchen des Schusses, mittelbare Warenaufwicklung, der Mittelschußwächter, der selbsttätige Schußspulenwechsel. Die Kettfadenschwächer sind noch verbesserungsbedürftig, der elektrische Einzelantrieb mit dem am Webstuhl festgebauten Motorbock, die Kupplung genügt noch nicht allen Anforderungen; die selbsttätigen Kettbaumbremsen, ölle Lagerung bei Jacquardmaschinen. — Bei den Vorbereitungsmaschinen sind in der Winderei und Spulerei erhebliche Leistungssteigerungen erzielt worden; in der Schärerei konnte man durchgreifende Änderungen noch nicht erreichen.

der Seidenweberei hat die Mechanisierung später begonnen und die Arbeitsmaschinen haben sich technisch nicht so rasch entwickelt, wie z. B. in der Baumindustrie. Die Gründe dafür lagen wohl hauptsächlich in dem verhältnismäßig geringen Anteil der Löhne zum hohen Preis und in der Empfindlichkeit des Stoffes. Gerade diese Gründe sprechen aber heute dafür, von dem lange Zeit gehandhabten Grundsatz der Billigkeit im Seidenwebstuhlbau abzugehen und anstatt dessen in erster Linie hohe Leistung, geringe Verlustzeiten, Schonung des Rohstoffes und große Genauigkeit in Hinsicht auf die Güte der Gewebe, also eine möglichst hohen Gesamtwirkungsgrad der Maschine anzustreben. Immer mehr geht man auch dazu über, für die einzelnen Stoffe einerseits und für die verschiedenen Arten von Seidengeweben andererseits, Sondermaschinen zu schaffen, um in jedem Einzelfall der erreichbaren Höchstleistung möglichst nahezukommen.

Die Tagesfragen des Webstuhlbaues drehen sich also um: Wie kann man den Webstuhl leistungsfähiger machen? Um dieses Ziel zu erreichen, hat man aber nicht nur mechanische, sondern noch mehr stoffliche Schwierigkeiten zu überwinden. Von den Bemühungen, die Güte und Verwebbarkeit der Rohstoffe für die Seidenindustrie zu verbessern, ist aber hier nicht die Rede. Das Übrigbleibende ist trotzdem noch so vielseitig, daß ich nur die wichtigeren Punkte erwähnen kann. Zunächst bestehen diese in einer Reihe von allgemeinen Forderungen, wie sie seit Jahren wohl überall an die Maschinenindustrie gerichtet werden, die aber für den Webstuhl erst in der allerletzten Zeit beherzigt und daher noch in weitem Umfang auszubauen sind.

Passungen

Die Austauschbarkeit einzelner Teile soll nicht nur für ein und derselben Maschine, sondern auch innerhalb verschiedener Bauarten der gleichen Fabrik sozusagen Regel betrachtet werden. Wir krankten heute noch daran, daß die Ersatzteillager in den Webereien und Maschinenfabriken zu groß sind, weil bei jeder kleinen Änderung der Bauart eine Reihe von bisherigen Teilen nicht mehr passen. Es muß in den Hauptkonstruktionsmomenten zur Schaffung wirklich reifer Formen kommen, die Jahre hindurch gebrauchsfähig bleiben. Zudem ist nach einer Einheits-Grundbauart, von der aus verschiedenen Arten entwickelt sind, so daß man z. B. den Glattstuhl ohne Schwierigkeit in einen beiderseits wechselnden Stuhl verwandeln kann, weniger weil dieser besonders häufig eintreten wird, sondern deshalb, weil die Vereinfachung und Austauschbarkeit weitgehend berücksichtigt bleibt. Die Einzelteile müssen symmetrisch gestaltet werden, der Unterschied zwischen rechts und links muß ausgemerzt werden. Die Breiten- und Höhen müssen so beschaffen sein, daß man ohne Schwierigkeit verbreitern oder verschmälern kann. Zusammenstoßende Einzelteile sollen nur maschinell nach Toleranzen bearbeitet sein. Daß jede Webstuhlfabrik nach einem Passungssystem arbeiten soll, dürfte wohl heute selbstverständlich sein.

Die Übersichtlichkeit und Einfachheit ist gerade bei Seidenwebstühlen nicht leicht mit anderen Konstruktionsforderungen zu vereinigen. Der Verbraucher hält sie aber für sehr wichtig und ist bis zu einem gewissen Grade geneigt, immer den einfachsten Webstuhl vorzuziehen. Alle Teile, die einem Verschleiß oder größerer Bruchgefahr ausgesetzt sind, oder die man oft nachstellen muß, müssen übersichtlich und leicht zugänglich angeordnet sein. Es ist heute keine Seltenheit, daß zur Erzielung einer einfachen Hubbewegung, z. B. beim Regulator oder Fang, ein Exzenter und 7 bis 8 Drehpunkte notwendig sind. Eine vereinfachte Konstruktion verringert gleichzeitig die Anzahl der Schmierstellen und die Abnutzungsmöglichkeiten.

Normung

Selbstverständlich soll eigentlich sein, daß sowohl die für den allgemeinen Maschinenbau wie auch für Textilmaschinen im besonderen aufgestellten Normen vollkommen berücksichtigt werden. Die entgegenstehenden Sonderwünsche der Kunden sind gewöhnlich gar nicht so hartnäckig und auch nicht so häufig, als daß die Webstuhlfabrik sie nicht überwinden könnte. Schließlich ist über die Vorteile und die Zweckmäßigkeit der Normung für Erzeuger und Verbraucher schon so viel gesagt und geschrieben worden, daß wohl jedermann theoretisch davon überzeugt ist. Dann soll man auch die Mühe nicht scheuen, die Normen praktisch vollständig durchzuführen und sich nicht nur diejenigen herauszusuchen, die keine Schwierigkeiten bereiten. Es ist wünschenswert, daß die Verbraucher durch Festlegung von Lieferungsbedingungen die Normung und Vereinheitlichung weiter fördern, was der Normenausschuß der Seidenindustrie bereits getan hat.

Werkstofffragen

Bei den im Webstuhlbau verwendeten Werkstoffen verläßt man sich größtenteils auf die Erfahrungen der Praxis. Es ist notwendig, sowohl die Abmessungen vorher rechnerisch zu bestimmen, wie auch die zur Verwendung kommenden Materialien vorher zu prüfen. Der Seidenwebstuhl wird an und für sich jetzt immer hochwertiger gebaut, so daß sich auch die Verwendung besserer Werkstoffe als Grauguß lohnt und rechtfertigt. Gefährdete Teile müssen von vornherein so vergütet oder verstärkt ausgeführt werden, daß ein Bruch unmöglich ist. Um den Gang des Stuhles bei höheren Drehzahlen möglichst erschütterungsfrei zu machen, hat man bisher hauptsächlich die tragenden und ruhenden Teile immer stärker ausgeführt. Der andere Weg, die

sich bewegenden Teile möglichst leicht zu halten, findet erst allmählich größere Beachtung. Warum verwendet man nicht in größerem Umfang geeignetes haltbares Leichtmetall an der Lade und an ihren Zubehöerteilen? Daß heute bei der Genauigkeit, die vom Seidenwebstuhl verlangt wird, alle Räder gefräst, nicht nur gegossen sein sollen, sei als eine weitere Selbstverständlichkeit nur nebenbei erwähnt.

Schmierung

Die Lagerung und die Schmierung am Webstuhl muß so durchgebildet sein, daß die Ware durch Öl nicht verderben werden kann und daß alle Schmierstellen übersichtlich und leicht zugänglich sind. Überhaupt sollten mehr selbstschmierende Lager nicht nur an der Hauptwelle, sondern auch an den vielen kleinen Schmierstellen benutzt werden. Seit einigen Jahren sind öllöse Lager versuchsweise, z. B. bei Jacquardmaschinen, bereits eingeführt. Auch könnte versucht werden, Bolzen, Zapfen usw. durch Oberflächenhärtung zu vergüten oder bei schwingenden Bewegungen die Lagerung so zu gestalten, daß die bewegten Teile sich auf gehärteten Schneiden bewegen. Der heute immer gehörte Einwand, daß bei solchen Ausführungen der Lagerung und Schmierung der Preis des Stuhles zu teuer würde, ist nicht stichhaltig, wenn der Verbraucher bedenkt, wieviel er durch diesen einmaligen Mehrpreis im Laufe der Jahre an Kraft, Öl, Lohn und vorzeitigem Verschleiß erspart. Bei der jetzigen einfachen Art der Lagerung hat sich ein zähflüssiges Öl als vorteilhaft erwiesen.

Gebräuchliche Webstuhlarten

Nach diesen allgemeinen Ausführungen möchte ich im folgenden den Webstuhl in seinen einzelnen Teilen betrachten und bei jedem Punkt den gegenwärtigen Zustand und die vorliegenden Wünsche anführen. Es handelt sich dabei nur um den Unterschlagwebstuhl mit Steigkastenwechsel, wenn auch vereinzelt in der Seidenweberei noch Oberschlagwebstühle in Verwendung sind. Die Seidenbandweberei kann ich mangels eigener Erfahrung nicht berühren. An Stuhlarten sind Glatstühle, einseitige Wechselstühle und doppelseitige Wechselstühle in Gebrauch, aber weitaus überwiegend ist heute der Crêpestuhl mit einseitig zwei Schützenkasten, dessen Erzeugnisse von der herrschenden Mode begünstigt werden und auf den vielleicht 70 vH der gegenwärtigen Erzeugung in Seidenwebstühlen entfällt. Im folgenden wird daher hauptsächlich von diesem Stuhl die Rede sein, der in der Regel 136 cm breit ist. Schmale Stühle von 86 cm verwendet man für Krawattenstoffe. Die größte Stuhlbreite in der Seidenweberei dürfte 225 bis 250 cm betragen; sie wird für die Herstellung von mehreren Gewebebreiten gebraucht. Für die einzelnen Gewebearten bevorzugt man Sonderstühle. Deshalb muß es möglich sein, diese Stühle mit geringem Zeitverlust in bezug auf Wechselzahl oder Breite nachträglich zu verändern. Die Meister und Weber streben danach, die Breite des Stuhles nicht zu knapp zu nehmen, damit an den Enden genügend Spielraum ist, man darf aber dabei nicht soweit gehen, daß deshalb die Drehzahl abnimmt.

Der Schlag beim Seidenwebstuhl

Der allgemein übliche Schlag besteht darin, daß auf der unteren, mit halber Drehzahl umlaufenden Stuhlwelle zwei Kurvenscheiben mit sogenannten Schlagnasen sitzen, die über Schlagrollen und mehr oder weniger Zwischengestänge den Anstoß zum Schläger weiterleiten. Ein Versuch, den Schlag unter Fortfall der Schlagwelle für beide Seiten von einem auf der Kurbelwelle sitzenden Exzenter zu erzeugen, ist für den Seidenwebstuhl wohl endgültig wieder erledigt. Manches läßt sich auch heute noch durch richtige Formgebung der Schlagnasen verbessern, die alles Ruckartige, Harte vermeiden und dem Schützen eine große, aber stetig verlaufende Beschleunigung erteilen sollen. Besonders bei hohen Drehzahlen genügen sie den Anforderungen nicht mehr. Für den Schlag soll möglichst keine Nachstellung erforderlich werden, auch dann nicht, wenn die Drehzahl innerhalb der praktisch vorkommenden Grenzen verändert wird. An allen Stühlen sollten Einrichtungen sein, die es bequem ermöglichen, nacheinander verschiedene Zähne an den Zahnrädern wäh-

rend des Schlagmomentes in Eingriff zu bringen. Der ruhige und erschütterungsfreie Gang des Stuhles hängt hauptsächlich vom Schlag ab, ebenso der Verschleiß der Schlagteilen, die Lebensdauer des Stuhles und die Braubarkeit für die feinen Stoffe. Kraftschlüssigkeit der Schlagübertragung vorausgesetzt, ist die Form des Schlages exzenters dafür entscheidend.

Große Veränderungen und Verbesserungen scheitern bei der jetzigen Art des Schlages kaum mehr möglich zu sein, dies beweisen auch die vielfachen Bestrebungen der Konstrukteure, andere Lösungen zu finden. Für die Seidenindustrie kommen hauptsächlich die Webstühle von *Gabler* und *Souzek* in Betracht, sowie der Antrieb von *Nullau*. Die ersten beiden Stühle konnten sich bisher nicht einführen. Hauptgründe sind beim Gabler-Stuhl die eigenartigen Knoten des Gewebes, die noch nicht ganz gelöste Schwierigkeiten mit mehreren Spulen zu arbeiten und die Spannungslosigkeit des Schußfadens; bei *Souzek* die Verwendbarkeit einer Spule und die schwierige Inbetriebhaltung des Stuhles. Vielleicht wird noch eine Lösung auf anderem Wege gefunden werden; ob pneumatisch, elektrisch oder mechanisch wird die Zukunft hoffentlich recht bald zeigen. Auch der Antrieb von *Nullau* ist bisher meines Wissens nicht verbreitet. Der Vorteil, daß bei stärkeren Veränderungen der Drehzahl der Schlag unbedingt gleichmäßig bleibt, kann in der Praxis nicht so ausgenutzt werden und hat folglich noch keinen starken Anreiz für die Einführung dieses Antriebes geboten.

Schläger und Picker

Der Verschleiß von Schlägern und Pickern ist bei hohen Drehzahlen neuzeitlicher Seidenwebstühle, die zwischen 160 und 190 U/min liegen, sehr erheblich, und es ist nötig, daß die Fang- und Bremsvorrichtung weiter verbessert und so Abhilfe geschaffen wird. Gewiß sind schon Fortschritte in dieser Beziehung in der letzten Zeit durch Anbringen einer zweiten Schützenkastenzone gemacht worden, die in verschiedener Art zum Zweck der raschen Abbremsung des Schützen beim Einlauf betätigt wird, während beim Auslauf durch die sogenannte Schützenzungenentlastung die Bremse aufgehoben wird. Diese Schützenbremse sollte noch so verbessert werden, daß auch die Benutzung von Glattschützen eine Ablenkung aus der Flugbahn ausgeschlossen ist. Die Versuche, Schläger und Picker aus andern Werkstoffen und in andern Formen herzustellen, anstatt der seit Anfang der mechanischen Weberei gebräuchlichen Ausführungsart, haben leider noch zu keinen brauchbaren Ergebnissen

¹⁾ s. S. 318 dieses Heftes.

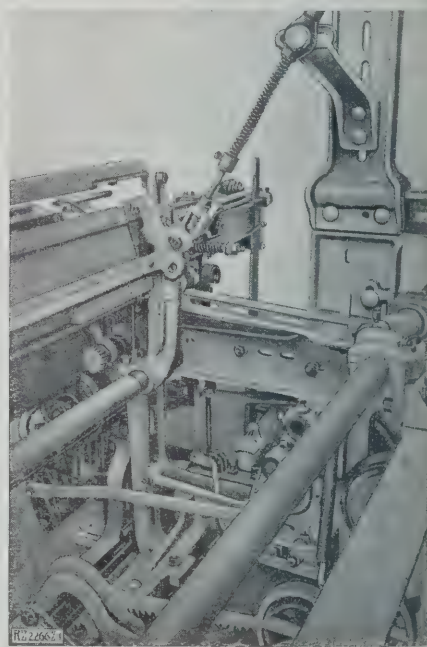


Abb. 1
Schrägblatteinrichtung.

rt. sie sind aber trotzdem wichtig und aussichts-
Auch die notwendige Schmierung der Pickerstange
gen der Gefährdung der Ware durch Ölspritzer un-
nehm. Vielleicht kann man dem Picker auch so
wie ein öloses Lager geben.

Schützenkasten und Schützen

ei den Schützenkasten wetteifern noch der so-
ante englische nach vorn offene Blechkasten mit dem
ekanischen Weichgußkasten, bei dem der Schläger
hinter dem Kasten bewegt. Es ist noch nicht ge-
n, eine der beiden Bauarten so zu verbessern, daß
ilgemein den Vorrang erhalten hätte. Jedenfalls
nach einem Schützenkasten gestrebt werden, der
bei höchster Geschwindigkeit ein Brennen der Holz-
zen verhindert. Bei den Schützen selbst herrscht
r noch der Buchsbaumschützen vor, der härtere und
re Schützen aus Lignostone ist noch weniger ein-
rt, weil er von mancher Seite als zu schwer und
l splittersicher angesehen wird. Die Industrie für
tharz, Isolierstoffe müßte u. a. doch einen Schützen
n können, der sich der Schußspule besser an-
iegt und bei gleicher Größe mehr Schußgarn aufnimmt.
Die Schlageinrichtung und die Laden-
egung in der heutigen Form sind unnütze, ja
schädliche Kraftverbraucher, bei denen ziemlich
itende Energien immer wieder vernichtet und die
en nach der entgegengesetzten Richtung neu be-
unigt werden müssen. Vielleicht braucht man auch
en jetzigen Einrichtungen die Massenkraft nicht ver-
en sondern kann sie, ähnlich wie es *Souzek* macht,
edern, Schwungmassen oder andern aufspeichern.
en letzten Jahren sind mit Erfolg Versuche angestellt
en, die starren Ladestützen durch Federn zu er-
n, deren Eigenschwingung mit der Drehzahl über-
immen muß. Wenn die auftretenden Kräfte nicht
so stoßweise wirken, wird man eine erhebliche Stei-
ng der Drehzahl, größere Haltbarkeit des Stuhles und
nung der Webstoffe erreichen.

Aufbau der Lade

Daß die Lade selbst, wie alle sich bewegenden Teile,
ichst leicht gehalten sein soll, gibt jedermann zu,
zu der restlosen Durchführung dieser Erkenntnis
neines Wissens noch niemand gekommen, nämlich
kräftige, sich nicht verziehende Lade unter größter
wendung von Leichtmetall herzustellen. Jedenfalls
en die Ladestützen aus so gutem Material hergestellt
en, daß Brüche daran nicht mehr vorkommen können.
en, rasch laufenden Crêpestühlen neigt das schwere Laden-
t an der Wechelseite mit zunehmender Breite immer
zum Schwingen und Schleudern, wodurch der
tzenlauf unsicher wird. Man wirkt dem teilweise
h einen sogenannten dritten Stoßarm entgegen, der
rhalb der Stuhlwand angeordnet ist, teilweise durch
tärkung der Lade mit durchgehenden Flach- oder
sen. Ersteres ist ungünstig wegen der statisch unbe-
nnten Verhältnisse in den drei Pleueeln, letzteres wider-
ht der vorher angeführten theoretischen Erkenntnis.
Eine einfache Vorrichtung zum Verstellen des Laden-
es sollte bei allen Stühlen vorhanden sein. Die Ab-
sugung der Lade, wenn der Stuhl mittels der Stecher-
richtung zum plötzlichen Anhalten gebracht wird, ist in
etzten Zeit durch Blatt- und Spiralfedern verschiedener
rdnung sehr verbessert worden. Es sollte auch noch
eine bessere Stecherstangensteuerung gesorgt werden,
heutige führt bei hohen Umdrehungszahlen Eigen-
ingungen aus. Die Ladenbahn soll glatt, aber doch
h sein, um die Gefahr des Schützenklatschens zu ver-
ern. Man hilft sich bis jetzt durch einen Belag aus
und bringt darüber noch teilweise einen Streifen festes,
es Papier an.

Befestigung des Webeblattes

Die Seidenwebstühle sind alle als Stecherstühle aus-
hrt, wobei das Webeblatt in einem federnden Rahmen
t. Für feinere Gewebe mit leichtem Anschlag, beson-
er für *Chinacrêpe*, wird zur Erzielung besserer Ware
viel die Schrägblatteinrichtung, Abb. 1,
tzt, bei der das Webeblatt während des Schützen-

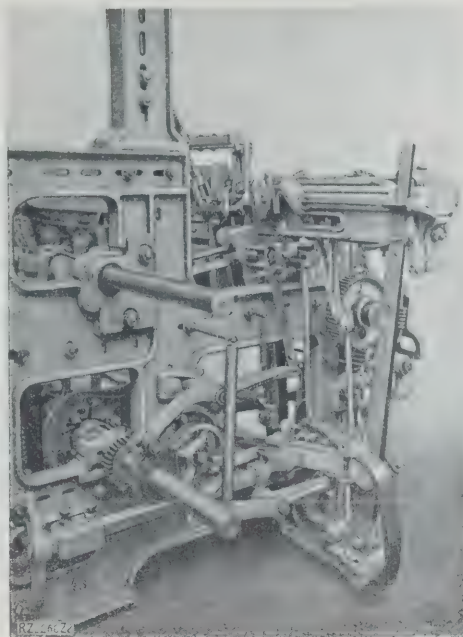


Abb. 2
Wechelseite eines Crêpestuhles von rückwärts.

durchganges rechtwinklig zur Ladenbahn steht, in dem
Augenblick des Schußfadenanschlages aber schräg gestellt
wird. Der Winkel zwischen Riet und Ladenbahn wird
heute größtenteils aus Herstellungs- und Bearbeitungsrück-
sichten mit 90° ausgeführt, während einige Fabriken den
Winkel von 87° liefern, weil sie ihn theoretisch für besser
halten. In der Praxis hat sich meines Wissens bei den
bisherigen Drehzahlen ein Unterschied noch nicht fest-
stellen lassen. Häufig wird als Versteifung über dem
Webeblatt zwischen den beiden Seiten der Lade Stahlrohr
verwendet, das aber rostig wird und beim Putzen mit
Schmirgelpapier die Kette verschmutzt. Man hilft sich
durch Umwickeln mit Tuch, die Verwendung von Rohren
aus nichtrostendem Stahl scheint aber empfehlens-
werter. In diesem Zusammenhang sei auch noch erwähnt,
daß ein Breithalter für Seidenwebstühle, der allen An-
forderungen unserer feinen Gewebe genügt, noch nicht ge-
funden ist. Entweder wird bisher die Ware beschädigt
oder sie wird nicht genügend festgehalten.

Die Wechseinrichtung

für Crêpestühle ist für die heute erreichbaren Drehzahlen in
verschiedenen Ausführungen betriebsicher gelöst, Abb. 2.
Auch für beiderseitige Wechselstühle sind in neuester
Zeit einige Bauarten erschienen, die eine wesentliche
Steigerung der Drehzahlen gegenüber dem bisher meist
verwandten Knowles-Wechsel erlauben. In der Kra-
wattenstoffweberei benutzt man meistens Stühle mit
vier Schützenkasten auf jeder Seite, die also einen
bis zu siebenfachen Schützenwechsel gestatten. Die
Anordnung, der einfacheren Bedienung halber auf
beiden Seiten je sechs Schützenkasten anzubringen,
konnte sich nicht durchsetzen, da die Lade zu schwer
wurde und die Drehzahl verringerte. Bezüglich Ver-
einfachung des Wechsels und Steigerung der Drehzahl
auch bei der Herstellung schwieriger Gewebe mit mehreren
Schützen wird wohl noch manches geschehen können. Es
sollten alle Einrichtungen verbessert werden, die das Suchen
des Schusses erleichtern; denn die meisten Stillstände sind
darauf zurückzuführen und ungefähr 20 vH der theore-
tischen Laufzeit werden dafür aufgewendet.

Der Regler und die Warenaufwicklung

sind bei den feinfühligsten Seidenwebstühlen von großer Be-
deutung, Abb. 3. Es überwiegt die Verwendung des
sogenannten Differentialreglers gegenüber dem Schußrad-
regler, da die Regelung auch bei verschiedenen dichten Ge-

ke mehr in der Schwingung des Stuhles, während der
am Fußboden starr befestigte Bock häufig in
m gewissen Kräftegegensatz zu dem Webstuhl stand,
sich unter anderem auch in einem größeren Ritzel-
schleiß ausdrückte. Weit ausladende angebaute Motor-
ke bedürfen allerdings einer sehr kräftigen Konstruk-
a und Befestigung an der Webstuhlwand. Eine aus-
streichliche Verbesserung in dieser Beziehung ist bereits
er Elektrizitätsfirma patentiert, aber noch von keiner
bstuhlfabrik in die Praxis umgesetzt, nämlich der Ein-
des Motors in das Schild, die Stuhlwand des Web-
stuhles selbst, also Fortfall jedes auskragenden Bockes.
wäre sehr zu wünschen, wenn einmal die Rücksicht auf
handene Bauarten zugunsten dieser Neuerung zurück-
stellt würde; eine praktische Lösung würde sich dann
wohl finden lassen. Die gebräuchlichen Motor-
tungen schwanken hauptsächlich zwischen 0,25 und
kW. Diese Motoren müssen die gleichen Abmessungen
den Wellenstumpf haben, und man muß sie in ein und
selben Motorbock einbauen können. Die im Gang be-
lliche Normung der Webstuhlmotoren darf hieran nichts
ern.

Kraftübertragung

Für die als Kraftübertrager zwischen Motor und Web-
stuhl dienende Kupplung liegen sehr viele Bauarten vor,
sich fast alle in eine der drei Gruppen: Fliehkraft-,
sch- oder Kegelpkupplung, einreihen lassen. Neuerdings
mt auch die Spreizringkupplung für diesen Zweck mehr
r. Alle mir bekannten Kupplungsbauarten entsprechen
r in der einen oder anderen Weise noch nicht den An-
forderungen, die ich folgendermaßen zusammenfassen
chte: geringe Einbaubreite, geringer Verschleiß bei lang-
riger und dauernder Beanspruchung, leichte Einstellbar-
e und Ausschaltung der Möglichkeit, daß die Kupplung
Bequemlichkeitsrücksichten falsch eingestellt wird.
m Anlassen des Stuhles soll der Motor leer anlaufen
men, um allzu teuren Aufbau des Motors und
schlechterung des Wirkungsgrades zu vermeiden. Der
e Schlag des Webstuhles muß aber sofort und in jeder
ung der Weblade mit voller Kraft erfolgen; denn gerade
ie sogenannten losen Schläge machen sich in den gefärb-
Seidengeweben sehr unangenehm bemerkbar. Ebenso
en beim Abstellen des Stuhles Motor und Stuhl mög-
st schon vor dem Abbremsen des Stuhles voneinander
rennt sein, damit nicht auch noch das Schwungmoment
Motors von den Bremsorganen und vom Stuhlgestell
genommen werden muß. Die Kupplung soll so betätigt
den, daß kein axialer Druck auf die Kurbel-
le entsteht. Die Kupplung muß auch bei niedrigen Dreh-
len sicher durchziehen.

Manchen dieser eben genannten Anforderungen wird
elastische Verbindung des Motors mit dem Stuhl durch
emenübertragung gerecht, entweder von einem
or mit Wippe aus oder unter Einbau einer kleinen
nnrolle. Diese Arten der Lösung haben aber den Nach-
 jeder Riemenübertragung: Riemenrutsch und unsicherer
lag. Sie sind daher auch trotz geringerer Kosten wenig
zuführen. Ein lebhafter Wunsch der Seidenindustrie geht
h einer einfachen und billigen Einrichtung zur Verän-
derung der Drehzahl für den Webstuhl, die möglichst so
n soll, daß sie nicht von dem Arbeiter, sondern nur von
n Aufsichtführenden verstellt werden kann. Gewiß ist
kte die Auswechselung des Ritzels schon wesentlich
acher als früher die Auswechselung der Transmis-
sscheiben, aber doch ist auch diese Arbeit noch mü-
e und zeitraubend und unterbleibt daher gern.

Kettbaumbremsen

Der Kettbaum wird in der Seidenweberei gewöhnlich
der Höhe der Weblade gelagert, meistens in einem
bederen Hintergestell. Als Bremse dient auch heute noch
früher das Seil mit Gewichten und Gegengewichten.
Bedürfnis nach einer feineren und besseren Bremsart
allgemein, und es ist in den letzten Jahren eine Reihe
selbsttätigen Kettbremsen auf dem Markt erschienen,
der haben sich auch hier die Erwartungen nicht erfüllt,
Regelmäßigkeit der Gewebe wurde dadurch nicht besser,
dern schlechter, und dagegen mußte natürlich der Vor-

teil der einfacheren Bedienung und besseren Regelfähigkeit
zurücktreten. Fast alle Fabrikanten haben ihre Konstruk-
tionen umgeändert, und es bleibt abzuwarten, ob sie nun-
mehr sich besser bewähren. Die Lust zur Erprobung und
Beschaffung ist jedenfalls nicht mehr so groß wie früher;
denn nichts ist ärgerlicher und zeitraubender in der Seiden-
weberei als sogenannte bunte Ware, und gerade dafür
erwartete man ja von den selbsttätigen Bremsen eine Ver-
besserung gegenüber der Seilbremse. Bei dieser ist ein
gewisser Fortschritt dadurch erzielt worden, daß man die
den Boden stark beschädigenden Gegengewichte durch
Federn ersetzt, wobei man die Kette trotzdem leicht ent-
spannen kann.

Als Befestigung für den Webstuhl samt Hintergestell
werden heute wie früher Holzbohlen benutzt, die entspre-
chend der gesteigerten Beanspruchung immer stärker mit
dem Fußboden verbunden werden müssen. Infolgedessen
werden je Webstuhl gewöhnlich sechs Löcher mit Betonfuß-
boden nötig und teilweise noch vier Löcher für den geson-
derten Motorbock. Es wäre sehr erwünscht, eine Befesti-
gungsart zu finden, die weniger teuer, zeitraubend und zer-
störend ist. Gelegentlich wird das Aufkleben der Stühle
empfohlen, entweder haften aber die Klebemittel nicht ge-
nügend, oder sie sind sehr teuer.

Einrichtungen zur Fachbildung

Am einfachsten für taffetbindige Gewebe ist die Innen-
trittvorrichtung, deren Exzenterform in neuerer Zeit eben-
falls im Hinblick auf die Bewegungsverhältnisse verbessert
worden ist. Als Schaffmaschinen kommen bei den gesteig-
erten Drehzahlen heute hauptsächlich Doppelhub-Schaff-
maschinen, Bauart *Hattersley*, in Betracht, und zwar neuer-
dings mit Fachstillstand, der für breite Gewebe vorteilhaft
ist. Die früher benutzten Grobstich- und Feinstich-Schaff-
maschinen, sowie Außentrittwerke, alle mit Gegenzug, wer-
den wohl nur noch dort vorgezogen, wo die Eigenart des
Gewebes den Gegenzug erfordert.

Es wäre sehr erwünscht, ein Fachgebildegetriebe zu
haben, das eine größere Ausnutzung der Breite des Web-
stuhles erlaubt und dabei die seitlich liegenden Kettfäden
mindestens nicht mehr als bisher beansprucht. Jetzt muß die
Breite des Stuhles ungefähr 20 vH größer sein als die eigent-
liche Gewebebreite, weil die Fachöffnung unmittelbar nach
dem Ladenanschlag noch nicht genügend groß ist, um dem
Schützen schon den freien Eintritt in das Fach zu gestatten.

In der Jacquardweberei kommt für Neuanschaffung
wohl nur die Verdolmaschine mit endloser Papierkarte in
Frage, meistens als Hoch- und Tieffach- oder als Hoch-,
Tief- und Schrägfachmaschine ausgeführt. Mit den steigen-
den Drehzahlen werden auch Doppelhubmaschinen mehr
verwendet, wenn sie auch teurer und etwas umständlicher
im Bau sind. Es sollte doch möglich sein, auch die Hoch-
und Tieffachmaschinen bis auf 180 U/min zu bringen, ohne
daß der Harnisch allzu sehr schlägt; man muß die Füh-
rung der Harnischeisen verbessern. Bei den gesteigerten
Drehzahlen hat man auch der Ausführung des Oberbaues
mehr Aufmerksamkeit zuwenden müssen; man hat wohl
manches erreicht, aber es bleibt noch viel zu verbessern,
um eine wirklich standfeste, aber trotzdem leichte, nicht zu
teure und nicht zu viel Licht wegnehmende Bauart zu
gestalten. Chorbretter und Nadelbretter werden heute noch
aus Holz oder Vulkanfaser hergestellt; erwünscht wäre ein
Werkstoff, der sich in keiner Weise durch Feuchtigkeit
verändert und nicht mit der Zeit eingeschnitten wird. Ein
dringender, aber anscheinend sehr schwer erfüllbarer
Wunsch ist die Verstellbarkeit der Teilung des Chorbrettes,
die in der Krawattenstoffweberei ein leichteres Umändern
gestatten würde. Die vollständige Durchführung der öl-
losen Lagerung an der Jacquardmaschine ist, wie bereits
früher erwähnt, in die Wege geleitet, so daß ein Schmieren
mit der Hand mit seinen Nachteilen ganz in Wegfall kommt,
und es wäre zu wünschen, daß sich noch mehr Fabriken
zur Aufnahme dieser Bauart entschließen würden, damit
man auf breiterer Grundlage Erfahrungen sammeln könnte.

Vorbereitungsmaschinen

Windmaschine

Mit Befriedigung kann man feststellen, daß die Lei-
stungsfähigkeit in gleichem Maße wie bei den Webstühlen

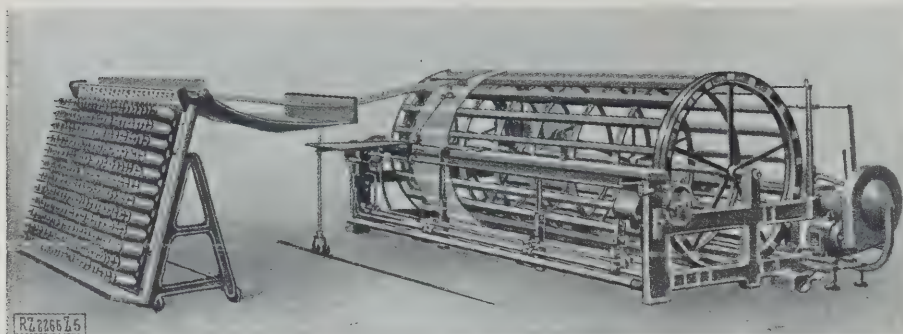


Abb. 5
Zahnradantrieb der Schärmaschine mit Kupplung und Geschwindigkeitsregelung.

auch bei den Winde- und Spulmaschinen gesteigert worden ist. Die Windemaschinen sind durch verschiedene Verbesserungen des Aufbaues, der Lagerung, der Fadenbremsung und Fadenführung sowie durch andere Ausführung der Haspel, sowohl in bezug auf die Geschwindigkeit wie die Schonung des Werkstoffes, sehr vervollkommen worden. Die spindellose Windemaschine führt sich immer mehr da ein, wo ein Umlaufen des Garns nicht nötig ist; das Fassungsvermögen der Bobinen ist wesentlich gesteigert worden. Eine einfache Vorrichtung, um bei voller und leerer Bobine eine gleichbleibende Fadengeschwindigkeit zu erhalten, wird noch nicht geliefert, ist aber notwendig, da die Gesamterzeugung dadurch nennenswert steigen würde. Auch eine Vorrichtung, die die voll bewickelte Bobine abstellt, ist sehr nötig, da dann das Übervolllaufen und damit Verluste verhindert würden. Die besondere Empfindlichkeit der Kunstseide gegen Überspannung hat zu verschiedenen Konstruktionen geführt, um bei Fadenverwicklung den Zug der Bobine abzustellen. Der Faden wird immer noch mehrmals ziemlich stark geknickt, wodurch er sehr beansprucht wird und die Fadenführer rasch verschleifen, was auch bei sorgfältiger Überwachung nicht immer rechtzeitig genug bemerkt wird. Alle für die Fadenführer verwandten Werkstoffe wie Stahl, Glas, Porzellan und Fiber schneiden ein. Nach den jetzigen Erfahrungen macht man am besten alle Fadenführer so leicht drehbar, daß der Faden sich nie an einer Stelle halten kann.

Der rückständigste Teil der Winderei ist noch immer das Abwinden der im Strang gefärbten Garne. Daran ist aber nicht der Aufbau der Windemaschine schuld, auch nur zum ganz geringen Teil die Festigkeitsverminderung, die der Rohstoff durch das Färben erleiden könnte, sondern fast ausschließlich die Verwirrung, in die der Strang durch die Behandlung beim Färben gerät. Es wäre sehr erwünscht, wenn sich die bei Baumwolle schon bewährten Verfahren des Färbens auf Spule, Bobine oder Kettbaum auch für die Seidenindustrie verwenden ließen.

Schußspulmaschine

Bei den Schußspulmaschinen ist die Fadengeschwindigkeit und auch die Schonung des Fadens weitgehend gesteigert worden. Verwendet werden heute die „Rapidspulmaschine“ mit wagerecht gelagerter, umlaufender Spindel für einfache Spulung und die „Doublierspulmaschine“ mit senkrecht feststehender Spindel und umlaufendem Fadenführer zum mehrfachen Spulen des Schusses. Bei beiden Verfahren läuft der Spindelantrieb im Ölkasten. Nachteilig bei der Rapidspulmaschine ist, daß der Faden beim Spulen keine Drehung erhält und infolgedessen beim Abweben, wo die Spule über Kopf abgezogen wird, ungefähr 20 Drehungen auf 1 m kommt. Dies macht sich bei manchen Geweben nachteilig bemerkbar. Wenn es gelänge, den Schußfaden im Schützen tangential abzuziehen, wäre dieser Übelstand beseitigt. Es muß erwähnt werden, daß in der Seidenindustrie die Spulmaschinen fast nur für Schußfaden, nicht für Kettfaden arbeiten. Das Schären von zylindrischen oder kegeligen Kreuzspulen oder von Flaschenspulen ist noch

kaum eingeführt, weil für Abziehen über Kopf eine geeignete Fadenbremse noch fehlt und weil bei zylindrischen Kreuzspulen die Kunstseide an den Rändern sehr leicht abrutscht. Neuerdings kommen zwar Spulmaschinen für zylindrische Kreuzspulen mit abgeschrägten Kanten auf den Markt, aber mittlerweile ist es wieder fraglich geworden, ob die Kreuzaufwicklung mit der dauernden Spannungs- und Richtungsänderung des Fadens der Kunstseide schädlich ist.

Schärmaschine

Nur in der Schärerei ist die Verbesserung der Arbeitsverhältnisse nicht gleichen Schritt halten können. Geht man in einzelnen Punkten auch erfreuliche Fortschritte erzielt: die Schärgatter sind besser ausgeführt und mit einer federnden Ablaufwalze versehen. Man schärt mit einer größeren Anzahl von Bobinen früher. Die Ausführung der Schärmaschine, Abb. 5 selbst ist verbessert, besonders im Hinblick auf die Meßuhr, Abstellvorrichtung, Geschwindigkeitsregelung, Schärlänge und Umfang des Schärhaspels. Aber all das reicht nicht hin zu einer wirklich großen Steigerung der Erzeugung. Die Schärgeschwindigkeit ist im allgemeinen, abgesehen von guter Gröbe, die gleiche geblieben. Die häufigen Stillstände der Schärmaschine sind ebenfalls geblieben und sind hier deshalb besonders wichtig, weil beim Winden und Spulen jeweils nur ein einziger Faden stillsteht, beim Schären aber 200 bis 600 Faden gleichzeitig. Dies sind entweder regelmäßige Stillstände infolge des Einlegens von Kreuzschnüren oder Ansetzens eines neuen Bobines oder unregelmäßige infolge Fadenbruchs und Faden säuberung. Leider liegen die Ursachen dafür in der Eigenart des Rohstoffes und werden sich kaum ganz aus der Welt schaffen lassen. Die Fäden bedürfen während des Schärens einer genauen Aufsicht, infolgedessen kann die Zahl der gleichzeitig laufenden Fäden nicht so hoch sein wie z. B. in der Baumwollweberei. Immerhin könnte durch eine sichere Abstellvorrichtung wenigstens bei einigen Rohstoffen die Fadenzahl noch wesentlich vermehrt werden. Die Lamellen schädigen aber den Faden zu sehr und die pneumatische Abstellvorrichtung stellt entweder infolge schlaffer Fäden oder mitgeschleppter Fadenstücke zu häufig oder, wenn der gerissene Faden auf die daneben liegenden ganzen Fäden zu liegen kommt, gar nicht ab.

Verschiedene Verbesserungen scheinen aber erreichbar. Eine unbedingt sichere Abstellvorrichtung, die bereits Bauarten vorhanden sind, die nicht durch den Faden, sondern durch den Stillstand der einzelnen Bobinen betätigt wird, muß geschaffen werden. Eine Vorrichtung muß das Überlaufen der Bobinen beim Abstellen verhindern. Es müssen also die einzelnen Bobinen im Augenblick des Abstellens sowie der Schärrahmen sofort gebremst werden, während andererseits das Anlaufen langsamer sein soll. Alle Bobinen müssen stets eine gleichmäßige Fadenspannung behalten; jetzt haben volle und leere Bobinen verschiedenes Gewicht und daher verschiedene Spannung; außerdem sind die äußeren Fäden des Gewebes stärker angespannt. Ein genauer Meterzähler fehlt; der jetzigen berücksichtigen den allmählich höher werdenden Aufwurf am Schärhaspel nicht, da das immer gleichbleibende Maß des Umfanges des Haspels als Grundlage dient. Eine Verbesserung der drei an Schärrahmen benutzten Riete in bezug auf das Einschneiden der Rietstäbe ist notwendig. Die schon erwähnten Spannungsschwankungen durch den stärkeren Zug, den die äußeren Fäden des Gewebes infolge der Ablenkung erfahren und den das ganze Gewebe erfährt, weil die Schärtafel nicht mit derselben Geschwindigkeit wie der Schlitten des Schärrietes zur Seite bewegt wird, müssen aufgehoben werden. [B 2266]

Neuere Webverfahren

Von Prof. E. MAUZ, Reutlingen, Technikum für Textilindustrie

Vorgetragen auf der Tagung für Textiltechnik am 17. und 18. November 1928 in Stuttgart

(Hierzu Bildblatt 1)

Die Bestrebungen, die Leistung des mechanischen Webstuhles zu erhöhen, führten in den letzten Jahren zu einigen besonders beachtenswerten Bauarten: Webstuhl von Gabler, von Nicolet und Rundwebstuhl von Jabouley-Diederichs. Die einzelnen Bauarten werden kurz gekennzeichnet und nach Wirkungsweise erläutert.

Im Laufe der Jahre ist beim Bau der mechanischen Webstühle eine große Zahl von Einrichtungen erdacht worden, um die Leistung der Stühle zu erhöhen und an Bedienung zu sparen. Ich erwähne die Einrichtungen zum selbsttätigen Wechseln der Schützen der Spulen, die unter dem Sammelbegriff „Automaten“ bekannt sind; man webt mehrere Waren (Gurte, Läder, Handtücher, Mundtücher) neben einander oder, z. B. beim Veloxstuhl¹⁾, über einander. Bei den Schnellläufern wird die Drehzahl bis an die äußerste Grenze erhöht; für den Schuß werden große Garnkörper verwendet, die dementsprechend große und schwere Schützen und ein großes Fach erfordern. Wird der Garnkörper schließlich so groß, daß er nicht mehr in einem Schützen untergebracht werden kann, so zieht man den Schuß mit Greifervorrichtungen von feststehenden Spulen. Dieses Verfahren hat Gabler²⁾ seiner Webmaschine Grunde gelegt. Neuerdings ist ferner viel von dem Nicolet'schen Webverfahren³⁾ die Rede, bei welchem bei der Drehung des Stuhles zwei Schußfäden in zwei zueinander liegende Webfächer eingetragen und zeitlich nach einander an den Warenrand angeschlagen werden. Auch das Problem des Rundwebstuhles scheint in letzter Zeit durch Jabouley⁴⁾ einer befriedigenden Lösung näher gebracht zu sein. Über das Wesentliche dieser drei letztgenannten Verfahren soll hier berichtet werden.

¹⁾ DRP Nr. 234834. ²⁾ DRP Nr. 374353, 410755, 457560, 459397.
³⁾ DRP Nr. 432097, 448033, 453932, 461981, 462339. ⁴⁾ DRP Nr. 459131.

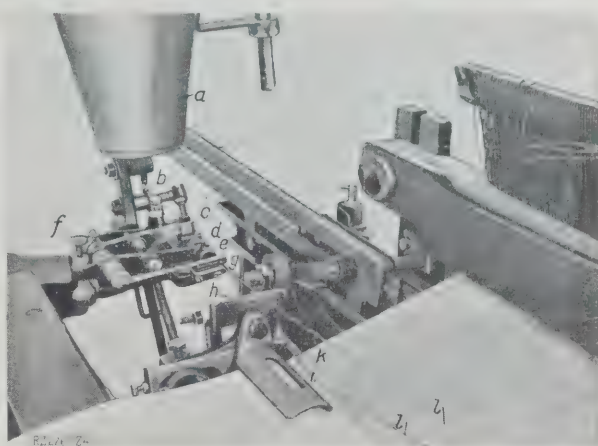


Abb. 4
Schußeintragvorrichtung der Firma Gabler.

Webverfahren nach Gabler, Abb. 1 bis 4

Gabler, Ettlingen, dessen Webmaschine von der Berlin-Karlsruher Industrie-Werke-A.-G., Karlsruhe, ausgeführt wird, zieht den Schuß von großen, an beiden Seiten des Webstuhles aufgesteckten Kreuzspulen ab; der linke Fadenholer legt den Faden. Abb. 2 und 3. schleifenartig

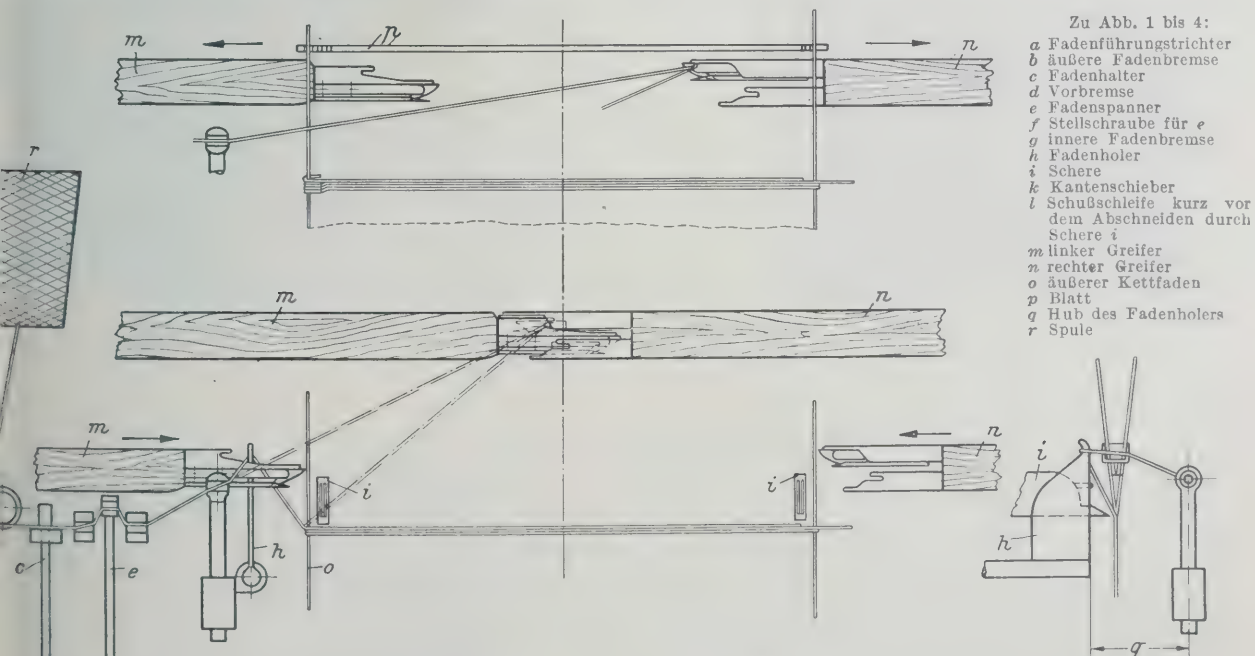


Abb. 1
Durchziehen des abgeschnittenen Fadens mittels des rechten Greifers.

Abb. 2
Eintragen des Schußfadens durch den linken Greifer und Übergabe an den rechten Greifer.

Abb. 3
Seitenansicht des Fadenholers mit der Schere

Abb. 1 bis 3. Wirkungsweise der Gabler-Schußeintragvorrichtung.

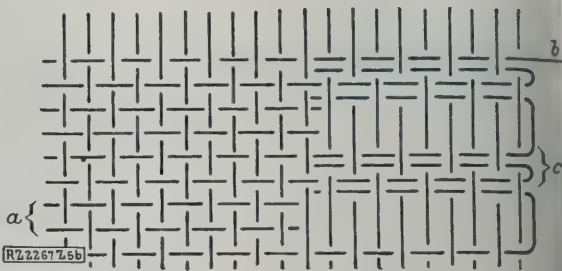
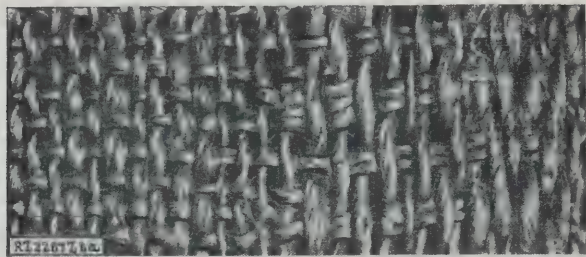


Abb. 5a und 5b
Fadenverflechtung an der rechten Warenkante nach Gabler.

a zwei Schüsse von links eingetragen
b letzter, von der rechts aufgesteckten Spule eingetragener Schuß (Warenrand)
c zwei Schüsse von rechts eingetragen

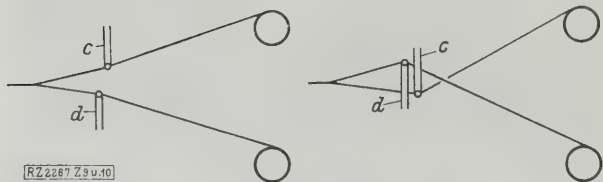


Abb. 15 und 16

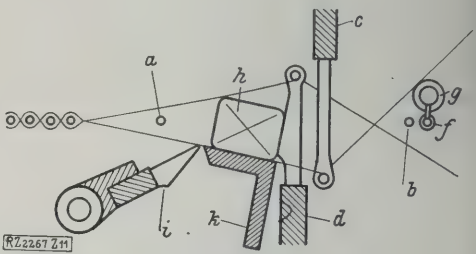


Abb. 17

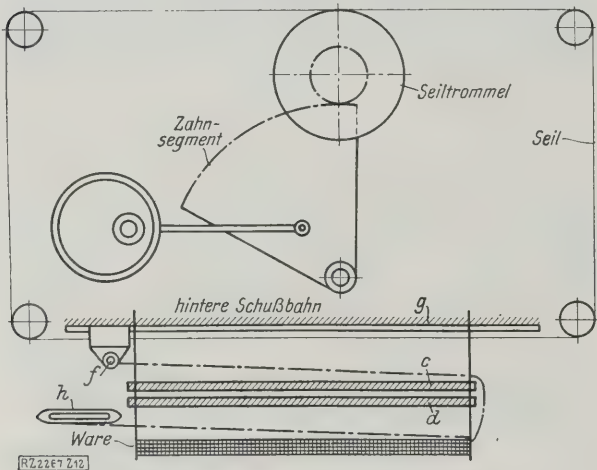


Abb. 18

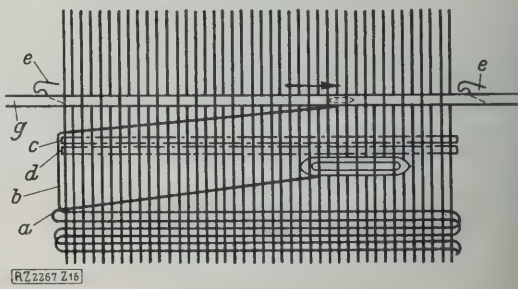


Abb. 22

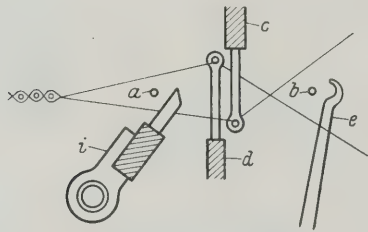


Abb. 19 und 20

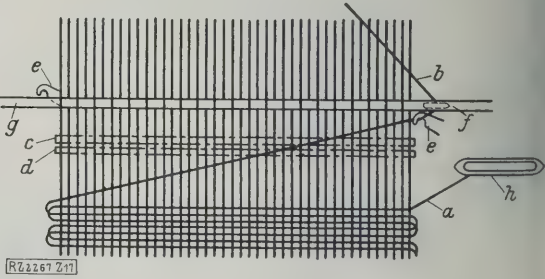


Abb. 23

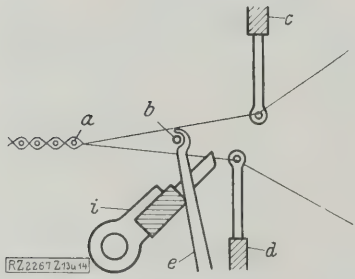


Abb. 19 und 20

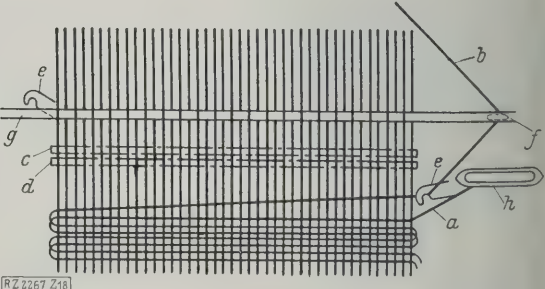


Abb. 24

Abb. 15 bis 24. Einzelheiten des Webverfahrens nach Nicolet.

a vorderer Schuß
b hinterer Schuß
c, d Fachbildungsmittel (Lochnadelreihen)
e Greifer oder Vorbringer
f Fadenführer
g geschütztes Rohr für Fadenführer (hintere Schußbahn)
h Schützen
i Anschlagkamm
k Lade, feststehend

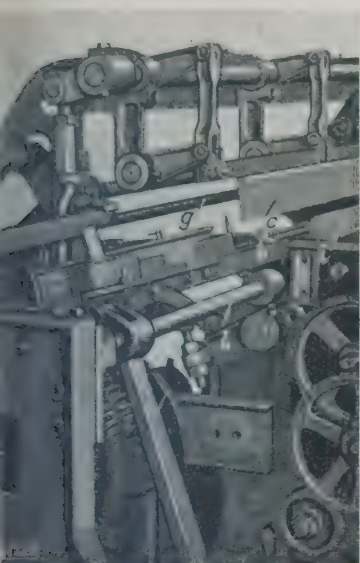


Abb. 10
Der Schützenkasten ohne Vorderwand mit Unterschlag.

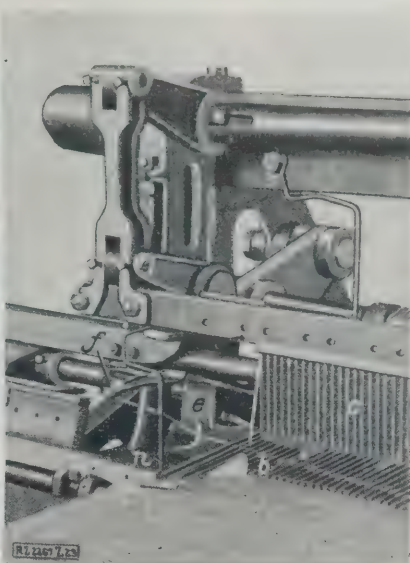


Abb. 11
Das Fach ist offen. Der Vorbringer *e* greift den Faden und spannt ihn an dem Draht *n* aus.

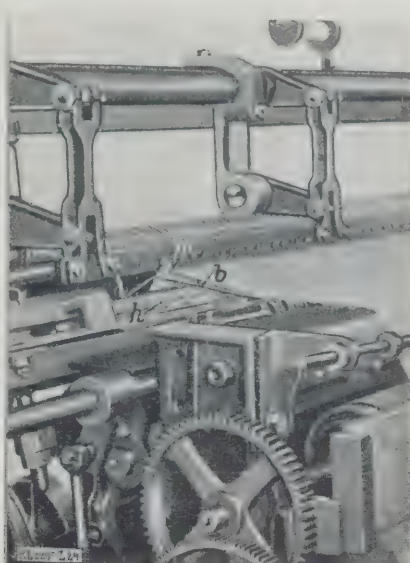


Abb. 12
Das Fach ist gekreuzt, der Schütze *h* tritt aus dem Fach heraus. Der hintere Schuß *b* liegt über dem Schützen, über das Führungsblech *m* gespannt.

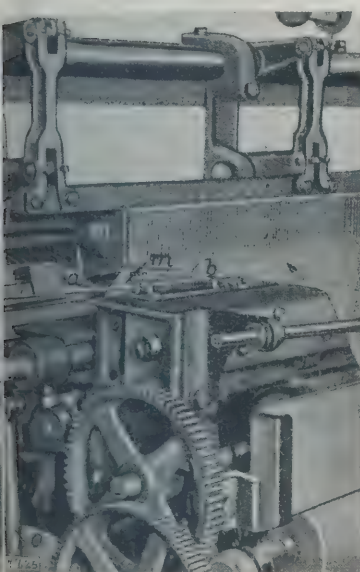


Abb. 13
Der hintere Schuß *b* liegt an den Führungsblechen *m* kurz vor dem Einspringen in das sich eben öffnende Fach. Der Vorbringer arbeitet in diesem Falle an der gegenüberliegenden Seite (rechts). Der vordere Schuß *a* läuft vom Warenrand zum Schützenkasten.

Abb. 14
Der Vorbringer *e* trägt den hinteren Schuß *b* in den Bereich des Anschlagkammes *i*, dessen äußerste Lamellen sichtbar sind.

- a* vorderer Schuß
- b* hinterer Schuß
- c* obere Lochnadelreihe
- d* untere Lochnadelreihe
- e* Vorbringer
- f* Fadenführer
- g* hintere Schußbahn
- h* Schützen
- i* Anschlagkamm
- l* Welle des Anschlagkammes
- m* Führungsblech
- n* Draht
- o* Verbindung von *l* mit dem Warenbaumregler

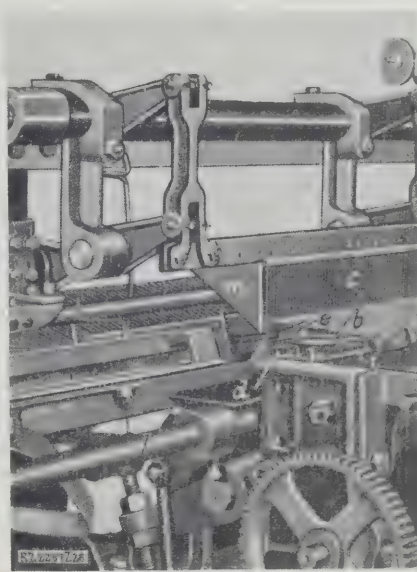


Abb. 10 bis 14. Einzelheiten der Nicolet-Maschine.

Die Kerbe des linken Greifers, der die Schußschleife in die Fachmitte zieht und dort an den Haken des rechten Greifers übergibt. In diesem Augenblick hemmt der Fadenhalter den weiteren Abzug von der Spule, die den Faden innerhalb des Warenrandes abtrennt. Das geschnittene Ende wird vom rechten Greifer durchgezogen (Abb. 1). Der Fadenspanner zieht dann den eingetragenen Schuß etwas zurück, so daß das freie Ende innerhalb der Leiste und möglichst immer an der gleichen Stelle eintritt. Die Eintragsvorrichtung ist in Abb. 4 dargestellt. Die Leiste dringt soeben von unten zwischen den Leisten durch und schneidet den Faden, der vom linken Greifer eingetragen wurde, im nächsten Augenblick ab. Der Kantenverschieber *k* bewegt sich etwas gegen die Leiste, so daß das Fach im Bereich der Kantenfäden ein wenig geöffnet wird, und klemmt das vom letzten Schuß zurückgezogene Ende innerhalb der Kante fest. Bei Tuchwebung müssen zur Erzielung einer brauchbaren Kante

immer zwei Schüsse von links und dann zwei Schüsse von rechts eingetragen werden, Abb. 5 a und 5 b.

Die Maschine, die vollständig eingestellt von der Fabrik geliefert wird, wird mit etwa 100 cm Blattbreite ausgeführt, Abb. 6, Bildbl. 1. Sie ist dabei nicht viel breiter als ein Automat und macht rd. 170 U/min. Eine Person kann etwa 20 Stühle bedienen. Der Wirkungsgrad liegt bei 90 bis 93 vH. Sehr wichtig ist, daß die relative Luftfeuchtigkeit möglichst nicht unter 80 vH beträgt. Versuche, die Gabler-Webmaschine auch für größere Webbreite zu bauen, sind im Gang. Zweifarbig-schußgestreifte tuchbinde Ware mit abwechselnd zwei Schuß von jeder Farbe kann ohne weiteres hergestellt werden, indem man links und rechts verschiedenartige Spulen aufsteckt. Sehr geeignet ist die Webmaschine zur Herstellung von Panamabindungen, Abb. 7, Bildbl. 1. Auf jeder Seite sind zwei Spulen aufgesteckt, von denen gleichzeitig zwei Fäden abgezogen und eingetragen werden. Bei Bruch eines Fadens stellt ein elektrischer Fadenwächter die Maschine ab.

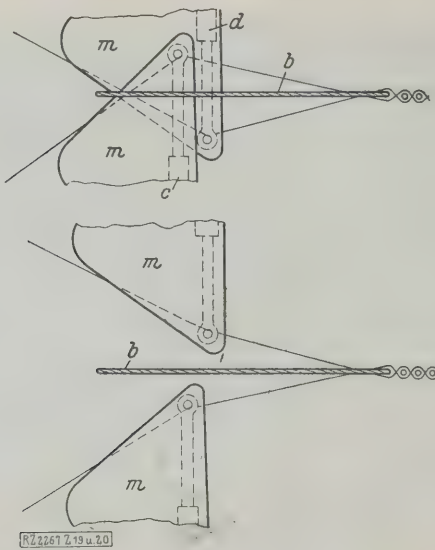


Abb. 25 und 26

Abb. 25

Die Schutz- oder Führungsbleche *m* sind gekreuzt (vergl. auch Abb. 16).

Abb. 26

Die Schutz- oder Führungsbleche *m* sind offen, Schußfaden *b* springt in das Fach. *c, d* Lochnadelreihen.

Für vier Farben und beliebige Schußzahlen gehen die Fäden von je 4 auf beiden Seiten aufgesteckten Spulen, Abb. 8, Bildbl. 1, durch die Ösen einer entsprechenden Zahl von Fadenführerschienen *c*, die mittels einer Wechsellkarte in beliebiger Reihenfolge in den Bereich des Fadenholers gebracht werden können.

Webverfahren nach Nicolet

Bei dem Webstuhl von *Nicolet*, Abb. 9 (Bildbl. 1) bis 14, treten Lochnadelreihen oder -barren an die Stelle der Geschirre, ähnlich wie bei der Raschel oder am Kettenwebstuhl, Abb. 15 und 16. Es wird nun gleichzeitig vorne und hinten ein Schuß eingetragen, Abb. 17. Die Schützenbahn steht fest. Vollständig neuartig ist, daß der Schützen, der den vorderen Schuß einträgt, rückwärts an der unteren Lochnadelreihe geführt wird. Der hintere Schuß wird durch einen Schuß- oder Fadenführer eingetragen, der in einem geschlitzten Rohr durch ein endloses Seil mittels Exzenter und Zahnradgetriebe hin und her

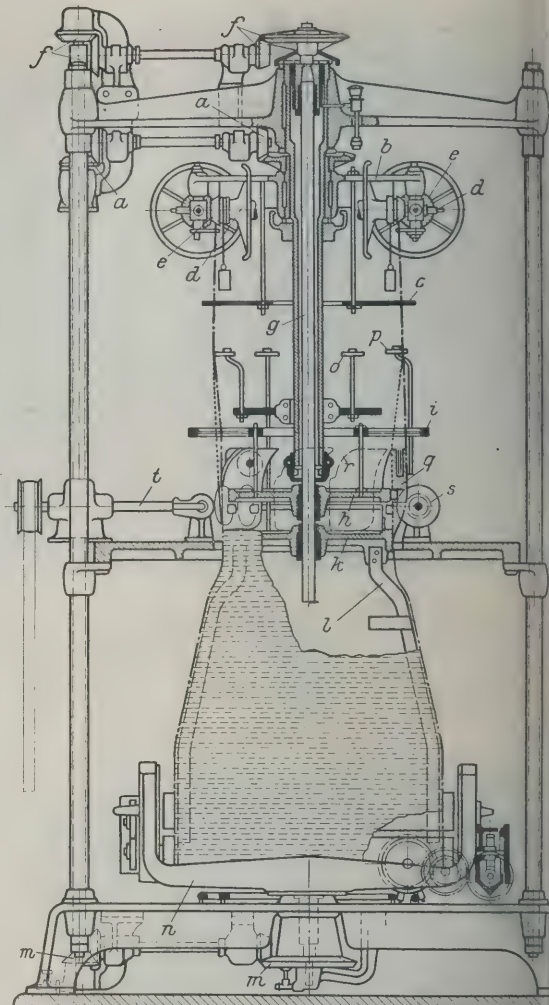


Abb. 27. Aufbau des Rundwebstuhles von Jaboulet

- | | | |
|-------------------------------------|----------------------|-------------------------------|
| <i>a</i> Kegelhäder-
übertragung | <i>f</i> Kegelhäder | <i>m</i> Kegelhäder |
| <i>b</i> Armkreuz | <i>g</i> Achse | <i>n</i> Kreuz |
| <i>c</i> gelochte Scheibe | <i>h</i> Scheibe | <i>o, p</i> Walzen |
| <i>d</i> Kettbäume | <i>i</i> Ringkamm | <i>q, r</i> Schußträger |
| <i>e</i> Kegelhäder | <i>j</i> Scheibe | <i>s</i> Schaufelräderpaar |
| | <i>k</i> Scheibe | <i>t</i> Antrieb von <i>s</i> |
| | <i>l</i> Warenpreise | |

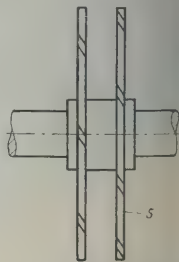
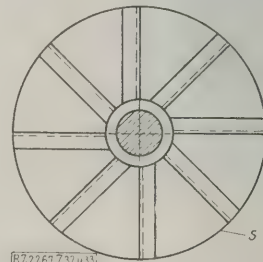
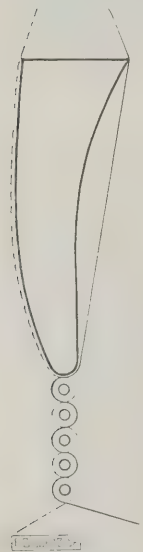
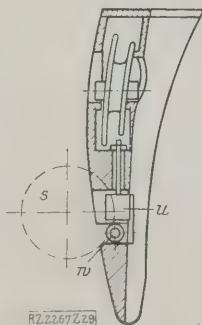
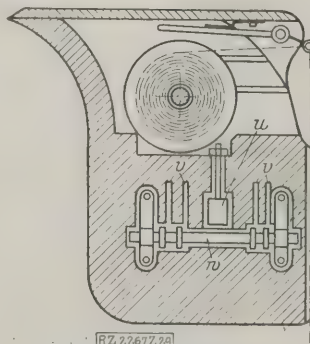
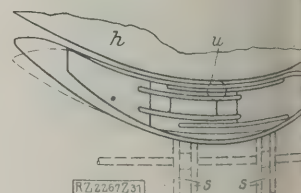


Abb. 32 und 33. Schaufelräderpaar des Rundwebstuhles

Abb. 28 bis 31.
Schützen (Schußträger)
des Rundwebstuhles.Abb. 28
Seitenansicht.Abb. 29
Querschnitt.Abb. 30
Längsschnitt.

- s* Schaufelräderpaar
u Rolle an Scheibe *h* geführt
v Aussparungen für den Eingriff
w Walze

Abb. 31
Draufsicht (Deckel
abgenommen).

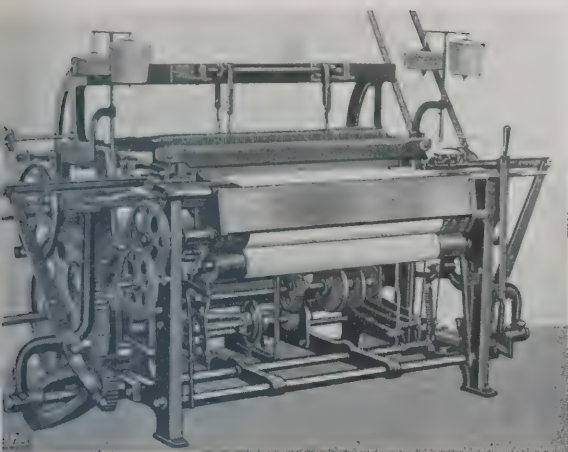


Abb. 6
Gabler-Webmaschine.

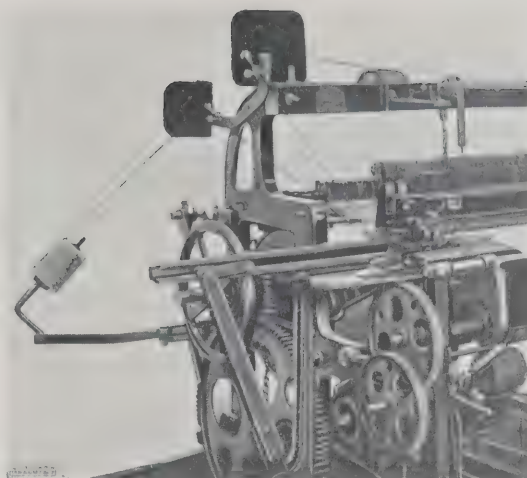


Abb. 7
Gabler-Webmaschine für Panamabindung.
w Fadenwächter

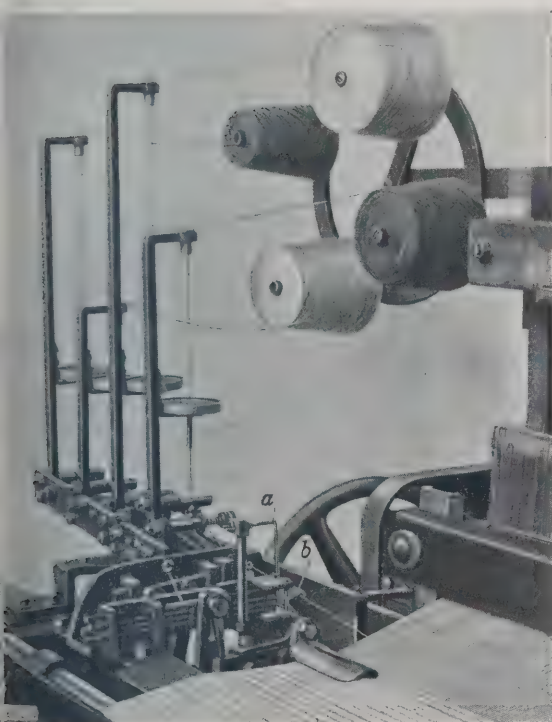


Abb. 8
Gabler-Maschine für vier Farben und beliebige Schußzahlen.
a Fadenholerstange b Fadenholer
c Fadenführerschiene

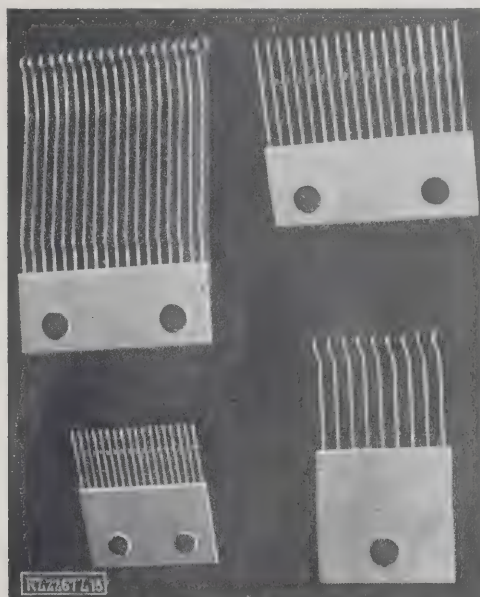


Abb. 21
Nicolet Maschine. Teile des unteren und oberen Lochnadelbarrens und des Anschlagkammes.

E. Mauz: Neuere Webverfahren

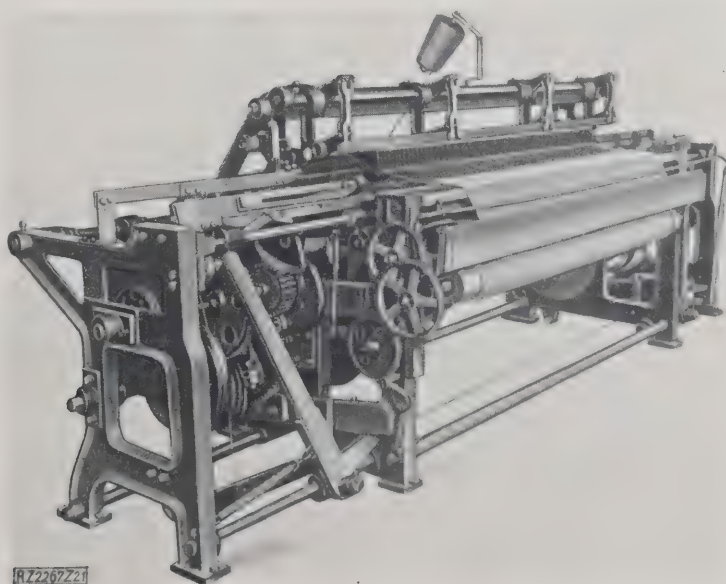


Abb. 9 (rechts)
Nicolet-Maschine für 165 cm Webbreite.
(vergl. auch Abb. 10 bis 14, S. 287)

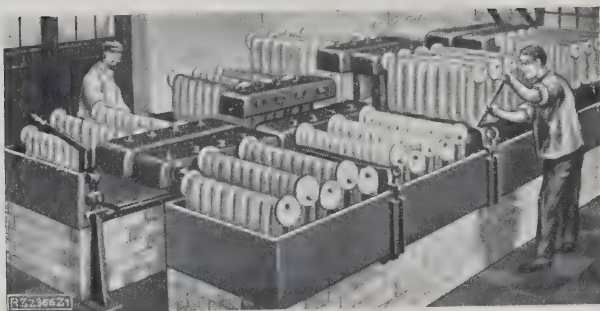


Abb. 1
Stranggarn-Färbvorrichtungen.

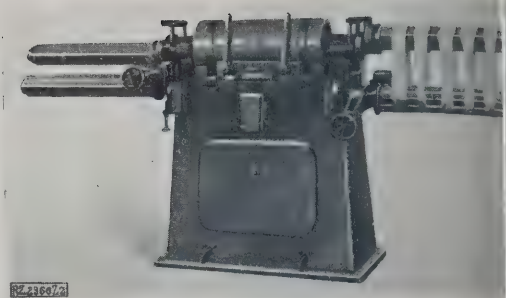


Abb. 2
Schlagmaschine.

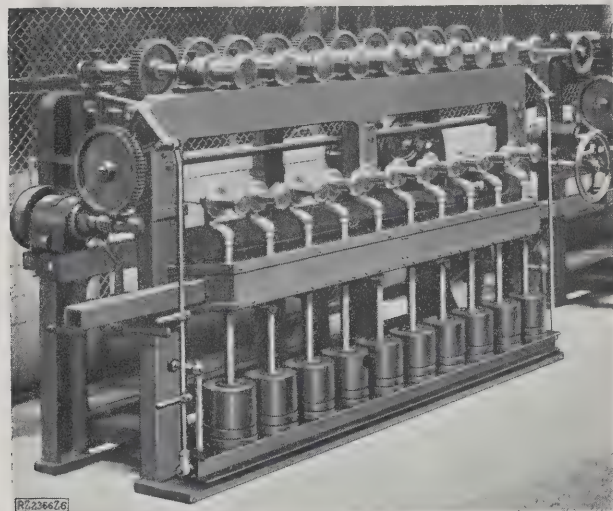


Abb. 5
Chevelfiermaschine.

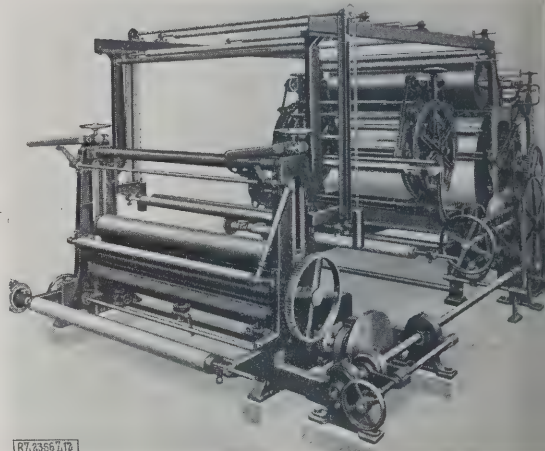


Abb. 11
Dreiwalzen-Stärkemaschine mit Palmer und Filkalander.

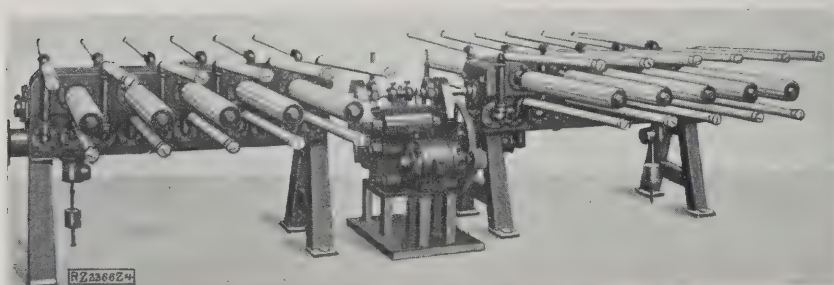


Abb. 3
Stranggarn-Waschmaschine.

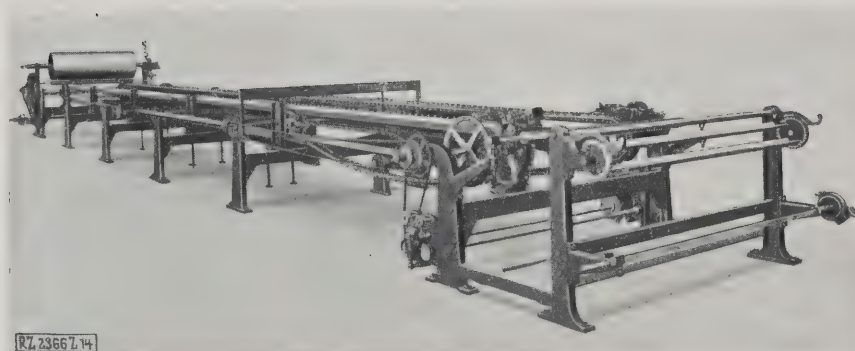


Abb. 13
Maschine zum Trocknen und Spannen breiter Ware.

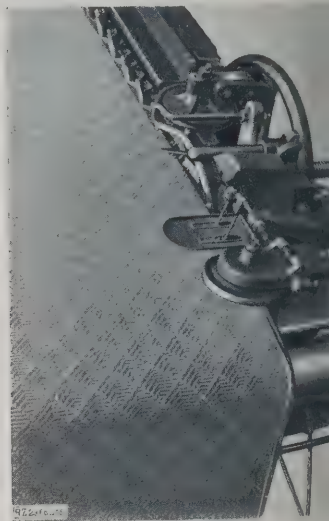


Abb. 14
Kantenausrollvorrichtung, von besonderem Wert bei Wirkwaren.

Anke:
Ausrüstungsmaschinen
für Kunstseide

legt wird, Abb. 18. Nachdem beide Schüsse einge-
sen sind, wird der vordere Schuß durch den Anschlag-
am angeschlagen, dann das Fach gewechselt, der hintere
uß durch den seitlich sitzenden Vorbringer vorgeschoben
ebenfalls durch den Anschlagkamm angeschlagen,
b. 19 und 20. Teile des unteren und oberen Lochnadel-
rens und des Anschlagkammes zeigt Abb. 21, Bildbl. 1.

Bei der ausgeführten Maschine wird der vordere
uß von links, der hintere Schuß von rechts und dann
gekehrt eingetragen. In Abb. 22 bis 24 ist ange-
ommen, daß beide Schüsse von der gleichen Seite einge-
gen werden. Der Schützen und der Schußführer
en augenblicklich nach rechts. Abb. 22. *b* geht um
in Kreuzungspunkt der Fachbildemittel. Dann wird der
vordere Schuß angeschlagen, Abb. 23, der Schützen liegt
chts im Kasten, das Fach ist gewechselt. Der Schuß-
führer hat die Kette verlassen, der hintere Schuß verläuft
ischen den Fachbildungsmitteln von der linken Kante
m Schußführer und wird vom Vorbringer erfaßt. In
Abb. 24 hat der Vorbringer den hinteren Schuß in den
ereich des Anschlagkammes gebracht. Der Schußführer
ht sich noch etwas nach rechts bewegt, damit der Schuß
t ausgespannt wird. An der Seite der Fachbildungs-
arren sind verstellbare Schutzbleche angebracht, die die
übung des hinteren Schusses an den äußeren Kett-
ellen verhindern, Abb. 25, und die bewirken, daß dieser
huß, Abb. 26, im richtigen Augenblick in das Fach
eingeht.

Die Maschine für 165 cm Webbreite, Abb. 9, Bildbl. 1.
r leichte, in der Kette nicht zu dicht eingestellte
ewebe (z. B. für leichte Jutegewebe und Verbandstoffe),
nicht 100 U/min. Gewöhnliche Jutewebstühle machen
ti der genannten Breite etwa 125 U/min. Infolge der
eineren Arbeitsgeschwindigkeit wird der Rohstoff
eschont. Die Erzeugung der Maschine von Nicolet ist
tztzudem im Verhältnis $\frac{2 \cdot 100}{125}$, also um 60 vH größer.
anz abgesehen davon, daß wegen der geringen Be-
anspruchung des Rohstoffes weniger Fadenbrüche und
llstände vorkommen. In den Abbildungen 10 bis 14
sind einzelne Arbeitsgänge der Nicolet-Maschine dar-
gestellt.

Rundwebstuhl von Jabouley

Der von *Jabouley* in Lyon erfundene Rundwebstuhl
enet sich für die Verarbeitung von Baumwolle, Wolle
er Seide. Der Aufbau, Abb. 27, und teilweise auch die
bewegungen sind denen des Rundwirkstuhles ähnlich.
e Kettfäden bilden ein senkrechtes Rohr mit einem
r vorgeschriebenen Gewebebrette entsprechenden
drehmesser, das eine Drehbewegung um seine Achse
führt. Während des Webens bleiben die Schuß-
träger (Schützen) fest stehen und sind am Umfang dieses
ohres in einer wagerechten Ebene verteilt. Jeder Schuß-
träger liefert einen Eintragsfaden und legt den vorher-
ehenden Schuß in seine richtige Lage. Das Gewebe
nn also mit einem Gewinde, dessen Gangzahl der Zahl
r Schußträger entspricht, verglichen werden, der Rund-
stuhl trägt also gleichzeitig mehrere Schußfäden in
nem Arbeitsgang ein.

Durch die Kegelräderübertragungen *a* wird das Arm-
euz *b* mit der gelochten Scheibe *c* und den vier im
chteck angeordneten Kettbäumen *d* gedreht. Die
ume sind in gewöhnlicher Weise gebremst und durch
egelräder *e* zwangsläufig miteinander verbunden. Durch
e Kegelräderpaare *f* erhält die Achse *g* mit Scheibe *h*,
ngkamm (Rispeblatt) *i* und Scheibe *k* mit den Waren-
reizen *l* die gleiche Drehung, ebenso durch *m* das
euz *n* mit der Warenabzugvorrichtung.

Die Fachbildung erfolgt einerseits durch das Rispe-
blatt *i* und andererseits durch darüber angeordnete, teils
innerhalb, teils außerhalb des Kettenrohres sitzende

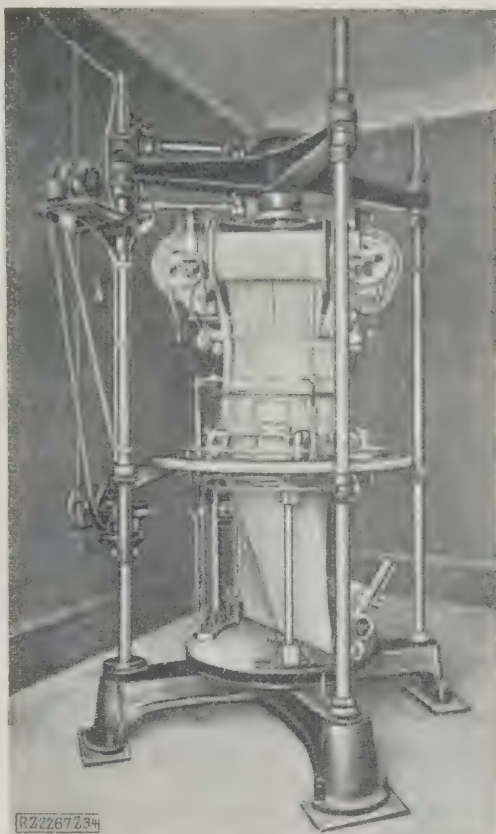


Abb. 34
Rundwebstuhl von Jabouley.

Walzen *o* und *p*. Diese Walzen machen die Drehbewegung
des Stuhles nicht mit, sondern führen lediglich Radial-
bewegungen, z. B. *o* nach außen und gleichzeitig *p* nach
innen, aus. In den so gebildeten Fächern stehen die
Schußträger *q* und *r*, die ebenfalls nicht an der Dreh-
bewegung teilnehmen, und deren Zahl (vier, sechs und
mehr) sich ebenso wie die Zahl der dazwischen stehen-
den Walzen *o* und *p* nach dem Schlauchdurchmesser
richtet. Die Schützen sind unten am Warenrand, innen
an der Scheibe *h* und außen durch achteilige Schaufel-
räderpaare *s* geführt. Letztere werden durch *t* angetrie-
ben und schrauben sich dabei gewissermaßen durch die
Kette.

Einen Schützen zeigen Abb. 28 bis 31, ein Schaufel-
räderpaar Abb. 32 und 33. Rolle *u* legt sich gegen den
vorher erwähnten inneren Führungsring *h*, die Schaufel-
räderpaare greifen in die Aussparungen *v* der Schuß-
träger ein. Sie verhindern, daß sich diese mit dem Ketten-
rohr bzw. Warenschlauch drehen, und drücken gleich-
zeitig durch *w* die Schußträger nach unten auf den
Warenrand. Der Stuhl stellt sich bei Schuß- oder Kett-
fadenbruch und bei übermäßig großem Widerstand
selbst ab.

Die Leistung des Rundwebstuhles steht bei verschie-
denen Durchmessern, aber gleicher Umfangsgeschwindig-
keit im Verhältnis zur Zahl der angeordneten Schuß-
träger. Bei doppeltem Schlauchdurchmesser und gleicher
Umfangsgeschwindigkeit, entsprechend der halben Um-
drehungszahl, ist die Zahl der Schußträger und damit
auch die Leistung doppelt so groß.

Der Rundwebstuhl wird wohl bald in Deutschland
vorgeführt werden Abb. 34 zeigt eine ausgeführte
Maschine. [B 2267]

Ausrüstungsmaschinen für Kunstseide

Von Dipl.-Ing. E. A. ANKE, Professor an der staatl. Gewerbeakademie Chemnitz

(Hierzu Bildblatt 2 vor S. 289)

Der Übergang von der Handarbeit zur Maschinenarbeit bei der Ausrüstung von Kunstseide ist möglich. Die Vorrichtungen zum Färben, Trocknen, Schlagen, Waschen, Bleichen, Chevelieren für Stranggarn und die Ausrüstungsmaschinen für breite fertige Ware sowie eine Färbemaschine für Strümpfe sind beschrieben.

Die Ausrüstungsmaschinen für Kunstseide sind seit Kriegsende soweit vervollkommen worden, daß der Übergang von der Handarbeit bei der Ausrüstung von Kunstseide zur Maschinenarbeit möglich wurde. Dabei sei immerhin erwähnt, daß noch viel Handarbeit nötig ist, da man Kunstseide, die im nassen Zustand wenig Festigkeit zeigt, bei der Ausrüstung recht schonend behandeln muß.

Behandlung des Stranggarns

Färbevorrichtungen

Das kunstseidene Stranggarn kommt gebleicht oder ungebleicht von der Kunstseidenspinnerei in den Handel und wird in vielen Fällen der Färbung unterworfen. Hierzu dienen die Stranggarn-Färbevorrichtungen, Abb. 1, Bildbl. 2 (vor S. 289). Die Spulen sind doppelseitig angeordnet und während der Beschickung und Abnahme hochgehoben; während des Färbens tauchen die Stränge in die Flotte ein und werden schwingend abwechselnd rechts und links gezogen. Dies verbürgt eine vorzügliche und gleichmäßige Aufnahme der Farbflotte und erreicht dasselbe wie das Färben von Hand mit dem Stock über der Wanne.

Bei doppelseitiger Anordnung, also 100 Spulen, kann für eine Spule von 700 mm Länge 2 kg Kunstseide aufgehängt werden. Bei gleicher Leistungsmenge wie bei der Handarbeit erspart die Maschine zwei Drittel der sonst erforderlichen Arbeitskräfte.

Trocknen und Schleudern

Die nassen Stränge werden, in Tücher gepackt, in die Trommel der Schleuder eingelegt, um den empfindlichen Faden vor Beschädigung an der Trommellochung zu schützen. Neuzeitliche Bauarten haben Einzelantrieb mittels unmittelbar gekuppelten Motors auf der Trommelachse, Druckknopfsteuerung, elektromagnetische Bremse und selbsttätigen Deckelverschluß.

Schlagmaschinen

Nicht geschlichtetes Stranggarn kann zweckmäßig in senkrechtem Hang des Stranges auf Schlagmaschinen, Abb. 2, Bildbl. 2, gerüttelt oder geschlagen werden. Hierbei wird erreicht, daß sich die Fäden des Stranges gleichmäßig legen und ein störungsfreies Abwinden auf die Hülse beim späteren Umspulen erfolgen kann. Gegenüber Handarbeit bietet das Schlagen auf der Maschine viel größere Gleichmäßigkeit in Schlagzahl und Schlagstärke, da erfahrungsgemäß der Arbeiter nach längerer Arbeitsdauer ermüdet.

Für Stränge, die durch Fitzfäden in Zahlen abgeteilt sind, wird die Maschine mit schräger Lage der aufgehängten Stränge verwendet. Hierbei werden die Fitzfäden nicht zerrissen. Gegenüber der Handarbeit verbürgen diese Schlagmaschinen größere Gleichmäßigkeit unter Ersparnis von rd. 75 vH Arbeitslohn.

Stranggarn-Waschmaschine

Die Stranggarn-Waschmaschine hat 10 bis 20 Spulen in doppelseitiger Anordnung, Abb. 3, Bildbl. 2. Während die eine Spulenseite stillsteht und das fertige Garn abgenommen oder neues aufgehängt wird, arbeitet die andre Spulenseite. Die Aufhängespulen bestehen aus geripptem Porzellan und nehmen den Strang sicher mit.

Der Antrieb gibt den Spulen wechselseitige Drehung nach rechts und links und sichert somit größte Gleichmäßigkeit. Die Spritzrohre für das Waschwasser sind zwischen und unter den Spulen angeordnet und verteilen somit das Wasser vollkommen gleichmäßig auf die durchlaufenden Stränge. Ein gesteuertes Zulaufventil zum

Speisen der Spritzrohre besorgt den Zulauf des Wassers und vermeidet das lästige Nachtropfen.

Bleich- und Waschmaschinen

In den Kunstseidefabriken sind Bleich- und Waschapparate in Benutzung, die ununterbrochen arbeiten. Sie werden in zwei Größen mit 16 oder 32 Walzen mit einem gesamten Fassungsvermögen von rd. 30 oder 60 kg gebaut. Abb. 4.

Die Kufen mit den Behandlungsflüssigkeiten und den Antriebsorganen sind feststehend angeordnet; die Walzen werden mittels Laufkatzen über die Kufen weggefahren und in die Kufen eingelassen, worauf zugleich der Walzenantrieb durch Schnecken in Tätigkeit tritt und mit den Strängen Rechts- oder Linksumlauf erteilt wird. Nach der Behandlung werden die Walzen durch das fallbare Hebezeug hochgehoben und zur nächsten Kufe weitergefahren und dort wieder eingelassen, worauf die neue Behandlungsart erfolgt. Je nach den Behandlungs-

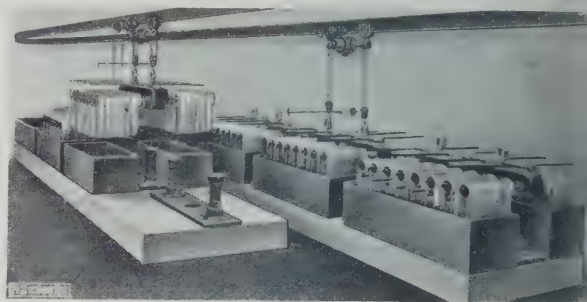


Abb. 4
Bleich- und Waschapparate mit 16 Walzen;
30 kg Fassungsvermögen.

flüssigkeiten in den Kufen findet hier in den Kunstseidefabriken Entschwefeln, Waschen, Bleichen, Neutralisieren oder Avivieren statt.

Cheveliermaschine

Um den guten Glanz wiederherzustellen, den die Kunstseidestränge beim Färbvorgang etwas verloren haben, wird nach dem Trocknen in Kanaltrockner cheveliert. Bei der Maschine, Abb. 5, Bildbl. 2, wird hydraulischer Antrieb vermieden, damit keine Feuchtigkeit in die Nähe der Stränge kommt und somit die Wirkung beeinträchtigt. Man darf nur in trockenen Räumen chevelieren.

Die Maschine selbst besteht aus einer Reihe von zehn oberen Spulen, auf denen man die Stränge aufhängt. Die entsprechenden untere Spulenreihe faßt innen ans untere Strangende an. Die unteren Spulen sind mit Belastungsgewichten versehen und drehen sich mit ihrer Achse in einer wagerechten Ebene, wodurch der Strang zusammengezwungen wird, und zwar wechselnd nach rechts und links. Hierbei folgt ein gewisses Gleiten der Einzelstränge aufeinander, was eine Glanzwirkung, den sogenannten Cheveliereffekt, hervorruft. Um die Auflagestelle der Stränge zu verlegen, werden die oberen Spulen bei offenem Strang durch ein Getriebe fortgedreht, wieder stillgesetzt, und dann wird mit dem Chevelieren fortgefahren. Dieses Fortdrehen erfolgt selbsttätig zwischen der Links- und Rechstdrehung. Zur Schonung des Stranges sind die Walzenköpfe vernickelt und poliert. Bei einem Kraftaufwand von 3 PS erfordert die Maschine nur einer Mann Bedienung, während man bei Handarbeit für die gleiche Leistung fünf Arbeiter braucht.

Behandlung breiter fertiger Ware aus Kunstseide

Strangfärbemaschine mit Umzughaspel

Wenn immer die Ware die Behandlung im Strang trägt, ist dies vorzuziehen, da hier die beste Durchdringung mit Flotte zu erwarten ist. Eine hierzu geeignete Maschine zeigt Abb. 6. Die elliptische Haspel zieht den Warenstrang, in mehrfacher Lage schwingend, durch die Farbkufe, wobei er sich gut mit Flotte sättigt. Um die einzelnen Stränge getrennt voneinander zu halten, ist ein Führungsrechen angebracht, der, falls im Warenumlauf ein größerer Bewegungswiderstand auftritt, zugleich als kostgütige Ausrückvorrichtung wirkt. Ein mittels einer rechten Wand abgetrennter Sonderabteil in der Kufe ist zum Ansetzen und Wärmen der Flotte.

Färben auf dem Jigger, Abb. 7 und 8

Die Ware wird im breiten Zustand gefärbt. Hierzu führt man sie von der Abwicklung über Leitwalzen mehrmals im Jiggertrog auf und ab und bringt sie dann an die Steigdockenabwicklung heran. Letztere zieht den Warengang mit gleichmäßiger Umfangsgeschwindigkeit. Die Bremsung ist für den Warengang zu vermeiden.

Das Trocknen breiter Ware

Ist das Einpacken in die Schleuder nicht zweckmäßig, so ordnet man sich der Breitschleuder, Abb. 9. Innerhalb eines Schutzgehäuses liegt eine Wickelhaspel oder Trommel, die die Ware langsam aufwickelt. Sodann wird die Ware abgebunden und

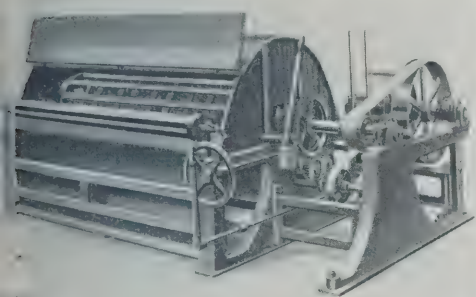


Abb. 9
Breitschleuder zum Trocknen der Ware.

Die Haspel oder Trommel in raschen Umlauf gesetzt, auf hohe Drehzahl gebracht und die Ware so geschleudert. Diese Behandlung schont die kunstseidene Ware sehr; es wird aber weniger geleistet.

Instärken buntseidener Ware und nachfolgendes Ausbreiten nebst Trocknen

Die Bauart nach Abb. 10 und 11, Bildbl. 2, ist eine Dreiwalzen-Stärkemaschine, einen Gaszwischen Trockner, den ausbreitenden Palmer sowie einen Filzkalander vor. Die Ware wird in der Stärkemaschine nur zwischen den beiden oberen Aufwalzen durch, während die untere Gummiwalze das Appreturmittel aus dem Trog fördert. Nach der Ableitung über einen Spannungskompensator läuft die Ware durch eine gelochte Aufwinderabdeckung, unter der Gasflammen brennen. Die aufsteigende Wärme strömt durch die Lochung an den Warengang und bewirkt eine schwache Vor-

Erklärung zu Abb. 10

- a Dreiwalzen-Stärkemaschine
- b Gaszwischen Trockner
- c Palmer
- d Spannungskompensator
- e Filzkalander

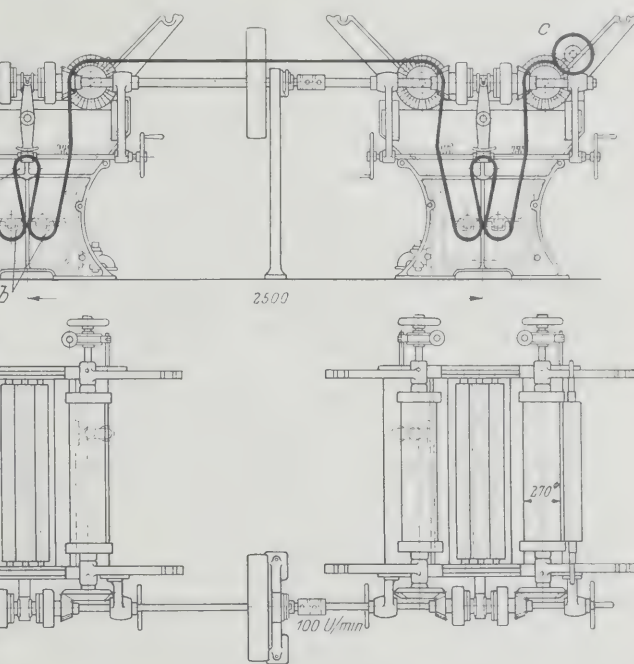
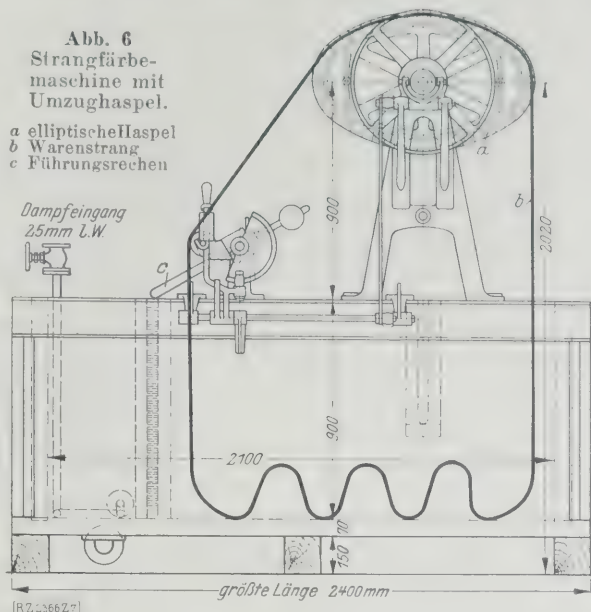


Abb. 7 und 8
Jigger-Färbemaschine.
a Abwicklung b Leitwalzen c Steigdockenabwicklung

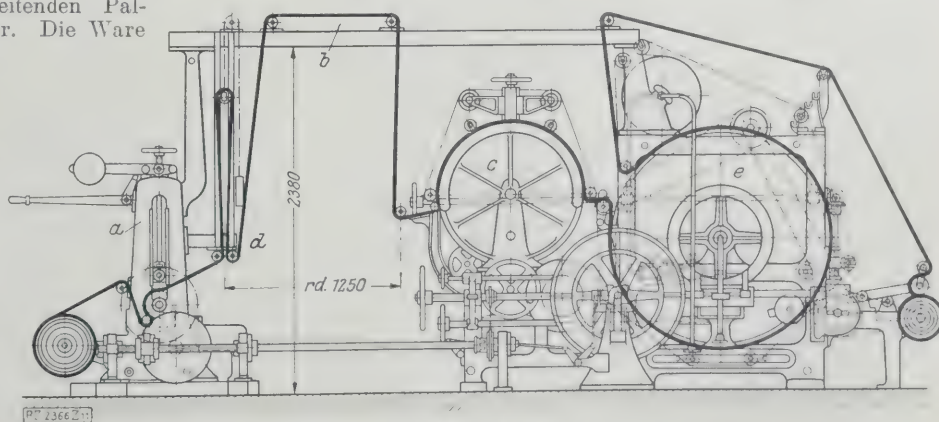
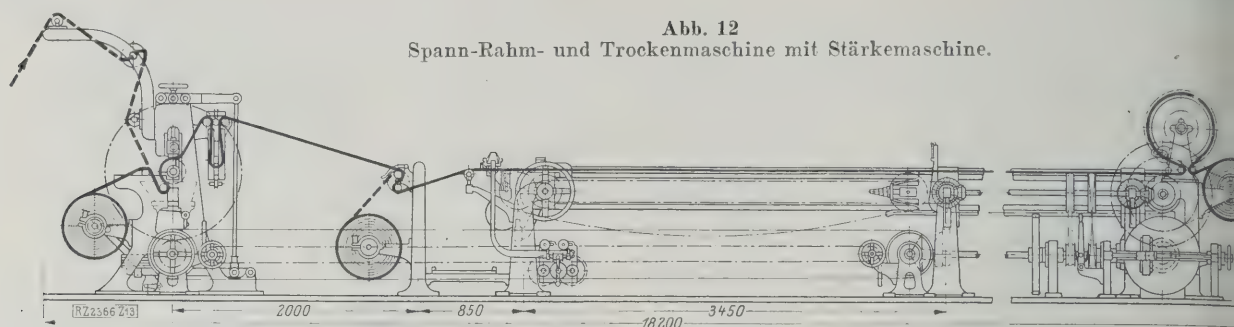


Abb. 10
Stärkemaschine mit Palmer und Filzkalander.



trocknung; die Ware wird nicht hart.

Der Palmer empfängt nun die Ware, breitet sie mittels seiner schräge gestellten Scheiben und der Umfangskette aus und gibt sie an den Filzkalander ab. Dieser nimmt die Ware zwischen die geheizte Stahltrommel und einen Filz, preßt und bügelt sie. Die Behandlung eignet sich besonders für Maschenware, also Wirkware und dergleichen. In Sonderfällen kommt ein Filzkalander mit zwei gewärmten Filzen in Anwendung, zwischen denen die Ware gepreßt und getrocknet wird.

Trocknen und Spannen breiter Ware

Es ist ganz allgemein üblich, wagerecht angeordnete Maschinen zu verwenden, die die Ware in einem gestreckten Lauf ohne jede Umkehr trocknen. In der Ausführung nach Abb. 12 und 13, Bildbl. 2, hat die Maschine ein Einlaßfeld, vier Spannfelder und einen Nachtrockenzylinder für einen besonderen Finish.

Damit die Kluppenketten immer nur die äußeren Warenkanten ergreifen und keine Falten und Spannungen in der Ware hervorgerufen werden, ist vor dem Einlaßapparat eine Kantenausrollvorrichtung angebracht, Abb. 14, Bildbl. 2. Sie arbeitet mit zwei mit Gummi belegten umlaufenden Scheiben, die die Ware zwischen sich nehmen und alle Falten und umgerollten Kanten glatt strecken, so daß die Kluppen sicher nur die äußere Warenkante festhalten.

Das Appretbrechen kunstseidener Waren

Im Gegensatz zu den Brechmaschinen für Baumwolle, die mit Rundgewindewalzen arbeiten, hat sich neuerdings

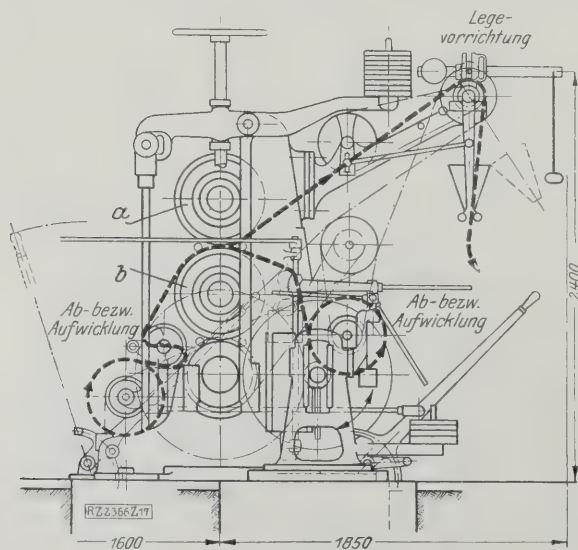


Abb. 16. Dreiwalzenkalander.
a, b obere Papierwalzen

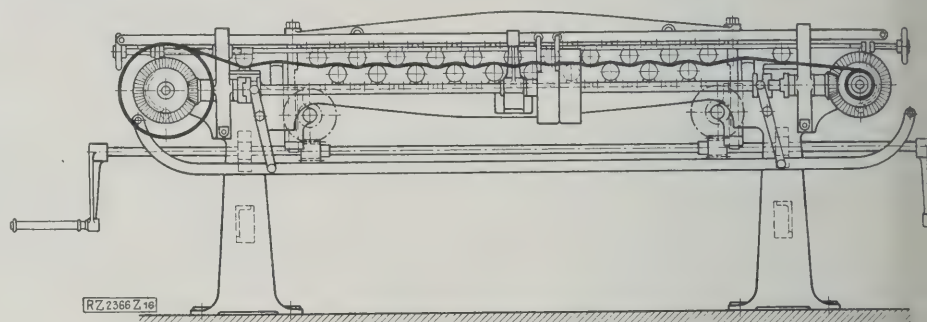


Abb. 15
Appretbrechmaschine für kunstseidene Waren.

wieder die Anwendung von Knopfwalzen eingebürgert. Abb. 15. Sie vermeiden die seitliche Verzugwirkung und schonen somit den kunstseidenen Faden.

Das Kalandern kunstseidener Waren

Für die Bearbeitung ganz- und halbkunstseidener Waren werden Dreiwalzenkalander in Anwendung gebracht, Abb. 16. Die Ware geht hierbei in der Regel zwischen den oberen beiden Papierwalzen durch, wo gesperrt wird. Die untere Stahlwalze dient als Träger und zur Wärmeabgabe an die Mittelwalze. Die Abbildung zeigt im übrigen alle Einzelheiten, wie bremsbare Aufwicklung, Drehspanner und Aufwicklung. Der Kalendar hat Hebelbelastung und dient zur Erzeugung von Reib- und Mattwirkungen.

Färben einzelner kunstseidener Stücke

Für das Färben von Massenware, wie sie der Strumpf darstellt, ist es nach längerer Bemühung gelungen, eine zweckmäßige Maschine herzustellen, die allen Anforderungen entspricht, Abb. 17.

Je ein Dutzend Paar kunstseidener Strümpfe werden an den Fußspitzen mit einem Bindfaden durchgezogen und an einem Rundstock befestigt. Mit diesen Stücken wird die Strumpffärbemaschine beschickt. Durch das

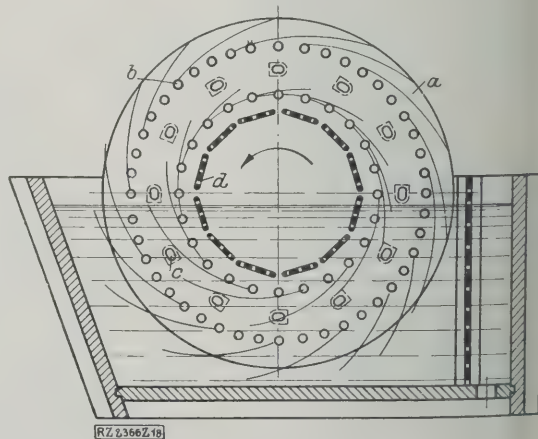


Abb. 17
Färbemaschine für Strümpfe.

a Randscheiben b Vertiefungen c Schöpftaschen
d gelochter Rost

menfassen kann man die verschiedenen Strümpfen nicht verwechseln und man kann sie während der ersten nassen Ausrüstung zusammenlassen.

Die Färbemaschine selbst besteht aus einer umlaufenden Trommel mit zwei großen Randscheiben. Diese in Vertiefungen zum Einlegen der Tragstücke für in Dutzend Paar Strümpfe. Bei üblicher Ausführung können 60 Dutzend, bei größter 70 Dutzend Strümpfe auf einmal eingehängt werden. Diese Trommel dreht sich in der untergebauten Kufe, die durch eine gelochte Zwischenwand vom Ansetzraum für die Flotte geschieden ist. Solche Schöpftaschen an den Trommelscheiben sowie ein gelochter Rost im Inneren der Trommel verursachen während eine starke Durchmischung der Flotte hinsichtlich Farbgehalt und Temperatur, so daß eine völlig gleichmäßige Ausfärbung, auch der Nähte erzielt wird.

Um das Ausmustern zu erleichtern, hat jede Trommelscheibe einen Knopf zum Anhängen eines Paares Probe-

strümpfe. Diese können bequem während des Ganges auf- und abgenommen werden. Kann nach der erprobten Laufdauer die Ausfärbung als erreicht angesehen werden, so wird ein Probestück vom Knopf abgenommen, auf dem Dampfhorn getrocknet und der Farbton beurteilt.

Die Maschine braucht für 60 Dutzend Paar Strümpfe eine Färbedauer von rd. einer Stunde bei leicht kochender Flotte und rd. $\frac{1}{4}$ PS Antriebskraft; ein Mann kann bequem zwei Maschinen bedienen. Die Beschickungszeit der Trommel sowie der Entleerung dauert je rd. 5 min.

Diese Maschine wird für gleichbleibende Farbe in Pitchpine-Holz und für raschen Farbenwechsel in Monel-Metall gebaut. Die Ausführung gestattet in kürzester Zeit völliges Reinigen der Maschine durch Spülen. Außer für Kunstseide wird die Maschine auch viel zum Färben von Flor benutzt. Das Monel-Metall wird von den üblichen Flotten weder angetroffen noch verändert es den Farbton.

[B 2366]

Aufbereitung von Bastfasern

Nicht über den Vortrag von Dr.-Ing. E. h. EMIL GMINDER, Reutlingen, in der Textiltagung in Stuttgart.

Deutschland ist, sehr zum Schaden unserer Handelsbilanz, in hohem Maße auf die Versorgung mit ausländischen Textilrohstoffen angewiesen. Daher verdienen alle Bestrebungen, die Erzeugung von Textilrohstoffen in Deutschland zu fördern, erhöhte Beachtung, besonders unter den durch den unglücklichen Ausgang des Krieges geschaffenen Verhältnissen. Die klimatischen Verhältnisse gestatten in Deutschland nur den Anbau von Bastfasern, und zwar von Flachs und Hanf. Der Flachs-anbau, der früher in Deutschland erheblichen Umfang hatte, ist in den letzten Jahrzehnten stark zurückgegangen. Schuld hieran tragen die außerordentlich mühevollen und umständlichen Arbeitsverfahren, die zur Ernte, Aufbereitung und Gewinnung der Flachs- und der Hanffaser erforderlich sind. Ein besonderer Anreiz zum Anbau von Hanf bestand bisher überhaupt nicht, da die Hanffaser fast ausschließlich zur Herstellung von Bindfäden und Seilen benutzt wurde, und somit nur ein geringer Preis für Hanf erzielt werden konnte.

Während des Krieges wurde mit Rücksicht auf die herrschende Rohstoffnot der Flachs-anbau vorübergehend gesteigert. Nach dem Kriege verminderte sich jedoch die Anbaufläche für Bastfaserpflanzen wieder sehr schnell. Die dauernde Hebung des Anbaues von Bastfaserpflanzen in Deutschland kann also nur erwartet werden, wenn es gelingt, Ernte- und Aufbereitungsverfahren zu finden, die eine grundsätzliche Abkehr von den bisherigen umständlichen Verfahren bedeuten. Der Entwicklung derartiger Verfahren und der Konstruktion der hierfür erforderlichen Maschinen ist die Arbeit Dr. Gminders in den letzten Jahren gewidmet gewesen. Dabei wurde vor allen Dingen die Gewinnung von Spinnfaser aus Hanf berücksichtigt, der der Hanfanbau für den Landwirt erhebliche Vorteile gegenüber dem Flachs-anbau besitzt. Er liefert wertvolle Nebenerzeugnisse, vor allem aber ist er in hervorragendem Maße als Zwischenfrucht geeignet, da seine Wurzeln bis zu 2 m in den Boden eindringen und ihn gut aufzulockern.

Die Schwierigkeiten bei der Gewinnung der Hanffaser bestehen bisher bereits bei der Ernte ein. Um die Faser zu ernten, wird der Hanf nicht gemäht, sondern gerauft. Da die männlichen Pflanzen schneller reifen als die weiblichen, muß man bei Hanf zunächst die männlichen, dann die weiblichen Pflanzen ernten. Beide werden mit der Hand geerntet, was sehr kostspielig und umständlich ist. Gminder vertritt den Standpunkt, daß für das Enderzeugnis nur der Charakter der Elementarfaser, die bei Flachs und Hanf etwa 10 bis 50 mm lang sind, maßgebend ist. Wenn man also ein Aufbereitungsverfahren wählt, das die Bastfaser zur Elementarfaser aufschließt, so ist es nach Gminder fast das Enderzeugnis fast gleich, ob man Flachs- oder Hanffaser verwendet. Da aber der Hanf im Anbau vor dem Flachs wirtschaftliche Vorteile bietet, gab er bei seinen Vorzügen dem Hanf den Vorzug.

Wenn man, wie Gminder, den Standpunkt vertritt, daß der Charakter des Enderzeugnisses maßgebend ist, so folgt daraus, daß die kostspieligen Ernte- und Aufbereitungsverfahren gespart werden können. Nach dem Verfahren von Dr. Gminder wird der Hanf maschinell geerntet, und zwar männliche und weibliche Pflanzen gleichzeitig. Die Rüste fällt vollkommen weg, die Hanfstengel

werden vielmehr noch beim Landwirt durch besondere Maschinen auf 15 bis 20 cm Länge zerschnitten, was sich für die Weiterverarbeitung am günstigsten erwiesen hat.

Die Maschine für die Weiterverarbeitung der Hanffaser wurden von Gminder in jahrelanger Arbeit entwickelt. Er war dabei bemüht, nach Möglichkeit an Vorhandenes, Bewährtes anzuknüpfen. So lehnte sich die erste Konstruktion der Entsamungs- und Entfaserungsmaschine für die Hanfstengel, die sogenannte Fräse, an die entsprechenden Maschinen der Baumwollindustrie an. Diese Maschine war imstande, 150 kg Hanfstengel in der Stunde zu verarbeiten; sie lieferte dabei rd. 10 kg Samen, 70 kg Holz und Blätter und 17 kg Bastfaser auf je 100 kg Stengel. Der Maschine wurden die Stengel längs vorgelegt. Diese wurden dann im Inneren der Maschine mehrfach geknickt und an Rosten vorübergeführt, durch die sich die Schäben absonderten.

Die Leistung war jedoch noch zu gering. Daher entwickelte Gminder eine neue Maschine, die Hanfsäge, die das Vielfache, nämlich bis 600 kg/h verarbeiten kann. Dieser Maschine werden die Hanfstengel bündelweise quer vorgelegt und in 15 bis 20 cm lange Stücke gleichzeitig geschnitten. Das Kopfende wird zur Gewinnung des Samens besonders abgetrennt und dieser mittels einer Dreschvorrichtung gewonnen. Die einzelnen Stengelabschnitte werden wiederum mehrfach geknickt und die Schäben abgesondert. Die Hanfsäge ist fahrbar und so gebaut, daß man sie auf dem Felde selbst verwenden kann. Damit ist für den Landwirt die Möglichkeit gegeben, die wertvolle Hanffaser und den Samen bereits auf dem Felde zu gewinnen, so daß man nur die vorgearbeitete Rohfaser in Preßballen gepackt, und den Samen, rd. 10 vH, versenden braucht, und damit erheblich an Frachtraum und Gewicht spart.

In der Reibe wird die Hanffaser weiter aufgeschlossen. Die in der Hanfindustrie bisher allgemein verwendete Bauart der Hanfreibe wurde von Gminder weiter ausgebaut und verbessert, so daß sich die Bedienung erheblich vereinfacht. Dies war dadurch möglich, daß in der Gminderschen Reibe nicht Langfaser, sondern nur Kurzfaser zu behandeln ist. Vor allem wurde die umständliche Umlagerung durch Arbeiter mechanisiert; man besorgt die Umlagerung jetzt durch eingeschaltete Wender. Zum Reiben selbst dienen wie bisher große Kegelwalzen. Außer der Ersparnis an Arbeitskräften, jetzt nur ein Mann Bedienung für zwei Maschinen anstatt bisher zwei Mann für eine Maschine, ist eine erhebliche Herabsetzung der Arbeitsdauer zu verzeichnen. Nach dem Gminderschen Verfahren ist eine Partie bereits in etwa 10 min ausgearbeitet, während man nach dem bisherigen Verfahren 1 bis 2 h braucht.

Die Anschaffung der Hanfreiben wäre für landwirtschaftliche Großbetriebe wohl wirtschaftlich. Die Reiben kann man natürlich nicht auf dem Felde aufstellen. Hauptsächlich werden diese Maschinen aber von den weiterverarbeitenden Industrien verwendet.

Um die Hanffaser möglichst restlos auszunutzen, bemüht man sich seit längerer Zeit, auch Verwendungszwecke für die Schäben zu finden. Bisher wurden sie als wertvolle Stallstreu und als Heizstoffe verwendet, wahrscheinlich wird es aber auch gelingen, sie auf Zellstoff, Papier, plastisches Holz u. a. zu verarbeiten. Die aufgeschlossene Hanffaser wird mit Baumwolle vermischte zu Garn versponnen und kommt verwebt und ausgerüstet unter der bekannten Bezeichnung „Gminder-Linnen“ in den Handel.

Berlin

[M 2449]

Heintschel

Tagesfragen des Maschinenbaues für die Ausrüstungsindustrie

Von GUSTAV C. SCHMID, Stuttgart¹⁾

Es wird versucht, die bemerkenswerten Neuerungen der Textilveredlungsindustrie zusammenzufassen. Von diesen Neuerungen ist an erster Stelle das Intensiv-Kaltbleichverfahren nach Mohr mit seinem Arbeitsgang und anschließend sind die im Dauerbetrieb erprobten Verbesserungen im Spannrahmen-, Zylindertrockenmaschinen- und Kalanderbau besprochen.

Durch planmäßiges Zusammenarbeiten der Ausrüstungsindustrie mit dem Textilmaschinenbau sind in den letztvergangenen Jahren verschiedene neue Verfahren sowie Verbesserungen an den bisher bekannten geschaffen. In diesem Rahmen kann ich natürlich nicht auf alle Neuerungen eingehen, sondern will nur einige herausgreifen, die im Mittelpunkt der Meinungen stehen: Das Intensiv-Kaltbleichverfahren nach Mohr und einige wichtige Neuerungen und Verbesserungen an Appretur- und Finishmaschinen.

Das Kaltbleichverfahren nach Mohr

Der Warenlauf und zugleich auch der Raumbedarf einer vollständigen Mohrbleiche ist in Abb. 1 dargestellt. Oberhalb des Rohwarenlagers ist die Gassenge *b* und die Intensiv-Imprägniermaschine *d* angeordnet. Von diesen beiden hintereinander gekuppelten Maschinen kommend, wird die Ware in großen, isolierten Zementbottichen zum Zwecke der Entschlichtung abgelagert. Sodann erfolgt das Auswaschen auf der Strangwaschmaschine *h* üblicher Bauart und zugleich das Einrüsseln in den eigentlichen Bleichkessel *f*. Nach beendigem Bleichen wird auf den Strangwaschmaschinen *i*, *h* und *k* geseift und fertig gewaschen, worauf die Ware nach dem üblichen Verfahren getrocknet wird. Diesem Warengang entsprechend sind auch die Maschinen angeordnet. Die Gassenge selbst ist, abgesehen von kleineren konstruktiven Änderungen, in den letzten Jahren nahezu unverändert geblieben.

Intensiv-Imprägniermaschine

Die mit der Gassenge gekuppelte Intensiv-Imprägniermaschine, Abb. 2, stellt die erste Sonderbauart für dieses Bleichverfahren dar. Von dem Bestreben ausgehend, die gebrauchten, aber noch nicht völlig erschöpften Sauerstoffbäder zu verwerten, wird die Entschlichtung nicht mittels Fermente, sondern mittels dieser gebrauchten Sauerstoffbäder, die an Sauerstoff etwa noch 0,02 g/l enthalten, durchgeführt. Um dafür auch die letzten Reste Sauerstoff frei zu machen, wird die Flotte mit 50 bis 60 °C angewandt. Die Imprägniermaschine ähnelt einer Breitwaschmaschine mit drei Kasten üblicher Bauart. Lediglich über dem dritten Abteil ist ein Dampfkasten, der hydraulisch gegen Luftzutritt abgeschlossen ist, aufgesetzt, in dem durch Dampf der wirksame Sauerstoff freigemacht wird.

¹⁾ Nach einem in der Tagung für Textiltechnik am 17. und 18. November 1928 in Stuttgart gehaltenen Vortrag.

Nach Durchlaufen des letzten Quetschwerks der Imprägniermaschine wird die Ware zu einem Strang vereinigt und in entsprechend große, gut isolierte, gemauerte Behälter abgelegt und ein bis zwei Tage zum Abbau der Stärke, darin belassen. Mittels der üblichen Strangwaschmaschine wird die entschlichtete Ware aus den Abteilungen herausgewaschen und unmittelbar in den Bleichkessel eingerüsselt.

In diesem Bleichkessel bleibt die Ware während des ganzen Bleichverfahrens, also ohne Umpacken, liegen, wodurch neben der weitestgehenden Schonung des Gewebe auch eine ganz beträchtliche Arbeitersparnis erzielt wird. Für das eigentliche Bleichen, das ungefähr 9 bis 10 h dauert, ist ein einziger Mann zur Bedienung erforderlich. Die Bedienung selbst erstreckt sich lediglich auf das Umschalten der einzelnen Ventile und auf ein kurzes Einrücken der Luftpumpe.

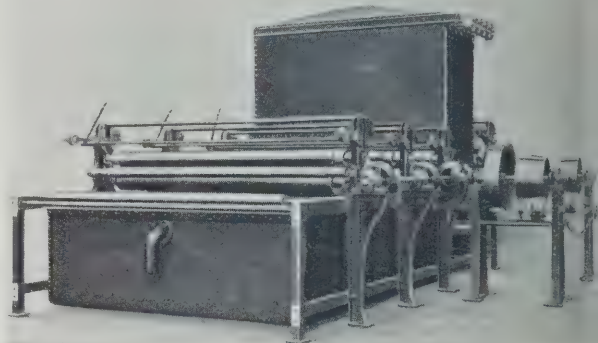


Abb. 2
Intensiv-Imprägniermaschine nach Mohr.

Der Bleichkessel

Der Bleichkessel oder die Bleichanlage, Abb. 3 und stellt die eigentliche Erfindung für dieses Verfahren dar und besteht aus dem schmiedeisenen Bleichkessel *f*, ferner aus einem Dehnungsgefäß *e*, mit dem Zweck Flottenausgleiches, und dem Reinigungsgefäß, das zum Reinigen und Entlüften der Flotte dient.

Alle diese Apparate sind im Innern vollständig mit reinem Blei gleichmäßig verbleit, um ein Angreifen des

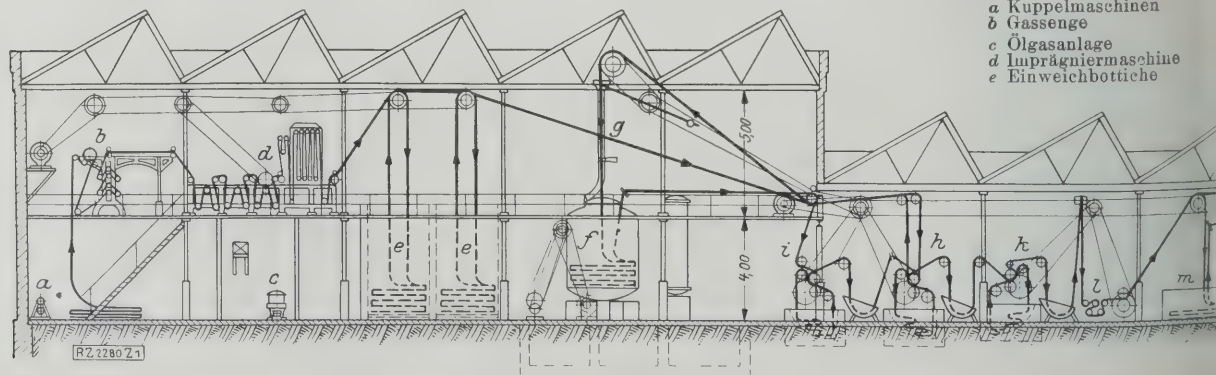


Abb. 1. Sauerstoff-Kaltbleiche nach Mohr, Tagesleistung 6000 bis 8000 kg, geliefert

- a Kuppelmaschinen
- b Gassenge
- c Ölgerätschaft
- d Imprägniermaschine
- e Einweichbottiche

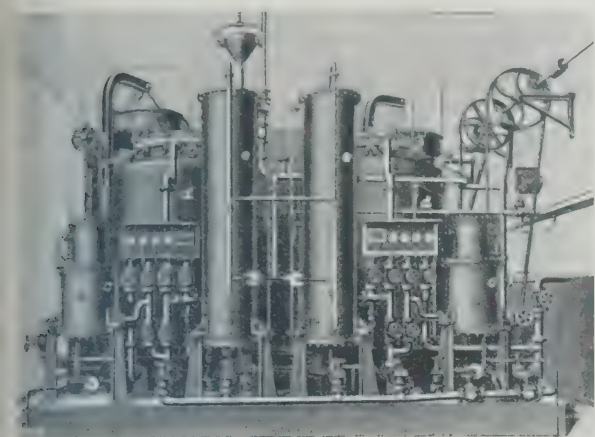


Abb. 3
Ansicht des Bleichkessels nach Mohr.

ernen Wandungen durch die Chlor- und Säurebäder, wo auch eine Zersetzung der Sauerstoff-Bleichbäder durch die katalytische Wirkung des Eisens, zu verhindern. Alle Rohrleitungen und Armaturen sind aus Hartblei, die Pumpe für den Umlauf aus Phosphorbronze angefertigt.

Unterhalb des Bleichkessels befinden sich nebeneinander drei gemauerte Behälter, in denen die Bleichlösungen, Natriumhypochlorid von 1,5 g aktivem Chlor im Liter, verdünnte Schwefelsäure von 1,5° Bé. und das Natriumsuperoxydbad für 3000 kg Bleichgut, bestehend aus: 27 kg Natriumsuperoxyd, 120 kg Wasserglas und 20 kg Monopulseife, gebrauchsfertig angesetzt werden.

Abweichend von der sonst üblichen Arbeitsweise, bei der man mit alter Kochlauge oder mit Wasser einrüsselt, wird hier mit gebrauchsfertiger Chlorlösung eingerüsselt, Abb. 5. Ist der Kessel mit Ware gefüllt und mit dem Deckel verschlossen, so wird er vor dem eigentlichen Bleichbeginn zuerst mittels der Luftpumpe luftleer gemacht und dann wird die Chlorlösung von unten eingesogen, worauf mit der Umlaufpumpe eingedrückt, bis ein Überdruck von 3 at erreicht ist. Hierauf sperrt man das Zuleitungsventil ab und läßt die Lösung abwechselnd von unten nach unten und von unten nach oben umlaufen.

Um beim Spülen mit möglichst wenig Wasser auszukommen und bei dem darauffolgenden Bleichen die Säure auf das Natriumsuperoxydbad nicht zu verdünnen, um außerdem für das Spülen und das Wechseln der Bleichbäder nicht zu lange Zeit aufwenden zu müssen, wird dabei den Überdruck von 3 at zu erhalten, pumpt man kurz vor Beendigung des jeweiligen Bleich- oder Spülverfahrens die Bleichflüssigkeit oder das Spülwasser immer von unten nach oben, preßt auf diese einfache Weise die Ware in den oberen Teil des Kessels fest, während sich alle Flüssigkeit in dem unteren Kesselteil ansammelt. Nunmehr öffnet man das Ablassventil am Kesselboden und pumpt gleichzeitig von oben Frisch-

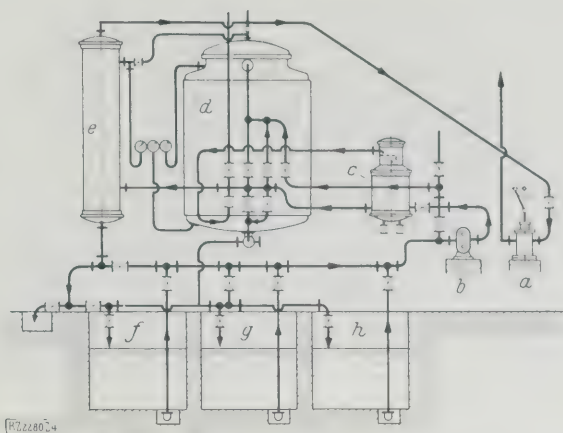


Abb. 4
Schema des Bleichkessels für das Kaltbleichverfahren nach Mohr.

Zu Abb. 3 und 4

- | | |
|--------------------|-----------------------------------|
| a Luftpumpe | f Behälter für Natriumhypochlorid |
| b Flottenpumpe | g Behälter für Schwefelsäure |
| c Reinigungsgefäße | h "Natriumsuperoxyd" |
| d Bleichkessel | |
| e Dehnungsgefäße | |

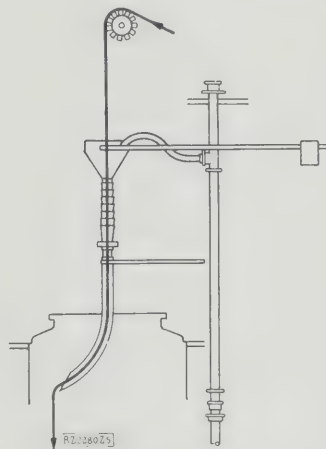
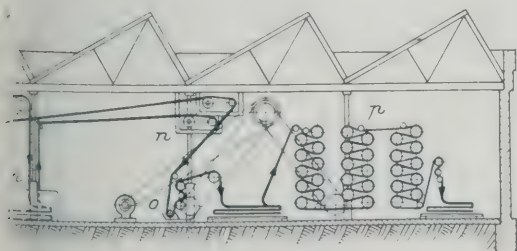


Abb. 5
Rüssel-Strangablegevorrichtung.

wasser oder die folgende Bleichflüssigkeit so lange dazu, bis alle Chlorlauge, Wasser oder Säure abgelaufen ist. Nach der Chlorbehandlung überzeugt man sich mit Jodstärkepapier, nach der Säurebehandlung mit blauem Lackmuspapier, daß alles Chlor, das anschließende Spülwasser, die Säure, dann wieder das Spülwasser restlos abgelaufen ist. Die Chlorbehandlung dauert etwa 1 h 30 min, das Spülen 1 h, das Absäuern 30 min und das nachfolgende Spülen etwa 1 h 30 min bis 2 h.

Nach beendeter Spülung nach der Säurebehandlung ist bereits eine recht gute Halbbleiche erzielt, die für Waren, die nachher gefärbt werden, genügt. Für ein Vollweiß bedarf es jedoch noch einer Nachbehandlung mit Natriumsuperoxyd. Unter Einhaltung der gleichen Arbeitsweise wird nach dem Spülen der Säure der Natriumsuperoxydansatz wieder von oben in den Kessel gedrückt und abwechselnd von oben nach unten und von unten nach oben gepumpt. Damit der wirksame Sauerstoff frei wird, muß man das Bleichbad jetzt auf rd. 70° erwärmen. Während dieses Bleichvorgangs wird mittels der Luftpumpe der freigewordene Sauerstoff, der sich im oberen Teil des Kessels ansammelt, abgesogen, und mit der Bleichflüssigkeit nochmals vermischt. Diese Peroxydbehandlung dauert etwa 4 bis 5 h. Hierauf wird die Ware im Kessel einmal kurz gespült, dann der Druck mit dem Spülwasser zusammen abgelassen und der Kessel geöffnet.

- | | |
|------------------------------|----------------------------|
| f Bleichkessel | m Ablegeplätze |
| g Strangablegeapparate | n Strangöffner |
| h, i, k Strangwaschmaschinen | o Wasserkalander |
| l Strangausquetschmaschine | p Zylindertrockenmaschinen |



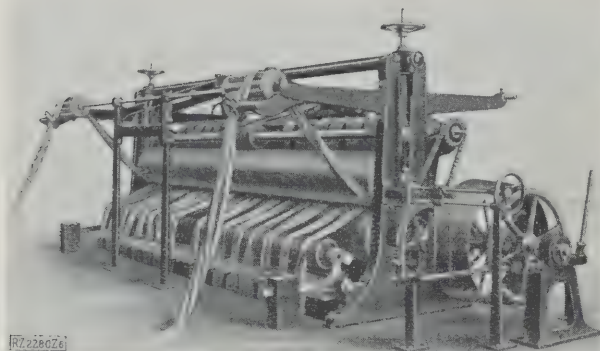


Abb. 6
Gegenstrom-Strangwaschmaschine nach Mohr.

Strangwaschmaschine

Mittels der gewöhnlichen Strangwaschmaschine wird das Bleichgut aus dem Kessel herausgezogen und zugleich mit einer schwachen Seifenlösung, rd. 1 g/l Bariseife, geseift. Von einer oder besser von zwei Strangwaschmaschinen, die jede für sich und auch zusammen nach dem Gegenstromverfahren arbeiten, wird die geseifte Ware ohne Zwischenablage übernommen, in einem Zuge fertig gewaschen und auf die Ablage vor den Wasserkalender gelegt.

Die beim Kaltbleichverfahren benutzte Gegenstrom-Strangwaschmaschine, Abb. 6, unterscheidet sich schon äußerlich durch eine größere Breite, in der Regel 5 m, von der üblichen Bauart. Durch Einbau von Zwischenwänden zwischen die einzelnen Stränge wird das Wasser zwangsweise, und zwar in entgegengesetzter Richtung zum Warenlauf geführt, um auf diese einfache, aber sinnreiche Weise eine bestmögliche Waschwirkung bei geringstem Wasserverbrauch zu erzielen. Der Wasserverbrauch von zwei hintereinander geschalteten Gegenstrom-Strangwaschmaschinen beträgt etwa 60 m³/h.

Appretur- und Finishmaschinen

Für die Appretur will ich die im vergangenen Jahre herausgebrachten Verbesserungen im Spannmaschinenbau, bei Etagens- und Planrahmen, wie auch im Bau von Zylindertrockenmaschinen betrachten.

Etagenspannrahmen

Bei den Etagenspannrahmen wurde die bisher verhältnismäßig geringe Trockenleistung durch Einbau einer Zusatzbeheizung, Lüft- und Heizvorrichtung, für die vordere Einblasung um 50 vH, in manchen Fällen sogar um 80 vH, gegenüber der bisherigen Leistung erhöht. Weiter wurden die Kettenführungsschienen und die Umkehrstellen verbessert. Die Stäbe der Lattentrommeln überzieht man jetzt mit Emaille und verhindert damit jede Beschädigung des Stoffes.

Die Planrahmen mit selbsttätig arbeitende Tasterkluppe hatten bisher noch immer eine zu geringe Leistung gegenüber den Etagenspannmaschinen. Durch Einbau von zwei voneinander vollständig getrennte Heizungen, bestehend aus je einem Lüfter mit Heizvorrichtung für die obere und für die untere Beheizung und vollständige Abdeckung der Rahmen ober- und unterhalb des Spannungsfeldes wurde eine Leistungssteigerung erreicht, die annähernd der einer Etagenrahmen gleichkommt, Abb. 7 und 8. Eine solche Hochleistungs-Planrahmen kann man auch noch mit Vor- und Nachtrockenzylinder ausstatten und so Leistungen bis zu 100 m/min erreichen.

Zylindertrockenmaschinen

Im Bau der Zylindertrockenmaschinen sind einige wichtige Verbesserungen herausgebracht worden. Die bekannte Stopfbüchsenlagerung der Kupfertrommeln hat man durch Kugellager ersetzt. Hierbei wird der Dampf der Trommeln durch Kupferkrümmer zugeführt und auch das Niederschlagwasser in ähnlicher Weise abgeleitet. Solche Lager sind im Innern in einen Lagerraum und in einen Packraum geteilt. Der Lagerraum ist in Form einer Kugelhöhle ausgeführt, um Klemmungen der Zylinderzapfen zu verhindern.

Bei den üblichen Ausführungen der Zylindertrockenmaschinen befindet sich der Dampfeinlaß auf der einen und der Kondensataustritt auf der entgegengesetzten Seite. Man kann aber den Dampfein- und den Wasserauslaß auf dieselbe Seite verlegen. Bei dieser Anordnung wird außerhalb des Ständers ein Gußkanal angelegt, Abb. 9, von dem aus die Zylinder mit Dampf gespeist und auch zugleich entwässert werden, um die Ständer vollständig kalt zu halten.

Für die einseitige Trocknung oder Warenauslage auf die Zylinder werden die Leitwalzen in Kugellagern gelagert. Hierbei stehen die Leitwalzenzapfen fest, während die Kugellager im Boden der Leitwalzen sitzen, so daß sich die Leitwalzen auf den feststehenden Zapfen drehen. Man will auf diese Weise verhindern, daß sich die Zapfen in den Lagerstellen abnutzen. An Stelle der Leitwalzen können auch Umkehrtrommeln Verwendung finden, die man mit Wasser kühlen kann, um das lästige Abschmieren der schweren Füllappreturen auf die Leitwalzen zu verhindern.

Kalender

Unter den Maschinen für die Fertigausrüstung nehmen die Kalender nach wie vor die erste Stelle ein. In letzter Zeit sind Vielwalzenkalender, Abb. 10, gebaut worden, mit denen man nicht nur eine größere Leistung, sondern auch eine besondere, bisher nicht erreichte Wirkung erzielen will. Die Anwendung vieler Walzen über einander gestattet mehrere heizbare Zylinder zwischen die Stoffwalzen einzufügen, um das Gewebe schon bei einmaligen Durchlauf auf beiden Seiten zu glätten. Der durch die Stahlwalzen erzielte Hochglanz wird von den nachfolgenden Stoffwalzen gleichmäßig abgezogen und

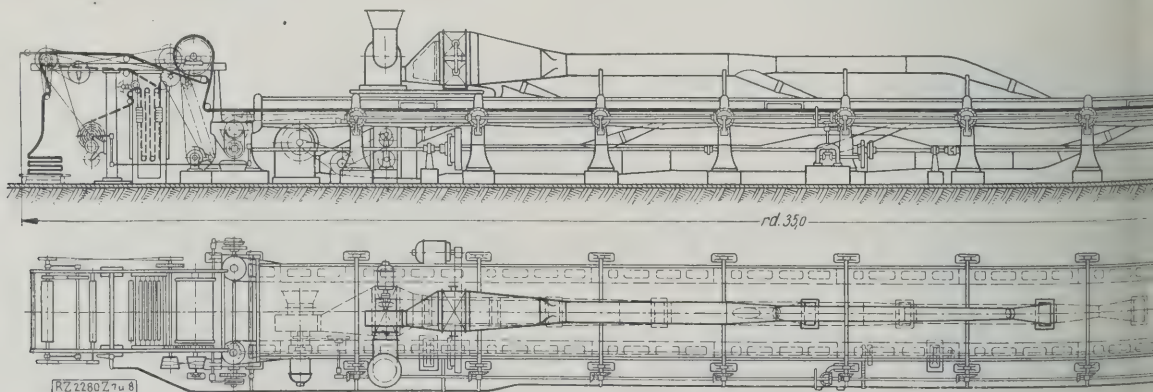


Abb. 7 und 8
Spann- und Trockenmaschine mit neun parallelen Feldern

h ein feiner Glanz wie auch ein guter Schluß der Verbindung erzielt. Wird dagegen die Zahl der Stoffwalzen, besonders Baumwollwalzen, über den Heizzylin- eliebig vermehrt, so wird mittels dieser Anordnung enannte „Beetle-Effekt“ erzeugt. In Verbindung er Chaisingvorrichtung kann man eine der Mangel ie Wirkung erzielen.

i der großen Höhe solcher Kalanders muß man das und Senken der Walzen durch einen Umkehrmotor en. Bei Hebeldruckkalandern wird dieser Motor- mit einer Hebeldruck-Abhebevorrichtung in Ver- g gebracht, um mittels einer Druckknopfschaltung rreichen der höchsten oder tiefsten Stellung der n den Hebeldruck auf die Walzen selbsttätig abzu- oder einzuschalten.

im Arbeiten mit der Chaisingvorrichtung immer unangenehm empfunden worden, daß die Gewebeläufe in eine Grube verlegt werden a, wenn in die Chaisingvorrichtung mit Wagen ein- en werden soll, um die gechaiste Ware in Falten ren. Man mußte sich zu diesem Verfahren notge- n entschließen, weil beim Aufrollen der gechaisten auf Holzhülsen die Leistung der Kalanders nur 0 vH von der wirklichen Kalandersleistung beträgt. Übelstände konnten mit Erfolg in der Weise be- werden, daß man den Faltenleger oder die ickelvorrichtung seitlich am Kalanders an- und die gechaiste Ware im Winkel aus der Chai- rrichtung herausführt. Beim Ablegen in Falten e dann die Wagen seitlich am Kalanders angereicht eggefahren werden.

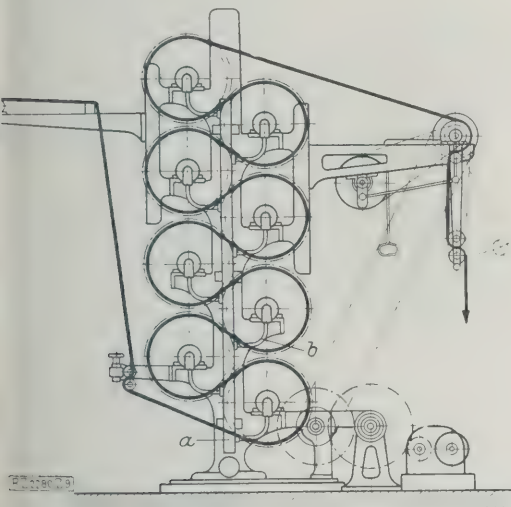
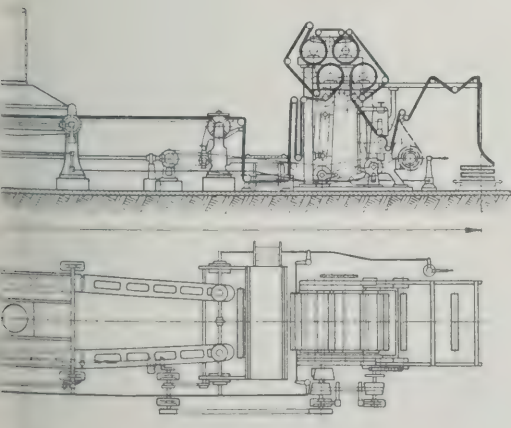


Abb. 9
Zylindertrockenmaschine mit Kugellagerung
für beiderseitige Warenaufgabe.
b Kanal für Dampf und Wasser a Kupferkrümmer



große Leistung.

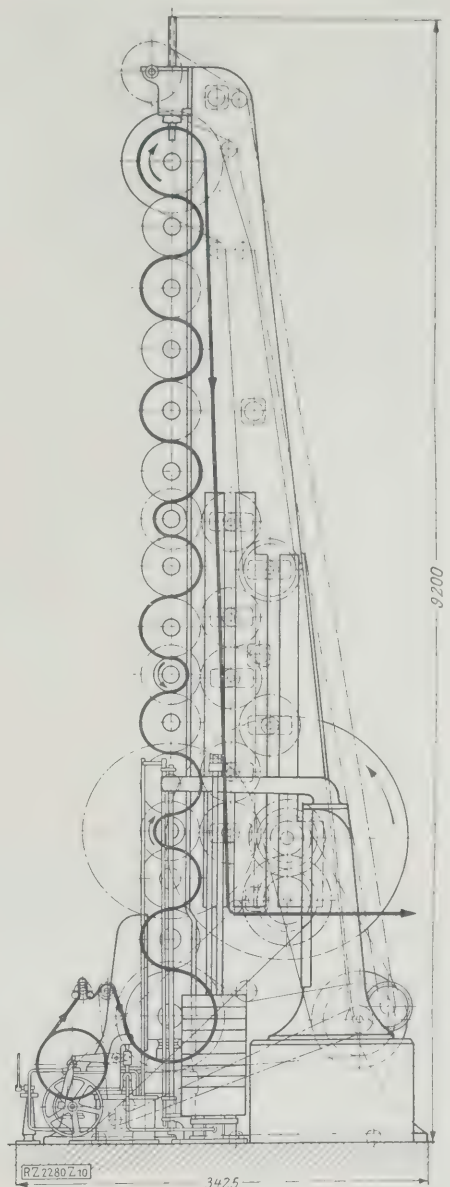


Abb. 10
Sonderkalanders mit 16 Walzen
von C. H. Weisbach, Chemnitz.

Seidenkalanders

Für das Finishen von ganz- oder halbseidenen Waren, Kunstseiden- oder Mischgeweben hat man bisher die verschiedenartigsten Verfahren angewandt, um einen genügenden Glanz bei voller Weichheit zu erreichen. Man behandelte sie auf Muldenpressen, Filzkalandern und ähnlichen Maschinen, ohne ein wirklich einwandfreies Ergebnis zu erhalten. Versuche, die gewünschte Wirkung auf einem Kalanders zu erreichen, haben zum Neubau eines Seidenkalanders geführt. Dieser Kalanders besteht aus einer unteren Stahlwalze mit Schrägstellung und Heizung, einer mittleren Stoffwalze und einer oberen heizbaren Hartgußwalze. Mittels der verstellbaren Ab- und Aufwickelvorrichtung kann man die Ware wiederholt zwischen der Stoffwalze und der oberen Hartgußwalze hindurchführen, ohne jedesmal umlegen zu müssen. Die rechte Wareseite berührt hierbei die mittelbar geheizte und hochglänzende Stoffwalze. Der Glanz der linken Wareseite wird durch die obere Hartgußwalze, die man kalt, handwarm oder heiß hält, nach Wunsch beeinflusst. Der Druck eines solchen Kalanders ist nach Belieben regelbar, so daß man mit ganz wenig oder sehr hohem Druck arbeiten kann. Der Kalanders ist für einen Höchst- druck von 16 000 kg gebaut. [B 2280]

Das Walzenstreckwerk in der Baumwollspinnerei

Von Textiling. ERNST TOENNIESSEN, Tübingen

Vorgetragen in der Textiltagung des Vereines deutscher Ingenieure am 17. und 18. November 1928 in Stuttgart

Entwicklung der Theorie des Hochverzugs durch Johannsen; seither ist der Hochverzug Tagesfrage. — Aufsattelung, um gut verzogene Andreher zu erhalten. Verbesserung von einzelnen Bauteilen: Oberwalzenhalter und Lagerung der hinteren Unterwalzen. Verschiedene Bauarten: Vierwalzen-Streckwerk, Dreiwälzen-Klemmstreckwerk, Dreiwälzen-Durchzugstreckwerk, Doppelwalzen-Streckwerk, Streckwerk der Vorspinnmaschine.

Das im Jahre 1769 von Arkwright verbesserte Streckwerk wurde bis zum Beginn des 20. Jahrhunderts wenig verändert. Der Gedanke des Durchzugs kam zuerst vereinzelt in England auf. Der Durchmesser des unteren Mittelzylinders wurde verringert, und man ersetzte die zugehörige Oberwalze durch eine solche kleineren Durchmessers und geringeren Gewichtes, wodurch die Möglichkeit einer engeren Zylinderstellung gegeben war. Die Erkenntnis, daß man mit solchen Streckwerken höher verziehen kann, ist ein Verdienst Janninks, während Professor Johannsen die Theorie des Hochverzugs entwickelte und der Spinnerwelt erstmals zur Kenntnis gab. Seit dieser Zeit ist die Frage des Hochverzugs eine Tagesfrage der Spinnerei geblieben, und es haben sich im Laufe der letzten zwanzig Jahre diese Streckwerke immer weiter entwickelt. Auch das Klemmstreckwerk wurde sowohl in spinn- und arbeitstechnischer als in konstruktiver Hinsicht verbessert.

Das Verziehen der Andreher

Beim Aufstecken einer neuen Vorgarnspule muß das Ende der auslaufenden Spule mit dem Anfang der neuen Spule verbunden werden. Von jedem guten Streckwerk muß man nun verlangen, daß es diese Anmachstellen oder Andreher richtig verzieht. Diese Verbindungsstelle ist mehrere Zentimeter lang und setzt natürlich dem Verziehen einen größeren Widerstand entgegen, als das einfache Vorgarn. Nur durch eine genügende Belastung der Verzugswalzen, besonders der zurückhaltenden, ist es möglich, diese dicken Verbindungsstellen (Andreher) so zu verziehen, daß sie später bei der Weiterverarbeitung keine Anstände verursachen. Abb. 1 zeigt fehlerhaft verzogene Andreher, wie sie bei ungenügender Belastung der zurückhaltenden Walze eintreten, und gut verzogene Andreher bei Sattelbelastung. Die zurückhaltende Walze braucht erfahrungsgemäß deshalb eine zusätzliche Belastung. Man erzielt dies durch eine sogenannte Aufsattelung, wie sie vom Streckwerk des Salfaktors allgemein bekannt ist.

Aufsattelung

Die bisher bekannte Aufsattelung ist sehr umständlich gebaut. Ein Zughaken führt zwischen Vorder- und Mittel-



fehlerhaft verzogen gut verzogen
Abb. 1. Andreher.

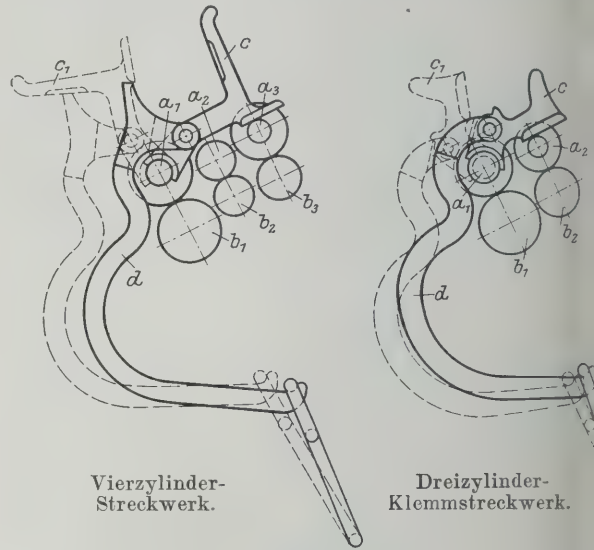


Abb. 2 und 3
Aufklappbare Sattelbelastungen.

a_1, a_2, a_3 Oberwalzen b_1, b_2, b_3 Unterwalzen c Klappsattel
 c_1 Klappsattel aufgeklappt d Zughaken

roller zu einem Belastungshebel, so daß das Abschwächen ist. Eine wesentlich einfacher zu handhabende Aufsattelung zeigen Abb. 2 für Vierzylinder-Streckwerk, wobei das Einzugwalzenpaar weggelassen ist, und Abb. 3 für Dreizylinder-Klemmstreckwerke. Die für das Verziehen der Andreher unbedingt nötige Belastung der Walzen geschieht durch einen Klappsattel c , der am Zughaken gelenkig befestigt ist. Bei einer Störung an den Walzen a_2 und a_3 kann der Sattel aufgeklappt werden, wobei die Lieferwalze a_1 belastet bleibt, der Spinnvorgang also nicht unterbrochen wird. Bei der Aufsattelung wird auch gleichzeitig die vordere Walze entlastet, wodurch zwei Fadenbrüche entstehen. Auch dem Dreizylinder-Klemmstreckwerk kann beispielsweise zur Reinigung und Schmierung der Druckstelle der Walze a_2 der Sattel aufgeklappt werden, ohne den Spinnvorgang zu unterbrechen.

Oberwalzenhalter

Eine besondere Durchbildung der Oberwalzenhalter hat weiter zur Vervollkommenheit des Walzenstreckwerkes beigetragen. Bei allen bekannten Konstruktionen verschwinden die Zapfen der Oberwalzen in ihren Lagern. Erfahrungsgemäß neigen alle schwachen Zapfen zum „Wickeln“; sie umgeben sich mit Faserflug, wodurch die Walze gebremst wird, einen unruhigen Lauf nimmt, oder sogar stehen bleiben kann. Diese Walzenzapfen müssen deshalb von Zeit zu Zeit gereinigt werden. Verschwindet aber der Zapfen in seinem Lager, muß die Walze zwecks Reinigung der Zapfen herausgenommen werden. Es fehlt dann die faserführende Kugel dieser Walze und das Garn wird sehr ungleich oder der Faden reißt ab.

Es wurde deshalb eine neue Form von Oberwalzenhaltern, Abb. 4, konstruiert. Der Oberwalzenhalter ist gekrümmt ausgebildet, so daß die Zapfen aller Oberwalzen mit ihrem Oberteil aus ihrer Führung herausreißen

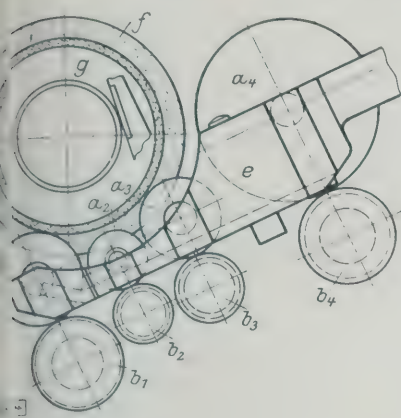


Abb. 4
Oberwalzenhalter
mit Oberputzwalze
für Vierzylinder-
Streckwerk.

a₁, a₂, a₃, a₄ Oberwalzen
b₁, b₂, b₃, b₄ Unterwalzen
e Oberwalzenhalter
f Filzring auf
g Oberputzwalze

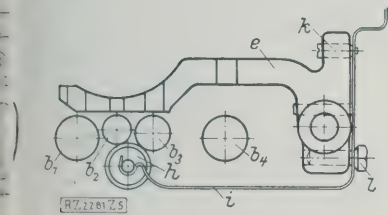


Abb. 5
Federanordnung der
hinteren Unterputzwalze für
Vierzylinder-Streckwerk.

b₁, b₂, b₃, b₄ Unterwalzen
e Oberwalzenhalter
h Unterputzwalze
i Feder
k Stiftschraube
l Führungsschraube

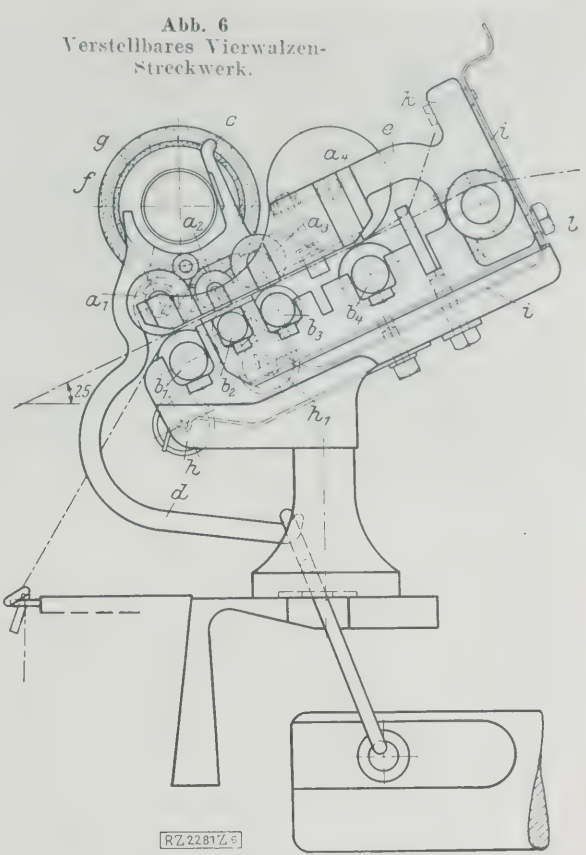


Abb. 6
Verstellbares Vierwalzen-
Streckwerk.

a₁, a₂, a₃, a₄ Oberwalzen
b₁, b₂, b₃, b₄ Unterwalzen
c Klappsattel
d Zughaken
e Oberwalzenhalter
f Filzbelag
g Oberputzwalze
h desgl. in Abb. 7
i Feder
k Stiftschraube
l Führungsschraube

mit der Hand oder von einem besonderen Filzring *f*, auf die Oberputzwalze *g* aufgesetzt wird, selbsttätig abgerollt werden kann. An Stelle des Ringes *f* lassen sich auch zweckmäßig kleine Bürsten verwenden, die eine große Lebensdauer haben. Die Putzwalze selbst ist so angeordnet, daß sie alle Oberwalzen gleichzeitig berührt. Durch die gekrümmte Form des Oberwalzenhalters fallen außerdem alle Ecken und Kanten weg, so daß sich wesentlich weniger Flug festsetzen kann. Der Oberwalzenhalter für das Dreizylinder-Streckwerk ist ähnlich durchgebildet.

Lagerung der hinteren Unterputzwalze

Vor ich auf die Besprechung der einzelnen Arten von Streckwerken eingehen will, sei noch auf die zweckmäßige Lagerung der hinteren Unterputzwalze hingewiesen. Der erfahrene Spinner weiß, welche Anstände durch stehenbleibende Unterputzwalzen verursacht werden. Abzuhelfen ist diesem Übelstand nur durch eine zweckmäßige Lagerung dieser Putzwalze, Abb. 5. Die Unterputzwalze *h* wird von einer Feder *i* getragen, die durch die Schrauben *k* und *l* gehalten ist. Die Schraube *l* dient nur zur Führung, preßt also die Feder nicht an den Oberwalzenhalter *e* an. Die Lage und die Anpresskraft der Putzwalze *h* an die Unterzylinder kann nun auf einfache Weise geregelt werden. Drückt die Putzwalze *h* zu sehr an die Unterwalze *b₃*, so schraubt man die Schraube *l* mehr in den Oberwalzenhalter *e* hinein, so daß die Federspannung zu schwach, so steigert man sie durch Einschrauben der Stiftschraube *k*. Die Putzwalze kann man sehr leicht herausnehmen. Die Spinnerin kann gegen die Feder nach rückwärts, bis der abgewinkelte Zapfen der Schraube *k* aus dem Loch *i* der Feder austritt. Sodann schiebt sie die Feder abwärts, bis der Zapfen der Schraube *l* aus dem erweiterten Schlitz der Feder heraustritt, wonach man die Feder mit der Putzwalze nach rückwärts herausnehmen kann, ohne daß dabei die Garnfäden hindern. Für das Dreizylinder-Streckwerk ist der Aufbau ähnlich.

Das Vierwalzen-Streckwerk

Wie mit dem schon erwähnten Klappsattel, dem gewöhnlichen Walzenhalter und der federnden Anordnung der Unterputzwalze, s. Abb. 6. Auf die leichte Durchzugswalze *a₂* folgt unmittelbar die mit rd. 2000 g belastete Mittelwalze *a₃*. Bei diesem Streckwerk ist also das Verziehen der Fasern vom Festhalten getrennt geworden. Das Streckwerk verzieht mühelos sachgemäß gemachte Andreher. Es gestattet außerdem einen

wirksamen Vorverzug, da die Belastung der Walze *a₃* größer ist als das Gewicht der Einzugswalze *a₄*. Bei Selbstbelastung der Walze *a₃*, also beim gewöhnlichen Vierzylinder-Streckwerk, werden weder die Andreher richtig verzoogen, noch ein wirklicher Vorverzug erzielt, selbst wenn das Getriebe der Maschine auf einen Vorverzug eingestellt ist. Die Maschine wird heute mit verstellbaren und unverstellbaren Zylinderabständen gebaut. Das verstellbare Streckwerk muß man verwenden, wenn man Baumwolle mit großen Stapelunterschieden spinnen will und dann größere Walzendurchmesser benutzt.

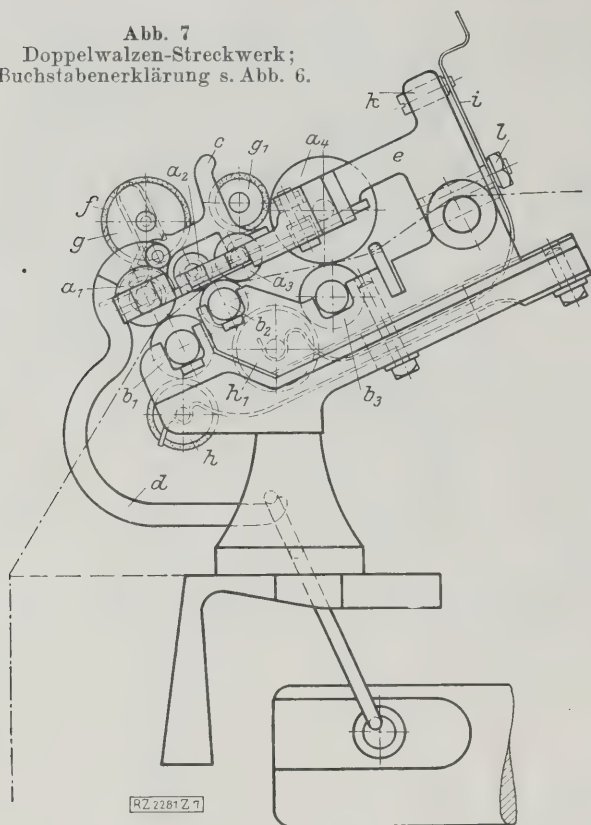
Das Dreiwalzen-Klemmstreckwerk

ist ebenfalls durch die Verwendung des Klappsattels, des gekrümmten Oberwalzenhalters und der Federanordnung gekennzeichnet. Die zweite Oberwalze (Mittelwalze) ist durch den Sattel mit rd. 2000 g belastet. Das Streckwerk gestattet deshalb einen wirklichen Vorverzug und gutes Verziehen sachgemäß hergestellter Andreher. Von den rd. 35 Millionen Spindeln, die in den Vereinigten Staaten laufen, arbeiten über 90 vH mit einer zusätzlich belasteten Mittelwalze. Der Amerikaner behauptet mit Recht, daß nur durch diese Maßnahme eine Gewähr für einen hohen Nutzeffekt in der Weberci gegeben sei. Zweifellos ist jedoch die Klappsattelbelastung der Oberwalzen viel leichter zu handhaben als die heute noch in den Vereinigten Staaten fast ausschließlich verwendete Aufsattelung, wie man sie durchweg noch an Selbstaktoren findet.

Das Dreiwalzen-Durchzugstreckwerk

ist bei der vorstehend gekennzeichneten Ausbildung des Oberwalzenhalters und Lagerung der Unterputzwalzen ebenfalls einfacher zu handhaben. Den Zapfen der Durchzugswalze kann man, ohne daß man die Walze herausnehmen muß, mit den Fingern oder durch ein Reinigungsmittel, das auf die Putzwalze gesetzt wird, von Flug säubern. Eine Eigentümlichkeit dieses Streckwerkes be-

Abb. 7
Doppelwalzen-Streckwerk;
Buchstabenerklärung s. Abb. 6.



steht darin, daß die Andreher fast ausnahmslos zu einem Fadenbruch führen. Die Spinnerin ist also gezwungen, nach dem Aufstecken einer neuen Spule den Faden am Lieferzylinder frisch anzusetzen. Das Streckwerk hat trotzdem heute noch wegen seiner Einfachheit viele Anhänger.

Das Doppelwalzen-Streckwerk

arbeitet mit zwei Walzen a_2 und a_3 auf die mittlere Unterwalze b_2 , Abb. 7. Die Walze ist durch den Sattel c wieder zusätzlich belastet, wodurch das gute Verziehen der Andreher gewährleistet wird. Auch hier liegt der Zapfen der Durchzugwalze a_2 so im Oberwalzenhalter e ,

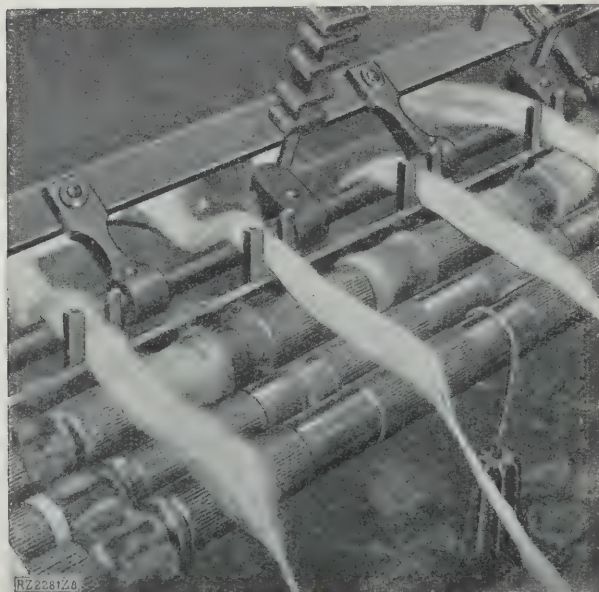


Abb. 8
Flugwinkelbildung an einem Streckwerk ohne
Unterputzwalze.

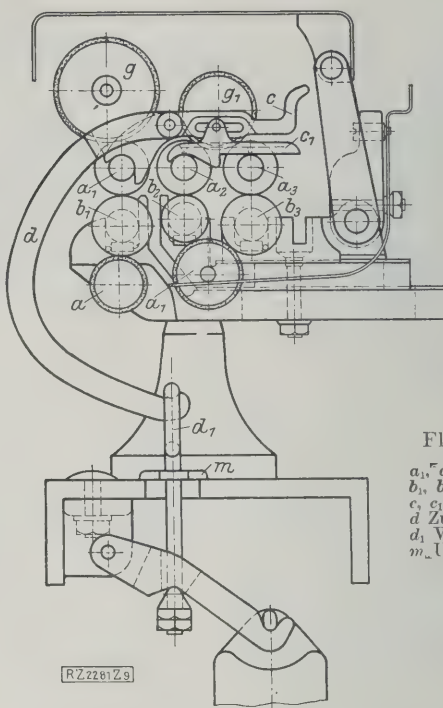


Abb. 9
Flyerbelastung.

a_1, a_2, a_3 Oberwalzen
 b_1, b_2, b_3 Unterwalzen
 c, c_1 Belastungssattel
 d Zughaken
 d_1 Verbindungshaken
 m Unterlegscheibe

daß man ihn mit der Hand reinigen kann, ohne die Walzen herausnehmen zu müssen. Die Oberputzwalze g saugt die Lieferwalze a_1 und die Durchzugwalze a_2 , während die Putzwalze g_1 auf den Oberwalzen a_3 und a_4 anliegt. Die Maschine zeigt dieselbe Federanordnung wie das zylinder-Durchzugstreckwerk. Ober- und Unterwalzen sind gegeneinander so angeordnet, daß die durch das Streckwerk laufende Lunte möglichst wenig abgeworfen wird. Erfahrungsgemäß beeinträchtigt jeder Bruch der Verzugebene die Festigkeit des gesponnenen Fadens.

Das Streckwerk der Vorspinnmaschine

Die Oberwalzen des meist dreizylinderigen Streckwerkes der Vorspinnmaschine werden fast ausnahmslos zusätzlich belastet. Dies geschah bis heute entweder durch einen besonderen Zughaken für jeden Oberzylinder oder die Lieferwalze wurde für sich durch ein Gewicht belastet, während die beiden hinteren Walzen von einem Sattel trugen, der mit einem gemeinsamen an einem Zylinder befindlichen Gewicht belastet war. Die verhältnismäßig starken Vorgarnlunten verlangen zur Erreichung eines gleichmäßigen Verzuges und des Verziehens der Andreher eine ziemlich starke Belastung der Oberwalzen. Beim Wickeln einer Oberwalze muß die Spinnerin die betreffenden Zylinder absatteln, eine Arbeit, die besonders für das Entlasten der hinteren Walzen viel Kraft erfordert. Ein weiterer Übelstand des Streckwerkes der Vorspinnmaschine (Flyer) bestand bisher in der Unmöglichkeit, eine Putzwalze für die beiden unteren Unterzylinder anzubringen. An diesen bilden sich sehr rasch sogenannte Flugwinkel, Abb. 8, die vom Vorgarn mitgeführt werden und als lästige Verunreinigung in das Garn kommen.

Diese Mißstände werden durch eine zweckmäßige einfache Einrichtung behoben, Abb. 9. Sämtliche Oberwalzen a_1, a_2 und a_3 werden durch einen Sattel belastet, der durch zwei Sättel c und c_1 den Druck gewünschter Weise auf die Zylinder ausübt. Diese Anordnung erlaubt nun, für die beiden Unterzylinder b_1 und b_3 eine Putzwalze anzubringen. Das Absatteln geschieht rasch und mühelos dadurch, daß die Spinnerin mit dem Finger den Sattel c an seiner hinteren Nase greift und nach links herüberklappt, wobei ihr die Handhülse hilft, die sich in diesem Sattel auswirkt, sehr leicht die Hilfe kommt. Gleichzeitig senkt sich der Verbindungshaken d_1 so weit, daß er auf der Unterlegscheibe m sitzt, wodurch d entlastet wird.

Diese Art Aufsattelung gestattet also das Absatteln aller drei Oberwalzen in einem Arbeitsgang. Eine

von beispielsweise 200 Spindeln läßt sich vor
en Stillständen in wenigen Minuten entlasten, wo-
das Leder der Oberwalzen sehr geschont wird.
wurde an laufenden Maschinen festgestellt, daß
der ausgleichenden Wirkung dieser Aufsattelung
bis 70 vH der alten Gewichtbelastung notwendig
ist. So genügt es bei Anwendung der neuen Auf-
gung an bestehenden Maschinen, die vorher mit drei-
lingsgewichten arbeiteten, nur die beiden vorderen
e anzuhängen. Dadurch wird sowohl die Be-
nung als auch die Faser geschont, und die Maschine
mit weniger Kraft. Ein weiterer Vorteil dieser Auf-
gung liegt in der Verwendungsmöglichkeit einer
eibersehung unter der Zylinderbank.
Die Unterputzwalze bewirkt, daß die beiden hinteren
er vollkommen sauber bleiben und daß Störungen
mitgerissene Flugwinkel niemals eintreten können,
u. O. Zu erwähnen ist auch noch, daß das rasche
ühelose Absatteln sich gleichfalls als wesentlicher
e beim Zylinderstellen und Großputzen auswirkt. Bei
gung dieser Aufsattelung wiegt z. B. ein Mittelflyer
40 Spindeln nahezu 1 t weniger. [B 2281]

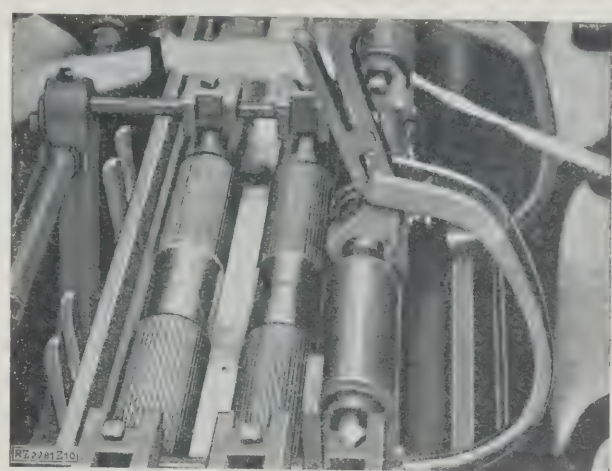


Abb. 10
Wirkung der Unterputzwalze.

Verbesserungen an Kammgarnkrepeln

Von Dr. FELIX HEMPEL, Dresden

ung aus dem Vortrag in der Textiltagung des Vereines deutscher Ingenieure am 17. und 18. November 1928 in Stuttgart

Die Entklettungsvorrichtung einer Kammgarnkrepel soll
möglichst viel pflanzliche Verunreinigungen aus der Wolle
entfernen. Auf den Entklettungen älterer Bauart wurde
die Wolle nicht genügend verzogen. Entklettvorrichtungen
neuerer Bauart arbeiten mit hohem Verzug bei geeigneter
Ausführung, Bauart und Anordnung der Walzen, so daß
die pflanzlichen Stoffe rasch, ohne Beschädigung der
Wolle, freigelegt und entfernt werden

folge der gesunkenen Kaufkraft der meisten Ver-
ner ist die deutsche Textilindustrie gezwungen, auch
eringwertigere, also billigere Rohwollen zurück-
ufen. Die Nachfrage nach den feinen Geweben ist
erdröcklich gesunken.

le zur Zeit wichtigste Aufgabe der Wollkämmerei
o, aus den weniger edlen Rohwollen, die billiger im
uf sind, ein Halbfabrikat zu liefern, das nicht nur
zug auf Güte, sondern auch mengenmäßig dem Er-
is aus den besten Wollen möglichst nahekommt.

der Kämmerei hat die Kammgarnkoppel-
eipel eine der wichtigsten Aufgaben zu erfüllen. Sie
icht nur die Wolle öffnen und gleichlegen, son-
m auch die Steinkletten, die Ringkletten
nigen pflanzlichen Unreinigkeiten so weit wie nur
h entfernen und dabei doch den Anteil an Kämme-
niedrig halten, keine Wolle mit den Kletten entfer-
den Flug und Abfall auf ein Mindestmaß be-
rücken.

iese Aufgabe fällt besonders der Entklett-
richtung der Kammgarnkrepel zu. Die meisten
kämmereien, die in der Verarbeitung fehlerfreier
fehlerhafter Merino-Wollen auf derselben Krepel
behindert sein wollen, verfügen über Krepeln mit
klettung.

Die Entklettvorrichtung, wie sie bisher häufig
verwendet wurde, Abb. 1, hat ihren Zweck bis zum Aus-
bruch des Krieges im großen und ganzen erfüllt. Aber
bereits während des Krieges, als man mit den gefürchte-
ten belgischen Matratzenwollen (Sormawollen) die vor-
her eingeführten Merino- und Crossbreedwollen ersetzen
mußte, noch mehr aber nach dem Krieg und ganz beson-
ders jetzt, seit man die vielen, gänzlich verkletteten Arten
verarbeiten muß, haben sich jene Entklettvorrichtungen
als nicht mehr wettbewerbfähig erwiesen.

Bei einer neuzeitlichen Entklettung ist
der Rohstoff auf der Entklettvorrichtung insge-
samt etwas mehr zu verziehen und besonders der Ver-
zug zwischen dem ersten Briseur und den Speisewalzen
bedeutend zu erhöhen, wodurch die Flocken lebhafter in
den Beschlag eingesogen werden und keine Wolle durch
den Schläger entfernt werden kann. Um die Wolle schon
in der Einführung zwangsläufig gerade zu richten und
eine möglichst dünne Vorlage für den ersten Briseur zu
schaffen, sind drei Paar Speisewalzen mit geringem
gegenseitigen Verzug vorgeschaltet.

Die Wolle muß, damit man sie besser als bisher
öffnen und lösen kann, möglichst rasch auf der Walze
verteilt werden. Dazu dienen mehrere langsam laufende
Verteil- oder Streckwalzen mit geeignetem Beschlag.

Die Briseure sind soweit wie möglich voneinander
getrennt und dazwischen die Verteil- und Streck-
walzen eingefügt, damit die Kletten unterwegs infolge des
schonenden Verzugs genügend aus der Wolle gelöst und
dann auf dem zweiten Briseur dem zweiten Kletten-
schläger möglichst lose und wolffrei dargeboten werden.

ordere Speisezyylinder
ntere Speisezyylinder
gungsbürste
st Klettenschläger
st Briseur (Grobbriseur)
Walze
Übertragwalzen
angwalzen
seur
Briseur (Feinbr-
r Klettenschläger
ombour
ler
er
angwalze
er Hauptambour
hlenangaben in m/min
een die Lieferung der
treffenden Walze.

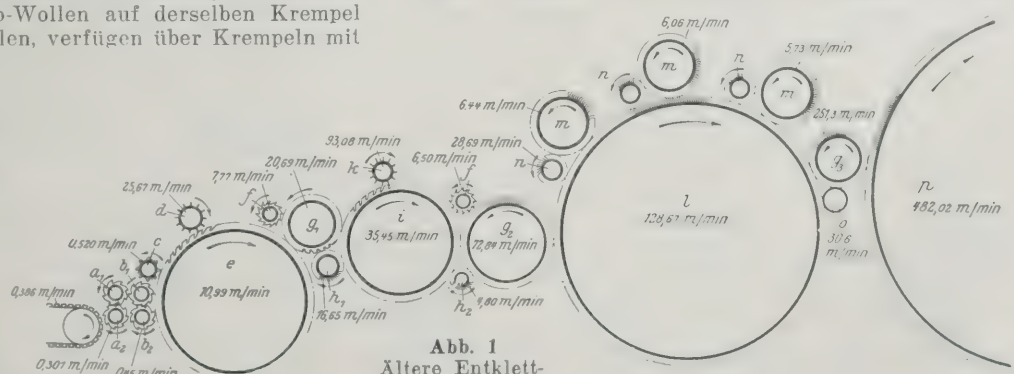


Abb. 1
Ältere Entklett-
vorrichtung.

Sämtliche Speisewalzen sind mit Sägezahn-
draht versehen, der infolge seines ganz bestimmten
Neigungswinkels die Wolle sofort einzieht und hält,
aber auch spielend leicht der folgenden Übertragwalze
wieder abgibt. Die Klettenschläger laufen mit
höheren Umlaufzahlen. Krepeln mit derartig verbes-
serten Entklettvorrichtungen sind bereits in der Praxis
verbreitet und haben sich durchaus bewährt.

Das zwischen dem ersten und dem zweiten Briseur
angeordnete Streckwerk, welches aus Streck- und
Übertragwalzen und vor allem aus Verteilwalzen besteht,
kann man ausführen:

A als Vortambour mit drei Arbeitern und drei Wen-
dern mit vorgeschalteter und anschließender Über-
tragwalze, Abb. 2, oder

B als Streckwerk ohne Vortambour, bestehend aus
einer großen Streckwalze in Verbindung mit vier
bis fünf kleineren Streckwalzen mit anschließender
Übertragwalze, Abb. 3.

Der Unterschied in der Arbeitsweise zwischen bei-
den Entklettvorrichtungen A und B besteht darin,
daß auf der Vorrichtung B die Wolle nicht durch den
Arbeiter zum Wender und von diesem zum Vortambour
zurückläuft. Die Hechel- oder Streckwalzen wirken
nämlich infolge des 2,7fachen Verzuges auf die durch-
gleitende Wolle mit ihren Nadeln zurückhaltend. Die
Wolle wird also geöffnet, verteilt und gestreckt, wes-
halb man das Hechelwerk als Streckwerk ansehen kann.

Infolge des hohen 70 bis 90fachen Verzuges zwischen
dem dritten Speisewalzenpaar und dem ersten Briseur wird
bereits hier die Wolle gut vorgelöst und werden Kletten
ausgeschieden, die zu etwa 40 vH von dem ersten Klet-
tenschläger entfernt werden. Das Hechelwerk öffnet die
Wolle in kleine und kleinste Faserbüschel schnell
weiter. Die fünf Streckorgane auf der großen Hechel-
walze breiten die Faserschichten rasch aus, so daß die
restlichen Kletten schnell freigelegt und sorgfältig von
Wolle befreit werden. Hier findet eine gänzliche Tren-
nung zwischen Kletten- und Fasermasse statt. Schließ-
lich nimmt der zweite Feinbriseur die entkletteten
dünnen Faserschichten in seinem Beschlag auf, während
die restlichen Kletten auf dem Sägezahnbesatz abge-
lagert und zu etwa 50 vH vom zweiten Schläger abge-
kämmt werden.

Neben der veränderten, verbesserten Walzenan-
ordnung spielt der Beschlag der Briseure und des Hechel-
werkes eine Rolle. Damit die Wolle nicht unnötig und
daher schädigend auf Zug beansprucht wird, wurde die
angreifende Sägezahnrahtfläche bei dem ersten
Briseur um die Hälfte vermindert, dadurch, daß man
zwischen jede Windung Sägezahnraht eine Windung
glatten Draht 1 bis 2 mm tiefer liegend einfügte. Im Ver-
gleich zu sämtlichen früheren Vorreißerarten ist das
Zwischenschalten einer Streckanlage zwischen dem
ersten und zweiten Briseur vollständig neu.

Die schonende Streckwirkung des Hechelwerkes be-
ruht auf dem geringen Verzug zwischen diesen Streck-
walzen und dem Hecheltambour, auf der weiten Stellung
zwischen Oberwalzen und Unterwalze, der großen seit-
lichen Entfernung von Nadelspitze zu Nadelspitze und der
geringen Neigung der Nadeln (Grundwinkel 75°).

Die bessere Vorauflösung der Wolle ermöglicht es,
die Drahtwindungen des zweiten Briseurs eng
aneinander zu legen, die Ausstanzung zwischen zwei

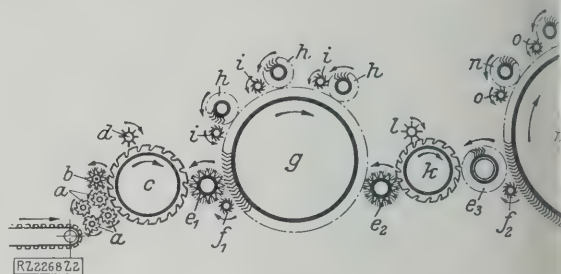


Abb. 2

Neuere Entklettvorrichtung A für Doppelkrepeln

- | | |
|-----------------------------|---------------------------|
| a Speisewalzen | g Vortambour |
| b Reinigungsbürste | h Arbeiter an g |
| c Vorbriseur (Grobbriseur) | i Wender an g |
| d erster Klettenschläger | k Feinbriseur |
| e1, e2 Übertragbürstenwalze | l zweiter Klettenschläger |
| e3 Übertragwalze | m Haupttambour |
| f1, f2 Fangwalze | Arbeiter an m |
| | o Wender an m |

Zähnen auf 0,5 mm zu vermindern und den Ge-
winkel des Sägezahnrahtbesatzes scharf zu ma-
(Neigungswinkel = 24°), ohne dabei die Wolle im
ringsten zu beanspruchen. Diese wird hemmungslos
Beschlag aufgenommen, während die meisten von Fa-
befreiten pflanzlichen Reste sich auf die Oberflä-
des Beschlags legen, wegen der engen Raumverhältni-
nicht eindringen können und so dem Messer des sch-
laufenden zweiten Klettenschlägers, dem man ohne
denken 1400 U/min erteilen kann, nicht entgehen.

Zum Schluß sei noch auf einige grundsätzliche
besserungen an den Krepeln selbst hingewiesen.

1. Alle Wender sollen möglichst mit Krepel-
scheiben versehen sein, um zu verhindern, daß durch
hohen Drehzahlen die Wickelbildung an den Wen-
zapfen zu stark wird; denn es ist häufig festge-
worden, daß gerade in den Wenderwickeln noch
lange, gute Wolle enthalten ist, die beim Putzen m-
den Flug gerät und dadurch verloren geht.

2. Alle Volants sind am besten mit völlig eng
genden Blechhauben zu umschließen, um eine Sta-
scheidung in den Raum auf die Walzen und das F-
material durchaus zu vermeiden.

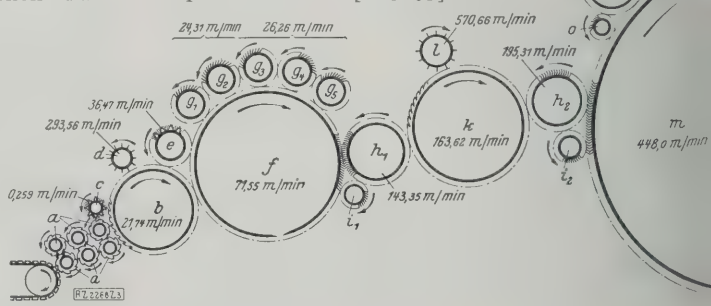
3. Bei der Verarbeitung klettiger Wollen sind
Klettenschneidvorrichtungen von Harml und Offen-
unentbehrlich. Es kommt immer wieder vor, daß
gerissene lange, schraubenförmige Ringkletten
Krepelband enthalten sind, die man in diesem Zus-
auf dem Kammstuhl nicht entfernen kann. Diese Kl-
werden von den genannten Vorrichtungen zertrüm-
und in kleine Stücke geschnitten, die dann durch R-
und Festkamm des Kammstuhles zurückgehalten wer-

Die Entklettvorrichtung nach Abb. 3 wird
letzten Endes besser bewähren als die nach Abb. 2,
bei der Entklettung A wird man öfter die Besch-
des Vortambours, der Arbeiter und Wender wech-
müssen, weil die pflanzlichen Stoffe infolge der i-
gebotenen großen Oberfläche diese Walzen anfüllen
hierbei die Nadeln beschädigen. In solchen mit Kletten
angefüllten Bezügen werden
auch die Wollhaare sehr be-
ansprucht. [B 2268]

Abb. 3
Neuere Entklettvorrichtung B
für Doppelkrepeln.

- | | |
|----------------------------|--------------------------|
| a Speisewalzen | k zweiter Briseur (Fein- |
| b erster Briseur (Grob- | briseur) |
| c Reinigungsbürste | l zweiter Kletten- |
| d erster Klettenschläger | schläger |
| e Übertragbürste | m erster Haupttambour |
| f Hecheltambour | n Arbeiter an m |
| g1, g2, g3, g4, g5 Hechel- | o Wender an m |
| walzen | |
| h1, h2 Übertragwalzen | |
| i1, i2 Fangwalzen | |

Die Zahlenangaben in
m/min bedeuten die Lief-
erung der betreffenden
Walze.



Gleitwiderstände in Fadenführungen

Von WALTER KRUMME, Ronsdorf

Nach ihrer Wirkungsweise werden die Fadenleitmittel eingeteilt in rollende Führungen und in Gleitführungen. Die Widerstände der Gleitführungen werden näher untersucht und Formeln zur Bestimmung ihrer Größe aufgestellt. Versuche zeigen die Abhängigkeit des Reibungswiderstandes von der Größe der Fadenspannung, dem Umspannungsbogen, der Fadengeschwindigkeit und von dem Stoff der Fäden und ihrer Führungen.

all, wo Einzelfäden verarbeitet werden, dienen Fadenführungen dazu, durchlaufende Fäden in der erforderlichen Richtung weiterzuleiten. Man unterscheidet zwei Arten von Fadenführungen:

- führungen, auf denen sich die durchlaufenden Fäden aufwickeln (Leitrollen usw.);
- führungen, auf denen die durchlaufenden Fäden gleiten (Führungsaugen usw.).

Rollende Fadenführungen haben einen geringeren Reibungswiderstand als Gleitführungen. Trotz dieses Vorzuges werden sie aber nur selten benutzt, und zwar wegen des größeren Raumbedarfes und ihrer größeren Herstellungskosten gegenüber den Gleitführungen. Gleitführungen werden vorzugsweise aus Stahl, Porzellan und Glas angefertigt. Schaftlitzten in Webstühlen haben neben Stahl auch aus Baumwollgarn gebildete Führungsaugen. Die Abbildungen 1 bis 4 veranschaulichen Teile aus Textilmaschinen, die mit verschiedenartigen Gleitführungen ausgestattet sind.

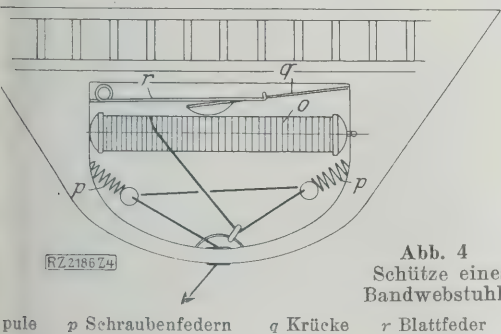


Abb. 4
Schütze eines
Bandwebstuhles.

Spule p Schraubenfedern q Kricke r Blattfeder

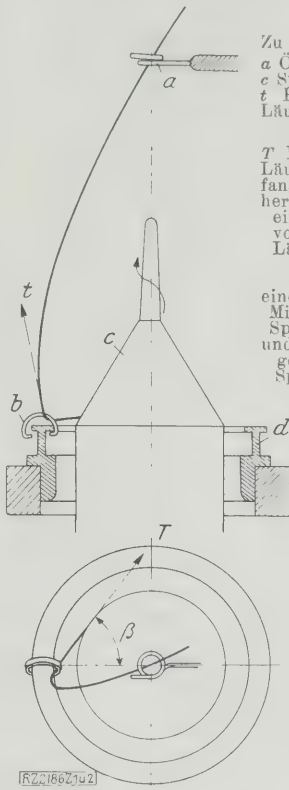


Abb. 1 und 2
Läufer einer Ringspinnmaschine.

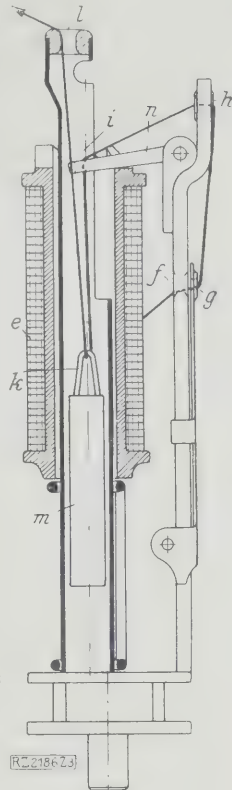


Abb. 3
Klöppel einer Flechtmaschine.

Zu Abb. 1 und 2:
a Öse b Läufer
c Spule d Ring
t Fadenzug am
Läufer b von der
Öse a her
T Fadenzug am
Läufer b vom Um-
fang der Spule c
her β Winkel,
eingeschlossen
von zwei vom
Läufer b aus-
gehenden
Geraden:
einer durch den
Mittelpunkt der
Spule gehenden
und einer Tan-
gente an den
Spulenumfang

Zu Abb. 3:
e f Holzspule
g h i k l
Augen
m Spann-
gewicht
n Sperr-
klinke

Bei Ringspinnmaschinen läuft der vom Streckwerk kommende Faden durch die über der Spindelmittle liegende Öse a, Abb. 1. Dann wird er durch den steigbügelförmigen Läufer b gezogen und zur Spule c geleitet. Der durchgezogene Faden führt den Läufer im Kreise auf dem Ring d. Das Fadenstück zwischen Läufer und Öse wird durch die Luft nach außen gezogen (Ballon), erfährt aber, in Grundriß, Abb. 2, gezeichnet ist, durch den Luftstrom noch eine seitliche Ausbiegung. Die Fadenspannung beim Wickeln wird von dem Reibungswiderstand zwischen Faden und Läufer beeinflusst.

Abb. 3 zeigt den Klöppel einer Flechtmaschine. Der durch die Holzspule e ablaufende Faden wird der Reihe nach durch die Augen f, g, h, i, k und l geführt. Durch die vier Augen gleitet der Faden nur dann, wenn die Sperrklinke vom Spannungsgewicht m hochgehoben und die Spule in den Abgabe freigegeben wird. Sonst gleitet nur das Fadenstück i-k in dem Auge k des Spannungsgewichtes m durch. Auf- und Absteigen die durch die Fortbewegung der Klöppel in wellenförmigen Bahnen auftretenden Unterschiede in den freien Längen der Fäden ausgleicht, so wird ein entsprechendes Fadenstück in dem Auge l des Klöppels festgehalten.

Bei den Schützen eines Bandwebstuhles, Abb. 4, wird der durch die Spule o ablaufende Faden durch kleine Schraubenfedern p in Spannung gehalten. Die Anfangsspannung des Fadens wird durch eine Bremse, die die Kricke q, hervorgerufen wird, die mittels der Feder r gegen die Spule o gedrückt wird, in der Anfangsspannung gehalten.

Um die Größe des Reibungswiderstandes zwischen Faden und Führung zu erhöhen, wird die Spannung im Faden erhöht. Um diese Erhöhung der Spannung klein zu halten, legt man mög-

lichst wenig Krümmungen in den Fadenweg. Nur in denjenigen Fällen, in denen die Fadenleitmittel auch als Bremse wirken sollen, führt man die Faden in Zickzacklinien.

Bestimmung des Reibungswiderstandes

Wird ein biegsamer Faden um einen Zylinder geschlungen und darüber hinweggezogen, so wird infolge der Reibung zwischen Faden und Zylinder die Spannung S_1 in dem ablaufenden Fadenende größer als die Spannung S_2 im auflaufenden Fadenende. Zwischen den beiden Spannungen bestehen bekanntlich die Beziehungen:

$$\frac{S_1}{S_2} = e^{\mu \alpha} \quad (1)$$

worin e die Grundzahl der natürlichen Logarithmen, μ die Reibungszahl zwischen Faden und Zylinder und α den Umspannungsbogen ($\alpha = 2 \pi \frac{\alpha^\circ}{360^\circ}$) bedeutet.

Wird ein Faden, Abb. 5, in Pfeilrichtung a über einen Zylinder b unter einem Umschließungswinkel α_1 fortbewegt, so ist

$$S_1 = S_2 e^{\mu_1 \alpha_1} \quad (2)$$

Da der Faden noch um einen zweiten Zylinder c unter dem Winkel α_2 geschlungen ist und auch über diesen gleitet, hat S_2 die Größe

$$S_2 = S_3 e^{\mu_2 \alpha_2} \quad (3)$$

Gleichung (3) in Gleichung (2) eingesetzt gibt:

$$S_1 = S_3 e^{\mu_1 \alpha_1 + \mu_2 \alpha_2} \quad (4)$$

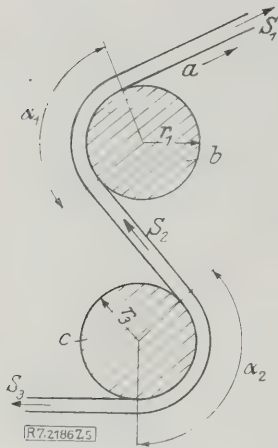


Abb. 5
Spannungen in einem über
zwei Führungen geleiteten
Faden.

- a Richtung des ablaufenden
Fadens
b, c Fadenführungen
S₁ Fadenspannung hinter den
Führungen
S₂ Fadenspannung zwischen
den Führungen
S₃ Fadenspannung vor den
Führungen
r₁ Krümmungshalbmesser
der Führung b
r₂ Krümmungshalbmesser
der Führung c
alpha₁ Umspannungsbogen des
Fadens um die Führung b
alpha₂ Umspannungsbogen des
Fadens um die Führung c

Zumeist ist die Reibungszahl μ_1 gleich der Reibungs-
zahl μ_2 . Man kann auch setzen: $\alpha_1 + \alpha_2 = \alpha$ und $\mu_1 + \mu_2$
= μ . Gl. (4) erhält dann die einfache Form

$$S_1 = S_3 e^{\mu \alpha} \dots \dots \dots (5).$$

In diesen Formeln ist die innere Reibung der Fäden
vernachlässigt. Die nachfolgend beschriebenen Versuche
geben Aufschluß darüber, in welchem Umfang der Auf-
wand zur Überwindung der Steifigkeit des Fadens die
Fadenspannung beeinflusst.

Versuche zur Bestimmung der Haftreibung

Es wurden die Versuchsanordnungen nach Abb. 6
und 7 benutzt. Bei der Anordnung 1 nach Abb. 6 steht der
Führungsstab fest, der zu prüfende Faden, dessen auf-
laufendes Ende mit einem Gewicht belastet und dessen ab-
laufendes Ende an eine Federwaage geknotet ist, wird lang-
sam von Hand abgezogen.

Bei der Versuchsanordnung 2 nach Abb. 7 ruht der
Faden, der Führungsstab wird langsam gedreht. Die
Spannung S₂ im auflaufenden Ende des Fadens ist gleich
der Schwere des Spannungsgewichtes. Der Ausschlag der Fe-
derwaage gibt die Spannung S₁ im ablaufenden Fadenende
an. Um möglichst genaue Werte zu erhalten, wurden drei
Waagen mit den Meßbereichen 10 bis 60, 50 bis 150, 100
bis 250 g benutzt.

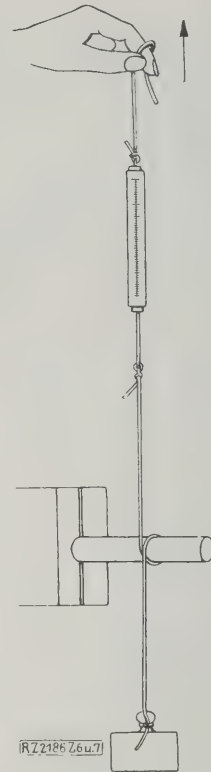


Abb. 6
Versuchsanordnung 1
mit bewegtem Faden
zur Bestimmung der
Fadenreibung einschl.
der inneren Reibung.

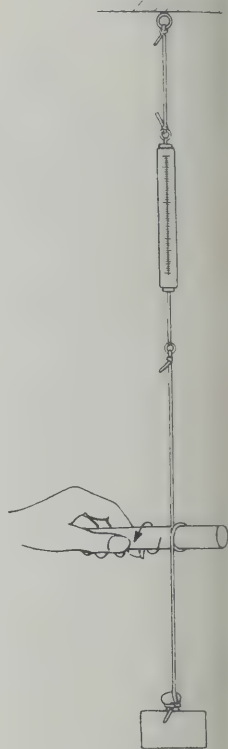


Abb. 7
Versuchsanordnung 2
mit unbewegtem Fa-
den zur Bestimmung
der Fadenreibung.

Die Versuche nach Abb. 1 liefern Werte, die s
von der Fadenreibung wie auch von der inneren R
des Fadens abhängen. Da bei der Versuchsanordn
der Faden stillsteht und infolgedessen die Fadenstei
der Bewegung nicht entgegen wirkt, ist die innere R
ausgeschaltet. Allerdings sind die Versuchsergebnisse

Zahlentafel 1. Ermittlung der Fadenspannungen nach der Anordnung 1 (Abb. 6).

Faden	Fadenführung		Umspannungsbogen α										
	Führungsstab Werkstoff	Krüm- mungshalb- messer r mm	0,5 π			1 π			1,5 π			2 π	
			S_2	S_1	$\frac{S_1}{S_2}$	S_2	S_1	$\frac{S_1}{S_2}$	S_2	S_1	$\frac{S_1}{S_2}$	S_2	S_1
			g	g	g	g	g	g	g	g	g	g	g
60/2 Glanzgarn	polierter Stahl	1	10	11,5	1,15	10	13	1,3	10	18	1,8	10	25
			20	22	1,15	20	27	1,35	20	37	1,85	20	48
			50	61	1,22	50	71	1,42	50	90	1,8	50	104
			80	95	1,19	80	110	1,37	80	130	1,62	80	165
60/2 Glanzgarn	polierter Stahl	2,5	10	12	1,2	10	14	1,4	10	19	1,9	10	27
			20	24	1,2	20	28	1,4	20	39	1,95	20	54
			50	62	1,22	50	74	1,47	50	100	2	50	124
			80	99	1,23	80	116	1,45	80	160	2	80	186
8/2 Baumwolle	polierter Stahl	1	10	11,5	1,15	10	13	1,3	10	18	1,8	10	26
			20	24	1,2	20	25	1,25	20	40	2	20	55
			50	65	1,3	50	70	1,4	50	95	1,9	50	119
			80	100	1,25	80	118	1,47	80	100	2	80	198
60/2 Glanzgarn	glasiertes Porzellan	9	10	11	1,1	10	14	1,4	10	18	1,8	10	25
			20	23	1,15	20	26	1,3	20	36	1,8	20	48
			50	62	1,24	50	71	1,42	50	98	1,96	50	118
			80	98	1,23	80	115	1,43	80	148	1,85	80	180
300 Den. Kunstseide	glasiertes Porzellan	9	10	12	1,2	10	14	1,4	10	24	2,4	10	32
			20	24	1,2	20	30	1,5	20	42	2,1	20	70
			50	70	1,4	50	84	1,68	50	124	2,48	50	155
			80	110	1,37	80	140	1,75	80	190	2,36	80	240
8/2 Baumwolle	glasiertes Porzellan	9	10	13	1,3	10	20	2	10	23	2,3	10	37
			20	24	1,2	20	30	1,5	20	44	2,2	20	60
			50	65	1,3	50	80	1,6	50	110	2,2	50	138
			80	105	1,31	80	121	1,5	80	165	2,05	80	200

ständig unabhängig von der Steifigkeit der Fäden, da ein kleinem Krümmungshalbmesser der Führung der je nach seiner Steifigkeit mehr oder weniger stark in den Führungsstab gepreßt wird.

Mit der Versuchsanordnung 1 wurden polierte Stahlstäbe mit kreisförmigem Querschnitt und einem Krümmungshalbmesser von 1 und 2,5 mm geprüft, ferner ein glatter Porzellanstab mit 9 mm Krümmungshalbmesser. Die Fäden bestanden aus 60/2 Glanzgarn, 8/2 Baumwolle, 300 Den. Kunstseide. Belastet wurden die Fäden mit 20, 50 und 80 g. Der Spannungsbogen α hatte die Größe: $0,5\pi$, 1π , $1,5\pi$ und 2π . Die Zahlentafel 1 gibt Versuchsergebnisse wieder.

Abhängigkeit des Reibungswiderstandes von dem Krümmungshalbmesser der Führung

Die Ergebnisse der Versuche in Zahlentafel 1 lassen erwarten, daß der Reibungswiderstand mit größer werdendem Krümmungshalbmesser der Führung zunimmt, liegen die Werte $\frac{S_1}{S_2}$ für den Stahlstift mit $r = 2,5$ mm alle unter denjenigen des Stahlstiftes mit $r = 1$ mm. Um über diese Zusammenhänge sicheren Aufschluß zu erhalten, wurden noch weitere Versuche mit einem Porzellanstift, $r = 9$ mm, gemacht. Es zeigte sich, daß die hierbei gewonnenen Werte den Werten des Porzellanstiftes mit $r = 9$ mm vollständig gleich waren.

Sodann wurden zwei Stahlstifte mit den Halbmessern $r = 2,5$ mm und $4,5$ mm, die verschieden große Reibungswiderstände zeigten, nochmals sorgfältig poliert. Danach wiesen die Stifte den gleichen Widerstand auf. Daraus ergibt sich, daß die Abweichung in der Zahlentafel 1 nicht auf den Unterschied der Krümmungshalbmesser, sondern auf die verschiedenen Oberflächenbeschaffenheit der Führung zurückzuführen ist.

Abhängigkeit des Reibungswiderstandes von der Steifigkeit der Fäden

Die Werte der Kurve a , Abb. 8, wurden nach der Versuchsanordnung 1, Abb. 6, diejenigen der Kurve b nach der Versuchsanordnung 2, Abb. 7, festgestellt. Die Abweichung zwischen den Werten der beiden Kurven ist, wie oben angegeben, auf die Steifigkeit des Fadens zurückzuführen. Beim Versuch wurde ein Stahlstift mit dem Krümmungshalbmesser 1 benutzt. Wählt man einen Stift mit größerem Krümmungshalbmesser, so wird die Abweichung zwischen den Werten der beiden Kurven a und b kleiner.

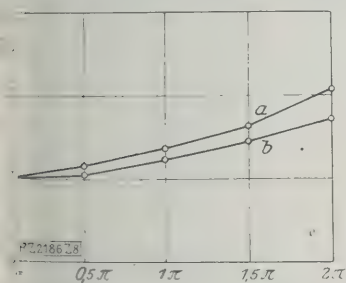


Abb. 8
Abhängigkeit des Reibungswiderstandes von der Steifigkeit der Fäden.

a Werte nach Versuchsanordnung 1
 b Werte nach Versuchsanordnung 2

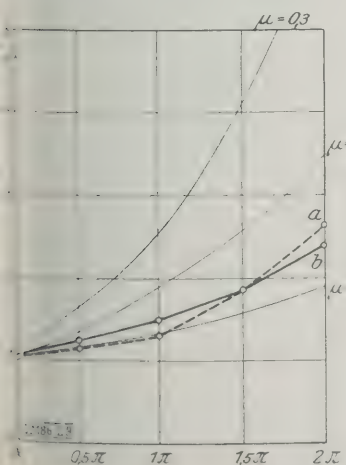


Abb. 9
Abhängigkeit des Reibungswiderstandes von der Größe des Spannungsbogens.

a Mittelwerte nach Zahlentafel 1 bei 10 und 20 g Fadenbelastung
 b Mittelwerte nach Zahlentafel 1 bei 50 und 80 g Fadenbelastung

Die Steifigkeit des Fadens ist noch auf einem anderen Wege festzustellen. Zeigen sich in der folgenden Untersuchung Abweichungen in der Größe des Reibungswiderstandes bei verschieden großem Spannungsbogen von den nach den Gesetzen der Seilreibung ermittelten Werten, so sind diese Abweichungen auf die innere Fadenreibung zurückzuführen.

Abhängigkeit des Reibungswiderstandes von der Größe des Spannungsbogens

Diese Abhängigkeit ist in Abb. 9 dargestellt. Für die Werte $\mu = 0,1, 0,2$ und $0,3$ sind die Kurven $\frac{S_1}{S_2} = e^{\mu\alpha}$ eingezeichnet, ferner mit größerer Strichstärke die Mittelwerte aus Zahlentafel 1 für die Stahlstäbe mit $r = 1$ mm und $r = 2,5$ mm. Die gestrichelte Linie a gibt die Mittelwerte der Reibung der mit 10 und 20 g und die Linie b die Mittelwerte des Widerstandes der mit 50 und 80 g belasteten Fäden wieder. Ein Vergleich der beiden Kurven a und b läßt erkennen, daß die stark belasteten Fäden nicht wesentlich von der Kurve $\frac{S_1}{S_2} = e^{\mu\alpha}$ abweichen, daß dagegen die nur mit 10 und 20 g belasteten Fäden bei einem größeren Umschließungswinkel als π einen größeren Reibungswiderstand haben, als es das Gesetz der Seilreibung erwarten läßt.

Ältere Versuche zur Bestimmung des Reibungswiderstandes

Über Reibungsversuche an Ringspindeln wird in der Abhandlung von Prof. R. Escher, Zürich, „Theorie der Ringspindel“¹⁾ berichtet. Zur Bestimmung des Reibungswiderstandes zwischen Faden und Läufer, und zwar unter Berücksichtigung des Einflusses des Winkels β , Abb. 1, wurde eine Versuchsanordnung nach Abb. 10 benutzt.

Der Läufer a ist am unteren Ende eines hölzernen Wirbels b befestigt, der in dem Gestellteil c drehbar eingesteckt ist. Mittels einer mit Teilung versehenen Scheibe d , die am Wirbel befestigt ist, kann man dessen Stellung gegen einen festen Zeiger e bestimmen.

Der zu prüfende Faden wurde durch den Läufer gezogen und an einem Ende mit dem Gewicht t belastet. Das andere Ende wurde über eine leicht laufende Rolle f geleitet und dann so lange mit Gewicht belastet, bis der Faden ins Gleiten kam. Durch Drehung des Wirbels b konnte jeder beliebige Wert von β eingestellt werden. Es ergab sich, daß bei $t = 10$ g das Verhältnis $\frac{t}{T} = \varphi$ durch die

Formel $\varphi = \frac{1}{2 - 0,4 \sin \beta}$ ausgedrückt werden kann, so daß

für $\beta = 0^\circ$ $\varphi = 0,5$
und für $\beta = 90^\circ$ $\varphi = 0,625$

wird. Für zweimalige Umschlingung sind die ausgeglichenen Ergebnisse in Abb. 11 zusammengestellt.

¹⁾ „Zivilingenieur“ Bd. 29 (1883) S. 448.

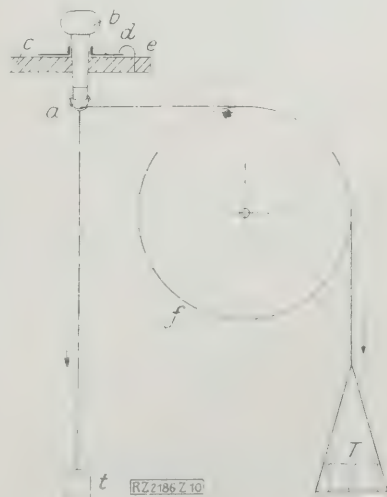


Abb. 10
Anordnung für Reibungsversuche an Ringspindeln nach R. Escher.

a Läufer
 b Holzwirbel
 c Gestell
 d Scheibe
 e Zeiger
 f Rolle
 t , T Gewichte

Diese Werte stimmen gut mit den von Brown, Boveri & Cie., A.-G., Mannheim, angestellten Versuchen überein²⁾. Danach ist die Fadenspannung zwischen Spule und Läufer im Mittel gleich der doppelten Spannung am unteren Ballonende.

Über die Reibungswiderstände in Klöppeln, Abb. 3, hat Dr. Keunecke³⁾ Untersuchungen angestellt. Da der Umschlingungswinkel des Flechtfadens um das Führungsauge des Spannungsgewichtes immer gleich π bleibt und der Einfluß der Belastung Q des Spannungsgewichtes auf die Fadenspannung ermittelt werden sollte, herrscht in dem senkrecht nach

oben bewegten Fadenende die Spannung $S_1 = \frac{Q}{2} \mu_1$, wobei μ_1 den Faktor für die durch Reibung im Auge des Spannungsgewichtes entstehende Vergrößerung der Fadenspannung gegenüber dem durch die Belastung Q hervorgerufenen Sollwert darstellt. In dem andern Fadenschkel wird die Spannung um den entsprechenden Wert vermindert, und da $S_1 + S_2 = Q$ ist, erhält man: $S_2 = \frac{Q}{2} (2 - \mu_1)$. Diese Formeln gelten für die Aufwärtsbewegung. Bei entgegengesetzter Bewegung verhalten sich die Spannungen umgekehrt. Man kann nun eine Federwaage an das freie Fadenende anhängen und dann die beim Herausziehen und Wiedernachlassen des Fadens auftretenden Zugspannungen messen. Von dem Ergebnis der Messungen werden hier nur die Werte für die Aufwärtsbewegung des Fadens wiedergegeben:

Belastung $\frac{Q}{2} =$	5	10	15	20	25	35	45	50	60	75	85 g
Zugspannung $S_1 =$	10	16	21	32	37	54	70	80	86	106	116 „
$\frac{S_1}{Q/2} = \mu_1 =$	1,6	1,4	1,6	1,48	1,52	1,54	1,6	1,44	1,42	1,36	

Bestimmung des Reibungswiderstandes während der Bewegung der Fäden

Um die Abhängigkeit des Reibungswiderstandes von der Fadengeschwindigkeit festzustellen, wurde die in Abb. 12 dargestellte Versuchsanordnung benutzt. Das zu prüfende Garn gleitet als endloser Faden f über zwei feste Führungsstellen a und b . Zwischen den Führungsstellen wird das mit einem Gewicht g belastete Fadenauge c eingehängt. Der Faden f wird von der Rolle d angetrieben.

Unter dem Einfluß des Gewichtes g bildet das zwischen den festen Führungsaugen a und b befindliche Fadenende ein Dreieck, dessen Spitze bei stillstehendem Faden von a und b gleich weit entfernt ist. Wird der Faden angetrieben, so beschreibt die Dreiecksspitze je nach der Bewegungsrichtung nach links oder rechts eine elliptisch gekrümmte Bahn, bis ein neuer Gleichgewichtszustand erreicht ist. Der Ausschlag, den man an einer Einteilung ablesen kann, ist ein Maßstab für den Spannungsunterschied S_1/S_2 . Der Faden wurde von einem Handspulrad, Abb. 13, angetrieben. Dieser Handantrieb hat den Nachteil, daß Unterschiede in den Fadengeschwindigkeiten auftreten können;

²⁾ Veröffentlichung 175a der Firma.

³⁾ „Einfluß der Beschleunigung und Reibung auf die Fadenspannung bei Spitzenklöppelmaschinen“, Doktorarbeit, Braunschweig 1928.

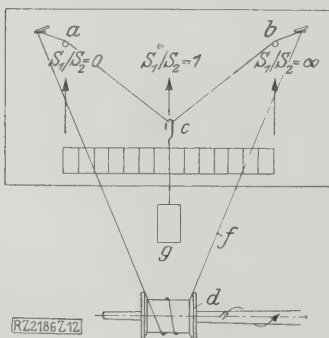


Abb. 12

Versuchsanordnung zur Bestimmung des Reibungswiderstandes während der Bewegung der Fäden.

Zu Abb. 12:
a, b feste Fadenführungen
c Fadenauge
d Spule
f Faden
g Gewicht

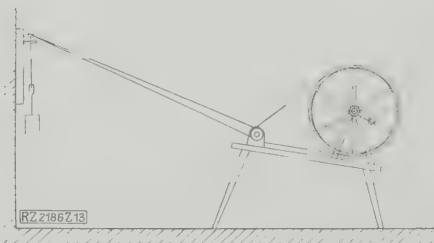


Abb. 13

Ansicht der Versuchsanordnung nach Abb. 12.

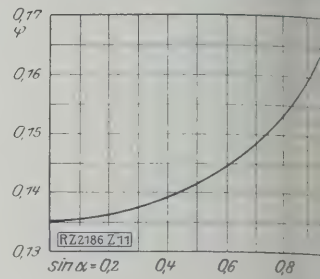


Abb. 11
Ergebnisse nach der Versuchsanordnung, Abb. 10, für zweimalige Umschlingung.

der leichte Gang des Rades und sein verhältnismäßig großes Gewicht gewährleisten aber trotzdem die notwendige Gleitfähigkeit der Bewegung. Der Handantrieb bietet den Vorzug, daß die Geschwindigkeit ohne Stöße verursacht werden kann.

Zur Berechnung der Reibungsziffer sei folgende Überlegung angestellt:

Nach der Lehre über das Kräfteparallelogramm herrscht in dem kürzeren Fadenende e , Abb. 14, die Spannung

$$S_1 = \frac{S_2 \sin \gamma}{\sin \beta}$$

Nimmt man in dem längeren Fadenende d die Spannung $S_2 = 1$ an, dann wird:

$$S_1 = \frac{\sin \gamma}{\sin \beta}$$

Die Länge der durchhängenden Fadenstrecke sei dann ist: $d + e = l$, ferner $c^2 = d^2 - a^2$ und $c^2 = e^2 - b^2$, somit $d^2 - a^2 = e^2 - b^2$. Für die Seiten d und e erhält man dann die Gleichungen:

$$d = \frac{l^2 + a^2 - b^2}{2l}$$

und

$$e = l - \frac{l^2 + a^2 - b^2}{2l}$$

Ferner ist

$$\frac{a}{d} = \sin \gamma \quad \text{und} \quad \frac{b}{e} = \sin \beta$$

Werden die Winkelfunktionen von Gl. (6) durch diese entsprechenden Seiten ersetzt, dann wird

$$S_1 = \frac{a}{b} \left(\frac{2l^2}{l^2 + a^2 - b^2} - 1 \right)$$

Bezeichnet man die Summe $a + b = m$ und setzt für a den Wert $m - b$ ein, dann erhält man:

$$S_1 = \left(\frac{m}{b} - 1 \right) \left(\frac{2l^2}{l^2 + m^2 - 2mb} - 1 \right)$$

Nach Gl. (1) war $\frac{S_1}{S_2} = e^{\mu a}$, für $S_2 = 1$ ist

$$S_1 = e^{\mu a}, \quad \mu a = \ln S_1$$

und

$$\mu = \frac{1}{a} \ln S_1$$

Ersetzt man S_1 durch die rechte Seite von Gl. (11), dann ist

$$\mu = \frac{1}{a} \ln \left(\frac{m}{b} - 1 \right) \left(\frac{2l^2}{l^2 + m^2 - 2mb} - 1 \right)$$

Der Umspannungsbogen hat die Größe

$$\alpha = \frac{180^\circ - (\gamma + \beta)}{180^\circ} \pi$$

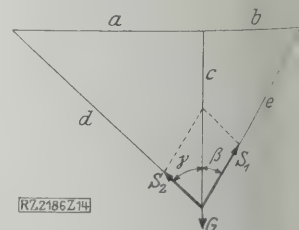


Abb. 14

Kräfteparallelogramm für die Versuchsanordnung nach Abb. 12.

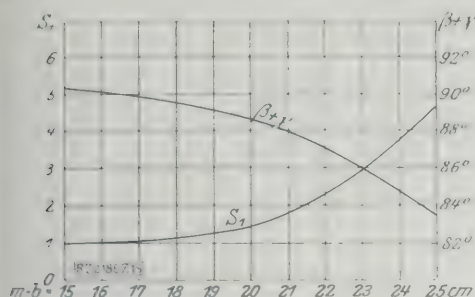


Abb. 15
Werte von S_1 nach Gleichung (11)
für $a + b = m = 30$ und $c = 15$ cm
und Werte der dazu gehörenden
Winkel $\gamma + \beta$.

Für die Werte $a + b = 30$ cm, $c = 15$ cm sind in Abb. 15 die Werte von Gl. (11) und die in Graden ausgedrückten Winkel $\gamma + \beta$ eingezeichnet. Einige Ergebnisse der Versuche sind in Zahlentafel 2 zusammengestellt und in Abb. 16 gezeichnet.

Zahlentafel 2. Abhängigkeit des Reibungs-
widerstandes μ von der Fadengeschwindigkeit
und Winkel; vergl. a. Abb. 16.

Art des Fadens	Fadenge- schwindigkeit v m/s	$\mu =$		
		glasiertes Porzellan $r = 2$ mm	Glas $r = 2$ mm	polierter Stahl $r = 1,75$ mm
60/2 Glanzgarn	0	0,15	0,14	0,15
	0,15	0,18	0,15	0,19
	0,3	0,21	0,16	0,23
	0,6	0,22	0,17	0,26
	0,9	0,23	0,18	0,27
Baumwolle	0	0,18	0,18	0,27
	0,15	0,23	0,23	0,35
	0,3	0,25	0,25	0,43
	0,6	0,3	0,3	0,50
	0,9	0,31	0,31	0,53

$r =$ Krümmungshalbmesser

Die Versuche lassen erkennen, daß die Reibung mit zunehmender Geschwindigkeit zunächst schnell und dann immer langsamer ansteigt. Bei 1 m/s Fadengeschwindigkeit hat der Reibungswiderstand seinen Höchstwert angenommen und erreicht.

Die beschriebene Versuchsanordnung wurde von der Leunke in der schon genannten Dissertation in ab-

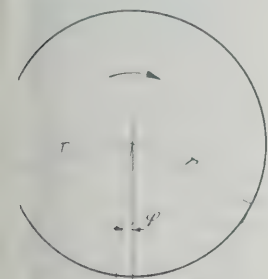


Abb. 17 und 18
Versuchsanordnung zur
Bestimmung des Reibungswiderstandes wäh-
rend der Bewegung der
Fäden.

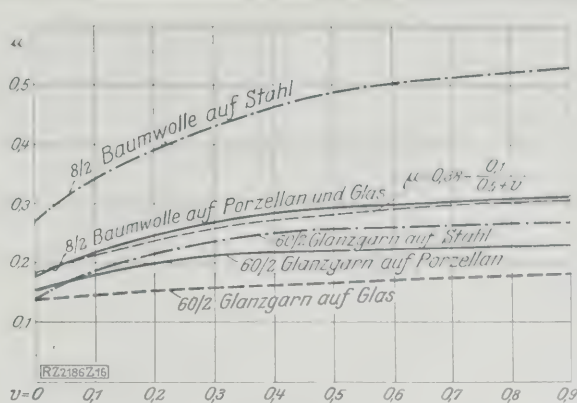
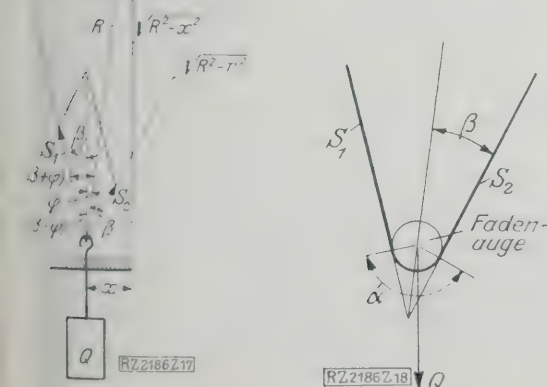


Abb. 16
Ergebnisse der Versuche nach der Anordnung, Abb. 12.

geänderter Form benutzt. Die Anordnung wurde so geändert, daß an Stelle der beiden Führungsstellen a und b , Abb. 12, eine einzige größere Schnurscheibe verwendet wurde, welche gleichzeitig als Antrieb diente, Abb. 17 und 18. Beim Versuch wurde die Schnurscheibe in eine Drehbank gespannt und mit veränderlicher Geschwindigkeit angetrieben. Dabei wandert das Fadenauge um einen bestimmten Betrag x zur Seite, der an einem Maßstab abgelesen werden kann. Diese Versuchsanordnung hat den Vorteil, daß die Länge der beiden Fadenschkel stets gleich bleibt und ebenso der Umschlingungswinkel für das Fadenauge. Der Ausschlag x gibt dann bei entsprechender Eichung unmittelbar ein Maß für die Reibungszahl μ .

Die mathematische Beziehung zwischen x und μ ergibt sich nach den Abb. 17 und 18 aus folgender Betrachtung: Bei Drehung der Schnurscheibe im Sinne des Pfeiles bewegt sich das Gewicht Q um den Wert x so weit nach links, bis wieder Gleichgewicht zwischen den Kräften eingetreten ist. In dem gezeichneten Kräftedreieck verhält sich dann nach dem Sinussatz

$$\frac{S_1}{S_2} = \frac{\sin(\beta + \varphi)}{\sin(\beta - \varphi)} \quad (15)$$

nach Gl. (1) ist

$$\frac{S_1}{S_2} = e^{\mu \alpha} = \frac{\sin(\beta + \varphi)}{\sin(\beta - \varphi)},$$

daraus folgt

$$\begin{aligned} \mu &= \frac{1}{\alpha} \ln \frac{\sin(\beta + \varphi)}{\sin(\beta - \varphi)} \\ &= \frac{1}{\alpha} \ln \frac{\sin \beta \cos \varphi + \cos \beta \sin \varphi}{\sin \beta \cos \varphi - \cos \beta \sin \varphi} \end{aligned}$$

Dabei ist α der Umschließungswinkel, der hier etwa 120° beträgt.

Werden die Winkelfunktionen durch die diesen entsprechenden Seiten ersetzt, so erhält man

$$\mu = \frac{1}{\alpha} \ln \frac{\frac{r \sqrt{R^2 - x^2}}{R} + \frac{x \sqrt{R^2 - r^2}}{R}}{\frac{r \sqrt{R^2 - x^2}}{R} - \frac{x \sqrt{R^2 - r^2}}{R}}$$

oder

$$\mu = \frac{1}{\alpha} \ln \frac{r \sqrt{R^2 - x^2} + x \sqrt{R^2 - r^2}}{r \sqrt{R^2 - x^2} - x \sqrt{R^2 - r^2}} \quad (16)$$

In dieser Formel sind die Werte α , r , R unveränderlich oder können doch unveränderlich gehalten werden, und es ändert sich bei den verschiedenen Geschwindigkeiten nur der Wert x , aus dem dann der zugehörige Reibungswert μ berechnet werden kann.

Für den Fall, daß r und damit auch x im Vergleich zu R nur klein gewählt wird, läßt sich Gl. (16) in eine noch einfachere Form bringen. Teilt man Zähler und Nenner des Bruches durch R , so erhält man

$$\frac{r \sqrt{1 - \frac{x^2}{R^2}} + x \sqrt{1 - \frac{r^2}{R^2}}}{r \sqrt{1 - \frac{x^2}{R^2}} - x \sqrt{1 - \frac{r^2}{R^2}}}$$

Hierin lassen sich die Wurzelwerte je durch den Anfang einer binomischen Reihe ersetzen, also

$$r \left[1 - \frac{1}{2} \frac{x^2}{R^2} - \frac{1}{8} \left(\frac{x^2}{R^2} \right)^2 \dots \right] + x \left[1 - \frac{1}{2} \frac{r^2}{R^2} - \frac{1}{8} \left(\frac{r^2}{R^2} \right)^2 \dots \right]$$

$$r \left[1 - \frac{1}{2} \frac{x^2}{R^2} - \frac{1}{8} \left(\frac{x^2}{R^2} \right)^2 \dots \right] - x \left[1 - \frac{1}{2} \frac{r^2}{R^2} - \frac{1}{8} \left(\frac{r^2}{R^2} \right)^2 \dots \right]$$

Wählt man z. B. $\frac{r}{R} = \frac{1}{5}$, so erhält man für das zweite

Glied $\frac{1}{2} \frac{r^2}{R^2}$ den Wert $\frac{1}{50}$ und für das dritte Glied nur noch $\frac{1}{5000}$. Da x kleiner als r wird, u. zw. bei praktischen Ver-

suchen etwa gleich $r/2$ ist, so wird in der ersten Klammer das zweite und dritte Glied noch kleiner und beträgt nur noch etwa $\frac{1}{4}$ der entsprechenden Glieder der zweiten Klammer. Unter Zugrundelegung einer Versuchsanordnung von $r/R = \frac{1}{2}$ wird man daher mit hinreichender Genauigkeit sowohl im Zähler wie im Nenner von der ersten Klammer nur das erste Glied und von der zweiten Klammer nur das erste und zweite Glied zu berücksichtigen brauchen. Der Bruch erhält dann die einfache Form

$$r + x \left(1 - \frac{r^2}{R^2} \right)$$

$$r - x \left(1 - \frac{r^2}{R^2} \right)$$

In der Praxis wird man bei einer Versuchsanordnung $r/R = \frac{1}{2}$ meist auch noch das zweite Glied der Klammer vernachlässigen können; man erhält dann an Stelle von Gl. (16) die vereinfachte Beziehung

$$\mu = \frac{1}{a} \ln \frac{r+x}{r-x} \dots \dots \dots (17).$$

Die Ergebnisse der mit der Anordnung nach Abb. 17 und 18 ausgeführten Versuche sind in Abb. 19 wiedergegeben. Sie stimmen mit den in Abb. 16 dargestellten Ergebnissen gut überein.

Der große Reibungswert für 8/2 Baumwolle auf Stahl, Abb. 16, ist auf die schlechte Oberflächenbeschaffenheit

Die Bedeutung der Luftbefeuchtung in Baumwoll-Spinnereien und -Webereien

Von Prof. Dr.-Ing. E. Meister, Dresden

Nach einem in der Textiltagung des Vereines deutscher Ingenieure am 17. und 18. November 1928 in Stuttgart gehaltenen Vortrag

Alle pflanzlichen und tierischen Faserstoffe sind stark wasseranziehend; die Baumwolle, mit deren Verarbeitung ich mich hier ausschließlich befassen möchte, zeigt nach neueren genauen Versuchen von Obermiller, M.-Gladbach, z. B. eine Aufnahmefähigkeit für Feuchtigkeit (Wasser), die bei einer relativen Luftfeuchtigkeit von 35 vH 5,5 vH, von 55 vH 8,0 vH und von 75 vH 11,0 vH beträgt¹⁾.

Der im Handel zulässige Feuchtigkeitszuschlag für Baumwolle von 8,5 vH wird nach diesen Versuchen erst bei einer relativen Luftfeuchtigkeit von rd. 58 vH erreicht. Die feuchte Luft muß dabei aber viel länger auf den Faserstoff eingewirkt haben, als bisher angenommen wurde; Obermiller fand nämlich, daß erst nach etwa vier Tagen bei dauerndem Hindurchleiten entsprechender feuchter Luft durch die Versuchseinrichtung ein annäherndes Feuchtigkeitsgleichgewicht der Baumwolle eintrat. Andererseits wissen wir aus früheren Feststellungen, daß die Baumwolle ebenso wie andre Faserstoffe ihren natürlichen Feuchtigkeitsgehalt in Räumen von geringer relativer Feuchtigkeit sehr schnell wieder abgibt; man muß also möglichst verhindern, daß die Baumwolle während ihrer Verarbeitung die vorhandene natürliche Feuchtigkeit verliert, und wenn das doch eintritt, durch künstliche langandauernde Befeuchtung für Wiederaufnahme des Mindestgehaltes von 8,5 vH an Feuchtigkeit sorgt.

In der Spinnerei kommt die Baumwolle im allgemeinen mit etwa 8 bis 12 vH Feuchtigkeitsgehalt an, der auch nicht verloren geht, solange sie im Ballen lagert. Beim Öffnen und Schlagen der Baumwolle geben die Fasern aber dann einen großen Teil dieser Feuchtigkeit an die Luft ab, die sie in den Öffnern umspült oder in

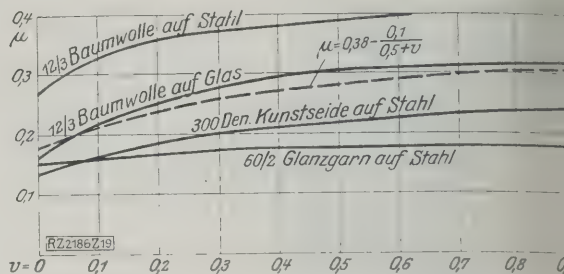


Abb. 19
Ergebnisse der Versuche nach der Anordnung,
Abb. 17 und 18.

des Stahlauges zurückzuführen. Es wurde ein Auge bei a, Abb. 1, dargestellt benutzt. Durch das Stauchen des Werkstoffes beim Biegen verliert der Stahldraht an den Stellen, wo er später den Faden berührt, seinen kreisförmigen Querschnitt. Diese Unebenheiten wurden einer größeren Zahl sonst sauber polierter Fadenaugen festgestellt.

In Fällen, in denen es weniger darauf ankommt für eine bestimmte Fadenart den genauen Wert μ einzusetzen, in denen man beispielsweise zwei verschiedenartige Anordnungen von Fadenführungen miteinander vergleichen soll, genügt es vielfach, die Kurve der μ der Geschwindigkeit v abhängigen Reibungszahl μ durch die Gleichung

$$\mu = \mu_0 + 0,2 - \frac{0,1}{0,5+v} \dots \dots \dots (1)$$

zu bestimmen. Darin bedeutet μ_0 die Zahl der Haftreibung. Nimmt man an, daß μ_0 im Mittel den Wert 0,18 hat, dann erhält Gl. (18) die Form

$$\mu = 0,38 - \frac{0,1}{0,5+v} \dots \dots \dots (1)$$

Die Kurven dieser Formel sind in Abb. 16 und 19 egetragen.

Rohrleitungen von einer Maschine zur anderen trägt, daß die Schlagmaschinenwickel erfahrungsgemäß einen wesentlich niedrigeren Feuchtigkeitsgehalt aufweisen. Beim Krempeln ist dann die günstigste Gelegenheit, diesen Verlust wieder zu ersetzen, weil das auf den Abnehmer ausgebreitete dünne Faservließ besonders aufnahmefähig für Feuchtigkeit ist; hier muß deshalb immer dann befeuchtet werden, wenn die Luftfeuchtigkeit unter etwa 45 vH sinkt. Die Feuchtigkeit soll aber andererseits nicht über 50 bis 55 vH gesteigert werden, weil sonst die Baumwolle auf der Krempel zum Zusammenballen neigt und weil bei zu hoher Feuchtigkeit die Gefahr des Rostes der Garnituren besteht.

Beim Kämmen ist eine höhere relative Feuchtigkeit von 60 bis 65 vH am Platze, weil zwischen den metallischen Teilen dieser Maschine bei zu trockener Luft die Fasern mit statischer Elektrizität aufgeladen werden, eine Erscheinung, die namentlich auch bei den Streckwerken und Flyern störend auftritt und das Zustandekommen glatter gleichmäßiger Bänder usw. verhindert.

In der Vorspinnerei soll die Luftfeuchtigkeit etwas höher als in der Kremperei sein, damit man ein gleichmäßiges Vorgarn erhält, das als Vorlage für die Feinspinnmaschinen bereits den nötigen Feuchtigkeitsgehalt mitbringen soll. Die relative Luftfeuchtigkeit wird daher in der Vorspinnerei nicht niedriger als 55 bis 60 vH genommen, wodurch die Gewähr gegeben ist, daß man im möglichst geringem Draht noch ein Vorgarn erhält, das sich einwandfrei wieder von den Spulen abziehen läßt.

Die Ringspinnerei verlangt eine besonders hohe Feuchtigkeit der Saalluft, um ein gleichmäßiges Garn bei nicht zu hohem Drehungsgrad zu liefern, weil die Maschinen dauernd durch Reibung erzeugte Wärme an die umgebende Luft abgeben und dadurch der Luft und den Fasern Feuchtigkeit entziehen. Vor allen Dingen wird diese Feuchtigkeitsabgabe des Garnes auf der Ringspinnmaschine dadurch begünstigt, daß das Garn, den sogenannten "Ballon" bildend, mit außerordentlich hoher Umfangsgeschwindigkeit frei schwebend mit der Spindel umläuft, so daß ihm bei verhältnismäßig trockener Luft die Feuchtig-

¹⁾ Mellands Textilberichte 1926 S. 71

it schnell entzogen wird. Die relative Feuchtigkeit deshalb so hoch sein, daß eher noch eine Aufnahme das Garn stattfindet, wozu 60 bis 70 vH relativer Feuchtigkeit, bei feinen Garnen und hohen Spindeldrehen sogar bis 80 vH erforderlich sind. Unter der Voraussetzung, daß das Vorgarn schon in der Vorbereitung Vorspinnerei dauernd auf hohem Feuchtigkeitsgehalt gehalten werden kann, genügt jedoch nach neuerer Feststellung eine relative Luftfeuchtigkeit von etwa 60 vH; in ähnlicherartig günstigen Verhältnissen kann aber nicht allgemein gerechnet werden.

Diese Vorteile einer gleichmäßig hohen Luftfeuchtigkeit während des Spinnens zeigen sich im Betrieb selbst in geringere Fadenbruchzahlen und bei sorgfältiger Beachtung auch durch eine bessere Gleichmäßigkeit des Garnes. Derartige Feststellungen sind aber nicht leicht zu machen, weil sich die Feuchtigkeitsverhältnisse in einer künstlich „befeuchteten“ Spinnerei mit dem Feuchtigkeitsgehalt der Außenluft fortwährend ändern, so daß eigene Versuche unter gleichen Verhältnissen selten möglich sind. Der einwandfreie Nachweis für den günstigen Einfluß hoher relativer Feuchtigkeit läßt sich daher im allgemeinen erst nachträglich durch die Prüfung der unter verschiedenen Feuchtigkeitsverhältnissen gesponnenen Garnen erbringen, wenn man nicht besondere genaue Untersuchungsverfahren anwenden will, wie z. B. die Parks-Tester Co., Fitchburg, die mittels fortlaufender Kinofotografien an Spinnereimaschinen überzeugend nachweisen konnte, wieviel ungleichmäßiger und schwieriger sich die Verarbeitung der Baumwolle auf der Kreppe, Strecke und Spinnmaschine bei sehr niedrigem Feuchtigkeitsgehalt der Raumluft vollzieht²⁾.

Verbesserung von Zerreißfestigkeit und Dehnbarkeit

Die Verbesserung der wichtigen Garneigenschaften, Zerreißfestigkeit und Dehnbarkeit, durch einen Feuchtigkeitsgehalt ist in Fachkreisen natürlich bekannt, aber über das genaue Maß dieser Zunahme gibt es nicht viele zuverlässige Werte. Bei derartigen Untersuchungen muß der Einfluß aller andern Umstände, von denen Festigkeit und Dehnbarkeit der Garne abhängig sind, ausgeschaltet werden, was nur bei besonderer Sorgfalt in der Auswahl des Versuchstoffes möglich ist. In dieser Beziehung einwandfreie Ergebnisse haben z. B. die im britischen Shirley-Institut im Jahre 1926 angestellten Untersuchungen mit Baumwoll-Schußgarnen und geschlichteten Kettgarnen geliefert³⁾.

Bei den untersuchten ungeschlichteten Garnen nahm die Zerreißfestigkeit mit steigender relativer Feuchtigkeit von einem Wert von rd. 70 vH stetig zu, und zwar für je 5 vH Feuchtigkeitszunahme fast genau um 5 vH. Von 70 vH Feuchtigkeit an aufwärts stieg die Zerreißfestigkeit wesentlich langsamer an.

Die geschlichteten Garne zeigten ein wesentlich anderes Verhalten. Vom trockenen Zustand bis zu rd. 30 vH Feuchtigkeit trat zwar ein stetiges Anwachsen der Zerreißfestigkeit um 4 vH auf 10 vH Feuchtigkeitszunahme, dann aber erfolgte bis zu einem Wert von rd. 80 vH nur eine ganz geringe Zunahme; ab diesem Punkt ab fiel die Zerreißfestigkeit dagegen wieder bis zu einem Mindestwert.

Die Dehnbarkeit, eine Eigenschaft, die für die Weberei von besonderer Bedeutung ist, nahm sowohl für die ungeschlichteten als auch für die geschlichteten Garne mit ansteigender relativer Feuchtigkeit stark zu, Zahlentafel 1.

Zahlentafel 1

Mittelwerte aus der Untersuchung verschiedener Garne

	Dehnbarkeit für eine relative Feuchtigkeit von	
	20 vH	80 vH
ungeschlichtete Garne	4,1 vH der Länge	6,8 vH der Länge
geschlichtete „	2,8 „ „ „	5,3 „ „ „

Anm.: Die Werte sind aus den Kurven extrapoliert.

Eine bedeutende Zunahme der Zerreißfestigkeit und Dehnbarkeit von Baumwollgarnen mit ansteigender relativer Luftfeuchtigkeit ist also durch diese Versuchswerte bestätigt und damit die Wichtigkeit künstlicher Luftbefeuchtung für Spinnereien und Webereien dargelegt worden. Schließlich soll aber noch auf einen Punkt hingewiesen werden, der in diesem Zusammenhang nicht außer acht gelassen werden darf: die Staub- und Flugverminderung durch die Luftbefeuchtung!

Staub und Flug bedeutet, soweit er noch spinnbare oder als Abfall verkäufliche Fasern enthält, einen unmittelbaren Verlust für den Betrieb, er verursacht aber auch mittelbare Schäden dadurch, daß durch die Flusen mehr Fadenbrüche oder dicke Stellen im Garn entstehen, oder daß die Kopse feinerer Garne durch das Verstauben an Verkaufswert verlieren. Die gesundheitlichen Vorteile einer staubfreien Luft im Fabriksaal seien nur beiläufig erwähnt.

Einfluß der klimatischen Verhältnisse auf die Frage der künstlichen Luftbefeuchtung

Zahlenmäßige Nachweise zeigen, daß die relative Feuchtigkeit der freien Atmosphäre bei uns fast immer ausreichend hoch ist, um keinen dauernden Verlust an Feuchtigkeit der Faserstoffe eintreten zu lassen, solange sie gegen Sonne geschützt im Freien lagern. Anders liegen die Verhältnisse aber innerhalb der Fabrikräume, die man während eines großen Teiles des Jahres künstlich beheizen muß. In gut belüfteten Räumen ohne künstliche Befeuchtung stellt sich die gleiche absolute Feuchtigkeit ein, die zur gleichen Zeit außen vorhanden ist. Da man nun die Innentemperatur etwa während des halben Jahres wesentlich über die Außentemperatur steigern muß, so folgt daraus, daß die relative Feuchtigkeit innerhalb der geheizten Räume viel niedriger ist. Die mittlere relative Feuchtigkeit im Jahresdurchschnitt ist z. B. in Stuttgart bei einer Lufttemperatur von 10,4° rd. 72 vH; dieser Luftfeuchtigkeit würde bei einer mittleren Temperatur in der Spinnerei von 20° ein Feuchtigkeitswert von nur rd. 40 vH entsprechen, was für die Erzielung eines einwandfreien Garnes zu wenig ist.

Das Jahresmittel gibt aber auch keinen zuverlässigen Anhalt für die Beurteilung der Notwendigkeit der künstlichen Luftbefeuchtung, weil es keinen Aufschluß gibt über die Anzahl der Tage, an denen die Feuchtigkeit unter den geringsten zulässigen Wert sinkt. Das zeigt sich u. a. an dem Beispiel von Lancashire in England und New Bedford in den Vereinigten Staaten, den für die Textilindustrie günstigsten Bezirken im gemäßigten Klima, wo die mittlere relative Feuchtigkeit zwar 84 vH und 82 vH beträgt, aber trotzdem namentlich in den Wintermonaten die relative Feuchtigkeit längere Zeit weit unter dem zulässigen Mindestwert liegt. Deshalb haben nach meinen Erfahrungen auch fast sämtliche Spinnereien und Webereien Lancashires wirksame Luftbefeuchtungsanlagen, was man von unseren heimischen Textilbetrieben nicht mit derselben Sicherheit behaupten kann. Vor allen Dingen gibt es bei uns nicht wenige Betriebe, die zwar eine solche Anlage besitzen, sie aber nicht benutzen oder infolge mangelnder Überwachung der in der Fabrik herrschenden relativen Feuchtigkeit nicht rechtzeitig in Betrieb setzen.

Luftbefeuchtungsanlagen

Die in den letzten Jahrzehnten entwickelten verschiedenartigen Befeuchtungsrichtungen habe ich in folgender Übersicht zusammengefaßt:

Einzelvorrichtungen für örtliche Befeuchtung

Druckluft-Wasserzerstäubung	Druckwasserzerstäubung
Düsenzerstäuber,	Düsenzerstäuber,
Düsenzerstäuber mit Lüfter und mit Heizung.	Düsenzerstäuber mit Lüfter, Fliehkraftzerstäuber mit Lüfter,
Düsenzerstäuber mit gemeinsamer Luftzufuhr durch Gruppenlüfter und mit Heizung,	Düsenzerstäuber mit gemeinsamer Luftzufuhr durch Gruppenlüfter und mit Heizung,
Düsenzerstäuber mit gemeinsamem Ansaugkanal und Einzellüftern,	Selbstlüftende Düsenzerstäuber mit Verteilung und mit Heizung.
Selbstlüftende Düsenzerstäuber.	

Zentralanlage

für ausschließlich zentrale Befeuchtung, Belüftung und mit Heizung.	für zentrale Befeuchtung, Belüftung mit zusätzlich örtlicher Befeuchtung und mit Heizung.
---	---

Von einer guten Anlage ist zu fordern: Zufuhr übersättigter Luft oder feinerzerstäubten Wassers, ohne daß Tropfenbildung eintritt, gute Verteilung im Raume, schnelle Wirkung, gesundheitlich einwandfreier Zustand des Wassers oder der Luft, gleichzeitige Raumbelüftung und Kühlung im Sommer, gute Regelbarkeit. Vom wirtschaftlichen Standpunkt sind ferner von Wichtigkeit: Anlagekosten, Raumbedarf, keine Beengung oder Verdunkelung des freien Raumes über den Maschinen, Betriebskosten, einfache Bedienung und möglichst selbsttätige Regelung von Temperatur und Feuchtigkeit.

[B 2295]

¹⁾ A. W. Thompson, Air Conditioning in Textile Mills, Boston 1924 25.
²⁾ Journal of the Textile Institute December 1926.

Staubbeseitigung in Textilbetrieben

Von Dr.-Ing. R. MELDAU, Patentanwalt, Berlin-Wilmersdorf

Vorgetragen in der Textiltagung des Vereines deutscher Ingenieure am 17. und 18. November in Stuttgart

Im wesentlichen ungelöste Staubfragen bieten Spinnereien und Webereien. Zunächst muß die Entstehungsweise des Staubes ermittelt werden, dann die Hauptquellen. Wo die Verhütung nicht ausreicht, muß man angepaßte Beseitigungsmittel wählen. Die vorliegenden Fragen verlangen in erster Linie eine physikalische Behandlung, und zwar gemeinsam für die verschiedenen Zweige der Textilindustrie. Einige Anordnungen werden vorgeschlagen.

Staubfragen treten bei der Aufbereitung der Textilfasern nur auf, soweit diese trocken behandelt werden, und sind verhältnismäßig einfach zu lösen. Die bei der Arbeit auf engem Raum aufgewirbelte große Menge vorwiegend erdiger und holziger Staube kann durch Einkapseln der ganzen Maschine (Ballenöffner, Schwingstände) oder ihrer stauberzeugenden Teile (Karden u. a.) zusammengehalten und mit einer verhältnismäßig geringen Luftmenge abgesogen werden, vereinzelt unter Benutzung der Absaugung für den Arbeitsgang, z. B. das Befördern oder Gleichrichten der Fasern. Außerdem ist es üblich, die Aufbereitungsmaschinen, wie Krempel, gesondert in kleine Räume zu setzen. Einzelgänger werden, wenn möglich, mit Rollvorhängen bedeckt, die den Staub zurückhalten.

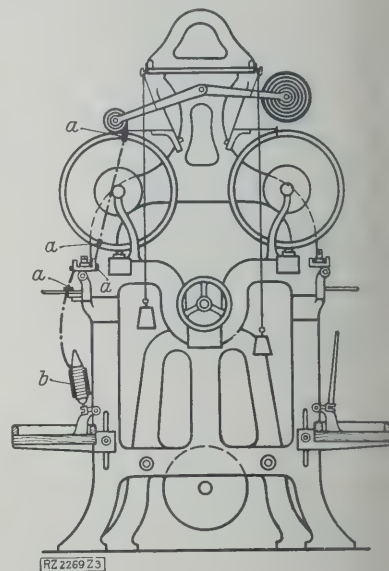
Wenn jedoch die Technik zur Einzelverarbeitung der Fasern und dann der Fäden übergeht, wird jeder Faden, meist an mehreren Stellen der Maschine, zu einer Staubquelle. Der Abfallstaub nimmt allmählich ab zu Ungunsten des Beschwerungsstaubes und des wirtschaftlich bedeutsamen Verschleißstaubes, der 3 bis 5 vH des Gewichtes der Fertigware betragen kann. Die organischen Beschwerungsmittel sind wasseranziehend und gute Nährböden für Bakterien; in geringem Maße backt jedoch auch Tonerdestaub infolge Adsorption bei den zur Appretur nötigen Teilchengrößen. Die feinsten schwebenden Teilchen bilden außerdem Kondensationskerne für die Luftfeuchtigkeit.

Staubbildung und Staubarten

Zur Besserung der Staubverhältnisse trägt in erster Linie die Kenntnis der Entstehungsart und des Entstehungsortes bei. Beim Spinnstaub handelt es sich meist um ein Auskämmen oder Ausschütteln von Körnerstaub oder von Fasern; beim Weben um eine Scherung oder ein Abknicken durch Hin- und Herbiegen überbeanspruchter vorstehender Fasern, gegebenenfalls verbunden mit einer Quetschung. Die Staubentwicklung nimmt im allgemeinen mit der Faserlänge zu. Unter gleichen Versuchsbedingungen ermittelte Vergleichszahlen über die Zugfestigkeit und andre für die Staubbildung maßgebende Zahlen verschiedener Faserstoffe scheinen nicht vorzuliegen. Wie und wo Staub, z. B. an einem Fadenführer, entsteht oder sich von einem schwingenden Faden löst, kann durch Filmaufnahme genau ermittelt werden. Die Versuchseinrichtung ist zwar nicht einfach, jedoch physikalisch durchgearbeitet. Die für die Staubentstehung maßgebenden Meßgrößen weichen unter Umständen von den üblicherweise angegebenen Festigkeitszahlen stark ab. Sie haben eher etwas mit den Verschleißwerten der Werk-

Abb. 3
Schema einer
Kreuzspul-
maschine mit
Fadengang
zur Darstellung
der Staubbildungsstellen.

a Fadenführer
b Spule



stoffprüfung zu tun, die jedoch am fertigen Tuch ermittelt werden und über deren den praktischen Verhältnisse entsprechende Feststellung noch keine einhellige Ansicht der Fachkreise besteht. Abb. 1 ist die Mikroaufnahme eines Schichtquerschnittes von Baumwollstauben aus d. Weberei. Abb. 2 zeigt Spinnstaub von Baumwolle. Alle von der Weife bis zum Webstuhl entnommenen Fasern haben das gleiche Gepräge. Sie sind rein und spinnfähig für große Garne. Die Bruchstellen der Fasern können z. B. mit Kresylechtviolett, das das Faserinnendunkler färbt, kenntlich gemacht werden, um ein Bild der Entstehung zu geben. Der Staub zeigt verhältnismäßig wenige Bruchstellen.

Staubquellen

Verfolgt man den Weg eines Fadens durch die Textilmaschinen, so lassen sich in jeder einige Stellen ermitteln, an denen der Faden staubt. Für jede Maschine ergibt sich eine Skizze gemäß Abb. 3. Aller Staub entsteht durch Reibung, sei es durch Längsreibung ruhender oder bewegter Fäden, sei es durch Querreibung von Fäden aneinander oder von Fäden an Maschinenteilen. In seltenen Fällen löst sich aus dem Faden auch ohne Reibung durch schwingende Bewegungen Staub. Je schneller der Arbeitsgang, desto lebhafter die Staubentwicklung. Je nach der Maschine überwiegt die Staubentstehung durch Querreibung

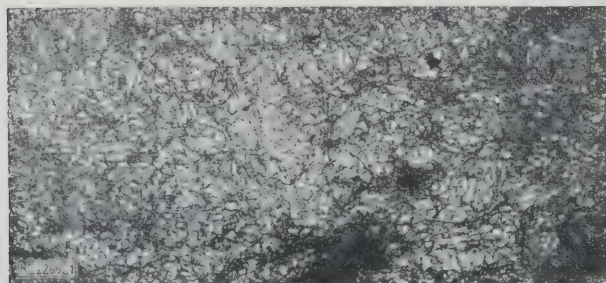


Abb. 1
Baumwollwebstaub (20fach vergr.)

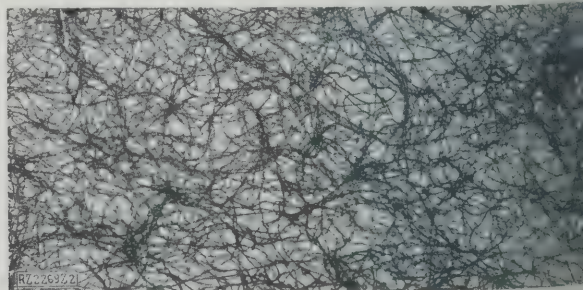


Abb. 2
Beispiel eines Baumwollspinnstaubes (20fach vergr.).

Zahlentafel 1. Arten und Ursachen der Fadenreibung für verschiedene Maschinen einer Baumwollweberei.

Maschine	Faden reibt sich an		
	Nachbarfaden Längsreibung	Fadenführer Querreibung	andern Arbeitsteilen Querreibung
anische Doppelweife für Baumwolle von Kops . . .	Aufspulen	einmal	—
ngarn-Spulmaschine	"	zweimal	—
Kreuzspulmaschine	Abspulen, zweimal	viernal	—
maschine	Aufspulen, zweimal	dreimal	—
zspulmaschine (Schlitztrommelbauart)	Abspulen	fünfmal	—
maschine	Aufspulen	zweimal	—
s-Kettenschermaschine	—	dreimal	=
ngarn-Spulmaschine	{ Ab- und Aufspulen } zweimal	fünfmal	—
eschütziger Webstuhl	Verschränkung	Geschirr (Litze)	{ Walkriegel Blatt (Lade)

stuhl) oder durch Längsreibung (Samtwebstuhl). In
entafel 1 sind für eine Baumwollweberei für eine An-
Textilmaschinen die Arten und Ursachen der Faden-
ng zusammengestellt. Die zupfend oder kämmend wir-
en Längsreibungsstellen, besonders diejenigen an den
n und Bobinen, können wohl nicht vermieden wer-
n. Unsere Hauptaufmerksamkeit verdienen die Faden-
r, da z. B. ein Baumwollkettfaden von der Weife bis
Gewebe sechs bis zehn Fadenführer durchläuft.

Staubverhütung

Da für die Berührung zwischen Faden und Führer
punktförmige Auflage als schabend und eine solche
der Länge als zu sehr reibend gleich ungünstig ist,
es eine Anzahl günstigste Fadenführeröffnungen und
Umformungen, entsprechend den verschiedenen Fadenarten
ihren Bewegungsformen. Wenn auch die Fachindu-
sich mit der Ermittlung günstiger Fadenführerformen
hend beschäftigt hat, so sind doch diese Arbeiten, da
cht veröffentlicht sind, nicht nachprüfbar. Möglicher-
lassen sich wie auf anderen Gebieten durch Film-
suchung auch hier Unterlagen für beträchtliche Ver-
rungen finden. Ist doch der eigentliche Vorgang der
telbaren Beobachtung entzogen. Durch die richtige
assung der Fadenunterstützungen lassen sich die
ingungen der Fäden regeln und besonders Resonanz-
ingungen unterdrücken, die zur Flugbildung bei-
n.

Bei der Weberei verlegt man durch Schlichten auf
plüschbrettchen, durch Benutzung der *Schatzschen*
en bremse (Fadenrutzer) und anderer Mittel einen
stlichen Teil der Staubentstehung an eine gewünschte
h, wo sie unschädlich ist. Sogar Kunstseide wird heute
lichtet. Jedoch sind im ganzen die Möglichkeiten be-
änkt, den Flug durch Glätten des Fadens zu beheben.
sGasieren (Flämmen) verteuert und verfeinert den
wollfaden. Die Führung des Fadens durch Wasser
il wesentlichsten auf Ringzwirn- und Ringspinnmaschinen
beschränkt.

Staubbeseitigung

sofern der bekannte Grundsatz der örtlichen
ababsaugung folgerichtig weitergeführt wird, er-
sche sich Maschinenteile, die als Saugmündstücke ausge-
e oder mit solchen verbunden sind als Fadenführer,
messer usw. Wenn solche Mundstücke anwendbar
kann mit ihrer Hilfe die Luftmenge, die man für 1 g
bewegen muß, auf ein Mindestmaß beschränkt wer-
weil sie in der dritten Potenz der Entfernung ab-

er an zahlreichen Entstehungsstellen im ständig durch-
ten Raum unaufhörlich erzeugte Flug, zumal die
er Natur zur Flugfähigkeit eigens ausgebildete Baum-
hat alle physikalischen Eigenschaften, die das Fal-
schweren; das Verhältnis von Oberfläche zu Gewicht
a Größtmaß. Dieser Flug bildet die Sonnenstäubchen,
uftplankton; sofern es Luftkolloide gibt, gehören in
linie Faserreste zu ihren Bildnern, wie der Groß-
staub beweist').

Meldau: Der Industriestaub (Berlin 1926) Abschnitt „Pseudo-
ge Systeme“ S. 59; ferner S. 65, 89 a. a. O.

Die gleichmäßige Verteilung gewichtsmäßig geringer
Mengen von Textilstaub in der Luft und die Schwierigkeit,
ihn in der Absaugrichtung zu beschleunigen, zwingen
zur Verwendung von Rohrleitungen, deren Abmessungen
groß erscheinen, verglichen mit den Textilmaschinenteilen,
deren Zubehör sie doch nur darstellen, besonders wenn man
Kraft- und Raumbedarf der Arbeitsteile einerseits und der
Entstaubungsanlage andererseits jeweils mit dem darin be-
handelten Faser- und Fadengewicht vergleicht. Dies Ver-
hältnis kehrt aber auch bei der Gichtgasreinigung u. a.
wieder. Man kann sogar sagen, daß ein wesentlicher Fort-
schritt der Entstaubungstechnik darin besteht, große Ab-
messungen als richtig bei den Abnehmern durchzusetzen.

Um den Staub von der Entstehungsstelle wegzuführen,
werden oft luft- und textiltechnisch gleich ungünstige Rohr-
führungen notwendig. Wollte man daher die Lösung der
Entstaubungsfrage für Spinnmaschinen, Webstühle und
dergl. nur darin suchen, Absaugdüsen mit Rohranschlüs-
sen zu den einzelnen Fadenführern, Spulen usw. zu legen,
so würden sich sehr ungünstige Verhältnisse ergeben, z. B.
die Abführung von 1 g Staub für eine Düse und einen
Tag, abgesehen von der Wärmeentziehung, die bereits bei
weniger durchgebildeten Anlagen, wie in Spinnsälen, Sorge
macht. Die Luftbefeuchtung zwecks Entstaubung
ist andererseits wegen der großen Temperaturschwankungen
in unserem Klima oft nicht anwendbar. Bei zu großer
Feuchtigkeit dehnen sich z. B. die Karden, so daß sie nicht
mehr in die Löcher der Muster passen. Fast nie ist in
unserem Klima die Flugbeschwerung durch Befeuchtung ein
allein genügendes Entstaubungsmittel, vielmehr muß die
Wirkung der Befeuchtung staubtechnisch als erfüllt be-
trachtet werden, wenn sie den Faden geschmeidig und un-
elektrisch macht. Selbst wenn sie möglich wäre, würde die
Verschlammung des Werkstattbodens unerwünscht sein.

Die Staubbekämpfung in Spinnereien, Webereien und
Wirkereien muß also meist mehrere von Fall zu Fall aus-
zuwählende Mittel anwenden. Stärkere Staubquellen an der
Oberfläche des Maschinengestells lassen sich, da sie ja
von vornherein feststehen, z. B. am Waidbaum, durch ins
Gestell eingebaute Absaugdüsen beheben, wie dies bei
stauberzeugenden Maschinen anderer Industriezweige, z. B.
in Gießereien, bereits üblich ist. Jedoch darf nicht un-
erwähnt bleiben, daß solche Einbauten bei der besonders
stark staubenden Juteverarbeitung praktisch keinen Erfolg
hatten. Die stärksten Staubbildner hängt man am besten
an den Anfang des Absaugnetzes, an die Stellen des we-
testen Regelbereichs von Druck und Geschwindigkeit.

Um den durch örtliche Hilfsmittel nicht erfaßten Flug
in der Nähe der Maschinen zum Absetzen zu bringen, ver-
mindert man die Luftwirbelung im Maschinenraum.
Diese entsteht durch große Riementreibe (Mitwind), Türen,
Einzelheizkörper sowie unverteilte Luftströme aus oder
nach den Lüftungsanlagen. Daher empfehlen sich als staub-
mindernd elektrischer Einzelantrieb, eine Heizung ohne
freilegende Rippenrohre und Diffusoren oder Anemostaten
zum Verteilen der Luft im ganzen Raume. Zur staub-
freien Belüftung der elektrischen Maschinen haben sich
neuerdings Anordnungen mit im Sockel eingebauten Me-
tallfiltern bewährt, Abb. 4, die jedoch einer sorgfäl-
tigen Wartung bedürfen, um wirksam zu bleiben.

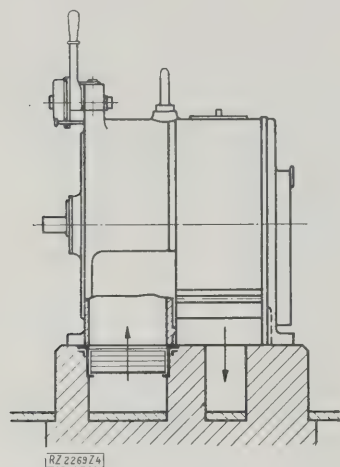


Abb. 4
Elektromotor für Textilbetriebe
mit im Sockel eingebautem Luft-
filter; W. Bartel, G. m. b. H.

Aus den Arbeitsräumen selbst muß der Flugstaub durch Abluftkanäle entfernt werden, deren Mündungen so auf den Raum verteilt sind, daß die Absaugwege möglichst kurz sind. Kondensationsquellen in diesen Leitungen veranlassen Abscheidungen, die die Druck- und Geschwindigkeitsverhältnisse erheblich ändern können. Zur Abscheidung des Staubes dienen mechanische oder elektrische Filter. In vielen Fällen genügen grobmächtige Siebe, die man schräg vorspringend in den Luftstrom stellt. Zur Feinreinigung schaltet man metallische Bandfilter nach. Grobe Fasern scheidet man in Staubkammern und Zyklonen aus. Die Filter müssen fast täglich gereinigt werden, meist durch Abziehen eines zusammenhängenden Filzpolsters. Eine nach Anfallstellen getrennte Sammlung des Staubes zum Reinhalten der besseren Sorten ist empfehlenswert.

Das von den Siemens-Schuckertwerken für die Flachs- und Hanfspinnerei nach vorheriger Erprobung ausgeführte Elektrofilter, Abb. 5, ist zur Reinigung von 240 m³/min (14 400 m³/h) Abluft bestimmt. Der Staubgehalt wird von 30 bis 40 mg/m³ auf 0,6 bis 1 mg/m³ gesenkt. Die Filteranlage braucht 2,5 kW, der Lüfter dagegen 80 kW. Wie bei den mechanischen Filteranlagen wird auch beim Elektrofilter die Luft umgeführt. Zum Reinigen des Elektrofilters dienen Wasserstrahlen aus Messingrohren zwischen je zwei Elektroden. Zum Waschen benutzt man die Betriebspausen. Danach müssen die Elektroden sorgfältig getrocknet werden. In einer Baumwollspinnerei wird das Abspülen vermieden durch Benutzung freihängender Profilstäbe mit Sprühkanten als Elektroden, von denen der Staub teils frei abfällt, teils abgeschabt wird.

Der eingeatmete Textilstaub, Abb. 6, steht an bösenartigen Wirkungen erheblich hinter Mineralstäuben zurück²⁾.

Der sich absetzende Staub verfilzt, wo er kann. In Spinnereien legt sich der Flug unter Knötchenbildung auf die Fäden, daher verbessert die Staubbeseitigung unmittelbar die Garne. In der Weberei fegt die Lade dagegen den Staub dauernd vom Gewebe fort. Der Staub legt sich ferner auf alle freien Teile des Gebälks, der Maschinen, Heizkörper und insbesondere auf elektrische Leitungen. Bei etwa 70 °C beginnt er zu schwelen. Zur Entfernung dienen fahrbare Fasersammler mit auswechselbaren Absaugdüsen, wobei man den Staub in Säcken getrennt nach Gütegraden verpackt, oder Anschlüsse an fest eingebaute Absaugleitungen über den Maschinen. Für die Kardenreinigung ist bereits vor einigen Jahren ein pneumatischer Ausstoß mit elektrisch betriebener Düse angegeben worden. Alle diese Anlagen stehen und fallen mit der Güte der Düsen und müssen ständig in Betrieb sein, um die zahlreichen Staub-

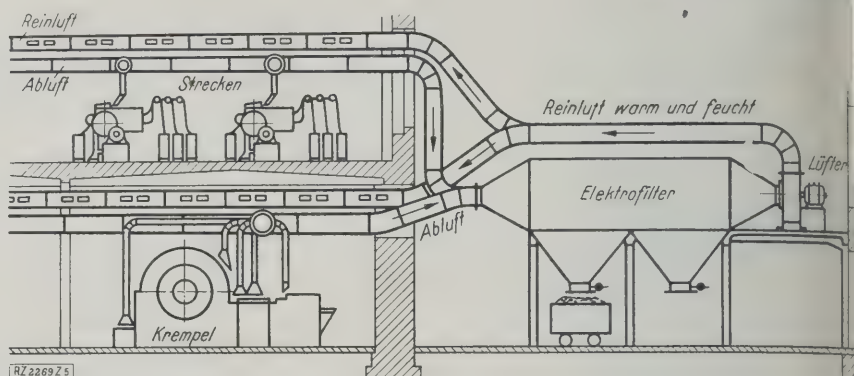


Abb. 5
Elektrofilteranlage
einer Flachs- und
Hanfspinnerei mit
Reinfluftrückleitung;
Siemens-Schuckert-
werke

lager zu entfernen. Wird der Staub fortgekehrt, so sei in kurzen Abständen Kehrlöcher vorgesehen, zweckmäßig in der Abluftleitung am Boden. Als Staubschutz der Maschinen wird Verchromung empfohlen.

Beim Neubau von Fabriken bewährt es sich bei Eisconbetonbauten, sämtliche Unterzüge oben in der Mitte der Druckzone mit Aussparungen zu versehen, durch welche die verschiedenen Leitungsrohre ohne Stemmarbeiten und Bogenführungen bequem verlegt werden können. Außerdem sind, sofern der Aufstellungsort der Maschinen nicht genau festgelegt werden kann, nach einem bestimmten Plan in den Decken Aussparungen zu lassen, und zwar reichlich um Stemmarbeiten zu sparen³⁾. Die überreichliche Verwendung von Rillenschienen zur Aufnahme von Leitungen aller Art lohnt sich sowohl bei der Einrichtung wie im Betrieb. Fortfall von Staublagern und größere Helligkeit und Übersicht gehen meist Hand in Hand.

Zusammenfassung

Die physikalische Betrachtung der Textilstaubfrage zeigt vieles für die einzelnen Faserarten Gemeinsamkeiten. Die Behandlung der Staubfrage beginnt am Faden, daher ist ein Erfahrungsaustausch zwischen den verschiedenen Textilgruppen ratsam. Nicht nur für die Maschinen, auch für die gesamte Fabrikanlage ist es günstig, den Entstaubungsfachmann erst nach Beendigung der Einrichtung zuzuziehen. Dann bleibt ihm wenigstens nichts übrig, als durch geschickte Führung von Rohren und Düsen seine Aufgabe zu lösen. In hygienischen Lehrbüchern hat man Abbildungen von Textilentstaubungsanlagen gesammelt, die tatsächlich kaum etwas anderes als eine Zusammenstellung von Rohr- und Düsenformen sind. Empfehlenswert ist vielmehr eine enge Zusammenarbeit von Textilmaschinen-Fabrikanten und Entstaubungsfirmen, die von der Textilindustrie als Hauptbeteiligte gefördert wird. Ein Anreiz für eine solche Zusammenarbeit wird geboten, wenn es gelingt, den Absaugluftstrom für das Arbeitsverfahren nutzbar zu machen sowie den verschiedenen Staub gut zu verwerten, wie dies in anderen Industriezweigen gelungen ist. [B 2269]

²⁾ Braum: Der Industriebau (Berlin 1927) S. 155/36.

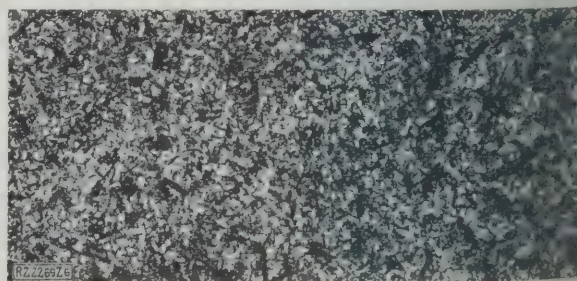


Abb. 6
Faseriger Teil des Staubes aus dem Elektrofilter
der Flachs- und Hanfspinnerei mit zahlreichen
Ballungen, 20fach vergr.

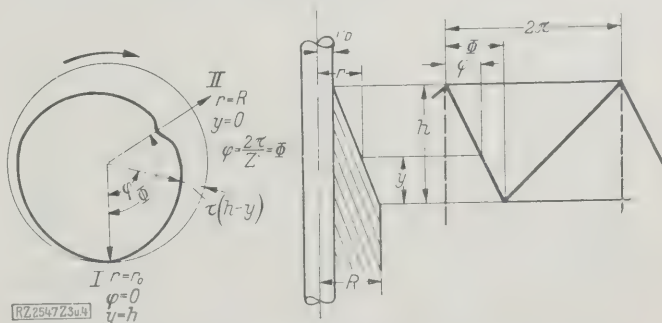
³⁾ Flügge-Heymann, Grundriß der Hygiene (Berlin 1928) S. 395.

Von Dr.-Ing. F. OERTEL, Berlin-Siemensstadt

Die vorliegende Arbeit will die als bekannt vorausgesetzten Grundlagen der Geschwindigkeitsregelung in solcher Form behandeln, daß das mechanische Verhalten von Maschine und Antriebmotor sowie dessen Belastungsverhältnisse beim Regelvorgang dabei näher ersichtlich werden, um Schlüsse für den Entwurf solcher Regelantriebe daraus zu ziehen. Für einen wirtschaftlichen Erfolg der Geschwindigkeitsregelung ist wichtig ein Ausbau der Betriebsführung auf dauernd richtige Einstellung der Grund- und Lagendrehzahlen und eine spinnntechnisch zutreffende Festlegung des durch den Spinnregler zu sichernden günstigsten Verlaufes der Regeldrehzahlen. Aus der gesetzmäßig aufgebauten Lagendrehzahllinie ergeben sich die zugehörigen Drehzahlbeschleunigungen und -verzögerungen, damit auch die Drehmomentänderungen, also eine Darstellung des Lagenregelungsvorganges im sogenannten Drehmomenten-Schaubild, die sich zur Überprüfung der Antriebsleistungen, der Motorbelastungsverhältnisse und als Hilfsmittel zur einwandfreien Bestimmung der Motorgrößen eignet.

A black and white photograph of a large industrial facility, likely a steel mill. In the foreground, several large, dark, cylindrical structures, possibly blast furnaces or converters, are visible. Behind them, a complex network of pipes, structural beams, and other industrial equipment extends into the background. The overall scene depicts a massive manufacturing plant. In the bottom left corner, there is a small white box containing the text "RZ254721".

- h* Schwinghebel für Ringbankhub
- i* Schwinghebelrolle
- k* Kettenrolle mit Übersetzung
- l* Schaltrad zum Hochschalten der Ringbank



$\frac{h-y}{h} = \frac{\varphi}{\psi}$ „ „ „ „ φ : Archimedische Spirale

Einstellung der Grund- und Lagendrehzahlen

Die Grund- und Lagendrehzahlen, n_g und n_l , muß der Arbeiter im Einzelfall nach der Erfahrung so zu wählen, daß das zeitraubende Ausprobieren möglichst eingeschränkt werden kann. Damit werden an das spinnende Können nicht unerhebliche Anforderungen gestellt, denn beide Drehzahlen sind durchaus verschiedenen Grades der Art, in der die den Einzelfall kennzeichnenden technischen Veränderlichen: Garnnummer, Drehungssinn usw., jeweils zusammentreffen. Eine volle Ausnutzung der in der Geschwindigkeitsregelung steckenden Möglichkeiten setzt daher, wie jede ernstlich durchgeführte Rationalisierungsmaßnahme, eine gut durchdachte, durchgeübte Betriebsführung voraus: dauernde Einstellung einer zutreffenden Wahl der Grund- und Lagendrehzahlen, Schulung der Arbeitskräfte u. a. m. Die Grund- und Lagendrehzahlen, n_g und n_l , kann der Arbeiter mit den bei den Spinnreglern vorgesehenen Hilfsmöglichkeiten nach bestem Ermessen einstellen oder den jeweiligen Verhältnissen anpassen. Zwischen diesen Grenzen muß die selbsttätige Regeleinrichtung den Drehzahlverlauf längs der übrigen Spulenhalmmesser stellen. Dieser Punkt ist daher für die Technik der Geschwindigkeitsregelung offenbar von besonderer Bedeutung. Die durch Lagenregelung erzielbare Mehrleistung ist bei festliegendem Drehzahlunterschied OC , d. h. verhältnismäßig der von der Lagenregellinie umschlossenen Fläche, also wesentlich abhängig vom Verlauf der Linie.

Der günstigste Verlauf der Lagendrehzahl

Über den mutmaßlich richtigen Verlauf kann man sich durch eine einfache Überlegung ein ungefähres Bild machen. In Abb. 8 sei durch die Strecke \overline{OC} der Lagenreglungsbetrag ($n_l - n_g$) festgelegt, der beispielsweise durch Ausprobieren nach Maßgabe der auftretenden Lagenbrüche als höchstzulässig gefunden worden ist. Als naheliegend käme für eine Verbindung zwischen Grunddrehzahlpunkt B und dem Lagendrehzahlpunkt C Gerade BC in Betracht. Diese läßt sich so aber praktisch nicht verwirklichen, denn die Drehzahlerhöhung von n_g auf n_l ist das Ergebnis eines Beschleunigungsvorganges, der sich im Bruchteil einer Minute abspielt. Die Leistungsfähigkeit von Ringspinnmaschine und Antriebmotor ist auf jeden Fall eine Abrundung der Regeldrehzahl in ihrem oberen Wendepunkt C erzwingen. Die Gerade BC kann daher nur die Bedeutung einer Grenzlage haben. Nach der anderen Seite hin würde die Senkrechte BD eine ähnliche Grenzlage darstellen, die in der Wirklichkeit nicht erreicht werden kann, weil in diesem Falle die der Ringspinnmaschine vom Antriebmotor zu erzielbare Drehzahlbeschleunigung unendlich groß werden würde. Nimmt man daher die Mittellage zwischen beiden, d. h. die Gerade BE' , als diejenige Anfangstangente an, der die Regeldrehzahl sich anschmiegt, so wird man hiermit in der Wirklichkeit offenbar nahe kommen. Der ausschlaggebende Gesichtspunkt für die Ermittlung des günstigsten Drehzahlverlaufs ist zweifellos in der Gleichhaltung der Drehzahlspannungen während des ganzen Drehzahlanstiegs zu erblicken.

An anderer Stelle³⁾ hat Verfasser eine allgemeine allgemeine Beziehung für die Regeldrehzahllinie abgeleitet. Man kann nun verstehen, daß mancher reine Beobachter einer solchen Frage kein unmittelbares Interesse zuzuwenden vermag und es über seinen reichlichen gemessenen Betriebsorgen vielleicht als belanglos betrachtet, ob diese Drehzahllinie um einige Hundertstel Verzögerung hinter dem Bestwert zurückbleibt oder nicht. Anders wird diese Frage derjenige ansehen, der sich auf den allgemeinen textilwirtschaftlichen Standpunkt stellt und sich einmal vergegenwärtigt, wieviel mal diese Linie von den rund zehn Millionen Ringspindeln in Deutschland bei durchgehender Anwendung der Lagenregelung an einem Tage durchfahren würde und welchen Wert für die deutsche Volkswirtschaft bereits ein einzelner Produktionsgewinn tatsächlich darstellt.

Es sei hier abermals besonders darauf hingewiesen, daß unter den zahlreichen Möglichkeiten für den

Verlauf der Regeldrehzahllinie immer eine jeweils günstigste vorhanden sein muß und daß dem Antriebmotor zusammen mit der Regeleinrichtung die Aufgabe zufällt, die Einhaltung dieses, äußerer Einwirkung sich entziehenden, günstigsten Verlaufs unter beliebigen spinntechnischen Verhältnissen und Lagenregelungshöhen ($n_l - n_g$) so genau wie immer möglich selbsttätig sicherzustellen. Wie weit das erreichbar ist, danach beurteilt sich die technische Brauchbarkeit des Regelverfahrens an sich und der Einrichtungen für seine praktische Durchführung.

Die erreichbare Lagenregelungshöhe ist bedingt einmal durch die spinntechnischen Verhältnisse des Einzelfalles, sodann aber auch durch Bauart und Betriebszustand der Ringspinnmaschine, insbesondere der Spindellagerung. Ist diese nicht so vollkommen, daß auch auf den oberen Regeldrehzahlen ein genügend ruhiger Lauf der Maschine sichergestellt ist, so muß die Lagen-drehzahl entsprechend niedriger eingestellt werden.

Drehzahl-Beschleunigungen

Eine unter bestimmten spinntechnischen Annahmen für eine mittlere Garnnummer rechnerisch ermittelte³⁾ günstigste Regeldrehzahllinie ist in Abb. 8 dargestellt. Ihre Wendepunkte B und C , die die Grund- und Lagendrehzahl begrenzen, sind durch die willkürliche Wahl des Hülse- und Kötzerhalbmessers r_0 und R gegeben. Für andere Halbmesser, z. B. dünnere Hülse und dickerer Kötzer, werden als Wendepunkte andere Stellen der Regeldrehzahllinie, beispielsweise G und C_2 in Frage kommen. Bereits hieraus ist verständlich, daß in den Umkehrpunkten B und C eine von null verschiedene Neigung der Drehzahllinie vorhanden ist, die für die Größe der dort aufzuwendenden Drehzahlbeschleunigung

$$\frac{dn}{dt} = \tan \vartheta$$

maßgebend ist, Abb. 9. Danach ist die Beschleunigung $+\frac{dn}{dt} = \overline{OH}$ am größten in dem Augenblick, in dem die Ringspinnmaschine, ihre Grunddrehzahl gerade verlassend, nach aufwärts geregelt wird. Von hier aus nimmt die Beschleunigung weiterhin stetig ab, behält aber auch am oberen Wendepunkt einen von null verschiedenen Wert \overline{CJ} . Nach Überschreitung der Höchstdrehzahl gehen die Beschleunigungswerte in entsprechende Verzögerungswerte $-\frac{dn}{dt}$ über, und zwar sind diese um so viel kleiner, als die Ringbank-Hubdauer ein Mehrfaches der Senkdauer ausmacht. An den Wendepunkten der Drehzahl müßten also streng genommen die Werte $\frac{dn}{dt}$ ganz unvermittelt von $-\overline{OH'}$ in $+\overline{OH}$ und von $+\overline{CJ}$ in $-\overline{CJ'}$ umschlagen; entsprechend liegen die Verhältnisse bei der Ringbankbewegung selbst. In Wirklichkeit sind die eingezeichneten abgerundeten Übergänge schon bedingt durch die bauliche Ausbildung der Bewegungen hervorbringen. Die Formscheiben: Herzscheibe für die Ringbankbewegung und Lagenscheibe für die Drehzahlregelung. Die dadurch entstehende Verringerung des Lagenregelungsbetrages $\overline{OO'}$ und $\overline{CC_1}$ ist als kleine Einbuße an Mehrerzeugung zu betrachten.

Soll eine volle Lagenregelung, die in Abb. 8 in Abhängigkeit vom Herzscheiben-Drehwinkel φ dargestellt ist, durchgeführt werden, so müssen der Ringspinnmaschine die Beschleunigungen oder Verzögerungen erteilt werden, die durch die Schaulinie gegeben sind. Während der die Augenblicksgeschwindigkeit angegebene Punkt M die Regeldrehzahllinie von B über C_1 nach B' durchläuft, Abb. 8, umfährt der Endpunkt K der zugehörigen Beschleunigungs- oder Verzögerungsstrecke \overline{KL} einmal die ganze Beschleunigungsfläche $HJJ'H'$, Abb. 9.

Muß die Lagenregelungshöhe ($n_l - n_g$) aus einem der schon besprochenen Anlässe verändert, beispielsweise erniedrigt werden, so wird der spinntechnisch richtige Verlauf der Regeldrehzahllinie dadurch aufrechterhalten, daß deren Beträge auf den verschiedenen Aufwindhalbmessern im gleichen Verhältnis verkleinert erscheinen, z. B. Linie BC_3 , Abb. 8; die zugehörige Beschleunigungs-

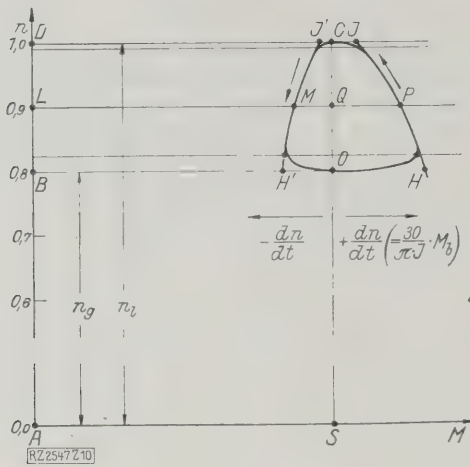


Abb. 10
Lagenregelungsvorgang im Drehmoment-Schaubild.

n U/min der Trommel in Teilen der synchronen Motordrehzahl
 J Trägheitsmoment von Ringspinnmaschine + Motoranker in m kg s^2
 n_g Trommel-Grunddrehzahl in 1 min
 n_l -Lagendrehzahl „ „ „

linie ist als solche gleichen Abstandes in Abb. 9 angedeutet. Dieses Verhältnis sicherzustellen ist die wesentliche Aufgabe der selbsttätigen Regeleinrichtung.

Die Betrachtung der Beschleunigungsverhältnisse stellt die Brücke dar, über die die spinntechnischen Erfordernisse der Geschwindigkeitsregelung begrifflich mit ihren Anforderungen an die Antriebmotoren verbunden sind.

Drehzahl-Beschleunigungsmomente

Die Drehzahlbeschleunigung ist verhältnismäßig dem sie verursachenden Beschleunigungsmoment

$$M_b = J \frac{d\omega}{dt}$$

in mkg ; $\omega = \frac{\pi n}{30}$ bedeutet die Winkelgeschwindigkeit in 1 s, J das Trägheitsmoment von Ringspinnmaschine und Motoranker zusammen, wobei der überwiegende Teil auf die Spinnmaschine entfällt. Somit ist

$$\frac{dn}{dt} = \frac{30}{\pi J} M_b.$$

Die bisher betrachteten Beschleunigungsgrößen $\frac{dn}{dt}$ stellen also unmittelbar auch die zugehörigen Beschleunigungsmomente M_b dar, wenn man sie in einem Maßstab unter Berücksichtigung der für einen bestimmten Ringspinnmaschinenantrieb unveränderlichen Teilzahl $\frac{30}{\pi J}$ in Abb. 9 einträgt.

Im Punkte O , Abb. 9, ist $\frac{dn}{dt} = \pm 0$. Denkt man sich diesen Betriebszustand über eine gewisse Zeitdauer ausgedehnt, so würde das einem Betrieb der Ringspinnmaschine mit unveränderter Grunddrehzahl n_g entsprechen. O ist also gleichzeitig als Endpunkt einer Strecke anzusehen, die denjenigen Drehmomentenbetrag darstellt, den der Antriebmotor bereits aufbringen muß, um die Maschine auf ihrer unverändert gedachten Grunddrehzahl n_g in Gang zu erhalten. Um diesen Momentenbetrag ist also der eigentliche Anfangspunkt, von dem aus die Drehmomente von Maschine oder Motor zu zählen sind, rückwärts von O entfernt liegend zu denken, siehe Punkt B in Abb. 10. Aus dem so vervollständigten Schaubild, Abb. 10, ersieht man, daß der Antriebmotor bei Beginn des Lagenregelungsbetriebes sein Drehmoment $\overline{BO} = \overline{AS}$ steigern muß bis auf \overline{BH} , worauf die Drehzahl der Ringspinnmaschine zunimmt, daß er ferner an der oberen Drehzahlwende sein Drehmoment plötzlich vom Werte \overline{DJ} auf $\overline{DJ'}$ verringern muß, um dadurch die dort erforderliche Drehzahlverzögerung einzuleiten, daß bei Anlangen auf der unteren Drehzahlgrenze das Drehmoment wiederum von $\overline{BH'}$ auf \overline{BH} steigt werden muß und so fort.

Leistungsbestimmung nach dem Drehmomentenschaubild

Drehmomentenschaubilder dieser Art, in denen beliebige Betriebspunkte durch zusammengehörige Werte Drehzahl und Drehmoment gekennzeichnet werden können, sind in der Kraftmaschinentechnik vielfach gebräuchlich, da sie über alle Antriebsfragen, z. B. auch über die Antriebsleistung, in anschaulicher Weise Auskunft geben.

Die Leistung einer Kraftmaschine ist für einen beliebigen Betriebsfall

$$N_{PS} = \frac{M n}{719} \text{ PS oder } N_{kW} = \frac{M n}{982} \text{ kW.}$$

Bei Benutzung des Drehmomentenschaubildes, Abb. 10, Leistungsbestimmung ist dann an Stelle der Spindelzahl sinngemäß diejenige der mit dem Antriebmotor kuppelten Spinnmaschinentrommel einzusetzen, wobei Übersetzungsverhältnis zwischen Trommel und Spindel das bei den meisten Ringspinnmaschinen übliche Verhältnis 1:10 nachstehend beibehalten wird. Die vom Antriebmotor abzugebende Leistung bestimmt sich dann für beliebige Betriebspunkte, beispielsweise Punkt O , zu

$$N_{PS} = \frac{\overline{BO} \times \overline{OS}}{719},$$

wobei \overline{BO} in mkg und \overline{OS} in U/min einzusetzen ist.

Wahl der Motorgröße

Die richtige Bestimmung der Motorgröße für Einzelantrieb einer Ringspinnmaschine sowie die verschiedenartige der vorkommenden Motorbelastungsverhältnisse sind mit den Erfordernissen der Lagenregelung eng verknüpft.

Eine bestimmte Größe des regelbaren Drehstromkollektormotors ist durch das größte Drehmoment in mkg gelegt, das er bei seiner höchsten Drehzahl dauernd abzugeben vermag und das nicht auf längere Zeitschritten werden darf, wenn der Motor nicht durch Überlastungsfolgen geschädigt werden soll. Beträgt die höchste Motordrehzahl beispielsweise 1200 U/min und die untere Grenze, bis zu der eine feinstufige verlustlose Regelung möglich sein soll, 600 U/min, so wird der Motor auf der unteren Grenze bei Beanspruchung mit dem größtmöglichen Drehmoment nur rund die Hälfte der Leistung entwickeln können. Die Leistung der regelbaren Drehstrom-Kollektormotoren wird daher gewöhnlich mit mindestens zwei Zahlen angegeben, die den beiden Regeldrehzahl-Grenzen entsprechen. Unbeschadet der Regelbarkeit ist der Kollektormotor jedoch in bezug auf seine elektrischen Eigenschaften noch an die synchronisierte Drehzahl gebunden, die durch die Polzahl bedingt ist, bei der der günstigste Wirkungsgrad vorhanden ist, beträgt bei 50 Per./s im umgekehrten Verhältnis zur Polpaare 2, 4, 6, 8 usw. 3000, 1500, 1000, 750 U/min.

Für Spinnmotoren kommt in der Hauptsache die Synchrondrehzahl $n = 1000$ U/min in Frage. Der Bereich des Kollektormotors wird teils oberhalb, teils unterhalb der Synchrondrehzahl gelegt. Der wirtschaftlich günstigste Antrieb wird erreicht, wenn die Synchrondrehzahl möglichst nahe mit der durchschnittlichen meisten vorkommenden Betriebsdrehzahl der Ringspinnmaschine zusammenfällt. Man muß also, um den Antriebmotor zweckentsprechend wählen zu können, die Drehzahlen oder den Drehzahlbereich der anzutreibenden Ringspinnmaschine, somit also auch ihre durchschnittliche Garnnummer und Betriebsdrehzahl, genau ermitteln.

Wenn nun die Motorgröße so gewählt ist, daß Punkt O in Abb. 10, den synchronen Vollastpunkt darstellt, so kann man, daß der Motor während des Beschleunigungsganges, Linienzug $OHJC$, zeitweilig überlastet wird, den Vorschriften des Verbandes Deutscher Elektriker müssen Elektromotoren in der Weise überlastet sein, daß sie zwei Minuten lang das Eineinhalbfache Normalstromes aushalten, wobei nach jeder Überlastdauer eine so bemessene Zeitspanne normaler oder U

⁴⁾ Vergl. „Hütte“, 25. Aufl., 2. Bd. S. 1014.

$$(L\overline{P})^2 \stackrel{1}{\sim} \dots (L\overline{M})^2 \begin{pmatrix} 1 & 1 \\ & 1 \end{pmatrix} = (LQ)^2.$$

Im weitgestecktem Bereich der auf einer Maßzahl zu spinnenden Garnnummern kommt es vor, daß die niedrigste Nummer eine Drehzahl von etwa nur 1/3 der synchronen Drehzahl und mit entsprechend dreifachem Lagenregelungsbetrag gewählt werden muß. In Abb. 10 eingezeichnete Beschleunigungsfläche wird dadurch etwa in die Lage II. Abb. 11. gerückt er-



Schaulinie	I Ringspinnmaschinen - Widerstandsmoment
"	veränderlich nach Linie C ₁ R
"	II Ringspinnmaschinen - Widerstandsmoment
"	unveränderlich nach Linie C ₂ O ₂
DC	Motor-Vollastmoment
n _g	Trommel-Grunddrehzahl in 1 min, in Teilen der syn-
	chronen Drehzahl des Motors
n _l	Trommel-Lagedrehzahl in 1 min, in Teilen der syn-
	chronen Drehzahl des Motors

Zwingen die Verhältnisse eine Spinnerei zur Verwendung ihrer Maschinen für weitgesteckten Garnnummernbereich, so daß neben feinen Nummern auf derselben Maschine auch gröbere gesponnen werden müssen, so wird man also trotz einwandfreier Bestimmung der Motorgröße auf längere Dauer mit einer Motorausnutzung von nur 30 bis 40 vH zu rechnen haben. Solche Unterlastungen sind beim elektrischen Einzelantrieb von Arbeitsmaschinen aus wirtschaftlichen Gründen stets unerwünscht, weil dabei Wirkungsgrad und Leistungsfaktor des Motors schlechter werden, also unnötig hoher Stromverbrauch und verringerte Ausnutzung der Stromerzeugungs- und -verteileneinrichtungen die Folgen sind. Nun werden zwar die Drehstrom-Kollektormotoren

von solchen nachteiligen Folgen weniger betroffen als zum Beispiel die gewöhnlichen Asynchronmotoren; denn es gehört zu ihren Vorzügen, daß Wirkungsgrad und Leistungsfaktor auf breitem Ausnutzungsgebiet verhältnismäßig gleich hoch gehalten werden können. Die Unterbelastungsverhältnisse erfordern trotzdem beim Ringspinnmaschinen-Einzelantrieb besondere Aufmerksamkeit, weil die Sicherheit der Drehzahlregelung bei Elektromotoren im allgemeinen von den Belastungsverhältnissen doch beeinflusst wird.

Bei Bemessung der Motorgröße in bezug auf die Lagenregelung ist in erster Linie davon auszugehen, daß Überlastungen auf jeden Fall vermieden werden sollen. Dazu muß man den Garnnummernbereich der Maschine kennen und ihren Kraftbedarf an der oberen und unteren Drehzahlgrenze, wenn möglich auch den Mehrbedarf bei kalter oder noch nicht genügend eingelaufener Maschine. Fällt der für die obere Drehzahlgrenze maßgebende Kraftbedarfswert nahe zusammen mit der Nennleistung des in Frage kommenden Motors, so daß wenig oder gar kein Leistungsrückhalt vorhanden ist, und erweist sich dabei ferner das Widerstandsmoment der Maschine als ziemlich unveränderlich, also \overline{OC} in Abb. 11, nahezu senkrecht verlaufend, so empfiehlt sich, um nicht ohne Not zum nächstgrößeren Motor greifen zu

müssen, vorher eine Nachprüfung des höchstvorkommenden Beschleunigungsmoments, \overline{OH} in Abb. 10 und Dazu braucht man die früher besprochenen spinntechnischen Angaben für die höchste Garnnummer. Für deren Lagenregelvorgang fällt diese Beschleunigung um so höher aus, je kürzer die Ringbankspieldauer, insbesondere der auf das Senken entfallende Anteil, und je kleiner der Ringdurchmesser ist.

Zusammenfassung

In den vorstehenden Ausführungen ist, ausgehend von den spinntechnischen Erfordernissen, die Grunddrehzahl- und Lagendrehzahl-Regelung unter Übergang die den Drehzahlveränderungen entsprechenden Beschleunigungs- und Verzögerungsverhältnisse in einer solchen Form dargestellt worden, daß daraus bestimmte, für den Entwurf und die Handhabung von Ringspinnmaschinen Einzelantrieben rechnerisch verwertbare Schlußfolgerungen gezogen werden können hinsichtlich des mechanischen Verhaltens der Spinnmaschinen und der Belastungsverhältnisse und Größenbemessung der Antriebmotoren.

Die gewählte Behandlungsweise erbringt aber noch weitere für den Entwurf solcher Antriebe bemerkenswerte Erkenntnisse⁵⁾.

[B 254]

⁵⁾ Vergl. „Siemens-Zeitschrift“ Bd. 9 (1929) Nr. 4

Der Linealspinnregler

Von Obering. NULLAU, Berlin

Vorgetragen in der Aussprache zu dem Vortrag von Dr. Oertel in der Textilagung am 17. und 18. November 1928 in Stuttgart

Beschreibung eines neuen Spinnreglers zur Erhaltung gleichbleibender Fadenspannung beim Spinnen. Als Anhalt für die Drehzahlregelung dient die Kopsform. Die Grunddrehzahl wird unter Berücksichtigung der kegeligen Hülse entweder von der Bewegung des Ringbankhebels oder von der der Ringbank selbst ausgehend geregelt.

Die in der Praxis seit langen Jahren verwendeten Kurvenscheibenregler oder Nockenregler haben sich, bis auf einzelne Ausnahmen, nicht bewährt. Sie sind sehr schwer einzustellen und haben verschiedene Nachteile, die sich in der Praxis derart auswirken, daß man lieber mit gleichbleibender Drehzahl, als mit angeschlossenem Spinnregler den Betrieb aufrecht erhält.

Der Nachteil ist wohl hauptsächlich darauf zurückzuführen, daß die bisher vorhandenen Spinnregler mittelbar arbeiten, weil sie die Bewegung der Herzradwelle auf eine Kurvenscheibe und die Bewegung des Schaltrades der Ringspinnmaschine auf eine zweite Kurvenscheibe oder Nocken übertragen; erst die Abweichungen beider Kurvenscheiben werden zur Drehzahlregelung des antreibenden Motors benutzt.

Wenn man daran denkt, daß sich bei gleichbleibender Spindeldrehzahl die Fadenspannung mit dem Wickeldurchmesser ändert, und daß ferner der Wickeldurchmesser von der Bewegung des Ringbankhebels abhängig ist, so gibt es eine Möglichkeit, die Drehzahl der Spindeln durch unmittelbare Übertragung vom Ringbankhebel auf den Motor zu ändern. Es wird sich also, z. B. bei starrer Übertragung vom Ringbankhebel auf den Motorregler, der Wickeldurchmesser und die Drehzahl in Abhängigkeit von der Bewegung des Ringbankhebels ändern. Diese Anordnung wäre die einfachste Spinnreglerausführung, wenn das An- und Abspinnen nicht wäre.

Auf Grund vieler Versuche ist ein neuer Spinnregler, der Linealspinnregler entwickelt worden, dessen Besonderheit darin besteht, die äußere Kopsform als Anhalt für die Drehzahlregelung zu benutzen, und ich bin der Ansicht, daß die unmittelbare Drehzahlregelung vom Ringbankhebel aus als die günstigste anzusehen ist, was auch die guten Erfolge in der Praxis beweisen.

Die Übertragung vom Ringbankhebel auf den Motorregler zeigt Abb. 1. Beim Auf- und Niedergehen des Ringbankhebels b wird der Motorregler i verstellt und damit die Drehzahl des antreibenden Motors k entspre-

chend geändert. Eine Klinke h am Zugseil g begründet am Lineal die Bewegung des Motorreglers i nach rechts. Das Lineal wird vom Schaltrad c aus verstellt, auf dem die Welle ein Seil n aufgewickelt wird, das das Lineal nach oben zieht. Beim Anspinnen steht das Lineal mit der oberen Kante vor der Klinke h und diese verhindert die Verstellung des Drehzahlreglers i . Hat der Ringbankhebel mehrere Bewegungen gemacht, so hat sich das Schaltrad gedreht, das Seil wurde aufgewickelt und das Lineal nach oben gezogen. Dabei kam nach und nach die Klinke auf die schräge Fläche, und somit wurde der Drehzahlunterschied während des Hauptspinnens größtenteils, bis er, entsprechend dem Fortschreiten des Spinnens, mehr und mehr verkleinert wurde. Das Lineal bildet man je nach den verschiedenen Formen der Kötzer aus.

Die Einstellung des Lineals ist sehr einfach, Abb. 2 und 3. Das Einstellen der Kurvenscheiben- oder Nockenregler dauert nicht nur tage- sondern wochenlang.

Aber auch der eben beschriebene Linealregler nützt noch nicht den weitgehenden Wünschen der Praxis. Dieser Spinnregler nimmt, wie alle bisherigen Regler, nur auf die Drehzahlregelung zwischen einer eingestellten Grunddrehzahl und einer dem größten Kötzerdurchmesser entsprechenden größten Drehzahl Rücksicht. In eingehenden Versuchen wird man feststellen, daß, falls die Fadenspannung beim Anspinnen richtig ausgenutzt ist, die Fadenbruchzahl mit ansteigendem Kötzer immer größer wird. Dies ist darauf zurückzuführen, daß bei der Drehzahlregelung keine Rücksicht auf die kegelige Form

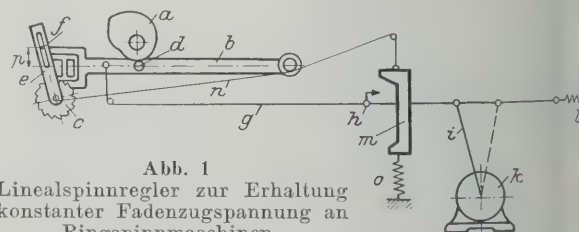


Abb. 1
Linealspinnregler zur Erhaltung konstanter Fadenzugspannung an Ringspinnmaschinen.

- | | | |
|------------------|------------------------------------|--------------------------------|
| a Kurvenscheibe | f Einstellstift für Sattelbewegung | k Antriebmotor |
| b Ringbankhebel | g Zugseil | l, o Federn |
| c Schaltrad | h Klinke | m Lineal |
| d Rolle | i Motorregler | n Seil |
| e Klinkradsattel | | p Verstellweg des Sattelstifts |

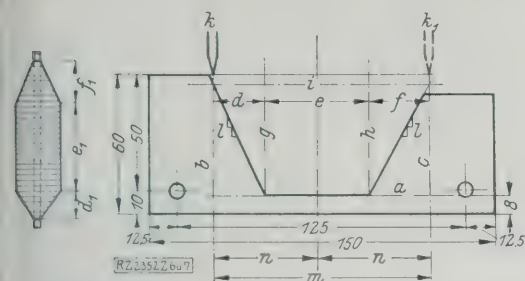


Abb. 2 und 3. Herstellung des Lineals nach der Einbauvorschrift.

Grundlinie
Anfangsenkrechte
Endsenkrechte
Anspinnen
Hauptspinnen
Abspinnen
Anspinnen
Hauptspinnen
Abspinnen
Senkrechte für Beginn des Hauptspinnens

h Senkrechte für Ende des Hauptspinnens
 i Wagrechte Kopflinie zum Zeichnen der Linealschräge
 k, k_1 Anfang- und Endstellung
 l gezahnte Linealschräge (Kurve)
 m gesamte Länge der Spinn-dauer
 n halbe Spinddauer

genommen wird; denn deren Durchmesser wird oben zu immer kleiner und dabei steigt bekanntlich gleichbleibender Drehzahl die Fadenspannung. Um zu vermeiden, wurde der Doppellineal-Spinnregler, Abb. 4 bis 7, entwickelt. Das eine Lineal a ist wie vorgeordnet. Ein zweites Lineal c soll nun die Grunddrehzahl, entsprechend der Kegelform, der Hülse annehmen. Eine Doppelklinke b greift die Formschienen c ab, wodurch einesteils die angestellte Grunddrehzahl entsprechend der kegelförmigen Form der Hülse, kleiner oder größer und andernteils die höchste Drehzahl, entsprechend der Kötzerform, durch das ausgefeilte Lineal eingestellt wird. Mit dieser Anordnung erreicht man mehr, daß die Fadenspannung bei jedem Wickelvorgang des Kötzers ausgeglichen wird, und damit auch die Fadenbruchzahl gleich bleibt.

Um die Grunddrehzahl unter Berücksichtigung der Kegelförmigen Hülse zu regeln, kann man auch die Bewegung der Ringbank selbst benutzen, Abb. 8. Der Unterschied gegenüber den vorher beschriebenen Einrichtungen liegt darin, daß man die Zugvorrichtung vom Ringbankhebel zum Motorregler nicht mit diesem, sondern mit einer lose Rolle und dann an dem Wagenhebel, der die gleiche Bewegung wie die Ringbank ausführt, bestückt. Man erreicht dadurch, daß sich die eingestellte Grunddrehzahl entsprechend der Bewegung des Wagenhebels ändert. Der Grunddrehzahlunterschied wird in der Verstellung des Angriffspunktes vom Drehpunkt des Wagenhebels eingestellt.

Bei der fortwährenden Hin- und Herbewegung des Motorreglers durch den Ringbankhebel eilt die Motorreglerzahl der jeweiligen Stellung des Reglers nach. Die Nacheilung ist um so größer, je schneller die Verstellung erfolgt und sie ist auch je nach der Motorart verschieden. Die Nacheilung muß bei der Einstellung der Spinnregler berücksichtigt werden.

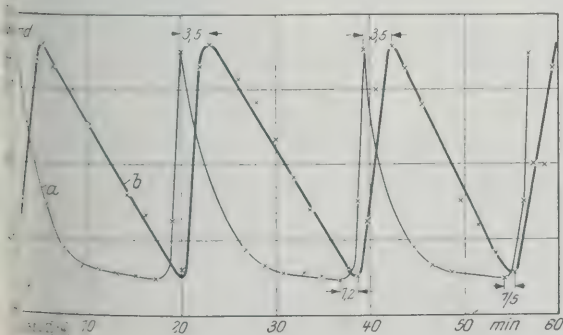


Abb. 10

Drehzahl und Leistungswechsel beim Hauptspinnen.

a Stromverlauf b Drehzahlverlauf

Abb. 4 Kopsform.



Abb. 5 Doppellineal.



Abb. 6 Einfachlineal.

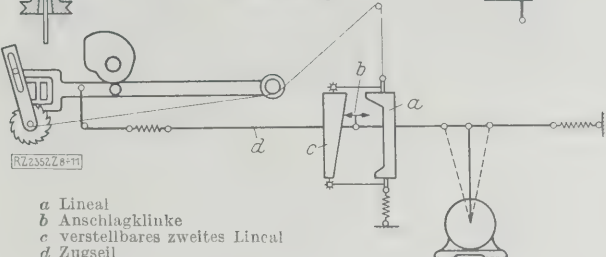


Abb. 7 Schema des Doppellineal-Spinnreglers.

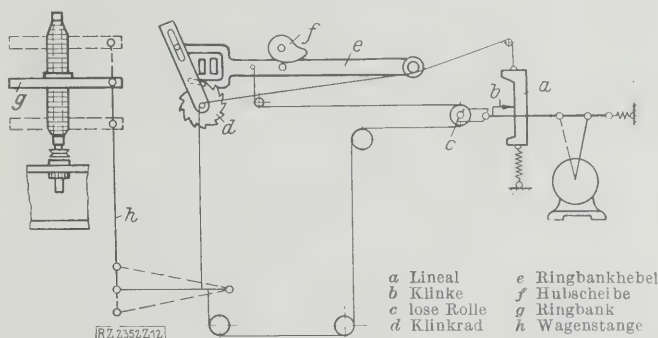


Abb. 8 Anordnung für die Regelung der Spindeldrehzahl mit Benutzung der Ringbankbewegung.

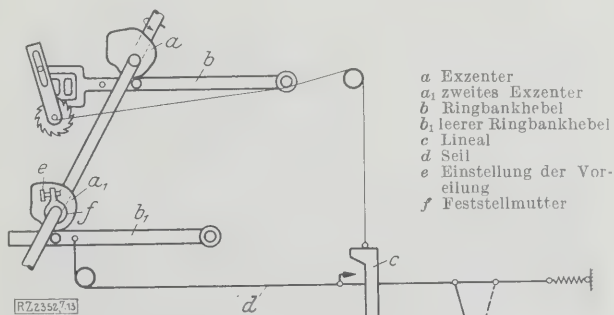


Abb. 9. Anordnung einer zweiten verstellbaren Herzradscheibe zum Einstellen der Voreilung des Motorreglers.

Ein sehr einfaches Einstellverfahren zur Ausschaltung dieses Nacheilens zeigt Abb. 9. Auf der Herzradwelle wird eine zweite mit der Herzradscheibe gleichgeformte Scheibe, aufgebracht und ein zweiter, der sogenannte leere Ringbankhebel, dadurch betätigt. Die Bewegung dieses leeren Ringbankhebels wird auf den Motorregler unmittelbar übertragen und die zweite Herzradscheibe, entsprechend der Nacheilung der Drehzahl des Motors, voreilend gestellt. Damit erreicht man, daß die Spindeln jeder Stellung des Ringbankhebels und dem damit bestimmten Aufwinddurchmesser entsprechend, mit der richtigen Drehzahl arbeiten.

Bei unmittelbarer Übertragung der Ringbankbewegung auf den Motor ist die Spindel-Drehzahl eine Dreieckskurve, Abb. 10, die, entsprechend dem Aufwindvorgang, von der Hülse zum großen Durchmesser schnell ansteigt und während des Aneinanderlegens des Fadens vom großen Durchmesser zum kleinen Durchmesser langsamer abfällt. Der Leistungsgewinn ist das Dreieck, das sich über 8500 Spindelumläufe erhebt.

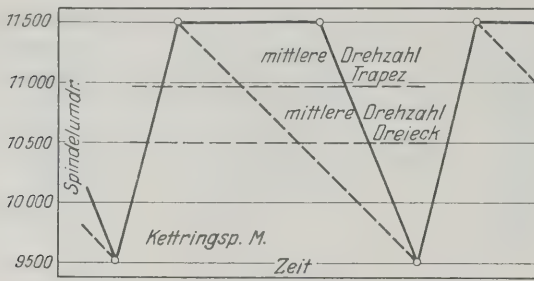


Abb. 11. Für eine Kettringspulmaschine.

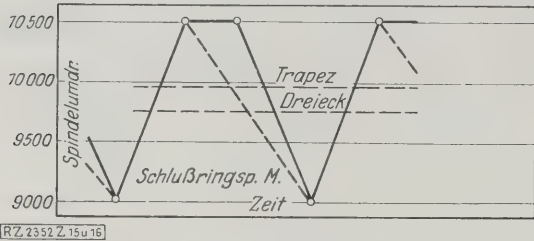


Abb. 12. Für eine Schußringspulmaschine.

Vergleich von Leistungstrapez und Leistungsdreieck.

Auf Grund eingehender Versuche ist festgestellt worden, daß sich durch einfache Umstellung des Linealspinnreglers die Regelung nach Trapezform, Abb. 11 und 12, erreichen läßt. Man stellt einen künstlich erhöhten Scheitelpunkt des Dreiecks ein; der obere Teil des Dreiecks wird dann durch längeres Auflegen der Klinke auf die Formschiene, abgeschnitten. Der Leistungsgewinn wird jetzt größer, so daß die mittlere Drehzahl von 10 500 auf rd. 11 000 steigt, wie es Abb. 11 für eine Kettringmaschine zeigt. Die Fadenbruchzahl ist bei

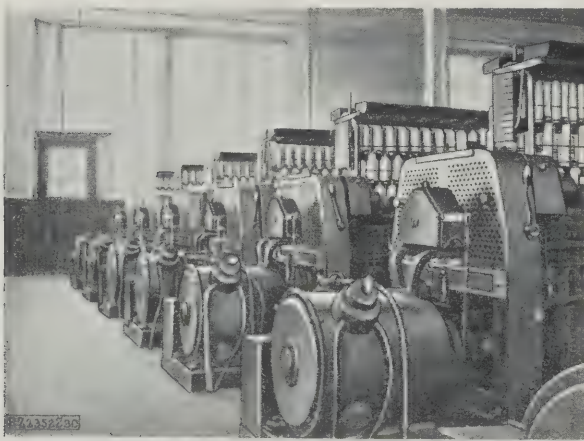


Abb. 16. Linealspinnregler, auf wassergekühlte Drehstrom-Kollektormotoren aufgebaut.

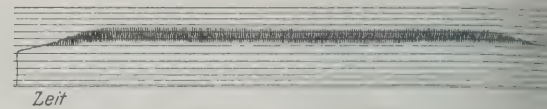


Abb. 13. Einfachlineal ohne Überregelung.

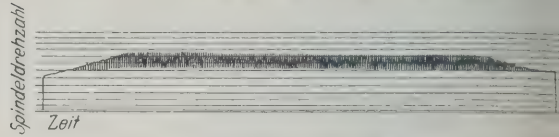


Abb. 14. Einfachlineal mit Überregelung.

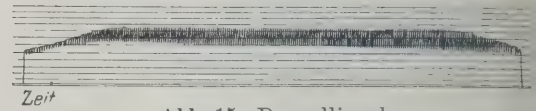


Abb. 15. Doppellineal.

Abb. 13 bis 15. Regelung der Spindeldrehzahl mit Linealspinnregler.

Trapezregelung gleich der Fadenbruchzahl bei Dreieckregelung.

Eine Gegenüberstellung der verschiedenen durch den Linealspinnregler erzielten und mittels eines Trapezgraphen aufgenommenen Schaulinien zeigen Abb. 13 bis 15. Bei Dreieckregelung, Abb. 13, wechselt die Spindelgeschwindigkeit zwischen der Grunddrehzahl und der höchsten und her. Die Arbeitsweise bei Einstellung auf Trapezregelung zeigt Abb. 14. Die Drehzahl kommt auf Grunddrehzahl nur ganz kurze Zeit herunter, in der Hauptsache wird die höchste Drehzahl eingehalten, dabei natürlich mehr erzeugt. Bei Verwendung des Doppellineal-Spinnreglers fällt die Grunddrehzahl entsprechend der kegelförmigen Form der Hülse stetig nach unten, um die Fadenspannung gleichmäßig zu halten, Abb. 15.

Der Linealspinnregler ist mehrfach zur Regelung von Drehstrom-Kollektormotoren geliefert worden, Abb. 16, und hat sich bewährt. Ein großer Vorteil des Linealspinnreglers liegt weiter darin, daß er auf den Antriebsmotor aufgebaut, Abb. 17, also vom Erdboden entfernt wird, und daß durch eine Glasscheibe der Vorgang dauernd beobachtet werden kann. Die richtigen Regelverhältnisse sind in der Dauer von zwei Spinnzeiten eingestellt. Die Umstellung auf andere Regelverhältnisse bei Herstellung anderer Garnsorten oder Kötzer kann in einigen Minuten erfolgen. [B 2352]



Abb. 17. Drehstrom-Kollektormotor mit aufbautem Linealspinnregler.

Schluß des Textteiles

I N H A L T:

	Seite
Vorwort. Von E. Meister	273
Textile Rationalisierungsfragen. Von O. Johannsen	274
Geräuschverhütung in Webereien	278
Tagesfragen im Bau von Webstühlen und Vorbereitungs- maschinen. — Bedürfnisse, Wünsche und An- regungen aus der Seidenweberei. Von F. Birk- hofer	279
Neuere Webverfahren. Von E. Mauz. (Hierzu Bildbl. 1)	285
Ausrüstungsmaschinen für Kunstseide. Von E. A. Anke. (Hierzu Bildbl. 2)	290
Aufbereitung von Bastfasern	292

Tagesfragen des Maschinenbaues für die Ausrüstungs- industrie. Von K. Schmid
Das Walzenstreckwerk in der Baumwollspinnerei. Von E. Toennies
Verbesserungen an Kammgarnkrempeln. Von F. Hempel
Gleitwiderstände in Fadenführungen. Von W. Krumme
Die Bedeutung der Luftbefeuchtung in Baumwoll-Spin- nerien und -Webereien. Von E. Meister
Staubbeseitigung in Textilbetrieben. Von R. Meldau
Über die Geschwindigkeitsregelung bei den Ringspin- maschinen. Von F. Oertel
Der Linealspinnregler. Von Nullau

ZEITSCHRIFT DES VEREINES DEUTSCHER INGENIEURE

SCHRIFTFÜHRER: C. MATSCHOSS ★

B. 73

SONNABEND, 9. MÄRZ 1929

Nr. 10

Beurteilung von Werkstoffen nach Kerbversuchen

Von W. SCHWINNING, Dresden

Kerbwirkungen bei elastischer Verformung (Betriebsbeanspruchungen). Kerbwirkungen bei plastischer Verformung (Gewaltbeanspruchungen). Einfluß der Bruchart. Trennungs- und Verfestigungsbruch. Bruchvorgang in Abhängigkeit von Temperatur und Formänderungsgeschwindigkeit. Einfluß der Änderung der Kerbwirkung auf den Bruchvorgang. Die Frage der Normung der Kerbschlagprobe.

Die Kerbschlagprobe gewinnt neben den üblichen Prüfverfahren als Mittel für die Beurteilung der Werkstoffe steigende Anerkennung. Einigung über die Art der Durchführung dieser Probe ist aber bisher nicht erreicht, obgleich die Ergebnisse von den Versuchsbedingungen in sehr starkem Maße abhängen. Es soll deshalb auf Grund der vorliegenden Forschungen untersucht werden, in wiefern die Sonderbedeutung der Kerbschlagprobe als Ergänzung zu den üblichen Prüfverfahren (Zerreißeversuch usw.) beruht, um daraus Gesichtspunkte für die Versuchsdurchführung und die Anwendung der Probe abzuleiten.

Unter Kerbbeanspruchung verstehen wir einen mehrseitigen Spannungszustand, bei dem die Quersammenziehung, die die von einer Hauptzugspannung hervorgerufene Längsdehnung begleiten muß, stark gehemmt wird. Diese Art der Beanspruchung tritt außer bei den eigentlichen Kerben auch bei schroffen Querschnittsübergängen oder Richtungswechseln eines Konstruktionsteiles ein (z. B. bei Bohrungen, Keilnuten, gekröpften Kurbelwellen usw.). Sie ist daher bei der Formgebung von Konstruktionsteilen zu vermeiden.

Diese Behinderung der Ausbildung der Quersammenziehung zeitigt verschiedenartige Wirkungen, je nachdem man das elastische oder das plastische Gebiet der Werkstoffverformung betrachtet.

Kerbwirkungen bei elastischer Verformung (Betriebsbeanspruchungen)

Im Gebiet der rein elastischen Formänderung führt die Kerbwirkung dazu, daß an örtlich begrenzten Stellen die Spannungen außerordentlich stark anwachsen, und zwar um so mehr, je stärker die Hemmung der Querdehnung ist. Es steigt, wie Kirsch theoretisch gefunden hat, am Rande einer zylindrischen Bohrung eines auf Zug beanspruchten Leibes die Spannung auf das Dreifache des durchschnittlichen Wertes. Preuß¹⁾ und Coker²⁾ haben durch Versuche die Richtigkeit der Theorie bestätigt und gezeigt, daß bei einem auf Zug oder Biegung beanspruchten Stabe im Kerbende bei scharfen Kerben noch ein vielfach stärkeres Anwachsen der Werkstoffbeanspruchung eintritt.

Soweit das rein elastische Gebiet, wie z. B. bei gehärtetem Stahl, bei dem die Elastizitätsgrenze mit der Bruchgrenze zusammenfällt, ausschlaggebend ist, kann dieser ungünstigen Wirkung nur dadurch entgegengetreten werden, daß man bei der konstruktiven Gestaltung der Maschinenteile danach strebt, die Quersammenziehung möglichst wenig zu behindern, damit die örtliche Spannungserhöhung keine unzulässig starken Werte annimmt. Auch hinsichtlich der normalen Beanspruchungen im Betriebe (Wechselbeanspruchungen), bei denen die Elastizitätsgrenze nicht oder nur sehr wenig überschritten werden darf, gelten zunächst ähn-

liche Erwägungen; denn Brüche bei millionenfach wiederholten Wechselbeanspruchungen erfolgen auch bei den weichsten und zähesten Werkstoffen ohne erhebliche plastische Verformung. Immerhin ist der Einfluß der Kerben auf die Wechselfestigkeit wesentlich geringer als die Spannungserhöhung im rein elastischen Gebiet.

So wurde z. B. bei Versuchen im Institut für Metallurgie und Werkstoffkunde, Dresden, über die in einer späteren Arbeit ausführlich berichtet werden soll, gefunden, daß bei Wechselbeanspruchung umlaufend gebogener Stäbe (Fall der umlaufenden Welle) die Bruchlast, die nach millionenfacher Wiederholung zum Bruch führt, bei gleicher Größe des Bruchquerschnittes durch eine U-Kerbe bis auf das 0,7fache und durch eine T-Kerbe bis auf das 0,4fache der Bruchlast des glatten Stabes ohne Kerbwirkung herabgedrückt wurde. Dies steht in Einklang mit amerikanischen Versuchen.

Der Konstrukteur muß also, wenn bei Konstruktionen Kerbwirkungen unvermeidbar sind, diesem Umstand durch eine entsprechend geringere Wahl der zulässigen Beanspruchung Rechnung tragen. Für die Werkstoffbeurteilung im Hinblick auf die sich regelmäßig wiederholenden normalen Betriebsbeanspruchungen sind also auch in diesem Falle für den Konstrukteur in erster Linie der Widerstand gegen den Eintritt bleibender Formänderung, für den die Streckgrenze kennzeichnend ist, und die Größe der Wechselfestigkeit maßgebend.

Kerbwirkungen bei plastischer Verformung (Gewaltbeanspruchungen)

Geht man aber in das Gebiet der plastischen Formänderungen des Werkstoffes, die bei Gewaltbeanspruchungen eintreten, über, so treten grundsätzlich andere Erscheinungen ein.

Sobald die Streckgrenze im Kerbgrund überschritten wird, ändert sich die Spannungsverteilung. Dann findet ein zunehmender Ausgleich der Spannungen statt. Dies hat zur Folge, daß ein gekerbter zäher Zerreißestab, der langsam zerrissen wird, infolge der Hemmung der Brucheinschnürung eine wesentlich höhere Bruchlast ergibt, als ein glatter Stab mit gleichem Bruchquerschnitt, wie z. B. Versuche von Rudeloff³⁾ und von Ludwik und Scheu⁴⁾ gezeigt haben. Diese Wirkung der geänderten Spannungsverteilung im plastischen Gebiet führt also hinsichtlich der Bruchlast beim langsamen Zerreißen zu grundsätzlich anderen Ergebnissen, als sie sich für die Bruchlast bei Wechselbeanspruchung ergeben.

Als Beispiel zeigen Abb. 2 bis 4 die Abhängigkeit der Zugfestigkeit (Bruchlast) k_z , der Streckgrenze σ_s und der auf den tatsächlichen Bruchquerschnitt bezogenen Reißspannung σ_r von der Kerbart und die entsprechenden Spannungs-Dehnungsschaulinien für Zerreißestäbe (Rund-

¹⁾ Vergl. Heft 134 der Forschungsarbeiten auf dem Gebiete des Ingenieurwesens, herausgegeben vom V. d. I.

²⁾ Vergl. „Engineering“ Bd. 113 (1922) S. 26.

³⁾ Vergl. „Baumaterialienkunde“ Bd. 4 (1899) S. 85.

⁴⁾ Vergl. „Stahl und Eisen“ Bd. 43 (1923) S. 999.

stäbe) mit rechteckigen Eindrehungen gleicher Tiefe aber verschiedener Länge für Stahl mit 0,18 vH C. Die Stabformen sind aus Abb. 1 zu entnehmen⁵⁾.

Die Bruchlast und die Streckgrenze nehmen mit abnehmender Kerbbreite, also stärkerer Kerbwirkung, erheblich zu. Die auf den eingeschnürten Querschnitt bezogene Reißspannung ändert sich dabei nur unerheblich. Der Steigerung der Bruchlast steht aber eine Verminderung des Volumens, das sich an der Aufnahme der plastischen Formänderungen beteiligt, und damit eine Abnahme der vom Zerreißstab aufgenommenen Formänderungsarbeit gegenüber. Hierfür sind die Flächen der in Abb. 3 und 4 gezeichneten Last-Dehnungsschaulinien kennzeichnend. Das arbeitsaufnehmende Volumen setzt sich dabei aus dem Stabvolumen, der Eindrehung und einer von der Kerbart abhängigen Übergangzone an der Kerbbegrenzung zusammen. Mit abnehmender Kerblänge nimmt deshalb die Brucharbeit ab, da das Volumen der eingedrehten Stelle abnimmt, aber auch für die kleinsten Kerblängen nur bis zu einem Grenzwert, der durch die Größe der Übergangzone bedingt ist.

Diese durch Kerben erzwungene Verringerung des verformbaren Volumens tritt augenfällig bei der Aufnahme von Fließfiguren an Kerbbiegestäben hervor. In Abb. 5 sind die Größen des Fließraumes für starkverformte verschieden tief gekerbte Stäbe gezeichnet. Man sieht deutlich, wie stark das verformte Volumen besonders bei tiefer Kerbe beschränkt wird.

Über die Beeinflussung der Größe des Fließraumes durch die Konstruktionsgestaltung und über die Art der Verteilung der darin auftretenden Formänderungen im plastischen Gebiete, die von den Werkstoffeigenschaften abhängt, liegen bisher nur wenig Untersuchungen vor. Die Durchforschung dieser Frage ist aber nicht nur für die Werkstoffprüfung, sondern auch für den Konstrukteur wichtig, um daraus Gesichtspunkte für den Einfluß der

Formgebung der Konstruktionsteile auf das voraussichtliche Verhalten bei Gewaltbeanspruchungen zu gewinnen.

Wir haben also zwei Fragen zu unterscheiden. Die eine ist die konstruktive Rücksicht auf die Formgebung, die andere der Einfluß der Werkstoffeigenschaften. Die Beschränkung des arbeitsaufnehmenden Volumens tritt durch die Kerbwirkung in jedem Falle für jeden Werkstoff ein. Insofern hat also der Konstrukteur auch hinsichtlich des Verhaltens bei Gewaltbeanspruchungen gleichartige Gesichtspunkte zu berücksichtigen, wie er sie beachten soll, um die Spannungen im Kerbgrund herunterzusetzen. Er muß darauf achten, die Formgebung so zu gestalten, daß ein

möglichst großes Volumen an der Formänderung nehmen kann. Das ist ein konstruktiver Gesichtspunkt für jeden Werkstoff gilt. Die weitere Frage, welchem Maße der von der Gestaltung abhängige Fließraum nun tatsächlich plastische Formänderungen Formänderungsarbeit aufnimmt, wird durch die Festkheitseigenschaften und besonders durch die auftretende Bruchart des Werkstoffes bestimmt.

Einfluß der Bruchart. Trennungs- und Verfestigungsbrüche

Die größtmögliche Arbeitsaufnahme für einen gegebenen Werkstoff wird erreicht, wenn der Bruch so erfolgt, daß die Kristalliten der Bruchfläche bis zu ihrer größtmöglichen Verfestigung, also bis zur vollenden schöpfung ihrer Formänderungsfähigkeit, verformt werden, ehe der Bruch eintritt. Diese Bruchart, die regelmäßig bei üblichen Zerreißversuchen zäher Werkstoffe finden, soll als Verfestigungs- oder Formänderungsbruch bezeichnet werden. Liegt dieser Fall, also eine Verfestigung der Bruchflächen vor, so hängt die Arbeitsaufnahme beim Bruch einerseits von dem durch die Kerbart bestimmten Fließraum und der Verteilung der Formänderungen darin und andererseits von den Werkstoffeigenschaften, die auch den Bruchvorgang bei dem Zerreißversuch bestimmen (Formänderungswiderstand, Verfestigungsfähigkeit und größte Dehnung im Bruchquerschnitt) ab.

Insofern können wir beim Verfestigungsbruch grundsätzlich neuen Ergebnisse des Kerbversuches gegenüber einem wissenschaftlich voll ausgewerteten Zerreißversuch erwarten. Wohl aber wird der Kerbversuch auch in diesem Fall geeignet sein, den Zerreißversuch sehr wesentlich in dem Sinne zu ergänzen, daß er Einschnürungsvorgänge, also die örtliche Formänderung und Arbeitsaufnahme des Werkstoffes, näher beleuchtet. Dies ist um so mehr von Bedeutung, da beim üblichen Abnahmezerreißversuch leider der Brucheinschnürung wenig Aufmerksamkeit zugewendet wird, obgleich gerade die Einschnürungsvorgänge wertvolle Aufschlüsse über den Werkstoff bieten können.

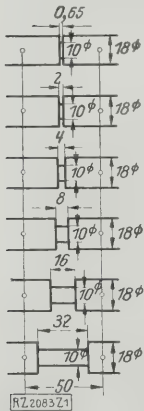


Abb. 1
Stabform für
die Kerbzerreiß-
versuche,
Abb. 2 bis 4
(Kerbbreiten-
reihe).

⁵⁾ Die Untersuchungen sind im Institut für Metallurgie und Werkstoffkunde an der Technischen Hochschule Dresden gemeinsam mit Dr. Flössner (Kerbzerreißversuche), Dr. Krüger (Versuche über Alterung) und Dr. Matthes (Untersuchungen über den Kerbbiegeversuch und den Kraftverlauf beim Schlag) durchgeführt worden. Außerdem hat Dipl.-Ing. Dörgerloh bei der Versuchdurchführung mitgewirkt.

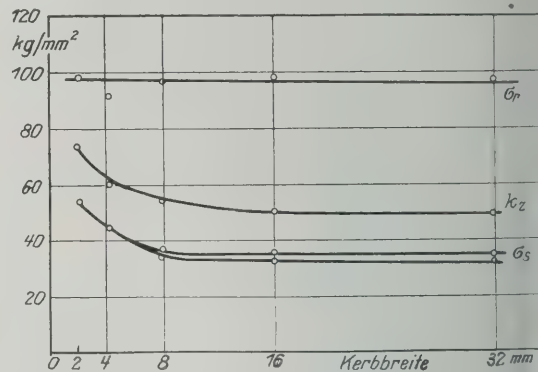


Abb. 2

Stahl S 3 mit 0,18 vH C. Abhängigkeit der Zugfestigkeit k_z , der Streckgrenze σ_s und der auf den tatsächlichen Bruchquerschnitt bezogenen Reißspannung σ_r von der Kerbart, s. Abb. 1.

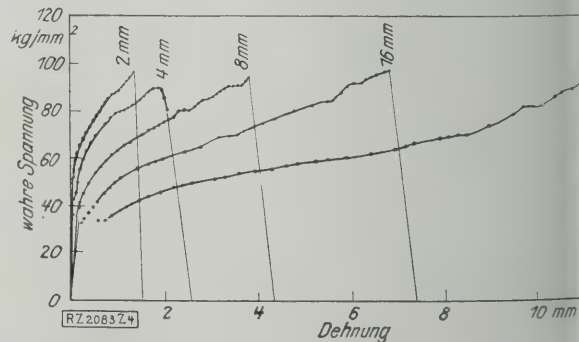
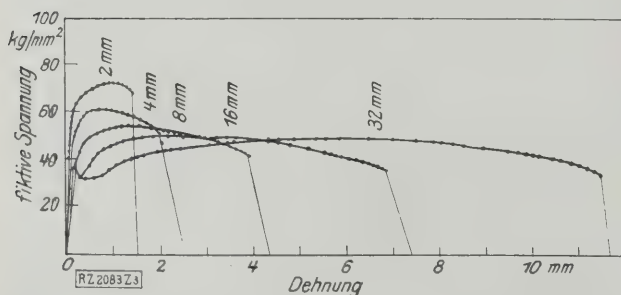


Abb. 3 und 4

Schaubilder der Beziehungen der Dehnung zur fiktiven Spannung (bez. auf den Anfangsquerschnitt) und zur wahren Spannung für Kerbstäbe aus Stahl S 3 mit 0,18 vH C bei verschiedenen Kerbbreiten, s. Abb. 1.

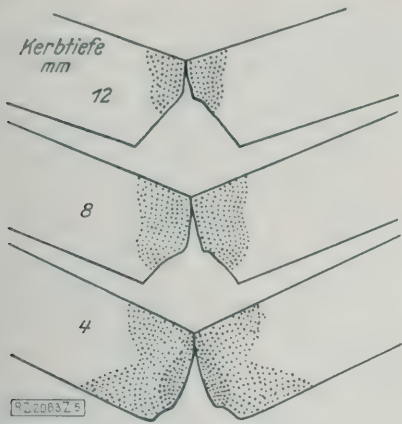


Abb. 5
Fließfiguren an Kerbbiegestäben mit verschiedenen tiefen Spitzkerben.

Bisher ist vorausgesetzt, daß tatsächlich beim Bruch die Arbeitsaufnahme der Kristalliten der Bruchfläche völlig ausgenutzt wird. Dies ist aber häufig nicht der Fall, und es treten dann grundsätzlich abweichende Erscheinungen auf.

Es ist bekannt, daß wir gelegentlich bei Kerbversuchen gegenüber dem üblichen Zerreiversuch völlig überraschende Ergebnisse finden. Die Kerbschlagversuche an vier Arten von Gewehrlaufstäben, die ungefähr gleiche Festigkeit, gleiche Dehnung und gleiche Brucheinschnürung hatten, Zahlentafel 1, ergaben, daß die Arbeitsaufnahme an dem stark angeschmiedeten Mündungsteil des einen Stabes 15,4 mkg/cm² war, während sie beim andern Stab durchweg nur zwischen 1,1 und 2 mkg/cm² lag. Dieser zeigte auch der erste Stab im weniger durchgeschmiedeten dickeren Teil (Patronenlager), obgleich bei den Zerreiversuchen fast keine Unterschiede wahrzunehmen waren, beim Kerbversuch ein Herabsinken der Zähigkeit auf den zehnten Teil.

Zahlentafel 1

Kerbschlagversuche an Gewehrlaufstäben.

	Stahl A			Stahl B		
	Patronenlager	Mitte	Mündung	Patronenlager	Mitte	Mündung
Zerreifestigkeit kg/mm ²	96,9	94,0	93,9	94,4	97,9	97,1
Stogrenze kg/mm ²	67,7	70,9	71,0	70,2	72,0	73,5
Bruchdehnung vH	14,0	14,4	13,2	16,4	15,7	15,6
Brucheinschnürung vH	49,1	50,7	50,6	55,8	56,3	53,9
Kerbzähigkeit mkg/cm ²	1,4	15,3	15,4	1,1	2,0	1,2

Fehler in der Wärmebehandlung oder im Durchgeschmieden prägen sich häufig nicht oder nur wenig im Zerreiversuch, aber außerordentlich stark beim Kerbversuch aus. Solche Werkstoffe werden sich also im Gebrauche bei Gewaltbeanspruchung ungewöhnlich spröde verhalten können, ohne daß aus dem Zerreiversuch darüber Anhaltspunkte zu gewinnen sind. Gerade darin liegt eine sehr wesentliche Bedeutung des Kerbversuches, da sie als einziges mechanisch einfach durchführbares Hilfsmittel gestattet, derartige Einflüsse zu prüfen.

Der physikalische Grund für ein solches Abfallen der Zähigkeit liegt an der stärkeren Neigung des Werkstoffes zum Trennungsbruch. Für jeden Werkstoff kann der Bruch unter bestimmten Bedingungen bereits vorzeitig vor vollständiger Verfestigung durch Trennungsbruch erfolgen, und zwar dadurch, daß entweder der Zusammenhang der Kristalle nach den Korngrenzen überwunden wird, oder dadurch, daß Trennungen in den Kristallen nach Gleit- oder Spaltebenen auftreten.

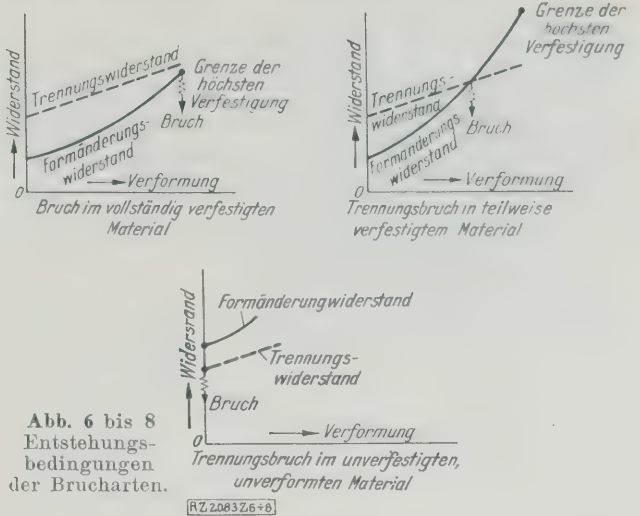


Abb. 6 bis 8
Entstehungsbedingungen der Brucharten.

Solcher Trennungsbruch muß, da das Verfestigungsvermögen der gebrochenen Kristallkörner nicht voll ausgenutzt wird, stets geringere Formänderung und geringere Arbeitsaufnahme ergeben, u. zw. um so niedriger, je weniger weit die Verfestigung im Augenblick des Bruches, der als Sprung eintritt, vorgeschritten war.

Ob Trennungsbruch oder Verfestigungsbruch eintritt, hängt davon ab, ob der Trennungswiderstand oder der Verformungswiderstand (Gleitwiderstand) größer ist. Solange der Trennungswiderstand größer ist, muß Verformung eintreten. Bleibt er dauernd bis zur Erschöpfung der Verformungsfähigkeit durch Verfestigung größer, so wird der Bruch erst im vollständig verfestigten Werkstoff durch Verfestigungsbruch (Formänderungsbruch) eintreten.

Ist der Trennungswiderstand von Anfang an niedriger als der Formänderungswiderstand, dann tritt der Bruch ohne jede Verformung durch Trennung, also in unverfestigtem Zustand, wie z. B. beim gehärteten Stahl, ein. Der Trennungsbruch kann aber auch in einem teilweise verfestigten Werkstoff erfolgen. Da der Formänderungswiderstand stärker als der Trennungswiderstand mit zunehmender Verformung steigt, muß in dem Augenblick, wo er größer als der Trennungswiderstand wird, der Bruch erfolgen. Der Werkstoff wird nur bis dahin verformt, also nur teilweise verfestigt sein. In jedem Falle beschränkt also der Eintritt des Trennungsbruches die Aufnahme an Formänderungsarbeit in starkem Maße. Wieweit, das hängt davon ab, welche Verfestigungsgröße erreicht wurde, ehe der Trennungsbruch eintritt. Abb. 6 bis 8 erläutern schematisch die Entstehungsbedingungen der Brucharten.

Über den Verlauf der Funktionen des Trennungswiderstandes und des Formänderungswiderstandes fehlen noch physikalisch eindeutig bestimmte Versuchunterlagen. Wir wissen aber, daß durch größere Verformungsgeschwindigkeit der Formänderungswiderstand stärker als der Trennungswiderstand steigt. Die gleiche Wirkung hat die Erniedrigung der Temperatur und endlich die Hemmung der Querkontraktion, also die Kerbwirkung. Bei vollständig verhinderter Querdehnung muß Trennungsbruch ohne jede Verformung erfolgen. Diese drei Einflüsse erhöhen demnach die Gefahr des Auftretens von Trennungsbrüchen, doch ist ihre Wirkung bei den einzelnen Werkstoffen sehr verschieden groß.

Die große Bedeutung des Einflusses der Kerbform, der Schlaggeschwindigkeit und der Temperatur auf die Kerbzähigkeit tritt bereits in den älteren Untersuchungen von Ehrensberger, Charpy u. a. hervor. Neuere bedeutungsvolle Untersuchungen liegen von Mailänder, Moser, Körber, Stribeck u. a. vor.⁶⁾

Für die wissenschaftliche grundlegende Werkstoffuntersuchung ist es von Bedeutung, den Einfluß der drei

⁶⁾ Vergl. u. a. Stahl und Eisen* Bd. 27 (1907) S. 1797, Bd. 35 (1915) S. 392, Bd. 42 (1922) S. 405, Bd. 45 (1925) S. 409, Krupp. Mon. Pd. 2 (1921) S. 225 und Bd. 5 (1924) S. 16 und S. 48, Mitt. d. Kaiser-Wilhelm-Inst. f. Eisenforschung 1925 und 1926.

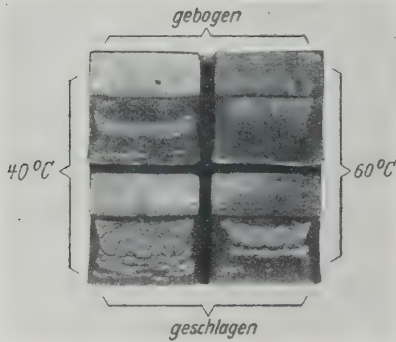
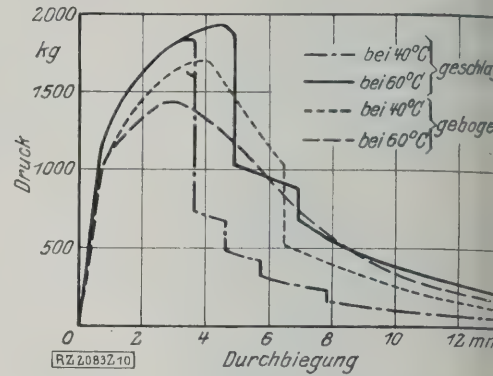


Abb. 9 und 10
Einfluß der Temperatur
und der Biegegeschwin-
digkeit auf die Bruchart
und die Kraftdurch-
biegungs-Diagramme.
Stahl mit 0,49 vH C.



Faktoren, Formänderungsgeschwindigkeit, Hemmung der Querkusammenziehung (Kerbwirkung) und Temperatureinfluß, getrennt zu untersuchen. Bei Abnahmeversuchen muß man sich selbstverständlich auf einen einzelnen unter besonderen Bedingungen durchgeführten Versuch einigen.

Bruchvorgang in Abhängigkeit von Temperatur und Formänderungsgeschwindigkeit

Die Wandlung der Bruchart unter dem Einfluß der Temperatur und der Formänderungsgeschwindigkeit bei gleichgehaltener Kerbwirkung zeigt Abb. 9. Es sind die Bruchflächen von vier Kerbbiegestäben ($20 \times 12 \text{ mm}^2$ Bruchquerschnitt mit 8 mm tiefer Spitzkerbe) aus Stahl mit 0,5 vH C, die bei 40° und bei 60° einerseits langsam gebogen, anderseits geschlagen sind. Abb. 10 zeigt die zugehörigen Kraftdurchbiegungs-Diagramme⁷⁾. Wie aus der Betrachtung der Bruchflächen hervorgeht, gibt der bei 60° gebogene Stab vollständig zähen Bruch, der bei 60° geschlagene, sowie der bei 40° gebogene Stab aber bereits einen Übergangsbruch mit kristallinen Zonen doch noch überwiegend zäher Bruchfläche. Der bei 40° geschlagene Stab ergibt überwiegend kristallinen (spröden) Bruch. (Reiner Trennungsbruch tritt erst bei erheblich tieferen Temperaturen auf.) Betrachten wir nun die zugehörigen Diagramme, so sehen wir zunächst, daß der zähen Bruchfläche (Verfestigungsbruch) ein stetiger Diagrammverlauf entspricht, daß dagegen für jedes Stück kristalliner Bruchfläche (Trennungsbruch) ein plötzlicher Druckabfall, also eine Unstetigkeit im Diagramm eintritt.

Schon das Bruchaussehen zeigt, daß der Übergangsbruch beim Schlagversuch und beim Biegeversuch verschieden verläuft. Bei dem geschlagenen Stab befindet sich der zähe Teil der Bruchfläche größtenteils an der Druckseite des Stabes, beim gebogenen Stab dagegen an der Kerbseite. Die Erklärung dieser Erscheinung ergibt sich aus der Betrachtung der Diagramme. Betrachten wir zunächst das Biegediagramm für 40°. Erst nach sehr erheblicher Durchbiegung, nachdem der Druck schon wieder sehr weit gesunken ist, tritt der spröde Bruch ein. Dementsprechend finden wir auf der Bruchfläche eine unter der Kerbe liegende breite Zone Verfestigungsbruch und ein daran anschließendes Stück kristalliner Bruchfläche.

Bei den Schlagversuchen steigt der Druck steiler an als bei den Biegeversuchen. Dies bedeutet offenbar, daß der Verformungswiderstand mit zunehmender Verformungsgeschwindigkeit wächst. Zu dem statischen Formänderungswiderstand des festen Stoffes kommt also noch der Bewegungswiderstand, die Viskosität, des fließenden Werkstoffes hinzu. Der hierdurch auftretende steilere Spannungsanstieg bei den Schlagversuchen führt naturgemäß dazu, daß die Trennungsfestigkeit schon bei ge-

ringerer Durchbiegung überwunden wird. Der spröde Bruch tritt daher schon bei geringerer Durchbiegung ein und die Bruchfläche zeigt dementsprechend unter der Kerbe ein schmaleres Verfestigungsgebiet als beim Biegeversuch. Die Diagramme für den bei 40° und den bei 60° geschlagenen Stab decken sich in ihrem Anfangsverlauf völlig. Daß bei 40° der spröde Bruch schon bei geringer Durchbiegung und geringerem Druck eintritt als bei 60°, spricht dafür, daß die Trennungsfestigkeit mit abnehmender Temperatur sinkt. Der bei 60° gebogene Stab zeigt gar keinen Trennungsbruch. Dies kommt daher, daß diesem Versuch der Druck nicht so hoch ansteigt als dem bei 40° gebogenen Stabe. Die auftretenden Spannungen sind daher geringer und überschreiten die Trennungsfestigkeit nicht.

Je tiefer die Versuchstemperatur ist, um so geringer wird die dem Trennungsbruch vorausgehende Verformung und demnach auch die aufgenommene Brucharbeit.

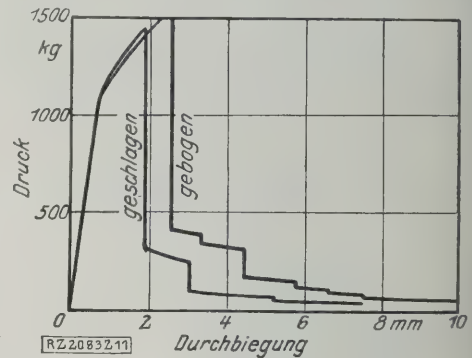


Abb. 11
Einfluß der Biegegeschwindigkeit
auf den Verlauf der Kraftdurch-
biegungs-Diagramme im Gebiete des
Trennungsbruches.
Stahl mit 0,51 vH C; Temperatur 18°.

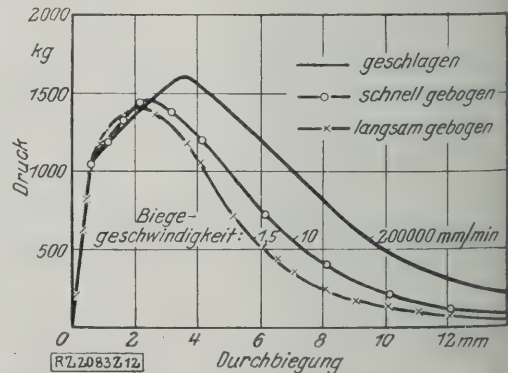


Abb. 12
Einfluß der Biegegeschwindigkeit
auf den Verlauf der Kraftdurch-
biegungs-Diagramme im Gebiete des
Verfestigungsbruches. Stahl mit
0,51 vH C; Temperatur 146°.

⁷⁾ Für die Klärung der Vorgänge war es notwendig, den Bruchvorgang selbst beim statischen und beim dynamischen Bruch durch die Aufnahme von Kraft-Weg-Diagrammen zu analysieren. Die Versuche wurden, da die geringen Formänderungswege des Kerberreißversuches schwierigere Versuchsbedingungen beim Schlag darstellen, für den Kerbbiegeversuch durchgeführt. Über das 1925 hierfür neu ausgebildete Untersuchungsverfahren für den Kraftverlauf beim Schlag und die damit durchgeführten Versuche ist ausführlich in der Arbeit: Schwinning, und Matthes, Die Bedeutung der Kerbschlagprobe, Forschungsheft Nr. 78 des deutschen Verbandes für die Materialprüfungen der Technik, vergl. Z. Bd. 72 (1928) S. 322, und der Dissertation von Matthes, „Die Kerbschlagprobe und die dabei auftretenden Erscheinungen“ berichtet.

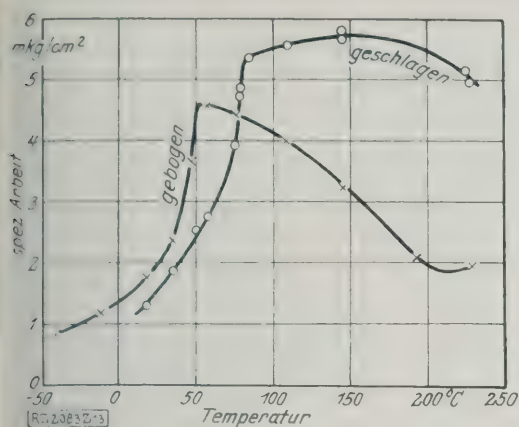


Abb. 13
Abhängigkeit der Kerbzähigkeit von der Temperatur. Stahl mit 0,51 vH C.

Im Gebiet der Trennungsbrüche finden wir bei gleicher Temperatur stets beim Schlag kleinere Formänderungen und deshalb geringere Arbeitsaufnahme als bei langsamer Biegung, wie z. B. Abb. 11 zeigt, in der die Schaulinien für Schlag- und langsame Biegung bei 18° für den Stahl mit 0,5 vH C zusammengestellt sind.

Die Verhältnisse ändern sich aber, wenn beim Schlag- und beim Biegeversuch reiner oder überwiegender Verformungsbruch vorliegt. In diesem Fall können die Formänderungsarbeiten beim Schlag sehr viel höher als bei langsamer Biegung sein. Kennzeichnend sind hierfür die in

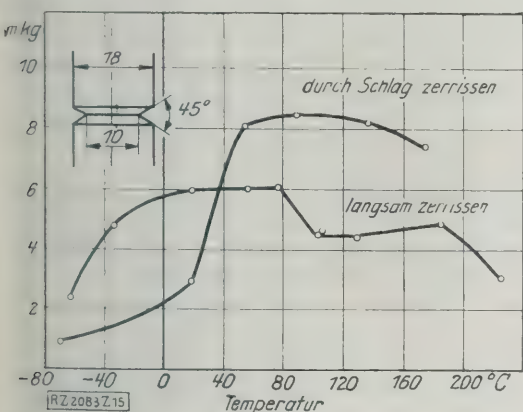


Abb. 15
Brucharbeit bei Kerbzerrissversuchen.

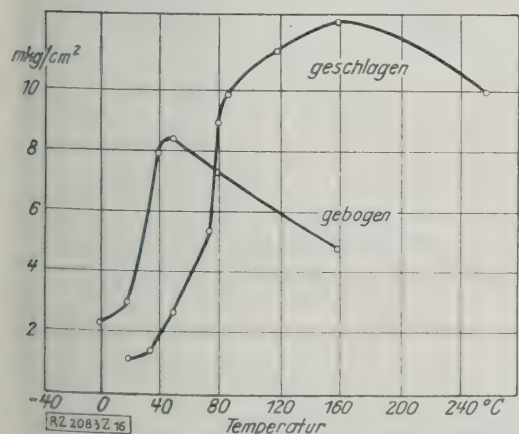


Abb. 16
Brucharbeit (Kerbzähigkeit) bei Kerbbiegeversuchen.

Abb. 14
Abhängigkeit der Temperatur des Übergangsbruches von der Biegeschwindigkeit.

Stahl mit 0,51 vH C.

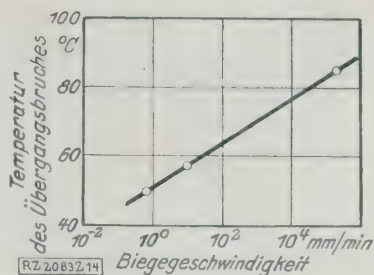


Abb. 12 zusammengestellten Schaulinien für Biegung und Schlag bei 146°. Hier steigt bei langsamer Biegung der Formänderungswiderstand mit der Durchbiegung schneller als beim Schlag an und der Durchbruch erfolgt bereits bei erheblich geringerer Durchbiegung.

In Abb. 13 ist die Beziehung zwischen der auf 1 cm² des Bruchquerschnitts bezogenen Brucharbeit, die als Kerbzähigkeit bezeichnet wird, und der Versuchstemperatur dargestellt. Die Kerbzähigkeit geht von einer Hochlage bei höherer Temperatur, in der die Kerbzähigkeit für Schlag wesentlich höher als für langsame Biegung ist, in eine Tieflage bei niedriger Temperatur, sobald überwiegender Trennungsbruch eintritt, über. Die Übergangstemperatur ist von der Formänderungsgeschwindigkeit abhängig, derart, daß der Übergang bei größerer Geschwindigkeit (Schlag) schon bei höheren Versuchstemperaturen als bei langsamer Biegung erfolgt. Abb. 14 gibt diese Beziehung für den geprüften Werkstoff in logarithmischen Koordinaten wieder.

Im Gebiet der Trennungsbrüche nimmt die Verformung vor Eintritt des Bruches sowohl bei langsamer Biegung als auch beim Schlag mit fallender Temperatur sehr stark ab. Die Tieflage der Zähigkeit also die Zone des überwiegenden Trennungsbruches ergibt demnach für ein Material keinen unveränderlichen Geringwert der Kerbzähigkeit. Die Kerbzähigkeit sinkt vielmehr auch in der Tieflage mit fallender Temperatur noch weiter. Bei sehr niedrigen Temperaturen ist die Verformung und die Kerbzähigkeit fast null. Beachtenswert ist, daß die Arbeitsaufnahme vollständig der sichtbaren Verformung des Bruchquerschnittes entspricht.

Grundsätzliche gleichartige Ergebnisse über die Beeinflussung der Bruchart und der Formänderungsarbeit durch die Temperaturen wurden bei Kerbzugversuchen erhalten. Als Beispiel ist in Abb. 15 für Zugstäbe mit einer der Normalspitzkerbe entsprechenden Eindrehung aus Stahl mit 0,17 vH C (der jedoch durch besondere Wärmebehandlung verhältnismäßig geringe Kerbzähigkeit hatte) die Arbeitsaufnahme in Abhängigkeit von der Temperatur für langsam und durch Schlag zerrissene Stäbe wiedergegeben. Die entsprechenden Kerbzähigkeitskurven für Kerbschlagbiegeversuche (Normalspitzkerbe, Bruchquerschnitt 30 × 15 mm²) mit dem gleichen Stahl, zeigt zum Vergleich Abb. 16. Auch für Kerbzugversuche treten die drei Zonen: Verfestigungsbruch,

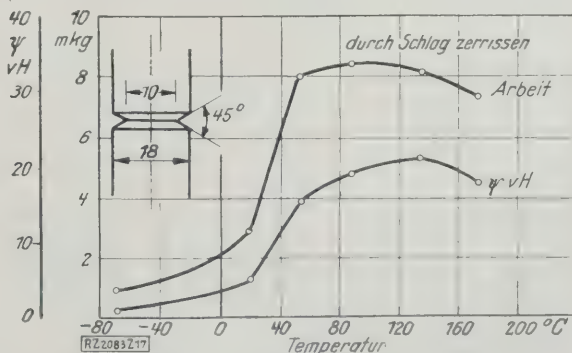


Abb. 17
Brucharbeit und Brucheinschnürung bei dynamischen Kerbzerrissversuchen.

Abb. 15 bis 17

Abhängigkeit der Brucharbeit bei statischen und bei dynamischen Kerbzerriss- und Biegeversuchen (Spitzkerbe) von der Versuchstemperatur für Stahl L mit 0,17 vH C.

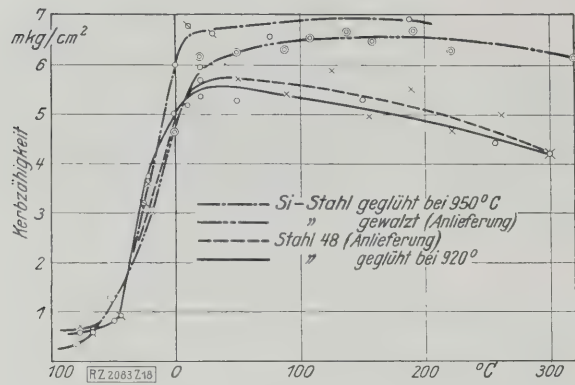


Abb. 18
Stahl 48 (0,28 vH C, 0,80 vH Mn) und Si-Stahl
(0,8 vH Si, 0,18 vH C, 1,33 vH Mn).

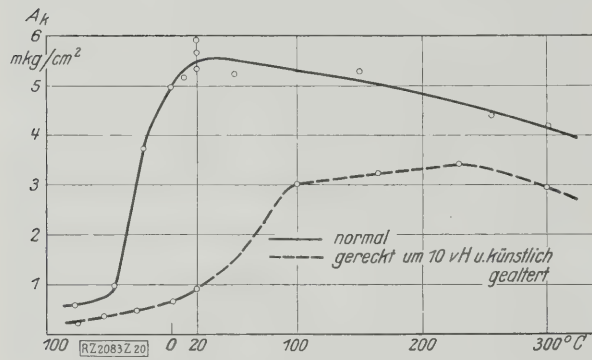


Abb. 20
Einfluß des Reckens und Alterns auf Stahl 48
(nach dem Walzen gegläht).

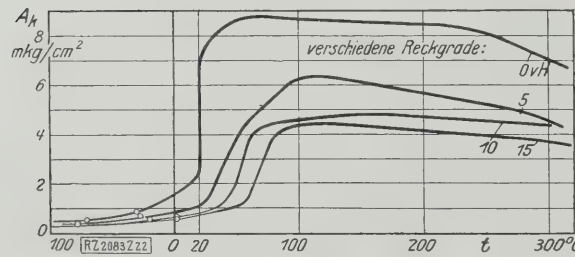


Abb. 22
Einfluß des Reckens und Alterns auf Si-Stahl
mit 1,5 vH Si (0,10 vH C, 0,58 vH Mn, 1,45 vH
Si) bei verschiedenen Reckgraden von 0 bis
15 vH.

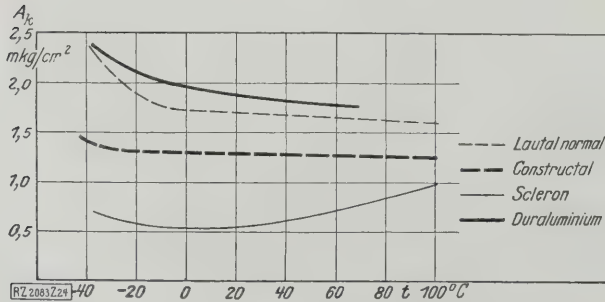


Abb. 24
Vergütbare Aluminiumlegierungen.

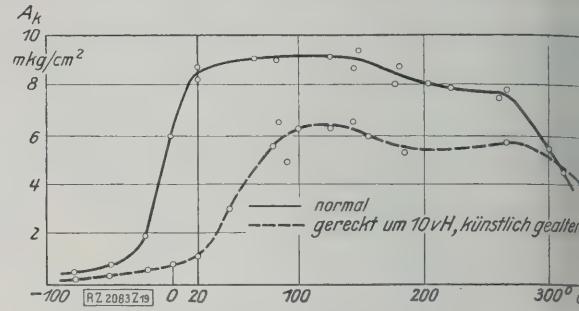


Abb. 19
Einfluß des Reckens und Alterns auf Kessel-
blech mit 0,07 vH C.

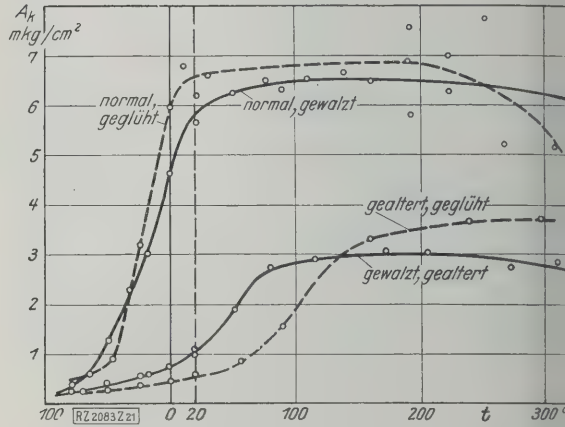


Abb. 21
Einfluß des Reckens und Alterns auf Si-Stahl
mit 0,8 vH Si.

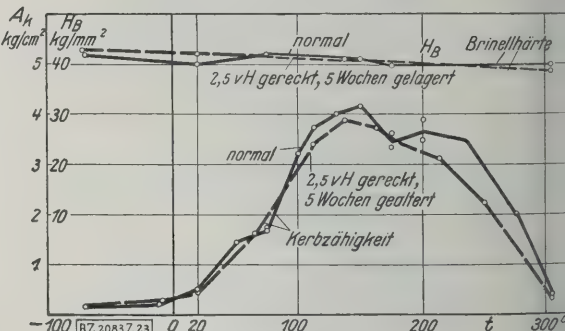


Abb. 23
Zink (gewalzt).

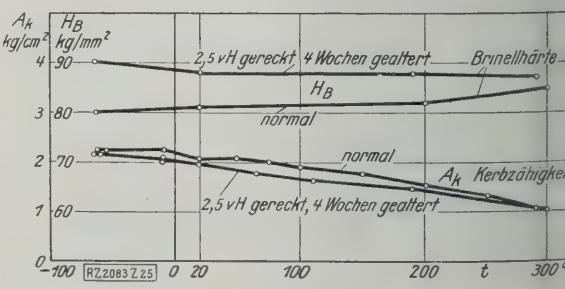


Abb. 25
Messing (gewalzt) mit 56 vH Cu.

Abb. 18 bis 25
Abhängigkeit der Kerbzähigkeit von der Temperatur.

Bruch und Trennbruch, in Erscheinung. Gleich wie beim Kerbbiegeversuch ist die Arbeitsaufnahme Verfestigungsbrüchen (Hochlage) für langsames Ziehen geringer als für Schlag. Ebenso liegt auch bei Zugversuchen der Übergang zur Tieflage der Arbeitsaufnahme, die durch das stärker überwiegende Aufgeben des Trennbruches gekennzeichnet ist, für langsames Zerreißen bei niedrigerer Temperatur als für Schlag. Beim Kerbbiegeversuch tritt allerdings für beide Formen der Übergang bereits bei höherer Temperatur ein und prägt sich noch schärfer als beim Kerbzugversuch aus.

Auch beim Kerbzugversuch verläuft die Beziehung der Arbeitsaufnahme zur Temperatur gleich, wie die Kurve der Verformung der Bruchquer-
schnitt, Abb. 17, in der die Brucharbeit und die Bruch-
dehnung für den Schlagzerreißenversuch in Abhängig-
keit von der Temperatur zusammen dargestellt sind.

Sowohl für den Kerbbiegeversuch als auch für den
Kerbzugversuch bietet die Bestimmung der Abhängigkeit
Arbeitsaufnahme von der Temperatur wertvolle Auf-
schlüsse für die Werkstoffbeurteilung. Der Schlagbiege-
versuch, der auch erheblich einfacher als der Zugver-
such durchzuführen ist, läßt dabei den Übergang zum
Trennbruch und den entsprechenden Abfall der
Kerbzähigkeit am schärfsten hervortreten. Allerdings
können vergleichbare Ergebnisse nur mit völlig gleichen
Proben gewonnen werden.

Als Beispiele für diese Anwendung des Schlagbiege-
versuches sind in Abb. 18 bis 25 die Abhängigkeit der
Kerbzähigkeit von der Temperatur für verschiedene
Werkstoffe dargestellt. Diese Versuche sind sämtlich
nach dem kleinen vom Deutschen Verband für die Mate-
rialprüfungen der Technik vorgeschlagenen Probestab mit
Normalspitzkerbe und $10 \times 5 \text{ mm}^2$ Bruchquerschnitt durch-
geführt.

Abb. 18 gibt die Kerbzähigkeitskurven für Brücken-
stahl 48 ($k_z = 51 \text{ kg/mm}^2$ $\sigma_s = 31 \text{ kg/mm}^2$ $\delta = 25 \text{ vH}$)
und für Siliziumbaustahl ($k_z = 56 \text{ kg/mm}^2$ $\sigma_s = 40 \text{ kg/mm}^2$
 $\delta = 26 \text{ vH}$). Der Si-Stahl hat trotz seiner höheren
Streckgrenze sowohl gegläht als auch gewalzt, höhere
Kerbzähigkeit als Stahl 48 und zeigt auch nicht den Ab-
fall der Kerbzähigkeit bei 200° bis 300° , der für Stahl 48
beobachtet wird.

Fehler in der Wärmebehandlung (unzulässig hohes
Erhitzen, Fehler beim Schmieden) usw. prägen sich im
Verlauf dieser Kurven deutlich aus. Besonders kenn-
zeichnend tritt der Einfluß des Alters (Recksprödig-
keit), der durch ein Kaltrecken und darauf folgendes
langdauerndes Lagern bei gewöhnlicher Temperatur oder
längerer Erhitzen auf rd. 200° bedingt ist, in solchen
Beispielen hervor. Abb. 19 zeigt die Wirkung des
Alters nach einem Recken um 10 vH für Kesselblech,
Abb. 20 für Stahl 48 und Abb. 21 für Si-Stahl mit
 5 vH Si. Abb. 22 läßt den Einfluß verschiedener Reck-
grade auf die Alterungssprödigkeit für einen anderen
Si-Stahl ($1,5 \text{ vH Si}$) erkennen. In allen Fällen wird
durch das Recken und Altern der Formänderungswider-
stand stark erhöht. Die Kerbzähigkeit wird in der Hoch-
lage auf $\frac{1}{2}$ bis $\frac{1}{3}$ des ursprünglichen Wertes herabge-
drückt. Da ein großer Teil der Formänderungsfähigkeit
des Stahls bereits durch das Recken verbraucht ist,
überrascht dies nicht. Darüber hinaus ist aber beson-
ders wichtig, daß der Abfall der Kerbzähigkeit zur Tieflage
und damit zu sehr niedrigen Werten bereits bei viel
höheren Temperaturen als beim ungereckten Werkstoff
eintritt, und zwar wie Abb. 22 zeigt, bei um so höheren
Temperaturen, je stärker die Reckung war. Infolge-
dessen erscheinen vielfach die gealterten Werkstoffe
schon bei Raumtemperatur völlig spröde.

Auch Zink, Abb. 23, zeigt das starke Absinken der
Kerbzähigkeit bei Temperaturen unter 0° und ander-
erseits auch bei Temperaturen über 200° . Dagegen ist
eine besondere Recksprödigkeit (Alterung) beim Zink
nicht zu beobachten.

Grundsätzlich anders verhalten sich die Leicht-
metalle und die Kupferlegierungen (Messing). Die ver-
arbeitbaren Leichtmetalle wie Lantal, Duralumin, Con-

structural und Scleron usw. stellen unter Berücksichtigung
ihres geringen Gewichtes sehr hochwertige Konstruk-
tionswerkstoffe dar. Zugfestigkeit, Streckgrenze und
Dehnung des Duralumins und des Lantals entsprechen
ungefähr den Werten des Baustahls 37.

Die Kerbzähigkeit der Aluminiumlegierungen,
Abb. 24, ist bei Raumtemperatur erheblich geringer als
die des Stahls in der Hochlage. Sie liegt etwa zwischen
 $1,3$ bis $1,8 \text{ mkg/cm}^2$. Dagegen zeigen alle diese Leicht-
metalle bei niedrigen Temperaturen unter 0°
kein Sinken der Kerbzähigkeit, wie es für Stahl beob-
achtet wird. Es tritt im Gegenteil ein Ansteigen ein.
Offensichtlich nimmt der Formänderungswiderstand bei
den niedrigeren Temperaturen, aber ohne den Trennungs-
widerstand zu erreichen, zu und damit auch die Bruch-
schlagarbeit. Bei sehr niedrigen Temperaturen würden
sich also die Aluminiumlegierungen hinsichtlich der
Kerbzähigkeit günstiger als Stahl verhalten, was für die
Verwendung bei Flugzeugen in großen Höhen von Be-
deutung ist. Der Konstrukteur muß aber bei der Form-
gebung von Konstruktionsteilen aus Leichtmetallen, mit
Rücksicht auf die geringere Kerbzähigkeit bei Raum-
temperatur, Kerbwirkungen noch sorgfältiger als bei
Stahl vermeiden, um Fehlschläge in der Anwendung
dieser neuzeitlichen hochwertigen Konstruktionswerk-
stoffe zu verhüten. Ungünstige Alterserscheinungen
konnten bei Aluminiumlegierungen nicht beobachtet
werden.

Das Gleiche gilt für Messing, Abb. 25, bei dem
ebenfalls kein Sinken, sondern eine Erhöhung der Kerb-
zähigkeit bei Temperaturen unter 0° eintritt.

Einfluß der Änderung der Kerbwirkung auf den Bruch- vorgang.

Durch die betrachteten Versuchsreihen ist der Ein-
fluß der Versuchstemperatur und der Formänderungs-
geschwindigkeit auf die Kerbempfindlichkeit eines Werk-
stoffes bei gleicher Kerbwirkung gekennzeichnet. Es ist
nun noch der Einfluß der Veränderung der Querspan-
nung, also der Größe der Kerbwirkung, auf die Kerb-
empfindlichkeit zu betrachten.

Bereits *Baumann*⁸⁾ und *Moser*⁹⁾ haben gezeigt, daß bei
gleicher Kerbenform durch Vergrößerung der Stabbreite,
also Verstärkung der Kerbwirkung, ein Übergang
von der Hochlage zur Tieflage der Kerbzähigkeit ohne
Temperaturänderung eintreten kann. Gleichartige Wir-
kungen erreichte *Mailänder*¹⁰⁾, indem er die Kerbwirkung
durch Vergrößerung des Bohrungsdurchmessers bei der
Charpyprobe änderte.

Die Wirkungen der Änderungen der Kerbart können
nun sehr verschiedenartige Ergebnisse zeitigen. Als
Beispiel ist in Abb. 26 und 27 der Einfluß der Temperatur
auf die Kerbzähigkeit (Schlagbiegeprobe) für einen ge-
glühten Flußstahl *b* mit $0,04 \text{ vH C}$ und für einen Maschinen-
gußstahl *a* mit $0,47 \text{ vH C}$ bei Rechteckkerben gleicher Tiefe
(10 mm) aber verschiedener Breite und der Normalspitz-
kerbe mit gleichem Bruchquerschnitt ($20 \times 10 \text{ mm}^2$)
dargestellt. In Abb. 28 ist umgekehrt die Abhängigkeit
der Kerbzähigkeit von der Kerbenbreite bei diesen Rech-
teckkerben für verschiedene Temperaturen zusammen-
gestellt. Man sieht, wie verschiedenartig die Werkstoffe
im Vergleich zueinander, je nach der angewandten Kerben-
form, beurteilt werden können. Die stärkste Kerbwir-
kung zeigten dabei die ganz schmalen Rechteckkerben und
die Spitzkerbe.

Auch durch verschieden tiefe Kerben bei gleich-
bleibender Höhe und Breite des Probestabes kann der
Einfluß der Kerbwirkung auf das Eintreten spröden
Bruches, also die Kerbempfindlichkeit, geprüft werden.
Dabei ist aber ebenfalls zu beachten, daß sich der Fließ-
raum bei verschieden tief gekerbten Stäben in recht kom-
plexer Weise ändert. Bei flachen Kerben, vergl. Abb. 5,
nimmt ein erheblicher Stabteil an der Formänderung teil.
Von einer Kerbtiefe gleich etwa ein Viertel der Stabhöhe
an, wird die Formänderung in der Hauptsache auf die

⁸⁾ Z. Bd. 56 (1912) S. 1311.

⁹⁾ Krupp, Mon. Bd. 5 (1924) S. 48.

¹⁰⁾ „Stahl und Eisen“ Bd. 46 (1926) S. 1752.

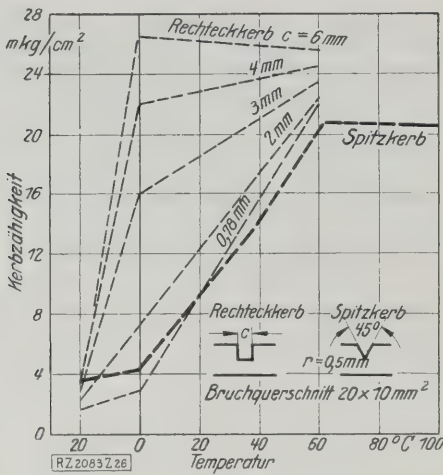


Abb. 26

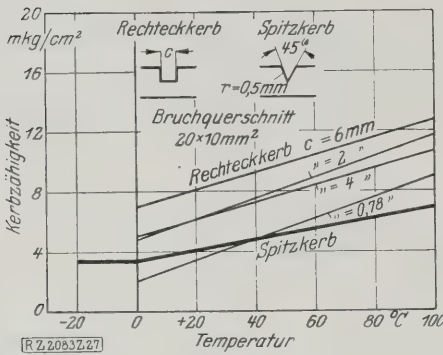


Abb. 27

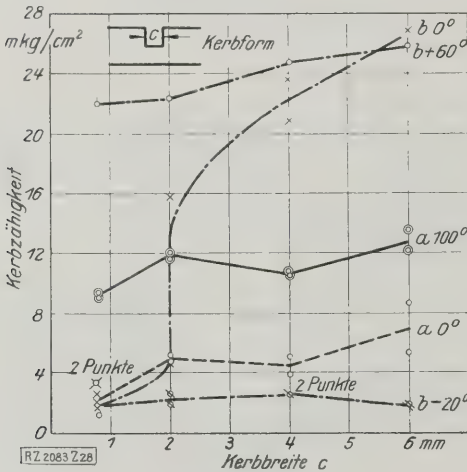


Abb. 28

Abb. 26 bis 28

Einfluß der Temperatur und der Kerbbreite auf die Kerbzähigkeit bei verschiedenen Kervformen.

Umgebung der Kerbe beschränkt. Dabei nimmt aber die Größe des Fließraumes mit weiter wachsender Kerbtiefe wesentlich schneller ab, als die Höhe des verbleibenden Bruchquerschnittes, Abb. 5. Dies führt dazu, daß auch in der Hochlage die Kerbzähigkeit sehr stark mit wachsender Kerbtiefe sinkt, und damit das Erkennen des Einflusses eines Übergangs zum Trennungsbruch, also der eigentlichen Kervempfindlichkeit erschwert¹¹⁾.

Ähnliche Betrachtungen gelten bei verschiedenen starken Kerbausrundungen, bei denen ebenfalls schwierig zu übersehende Änderungen der Größe des Fließraumes und des Einflusses der Verteilung der Formänderungen in ihnen auftreten können. Versuche mit Reihen von

¹¹⁾ Vergl. Schwinning-Matthaeus, a. a. O. Abb. 33 bis 44.

solchen Kervformen können für den Konstrukteur in diesem Sinne sehr lehrreich sein, daß sie Anhaltspunkte über die Wirkung verschiedenartiger Formgebung von Konstruktionsteilen geben.

Für die Untersuchung des Einflusses der Veränderung der Kervwirkung auf die Neigung zum Trennungsbruch (Kervempfindlichkeit) sind aber Versuchsreihen bei denen die Kervwirkung nur durch Änderung der Probenbreite gändert wird, dagegen Kerbtiefe, Kerbhöhe und Höhe des Bruchquerschnittes unverändert bleibt, am meisten geeignet, da bei solchen Proben die Größe des Fließraumes annähernd der Probenbreite, also auch dem Bruchquerschnitt verhältnismäßig ist¹²⁾.

Die Frage der Normung der Kervschlagproben.

Mit Rücksicht auf die sehr großen Unterschiede des Einflusses der Kerv- und Probenform sind allgemein anerkannte Vereinbarungen über die Probengestaltung für den Kervbiegeversuch dringend erwünscht. Sollen vergleichende Gesichtspunkte über das Verhalten eines Werkstoffes in der Hochlage der Zähigkeit (also bei vollem Verfestigungsbruch) bei konstanter Kervwirkung gewonnen werden, so kann hierfür jede Kervform nützlich zur Aufschlüsse geben. Soll aber die Neigung des Werkstoffes zum Auftreten des spröden Trennungsbruchs bei Kervwirkung, also die eigentliche Kervempfindlichkeit geprüft werden, so ist eine Kervform mit möglichst starker Kervwirkung, also in erster Linie die tiefe Spitzkerbe (Dreieckkerbe) angezeigt. Für eine Normung ist halb eine ausreichend tiefe Spitzkerbe besonders geeignet. Bei flachen Kerven, deren Tiefe nicht mindestens ein Viertel der Probenhöhe ist, können schon sehr geringe Abweichungen in der Kerbtiefe, die bei der betriebsmäßigen Herstellung unvermeidbar sind, außerordentlich großen Einfluß auf die Ergebnisse haben. Die Norm schlägt des Kervschlagausschusses des Deutschen Verbandes für die Materialprüfungen in der Technik dementsprechend die Spitzkerbe mit einer Kerbtiefe gleich 0,4 der Probenhöhe vor. Um gleichmäßige Herstellung zu gewährleisten, soll die Kerbe eine Abrundung mit 0,5 mm Halbmesser im Kervgrund erhalten. Diese Kerbform ist besonders durch Fräsen leicht und sicher herstellbar.

Für Einzelproben und für Temperaturreihen wird der Bruchquerschnitt für das 10 mkg-Schlagwerk zu 10x5 mm², für das 75 mkg-Schlagwerk zu 18x9 mm² und für das selten gebrauchte 250 mkg-Schlagwerk zu 30x15 mm² vorgeschlagen, Abb. 29 bis 35¹³⁾. Breite und Höhe des Bruchquerschnittes verhalten sich also, wie bei der Charpyprobe, wie 2 : 1. Es ist zweckmäßig, die Stäbe so kurz zu halten, wie es die Auflage der Pendelschwerwerke gestattet. Längere Stäbe geben geringere Fehler bei Änderungsgeschwindigkeit, doch sind Abweichungen der Stablänge oder den Auflagerentfernungen nur von

¹²⁾ Vergl. Versuche von Schüle und Brunner, Intern. Verb. f. d. Prüf. 1909, sowie Moser, s. a. Anmerkung 6.
¹³⁾ Vergl. Zwanglose Mitteilungen des deutschen Verbandes für Materialprüfungen der Technik Nr. 3, Mai 1925, und Nr. 6, Febr. 1926, Berichte des Ausschusses 10, Obmann Prof. Dr. Striebeck.

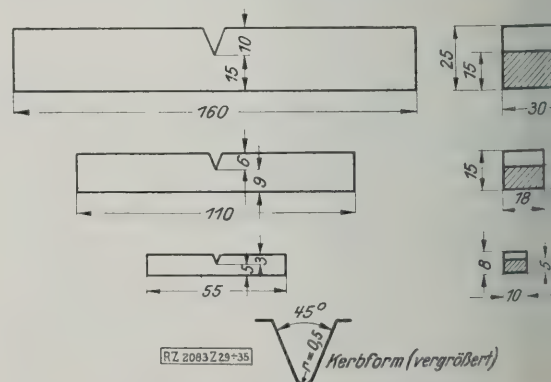


Abb. 29 bis 35
Normvorschlge des DVM fr die Normung der Kervbiegeprobe.

Einfluß. Auch mäßige Änderungen der Fall- des Pendels haben keine ins Gewicht fallende Wirkung auf die Ergebnisse.

Für Versuchsreihen, die Aufschluß über den Einfluß der Änderung der Querspannung auf die Kerbempfindlichkeit bei gleichbleibender Temperatur geben sollen, empfiehlt es sich, die Kerbform, die Kerbtiefe und die Größe der Bruchquerschnitte beizubehalten, dagegen die Kerbwirkung durch Änderung der Stabbreite zu ändern.

Zusammenfassung

Zweckmäßig durchgeführte Kerbversuche sind ein wertvolles Mittel für die Werkstoffbeurteilung. Sie ergeben den Zerreißversuch in dem Sinne, daß sie die örtliche Formänderungs- und Arbeitsaufnahmefähigkeit des Werkstoffes beleuchten. Man gewinnt aus ihnen aber auch besonders darüber Aufschlüsse, ob der Werkstoff in stärker oder geringerem Maße zum Auftreten von spröden Trennungsbrüchen, durch die die Formänderungsfähigkeit eines Konstruktionsteiles beim Bruch sehr stark herabgedrückt ist, neigt. Der normale Zerreißversuch kann hierüber keine Anhaltspunkte geben. Deshalb sind auch Kerbversuche geeignet, Fehler in der Wärmebehandlung, dem Schmieden usw. hervortreten zu lassen, die bei Zerreißversuch nicht beobachtet werden, aber erhaltungsgemäß oft Anlaß zu Brüchen geben. Gerade in dieser Beziehung füllen die Kerbversuche eine Lücke aus und ergänzen die Gefügeuntersuchung wertvoll. Wichtig ist dabei die Beachtung des Temperatureinflusses auf die Kerbzähigkeit.

Der dynamische Kerbbiegeversuch (Kerbschlagversuch) läßt diese Einflüsse am stärksten hervortreten und ist praktisch am einfachsten durchzuführen. Er steht als Prüfverfahren in erster Linie.

Als Abnahmeprüfung kommen Kerbversuche nur dann in Betracht, wenn es sich darum handelt, das Verhalten von Konstruktionsteilen, an denen Kerbwirkungen unvermeidbar sind (z. B. durch Keilnuten, Wellenöffnungen usw.) gegen Gewaltbeanspruchungen, insbesondere stoßweise wirkende Gewaltbeanspruchungen, zu prüfen. z. B. für den Kraftfahrzeugbau, Geschützbau usw. Für das Verhalten gegenüber den normalen sich regel-

mäßig wiederholenden Betriebsbeanspruchungen geben die Kerbbiege- oder Kerbzurrißversuche keinen Aufschluß.

Kerbversuche geben also dem Konstrukteur keine Zahlenwerte, die er unmittelbar für die Bemessung der Querschnitte seiner Bauwerke verwenden kann. Sie können und sollen ihm nur Anhaltspunkte für die Werkstoffauswahl und für die Sicherung der Abnahme im Hinblick auf das Verhalten bei Gewaltbeanspruchungen bieten. Der Konstrukteur muß durch Formgebung und Werkstoffauswahl danach streben, daß bei jeder möglichen Gewaltbeanspruchung seiner Konstruktionsteile der verwendete Werkstoff in der Hochlage seiner Zähigkeit bleibt, also keine spröden Trennungsbrüche eintreten können. Kerbversuche ermöglichen Stahllarten, die in dieser Hinsicht infolge ihres Gefügezustandes ungeeignet sind, bei Auswahl und Abnahme auszuschließen.

Vergleichbar sind nur Versuche, die mit völlig gleichgestalteten Proben, also gleicher Kerbenform und gleicher Probengröße, durchgeführt sind. Deshalb sind Vereinbarungen über die Probengestaltung und die Versuchsdurchführung, die allgemein anerkannt werden, dringend erwünscht. Die vom Deutschen Verband für die Materialprüfungen der Technik vorgeschlagene tiefe Spitzkerbe mit schwacher Abrundung im Kerbgrunde bietet eine geeignete Grundlage für solche Vereinbarungen.

Die Festlegung solcher Normen ermöglicht die Gewinnung von Wertzahlen der Kerbzähigkeit, die für die Werkstoffbeurteilung überall vergleichbar sind. Dabei muß für die Bewertung neuer Werkstoffe die Abhängigkeit der Kerbzähigkeit von der Temperatur festgelegt werden. Für Abnahmeversuche muß man sich von Fall zu Fall auf einzelne Versuche einigen.

Die Aufstellung der Normen schließt nicht aus, daß in einzelnen Fällen für Abnahmeversuche auch gegebenenfalls Versuche mit ganzen Konstruktionsteilen oder Versuche mit geringer Kerbwirkung (z. B. Zerreißversuche mit gelochten Blechen oder Biegeversuche mit stark verringerter Kerbwirkung, die einen Übergang zu den üblichen Biegeversuchen mit ungekerbten Proben bilden), vorgesehen werden. Hierfür empfiehlt es sich nicht, Normen aufzustellen, da solche Prüfungen von Fall zu Fall den besonderen Anforderungen anzupassen sind und keine überall vergleichbaren Gütemaßstäbe zu ergeben brauchen.

[B 2083]

800 t-Hochofen der Australian Iron and Steel Ltd.

In Port Rembla, Australien, wird ein neues Eisen- und Stahlwerk errichtet, das nach vollkommenem Ausbau den Eisenbedarf Australiens vollkommen decken soll. Der erste 800-t-Hochofen wurde am 29. August 1928 angeblasen. Die Betriebsergebnisse weisen große Ersparnisse gegenüber den alten Hochöfen von Lithgow auf, die außer Betrieb gesetzt wurden, um die Roheisenerzeugung in der neuen Anlage zusammenzufassen. Der Koksverbrauch auf 1 t Roheisen betrug von 1400 kg bei der alten Anlage auf 800 kg vermindert. Der neue Hochofen wurde von der Firma Frey Engineering Co., Chicago, entworfen.

Die Eisenerze mit rd. 65 vH Fe werden in Süd-Australien gewonnen und nach Port Rembla verschifft, in dessen Hafen eine Umschlaganlage mit einem 30 m hohen 25 t-Entsackkran (Greiferkran) im Gewicht von 400 t geschaffen hat. Der Hochofenanlage ist 2,5 km vom Hafen entfernt. Die Erze werden unmittelbar auf die Vorratbehälter des Hochofens (zehn je 400 t fassende Erz- und Kalksteinbehälter) und ein 400 t-Koksunker) gefahren und entleert. Der Schmelzplatz befindet sich hinter den Vorratbehältern und wird durch zwei Portalkrane (Greiferkrane) bedient.

Die Abmessungen des Hochofens betragen 5500 mm im Gestell, 6600 mm Dmr. in der Rast und 4650 mm an der Gicht. Die Höhe vom Stichloch zur Gichtsoberfläche beträgt 26 500 mm. Der Schachtmantel besteht aus 20 mm dicken zusammengelöteten Stahlblechen und wird durch zehn gußeisernen Säulen getragen. Der Koks wird durch Schrägaufzüge und Absieben vorbereitet. Der Schrägaufzug hat zwei je 5 m³ fassende Kippwagen. Das Kippgefäß kann 770 kg aufnehmen. Die Gicht hat doppelten Gichtverschluß und ist mit einem umlaufenden Verteiler ausgerüstet. Die Gicht wird durch zehn Windformen von 152 mm Dmr. eingeleitet. Gekühlt wird mittels Seewasser (Salzwasser).

Die Gichtgase werden durch vier senkrechte Rohre abgenommen und durch zwei kurze und steile Rohre in den Staubsammler (6100 mm Dmr.) geleitet, von wo sie einem Brassert-Wascher (4200 mm Dmr., 24 000 mm hoch) und einem Theisen-Desintegrator für 920 m³/min Gas zugeleitet werden. Der Brassert-Wascher hat hölzerne Horden, die mit Meerwasser berieselt werden. Für die Dampfkessel wird das Gas unmittelbar hinter dem Brassert-Wascher entnommen, während die Winderhitzer nur mit Gas betrieben werden, das im Theisen-Wascher gereinigt ist. Die drei Winderhitzer haben je 6800 m² Heizfläche; damit werden 2200 m³/min Gebläsewind bei 2 at auf 900 °C erwärmt. Die Umstellzeit der Winderhitzer beträgt 4 min. Der Schornstein ist 69,6 m hoch. Im Kesselhaus sind drei Stirling-Babcock & Wilcox-Kessel mit je 870 m² Heizfläche für 19 at Dampfdruck und 70 °C Überhitzung mit selbsttätiger Regelung der Feuerung aufgestellt.

Ein in der Maschinenhalle aufgestelltes fünfstufiges Turbogebälse, angetrieben durch eine 6800 PS-Dampfturbine von Brown, Boveri & Cie, saugt bei 2700 U/min 2700 m³/min Wind an und verdichtet ihn auf 2,1 at. Ein liegendes Zweizylinder-Dampfkolben-Gebläse saugt bei 75 U/min je Zylinder 1650 m³/min an. Im Kondensatorkeller befinden sich die Pumpen für das Kühlwasser des Hochofens und der Gasreinigungsanlage. Auf einem Hügel, 220 m vom Hochofen entfernt, sind ein Süßwasser-Vorratbehälter mit 1000 m³ Inhalt und ein solcher für Salzwasser mit 1600 m³ aufgestellt. Das Kühlwasser für die Oberflächenkondensatoren wird dem Meer entnommen und durch eine 1100 m lange schmiedeeiserne Rohrleitung von 900 mm Dmr. dem Werk zugepumpt.

Das flüssige Roheisen wird in 125 t fassenden Pfannen zur Gießmaschine befördert, die 50 Masseln von rd. je 35 kg Gewicht in 1 min gießt.

[N 2412]

Sydney

Ing. Hans von Escher

Das Vergleichverfahren im Betriebe der Spinnereien und Webereien

Von Dr.-Ing. B. SCHOOF, Mannheim-Waldhof

Bisher war die genaue Beurteilung der Leistungsfähigkeit der Spinnereien nicht möglich. Zur Bewertung verwendet man im allgemeinen die sogenannte Durchschnittsnummer: das algebraische Mittel der gesponnenen Garne, und die Leistung je Spindel und Stunde in Gramm, oder man bedient sich eines Längenmaßes, das sich aus der Multiplikation der beiden Zahlen ergibt. Beide Angaben sind jedoch sehr unzulänglich. Eine Garnnummer wird stets im Verhältnis ausgedrückt: Länge durch Gewicht oder der umgekehrte Wert, Gewicht durch Länge. Da ein unmittelbarer Vergleich sich nicht durch ein Verhältnis ausdrücken läßt, sondern nur mit absoluten Zahlen möglich ist, sind im nachfolgenden zu diesem Zwecke praktische Umrechnungswerte aufgestellt.

Diese Arbeit beabsichtigt die Betriebe insgesamt auf eine Grundlage zu stellen, von deren Werte aus man sofort die Wirtschaftlichkeit und die Leistung untereinander vergleichen kann. Man kann nämlich durch den Vergleich zweier oder mehrerer Betriebe miteinander sofort die bessere oder höhere Leistungsfähigkeit erkennen ohne Rücksichtnahme auf die Durchschnittsnummer oder Schlußzahl und ohne Rückkehr zu den Einheiten, die doch nie ein klares Bild liefern und stets nur Annäherungswerte ergeben. Im Rahmen dieser kurzen Arbeit ist von der Durchführung der wissenschaftlichen Überwachung abgesehen und der Vergleich nur auf die Spinnerei bezogen, da sich bekanntlich hier die größten Schwierigkeiten ergeben.

Das Hauptziel in den Spinnereien ist die Herstellung der Garne in höchster Menge, jedoch ohne Einbuße an Güte. Da fast jedes Werk einem Konzern, einer Interessengemeinschaft angehört oder in einem sonst engeren Verhältnis zu andern Werken steht, so erscheint es besonders wertvoll, nach einem Austausch der Erfahrungen und einer Veröffentlichung der erzielten Ergebnisse zu streben, sind doch die Bedingungen in den einzelnen Werken ganz verschieden, so der Spinnplan, die Mischungen, die Drehung der Garne, die Umlaufzahlen der Maschinen usw., und doch ist das Ziel gleich. Die sogenannte gewerbliche Inzucht erschwert ein schnelles Vorwärtkommen sehr stark.

Theoretische und tatsächliche Leistung

Wohl in den wenigstens Spinnereien wird die Gegenüberstellung der theoretischen Leistung zur tatsächlichen durchgeführt, obwohl sie von größtem Wert ist. Man begnügt sich damit, die erzielten Gesamtergebnisse in Gewicht- oder Längeneinheiten bei einer entsprechenden Durchschnittsnummer auszudrücken. Die theoretische Maschinenleistung ist dauernd gleich und braucht nur einmal festgestellt zu werden. Ihr stellt man die wirkliche Leistung gegenüber und erhält den Wirkungsgrad. In gut geleitetem Betriebe erhält man bei geübten Arbeitern, guten Maschinen und bestem Rohstoff, einen durchschnittlichen Wirkungsgrad von rd. 92 bis 96 vH. Da in den meisten Spinnereien wegen der Eintrocknung mit rd. 3 bis 6 vH Übergewicht gearbeitet wird, kommt es vor, daß man teilweise Werte bis zu 100 vH und mehr erreicht. Dieser

Fehler muß in der Statistik vermieden werden. Z. B. Tafel 1 gibt einen kurzen Ausschnitt einer Wochenübersicht aus einer Jutespinnerei.

Wenn auch diese Wochenübersicht schon einen gewissen Fortschritt in der Beobachtung der Erzeugung stellt, so ist doch nicht ohne weiteres ersichtlich, ob der dritte oder vierte Tag das günstigere Ergebnis zeitigt hat. Während am vierten Tag 0,43 kg und 1 je Spindel und Stunde bei einer Durchschnittsnummer geleistet wurden, sind am dritten Tag nur 0,40 kg und 1 bei der Durchschnittsnummer 3,042 geliefert worden, wohl der Wirkungsgrad am dritten Tag für Kette Schuß 101 und 98 vH beträgt, während er am vierten nur 96 und 91 vH erreicht. Es wäre vorschnell gehalten, wollte man dem Übergewicht allein den höheren Wirkungsgrad zuschieben.

Zurückführen der Erzeugung auf eine Normalnummer

Um nun diesen Mangel in der Beurteilung der Leistung zu beseitigen und eine unmittelbare Handhabung der Bewertung der Spinnerei zu bekommen, wurden Grund monatelanger Versuche und Beobachtungen, der Verlauf im einzelnen hier nicht mitgeteilt werden nach Beseitigung aller Schwierigkeiten und unter Berücksichtigung aller Möglichkeiten feste Zahlenwerte aufgestellt, die die gesamte Erzeugung auf eine Einheit, die genannte Normalnummer zurückführen. Mit anderen Worten: Ein oder mehrere Betriebe spinnen immer und dieselbe Nummer, die sich durch die Multiplikation mit den festen Umrechnungszahlen ergibt.

Die Versuche wurden bei einer einwandfreien Schineneinrichtung, einem üblichen Spinnplan, einer verhältnismäßig guten Mischung und unter möglichst starker Verringerung der unumgänglichen Stillstände gemacht. Jede Nummer wurde die günstigste Maschine gewählt mit einer wirklich guten Spinnerin besetzt. Man schuf für die einzelnen Nummern Spitzenleistungen, um die theoretischen Leistung möglichst nahe zu kommen. Durchschnittsergebnis aus vier Wochen Beobachtung: Jede Nummer wurde unter peinlichster Genauigkeit in der Innehaltung der Garnnummer und genauer Wägung Grunde gelegt. Als Einheit wurde die stündliche Leistung einer Spindel mit 0,900 kg angenommen, das entspricht der theoretischen Nummer 1,81 (Nummer 3 engl.). Nummer die etwa im Mittel der gängigen Nummern erwies sich für die Umrechnung als die günstigste.

Da die Zwischenräume zwischen den einzelnen theoretischen Nummern verschieden groß sind, so ergaben bei der Aufstellung der Viertelnummern (engl.) infolge mannigfaltigen Einflüsse kleine Sprünge. Zu ihrer Beseitigung wurden die ganzen Nummern zugrunde gelegt wie man aus Abb. 1 ersieht, im Vergleich zur theoretischen Schaulinie gleichmäßig ansteigen und dadurch einen Hinweis für die Richtigkeit der Annahme liefern. Da in einzelnen Fabriken mit den verschiedensten Nummern gearbeitet wird, so waren die Viertelnummern zu groß

Zahlentafel 1. Übersicht über die Wochenerzeugung einer Jutespinnerei.

Wo- chen- tag	Ar- beits- zeit h	Tatsächliche Feingarnherzeugung								Theoretische Leistung			Durch- schnitts-Nr.	Wirkungsgrad e Übergewicht	
		Kette kg	Schuß kg	insge- samt kg	auf 1 Spin- del und h	Kette m	Schuß m	insgesamt m	auf 1 Spin- del und h	Kette kg	Schuß kg	insge- samt kg		Kette vH	Schuß vH
1	9	8 624	7 216	15 840	0,41	108 636	74 552	183 188	1 283	8 882,72	7 432,48	16 315	3,169	97	103
2	9	8 648	8 670	17 318	0,39	108 406	87 408	195 814	1 217	9 080,40	9 190,20	18 271	3,133	95	94
3	9	9 363	7 939	17 302	0,40	104 732	87 453	192 185	1 206	9 456,63	8 097,78	17 554	3,042	101	98
4	9	9 802	8 642	18 444	0,43	113 851	93 036	206 887	1 300	10 194,80	8 710,42	18 905	3,072	96	99
5	9	8 276	8 741	17 017	0,40	99 029	93 734	192 763	1 223	8 441,52	8 959,53	17 401	3,102	98	97,5
6	5,66	5 270	5 532	10 802	0,40	64 982	62 645	127 627	1 291	5 375,40	5 863,92	11 239	3,235	102	94
		49 983	46 740	96 725	0,41	599 636	498 828	1 098 464	1 253	51 431,47	48 254,33	99 685	3,147	98,2	97,6

urden die ganzen Num-
in Achtel geteilt, was
Unterschied von 75 m
richt. Für den weite-
Beweis für die Richtig-
der angenommenen gan-
nummern wurde in dem
ubild die Verbindung
rillig hergestellt, wäh-
die Achtelwerte ge-
rechnerisch ermittelt
en. Die eingeklammer-
zahlen geben die wirk-
erzielten Ergebnisse
Die Garne unter Num-
1,21 (metr.), soweit sie
r Feinspinnerei gespon-
werden, können ohne
eres mit dem Umrech-
tswert 0,670 behandelt
en. Während z. B. die
rangnummer 3 (engl.)
0,900 kg theoretischer
pleistung angenommen
ale, ist die praktische
etzung für die gleiche
umer mit dem Umrech-
tswert 1,078 zu multi-
lieren, damit man auf die
onalnummer kommt. In
dem Falle bleibt also die
ratische Leistung um
8 H hinter der theoreti-
eln zurück. Da, wie schon
egt, die Normalnummer
nfähr im Mittel der
pufähigen Garne liegt,
r Trugschlüsse, wie sie
e der bisherigen Beurtei-
auftauchen, so gut wie
ureschlossen.

Es könnte der Einwurf gemacht werden, daß die Um-
rechnungswerte nur in dem Betriebe zu verwenden wären,
in den sie aufgestellt werden, während für jedes andre
Werk ein Standortwert, je nach dem Zustand des Ma-
schinenparks, nach der Rohzutemischung usw. eingesetzt
werden müßte, dessen genaue Festsetzung ziemlich un-
möglich wäre. Dem ist nicht so. In jedem Fall ergibt
sich bei der Berechnung der Normalnummer ein Produkt,
wobei der Umrechnungswert gleichbleibend und das Ge-
wicht veränderlich ist. Da man in der Praxis nur von dem
Gewicht ausgeht, so können die Werte in gleicher Weise

Zahlentafel 2. Tagesübersicht bei einer Arbeits-
zeit von 9 h

Ma- schinen- Nr. (Tel.)	Güte	Art	Bestimmung	Einzel- ge- wicht	Umge- rech- netes Ge- wicht
				kg	kg
53	s	Kette	Weberei	5 385	13 102
53	s 2 fach	" Holz	"	438	1 066
53	s	" Kette	Verkauf H.	593	1 443
52	ss	"	Weberei	1 303	2 513
51	s	"	Verkauf P.	722	929
53	s	"	" P.	215	523
53	s	"	Weberei	291	708
53	s ge- färbt	Schuß	"	1 182	2 578
18	s	"	"	3 573	7 343
52	s	"	"	974	1 879
57	s	"	"	507	813
52	s	"	"	153	229
56	s	"	"	1 890	2 629
53	s	"	Lager	383	932
insgesamt				17 609	36 687

Es liefen 67 Maschinen mit 4847 Spindeln,
Leistung je Spindel und Stunde 0,8410 kg
Gesamtleistung 36 687 kg Normal-Nr.
H = Holzhülsen P = Papphülsen



Abb. 1
Tafel der Umrechnungswerte auf die Normalnummer.
a theoretische Linie b praktische Linie

in jeder Fabrik benutzt werden. Eine Verschiebung der
Nummervhältnisse untereinander, d.h. eine Verschieden-
artigkeit der Zwischenräume zwischen zwei vollen Num-
mern, ändert jedenfalls nichts an dem Ergebnis der Normal-
nummer; denn alle Verschiebungen der Zwischenräume
drücken sich nur zugunsten oder zum Nachteil des be-
treffenden Betriebes aus.

In Zahlentafel 2 ist das Muster einer Tagesübersicht
der Feinspinnerei nach dem neuen Verfahren dargestellt,
wie er ohne Mehraufwand an Arbeit in jedem Werke so-
fort eingerichtet werden kann.

Im Anschluß daran noch ein Beispiel, Zahlentafel 3.
für die einfache Gestaltung eines Wochenberichtes.

Zahlentafel 3. Feingarnherzeugung

Wochentag	Arbeitszeit h	Gesamterzeugung Normal-Nr. kg	Leistung auf 1 Spindel und h, Normal-Nr. kg
1	9	36 547	0,830
2	9	34 534	0,781
3	9	33 793	0,7728
4	9	36 618	0,8393
5	9	34 235	0,7924
6	5,66	22 461	0,8285

Wie schon gesagt, ist aus Zahlentafel 1 nicht ersicht-
lich, welcher Tag das günstigste Ergebnis brachte. Durch
Umwandlung zur Normalnummer mit Hilfe der Umrech-
nungswerte, ergab sich die Reihenfolge nach der Leistungs-
fähigkeit je Spindel und Stunde in der einen absoluten Zahl
bei der Normalnummer folgendermaßen:

am 4. Tag	0,839
" 1. "	0,830
" 6. "	0,829
" 5. "	0,792
" 2. "	0,781
" 3. "	0,773

In folgendem sei ein Beispiel gegeben für den Vergleich zweier Werke untereinander. Angenommen, ein Werk A habe am Monatsende mit der durchschnittlichen Spindel-leistung von 381 g/h bei einer Durchschnittsnummer von 3,321 (metr.) und der sich daraus ergebenden Länge von 1265 m, ein andres Werk B mit der Spindelleistung von 372 g/h einer Durchschnittsnummer von 2,947 (metr.) und 1096 m Länge gearbeitet, so ist es nach diesen Angaben nicht angängig, die Gewichtsleistung oder die Längen-leistung unmittelbar zum Vergleich in ein Verhältnis zu bringen, da jeweils der eine Wert vom andern abhängt. Durch die Umwandlung zur Normalnummer werden jetzt zwei gleiche Verhältnisse in Beziehung gebracht, deren Ergebnis eine absolute Zahl darstellt. Nimmt man für beide Werke die zwar algebraisch richtig berechnete, praktisch aber unzulängliche Durchschnittsnummer mit in den Kauf und multipliziert die Grammeinteilung mit der zur Durch-schnittsnummer gehörenden Umrechnungszahl, so ergibt sich die Leistung, ausgedrückt in der Normalnummer, mit 0,831 und 0,697, das entspricht rd. 16 vH. Das Werk A hat also in dem besagten Monat durchschnittlich um 16 vH besser gearbeitet als das Werk B.

Die absolute Zahl gibt also jetzt die genaue tatsäch-liche Leistung der Feinspinnerei an, und aus den Zahlen-

größen einer Woche oder eines Monats, oder aus dem gleich der durch die Normalnummer erhaltenen W zweier oder mehrer Betriebe ist sofort der bessere V kungsgrad zu ersehen. Bislang wurden bekanntlich Angaben in Einheiten des Gewichts oder der Länge Spindelstunde gemacht, wobei die Gewichtsangabe bei arbeitung großer Mengen grober Garne ein günstiges gebnis zeitigte, während das Ergebnis der Längeneinhe verhältnismäßig ungünstig wurde. Ebenso verhielt e umgekehrt. Durch Einführung der Normalnummer die Möglichkeiten falscher Schlußfolgerungen vollstä fort, da nur eine Nummer gesponnen wird, deren Ver nis zwischen Länge und Gewicht stets gleich bleibt. Umrechnungszahlen können aus Abb. 1 entnom werden.

Besonders geeignet erscheint das Vergleichsverfa für Syndikate, Konzerne, Vereinigungen usw., deren tät somit eine Handhabe hat, die technische Leist ihrer Werke genau zu übersehen und zu überwachen. Übersichtlichkeit und Einfachheit, die Ausschaltung Irrtümern und falschen Schlußfolgerungen, die Beseitig der Rückkehr zu den Einheiten, die Sicherheit und K heit lassen ohne weiteres den großen Wert des Vergle verfahrens erkennen. [B 2296]

Einzelantrieb für Webstühle alter und neuer Bauart

In Webereibetrieben führt sich der Einzelantrieb immer mehr ein, wobei folgende Übertragungsarten angewendet werden: offene Riemenübertragung durch Wippenmotor, Riemenübertragung mittels Spannrolle, Zahnradübertragung, wobei der Motor an besonderem Motorbock befestigt und eine Rutschkupplung zwischengeschaltet ist, und ferner eine Zahnradübertragung, wobei der Motor an der Webstuhl-wand befestigt ist und ebenfalls eine Rutschkupplung zwischengeschaltet ist, Abb. 1. Der letztgenannte Antrieb hat den Vorzug des geringsten Platzbedarfes, ferner kann man die Webstuhlzahnräder leicht auswechseln, sämtliche Boden-befestigungen fallen weg, der Motor kann auch bei ganz kurzen Kurbelwellenzapfen verwendet und an alte und neue Webstühle angepaßt werden.

Der Motor weist bemerkenswerte technische Verbesse-rungen auf. Die Kühlluft streicht unmittelbar an dem Ständerblechpaket vorbei, den Ständer kann man leicht aus-

wechseln und aus- und einbauen, Abb. 2. Die Luftkanäle sind reichlich bemessen, die Luftfüh-rung verläuft fast in ge-rader Richtung. Der Lüf-ter, der hinter dem vor-deren, mit Öffnungen versehenen Saugschild *a* sitzt, saugt Luft an und drückt diese an dem Ständer vorbei; durch die Öffnungen des Antrieblagerschildes wird die Luft wieder ausgeblasen. Das Antrieblagerschild ist mit dem Motorgehäuse aus einem Stück herge-stellt, weshalb ein Aus-schlagen der Antrieblagerseite nicht mehr vorkommen kann. Der Läufer ist mit Flachkupferstäben gewickelt. Der Motor sich unter einer Dauerbelastung von 30 vH Mehrlast bewährt und weist einen guten Verlauf der Linie des kungsgrades auf, Abb. 3.

Um die stoßweise Belastung, die gerade bei Webstü sehr oft vorkommt, gut zu überwinden, hat man die W bei Motoren von 0,45 PS mit 20 mm Dmr. bemessen. Au dem ist sie nicht abgesetzt, so daß Wellenbrüche kaum r auftreten können. Der kräftig gehaltene Motorbock ver-dert die Schwingung der Webstuhlwand. Infolge gr Überlastbarkeit eignet sich der Motor auch für Betriebe denen die Dichte der gewebten Ware stark wechselt.

Gera

H. Steng

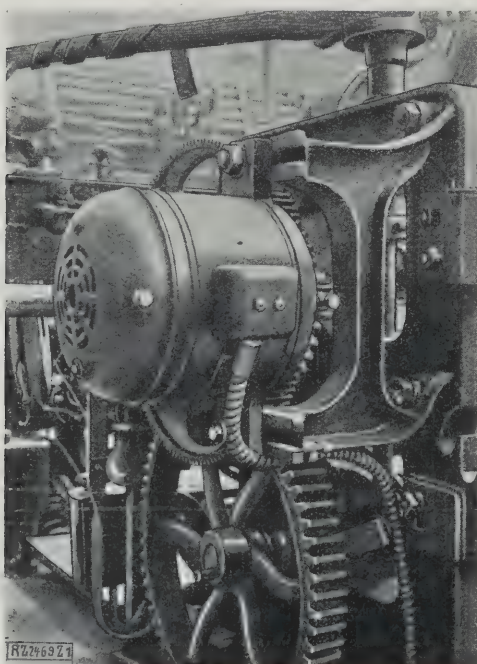


Abb. 1
Webstuhltrieb mit einem an der Webstuhlwand befestigten Motor, Bauart Stephan, und Rutschkupplung.

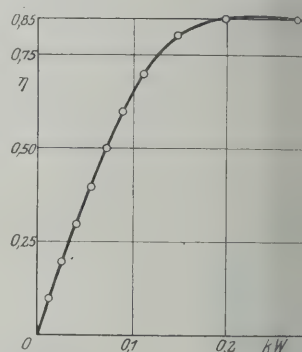


Abb. 3
Wirkungsgrad des mantelgekühlten Stephan-Motors.

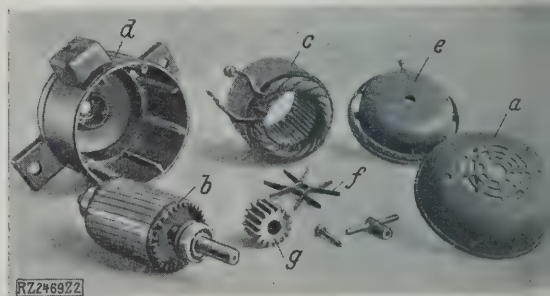


Abb. 2
Einzelteile des Motors.

- | | |
|---|------------------------|
| a Saugschild | e vorderes Lagerschild |
| b Kuzschlußläufer | f Lüfter |
| c Ständer | g Antriebsritzel |
| d Motorgehäuse mit hinterem Lagerschild | |

Akustik neuzeitlicher Sprechmaschinen

Von Dr. E. LÜBCKE, Berlin-Siemensstadt

Die den Schall kennzeichnenden Größen — Erfordernisse für klanggetreue Tonwiedergabe — Die Platte als Mittler zwischen Aufnahme und Wiedergabe — Vorteile des elektrischen Aufnahmeverfahrens — Neuzeitliche Trichterapparate — Der elektrische Tonabnehmer in Verbindung mit Lautsprechern

Die Sprechmaschine soll, wie der Lautsprecher in der Funktechnik, aufgenommene Schallwellen möglichst klanggetreu dem Ohre wieder zuführen. Die Arbeit, die bei der Entwicklung der Lautsprecher gewidmet worden ist, ist hauptsächlich auf die Gestaltung der Schallgeräte gerichtet. Dies ist hauptsächlich darauf zurückzuführen, daß die Arbeiten, die sich mit der naturgetreuen Schallwiedergabe durch Lautsprecher befassen, der Öffentlichkeit bekanntgegeben¹⁾ und nicht wie in der Sprechmaschinen- und Schallplattenindustrie als Geheimnisse gehalten wurden. Trotzdem besteht diese Geheimniskrämerei, besonders bei den deutschen Schallgerätefabriken, noch immer, obwohl die Forschungen der letzten Jahre in der akustischen Akustik einen vollständigen Überblick über die in Frage kommenden Erscheinungen erlauben.

Die den Schall kennzeichnenden Größen

Der Schall, den das menschliche Ohr wahrnimmt, besteht aus Längsschwingungen der Luft. Er ist gekennzeichnet durch folgende drei Größen: die Tonhöhe, die Klangfarbe und die Stärke.

Die Tonhöhe ist bedingt durch die Zahl der Schwingungen in einer Sekunde (die Frequenz). Der Hörbereich reicht von etwa 16 bis 20 000 Hertz (Schwingungen in der Sekunde). Für die klanggetreue Wiedergabe von Sprache und Musik ist ein Frequenzbereich von 16 bis 10 000 Hertz erforderlich. Die Grundsicherungen eines Klaviers reichen von 27 bis 4138 Hertz und umfassen nach der Orgel, die 16 Hertz herunterreicht, von allen Instrumenten den größten Frequenzbereich. Hieraus erklären sich auch zum Teil die Schwierigkeiten bei der Wiedergabe von Klavierstücken, andere liegen in der Wiedergabe der Intensitätsverhältnisse. Für hochwertige Sprach- und Musikwiedergabe genügen vielfach 100 bis 5000 Hertz²⁾. Der Sprachbereich ist kleiner und geht in den Grundtönen von 80 bis 1000 Hertz.

Die Klangfarbe ist durch die Form der Luftschwingungen oder, bei Aufzeichnung des Klanges, durch die Kurvenform gekennzeichnet. Sinusförmige Schwingungen hat man nur bei ganz reinen Tönen. Bei allen anderen sind Schwingungen höherer Frequenz überlagert. Diese geben als Harmonische zum Grundton dem Musikklange erst die Fülle und als Formanten den Sprachklängen erst das Kennzeichnende.

Die Stärke des Schalles hängt von mehreren Faktoren ab. Bei gegebener Tonhöhe und Klangfarbe ist sie durch die Stärke (Intensität) der Luftschwingungen bedingt. Für ebene Wellen ist diese physikalisch bestimmt durch

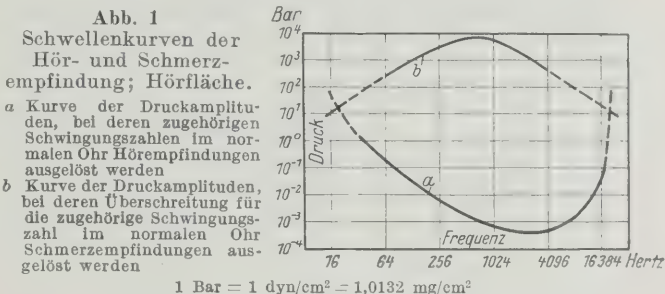
$$I = \frac{s}{2} \omega^2 A^2 = \frac{s}{2} V^2 = \frac{P^2}{2sc} = \frac{1}{2} P V \frac{\text{Watt}}{\text{cm}^2} \quad (1).$$

in c die Schallgeschwindigkeit in cm/s,
s die Dichte in g/cm³,
ω die Kreisfrequenz je Sekunde = 2πn mit der Schwingungszahl n,
A die Amplitude der Bewegung in cm,
V die Amplitude der Geschwindigkeit in cm/s und
P der Schalldruck in g/cm²

Mit $\frac{P}{V} = sc = w$ bezeichnet man den Schallwiderstand. Bei Kugelwellen, die in Hohlräumen auftreten (wie in der Nähe einer Schallquelle auftreten), sind Druck und Geschwindigkeit nicht in Phase. Der

Schallwiderstand kann in solchen Fällen komplex sein. man nennt ihn entsprechend zur Elektrotechnik auch akustische Impedanz.

Die Stärke des wahrgenommenen Schalles hängt noch stark von der Frequenz ab. In Abb. 1 zeigt die untere Kurve die kleinste Druckamplitude, die bei den zugehörigen Frequenzen im normalen Ohr eine Hörempfindung auslöst, während die obere Kurve einer Druckamplitude entspricht, bei der der Vorgang vom Ohr als Schmerz empfunden wird. Innerhalb dieser Hörfläche³⁾ liegen alle hörbaren Töne jeder Stärke und Schwingungszahl. Die Zahl der unterscheidbaren „Töne“ beträgt rd. 300 000. Wichtig und für die Sprechmaschine von Bedeutung ist die verhältnismäßig geringe Empfindlichkeit des Ohres für die tiefen Frequenzen. Diese erfordern bei der Aufzeichnung und Wiedergabe entsprechend große Amplituden.



Die Schallplatte als Mittler zwischen Aufnahme und Wiedergabe

In der Grammophontechnik wird der Schall (Musik, Gesang, Sprache usw.) zunächst erzeugt und durch ein geeignetes Gerät aufgenommen, auf einen Schallträger (Schallplatte, neuerdings auch Film) aufgezeichnet, von diesem wieder abgenommen und in Schallschwingungen zurückverwandelt.

Bei allen Schallplatten wird heutzutage die Flachschrift nach A. Berliner benutzt. Die Schreibfläche ist bei deren Aufnahme gewöhnlich eine ebene Wachsplatte, die sich um eine senkrechte Achse dreht. Der Schreibstift, mit einer Saphirspitze, bewegt sich parallel zur Platte und ritzt senkrecht zur Furche der Spirale eine den Schallschwingungen entsprechende Kurve von wechselnder Abweichung (Amplitude) von der mittleren Spirallinie, aber gleicher Tiefe. Diese Wachsplatten werden galvanisch verpulvert, und von diesen Metallmatrizen werden nach einem Preßverfahren die aus Schellack und Füllstoffen bestehenden Schallplatten hergestellt. Die normalen Durchmesser der handelsüblichen Platten betragen 25 und 30 cm. Eine innere Fläche mit 11 bis 14 cm Dmr. bleibt unbespielt. Der Abstand zweier Kurvenmitten beträgt rd. 1/4 mm. Auf einer Platte mit 30 cm Dmr. ist dann die ganze Spirale 120 bis 200 m lang. Sie wird bei 78 Plattenumdrehungen in der Minute in rd. 3 bis 4 min durchlaufen. Beim Kammerton a' (n = 430 Hertz) sind auf ihr rd. 100 000 Schwingungen aufgezeichnet, so daß auf eine Schwingung im Mittel 1,5 mm Länge entfallen. Für die Aufzeichnung einer Schwingung des Tones mit n = 5000 Hertz steht ungefähr noch 0,1 mm Länge zur Verfügung, damit hat man bei der üblichen Drehgeschwindigkeit der Platte ungefähr die obere Grenze des Frequenzbereichs erreicht. Um höhere Schwingungszahlen aufzeichnen zu können, müßte die Platte schneller umlaufen; infolgedessen würde ihre Spieldauer abgekürzt. Diesen Verlust könnte man durch Engerlegen der Furchenspirale ausgleichen, wenn man die Schallkurven mit kleineren Amplituden aufzeichnen könnte.

³⁾ H. Fletcher, Bell System techn. Journ. Bd. 2 (1923) S. 145.

¹⁾ Vergl. z. B. H. Riegger, Wiss. Veröff. a. d. Siemenskonzern, Bd. 3 (1918) S. 67; H. Riegger und F. Trendelenburg, Z. f. techn. Physik Bd. 7 (1926) S. 57; C. W. Rice und E. W. Kellogg, Journ. Am. Inst. Electr. Eng. Bd. 44 (1925) S. 982; E. Gerlach, Z. f. techn. Physik Bd. 5 (1924) S. 576; W. Schottky, Z. f. techn. Physik Bd. 5 (1924) S. 574; F. Trendelenburg und H. Riegger, Z. f. techn. Physik Bd. 7 (1926) S. 630; W. Schottky, Elekt. Nachr. Techn. Bd. 1 (1925) S. 157; F. Lüschen, Telegr. Fernspr. Techn. 1928, Heft 5.
²⁾ H. S. Cohen, Journ. Inst. Electr. Eng., London, Bd. 66 (1928) S. 165; F. Wagner, ETZ, Bd. 45 (1924) S. 451; H. F. Mayer, Elekt. Nachr. Techn. Bd. 4 (1927) S. 184; Tagung des Internat. berat. Aussch. f. d. Fernspr. Verkehr (CCJ), Elekt. Nachr. Techn. Bd. 4 (1927) S. 196.

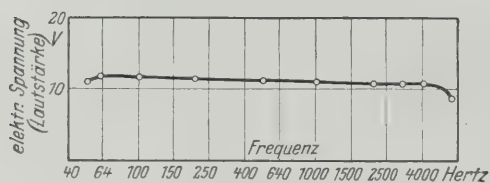


Abb. 2

Verlauf der Spannung eines elektrischen Aufnahmegerätes in Abhängigkeit von der Tonfrequenz. Die Höhe der Spannung ist der Lautstärke verhältnismäßig; bei dem vorliegenden Gerät ist sie über einen großen Bereich nahezu unabhängig von der Frequenz.

Wodurch ist überhaupt die Amplitude A der aufgezeichneten Schallkurve a gegeben? Wir haben in der Luft im Schallfeld einen einfachen Schall der Form

$$p = P \sin \omega t,$$

worin t die Zeit ist; dieser Schall wird auf der Platte aufgezeichnet als Schallkurve

$$a = A \sin \omega t.$$

Bei der Wiedergabe kann man in erster Annäherung mit einem gleichbleibenden Schallwiderstand w rechnen, d. h. die von dem Schallsender (Membran oder Trichter) an das Schallfeld abgegebene akustische Energie bleibt je Flächeneinheit über den ganzen Frequenzbereich annähernd gleich. Die Intensität bestimmt sich also nach Gl. (1) zu:

$J = \frac{1}{2} \rho V^2 = \frac{1}{2} \rho w V^2$, d. h. verhältnismäßig dem Quadrat der Geschwindigkeitsamplitude. Aus dem letzten Ausdruck der Gl. (1) folgt, daß unsere Aufzeichnung für gleiche Drücke P im Schallfeld gleiche Geschwindigkeiten V ergeben muß. Es wird dann

$$A \approx \frac{P}{\omega} \quad (2)^{3a}).$$

Die bei der Abnahme durch Reibung auftretenden Nadelgeräusche bedingen, daß man in dem akustisch wirksamsten Bereich, Abb. 1, diese Amplitude A nicht viel unter 0,1 mm wählt. Man kommt dann am unteren Ende des Schallspektrums sehr bald an einen Punkt, wo die Amplituden A wegen der geringeren Empfindlichkeit des Ohres für tiefe Töne so groß werden müssen, daß sie bis in die nächsten Furchen reichen; das kann man z. B. bei lauten Baßtönen bei schlechten Platten manchmal hören. Man muß also für die tiefen Töne unterhalb von $n \approx 200$ Hertz einen Verlust an Lautstärke in den Kauf nehmen und $A \approx P$ wählen.

Der kleinste Krümmungshalbmesser einer Sinuswelle, die mit gleichbleibender Geschwindigkeit aufgezeichnet wird, wird im Verhältnis $\frac{1}{\omega}$ kleiner und bei $n = 4000$ Hertz bereits so klein, daß bei der Wiedergabe die Nadel nicht mehr folgen kann. Man zeichnet deshalb die höheren Frequenzen, natürlich unter Verlust an Lautstärke, mit den Amplituden $A \approx \frac{P}{\omega^2}$ auf. So läßt sich eine einigermaßen klanggetreue Aufzeichnung zwischen 60 und 6000 Hertz erzielen, wenn man die genannten Verluste am unteren und oberen Ende des Frequenzbereiches in den Kauf nimmt. Bei elektrischer Wiedergabe kann man diese Fehlstellen durch geeignete Verstärker ausgleichen. Verwendete man nur elektrische Wiedergabegeräte, dann könnte man die Aufzeichnung auch mit gleichbleibender Amplitude oder mit gleichbleibender Beschleunigung vornehmen, statt mit gleichbleibender Geschwindigkeit. Für die Ausnutzung der Platte ist dies jedoch nicht günstiger, da bei gleichbleibender Amplitude die höheren Frequenzen schlechter wiedergegeben werden als bei gleichbleibender Geschwindigkeit. Also selbst bei neuen elektrischen Aufnahme- und Wiedergabeverfahren kann man bei keiner andern Aufzeichnungsart die Platte besser ausnutzen, d. h. die Spieldauer verlängern. Dies würde erst dann möglich sein, wenn man ein andres Verfahren benutzte, bei dem die infolge der Reibung des Stiftes an

Zu Abb. 3

- a Resonanzkurve eines mechanischen Schwingungssystems
- b Resonanzkurve des gleichen mechanischen Schwingungssystems, aber mit eingeschaltetem achtfachen Reibungswiderstand gegenüber a; die Eigenschwingung tritt nicht mehr so stark in Erscheinung.
- c Resonanzkurve des gleichen mechanischen Schwingungssystems. Widerstand und Elastizität sind die gleichen wie bei a, die Masse beträgt aber nur ein Fünftel der bei a. Der Frequenzbereich ist wesentlich größer.
- d Resonanzkurve einer mechanischen Siebkette, der Frequenzbereich ist sehr groß. (Amplituden und Verhältniszahlen)

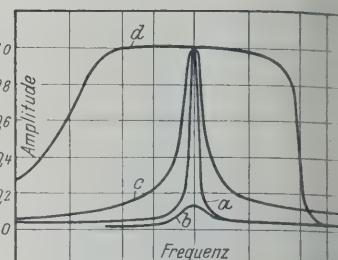


Abb. 3

Resonanzkurven verschiedener mechanischer Schwingungssysteme

der Platte auftretenden „Nadelgeräusche“ um mehrere Größenordnungen kleiner gemacht werden könnten, man dann auch die Amplituden der Schallaufzeichnung kleinern könnte.

Mechanisches Verfahren zur Schallaufnahme

Das ursprüngliche Verfahren zur Aufnahme einer Schallplatte bestand darin, daß man den Schall mit einem großen Trichter auf einer Membran vereinigte und von der Membran aus unmittelbar den Saphirstift das Schreiben auf der Wachsplatte steuern ließ. Durch den Trichter wird eine unnatürliche Stellung des Orchesters der Sänger und einzelner Instrumente hervorgerufen; Schall wird auf möglichst kurzem Wege zur Membran geführt, infolgedessen erhält man keinen raumakustisch beeinflussten Klang. Letzteren hören wir aber in Wirklichkeit immer, d. h. wir hören nicht den einfachen Schall allein, sondern diesen Schall nebst Überlagerungen, von den Wänden in verschiedenen Zeiten und in verschiedener Stärke zurückgeworfen sind. Diesen „Raumklang“ haben wir bei den alten Aufnahmen nicht^{3b)}. Außerdem treten noch Verzerrungen infolge von Resonanzen im Trichter, der Membran und des Schreibstiftes auf.

Elektrisches Verfahren zur Schallaufnahme

Bei dem jetzt wohl allgemein üblichen elektrischen Aufnahmeverfahren zeichnet man die Schallwellen nicht unmittelbar auf, sondern schaltet eine Umwandlung des Schalles in elektrische und daraus in mechanische Energie ein. Da man die elektrischen Geräte beherrscht, kann man diese Einschaltung ohne weiteres vornehmen und gewinnt dabei folgendes: Das Mikrofon kann im Aufnahmerraum an eine beliebige, geeignete Stelle gesetzt werden, so daß die Raumakustik voll zur Wirkung kommen kann und dem Schall die gewohnte Fülle verliehen wird. Mikrophone, die in dem in Frage kommenden Frequenzbereich klanggetreu arbeiten, sind aus der Rundfunktechnik bekannt. Die hochwertigsten Mikrophone sind zur Zeit die Kondensatormikrophone⁴⁾. Einschließend der Verstärkereinheit erhält man für gleiche Schallstärke gleiche elektrische Spannungen in einem Frequenzbereich zwischen 50 und 7000 Hertz. Abb. 2 zeigt den Frequenz-Spannungsverlauf eines ausgezeichneten Aufnahmegerätes. Der Schreibstift wird elektromagnetisch bewegt. Bei der Konstruktion dieses Aufzeichnungsgerätes hat man, ebenso wie bei der mechanischen Wiedergabe, weitgehend Analogien zwischen den mechanischen Größen und denen elektrischer Schwingungskreise ausgenutzt. Letztere beherrscht man sehr gut z. B. durch die Siebketten, die in der Kabel- und Verstärkertelephonvielseitig angewendet werden. Man kann mit ihnen Resonanzkurven auf große Frequenzbereiche verbreiten, also in ihnen annähernd gleiche Energie schwingen lassen. Wie man hier vorgeht, zeigt in schematischer Darstellung Abb. 3. Kurve a ist die Resonanzkurve eines mechanischen Schwingungssystems, bei der Kurve b hat man einen Reibungswiderstand von rd. 8-facher Größe wie bei a künstlich zugefügt. Die Ei-

^{3b)} Bei dem „Ultrapophon“ hat man versucht, durch Abnahme des Schalles mit zwei Dosen einen künstlichen Raumentdruck hervorzurufen. Über die Wirkungsweise vergl. E. Lübcke, Z. Bd. 70 (1926) S. 39.

⁴⁾ E. C. Wente, Phys. Rev. Bd. 10 (1917) S. 39; Bd. 19 (1922) S. 10; H. Riegger, Wiss. Veröff. a. d. Siemenskonzern, Bd. 3 (1929) S. 67; auch C. A. Hartmann, Elekt. Nachr. Techn. Bd. 4 (1927) S. 375.

⁵⁾ J. P. Maxfield, und H. C. Harrison, a. a. O.

^{3a)} J. P. Maxfield und H. C. Harrison, Bell. System Techn. Journal Bd. 5 (1926) S. 483.

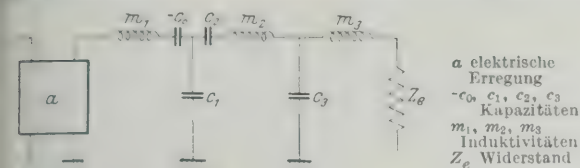


Abb. 4

Schema einer elektrischen Siebkette, deren Aufbau der mechanischen Siebkette (elektrisches Aufnahmegerät), Abb. 5, entspricht.

Angung tritt jetzt nicht mehr so störend wie bei *a* in Erscheinung, die Empfindlichkeit ist aber auch ganz beträchtlich gesunken. Die Resonanzkurve *c* umfaßt schon viel größeren Frequenzbereich; Widerstand und Kapazität sind wie bei *a*, die Masse beträgt aber nur ein Fünftel der bei *a*. Die Kurve *d* entspricht einer mechanischen Siebkette vom gleichen Widerstande wie *a*. Versieht sofort den großen Vorteil gegenüber einfachen Schwingungskreisen: erhebliche Verbreiterung der Resonanzspitze auf einen großen Frequenzbereich. Das elektrische Schema einer derartigen Siebkette zeigt Abb. 4, während die mechanische Ausführung etwa Abb. 5 entspricht. Die Güte eines derartig ausgeglichenen elektrisch-mechanischen Aufzeichnungsgerätes ist aus Abb. 6 zu sehen im Vergleich zu einem guten, aber älteren Gerät. In einem einfachen, stark gedämpften Resonanzsystem. Versieht aus vorstehendem, daß es durch geeignete Bearbeitung der einzelnen Konstruktionsteile möglich ist, inner-

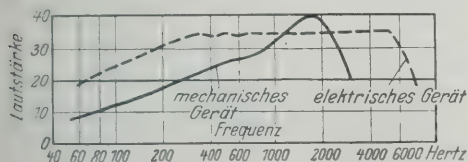


Abb. 6

Vergleich des Frequenzbereiches eines neuen elektrischen Aufnahmegerätes nach Abb. 5 mit dem eines guten mechanischen Gerätes mit einfachem, stark gedämpftem Resonanzsystem (Verhältniszahlen).

l eines Frequenzbereiches von 300 bis 6000 Hertz den aufgenommenen Schall amplitudengetreu aufzuzeichnen. Der Verlust an tiefen Frequenzen macht sich für den Hörer so stark bemerkbar, wie es nach den Frequenzkurvenlinien den Anschein hat; werden nämlich die Oberen sicher richtig wiedergegeben, so bleibt die Tonhöhe des Klanges auch bei ausfallendem Grundton erhalten⁶⁾. Ist bei genügender Lautstärke des Klanges eine Eigenschaft des menschlichen Ohrs.

Die meisten neuen Aufnahmeverfahren wenden Geräte an, die dem geschilderten ähnlich sind. Das Tri-Ergon-Aufnahmungsverfahren⁷⁾ vermeidet die Eigenschwingungen des einfachen Schreibstiftmechanismus dadurch, daß es zunächst einen Tonfilm mit hochwertigem Mikrophon und

⁶⁾ H. Fletcher, Phys. Rev. Bd. 23 (1924) S. 432.
⁷⁾ Ausgearbeitet von Vogt, Engl. u. Massolle; vergl. Engl. Der neue Film (Braunschweig 1925) S. 90 u. Vogt, Z. Bd. 70 (1926) S. 199.



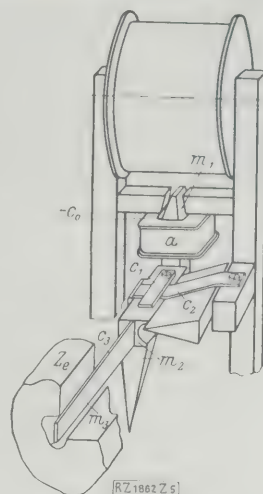
Abb. 7
Tonabnehmer (Schallkapsel). Das entsprechende elektrische Schema zeigt Abb. 8.

- c*₁ Federung der Nadel
- c*₂ Federung der Hebellagerung
- c*₃ Federung d. oberen Hebeldes
- c*₄ Federung des Befestigungsstiftes an der Membran (Die Membran selbst ist in der Mitte versteift)
- c*₅ Federung der Versteifung
- c*₆ Federung des Membranrandes
- c*₇ Federung der Luftkammer
- m*₁ Masse des Hebels
- m*₂ Masse der Versteifung
- m*₃ Masse der Membran [bels]
- t*₁ Übersetzungsverhältnis des Hebels
- t*₂ Übersetzungsverhältnis des Hebels in Bewegung
- Z_r* Widerstand (Charakteristik) des Trichters
- D* Membrandurchmesser
- d* Trichtereingangsöffnung

Abb. 5
Elektrisches Schallplatten-Aufnahmegerät (mechanische Siebkette).

Das entsprechende elektrische Schema zeigt Abb. 4.

- a* elektrische Erregung, vom Mikrophonverstärker geliefert
- c*₀ Federung des Magnetfeldes
- c*₁ Federung des Kopplungsstabes
- c*₂ Federung der Lagerfedern
- c*₃ Federung der Kopplungsfeder
- m*₁ Masse des Ankers
- m*₂ " des Schreibstiftes
- m*₃ " der Kopplungsfeder
- Z_e* mehrfache Lage von Gummiröhren mit annähernd gleichem mechanischen Widerstand wie der des ganzen Systems



Verstärkergerät herstellt. Dieser Tonfilm läuft dann mit einer wesentlich kleineren Geschwindigkeit ab, wie bei der normalen Wiedergabe. Die Photozelle liefert dann auch den Schallkurven entsprechende Wechselströme, nur von einer wesentlich niedrigeren Frequenz. Setzt man die Geschwindigkeit im Verhältnis rd. 1 : 100 herab, so ergibt eine Schallschwingung von 10 000 Hertz einen Wechselstrom von 100 Hertz. Dieser Wechselstrom betätigt einen gewöhnlichen elektromagnetischen Aufzeichnungsstift auf einer Platte, die sich mit einer im gleichen Verhältnis herabgesetzten Geschwindigkeit dreht. Die Eigenschwingungen des Schreibgerätes kann man leicht oberhalb 100 Hertz halten. Infolge der verlangsamten Übertragung dürfte man so die Feinheiten der Schallkurven bis 10 000 Hertz mit Sicherheit aufzeichnen können.

Mechanische Schallwiedergabe

Die Nadel

Bei der Umwandlung der Schreibaufzeichnungen auf der Schallplatte in Schall gleitet ein Stahlstift, die Nadel, Abb. 7, in der Furche und folgt dem Zickzackweg der Schreibkurve. Dieser Weg ist rd. 1 km lang. Damit die Platten beim Bespielen (bei der Wiedergabe) möglichst wenig abgenutzt werden, müssen sie möglichst hart sein. Der Stahl für die Nadeln muß noch härter und vor allem hochpolierfähig sein. Die feine Spitze muß auf dem langen Weg ihre glatte Oberfläche so vollständig bewahren, daß sie noch Feinheiten einer Schallschwingung, die innerhalb 0,1 mm Weg aufgezeichnet sind, getreu wiedergibt, und daß auch bis zum Schluß die Platte geschont wird und die Nadelgeräusche nicht hervortreten. Für Grammophonnadeln besteht eine eigene Industrie, die hochwertige Nadeln so billig auf den Markt bringt, daß es in Anbetracht des Preises für eine neue Platte und vom musikalischen Standpunkt aus lohnend ist, für jedes Spielen eine neue Nadel zu verwenden. Wie Abb. 7 zeigt, enthält der Tonabnehmer oder die Schalldose ein Hebelsystem, bei dem die Nadel auf dem kurzen Hebelarm sitzt. Die Federung der Nadel, gegeben durch ihren Durchmesser und die Form der Zuspitzung, wirkt stark bestimmend für die Stärke der durch den Hebel bewirkten Vergrößerung der Plattenamplituden in Membranamplituden. Verwendet man das elektrische

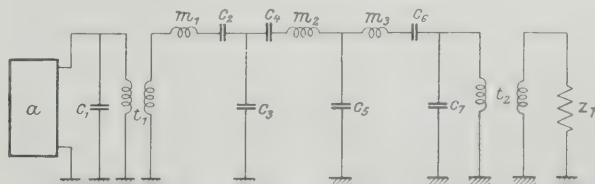


Abb. 8

Elektrisches Schema eines mechanischen Tonabnehmers. Das entsprechende mechanische Schema zeigt Abb. 7.

- a* gleichbleibende Stromquelle, entsprechend der gleichbleibenden Geschwindigkeit der Nadel auf der Platte
- c*₁ bis *c*₇ Kapazitäten
- m*₁, *m*₂, *m*₃ Induktivitäten
- t*₁, *t*₂ Transformatoren
- Z_r* Belastungswiderstand

Schema des Tonabnehmers, Abb. 8, so sieht man, daß eine Vergrößerung von C_1 eine Verkleinerung der Amplituden an t_1 und Verlagerung nach tiefen Frequenzen hin bewirkt. Dies beobachtet man auch bei Benutzung einer „Leisen“ Nadel, da diese sehr nachgiebig ist. Nur im Hinblick auf die Wirkung ihrer Nachgiebigkeit kann man den Nadeln selbst die Bezeichnung: laut, mittel, leise usw. geben.

Der Tonabnehmer

Den Aufbau eines hochwertigen Tonabnehmers zeigt als Beispiel Abb. 7. Aus ihr ergibt sich leicht das entsprechende elektrische Schema, Abb. 8⁹⁾.

In der Ausführung der Bell Telephone Co. werden die Federungen c_2 , c_4 und c_6 so groß gewählt, daß die untere Frequenzgrenze unterhalb der tiefsten Frequenz des Trichters liegt. Die obere Frequenzgrenze liegt bei 5000 Hertz. Die Membran besteht aus einem 0,042 mm dicken Aluminiumblech mit 13 cm² Fläche und 0,186 g Gewicht. Liegen alle Werte für c und m fest, dann ergibt sich daraus auch Z_T . Diese Charakteristik ist im einfachsten Falle durch $Z = \frac{p}{V}$ gegeben⁹⁾, wenn wir in ein schwingungsfähiges System ein Luftvolumen V periodisch unter dem Überdruck p eintreten lassen. Die Membran der Schalldose wird durch den Trichter stark beeinflusst. Aus dem elektrischen Schema, Abb. 8, ergibt sich, daß wir einen elektrischen Schwingungskreis haben, der durch einen angekoppelten Widerstand belastet wird.

Der Trichter

Von der Luftkammer vor der Tonabnehmermembran gelangt der Schall durch die Tonführung zum Trichter. Die Tonführung umfaßt zwar nur einen Teil des Schallausbreitungsvorgangs, gehört aber organisch zum Trichter. Die Aufgabe ist, eine möglichst hohe und ein großes Frequenzgebiet umfassende Abstrahlung der durch die Membranbewegung hervorgerufenen Druckwellen zu erreichen. Hierauf ist die Eingangs- und Ausgangsöffnung des Trichters, seine Länge und Form von Einfluß.

Aus Abb. 7 entnimmt man, daß die Membran der Schalldose einen größeren Durchmesser D hat als die Trichtereingangsöffnung d . Bei Bewegung der Membran wird die Luft in der Kammer (t_2) zusammengedrückt, eine kleine Membrangeschwindigkeit ergibt im Trichterhals d eine wesentlich größere Luftgeschwindigkeit, damit treten natürlich auch höhere Drucke auf. Die Dämpfung der Membranschwingungen ist verhältnismäßig $\frac{D^{2,10})}{d}$, kann also durch Verkleinerung von d vergrößert werden. Diese Verkleinerung ist begrenzt durch die in engen Röhren auftretenden Reibungsverluste und durch die Zusammendrückung der Luft in der Kammer. Begnügt man sich mit einer Abstrahlung der Membran bei den Endfrequenzen 200 und 5000 Hertz mit $\frac{1}{10}$ der Größe bei Resonanz 1000 Hertz, dann findet man für die oben angegebene Membran von $D = 4,2$ cm Dmr. eine günstigste Trichtereingangsöffnung $d = 0,5$ cm. Die Öffnung des Trichterhalses muß also zur Erzielung einer guten Abstrahlung außerordentlich eng sein. Man kann jetzt mit kleinen Membrangeschwindigkeiten und -amplituden arbeiten und vermeidet so Störschwingungen, die bei größeren Amplituden auftreten können, wenn der Zusammenhang zwischen Kraft und Amplitude nicht mehr geradlinig verläuft. Bisher hatten wir angenommen, daß ein enges, unendlich langes Rohr die Schallenergie weiterführt. Dieses Rohr soll die Energie an die Atmosphäre abgeben. Wir müssen also sehen, was am offenen Ende der Röhre geschieht. Hier tritt eine Reflexion der Schallwellen mit Phasenumkehr auf; sie ist um so stärker, je größer die Wellenlänge λ der Schall-schwingung gegenüber dem Durchmesser $2R$ der Rohr- oder Trichteröffnung ist. Wird $\lambda = 2R$, so ist die Reflexion zu vernachlässigen. Ist $\lambda > 2R$, dann gilt annähernd für den größten Druck P_r der reflektierten Welle

$$P_r = \frac{\lambda^2 - 6R^2}{\lambda^2 + 6R^2} P_0 \quad (3),$$

⁹⁾ J. P. Mazfield u. H. C. Harrison, a. a. O.

¹⁰⁾ A. G. Webster, Proc. Nat. Acad. Washington, Bd. 5 (1919) S. 275.

¹¹⁾ Vergl. C. R. Hanna und J. Slepian, Journ. Am. Inst. Electr. Eng. Bd. 43 (1924) S. 250.

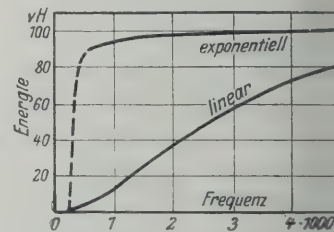
wo P_0 der größte Druck der im Rohr fortschreitenden Welle ist. Diese Reflexionen rufen Resonanzen im oder Trichter hervor. Die Wellenlänge λ der Schallwelle beträgt für den Ton n von 100 Hertz rd. 300 cm, 300 Hertz rd. 100 cm und für 1000 Hertz rd. 30 cm. sieht also, daß eine große Trichteröffnung unbedingt ist, wenn man auch die tiefen Frequenzen in den Trichter abstrahlen und der Schallplattenwiedergabe das Querschnitt nehmen will. Die Form des Trichters, der Übergang von der Eintritts- zur Austrittsöffnung auf die Schallwellen insofern von Einfluß, als sie bei plötzlichen Übergang von einem Querschnitt Q_1 auf größeren Querschnitt Q_2 ähnlich wie am offenen Ende reflektiert werden; die Stärke der Reflexion ist verhältnismäßig $\frac{Q_2 - Q_1}{Q_1}$. Es ist also günstig, den Querschnitt

gleichmäßig zu ändern; dann ist der reflektierte Anteil von der Änderung des Querschnitts Q je Längeneinheit abhängig: $\frac{1}{Q} \frac{dQ}{dx}$. Verteilt man bei gegebenen Anfangs-

Endöffnungen die Querschnittszunahme gleichmäßig auf ganze Länge, so erhält man einen „linearen“ (kegelförmigen) Trichter, dessen Querschnitt Q_l in der Entfernung x vom Anfangsquerschnitt Q_0 ist

$$Q_l = a x Q_0.$$

Abb. 9
Energiestrahlung
eines linearen und
eines exponentiellen
Trichters abhängig
von der Frequenz.



Bei gleichmäßiger Verteilung der Querschnittszunahme je Längeneinheit erhält man einen „exponentiellen“ Trichter nach der Formel

$$Q_l = Q_0 e^{bx};$$

a und b sind Unveränderliche. Abb. 9 zeigt die Strahlung der Energie in Hundertteilen für verschiedene Frequenzen bei gleicher Eingangsenergie, bei gleicher Eintrittsöffnung $d = 0,58$ cm, gleicher Austrittsöffnung $2R = 28,6$ cm, gleicher Länge $l = 115$ cm für einen linearen und einen exponentiellen Trichter. Man sieht, daß bei hohen Frequenzen die Energieabgabe bei beiden Trichtern annähernd gleich ist; bei tiefen Frequenzen ist jedoch der exponentielle Trichter weit überlegen. Nach Versuchen von Hanna und Slepian¹¹⁾ treten mit größer werdender Ausgangsöffnung Trichterresonanzen immer weniger hervor. Je höher die Frequenz ist, desto geringere Intensitäten enthält die Strahlung. Oberhalb der Frequenz, wo der exponentielle Trichter zu strahlen anfängt, tritt bei einem Austrittsdurchmesser von mehr als 35 cm kaum noch Resonanz auf.

Die Länge des Trichters ist durch die Größe des Exponenten b bestimmt. Betrachtungen über den Verlauf der Phasenverschiebung zwischen der Druck- und Geschwindigkeitskomponente der Schallwelle in Abhängigkeit von der Frequenz zum Exponenten b führen zu einem Wert von

$$b \leq 0,05,$$

wenn man die Frequenz 200 Hertz noch gut abstrahlen will. Man hat also einen Trichter, der sich ganz langsam mit der Frequenz vergrößern muß, um ihn in Sprechmaschinen unterbringen zu können, muß man den Trichter knicken. Abb. 13 zeigt die Lautstärke abhängig von der Frequenz für die drei in Abb. 10 bis 12 dargestellten Exponentialtrichter¹²⁾ von je 180 cm mittlerer Länge, deren einer gerade ist, der zweite um 90° und der dritte um 180° gebogen ist. Man sieht, daß die größten Abstrahlungen erst unterhalb von 200 Hertz auftreten; bemerkenswert ist, daß man ohne weiteres eine gute Schallführung benutzen kann, wie sie z. B. die von

¹²⁾ Eingehende Untersuchungen bei A. N. Goldsmith und J. P. Slepian, Proc. Inst. Radio Engrs. Bd. 12 (1924) S. 423.

¹³⁾ Vergl. C. R. Hanna und J. Slepian, a. a. O.

¹⁴⁾ Vergl. S. T. Williams, Journ. Franklin Inst. Bd. 202 (1926)



Abb. 10 bis 12 (oben)
Exponentialtrichter von 1800 mm mittlerer Länge.

Abb. 10 (a) gerader Trichter. Abb. 11 (b) um 90° gebogener Trichter. Abb. 12 (c) um 180° gebogener Trichter.
Abb. 13 (unten)
Lautstärke der drei Trichter a, b und c, abhängig von der Frequenz (Verhältniszahlen).

elephon Co. gebaute Victrola-Sprechmaschine zeigt, daß diese Maschine sich den Anforderungen nach wertige Klangwiedergabe anpaßt, zeigt die Frequenzkurve *a* der Abb. 15. Man sieht bei der älteren Maschine, Kurve *b*, ein Überwiegen der hohen Frequenzen zwischen 1000 und 2000 Hertz auf Kosten der tiefen, die unterhalb 250 Hertz völlig fehlen. Für große Räume muß man entsprechend große Schallkammern aufwenden, um z. B. eine Orchesterplatte dort als Orchestermusik wirken zu lassen. Hierzu reicht ein kleiner Trichter nicht aus, man muß dann schon größere Abmessungen wählen, um eine gleichmäßige Schallwiedergabe zu erhalten. Für die Wiedergabe von Grammophonplatten in großen Sälen gibt es Apparate mit 4 m und 6 m hohen Trichtern, deren Ausgangsöffnungen so groß sind, daß die untere Frequenzgrenze auf 60 und 40 Hertz sinkt. Die Entwicklung scheint zu noch größeren Trichtern zu führen, um noch bis zur unteren Grenze des hörbaren Tonbereiches, Tonskala 16 Hertz zu kommen. Erwähnt sei, daß es nicht nötig ist, daß der Querschnitt des Trichters eine bestimmte Form hat. Er darf ziemlich quadratisch sein, da ein Kreisquerschnitt mechanisch nicht immer leicht herzustellen ist.

Elektrische Wiedergabeverfahren

Wie eine elektrische Maschine sowohl als Stromerzeuger als auch als Motor laufen kann, so kann man umgekehrt beim Aufnahmeverfahren mechanische (Handschrift) in elektrische umwandeln.

Vergl. a. Z. Bd. 73 (1929) Nr. 3 S. 98, Abb. 13.

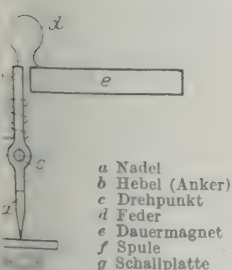


Abb. 16
Schema der Umwandlung mechanischer in elektrische Energie bei der Wiedergabe von Schallplatten.

Abb. 17
Einfache Ausführung des elektrischen Tonabnehmers. Legende s. Abb. 16.

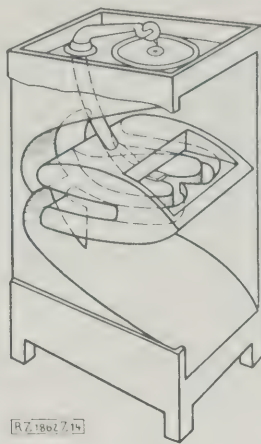


Abb. 14
Trichterform der neuen Victrola-Sprechmaschine von Maxfield und Harrison; Ausführung der Bell Telephone Co.

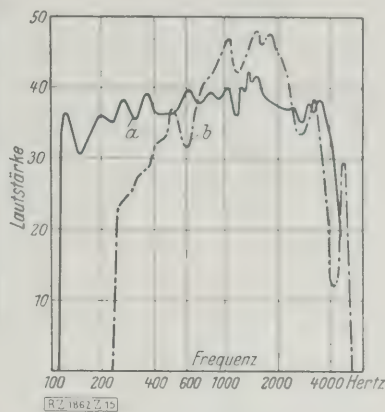


Abb. 15
Vergleich der Frequenzbereiche einer neuen (a) und einer älteren (b) Victrola-Sprechmaschine (Verhältniszahlen).

elektrische Leistung umsetzen. Das Wesentliche dieses Vorganges zeigt Abb. 16. Die auf der Platte gleitende Nadel *a* bewegt sich in der Schallkurve, d. h. senkrecht zur Zeichenebene.

Das obere Ende *b* des Hebels führt genau entsprechende Bewegungen aus; es wird durch eine Feder *d* vom Magneten *e* ferngehalten. Ändert sich infolge der mechanisch aufgezungenen Bewegung des Ankers *b* sein Abstand von dem Magneten, so wird in der Spule *f* eine elektromotorische Kraft induziert; diese ist verhältnismäßig der Geschwindigkeit der Ankerbewegung. Wir haben oben gesehen, daß

	I	II	III
A			
B			
C			

RZ 1862 Z 18

Abb. 18
Möglichkeiten der Ausführung elektromagnetischer Tonabnehmer.

Spalte I im Magnetfeld bewegliche Spule
" II Wicklungen auf den Magneten
" III beweglichen Ankern
Reihe A Spule "oder Anker" frei beweglich
" B einseitige Lagerung des beweglichen Teiles
" C " " " " " in der Mitte

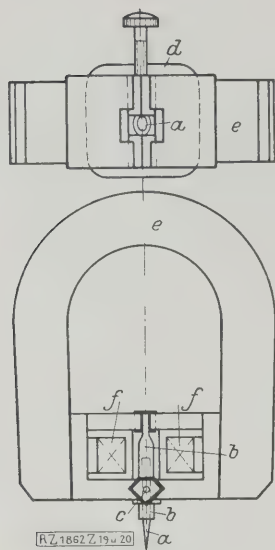


Abb. 19 und 20
Nadelbefestigung und Lagerung eines elektromagnetischen Tonabnehmers. Achse und Lagerung des Ankers sind eckig; dazwischen liegt eine dünne Gummischicht, damit keine gleitende Reibung auftritt, sondern nur Dämpfung.

a Nadel
b Hebel (Anker)
c Drehpunkt (eckig) mit Gummischicht
d Spulenkörper
e Dauermagnet
f Wicklung im Schnitt

die Aufzeichnung auf der Platte im hauptsächlichsten Frequenzgebiet verhältnismäßig der Geschwindigkeit der Luftteilchen in der Schallwelle ist. Somit ist die Höhe der EMK der Spule verhältnismäßig der Schalleistung, d. h. aber verhältnismäßig der Bewegungsamplitude A vervielfacht mit der Kreisfrequenz ω . Bei Geräten, die die Druckkomponente der Schallwelle in elektrische Leistung umformen, wie das Kohlemikrophon, Kondensator- oder piezoelektrischer Empfänger, ist die Spannung unmittelbar der Amplitude verhältnismäßig. Will man sie für elektrische Tonabnehmer verwenden, so muß die Abhängigkeit von der Kreisfrequenz ω erst künstlich durch die elektrische Schaltung eingeführt werden. Der elektromagnetische Tonabnehmer entspricht den physikalischen Anforderungen und ist außerdem leicht herzustellen. Eine einfache Ausführung zeigt als Beispiel Abb. 17. Es kommt hier immer darauf an, durch die Bewegungen der Nadeln den magnetischen Fluß in der Spule zu verändern.

Es bestehen für die Ausführung eine ganze Anzahl Möglichkeiten; Abb. 18 enthält eine kleine systematische Zusammenstellung¹⁵⁾. Bewegliche Spulen bedingen große Luftspalte und schwere Magnete. Die Anordnung der Windungen auf den Magnetkernen ist vom magnetischen Standpunkt aus ungünstig. Die Änderung des Magnetflusses bei einseitiger Lagerung beträgt rd. $\frac{1}{3}$ der bei Lagerung in der Mitte, der Unterschied in der Empfindlichkeit ist also nicht groß. Eine konstruktive Schwierigkeit besteht in der Verwendung der gewöhnlichen Nadel von knapp 16 mm Länge, weil diese festgeschraubt werden muß und die Schraube zusätzliche Massen und unübersehbare Resonanzen hineinbringt. Die günstigste Lösung ist die Anordnung der Schraube im Drehpunkt c, Abb. 16; dann kann die einseitige Lagerung des Ankers konstruktive Vorteile bringen.

Abb. 19 und 20 lassen als Beispiel an einer Ausführungsform einige Einzelheiten der Nadelbefestigung und der Lagerung erkennen. Ganz ungewöhnlich ist die Lagerung des Ankers. Um akustisch schädliche Reibungen auszuschalten, sind die Achse und die Lagerschalen nicht rund, sondern eckig, außerdem ist die Achse mittels einer dünnen Gummischicht festgeklemt. Kleine Bewegungen sind ohne gleitende Reibung möglich, es tritt nur infolge der viskosen Dämpfung ein kleiner

¹⁵⁾ E. W. Kellogg, Journ. Am. Inst. Electr. Engrs. Bd. 46 (1927) S. 1041

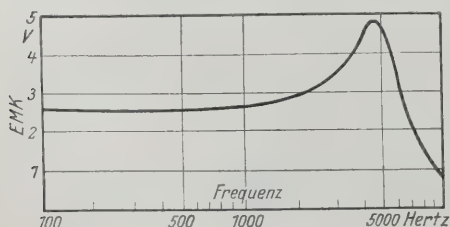


Abb. 21
Erzeugte elektromotorische Kraft (EMK) eines elektromagnetischen Tonabnehmers, abhängig von der Tonfrequenz bei gleicher Nadelamplitude.

Energieverlust auf. Weitere derartige Dämpfungen kann man noch durch Gummizwischenlagen in den Spalten zwischen Anker und Magnet einfügen. Verzerren frei arbeitet ein elektrischer Tonabnehmer nur, wenn die Eigenresonanz oberhalb des akustisch wirksamsten Bereiches liegt. Hohe Resonanzfrequenzen sind aber durch Verkleinerung der Ankermasse, vor allem in dem Abstand von der Drehachse, zu erreichen.

Hiermit in Widerspruch steht die Forderung nach großen Querschnitten zur Erzielung hoher magnetischer Induktion und damit großer Empfindlichkeit. Die Forderung nach hohen Resonanzfrequenzen ist aber teilweise zu erfüllen. Günstig ist es fernerhin, die Elastizität der Nadel möglichst klein zu wählen, also eine Nadel zu benutzen. Dann gelingt es, die Eigenschwingung des Tonabnehmers auf über 4000 Hertz zu erhöhen. Die Frequenzkurve eines elektrischen Tonabnehmers beispielsweise zwischen 3000 und 5000 Hertz eine typische Erhöhung der erzeugten EMK bei gleicher Amplitude zeigen, Abb. 21. Diese gesteigerte Empfindlichkeit für hohe Frequenzen macht sich in der Vergrößerung der Nadelgeräusche störend bemerkbar. Verminderung dieser Störgeräusche schaltet man parallel zur elektrischen Tonabnehmerspule einen Widerstand von rd. 4500 Hertz abgestimmten Schwingungskreis, Abb. 22. Die Größen der Selbstinduktion, der Kapazität und des Widerstandes bestimmen die Dämpfung und das ausgesiebte Frequenzbandes. Natürlich werden auch Frequenzen, die in Sprache oder Musikklänge enthalten sind, auch entsprechend geschwächt. Für den Gesamteindruck ist diese Unterdrückung hoher Frequenzen von Nadelgeräuschen trotzdem von Vorteil. Hinter der Spannungsteilerschaltung vorgesehen, um die auf den Gang eines Mehrfach-Röhrenverstärkers gelegte Spannung und damit die Lautstärke des Lautsprechers einstellen können. Dieser Teil der Wiedergabeordnung ist von natürlicher Natur und seit längerer Zeit ausgezeichnet verarbeitet. Ebenso verfügt man über Lautsprecher, die den Anforderungen an klanggetreue Wiedergabe entsprechen. Auf diese Geräte brauche ich deshalb hier nicht mehr zugehen¹⁷⁾.

Zusammenfassung

Die vor 50 Jahren von Edison zuerst benutzte Aufzeichnung auf Wachplatten ist auch mit elektrischen Aufnahmegeräten durchführbar. Diese Geräte führen zu einer erheblichen Verbesserung der musikalischen Wiedergabe auf Schallplatten. Für die Wiedergabe dieser hochfrequenten Töne kann man in gleicher Weise Trichterapparate oder elektrische Lautsprecher benutzen. Beide sind in den letzten Jahren so vervollkommen worden, daß heutzutage eine Sprechmaschine einen musikalischen Genuß verschaffen kann. Die Fortschritte in der Schallgerätetechnik sind in der Übernahme der letzten Jahrzehnte in der Schalltechnik auf elektroakustischem Gebiet geleistet worden.

¹⁶⁾ Vergl. H. Rieger, Wiss. Veröff. a. d. Siemens-Konzern, 2. Heft (1924) S. 67, Berlin, (Blatthaller).
¹⁷⁾ Vergl. E. Gerlach, Fachber. VDE, Wiesbaden 1926, S. 86 (Falzlautsprecher) und Z. f. techn. Phys., Bd. 5 (1924) S. 576. (Bändchenlautsprecher).
¹⁸⁾ C. W. Rice und E. W. Kellogg, Journ. Am. Inst. Electr. Engrs. (1925) S. 982, (Spulenlautsprecher).

Amateurlautsprecher s. z. B. E. Nesper, Lautsprecher, Berlin 1927.
¹⁷⁾ Vergl. z. B. K. Norden, ETZ Bd. 48 (1927) S. 261: Siemens-Rundfunk-Nachrichten 1929 Nr. 19 S. 4.

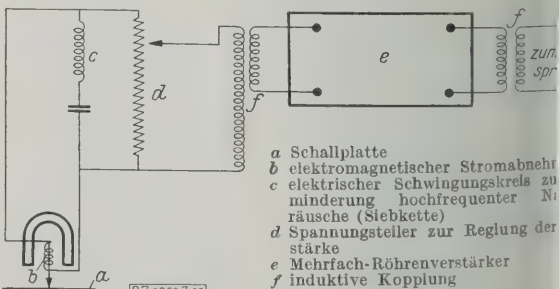


Abb. 22
Schaltung der elektrischen Schallplattenwiedergabe

Neuere Versuche mit russischen Dampflokomotiven

Von Dipl.-Ing. R. GRINENKO und O. ISAAKIAN, Moskau

(Aus dem Russischen übersetzt von Dr.-Ing. E. Mrongovius, Berlin)

Versuche mit drei neueren russischen Lokomotiven nach Lomonossoffs Verfahren. Technische Einzelheiten der untersuchten Lokomotiven; der Tschussoff-Überhitzer. Ergebnisse der Versuche, die sich auf das Verhalten der Lokomotiven hinsichtlich Leistung, Zugkraft, Dampf- und Brennstoffverbrauch, Wirkungsgrad in Abhängigkeit von Geschwindigkeit, Füllung, Rostbelastung u. a. erstrecken. Vergleich der Lokomotiven untereinander und mit anderen Gattungen.

Das Verfahren zur wissenschaftlichen Erprobung von Lokomotiven auf der Strecke wurde von Prof. Lomonossoff in den Jahren 1900 bis 1908 ausgearbeitet und ist in seinem Buche „Lokomotivversuche in Rußland“¹⁾ beschrieben. Lomonossoff untersuchte nach diesem Verfahren in den Jahren 1908 bis 1916 fast sämtliche russischen Lokomotivgattungen. Infolge des Krieges und der Revolution entstand dann eine Unterbrechung in der planmäßigen Untersuchung der Dampflokomotiven, und erst im Jahre 1926 gelang es dem technischen Komitee des Verursachungskommissariats, diese Arbeit unter der Leitung von Prof. Isaakian und Mitarbeitern Lomonossoffs wieder aufzunehmen. Die Leitung dieser Arbeit liegt z. Z. in den Händen des Mitverfassers Grinenko.

Zuerst wurden folgende Lokomotiven untersucht:
die vierzylindrige 2 C 1-Zwilling-Heißdampflokomotive,
die zweizylindrige 1 C 1-Zwilling-Heißdampflokomotive,
die zweizylindrige 1 D-Verbund-Heißdampflokomotive.

In Zahlentafel 1 sind die Hauptabmessungen dieser Lokomotiven zusammengestellt. Die 2 C 1-Lokomotive wurde von Lopuschinski und Prof. Rajewski für die frühere Wladikawker Bahn entworfen und ist z. Z. die einzige und erste vierzylindrige Zwilling-Dampflokomotivart in Rußland. Diese Lokomotiven befördern Schnellzüge zwischen Moskau und Leningrad, ihre Anzahl beträgt 66.

Am meisten verbreitet sind in Rußland die 1 C 1-Lokomotiven der Baureihe S²⁾.

Umbau der Lokomotiven

Diese Lokomotiven erwiesen sich, trotz ihrer Nachteile, für die neuzeitlichen Verhältnisse als zu schwach. Es wurde deshalb beschlossen, ihre Leistung etwas zu steigern und bei dieser Gelegenheit auch die Bauart zu verbessern, und zwar wurden folgende Änderungen vorgenommen:

Die hintere starre Tragachse wurde durch ein einachsiges Drehgestell nach Bissel ersetzt; die Abmessungen der Zylinder und der Steuerung wurden auf Grund der Erfahrungen mit andern Dampflokomotiven verändert;

die Feuerung wurde durch Entfernung eines Mantelbleches vergrößert unter Beibehaltung derselben Breite; durch konnte die Rostfläche von 3,8 auf 4,73 m² vergrößert werden;

die Rauchkammer wurde um 0,5 m vergrößert unter Beibehaltung derselben Länge der Heizrohre;

es wurde ein leistungsfähiger Tschussoff-Überhitzer mit 32 Gliedern statt 24 der Reihe S eingebaut.

es wurde ein Flächen-Speisewasservorwärmer des Kolonna-Werkes eingebaut mit einer Fläche von 15 m².

Dieser Umbau erhöhte auch das Gewicht der Lokomotiven; es ergaben sich folgende Achsbelastungen:

vordere Laufachse	13,5 t
gekuppelte Achsen	18 t
hintere Laufachse	17,5 t.

Die auf diese Weise entstandene neue Bauart S^u wurde im Jahre 1926 erprobt.

Die 1 D-Lokomotiven gehören zu der ziemlich verbreiteten Gattung der Verbund-Naßdampflokomotiven³⁾,

die mit Überhitzern versehen wurden. Der Vorteil, insbesondere bei geringen Geschwindigkeiten, der gleichzeitigen Anwendung von Überhitzung und Verbundwirkung wurde bereits im Jahre 1913 durch die Versuche mit der russischen D-Lokomotive⁴⁾, sowie durch die neuesten Versuche mit der Baldwin-Lokomotive Nr. 60 000⁵⁾ bewiesen. Nach den Versuchen mit der D-Lokomotive wurde bereits 1915 beschlossen, die 1 D-Lokomotive mit einem Überhitzer zu versehen, was infolge des Krieges und der Revolution erst im Jahre 1923 auf den früheren Putiloff-Werken verwirklicht werden konnte.

Es wurde ein Schmidt-Überhitzer mit 27 Elementen eingebaut. Die Rauchrohre von 125,5/133 mm sind in den drei oberen Reihen zu je 9 angeordnet. Die gesamte Überhitzerfläche beträgt 51 m². Dadurch wurde die verdampfende Heizfläche von 206 m² auf 176,8 m² verkleinert. Der Hochdruckzylinder wurde von 510 mm auf 540 mm im Durchmesser vergrößert. Die Notwendigkeit dieser Vergrößerung zeigte sich bereits bei der 1 C-Lokomotive⁶⁾.

Die Versuche

Die wesentlichste Eigenart des Lomonossoffschen Untersuchungsverfahrens sind die sogenannten Versuchsverfahren der I-Reihe, deren jede bei einer unveränderlichen Regelungsart der Lokomotive durchgeführt wird, wobei während des gesamten Versuches die Regleröffnung (ϱ), die Füllung der Hochdruckzylinder (ϵ), die Geschwindigkeit (V) und der Kesseldruck (p_k) unverändert gehalten werden.

Die Versuchstrecke

Das ist nur auf Strecken mit einem gleichmäßigen Längsprofil möglich. In der Nähe von Moskau sind solche Strecken zwischen Msta und Torbino sowie zwischen Bologoje und Twer der Oktoberbahn vorhanden, wo auch 1911 bis 1914 die Versuche stattfanden. Auf der erstgenannten Strecke befindet sich auch die bekannte Werebajnsche Steigung (6 vT, 21370 m lang)⁷⁾, während die zweite Strecke die Lichoslawl-Steigung (1,3 vT, 62200 m) einschließt. Auf der Werebajnschen Steigung wurden Versuche mit Geschwindigkeiten bis 35 km/h, auf der Strecke Twer-Bologoje bei höheren Geschwindigkeiten bis 120 km/h durchgeführt.

Naphtha als Brennstoff

Bei sämtlichen Versuchen wurden die Lokomotiven mit Naphtha geheizt, was für die Versuchsgenauigkeit von großem Vorteil war. Da die 1 C 1-Lokomotive nach ihren Rostabmessungen für minderwertige Kohle eingerichtet ist, sollen noch besondere Versuche mit Kohlenfeuerung durchgeführt werden. Der untere Heizwert des bei den Versuchen verwendeten Naphthas betrug 9810 kcal/kg.

Tender und Kessel wurden vor den Versuchen sorgfältig geeicht, ebenso wurden sämtliche von Lomonossoff⁸⁾ angegebenen Kontrollen und Messungen vorgenommen. Als Meßwagen wurde der in dem Lomonossoffschen Buch S. 79 erwähnte Meßwagen Nr. 400 benutzt.

Hauptversuchsergebnisse der 2 C 1-Lokomotive

Abb. 1 bis 3

Die Kurven der indizierten Zugkraft Z_i sind in Abb. 4, die Zugkraft am Umfange der Treibräder Z_e in Abb. 5 aufgezeichnet, beide bei vollgeöffnetem Regler.

¹⁾ ebenda S. 51.

²⁾ Engineering Bd. 124 (1927) S. 816, 823.

³⁾ Vergl. „Lokomotivversuche“ S. 60.

⁴⁾ Vergl. „Lokomotivversuche“ S. 79.

⁵⁾ Vergl. „Lokomotivversuche“ S. 13.

¹⁾ VDI-Verlag, Berlin 1926, im folgenden kurz mit „Lokomotivversuche“ bezeichnet.

²⁾ S. „Lokomotivversuche“ S. 68.

³⁾ Vergl. „Lokomotivversuche“ S. 48.

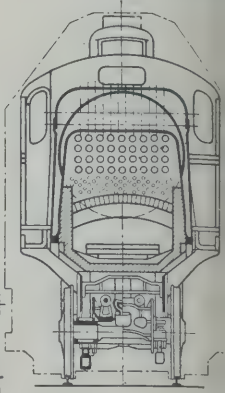
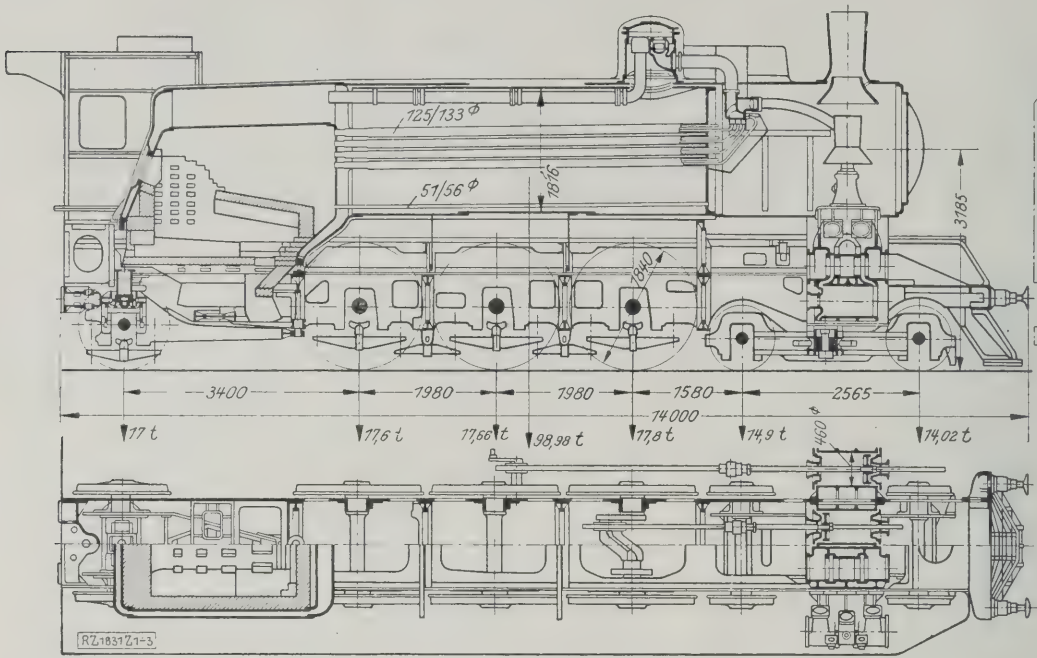


Abb. 1 bis 3
Russische vier-
zylindrige
2C1-Zwilling-
Lokomotive für
Heißdampf.

Hauptkonstruktionszahlen

Zylinderzahl . . .	4	Heizfläche . . .	271,3 m ²	Gewicht einschl. Tender (errechnet) 150 t
Zylinder-Dmr. . .	460 mm	Überhitzerfläche . . .	85,5 „	Leergewicht der Lokomotive 85,6 „
Kolbenhub . . .	650 „	Rostfläche . . .	4,64 „	„ des Tenders 27,5 „
Treibrad-Dmr. . .	1840 „	Reibungsgewicht . . .	51,9 t	Wasservorrat 30 „
Kesseldruck . . .	12 at	Dienstgewicht . . .	96,64 „	Brennstoffvorrat 9 „

Abb. 6 und 7 zeigen die entsprechenden Kurven des Dampfverbrauches im Regelfall, d. h. bei einem Wärmeinhalt von 640 kcal/kg, für 1 PS_ih bzw. für 1 PS_eh.

Die Werte $\frac{D}{N_i} = \frac{0,99}{\eta_{th}}$, s. Abb. 6, sind umgekehrt verhältnisgleich dem thermischen Wirkungsgrad der Maschine η_{th} , während die Werte D/N_e , s. Abb. 7, dem Gesamtwirkungsgrad η_{ges} umgekehrt verhältnisgleich sind.

In den Abbildungen 8 und 9 sind die Brennstoff-Verbrauchskurven aufgetragen. Die Ordinaten der Kurve der

Abb. 9 sind dem Gesamtwirkungsgrad η_{ges} der Lokomot auf den Umfang der Treibräder bezogen, umgekehrt hältnisgleich.

Abb 10 enthält die Kurven des Gesamtwirkungsgra η_{ges} , wobei die Zahlen neben den Kurven die Dam menge D_Z bedeutet, die von 1 m² Heizfläche stündlich die Zylinder gelangt. D_Z ist geringer als die von 1 m² H fläche stündlich wirklich erzeugten Dampfmenge D_H , ein Teil des erzeugten Dampfes nicht in die Masch gelangt, sondern für die Luftpumpe sowie die Vorwär- und Zerstäubung des Naphthas verwendet wird. Abb. zeigt für die 2C1-Lokomotive deutlich die Bezieh- zwischen D_Z und D_H in Abhängigkeit von der R beanspruchung B , d. h. von der Brennstoffmenge, stündlich auf 1 m² Rostfläche verbrannt wird. Die glei Abbildung zeigt auch die Kurve des Kesselwirkun grades η_k .

Die Abbildungen 1 bis 11 kennzeichnen ausfüh die Eigenschaft der russischen Pacificlokomotive. Abb. zeigt, daß der Kessel bei $D_H=20$ bis 50 kg/m²h gezeichnet arbeitet. Die Abb. 6 und 7 zeigen, daß geringste Dampfverbrauch hohen Geschwindigkeiten

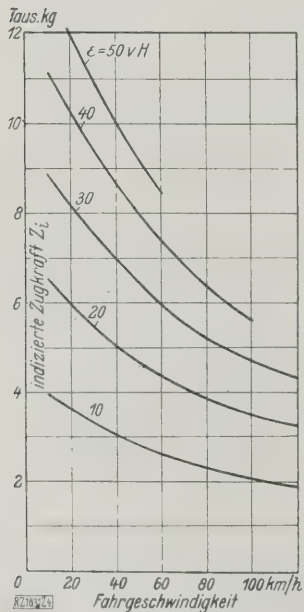


Abb. 4
Indiz. Zylinder-Zugkraft.

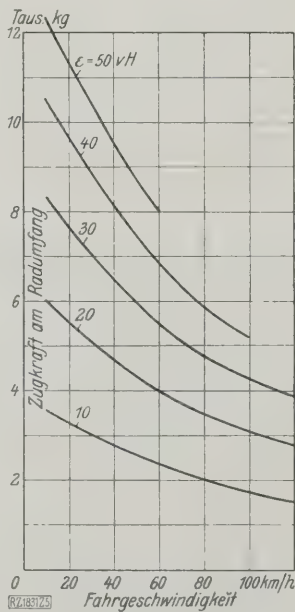


Abb. 5
Zugkraft am Radumfang.

Abb. 4 und 5
Die Zugkraft der 2C1-Lokomotive in Abhängig-
keit von der Geschwindigkeit und der Füllung (ϵ).

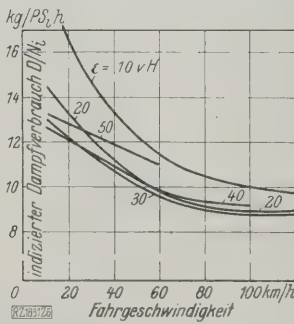


Abb. 6
für indizierte Leistung.

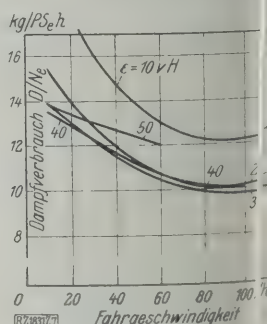


Abb. 7
für Leistung am Radumf.

Abb. 6 und 7
Dampfverbrauch der 2C1-Lokomotive in Ab-
hängigkeit von der Geschwindigkeit und der
Füllung (ϵ).

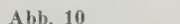
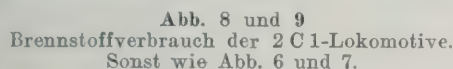


Abb. 11

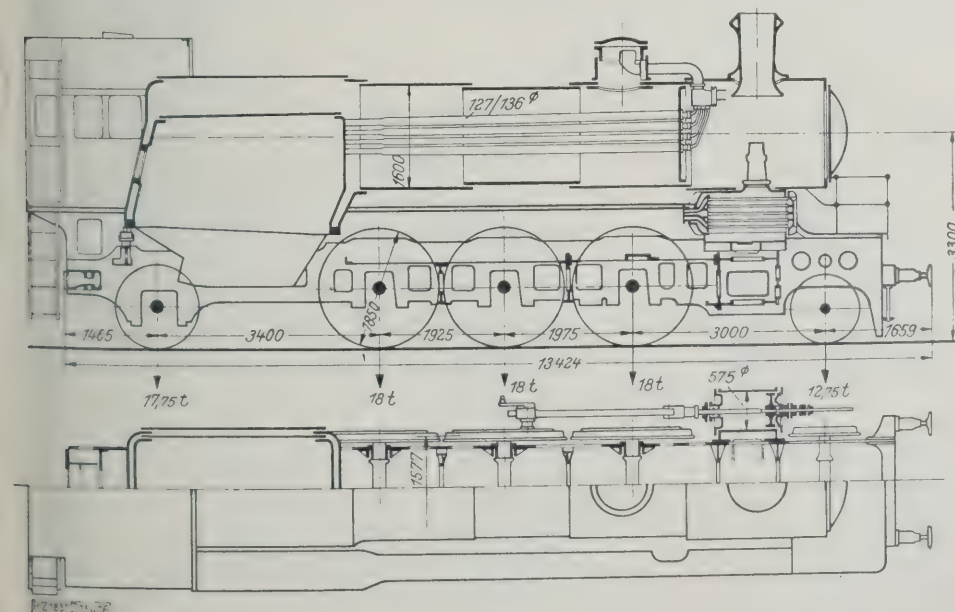
$$\eta_{\text{ges max}} = \frac{0,99}{\frac{D}{N_e}} = 0,102,$$

⁹⁾ Vergl. „Lokomotivversuche“ S. 180, 181; Abb. 372, 375, 378, 380.

Technical drawing of a mechanical part, showing a cross-section and two side views. The cross-section is a circle with four internal holes. The side views show the part's profile with arrows indicating flow or movement.

Abb. 12 bis 14
Schema des Tschussoff-Überhitzers.

Die Zugkräfte am Treibradumfang dieser Lokomotive sind in Abb. 17, die Kurven des Dampf- und Naphtha-verbrauchs, ebenfalls auf die Leistung am Umfang der Treibräder bezogen, in Abb. 18 und 19, der Kesselwir-



Hauptkonstruktionszahlen

Zylinderzahl	2
Zylinder-Dmr.	575 mm
Kolbenhub	700 „
Treibrad-Dmr.	1850 mm
Kesseldruck	13 at
Heizfläche	196,6 m ²
Überhitzerfläche	72,6 „
Rostfläche	4,73 „
Reibungsgewicht	53,06 t
Dienstgewicht	83,8 „
Gewicht einschl. Tender (er- rechnet)	130 „
Leergewicht der Lokomotive	76,4 „
Leergewicht des Tenders	25 „
Wasservorrat	23 „
Brennstoffvorrat	6 „

kungsgrad η_k in Abb. 20 und der Gesamtwirkungsgrad in Abb. 21 eingezeichnet.

Diese Abbildungen zeigen, daß die geringsten Dampfverbrauchszahlen den Geschwindigkeiten $V=60$ bis 80 km/h entsprechen. Wichtig ist, daß der absolute Dampfverbrauch bei dieser Lokomotive geringer ist als bei der 2C1-Lokomotive, und zwar beträgt er etwa $8,4$ ($\eta_{ges}=11,8\text{ vH}$) statt $9,8$ ($\eta_{ges}=10,2\text{ vH}$) s. Abb. 7.

Dies ist die Folge einer wesentlich höheren Überhitzung (330 bis 345°C) sowie der geringeren Abkühlungsfläche der Zylinder. (Die 2C1-Lokomotive hat vier, die 1C1-Lokomotive nur zwei Zylinder.)

Infolge dieses Umstandes sowie infolge der Anwendung von Speisewasservorwärmung, die auf der 2C1-Lokomotive fehlte, ist der Gesamtwirkungsgrad der 2C1-Lokomotive, s. Abb. 10, wesentlich geringer als der der 1C1-Lokomotive, s. Abb. 21. Bei dieser beträgt er fast 10 vH . Das ist eine recht hohe Zahl; es ist jedoch zu beachten, daß bei den in Deutschland erbauten E-Dampflokomotiven ohne Vorwärmung der Wirkungsgrad η_{ges} auch $9,6\text{ vH}^{10)}$ erreichte. Ein Vergleich der Abb. 10 und 21 zeigt, daß bei den zwischen 30 und 50 schwankenden Werten von D_z , wie sie im Personenverkehr in Rußland üblich sind, der Gesamtwirkungsgrad der 2C1-Lokomotive weniger schwankt als der der 1C1-Lokomotive. Die erste ist trotz ihrer geringen Wirtschaftlichkeit in bezug auf die Beständigkeit des Wirkungsgrades bei schwankender Belastung günstiger als die zweite.

Vergleich der 2C1- und 1C1-Lokomotiven

Diese Lokomotiven wurden nicht nur untereinander, sondern auch mit den 1C1-Lokomotiven der Reihe $S^{14)}$, als den in Rußland am meisten verbreiteten Lokomotiven, verglichen. Trotzdem diese drei Heißdampflokomotiven ohne Verbundwirkung sind, wäre es falsch, sie bei den gleichen Regleröffnungen und Füllungen zu vergleichen, da im Zusammenhang mit ihren Steuerungen die vorteilhaftesten Werte dieser Größen für die verschiedenen Lokomotiven bei derselben Drehzahl nicht die gleichen zu sein brauchen. Lomonossoff schlägt vor¹²⁾, Lokomotiven etwa der gleichen Leistung bei voller Beanspruchung und bei unbedingt vorteilhaftester Regelung zu vergleichen, d. h. bei Höchstleistung N_e und bestem Gesamtwirkungsgrad η_{ges} .

¹⁰⁾ Vergl. „Lokomotivversuche“ S. 150.

¹¹⁾ Vergl. „Lokomotivversuche“ S. 68.

¹²⁾ Vergl. „Lokomotivversuche“ S. 235.

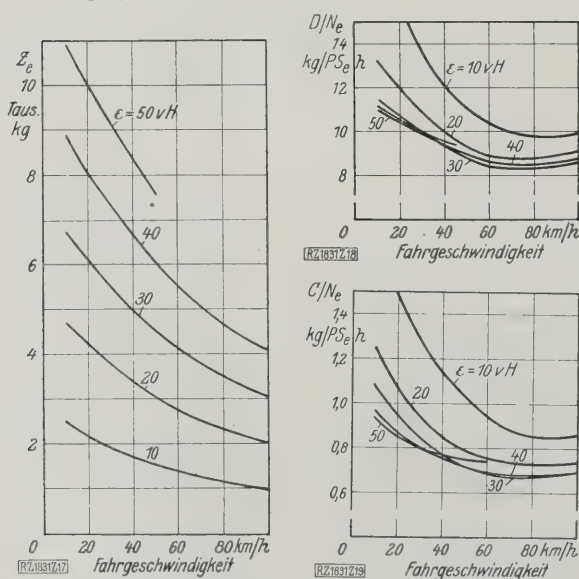


Abb. 17 bis 19

Hauptversuchsergebnisse der 1C1-Lokomotive in Abhängigkeit von Geschwindigkeit und Füllung (ϵ).

Abb. 17 Zugkraft am Radumfang, Abb. 18 Dampfverbrauch, Abb. 19 Brennstoffverbrauch, bezogen auf die Leistung am Radumfang.

Wenn es sich um einen Vergleich von Dampflokomotiven mit Diesellokomotiven oder Turbolokomotiven handelt, so mag das genügen, sollen jedoch Dampflokomotiven, und zwar ähnlicher Bauart, verglichen werden, so scheint es uns zweckmäßig, den Vergleich auch bei dem gleichen stündlichen Brennstoffverbrauch C oder bei der gleichen Kesselbeanspruchung D_H durchzuführen.

In Abb. 22 sind die Zugkraftkurven unserer Dampflokomotiven für einen Brennstoffverbrauch $C=800\text{ kg/h}$ aufgetragen. Die gestrichelten Kurven a_1 und c_1 stellen die Zugkraft und Leistung der 2C1- und 1D-Lokomotive gegenüber der 2C1-Lokomotive bei gleichem Naphthaverbrauch dar. Es ergeben sich demnach im Vergleich mit der 1D-Lokomotive um 15 vH , im Vergleich mit der 2C1-Lokomotive um 23 vH höhere Werte. Bemerkenswert ist, daß die 1C1-Lokomotive im Vergleich mit diesen zwei Lokomotiven die höchste Ersparnis bei $V\cong 65\text{ km/h}$ ergibt.

In derselben Abbildung ist eine Kurve d der Zugkraft einer vierzylinderigen 2C-Heißdampf-Verbundlokomotive eingetragen¹³⁾, die bis jetzt für Geschwindigkeiten unter 70 km/h die wirtschaftlichste russische Personenzuglokomotive ist. Bei geringen Geschwindigkeiten ist sie der 1C1-Lokomotive ähnlich, aber bei $V>80\text{ km/h}$ liegt die Zugkraftkurve, bei $C=\text{konst.}$, auch die Kurve für η_{ges} , wesentlich tiefer als bei der 2C1-Lokomotive. Das ist die Folge der Drosselung des Dampfes beim Übergang aus dem Hochdruck- in den Niederdruckzylinder.

Da die Kesselabmessungen unserer vier Lokomotiven verschieden sind, so entspricht der gleiche Wert

¹³⁾ Vergl. „Lokomotivversuche“ S. 175, Abb. 354.

Abb. 22
Zugkraftkurven verschiedener Lokomotiven.

a russische 2C1-Lokomotive
b " 1C1 " "
c " 1D " "
d " 2C " "
(Vierzylinder-Verbund)
 a_1 und c_1 geben in vH die Zunahme an Leistung der 2C1- und 1D-Lokomotiven gegenüber der 1C1-Lokomotive bei gleichem Naphthaverbrauch an.

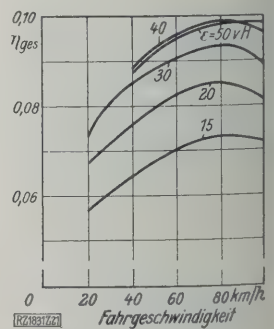
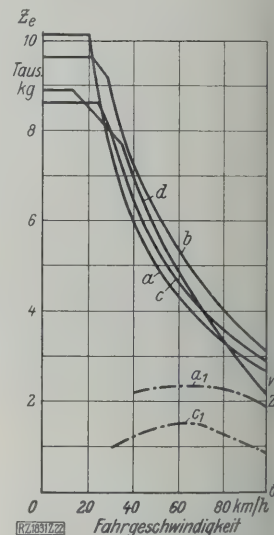
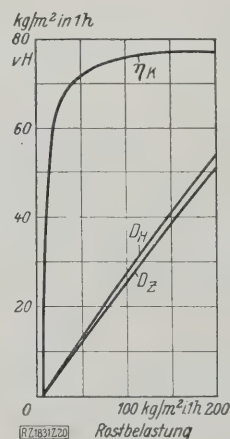


Abb. 20 und 21

Kesselwirkungsgrad η_k in Abhängigkeit von der Rostbelastung und Gesamtwirkungsgrad der 1C1-Lokomotive in Abhängigkeit von Füllung und Geschwindigkeit; D_H und D_z wie Abb. 11.

zu bemerken ist noch, daß die zweizylindrige 1 C 1-Lokomotive, die im Mittel etwa 30 vH weniger Brennstoffverbrauch als die vierzylindrige 2 C 1- und 2 C-Lokomotive um 10 vH leichter und um 15 vH billiger als die 1 C 1-Lokomotive ist. Die 1 C 1-Lokomotive muß daher als großer Erfolg des russischen Lokomotivbaues anerkannt werden. Diese Lokomotive wurde auf den Kommandantenwerken entworfen, wo die Überlieferung von Prof. *Meineke* noch lebendig sind, unter Leitung von dessen Schüler und nächstem Mitarbeiter *Tachtailoff*.

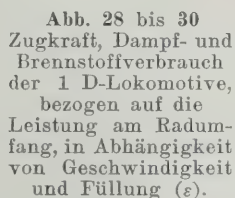
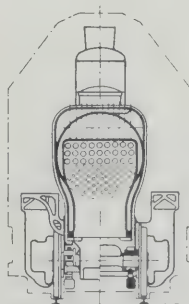
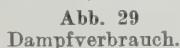


Abb. 28
Zugkraft.



Hauptkonstruk-
tionszahlen:

Zylinderzahl . . .	2
Zylinder-Dmr. 540/765 mm	
Kolbenhub . . .	700 „
Treibrad-Dmr. . .	1300 „
Kesseldruck . . .	14 at
Heizfläche . . .	176,8 m ²
Überhitzerfläche .	51,0 „
Rostfläche . . .	2,8 „
Reibungsgewicht	64,7 t
Dienstgewicht . .	78 „
Gewicht einschl. Tender(errechn.)	120 „
Leergewicht der Lokomotive . .	69,5 „
Leergewicht des Tenders . . .	23,7 „
Wasservorrat . . .	25 „
Brennstoffvorrat .	8 „

Abb. 25 bis 27
Russische zweizylindrige
1 D-Verbundlokomotive
für Heißdampf.

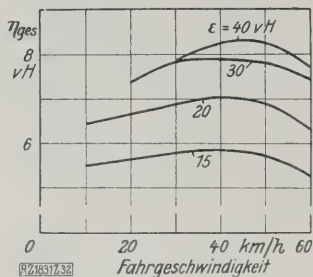
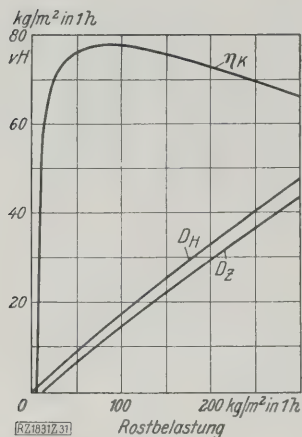


Abb. 31 und 32
Kesselwirkungsgrad η_K und
Gesamtwirkungsgrad η_{ges}
der 1 D-Lokomotive.
Vergl. hierzu Abb. 20 u. 21.

seinerzeit von Lomonosoff untersucht, und es wäre daher interessant, seine Ergebnisse mit den hier besprochenen Versuchsergebnissen zu vergleichen. Leider untersuchte Lomonosoff die 1 D-Lokomotiven mit verschiedenen Kohlsorten, aber nicht mit Naphtha, so daß der Vergleich nur in bezug auf den Dampfverbrauch durchgeführt werden kann. Diese Versuche zeigten auch die äußerste Unzulänglichkeit der Überhitzer der 1 D-Zwillinglokomotive. Auf Grund der Versuche wurden die Überhitzer vergrößert, die umgebauten Lokomotiven wurden aber nicht neu erprobt. Infolgedessen wäre ein Vergleich der 1 D-Lokomotive mit einer entsprechenden Zwillinglokomotive für die Bedeutung der Verbundwirkung bei Heißdampf nicht kennzeichnend.

Wir werden infolgedessen unsere 1 D-Lokomotive (Zweizylinder-Verbund) nicht mit der 1 D-Zwilling-Heißdampflokomotive, sondern mit der russischen D-Lokomotive vergleichen, die vor dem Erscheinen der in Deutschland und Schweden erbauten E-Lokomotiven die wirtschaftlichste Güterzuglokomotive Rußlands war und die auch mit Naphthafeuerung untersucht worden ist.

Abb. 33 zeigt die Zugkraftkurven am Umfange der Treibräder unserer 1 D-, der 1 D-Naßdampf- und der D-Lokomotive für die in Rußland übliche Kesselbeanspruchung von Güterzuglokomotiven von $D_H = 30 \text{ kg/m}^2 \text{h}$.

Die gestrichelte Kurve g gibt in vH die Erhöhung der Zugkraft und Leistung der 1 D-Verbundlokomotive infolge der Überhitzung an. Bemerkenswert ist, daß diese Leistungssteigerung mit wachsender Geschwindigkeit rasch wächst. Dies erklärt sich daraus, daß die Überhitzung nicht nur den Wärmeaustausch zwischen Dampf und Wandungen verringert, dessen Einfluß auf den Wirkungsgrad der Lokomotiven mit wachsender Geschwindigkeit sinkt, sondern auch die Verluste infolge der Dampfrosselung im Ein- und Auslaß. Diese Verluste sind bei Verbundanordnung besonders bedeutend und wachsen mit erhöhter Geschwindigkeit.

Dieser Vorteil des Heißdampfes erklärt die Mehrleistung bei höheren Geschwindigkeiten. Lomonosoff zeigte bereits im Jahre 1913, daß dies die Folge der höheren Dünflüssigkeit des Heißdampfes¹⁶⁾ ist. Andererseits ist diese höhere Flüssigkeit des Heißdampfes eine Quelle zusätzlicher Undichtheitsverluste, die bei niedrigen Geschwindigkeiten besonders hoch sind. Die wichtigste Maßnahme dagegen ist eine entsprechende Bauart der Stopfbüchsen und der Schieber und deren sorgfältige Wartung. In Deutschland sind in dieser Hinsicht große Erfolge erzielt worden. Die guten Wirkungsgrade der in Deutschland erbauten E-Dampflokomotiven waren in hohem Maße durch den vorbildlichen Zustand ihrer Schieber und Stopfbüchsen bedingt.

Entfernt sich der Zustand von dem idealen, so wird der Undichtheitsverlust durch die Schieber bei Verbundmaschinen infolge Verringerung des Druckgefälles fast um die Hälfte geringer. Außerdem kann der durch den Schieber des Hochdruckzylinders hindurchsickernde Dampf im Niederdruckzylinder Arbeit verrichten. Hierdurch er-

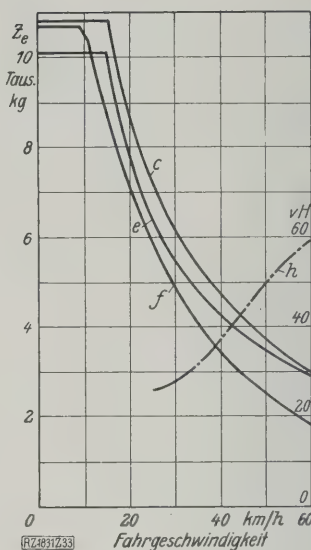


Abb. 33
Zugkraftkurven.

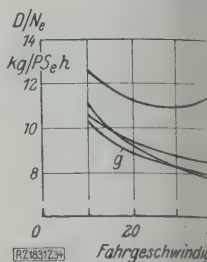
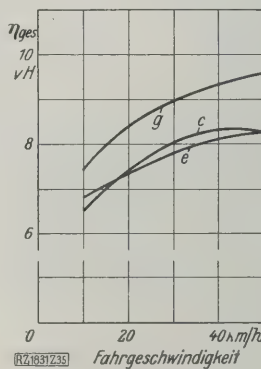


Abb. 34
Dampfverbrauch
 c , e , f s. Abb. 33
 g E-Lokomotive (in D
land erbaut)

Zu Abb. 33:
 c 1 D-Verbund-Lokomo
(Versuchslokomotive
 e 1 D-Naßdampf-Loko
motive)
 f D-Lokomotive
 h Leistungserhöhung i
der Versuchslokomot
(c) durch Einbau de
hitzers
) Vergl. Fußnote 1

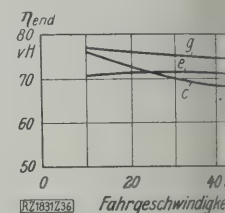


Abb. 35 und 36
Gesamtwirkungsgrade
Kesselwirkungsgrade
Abhängigkeit von
Geschwindigkeit; c ,
und g , s. Abb. 33 und

klärt sich, weshalb bei schwerem Güterzugdienst gleichzeitige Anwendung von Verbundwirkung und Heizung solch gute Ergebnisse bringt.

Aus Abb. 34, die sich auf die vorteilhafteste Beziehung, sehen wir, daß in bezug auf den Verbrauch Normaldampf, d. h. in bezug auf die Wirkungsgrade Zwillingmaschinen, die E-Lokomotiven bei vorbildlichem Zustand der Schieber nicht hinter den D- und 1 D-Verbundlokomotiven zurückbleiben. Das zeigt, daß der Stand der Schieber der letzteren während der Versuche weit entfernt vom bestmöglichen war. Für die D-Lokomotive wurde dies auch auf Grund besonders durchgeführter Messungen bestätigt.

Abb. 35 zeigt, daß die Gesamtwirkungsgrade η_{ges} 1 D- und D-Heißdampf-Verbundlokomotiven fast gleich sind, aber der Wirkungsgrad der deutschen E-Dampflokomotive wesentlich höher ist. Im Zusammenhang mit Abb. 33 zeigt sich, daß bei den E-Dampflokomotiven die Kesselwirkungsgrade wesentlich höheren Wirkungsgrad haben. Auch das bestätigt das für die günstigste Beanspruchung des Kessels.

Der Gesamtwirkungsgrad der E-Lokomotive ist hin geringer als der unserer 1 C 1-Lokomotive. Das erklärt sich ausschließlich durch das Fehlen von Wasservorwärmern auf den E-Lokomotiven. Nach Versuchen von Professor Syromiatnikoff würde Speisewasservorwärmung den Wirkungsgrad der Lokomotive gemäß der in Abb. 35 aufgetragenen Kurven sehr nahe kommen.

Man kann also sagen, daß das neueste Baumuster auf dem Kolonnenwerk entworfenen und erbauten Personenzuglokomotive bei außerordentlich einfacher Bauart in bezug auf ihre Betriebseigenschaften nicht den besten Lokomotiven des westeuropäischen Lokomotivbaues zurückbleibt.

¹⁶⁾ Wie Garbe sie genannt hat, vergl. a. Z. Bd. 46 (1902) S. 151.

R U N D S C H A U

Dampftechnik

Stand der Hochdruckdampf-Technik

Die Studienkommission für Hochdruckanlagen der Vereinigung der Elektrizitätswerke hielt vom 21. bis 23. Februar unter dem Vorsitz von Dr. X. Mayer in Mannheim eine Versammlung ab, verbunden mit einer Vortragsreihe, an der auch zahlreiche Gäste teilnahmen. Unter diesen waren Mitglieder der Vereinigung der Großkesselbesitzer besonders stark vertreten. Die Vorträge und die teilweise lebhaftige Aussprache ergaben einen günstigen Gesamteindruck von den Aussichten, die sich nach dem heutigen Stande für die Steigerung der Drücke und der Temperaturen bei Dampfkraft-Elektrizitätswerken bieten, wenn auch vielleicht die Schwierigkeiten, die im Betrieb namentlich infolge der höheren Temperaturen auftreten, noch nicht immer überwunden sind.

Im Auftrag der Geschäftsstelle gab zunächst Dipl.-Ing. *Platzmann*, Berlin, einen kurzen Überblick über Entwicklung und Aussichten der Hochdruckdampf- und Dampfanlagen und über die wichtigsten dabei auftretenden technischen Probleme. Seit 1922 sind in Deutschland 274 Kessel für Drücke von mehr als 30 at errichtet oder bestellt worden, darunter 98 für öffentliche Elektrizitätswerke; ferner sind für Drücke von 50 bis 100 at bis jetzt Kessel mit mehr als 3200 m² Heizfläche in Betrieb genommen. Beim Entwurf der Kesselanlagen wird nicht immer berücksichtigt, daß Kessel für höheren Druck bei gegebenem verhältnismäßiger Druckabsenkung ein größeres Arbeitsvermögen auf 1 m² Ausdampffläche aufspeichern können als Kessel für niedrigeren Druck, und daß man auch heute übliche Belastung der Ausdampffläche von 10 m³/m²h noch steigern kann, wie amerikanische Beispiele zeigen. Dadurch kann man die Kessel für hohen Druck sehr wesentlich verbilligen.

Nach den vorliegenden Erfahrungen kann man ferner rücke bis zu rd. 100 at noch mit den üblichen Bauarten an Dampferzeuger beherrschen. Darüber hinaus werden jedoch die bekannten Sonderbauarten für Dampferzeuger notwendig. Hohe Dampftemperaturen sind in Dampfturbinen und schwerer beherrschbar als in Dampfkesseln; durch genaues Regeln der Dampftemperaturen am Überhitzer könnte man die heute bei Dampfturbinen für zulässig erachtete Höchstgrenze erhöhen.

Dr.-Ing. *Marquerre*, Mannheim, berichtete sodann unter dem Titel „Technisches und Wirtschaftliches über die 100 at-Anlage des Großkraftwerkes Mannheim“ ausführlich über die Gründe, die zur Wahl der Bauart der Vorschaltanlage mit zwei Turbodynamos von 5000 und 7000 kW von Brown, Boveri & Cie. A.-G. für 19 at Gegendruck geführt haben. Neben Gründen, die sich aus den Verhältnissen der Anlage ergaben und auf einen Überdruck von mindestens 80 at hinwiesen, war für die Wahl gerade von 100 at mit die Erwägung maßgebend, daß bei diesem Druck noch die Sonderverfahren von *Löffler* oder *Benson*, falls sie Vorteile bieten sollten, später angewendet werden könnten. Zur Zeit der Errichtung der Anlage waren sie noch im Versuch begriffen, und es kamen daher nur Normalkessel in Frage. Es wurden daher Zweitrommel-Steilrohrkessel, der eine von der Firma Hano-nag mit KSG-Kohlenstaubeuerung, der andere von Hum-voldt mit AEG-Kohlenstaubeuerung und zum Teil durch Wasserrohre gekühlten Brennkammern aufgestellt. Die Dampftemperatur an den Kesseln soll bis zu 470 ° betragen. Infolge der gewählten doppelten Zwischenüberhitzer mit strömendem und kondensierendem Frischdampf erhalten die Turbinen im Regelfall nur Dampf von 425 ° am Eintritt, während der austretende Dampf, auf rd. 350 ° nachüberhitzt, in den vier vorhandenen Niederdruck-Turbodynamos von 12 500 und 20 000 kW ausgenutzt wird.

Besonders wertvoll war es, Genaueres über die Ursachen einiger Betriebschwierigkeiten der ersten Monate zu erfahren, über die der Vortragende mit anerkennenswerter Offenheit berichtete. Von diesen Schwierigkeiten kann man die an den Hochdruck-Kreiselpumpen wegen ungeeigneter Leistungskennlinie und die an den Wasserstandgläsern, deren Anzeige durch ein neues Gerät nach *Pfleiderer* unterstützt wird, als überwunden ansehen. Die Behebung der Schwierigkeiten, die an den Flanschverbindungen aufgetreten sind, scheint gleichfalls praktikabel gelungen; die weiteren Schwierigkeiten, die durch Kesselsteinbildung und daraus folgende Rohrreißer entstanden sind, werden überwunden sein, wenn das infolge undichter Kondensatoren gelegentlich eintretende unreine Speisewasser ferngehalten wird.

Das Auswerfen von Asche aus dem Schornstein wird, nachdem Versuche mit einem Rauchgaswäscher fehlgeschlagen waren, mittels zweier Zyklonstaubabscheider wenigstens zum Teil verhindert. Die Anlage wurde im Anschluß an diesen Vortrag besichtigt¹⁾.

Dr.-Ing. *Münzinger*, Berlin, sprach über den wirtschaftlichen Dampfdruck für Elektrizitätswerke unter Berücksichtigung des Löfflerkessels. Seine sehr umfangreichen Berechnungen erstrecken sich auf das Gebiet der Dampfdrücke von 17 bis 140 at und beziehen sich auf ein Großkraftwerk mit Kohlenstaubeuerung und 4 × 90 000 kW Maschinenleistung einschließlich der notwendigen Reserve, wobei für Kessel der üblichen Bauart möglichst günstige Annahmen gemacht werden. Dem Vergleich wurde dieselbe elektrische Nutzleistung des Kraftwerks zugrunde gelegt. Berücksichtigt wurde insbesondere auch der höhere Eigenkraftbedarf, den eine Anlage mit Löfflerkesseln infolge der Dampfumwälzpumpen bedingt. Die Untersuchung ergab trotzdem, daß bei gleicher Kalkulation Dampferzeuger nach dem Verfahren von *Löffler* für 100 bis 120 at Betriebsdruck für dieselben Kosten hergestellt werden können wie Zweitrommel-Steilrohrkessel für 40 at oder Dreitrommel-Steilrohrkessel für 30 at. Dagegen ergibt der Vergleich der Baukosten des ganzen Kraftwerkes nur einen Vorteil von etwa 2,2 vH zugunsten des Löffler-Verfahrens, weil der Kraftverbrauch der Umwälzpumpen eine größere Leistung des ganzen Werkes bedingt.

Bei dem heutigen mittleren Ausnutzungsverhältnis der meisten deutschen Elektrizitätswerke hält hiernach der Vortragende bei Verwendung von Wasserrohrkesseln für die Mehrzahl der Werke 30 bis 50 at noch immer für den wirtschaftlich günstigsten Betriebsdruck, wenn man die Berechnung des Strompreises auf den Kapitaldienst und die Brennstoffkosten ausdehnt. Aber schon heute ist eine Anlage mit Dampferzeugern nach *Löffler* von 110 at Anfangsdruck wirtschaftlich gleichwertig einer Anlage mit besonders günstig bemessenen Zweitrommel-Steilrohrkesseln und nicht unwesentlich überlegen einem Werk mit den üblichen Dreitrommelkesseln. Dr. *Münzinger* zweifelt aus verschiedenen teils menschlichen Gründen nicht daran, daß in den nächsten Jahren die Industriewerke mit großem Bedarf an Gegendruckdampf zu Betriebsdrücken von 100 at übergehen werden und daß die dadurch ermöglichte allmähliche Verbilligung dem Hochdruckdampf auch in Elektrizitätswerken Eingang verschaffen wird.

Prof. Dr. *Kraft*, Berlin, sprach sodann über die Hochdruckturbine, eine Baustofffrage. Sein Vortrag faßte die Probleme der Werkstoffe, die sich dem Konstrukteur beim Entwurf von Dampfturbinen für hohe Drücke und Temperaturen darbieten, in einer vor allem für die Praxis geeigneten Weise zusammen. Er kennzeichnete die mangelnde Eignung des heute üblichen Gußeisens als Baustoff für Temperaturen über 350 °; die neueren Versuche mit elektrisch hergestelltem Gußeisen sind noch nicht abgeschlossen. In der Herstellung und Warmbehandlung von Gehäusen aus Stahlguß für solche Dampfturbinen habe man Fortschritte gemacht. Die Schwierigkeiten, die wagerechte Trennfuge solcher Gehäuse mit Sicherheit abzudichten, kann man durch Anziehen der Schrauben in angewärmtem Zustande beheben. Zu diesem Zweck führt man in die der Länge nach gebohrten Bolzen elektrische Heizstäbe ein.

Unter den Anforderungen an den Stahl mit 3 vH Nickelgehalt für geschmiedete Läufer, dessen Festigkeit bei gewöhnlicher Temperatur 60 bis 65 kg/mm² betragen soll, wurde hervorgehoben, daß es wichtig sei, Probestäbe an solchen Stellen der Schmiedestücke vorzuschreiben, an denen die höchsten Beanspruchungen und bei der Herstellung besondere Schwierigkeiten auftreten. Wichtig wäre es auch, in den Angeboten die Festigkeit bei höheren Temperaturen mitzuteilen.

Von neueren hitzefesten Baustoffen für die Schaufeln wurden neben dem Kruppischen V 5 M-Stahl auch Stähle mit 15 vH Chromgehalt erwähnt, die bis zu 60 vH Nickel enthalten und bemerkenswert hohe Festigkeit bei hohen Temperaturen aufweisen. Allerdings seien diese Baustoffe sehr kostspielig und noch nicht ganz erprobt. Zum Schluß machte der Vortragende einige Angaben über die Baustoffe für die Labyrinth-Stopfbüchsen.

Die Teilnehmer der Tagung verlebten den Abend als Gäste der Stadt Mannheim, deren Oberbürgermeister und Mitglieder des Stadtrates sich an der Begrüßung beteiligten. Am folgenden Tage berichtete Prof. Dr.-Ing. *Honegger*, Zürich, über eigene Versuche auf dem Gebiete des Ein-

¹⁾ Eine ausführliche Veröffentlichung über diese Anlage in dieser Zeitschrift ist in Aussicht genommen.

flusses höherer Temperaturen auf die Dauerstandfestigkeit von Stahl und von Gußeisen, des Wachsens von Gußeisen und der Änderung der Ermüdungsfestigkeit durch Kaltbearbeitung im Zusammenhang mit Werkstofffragen der Hochdruck-Dampfturbinen. Die Arbeiten, die demnächst als Mitteilung aus der Materialprüfungs-Anstalt der Eidgen. Technischen Hochschule Zürich veröffentlicht werden sollen, erstrecken sich auf die Prüfung von Baustoffen in einem elektrisch geheizten Ofen, in dem Dauerversuche bei Temperaturen bis zu 1000° ausgeführt werden können, sowie auf Untersuchungen in Dampf von 500° . Auf die Einzelheiten der Ergebnisse, denen in der Aussprache zum Teil widersprochen wurde, kann hier aus Mangel an Raum nicht genauer eingegangen werden.

Schließlich berichtete Obering. Schöne über Einzelheiten der im Bau befindlichen Hochdruck-Dampfkraftanlage für 120 at auf der Grube Renate der Ilse-Bergbau-Gesellschaft; ihre beiden Zweitrommel-Steilrohrkessel von Borsig sind für je 32 t/h Dampfleistung bei 466 und 516 m^2 Heizfläche bemessen und mit Treppenrostfeuerung und Kohlenstaub-Zusatzfeuerung versehen. Die von der AEG gebauten Dreigehäuse-Anzapf-Gegendruckturbinen geben Anzapfdampf von 13,5 at für den Betrieb der Brikettpressen und Speisepumpen sowie den gesamten Gegendruckdampf von 2,5 at Überdruck für den Betrieb der Trockner ab. Die ganze Anlage, die 24 000 kW Nutzleistung liefern kann, kennzeichnet sich als der erste großzügig durchgeführte Versuch, die Vorteile nutzbar zu machen, die sich namentlich in der Braunkohlen- und Brikettindustrie durch Steigern des Anfangsdruckes einer gegebenen für Heizzwecke notwendigen Dampfmenge darbieten. Die Inbetriebnahme der Anlage soll im August 1929 stattfinden.

Berlin [N 2669]

Dr. A. Heller

Arbeitsmaschinen

Schwere Flächenschleifmaschine

Die im folgenden beschriebene Schleifmaschine¹⁾, Abb. 1 und 2, ist bestimmt für die Erzeugung ebener Flächen an großen sperrigen Werkstücken, wie sie insbesondere bei Rahmen und Ständern von Dieselmotoren, Rohölmotoren und dergleichen vorkommen; sie gestattet die Bearbeitung von Werkstücken bis 3000 mm Länge und bis 1200 mm Höhe bei einem Schleifraddurchmesser von 1400 mm oder 1800 mm Höhe bei einem Schleifraddurchmesser von 2000 mm.

Bei den bisher gebauten Flächenschleifmaschinen läßt man in der Regel das Werkstück, das auf dem Arbeitstisch befestigt ist, hin und her gehen, während die Schleifscheibe ortsfest bleibt. Bei schweren sperrigen Werkstücken ist es aber vorteilhafter, das Werkstück ruhen zu lassen und dem Schleifwerkzeug eine Längsbewegung zu erteilen, dabei kann man die Werkstückseite je nach den Bedürfnissen einrichten. Ganz unverkennbar zeigt Abb. 2 das Bestreben des Konstrukteurs, die Starrheit der Maschine ohne Stoffmehraufwand durch Erhöhung des Gedrungenheitsgrades der einzelnen Bauteile entsprechend den Forderungen der neueren Forschungen zu steigern²⁾.

Schleifrad

Das Schleifrad hat, wie erwähnt, 1400 mm oder 2000 mm Dmr. und besteht aus einer Tragscheibe und einem auf diese aufgesetzten Kranz von 30 oder 42 Einzelschleifkörpern. Diese Einzelschleifkörper bieten neben ihrer hohen Schleif-

¹⁾ DRP Nr. 326 637, 327 763, 327 954, 338 912, 342 463, 381 568, 385 335, 399 114.

²⁾ s. „Maschinenbau“ Bd. 7 (1927) S. 169.

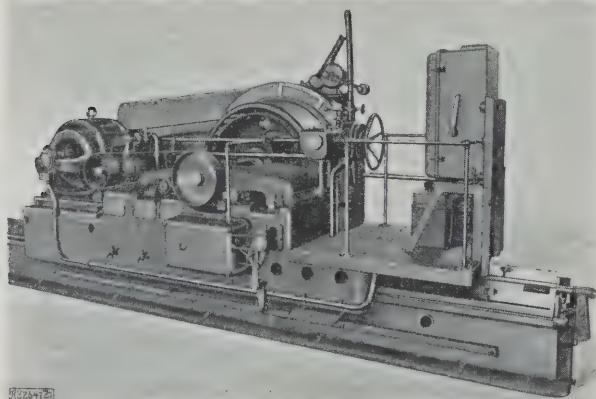


Abb. 1

Bedienseite der Flächenschleifmaschine der Diskus-Werke, Frankfurt a. Main.

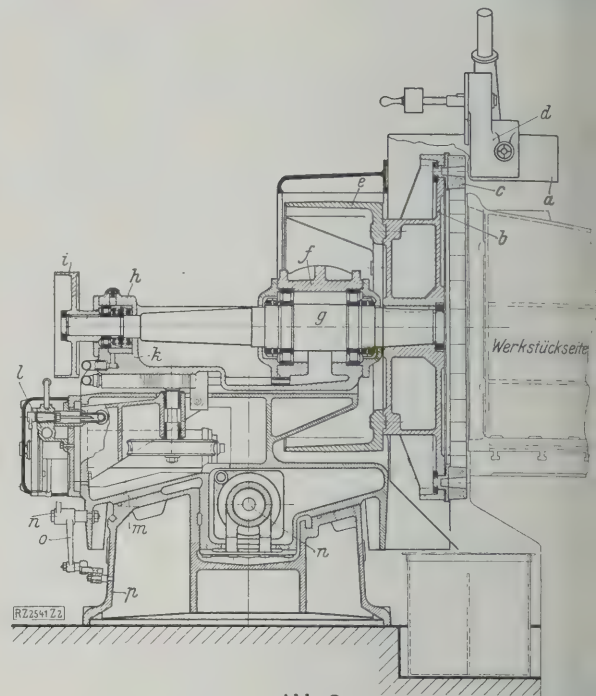


Abb. 2

Schnitt durch die Maschine, Abb. 1.

- | | |
|----------------------------------|------------------------------------|
| a Schutzhaube | k Querschlitzen |
| b Tragscheibe für c | l Beistellung des Schleifrades |
| c Einzelschleifkörper | m Schleifschlitten |
| d Abrichtwerkzeug | n Öltrieb für den Schleifschlitten |
| e Antriebsriemenscheibe | o Umsteuerhebel |
| f Hauptlager | p Maschinenbett |
| g Schleifwelle | q Wassertrog |
| h Drucklager | |
| i Antriebscheibe für die Ölpumpe | |

wirkung den Vorteil der fast restlosen Ausnützung und des raschen Auswechselbarkeits und haben den Vorzug, daß man sie für jeden Schleifraddurchmesser brauchen kann. Mit der Tragscheibe des Schleifrades ist unmittelbar die Antriebsriemenscheibe von 1000 mm Dmr. bei einer Breite von 400 mm verbunden. Diese umfaßt das vordere Hauptlager der Schleifwelle derart, daß der Riemenzug in das Lager mittel fällt. Der Antrieb des Schleifrades erfolgt durch schmiegsamen Riemen von einem Drehstrommotor von 70 PS Leistung, der mit sehr kurzem Achsenabstande seitlich auf dem Schleifschlitten angeordnet ist.

Querschlitzen

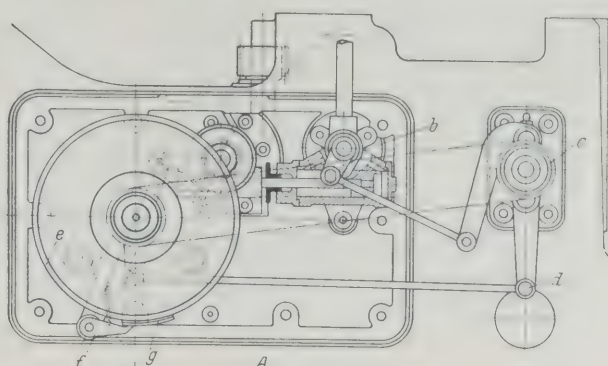
Die Schleifwelle ist in einem niedrig gebauten Querschlitzen auf dem Schleifschlitten gelagert, der sich auf einem gleichfalls sehr niedrigen und gedrungeenen Maschinenbett bewegt. Die Lastdrücke werden durch Rollenlager, die Drücke in der Achsrichtung durch Kugellager aufgenommen. Der Querschlitzen zeigt die den Diskus-Maschinen eigentümliche schwingbare Führung mit Schmalleiste³⁾. Die Beistellung des Querschlitzen zum Werkstück, Abb. 3 bis erfolgt teilweise selbsttätig in den Stufen von 0,02 bis 0,2 mm oder von Hand bis zum Gesamtbetrag von 100 mm. Die selbsttätige Schaltbewegung erfolgt ebenfalls hydraulisch durch einen kleinen hydraulischen Kolben neben dem Schaltrade.

Schleifschlitten

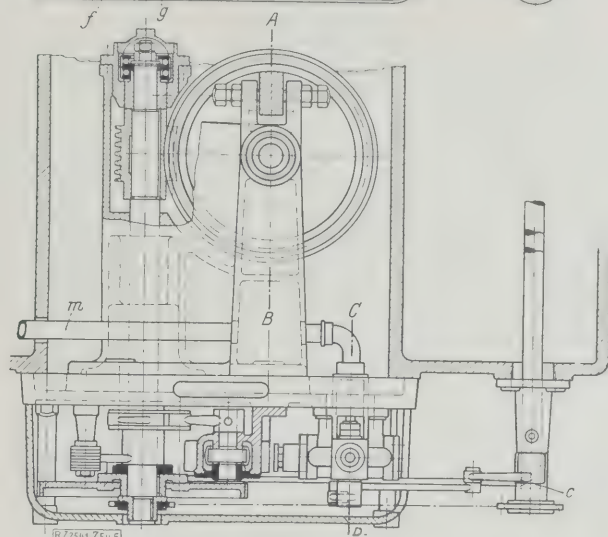
Der Schleifschlitten hat ohne den vorgebauten Bedienungsstand eine Länge von rd. 3600 mm bei einer Gesamtbreite von rd. 1300 mm. Er trägt den Querschlitzen samt Schleifwelle, Schleifrad und den Beistellmitteln, den Schleifmotor, die Pumpe für den Öltrieb samt Steuergehäuse, den Bedienungsstand, an seiner Unterseite den Zylinder für den Öltrieb und seitlich eine Gruppe der Beistell- und Umsteuermittel. Im Bedienungsstand auf dem Schleifschlitten für die Maschine sind sämtliche Griffe so angeordnet, daß sie ohne Standwechsel des Bedienungsmannes betätigt werden können, und zwar für die Bedienung des Schleifmotors, der Längsbewegung, Umkehr und Stillsetzung des Schleifschlitzen, der Beistellung, des Abrichtwerkzeuges, der Wasserzufuhr und der Kühlwasserpumpe.

In sinnfälliger Weise zeigt diese Anordnung, wie stark die Rücksicht auf die Handlichkeit der Bedienung in der Aufbau einer neuzeitlichen Werkzeugmaschine eingreift. Die mechanischen Beistellmittel für den Querschlitzen wie die

³⁾ DRP Nr. 327 763.



- a Steuerung des hydraulischen Antriebs der Beistellung
- b Druckwasserantrieb der Beistellung
- c Fernbetätigung der Handbeistellung
- d Fernschaltung der Beistellgrößen
- e Schalttrad
- f Schaltklinke
- g Schaltung
- h Antriebsritz des Querschlitzens
- i Schleifschlitten
- k schräge Führungsfläche
- l senkrechte Führungsfläche
- m Ölleitung



Dr.-Ing. C. Krug

¹² B. zur Nachprüfung anderer Drehzahlmesser auf Schiffen und
¹³ gen. auf denen größere Tachometer nicht mitgenommen werden

Abb. 7
Handtachometer mit
sechs Meßbereichen.
Nat. Länge einschl. Welle
134 mm

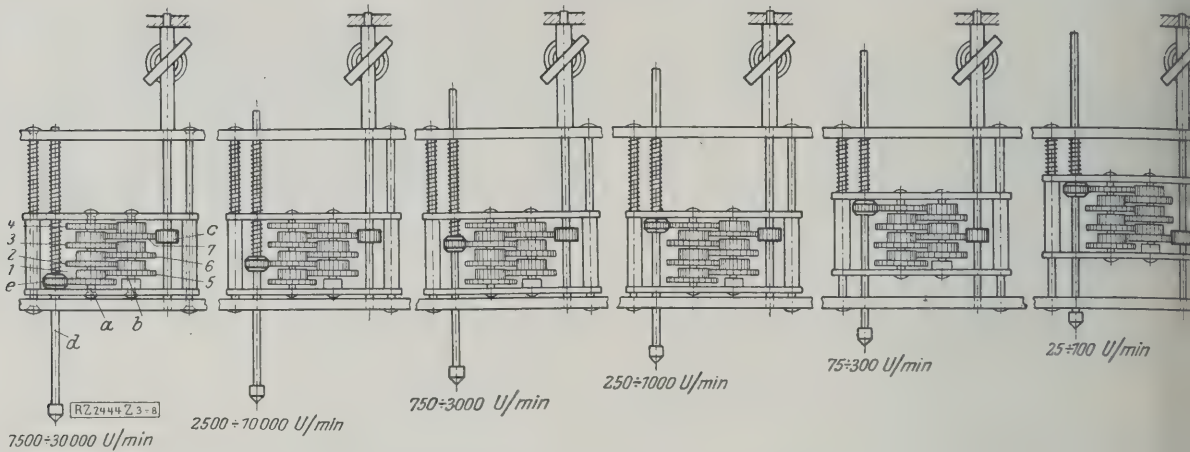


Abb. 8 bis 13
Schaltung des Handtachometers mit sechs Meßbereichen.

a, b feste Achsen c Zahnrad auf der Pendelwelle d Tachometerwelle 1 bis 7 Räderpaare e Ritzel auf Tachometerwelle

werden dann die Übersetzungen verändert, so daß das Pendel bei den verschiedenen Drehzahlen der Tachometerwelle im Mittel seine Drehzahl beibehält.

Alle bisher bekannt gewordenen Ausführungsformen von Handtachometern mit kleinen Abmessungen haben nicht mehr als vier Meßbereichschaltungen, Abb. 6. Eine Aufnahme weiterer Übersetzungen würde das Tachometer so vergrößern, daß die geforderte handliche Form nicht mehr gewahrt bleibt.

Mit nur vier verschiedenen Übersetzungen ist es jedoch nicht möglich, alle praktisch auftretenden Umlaufzahlen zu messen. Sie erweitern den vom Pendel beherrschten Meßbereich nur auf das 1 bis 125fache, während die in der Technik auftretenden Drehzahlen zwischen dem 1- bis 1000fachen liegen.

Bei den neuen von der Firma Dr. Th. Horn nach der Drehpendelbauart konstruierten Tachometern, Abb. 7, ermöglicht eine neuartige Anordnung und Schaltung der Übersetzungsräder, Abb. 8 bis 13, sechs verschiedene Übersetzungen bei noch kleineren Baumaßen als den bisherigen unterzubringen und so das Meßbereich auf den geforderten Wert vom 1- bis 1000fachen zu bringen.

Auf zwei festen Achsen a und b, Abb. 8, sind die Räderpaare 1 bis 7, die je aus einem größeren und kleineren Stirnrad bestehen, je für sich drehbar, so angeordnet, daß jedesmal das größere der beiden Stirnräder eines Paares auf der ersten festen Achse mit dem kleineren Stirnrad eines Räderpaares auf der zweiten festen Achse und umgekehrt dauernd im Eingriff sind. Dadurch wird erreicht, daß sich das folgende Räderpaar stets schneller oder langsamer als das vorhergehende dreht. Das Pendel ist durch Eingriff des Zahnrades c in ein Stirnrad eines Räderpaares mit dem genannten Rädergetriebe verbunden.

Die Tachometerwelle d ist verschiebbar angeordnet. Auf ihr sitzt fest der Trieb e, der bei der Verschiebung mit verschiedenen Räderpaaren in Eingriff kommt und somit die Übersetzung von Tachometerwelle zu Pendel verändert.

Abb. 8 bis 13 zeigen, daß nur vier Räderpaare auf einer festen Achse übereinander angeordnet sind. Die Anordnung von sechs Räderpaaren ist praktisch nicht brauchbar. Das zur Bewegung der Tachometerwelle aufzuwendende Drehmoment wird dann infolge der hohen Übersetzung vom ersten zum letzten Räderpaar bei den kleineren Umlaufzahlen der Tachometerwelle so groß, daß die Tachometerwelle nicht mehr mit absoluter Sicherheit von der zu messenden mitgenommen wird.

Um unter Verwendung von nur vier Räderpaaren trotzdem sechs Meßbereichschaltungen zu erreichen, hat man folgende Erwägung aufgestellt: Die mittlere Pendeldrehzahl liegt zwischen der niedrigsten und höchsten Drehzahl der Tachometerwelle; zum Teil muß also von der Tachometerwelle zum Pendel ins Schnelle, zum Teil ins Langsame übersetzt werden, wenn das Pendel bei den verschiedenen Umlaufzahlen der Tachometerwelle seine mittlere Drehzahl beibehalten soll. Da nun das Rädergetriebe in der einen Richtung ins Langsame, entgegengesetzt ins Schnelle übersetzt, so muß ein Rädergetriebe mit vier Räderpaaren sieben verschiedene Übersetzungen ergeben können. Außer dem mit der Tachometerwelle verschiebbaren Trieb muß dann nur noch der Pendeltrieb c gegen das Rädergetriebe verschiebbar sein. Verstellt man beispielsweise den Trieb e nacheinander

auf die vier Räderpaare 1 bis 4, während der mit dem verbundenen Trieb c mit dem obersten Räderpaare 7 in Eingriff bleibt, so kann man vier Meßbereichschaltungen wege bringen. Bringt man nun den Pendeltrieb c auf die vier Räderpaare 6 und 5, so kann man rückwärts noch zwei, also sechs verschiedene Meßbereichschaltungen wirken.

An Stelle der Verschiebung des Pendeltriebes gegen das Rädergetriebe ist das gesamte Rädergetriebe verschoben angeordnet. Die Verschiebung des gesamten Rädergetriebes wird durch einen Schlitten, in dem das gesamte Rädergetriebe eingebaut ist und der leicht auf zwei Achsen gleiten kann, ermöglicht.

Die Verschiebung selbst geschieht zwangsläufig ohne besondere Bedienung, durch Anschlag der Tachometerwelle an den Schlitten. In Abb. 8 bis 13 ist der Vorgang veranschaulicht. Zur Schaltung der ersten vier Meßbereiche wird die Tachometerwelle mit dem Trieb e nacheinander mit den vier Räderpaaren in Eingriff gebracht. Von der ersten Stellung an stößt dann die Tachometerwelle durch ihre angebrachte Nase an den Schlitten und nimmt diesen mit. Dadurch kommt der mit dem Pendel verbundene Trieb c in Eingriff mit den unteren Zahnradpaaren in Eingriff, während der Tachometerwellentrieb mit dem obersten Zahnradpaar in Eingriff bleibt. Die rückläufige Bewegung des Schlittens durch den Tachometerwellenbetrieb und Schlitten besorgen zwei Federn.

Sämtliche Meßbereiche werden also im Betrieb selbstständig eingestellt, das Tachometer kann daher mit einer Hand bedient werden.

Die Messung einer völlig unbekannten Umlaufzahl geschieht wie bisher in einfachster Weise durch immer wiederholtes Andrücken der Tachometerwelle an die zu messende Welle und Feststellen bei Erreichen der richtigen Stellung. Der richtige Meßbereich ist beim Ausschlagen des Pendels festgestellt. Festgestellt wird durch Loslassen eines Druckknopfes, der mit einem Finger der gleichen Hand betätigt wird. Die Schaltung der Meßbereiche gedrückt werden muß.

Ein besonderer Vorteil bei der Schaltung der Meßbereiche im Betrieb besteht darin, daß die Drehrichtung des Pendels, ohne Einbau von besonderen Zwischenrädern, beim Übergang des einen Bereiches auf den andern sich nicht umkehrt. Eine Beschädigung, wie sie bei andern Anordnungen der Übersetzungsräder durch diesen Umstand auftreten kann, ist hier ausgeschlossen.

Auch vor der Beschädigung, die durch Überlastung des Pendels über die zulässige Drehzahl eintreten kann, ist ein kleinerer Meßbereich als der Umlaufzahl der zu messenden Welle entspricht, eingeschaltet, wird das Tachometer durch die Anordnung der Übersetzungsräder geschützt. Durch die Federn werden Tachometerwelle und Schlitten nach außen gedrückt. Die Tachometerwelle befindet sich demnach stets nach jeder Messung in ihrer äußersten Stellung, wenn man bei Wegnahme des Druckknopfes von der Welle den Druckknopf, der die Welle festhält, drückt. Die Übersetzungsräder sind nun so angeordnet, daß der Übergang von den größten bis zum kleinsten Meßbereich ohne Beschädigung der zulässigen Pendeldrehzahl ist als abgeschlossen.

Leipzig

[M. E.]

Gasversorgung

Gasbehälterexplosion am Wedding zu Berlin

Am 17. Februar 1929, früh 2 h 40 min explodierte ein Gasbehälter gehörte zu der älteren Bauart, bei dem Glocke und Teleskoprohre von dem starkwandigen Unterbau oder Mantel aus Mauerwerk sowie dem gewölbten Dach aus geteerten Brettern geschützt sind. Bei der Explosion blieb der Sockel erhalten, der Mantel wurde ziemlich abgetrennt und nach außen geworfen, das verhältnismäßig leichte Dach wurde aber nicht, wie man hätte erwarten sollen, zerrissen und weit weggeschleudert, sondern blieb zerstört, aber ziemlich vollständig auf der Glocke und ganz ineinandergeschobenen Teleskoprohren.

Auf dem ziemlich hohen Rande des Sockels aus Beton bot sich ein Bild der Zerstörung dar, das beim ersten Eindruck stark auf einzelne Teile des Trümmerfeldes der Riesenexplosion in Oppau (1922) erinnerte: Am Rande hochgerichtetes Mauerwerk, darüber hinaus geknickte und gebogene eiserne Teleskoprohre, auf dem überraschend großen, kreisförmigen Mittelstück die Hunderte von ganz- oder halbverkohlten Brettern, die die Glocke fast ganz bedeckten. Das Absperrwasser der freigelegten Tassen war bei der herrschenden großen Kälte natürlich fest gefroren, ein schmales, längliches Loch war in der Glocke bemerkbar, das aber nachträglich durch irgend welchen Aufprall entstanden war.

Es liegt hier nach allem eine echte Leuchtgas-Luft-Wasserstoff-Explosion vor. Dies hat zur Voraussetzung, daß ein reicheres Ausströmen von Gas und dementsprechend eine große Mischung mit der Luftmenge zwischen Behälter und Mantel stattgefunden hatte. Diese abgeschlossene Luftmenge, die bei einem freistehenden Behälter in Fortfall kommt, ist zweifellos die Ursache für die Schwere dieser Explosion. Hinsichtlich der Ursache für jenes Ausströmen dürfte die Entzündung ist man ganz auf Vermutungen angewiesen und kann nur wie bei einem Problem der experimentellen Forschung die möglichen Ursachen weitgehend in Erwägung ziehen und die wahrscheinlichsten auslesen. Das Absperrwasser wurde nicht beheizt, dem Wasser in den Tassen war Öl zugesetzt. Bisher genügte die vom zuströmenden Gas aus dem Werk mitgeführte Wärme, um auch unter das Metall der Glocke und der Rohre soweit zu kommen, daß das Absperrwasser flüssig blieb. Das Gas aus dem großen Gaswerk in Tegel zugeführt. Der Weg ist lang, bei der strengen Kälte ist auch der Erdboden durchgefroren, als je, das Gas strömt schon mehr oder weniger kalt in den Behälter ein und gibt an das Absperrwasser keine Wärme ab. Jede Kristallisation in diesem über Hemmungen und Gleichgewichtstörungen in dem Behälter üblich beanspruchten Ausziehbehälter hervor. Die lokalen Vorgänge bei der Zusammenziehung des Werkstoffes des Behälters durch Kälte folgen einfachsten Gesetzen. Bei einem Rohrumfang von weit über 100 m — die Gasbehälter im Gaswerk Tegel haben 75 m Dmr. — ist die Zusammenziehung schon ziemlich beträchtlich. Sie führt bei ungewöhnlicher Kälte, besonders zur Nachtzeit, zu Spannungen führen, die die Elastizitätsgrenze überschreiten (Risse oder feine Spalten hervorrufen, durch die das Gas erst langsam ausströmt).

Möglichst bildete sich auch nur ein einziger größter Spalt an der schwächsten Stelle des durch die Kältespannungen so stark beanspruchten Werkstoffes. Diese ganze Annahme würde die Entstehung des explosiven Gemisches erklären.

Für die Entzündung dagegen liegt — da Fahrlässigkeit ausgeschlossen ist — kaum eine andere Möglichkeit vor, als die Entzündung durch die schnelle Ausströmung von Gas der Spalt kommt, und zwar bis zur Entzündung erwärmt wurde. Daß es möglich ist, hat die Entstehung des Wasserstoffbrandes in Osram-Werken gezeigt¹⁾. Hier ist noch hinzuzufügen, es ist sich nicht nur um Reibungswärme zu handeln, sondern auch um die Erzeugung elektrischer, mit der Entstehung verknüpfter Spannungen. Wahrscheinlich wurde nun noch in jener Nacht das Absperrwasser in den Tassen der Rohre. Dies führte zu so starken Gleichgewichtstörungen, daß an einer Stelle ein Werkstoffbruch stattfand. Ingedessen sanken die Glocke und die Rohre schneller und tiefer und das Gas strömte jetzt ganz stark und mit so hoher Geschwindigkeit aus, daß es sich selbst entzündete. Mit der Annahme würde die mehrfach bezeugte Beobachtung übereinstimmen, daß der Explosion ein Sausen und Zischen vorausging.

So bietet allein die ausnehmend strenge Kälte eine genügende Erklärung des ganzen Falles, der zwar zu erheblichem Sachschaden, zu vielerlei Aufregungen und mehreren

körperlichen Beschädigungen führte, der aber andererseits, gegenüber verschiedenen Unglücksfällen der letzten Zeit, noch ziemlich glimpflich verlief und jedenfalls zu schwereren Befürchtungen keinen unmittelbaren Anlaß gibt.

Für die Unfallverhütung ergibt sich die Folgerung, daß es sicherer ist, freie Gasbehälter zu errichten, statt der mit Mauerwerk umgebenen. Desgleichen sei die Anregung gegeben, es möchte eine geschlossene Untersuchung in Angriff genommen werden über die Frage, bis zu welchem Grad ein brennbares Gas (in erster Linie Wasserstoff) bei freiem, stufenweise gesteigertem Ausströmen den Werkstoff zu erhitzen vermag oder elektrisch wirksame Spannungen erzeugt und welche Bedingungen vorliegen müssen, damit Selbstentzündung eintritt. Das Ergebnis würde sicher auch zur Klärung der Ursache im vorliegenden Falle beitragen.

Berlin-Pankow [N 2657]

Prof. O. Ohmann

Braunkohle

Schachtbohrverfahren nach Zänsler

Zur Beurteilung von Braunkohlenlagerstätten, besonders in noch unerschlossenem Gelände, reichen einfache Tiefbohrungen nicht aus. Es empfiehlt sich vielmehr grundsätzlich, vor der Inangriffnahme eines Neuaufschlusses eine genaue Untersuchung der Lagerstätte durch einen Schürfschacht vorzunehmen. Derartige Schürfschächte können bei wasserarmem Deckgebirge in Bolzenschrot-Zimmerung niedergebracht werden, bei stark wasserführendem Gebirge wird man jedoch zum Gefrierverfahren¹⁾ oder dem Schachtbohrverfahren nach Honigmann Zuflucht nehmen müssen.

Für die Zwecke eines Schürfschachtes erscheinen die letzten beiden Verfahren jedoch wegen ihrer umfangreichen maschinellen Einrichtung zu teuer. Von der Firma R. Zänsler ist ein Verfahren ausgebildet worden²⁾, nach dem Bohrschächte mit 800 bis 1100 mm Dmr. im toten Wasser, unter Anwendung von Schappe und Greifer, niedergebracht und wie ein Bohrrohr regelrecht verbohrt werden. Die einzelnen Rohrschüsse werden hierbei in den Längs- und Quernähten durch Schweißung verbunden. Die Abteufeinrichtung besteht aus einem Bohrturm mit unmittelbar angebaute Haseptraum, einer kleinen Werkstatt, sowie Kraft- und Transformatoranlage. Das für das Abteufen der Berliner Städtischen Elektrizitätswerke A.-G. (Bewag) bei Lawitz (Frankfurt a. O.) benutzte hölzerne Abteufgerüst von 18 m Höhe ist auf Betongründungen aufgebaut. Zur Betätigung des Greifers und zum Einlassen und Ziehen des Bohrgestänges wurde ein für Seilfahrt zugelassener Vorgelegeshapel mit 30 PS-Drehstrommotor verwendet. Nachdem bis zum Grundwasserspiegel ein Vorschacht in Bolzenschrotzimmerung niedergebracht war, wurde der eigentliche Schacht abgebohrt, den man mit 10 mm dicken Rohren ausbaute. Zur Verstärkung der Schachtwand wurden die Ringräume zwischen den einzelnen Verrohrungen vom Tage her mit reinem Zementbrei begossen. Der Schachteinbau wird in besonderen Spannringen, die fest gegen die Schachtwand verkeilt sind, angebracht und hierdurch gleichzeitig die Schachtwand selbst verstärkt.

Einige Schwierigkeiten ergaben sich bei dem Abteufen durch einen Sanddurchbruch, der nach dem Verfahren von Sonnenschein³⁾, Gleiwitz, mit Hilfe von Zement abgedichtet wurde.

Das Braunkohlenflöz selbst wurde durch eine besondere Ausbruchstür vom Schachte aus angefahren und der Füllort gegen den Schacht hin betoniert, um ein Durchbrechen von Sand zwischen Schachtausbau und Kohle zu verhindern. Die Kosten für das Schachtbteufen nach dem Zänsler-Verfahren können bei 50 m tiefen Schächten auf 400 bis 500 RM, bei 100 m tiefen Schächten auf 600 bis 700 RM/m angenommen werden. Die Kohle wird durch einen Kübel von 0,5 t Fassungsvermögen aus dem Schacht gefördert, der leicht auf Seilfahrt umgestellt werden kann. Nach den bei der Bewag gemachten Erfahrungen erscheint das Niederbringen derartiger Bohrschächte mit 1 bis 1,5 m Dmr. für die Wetterführung und unter Umständen auch für eine Förderung mit Hilfe von Kübeln oder Becherwerk durchaus wirtschaftlich.

[N 2615]

Pr.

¹⁾ Z. Bd. 67 (1924) S. 383. ²⁾ „Braunkohle“ Bd. 27 (1928) S. 1141.
³⁾ „Glückauf“ Bd. 60 (1924) S. 559.

Trocknung von Braunkohle im Röhrentrockner

Die mit 50 bis 60 vH Wassergehalt gewonnene Rohbraunkohle muß vor dem Verarbeiten zu Preßlingen auf etwa 16 vH Wassergehalt heruntergetrocknet werden. Hierzu wird im allgemeinen die mittelbare Trocknung mittels Dampf in Teller- oder Röhrentrocknern benutzt. Der Einfluß der verschiedenen Betriebsbedingungen auf die Leistung

des Trockners ist neuerdings von O. Schmitt¹⁾ eingehend untersucht worden. Es wurden hierbei eine Reihe von Möglichkeiten zur Steigerung der Trockenleistung im Röhren-trockner festgestellt:

1. Möglichst hoher Heizdampfdruck im Trockner (bis 5 at),
2. möglichst feine und gleichmäßige Körnung der Rohkohle,
3. reichliche Belüftung der Rohre, um die Verdampfgeschwindigkeit zu erhöhen,
4. möglichst hohe Rohrfüllung und gleichmäßige Verteilung der Kohle über das ganze Rohr.

Eine gleichmäßige und weitgehende Füllung der einzelnen Rohre ist durch die Hickethier-Bleche nicht in dem Maße möglich, wie durch die Einblasevorrichtung von Rolf, die gleichzeitig eine gute Belüftung herbeiführt und gestattet, mit beliebig fein aufbereiteter Rohkohle zu arbeiten. Die von Schmitt entwickelte Stauleiste besonderer Bauart ermöglicht eine gleichmäßige Trocknung von Knorpel- und Feinkohle und ferner eine Erhöhung der Durchsatzleistung des Trockners. [N 2613] Pr.

¹⁾ „Braunkohle“ Bd. 27 (1928) S. 1005.

Eisenhüttenwesen

Roheisen- und Rohstahlerzeugung 1928

Im Jahre 1928 wurden in Deutschland (deutsches Zollgebiet) 11,804 Mill. t Roheisen (13,103 Mill. t 1927) 14,517 Mill. t Rohstahl (16,311 Mill. t) und 11,562 Mill. t Walzwerkerzeugnisse (12,872 Mill. t) hergestellt. Im Dezember 1928 waren 184 Hochöfen mit einer mittleren Leistung von 53 990 t in 24 h vorhanden; hiervon waren 101 in Betrieb, 11 gedämpft, 47 in Ausbesserung und 25 standen zum Anblasen fertig. Die saarländische Gewinnung, die in den vorstehend genannten Zahlen nicht mit eingerechnet ist, betrug 1,936 Mill. t Roheisen, 2,073 Mill. t Rohstahl und 1,718 Mill. t Walzwerkerzeugnisse. 31 Hochöfen waren vorhanden, von denen vier in Ausbesserung waren und einer zum Anblasen fertig stand. Die mittlere Leistung betrug 5970 t in 24 h.

In Luxemburg wurden im Jahre 1928 2,77 Mill. t Roheisen und 2,572 Mill. t Stahl erzeugt. Belgiens Erzeugung betrug 3,885 Mill. t Roheisen, 3,934 Mill. t Rohstahl und 3,373 Mill. t Fertigerzeugnisse. Am 1. Februar 1929 waren 62 Hochöfen mit einer Erzeugung von rd. 11 100 t in 24 h vorhanden. In Frankreich wurden 10,097 Mill. t Roheisen, 9,386 Mill. t Rohstahl erzeugt. Am 1. Januar 1929 waren 221 Hochöfen vorhanden, davon standen 153 im Feuer; 21 waren außer Betrieb und 47 im Bau oder in Ausbesserung. Englands Erzeugung betrug 6,609 Mill. t Roheisen und 8,662 Mill. t Rohstahl; im Januar 1929 waren 139 Hochöfen in Betrieb. Nach vorläufiger Schätzung wurden in den Vereinigten Staaten von Amerika 38,437 Mill. t Roheisen und von sämtlichen Stahlwerkgesellschaften 50,651 Mill. t Rohstahl erzeugt. Im November 1928 waren 194 von 337 Hochöfen in Betrieb. („Stahl und Eisen“ 5. Januar 1929 S. 25, 17. Januar 1929 S. 87, 31. Januar 1929 S. 170, 7. Februar 1929 S. 199, 21. Februar 1929 S. 266) [M 2684 e] Gw.

Normung

Normblattentwürfe für Roststäbe

(Einspruchszuschriften in doppelter Ausfertigung und in jedem Entwurf gesondert unter genauer Angabe der im rechten oberen Felde des Normblattes enthaltenen Blattbezeichnung an den Deutschen Normenausschuß, Berlin NW 7, Dorotheenstraße 47 erbeten.)

Einspruchsfrist: 15. Mai 1929

Der Deutsche Normenausschuß unterbreitet den Normblattentwurf der Öffentlichkeit zur Beurteilung. Das Blatt wurde vom Großwasserraumkessel-Verband gestellt. [M 257]

Roststäbe für Steinkohlenfeuerung für Normkessel von 15 bis 150 m ² Heizfläche		Dampfkesselbau		DIN Entwurf E 6701
Maße in mm				
Ohne Verstärkungsleiste Für Länge l = 500 bis 1000				
Bezeichnung eines Roststabes von Länge l = 500 mm: Roststab 500 DIN 6701				
l	500	600		
Gewicht kg ¹⁾	2,60	3,10		
Mit Verstärkungsleiste Für l = 700 bis 1000				
Bezeichnung eines Roststabes von Länge l = 500 mm: Roststab 800 DIN 6701				
l	700	800	900	1000
Gewicht kg ¹⁾	4,90	5,65	6,40	7,15
Ausführung: Roh, Oberfläche glatt und eben Werkstoff: Feuerbeständiger Guß DIN 1691 ¹⁾ Spez. Gewicht zu 7,25 kg/dm ³ angenommen				
April 1929		Verband Deutscher Dampfkessel- und Apparate-Bauanstalten		
[RZ 2571 Z]				

Kleine Mitteilungen

Drehen von Nockenwellen

Zum Bearbeiten von Nocken auf Nockenwellen lohnt sich für Fabriken, die in der Stunde mehr als fünf Nockenwellen herstellen, eine Sonderdrehbank. Bemerkenswert ist die Melling-Nockendrehbank, die die Walcott Machine Comp., of Jackson (Michigan), herstellt. Die Maschine dreht alle Nocken gleichzeitig sowohl aus der vollen wie aus der vorgeschmiedeten Welle heraus. Eine genau geschliffene Nockenwelle dient als Schablone für die Werkzeuge, und ein zweiter Satz von Nocken stellt die Drehstähle auf den richtigen Schnittwinkel ein. Zuerst werden die Nocken vorgeschruppt und dann mit einem feinen Span mit einer Schleifzugabe von 0,04 mm geschliffen.

Die Drehbank ist mit drei Vorschüben in den Grenzen von 0,2 mm bis 0,04 mm versehen. Der Antriebmotor leistet 5 PS. Je nach der Größe der Nockenwelle bearbeitet die Drehbank bei 140 bis 200 U/min des Arbeitstückes stündlich 25 bis 45 Wellen. Die Maschine wird in drei Größen für Wellen bis 711 mm, bis 1016 mm und bis 1270 mm Länge hergestellt. („Engineering“ 15. Februar 1929 S. 215*)

[M 2684 d]

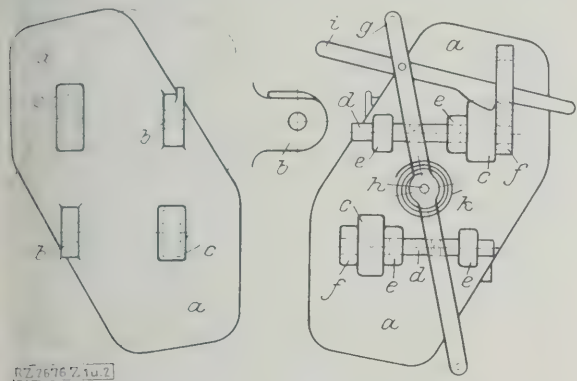
Schr.

Messung der Kolbentemperaturen an Kraftfahrzeugmotoren

R. N. du Bois hat die Temperaturen der vier I-metallkolben eines Fahrzeugmotors mittels einer Eitung gemessen, die sich bis zu Drehzahlen von 2200 im Dauerbetriebe gut bewährt hat. Von den 11 Metern wurden vier über den Kolbenboden und sieben die verschiedenen Abschnitte des Kolbenmantels von Die 22 mit Seide besponnenen und mit Schellackstrichenen Drähte wurden an einem Bronzestück zusammengeführt, das am unteren Kolbenende festgeschraubt. Von hier führte das Kabel mit den 22 Leitern durch ein Stahlrohr unten aus dem Kurbelgehäuse heraus. Das war im Winkel abgekröpft, damit es dem Kurbelarm im Wege war. Am unteren Ende des Rohres wurde das Kabel mittels eines möglichst leichten Hebels zu einem festen Drehpunkt geführt, von dem aus die Drähte nach außen zu Meßgeräten verteilt wurden. Zur Nachprüfung der Messungen wurden im Boden und Mantel eines andern Kurbelgehäuses aus Legierungen von bekannten Schmelzpunkten eingeführt.

Aus den vielen Messungen an dieser Versuchsanlage ergab sich, daß bei der Nenndrehzahl von 1600 U/min die Temperaturen am Kolbenboden mit zunehmender Vorzündung etwa linear zunehmen; diese Zunahme, die mehr als 100 ° Kolbentemperatur in der Mitte des Kolbenbodens erreicht, setzt sich auch beim Überschreiten der für die Motorleistung günstigsten Vorzündung von 40 ° Kurbelwinkel fort. Auffallend waren Unterschiede der Temperaturen an je um 90 ° gegeneinander versetzten Stellen des Kolbenbodens. Diese Unterschiede, die etwa 20 ° betragen, rühren von der Kühlung des Kolbens durch das einströmende Gas her. Außerdem ist aber auch der den Kolbenbolzen zugehende Teil des Mantels um rd. 40 ° wärmer als der um 180 ° dagegen versetzte, weil der Kolbenbolzen die Bodentemperatur auf die Zylinderfläche ableitet. (Automotive Industries“ 19. Januar 1929 S. 90/94*) [M 2684 c] H.

Die selbsttätige Boirault-Kupplung für Eisenbahnfahrzeuge



Die Boirault-Kupplung ist in Frankreich bereits in großem Umfang eingeführt¹⁾. Ihre Konstruktion und Wirkungsweise ist folgende, vergl. Abb.: Die Grundplatte *a* trägt zwei Augen *b* und zwei rechteckige Vertiefungen *c*. Die Gegenplatte ist genau gleich ausgebildet. Die Augen *b* greifen einander *g* in die Vertiefungen der anderen Platte. Bolzen *d* gleitet in den Bohrungen *e* und *f*. Hebel *g*, an Zapfen *h* drehbar, greift mittels Zapfen an den Bolzen *d*

¹⁾ Vergl. Z. Bd. 57 (1913) S. 1898.

an und wird mittels des Riegels *i* in der gezeichneten Lage gegen die Rückstellkraft der Feder *k* festgehalten. Stoßen die Platten gegeneinander und dringen die Augen *b* in die Vertiefungen *c* ein, so wird dabei Riegel *i* angehoben; Hebel *g* dreht sich dank der Federkraft und nimmt die Bolzen *d* mit; indem die Bolzen nun so die Bohrungen der Augen und Vertiefungen verbinden, sind die Platten und damit die Wagen gekuppelt. Mittels Kettenzuges, der an den Enden der Hebel *g* angreift, lassen sich die Wagen entkuppeln, ohne daß die Bedienung zwischen die Wagen treten muß. („The Engineer“ 22. Februar 1929 S. 216*) [M 2684 a]

Ro.

Adsorptions-Kühlmaschine für Eisenbahn-Kühlwagen

Zum Befördern von Fischen von Boston nach Texas dienen Eisenbahn-Kühlwagen der Safety Car Heating & Lighting Co., bei denen die Kühlwirkung durch Adsorptions-Kühlmaschinen¹⁾ mit schwefliger Säure erzielt wird. Die beiden abwechselnd als Aufnehmer und Austreiber für das adsorbierte Gas dienenden Bündel senkrechter Rohre von 1,9 cm Dmr., die unten geschlossen sind und oben in Sammlern enden, enthalten im Mittel 454 kg kolloidaler Kieselsäure. Diese Rohrbündel sind in einem Gerüst so aufgehängt, daß sich die unteren Rohrenden frei ausdehnen und zusammenziehen können. Das Gerüst ist mit Isolierstoff ausgekleidet, unter den Rohren befinden sich vier Brenner. Als Brennstoff wird Propan benutzt, das unter gewöhnlichen Verhältnissen flüssig ist und in zwei Behältern unter dem Wagen aufbewahrt wird. Die Brenner arbeiten gewöhnlich fünfmal in 24 h je 35 min, doch ist es möglich, diese Zahl zu verdoppeln. Die Brenner regeln sich selbsttätig in Abhängigkeit von der Temperatur im Wagen. Die Kondensatorschlangen sind auf dem Wagendach in der Fahrtrichtung angeordnet. Sie werden durch ein Dach vor Sonnenstrahlen geschützt.

Bei Stillstand des Wagens sinkt die Wirkung des Kondensators, doch ist die Oberfläche groß genug, um ein unzulässiges Ansteigen des Gasdruckes zu verhüten. Auch die Schnelligkeit der Adsorption wird durch die Wagenbewegung beeinflusst.

Mit 1 kg kolloidaler Kieselsäure, die bis zu 25 vH ihres Gewichtes an Gas aufnehmen kann, kann man in 24 h 1 bis 1,5 kg Eis erzeugen. Der Brennstoffverbrauch beträgt im Mittel 60 kg für 1 t Eis. Bei 11 000 kcal/kg Heizwert des Gases beträgt der Wirkungsgrad weniger als 10 vH. („Power“ 8. Januar 1929 S. 49*) [M 2684 b] L.e.

¹⁾ Vergl. Z. Bd. 71 (1927) S. 1437.

BÜCHERSCHAU

Bücher und Zeitschriften des In- und Auslandes, auch solche nichttechnischen Inhaltes, liefert die VDI-Buchhandlung, Berlin NW 7, Ingenieurhaus (Telegrammanschrift: Ingenieurverlag Berlin; Fernspr.: Zentrum 15204).

Handbuch der Feuerungstechnik und des Dampfkesselbetriebes. Von Georg Herberg. 4. Aufl. Berlin 1928, Julius Springer. 447 S. m. 84 Abb. Preis 23,50 RM.

In der vorliegenden Auflage wird der Verfasser der Entwicklung der Dampftechnik in den letzten Jahren, der Einführung der Kohlenstaubfeuerung und des Hochdruckdampfes gerecht. Im allgemeinen Abschnitt über Wärme und Verbrennung ist zu begrüßen, daß die Formeln auf neuen Dampftabellen von Knoblauch, Raisch und Hausen gestützt und vor allem die neuen „Richtlinien“ berücksichtigt wurden. Allerdings ist dadurch dieser Abschnitt etwas umfangreicher geworden, doch ist durch vorteilhafte Anordnung des Stoffes die Übersichtlichkeit gewahrt und eine Zusammenstellung von Formeln und Schaubildern geschaffen, die für alle Betriebsfälle ausreichend sein dürfte. Für den Ingenieur in der Praxis bieten viele durchgerechnete Beispiele eine wirksame Unterstützung.

Die Ausführungen über Kohlenstaubfeuerungen im Abschnitt dürften nicht mehr ganz dem heutigen Stand in Deutschland entsprechen. Z. B. werden die für die Haltbarkeit des Mauerwerkes angegebenen Brennstundenzahlen jetzt in ein Vielfaches überschritten. Das ganze Werk kennzeichnet sich durch das Bestreben des Verfassers, den Kesselbetrieb und seine Einrichtungen (Überhitzer, Vorwärmer, Einmauerung usw.) nicht als Sondergebiet darzustellen, sondern den Zusammenhang zu zeigen, der zwischen Kesselbetrieb und dem gesamten Gebiet der Wärmewirtschaft besteht. Das ist wertvoll, weil infolge der Spezialisierung der Ingenieur leicht die großen Richtlinien übersieht, wenn er B. den Wirkungsgrad einzelner Hilfeinrichtungen ohne Rücksicht auf die Wirtschaftlichkeit der Gesamtanlage zu verbessern sucht.

Die niedrig beanspruchten Flammrohr- und Wasserrohrkessel mit kleiner Heizfläche und niedrigem Druck haben zwar infolge ihrer großen Zahl noch heute wirtschaftliche Bedeutung; es wäre aber zweckmäßig, auch auf die Hochleistungskessel der letzten Jahre in einem Umfang einzugehen, der ihrer Wichtigkeit entspricht. Auch die Angaben über Kesselheizfläche, Rauchgasvorwärmer, Überhitzer und Einmauerung sind hauptsächlich auf mittlere Verhältnisse zugeschnitten, so daß der rechte Zusammenhang mit dem Hochdruckdampfbetrieb eigentlich fehlt. Die Beispiele von Hochleistungskesseln sind nicht mehr zeitgemäß, was allerdings auch dem außerordentlich schnellen Fortschreiten der Dampfkesseltechnik zuzuschreiben ist. Auch die Luftvorwärmung bei hochbeanspruchten Kesseln verdient erweiterte Angaben.

Durch Abschnitte über Dampf- und Heißwasserspeicher und Elektrotechnik ist das behandelte Gebiet im Sinne der umfassenden Darstellung von Dampferzeugung und Abwärmeverwertung gut abgerundet. [E 2465]

Dipl.-Ing. Hanns Seidel.

Handbuch der Appretur. Von Josef Bergmann. Ergänzt und herausgeg. von Chr. Marschik. Berlin 1928, Julius Springer. 321 S. m. 286 Abb. Preis 36 RM.

Das vorliegende Buch gibt einen umfassenden Überblick über die bei der Appretur der Gewebe aus tierischen und pflanzlichen Gespinsten verwandten Maschinen. Dabei werden unter Appretur alle notwendigen Arbeiten aufgefaßt, die dem Gewebe in erster Linie für den Benutzungszweck und in zweiter Linie für die Verkaufsfähigkeit gewisse Eigenschaften verleihen, die es von Natur aus gar nicht oder nicht in hinreichendem Maße besitzt oder durch die Vorarbeiten in der Spinnerei und Weberei zum Teil eingebüßt hat. Der

Inhalt gliedert sich also in die Reinigungsarbeiten, die Arbeiten zum Vergleichmäßigen und Verdichten des Gefüges und zum Erzeugen gleichmäßiger Oberflächen auf dem Gewebe, Erzeugen glatter und glänzender Gewebeoberflächen, Fixieren und Abziehen des Glanzes sowie Herstellung erhabener Flächenverzerrungen, Nach- und Vollendungsarbeiten und einen Anhang über chemische Appreturverfahren.

Eine Fülle von Zeichnungen erleichtert es dem Ingenieur, ohne das Studium weitschweifiger Erklärungen in den Stoff einzudringen. Die einzelnen Appreturvorgänge sind durch Ausführungsbeispiele erläutert. So bringt z. B. das Kapitel „Rauhen“ Bauarten der Stabrahmaschine, der Verstreichmaschine, der Doppelrahmaschine mit Rauhestäben und endloser Warenführung, der Rollkardemaschinen, ferner Maschinen zum Rauhen endlos gewebter Filze, Kratzmaschinen, vereinigte Rahmaschinen und Maschinen zum Einrauen von Mustern. Die Bauarten verschiedener Hersteller konnten natürlich nicht alle einzeln einander gegenübergestellt werden. Der Stoff ist aber so ausgewählt, daß sich der Fachmann auf Grund des Dargebotenen ohne weiteres auch in andre Bauarten hineinfindet. [E 2411] *Schr.*

Schriften zum wissenschaftlichen Weltauffassung. Herausgeg. von *Philipp Frank* und *Moritz Schlick*. 3. Bd.: *Wahrscheinlichkeit, Statistik und Wahrheit*. Von *Richard von Mises*. Wien 1928, Julius Springer. 189 S. Preis 9,60 RM.

Das vorliegende Buch löst in kunstvoller und exakter Weise die Aufgabe, das für Lebens- und Naturerkenntnisse wichtige Gebiet der Wahrscheinlichkeitslehre als rechnerisch zu erfassendes Problem einem größeren Kreise von Gebildeten zugänglich zu machen und zugleich mit überholten, irrigen und verworrenen Anschauungen aufzuräumen. Wenn der Verfasser in der Einleitung sagt, das Buch setze beim Leser keine besonderen mathematischen Kenntnisse voraus, so muß doch darauf hingewiesen werden, daß es bei dem ernsthaften Leser die volle Anstrengung der Vorstellung und der Logik in Anspruch nimmt.

Wer sich bisher mit der Wahrscheinlichkeitsrechnung nicht näher befaßt hat, ist erstaunt über die große Anzahl von Aufgaben des praktischen Lebens, deren Lösung hier zu finden ist. Natürlich kommt das Versicherungswesen in den Beispielen zur Sprache, auch wird beiläufig der Beweis erbracht, daß man durch Glücksspiele auf die Dauer niemals reich werden kann. Über alle Sonderfälle hinausgehend hat sich der Verfasser die Aufgabe gestellt, die Gesamtheit der Wahrscheinlichkeitsprobleme grundsätzlich zu behandeln und der Wahrscheinlichkeitsrechnung ihre Stellung in der Wissenschaft überhaupt zuzuweisen. Daß dabei die Kausalitätsvorstellung fallen muß, dürfte als wichtigstes Ergebnis der Untersuchungen zu bezeichnen sein. Scharf herausgearbeitet wird als Ziel dieser wie aller Wissenschaft die Voraussage zukünftiger Geschehnisse, und deutlich abgegrenzt werden alle diejenigen Vorgänge, bei denen mit Hilfe der Wahrscheinlichkeitsrechnung oder Statistik niemals eine solche Voraussage möglich ist. Der Inhalt umfaßt Begriffsbestimmungen, Problemdarstellungen, Zuständigkeitsfeststellungen, Methoden und Anwendungen.

[E 2392]

Dr.-Ing. H. Haake

Luftfahrt ist not! Herausgeg. von *Ernst Jünger*. Berlin 1928, Wilhelm Andermann. 399 S. m. Abb. Preis 49,50 RM.

Dieses allgemein verständliche Werk über Luftfahrt gibt in seinen einzelnen Abschnitten einen Überblick über die Entwicklung und den heutigen Stand der Flugzeuge, der Luftschiffe und aller sonstigen zum Luftverkehr gehörenden

technischen Einrichtungen. Man erkennt, daß das bisher Geleistete nur unter Einsatz aller wissenschaftlichen, technischen und wirtschaftlichen Erfahrungen möglich war. Unter diesen Bedingungen werden wir eine führende Stellung auf dem Gebiete der Luftfahrt behalten. Wenn unsere heranwachsende Jugend, unsere Studierenden, dies bezeugen, werden wir auch auf diesem Zweige der Technik und Wirtschaft das erstrebte Ziel erreichen.

[E 2471]

Dampfturbinen, Berechnung und Konstruktion. Von *Leo Roth*. München und Berlin 1929, R. Oldenbourg. 103 S. m. 61 Abb. Preis 6 RM.

Kompressorlose Dieselmotoren und Semidieselmotoren. Von *M. Seiliger*. Berlin 1929, Julius Springer. 296 S. 340 Abb. und 50 Zahlentaf. Preis 37,50 RM.

Die Instandsetzungen an elektrischen Maschinen und Transformatoren, insbesondere die Herstellung von Ankerwicklungen und Transformatorenwicklungen. Von *Fritz Rökop*. Berlin 1929, Hermann Meuser. 342 S. m. 165 Abb. Preis 9,80 RM.

Gewerbe- und Industrie-Kommentar, 5. Bd. 1. Lfg.: Patengesetz und Gebrauchsmusterschutzgesetz. Von *Eduard Pietzcker*. Berlin und Leipzig 1929, Walter de Gruyter & Co. 427 S. Preis 28 RM.

Monographien aus dem Gebiete der Fett-Chemie. Herausgeg. von *K. H. Bauer*. 11. Bd.: *Die trocknenden Öle*. Von *K. H. Bauer*. Stuttgart 1928, Wissenschaftliche Verlagsgesellschaft. 354 S. m. 20 Abb. Preis 27 RM.

Die Theorie der Gewichtsstauern. Von *K. Kammüller*. Berlin 1929, Julius Springer. 60 S. m. 25 Abb. Preis 5,40 RM.

The Motor Ship Reference Book for 1929. Comp. by the Staff of „The Motor Ship“. London 1929, Temple Press Ltd. 253 S. m. 68 Abb. Preis 5 s.

Berichtigungen

Berechnung der Kranmotoren für aussetzenden Betrieb

Prof. W. Suchowiak, Warschau, weist uns darauf hin, daß es in Z. Bd. 72 (1928) Nr. 12 auf S. 409 l. Sp. 22. Zeile 12 richtig heißen muß: Die Übersetzung ergibt sich für die Planetengetriebe mit $\frac{Z_2}{z_2}$ oder $\frac{122}{12}$. Hiernach sind entsprechend die Werte für φ_2 , n und v zu berichtigen. Das Übersetzungsverhältnis $\frac{Z_2}{z_2} - 1$ ist an sich richtig, wenn der Antrieb des Planetenrades vom Umlaufsystem unabhängig ist im vorliegenden Fall ist aber der zu berechnende Antrieb auf der mit der Planetenradachse umlaufenden Kranplanform angeordnet.

Der Verfasser des Aufsatzes, Studienrat Dipl.-Ing. R. Richter, Hagen, bemerkt hierzu, daß er den Fehler bereits bald nach der Veröffentlichung bemerkt hätte. Er hat aber von einer besonderen Berichtigung abgesehen, da diese Unstimmigkeit beim Drehwerk nicht für so wichtig ansah und es für besser hielt, in einem zweiten inzwischen fertiggestellten Aufsatz nebenbei diese Berichtigung in Form einer ausführlichen Ergänzung zu veröffentlichen, in der neben der rechnerischen auch die meßtechnische Bestimmung der Gesamtübersetzung für Hub- und Drehwerk behandelt wurde. [N 2589]

Diesel-elektrische Lokomotive für 2660 PS

In Z. Bd. 73 (1929) Nr. 1 S. 34 muß es statt: „Der Brennstoff wird mittels Druckluft eingespritzt“ heißen: „Der Brennstoff wird mittels Druckzerstäubung, also luftlos, eingespritzt“. [N 2446]

Schluß des Textteiles

	Seite
Beurteilung von Werkstoffen nach Kerbversuchen. Von <i>W. Schwinning</i> . . .	321
800 t-Hochofen der Australian Iron and Steel Ltd. . .	329
Das Vergleichsverfahren im Betriebe der Spinnereien und Webereien. Von <i>B. Schoof</i> . . .	330
Einzelantrieb für Webstühle alter und neuer Bauart . .	332
Akustik neuzeitlicher Sprechmaschinen. Von <i>E. Lübecke</i> . .	333
Neuere Versuche mit russischen Dampflokomotiven. Von <i>R. Grinenko</i> und <i>O. Isaakian</i> . . .	339
Rundschau: Stand der Hochdruckdampf-Technik — Schwere Flächenschleifmaschine — Handtachometer — Die Gasbehälterexplosion am Wedding in Berlin — Schachtbohrverfahren nach Zänker —	

Trocknung von Braunkohlen im Röhrentrockner — Roheisen- und Rohstahlerzeugung 1928 — Normblattentwürfe für Roststäbe — Kleine Mitteilungen

Bücherschau: Handbuch der Feuerungstechnik und des Dampfkesselbetriebes. Von *G. Herberg* — Handbuch der Appretur. Von *J. Bergmann* und *Chr. Marschick* — Wahrscheinlichkeit, Statistik und Wahrheit. Von *R. von Mises* — Luftfahrt ist not. Von *E. Jünger* — Eingänge . . .

Berichtigungen: Berechnung der Kranmotoren für aussetzenden Betrieb — Diesel-elektrische Lokomotive für 2660 PS . . .

ZEITSCHRIFT DES VEREINES DEUTSCHER INGENIEURE

SCHRIFTFLEITER: C. MATSCHOSS ★

73

SONNABEND, 16. MÄRZ 1929

Nr. 11

Aus der neuen Physik

Von MAX PLANCK, Berlin

Vorgetragen in der öffentlichen Kundgebung der Notgemeinschaft der Deutschen Wissenschaft in Dresden, am 2. Dezember 1928

Die physikalische Weltanschauung befindet sich hinsichtlich der Natur der Elektronen in einer Krisis. Das Elektron verhält sich nicht wie ein einzelnes fliegendes Projektil, sondern viel eher wie eine über den ganzen unendlichen Raum gleichmäßig ausgedehnte Welle von bestimmter Periode, und der Kreislauf eines Elektrons um den Atomkern gleicht der Drehung eines allseitig symmetrischen Ringes in sich selbst. Für die Massenzentren, die sich in einem nach außen abgeschlossenen physikalischen Gebilde befinden, lassen sich, prinzipiell genommen, keine bestimmten Lagen und Geschwindigkeiten zu einer bestimmten Zeit feststellen; denn jede Messung bedeutet einen mehr oder weniger groben Eingriff. Wohl bleiben Begriffe und Sätze der älteren, klassischen Physik bestehen, aber der Rahmen der bisherigen Physik muß erweitert werden. Die physikalischen Vorgänge lassen sich nicht durch Aneinanderreihen einzelner örtlicher Erscheinungen darstellen, sondern man muß ein physikalisches Gebilde als Ganzes betrachten; das Meßgerät darf nicht vom gemessenen Gegenstand getrennt werden.

Wer sich von der vielseitigen Wirksamkeit der Notgemeinschaft der Deutschen Wissenschaft eine zureichende Vorstellung bilden will, der kann nichts Besseres tun, als sich einmal nach Möglichkeit in einzelne der verschiedenartigen Leistungen zu vertiefen, die sie im Interesse der wissenschaftlichen Forschung vollbracht hat oder gegenwärtig vollbringt. Es gibt kaum ein einzelnes Wissenschaftsfach, in dessen Betrieb die Notgemeinschaft seit der Zeit ihrer Begründung nicht schon segensreich eingegriffen hat. Ganz besonders wichtig und fruchtbar ist ein gesunder Fortschritt unentbehrlich ist aber offenbar ihre Bedeutung für diejenigen Wissenschaften, die sich gegenwärtig in einem Wendepunkt ihrer Entwicklung befinden; und da zu diesen auch die Physik gehört, so wollen wir einige der neuen Ideen, die in jüngster Zeit in diese Wissenschaft eingedrungen sind, kurz betrachten.

Krisis der physikalischen Weltanschauung

Es ist keine Übertreibung, wenn man sagt, daß die Krisis, in der sich die physikalische Weltanschauung heute befindet, an Tiefe und an Schroffheit alle vorangegangenen übertrifft, und das um so mehr, weil sie gerade in einem Augenblick eingestürzt hat, wo die physikalische Wissenschaft dem höchsten Grad ihrer Vollendung ganz nahe zu sein schien. Bis vor kurzem noch war man voll auf der Annahme berechtigt, daß die Physik sich auf dem geraden Wege zu ihrem idealen Ziel befinde, nämlich der befriedigenden Erklärung des gesetzmäßigen Ablaufs aller physikalischen Erscheinungen auf der Grundlage der Mechanik und der Elektrodynamik. Das Jahrhundert alte Rätsel der Gravitation war gelöst, die Gesetze der Strahlung von Licht und Wärme aufgedeckt, sogar die seltsamen radioaktiven Erscheinungen wenigstens grundsätzlich verständlich geworden, die Atomistik hatte unerhörte Erfolge zu verzeichnen, man schien dem Verständnis des Baues der Atome und der feinsten Vorgänge in ihnen ganz nahegerückt. Und die Befriedigung über diese Erfolge wurde noch erhöht durch den Befund, daß sich im Mikrokosmos dieselben Gesetze gültig zeigten, mit denen man in den großen Dimensionen des Himmelsraumes seit Jahrhunderten vertraut war. Wie die Planeten um die Sonne, so sollten die negativen Elektronen um den positiven Atomkern kreisen. Was in dem einen Fall die Gravitation, das leistete in dem anderen Fall die Anziehung entgegengesetzten elektrischen Ladungen. Einige

übrigbleibende grundsätzliche Unterschiede, wie z. B. der, daß die Elektronen immer nur auf ganz bestimmten, diskret voneinander verschiedenen Bahnen kreisen können, während bei den Planeten keine einzelne Bahn vor einer anderen von vornherein bevorzugt erscheint, hoffte man später einmal irgendwie klären zu können.

Aber diese Hoffnung ging nicht in Erfüllung, man kam bei der weiteren Entwicklung der Theorie in der eingeschlagenen Richtung nicht um einen Schritt weiter vorwärts. Weder von der Einwirkung der Elektronen aufeinander, die doch wegen ihrer gleichnamigen Ladungen in einer starken Abstoßung hätte bestehen müssen, noch von der Periode ihres Umlaufs um den Atomkern, noch von dem Ort, an dem sie sich jeweils befinden, war das Geringste zu bemerken. Keine dieser Größen ließ sich direkt oder indirekt durch Messungen nachweisen. Im Gegenteil: was sich durch Beobachtung feststellen ließ, waren Dinge, die hindeuteten auf eine gänzlich neuartige Auffassung von der

Natur der Elektronen.

So verhält sich ein mit bestimmter Geschwindigkeit sich bewegendes freies Elektron gar nicht wie ein einzelnes fliegendes Projektil, sondern viel eher wie eine über den ganzen unendlichen Raum gleichmäßig ausgebreitete Welle von bestimmter Periode. Das zeigt sich am unmittelbarsten bei der Reflexion eines Strahls von zahlreichen Elektronen an einem Metallkristall, z. B. Nickel, die nach ganz ähnlichen Gesetzen erfolgt wie die Reflexion eines Röntgenstrahls von ganz bestimmter Wellenlänge, indem auch hier die nämlichen Interferenz- und Beugungserscheinungen beobachtet werden. Dabei interferieren aber nicht etwa die verschiedenen Elektronen miteinander, sondern jedes Elektron für sich bedingt das vollständige Beugungsbild, interferiert also gewissermaßen mit sich selbst. Aus der Wellennatur eines Elektrons ergibt sich auch unmittelbar ein Verständnis für den Umstand, daß die Elektronen eines Atoms nur in ganz bestimmten Bahnen um den Kern kreisen können. Denn da eine jede Bahn in sich zurückläuft, so ist klar, daß sie immer gerade eine ganze Anzahl von Wellenlängen umfassen muß, ebenso wie die Länge einer zu einem vollständigen Ring geschlossenen Kette niemals einer gebrochenen, sondern stets nur einer ganzen Zahl von Gliederlängen gleich sein kann. Aus dieser Bedingung ergeben sich gerade die bekannten Gesetze der sog. stationären Elektronenbahnen. Darnach gleicht der Kreislauf eines

Elektrons um den Atomkern weniger der Bewegung eines einzelnen Planeten um die Sonne, als vielmehr der Drehung eines allseitig symmetrischen Ringes in sich selbst.

Aber wenn nun, so muß man fragen, ein einzelnes Elektron durch eine nach allen Richtungen des Raumes ausgebreitete Welle dargestellt werden soll, wo bleibt dann der physikalische Sinn des speziellen Ortes, an dem sich das Elektron befindet? — Die Antwort auf diese Frage ist, so paradox sie klingt, charakteristisch für die neue Theorie. Sie lautet ganz einfach: ein Elektron, das eine bestimmte Geschwindigkeit besitzt, nimmt überhaupt keinen bestimmten Ort ein. Das kann man sich entweder so denken, daß die Ladung des Elektrons gewissermaßen verwischt und über seine ganze ringförmige Bahn hin ausgebreitet ist, oder noch radikaler, aber einstweilen wohl zweckmäßiger so, daß das Elektron zwar punktförmig ist, daß es aber prinzipiell kein Mittel gibt, seine Lage zu bestimmen.

In diesem Satze offenbart sich wie kaum in einem andern der schroffe Gegensatz der neuen zu der alten Physik. Es ist ein Gegensatz, der tief in unsere elementaren Anschauungen, ja bis zu den Wurzeln unseres Erkenntnisvermögens hinabreicht, und der die schwierige Aufgabe mit sich bringt, das Gebäude der physikalischen Theorie auf teilweise veränderten Grunde neu zu errichten.

Bisher galt es als Ausgangspunkt alles kausalen physikalischen Denkens, daß, wenn in einem nach außen abgeschlossenen physikalischen Gebilde die Lagen und die Geschwindigkeiten aller darin befindlichen Massenpunkte, einschließlich der Elektronen, und das sie umgebende elektromagnetische Feld zu irgendeiner Zeit bestimmte Werte haben, sämtliche innerhalb des Gebildes sich abspielenden Vorgänge für alle folgenden Zeiten eindeutig bestimmt sind und sich aus einer hinreichend vollständig entwickelten Theorie berechnen lassen.

Einfluß der Messung auf physikalische Gebilde

Diesen Satz gibt die neuere Physik preis und setzt ihm den folgenden entgegen: für die in einem nach außen abgeschlossenen physikalischen Gebilde befindlichen Massenpunkte lassen sich, prinzipiell genommen, überhaupt keine bestimmten Lagen und Geschwindigkeiten zu einer bestimmten Zeit feststellen. Denn eine solche Feststellung könnte nur durch eine Messung erfolgen, und eine jede Messung ist mit einem mehr oder minder groben äußeren Eingriff in den Zustand des Gebildes verbunden, so daß das Ergebnis der Messung stets auch etwas von der Art ihrer Ausführung abhängt. Solange das Gebilde wirklich nach außen abgeschlossen ist, fehlt jede Wechselwirkung mit dem Beobachter, und wir können überhaupt keinerlei Kenntnis von seinen Eigenschaften erlangen. Daher ist es prinzipiell unmöglich, den Zustand eines physikalischen Gebildes im Sinne der bisherigen Theorie unabhängig von jedem Meßinstrument vollständig zu definieren.

Man wird zunächst zugeben müssen, daß eine derartige Auffassung in gewissem Sinn ihre Berechtigung hat. Sie ist auch an sich gar nicht neu. Denn daß einer jeden Messung eine Ungenauigkeit anhaftet, ist von jeher bekannt, und auch der weitere Umstand, daß durch das angewendete spezielle Meßverfahren eine Veränderung der zu messenden Vorgänge und dadurch möglicherweise eine Fälschung der Ergebnisse bewirkt wird, ist als eine unvermeidliche und oft gefährliche Fehlerquelle schon zu allen Zeiten von jedem gewissenhaften Beobachter in Betracht gezogen und nach Möglichkeit berücksichtigt worden. Man half sich aber dann bisher stets damit, daß man das zu messende Objekt möglichst behutsam anzufassen suchte, und gab sich im übrigen der Hoffnung hin, daß mit der unablässig fortschreitenden Verfeinerung, einerseits der Meßmethoden, andererseits der von der Theorie gelehrten Berichtigungen, die erzielten Resultate sich in steigendem Maß als unabhängig von der Art der Messung erweisen würden. War man doch sogar in manchen Fällen schon in der Lage, eine physikalische Größe auf theoretischem Wege viel genauer zu berechnen, als sie überhaupt jemals gemessen werden kann. So ist z. B. bekannt, daß die Verteilung der Elektrizität auf der Oberfläche eines geladenen leitenden Ellipsoids sich theoretisch mit

einer Genauigkeit bestimmen läßt, welche von einer unmittelbaren Messung niemals erreicht werden wird.

Das Befremdende der neuen Theorie besteht aber darin, daß nach ihr der Meßgenauigkeit eines physikalischen Zustandes eine ganz bestimmte prinzipielle Schranke gesetzt ist. Für einen Massenpunkt läßt sich diese dahin formulieren, daß die Unsicherheit in der Messung seiner Lage im umgekehrten Verhältnis steht zu der Unsicherheit in der Messung seiner Geschwindigkeit. Je genauer die Geschwindigkeit gemessen wird, desto ungenauer fällt die Messung der Lage aus, und wenn die Geschwindigkeit absolut gemessen ist, was wenigstens prinzipiell nicht geschlossen wäre, so bleibt die Lage vollständig bestimmt. Dies ist der Sinn der oben von mir geführten Behauptung bezüglich des unbestimmten Ortes eines Elektrons, dessen Geschwindigkeit genau bekannt ist.

Umgekehrt wird die Messung der Geschwindigkeit um so unsicherer, je genauer die Lage bestimmt wird. Auch dafür noch ein Beispiel. Die direkteste und feinste Messung der Lage eines Massenpunktes geschieht optischem Wege, entweder durch direktes Anvisieren mit dem bloßen oder bewaffneten Auge oder durch photographische Aufnahme. Dazu muß man den Punkt beleuchten. Dann wird die Abbildung um so schärfer, also die Messung um so genauer ausfallen, je kürzer die Lichtwellen angewendet werden. Für gewöhnlich kann man die Einwirkung des Lichtes auf das beleuchtete Objekt vernachlässigen. Anders ist es aber, wenn man ein einzelnes Elektron wählt. Denn jeder Lichtstrahl, der das Elektron trifft und von ihm zurückgeworfen wird, erteilt demselben einen merklichen Stoß, und zwar um so heftiger, je kürzer die Lichtwellen sind. Daher wächst mit der Kürze der Lichtwellen die Schärfe der Ortbestimmung, aber auch im entsprechenden Verhältnis die Unschärfe der Geschwindigkeitsbestimmung.

Es ist keine Frage, daß durch derartige Gedankengänge in manche bisher vollkommen klare Begründung der physikalischen Wissenschaft, ebenso in die Beweiskraft mancher bisher ohne weiteres leuchtenden Gedankenexperimente eine unheimliche Verwirrung gebracht wird, ja daß damit auf den ersten Blick der Aufbau der ganzen theoretischen Physik auf seinen Fundamenten erschüttert erscheinen muß. haben hier wieder ein eindrucksvolles Beispiel für tiefen Sinn der besonders von *Ernst Mach* betonte Lehre, daß man sich stets hüten soll, physikalische Begriffe auf etwas anderes zu gründen als auf ausföhrbare Messungen, d. h. auf konkrete sinnliche Erfahrungen.

Indessen darf man andererseits nach meiner Meinung auch nicht über das Ziel hinausschießen, indem man nun ganz auf den positivistischen Standpunkt zurückzieht und die Annahme einer hinter der Sinne stehenden und von ihr unabhängigen realen Wirklichkeit fallen läßt. Im Gegenteil: diese Wirklichkeit, in der Menschenwesen mitsamt unserer Sinnenwelt, ja mitsamt unsern ganzen Planeten nur ein verschwindendes Nebenbedeuten und von deren Erhabenheit wir uns nie einen erschöpfenden Begriff werden machen können, hat sich uns jetzt von einer neuen, für unser Fassungsvermögen zunächst allerdings etwas unbequemen Seite bemerklich gemacht und nötigt uns damit, das Weltbild, welches wir uns bisher von ihr entworfen haben, in angemessener Weise umzuformen.

Die unveränderten Grundsätze des Weltbildes

Wohlverstanden handelt es sich dabei nicht um die Vernichtung des bisherigen und die Anfertigung eines ganz neuen, sondern vielmehr um eine feine Ausföhrung und teilweise Verbesserung des bisher seitig bewährten Bildes. Denn für die physikalischen Vorgänge in größeren Dimensionen, für die sog. makroskopische Welt, bleiben die Begriffe und Sätze der älteren, klassischen Physik sämtlich bestehen; ja auch mit Bezug auf die feinen mikroskopischen Einzelvorgänge haben die bisherigen Untersuchungen gezeigt, viele wesentliche Züge des gewohnten Bildes ganz

ändert auch in das neue Weltbild mit hinübergenom-
werden können und müssen. Unverändert bestehen
n die großen Prinzipien der Erhaltung der Energie
des Impulses, die sich auch neueren, sehr delikaten
ungen gegenüber wiederum bewährt haben, was nicht
selbstverständlich war; unverändert bleiben die
sätze der Thermodynamik, insbesondere die Zu-
führung des zweiten Hauptsatzes auf die Gesetze
er Statistik, unverändert bleibt das Prinzip der Re-
gelmäßigkeit und die mit ihm verbundene großartige Ver-
nünftlichkeit der physikalischen Begriffsbildung, un-
ändert bleiben schließlich die greifbarsten Zeichen für
Existenz einer realen Welt: die universellen Natur-
konstanten, deren Zahl sogar noch um eine vermehrt
erscheint, das elementare Wirkungsquantum, das
in der oben geschilderten Grenze der Meßgenauigkeit den
Maßstab der Realität aufdrückt und darüber hinaus eine
Anleitung zu neuen Zusammenhängen offenbart, um die zur
Zeit noch ein gewisser Schleier gebreitet ist.

Erweiterung der physikalischen Grundsätze

Eines steht freilich fest: Der Rahmen der bisherigen
Physik muß erweitert werden, damit die neuentdeckten
Fakten darin Platz finden; und wenn ich mich nicht
irre, wird diese Erweiterung in der Richtung liegen,
in die hinfort ein Satz fallen muß, den man bisher stets
als selbstverständlich allen physikalischen
Erkenntnissen zugrunde legte. Das ist der Satz, daß
physikalischen Vorgänge sich darstellen lassen als
Aneinanderreihung von einzelnen örtlichen Vor-
gängen. Die physikalische Welt ist nicht einfach eine
Summe von räumlich und zeitlich nebeneinander ge-
ordneten Einzelwelten, und manche Erscheinungen ent-
ziehen sich dem Verständnis, wenn man ein physi-
sches Gebilde nicht als ein Ganzes betrachtet; ebenso

wie sich ein Gemälde nicht dadurch erschöpfend be-
schreiben läßt, daß man jede einzelne Stelle unter die
Lupe nimmt und haarscharf analysiert. Nur auf diese
Weise scheint die Behauptung der neuen Physik ver-
ständlich zu werden, daß das Meßinstrument sich nicht
prinzipiell trennen läßt von dem gemessenen Objekt,
insofern beide dem nämlichen physikalischen Gebilde
angehören.

Die wenigen Bruchstücke der neuen Physik, die ich
hier vorgeführt habe, werden gezeigt haben, mit
welch tiefgehenden Problemen diese Wissenschaft gegen-
wärtig zu ringen hat; sie werden aber auch, wie ich
hoffe, den Eindruck erweckt haben, daß die Um-
wandlung, die hier an manchen Stellen vor sich geht,
nicht etwa einer gewissen modeartig wechselnden Laune
spekulierender Theoretiker entspringt, sondern daß sie
durch das Ergebnis sorgfältiger Messungen gebieterisch
gefordert wird. Denn jeder eigentliche Fortschritt in der
physikalischen Erkenntnis kann sich immer nur in
engster Anlehnung an die Erfahrung vollziehen.

Ich brauche an dieser Stelle nicht noch hervor-
zuheben, daß ein solcher Fortschritt auch für die Technik
und somit für die materielle Wohlfahrt unseres Volkes
von hoher Bedeutung werden kann. Das ist eine gerade
in der jüngsten schweren Zeit immer wieder erprobte
und bewährte Wahrheit. Aber die heutige experimentelle
Arbeit erfordert kunstvolle Instrumente, kostspielige Ma-
terialien und vor allem geschulte und hinlänglich un-
abhängig gestellte Forscher. Möge die Notgemeinschaft
der Deutschen Wissenschaft stets in der Lage sein, zur
Erfüllung dieser Anforderungen ihre hilfreiche Hand
zu leihen und den dringendsten Bedürfnissen nach dieser
Richtung in ausreichendem Maß entgegenzukommen.
[B 2645]

Die kurzwelligen Strahlen des Nordlichts

Das Polarlicht ist eine elektromagnetische Erscheinung.
Seine Größe und Häufigkeit sowohl eine jährliche
Schwankung — Höchstwert im Frühjahr und Herbst — als
auch einen periodischen Wechsel von 11 Jahren wie die Son-
nenflecken aufweisen, haben wir die Ursache auf der Sonne
gesucht.

Außer den mit Licht bezeichneten, sichtbaren
elektromagnetischen Strahlen von der Schwingungszahl
 $4 \cdot 10^{14}$ bis $8 \cdot 10^{14}$ in der Sekunde gibt es noch unsichtbare,
langsamer und schneller schwingende Strahlen. Abb. 1 zeigt
einen Überblick über die bisher festgestellten Strahlen. Die
Schwingungszahlen sind einmal als Oktaven des roten
Lichts, ein andermal als Potenzen von 10 aufgetragen. Es
erinnert daran, daß die x -te Oktave zur Grundschwin-
gungszahl im Verhältnis 2^x steht. Die sichtbaren Strahlen
besetzen nur den Bereich einer Oktave ein. Mit der Schwin-
gungszahl wächst das Durchdringungsvermögen oder die
„Härte“ der Strahlen.

Dr. Elmer A. Smith¹⁾ berichtet, daß es gelungen sei,
Röntgenstrahlen festzustellen, die an Härte die Röntgen-
strahlen weit übertreffen, da sie noch fast 13 Fuß (rd. 4 m)
dickes Blei durchdringen, während Röntgenstrahlen schon
in einer rd. 1,5 mm dicken Bleischicht fast vollständig ab-
gelenkt werden. Die Versuche fanden in den Jahren 1923
und 1927 im Hackensack-Fluß bei Secaucus N. J. (Ver. St. A.)
statt. Man baute ein Betonrohr von rd. 1 m Dmr. mit blei-
erner Hülle und Mantel und Deckel in den 31 m tiefen Fluß ein
und ließ darin die Elektroskope und andre hochempfind-
liche Meßgeräte bis zum Flußbett hinunter. Die Messun-
gen wurden mit großer Sorgfalt ausgeführt. Um einwande-
rige Ergebnisse zu erhalten, brachte man die Meßgeräte in
Kähnen zum Betonschacht.

E. A. Smith berichtet über das Ergebnis der Unter-
suchungen nur allgemein und verweist auf die in Vorberei-
tung befindliche Veröffentlichung der abgelesenen und be-
rechneten Zahlenwerte²⁾. Festgestellt wurde, daß von den
sichtbaren Strahlen des Nordlichts äußerst kurzwellige so-

wie langwellige elektromagnetische Strahlen ausgehen. Die
Strahlenmenge hängt von dem Zustand der Lufthülle und
von der Stärke der Sonnenlichtschwankungen ab. Ein Teil
der kurzwelligen Strahlen geht schon auf dem Wege durch
die Lufthülle, ein weiterer Teil im salzhaltigen Wasser des
Hackensack, der Rest im Flußgrund in langwellige elektro-
magnetische Strahlen über (Compton-Effekt), die sich dann
nach allen Richtungen fortpflanzen. Da die Absorptions-
fähigkeit der Lufthülle etwa der von 8,5 m Seewasser ent-
spricht, vermögen also die Strahlen rd. 40 m Seewasser zu
durchdringen.

Nach der Schwingungszahl in Abb. 1 eingereiht, würden
die neuentdeckten Strahlen etwa ebensoweit über den Rönt-
genstrahlen liegen, wie diese über den Lichtstrahlen. Wie
man an den γ -Strahlen erkannt hat, werden kurzwellige
Strahlen ausgesandt, wenn ein Atom in ein anderes übergeht.
Die neuentdeckten Strahlen würden etwa denen entsprechen,
die bei der Bildung von Helium aus Wasserstoff entstehen.
Die neuen Strahlen wirken ionisierend wie die γ -Strahlen,
sind jedoch viel kräftiger und durchdringungsfähiger: „här-
ter“, als diese, da sie auch durch schwere Metalle von be-
trächtlicher Dicke hindurchgehen.

Die Untersuchungen am Hackensack haben den Einfluß
des Polarlichts auf elektromagnetische Vorgänge unserer
Erde aufs neue bestätigt. Sowohl die kurzwelligen als
auch die durch Streuung daraus entstehenden elektro-
magnetischen Strahlen wirken bei ihrem Eindringen in die
unteren Schichten der Lufthülle störend auf Hochspan-
nungs- und Schwachstromleitungen ein und beeinträchtigen
stark die drahtlose Nachrichtenübermittlung.

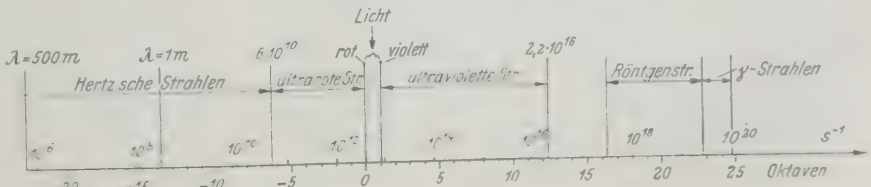
Auch von deutschen Forschern ist die durchdringende
Höhenstrahlung untersucht worden. Kolhörsters und Bütt-
ners Beobachtungen am Jungfraujoch³⁾ erstrecken sich u. a.
auf die genaue Aufzeichnung der täglichen Schwankungen
von Höhenstrahlen, die von den Kraftzentren des Weltalls,
den Fixsternen, ausgesandt werden. [M 2533]

Spandau Dipl.-Ing. Max Zorn

³⁾ „Naturwissenschaften“ Bd. 15 (1927) S. 159.

¹⁾ Proc. of the Indiana Academy of
Science Bd. 37 (1928).
²⁾ Wir werden s. Zt. auf die endgültige
Veröffentlichung zurückkommen.

Abb. 1
Übersicht über die bisher festgestellten
Strahlen.



Heinrich Ehrhardt †

Wenige Tage nach Vollendung seines 89. Lebensjahres ist am 20. November 1928 *Heinrich Ehrhardt* in seiner Geburtsstadt Zella St. Blasii im Thüringer Wald gestorben. Er war am 17. November 1840 als Sohn eines kleinen Waldbauern geboren und schon seit seinem dritten Lebensjahr verwaist. Aus der Volksschule kam er zu einem Schmied in die Lehre. In seiner freien Zeit beschäftigte er sich mit der Mathematik und Physik, um vorwärts zu kommen. 1859 arbeitete er als Mechaniker und Maschinenschlosser in der Erfurter Eisenbahnwerkstatt und dann bei einem Glockengießer, wo er Matrizen für Nudelmaschinen anfertigte. Vom Jahre 1860 ab finden wir ihn in den Dreyeseschen Werken in Sömmerda, in denen u. a. Zündnadelgewehre hergestellt wurden. 3½ Jahre später trat er bei der Firma Bonsack, Hansen & Co., Gotha, als Schlosser und Maschinenbauer ein.

Bis zu seinem 26. Lebensjahr hat er dann noch bei verschiedenen Firmen, u. a. auch bei der Maschinenfabrik von Richard Hartmann in Chemnitz, gearbeitet; hierbei gelang es ihm, infolge seines Ehrgeizes und seiner großen Geschicklichkeit, immer höhere Stellungen zu bekleiden, so daß er Ersparnisse machen und einen selbständigen Betrieb eröffnen konnte. Drei Jahre später mußte er jedoch infolge ungünstiger Verhältnisse seinen Betrieb stilllegen.

Seine Arbeiten erstreckten sich bis dahin auf die Stahlverarbeitung; in seiner neuen Tätigkeit im Stahlwerk von König & Reunert in Annen bei Essen beschäftigte er sich auch mit der Stahlherstellung und der Verbesserung dieses Werkstoffes; man gestattete ihm auch, seine Erfolge bei andern Werken auszuwerten. Als man ihm den Posten eines technischen Direktors des Werkes abschlug, trat er kurz entschlossen aus und ließ sich 1873 in Düsseldorf als Zivilingenieur nieder.

Seine Zeichnungen und Konstruktionen auf dem Gebiete des Werkzeugmaschinenbaues haben ihn dann schnell bekannt gemacht, so daß er nach Angaben seiner Lebensbeschreibung „*Hammerschläge*“¹⁾ bald 100 000 *M* und mehr jährlich verdiente. Diese Tätigkeit sagte ihm jedoch noch nicht ganz zu; er gründete daher, und zwar wiederum in seiner Heimatstadt, Zella St. Blasii, im Jahre 1878 eine Werkzeugmaschinenfabrik, in der er seine vielseitigen Pläne praktisch erproben konnte. Infolge seiner Zivilingenieur-tätigkeit in Düsseldorf war er gezwungen, sein Werk in Zella den größten Teil des Jahres aus der Ferne zu leiten.

In jenen Jahren wurden in allen Ländern die Eisenbahnstrecken bedeutend ausgebaut. *Ehrhardt* schuf für den Eisenbahnbau Werkzeugmaschinen und leicht beförderbare Maschinen, die auf die Strecke mitgenommen werden konnten und mit denen die Schienen zugeschnitten, gebohrt und gebogen wurden. Hierbei entstanden die ersten Kaltsägen mit umlaufendem Sägeblatt. Nach der Durchbildung einer fahrbaren Schienensäge entwickelte er eine Hochleistungsdrehbank für die Bearbeitung von Eisenbahnwagen und Lokomotivrädern, deren Leistung nach endgültiger Durchbildung das fünffache der alten Raddrehbänke betrug. Ferner wurden in seiner Fabrik Werkstoff-Prüfmaschinen, Waagen, Winkeleisen, Richtmaschinen, Abkratmaschinen und Einrichtungen zur Herstellung überlappt geschweißter und spiralgeschweißter Rohre gebaut. Die bei dem damaligen Stande der Technik hierbei auftretenden Schwierigkeiten ließen ihn nicht ruhen. Abhilfe fand er in dem nach ihm benannten *Ehrhardtschen* Preß- und Ziehverfahren, wobei nahtlose Hohlkörper gepreßt²⁾ und die Hohlkörper zu dünnen, langen Rohren ausgezogen wurden. Eine große Anzahl weiterer Patente beziehen sich auf die Vervollkommnung dieser beiden Erfindungen. In der Rheinischen Metallwaren- und Maschinenfabrik, gegründet 1889 in Düsseldorf, wurden dann nach dem *Ehrhardtschen* Preßverfahren stählerne Schrapnell- und Granathüllen hergestellt. Vermögen, Titel und Orden waren die äußerlichen Ergebnisse dieser Arbeiten. Alle Industriestaaten der Welt wandten das *Ehrhardtsche* Preßverfahren an.

Um sich von seinen vielen Stahllieferanten unabhängig zu machen, gründete er 1892 in Rath bei Düsseldorf die Stahlfabrik *Ehrhardt & Heyn*, die 1896 an die Firma Rhein-

metall A.-G. überging. Um die Aufträge des Kriegsministeriums auf Munitionswagen ausführen zu können, schuf 1896 die Fahrzeugfabrik Eisenach, in der auch Fahrräder und Kraftwagen erbaut wurden. 1899 entstand die Kesselschweißerei und Walzwerks-A.-G. in Düsseldorf-Reisholz, um nahtlos gewalzte Kesselschüsse nach seinem Preß- und Ziehverfahren herzustellen. Da jedoch die Banken das notwendige Geld für den Ausbau des Werkes nicht wollten, verkaufte er dies an *August Thyssen*.

Die zweite unwälbende Erfindung *Ehrhardts*, die ebenfalls seinen Namen über die ganze Welt verbreitete, war er bei der Herstellung von Kanonenrohren. Sie führte dazu, sich gründlich und eingehend mit der Konstruktion der Geschütze überhaupt zu befassen. Nach jahrelangen schwierigen, kostspieligen Versuchen und zahlreichen Proben entstand das Rohrrücklauf-Geschütz, wobei nach seinen Plänen die für die Herstellung der einzelnen Teile notwendigen Sondermaschinen in seinen Werken gebaut wurden. *Ehrhardtsche* Rohrrücklauf-Geschütze wurden bald bei der Feldartillerie der ganzen Welt eingeführt. Dem Eisenacher Werk wurden die Munitionswagen, Pressen und Lafetten gebaut. In Düsseldorf und Rath wurden Rohre einschließlich der Einrichtung des gesamten Rohrrücklaufes hergestellt, wobei einzelne Teile des Rohrrücklaufes in Eisenach gepreßt wurden. In den Werken Zella wurden die Rohrverschlüsse angefertigt. Der Krieg war ferner auf die Herstellung von Infanteriegeschützen und von Schrapnell- und Granathüllen eingerichtet. Aber Geschosse und Munition sind noch keine vollständige Munition. Es fehlen die Sprengstoffe und die Zünder. Daher gliederte er im Jahre 1901 seinem Konzern die Munitionsfabrik A.-G., vormals von Dreyse, Sömmerda, an, in der er vor 40 Jahren selbst als einfacher Arbeiter tätig war. Hier wurden die Geschütze hergestellt, so daß die Geschütze, allem Zubehör in seinen Werken, vollständig werden konnten.

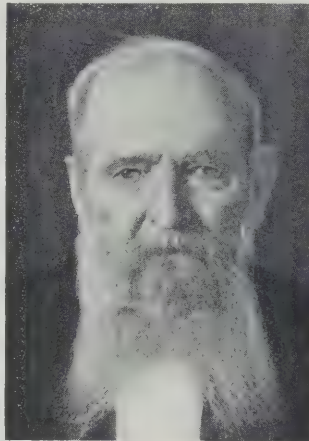
Am 7. Mai 1914 beging die Rheinmetallwarenfabrik, in der damals 8000 Arbeiter beschäftigt wurden, ihr 25jähriges Jubiläum; gegen Ende des Weltkrieges nach Ausbau der Werke aus eigenem Verlangen, war dort die sechsfache Arbeiterzahl tätig. Schon während des Krieges bestieg sich *Ehrhardt* mit der Umstellung seiner Werke auf Friedensarbeit. Der glückliche Ausgang unseres Vorkrieges, den er nicht ahnte, hegte jedoch die Entwicklung. Der Bau von Lokomotiven, Eisenbahnwagen, landwirtschaftlichen Maschinen, Verladebrücken, Schachttürmen und ähnlichen Eisenkonstruktionen wurde mit Erfolg aufgenommen.

Im Jahre 1921 legte er sein Amt als Vorsitzender des Aufsichtsrates von Rheinmetall nieder und siedelte nach Zella. Hier in seinen Werken beschäftigte er sich mit der Vervollkommnung von Hochleistungs-Werkzeugmaschinen, besonders für den Eisenbahnbau und Erfindungen auf dem engeren Fachgebiete der Formgebung von Eisen und Stahl.

Ehrhardt war seit 1873 Mitglied des Vereines deutscher Ingenieure. Der Mittelthüringer Bezirksverein hat ihn zu seinem Ehrenmitglied ernannt. Trotz vieler Ehrungen — er war Ehrendoktor der Technischen Hochschule in Hannover, Inhaber der goldenen Medaille der Preußischen Akademie des Bauwesens, Inhaber der Carl-Lueg-Münze des Vereines deutscher Eisenhüttenleute, Ehrenbürger seiner Vaterstadt, Inhaber hoher Ordensauszeichnungen, ehrenvoller Anerkennungsschreiben — blieb er immer ein schlichter Mann, der freundschaftlich mit seinen Arbeitern verkehrte. In Zella hat er ihnen eine Siedlung gegeben, die selbst bauen wollten, ließ er das für den Bau der Einrichtung notwendige Geld. Strebsame Leute half er stets und gern unterstützen. Viele junge Leute haben seine Hilfe ihr Studium beenden können. Er besaß eine unerschütterliche Gesundheit bis in sein hohes Alter, eine unverwundliche Arbeitskraft.

Der arme, früh verwaiste Knabe, der sich seine Kenntnisse ohne jeden Studiengang recht mühsam Stück um Stück erwerben mußte, ist ein großer Ingenieur und Erfinder, ein gottbegnadeter Könnler und Schöpfer auf dem Gebiete der Technik.

Berlin



Heinrich Ehrhardt
geb. 17. November 1840
gest. 20. November 1928.

¹⁾ *Heinrich Ehrhardt*, *Hammerschläge*, 70 Jahre deutscher Arbeiter und Erfinder, Leipzig 1922.

²⁾ D.R.P. 67921 vom 28. Januar 1891.

Maschinenteile — Neue Forschungen und Erfahrungen

Von Prof. Dr.-Ing. HEIDEBROEK, Darmstadt

In der Tagung des Ausschusses für Maschinenelemente beim Verein deutscher Ingenieure ergab sich ein eingehender Meinungs- und Erfahrungsaustausch zwischen Forschern und Praktikern. In dem hier folgenden Bericht des Vorsitzenden der Tagung sind die wichtigsten Gesichtspunkte aus den Vorträgen und der Aussprache zusammengefaßt. Berichtet wurde über Untersuchungen an Schraubengewinden, Beanspruchung von Schrauben an Schubstangenköpfen, Kerbwirkung bei Schrauben- und Ventilspindeln, Schraubengetriebe, Berechnung von Pleuelstangen, Kurbelmaschinen, Versuchsanlagen für Maschinenteile, über Flugzeugteile, Zylinderdeckel, Zahnräder und Treibriemen.

Die letzte wissenschaftliche Tagung des Ausschusses für Maschinenelemente beim Verein deutscher Ingenieure fand am 25. und 26. September 1928 in Dresden statt und war von vielen Vertretern der Wissenschaft und Praxis besucht. Die Tagesordnung sah vor, daß zwölf kurze Berichte von je 20 bis 30 Minuten Dauer erstattet wurden, an die sich eingehende Diskussionen anschlossen¹⁾. Der Wert dieser Tagungen, in denen die Vertreter der Wissenschaft unmittelbar mit erfahrenen Praktikern in Fühlung kommen, beruht im wesentlichen auf diesem Gedankenaustausch, durch den einerseits der wissenschaftlichen Erkenntnis klargelegt, andererseits aus der Praxis heraus die Aufmerksamkeit der Forschung auf dringliche Aufgaben der Praxis gelenkt wird.

Prof. Dr.-Ing. Berndt, Dresden, sprach über

Untersuchungen an Schraubengewinden²⁾,

den bisher erreichte Genauigkeit und den Einfluß dieser Genauigkeit auf die Festigkeit der Verbindungen. Er erläuterte zunächst die bisherigen Meßverfahren und wies an der Hand zahlreicher Untersuchungen auf die Fortschritte der modernen Meßtechnik gegenüber den älteren Verfahren mit Flankenmikrometer hin. Das wichtigste Ergebnis dieser Untersuchungen ist für die im Betrieb notwendige Genauigkeit ein geeignetes einfaches Meßmittel. Wesentlich vollkommener sind optische Meßgeräte — Gewindemeßkomparator und Universal-Meßmikroskop von Zeiß³⁾; diese gestatten bei Außen- und Innen- eine Meßgenauigkeit

für den Flankendurchmesser F von

$$0,5 + \frac{1}{\sin \frac{\alpha}{2}} + \frac{F}{50000} \mu,$$

für die Steigung über Meßlänge E von

$$0,5 + \frac{0,375}{100} \frac{E}{2} + \frac{E}{50000} \mu$$

und für den halben Flankenwinkel

$$\frac{\alpha}{2} \text{ von } 3 + \frac{3}{L} \text{ min,}$$

bei L die Flankenlänge ist.

Es ist in letzter Zeit gelungen, auch für Schraubengewinde ein brauchbares Meßmittel zu entwickeln, dessen Genauigkeit nur wenig kleiner ist als die oben für die Komparator angegebene. Für die Messung der Steigung von Innengewinden steht eine Meßmaschine von Zeiß⁴⁾ zur Verfügung, ferner gibt es geeignete Fühlhebel, z. B. von Kipp, zu Vergleichsmessungen. Über Messungen an Innengewinden wird demnächst von E. Bock berichtet werden⁵⁾. Weiterhin behandelte der Vortragende die Frage, wie genau das in der Werkstatt hergestellte Gewinde eine Kopie der Schneidzeuge darstellt. Die Schneidenden Werkzeuge liefern recht genaue Flankenwinkel, und zwar Gewindebohrer mit einer Genauigkeit von 10 bis 30 min, die fast stets quetschenden Schneidwerkzeuge mit rd. 2 bis 3°. Außerordentlich genau, mit Abweichungen von etwa 1 bis 2 μ je Gang, wird die Steigung der Gewindebohrer übertragen, während sie bei den Schneidwerkzeugen in der Regel zu klein ausfällt infolge der Verformung des Werkstoffes.

Der Flankendurchmesser wird je nach dem Werkstoff um 0 bis 150 μ freigeschnitten, bei Bolzen kleiner, bei Muttern größer. Auch der Außendurchmesser der Muttern wird freigeschnitten um 40 bis 1000 μ , während der Kerndurchmesser der Bolzen mit $\pm 20 \mu$ gleich dem entsprechenden des Nachschneideisens ausfällt. Diese Zahlen ändern sich indessen leicht mit der Konstruktion der Schneidzeuge und sind deshalb nicht allgemein gültig. Ähnlich steht es mit dem Außendurchmesser des Bolzens und dem Kerndurchmesser der Mutter. Hierfür gilt im allgemeinen, daß bei kleinen Schraubeneisen und großen Kernlöchern der Werkstoff verquetscht wird, während bei großem Bolzendurchmesser und kleiner Bohrung Freischneiden eintritt. Diese Frage ist insbesondere von Wichtigkeit für die Herstellung der Stehbolzen-Gewindebohrer. Die Untersuchungen zeigten ferner, daß man Steigung und Flankenwinkel austauschbar, d. h. dämpfender Gewinde am Gewindebohrer prüfen kann, so daß man an den damit geschnittenen Gewindelöchern nur noch Flanken-, Außen- und Kerndurchmesser mittels geeigneter Grenzlehren zu prüfen braucht. Bei den Gewindeschneidzeugen hat es nur Zweck, Toleranzen für die Steigung und den halben Flankenwinkel aufzustellen, während die Durchmesser an den Werkstücken geprüft werden müssen.

Die Prüfung des Zusammenhanges zwischen den Gewindetoleranzen und der Festigkeit von Schraubenverbindungen ist in einer Doktorarbeit von K. Mütze⁶⁾ in Angriff genommen worden, und zwar zunächst für Schrauben von rd. 1 Zoll Dmr. bei ruhender, stetig veränderlicher Last. Untersuchungen für dynamische Beanspruchung sind in Aussicht genommen. Aus den Versuchen scheint hervorzugehen, daß der Bolzen auch bei völliger Ausnutzung der Grob toleranz immer im Kern bricht, daß nie das Gewinde abgeschert wird und daß dabei die bisherige Mindesttragtiefe des Gewindes von 1,3 mm auf 0,8 bis 0,9 mm verkleinert werden kann. Dies würde die Möglichkeit geben, die jetzige Toleranz für den Kerndurchmesser der Mutter etwas zu vergrößern und vor allem, sie nach größeren Durchmessern hin zu verschieben. Dann kann man auch die Toleranzen für den Kerndurchmesser des Bolzens in derselben Richtung über das theoretische Maß hinaus verücken, womit der Vorteil größerer Kernquerschnitte und höherer Festigkeit erreicht wird.

Die Toleranz des Flankendurchmessers sollte dagegen nicht wesentlich vergrößert werden; es ist möglich, daß sie durch einen Winkelfehler, d. h. durch unvollständiges Anliegen der Flanke, teilweise aufgebraucht wird, so daß dann bei Belastung das Gewinde möglicherweise abgeschert wird. Winkelfehler sind von verhältnismäßig großem Einfluß auf die Festigkeit, dagegen hat sich gezeigt, daß Schrauben mit Steigungsfehlern eine größere Festigkeit aufweisen als solche mit übereinstimmender Steigung von Bolzen und Mutter.

Die übliche Ausführung der Schraubenmutter, die auf ihrer unteren Fläche aufliegen, ist ganz falsch, weil dabei der Bolzen nur auf Zug, die Mutter auf Druck beansprucht wird, also beide entgegengesetzte Formänderungen erleiden. Hierbei muß der erste Gewindegang den weitaus größten Teil der Beanspruchung aufnehmen, während die folgenden Gänge nur noch in geringem Maß elastisch gedehnt werden. Versuche mit verschiedenen hohen Muttern haben gezeigt, daß eine Mutterhöhe von 0,8 des Bolzendurchmessers die verhältnismäßig beste Ausnutzung ergibt und daß eine Vergrößerung der Mutterhöhe über 0,8 d keinen Zweck hat.

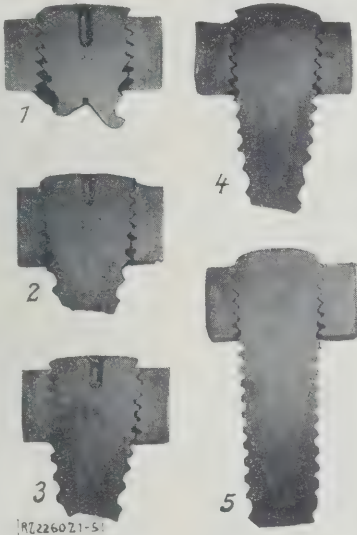


Abb. 1 bis 5
Längsschnitte durch Mutter und Bolzen.
Die Formänderungen infolge der Belastung sind deutlich zu erkennen.

¹⁾ Z. Bd. 72 (1928) S. 1933.
²⁾ Sieben Berichte sind im Fachheft „Maschinenelemente“ des „Maschinenbau“ Bd. 8 (1929) Heft 2 veröffentlicht; infolgedessen konnte der vorliegende Bericht auf das Wichtigste beschränkt werden.
³⁾ Dieser Vortrag, dessen genauer Titel „Messung der Schraubengewinde, ihr Verhältnis zu den Schneidzeugen und die Festigkeit der Schraubenverbindungen in Abhängigkeit von den Gewindetoleranzen“ lautet, soll in einem späteren Heft des „Maschinenbau“ erscheinen.
⁴⁾ „Maschinenbau“ Bd. 5 (1926) S. 445.
⁵⁾ Berndt, „Die Gewinde“ S. 447, Berlin 1925.
⁶⁾ Dissertation T. H. Dresden (erscheint später).

Prof. Berndt ist ferner der Ansicht, daß es sich empfiehlt, die Gewindelänge des Bolzens nicht zu kurz zu halten und seinen Schaft nicht dicker als den Gewindedurchmesser zu wählen, da andernfalls die Einschnürung des Bolzens bei übertriebener Zugbelastung sich auf den in der Mutter befindlichen Gewindeteil ausdehnt und dann infolge zu geringen Aufliegens der eingeschnürten Gewindegänge das Gewinde abgesichert wird, ehe der Kern reißt. Abb. 1 bis 5 zeigen Längsschnitte durch Mutter und Bolzen und lassen deutlich die Formänderungen infolge der Belastung erkennen.

Die

Beanspruchung von Schrauben an „Marineköpfen“

von Schubstangen behandelte Obering, *Salingré*, Berlin⁹⁾. Kleine Abweichungen von der senkrechten Lage des Bolzens bewirken zusätzliche Biegungsbeanspruchungen im Gewinde, z. B. bewirkt eine Verschiebung der Mutterauflage um nur ein Viertel des Kerndurchmessers Biegungsspannungen, die doppelt so groß sind wie die Zugbeanspruchung. Im Hinblick auf die Kerbwirkungen im Gewinde müssen solche Bolzen naturgemäß leicht einreißen. Um die Bolzen nicht auf der ganzen Länge einpassen zu müssen, sind meistens besondere Paßabsätze vorhanden unter dem Kopf, in der Teilfuge und dicht unter dem Gewinde; der Bolzen wird zwischen diesen Stellen auf den Kerndurchmesser hinterdreht. Die Übergangstellen zwischen den verschiedenen Durchmessern müssen mit sehr großem Halbmesser ausgeführt und in der Werkstatt sehr sorgfältig bearbeitet werden, damit keine Drehriefen übrig bleiben. Wesentlich größere Festigkeit gegen Dauerschlag ergibt auch bei sorgsam geschliffenen Bolzen die Anwendung des Kruppschen Ätzverfahrens⁹⁾, wobei die Bolzen mehrere Stunden mit Salzsäure oder schwefliger Säure gebeizt werden. Hierbei rundet die Säure die scharfen Einkerbungen ab, die noch vom Schleifen übrig geblieben sind. Es erscheint ferner zweckmäßig, den oberen Paßabsatz unmittelbar unter dem Gewinde fortzulassen, damit unter dem Gewinde eine möglichst große Dehnungslänge erhalten bleibt. Das Gewinde läßt man zweckmäßig erst rd. 5 mm über der unteren Kante der Mutter beginnen. Kugelige Unterlegscheiben erleichtern die seitliche Einstellung der Bolzen. In manchen Fällen empfiehlt es sich, die ganze Länge des Bolzens auf den Kerndurchmesser abzdrehen und auf das Einpassen ganz zu verzichten. Die seitliche Verschiebung von Deckel und Stange muß dann durch andere Mittel verhindert werden.

Große Schwierigkeiten treten infolge mangelhafter Bedienung im Betriebe auf, namentlich durch ungleiches Anziehen bei ausgelaufenen Lagerschalen. Bei Druckölschmierung wird das Klopfen erst hörbar, wenn das Lagerspiel bereits unzulässig groß geworden ist.

Als Werkstoff für die Schraubenbolzen wurde früher vorwiegend Puddelstahl mit sehniger Faserung verwendet, bei dem ein erster Anriß sich schwer von einer Sehne zur anderen fortpflanzt. Bei dem heute fast ausschließlich verwendeten Flußstahl ist dagegen Dauerbruch über den ganzen Querschnitt unvermeidlich, wenn einmal ein Anriß eingetreten ist. Man verwendet Flußstahl mit 34 bis 50 kg/mm², häufig auch Baustahl von 50 bis 60 kg/mm² Festigkeit mit hoher Streckgrenze. Es sind aber Brüche von Schubstangenbolzen bei allen diesen Werkstoffen aufgetreten, obwohl man die Beanspruchung auf 3,5 kg/mm² und darunter herabgesetzt hat. Dies führte in dem Betriebe des Vortragenden dazu, eine Kennzahl aufzustellen, die der Arbeitsweise der Maschine, namentlich ihrer Drehzahl n und ihrem Hub s , Rechnung trägt. Auf Grund zahlreicher Untersuchungen gebrochener Bolzen gelangt der Vortragende für doppelt wirkende Maschinen zur Kennzahl $s n^2$, die bei angetriebenen Maschinen unter 10 bis 11 000, bei Dampfmaschinen unter 12 000 bleiben soll, bei Zugrundelegung einer Festigkeit von 34 bis 41 kg/mm² und einer zulässigen Beanspruchung von etwa 4 kg/mm² für Flußstahl. Untersuchungen haben ergeben, daß unterhalb dieser Kennzahl Brüche von Schubstangenbolzen nicht aufgetreten sind.

Eine weitere Ursache für die Unsicherheit der Berechnung liegt in der ungleichen Beanspruchung der einzelnen Gewindegänge sowohl im Bolzen, als auch in der Mutter, wenn man die elastischen Dehnungen berücksichtigt. Wie schon die Versuche von Prof. Berndt gezeigt haben, werden die untersten Gänge des Gewindes in der Mutter am stärksten belastet und gedehnt. Die oberen Gänge kommen nur in geringem Maße zum Anliegen, wenn die unteren sich durchgereckt haben. Diesem Übelstand begegnet man, wenn man die Mutter als Halsmutter ausführt und ihre Auflage nach oben verlegt, so daß auch der darunter befindliche Teil des Muttergewindes auf Zug beansprucht wird. Auf jeden Fall sind bei der Übertragung der Belastung vom

Bolzenkern auf die Gewinde Randspannungen zu erwägen, die im Hinblick auf die Kerbwirkung des Gewindes hohen Überbeanspruchungen führen müssen.

Alles dies hat die Firma des Vortragenden veranlaßt, die offenen Marineköpfe nur dann zu verwenden, wenn Schubstange nur einseitig auf Druck beansprucht wird. In den meisten anderen Fällen wendet sie den „Riegelkopf“, Abb. 6 und 7, an. Hierbei fallen die hochbelasteten Schrauben ganz fort. Die Riegelköpfe haben sich auch bereits bei anderen großen Maschinenanlagen bestens bewährt. Der Riegelkopf ist zwar in der Bearbeitung teurer, ist jedoch jedenfalls zuverlässiger. Der Vortragende schloß mit dem Hinweis, daß über die wirklichen Beanspruchungen in artigen hochbeanspruchten Schrauben noch große Unklarheiten bestehen, die eingehende Forschungsarbeiten schenswert erscheinen lassen.

Im Anschluß hieran erörtert Prof. Dr.-Ing. Wewers¹⁰⁾ in Stuttgart, die Bedeutung der

Spannungserhöhung infolge der Kerbwirkung¹⁰⁾

Die Kerbwirkung wird heute noch meist nur gefühlsmäßig berücksichtigt. Zur Ermittlung der wahren Sicherheitserhöhung erforderlich. Die vorliegenden, rechnerischen Untersuchungen und Spannungsmessungen ermöglichen in allen Fällen eine Abschätzung der Spannungserhöhung infolge der Kerbwirkung. Diese steigt z. B. im Schraubengewinde bei Dauerbelastung um 25 vH. Sie wird im Anschluß an die bisherige Festigkeitsrechnung durch Einführung eines „Faktors der Spannungserhöhung“ entsprechend dem amerikanischen „stress concentration fac-

$$\alpha = \frac{\sigma_{\max.}}{\sigma_{\text{mittl.}}}$$

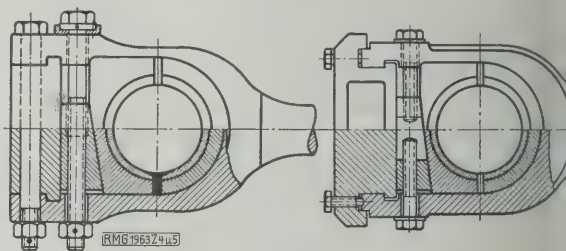


Abb. 6 und 7
Riegelköpfe für Schubstangen

berücksichtigt, der rechnerisch oder durch Versuche in Abhängigkeit von der besonderen Formgebung ermittelt wird. Der Vortragende verweist insbesondere auf die Abrundung an Querschnittsübergängen, bei denen die Hohlkehlen Kegel überlegen sei.

Ausschlaggebend bei der Bemessung von Maschinenteilen ist die Verminderung der Dauerfestigkeit infolge der Kerbwirkung. Die in Amerika von Leon¹¹⁾, Willers¹²⁾ durchgeführten Dauerversuche an gekerbten Stäben zeigten, daß die Dauerfestigkeit weniger abnimmt, als der auftretenden Spannungserhöhung entspricht, und daß wesentlich beeinflusst wird durch die Zähigkeit des Werkstoffes. Die Versuche geben wohl wertvolle Anhaltspunkte für den Einfluß der Formgebung auf die Dauerfestigkeit, doch sind zur vollständigen Klärung der Kerbwirkung weitere planmäßige Untersuchungen erforderlich^{12a)}.

Der Vortragende schilderte dann

Dauerbrüche an Ventilspindeln¹³⁾

die bei Regelventilen von Dampfturbinen üblich sind. Abdichtung sind in die Spindeln viele Labyrinthringe gedreht. Es ließ sich ermitteln, daß die Spindeln bei Schwingungserschütterung unterworfen waren, die mit der Drehzahl der Maschine in Resonanz geriet. Bei der Bestimmung der Eigenschwingungszahl ist ein häufig vernachlässigter Umstand zu berücksichtigen, daß die Elastizität für die verschiedenen Stahlsorten zwar nahezu gleich mit hoher Temperatur aber abnimmt, so daß die Eigenschwingungszahl niedriger wird. Da mit zunehmender Temperatur gleichzeitig auch die Festigkeit sinkt und die Kerbwirkung vergrößert wird, erkannte man dies als Ursache des Bruches und konnte geeignete Abwehrmaßnahmen treffen.

In der anschließenden sehr lebhaften Besprechung wurde die hier nur ganz kurz wiedergegeben werden kann, w

¹⁰⁾ „Maschinenbau“ Bd. 8 (1929) Nr. 2 S. 33. Vergl. auch F. L. Z. Bd. 72 (1928) S. 851.

¹¹⁾ „Armierter Beton“ Bd. 2 (1909) S. 343.

¹²⁾ Z. f. Math. u. Phys. Bd. 55 (1907) S. 225.

^{12a)} Vergl. hierzu W. Schwinning, Z. Bd. 73 (1929) Nr. 10 S. 321.

¹³⁾ „Maschinenbau“ Bd. 8 (1929) Nr. 2 S. 42.

⁸⁾ Vergl. „Maschinenbau“ Bd. 7 (1928) S. 785 u. Bd. 8 (1929) S. 39.

⁹⁾ „Stahl und Eisen“ Bd. 45 (1925) S. 1589.

betont, daß noch große Unklarheit besteht über die Wirkung dynamischer Belastungen auf die Schrauben. Von Prof. Berndt erwähnten Versuche sind sämtlich stützend, langsam veränderlicher Belastung durchgeführt worden, Versuche mit dynamischer Beanspruchung sind aussichtslos genommen.

Entgegen dem Vorschlag, das Gewinde erst einige Millimeter oberhalb der Unterkante der Mutter beginnen zu lassen, wies Hr. Hagenmüller, Augsburg, darauf hin, daß diese Ausführung wieder aufgegeben habe und das Gewinde um 15 bis 20 mm aus der Mutter herausstehen müsse, wobei die Hinterdrehungen am Übergang zum Schaft besonderer Sorgfalt ausgeführt werden müssen. Dr.-Ing.

kommen. Prof. Heidebrock weist darauf hin, daß in der Grenzzahl sn^2 das Gesetz der Massenkkräfte der hin- und hergehenden Bewegung $m\omega^2$ enthalten ist, also eine solche Kennzahl sehr wohl eine Berücksichtigung der in der Maschine auftretenden Massenwirkungen, d. h. der Stoßkräfte, darstellen könne. Die Ermittlung weiterer, ähnlicher Versuchszahlen empfiehlt sich auf jeden Fall.

Hr. Koehler weist darauf hin, daß die Konstruktion des Marinekopfes verbessert wird durch Fortlassen der Lager-schalen. Dabei wird das mit dem Anziehen des Kopfes verbundene Biegemoment wesentlich verringert. Man kann zu diesem Zweck den Kopf selbst mit Lagermetall ausgießen und die Teilfuge zum Anliegen bringen, ohne beträchtliche Biegespannungen hervorzurufen. Er empfiehlt u. U. eine Vergrößerung der Schrauben. Obering. Salin-gré hält dies für unzweckmäßig, da die Bruchgefahr dadurch nicht beseitigt ist. Eine wesentliche Verbesserung ist erst durch den Riegelkopf eingetreten. Prof. Heidebrock weist darauf hin, daß manche das obere Bolzenende um ein Stück in der Mutter zurückstehen lassen. Der Grund hierfür wird vorwiegend darin gesehen, daß man dann bei festgebrannten Schrauben leicht Petroleum in das Gewinde eingießen kann. Bedenken wegen der Festigkeit bestehen nicht dagegen, da in der Regel die 0,7- bis 0,8-fache Mutterhöhe genügt, wie die Berndtschen Versuche gezeigt haben.

Hr. Dr.-Ing. Altmann, Dresden, schilderte sodann seine interessanten

Untersuchungen an Schraubengetrieben¹⁴⁾,

und zwar den Vergleich der üblichen Schneckengetriebe mit archimedischer Spirale mit den Globoid-Getrieben¹⁵⁾ nach der Ausführung von David Brown & Sons, Huddersfield, England.

Von den Schraubengetrieben mit rechtwinkliger Achsenkreuzung nimmt das Getriebe mit Zylinderschraube und globoidischem Mutterrad — meist als Schneckengetriebe bezeichnet — für den Antrieb von Fahrzeugen an Bedeutung immer mehr zu. Es hat gegenüber Stirn- oder Kegelrädern den beachtlichen Vorteil der Geräuschlosigkeit bei hohem Wirkungsgrad, wie Versuche mit einem Getriebe von David Brown & Sons gezeigt haben.

Zur Erhöhung des Wirkungsgrades soll die Steigung der Schraube möglichst 30° bis 45° betragen und die Reibungszahl möglichst klein sein, d. h. es ist Flüssigkeitsreibung durch einen tragfähigen Ölfilm zwischen den Zahnflanken anzustreben¹⁶⁾.

Da die bisher übliche „archimedische Schraube“¹⁷⁾ — der Längsschnitt durch die Schraubenachse ist eine Gerade, der Stirnschnitt senkrecht zur Schraubenachse eine archimedische Spirale — andere Flankenform hat als die „Evolventenschraube“¹⁸⁾ — bei der Schraube von Brown & Sons ist der Stirnschnitt eine Evolvente — so schien es geboten, festzustellen, ob die eine oder andere Flankenform zur Erzeugung einer Schmierschicht zwischen den Zähnen geeigneter ist.

Maßgebend für die Ölfilmbildung zwischen zwei Flächen ist ihre Ansmiegung. Die Umständlichkeit der Formeln für die Berechnung und die Ungenauigkeit der Zeichnung ließen es zweckmäßig erscheinen, die Ansmiegung der Flanken festzustellen und zu veranschaulichen, indem man die Ansmiegung in Zylinderschnitten untersuchte, die koaxial zur Schraubenachse des Getriebes durch die im Eingriff befindlichen Zähne geführt werden, Abb 8 bis 21. Das Wandern des Berührungspunktes stellt ein Wälzen der beiden Zähne aufeinander dar, das sich dem Gleiten der Flanken überlagert. Je nachdem sich diese Bewegungen stärken oder schwächen (gegebenenfalls aufheben), stellt sich ein mehr oder minder starker Druck in dem keilförmigen Ölfilm ein. Anders ausgedrückt besagt dies: Überlagern sich beide Bewegungen günstig, so bestehen weit größere Aussichten auf Ölfilmbildung; auch bei großen Pressungen als im entgegengesetzten Falle. Bei genauer Untersuchung des Wanderns der Berührungspunkte auf den Flanken zeigt sich nun, daß die Evolventenschraube für die Bildung und Erhaltung eines tragfähigen Ölfilmes günstiger erscheint als die archimedische Spirale. Dagegen wird diese Ölfilmbildung bei der Evolventenschraube durch die überlagerte Wälzbewegung rückgängig gemacht, während sie bei einem Teilgebiet der archimedischen Spirale begünstigt wird. Infolgedessen kann man die eine Schraube gegenüber der andern bezüglich der Ölfilmbildung kaum höher bewerten.

Zwei gleiche Getriebe, die sich nur in der Flankenform ihrer Schrauben unterscheiden, sonst aber vollkommen übereinstimmen (d. h. gleiche Abmessungen wie Schraubenstei-



Abb. 8 bis 14
Evolventenschraube
(Brown'sches Getriebe)

Abb. 15 bis 21
Archimedische Schraube

Abb. 8 bis 21
abgewinkelte Zylinderschnitte, die koaxial zur Schraubenachse durch die im Eingriff befindlichen Zähne von Schraube (Schnecke) und Rad geführt sind.

Die umgeschriebenen Durchmesser bezeichnen die Durchmesser der Zylinderschnitte, die Zahlen 1, 2 und 3 die Windungen der Schraube. Dazwischen liegen die Zähne des Rades. Das Rad dreht sich von rechts nach links, die Schraube (im Bild) von unten nach oben.

Die punktweise konstruierten Linien sind die Eingriffslinien.

Herrn Dr. Ing. Hagenmüller, Köln, teilt mit, daß seine Firma grundsätzlich Schubstangenbolzen nur eine Beanspruchung gleich $\frac{1}{20}$ der Streckgrenze zulasse.

Von großer Bedeutung und in ihrer Wirkung noch keineswegs geklärt ist der Einfluß der Vorspannung. Bei kleineren Schrauben besteht, wie Prof. Dr.-Ing. Kutzbach hervorhebt, die Gefahr der Überlastung durch den Montagefehler, für große Schrauben hält Prof. Heidebrock die genaue Berechnung des erforderlichen Drehmomentes und das sorgfältige Anziehen durch eine meßbare, mechanische Anziehrichtung für notwendig.

Hr. Hagenmüller bezweifelt die Bedeutung der von Herrn Salin-gré aufgestellten Grenzzahl sn^2 . Von anderer Seite wird der Unterschied der Beanspruchung zwischen antreibenden und angetriebenen Maschinen hingewiesen. Dr.-Ing. Moderer stellt fest, daß die Grenzzahl sn^2 für die bei den meisten Motoren vorliegenden Verhältnisse nicht paßt. Dies ist erklärlich, weil es sich dort um einfach wirkende Maschinen handelt, während die Angaben von Herrn Salin-gré schließlich für doppelt wirkende Maschinen in Frage

¹⁴⁾ „Maschinenbau“ Bd. 8 (1929) Nr. 2 S. 44.

¹⁵⁾ Automobile Worm Gearing S. 16 (Druckschrift von Brown & Sons).

¹⁶⁾ „Hütte“ 25. Aufl. Bd. 2 S. 212.

¹⁷⁾ „Maschinenbau“ Bd. 8 (1929) Nr. 2 S. 45 Abb. 3a.

¹⁸⁾ „Maschinenbau“ Bd. 8 (1929) Nr. 2 S. 45 Abb. 3b

gung usw. und gleiche Werkstoffe haben und in gleicher Weise werkstattmäßig bearbeitet — z. B. geschliffen — sind), werden demzufolge praktische Unterschiede in den Verlusten kaum aufweisen.

In der Aussprache weist Prof. Dr. Schiebel, Prag, darauf hin, daß er die Schmiegunungsverhältnisse der Flanken genau untersucht habe und zu ähnlichen Ergebnissen gelange wie Dr.-Ing. Altmann. Es sei ein Irrtum, anzunehmen, daß bei der Globoidschnecke zwei Flächen sich in einer geraden Linie berühren könnten. Die Berührung könne nur in einer Kurve erfolgen, wenn ein konkaver Teil dem konvexen gegenüberliege. Der hohe Wirkungsgrad lasse sich auch bei anderen Schnecken erreichen, wenn man auf genügend großen Durchmesser der Schnecke achte. Prof. Dr.-Ing. Kutzbach spricht sich dahin aus, daß die Frage des Wirkungsgrades dieselbe sei wie die Erzeugung eines genügend tragfähigen Ölfilmes. Hier stehen zwei Anschauungen einander gegenüber. Während die eine eine hohe Gleitgeschwindigkeit als günstige Vorbedingung für die Erzeugung des nötigen Öldruckes ansieht, erblickt die andere in der zu großen Gleitgeschwindigkeit der außen liegenden Teile des Eingriffsfeldes einen Nachteil und möchte die Wirkung des Ölfilmes eher in der keilförmigen Annäherung bei der Wälzbewegung erblicken. In Wirklichkeit sind beide Bewegungsarten überlagert, und es finden sich bei beiden Schneckenarten in dem Eingriffsfeld Stellen, in denen das Verhältnis der Wälz- zur Gleitbewegung gleichartig ist. Wichtig ist auch die Frage der Schleiffähigkeit der Schnecke. In beiden Fällen kommt man mit einem Ersatzschliff aus, der der wirklichen Fläche nur angenähert ist.

Dr.-Ing. Altmann spricht seine Ansicht dahin aus, daß der Schliff der Brownischen Schnecke mit einer ebenen Schleiffläche denkbar ist, während von anderer Seite eine Umdrehungsfläche als Schleifwerkzeug für richtiger gehalten wird. Prof. Dr.-Ing. Berndt weist darauf hin, daß beim Schleifen von Gewindelehren ähnliche Verhältnisse vorliegen und daß dort bei Verwendung der gewöhnlichen Schleifscheiben die Annäherung so groß ist, daß auch bei vierzsfacher Vergrößerung eine Abweichung nicht festzustellen sei. Prof. Dr.-Ing. Brandenberger, Zürich, und Prof. Dr. Schiebel, Prag, sind demgegenüber der Meinung, daß dies nur bei geringer Höhe der Schraubenfläche gegenüber dem Kerndurchmesser möglich sei.

Die Entwicklung der Kraftmaschinen, die zu ständig größerer Schnellläufigkeit fortschreitet, macht es erforderlich, die Erkenntnisse der Forschung, insbesondere auf dem Gebiet der dynamischen Festigkeit, möglichst schnell zur praktischen Anwendung zu bringen.

Den Weg, den die Motorenfabrik Deutz zu diesem Ziel eingeschlagen hat, schilderte Dr.-Ing. Modersohn, Köln-Deutz, an dem Beispiel der

praktischen Berechnung von Pleuelstangen¹⁹⁾.

Ganz planmäßig werden für die Berechnung der Motoren drei Hauptgrundsätze aufgestellt:

1. Grundsätzlich wird nur die Festigkeit des „lebenden“ Werkstoffes (Streckgrenze und Dauerfestigkeit) den Beanspruchungen zugrunde gelegt, nicht die Festigkeit eines zerstörten Werkstoffes, wie sie durch die Bruchgrenze oder Zugfestigkeit gekennzeichnet wird. Für ruhende Belastungen kommt also lediglich die Streckgrenze des Werkstoffes zur Geltung.

2. Nicht auf die Beanspruchung des Werkstoffes in kg/cm² kommt es an, sondern auf den „Sicherheitsgrad“, d. h. das Verhältnis der rechnerischen Beanspruchung zu dem Festigkeitswert des lebenden Werkstoffes. Dieser Sicherheitsgrad muß für alle Festigkeitsrechnungen durchgeführt werden. Er ist das eigentliche Vergleichsmaß für die Sicherheit aller Konstruktionen, die je nach ihrer Wichtigkeit in verschiedene Klassen des Sicherheitsgrades eingereiht werden können. Unabhängig von der Festigkeit des Werkstoffes bietet dieser Sicherheitsgrad einen absoluten Vergleichsmaßstab.

3. Für die Bruchsicherheit im Dauerbetrieb wird lediglich die dynamische Festigkeit zugrunde gelegt; diese ist entscheidend, nicht die statische. Die Berechnung wird mit Rücksicht auf die Verhältnisse beim Anfahren der Maschine sowohl auf statische Festigkeit durchgeführt, als auch auf dynamische Festigkeit im Hinblick auf den Dauerzustand. Als Dauerfestigkeit verwendet die Motorenfabrik Deutz die Schwingungsfestigkeit gegen Biegung, die man mangels ausreichender Versuchsergebnisse nach der Striebeck'schen Formel $D_r = 0,28 (\sigma_B + \sigma_S)$ ermittelt; (σ_B = Zugfestigkeit, σ_S = Streckgrenze). Der vorgeschriebene Sicherheitsgrad richtet sich gänzlich nach der im Einzelfalle vorliegenden Beanspruchungsart. Bei Zug-Druck-Wechselbeanspruchung

wird ein um etwa 50 vH, bei Drehungs-Wechselbeanspruchung ein um 80 vH höherer Sicherheitsgrad als bei Biegungs-Wechselbeanspruchung vorgeschrieben.

Bei der statischen Berechnung der Pleuelstange darauf Rücksicht zu nehmen, daß der Schlankheitsgrad $\lambda = \frac{l}{i}$ (l = Knicklänge in cm, i = kleinster Trägheitsmoment

in cm⁴) bei den üblichen Abmessungen der Motorschubstangen die Verwendung der Eulerschen Formel in den meisten Fällen verbietet, da die Eulersche Formel nur Werte von $\lambda > 100$ gültig ist²⁰⁾. Die Schlankheitsgrade der meisten Schubstangen liegen zwischen 60 und 100, wofür die Tetmajersche Formel gilt. Für Schlankheitsgrade unter 60 braucht die Schubstange überhaupt nicht mehr auf Knick berechnet zu werden. Bei der dynamischen Festigkeitsberechnung des Stangenschafes werden unter Berücksichtigung der Massenkraft Druck- und Zugbeanspruchung mittelt. Die größere von beiden, also bei einfach wirkenden Motoren in der Regel die Druckbeanspruchung, wird Verhältnis gesetzt zu der durch Versuche ermittelten Dauerfestigkeit des Werkstoffes und ergibt den rechnerischen Sicherheitsgrad gegen Dauerbruch.

Für die Schrauben am Stangenkopf — Marinekopf — ein außerordentlich hoher Sicherheitsgrad erforderlich. Beanspruchung darf in der Berechnung grundsätzlich nicht mehr als $\frac{1}{20}$ der Streckgrenze erreichen. Diese Rechnung art befriedigt aber sehr wenig, zumal sich zweifellos Spannungen über den Schraubenquerschnitt nicht gleichmäßig verteilen. Hier sind eingehende Forschungen dringend notwendig, die der Praxis eine brauchbare Lösung oder umständliche Rechnungen geben müssen.

In der Aussprache bezweifelt Prof. Bach, Chemnitz, die Zuverlässigkeit der Striebeck'schen Formel, deren Werte noch näher untersucht werden müssen. Ebenso erschließt ihm die Tetmajersche Knickformel ihrer Entstehung nach für die vorliegenden Fälle nicht ausreichend, namentlich Hinblick auf die Stangenquerschnitte, die oft rechteckig oder I-förmig sind. Bei der Berechnungsart von Dr.-Ing. Modersohn wird an Stelle der üblichen Knicksicherheit von 10 bis 20 nur eine etwa drei- bis fünffache zugrunde gelegt, die allgemeinen auch genügt. Für Querschnitte mit verschiedenen Trägheitsmomenten ist aber auch diese Sicherheit nicht ausreichend. Obering. Salingré weist darauf hin, daß seiner Firma vorwiegend gefräste Stangen mit rechteckigem Querschnitt verwendet werden, wobei über die scharfe Kante mit acht- bis zehnfacher, hochkant mit sechszehnzehnfacher Knicksicherheit gerechnet wird, Hr. Schiebel macht den Einwand, daß für Abnahmeversuche der Ermittlung der Bruchfestigkeit durch die Streckgrenze große Streitigkeiten verursachen könne, da die genaue Ermittlung der Streckgrenze sich nur in gewissen Grenzen durchführen lasse, daher Auslegungsschwierigkeiten zu erwarten seien. Dr.-Ing. Modersohn weist darauf hin, daß die Zugfestigkeit selbstständig nach wie vor ermittelt werde, daß sich aber der Vorstellungswelt des Konstrukteurs nur auf das Gebiet elastischen Formänderung erstrecken solle. Von verschiedenen Seiten wird nachdrücklich betont, wie notwendig gezielte Versuchswerte über die Dauerfestigkeit und ihre Abhängigkeit von den verschiedenen Einflüssen gebraucht werden.

Im nächsten Vortrage berichtete Dir. Dr.-Ing. E. Krauß, Ludwigshafen, über

Erfahrungen aus dem Betriebe von Kurbelmaschinen

vom Standpunkt der abnehmenden Industrie aus. Die Annahme, als ob die üblichen Bauarten von Dampf- und Gasmaschinen mit Kurbelgetriebe als abgeschlossene Konstruktionen zu betrachten seien, ist hinfällig. Die Dauerbelastung im Betriebe zeigt, daß das Kurbelgetriebe häufig Veranlassung zu Betriebsstörungen gibt. In den Großbetrieben der chemischen Industrie ist der mittelbare Schaden, durch Betriebsstörungen entsteht, von ganz besonderer Bedeutung und übersteigt den unmittelbaren um ein Vielfaches. Das Lichtbild eines zerstörten Kompressors mit 1000 U/min Leistungsaufnahme zeigt die außerordentlichen Gefahren solcher Brüche, die im vorliegenden Fall auf Werkstofffehler zurückzuführen waren.

Die Betriebserfahrungen haben dazu geführt, daß vom Standpunkt des Betriebes aus ganz neue Berechnungen Änderungen der Getriebeteile vorgenommen werden müssen. Die Größe und die Beanspruchung der Maschinen ergibt bei der Montage große Schwierigkeiten, z. B. bei der Einordnung eines fünfstufigen Kompressors von großer Länge. Es ist richtiger, an Stelle der starren Verbindung nachgiebige Lagerung einzuführen, etwa in der Form, die Kolbenstangen der ersten und der dritten Stufe kugellagert werden. Sowohl an den Kolben wie auch an den Pleuelstangen

¹⁹⁾ „Maschinenbau“ Bd. 8 (1929) Nr. 2 S. 37.

²⁰⁾ Hütte, 25. Aufl. Bd. 1 S. 572.

den der Kreuzköpfe sind kugelige Auflageflächen gegeben worden, ebenso an den Lagern der Schubstangen. Kommt man zu Konstruktionen, die von den üblichen abweichen. Der Betrieb hat aber den Erfolg der Angaben bestätigt. Die Erfahrungen mit Schubstangen bestätigen den Inhalt der Ausführungen von Obering. *grö.* Der Riegelkopf ist bei Kompressoren allgemein geführt worden. Für die Verbindung der Kolbenstange dem Kreuzkopf ist man von der Keilverbindung ganz zungen und zu einer Flanschverbindung mit Schrauben zugegangen. Die Vorspannung der großen Schrauben wird dem Montagekran mit einer zwischengeschalteten Wage gemessen. Besonderer Wert muß auf die dauernde Prüfung der beanspruchten Schrauben gelegt werden.

Von der Annahme ausgehend, daß jede Schraube bei Belastung einmal brechen muß, werden sämtliche hochbeanspruchten Schrauben nach einer bestimmten Belastungs- d. h. Zahl der Belastungswechsel, untersucht. Die an, mikroskopisch kaum bemerkbaren Haarrisse werden eine besondere optische Prüfeinrichtung festgestellt, bei der Bolzen einer Biegungs-Dauerbeanspruchung unterzogen wird. Die Risse treten in der Regel an den ersten Eingängen auf und können manchmal nur dadurch festgestellt werden, daß Öl in sie eingesogen wird. Sind auf diese Weise die Anzeichen für einen beginnenden Dauerbruch festgestellt, so wird der Bolzen ohne weiteres ausgetauscht. Durch die sonst üblichen Überholungen der Maschinen können Neubeanspruchungen auftreten, wenn Bolzen und Bolzen nicht genau wieder in die gleiche Stelle einsetzen kommen.

Geht man in dieser Weise systematisch vor und behandelt jede Maschine als eine Einrichtung für Dauerbelastung, so kann man mit Erfolg vorbeugende Maßnahmen zur Verhütung von großen Betriebsschäden einleiten.

Dipl.-Ing. *Herttrich*, Dessau, schilderte einige Versuchsanlagen für Maschinen und Maschinenteile²¹⁾, die in letzter Zeit von der *Bamag-Meguinn* z. T. in Gemeinschaft mit Dr. *Vieweg* entwickelt worden sind. Als Beispiel erwähnt er das *Viewegsche* Torsionsdynamometer²²⁾, dessen Genauigkeit bis auf 0,001 Skalenendwert verbessert worden ist. Der Werkstoff der Meßstäbe und ihre Einspannung stellten große Schwierigkeiten. Nach langwierigen Versuchen wurde ein Werkstoff gefunden, der in bezug auf Ermüdungsfähigkeit und möglichst geringe Abhängigkeit von Hystereseerscheinungen allen Anforderungen an die Genauigkeit genügt. Durch einen zweckmäßigen Luftschutz wird bei hohen Drehzahlen der Luftwiderstand ausgeschaltet, optische Ablesung mit umlaufenden Linsen richtet die Beobachtung auch bei hohen Drehzahlen. Bei

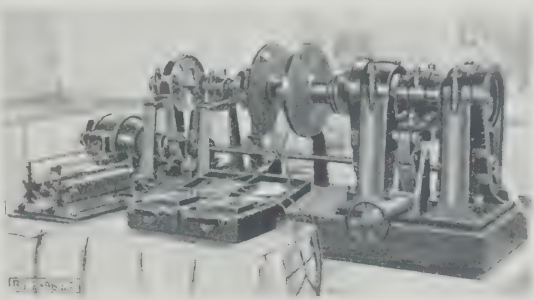


Abb. 23
Lagerprüfmaschine der Bamag-Meguinn mit Torsionsdynamometer nach Vieweg.
Die Lagerschalen der Hilfslager laufen im Sinne der Welledrehung um, so daß ihre Relativbewegung zur Welle annähernd null wird und keine Reibungsarbeit in den Hilfslagern entsteht.

nicht zu großer Geschwindigkeit läßt sich das Gerät für die Aufzeichnung veränderlicher Momente verwenden. Für ganz hohe Drehzahlen benutzt man eine elektrische Ablesevorrichtung mit Spannungsteiler. Dadurch wird auch Fernablesung möglich und eine Genauigkeit von ein Tausendstel des Skalen-Endwertes erreicht.

Um den Reibungswiderstand bzw. die Leistungsaufnahme eines umlaufenden Versuchsgegenstandes für sich allein zu erhalten, bedient man sich des kalorimetrischen Verfahrens von *Vieweg*²³⁾, das die Beziehung zwischen der Übertemperatur des Lagers und seinem Leistungsbedarf benutzt. Zu diesem Zweck wird das betreffende Lager mit verschiedenen Ölen von bekannter Zähigkeit untersucht und die Kurven auf den angenommenen Zustand der Übertemperatur null extrapoliert.

Die Anwendung des Verfahrens auf die Untersuchung des Luftwiderstandes von Riemenscheiben zusammen mit dem Torsionsdynamometer gestattet eine genaue Analyse der Einzelverluste, Abb. 22. Besondere Vorteile für die Untersuchung von Lagerwiderständen bietet nach Ansicht des Vortragenden die Lagerung der Versuchswelle in zwei Hilfslagern, Abb. 23, deren Lagerschalen so verdreht werden, daß ihre Relativgeschwindigkeit zur Welle annähernd null wird. Dann tritt keine Reibungsarbeit an den Hilfslagern auf; die in der Versuchswelle verbrauchte Leistung ist nur dem belasteten Versuchslager zuzuschreiben und kann durch das Dynamometer unmittelbar gemessen werden. Als zweckmäßig hat sich ergeben, die Hilfs-lagerschalen gegenläufig mit einer kleinen Relativgeschwindigkeit zur Welle umlaufen zu lassen. da im Bereich der niedrigen Geschwindigkeiten eine starke Veränderlichkeit des Reibungswertes zu befürchten ist und demnach doch ein Drehmoment entstehen kann. Bei geringer gegenläufiger Relativgeschwindigkeit der Hilfslager heben sich diese Momente ziemlich genau auf. Eine große Maschine dieser Art dient zur Untersuchung der Rollenlager für je rd. 60 t Lagerdruck für das Schiffshebewerk Niederfinow²⁴⁾.

Über die dynamische Festigkeit bei Flugzeug-Konstruktionsteilen

berichtete Dipl.-Ing. *Brenner*, Berlin²⁵⁾.

In der Aussprache wird erwähnt, daß sich als besonders gefährlich die Ermüdungserscheinungen bei Motorwellen erwiesen haben. Prof. Dr.-Ing. *Heidebroek* bringt zur Sprache, daß außer den vorwiegend behandelten Dreh-schwingungen bei gewissen Wellenformen die Biegungsschwingungen und Längsschwingungen eine gefährliche Rolle spielen. Durch Versuche in der Technischen Hochschule Darmstadt wurden starke Resonanzerscheinungen in der Längsrichtung der Welle deutlich festgestellt, deren Frequenz bei den Massenverhältnissen von Motor und Flugzeug sehr leicht in den Betriebsbereich der Maschinen geraten kann. Jede Drehschwingung muß infolge des Luftschraubenschubes einen Längsstoß hervorrufen, der im gleichen Takt wie die erregende Ursache der Drehschwingungen auftritt. Es wird ferner erörtert, inwieweit die Ermüdungsfestigkeit legierter Stähle der von hochwertigen Kohlenstoffstählen soweit überlegen sei, daß der erheblich höhere Preis der legierten Stähle gerechtfertigt ist. Hr. *Brenner* erwähnt dazu, daß nach den Feststellungen der Deutschen Versuchsanstalt für Luftfahrt die legierten Chromnickelstähle eine wesentlich höhere Ermüdungsfestigkeit aufweisen als Kohlenstoffstähle. Prof. Dr.-Ing. *Kutzbach* weist auf die Dämpfungs-

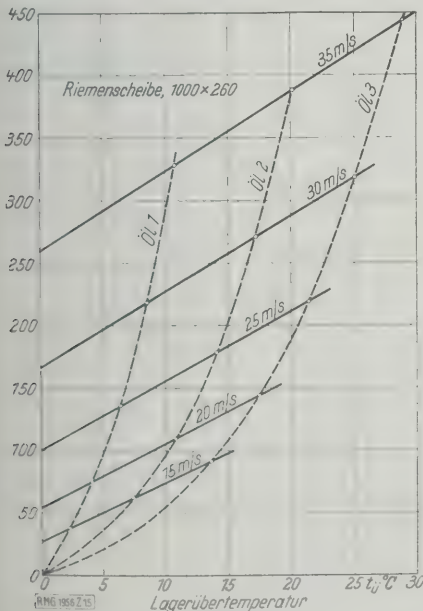


Abb. 22
Ermittlung des Luftwiderstandes einer Riemenscheibe von 1000 mm Dmr. und 260 mm Breite bei verschiedenen Umfangsgeschwindigkeiten und verschiedenen Ölen zur Lager-schmierung.

²¹⁾ „Maschinenbau“ Bd. 5 (1926) S. 201.
²²⁾ Z. Bd. 73 (1929) Nr. 3 S. 73.
²³⁾ Der Vortrag ist in Z. Bd. 72 (1928) S. 1881 erschienen.

beiden Gleichungen ermöglichen die Berechnung der Kraft aus den Abmessungen; aus ihnen geht hervor, welchen Einfluß einerseits die Drehzahl, andererseits die Reibzahlen auf die Stoßwirkung ausüben.

In der Aussprache erörtert Prof. Kutzbach den Unterschied zwischen seinen und den Annahmen von Schiebel über den Einfluß der elastischen Formänderungen der Räder bei Stößen, die Überbeanspruchungen hervorrufen. In die Frage des Tönens der Räder bereitet Schwierigkeiten. Prof. Kutzbach vermutet die Ursache in Überlagerung von Wälz- und Gleitbewegung der Zahnflanschen aneinander, einem dem „Geigen“ ähnlichen Vorgang, während Prof. Dörfel, Prag, annimmt, daß die Abplattung der Zähne eine elastische Druckwelle in den Werkstoff überträgt und diese Druckwellen u. U. in tönende Resonanz geraten. Kluge, Karlsruhe, bemerkt dazu, daß bei Schiffsscheiben sich ein Spiel von einigen Zehntel Millimetern als gutes Mittel zur Beseitigung der Geräusche bei reichlichem Ölster bewährt hat. Prof. Kutzbach empfiehlt möglichst große Massen in den Kranz des Rades zu legen.

Den letzten Vortrag der Tagung hielt Prof. Dr.-Ing. Kutzbach, Dresden, über

praktische Riemenversuche

und deren vorläufige Ergebnisse³¹⁾. Diese Versuche wurden an der Dresdener Technischen Hochschule mit der neuen Versuchseinrichtung durchgeführt, die aus Mitteln der Notgemeinschaft der Deutschen Wissenschaft eingerichtet worden ist. Nach seiner Ansicht ergibt sich nunmehr eine Klärung der verschiedenen Anschauungen über die Beanspruchung der Treibriemen in dem Sinne, daß die Forschung auf folgende Eigenschaften des Riemens besonders einzusetzen hat:

1. die Hafteigenschaften des Riemens, die man durch den Durchzugsgrad $k = \frac{k_1 - k_2}{k_1 + k_2} = \frac{k_n}{k_a}$ ausdrücken kann³²⁾;

2. die Biegungsverluste oder Einfluß der Scheibengröße auf die zulässige Gesamtspannung; 3. die Lebensdauer bei verschiedener Gesamtspannung und ihren Einfluß auf die allgemein zulässige Gesamtspannung.

Über die Hafteigenschaften liegen Versuche an dem Riemen des deutschen Ledertreibriemen-Verbandes (V.D.R.), die vor allem den ausgesprochen günstigen Einfluß der Haarseite gegenüber der Fleischseite als Auflagenfläche zeigen, da sich die Haarseite im Dauerbetrieb besser anliegt und sich vielleicht auch für die Wirkung der Fettschicht günstiger verhält. Bei einem Schlupf von 2 vH wurden auf der Haarseite Durchzugsgrade von 80 bis 98 vH erreicht, auf der Fleischseite nur 50 bis 77 vH. Der Durchzugsgrad ist also auf der Haarseite so hoch, daß auch Haftmittel einen Vorteil mehr geboten hätten. Die Güte des Riemens, davon der Art der Gruben- oder Faßgerbung abhängt und die Lebensdauer von Einfluß ist, hatte auf den Durchzugsgrad keinen wesentlichen Einfluß. Riementgeschwindigkeiten zwischen 4 und 16 m/s waren günstig für den Durchzugsgrad.

Die Biegungsverluste wurden für eine größere Zahl von Riemen von Dr. A. Müller³⁴⁾ untersucht mit dem Ergebnis, daß der Spannungsverlust durch die innere Reibung bei Biegung

$$k_i = B k^m \left(\frac{d}{D} \right)^n,$$

wobei im Mittel $m = 0,5$ und $n = 1,6$ war. Der Wert B , der ja nach dem Fettungszustand des Riemens stark schwankt, bildet einen Maßstab für die Eignung des Riemes für kleine Scheiben. Beim Lauf auf der Fleischseite waren die Biegungsverluste bei niedriger Spannung etwas größer, bei den üblichen Betriebsspannungen aber etwas geringer als beim Lauf auf der Haarseite. Die inneren Reibungsverluste, die bei Be- und Entlastung des Riemens als Interessensverluste auftreten, wurden dadurch ausgeschlossen, daß die Biegungsversuche bei Leerlauf vorgenommen wurden. Luftreibungsverluste und Klebeverluste (bei Haftmitteln) wurden getrennt festgestellt, haben aber auf die Lebensdauer des Riemens keinen Einfluß. Auch ergaben sich die Biegungsverluste im untersuchten Bereich als unabhängig von der Riementgeschwindigkeit, wie sich ja auch bei Metallen die innere Dämpfung als unabhängig von der Geschwindigkeit erweist.

Die Lebensdauer Z in Sekunden ist eine Ermüdungserscheinung der schwächsten Stelle, weshalb

man nach größter Gleichmäßigkeit des Riemens streben muß. Ist k_i der durch innere Reibung entstehende Spannungsverlust in kg/cm², v die Riementgeschwindigkeit in m/s und l die Riemenlänge in cm, so ist die in der Lebensdauer Z von 1 cm³ des Riemens zu leistende innere Arbeit

$$A_i = \frac{k_i v}{l} Z \text{ mkg.}$$

Der Wert A_i bildet also ein Maß für die Güte des betreffenden Riemenstoffes, wobei k_i durch Zugspannungsschwankungen³⁵⁾ oder aus Biegungsverlusten³⁶⁾ oder aus beiden ermittelt werden kann. Man kann die Versuchszeit Z durch

Erhöhung des Verhältnisses $\frac{v}{l}$ und besonders von k_i vermindern, läuft dabei allerdings Gefahr, den Bereich der üblichen Betriebsspannungen und Temperaturen (infolge der Erwärmung) zu weit zu überschreiten. Immerhin dürften die Ergebnisse zum Vergleich der verschiedenen Riemen Gültigkeit haben. Versuche werden neuerdings mit verschiedenen Dauerprüfmaschinen gemacht und führen hoffentlich in absehbarer Zeit zu vergleichbaren Werten.

In der Aussprache wies Prof. Schulze-Pillot, Danzig, darauf hin, daß es durch sorgfältige Versuche im Laboratorium der Technischen Hochschule Danzig gelungen ist, die Reibungswerte für den Riemen auf der Scheibe auch bei Annahme eines geringen Schlupfes sehr genau zu bestimmen. Versuche über die innere Arbeitsfähigkeit der Riemen sind ebenfalls im Gange, jedoch mit ruhendem Riemen, um die beim Umlauf auftretende Luftkühlung zu vermeiden. Die Zulässigkeit eines gewissen Gleitschlupfes sei unbestreitbar und die Übertragungsfähigkeit des Riemens dabei zweifellos günstiger. Jedoch sei gute Durchfettung des Riemens notwendig. Die Lebensdauer des Riemens werde sehr häufig durch die Beschaffenheit der Stoßstelle bedingt, an der zuerst Abblätterungen auftreten. Es müsse stets darauf geachtet werden, daß die Stoßstellen rückwärts über die Scheibe laufen. Es sei verwunderlich, daß das amerikanische Verfahren, den Riemen auf der Haarseite laufen zu lassen, nicht auch in Deutschland angewandt werde. In diesem Fall ergibt die glatteste Scheibe den besten Durchzug. Prof. Dr.-Ing. Alt, Dresden, hält die Untersuchung der Riemen auf der Spannungsmaschine mit wechselnder Be- und Entlastung ebenfalls für geeignet, ein Bild über die Tragfähigkeit zu geben. Prof. Kutzbach bezweifelt dies, weil rd. ein Zehntel der Zerreißeigigkeit ausgenutzt wird. Prof. Bach erinnert daran, daß die Spannung des Riemens beim Lauf etwa der natürlichen Spannung der Haut am lebenden Tier entsprechen soll. Prof. Kutzbach mißt diesem Umstand wenig Bedeutung bei, da für die natürliche Krümmung des Felles lediglich die Balligkeit der Scheibe einen Ausgleich bietet. Prof. Schulze-Pillot macht darauf aufmerksam, daß genauer Rundlauf der Scheibe sehr wichtig ist und daß hohle Stellen auf dem Umfang den Arbeitswinkel unterbrechen und somit den Durchzugsgrad erheblich herabsetzen können. [M 2496]

³⁵⁾ Nach Prof. Skutsch.

³⁶⁾ Nach Prof. Kutzbach.

Speisewasser-Rauchgasvorwärmer auf Seeschiffen

Durch eine bessere Führung der Heizgase in den drei Foster-Wasserrohrkesseln, die auf dem amerikanischen Dampfer „City of Joliet“ aufgestellt waren und je 290 m² Heizfläche haben, sowie durch den Einbau von Rauchgasvorwärmern für das Speisewasser, hat man die bei diesen Kesselanlagen vielfach unzureichende Brennstoffausnutzung beträchtlich erhöht. Man nahm jedes zweite Rohr in den beiden unteren Rohrreihen fort und änderte die Abdeckplatten so, daß die Rauchgasführung im Rohrsystem der Kessel verbessert und der strahlenden Wärme des Feuers eine größere Einwirkung auf den Kessel ermöglicht wurde. Außerdem ersetzte man die vier älteren Ölbrenner durch drei neue Dahl-Brenner. Die in den Rauchfang jedes Kessels eingebauten Speisewasservorwärmer von je 420 m² Heizfläche bestehen aus zweizölligen, etwa 2,5 m langen Rohren, auf die gußeiserne Lamellenringe aufgeschraubt sind; infolgedessen wird die Wirksamkeit ihrer Oberfläche etwa auf das Sechsfache erhöht. Bei den Versuchen zeigte sich eine bedeutende Verbesserung der Heizwirkung. Die aus dem Kessel austretenden Heizgase hatten eine Temperatur von etwa 150 °C, das Speisewasser wurde auf 133 °C vorgewärmt. Es gelang, die Dampfleistung so zu verbessern, daß die neun neuen Brenner, die die gleiche Größe der früheren zwölf Brenner hatten, vollkommen ausreichten, um den erforderlichen Dampf für volle Leistung der Maschine zu liefern. (Marine Journal, New York, Bd. 55 (1928) S. 12; Pacific Marine Review, New York, 1928 S. 246. [N 2618])

³¹⁾ Der Bericht wird im „Maschinenbau“ erscheinen, sobald noch weitere Ergebnisse vorliegen.

³²⁾ „Hütte“ 25. Aufl. Bd. 2 S. 221.

³³⁾ Kutzbach, Neuere Treibriemenversuche, Z. Ledertreibriemen und Lederartikel, Jahrg. 1928, Heft 7 und 8.

³⁴⁾ Erscheint als Forschungsheft Nr. 318 des Vereines deutscher Ingenieure.

Die Herstellung von Schokolade

Von Ing. HANSGEORG LOTTES, Dresden

Die Herstellung der Schokoladenmasse und ihre Formgebung werden geschildert. Für die Herstellung der Masse wendet man in neuzeitlichen Fabriken Kollergänge, Walzenmühlen und Reiber (Verfeinerungsmaschinen) an. Die Formgebung erfordert Formenfüllmaschinen, Klopfbahnen zum Einstampfen der Masse in die Formen und Kühlchränke mit selbsttätigem Formenlauf. Zwei Verfahren der Herstellung von Hohlkörpern werden beschrieben. — Zukunftsaussichten.

Einso, wie bei der Erzeugung des Kakaopulvers¹⁾ zwei große Arbeitsabschnitte: die Herstellung und das Vermahlen des Preßkuchens, zu unterscheiden sind, teilt sich auch die Schokoladenerzeugung in zwei Abschnitte: Zubereitung und Formgebung.

Zubereitung der Schokoladenmasse

Das Wichtigste neben der geschmacklichen Zusammensetzung ist äußerst feines Vermahlen und Vermengen der gebrochenen Kakaobohnen mit dem Zucker und den Zusatzstoffen wie Milch, Sahne oder Mokka. Nüsse und andere feste Bestandteile können erst nach dem Vermahlen zugesetzt werden. Um die Maschinen zu schonen, soll man den Zucker stets in Staubform beifügen.

Zum ersten Mischen der Masse bedient man sich heute meist noch eines Mischers (Melangeur), der nach Art eines Kollergangs gebaut ist. Der mit Dampf beheizte Bodenstern wird in Umdrehung versetzt, während das Achsenkreuz, das die mit Aushebung versehenen Läufersteine trägt, feststeht. Kollergänge, bei denen der Bodenstern feststeht und die Läufersteine umlaufen, werden fast gar nicht mehr benutzt. Besonders geformte Bleche drängen die nach außen strebende Masse unter die Läufer, so daß sie nicht nur vermahlen, sondern auch gut gemischt wird. Läufer und Bodenstern bestehen aus Granit. Nach kurzem Bearbeiten hat das Mahlgut eine teigige Beschaffenheit angenommen. Zum Entleeren senkt man ein schräg stehendes Messer in die kreisende Masse. An Stelle dieses Mischers bedienen sich viele Firmen zur Vorarbeit der aus dem Bäckereiwesen bekannten Mischmaschinen, in die man aber die schon flüssige, von der Drillings- oder der Walzenmühle kommende Kakaomasse einfüllt.

Die Hauptarbeit beim feinsten Vermahlen der Masse leisten die Walzenmaschinen, Abb. 1. Sie bestehen aus mehreren senkrecht übereinander befindlichen Walzen gleichen Durchmessers, von denen die unterste den übrigen des bequemen Einfüllens halber etwas vorgelagert ist. Die Drehzahlen der Walzen sind verschieden; die unterste läuft am langsamsten und jede der folgenden etwas schneller als die vorhergehende. Das Mahlgut wird zwischen die beiden untersten, eng gestellten Walzen eingefüllt, bleibt nun immer an der schneller laufenden Walze haften und wandert zu der obersten Walze, von der es durch ein breites Messer abgestrichen wird. Dabei wird die Masse nicht nur zerdrückt und zerquetscht, sondern wegen der verschiedenen Walzendrehzahlen, auch aufs feinste zerrieben und vermahlen.

Früher bestanden die Walzen ausschließlich aus Granit oder Porphyr, sie sind jedoch von solchen aus Schalenhartguß

fast ganz verdrängt worden. Vereinzelt findet man auch Porzellanwalzen, die zwar sehr griffig, aber auch sehr empfindlich gegen

äußere Einwirkungen sind. Die Stahlwalzen werden über ihre ganze Länge lichtdicht geschliffen und auch innen ausgedreht, damit man sie gleichmäßig kühlen kann. Das Kühlwasser wird durch die hohlen Achsen zu- und abgeleitet. Da die Walzen sich an den Enden infolge der schlechteren Kühlung mehr ausdehnen, werden sie ungefähr auf die Dicke der Stirnwände schwach kegelig gedreht, um so ein Hohllaufen in der Mitte zu verhüten. Man lagert sie in Bronzebüchsen mit Ring- oder Druckölschmierung. In den neuesten Bauarten werden mit Wälzlagern ausgefüllt. Die Übertragungsräder erhalten Schrägverzahnung, schnelllaufende Vorgelege häufig Pfeilräder. Zu den Walzwerken gehören auch die bei der Herstellung

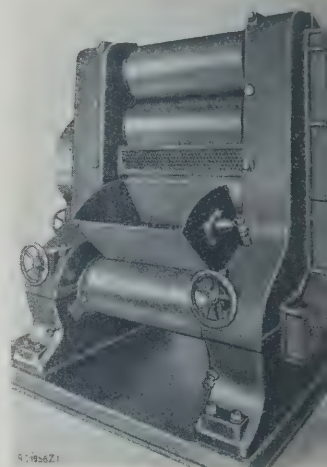


Abb. 1
Fünfwalzenwerk mit verdeckt eingebauten Zahnrädern und Wälzlagern; Simon A.-G., Nossen a. d. Elbe.

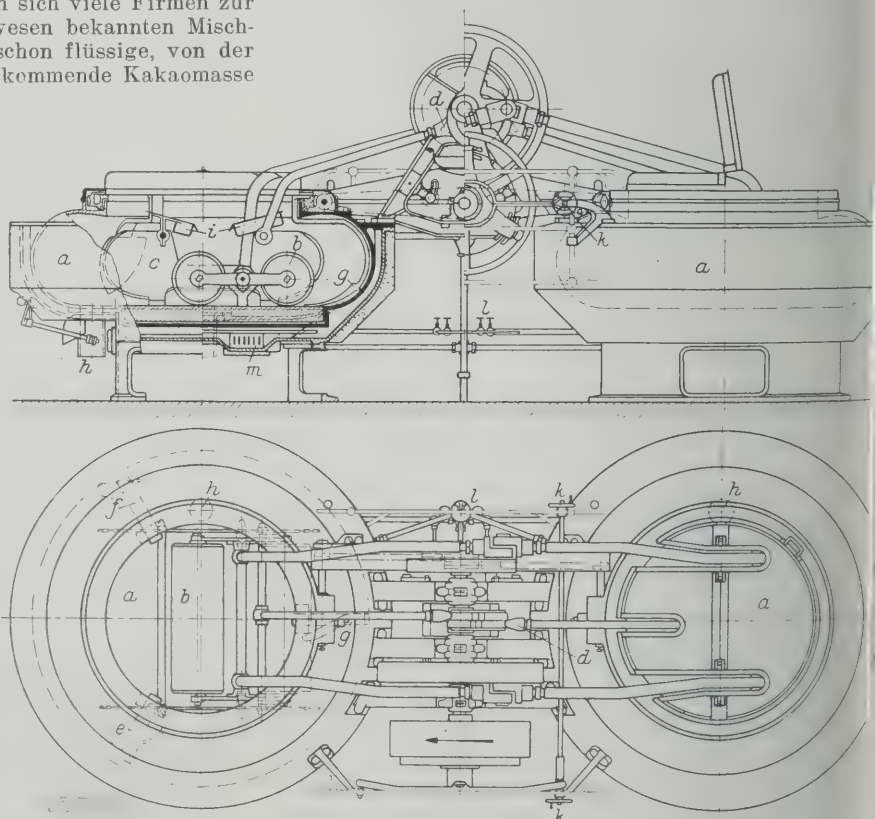


Abb. 2 und 3
Längsreiber mit runden Trögen.

a Tröge
b Walzen
c Seitenscheiben

d Exzenter
e, f, g Abstreichmesser
h Auslauf

i Spritzbleche
k Handrad zum Einrücken

l zur Heizung elektrischer Hohlkörper

¹⁾ Z. Bd. 73 (1929) Nr. 2 S. 60

Kakaopulvern erwähnten Walzenmühlen^{1a)}. Den natürlichen Mahlwalzen vorgelagert ist hier eine Aufwalze, die den Kakao der Maschine in gleichmäßigen Bänken zuführt und ein Riffelwalzenpaar, dem das Vorfeinern des gebrochenen Kakaos obliegt.

Die billigsten Blockschokoladen sind nach ein- bis maligem Durchlaufen des Walzwerkes fertig bearbeitet und können zu Tafeln und Blöcken geformt werden. Bessere Speiseschokoladen schickt man jedoch sechs- bis zehnmal durch die immer enger gestellten Walzen, um ein Erzeugnis von feinstem Korn zu erhalten. Im letzten Walzgang wird die Schokolade häufig in kalten Wasserbädern aufgegeben und von den Walzen abgeschliffen. Gemäß bezeichnet man diesen Vorgang als Schleifen.

Verfeinern der Schokoladenmasse

Um den beliebten schmelzenden Geschmack der besten Schokoladen zu erzielen, wird die Masse einem Verfeinerungsverfahren unterzogen. Die älteste Maschine für diesen Zweck ist der Längsreiber. In meist vier wannenartigen Behältern wird durch Kurbel und Schubstange eine zylindrische Walze hin- und herbewegt. Sie treibt die flüssige Schokolade vor sich her und bringt sie an den gewölbten Stirnseiten der Tröge zum klatschenden Herschlagen. Die Behälter werden durch Dampf, Gas oder elektrischen Strom beheizt. Die Masse wird in diesen Maschinen 48 bis 96 Stunden bei 60 bis 100° ununterbrochen bewegt. Es vollzieht sich dabei in ihr eine Verwandlung, deren Art man noch nicht kennt. Doch scheint dabei, durch das Überschlagen der Masse besonders unterstützt, die Oxydation mit dem Sauerstoff der Luft eine Rolle spielen. Erwiesen ist jedenfalls, daß aufgewandte Arbeit durch den erreichten Wohlgeschmack so behandelten Schokolade reichlich belohnt wird. Einen besonderen Längsreiber, der den Vorteil eines großen Reinigungsvermögens mit sauber abstreichbaren Wänden vereint, wodurch man hohe Temperaturen erreichen kann, stellen Abb. 2 und 3 dar. In den Behältern *a* wird der Wagen mit dem Rahmen *b* hin- und herbewegt. Um das gleiche Ausweichen der Masse vor den Walzen zu vermeiden und sie an den gewölbten Wänden des Troges zum Herschlagen zu bringen, laufen zu beiden Seiten der Walzen die Seitenscheiben *c* mit, die vom Exzenter *d* mit einer Voreilung vor den Walzen bewegt werden. Beim Umlauf geben Walzen und Seitenscheiben den Weg für den kreisenden Abstreichmesser *e*, *f* und *g* frei, die das Verkleben der Masse verhindern, die Masse auch noch durcharbeiten und beim Entleeren der Schüssel die Masse zum Auslauf *h* befördern.

Der Versuch lag nahe, die langwierige, viel Kraft und Wärme verbrauchende Arbeit in dem Längsreiber durch ein anderes, schneller wirkendes Verfahren zu ersetzen, wenngleich viele Fabrikanten der Ansicht sind, daß die Schokolade eben ihre Zeit zum Reifen braucht. Möglich wie auch das nach altem Brauch lohgegebene Verfahren besser ist, als das nach modernen Schnellverfahren

hergestellte. So entstanden die Rundreiber (Konchen)²⁾, die nach verschiedenen mechanischen Verfahren, teils offen, teils mit Luft, die durch die Masse geblasen wird, teils mit Unterdruck arbeiten. Als Vertreter dieser großen Gruppe sei die „Vakuumkonche“ erwähnt, Abb. 4 und 5, die für beide Arbeitsverfahren eingerichtet ist. Den in der doppelwandigen Trommel *a* sichtbaren, eigenartig geformten Flügeln *b* kann man mittels der Riemenscheiben *c* und *d* zwei verschiedene Geschwindigkeiten geben, um bei anfänglich harter Masse die Maschine leichter anlaufen lassen zu können. Von oben ragen in die Trommel die Rohre *e* hinein. Soll nun Luft oder ein anderes Gas durch die Masse geleitet werden, so wird das an der Deckelmitte angeschlossene Rohr *f* mit einer Saugluftpumpe verbunden. Durch den in der Trommel entstehenden Unterdruck wird Luft oder ein anderes Gas durch die Rohre *e* in die Masse gesaugt, die dann, in der Trommel nach oben steigend, die Schokoladenmasse durchbrodet. Sperrt man die Rohre *e* ab, so arbeitet die Maschine mit Unterdruck. Die fertige Masse wird, falls sie flüssig genug ist, durch den Auslauf *h* entfernt; ist sie zu dickflüssig, so muß man den Trog kippen.

Die eigentliche Schokolade ist nun fertig. Sie kann für den Versand an die Großverbraucher in Blöcke gegossen und im Kühlraum gelagert werden. Die Schokolade, die für Tafeln und kleinere Figuren bestimmt ist, wird bis zu ihrer weiteren Verarbeitung im Wärmraum aufbewahrt.

Das Einformen

Das Einformen zerfällt in drei Arbeitsgänge: Temperieren, Einformen und Kühlen. Das Einhalten der richtigen Temperatur sowohl vor als auch nach dem Einformen ist von großer Wichtigkeit für das Aussehen der fertigen Ware. Die Temperiermaschinen lassen sich in zwei Gruppen einteilen. Die einen haben die Gestalt von flachen oder tiefen doppelwandigen Behältern, zwischen deren Wänden Wasser von rd. 35° umläuft. Im Innern des Behälters kreist ein Rührwerk. Diese Maschinen werden zweckmäßig über den Teilmaschinen aufgestellt, in deren Einfülltrichter man die Masse ablaufen läßt.

Die Maschinen der andern Gruppe arbeiten ununterbrochen. Die Masse wird entweder mit Hilfe eines Flügelwerkes durch ein weites, von außen erwärmtes Rohr getrieben oder sie wird über eine Anzahl erwärmter Walzen geleitet. Eine solche Maschine zeigt Abb. 6. Die Masse wird unten in die Maschine eingefüllt und wandert dann zwischen zwei Reihen dünner Walzen zum oberen Ende, wo sie abgestrichen wird und über ein Ablaufblech (Schlotte) in den Einfülltrichter der Teilmaschine abläuft. Das den Walzen durch ihre hohle Welle zugeführte Wasser wird in einer neben der Maschine stehenden Anlage vorgewärmt.

Der größte Teil aller erzeugten Schokolade wird in Tafelform zum Verkauf gebracht. Das Einformen erfolgt in Formen aus Weißblech, die meist zu mehreren in einen Rahmen aus Bandeisen eingelötet sind. Die dem Abteilen

²⁾ Vergl. Z. Bd. 72 (1928) S. 1025.

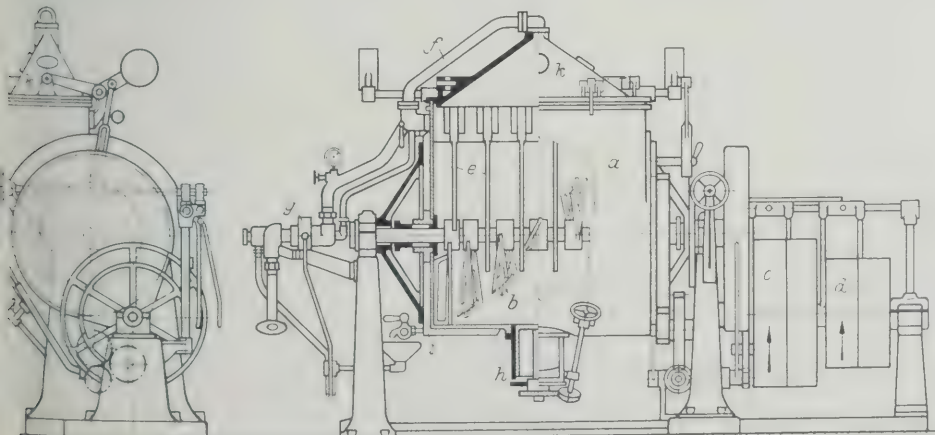


Abb. 4 und 5
Mit Luftdurchwirbelung
oder Unterdruck arbeitender Rundreiber. Vakuumkonche der Maschinenfabrik J. M. Lehmann, Dresden.

- a Trommel
- b Flügelkörper
- c Riemenscheibe für Langsamlauf
- d Riemenscheibe für Schnellauf
- e Luftzuführungsrohre
- f Saugrohr
- g Mischgehäuse für die Dampfleitung
- h Auslauf
- i Heizmantel
- k Haube

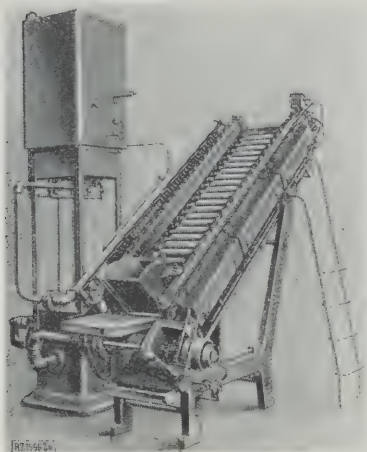


Abb. 6 (links)
Temperieranlage mit
schräger Walzenbahn
und Wasserwärmanlage.

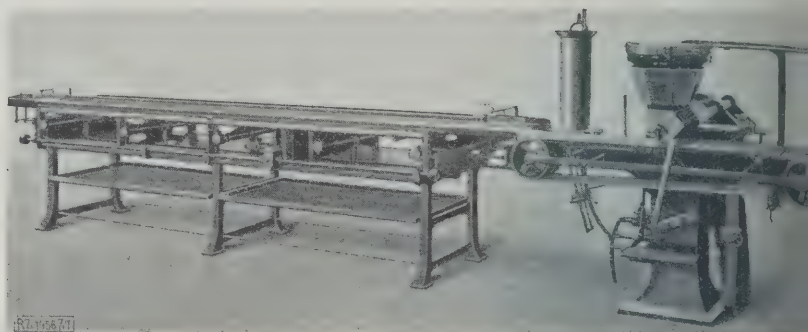


Abb. 7
Eintafelmaschine mit Klopfbahn von
R. Gäbel, Dresden.

der Masse dienenden Maschinen unterscheiden sich nicht nur durch den Verwendungszweck, sondern auch durch die Art der verarbeiteten Masse. Sie lassen sich in zwei Gruppen fassen: Teilmaschinen, die die Schokolade lediglich in gleiche Gewichtsmengen abteilen, und Formenfüllmaschinen, die die Schokolade gleichzeitig in die Formen einfüllen. Die ersteren sind für kleineren Bedarf und Sonderzwecke bestimmt. Ihre Konstruktionselemente sind meist in den Formenfüllmaschinen enthalten.

Die Formenfüllmaschinen leisten täglich etwa 50 000 Tafeln oder 200 000 Täfelchen (Napolitains). Eine sehr bewährte Eintafelmaschine mit der zugehörigen Klopfbahn zeigt Abb. 7. Einfülltrichter und Teilkopf, die Hauptteile dieser Maschine, sind in Abb. 8 und 9 dargestellt. Im Einfülltrichter *a* befindet sich eine senkrechte Förderschnecke *b*, die die Schokoladenmasse in die am unteren Ende angebaute, mit einem Drehschieber *c* versehene Kolbenkammer hineindrückt. Unter dem Mundstück *f* bewegt sich ein Laufband *h*, auf dem sich die Formen befinden, ruckweise jeweils um die Länge einer Form vorwärts. Die Kolben *d*, deren Hub für verschiedene Gewichtsmengen genau einstellbar ist, drücken die Masse durch einen schmalen Schlitz des Mundstückes *f* und legen sie in breitem, bandförmigem Streifen in die darunter fortwandernde Form ein.

Die Abb. 10 bis 12 zeigen eine besonders für flüssige Massen geeignete Maschine, die nicht nur Tafeln und Täfelchen, sondern auch andere beliebig gestaltete Formen füllt. Sie unterscheidet sich von der eben geschilderten hauptsächlich durch die Art der Gewichtseinstellung. Der Kolbenhub ist hier unveränderlich; gesteuert wird durch den Stangenschieber *a*, der sämtliche Zylinder *b* beim Ansaugen durch seine Schlitze *c* mit dem Einfüllbehälter *e* und beim Drücken durch die Schlitze *d* mit den Auslaufdüsen *f* verbindet. Bestimmte Gewichte werden am Schieber eingestellt, der nach Austritt der vorgesehenen Menge die Zylinder gegen die Düsen abschließt, so daß die überschüssige Schokolade in den Einfüllbehälter zurückge-

drückt wird. Die Formen werden unter den Düsen einem Laufband mit zwei beliebig einstellbaren Vorschüben fortbewegt. Der erste Vorschub ist während Drückens im Gange, so daß die Schokolade in ein Streifen die Form ausfüllt; während des Saugens wird die nächste Form herangeschoben. Sobald die vorher gestellte Menge an Schokolade in die Form gedrückt wird diese mit kurzem Ruck nach unten bewegt, damit Schokoladenfaden abreißt. Mundstücke und Kolbenkammern kann man auswechseln, so daß man die Teilmaschinen beliebigen Formenbreiten anpassen kann.

Eine besondere Stellung nimmt die Formenfüllmaschine Abb. 13 ein, mit der Schokoladenplättchen und kleinere Figuren hergestellt werden. Der in der Mitte stehende quadratische Kasten hat am Boden eine auswechselbare Lochplatte und als Deckel einen eingepaßten Kolben. Durch Treten auf den Fußhebel wird immer eine bestimmte Menge Schokolade aus dem Kasten durch die Lochplatte in die darunter gelegten Formen gedrückt.

Die gefüllten Formen wandern auf eine Klopfbahn, auf der die Schokolade gut in alle Fugen der Form eingestampft wird. Die Schlagzahl beträgt 600 bis 800 in Minute, die Schlaghöhe 2 bis 4 mm. Der Schlag wird durch Schlagräder oder Exzenter in Verbindung mit Knie- oder Winkelhebeln erzeugt. Klopfbahnen, auf denen die Formen durch Laufbänder weiterbefördert werden, sind veraltet. Statt dessen läßt man den Stoß etwas schräg aufwärts erfolgen. Dadurch hüpfen die Formen über die ganze Länge der Bahn und machen so Platz für die nachfolgenden neugefüllten Formen. Am Ende der Bahn wandern die Formen selbsttätig in den Kühlapparat. Um die Formen zu schonen und das Geräusch etwas zu dämpfen, bestehen die Bahnen aus Hartholz oder sind außerdem mit Hartgummi bezogen. Die in Abb. 7 dargestellte Klopfbahn hat, um an Baulänge zu sparen, die Bahnen in S-Form. An den Enden werden die Formen durch Drehscheiben umgeleitet. Diese Bauart gibt gleichzeitig guten Gewichtsausgleich, da die mittlere Bahn schwerer ist, wie die beiden äußeren zusammengekommen.

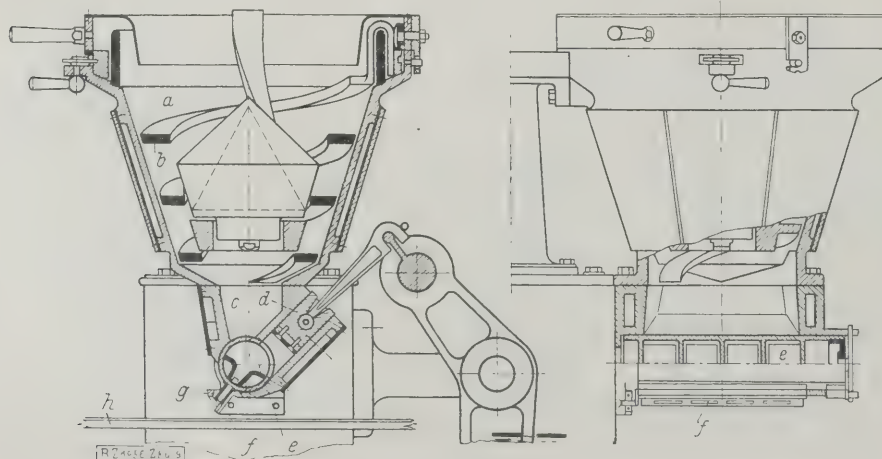


Abb. 8 und 9
Einfülltrichter und Teilkopf
Eintafelmaschine, Bauart Gäbel

- a* Einfülltrichter
- b* Förderschnecke
- c* Vorkammer der Kolbenkammer
- d* Kolben
- e* Drehschieber
- f* Mundstück
- g* Strangabschneider
- h* Laufband

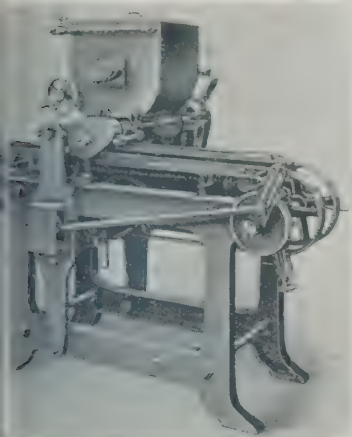


Abb. 10
Formenfüllmaschine für flüssige
Massen von J. M. Lehmann.

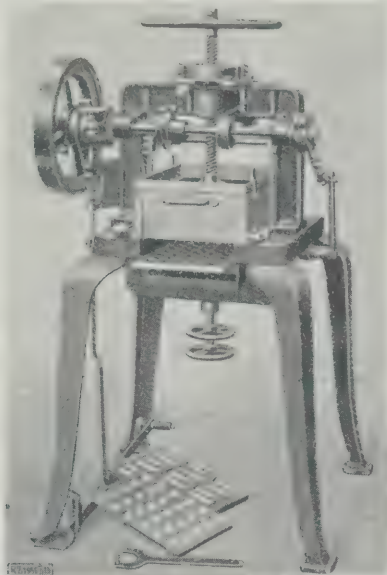


Abb. 13
Maschine zum Einformen von
Schokoladenplätzchen. Anton
Reiche A.-G., Dresden.

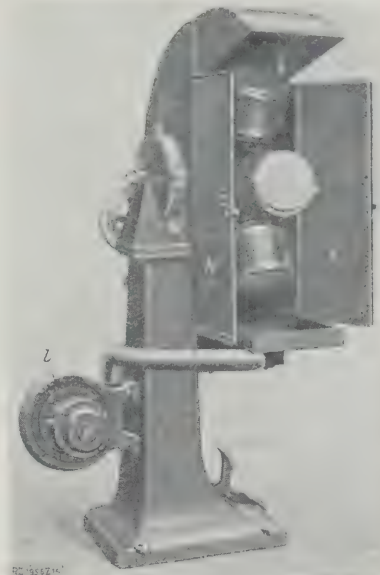


Abb. 14
Hohlformmaschine von Reiche.
i einflügelige Tür
k zweiflügelige Tür l Lüfter

Für Tafelschokolade kühlt man in größeren Betrieben ausschließlich in Anlagen mit selbsttätigem Formen-
verfahren. In diesen werden die von der Bahn kommenden Formen durch einen Lattenförderband oder ein solches aus Drahtgeflecht aufgenommen und langsam bis an das andere Ende des Schrankes befördert, wo sie ihn gehen durch einen Spalt verlassen. Die durch eine unter dem Laufband befindliche Kühlrohrschlange erzeugte Luft wird durch einen Ventilator nach dem Gegenstromverfahren in stetem Umlauf gehalten. Die Kühldauer beträgt zwischen 15 und 25 Minuten. Schneller zu kühlen ist nicht angängig, da sonst die Haltbarkeit der Schokolade leidet und sich häßliche rote Flecke auf ihr bilden. Wegen dieser erzwungenen Kühldauer und der Zeit zum Wiederanwärmen der Formen braucht man, um einen ununterbrochenen Arbeitsgang zu gewährleisten, über 3000 Formen. Die großen Schokoladenblöcke werden im Kühlraum gekühlt und aufbewahrt.

Hohlkörper aus Schokolade werden auf verschiedene Arten in zweiteiligen Formen aus Weißblech erzeugt. Meistens füllt man die Formen durch besondere Vorrichtung bis zum Rand mit dünnflüssiger Masse und läßt sie darauf wieder leerlaufen. Die darin haften gebliebene Form bildet nach dem Erstarren den Hohlkörper.

Nach einem andern Verfahren arbeitet die Hohlformmaschine, Abb. 14. In einem mit der Achse *a*, Abb. 15, versehenen Gehäuse *b* sind sechs Spindeln *c* gelagert. Auf diesen Spindeln sitzen, axial schiebbar, die Kegelräder *d*, welche bei Drehung des Gehäuses auf den feststehenden Zahnkranz *e* abwälzen. Mit den inneren Enden der Spindeln sind die Steigräder *f* verschraubt, die durch Federdruck an ihre im Gehäusekern befestigten Gegenräder *g* gedrückt werden und bei der Drehung der Spindeln immer die Zahn überschnappen. Die auf den äußeren Enden der Spindeln befestigten Behälter *h* führen eine Planetenbewegung aus und werden durch die Steigräder ruckartig

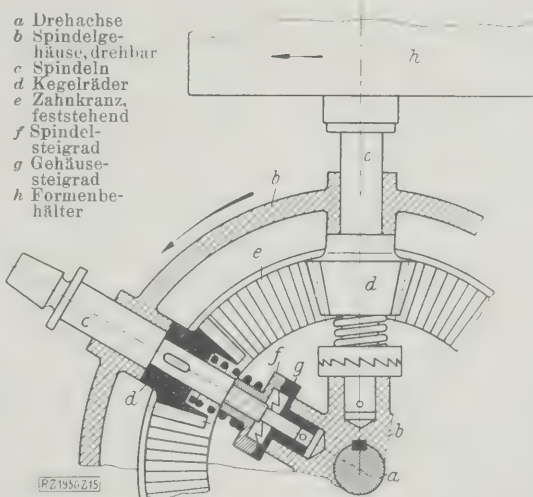


Abb. 15
Spindelgehäuse der Hohlformmaschine.

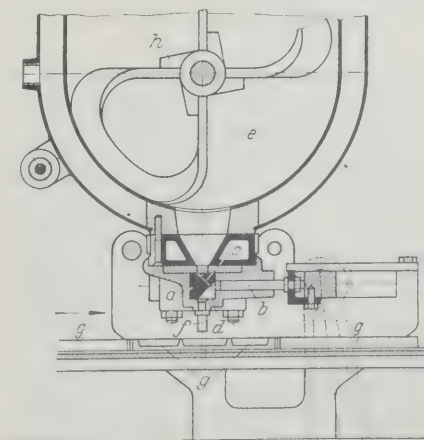


Abb. 12
Teilvorrichtung.

Abb. 11 und 12
Schnitt durch die Kolbenkammer der Formenfüllmaschine, Bauart Lehmann.

- | | |
|----------------------------|-------------------|
| a Stangenschieber | e Einfüllbehälter |
| b Zylinder | f Auslaufdüsen |
| c Saugschlitz im Schieber | g Formen |
| d Druckschlitz im Schieber | h Rührwerk |

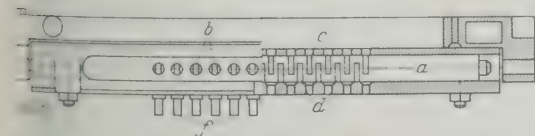


Abb. 11
Stangenschieber.

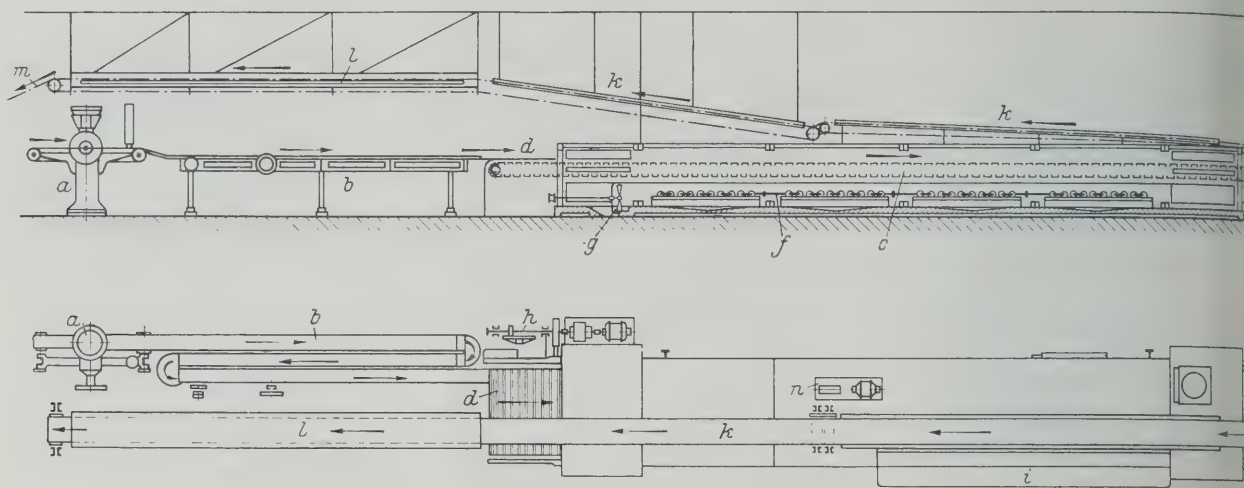


Abb. 16 und 17

Halbselfsttätige Eintafelanlage der Maschinenfabrik C. G. Haubold A.-G., Chemnitz.

- | | | |
|---------------------------------|-----------------------------|--------------------------------------|
| a Formenfüllmaschine | f Kühlrohre | k Laufbänder zum Rückfördern der |
| b Klopfbahn | g Lüfter | geleerten Formen |
| c Kühlschrank mit selbsttätigem | h verstellbarer Antrieb des | l Vorrichtung zum Anwärmen der |
| Formenlauf | Kühlbandes | geleerten Formen |
| d Aufnahme der gefüllten Formen | i Ausschlagbrett | m Rutsche für die angewärmten Formen |
| e Abnahme der gekühlten Formen | | n Antrieb des Rückförderbandes |

erschüttert. Sie sind mit den zweiteiligen Hohlformen gefüllt, die vorher durch eine Abfüllmaschine mit einer kleinen Menge Schokolade, die gerade ausreicht, um die Innenwand der Hohlform mit einer dünnen Schicht zu überziehen, beschickt worden sind. Die eigenartige Bewegung der Behälter läßt die Schokolade durch ihr Gewicht an jeden Punkt der Hohlform laufen, so daß sie nach dem Ausformen einen nahtlosen Hohlkörper bildet. Vor dem Ingangsetzen werden die Türen *i* und *k*, Abb. 14, geschlossen. Während des Arbeitens bläst der Lüfter *l* zuerst warme und dann kalte Luft durch die Maschine.

Während im Formraum eine Lufttemperatur von 25 bis 30° am Platz ist, muß sie im Packraum erheblich tiefer gehalten werden, damit die aus dem Kühlschrank heraustretende Schokolade nicht beschlägt. Die Formen werden mit der Hand abgenommen und dann auf ein Laufband gelegt, wo sie durch Umwenden mit der Hand und, wenn notwendig, durch leichtes Aufschlagen auf eine Holzplatte entleert werden. Es sind Bestrebungen im Gange, auch dieses Ausformen selbsttätig zu gestalten. Die leeren Formen wandern über ein beheiztes Transportband zurück zur Abtafelmaschine, wo sie richtig angewärmt ihren Kreislauf aufs neue beginnen.

Eine halbselfständige Eintafelanlage, Bauart Haubold, zeigen Abb. 16 und 17. Sie besteht aus Formenfüllmaschine, Klopftisch, Kühlschrank und einer Vorrichtung zum Anwärmen der entleerten Formen. Zur Bedienung genügen ein Mädchen an der Formenfüllmaschine und einige zum Ausschlagen und Reinigen der Formen.

Übersicht

Wie wir sehen, haben die maschinellen Einrichtungen der Schokoladefabriken schon vielfach eine sehr hohe Vollkommenheit erreicht; doch darf man sich nicht der Erkenntnis verschließen, daß es noch viel zu verbessern gibt. Die Kakao- und Schokoladenindustrie hängt vielfach noch sehr am Althergebrachten. Dazu herrscht leider in vielen Fabriken eine recht große Geheimniskrämerei, die eine wissenschaftliche Nachprüfung der alten Gebräuche hindert und so den Fortschritt hemmt. Vielfach wird auch das Studium der Nahrungsmittelgewerbe sehr zu Unrecht von vielen Technikern als eines rechten Ingenieurs nicht würdig angesehen, und doch birgt auch der Bau von Nahrungsmittelmaschinen für einen strebsamen gedankenreichen Ingenieur nicht weniger Möglichkeiten des Fortkommens, als es auf andern Gebieten der Fall ist.

Zur Zeit schenkt man die Hauptaufmerksamkeit der vollständig selbsttätigen, ununterbrochenen Erzeugung. Die Verarbeitung der Bohnen zu Kakaopulver und Schokolade bietet hierfür ein sehr dankbares Feld. Die Verbindung

der Maschinen durch Laufbänder, Förderschnecken, Becherwerke ist an vielen Stellen auch bereits erreicht. Doch wird der Arbeitsfluß in der Gesamtheit immer noch durch Maschinen von nicht fließender Arbeitsweise unterbrochen. Diese Lücken verursachen besonders in den Maschinen, die Pressen und die Reiber. Doch läßt sich ganz gut eine unterbrochen arbeitende Röstmaschine, besonders wenn, wie das heute ja vielfach geschieht, nicht so sehr geröstet als stark getrocknet wird. Bei Pressen erscheint eine Lösung dieser Aufgabe schon schwieriger, wenn nicht gar unmöglich. Rundreiber fortlaufenden Arbeitsgang wurden bereits angeboten, begegnet man ihnen bei der jetzigen Hochflut an Verfeinerungsmaschinen mit einigem Mißtrauen.

Der elektrische Einzelantrieb hat sich bis jetzt teilweise durchgesetzt. Der allgemeinen Einführung elektrischen Beheizung stehen zur Zeit noch, trotz der großen Vorteile, die hohen Stromkosten entgegen. Ein Ausweg bildet eine Ausführung, bei der der Dampf Grundheizung übernimmt, während die elektrische Zusatzheizung die Temperatur durch einen sehr empfindlichen Regler stets auf gleicher Höhe hält. [B 195]

Herstellung von Stahl nach einem neuen Verfahren

Das Verfahren beruht darauf, daß man in der B im Siemens-Martin- oder im elektrischen Ofen umgeschmolzenes Bessemerisen bei einer Temperatur von etwa 1530° langsam in ein Bad flüssiger Silikatschlacke mit einer Temperatur von etwa 1260° C laufen läßt. Durch die plötzliche Abkühlung werden kleine Explosionen hervorgerufen, das umgeschmolzene Eisen in kleine erbsengroße Kügelchen zersprengen, von denen jedes mit einer Schlackenschicht überzogen ist. Man erhält auf diese Weise die Puddel in großem Ausmaße.

Bei der A. M. Byers Co., Warren, Ohio, die das Verfahren eingeführt hat, wird das Eisen in einem Kessel in Mengen von 18 bis 20 t/h erschmolzen; es hat eine Zusammensetzung des Bessemerisens. Die Schlacke in einem kippbaren 15 t-Regenerativofen geschmolzen, läßt die Schlacke in eine gußeiserne Pfanne laufen, diese bis zu einer Höhe von 750 bis 900 mm bringt sie zum Eingießplatz des Roheisens, das bis zu einem Gewicht von 1000 kg langsam in die Schlacke eingeleitet wird. Ist das Eisen eingegossen, gießt man durch die Pfanne die überflüssige Schlacke ab und behält die Puddelstahl-Luppe zurück, die zur Presse gebracht und dieser sowie auf dem Walzwerk weiter verarbeitet wird. In 20 min werden 900 kg Puddelstahl hergestellt, während man beim gewöhnlichen Puddelverfahren zur Herstellung von 225 kg 1 h 45 min gebraucht. („Blast Furnace Steel Plant“ Bd. 17 (1929) Nr. 2 S. 263*) [N 2719] S.

Rationalisierung und Standardisierung in der Bauindustrie der Vereinigten Staaten von Amerika

Von Reg.-Baum. Dr.-Ing. H. GRIESEL, Berlin

Die wirtschaftlichen Kräfte in den Vereinigten Staaten, die zur Erschließung des Landes und zur Citybildung in den Großstädten drängten, stellten der Bauindustrie ungeahnt große Bauaufgaben; ferner zwangen die gewaltigen Summen des im Bauwesen festzulegenden Kapitals, das baldmöglichst wieder Gewinn bringen sollte, die Bauzeiten möglichst abzukürzen. Diese Aufgaben konnte die Bauindustrie nur durch weitestete Rationalisierung und Standardisierung der Baumaschinen und -geräte, der Baustoffe, Bauentwürfe und -ausführungen lösen.

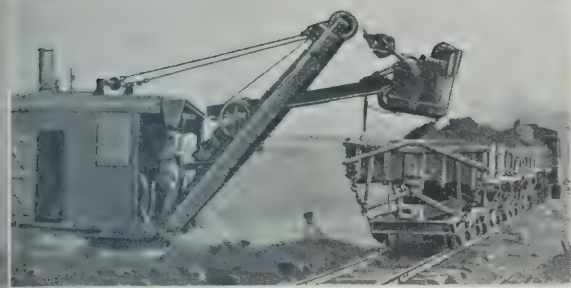


Abb. 1
Kleiner Löffelbagger auf Raupenbändern.

Am Morgen des 24. April 1913 zum ersten Male die Lichterfülle des Woolworth-Gebäudes in New York sichtbar aufleuchtete, war diese soeben fertiggestellte „Chedrale of Commerce“ nicht nur ein Sinnbild für den Aufstieg der großen amerikanischen Weltmachtstellung, sondern auch gleichzeitig der Anfang eines neuen Zeitabschnittes im Bauwesen. Glänzende technische Leistungen beim Bau von großzügig angelegten Eisenbahnen, Brücken, Eisen- und Hüttenwerken hatten sie bereits vorbereitet, und das ehemalige Kolonialland war jetzt wirtschaftlich so weit vorwärts geschritten, daß es nunmehr die weltumspannende Ausbreitung seiner Kräfte, die dann aber innerhalb eines Jahrzehntes die ganze Welt in seinen Bann zogen, schreiten konnte.

Hatte man sich bisher insbesondere für Wohn- und Geschäftszwecke wegen der begrenzt verfügbaren Kapitalien mit verhältnismäßig kleinen und einfachen baulichen Anlagen abgefunden, so führte der sich jetzt schnell anmelnde Reichtum zur immer rascheren Erschließung der natürlichen großen Hilfsquellen des Landes. Gleichzeitig wurde ein gewaltiger Ausdehnungsdrang, der wieder die stärksten Zusammenfassung der Kräfte trieb, ausgelöst, mit den verfügbaren Mitteln die erforderlichen großen Leistungen zu ermöglichen. Aus diesem Grund wurde das Bedürfnis, die Organisationen des Handels, der Industrie, der Banken, des Versicherungs- und Verkehrswesens auf engstem Raume in den Hauptwirtschaftsmittelpunkten zusammenzuziehen, immer stärker, um ihren gesamten Geschäftsverkehr und -betrieb möglichst zu vereinfachen und seine Abwicklung mit dem geringsten Zeitaufwand zu erreichen. Diese Bestrebungen waren die Voraussetzung zu der heutigen Citybildung mit den Hochhäusern in den amerikanischen Großstädten. Da mit dieser Entwicklung die für bauliche Zwecke notwendigen Kapitalien ebenso rasch anstiegen — sie erreichten in den letzten Jahren jährlich etwa 7,8 Milliarden Dollar — war es selbstverständlich, daß, je schneller diese festzulegenden Kapitalien wieder flüssig gemacht werden konnten, desto rascher und rascher auch die wirtschaftlichen Kräfte des Landes wuchsen; das hieß: die Bauzeiten mußten soweit wie irgend möglich verkürzt werden. So wurden durch diese Triebkräfte dem Bauwesen neue ungeahnte Aufgaben gestellt, die nur durch hohe technische Leistungsfähigkeit der Bauindustrie zu erfüllen waren und ungehört zur Rationalisierung und Standardisie-

rung¹⁾ führten, damit man die heutigen Leistungen im Bauwesen, die ihren sichtbarsten Ausdruck in dem amerikanischen Hochhaus gefunden haben, erreichen konnte.

Diese Entwicklung, die im engsten Zusammenwirken von Wissenschaft und Praxis erzielt wurde, vollzog sich nicht nur bei den Baumaschinen und -geräten sowie den Baustoffen, sondern auch in den Bauentwürfen und -ausführungen.

Die Baumaschinen und -geräte

Bei dem großen Bedarf und den hohen Beförderungskosten infolge der großen Ausdehnung des Landes und seiner Unerschlossenheit war es nötig, Einheitsbauten von Baumaschinen und -geräten zu schaffen. Hierdurch wurde nicht nur die Reihenfertigung möglich und die Beschaffung von Ersatzteilen in Lagern auf dem ganzen Erdteil sichergestellt, sondern man konnte auch mit einer einzigen Baumaschine mehrere Bauarbeiten auf einer Baustelle ausführen.

Für das Abgraben und Absetzen von lösbarem oder aufgebrochenem Boden oder Felsen hat die Baumaschinenindustrie eine einheitliche Bauart in dem Löffelbagger^{1a)} in Größen von 0,38 bis 3,05 m³ Löffelfassung, mit 24 bis 42 s Spieldauer bei leicht aufnehmbarem Boden entwickelt, Abb. 1. Die kleinen und mittleren Löffelbagger dienen für die Erdarbeiten beim Straßen- und Eisenbahnbau, sowie für die Ausschachtungen über Grundwasser bei den Hoch- und Brückenbauten, die großen Löffelbagger vorzugsweise für die See-, Hafen- und Flußbaggerungen.

Einen weiteren Schritt zur Erhöhung der Wirtschaftlichkeit stellt die konstruktive Durchbildung der kleineren Bagger dar; sie bestehen aus dem Unter- oder Fahrgestell, auf dem die durch einen Drehzapfen um 360° wagerecht drehbare Plattform mit der Kraft- und Antriebsmaschine gelagert ist. Gegen diese Plattform ist das Arbeitsorgan, der Ausleger mit dem Löffel, für sich leicht auswechselbar, gelenkartig abgestützt. Infolgedessen bilden das Untergestell mit der Kraft- und Antriebsmaschine

¹⁾ d. h. die Ausbildung von Einheitsbauarten bei den Baumaschinen und konstruktiven Bauteilen, durch die höchste Werkstoffausnutzung und wirtschaftlichste Arbeitsweise erreicht wird.

^{1a)} Vergl. hierzu a. Franke, Z. Bd. 73 (1929) Nr. 4 S. 140.



Abb. 2
Löffelbagger mit elektrischem Antrieb für Tunnelbauten.



Abb. 3

Hölzerne Dampframme mit aufgesetzter Verlängerung für das Aufrichten langer Spundwändeisen.

auf der drehbaren Plattform eine maschinelle Einheit, an der der Ausleger mit dem Löffel gegen ein andres Arbeitsorgan rasch ausgewechselt werden kann, mit dem man eine andre Arbeitsausführung gemäß dem Baufortschritt vornehmen will. Eine solche Maschine kann durch Anbau des entsprechenden Arbeitsorgans als Abplanierer (skimmer), Grabenbagger (ditcher), Erdschaufel (dragline)²⁾, Greiferbagger, Drehkran und zum Schlagen und Ziehen von Pfählen und Spundwänden benutzt werden.

Infolge dieser vielseitigen Verwendungsmöglichkeit einer Maschine wird nicht nur der Maschinenpark klein und damit das Anlagekapital niedrig gehalten, sondern auch die Beförderungskosten der Baumaschinen nach der Baustelle bleiben auf ein Mindestmaß beschränkt, da man mit einer Maschine und ihren Zubehörschiffen verschiedene Arbeiten ausführen kann; ferner sind alle diese Bauarbeiten in rascher Folge und gegenseitiger bester Anpassung durchführbar, weil zu jeder Zeit die entsprechende Baumaschine durch leichte Veränderungen der bisher benutzten zur Verfügung steht.

Zur Krafterzeugung dient in der offenen Baugrube meist der Dampfkessel, in der halb offenen der Verbrennungsmotor und in der geschlossenen, insbesondere bei Tunnelbauten, der Elektromotor, Abb. 2.

²⁾ Vergl. a. Z. Bd. 70 (1926) S. 1331.



Abb. 4

Schaber mit seitlich abgehängtem schwenkbarem Förderband, das den abgeschabten Boden sogleich in Schleppzüge verladet.

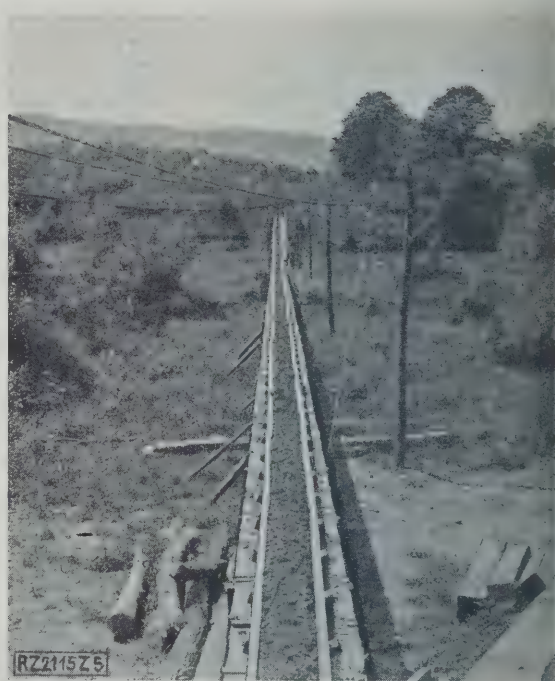


Abb. 5

Förderband in unwegsamen Gebieten mit Gerüst aus unbearbeiteten, meist auf der Baustelle zu gewinnenden Hölzern.

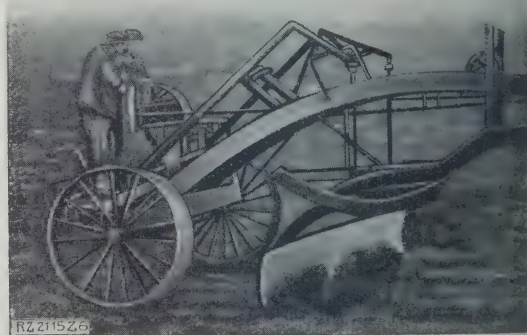


Abb. 6

Ein ebener, der entweder Selbstantrieb hat oder wie hier vom Schlepper gezogen wird.

Zum Abheben von Mutterboden oder sonstigen dünn Bodenschichten wird der Schaber mit Selbst- oder Schlepperantrieb und Selbstverladung des gelösten Bodens Kastenwagen, auf Förderbänder usw. verwendet, Abb.

Für die Stemm- und Bohrarbeiten zur Lösung von Straßendecken, altem Mauerwerk, bei Stollen- und Tunnelbauten usw. hat man den Druckluftbohrer oder Stemmhammer mit der leicht bewegbaren und selbstfahrenden Kompressoranlage mit Benzinmotor oder elektrischen Antrieb und für große Felsbrucharbeiten in Straßen-, Eisenbahn- und Kanaleinschnitten und in Stollenbrüchen die Schlagbohrmaschine als einheitlich Bohrgerät durchgebildet. Die Schlagbohrmaschine wird auch zum Bohren von Brunnen für die Grundwasserversorgung usw. verwendet.

Zum Schlagen von Pfählen und Spundwänden dient die Dampframme mit einem zerlegbaren Holzgerüst, Abb. 3, das auf hölzernen oder eisernen Längs- und Querschwellen aufgestellt wird und auf hölzernen oder eisernen Walzen bewegt wird. Auf diese Weise ist ein leichtes und schnelles Verrücken in jeder Richtung gewährleistet. Für Rammbar verwendet man den Dampfhammer, der dann der einzige den verschiedenen Rammarbeiten in bezug auf Schl-



Abb. 8

Betongießturm und -gießrinne, die einen Arbeitsbereich von 60 m Dmr. hat. Die Abstützung der Gießbrunneneinrichtung dient hier ein eiserner Gittermast, wie er zum Zusammenbau von Tragkonstruktionsteilen verwendet wird.

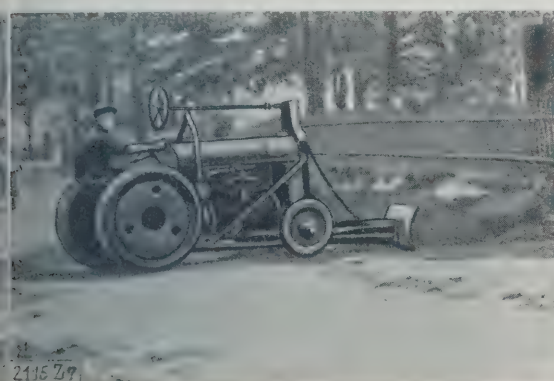


Abb. 7

Schlepper mit Erdschaufel zum Zufüllen von Rohrgräben.

Wicht und Schlaggeschwindigkeit anzupassende Organ. Eine Sonderausführung dieser Dampfhammer ermöglicht das Schlagen von Pfählen und Spundwänden unter Wasser ohne Jungferung, d. h. ohne Aufsatzstück.

Für die Bodenbeförderung sind Kastenkipper im Lokomotivbetrieb, s. Abb. 1, eiserne Kastenwagen mit Selbstentleerung für Schlepperzüge, Abb. 4, und selbstentleerende Lastkraftwagen in Betrieb. Hölzerne Wagen mit Selbstentleerung für Pferdebespannung trifft man nur in abgelegenen Gegenden bei Straßenbauten usw., wo es sich um geringe Bodenbewegungen handelt, an. Die Kastenkipper bis zu rd. 6,1 m³ Ladefähigkeit entleeren sich bei geringer einseitiger Belastung nach der Kippbewegung vollständig selbsttätig, sobald die Spannketten gelöst werden, und lassen sich dann infolge der genauen zentrischen Lagerung des Kastens auf kleinen Wälzflächen, die die leichte Kippfähigkeit gewährleisten und die Entleerung infolge einseitiger Belastung verhindern, leicht von einem Arbeiter wieder aufrichten, so daß zwei mit einem solchen Zug von etwa 15 bis 20 Wagen in wenigen Minuten — auch während der Fahrt — kippen und wieder aufrichten können. Kastenkipper von 6,1 m³ und darüber Ladefähigkeit kippt man mit Druckluft einzeln, der ganze Zug wird auf einmal in 1 bis 2 min geneigt und wieder aufgerichtet. Die steile Bodenneigung von 15 bis 47° und die große Ausschüttöffnung der Kästen gewährleisten auch bei stark klebenden

Bodenmassen eine vollständige Selbstentleerung. Die Kastenwagen für Schlepperzüge und die Lastkraftwagen sind an keine festen Fahrstraßen gebunden und werden vorzugsweise für die Beförderung des Bodenaushubs in den Städten beim Untergrundbahn- und Häuserbau usw. verwendet. In sumpfigem oder sonst wenig wegsamem Gelände wird das Förderband, Abb. 5, wegen seiner geringen Raumbeanspruchung, guten Geländeanpassung und seinem leichten Aufbau bei der Boden- und Baustoffbeförderung weitgehend benutzt.

Für das Einebnen des aufgeschütteten Bodens dient der Einebner (scraper), Abb. 6.

Zum Herstellen von Rohr- und sonstigen Leitungsgräben ist der Ketteneimerbagger mit Förderband für das seitliche Absetzen des Bodens einheitlich durchgebildet. Zum Zuschütten der Gräben dient die leichte Erdschaufel, Abb. 7.

Der hölzerne oder eiserne Wippmast (Derrick)³⁾ ist die am meisten verwendete Bauebemaschine; er wird als Erd- und Baustoffaufzug, Zusammenbaukran, Baggerkran usw. benutzt, da er schnell aufstell- und zerlegbar ist und ohne große Raumbeanspruchung mit einem Lastkraftwagen oder der Eisenbahn befördert werden kann. Dies gilt besonders für den hölzernen Wippmast, der bei kleinen Lasten auch wegen seines geringen Gewichts und großen Bestreichungswinkels, sowie seiner Fähigkeit, sich an die örtlichen Bauverhältnisse anzupassen, am meisten verwendet wird. Für die Errichtung der Eisenkonstruktionen beim Bau der Hochhäuser, Kraftwerke usw. benutzt man wegen seiner leichten Versetzbarkeit den eisernen Gittermast, s. a. Abb. 8, der aus einer senkrechten Säule und dem Ausleger besteht. Die senkrechte Säule ist oben in der Scheibe für die Haltetaue und unten im Auflager, wo auch der Ausleger abgestützt ist, drehbar gelagert. Diese Maste sind mit elektrischen Windmaschinen von großer Hubgeschwindigkeit ausgerüstet.

Den größten Fortschritt für die Wirtschaftlichkeit des Betonbaues bedeutete die Einführung der Betonmischmaschine und der Betongießeinrichtung, bestehend aus dem Gießturm und der Gießrinne, Abb. 8, zur Herstellung und Einbringung des Gußbetons in die Schalung. Hiermit wurde die Fließförderung für diese Arbeiten in den Baubetrieb eingeführt; sie geht von dem Sand- und Schotter- oder Kiesspeicher mit der selbsttätigen Zummessung der Betonzuschläge über die Betonmischmaschine, den Gießturm und die Gießrinne. Hierbei wird durch den Betonmischer die Geschwindigkeit des Fließtransportes und damit der Baufortschritt und durch die Höhe des Gießturms die Größe des Arbeitsbereiches der Gießeinrichtung bestimmt.

Von gleicher Bedeutung war die fahrbare Betonmischmaschine mit dem Ausleger und dem daran ausfahrbaren Verteilungskübel für den Betonstraßenbau, der durch die seitliche Einfasschiene und durch den „Fertiger“ der Betondecke, sowie die eisernen Formen für das Gießen von Bordsteinkanten und -rinnen bei der Herstellung der Fahrbahndecke einen weiteren Fortschritt in der Erhöhung der Wirtschaftlichkeit erfahren hat.

Diese Baumaschinen für die Betonarbeiten wurden weiter ergänzt durch die Einrichtungen zur Beförderung des Betons mittels Druckluft, die Spritzwurfmaschine zum Auftragen von Putz- und dünnen Betonschichten und die Zementmörtel-Preßmaschine für Verdichtungs- und Abdichtungsarbeiten.

³⁾ Vergl. a. Z. Bd. 73 (1929) Nr. 8 S. 265.

Die Baustoffe

Bei den Baustoffen wurde vor allem die Anzahl der Ziegelformate herabgesetzt. Außerdem führte man die großen gebrannten Hohlsteine für die Herstellung von Decken, Außen- und Zwischenwänden, sowie für die feuersichere Einmauerung der eisernen Raumfachwerkkonstruktionen, Abb. 9, ein. Infolgedessen verringerte sich die Zeit für die Hochführung der Außen- und Zwischenmauern auf ein Drittel gegenüber der bei der

Verwendung gewöhnlicher Ziegelsteine erforderlichen.

Für Betonbauarbeiten brachte die Einführung des Gußbetons eine außerordentliche Verbilligung und Beschleunigung, wie bereits ausgeführt wurde. Ferner wurden die Baustoffe für Decken-, Zwischen- und Trennwände für die Be- und Entwässerungen, sowie die Hilfsbaustoffe genormt und das Preßmetall zur Herstellung von Trennwänden, Türen und Fensterrahmen usw. eingeführt.

Die Herstellung von Werksteinen für die Verblendung von Fassaden, für die Gesimsausbildung und Bekleidung von Innenwänden in Vestibülen, Hallen usw. wurde weitgehend mechanisiert. Billiger hergestellte, künstliche Verblend- und Gesimswerksteine wurden eingeführt, die nicht nur wetterbeständig, sondern auch in jedem gewünschten Farbton leicht herzustellen sind.

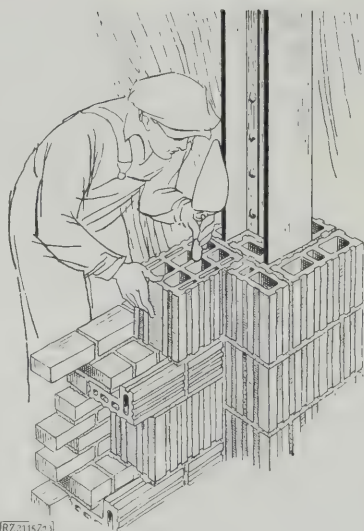


Abb. 9

Mauerverband aus großen Hohlsteinen mit gewöhnlichen Ziegelsteinen als Verblendung.

Die Bauentwürfe

Die Ausbildung des Raumfachwerkes als einheitliche Tragkonstruktion der Gebäude, wie sie in Eisen erstemal im größten Ausmaße beim Bau des Woolworth-Gebäudes angewendet wurde, bedeutete einen neuen wichtigen Abschnitt in der Ausführung von Hochbauten, stellte den bedeutendsten Fortschritt in der Rationalisierung des Bauens dar. Einen weiteren Fortschritt brachte der Ersatz der Eisenkonstruktion durch den bewehrten Beton. Die so durchgebildeten Tragkonstruktionen ermöglichen es erst, Gebäude von bisher unbekannter Höhe zu bauen, dadurch den für die Zusammenfassung des Wirtschaftslebens auf kleinstem Bodenflächenerforderlichen Raum zu schaffen und Entfernung des Zeitaufwands für die Geschäftsabwicklung auf ein Minimum zurückzuführen. Die Normung der Tragkonstruktionen setzte die Bauzeit für solche Gebäude auf ein Drittel der bisherigen herab und machte damit festgelegte Kapital in ebensolcher kurzer Zeit wieder bringend; das bedeutet für die amerikanische Volkswirtschaft auch in Anbetracht der gewaltigen Summen, die jedem Jahr im Bauwesen festgelegt werden, eine jährliche Ersparnis von Milliarden von Dollars.

Da jetzt die Stand- und Tragfähigkeit eines Gebäudes auf seine Tragkonstruktion vereinigt und nicht mehr der Festigkeit der Außen- und balkentragenden Wände ganzes abhängig ist, da ferner die Gebäudelast auf Baugrund in wenigen Punkten übertragen wird, konnte weitere konstruktive Durchbildung des Gebäudes einfacher gestaltet werden. Für die Schließung der Außenfelder der Tragkonstruktion genügt jetzt ein leichter und weniger druckfester Baustoff, weil er ausschließlich zur Ausfüllung der Öffnungen dient; er mußte nur wetterbeständig sein und die Temperatureinflüsse vom Innern des Gebäudes fernhalten. Für die Tragkonstruktionen selbst konnten Baustoffe größter Festigkeit verwendet und durch entsprechende Querschnittsbildung ihre Festigkeit bis zu den zulässigen Grenzen ausgenutzt werden.

Auch im Innern der Gebäude bedurfte es nicht mehr der Errichtung dicker balkentragender Wände, auch hier die Glieder der Tragkonstruktion alle Lasten aufnehmen; man stellt jetzt die Zwischen- und Trennwände nur aus leichten, schalldämpfenden Baustoffen her. Wo erreicht man mit diesen dünnen Zwischenwänden, daß

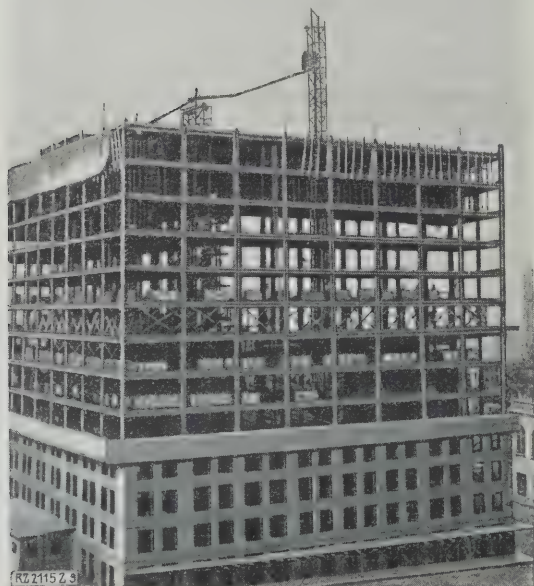


Abb. 10

Ausführung eines Hochbaues in Eisenkonstruktion.

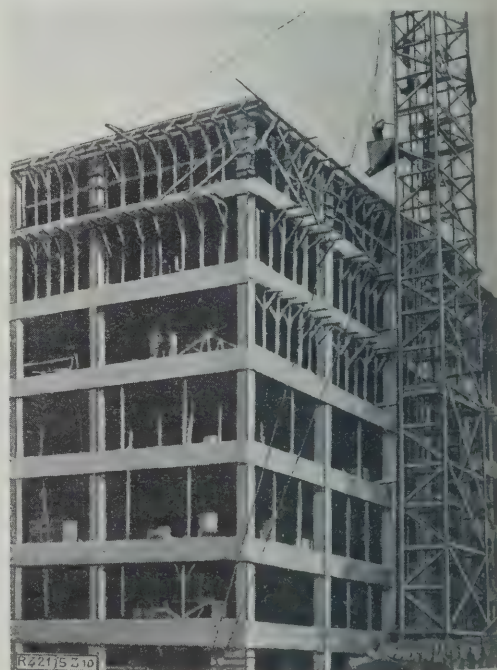


Abb. 11

Ausführung eines Hochbaues in Eisenbetonkonstruktion.

Der umbaute Raum größer blieb. Infolge dieser Auf-
g der Gebäude in verhältnismäßig dünne tragende
er und leichte Wandflächen wird nicht nur das Ge-
gewicht im Verhältnis zur Gebäudegröße auf ein Min-
maß beschränkt und damit an Baustoffen beträchtlich
erspart, sondern auch alle Arbeitsleistungen während der
Ausführungen werden durch die Bewegung viel geringe-
r als sonst; dadurch wird zum Nutzen
des gesamten Volkswirtschafts an Energie beträchtlich ge-
spart.

Diese Vorteile suchte man durch die Verwendung
von hochwertigem Stahl für die Herstellung der Tragkon-
struktionen noch weiter zu vergrößern.

Die Verringerung der auf den Baugrund zu übertragen-
den Lasten und ihre Vereinigung in wenigen Punkten
zur Vereinheitlichung der Pfahl- und Senk-
gründung, sowie der Verankerung der Trag-
konstruktion auf Felsen geführt und damit die Kosten für
die Gründung der Gebäude wesentlich herabgesetzt.

Die Bauausführungen

Bei der Bauausführung sind die einzelnen Bauvor-
arbeiten soweit wie möglich mechanisiert worden, wozu die
Tragkonstruktion wieder wesentliche Vorteile bot; denn
man konnte die Baustoffe nach den einzelnen Verwen-
dungen gemäß dem Baufortschritt durch Winden leicht
oben werden. Abb. 10 zeigt den Neubau eines Hoch-
hauses, in dem zwei Bauaufzüge in die Schächte der
für einzubauenden Personenaufzüge und der Nottreppe
eingebaut sind. Gleichzeitig mit dem Fortschreiten des Baues
der Tragkonstruktion werden die Decken aus Schlacken-
beton hergestellt. Der Betonmischer, der bei solchen Neu-
bauten fast regelmäßig im Keller aufgestellt ist, um die
Betonzuschläge in Straßenhöhe von den Lastkraftwagen
in Behälter am Mischer kippen zu können, entleeren
zunächst in eine Schleuse, aus der der fertig bereitete
Beton in Karren abgelassen und mit diesen dann zum
Gießen der Decken mit dem Aufzug hochbefördert wurde.
Kranne werden hierzu weniger benutzt, da ihr Bestrei-
gungswinkel wegen der Stützen der Tragkonstruktion
klein ist. Die Deckenschalung wird an den Decken-
sternen mittels Drähten aufgehängt, die wie die Entfer-
nungshalter für die Schalung und die Putzdrähte um die
Herunterkantente ebenfalls vereinheitlicht sind.

Nachdem die einzelnen Decken hergestellt sind und der
Beton abgebinden hat, befördert man die Verblend- und

Hintermauerungssteine durch die Aufzüge nach oben. In
Abb. 10 ist die Stapelung der Steine auf den Decken deut-
lich zu erkennen. Das an der Tragkonstruktion aufge-
hängte Arbeitsgerüst für die Ausführung der Maurerarbei-
ten hängt an den Gerüstwinden, die von dem vollständig
einbaubaren Arbeitsgerüst aus leicht zu bedienen sind
und jedem einzelnen Maurer gestatten, sich an seinem
Arbeitsstand die bequemste Höhe jederzeit einzustellen, was
seine Arbeitsleistungen wesentlich erhöht. Gewöhnlich
wird mit der Ausmauerung der Außenwände von zwei bis
drei Gerüsten aus begonnen, die in verschiedenen Stock-
werkhöhen aufgehängt werden und so die Herstellung der
Fassade unter zwei bis drei Maurerkolonnen aufteilen.

Besteht die Tragkonstruktion aus bewehrtem Beton, so
vollziehen sich die weiteren Bauarbeiten in gleicher Weise.
Bei Betonarbeiten begrenzt man die Zahl der Schalungen
soweit wie möglich, um an Schalung zu sparen und den
Baufortschritt zu fördern. Abb. 11 zeigt die Herstellung
eines Betonhochhauses.

Wie im Hochbau ist man auch im Tiefbau bestrebt,
mit wenig Schalung auszukommen. Bei der Herstellung von
Stütz- und Futtermauern, Talsperren usw. verwendet man
zwei bis drei Schalungssätze, die man nach genügendem
Abbinden des Betons versetzt, Abb. 12. Dem Wechsel in
der Mauerdicke folgt man durch die Länge der Spann-
schrauben, die die zwei sich gegenüberstehenden Schalungs-
tafeln zusammenhalten. Die durch die Spannschrauben
entstandenen Löcher werden nach Entfernung der Schalung-
tafel zur Aufhängung der Konsolen für die Abstützung
der Schalung in der lotrechten Richtung benutzt und hier-
nach sogleich zugefüllt.

Bei der Herstellung der Tunneldecken im Unter-
grundbahnstollen usw. verwendet man fahrbare Lehr-
gerüste mit versenkbarer Bühne, mit denen man die Schalung
von Abschnitt zu Abschnitt weiterfährt. Abb. 13
zeigt eine fahrbare Schalung für die Herstellung eines
Wasserleitungskanals, die zusammenziehbar ist, um sie von
der Gewölbeleibung leicht zu lösen; die Kanalsohle ist be-
reits betoniert. Das aufgebaute Dach dient als Schutzdecke
gegen die Sonnenbestrahlung des frisch eingebrachten
Betons.

In dieser Darstellung sollte nur ein kurzer Überblick
gegeben werden über die Verfahren mit denen man in den
Vereinigten Staaten von Amerika die Wirtschaftlichkeit
der Bauindustrie hebt; daher wurde auf weitere Einzel-
heiten besonders bei den Bauentwürfen und -ausführungen
nicht eingegangen; hierüber sind bereits eine Reihe
von Veröffentlichungen von mir erschienen⁴⁾, andre werden
in Kürze veröffentlicht werden. [B 2115]

⁴⁾ Vergl. „Die Betonstraße“ 1928 S. 226, Z. Bd. 72 (1928) S. 1849, „Der
Bauingenieur“ Bd. 10 (1929) Heft 3 S. 46.

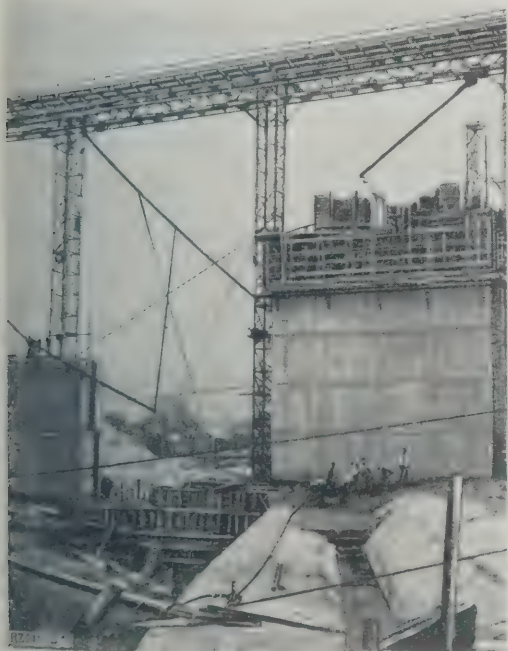


Abb. 12
Herstellung des Betonkerns für eine
Erddamm-Talsperre.

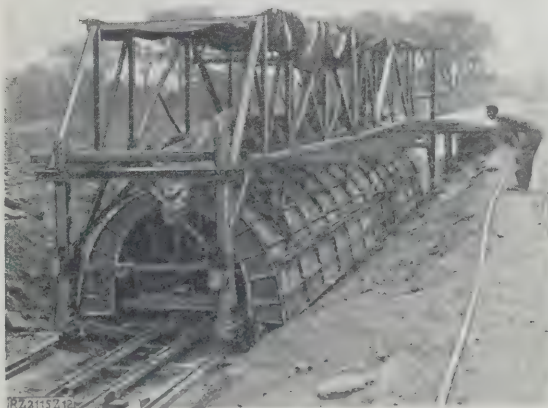


Abb. 13
Fahrbare eiserne Schalung zur Herstellung eines
großen Betonkanals. Das darübergebaute, mit-
fahrbare Gerüst dient als Schutzdecke gegen die
Sonnenbestrahlung.

Wege zur Rationalisierung des Schiffsanstriches

Von Dr. ERICH ASSER, Wandsbek

Vorgetragen am Sprechabend des Fachausschusses für Anstrichtechnik im Verein deutscher Ingenieure in Königsberg i. Pr. vom 2. Oktober 1928.

Unter Anwendung neuzeitlicher Arbeitsverfahren mit geeigneten Hilfsmaschinen und zweckmäßigen Farben lassen sich die Anstrichkosten für Schiffe bedeutend vermindern. Als Beispiel werden die Arbeiten der Deutschen Reichsbahn-Gesellschaft auf dem Gebiete der Rostschutzfarben erörtert. Bedeutung säure- und rauchgasfester Anstriche für Schiffe. Aufbau der Holzlackierung im Schiffbau. Spritzgeräte und Hilfsmaschinen. Schiffsbodenanstrich.

Bei der Herstellung sehr vieler lackierter Gegenstände haben die durch die Lackierarbeit entstehenden Kosten einen stärkeren Einfluß bei der Kalkulation, als man bisher allgemein annahm. Durch Mitarbeit des Ingenieurs, unter Ausnutzung neuzeitlicher Arbeitsmöglichkeiten mit geeigneten Hilfsmaschinen, hat man die Kosten für die Lackiererei teilweise so bedeutend vermindern können, daß die dadurch erreichten Fortschritte entscheidenden Einfluß auf die Wirtschaftlichkeit des ganzen Herstellungsganges ausgeübt haben. Ich erinnere an die neuen Kraftwagen-Schnellackierverfahren mittels der Spritzlackierpistole und am laufenden Band, an die mechanisierten Arbeitsverfahren in den Lackierwerkstätten der Reichsbahn, auf die der Ingenieur entscheidenden Einfluß genommen hat.

Verschiedene Arbeitsabschnitte beim Anstrich der Schiffe kann man durch Zusammenarbeit von Farbchemiker und Ingenieur unter Ausnutzung neuzeitlicher Hilfsmittel bedeutend verbilligen. Auch in der Güte der Anstrichmittel selbst werden sich in Zusammenarbeit zwischen Farbchemiker und Schiffbauingenieur Fortschritte erreichen lassen, wenn der Schiffbau aus seiner Praxis heraus der Farbenindustrie seine Sonderwünsche für alle solche Fälle bekanntgibt, wo die bisherigen Anstrichverfahren versagt haben. Durch die Stellung hoher Forderungen wird oft eine schnelle Entwicklung erreicht, und es soll da gerade die Aufgabe des Fachausschusses für Anstrichtechnik im Verein deutscher Ingenieure sein, wichtige Anstrichfragen durch gemeinsame Besprechung und wissenschaftliche Forschung lösen zu helfen.

In den letzten Jahren hat man das beste Verfahren zur Herstellung rostschützender Anstriche wiederholt erörtert. Die Deutsche Reichsbahn-Gesellschaft hat sich auf Grund vielseitiger Untersuchungen und Beobachtungen auf den Standpunkt gestellt, daß für den ersten Grundanstrich auf Eisen die alte Bleimennige den besten Rostschutz ausübt. Man sollte daher auch im Schiffbau an der Grundierung mit Bleimennige bis auf weiteres grundsätzlich festhalten. Die Haftkraft des Mennigeanstriches auf Eisen ist ganz überraschend groß. Wahrscheinlich ist sie auf die Bleiseifenbildung mit dem Leinölfirnis zurückzuführen, die jeder Mennigeverbraucher selbst an dem oft schnellen Reagieren der alten Bleimennige mit dem Leinölfirnis beobachtet, wodurch der ganze Farbanstrich verdickt wird. Zink-, Titan- und Eisenoxydfarben zeigen die Seifenbildung in der Praxis kaum sichtbar. Auch bei den neuen Herstellungsverfahren für disperse Mennige, bei denen die Zusammensetzung der Mennige im Vergleich zu der alten Mennige geändert wurde, ist die Geschwindigkeit der Seifenbildung wesentlich herabgesetzt; es steht deshalb noch dahin, ob vom Standpunkt der Rostschutzfarbe aus die neuen Mennigeerzeugnisse einen Fortschritt bedeuten.

Dagegen sind auf Anregung der Deutschen Reichsbahn-Gesellschaft in der Rostschutzfarben-Herstellung in den letzten Jahren wichtige Fortschritte durch Ausarbeitung besonderer dampf- und rauchgasfester Rostschutzfarben gemacht worden. Die Reichsbahn unterscheidet in ihren neu vereinbarten Lieferbedingungen deshalb fortan die normalen Wetterfarben von den neu eingeführten rauchgasfesten Farben.

Die rauchgasfesten Rostschutzfarben enthalten einen verhältnismäßig hohen Anteil an Holzöl-Standöl, wodurch die Wasser- und Dampffestigkeit wesentlich erhöht wird. Infolge dieser verstärkten Wasserundurchlässigkeit erhalten die Farben auch eine erhöhte Widerstandsfähigkeit gegen die Einwirkung der Rauchgase

von Lokomotiven und müßten aus demselben Grund auch im Schiffbau gute Dienste leisten. Taucht man Anstrich tafeln mit gewöhnlicher Rostschutzfarbe und andre soda- und rauchgasfester Farbe 30 min in Sodalaug, 5 vH kalzinierte oder 13,5 vH Kristallsoda enthält, so wird die gewöhnliche Rostschutzfarbe durch die beizende Wirkung der Sodalaug von dem Eisenblech vollständig heruntergelaugt, während der mit sodafester Farbe hergestellte Vergleichsanstrich nicht angegriffen wird.

Gerade an Bord eines Schiffes, wo aus hygienischen Gründen sehr viel gewaschen und gereinigt werden muß, sollte man die säure- und rauchgasfesten Anstriche verwenden. Die Farben sind auf Anregung der Reichsbahn entstanden, die im Jahre 1911 mit der Forderung an die Lackindustrie herantrat, sodafeste Lackfarben für Innenanstrich der Viehwagen zu schaffen, die zur Infektion regelmäßig mit Sodalaug gereinigt werden müssen. Die bisherigen, stark leinöhlhaltigen Anstrichmittel wurden bei der notwendigen Reinigung in kurzer Zeit verseift — weil ja Leinöl und Alkali Seifenbildung ergeben — und infolgedessen verhältnismäßig schnell untergewaschen.

Durch Ausarbeitung von Holzöllacken unter Verwendung von veresterten Kopal oder Kunstharzen aus der deutschen Lackindustrie geglückt, sodaß es möglich wurde, Lacke herzustellen, deren Bedeutung in Schiffahrtskreisen schon vielfach erkannt worden ist. Die Kriegszeit hat besonders überzeugendes Beispiel für die überlegene Widerstandsfähigkeit der sodafesten Farben durch den im Jahre 1916 an der schwedischen Küste gestrandeten Dampfer „Winfried“ der Hamburg-Bremer Afrika-Linie gegeben. Der Dampfer lag drei Monate unter Wasser. Die Maschinenräume des Dampfers waren mit sodafesten Anstrichstoffen gestrichen, während für die sonstigen Anstricharbeiten die gewöhnlichen Leinölfarben und -lacke benutzt worden waren. Nach der Hebung des Dampfers wurden die mit den sodafesten Farben gestrichenen Räume mittels Wasserstrahles vom Schlamm gereinigt, während der Anstrich aller andersartig gestrichener Schiffsteile durch die auslaugende Wirkung des Salzwassers völlig zerstört worden war.

Daß die sodafesten Anstrichfarben den gewöhnlichen Ölfarben im Anstrich von Maschinenräumen, Krankenhäusern, Toiletten und den starker Beanspruchung ausgesetzten Laderäumen überlegen sind, ist erwiesen. Preisunterschied gegenüber gewöhnlichen Ölfarben für praktisch durch die längere Haltbarkeit der Anstriche einen reichlichen Ausgleich. Die sodafesten, holzöhlhaltigen Lacke und Lackfarben zeichnen sich durchweg auch durch eine wesentlich kürzere Trockenzeit als die alten bekannten Anstrichmittel aus, so daß deren Verwendung besonders bei eiligen Ausbesserarbeiten, noch den besonderen Vorteil der schnelleren Durchführbarkeit der einzelnen Lackierarbeiten aufweist.

Auf derselben Grundlage der Sodafestigkeit werden natürlich auch farblose Lacke für Naturholzlackierung und auch für alle sonstigen Außenarbeiten hergestellt. Diese hochwertigen Lacke, die keine Wasserempfindlichkeit mehr zeigen, haben sich wegen ihrer vielseitigen Zugänge auch im Ausland schnell Ansehen verschafft. In halb ist es auch im Schiffbau wirtschaftlicher, sodafeste Anstrich überall dort zu verwenden, wo höhere Anforderungen an die Unempfindlichkeit der Lackierung gestellt werden müssen, selbst wenn man sie im Anfang auch etwas teurer in Rechnung stellen muß als gewöhnliche Leinölfarben.

Im Aufbau der Holzlackierung im Schiffbau sind wirtschaftliche Fortschritte durch Schaffung und Verwendung der Spargrundierfirnisse für den ersten Anstrich auf Holz erreicht worden. Während der für Holzgrundierung bisher fast ausschließlich verwendete Leinölfirnis in dem saugfähigen Holzuntergrund zum großen Teil nutzlos versickerte, ist es nach den neuen Verfahren gelungen, den Leinölfirnis so herzustellen, daß er an der Oberfläche des Holzes festgehalten wird und dort, wenn er nutzlos wegzuschlagen, einen dichten Anstrichfilm bildet, der es ermöglicht, im Werdegang der Lackierung mindestens einen ganzen Anstrichgang zu ersparen.

Eine wesentliche Neuerung bedeutet auch die Einführung der Nitrozelluloselackierung und -polierung besonders gegenüber dem sehr langwierigen, stark Handarbeit belasteten und daher besonders kostspieligen Schellack-Polierv erfahren. Die Schellackpolitur ist gegen chemische Einwirkungen äußerst empfindlich. Selbst Wasser verursacht schon unangenehme Flecken, während Zellulosepolitur eine bisher ungeahnte Widerstandsfähigkeit selbst gegen Laugen, Sprit, Mineralöl, Benzin und Wasser hat. Zum Vergleich haben Holzplatten mit Schellackpolitur und andre mit Nitrozellulose-Politurlack 12 Monate im Wasser gestanden. Die schellackpolierten Platten waren völlig ausgelaugt, während die nitropolierten Platten keinen Angriff aufwiesen.

Die Klavier- und die Möbelindustrie haben sich die Vorteile des Nitrozellulose-Polierv erfahren schon zunutze gemacht, weil die Politurflächen den sichtbaren Vorteil gewisser Widerstandsfähigkeit aufweisen und sich durch ein viel einfacheres Verfahren als die Schellackpoliturflächen herstellen lassen. Während die Schellackpolitur mit der Hand mit dem Polierballen in außerordentlich langsamem Arbeitsgang fertiggestellt wird, trägt man Nitropolitur mittels Spritzpistolen auf. Die dabei entstehenden kleinen Unebenheiten werden nur mit Schleifpapier oder auch mit Schleifmaschinen, wie sie in der Klavierindustrie üblich sind, abgeschliffen und dann mit den besonders für den Zweck ausgearbeiteten Polierpasten oder -flüssigkeiten auf Hochglanz poliert. Der Arbeitsgang ist leicht erlernen und durchführbar.

Eine Reihe deutscher Sonderfirmen beschäftigt sich mit der Herstellung der Nitropolituren. Welche wirtschaftliche Bedeutung das Polierverfahren hat, geht aus der mir aus der Klavierindustrie gewordenen Mitteilung hervor, daß die Kosten für ein poliertes Klavier nach dem neuen Verfahren im Vergleich zur Schellackpolitur teilweise soweit herabgesetzt werden konnten, daß das auf den Gesamtpreis des Klaviers einen Preisunterschied von rd. 5 bis 10% ausmacht. Die Einführung neuzeitlicher Lackierverfahren spielt also bei der Kalkulation des Fertigerzeugnisses eine wesentliche Rolle.

Daß diese hornartig hart trocknenden Zelluloselacke, ganz abgesehen von dem Vorteil ihrer schnellen Trocknungsfähigkeit (sie trocknen in nur rd. 25 min auf), große Vorteile z. B. für die Lackierung von Sitzbankmöbeln usw. bieten, ergibt ohne weiteres auf der Hand. Sie sind unempfindlich und in bisher unbekannter Weise trittfest; deshalb hat sie auch die Reichsbahn zur Lackierung der Sitzbänke der ersten Wagenklasse eingeführt. Die Lacke eignen sich auch zum Konservieren, z. B. von Peddigrohr-Bordmöbeln, die gewöhnlich schon nach der ersten Reise durch Rußschmutzgrau werden. Wenn man diese Möbel gleich mit dem farblosen Zelluloselack spritzt, so sind sie gegen Feuchtigkeit und Schmutz unempfindlich. Noch schöner würden sie allerdings wirken, wenn man sie absichtlich mit leuchtend farbigen Zelluloseemailen spritzen würde, um dadurch das Bordbild nach der farbenfrohen Seite neu zu beleben.

Die Einführung der Spritzlackierung würde im Schiffsanstrich eine ganz bedeutende Rolle spielen können, wenn es gelänge, Spritzgeräte zu schaffen, mit denen man auch in den kleinsten Innenräumen der Schiffe die Arbeit ohne Gesundheitsschädigung der Maler spritzen kann. Diese Aufgabe ist deswegen schwierig, weil es

unmöglich ist, die Farbnebel in jedem kleinen Spritzraum abzusaugen, wie man es z. B. in industriellen Lackiergroßbetrieben durchführt. Die Lacke kann man also voraussichtlich nur mit Niederdruck-Spritzgeräten auftragen, deren Konstruktion im Jahre 1928, wie die Ausstellung auf der Magdeburger Lackierertagung gezeigt hat, beträchtliche Fortschritte aufweist. Die Niederdruck-Spritzgeräte haben für viele Anstrichzwecke, z. B. in Eisenbahnwerkstätten, vorzügliche Dienste geleistet, ohne daß man Abzugvorrichtungen schuf, so daß sie sich auch im Schiffsanstrich als nützlich erweisen würden.

Eines der schwierigsten Arbeitsverfahren in der Lackierung ist der Spachtelschliff, der bisher viel Handarbeit und damit Arbeitslohn erforderte. Ich habe deshalb schon in der Gründungssitzung des Fachausschusses für Anstrichtechnik auf die Notwendigkeit, hier mechanische Hilfsmittel zu schaffen, hingewiesen. Beträchtliche Fortschritte sind auf dem Gebiet erreicht. So wurde während der Magdeburger Lackierertagung auf dem Reichsbahn-Ausbesserungswerk Magdeburg-Salbke die neueste Bauart einer Spachtelschleifmaschine¹⁾ vorgeführt, die mit Druckluft unter gleichzeitiger Zuleitung von Wasser zur Durchführung des Schleifvorganges betrieben wird.

Für den Schiffsaußenanstrich kann man natürlich auch die leistungsfähigeren Hochdruck-Spritzgeräte verwenden. Besonders könnten diese wohl für die Herstellung des Schiffsbodenanstriches benutzt werden, den man heute noch in verhältnismäßig einfacher Form ausführt. Ich bin überzeugt, daß die Einrichtung der Docks mit solchen Spritzgeräten, die dem Arbeitsgang genau angepaßt sind, sich lohnen muß, weil die Geräte viel schnellere und gleichmäßigere Arbeitsleistungen vollbringen, als sie nach den bisherigen Anstrichverfahren mit langstieligen Quastpinseln möglich waren.

Es handelt sich dabei um eine Ingenieurarbeit, eine großzügige, leistungsfähige Spritzeinrichtung zu schaffen, während es eine chemische Aufgabe bleibt, die Frage der Schiffsbodenfarben besser als bisher zu lösen. Man darf den Herstellern von Schiffsbodenfarben aber nicht jede Anregung zu fortschrittlichen Arbeiten dadurch nehmen, daß man die Preise für Schiffsbodenfarben im Durchschnitt unter der Grenze des Zulässigen hält. Hier sollte meiner Ansicht nach durch Preisabschreiben der Reedereien ein Fortschritt angestrebt werden. Hoffentlich gelingt es dem Fachausschuß für Anstrichtechnik, hier auch glücklichen Einfluß auf die Weiterentwicklung dieser Frage zu nehmen.

Zusammenfassung

1. Die Verbesserung und Verbilligung der bisherigen Arbeitsweisen im Schiffsanstrich ist möglich bei planmäßiger Benutzung neuer, wichtiger Fortschritte auf dem Gebiete der Anstrichstoffe und technisch-maschineller Arbeitsweisen.
2. Die neuen Erkenntnisse der Deutschen Reichsbahn-Gesellschaft auf dem Gebiete der Rostschutzfarben, die Schaffung rauchgas- und dampffester Sonderfarben, sind auch für den Schiffbau bedeutungsvoll. Die Überlegenheit der Bleimennige als Grundanstrich auf Eisen bleibt anerkannt.
3. Die wirtschaftliche Holzgrundierung mit porenfüllendem Sparfirnis ermöglicht die Ersparnis eines Arbeitsganges im Anstrichaufbau.
4. Die Anwendung der Nitrozelluloselacke für die feinsten Holzlackier- und Politurarbeiten bedeutet Zeitabkürzung, Lohnersparnis und hohe Güte der Politur.
5. Leistungsfähige Spritzgeräte für Schiffsanstrich und neue Schleifmaschinen für Spachtelschliff sind notwendig, um den Schiffsboden-Farbanstrich zu beschleunigen und zu verbessern.

¹⁾ Hergestellt von der Frankfurter Maschinenbau-A.-G., vorm. Pokorny & Wittekind, Frankfurt a. M. [B 2209]

R U N D S C H A U

Schiffs- und Seewesen

Schiffbau und Schiffsbetrieb

Die bei der 29. Hauptversammlung der Schiffbautechnischen Gesellschaft vom 22. bis 24. November 1928 gehaltenen Vorträge behandelten die Sicherheit auf See, Fortschritte in der Herstellung des Schiffbau- und Kesselstahles, Festigkeitsfragen beim Schiff, die Entwicklung des Contrapellers und den Ausbau eines Schiffbaulaboratoriums in Hamburg. Über

Schwimmfähigkeit der Fahrgastschiffe nach Havarien und ihre internationale Regelung

sprach Prof. W. Laas, Direktor des Germanischen Lloyd, Berlin. Er behandelte Titel IV, „Bauart der Schiffe“, des am 20. Januar 1914 von 13 Schiffahrtsstaaten unterzeichneten Internationalen Vertrages zum Schutze des menschlichen Lebens auf See. Zu dem Vertrag gehört das „Regelmant“, das die Vertragsabschnitte durch Einzelbestimmungen ergänzt. Vertrag und Regelmant sind bisher in wichtigen Einzelheiten nicht bis zu unmittelbar brauchbaren Vorschriften ausgearbeitet worden, und der Krieg hatte eine Zusammenarbeit vor allem Deutschlands mit den andern Ländern unterbunden. Sie ist eingeleitet und soll demnächst fortgesetzt werden. Die Ausführungen von Prof. Laas stellen das Ergebnis der Beratungen des neuen „Bauausschusses von 1927“ dar, dem die leitenden Schiffbauer Deutschlands angehören, und umfaßten die Abschnitte Schotteinteilung und konstruktive Einzelheiten.

Bei der Schotteinteilung handelt es sich um die Frage, wie klein der Schottabstand zu wählen ist, damit ein Schiff nach schwerer Havarie noch möglichst lange schwimmfähig bleibt. Zur Lösung dieser Frage ist die Grenze, bis zu der ein Schiff im Leckfall eintauchen darf, und die Flutbarkeit der Räume in Rechnung zu stellen. Die Flutbarkeit richtet sich nach dem Raumbedarf der Ladung und der Konstruktionsteile. Da die genaue Berechnung der Schottkurven als sehr umständlich gilt, wurde sie in England und Deutschland durch Annäherungsverfahren ersetzt. Diese führen infolge der verschiedenen Schiffsformen zu Fehlern bis zu 30 vH gegenüber der genauen Rechnung.

Aus diesem Grunde wurde beim Germanischen Lloyd ein genaues Rechnungsverfahren so vereinfacht, daß es nahe in der gleichen Zeit zum Ziele führt wie das britische Annäherungsverfahren.

Nun reicht es für den Fall, daß ein Leck gerade Schott entsteht, nicht aus, wenn die Unsinkbarkeit nur den Fall gesichert ist, daß lediglich ein Raum voll Wasser läuft. Deshalb hat man den Abteilungsfaktor eingeführt, der vorschreibt, wieviel geringer der Schottabstand tatsächlich gegenüber dem nach der Schottrechnung mitteln zu wählen ist. Über diese Frage wird weiter verhandelt, und der Bauausschuß hat hierzu Vergleichsrechnungen ausgearbeitet, über deren Ergebnisse Prof. Laas berichtete. Der Bauausschuß ist hierbei zu dem Urteil gelangt, daß die neuen britischen Vorschläge über die Schotteinteilung für deutsche Schifffahrt annehmbar sind, vorbehaltlich einiger Wünsche hinsichtlich des Berechnungsverfahrens.

Im zweiten Teile des Vortrages behandelte Prof. Laas die konstruktiven Einzelheiten, die notwendig sind, damit die Schotteinteilung im beabsichtigten Umfang auch sich auswirken kann. Hierzu haben die Schotte vor allem eine ausreichende Festigkeit zu erhalten; außerdem sind Bestimmungen hinsichtlich der Art und Bedienung der Türen erlassen, die in den Schotten nicht vermeidbar sind.

Zum Schluß ging Prof. Laas kurz auf die internationalen Maßnahmen ein, die geeignet sind, Seeunfälle zu verhüten.

Darauf sprach Dir. Biedermann, Bremen, über die

Verwendung großer Rettungsboote

in Verbindung mit dem Welin-Maclachlan-Davit auf großen Passagierschiffen.

Den Anlaß zu diesem Vortrage gab der Bau der Schnelldampfer „Bremen“ und „Europa“ von 280 m Länge durch den Norddeutschen Lloyd, die 2200 Fahrgäste und 940 Mann Besatzung, also 3140 Personen im Höchstfall befördern sollen. Da die Unterbringung eines entsprechenden Bootes bei Verwendung normaler Boote mit 90 Personen Aufnahme-fähigkeit schwierig war, sind ungewöhnlich große Boote für diese Schiffe vorgesehen worden, die je 145 Personen aufnehmen können.

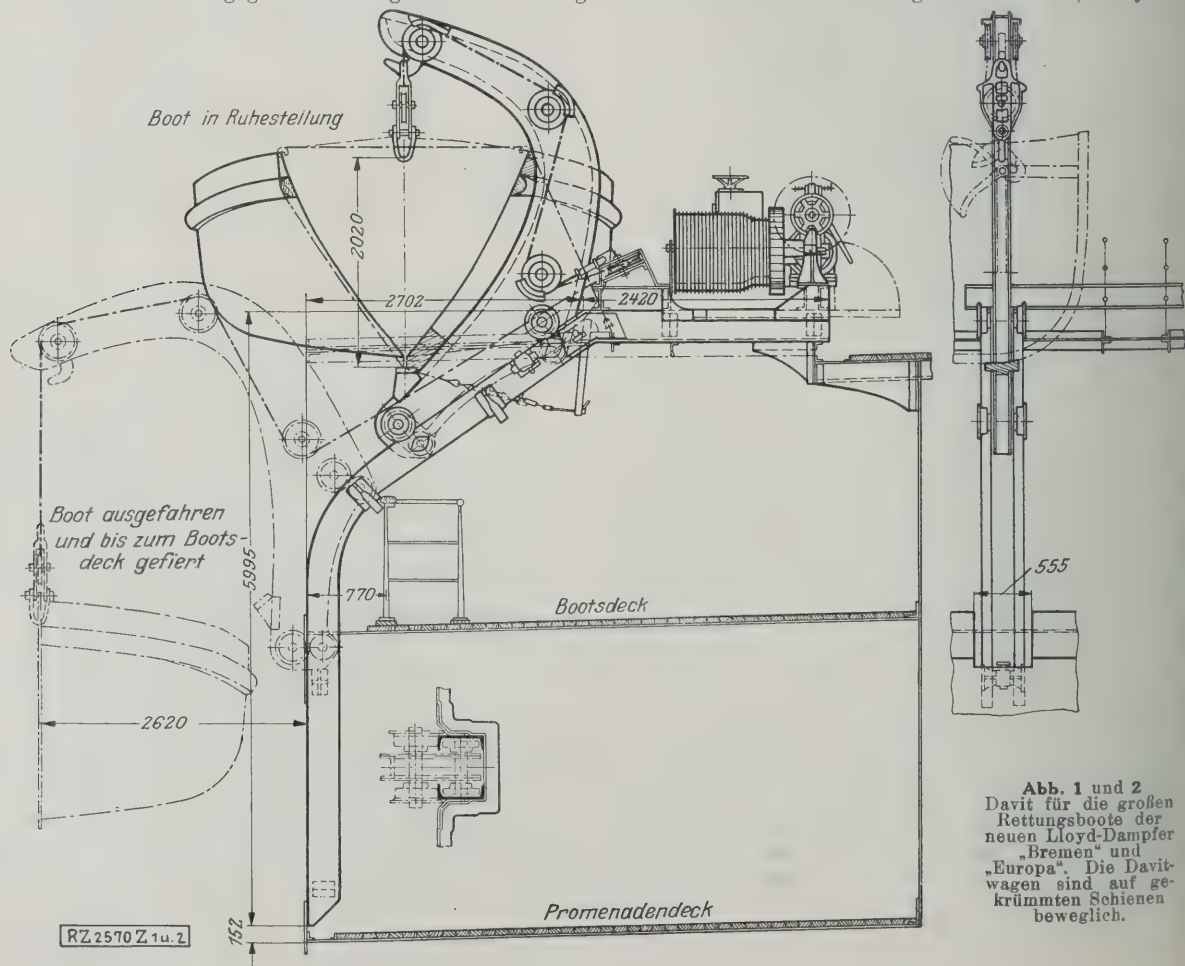


Abb. 1 und 2
Davit für die großen
Rettungsboote der
neuen Lloyd-Dampfer
„Bremen“ und
„Europa“. Die Davit-
wagen sind auf ge-
krümmten Schienen
beweglich.

aufzunehmen vermögen. Diese Maßnahme machte eine andere erforderlich, über die *Biedermann* in seinem Tag ausführlich berichtete: Zunächst die Wahl einer anderen, als Wagen ausgebildeten Davitform, der sich kurvenförmigen Schienen bewegt, Abb. 1 und 2, sodann zweckmäßige Aufstellung der Boote über dem Boots- und schließlich eine gute Durchbildung der Boote, um Unsinkbarkeit und leichte Beweglichkeit zu sichern. Sie wurden sie mit Schotten und Luftkästen ausgerüstet und haben einen 20pferdigen Motor erhalten, der für 6 km/h Geschwindigkeit bei ruhigem Wasser ausreicht.

Am zweiten Tag berichtete zunächst Dr.-Ing. E. H. Schulz, Dortmund, über

Fortschritte in der Metallurgie des Stahles für Schiffskörper und Kessel

Schulz erläuterte dabei die Wege, die der Eisenhüttenmann eingeschlagen hat, um neue Stahlsorten zu entwickeln; diese gehen den nach dem Kriege zugelassenen höheren Beanspruchungen gewachsen sein, ohne für den Schiffbau, abgesehen von Sonderzwecken, zu teuer zu werden. Da sich bei der Kohlenstoffhöhung Schwierigkeiten in der Bearbeitung und andre Nachteile ergaben, ist man zu andern Legierungen, wie Silizium, Chrom, Kupfer und Mangan, zurückübergegangen. Nach Schulz dürfte vor allem der Konstruktionsstahl, ein Chromkupferstahl, für den Schiffbau von Bedeutung gewinnen, der durch eine Streckgrenze von 37,7 bis 43 kg/mm², 35,6 bis 57,5 kg/mm² Zugfestigkeit und 22,3 bis 24 vH Dehnung gekennzeichnet ist und damit ein vorzüglichen Werkstoff für den Schiffbau darstellt.

Er hat außerdem wegen seines hohen Kupfergehaltes den Vorzug, daß Rostbildung und andre Anfrassungen bei ihm im Vergleich zu andern in Frage kommenden Stählen auffallend gering sind.

Im weiteren ging E. H. Schulz auf Stähle ein, die sich in ihrer Widerstandsfähigkeit bei hohen Temperaturen besonders für den Kesselbau eignen. Auch hier ist der Kohlenstoffstahl nicht am Platz, einmal wegen seiner Alterungserscheinungen (Sprödwerden) und sodann, weil er bei 600°C deutlich nachzugeben (kriechen) beginnt. Auch bei den neuen Stählen nach Art des Chrom-Kupfer-Stahles ist die Alterung gering. Das „Kriechen“ vermindern die teuren Zusätze von Vanadium und Molybdän. Am Schluß wurde mit einem Film gezeigt, wie heute der Eisenhüttenmann den Werdegang des Stahles besonders im Ofen beherrscht.

Aufgaben und Fortschritte der Dehnungsmessung am Schiff im Seegang

Eröffnete Dr.-Ing. Siemann, Bremen. Er hat bereits seit 1913 die Verbesserung von Dehnungsmessern für den Gebrauch an Bord von Schiffen gearbeitet und über seine Arbeiten verschiedentlich an dieser Stelle berichtet¹⁾. Während er früher einen hydraulischen Dehnungsmesser ausgebildet hat, benutzt er neuerdings bei einer Meßreise vorwiegend elektrische Dehnungsmesser, bei denen die Widerstandsänderung von Kohlenlamellen bei einer Zusammenpressung gemessen wird. Die aus den Lamellen gebildeten Säulen bilden dabei eine Hälfte einer Wheatstoneschen Brücke, Abb. 3 und 4. Diese Maßnahme hat den Vorteil, daß man mit Hilfe eines Drehschalters und eines Oszillographen gleichzeitig Aufzeichnungen einer ganzen Reihe von Dehnungsmessern auf einem Papierstreifen vereinigen kann.

In der Aussprache wurde auf den Nachteil hingewiesen, daß Kohlenlamellen ihren Widerstand infolge atmosphärischer Einflüsse leicht ändern. Dr. Siemann erläuterte im einzelnen die Schwierigkeiten bei Dehnungsmessungen am Schiff, wobei die dynamischen Beanspruchungen zu ermitteln sind, damit man ihnen die zugehörigen Spannungsberechnungen in den einzelnen Verbänden zuordnen kann. Die Auswertung eines Ausschnittes seiner Kurven hat bisher noch keine befriedigende Lösung des Zusammenhanges des relativen Bewegungszustandes zwischen Schiff und Welle und des inneren zugehörigen Dehnungsvorganges herbeigeführt. Gründe für diesen Mißerfolg wurden

In einem Vortrag

über Knickung von Platten

Prof. Dr.-Ing. Schnadel, Berlin, ein Berechnungsverfahren für die Ermittlung der Spannungen auf der Druckseite von Schiffskörpern an. Die Berechnung der Zugseite kann als geklärt betrachtet werden. Sie wird als voll mitgeteilt betrachtet.

¹⁾ Z. Bd. 58 (1914) S. 1161; Bd. 66 (1922) S. 373; Bd. 68 (1926) S. 539 u. f.

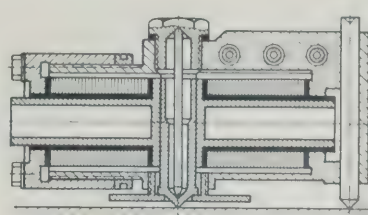
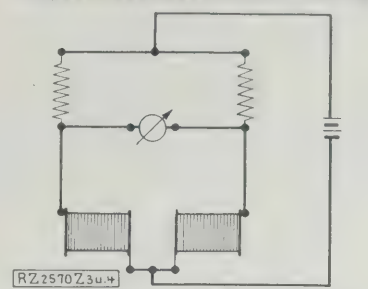


Abb. 3 und 4
Ferndehnungsmesser von Siemann mit Kohlenlamellen und Brückenschaltung.



hängig ist, wobei die Spannungen in der y-Richtung Zug- oder Druckspannungen sein können. Nach dem Ausknicken ergibt sich nach Schnadel ein neuer Spannungszustand, der die Widerstandsfähigkeit gegen Druck beträchtlich erhöht.

Eine Schilderung des Werdeganges der unter dem Sammelnamen „Contrapropeller“ zusammengefaßten Konstruktionen gab ihr erster Erfinder, Dir. Dr. Rudolf Wagner, in seinem Vortrag Rückblick und Ausblick auf die Entwicklung des Contrapropellers. Sie sind heute bei über 500 Schiffen im Gebrauch. Auch bei Flugzeugen und Luftschiffen hat Wagner ihre Einführung versucht, doch hat man sich hier ablehnend verhalten.

Zum Schluß berichtete Dr.-Ing. C. von den Steinen über das Schiffbaulaboratorium der Technischen Staatslehranstalten in Hamburg.

Es soll den Schülern dieser Anstalt die Möglichkeit geben, Versuche selbst auszuführen und damit einen Einblick in die physikalischen Gesetzmäßigkeiten beim Schiffswiderstand und -antrieb sowie bei Stabilitätsfragen vermitteln. Hierzu sind eine Reihe von Arbeitsplätzen vorgesehen, nämlich Einrichtungen für Schleppversuche nach den Verfahren von Froude und Wellenkamp, ein Becken für Krängungsversuche mit Modellen, Strömungsuntersuchungen und Propellerversuche, eine Dockrinne und ein Strahldruckapparat.

Das Laboratorium unterscheidet sich von den bekannten großen Schleppversuchsanstalten durch die Mannigfaltigkeit seiner Einrichtungen, die natürlich nicht die gleiche Leistungsfähigkeit haben können, wie die der Schleppversuchsanstalten, aber für Unterrichtszwecke vollkommen ausreichen.

Berlin

Dr. W. Schmidt

Eisenbahnwesen

Gütertriebwagen für Bahnunterhaltung

Mit dem in Z. Bd. 72 (1928) S. 605 beschriebenen Gütertriebwagen liegen nunmehr Betriebserfahrungen vor. Er wurde zur Bahnunterhaltung, und zwar hauptsächlich zur Gleisunterhaltung, ferner zur Beförderung von Oberbaustoffen, Geräten, Brennstoffen usw. benutzt. Zum Teil sind diese Güter auf dem Motorbauwagen selbst, zum Teil auf angehängten Güterwagen befördert worden (höchstes zur Anhängung zugelassenes Gewicht 63 t). Auch Eisenbahnbienstandete, insbesondere Streckenarbeiter, sind nach Bedarf auf dem Triebwagen befördert worden. Der Hauptvorteil des Motorbauwagens ist, daß er in allen diesen Fällen eine Arbeitslokomotive ersetzt und daß infolge der geringen Anschaffungs- und Betriebskosten des Motorbauwagens dabei wesentliche Ersparnisse erzielt werden.

Bei dem Motorbauwagen der vorstehenden Ausführung ist nur die Hinterachse als Treibachse ausgebildet. Bei Neubeschaffung solcher Wagen von der Reichsbahn wird es sich empfehlen, zur Erzielung größerer Zugkraft und zur Verringerung der Beanspruchung des Getriebes beim Anfahren beide Achsen anzutreiben. Da die Kosten des Brennstoffverbrauchs, die in letzter Zeit etwa 27 kg Benzol für 100 km betragen, stark ins Gewicht fallen, könnten zur Verminderung der Brennstoffkosten auch Dieselmotoren zum Antrieb in Frage kommen. Zur besseren Ausnutzung des Motorbauwagens wäre eine Verkürzung der Entladezeit anzustreben und daher wäre es vielleicht vorteilhaft, den Wagenkasten so einzurichten, daß er nach beiden Seiten gekippt werden kann.

Salzwedel

Reichsbahnrat Fahl

[N 2538]

Aus dem Ausland

Kältetechnik

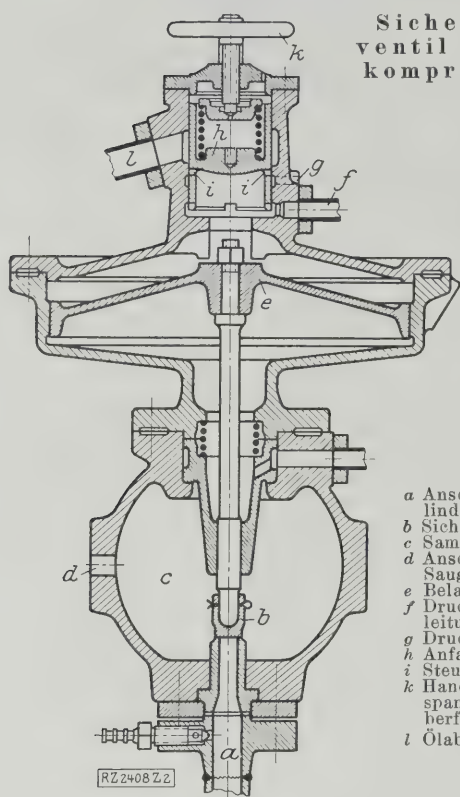
Sicherheits-
ventil für Gas-
kompressoren

Abb. 5

- a Anschluß an den Zylinder
- b Sicherheitsventil
- c Sammler
- d Anschluß an die Saugleitung
- e Belastungskolben
- f Druckausgleichsleitung
- g Druckölzufluß
- h Anfahrchieber
- i Steuerschlitze
- k Handrad zum Entspannen der Schieberfeder
- l Ölabbfluß

Die Sicherheitsventile der Sulzer-Kompressoren können infolge ihrer besonderen Bauart gleichzeitig als Anlaßorgane dienen. Abb. 5 zeigt einen Schnitt durch das Sicherheitsventil der sechsten Verdichtungsstufe eines Ammoniakkompressors¹⁾. Der Kolben *c*, der unter dem Öldruck der Schmierung steht, hält das Ventil *b* so lange geschlossen, bis in der Zuleitung *a* der Höchstdruck, der das Verhältnis der Durchmesser von *b* und *e* im Zusammenhang mit dem Öldruck festlegt, überschritten wird. Der Druckölzufluß ist bei *g* angeschlossen, während die Verbindungsleitung *f* den Druck in allen Sicherheitsventilen ausgleicht.

Diese Ventile dienen, wie erwähnt, gleichzeitig zum Anlassen des Kompressors ohne Gegendruck, so daß der Elektromotor unter Leerlaufbedingungen anziehen kann. Zu diesem Zweck ist das Sicherheitsventil noch mit dem federbelasteten Schieber *h* versehen, der im Betrieb durch eine mittels des Handrades *k* gespannte Feder heruntergedrückt wird, so daß die Schlitze *i* den Ölzuluß *g* freigeben. Beim Anlassen wird die Feder entspannt, dadurch hebt sich der Schieber *h*, schließt den Zufluß *g* und öffnet den Abfluß des Öles nach *l*. Infolgedessen sind der Kolben *c* und mittels der Verbindungsleitung *f* auch die Kolben der übrigen Sicherheitsventile vollständig entlastet.

Das durch den Nebenschluß sodann ausströmende Gas gelangt in den allen Ventilen gemeinsamen Sammler *c*, der bei *d* an die Saugleitung angeschlossen ist. Sobald der Kompressor die Betriebsdrehzahl erreicht hat, wird die Feder durch Niederschrauben des Handrades *k* wieder gespannt. [M 2408]

¹⁾ Z. Bd. 71 (1927) S. 1145.

Eisenhüttenwesen

Hochofen von rd. 920 t Leistung in 24 h

Gelegentlich der Tagung der Eastern States Blast Furnace and Coke Oven Association, Februar 1929, Pittsburg, wurde über einen Hochofen von 922,5 t Ausbeute in 24 h berichtet. Der 27 m hohe Hochofen hat 7347 mm Gestell-Dmr., 7874 mm Rast-Dmr., 86° 14' Rastwinkel, 14 Windformen, 5100 mm Dmr. der Beschickungsoberfläche und 3747 mm großen Gichtglocken-Dmr. Verarbeitet werden 70 vH Mesabi- und 30 vH Old Range-Erze; rd. 2000 m³/min Wind bei 1,3 at abs Druck werden dem Hochofen zugeführt. In 24 h wird der Hochofen fünfmal abgestochen. Für die Erzeugung von 1 t Roheisen sind 890 kg Koks erforderlich. („The Iron Age“ Bd. 123 (1928) Nr. 8) [N 2710 E] Gw.

Funkwesen

Die Schwächung drahtloser Wellen
über Städten

In der Institution of Electrical Engineers, London, haben R. H. Barfield und G. H. Munro in Ergänzung früheren Berichtes über „die Schwächung drahtloser Wellen über Land“¹⁾ nun über „die Schwächung drahtloser Wellen über Städten“ berichtet. Der Bericht zerfällt in eine Beschreibung der Versuche und in die Aufstellung einer Theorie. Zweck der Versuche war, die Absorption drahtloser Wellen durch Gebäude, abgestimmte Antennen und andere Gegenstände, wie Antennenmaste, festzustellen; gleiches sollten die Ergebnisse der früheren Versuche bestätigt und verbessert werden, um eine einwandfreie Polarkurve der Signalstärke des englischen Rundfunksenders 2LO zu erhalten, aufzustellen.

Es zeigte sich, daß über Städten eine starke Absorption stattfindet und daß die Schwächung der drahtlosen Wellen nicht dem Sommerfeldschen Gesetz gehorcht, sondern über dichten Stadtgebieten die Schwächung bei abnehmender Wellenlänge viel schneller zunimmt, als dies Gesetz gibt. Antennen wirken stark absorbierend, sie schwächen die Wellen am meisten, wenn sie auf ihre Wellenlänge abgestimmt sind.

Zur Aufzeichnung der Polarkurven des Senders 2LO benutzte man ein Empfangsgerät mit Rahmenantenne in einem Möbelwagen untergebracht war. Gemessen wurde der Ausschlag eines empfindlichen Stromzeigers im Ankerkreis des mit Anodengleichrichtung arbeitenden Aufnahmegerätes. Und zwar maß man einmal den Ausschlag, den die angenommene Sendeleistung des Senders 2LO hervorrief, und dann den Ausschlag infolge eines Ersatzsenders (Senders), der seine Leistung in einen Ersatzkreis mit gleichen Eigenschaften wie denen der Rahmenantenne sandte, Abb. 6.

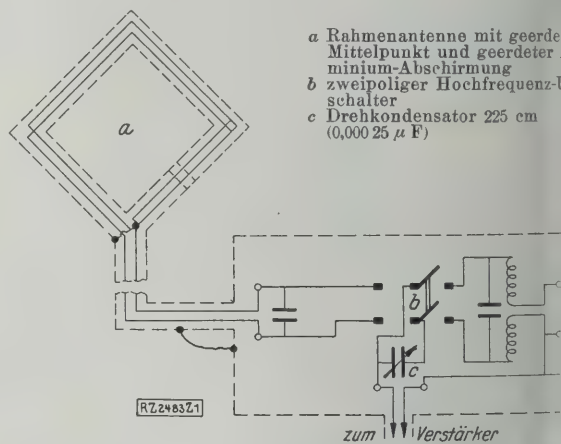


Abb. 6

Schaltung des ortsbeweglichen Empfangsgerätes zur Aufnahme der Polarkurve des Londoner Rundfunksenders 2LO. Die gestrichelten Linien deuten die Abschirmung an.

Dabei wurden die Rahmenantenne und die Ersatzkreise gegeneinander vertauscht. Gleiches geschähe des Stromzeigers erreichte man dadurch, daß den Rahmen oder die Spule des Ersatzsenders solange drehte, bis die Ausschläge gleich waren. Den Winkel, den man den Rahmen oder die Spule aus der Stellung schwächsten Empfanges verdrehen mußte, bezeichnete man mit θ . Dann ist die ankommende Energie des zu messenden Signals $(1/\sin \theta)$ mal der ankommenden Energie des Ersatzsenders, sofern der Empfang dem Kosinussgesetz folgt. Wichtig ist, daß zur Ausschaltung des Antenneneffektes der Mittelpunkt (neutrale Spannungspunkt) der Rahmenspule geerdet und daß die Rahmenspule selbst mit einem Schirm aus Aluminium umgeben wird, den man ebenfalls erdet. Auch die Leitungen liegen in einem geerdeten Messingrohr. Der Verlauf der Polarkurve hängt von der Wellenlänge ab. Die März 1927 gemessenen Kurven des Senders 2LO zeigt Abb. 7.

Die vorstehend kurz beschriebene Arbeit von Barfield und Munro stellt einen sehr wertvollen Beitrag zur Klärung der Ursachen der Schwächung drahtloser Wellen dar.

¹⁾ Journ. Inst. Electr. Engrs. Bd. 66 (1928) S. 204.

a Umlaufende Magnetpole *b* Gewichte *c* hakenartige Gelenke *d* Federn *e* Kugelbolzen
f Welle mit vierkantigem Steuerrücken *g* des Unterbrechers

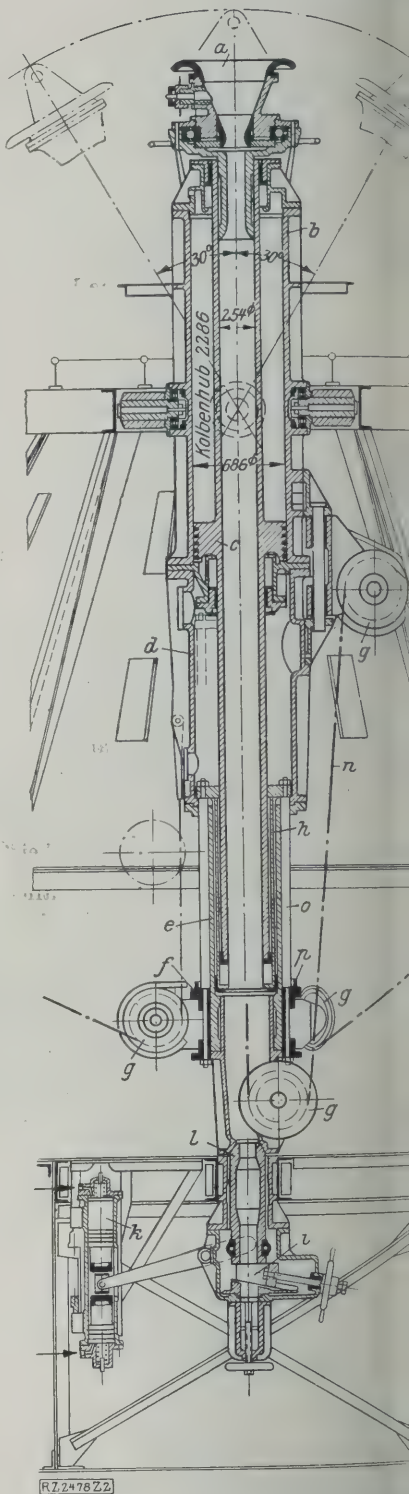
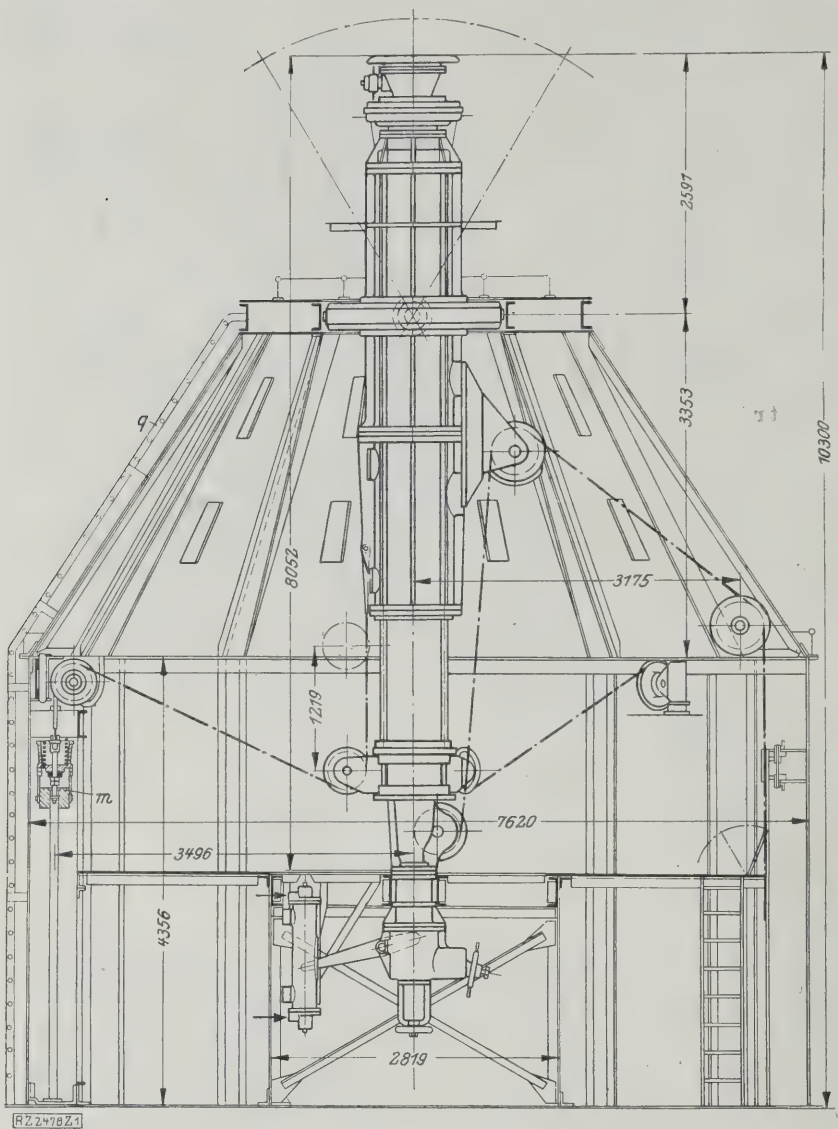


Abb. 11 und 12
Schnitt durch die Spitze des Ankerastes für Luftschiffe in St. Hubert, Kanada.

- | | |
|---|---|
| a Aufnahmetrichter für den Kegel des Ankerseiles | h Schutzrohr |
| b Stahlgußzylinder (Hülse) | i Keil zur Sicherung der Feststellvorrichtung |
| c schmiedeiserner Kolben mit Verlängerungen (Stempel) | k Zylinder |
| d Zwischenstück | l Hülse |
| e schmiedeisernes Rohrstück | m Gewichte |
| f Querhaupt | n Landeseil |
| g Seilrollen | o Führungstangen |
| | p Gummipuffer |
| | q Leiter |

2286 mm. Der Zylinder geht nach unten in ein Zwischenstück *d* über, das ebenfalls aus Stahl gegossen ist. Es trägt einen Einsatz, worin die untere Verlängerung des Kolbens *c* geführt wird. An dieses Zwischenstück *d* schließt sich ein schmiedeisernes Rohrstück *e* an, das an seinem oberen Ende zu einem Flansch ausgebildet ist und auf dem ein Querhaupt *f* mit vier Seilrollen *g* gleiten kann, wobei es gegen Drehung durch ein Paar Führungsschienen gesichert wird. Mit dem Querhaupt *f* ist außerdem durch vier Führungsstäbe ein Schutzrohr *h* fest verbunden, das sich im Innern des Rohrstückes oder des Zwischenstückes befindet und sich durch den Zug der Gewichte an den Seilen gegen die untere Verlängerung des Kolbens *c* legt. Die Führungsstäbe sind so bemessen, daß nach einem Hub von 1219 mm die Gummipuffer des Querhauptes gegen den Flansch des Rohrstückes stoßen. In das Rohrstück *e* ist unten ein kegelförmiges Gußstück geschoben, das zur Feststellung des Armes dient und ebenso wie das Zwischenstück *d* eine Rolle für das Landungseil trägt.

Das Luftschiff wird nun folgendermaßen befestigt: Das aus einer Höhe von 100 bis 150 m abgeworfene Seil, das an der Nase des Luftschiffes befestigt ist, wird mit dem von der zugehörigen Dampfwinde kommenden Seil verbunden. Dabei steht der Arm senkrecht. Mit der Winde wird das Seil leicht gespannt und dann der Arm aus seiner senkrech-

ten Festhaltung dadurch befreit, daß man durch ein Handrad mit Spindel den Keil *i* herauszieht und durch Druckluft von 2 at im Zylinder *k* einen Kolben aufwärts hebt, damit die Hülse *l* abwärts bewegt. Darauf läßt man Druckluft von gleicher Spannung auf die untere Seite des Kolbens *c* strömen. Der auf die wirksame Kolbenfläche ausgeübte Druck ist gerade so groß, daß der Stempel im Gesamtgewicht von $4\frac{1}{2}$ t leicht in seine oberste Lage gesenkt wird. Das Querhaupt folgt nach und die Gewichte senken sich bis in die unterste Lage. Sodann zieht man die Winde an. Wenn jetzt das Luftschiff seine Lage verändert, stellt sich der Arm entsprechend ein; er wird, da die unter dem Kolben befindliche Luft als Puffer wirkt, jeder tauchenden oder stoßenden Bewegung nachgeben.

Der mit der Nase des Luftschiffes gelenkig verbundene Kegel wird selbsttätig durch Bolzen mit Federn festgehalten, sobald der Kegel in den Trichter *a* hineingezogen wird. Man leitet jetzt Druckluft von 10 at oberhalb des Kol-

en Zylinder *b*. Der Arm hat dabei meistens eine schräge Lage. In dieser Lage gleitet der Kolben unter einem gewissen Druck bis zu 24 t abwärts, stößt gegen das Schutzrohr und nimmt dieses mit. Die Gewichte *m* schweben bis dahin in verschiedener Höhe, sie bewegen sich aufwärts und die Federn stoßen, mittels Federn gedämpft, gegen die Hubbegrenzung. Von diesem Augenblick an wird der Arm durch die gegenüberliegenden Seile zur Mitte gezogen und schließlich zuletzt genau über der Hülse *l*, mit der er in der erwünschten Weise festgestellt wird. Sobald der Stempel sich in einer endgültigen Lage befindet, werden die an dem Stempel befestigten Laschen um die dafür bestimmten Anschläge am feststehenden Zylinder *b* gelegt. Dann sichert man die Laschen und entlastet die Dampfwinde.

Die Verwendung von Druckluft aus einem genügend großen Behälter bietet den Vorteil, daß man gegenüber elektrischem Antrieb von Stromstörungen frei ist und sich durch Druckverminderung den jeweiligen Windverhältnissen anpassen kann. Für die Bedienung ist nur ein Mann erforderlich, der durch ein einziges Handrad von einem Bedienungsstand in Höhe des Laufsteiges die Freilassung, Auf- und Abwärtsbewegung des Kolbens und seine Feststellung steuert. Die Bedienung ist eindeutig, die Lage- und Bewegung des Stempels wird durch einen Zeiger kenntlich gemacht. Druckmesser und eine elektrische Kontrolle, ob die gewünschten Bewegungen ausgeführt werden, vervollständigen die Ausrüstung des Bedienungsstandes.

[M 2478]

Stegemann.

Kleine Mitteilungen

Folge des Hochdruck-Dampfbetriebes

In einer Sitzung der American Society of Mechanical Engineers zu New York berichtete *I. E. Moulthrop* über wirtschaftliche Ergebnisse des Hochdruck-Dampfbetriebes am Edgar-Kraftwerk der Edison Electric Illuminating Co., New York.

Mit der Dampftemperatur gehe man heute bis zu 400 °C, bei dem Dampfdruck in einigen Kraftwerken bis zu 100 at. Der Druck sei zur Zeit die wirtschaftliche Grenze für Kondensationsanlagen. Für Anlagen ohne Zwischenüberleitungen sei 28 at die wirtschaftliche Grenze. Richtig entworfen Hochdruckkraftwerke brauchen, bezogen auf 1 kW, nicht mehr zu kosten als Anlagen für niedrigeren Druck; nur die mit Hochdruckdampf arbeitenden Teile sind nur ein kleiner Teil der Gesamtanlage, und ihre Mehrkosten werden durch Ersparnisse am Kondensator, an den Pumpen und Leitungen für Kühlwasser, an Gebläsen, Einrichtungen für die Vorbereitung und Zufuhr der Kohlen, Gebäuden usw. wettgemacht.

Beim Edgar-Kraftwerk, das nicht zu Versuchszwecken, sondern nach streng geschäftlichen Rücksichten gebaut wurde, war man bestrebt, die Kesselheizfläche auf Kosten der Speisewasser- und Luftvorwärmer-Heizflächen zu vermindern; der Erfolg war eine wesentlich höhere Leistung pro Kessel. Noch nicht gelöst ist die genaue Drehzahlregelung der Schleifringmotoren für die Hochdruck-Speisepumpen.

In einem zweiten Vortrag berichtete *R. Brown*, daß manche Einrichtungen, die man aus Gründen der Sicherheit bei der ersten Hochdruckanlage für notwendig gehalten habe, später als überflüssig erwiesen haben, z. B. Sicherheitsventile mit Vorsteuerung, Dampfkühler für das selbststeuere Drosselventil der Hochdruckturbine, Regelschieber für Speisepumpen usw. Unerwartete Schwierigkeiten betrafen dagegen die Speisewasserregelung, die Wasserkühlung der Feuerraumwände und die Hochdruck-Speisepumpen. Aus den Betriebsergebnissen des Edgar-Kraftwerkes könne man bei einem reinen Hochdruckkraftwerk mit 12 vH Brennstoffersparnis rechnen. („Power“ 12. Februar 1929 S. 91) [M 2710 a] Le.

Schaufellader

In Z. Bd. 71 (1927) S. 1313 hat Dipl.-Ing. *Fr. Prockat*, in seiner Arbeit „Anwendung von Lademaschinen im Bergbau unter Tage“ die Butler-Schaukel der Firma Colberg Mfg. Co., Milwaukee, S. 1315 und 1316, beschrieben. Der Schaufellader, s. Abb., wird in Deutschland von Demag A.-G., Duisburg, gebaut. Alle Bewegungen der

etwa 0,2 m³ fassenden Schaufel werden von einem Arbeitszylinder mit 285 mm Dmr. und 1070 mm Hub ausgeführt. In dem Zylinder befinden sich zwei Kolben, die sich beim Vorschieben sowie beim Heben und Ausstrecken der Schaufel über dem Wagen beide in gleicher Richtung bewegen. Beim Füllen und Entleeren der Schaufel tritt die Druckluft zwischen die Kolben und drückt sie auseinander. Diese Bewegung wird mit Drahtseil und Zwischengliedern auf die Schaufel übertragen. [M 2710 c] Gw.

Verhalten des Mauerwerks bei Kohlenstaub- und Ölföuerung

Bei Ölföuerungen verschlackt das Mauerwerk nicht so leicht wie bei Kohlenstaubföuerungen, weil das Brennöl weniger als 0,1 vH Asche enthält gegenüber 8 bis 18 vH bei Kohlen. Dagegen hat man bei Ölföuerungen stärkere Ribbildung am Mauerwerk beobachtet. Dies hat das Bureau of Mines und die American Society of Mechanical Engineers veranlaßt, Versuche an den Brennkammern zweier großer Kessel durchzuführen, von denen der eine mit Illinois-Kohle, der andre mit Brennöl beheizt wurde.

In der Ölföuerung wurde zwar eine größere Wärmemenge entwickelt, die höchste Gastemperatur betrug jedoch in beiden Fällen 1540 °C. An den von der Flamme berührten Stellen wurden bei der Ölföuerung etwas höhere Temperaturen gemessen. Das Temperaturgefälle zwischen der Innenwand des Mauerwerkes und einer 15 cm davon entfernten Meßstelle war unter gleichen Betriebsbedingungen bei beiden Föuerungen gleich. Auch der Temperaturwechsel im Mauerwerk beim Dämpfen des Feuers und beim Hochheizen verlief bei beiden Föuerungen annähernd gleich. In der Asche und Schlacke der Ölföuerung fand man mehr Natrium und weniger Eisen und Kalzium als in der der Kohlenstaubföuerung, außerdem enthielt die Ölschlacke Natrium-Kalzium-Silikat.

Man hält es daher für möglich, daß Verbindungen in der Ölschlacke oder Verbindungen der Ölschlacke mit dem Mauerwerk gegen schnelle Temperaturänderungen empfindlich oder in der Wärmeausdehnung gegenüber dem Mauerwerk so verschieden sind, daß sich dann Risse bilden. Die tiefen Risse in den Seitenwänden und der Vorderwand sprechen für die erste, die dünnen Risse in der Brücke für die zweite Vermutung. („Power“ 12. Februar 1929 S. 270) [M 2710 b] Le.

Versuchs-Verkockungsanlage

In der Versuchsanlage des Gaswerkes der Gaslight and Coke Co., Fulham, kann man die Versuche unter vollen Arbeitsbedingungen ausführen. Im Retortenhaus befinden sich zwei wagerechte Retorten (610 × 405 × 6096 mm) für 1422 kg Durchsatz in 24 h bei etwa 1300 °C Vergasungstemperatur. In einem zweiten Retortenhaus sind von Glover-West & Woodhall-Duckham senkrechte Retortenöfen aufgestellt, von denen je eine Retorte mit besonderem Fülltrichter, Wiegemaschine, Koksentladung, Wasser- und Gasleitungen ausgerüstet ist, so daß die Arbeitsbedingungen einwandfrei überwacht werden können. Ferner ist eine Tieftemperatur-Verkockungsanlage vorhanden, die nach dem Salermoverfahren der ununterbrochenen Verkockung bei 450 °C arbeitet und täglich rd. 20 t durchsetzt.

Die Reinigungs-, Verdichtungs- und Nebenerzeugnisanlagen sind ebenfalls für die Versuchsanlage getrennt, ferner sind besondere Gasbehälter vorhanden, so daß Gas, Nebenerzeugnisse und Koks in allen Einzelheiten nach Menge und Eigenschaften untersucht werden können. Das Laboratorium ist ebenso vollkommen ausgestattet wie die Versuchsanlage. Der Versuchsgasbehälter faßt 28 m³. Das Gas wird auf Heizwert, Zusammensetzung, Gehalt an leichten Kohlenwasserstoffen usw. geprüft. („Engineering“ 1. März 1929 S. 260*) [M 2710 d] Ste.



Kohlenstaubfeuerung auf Frachtdampfern

Auf der Werft von W. Gray & Co. in West Hartlepool befinden sich 9000 t-Dampfer im Bau, die Kohlenstaubfeuerung mit den zugehörigen Aufbereitanlagen nach der Bauart der Brand Powdered Fuel Co. erhalten sollen. Die Rohkohlen werden von den Hauptbunkern durch einen Kohlenbrecher zur Mühle und weiter zu einem Vorratbunker gefördert. Dieser liefert den Staub an den schottischen Schiffskessel, der mit einer Vorfeuerung und Sonderbrennern ausgerüstet ist. In den Abnahmebedingungen hat die Brand Co. gewährleistet, daß das Schiff rd. 12,5 vH an Kohlen gegenüber Handfeuerungen sparen soll. Später will man eingehende Versuche bei wechselnden Betriebsverhältnissen und verschiedenen Kohlenarten vornehmen.

Die Erfahrungen mit dem Dampfer „Hörorata“, von dessen Kesseln die Hälfte Kohlenstaubfeuerung hat, sollen sehr befriedigen. Der tägliche Kohlenverbrauch ist um 2 oder 3 t zurückgegangen. Die Blue Star Line will auf Grund von Versuchen mit der Woodson-Kohlenstaubfeuerung auf dem Dampfer „Stuartstar“ die ganze Kesselanlage

umbauen und soll damit umgehen, ihre ganze Handelsflotte mit Kohlenstaubfeuerung auszurüsten. („The Engineer“ 1. März 1929 S. 227*) [M 2710 f] *Stg.*

Japans Kraftwirtschaft¹⁾

Ende März 1927 bestanden in Japan mehr als hundert Wasserkraftwerke mit je 5000 kW Leistung und darüber. Die Gesamtleistung der japanischen Wasserkraftwerke betrug 1 965 970 kW, die der Dampf- und sonstigen Kraftwerke 1 236 644 kW; im Bau befinden sich Wasserkraftwerke für 1 426 611 kW und Dampf- und sonstige Kraftwerke für 222 438 kW. Nach Fertigstellung dieser Bauten wird rd. ein Drittel der in Japan verfügbaren Wasserkraft ausgenutzt sein. Das Leitungsnetz ist mit den Bahnseilleitungen rd. 215 000 km lang. Im Jahre 1926 lieferten die japanischen Kraftwerke im ganzen über 9 Milliarden kWh; auf die Wasserkraftwerke entfielen davon 89 vH, auf die Dampfkraftwerke 10,9 und die Kraftwerke mit Verbrennungsmotoren 0,1 vH. („The Engineer“ 1. März 1929 S. 248*) *Pa.* [M 2710 g]

¹⁾ Vergl. a. ETZ Bd. 50 (1929) Nr. 7 S. 226.

BÜCHERSCHAU

Bücher und Zeitschriften des In- und Auslandes, auch solche nichttechnischen Inhaltes, liefert die VDI-Buchhandlung, Berlin NW 7, Ingenieurhaus (Telegrammanschrift: Ingenieurverlag Berlin; Fernspr.: Zentrum 15204).

Bauelemente der Feinmechanik. Von O. Richter und R. v. Voß. Berlin 1929, VDI-Verlag. 576 S. m. 1852 Abb. und 36 Taf. Preis 29 RM, für Mitglieder des V. d. I. 26 RM.

Konstruktions-Elemente der feinmechanischen Technik. Herausgeg. vom Verein „Fachschule für feinmechanische Technik“. 243 Taf. Berlin-Charlottenburg 1928, Geschäftsstelle des Vereines. In Kommission beim VDI-Verlag. Preis der Mappe 150 RM.

Die beiden Bücher sind entstanden aus dem dringenden Bedürfnis nach einer Sammlung der feinmechanischen Bauelemente in gleicher Weise, wie sie dem allgemeinen Maschinenbau schon seit langem zur Verfügung stehen. Der zuerst erschienene Atlas „Konstruktions-Elemente“ enthält Tafeln, auf denen die verschiedenartigen Konstruktionselemente: Verbindungen, Lagerungen, Triebmittel usw., dargestellt und kurz erläutert sind. Die „Bauelemente der Feinmechanik“ sind entstanden auf Grund einer eingehenden Sichtung, Bearbeitung und systematischen Zusammenstellung des umfangreichen Stoffes, den die „Konstruktionselemente“ enthalten.

Den großen Wert der beiden Bücher für die Ingenieure der feinmechanischen Industrie, mögen sie noch in der Ausbildung begriffen sein oder in der Praxis stehen, hat Prof. Dr. Kutzbach in seinem Aufsatz „Ausbildung in der feinmechanischen Technik“¹⁾ eingehend gewürdigt. [E 2581] *Pa.*

¹⁾ Z. Bd. 72 (1928) Fachheft „Feinmechanik“ S. 1781.

Druckschwankungen in Druckrohrleitungen. Von R. Löwy. Wien 1928, Julius Springer. 162 S. m. 45 Abb. u. 7 Taf. Preis 15 RM.

Das Problem der Druckschwankungen in Rohrleitungen ist durch die Theorie von Allievi in gut mit den Tatsachen übereinstimmender Weise gelöst; diese beruhigende Gewißheit genügt dem fernerstehenden Ingenieur, und nur wer selbst einmal derartige Rechnungen durchzuführen hatte, kennt die Schwierigkeiten, die bei der Anwendung dieser Theorie auf praktische Fälle zu überwinden sind. Das vorliegende Buch bringt eine zusammenfassende, recht erschöpfende Darstellung des ganzen Gebietes, wie es sich dem Wasserturbinenbauer darbietet. Zunächst ist darin der einfache Fall der Druckschwankungen bei Vernachlässigungen der Elastizität von Wasser und Rohrwerkstoff, anschließend die Allievische Theorie, die die Elastizität berücksichtigt, behandelt.

Als Oberingenieur der Leobersdorfer Maschinenfabrik hat der Verfasser besonders die praktische Anwendung der Ergebnisse im Auge und bespricht demgemäß auch eingehend die von der vorliegend behandelten Theorie nicht erfassbaren Abweichungen, wie sie z. B. die Reibung bedingt. Auch auf die Feststellung der Grenzen, innerhalb deren die einzelnen Ansätze genügend genau gelten, ist besonders hingewiesen. Eine Anzahl von Kurventafeln, sowie ein für die vorliegenden Fälle besonders geeignetes graphisches Verfahren dienen dazu, die Rechnungen zu vereinfachen. Eine Zusammenstellung der wichtigsten Berechnungsformeln und eine Reihe von Beispielen, denen auch zum Vergleich Versuchsergebnisse beigelegt sind, werden dem Praktiker willkommen sein, während das am Schluß angefügte Literaturverzeichnis für Studierende von Wert ist.

[E 2490]

Dr.-Ing. K. Pantell

Chemische Technologie in Einzeldarstellungen. Herausgeber A. Binz. Messen und Wägen. Von Walter Block mit einer Einleitung von Fritz Plato. Leipzig 1928, O. Spamer. 339 S. m. 109 Abb. Preis 28 RM.

Das Buch hat mit Absicht den Charakter eines Lehrbuches erhalten und ist zum Gebrauch insbesondere für Chemiker, Mediziner usw., die nur gelegentlich schwierige Messungen ausführen müssen, bestimmt.

Einleitend beschreibt F. Plato die Entwicklung der Meßkunde und des Maß- und Gewichtswesens, die zu der internationalen Vereinbarung fußenden deutschen Maß- und Gewichtsordnung geführt hat. Die nächsten Abschnitte des Buches bringen allgemeine Ausführungen über Messung und Maßsysteme, weiter Anleitungen zum Messen von Zeit, Winkeln, Längen und Flächen. Der Bestimmung von Räumen, der Wägung und Dichtebestimmung ist, als für den Chemiker besonders wichtig, ein breiter Raum gewidmet. Zahlenbeispiele erleichtern das Verständnis. In dem Kapitel Temperaturmessungen werden die zur Bestimmung von Temperaturen erforderlichen Geräte, wie Gas-, Quecksilber-, Widerstandsthermometer, Thermolemente und Strahlungspyrometer beschrieben. Mit Recht weist W. Block ausdrücklich darauf hin, daß dem Einbau der Meßhilfsmittel, insbesondere, wenn sie zur Temperaturbestimmung in Gasen dienen sollen, ganz besondere Sorgfalt zuzuwenden ist. Bei der Beschreibung der Apparate, die zur Messung von Wärmemengen dienen, hätte neben den Geräten zur Heizwertbestimmung der für den technischen Chemiker nicht unwichtige Wärmeflußmesser von E. Schmidt Erwähnung verdient. Schließlich werden noch einige Angaben über optische und elektrische Messungen gebracht.

In einem ausführlichen Verzeichnis ist die Literatur über das Meßwesen zusammengestellt.

[E 2488]

We. Koch

Handbuch der Experimentalphysik. Herausgeg. von Wien und F. Harms unter Mitarbeit von H. Lenz. 23. Band. 1. T.: Phosphoreszenz und Fluoreszenz. Von P. Lenard, Ferd. Schmidt und R. Tomaschek. 741 m. 162 Abb. Preis 71 RM. 2. T.: Phosphoreszenz und Fluoreszenz. Von P. Lenard, Ferd. Schmidt und R. Tomaschek. Lichtelektrische Wirkung. Von P. Lenard und A. Becker. 800 S. m. 252 Abb. Preis 72 RM. Leipzig 1928, Akademische Verlagsgesellschaft.

Der vorliegende 23. Band des Handbuches gibt in ausführlicher Darstellung einen Überblick über das Forschungsgebiet der lichtelektrischen Erscheinungen im allgemeinen. Daß gerade Lenard, der bedeutendste Förderer dieses Wissenschaftszweiges unter den lebenden Physikern, seinen hervorragenden Schülern Becker, Schmidt und Tomaschek hier zu Worte gekommen ist, muß den Herausgebern als besonderes Verdienst angerechnet werden. Es ist ein fundamentales Werk entstanden, das für den reinen Wissenschaftler, aber auch für den technischen Physiker und den physikalisch interessierten Ingenieur von großem Nutzen sein wird.

Aus dem reichen Inhalt seien hier nur erwähnt: I. praktische Bereitungsverfahren der Phosphore; die spektrale Zerlegung des Phosphoreszenzlichts in Banden, die

haften der Banden hinsichtlich der Temperatur, der Art, des Abklingens; das Entweichen von Elek-
tronen aus den Phosphoren, die Leitfähigkeit, die dielek-
trische Wirkung, Einfluß elektrischer und magnetischer
Felder auf die Dauerregungsverteilungen; die Zerstörung der
Resonanz durch Druck und Licht; Energie der Phos-
phoreszenz, Ausleuchten, Tilgung, molekulare Eigenschaf-
ten, Fluoreszenz, Trennungsleuchten, Reaktionsleuchten,
Leuchten von Lebewesen. Die lichtelektrischen Erschei-
nungen im engeren Sinne werden hinsichtlich des Auftre-
ten auf Oberflächen und in Gasen, ausführlich dargestellt
durch ein besonderes Kapitel über die Praxis der Licht-
technik und Empfänger nebst Anwendungen ergänzt.

[E 233] E. Gehrecke

Technische Elektrochemie. Von Jean Billiter. 4. Bd.: Elek-
trolytische Ofen. Halle a. d. S. 1928, Wilhelm Knapp. 302 S.
12 Abb. Preis 19,50 RM.

Das Buch gewährt einen lehrreichen Überblick über die
wichtigsten elektrothermischen Verfahren und Vor-
richtungen. Es werden die bekannten Ofenkonstruktionen
zur Herstellung von Karborund, Korund, Magnesia usw.
namentlich mit der Arbeitsweise beschrieben. Es folgen dann
technische Darstellung die kennzeichnendsten Kon-
struktionen der Luftstickstoff-Technik, die Zyanamid- und
die Serpeksche Ammoniaksynthese, über
Aluminiumnitrid, die Kalziumkarbid- und Kalzium-
nitridverfahren, die Beschreibung der Graphit- und
Graphitierungsverfahren und als Ergänzung je ein
Kapitel über Phosphor- und Schwefelkohlenstoff-Herstellung.
Der Verfasser, der seine technisch-wissenschaft-
liche Leistung hauptsächlich auf schmelzelektrolytischen
Prozessen aufzeichnet, im Vorwort richtig erkennt, ist hier-
über der heutige Stand der Elektrothermie nicht erschöpfend
mitgeteilt. Insbesondere macht sich das Fehlen einer
genauen Behandlung der heute so ungemein wichtig ge-
wordenen elektrometallurgischen Prozesse, z. B. die Elektro-
thermie der Eisenlegierungen, das Schmelzen und Feilen
von Sonderstählen usw. bemerkbar. Gerade auf diesen Ge-
biet sind in den letzten Jahren die bedeutendsten Fort-
schritte in Bau und Betrieb von elektrischen Ofen aufzu-
zeichnen. Die Entwicklung der Induktionsöfen, insbesondere
Hochfrequenzöfen und seine Bedeutung für die Her-
stellung von Edelstahl, könnte im Rahmen der Ausführungen
finden. Bekanntlich gestatten die Induktions-
öfen bei Abwesenheit von Elektroden und Flammgasen
infolge der Möglichkeit, beliebig hohe Temperaturen
zu erreichen, die schwierigsten metallurgischen Vorgänge
durchzuführen. So sind in der letzten Zeit im Forschungs-
ratorium des Bureau of Mines, Berkeley, Kalifornien,
eine Reihe von technisch wichtigen Untersuchungen gemacht
worden, aus denen die Leichtigkeit hervorgeht, mit der sonst
unmöglich zu bewerkstelligende Prozesse, wie die Auslösung chemischer Reak-
tionen bei hohen Temperaturen und hohem Unterdruck im
Induktionsofen, durchführbar sind.

Teillich sind dies Arbeitsergebnisse der jüngsten Zeit,
zum Teil in dem besprochenen Buch berücksichtigt
worden konnten. Dieses erfüllt seine Aufgabe mit der
Darstellung einiger, bisher in der Technik bewährter Tat-
sachen. [E 2491] Tama

Wurzeln der naturwissenschaftlichen Probleme. Von
Friedrich Dannemann. Leipzig 1928, Wilhelm Engelmann.
178 S. m. 82 Abb. Preis 19 RM.

Der Verfasser geht flüchtig auf die vorderasiatische
Kultur ein unter Verzicht auf die altindische und
griechische Kultur. Dann, von der Frühzeit der grie-
chischen Wissenschaft beginnend, bespricht er deren Ausbau
in alexandrinischen Zeit und im Zeitalter der römischen
Herrschaft. Beim Übergang vom Altertum zum Mittel-
alter wird von entscheidendem Einfluß die Ausbreitung des
Christentums und das Eindringen der Germanen und Araber
in die Mittelmeerländer. Das arabische Zeitalter und seine
Rolle für die folgende christlich-germanische Zeit
wird geschildert und daran anschließend das Wiederauf-
leben der Wissenschaften unter dem Einfluß des Humanis-
mus. Am Übergang zur neueren Zeit steht Copernikus.
Beginnt sich mit den Grundlagen der Naturwissen-
schaften zu befassen, die dann in der Zeit von Galilei
und Newton geschaffen und im 18. Jahrhundert weiter-
entwickelt werden. Daran anschließend schildert Danne-
mann die beispiellosen Aufschwüngen der Naturwissenschaft
in der neuesten Zeit bis auf unsere Tage. Bei der Schilder-
ung der wichtigsten Forscher ist es verständlich, daß
viele unerwähnt bleiben mußten, um den Umfang des
Buches zu beschränken. So vermißt man Ohm, Michelson
usw. Neben Darwin und Lamarck hätte auch Mendel, der
Vater der Vererbungslehre, eine Erwähnung ver-
dient.

Dieses Werk kann man jedem empfehlen, der in knappen
Zügen das wichtigste der Entwicklungsgeschichte der Natur-
wissenschaften verfolgen will, ohne sich mit geschichtlichen
Zahlen zu belasten oder in Einzelheiten zu verlieren. Von
solchen Werken hätten unsere Schüler einen unvergleichlich
höheren Nutzen als vom Einpaucken von Schlachtzahlen
und Regierungszeiten.

[E 2466]

Dr.-Ing. R. Berger

Handbuch der physikalischen und technischen Mechanik.
Herausgeg. von F. Auerbach und W. Hort. 6. Bd. 2. Liefg.
Leipzig 1928, Johann Ambrosius Barth. S. 461 bis 918
m. 426 Abb. Preis 50 RM.

Der sechste Band dieses umfassenden Handbuches han-
delt ganz allgemein von den Gasen. In der bereits erschie-
nenen ersten Lieferung (vergl. Z. Bd. 72 (1928) S. 1391)
wird vorwiegend die physikalische Seite betrachtet, die vor-
liegende zweite Lieferung beschreibt die technischen Anwen-
dungen und ist in folgende Abschnitte gegliedert: Wind-
räder, Dampfturbinen, Gasturbinen (G. Flügel), Luftkräfte
an Fahrzeugen (E. Everling), Segel- und Motorschiffahrt
(H. Croseck), dynamische Luftfahrt (E. Everling), Berech-
nung der Luftkräfte (R. Fuchs), statische Luftfahrt (E. Ever-
ling), pneumatische Förderung (K. Wagner), Verdichten und
Verdünnen von Gasen (A. Seligmann), Energieumsetzungen
in den Kolbenmaschinen (W. Hort). Da auf diesen Gebieten
in den letzten Jahrzehnten sehr viel gearbeitet worden ist,
war eine gewaltige Stoffmenge zu verarbeiten, wie aus den
einzelnen Abschnitten beifügten bis 15 Seiten füllenden
Literaturverzeichnissen zu entnehmen ist. Trotzdem ist
es den Verfassern gelungen, durch Beschränkung und Hin-
weis auf das Wichtigste einen vorzüglichen Überblick zu
geben. Es werden auch solche Maschinen behandelt, die
wohl in theoretischer Hinsicht beachtenswert, aber noch
im Werden begriffen sind und ihre praktische Verwendungsmög-
lichkeit noch nicht erwiesen haben. Alles in allem ist
diese Lieferung vom Ingenieurstandpunkt aus besonders zu
begrüßen. [E 2492] W. Schmidt

Sechsstellige Tafel der trigonometrischen Funktionen. Von
J. Peters. Berlin und Bonn 1929, Ferd. Dümmler. 293 S.
Preis 52 RM.

In der „Hütte“ findet man fünfstellige Tafeln der trigo-
nometrischen Funktionen (Kreisfunktionen) Sinus, Cosinus,
Tangens und Cotangens, bei denen das Intervall im Argu-
ment 10 Bogenminuten beträgt. Die den gebräuchlichen
Logarithmentafeln beigegebenen Tafeln der trigonometri-
schen Funktionen gehen gewöhnlich über diese Unterteilung
und Stellenzahl nicht hinaus. Demgegenüber beträgt das
Intervall in diesem Tafelwerk nur 10 Bogensekunden, also
nur ein Sechzigstel des obigen Wertes. Damit schwillt die
Tafel natürlich gewaltig an, zumal auch die Secans- und
Cosecans-Funktionen aufgenommen worden sind. Größere
Genauigkeit und weniger häufiges Interpolieren stehen diesem
Nachteil gegenüber. Die Tafel wird allen willkommen
sein, die viel mit trigonometrischen Funktionen zu tun
haben. [E 2493] W. Schmidt

Leitfaden der Flugzeugnavigation. Von W. Immler. Mün-
chen und Berlin 1928, R. Oldenbourg. 89 S. m. 57 Abb.,
15 Taf. und 13 Tab. Preis 12,50 RM.

Immler hat die Verfahren der Flugzeugnavigation unter
Anwendung und Anpassung an die Verfahren der Seenaviga-
tion zusammenfassend behandelt, eine gerade in der Gegen-
wart des Verkehrsflugwesens außerordentlich begrüßens-
werte Arbeit. Der Flugzeugnavigator und -führer findet
in diesem Buch, organisch aufgebaut, alles, was für die
planvolle Vorbereitung und Durchführung von Lang-
streckenflügen in navigatorischer Hinsicht wissenswert ist.
Immler hat sich aber außerdem die besonders beachtens-
werte Aufgabe gestellt, rechnerische Auswertungen durch
nomographische Rechentafeln zu ersetzen, wobei eine Ge-
nauigkeitsgrenze von 0,1° als ausreichend für die Zwecke
der Luftnavigation angenommen wurde. Es wird sich in
der Praxis zeigen müssen, welche Aufnahme das von Immler
grundsätzlich angestrebte nomographische Verfahren bei den
Navigation Treibenden in der Anwendung und im Enderge-
bnis im Vergleich mit andern Verfahren finden wird. Die
Beschäftigung mit dem Werke Immlers ist allen Interessier-
ten sehr zu empfehlen. [E 2483] Mäder

Die deutschen Forschungsstätten. Dargest. von Leopold Leh-
mann. Berlin 1929, Verlag für Kulturpolitik. 163 S. m.
60 Abb. Preis 8 RM.

Das Buch gibt nicht, wie aus dem Namen geschlossen
werden könnte, eine trockene Zusammenstellung der ge-
samten deutschen Forschungsstätten, etwa in Art eines
Hand- oder Adreßbuches, sondern behandelt in einer allge-
meinverständlichen Darstellung die Entwicklung und die
Arbeiten von sechzehn Instituten und Gesellschaften. Den

Ingenieur werden besonders die Aufsätze interessieren über das Kaiser-Wilhelm-Institut für Arbeitsphysiologie, das Geodätische Institut bei Potsdam, die Institute für Gärungs- und Meereskunde, Textilindustrie, Zuckerindustrie, die Preussische Landesanstalt für Wasser-, Boden- und Luft-hygiene, die Versuchsanstalt für Kohlenverflüssigung, für Luftfahrt, das Laboratorium des Vereins deutscher Portlandzement-Fabrikanten, die Telefunken-Gesellschaft und die Vereinigten Glanzstoff-Fabriken.

Wir haben in Deutschland allein etwa 1000 technisch-wissenschaftliche Forschungsstätten der Vereine und Institute. Die vorliegenden Abhandlungen können daher nur einige wenige Proben der Arbeiten geben. Sie werden aber durch ihre Mannigfaltigkeit, lebendige Darstellung und die guten Abbildungen jeden Leser fesseln.

[E 2485]

Boeck

Der Praktiker in der Werkstatt. Von *Valentin Retterath*. Berlin 1927, Julius Springer. 70 S. m. 107 Abb. Preis 3,50 RM.

Dieses Heftchen ist ein Ratgeber für die rationelle Ausnutzung von Werkstätten des Maschinenbaues. Ein Mann der Praxis mit reichen Erfahrungen zeigt an Beispielen, was im Betriebe zu verbessern ist, und wie man durch Überlegungen und mit einfachen Mitteln Verlustquellen ausmerzen kann. Gerade auch die „Nebensächlichkeiten“ sind dabei von Bedeutung. [E 1901] W. W.

Richtige Akkorde. Von *G. Peiseler*. Berlin 1929, Julius Springer. 157 S. m. 64 Abb. Preis 10,50 RM.

Refa-Buch. Einführung in die Arbeitszeitermittlung. Herausgeg. vom Reichsausschuß für Arbeitszeitermittlung. Berlin 1928, Beuth-Verlag. 50 S. m. 33 Abb. Preis 5 RM.

Sammlung Vieweg, 92 H.: Physikalische Probleme im Aufbereitungswesen des Bergbaus. Von *Siegfried Valentin*. Braunschweig 1929, Friedr. Vieweg & Sohn. 110 S. m. 77 Abb. Preis 7 RM.

Taschenbuch für die Farben- und Lackindustrie. Herausgeg. von *Hans Wolff, W. Schlick und Hans Wagner*. 5. Aufl. Stuttgart 1929, Wissenschaftliche Verlagsgesellschaft. 381 S. Preis 11 RM.

Technik der Emulsionen. Von *Otto Lange*. Berlin 1929, Julius Springer. 391 S. m. 66 Abb. Preis 49,40 RM.

Junkers. Festschrift Hugo Junkers zum 70. Geburtstage. Gewidmet von *A. Benson, A. Gramberg, A. Kessner, O. Mader, A. Nägel* und seinen Mitarbeitern. Überreicht vom Verein deutscher Ingenieure. Berlin 1929, VDI-Verlag. 99 S. m. Abb. Preis 6 RM, für Mitglieder des V. d. I. 5,40 RM.

Der Weltluftverkehr. Von *Carl Hanns Pollog*. Leipzig und Berlin 1929, B. G. Teubner. 94 S. m. 12 Abb. und 6 Karten. Preis 5 RM.

ABC of Aviation. Von *Victor W. Pagé*. New York 1928, The Norman W. Henley Publishing Co. 143 S. m. 62 Abb. Preis 1 \$.

Schweiz. Verband für die Materialprüfungen der Technik. 8. Bericht: Das Aluminium und seine Legierungen. Zürich 1927, Eidgenössische Materialprüfungsanstalt an der E. T. H. 31 S. m. 35 Abb. Preis 4 Fr.

Methoden und Probleme der Elastizitätstheorie. Von *Theodor Pöschl*. Braunschweig 1929, Friedr. Vieweg & Sohn. 23 S. Preis 1,75 RM.

Atombau und Spektrallinien. Wellenmechanischer Ergänzungsband. Von *Arnold Sommerfeld*. Braunschweig 1929, Friedr. Vieweg & Sohn. 351 S. m. 30 Abb. Preis 14,50 RM.

Verhandlungen der Gesellschaft Deutscher Naturforscher und Ärzte. 90. Versammlung zu Hamburg 1928. Herausgeg. durch „Die Naturwissenschaften“. Berlin 1929, Julius Springer. S. 831 bis 1067 m. Abb. Preis 8 RM.

Teubners mathematische Leitfäden, 22. Bd.: Höhere Mathematik. 2. T.: Integralrechnung. Unendliche Reihen. Vektorrechnung nebst Anwendungen. Von *Rudolf Reiche*. Leipzig und Berlin 1929, B. G. Teubner. 201 S. m. 96 Abb. Preis 6,40 RM.

Verstärker- und Meßtechnik. Instrumente und Methoden. Von *Manfred von Ardenne*. Unter Mitarbeit von *Wolfgang Stoff und Fritz Gabriel*. Berlin 1929, Julius Springer. 235 S. m. 246 Abb. Preis 24 RM.

Instrumente und Geräte für Verstärkungsmessungen — Methoden zu Verstärkungsmessungen — Fehlerquellen bei Verstärkungsmessungen.

Deutscher Werkmeister-Kalender 1929. Herausgeg. von *C. E. Berck*. 3. Bd.: Maschinenschlosserei. Bearb. von *Fritz Röhl*. Wittenberg (Bez. Halle) 1929, A. Ziem. 448 S. m. 355 Abb. Preis 3,50 RM.

Das Kraftwerk Schulau des Elektrizitätswerkes Unter Elbungs-Gesellschaft (E.W.U.) in Altona. Herausgeg. von der Direktion. Altona 1928, Selbstverlag. 55 S. m. Preis 7 RM.

Musterbetriebe Deutscher Wirtschaft, 5. Bd.: Die Papierherstellung der Feldmühle, Papier- und Zellstoffwerke A.-G. von Richard Hamburger unter Mitwirkung von Hans Friederich. Berlin 1928, Organisation der Papierherstellung (S. Hirzel). 49 S. m. Abb. Preis 2,75 RM.

Jahrbuch für die Gewässerkunde Norddeutschlands. Sonderhefte, 5. Bd. Nr. 1: Das Hochwasser der Elbe. Im Bode- und Okergebiet um die Jahreswende 1926/27. Von *E. Momber*. Im Okergebiet im Sommer 1926. W. Fabian und G. Bartels. Im Gebiet der mittleren Elbe im Sommer 1926. Von *M. Schirmer*. Berlin 1928, H. Mittler & Sohn. 49 S. m. 29 Taf. Preis 15 RM.

Engine. Von E. N. da C. Andrade. London 1928, G. and Sons, Ltd. 267 S. m. 75 Abb. Preis 7 s 6 d.

Diesellokomotiven. Von *G. Lomonosoff*. Übersetzt von *E. Mongrovius*, durchgesehen von *F. Meineke*. Berlin 1928, VDI-Verlag. 304 S. m. 401 Abb. und 3 Taf. Preis 32 RM, für Mitglieder des V. d. I. 28,80 RM.

Die Maschinenelemente. Von *Felix Röttscher*. 2. Bd. Berlin 1926, Julius Springer. S. 601 bis 1354 m. Abb. bis 2296. Preis 48 RM.

Monographien über angewandte Elektrochemie, 49. Heft: Elektrische Luftverbrennung. Von *Harry Pauling*. (Saale) 1929, Wilhelm Knapp. 188 S. m. 78 Abb. 9 Tab. Preis 17,50 RM.

Technischer Literaturkalender. 3. Ausg. 1929. Herausgeg. von *Paul Otto*. München und Berlin 1929, R. Oldenbourg. 736 Sp. Preis 24 RM.

Jahresbericht VI der Chemisch-Technischen Reichsanstalt 1927. Berlin 1929, Verlag Chemie. 253 S. m. 93 Abb. Preis 15 RM.

Die Baukontrolle im Eisenbetonbau. Von *W. Petry*. Stuttgart 1929, Konrad Wittwer. 65 S. m. 47 Abb. Preis 3,50 RM.

Die elektrische Ausrüstung des Kraftfahrzeuges. Von *Hanns Buttman*. Berlin-Charlottenburg 1929, C. J. Volckmann. 48 S. m. 21 Abb. Preis 2,50 RM.

Rationalisierung der Fabrikation und optimale Logistik. Von *Kurt Andler*. München 1929, R. Oldenbourg. 14 S. m. 15 Abb. Preis 8 RM.

Schluß des Textteiles

I N H A L T:

	Seite
Aus der neuen Physik. Von <i>M. Planck</i>	353
Die kurzwelligen Strahlen des Nordlichts	355
Heinrich Ehrhardt †	356
Maschinenteile — Neue Forschungen und Erfahrungen. Von <i>Heidebrock</i>	357
Speisewasser-Rauchgasvorwärmer auf Seeschiffen	363
Die Herstellung von Schokolade. Von <i>H. Lottes</i>	364
Herstellung von Stahl nach einem neuen Verfahren	368
Rationalisierung und Standardisierung in der Bauindustrie der Vereinigten Staaten von Amerika. Von <i>H. Griesel</i>	369
Wege zur Rationalisierung des Schiffsanstriches. Von <i>E. Asser</i>	374
Rundschau: Schiffbau und Schiffsbetrieb — Gütertriebwagen für Bahnunterhaltung — Sicherheitsventil für Gaskompressoren — Die Schwächung drahtloser Wellen über Städten — Zündzeitpunkt-	

Versteller für Magnetzündler — Ankermast für Luftschiffe in Kanada — Kleine Mitteilungen	
Bücherschau: Konstruktions-Elemente der feinmechanischen Technik. Von <i>O. Richter</i> und <i>R. v. Voß</i> — Bauelemente der Feinmechanik — Druckschwankungen in Druckrohrleitungen. Von <i>R. Löwy</i> — Messen und Wägen. Von <i>W. Block</i> — Handbuch der Experimentalphysik. Von <i>W. Wien</i> und <i>F. Harms</i> — Technische Elektrochemie. Von <i>J. Billiter</i> — Vom Werden der naturwissenschaftlichen Probleme. Von <i>F. Dannemann</i> — Handbuch der physikalischen und technischen Mechanik. Von <i>F. Auerbach</i> und <i>W. Hort</i> — Sechsstellige Tafel der trigonometrischen Funktionen. Von <i>J. Peters</i> — Leitfaden der Flugzeugnavigation. Von <i>W. Immler</i> — Die deutschen Forschungsstätten. Von <i>L. Lehmann</i> — Der Praktiker in der Werkstatt. Von <i>V. Retterath</i> — Eingänge	

ZEITSCHRIFT DES VEREINES DEUTSCHER INGENIEURE

SCHRIFTFLEITER: C. MATSCHOSS



73

SONNABEND, 23. MÄRZ 1929

Nr. 12

Wand-Füllbaustoffe für Stahlskelettbauten

Von Direktor HANS SCHMUCKLER, Berlin

Die für den neuzeitlichen Stahlskelettbau wichtigen Wand-Füllbaustoffe werden beschrieben, ihre Eignung in bezug auf Vermeidung von Ribbildung, auf Wärme- und Schallschutz, Feuersicherheit und Preiswürdigkeit auf Grund von amtlichen Prüfungsergebnissen untersucht und einige bewährte Bauausführungen an der Hand von Lichtbildern erläutert.

Anforderungen an Wandfüllbaustoffe

Wand-Füllbaustoffe für Stahlskelettbauten sollen mit einem möglichst geringen Raumgewicht eine gute Widerstandsfähigkeit gegen Wärmeeinflüsse und Schalldichte, Widerstand gegen Wetter- und Feuerbeständigkeit verbinden. Hohe Anforderungen an die Festigkeit werden für diese Baustoffe nicht gestellt, weil das Stahlskelett sämtliche Belastungen in senkrechter und wagerechter Richtung aufnimmt.

Der Baustoff soll mit den Füllbaustoffen für Stahlskelettbauten eine gute Haftung des Außenputzes verbunden sein, wenn erreichbar, der Innenputz erspart werden kann.

Da einer der Vorzüge des Stahlskelettbauwerks der kurze Bauzeit bei zeitlicher Unabhängigkeit von der Witterung (Regen und Frost) besteht, so sollen die Füllbaustoffe, ihrer Herstellung und Verarbeitung wegen, diesem Zeitgewinn nicht entgegenstehen. Das bedingt, daß ein möglichst großer Anteil der Bauarbeiten in geschlossenen Räumen fabrikmäßig ausgeführt wird, wozu man möglichst weitgehend Maschinen und Vorrichtungen verwenden soll.

Der Ziegelbau, der seit Jahrhunderten das Bauwesen beherrscht, kann diese Forderungen nur in sehr geringem Maße erfüllen und verliert sich im Bauwesen immer mehr ab. Erst in der letzten Zeit macht die Ziegelindustrie unter dem Druck des Wettbewerbes der neuzeitlichen Bauweisen Anstrengungen, um nicht ins Hintertreffen zu kommen und sich den Anforderungen der Rationalisierung anzupassen. Ob das gelingt, muß die Zukunft zeigen.

Die Vorteile der neuen Wandbaustoffe gegenüber den Ziegeln sind erheblich. Sie verbinden mit einem weitgehend geringeren Raumgewicht je nach der Gleichmäßigkeit ihres Gefüges den Vorzug einer mehrfachen Wärmeisolation und gleichzeitig größeren Schalldichte, als Ziegel aufweisen. Mit dem geringeren Raumgewicht ist die Möglichkeit einer Vergrößerung der Abmessungen der einzelnen Baukörper einher, mithin eine Beschleunigung der Ausführung am Bau, beträchtliche Verminderung der Fugenanzahl und der durch die Fugen entstehenden Bauwerkfeuchtigkeit. Einige dieser neuen Baustoffe werden in besonderen Formen in ihren Abmessungen so genau übereinstimmend hergestellt, daß bei einigermaßen sachverständiger Montage am Bau der Innenputz und damit ein großer Teil der Bauwerkfeuchtigkeit in Fortfall kommen.

Als Füllbaustoffe für den Stahlskelettbau, der sowohl den Hochhaus-, den Bureau- und Geschäftshaus-, den Industriebau und seit einigen Jahren auch den Wohnungsbau umfaßt, kommen im wesentlichen die im folgenden beschriebenen in Frage.

Ziegelausführung

Vollziegel eignen sich für die Wandausfüllung von Stahlskelettbauten selbstverständlich am wenigsten, weil der Wärmeschutz nur gering ist (Wärmeleitfähigkeit $\lambda = 0,66$) und ihre Festigkeit nicht ausgenutzt werden kann. Außerdem bedingt ihr kleines Format eine beträchtliche Arbeitsleistung am Bau; die Ausführung ist von der Witterung und von Facharbeitern abhängig, die Fugenanzahl und damit die entstehende Bauwerkfeuchtigkeit groß.

Die dem Ziegelbau seit Pettenkofer nachgerühmte „Atmungsfähigkeit der Wände“ hat nicht die Bedeutung, die ihr beigemessen wurde, weil der infolge unvermeidlicher Undichtigkeiten der Türen und Fenster stattfindende Luftwechsel erheblich größer ist, als der durch die verhältnismäßig dicken Ziegelwände. Der einzige Vorteil der Ziegelwand gegenüber den wesentlich dünneren Wänden aus den neuen Baustoffen ist der einer größeren Wärmespeicherung, aber

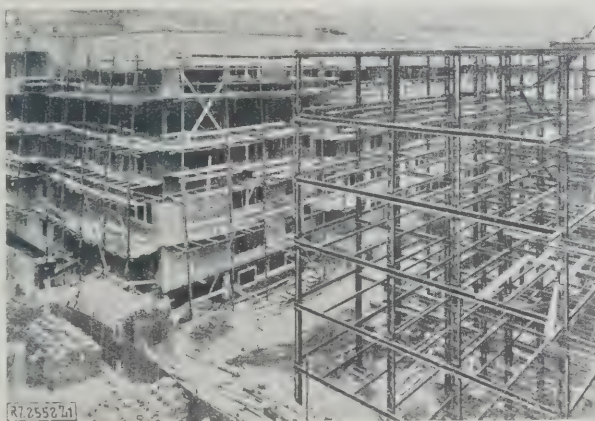


Abb. 1

Stahlskelett-Wohnhäuser in der Agricolastraße in Berlin. Ausführung: Richter & Schädel.

auch dieser hat durch die weitgehende Einführung der Zentralheizung an Bedeutung verloren.

Will die Ziegelindustrie mit dem Fortschritt im Bauwesen Schritt halten, so muß sie leichtere Formate, größere Formate mit geschlossenen Hohlräumen und höherer Isolierfähigkeit schaffen. Bestrebungen nach dieser Richtung, zum Teil unter Verwendung von Infusorienerde, sogenannte Molersteine herzustellen, sind im Gang und führen hoffentlich zu dem gewünschten Ergebnis. Die bisherigen Versuche mit diesen Molersteinen ergaben als Hauptmangel eine starke Wasseraufnahme, die die Isolierung selbstverständlich bedeutend herabsetzt. Auch der Aristonstein, der zu seinem Einbau besonderer Werkzeuge bedarf, kann als eine Lösung des Ziegelproblems nicht angesehen werden.

Schwemmsteine und Schlackensteine

Beide Baustoffe haben für die Wände von Stahlskelettbauten den Vorzug geringen Gewichts bei guter Wärmeisolation. Ihr Nachteil liegt in den noch zu

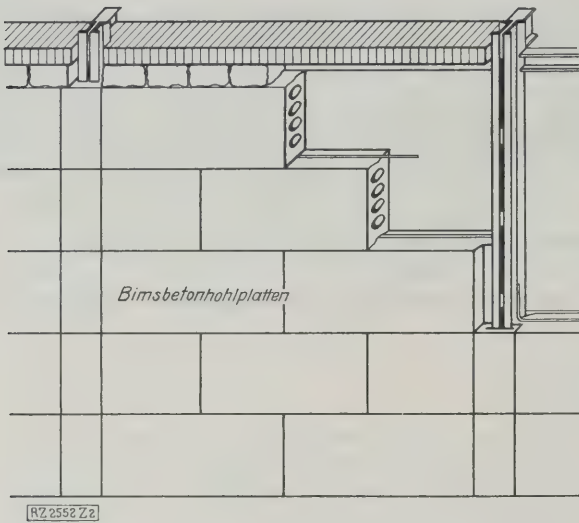


Abb. 2. Stahlskelettwand mit Bimsbeton-Hohlplatten.

kleinen Steinformaten und damit in der großen Fugen-
zahl. Infolgedessen kommen die Vorzüge des Stahlskelett-
baues nur teilweise zur Auswirkung. Bei den Schlacken-
steinen ist außerdem die Gefahr etwa vorhandener Schwefel-
verbindungen nicht von der Hand zu weisen, die dem
Stahlskelett gefährlich werden können. Nach den An-
gaben der Gesellschaften für Schlackenverwertung soll
allerdings bei ihren neuzeitlichen Herstellverfahren eine
Gewähr für Schwefelfreiheit übernommen werden.

Abb. 1 zeigt eine Siedlung in der Agricolastraße in
Berlin. Die Wände sind mit einer äußeren Schwemmstein-
schale von 10 cm Dicke und einer inneren einen halben
Stein dicken Schlackensteinschale unter Zwischenschal-
tung einer 5 cm weiten, in der Höhe mehrfach abgerie-
gelten Luftschicht ausgeführt. Die Bauweise hat sich gut
bewährt; der Vorteil schneller Ausführung kam in einer
Bauzeitersparnis von vier Monaten deutlich zum Ausdruck.
Die erhebliche Verminderung der Gesamtbaumassen von
20 000 t (Ziegelbau) auf 12 000 t (Stahlskelettbau), d. i.
40 vH, machte sich auch bei der infolge schlechten Bau-
grundes 6 m tiefen Gründung in einer Ersparnis von
130 000 RM auf 132 Wohnungen, d. i. rd. 1000 RM für
eine Wohnung, deutlich bemerkbar.

Neuere Messungen des Kohlenverbrauchs ergeben bei
diesen Stahlskelettbauten gegenüber Ziegelbauten eine
Ersparnis an Heizkosten von 20 vH.

Heraklith und Tektondielen

Diese und ähnliche Baustoffe, die in Großformaten in
verschiedener Dicke hergestellt werden, bestehen aus
Beton mit eingebetteten Schilffasern. Ihre Isolierfähig-
keit gegen Wärmeeinflüsse ist gut, ihre Eignung für die
innere Bekleidung von Außenwänden zur Erhöhung des
Wärmeschutzes und ihre gute Verwendbarkeit für Innen-
wände erscheint jedoch ihre Beständigkeit wegen der ein-
gelagerten pflanzlichen Stoffe nicht genügend erwiesen.

Mit Rücksicht darauf, daß derartige Betondielen zu-
meist unter Verwendung von Magnesit hergestellt werden
und dies bei Hinzutritt von Feuchtigkeit ungünstig auf
das Eisen einwirkt, ist Vorsicht bei der Verarbeitung ge-
boten. Derartige Betondielen haben im allgemeinen Woh-
nungsbau und auch bei den Stahlhauthäusern (Blecken,
Gebr. Böhler, Desta) in großem Maß Eingang gefunden.

Bimsbeton

Bimsbeton ist ein Leichtbeton aus Zement, Sand und
Bimskies. Der Bimskies verringert das Raumgewicht und
erhöht die Isolierfähigkeit gegen Wärme und Kälte. Der
Bimskies wird in Deutschland vorwiegend in der Eifel
und in der Gegend von Neuwied gefunden, ist aber auch
in anderen Ländern mit vulkanischem Boden, Italien,
Griechenland, Türkei u. a. ohne Schwierigkeit zu be-
schaffen.

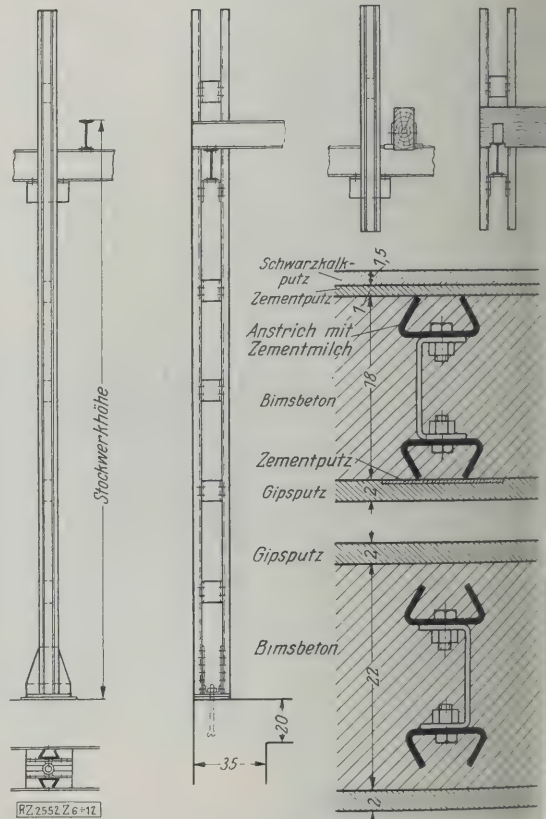
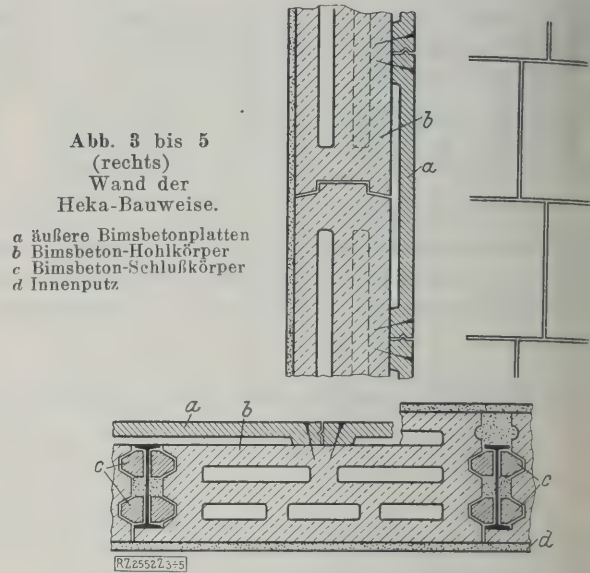


Abb. 6 bis 12
Bauweise Frank, Stuttgart.

Der Bimsbeton wird im allgemeinen mit einem Ra-
gewicht 1,0 bis 1,2 hergestellt, seine Wärmeleitzahl
trägt rd. 0,3 bei gewöhnlicher Ausführung, die je-
doch bis auf rd. 0,220 vermindert werden kann, wenn bei
Herstellung das Gefüge des Baustoffes gleichmäßig
staltet wird¹⁾, ist demnach dem gewöhnlichen Zie-
gelmauerwerk erheblich überlegen. Eine Wand aus B-
beton von 13,5 cm Dicke entspricht in ihrem Wär-
schutz einer Vollziegelmauer von 38 cm Dicke; das
Verhältnis beider zueinander ist:

$$\frac{1000}{1800} \cdot \frac{13,5}{38} = \frac{1}{5,07}$$

¹⁾ Die Angaben über Wärmeleitzahlen und Wärmeschutz, aus-
den weiterhin behandelten Baustoffen, beruhen auf Mitteilungen
betreffenden Hersteller. Da diese Wärmeleitzahlen einen einwand-
Anhalt nicht bieten, so werden zurzeit im Auftrage der Reichsforsch-
gesellschaft für Wirtschaftlichkeit im Bau- und Wohnungswesen
verschiedenen Forschungsinstituten eingehende Untersuchungen
dieser Richtung hin angestellt.

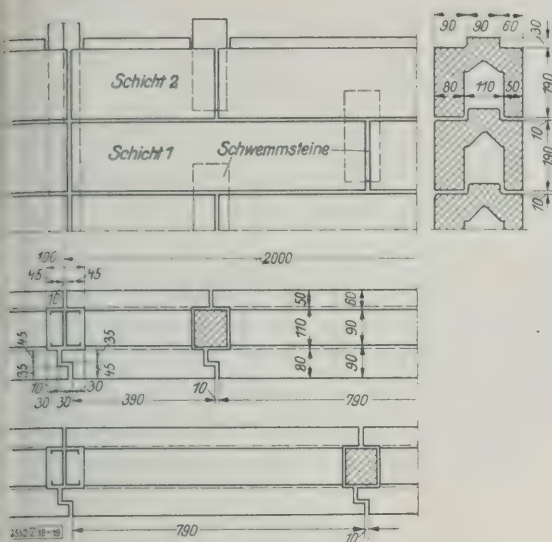


Abb. 16 bis 19

Wandausführung in Bimsbeton von Wäys & Freytag;
Hohlblocksteine nach Lupescu.

Bimsbeton kann in Form von Hohlblöcken, Abb. 2, als fertig aufgebaute Stahlskelett eingebaut oder zwischen am Stahlskelett vorübergehend befestigten Wandschalungen am Bau gegossen werden.

Abb. 3 bis 5 zeigen die Wandausbildungen der Bauweise „Heka“, die sich in mehreren Ausführungsformen in Siedlungen der I.-G. Farbenindustrie in Dürrenberg, Bez. Merseburg, gut bewährt hat.

Abb. 6 bis 12 zeigen die Bauweise von Frank, Stuttgart, die unter Verwendung besonderer Profileisen den Bimsbeton zwischen Wandschalungen an Ort und Stelle und in fertigem Zustande die Wand als eisernen Bimsbetonkonstruktion wirken läßt. Der Vorteil der Heka-Bauweise besteht darin, daß die Baukörper in geschlossenen Räumen fabrikmäßig hergestellt und nur in das fertige Stahlskelett eingesetzt werden, was die Unabhängigkeit vom Wetter in weitem Maße sichert und die Baufeuchtigkeit erheblich verringert wird.

Abb. 13 zeigt die Siedlung Dürrenberg im Bau, während Abb. 14 die Bauweise Ph. Holzmann wiedergibt, auf die hinzuweisen ist, daß die Frankische Bauweise in der Ausführung 20 vH billiger sein soll als ein Mauerbau und eine große Bauzeitverkürzung mit sich bringen kann.

Einen besonderen Weg geht Stadtbaurat May, Frankfurt a. M., bei seiner Plattenbauweise. Er stellt in einer Werkhalle große Wandplatten her und versetzt diese mit Hilfe fahrbarer Auslegerkrane, Abb. 15.

Auch diese Bauweise hat ihre Vorzüge, ist aber von der mit der Baustelleneinrichtung verbundenen

Kosten nur für große Siedlungen und wegen der notwendigen Verfahrbarkeit der großen Krane nur auf ebenem Gelände und geraden Siedlungsstraßen geeignet.

Nachteile der Bimsbetonausführung sind ihre nicht sehr große Schalldichte, die verhältnismäßig leichte Aufnahme von Feuchtigkeit der Baukörper, z. B. während der Beförderung und der Lagerung am Bau, und die langsame Abgabe der aufgenommenen Feuchtigkeit. Die Bauweise ist durch die Frachtkosten auf einen nicht zu weiten Umkreis von dem Erzeugungsgebiet des Rohstoffes beschränkt. Bei den gegossenen Wänden aus Bimsbeton und bei den großen Wandplatten ist die Gefahr der Rissebildung besonders zu beachten, die sich aus der natürlichen Schwindung des Bimsbetons im Gegensatz zu dem starren Stahlskelett erklärt. Anwendungsgebiete der Bimsbeton-Wandfüllstoffe sind denn auch in Deutschland in erster Linie das Rheinland, Westfalen und Süddeutschland.

Ein größeres Anwendungsgebiet haben die bewehrten Bimsbeton-Hohlplatten für Dacheindeckungen, die wegen ihrer Vorzüge und Billigkeit selbst auf große Entfernungen verschickt werden.



Abb. 15

Plattenbauweise May.



Abb. 13

Stahlskelett-Wohnhäuser, Bauweise Heka, in Dürrenberg.

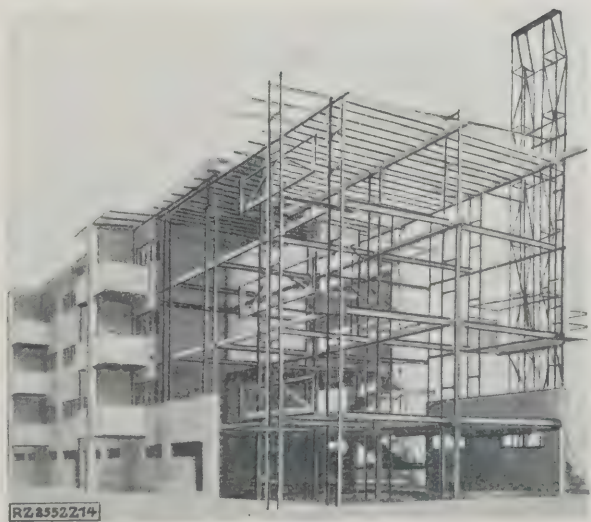


Abb. 14

Bauweise Ph. Holzmann.

Zahlentafel 1
Wände mit gleicher Isolierfähigkeit

Baustoffe	Wanddicke		Gewicht kg/m³	Wärmeleit- zahl λ	Isolierfä- higkeit, Wido- standzahl $1/\lambda$
	Maßstab 1:20	cm			
Feinster Kork		2,5	150	0,035	28,6
Zellenbeton für Wärmeisolierung . .		3,4	300	0,049	20,4
„ „ Kälteisolierung . .		3,8	300	0,055	18,2
Hochporöser Molerstein		4,8	305	0,069	14,5
„ „		5,5	420	0,078	12,8
Trockenes Holz		10	600	0,14	7,1
Zellenbeton für Dachplatten		11	800	0,16	6,3
„ „ Scheidewände		13	900	0,19	5,3
„ „ Bausteine		18	1100	0,25	4,0
Mauerwerk aus Ziegelsteinen		46	1750	0,66	1,5
Zementmörtel		70	2000	1,00	1,0
Beton		84	2200	1,20	0,8

Eine sehr beachtenswerte und neue Art der Wandausführung in Bimsbeton stellt die Firma Wayß & Freytag, Frankfurt a. Main, neuerdings her. Es handelt sich um Hohlblocksteine besonderer Form nach der Bauart *Lupescu*, Abb. 16 bis 19, deren Eigenart darin besteht, daß sämtliche Fugen gegen Windanfall geschützt und die Hohlräume auf besondere Art abgeriegelt und daher mit ruhender Luftschicht ausgefüllt sind. Die Bauart *Lupescu* bedarf bei allen zweistöckigen Häusern keines besonderen Stahlskeletts; bei höheren Wohnbauten wird, wie bei den übrigen Bauarten, ein Stahlskelett ausgeführt.

Zellenbeton

Zellenbeton ist ein Leichtbeton hochwertiger Mischung, dessen geringes Raumgewicht in den Grenzen von 0,3 bis 1,2 t/m³ man dadurch erreicht, daß man dem flüssigen Zementmörtel im Mischer zähen Seifenschaum beimischt, der in einer besonderen, mit dem Mischer verbundenen Peitschmaschine hergestellt wird²). Die kleinen Bläschen des Seifenschums durchsetzen den Beton gleichmäßig mit unzähligen kugelförmigen Luftzellen und geben dem so gewonnenen Zellenbeton eine hohe Isolierfähigkeit gegen Temperatureinflüsse, die mit Verringerung des Raumgewichtes wächst. Die ganz leichten Sorten von 0,3 bis 0,5 t/m³ werden ohne Sandzusatz aus Zement und Wasser hergestellt und dienen ausschließlich Isolierzwecken. Sie können an Stelle von Kieselgur, Kork usw. zum Wärmeschutz von Rohrleitungen, für Kühlhäuser usw. verwendet werden. Ihre Festigkeit ist natürlich gering (5 bis 12 kg/cm²). Die schwereren Zellenbetonkörper mit einem Raumgewicht von 0,6 bis 1,4 t/m³ bestehen aus Zement und Sand im Mischungsverhältnis 1 : 2 bis 1 : 3 sowie Wasser und sind als Baukörper für Stahlskelettbauten geeignet. Ihre Festigkeit schwankt nach Angabe der Herstellerfirma zwischen 20 und 60 kg/cm², genügt also den an Wandfüllbaustoffe zu stellenden Forderungen vollauf.

Zellenbeton von $\gamma = 1,1 \text{ t/m}^3$ Raumgewicht hat eine Wärmeleitzahl von $\lambda = 0,25$, so daß eine 18 cm dicke Zellenbetonwand einer Vollziegelmauer von 46 cm Dicke gleichwertig ist, Zahlentafel 1. Die leichteren Zellenbetonsorten haben selbstverständlich eine entsprechend günstigere Wärmeleitzahl. Das Gewichtsverhältnis der beiden Wände, Zellenbeton von $\gamma = 1,1$ zu Ziegelmauerwerk beträgt 1 : 4,2.

²) Die Patentinhaberin ist für Deutschland, Österreich, Ungarn und die Tschechoslowakei die Ingenieur-Baugesellschaft Christiani & Nielsen, Hamburg.

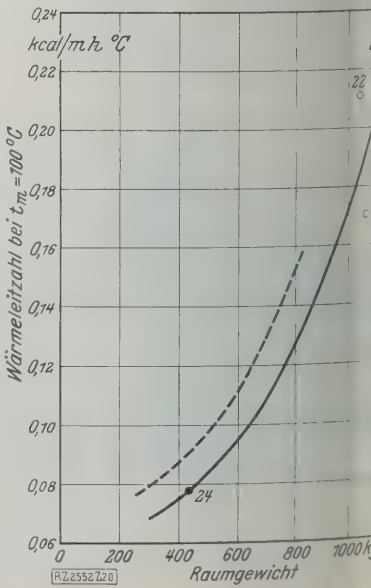
Bei der Verwendung des Zellenbetons muß man besonders darauf achten, daß er in den ersten zwei drei Monaten nach seiner Herstellung stark schwindet. Daher dürfen Zellenbetonbaukörper erst nach entsprechender Abbinde- und Trockenzeit (zwei bis drei Monate) eingebaut werden, wenn man Rissebildung den Wänden vermeiden will.

Neuere Ausführungen haben die Möglichkeit einer beschleunigten Trocknung und Härtung mit Dampf, wie sie auch bei den Kalksandsteinen Anwendung findet, gegeben. Diese verkürzt die Schwindungszeit auf wenige Tage. Der Preis des Zellenbetons ist noch verhältnismäßig hoch, er beträgt rd. 45 bis 60 RM/m³. Trotzdem dürfte die Wirtschaftlichkeit seiner Verwendung deshalb gegeben sein, weil man an Wanddicke und Wandgewicht erheblich spart.

Eine wesentliche Eigenschaft des Zellenbetons ist seine Frostsicherheit und geringe Feuchtaufnahme, die durch Versuche der technischen Hochschulen in Dresden und Stockholm festgestellt worden sind.

Abb. 20
Wärmeleitzahl von
Leichtbetonplatten
(Schimabeton)
in Abhängigkeit
vom Raumgewicht.

Die Zahlen 18, 18a, 21, 22, 24 bedeuten die Nummer der Probe.



Die Dresdener Brandversuche ergaben nach 1 h Dauer eine Temperatur an der Feuerseite von 70°, ohne daß der Zellenbeton dabei nennenswerte Veränderungen erlitt. Die Temperatur der Wandaußen erhöhte sich nur von rd. 25° auf 70°, wodurch die hohe Wärmeisolation des Zellenbetons erneut bewiesen erscheint. Auch die Gleichmäßigkeit des Baustoffes ist insofern wesentlich, als hiermit die gleichmäßige Verfügbkeit der Wand an allen Stellen gesichert ist, für die Verhinderung von Schwitzwasser vorteilhaft dürfte.

Zellenbetonbauten sind im Ausland bereits im großen Maßstab ausgeführt worden. In Deutschland zeigte eine Nachsiedlung in Leipzig-Leutzsch noch die Mängel künftiger Kenntnis der Baustoffe, indem sich infolge ungenügender Einbaus der Zellenbetonkörper, also vorwiegend der Schwindung, Schwindrisse bemerkbar machten. Diese Mängel hat man bei den späteren Ausführungen in Hamburg und Breslau vermieden, weil man völlig abgebundener, rd. drei Monate alter Baustoff Verwendung fand.

Schimabeton

Schimabeton³⁾ ist ein Leichtbeton, bei dem eine Gesteinsverminderung und damit Erhöhung der Wärmeisolation durch eine chemische Reaktion in der Weise erzielt wird, daß dem trockenen Betongemisch im Verhältnis 1:6 bis 1:8 eine Kalziumlegierung beigegeben wird. Nach dem Zusatz von Wasser bildet sich ein Gasbeton mit Luftporen durchsetzt und so einen dem Zellenbeton ähnlichen Baustoff erzeugt. Das Raumgewicht von Schimabeton schwankt etwa zwischen 1,0 und 1,5 t/m³. Er ist also schwerer als der Zellenbeton, und seine Verfügbkeit um so geringer, als die Gasbläschen in den Baukörper nicht gleichmäßig verteilt sein können. Er ist sein Schwindmaß geringer, so daß die schwerere Ausführung sich am Bau auch zwischen Wandverschalungen anwenden läßt.

Da dieser Baustoff verhältnismäßig neu ist, so bedarf seine Eignung für den Wohnungsbau noch einer Nachprüfung, die von der Reichsforschungsgesellschaft für Wirtschaftlichkeit im Bau- und Wohnungswesen e. V. in der Person des Herrn Dr. E. Asmus in Breslau durchgeführt wird. In der Zwischenzeit ist auch für den Zellenbeton und den noch zu behandelnden Gasbeton oder Aerokret bereits eingeleitet worden ist.

Die Wärmeleitzahl entspricht dem Raumgewicht, beträgt 0,20. Die Druckfestigkeit schwankt nach Angabe des Herstellers zwischen 30 und 80 kg/cm² bei $\gamma = 0,8$ bis 1,5 t/m³. Da der Schimabeton verhältnismäßig billig ist, 25 bis 30 \mathcal{M}/m^3 , so hat er Aussicht auf weitgehende Verwendung. Er ist bei einer kleinen Siedlungshausgruppe in Pöpelwitz und bei einem zweistöckigen Wohnhaus in Breslau-Kriern ausgeführt und bei einer Besichtigung durch die Reichsforschungsgesellschaft als gut befunden worden.

Der Vorteil des Schimabetons liegt darin, daß er an einen Fabrikationsraum und -ort gebunden ist; die Nachteile treten bei der Herstellung am Bau in der Ausführung: die entstehende Baufeuchtigkeit und die Folge des höheren Raumgewichtes geringere Isolierung gegen Wärme und Schall gegenüber den leichteren Baustoffen Zellenbeton und Gasbeton.

³⁾ Patentinhaber E. Asmus, Breslau.

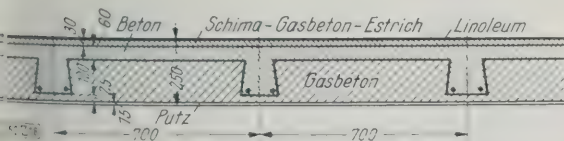


Abb. 21

Decke aus Schima-Gasbeton,

Berechnung des Deckengewichts:

Platte:	0,06 · 0,70 · 2400 = 101 kg/m	oder 101 kg/m
Rippe:	0,10 · 0,12 · 2400 = 29 "	" 29 "
Füllung:	0,145 · 0,6 · 800 = 69,6 "	" 34,8 "
	0,025 · 0,10 · 800 = 2 "	" 2 "
Putz und Linoleum	= 15 "	" 15 "
	G = 218,6 kg/m	G = 181,8 kg/m

⁴⁾ Sonderausführung.



Abb. 22

Kleinhäuser aus Gasbeton auf der Insel Gotland.

Eine gute und außerordentlich schalldichte Deckenkonstruktion aus Schimabeton, wie sie bei dem Wohnhaus in Breslau-Kriern ausgeführt wurde, zeigt Abb. 21⁴⁾.

Gasbeton (Aerokret)

Dieser Leichtbeton wird von der Torkret-G.m.b.H., Berlin, fabrikmäßig in Baublöcken und Dicken von 7, 10, 14 und 16 cm als Vollstein, von 20 cm und mehr als Hohlblock in Stahlformen hergestellt. Sein Raumgewicht für Bauzwecke beträgt $\gamma = 0,8$ und 0,9 t/m³, seine Wärmeleitzahl $\lambda = 0,28$, so daß eine 20 cm dicke Aerokret-einer 51 cm dicken Vollziegelmauer entspricht.

Gasbeton ist eine schwedische Erfindung aus dem Jahre 1922 und wird dort seit 1923 in großem Maßstab im Bauwesen angewendet.

Auch in anderen Ländern: England, Amerika, Kanada usw. hat sich der Gasbeton bereits ein großes Anwendungsgebiet erobert und gut bewährt. Er ist von den Leichtbeton-Baustoffen mit dem Zellenbeton derjenige, dessen Eignung im weitesten Maß durch Laboratoriumsversuche und in der Praxis bereits geprüft und festgestellt worden ist.

Auf einer gemeinsamen Studienreise mit Oberbaurat Fischer von der Berliner Baupolizei im Auftrage der Reichsforschungsgesellschaft⁵⁾ hatten wir Gelegenheit, diesen Baustoff in seinem Ursprungsland Schweden eingehend zu prüfen und seine ausgezeichneten Eigenschaften, insbesondere für Wohnbauzwecke, festzustellen.

Hunderte von Kleinhäusern der Stadt Stockholm und viele Kleinhäuser auf der Insel Gotland sind aus Gasbeton erbaut, Abb. 22, und teilweise besteht auch das Kellermauerwerk dieser Häuser aus 20 cm dicken Gasbetonblöcken. Die Bewohner äußerten sich durchweg befriedigt über diese Bauten, die sich selbst in dem feuchten Seeklima von Gotland vorzüglich bewährt haben und deren älteste nunmehr seit sechs Jahren bewohnt sind, ohne die geringsten Nachteile zu zeigen.

In Stockholm, wo die sechsten Stockwerke der Wohnhäuser nach der Baupolizeivorschrift hinter die Front zurücktreten müssen, sind viele später aufgestockte sechste Stockwerke wegen des geringen Raumgewichtes aus Gasbeton hergestellt. Diese Wohnräume unterscheiden sich von Räumen in Ziegelbauten nur in der angenehmsten Weise.

Ein Hochhaus aus 17 Stockwerken mit Gasbetonwänden in einem Eisenbetonskelett, das außen mit Edelputz versehen war, wies nicht die geringste Rissebildung auf, Abb. 23. Ebenso günstig verhielten sich diese Gasbetonwände bei Geschäftshausbauten in Stahlskelett, Abb. 24. In diesen konnten wir auch die gute Schallisolation der Gasbetonwände feststellen, die selbst bei den Bureau-trennwänden von nur 7 cm Dicke vollkommen ausreichend war.

⁴⁾ s. a. „Zement“ Bd. 17 (1928) S. 1567.

⁵⁾ Mitteilungen der Reichsforschungsgesellschaft Bd. 1 (1928) Nr. 17.



Abb. 23
Hochhaus in Stockholm. Eisenbetongerippe mit Gasbetonfüllung.

Eine Flugzeughalle der schwedischen Marine an der Ostsee mit 14 cm dicken Gasbetonblöcken zwischen Eisenbetonskelett zeigte nach rd. drei Jahren auch die Eignung des Gasbetons für derartige Hallenbauten, obgleich die einzelnen Wandgefache $6 \times 4 = 24 \text{ m}^2$ groß waren.

Der Gasbeton wird in Schweden, anders als von der Torkret-Gesellschaft in großen Formen von etwa $2 \text{ m} \times 1 \text{ m}$ gegossen und nach 24stündiger Abbindezeit, also in teigfestem Zustand, mit Klaviersaitendraht in Blöcke von $50 \text{ cm} \times 25 \text{ cm}$ zerteilt.

Sein mit Luftbläschen von 2 bis 2,5 mm durchsetztes Gefüge entsteht dadurch, daß dem trockenen Betongemisch von Zement und scharfem Sand oder Hochofenschlacken-sand ein besonders zubereitetes Aluminiumpulver beigefügt wird. Beim Abbinden bildet sich aus der Verbindung zwischen dem Aluminium und den chemischen Bestandteilen des Zements ein Gas, das die kugelförmigen Hohlräume erzeugt. Bei den fertigen Baublöcken sind diese Hohlräume nicht mehr mit Gas, sondern mit Luft gefüllt. Die Herstellung des Gasbetons wird unter Beachtung besonderer Maßnahmen, die Fabrikgeheimnis der Patent- und Lizenzinhaber sind, durchgeführt.

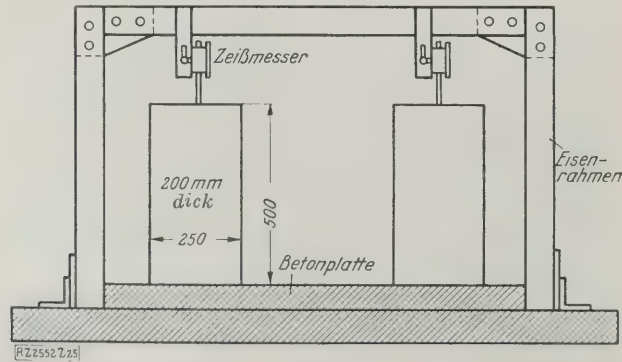


Abb. 25
Einrichtung zur Feststellung der Schwindung von Gasbeton.



Abb. 24
Geschäftshaus in Stockholm, Stahlskelett mit Gasbetonfüllung.

Wie beim Zellenbeton tritt auch beim Gasbeton den ersten zwei bis drei Monaten ein starkes Schwinden ein, das nach Untersuchungen der Technischen Hochschule Stockholm, etwa 1,25 bis 1,5 mm auf 1 m beträgt. Die Schwinden wirkt sich innerhalb der ersten zwei Monate zu 75 vH, der Rest im dritten Monat aus. Die in Schweden zur Schwindungsprüfung angewendete Einrichtung ze Abb. 25. Die Ergebnisse der Schwindungsprüfung sind den Schaulinien, Abb. 26, zusammengestellt.

Die Feuchtigkeitsaufnahme des Aerokret ist gering. Regen dringt nach Feststellung der Technischen Hochschule Stockholm nur etwa 5 mm in die Aerokretwände ein, bei Eintauchproben wurde eine Wasseraufnahme von nur 5,5 vH gemessen.

Gefrierversuche der Technischen Hochschule Stockholm mit Gasbetonwänden neben solchen mit Ziegeln gaben für Gasbeton eine hohe Frostbeständigkeit. Die Kanten der untersuchten Gasbetonkörper blieben nach mehrfachem Einsetzen in den Gefrierraum noch schön.

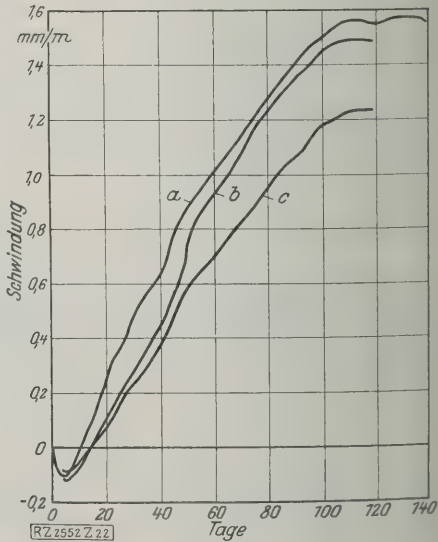


Abb. 26
Schwindungsergebnisse von drei Gasbetonproben a, b, c.

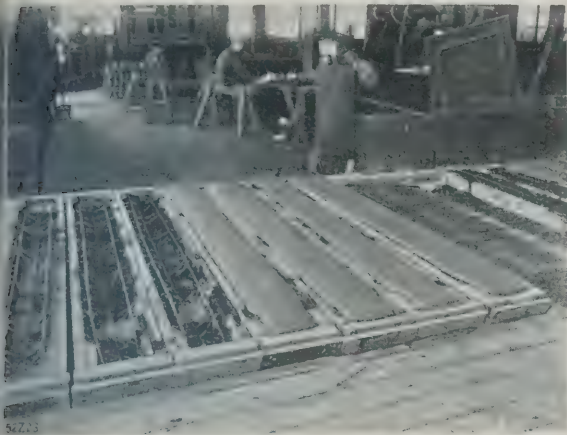


Abb. 27
Gasbeton-Deckenplatten für den Brandversuch während der Herstellung.

Während die gleichzeitig in demselben Raum bei Frostversuchen Ziegel starke Zerfallerscheinungen zeigten. Die wichtige Frage der Feuersicherheit wurde durch stehende Brandversuche der Columbia-Universität in New York geprüft. Untersucht wurde eine bewehrte Gasbetondecke, wie sie aus Abb. 27 bis 33 ersichtlich ist. In Abb. 30 bedeuten *a* Walzträger, die mit Gas- und Schlackenbeton feuersicher umhüllt sind, s.a. Abb. 33. Zwischen diesen Trägern *a* und zwischen diesen und den beiden Abschlußwänden links und rechts spannen Eisenbetonrippen *b*, Abb. 28 bis 30, in Abständen von 203 mm; zwischen diesen sind die zu untersuchenden Gasbetondeckenkörper *c* gegossen. Abb. 34 zeigt den Brandversuch. Das Brandhaus selbst bestand aus Schlackenbeton. Zur Feuerung diente Holz, das Feuer dauerte 4 h. Während des Brandversuches war die Decke mit 100 kg/mm² belastet. Die Gasbetondeckenkörper waren zu der Zeit des Brandversuches mit rd. 1,5 cm dickem Putz aus Gipszement versehen.

Trotz der vierstündigen starken Erhitzung der Unterseite der Gasbetondeckenkörper, die eine Temperatur im Durchschnitt 960 °C annahmen, zeigten sich an der Deckenunterseite nur geringfügige Zerstörungen, indem der Putz abblätterte und Abbröckelungen des Gasbetons bis zu einer Tiefe von 12,7 bis 19 mm eintraten. Abb. 35. Sonst blieb die Decke vollständig unbeschädigt. Die hohe Isolierfähigkeit des Baustoffes zeigte sich darin, daß die Oberseite der Gasbetondeckenkörper (bei einer Lufttemperatur von 42½ bis 49½ °C) sich von 100 °C auf nur 106 °C erwärmte, der Temperaturunterschied zwischen Unter- und Oberseite demnach 854 °C betrug. Der Gasbeton wird in Deutschland seit etwa zwei Jahren hergestellt. Die mit dem neuen Baustoff ausgeführten Bauten zeigen die gleichen guten Eigenschaften wie in Schweden.

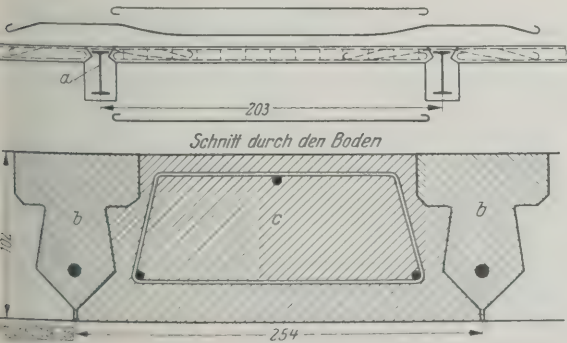


Abb. 28 und 29
Einzelheiten der Decke des Brandraums.

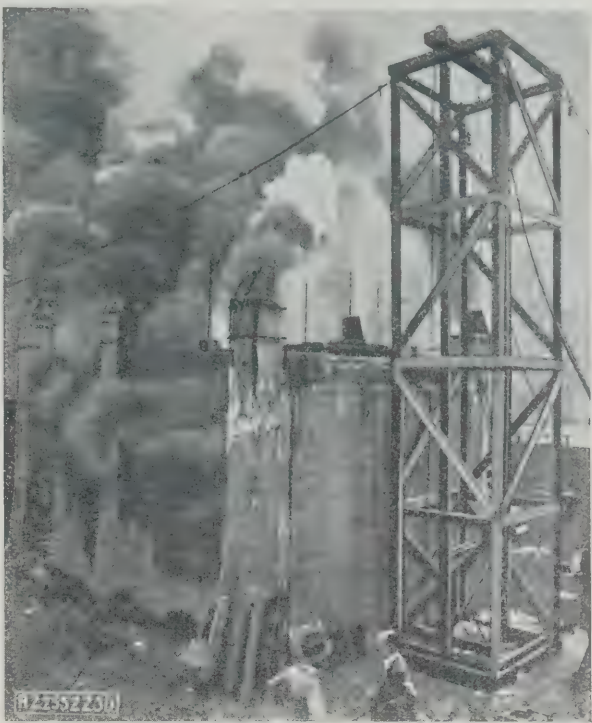


Abb. 34
Ansicht des Brandhauses während des Feuers.

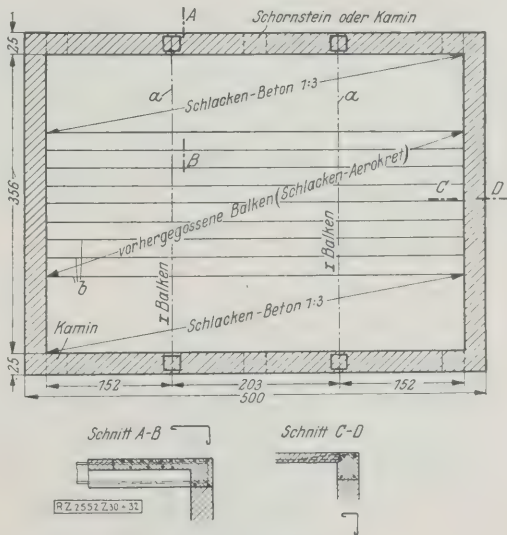
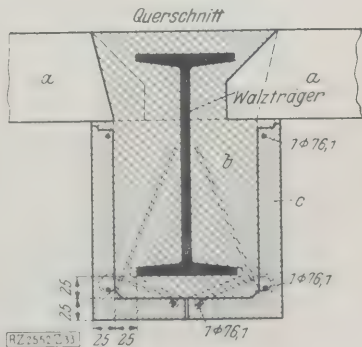


Abb. 30 bis 32
Decke des Brandraums.

Zu Abb. 28 bis 30
a Walzträger
b bewehrte Schlackenbetonrippen
c bewehrte Gasbetondeckenkörper

Abb. 33
Schnitt durch die Hauptträger, Abb. 28.

a Gasbetonbalken
b Gasbeton, an Ort und Stelle gegossen
c vorher gegossener Schlackenbeton



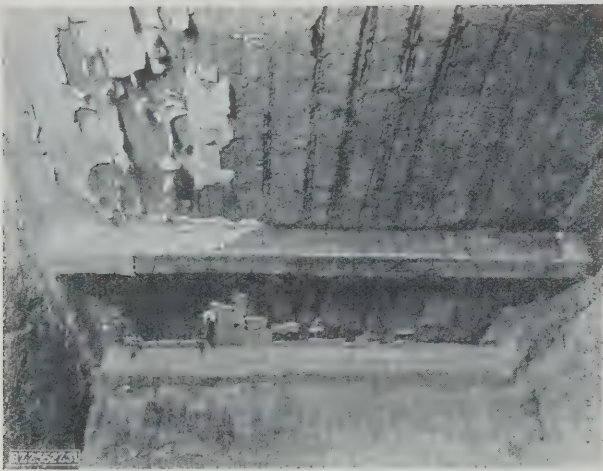


Abb. 35
Unteransicht des Ostfeldes und ein Teil des
Mittelfeldes nach dem Brandversuch.



Abb. 36
Siedlungshäuser in Breslau-Pöpelwitz; Stahl-
skelett mit Aerokretfüllung.

In Breslau-Pöpelwitz sind neue Siedlungshäuser in Stahlskelett mit Aerokretwänden ausgeführt worden⁶⁾, die nicht die geringste Rissebildung zeigen und hinsichtlich des Wärme- und Schallschutzes die große Überlegenheit der neuen Bauweisen gegenüber dem Ziegelbau darlegen.

Die im Bau gezeigten Häuser, Abb. 36, lassen auch einen besonderen Vorzug des Stahlskelettbaues erkennen, bei dem die Rohre für Installationszwecke vor der Ausführung der Wände eingebaut und damit die lästigen und teuren Stemmarbeiten vermieden werden.

Bei einem Bureaugebäude der Firma Dyckerhoff & Widmann in Spandau und andern Bauten mit Außen- und Innenwänden aus Aerokret hat sich die Güte und Zweckmäßigkeit dieses Baustoffes gleichfalls erwiesen.

Die Ausbildung der Wände zeigt Abb. 37. Die Gasbeton-Baukörper werden mit Aerokretmörtel in das Stahlskelett eingebaut, und durch besondere Isolierplatten *k*, die gleichfalls aus Aerokret bestehen und mit Kork gefüllt sind, wird an der Stelle, wo die Stütze steht, ein gleicher Wärmedurchgang wie der der Wandfläche erreicht.

⁶⁾ s. a. „Zement“ Bd. 17 (1928) S. 1661.

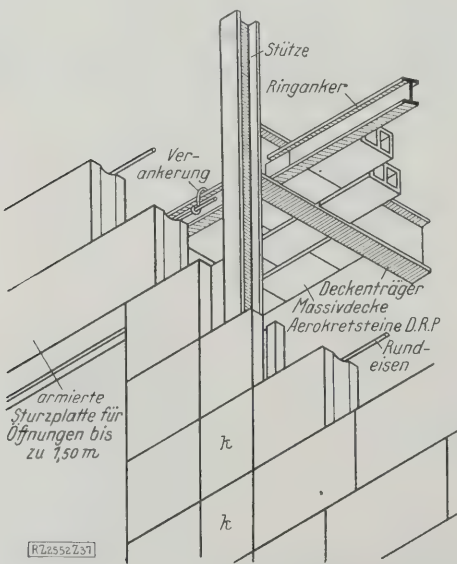


Abb. 37
Skelettbauweise, Bauart Torkret.
Schema einer Konstruktion mit Aerokret-
platten.
k korkgefüllte Aerokretplatten

Der Preis des Gasbetons beträgt zur Zeit auf der Frachtgrundlage Berlin rd. 42 RM/m³; ein Quadratmeter Wand aus Gasbeton-Hohlkörpern von 20 cm Dicke kostet einschl. Einbau und Glattreiben der Innenflächen 12 bis 13 RM. Rechnet man für das Stahlskelett noch rd. 4 RM/m² hinzu, so ergibt sich beim Vergleich mit einer hinsichtlich des Wärmeschutzes gleichwertigen Ziegelmauer von 51 cm Dicke ein um 3 bis 4 RM geringerer Preis für Aerokret. Berücksichtigt man dabei die Verkürzung der Bauzeit und den damit verbundenen Gewinn an Zinsen und Kosten der Bauleitung usw., ferner, daß infolge der geringen Wanddicke an Nutzwohnraum etwa 8 vH gewonnen werden, beachtet man ferner, daß bei den Stahlskelettbau allein in Frage kommenden Massivdecken und bei dem allseitig umhüllten Stahlskelett eine große Feuer-sicherheit erreicht wird, so ergibt sich die Notwendigkeit dieser Bauweise die größte Beachtung zu schenken, die sie berufen scheint, die Wohnungsbaufrage in entscheidender Weise günstig zu beeinflussen.

Die im Deutschen Normenausschuß aufgestellten „Gütevorschriften für Stahlskelettbauten“ tragen diesem Umstand Rechnung, und die bei Aufstellung der Normen beteiligten Beleihungsinstitute machen hinsichtlich der Hypothek keinen Unterschied zwischen dem Stahlskelettbau im Sinne dieser Gütevorschriften und Ziegelbauten.

Auch bezüglich der Gewährung von Hauszinssteuer-Hypotheken für derartige Bauten bestehen keine Schwierigkeiten. Eine Verbilligung der Ausführung wird durch die wachsende Erfahrung und Durcharbeitung bringen, wobei vorausgesetzt werden muß, daß die zur Zeit noch recht ungünstigen baupolizeilichen Vorschriften dem Fortschritt des Bauwesens angepaßt werden und große Bauaufgaben eine Rationalisierung ermöglichen. [B 2552]

Neue Hochspannungssicherungen

Zum schnellen Abreißen des Lichtbogens bei Hochspannungssicherungen hat die Montana Power Co. eine eigenartige Sicherung geschaffen. Die beiden auf Stützisolatoren befestigten Klemmen werden durch eine geflochtene Leitung verbunden, die sich von oben her auf rd. ihrer Länge in einem dickwandigen Mikanitrohr befindet. Der Kontakt an der oberen Klemme ist ein Klemmkontakt ohne Schraubverbindung. An der unteren Klemme befindet sich eine Patrone mit einer schwachen Schießpulverfüllung. Ein Draht in ihrem Innern erreicht bei der gewünschten Abschaltstromstärke gerade die Entzündungstemperatur des Schießpulvers. Die Explosion der Patrone reißt dann die Verbindungsleitung plötzlich von der oberen Klemme los. Die Sicherungen werden für Stromstärken von 1 bis 50 A und für Spannungen bis zu 65 kV verwendet; man 102 kV-Sicherungen macht man zur Zeit Versuche. („Electrical World“ Bd. 93 (1929) S. 383*) [M 2758 c] Pa.

Kreislumpensätze für ein Höchstdruck-Kraftwerk

Von Dipl.-Ing. H. KISSINGER, Ludwigshafen a. Rh.

Die Schaltung eines Höchstdruck-Kraftwerkes wird unter besonderer Berücksichtigung der Pumpensätze erläutert. Bei hoher Temperatur und bei großem Zulaufdruck verlangen Anordnung und Ausführung der Kesselspeispumpen besondere Sorgfalt. Eine Zusammenfassung der Hilfspumpen der Kondensationsanlage ermöglicht wesentliche betriebliche Vorteile.

Die Kesselspeispumpen

In meiner früheren Abhandlung¹⁾ habe ich die theoretischen Grundlagen für Heißwasser- und Höchstdruck-Kesselpumpen zusammengefaßt behandelt. Diese Gesichtspunkte wurden bei der nachstehend beschriebenen Konstitution der Kesselspeispumpen für eine neue 100 at-Heißwasseranlage zugrundegelegt, die zur Erweiterung eines Höchstdruckkraftwerkes von 20 at Kesseldruck dient. Zwei Höchstdruckkessel von je 60 t/h Verdampfung gestatten Leistungssteigerung um etwa 12 200 kW durch Aufbau einer Vorschalt-Regenerativturbine von 7000, einer Vorschaltturbine von 4500 kW bei 100/20 at Überdruck und einer Vorwärmerturbine von 700 kW.

Zur Speisung dienen vier Höchstdruck-Kesselspeispumpen von je 90 t/h; von diesen sind zwei unmittelbar mit 8 at-Dampfturbinen gekuppelt und zwei werden über Druckvorgelege von Drehstrommotoren angetrieben.

¹⁾ Archiv für Wärmewirtschaft Bd. 10 (1929) Nr. 3 S. 128.

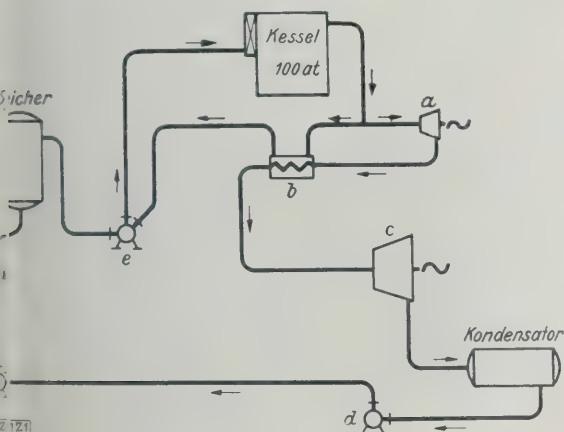


Abb. 1 (oben)
Schaltung der Höchst-
druck-Kesselanlage in
dem Großkraftwerk.

Vorschaltturbine
Zwischenüberhitzer
Hauptturbine
Zweistufige Kondensat-
pumpe
Einstufige Höchstdruck-
kesselspeispumpe
Zwischenspeispumpen

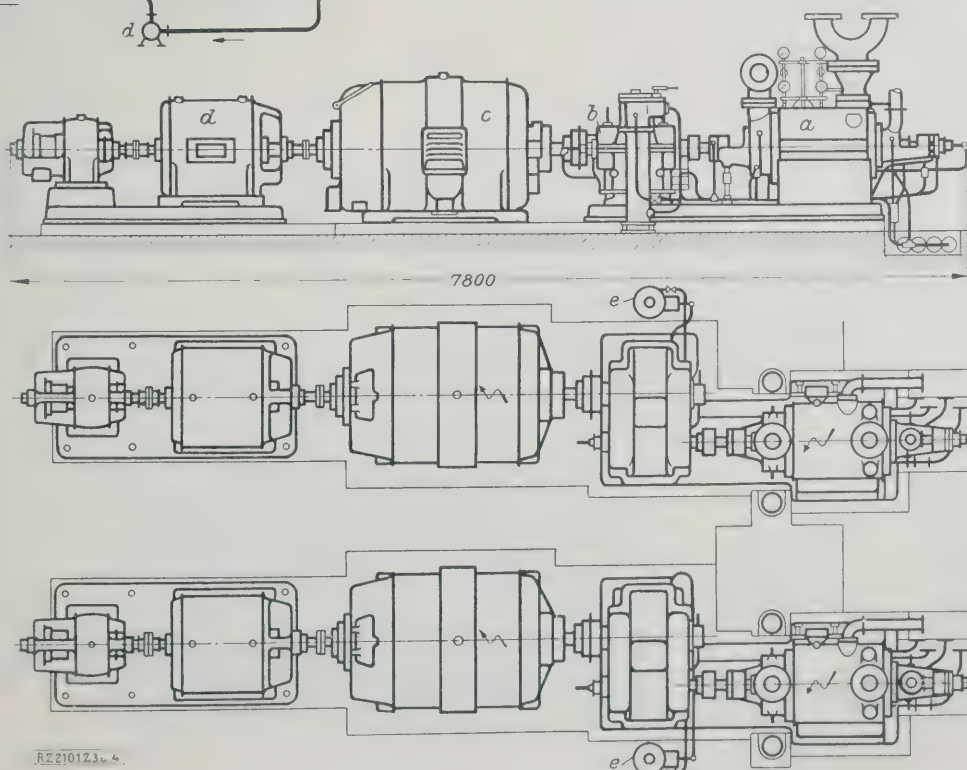


Abb. 3 und 4
Anordnung der elektrisch
angetriebenen Hoch-
druck-Speispumpen.

100 at-Höchstdruck-
Kesselspeispumpe
Drehstrom-
elektromotor
Frequenzumformer
Ölkühler

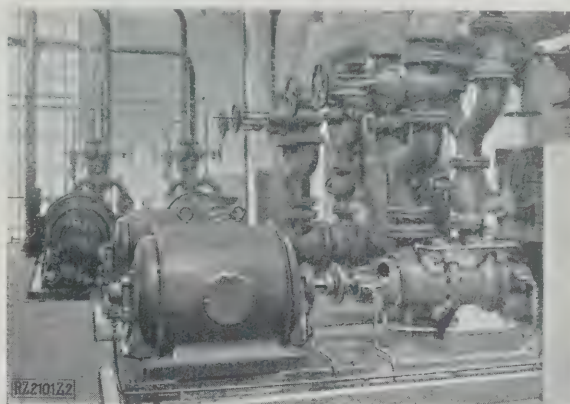


Abb. 2

Blick in den Pumpenraum. Im Vordergrund
zwei der Zwischenspeispumpen, dahinter die
beiden Höchstdruck-Kesselspeispumpen mit
elektrischem Antrieb.

Abb. 1 zeigt in großen Zügen die Schaltung der Maschinen und Apparate. Der Dampf wird in Vorschaltturbinen a von 100 auf 20 at entspannt und gelangt von dort über Zwischenüberhitzer b in die Hauptturbinen c, die für Kondensationsbetrieb eingerichtet sind.

Bei der Kesselspeisung der neuen Anlage, s. a. Abb. 2, hat man besonders die Vorteile hoher Speisewassertemperatur ausgenutzt. Das Kondensat wird von einer zweistufigen Kondensatpumpe d, Abb. 1, die mit dem Kühlwasser- und Strahlwasser-Pumpensatz vereinigt ist, dem Kondensator entnommen und zusammen mit der Zusatzspeisewassermenge den Zwischenspeispumpen f mit

etwa 80 °C zugeführt. Diese, und zwar vier vierstufige Sulzer-Hochdruck-Pumpen für je 125 t/h Leistung bei 25 at manometrischer Förderhöhe sind mit Drehstrommotoren von 2900 U/min und 180 PS Antriebsleistung unmittelbar gekuppelt und fördern in eine

Gleichdruck-Speicheranlage²⁾, in der das Wasser fast auf Verdampfungs-temperatur kommt. Von dort fließt es dann mit etwa 200 °C und 18,5 at den neunstufigen Höchstdruck-Kesselspeisepumpen *e*, Abb. 3 bis 5, zu, die mit je 90 t/h Normalleistung bei 93,2 at (= 1080 m W.-S.) arbeiten, so daß sich am Ende der neunten Stufe ein Druck von 111,7 at einstellt. Mit diesem Druck gelangt das Wasser über die Rauchgasvorwärmer in die 100 at-Kessel.

Im Zwischenüberhitzer *b*, Abb. 1, muß der Abdampf der Vorschaltturbinen *a* von 20 at und 250 °C wieder auf höhere Überhitzung von etwa 340 °C gebracht werden, bevor er in die Hauptturbine eintritt. Zu diesem Zweck wird Frischdampf von 100 at und 460 °C in den Zwischenüberhitzern an den 20 at-Dampfrohren vorbeigeführt. Infolge des Wärmeaustausches sinkt die Temperatur des Heizdampfes unter die Grenzkurve, und es bildet sich Kondensat von etwa 306 °C bei Verdampfungs- bzw. Sättigungsdruck von 93 at.

Dieses muß wieder in den Kessel zurück und wird deshalb über einen Hilfsstutzen in die Höchstdruck-Kesselspeisepumpen mit 82,5 at bei 297 °C eingeleitet, wobei möglichst wenig Druck verloren gehen soll. Aus diesem Grunde wurde dieser Stutzen hinter der sechsten Stufe angeordnet.

Bei geringer Speiseleistung der Pumpen kann dieses heiße Kondensat eine wesentliche Steigerung der Temperatur in den letzten Stufen der Pumpe und damit hinter der Entlastung veranlassen. Geht z. B. die Speisewassermenge auf 10 t/h zurück, während gleichmäßig etwa 7 t/h Kondensat hinter der sechsten Stufe eintreten, so beträgt die Mischtemperatur etwa 235 °C. Das entspricht einem Sättigungsdruck auf der Grenzkurve von 30 at. Normalerweise führt man das Entlastungswasser der Kesselspeisepumpen in den Längsstutzen zurück. Das ist möglich, solange die Verdampfungs-temperatur vom Entlastungswasser nicht erreicht wird, oder anders ausgedrückt, solange der Gegendruck im Entlastungsraum oberhalb der Grenzkurve bleibt. Sonst setzt Dampf-bildung ein, die im Pumpeneintritt zu Störungen der Förderung Anlaß gibt. Tatsächlich wird aber im Entlastungsteil ein Gegendruck von nur 18,5 at, entsprechend dem Zulaufdruck, vorhanden sein können. Das Entlastungswasser muß also entweder bei

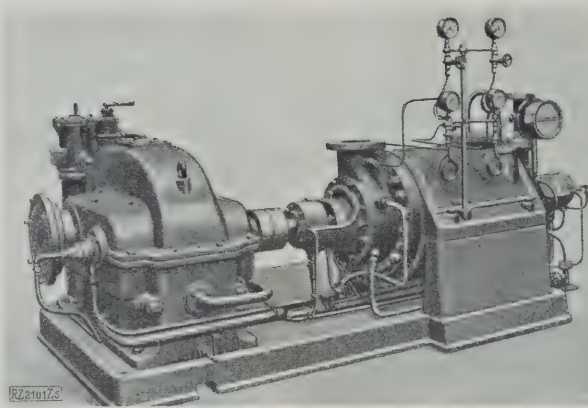


Abb. 5
Eine der Sulzer-Höchstdruckpumpen für 90 m³/h und 93,2 at bei 4650 U/min.

gen Verwicklungen, man erreicht betriebssicheres gleichzeitig wirtschaftliches Arbeiten.

Wegen der schon früher³⁾ beschriebenen Vorteile Drehzahlregelung statt einer Drosselung am Pumpschieber, erhielten auch die elektrisch angetriebenen Pumpensätze Drehzahlregelung. Die Antriebsmotoren wurden zu diesem Zweck als Scherbiusmotoren Frequenzumformer ausgebildet. Die Schaltgeräte der Regelsätze werden durch Askania-Regler betätigt.

Die Pumpen haben einen gegen null ansteigenden Verlauf der Q-H-Linie, wie in dem oben erwähnten Satz wiedergegeben⁴⁾. Der Gipfel- oder Umkehrpunkt veranlaßt bei kleiner Leistung außerordentlich hohe Schläge in den Speiseleitungen. Dies ist besonders gefährlich, weil immer eine Elektro- und eine Turbopumpe verschiedener Charakteristik zusammenarbeiten, wobei die Turbopumpe durch die Vorwärmanlage gesteuert wird. Wenn sie die ganze Leistung übernimmt, so tritt die Elektropumpe im toten Wasser, so daß die bekannten Pendelungen der Wassersäule auftreten, wenn der Längsdruck unter dem Höchstdruck liegt. Dies muß vermieden werden.

Unmittelbare Kupplung mit den Elektromotoren zurichten, war nicht möglich, da sonst die Stufenzahl der Pumpen zu groß geworden wäre. Andererseits kann das gewünschte Ziel nur mit eingehäusigen Pumpen erreicht werden. Aus diesem Grunde wurden Stirnradvorgetriebe zur Übersetzung ins Schnelle von 1470 auf 4650 U/min eingeschaltet.

Abb. 6 zeigt eine der neunstufigen Sulzer-Höchstdruckpumpen im Schnitt. Bei der Ausbildung der Pumpen hat man teilweise neue Wege beschritten, etwaigen Schwierigkeiten zu begegnen. Vor allem wandte man dem Ausgleich von Wärmespannungen besondere Aufmerksamkeit zu.

Die Pumpen sind nicht in üblicher Weise mit Flanschen versehen, sondern in Kragständen in der wagerechten

²⁾ Vergl. Archiv für Wärmewirtschaft Bd. 8 (1927) S. 824.

³⁾ Vergl. Anmerkung 1.

⁴⁾ Vergl. Anmerkung 1.

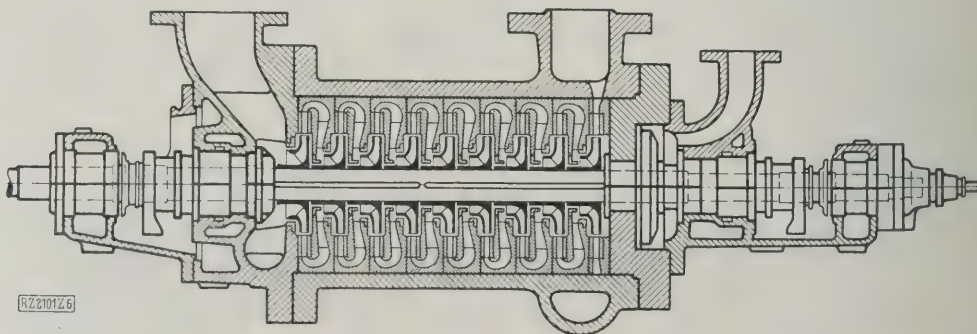


Abb. 6. Schnitt durch die Höchstdruck-Kreiselpumpe von Gebr. Sulzer.

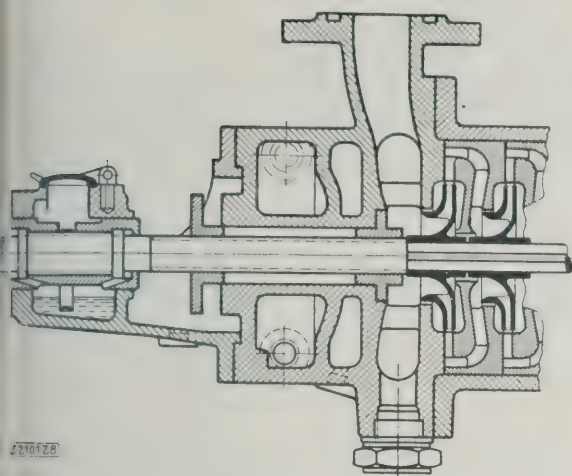


Abb. 7

Heißwasser-Stopfbüchse mit Außenkühlung aus dem Jahre 1923.

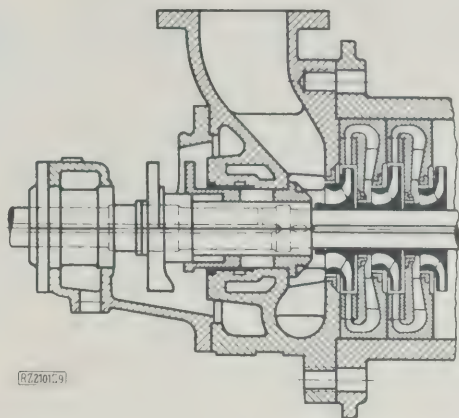


Abb. 8

Neuartige Kühlung der Stopfbüchse von innen.

senenebene aufgehängt, Abb. 5. Hiermit hat man den Unterschied durch Wärmeausdehnung gegenüber der Vorgelege ausgeschaltet. Das Gehäuse ist auf seiner Unterlage nach dem hinteren Teil der Pumpe zu längs der Achse frei beweglich.

Durch die Wahl geeigneter Werkstoffe wurden die Ausdehnungszahlen bei dem Laufzeug und der Welle mit den Büchsen erreicht. Die Laufräder sind aus Schmiedemetall, die Wellen aus VAM-Stahl, die Leiträder aus Stahlguß. Um den letzten Rest von Längenänderungsunterschieden elastisch auszugleichen, werden nachträgliche Ausdehnungsbüchsen eingebaut, und um die Wärmeverluste niedrig zu halten, hat man das Pumpengehäuse isoliert.

An den Stopfbüchsen muß Wasser von 200 °C und 20 at gegen die freie Luft abgedichtet werden, sonst tritt bei Austritt des heißen Wassers lebhaftes Dampfen ein. Man muß deshalb das Spaltwasser, das in die Stopfbüchse eintritt, gut kühlen und durch Anordnung einer möglichst langen Drosselstrecke für eine Verringerung des Druckes Sorge tragen.

Hierzu bedient man sich entweder einer Außenkühlung, etwa nach Abb. 7, oder man geht zu der wesentlich wirksameren Innenkühlung über, die bei den Pumpen für 100 at benutzt wurde, Abb. 8.

Um unwiederbringliche Wärmeverluste zu vermeiden, muß die Kühlung auf ein Mindestmaß beschränkt. Nur durch die Stopfbüchsen-Laufstellen wird durch eine Innenkühlung Außenkühlung weitergehende Verringerung der Temperatur des etwa noch austretenden Wassers anstrebt. Das Kühlwasser wird von der durchbohrten Welle her in die mit umlaufenden Kühlwasserräume gespritzt und von hier über die Stopfbüchsenpackung durch eine Öffnung in der Stopfbüchsenbrille abgeleitet.

Zur besseren Abdichtung kann man außerdem noch Spaltwasser verwendet, das bei 80° und 20 at von den Zwischenstufenpumpen her in Verfügung steht. Dieses Spaltwasser wird vor der Doppelstopfbüchse in die innere Laterne eingeleitet und bildet durch seinen höheren Druck ein verhältnismäßig kaltes Wasserband, mit dem das heiße Wasser des Pumpenraumes gegen die Packung gut abgeschlossen bleibt. Im gleichmäßigen Strom fließt es dann über die innere Laterne zwischen den

beiden Stopfbüchsenräumen ab und läuft dem Kondensatsammler wieder zu. Infolgedessen geht die vom Spaltwasser aufgenommene Wärme nicht verloren, während die gewählte Abdichtung jede Schwadenbildung an den Stopfbüchsen vermeidet.

Abschließende Betriebserfahrungen liegen heute noch nicht vor, da die Anlage erst einige Monate im Betrieb ist. Immerhin zeigt das Beispiel, daß man Kreiselumpen auch für höhere Drücke mit Vorteil benutzen kann. Bei zu kleiner Wassermenge allerdings ist unter Umständen die Kolbenpumpe überlegen, da dann die Radverhältnisse und damit der Wirkungsgrad für Kreiselumpen zu schlecht werden.

Die Hilfspumpen für die Kondensation

Für die neue 20 000 kW-Turbine, die mit 20 at arbeitet und den Frischdampf teilweise vom Zwischenüberhitzer b, Abb. 1, teilweise von der alten Kesselanlage erhält, wurden im Kondensatorraum zwei miteinander gekuppelte Maschinensätze aufgestellt, von denen jeder sämtliche Hilfspumpen der Kondensation in sich vereinigt.

Abb. 9 zeigt die eine dieser Pumpensätze. Jede Gruppe besteht aus Kühlwasser-, Strahlwasser- und Kondensatpumpe. Zum Antrieb dient einmal eine Dampfturbine über ein Zahnradvorgelege und einmal ein 300 PS-Drehstrommotor von 735 U/min. Mit dieser Drehzahl arbeiten beide Pumpensätze, um gleiche Ausführung zu erhalten. Der eine dient als Aushilfe für den andern.

Die Kühlwasserpumpe, die den größten Raum einnimmt und durch den Druckstutzen von 600 mm l. W. gekennzeichnet ist, deckt den Wasserbedarf zur Kühlung des Kondensators. Der Kühlwasserstrom wird im Kraftschluß geführt, so daß nur die Leitungs- und Kondensatorwiderstände zu überwinden sind. Gebraucht werden rd. 4000 m³/h bei 7 m Förderhöhe. Diese Leistung konnte hier in einem Laufrad bewältigt werden. Oft muß man die Wassermenge unterteilen und zwei oder drei parallel geschaltete Laufräder einbauen, um keine zu niedrigen Drehzahlen zu bekommen.

Die Strahlwasserpumpe, die sich rechts an die Kühlwasserpumpe anschließt, Abb. 10, entnimmt deren Druckraum das Aufschlagwasser für die Luftabsaugung aus dem Kondensator und erzeugt in zwei Stufen die für den Strahl-

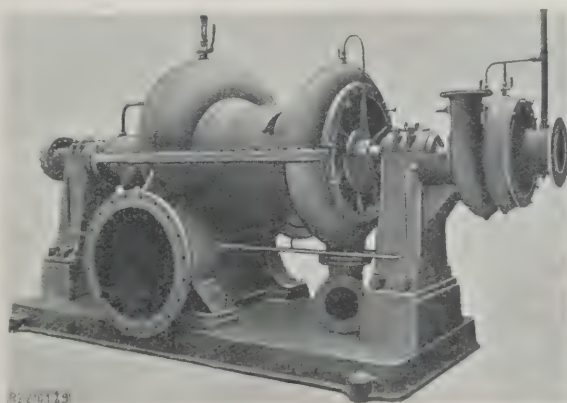


Abb. 9. Kondensationspumpengruppe.

apparat erwünschte Druckhöhe von 47 m bei 355 m³/h. Kühlwasser- und Strahlwasserpumpe sind in einem Gehäuse vereinigt, das wagerecht geteilt ist. Zur Anfertigung des verwickelten Gußstückes sind langjährige Gießereierfahrungen nötig gewesen.

Die Kondensatpumpe ist am Ende der Welle außerhalb des zweiten Hauptlagers fliegend angeordnet. Diese Pumpe saugt das aus dem Kondensator anfallende Kondensat und fördert es über den Speisewassersammler den Zwischenspeisepumpen, Abb. 1, zu. Die hohe Luftleere bei geringer geodätischer Zulaufhöhe bedingt besonders sorgfältige Ausbildung der Stopfbüchse und Verwendung eines Laufrades mit erhöhter Saugfähigkeit. Die Kondensatpumpe nach Abb. 9 hat zwei Stufen für 110 m³/h bei 40 m Gesamtförderhöhe. Zum Abdichten an der Stopfbüchse dient Druckwasser, das hinter dem zweiten Laufrad entnommen wird. Außerdem wird Sperrwasser zwischen die beiden Packungen der Doppelstopfbüchse eingeführt; es bildet hierdurch ein Wasserband, das jedes Aussaugen von Luft sicher vermeidet. Als Sperrwasser dient Kondensat, das etwa 10 m oberhalb der Pumpe in einem kleinen Behälter vorrätig gehalten wird. Normalerweise dichtet das Druckwasser vom Druckraum der Pumpe.

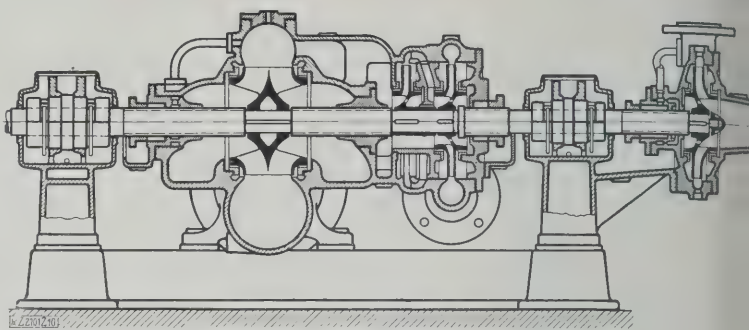


Abb. 10

Schnitt durch die Kondensationspumpengruppe. Die Kondensatpumpe rechts ist bei der Gruppe nach Abb. 9 zweistufig.

Bei geringer Belastung der Turbine aber läuft die Kondensatpumpe unter Umständen fast leer, und die Gefahr eines Ansaugens von Luft durch die Stopfbüchse wächst bei der hohen Luftleere beträchtlich, zumal Druckwasser nicht zur Verfügung steht. Dann tritt das Sperrwasser in Wirkung und dichtet wie vorher das Druckwasser gut.

Die Durchbildung derartiger Pumpengruppen gründet sich auf jahrelange Erfahrungen im Kreiselpumpenbau. Die Ersparnisse gegenüber der Verwendung von getrennten Pumpen mit Einzelantrieb sind augenscheinlich. Aber die Hauptvorteile liegen in der Vereinfachung des Betriebes bei gleichzeitiger Steigerung der Sicherheit.

[B 2101]

- a Handflügelpumpe
- b Kiestöpfe
- c Meßzylinder aus Glas mit je 5 l Fassungsvermögen
- d Entgasungsrohr
- e Umschaltvorrichtung
- f Doppelzählwerk
- g Füllleitungen
- h Saugleitungen
- i Rücklauf- und Entgasungsleitungen
- k Peilrohr
- l Peilrohrverschlüsse
- m Schutzkappen

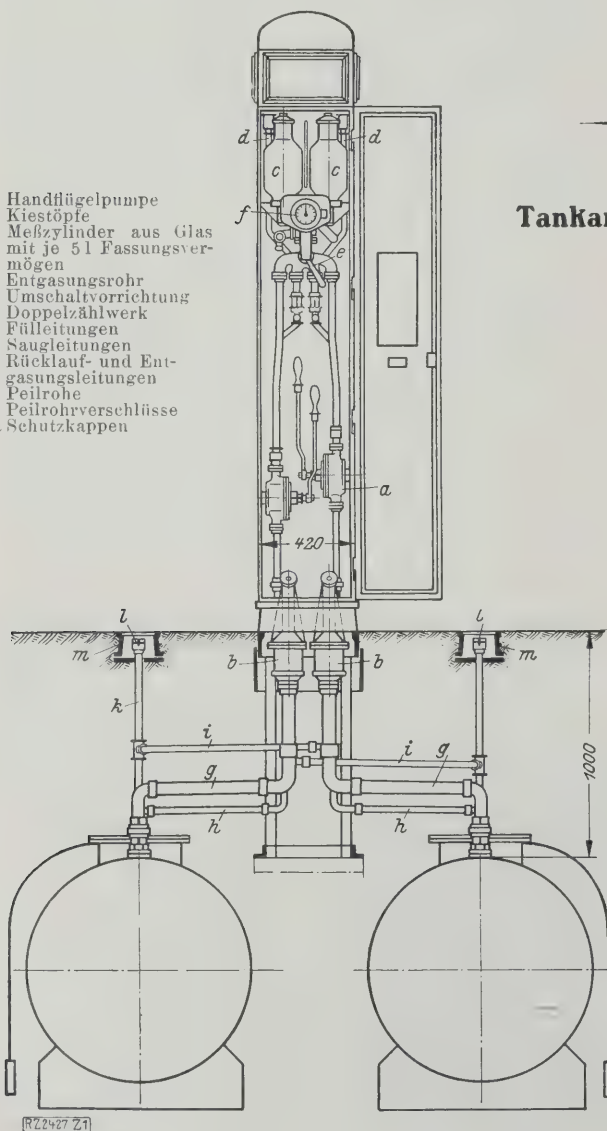


Abb. 1

Tankanlage der Firma Gebr. Körting, A.-G., Hannover.

Tankanlagen für Kraftfahrzeuge

In Ergänzung zu meinem Aufsatz in Z. Bd. 72 (19 Nr. 44 S. 1595 soll hier noch kurz eine weitere Bauart von Tankanlagen beschrieben werden. Abb. 1 zeigt eine von Firma Gebr. Körting, A.-G., erbaute Zapfstelle, bei der der flüssige Brennstoff aus den beiden unterirdischen Lagertankern in die Meßvorrichtung ohne Anwendung von Schutzgas mittels Handflügelpumpen *a* gefördert wird. Zur Sicherung gegen Explosionen dienen Kiestöpfe *b* und Meßvorrichtung zwei amtlich geeichte Zylinder aus Glas mit je 5 l Fassungsvermögen.

Die Meßzylinder sind mit Überlaufrohren versehen, genau in Höhe des Flüssigkeitsstandes bei 5 l Inhalt markiert, und überschüssig geförderte Brennstoffmengen in die Behälter zurückleiten. Beim Füllen des Meßzylinders weicht die Luft durch ein Entgasungsrohr *d* und durch einen Kanal im Gehäuse der Umschaltvorrichtung *e*, sie tritt durch ein daran angeschlossenes, am Ende mit einem Kiestopf versehenes Rohr ins Pumpengehäuse und von hier durch ein mit feiner Drahtgaze überzogene Öffnung ins Freie.

Der Zapfhebel, durch den das Füllen und Entleeren des Meßzylinders eingestellt wird, betätigt bei Zweibehälteranlagen ein dreifaches Zählwerk, bei Anlagen mit einem Behälter ein Doppelzählwerk *f*. Auf der großen Teilung zeigt der Zeiger die Einzelabgabe an. Dieser Zeiger kann nach Beendigung einer Einzelabgabe durch einen Druck auf den Hebel zurückgestellt werden. Außerdem befindet sich unterhalb des Zeigerdrehpunktes eine zweite Teilung für den fortlaufenden Betrieb, die die Gesamtangaben aus beiden Behältern angibt. Endlich befindet sich oberhalb des Zeigerdrehpunktes eine dritte Teilung, die durch den unteren Umschalthebel in der Druckleitung der beiden Pumpen eingeregelt wird, wenn aus einem bestimmten Behälter gefördert werden soll. Diese Teilung zeigt also nur die fortlaufende Entnahme aus diesem Behälter an. Der Unterschied zwischen den Angaben der unteren und oberen Teilung ergibt die fortlaufende Entnahme aus dem anderen Behälter.

Bei Anlagen mit einem Behälter genügt ein Doppelzählwerk, das die einzeln und die insgesamt abgegebene Brennstoffmengen anzeigt. Der Zapfhebel hat immer eine Sperrvorrichtung zum Schutze gegen Falschmessungen oder mißbräuchliche Benutzung. Die Sperrvorrichtung bewirkt eine zwangsläufige Bewegung des Hebels von einer in die andere Endstellung.

[M 2427]

Berlin

Oberreg.-Rat Walth

Sternradgetriebe

Von Dipl.-Ing. ARTHUR BOCK, Dresden

Vorgetragen in der Getriebetagung des Vereines deutscher Ingenieure am 24. September 1928 in Dresden

Die Sternradgetriebe als Entwicklungsform der Malteserkreuzgetriebe. Konstruktion eines Sternradgetriebes auf Grund vorgeschriebener Werte für Bewegungs- und Ruhezeiten. Grenzen des Anwendungsbereiches der Sternradgetriebe. Die bei Sternradgetrieben bisher übliche Triebstockverzahnung ist in der Herstellung zu teuer. Daher wird vorgeschlagen, sie durch eine Evolventenverzahnung zu ersetzen. Hierzu werden folgende Punkte erörtert: Ermittlung des Übersetzungsverhältnisses der Verzahnung aus den gegebenen Werten für Bewegungs- und Ruhezeiten, Wahl der Zähnezahlen und des Moduls, konstruktive Gesichtspunkte, maschinelle Herstellung der Sternräder und die dazu nötigen Vorrichtungen.

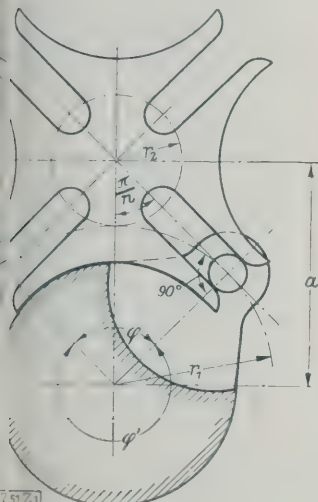


Abb. 1
Malteserkreuzgetriebe.

Die Sternradgetriebe sind seit langer Zeit bekannt, sie haben jedoch bisher in der Praxis aus verschiedenen Gründen keine Bedeutung erlangt. Die planmäßige Behandlung dieses Getriebes ist dem Konstrukteur meistens nicht bekannt, er weiß nicht, wie er das Getriebe auszubilden hat, damit es vorgeschriebene Bedingungen erfüllt. Ein anderer sehr wesentlicher Grund liegt in der Abneigung der Werkstatt gegen dieses Getriebe, weil es bei ganz genauer Herstellung mangelhaft arbeitet. Dazu kommt noch, daß die Herstellung der Sternräder in der bisherigen Form mit Triebstockverzahnung, Abb. 2 und 3, zu teuer ist. Diese Hindernisse für die Verwendung der Sternradgetriebe zu beseitigen, ist der Zweck dieser Ausführungen. Es soll gezeigt werden, wie man ein Sternradgetriebe für praktisch vorgeschriebene Bedingungen entwerfen, und wie man durch Einführung der Evolventenverzahnung statt der Triebstockverzahnung ein Getriebe erhält, das man wirtschaftlich herstellen kann. Auch eine einwandfreie genaue Herstellung soll eingegangen werden.

Ofters als die Sternräder findet man in Maschinen Malteserkreuzgetriebe, Abb. 1, aus dem Sternradgetriebe entwickelt worden ist. Dessen Weiterentwicklung liegt darin, daß man damit mehr Bedingungen erfüllen kann als mit dem Malteserkreuzgetriebe. Man sieht aus Abb. 1 ersieht, gestattet das Malteserkreuzgetriebe nur eine Aufteilung der vollen Umdrehung des Kreuzes in eine Anzahl gleicher Schaltwinkel, und zwar nicht weniger als drei Winkel von 120°. Dabei entfallen innerhalb jeder Schaltperiode bestimmte, unveränderliche Zeitabschnitte auf Ruhe und Bewegung.

Bezeichnet:

T die Zeit einer Treiberumdrehung (Arbeitspiel),
 t_b die Bewegungszeit und
 t_r die Ruhezeit,

ist

$$\frac{t_b}{T} = \frac{\varphi}{360^\circ}, \quad \frac{t_r}{T} = \frac{\varphi'}{360^\circ}.$$

Unter der Voraussetzung tangentialen Einlaufs des Sternes, und wenn n die Zahl der Sperrschuhe auf dem Stern bezeichnet, ergibt sich aus Abb. 1:

$$\varphi = 2 \left(90^\circ - \frac{\pi}{n} \right) = \frac{180^\circ (n-2)}{n}$$

und daraus folgt:

$$\frac{t_b}{T} = \frac{n-2}{2n}.$$

Entsprechend ergibt sich

$$\varphi' = \frac{180^\circ (n+2)}{2n},$$

$$\frac{t_r}{T} = \frac{n+2}{2n}.$$

Durch Addition erhalten wir dann

$$\frac{t_b}{T} + \frac{t_r}{T} = 1.$$

Das stimmt mit der ursprünglichen Annahme überein, wonach

$$t_b + t_r = T \text{ ist.}$$

Wenn n vorgeschrieben wird, so ist damit beim Malteserkreuzgetriebe schon die gesamte Zeitverteilung festgelegt.

Das Sternradgetriebe läßt noch in verschiedener Hinsicht Freiheit. Wie Abb. 2 zeigt, kann man auf dem Treiber mehrere Gruppen Triebstöcke von verschiedener Anzahl anordnen, so daß der Stern mit verschiedenen großen Schaltwinkeln, z. B. φ und φ' , arbeitet. Außerdem können aber die Triebstockgruppen an beliebigen Stellen des Treiberumfangs angebracht werden, so daß man das Verhältnis der Bewegungs- und Ruhezeiten innerhalb gewisser Grenzen beliebig festsetzen kann. In Abb. 2 würde das einer Verschiebung der Treiberwinkel φ und φ' gegeneinander, also einer Veränderung von ζ und ζ' entsprechen. Dabei sind φ und φ' mit den Bewegungszeiten ζ und ζ' mit den Ruhezeiten gleichbedeutend. Die Zeit eines Arbeitspiels würde sich hierbei zusammensetzen aus

$$T = t_b + t_r + t_b' + t_r'.$$

Sollte es in einem besonderen Falle notwendig sein, die Drehung des Sternes in Winkel zu teilen, die mit verschiedener Geschwindigkeit durchlaufen werden, so kann man dies durch ein Sternradgetriebe erreichen, bei dem, wie in Abb. 2, für die einzelnen Bewegungsabschnitte die Teilkreise verschieden groß sind. Dadurch bekommt jeder Bewegungsabschnitt sein besonderes Übersetzungsverhältnis.

Durch die Anordnung mehrerer gleicher Triebstockgruppen kann man die verschiedensten Übersetzungsverhältnisse verwirklichen. Es braucht dann nicht mehr einer Sternumdrehung eine ganze Zahl Treiberumdrehungen zu entsprechen. Das Verhältnis zwischen den Triebstockgruppen und den Zahngruppen des Sternes kann z. B. 2 : 5 oder 3 : 7 usw. sein.

Ich will hier nur den praktisch wichtigsten Fall erwähnen, daß lediglich eine Triebstockgruppe vorhanden

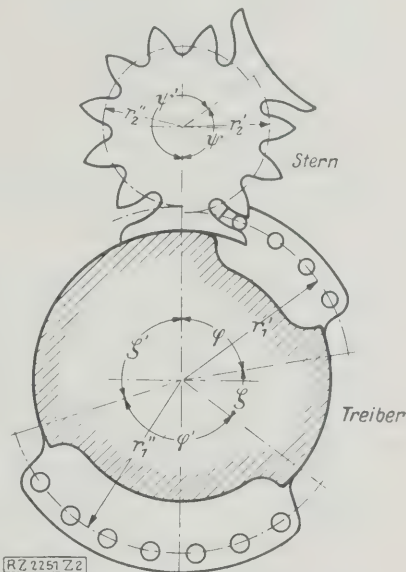


Abb. 2
Sternradgetriebe mit Triebstockverzahnung und zwei verschiedenen großen Schaltwinkeln.

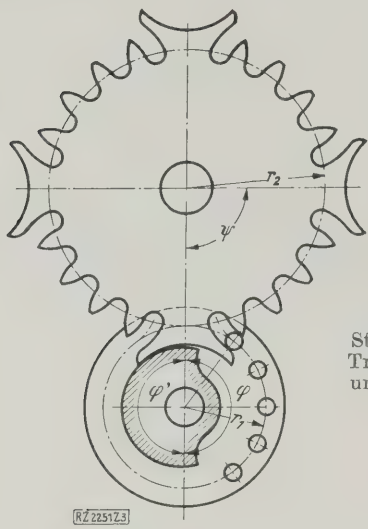


Abb. 3
Sternradgetriebe mit
Triebstockverzahnung
und gleichen Schalt-
winkeln.

$$\varphi = \frac{n}{\varepsilon} = 2$$
$$\psi = \frac{t_b}{T} = \frac{\varepsilon}{n} = \frac{1}{2}$$

ist und die Schaltwinkel des Sterns gleiche Teile von 360° sind, Abb. 3. Nach dieser Einschränkung ist auch leichter ein Vergleich mit dem Malteserkreuzgetriebe möglich.

Die Bewegungsverhältnisse der beiden Getriebe bei gleichen Bedingungen zeigt am anschaulichsten der Verlauf der Geschwindigkeit und Beschleunigung, Abb. 4. Die bei gleichen Schaltwinkeln auftretende Geschwindigkeit ist beim Malteserkreuz bedeutend höher als beim Sternrad, wo nach kurzem Anlauf eine Periode gleichförmiger Bewegung einsetzt. Das Sternradgetriebe weist zwar anfangs eine etwas größere Beschleunigung auf, die größte auftretende Beschleunigung ist aber geringer.

Trotz der Beschränkung auf einen Teil der bei den Sternradgetrieben vorhandenen Möglichkeiten sind noch wesentliche Vorteile gegenüber dem Malteserkreuzgetriebe zu verzeichnen. Der Schaltwinkel kann auch 180° und 360° betragen, da man bis auf nur einen Sperrschuh zurückgehen kann. In vielen praktischen Fällen braucht man gerade diese Winkel, weil eine halbe oder ganze Umdrehung des Werkstückes während eines Arbeitspiels notwendig ist. Der wesentlichste Vorzug gegenüber dem Malteserkreuz liegt aber darin, daß man beim Sternradgetriebe die Ruhe- und Bewegungszeiten innerhalb weiter Grenzen willkürlich festsetzen kann. In der Praxis ist es gerade häufig erwünscht, nach einer längeren Bewegungszeit eine kurze Ruhezeit einzulegen oder umgekehrt kurze Bewegungen in größeren Zeitabständen zu bekommen.

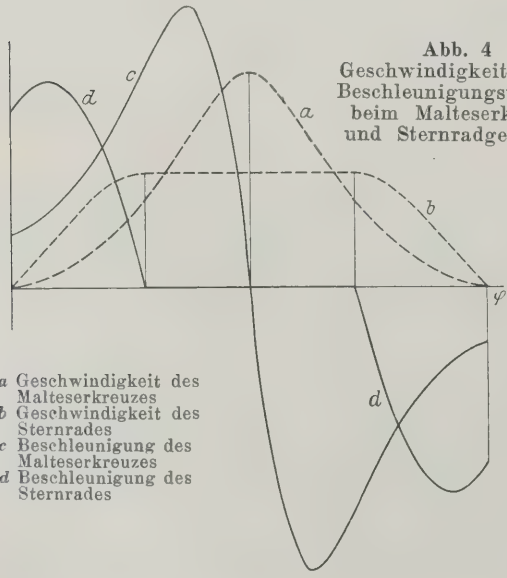


Abb. 4
Geschwindigkeits- und
Beschleunigungsverlauf
beim Malteserkreuz-
und Sternradgetriebe.

- a Geschwindigkeit des Malteserkreuzes
- b Geschwindigkeit des Sternrades
- c Beschleunigung des Malteserkreuzes
- d Beschleunigung des Sternrades

Theoretische Grundlagen für den Entwurf¹⁾

Ebenso wie beim Malteserkreuzgetriebe setzt sich beim Sternradgetriebe die Zeit eines Arbeitspiels, einer Treiberumdrehung entspricht, zusammen aus

$$t_b + t_r = T$$

Führt man statt der absoluten Zeiten die Verhältnisse zum Arbeitspiel ein, so erhält man die Gleichung folgende Form:

$$\frac{t_b}{T} + \frac{t_r}{T} = 1.$$

Diese Form ist für die weitere Entwicklung des Sternradgetriebe besser brauchbar, weil man an Stelle der Zeitverhältnisse auch die entsprechenden Verhältnisse der Drehwinkel setzen kann.

Bezeichnen wir mit φ den Treiberwinkel, den der Treiber während einer Bewegungsperiode durchlaufen wird, und mit ψ den Sternwinkel, der während einer vollen Treiberumdrehung, so gelten die beiden Gleichungen:

$$\frac{t_b}{T} = \frac{\varphi}{2\pi}$$

und

$$\frac{t_r}{T} = 1 - \frac{\varphi}{2\pi}$$

Das Endziel ist die Ermittlung des Übersetzungsverhältnisses $\varepsilon = \frac{r_2}{r_1}$. Da aber zwischen den schon genannten Größen und μ keine unmittelbare Beziehung steht, ist die Einführung des Übersetzungsverhältnisses notwendig, das ist das Verhältnis der Drehwinkel von Treiber und Stern während eines Bewegungsabschnittes. Für ε findet man auf Grund folgender Ableitung eine einfache Rechenvorschrift.

Nach der Voraussetzung ist

$$\varepsilon = \frac{\varphi}{\psi}$$

φ ergibt sich aus (2) zu

$$\varphi = 2\pi \frac{t_b}{T}.$$

Der entsprechende Schaltwinkel ψ des Sternes ergibt sich nach den gemachten Voraussetzungen

$$\psi = \frac{2\pi}{n}$$

sein, wobei n wieder die Zahl der Sperrschuhe auf dem Stern bei gleichmäßiger Verteilung auf den Umfang ist. Werden die Werte von φ und ψ in (4) eingesetzt, so ergibt sich

$$\varepsilon = n \frac{t_b}{T}$$

So kann ε entweder aus den Winkeln φ und ψ oder dem Zeitverhältnis $\frac{t_b}{T}$ und der Zahl der Sperrschuhe n ermittelt werden, je nachdem, welche Größen vorgeschrieben sind:

$$\varepsilon = \frac{\varphi}{\psi} = n \frac{t_b}{T}.$$

Geht man aber vom Übersetzungsverhältnis und der Zahl der Sperrschuhe aus, so findet man für das Zeitverhältnis $\frac{t_b}{T}$ folgende einfache Beziehung:

$$\frac{t_b}{T} = \frac{\varepsilon}{n}$$

Das Übersetzungsverhältnis ε ist wegen der ungleichförmigen Bewegung des Sternes nicht gleich dem Übersetzungsverhältnis μ , es besteht aber die von Alt²⁾ aufgestellte Beziehung:

$$\varepsilon = -\mu \left(\frac{n}{2} - 1 \right) + n \frac{4 + 3\mu}{\pi} \arcsin \frac{\mu}{2(1 + \mu)}.$$

¹⁾ Hierbei wird an die Veröffentlichung von H. Alt, „Malteserkreuzgetriebe“, „Werkstatstechnik“ Bd. 10 (1916) S. 229 angeknüpft. Teilweise entstammt die Theorie auch der Vorlesung von Prof. Dr. an der Techn. Hochschule Dresden.

er durch Interpolation eine Tafel von μ -Werten ge-
en worden ist. Diese von Alt²⁾ zusammengestellte
soll hier nochmals wiedergegeben werden, weil
s die Grenzen der Verwendbarkeit noch nicht unter-
worden sind und die Tafel deshalb einige prak-
nicht verwendbare Werte enthält.

Zahlentafel 1
sammenstellung von Halbmesser-
erhältnissen $\mu = \frac{r_2}{r_1}$ für verschiedene
Übersetzungsverhältnisse ε

	μ					
	1	2	3	4	5	6
—	—	—	—	—	—	4,4165
—	—	—	—	—	3,5329	3,4423
—	—	—	—	2,6480	2,5633	2,4800
—	—	—	1,7642	1,6902	1,6185	1,5489
—	—	0,8814	0,8276	0,7773	0,7307	0,6874
0,8333	0,7777	0,7260	0,6782	0,6342	0,5938	0,5567
0,8000	0,7455	0,6951	0,6487	0,6060	0,5670	—
0,7500	0,6975	0,6491	0,6047	0,5641	0,5271	—
0,6667	0,6176	0,5729	0,5322	0,4952	0,4617	—
0,6250	0,5779	0,5350	0,4962	0,4611	0,4295	—
0,6000	0,5540	0,5124	0,4748	0,4405	0,4104	—
0,5000	0,4592	0,4226	0,3901	0,3611	0,3353	—
0,4000	0,3650	0,3343	0,3073	0,2836	—	—
0,3750	0,3416	0,3124	0,2869	0,2645	—	—
0,3333	0,3028	0,2762	0,2532	0,2332	—	—
0,2500	0,2256	0,2048	0,18706	0,17177	—	—
0,2000	0,17970	0,16264	0,14821	0,13588	—	—
0,16667	0,14930	0,13483	0,12268	0,11237	—	—
0,14286	0,12767	0,11512	0,10464	0,09579	—	—
0,12500	0,11152	0,10043	0,09121	0,08343	—	—

st μ gefunden, so kann noch einer der beiden Halb-
er oder der Achsabstand $a = r_1 + r_2$ willkürlich an-
nehmen werden, und damit liegen dann die Konstruk-
maße des Sternradgetriebes fest. Ist r_2 gegeben, so
 $r_1 = \frac{r_2}{\mu}$; ist a gegeben, dann ist $r_1 = \frac{a}{\mu + 1}$ und
 $r_2 = \frac{\mu a}{\mu + 1}$.

Grenzen der Verwendbarkeit

Es ist früher erwähnt worden, daß bei den Stern-
radgetrieben das Verhältnis von Ruhe und Bewegung
verhalb gewisser Grenzen“ willkürlich gewählt wer-
können. Nun sollen diese Grenzen aufgesucht werden.
n die Betrachtungen möglichst übersichtlich zu ge-
en, wird die Bewegungsschaulinie eines Sternrad-
etriebes, Abb. 5, zugrunde gelegt. Die Abszisse ist die
e, die bei gleichförmig umlaufendem Treiber dessen
winkeln φ proportional ist. Als Ordinate ist der
chaltwinkel ψ des Sternes aufgetragen. An eine Grenze
sen wir kommen, wenn das Verhältnis $\frac{t_b}{t_r}$ immer
er zunimmt. Wird schließlich t_r null, so hätten

wir eine ununterbrochene Bewegung. Die theoretische
Grenzbedingung lautet:

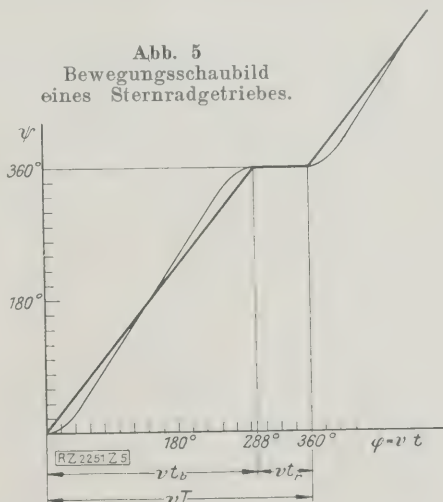
$$t_b < T \text{ oder } \varepsilon \leq n.$$

Es fragt sich nun, wie nahe wir praktisch an diese
Grenze herankommen und wie dann die erzielte Bewegung
aussieht. Das wirkliche Bewegungsbild zeigt, wie in
Abb. 5 dünn eingetragen, keine Ecken, sondern allmäh-
lichen Übergang von der Ruhe zur Bewegung und um-
gekehrt. Lassen wir die in Abb. 5 schon kurze Ruhe-
zeit gleich null werden, so schließt der Beschleunigungs-
bogen unmittelbar an den Verzögerungsbogen an. Wir
hätten also im Augenblick, wo die eine Bewegungsperiode
endet, schon den Beginn einer neuen. Dieser Fall ist
praktisch ausführbar. Wenn der letzte Triebstock einer
Gruppe den Schlitz im Stern verläßt, so tritt der erste
Triebstock der nächsten Gruppe bereits in den nächsten
Schlitz ein, so daß der Stern nach einer Verzögerung bis
zur Ruhelage sofort wieder beschleunigt wird. Diese Mög-
lichkeit ist unter Umständen sogar von Bedeutung, wenn
es sich darum handelt, eine stetige Bewegung in regel-
mäßigen Abständen für einen Augenblick zu unterbrechen.

Die andere Grenze der Verwendbarkeit wird erreicht,
wenn man die Ruhezeit verlängert und die Bewegungsdauer
verkürzt.

Dieser Verkleinerung von $\frac{t_b}{t_r}$ entspricht eine Ver-
kleinerung des Halbmesserverhältnisses μ , d. h. der Trei-
ber wächst, während der Stern kleiner wird. Je größer
aber der Treiber ist, desto größer werden die Sperrschuhe,
vergl. Abb. 2 und 3. Hierbei kommt man an eine Grenze
der Durchführbarkeit. Die Sperrschuhe werden so groß,
daß sie nicht mehr auf dem kleinen Stern Platz haben und
übereinander hinwegreichen. Die Schwierigkeit tritt bis
zu vier Sperrschuhen ($\psi \geq 90^\circ$) noch nicht auf. Sobald
der Schaltwinkel ψ kleiner als 90° wird, gibt es eine untere
Grenze für μ . Das bedeutet praktisch, daß die Bewegungs-

Abb. 5
Bewegungsschaubild
eines Sternradgetriebes.



²⁾ H. Alt, a. a. O. S. 231.

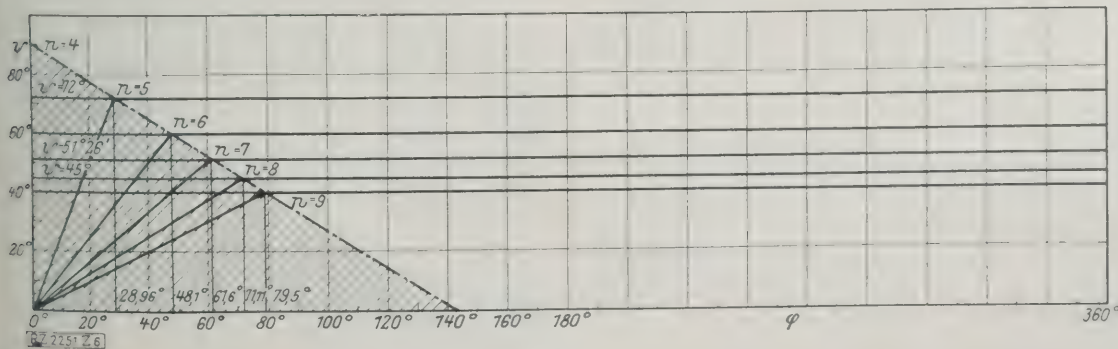


Abb. 6
Grenzdiagramme für Sternradgetriebe.

zeit t_b im Verhältnis zum Arbeitspiel nicht zu kurz sein darf. Die theoretische Grenze ist an folgende Bedingung gebunden:

$$\mu > \frac{2 \sin \left(\frac{\pi}{3} \frac{n-4}{2n} \right)}{1 - 2 \sin \left(\frac{\pi}{3} \frac{n-4}{2n} \right)}$$

Auf Grund dieser Bedingung kann man für jeden Wert von ψ ein Grenzschaubild, Abb. 6, aufzeichnen. Die Eckpunkte dieser Diagramme, d. h. die zu jedem Winkel ψ gehörigen niedrigsten Werte von φ liegen auf einer Geraden, die eine unbrauchbare Ecke des Diagramms abschneidet.

Beispiel

An der Hand eines einfachen praktischen Beispiels soll der Gang der Rechnung noch einmal deutlich gemacht werden. Die gestellten Bedingungen gibt das Bewegungsschaubild, Abb. 5, wieder. Danach ist der Schaltwinkel $\psi = 360^\circ$, also die Zahl der Sperrschuhe $n = 1$. Bewegungs- und Ruhezeit sollen sich verhalten wie 4:1. Daher sind die entsprechenden Winkel

$$\begin{aligned} \varphi &= 288^\circ \\ \varphi' &= 72^\circ \end{aligned}$$

Das Übersetzungsverhältnis ist

$$\varepsilon = \frac{\varphi}{\psi} = \frac{288^\circ}{360^\circ} = 0,8.$$

Das Halbmesserverhältnis wird aus der Zahlentafel 1 entnommen; es ist $\mu = 0,7455$.

Wird nun z. B. $a = 240$ mm gewählt, dann werden:

$$r_1 = \frac{a}{\mu + 1} = 137,5 \text{ mm}, \quad r_2 = a - r_1 = 102,5 \text{ mm}.$$

Sternradgetriebe mit Evolventenverzahnung

Wie schon eingangs erwähnt, soll noch gezeigt werden, wie durch Einführung der Evolventenverzahnung statt der Triebstockverzahnung eine einfachere und billigere Herstellung der Sternradgetriebe möglich ist. Ich bin dabei einer Anregung von Prof. Dr. Alt nachgegangen. Zunächst taucht die Frage auf: Ist es möglich, die Evolventenverzahnung einzuführen, ohne die Arbeitsweise zu verändern?

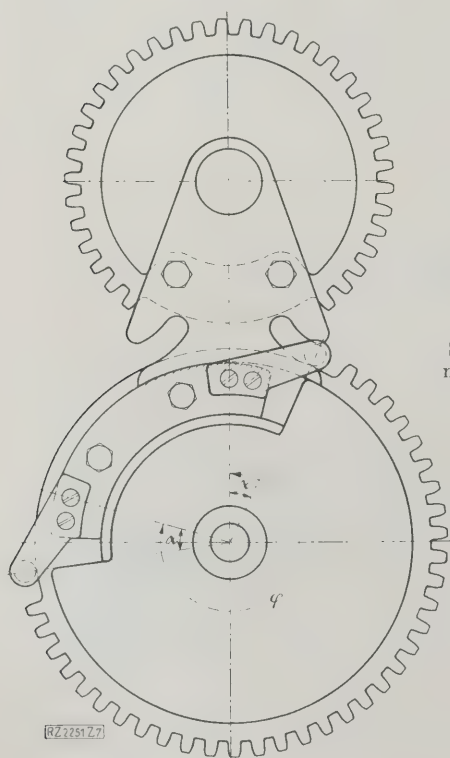


Abb. 7
Sternradgetriebe
mit Evolventen-
verzahnung.

Gegeben:

$$\frac{t_b}{T} = 0,80$$

$$\frac{t_r}{T} = 0,20$$

Schaltwinkel:
 $\psi = 360$

Halbmesser-
verhältnis:
 $r_2 = 41$
 $r_1 = 55$

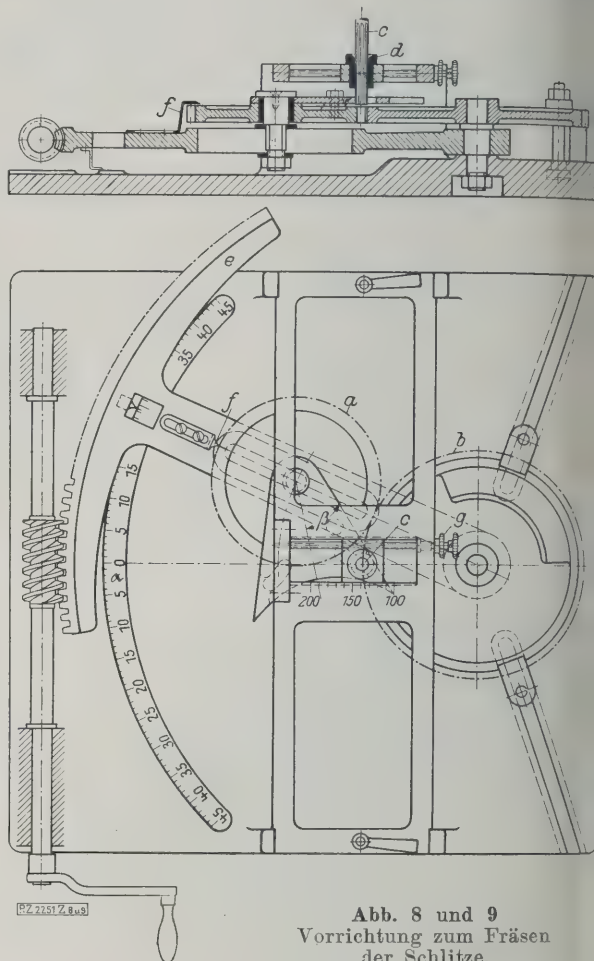


Abb. 8 und 9
Vorrichtung zum Fräsen
der Schlitze.

a Sternrad c Fingerfräser e Schwenkhebel g feststellbarer
b Triebrad d Bohrbüchse f Zeiger Schraubentrieb

An der Hand von Abb. 3 soll diese Frage erörtert werden. Da haben wir zunächst die Anlaufschlitze, die die beschleunigte Anlaufbewegung hervorbringen, und die Ablaufschlitze, die die Bewegung wieder verzögern. Diese Schlitze zusammen mit den entsprechenden Triebstöcken sind unentbehrlich, müssen also beibehalten werden. Sobald aber die gleichförmige Höchstgeschwindigkeit erreicht ist, ist es gleichgültig, welcher Art die weitere Verzahnung ist. Es muß nur dafür gesorgt werden, daß in dem gegebenen Zeitpunkt die Zähne richtig eingreifen. Eine Lösung zeigt Abb. 7. Die für das Sternradgetriebe kennzeichnenden Teile, wie Triebstöcke, Sperrscheibe, Schlitze und Sperrschuhe, sind von den Verzahnungen getrennt und seitlich davon angeordnet worden. Infolgedessen wird die Herstellung sehr einfach und man braucht erst beim Zusammenbau genau einstellen.

Der Sperrschuh und andererseits das Sperrsegment sind den beiden Triebstöcken gegenüber den zugehörigen Verzahnungen verschiebbar angeordnet, wobei auch die zentrische Lage der Teile gesichert ist. Durch diese Einstellbarkeit wird ein genaues Zusammenarbeiten der einzelnen Getriebeteile sicher erreicht. Die Trennung der Sternradteile von den Verzahnungen hat außerdem den großen Vorzug, daß die der Abnutzung stärker unterliegenden Sperrteile ohne Mühe ausgewechselt werden können, wenn sie nach längerem Betrieb nicht mehr genügend genau sind.

Eine andere Frage ist, ob hierbei auch die vorgeschriebenen Bedingungen genau erfüllt werden können. Es liegt die Aufgabe vor, das vorher berechnete Halbmesserverhältnis μ durch ein Evolventen-Zahnradpaar zu verwirklichen. Hierbei kann man mit Vorteil etwa die Hilfstafeln der „Hütte“ benutzen. Dort sind

⁸⁾ Hilfstafeln zur Verwandlung von echten Brüchen in Dezimalbrüche. Akademischer Verein „Hütte“, e. V., Berlin 1922.

Zahnradübersetzungen von 1:100 bis 99:100 zur Verfügung gestellt und die Übersetzungs- (Halbmesser-) Verhältnisse angegeben.

Man findet in diesen Tafeln für jedes μ einen Wert, der genügend genau ist; sollte auch einmal die Genauigkeit noch nicht groß genug sein, so kann man noch die Werte von Rädern mit über 100 Zähnen ermitteln. Die vorliegende Konstruktion baut sich auf dem vorher eingefügten Zahlenbeispiel auf. Darin war 7455, und wir finden in den Hilfstafeln ein Halbmesser-Verhältnis:

$$\frac{55}{41} = 0,74545.$$

Genauigkeit dürfte wohl in allen Fällen ausreichen.

Die Abmessungen des Getriebes hat man noch in der Zukunft durch eine entsprechende Wahl der Zähnezahlen in verschiedenen Verhältnissen und durch die Wahl des Abstands. Da man hier mit genommener Verzahnung rechnen kann, ist die Wahl des Achsabstandes oder eines Teilmessers nicht mehr ganz willkürlich.

Fräsen der Schlitz

Eine besondere Aufgabe stellt das Fräsen der Schlitzform dar. Abb. 8 und 9 zeigt eine Fräsvorrichtung, die das Herstellen dieser Schlitzform ohne vorheriges Zeichnen auf Grund einer einfachen Berechnung gestattet. Die Schlitzform haben die Form von Epizykloiden, wegen des stoßfreien Eintritts den Treiberteilkreis berühren müssen. Andere Kurven sind deshalb nicht herstellbar, weil der Triebstock wieder aus dem Schlitz herauslaufen muß, während schon die Verzahnungen zu bearbeiten. Die Epizykloide ist ihrer Entstehung nach die einzige Kurve, die diese Bedingung erfüllt. Sie wird erzeugt durch den Triebstockmittelpunkt beim Umlaufen des Treiberteilkreises auf dem Sternradteilkreis.

Auf dieser Grundlage beruht die Fräsvorrichtung nach Abb. 8 und 9. Die beiden Zahnräder a und b selbst werden als Teile der Vorrichtung benutzt. Grundbedingung ist, daß der Fingerfräser c seine Lage nicht verändern darf. Infolgedessen kehren wir die Bewegung um, klemmen das Treibrad b fest und rollen das Sternrad a mit dem darauf befestigten Sperrschuh darauf ab. Der feststehende und durch eine Bohrbüchse d noch an seiner Stelle gesicherte Fingerfräser c schneidet dabei einen Epizykloidenteil in den Sperrschuh. Dieser Schlitz wird zunächst geschlossen ausgeführt, um ihn genau begrenzen zu können. Das Aufschneiden geschieht nachträglich. Nun müssen die Schlitzform aber auch noch ihrer Länge und Lage nach genau festgelegt werden. Hierbei können wir wieder auf der Veröffentlichung von Alt⁴⁾ aufbauen. Der Winkel α , den der Treiber vom Eintritt in den Schlitz bis zur Mittelstellung zurücklegt, läßt sich aus den beiden Halbmessern berechnen:

$$\sin \frac{\alpha}{2} = \frac{r_2}{2(r_1 + r_2)}$$

Diesen Winkel α kann man an der Fräsvorrichtung leicht einstellen und dann den Hebel e mit dem Sternrad bis in die Mittelstellung drehen.

Die Lage der Epizykloide soll so sein, daß sie wegen stoßfreien Arbeitens den Treiberteilkreis berührt. Diese Bedingung läßt sich durch den Winkel $\beta = 90^\circ - \frac{3}{2} \alpha$ festlegen. Der Winkel β ist auf dem Sternrad a anzuzeichnen und wird auf den Zeiger f am Schwenkhebel e eingestellt. Der Konstrukteur braucht also nur die beiden Winkel und den Halbmesser r_1 des Treibers anzugeben, um einer genauen Herstellung der Schlitzform sicher zu sein. Auf den Halbmesser r_1 wird die Bohrbüchse d eingestellt, was durch einen feststellbaren Schraubeneinstellung g leicht und sicher geschehen kann. [B 2251]

⁴⁾ H. Alt, a. a. O. S. 229.

Professor Dr. Prášil †

Am 3. Januar 1929 ist in Zürich, seiner zweiten Heimat, Professor Dr. h. c., Dr.-Ing. E. h., Professor an der Eidgenössischen Technischen Hochschule, entschlafen. In Radburg (Steiermark) am 16. September 1857 als Sohn eines Arztes geboren, besuchte Prášil zuerst das Gymnasium in Radburg, später, als sich seine große Begabung für Mathematik zeigte, die Realabteilung. An der Technischen Hochschule zu Graz studierte er Maschinenbau; ein allzeit fröhlicher und doch zielbewußt arbeitender Bruder Studio, verließ er die Kunst, die Freuden des Corpslebens voll auszunutzen und sich trotzdem ein gründliches Wissen anzueignen. Nach der Hochschule kam für den jungen Ingenieur die Schule des Lebens und der Praxis; die Maschinenbauabteilung Andritz, die Filialfabrik von Escher, Wyß & Cie. in Leoben bei Baden (Wien), die Prager Maschinenbauanstalt, vorm. Ruston & Cie., die Maschinenbauanstalt Göttinger in Sachsen sind Marksteine seiner Tätigkeit und zugleich seines beruflichen Reifens.

Im Frühjahr 1894 wurde Prášil an die Technische Hochschule in Zürich als Professor für Maschinenbau berufen. Dort fand er auf dem Gebiete der Hydraulik und der Wasserkraftmaschinen die Tätigkeit, die seiner inneren Neigung entsprach. Er bevorzugte, besonders zu Beginn seiner Lehrtätigkeit, die graphischen Methoden und fand es, sie den Bedürfnissen des Ingenieurs anzupassen. Seine Weltgeltung verdankt er in erster Linie seinen Arbeiten auf dem Gebiete der Hydrodynamik und den Forschungsarbeiten in dem von ihm geschaffenen Laboratorium für Wasserkraftmaschinen, das nach seinen Vorschlägen und Angaben 1896/98 als Teil des von ihm, Stolte und Wyßling entworfenen Maschinenlaboratoriums entstand. Die Ergebnisse dieser Studien sind in den Veröffentlichungen „Vergleichende Untersuchungen an Reak-

tionsturbinen“ (Schweiz. Bauzeitung 1905), „Schaulinien örtlich und zeitlich veränderlicher Strömung“ (Wasserkraft 1922), „Hydrodynamische Zeitkurven“ (Schweiz. Bauzeitung 1924), „Verschiedene Strömungserscheinungen“ (Verh. d. internat. Kongresses für Technische Mechanik 1927 in Zürich) der Fachwelt bekannt gegeben worden.

Noch bedeutungsvoller als auf dem experimentellen war seine Tätigkeit auf mehr theoretischem Gebiet. Wenn es ihm auch ebensowenig wie andern Forschern gelang, die Flüssigkeitsbewegung in Turbinenrädern mathematisch genau zu beschreiben, so galt er doch als ein Bahnbrecher in dieser Richtung, der vor keiner Schwierigkeit zurückschreckte, dessen originelle Behandlungsart wertvolle Früchte trug und für andere eine Fülle von Anregungen bot. Die wichtigsten Arbeiten dieser Richtung sind: „Über Flüssigkeitsbewegungen in Rotationshöhlräumen“ (Schweiz. Bauzeitung 1903), „Die Bestimmung der Kranzprofile und Schaufelformen für Turbinen und Kreiselpumpen“ (ebenda 1906), „Zur Geometrie der konformen Abbildung von Schauffelrissen“, ferner sein 1913 in erster, 1926 in zweiter Auflage erschienenes Werk „Technische Hydrodynamik“.

Die Anerkennung seiner Verdienste blieb nicht aus. Drei ehrenvolle Berufungen an andere Hochschulen hat Prášil abgelehnt. Die Universität Zürich, die Technische Hochschule von Graz, Stuttgart und Brünn verliehen ihm die Würde eines Doktors ehrenhalber.

Über dem bedeutenden Forscher und Lehrer darf aber der Mensch Prášil nicht vergessen werden. Sein sonniges, sensibles Gemüt, sein oft überschäumender Idealismus, sein Verständnis für die Schönheiten der Natur, seine freundschaftlichen, gewinnenden Umgangsformen eroberten ihm die Herzen im Fluge. Die ihn kannten, trauern um den hervorragenden Gelehrten, um einen grundgütigen Menschen, um einen treuen Freund.

Graz

R. Thomann

[P 2639]

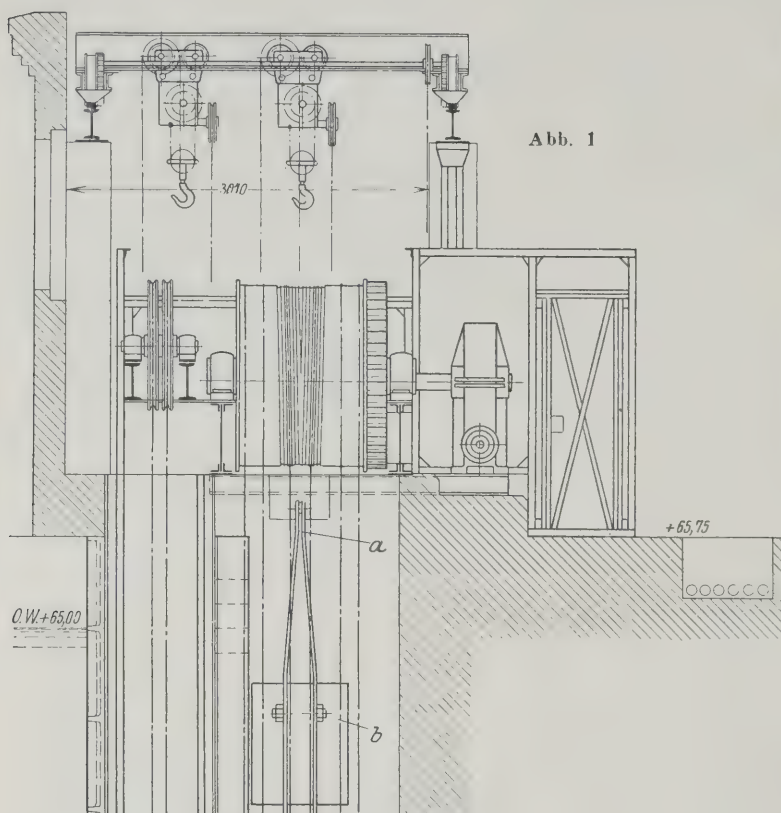


Abb. 1

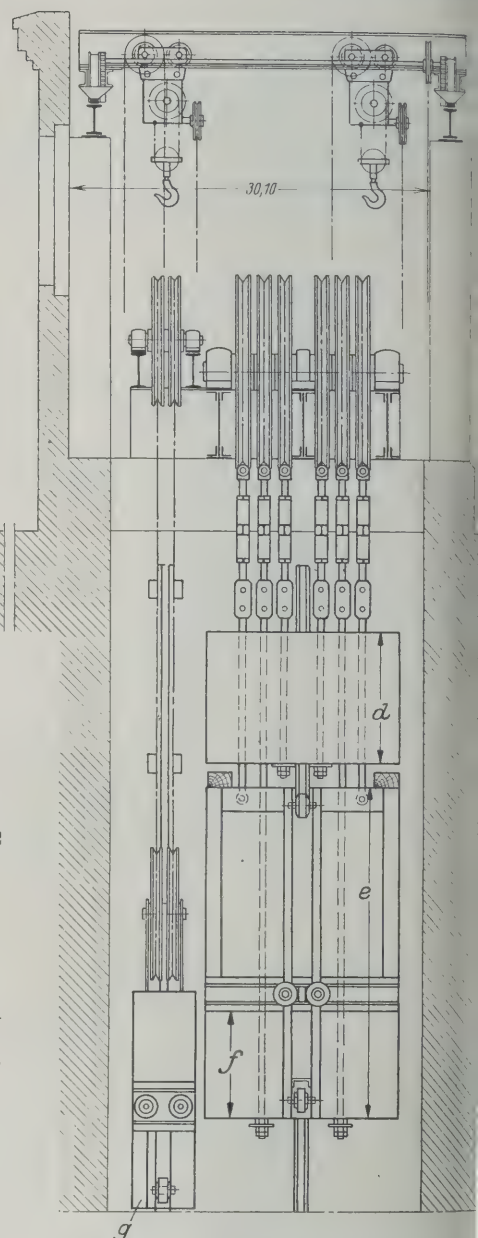


Abb. 2

- a Verriegelungsgestänge
 b Konsolverriegelung
 c Wagebalken
 d drittes Gewicht (ohne Führungsrollen)
 e Kasten des ersten Gewichts
 f erstes Gewicht
 g Schwimmbalken-Gegen-
 gewicht

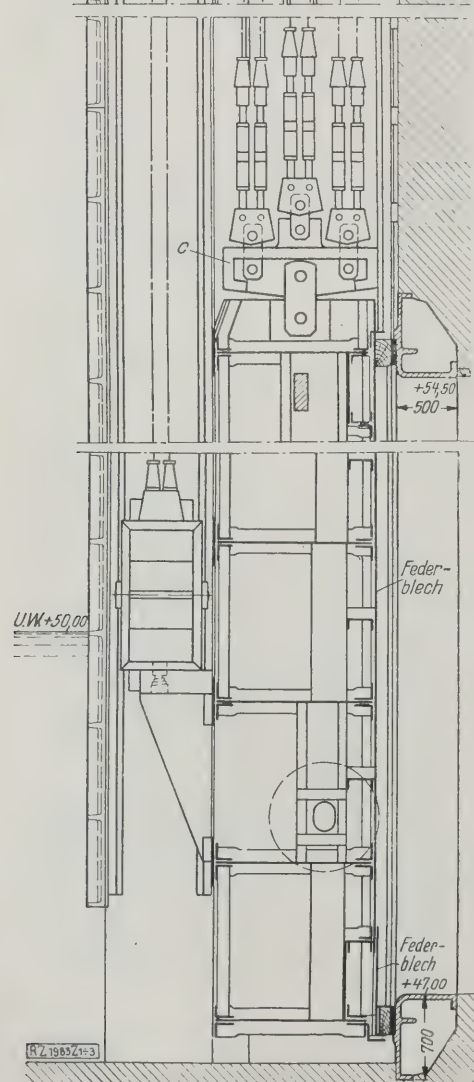
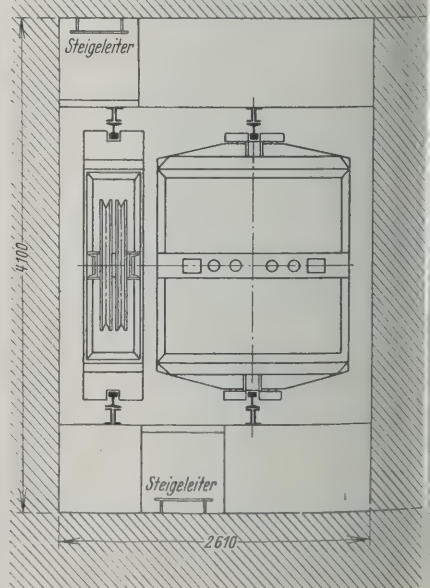


Abb. 3

Abb. 1 bis 3
Gesamtanordnung des
Untertorantriebes.



Hindenburgschleuse — Maschinelle Anlagen

Von Oberregierungs- und -baurat Dr.-Ing. GOETZCKE, Hannover

Wie in Heft 41 dieser Zeitschrift Bd. 72 (1928) S. 1457 dargestellt, umfaßt die Schleusenanlage zwei Kammern von je 25 m nutzbarer Länge und 12 m l. W., die einen Wasserspiegelunterschied von 15 m überwinden. Im vorliegenden Aufsatz sind Konstruktion und Antrieb der als Riegelstore gestalteten Hubtore am Unterhaupt, der mit Schwimmkästen ausgebildeten Klappstore am Oberhaupt, der die Umläufe im Ober- und Unterhaupt abschließenden Rollkeilschützen und der Sparbeckenventile eingehend behandelt.

Das Untertor

Das Untertor¹⁾ ist ein Riegelstore aus gewöhnlichem Flußstahl ähnlich wie bei der Schachtschleuse in Minden, wobei die Abstände der Hauptriegel durch Zwischenriegel unterteilt worden sind. Die Pfosten, die die Zwischenriegel tragen, sind nicht mit der Blechhaut verbunden worden. Als die Schachtschleuse bei Minden^{2a)} zwecks gründlicher Prüfung und Instandsetzung während der Werkstattarbeiten für das Hubtor der Hindenburgschleuse trockengelegt war, stellte sich heraus, daß die Pfostenanschlüsse zu stark beansprucht waren, weil das Untertor in der Nähe des Anschlags zu starr war. Die Riegel, die mit eichenen Dichtungsleisten an den wagerechten Anschlägen anliegen, können sich nämlich nicht in gleicher Weise wie die übrigen Riegel durchbiegen. Infolgedessen wurde die Ausführung für die Untertore der Hindenburgschleuse noch während der Bearbeitung der Eisenteile in der Werkstatt von Seebeck, Wesermünde, so geändert, daß die wagerechten Dichtungsleisten nunmehr an Federblechen befestigt sind. Diese ersetzen in den Randfeldern die Blechhaut und sind mit den letzten Zwischenriegeln fest verbunden. Vor den Federblechen sitzen noch feste Blechwände, die ein schnelles Leerlaufen der Kammer zwecks Sicherung der Schiffe verhindern, wenn die Federbleche brechen sollten. Ferner sind vor den Federblechen Schutzwinkel angebracht, die sie während der Torbewegung gegen Aufstauchen sichern sollen.

Die Toranschlüge des Unterhauptes sind mit Stahlgußrahmen versehen, Abb. 1 und 5. Während diese in dem unteren wagerechten Anschlag in Aussparungen des Betons eingebaut und vergossen wurden, sind die anderen Rahmen Teile zunächst an Ort und Stelle an besonderen Rüstungen zusammengebaut und befestigt worden, bevor man das aufgehende Mauerwerk ausführte.

Das Untertor wird durch vier Führungsrollen sicher geführt, von denen jedoch nur die beiden unteren Spurräder erhalten haben. Die Rollen sind auf die federnd gelagerten Achsen fest aufgezogen. Das Tor wird etwas vom Anschlag abgedrückt, sobald die beiderseitigen Wasserstände nur noch einen Höhenunterschied von 0,15 m aufweisen. Abb. 1 bis 3 zeigen Schnitte durch die Untertornische nebst Rahmen und Führung.

Um zu verhindern, daß Schiffe das Untertor anfahren und beschädigen, wird es durch einen Schwimmbalken geschützt, der nach der Schleusenammer zu vor ihm angebracht ist. Das Hubtor nimmt bei seiner Hebung den Schwimmbalken mit in die Höhe, um die Ausfahrt für die Schiffe freizumachen. Die Mitnehmer für den Schwimmbalken sind gefedert und so an dem Tor befestigt, daß sich der Schwimmbalken nicht erst bei der Bewegung des Tores, sondern schon kurz vor dem Auspiegeln der Wasserstände auf sie aufsetzt. Beim Anfahren von Schiffen geben die Schwimmbalken etwas nach, da ihre Führungsrollen federnd gelagert sind. Infolgedessen legt sich dann der kräftig ausgebildete Schwimmbalken unmittelbar an die Führungsschienen.

Das Gewicht des Hubtores und der Schwimmbalken ist mittels Gegengewichte ausgeglichen, Abb. 2. Das Hubtor ist

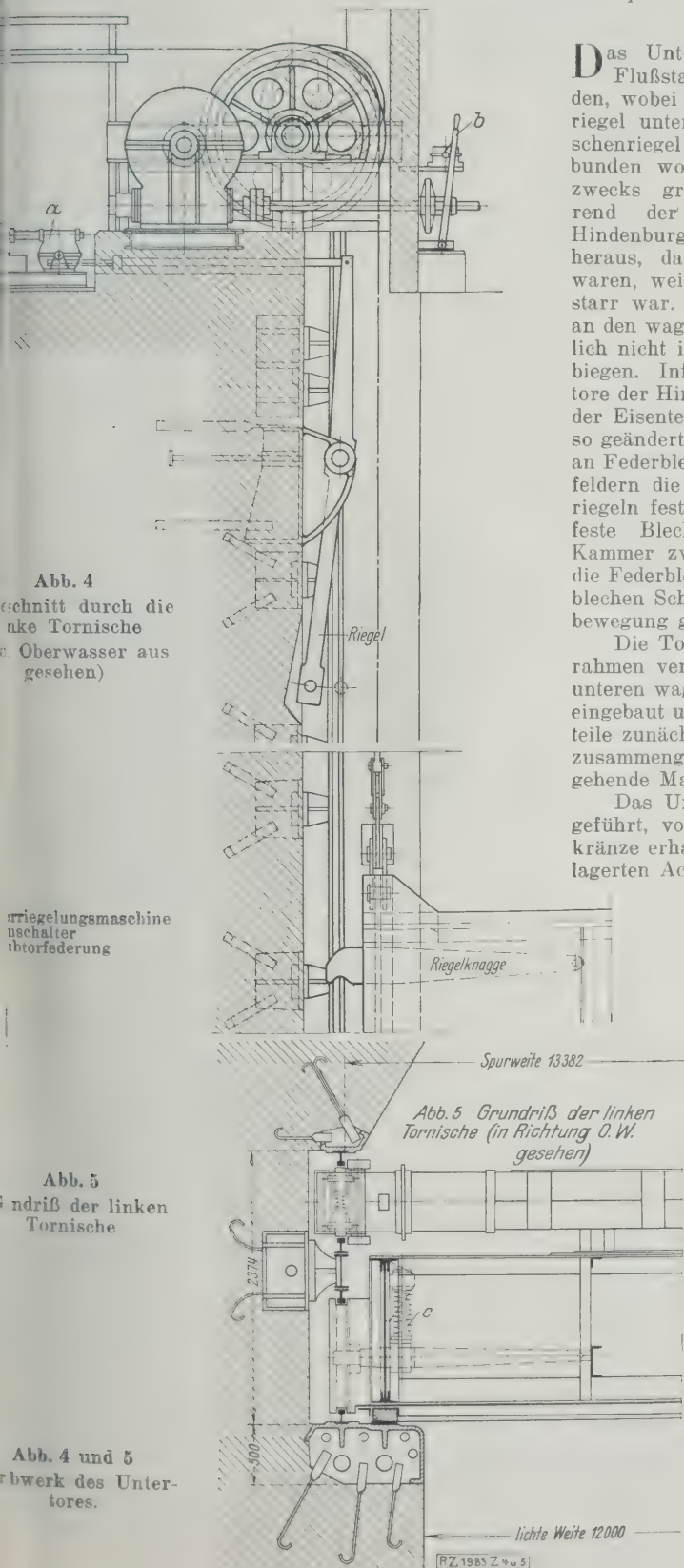


Abb. 4
Schnitt durch die
linke Tornische
Oberwasser aus
gesehen)

Riegelungsmaschine
Hubtorfederung

Abb. 5
Grundriß der linken
Tornische

Abb. 4 und 5
Rahmenwerk des Unter-
tores.

Abb. 5 Grundriß der linken
Tornische (in Richtung O. W.
gesehen)

Spurweite 13382

lichte Weite 12000

[RZ 1928 S. 24 u. 5]

¹⁾ Vergl. Z. Bd. 72 (1928) S. 1957.

^{2a)} „Beton und Eisen“ Bd. 12 (1913) S. 171; Zeitschrift für Bauwesen Bd. 71 (1921) S. 238 u. f.

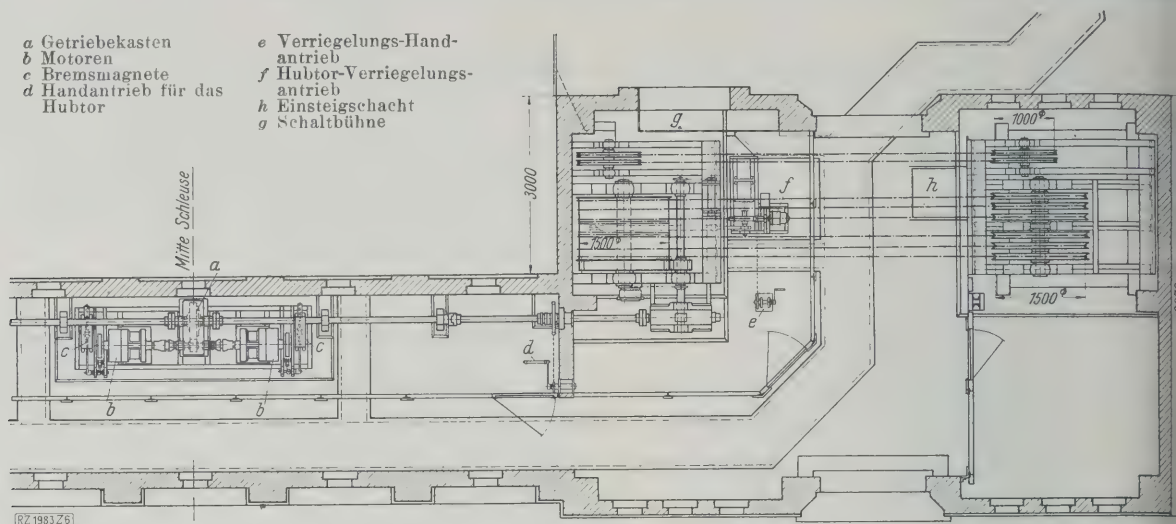


Abb. 6
Triebwerk des Untertores (Maschinengrundriß).

unter Zwischenschaltung von Wagebalken aufgehängt, damit nicht einzelne Seile beim Pendeln des Tores in seiner Führung überbelastet werden können. Die zwölf Drahtseile haben 32 mm Dmr. mit je 222 Drähten von je 1,42 mm Dmr. Sie sind mit 6,5facher Sicherheit berechnet, wobei die ungünstigsten Biegungsspannungen und Bewegungswiderstände der Berechnung zu Grunde gelegt worden sind. Die sechs Drahtseile jeder Torseite laufen über eine gemeinsame Antriebsrolle. Die beiden mittleren Seile umschlingen diese auf vier Fünftel ihres Umfanges. Um nicht überbeansprucht zu werden, sind dahingegen alle Seile bei den Gegengewichtschächten über frei drehbare Einzelrollen geführt. Die drei Gegengewichte wiegen je 13,7 t und sind so übereinander aufgehängt, daß sie einander abfangen, wenn ein Seil reißt. Die Blechkasten der Gegengewichte sind mit Eisenschrot und Zementmörtel zum Binden gefüllt. Der unterste Kasten umgreift das mittlere Gewicht und trägt die Führungsrollen, Abb. 2.

Über zwei Stirnrad- und ein eingängiges Schnecken-vorgelege werden die beiden Hauptseiltrommeln von einer gemeinsamen Maschine mittels zwei Motoren angetrieben, wovon aber immer nur einer arbeitet, während der andere als Aushilfe dient, Abb. 6. Ihre Kupplungen werden zwecks Auswechselung durch ein Handrad gemeinsam umgestellt, wobei zugleich ein elektrischer Schalter für

die Motoren und die beiden Magnetbremsen betätigt wird. Das Untertor wird bei Motorbetrieb in 75 s gehoben. In der obersten Stellung werden die Bremsen ausgeschaltet und außerdem als weitere Sicherung besonderer Ausschalter unmittelbar mittels einer Handbetätigung. Für Notfälle dient Handantrieb, wobei gleichzeitig die Stromzuführung selbsttätig abgeschaltet

Das Obertor

Das Obertor ist als Klapptor in üblicher Weise ausgebildet und so berechnet, daß es bei einem Wasserüberdruck von 0,2 m schon geöffnet werden kann. Gegen die dabei auftretende Verdrehung sind in den Feldern unter dem Schwimmkasten Diagonalen an den Riegeln angeschlossen, Abb. 7 bis 9.

Die Klapptorlager sind ähnlich denen der Schleusen des Rhein-Herne-Kanals, jedoch erheblich stärker auszubilden, und zwar so, daß sie beim Einklemmen Fremdkörpern zwischen den eichenen Dichtungsleisten den Anschlägen zunächst um 50 mm und erforderliche nach dem Abscheren von Anschlagstiften, die leicht entfernt werden können, noch weiter um 70 mm nachgeben können. Die Klapptorlager liegen in Kugelschalen, damit sie leicht geklemmt werden können, wenn eines der beiden Lager durch ein Hindernis zurückgedrückt sein sollte, Abb. 10 und 11.

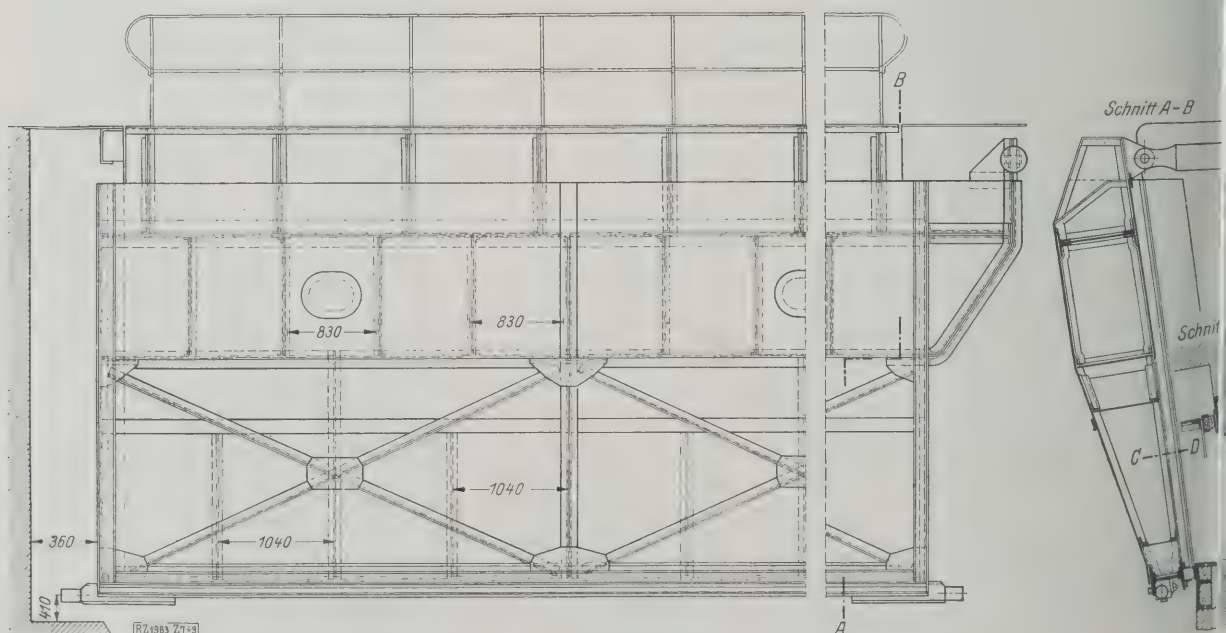


Abb. 7 bis 9
Klapptor am Oberhaupt.

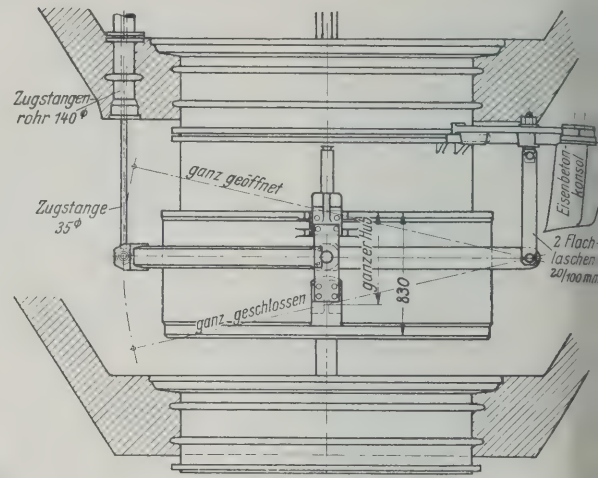
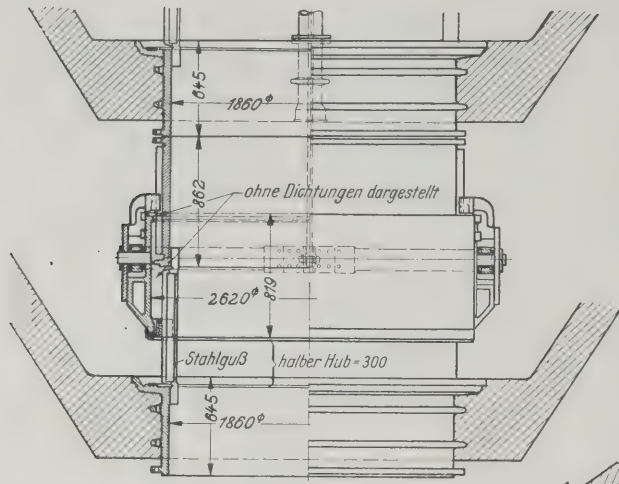


Abb. 13 bis 15
Ausbildung der Sparbeckenventile als
Zylinderschützen mit Bewegung durch
je einen Gabelhebel (Freund-Stärke-
Hoffmann).

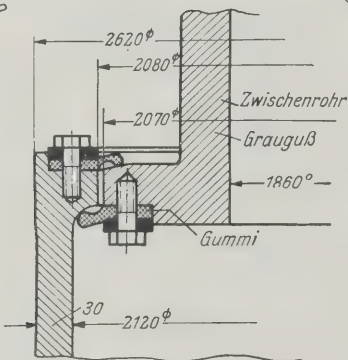
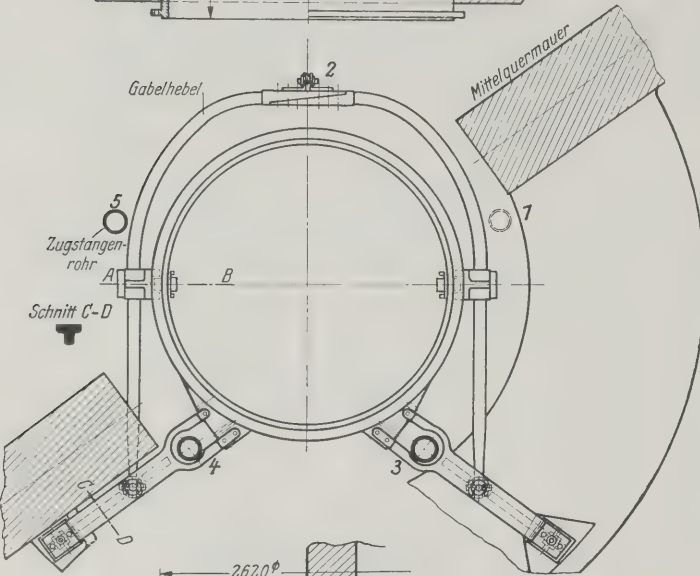


Abb. 16 (links)
Dichtung des
Sparbeckenventils.

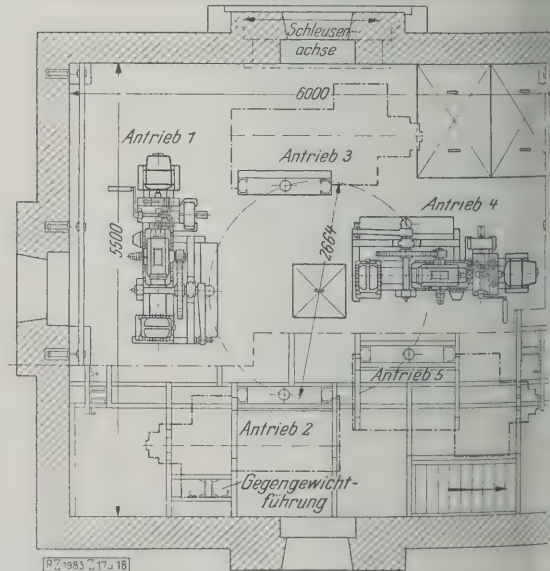
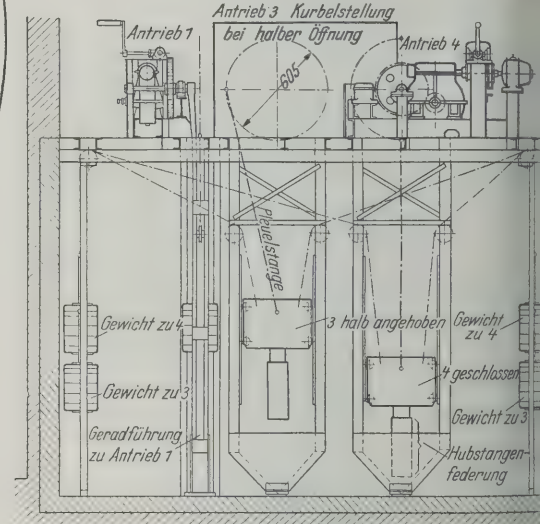
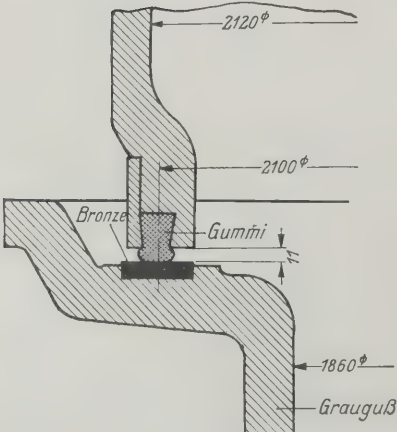


Abb. 17 und 18
Triebwerk für die fünf Ventile des Schachtrohrs
in einem Sparbecken.

gilt. Beim Einschalten wird ein Sparbeckenwähler in Wirkung gesetzt, der selbsttätig alle Sparbecken in der Reihenfolge öffnet und nach der für das Füllen der Speicherbecken erforderlichen Zeit wieder schließt. Dieser Wähler besteht aus einem gleichmäßig sich drehenden Zylinder von 650 mm Dmr., der mit Steuernocken in der Außenfläche versehen ist. Die Nocken schließen Ventile, die dann mittels Schützen die Ventilmotoren schalten.

Stellwerk

Alle Antriebe für die Verschlüsse von jeder der beiden Schleusen werden von einem Stellwerk aus gesteuert, das in der Mitte zwischen den beiden Schleusen liegt.

Neuerungen in der Gewinnung und Veredlung von Torf

Verhandlungen der Weltkraftkonferenz London 1928 Brennstoff-Sondertagung

Die Berichte über Vorkommen und Veredlung von Torf geben einen Überblick über die Arbeiten und Fortschritte, die in diesem Gebiet in den letzten Jahren, insbesondere in Rußland, Deutschland und Rußland, zu verzeichnen sind. Feststellung und Ausnutzung vorhandener Torfvorräte sind besonders in solchen Ländern wichtig, denen sonstige Energiequellen fehlen. Aus diesem Grunde sind in Rußland in Lettland großzügige Untersuchungen über die Vorkommen angestellt worden, die für Lettland 100 ha Torffelder mit einer nutzbaren mittleren Mächtigkeit von 3 bis 4 m und einem natürlichen Wassergehalt von 92 vH ergaben. Die Bedeutung des Torfes für die lettische Brennstoffwirtschaft geht daraus hervor, daß der Torf etwa 36 vH, das Holz 10 und die Wasserkraft 53 vH der Energiequellen des Landes bilden, während sich die Ausnutzung dieser Kraftquellen folgendermaßen verteilt: Holz 45,2 vH, Wasser 6,5 vH, Torf 1,9 vH und eingeführte Brennstoffe 45,2 vH. Der Heizwert des luftgetrockneten Torfes mit einem Wassergehalt von 20 und 40 vH schwankenden Wassergehalt beträgt 2900 bis 4260 kcal. Der Torf wird in Lettland ausschließlich in einer Menge von rd. 40 000 t jährlich durch die Hälfte maschinell und zur Hälfte mit der Hand gewonnen. Die maschinelle Gewinnung liegt in der Hauptsache in den Händen des Staates, der auch die übrigen Felder für eine Abgabe von 3,2 $\frac{1}{m^3}$ gewonnenen Torf verpachtet. Von den Torfvorräten des europäischen Teiles von Rußland sind augenblicklich 31,2 Mill. ha mit einer durchschnittlichen Mächtigkeit von 2,13 m nachgewiesen. Der Wassergehalt des Trockentorfes mit 0 vH Wasser und einem Heizwert von 5360 bis 6000 kcal liegt im allgemeinen zwischen 3,5 und 10 vH. Die Förderung wird für das Jahr 1928 für das europäische Rußland auf 7,5 Mill. t geschätzt, zum großen Teil in der Textilindustrie Absatz findend. In einige Großkraftwerke (Nischni-Nowgorod, Leningrad) werden z. T. Torf als Brennstoff oder sind aus schließlich (wie z. B. Orscha, Briansk, Viatka) für die Veredlung von Torf angelegt. Von den Erzeugungskosten in Höhe von 8,46 R/t entfallen 55,5 vH auf Löhne; man ist bestrebt, durch weitestgehende Mechanisierung eine Verminderung des Lohnanteiles und dadurch Verbilligung des Torfes zu erreichen. Die allgemein übliche Art der maschinellen Torfgewinnung mittels der Strangpresse wurde nach verschiedenen Richtungen verbessert. So ließ die Anwendung eines Seilförderers zum Abfordern der Soden eine Verbilligung der Bedienungsmannschaften um 27 vH zu. Der russische Erfinder *Pankratoff* entwickelte für die Bagger Eimer besonderer Bauart, die den Torf von der Erdoberfläche über eine besondere Schnecke, ohne sonstige Maschinenbedienung, der Zerkleinerungsvorrichtung zuführen. Der Bagger, Bauart *Pankratoff*, ist jedoch ebenso wie der *Biryokoff*-Bagger, bei dem die Eimerkette in der Längsrichtung des Gerätes angeordnet ist, nur zum Abbau von Torflagern ohne Einlagerung von Wurzelstümpfen geeignet. Versuche des russischen Untersuchungsausschusses mit dem deutschen Baggerbauart nach *Hesepfer* ließen die Vorteile weitgehender Mechanisierung derartiger Bagger erkennen. Zum Abbau von Torflagern mit starken Wurzelstümpfen wurden verschiedene Geräte entwickelt, die in den praktischen Betrieben bewährt haben. Die Schwierigkeiten bei der Trocknung des durch Druckwasser gewonnenen Torfes (Hydro-Torf) sind nach neuen russischen Erfahrungen anscheinend überwunden¹⁾.

angeordnet ist. Hierhin werden alle Befehle durch den Schleusenbeamten mit Maschinentelegraphen und Lautsprechern von Befehlständen aus gegeben, die sich am Unter- und Oberhaupt befinden und mit Steuerschaltern und Meldelampen für die Signale und mit Fernzeigern für die Wasserspiegel der beiden Kanalhaltungen und der Schleusenkammer ausgerüstet sind.

Im Schaltraum des Stellwerks sind die Hauptschalttafeln und das Schaltpult aufgestellt. Die jeweils gleichzeitig zu beobachtenden Apparate sind in den Teilfeldern des Pultes vereinigt. Ob die eingeschalteten Antriebe ordnungsmäßig arbeiten, ist an aufleuchtenden Lampen auf dem Schaltpult jederzeit zu erkennen. [B 1983]

Die Nachteile der Trocknung des Torfes im Freien, der Feldtrocknung, veranlaßten zahlreiche Versuche zur künstlichen Trocknung des Torfes. Die Schwierigkeiten der Torftrocknung liegen in der großen Menge wegzutrocknenden Wassers (Rohtorf mit etwa 90 vH Wasser) und der Kolloidstruktur des Torfes, durch die das Wasser in den feinen Kapillarräumen des Torfes stark zurückgehalten wird.

Von dem Verfahren der unmittelbaren Entwässerung durch Druck wird augenblicklich nur das Madruckverfahren praktisch angewendet. Das russische Torfforschungsinstitut hat ein neues Verfahren zur Entwässerung von Hydrotorf entwickelt. Nach einem Verfahren wird eine Vorentwässerung des Torfes durch Zugabe einer kolloidalen Lösung von Eisenhydrat in einer Menge von 0,2 vH metallischem Eisen, bezogen auf Trockentorf, erreicht. Es tritt hierdurch eine Zusammenballung der kolloidalen Torfteile ein, so daß anschließend das Überschußwasser durch Filterung und darauffolgende Verpressung nach dem Madruckverfahren bei Preßdrücken von 30 bis 50 at entfernt werden kann. Die weitere Entwässerung des jetzt noch 60 bis 63 vH Feuchtigkeit enthaltenden Torfes wird in Dampftrocknern vorgenommen, wie sie von der Trocknung der Braunkohle her bekannt sind. Für die maschinelle Druckentwässerung ist von demselben Institut eine besondere mit Druckwasser arbeitende Presse, die Hydro-Torfpresse, durchgebildet worden, die eine Einstempelpresse darstellt und bei einem Gewicht von 7 t eine Leistung von 14,5 t/h Trockentorf bei einem Kraftbedarf von 13,15 kWh/t Trockentorf hat. Der Torf wird vor der Brikettierung, die in Braunkohlen-Brikettpressen (Bauart Buckau) bei einem Druck von 1200 at vorgenommen wird, auf 15 vH Wassergehalt getrocknet und ergibt wetterfeste Preßlinge.

Im Gegensatz zu den Erfahrungen des russischen Untersuchungsinstitutes sind von *Nils Testrup* und *Thomas Gram* verschiedene Nachteile der Trocknung des Torfes in Röhrentrocknern festgestellt worden. Es wurde hier vielmehr die Trocknung des Torfes in senkrecht stehenden Trocknern durchgeführt, bei denen das Torfpulver mit Luft durch dampfgeheizte Röhren geblasen wird. Wegen der hierbei erreichbaren guten Wärmeüberführung können kleine Temperaturunterschiede mit Vorteil ausgenutzt werden, so daß Dampf mit etwa 100° viermal hintereinander zum Trocknen bei stufenweise abnehmenden Temperaturen benutzt werden kann. Es läßt sich hierdurch bei hoher Wärmewirtschaftlichkeit eine Trocknung auf 25 bis 30 vH Wassergehalt erreichen. Eine Anlage zum Trocknen und anschließendem Verpressen von 5 t/h Torf ist nach diesem Verfahren bereits errichtet. Als Dampf genügt Abdampf, der nach den Vorschlägen der Erfinder mit 65° aus den Turbinen abgenommen wird, wodurch sich die Krafterzeugung nur wenig vermindert. Der Bau einer Anlage dieser Art mit einer Krafterzeugung von 30 000 kW ist geplant.

Der Brenntorf stellt sowohl in Form der Strangtorfsode, wie auch als Brikett, wegen seines sehr geringen Aschengehaltes und der hohen Verbrennlichkeit einen sehr guten Ausgangsstoff für die Vergasung dar²⁾. Ferner verdient die Torfverkohlung, die technisch sehr leicht durchzuführen ist, besondere Beachtung. Die erhaltene Torfkohle ist wegen ihres sehr niedrigen Aschen- und Schwefelgehaltes, sowie des bei nur 220° liegenden Zündpunktes der Holzkohle durchaus ebenbürtig. Die Herstellung der Torfkohle erscheint gesichert, wenn Torf zu einem Höchstpreise von 10 RM/t zur Verfügung steht. [N 2616]

Prockat

²⁾ *Keppeler*: Torfvergasung und Torfverkokung, „Stahl und Eisen“ Bd. 46 (1926) S. 631.

¹⁾ Vergl. Z. Bd. 68 (1924) S. 601.

R U N D S C H A U

Naturwissenschaften

Tagesfragen der Physik

Atomphysik: Wellennatur des Elektrons, Molekularaufbau und Wirkungsquerschnitt, Elektrizitätsleistung in Lösungen. — Technische Physik: Kurze Wellen, Störungen der Wellensendung, Starkstrom-Hochspannungsmessungen.

In der neueren Entwicklung der Physik sind hauptsächlich zwei Gebiete ausgebaut worden, nämlich einerseits die Atomphysik und andererseits die technische oder angewandte Physik. In der Hamburger Physikertagung, die vom 16. bis 22. September 1928 im Rahmen der Versammlung der Gesellschaft Deutscher Naturforscher und Ärzte stattfand, waren diese beiden Gebiete noch mehrfach unterteilt.

Atomphysik

Wellennatur des Elektrons

Seit der Entdeckung der Röntgenstrahlen vor etwa 35 Jahren und seit *Becquerels* erster Beobachtung der Radioaktivität hat sich die Lehre vom Atomismus¹⁾ der Elektrizität als unanfechtbare physikalische Grundanschauung entwickelt. In ihrem Mittelpunkt stehen die Elektronen²⁾, kleinste Teilchen negativer Elektrizität, deren körperliche Eigenschaften durch zahlreiche Beobachtungen an den radioaktiven und den Kathodenstrahlen als ziemlich sicher ermittelt gelten. Man konnte ihre Masse, Ladung und Geschwindigkeit in gegebenen Feldern messen und berechnen, konnte sie zählen, wie in der Hamburger Tagung von *H. Geiger*³⁾, Kiel, gezeigt wurde, man sprach von ihrem Stöße, von ihrer Reflexion usw., kurz von Eigenschaften, wie man sie Körpern oder kleinen Massenpunkten beilegt.

Die Elektronen haben aber eine Eigenschaft, die solchen Teilchen nicht zukommt: sie können nämlich wie die Röntgenstrahlen feste Körper in ziemlich weitgehendem Maße durchdringen.

Von den Röntgenstrahlen weiß man durch *E. Marx*, daß ihre Ausbreitungsgeschwindigkeit gleich der Lichtgeschwindigkeit ist, und durch *Barkla*, daß sie sich wie Licht polarisieren lassen, sie sind mithin ein elektromagnetischer Ausbreitungsvorgang im Äther. Zur Bestimmung ihrer Wellenlänge haben *E. v. Laue* und seine Mitarbeiter 1912 die Gitter der Kristalle benutzt. Hiernach und durch das später gefundene Verfahren der Röntgenstrahlbeugung an gewöhnlichen optischen Gittern ist es möglich geworden, die Röntgenstrahlen in das Wellenlängengebiet von etwa 0,06 bis 200 Ångströmeinheiten (ÅE)⁴⁾ einzuordnen. Dieses Gebiet geht somit in das Gebiet des ultravioletten Lichtes über, das von etwa 200 bis 4000 ÅE reicht.

Da nun auch die Elektronenstrahlen feste Körper zu durchdringen vermögen, besteht die Möglichkeit, auch bei ihnen die in der Röntgenspektroskopie ausgebildeten Verfahren der Beugung an Kristallen beim Durchgang durch dünne Metallfolien anzuwenden. Aber auch die Beugung an gewöhnlichen optischen Metallgittern läßt sich benutzen, worüber in Hamburg *E. Rupp*⁵⁾ berichtete, der mit dem Verfahren des streifenden Einfalls nach *H. A. Compton* Elektronenstrahl-Beugungsbilder bis zur dritten Ordnung erhielt und damit die Wellenlänge der untersuchten Elektronen von 150 V⁶⁾ Geschwindigkeit zu 1,00 ÅE ± 0,02 bestimmt hat.

Durch diese Versuche wird bewiesen, daß den Elektronen neben ihrer Korpuskelnatur sicherlich noch eine Wellennatur innewohnt. Diese Erkenntnis ist aber von grundlegender Bedeutung für unsere Anschauungen vom Wesen des Stoffes und der Elektrizität; zu ihrer Beschreibung sind in neuester Zeit durch die wellenmechanischen Theorien von *de Broglie*, *Schrödinger* u. a.⁷⁾ Ansätze gemacht

worden. Eine grundlegende Beziehung dieser Mechanik ist die von *L. de Broglie*:

$$\lambda = \frac{h}{m u},$$

wo h das elementare Wirkungsquantum nach *Planck* und die Wellenlänge des Elektrons bedeuten. Nach den Messungen von *E. Rupp* gilt diese Beziehung bis auf ± 2 vH genau.

Mit diesem Beobachtungsergebnis ist allerdings keineswegs das letzte Wort der Erkenntnis über die Vorgänge gesprochen, trotz weitgehender logischer Schlossenheit der neuen Quanten-Wellenmechanik. In noch muß uns die Vorstellung beherrschen, daß die der physikalischen Objekte mit ihren letzten Gründen außerhalb des Bereiches der Sinne und unserer Anschauung liegt⁸⁾.

Molekülaufbau und Wirkungsquerschnitt

Handelte die Untersuchung von *E. Rupp* wesentlich den Eigenschaften des Elektrons allein, ohne Rücksicht auf die Stofflichkeit der Umgebung, so führt der Bericht *C. Ramsauer*, Berlin⁹⁾, „Über den Wirkungsquerschnitt traler Gasmoleküle gegenüber langsamen Elektronen“ die Erscheinungen der Elektrizitätsbewegung in Gasen. Gasmoleküle bewirken einen Intensitätsabfall des Elektronenstrahles, der im Vakuum die Intensität J_0 hatte:

$$J = J_0 e^{-c p x},$$

wo p den Gasdruck in mm Q.-S., x die Elektronenweg im Gas in cm und c einen Beiwert bedeuten. Dies experimentelle Schwächungsgesetz ist durch Versuche bewiesen, der Beiwert c wird dabei gedeutet als der Gesamtquerschnitt aller Gasmoleküle in 1 cm³, die von den Elektronen des Strahles beim Gasdruck 1 mm Q.-S. getroffen werden, so die getroffenen Elektronen durch Reflexion, Absorption, Fusion oder Geschwindigkeitsverlust als beseitigt gelten, die Schwächung des Strahles gemäß obiger Beziehung dinge.

Auf den Beiwert c kommt es bei dem Bericht von *Ramsauer* und den beiden folgenden von *E. Brüche*¹⁰⁾, *R. Kollath*¹¹⁾ Berlin, allein an. Es hat sich nämlich herausgestellt, daß c von der Geschwindigkeit der Elektronen abhängt, und zwar in einer Weise, daß offenbar gesetzmäßige Beziehungen zwischen c und dem Molekülbau der Gase stehen. Unter anderem kann man aus Vergleichen schließen, daß zwei so verschiedene Gase wie Methan (CH₄) und Edelgas Krypton (Kr) an der Außenschale ihres Moleküls eine weitgehende Ähnlichkeit des Aufbaues zeigen müßten.

Neuere Ergebnisse über die Elektrizitätsleitung in Lösungen.

Dieses Gebiet behandelten die Vorträge von *M. W. G. Joos*¹²⁾, *E. Lange*, *I. Malsch* und *A. Nikuradse*. Nach klassischen Arbeiten von *Vant'Hoff*, *Arrhenius* und *W. Rausch* bestand folgende Vorstellung: In einer verdünnten wässrigen Lösung sind die Moleküle der gelösten Substanz in ihre positiven und negativen Ionen entsprechend Dissoziationsgrad α aufgespalten.

Die Ionen besitzen innerhalb der Moleküle des Lösungsmittels die Ionenbeweglichkeiten v_+ und v_- im 1 Volt/cm und tragen je so viele elektrische Elementarquanten $e = 1,6 \cdot 10^{-19}$ Amperesekunden, wie ihre chemische Wertigkeit n angibt, und der Vorgang der Elektrizitätsleitung besteht darin, daß durch die elektrischen Felder die Ionen mit ihren Ladungen zur Kathode oder Anode bewegt werden. Demnach ist die Leitfähigkeit, d. h. sekundliche auf 1 cm² der Leitungsbahn entfallende Elektrizitätsüberführung

$$\kappa = \alpha N e n (v_+ + v_-),$$

⁸⁾ Vergl. hierzu *M. Born*: Über den Sinn der physikalischen „Naturwissenschaften“ Bd. 17 (1929) S. 109, sowie *M. Planck*: Aus der neuen Physik, Z. Bd. 73 (1929) Nr. 11 S. 353.

⁹⁾ *C. Ramsauer*: Über den Wirkungsquerschnitt neutraler Moleküle gegenüber Elektronen, Phys. Z. Bd. 29 (1928) S. 823.

¹⁰⁾ *E. Brüche*: Wirkungsquerschnitt und Molekülbau in der Edelgasreihe: Ne-HF-H₂O-NH₃-CH₄, Phys. Z. Bd. 29 (1928) S. 8.

¹¹⁾ *R. Kollath*: Über den Anteil der Reflexion an der Gesamtleitung neutraler Gasmoleküle gegenüber langsamen Elektronen, Phys. Z. Bd. 29 (1928) S. 834.

¹²⁾ Über die Abweichungen der Elektrolyte vom Ohmschen Gesetz, Phys. Z. Bd. 29 (1928) S. 751.

¹³⁾ Die theoretische Deutung von Spannungs- und Frequenzabhängigkeit der elektrolytischen Leitfähigkeit, Phys. Z. Bd. 29 (1928) S. 834.

¹⁾ Die Hypothese vom Atomismus der Elektrizität geht auf *H. A. Lorentz* (1880) und *H. v. Helmholtz* (1881) zurück.

²⁾ Das Wort „Elektron“ für die kleinsten negativen elektrischen Teilchen ist von *Stoney* vorgeschlagen worden (1894).

³⁾ *H. Geiger* und *W. Müller*: Das Elektronenzählrohr, Phys. Z. Bd. 29 (1928) S. 839.

⁴⁾ 1 ÅE = 10^{-10} mm = 10^{-11} m.

⁵⁾ Versuche zur Elektronenbeugung, Phys. Z. Bd. 29 (1928) S. 837.

⁶⁾ Die Elektronen werden nach ihrer Geschwindigkeit u geordnet, die sie in einem gegebenen elektrischen Felde mit dem Spannungsgefälle V in Volt annehmen. Ist m die Masse und e die Ladung eines Elektrons, so gilt für den gedachten Beschleunigungsvorgang das Energiegesetz $\frac{1}{2} m u^2 = e V$, wonach die Elektronengeschwindigkeit u verhältnismäßig \sqrt{V} wird. Die Verhältniszahl $\frac{u}{\sqrt{V}}$ ist gleich 600, wobei u in km/s zu berechnen ist und \sqrt{V} etwa 100 bis 200 Volt beträgt.

⁷⁾ Vergl. hierzu etwa *A. Haas*: Materiewellen und Quantenmechanik, Leipzig 1928.

die Zahl der in einem Kubikzentimeter Lösung enthaltenen Moleküle der Substanz bedeutet¹⁴⁾. Mit κ berechnet man den Widerstand der Lösung nach $R = l / (F \kappa)$ und Querschnitt F der stromdurchflossenen Flüssigkeitsröhre:

$$R = \frac{l}{F \kappa},$$

es gilt das Ohmsche Gesetz

$$E = i R$$

$$\kappa = \frac{i l}{E F}$$

Die Ionenbeweglichkeit v_+ und v_- aus Versuchen mit werden kann. Für eine NaCl-Lösung findet man $v_+ = 1 \text{ cm/h}$, also jedenfalls gegenüber der freien Elektronenbewegung eine sehr kleine Geschwindigkeit, die durch die Reibung der Ionen an den Molekülen des Lösungsmittels bedingt ist.

Diese Vorstellungen gingen davon aus, daß die Leitfähigkeit κ für eine gegebene Lösung ein Festwert und in nach dem Ohmschen Gesetz von der Spannung E unabhängig sei. Messungen von M. Wien und seinen Schülern nun ergeben, daß κ mit E wächst. Diese Beobachtung Debye und Hückel veranlaßt, die gleichmäßige Verteilung und vollkommene Freiheit der Ionen in der Lösung, wie die Arrheniussche Theorie annimmt, aufzugeben und die elektrostatischen Kräfte der Ionen untereinander sowie die durch die Wärmestöße der Moleküle des Lösungsmittels den Ionen mitgeteilte Brownsche Bewegung zu berücksichtigen.

So entsteht eine ziemlich einfache Vorstellung, die aber mathematisch sehr schwer zu behandeln ist. Dies haben Wien und seine Mitarbeiter ausgeführt und dabei eine recht weitgehende zahlenmäßige Übereinstimmung mit Wienschen Ergebnissen erreicht, wie G. Joos¹⁵⁾ in Hamburg des näheren ausführte.

Technische Physik

Über die Entwicklung der technischen Physik gewinnt man ein Bild, wenn man bedenkt, daß von etwa 80 in Hamburg gehaltenen Vorträgen 50 technisch-physikalische Gegenstände behandelt. Im einzelnen darüber zu berichten, ist unmöglich, nur die wichtigsten Ergebnisse sollen im folgenden angegeben werden.

Erzeugung und Anwendung elektromagnetischer Wellen

Hierzu gibt es zwei grundsätzlich verschiedene Verfahren: die Selbsterregung geeigneter elektrischer Systeme und die Erregung auf elektrodynamischem Wege durch Maschinen.

Dieses Verfahren ist älter und wurde durch die allgemeine Wechselstromtechnik vorbereitet. In der Nachrichtentechnik hat sich aber das erste Verfahren schneller entwickelt, und zwar zunächst in Gestalt der Lichtbogenfunken nach Paulsen; es eroberte sich zunächst das Gebiet der transozeanischen Telegraphie mit großen Wellen im Bereich von 10 bis 30 km Länge. Das Verfahren der elektromagnetischen Maschinensendung entwickelte sich, als es gelang, durch ruhende Umformer die Frequenzen zu vervielfachen.

In einen neuen Abschnitt trat die elektromagnetische Maschinensendung durch die Elektronenröhrensender mit Rückkopplung nach A. Meißner. Sie sind ihrer Natur nach für kürzeren Wellen unter 1000 m besonders geeignet, und auf ihnen beruht in der Hauptsache das heutige Rundfunkwesen.

Das Fortschreiten zu immer kürzeren Wellen erhielt seinen neuen Anstoß, als sich herausstellte, daß mit äußerst kurzen Wellen von 100 m Länge und darunter bei sehr geringem Energieverbrauch auf weite Entfernungen gesendet werden kann. Wie Prof. W. Rukop, Köln, ausführte, ist man hier im Gegensatz zur Langwellentelegraphie einer Umkehr der abgestrahlten Energie zur Erde durch Reflexion und Ausbreitung an der sogenannten Heavisideschicht. Ihre Wirkung tritt nur für ein bestimmtes Wellenlängengebiet ein, das am Tage etwa zwischen 10 und 80 m und nachts etwa zwischen 20 und 100 m liegt. Kurze Wellen erzeugt man mit der Elektronenröhre oder piezoelektrisch. Wie H. Kohl¹⁶⁾ berichtete, erreicht man mit kleinen Abmessungen der Röhren und des Schwingkreises ganz kurze Wellen bis zu 30 cm Länge. Mit solchen unter 10 m bis hinab zu 0,75 m hat Prof. A. Esau, Jena, Reichweitenversuche angestellt. Diese Wellen eignen sich für Nachrichten von der Erde an Flugzeuge oder vom Ende eines Eisenbahnzuges zur Lokomotive. Wertvoll ist dabei die Kleinheit der Sendeeinrichtungen und Empfangsapparate. Das piezoelektrische Verfahren beruht darauf, daß sich ein elastischer, kristalliner Körper wie Quarz in einem elektrischen Felde verformt, wodurch wiederum das Feld geändert wird. Durch diese Verkopplung schwingt der Kristall im Takte der Eigenfrequenz, die durch die Abmessungen des Kristalls gegeben ist. Eigenfrequenzen von 3 Millionen Hertz sind möglich und damit Wellenlängen von 100 m.

Über neue piezoelektrische Stoffe berichtete A. Meißner in Hamburg¹⁷⁾, die z. B. Quarz hinsichtlich der piezoelektrischen Wirkung 50- bis 70fach übertreffen. Solche Stoffe sind Platten, zusammengepreßt aus Pulvermischungen von hochisolierenden Harzen und Wachsen mit kristallinen Stoffen.

Über Maschinensender für kleine Wellenlängen berichtete W. Hahnemann¹⁸⁾. Der Hochfrequenz-Maschinensender, Bauart Lorenz-Schmidt, hat sich auch auf dem Rundfunkgebiet nach folgenden Verbesserungen eingebürgert: Zunächst liefert ein Maschinensender infolge der ihm eigentümlichen Frequenzvervielfachung außer der beabsichtigten Hauptwelle noch eine Anzahl von Neben- und Oberwellen, die geeignet sind, andere Sendungen zu stören, wenn man sie nicht von der Antenne ausschließt. Dies erreicht man durch Sieb- und Sperrschaltungen.

Die Frequenzwandler enthalten wie die Transformatoren sehr fein unterteiltes Eisen in Folienform, in dem sich bei den hohen Frequenzen trotz Ölkühlung durch Hysteresis und Wirbelstromverluste eine beträchtliche Wärmemenge entwickelt, wodurch die Papierzwischenlagen verkohlen; dies kann durch Verkürzung der Wärmeableitungswege der Eisenpakete eingeschränkt werden.

Besonders wichtig ist bei einem Sender die Unveränderlichkeit der eingestellten Wellenlänge, wodurch das gleichzeitige Senden mit den zahlreichen, untereinander nicht sehr verschiedenen Wellen und das Abstimmen der Empfänger auf die Wellen ermöglicht wird. Beim Maschinensender ist die Unveränderlichkeit der Wellenlänge von der Regelung der Drehzahl der Maschine abhängig. Bei der Maschine von Lorenz-Schmidt wird eine verfeinerte Drehzahlregelung durch Kopplung des gewöhnlichen Reglers mit einem besonderen Motor in der Weise erreicht, daß der Regler bei jeder Maschinendrehung einmal anspricht.

Eine besonders beachtenswerte Störung der gleichmäßigen Umlaufgeschwindigkeit ergab die Elastizität der Maschinengehäuse, die infolge der Massenfehler der Läufer kleine Schwingungen ausführen, die sich auch der Maschinenachse mitteilen. Diese führt hierdurch schwingende Querbewegungen aus, die zwar klein sind ($1/100 \text{ mm}$), sich aber der Drehgeschwindigkeit überlagern. So entstehen Ungleichmäßigkeiten der Drehzahl, die zwar nur $1/10000$ der ausgestrahlten Senderfrequenz ausmachen, sich aber durch eine Ungleichmäßigkeit des Empfangstones (Trillern) bemerklich machen. Diese Störungen werden durch genaue mechanische Ausführung der umlaufenden Teile und Verstärkung der Gehäuse beseitigt.

Senden kurzer Wellen

Schon der Entdecker der elektromagnetischen Raumstrahlung, H. Hertz, hat bei elektrischen Wellen durch Reflexion an metallenen Parabelspiegeln eine gewisse Richtwirkung erzielt. Rechnerisch und durch Versuche ist dann später gezeigt worden, daß auch Verbindungen von linearen Antennen, die in Abständen von einer viertel oder einer halben Wellenlänge zueinander angeordnet sind und mit Phasenunterschieden von 90° oder 180° gegeneinander schwingen, eine gerichtete Strahlung ermöglichen.

Bei den früher üblichen Wellenlängen von vielen Kilometern führen derartige Anordnungen zu außerordentlichen Abmessungen der Antennengebilde. Erst die neuere Kurzwellentechnik mit Wellen unter 100 m Länge ermöglichte

¹⁴⁾ Bedeutet nun k die Konzentration, d. h. die Zahl der Masseneinheiten, die in 1 cm^3 Lösungsmittel enthalten ist, so wird $N = \frac{k L}{M}$, wo L die Loschmidt'sche Zahl, das ist die in jedem Grammatom eines Elements enthaltene Atom- oder Molekülzahl und M das Molekulargewicht bedeutet. Demnach wird die Leitfähigkeit

$$\kappa = a \frac{k}{M} (L e) n (v_+ + v_-).$$

ist $L e = 1.6 \cdot 10^{-19} \cdot 6 \cdot 10^{23} = 9.6500$ Amperesekunden, die dem einzigen Grammatom oder Mol äquivalente Elektrizitätsmenge; ferner bedeutet

$$\eta = \frac{k}{M}$$

Äquivalentkonzentration und

$$\frac{k}{M} = A = a (L e) n (v_+ + v_-)$$

Äquivalentleitvermögen der Lösung.

¹⁵⁾ s. Anm. 13.

¹⁶⁾ H. Kohl: Über kurze ungedämpfte elektrische Wellen, Z. f. techn. Phys. Bd. 9 (1928) S. 472.

¹⁷⁾ A. Meißner und A. Feckmann: Erzeugung und Untersuchung nicht kristalliner piezoelektrischer Stoffe, Z. f. techn. Phys. Bd. 9 (1928) S. 430.

¹⁸⁾ W. Hahnemann: Über die neuere Entwicklung des Maschinensenders für kleine Wellenlängen, Elektr. Nachrichten-Techn. Bd. 5 (1928) S. 431.

das Peilfunken. Hierbei ist zu beachten, daß das Wellenbündel wegen der Heavisideschicht unter bestimmten Erhebungswinkeln zur Erdoberfläche zu entsenden ist.

Zur Lösung der so gegebenen Aufgabe haben in neuerer Zeit *Marconi*, Prof. A. *Meißner* und Dr. O. *Böhm* von Telefunken Versuche angestellt, worüber Dr. O. *Böhm*¹⁹⁾ und A. *Gothe*²⁰⁾ in Hamburg berichteten. Danach ist es heute möglich, durch Verbindung von richtenden und reflektierenden Drahtsystemen die Hauptenergie der Sendeanlagen innerhalb von Winkeln bis zu 14° zu bündeln, während ein einzelner Antennendraht die Energie innerhalb des Ganzwinkels 360° aussendet. Weiter ist es möglich, Antennen mit zwei ausgezeichneten Senderichtungen zu bauen, etwa in der Weise, wie augenblicklich in Nauen eine Anlage ersteht, die gleichzeitig nach Rio de Janeiro und nach Buenos Aires gerichtet strahlen wird.

Auch die Empfangsantennen wird man zweckmäßig mit Richtwirkung ausstatten, wodurch die Aufnahme von Störungen eingeschränkt wird.

Die Vereinigung aller dieser Maßnahmen erhöhte praktisch in einem bestimmten Falle (Südamerika—Geltow) die Empfangsstärke auf das Dreifache und die Telegraphiergeschwindigkeit auf das Sechsfache.

Störungen der Wellensendung in der Atmosphäre

Die Störungen der elektromagnetischen Wellensendung sind: Lautstärkeverminderungen, Richtungsstörungen und Störgeräusche (Knacken und Brodeln).

P. *Duckert*²¹⁾ berichtete über die jahrelang fortgesetzten Beobachtungen der Lautstärke- und Richtungsstörungen des elektromagnetischen Empfanges auf dem Aeronautischen Observatorium in Lindenberg sowie über Funkrichtungsbestimmungen zwischen Schiffen und Küstenstationen. Die Beseitigung der Richtungsstörungen ist für die Schifffahrt wichtig, da die Abweichungen zuweilen 3 bis 50° betragen können. Sie treten bei bestimmten Wetterlagen ein, wenn warme feuchte Luft auf kalte so trifft, daß eine Temperaturumkehr mit gleichbleibender oder nach oben zunehmender relativer Luftfeuchtigkeit innerhalb der untersten Hektometer der Atmosphäre vorhanden ist.

Die Störgeräusche Knacken und Brodeln sind dagegen auf kosmische Ursachen zurückzuführen, wie F. *Schindlbauer*²²⁾ darlegte. Mit finanzieller Unterstützung der Notgemeinschaft deutscher Wissenschaft und durch Vergleich mit dem von Prof. *Watson Watt* auf englischen Stationen gewonnenen Beobachtungen ist es auf dem meteorologisch-magnetischen Observatorium in Potsdam gelungen, mit großer Wahrscheinlichkeit nachzuweisen, daß jene Störungen in der Hauptsache aus denselben kosmischen Zusammenhängen stammen, die man heute für das Zustandekommen der erdmagnetischen Erscheinungen annimmt: also einerseits einem Ringstrom in großer Höhe über der Erdoberfläche, der durch Elektronen von der Sonne stets neu gespeist wird, und andererseits wagerechte Stromwirbel in der Heavisideschicht, die auf der Tagseite der Erde durch die ultraviolette Sonnenstrahlung unterhalten werden. Ihre Wanderung von Osten nach Westen im Laufe des Tages bedingt die deutlich erkennbare tägliche Periode in Richtung und Stärke der Störungen. Das Knacken wird auf rasche Änderungen der Ringstromstärke und das Brodeln auf schnell aufeinanderfolgende Störungen der wagerechten Stromwirbel zurückzuführen sein.

Technik der Starkstrom-Hochspannungsmessungen

Die Erhöhung der Spannungen in der neuzeitlichen Elektrotechnik führt zu gewaltigen Abmessungen der Bauteile, z. B. der Hochspannungsisolatoren. Naturgemäß wird auch die Bauweise der Meßgeräte von dieser Entwicklung berührt. Über Hochspannungsmesser berichtet in Hamburg Prof. H. *Starke*²³⁾ Aachen, und über Meßkondensatoren Dr. R. *Vieweg*²⁴⁾. Der *Starke*sche Spannungsmesser wird bis zu 500 000 V Spannung gebaut. Der wesentliche Teil ist ein Plattenkondensator, bei dem eine Platte in der Mitte einen kleinen drehbaren Flügel enthält. Seine Drehung ist ein Maß für die Stärke des Kondensatorfeldes und wird mit einem Fernrohr bestimmt.

Die Schwierigkeit bei den Meßkondensatoren besteht darin, daß die wünschenswerte Größe der Kapazität kleine Plattenabstände bedingt, diese aber wegen der Durchschlag-

festigkeit der Luft bei hohen Spannungen bestimmte träge nicht unterschreiten dürfen. Man benutzt nun Erscheinung, daß die Durchschlagfestigkeit der Luft bis zu 10 at ihrem Drucke verhältnismäßig anwächst. Man kommt so zu den Druckgaskondensatoren, deren elektrisch wirksamer Teil gänzlich in ein druckfestes röhrenförmiges Gehäuse aus isolierendem Hartpapier eingeschlossen ist. So wird es möglich, daß das Meßgerät Spannung bis zu 350 000 V Spannung aushält.

Schlußbetrachtung

Wer als Ingenieur aufmerksam die Hamburger Vosseler Sammlung verfolgt, wird eine technische Entwicklung kennen haben, die im wesentlichen ihre Wurzel und Nahrung in der ursprünglich rein spekulativen Naturwissenschaft findet. Diese Entwicklung hat sich sprunghaft in den letzten 30 oder 40 Jahren vollzogen und das auffällige daran ist die technische Ausnutzung völlig neuer Effekte, wie z. B. die elektromagnetische Wellensendung. Als Ingenieur muß man dabei mit Bewunderung zusehen; wir haben zwar unsere Maschinen, Schiffe und Bauwerke vergrößert, auch die Werkzeuggrade verbessert, aber den großen Schwung neuer Gedanken scheint doch wesentlich nur die Beschäftigung mit dem Lichtäther hervorzurufen.

Berlin

Prof. Dr. W. Hor

Pumpen

Selbstansaugende Brennstoffpumpe mit kettsenschlüssigem Antrieb für Dieselmotoren

Gleichbleibende, scharf begrenzte Förderung sehr kleiner Brennstoffmengen gegen höchste Drücke bei hohen Drehzahlen und selbsttätiges Ansaugen aus tiefer liegenden Brennstoffbehälter sind die Eigenschaften, die man von einer guten Brennstoffpumpe für Dieselmotoren mit Druckspritzventil verlangt. Bei der bekannten Regelung solcher Pumpen mittels eines Schrägnockens, die sehr einfach werden Anstieg und Abfall des Druckes in der Pumpe durch die Nockenform bedingt; sie beanspruchen infolgedessen einen verhältnismäßig großen Abschnitt der verfügbaren Förderzeit. Bei hohen Drehzahlen werden diese Zeitabschnitte allerdings so klein, daß man Unterschiede gegenüber anderen Arten der Regelung beim Versuch nur feststellen kann, wenn Brennstoffpumpe, Leitung und Einspritzventil luftfrei sind und ihre Wandungen nicht nachgeben.

Die gleichbleibende Förderung erreicht man bei Brennstoffpumpen für kleine Schnellläufer dadurch, daß man das Ansaugen zwangsläufig durch Schieber oder den Pumpenkolben selbst steuert. Der Rückgang des Pumpenkolbens bei geöffnetem Einlaßkanal ermöglicht, etwaige Unterdrücke im Pumpenraum auszugleichen und so den Liefergrad der Pumpe von der Drehzahl fast unabhängig zu machen. Bei sorgfältiger Werkstattarbeit kann man so erreichen, daß die För-

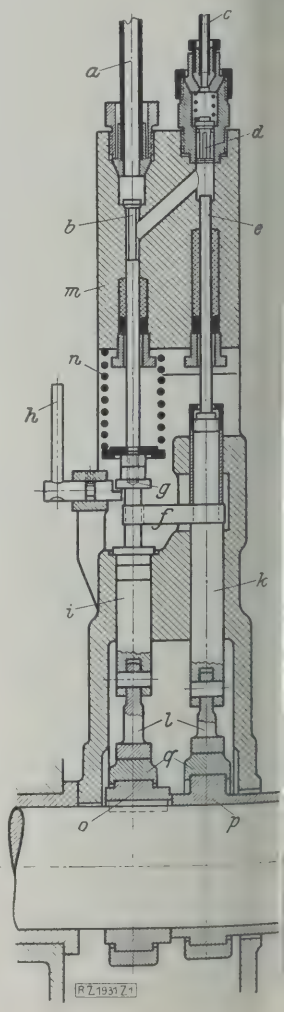


Abb. 1
Selbstansaugende Brennstoffpumpe für scharf abgegrenzte Ladungen.

- a Saugleitung
- b Saugventil
- c Druckleitung
- d Druckventil
- e Pumpenkolben
- f Pleuellstange
- g Pleuellhebel
- h Pleuellhebel
- i Pleuellhebel
- k Pleuellhebel
- l Pleuellhebel
- m Pleuellhebel
- n Pleuellhebel
- o Pleuellhebel
- p Pleuellhebel
- q Pleuellhebel

¹⁹⁾ O. *Böhm*: Die Bündelung der Energie kurzer Wellen, Elektr. Nachrichten-Techn. Bd. 5 (1928) S. 413.

²⁰⁾ A. *Gothe*: Über Drahtreflektoren, Elektr. Nachrichten-Techn. Bd. 5 (1928) S. 427.

²¹⁾ P. *Duckert*: Über Fehlweisungen der Funkpeilung in Abhängigkeit von der Wetterlage, Z. f. techn. Phys. Bd. 9 (1928) S. 466.

²²⁾ F. *Schindlbauer*: Über elektromagnetische Störungen, Elektr. Nachrichten-Techn. Bd. 5 (1928) S. 442.

²³⁾ H. *Starke* und R. *Schroeder*: Ein statisches Hochspannungsvoltmeter, Archiv f. El. Bd. 20 (1928) S. 115.

²⁴⁾ H. *Scherer* und R. *Vieweg*: Ein neuer Kondensator für Höchstspannungen, Z. f. techn. Phys. Bd. 9 (1928) S. 442.

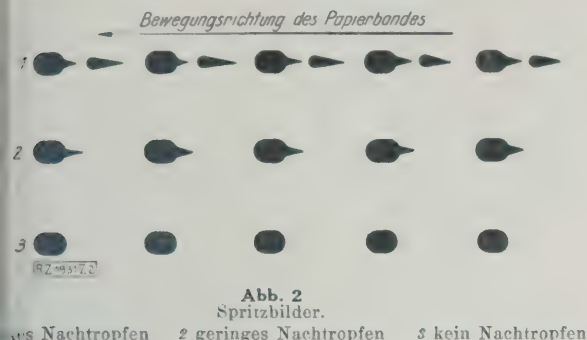


Abb. 2
Spritzbilder.

1. Nachtropfen 2. geringes Nachtropfen 3. kein Nachtropfen

engen mehrerer Pumpen genau übereinstimmen. Über notwendigerweise die Steuerkannten des Einlaß- über auch bei der kleinsten Fördermenge und beim ersten Pumpenkolbenhub ein wenig überlaufen müssen, schon eine geringfügige Abnutzung nach kurzer Be- zeit Unterschiede in den Liefergraden der einzelnen

Brennstoffpumpen dieser Art saugen ferner aus tiefer den Behältern meist schwer an, weil im Verhältnis schädlichen Raum ihr Hubraum außerordentlich klein Bei ortfesten Motoren ist das Ansaugen auch nicht un- erforderlich, da man Brennstoffbehälter für den Bedarf fast stets in genügender Höhe anbringen kann, daß der Brennstoff der Pumpe unter Gefälle zufließt. Fahrzeug- und Flugzeugmotoren ist dagegen die Fähig- den Brennstoff anzusaugen, sehr erwünscht, da man größere Freiheit in der Unterbringung der Brenn- behälter erlangt und vor allem bei Flugzeugen das Ge- zwischen Behälter und Pumpe von der Lage abhängt. Die Pumpe nach Abb. 1 ist imstande, Brennstoff aus tieferen Meter tiefer liegenden Behältern anzusaugen und genau abgemessener Menge gegen hohen Druck bei hohem Druckanstieg und Druckabfall bei hohen und bei kleinsten Drehzahlen zu fördern. Der Pumpenkolben *c* ist vom Stößel *k* mitgenommen, der mittels Exzenters *p* und ab bewegt wird. Zugleich wird das Saugventil *b* durch das auf der Antriebswelle aufgekeilte Exzenter *o* auf ab bewegt; jedoch ist sein Antrieb nicht kettenschlüssig, sondern oberhalb des Stößels *i* kraftschlüssig unterbrochen.

Während sich der Pumpenkolben *c* aufwärts bewegt, ist das Saugventil *b* anfangs noch offen und im Abwärtsgang schließt. Kurz bevor der Pumpenkolben die Hälfte seines Aufwärtshubes zurückgelegt und seine größte Geschwindig- keit erreicht hat, schließt sich das Saugventil *b* in dem Augenblick, in dem seine Abwärtsbewegung die größte Ge- schwindigkeit erreicht. Fast augenblicklich steigt daher der Druck in der Pumpe und die Brennstoffförderung beginnt. Kurz darauf, während die Geschwindigkeit des Kolbens nur noch merklich abgenommen hat, trifft sein Mitnehmer *f* auf den Anschlag *g* und öffnet das Saugventil wieder fast ebenso augenblicklich, wie es vorher geschlossen wurde. Im gleichen Augenblick verschwindet der Überdruck im Pumpenraum und die Förderung ist beendet.

Beim weiteren Aufwärtsgang drückt der Kolben den Brennstoff in die Saugleitung zurück. Nach Umkehr saugt der Kolbenbewegung neuen Brennstoff durch das weit ge- öffnete Saugventil an. Es bleibt während des ganzen Saug- hubes offen, da sich sein Stößel wieder aufwärts bewegt und das Ventil vom Mitnehmer *f* abhebt, der sich abwärts bewegt.

Der Kolbenhub kann beliebig groß sein, da aus dem ganzen Kolbenweg nur ein verhältnismäßig kleiner wirk- samer Teil im Augenblick der größten Kolbengeschwindig- keit herausgeschnitten wird. Das Saugvermögen der Pumpe richtet deshalb hinter dem einer guten Wasserpumpe nicht merklich zurück. Der Liefergrad der Pumpe beträgt, bezogen auf den Nutzhub, ziemlich genau 100 vH und ist praktisch unabhängig von der Drehzahl, da sich der Unterdruck wäh- rend des Aufwärtshubes des Kolbens beim Rückströmen des Brennstoffes bis zum Beginn des Nutzhubes ausgleicht.

Der Regler verdreht das Exzenter *p* auf der Welle. Je nach seiner Stellung stößt der Mitnehmer *f* früher oder später gegen den Anschlag. Droht der Motor durchzu- drehen, so fängt der Mitnehmer das Ventil *b* ab, ehe es sich schließt, so daß kein Brennstoff durch das Druckventil tritt. Brennstoffpumpen für Mehrzylindermaschinen kann man durch Nachstellen der Anschläge *g* leicht abstimmen. Die Pumpe arbeitet infolge des überwiegend kettenschlüssigen Antriebes mit geringer spezifischer Flächenbelastung und bei geringer Abnutzung fast lautlos. Eine solche Brenn- stoffpumpe habe ich im Jahre 1924 erprobt. Um den Spritz- gang beobachten zu können, habe ich den Motor mittels eines anderen Motors angetrieben und die Brennstoffdüse ins

Freie spritzen lassen. Schon diese Beobachtung der Düse ließ die außerordentlich genaue Wirkungsweise der Pumpe erkennen. Bei Versuchen mit einigermaßen geschlossenen Brennstoffstrahl und nicht zu starker Zerstäubung förderte die Düse in dichter Folge scharf abgegrenzte Brennstoffladungen. Schon wenn man das Motorschwen- gerad mit der Hand langsam drehte, flog aus der Düse ein flüssiges Brennstoffgeschöß mit großer Geschwindigkeit her- aus. Selbst bei kleinster Motordrehzahl wird also die Ein- spritzung nicht schleichend. Das schlagartige Einsetzen und Abreißen des Brennstoffstrahles auch bei hohen Drehzahlen (500 U/min), wurde mittels eines sehr schnell an der spritzenden Düsenmündung vorbeigezogenen Streifens von Fließpapier nachgewiesen, Abb. 2. Die angefeuchteten Stellen sind scharf umrissen und verhältnismäßig kurz im Ver- gleich zu den Zwischenräumen, in denen auch keine kleinsten Brennstofftropfen verspritzt waren. [M 1931]

Hamburg.

Dr.-Ing. Otto Holm.

Eisenbahnwesen

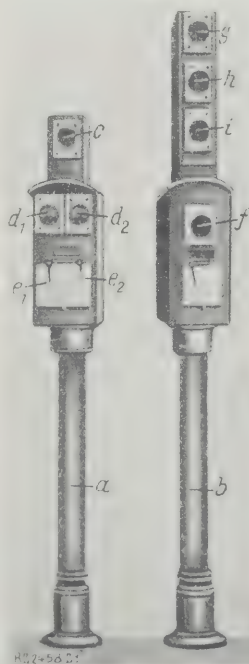
Bremsuntersuchungs-Meldeanlagen

Bei der Deutschen Reichsbahn dienten bisher als Ver- ständigungsmittel für die Vornahme der Bremsprobe bei den Personen- und Schnellzügen Winksignale, die am Tage mit der Hand oder Mütze, bei Dunkelheit mit einer Hand- laterne gegeben wurden, um den Lokomotivführer zum An- legen oder Lösen der Luftbremse aufzufordern. War die Bremse in Ordnung, mußte der Wagenmeister dem Loko- motivführer dies mitteilen. Die Personen- und Schnellzüge wurden in den letzten Jahren immer länger und die Brems- probe erforderte einen erheblichen Zeitaufwand. Für den Lokomotivführer war es unmöglich, wegen der vielen vor dem Zug sich aufhaltenden Reisenden und Beamten, die vom Schlusse oder von der Mitte des Zuges gegebenen Wink- signale richtig zu erkennen. In Gleiskrümmungen und bei Nebel versagte diese Zeichengebung ganz. Einzelne Bahnen hatten für die Bremsprobe Signale mit der Pfeife oder Hupe eingeführt. Diese führten zu Unstimmigkeiten und ver- mehrten noch die Unruhe auf den Bahnhöfen.

Die Allgemeine Elektro-Industrie, Hch. Winkler, in Dort- mund hat in den letzten Jahren Meldeanlagen ausgeführt, die auf der Zeichengebung mittels elektri- scher Lampen beruhen. Solche Anlagen sind besonders auf großen Güterbahnhöfen erforderlich, da die Länge der jetzt mit Luft gebremsten Güterzüge eine Zeichenübermitt- lung mit der Hand oder einer Laterne unmöglich macht. Die neuen Meldeanlagen bestehen aus einem Zeichen- geber mit dreiflammigem Signabild, Abb. 3 und 4, an der Spitze des Zuges und — je nach der Zuglänge — aus mehreren Zwischenmeldern und einem Schluß- melder, die auf niedrigen Säulen neben den Gleisen oder in Personenbahnhöfen an den Bahnsteigüberdachungen und vorhandenen Säulen angebracht werden.

Abb. 3 und 4
Zeichengeben mit drei- flammigem Signabild für Bremsuntersuchungs- Meldeanlagen.

- a Schluß- und Zwischen- melder
- b Spitzenmelder
- c Achtungslampe
- d₁, d₂ Signalmelder mit Zei- gern e₁, e₂
- f Achtung-Kontrolllampe mit Zeiger
- g, h, i Signallampen



Signalgebung

Schluß- und Zwischen- melder, Abb. 3:

Zeiger e₁ schlägt aus:

„Bremsen anlegen“

Zeiger e₂ schlägt aus:

„Bremsen lösen“

Zeiger e₁ und e₂ schlagen aus:

„Bremsprobe fertig“

Spitzenmelder, Abb. 4:

Lampe h leuchtet auf:

„Bremsen anlegen“

Lampe g und i leuchten auf:

„Bremsen lösen“

Lampen h, g, i leuchten auf:

„Bremsprobe fertig“

Das Aufleuchten eines Signals bedeutet: „Bremsen fest“, von zwei Lampen: „Bremsen los“, von drei Lampen: „Fertig“, vergl. die Erklärungen zu Abb. 3 und 4. Die Bremse wird also auf das erste Zeichen des Wagenmeisters angelegt, auf das zweite gelöst. Das dritte Zeichen gibt an, daß die Bremse in Ordnung ist und der Zug abfahren kann. Die Signale werden durch Einschaltung der Glühlampen von hinten über die Zwischenmelder nach vorn gegeben. Um bei Güterzügen den Beginn der Bremsprobe anzuzeigen, erhalten die Zwischenmelder und der Schlußmelder besondere Achtungslampen *c*, deren Aufleuchten mittels einer Kontrolllampe *f* festgestellt werden kann. Die Melder lassen mittels der sich entsprechend einstellenden Zeiger *e*₁, *e*₂ auch erkennen, welches Signal zur Spitze hin gegeben wurde.

Bei neueren Anlagen in Offenburg, Villingen, Waldshut und Radolfzell wurden die Säulen mit Achtungslampen durch solche mit drei Lampen in der Form des Spitzenmelders ersetzt. Auch bei den Anlagen in Dortmund und Ruhrort wurde in alle Zwischenmelder ein dreiflämmiges Signal, nach beiden Seiten leuchtend, eingebaut.

Durch Anwendung der Kreuzschaltung können alle Signale von jeder beliebigen Stelle aus eingeschaltet oder gelöscht werden.

Bei den Anlagen in Personenbahnhöfen wird noch eine Einrichtung angebracht, durch die das Signal „Fertig“ zwangsläufig unter Blockverschluß gelegt, von den Zwischenmeldern aus nicht mehr geändert und nur noch vom Fahrdienstleiter mit Benutzung eines besonderen Unterbrecherschalters entblockt werden kann. Der Blockverschluß wird mit dem Unterbrecherschalter und einem Hell- und Dunkelschalter im Raume des Fahrdienstleiters oder in dessen unmittelbarer Nähe aufgestellt. Mit der Einstellung des Hell- und Dunkelschalters wird bewirkt, daß die Signallampen bei Tage mit voller Lichtstärke, bei Dunkelheit aber, um eine Blendung zu verhüten, nur mit halber oder zwei Drittel Lichtstärke leuchten.

Die Bremsmeldeanlagen, die bisher auf etwa 60 großen Bahnhöfen eingerichtet worden sind, tragen wesentlich zur Beschleunigung der Zugabfertigung bei, ersparen viele Wege und gewährleisten auch bei unsichtigem Wetter eine einwandfreie Signalübermittlung. Auf großen Zugbildungs- und Wechselstationen kann eine Bremsuntersuchungs-Meldeanlage wegen der beschleunigten Zugabfertigung nicht mehr entbehrt werden. [M 2458]

Heidelberg.

Oberregierungsbaurat a. D. Fr. Zimmermann.

Gasreinigung

Poröse Steine zum Reinigen von Gasen

Die Filtertücher und Metallgewebe der Luftfilter kann man durch die erheblich weniger empfindlichen porösen Filtersteine ersetzen. Die Steine werden nach einem besonderen Verfahren hergestellt, um den Höchstwert an Porenreichtum, Gleichmäßigkeit der Poren und Bruchfestigkeit zu erreichen¹⁾. Der Filterstein (Brandolstein) ist aus kugelförmigen Körnern stets gleichen Durchmessers aufgebaut, so daß die Poren auf der gesamten Fläche gleichgroß sind. 16 verschiedene Porenweiten stellt man her; die nachstehend beschriebenen Versuche sind unter Weglassung einiger Zwischenstufen mit 11 Porengrößen durchgeführt, und zwar:

Stein Nr.	5	10	20	30	40	50
Poren-Dmr.	0,0077	0,0154	0,0308	0,0462	0,0616	0,077 mm
Stein Nr.	60	70	80	90	100	
Poren-Dmr.	0,0924	0,1078	0,1232	0,1386	0,1547 mm	

und erstrecken sich:

1. auf die Ermittlung der Leistung der verschiedenen Steine bei verschiedenen Luftdrücken, nämlich 50, 100, 150, 200 und 250 mm W.-S. — Versuche bei 500, 1000 mm W.-S. und darüber werden später durchgeführt;

2. auf das Auffangen von Staub aus Luft; hierbei wurde durch ein hinterschaltetes Filter, bestehend aus gespanntem, dichtem, schwarzem Stoff von geringerem Durchmesser als der Filterstein selbst, geprüft, ob und wieviel Staubeilchen durch den Stein mitgerissen werden;

3. auf die Prüfung der Blasengröße bei der Einführung von Luft in Wasser und den Nachweis, daß einer bestimmten Porengröße auch eine bestimmte Größe der Blasen entspricht;

4. auf eine Prüfung von doppelporösen Steinen zur Verwendung bei Luftfiltern von größeren Abmessungen;

5. auf die zweckmäßigste Art der Reinigung der Filtersteine²⁾.

¹⁾ Schumachersche Fabrik G. m. b. H., Stuttgart.

²⁾ Die physikalischen Eigenschaften der Brandolfiltersteine vergl. Dr. W. Stollenwerk: Neues über Filtration, Z. für angew. Chemie Bd. 40 (1927) S. 203.

1. Die Versuchsanordnung zeigen Abb. 5 und 6. Versuche ergaben, daß die Durchlässigkeit der Steine von der Porengröße (je größer die Pore, um so geringer die Reibung der Luft in ihr) und dem Druck abhängig ist, daß dagegen die Dicke des Steines eine untergeordnete Rolle spielt. Daher hat man die Steine nicht auf genau 10 mm Dicke abgeschliffen, da das Abschleifen erfahrungsgemäß leicht einen Teil der Poren verstopft. Der Einfluß der Dicke ist nur in der Zahlenreihe bei 250 mm W.-S. festgelegt worden. Mit Rücksicht auf die Schwierigkeit, den Druck längere Zeit gleichgroß zu halten, wurde die Luft durch den Filter hindurchgesaugt und Vorsorge getroffen, daß vor dem Filter genau 50 usw. mm W.-S. Druck vorhanden war.

Die kleine Unterdruckanlage *a*, Abb. 5, besteht aus einer Luftpumpe mit unmittelbar gekuppeltem Motor. Die Schließöffnung *b* für Frischluft kann man mittels eines Überwings *c* so regeln, daß der Druck oder der Unterdruck gemessen mittels des Manometers *d*, gleichgroß bleiben. Filterstein *f* wird mittels einer Überwurfmutter *g* zwischen zweier Gummidichtungen abgedichtet. Der freie Querschnitt beim Filterstein betrug bei allen Versuchen 50 cm². Die Anemometer *e* angezeigte Zahl gibt, multipliziert mit 2, den Durchgang in Litern an. Die Dauer der Versuche betrug 10 Minuten.

Zahlentafel 1. Durchlässigkeit von Luft durch verschiedenen Steinsorten und verschiedenen Unterdruck, 10 mm Steindicke und 50 cm² Filterfläche.

Bezeichnung des Steines	Vacuum bei den Versuchen mm W.-S.	Leistung l/m	Leistung m ³ /m ² min	Leistung m ³ /m ²
100	250	551	110,2	6200
	200	453	90,6	5200
	150	367	73,4	4200
	100	281	56,2	3100
	50	183	36,6	2000
90	250	453	90,6	5200
	200	343	68,6	4000
	150	281	56,2	3200
	100	208	41,6	2500
	50	122	24,4	1400
80	250	404	80,8	4800
	200	330	66	3800
	150	269	53,8	2900
	100	196	39,2	2100
	50	110	22	1150
70	250	404	80,8	4800
	200	306	61,2	3500
	150	257	51,4	2800
	100	183	36,6	2000
	50	110	22	1050
60	250	330	66	3800
	200	257	51,4	2600
	150	220	44	2400
	100	171	34,2	1900
	50	98	19,6	900
50	250	294	58,8	3400
	200	232	46,4	2500
	150	208	41,6	2200
	100	147	29,4	1800
	50	85	17	800
40	250	281	56,2	3000
	200	232	46,4	2400
	150	183	36,6	2000
	100	147	29,4	1600
	50	85	17	700
30	250	257	51,4	2800
	200	208	41,6	2300
	150	147	29,4	1600
	100	122	24,4	1300
	50	73	14,6	600
20	250	257	51,4	2800
	200	208	41,6	2200
	150	122	24,4	1300
	100	73	14,6	800
	50	49	9,8	500
10	250	98	19,6	1000
	200	85	17	900
	150	36	7,2	400
5	250	98	19,6	900
	200	73	14,6	700
	150	—	—	—

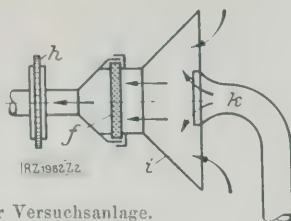
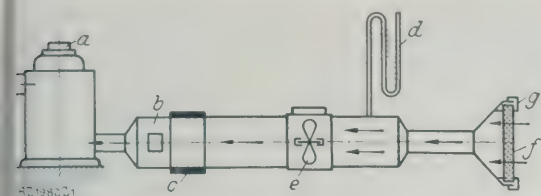


Abb. 5 und 6. Schematische Darstellung der Versuchsanlage.

- a Unterdruckanlage
- b Schlitzöffnung für Frischluft
- c Überwurfring
- d Manometer
- e Anemometer
- f Filterstein
- g Überwurfmutter
- h Prüffilter aus Stoff
- i Glasrohr
- k Zerstäuber zur Erzeugung von Staub

min, so daß man miteinander vergleichbare Zahlen erhält, die Filterwirkung erhält, Zahlentafel 1. Die geringen Abweichungen in den gefundenen Zahlen sind bedingt durch unvermeidlichen kleinen Schwankungen des Unterdruckes, da dieser oder der Druck nicht genau gleichgroß gehalten sind.

In der Versuchsanordnung, Abb. 6, wird zunächst der Staub kleinster Korngröße in der zu filternden Luft verteilt, ferner der durch einen Stein durchgetretene Staub durch ein Stoffprüffilter *h*, Abb. 6, abgeschieden. Das Glasrohr *i* hat den gleichen Querschnitt wie das Filter. Der Zerstäuber *k* wurde mit feinstem trockenem Reismehl befüllt. Schon der Stein Nr. 100 (Poren-Dmr. 0,1547 mm) verhält sich verhältnismäßig wenig von dem Reismehl, dessen mittlere Korngröße etwa 6μ beträgt, durch. Beim Stein Nr. 40 (Poren-Dmr. 0,06 mm) blieb das schwarze Stoffprüffilter vollkommen sauber.

Im Gegensatz zur Filtration von Flüssigkeiten, bei denen der Porendurchmesser kleiner sein muß als das feinste zu filternde Teilchen, ist also die Wirkung des Steines bei der Filtration eine wesentlich andere. Da sich dem während 1 min durch den Zerstäuber des Reismehls, wobei sich die Vorderseite des Steines mit einer Schicht Staubes überzog, ein weißer Staub aus den Durchgängen von 1 min Dauer anschloß, hätte der Staub während dieser Zeit gehabt, den Stein zu durchdringen. Nur bei einem Poren-Dmr. von 100 µm wurden Abscheidungen auf dem Filter sichtbar. Man kann daher schon bei verhältnismäßig großen Porenweiten feine Staube zurückhalten.

Durch Reinigen der Steine beseitigt man die allmählich abnehmende Filterleistung, und zwar durch Rückwärtssaugen oder -saugen. Da trockener Staub verwendet wurde, auch die Steine trocken waren, kann keinesfalls Feuchtigkeit bei der Filterwirkung in Frage kommen; es spielen sich hier physikalische Vorgänge ab, deren genaue Erforschung noch aussteht (elektrische oder Adsorptionserscheinungen).

Derartige Filtersteine hat man in die Ansaugleitung von Kraftwagenmotoren eingebaut, um den Straßenstaub aus der angesaugten Luft zu entfernen. Nach 1000 km Fahrstrecke war eine Reinigung nicht erforderlich.

3. Besonders in der chemischen Industrie mischt man Luft oder andre Gase mit Flüssigkeiten. In den biologischen Abwässerklärungsanlagen muß man große Luftmengen dem Wasser in feiner Verteilung zuführen. Bei Verwendung des Brandolsteines kann man unter geringem Kraftverbrauch die Luft bei feinsten gleichmäßiger Verteilung verdichten, dem Abwasser die notwendige Menge Sauerstoff zuführen. Die Größe der einzelnen Luftblasen ist von dem Porendurchmesser abhängig.

4. Man hat doppelporöse Steine hergestellt, d. h. Steine grober Porosität, die mit einer dünnen feinporigen Schicht fest verbunden sind. Die feinporige Schicht übernimmt die Filtration, der grobporige Stein dagegen, dessen Durchgangswiderstand gering ist, so daß eine größere Dicke gewählt werden kann, verleiht dem Filterstein eine hohe Bruchfestigkeit. Man kann daher ohne Unterlagen von Metallgittern Platten von größeren Abmessungen und daher großer wirksamer Fläche verwenden.

5. Die Filtersteine reinigt man durch Saugen oder durch kräftiges Rückblasen von Luft, gegebenenfalls unter gleichzeitiger Bearbeitung der filterierenden Fläche mit einem Wasserstrahl. In den Fällen, in denen der Filter nicht zeitweise außer Betrieb gesetzt werden kann, baut man eine Doppelfilteranlage ein.

[M 1982]

Stuttgart-Bietigheim, Bonn P. Meyer und W. Stollenwerk

Kleine Mitteilungen

Große Hochdruck-Kesseltrommeln

In dem 400 000 kW-Kraftwerk Deepwater der American Electric Co., das zur Zeit gebaut wird, werden 100 Kesseltrommeln mit je 845 m² Heizfläche und 150 t/h Dampfleistung hergestellt. Die Trommeln der Kessel werden aus dem gleichen Schmiedestück gefertigt. Sie sind rd. 15 m lang und haben einen Außendurchmesser bei rd. 10 cm Wanddicke. Als Material wird SM-Stahl mit 53 kg/mm² Zugfestigkeit, 24 vH Streckgrenze auf 50,8 mm und 38 vH Einschnürung verwendet. Der Kessel enthält etwa 0,45 vH Kohlenstoff, 0,30 bis 0,45 vH Mangan, 0,04 vH Schwefel und 0,04 vH Phosphor. Der Kessel wird im Autoklav zum Anwärmen des Stahlblocks auf einen bestimmten Boden, der die Bedienung mittels eines Kranes gestattet. Die Bearbeitung ist in einzelne Arbeitsgänge aufgeteilt, die je etwa ½ h dauern; nach jedem Arbeitsgang wird das Schmiedestück im Ofen neu angewärmt. Darauf werden die Trommeln innen und außen fertig gedreht und an beiden Enden unter Pressen einwärts gekümpelt, wozu zwei Mannlöcher offen bleiben. Bei der Wasserdampfdrucke mit 200 at dehnen sich die Trommeln im Durchmesser um 2,4 mm aus, ziehen sich aber nachher um den gleichen Betrag wieder zusammen. Die fertige Trommel wiegt 66 t. (Engineering 8. März 1929 S. 276) [M 2758 b] Le.

6000 kW-Turbodynamo mit einem Gehäuse

Das Kraftwerk Lakeside bei Milwaukee hat eine neue Turbodynamo der Westinghouse Electric & Mfg. Co. aufgestellt, die bei rd. 21 at Anfangsdruck bis zu 60 000 kW bei 1000 U/min aufnehmen kann. Es handelt sich um die erste Turbinengehäuse-Dampfturbine der Westinghouse-Gesellschaft für eine Leistung, die hinsichtlich der Befestigung der letzten Turbinen, der Aufnahme von axialen Wärmedehnungen und der neuartigen Einzelheiten aufweist. Der Läufer trägt 12 Gleichdruckräder und 22 Überdruckräder, die Dampfteilnahme wird mittels dreier vom Turbinenfundament getragener Ventile geregelt, von denen das dritte den Frischdampf hinter den Gleichdruckstufen eintreten läßt. Bei

voller Öffnung der beiden Dampfventile für die Gleichdruckstufen läßt die Dampfturbine rd. 215 t/h Dampf durch, wobei die Leistung ohne Anzapfbetrieb 51 400 kW beträgt.

Die Turbine wird an vier Stellen angezapft, und die Vorwärmer sind so bemessen, daß sie die größte Kondensatmenge von rd. 300 t/h auf rd. 360 ° für die Speisung von Hochdruck-Dampfkesseln von 91 at Betriebsdruck vorwärmen können. Um den Dampfverbrauch dieser Turbinen genau messen zu können, hat das Werk zwei Behälter zum Wägen des Kondensats aufgestellt, die je rd. 38 m³ fassen und bei der vollen Leistung in 7½ min volllaufen. Wenn die Turbodynamo, vom Netz abgeschaltet, ausläuft, wird sie von einem 15 PS-Motor selbsttätig mit 25 U/min weitergedreht, damit sie sich gleichfalls abkühlt.

Das Werk hat gleichzeitig mit dieser Turbine eine zweite Vorschaltturbine von 7700 kW für 84 at Anfangsdruck aufgestellt. Im Sommer, wenn beide 91 at-Kessel in Betrieb sind, sollen die beiden Vorschaltturbinen die neue 60 000 kW-Turbine mit Gegendruckdampf von 21 at speisen. (Electrical World 23. Februar 1929 S. 381/82*)

[M 2758 a]

II.

Doppeltwirkender Zweitakt-Schiffsdieselmotor

Der erste doppelwirkende Zweitakt-Schiffsdieselmotor nach der Bauart von W. S. Burn, der für den praktischen Fahrdienst bestimmt ist, hat in diesen Tagen seine amtlichen Abnahmeversuche auf dem Prüfstand von Richardsons, Westgarth & Co., West-Hartlepool, erledigt. Der Motor hat drei Zylinder von 546 mm Dmr. und 965 mm Hub, leistet 1250 PS bei 60 U/min und ist für den Antrieb des 3200 t-Tankschiffs „Iranian“ bestimmt. Kennzeichnend für diese Bauart sind die Druckspritzung mittels getrennter Pumpen für jedes Ende der drei Zylinder, deren Gegendruck durch selbsttätige Nadelventile bestimmt wird. Die hohlen Kolben haben gekühlte Kolbenstangen mit besonderen Kreuzköpfen. Die größte Maschinenhöhe beträgt rd. 7,162 m.

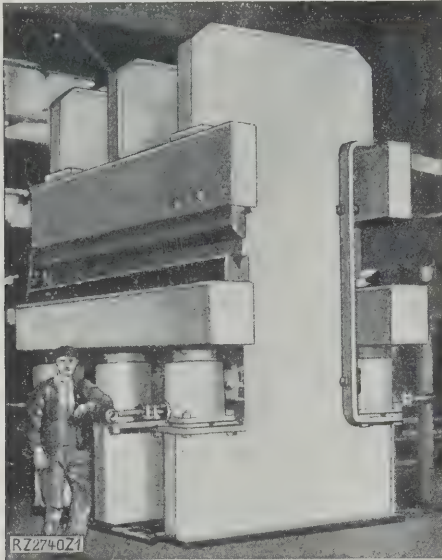


Abb. 1. Hydraulische Presse für 1000 t Druck, ausgeführt als elektrisch geschweißte Stahlkonstruktion.

Bei den Versuchen konnte die Nutzleistung des Motors bis auf 1133 PS bei 89,5 U/min gesteigert werden, was bei 87,2 vH mechanischem Wirkungsgrad mittleren indizierten Kolbendrücken von 5,31 at über und 4,88 at unter den Kolben entspricht. („The Engineer“ 8. März 1929 S. 274/76*) [N 4740 c] H.

Geschweißte Stahlkonstruktionen im Werkzeugmaschinenbau

Es ist bemerkenswert, daß in den Vereinigten Staaten von Amerika die Hersteller von schweren Pressen, Scheren u. a. als erste elektrisch geschweißte Stahlkonstruktionen verwendeten. Ein gutes Beispiel hierfür ist die in Abb. 1 dargestellte von der Pacific Steel Boiler Corp. gebaute hydraulische Presse für 1000 t Druck. Der Druck auf die Preßkolben beträgt rd. 120 kg/cm². Die Presse wiegt 70 t und wird zum Biegen von 10 mm dicken Stahlblechen benutzt.

Eine Nabepresse der Kutscheid Manufacturing Co., Chicago, ist ebenfalls vollständig aus Stahl gebaut. Die seitlichen Rahmen sind aus 100 mm dicken Stahlplatten geschnitten. Das Antriebsrad von 1830 mm Dmr. ist ebenfalls eine elektrisch geschweißte Stahlkonstruktion. Die Radscheibe ist aus 19 mm dickem Blech geschnitten, um sie herum wird ein aus 50 × 100 mm² Formstahl gerollter Reifen als Zahnkranz geschweißt. Die aufgeschweißte Nabe besteht ebenfalls aus gerolltem Formstahl. („American Machinist“, London, 9. März 1929) [N 2740*] Schr.

Selbsttätige Azetylen-Sauerstoff-Schweißmaschine

Seit dem Jahre 1910 entwickelte sich mit der Azetylen-Sauerstoff-Schweißung von Rohren eine neue Industrie. Heute werden Rohre bis rd. 200 mm Dmr. und rd. 5 mm Wanddicke mit selbsttätigen Azetylen-Sauerstoff-Schweißmaschinen hergestellt. Die Arbeitskosten sind gering;

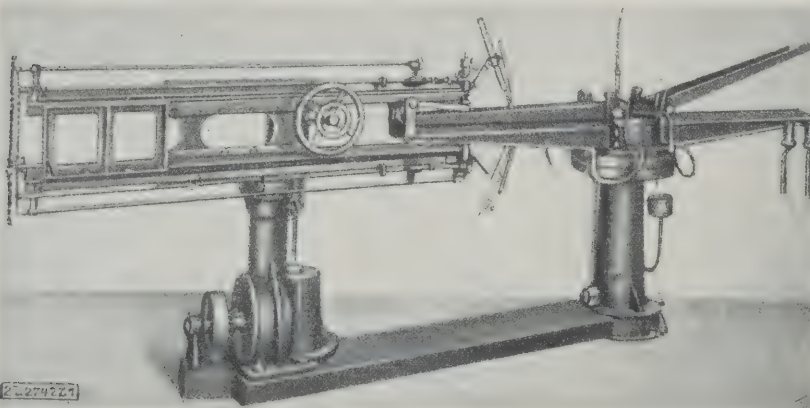


Abb. 2
Maschine zum Schweißen von Blechen.

genauer und dem Rohr anpaßbarer Schweißdruck wird durch verstellbare, zu beiden Seiten der Naht angeordnete Rollen erreicht. Erhöhung der Schweißgeschwindigkeit wurde zuerst durch starke Beanspruchung des Brenns (großer spez. Gasverbrauch), dann durch genaueste Vearbeit des Rohres in den Walzen (Toleranz des offenen Res nur 0,13 mm) erreicht.

Abb. 2 zeigt eine Maschine zum Schweißen von Blech. Das Werkstück wird in Backen eingespannt, der Brenner — bei großen Wanddicken je einer zu beiden Seiten der Naht — wird mit regelbarer Geschwindigkeit darüber wegt. Es sind zwei Backenpaare, um 180° versetzt, einem Drehtisch angeordnet, so daß an einer Seite geschweißt, an der andern eingespannt werden kann. Bei größeren Wanddicken ist das Schweißen mit zwei Brennern wirtschaftlicher; die Flammen werden so eingestellt, daß der untere eine etwas größere Wärmemenge erzeugt als der obere. Die Schweißnaht hat fast die gleiche Festigkeit wie der Ausgangswerkstoff, wenn mit reduzierender Flamme gearbeitet wird.

Abb. 3 zeigt einen Schweißbrenner mit selbsttätiger Schweißdrahtzuführung, die regelbar ist. Verwendung findet er beim Schweißen von Blechen. Es werden immer zwei Reihen von Flammen, mehr oder weniger parallel, eingestellt, verwendet, zwischen denen der Draht hindurchgeführt wird. Hierdurch wird erreicht, daß die Schweißhitze

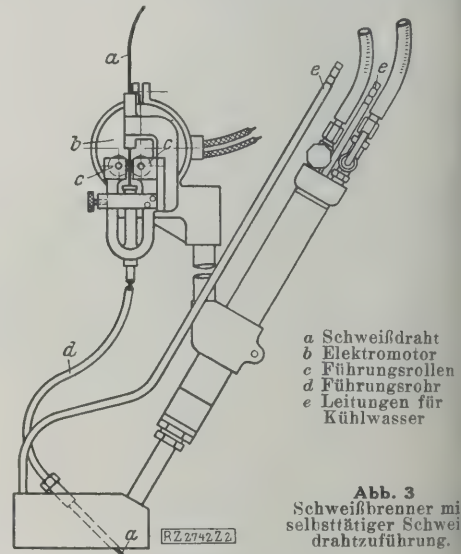


Abb. 3
Schweißbrenner mit selbsttätiger Schweißdrahtzuführung.

geregelt werden kann, daß unabhängig von der Werkstückdicke immer die richtige Schweißtemperatur an der Stelle herrscht, wo der Zusatzwerkstoff eintritt. („The Iron Age“ Bd. 74 (1929) S. 591) [N 2740 a]

Holzschwellen auf Betonbettung für Schnellbahngleise

Seit einigen Jahren hat man auf Teilstrecken der New Yorker Schnellbahnen Versuche mit einem neuen Gleisoberbau gemacht. Die Schienen sind auf kurzen Holzblöcken von 152 × 254 mm² Querschnitt, die fast ganz in Beton eingebettet sind, verlegt. In der Gleismitte bleibt somit Raum frei für eine Entwässerungsrinne, deren Tiefe etwa gleich der Schienenhöhe ist. Die Schienen sind mit Platten auf den Schwellen befestigt.

Die Ergebnisse, die sich auf Betriebserfahrungen von bereits 12 Jahren stützen, sind sehr befriedigend. Entwässerung vor allem ist bedeutend besser als bei Schotterbettung. Gleiserhaltung ist nicht so auf die Betriebspausen angewiesen wie bei Schottergleisen, sie beansprucht auch wenig Zeit und Arbeit. Die bessere Reinhaltung ist ein weiterer Vorzug; Sicherheit ist größer. Die Baukosten sind nur ein wenig, die Erhaltungskosten dagegen bedeutend niedriger als bei Schotterbettung. Dies ist vor allem der vorzüglichen Entwässerung zu schreiben; die schon zwölf Jahre eingebauten Holzblöcke zeigen kaum irgendwelche Zerstörungen, man schätzt die Lebensdauer auf 36 Jahre. Nach

vermindert sich der Zugwiderstand um 15 vH, über-
werden die Fahrzeuge mehr geschont als bei Normal-
Der neue Gleisoberbau wird nunmehr auf den New-
Schnellbahnen in großem Maßstab eingeführt wer-
für Bahnhof- und Abstellgleise wird man aber weiter-
Schotterbettung beibehalten. („Electric Railway Journal“
Februar 1929 S. 203*) [N 2740 b] Ro.

Amerikas großes Museum für die Geschichte der Technik

Bei Dearborn im Staate Michigan entsteht ein riesiger,
angelegter Bau: das neue „Ford-Museum“. In ihm
alle Entwicklungsstufen der amerikanischen In-
Technik und Landwirtschaft gezeigt werden. Den

größten Teil der Ausstellungsgegenstände hat man bereits,
teilweise unter erheblichen Mühen, gesammelt, wobei Ford
und Edison selbst rege mitgearbeitet haben. Durch ihren
Schülerkreis wurden die historischen Anlagen und Werk-
stätten mit ihren alten Einrichtungen naturgetreu nach-
gebildet und die Erzeugnisse vom ersten Stromerzeuger bis
zur neuzeitlichen Riesenturbine Stück für Stück betrieb-
fertig zusammengestellt. Das Ausstellungsgebäude selbst
besteht aus fünf langen, zweistöckigen Hallen, die durch
Querflügel verbunden werden. Es wird auf einem Gelände
von 430 m Länge und 260 m Breite errichtet und soll in
etwa zwei Jahren fertiggestellt sein. Die reinen Baukosten
belaufen sich auf 5 000 000 \$. („Electrical World“ 16. Fe-
bruar 1929 S. 347) [N 2740 d] Stg.

BÜCHERSCHAU

Bücher und Zeitschriften des In- und Auslandes, auch solche nichttechnischen Inhaltes, liefert die VDI-Buchhandlung,
Berlin NW 7, Ingenieurhaus (Telegrammanschrift: Ingenieurverlag Berlin; Fernspr.: Zentrum 15'04).

„Taschenbuch für Betriebsingenieure. Herausgeg.
Akademischen Verein Hütte, E. V. und A. Stauch.
A. Aufl. Berlin 1929, Wilh. Ernst & Sohn. 1215 S. m.
Preis 32 RM.

Der Beruf des Betriebsingenieurs wird täglich viel-
er, so daß ein Folgen auf allen Gebieten der Betriebs-
k physisch fast unmöglich ist. Das erforderliche Rüst-
kann ihm deshalb nicht zweckmäßig genug zur Ver-
gestellt werden. Die „Betriebschütte“ erfüllt diese
rung in vollem Maße. Die kürzlich erschienene dritte
ge gibt dem Betriebsingenieur über alle wichtigen
n der modernen Betriebstechnik in knapper Form aus-
ende Auskunft. Die Mitarbeiter haben aus ihrem be-
ren oder weiteren Berufskreise das Beste gegeben, was
ders anzuerkennen ist; denn die schnelle Entwicklung
Fabrikationstechnik machte die vollständige Umarbei-
vieler Abschnitte erforderlich.

Besonders wichtig erscheint mir die Vertiefung auf den
sten Austauschbau und Gewinde unter Berücksichtigung
neuesten Normen sowie Neuaufnahme von Abschnitten
Arbeitsfluß, neuester Gieß- und Verformungsverfahren,
anung, Spritzlackierung usw., wengleich hierfür die
snitte Stoffkunde, Materialprüfung und Festigkeitslehre
len mußten. Es wäre zu begrüßen, wenn bei weiteren
fgen im Abschnitt Zerspanung der Bearbeitung von
rhnungen, dem Gewindeschleifen gehärteter Teile und
p, mehr Raum gegeben würde. Den Abschnitt Betriebs-
nisation, der hauptsächlich Musterbeispiele aus dem
raltungsgebiet enthält, dürfte man dafür etwas knapper
n, ohne dem Ganzen zu schaden.

Nicht nur der Ruf der „Hütte“, sondern der Inhalt des
es verbürgt, daß die vorliegende Auflage schnell ver-
sein wird. [E 2579] Damm

„Johow-Foerster, Hilfsbuch für den Schiffbau. Von E. Foer-
r. 5. Aufl. Berlin 1928, Julius Springer. 1. Bd.:
9) S. m. 688 Abb., 2. Bd.: 55 S. m. 56 Taf. Preis zus. 88 RM.
Seit dem Erscheinen der 4. Auflage des „Johow-Foerster“
8 Jahre vergangen, die auf die Entwicklung des neuen
Schiffbaues nicht ohne starken Einfluß gewesen
Bei der soeben erschienenen 5. Auflage sahen sich
Herausgeber und Verlag vor die Aufgabe gestellt, alle
Schritte der letzten Jahre dem Inhalte neu zuzuführen.
Dies, ohne den bisherigen Umfang des Buches wesent-
zu ändern, dem Herausgeber, Herrn Dr.-Ing. E. Foerster,
seinen Mitarbeitern gelungen ist, spricht für die gründ-
Art, mit der diese Aufgabe durchgeführt wurde.

Ermöglicht wurde es dadurch, daß in der neuen Auf-
viele nur noch geschichtlich wertvolle und von der
überholte Einzelabschnitte stark gekürzt oder ganz ge-
hen und daß die Zahlentafeln stärker zusammengefaßt
in den 2. Band übernommen worden sind. Daher hat
erste Band an Übersichtlichkeit gewonnen.

Fast alle Abschnitte sind eingehend durchgearbeitet und
anzt; einige neu gestaltet worden. Besonders wertvoll
im ersten Abschnitt: „Berechnung und Entwurf der
te“, die Ergänzungen, die den praktischen Schiffs-
eb und seinen Einfluß auf die Wirtschaftlichkeit der
beit behandelnd, sowie im zweiten Abschnitt die umfas-
ere Behandlung der Hydromechanik und Aerodynamik,
a grundlegende Bedeutung für den Schiffbau immer
erkannt wird. Auch die neueren Erkenntnisse der
gkeitslehre sind dem Buche zugeführt worden. Daß
Lapeyronsche Gleichung in einer für den Schiffbau
chbaren Form in das Handbuch aufgenommen wurde,
esonders verdienstlich. Entsprechend der steigenden

Bedeutung der Schiffsschwingungen für die Schiffsfestigkeit
ist auch dieser Abschnitt stärker ausgebaut.

In den übrigen Abschnitten des Handelsschiffbaues ist
neben zahlreichen Ergänzungen besonders die Einfügung des
Teiles über Ladegeschirr zu nennen. Die gedrängte Über-
sicht über den Kriegsschiff- und Unterseebootbau ist eben-
falls auf die Höhe der Neuzeit gebracht. Das Zeichnungs-
und Schiffslistenmaterial ist durch die Verdopplung nicht
nur an Zahl, sondern vor allem an Gebrauchswert in erfreu-
licher Weise angewachsen. Manches bisher Fehlende, so im
Frachtdampferbau, ist an der Hand von Unterlagen auch
der allerletzten Jahre ergänzt worden.

Den Anspruch, zum eisernen Bestande des Schiffbauers
zu gehören, darf auch die neue Auflage, vielleicht in noch
höherem Maße als die früheren, erheben. Die Neuauflage
des „Johow-Foerster“ wird daher in den Fachkreisen des
Schiffbaues freudige Aufnahme finden. [E 2545] O. Lienau

Der Eisenwasserbau. Von H. Kulka. 1. Bd.: Theorie und
Konstruktion der beweglichen Wehre. Berlin 1928, Wil-
helm Ernst & Sohn. 323 S. m. 383 Abb. Preis 31 RM.

Der „Eisenwasserbau“ bildet einen Teil der Sammlung
„Das Bauen in Stahl“ und soll in zwei Bänden erscheinen.
Der erste, hier vorliegende Band bringt die Theorie und
Konstruktion der beweglichen Wehre; in einem zweiten
Bande sollen die Schleusentore, Docks, Schiffshebewerke,
Wasserbehälter und Kanalbrücken Platz finden. Es muß
als ein außerordentlich dankenswertes Unternehmen bezeich-
net werden, dem Eisenwasserbau, insbesondere dem Wehr-
bau, dem gerade die letzten beiden Jahrzehnte durch die
Entwicklung des Ausbaues von Wasserkraften wie auch
durch die erhöhte Berücksichtigung von Landeskultur-
interessen beim Ausbau der Flüsse einen gewaltigen Auf-
schwung gebracht haben, eine besonders eingehende Behand-
lung in einem Sonderwerke zu widmen. Daß dies unter fast
ausschließlicher Berücksichtigung der modernsten Aufgaben
aus diesem Gebiet und der sich aus ihrer Bearbeitung er-
gebenden gewaltigen Fortschritte der Theorie und Konstruk-
tion geschehen ist, und zwar durch einen Verfasser, dem
die besten Erfahrungen auf diesem Gebiete zur Seite stehen,
macht das Buch besonders wertvoll.

Der Versuch, dem Wehrbau durch ausgiebige Heran-
ziehung des Rüstzeuges, das die höhere Mathematik und
Hydrodynamik zu bieten vermag, die diesem Gebiet bisher
mangelnde theoretische Grundlage zu geben, kann als gut
gelungen bezeichnet werden. Freilich wird das Studium des
Buches dadurch nicht gerade erleichtert. Es kann und darf
aber dem Ingenieur der Praxis wie dem Studierenden nun
einmal nicht erspart werden, in der Theorie fortzuschreiten
und sich die wissenschaftlichen Voraussetzungen zur Lösung
der neu an ihn herantretenden Aufgaben des Wasserbaues
möglichst vollkommen zu verschaffen. Sehr nützlich und
fruchtbringend ist, daß außer dem Grundsätzlichen auch
Einzelberechnungen der wesentlichen Teile der verschie-
denen Wehrteile gebracht werden und daß jede Wehrrart
kritisch beleuchtet wird. Alles in allem, das Buch wird
als höchst wertvoller Ratgeber seinen Weg machen. [E 2604] Busch

Automobiltechnische Bibliothek, 13. Bd.: Die elektrische
Ausrüstung des Kraftfahrzeuges. 1. T.: Zündung. Von
Erich Klaiber und Walter Lippart. Berlin 1928, M. Krayn.
237 S. m. 157 Abb. Preis 10 RM.

Die elektrische Ausrüstung der Kraftfahrzeuge wurde
bisher in der Kraftfahrzeug-Literatur stiefmütterlich behan-
delt. Man sieht sie meist als Zubehör an, ohne zu beachten,
daß die Kenntnis ihrer Wirkungsweise und Bauart für den

Kraftfahrzeug-Ingenieur ebenso wichtig ist, wie die Kenntnis der Verbrennungsvorgänge und der mechanischen Kraftübertragung. Diese Lücke soll durch ein dreibändiges Werk geschlossen werden, das grundlegend zu werden verspricht. Im ganzen arbeiten sieben Fachleute, sämtlich von der Firma R. Bosch A.-G., gemeinsam an dem Werk, was die Gewähr für die Vermeidung von Einseitigkeiten und Fehlern bietet. Die Bearbeiter haben sich auch bemüht, das Gebiet sachlich ohne Bevorzugung einzelner Firmen zu behandeln. Sie wandten sich an die gesamte Industrie des In- und Auslandes und wurden auch reichlich unterstützt.

Im Augenblick liegt der erste Band des Werkes vor, der sich mit dem umfangreichsten (weil ältesten?) Gebiet, der Zündung, befaßt. Den Herausgebern ist es im allgemeinen gelungen, sachlich zu bleiben, wenn man vielleicht auch der Meinung sein kann, daß die Batteriezündung beim Vergleich mit der Magnetzündung etwas zu schlecht weggekommen ist. Die theoretischen und konstruktiven Abschnitte und die Behandlung der Zündkerzenfrage und der Störungsquellen sind an der Hand reichlicher und guter Diagramme und Bilder vorzüglich gelungen.

Da der Kraftfahrzeug-Ingenieur heutzutage auch Elektrotechniker sein muß, so kann das Studium dieses Buches empfohlen werden. Allerdings setzen die Bearbeiter im Kapitel über die Theorie der Zündung bereits eine gute elektrotechnische und mathematische Vorbildung voraus. Man kann das Werk daher auf die Höhe eines Lehrbuches für Studenten und Ingenieure, die mit ihrem Fachwissen auf dem laufenden bleiben wollen, stellen. Die weiteren Bände sollen Lichtmaschine und Batterie sowie die Stromverbraucher behandeln.

[E 2543]

Dipl.-Ing. P. Friedmann.

Selbstanschlußtechnik. Von *Martin Hebel*. München und Berlin 1928, R. Oldenbourg. 423 S. m. 240 Abb. u. 1 Anh. Preis 18 RM.

Der große Aufschwung, den der selbsttätige Fernsprechtbetrieb in den letzten Jahren genommen hat, weckte das Bedürfnis nach einem Buch, das die theoretischen Grundlagen, die Schaltungen und die Beschreibung der Apparate und ihrer Teile zusammenfaßt. In dem vorliegenden Buch werden, ausgehend von der geschichtlichen Entwicklung der Selbstanschlußtechnik, für die vor nunmehr 50 Jahren die ersten Patente erteilt wurden, die Grundbegriffe des selbsttätigen Fernsprechtbetriebes an Netzen für 100 und 1000 Teilnehmer erläutert, das deutsche Reichspostsystem eingehend geschildert und verschiedene Sonderfragen des Betriebes und Entwurfes selbsttätiger Fernsprechnetze erörtert. Den Anhang bilden eine Reihe von Schaltbildern. Das Buch wird den Fachleuten und den Studierenden willkommen sein. [E 2569]

Pa.

Anleitung zum Bau von Schwachstrom-Anlagen. 8. Aufl. Jubiläumsausgabe 1879 bis 1929. Herausgeg. von Mix & Genest A.-G., Berlin-Schöneberg 1928. 710 S. m. 672 Abb. Preis 13,50 RM.

Das 50jährige Bestehen der Firma war der Anlaß, der vor 14 Jahren erschienenen 7. Auflage nunmehr eine weitere folgen zu lassen, die den großen Fortschritten der neuzeitlichen Schwachstromtechnik angepaßt worden ist. Dem Inhalt ist kaum anzusehen, daß es sich um ein von einer Herstellerfirma herausgegebenes Buch handelt, so eingehend und sachlich sind die verschiedenen Zweige der Schwachstromtechnik, ihre Bauteile und Schaltungen dargestellt. [E 2528]

Pa.

Kalkulationstabellen zur Bestimmung von Stückzeiten für Handschmiedeformung. Von *Bernhard Preuß*. Berlin 1929, Julius Springer. 73 S. Preis 7 RM.

Handwörterbuch des elektrischen Fernmeldewesens. ausgeg. von *Ernst Feyerabend*, *Hugo Heidecker*, *Paul Breisig* und *August Kruckow*. Berlin 1929, Julius Springer. 1. Bd.: A bis K. 830 S. m. 1319 Abb., 2. Bd.: L bis Z. 903 S. m. 1450 Abb. Preis zus. 192 RM.

Druckrohrleitungen. Von *Felix Bundschu*. 2. Aufl. Berlin 1929, Julius Springer. 62 S. m. 15 Abb. Preis 6 RM.

Das Elektrostahlverfahren. Nach *F. T. Sisco*, „The Manufacture of Electric Steel“, umgearb. und erweitert von *St. Kriz*. Berlin 1929, Julius Springer. 291 S. m. 123 Abb. Preis 22,50 RM.

Mitteilungen der deutschen Materialprüfungsanstalt. Sonderheft 5: Arbeiten aus dem Kaiser Wilhelm-Institut für Metallforschung zu Berlin-Dahlem. Berlin 1929, Julius Springer. 189 S. m. 372 Abb. Preis 26 RM.

Materiallehre für die Textilindustrie. Von *Joseph Späth*. 4. Aufl. von *Eugen Ristenpart*. Berlin 1929, M. Krayn. 205 S. m. 133 Abb. Preis 16 RM.

Practical Steelmaking. Von *Walter Lister*. London Chapman & Hall, Ltd. 413 S. m. 211 Abb. Preis 16 RM.

Brauerei-Maschinenkunde. Von *W. Goslich* und *K. L. Mann*. 1. Bd.: Kraft- und Wärmewirtschaft. 4. Neubearb. von *K. Fehrmann*. Berlin 1928, Paul Parey. 269 S. m. 110 Abb. Preis 20 RM.

Neuere Fortschritte der Galvanotechnik. Eine Ergänzung zu: Die galvanischen Metallniederschläge und deren Führung, 4. Aufl. von *G. Buchner* und *A. Wogrinz*. Berlin 1929, M. Krayn. 85 S. m. 53 Abb. Preis 5 RM.

Photographischer Bücherschatz. 3. Bd.: Die modernen Lichtpaus-Verfahren. Von *Hans Spörl*. 5. Aufl. Leipzig 1929, Ed. Liesegangs Verlag M. Eger. 118 S. m. 18 Abb. Preis 4,80 RM.

Die Praxis der planmäßigen Entwässerung im Braunkohlenbergbau. Von *J. Nahnsen*. Halle (Saale) Wilhelm Knapp. 59 S. m. 37 Abb. Preis 6,90 RM.

Sechzehnte Berichtfolge des Kohlenstaubausschusses. Reichskohlenrates: Richtlinien für Mühlenuntersuchungen. Von *P. Rosin* und *E. Rammner*. Berlin 1929, Reichskohlenrates. 34 S. m. 3 Abb. Preis 3 RM.

Mehrfachröhren-Empfänger. Von *Manfred von Ardenne*. Berlin 1929, Rothgießer & Diesing. 71 S. m. 67 Abb. Preis 1,70 RM.

Die Blauen Bücher: Bauten der Arbeit und des Verkehrs. Von *Walter Müller-Wulckow*. Neue Ausg. Königsberg i. T. und Leipzig 1929, Karl Robert Langewiesche. 1. m. Abb. Preis 3,30 RM.

Die Berliner Straßenordnung. Erläutert von *Weiß* und *Berlin* 1929, C. A. Weller. 225 S. Preis 4,50 RM.

Der Bau von Anoden- und Heizstrom-Netzanschlüssen. Von *Manfred von Ardenne*. 4. Aufl. Berlin 1929, Rothgießer & Diesing. 72 S. m. 78 Abb. Preis 1,70 RM.

Leipzig und Mitteldeutschland. Denkschrift für Rat und Stadtverordnete zu Leipzig. Herausgeg. von *L. Leipzig* 1928, Heinrich F. A. Timm. 343 S. m. 10 Abb. Preis 7 RM.

Leipziger Verkehr und Verkehrspolitik. Schriften des Rats-Verkehrsamtes Leipzig. Herausgeg. von *L. Leipzig* 1928, Selbstverlag. 24 S. Preis 1 RM.

Flugfunkwetter. Die Flugwettermeldungen Europas. zusammengest. im Auftrage des Reichsverkehrsministeriums vom Höhenwetterdienst. Berlin 1928, Leitung des Höhenwetterdienstes. 3. Aufl. 197 S. m. Nachtrag 1 m. Preis 12,50 RM.

Schluß des Textteiles

I N H A L T :

	Seite
Wand-Füllbaustoffe für Stahlskelettbauten. Von <i>H. Schmuckler</i>	385
Neue Hochspannungssicherungen	392
Kreiselpumpensätze für ein Höchstdruck-Kraftwerk. Von <i>H. Kissinger</i>	393
Tankanlagen für Kraftfahrzeuge	396
Sternradgetriebe. Von <i>A. Bock</i>	397
Professor Dr. Prášil †	401
Hindenburgschleuse — Maschinelle Anlagen. Von <i>Goetzke</i>	402
Neuerungen in der Gewinnung und Veredelung von Torf	407

Rundschau: Tagesfragen der Physik — Selbstsaugende Brennstoffpumpe mit kettenschlüssigem Antrieb für Dieselmotoren — Bremsuntersuchungs-Meldeanlagen — Poröse Steine zum Reinigen von Gasen — Kleine Mitteilungen	
Bücherschau: „Hütte“, Taschenbuch für Betriebsingenieure — Hilfsbuch für den Schiffbau. Von <i>E. Foerster</i> — Der Eisenwasserbau. Von <i>H. Kulke</i> — Die elektrische Ausrüstung des Kraftfahrzeuges. Von <i>E. Klaiber</i> und <i>W. Lippart</i> — Selbstanschlußtechnik. Von <i>M. Hebel</i> — Anleitung zum Bau von Schwachstrom-Anlagen — Eingänge	

ZEITSCHRIFT DES VEREINES DEUTSCHER INGENIEURE

SCHRIFTFLEITER: C. MATSCHOSS ★

73

SONNABEND, 30. MÄRZ 1929

Nr. 13

Beitrag zur Klärung der Drahtseilfrage

Von R. WOERNLE, Stuttgart

Notwendigkeit planmäßiger Dauerversuche an Drahtseilen — Einfluß des Rillengrund-Halbmessers, der Schlagart, der Seilbelastung, der Drahtdicke und -festigkeit auf die Lebensdauer von Aufzug- und Kranseilen — Seildehnung im Betrieb — Einfluß der Zahl der Biegungswechsel und der Zahl der Drahtbrüche auf die Abnahme der Seiltragkraft — Seile mit hoher Lebensdauer — Einfluß der Verzinkung, der Vorformung (Trulay-Seile) und der Gegenbiegung auf die Lebensdauer von Seilen — Chemische Analyse — Dornbiege-, Verwinde- und Zerreißproben von Seildrähten.

Die große Bedeutung der Drahtseile für weite Wirtschaftsbereiche, wie den Aufzug- und Kranbau, die Bahnen für Lasten- und Personenbeförderung, die Lichtförderung usw., drängt auf Klarstellung des Verhältnisses von Drahtseilen hin¹⁾. Die im folgenden niedergelegten Versuchsergebnisse beschränken sich auf Aufzug- und Kranseile. Die gewonnenen Ergebnisse werden jedoch auch für Nachbargebiete, wie Seilbahntechnik und Schacht-Seile, Anregungen geben und — wenn auch begrenzte — Folgerungen ermöglichen.

Das Ziel, die Klärung der Drahtseilfrage auf dem Wege der Rechnung zu erreichen, muß bei der großen Zahl von Unbekannten, wenigstens zur Zeit noch, als unmöglich bezeichnet werden, wie die Erfahrung zeigt. Der Schwierigkeit der Aufgabe neigte man zu irrigen, oberflächlichen, mit der Wirklichkeit nicht übereinstimmenden Rechnungsvoraussetzungen, oder zu unzureichenden Rechnungsannahmen. Dieses Vorgehen führte nicht zur Klärung, sondern zu einer Verwirrung der Sachlage.

Auch an der Hand von Zusammenstellungen aus dem Betrieb kann man kaum ein sicheres Urteil über das Verhalten von Drahtseilen gewinnen, weil genaue Vergleichsunterlagen oft fehlen (Schlagart, Aufbau des Seiles, Drahtwerkstoff, Dauer und Art der Benutzung oder besser Zahl der Arbeitspiele oder Biegungswechsel und die für sie in Frage kommenden, häufig in weiten Grenzen schwankenden Belastungen, Art der Seilführung, Rollenrößen, Gestaltung und Zustand der Seilrille, Wartung, Schmierung usw.). Die Aufliegezeit von Drahtseilen kann außerordentlich hohe Bewährung vortäuschen, wenn Reparaturen und Betriebsstillstände übersehen werden, die dem manchmal von Seilgarnitur zu Seilgarnitur wechseln, und wenn die Anlage selten mit Höchstlast gefahren wird. Die Lebensdauer eines Seiles sinkt rasch mit der Zunahme der Seilbelastung bei sonst gleichen Verhältnissen, Abb. 1. Dieser wichtige Einfluß kann bei Anlagen mit wechselnden Belastungsverhältnissen, z. B. bei Aufzügen und Kranen, kaum schätzungs-

weise, geschweige denn zahlenmäßig erfaßt werden. Ausdrücke, wie streng oder mäßig, für die Art der Benutzung von Seilen reichen zum Vergleich nicht aus, besonders wenn es sich um den Vergleich verschiedener Anlagen handelt.

Eine gewisse Gleichwertigkeit und damit eine angenäherte Vergleichsfähigkeit der Aufliegezeiten von Kran- und Aufzugseilen im praktischen Betrieb wird demnach selten gegeben sein. Dabei ist noch zu beachten, daß die Frage, wann ein Drahtseil überhaupt als ablegereif anzusehen ist, — zur Zeit wenigstens noch — eindeutig schwerlich beantwortet werden kann. Ob und wann ein Drahtseil ablegereif ist, bedarf der Klärung durch planmäßige Versuche, vergl. Abb. 32 bis 34. Besonders schwierig ist die Beurteilung des verhältnismäßigen Sicherheitsrestes von Seilen verschiedener Schlagart und Drahtzahl. Auch dieser Umstand erschwert zur Zeit noch den Vergleich der Aufliegezeiten von Drahtseilen im praktischen Betrieb. Bei den Kreuzschlagseilen treten infolge des mehr geschlossenen Seilverbandes die gebrochenen Drähte nur wenig oder kaum heraus, derart, daß ein schon stark mit Drahtbrüchen behaftetes Seil immer noch einen ziemlich vertrauenerweckenden Eindruck hervorruft. Das Gleichschlagseil ruft im Gegensatz hierzu schon bei verhältnismäßig wenig Drahtbrüchen, weil die gebrochenen Drähte erheblich aus dem Seilverband heraustreten, den Eindruck der Gefahr des Seilbruches hervor. Hierin steckt wohl der Vorzug einer frühzeitigen Warnung vor der Bruchgefahr, ein Vorzug, den das Kreuzschlagseil nicht in gleichem Maß aufweist. Aber man wird demgemäß geneigt sein, das Gleichschlagseil verhältnismäßig früher, d. h. in größerem Abstand von der Bruchgrenze, abzulegen als das entsprechende Kreuzschlagseil.

Im Gegensatz zu Betriebsaufzeichnungen vermag der Dauerversuch mit Drahtseilen verhältnismäßig rasch und sicher ein Urteil über die zu erwartende Bewährung von Seilen zu geben, weil hierbei der Vergleich gewährleistet ist. Die Aufliegezeit beim Versuch unter sonst gleichen Verhältnissen führt zu einem eindeutig erfassbaren Vergleichswert, einem Grenzwert, nämlich der Biegezahl bis zum Bruch, d. h. der Lebensdauer.

Versuchsprogramm

Im folgenden wird berichtet über die im Institut für Fördertechnik an der Technischen Hochschule Stuttgart²⁾ in der Zeit von Ende Oktober 1927 bis Ende Oktober 1928 unter meiner Leitung durchgeführten planmäßigen Dauerversuche mit Drahtseilen.

²⁾ Dieses Institut wurde anlässlich meiner Berufung von der Technischen Hochschule Danzig nach Stuttgart vom Württ. Kultministerium am 1. April 1927 gegründet. Die Inbetriebnahme erfolgte Ende Oktober 1927.

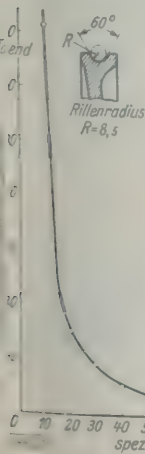


Abb. 1
Einfluß der Seilbelastung auf die Lebensdauer eines Drahtseiles.

¹⁾ Vergl. Isaachsen, Z. Bd. 51 (1907) S. 652; Woernle: „Zur Beurteilung der Drahtseilsehwebebahnen für Personenbeförderung“, Habilitationsschrift, Karlsruhe 1913, und „Ein Beitrag zur Beurteilung der heutigen Berechnungsweise der Drahtseile“, Karlsruhe 1914; Fenoit, Z. Bd. 58 (1914) S. 985 und „Die Drahtseilfrage“, Karlsruhe 1915; Woernle, „Maschinenbau“ Bd. 3 (1924) S. 763

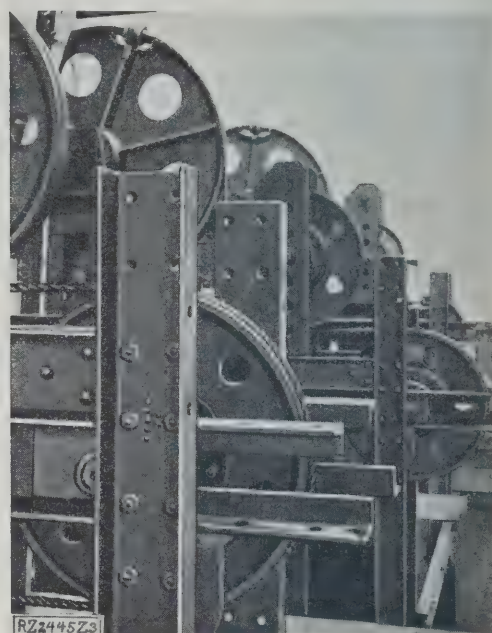
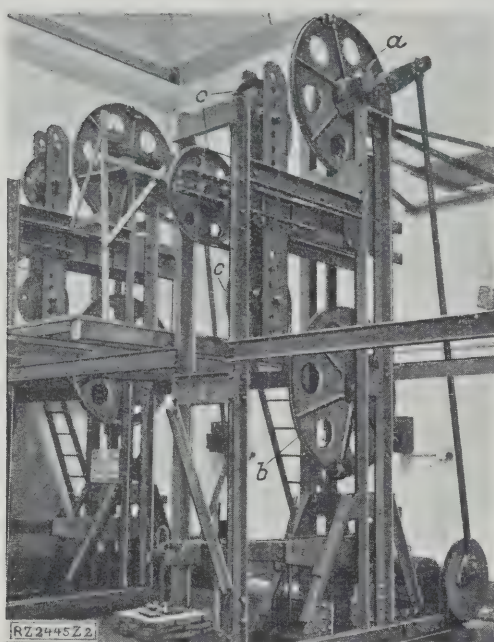


Abb. 2 und 3. Dauerprüfmaschine für Drahtseile.
 a Treibscheibe b Spannscheibe c Versuchscheiben

Erforscht wurde der Einfluß des Rillengrundhalbmessers, der Schlagart, der Seilbelastung, der Drahtdicke, der Drahtfestigkeit auf die Lebensdauer von Aufzug- und Kranseilen. Auch die Seildehnung im Betrieb wurde gemessen. Ferner wurde verfolgt der für die Beurteilung des Zeitpunktes des Ablegens von Seilen wichtige Einfluß der Anzahl der Biegungswechsel auf die Abnahme der Tragkraft eines Seiles und der Zusammenhang zwischen der Anzahl der Drahtbrüche auf 1 m Seillänge und der Abnahme der Tragkraft eines Seiles. Die Gegenüberstellung der Lebensdauer nominell gleichwertiger Drahtseile, die unter gleichen Versuchsbedingungen gefahren worden waren, verdeutlicht, wie durch planmäßige Untersuchungen Seile mit hoher Lebensdauer gewonnen werden können. Ferner werden Mitteilungen gemacht über den Einfluß der Verzinkung, der Vorformung der Seildrähte (Trulay-Seile) und der Wirkung der Gegenbiegung (S-Biegung) auf die Lebensdauer von Drahtseilen. Schließlich wurde auch der Drahtwerkstoff von Seilen analysiert, um einen Zusammenhang zwischen chemischer Zusammensetzung des Drahtes und der Bewährung von Seilen zu finden. Auch Dornbiege-, Verwinde- und Zerreißproben von Drähten wurden in den Bereich der Untersuchungen gezogen.

Nur über den bei Drahtseilen besonders langwierigen und mühevollen Weg des wissenschaftlichen, planmäßigen Versuchs ist zu erwarten, daß der Praxis diejenigen Berechnungsgrundlagen und Vergleichswerte allmählich gegeben werden können, die sie so dringend braucht.

Wenn auch die Versuche ihres gewaltigen Umfanges wegen im Verlaufe des ersten Jahres des Versuchsbetriebs noch nicht derart abgeschlossen werden konnten, daß auf den gewonnenen Unterlagen die Bemessung von Aufzug- und Kranseilen schon jetzt aufgebaut werden kann, so sprach doch der Ausschuß für Drahtseilforschung des Vereines deutscher Ingenieure

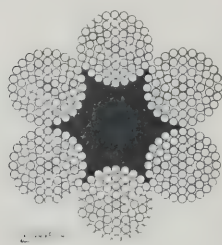
anläßlich seiner wissenschaftlichen Sitzung am 6. November 1928 in Stuttgart, den Wunsch aus, daß meine bisherigen Versuchsergebnisse, über die ich damals berichtete, möglichst veröffentlicht werden sollten, weil die Teilergebnisse bereits ein gewisses Vorfeld aufklären und richtunggebende Anhaltspunkte für die Bemessung von Seilen dem Fachmann zu vermitteln imstande sind.

Die Versuchseinrichtung

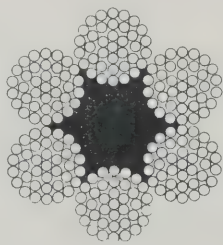
Die in Abb. 2 und 3 wiedergegebene, von mir entworfene Dauerprüfmaschine für Drahtseile ermöglicht die Prüfung von Seilen mit einer Zugbelastung bis zu 500 bei Versuchscheibendurchmessern von 300 bis 1200. Dem Entwurf der Maschine lag der Gedanke zugrunde, daß sie die Prüfung von Seilen gestatten müßte in Versuchsbedingungen, wie sie in der Aufzug- und Kranpraxis üblich sind, da von Modellseilen kleiner Abmessungen für ausführende Technik brauchbare Vergleichswerte nicht erwartet werden dürfen. Die Maschine eignet sich für die Dauerprüfung von Seilen bis zu einem Seildurchmesser von 26 mm.

Die gußeisernen Versuchscheiben *c* sind der Treibscheibe *a* und der Spannscheibe *b* vorgelagert und können in halb in bequemer Weise ausgewechselt werden. Die Dreifachanordnung der Versuchscheiben ermöglicht die Durchführung von Dauerversuchen mit Biegung des Seiles im gleichen Sinne (krumm—gerade—krumm) oder mit Gegenbiegung, sogen. S-Biegung (krumm—gerade—entgegengesetzt krumm). Bei der Dreifachanordnung der Versuchscheiben wird das Seil in mehreren Abschnitten gebogen, so daß eine erhebliche Seillänge der Prüfung unterzogen wird. Der durch eine Schwingkurbel erzeugte Seilzug kann je nach der Versuchsbedingung in weiten Grenzen verändert werden.

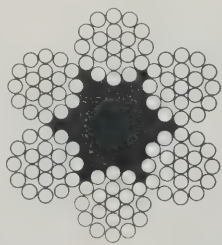
Die Spielzahl der Maschine läßt sich zwischen 22 und 44 in 1 min regeln.



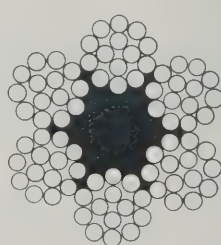
a



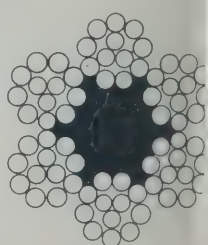
b



c



d



e

Zahlentafel 1. Kennzahlen der Versuchseile.

Seilaufbau					Seil- durch- messer	Einzel- draht- durch- messer	Quer- schnitt	Festig- keit	Schlagart (Kreuz- schlag - Kr Gleich- schlag = L)	Schlag- länge der Litze	Bemerkungen.
Quer- schnitt- bild (Abb. 4 bis 12)	Zeichnung nach den Normen	Litzenzahl	Drahtzahl je Litze	Gesamt- draht- zahl							
1 c	A 16 DIN 655	6	19	114	16	1,0	89,5	130	Kr	110	blank
2 c	AL 16 DIN 655	6	19	114	16	1,0	89,5	130	L	125	blank
3 c	A 16 DIN 655	6	19	114	16	1,0	89,5	80	Kr	110	blank, Aufbau nach A 16 DIN 655
4 c		6	19	114	16	1,0	89,5	80	L	125	blank, Aufbau nach AL 16 DIN 655
5 c	A 16 DIN 655	6	19	114	16	1,0	89,5	160	Kr	110	blank
6 c		6	19	114	16	1,0	89,5	160	L	125	blank
7 c	A 16 DIN 655	6	19	114	16	1,0	89,5	180	Kr	110	blank
8 c	A 16 DIN 655	6	19	114	16	1,0	89,5	180	L	125	blank
9 c	A 16 DIN 655	6	19	114	16	1,0	89,5	200	Kr	110	blank, Aufbau nach A 16 DIN 655
10 c		6	19	114	16	1,0	89,5	200	L	125	blank, Aufbau nach AL 16 DIN 655
11 c	A 16 DIN 655	6	19	114	16	1,0	89,5	130	Kr	110	verzinkt
12 c		6	19	114	16	1,0	89,5	130	L	125	verzinkt
13 c		6	19	114	16	1,0	89,5	130	Kr	116	Trulay, blank, Aufbau nach A 16 DIN 655
14 c		6	19	114	16	1,0	89,5	130	L	107	Trulay, blank, Aufbau nach AL 16 DIN 655
15 a		6	61	366	16	0,56	90,1	130	Kr	108	blank
16 a		6	61	366	16	0,56	90,1	130	L	133	blank
17 b		6	37	222	16	0,73	92,9	130	Kr	112	blank
18 b		6	37	222	16	0,73	92,9	130	L	130	blank
19 d		6	14	84	16	1,15	87,2	130	Kr	114	blank
20 d		6	14	84	16	1,15	87,2	130	L	124	blank
21 e		6	12	72	16	1,25	88,4	130	Kr	115	blank
22 e		6	12	72	16	1,25	88,4	130	L	120	blank
23 f		6	7	42	16	1,65	89,8	130	Kr	112	blank
24 f		6	7	42	16	1,65	89,8	130	L	114	blank
25 g		6	4	24	16	2,15	87,1	130	Kr	126	blank
26 g		6	4	24	16	2,15	87,1	130	L	124	blank
27 h		6	3	18	16	2,50	88,4	130	Kr	130	blank
28 h		6	3	18	16	2,50	88,4	130	L	134	blank
29 e		6	12	72	16	1,25	88,4	130	Kr	115	Trulay, blank
30 e		6	12	72	16	1,25	88,4	130	L	117	Trulay, blank
31 f		6	7	42	16	1,65	89,8	130	Kr	115	Trulay, blank
32 f		6	7	42	16	1,65	89,8	130	L	117	Trulay, blank
33 i		6	19	114	16	s.Bem.	92,5	s.Bem.	Kr	98	6 × $\left. \begin{matrix} 1 \text{ Dr. mit } 1,5 \text{ mm Dmr.} \\ 9 \text{ " " " 0,7 " " } \end{matrix} \right\} \begin{matrix} \text{mittl.} \\ \text{Festigkeit} \end{matrix} \begin{matrix} \text{blank} \\ \text{rd. } 120 \text{ kg/mm}^2 \end{matrix}$
34 i		6	19	114	16	s.Bem.	92,5	s.Bem.	L	104	6 × $\left. \begin{matrix} 1 \text{ Dr. mit } 1,5 \text{ mm Dmr.} \\ 9 \text{ " " " 0,7 " " } \end{matrix} \right\} \begin{matrix} \text{mittl.} \\ \text{Festigkeit} \end{matrix} \begin{matrix} \text{blank,} \\ \text{rd. } 120 \text{ kg/mm}^2 \end{matrix}$ Trulay
35 c	A 13 DIN 655	6	19	114	13	0,8	57,3	130	Kr	90	blank
36 c		6	19	114	13	0,8	57,3	130	Kr	82	Trulay, blank, Aufbau nach A 13 DIN 655
37 i		6	19	114	13	s.Bem.	54,0	s.Bem.	Kr	80	6 × $\left. \begin{matrix} 1 \text{ Dr. mit } 1,2 \text{ mm Dmr.} \\ 9 \text{ " " " 0,55 " " } \end{matrix} \right\} \begin{matrix} \text{mittl.} \\ \text{Festigkeit} \end{matrix} \begin{matrix} \text{blank} \\ \text{rd. } 120 \text{ kg/mm}^2 \end{matrix}$

Der Bau von drei Versuchsmaschinen der gekennzeichneten Art, die Beschaffung weiterer Versuchseinrichtungen und der Versuchsbetrieb wurden in dankenswerter Weise mit Geldmitteln unterstützt, vor allem durch den Verein deutscher Ingenieure, die Berggemeinschaft der Deutschen Wissenschaft, das Reichskuratorium für Wirtschaftlichkeit³⁾ und in geringerem Umfange durch den Verband der Aufzugsfabrikanten. Zu Dank verpflichtet bin ich der Firma Felten & Guilleaume, Grlswerk, Köln-Mülheim, die zu den systematischen Versuchen die nötigen Drahtseile kostenlos zur Verfügung stellte. Weiter wurden meine Arbeiten gefördert durch die Firma Bopp & Reuther, Mannheim, und die

³⁾ Das Reichskuratorium für Wirtschaftlichkeit hat diese Versuchsarbeiten im Interesse der Allgemeinheit mit Geldmitteln unterstützt. Die Versuche dienen dazu, Grundlagen für die Bemessung von Seilen und Kranseilen und ihre Normung zu gewinnen.

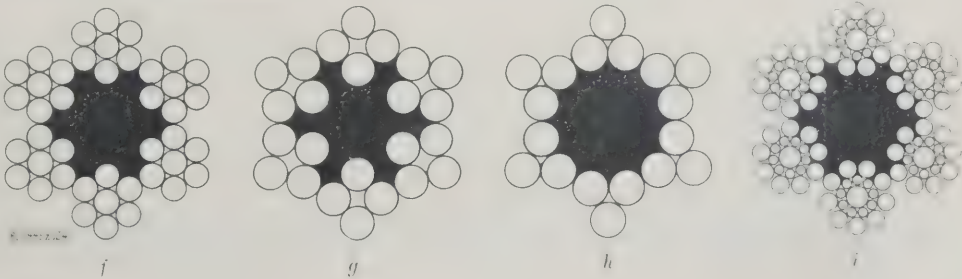
Die Schriftleitung.

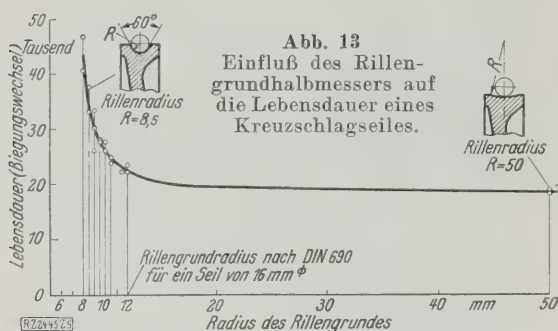
Maschinenfabrik C. Haus h a h n, Aufzüge und Krane, Stuttgart-Feuerbach. Bei der Konstruktion der Drahtseil-Dauerprüfmaschine unterstützte mich in hervorragender Weise mein bisheriger Konstruktionsingenieur, Dipl.-Ing. Gerhard Schnibbe. Bei der Durchführung der mühevollen, Tag- und Nacharbeit erfordernden Versuche, wirkten mit die Assistenten Dipl.-Ing. Manfred Wilhelm, Dipl.-Ing. Franz Goerke und Dipl.-Ing. Ernst Lucas.

Die Kennzahlen der Versuchseile sind aus Zahlentafel 1 zu ersehen, die Querschnitte zeigen Abb. 4 bis 12.

Die Zugbelastung wurde bei den Versuchen zunächst verhältnismäßig hoch gewählt, um möglichst schnell Einblick in die zu erwartenden Gesetzmäßigkeiten zu gewinnen. Bei den weiteren Dauerversuchen ermöglicht der erhaltene Einblick, sich auf das für die Praxis Wesentlichste zu beschränken, was notwendig erscheint im Hinblick auf die lange Versuchsdauer, die bei den üblichen Betriebsbelastungen zu erwarten ist.

Abb. 4 bis 12
Querschnitte der Versuchseile a bis i;
vergl. Zahlentafel 1.





Als ein Biegungswechsel aufgefaßt und gezählt wird bei den folgenden Versuchsreihen die Biegung aus dem gekrümmten in den geraden und wieder in den gekrümmten Zustand zurück.

Versuchsergebnisse

Einfluß des Rillengrundradius

Bei der Verfolgung des Einflusses des Rillengrundradius auf die Lebensdauer eines Drahtseiles wurde ein Kreuzschlagseil A 16 DIN 655 mit 130 kg/mm² Zugfestigkeit bei einer spez. Zugbelastung von 30 kg/mm² auf einer Scheibe von 400 mm Dmr. dem Versuch unterworfen. Abb. 13 zeigt, daß mit zunehmendem Rillengrundhalbmesser die Lebensdauer rasch abnimmt, infolge der Zunahme der spez. Pressung zwischen Seil und Scheibe, und daß bei einem Rillengrundradius von 50 mm, d. h. bei praktisch zylindrischer Lauffläche der Scheibe, die Lebensdauer etwa auf die Hälfte absinkt gegenüber satter Auflage des Seiles im Rillengrund. Bei 12 mm Halbmesser des Rillengrundes, der nach DIN 690 für Rillenprofile von Seilscheiben für ein Seil von 16 mm Dmr. zugelassen wird, kann man bereits eine erhebliche Abnahme der Lebensdauer des Seiles feststellen.

Das Gleichschlagseil AL 16 DIN 655, das auf einem Rillengrundradius von 8,5 mm und 50 mm unter denselben Bedingungen der Prüfung unterworfen wurde, ergab einen ähnlichen Abfall der Lebensdauer, vergl. a. Abb. 14. Die Ergebnisse verdeutlichen, welchen erheblichen Einfluß die Gestaltung des Rillengrundes der Scheibe auf die Lebensdauer von Seilen ausübt.

Einige der folgenden Versuchsreihen wurden, um tunlichst die Grenzbedingungen zu erfassen, sowohl mit 8,5 mm als auch mit 50 mm Rillengrundhalbmesser durchgeführt.

Für die weiteren Versuche sind noch andre technische wichtige Profilformen vorgesehen, außerdem wird der Einfluß des Werkstoffes der Rillen, z. B. Stahl, Stahlguß, Bronze, Holz, Leder und dergl. verfolgt werden.

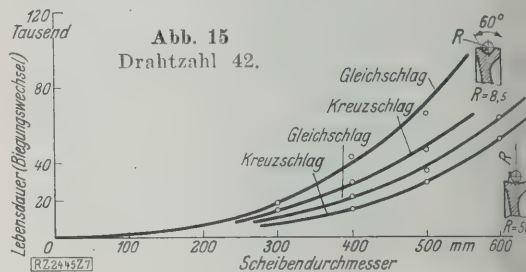
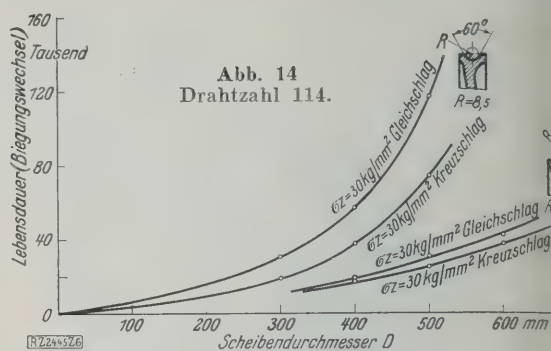
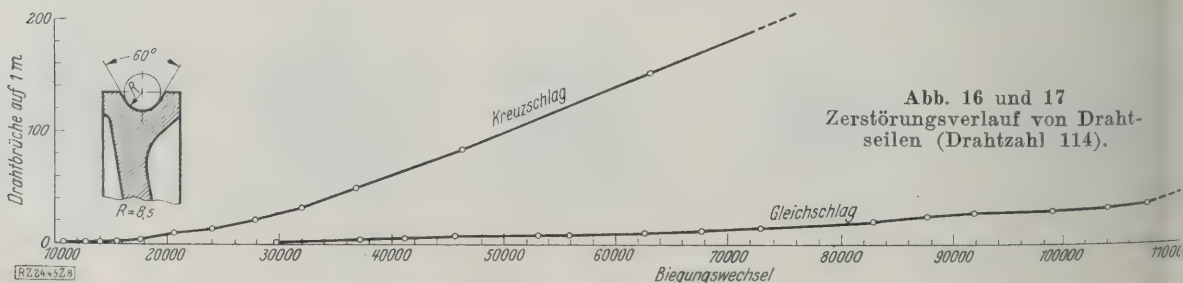
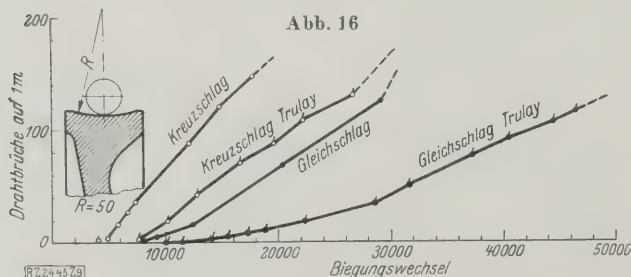


Abb. 14 und 15
Einfluß der Schlagart auf die Lebensdauer von Gleich- und Kreuzschlagseilen in Abhängigkeit vom Scheibendurchmesser.

Einfluß der Schlagart

Aus Abb. 14 und 15, die in Abhängigkeit vom Scheibendurchmesser bei einer spez. Zugbelastung von 30 kg/mm² den Einfluß der Schlagart auf die Lebensdauer von Seilen erkennen lassen, geht die Überlegenheit des Gleichschlagseiles gegenüber dem Kreuzschlagseil hervor. In Abb. 14 ist ein Kreuzschlagseil A 16 DIN 655 (114-dr.) mit dem entsprechenden Gleichschlagseil A L 16 DIN 655 verglichen, beide haben 130 kg/mm² Zugfestigkeit. Abb. 15 enthält den Vergleich 42-drähtiger Seile mit 130 kg/mm² Zugfestigkeit in Kreuz- und Gleichschlag. Die Versuche wurden auf Scheiben mit einem Scheibendurchmesser von 8,5 mm und 50 mm ausgeführt.

Die Lebensdauer der Seile beider Schlagarten nimmt, wie zu erwarten, bei 50 mm Rillengrundhalbmesser ab, doch geht auch hierbei, was für die Praxis wichtig ist, die Überlegenheit des Gleichschlagseiles verloren, trotz des Vorzuges des Gleichschlagseiles vor dem Kreuzschlagseil, infolge des verwindenden Einflusses der hohen Pressung zwischen Seil und Scheibe.

Abb. 16 bis 19 verdeutlichen für die oben angeführten Seile mit Drahtzahlen von 114 und 42 den langsameren Verlauf des Zerstörungsverlaufs (Drahtbrüche auf 1 m Länge in Abhängigkeit von den Biegezahlungen) beim Gleichschlagseil, gegenüber dem Kreuzschlagseil, bei einem Scheibendurchmesser von 500 mm und bei Rillengrundhalbmessern von 8,5 mm und 50 mm.

Auch bei den folgenden Versuchsreihen wurden Gleich- und Kreuzschlagseile gefahren; man erkennt immer wieder die Überlegenheit des Gleichschlagseiles.

*) Diese Versuchsergebnisse bestätigen die in der Zeitschrift für Maschinenbau Bd. 3 (1924) S. 763 von mir auf Grund von Versuchs- und theoretischen Überlegungen ausgesprochene Ansicht von der Überlegenheit der Gleichschlagseile.

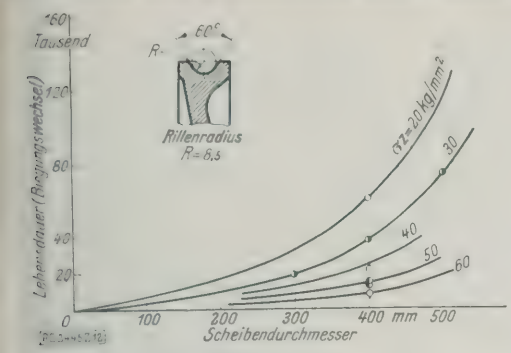


Abb. 20
Einfluß der Seilbelastung auf die Lebensdauer eines Kreuzschlagseiles in Abhängigkeit vom Scheibendurchmesser.

Einfluß der Seilbelastung
Abb. 20 zeigt in Abhängigkeit vom Scheibendurchmesser den Verlauf der Lebensdauer eines Kreuzschlagseiles (A 16 DIN 655, Zugfestigkeit 130 kg/mm²), bei einer spez. Seilbelastung σ_z von 20 bis 60 kg/mm². Für einen Scheibendurchmesser ist für das gekennzeichnete Seil der Zusammenhang zwischen σ_z und der Lebensdauer in Abb. 1 wiedergegeben. Abb. 1 und 20 vergleichen das rasche Absinken der Lebensdauer mit zunehmender Seilbelastung⁵⁾.

Seildehnung beim Dauerbiegeversuch
Abb. 21 gibt für ein Kreuzschlagseil A 16 DIN 655 und ein Gleichschlagseil A L 16 DIN 655 von je 130 kg/mm² Zugfestigkeit bei einer Seilbelastung σ_z von 30 kg/mm² während des Dauerbiegeversuchs gemessene Seildehnung in Abhängigkeit von der Anzahl der Biegungswechsel wieder. Diese Schaulinien lassen erkennen, daß bei kurzer Betriebszeit, d. h. nach verhältnismäßig wenig Biegungswechseln, das Seil bezüglich seiner Dehnung sich in einen gewissen Beharrungszustand einpendelt. Kurz vor dem Bruch nimmt aber, entsprechend dem — äußerlich nicht immer wahrnehmbaren⁶⁾ — Zerreißen des Seiles die Dehnung verhältnismäßig schnell zu. Dieses Warnungszeichen vor dem drohenden Bruch, die rasche Zunahme der Seildehnung, sollte in der Praxis nicht überschauen werden.

Einfluß der Drahtdicke und Drahtzahl auf die Lebensdauer von Drahtseilen
Bei den in Abb. 22 bis 25 niedergelegten Versuchsreihen wurde unternommen, Einblick in den Einfluß der Drahtdicke und Drahtzahl auf die Lebensdauer von Drahtseilen zu gewinnen, und zwar sowohl bei Kreuzschlag als auch bei Gleichschlag, für Rillengrundhalbmesser von 16 mm und 50 mm. Nach Lösung dieser Aufgabe wird es möglich sein, der Praxis das für einen bestimmten Scheibendurchmesser günstigste Seil anzugeben.

Die dem Versuch bei einer spez. Seilbelastung σ_z von 30 kg/mm² unterworfenen Seile von gleichem Seildurchmesser (16 mm) und gleicher Drahtfestigkeit (130 kg/mm²) hatten Drahtzahlen i von 366 bis 18 und Drahtdicken δ von 0,3 mm bis 2,5 mm. Die in Abhängigkeit von der Drahtdicke in Abb. 22 bis 25 aufgetragenen Lebensdauern der Seile zeigen bei einer bestimmten Drahtdicke bzw. Drahtzahl eine größte Lebensdauer, und zwar prägt sich im großen ganzen dieser Höchstwert auf Lebensdauer bei zunehmender Scheibengröße von 300 mm bis 500 mm (Rillen-

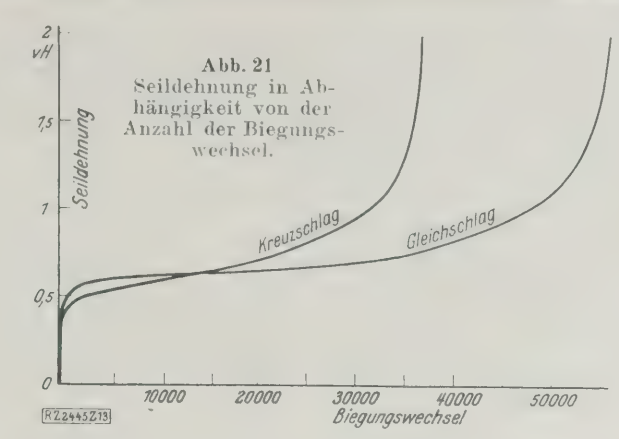


Abb. 21
Seildehnung in Abhängigkeit von der Anzahl der Biegungswechsel.

grundhalbmesser 8,5 mm) und von 400 mm bis 600 mm (Rillengrundhalbmesser 50 mm) deutlicher aus.

Im vorliegenden Fall kann als das überlegenste Seil mit Kreuzschlag bei 500 mm Scheibendurchmesser und 8,5 mm Rillengrundradius das 114drähtige Seil mit 1 mm Drahtdicke angesprochen werden.

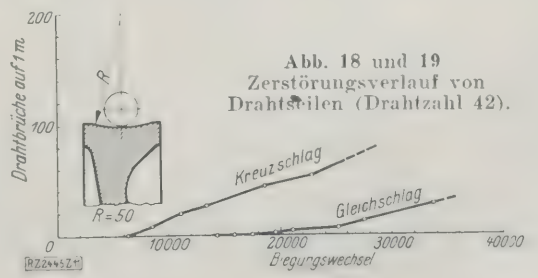
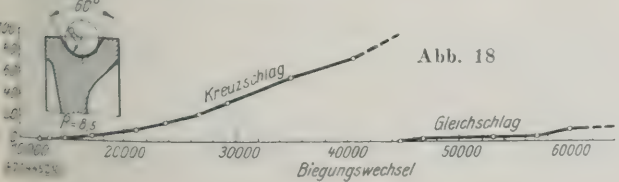
Beim Gleichschlagseil kennzeichnet sich das 114drähtige Seil mit 1 mm Drahtdicke schon von einem Scheibendurchmesser von 300 mm an als das günstigste. Bei 50 mm Rillengrundhalbmesser sinkt naturgemäß die Lebensdauer der Seile im Vergleich zu den Versuchsreihen bei passendem Rillengrund. Der Höchstwert verschiebt sich in Richtung der zunehmenden Drahtdicke, vergl. Abb. 23 und 25, weil das Seil mit dickeren Drähten der bei der flachen Rille auftretenden ungünstigeren Pressung eher zu widerstehen vermag. Das 42drähtige Seil mit 1,65 mm Drahtdicke zeigt sich im Vorteil, und zwar bei Kreuzschlag von 500 mm, bei Gleichschlag von 400 mm Scheibendurchmesser an.

Wenn bei Lastenseilbahnen, wo zwar das Seil die Tragrollen nicht umschlingt, 42drähtige Seile als Zugseile verwendet werden, so erscheint ein solches Vorgehen nach diesen Versuchsergebnissen sinngemäß, da ja auch dort die auf der Strecke befindlichen Tragrollen große Rillenauskehlungen haben.

Beachtenswert dürfte bei den vorliegenden Versuchsreihen ferner der jähe Abfall der Lebensdauer bei den 84- und 72drähtigen Seilen sein, der sich sowohl bei der Versuchsreihe mit 8,5 mm als auch mit 50 mm Rillengrundhalbmesser zeigt. Das ungünstige Verhalten dieser Seile ist vermutlich in ihrem Aufbau, Abb. 7 und 8 (d, e), begründet. Der in Abb. 22 gestrichelt eingetragene Linienzug für 500 mm Scheibendurchmesser läßt das besondere Verhalten des 84- und des 72drähtigen Seiles auch bei entsprechendem Drahtseilwerkstoff anderer Herkunft erkennen. Bei weiteren Versuchen wird dieser Erscheinung besondere Beachtung zu schenken sein, da 84- und 72drähtige Seile auch als Zugseile von Personen-Seilschwebbahnen Verwendung gefunden haben.

Einfluß des Rollenverhältnisses
Bei Zugrundelegung eines bestimmten Verhältnisses D ($\frac{\text{Scheibendurchmesser}}{\text{Drahtdicke}}$) für die Bemessung des Scheiben- oder Trommeldurchmessers wird in der Praxis und in Lehrbüchern stillschweigend die Voraussetzung gemacht, daß die Inanspruchnahme von Seilen beliebigen Aufbaues und verschiedener Schlagart im Betrieb infolge

⁵⁾ Vergl. a. Benoit: „Die Drahtseilfrage“, Karlsruhe i. B. 1915, S. 110
⁶⁾ Vergl. den von Benoit geschilderten Fall in „Die Drahtseilfrage“, S. 36. Anmerkung.



des Laufes über die Scheiben oder auf die Trommel bei gleichem $\frac{D}{\delta}$ dieselbe sei. Es wird angenommen, damit dem Zusammenhang zwischen Scheibendurchmesser und Drahtdicke und der Inanspruchnahme des Seiles beim Umbiegen Rechnung getragen zu haben.

Um in den Zusammenhang zwischen dem Rollenverhältnis $\frac{D}{\delta}$ und der Lebensdauer von Seilen verschiedener Drahtdicke und Drahtzahl Einblick zu gewinnen, wurden die Lebensdauern solcher Drahtseile in Kreuz- und Gleichschlag, von gleicher Drahtfestigkeit (130 kg/mm^2) und gleichem Seildurchmesser (16 mm), die bei 30 kg/mm^2 spez. Zugbelastung und mit Rillengrundhalbmessern von 8,5 mm und 50 mm gefahren worden waren, in Abhängigkeit vom Rollenverhältnis $\frac{D}{\delta}$ aufgetragen, Abb. 26 bis 29.

Die vorliegenden Versuchsergebnisse zeigen, daß bei einem bestimmten Verhältnis $\frac{D}{\delta}$ die Seile eine weitgehend verschiedene Inanspruchnahme bzw. Lebensdauer aufweisen.

Wäre die Auswirkung des Rollenverhältnisses $\frac{D}{\delta}$ für jedes Seil gleich, so müßte an Stelle der Kurvenscharen in Abb. 26 bis 29 jeweils ein einziger Linienzug auftreten. Das Rollenverhältnis $\frac{D}{\delta}$ ist eben nicht allein maßgebend für die Bewährung von Seilen. Die Schlagart, der Seilaufbau und andres sind von wesentlichem Einfluß. Wie unterschiedlich die Wirkung des Rollenverhältnisses auf die Lebensdauer verschiedener Seile sein kann, geht aus Abb. 26 hervor (Kreuzschlag, Rillengrundhalbmesser

8,5 mm), wonach z. B. die Lebensdauer des 366drähl Seiles mit $\delta = 0,56 \text{ mm}$ bei einem Rollenverhältnis $\frac{D}{\delta} = 900$ dieselbe ist (56 000 Biegungswechsel) wie jene des 42drähligen Seiles mit $\delta = 1,65 \text{ mm}$ bei einem Rollenverhältnis $\frac{D}{\delta} = 340$. Noch ausgesprochener ist die bezüglichen Verhältnisse in Abb. 27 (Kreuzschlag, Rillengrundhalbmesser 50 mm). Hier ist sogar bei den genannten Seilen die Lebensdauer die gleiche (32 000 Biegungswechsel) bei einem Rollenverhältnis $\frac{D}{\delta} = 1070$ und $\frac{D}{\delta} = 310$. Dem entsprechen auch die Ergebnisse bei Gleichschlag.

Die bis vor kurzem für die Berechnung von Seilen behördlich vorgeschriebene Gleichung drängt auf dünnadrählige Seile hin, die sich, wie die Versuche bis jetzt zeigen, als unzuweckmäßig erweisen. Bei der Entlung der deutschen Seile im Sinne der zweckmäßigen mit dickeren Drähten in der Decklage der Litzen gestatteten, amerikanischen Aufzugseile, war die deutsche Drahtseilindustrie behördlich gehemmt. Auch E kennzeichnet im Hinblick auf Schachtförderseile Grund seiner Erfahrungen den Nachteil hoher Drahtzahlen bzw. geringer Drahtdicke⁷⁾.

In Abb. 26 bis 29 zeigt sich wieder, daß einer bestimmten Rollendurchmesser ein Seil mit größter Lebensdauer zugeordnet ist.

Zur Klärung des Einflusses des Rollenverhältnisses im Zusammenhang mit der Drahtdicke bzw. Drahtzahl werden die Versuche noch ausgedehnt auf Seile mit verschiedenem Durchmesser und mit geometrisch ähnlichen Querschnitt.

Einfluß der Drahtfestigkeit

Für die Fördertechnik ist es wichtig, zu wissen, eine Zunahme der Drahtseilfestigkeit eines Seiles unter sonst gleichen Verhältnissen eine entsprechende Zunahme der Lebensdauer in sich schließt bei gleicher spez. Seilbelastung.

Weiter drängt sich die Frage auf, ob bei gleicher Sicherheit auf Zug, d. h. bei einer mit der Zugfestigkeit wachsenden spez. Seilbelastung die Lebensdauer von Seilen mit gleichem Aufbau dieselbe ist.

⁷⁾ Z. Bd. 72 (1928) S. 345.

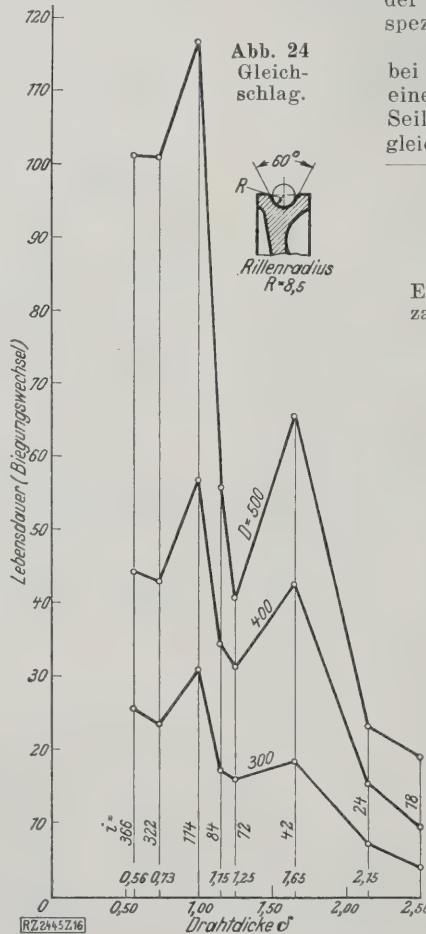
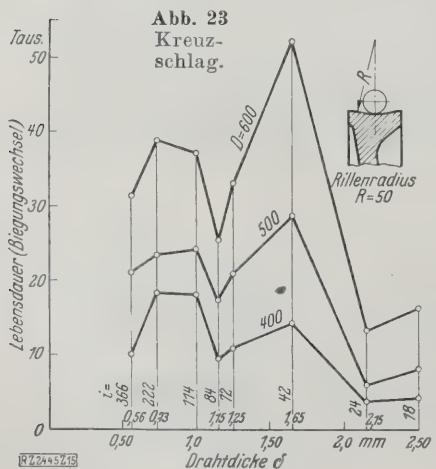
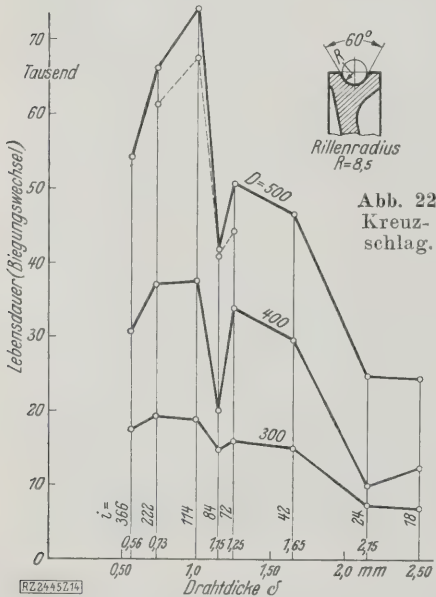
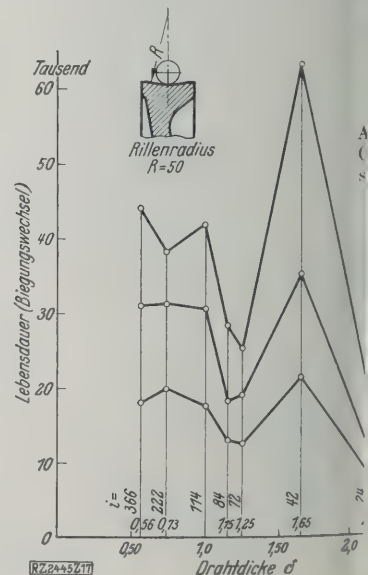


Abb. 22 bis 25
Einfluß der Drahtdicke δ und Drahtzahl i auf die Lebensdauer von Kreuzschlag- und Gleichschlagseilen.



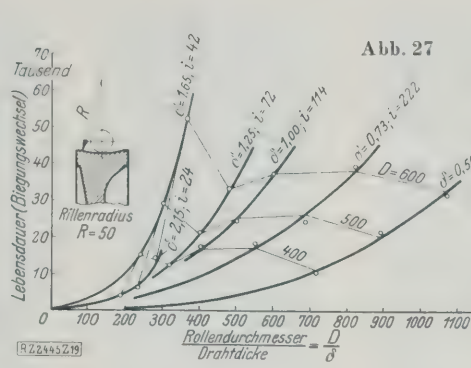
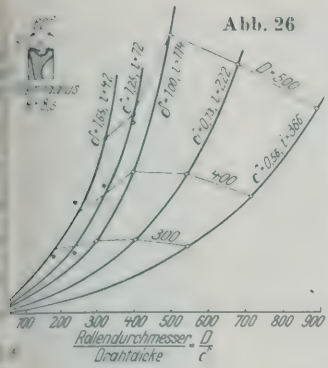


Abb. 26 und 27

Zusammenhang zwischen D und der Lebensdauer von Kreuzschlagseilen.

Versuche, die zur Klärung dieser Fragen mit Seilen von 16 mm Dmr. nach dem Aufbau des Drahtseiles A 16 IN 655 (Kreuzschlag) und AL 16 DIN 655 (Gleichschlag) mit Festigkeiten von 80, 130, 160, 180 und 200 kg/mm² auf Scheiben von 300 und 400 mm Dmr., bei 8,5 mm Rillengrundhalbmesser durchgeführt wurden, haben zu den in Abb. 30 und 31 niedergelegten Ergebnissen geführt. Abb. 30, die die Ergebnisse der Versuche mit gleicher spez. Belastung (30 kg/mm²) wiedergibt, läßt erkennen, daß die Lebensdauer der Zunahme der Drahtfestigkeit nicht folgt, obgleich die Seile mit zunehmender Festigkeit rührerisch im Vorteil sind. Die Seile mit hochfesten läßt erweisen sich in ihrer Lebensdauer den Seilen mit 1 kg/mm² Zugfestigkeit nicht oder nicht wesentlich überlegen.

Abb. 31 gibt die Versuchsergebnisse wieder bei gleichbleibender Sicherheit (4.33) auf Zug. Hierbei sinkt, wie man den Ergebnissen in Abb. 30 zu erwarten ist, die Lebensdauer mit zunehmender Drahtfestigkeit. Die Seile mit Drähten von 130 kg/mm² scheinen nach den bisherigen Versuchen sich günstig zu verhalten.

Zusammenhang zwischen der Anzahl der Biegungswechsel und der Abnahme der Tragkraft eines Seiles

Das Seil ist ein Organ, das im Laufe des Betriebes seinen ursprünglichen Sicherheitsgrad verliert. Abb. 32 zeigt den Zusammenhang zwischen der Anzahl der Biegungswechsel und der Abnahme der Tragkraft eines Kreuzschlagseiles A 16 DIN 655 (130 kg/mm² Zugfestigkeit), und zwar für verschiedene spez. Seilbelastungen von $\sigma_z = 20$ bis 60 kg/mm² bei 400 mm Scheibendurchmesser und 8,5 mm Rillengrundhalbmesser.

Die Seile wurden jeweils nach einer bestimmten Anzahl von Biegungswechseln zerrissen, um die Resttragkraft bzw. die Abnahme der Tragkraft festzustellen.

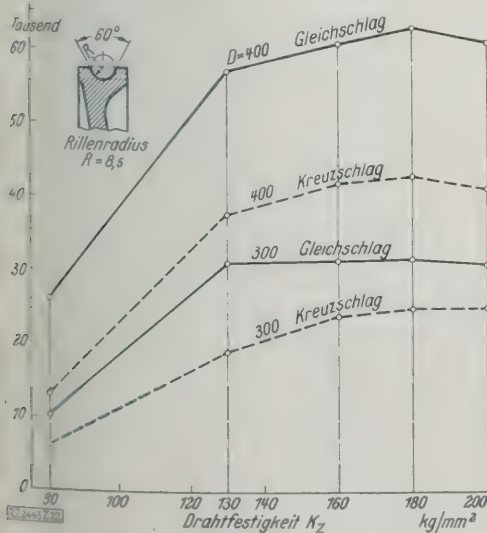


Abb. 30

Abb. 30
Einfluß der Drahtfestigkeit auf die Lebensdauer bei gleicher spez. Seilbelastung.

Abb. 31
Einfluß der Drahtfestigkeit auf die Lebensdauer bei gleichbleibender Sicherheit auf Zug.

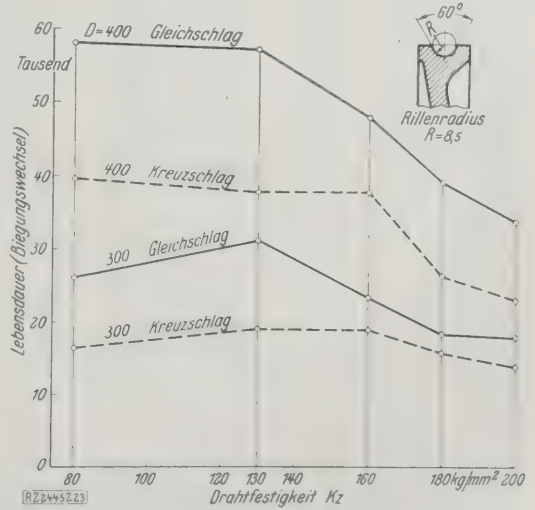
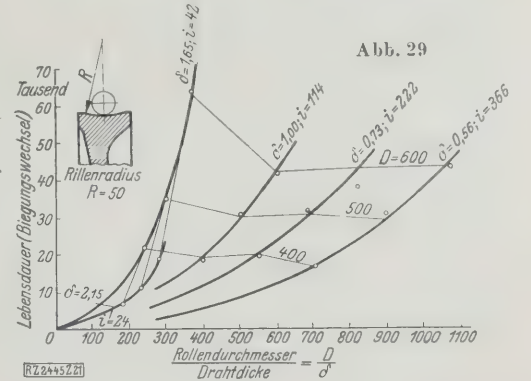


Abb. 31

Abb. 28 und 29
Zusammenhang zwischen D und der Lebensdauer von Gleichschlagseilen



Für die Linie $\sigma_z = 20$ kg/mm² ist in Abb. 32 für eine Reihe von Versuchspunkten der Zerstörungszustand der Seile von vorn und von der Seite gesehen, wiedergegeben.

Die entsprechende Versuchskurve für das Gleichschlagseil AL 16 DIN 655 und für eine spez. Seilbelastung von $\sigma_z = 30$ kg/mm² gibt Abb. 33 wieder. Auch hier ist der Zerstörungsgrad der Seile festgehalten.

Der Vergleich zwischen den beiden Linien für $\sigma_z = 30$ kg/mm² in den Abb. 32 und 33 für Kreuz- und Gleichschlag läßt erkennen, daß die Abnahme an Tragkraft beim Gleichschlagseil wesentlich langsamer erfolgt als beim entsprechenden Kreuzschlagseil.

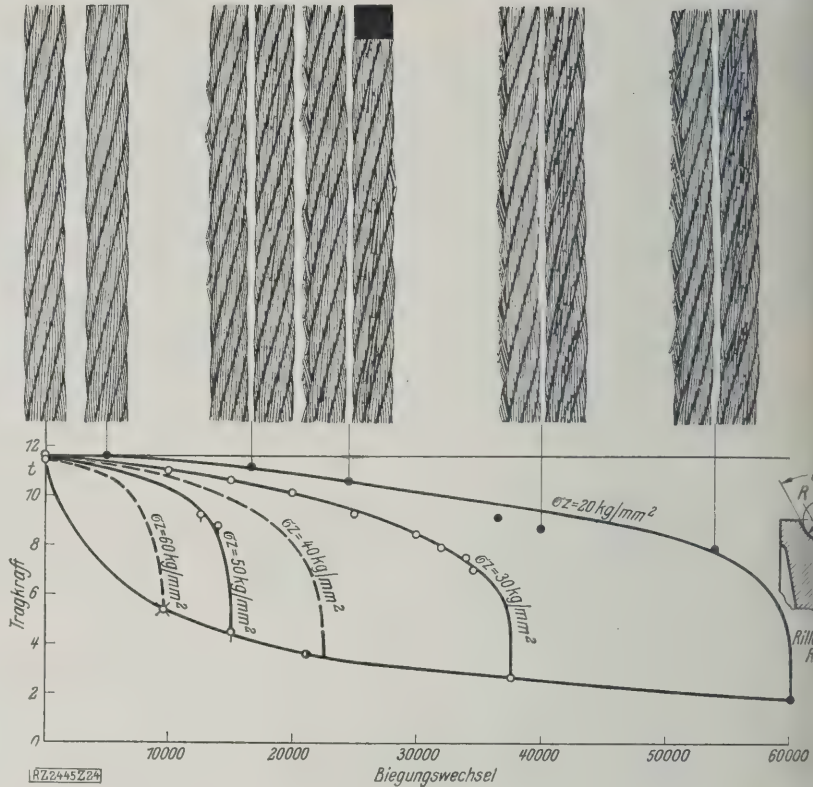
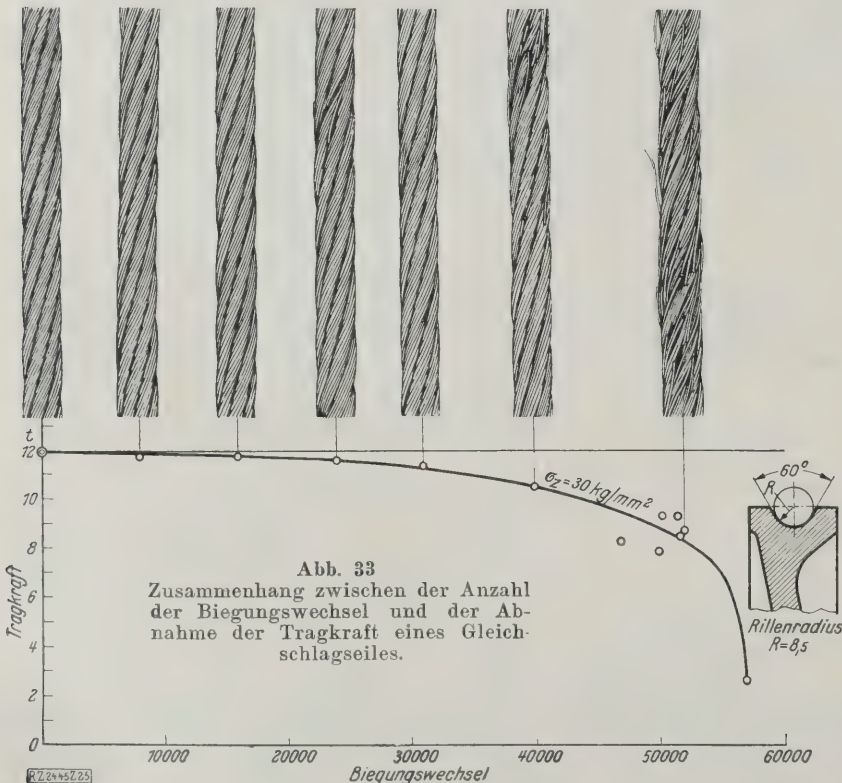
**Zusammenhang zwischen der
Anzahl der Drahtbrüche und
der Abnahme der Tragkraft
eines Seiles**

In Abb. 34 ist für das Kreuzschlagseil A 16 DIN 655 (Zugfestigkeit 130 kg/mm^2) der Zusammenhang zwischen der Anzahl der Drahtbrüche auf 1 m Seillänge und der Abnahme der Tragkraft des Seiles veranschaulicht. Für das dem Versuch unterworfenen Seil zeigte sich ein praktisch linearer Verlauf der Abnahme der Tragkraft. Einer gewissen Drahtbruchzahl entsprach eine bestimmte Abnahme der Tragkraft, gleichgültig mit welcher spez. Zugbelastung ($\sigma_z = 20$ bis 50 kg/mm^2) das betreffende Seilstück gefahren worden war.

Die beigefügten Schaubilder halten den Zustand des Seiles fest, damit der Seilprüfer neben der Drahtbruchzahl ein Vergleichsbild für die aus dem Zerstörungsgrad eines Seiles zu schätzende Abnahme an Tragkraft erhält.

Es ist zu hoffen, daß es auf Grund derartiger Versuchsdiagramme in Zukunft möglich sein wird, Seile rechtzeitig, nicht zu spät, d. h. bei schon drohender Bruchgefahr, aber auch nicht unwirtschaftlich voreilig, abzulegen.

Weitere derartige Versuchsreihen sind in Aussicht genommen mit Seilen, die infolge Gegenbiegung auf zwei gegenüberliegenden Laufflächen Drahtbrüche aufweisen, und mit solchen, die durch Lauf in verschiedenen Ebenen oder durch Drehung ringsum Drahtbrüche zeigen. Ferner werden die Versuche auf Seile verschiedener Drahtzahl und Schlaglänge bei wechselndem Seildurchmesser ausgedehnt.



**Vergleich der Lebensdauer nominell gleichwertiger
Drahtseile**

Die in Abb. 35 eingetragenen Lebensdauerwerte nominell gleichwertigen Drahtseilen, die unter gleichen Versuchsbedingungen (Seildurchmesser 16 mm, Draht 114, spez. Seilbelastung $\sigma_z = 30 \text{ kg/mm}^2$, Scheibendurchmesser 300 und 400 mm, Rillengrundhalbmesser 8,5 mm) gefahren worden waren, sind in Abhängigkeit vom Scheibendurchmesser aufgetragen. Die Seile k, l, m, n, o, p, r, s, t, u, v und w haben einen Aufbau nach A 16 DIN (130 kg/mm^2) oder AL 16 DIN (130 kg/mm^2), während die Seile q und x eine aus dickeren Drähten bestehende Decklage in den Litzen gemäß Abb. 34 (i, vergl. a. Zahlentafel 1, Nr. 33 und 34) aufweisen.

Mit Ausnahme des Seiles q, amerikanischer Fertigung, sind die gezeichneten Seile deutsche Seile verschiedener Herkunft. Diese Seile sind in der Lebensdauer dem hochwertigen amerikanischen Aufzugseil q teils unterlegen, teils gleichwertig, teils überlegen sie es. Auch die Zusammenstellung, Abb. 36, die bei entsprechenden Versuchsbedingungen einen Vergleich zweier deutscher Seile v mit 13 mm Dmr. mit einem vorzüglichem amerikanischen Aufzugseil von 13 mm Dmr. (v) wiedergibt, zeigt die Überlegenheit eines deutschen Seiles.

Bei den Seilen q und x mit 16 mm Dmr. und analog bei dem Seil y mit 13 mm Dmr. haben die Drahtlagen in den Litzen gleiche Schlaglängen, während die Vergleichseile gleiche Flechtwinkel der Drahtlagen in den Litzen aufweisen.

Abb. 35 und 36 verdeutlichen den günstigen Einfluß der Vorformung

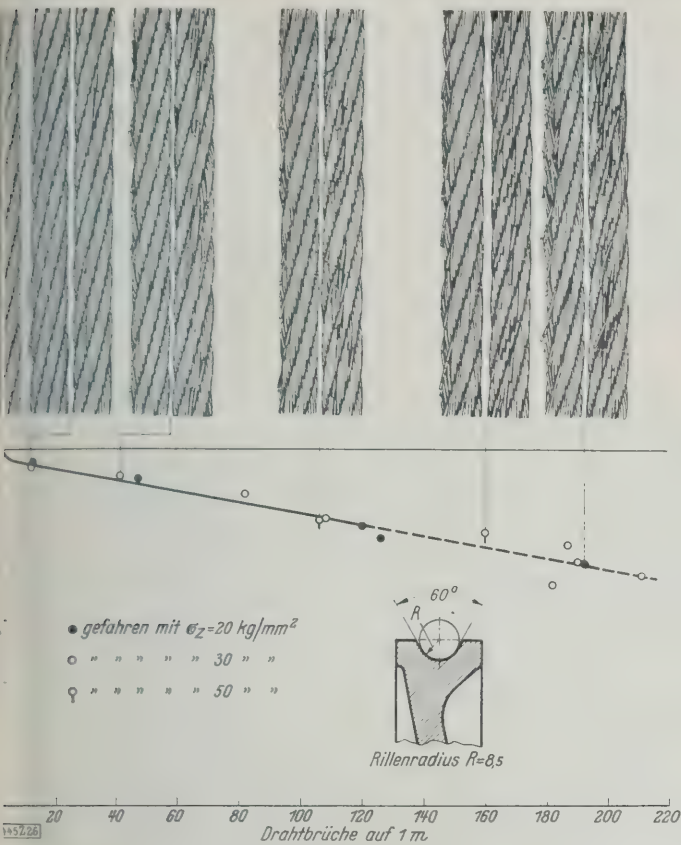


Abb. 34

Zusammenhang zwischen der Anzahl der Drahtbrüche auf 1 m und der Abnahme der Tragkraft eines Kreuzschlageisles.

der Verseilung im Gleichschlag und der Verwendung dickerer Drähte in den Decklagen der Litzen. Ferner scheint die Anordnung gleicher Schlaglängen der Drahtlängen in den Litzen sich günstig auszuwirken.

Einfluß der Verzinkung

Aus Abb. 35 ist auch noch ersichtlich, daß die Lebensdauer des verzinkten Seiles (n , u) nicht unter, sondern etwas über derjenigen des entsprechenden blanken Seiles liegt, in Übereinstimmung mit meinem Hinweis in der Zeitschrift „Maschinenbau“ Bd. 3 (1924) S. 770, Fußnote 21. Die Verzinkung der Versuchseile war vorzüglich. Weitere Versuche mit verzinkten Seilen anderer Herkunft sind in Aussicht genommen.

In der Praxis wird entgegen diesen Ergebnissen meist angenommen, daß sich das verzinkte Seil, verglichen mit dem Seil aus blanken Drähten, gegenüber Umbiegungen ungünstiger verhalte. Die günstige Wirkung der Verzinkung läßt sich aus einer Schmierwirkung des Zinks und vielleicht auch aus einem Vergüten des Drahtes beim Verzinkungs-gang erklären.

Hinzuweisen ist in diesem Zusammenhang auf die Beobachtung von Siegler (Schmidt¹⁾) bei Versuchen im Staatlichen Materialprüfungsamt Berlin-Dahlem, wonach verzinkte und blanke Seildrähte keine wesentlichen Unterschiede in den Festigkeitseigenschaften aufzuweisen scheinen. Meine Versuchsergebnisse stimmen mit dieser Beobachtung bei den Zerreiß- und Dornbiegeversuchen überein. Ich fand jedoch einen erheblichen Unterschied zuungunsten des verzinkten Drahtes bei den Verwindeproben. Dieses ungünstige Ergebnis der Verwindprobe bei den Drähten steht im Gegensatz

¹⁾ Z. Bd. 71 (1927) S. 520.

zu der Bewährung der aus diesen Drähten geschlagenen Seile, denn die oben erwähnten Drahtseil-Dauerversuche ergaben ein günstiges Verhalten der verzinkten Seile.

Seile mit vorgeformten Drähten (Trulay-Seile)

Abb. 16 und 35 bis 37 zeigen, daß die Vorförmung der Drähte bzw. Litzen für die Lebensdauer von Seilen eine günstige Wirkung hat. Die Vergleichseile in Abb. 37 mit 16 mm Seildurchmesser, 130 kg/mm² Zugfestigkeit, mit Drahtzahlen von 114, 72 und 42 sowie Drahtdicken von 1, 1,25 und 1,65 mm wurden auf einem Scheibendurchmesser von 500 mm mit 8,5 mm und 50 mm Rillengrundhalbmesser gefahren. Abb. 16 verdeutlicht für das genannte 114drähtige Seil im Kreuz- und Gleichschlag bei Trulay-Ausbildung den langsameren Anstieg des Zerstörungsverlaufs (Drahtbrüche auf 1 m Seillänge) gegenüber den entsprechenden gewöhnlichen Seilen.

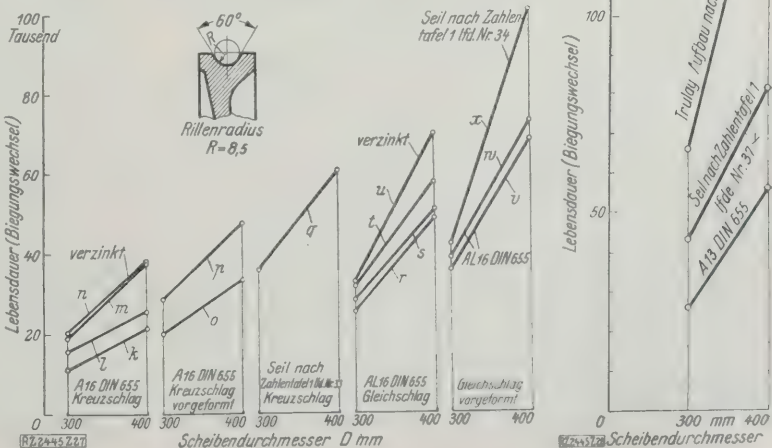
Die günstige Wirkung der Vorförmung auf die Lebensdauer verliert sich nach den bisherigen Versuchen mit zunehmender Drahtdicke, was sich daraus erklären läßt, daß die bei der Verflechtung auftretende Vorförmung der Drähte bei grobdrähtigeren Seilen das Seil bereits angenähert in einen Trulay-Zustand versetzt. Die Seile mit vorgeformten Drähten haben neben einer gewissen Erhöhung der Lebensdauer den Vorteil, daß sie drallfrei und deshalb beim Einbau und im Betrieb bequemer zu handhaben sind als gewöhnliche Seile. Besonders für die Gleichschlageile, die an sich schon eine günstigere Lebensdauer aufweisen und deren Verwendung in gewöhnlicher Ausführung wegen des starken Dralles beschränkt ist, hat die Trulay-Ausbildung große Bedeutung. Die Trulay-Seile ergeben jedoch eine weniger sichere Spleißstelle, verglichen mit gewöhnlichen Seilen, infolge der fehlenden, die Reibung erhöhenden federnden Wirkung der vorgeformten Drähte und Litzen.

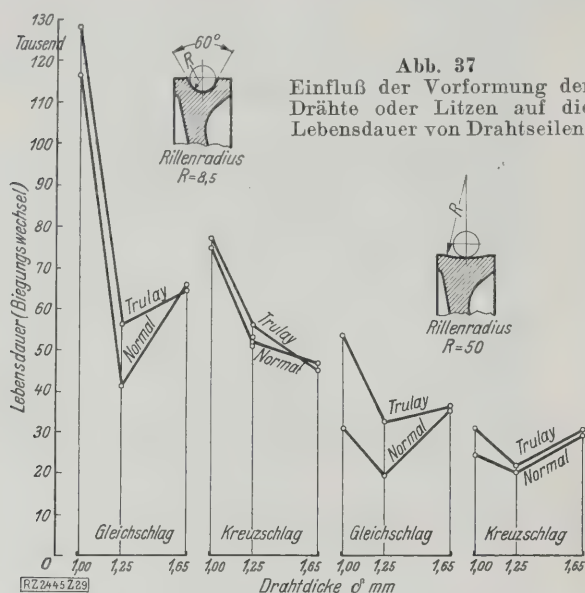
Einfluß der Gegenbiegung (S-Biegung)

Auch der praktisch wichtige Fall der Gegenbiegung (krumm — gerade — entgegengesetzt krumm) wurde in den Bereich der Untersuchungen gezogen. Es zeigte sich bis jetzt bei einem Kreuzschlageil A 16 DIN 655 (Zugfestigkeit 130 kg/mm², spez. Seilbelastung $\sigma_z = 30$ kg/mm², Scheibendurchmesser 500 mm) eine Abnahme der Lebensdauer um etwa 25 vH, verglichen mit dem in gleichem Sinn (krumm — gerade — krumm) gebogenen

Abb. 36 (rechts)
Vergleich der Lebensdauer nominell gleichwertiger Drahtseile (Seildurchmesser 13 mm).

Abb. 35
Vergleich der Lebensdauer nominell gleichwertiger Drahtseile (Seildurchmesser 16 mm).





Seil. Bei dem entsprechenden Gleichschlagseil AL 16 DIN 655 betrug die Abnahme der Lebensdauer bei den gleichen Betriebsbedingungen etwa 40 vH.

Chemische Analyse des Seildrahtwerkstoffes

Wenn zuweilen die Meinung ausgesprochen wird, daß an der Hand von Seildrahtanalysen auf die Bewährung von Seilen geschlossen werden könne, so habe ich auf Grund des Vergleichs, den die Dauerversuche ermöglichen, diese Ansicht bisher nicht bestätigt gefunden. Jene Meinung entstand wohl durch Betriebsbeobachtungen, die, wie in der Einleitung bereits bemerkt, kein sicheres Urteil zulassen.

Ein gesetzmäßiger Zusammenhang zwischen chemischer Zusammensetzung (C, Si, Mn, P, S, Cu) der Seildrähte und der Lebensdauer von Seilen ließ sich trotz vieler Vergleichsversuche bis jetzt nicht gewinnen. Nur weitere umfassende, planmäßige Versuche können bei dieser so verwickelten Sonderaufgabe Aufklärung erhoffen lassen.

Der chemische Aufbau des Rohstoffes ist gewissermaßen als „Erbgut“ des Drahtes anzusehen und ist somit von nicht zu verkennender Bedeutung. Durch „Erziehung“ des Rohstoffes vom Knüttel bis zum fertigen Draht durch den Walz- und Ziehvorgang und durch die Wärmebehandlung wird die Auswirkung des „Erbgutes“ bei der Verwendung des Drahtes im Seil wesentlich beeinflusst. Dazu tritt überlagernd der stark in die Erscheinung tretende Einfluß der Vorseilung, des Seilaufbaues und der Schlagart, schließlich auch der Faserstoffeinlage und des Tränkungs- oder Schmiermittels auf das Verhalten des Drahtes im Seil, auf die Bewährung des Seiles im Betriebe.

Die Lösung der Aufgabe, einen gewissen Zusammenhang zwischen Analyse und Lebensdauer bei Drahtseilen zu finden, erscheint demnach bei der Vielzahl der gekennzeichneten Veränderlichen als recht verwickelt und kostspielig. Ihre Lösung ist aber eine wirtschaftliche Notwendigkeit.

Dornbiege-, Verwinde- und Zerreißproben

Der Dauerversuch mit Drahtseilen erfährt im Gegensatz zu den üblichen Kurzproben (Dornbiege-, Verwinde- und Zerreißproben) das Verhalten des Drahtes im verseilten Zustand unter den Bedingungen, unter denen der Seildraht im Betrieb zu arbeiten gezwungen ist (Kerbwirkung, Verschleiß, Reibung, Pressung zwischen den Seildrähten und der Scheibe usw.). Diese Kurzproben mit Drähten reichen nicht zur Beurteilung der Bewährung von Seilen im Betriebe aus, worauf ich bereits im „Maschinenbau“ Bd. 3 (1924) S. 765 hinwies. Man ist, wie Herbst⁹⁾ sagt, nicht in der Lage, auf Grund guter Ergebnisse dieser Prüfungen eine gute Bewährung des Seiles gewährleisten zu können, auch wenn diese Prüfungen durch chemische Analysen und metallographische Untersuchungen ergänzt werden. Meine Versuche bestätigen diese Erfahrung.

⁹⁾ Z. Bd. 72 (1928) S. 349.

Zusammenfassung

Die Notwendigkeit von Dauerversuchen zur Klärung der Drahtseilfrage, zur Schaffung von Berechnungslagen für Drahtseile ist auf Grund der Versuchsergebnisse nachgewiesen. Die vorliegenden Teilergebnisse, die naturgemäß nur auf die untersuchten Seile beziehen, klären bereits ein gewisses Vorfeld auf und erscheinen geeignet, dem Fachmann Anhaltspunkte zur Bewertung von Seilen zu geben. Die Versuche werden fortgesetzt. Ergänzung der bisherigen Ergebnisse. Insbesondere werden noch Versuche durchgeführt werden zur Aufhellung des Verhaltens der Drahtseile unter den besonderen Verhältnissen, wie sie bei Treibscheibenwinden liegen. Zu dem für diese Untersuchungen erforderlichen Versuchsaufzug wurden die Mittel in dankenswerter Weise von der Notgemeinschaft der Deutschen Wissenschaft zur Verfügung gestellt.

[2445]

Herstellung von Schweißverbindungen bei Gasrohrleitungen

Der Fachausschuß für Schweißtechnik beim Verein deutscher Ingenieure hat vorläufige Richtlinien für die Herstellung von Schweißverbindungen bei Gasrohrleitungen von mehr als 200 mm Dmr. und 1 at Überdruck im Betrieb aufgestellt. Sie wurden mit Vertretern der Hersteller und der Benutzer solcher Leitungen und mit Vertretern der Behörden beraten. Aus den Richtlinien hier folgendes mitgeteilt:

Die Schweißarbeiten dürfen nur von gut ausgebildeten und zuverlässigen Schweißern ausgeführt werden, die eine Eignungsprüfung nach den Richtlinien des Fachausschusses bestanden haben. Außerdem muß der Schweißer an Schweißungen, die den bei der auszuführenden Leitung kommenden Schweißverbindungen ähneln, nachweisen, daß er eine sorgfältig ausgeführte Schweißung auch in jeder Lage ausführen kann. Die Güte der Schweißung ist bei Rohrleitungen, die einer Wasserdrukprobe, sonst durch metallographische Untersuchungen, festzustellen. Die Schweißungen dürfen keine undichten Stellen, Verbrennungen, Schlackeneinschlüsse, mangelhafte Bindungen oder Hohlräume enthalten. Unternehmer muß den Schweißer selbst prüfen, wobei die vollständige zugezogen werden sollten.

Die auftraggebende Firma hat sich darüber zu vergewissern, daß nur ordnungsmäßig geprüfte Schweißer verwendet werden, wobei die Schweißarbeiten durch Überwachungsingenieure beaufsichtigt werden müssen. Jede ausgeführte Schweißstelle, den Namen des Schweißers, der die Arbeit ausgeführt hat, den Zeitpunkt der Schweißung und den Namen des aufsichtführenden Beamten der ausführenden Firma Buch zu führen. Die einzelnen zusammengeschweißten Teile der Gasrohrleitungen sind dem Füllen des Grabens mit Luft unter Betriebsdruck (höchstens 5 at Überdruck) 1 h zu prüfen, wobei die Schweißstellen auf Dichtheit durch Abpinseln mit Seifenwasser oder durch ein ähnliches Verfahren zu untersuchen sind. Die Hauptdruckprobe großer Leitungsstrecken zwischen zwei Schiebern wird nach DIN 2401 mit Luft dem höchsten für die Leitung in Aussicht genommenen Betriebsdruck während 24 h vorgenommen. Undichte Stellen müssen angekreuzt und sorgfältig nachgeschweißt werden.

Die Wahl der Rohrverbindungen und des Schweißverfahrens ist freigestellt. Bei der Verlegung der Rohre dürfen die Rohrenden nicht kalt verformt werden, durch Temperaturschwankungen oder andere Einflüsse (im Bergbau) auftretenden Längsspannungen sind durch geeignete Vorrichtungen (Dehnungsmuffen) aufzunehmen. Der Werkstoff der Rohre darf höchstens 0,2 vH C enthalten. Der Zusatzstoff muß den Richtlinien des Fachausschusses für Schweißtechnik entsprechen. Die Bruchfestigkeit der Schweißung soll mindestens 50 vH der des ungeschweißten Rohrquerschnittes betragen.

Im allgemeinen sollen die Rohrleitungen über dem Graben geschweißt und stoßlos und gleichmäßig im Graben herabgelassen werden. Wird im Graben geschweißt, so müssen die Schweißstellen leicht zugänglich sein; dürfen nicht in Leitungskrümmungen liegen.

In Betrieb befindliche Gasrohrleitungen sind ständig zu überwachen. Störungen müssen sofort beseitigt werden können. Undichte Schweißverbindungen kann man nicht nachschweißen, ohne daß das Gas aus der Leitung entfernt wird, wozu der Gasdruck entsprechend zu vermindern ist; andernfalls muß man das Gas sorgfältig entfernen.

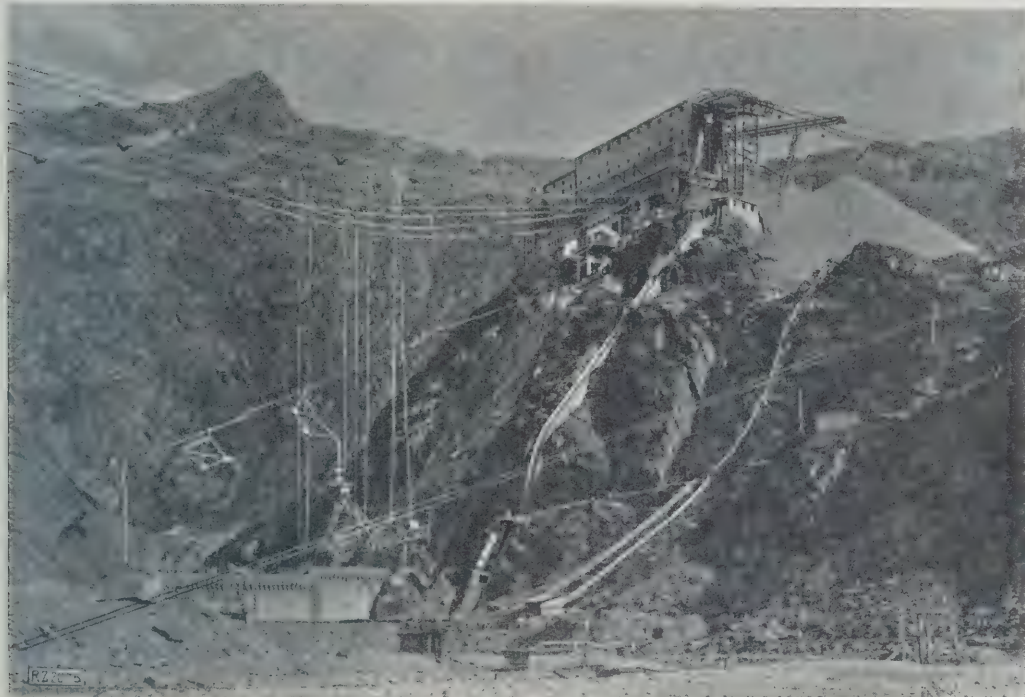
[N 2792]

G.

Kabelkrananlage mit Betongießbühne beim Bau der Staumauer Spitallamm des Grimselspeicherbeckens

Von A. RUBIN, Danzig-Langfuhr

Die zunehmende Verwendung von Kabelkränen zur Gußbetonförderung ist eine Folge der bisherigen günstigen Erfahrungen. Erwünscht erscheint jedoch in manchen Fällen eine Steigerung der Leistungsfähigkeit, um mit dem Gießturmvorgang Schritt zu halten. Eine Hochleistungsanlage wurde im Sommer 1928 zum Bau der Staumauer des Grimselspeicherbeckens in Betrieb genommen, wo innerhalb etwa zwölf reinen Betriebsmonaten rund 340 000 m³ Beton einzubringen sind. Zwei genau gleich ausgebildete Kabelkrananlagen bedienen den Baustreifen von 75 m Breite. Außer den auf 23,2 m verbreiterten und auf zwei besonderen Tragsäulen verfahrbaren „Gießbühnen“ mit Fliegern sind als neuartige Erweiterung „Arbeitsbühnen“ vorgesehen, die hauptsächlich für Schalungsarbeiten bestimmt sind und das Bauwerk von unnötigen Hilfsgerüsten entlasten. Durch Steigerung der Geschwindigkeiten sind bei 3 m³ Förderkübelinhalt Tagesleistungen von 1500 bis 2000 m³ im doppelschichtigen Betrieb und bei mittleren Förderwegen zu erwarten.



Gesamtbild der Gußbeton-Kabelkrananlage zum Bau der Staumauer Spitallamm des Grimselspeicherbeckens.

In neuerer Zeit zeigt sich eine zunehmende Verwendung des Kabelkranes zur Gußbetonförderung auf größeren Baustellen. Hierzu drängt zunächst die wirtschaftliche Notwendigkeit, den häufig als Hebezeug sowieso erforderlichen Kabelkran vollkommener auszunutzen. Auch besondere Verhältnisse können in einzelnen Fällen hierzu zwingen, z.B. dort, wo neben Gußbeton gleichzeitig Blockeinlagen einzubringen sind oder wo sich noch weitere wichtige Aufstellungsarbeiten mit dem Kabelkran erledigen lassen.

Bisherige Erfahrungen

Der erste Grund war mit ausschlaggebend für die Verwendung von Kabelkränen mit Betongießkübel bei der Schwarzenbach-Talsperre¹⁾ des Murgwerkes, der zweite beim Bau des Kraftwerkhauses am Shannon, wo der zur Gußbetonförderung gewählte Kabelkran gleichzeitig die Aufstellung der Kraftwerkmaschinen ermöglicht²⁾. Bei Verwendung von Gießtürmen wären in beiden Fällen noch besondere Hebezeuge notwendig geworden.

Sodann ist der Kabelkran vorteilhaft bei langgestreckten Bauwerken, wo das Gießen andernfalls ungewöhnlich hohe oder mehrere hintereinandergeschaltete Gießtürme, beides fördertechnisch teure und unbefriedigende Anordnungen, erfordert haben würde. Die Be-

förderung von Gußbeton im Kabelkrankübel ist bautechnisch sehr günstig, da keine langen Rinnen zu durchlaufen sind, und man so die Möglichkeit hat, wasserärmeren Beton zu verwenden. Hinzu kommt die hohe Betriebssicherheit besonders beim Arbeiten in der Dunkelheit, im Nebel und bei Nachtfrost, wo Überwachen und Reinhalten ausgedehnter Rinnenanlagen Schwierigkeiten machen. Grundbedingung für die Verwendung einer Kabelkrananlage sind natürlich geeignete örtliche Verhältnisse. In sehr vielen Fällen scheidet sie von vornherein aus.

Unterlegen zeigte sich bisher der Kabelkran als Gußbetonförderer hinsichtlich seiner Leistungsfähigkeit. Ein Vergleich hierfür ließ sich gewinnen bei den Wäggital-Bauarbeiten³⁾, wo Kabelkran und Gießturmanlage nebeneinander arbeiteten. Das Leistungsverhältnis ergab sich dort im praktischen Betrieb durchschnittlich zu etwa 2:1 zugunsten eines Gießturmes. Im Mittel wurden etwa 15 Kabelkranspiele in 1 h erreicht, also bei einem Kübelinhalt von 3 m³ etwa 45 m³/h gegen 65 m³/h eines Gießturmes. Das ist immerhin schon erheblich mehr als bei der Schwarzenbachsperre, wo vier Kabelkrane (zu zwei Doppelanlagen zusammengefaßt) in Betrieb standen und auf einen Kran i. M. nur sechs bis acht Förderspiele bei Kübeln mit 2 m³ Inhalt erzielt werden konnten bei allerdings etwas längeren mittleren Förderwegen. Die Anschaffungskosten werden bei der Wäggital-sperre eben-

¹⁾ Enzweiler, Der Bau der Schwarzenbach-Talsperre, „Bauingenieur“ Bd. 6 (1925) S. 401; ders., Die Fördereinrichtungen beim Bau der Schwarzenbach-Talsperre, Z. Bd. 68 (1924) S. 718.

²⁾ S. Garbottz, „Bauingenieur“ Bd. 8 (1927) S. 449, Enzweiler, Z. Bd. 72 (1928) S. 1481.

³⁾ Nipkow, Gießrinne oder Kabelkran für Staumauern aus Gußbeton? Schweiz. Bauzeitung Bd. 88 (1926) S. 143.

falls höher angegeben. Die Kabelkrananlage soll etwa das 2,9fache der Doppel-Gießturmanlage gekostet haben.

Ein Vergleich der reinen Gesamtanschaffungskosten führt aber zu falschen Schlüssen. Der Gußbeton-Kabelkran ersetzt gleichzeitig zahlreiche Hebezeuge, während die Gießturmanlage nur Beton und allenfalls kleine Blocksteine fördern kann. Der richtige Preisvergleich darf also hinsichtlich der Kabelkrananlage nur diejenige Summe in Rechnung stellen, die mehr aufgewendet werden mußte gegenüber den Kosten eines gewöhnlichen Kabelkranes oder derjenigen Hebezeuge, die bei Nichtvorhandensein eines Kabelkranes in anderer Form hätten eingesetzt werden müssen. Bei der Wäggitalanlage z. B. wäre man ohne Seilkran wohl überhaupt nicht ausgekommen, auch wenn der Gußbeton nur mit Turm und Rinnen gefördert worden wäre.

Die Anlage am Grimselpaß

Beim Bau der Staumauer „Spitallamm“ des Grimsel-speicherbeckens wird wiederum eine in Anordnung, Abmessungen und Leistungsfähigkeit neuartige Gußbeton-Kabelkraneinrichtung verwendet. Sie hat im vergangenen Sommer den Betrieb aufgenommen. Gerade auf dieser Baustelle spielt die Leistungsfähigkeit eine ausschlaggebende Rolle, andererseits hätten die örtlichen Verhältnisse durchaus die Möglichkeit gelassen, den Beton nur mittels Gießturmes einzubringen. Die Baustelle liegt rd. 1850 m über Meeresspiegel, und die klimatischen Verhältnisse sind derart, daß nur etwa drei Monate im Jahr betonierte werden kann. In vier Jahren, also in zwölf reinen Betriebsmonaten, soll die Mauer fertiggestellt sein.

Das Grimselstaubecken mit 100 000 000 m³ nutzbarem Wasserinhalt (bei 82 m Spiegelabsenkung) umfaßt das Quellgebiet der Aare und überflutet das ganze Gelände um und südwestlich des Grimselhospizes. Zum Abschluß sind zwei Staumauern erforderlich, deren wichtigste, die Sperrmauer „Spitallamm“, als Bogenschwergewichtsmauer mit etwa 65 m größter Grundflächenbreite, 4,3 m Kronenbreite und 248 m Kronenlänge bei etwa 110 m größter Höhe einen Inhalt von rechnerisch 340 000 m³ Beton erfordert, Abb. 1⁴⁾. Die Kronenhöhe der Mauer liegt auf +1914,5, der Überfall auf +1912, die Talsohle auf etwa +1810 (ohne Aushubtiefe). Die Betonmisch-

⁴⁾ Näheres s. z. B. *Quitmeyer*, Die neuen Kraftwerke im Oberhasli-tal „Zement“ Bd. 17 (1928) S. 762, sowie *Jegher*, Vom Bau des Grimselwerkes der Kraftwerke Oberhasli, Schweiz, Bauzeitung Bd. 92 (1928) S. 155. Weitere Einzelheiten wird *Dir. Kaech*, nach dessen Entwürfen und unter dessen Bauleitung die Gesamtanlagen der Kraftwerke im Oberhasli geschaffen werden, später in dieser Zeitschrift bringen.

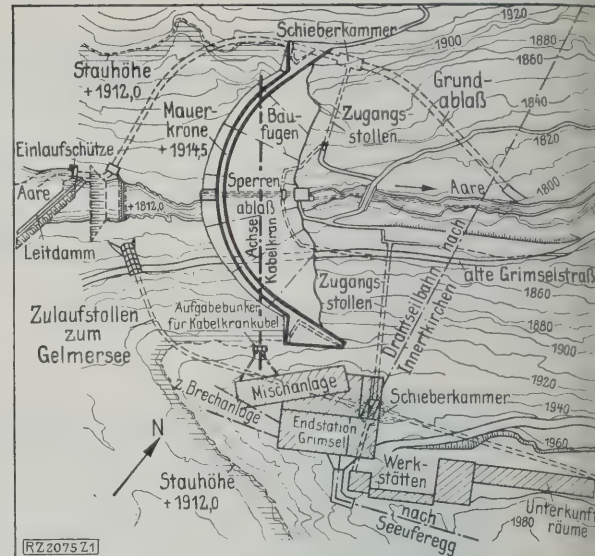


Abb. 1. Lageplan der Spitallamm-Sperre und der Bauanlagen auf dem Nollen.

anlage befindet sich auf dem sogenannten Nollen, ein Erhebung auf der rechten Aareseite, die Ausläufe der Mischmaschinen liegen auf +1928,7, s. Titelbild u. Abb. 2 und 3.

Der Beton fließt über Zwischenbunker in drei nebeneinander liegende Verteilbunker (Bunkerunterka +1908,5) von etwa 8 m Gesamtbreite. Der mittlere Bunker beschickt eine das natürliche Gefälle ausnutzende Gießrinne, die beiden äußeren beliefern die Kabelkrankubel kurzen Rinnen, deren Ausläufe auf +1906 enden.

Zur Zufuhr der Baustelleneinrichtung, des Zementes der Maschinenteile, der Verpflegungsmittel usw. dient die Innertkirchen Eisenbahn, sodann eine 18 km lange Baudrahtseilbahn (Bleichert) von etwa 200 t Leistungsfähigkeit am Tage. Die an Ort und Stelle gewonnenen Zuschlagstoffe werden unterhalb des Nollens auf dem „Aabboden“ in einem Schotterwerk aufbereitet und mittels zweier weiterer Seilbahnen (Pohlig) der Siloanlage auf dem Nollen zugeführt, wo auch die Ferndrahtseilbahn einmündet. Diese wird mit ihren verschiedenen Abzweigungen

allein weit über 100 000 m im Laufe der Bauzeit die verschiedenen Baustellen zu befördern haben. Mit der

Kabelkrananlage mußte entsprechend der Mauergrundriß ein Baulandstreifen von etwa 75 m Breite bestrichen werden können, andererseits gestatteten die steilen Hänge nicht die Aufstellung fahbarer Türme. Diese Verhältnisse zwangen, abweichend von der Ausführung beim Wäggitalwerk, eine Unterteilung in zwei genau gleiche Einzelanlagen und zu einer wesentlichen Verbreiterung der Gießvorrichtung, hier Gießbühnen genannt. Da konnten alle Tragseile mittelbar im Fels verankert werden, wodurch eine nennenswerte Ersparnis und eine erhebliche Vereinfachung erzielte.

Jeder Einzelkabelkran hat zunächst die Fahr-

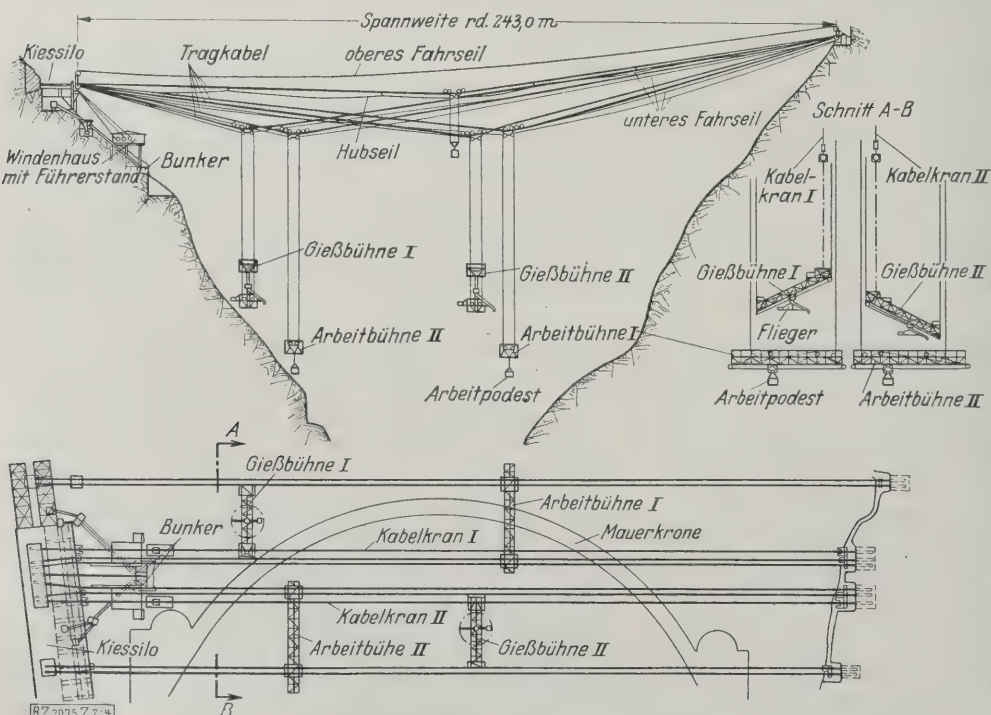


Abb. 2 bis 4. Kabelkrananlage.

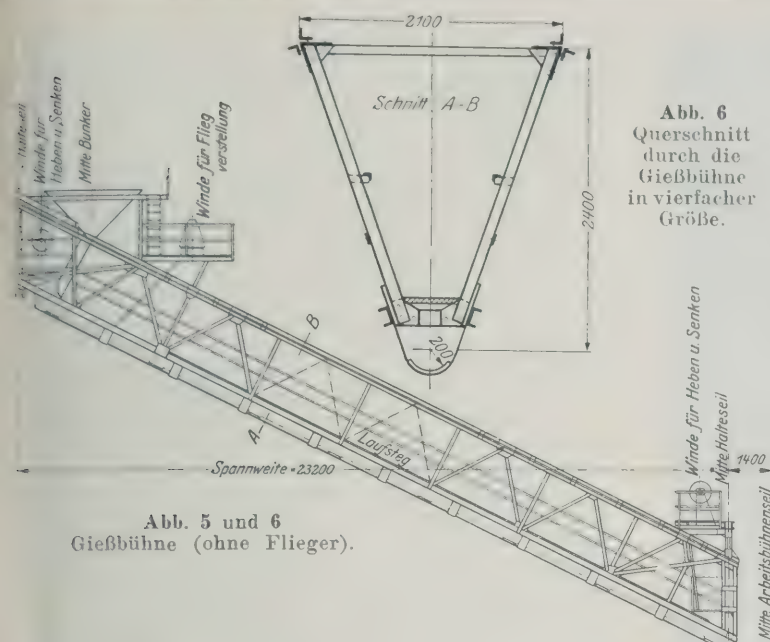


Abb. 5 und 6
Gießbühne (ohne Flieger).

ir eine Kabelkrananlage normaler Bauart für 10 t Tragkraft (sechs Laufräder von 550 mm Dmr. und für Klappreiter⁵⁾ eingerichtet), die einen Betonkübel von 3 m³ Inhalt mit Bodenklappen trägt. Diese Fahrbahn wird gebildet durch ein einziges Tragseil von 50,4 mm Dmr. Der Abstand der Fahrbahnen beider Einzelkabelkrane beträgt 16 m. Der Beton wird aus je einem äußeren der schon genannten bergabebunker aufgenommen, wobei sich die Kübel während des Füllens um etwa 1,8 m senken, Abb. 2 bis 4.

Die Spannweite wechselt infolge des verschiedenen Verlaufes der beiderseitigen Berglehnen. Sie beträgt i. M. d. 243 m bei einem Leerdurchhang von rd. 8 m und einem Vollastdurchhang von etwa 11,25 m. Bei hochgeführter Mauer wird durch stärkere Anspannung der Vollastdurchhang auf etwa 7,5 m verkleinert.

Der Größtdurchhang für die Tragseile der weiteren besprochenen Gieß- und Arbeitsbühnen schwankt um etwa 22,5 m. Die tiefste Seilage der Katzentragseile reicht etwa + 1930, der sonstigen Tragseile etwa + 1922.

Die Betonkübel

entleeren ihren Inhalt in einen Übergabebunker von 6 m³ Fassungsvermögen auf dem erhöht liegenden Ende jeder

Gießbühne.

Diese hat 23,2 m Spannweite. Sie besteht aus einem Fachwerkträger in Dreieckform, dessen Untergurt als Gießbrinne mit 200 mm Halbmesser ausgebildet ist, Abb. 5 bis 8. Die Rinne hat mehrere verschließbare Ausflußöffnungen, unter die der Flieger mit einem Schwenkhalbmesser von 10 m gefahren werden kann. Die Gießbühne hängt von vornerein schräg in einer Neigung von 1:2, entsprechend dem für ein gutes Abfließen des Betons erforderlichen Gefälle. Der Flieger läuft auf den Unterflanschen zweier links und rechts der Rinne angelegter C-Eisen und wird durch Handwinde und 12 mm-Zugseil von einem Podest aus verfahren. Bei Stellung des Fliegers am oberen und unteren Ende der Gießbühne ergibt sich eine größte Betonreichweite für jeden Kran von reichlich 40 m. Die Gießbühne ist verfahrbar, sowie

Abb. 6
Querschnitt durch die Gießbühne in vierfacher Größe.

heb- und senkbar. Als Fahrbahn dienen zwei besondere Tragseile von 59,4 und 46 mm Dmr. An den darauf fahrenden acht- und vierradrigen Doppellaufwerken hängt je eine Gießbühnenseite mittels je zweier Halteseile von 26 oder 19 mm Dmr. Die stärkeren Trag- und Halteseile liegen jeweils auf der Bunkerseite. Die Gießbühne wird motorisch mit 25 m/min verfahren. Zu diesem Zweck greift an jedem Laufwerk ein Fahrseil von 20 und 17 mm Dmr. an. Das Heben und Senken geschieht mittels vier Handwinden. Die Halteseile laufen jedoch nicht unmittelbar über die Handwinden, weil sonst ein zu großes Übersetzungsverhältnis notwendig geworden wäre. Gehoben wird vielmehr auf die Weise, daß durch die Handwinden Spindeln bewegt werden, die mittels Klemm- vorrichtungen an den Halteseilen angreifen. Beim Hochwinden, das nur in größeren Zeitabständen notwendig wird, deshalb auch nur langsam und mit einfachen Mitteln bewerkstelligt zu werden braucht, werden also die an den Halteseilen angeschlossenen Spindeln bis zur Hubbegrenzung eingezogen, wobei alle vier Winden genau gleichmäßig nach aufgestellten Wasserwagen bedient werden

müssen. Alsdann wird die Gießbühne in der neuen Stellung an die Halteseile mittels weiterer besonderer Klemmenplatten angeklemt. Jetzt können erforderlichenfalls die Spindeln wieder entlastet, die zuerst genannten Klemm- vorrichtungen versetzt und alsdann kann das Spiel von neuem wiederholt werden.

Zur Bedienung einer Gießbühne, deren Gewicht ohne Beton etwa 18 t beträgt, genügt im gewöhnlichen Betrieb ein Mann, der das richtige Ablaufen des Betons aus dem Übergabebunker zu überwachen und die Bodenklappen des mit der Kabelkrananlage herangefahrenen Beschickungskübel durch Seilzug zu öffnen und den Flieger zu verstellen hat. Er steht mit der Fliegerwinde auf einem Podest neben dem Bunker. Auf zwei weiteren Podesten an den Gießbühnenenden stehen die vier Handwinden zum Verstellen der Bühnenhöhe. Als Verbindungslaufsteg dient die abgedeckte Betonrinne.

Außer der Gießbühne erhält jeder Kran noch eine, später sogar zwei

Arbeitsbühnen.

Die Anordnung der Arbeitsbühnen ist neuartig und hat vor allem den Zweck, die Schalungsarbeiten zu erleich-

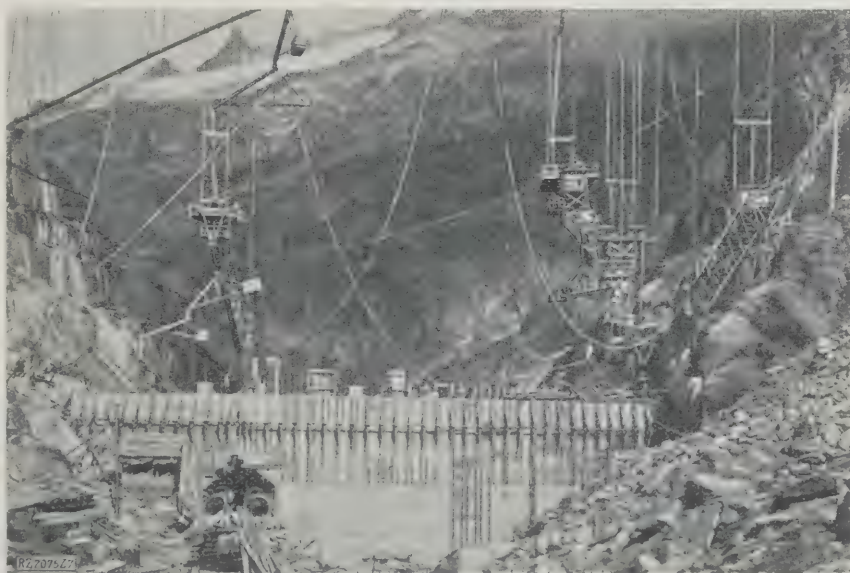


Abb. 7
Die Gießbühne, rechts eine Arbeitsbühne.

⁵⁾ Näheres über den neuen Bleichert- schen Klappreiter, der eine wesentliche Erhöhung der Fahrgeschwindigkeit ermöglicht. Z. Bd. 72 (1928) S. 581.

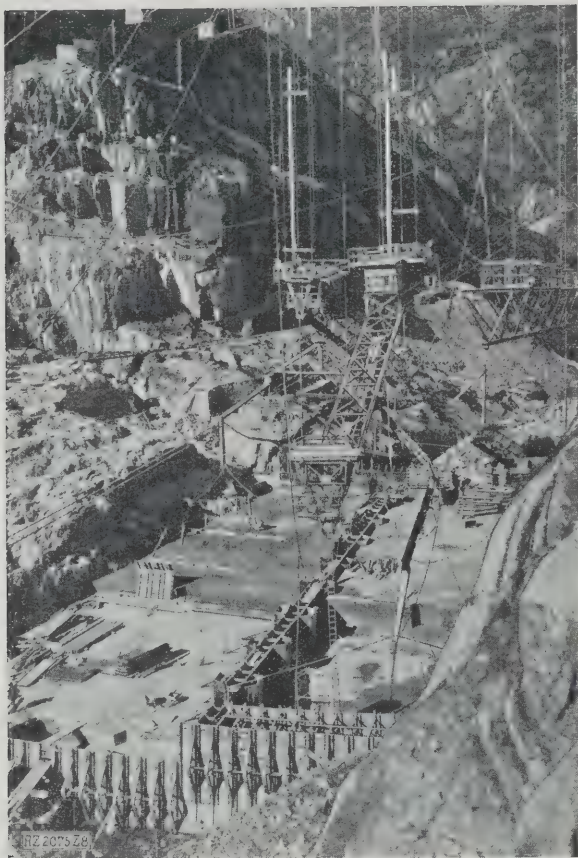


Abb. 8
Die Gießbühnen bei Arbeitsbeginn.

Beschickung der Betonbunker vorläufig durch senkrechte
Rohre von der Gießrinne aus. Rechts eine Arbeitsbühne.

tern, also Schalungsteile und sonstige Behelfseinrichtungen
sowie Personal aufzunehmen und zu befördern und
dadurch auch die Oberfläche des Bauwerkes von allen
Hilfseinrichtungen möglichst freizuhalten. Die Verwen-
dung dieser Arbeitsbühnen bedeutet aber nicht nur eine
Arbeiterleichterung, sondern auch eine Sicherstellung der
Leistungsfähigkeit bezüglich des Betoneinbringens. Man
vermeidet damit Stockungen in der Betonzufuhr, die da-
durch hervorgerufen werden, daß man die Schalung nicht
genügend rasch hochtreiben kann, ein für Baustellen mit
großen Betonierleistungen sehr wichtiger Gesichtspunkt.

Die Arbeitsbühnen sind Fachwerkträger, ebenfalls mit
Dreieckquerschnitt, von 35 m Länge, wagerecht angeordnet
mit Bedienungslaufsteg auf der Oberseite, Abb. 9 und 10.
Sie hängen mittels vier gleichstarker Halteseile von 15 mm
Dmr. an den vierrädrigen Doppelaufwerken, die auf zwei
weiteren Tragseilen von je 41 mm Dmr. und 26 m Ab-
stand verfahren werden. Die Bühnen kragen auf der einen
Seite 3, auf der andern 6 m aus. Der Untergurt besteht
aus einem I-Eisen, auf dem ein Arbeitspodest fährt,
dessen Fahr- und Hubbewegung durch zwei gewöhn-
liche Handwinden von der Arbeitsbühne aus betätigt
wird. Das Arbeitspodest kann etwa 750 kg Nutzlast auf-

nehmen und ist besonders für Schalungs- und sons-
Arbeiten an den Stirnseiten der Mauer bestimmt. J
Arbeitsbühne ist in genau gleicher Art wie die Gießbüh-
durch vier Handwinden heb- und senkbar. Das Verfah-
geschieht von Hand von der Bühne aus durch Zug an e-
losen Ketten, die in den Laufwerken angeordnete
Fahrertriebe betätigen. Durch jede Fahrertriebswi-
läuft ein an den beiderseitigen Berghängen verank-
Fahrseil von 12 m Dmr., das etwa fünf- bis sechsmal
die Reibtrommel herumgewickelt ist. Das Gewicht der
Arbeitsbühne beträgt etwa 10 t. Vorläufig erhält je-
Kran nur eine Arbeitsbühne, mit zunehmender Bauwe-
länge wird jedoch noch eine zweite aufgesetzt. Die
samtbreite, die mit beiden Arbeitsbühnen bestrichen w-
beträgt 72 m. In Abb. 7 und 8 sieht man rechts neben
beiden Gießbühnen auch eine Arbeitsbühne.

Jeder Kran hat sein eigenes Windenhaus, angeord-
über den Beschickbetonbunkern. Vom Windenhaus
wird die Fahr- und Hubbewegung der eigentlichen Ka-
krankatz mit Zubringerkübel gesteuert (Fahrseil 18 mm
Hubseil 20 mm Dmr.), sowie das Verfahren der G-
bühne bewerkstelligt, Abb. 11. Hub- und Fahrwinde
Kabelkrankatz werden angetrieben von je einem Mo-
von 80 und 60 PS, Abb. 12. Die Hubwinde mit St-
blechtrommel von 1120 mm Dmr. hat zwei verschied-
Stirnradübersetzungen, durch Reibkupplungen umsch-
bar. Die große Übersetzung (kleine Hubgeschwindigkeit)
muß eingeschaltet werden beim Heben des mit Beton
füllten Kübels. Da jedoch die Bunkerausläufe nahezu
Kronenhöhe liegen, so ist die große Übersetzung allent-
erst gegen Ende der Bauarbeiten nötig, und man w-
fast ausschließlich mit der kleinen Übersetzung (gr-
Hubgeschwindigkeit) arbeiten können, da ein Heben
vollen Kübels wegfällt.

Die Fahrwinde mit denselben Trommelabmessun-
hat nur eine Geschwindigkeit, erhält jedoch, durch Ku-
lung angeschlossen, die Spillwinde für das Verfahren
Gießbühne. Die beiden Fahrseile von 20 und 17 mm Dmr.
die an den beiden Laufwerken jeder Gießbühne angrei-
werden unter Vorschaltung von Umlenkscheiben viermal
die Spilltrommeln herumgeführt, Abb. 13. Die beiden St-
trommeln sind außerdem gegeneinander durch Klauenku-
lung einstellbar, damit Ungleichheiten, die sich infolge
Unterschieden der Spilltrommeldurchmesser mit der 2
etwa einstellen, ausgeglichen werden können. Die bei-

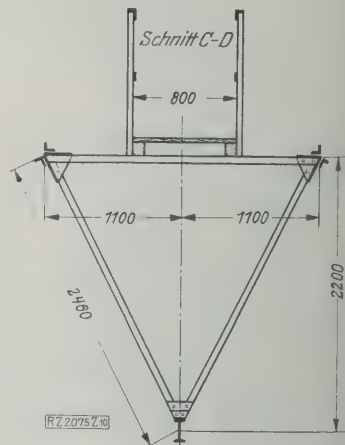


Abb. 9 und 10
Arbeitsbühne

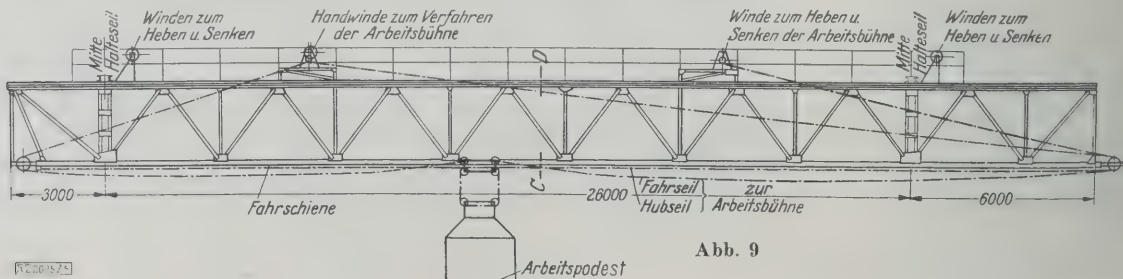


Abb. 9

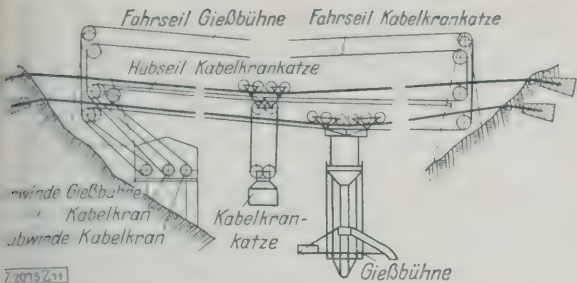


Abb. 11
Schema der Seilführung beim Gußbeton-Kabelkran.

alter für Hub- und Fahrmotoren sowie die im normalen Betrieb zu betätigenden Kupplungshebel sind übersichtlich am jeweiligen Führerstand angeordnet.
Die Geschwindigkeiten, die für die Leistung in der Hauptsache bestimmend bleiben, wurden gegen frühere Ausführungen teilweise erheblich erhöht. Der leere Kübel

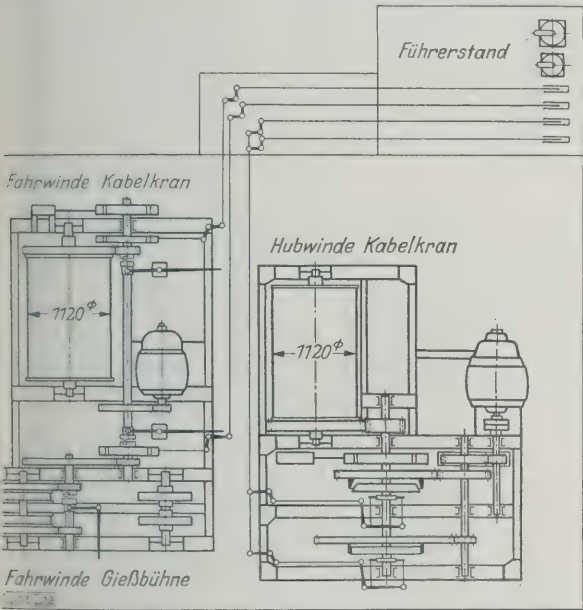


Abb. 12. Antriebschema des Kabelkranes.

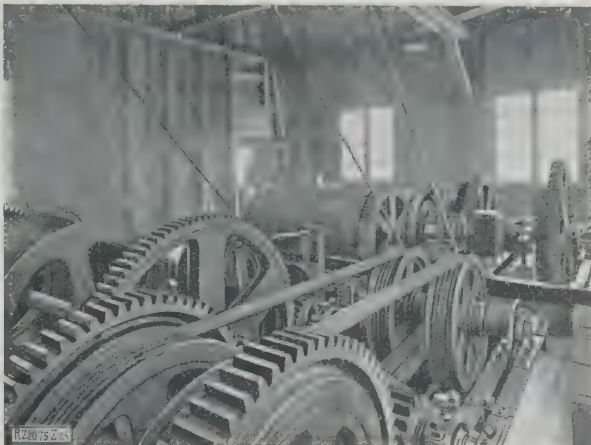


Abb. 13
Antriebwinden eines Kabelkranes.

wird mit 129 m/min gehoben und mit höchstens 200 m/min gesenkt (besondere Senkschaltung, Höchstdrehzahl des Motor 1150 gegen normal 750 U/min), die Katze wird mit 220 m/min verfahren. Muß ausnahmsweise der volle Betonkübel gehoben, also die große Übersetzung eingeschaltet werden, so sinkt die Hubgeschwindigkeit auf 33 m/min. Mit diesen Geschwindigkeiten wird man bei mittleren Förderwegen etwa 26 Spiele eines Kabelkranes in der Stunde erzielen. Das ergibt eine Leistung von 78 m³ Beton für jeden Kran, also etwas mehr als mit einer Gießturmanlage beim Wäggitalwerk erreicht wurde. Die Gesamtanlage gestattet somit, abgesehen von der noch vorhandenen Förderwinde, bei doppelschichtigem Betrieb und unter Berücksichtigung der üblichen Unterbrechungen bis zu 2000 m³ Beton täglich einzubringen. Der Kabelkran ist in der besprochenen Form zu einem geschlossenen Gußbetongerät weiter entwickelt, das dort, wo die örtlichen Verhältnisse seine Verwendung ermöglichen, zur Vereinheitlichung der Baustelleneinrichtung wesentlich beiträgt, s. Titelbild. Die Gesamtanlagekosten können, fertig aufgestellt, auf etwa 350 000 RM geschätzt werden. Entwurf und Lieferung erfolgte durch die Firma A. Bleichert & Co., A.-G., Leipzig, unter Heranziehung schweizerischer Unterlieferer. [B 2075]

Wärmeaustausch in Regeneratoren ¹⁾

Von Priv.-Doz. Dr.-Ing. HELMUTH HAUSEN,
Hüllriegelskreuth bei München

Zum Austausch der Wärme zwischen Gasen von verschiedener Anfangstemperatur dienen in der Technik Regeneratoren oder Rekuperatoren. Während beim Rekuperator die Gase stetig durch Rohre oder Kanäle strömen und Wärme durch Zwischenwände austauschen, wird beim Regenerator die Oberfläche einer wärmespeichernden Masse abwechselnd vom warmen und kalten Gas bespült. Als Regeneratoren arbeiten z. B. die Wärmeaustauscher der Siemens-Martin-Öfen oder die Winderhitzer der Hochöfen. Der ununterbrochene Betrieb erfordert wenigstens zwei Regeneratoren, damit gleichzeitig das warme Gas in einem Regenerator abgekühlt und das kalte Gas in dem anderen erwärmt werden kann.
Eine genaue Theorie hat bisher nur für die erste Abkühlung oder Erwärmung der Regeneratormasse Anzelius ²⁾ und unabhängig davon ausführlicher und allgemeiner Nußelt ³⁾ veröffentlicht ⁴⁾. Im nachfolgenden wird gezeigt, wie
¹⁾ Nach einem Vortrag im Ausschuß für Wärmeforschung des Vereins deutscher Ingenieure am 7. Januar 1928.
²⁾ Vergl. A. Anzelius, Z. f. angew. Math. u. Mech. Bd. 6 (1926) S. 291.
³⁾ Vergl. W. Nußelt, Z. f. angew. Math. u. Mech. Bd. 71 (1927) S. 85. Nußelt hat in dieser Zeit auch den Temperaturverlauf im Dauerbetrieb bei unendlich häufigem Umschalten berechnet.
⁴⁾ Erst nach Abfassung dieses Berichtes sind noch folgende Arbeiten über den Beharrungszustand des Regenerators erschienen: 1. Nußelt, Der Beharrungszustand im Winderhitzer, Z. f. angew. Math. u. Mech. Bd. 72 (1928) S. 652. 2. W. Schmeidler, Mathematische Theorie der Wärmespeicherung, Z. f. angew. Math. u. Mech. Bd. 8 (1928) S. 385.

der gleichmäßig wiederkehrende Temperaturverlauf im Beharrungszustand des Regenerators bei stets gleichbleibender, aber beliebig langer Umschaltedauer exakt berechnet werden kann. Dabei sei vorausgesetzt, daß die Wärmeleitung in der Speichermasse parallel zur Strömungsrichtung des Gases vernachlässigbar klein ist; quer hierzu sei sie hingegen so groß, daß in einem gegebenen Querschnitt zu jeder Zeit die Temperatur der Speichermasse an allen Stellen denselben Wert hat. Diese Forderungen lassen sich praktisch auch bei großer Wärmeleitzahl des verwendeten Stoffes durch genügend feine Aufteilung der Speichermasse verwirklichen. Wegen der Einzelheiten der Rechnung sei auf die ausführliche Abhandlung ⁵⁾ verwiesen.
Aus der Wärmebilanz für ein Regeneratorstück von der Länge dx und für die Zeit dz ergeben sich, wenn das Gas in Richtung der positiven x-Achse strömt, folgende zwei partielle Differentialgleichungen:

$$\left(\frac{\partial \vartheta}{\partial x}\right)_z = -\frac{\alpha H}{V c_p} (\vartheta - t) \quad (1)$$

$$\left(\frac{\partial t}{\partial z}\right)_x = \frac{\alpha H}{C} (\vartheta - t) \quad (2);$$

darin bedeutet

- ϑ die Gastemperatur,
- t die Temperatur der Speichermasse,

⁵⁾ Das erste Berechnungsverfahren, das den Inhalt der Habilitationsschrift des Verfassers vom Februar 1927 bildet, soll demnächst in Z. f. angew. Math. und Mech., das zweite Verfahren an noch unbestimmter Stelle ausführlich veröffentlicht werden.

- α die Wärmeübergangszahl zwischen Gas und Speichermasse,
 H die Oberfläche } der Speichermasse in einem
 C die Wärmekapazität } Regeneratorstück von der Länge 1
 V die in der Zeiteinheit durchströmende Gasmenge,
 c_p die spezifische Wärme des Gases.

Setzen wir zur Abkürzung

$$\frac{\alpha H}{V c_p} x = \xi \quad \text{und} \quad \frac{\alpha H}{C} z = \eta \quad (3),$$

so vereinfachen sich Gl. (1) und (2) zu

$$\left(\frac{\partial \vartheta}{\partial \xi} \right)_{\eta} = t - \vartheta \quad (4)$$

$$\left(\frac{\partial t}{\partial \eta} \right)_{\xi} = \vartheta - t \quad (5).$$

Aus diesen Gleichungen erkennt man, daß die Temperaturen t und ϑ , die zunächst von den sieben Größen: x, z, α, H, C, V und c_p abhängen, als Funktionen von nur zwei Veränderlichen ξ und η dargestellt werden können. ξ und η können wir als Längen- und Zeitkoordinaten mit einem durch die Gleichungen (3) bestimmten reduzierten Maßstab auffassen. Rechnen wir auch die Gesamtlänge L des Regenerators und die Periodendauer Z , d. h. die Zeit zwischen zwei Umschaltungen, auf diese reduzierten Maße um, so können wir

$$\left. \begin{aligned} \Lambda &= \frac{\alpha H}{V c_p} L \text{ als reduzierte Regeneratorlänge} \\ \Pi &= \frac{\alpha H}{C} Z \text{ „ „ Periodendauer} \end{aligned} \right\} \quad (6)$$

bezeichnen.

Bei der Auflösung von Gl. (4) und (5) sind zwei Grenzbedingungen zu beachten: Die eine sagt aus, daß das Gas während der betrachteten Periode am linken Regeneratorende mit der konstanten Temperatur $\vartheta = \Theta_0$ eintreten soll. Die zweite Grenzbedingung, die als Umschaltbedingung bezeichnet sei, folgt aus der Überlegung, daß die Temperatur in der Speichermasse am Ende der Kaltperiode gleich der bei Beginn der Warmperiode sein muß. Gl. (4) und (5) lassen sich in der Weise auflösen, daß man zunächst Lösungen sucht, die nur eine der beiden Grenzbedingungen erfüllen.

Berücksichtigen wir zuerst nur die Umschaltbedingung, so erhalten wir für die Gastemperatur ϑ (bei passender Wahl des Koordinatensystems) Partikularlösungen von folgender Gestalt:

$$\begin{aligned} \varphi_k &= e^{\frac{\eta}{2a_k} - c_k(\xi - \xi_0)} \sin \left\{ \frac{1 + a_k}{r} k \eta - d_k(\xi - \xi_0) \right\} \\ (\psi_k) &= e^{-\frac{\eta}{2a_k} + c_k(\xi + \xi_0)} - (-1)^k \frac{b_k}{1 + a_k} e^{-\frac{\eta}{2a_k} + c_k(\xi + \xi_0)} \\ &\quad \sin \left\{ \frac{1 - a_k}{r} k \eta + d_k(\xi + \xi_0) - \arctg \frac{1}{b_k} \right\} \quad (7), \end{aligned}$$

wobei ξ_0 den Wert von ξ am linken Regeneratorende, $r\pi = \Pi$ die reduzierte Periodendauer, a_k, b_k, c_k und d_k von einem Parameter k abhängige Konstanten bedeuten. k selbst kann alle ganzen positiven reellen Zahlenwerte von null bis unendlich annehmen. Ausdrücke ähnlicher Form ergeben sich für die Temperatur t der Speichermasse.

Für $k = 0$ geht Gl. (7) über in

$$\left. \begin{aligned} \varphi_0 &= \eta - \xi + 1 \\ (\psi_0) &= 0 \end{aligned} \right\} \quad (8),$$

d. h. für $k = 0$ erhält man einen zeitlich und örtlich linearen Temperaturverlauf. Für alle höheren Werte von k stellen die Eigenfunktionen φ_k und ψ_k Temperaturschwingungen dar, deren Amplitude an den Regeneratorenden am größten ist. Am linken Regeneratorende sind diese Schwingungen periodisch (erstes Glied von Gl. (7)), wobei die Schwingungszahl in einer Umschaltperiode angenähert k proportional ist, am rechten Regeneratorende sind sie hingegen aperiodisch (2. Glied).

Um aus den Partikularlösungen (7) eine Gesamtlösung zu erhalten, die auch die Bedingung der konstanten Eintrittstemperatur des Gases erfüllt, setzen wir die Reihe an:

$$\left. \begin{aligned} \vartheta &= \alpha_0 \varphi_0 + \alpha_1 \varphi_1 + \alpha_2 \varphi_2 + \dots + \alpha_k \varphi_k + \dots \\ &+ \beta_1 \psi_1 + \beta_2 \psi_2 + \dots + \beta_k \psi_k + \dots \end{aligned} \right\} \quad (9)$$

und bestimmen hierin die Beiwerte $\alpha_0, \alpha_1, \alpha_2, \dots, \beta_1, \beta_2, \dots$ usw. nach der Methode der kleinsten Quadrate so, daß an der Stelle $\xi = \xi_0$ in den konstanten Wert Θ_0 übergeht. Diese Rechnung ist allerdings sehr mühsam. Physikalisch gesprochen besteht das Verfahren darin, den Vorgang im Regenerator als erzwungene Temperaturschwingung aufzufassen und diese in Eigenschwingungen zu zerlegen.

Ein hiervon grundsätzlich verschiedenes Auflösungsverfahren erhält man, indem man eine Lösung sucht, die zunächst nur die Eintrittsbedingung erfüllt, aber die Anfangstemperatur $t = f(\xi)$ der Speichermasse zur Zeit $t = 0$, d. h. bei Beginn der Periode noch offen läßt. Man erhält auf diese Weise⁹⁾ folgenden Ausdruck für die Temperatur der Speichermasse an der Stelle ξ zur Zeit η :

$$t(\xi, \eta) = - \int_{\varepsilon=0}^{\varepsilon=\xi} f(\varepsilon) e^{-(\xi-\varepsilon+\eta)} i \sqrt{\frac{\eta}{\xi-\varepsilon}} J_1(2i\sqrt{(\xi-\varepsilon)\eta}) d\varepsilon$$

worin i die imaginäre Einheit, J_1 die Besselsche Funktion 1. Ordnung und ε eine Integrationsveränderliche bedeuten. Der Ursprung des Koordinatensystems ist hierbei so gewählt, daß das Gas an der Stelle $\xi = 0$ mit der konstanten Temperatur $\vartheta = 0$ in den Regenerator eintritt. Einen ähnlichen Ausdruck erhält man für die Gastemperatur.

Setzt man zur Abkürzung

$$dy = d\eta(\xi - \varepsilon, \eta) = -e^{-(\xi-\varepsilon+\eta)} i \sqrt{\frac{\eta}{\xi-\varepsilon}} J_1(2i\sqrt{(\xi-\varepsilon)\eta}) d\varepsilon$$

so geht Gl. (10) über in

$$t(\xi, \eta) = \int_{\varepsilon=0}^{\varepsilon=\xi} f(\varepsilon) dy(\xi - \varepsilon, \eta) \quad (11)$$

Die noch unbekannte Anfangstemperatur $t = f(\xi)$ nun so bestimmt werden, daß Gl. (10a) die Umschaltbedingung erfüllt. Mathematisch ausgedrückt lautet diese Umschaltbedingung, wenn das Gas in der nächsten Periode der Stelle $\xi = \Lambda$ mit der Temperatur $\vartheta = 2\Theta_1$ einströmt:

$$t(\xi, \Pi) = 2\Theta_1 - f(\Lambda - \xi).$$

Setzt man $t(\xi, \Pi)$ aus (10a) in (12) ein, so ergibt sich folgende Integralgleichung

$$f(\Lambda - \xi) = 2\Theta_1 - \int_{\varepsilon=0}^{\varepsilon=\xi} f(\varepsilon) dy(\xi - \varepsilon, \Pi)$$

durch deren Auflösung $f(\xi)$ ermittelt werden kann. von Nußelt⁷⁾ angegebene exakte Lösung der Integralgleichung führt zu einer unendlichen Reihe für $f(\xi)$, deren einzelne Glieder jedoch nur durch Näherungsmethoden berechnet werden können. Wesentlich einfacher wird die Lösung, wenn man von vornherein ein Näherungsverfahren einschlägt. Eine für die Praxis besonders geeignete Näherungsmethode, die aus einem später ersichtlichen Grund die Wärmepolmethode bezeichnet sei und grundsätzlich beliebige Genauigkeit zu erreichen gestattet, ist nachstehend beschrieben.

Setzen wir an einer beliebigen Stelle $\varepsilon = \varepsilon_0$ in dem Bereich von der Breite $d\varepsilon$ die Funktion $f(\varepsilon) = f(\varepsilon_0)$ außerhalb dieses Bereiches hingegen gleich null, so erhalten wir eine Anfangstemperaturverteilung wie in Abb. 1. Diese Anhäufung von Wärme an einer eng begrenzten Stelle sei als Wärmepol bezeichnet. Nach Verlauf der Zeit η ein Teil dieser Wärme durch das Gas in die weiter rechts liegenden Teile des Regenerators übertragen worden; Gl. (10a) ist dann die Temperatur an der Stelle ξ

$$t(\xi, \eta) = dy(\xi - \varepsilon_0, \eta)$$

Die Funktion dy stellt somit den Einfluß des Wärmepols an der Stelle ε_0 auf die Stelle ξ dar und soll als Wärmepolfunktion bezeichnet werden. Ist hingegen $f(\varepsilon_0) \neq 0$, ist der Einfluß der Stelle ε_0 auf ξ gleich $f(\varepsilon_0) dy$. Gl. (10a) kann somit als Summe der Einflüsse aller Stellen ε gesehen 0 und ξ auf die Stelle ξ aufgefaßt werden.

Die Näherungsmethode besteht nun darin, daß man das Intervall über die unendlich schmalen Wärmepole durch eine Summe über Wärmepole von endlicher Breite $d\varepsilon$ ersetzt. Wir teilen den Regenerator der Länge L nach in N Stücke von gleicher Länge $d\varepsilon = \frac{L}{N}$. Als Beispiel sei $N = 10$ angenommen.

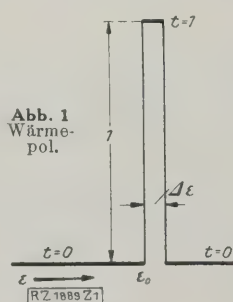


Abb. 1
Wärmepol.

⁹⁾ Der Rechnungsgang ist ähnlich bei Anzelius und Nußelt a. a. O.

⁷⁾ W. Nußelt hatte mir diese Integralgleichung schon vor ihrer Veröffentlichung in Fußnote 4) mitgeteilt, doch war sie zu dem Zeitpunkt meines Vortrages im Ausschuss für Wärmeforschung noch nicht bekannt.

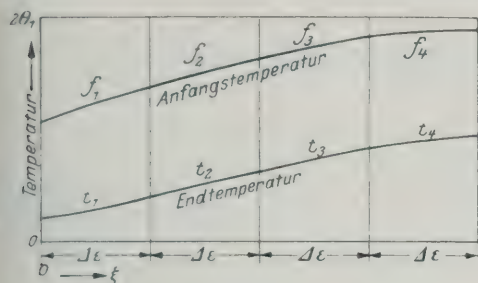


Abb. 2

Aufteilung des Regenerators in Stücke gleicher Länge $\Delta \varepsilon$.

Abb. 2. Dann zerfällt das Diagramm in Abb. 2, in dem die Temperatur der Speichermasse abhängig von ξ (bzw. ε) aufgetragen ist, in vier Streifen von der Breite $\Delta \varepsilon = \frac{1}{4} \cdot f_1$ bis f_4 . Die Mittelwerte der Anfangstemperatur in diesen Streifen, t_1 bis t_4 , die Mittelwerte der Endtemperatur zur Zeit η . In Abb. 3 ist die Wärmepolfunktion Δy , d. h. die Temperatur zur Zeit η für einen Wärmepol von der Breite $\Delta \varepsilon$ dargestellt. Δy_1 bis Δy_4 seien die Mittelwerte von Δy in den Streifen 1 bis 4. Hätte der erste Streifen statt der Höhe f_1 die Höhe f_1 wie in Abb. 2, so wäre die Temperatur in den Streifen zur Zeit η : $f_1 \Delta y_1, f_1 \Delta y_2, f_1 \Delta y_3, f_1 \Delta y_4$. Berücksichtigt man nun auch die Anfangstemperaturen f_2, f_3 und f_4 in den übrigen Streifen, so erhält man folgende mittlere Endtemperaturen:

$$\left. \begin{aligned} \text{Streifen 1: } t_1 &= f_1 \Delta y_1 \\ \text{„ 2: } t_2 &= f_1 \Delta y_2 + f_2 \Delta y_1 \\ \text{„ 3: } t_3 &= f_1 \Delta y_3 + f_2 \Delta y_2 + f_3 \Delta y_1 \\ \text{„ 4: } t_4 &= f_1 \Delta y_4 + f_2 \Delta y_3 + f_3 \Delta y_2 + f_4 \Delta y_1 \end{aligned} \right\} (15).$$

Diese Gleichungen unterscheiden sich von Gl. (10a) nur durch, daß das Integral durch Summen ersetzt ist. In entsprechender Weise treten jetzt an die Stelle der Umschaltzeit (12) die Gleichungen:

$$\left. \begin{aligned} t_1 &= 2 \Theta_1 - f_4 \\ t_2 &= 2 \Theta_1 - f_3 \\ t_3 &= 2 \Theta_1 - f_2 \\ t_4 &= 2 \Theta_1 - f_1 \end{aligned} \right\} (16).$$

Durch Einsetzen von (16) in (15) erhalten wir

$$\left. \begin{aligned} f_1 \Delta y_1 - f_4 &= 2 \Theta_1 \\ f_1 \Delta y_2 - f_2 \Delta y_1 - f_3 &= 2 \Theta_1 \\ f_1 \Delta y_3 + f_2(1 + \Delta y_2) + f_3 \Delta y_1 &= 2 \Theta_1 \\ f_1(1 - \Delta y_4) - f_2 \Delta y_3 + f_3 \Delta y_2 + f_4 \Delta y_1 - 2 \Theta_1 &= 0 \end{aligned} \right\} (17).$$

Durch Auflösen dieser Gleichungen, die der Integralgleichung (13) entsprechen, ergeben sich verhältnismäßig rasch die unbekannten Werte von f_1 bis f_4 . Bei Aufteilung in N gleich lange Regeneratorstücke erhält man in allen praktischen Fällen schon eine sehr hohe Genauigkeit.

Aus den ermittelten Werten $f_1, f_2, \dots, f_n, \dots, f_N$ läßt sich der Wirkungsgrad des Regenerators nach folgender einfachen Formel:

$$\eta_{\text{Reg.}} = \frac{1}{N} \left[\frac{\sum_{n=1}^N f_n}{\Theta_1} - 1 \right] \dots \dots \dots (18),$$

zu berechnen, wenn unter Wirkungsgrad das Verhältnis der im Regenerator wirklich ausgetauschten Wärmemenge zu derjenigen Wärmemenge verstanden wird, welche nötig wäre, um das kalte Gas vollständig bis auf die Temperatur des warmen Gases zu erwärmen.

In Abb. 4 sind die nach Gl. (18) berechneten Werte des Wirkungsgrades als Funktion der reduzierten Regeneratorlänge Λ aufgetragen. Die einzelnen Linien entsprechen verschiedenen Werten der reduzierten Umschaltdauer Π . Im Grenzfall der unendlich kurzen Umschaltdauer, der durch die erste Linie ($\Pi = 0$) dargestellt ist, ist der Wirkungsgrad des Regenerators (von den durch das Umschalten selbst bedingten Störungen ist hier abgesehen) ebenso groß wie der des Rekuperators. In allen praktischen Fällen mit endlicher

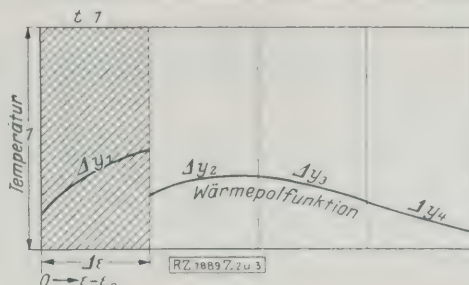


Abb. 3

Wärmepolfunktionen.

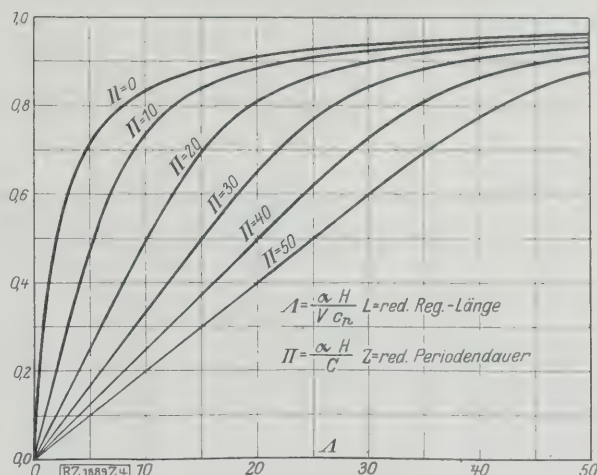


Abb. 4

Wirkungsgrad des Regenerators.

Umschaltdauer ist hingegen der Wirkungsgrad kleiner. Durch dieses Diagramm wird die praktische Berechnung von Regeneratoren sehr erleichtert; man braucht nur die Größen Λ und Π nach Gl. (6) zu berechnen und hiermit aus Abb. 4 den Wirkungsgrad abzulesen. [M 1889]

Bandförderung im Braunkohlentiefbau

In den bis 100 m mächtigen Braunkohlenflözen des Köflach-Voitsberger Bezirkes in Steiermark wird die Kohle im allgemeinen im Querbau in 3,5 bis 4 m mächtigen Scheiben mit anschließendem Zubruchschießen der ausgekohlten Abbauräume angewendet. Mit der Einführung der Bandförderung zur maschinellen Abförderung der hereingeschossenen Kohle mußte man zum Pfeilerrückbau übergehen. Zu diesem Zwecke werden Querschläge zu den parallel zur Markscheide verlaufenden Teilstrecken in sechs Meter Entfernung aufgeföhren. Der Abbau erfolgt im Zuge des Ausrichtungsquerschlages, der laufend mitgebaut wird. Das Hangende bricht ohne besonderes Zubruchschießen in etwa 6 m Entfernung hinter der Abbaufront allmählich herein.

Jeder Abbau von 6 m Breite ist mit einem Förderband ausgerüstet, das die in Stücken bis zu 50 cm anfallende Kohle in Rollöcher ausschüttet. Aus diesen Rollöchern fällt die Kohle über Aufgabetrichter, die auf besonderen Böcken aufgestellt sind und infolge ihrer Bauart eine gleichmäßige Beschickung des Förderbandes zulassen, einem 75 cm breitem Sammelband, Bauart Meco, in der nächsttieferen Sohle zu, das die Kohle eines ganzen Abbaufeldes der Seilbahn auf der Fördersohle zuföhrt¹⁾. Die Bandförderstrecke dient gleichzeitig als Ausrichtungsstrecke der nächstfolgenden Scheibe, in der die Abbaufont um einen spitzen Winkel gegenüber der darüberliegenden gedreht wird. Die größte Abbaulänge beträgt 200 m, entsprechend dreizehn Abbauen, aus denen eine Fördermenge von 300 t je Schicht auf das Sammelförderband abgegeben werden kann. Durch die Einführung der Bandförderung hat sich eine Verminderung des Lohnanteils sowie eine weitgehende Zusammenfassung des Betriebes erzielen lassen. [N 2703] Pr.

¹⁾ Glückauf Bd. 65 (1929) S. 167.

Silikathüttenkunde als Chemie-Ingenieurwissenschaft

Von Eberhard Zschimmer, Karlsruhe

Auszug aus einem Vortrag zur Einführung in das Studium der Silikathüttenkunde an der Technischen Hochschule Karlsruhe

Neben der Eisen- und Metallhüttenkunde soll die Lehre von der Verhüttung des Quarzes und der Silikate als Silikathüttenkunde den Gegenstand einer besonderen Ingenieurwissenschaft bilden. Nach kurzem Eingehen auf das Wesen der Hüttenkunde und der Ingenieurwissenschaft im allgemeinen wird ihr Aufbau umrissen; als Grundwissenschaft wird eine Allgemeine Hüttenkunde gedacht.



Rennfeuerbetrieb bei afrikanischen Volksstämmen. Nach einem Modell des Deutschen Museums.

Weder in Deutschland, noch im Auslande hat man bisher die Silikathüttenkunde als Gegenstand einer in sich abgeschlossenen Ingenieurwissenschaft betrachtet. Wir stehen also vor etwas Neuem, wenn wir mit der Ausbildung von Silikat-Hütteningenieuren beginnen, und ich werde kurz auseinandersetzen, was damit beabsichtigt ist.

Entwicklung der Hüttenkunde

Die Hüttenkunde im allgemeinen umfaßt zwei große Gruppen von Industrien: auf der einen Seite Stahl, Eisen, Metalle überhaupt, auf der andern Seite keramische Erzeugnisse, Glas und Emaillewaren. Das Gemeinsame dieser Industrien hat schon im 17. Jahrhundert der berühmte Glasschmelzer und Technologe Kunkel mit einem kraftvollen deutschen Ausdruck bezeichnet, indem er das Glas „eine Frucht von der wahren Feuerkunst“ nennt.

Das Gemeinsame ist vor allem die Arbeit mit dem offenen Feuer, die Hüttenarbeit oder, wie man auch sagt: die Verhüttung von natürlichen oder künstlichen Rohstoffen (Gesteine, Mineralien, Chemikalien) zu gewissen Werkstoffen und deren Verarbeitung zu Halb- oder Fertigerzeugnissen. Dabei denkt man im allgemeinen nur an solche Erzeugnisse, die in der Hütte selbst oder in unmittelbarem Anschluß an den Hüttenprozeß hergestellt werden. Kennzeichnend für die Hüttenarbeit sind die hohen Temperaturen, die heute praktisch bis 2000 °C reichen. Was unterhalb 400 bis 500 ° liegt, das rechnen wir bereits zur kalten Zone. Gemeinsam und kennzeichnend ist ferner für alle Zweige der Hüttentechnik die Verwertung pyrochemischer Vorgänge: Reduktion, Oxydation, chemische Verbindung und Trennung, Lösung und Absonderung (Kristallisation) von Stoffen im Feuer. Die Struktur der gewonnenen Erzeugnisse ist sehr ver-

schieden. Sowohl bei den Metallen als auch bei den Erzeugnissen, deren Rohstoffe die Kieselsäure (SiO_2) die Silikate (Verbindungen von SiO_2 mit Na_2O , Al_2O_3 usw.) sind.

Wir Hüttenleute stehen auf altem Boden. Unsere Technik reicht zurück bis zur Erfindung des Feuers, des Schmelzens und des Herdes. Zu dieser Zeit wurde die Silikathüttenkunde geboren. Der keramische Schmelz, das Glas, die Glasur und die Verglasung des Metalls, die Emaille. Alles wahrscheinlich in der gleichen Zeitfolge und fast gleichzeitig mit der Verhüttung der Erze in der einfachen Form des Rennfeuerbetriebes, die heute noch afrikanische Volksstämme anwenden. Eine prächtige Darstellung der Eisengewinnung aus afrikanischen Volksstämmen gibt ein Modell des Deutschen Museums¹⁾, das hier das Titelbild zeigt.

Ähnlich haben wir uns die Urtöpferei, die Glashütte und das erste Emaillierwerk vorzustellen. Das Gemeinsame ist allen Zweigen der großen Hüttenindustrie: der eigentümliche Zauber, der über unserer harten, mühsamen Arbeit steht, der uns vor dem überwältigenden, unberechenbaren, zerstörenden und Tücken des Objekts verbindet den Hüttenmann des zwanzigsten Jahrhunderts mit jenen Zauberern von denen die Tontafeln des *Assurbanipal* berichten. Sie unter den Schmelzöfen einen menschlichen Embryo vergruben, dem sie Opfer brachten, um dem Glauben, daß die noch nicht zur Auswirkung gelangte Lebenskraft in den Dienst der Feuerkunst treten würde. Gewiß, die neuzeitliche Hüttentechnik, die

¹⁾ Vergl. die Abbildung im amtlichen Führer 2. Aufl. S. 60.

issenschaft hat vielen dieser zauberhaften Dinge in mystischen Schleier genommen. Dennoch stehen Hüttenleute immer wieder vor neuen Rätseln, neuen Geheimnissen der Natur.

Wesen der Ingenieurwissenschaften

Ich habe hier das Gemeinsame betont, das unsere geschaffene oder vielmehr erst neu zu schaffende Wissenschaft, die Silikathüttenkunde, mit der Metallhüttenkunde verbindet. Dabei habe ich nur den Gegenstand der Betrachtung umrissen; ich habe aber noch nicht gesagt, wie man von einem bloßen Aufzählen und Beschreiben der Dinge und Vorgänge der Hüttenenerfahrung, von einer bloßen Sammlung solcher Kenntnisse und Laboratoriumsergebnisse zu einer regelrechten Wissenschaft gelangt.

Dieser Punkt ist überhaupt bei allen Ingenieurwissenschaften noch etwas dunkel geblieben — ich meine die rein erkenntniskritische Frage nach dem Wesen und dem eigenen Sinn aller Ingenieurwissenschaften überhaupt. Ich habe diese Frage in früheren Schriften und Vorträgen schon ziemlich eingehend behandelt²⁾, um so sehr war ich erfreut, den Vortrag meines verehrten Vorgesetzten *Rudolf Plank* über Naturwissenschaft und Technik auf der Hauptversammlung des Vereines deutscher Ingenieure in Essen (1928) zu lesen³⁾. Ich entlehne ihm ein Gedanke, der, wie mir scheint, den kürzesten Ausdruck bildet sowohl für das wesentlichste Forschungsziel als auch für den eignen Sinn der technischen Wissenschaft, d. h. der Ingenieurwissenschaft: die Idee der Zweckmäßigkeit. Wenn die Idee, der schöpferische Zweck im technischen Schaffen, wie ich es früher einmal ausdrückte, die Macht des Geistes über die Materie ist, so ist die technische Wissenschaft die Lehre von den Mitteln und Wegen, wie man zu dieser Macht gelangt. Und wenn das feststeht, so können wir in der Idee der Wissenschaftsidee der Ingenieurwissenschaften am Ende nur darin erblicken, daß wir als Forscher der Wissenschaft zu entdecken oder zu erkennen haben, wie alles vom Techniker Geschaffene gemacht werden sollte, damit es technisch und wirtschaftlich in der zweckmäßigsten Form gemacht wird.

Freilich können nur die Studierenden, die schon ihre Erfahrungen auf dem Felde der technischen Arbeit haben, die Verantwortung, die der Lehrer einer Ingenieurwissenschaft übernimmt, vollkommen begreifen. Es ist nicht leichter, eine verwickelte mathematische Aufgabe zu lösen, als die Frage zu entscheiden, ob ein technisches Verfahren, eine Bauweise A zweckmäßiger sei als ihr Gegenstück B.

Entsprechend dem gemeinschaftlichen Kennzeichen der verschiedenen Zweige der großen Hüttenindustrie wird es, wie sich voraussehen läßt, eine gemeinsame Grundwissenschaft aller Gebiete der Hüttenkunde geben. Über dieser Grundwissenschaft als Erdgeschoß werden die einzelnen Lehrgebäude der Metallhüttenkunde und der Silikathüttenkunde erheben. Was gehört zum Erdgeschoß? Ich kann es nur skizzenhaft umreißen: 1. Eine allgemeine Theorie der Vergasung und Verfeuerung der Brennstoffe, 2. eine allgemeine Theorie des Aufbaues und der Anlage von Hüttenwerken, 3. die allgemeine Theorie der Massenbewegung, der Wägung, Mischung und Stapelung von Massen, 4. das hüttenmännische Maßwesen und die wissenschaftliche Betriebsführung in Hüttenwerken.

Die besonderen Lehrgebäude, die sich über dieser gemeinsamen Grundlage erheben, haben eine ähnliche Gliederung wie das Ganze. In jedem besonderen Hüttenwesen ist es wieder einen allgemeinen Teil; er umfaßt alles, was in den Untergebieten der Verhüttung der Erze und Metalle oder der Verhüttung des Quarzes und der Silikate gemeinsam vorkommt.

Unser besonderes Fach,

die Silikathüttenkunde,

hat einen Sockel, in dem die allgemeinen Regeln und Grundsätze ruhen, nach denen der Silikathüttenmann arbeiten sollte, einerlei, ob man Glas macht, Ziegel brennt, Porzellan oder Emaillewaren herstellt. Die Regeln und Anweisungen zur Verhüttung des Quarzes und der Silikate bedeuten einfach eine handgreiflichere Fassung jener Grundsätze der Vergasung, Feuerung, Massenbewegung usw., die wir aus der allgemeinen Hüttenkunde kennen. Handgreiflich bedeutet füllig, mehr Einzelnes, Greifbares enthaltend — Greifbares aus den Gebieten der Glasindustrie, der keramischen Industrien und der Emaillewarenherstellung. In der allgemeinen Silikathüttenkunde sollte man nur die Aufgaben und Gegenstände grundsätzlich behandeln, die für alle einzelnen Zweige der Silikathüttenindustrie unmittelbar oder mittelbar Bedeutung haben.

Beispiele

Der Gas-Schwefel, der in der Flamme verbrennt, reagiert mit den Metalloxyden, die als Bestandteil der Gläser, Glasuren, Emailflüsse und keramischen Massen aller Art auftreten. Eine Erörterung der eigentümlichen Erscheinungen, die daraus hervorgehen, gehört in die allgemeine Silikathüttenkunde. Das Verderben der Glasuren in schwefelhaltigen Flammgasen, die Verfärbung keramischer Farben, die Blaufärbung von Borosilikatglas durch kolloidal gelösten Schwefel, die Reizung zum Auskristallisieren von Gläsern (opalartige Trübung durch Cristobalit), die die schwefelhaltige Flamme bewirkt; die Schwefelkrätze, die der Tafelglasmacher beim Einwärmen seines Werkstückes fürchtet, wenn der Schmelzofen oder die Trommel mit zu stark schwefelhaltiger Kohle beheizt wird, die Schwefelkrätze der Ziegel, die sich im Brennofen bilden — alle diese Erscheinungen, die eine ernste Quelle von Herstellungsfehlern bilden, sollte man in der allgemeinen Silikathüttenkunde zusammengefaßt besprechen.

Oder nehmen wir ein dem Maschineningenieur näherliegendes Kapitel: Die Massenbewegung, -wägung, -mischung und -stapelung. Erze werden anders aufbereitet als Tone und Kaoline, Mischmaschinen für Glasgemenge, Porzellanmasse, feuerfeste Massen arbeiten anders als Kohlenmischer und ähnliche Mischeinrichtungen für Grobgut. Die Mühlentechnik der Keramik erfordert besondere Grundsätze, die der Eigenart des Stoffes und seiner Bestimmung entsprechen usw. Dieses alles, gehörig zusammengefaßt, wird die allgemeine Silikathüttenkunde zu lehren haben.

Nun verarbeiten wir den Quarz und die Silikate mit ihrem feuerbeständigen Troß der Borate, Phosphate, Fluoride usw. hütten technisch zu Kunststoffen, die ihrem Ursprung nach ein eigenartiges Verhalten zeigen. Es müssen die einzelnen Wissenschaften folgen, die uns lehren, wie Glas gemacht wird (Glaswaren aller Art), keramische Waren und Emaillewaren.

Aber welch ein Stumpfsinn wäre es, wenn unsere Wissenschaft nichts anderes zu tun wüßte, als eine Beschreibung von den Dingen und Vorgängen anzufertigen, die draußen in der Industrie vorhanden sind. Wir fordern von ihr Erkenntnisse, Ergebnisse einer zähen und in die Tiefe bohrenden

Forschungsarbeit;

mit einem Worte: technische Wahrheit!

Aber was denn noch erforschen, wenn es schon in der Praxis so ist? Hier möchte ich betonen, wie verschieden, wie gänzlich verschieden gerichtet das Forschen und Erkennen des sogenannten reinen Theoretikers gegenüber der Ingenieurwissenschaft ist. Das wirkliche Ding, was da ist — z. B. ein Schmelzofen der Glasindustrie —, dieses Seiende begrifflich zu analysieren, um es einzuordnen in ein System des Seins, sein Werden und Vergehen aus Gesetzen zu erklären, alle die Denkfunktionen des reinen Forschers, den die Liebe zum Wissen treibt, sie liegen für uns in einer Ebene des Erkennens, in der unser Geist sich nicht bewegt, weil er dort nichts zu suchen hat.

²⁾ Vergl. „Philosophie der Technik“. Vom Sinn der Technik und vom Wirk des Unsinns über die Technik. 1. Aufl. Jena 1914, Diederichs; unveränderte Aufl., Jena 1919, Thüringer Verlagsanstalt (Volksbuchverlag). — Naturwissenschaftliches und technisches Denken. „Die Ingenieurwissenschaften“, Bd. 2 (1914) S. 412. — Zur Erkenntniskritik der technischen Wissenschaft: Festschrift anläßlich des hundertjährigen Bestehens der Technischen Hochschule Friedericiana, Karlsruhe 1925, S. 531.

³⁾ Z. Bd. 72 (1928) S. 837.

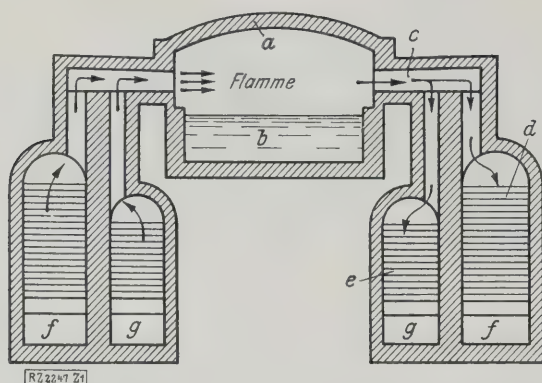


Bild 1
Regenerativwanne zum Glasschmelzen. Schema
nach J. Lamort.

- a Gewölbe
b Bad (Glasschmelze)
c abziehende Flammengase
d Gitterwerk der Luftkammer
e Gitterwerk der Gaskammer
f Luft (bzw. Abgase)
g Gas (" ")

Gesetzt, der Glasschmelzofen sei in jeder Beziehung als Seiendes erforscht. Betrachten wir als anschauliches Beispiel die Prinzipskizze eines Wannenofens mit Regenerativfeuerung, Abb. 1. Wenn man den Ofen genau kennt, dann fängt für unsere Wissenschaft erst die Aufgabe an. Sie lautet: Wie sollte man den Ofen bauen, damit er seinen technischen Zweck in der vollkommensten Form und zugleich in der wirtschaftlichsten Weise erfüllt? Für uns ist der Ofen eine Wärmemaschine⁴⁾.

Wir führen c kcal in Form von Gas aus Gaserzeugern zu; wir wünschen an der Oberfläche des Schmelzbades eine Temperatur von t °C, eine Glasaus-

⁴⁾ Vergl. D. Aufhäuser: Der Glasschmelzofen als Wärmemaschine, Glastechn. Ber. Bd. 6 (1928) S. 372.

beute von m t in 24 h, und zwar von bester Güte bezug auf Farbe, Lauterkeit und Freiheit von Schmelzen. Dieses alles soll aber so vor sich gehen, daß wir täglich von der Blasmachine ausgearbeiteten Glas einen möglichst großen Anteil der zugeführten Wärme wiedergewinnen. Wir stehen damit vor einer äußerst schwierigen Aufgabe der Ingenieurwissenschaft dieses praktisch gebrauchte, durch Generationen vererbte Ding aus feuerfesten Steinen, das an sich ganz dienlich sein mag (der Ofen brennt, er liefert Glas), wirtschaftlich und silikathütten-technisch durchzuführen und nachzurechnen, um festzustellen, ob der Ofen auch zweckmäßig gebaut ist, oder vielmehr: wie er dem heutigen Stand der Silikathüttenkunde gebaut werden sollte, um in Wahrheit zweckmäßig zu sein.

Möglich ist, daß das vorgefundene wirkliche Ding Praxis schon so ist, wie es sein sollte. Nun, dann unsere Wissenschaft eben dieses Urteil zu fällen. Urteil, das die reine Wissenschaft nicht kennt; natürlich so, richtig gemacht! Will die Praxis denn andres von uns wissen als dieses Gut- oder Schlechte der praktischen Dinge? Will die Industrie von der Wissenschaft etwas andres hören als Gebote, wie es in der Praxis am besten gemacht werden sollte?

Nur das ist Ingenieurwissenschaft. Gewiß, wir die Physik und die Chemie zur Hilfe, um die Dinge, denen wir arbeiten, so zu sehen wie ein Uhrwerk. Glas. Nicht etwa, weil das unseren Trieb zur reinen Erkenntnis befriedigte, einzig und allein deshalb, weil die Natur auf diese Weise besser beherrschen.

Wir wollen Wissenschaft treiben. Wissenschaft bedeutet: Kritik, Genauigkeit und Vollständigkeit. Der beste Kritiker ist das System. Wenn alle Erfahrungen Praxis und Beobachtungen des Laboratoriums in Form eines in sich widerspruchlosen Lehrgebäudes stehen, erst dann dürfen wir von einer Silikathüttenkunde als Chemie-Ingenieurwissenschaft sprechen. [B 22]

Die Anwendung der Längsspanantenbauart nach Isherwood

Über die Entwicklung der Längsspanantenbauart nach Isherwood im Laufe der letzten 21 Jahre, seitdem sie im Schiffbau zuerst angewandt worden ist, bringt „The Shipbuilder“ die folgende Zahlentafel, deren letzte Spalten allerdings zusätzlich als Unterschied der einzelnen Jahre berechnet worden sind.

J a h	Gesamtzahl	Gesamttragfähigkeit t	Zuwachs im Jahr	Zuwachs im Jahr an Tragfähigkeit t
1907/8 . . .	6	31 608	—	—
1909 . . .	36	212 992	30	181 384
1910 . . .	76	484 752	40	271 760
1911 . . .	140	958 795	64	474 040
1912 . . .	240	1 777 348	100	818 553
1913 . . .	270	1 993 034	30	215 686
1914 . . .	311	2 351 322	41	358 288
1915 . . .	468	3 548 221	157	1 196 899
1916 . . .	620	4 666 000	152	1 117 779
1917 . . .	800	6 332 150	180	1 666 150
1918 . . .	1050	8 707 700	250	2 375 550
1919 . . .	1260	10 594 700	210	1 887 000
1920 . . .	1395	11 962 400	135	1 367 700
1921 . . .	1418	12 032 400	23	70 000
1922 . . .	1431	12 101 890	13	69 490
1923 . . .	1443	12 174 490	12	72 600
1924 . . .	1472	12 408 700	29	234 210
1925 . . .	1502	12 649 730	30	241 030
1926 . . .	1551	13 096 480	49	446 750
1927 . . .	1618	13 491 380	67	394 900
1928 . . .	1653	13 752 920	35	261 540

Aus dieser Zahlentafel ist ersichtlich, daß der Umfang des Baues von Längsspanantenschiffen im Laufe der Jahre sehr stark geschwankt hat. Die niedrigen Zahlen der Jahre 1921 bis 1923 sind vor allem auf den allgemeinen Niedergang des Schiffbaues in dieser Zeit zurückzuführen. Außerdem ist die Anwendung der Längsspanantenbauart im Laufe

der Zeit immer mehr auf Tankschiffe beschränkt worden, bei denen ihre Vorteile am einwandfreiesten zur Geltung kommen, ohne daß gleichzeitig Nachteile in Erscheinung treten. Bei andern Schiffen als bei Tankschiffen hat vielfach gezeigt, daß die hohen Rahmenspananten den Bau zu stark beeinträchtigt.

Der Gewichtsvorteil, den die ersten Schiffe der Längsspanantenbauweise gegenüber Querspanantenschiffen zeigten, außerdem zum Teil dadurch verringert worden, daß die Querspanantenbauweise im Laufe der Zeit vervollkommen und im Gewicht verringert wurde. Eine ähnliche Entwicklung scheint sich übrigens auch in bezug auf den Bau von Tankschiffen geltend zu machen; in den letzten Jahren sind verschiedene neue Tankschiffbauarten eingeführt worden, die der fast ausschließlichen Verwendung der Längsspanantenbauweise im Tankschiffbau Abbruch getan haben.

Unter den im letzten Jahre fertiggestellten nach der Längsspanantenbauart ausgeführten Schiffen befinden sich Fahrzeuge von mehr als 10 000 t Tragfähigkeit und durchweg Motortankschiffe; das größte Schiff war gleichzeitig größte Tankschiff „C. O. Stillman“ von 21 000 t Tragfähigkeit; die Tragfähigkeit dieser 16 Tankschiffe trug im Mittel 14 000 t, ein Beweis dafür, daß heute für die Tankschiffahrt nur noch große Fahrzeuge gebaut werden. Fast alle diese Schiffe sind nach der neuen sogenannten knielosen Bauweise ausgeführt, über die bisher gute Erfahrungen vorliegen.

Wohl infolge der geringeren Verwendung des Längsspanantensystems im Tankschiffbau hat Isherwood der Längsspanantenbauart wieder mehr Aufmerksamkeit zugewendet; bei dieser sind nur der Boden und Decks mit Längsspananten gebaut, die Seiten dagegen mit gewöhnlichen Querspananten. Nach dieser gemischten Bauweise sind in den letzten Jahren u. a. zwei hochwichtige schnelllaufende Frachtschiffe von etwa 9000 t Tragfähigkeit auf britischen Werften gebaut worden, ferner zwei für die Treibstoffbeförderung bestimmte Schiffe. Die bisher insgesamten Isherwood-Schiffe verteilen sich auf 822 Ozeanische Frachtschiffe, 7 728 450 t Tragfähigkeit und 831 Frachtdampfer, Kohlendampfer, Erzdampfer, Dampfer für nordamerikanischen Seehandel und verschiedene andere Frachtdampfer. („Shipbuilder“ Bd. 36 (1929) S. 168)

Die neue Zentralkokerei auf Zeche Emil, Essen-Altenessen

Von Dipl.-Ing. R. GAU, Essen

Unterschiede in der technischen Entwicklung neuzeitlicher amerikanischer und deutscher Großkokereien. Beschreibung der neuen Zentralkokerei auf Zeche Emil, Essen-Altenessen, bestehend aus drei Batterien zu je 39 Großleistungsöfen mit einer Kokserzeugung von 600 000 t im Jahr. Abmessung einer Kammer; Garungszeit der Kohlen. In den 117 Öfen werden aus 2400 t Kohlen 1650 t Koks hergestellt; Angaben über die Nebenerzeugnisse. Bauart und Arbeitsweise der Öfen, die vollkommen mechanisch bedient werden. Die hierzu notwendigen Einrichtungen. Die Gewinnungsanlagen für die Nebenerzeugnisse.

In den letzten Jahren hat man in Deutschland ganz erhebliche Anstrengungen gemacht, den Vorsprung, den Amerika im Kokereiwesen dank seiner reichen Mittel seiner durch den Krieg außerordentlich begünstigten Wirtschaft im letzten Jahrzehnt erringen konnte, wieder einholen. Die in der Großindustrie und im Bergbau notwendig gewordene Rationalisierung mußte sich zwangsläufig auch auf die Kokereien erstrecken, und so sind in den letzten Jahren namentlich im Ruhrgebiet eine Reihe von neuzeitlichen Großkokereien¹⁾ entstanden, die in ihrer Beziehung die noch bis vor kurzem als vorbildgeltenden amerikanischen Kokereien in bezug auf technische Durchbildung, weitgehende Mechanisierung und wirtschaftliche Betriebsweise übertreffen dürften.

Entwicklung in Amerika und Deutschland

Dabei ist die Entwicklung bei uns durchaus anders verlaufen als in Amerika. Dort strebte man hauptsächlich nach einer größtmöglichen Steigerung des Durchsatzes, selbst auf Kosten der Großstückigkeit des Kokses und des Ausbringens an Nebenerzeugnissen, was man durch schmale, nur 350 mm breite Kammern und nur 11 h Garungszeit zu erreichen suchte. Dagegen ging man bei uns nach wie vor das größte Gewicht auf Erzeugung eines großstückigen Kokses, auf gute Wärmeisolation und ungeschmälertes Ausbringen an Teer, Phenol, Benzol und eines guten, für die Ferngasverwendung geeigneten Gases. Man ist daher bei uns von jeher teilweise für vorteilhaft angesehenen schmalen Ofenkammern mit 350 mm mittlerer Breite im allgemeinen abgekommen und hat bei den neueren Anlagen

400 bis 500 mm Kammerbreiten gewählt mit 18 bis 24 h Garungszeit.

Da nun die bisher üblichen kleinen Kokereien auf den einzelnen Schachtanlagen infolge schlechter Ausnutzung der Belegschaft und der Maschinen unter den heutigen Wirtschaftsverhältnissen nicht mehr vorteilhaft arbeiten, müssen diese allmählich den Zentralkokereien, die mehrere ältere Betriebe zusammenfassen, weichen. Die Kokserzeugung, die früher je Kokerei etwa 250 000 bis 300 000 t jährlich betrug, ist bei den neuzeitlichen Großkokereien auf 600 000 t bis über 1 Mill. t gesteigert. Entsprechend sind auch die Leistungen der Ofenkammern von je rd. 2100 auf 5000 bis 8000 t im Jahr gestiegen.

Die neue Kokerei auf Zeche Emil

Ein kennzeichnendes Beispiel für diese neuzeitliche Entwicklung zum Großbetriebe bietet die neue Zentralkokerei des Köln-Neuessener Bergwerksvereins, die im Jahre 1928 auf der Schachtanlage Emil, Essen-Altenessen, in Betrieb genommen wurde. Durch diese Anlage werden die bisher bestehenden kleineren Kokereien der Gesellschaft auf den Schächten Heinrich, Karl und Anna-Emil, die nach heutigen Begriffen schon veraltet waren, zu einer Großkokerei zusammengefaßt, Abb. 1.

Die alte Anlage auf Schacht Heinrich besteht aus 120 Öfen mit einer Jahresleistung von 290 000 t Koks, die auf Schacht Karl aus 80 Öfen mit 130 000 t jährlicher Kokserzeugung und die alte Anlage auf Anna-Emil hatte 60 Öfen mit einer Leistung von 100 000 t Koks. Zusammen leisten daher die alten Anlagen mit insgesamt 260 Öfen 520 000 t Koks im Jahr. Die neue Anlage auf Schacht Emil besteht aus drei Batterien zu je 39 Großleistungskoksöfen mit einer Kokserzeugung von 600 000 t im Jahr. Für den endgültigen Ausbau der Anlage ist noch eine vierte Batterie von 39 Öfen vorgesehen, mit der die Gesamtanlage dann 800 000 t im Jahr erzeugt.

Der Inhalt einer Ofenkammer beträgt 17,8 t feuchte Kokskohle mit rd. 12 vH Wassergehalt. Die Kammer ist 12 000 mm lang, 3600 mm hoch und, bei einer Verbreiterung des Querschnittes von der Maschinenseite zur Koksseite um 60 mm, in der Mitte 475 mm breit. Die übliche Garungszeit beträgt etwa 20 bis 21 h, doch hat sich erwiesen, daß die Öfen im Bedarfsfalle auch mit der für diese Ofenbreite recht kurzen Zeit von 18 bis 19 h be-

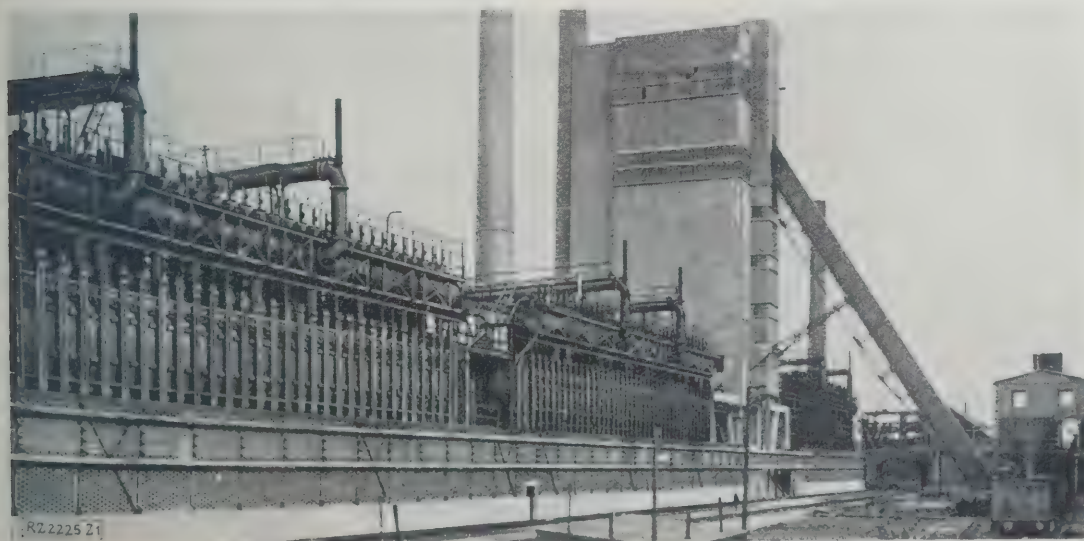


Abb. 1

Zentralkokerei der Zeche Emil des Köln-Neuessener Bergwerksvereins, Essen-Altenessen.

Ansicht von der Maschinenseite.

¹⁾ Vergl. S. 444 dieses Heftes.

trieben werden konnten. Von den bisher erbauten 117 Öfen werden bei Vollbetrieb täglich rd. 2400 t feuchte Kokskohle verarbeitet und 1650 t Koks hergestellt. An Nebenerzeugnissen werden dabei etwa 75 t Teer, 26 t schwefelsaures Ammoniak und 16 t Benzol täglich gewonnen.

Verarbeitet werden die auf den Schachtanlagen Emil, Fritz und Karl entfallenden Fettfeinkohlen, von denen die Kohle von Schacht Emil nach der Tiegelprobe (Bochumer Verfahren) etwa 24 vH flüchtige Bestandteile hat, die von Schacht Fritz 33 vH, und die Kohle von Schacht Karl 28 vH. Aus der Mischkohle gewinnt man im Mittel 75,5 vH trockenen Koks, bezogen auf trockene Kohle. Der Koks hat nach der Trommelprobe (auch Micumprobe genannt) eine Festigkeit von 79 vH, d. h. nach 100 Umläufen der Probetrommel in 4 min sind noch 79 vH Stücke von über 40 mm Größe vorhanden.

Die Ofenwände der beiden ersten Batterien sind bis zum Sohlkanal einschließlich in Silikasteinen ausgeführt, für den Unterbau mit den Regeneratoren wurden Schamottesteine verwendet. Bei der Batterie III wurden die Wände aus hochsauren Schamottesteinen hergestellt, um bei Kokeinschränkungen diese Anlage III als Pufferbatterie betreiben zu können; denn die Schamottesteine vertragen Schwankungen in der Temperatur und vollständige Stilllegungen besser als die in dieser Beziehung sehr empfindlichen Silikasteine. Ferner war die Bauzeit sehr kurz und bei dem damals sehr starken Beschäftigungsgrad der Silikasteinfabriken die rechtzeitige Herstellung der Silikasteine unmöglich.

Die Gesamtanlage wurde von der Firma Kogag, Koksofenbau und Gasverwertung A.-G., Essen, errichtet, nach deren Bauart bereits zwei Ofenbatterien auf Schacht Emscher des Köln-Neuessener Bergwerksvereins und eine Batterie auf der Zeche Radbod, Hamm i. W., der Bergwerksgesellschaft Trier erbaut waren. Die Öfen wurden als Verbundöfen ausgeführt, die man wahlweise mit eigenem Destillationsgas oder mit aus Koksabfällen herzustellendem Gas aus Gaserzeugern beheizen kann. Im ersten Falle würden nach Abzug des für die Beheizung der Öfen dienenden Koksofengases noch 400 000 m³ Überschussgas täglich zur Verfügung stehen, bei Beheizung der Öfen mit Gas aus Gaserzeugern dagegen 700 000 m³.

Eine Verwertung des hochwertigen Koksofengases, das einen oberen Heizwert von wenigstens 4800 kcal/kg bei 0° und 760 mm Q.-S. hat, als Leuchtgas für die Ferngasversorgung darf dank der rührigen Tätigkeit der Ruhrgas-A.-G., Essen, für den Ausbau der Ferngaslieferungen zuversichtlich erwartet werden. Die Ferngasanlage auf Schacht Emil ist bereits im Bau und ein Teil des Überschussgases wird schon heute als Stadtgas nach Essen geliefert.

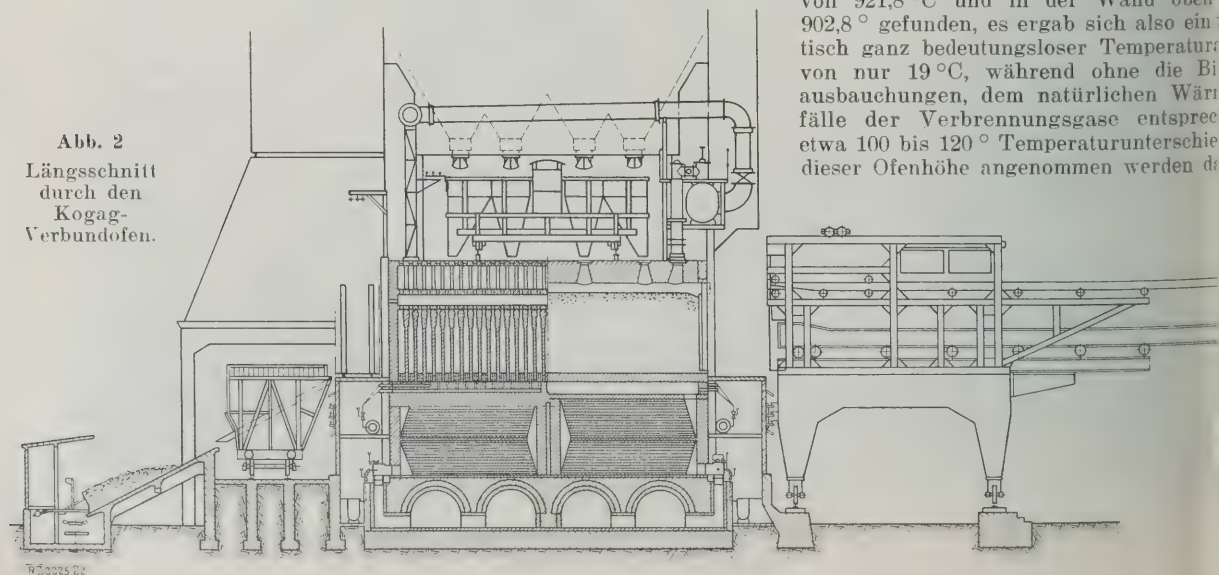
Wärmevorgänge

Abb. 2 zeigt Bauart und Arbeitsweise der Öfen wie auch den Gang der Verbrennungs- und Abgas im Ofen. Als Besonderheit der Kogag-Bauweise folgendes hervorzuheben: Um die Wärmeverluste durch Strahlung an den Stirnseiten der Öfen auszugleichen beheizt man die Kopfheizzüge an den Ofenenden statt durch besondere Gaszuführungen. Infolge der Führung einer wagerechten Zunge im Regenerator wird Luft zwangsläufig durch die Regeneratorfüllung hindurchgeleitet und die Entstehung toter Ecken vermieden. Ist weiter hierbei, daß die Regeneratoren nicht in üblicher Weise mit Gittersteinen ausgesetzt sind, sondern als Füllung Chamottetrohre erhielten, durch zwischen die die Gase der Länge nach hindurchstreichen. Der Strömungswiderstand der Gase ist hierbei gering und die wärmeübertragende Fläche gegenüber den Gittersteinen vergrößert. Die Anordnung, daß die vorgewärmte Luft an den Stirnseiten der Öfen aus dem Regenerator nach oben in den Verteilkanal tritt, ergibt auch weiteres eine bevorzugte Versorgung der Kopfheizzüge mit Verbrennungsluft.

Die Schwierigkeit, die hohen Ofenkammern bei seitiger Beheizung von unten gleichmäßig zu erwärmen ist bei diesen Öfen dadurch gelöst, daß die Binder Heizzüge in den oberen Lagen entsprechend der oben hin abnehmenden Flammentemperatur fortschreitend ausgebaucht sind, Abb. 4 und 5. Dadurch wird erreicht, daß die Heizgase im oberen Teil der Heizwand an die Kammerwände herangedrängt werden und die größere Geschwindigkeit erhalten, so daß die Wärmeübertragung durch Berührung und Leitung verbessert wird; ferner wird die Abstrahlung der Wärme innerhalb der Heizzüge von den beiderseits beheizten, höher erhitzten Bindern auf die Läufer durch die Ausbauchungen gefördert, da die Strahlungsintensität mit dem Einstrahlungswinkel wächst. Die durch Strahlung hier übertragene Wärmemenge ist sehr erheblich, da sie nach dem *Stefan-Boltzmannschen* Gesetz mit der vierten Potenz der Differenz der absoluten Temperaturen wächst. Durch Ausbildung der Heizwand wird jedenfalls erreicht, ein irgendwie praktisch ins Gewicht fallender Temperaturunterschied in der Heizwand in senkrechter Richtung nicht mehr besteht und die Verkokung daher vollkommen gleichmäßig fortschreitet.

Messungen von neutraler Seite liegen für die Koksofenanlage auf Zeche Emil leider noch nicht vor, dagegen wurde gelegentlich des Abnahmeversuches der nach derselben Bauweise erbauten 3,4 m hohen Koksofen auf Zeche Radbod, Hamm i. W., durch den Dampfkesselverein des Oberamtsbezirks Dortmund als Mittel von rd. je 100 Messungen der Kammertemperaturen unten und oben unmittelbar nach dem Ausdrücken des Kokses in etwa 1 bis 2 m Höhe von der Ofensohle eine Durchschnittstemperatur von 921,8°C und in der Wand oben 902,8°C gefunden, es ergab sich also ein fast gleichmäßig ganz bedeutungsloser Temperaturunterschied von nur 19°C, während ohne die Binderausbauchungen, dem natürlichen Wärmeabstrahlungsfälle der Verbrennungsgase entsprechend, etwa 100 bis 120°C Temperaturunterschiede in dieser Ofenhöhe angenommen werden würden.

Abb. 2
Längsschnitt
durch den
Kogag-
Verbundofen.



Die Ofendecke ist nicht wie sonst üblich in Gewölberwerk, sondern in feuerfester Stampfmasse ausgeführt. Eine solche gestampfte Decke hat den Vorzug einer fast vollkommenen Gasdichtigkeit sowie einer hohen Festigkeit und größeren Widerstandsfähigkeit gegen die starken Beanspruchungen und Erschütterungen durch den auf der Ofendecke laufenden Füllwagen. Zwischen den Sohlkanälen unter der Heizwand liegen Gaszuführungskanäle sind gleichfalls beiderseits mit Stampfmasse umgeben, wodurch bei dem Fortfall von Gas die Gasdichtigkeit der Kanäle wesentlich erhöht wird.

Betrieb

Die Öfen werden in halbstündigem Wechsel durch elektrisch angetriebene Wechselwinden am Kopfende der Batterie beheizt. Das Heizgas wird auf die einzelnen Heizzüge durch kalibrierte Düsen aus Graphitmasse verteilt und die Beheizung durch kleine Schieberhebel auf dem oberen Ausgang der Heizzüge, die durch Durchbrechungen in der Ofendecke zugänglich sind,

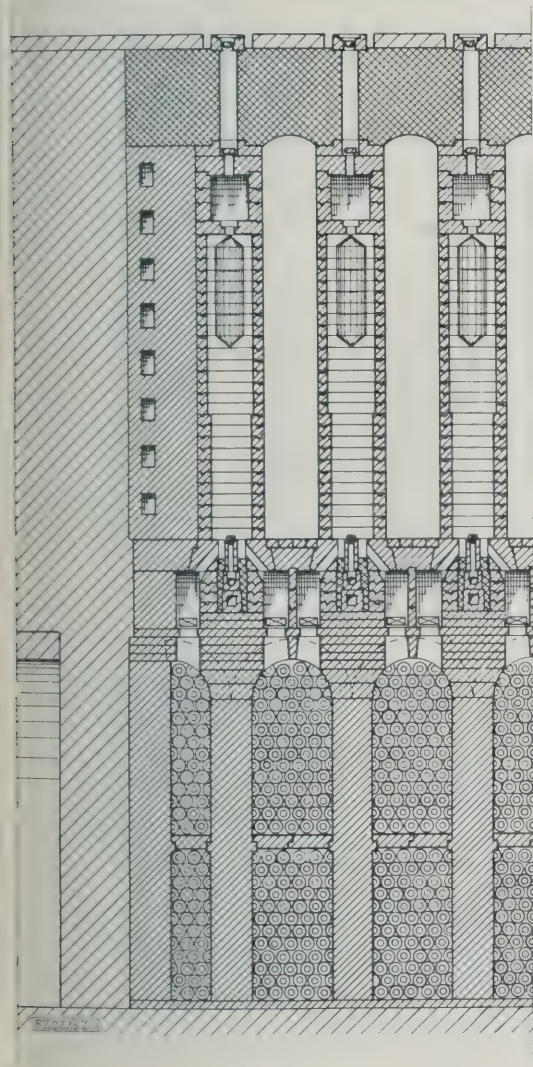
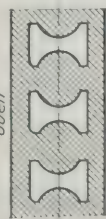
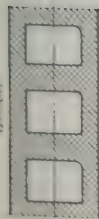


Abb. 3
Querschnitt durch den Kogag-Ofen.

Abb. 4 und 5
Querschnitte durch
die Heizwand.



geregelt. Seitlich werden die Ofenkammern durch selbstdichtende Türen, Bauart *Ebert-Limberg*, verschlossen. Die zur Abdichtung dienenden starken Asbestwülste haben ihre Anlagefläche ganz an der Außenseite und sind damit der Einwirkung der Hitze nach Möglichkeit entzogen.

Die in der Kokerei Emil zur Verarbeitung gelangende Koks-kohle wird, wie erwähnt, nur zum Teil von der Schachtanlage Emil geliefert. Die weiter erforderliche Kohle wird von den in der Nähe gelegenen Schachtanlagen Karl, Heinrich und Fritz in Eisenbahnwagen geliefert. Nach Durchgang durch ein Becherwerk gelangen die Kohlen in den zwischen den Ofenbatterien errichteten 45 m hohen, 1500 t fassenden Kohlenturm. Oben im Kohlenturm befindet sich eine Mischanlage für die verschiedenen Kohlsorten.

Die Öfen werden vollkommen mechanisch bedient. Durch auf der Ofendecke laufende, elektrisch angetriebene Füllwagen wird die Kohle vom Kohlenturm zum Ofen gebracht, Abb. 2. Die Türen werden durch elektrisch betriebene Abhebevorrichtungen bewegt, die auf der Maschinenseite mit der Koks-ausdrück- und Planiermaschine, auf der Koksseite mit dem auf der Rampe vor dem Ofen laufenden Koks-führungsschild vereinigt sind. Der Koks wird in einen Schrägwagen gedrückt und unter dem an den Kohlenturm angegliederten Koks-lösch-turm abgelöscht. Der Koks wird so gleichmäßig abgelöscht, daß er im Durchschnitt mit einem Wassergehalt von nur 2 bis 3 vH abgeliefert wird. Der gelöschte Koks wird auf eine Schrägrampe abgeworfen und durch ein Gummiförderband in die Grobkokssieberei befördert. Der auf Rollenrosten abgesiebte Grobkoks wird unmittelbar in die darunter laufenden Wagen verladen, während der Feinkoks durch ein Becherwerk zur Sieberei geht.

Infolge vollkommener Mechanisierung des gesamten Ofenbetriebes wurde die Arbeitsleistung je Mann und Schicht außerordentlich gesteigert. Bei älteren Anlagen beträgt die Koks-erzeugung 3 t, bei der Zentralkokerei Emil dagegen 24 t je Mann und Schicht, also das Achtefache. Wenn auch die Kosten des Kapitaldienstes und der Kraftverbrauch bei den neuen Anlagen steigen, so werden doch die Lohnkosten durch die Ersparnis an Bedienungsmannschaften so ermäßigt, daß sich die Umwandlungskosten für 1 t Koks bei den neuzeitlichen Großkokereien erniedrigen.

Anlagen für Nebenerzeugnisse

Das Ammoniak wird nach dem mittelbaren oder Waschverfahren durch Auswaschen des Ammoniaks mittels Wassers aus dem Rohgas gewonnen. Es würde hier zu weit führen, zu erörtern, daß das alte Waschverfahren gegenüber dem lange Zeit für vorteilhafter gehaltenen und bis vor kurzem fast ausschließlich üblichen unmittelbaren oder halb unmittelbaren Verfahren wirtschaftlich durchaus bestehen kann und sogar noch mancherlei Vorzüge hat. Dies geht schon daraus hervor, daß man auf den in den letzten Jahren neu erbauten Großkokereien sich fast ausnahmslos für das Waschverfahren entschieden hat.

Auf der Kokerei Emil ist nun noch eine bemerkenswerte Neuerung zu verzeichnen. An Stelle der sonst üblichen umfangreichen Hordenwascher hat man hier zum ersten Mal auf einer Großanlage ausschließlich stehende Fliehkraftwascher, Bauart *Feld*, verwendet, Abb. 6. Die außerordentliche Überlegenheit dieser Wascher wird dadurch gekennzeichnet, daß hier zur Ammoniakauswaschung zwei Feld-Wascher von 4 m Dmr. und 8,6 m Höhe eine Hordenwascheranlage von vier großen Washern mit 3,2 m Dmr. und 32 m Höhe ersetzen. Dabei ist die Wirkung der Feld-Wascher bedeutend besser, als sie mit Hordenwashern jemals erreicht werden kann. Während man sich bei diesen mit einer Anreicherung des Wassers an Ammoniak auf etwa 10 g/l begnügen muß, erreichen die Feld-Wascher eine Anreicherung nicht unter 20 g/l bei einem im Gas zurückbleibenden Restbetrag an Ammoniak von nur 1 bis 2 g in 100 m³. Die doppelt so starke Anreicherung durch die Feld-Wascher bedingt aber eine entsprechende Ersparnis an

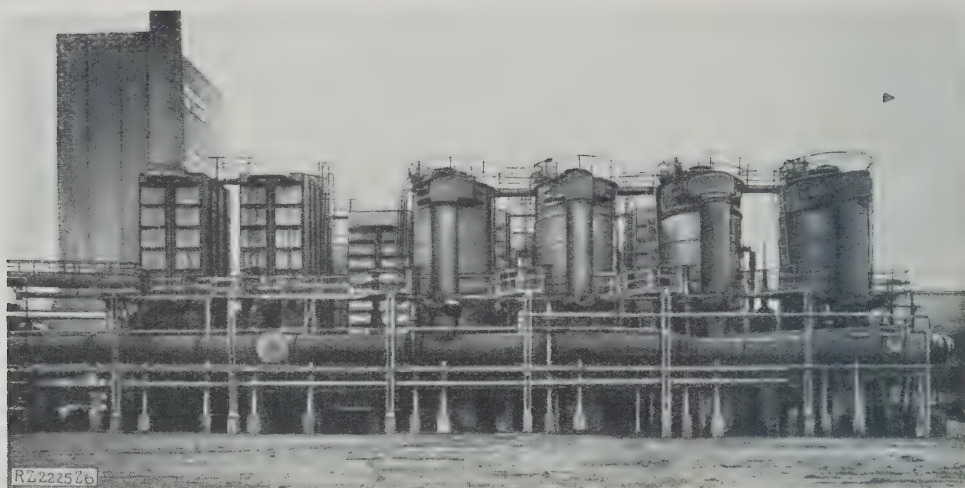


Abb. 6

Ammoniak- und Benzolwäscheranlage mit Fliehkraftwäschern, Bauart *Feld*.

Pumpenarbeit und an Dampfaufwand für die Ammoniakabtreiber, da die zu verarbeitende Wassermenge verhältnismäßig geringer wird. Der Kraftverbrauch des einzelnen Wäschers beträgt etwa 50 PS.

Auch das Benzol wird in zwei Feld-Wäschern mit den gleichen Abmessungen gewonnen, die wiederum vier der üblichen Hordenwäscher von 3,2 m Dmr. und 34 m Höhe ersetzen. Die Waschwirkung ist als gut zu bezeichnen. Steinkohlenteeröl wird als Waschöl verwendet. Dieses wird bei Vollbelastung der Wascher mit je 17 000 bis 18 000 m³/h Gas auf etwa 3 vH mit Benzol angereichert. Der durchschnittliche Benzolgehalt des Gases vor den Wäschern beträgt 30 g/m³. Das Benzol wird bis auf etwa 1,5 bis 2 g ausgewaschen, d. h. die Waschleistung beträgt 93 bis 95 vH. Der Kraftverbrauch der Benzolwäscher ist wegen der größeren Zähflüssigkeit des Waschöls etwas größer wie bei den Ammoniakwäschern und beträgt etwa 55 PS für jeden Wascher. Die Kosten für den Kraftverbrauch der Feld-Wäscher werden reichlich aufgewogen durch die Ersparnis an Pumpenarbeit für die Wäscherpumpen, an Dampfverbrauch für die Abtreiber und an Anlagekosten.

Bei dem gesamten Ausbau der Zentralkokerei Emil ist auf architektonische Schönheit in weitgehendem Maße Rücksicht genommen. Die ganze Anlage ist in neuzeitlicher Klinkerarchitektur ausgeführt worden und macht im Gegensatz zu dem gewohnten düsteren und unfreundlichen Aussehen der älteren Kokereien einen ansprechenden monumentalen Eindruck. Die architektonische Durchbildung des Ganzen verbindet Zweckmäßigkeit mit gefälligem Aussehen.

Zusammenfassung

Der Vorsprung Amerikas in der technischen Entwicklung der Kokereien ist durch den Bau der neuzeitlichen Großkokereien im Ruhrgebiet in den letzten beiden Jahren von der deutschen Kokereiindustrie zum mindesten aufgeholt, wenn nicht gar überholt. Dabei ist die Entwicklung in Deutschland andre Wege gegangen als in Amerika. Der amerikanische Grundsatz, mit schmalen Ofenkammern einen großen Durchsatz zu erreichen auf Kosten des Ausbringens an Nebenerzeugnissen, hat hier keinen Anklang gefunden. Man baut in Deutschland durchweg wieder Öfen von 400 bis 500 mm Breite, um großstückigen Koks und eine gute Ausbeute an Nebenerzeugnissen zu erhalten.

Die neuen deutschen Großkokereien im Ruhrgebiet sollen eine Mehrzahl von älteren Kokereibetrieben ersetzen und die Betriebskosten durch weitgehende Mechanisierung unter voller Ausnutzung der Bedienungsmaschinen gegenüber den alten Betrieben wesentlich herabsetzen. Eine solche Zusammenfassung mehrerer älterer Betriebe wurde durch den Neubau der Zentralkokerei des Köln-Neuessener Bergwerksvereins auf Schacht Emil bezweckt. Die neue Anlage, bestehend aus 117 Koksöfen mit einer Jahresleistung von 600 000 t Koks, ersetzt drei alte Anlagen mit insgesamt 260 Öfen einer Jahresleistung von 520 000 t Koks.

Die Bauart der Firma Koksofenbau und Gasverwertung-A.-G. weist folgende Neuerungen auf: Besondere verstärkte Beheizung der Kopfheizzüge an den Ofenenden zum Ausgleich der Wärmeverluste durch Strahlungsverteilung der Regeneratoren durch wagerechte Zonenwände, so daß durch zwangsläufige Führung der Gase eine volle Ausnutzung des Generatorraumes erreicht wird; Zustellung der Regeneratoren mit Schamottsteinen an Stelle der üblichen Gittersteine, wodurch wärmeübertragende Fläche um etwa 20 vH vergrößert wird und dementsprechend auch der Wirkungsgrad; Abbauchung der Bindersteine in den oberen Teilen der Heizzüge, wodurch die Wärmeübertragung durch Konvektion und Leitung erhöht, die Wärmeabstrahlung an den Bindern auf die Läufer vergrößert und so eine vollkommen gleichmäßige Wärmeübertragung trotz der oben hin abnehmender Flammentemperatur auf die Heizwände erreicht wird. Ausführung der Ofendecke aus feuerfester Stampfmasse an Stelle des sonst üblichen Gewölbemauerwerks; die gestampfte Decke hat den Vorzug einer praktisch vollkommenen Gasdichtigkeit und einer höheren Festigkeit.

Die Öfen sind mit selbstdichtenden Türen, Bauart *Ebbel Limberg*, versehen. Die Anlage wird vollkommen mechanisch betrieben und bedient, so daß die Bedienungsmaschinen auf eine Mindestzahl beschränkt sind und die Arbeitsleistung je Mann und Schicht, gegenüber älteren Anlagen etwa um das Achtfache gesteigert ist.

Die Nebengewinnung arbeitet nach dem Waschverfahren. Für die Auswaschung des Ammoniaks und Benzols wurden hier zum erstenmal auf einer Großanlage Fliehkraftwäscher, Bauart *Feld*, benutzt. Die Betriebsergebnisse dieser Wäscher eingehend dargelegt.

[B 2245]

²⁾ Die in Z. Bd. 73 (1929) Nr. 5 S. 175 angegebenen englischen Werte beziehen sich auf die wasserberührte Heizfläche, die abweichende Größe der Überhitzerheizfläche erklärt sich aus dem Gebrauch, die Überhitzerheizfläche bis zum Überhitzerkasten zu messen, während bei uns diese innerhalb der Rauchrohre liegende Fläche angegeben wird.

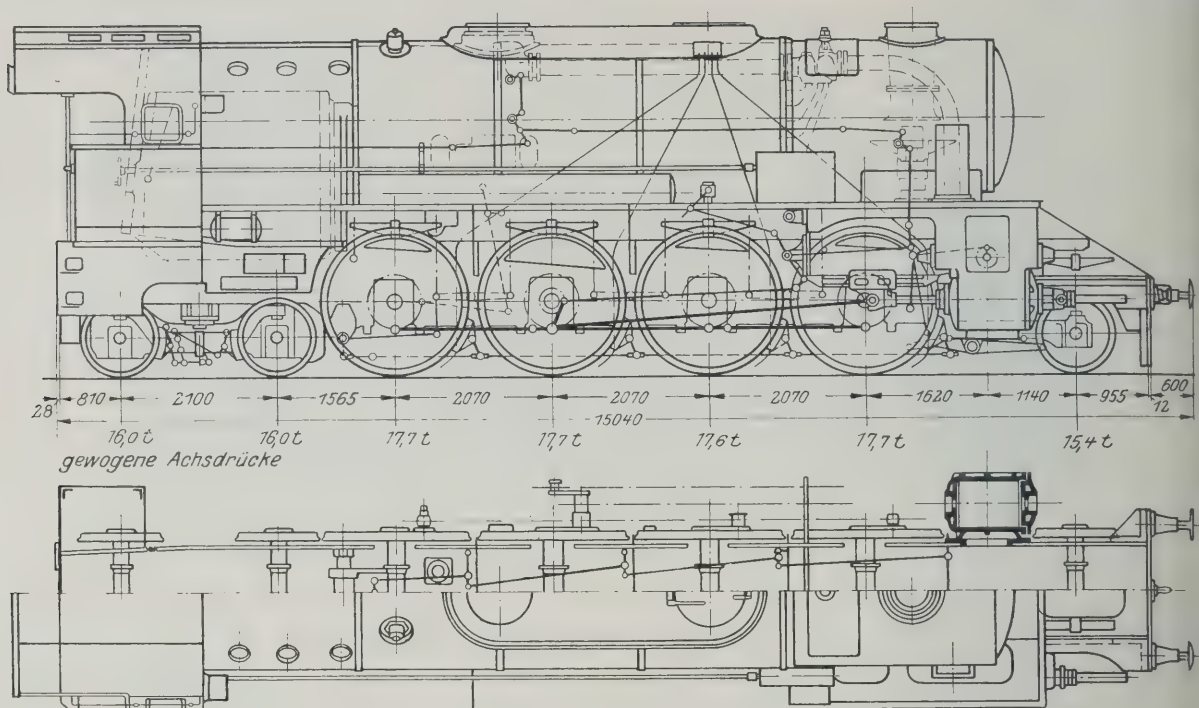


Abb. 2 und 3. Die österreichische 1D2-Heißdampf-Zwillings-Schnellzuglokomotive.

ler-Bleckmann, Ternitz, von nahezu 9 m Länge die beiden 32 mm dicken Rahmenplatten³⁾). Zur Entlastung der Verbindungsschrauben von Scherkräften sind 100 mm starke Bolzen vorgesehen. Die so geschaffene, äußerst steife Rahmenkonstruktion bildet die Grundlage der Zwillingsbauart, und es ist zu erwarten, daß sie eine dauernd günstige Kraftübertragung, daher geringe Abnutzung der Triebwerkteile und leichten Lauf bewirken kann.

Zur Beschränkung der senkrechten Kraftwirkungen des Kolbendruckes mußte die dritte gekuppelte Achse angetrieben werden. Die 4250 mm lange Treibstange ist wahrscheinlich die längste der Welt, wiegt aber dank des verwendeten hochwertigsten Stahles bei 12 mm Stegdicke ohne Lagerschalen nur 386 kg. Die kurbelseitige Schale ist in einer senkrechten Zylinderfläche einstellbar, wodurch gleichmäßige Auflage der 220 mm langen Kurbelzapfen gesichert wird; der kreuzkopfseitige Zapfen ist als Kugelzapfen ausgebildet. Nach Abnahme der nach amerikanischer Bauweise aufgeklemmten Gegenkurbel kann die Stange ohne Lösen des Kreuzkopfbolzens vom Treibzapfen abgeschwenkt werden. Der Kreuzkopf besteht aus Sonderstahlguß von 70 kg Festigkeit, ebenso der hohl gegossene Kolben mit ebenen Endflächen. Die Kolbenstange aus Nickelstahl ist 98 mm dick, vorne mit 80, hinten mit 55 mm Dmr. hohlgebohrt. Infolge dieser Maßnahme gelang es, trotz sehr reichlicher Lagerflächen, das Gewicht der hin- und hergehenden Massen auf rd. 610 kg zu beschränken. Das vordere Kolbenstangen-Traglager ist um einen wagerechten Zapfen einstellbar. Die Kuppelzapfen der vordersten und hintersten Achse sind kugelförmig; der vordere wegen der Seitenverschiebung der ersten Kuppelachse, der hintere wegen der Schrägstellung der Achsen in Gleisunebenheiten. Die mittlere und vordere Kuppelstange sind mittels Kardangelenkes verbunden.

Die Dampfzylinder sind mit 650 mm Dmr. und 720 mm Hub die größten an allen europäischen Zwillings-Schnellzuglokomotiven. Der Dampf wird mittels Lentz-Ventilen von 180 mm Dmr. am Einlaß und 230 mm am Auslaß gesteuert, die von einer äußerst leicht gehaltenen Heusinger-Steuerung üblicher Bauart angetrieben werden. Die Ventilbewegung wird von der Nockenwelle in wesentlich vereinfachter und verbesserter Form abgeleitet; die Zwischenhebel, die die Nockenausschläge auf die Ventilspindeln übertragen, gleiten nunmehr mit 100 mm breiten, ebenen Flächen auf den Nocken, die als einfache Daumen ausgebildet sind. Die früher üblichen Rollen und hohlen Hubkurven entfallen („Wälzhebelsteuerung“). Außerordentlich reichliche Öffnungsquerschnitte kennzeichnen diese Bauart. Die Einlaßventile geben bei 30 vH Füllung 170 cm² frei oder fast doppelt so viel wie ein Kolbenschieber üblicher Ausführung, die Auslaßventile 385 cm², wobei der schädliche Raum nur 9 vH im Mittel beträgt. Bei Leerfahrt wird mittels selbst-

tätigen Abhebens aller Einlaßventile ein vollkommener Druckausgleich geschaffen.

Der Kesseldruck beträgt 15 at. Die Kesselmitte ist zwecks günstiger Ausbildung von Feuerbüchse und Aschkasten 3400 mm über Schienenoberkante, in der höchsten ausgeführten Lage. Die Dampftemperatur beträgt im Mittel 400 °C. Der Langkessel besteht nur aus zwei Schüssen. Die Entfernung zwischen den Rohrwänden beträgt 6000 mm. Die Rauchkammer wurde im vorderen Teil nach unten vertieft und die Blasrohrmündung 800 mm unter Kesselmitte gelegt. Daher konnte zur Erzielung eines guten Wirkungsgrades der Blasrohranlage die Schornsteinmündung 630 mm weit ausgeführt werden.

Die Lokomotive wird mit Druckluft gebremst, für den Tender erhielt sie außerdem Hardy-Bremse. Sie hat einen Leberspritz-Abdampfvorwärmer Bauart „Dabeg“ und elektrische Beleuchtung mittels Turbodynamo. Der Tender ist viersprachig ohne Drehgestell und faßt 27 m³ Wasser und Kohle bei 56 t Dienstgewicht.

Ein besonderes Merkmal der Lokomotive ist die äußerlich gedrungene Bauart. Jede tote Länge ist vermieden, das verfügbare Gewicht wurde in die wichtigen Teile, den Rahmen, Triebwerk und Kessel verlegt, die daher außerordentlich reichlich gehalten werden konnten. Sie ist zwar die schwerste unter den europäischen Schnellzuglokomotiven, aber zugleich von den siebenachsigen die einzige, die mit einem Tender auf einer 20 m-Drehscheibe noch drehen kann.

Wien [M 2501]

Ing. Adolf Giesel-Giesling

Bergbau

Technische Aufgaben im Steinkohlenbergbau

Am 24. und 25. Januar 1929 fand in Essen die zwölfte Tagung des Vereins für die bergbaulichen Interessen statt. Die Tagung war eine technische Tagung des Rheinisch-Westfälischen Steinkohlenbergbaus statt, nach der seit der ersten gleichartigen Veranstaltung sechs Jahre vergangen waren.

Wie der Vorsitzende des Bergbauvereins, Bergwerksdirektor Dr. Brandt in seiner Eröffnungsansprache sagte, führte, hat der Vorstand beschlossen, dem Aufgabenkreis der Tagung in Zukunft alljährlich eine besondere Tagung, die sich mit der Technik im Herbst zu widmen.

Aufgaben und Pläne des Kaiser-Wilhelm-Instituts für Arbeitsphysiologie

Das Kaiser-Wilhelm-Institut für Arbeitsphysiologie in Dortmund, dessen in Dortmund neu errichtetes Gebäude demnächst seiner Bestimmung übergeben werden wird. Beim Arbeitsvorgang wirkt ein Wille auf ein nervöses Zentrum ein, das hier eine chemische Zersetzung aus. Die dadurch entstehende Erregungswelle pflanzt sich durch Nerven auf Muskeln fort. Das Gebiet der Willensbildung ist der na-

³⁾ In Z. Bd. 73 (1929) Nr. 5 S. 175 ist versehentlich Gußstahl als Baustoff des Rahmens angegeben.

wissenschaftlichen Forschung entzogen. Dagegen kann die Arbeitsphysiologie mit naturwissenschaftlicher Strenge die angemessenen Bedingungen ermitteln, unter denen der Arbeitsvorgang die beste Leistung ergibt. Ihre Aufgabe ist die Bekämpfung der Ermüdung. Die Mittel hierzu sind verschieden nach der Schwere der Arbeit. Bei schwerer Arbeit läßt sich die aufzuwendende Energie mit Hilfe des Ventilationsgerätes durch Messung der im Körper freiwerdenden Energie und damit der Wirkungsgrad bestimmen. Dieser beträgt z. B. beim Gehen 30 vH, beim Schaufeln 3 vH. Mittelwärtigere Arbeit setzt sich zusammen aus dynamischer und statischer Arbeit. Diese muß soweit wie möglich herabgesetzt werden. Leichte Arbeit ermüdet das Zentrum, dem deshalb Erholungspausen zur Wiederherstellung der nervösen Substanz zu gewähren sind.

Die in sicherheitlicher und wirtschaftlicher Beziehung die wichtigste Frage der Abbauwirkung auf das Gebirge ist ihrer Beherrschung wurde durch drei Vorträge unter verschiedenen Gesichtswinkeln beleuchtet. Privatdozent Dr. Fritzsche, Essen, sprach über die

Bergeversatzwirtschaft des Ruhrkohlenbergbaues.

Die Stelle des früher fast ausschließlich üblichen Pfeilerbaus, bei dem man das Gebirge über den Abbauräumen sich selbst überließ, ist der Abbau mit Bergeversatz getreten. Die Gründe für den Übergang dazu waren: 1. die Bergschäden, 2. der Platzbedarf für die Bergehalden, 3. die Kohlenverluste durch das Stehenlassen von Flözteilen zum Schutze der Oberfläche. Weitere Vorteile sah man in dem guten Einflusse auf die Vortterführung, die Stein- und Kohlenfallgefahr und die Gewinnbarkeit der Kohle. Nach Ansicht des Vortragenden ist auch unter den heutigen, veränderten Verhältnissen Bergeversatz unentbehrlich, wo die Senkung der Tagesoberfläche auf ein Mindestmaß beschränkt werden muß. Sehr oft ist auch die Gleichmäßigkeit der Senkung wichtiger. Sie wird durch gleich dichten Versatz verschiedener Abbaumächtigkeiten gestört. Für die Erhaltung des Gebirgzzusammenhangs ist schneller Fortschritt des Abbaustoßes mindestens in gleicher Bedeutung wie guter Versatz. Dieser bildet aber wegen der technischen Schwierigkeiten seiner Heranstellung vielfach ein Hindernis für das Vorrücken des Abbaus.

Nach einer eingehenden Untersuchung über die erforderlichen Mengen an Versatzgut und deren Kosten wurden die Kosten der Beschleunigung und Verbilligung der Versatzarbeit selbst verfügbaren Mittel erörtert. Als solches kommt mechanischer Versatz in Betracht: Schleudermaschinen können sowohl Leistungserhöhung als auch Verbilligung bringen. Die Stopfrutsche hat sich in einigen Fällen bewährt. Bergeschraper nach dem Vorbilde amerikanischer Abbaufördereinrichtungen lassen nach den erst kurzen Betriebserfahrungen eine gute Schichtleistung erwarten. Von dem Blasversatzverfahren¹⁾ können einige auch die Streckenförderung teilweise übernehmen. Für die Einschleusung kommen bei niederem Druck Zellenrad (Fromme) und Schnecke (diag), bei höherem vorzugsweise Schleusenammern in Frage. Krümmer sind nur bei höherem Drucke verhältnismäßig leicht zu überwinden. Eine zum Einblasen des Versatzes aus der Schüttelrutsche dienende Düsenvorrichtung (alma) zeichnet sich durch große Anpassungsfähigkeit, allerdings bei mäßiger Leistung aus.

Zur Überwindung der Versatzschwierigkeiten dienen ferner die Verfahren, die den Abbau von der Zufuhr fremder Erde unabhängig zu machen suchen. Hierher gehört außer dem üblichen Blindortbetrieb der Rippenbau, ein im englischen Steinkohlenbergbau weit verbreitetes Verfahren. Bei ihm werden die Abbaustrecken von besonders sorgfältig gestellten Bergemauern eingefasst. Diese nehmen den Druck des Gebirges schnell auf, während das zwischen ihnen befindliche Hangende hereinbricht und ein Gewölbe bildet, dessen Hohlraum durch die hereingebrochenen Schichten ausgefüllt wird. Der Ausbau vor dem Arbeitsstoß wird dadurch entlastet, zum Vorteil der Sicherheit. Auf weitere Bergemauern im Abbau kann z. B. dann verzichtet werden, wenn das Hangende in kurzen Abständen hinter dem Ausbau bricht.

Unter Hinweis auf günstige Erfahrungen im englischen Abbau auch im schlesischen Bergbau wandte sich Fritzsche gegen die starre Anwendung des Vollversatzes, die dem heutigen Stande der Kohlegewinnung durch Maschinen nicht mehr entspreche und wegen der Hemmung des Abbauschrittes manchmal mehr Schaden als Nutzen bringe.

Den Gebirgsdruck als Helfer des Bergmanns behandelte Prof. Dr.-Ing. Spackeler, Breslau, in dem Vortrage über die neuesten Erkenntnisse auf dem Gebiete der Gebirgsdruckerscheinungen.

Im Mittelpunkt stand die Nutzbarmachung des Gebirgsdruckes für die Gewinnung. Der Nutzdruck entsteht dadurch, daß das über dem Abbaubereich hängende Gebirge einen zu-

sätzlichen Druck auf den Kohlenstoß ausübt, der in Verbindung mit den in den Gesteinsschichten auftretenden Zugkräften und andern Nebenerscheinungen Drucklagen in der Kohle erzeugt. Der Vortragende berichtete über eine Reihe neuerer Arbeiten, die sich auf Beobachtungen im Bergbau und im Tunnelbau gründen. Er ging von der schon im Jahre 1899 von dem Markscheider Trompeter^{1a)}, Gelsenkirchen, entwickelten Anschauung aus, daß sich um den Grubenbau herum ein von Gebirgsdruck entlasteter Mantel, vom Redner Trompetersche Zone genannt, bildet, hinter dem das Gebirge unter Druckspannung steht. Über die Form dieser Zone haben später v. Willmann²⁾ und Kommerell³⁾ auf Grund von Beobachtungen an Tunneln Anschauungen aufgestellt, die Dr. Langecker⁴⁾, Hausham, und Dr. Haack⁵⁾, Essen, auf den Abbau der Steinkohlen anwenden.

Dem stimmt Spackeler zu und weist nur abweichend von Haack darauf hin, daß auch ein zu schneller Verbiegen des Nutzdruck beeinträchtigen kann. Die von Dr. Gilitzer⁶⁾ beschriebene Druckwirkung beim Abbau des Mansfelder Kupferschieferflözes führt er auf Gewölbebildung in dem überlagernden festen Anhydrit zurück, die über größeren Abbaufeldern im Steinkohlenbergbau nicht stattfindet. Hier geht die Auflockerung erfahrungsgemäß nach einiger Zeit bis zur Tagesoberfläche, wodurch der zusätzliche Druck auf den Kohlenstoß wegfällt. Durch Versatz kann die Auflockerung verlangsamt werden. Zwischen Kohlenstoß und verfestigtem Versatz bilden sich ein Gewölbe und eine Trompetersche Zone zweiter Ordnung in dem abgesunkenen Gebirgskörper, die ebenfalls Nutzdruck hervorrufen. Parker⁷⁾ hat über das im englischen Bergbau angewandte Verfahren berichtet, bei dem man das als eingespannte Balken auf den Stoß wirkende Hangende hinter dem Abbaustoß zu dessen Entlastung planmäßig zu Bruch gehen läßt. Das bedeutet nach Spackeler ebenso wie der von Dr. Winkhaus⁸⁾, Oberhausen, beschriebene englische Strebbau, mit Unterstützung des Hangenden durch streichende Bergemauern und starren Ausbau teilweise einen Verzicht auf die Hilfe des Gebirgsdruckes. Die weiteren Ausführungen über die Beeinflussung des Gebirgsdruckes waren mit zahlreichen praktischen Beobachtungen belegt.

Bergwerkdirektor Bergassessor Kieckebusch, Herne, behandelte die

betriebswirtschaftliche Überwachung einer Zeche

vom Standpunkte des Praktikers aus. Die Überwachung soll es dem verantwortlichen Leiter ermöglichen, klar zu erkennen, wie die einzelnen Teile des Betriebes arbeiten und wie der ganze Betrieb läuft. Ihr drittes Gebiet ist die Aufstellung von Plänen für die Zukunft und die weitere Entwicklung des Werkes. Endlich soll die betriebswirtschaftliche Überwachung helfen, den Beamtennachwuchs zur richtigen Führung des Betriebes zu erziehen.

Für die wirtschaftliche Überwachung genügt es nicht, das finanzielle Ergebnis des Betriebes oder seiner Teile festzustellen. Die Betriebskosten müssen nach Kostenart und Kostenort aufgestellt werden, was eine klare Gliederung des Betriebes notwendig macht. Die Hauptgliederung muß auch in die Buchhaltung übernommen werden, während die Unterkonten nur im Betriebswirtschaftsbureau zu überbauen sind. Nach Mitteilung über die Art der Betriebsaufzeichnungen wird vorgeschlagen, zur Erfassung der Maschinenbetriebskosten, die einige Schwierigkeiten macht, die einzelnen Reviere mit dessen Kosten in Form einer Maschinenmiete zu belasten.

Der Überwachung des ordnungsmäßigen Ablaufs der einzelnen Arbeitsvorgänge dienen die Zeitstudie und die Betriebsstatistik. Zeitpläne und Abbaupläne sollen sich von zuviel Einzelheiten und statistischen Angaben freihalten. Ein gutes Mittel, die Beamten auch zur geistigen Mitarbeit heranzuziehen, sind Schaubilder, die laufend einen Einblick in die Betriebsergebnisse gewähren. Die Aufstellung der Betriebsstatistiken darf grundsätzlich nicht durch Betriebsbeamte geschehen. Zum Schlusse machte Kieckebusch Angaben über Personalbedarf und Kosten der wirtschaftlichen Betriebsüberwachung.

^{1a)} Trompeter, „Die Expansivkraft im Gestein als Hauptursache der Bewegung des den Bergbau umgebenden Gebirges“, 1899.

²⁾ v. Willmann, „Über einige Gebirgsdruckerscheinungen in ihren Beziehungen zum Tunnelbau“, Leipzig 1911. Ders., „Die Instandsetzung alter Eisenbahntunnel“, 1913.

³⁾ Kommerell, „Statische Berechnung von Tunnelmauerwerk“, Berlin 1912.

⁴⁾ Langecker, „Die Nutzbarmachung des Gebirgsdruckes für die Kohlegewinnung“, „Glückauf“ Bd. 64 (1928) S. 1409; ders., „Berg- und Hüttenmänn. Jahrbuch“, Wien 1928, Heft 1.

⁵⁾ Haack, „Die Beherrschung des Gebirgsdruckes“, „Glückauf“ Bd. 66 (1928) S. 711.

⁶⁾ Gilitzer, „Das Wesen des Gebirgsdruckes und dessen Ausnutzung beim Abbaubetrieb des Mansfelder Bergbaues“, „Glückauf“ Bd. 64 (1928) S. 977.

⁷⁾ Parker, „Roof control“, Colliery Engg. 1928, S. 380.

⁸⁾ Winkhaus, „Betriebsindrücke aus dem englischen Steinkohlenbergbau“, „Glückauf“ Bd. 64 (1928) S. 1637.

Nach Mitteilungen über die Aufgaben des Fachnormenausschusses durch dessen Vorsitzenden, Direktor *Hußmann*, sprach Bergassessor *F. W. Wedding*, Essen, über die

Bedeutung der Normung für die deutsche Wirtschaft.

Die Normung ist eins der Mittel, die Wirtschaftlichkeit durch technische und planmäßige Ordnung zu heben. Den früheren Bemühungen war kein Erfolg beschieden, weil die Normen nur für einzelne Gebiete aufgestellt wurden und es an einer mit dem nötigen Ansehen ausgestatteten Organisation fehlte. Die erste Einrichtung dieser Art war der im Jahre 1917 aus Anlaß des Hindenburgprogramms gebildete „Normalenausschuß für Maschinenbau“ unter der Leitung des Vereines deutscher Ingenieure. Die damals aufgestellten Richtlinien haben sich bewährt. An Hand von Lichtbildern erläuterte *Wedding* den Aufbau und die Arbeitsweise der Normenausschüsse.

Die Norm soll das nach wissenschaftlicher Erkenntnis und praktischer Erfahrung in seiner Art beste und billigste Erzeugnis darstellen. Die wichtigsten Wirkungen der Normung sind die Möglichkeit der Massenherstellung und der Spezialisierung, Vervollkommen der Arbeitsverfahren, Beschleunigung des Kapitalumschlags, Verringerung der Lagerhaltung mit dem Ergebnis, daß die Erzeugnisse besser und billiger geliefert werden können.

Über die Grenzen der Normung führte *Wedding* aus, daß sie sich nur bei Gegenständen des täglichen Gebrauchs und nur dort rechtfertigen lasse, wo die technische Entwicklung zu einem gewissen Abschlusse gekommen ist. Er beklagte die Widerstände, die aus Bergbaukreisen der Normung entgegengesetzt werden und in übertriebenem Hängen am Hergebrachten, teilweise höheren Preisen genormter Gegenstände, besonders in der Übergangszeit sowie in den Schwierigkeiten der Umstellung begründet seien. Zum Schlusse führte der Redner eine Reihe besonders bezeichnender Normungsbeispiele im Lichtbilde vor.

Im Anschluß an den vom Vorsitzenden des Kokereiausschusses, Generaldirektor *Bergrat Dr.-Ing. e. h. Winkhaus*, erstatteten Bericht über die Tätigkeit dieses Ausschusses gab am Vormittage des zweiten Tages *Dr. Gollmer*, Essen, einen umfassenden Überblick über die

Erfahrungen auf neuzeitlichen Kokereianlagen des Ruhrgebiets.

Die Notwendigkeit einer Verbesserung der Wirtschaftlichkeit des Ruhrbergbaus zwang zur Errichtung von Großkokereien^{8a)}. Zu Beginn des Jahres 1926 wurden im Ruhrgebiet 140 meist veraltete Kokereien mit einer Leistungsfähigkeit von 28 Mill. t Koks betrieben. Durch die um Mitte des Jahres 1926 einsetzende Bautätigkeit wurden bis Anfang 1928 auf 32 verschiedenen Anlagen insgesamt 2770 neue Öfen errichtet. Das Ruhrrevier besitzt jetzt 36 Großkokereien mit nicht ganz 7000 Öfen, die instand wären 91 vH der 27,4 Mill. t betragenden Koksproduktion des Jahres 1927 zu liefern.

Die Fortschritte liegen hauptsächlich in der erheblichen Steigerung der Tagesleistung, die bei einigen Öfen 27,8 t, d. h. mehr als das Fünffache älterer Abtizeöfen beträgt. Sie ist zunächst durch Vermehrung des Kammerinhalts erreicht worden, der nicht nur durch größere Breite und Höhe der Ofenkammern auf das Zwei- bis Dreifache des früheren gebracht ist, sondern auch durch das infolge der größeren Fallhöhe vermehrte Schüttgewicht günstig beeinflusst wird. Die Höhe der Kammern ist einstweilen durch die Schwierigkeiten der Beheizung begrenzt, die Länge durch die Notwendigkeit, sie mit Druck- und Einebnungsstange zu durchfahren, beschränkt.

Die Garungszeit konnte dank der Verwendung vorzüglicher, hohen Temperaturen widerstehender Silikasteine in unerwarteter Weise von 33 h auf 18 h und weniger gebracht werden. Kokskohlentrocknung wird nur auf einer Zeche, und zwar durch Erwärmen ausgeführt.

In der Beheizung sind die Hochleistungsöfen empfindlicher, und die Höhe des Gasüberschusses ist zur Zeit wegen der durch die Gasfernversorgung geschaffenen Möglichkeit und Notwendigkeit des Gasverkaufs von größerer Bedeutung als früher. Neue Meßverfahren haben genaue Überwachung des Ofenganges und die Aufstellung neuer Gewährleistungsbedingungen ermöglicht. Einige Kokereien erreichen die stattliche Leistung von 7000 t Feinkohlendurchsatz täglich.

Grundsätzliche Änderungen des Verfahrens und der Einrichtungen sind nicht zu verzeichnen. Auskleidung der Vorratbehälter mit Glasplatten zur Beförderung des Rutschens hat sich bewährt. Füllwagen mit Drehtellerentleerung kürzen den Füllvorgang auf 90 s und weniger ab. Vielleicht bringt Dichtung von Eisen auf Eisen Verringerung der noch hohen Kosten für Dichtungsasbest. Bei der nassen Ablösung ist eine sehr genaue Einschränkung des Wassergehalts im Koks möglich. Eine Neuerung, die neben der nur auf drei

Anlagen betriebenen trockenen Kokskühlung zur Damerzeugung aus Abwärme dient, sind die auf einer Zeche eingeführten wassergekühlten Steigrohre.

Wenig grundsätzlich Neues findet sich auch in der Kolenverstoffgewinnung. Zu nennen sind Versuche zur Auswaschung des Naphthalins mit gekühltem Kondensat, Anwendung von Feldwäschern, Waschölzwickelkühlung, endlich Versuche mit Anwendung von aktivierter Kohle oder Kieselsäure-Gel zur Benzolgewinnung sowie Einführung des Vakuumverfahrens bei der Trennung der Zolhomologen.

Mit Rücksicht auf die Gasfernversorgung sind alle Öfen in Verbundbauart ausgeführt, Gaserzeuger sind jedoch nur auf vier Kokereien vorhanden. Der Fernversorgungs dienen außerdem: Ferndruckgebläse und Kompressoren, Anlagen zur Gasreinigung und zur Entfernung des Naphthalins und Großgasbehälter.

Schreibende Überwachungseinrichtungen, insbesondere aufzeichnende Kohlenwaagen, erleichtern und erzwingen einen wirtschaftlichen Betrieb. Die Selbstkosten werden beherrscht von den hohen Anlagekosten. Die Vorteile der Großkokereien sind vor allem die Verminderung des Heizgasaufwands um 10 bis 15 vH gegenüber älteren Regenerativöfen, die Ersparnis an Dampf und Strom und die Herabsetzung der Lohnkosten für 1 t Koks. Schwachgasheizung stellt sich z. Z. teurer als die mit Starkgas.

Die Leistungsfähigkeit der Großkokereien wurde im Oktober 1928 nur zu 66 vH ausgenutzt bei einem Anteil von 53 vH an der Gesamterzeugung. Bei dem starken Überwiegen der festen Kosten konnte eine derartige Einschränkung keine Wirtschaftlichkeit aufkommen lassen.

Das Ausbringen an Koks usw. kann mit dem der älteren Anlagen nicht verglichen werden, weil bei dieser die Durchsatzmenge nicht bekannt war. Der Koks ist fest, aber kleinstückig. Der Teer ist dünnflüssiger, aber reicher an Naphthalin, Pech und freiem Kohlenstoff. Es scheint, daß durch thermische Zersetzung die Siedekurve zugunsten des Benzols verschoben wird. Das Gas enthält viel Wasserstoff, dagegen sehr wenig Stickstoff. Jedenfalls bedeuten die Großkokereien einen technischen und wirtschaftlichen Fortschritt, der dem Ruhrgebiet die Führung im Kokereiwesen wiedergegeben hat.

Der folgende Vortrag von Dipl.-Ing. *Kurt Baum*, Essen

Über den Temperaturverlauf im Koksofen und seine Bedeutung für die Wirtschaftlichkeit von Kokereianlagen

befasste sich mit der Frage des Wärmeeaufwandes als Maßstab für die Bewertung von Koksofenbatterien. Die mitgeteilten Erkenntnisse sind Ergebnisse einer größeren Reihe von Untersuchungen an Großkokereien.

Das bisher vielfach als Gütezahl angesehene Verhältnis der den Öfen zugeführten Heizgaswärme zum trockenen Einsatz in kcal/kg ist nicht entscheidend, da es von der Verdrehungswärme der Koksrohre abhängig ist. Deren im Laboratoriumsversuch festgestellte Größe läßt sich aber an die unter ganz anderen Bedingungen im Koksofenbetrieb sich abspielenden Vorgänge nicht ohne weiteres übertragen. An diesen Schwierigkeiten sind die Versuche, durch Aufstellung einer Stoffbilanz zur Ermittlung des thermischen Wirkungsgrades der Koksöfen zu gelangen, bisher gescheitert.

Dagegen hat der bei den erwähnten Untersuchungen eingeschlagene Weg: an einem einzelnen Ofen den feuerstechnischen Wirkungsgrad nach dem Vorschlage von *Rummel und Oestrich*⁹⁾ zu ermitteln und zugleich die gleichmäßige Abgarung des Einsatzes zu prüfen und zu regeln, zu dem willkommenen Ergebnis geführt einen praktisch brauchbaren Maßstab für die wärmetechnische Wirtschaftlichkeit einer Koksofenbatterie zu finden.

Aus der Ermittlung der Wärmeeaufnahme eines einzelnen Ofens durch Gegenüberstellung der zugeführten Wärme und den Abgas-, Strahlungs- und Berührungsverlusten ergibt sich der Wärmeverbrauch in kcal/kg. Stimmt die gefundene Zahl mit der aus dem Gesamtdurchsatz der ganzen Batterie festgestellten Wärmeverbrauch in kcal/kg überein, entspricht der Versuchsofen den durchschnittlichen Verhältnissen der Batterie. Wird nun die Übergangswärme, d. h. die Wärme, die bis zur Abgarung der letzten Teile des Koksstücks nutzlos auf die bereits garen Teile übertragen werden muß, durch gleichmäßige Abgarung auf einen Mindestbetrag gebracht, so ist die ganze auf den Ofeninhalt übertragene Wärmemenge als die durch die Eigenwärme der Kohle bedingte Mindestverkokungswärme anzusehen.

Die Wirtschaftlichkeit einer Anlage ist erwiesen, wenn die für die Batterie ermittelte Wärmeverbrauchszahl der feuerstechnisch für die vorliegende Kohle möglichen Mindestwärmebedarf erreicht. Die notwendige gleichzeitige Ter-

⁹⁾ *Rummel und Oestrich*, „Wärmetechnische Bewertung und Überwachung von Kokereien“, „Glückauf“ Bd. 63 (1927) S. 1809. Arch. Eisenhüttenw. Bd. 1 (1927/28) S. 403.

^{8a)} Vergl. S. 437 dieses Heftes.

Naturmessung an vielen Stellen erfordert ein einfach zu handhabendes, billiges Gerät. Ein solches wurde in einem drei Stellen mit Nickeldrähten verschweißten Eisenrohr, dessen Schweißstellen je ein Ni-Fe-Thermoelement gemeinsamem Eisenpol bilden. Derartige Rohre wurden dem gewünschten Abstände von den Wänden und Türen kreuzt eingeführt und gestatteten die fast gleichzeitige Messung der an sämtlichen Meßstellen vorhandenen Potentialunterschiede.

Das Verfahren ermöglicht eine Beurteilung der Abnutzung des Kokskuchens in seiner Gesamtheit und läßt die durch Übergarung entstehenden Wärme- und Leistungsverluste erkennen. Es bietet ein Mittel zur Aufstellung und Einteilung von Beheizungskennlinien für den praktischen Betrieb und zeigt neue Wege zur Festsetzung und Nachprüfung von Gewährleistungsbedingungen.

Der erste Redner der Nachmittagssitzung war Prof. Dr. Bräuer, Gießen, mit einem Vortrage über die Verfestigung der wirtschaftlichen Arbeit¹⁰⁾. Nachdem dann Bergassessor Dr.-Ing. Forstmann, Essen, über die Tätigkeit des Bergschadensausschusses berichtet hatte, sprach Abteilungsleiter Dr. Oberste-Brink, Essen, über das Wesen der Einwirkung des Bergbaues auf die Erdoberfläche.

Er behandelte nach Eingehen auf die Bodensenkungstheorien von Kortens¹¹⁾, Goldreich¹²⁾ und Eckardt¹³⁾, auf die Versuche von Payol¹⁴⁾ und auf die Beobachtung ähnlicher Vorgänge in der Natur den Senkungsvorgang selbst. Gewölbebildung über natürlichen Hohlräumen ist möglich und wird z. B. im englischen Steinkohlenbergbau durch Stehenlassen von Sicherheitsfeilern herbeigeführt, um Senkungen zu verhüten. Bei genügender Unterstützung des Hangenden wird das Gewölbe eingedrückt. Spröde Gesteine füllen das Gewölbe mit sperrig gelagerten Bruchstücken aus und halten das Hangende. Plastische Schichten biegen sich um, reißen aber bei starker Senkung ab und sinken als Ganzes. Dabei finden auch seitliche Bewegungen statt. Die Größe des Senkungsbereichs ist in starkem Maße von der Gesteinsbeschaffenheit, aber auch vom Einfallen abhängig. Sie ist um so bedeutender, je mehr der Zusammenhang des Gebirges gewahrt bleibt. Die Dauer der Vorgänge ist wesentlich geringer als früher angenommen wurde. Das allgemeine Bild der Absenkung kann ihm wesentlich als festlegend betrachtet werden. [N 2622]

Essen.
¹⁰⁾ Vergl. Z. Bd. 72 (1928) S. 1030.
¹¹⁾ Kortens, „Der Einfluß des Bergbaues auf Straßenbahngleise und die Bekämpfung“, „Glückauf“ Bd. 45 (1909) S. 865.
¹²⁾ Goldreich, „Die Theorie der Bodensenkungen in Kohlengebieten“, 1913.
¹³⁾ Eckardt, „Die mechanischen Einwirkungen des Abbaues auf das Verhalten des Gebirges“, „Glückauf“ Bd. 49 (1913) S. 353 und „Der Einfluß des Abbaues auf die Tagesoberfläche“, „Glückauf“ Bd. 50 (1914) S. 449.
¹⁴⁾ Payol, „Note sur les mouvements de terrain, provoqués par l'exploitation des mines“, Bull. Soc. ind. min., 1885.

van Rossum.

Werkzeuge

Versuche mit Spiralbohrern

Für mehrschneidige, umlaufende Werkzeuge sind die Zerspanungsvorgänge noch nicht entfernt so geklärt wie für einschneidige ruhende Werkzeuge. Als wichtigste Vorgänge treten in der Werkstattpraxis der Bohr- und Fräsvorgang in Erscheinung. Die Wirkungsweise von Spiralbohrern wird in letzter Zeit auf Grund einer Reihe inländischer und ausländischer Untersuchungen mit erhöhter Aufmerksamkeit betrachtet.

Mit Hilfe eines neuartigen, von ihm selbst entwickelten elektrischen Feinmeßgerätes¹⁾ untersucht Sachsenberg²⁾ die Einflüsse von Spiralneigung und Vorschub auf die wirklichen Schnittdrücke beim Bohren in verschiedenen Werkstoffen durch Spiralbohrer. Ausgehend von den Erfolgen, die Schlesinger und Kurrein bei der Bearbeitung von Leichtmetallen durch Veränderung der Spiralneigung erzielt haben, wurde von Benedict und Hershey, Universität Illinois, der Einfluß der Spiralneigung auf Kraftbedarf und Lebensdauer bei einer Reihe von Werkstoffen ausführlich untersucht. Sachsenberg bestimmt ebenfalls die Schnittdrücke in Form der wirklichen Reaktionsdrehmomente und Reaktionsvorschubdrücke.

Das Drehmoment wird mit Hilfe eines eingebauten Torsionsdynamometers gemessen, wobei der Verdrehungswinkel einem bestimmten wirklichen Drehmoment entspricht. Der Vorschubdruck wird auf die statische Durchbiegung eines Trägers bezogen. Die Versuche selbst erstrecken sich auf drei Werkstoffe nach Zahlentafel 1.

Zahlentafel 1

Werkstoff 1: Flußstahl:	0,11 vH C; 0,7 vH Mn; 0,05 vH Si 0,05 vH P; 0,05 vH S; 0,1 vH Cu
Werkstoff 2: Gußeisen:	3,65 vH C (2,97 vH Graph.; 0,68 vH geb. C); 2,29 vH Si; 0,71 vH Mn; 0,60 vH P; 0,11 vH S
Werkstoff 3: Messing:	61 vH Cu; 35 vH Zn; 4 vH Sn

Die Versuchsbohrer hatten einen Durchmesser von 70 mm und Spiralneigungen von 0° bis 45° in sechs verschiedenen Abstufungen. Der Spitzenwinkel wurde gleich gehalten und bei verschiedenen Umdrehungszahlen mit vier verschiedenen Vorschüben gearbeitet.

Bei Flußstahl wurde für eine Schnittgeschwindigkeit von 8,8 m/min entsprechend 40 U/min der Einfluß der Spiralneigung in Abhängigkeit der einzelnen Vorschübe auf Vorschubdruck und Drehmoment ermittelt, Abb. 4. Darnach ergibt sich bei einer Spiralneigung von 60°, ent-

¹⁾ Z. Bd. 71 (1927) Nr. 46 S. 1609 und Bd. 72 (1928) Nr. 14 S. 469, vergl. a. „Maschinenbau“ Bd. 7 (1928) Heft 13 S. 643.
²⁾ E. Sachsenberg, Versuche mit Spiralbohrern, „Maschinenbau“ Bd. 7 (1928) Heft 19 S. 905.

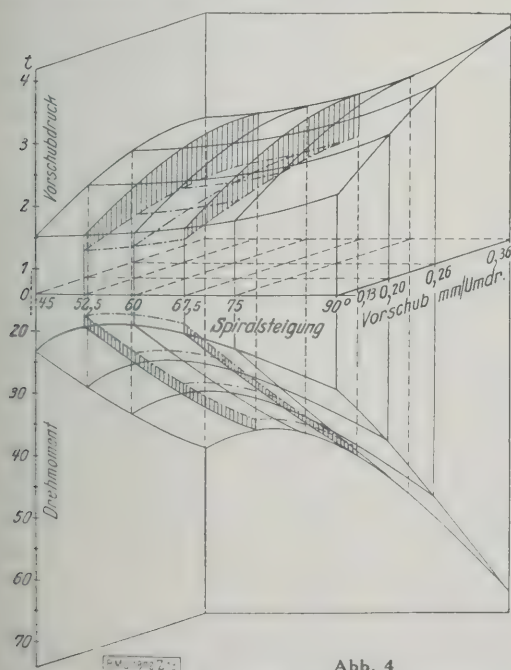


Abb. 4
Beim Bohren in Flußstahl

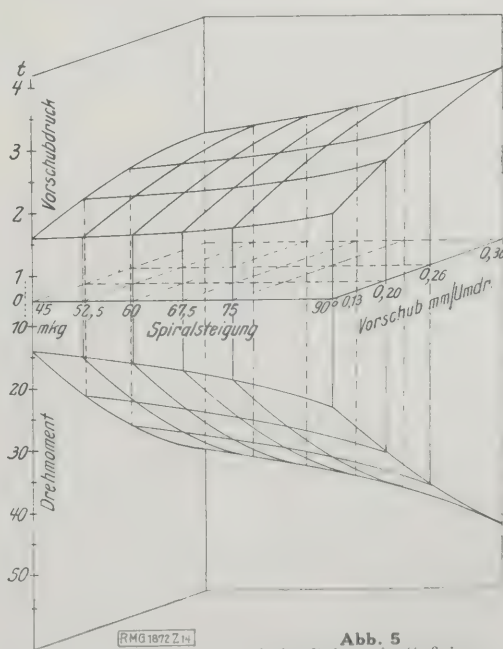


Abb. 5
Beim Bohren in Gußeisen

Abb. 4 und 5
Räumliche Darstellung von Vorschubdruck und Drehmoment über Spiralsteigung und Vorschub je Umdrehung.

sprechend einem Drallwinkel von 30° , die günstigste Wirkungsweise für den Kraftverbrauch. Eine weitere Überhöhung des Drallwinkels oder Verkürzung der Spiralsteigung verschlechtert die Wirkungsweise im gleichen Maße, wie eine Verringerung des Drallwinkels oder Vergrößerung der Spiralsteigung. Dieses Ergebnis deckt sich sowohl mit den Erfahrungen der Werkstattpraxis als auch mit den Ergebnissen von *Benedict* und *Hershey*.

Die Vorschubdrücke beim Bohren von Flußstahl erreichen ihre günstigsten Werte bei stärkstem Drallwinkel und steigen stetig, jedoch nicht im Verhältnis mit der Verringerung des Drallwinkels oder Vergrößerung der Spiralsteigung, sondern geringer. Ferner ergibt sich, daß bei stärker werdendem Spanquerschnitt, genau wie beim Drehen, der spezifische Schnittdruck sinkt, wie dieses von *Kurrein*³⁾ in eingehender Weise bereits früher festgestellt war. Auch bei anderen Umdrehungszahlen, also verschiedenen Schnittgeschwindigkeiten, zeigten sich keine wesentlichen Abweichungen der wirksamen Schnittdrücke, so daß auch hierdurch von *Sachsenberg* die Unabhängigkeit des spezifischen Schnittdruckes von der Schnittgeschwindigkeit für die Bohrarbeit erwiesen wurde.

Für Gußeisen gelten andere Bedingungen als für Flußstahl. Der größte Drallwinkel erzeugt die geringsten Schnittdrücke, Abb. 5, wie dieses auch von *Benedict* bereits früher festgestellt war. Der Einfluß auf die Standzeiten ist jedoch nicht untersucht.

³⁾ Die Bearbeitbarkeit der Metalle „Werkstattstechnik“ Bd. 21 (1927) S. 612.

Beim Bohren in Messing ergibt sich ein günstiger Wert bei einer Spiralsteigung zwischen 60° und $67\frac{1}{2}^\circ$, sprechend Drallwinkeln von 30° und $22\frac{1}{2}^\circ$; auch dieses Ergebnis deckt sich, wenn auch nicht zahlenmäßig, mit Erfahrungen der Praxis, die für das Bohren in Messing Spiralbohrer bis 75° anwendet.

Um die so gemessenen, unmittelbar an der Schraube wirkenden Kräfte auf ihre Richtigkeit überschlägig prüfen zu können, wurden die zu den betreffenden Zerspanungsleistungen gehörigen indizierten Leistungen elektrisch gemessen und in ihren Zusammenhängen verfolgt. Daraus hieraus ergebende Wirkungsgrad der Bohrmaschine schritt bei 25 U/min 70 vH.

Da beim Bohrvorgang nicht nur die Spanbildung solche und die auftretenden wirksamen Kräfte an der Schneide, sondern auch die Abflußmöglichkeit der sich bildenden Späne eine entscheidende Rolle spielt, so hat *Sachsenberg* die Vorgänge bei der Bildung und beim Abfließen der Späne in dem durch die verschiedenen Spiralsteigungen bedingten Spanabflußraum kinematographisch untersucht.

Die ausführlich beschriebenen Untersuchungen zeigen einerseits deutlich, daß das äußerst wichtige Gebiet des Bohrens noch in großem Maße aufklärungsbedürftig ist, andererseits aber auch, daß erst eine weitgehende Verfeinerung der Meßverfahren die endgültige Aufklärung weiterer Zerspanungsvorgänge, wie sie beim umlaufenden maschinellen schneiden Werkzeug auftreten, ermöglichen wird.

[M 2352]

Dr. St.

Kleine Mitteilungen

Abgaskessel in einer amerikanischen Gasanstalt

Der La Mont-Abgasdampferzeuger¹⁾ ist ein Riesesiederdampfer, der gestatten soll, die Verdampfleistung auf 43 kg/m²h und mehr zu steigern. Der größte Kessel dieser Art ist seit etwa einem Jahr als Abgas-Wärmeverwerter der Wassergasanlage der Consolidated Gas Co., Boston, Ver. St. von A., im Betrieb. Er besteht aus einem 11,40 m hohen, zylindrischen Stahlmantel von 2,13 m Dmr., der innen mit feuerfesten Steinen ausgemauert ist, und zwei Reihen senkrechter Rohre; diese reichen über die ganze Länge des Kessels, der auf einem Stahlgerüst steht. Die Rohre sind oben und unten durch geneigte Sammel- oder Verteilrohre verbunden; jedes Rohrblümel ist federnd aufgehängt, damit es bei den beim Wassergasbetrieb unvermeidlichen Wechseln der Temperaturen seine Länge frei ändern kann. Man gelangt zu den Rohren durch eine vom oberen bis unteren Ende des Kessels reichende Tür. Außerhalb des eigentlichen Kessels dienen zwei wagerechte Trommeln, die mit dem unteren Sammelrohr verbunden sind, zum Entschlammn. Das Speisewasser wird oben zugeführt und durch düsenartige Öffnungen gegenüber den Mündungen der Heizrohre innen gegen die Heizrohre gespritzt. Es läuft in der Form einer Wasserhaut an den Rohren nach unten, wo der nicht verdampfte Teil — ungefähr das Vier- bis Fünffache des verdampften — dem Kreislauf mittels einer Pumpe wieder zugeführt wird. („Engineering“ 15. März 1929 S. 341*)

[N 2780 h]

Stg.

¹⁾ Vergl. „Archiv f. Wärmewirtschaft“ Bd. 8 (1927) S. 170.

Fortschritte der Bootsmotoren

Die Jahresschau der Motorboote, die vor kurzem in New York stattfand, zeigte überraschende Fortschritte der bekannten Außenbordmotoren. Solche Motoren werden heute schon bis zu 32 PS mit vier Zylindern bei 5200 U/min gebaut, und ihre Verwendung hat erheblich zugenommen, namentlich seitdem es gelungen ist, ihren Auspuff unter Wasser austreten zu lassen und fast geräuschlos zu machen. Der Auspuffsammler und das anschließende, am Schraubenkopf unter Wasser endigende Rohr sind mit einem Wassermantel versehen, in den das Wasser unter dem Einfluß des Schraubendrucks emporsteigt. Diese Einrichtung wirkt auch bei stillstehendem Boot, solange sich die Schraube dreht. Man läßt häufig das Wasser oben gleich in die Auspuffleitung austreten, damit die Gase schnell abgekühlt werden. Im übrigen arbeiten die Motoren meistens im Zweitakt. Die Zylinder werden durch Wasser gekühlt, das in ähnlicher Weise, wie schon beschrieben, ohne die Hilfe einer Pumpe emporgetrieben wird. Die Leistung der Motoren hat man durch Steuern des angesaugten Gemisches erheblich gesteigert.

Größere Bootsmotoren werden von vielen Kraftwagenfabriken geliefert. Beachtet wurden auf der Ausstellung auch der schnelllaufende Fahrzeug-Dieselmotor der Firma Buda nach der Bauart MAN, der mit vier Zylindern bis zu

100 PS bei 1000 U/min leistet, sowie die bekannten Benzin- und Dieselmotoren der Firma Maybach. („Automotive Industries“ 2. Februar 1929, S. 152/53*) [N 2780 c]

Diesel- und Benzinlokomotiven

Lokomotiven mit Verbrennungsmotoren als mittelbarer Antrieb kommen in den Vereinigten Staaten von Amerika und in Kanada, besonders im Bahnhofs- und Verschiebedienst immer mehr in Gebrauch. Während Kanada im allgemeinen der Dieselmaschine den Vorzug gibt, bedienen sich die Vereinigten Staaten noch gern des Benzinmotors, für das geringere Gewicht, auf 1 PS Leistung bezogen, sprich. Immerhin hat neuerdings Beardmore für kanadische 400 PS-Diesellokomotiven Motoren für 900 bis 1000 U/min aufgeführt mit dem außerordentlich geringen Gewicht von 1000 für 1 PS.

Dieselelektrische Lokomotiven von 300 PS Leistung 60 t Gewicht werden zur Zeit am meisten bevorzugt; sie werden bereits im Bahnhofsdienst der New Yorker Chikagoer Bahnhöfe zahlreich benutzt. Versuche über die Eignung von Diesellokomotiven auch für den Fernverkehr sind bei der New Yorker Zentralbahn mit zwei 800 PS-Lokomotiven im Gange. Man baut auch schon sehr große Lokomotiven; so hat die Kanadische Eisenbahn eine dieselelektrische Lokomotive für 2500 PS¹⁾ in Dienst gestellt, Zuggewichte von 700 bis 800 t im Personenzugdienst befördert. (Revue Générale des Chemins de Fer, März 1929 S. 212) [N 2780 a]

¹⁾ s. Z. Bd. 73 (1929) Nr. 1 S. 34 und Nr. 10 S. 352.

Beförderung flüssigen Roheisens auf 16,5 km Entfernung

Bei der American Rolling Mill Co. wird das in den Hochöfen erzeugte flüssige Roheisen in besonderen, runden fassenden und leer rd. 130 t wiegenden Mischerwagen eine Entfernung von 16,5 km bis zu den Siemens-Maschinenöfen innerhalb 50 min vom Einfüllen bis zum Entleeren bei ganz geringen Temperaturverlusten befördert. Der auf dem Eisenbahnwagen ruhende Mischer dreht sich auf Zapfen im Rahmen des Wagens und wird durch einen Elektromotor angetrieben. Der Blechmantel des Mischers ist mit 50 mm dickem Gussmetall ausgekleidet, auf dem 340 mm dicke Schamottesteine mittels feuerfesten Ton aufgesaugt sind. Die Auskleidung muß nach fünf Monaten erneuert werden, nachdem rd. 40 000 t flüssiges Roheisen befördert sind. („The Engineer“ 15. März 1929 S. 291) [N 2780 b]

Kabelkrananlage für besonders schwere Lasten

Über einem rd. 90 m tiefen Steinbruch der Rubicon Granite Co., Aberdeen, arbeitet seit kurzer Zeit ein Kabelkran, der bei 255 m Spannweite Lasten bis zu 20 t befördern kann. Bei der Anlage mußte Rücksicht genommen werden auf den Betrieb zweier bereits vorhandener Kabelkrananlagen.

ange Last. Man führte deshalb den neuen Kran schräg
er den beiden alten hindurch, wobei die Stütze auf der
Maschinenhausseite oben am Rande des Steinbruches, die
genstützte etwa in halber Höhe über der Sohle angeordnet
den mußte. Während das Maschinenhaus unmittelbar
den Rand gebaut wurde, hat man den dazu gehörigen
25 m hohen Kabelkranturm so weit vom Rande ab er-
setzt, daß es noch möglich ist, die großen Steine oben
Weiterbeförderung abzusetzen. Da das Gelände weiter
ten mit Häusern bebaut und auch nicht zur Aufnahme
Gründungen für die Abspannseile des Turmes geeignet
e, mußte man, um die Seillänge zwischen Turm und Win-
haus künstlich zu vergrößern, Hub- und Zugseil über
e Umführrolle zum Turm führen. Zwischen Maschinen-
haus und Umführrolle laufen die Seile unterirdisch, so daß
Grundfläche durch sie nicht eingeengt wird.
um Antrieb dient ein 150 PS-Motor, der über ein
Nehselgetriebe die Winden betätigt. Bei 20 t beträgt die
Hogeschwindigkeit 0,33 m/s, die Fahrgeschwindigkeit
/s, bis zu 10 t das Doppelte. (The Iron and Coal Trades
Review, 15. März 1929, S. 400*) [N 2780 g] *Sd.*

Lagerung der Drehbankspindel

In den Vereinigten Staaten hat die Timken Roller
Bearing Co. an Drehbänken Versuche über den Einfluß
der Lagerung auf den ruhigen, schwingungsfreien Lauf der
Spindel angestellt. Einige Ergebnisse sind in Zahlentafel 1
und 2 zusammengestellt. Bei den Versuchen wurden die
gleiche Schnittgeschwindigkeit und dieselbe Drehzahl be-
nutzt. Der bearbeitete Werkstoff war gewöhnlicher Maschi-
nenstahl von rd. 140 mm Dmr. und 254 mm Länge. Das
Werkstück war 38 mm tief in das Drehbankfutter einge-
spannt, so daß das äußerste Ende des Drehstückes 216 mm
von Einspannfutter und rd. 432 mm von der Stirnseite des
Spindellagers entfernt war.

Zahlentafel 1
Axiale Schwingungen der Drehbankspindel

Lager	Maschine Nr.	Ausschlag	
		rechts mm	links mm
Rollenlager	1	0,0076	0,0051
	3	0,0076	0,0064
Gleitlager	5	0,0125	0,0229
	8	0,0569	0,0254

Zahlentafel 2
Prüfung auf Rundlaufen

Lager	Maschine Nr.	U min	Vor- schub mm	Unrund		
				an der Ein- spannung mm	in der Mitte mm	am Ende mm
Rollenlager	1	75	0,28	0,0000	0,0051	0,0076
"	3	120	0,28	0,0025	0,0025	0,0076
Gleitlager	5	63	0,28	0,000	0,000	0,025
"	8	124	0,28	0,0050	0,025	0,025

(„American Machinist“, London, 16. März 1929 S. 252)
[N 2780 e*] *Schr.*

Stromerzeuger im Freien

In dem Wasserkraftwerk Lewiston, Idaho, hat man die
beiden Stromerzeuger für je 6250 kVA im Freien aufgestellt.
Zum Schutz gegen Witterungseinflüsse dienen Blechgehäuse.
Der Staudamm für das Kraftwerk besteht aus einem 282 m
langen Betondamm und einem 2170 m langen Erddamm; das
Krafthaus mit den Turbinen ist in den Erddamm eingebaut.
(„Electrical World“ 2. März 1929 S. 428*)
[N 2780 f] *Pa.*

BÜCHERSCHAU

Bücher und Zeitschriften des In- und Auslandes, auch solche nichttechnischen Inhaltes, liefert die VDI-Buchhandlung,
Berlin NW 7, Ingenieurhaus (Telegrammanschrift: Ingenieurverlag Berlin; Fernspr.: Zentrum 15204).

Psychotechnische Berufseignungsprüfung von Gießereifach-
arbeitern. Von Wilhelm Bültmann. Berlin 1928, Julius
Springer. 78 S. m. 32 Abb. Preis 8,25 RM.

Die als 4. Band der von Prof. Dr. W. Moede, Berlin,
herausgegebenen „Bücher der industriellen Psychotechnik“
erzielene Arbeit stellt einen wertvollen Beitrag zur
wissenschaftlichen Führung des Gießereibetriebes dar.
Im Recht wird auf die besonderen Verhältnisse hin-
gewiesen, die zwar die Verwendung von Prüfverfahren
gestatten, ähnlich denen für Metallarbeiterlehrlinge, aber
dann, wenn diese Verfahren für die Gießereiarbeiter zu-
gegriffen werden; d. h. sie müssen sich auf eine ein-
gehende Berufskunde und ein planmäßiges Studium der er-
forderlichen geistigen und körperlichen Fähigkeiten stützen.

Diese Grundlagen werden zunächst untersucht, um aus
der Analyse der Berufsverrichtungen die berufswichtigen
Fähigkeiten der Gießereifacharbeiter festzustellen. Hieran
schließen sich eingehende Angaben über die Prüfverfahren
und den erforderlichen Apparat und deren Verwendung
zur Prüfung nebst Auswertung der Prüfungsergebnisse.

Das Buch sollte von allen gelesen werden, die sich be-
ziehen mit der Ausbildung des Gießereiarbeiters zu befassen
wollen, aber auch die anderen Gießereifachleute werden aus
ihm manche Anregung schöpfen. [E 2606] *Lohse*

Rohre. Unter besonderer Berücksichtigung der Rohre für
Wasserkraftanlagen. Von Victor Mann. München und
Berlin 1928, R. Oldenbourg. 208 S. m. 138 Abb. Preis 13,50 RM

Eine Sonderdarstellung über die Herstellungsweise der
Rohre, ihre Baustoffe, Berechnung, Ausführungsarten, Be-
arbeitung, Anwendungsgebiete, Verlegung und Montage
in einem Abriß der für den praktisch tätigen Ingenieur
wichtigen Kapitel aus der Strömungslehre.

Ausgehend von Begriff, Zweck und Anwendungsgebiet
der Rohre bei Wasserkraftanlagen bespricht der Verfasser
im ersten Abschnitt die Herstellungsweise und die Be-
rechnung der Rohre für die verschiedenen Baustoffe, wie
Eisen, Schweiß-Eisen, Flußeisen und Stahl, Holz, Beton
und Eisenbeton, sowie Eternit. Außer den für die statische
Berechnung der Rohre selbst und der hauptsächlichsten zur
Gewährung einer Druckleitung gehörenden Einzelteile not-
wendigen theoretischen Abhandlungen mit Angabe der zu-
gehörigen Beanspruchungen erläutern eingehender Text und
zahlreiche Abbildungen die wichtigsten konstruktiven
Einzelheiten wie Längs- und Rundnähte, Rohrverbindun-
gen, Ausdehnungsstücke, Abstützungen u. a. Ein beson-

deres Kapitel behandelt die wichtige Frage der Schutz-
mittel gegen Rost und Anfrassungen.

Vergleichende Betrachtungen zu den verschiedenen
Rohrarten geben sodann Aufschluß über zulässige Höchst-
drücke, größte Durchmesser und zulässige Wassergeschwin-
digkeiten sowie deren Einfluß auf die Regelung der an-
geschlossenen Turbinen. Eingehend behandelt werden fer-
ner die Berechnung des wirtschaftlich günstigsten Durch-
messers und das zur Beurteilung der Druckverhältnisse
(Unterdruck) notwendige Druckliniendiagramm. Weniger
lehrreich und den neuzeitigen Ausführungen angepaßt ist
das Kapitel über die Verteilungen. Im weiteren wird
der praktisch arbeitende Ingenieur eine eingehendere Be-
handlung der Festpunkte vermissen.

Der zweite Abschnitt, der „Hydraulische Teil“, be-
schäftigt sich ausführlich theoretisch neben den Druck-
höhenverlusten mit den dynamischen Druckänderungen, die
für die praktischen Ausführungen, insbesondere zur Be-
stimmung der Linie der dynamischen Druckhöhen im Druck-
liniendiagramm, in Betracht kommen.

Das Buch behandelt trotz der Kürze die für den Rohr-
bau wichtigen Fragen und vermittelt durch zahlreiche
Literaturhinweise ein erschöpfendes Studium des ganzen
Stoffes. [E 2659] *A. L. Cafilisch*

Kurzes Lehrbuch der Chemie in Natur und Wirtschaft. Von
Carl Oppenheimer und Joh. Matula. 2. Aufl. 1. Bd.:
Allgemeine Chemie. Von Johann Matula. Anorganische
Chemie. Von Carl Oppenheimer. 566 S. m. 65 Abb.
Preis 26 RM. 2. Bd.: Organische Chemie. Von Carl
Oppenheimer. 471 S. m. 7 Abb. Preis 22 RM. Leipzig
1928, Georg Thieme.

Über die erste Auflage dieses Werkes wurde bereits vor
vier Jahren an dieser Stelle berichtet. Der Charakter des
Werkes ist in der vorliegenden zweiten Auflage nicht ge-
ändert; im Gegenteil, der neue Weg, den der Verfasser in
der Behandlung des Stoffes eingeschlagen hat, ist noch
schärfer und klarer herausgearbeitet worden. Der Um-
fang ist durch eingehendere und zum Teil völlig neue Be-
arbeitung einzelner Kapitel vermehrt, so daß eine Teilung
in zwei Bände notwendig geworden ist. Der erste Band
umfaßt die Behandlung der allgemeinen Chemie und die
anorganische Chemie. Der zweite Band enthält die orga-
nische Chemie.

In der allgemeinen Chemie, die wie in der ersten Auf-
lage aus der Feder von Prof. Matula, Wien, stammt, sind
besonders die Kapitel über die Theorie der Elektrolyte, den

Atombau und die Valenztheorien einer Neubearbeitung unterworfen und neueren, aber nicht den neuesten, Anschauungen auf diesen Gebieten angepaßt worden. Im zweiten Teil wurde besonders der Abschnitt Kohle, ihre Entstehung und Aufarbeitung sehr erweitert. Zahlreicher noch sind die Neuerungen, die wir im dritten Teil finden. Die technisch so wichtigen Kapitel Erdöl, Erdölverwertung und Kohlenhydrate sind völlig neu bearbeitet. Aber auch die theoretischen Fragen der organischen Chemie wie die Stereochemie, die Lehre von den Farbsalzen von *Hantzsch* und *Dilthey*, das Bezeichnungsprinzip von *Wohl* und *Freundberg* und die *Werner-Pfeifferschen* Theorien haben eine eingehende Würdigung erfahren. Das Kapitel Fermente (Enzyme), ein Sondergebiet des Hauptverfassers, ist besonders ausführlich behandelt.

Auf Grund dieser Neubearbeitung wird sich das Werk auch weiterhin gut einführen, zumal es übersichtlich und

anziehend geschrieben ist. Es ist nicht nur für den gehenden Chemiker als Lehrbuch, sondern auch als Nachschlagewerk für Physiker, Ingenieure, Ärzte, Landwirte usw. geeignet. [E 2382] Dr. Ploetz

Holzbearbeitungsmaschinen und Holzbearbeitung des In- und Auslandes. Von *J. Gullrath*. Berlin 1929, Julius Springer. 604 S. m. 611 Abb. Preis 31,50 RM.

The Geology of Petroleum and Natural Gas. Von *Ernest Raymond Lilley*. London 1928, Chapman & Hall. 524 S. m. 173 Abb. Preis 30 s.

Handbuch für Luftfahrt und Luftfahrt-Industrie. Herausg. von *Erich Mehne*. 3. Aufl. Berlin 1929, Luftfahrt-Verlag. 360 S. m. Abb. Preis 5,80 RM.

Jahrbuch der angewandten Naturwissenschaften. 34. Herausg. von *August Schlatterer*. Freiburg im Breisgau. Herder & Co. 400 S. m. 262 Abb. Preis 12 RM.

ZUSCHRIFTEN AN DIE SCHRIFTFÜHRUNG

Verhütung von Motorrückschlägen an Kraftwagen

In dem vorstehenden Aufsatz von *Obering, Freymann*, Z. Bd. 73 (1929) S. 87 ist auch meine Andrehkurbel behandelt. Es sei mir daher gestattet, dazu ergänzend Folgendes zu bemerken:

Nach meinen bis 1906 zurückreichenden Erfahrungen mit meinen Alfa-Kurbeln, wovon bereits viele Tausende an ortsfesten Motoren und an Motorlokomotiven Verwendung gefunden haben, wird die Unfallsicherheit der auf Entkuppeln bei Rückschlag beruhenden Sicherheitskurbel weder durch den kurzen Entkuppelweg noch durch die Möglichkeit des Ausschwingens nach erfolgter Entkuppung beeinträchtigt.

Bei meinen Beta-Kurbeln liegen die Verhältnisse nicht anders. Im übrigen führe ich diese Bauart auch mit Hemmung gegen Zurückschwingen nach der Entkuppung aus.

Nach den von *Freymann* aufgestellten Bedingungen wäre, streng genommen, nur die beim Rückschlag festgehaltene Kurbel brauchbar. Zu dieser einseitigen Festlegung besteht aber nach den Erfahrungen mit den das Sicherungsgesperre und den Motor schonenden auslösenden Kurbeln in der Praxis kein Anlaß.

Kurbeln mit Rutschkupplung, bei denen der Rückstoß durch das Sicherungsgesperre abgefangen wird, hat man schon vor mehr als 20 Jahren einzuführen versucht. Das hierher gehörige, in dem Buch über Unfallverhütungstechnik von Prof. Dr.-Ing. *Schlesinger* veröffentlichte System *Barthel* arbeitete (was aus der dortigen Darstellung nicht ersichtlich ist) mit Rollengesperre. Es scheiterte an dem zu frühen Verschleiß des Gesperres.

Wenn auch der Erfolg mit dauerhafteren Gesperren, zu denen sicher auch mein mit Sperrflächen arbeitendes, nachstellbares Keilbackengesperre zählt, heute besser sein wird, so bleibt doch als Nachteil dieser Bauart, daß neben dem Gesperre der Motor erheblich stärker mitgenommen wird als bei den auslösenden Kurbeln. Soviel ich weiß, wird von maßgebender Seite die Monopolstellung einer bestimmten Bauart nicht gewünscht, so daß es schon aus diesem Grunde richtig sein dürfte, wenn auch den auslösenden Kurbeln Raum zur Weiterentwicklung gelassen wird.

Weißenburg i. Bayern

Fritz Ossberger

Erwiderung

Die Alfa-Kurbel von *Ossberger* ist in meinem Aufsatz nicht genannt worden; sie hat sich beim Kraftwagen nicht eingeführt. Die in meinem Aufsatz aufgestellten Bedingungen sind das Ergebnis von mir durchgeführter Ver-

suche und zahlreicher Unfalluntersuchungen; von der Einhaltung dieser Bedingungen kann m. E. nur solange stand genommen werden, als die herstellende Industrie die Aufgabe nicht restlos zu lösen vermag.

Die in der „Unfallverhütungstechnik“ veröffentlichte drehvorrichtung nach *Barthel* besteht nur aus einer Rutschkupplung ohne Gesperre und kann mit den von beschriebenen Kurbeln mit Gesperre und Rutschkupplung nicht verglichen werden. Der von *Ossberger* genannte Nachteil, daß bei Kurbeln dieser Bauart, neben dem Gesperre, Motor erheblich stärker mitgenommen wird, hängt ganz von der Bauart und Wirkungsweise der Rutschkupplung ab. günstigen Erfahrungen mit derartigen Kurbeln sind zwischen vielfach bestätigt worden; bei der zuletzt gelieferten Kurbel zeigte das Gesperre nach mehr als 450 Rückschlägen keinen Verschleiß, und die Kurbel erfüllte alle Bedingungen.

Seit einigen Monaten mache ich Versuche mit Rutschkupplungen, die beim Rückschlag von selbst auslösen, genau so wirken wie die von *Ossberger* genannten, Motor schonenden, auslösenden Kurbeln; ich werde über in kurzer Zeit berichten können.

In meinem Aufsatz über Verhütung von Motorrückschlägen habe ich auch die Andrehkurbeln behandelt auf Anregung von Firmen, die ihre Anregung aufrecht erhielt, obgleich ich die Entwicklung der Sicherheitskurbeln an Kraftwagen für noch nicht abgeschlossen erklärte. Die weitere Entwicklung der Andrehvorrückungen sollte durch den Aufsatz gefördert werden; dies ist inzwischen geschehen auch durch *Ossberger*, s. oben in Absatz 2. Die maßgebenden Stellen werden es begrüßen, wenn möglichst viele Bauarten an Sicherheitskurbeln zu stellenden Bedingungen füllen; ob sogenannte auslösende Kurbeln, Gesperre, Rutschkupplungen oder andere Bauarten ist gleichgültig. [D 2641] Freymann

Berichtigung

Beschleunigungsmesser von Galitzin

Zu der in Nr. 8 Seite 263 dieser Zeitschrift veröffentlichte Beschreibung ist ergänzend folgendes mitzuteilen. Die angegebenen Formeln gelten selbstverständlich unter der Annahme, daß das Quarzblättchen den gleichen Neigungswinkel α gegen die Senkrechte hat wie der Fall an dem das Gewicht g hängt. [N 278]

Schluß des Textteiles

	I N H A L T:
	Seite
Ein Beitrag zur Klärung der Drahtseilfrage. Von <i>R. Woernle</i>	417
Herstellung von Schweißverbindungen bei Gasrohrleitungen	426
Kabelkrananlage mit Betongießbühne beim Bau der Staumauer Spitalamm des Grimselseebeckens. Von <i>A. Rubin</i>	427
Wärmeaustausch in Regeneratoren. Von <i>H. Hausen</i>	431
Bandförderung im Braunkohlentiefbau	433
Silikathüttenkunde als Chemie-Ingenieurwissenschaft. Von <i>E. Zschimmer</i>	434
Die Anwendung der Längsspannenbauart nach <i>Isherwood</i>	436

Die neue Zentralkokerei auf Zeche Emil, Essen-Altenessen. Von <i>R. Gau</i>	
Rundschau: Die 1 D 2-Heißdampf-Zwillings-Schnellzuglokomotive R 214 der Österr. Bundesbahnen — Technische Aufgaben im Steinkohlenbergbau — Versuche mit Spiralbohrern — Kleine Mitteilungen	
Bücherschau: Psychotechnische Berufseignungsprüfung von Gießereifacharbeitern. Von <i>W. Bültmann</i> — Rohre. Von <i>V. Mann</i> — Kurzes Lehrbuch der Chemie in Natur und Wirtschaft. Von <i>C. Oppenheimer</i> und <i>J. Matula</i> — Eingänge	
Zuschriften an die Schriftleitung: Verhütung von Motorrückschlägen an Kraftwagen	
Berichtigung: Beschleunigungsmesser von Galitzin	

ZEITSCHRIFT DES VEREINES DEUTSCHER INGENIEURE

SCHRIFTFLEITER: C. MATSCHOSS



EL. 73

SONNABEND, 6. APRIL 1929

Nr. 14

Das Landmaschinenwesen als Lehrgebiet für Ingenieure Landmaschinen-Laboratorium der Technischen Hochschule München

Von Prof. Dr. GEORG KÜHNE, München

Der Aufbau des Landmaschinenwesens als Lehrgebiet für Ingenieure. Berührungspunkte dieses Sonderfaches mit Teilgebieten der allgemeinen Maschinenlehre und seine Eigenarten. Das Laboratorium für Landmaschinen der Technischen Hochschule München und seine neuartigen Einrichtungen: die Versuchsrinne zum Pflügen und der Meßwagen, der Sämaschinen-Prüfstand mit Plüschband zur Ermittlung der Körnerverteilung u. a.



Versuchsrinne mit Meßwagen.

Das Landmaschinenwesen ist in unsere akademischen Unterrichtspläne für Ingenieure erst erheblich später aufgenommen worden als in die für Landwirte. Diese Entwicklung wurde hauptsächlich dadurch verursacht, daß die Nachfrage nach Ingenieuren mit akademischer Sonderausbildung im Landmaschinenwesen in früheren Jahren sehr gering war und die Technischen Hochschulen der Landmaschinenlehre nicht genügend Bedeutung beileigten, um ihr die Stellung eines Sonderfaches einzuräumen. Allmählich änderten sich die Verhältnisse und Anschauungen. Die Nachfrage nach Landmaschineningenieuren nahm zu und das Landmaschinenwesen fand in den Kreisen akademisch gebildeter Ingenieure größere Beachtung und verständnisvollere Beurteilung als zuvor. Heute wird in Deutschland das Landmaschinenwesen von besonderen Fachvertretern in den Maschineningenieur-Abteilungen (Maschinenbau-Fakultäten) von sechs Technischen Hochschulen gelehrt.

Grundlagen der Ausbildung zum Landmaschinen-Ingenieur

Der Unterricht im Landmaschinenwesen an Ingenieure wird ganz anderer Weise zu erteilen als an Landwirte. Der Landwirt soll in Vorlesungen über die Bedeutung der

Maschine in der Landwirtschaft, über ihren Aufbau, ihre Wirkungsweise, ihre Wirtschaftlichkeit unterrichtet werden und in praktischen Übungen ihre Eigenschaften kennenlernen. Der Ingenieur dagegen muß nach einführenden Vorlesungen und Übungen vertiefte Vorlesungen über die Gestaltung der Landmaschinen und besondere Fragen der Fertigung hören, Untersuchungen an Landmaschinen anstellen und einen selbständigen Entwurf liefern.

Erwarten doch den jungen Landmaschineningenieur, wenn er die Hochschule verläßt, sehr verschieden geartete Anforderungen. Die Landmaschinenindustrie braucht Hilfskräfte für die Entwicklungsarbeiten im Konstruktionsbureau, auf dem Prüfstand und dem Versuchsfeld, sie braucht ferner solche für den Fabrikationsbetrieb und in ihren Verkaufsorganisationen. Die Maschinenprüfämter und wissenschaftlichen Institute fordern Kräfte an, die das gesamte vielgestaltete Fachgebiet kritisch übersehen und geeignet sind, bei vergleichenden Untersuchungen und Forschungsarbeiten erfolgreich mitzuwirken. Die Maschinenberatungsstellen der Landwirtschaftskammern und anderer Körperschaften, sowie die Überwachungsringe für Maschinen verlangen vom Landmaschineningenieur ein klares Urteil in den Fragen, die sich bei der praktischen Benutzung der Maschine in der Landwirtschaft ergeben.

Die Ausbildung des Landingenieurs würde unvollkommen sein, wenn er während seines Studiums nicht auch Berührung mit der landwirtschaftlichen Praxis und mit einigen wichtigen Fächern der landwirtschaftlichen Wissenschaft haben würde. Eine praktische Tätigkeit von mindestens dreimonatiger Dauer in einem gut geleiteten Landwirtschaftsbetriebe, die im Rahmen des praktischen Jahres liegen könnte, und der Besuch wenigstens je einer kurzen einführenden Vorlesung über Acker- und Pflanzenbau und landwirtschaftliche Betriebslehre sind unerlässliche Voraussetzung für eine spätere Tätigkeit als Landmaschineningenieur. Ein solcher muß die einschlägigen biologischen und pflanzenphysiologischen Zusammenhänge kennen, wenn er sie mit mechanischen Hilfsmitteln beeinflussen will, und ebenso muß er über die wichtigeren betriebswirtschaftlichen Fragen unterrichtet sein.

Unterrichtsgebiete und Unterrichtsplan

Gentügen zur Durchführung des maschinenkundlich-technologisch aufgebauten Unterrichtes an Landwirte zwei Semester — im ersten Vorlesungen, im zweiten praktische Übungen —, so beansprucht die Sonderausbildung der Ingenieure im Landmaschinenwesen folgerichtig vier Semester. Der allgemeinen Gliederung des Studiums für Maschineningenieure entsprechend, gehört das Landmaschinenwesen in die Semester nach der Diplomprüfung.

An der Technischen Hochschule München, wo seit dem Jahre 1924 ein planmäßiges Ordinariat für Landmaschinenlehre besteht, das zur Maschineningenieur-Abteilung gehört und dessen Inhaber ausschließlich dieses Fachgebiet in Lehre und Forschung zu vertreten hat, ist der Unterricht in der Landmaschinenlehre für Ingenieure folgendermaßen gegliedert:

	Lehrstoff	Zahl der Wochenstunden	
		Vorlesungen	Übungen
5. Semester	Landmaschinenkunde	3	
6. „	Untersuchungen an Landmaschinen		3
7. „	Landmaschinenbau I	2	
	Untersuchungen an Landmaschinen		3
8. „	Landmaschinenbau II	2	
	Entwerfen von Landmaschinen		8

Wie diese Übersicht zeigt, ist der Zeitaufwand, den das Studium des Landmaschinenwesens erfordert, im Vergleich zu dem für andere Sonderfächer des Maschinenbaues verhältnismäßig groß. Eine Einschränkung der Stundenzahl, die im Interesse der nach Ablegung der Vorprüfung stark belasteten Studierenden liegen würde, ist jedoch wegen der Vielgestaltigkeit und des großen Umfangs des Landmaschinenwesens nicht möglich. Diese Vielgestaltigkeit bringt den jungen Landmaschineningenieur mit sehr vielen Teilgebieten der technischen Mechanik und der allgemeinen Maschinenlehre in enge Berührung und macht das Studium besonders anregend.

Die Kraftpflüge und Ackerschlepper geben ihm Veranlassung, sich mit verschiedenartigen Wärmekraftmaschinen eingehend zu beschäftigen. Hierbei lernt er, daß die besonderen Bedingungen des landwirtschaftlichen Betriebes dem Konstrukteur beim Entwurf Fesseln anlegen und ihn zwingen, nach neuartigen Lösungen zu suchen. Die Rücksicht auf die begrenzte Tragfähigkeit gewisser Ackerböden verlangt sparsame Verwendung der Werkstoffe, um bestimmte Gewichtsgrenzen der Maschine nicht zu überschreiten. Er sieht z. B., daß deshalb der Dampfpflugbetrieb Kessel benutzt, die in 1 h bis zu 70 kg Dampf auf 1 m² Heizfläche liefern müssen, oder daß es gelungen ist, das Gewicht für Ackerschlepper auf 50 bis 55 kg/PS Motorleistung herabzudrücken, ohne daß teure Leichtmetalle verwendet werden. In diesem Zusammenhang findet er auch Berührung mit der Frage des schnellaufenden, leichten Dieselmotors. Da aber, wo die Triebräder des Kraftpfluges und Schleppers den Ackerboden berühren, wird er mit einer grundlegenden Frage des Landmaschinenwesens vertraut gemacht, nämlich mit der Aufgabe, die Umfangs-

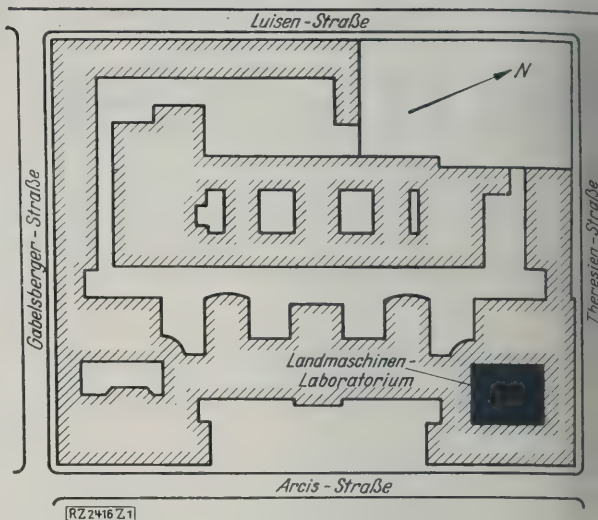


Abb. 1

Lage des Landmaschinen-Laboratoriums der Technischen Hochschule München.

kräfte der Triebräder mit möglichst geringen Verlusten ein Übertragungsmittel, den Boden, abzusetzen, dessen Eigenschaften ständig wechseln.

Die Schwierigkeiten der wechselnden Bodeneigenschaften treten ihm in anderer Gestalt bei der Entwicklung der Werkzeuge zur Bodenbearbeitung entgegen. Hier sind Formen zu entwerfen, die trotz der wechselnden Eigenschaften des „Werkstoffes“ den beabsichtigten technologischen Arbeitsprozeß in möglichst vollkommener Weise durchführen.

Die verschleißende Wirkung der Ackerböden, insbesondere mancher Mineralböden, rollt die Frage nach den zweckmäßigsten Werkstoffen auf. Hochlegierte Stähle kommen nicht in Frage, weil sie gegen Fehler bei der Wärmebehandlung empfindlich sind und die Werkzeuge sich mit den einfachen Hilfsmitteln und Fähigkeiten eines Land Schmiedes wieder instand setzen lassen müssen. Der junge Ingenieur wird mit den Sonderstählen des Landmaschinenbaues vertraut gemacht.

Das Kräftespiel an Bodenbearbeitungsgeräten, besonders an Pflügen, führt zur räumlichen Statik, sein Kenntnis liefert die Grundlage für die Formgebung und die Wahl der Abmessungen der einzelnen Teile. Die Formgebung im Landmaschinenbau ist aber mit der Fertigung aufs engste verbunden; denn die meisten Geräte sind Gegenstände des Massenbedarfs und werden in Reihen erzeugt. Die angewandten Fertigungsverfahren sind hoch entwickelt, daß es in vielen Fällen gelungen ist, den Lohnanteil auf weniger als 10 vH der gesamten Gestehtkosten zu senken. Der Studierende kann am Beispiel des Pfluges, des Grubbers, der Egge wie kaum an einem anderen die wirtschaftliche Fertigung von leichten und mittelschweren Schmiedestücken verwickelter Form lernen.

Die Aufgabe, die Körnerverteilung mittels Sämaschinen zu beherrschen, besonders die Aussaat von Horsten und Verbänden, stellt die Verbindung mit der Bewegungslehre her, die in noch stärkerem Maße zur Erfassung der eigenartigen Bewegungsvorgänge in Erntemaschinen herangezogen werden muß. Man denke nur an den Aufbau und die Arbeitsweise der Vorrichtung zum Formen und Binden der Getreidegarben an Mähmaschinen oder an den maschinellen Einrichtungen zum Ernten von Kartoffeln.

Die Maschinen zum Dreschen des Getreides und zum Reinigen und Sichten von Körnern liefern lehrreiche Anwendungsbeispiele aus der Dynamik. Die Gebläse dieser und anderer Maschinenarten geben Anlaß, sich mit der Strömungslehre zu beschäftigen, während die schnell umlaufenden Dreschtrommeln und die schwingenden Massen der Strohschüttler und Siebkästen Probleme der Schwingungslehre stellen.

Die Vielgestaltigkeit des Landmaschinenwesens gibt also den Studierenden eine Fülle von Anregungen, die



Abb. 2
Das Prüffeld mit Spannrost.

stetigt sie ihnen auch Schwierigkeiten. Es ist besonders denjenigen, der sich noch nicht mit Landmaschinen beschäftigt hat, nicht leicht, das gesamte Gebiet übersehen zu können. Deshalb ist schon die Anregung gegeben worden, die

Teilung in kleinere Lehrstoffgebiete vorzunehmen und Sonderfachleute für Landmaschinen der Landwirtschaft, der Hofwirtschaft und der Milchwirtschaft auszubilden. Die Abspaltung der Gruppe der Maschinen der Milchwirtschaft erscheint, weil es sich um eine in sich abgeschlossene Gruppe von Maschinen zur Verarbeitung des einheitlichen Stoffes handelt, möglich und, wie Beispiele zeigen, auch nützlich. Die anderen Maschinengruppen aber sind durch so viele Beziehungen miteinander verknüpft, daß sie sich ohne Schaden nicht voneinander trennen lassen.

Das Landmaschinenwesen von heute ist in seiner Gesamtheit gewiß bedeutend schwieriger zu übersehen als vor 5 Jahren. Sind doch innerhalb dieses Zeitraumes ganze Maschinenengruppen, z. B. die Motorpflüge und Ackerschlepper, neu entstanden. Aber gerade an dem Beispiel dieser Maschinenarten läßt sich andererseits auch zeigen, daß im Laufe der Zeit erhebliche Vereinfachungen in der Struktur des Gesamtbildes eintreten können. Der Wirrwarr der Motorpflug- und Schlepperbauarten der Kriegs- und Nachkriegszeit ist praktisch dadurch beseitigt worden, daß einige wenige Konstruktionen sich vor den anderen bewährten, andere durchsetzten und die Mehrzahl der weniger brauchbaren verdrängten. Es ist also durchaus nicht sicher, daß die Zahl der Landmaschinenarten weiter in erheblichem Maße zunimmt. Jedenfalls sollten die jungen Landmaschinen-Ingenieure auch in Zukunft mindestens mit den beiden Gruppen als zusammengehörig bezeichneten Maschinengruppen vertraut gemacht werden.

Das neue Landmaschinenlaboratorium der Technischen Hochschule München,

Ein unerläßliches Hilfsmittel im Unterricht des Landmaschinenwesens ist der praktische Versuch. Deshalb gehören zu den notwendigen Einrichtungen eines Lehrstuhles des Landmaschinenwesens ein Maschinenlaboratorium. Selbstverständlich muß ein solches außer zum regelmäßigen Unterricht auch zur Durchführung von Forschungsarbeiten durch den Vorstand, seine Mitarbeiter und Doktoranden benutzbar sein. Nach diesem Grundsatz ist das neue Landmaschinenlaboratorium, mit dessen Einrichtung ich betraut wurde, erbaut und ausgestattet worden.

Anlage des Laboratoriums

Die Technische Hochschule München ist in neuester Zeit durch zwei stattliche Flügelbauten, die die an der Theresienstraße liegende Hauptfront einschließen, s. Lageplan,

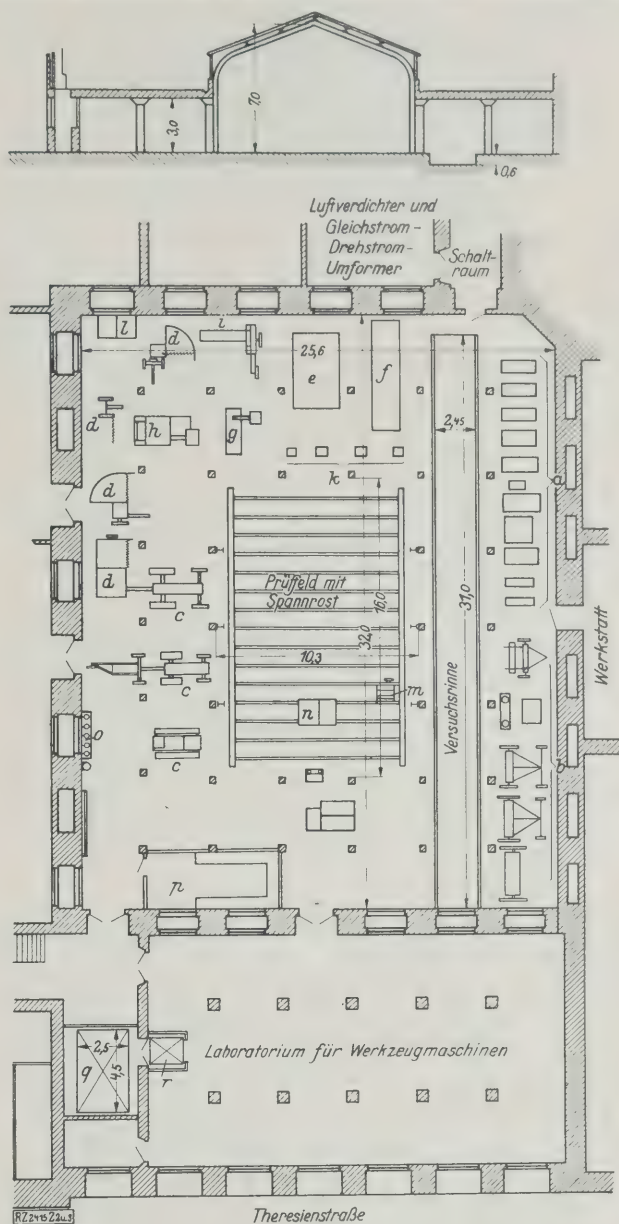


Abb. 3 und 4
Das neue Laboratorium des Instituts für Landmaschinen in München.

- | | |
|--|--|
| a Geräte zur Bodenbearbeitung, | i Futterschneidmaschine mit Gebläse, |
| b Maschinen zur Saat- und Pflanzpflege, | k Futtermühlen, |
| c Ackerschlepper, | l Gerreidesilo, |
| d Mähmaschinen, | m Seilwinde, |
| e Dreschmaschine mit Schlagleistentrommel, | n Elektromotor (25 kW), |
| f Dreschmaschine mit Stiften-trommel, | o Wascheinrichtung mit Warmwasserspeicher, |
| g Saatgut-Reinigungsanlage, | p Schreib- und Wägezimmer, |
| h Tischausleser, | q Druckwasser-Aufzug (3 t), |
| | r Elektrischer Aufzug (1,5 t). |

Abb. 1, wesentlich erweitert worden. Die Hochbauten des nördlichen Flügels umgeben einen Hof, dessen Lage und Größe zur Unterbringung des Landmaschinen-Laboratoriums, Abb. 2 bis 4, sehr geeignet erschienen.

Die Sohle des Hofes, der 32 m lang und 25,6 m breit ist, liegt etwa 3 m tiefer als die Straße. In zwei Reihen angeordnete Betonpfeiler tragen eine Pilzdecke, die einen rechteckigen Ausschnitt von 16 m Länge und 10,3 m Breite hat. Über diesem Ausschnitt erhebt sich ein von drei Bindern getragenes Glasdach mit einer Scheitelhöhe von etwa 7 m. Auf drei Seiten liegen Lichtschächte mit großem Querschnitt, die gleichzeitig zur Zuführung von Frischluft dienen.

Die aus den Abbildungen 3 und 4 ersichtliche Raumgliederung hat eine sehr zweckmäßige Einteilung des Laboratoriums ermöglicht. Die gesamte unter dem Glasdach

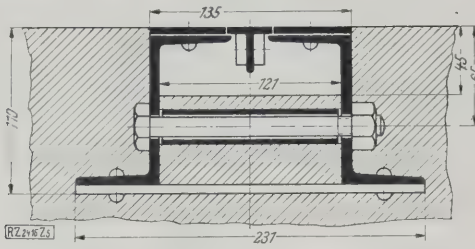


Abb. 5

Schnitt durch einen Spannschlitz im Prüffeld.

liegende, vorzüglich belichtete Fläche ist zum Prüffeld bestimmt worden, wogegen der den Lichthof umschließende Teil des Raumes zur Aufstellung der für Unterrichts- und Versuchszwecke notwendigen Maschinen und Geräte benutzt wird.

Die Maschinen werden bei Bedarf ohne große Mühe in das Prüffeld gefahren, wo sie an beliebigen Stellen in Betrieb gesetzt werden können. Um die Maschinen hier befestigen zu können, sind 15 Spannschlitz von je 10 m Länge in Abständen von 1 m angeordnet. Ihre Konstruktion ist aus Abb. 5 ersichtlich; sie sind an die Entwässerungskanäle des Raumes angeschlossen und können an den Stellen, an denen nicht gearbeitet wird, mit T-Leisten zugedeckt werden. Erforderlichenfalls werden die Schlitz mittels quer verlegter Spannschienen miteinander verbunden.

Die Versuchseinrichtungen des Laboratoriums

Im Prüffeld liegen zwei Schaltkästen, denen je 25 kW Gleichstrom entnommen werden können, und ein dritter für 25 kVA Drehstrom. Außerdem sind in drei Ecken des Raumes Schalttafeln zu Versuchszwecken für je 5 kW Entnahme und verschiedene Spannungen angeordnet.

Fahrbares Meßpult

Der Strom wird über ein fahrbares Meßpult, Abb. 6, auf dem sich die Präzisionsstrom- und Spannungsmesser, Kontrollzähler und ein selbstschreibender Leistungsmesser befinden, den Motoren zugeführt. Es können gleichzeitig fünf Motoren angeschlossen werden. Das Meßpult soll stets eingeschaltet sein, um die jeweilige Belastung sofort feststellen zu können. Die fahrbare Anordnung hat man der ortfesten Schalttafelanlage vorgezogen, um bei der Wahl des Aufstellungsortes für Versuche vollkommen freie Hand zu haben und die Meßgeräte stets in möglichst geringer Nähe des Versuchsplatzes aufstellen zu können.

Der Leitgedanke, Versuche auf jeder beliebigen Stelle des Prüffeldes aufbauen zu können, ist auch insofern durchgeführt worden, als sämtliche Antriebmaschinen und

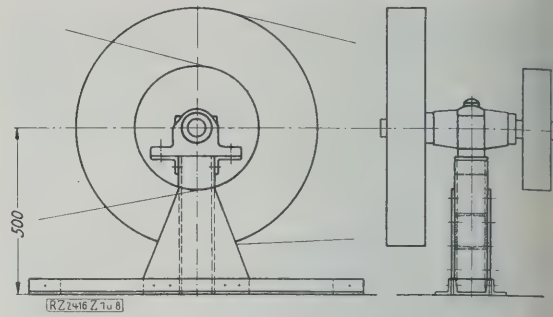


Abb. 7 und 8

Bewegliches Vorgelege für das Prüffeld.

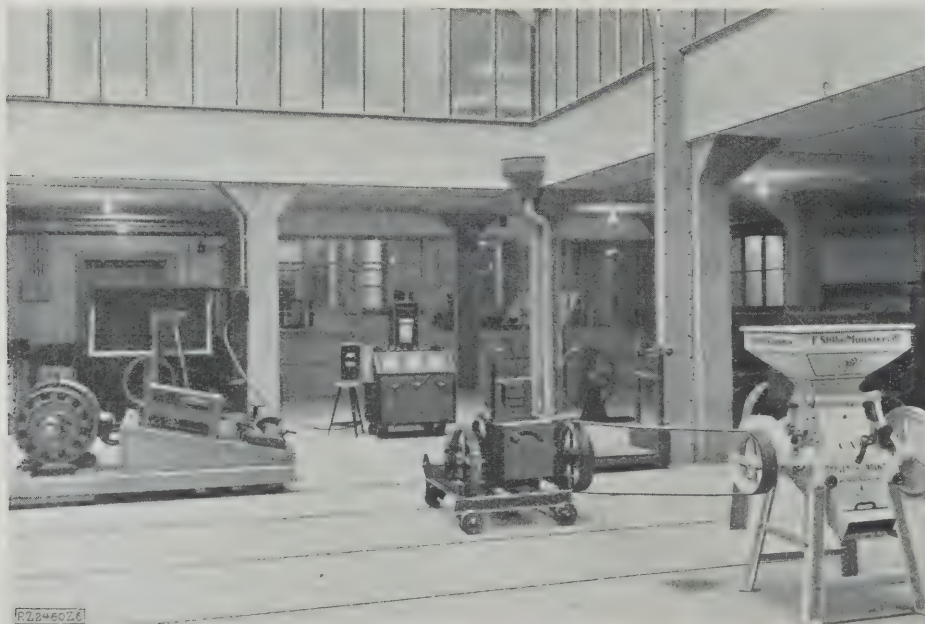
sonstigen Versuchseinrichtungen beweglich sind. Die große Maschine, ein Gleichstrommotor von 25 kW Leistung, mit Drehzahlregelung ausgerüstet und kann auch als Stromerzeuger zum Belasten von Ölmotoren benutzt werden. Auch die kleineren Motoren haben weitgehende Drehzahlregelung. Falls der Drehzahlbereich einmal nicht reichen sollte, wird zwischen Motor und Arbeitsmaschine ein bewegliches Riemenvorgelege nach Abb. 7 und 8 eingeschaltet. Diese Vorgelege geben in ähnlichen Anwendungsfällen einen vollwertigen Ersatz für fest verbaute Wellenleitungen.

An mehreren Stellen des Prüfstandes sind Gas- und Wasser- und Druckluftanschlüsse vorgesehen. Die Druckluftanlage soll zu Versuchen über das Verhalten von Getreidekörnern im Windstrom und ähnlichen Untersuchungen sowie zu Reinigungsarbeiten benutzt werden. Im Laboratorium können gleichzeitig vier bis sechs große Versuche durchgeführt werden, ohne daß sie sich gegenseitig stören.

Die Versuchsrinne für Messungen bei Pflügen, s. Titelbild, S. 449.

Um den Kreis der ausführbaren Untersuchungen zu erweitern, ist neben dem Prüffeld eine 31 m lange, 2,3 m breite und 0,6 m tiefe Rinne eingebaut, die mit Ackerboden gefüllt und zu Arbeitsversuchen mit Bodenbearbeitungsgeräten oder Werkzeugen normaler Größe bestimmt ist. Die Anlage dieser Rinne gibt Untersuchungsmöglichkeiten, deren Umfang sich noch nicht übersehen läßt. Kann man doch den Ackerboden in der Rinne durch entsprechende Behandlung in einen gleichmäßigeren physikalischen Zustand bringen, als es auf einem Versuchsfeld möglich ist. So ist der für die ersten Versuchsreihen in der Rinne gebrachte Boden, ein humoser, lehmiger Sandboden, zuvor mittels Sieben von Steinen und Pflanzresten befreit worden. Die

Resten sind Störungsursachen beseitigt, die erfahrungsgemäß die Genauigkeit von Messungen an Bodenbearbeitungswerkzeugen auf dem Feld stark beeinträchtigen könnten. Ferner kann der Boden in der Rinne mittels künstlicher Regen in jeden gewünschten Feuchtigkeitszustand durch entsprechende Bewässerung in beliebiger Weise dichtet werden, wie die vorherigen Versuche gezeigt haben. Außerdem lassen sich die Werkzeuge, die in der Rinne auf Schienen über der Rinne laufenden Meßwagen, Ableser und 10, eingespannt werden, genau geradlinig bewegen innerhalb der ganzen Rinne.

Abb. 6
Versuchseinrichtungen
auf dem Prüffeld.In der Mitte hinten das fahr-
bare Meßpult.

umzutauschen. Auf diese Weise steht dem Landmaschineninstitut dauernd eine Sammlung der wichtigsten neuzeitlichen Maschinen und Geräte zur Verfügung.

Schlußwort.

Solche anschaulichen Lehrmittel sind für den jungen Landmaschineningenieur von außerordentlichem Wert. Weder die Tafelskizze, noch die Lehrbildtafel oder das Lichtbild können den Formensinn des zukünftigen Konstrukteurs in so hohem Maße weiter entwickeln wie das gegenständliche

Ausführungsbeispiel. Eine möglichst weitgehende Entwicklung des Formensinnes ist aber gerade für denjenigen von besonderer Bedeutung, der später selbst schöpferisch tätig sein will, weil der Landmaschinenbau an die räumliche Vorstellungskraft und an den Sinn für Formgebung hohe Anforderungen stellt. Aus diesem Grund ist der Landmaschinenbau als Konstruktionslehrfach von groß erzieherischen Wert und es ist zu begrüßen, daß er heute an mehreren unserer Technischen Hochschulen gelehrt wird. [B 246]

Neuere Ergebnisse auf dem Gebiete der Kreiselpumpenforschung.

Von Dr.-Ing. WILHELM SCHULZ, Bremen

Unzulänglichkeit der klassischen Turbinentheorie — Die spezifische Schaufelarbeit der idealen Flüssigkeit — Ihr Geradliniengesetz — Schnittpunkt mit der $H_{th\infty}$ -Linie — Die spezifische Schaufelarbeit der wirklichen Flüssigkeit — Geradlinigkeit und Lage der wahren H_{th} -Linie. — Gültigkeit der Näherungsgleichung nach Pfeleiderer — Verschiedene Versuchsergebnisse.

Die aufsteigende Entwicklung der technischen Wissenschaften in den Nachkriegsjahren hat insbesondere auch dem Kreiselpumpenbau bedeutende Anregungen gegeben. Die Vorausberechnung der Kreiselpumpen, die bis dahin auf der Zeunerschen Stromfadentheorie und nicht zuletzt auf der Erfahrung des Versuchstandes fußte, erhielt eine neue Grundlage, wobei als Kernfrage des Problems die Berücksichtigung der endlichen Schaufelzahl hervortreten mußte. Hier ist es vor allem C. Pfeleiderer zu danken, daß er eine den Bedürfnissen des Ingenieurs gerecht werdende Lösung gegeben hat¹⁾. In jüngster Zeit ist es auch der theoretischen Hydrodynamik gelungen, in dieses Gebiet erfolgreich einzudringen — allerdings einstweilen nur für einfache Schaufelformen und reibungslose Flüssigkeit. Obwohl der Ingenieur praktisch stets zähe Fördermittel hat, vermag er doch aus der Kenntnis der Gesetze für eine ideale Flüssigkeit wertvolle Schlüsse zu ziehen. So sehen wir denn heute, angeregt durch die Erfolge der aerodynamischen Strömungsforschung, hydrodynamische Rechenungsverfahren Hand in Hand mit dem Versuch der Kreiselpumpe ihre Gesetze ablauschen. Unter diesem Gesichtswinkel soll in den nachfolgenden Ausführungen über Forschungsergebnisse berichtet werden, die als Ausschnitt umfangreicher Untersuchungen im Laboratorium für Dampfmaschinen und Pumpen der Technischen Hochschule Braunschweig gewonnen worden sind²⁾.

Die Zeunersche Turbinentheorie erfaßt nur die für unendliche Schaufelzahl zu erwartende spezifische Schaufelarbeit $H_{th\infty}$, eine theoretische Förderhöhe, die das Kreiselpumpenrad bei verlustloser Strömung erzeugen würde. Unsere wirklichen Pumpenkreisel arbeiten aber weder mit unendlich vielen Schaufeln, noch in idealer Flüssigkeit, so daß die klassische Theorie nicht ausreicht. Man hat sie daher ergänzen müssen, zumal bei endlicher Schaufelzahl z neben dieser auch das Verhältnis der Schaufel-Ein- und Austrittshalbmesser $\frac{r_1}{r_2}$ Einfluß gewinnt. So hat C. Pfeleiderer die Beziehung aufgestellt³⁾:

$$H_{th\infty} = H_{th} \left(1 + \psi \frac{r_2^2}{zS} \right) \dots \dots \dots (1),$$

mit deren Hilfe eine Umrechnung der Werte von H_{th} auf $z = \infty$ ermöglicht ist, so daß die klassische Theorie, die aus Gründen der Recheneinfachheit nie verlassen werden können, Gültigkeit behält. Da eine zuverlässige Vorausberechnung der Kreiselpumpen auf das engste verknüpft ist mit der Kenntnis des Förderhöhenverhältnisses $\frac{H_{th}}{H_{th\infty}}$, steht seine Erforschung im Mittelpunkt der allgemeinen Aufmerksamkeit.

So habe ich für eine ideale Flüssigkeit die Eigenschaften parallelkränziger Kreiselpumpen mit logarithmisch-spiraligen Schaufeln, sowie beliebigen Werten z und β untersucht, um sodann mit einer für den besonderen Zweck konstruierten Versuchspumpe das Verhalten in der wirklichen, reibungsbehafteten Flüssigkeit zu studieren.

Die mathematische Entwicklung nach den Verfahren der konformen Abbildung schlägt einen neuen Weg ein, mit im Gegensatz zu früheren Arbeiten auf diesem Gebiet das Hauptgewicht auf eine umfassende numerische Auswertung gelegt werden kann. Mittels eines Kunstgriffes werden die drei Parameter $\frac{r_1}{r_2}$, z , β auf nur zwei $\frac{r_1}{r_2}$, $\frac{\sin^2 \beta}{z}$ zurückgeführt, indem die ganze Betrachtung für ein einfaches Schaufelsystem durchgeführt und sodann eine Beziehungsfunktion durch Näherungsverfahren eingeführt wird. Zugrunde liegt dabei die Gliederung der Gesamtströmung in die Teilströmungen:

Reine Durchflußströmung (Rad in zentraler Quellströmung ruhend gedacht),

Verdrängungsströmung (Rad läuft in einer im Unendlichen ruhenden Flüssigkeit um),

Schaufelzirkulation (Zirkulationsströmung um einzelnen Schaufeln bei ruhendem Rade).

Die Zirkulationsströmung ist nach dem Kutta-Joukowski'schen Satz die Urheberin der Energieübertragung von der Schaufel an die Flüssigkeit. Ihre Stärke bestimmt fernhin die Lage der Staupunkte an den Schaufeln. Soll also die spezifische Schaufelarbeit der idealen Flüssigkeit $H_{th\infty}$ berechnet werden, so muß noch eine Vorschrift über die Größe der Zirkulation gemacht werden. Hier ist derjenige Wert zugrunde zu legen, bei dessen Bestehen tangentialer Abfluß von den Schaufeln eintritt, unter Zulassung unendlich großer Geschwindigkeiten an der Eintrittspitze. Das ist eine Begriffsbestimmung, die eine gewisse physikalische Berechtigung hat und darüber hinaus sich mit jener $H_{th\infty}$ nach der klassischen Turbinentheorie deckt. Es war bisher im allgemeinen üblich, derartige Betrachtungen an die Fördermenge des „stoßfreien Ganges“ zu beschränken, um eben die unendlich großen Geschwindigkeiten an der Eintrittspitze zu umgehen. Allein das praktische Bedürfnis fordert diese Erweiterung, da ja auch unsere wirklichen Pumpen nur selten genau bei dieser Fördermenge arbeiten und gerade ihre Kennlinien, nicht ein einziger Betriebspunkt, ihre Eigenschaften darlegen. Die theoretische Untersuchung ergibt nicht nur das Geradliniengesetz der H_{th} -Werte, d. h. der spezifischen Schaufelarbeit für die ideale Flüssigkeit, sondern darüber hinaus neue Aufschlüsse über die Lage der H_{th} -Linie und ihren Schnittpunkt mit der $H_{th\infty}$ -Linie, Abb. 1. Beide Linien schneiden sich im allgemeinen weder auf der Fördermengeachse, noch im Unendlichen, sondern irgendwo unterhalb der Achse, beide Grenzfälle eingeschlossen. Die Erkenntnis ist für die rechnerische Entwicklung sowie für die Vorausberechnung der Drosselkurven von Bedeutung.

Natürlich ist es wichtig, dieses Ergebnis mit dem Verhalten in der wirklichen Flüssigkeit zu vergleichen, zumal die theoretische Behandlung weder dem turbulenten Charakter der wahren Strömung, noch den vielen anderen Einflüssen gerecht zu werden vermag. So löst sich z. B. an der Saugseite der Schaufel bereits vor ihrer Austrittspitze Totwasser ab, im Gegensatz zur Rechnungsannahme der tangentialen Abströmung. Hinsichtlich der Druck- und Geschwindigkeitsverteilung ist eine solche Strömung ungefähr einer Potentialströmung mit verringerter Zirkulation gleichwertig. Endlich kann bei Überschreiten einer aus der Be-

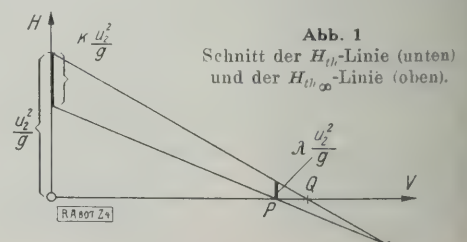


Abb. 1
Schnitt der H_{th} -Linie (unten)
und der $H_{th\infty}$ -Linie (oben).

¹⁾ Pfeleiderer, Die Kreiselpumpen, Berlin 1924; vergl. a. Pfeleiderer, Z. Bd. 73 (1929) Nr. 4 S. 126.

²⁾ Auszug aus Heft 3/7 der Forschungsarbeiten des Vereines deutscher Ingenieure: „Das Förderhöhenverhältnis der Kreiselpumpen für die ideale und wirkliche Flüssigkeit“, Berlin 1928, VDI-Verlag.

³⁾ Vergl. z. B. „Hydraulische Probleme“, Berlin 1926, S. 207, oder „Hütte“, 25. Aufl., Bd. 2 S. 847.

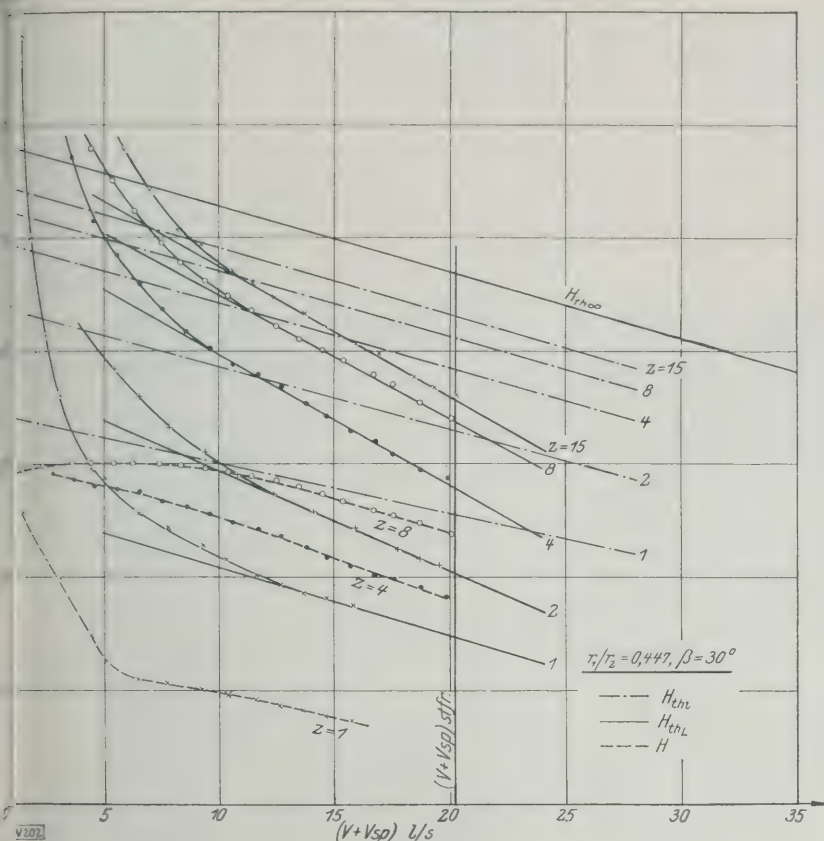


Abb. 2
Spezifische Schaufelarbeit der wirklichen und der idealen Flüssigkeit.

folgenden Höchstgeschwindigkeit
Düppbildung durch Störung der Kontinuität erheb-
liche Veränderungen des Strömungsbildes verursachen.
Scon aus diesen Betrachtungen folgt, daß für die spezi-
fische Schaufelarbeit der wirklichen Flüssigkeit H_{th} eine
reine Rechnungsgrundlage gewählt werden muß. Bedenkt
man weiterhin, daß die H_{thi} und $H_{th\infty}$ die Vorgänge an den
Schaufeleintrittspitzen überhaupt nicht berücksichtigen,
so erkennt man, daß die Größe H_{th} der wirklichen
Flüssigkeit recht verwickelter Natur ist. Da wir zahlen-
mäßig die Strömungsgesetze der zähen Flüssigkeit heute
nicht erfassen können, so ist noch nicht einmal eine
Aussage über die Geradlinigkeit der H_{th} -Linie möglich.
Es soll als spezifische Schaufelarbeit der wirklichen
Flüssigkeit diejenige angesehen werden, die sich nach der
Hauptgleichung der Turbinentheorie aus der Zunahme des
Dralles ergibt:

$$H_{th} = \frac{\omega}{g} (r_3 c_{3u} - r_0 c_{0u}) \dots (2).$$

Dabei bedeutet:

ω Winkelgeschwindigkeit,

r Halbmesser,

c_u Umfangskomponente der absoluten Strömungsge-
schwindigkeit.

Zeiger 0 einen Mittelwert auf einem Parallelkreise, der
etwas kleiner als der Eintrittskreis ist.

Zeiger 3 einen solchen, auf einem Parallelkreise, der
etwas größer als der Austrittskreis ist.

Die Rechnungsgrundlage, Gl. (2), enthält die Bedingung
des tangentialen Abflusses nicht mehr.

Da ein tangentialer Abfluß in Wirklichkeit nicht be-
steht, möge zunächst noch einmal für die ideale Flüssig-
keit verfolgt werden, wie die H_{thi} -Linie sich ändert, so-
fern man auch hier die Bedingung des tangentialen Ab-
flusses fallen läßt. Das Geradeniengesetz lautet allgemein:

$$H_{thi} = \text{konst} - \text{konst} (V + V_{sp}) \dots (3),$$

wo $(V + V_{sp})$ die gesamte das Rad durchströmende,
samtliche Fördermenge bedeutet. Darin wird bei gleich-
bleibender Drehzahl konst. allein von der Verdrängungsströ-
mung vorgeschrieben, ist also unabhängig von der Förder-
menge und der Lage des Staupunktes der abfließenden
Stromlinie. Hingegen wird konst. durch die für tangentialen

Abfluß nötige Zirkulationsstärke be-
stimmt. Verringert man nun die Zir-
kulation, so daß der Ansatzpunkt der
abfließenden Strömung auf die Saug-
seite rückt, so muß, wenn lineare Ab-
hängigkeit bestehen bleiben soll, der
Wert von konst. vergrößert werden.
Die H_{thi} -Linie wird also steiler,
wenn der Staupunkt von
der Spitze zur Saugseite
rückt.

Da versuchstechnisch die Bestim-
mung der Werte von H_{th} nach Gl. (2)
nicht durchführbar war, bin ich, wie
folgt, vorgegangen.

Eine auf die Gewichtseinheit be-
zogene spezifische Schaufelarbeit läßt
sich natürlich auch aus der gemessenen
Leistungsaufnahme L_e der Versuchs-
räder berechnen unter Abzug aller Ver-
luste L_v für Lager-, Stoffbüchsen- und
Radseitenreibung. Bezeichnet man die
so umschriebene spezifische Schaufel-
arbeit mit H_{thL} , so ist

$$H_{thL} = \frac{L_e - L_v}{\gamma (V + V_{sp})} \dots (4).$$

Für die reibungslose Flüssigkeit
sind die Werte von H_{thi} und H_{thL} ein-
ander gleich, so daß auch die Beziehun-
gen, Gl. (2) und Gl. (4), gleichwertig
sind. Für die zähe Flüssigkeit gibt
jedoch Gl. (2) nur die mechanische, Gl.
(3) die insgesamt in einem Kilogramm
geförderter Flüssigkeit enthaltene Ar-
beit an, die sowohl als mechanische
wie auch als Wärmeenergie auftritt.
Der Anteil der Wärmeenergie wird in-
folge der Zähigkeitsspannungen um-
gesetzt, ohne zur Erhöhung des Dralles
beizutragen, so daß die Flüssigkeit auf
das Schaufelrad ein Moment infolge
Drallerhöhung und ein Spannungs-
moment infolge Zähigkeit ausübt.

Während bei $(V + V_{sp}) = 0$ das erste Moment selbst
zu 0 wird, behält das zweite endlichen Betrag, so daß die
 H_{thL} -Linien sich der Ordinatenachse asymptotisch an-
schmiegen müssen. Demgegenüber darf nach Untersuchun-
gen von Präsil, sowie nach Ergebnissen der Turbinenver-
suchsanstalt der Firma J. M. Voith⁴⁾ bei nicht zu kleinen
Fördermengen das zweite Moment vernachlässigt werden.
Es kann also gesetzt werden:

$$H_{th} \approx H_{thL} \dots (5)$$

für nicht zu kleine $(V + V_{sp})$.

Der so vorgezeichnete Weg ergab bei Auswertung vieler
Messungen das wichtige Ergebnis: Auch die H_{th} -Linien
der wirklichen Flüssigkeit verlaufen praktisch gerad-

⁴⁾ Vergl. a. R. v. Mises, Theorie der Wasserräder, Leipzig 1908.

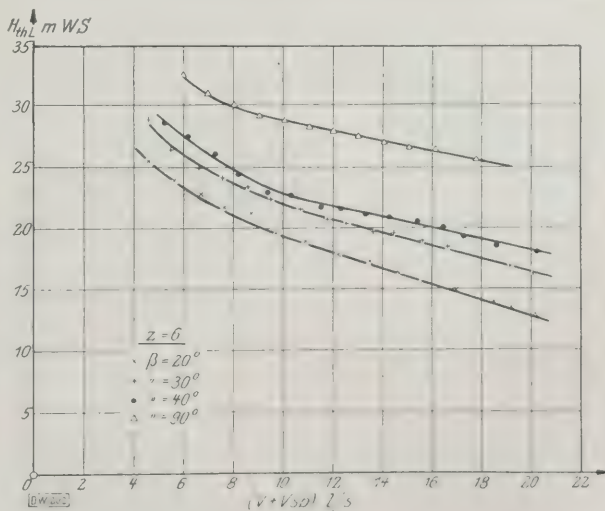


Abb. 3
Spezifische Schaufelarbeiten der wirklichen Flüssigkeit.

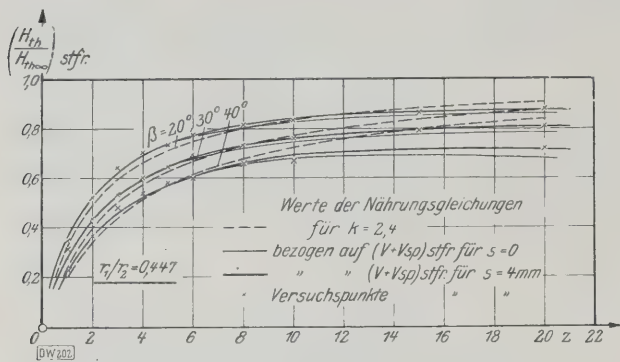


Abb. 4
Werte der Näherungsgleichungen des Förderhöhenverhältnisses.

linig. Sie liegen aber steiler als die H_{th} -Linien der idealen Flüssigkeit. Abb. 2 und 3 zeigen einige der erhaltenen Linien, die u. a. auch das asymptotische Aufkrümmen zur Ordinatenachse erkennen lassen.

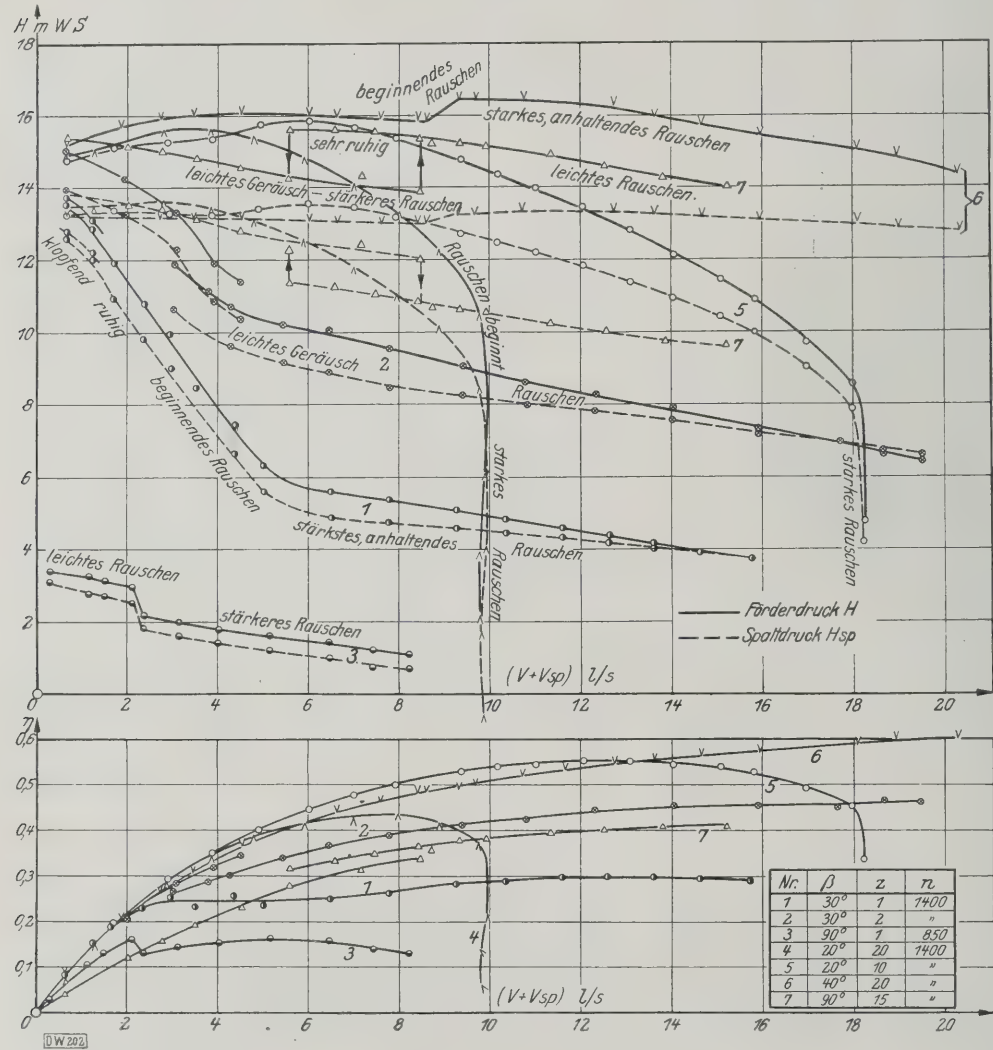


Abb. 5
Besonders charakteristische Kennlinien.

Nachdem so die H_{th} -Werte der wirklichen Flüssigkeit gefunden sind, wollen wir zu Gl. (1) zurückgehen, um ihre Gültigkeit zu prüfen. Sie ist eine auf dem höheren Schaufeldruck gegründete, durch theoretische Ableitung gewonnene Beziehung und schließt den Faktor ψ ein, der die Übereinstimmung mit dem Versuch herstellen soll. Nach Pfleiderer ist zu setzen

$$\psi = k \sin \beta_2$$

mit $k = 1,6$ bis $2,6$.

Berechnet man aus den Gl. (1) und (6) für den Pumpstoßfreien Ganges die Linien des Förderhöhenverhältnisses z. B. für $k = 2,4$, so erhält man die gestrichelten Linien in Abb. 4. Die gemessenen Werte sind durch die voll ausgezogenen Linien wiedergegeben. Es zeigt sich mithin, daß im Gebiete gebräuchlicher Werte von β und z die Übereinstimmung wider Erwarten gut ist, so daß keine Veranlassung besteht, diese Rechnungsweise zu ändern.

Es liegt nahe, ein so ausführliches Versuchsmaterial wie die in diesem Fall gestellte Aufgabe es erfordert, auszunutzen, um noch eine ganze Reihe anderer Erscheinungen an der Kreiselpumpe zu verfolgen. So wurden die Eigentümlichkeiten der Kennlinien mit ihren Veränderungen bei Änderung von z und β untersucht, wovon Abb. 5 eine kurze Zusammenstellung gibt. Daneben waren Aussagen möglich über höchstgradige und ungünstigste Vereinigungen der Schaufelzahl und der Schaufelwinkel der Laufräder, ebenso von der Bestimmung der Fördermengen besten Wirkungsgrades. Leider vermag es der Umfang dieses Auszuges, auf die Ergebnisse einzugehen, so daß auf das Folgende verwiesen werden muß.

Zusammenfassung

Für die Voraußrechnung der Kreiselpumpen und den Entwurf der zu erwartenden Kennlinien ist Kenntnis des Förderhöhenverhältnisses und des Verlaufes der H_{th} -Linie von entscheidender Bedeutung. Es zeigt sich, daß diese Linie nicht nur für die ideale Flüssigkeit, sondern auch für die wirklich reibungsbehaftete geradlinig verläuft, während aber bei der idealen Flüssigkeit der Schnittpunkt mit der $H_{th\infty}$ -Linie unterhalb der Fördermengenachse liegt. Hier verläuft die H_{th} -Linie der wirklichen Flüssigkeit merklich steiler. Für die Berechnung der Kreiselpumpen ergab das auf einen mittleren Schaufeldruck gegründete Näherungsverfahren für den Punkt des stoßfreien Ganges eine gute Übereinstimmung mit den Ergebnissen des Versuches.

Das neue Schaltwerk der Siemens-Schuckertwerke

Von Direktor Dr.-Ing. E. h. HANS BEIERSDORF, Berlin

Der 45 m hohe elfgeschossige Fabrikneubau für elektrische Apparate verschiedener Art ergibt mit Hilfe von Aufzügen zwischen den ständig zusammenarbeitenden Werkstätten eine wesentliche Verkürzung der Förderwege gegenüber einem niedrigen Hallenbau. Im folgenden ist insbesondere dargestellt, wie sich der Fertigungsplan auf die einzelnen Stockwerke verteilt. In einzelnen Werkstätten ist fließende Fertigung vorgesehen; die Erzeugnisse können hierbei wechseln, und die fließende Fertigung kann auch ausgeschaltet werden. Einteilung der in den obersten Stockwerken untergebrachten Bureaus.

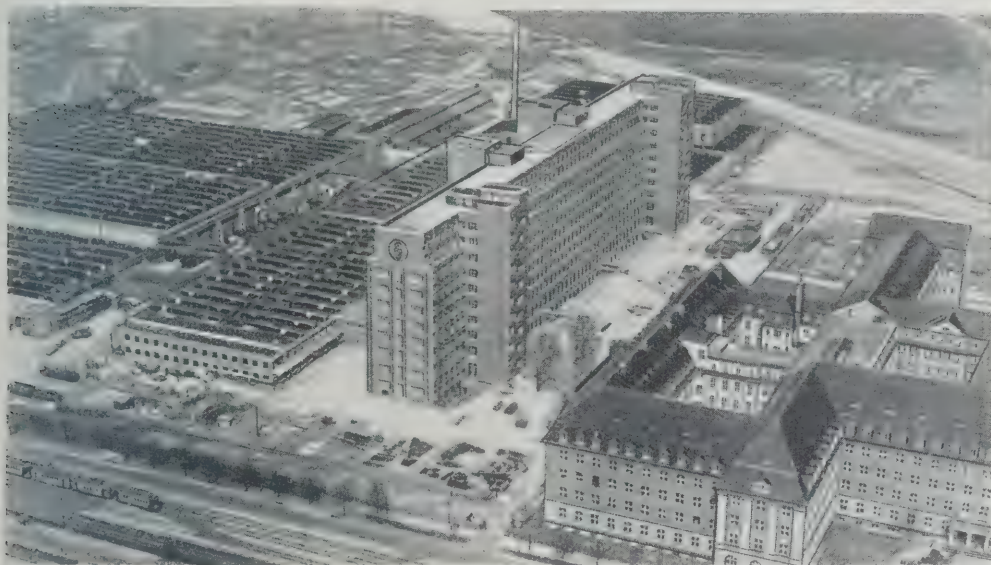


Abb. 1

Das Schaltwerk, die neue Apparatefabrik der Siemens-Schuckertwerke als Hochhaus.

In dem Kranz von Industriestätten, der das Weichbild der Reichshauptstadt umspannt, ist die Siemensstadt der eindrucksvollste Teil. Neuerdings hat das Bild von Siemensstadt wieder eine in mehr als einer Hinsicht bemerkenswerte Bereicherung erfahren durch die Errichtung der neuen Apparatefabrik der Siemens-Schuckertwerke, des sogenannten Schaltwerkes, Abb. 1, das mit seinen elf Geschossen als das erste Industrie-Hochhaus Europas gilt.

Allgemeine Einrichtungen

So weit wie irgend möglich ist dem Gedanken der fließenden Fertigung in zweckmäßigster Weise Rechnung getragen. In unmittelbarer Verbindung mit dem bestehenden Hallenbau, westlich davon, ist der Neubau als Hochhaus mit 45 m Gesamthöhe, 176 m Länge und einer Breite von 16 m ausgeführt worden. Bei der sehr fließenden Fertigung im elektrischen Apparatebau mit geringeren Stückzahlen in den verschiedenen Bauarten, die zu ständigem Zusammenarbeiten mit einem gewissen Selbstständigkeitsverhältnis einer ganzen Reihe von Werkstätten zwingt, ist der Hochbau mit seiner senkrechten Verbindung der einzelnen Flure durch Aufzüge die richtige Anordnung. Bei den vorliegenden Betriebsverhältnissen würden in einem Hallenbau zu lange Förderwege entstehen. Nach diesen auf jahrelangen praktischen Erfahrungen gegründeten Erwägungen sind die baulichen Verhältnisse auf die betrieblichen zugeschnitten worden. Den organischen Zusammenhang des neuen Hochhauses mit dem bestehenden Schaltwerk ersieht man aus dem Grundriß, Abb. 2. Der Neubau ist mit dem Hallenbau durch zwei von Westen nach Osten laufende Hallen, in denen mehrere Krane von 5 t Tragkraft die Förderung übernehmen, verbunden. Die im Hochhaus in der ganzen Länge von 176 m und 16 m Breite frei durchlaufenden Werkstatträume sind trotz der zum Teil ganz verschiedenen Fertigungswege durch keine Wände oder Ein-

bauten, mit Ausnahme der Teillager und Meisterbureaus, von einander getrennt und gestatten bei der ständigen Weiterentwicklung der elektrischen Apparate eine große Beweglichkeit in der Veränderung der Werkstatteinteilung. Sämtliche Treppen, Aufzüge, Nebenanlagen u. a. liegen in den turmartigen Ausbauten außerhalb des eigentlichen Bauwerks.

Die wagrechte Förderung von Einzelteilen und fertigen Apparaten wird innerhalb der Säle bei längeren Wegen durch Elektrokarren und von Maschine zu Maschine durch Hubkarren mit entsprechenden Ladegestellen, die senkrechte Förderung von Flur zu Flur mittels vier Aufzügen von 3 t Nutzlast sowie der Elektrokarren, die in diesen bequem Platz haben, bewerkstelligt.

Die Rohstoffverwaltung und die Packerei sind für das ganze Werk im Hallenbau zentral zwischen den Werkstätten dieses und des Neubaus gelegen; sie sind mit doppelten Eisenbahngleisen und einer genügenden Anzahl von Kranen versehen, um nach allen Seiten hin Rohstoffe bequem abgeben oder fertige Apparate aufnehmen und verladen zu können. In der Rohstoffverwaltung wird mittels geeigneter Bearbeitungsmaschinen der in den einzelnen Werkstätten des Hallenbaues und des Hochhauses gebrauchte Rohstoff: Kesselblech, Stab-, Rund- und Profileisen sowie Stab-, Rund-, Profilkupfer und -messing, gleich auf die in den Verarbeitungswerkstätten gebrauchten Abmessungen geschnitten.

Der 24 m breite Hof zwischen Hallenbau und Hochhaus ist teilweise mit einem Glasdach abgedeckt, unter dem 800 Fahrradstände für Angestellte und Arbeiter aufgestellt sind. Dem Personenverkehr im Hochhaus dienen vier während des Tages dauernd laufende Paternoster-Aufzüge und zwei Fahrstühle. Die Werkstätten werden mit Niederdruckdampf geheizt, während die hauptsächlich in den oberen drei Fluren gelegenen Bureaus mit Warmwasser-Heizkörpern und einem unter diesen laufenden

Rohr für Niederdruckdampf von rd. 0,5 at zum schnellen Hochheizen vor Arbeitsbeginn bei möglicherweise eintretender größerer Kälte versehen sind. In dem gut gelüfteten und belichteten Kellergeschoß sind die Heizungsverteiler, Warmwasserkessel, Verdichtungpumpe und die Notbeleuchtungsanlage sowie die Kleiderablagen für Meister, Arbeiter, Arbeiterinnen und ferner ein großer Duschenraum untergebracht. Vom zweiten bis siebenten Flur enthält das Hochhaus Werkstätten und in den höher liegenden Fluren die Büroräume.

Verteilung des Fertigungsplanes auf die einzelnen Stockwerke

Bei der Aufteilung der einzelnen Werkstätten in den verschiedenen Fluren war ausschlaggebend, daß solche, die häufig zusammen arbeiten oder sich innerhalb einer zusammenhängenden Reihe von Arbeitsvorgängen ablösen, auch räumlich neben- oder hintereinander liegen.

Das Erdgeschoß bildet den zweiten Flur und nimmt die schweren Arbeitsmaschinen der Vorarbeitswerkstätten auf; die Fräselei, Dreherei, Hobelei und Bohrerlei sind aneinandergereiht, so daß die hier zu bearbeitenden Einzelteile ohne Zwischenförderung oder Zwischenlagerung durch die genannten Abteilungen hindurchwandern können. Ferner ist im Erdgeschoß der Schnittbau mit der Härterelei und Schnittschleiferei zusammengelegt, da diese drei Abteilungen auch sehr häufig zusammenarbeiten. Neben dem Schnittbau befindet sich die Stanzerei, da sie ausschließlich die im Schnittbau gefertigten Werkzeuge braucht. Ferner liegen hier die verschiedenen Prüfstellen sowie das Werkzeuglager, das sich, für die einzelnen Fertigungsgruppen unterteilt, noch über die beiden nächsten Flure fortsetzt, die mit einem besonderen Aufzug verbunden sind.

Im dritten Flur sind die Werkzeug- und Maschinen-Ausbesserwerkstatt, der Vorrichtungsbau, die Klein- und Revolverdreherei, die Schraubendreherei, Abb. 3, und die galvanische Abteilung mit der Beizerei und Schleiferei,

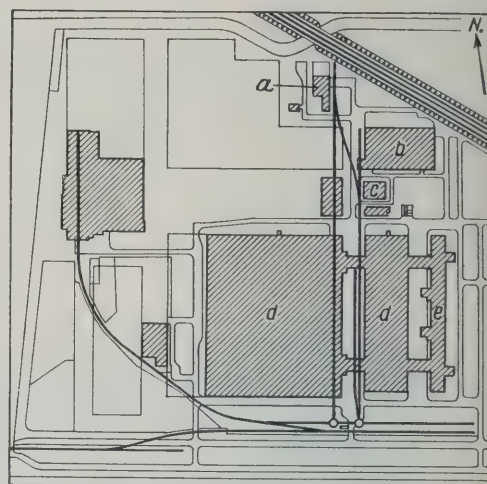


Abb. 2
Grundriß des gesamten Schaltwerkes:
Hallenbau und Hochhaus.

- | | |
|--------------------------------|--------------------------|
| a Hochleistungs-Prüffeld | c Heizwerk |
| b Repelit (Hartpapier)-
bau | d Schaltwerk (Hallenbau) |
| | e Hochhaus |

sowie die zu den einzelnen genannten Abteilungen gehörenden Teillager untergebracht. In der galvanischen Abteilung ist eine Gruppe von galvanischen Entfettungs-, Abspül-, Verkupferungs- und Vernickelungsbädern, nachfolgendem Trocknen von etwa 23 m Länge bemerkenswert, Abb. 4. Die zu behandelnden Teile werden von einem Arbeiter eingehängt, laufen selbsttätig durch die verschiedenen Bäder¹⁾ und werden dann an der gegenüberliegenden Seite von einem zweiten Arbeiter abgehängt, nachgesehen und in fahrbaren Kästen abgelegt. Die meisten Teile kommen von der Schraubendreherei.

Die Lehlingswerkstatt, Werkzeugschleiferei und Werkzeugaufbereitung, ferner der Vorrichtungsbau, nebst den zugehörigen Teillagern, Vorrichtungs- und Zeichnungslagern sowie Prüfabteilungen sind die wichtigsten Arbeitsstätten des vierten Flures.

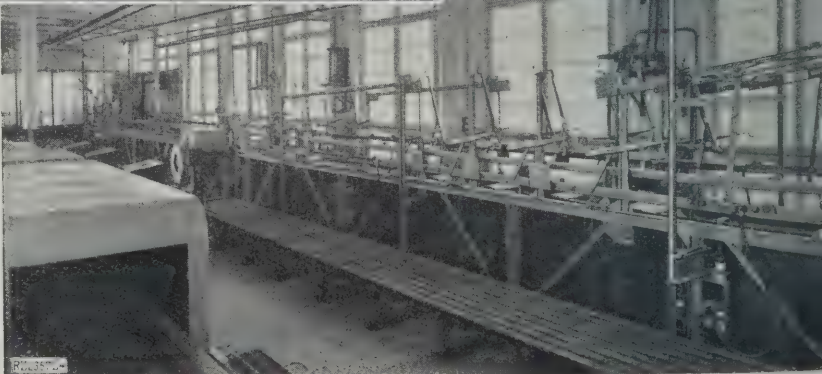
Bei der Aufteilung der obersten Werkstattflure war ebenfalls Räumlichkeit gebend, daß die Förderwege

¹⁾ Über eine ähnliche Anlage wird wir hier demnächst ausführlicher berichten. Schriftleitung.



Abb. 3 (oben)
Blick in die Schraubendreherei
im dritten Flur.

Abb. 4 (rechts)
Selbsttätige
Galvanisierungsanlage.



möglichst kurz sein sollten. In diesen drei Stockwerken werden die verschiedenen Geräte bis zur Versandbereitschaft hergestellt. Die Fertigung hat dabei in jedem Flur eine bestimmte Richtung, und war ausgehend von den Werkzeugmaschinen für die Vorarbeiten, zum Teil durch die Teillager bis zum Teil- und Fertigzusammenbau, dem Prüffeld und nach dem Fabriklager oder unmittelbar zur Packerei. Im fünften bis siebenten Flur werden z. B. diejenigen Teile, die man lackieren muß und die von den untenliegenden Vorarbeitswerkstätten angeliefert werden, zunächst in die am nördlichen Ende gelegene Lackiererei gebracht. Von dort gelangen sie in die sich in die Lackiererei anschließenden Teillager und dann in den Zusammenbau.

Der fünfte und sechste Flur umfaßt die Herstellung von Widerständen, Reglern, Anlassern, Relais, Zellen, Haltern und Bahngeräten. Von der Materialverwaltung im Hallenbau, Abb. 5, gelangen die Rohstoffe in Elektroarren mit Hilfe des Aufzuges zum sechsten Flur. Hier teilt sich der Weg in drei Stränge; der erste geht über die Malerei zum Teillager, der zweite über die Schieferasbest-Verarbeitung zum Teillager und der dritte durch das Materiallager und die Spulenfertigung zum Teillager. Vom Materiallager führt dann noch ein weiterer Strang über die Vorarbeitswerkstätten zum Teillager. Hier kommen also alle Teile wieder zusammen und gelangen dann in den Zusammenbau und von diesem in das danebenliegende Prüffeld, von wo sie als Fertigerzeugnisse mit dem unmittelbar anschließenden Aufzug wieder in den Hallenbau zurückgebracht werden. Hier werden sie entweder Aufnahme im Fabriklager oder sie gehen zur Packerei und zur Versandstelle, die unmittelbar neben der Gleisanlage liegt.

Der Bau der kleineren Selbstschalter, Abb. 6, bis zu 600 A, Schaltkästen, Schützen, Spezialsteuergeräte, Motorschutzschalter einschließlich der zugehörigen Teillager, Prüfstellen und Prüffelder sowie des Fabriklagers ist im siebenten Flur vereinigt. Für den Bau der hauptsächlichsten Größen ist fließende Fertigung eingerichtet.

Bei solchen Apparaten, bei denen der Umsatz eine unterbrochene fließende Fertigung nicht zuläßt, sind die Fließtische oder die einzelnen Arbeitsplätze an den Maschinen so eingerichtet, daß man ohne Schwierigkeit und besonderen Zeitverlust wechseln kann. Die an den Arbeitsplätzen gebrauchten Werkzeuge sind auf besonderen Platten aufgebaut und können auf einfache Art gegen andere ausgetauscht werden. Die Aufbewahrung und Ausgabe der Werkzeuge erfolgt in den in jedem Flur befindlichen Werkzeuglagern. Der Rohstoff und die vorgearbeiteten Einzelteile werden von den Teillagern in einheitlichen, der Größe der Stücke angepaßten Be-

hältern ausgegeben, die an einem Gestell über dem Arbeitsplatz aufgehängt werden, Abb. 7. Bei einem Wechsel der Fertigung kann man sie beim Teillager gegen Behälter mit anderen Stücken austauschen.

Einteilung der Bureaus

Im achten Flur liegen die Bureaus der Werkleitung und der kaufmännischen Abteilungen. Die nördliche Hälfte ist für Werkstätten freigehalten. Die darüberliegenden Geschosse sind hauptsächlich mit Geschäftsräumen belegt. Diese haben ebenfalls in der ganzen Länge und Breite des Raumes keine Trennwände, mit Ausnahme der abgeschlossenen Kleiderablagen und Zeichnungsverwaltungen, die an den durch die angebauten Treppenhäuser etwas verdunkelten Stellen der Geschäftsräume gelegen sind. Die Bureaus sind grundsätzlich so eingerichtet, daß auch hier der Gedanke der fließenden Bearbeitung, möglichst ohne jeden Förderweg, in die Praxis umgesetzt ist. Alle in unmittelbarem geschäftlichen Zusammenhang stehenden Bureaus sind miteinander vereinigt, so daß man also



Abb. 7
Aufhängen der Kästen mit den Bestandteilen für Fließfertigung.



Abb. 6
Fertigung von Selbstschaltern.

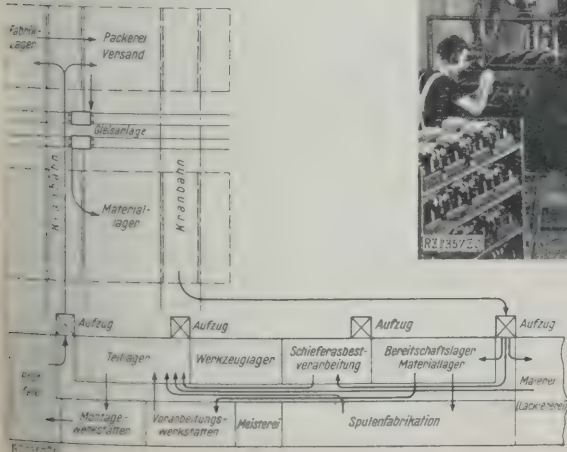


Abb. 5 (links)
Fertigungsgang im sechsten Flur.

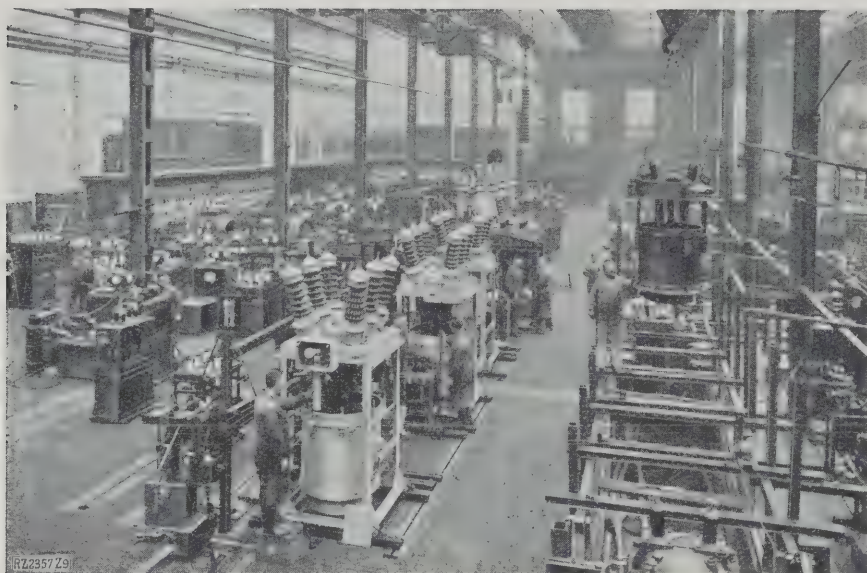


Abb. 9
Hochspannungsversuchsfeld im Hallenbau.

auch hier von einem fließenden Durchlauf der Schriftstücke und Bestellzettel bis zur restlosen Arbeitsvorbereitung sprechen kann.

Die Hauptkonstruktionsbureaus für Schaltanlagen und Hoch- und Niederspannungsapparate mit einheitlichen Bureau-Einrichtungen, stehenden Reißbrettern, Zeichenmaschinen und genormten Ablegetischen füllen die Räume des zehnten Stockwerks. Die Vorstände der Konstruktionsbureaus sowie deren Vertreter und Gruppenführer haben ihren Platz inmitten der Konstruktionsgruppen, ohne irgendwelche Trennwände, die lediglich Arbeitsbehinderung bedeuten. Diese Einteilung erleichtert den Verkehr und die Bearbeitung der häufig sehr ineinandergreifenden Konstruktionsgebiete ganz bedeutend. Für längere Verhandlungen mit der Kundschaft oder den Verkehrsabteilungen sind besondere durch Glaswände abgetrennte Räume eingerichtet worden, außerdem steht den Konstruktionsbureaus im gleichen Flur ein größeres Beratungszimmer für gemeinsame Besprechungen zur Verfügung.

Das Hochhaus schließt mit dem elften Geschoß ab, das außer einem Konstruktions- und Rechnungsbureau für Kraftübertragungsgeräte und der Lichtpauserei in der Hauptsache die Wirtschaftsräume, Küche, Speiseverkauf für Angestellte und Arbeiter und Speisesäle für Angestellte enthält.

Aufzüge

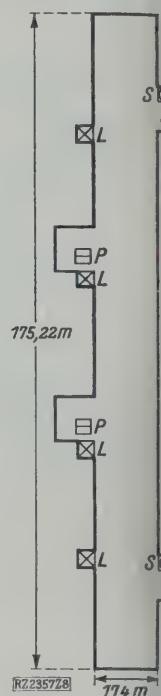
Die Aufzüge stellen bei einem Hochhaus von elf Stockwerken einen lebenswichtigen Teil dar. Wie Abb. 8 zeigt, bewältigen zehn elektrisch betriebene Aufzüge den Personen- und Lastenverkehr zwischen den einzelnen Stockwerken des Hochhauses, ferner sind einige Kleinlastenaufzüge für Werkzeuge und Schnitte vorhanden. Von den erwähnten Aufzügen laufen vier als Umlaufaufzüge mit je 22 Fahrkörben mit einer Fahrgeschwindigkeit von 0,3 m/s zwischen dem zweiten und dem elften Flur. Sie dienen dem Personenverkehr. Für den Lastenverkehr sind vier elektrische Aufzüge, deren Fahrkörbe Ausgänge nach zwei gegenüberliegenden Seiten haben und die daher auch Lasten aus dem westlich anschließenden Flachbau in die Stockwerke des Hochhauses oder in umgekehrter Richtung befördern können, vorgesehen. Die Tragkraft beträgt 3000 kg, die Fahrgeschwindigkeit 0,5 m/s.

Nebeneinrichtungen.

Zur Vervollständigung des Gesamtbildes des Schaltwerkes Siemensstadt darf man die zu diesem gehörenden Versuchs- und Forschungseinrichtungen, wie Nieder-

Abb. 8
Lage der verschiedenen Aufzüge im Hochhaus.

P Paternoster-(Umlauf-) Aufzüge für Personenverkehr
L Lastenaufzüge
S Sonderaufzüge



spannungs- und Hochspannungsversuchsfelder, Abb. 9, die Prüfanlage für schlagwettersicher gekapselte Apparate, die Forschungsstation für Überspannungsschutz und das Hochleistungsprüffeld nicht unerwähnt lassen.

Zusammenfassung.

Mit der Errichtung des Hochhauses und der Zusammenlegung der Apparatefertigung in ihrer großvielseitigkeit in dem Schaltwerk Siemensstadt wurde eine übersichtliche Fertigungsstätte geschaffen, die neuzeitlichen Einrichtungen ausgerüstet und so ausgestattet ist, daß jeder unnötige Förderweg vermieden und damit auch in dieser Hinsicht Unkosten nach Möglichkeit gespart werden. Zur Zeit sind in diesem Werk 6000 Arbeiter und Angestellte beschäftigt.

[B 2357]

Elektrisch angetriebene amerikanische Fahrgastschiffe

Der zweifellos gute Erfolg der im letzten Jahr Dienst gestellten amerikanischen turboelektrisch angetriebenen Fahrgastschiffe „California“ und „Virginia“, 22 000 B.-R.-T. groß sind und Maschinenanlagen 13 500 PS haben, hat dazu geführt, daß außer einem dritten Schwesterschiff zwei neu in Auftrag gegebene Fahrgastdampfer, die zwischen New York und Havanna laufen sollen, diesen Antrieb erhalten werden. Die Doppelschraubenschiffe haben 155 m Gesamtlänge, 21,6 m Breite und 8,23 m Tiefgang. Die Vermessung stellt sich auf 11 500 B.-R.-T. Fahrgasteinrichtungen sind für 468 Fahrgäste, darunter 368 erster Klasse, vorgesehen. Die Laderäume fassen im ganzen 950 m³, davon 68 m³ rohrgekühlten und 238 m³ luftgekühlten Raum.

Die Maschinenanlage besteht aus Turbodynamos, die Dampf von 21 at und 110 ° Überhitzung. Die Turbodynamen laufen bei normaler Fahrt mit 3150 U/min. Der erzeugte Drehstrom von 2000 V treibt zwei Schraubenmotoren, bei je 6250 PS Nennleistung 134 U/min machen und das Schiff mit 20 Kn treiben; die Leistung der Kessel und der Maschinen kann leicht so erhöht werden, daß die Motoren 8000 PS hergeben. Den Strom für die elektrisch angetriebenen Hilfsmaschinen liefern besondere Stromerzeuger insgesamt 1500 kW Leistung. Man rechnet mit einem gesamten Brennstoffverbrauch einschließlich des für Hilfsmaschinen von höchstens 0,364 kg/PS Öl. Die beiden Schiffe werden auf der Werft der Newport News Shipbuilding and Dry Dock Co. gebaut und sollen Ende 1930 Dienst gestellt werden. Die Baukosten betragen je 18 Mill. \$; zum Bau werden Staatskredite im Rahmen des Jones White Bill bereitgestellt. („Marine Journal“, New York, Februar 1929 S. 121) [N 2683]

Mischmaschine für den Straßenbau

Von Betriebsingenieur HEINRICH RING, Dortmund

Der Asphaltstraßenbau wurde vom Ausland übernommen. Das Wesen des Walzasphalts wird erklärt, ebenso die zugehörige Baumaschine. Die Millars-Maschine als Großmischmaschine und, zum Vergleich, hiervon abweichende Konstruktionen andrer Firmen. Es wird ein Einblick in das Wesen einer Baustelle gegeben. Die Anforderungen an eine neuzeitliche Straße. Bedeutsame Rolle des Maschinenbaues für den Straßenbau.



Abb. 1
Sandasphalt
auf Binder aus
Basaltsplitt und
Rheinkies.

Ein Asphaltstraßenbau in großem Maßstab ermöglichte die Einführung des Walzasphalts, des dem neuzeitlichen Verkehr am besten angepaßten Straßenbelags. Schon vor dem Kriege zeigten sich Ansätze für eine neue Straßenbauweise, aber erst im Jahre 1925 ging die Entwicklung weiter und ist heute auf einer Höhe angekommen, daß von einer Überlegenheit des Auslandes nicht mehr gesprochen werden kann.

Straßenbaustoffe

Der Walzasphalt ist aus Amerika zu uns gelangt: Er eignet sich für Stadt- und Landstraßen und

steht aus einer Mischung von Sand- und Gesteinsplitt, Feinstmehl und Bitumen, gemischt nach dem Grundsatz der größtmöglichen Dichte (Hohlraum-Mindestbetrag). Die einfachste Mischung nennt man Steinschlagasphalt oder offenen Asphaltbeton. Durch Zusatz von feinen oder groben Steinen erhält man Asphaltfeinbeton oder Asphaltgrobbleton. Hochentwickelte erschlossene Bauweisen sind der Topeka- und Bitulithikbelag, Abb. 1 und 2 bis 9.

Nach den gleichen Grundsätzen wird auch der Sandasphalt hergestellt¹⁾. Er wird auf einem Sandgerüst aufgebaut; der im Asphaltbeton vorherrschende Gesteinsplitt fehlt. Sandasphalt und Topeka sind die teuersten und gleichzeitig die besten Mischungen; sie werden meistens auf einer mehrere Zentimeter dicken Binderschicht verlegt. Die Binderschicht (offener Asphaltbeton) zwischen Unterbettung und Decklage dient als Aus-

gleichschicht zwischen der nachgiebigen Fahrdecke und der starren Unterbettung. Sie hat ferner den Vorteil, daß die Deckschicht (Sandasphalt oder Topeka) in ganzer Dicke abgenutzt werden kann.

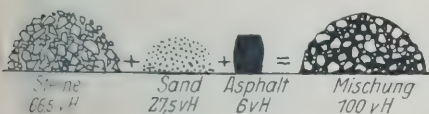
Das in diesen Mischungen benutzte Bindemittel Asphalt kann ganz oder teilweise durch Teer ersetzt werden. Man spricht dann von einem Teerbeton oder Teersteinerschlag oder Teersand. Dagegen nennt man Teertränkmakadam einen Steinschlag, der mit Teer getränkt wird, im Gegensatz zu den oben genannten Verfahren, bei denen der Steinschlag mit Teer gemischt wird. Die Mischungen werden nur im warmen Zustand bei einer Temperatur von 135 bis 180° hergestellt. Um Verluste infolge von Wärmestrahlung auszugleichen, ist es notwendig, die Mineralien höher zu erwärmen.

Die Aufgabe der Mischmaschine

besteht darin, diese Temperaturen sowohl dem Mineral als auch dem Bindemittel mitzuteilen, und zwar einer Menge von 80 bis 100 t täglich. Die im folgenden dargestellte Mischmaschine kann nun ohne Unterschied für Walzasphalt und Teerstraßenbauweise verwendet werden. Die Bauweise bedingt nur drei Vorrichtungen, die als die wesentlichen Bestandteile der Mischmaschine anzusehen sind:

Die Trockeneinrichtung für das Mineral, die Schmelzvorrichtung für das Bitumen und das Mischwerk für das Mineral mit dem Bitumen. Abb. 10.

Es ist Sache der Konstruktion, diese drei Vorrichtungen entweder in drei einzelnen oder in einer einzigen Maschine auszuführen. Die bevorzugte Bauart stellt die Maschine dar, die Trockeneinrichtung und Mischwerk zusammen enthält, während für die Erwärmung des Bitumens besondere Schmelzkessel verwendet werden. Den



Binderschicht



Deckschicht

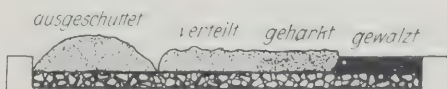
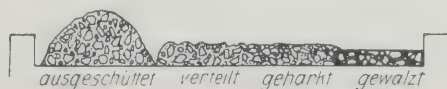


Abb. 2 bis 5. Sandasphalt auf Binder.

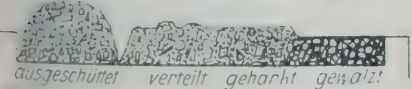


Abb. 6 und 7. Asphaltgrobbleton.

Abb. 2 bis 9
Baugemische und Arbeitsvorgänge beim Verlegen von Walzasphalt (Sandasphalt auf Binder, Asphaltgrobbleton, Asphaltfeinbeton).



Abb. 8 und 9. Asphaltfeinbeton.

drei Vorrichtungen entsprechen drei Arbeitsgänge: der Weg des Minerals, der Heizgase und des Bitumens.

Mineral und Heizgase müssen miteinander in Berührung kommen. Dies geschieht entweder im Gegenstrom- oder im Gleichstromverfahren. Gegenstrom wird bevorzugt.

Die Millars-Maschine,

Abb. 11,

die als erste von England nach Deutschland eingeführte Mischmaschine, beruht auf diesem Grundsatz.

Arbeitsweise

Bei der Millars-Maschine²⁾ werden die Mineralien entweder unmittelbar oder über einem Zuflußmengenregler mittels eines Becherwerks, der „Jakobsleiter“, zum Einlaufkopf gehoben. Dieser ragt in den Trommelkopf, der selbst fest steht, aber mittels einer geschickten Anordnung gegen die sich drehende Trommel abgedichtet ist. Aus der Trommel fallen die erwärmten, entstaubten und vorgemischten Stoffe auf ein zweites, senkrechtes Becherwerk, das sie entweder unmittelbar oder über eine Siebtrommel in einen Behälter entleert; aus diesem Behälter wird nach Bedarf Gemisch in eine Waage abgelassen. Die Waage entleert man zum Mischwerk und den Mischkasten zum Förderwagen, der dann die fertige Mischung zur Einbaustelle bringt.

Die Heizgase werden mittels Rost- oder Ölfeuerung erzeugt und strömen in die Trommel, wo sie das Mischgut berühren. Die Heizgase werden am Trommelkopf abgesogen und in einen Staubabscheider oder Zyklon gedrückt. Die verbrauchten Gase entweichen nach oben durch den Kamin.

Das Bitumen wird in Siedekesseln erwärmt und mittels Handschöpfern oder Pumpen mit Umlaufleitung der Waage zugeführt, von wo es, wie die Mineralien, zum Mischwerk gelangt.

Konstruktion

Ein Fahrgestell, das starr mit dem Rahmen aus schweren U-Eisen verbunden ist, dient zu Transportzwecken. Die Firma U. Ammann, Langenthal, hat die Hinterachse abgefedert, was aber wegen der großen Gewichte nicht empfehlenswert ist. Die Vorderachse ist drehbar. In der Ausführung des Rahmens hat man Unterschiede gemacht, selbst Millars kennt darin zwei Konstruktionen. Einmal wird der Rahmen ganz gerade durchgeführt, das andere Mal ist er nach oben gekröpft. Bei geradem Rahmen ist man gezwungen, die ganze Maschine 1,2 m mittels Lokomotivhebeböcken hochzuheben und Klötze unterzulegen, damit die Sonderförderwagen unter den Mischkasten gelangen können; bei gekröpftem Rahmen fällt dies weg, dafür ist die ganze Maschine um fast 2 t schwerer. Auf dem Traggestell ist

das Triebwerk

befestigt. Zum Antrieb der Mischmaschine verwendet man im Baubetrieb in der Regel eine Lokomotive. Wäh-

²⁾ Vergl. a. Z. Bd. 72 (1928) S. 623.

Abb. 11

Millars-Maschine für 10 t/h
Leistung.

- | | |
|-----------------------------|---------------|
| a Schrägbecherwerk | e Behälter |
| b Entlüfter | f Mischkasten |
| c Staubabscheider mit Kamin | g Mischbühne |
| d Heißbecherwerk | h Heizbühne |

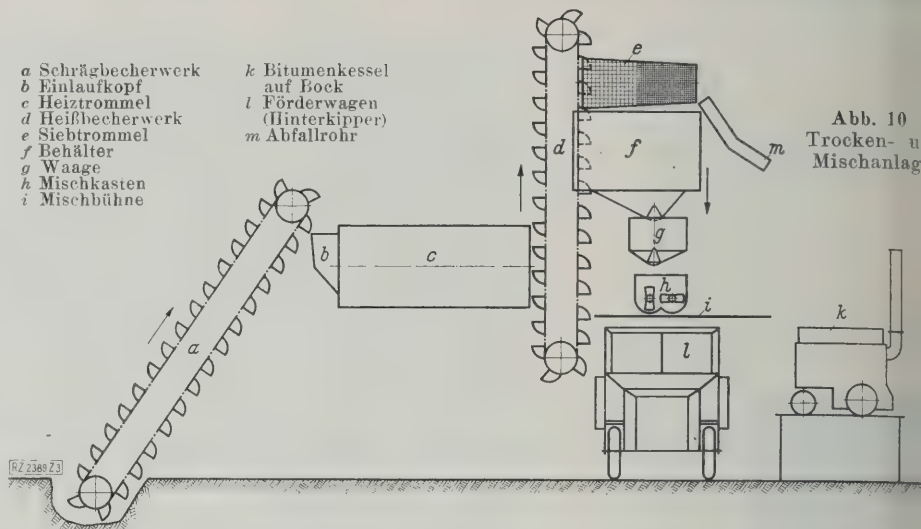


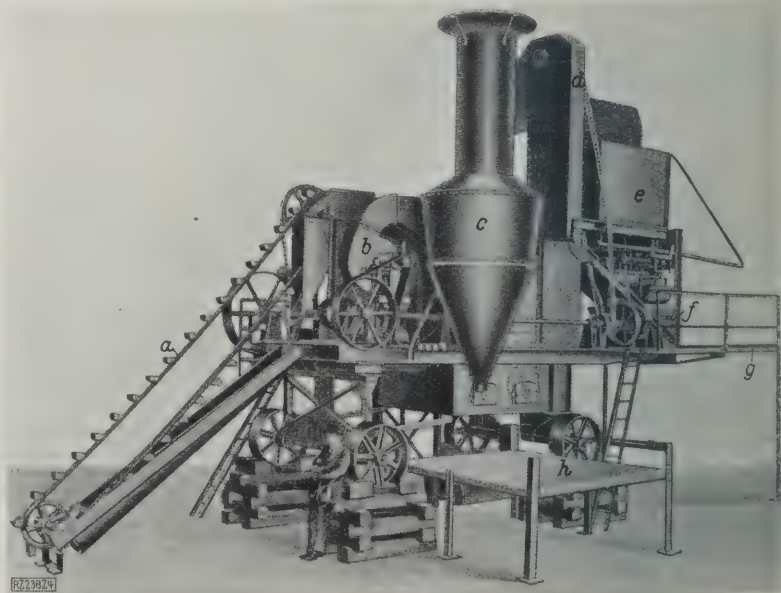
Abb. 10
Trocken- und
Mischanlage

rend nun bei der Millars-Maschine der Krupp-Gruson Werke, Magdeburg, und den von Rheingau, Mannheim (Bauart Cumber, Amerika), Henschel & Sohn, Kassel und W. & J. Scheid, Limburg, gebauten Mischmaschine der Antrieb beim ersten Becherwerk liegt, ziehen andere Firmen es vor, ihre Maschinen vom Mischwerk aus anzutreiben. Die Firmen U. Ammann, Langenthal, und Hermann Meyer, Ballenstedt, treiben von einer an der Maschine angebauten Transmission, Becherwerke, Siebtrommel und Mischkasten an. Bei Störungen lassen sie dann leichter einzelne Teile abschalten, während man bei der Millars-Maschine mittels Kupplungen trennt.

Die Antriebswelle der Millars-Maschine liegt quer zur Längsachse und lagert auf dem vorderen Rahmen an einem Becherwerk. Auf der Antriebswelle sitzen das Kettenrad zum Antrieb des Becherwerks und eine Riemenscheibe zum Antrieb des Lüfters. Mittels eines Kegelräderpaars wird die Kraft auf eine Längswelle übertragen, an der die übrigen Teile angeschlossen sind; zunächst die Siebtrommel, die über eine Vorgelege angetrieben wird, fern das Becherwerk, von der der Antrieb der Siebtrommel abzweigt, und endlich die Bitumpumpe und der Mischkasten.

Die Becher- und Mischwerke

Das Gut aus verschiedenen Sanden und Gesteinsplätzen wird mittels Schiebkarren oder Muldenkippern zum Becherwerk herangebracht. Es wird entweder in eine Grube geschöpft, aus der es die Becher schöpfen, oder auf einen Zuflußregler geschüttet, der, als Schüttelrutsche ausgebildet, den einzelnen Bechern nur so viel zuwirft, wie sie fassen.



8773924

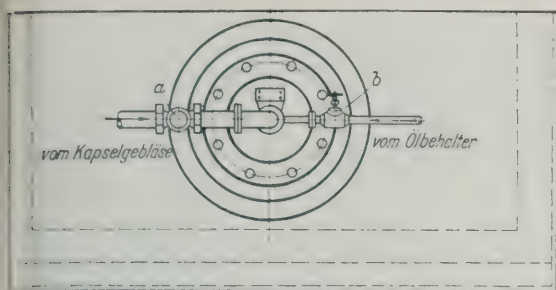


Abb. 12 und 13
Entwurf einer
Ölfeuerung
für die
Millars-
Maschine.

a Lufthahn
b Nadelventil
c Zerstäuber
d Trommel-
schieber

Herrmann Meyer, Ballenstedt, benutzt einen Ein-
schütrichter von der Größe eines Muldenkippers, der am
Ende eine Welle mit Mitnehmern hat. Je nach Einstel-
lung des Ablasschiebers erhält das Becherwerk mittels
seiner drehenden Walze nur so viel nasses Material, als
einzelnen Becher fassen können. Ferner ist bei der
genannten Firma das Becherwerk auf Rollen verfahrbar;
es kann von der Maschine gelöst und einzeln verladen
werden. Die Firma Rheinguß, Mannheim, ordnet das
Schragbecherwerk quer zur Maschine an.

Die Asphaltmischmaschine „Omnifax“ der Draiswerke,
Mannheim, hat an Stelle des Becherwerks einen Förder-
trichter. Die Baustoffe werden hier zu ebener Erde einge-
bracht. Der Trommelkopf, auch Verschlusskopf genannt,
ist als parabelförmig ausgebildeter Trichter angesehen
werden. Er trägt ferner eine Öffnung, an die der Ent-
lüfter angeschlossen ist, der die verbrauchten Heizgase
abzugt und in den Zyklon drückt.

Die Heizgase reißen auch feine Sand- und Staubteil-
chen mit, die sich in dem Zyklon niederschlagen sollen.
Im Betrieb wuchs sich dies zu einer Staubplage
aus, weil der Rauch den ganzen Staub und feinen Sand
mit sich in den Kamin ins Freie mit sich führte. Abhilfe
schaffte man dann mittels einer feststehenden Turbinenkon-
struktion, deren Schaufeln auch drehbar sein können, ge-
schaffen. Sie wird in der Weise in den Zyklon eingebaut,
daß der Rauch auf die Schaufeln stößt und sich in Spiralen
nach oben windet. Infolge der Berührung mit den
Schaufeln und der stoßweisen Verdichtung scheidet sich der
Staub ab.

Die Feuerung

Die Bildung von Stichflammen muß vermieden werden.
Die Firma U. Ammann, Langenthal, arbeitet mit je einem
Ölbrenner an den beiden Enden der Trommel. Jedoch
dient der eine mehr als Zusatzbrenner. Meyer, Ballen-
stedt, benutzt zwei und mehr Brenner, um eine gleich-
mäßige Erwärmung sicher zu erhalten. Die Firma Rhein-
guß, Mannheim, vereinigt in der Cummer-Maschine Öl-
und Rostfeuerung. Die Millars-Maschine arbeitet nur mit
Rostfeuerung, Ölfeuerung kann aber im Bedarfsfall ein-
gerichtet werden. Abb. 12 und 13.

Oggleich die Ölfeuerung dank der genauen Regelbar-
keit, dem geringen Platzbedarf des Brennstoffes, der voll-
kommenen Verbrennung, Vermeidung der Rauchentwick-
lung, Ersparung des Heizers und sofortiger Betriebsbereit-
schaft mehr Vorteile bietet als die Koksfeuerung, hat sie
doch nicht den Eingang gefunden, den man erwartet hatte.
Wenn auch die Anschaffung kaum teurer als die Kohlen-
feuerung ist, so hat man sich doch der Wirtschaftlichkeit
halber für die Kohlenfeuerung entschieden.

Bei einer Versuchsanlage wurde das Öl, mittels Preß-
luftzerstäubers fein verteilt, in den Feuerraum geblasen.
Das Öl floß aus dem liegenden Ölbehälter, der mit Sieb,
Schlammablaß und Inhaltsanzeiger ausgerüstet war, mit
geringem Druck zu. Der stündliche Ölverbrauch betrug
80 bis 100 kg. Diesem Ölverbrauch steht ein Koksver-
brauch von 125 bis 150 kg gegenüber; dies beweist, daß die K o k s -
feuerung einschließlich der Kosten für den Heizer doch
wirtschaftlicher als Ölfeuerung ist.

Während nun an den Maschinen mit Ölfeuerung die
Heizgase durch das offene Ende in die Trommel eintreten,
haben die Millars-Maschine und alle ähnlichen Bauarten
(Henschel, Rheinguß), geschlossenen Feuerraum. Dieser
ist aus 8 mm dicken Blechwänden gebildet, auf denen mit
Klemmplatten aus feuerfestem Guß Schamotteplatten von
50 mm Dicke befestigt sind. Die Feuerbüchse ist mit guß-
eisernen Platten abgedeckt. Diese Platten waren ursprüng-
lich gerade und bogen sich, obgleich sie Längs- und Quer-
rippen trugen, nach unten durch, schleiften auf der Trom-
mel und zerstörten diese vorzeitig. Diesen Mangel beseitigt
man heute durch Verwendung gebogener Platten.

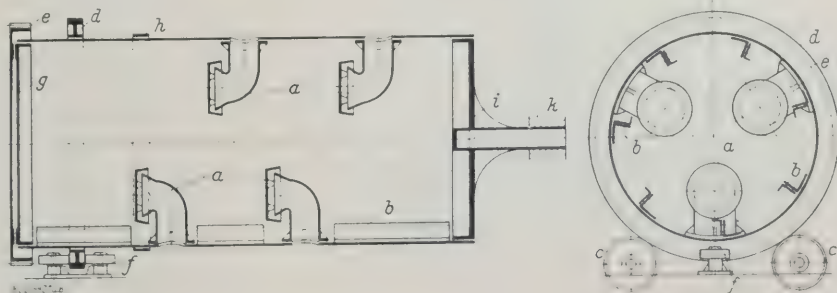
Bei der Millars-Maschine umstreichen die Heizgase
die Trommel,

Abb. 14 und 15, und werden, soweit sie nicht durch das
Armkreuz *k* am Ende der Trommel hindurchtreten, durch
mehrere Absaugeköpfe *a* in das Innere gebracht. Die
Absaugeköpfe sind gekrümmt und mittels Deckels so ver-
schlossen, daß hinter diesen die Heizgase austreten können,
ohne jedoch das Mischgut in die Feuerung fallen zu lassen.
Winkelisen *b* als Mitnehmer im Innern der Trommel heben
die Mischung fast bis zum höchsten Punkt in der Trommel
und lassen sie dann herabrieseln, so daß die Heizgase alle
Teile genügen von allen Seiten bestreichen können. Die
Verwendung von Z-Eisen an Stelle von Winkelisen hat zu
Betriebsstörungen geführt.

Die Trommel ist vorn auf Rollen *c* gelagert, in die der
Laufkranz eingreift. Gegen Abgleiten sind seitlich an der
tiefsten Stelle des Laufkranes zwei Druckrollen *f* ange-
bracht. Am Ende der Trommel sind die Bleche auf ein
Armkreuz *i* genietet; dieses trägt in der Mitte einen hohlen
Stutzen, der gleichzeitig als Lagerung dient. Wie bereits
erwähnt, werden die Heizgase im ununterbrochenen Gegen-
strom geführt. Ein Entmischen des Sandes und des groben
Splittes tritt nicht ein, wenn man das Gut vormischt.

Abb. 14 und 15
Trommel der Mischmaschine.

a Absaugekrümmer
b Mitnehmer
c Laufrollen
d Laufkranz
e Zahnkranz
f Druckrollen
g Abdichtungsring
h Lasche
i Armkreuz
k Lager



Von der Beschaffenheit und der Bauart der Trommel hängt der Erfolg und die Wettbewerbfähigkeit im Straßenbau ab. In der Torkret-Mischmaschine³⁾ legt das Trockengut bei jeder Trommelumdrehung einen kreuzförmigen Weg zurück und wird viermal gewendet.

Der Sammelbehälter *f*, s. Abb. 10, ist in zwei Kammern geteilt; über der einen ist die Siebtrommel gelagert. Diese ist eine kegelige Trommel, die mit zweierlei Stahldrahtsieben bespannt ist. Das Gut fällt zuerst auf das weitmaschige, dann auf das feinmaschige umlaufende Sieb. Schüttelsiebe einzubauen ist nicht zweckmäßig, da diese viel zu sehr dem Verschleiß ausgesetzt sind. Über die Notwendigkeit der Siebtrommel herrschen noch recht unklare Begriffe in den Kreisen der Konstrukteure. Zu einer vollkommenen Maschine gehört sie unbedingt. Sie hat nicht den Zweck, das mit Mühe in der Trockentrommel vorgemischte Gut zu trennen, sondern beim Sandasphalt zu verhüten, daß Steine und Knollen, die zur Zerstörung einer Decke beitragen können, in die Mischung kommen. Sind solche Beimengungen im Mischgut, so wirft sie die kegelige Siebtrommel am Ende in ein Abfallrohr.

Die Temperatur mißt man zweckmäßig, wenn das Gut aus dem Silo abgezogen wird, und zwar mit Handthermometern. Um die Messungen praktisch auszuwerten, wird auf einer Uhr, die von 160 bis 250 °C eingeteilt ist, der Zeiger auf die richtige Temperatur eingestellt. Mittels mechanischer Vorrichtungen wird diese Temperatur auf ein zweites Zifferblatt beim Schrägbecherwerk *a* übertragen. Durch Zugabe von mehr oder weniger Mischung regelt der Heizer die Erwärmung.

Das Gut wird nun abgewogen. Besser als die viel gebräuchlichen Gattierungswaagen mit fünf Hebeln eignet sich eine Neigungswaage, Abb. 16, die selbst bei Erschütterungen immer noch genau anzeigt und sich auch nachstellen läßt. Eine große Zeigervorrichtung ist erforderlich, um die allmähliche Gewichtszunahme gut verfolgen zu können, ferner ein Schwingungsdämpfer. Diese Eigenschaften hat eine Gattierungswaage nicht. Cummer hat daher an Stelle der Gattierungswaagen eine halb selbsttätige gewählt, die beim Erreichen des Gewichtes den Silo schließt. Das Bitumen wird in einer einfachen einarmigen Hebelwaage mit Laufgewichtsbalken gewogen.

Das Bitumen

wird in großen Kesseln erwärmt. Bisher stellte man zwei bis drei Kessel von je 2 m³ Inhalt auf besondere Böcke, so daß der oberste Rand der Kessel mit dem Boden der Mischbühne abschnitt. Mit Schöpfern wurde das Bitumen aus den Kesseln in die Waage gefüllt. Heute geht man dazu über,

³⁾ Vergl. Z. Bd. 72 (1928) S. 624.

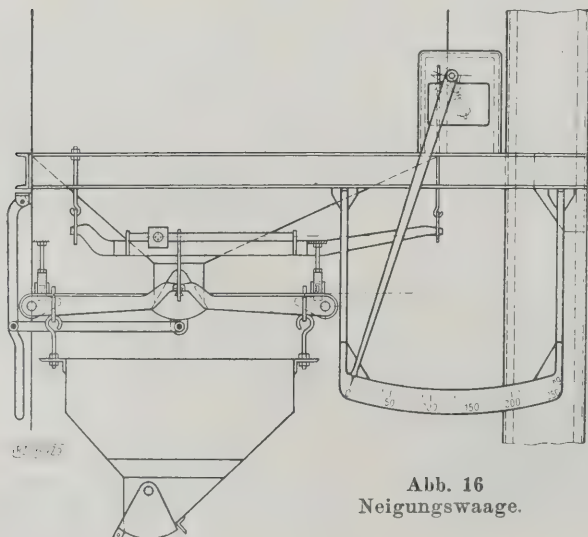


Abb. 16
Neigungswaage.

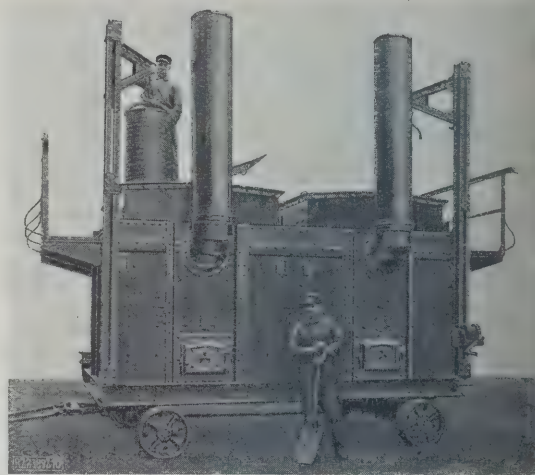


Abb. 17

Großraum-Bitumenkessel, Abb. 17, bei der Mischmaschine aufzustellen, die einen ganzen Tagesbedarf fassen, das sind rd. 9 t. Diese Kessel werden abends gefüllt, morgens 1½ h vor Arbeitsbeginn angeheizt und tagsüber geschlossen gehalten. Eine Umlenkung mit einer Zahnradschraube hält das flüssige Bitumen in dauernder Bewegung. Ein Dreiweghahn dient zum Ablassen des Bitumens in die Waage.

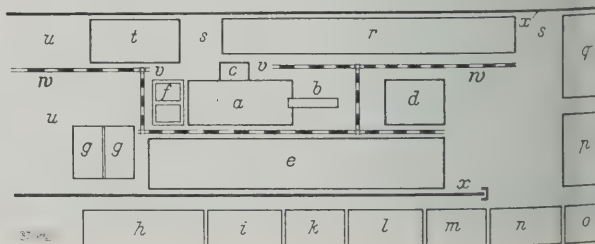
Mischgut und Bitumen

kommen nur in den Mischkasten *h*, s. Abb. 10, ein gußeiserner Trog, in dessen Innern sich zwei Vierkanten mit Mischflügeln aus Hartstahl oder gehärtetem Stahlguß drehen. Beim Asphalt benutzt man verschiedene Mischflügel, die immer mit der scharfen Kante teilen, beim Teer löffelförmige, die immer mengen wollen. In diesem Falle ordnet man die Flügel nur wechselständig an, damit sie nicht aneinander schlagen, im ersten Falle dagegen bilden die wechselständigen Mischflügel auf beiden Wellen eine doppelte, von außen nach innen gehende Schraubenlinie. Hierdurch erreicht man, daß das Bitumen immer vom Rande weg nach der Mitte geworfen wird, hier befindet sich der Abfallschieber, unter dem die Mischung aufnehmen und zur Einbaustelle fahren.

Es dauert rd. 35 min, bis ein Kipper mit rd. 5 t gefüllt ist. Verschlussklappen schützen gegen Abkühlung beim Transport. Da die Baustellen verschieden weit vom Maschinenplatz, Abb. 18, entfernt liegen, muß Pendelverkehr eingerichtet werden, um einen ununterbrochenen Betrieb aufrecht zu erhalten. Mehr als 25 km soll die Baustelle nicht vom Maschinenplatz entfernt sein, da die Mischung andernfalls zu sehr abkühlen. Auch sonst ist es nicht

Abb. 18
Lageplan eines Maschinenplatzes.

- | | |
|------------------------------------|---------------------------------------|
| <i>a</i> Mischmaschine | <i>n</i> Baubureau, zweiteilig |
| <i>b</i> Jakobsleiter | <i>o</i> Laboratorium |
| <i>c</i> Heizbühne | <i>p</i> Magazin und Werkzeuge |
| <i>d</i> Lokomotive im Schuppen | <i>q</i> Schuppen |
| <i>e</i> Lagerhalle für Sande | <i>r</i> Lagerplatz für Gesteinsplit |
| <i>f</i> Großraum-Bitumenkessel | <i>s</i> Ein- und Ausfahrt |
| <i>g</i> Lagerbehälter für Bitumen | <i>t</i> Füllerschuppen |
| <i>h</i> Schlafräum für Arbeiter | <i>u</i> Lagerplatz für Bitumenfässer |
| <i>i</i> Waschräum | <i>v</i> Lagerplatz für Koks |
| <i>k</i> Küche | <i>w</i> Feldbahngleise |
| <i>l</i> Mannschaftsraum | <i>x</i> Fernbahngleise |
| <i>m</i> Meisterraum | |



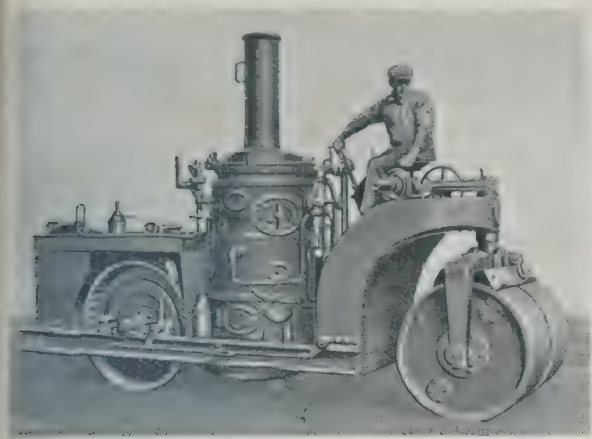


Abb. 19. Die Tandemwalze beim Andrücken der aufgetragenen Massen.

seuflich, da der Fahrzeugpark zu groß sein muß. Zahlen-
al 1 gibt einen Vergleich zwischen dem Bedarf an Kraft-
gen und an Zugmaschinen für die verschiedenen Ent-
fernungen.

Die Baustelle

Zur gleichmäßigen Verteilung der von der Misch-
maschine gelieferten Menge auf der Baustelle genügen ge-
wöhnlich fünf Mann und ein Vorarbeiter. Nach der Ver-
eigung beginnt das Walzen zuerst mit der leichten

Zahlentafel 1 Bedarf an Kraftwagen und Zugmaschinen								
Entfer- nung km	Ein Fahrzeug gebraucht für					Erforderliche An- zahl von		
	Misch- zeit min	Hin- fahrt min	Ent- lade- zeit min	Rück- fahrt min	Summe der Spalten 2 bis 5 min	Last- wagen	Zug- schlep- peru	mit An- hängern
5	35	20	10	15	80	3	2	3
10	35	40	10	30	115	4	3	4
15	35	60	10	45	150	5	4	5
20	35	80	10	60	185	6	5	6
25	35	100	10	75	220	7	6	7

Tandemwalze, die nur aus zwei Walzen besteht, Abb. 19,
quer und längs, mit der schweren Dreiradwalze nur in
der Längsrichtung der Straße. Nach dem Erkalten in
wenigen Stunden ist die Straße betriebsfähig.

Schlußwort

Diese Straßendecke genügt allen Anforderungen an
Staubfreiheit und Geräuschlosigkeit; ihre Oberfläche ist
nachgiebig, leicht zu reinigen und wetterfest. Der neu-
zeitliche Straßenbau ist ein besonderer Zweig der technolo-
gischen Industrie geworden. Der Maschineningenieur muß
darauf achten, daß die Straßenbaumaschinen stets mit
dieser Entwicklung Schritt halten; denn die Herstellung
einer guten Straße hängt hiervon im wesentlichen ab. Der
Straßenbau ist so nicht nur Sache des Tiefbaues, sondern
auch des Maschinenbaues geworden. Zweifellos hat sich
damit der Technik und Wirtschaft ein neues Betätigungs-
feld erschlossen. [B 2389]

Über Farbenmessung

D Farbenmessung nach Ostwald mittels des Pulfrich-
schen Stufenphotometers in Verbindung mit dem Zusatz-
gerät nach Krüger

Von Prof. F. A. O. Krüger, Dresden

Um die Farbe eines Körpers festzustellen, bedarf man
vier Bestimmungsgrößen. Gemessen wird der Lichtrück-
wurf des Körpers. Da der Lichtrückwurf je nach der Stel-
lung des Körpers zum Licht verschieden ist, wird für die
Messung folgendes als Bedingung festgelegt: Gemessen
wird eine ebene Fläche; sie sollte möglichst matt sein, sie
liefe wagerecht, Lichteinfall unter 45°, möglichst von
Norden unter Vermeidung jeglicher Reflexwirkungen. Be-
achtet wird senkrecht von oben. Hierdurch wird jede
Siegelung, also auch etwaiger Glanz, ausgeschaltet.

Die Bestimmungsgrößen nach Ostwald sind: der Farb-
te v , der Weißgehalt w , der Schwarzgehalt s . Der Farb-
te wird nur seiner Qualität nach bestimmt, da sein Anteil
an Gesamtlicht zurückwurf sich aus der Beziehung $v + w + s$
= ergibt. Als Bezugsgröße dient eine Fläche Normalweiß
(bedo), die alles auf sie fallende Licht vollkommen zer-
stut zurückwirft. Sie ist eine vollkommen matte Fläche.
d) in einer guten Annäherung, d. h. nur mit Spuren von
Glanz von der Deutschen Werkstelle für Farbkunde, Dres-
de, hergestellt wird.

Die Rückwurfsverhältnisse eines Körpers für Licht
werden durch seine spektrale Remissionskurve vollkommen
abgebildet. Sie gibt auch Auskunft über den Weißgehalt
und Schwarzgehalt der betreffenden Farbe. Ihr Extinktions-
koeffizient im gegenfarbigen gibt den Weißgehalt, derselbe
in gleichfarbigen monochromatischen Licht gibt den
Schwarzgehalt der Farbe an. Bezogen wird er auf
eine logarithmisch geteilte Helligkeitsleiter von Weiß 1
b. Schwarz 0, die Grauleiter von Ostwald. Ihre Stufen
sind mit den Buchstaben des Alphabets bezeichnet, wobei
 $w = 1$ und $s = 0$ ist.

Um die Messung im Stufenphotometer, abgekürzt Stuf-
o. 1 bis 3, auszuführen, legt man auf den Tisch, z. B.
rechts den Prüfling, links ein Blatt Normalweiß. Bei Null-
stellung beider Meßschrauben werden auf der Netzhaut des
Auges beide Farbfächen, ohne eine Struktur zu zeigen, ab-
gebildet. Man schaltet nun nacheinander die in der am
Photometerkopf befindlichen sieben Farbfiter (K-Filter
nach Krüger) ein, und stellt durch Drehen der linken
Meßschraube jeweils auf gleiche Helligkeit ein. Trägt man
gefundenen Werte in ein Koordinatennetz ein, dessen
Abszisse nach den Wellenlängen geteilt und dessen Ordinate
logarithmisch wie die Grauleiter Ostwalds geteilt ist, so er-
hält man die Remissionskurve der Farbe und kann den

Weiß- und Schwarzgehalt ohne weiteres ablesen, Abb. 4.
Die Lichtfilter lassen ziemlich breite Wellenlängengebiete
durch. Jeweils werden ihre Schwerpunkte in das Koordi-
natennetz eingetragen.

Beim Ablesen des Schwarzgehalts muß man dann den
Unterschied zwischen dem abgelesenen Wert und 1, da in der
Grauleiter $s = 1 - w$ ist, in die Kennzahl nach Ostwald
einsetzen. Praktisch liest man an der Meßtrommel den
Weißgehalt unmittelbar ab, ebenso den Schwarzgehalt als
1 weniger dem angezeigten Wert. Es gelten stets die klein-
sten der aufgefundenen Werte. Man lernt bald, welche
Filter im vorliegenden Falle den kleinsten Wert ergeben,
gegebenenfalls prüft man mit den benachbarten Filtern nach

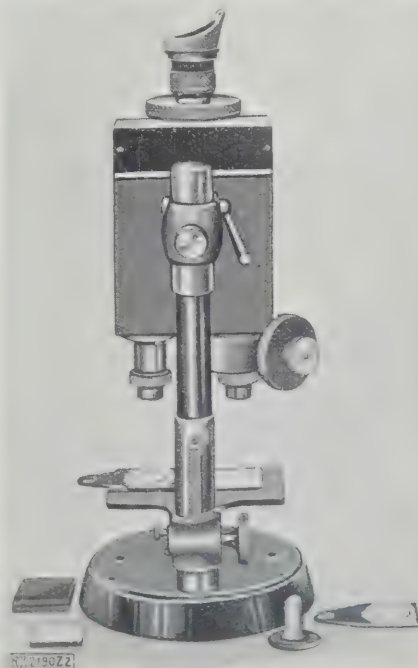


Abb. 1
Stufenphotometer von Pulfrich.

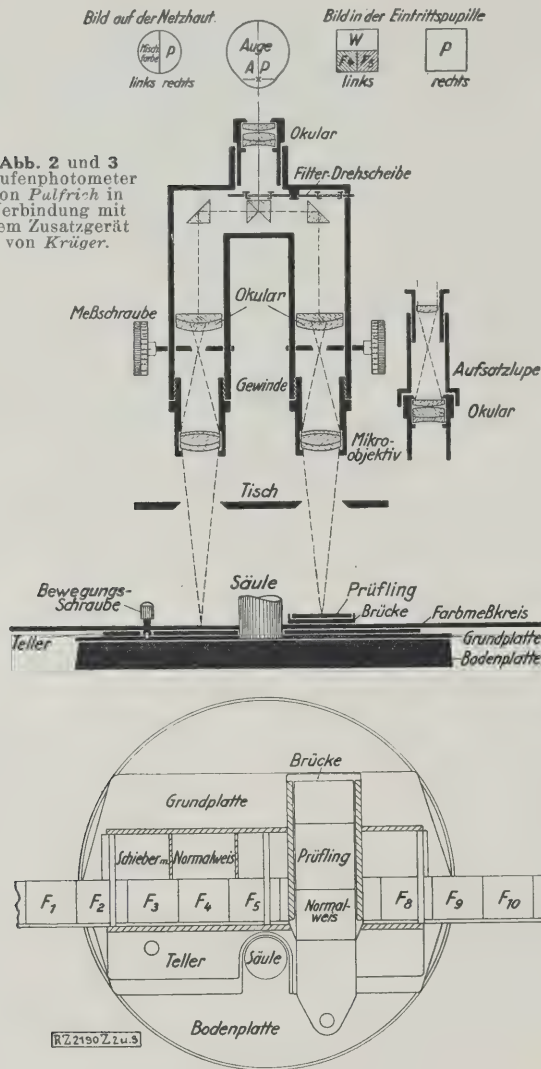


Abb. 2 und 3
Stufenphotometer
von Pulfrich in
Verbindung mit
dem Zusatzgerät
von Krüger.

Der Kreis ist in 24 Farbtöne geteilt. Zur Messung wird ein Kreis benutzt, der noch die halben Zwischentöne hält. Aus Lichtechtheitsgründen ist er in Wolle gefärbt. Er ist im Jahre 1926 nochmals in der Deutschen Werkstelle für Farbkunde, Dresden, erneut geteilt. Im Gebrauch im Stufenphotometer sind die 48 Farben auf Streifen zu je 12 Farbtönen verteilt.

Der Farbton wird nun in der Weise gemessen, daß das Zusatzgerät, Abb. 5, auf die Bodenplatte des Stufenphotometers, Abb. 1 bis 3, legt. Der Teller des Zusatzgerätes trägt zwei Rinnen. In die erste schiebt man Farbmeßkreis in Streifenform, in die zweite einen Schieber, der eine Platte Normalweiß trägt; dessen scharfe Kante stößt unmittelbar an die Farbfelder des Farbstoffes wird in das Blickfeld des Farbstreifens geschoben. Teller, der beide Streifen trägt, läßt sich in der Ebene senkrecht zur Längsseite der Rinnen verschieben. Dadurch läßt sich jedes beliebige Mengenverhältnis zwischen sichtbarem Farbfeld und dem Weiß des Schiebers im Blickfeld herstellen.

Im Okular erscheint Farbe und Weiß stets optisch mischt als einheitliche Farbfläche. Durch die mittels Meßschraube in der Größe veränderliche Eintrittspupille läßt sich auch die Helligkeit der im Okular erscheinenden Farbe verändern, d. h. jede beliebige Menge Schwarz Farbe im Blickfeld hinzufügen.

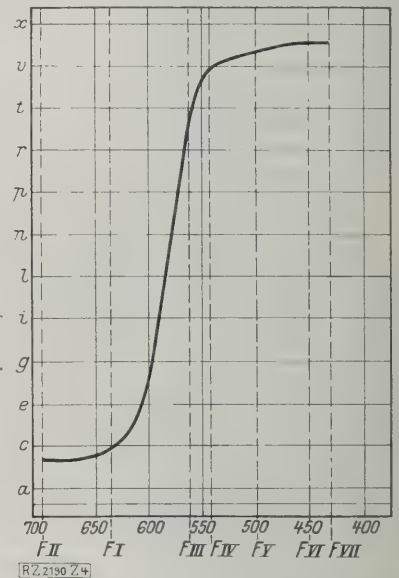


Abb. 4
Remissions-
kurve
für 6,9 we.
Die Schwer-
punkte der Filter
fallen auf die
punktier-
ten Ordinaten.

Aus der Remissionskurve läßt sich auch die Art des Farbtons, der gemessenen Farbe erkennen. Da jedoch ein und dieselbe Farbenempfindung durch die Reizwirkung verschiedener Spektren verursacht werden kann, genügt sie nicht zur eindeutigen Feststellung des Farbtons. Durch Vergleich mit einer Farbe, die durch additive Mischung aus der Farbe eines Normalkreises hergestellt wird, stellt man eindeutig den Farbton fest. Der Normalkreis ist nach psychologischen Verhältnissen geteilt. In ihm liegen jeweils die Gegenfarben einander gegenüber und ergänzen einander in optischer Mischung zu grau, sind also stets leicht in bezug auf ihre Lage zu prüfen. Da diese Bestimmung zu einer vollkommenen Teilung nicht ausreicht, sind die Abstände nach dem Grundsatz der inneren Symmetrie festgelegt¹⁾.

¹⁾ Vergl. W. Ostwald, Beiträge zur Farbenlehre, Abhandlg. der sächs. Gesellschaft der Wissenschaften, Bd. 34 (1917) Nr. 3.

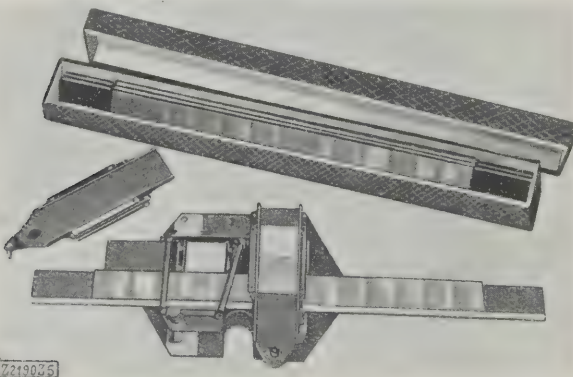


Abb. 5. Zusatzgerät von Krüger mit Farbmeßstreifen.

Man kann also mittels des Zusatzgerätes und einer Meßschraube die drei Ostwaldschen Konstanten Weiß, Schwarz, Bunt (Vollfarbe) in jedem Verhältnis zu einander im Blickfeld verändern. Durch Schieben nach rechts und links läßt sich auch die Farbe eines Feldes des Meßkreises in beliebigem Verhältnis mit der seiner Nachbarn optisch mischen. Zwischen den 48 Feldern des Farbkreises lassen sich also noch alle nur denkbaren Zwischenfarben darstellen.

Legt man nun auf eine Brücke, die man auf das Zusatzgerät stellt, z. B. rechts einen Prüfling, so kann man durch optische Mischung seine Farbe im Gesichtsfeld erzeugen. Da die Farbtöne des Farbmeßkreises bekannt sind, ist damit der Farbton gemessen. Das Verhältnis einer etwaigen Mischung aus zwei benachbarten Farbtönen des Meßkreises läßt sich an einer in der Eintrittspupille vorhandenen Zehnteilung ablesen. Man kann also 480 Töne im Farbkreise unmittelbar feststellen. Im allgemeinen lassen sich mit bloßem Auge etwa 240 Farbtöne in einem reinen Farbkreise unterscheiden. Die Ablesegenauigkeit übersteigt also bereits das praktische Bedürfnis.

Falls die Reinheit des Prüflings größer ist als die der Farbe des Meßkreises, legt man auf den Schieber die Brücke hart neben den Prüfling ein Plättchen Normalweiß mit scharfer Kante und drückt die Reinheit durch optische Hinzumischen von Weiß auch im rechten Blickfeld auf die Reinheit der Farbe des Meßstreifens herab, nötigenfalls kann man auch noch Schwarz mittels der zweiten Meßschraube hinzufügen.

Auf dem Wege des Vergleichs könnte man die drei Ostwaldschen Konstanten bestimmen. Da es aber noch nicht gelungen ist, den Farbmeßkreis für alle Töne wertgleich gleicher Lichtechtheit auszufärben, erfordert es eine umständliche Rechnung. Deswegen wird vorläufig das Zusatzgerät

Farbtonbestimmung benutzt. Die Weiß-schwarz-Zahlen erhält man rascher durch die Messung mit Lichtfiltern.

Für den Ersatz der Kennzahlen durch die Buchstaben benutzt man Zahlentafeln, die die Deutsche Werkstelle für Farbkunde, Dresden, festgestellt hat.

Zur Feststellung der Kennzahlen einer Probe im Stufenphotometer muß die notwendige Fläche der Probe $1,8 \times 1,8 \text{ mm}^2$ betragen. Für diesen Fall muß jedoch noch ein Zwischenrohr vor dem Mikroskopobjektiv eingeschaltet werden. Die übliche beobachtete Fläche beträgt 27 mm^2 . Diese Größe sollte man möglichst erhalten, um etwaige kleine Ungleichheiten in den Farbflächen auszugleichen.

Beispiele

Als Beispiel der Farbenmessung für Körperfarben teile ich zwölf Messungen von Ultramarinproben der Vereinigten Ultramarinfabriken A.-G. vorm. Leverkus, Zeltner & Konsorten, Köln, vom Ultramarinrot über Ultramarinviolett, Ultramarinblau bis zum Ultramariningrün mit. Die Messungen zeigen, daß das sogenannte Rot dem ersten Veil, das Grün dem ersten Eisblau zuzurechnen ist. Außer den Maßzahlen, Zahlentafel 1, habe ich das Ergebnis noch gra-

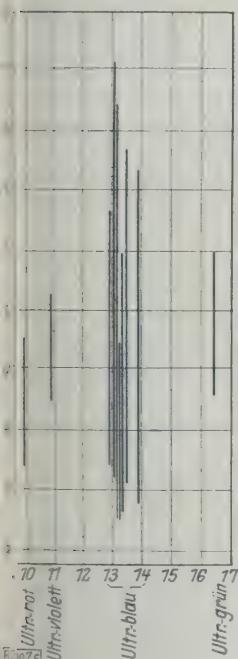


Abb. 6 (links)
Die Ordinaten geben an die Gehalte von Ultramarinen an Vollfarbe, ausgezogen an Weiß, der Buchstabe am oberen Ende der Ordinaten an Schwarz, der Buchstabe am unteren Ende der Ordinaten

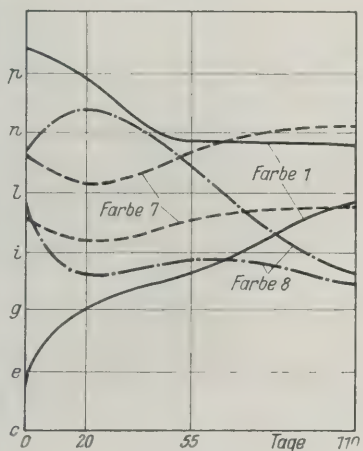


Abb. 7
Bewetterungsverlauf von Anstrichen von Rütgers farbigem Carbolineum. Die Eintragungen auf der Ordinate geben Gehalt an Vollfarbe, Weiß und Schwarz an wie in Abb. 6.

Abb. 6, in einer Form dargestellt, die erstmalig von Miescher²⁾, Basel, angegeben ist, jedoch insofern verbessert, als die Schwarz-Weiß-Werte wirklich zahlenmäßig auf den logarithmisch geteilten Ordinaten eingetragen werden. Hierbei muß der Wert für Schwarz als Bezugshelligkeit, d. h. der wirklich abgelesene Wert der Grauleiter und nicht deren Unterschied von 1 eingetragen werden. Die Ordinaten stellen dann die drei Ostwaldschen Konstanten graphisch dar: $w + v + s = 1$; sie können unmittelbar abgelesen werden. Auf der Abszisse sind im arithmetischen Verhältnis die Farbtonpunkte des Farbkreises eingetragen. Der ausgezogene Teil der Ordinaten stellt den Gehalt an Vollfarbe dar; er zeigt, wie außerordentlich verschieden der Gehalt bei

Zahlentafel 1. Maßzahlen der Proben.

	Farbton	Weiß	Schwarz	Vollfarbe
1. Ultramarinrot (Kattundruck) . . .	9,9	0,178	0,53	0,242
2. Ultramarinviolett (Kattundruck) . . .	10,9	0,123	0,72	0,157
3. Ultramarinblau (Bleicherei) . . .	12,95	0,065	0,54	0,395
4. " (Wagenlacke) . . .	13,1	0,021	0,64	0,339
5. " (Wäscherei) . . .	13,2	0,038	0,37	0,592
6. " (Künstlerfarben) . . .	13,2	0,029	0,52	0,451
7. " (Malerei Nr. 7) . . .	13,3	0,18	0,30	0,52
8. " (" " 6) . . .	13,3	0,09	0,34	0,57
9. " (Lithographiedruck) . . .	13,5	0,041	0,47	0,489
10. Ultramarinblau (Kattundruck) . . .	13,9	0,048	0,38	0,572
11. " (Malerei Nr. 8) . . .	14,0	0,05	0,56	0,39
12. Ultramariningrün (Anstrich) . . .	16,4	0,091	0,73	0,171

den einzelnen Pigmentsorten ist. Die Maßzahlen der Proben sind in Zahlentafel 1 angegeben.

Für den Verbraucher ist nun wichtig, die Lichtechtheit, die Wetterfestigkeit, die Ausgiebigkeit und die Deckung der Farbkörper zu kennen. Für die Feststellungen bietet die Messung nach Ostwald mit dem Stufenphotometer gute Hilfe. Da es sich hier nur um Beispiele handelt, seien Lichtechtheit und Wetterfestigkeit, deren Messung das gleiche Verfahren verlangt, zusammengekommen. Als Beispiel möchte ich die Ergebnisse eines Bewetterungsversuches, der 1927 mit Proben der Farbe 1, 7 und 8 von Rütgers farbigem Carbolineum vorgenommen worden ist, mitteilen. Die Farben wurden auf maschinengehobenes Fichtenholz aufgestrichen und während 110 Tagen auf einem Turmdache dem Wind und Wetter ausgesetzt. Die Messungen ergaben die in Zahlentafel 2 zusammengestellten Ergebnisse.

Die Ergebnisse der Messungen sind in ein Koordinatensystem eingetragen, Abb. 7. Die Kurven zeigen den verschiedenen Verlauf der Verwitterungserscheinungen innerhalb der Beobachtungszeit. Bei Farbe 1 sieht man das allmähliche Sinken des Vollfarbengehaltes bezüglich der Farbigkeit, die einem nur schwachfarbigen Grau zustrebt, dem Verwitterungsgrau, das schließlich jedes Holz im Freien annimmt. Bei Farbe 7, dem Anstrich, der nahezu unverändert geblieben ist, erkennt man doch aus dem Kurvenbild die stärker gewordene Trübung am Ende der Beobachtungszeit. Am merkwürdigsten ist der Verlauf beim Farbton 8, einem Blau, dessen Farbigkeit in dem ersten Teil stark zunimmt, um dann rasch einem lichten Holzgrau zuzustreben.

Durch die Verwitterung wird nämlich die optische Brücke, die in Form des Bindemittels die eigenen Körner des Farbkörpers anfangs verbindet und dadurch schwarz, reicher und farbloser erscheinen läßt, zerstört; die nun freiliegenden Körner absorbieren mehr Licht, werden aber vom Wetter nach und nach fortgespült und der Anstrich wird immer farbloser. Übrig bleibt wieder das verwitterte Holzgrau. Im Rahmen dieser Darstellung kann leider nicht näher auf alle Erscheinungen eingegangen werden, die sich aus diesen Beobachtungsreihen für das Verhalten von Farbkörper, Bindemittel und Grund ziehen lassen.

Da sich die Veränderungen des Farbtones durch die Kurven, Abb. 7, nicht abbilden lassen, ist noch eine weitere notwendig. Man verwendet hierzu die Reinheitsfläche Ostwalds, Abb. 8 und 9, die eine Projektion der oberen Kegel- fläche des Farbkörpers darstellt. Die in ihr als Reinheiten eingetragenen Messungen zeigen die Veränderungen des Farbtones an. Farbe 1 und 8 streben deutlich der Farblosigkeit zu, 8 allerdings in einer Schleife, die die anfangs zunehmende Reinheit zum Ausdruck bringt, während Farbe 7 sich nur unmerklich in der Reinheit ändert.

Um die Ausgiebigkeit²⁾ eines Farbkörpers festzustellen, wird eine Verdünnungsreihe aufgestellt. Als Ausgiebigkeitszahl hat Ostwald die Verhältniszahl der Gewichte des Zinkweißes, die nach Zumischung zum Pigment den Weißgehalt 0,5 ergibt, vorgeschlagen.

Als Beispiel ist eine Ausgiebigkeitsmessung von einem Ocker und von einem Preußisch-Blau durchgeführt; für beide

²⁾ Die „Ausgiebigkeit“ ist im Sinne Ostwalds verstanden gleich „Färbevermögen“.

Zahlentafel 2. Bewetterungsverlauf, vergl. Abb. 7.

	Farbe 1			Farbe 7			Farbe 8		
		Weiß	Schwarz		Weiß	Schwarz		Weiß	Schwarz
li Beginn	7,5	0,029	0,635 qe	22,5	0,069	0,885 mk	13	0,065	0,895 mh
ich 20 Tagen	6,9	0,036	0,785 pg	..	0,085	0,865 li	13,4	0,047	0,83 of
55 "	5,3	0,060	0,83 nh	..	0,065	0,885 mk	13,3	0,072	0,862 mi
110 "	3,5	0,062	0,903 nk	..	0,054	0,90 nl	3	0,162	0,82 ih

¹⁾ Beiträge zur Farblehre. 1925.

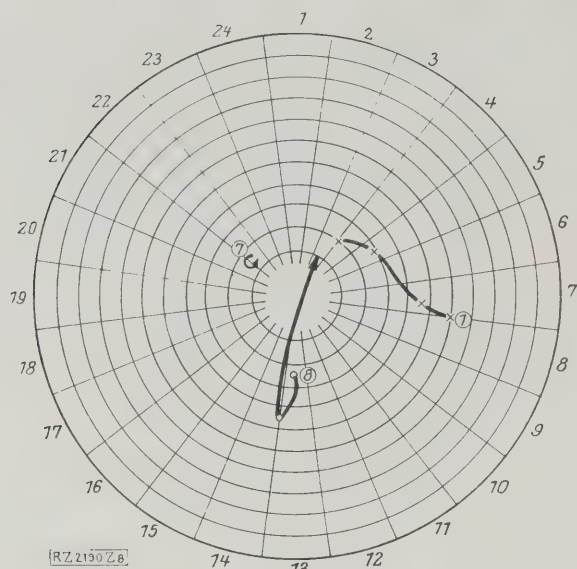


Abb. 8.

Reinheitsfläche nach Ostwald. (Projektion der oberen Kugelfläche des Farbkörpers)

Die Kurven zeigen die Veränderungen im Farbton und Reinheit.

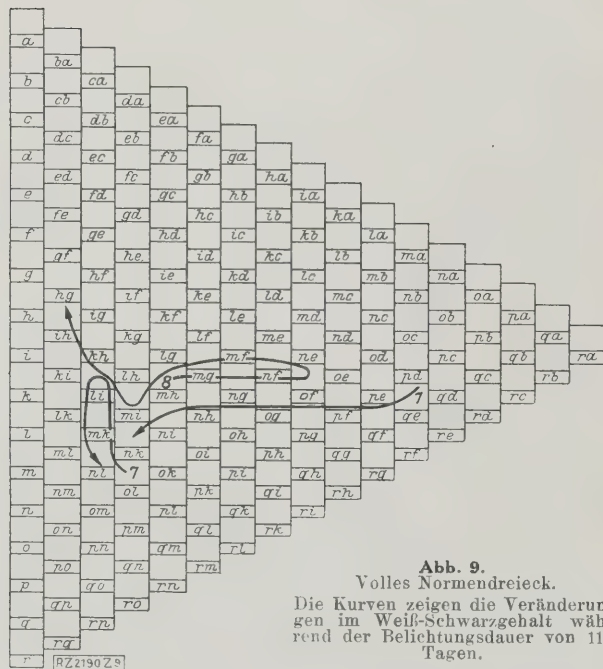


Abb. 9.

Volles Normendreieck.

Die Kurven zeigen die Veränderungen im Weiß-Schwarzgehalt während der Belichtungsdauer von 110 Tagen.

sind im gleichen Koordinatennetz wie Abb. 6 als Ordinaten die Weißgehalte, als Abszissen die Gewichtsverhältnisse eingetragen, Abb. 10. Es ergeben sich somit durch Ablesung aus der Kurve für den Weißgehalt 0,5: für den Ocker die Zahl 5,5 und für Preußisch Blau die Zahl 100 als Ausgiebigkeitszahlen. Die Ausgiebigkeit des Preußisch Blaus ist also das 19fache des Ockers.

Die Deckung eines Farbkörpers, z. B. ein Bleiweiß in Öl angerieben, wird im Stufenphotometer dadurch gemessen, daß man die Lichtdurchlässigkeit von Schichten verschiedener Dicke gegen verdunkeltes Normalweiß gegebenenfalls unter Anwendung von Lichtfiltern mißt. Um zu einer allgemein gültigen Deckzahl zu kommen, bedarf es noch einer Festlegung der Bedingungen, unter denen die Messung ausgeführt wird.

Das Stufenphotometer ist nach und nach für die verschiedensten Zwecke der Farbmessung, u. a. für die Messung

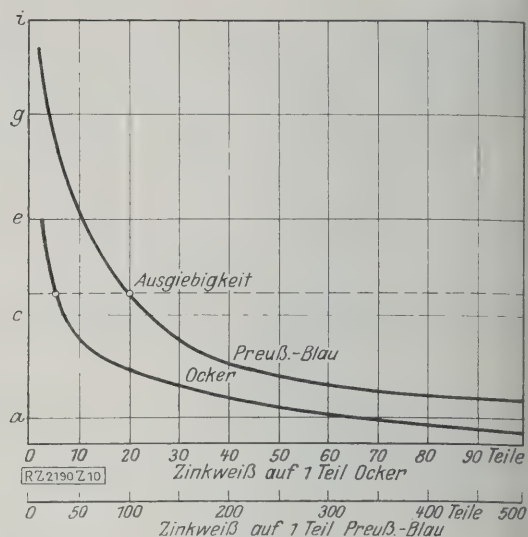


Abb. 10.

Ergebnis einer Ausgiebigkeitsmessung.

des Glanzes und bei der Einstellung genauer Farbnormen sei es in Farbstoffen, Farbkörpern oder Ausfärbungen ein unentbehrliches Hilfsmittel geworden. [M 2190]

Erasmus Kittler †

Am 14. März 1929 hat Geheimrat Prof. Dr. Erasmus Kittler in Darmstadt die Augen für immer geschlossen. ihm ist der erste Hochschullehrer Deutschlands „Elektrotechnik“ von uns gegangen.

Kittler erblickte als Sohn eines Schneidermeisters 25. Juni 1852 in Schwabach bei Nürnberg das Licht der Welt. Dort besuchte er die Gemeindeschule, Präparandenschule und das Lehrerseminar. Den Beruf als Lehrer trat er nur von 1871 bis 1874 in Nürnberg aus; denn sein Streben ging weiter. Er legte 1875 zunächst die Abschlußprüfung am Realgymnasium in Nürnberg ab und bezog darauf Universitäten München und Würzburg, um sich dem Studium der Mathematik und Physik zu widmen. In Würzburg promovierte er 1880 und habilitierte sich 1881 an der Technischen Hochschule München.

Seine kurze Tätigkeit in München fällt mit der 1. dort abgehaltenen Internationalen Elektrizitätsausstellung zusammen, an der er als Assistent von Prof. v. Beetz tätig Anteil hatte. Die Aufmerksamkeit, die Kittler bei dieser Gelegenheit auf sich zog, führte schon am 1. November 1882 zu seiner Berufung als Professor der Elektrotechnik an die Technische Hochschule Darmstadt. Dieser Lehrstuhl wurde damals gerade erst errichtet, und Kittler konnte bereits Anfang des Jahres 1883 mit den Vorlesungen beginnen.

Hauptsächlich die wissenschaftlichen Grundlagen der Elektrotechnik, die auch sein „Handbuch der Elektrotechnik“ enthält, und seine persönliche Liebenswürdigkeit und Tüchtigkeit begründeten seinen Ruf als Hochschullehrer nicht zum Nachteile der Hochschule selbst. Daneben wirkte er als technischer Berater und Sachverständiger für den Bau elektrischer Kraftwerkanlagen vielfach tätig; ihm verdankt ferner die Gründung und der Ausbau der elektrischen Institute der Technischen Hochschule Darmstadt zu danken. Lebhafte Anteil nahm er an den verschiedenen elektrischen Ausstellungen jener schon erwähnten Frühzeit der Elektrotechnik. Außer in München wirkte er als Jurypräsident der Wiener und der Frankfurter Ausstellung.

Sein besonderes Verdienst aber dürfte darin zu finden sein, daß er als erster Hochschullehrer für Elektrotechnik die ersten „Elektroingenieure“ geschult und praktisch vorgebildet hat. Aufs engste ist daher Kittlers Name mit der elektrotechnischen Wissenschaft, wie mit dem Aufblühen der Technischen Hochschule Darmstadt verknüpft. Jahre 1915 trat er in den Ruhestand und setzte, am Opa seines bisherigen Wirkens verbleibend, seine beratende Tätigkeit bis in die letzten Jahre fort.

[P 2788]

E. L. Ant.

Zur Festigkeit im Schraubengewinde

W. KUNTZE, Berlin-Dahlem

Abteilung aus dem Staatlichen Materialprüfungsamt, Berlin-Dahlem.

Vorteile der Einkerbung. Kennzeichnung der günstigsten Vergütung für Schrauben. Bedeutung der Trennfestigkeit für statische und dynamische Beanspruchung der Schraube.

Man pflegt eingekerbte Konstruktionsteile häufig nur vom Standpunkte der Gefahr aus zu betrachten. Daß mit der Einkerbung auch Vorteile hinsichtlich der Festigkeitseigenschaften verbunden sein können, soll an nachstehenden Beispielen erläutert werden.

Höhere Bruchfestigkeit im Kerbquerschnitt

Die Festigkeit einer eingekerbten Zugprobe hängt von der Gestalt der Kerbe, der Kerbtiefe und vom Werkstoff ab. Betrachtet man winkelförmige Kerben, so ergibt, wie Versuche gezeigt haben, bei Winkeln von 60° und weniger, die Veränderung der Winkelgröße keinen erheblichen Einfluß mehr auf die Festigkeit, umso mehr aber die Kerbtiefe. In Abb. 1 ist für einen Kerbwinkel von 60° die Veränderlichkeit der Bruchfestigkeit (bezogen auf den jeweiligen Kernquerschnitt) mit der Kerbtiefe, die als abnehmender Kernquerschnitt f in Hundertteilen des ursprünglichen Querschnittes F aufgetragen ist, dargestellt. Die Linien a bis d beziehen sich auf Flußstahl mit vier verschiedenen in der Abbildung bezeichneten Vorbehandlungen. Auf der linken Grenzordinate, die einem Kernquerschnitt von 100 vH, also der Einkerbung 0 entspricht, findet man mithin die üblichen Bruchfestigkeiten der ungekerbten Zugstäbe für die vier Zustände aufgetragen. Auf der rechten Ordinate für den (extrapolierten) Kernquerschnitt 0 liegen Festigkeitswerte, die den Trennfestigkeitswerten der vier Stähle sehr nahe kommen.

Die Grenzwerte würden bei schärferer Kerbe (mit noch kleinerem Winkel als 60°) um nur wenige Hundertstel höher ausfallen, und die Trennfestigkeit wäre bei einer tendenzmäßig scharfen Kerbe mit dem Kerbwinkel von 0° erreicht worden. Bei dem hier angewendeten Kerbwinkel von 60° kommt man aber auf der rechten Grenzordinate so nahe an die Trennfestigkeit heran, daß man die Abweichungen vernachlässigen kann. Zwischen beiden Grenzwerten verläuft die Bruchfestigkeit dem abnehmenden Kernquerschnitt proportional.

Die Geradlinigkeit der Beziehung ist aber für kleine Kernquerschnitte (< 30 vH) nicht zu verwirklichen, weil die Abrundung im Kerbgrund, die auch bei Verwendung der besten Werkzeuge nicht zu vermeiden ist, um so wirksamer wird, je kleiner die Abmessungen werden. Die hierdurch bedingte Erniedrigung der Zugfestigkeit hat für die nachfolgenden Betrachtungen keine Bedeutung.

Man sieht nun aus der wechselnden Neigung der vier Geraden, daß durch die Vorbehandlungen die übliche Bruchfestigkeit des ungekerbten Zugstabes und die Trennfestigkeit in verschiedenem Maße beeinflusst werden. Wird

der Quotient $\frac{\text{Trennfestigkeit}}{\text{Bruchfestigkeit}}$ größer, so wird die Neigung der Geraden steiler und man hat im Kern einer eingekerbten Probe eine verhältnismäßig hohe Festigkeit zu erwarten. Es ist also für die Festigkeit eingekerbter und vergüteter Proben ein anderer Festigkeitswert σ_x maßgebend als die übliche Bruchfestigkeit σ_B . Dieser Wert σ_x ist abhängig erstens von der üblichen Bruchfestigkeit σ_B des vergüteten Werkstoffes und zweitens von der Trennfestigkeit s_T , die im jeweilig vergüteten Zustand vorhanden ist.

Die Festigkeit σ_x bei einem bestimmten Kernquerschnitt f_x der in Hundertteilen vom Ausgangsquerschnitt F ausgedrückt sein soll — läßt sich dann nach Abb. 1 aus der Gleichung ermitteln:

$$\sigma_x = \sigma_B + (F - f_x) \operatorname{tg} \alpha;$$

¹⁾ Z. Bd. 72 (1928) S. 851 und Bd. 73 (1929) Nr. 10 S. 221.

²⁾ Die in Abb. 1 dargestellten Werte sind meiner Arbeit: Der einseitig eingekerbte Zugstab, Werkstoffauswahl des Vereines Deutscher Schweißingenieure Ber. 129 (1928) entnommen.

$$\operatorname{tg} \alpha = \frac{s_T - \sigma_B}{F};$$
$$\sigma_x = \sigma_B + (F - f_x) \frac{s_T - \sigma_B}{F}.$$

Greift man nun die Werte für einen Kernquerschnitt von 66 vH von F , der einem üblichen Schraubengewinde entsprechen möge, unmittelbar aus Abb. 1 heraus und stellt sie den Bruchfestigkeiten σ_B gegenüber, so erhalten wir z. B. für die Zustände a und b

$$\sigma_{xa} = 49 \text{ kg/mm}^2 \quad \sigma_{Ba} = 38 \text{ kg/mm}^2$$
$$\sigma_{xb} = 75 \text{ „} \quad \sigma_{Bb} = 51 \text{ „}$$

Hieraus entsteht die praktische Frage, ob die größere Festigkeit im Kern eines Schraubengewindes genügen könnte, um den Verlust einer Zugstange an Tragkraft infolge des geringeren Querschnittes im Kern des Gewindes auszugleichen oder gar zu überwinden; also zu erreichen, daß eine Zugstange mit angedrehtem Gewinde im dickeren freien Teile reißt und nicht im Gewinde selbst. Diese Frage kann mit Hilfe von Abb. 1 beantwortet werden. Die gekrümmte Linie in Abb. 1 gibt die erforderliche Festigkeit an, die für die Vorbehandlung a in den verschiedenen Kernquerschnitten nötig wäre, damit der Kern die gleiche Last zu tragen imstande ist, wie der ungekerbte Stangenquerschnitt. Die erforderliche Festigkeit ist für das gewählte Beispiel eines Kernquerschnittes von 66 vH = 57 kg/mm². Man sieht hieraus, daß die Festigkeit im Kern mit 49 kg/mm² zwar die Bruchfestigkeit mit $\sigma_B = 38 \text{ kg/mm}^2$ sehr übersteigt, aber noch nicht ausreicht, um den Ausgleich herbeizuführen. Immerhin ist aber der Verlust an Tragkraft infolge der Verringerung des Querschnittes durch die günstige Kerbwirkung um $\frac{100(49 - 38)}{57 - 38} = \text{etwa } 60 \text{ vH}$ wieder eingeholt.

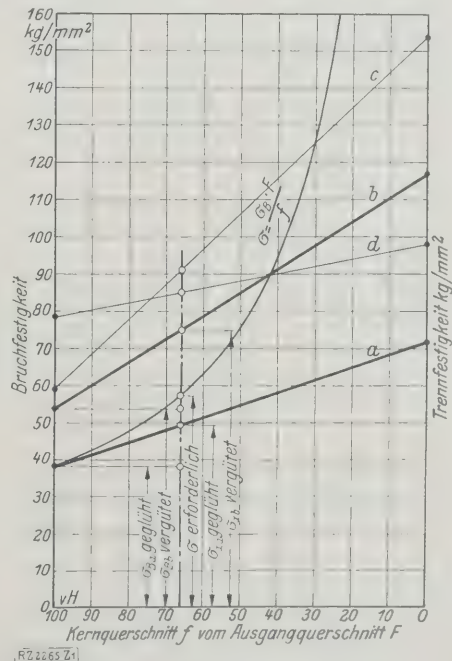


Abb. 1
Festigkeit eingekerbter Zugproben aus verschieden vorbehandeltem Flußstahl bei einem Kerbwinkel von 60° mit zunehmender Kerbtiefe (Kernquerschnitt in Hundertteilen des Ausgangsquerschnittes).

Flußstahl 0.18 vH C
 a bei 900° $\frac{1}{2}$ h geglüht
 b bei 800° in Wasser abgeschreckt
 c wie b und bis Einschnürlbeginn gereckt
 d bei 1200° im Wasser abgeschreckt

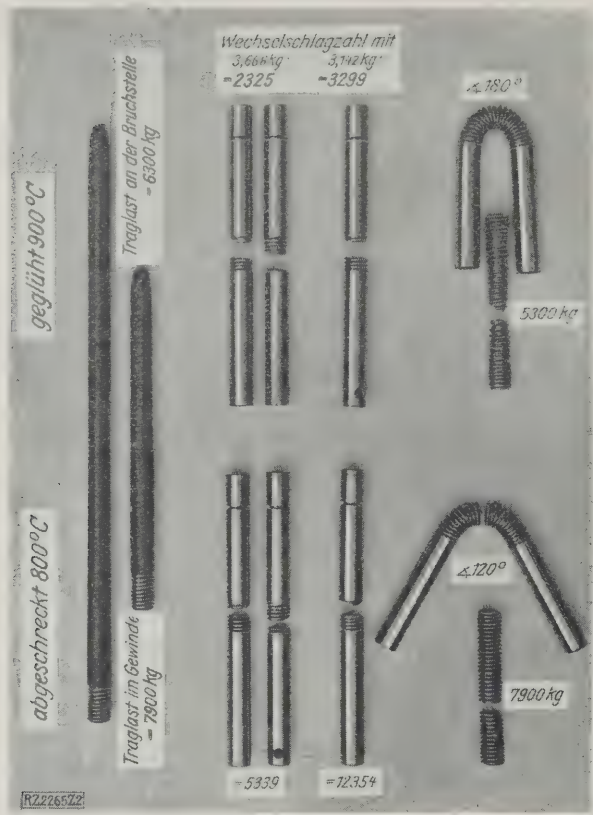


Abb. 2
Vergleichende Versuche mit geglühten und vergüteten Schrauben.

Einfluß verschiedener Vergütung

Würde man aber das Gewinde entsprechend dem Zustande *b* vergüten und den ungekerbten Teil der Zugstange glühen (Zustand *a*), so müßte nach Abb. 1 das erstrebte Ziel erreicht werden können. Denn man bekommt jetzt eine Festigkeit im Kern von 75 kg/mm² gegenüber der erforderlichen von nur 57 kg/mm², die notwendig ist, um den Querschnittsverlust im Gewinde auszugleichen. Die Überlegenheit des vergüteten Gewindes ist aber gar nicht so selbstverständlich; denn nach den bisherigen Gepflogenheiten würde man die übliche Bruchfestigkeit σ_B zur Berechnung der voraussichtlichen Tragfähigkeit zu Grunde legen und da diese nur 54 kg/mm² beträgt, würde sie nicht genügen, da ja 57 kg/mm² erforderlich sind, damit die Zugstange nicht im Gewinde reißt. Umsomehr dürfte ein wirkliches Versuchsbeispiel von Bedeutung sein, bei dem eine geglühte Zugstange mit (nach *b*) vergütetem Gewinde tatsächlich im freien Teile gerissen ist, Abb. 2. Und zwar betrug deren Traglast 6300 kg, während die für sich zerrissenen Gewinde gleicher Abmessungen trotz des um 33 vH gerin-

geren Kernquerschnittes 7900 kg trugen. Bei Errechnung der voraussichtlichen Traglast unter Zugrundelegung der üblichen Bruchfestigkeit des vergüteten Werkstoffes wäre aber nur 5650 kg im Gewinde zu erwarten gewesen, d. h. der Bruch wäre im Gewinde und nicht in der ungekerbten Stange aufgetreten.

Dieses Beispiel zeigt also, daß die aus den Kerbversuchen gezogenen Schlußfolgerungen unmittelbar auch auf Schraubengewinde anzuwenden sind, und daß zur Berechnung der Bruchfestigkeit einer Schraube tatsächlich ein höherer Wert und nicht die übliche Bruchfestigkeit σ_B einzusetzen ist. Dieser Vorteil der Kerbe — besonders bei vergüteten — hat natürlich nur Bedeutung, wenn es nicht bei andern Beanspruchungsarten versagt. Das ist z. B. bei den Vorbehandlungen *c* und *d* der Fall, bei denen trotz noch viel höherer Zugfestigkeit σ_x , Zahlentafel 1, die Kerbzähigkeit zu gering ist. Die in Zahlentafel 1 angegebenen Kerbzähigkeitswerte für die vier Zustände haben nur vergleichenden Wert, da sie bei einer sonst nicht durchführbaren, sehr scharfen Prüfung an Proben mit rundeherumgehenden winkelförmigen Einkerbungen (60° Kerbwinkel) ermittelt worden sind. Die Werte sind daher in der Gesamtheit verhältnismäßig klein. Die Vorbehandlungen *a* und *b* zeigen hingegen eine sehr gute Kerbzähigkeit (bei der normalen Probenform für das 10 mkg-Pendelschlagwerk etwa einem Wert von 14 bis 16 mkg/cm² entsprechend würde). Zugleich zeigt die Vergütung *b* eine verhältnismäßig stark gehobene Scherfestigkeit τ und in Beziehung zur Zugfestigkeit gesetzt ($\frac{\tau}{\sigma_B}$) steigt die relative Scherfestigkeit bei dieser Vergütung sogar zu einem Höchstwert an.

Den hier gewählten vier Vorbehandlungen entsprechen nun folgende Bedingungen: Zustand *a* (geglüht) ist durch die geringste Bruchfestigkeit σ_B gekennzeichnet, während Zustand *d* (1200° abgeschreckt) die größte, praktisch erreichbare Bruchfestigkeit σ_B aufweist. Zustand *b* ergiebt eine mittlere Bruchfestigkeit σ_B , aber die höchste Trennfestigkeit s_T unter den vergüteten, aber nicht gereckten Proben. Zustand *c* entspricht dem Zustand *b* in der Wärmebehandlung, der Stahl ist aber noch gereckt worden, so daß sich die Trennfestigkeit noch mehr erhöht. Durch das Vorrecken wird aber die Kerbzähigkeit verringert, weshalb diese Vorbehandlung keine Vorteile verspricht. Zustand *a* ist am sprödesten; es bleibt mithin der Zustand *b*, der die höchste Trennfestigkeit, günstigste Scherfestigkeit und Kerbzähigkeit aufweist und dem geglühten Zustand daher überlegen ist.

Diese durch den Höchstwert der Trennfestigkeit oder besser der relativen Trennfestigkeit $\frac{s_T}{\sigma_B}$ gekennzeichnete Vergütungsart, die wahrscheinlich auch bei allen anderen Stählen zu ermitteln ist, wurde noch einigen weiteren Prüfungen unterzogen. Es ergaben, wie Zahlentafel 1 zeigt, eine bedeutende Überlegenheit der vergüteten gegenüber den geglühten Proben. Gebogene Schraubenproben zerbrachen im vergüteten Zustand erst bei einem Biegewinkel von 120°

Zahlentafel 1. Versuchsergebnisse der Prüfung von eingekerbten Proben und Gewindeproben aus Flußstahl mit 0,18 vH C (vergl. Abb. 1 und 2)

Werkstoff	Bezeichnung der Vorbehandlung (s. Abb. 1)	Zugversuch			Scherfestigkeit		Biegeprobe	Kerbzugversuche			Kerbzähigkeit	Wechsel-schlagzahl bei einem Gewic von	
		Bruchfestigkeit	Querschnitts-verminde-rung bei Einschnür-beginn	Bruch-einschnürung				Trenn-festigkeit		Bruch-festigkeit im Kern von $f_s = 66 \text{ vH}$			
					σ_B kg/mm ²	ψ_B vH	ψ vH	τ kg/mm ²	$\frac{\tau}{\sigma_B}$		β Grad	s_T kg/mm ²	$\frac{s_T}{\sigma_B}$
Flußstahl I für Kerbproben	a	38	19,1	63,5	32	0,84	—	72	1,90	49	7,0	—	—
	b	54	8,6	62,0	49	0,91	—	117	2,16	75	7,3	—	—
	c	59	0	58,4	47	0,80	—	154	2,60	91	4,0	—	—
	d	78	1,2	6,0	56	0,72	—	98	1,25	86	2,2	—	—
Flußstahl II für Gewindeproben	a	36	—	—	—	—	180° nicht gebrochen	—	—	47	—	3 299	2 330
	b	51	—	—	—	—	120° gebrochen	—	—	70	—	12 354	5 330

auch diese Prüfung ergab einen sehr guten Sicherungsgrad, da eine Schraube auf große plastische Biegunicht beansprucht wird. Die gegläute Probe ließ sich lediglich bis 180° umbiegen, ohne zu brechen.

Während also die vergüteten Schrauben den gegläuten der Prüfung auf Zugfestigkeit, Scherfestigkeit, Schlagbeanspruchung und Ermüdung überlegen waren, ergab nur technologische Biegeprobe einen geringeren Wert für vergütete Probe. Es ist aber dieser scheinbaren kritischen Prüfungsart nicht die hohe Bedeutung für die Praxiszulegen, wie z. B. der Kerbzähigkeits- und Wechsel-schlagprüfung. Die Biegeprobe ist nur eine Prüfung auf Dehnbarkeit, wobei Kräfte nicht gemessen werden und in keiner Beziehung ist die gegläute Probe der vergüteten überlegen⁹⁾. Da aber ein Biegewinkel von 120° für die vergütete Schraube einen bei weitem genügenden Sicherheitsgrad darstellt, so dürfen hier die Kerbzähigkeits- und Wechsel-schlagproben den Ausschlag für die Beurteilung der Dehnbarkeit geben. Eine große Dehnbarkeit braucht außerdem überhaupt nicht die Grundbedingung für eine gute Festigkeit bei schlagartiger Beanspruchung zu sein. Hierfür spielt die Trennfestigkeit eine ausschlaggebende Rolle.

Bedeutung der Trennfestigkeit

Die Trennfestigkeit ist ja die Bruchfestigkeit, die auch bei verformungsfähiger Stoff aufweisen würde, falls ihm die Möglichkeit genommen wird, sich bei seiner Beanspruchung

⁹⁾ Wenn auch die Brucheinschnürung bei beiden Zuständen etwa gleich groß gefunden wurde, so beträgt doch die Gleichmaßdehnung, die bei Beginn der Einschnürung gemessene Querschnittsverminderung bei der gegläuten Probe mehr als das Doppelte als bei der vergüteten.

zu verformen. Bei schlagartiger Beanspruchung steigen die Widerstände schon bei geringen Verformungen sehr schnell an und können die jeweilige Trennfestigkeit erreichen. Bei statischer Beanspruchung einer gekerbten Probe steigen die Widerstände infolge des räumlichen Spannungszustandes ebenfalls bei geringer Verformung sehr schnell an und erreichen dadurch bald die jeweilige Trennfestigkeit, wodurch der Bruch eintritt.

Für die statische und die dynamische Bewertung der Schraube ist also in gleicher Weise die Trennfestigkeit von großer Wichtigkeit, und die günstigste Vergütung entspricht der höchsten relativen Trennfestigkeit. Der Vorteil der statischen Zugbeanspruchung ist dann bei gleichzeitiger größter Kerbzähigkeit erheblich. Gegenüber der Bruchfestigkeit des ausgeglühten Flußstahles von $\sigma_B = 36 \text{ kg/mm}^2$ beträgt die Festigkeit im Kern einer bei 800° abgeschreckten Schraube infolge der sich summierenden Wirkung von Vergütung und Kerbwirkung 100 vH mehr, nämlich 70 kg/mm^2 .

Zusammenfassung

Es wird die bei eingekerbten Proben gefundene günstige Zugfestigkeit im Kernquerschnitt auch bei der Prüfung von Schraubenbolzen bestätigt gefunden. Die vorteilhafte Kerbwirkung läßt sich bei sachgemäß ausgeführter Vergütung noch vermehren. Die günstigste Vergütung entspricht dem höchsten durch Vergütung zu erreichenden Quotienten: Trennfestigkeit/Bruchfestigkeit. Diese Vergütung bewirkt zugleich eine Erhöhung der Scherfestigkeit, Kerbzähigkeit und der an Schrauben ermittelten Wechsel-schlagzahl. [B 2265]

Härteprüfungen in der Fließerbeit

Die zahlreichen Verfahren der Werkstoffprüfung sind in vielen Fällen den Anforderungen neuzeitlicher Fertigungsverfahren, insbesondere bei Massenfertigung, nicht mehr gewachsen. Neben der Forderung nach einem zweckmäßigen Prüfverfahren ist man bestrebt, die bisher erreichte Genauigkeit erheblich zu steigern.

Die Beschaffung einer Zerreißmaschine bedingt erhebliche Kosten, wobei das Prüfverfahren noch recht umständlich, zeitraubend und daher teuer ist. Beachtenswert ist dabei, daß das eigentliche Werkstück gar nicht geprüft werden kann, sondern nur eine dem Ausgangswerkstoff entnommene Probe, die in vielen Fällen während des Versuches zerstört wird. Geeigneter zur Prüfung eines Werkstoffes ist daher die Härteprüfung, nicht nur wegen der viel geringeren Kosten in der Beschaffung, sondern auch vor allen Dingen wegen der Möglichkeit, sie in die Fließerbeit einzugliedern. Die Durchführung dieses Versuches scheiterte aber in den meisten Fällen mangels geeigneter Prüfmaschinen.

Um die sich aus dem Brinellverfahren ergebenden Unquemlichkeiten zu vermeiden, ist man neuerdings allgemein zum Differenzmeßverfahren übergegangen. Nach diesem Verfahren arbeitet der Härteprüfer von Gerber¹⁾, Abb. 1. Der Eindruckkörper ist austauschbar, so daß entweder mit einer Kugel oder einer Diamantspitze geprüft werden kann.

Die Probe *a*, Abb. 1, wird auf die Prüfauflage *c* gelegt und mittels eines Griffrades *d* hochgeschraubt, bis das Prüf-säck gegen den Eindruckkörper *b* stößt. Dieser wird unter Messung der Druckfeder *e* angehoben und das Anzeigege-rät *f* das eine einstellbare Skala trägt, in Nullstellung gebracht. Die auf den Prüfkörper wirkende Last entspricht bei angehobenem Hebel *g* nur der Last des Stempelteils *h* und der zusätzlichen Federkraftwirkung. Wird nach dieser Vorlastung der Hebel *g* langsam gesenkt, dann wird die Hauptlast durch den Teil *i* unter Wirkung des gewichtlasteten Gewichtshebels *k* auf Teil *h* gebracht, und der Eindruckkörper *b* dringt in den Prüfkörper *a* ein. Entnimmt man durch Wiederanheben des Hebels *g* die Hauptlast, so gibt das Anzeigege-rät an, wieviel sich der Stempelteil *h* durch die Belastung gesenkt hat, d. h. wie tief der Eindruckkörper *b* in das Prüfstück von der Nullage unter Vorlast aus eingedrungen ist. Die verwendeten Hauptlasten lassen sich ganz verschieden dadurch wählen, daß ein Gewicht oder mehrere gleichzeitig mit der Gabel *l* angehoben werden.

Infolge der Gewichtsbelastung ist die Messung sehr genau. Die Prüfmaschine ist außerordentlich kräftig gebaut

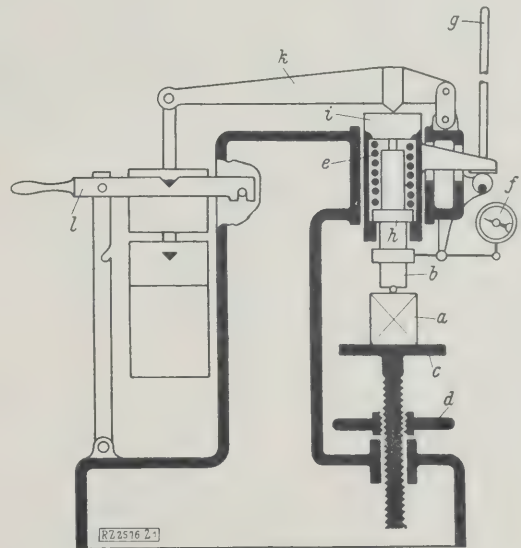


Abb. 1
Härteprüfer von Gerber.

- | | |
|------------------|-----------------------|
| a Probe | g Belastungshebel |
| b Eindruckkörper | h innerer Stempelteil |
| c Prüfauflage | i äußerer Stempelteil |
| d Griff | k Gewichtshebel |
| e Druckfeder | l Gabel |
| f Anzeigege-rät | |

und eignet sich daher nicht nur für das Laboratorium, sondern auch für den Werkstattbetrieb. Ein ungelerner Arbeiter kann den Härteprüfer bedienen, ohne daß das Meßergebnis hierdurch beeinflusst wird. Die am Kopf der Maschine angebrachte Meßuhr zeigt jeweils die Eindringtiefe an. Die Eindringtiefe und damit die Härtezahl wird also unmittelbar abgelesen. Das Zifferblatt trägt ferner zwei einstellbare Marken, die so gestellt werden können, daß der den Härteprüfer Bedienende mechanisch alle jene Stücke aussondern kann, die nicht in den Bereich der vorgeschriebenen Härtegrenze fallen. Der Prüfungsvorgang spielt sich in so denkbar kurzer Zeit ab, daß man die Härteprüfung in die Fließerbeit eingliedern kann. [M 2576]

Düsseldorf.

Dr.-Ing. Schaudt.

¹⁾ Hersteller Dr.-Ing. G. Gerber, Düsseldorf, Hansahaus.

RUNDSCHAU

Unterricht

Neue Technische Hochschulen? Denkschrift des Vereines deutscher Ingenieure

Es ist noch nicht allzu lange her, daß ein hervorragender Pädagoge das Wort von der Verschulung Deutschlands prägte. Dieser Begriff findet seinen stärksten Ausdruck in dem sogenannten Berechtigungswesen, das mit wirklicher Bildung nicht viel zu tun und sich allmählich zu einer ernsthaften Gefahr für die geistige und kulturelle Entwicklung unseres Volkes ausgewachsen hat. Die geplante Neuerrichtung Technischer Hochschulen — nur ein Schritt weiter in dieser Richtung — gibt deshalb dem Verein deutscher Ingenieure Veranlassung, sich in einer Denkschrift zu der Frage zu äußern, ob solche Neugründungen notwendig sind.

Die Überfüllung der höheren Schulen und damit der Zudrang zu den Universitäten und Technischen und andern Hochschulen sind genugsam bekannt und haben ihre Ursache in den vielfach überspannten Forderungen der Praxis. Ein Anhang zur Denkschrift bringt Zahlen und graphische Darstellungen, die zeigen, in welch erschreckendem Maße die Überschätzung der gelehrten Berufe zugenommen hat. Abb. 1 zeigt einen Vergleich der Zahl der Studierenden der Technischen Hochschule vom Sommersemester 1911 bis zum Sommersemester 1928, und zwar nach den Fachrichtungen gegliedert; die Gesamtzahl der Studierenden ist von rd. 10 000 auf rd. 20 000 gestiegen.

Es liegt im Wesen der heutigen Zeit, daß sich gerade Technik und Industrie bei der Berufswahl unsrer Jugend einer großen Beliebtheit erfreuen, und hier sind es vor allem die Abteilungen Maschinenbau und Elektrotechnik, die einen starken Anreiz ausüben. Man darf nicht verschweigen, daß die heutige Jugend Ideale nicht eben hoch bewertet, und daß es weniger die Liebe zur Wissenschaft ist, die sie zu den Hochschulen zieht, als der Vorteil, den sie mit der akademischen Laufbahn verbunden glaubt. Hinzu kommt die gänzlich falsche Vorstellung, die die Studierenden oft von der Aufnahmefähigkeit der Industrie haben. Auf eine freie Stelle gehen vielfach über 100 Angebote ein, und von

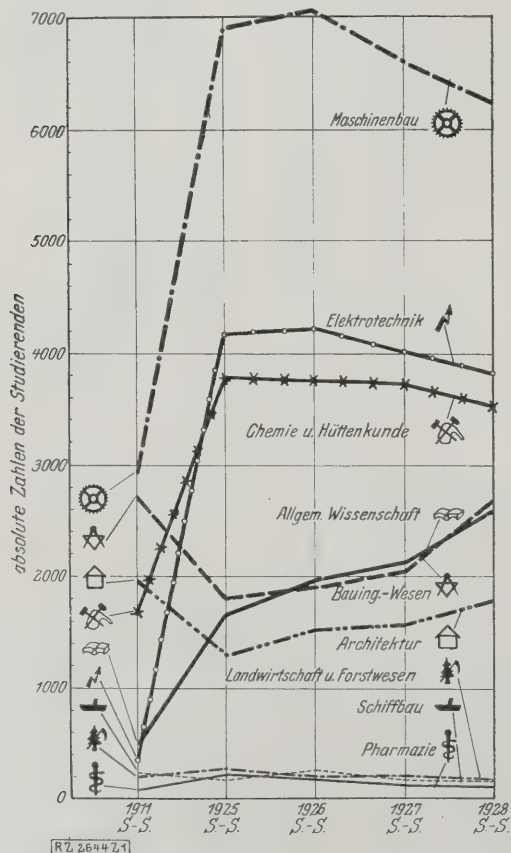


Abb. 1

Zahl der Studierenden der Technischen Hochschule nach Fachrichtungen von 1911 bis 1928.

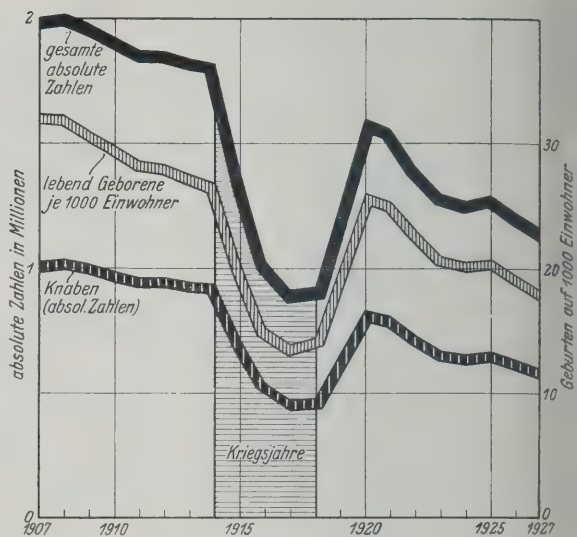


Abb. 2

Die Geburtzahlen in Deutschland 1907 bis 1927.
(Für 1927 sind die Zahlen noch nicht endgültig.)

den öffentlichen Wirtschaftsbetrieben, die für die Aufnahme von Ingenieuren in Frage kommen, können beispielsweise Reichsbahn und Reichspost in den nächsten 6 bis 10 Jahren nicht mehr als höchstens je 30 Diplomingenieure einstellen.

Das Überangebot der von den Hochschulen Kommenden führt natürlich dazu, daß viele akademisch gebildete Ingenieure Stellungen annehmen, die in keinem Verhältnis zu ihrer Vorbildung und zu dem Aufwand stehen, den ihre Berufsausbildung erfordert hat. Durch eine Rundfrage bei maßgeblichen Persönlichkeiten der Wirtschaft hat der Vorstand des Vereines deutscher Ingenieure versucht, Unterlagen darüber zu gewinnen, ob die Gründung von neuen Technischen Hochschulen erwünscht ist. Die Antworten lehnen die Neuerrichtung ausnahmslos ab und lassen klar erkennen, daß der Zudrang zu den Technischen Hochschulen nicht auf den wirklichen Bedarf an Diplomingenieuren, sondern nur auf die ungesunde Überschätzung der akademischen Bildung zurückgeführt werden muß.

Die vielen Warnungen, an denen es bisher nicht gefehlt hat, werden voraussichtlich zur Verminderung der Zahl der Studierenden beitragen. Ferner läßt der Verlauf der Geburtenkurve, Abb. 2, vermuten, daß sich der Geburten

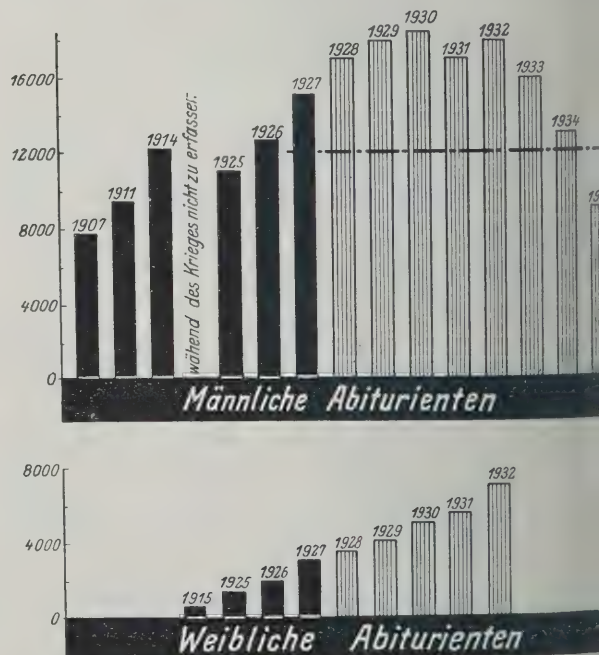


Abb. 3 und 4

Zahl der männlichen und der weiblichen Abiturienten in Preussen (Für die Jahre von 1928 ab sind die Zahlen auf Grund des Besuchs der einzelnen Schulklassen geschätzt.)

und der Kriegszeit und der letzten Jahre vom Jahre 1933 im Besuch der Technischen Hochschulen auswirken wird. In Abb. 3 und 4 geht hervor, wieviel Abiturienten in den einzelnen Jahren die höheren Schulen verlassen haben und sätzuungsweise verlassen werden.

Alle diese Erwägungen machen es zur Pflicht, vor der Neuerrichtung von Technischen Hochschulen zu warnen.

Es ist zudem bekannt, daß eine neue Hochschule niemals voll zur Entlastung der bestehenden beiträgt, da von Studierenden 40 bis 50 vH der Hochschulstadt oder deren näherer Umgebung entstammen. Die Möglichkeit, durch den Ausbau geeigneter Fakultäten an einigen Universitäten der Bevölkerung zu steuern, wird aus demselben Grunde nicht den gewünschten Erfolg haben, so sehr an sich eine Verbindung von Universität und Technischer Hochschule zu gemeinsamer Arbeit zu begrüßen wäre. Der Vorstand des reinen deutscher Ingenieure hält es für dringend geboten, alle die Mittel, die für die Ausbildung der Ingenieure bereitgestellt werden müssen, für den Ausbau der bereits vorhandenen Hochschulen und ihre Anpassung an die Forderungen der technischen Forschung zusammenzufassen. Die Denkschrift schließt mit der an die Führer der Technik und Industrie gerichteten Bitte, sich dafür einzusetzen, daß die schweren Schäden, die sich durch die Überspannung des Berechtigungswesens heute schon zeigen, zurückgedämmt werden. [N 2644] Stg.

Lichttechnik

Moderne Lichttechnik in Wissenschaft und Praxis

Auf der vorjährigen Jahresversammlung der Deutschen Leuchtungs-technischen Gesellschaft war der zweite Verhandlungstag der Frage der „lichttechnischen Belehrung durch praktische Darbietungen“ gewidmet¹⁾.

Die Wahl dieses Themas als Hauptverhandlungspunkt zeigt den augenblicklichen Entwicklungsstand der Lichttechnik und das Einzigartige dieses Wissenszweiges deutlich kennen. Die breite und auf z. T. völlig neuen Wegen sich vollziehende Weiterentwicklung der Lichttechnik in den letzten Jahren kann bei dem Wesen dieses Wissenszweiges nur dann praktische Erfolge zeitigen, wenn die gewonnenen Erkenntnisse Allgemeingut des Lichtverbrauchers geworden sind, d. h. wenn wir alle in die Lage versetzt werden, praktische Lichtwirtschaft zu treiben. Die Vorkehrungsräume, die schon bald nach der erfolgten Eröffnung des Berliner Lichthauses im Jahre 1925 in verschiedenen Städten errichtet wurden, dienen diesem Zweck; auch große Ausstellungen haben sich in den Dienst dieser Aufgabe gestellt.

In der Lichttechnik ist die Erkenntnis, daß die praktische Belehrung weiter Kreise unbedingt notwendig ist, in den letzten Jahren durchgedrungen. Bis in das voranziehe Jahrhundert war das Streben der Lichttechnik wesentlich auf die Schaffung und Ausgestaltung neuer Lichtquellen gerichtet, es wurde eine reine „Leuchttechnik“ betrieben. Die Steigerung der Lichtausbeute und damit der Leuchtdichte stellte infolge der immer größer werdenden Erfahrung der Blendung und der Erkenntnis der physiologischen Grundlagen des Sehens immer eindringlicher die Forderung, das erzeugte Licht zu lenken und den verschiedenen Bedürfnissen gemäß umzuformen; es entwickelte sich die „Beleuchtungs-technik“. Die Frage schließlich, wieweit die Anwendung künstlichen Lichtes wirtschaftlich gerechtfertigt ist, und die Erkenntnis, daß die Anschaffung und der Betrieb der Lichtquellen nicht nur Geld kosten, sondern daß das Licht auch Geldwerte schafft, führten schließlich zur „Lichtwirtschaft“, um die Lichtanwendung den mannigfaltigen Verbrauchsformen und Verwendungsarten entsprechend nach wirtschaftlichen Gesichtspunkten zu gestalten.

Im Rahmen dieser „lichttechnischen Belehrung“ ist allgemeine Aufklärung nicht nur der Fachleute aller Grade, sondern auch der großen Schar aller Lichtbenutzer notwendig. Deshalb hat die Beleuchtungs-technische Gesellschaft zu ihrer diesjährigen Jahresversammlung das erste „lichttechnische Heft“ herausgebracht, das unter dem Titel „Moderne Lichttechnik in Wissenschaft und Praxis“ von dem verdienstvollen Leiter des ersten und bisher einzigen lichttechnischen Hochschul-Instituts, Prof. Dr. J. Teichmüller, in Karlsruhe, bearbeitet worden ist. Er hat sich als Richtschnur für dieses Büchlein die Einteilung gewählt, die er in der lichttechnischen Abteilung auf der „Großen Ausstellung für Gesundheitspflege, soziale Fürsorge und Leibesübungen 1926 (Gesolei)“ in Düsseldorf zugrunde gelegt hatte. Die Lichttechnik dankt ihm und der Deutschen Be-

leuchtungs-technischen Gesellschaft, daß auf diese Weise die umfassenden Lehrmittel, die damals zusammengetragen waren und einen klaren Überblick über das gesamte Gebiet der Lichttechnik boten, nunmehr im Schrifttum festgehalten worden ist.

Man kann den Inhalt des Büchleins als einen Rundgang durch die lichttechnische Ausstellung der „Gesolei“ auffassen. Die beiden Hauptabschnitte zeigen am besten den systematischen Aufbau der damaligen Arbeit. Nach einer kurzen Einleitung, in der „die Bedeutung von Vorführungen für die Belehrung in der Lichttechnik“ auseinandergesetzt wird und in der „der Grundgedanke der lichttechnischen Ausstellung und ihr Grundriß“ gegeben werden, werden im ersten Hauptabschnitt die „Grundlagen der Lichttechnik“ behandelt; diese lassen sich in physikalische, physiologische und technische Grundlagen unterteilen. Die Natur des Lichtes als elektromagnetische Schwingung bestimmter Wellenlängen bildet den Ausgangspunkt; auf Grund der Eigenschaften des maximalen Temperaturstrahlers, des absolut schwarzen Körpers, werden die optischen Strahlungsgesetze entwickelt. Hieran schließt sich die Besprechung der photometrischen Grundgrößen unter besonderer Berücksichtigung der allgemein verständlichen Darstellungsmöglichkeiten für Lichtstrom, Beleuchtungsstärke und Leuchtdichte an. Den Abschluß dieses ersten Unterabschnittes bildet die geschichtliche Entwicklung der Lichtquellen.

Im zweiten Teil dieses Abschnittes werden die physiologischen Grundlagen der Lichttechnik behandelt. Die Anatomie des Auges, des menschlichen Empfängers für das Licht, führt zur Betrachtung der Helligkeitsempfindung als der unmittelbarsten und ursprünglichsten Gesichtsempfindung. Hierbei führt die Eigenschaft des Auges, Helligkeitsunterschiede zu empfinden, zur Besprechung des Begriffes der Formenunterscheidungsfähigkeit²⁾. Ein besonderer Abschnitt ist der Blendung gewidmet als der physiologisch-optischen Erscheinung, die für die Lichttechnik von größter Bedeutung ist, da sie u. U. den mit lichttechnischen Mitteln erstrebten und erreichten Erfolg wieder ganz oder teilweise zunichte machen kann. Eine eingehende Betrachtung über Farbempfindung schließt dieses Kapitel.

Von den technischen Grundlagen werden die Gestaltung der Geleuchte und die Hauptarten der verschiedenen Geleuchte beschrieben, besonders der Einfluß der Leuchtpunktstellung auf die Lichtverteilung. Sodann wird die Bedeutung der Wandreflexion für die Raumbeleuchtung, der Einfluß des Wand- und Deckenanstiches auseinandergesetzt, wobei auch besonders auf die Frage der Abnahme der Beleuchtungsstärke infolge der Verstaubung eingegangen wird. Geleuchte, Decken und Wände bilden für die Beleuchtung eines Innenraumes eine Einheit. Eine aufmerksame Betrachtung von Raummodellen, besonders wenn sie durch Ausstattung mit kleinen Möbeln einem Wohnraum ähnlich gemacht werden, und die Beurteilung ihrer Beleuchtung wecken ein Gefühl dafür, daß die Beleuchtung nicht nur ihrer Stärke nach, sondern „ihrem Charakter nach“ ganz verschieden sein kann. „Neben den Begriff der Beleuchtungsstärke stellt sich der Begriff der Beleuchtungsgüte und ordnet sich dem ersteren über.“ Auf engste mit dem Begriff Beleuchtungsgüte ist der der Farbigkeit der Beleuchtung verknüpft, auf den in einem besonderen Kapitel eingegangen wird. Ein kurzer Hinweis auf das Gebiet der Lichtmessung und einige grundlegende Betrachtungen über Verwendung des natürlichen und künstlichen Tageslichtes vervollständigen schließlich diesen Abschnitt.

An diesen ersten Hauptabschnitt über die Grundlage der Lichttechnik schließt sich der zweite über „angewandte Lichttechnik“, in dem das Licht als Werkzeug, im Verkehr und in der Kunst behandelt wird. Die ausschlaggebende Bedeutung, die dem Licht bei der Verrichtung jeglicher Arbeit zukommt, wird an zahlreichen Beispielen gezeigt, die die Frage der Straßen- und Verkehrsbeleuchtung, die Beleuchtung von Gleisfeldern, Gestaltung und Beleuchtung von Treppen grundlegend behandelt. Daß aber das Licht nicht nur einem Gebrauchszweck dient, nicht nur Werkzeug ist oder dazu beiträgt, daß der Verkehr sich reibungslos abspielen kann, zeigen die Kapitel über Stimmungsbeleuchtung und Lichtarchitektur, die unter der Überschrift „Das Licht in der Kunst“ allgemein alles Licht behandeln, bei dem es ganz oder z. T. auf ästhetische Wirkungen ankommt. Bühnen- und Schaufensterbeleuchtung, die Beleuchtung des Heims und schließlich die Beleuchtung von Kunstwerken werden in diesem letzten Kapitel erörtert, das durch einige Betrachtungen über die ornamentalen Wirkungen des Lichtes, die so mannigfaltig und bedeutungsvoll sind, daß man direkt von einer „Lichtarchitektur“ sprechen kann, abgeschlossen werden. „Auch der Gedanke, daß Licht auf seiner ästhetischen Höhe mit dem künstlerisch gebildeten Klange ver-

²⁾ Über die Grundempfindungen des Auges: Unterschiedsempfindlichkeit, Formenempfindlichkeit und Empfindungszeit, vergl. L. Schneider, „Licht und Lampe“ Bd. 16 (1927) S. 408 u. f.

¹⁾ Vergl. Z. Bd. 72 (1928) S. 1304.

einigt werden kann, und man auf diese Weise zu einer Farblichtmusik gelangt“, ist entsprechend dem Aufbau des ganzen Heftes nicht vergessen worden.

Wer an der Hand dieses Führers die lichttechnische Ausstellung der „Gesolei“ im Geiste durchwandert, bekommt einen Begriff von der Bedeutung und dem Wesen der modernen Lichttechnik in Wissenschaft und Praxis. Man kann daher diesem ersten lichttechnischen Heft der Deutschen Beleuchtungstechnischen Gesellschaft, das auf dem knappen Raum

von rd. 120 Seiten in anschaulicher Weise einen guten Überblick über das Gesamtgebiet der Lichttechnik gibt, nur weitestete Verbreitung wünschen, zumal es durch die große Zahl der Abbildungen der verschiedenen auf der „Gesolei“ gezeigten Demonstrationsmöglichkeiten ganz besonders wertvoll ist. Mit großen Erwartungen sieht man nach diesem Auftakt den weiteren lichttechnischen Heften der Deutschen Beleuchtungstechnischen Gesellschaft entgegen. [N 2123]

Berlin

Dr. W. Köhler

Aus dem Ausland

Wasserbau

Ergebnisse der Versuchsspermauer am Stevenson-Creek in Kalifornien

Die Engineering Foundation, eine Gründung der American Society of Civil Engineers und einer Reihe anderer namhafter und einflussreicher Vereinigungen von Ingenieuren verschiedener Fachrichtung zur Förderung der Forschungsarbeit auf ingenieurtechnischem Gebiet, hat vor etwa sechs Jahren einen Ausschuß eingesetzt¹⁾, mit der Aufgabe, die bisher noch wenig geklärten Fragen der Standfähigkeitsbedingungen und des Verhaltens der in Nordamerika vielfach ausgeführten, aus einem einzigen dünnen, zwischen den Talhängen als Widerlagern eingespannten Gewölbe gebildeten, bogenförmigen Sperrmauern eingehend zu untersuchen. Nachdem in letzter Zeit in einzelnen Zeitschriften bereits über Teilfragen berichtet worden ist, hat nunmehr die Engineering Foundation ihren ersten zusammenfassenden Bericht herausgegeben²⁾. Der Bericht wird bei allen Ingenieuren, die sich mit Talsperrenbau befassen, größtes Interesse finden, ganz besonders auch bei den deutschen, die der wissenschaftlichen Forschungstätigkeit auch auf diesem Gebiet ganz besondere Bedeutung beimessen, leider aber nicht die großen Mittel zur Verfügung haben, die das reiche Amerika aufwenden kann und in diesem Falle für die Herstellung eines Sperrdammes mit wirklichen Abmessungen lediglich für Versuchszwecke aufgewendet hat.

Dammbau und Baustoffuntersuchungen

Die Höhe des Dammes beträgt rund 18 m³⁾. Er soll später auf 30 m erhöht werden. Die Mauer ist von der Krone an bis auf 9 m Höhe über der Sohle 0,6 m dick, in dem unteren Teil nimmt sie nach einem Kreisbogen bis auf 2,3 m Dicke zu. Die wasserseitige Wand hat einen Halbmesser von rd. 30,5 m und ist senkrecht, damit der Wasserdruk überall wagerecht in der Richtung des Halbmessers wirkt. Es wurde besonderer Wert auf genaue Innenehaltung der vorgesehenen Abmessungen beim Felsaushub und bei Herstellung des Dammkörpers sowie auf größte Gleichmäßigkeit in der Festigkeit des Betons und in der Behandlung des fertigen Bauwerks gelegt, um möglichst zuverlässige Meßergebnisse zu bekommen.

Der Felsaushub war am 20. Januar 1926 vollendet, mit dem Betonieren wurde am 19. April begonnen. Der Beton wurde in Schichten von 1,5 m Höhe durch Gießen zwischen Schalungen in Zeitabständen von 3 bis 4 Tagen eingebracht, so daß der Damm bis zur Höhe von 18,30 m am 4. Juni 1926 fertiggestellt war. Der Zusammensetzung des Betons, besonders auch dem Wasserzusatz, wurde besondere Sorgfalt gewidmet. Als Zuschlagstoffe wurde gebrochener Granit in drei Arten verwendet. Die Korngrößen der drei Arten waren dadurch gekennzeichnet, daß die erste Art durch ein Sieb mit runden Löchern von 50 mm Dmr. hindurchfiel und durch ein Sieb mit Löchern von 25 mm Dmr. zurückgehalten wurde, die zweite bei einer Lochgröße des Siebes von 25 mm hindurchfiel und durch ein Sieb mit 10 mm Lochgröße zurückgehalten wurde, und die dritte aus dem bestand, was durch das letzte Sieb hindurchfiel.

Die Untersuchungen am Versuchsdamm sind dazu bestimmt, einwandfreie Versuchsergebnisse und Erkenntnisse an einfachen Bogendämmen oder an Dämmen zu gewinnen, die in viele Bögen aufgelöst sind. Hieraus sollen Konstruktion und Berechnung, die bisher auf Annahmen, allgemeiner Kenntnis von Baustoffen und Bauwerken und Erfahrungen mit einer wachsenden Zahl von Dämmen verschiedener Gestalt und Größe beruhten, eine zuverlässige Grundlage erhalten. Zu diesem Zweck hat man Messungen mit Instrumenten, die während des Baues angebracht worden sind, vorgenommen, die möglichst umfassend und unmittelbar über Dehnungen, Ausbiegungen, Temperatureinwirkungen am Damm bei leerem Becken, Schwinderscheinungen u. a. Aufschluß geben sollten. Weiter ist der Damm durch Füllen des Beckens mit Wasser verschiedenen Belastungs-

bedingungen unterworfen worden. Daneben hat man an der Dammbaustelle wie auch gleichzeitig in der Materialprüfanstalt der Universität von Kalifornien, Untersuchungen zur Bestimmung der Gütegrade und physikalischen Eigenschaften von Zuschlagstoffen sowie der Festigkeit und des Elastizitätsmoduls von Betonproben in verschiedenen Altersstufen durchgeführt. Schließlich sind Vergleichversuche mit Modellen des Stevenson-Creek-Dammes und anderen Dämmen an der Universität von Colorado und mit einem kleinen Zelluloidmodell an der Princeton Universität gemacht worden.

Zum Bestimmen der Abmessungen des Versuchsdammes hat man eine gleichzeitige Einspannungs- und Bogenwirkung angenommen. Den Damm hat man in eine Reihe von senkrecht eingespannten Balken und wagerechten Bogenringen zerlegt gedacht und die Verteilung der Wasserdrukbelastung auf beide Reihen, teilweise graphisch, darauf bestimmt, daß die Durchbiegungen der beiden Reihen nahezu die gleichen waren.

Messungen

Die Messungen lassen sich in vier Hauptgruppen teilen: Ausbiegungen, Dehnungen, Änderung der Breite von Rissen und Temperaturänderungen. Im allgemeinen hat man während der Ausführung einmal die mit dem Abbilden des Betons verbundenen Temperaturänderungen sowie die entsprechenden Dehnungen im Beton und ferner die Ausbiegungen des Dammes genau beobachtet und dann während der Erhärtungszeit den Einfluß von Temperatur- und Feuchtigkeitsänderungen auf die Ausbiegungen und Dehnungen gemessen. Zunächst hat man die Messungen zu verschiedenen Tageszeiten ausgeführt, bald aber sind sie, als sie zeigte, daß während des Tages der Wechsel zwischen Sonnenbestrahlung und Beschattung des Dammes schon bei wenigen Minuten auseinanderliegenden Messungen zu große Abweichungen verursachte, nur noch bei Nacht, gewöhnlich zwischen 24 und 8 h vorgenommen worden.

Meßgeräte

Man hat folgende Meßgeräte benutzt: Dehnungsmesser, elektrische Fernmesser, Biegunsmesser, Klinometer, Wasserwaage und Widerstandsmikrometer.

Nach einem eingehenden Studium von Dehnungsmessern wurde ein Instrument benutzt, das eine Abänderung der von Berry angegebenen darstellt. Als Meßlänge wurde 254 mm festgesetzt, da sich ergab, daß der Vorteil einer größeren Länge durch die schwierigere Handhabung überwogen wurde. Die endgültige Konstruktion von Binkley zeigen Abb. 5 und 6.

Der elektrische Fernmesser dient zur Messung mikroskopischer Längen- und Temperaturänderungen mittels Änderung elektrischer Widerstände, Abb. 7⁴⁾. Er beruht darauf, daß, wenn eine Säule von Kohlenplatten unter Druck gehalten wird, eine Druckänderung von einer Änderung des elektrischen Widerstandes begleitet ist. Im ganzen waren 140 Fernmesser in den Damm eingebaut worden. Davon versagten sechs während der Zeit des Baues, des Erhärtens und der Probelastung aus unbekannter Ursache wahrscheinlich wegen eingedrungener Feuchtigkeit.

Der Biegunsmesser mißt die Änderung der Mittellinie eines Bogens von 1016 mm Länge in der Biegunslinie eines wagerechten Ringes des Dammes, wozu sich das Biegunsmoment eines Teiles wie seine Krümmung verhält, Abb. 8 bis 11.

Mit dem Neigungsmesser hat man die Ausbiegungen des Dammes gemessen. Dies ist ein senkrechter Stab von 1524 mm Länge mit einer Wasserwaage für die lotrechte Lage ferner mit einer Vorrichtung, die dem unteren Ende des Stabes im Verhältnis zum Damm die gleiche Lage gibt, schließlich mit einem Mikrometer am oberen Ende, um die Abweichungen von der Lotrechten zu messen, Abb. 12 bis 15. Auf diese Weise wurden Messungen von der Krone bis zum Fuß des Dammes gewonnen. Die Wasserwaage war dazu bestimmt, die Änderung in der Neigung der Felssohle un-

¹⁾ Z. Bd. 68 (1924) S. 701.

²⁾ Proc. of the Am. Soc. of Civ. Eng. Bd. 54 (Mai 1928) Teil 3.

³⁾ Z. Bd. 70 (1926) S. 644 Abb. 15 bis 17.

⁴⁾ Beschreibung in Technologic Paper 247 National Bureau of Standards.

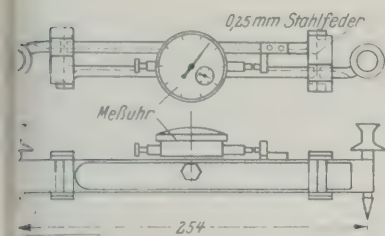


Abb. 5 und 6
Dehnungsmesser.
(Abb. 5 von oben
gesehen.)

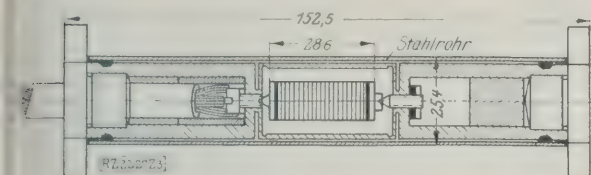


Abb. 7. Elektrischer Fernmesser.

in unteren Teile des Damms zu bestimmen. Alle Meß-
größen wurden dauernd mit Normalgeräten verglichen, die
hier behoben und durch entsprechende Meßverfahren die
beobachtungsfehler möglichst verringert.

Abb. 16 bis 19 zeigen die Meßergebnisse für eine
Wasserdruckhöhe von 18,3 m. Aus den Messungen der
Durchbiegungen und Dehnungen infolge der Temperatur-
änderung und der Wasserdruckbelastung sind die Biegun-
gsmomente und Belastungen der wagerechten Bogenringe und
der senkrechten eingespannten Balken durch Integration
der Differentiation ermittelt und mit den bei Berechnung
des Versuchsdamms benutzten Werten verglichen worden.

Ergebnisse

Der ausgeführte Damm stimmte in seinen Abmessungen
sehr genau mit dem Entwurf überein, besonders gilt
es hinsichtlich der Krümmung und Dicke des Damms so-
wie der Neigung und Regelmäßigkeit der Widerlager-
flächen. Gleichmäßigkeit und Festigkeit des Betons waren
zufriedenstellend. Die Festigkeit nach 28 Tagen war im
Durchschnitt etwa 10 vH größer als die vorgesehene von
15 kg/cm². Nach drei Monaten betrug sie etwa 195 kg/cm².
Während des Zeitraumes der Erhärtung verliefen die aus
der Temperatur berechneten Dehnungen in ähnlicher Weise
wie die gemessenen senkrechten Dehnungen in den Damm-
flächen von 9,18 m und 12,2 m. Bei 15,2 m Höhe näherten
sich die berechneten Temperaturdehnungen mehr den ge-
messenen wagerechten Dehnungen. Das Austrocknen des
Damms war im allgemeinen von einer Temperaturerhöhung
begleitet und ein großer Teil der Dehnungen trat infolge
Temperaturänderungen allein auf.

Die Ergebnisse der Untersuchungen zeigen eine gute
Übereinstimmung zwischen den beobachteten Durchbiegun-

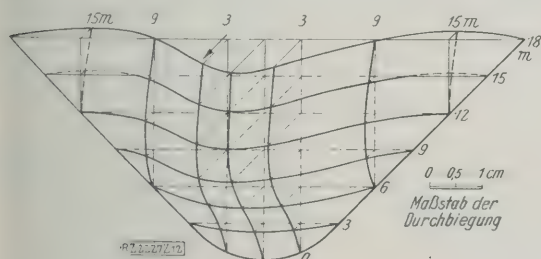


Abb. 16
Isometrische Darstellung der Durchbiegungen für
Wasserhöhe 18,3 m.

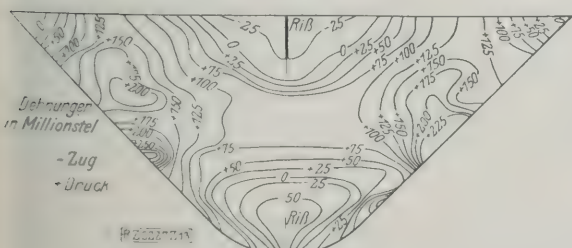


Abb. 17
Linien gleicher wagerechter Dehnungen bei 18,3 m
Wasserhöhe an der Unterwasserseite.

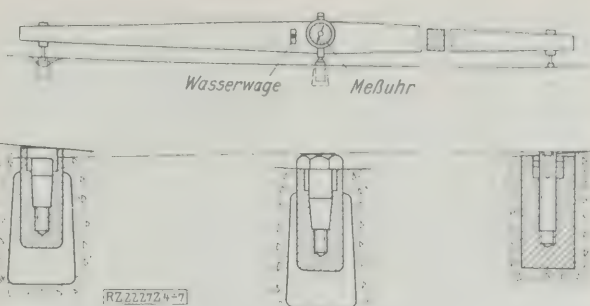


Abb. 8 bis 11
Biegunsmesser und Meßpunkte.

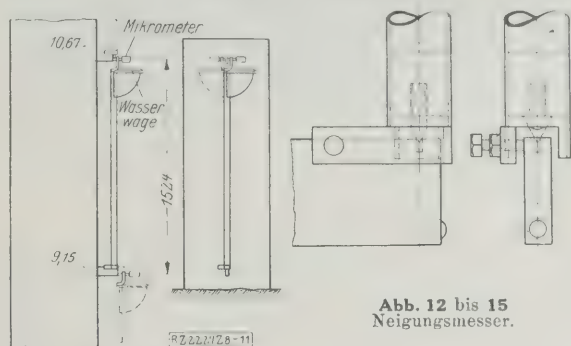


Abb. 12 bis 15
Neigungsmesser.

gen und den mittels der Cain-Formel aus den entsprechen-
den Temperaturänderungen berechneten Ausbiegungen. Die
Übereinstimmung war am besten, wenn in den Berech-
nungen nahe dem Fuße des Damms feste, nahe der Krone
gelenkartige Lagerung der wagerechten Elemente an-
genommen wurde. Die durch Temperaturänderungen ver-
ursachten Spannungen waren zum großen Teil wahrschein-
lich Biegunsspannungen.

Die erste Erscheinung von Rissen war eine Trennung
von den Widerlagern an der Oberwasserseite, ungefähr
3,66 m über dem Dammfuß. Die Trennung trat innerhalb
weniger Tage nach dem Gießen des Betons in dieser Höhen-
schicht ein. Vor Beginn des Belastungsprogramms im Juli
war der Damm von den Widerlagern von der Krone bis
herab etwa zu 3,66 m Höhe zum größten Teil losgerissen.

An der Unterwasserseite erstreckte sich das Losreißen
von den Widerlagern etwa bis auf 3,05 m herab vor den
Zeitraum vom 24. bis 31. Juli 1926, während der Damm
nicht, wie während der übrigen Erhärtungszeit, berieselt

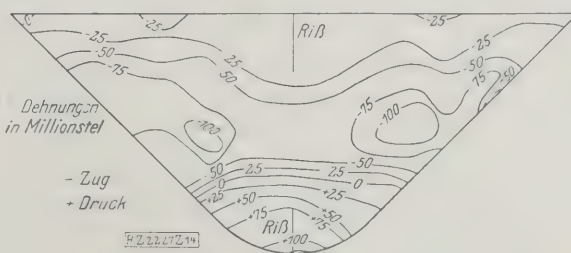


Abb. 18
Linien gleicher senkrechter Dehnungen bei 18,3 m
Wasserhöhe an der Unterwasserseite.

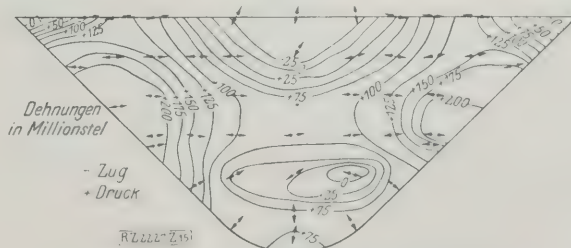


Abb. 19
Linien gleicher Hauptdehnungen und Richtungen der
Hauptdehnungen in 18,3 m Wasserhöhe.

wurde. Während dieser siebentägigen Trockenperiode dehnte sich der RiB bis herab zur Höhenschicht 9,15 m aus. Von einer späteren Verlängerung ist nichts bemerkt worden.

Vor den Belastungsversuchen entstand kein RiB innerhalb des Dammes selbst. Ein RiB zwischen dem Damm und der Fundamentsohle an der Oberwasserseite am FuBe trat unter einer Wasserhöhe von 9,15 bis 12,2 m ein und erweiterte sich auf etwa 1,27 mm bei der höchsten Wasserhöhe von 18,3 m. Unter einem Wasserdruck von etwa 15 m zeigte sich ein senkrechter RiB in der senkrechten Mittellinie des Dammes an der Unterwasserseite von der Krone bis zur Höhe von etwa 14,9 m, der sich später bis zur Höhe von 12,0 m abwärts verlängerte und durch die ganze Dicke des Dammes hindurchreichte. Unter einem Wasserdruck von 18,30 m entstand ein senkrechter RiB in der Nähe des Dammfußes unter einer Zugspannung von etwa 35 kg/cm^2 , der sich schließlich bis zu einer Höhe von ungefähr 4 m erstreckte. Wie weit er in das Innere des Dammes reichte, ist nicht bekannt. Als der Damm etwa zwei Tage unter einem Wasserdruck von 18 m gestanden hatte, wurden noch äußerst feine wagerechte Risse in den Arbeitsfugen in 9,2 und 10,7 m Höhe gefunden. Weitere feine Risse zeigten sich, nachdem der Damm infolge von Hochwasser länger als sechs Monate durch Geschiebetrümmer belastet war. Undichtigkeit des Dammes war bis etwa 15 m Wasserdruck nicht zu bemerken. Bei größerer Höhe trat ein leichtes Durchsickern durch den Damm und vermehrte Durchlässigkeit an den Widerlagern ein.

Die Temperaturänderungen zwischen den Messungen bei unbelastetem und belastetem Damm waren bei allen Versuchen sehr gering. Dieser Tatsache muß ein beträchtlicher Teil des Erfolges in der Auswertung der Ergebnisse zugeschrieben werden. Die größte Durchbiegung entstand nahe der mittleren Höhe des Dammes für alle Belastungen. Sie betrug bei 18 m Wasserdruck etwa 9,9 mm. Die unmittelbar mit verschiedenen Geräten gemessenen Dehnungen stimmten gut mit einander und mit den durch Differentiation der gemessenen Durchbiegungen gewonnenen überein.

Die Richtungen der Hauptspannungen waren zum größten Teil annähernd lotrecht und wagerecht. Daraus geht hervor, daß die Teilung des Dammes bei der Berechnung in lotrechte und wagerechte Elemente nicht nur der Bequemlichkeit dient, sondern auch Spannungen ergibt, die im allgemeinen den Hauptspannungen sehr nahekommen.

Der Elastizitätsmodul änderte sich erheblich bei den verschiedenen Versuchen. Bei Auswertung der Ergebnisse wurde ein mittlerer Wert von $251\,000 \text{ kg/cm}^2$ benutzt.

Der mittlere Wert der *Poissonschen* Zahl betrug rd. 0,15. Wegen seiner Kleinheit war sein Einfluß im allgemeinen nicht erheblich, obwohl seine Vernachlässigung bei Berechnung der Spannungen aus den beobachteten Dehnungen in einigen Fällen einen Fehler von 18 bis 20 vH bedeutete.

Der Damm überstand schwere Hochfluten, die die Krone in einer Höhe von wenigstens 0,92 m überströmten und Geschiebe bis zu einer Höhe von 13,80 m gegen die Oberwasserseite auftrühten, mit einer nur geringen Erhöhung der Durchbiegung und einem weiteren feinen RiB nahe des Dammfußes.

Die Dehnung infolge des Gewölbedruckes wurde längs des Bogenringes in 9,2 m Höhe als nahezu unveränderlich ermittelt. Die Dehnungen infolge Biegung der wagerechten Elemente waren ziemlich groß, weshalb Risse etwa in der Mittellinie des Dammes nahe der Krone und nahe der Sohle auftraten. In den senkrechten Elementen traten Punkte höchster Zugdehnung an der Unterwasserseite des Dammes etwa in 9 m Höhe auf, sowohl in der Mittellinie als auch in seitlichen Schnitten, und zwar für alle Wasserdruckhöhen.

Die Wirkung der Torsion auf die Lastverteilung war so gering, daß sie vernachlässigt werden konnte. Mit Rücksicht auf die große Länge der oberen wagerechten Elemente waren die Dehnungen infolge der wagerechten Biegebelastung jedoch wesentlich und ergaben einen senkrechten RiB nahe der Krone. Der größte Teil des Druckes wurde unmittelbar infolge der wagerechten Gewölbewirkung in die Widerlager abgeleitet. Der Punkt, in dem keine Belastung durch die senkrechten Elemente mehr übertragen wurde, lag im allgemeinen in einer Höhe von rd. 10,6 m. Unterhalb dieser Höhe wurde ein wesentlicher Teil der gesamten Belastung durch senkrechte Biegung in die Widerlager geführt. Die Summe der Belastungen, die auf die Widerlager durch Biegung in der Wagerechten und der Senkrechten übertragen wurden, war in allen Fällen fast gleich dem gesamten Wasserdruck. Die „Zylinder-Formel“ eignet sich daher nicht für die Darstellung der Biegungen in einem elastischen Bogen dieser Art.

Für den Teil des Dammes in und oberhalb der Höhe von 12 m ergab die Annahme eines elastischen Bogens mit gleich-

mäßiger radialer Belastung Spannungen, die mit den gemessenen nicht genügend übereinstimmten, um eine solche Annahme als Entwurfsgrundlage zu rechtfertigen. In der Höhe von 9 m war die Übereinstimmung dagegen der berechneten Spannungen mit den gemessenen einigermaßen gut. In dieser Höhe stimmten die Werte bei Annahme eines fest eingespannten Bogens mit den Beobachtungen besser überein als bei Annahme eines gelenkartig gelagerten Bogens.

Für das mittlere senkrechte Element stimmten die Momente und Belastungen aus den Versuchen mit den aus dem Entwurf errechneten gut überein.

Neben den Untersuchungen am Damm hat man von den physikalischen Eigenschaften des Betons im Laboratorium bestimmt:

- a) den Elastizitätsmodul und die *Poissonsche* Zahl unter dem Einfluß des Mischens, der Zuschlagstoffe, des Alters und anderer Faktoren,
- b) die Änderung des Volumens infolge anderer Ursachen als Temperaturänderungen unter dem Einfluß des Mischens, des Gütegrades und der Art der Zuschlagstoffe, des Alters, der Feuchtigkeit usw.,
- c) den Beiwert der Wärmeausdehnung unter dem Einfluß von Temperatur, Feuchtigkeit, Alter, Art, Zuschlagstoffen, Mischen usw.,
- d) das Fließen bei gleichbleibender Druckspannung unter der Wirkung von Mischung, Gütegrad der Zuschlagstoffe, Alter, Spannung, Feuchtigkeitsbedingungen usw.,
- e) die Durchlässigkeit und der Einfluß des Alters und der Zeit auf die durchsickernden Mengen bei verschiedenen Drücken.

Die obengenannten Modellversuche, die ebenfalls neben den Dammversuchen einherliefen, wurden an einem Betonbecken von 1,5 m Tiefe, 5 m größter Länge und 3,65 m größter Breite, mit massiven, stark bewehrten Seitenwänden und Boden in der Versuchsanstalt der Universität in Colorado ausgeführt. Man hat die Modelle zunächst auf Beton hergestellt. Versuche mit anderen Stoffen und anderen Belastungsarten sollen erst nach Vorliegen der Ergebnisse der ersten Versuche durchgeführt werden. Der erste Versuch soll die Untersuchung eines Modells des Stevenson Creek-Versuchsdammes im Maßstab 1:12 sein, unter möglichst genauer Wiedergabe aller wirklichen Verhältnisse. Es wird erwartet, daß der Vergleich dieser Modell-Versuchsergebnisse mit den an dem wirklichen Damm erhaltenen die Beziehungen zwischen einem Betonmodell in kleinem Maßstab, belastet mit Quecksilber, und einem Damm in vollem Maßstab, belastet mit Wasser, zeigen wird. Diese Beziehungen können dann bei der Auswertung der Ergebnisse von weiteren Modellversuchen benutzt werden und auch zur Entscheidung über die Fragen dienen, ob Versuche an Modellen aus anderen Stoffen zweckmäßig sind.

Sobald die Versuche an dem Modell des Stevenson Creek-Dammes durchgeführt sein werden, ist in Aussicht genommen, die Wirkung eines Modells des Gibson-Dammes, der z. Zt. in Bau ist, zu untersuchen. Da das Tal des Gibson-Dammes einen verhältnismäßig weiten, von dem engen Querschnitt des Stevenson Creek-Dammes sehr verschiedenen Querschnitt hat, nimmt man an, daß eine erheblich abweichende Lastverteilung zwischen eingespannten Balken und Bogenelementen gefunden werden wird.

Die Versuche mit einem Zelluloid-Modell des Stevenson Creek-Dammes wurden vorgeschlagen von G. E. Beggs, der zahlreiche Versuche mit elastischen Modellen und Brücken und anderen Bauwerken ausgeführt hat. Zelluloid wurde für das Modell gewählt, weil es biegsamer ist als Beton. Als Belastung dient Quecksilber. Der Maßstab des Modells ist $1/40$.

Der Vergleich der Versuche an dem Zelluloid-Modell mit Quecksilberbelastung mit denen an dem Betondamm in vollem Maßstab zeigte, daß zahlenmäßige Voraussagen der Ausbiegungen und der Dehnungen für den Damm aus dem Modell möglich sind. Man glaubt, daß diese Voraussagen aus den Modellversuchen genauer mit den Beobachtungen übereinstimmen als die Ergebnisse praktischer mathematischer Berechnungen. Die Übereinstimmung zwischen dem Modell und dem Damm würde wahrscheinlich noch enger sein, wenn das Modell dort durchgeschnitten worden wäre, wo seine Zugspannung anzeigte, daß sich in dem wirklichen Damm Risse bilden würden.

Der Bericht bringt dann noch eine theoretische Berechnungsmethode von Westergaard. Sie bezieht sich auf irgendeinen nahezu senkrechten, ganz dünnen, symmetrischen Bogendamm aus Beton, mit den Abmessungen des Stevenson Creek-Dammes. Die Berechnung beruht auf der Annahme, daß der Damm mechanisch als eine elastische Schale wirk-

daß diese Schale sich so verhält, als wenn sie mit dem
stehenden Fels, der elastisch ist, einen monolithischen Kör-
per bildet.
Zum Schluß sei noch auf eine interessante Zusammen-
fassung von Angaben über bestehende einfache Bogen-
brücken und solche, die in viele Bögen aufgelöst sind, hinge-
führt. Die Zusammenstellung bringt die wesentlichsten
Teile mit Skizzen über solche Dämme in den Ver-
einigten Staaten, in Australien, in Europa und anderen
Ländern.
[M 2227]
Berlin
H. Busch, Ministerialrat z. D.

Werkstoffe

Über die Struktur des Systems Eisen-Chrom-Kohlenstoff

Zur Untersuchung der Konstitution von Chromstählen
sind in letzter Zeit verschiedene Arbeiten erschienen. Neuer-
dings ist ein Aufsatz von A. Westgren, G. Phragmén und
J. Negresco¹⁾ veröffentlicht worden, der auf Grund metal-
lographischer und Röntgenuntersuchungen über die Konsti-
tution dieses Systems Klarheit verschafft hat. Hierdurch ist
festgestellt worden, welche Phasen innerhalb des gesamten
Konzentrationsgebietes überhaupt vorhanden sind und unter
welchen Bedingungen jede Phase auftritt. Auch sind besondere
Untersuchungen an den Karbiden ausgeführt, die in den zu
dem System gehörenden technisch wichtigen Legierungen
auftreten.

Die Röntgenstrahlenanalyse hat zunächst bestätigt, daß
die Fe-Cr-Legierungen eine ununterbrochene Reihe von
Festkörpern bilden. Sowohl die mikroskopische Unter-
suchung als auch die Röntgenanalyse ergaben, daß in den
Fe-Cr-Legierungen folgende Phasen vorhanden sind:
1. α -Metall; 2. γ -Metall; 3. ein Zementit $(Fe, Cr)_3C$, in dem
der Cr-Gehalt bis zu etwa 15 vH ansteigen kann; 4. ein
kubisches Chromkarbid, wahrscheinlich $(Cr, Fe)_4C$, in dem
bis zu 25 vH durch Eisen ersetzt werden kann; 5. ein
trigonales Chromkarbid $(Cr, Fe)_7C_3$, in dem der Eisengehalt
bis zu 55 vH steigen kann; 6. ein orthorhombisches Chrom-
karbid $(Cr, Fe)_3C_2$, in dem nur wenige Hundertteile
bis durch Eisen ersetzt werden können. Auf Grund
dieser Versuchsergebnisse haben die Verfasser ein Fe-Cr-C-
Diagramm aufgestellt.

In dem geglühten Chromstahl, wie er für Kugellager
verwendet wird, ist fast das ganze Chrom im Zementit ent-
halten. Das sogenannte Doppelkarbid ist in Wirklichkeit
eine durch Sägerung verursachte ungleichmäßige Ver-
teilung des Zementits. Das Karbid im nichtrostenden Stahl
ist ein kubisches Chromkarbid, das mit Eisen gesättigt ist
(bis zu 35 vH). Ein Stahl mit etwa 1 vH Ni, 11 vH Cr und
0,5 vH C enthält trigonales Chromkarbid, in dem mehr als die
Hälfte des Chromes durch Eisen ersetzt ist. Ferrochrom mit
etwa 60 vH Chrom und 5 vH C, wie es für die Herstellung
von Kugellagerstahl gebraucht wird, ist eine peritektische
Legierung, die in der Hauptsache aus kubischem Chrom-
karbid besteht; hierbei ist das Chrom durch Eisen ersetzt,
während der Rest aus α -Metall und dem trigonalen Karbid
besteht.
[N 2621]
Berlin
A. Schulze

¹⁾ Journ. Iron Inst. Bd. 117 (1928) S. 383.

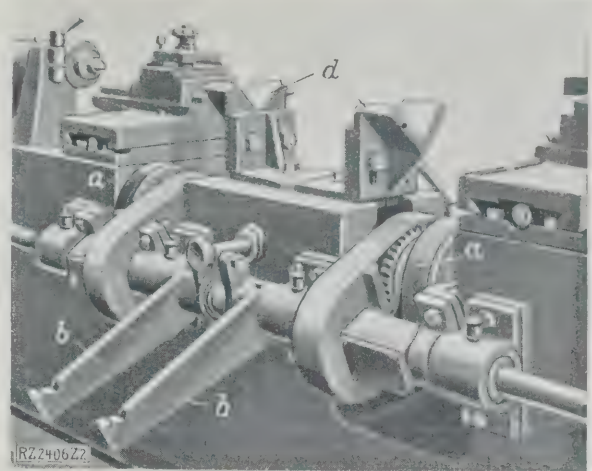


Abb. 20
Achsschenkel-Drehbank. (Buchstabenerklärung s. Abb. 21.)

Werkzeugmaschinen

Achsschenkel-Drehbank

Die in Abb. 20 dargestellte Sonder-Drehbank¹⁾ dient zum
gleichzeitigen Nachdrehen der beiden Achsschenkel an Loko-
motiv- und Eisenbahnwagen-Radsätzen. Der Radsatz wird
in den festen Körnerspitzen zweier auf dem Hauptbett ver-
schiebbarer Reitstöcke gehalten und mittels zweier breiter
Reibscheiben *a* angetrieben; diese werden durch an den He-
beln *b*, Abb. 21, sitzende Gewichte fest an den Laufkranz der
Radreifen angeedrückt. Jede der beiden Reibscheiben wird
einzeln von einer auf der Betthinterseite angeordneten, in
Kugel- und Rollenlagern gelagerten Welle angetrieben. Mit
dem Handrad *c* regelt man den Druck gegen die Laufkränze.

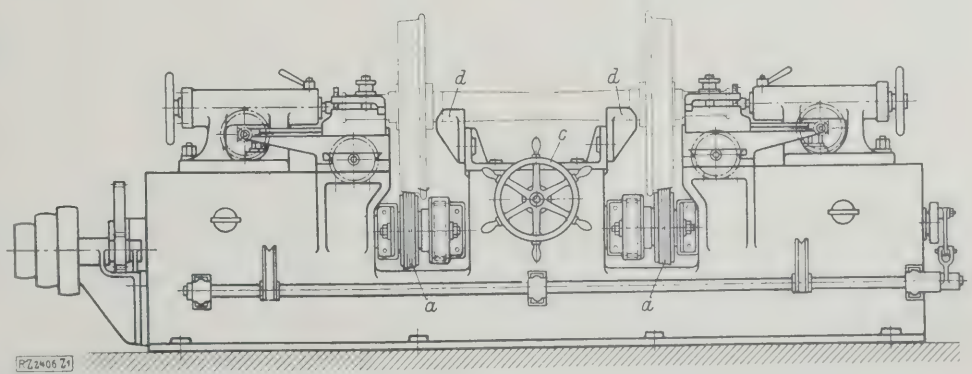
Die Bank hat eine Spitzenhöhe von 267 mm; zwei 610 mm
tiefe Kröpfungen erlauben aber die Bearbeitung von Rad-
sätzen mit einem Raddurchmesser bis 775 mm. Die größte
Entfernung der Spitzen beträgt 1766 mm. Die Achsschenkel,
für die die Drehbank gebaut wurde, haben 102 mm Dmr. und
sind 229 mm lang. Neben jeder Bettkröpfung ist ein mit
einer Kreuzbewegung ausgestatteter, zum schnellen Ein- und
Ausspannen der Stähle eingerichteter Support angeordnet.

Bei 170 U/min des Deckenvorgeleges macht der Rad-
satz 11,5, 19,5 und 32 U/min. Die Supportschaltung wird von
einer Schlitzscheibe am rechten Bettende abgeleitet und durch
Hebel und Zugstange auf eine längs der Bettvorderseite ge-
lagerte Stange übertragen, von wo aus mittels Hebel und
Ketten und Schaltsperre in bekannter Weise die Support-
spindel angetrieben wird. Zur Unterstützung der Achsen
sind zwei in der Höhe verstellbare Lünettenböcke *d* vor-
gesehen, die in der Achsrichtung verschoben werden können.
Die Drehbank wiegt rd. 4500 kg und wird von John Hethe-
rington & Sons, Ltd., Manchester, gebaut. [M 2406] Weil

¹⁾ Zeitschrift „Machinery“ (London) Bd. 33 (1928) Nr. 837 S. 113.

Abb. 21
Aufbau der Achsschenkel-
Drehbank, Abb. 20.

- a Reibscheiben
- b Hebel
- c Handrad
- d Lünettenböcke zur Unter-
stützung der Achsen.



Kleine Mitteilungen

Vorschaltturbine als Druckminderventil

Die gesamte 10 at-Kesselanlage der Bryant Paper Co. in Kalamazoo wurde durch eine neue Anlage von 20 at Überdruck ersetzt, gleichzeitig stellte man zwei Abteilungen der Papierfabrik auf elektrischen Betrieb um. Der Druck des Dampfes für die Antriebmaschinen der dritten Abteilung wurde vorläufig von 20 at auf 10 at gedrosselt; da man aber auch die Umstellung der dritten Abteilung bis auf unbestimmte Zeit hinausschieben mußte, baute man in eine Umgehungsleitung neben dem Druckminderventil eine zweistufige Gleichdruckturbine ein. Düsen- und Schaufelanordnung sind für einen Durchfluß von rd. 30 t/h Dampf eingerichtet.

Für die Zukunft hat man Zusatzdüsen vorgesehen, die eine Steigerung des Dampfverbrauches auf rd. 50 t/h erlauben. Die Endspannung hinter der Turbine wird durch einen Drosselschieber vor der Turbine in Verbindung mit einem Druckregler gleichmäßig auf 10 at Überdruck erhalten. Die Turbine, die seit April 1928 in Betrieb ist, liefert im Durchschnitt 18 000 kWh in 24 h und hat sich bereits in weniger als einem Jahr bezahlt gemacht. („Power“ 12. März 1929 S. 440) [N 2805 a] Stg.

Kosten der Kohlenstaubbereitung

Um Unterlagen für die Wahl der Kohlenstaub-Mahlanlage für einen neuen Dampfkessel zu erhalten, hat die A. E. Staley Manufacturing Co., Dacatur, Ill., die mittleren Anlage- und Betriebskosten zahlreicher großer Anlagen mit Einblasemühlen und mit Bunkerung einander gegenübergestellt.

	Anlagen mit	
	Einblase- mühlen	Bunke- rung
Anlagekosten der Kohlenstaubbereitung, -zuteilung und der Brenner für fünf Kessel RM	700 000	1 400 000
Betriebs- und Erhaltungskosten . RM/t	0,45	0,80
Kraftkosten „	0,22	0,27
Jährliche Kosten:		
Abschreibung (17 vH) RM	119 000	238 000
Betriebskosten „	205 000	326 000
Brennstoffkosten (8,82 RM/t) „	2 640 000	2 640 000
insgesamt RM	2 964 000	3 204 000

Die jährliche Ersparnis bei Verwendung von Einblasemühlen beträgt danach 240 000 RM. („Power“ 12. März 1929 S. 424*) [N 2805 b] Le.

Grabenbagger für Dränung

Auf der Ausstellung in Birmingham wurde ein Grabenbagger für Dränung gezeigt, der sich auf drei Raupen fortbewegt, und zwar sind eine am vorderen und zwei am hinteren Ende angeordnet. Die vordere enthält den Antrieb von dem 25 PS-Petroleummotor und läuft in der Spur des auszuhebenden Grabens, die hinteren laufen zu beiden Seiten des Grabens. Die Becherkette läuft über einem auf dem Rahmen in senkrechter Ebene schwenkbaren Aufleger; der Bagger kann also, und zwar mittels Handrades, vom Führersitz aus, angehoben werden, wenn die Maschine wendet oder weitergefahren wird.

Die Becher sind mit Klappen versehen, die ein selbsttätiges Entleeren gestatten; hierbei streichen Kämme etwa festhaftende feuchte Erde ab, die auf ein quer zur Fahrtrichtung umlaufendes Band fällt und seitlich abgelegt wird. Das Becherwerk wird mittels Kardanwelle vom Motor aus über eine ausrückbare Kupplung angetrieben. Der Führer kann alle Hebel und Handräder vom Sitz aus bedienen; die beiden hinteren Raupen sind lenkbar.

Mit dieser Maschine können bis zu 0,4 m breite, 1,4 m tiefe Gräben ausgehoben werden; die Leistung beträgt bis zu 2,4 km/h. („Engineering“ 22. März 1929 S. 37) [N 2805 c]

Wolkenkratzer von 137 m Höhe

In Minneapolis, Ver. St. v. Amerika, steht ein 33stöckiges Hochhaus kurz vor der Vervollständigung. Das untere rechteckige Gebäude hat bis zum zweiten Stockwerk 27 m Länge und 26,5 m Breite, es ist sodann auf 24,5 m Länge und 26,5 m Breite vergrößert und verjüngt sich allmählich bis auf 17,8 m Länge und 19,5 m Breite in Höhe des einunddreißigsten Stockwerkes. Das Traggerüst besteht oberhalb des zweiten Stockwerkes aus 29 eisernen Säulen in H-Form. Von diesen sind je zwei paarweise an den Ecken angeordnet; die übrigen 21 verteilen sich gleichmäßig über den Grund des Gebäudes.

Die Decken der einzelnen Stockwerke bestehen aus Eisenbeton, sie sind außerdem durch I-Träger versteift. Die lichte Höhe beträgt im ersten Stockwerk 6,6 m, im zweiten 4,4 m, sie verringert sich bis zum 16. Stockwerk auf 3,7 m Höhe und bleibt gleich bis zum 27. Stockwerk, von da ab beträgt sie nur noch 3,1 m. Das pyramidenförmige Gebäude wird ebenfalls durch eine Stahlkonstruktion gestützt, an einigen Stellen durch Eisenbetonbalken ergänzt. Die einzelnen Teile der Eisenkonstruktion sind von einer 50 mm dicken Betonhülle umgeben, die als Feuer- und Rostschutz dient.

Größere Schwierigkeiten bereitete für die Gründung der ungünstige felsige Baugrund, so daß man gezwungen war, etwa 2 m unter den Grundwasserspiegel herunterzugehen. In der Mitte des Gebäudes sind vier Fahrstühle hoher Geschwindigkeit eingebaut, von denen einer bis zum 30. Stockwerk hinauffährt. („Engineering News Record“ 7. März 1929 S. 372*) [N 2805 d] Sa

Zunahme des elektrischen Antriebes den amerikanischen Walzwerken

Im Jahre 1928 sind in den Walzwerken der Vereinigten Staaten von Amerika 163 Elektromotoren mit einer Gesamtleistung von 212 000 PS neu aufgestellt worden gegenüber über 116 neuen Elektromotoren mit 173 000 PS Gesamtleistung im Jahre 1927. Motoren mit weniger als 300 PS sind in diesen Zahlen nicht enthalten. („The Iron Age“ 14. März 1929 S. 743*) [N 2805 e] Pa

Stromverbrauch amerikanischer Rundfunkhörer

Im Jahr 1928 waren in den Vereinigten Staaten 2 300 000 Netzanschlußgeräte für Wechselstrom in Betrieb. Bei einem Durchschnittsverbrauch von je 60 W ergibt sich ein gesamtener Leistungsbedarf von 138 000 kW. Dem kommen rd. 1 200 000 elektrodynamische Lautsprecher, im Mittel je 10 W, zusammen also rd. 12 000 kW hinzu. („Electrical World“ 9. März 1929 S. 475) [N 2806 f]

BÜCHERSCHAU

Bücher und Zeitschriften des In- und Auslandes, auch solche nichttechnischen Inhaltes, liefert die VDI-Buchhandlung, Berlin NW 7, Ingenieurhaus (Telegrammanschrift: Ingenieurverlag Berlin; Fernspr.: Zentrum 15204).

Forschungsarbeiten auf dem Gebiete des Ingenieurwesens, 308. H.: Über die Schmierschicht in Gleitlagern und ihre Messung durch Interferenz. Von Robert Wolff. Berlin 1928, VDI-Verlag. 25 S. m. 20 Abb. Preis 5 RM, für Mitglieder des V. d. I. 4,50 RM.

Der Verfasser hat sich zur Aufgabe gestellt, ein Meßverfahren zur Bestimmung der Schmierschichtdicke insbesondere für hochbelastete Lager zu entwickeln. Er bespricht zunächst die Verfahren, die in der Physikalisch-Technischen Reichsanstalt ausgearbeitet worden sind, gibt aber die Genauigkeit des optischen Verfahrens um eine Größenordnung zu klein an, während er für die elektrischen Verfahren unbegründete Bedingungen und Forderungen

herleitet. Die halbflüssige Reibung erfassen diese Verfahren ebensowenig, wie das neue Verfahren des Verfassers.

Zur Bestimmung der Dicke der Schmierschicht benutzt der Verfasser die Fraunhofersche Interferenz an feinen Spalten, wobei der Spalt aus der Welle und einer an der Lagerschale befestigten Schneide besteht. Die Interferenzstreifenbilder, die beim Durchgang von parallelem, monogenem Licht durch diesen Spalt entstehen, werden mit Hilfe eines Okularmikrometers ausgemessen. Der Vorteil der Interferenzmessung liegt in der großen Genauigkeit und in der Unabhängigkeit von besonderen Eichungen. Die Berechnung der Formel für die Interferenz an d

solt aus einer Welle und einer Schneide nehmen einen erheblichen Teil der Arbeit ein.

Mit diesem Verfahren wird die Messung der Schmier-schichtdicke h und der Verlagerung δ an einem besonderen Versuchstand ausgeführt. Die Versuche beschränken sich auf drei Öle bei je fünf Geschwindigkeiten, ein Lagermetall, eine Last, eine Schmierart und eine Lagerluft. Die unter diesen Bedingungen gemessenen Werte für h und δ werden mit den nach der hydrodynamischen Theorie berechneten Werten verglichen. Der Verfasser schließt aus den Abweichungen auf das Versagen der Zähigkeit (Viskosität).

Maß der Schmierschichtbildung (Schmierfähigkeit). Nach Ansicht des Verfassers ist damit gleichzeitig die klassische hydrodynamische Vorstellung für in der Praxis empfehlende Schmierschichtdicken als unzureichend erkannt. Aus der Art der Schaulinien läßt sich die Ver-
tungen ableiten, daß die Haftung (Adhäsion) der Öle an der Welle oder am Lagermetall der Schale von entscheidendem Einfluß ist, und daß Unterschiede dieser Haftung die Ursache für die Abweichung insbesondere für die seitliche Verlagerung abgeben, da diese überraschenderweise wechselndes Vorzeichen hat.

Die Folgerungen des Verfassers, daß die hydrodynamische Theorie ungenügend sei, ist unbegründet, zumal unzu-
reichende Versuche vorliegen. Die verwendeten Formeln beziehen sich auf den Schmierfilm zwischen zwei exzentrischen Kreiszyklindern, während das Versuchslager des Ver-
fassers einen eingelaufenen Spiegel hat, der nach der hydro-
dynamischen Theorie nicht untersucht ist.

Man kann nicht Näherungsformeln, die sich auf be-
sonders vereinfachte Annahmen beziehen, dazu benutzen,
eine wohl begründete Theorie zu Fall zu bringen und
diese durch nichts Neues zu ersetzen. Der Verfasser glaubt,
daß die hydrodynamische Vorstellung von der Gleitfähig-
keit erst bei Schmierschichtdicken von mehreren Hundert-
teln mm eine Rolle spielt; sicher schon bei 0,01 mm
Schmierschichtdicke ist die Haftung ausschlaggebend, für
die aber noch kein Meßverfahren bekannt ist. Nach den
neuesten Anschauungen über die Grenzschmierung oder die
genannte Öligkeit ist die Haftung für den Schmiervorgang
von ausschlaggebender Bedeutung; sie kommt aber erst in
wesentlich kleineren Schichten zur Wirkung, die mit dem
Verfahren des Verfassers nicht erfaßt werden können.

[E 2653] V. Vieweg

Motor Ship Reference Book for 1929. Comp. by the
Staff of „The Motor Ship“. London 1929, Temple Press
Ltd. 253 S. m. 68 Abb. Preis 5 s.

Das starke Anwachsen der Motorschiffahrt, deren
Umfang heute bereits auf 6 000 000 B.-R.-T. in Dienst-
schifflicher Schiffe angewachsen ist, macht ein Nach-
schlagewerk, das über die vorhandenen Motorschiffe — von
100 B.-R.-T. an aufwärts — nach Größe, Leistung, Motor-
typ usw. schnell Aufschluß gibt, zu einem dringenden Be-
dürfnis, dem das vorliegende Jahrbuch in trefflicher Weise
entspricht. Es wird daher besonders für Reedereien und
für Motorschiffpersonal ein brauchbares Hilfsbuch sein,
aber darüber hinaus auch jedem Nutzen bringen können,
der sich — sei es aus Beruf oder auch nur aus Neigung —
irgendwie mit der Motorschiffahrt beschäftigt. Wertvoll
sind dabei nicht nur die umfangreichen statistischen An-
gaben über die schwimmende Motorschiffsflotte, nicht
sein die hochinteressanten Zusammenstellungen über
Entwicklung von Schiff und Motor, sondern auch mit vor-
züglichen Abbildungen erläuterte, kurze Darstellungen
der verschiedenen jetzt hauptsächlich in Betracht kommen-
den Motor Konstruktionen, deren unterscheidende Merkmale
dem Leser zur Kenntnis gebracht oder in Erinnerung zu-
rückgerufen werden. Lloyds Vorschriften über Bau und
Überwachung der Schiffsmotoren, die Bunkermöglich-
keiten der Erde mit Vermerk, welche Öle an den einzelnen
Plätzen hauptsächlich erhältlich sind, Ölpreise, ein Ver-
zeichnis aller nennenswerten Schiffsmaschinen-Baufirmen,
wichtige Angaben über Hilfsmaschinen der Motorschiffe
und ihre zweckmäßige Anordnung an Bord, Anforderungen
an das Schmieröl und dergleichen mehr runden den Inhalt
zu einem wertvollen Ganzen ab, so daß die Beschaffung
des Buches allen an der Motorschiffahrt in irgendeiner
Weise Beteiligten empfohlen werden kann.

[E 2661] Landahn

Heimtechnik. Von Ludwig Schultheiß. München und
Berlin 1929, R. Oldenbourg. 158 S. m. 127 Abb. Preis
8,50 RM.

In einem Einführungswort weist Prof. Chr. Prinz, der
erste Präsident der Ausstellung „Heim und Technik“, Mün-
chen 1928, darauf hin, daß es Aufgabe der Ingenieure und
der Industrie der Hausgeräte ist, Einrichtungen zu schaf-
fen, die praktisch und dabei in Konstruktion und Betrieb
billig sind. Ausgehend davon, daß diese Aufgabe vielfach

noch wenig erkannt ist, versucht der Verfasser, vom Stand-
punkt des Ingenieurs aus die kritische Betrachtung des
heute in der Heimtechnik Gebotenen zu ermöglichen und
damit zugleich den Weg zum weiteren Fortschritt anzu-
deuten. Dieser Versuch — vom Verfasser selbst im Vor-
wort so bezeichnet — ist im allgemeinen gut gelungen.
Daß der Fachmann hinsichtlich verschiedener Sonderfragen
nichts grundsätzlich Neues findet, beweist nur die Not-
wendigkeit eindringlicher Forschungsarbeit auf diesem
Gebiet.

Sehr beachtenswert sind die wirtschaftlichen Vergleiche
und Gegenüberstellungen verschiedener, demselben Zwecke
dienender Betriebsmittel, die vielleicht in Einzelheiten an-
greifbar, in ihrem Grundgedanken aber um so wertvoller
sind. Beim Lesen des Buches empfindet man angenehm,
daß ausführliche Wiederholungen bekannter und in der
Literatur oft behandelter Fragen (z. B. im Kapitel Raum-
heizung) vermieden sind. Andererseits ist aber doch in
manchen Teilen Rücksicht darauf genommen, daß auch die
Kreise der vorgebildeten Hausfrauen, der Haushaltlehrer-
innen usw. Nutzen aus dem Buche ziehen.

[E 2650]

Mengeringhausen

Das deutsche Automobilwesen der Gegenwart. Herausgeg.
von Allmers, R. Kaufmann, C. Fritz, E. Kleinrath und
Pflug. Berlin 1928, Reimar Hobbing. 267 S. Text, 190 S.
wirtschaftlicher Anhang m. Abb. Preis geb. 30 RM.

Das vorliegende Werk wird seiner Aufgabe, auf breiter
Grundlage das deutsche Automobilwesen in verkehrstech-
nischer, konstruktiver und wirtschaftlicher Hinsicht in einer
mühe los verständlichen Weise darzustellen, im großen und
ganzen gerecht, wofür schon die Wahl der Bearbeiter für
den sehr weitgehend gegliederten Stoff bürgt. Daß der
Inhalt, entsprechend dem werdenden Charakter des Unter-
nehmens nicht viel Kritik und Ausblick auf die erstrebte
Entwicklung in kommenden Jahren bringt, muß der Leser
in den Kauf nehmen. Er wird aber reichlich entschädigt
durch die drucktechnisch ausgezeichnete Wiedergabe der
beigefügten Abbildungen und Konstruktionszeichnungen, die
neuesten Ausführungen entsprechen und einen schnellen
Überblick über den technischen Stand des betreffenden Ge-
bietes ermöglichen.

Der Inhalt ist in zwölf Abschnitte gegliedert, die im
Anschluß an einen Aufsatz über die wirtschaftlichen Grund-
lagen des deutschen Automobilwesens die Einzelteile der
Kraftfahrzeuge, einschließlich der elektrischen und der
Kraftträder, ferner die Wirtschaft der Kraftfahrzeugbetriebe
verschiedener Art, namentlich auch der verschiedenen
Fahrzeuge für Sonderzwecke, dann die Fertigung und Nor-
mung, die Nebenindustrien, den Aufbau des Kraftfahrzeug-
handels, die rechtliche Stellung des Kraftfahrzeugbesitzers
sowie endlich das Verbands- und Sportwesen behandeln.
Verhältnismäßig kurz kommt dabei das heute so überaus
wichtige Gebiet des Straßenbaues weg.

An diesen 267 Seiten umfassenden, sozusagen wissen-
schaftlichen Teil des Buches, dem leider kein ausführliches
Sachverzeichnis beigegeben ist, schließt sich als „wirtschaft-
licher Anhang“ ein Anzeigenteil von 190 Seiten Umfang,
der auch ausführliche Beschreibungen von Erzeugnissen in
der Art von Druckblättern der Firmen enthält. Es ist be-
dauerlich, daß die Herausgabe eines solchen Werkes nicht
anders als durch Anzeigen finanziert werden konnte, da
diese Verquickung mit einem Anzeigenunternehmen das
Ansehen des deutschen Buches herabsetzt.

[E 2789]

Dr. Heller

Elektrische Starkstromanlagen. Von Emil Kosack. 7. Aufl.
Berlin 1928, Julius Springer. 342 S. m. 308 Abb. Preis
9,50 RM.

Das Buch liegt bereits in siebenter Auflage vor, ein
Zeichen für den Anklang, den es gefunden hat. Es gibt in
gedrängter klarer Fassung einen Überblick über Gesetze
und Wirkungen des Gleich- und Wechselstromes, die Meß-
technik, Stromerzeuger, Motoren, Transformatoren und über
die verschiedenen Fragen der Verteilung und des Ver-
brauchs elektrischen Stromes. Die mathematische Behand-
lung hat der Verfasser möglichst einfach gestaltet, ohne
auf die Anführung der erforderlichen Formeln zu verzich-
ten. Die Vorschriften des Verbandes Deutscher Elektro-
techniker hat er in der neuen Auflage weitgehend berück-
sichtigt. [E 2556] Pa.

Technical Data on Fuel. Herausgeg. von H. M. Spiers.
London 1928, World Power Conference. 200 S. m. 24 Abb.
Preis 10 s 6 d.

Das Buch ist aus Anlaß der Brennstofftagung 1928 der
Weltkraftkonferenz erschienen. In einem allgemeinen Teil
bringt es neben physikalischen Angaben eine Reihe von Un-
rechnungsfaktoren für britische, amerikanische und CGS-
Einheiten. Der weitaus größte Teil des Buches befaßt sich

mit den physikalischen und thermischen Eigenschaften von Gasen, gasförmigen, flüssigen und festen Brennstoffen, wobei auch die thermochemischen Vorgänge einschließlich der Dissoziationserscheinungen berücksichtigt sind. Ein Abschnitt ist den physikalischen, mechanischen und thermischen Eigenschaften der Metalle und ihrer Legierungen gewidmet. Es ist zu bemerken, daß die Angaben fast sämtlich in CGS-Einheiten gemacht sind.

Das handliche Buch ist mit festem, gutem Papier ausgestattet; die Blätter sind nur einseitig bedruckt, so daß der Benutzer überall ihm wichtig erscheinende Ergänzungen einfügen kann. [E 2605] Lt.

Lehrbücher und Grundrisse der Rechtswissenschaft, 8. Bd.: **Urheber- und Erfinder-, Warenzeichen- und Wettbewerbsrecht.** Von *Alexander Elster*. 2. Aufl. Berlin und Leipzig 1928, Walter de Gruyter & Co. 611 S. Preis 19,50 RM.

Unter den Darstellungen des gewerblichen Rechtsschutzes verdient dieses umfassende Werk besonderer Erwähnung. Der auf dem Gebiete des gewerblichen Rechtsschutzes bekannte Verfasser kennzeichnet auch in der zweiten erweiterten Auflage in Form eines Grundrisses den Aufbau des gesamten Stoffes, der in erster Linie auf das Studium, dann aber auch auf die Praxis zugeschnitten ist. Aus der Fülle der behandelten Probleme seien die tiefgründigen Ausführungen über die von dem Verfasser aufgestellte Theorie des Geistesgut-Wettbewerbs und ihre Begründung hervorgehoben. Eine zweckmäßige Ergänzung hat die Neubearbeitung durch Aufnahme der einschlägigen Gesetzestexte im Anhang gefunden. Das für Theorie und Praxis gleich wertvolle Buch verdient allseitiges Interesse. [E 2518] Me.

Der Große Brockhaus. Handbuch des Wissens in zwanzig Bänden. 15. Aufl. 1. Bd.: A bis Ast. Leipzig 1928, F. A. Brockhaus. 780 S. m. zahlr. Abb. Preis mind. 25 RM (Subskriptionspreis 22,50 RM).

Der erste Band der neuen Ausgabe von Brockhaus' Konversations-Lexikon liegt vor. „Der Große Brockhaus“ wird im ganzen in dieser 15. Auflage 20 Bände mit mehr als 200 000 Stichwörtern auf etwa 15 000 S. und rd. 17 500 Abb. sowie 210 meist doppelseitigen Karten umfassen. Der Aufbau des Werkes ist, soweit man nach dem ersten Band urteilen kann, insofern geändert, als die langen Artikel durch knapper gefaßte Beiträge ersetzt sind. Infolgedessen war es möglich, dem gegen früher unvergleichlich verbreiterten und vertieften Gesamtwissen gerecht zu werden, indem man die Zahl der Stichwörter sehr vermehrte.

Auch die technischen Wissenschaften und die Belange von Industrie und Wirtschaft sind gut berücksichtigt. Die jetzt kürzeren Beiträge sind übersichtlich, leicht verständlich und halten den wissenschaftlichen Anforderungen stand. Die Abbildungen sind fast durchweg sorgfältig bearbeitet und zweckmäßig als Schemaskizze oder technische Zeichnung, Autotypie oder Federzeichnung wiedergegeben. Hinweise auf andre Stichwörter und auf das Schrifttum sind vollkommen ausreichend vorhanden. [E 2756] K. Meyer

Neue Tabellen und Diagramme für Wasserdampf. Von *Richard Mollier*. 6. Aufl. Berlin 1929, Julius Springer. 28 S. m. 2 Taf. Preis 2,70 RM.

Die Grundzüge der technischen Wärmelehre. Von *Gustav Puschmann*. 4. Aufl. Leipzig 1929, Dr. Max Jänecke. 271 S. m. 85 Abb. Preis 6,60 RM.

Taschenbuch für den Maschinenbau. Herausgeg. von *H. Dubbel*. 5. Aufl. Berlin 1929, Julius Springer. 1. Bd. 853 S., 2. Bd.: 903 S. m. insgesamt 2800 Abb. Preis zus. 26 RM.

Mechanische Technologie für Maschinentechniker. (Spanlo Formung). Von *Willy Pockrandt*. Berlin 1929, Julius Springer. 292 S. m. 263 Abb. Preis 14,50 RM.

Jahrbuch der Hafenbautechnischen Gesellschaft. 10. B. 1927. Hamburg 1928, Verlag der Hafenbautechnischen Gesellschaft, E. V. Für den Buchhandel: VDI-Verlag, Berlin. 222 S. m. 283 Abb. und 5 Taf. und Textbl. Preis 30 RM, für Mitglieder des V. d. I. 27 RM.

Deutsches Museum. Abhandlungen und Berichte. 1. J. 1. H.: **Wege und Ziele des Deutschen Museums.** Von *W. v. Dyck*. Berlin 1929, VDI-Verlag. 30 S. Preis 1 RM, für Mitglieder des V. d. I. 0,90 RM.

Deutsches Museum. Abhandlungen und Berichte. 1. J. 2. H.: **Heinrich Hertz.** Von *J. Zenneck*. Berlin 1929, VDI-Verlag. 36 S. m. 13 Abb. Preis 1 RM, für Mitglieder des V. d. I. 0,90 RM.

Ubbelohdes Handbuch der Chemie und Technologie der Öle und Fette. 2. Aufl. Herausgeg. von *Hans Heller*. 1. B. Leipzig 1929, S. Hirzel. 791 S. m. 439 Abb. und 17 Taf. Preis 75 RM.

Von den Kohlen und den Mineralölen. Herausgeg. von der Fachgruppe für Brennstoff- und Mineralöl-Chemie des Vereins deutscher Chemiker. 1. Bd.: 1928. Berlin 1929, Verlag Chemie. 252 S. m. 65 Abb. Preis 17 RM.

Jahrbuch der deutschen Braunkohlen-, Steinkohlen-, Kal- und Erzindustrie 1929. Herausgeg. vom Deutschen Braunkohlen-Industrie-Verein E. V. 20. Jg., bearb. von *H. Hirz* und *W. Pothmann*. Halle a. d. Saale 1929, Wilhelm Knapp. Preis 16 RM.

Schriften des Berufskundlichen Ausschusses bei der Hauptstelle der Reichsanstalt für Arbeitsvermittlung und Arbeitslosenversicherung, herausgeg. unter Mitwirkung des Deutschen Ausschusses für Technisches Schulwesen. 15. H.: **Der Dreher und Werkzeugmacher.** Von *Paul Haase*. 68 S. m. 16 Abb. Preis 1,70 RM. 17. H.: **Der Gürtler.** Von *W. Schwintzer*. — **Der Drücker.** Von *O. Schuch*. 23 S. m. 6 Abb. Preis 0,60 RM. 22. H.: **Der Schlosser.** Von *Ehrhard Kaiser*. 56 S. m. 11 Abb. Preis 1,40 RM. Berlin 1929, Reimar Hobbing.

Werkstattbücher. Herausgeg. *Eugen Simon*. 37. H.: **Model und Modellplattenherstellung für die Maschinenformerei.** Von *Fr. und Fe. Brobeck*. Berlin 1929, Julius Springer. 55 S. m. 234 Abb. Preis 2 RM.

Sammlung Götschen, 198. Bd.: Elektrotechnik. Einführung in die Starkstromtechnik. Von *J. Herrmann*. 3. T.: **Die Wechselstromtechnik.** 5. Aufl. Berlin und Leipzig 1929, Walter de Gruyter & Co. 140 S. m. 189 Abb. Preis 1,50 RM.

Sammlung Götschen, 342. und 343. Bd.: Heizung und Lüftung. Von *Johannes Körting*. 1. u. 2. T. Berlin und Leipzig 1929, Walter de Gruyter & Co. 1. T.: 140 S. m. 22 Abb. 2. T.: 132 S. m. 176 Abb. Preis je Bd. 1,50 RM.

Die neuen elektrotechnischen Institute der Technischen Hochschule Braunschweig 1929. Festschrift herausgeg. von der Technischen Hochschule Braunschweig. 130 S. m. 62 Abb.

Elektro-Auskunft. Handlexikon der Elektrizität und der Elektrotechnik. Bearb. von *Georg Heber*. 3. Aufl. Stuttgart 1928, Francksche Verlagshandlung. 531 S. Preis 10 RM.

Schluß des Textteiles

I N H A L T:

	Seite
Das Landmaschinenwesen als Lehrgebiet für Ingenieure — Landmaschinen-Laboratorium der Techn. Hochschule München. Von <i>G. Kühne</i>	449
Neuere Ergebnisse auf dem Gebiete der Kreiselumpenfor- schung. Von <i>W. Schulz</i>	454
Das neue Schaltwerk der Siemens-Schuckertwerke. Von <i>H. Biersdorf</i>	457
Elektrisch angetriebene amerikanische Fahrgast- schiffe	460
Mischmaschine für den Straßenbau. Von <i>H. Ring</i>	461
Über Farbenmessung. Von <i>F. A. O. Krüger</i>	465
Erasmus Kittler †	468
Zur Festigkeit im Schraubengewinde. Von <i>W. Kuntze</i>	469
Härteprüfungen in der Fließarbeit	471

Rundschau: Neue Technische Hochschulen? — Moderne Lichttechnik in Wissenschaft und Praxis — Ergebnisse der Versuchsperrmauer am Stevenson-Creek in Kalifornien — Über die Struktur des Systems Eisen-Chrom-Kohlenstoff — Achsschenkel-Drehbank — Kleine Mitteilungen	47
Bücherschau: Über die Schmierschicht in Gleitlagern und ihre Messung durch Interferenz. Von <i>R. Wolff</i> — The Motor Ship Reference Book for 1929 — Heim- technik. Von <i>L. Schultheiß</i> — Das deutsche Automobilwesen der Gegenwart. Von <i>Allmers, R. Kaufmann, C. Fritz, E. Kleinrath und Pflug</i> — Elektrische Starkstromanlagen. Von <i>E. Kosack</i> — Technical Data on Fuel. Von <i>H. M. Spiers</i> — Urheber- und Erfinder-, Warenzeichen- und Wettbewerbsrecht. Von <i>A. Elster</i> — Der große Brockhaus — Eingänge	47

ZEITSCHRIFT DES VEREINES DEUTSCHER INGENIEURE

★ SCHRIFTFLEITER: C. MATSCHOSS ★

d. 73

SONNABEND, 13. APRIL 1929

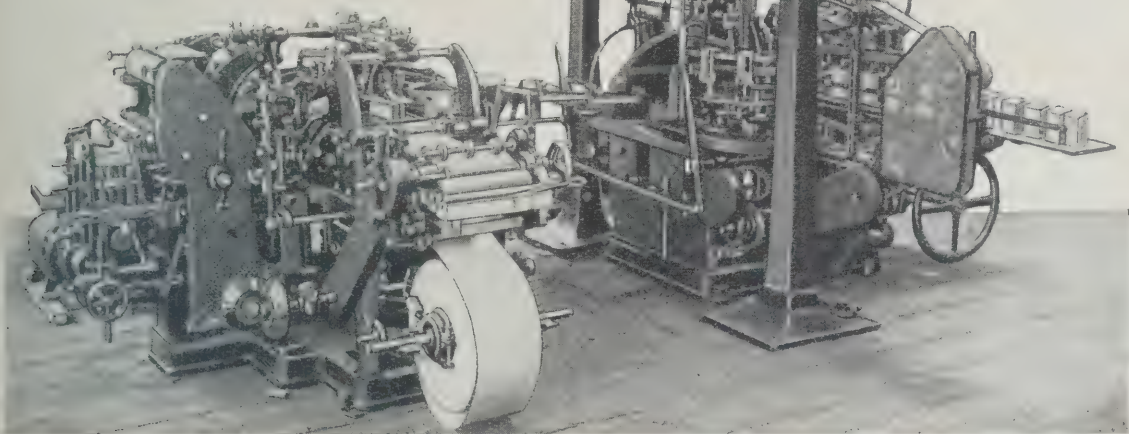
Nr. 15

Getriebep Praxis bei Verpackmaschinen

Von Dipl.-Ing. FRANZ MAUL, Stuttgart

Vorgetragen in der am 16. und 17. September 1928
in Dresden vom Verein deutscher Ingenieure abge-
haltenen Getriebetagung.

Maschine zum Ab-
packen in Doppel-
beutel mit drei
wechselweise selbst-
tätig arbeitenden
Waagen.



Die Verpackmaschinen sind als eine Gruppe der Getriebemaschinen dadurch gekennzeichnet, daß die eingeleiteten Drehbewegungen vorzugsweise durch Schubkurventriebe umgeformt werden. Die Grundlagen für die Konstruktion der Schubkurven und kennzeichnende Aufgaben getriebetechnischer Art werden besprochen. Es ist notwendig, dem technischen Nachwuchs eine entsprechende Ausbildung in der Getriebelehre zuteil werden zu lassen.

Die Verpackmaschinen sind ein Sondergebiet der selbsttätig arbeitenden und erzeugenden Maschinen und dienen zum Verpacken großer Mengen täglicher Bedarfsartikel, für einzelne Stufen des Packvorganges, der Vorbereitung des Verpackungsgutes oder der Verpackungsmittel. Der Bau der Verpackmaschinen erfordert neben besonderen Erfahrungen und praktischem Blick weniger theoretische Überlegungen, als vielmehr die Fähigkeit, die Maschine mit den erforderlichen Förder- und Arbeitsvorrichtungen räumlich vorteilhaft anzuordnen und auf Grund ausreichender getriebetechnischer Veranlagung und Kenntnisse zweckmäßig und wirtschaftlich zu gestalten. Vielfach handelt es sich darum, gewisse, bisher mit der Hand ausgeführte Tätigkeiten und Bewegungen unter Verwendung der einfachsten Hilfsmittel ins Maschinenmäßige zu übertragen. Zwar geht auch auf dem Gebiet des Verpackungsmaschinenbaues das Streben dahin, mittels umlaufender Elemente und Getriebe zu immer mehr gesteigerten Leistungen zu kommen. Aber damit kann nur ein Teil der verlangten Verrichtungen bewirkt werden. So braucht der Verpackungsmaschinenbau vorwiegend noch in ganz erheblichem Umfange hin und her gehende, schwingende, abgesetzt sich drehende und noch verwickeltere Bewegungen.

Allgemeines über Schubkurven

Eines der wichtigsten Hilfsmittel, um den verlangten räumlich-zeitlichen Ablauf der einzelnen Verrichtungen in wirtschaftlicher Weise auszuführen, sind die Schubkurventriebe. Ich fasse bei der folgenden Betrachtung nur solche Getriebe ins Auge, welche durch Schubkurven, die mit gleichförmiger Geschwindigkeit umlaufen, betätigt werden.

Die Grundlage für die Ermittlung der Schubkurven bildet die Hub-Zeit-Schaulinie; Abb. 1 gibt ein Beispiel dafür. Durch polare Übertragung dieser Schaulinie erhalten wir in Abb. 2 eine Schubkurve. Die so erhaltene Art von Schubkurven bezeichnen wir als Scheibenkurve. Ihr Wesen besteht darin, daß sie Bewegungen senkrecht zur Achsrichtung überträgt. Abb. 3 bis 5 und 8 zeigen offene Scheibenkurven, bei denen das Anliegen der Rollen durch Kraftschluß (Feder oder Gewicht) bewirkt wird. Abb. 6, 7 und 9 bis 11 zeigen geschlossene Scheibenkurven, bei denen die Bewegung des Getriebes durch Formschluß erzwingen wird. Geschlossene Scheibenkurven nach der Art von Abb. 6, 7, 9 und 10 nennen wir Doppelscheibenkurven, solche nach Abb. 11 Nutscheibenkurven. Das Element, das die Rollen trägt und führt, ist im Falle von Abb. 3 bis 7 eine Stange, im Falle von Abb. 8

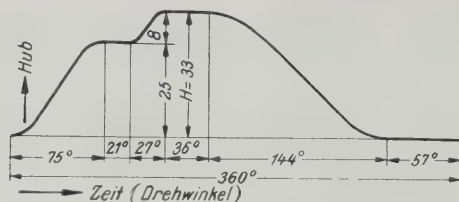


Abb. 1
Hub-Zeit-Schaulinie der Bewegung einer Rolle.

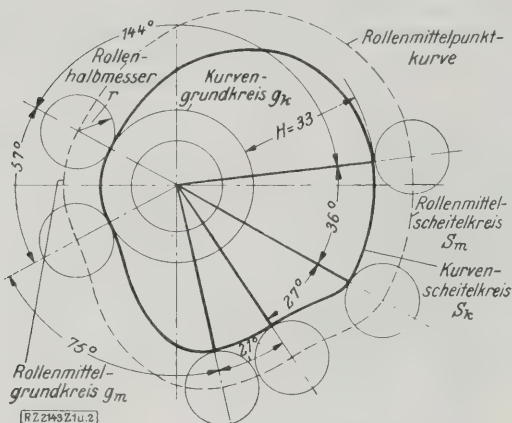


Abb. 2
Konstruktion der Schubkurve mittels polarer Übertragung der Hub-Zeit-Schaulinie.

bis 11 ein Schwinghebel. Die Schwinghebel werden drehbar am Gestell der Maschine gelagert. Die Stangen dagegen, die im allgemeinen zwecks Längenverstellbarkeit aus dem eigentlichen Rollenträger, Schere genannt, und einer Stelze bestehen, werden einerseits durch die Schere auf der Schubkurvenwelle geführt, andererseits werden sie mit dem Hebel, dessen Bewegung sie bewirken sollen, gelenkig verbunden.

Handelt es sich nur darum, die Maschine mit möglichst geringem Drehmoment anzutreiben, so nimmt man ausschließlich geschlossene Kurven. Unter den möglichen Formen verdient die Nutscheibenkurve nach Abb. 11 den Vorzug, weil sie bei geringster schwingender Masse am wenigsten Spiel aufweist. Ihr Nachteil sind die teure Herstellung, der große Durchmesser, für den meist nicht der erforderliche Raum zur Verfügung steht, und die Schwierigkeit nachträglicher Änderung der Kurve. Die Ausführung der Doppelscheibenkurve mit Schwinghebel nach Abb. 9 und 10 hat den Nachteil, daß, wenn die eine Scheibenkurve, Hauptkurve, fertiggestellt ist, zum Fräsen oder Anreißern der zweiten Scheibenkurve, Gegenkurve, der Drehpunkt des Schwinghebels entweder mittels einer Vorrichtung oder in der Maschine selbst zur Verfügung stehen muß.

Dies ist bei Ausführung nach Abb. 6 und 7 nicht nötig. Hier kann die ganze Doppelscheibenkurve samt Schere vollständig außerhalb der Maschine fertiggestellt und hinsichtlich ihrer Genauigkeit nachgeprüft werden. Von Nach-

teil ist der Seitendruck, den die Schere gegen die Schubkurvenwelle ausübt, und die Reibung der Schere an den Seiten der beiden Scheiben. In einzelnen Fällen kann mit einfachen Scheibenkurven durch Anordnung von Rollen auf der Schere einen Formschluß erreichen, ist, wie wir aus Abb. 14 und 15 ersehen, dann möglich, wenn die Zeitstrahlen der Kurve einen Scheitel bilden.

Offene Scheibenkurven führt man hauptsächlich aus zwei Gründen aus. Erstens kann die Forderung nach möglichst billiger Herstellung dies veranlassen; andererseits es möglich, daß man die Zwangsläufigkeit einer Bewegung nach einer der beiden Richtungen bewußt ausschließen will, um z. B. bei Unregelmäßigkeiten ernstere Störungen, gar Brüche zu vermeiden, oder auch wenn die Voraussetzungen für den Vollzug eines Bewegungsvorgangs restlos erfüllt sind und der Bewegungsvorgang in der Hand oder selbsttätig unterdrückt werden soll. In welcher Weise man dies bewirkt, wird später erläutert.

Kehren wir jetzt wieder zurück zur Hub-Zeit-Schaulinie, Abb. 1, die wir auch als Abwicklung eines Zylinders betrachten können. Dadurch kommen wir zu den Trommelkurven, welche Bewegungen in der Richtung der Achse übertragen, in der Form nach Abb. 12 als geschlossene, nach Abb. 13 als offene Trommelkurven. Diese beanspruchen viel Platz und Gewicht und kommen deshalb seltener zur Ausführung.

Um nun eine angenommene Hub-Zeit-Schaulinie, Abb. 1, zu erhalten, muß man von der übersichtlichen zeitlichen Darstellung der verschiedenen in der Maschine vorhandenen Bewegungen ausgehen. Diese Darstellung erstreckt sich im allgemeinen auf die Umdrehung der Maschine als zweckmäßige Einheit für die Zeit. Aus Abb. 18 bis 21¹⁾ sind die verschiedenen Möglichkeiten der zeitlichen Darstellung einzelner Bewegungen ersichtlich. Abb. 20 und 21 zeigen zugleich auch die Wege mit darzustellen. Eigentlich kann man sich diese Wege auf die einzelnen Organe der Maschine beziehen; dann wird sich aber die Hub-Zeit-Schaulinie in den wenigsten Fällen mit der entsprechenden Kurve der Bewegungs-Schaulinie decken.

Die Bewegung der Schubkurvenrolle ist gegenüber dem betätigenden Teil der Maschine meist übersetzt, und vorzugsweise in den Grenzen 1:2,5 bis 1:3,5. Indessen ergibt sich oft erst eine ausführbare Kurve, ohne zu scharfe Spitze oder zu große Steilheit. Außerdem erzielt man dadurch eine Minderung der Massenwirkung. Weiterhin wird die Bewegung der Rolle durch die Organ bewegenden Zwischenglieder mehr oder weniger verzerrt. Das ist in ganz geringem Maße der Fall, wenn man Schubstangen nach Abb. 3 bis 7 anwendet. Hier genügt es, nach Ermittlung von Hubzeit und Rollenhubkurven unmittelbar unter Annahme eines bestimmten Bewegungsgesetzes ohne Rücksicht auf Hebellängen usw. zu ermitteln. Dagegen erfährt die Kurve bei Annahme eines Schwinghebels immer eine so beträchtliche Verzerrung, daß die Ermittlung der Kurve nur unter Berücksichtigung des Schwingungsmittels und der Hebellängen vorzunehmen darf. Die Konstruktion der Hub-Zeit-Schaulinie selbst ist im allgemeinen nur bei Trommelkurven anzuwenden, weil diese Schaulinie die Abwicklung der Mantelkurve darstellt.

¹⁾ Gerhard Schaudt: „Die Schubkurventriebe“, Stuttgart 1927.

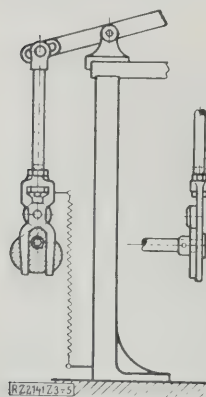


Abb. 3 bis 5
Offene
Scheibenkurve,
Rolle an der
Stange.

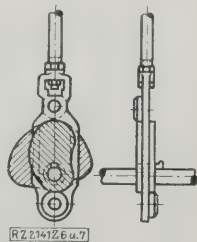


Abb. 6 und 7
Doppelscheibenkurve,
Rolle an der
Stange.

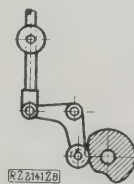


Abb. 8
Offene
Scheibenkurve,
Rolle am
Hebel.

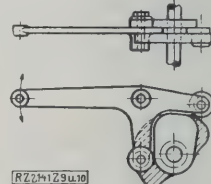


Abb. 9 und 10
Doppelscheibenkurve,
Rolle am
Hebel.

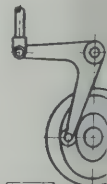


Abb. 11
Nutscheibenkurve.

Konstruktion der Schubkurve

Abb. 22 bis 34, S. 484 und 485

Wenn wir nunmehr zur Konstruktion der Schubkurven übergehen, so ist es wohl kaum nötig, besonders darauf hinzuweisen, daß es sich im Grunde um die Ermittlung der Lage des Rollenmittelpunkts handelt. Stillschweigend wird gewöhnlich angenommen, daß die Rolle nach der vollen Hubzeit den halben Hub erreicht. Sehr oft wird bei Kurvenkonstruktionen das Gesetz der harmonischen Schwingung zu Grunde gelegt. Daneben verwendet man auch gleichwertig die Schwingung mit gleichförmiger Beschleunigung und Verzögerung, die wir der Kürze wegen als parabolische Schwingung bezeichnen wollen. In Abb. 22 und 23 sind für die harmonische, in Abb. 24 und 25 für die parabolische Schwingung die Konstruktion der Kurven wie die Schaulinie für die Geschwindigkeit und Beschleunigung der Rollenbewegung unter Annahme der Rolle an der Stange dargestellt.

In Abb. 26 ist unter Voraussetzung parabolischer Schwingung die Konstruktion der Schubkurve für den Fall des Schwinghebels wiedergegeben. Vielfach besteht noch die Forderung, den Rollenhebel so anzunehmen, daß das Rollenmittel auf einem durch das Wellenmittel gehenden Kreis schwingt. Im allgemeinen ist es aber viel besser, wenn die beiden Grenzlagen des Rollenmittels auf einem Durchmesser der Schubkurvenwelle liegen. Wenn mehrere Schwinghebel auf einer Achse sitzen, kann man diese Forderung natürlich nur ungefähr einhalten. Die Konstruktion der Abwicklung einer Trommelkurve zeigt Abb. 27 für parabolische Schwingung.

Aus der Erfahrung heraus hat sich bis jetzt bei den in Packmaschinenbau benutzten Drehzahlen keine Überlegenheit des einen oder anderen Gesetzes beobachten lassen. Wissenschaftliche Untersuchungen an ausgeführten Schubkurventrieben sind bis jetzt nicht bekannt geworden. Sie wären sehr wertvoll, da die Frage, nach welchem Gesetz Schubkurven überhaupt am vorteilhaftesten konstruiert werden sollen, bis heute offen ist. Im Laufe der Jahre ist im deutschen Schrifttum eine Reihe theoretischer Abhandlungen erschienen. Ganz abweichend davon geht man in Amerika vor, wie aus dem Buche *Furrows Cams* (New York 1921) zu ersehen ist. Ich gebe in gewissen Fällen dem Gesetz der parabolischen Schwingung den Vorzug, weil sich damit besondere Aufgaben sehr einfach lösen lassen.

In Abb. 28 und 29 ist die Kurvenkonstruktion für den Fall dargestellt, daß man die übliche Voraussetzung, nach der halben Zeit den halben Hub erreichen zu wollen, fallen läßt. So kann man eine brauchbare Hubkurve konstruieren, wenn sich unter den üblichen Annahmen in der Gegend des Scheitelpunktes keine stetige Kurve ergibt. In dem Beispiel nach Abb. 28 und 29 ist die Beschleunigungszeit zu dem vierten Teil, die Verzögerungszeit zu drei Vierteln der ganzen Hubzeit angenommen. Dabei ist die Hubzeit in Abb. 29 durch die doppelte Hubstrecke dargestellt. Im Wendepunkt der Kurve erhält man dann eine Tangente unter 45° . Diese einfache Erkenntnis ist in Abb. 30 und 31 verwertet. Es war die Aufgabe gestellt, eine Schubkurve zu konstruieren, die die Hülse während eines bestimmten Teiles des Gesamthubes mit gleichförmiger Geschwindigkeit bewegt. Gelegentlich tritt auch die Aufgabe auf, eine Schubkurve zu konstruieren, wenn neben Hubzeit und Gesamthub ein Zwischenpunkt Z nach Hub h_z und Zeit t_z gegeben ist, wie es ein in

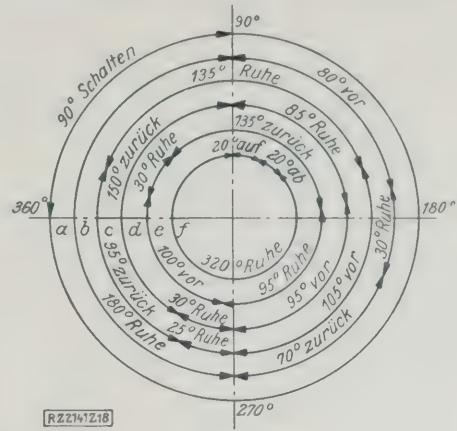


Abb. 18

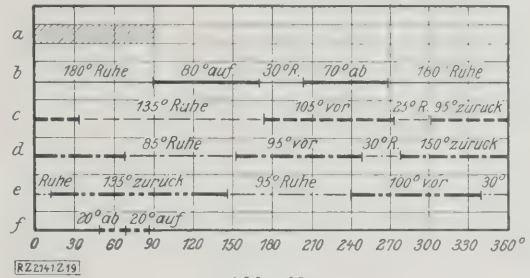


Abb. 19

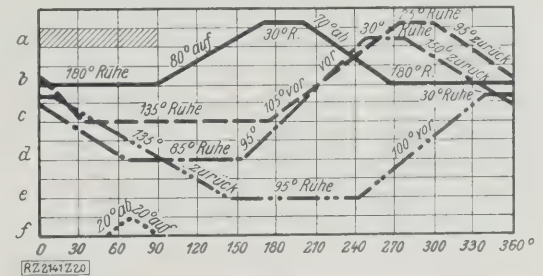


Abb. 20

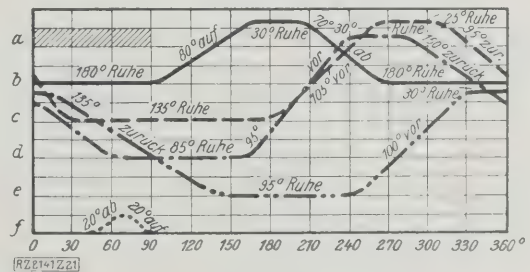


Abb. 21

Abb. 18 bis 21
Bewegungsschaulinie einer Verpackungsmaschine.

- | | |
|-------------------|----------------|
| a Schalter | d Gegenstempel |
| b Unterstempel | e Querschieber |
| c Einschubstempel | f Fühler |

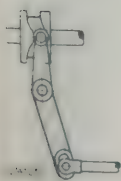


Abb. 12
Geschlossene
Trommel-
kurve.

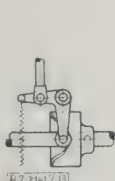


Abb. 13
Offene
Trommel-
kurve.

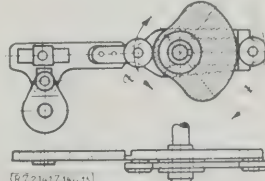


Abb. 14 und 15
Einfache Scheibenkurve,
Formschluß mittels
zweier Rollen.

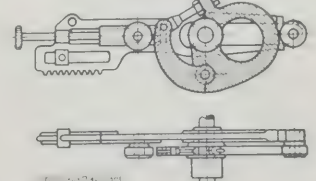


Abb. 16 und 17
Verstellen des Rollen-
hubes an einer Abfüll-
maschine.

Abb. 54
Verstellung des Roll-
hubes an einer Abfüll-
maschine bei unver-
änderter Kurvenscheibe.

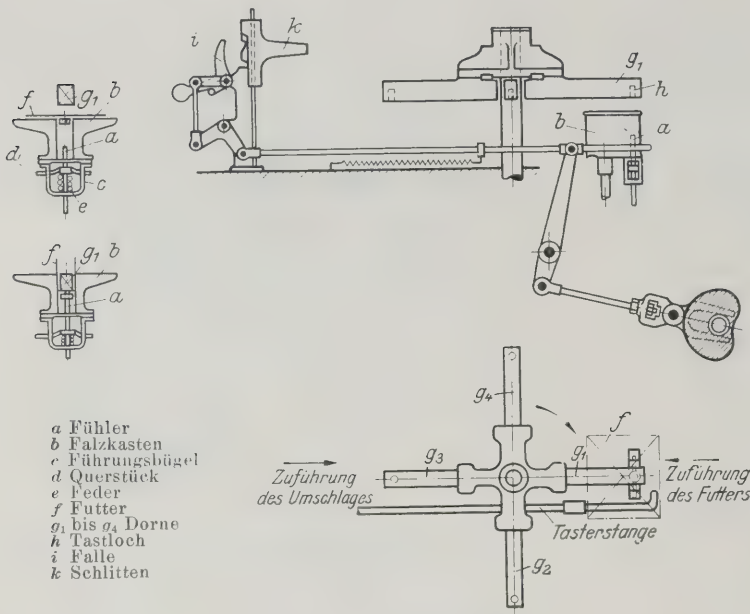


Abb. 37 bis 41

Auslösung der Zuführung eines Umschlagblattes in Abhängigkeit von der Zuführung des Futters bei Revolver-Doppelpaketmaschinen.

Abb. 32 und 33 dargestelltes Beispiel zeigt. Zur Bestimmung des Kurvenwendepunktes *W* der Hub-Zeit-Schaulinie, Abb. 33, stehen fünf einfache Gleichungen zur Verfügung.

Die Hubverhältnisse, auf Grund deren für die einzelnen Vorrichtungen der Maschine die Kurvenscheiben ermittelt werden, bleiben im allgemeinen während des Gebrauchs bestehen. Sind Hubveränderungen nötig, so empfiehlt es sich in vielen Fällen, auswechselbare Kurvenscheiben zu liefern, statt von der Bedienung ein Verstellen des Gestänges zu erlangen. Eine Besonderheit bilden die nach dem Kolbensystem arbeitenden Abfüllmaschinen. Hier muß man jederzeit und sofort dem fortwährenden Schwanken des spezifischen Gewichts des Füllguts durch Änderung

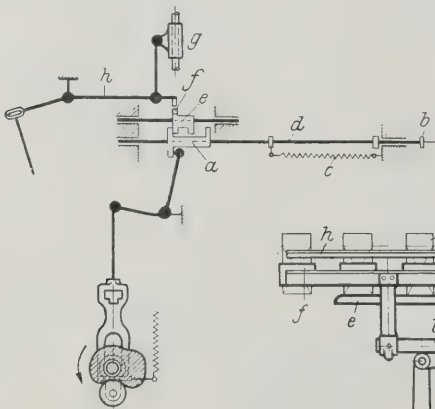


Abb. 42

Getriebschema für die Verschleppung des Tastvorganges gegenüber dem Verriegelungsvorgang.

- a Mitnehmer
- b Taster
- c Feder
- d Tasterstange
- e Schleppriegel
- f Nase
- g Träger des Arbeitsorgans
- h Antriebshobel

Zu Abb. 43 bis 46:

- a Antrieb für Hochbewegung der Trag-
- b Vorschubrohr
- c Festhaltwelle
- d Kulisse für Tragschiene
- e Tragschiene
- f Vorschubbecher
- g Festhaltbecher
- h Paketeinführung
- i Packung
- k Kulisse f. Vorschub-Schwenkbewegung
- l Kulisse für Festhaltbewegung
- m Antrieb für Längsbewegung des Vorschubrohres
- n Antrieb f. Vorschub-Schwenkbewegung

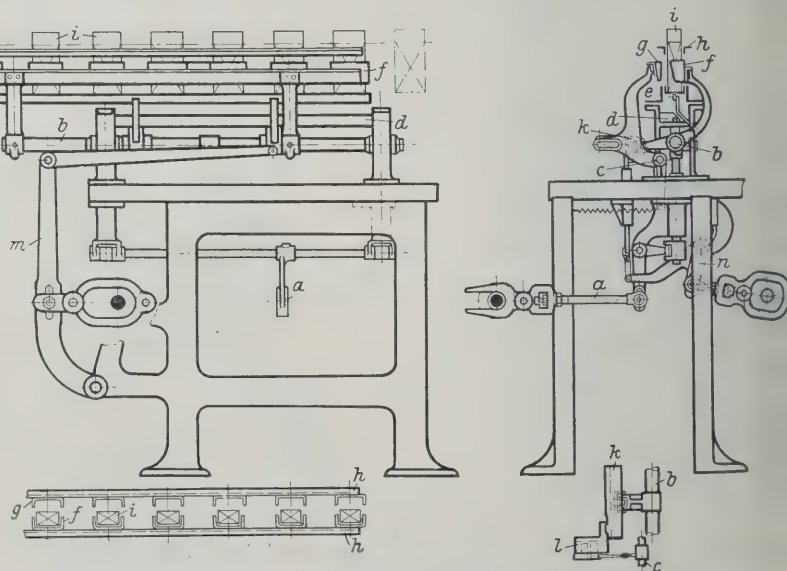


Abb. 43 bis 46

Ruckweiser Vorschub in einer geradlinigen Füll- und Schließmaschine.

des Kolbenhubs folgen können. Vielfach schiebt dies nach dem in Abb. 34 (siehe a Abb. 74) dargestellten Verfahren. Man hindert die Rollen, die ganze Schubkurve Grundkreis bis Scheitelpunkt zu durchlaufen. Selbstverständlich entsteht beim Auftreffen Rolle auf die Kurve ein Stoß, den man dadurch mildern kann, daß man die Kurve *a* vom Grundkreis aus nach Gefühl flacher als die struierte Kurve *a*₁ verlaufen läßt. Damit kann man in vielen Fällen aus. Bei einer großen Senkung der Drehzahl ist dies aber nicht möglich. Man stellt dann eine Scheibenkurve her, deren Arbeitskurve zum größten Teil Rücken eines um einen Punkt drehbaren Hebel bildet, wie in Abb. 16 und 17 gezeigt ist. Die Kurvenstück wird auf Grund von Abfüllsuchen am Ort der Verwendung so eingestellt, daß sich bei vollständigem Anliegen der Rolle gerade der erforderliche Größthub ergibt, dann noch nötigen Regelbewegungen zur Hubverminderung halten sich in so engen Grenzen, daß auch im ungünstigsten Falle der beim Auftreffen der Rolle auf die Kurve entstehende Stoß ohne praktischen Nachteil bleibt. Hiermit erzielt man sehr günstige Ergebnisse erzielt.

Auslösen der Arbeitsverrichtung durch Taster

Damit wollen wir die allgemeinen Betrachtungen über die Schubkurventriebe beenden und uns kennzeichnenden kinematischen Aufgaben aus dem Sondergebiet der Packmaschinen zuwenden. Eine besondere Bedeutung verdienen hier die Einrichtungen, die geschaltet werden, um einen Arbeitsvorgang nur dann auszulösen, wenn die Voraussetzungen dafür ordnungsgemäß gegeben sind. Im nachfolgenden sollen einige Einrichtungen dieser Art betrachtet werden.

Abb. 35 und 36, S. 485, zeigen im Schnitt die Arbeitsstelle einer geradlinigen Füll- und Schließmaschine, siehe auch Abb. 76, an der durch Abwärtsgehen eines Schlittens der Leim auf die Kopfverschlußlappen der Packung getragen wird. Ehe dies geschieht, stellt ein durch einen Schubkurventrieb gesteuerter Taster fest, ob überhaupt eine Packung zur Vornahme dieser Vorrichtung vorhanden ist. Trifft dies zu, so wird der Taster in seine Bewegung durch die Packung aufgehalten, die mit dem Taster gekuppelte Falle wird nicht umgelegt, und der Schlitten kann seinen Hub ausführen. Ist keine Packung vorhanden, so macht die Falle ihren Sperrhub und führt den Schlitten zu Beginn des Arbeitshubes ab.

Eine vollkommenere Vorrichtung dieser Art, Abb. 37 bis 41, ist an einer nach dem Grundsatz des Revolver-

an Werkzeugmaschinen arbeitenden Doppelpackmaschine angebracht, s. a. Abb. 76 und Titelbild. Die Vorrichtung soll nur dann ein Umschlagblatt zuführen, wenn die innere Packungshülse (Futter) vorher gebildet worden ist. Dieses Futter wird dadurch gebildet, daß ein Zylinder, auf dem das Futterblatt liegt, hoch geht und einen Dorn g_1 das Blatt schlauchartig herumlegt, s. a. Titelbild. Gegen Ende des Falzkastenhubes drückt das Futterblatt einen am Falzkasten senkrecht und fern aufzuhängenden Fühler zurück, wozu nur eine geringe Kraft nötig ist. Ist kein Futterblatt vorhanden, so rückt der Fühler in ein am Dorn vorhandenes Tastloch. Die wagerecht sich bewegende Stange tastet sodann die Stellung des Fühlers. Nach dem Ausfall dieser Bewegung erfolgt oder unterbleibt die die Zuführung des Umschlages bewirkende Arbeitsbewegung. Da hier das Tastgestänge und Falle ebenfalls kraftschlüssig verbunden sind, kann nach eingetretener Sperrung des Arbeitshubes das Tastgestänge sich sofort wieder zurückbewegen.

Muß die Tastbewegung früher erfolgen, als die Verriegelung möglich ist, so kann man eine Anordnung nach Abb. 42 treffen. Hier betätigt die Tasterstange einen besonderen Schleppriegel. Der Rückwärtsgang der Tasterstange erfolgt in zwei Absätzen, zunächst um die Packung freizugeben, später um den Schleppriegel in seine Ausgangslage zurückzuschieben.

Vielfach kann der Schubkurventrieb zum Betätigen des Tastvorganges fortfallen. Dann löst das Werkstück selbst durch seinen Vorschub den nächsten Arbeitsgang aus. Ein Beispiel hierfür ist die sogenannte „rotierende Blattzuführung“, Abb. 51. Das aus dem Stapel herausbeförderte unterste Blatt soll unterwegs durch eine Andrückwalze an sich drehende Leimwalzen gerückt und beleimt werden. Die Bewegung der Andrückwalze darf nur dann erfolgen, wenn tatsächlich ein Blatt unterwegs ist. Die Einrichtung ist so getroffen, daß die Bewegung der Andrückwalze so lange durch eine Sperrfalle verriegelt bleibt, bis ein Blatt beim Durchgang durch das Förderwalzenpaar einen Fühler niedergedrückt und dadurch die Sperrfalle außer Eingriff bringt.

Getriebe für die Vorschubbewegung der Werkstücke

Mit diesem Beispiel sind wir bereits in einen neuen Abschnitt geführt worden, die Einrichtungen zum Vorschub der Werkstücke. Aus der großen Fülle der Möglichkeiten seien nur einige Beispiele ausgewählt, die eine besondere Eigenart aufweisen. Der Vorschub der Packung in einer geradlinigen Füll- und Schließmaschine ist in Abb. 43 bis 46 dargestellt, siehe auch Abb. 76. Die Aufgabe besteht hier darin, die Packungen innerhalb der geraden Führung absatzweise unter gleichzeitigem geringen Hochheben vorwärtszuschieben und während

des Stillstandes zur Vornahme der Arbeitsverrichtung festzuhalten. Die Abbildungen zeigen, wie die Aufgabe mit Hilfe von drei Schubkurventrieben gelöst wurde.

Eine Weiterentwicklung dieses Vorschubs ist in Abb. 47 bis 50 angegeben. Diese Konstruktion ist dadurch bedingt, daß der Füllvorgang in der Maschine auf folgende Weise erfolgen mußte. Auf einer Vorfüllstelle erfolgt bei jeder Umdrehung der Maschine die Grobfüllung in die stillstehende Packung. Je zwei vorgefüllte Packungen werden gleichzeitig auf zwei Auswiegestellen gebracht, wo ihnen während zweier Umdrehungen der Maschine so lange Füllgut zugeführt wird, bis der Waagbalken ausschlägt und die Zufuhr absperrt. Die beim gewöhnlichen Vorschub, Abb. 43 bis 46, zur Verfügung stehende Stillstandzeit hätte zur Vornahme dieser Auswiegung nicht ausgereicht. Nach vollzogenem Auswiegen werden die zwei Packungen gleichzeitig weitergeschoben und gelangen dann anschließend in den gebräuchlichen Vorschub, Abb. 43 bis 46. Das Schema für diesen neuartigen Vorschub ist in Abb. 50 wiedergegeben. Die Lösung der Aufgabe selbst ist gelungen mittels einer mit der halben Geschwindigkeit der Maschine laufenden Welle, auf welcher drei Kurvenscheiben sitzen.

Abb. 51
Blattzuführung vom Stapel mit umlaufenden Leimauftragsegmenten.

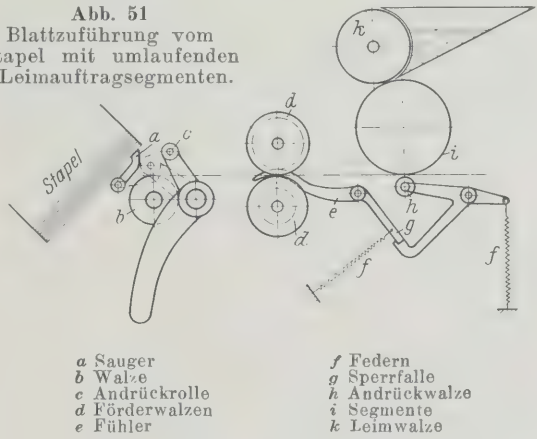


Abb. 52
Blattzuführung von der Rolle.

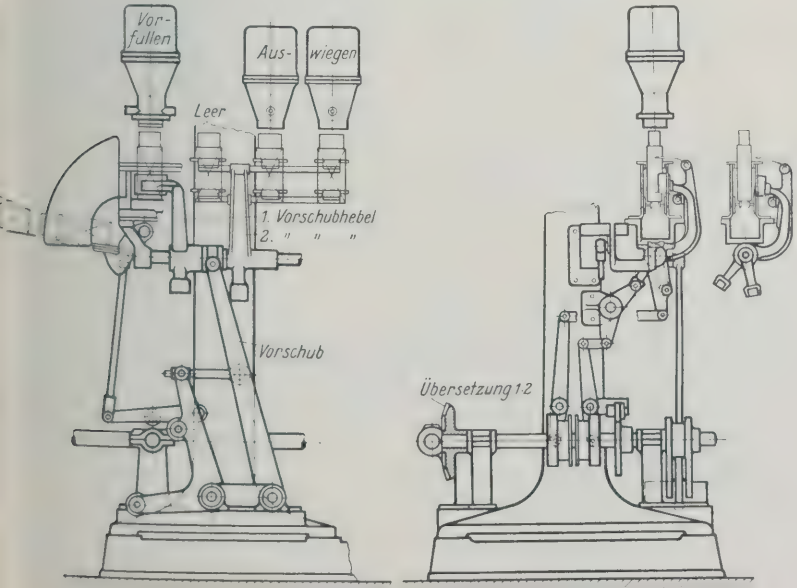
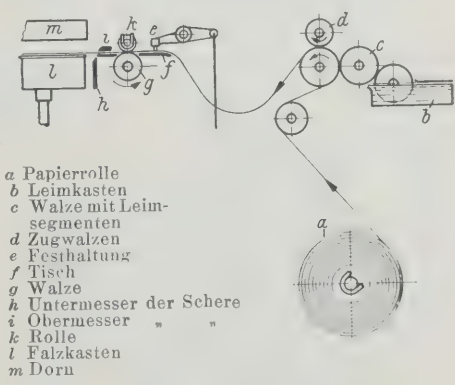
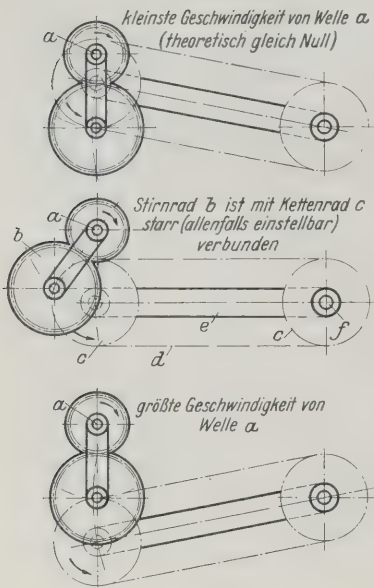


Abb. 47 bis 49 (links)
Rückweiser Vorschub der Packung in einer geradlinigen Füll- und Schließmaschine mit einer Vorfüllstelle und zwei gleichzeitig arbeitenden Auswiegestellen.

Vorfüllen	Leer	Auswiegen	Auswiegen	Leer	Schließstelle	Schließstelle
1						
2	1					
3		2	1			
4	3		2	1		
		4	3			
			4	3	2	1
				4	3	2
					4	3

Abb. 50. Schema des Vorschubes, Abb. 47 bis 49.



Als Gegenstück zu der in Abb. 51 gezeigten umlaufenden Blattzuführ ist in Abb. 52 der Leimaufrag und Vorschub dargestellt, wenn das Blatt einer Rollbahn abgenommen wird, s. a. Abb. 76 und Titelbild. Der linke Teil Einrichtung bewirkt unterbrochenen Vorschub der Bahn, die durch die Einrichtung rechts mit gleichförmiger Geschwindigkeit von der Rolle abgezogen und leimt wird.

Ein Getriebe, das die gleichförmige Drehung einer Welle in eine ungleichförmige oder absatzweise erfolgende verwandelt, zeigen Abb. 53 bis 55. Diese Getriebe werden beispielsweise zum Antrieb bei Anlege- und Auslegevorrichtung Druckmaschinen benutzt, die insofern als Hilfsmaschinen der Verpackungsmaschine bezeichnet werden können, als sie der Vorbereitung der Packmittel dienen.

Getriebe für die Arbeitsbewegung der Werkzeuge

Noch vielseitiger und in der Fülle der Lösungen fast unerschöpflich sind die Getriebe, die den Werkzeugen die zur Erzielung des Arbeitshubes erforderliche Bewegung erteilen. Vielfach können dabei die Werkzeuge erst nach dem Eintreten des Werkstückes an der Arbeitsstelle herangeführt werden und müssen sich im vollzogenen Arbeitshub zurückbewegen, um das Werkstück zum Vorschub die nächste Arbeitsstelle freizugeben. Aus Gründen der Wirtschaftlichkeit wird oft der ganze Bewegungsvorgang mittels einer einzigen Kurvenscheibe bewerkstelligt. Es seien hierfür einige Beispiele gezeigt.

Abb. 53 bis 55 (links oben)
Getriebe zur Umwandlung der gleichförmigen Drehung einer Welle in eine ungleichförmige oder ruckweise erfolgende Drehung.

- a Welle
- b Kettenrad
- c Stirnrad
- d Kette
- e Lenker
- f Antriebswelle

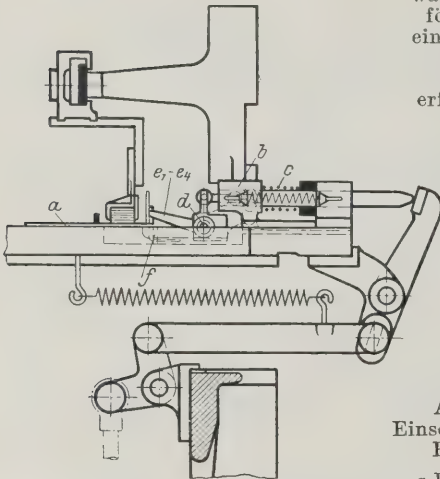


Abb. 56 und 57
Einschneider für eine Paketmaschine.

- a Papierblatt
- a₁ bis a₄ Einschnitte
- b Werkzeugschlitten
- c Druckfeder
- d Scherenachse
- e₁ bis e₄ Scheren
- f Anschlag

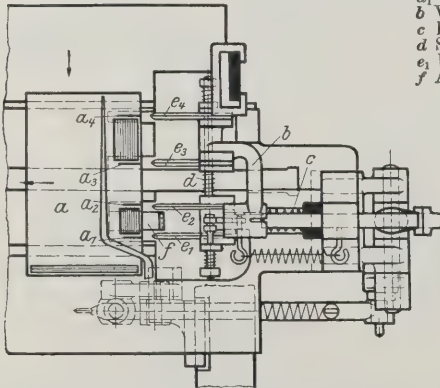
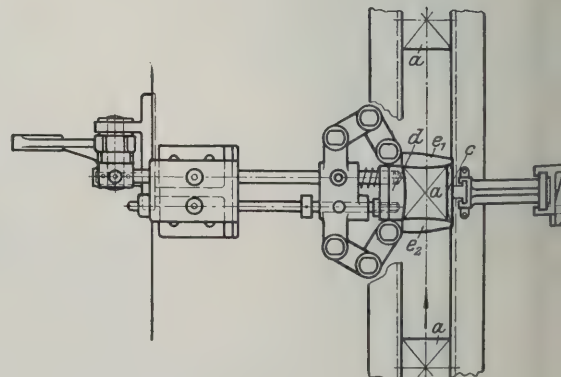
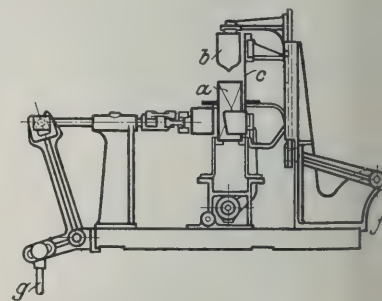


Abb. 58 bis 60
Einpressen des Füllgutes mit Gegenpreßeinrichtungen in einer geradlinigen Füll- und Schließmaschine.

- a Packung
- b Einpreßstempel
- c, d Gegenpreßwände
- e₁, e₂ Gegenpreßböcken
- f Antrieb für Einpreßstempel b und Gegenpreßwand c
- g Antrieb für Gegenpreßwand d und Gegenpreßböcken e₁ und e₂



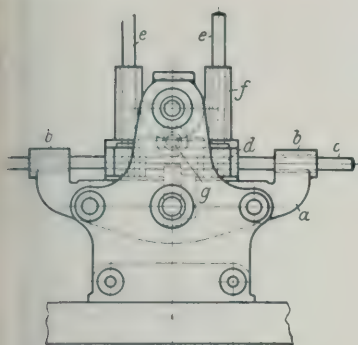


Abb. 61
Maschine zum Bearbeiten
(Stanzen u. a.) einer mit
gleichförmiger Ge-
schwindigkeit bewegten
Stoff- oder Papierbahn.
a Gestell
b Führungsaugen
c wagerechte Führungstange
d Schlitten (Matrizenträger)
e senkrechte Führungstangen
f Schlitten (Stanzwerkzeug-
träger)
g umlaufender Antriebskurbel-
zapfen

is Steuergestänge seine Bewegung um, so erfolgt zu-
st die Rückbewegung des Werkzeuges und dann die
ückbewegung des Schlittens.

Die Arbeitsstelle einer geradlinigen Füll- und Schließ-
maschine ist in Abb. 58 bis 60 dargestellt. Ein Druck-
empel preßt den Inhalt einer gefüllten, offenen Packung
sammen, während gleichzeitig die Packung von vier
iten umschlossen wird, damit die Wände der Packung
ch nicht ausbauchen. Zum Antrieb der ganzen Einrich-
ung sind nur zwei Schubkurventriebe erforderlich.

In Abb. 61 zeigt ein auf einem hin und her gehenden
chlitten angeordnetes, ab und auf gehendes Stanzwerk-
zeug, das an einer mit gleichförmiger Geschwindigkeit
bewegten Papierbahn die erforderlichen Ausschnitte aus-
anzt. Der Antrieb erfolgt am Werkzeugträger mittels
nes Kurbelhebelzapfens, dessen Umfangsgeschwindig-
keit gleich der Geschwindig-
keit der Papierbahn ist. Da-
durch erreicht man, daß in
em Augenblick des Stanzens
as Stanzwerkzeug relativ zur
'apierbahn stillsteht.

Regel- und Verstell-
einrichtungen

Recht bemerkenswerte ki-
ematische Aufgaben stellen
ielfach die Regel- und Ver-
teileinrichtungen dar, die
chon vorher erwähnt worden
ind. Auf die Eigenart dieser
inrichtungen sei an der Hand
iniger Beispiele hingewiesen.

Abb. 62 bis 64 zeigen eine
Kolbenabfüllmaschine mit
wei abwechselnd schwingen-
en Kolben a und b. Das
etriebe, das den Hub für
eide Kolben gleichzeitig re-
elt, ist schematisch in Abb. 64
iedergegeben. Die beiden
en Kolbenhub bewirkenden
chubkurventriebe sind durch
inen Schwinghebel gekuppelt,
essen Drehpunkt durch Dre-
en eines Handrades verschoben
werden kann.

Abb. 67 bis 70
Tellerabfüllmaschine zum
gleichzeitigen Abfüllen zweier
Arten von Füllgut.

bis e Meßräume, dem gleichen Füll-
gut zugeordnet
a, h Füllgutzuführungen für Meß-
räume a bis e
Teller
Verstellmuffe für Meßräume a
b
c
o, p Verstellgetriebe mit Hand-
rädern
Abchütttrichter-
Packung

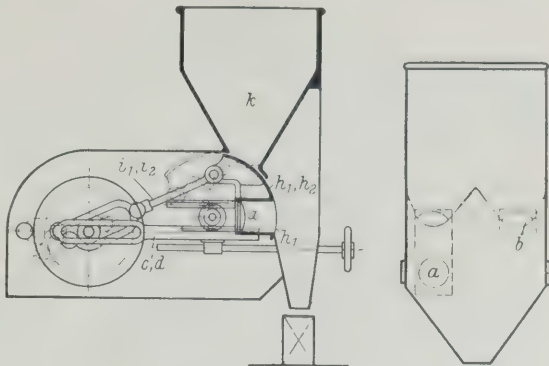


Abb. 62 und 63
Kolbenabfüllmaschine mit zwei abwechselnd
schwingenden Zylindern.

a, b Meßkolben c, d Schubkurventriebe für die Meßkolben
e Schwinde f verstellbarer Drehpunkt der Schwinde g Handrad
h1, h2 Meßtrommel i1, i2 Schubkurventriebe für die
Meßtrommel k Vorratsraum

Abb. 64
Schema des
Getriebes zu
Abb. 62 und 63.

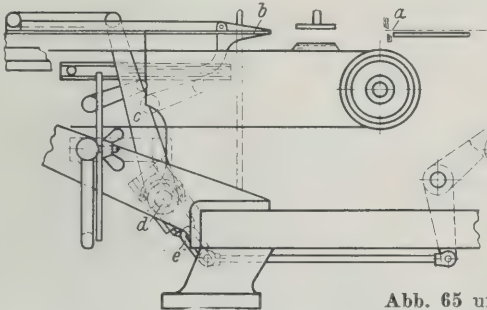
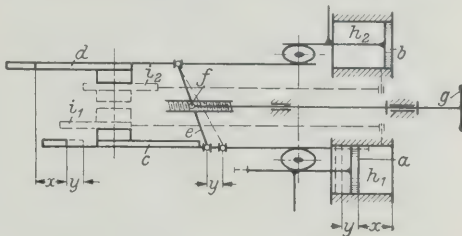


Abb. 65 und 66
Zange zum ruckweisen Vorziehen einer Papierbahn.

a Papierbahn b Zange c Schwinde d Drehpunkt der Schwinde e Antriebskurbel f Verstellhebel

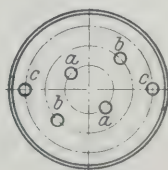
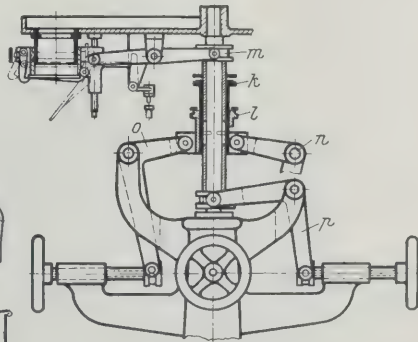
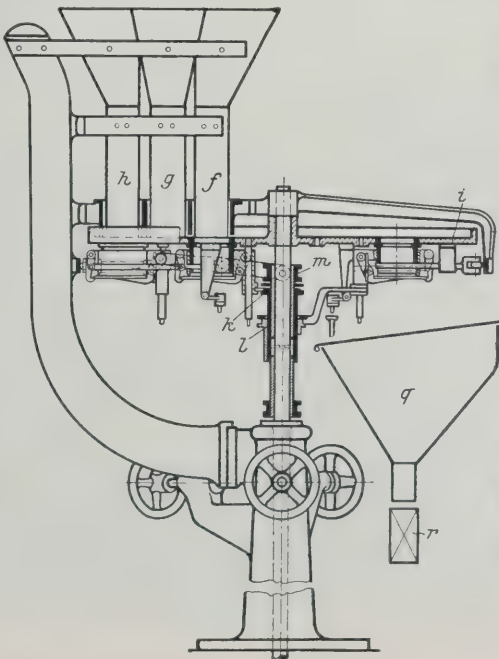


Abb. 69

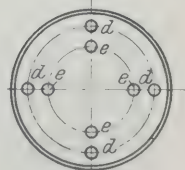


Abb. 70

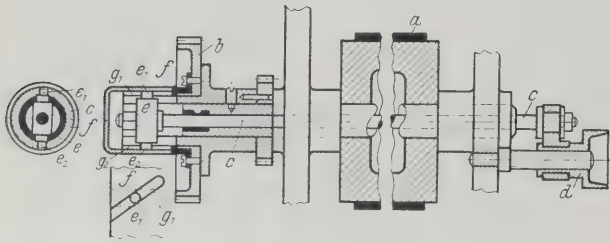


Abb. 71 bis 73 (oben)
Stellvorrichtung für die
Formwalzen einer Mehr-
farben-Umlaufdruck-
maschine.

- a Formwalze
- b Antriebzahnrads
- c Regelstange
- d Handrad
- e Kupplungsstück mit
Zapfen e₁ und e₂
- f Muffe mit Schlitzen g₁
und g₂

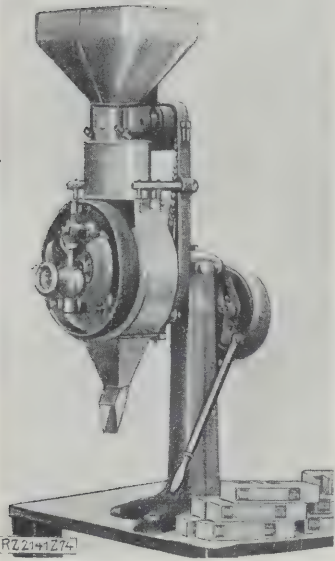


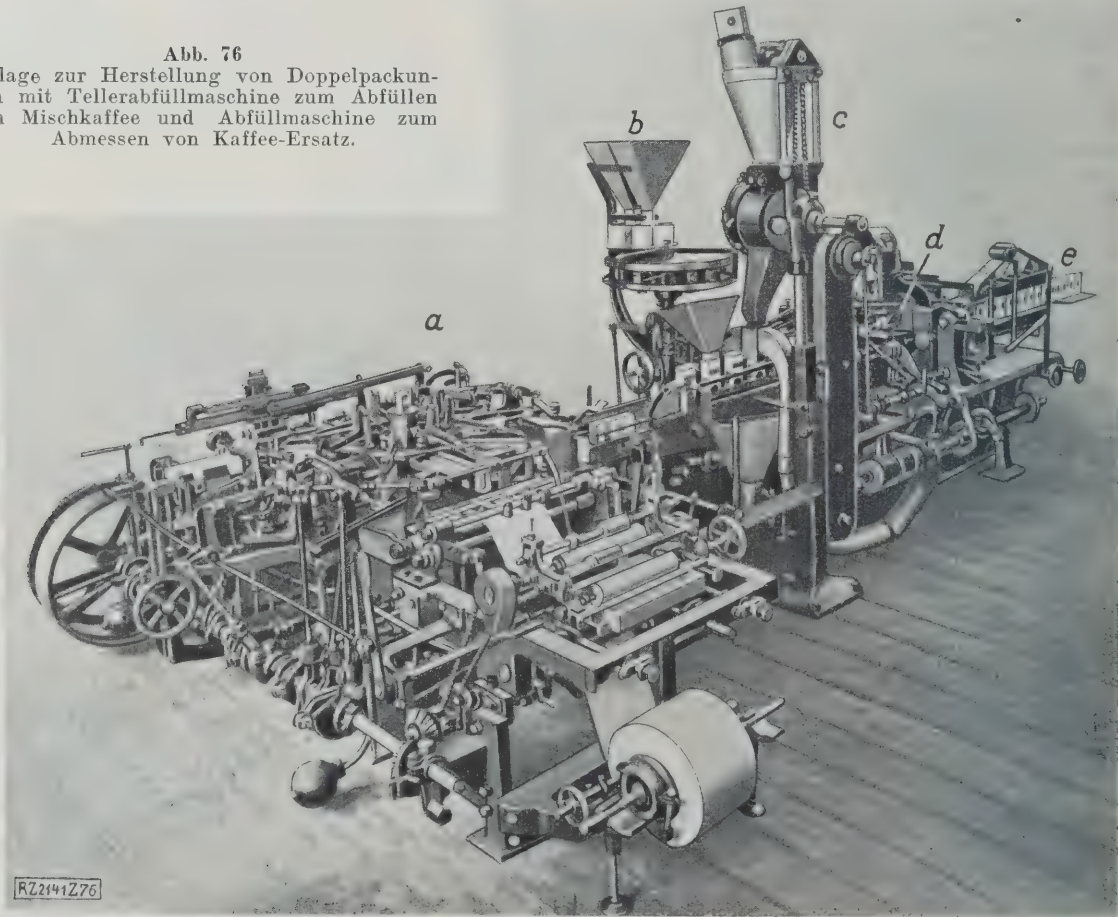
Abb. 74
Abfüllmaschine für san-
diges oder mehrfarbiges
Füllgut.

Eine Zange zum ruckweisen Vorziehen einer Papi-
bahn zeigt Abb. 65 und 66. Der Hub dieser Zange soll
in engen Grenzen während des Betriebes verstellbar
sein können. Die Aufgabe wurde in der Weise gelöst,
daß man den Hebelarm des Antriebhebels, an den die
Gestänge des Schubkurventriebes angreift, in engen
Grenzen während des Laufs der Maschine veränderbar
kann.

Eine etwas verwickeltere Aufgabe ist in Abb. 67
bis 70 dargestellt. Hier handelt es sich um eine Teil-
abfüllmaschine, deren stetig umlaufender Teller eine An-
zahl Füllräume trägt, die aus zwei ineinander verschie-
baren und durch eine Klappe abgeschlossenen Zylindern
bestehen. Durch Anordnen der Abfüllräume nach Abb. 67
können drei Arten Füllgut in gleichmäßigem Wechsel
abgemessen werden. Bei der Anordnung nach Abb. 68
kann man gleichzeitig zwei Arten Füllgut getrennt ab-
füllen, die im Augenblick der Abgabe zu einem Mischgut
siehe auch Abb. 76, zusammengegeben werden sollen. Die
Aufgabe bestand darin, die Regelung jeder Füllgutsonne
für sich und gleichzeitig für alle dem gleichen Füllgut zu-
geordneten Abfüllräume zu bewirken. Abb. 67 und 68
zeigen die Lösung, wie sie für die Aufgabe nach Abb. 69
gefunden wurde.

Als letztes Beispiel dieser Art sei in Abb. 71 bis 73
die Einrichtung gezeigt, die an Mehrfarben-Rotation-
druckmaschinen während des Betriebes ein Vor- oder
Zurückstellen der Formwalzen gestattet, wenn das Re-
gister nicht genau stimmt. Die Lösung besteht darin,
daß Antriebszahnrad und Formzylinder nicht unmittel-
bar miteinander gekuppelt sind, sondern mittels zweier
schrägen Schlitzen geführter Stifte, so daß beim Ver-
schieben der Stifte in axialer Richtung ein Verdrehen
des Formzylinders gegenüber dem Antriebszahnrad ein-
tritt.

Abb. 76
Anlage zur Herstellung von Doppelpackun-
gen mit Tellerabfüllmaschine zum Abfüllen
von Mischkaffee und Abfüllmaschine zum
Abmessen von Kaffee-Ersatz.



a Hersteller der Packungen b, c Abfüllmaschinen d Schließvorrichtung e Auslauf

Ausgeführte Anlagen

Zum Schlusse seien noch einige kennzeichnende Bauten von Verpackmaschinen gezeigt. Abb. 74 stellt eine Abfüllmaschine²⁾, siehe auch Abb. 34, dar, um Füllgut sandiger oder mehligter Beschaffenheit fortlaufend in gleichen Mengen abzumessen. Die Packungen, die die gemessenen Füllgutmengen aufnehmen, werden von oben her- und weggebracht. Eine Anlage zum Abfüllen von Scheuerpulver und ähnlichem zeigt Abb. 75. Die Abfüllmaschine *a* ist nach den in Abb. 62 bis 64 dargestellten Grundsätzen aufgebaut. Die gefüllten Dosen, auf die man mit der Hand die Verschußdeckel aufsetzt, werden von der Schließmaschine *b* selbsttätig geschlossen. Eine Anlage, wie sie zum wahlweisen Abpacken von Mischkaffee oder Kaffee-Ersatz geliefert wurde, zeigt Abb. 76. Die Maschine *a* stellt die füllfertigen Doppelpackungen, bestehend aus Innenbeutel und Papphülle, her. Die lange Maschine füllt und schließt die Packungen. Zum Abmessen des Mischkaffees dient eine Tellerabfüllmaschine *b*, deren Schema in Abb. 67 bis 70 erläutert ist. Zum Abmessen des Kaffee-Ersatzes dient eine Abfüllmaschine *c* nach Abb. 74. Eine Anlage zum Abpacken von Malzkaffee und dergl. in Beuteldoppelpackungen zeigt das Titelbild. Die Maschine stellt die offenen, füllfertigen Beutel her und tut mit einer nach den Grundsätzen des Revolverkopfes an Werkzeugmaschinen gebauten Füll- und Schließmaschine durch eine selbsttätige Vorschubeinrichtung verbunden. Das Füllgut wird hier nicht nach Mengen gefüllt, sondern durch drei wechselweise arbeitende selbsttätige Waagen abgewogen.

Entwicklungsaufgaben

Vielfach mußten Andeutungen genügen, um wenigstens skizzenhaft erkennen zu lassen, welcher Art die im Verpackmaschinenbau auftretenden Getriebefragen sind. Manche Punkte blieben zunächst unerwähnt. Wenn es Ausführungen eine tiefergehende Ordnung vermissen lassen, so liegt das an der Ausdehnung, der Vielseitigkeit und der raschen Weiterentwicklung dieses Gebietes. Viele kinematische Aufgaben auf diesem Gebiet sind von ingenieurtechnischen Praktikern, den Leuten aus der Werkstatt, in vorbildlicher Weise gelöst worden. Aber wie auf den meisten Gebieten ist jetzt die Planung und Gestaltung dieser Maschinen fast ganz in die Hand besonderer Konstrukteure übergegangen. Der technische und wirtschaftliche Erfolg ihrer Tätigkeit hängt neben andern wichtigen Punkten von ihrem getriebetechnischen Können ab. Die Absolventen der technischen Schulen verschiedenen Grades neigen dazu, derartige Sondergebiete als nicht vollberechtigt und ihrer Aufmerksamkeit nicht würdig anzusehen. Wer sich aber vorurteilsfrei und mit Interesse solchen Sondergebieten zuwendet, wird persönlich viel Entwicklungsmöglichkeit und Befriedigung finden. Wer von der Schule eine gute Ausbildung in der Getriebelehre mitbringt, wird gar bald spüren, wie sie ihm die Fähigkeit gibt, die fast täglich auftretenden kinematischen Aufgaben in ihrem Wesenskern zu erfassen und in zwangsläufig folgerichtigen Vorgehens rasch in brauchbarer Form zu lösen. Es besteht kein Zweifel, daß die Weiterentwicklung der Technik gerade auf solchen Gebieten an den Konstrukteur immer neue und steigende Anforderungen stellen wird. Daher möchte ich die Ausführungen des jüngst verstorbenen Fabrikanten Hugo³⁾, der sehr wertvolle Entwicklungsmöglichkeiten der Getriebelehre aufzeigte, unterstreichen. Bis diese Dinge reifen, ist es wichtig, daß jetzt schon in den technischen Schulen, voran an den technischen Hochschulen, die Getriebelehre als wertvolles Lehrfach entsprechend zur Geltung kommt. Dabei scheint mir außerordentlich wichtig, den Vorlesungen Übungen anzu-

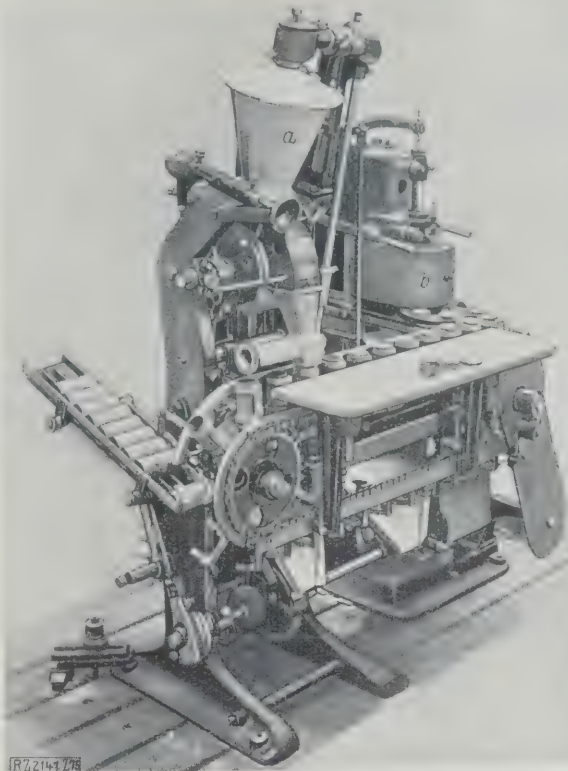


Abb. 75
Abfüllmaschine für Scheuerpulver mit selbsttätiger Schließmaschine.

a Abfüllmaschine b Schließmaschine

gliedern, in denen bestimmte Aufgaben, für welche die Praxis Anregung genug bietet, kinematisch gelöst oder vorhandene Lösungen einer kinematischen Kritik unterzogen werden.

[B 2141]

Neues Verfahren zum Erzeugen von Eis

Man hat schon wiederholt versucht, den üblichen Vorgang der Klareiserzeugung, der darin besteht, daß man in ruhenden, gekühlten Blechkasten Wasser einfach gefrieren läßt, zu beschleunigen und zu verbilligen. Neuerdings hat die Flakeice Corporation ein Verfahren erprobt, das Ausichten auf Fortschritte zu bieten scheint. Nach diesem Verfahren läßt man eine von innen her gekühlte Trommel, die teilweise in Wasser eintaucht, langsam umlaufen, so daß das Wasser am Mantel der Trommel festfriert. Dieser Mantel, der aus mehreren parallelen Bändern aus nichtrostendem Metall besteht, also biegsam ist, wird mittels gesteuerter Rollen an gewissen Stellen des Umlaufes nach außen aufgebogen, so daß das Eis in kleinen Blättchen abspringt. Es wird dann mittels eines ständig bewegten Rechens aus dem Wasser aufgefischt und auf seinem Wege durch den Kasten der Maschine so weit wasserfrei gemacht, daß man es auf einem Haufen ablagern kann.

Die Eisblättchen haben im allgemeinen etwa 25 mm Länge und Breite sowie 3 mm Dicke, doch kann man auch dickere erzeugen. Man erhält so eine Art Schnee, den man für alle Zwecke verwenden kann, für die man sonst Klareis zerkleinern muß. Auch für den Versand von gekühlten Waren eignet sich diese Form des Eises gut. Das Wesentliche ist aber wohl, daß die ganze Maschine schnell und ohne Unterbrechung arbeitet, verhältnismäßig wenig Raum einnimmt und daß, da die Kühltrommel in einem gut isolierten Kasten umläuft, geringere Verluste durch Eindringen von Wärme entstehen, so daß die Eiserzeugung verbilligt wird. („Refrigerating Engineering“ Februar 1929 S. 35) [N 2847]

H.

²⁾ DRP Nr. 415516.
³⁾ „Maschinenbau“ Bd. 7 (1928) Heft 11 S. 523.

Hauptformen des zweiachsigen Lokomotiv-Laufgestells

Von Dr.-Ing. L. SCHNEIDER, München

Untersuchungen über das Verhalten verschiedener Bauarten von zweiachsigen Lokomotiv-Laufgestellen gegen störende Lokomotivbewegungen und bei windschiefer Gleislage. Längs- und Querbelaustungsausgleich. Rückstellvorrichtungen und Größe der Rückstellkraft. Größe der ungefederten Massen. Entgleisungsmöglichkeit.

Zweiachsige Drehgestelle mit Laufachsen werden verwendet bei Dampflokomotiven der Achsfolge 2 B, 2 B 1, 1 B 2, 2 C, 2 C 1, 1 C 2, 2 D, 2 D 1 usw. und bei ähnlichen Bauarten elektrischer Lokomotiven, wie 2 B B 2, 2 A₁ u. a., also bei den z. Zt. häufigsten Bauarten der Personen- und Schnellzuglokomotiven. Ihre Aufgabe ist eine mehrfache, statischer und dynamischer Art: die Übernahme eines Teils des Lokomotivgewichts, die Ermöglichung der Bewegung vielachsiger Lokomotiven durch Gleiskrümmungen und die Führung des Fahrzeuges bei der Einfahrt in Krümmungen, in den Krümmungen selbst und in der Geraden. Die Aufgabe der Führung tritt besonders dann in Erscheinung, wenn das Drehgestell voranföhrt, was in der Regel der Fall ist.

Die bauliche Durchbildung der zweiachsigen Laufgestelle ist ziemlich verschieden; wohl weil es sich um einen der wichtigsten Lokomotivteile handelt, dessen zweckmäßigste Ausführung auf verschiedenartige Weise versucht wird. Es ist noch keine Übereinstimmung der Konstruktionen erzielt worden. Daher mag es angebracht erscheinen, die gegenwärtig gebräuchlichsten Bauarten auf ihre Haupteigenschaften zu untersuchen und festzustellen, welche Bauart die meisten Vorteile in sich vereinigt.

Grundsätzliche Konstruktionsbedingungen

Die Erfüllung der Aufgabe, die Bogenläufigkeit der Lokomotive zu ermöglichen, bedingt die Aufnahme der beiden Laufachsen in einen vom Hauptrahmen getrennten Drehgestellrahmen und die gelenkige, meist auch seitenverschiebbliche Verbindung der beiden Rahmen. Die weitere Aufgabe der Führung des Fahrzeuges verlangt eine möglichst unveränderliche Belastung der Räder des Drehgestelles durch den Hauptrahmen, die Übernahme seitlicher Führungskräfte, gefederte Lastübertragung auf die Laufachsen und eine gewisse Dämpfung der gelenkig-nachgiebigen Rahmenverbindung. Hieraus ist schon zu ersehen, daß die vollkommene Erfüllung beider Aufgaben zu Widersprüchen führen muß.

Hauptrahmen und Drehgestellrahmen sind mittels eines Drehzapfens verbunden, der fast immer symmetrisch zu beiden Laufachsen in der Lokomotivlängsachse liegt. Ein Vorschlag¹⁾, den Drehzapfen über der zweiten Laufachse anzuordnen, ist meines Wissens mit Erfolg nie ausgeführt worden. Für das symmetrische Drehgestell sprechen Gründe der einfacheren Konstruktion und unter Umständen Gründe der Gewichtsverteilung. Infolge der seitlich nachgiebigen Lagerung des Drehzapfens im Drehgestellrahmen wird der guten Bogenläufigkeit völlig und der Führung ausreichend Genüge geleistet.

Drehgestell mit vereinigttem kugeligem Dreh- und Stützzapfen

Der Dreh- und Führungzapfen wird in zwei grundsätzlich verschiedenen Formen ausgebildet, nämlich als reines Drehgelenk, oder als vereinigtter Dreh- und Stützzapfen. Diese ist am verbreitetsten und ergibt eine einfache Konstruktion, in der sich das Kräftespiel leicht verfolgen läßt. Ein Beispiel ist in Abb. 1 bis 3 dargestellt, ausgeführt an einer von Maffei, München, für eine spanische Bahn gebauten 2 C 1-Schnellzuglokomotive mit Vierzylinder-Verbundmaschine²⁾.

Mit der in der Lokomotivmittelebene verschraubten Zylindergruppe ist der kugelige Dreh- und Stützzapfen *a* aus Stahlguß fest verbunden, der eine allseitig freie Einstellung erlaubt und in einer gußeisernen Spurfanne *b* ruht. Diese überträgt die Last über eine gehärtete Zwischenlage auf ein Stahlgußstück *c*, das mittels der vier Pendel *d* an der Querversteifung des Drehgestellrahmens hängt und quer zu diesem ausschwingen

kann. Der Drehgestellrahmen ruht auf vier einzeln miteinander nicht verbundenen Federn *e*, die sich auf Achslager der Laufachsen stützen.

Geometrische und statische Verhältnisse

Die vom Dreh- und Stützzapfen *a* auf den Drehgestellrahmen übertragene Last beträgt $P = 17\,000$ kg. Die Pendel *d* bilden in der Mittellage mit der Senkrechten einen Winkel $\alpha = 14^\circ 5'$. Bei einer Querverschiebung des Zapfens *a* im Drehgestellrahmen ändert sich α zu $\alpha + \beta$ oder in $\alpha - \beta'$. Während in der Zapfenmittellage sich die am Drehgestellrahmen angreifenden nach innen gerichteten wagerechten Kräfte das Gleichgewicht halten, entsteht bei seitlicher Auslenkung des Drehgestellrahmens eine Rückstellkraft von der Größe

$$\frac{P}{2} [\operatorname{tg}(\alpha + \beta) - \operatorname{tg}(\alpha - \beta')].$$

Die größte seitliche Auslenkung des Dreh- und Stützzapfens beträgt in diesem Beispiel 58 mm; hierbei wird $\beta = 12^\circ 13'$, $\beta' = 11^\circ 42'$. Der Unterschied $\operatorname{tg}(\alpha + \beta) - \operatorname{tg}(\alpha - \beta')$ beträgt 0.452. Bei der größten Auslenkung erreicht somit die Rückstellkraft einen Wert von $0.226 P = 3840$ kg. Einer Auslenkung um nur 5 mm entspricht eine Rückstellkraft von $0.0178 P = 300$ kg. Auslenkungen in dieser Größenordnung kommen bei Schlingern in gerader Fahrt vor.

Wären die Pendel *d* nicht schräg, sondern senkrecht angebracht, so stellten sie sich bei der größten Auslenkung von 58 mm um $\beta'' = 11^\circ 32'$ gegen die Senkrechte und die Rückstellkraft wäre $P \operatorname{tg} \beta'' = 0.204 P = 3460$ kg, somit um 380 kg geringer als bei schräg angeordneten Pendeln. Bei nur 5 mm Auslenkung wäre die Rückstellkraft $0.0173 P = 290$ kg, also um 10 kg geringer. Die Anordnung schräger Pendel statt senkrechter ergibt also einen kleinen Vorteil, da die Rückstellkräfte etwas größer ausfallen.

Die Aufhängung des Drehgestellrahmens an Pendel und seine Abstützung auf den Achslagern mittels vier Tragfedern erweist sich als eine sehr einfache Konstruktion. Die ungefederten Massen des Drehgestells, nur an Radsätzen, Achslagern und Tragfedern bestehend, sind gering; bei der in Abb. 1 bis 3 gezeigten Ausführung betragen sie zusammen nur 3070 kg. Dabei ist die Bauraumhöhe von 1676 mm und der große Laufraddurchmesser von 975 mm zu berücksichtigen.

Das Verhalten im Betrieb

Der Hauptvorteil dieses Drehgestells liegt in der gleich verteilten Belastung dank des kugeligen Dreh- und Stützzapfens und in der unbeschränkten Einstellmöglichkeit gegen den Hauptrahmen aus der wagerechten Ebene heraus, so daß ein Wanken des Hauptrahmens oder eine Verwindung um seine Längsachse, wie es regelmäßig beim Befahren windschiefer Gleisanlagen oder zufällig bei minder gutem Oberbau vorkommt, fast ohne Einfluß auf die Radbelastung bleibt. Die Gefahr, daß die Drehgestellräder teilweise entlastet und dadurch Entgleisungen begünstigt werden, weil die Räder an den Schienen hochklettern können, ist hier nicht vorhanden.

Wenn die Lokomotive mit hoher Geschwindigkeit über Gleisunebenheiten fährt, so könnte, nach dem ersten Anschein geurteilt, die Möglichkeit bestehen, daß das Drehgestell über Gleistäler hinwegfliege, daß also die Berührung zwischen Schienen und Laufrädern verloren ginge. Die Radsätze werden sich aber in diesem Falle nicht mit der Fallbeschleunigung senken, sondern auch von den Tragfedern an die Schienen angepreßt werden. Z. B. bei einem Abstand der führenden, ersten Laufachse von der im Hauptrahmen gelagerten ersten Kuppelachse von 4 m und einer Fahrgeschwindigkeit 120 km/h. Befindet sich die fu

¹⁾ Vergl. Schweiz. Bauzeitung Bd. 82. (1923) S. 218.

²⁾ Vergl. Organ Bd. 52. (1915) S. 384.

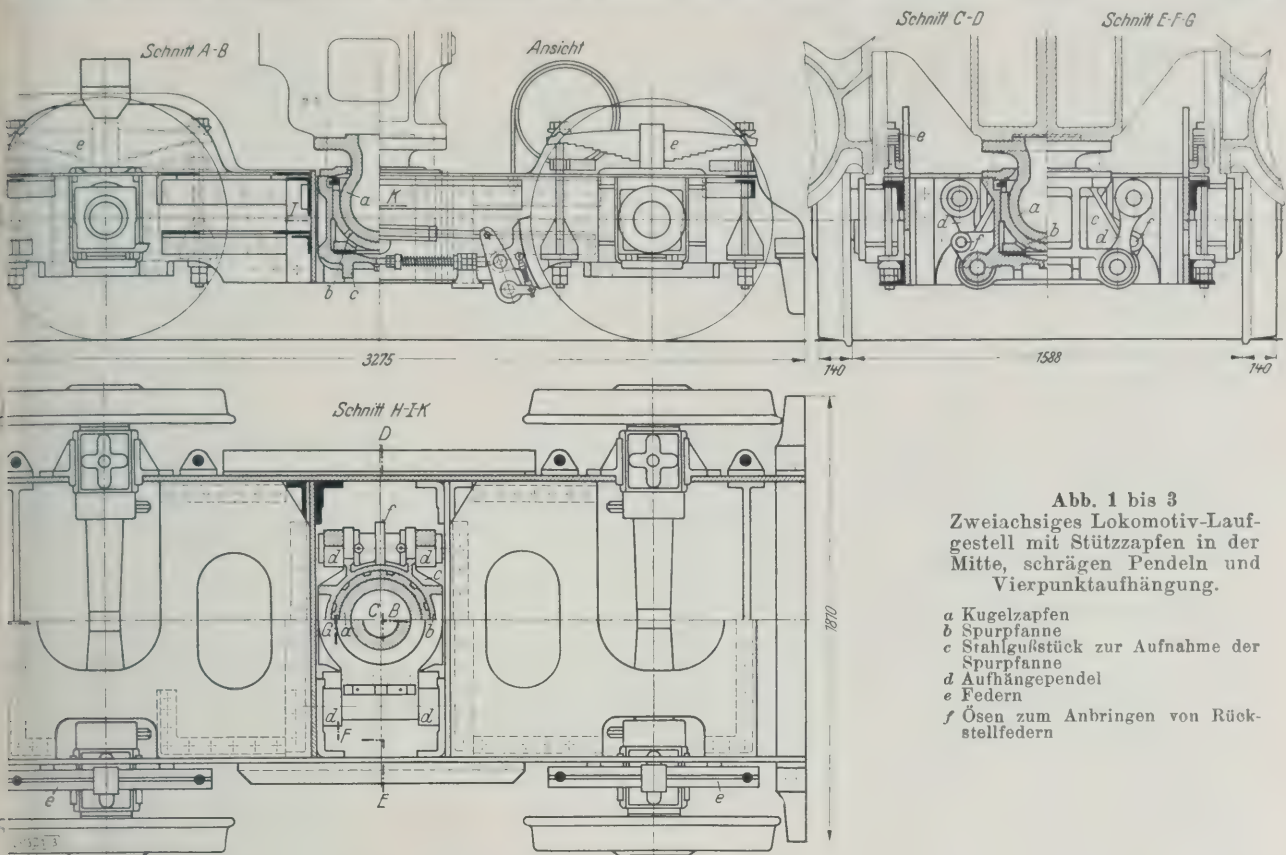


Abb. 1 bis 3
Zweiachsiges Lokomotiv-Laufgestell mit Stützapfen in der Mitte, schrägen Pendeln und Vierpunktaufhängung.

ende Laufachse gerade über einem Gleistal, so müssen noch 4 m zurückgelegt werden, bis sich der Hauptrahmen senkt. Dieser bleibt also zunächst in seiner Höhenlage. Die 4 m werden in $\frac{3600 \cdot 4}{120000} = 0,12$ s zurückgelegt. In dieser Zeit kann die Laufachse um $\frac{g t^2}{2} = 9,81 \cdot \frac{0,0144}{2} = 0,0706$ m = 70,6 mm herabfallen. Auch bei schlechtestem Oberbau betragen die Unterschiede in der Gleishöhenlage nicht entfernt 70,6 mm auf 4 m Länge. Die Laufräder „schweben“ also niemals über den Schienen, sondern ruhen darauf mindestens mit einem erheblichen Teil des Gewichts der Radsätze.

Die Spurkranzreibung verleitet bekanntlich die Lokomotivräder zum Aufsteigen an der Schiene. Mit der Größe des Führungsdruckes wächst die Neigung zum Hochklettern. Dieser Neigung entgegen wirkt die senkrechte Belastung des Rades. Tritt also infolge irgendwelcher Umstände eine merkliche Entlastung des Rades ein, so ist die Entgleisungsgefahr gegeben. Die Höhe des Spurkranzes beträgt bei den Hauptbahnen etwa 27 mm. Wir müssen uns nun fragen, was eintreten wird, wenn ein Laufradsatz gegenüber dem Hauptrahmen zwar nicht 70,6, aber 27 mm senkrechtes Spiel bekommt.

Ist die senkrechte Verbindung der beiden Rahmen unnachgiebig, so wird der Drehgestellrahmen vom Hauptrahmen getragen. Der Federdruck auf die Laufachslager vermindert sich um einen Betrag, der 27 mm Pfeilhöhe entspricht. Um diese Entlastung klein zu halten, müssen die Tragfedern möglichst weich sein. Ist aber die erwähnte Verbindung nachgiebig, so wird sich das ganze Laufgestell mit der Fallbeschleunigung senken. Die Tragfedern werden zwar, wenn sich der Hauptrahmen vom Druckgestellrahmen abhebt, von dem sonst auf ihnen ruhenden anteiligen Hauptrahmengewicht entlastet, aber sie drücken mit einer Kraft auf die Achsbüchsen gleich der Kraft der Massenbeschleunigung, die von ihnen auf den Drehgestellrahmen nach oben ausgeübt wird. Für die Beschleunigung der abgefederten Drehgestellmasse nach oben ist aber die ganze den Federn abgenommene Spannung frei. Auch diese Kraft nimmt mit der Federdurchbiegung ab; sie wäre null,

wenn die Feder gespannt ist, also empfehlen sich auch in diesem Falle weiche Tragfedern.

Um eine Entgleisung herbeizuführen, ist es nicht nötig, daß die beiden Räder eines Laufradsatzes weitgehend entlastet werden, vielmehr genügt schon die Entlastung eines Rades, besonders eines voranlaufenden. Auch muß nicht gerade der Führungsdruck das äußere Rad anheben, sondern dies kann eine zufällige andere Ursache sein, z. B. ein äußeres Hindernis oder auch die Spurkranzreibung des in einer Gleiskrümmung in den anlaufenden Rades. Einseitige Entlastungen sind bei gewissen Drehgestellbauarten möglich, wenn eine Lokomotive mit langem Radstand in die windschiefe Gleislage der Überhöhungsrampen ein- oder daraus ausfährt. Der Auslauf der Überhöhung betrug bisher mindestens 1 : 300, jetzt 1 : 1000. Bei einer Lokomotive mit 12 000 mm Radstand beträgt in einer Überhöhungsrampe von 1 : 300 die Verwindung des Gleises zur Ebene innerhalb des Radstandes bereits 40 mm. Das ist ein sehr hoher Betrag, der bei harten Tragfedern eine völlige Entlastung der voranfahrenden Achse auf einer Seite bewirken kann. Kurze Übergangsrampen werden noch geraume Zeit vorhanden sein, und es ist auch fraglich, ob sich die langen Rampen von 1 : 1000 überall ausführen lassen (S-Kurven!).

Ein Vorzug also der Drehgestelle mit Belastung durch Kugelzapfen in der Mitte ist, daß auch bei windschiefer Gleislage die Lastverteilung auf die vier Laufräder gleichmäßig bleibt. Von außen eingeleiteten Dreh-schwingungen des Drehgestells um seine senkrechte Achse setzt der Kugel-, Stütz- und Drehzapfen nur ein geringes Bremsmoment entgegen. Dies ist ein kleiner Nachteil.

Da nach dem Ausführungsbeispiel nach Abb. 1 bis 3 die Rückstellkraft und damit der Widerstand gegen Schlingern des Drehgestells in der geraden Strecke klein ist, sah man beim Entwurf des Drehgestells Ösen *f* vor zur etwaigen nachträglichen Anbringung von Rückstellfedern, die sich aber im Betrieb nicht als notwendig erwiesen.

Drehgestell mit Plan-Drehzapfen und Rückstellfedern

Das Drehgestell, Abb. 4 bis 6, unterscheidet sich vom vorherbeschriebenen durch die Ausbildung eines Drehzapfens als Planzapfen, die Aufhängung an parallelen

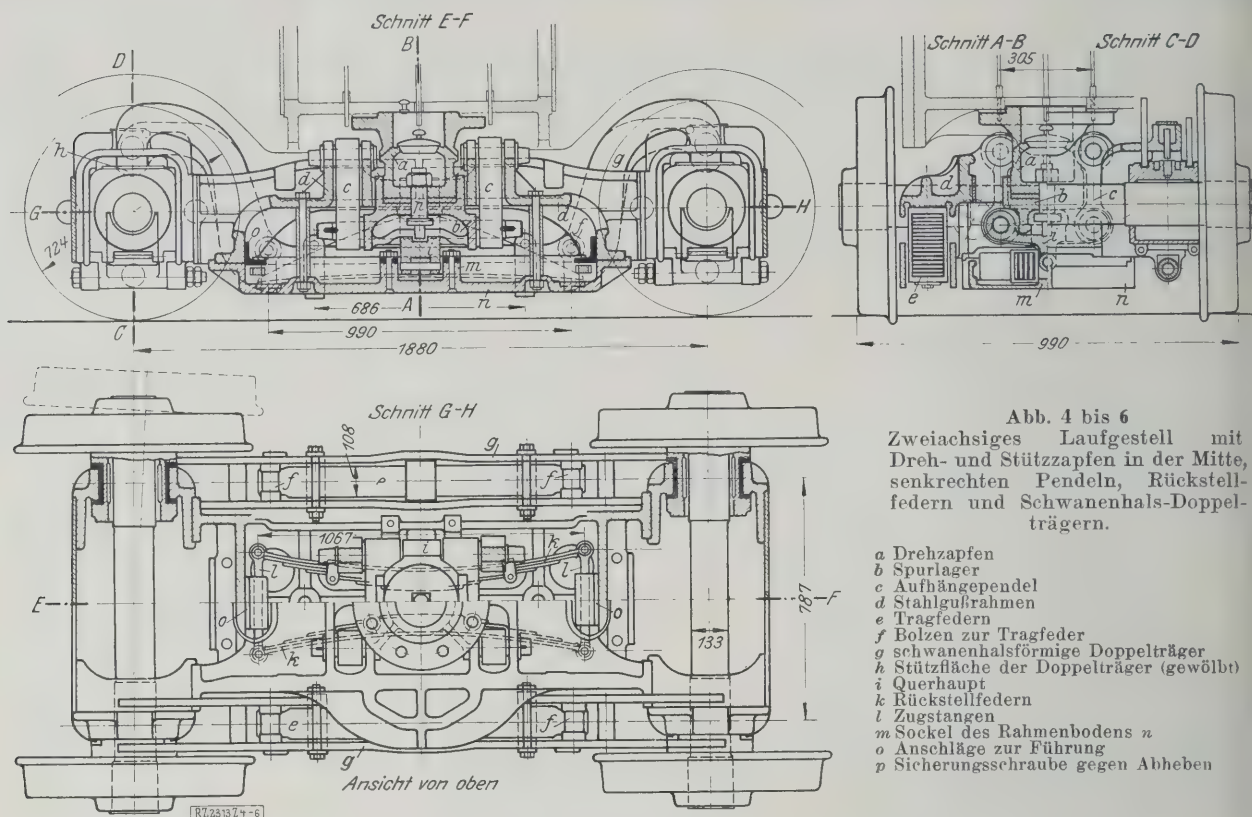


Abb. 4 bis 6
Zweiachsiges Laufgestell mit Dreh- und Stützzapfen in der Mitte, senkrechten Pendeln, Rückstellfedern und Schwanenhals-Doppelträgern.

- a Drehzapfen
- b Spurlager
- c Aufhängependel
- d Stahlgußrahmen
- e Tragfedern
- f Bolzen zur Tragfeder
- g schwanenhalsförmige Doppelträger
- h Stützfläche der Doppelträger (gewölbt)
- i Querhaupt
- k Rückstellfedern
- l Zugstangen
- m Sockel des Rahmenbodens n
- o Anschläge zur Führung
- p Sicherungsschraube gegen Abheben

senkrechten Pendeln und die Anordnung von Rückstellfedern sowie durch die Art der Abfederung. Ausgeführt ist diese Bauart an der 2 D 1-Lokomotive Gattung 15 A, gebaut von J. A. Maffei, A.-G., München, für die süd-afrikanischen Eisenbahnen nach deren Zeichnungen.

Konstruktion

Mit dem Gußstück, das die Rahmenversteifung zwischen den Zylindern bildet, ist der Drehzapfen *a* verschraubt. Er ist nach der in Amerika üblichen Weise als ebener Spurzapfen ausgeführt, der in einem Spurlager *b* ruht. Das Spurlager hängt an vier senkrechten Pendeln *c* am Stahlgußrahmen *d*, der sich auf die zwei Tragfedern *e* stützt. Die Tragfedern sind an Bolzen *f* in einem schwanenhalsförmigen Doppelträger *g* befestigt und übertragen damit die Belastung auf die Achslager. Die Bunde der Tragfedern *e* und die Stützflächen *h* der Wiegen *g* sind gewölbt, können sich also gegen ihre Auflage schräg stellen. Die unteren Zapfen der Pendel beider Seiten gehen als Stangen durch, die in der Mitte von einem Querhaupt *i* umfaßt werden. Das Querhaupt dient zugleich als Widerlager der Rückstellfedern *k*, die, an ihren Enden mittels Zugstangen *l* verbunden, sich in der Mittellage außerdem gegen den Sockel *m* des Rahmenbodens *n* legen. Die Anschläge *o* führen die Stangen *l*. Die Schraube *p* verhindert das Abheben des Drehgestells vom Hauptrahmen.

Verhalten im Betrieb

Das Drehgestell kann sich in wagerechter Ebene gegen den Hauptrahmen um den Zapfen *a* beliebig drehen, aber bei schräger Stellung gegen den Hauptrahmen wird seine Belastung etwas exzentrisch, ein Nachteil gegenüber dem Kugelstützzapfen. Die gleichmäßige Belastung der Laufräder bei Schrägstellung des Hauptrahmens zum Drehgestell in der Lokomotiv-Längsrichtung wird mittels der gleicharmigen Federn *e* in Verbindung mit den symmetrischen Doppelträgern *g* erreicht; dagegen wird bei Schrägstellung quer zur Lokomotivachse die Belastung nicht auf die beiden Seiten ausgeglichen, vielmehr werden die beiden Tragfedern *e* ungleich zusammengedrückt. Am flachen Stützzapfen treten Kantenpressungen auf. Kugelzapfen sind daher, wenn sie auch etwas schwieriger zuverlässig zu schmieren sind, im allgemeinen vorzuziehen.

Statisches Verhalten

Die Vorspannung der Federn *k* hält das Drehgestell in der Mittellage. Sie beträgt je Feder 1270 kg, zusammen also 2540 kg. Außerdem kommt die Rückstellkraft der Pendel zur Geltung, die von null an mit $P \tan \beta$ steigt, wenn *P* die Summe der durch die Pendel übertragenen senkrechten Lasten und β der Ausschlagwinkel der Pendel ist. Die größte Auslenkung des Drehzapfens nach jeder Seite beträgt 89 mm, die Länge der Pendel 241 mm. Die Pendelausschlag β bei der größten Auslenkung ergibt sich aus $\sin \beta = \frac{89}{241} = 0,370$ zu $21^\circ 43'$. Die von der Lastung $P = 10\,400$ kg des Drehgestells durch den Stützzapfen übertragene Komponente *s* der Rückstellkraft beträgt $P \tan \beta = 0,398 P = 4140$ kg. Dazu kommt noch die rückstellende Kraft der Federn *k*. Diese berechnet sich für eine Feder aus: Vorspannung + 1620 kg, zusammen also $2540 + 3240 = 5780$ kg, wobei berücksichtigt ist, daß die Durchbiegung einer Feder nur die Hälfte der Auslenkung des Drehzapfens beträgt. Bei der größten Auslenkung 89 mm ergibt sich eine Rückstellkraft von insgesamt $4140 \text{ kg} + 5780 \text{ kg} = 9920 \text{ kg}$. Für 5 mm Auslenkung hält man die Rückstellkraft aus: Federvorspannung + zusätzliche Federvorspannung + Pendel $(0,02 P) = 2930 \text{ kg}$.

Die Rückstellkräfte sind also infolge der Anordnung von Rückstellfedern wesentlich höher als beim Drehgestell nach Abb. 1 bis 3. Das Bestreben, in der Geraden möglichst schlingerfreien Lauf zu erzielen und die Häufigkeit der einfachen und der S-Kurven der befahrenen Strecken mögen der Grund zur Wahl der hohen Rückstellkraft sein. Die Fahrgeschwindigkeit der 2 D 1-Lokomotive ist geringer als jene der 2 C 1-Lokomotive, so daß der Unterschied der Rückstellkräfte um so augenfälliger wird.

Die ungefederten Massen des Drehgestells setzen sich zusammen aus den Radsätzen, Achslagern, den Schwanenhalsträgern und den Tragfedern. Ihr Gesamtgewicht beträgt 2400 kg. Dabei ist zu beachten, daß die Spurweite nur 1067 mm, der Laufraddurchmesser 724 mm beträgt. Auch bei diesem Drehgestell wird die Belastung annähernd zentrisch übertragen, so daß Wanken oder Verwinden des Hauptrahmens keine wesentliche Entlastung der Räder des Drehgestells herbeiführen können. Infolge der hohen Rück-

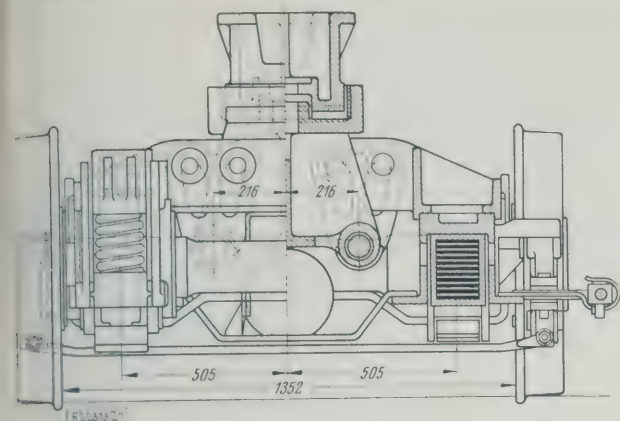


Abb. 7 (links)
Zweiachsiges Laufgestell
mit Dreh- und Stützzapfen
in der Mitte, Dreieckpen-
deln und Schwanenhals-
trägern.

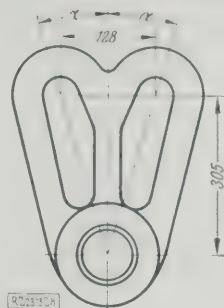


Abb. 8 (rechts)
Amerikanisches
Dreieckpendel.

Stückkraft wird der Führungsdruck in Gleiskrümmungen
groß, und dadurch erhöht sich die Neigung zum Hochklettern.

Die ganze Bauart ist etwas vierteilig und teuer. Da-
gegen ist die Anordnung von Pendeln allein ohne Rückstell-
federn eine gegen Schlingern des Drehgestells ziemlich
stehrigere Konstruktion, die bei gutverlegtem und instand-
gehaltenem Oberbau zulässig ist, bei schlechtem oder ver-
schlängtem Oberbau aber zu unruhigem Lauf des Dreh-
gestells führt. Die Dämpfung der Schwingungen des Dreh-
gestells um die senkrechte Achse durch den flachen Stirn-
zapfen ist nicht viel höher zu bewerten als jene durch
den Kugelzapfen. Rückstellung mittels Pendel und Federn
findet man häufig in England und in Frankreich, z. B.
bei der Great Northern- und der Paris-Orleans-Bahn.

Drehgestell mit Dreieckpendel-Aufhängung, Abb. 7 und 8

Eine amerikanische Konstruktion umgeht die Rück-
stellfedern und erzielt eine hohe Rückstellkraft nach beiden
Richtungen schon in nächster Nähe der Mittellage, indem
ein senkrechtes Pendel an zwei nebeneinanderliegenden
Zapfen aufgehängt ist. Lediglich in der genauen Mittellage
liegen die Dreieckpendel in beiden oberen Zapfen
auf; bei der geringsten Seitenverschiebung des Dreh-
gestells tragen nur die auf der Auslenkseite liegenden
Zapfen, während sich die andern Zapfen von der Öse ab-
heben. Infolgedessen tritt eine Rückstellung $P \tan \alpha$ auf,
wobei P die von den Pendeln auf das Drehgestell über-
tragene Last und α der in Abb. 8 angegebene Winkel ist.
Dieser beträgt z. B. bei einer Ausführung $11^\circ 52'$, bei einer
andern $16^\circ 23'$, $\tan \alpha$ also 0,21 und 0,294. Die Rückstell-
kraft ist demnach schon in der Mittellage bedeutend. Da
bei zunehmender Auslenkung der Winkel α größer wird,
wächst auch die Rückstellkraft weiter an, so z. B. bei
8 mm Auslenkung auf 0,52 bzw. 0,74 P . Das Dreieck-
pendel ist bei vielen amerikanischen Bahnen in Gebrauch.

Drehgestell mit Dreieckstützen, Abb. 9 und 10

Eine grundsätzlich ähnliche Lastübertragung stellt jene
mit Dreieckstützen statt Dreieckpendel dar, die, ebenfalls
ohne Rückstellfedern, an amerikanischen Lokomotiven zu
finden ist. An der Pflanze a des Dreh- und Stützzapfens b
ist eine Doppelwiege c befestigt, die sich auf Dreieck-
stützen d lagert. Die Stützen ruhen auf dem Stahlfuß-
rahmen e , der an den Tragfedern f hängt. In der Mittellage
des Drehgestells liegt die Grundfläche der Dreieck-
stütze voll auf, bei seitlicher Auslenkung des Drehgestells
wird der der entgegengesetzt der Bewegungsrichtung liegende

Auflagepunkt zum Drehpunkt, der andre hebt sich von
seiner Unterlage ab, und es kommt eine Rückstellkraft
 $P \tan \alpha$ zur Auswirkung, wobei α der in Abb. 10 gekenn-
zeichnete Winkel und P die von der Doppelwiege auf die
Dreieckstützen übertragene Kraft ist. Die Dreieckstütze hat
im Gegensatz zu den bisher beschriebenen Vorrichtungen
die Eigenschaft, daß die Rückstellkraft mit wach-
sender Auslenkung abnimmt, da der Winkel,
den die stützende Dreieckseite mit der Senkrechten bildet,
sich vermindert.

Die Dreieckstütze der Commonwealth Steel Cie., s.
Abb. 10, hat folgende Abmessungen: Grundlinie 178 mm.
Höhe 208 mm, $\alpha = 24^\circ$, $\tan \alpha = 0,445$. Die Rückstellkraft
nimmt also von $0,445 P$ bis auf den Wert null bei 89 mm
Auslenkung ab. Bei 80 mm Auslenkung beträgt sie nur mehr
0,041 P (ohne Berücksichtigung der Reibung). Man findet
diese Konstruktion z. B. bei der Chicago, Rock Island und
Pacific-Bahn. Beide amerikanischen Konstruktionen, be-
sonders die mit Dreieckstütze, zeichnen sich durch hohe
Rückstellkräfte schon in der Nähe der Mittellage aus. Die
Drehgestelle laufen daher in der Geraden sehr ruhig, aber
hart in Krümmungen von großem Halbmesser; die hohen
Spurkranzdrücke nutzen Schiene und Radkranz stark ab
und begünstigen, wie schon erwähnt, die Entgleisung.

Drehgestell mit Keilrückstellung, Abb. 11

Diese Rückstellvorrichtung ohne Federn, die auf dem
Grundsatz der schiefen Ebene beruht, treffen wir bei der
französischen Paris-Lyon-Mittelmeer-Bahn. Die Spur-

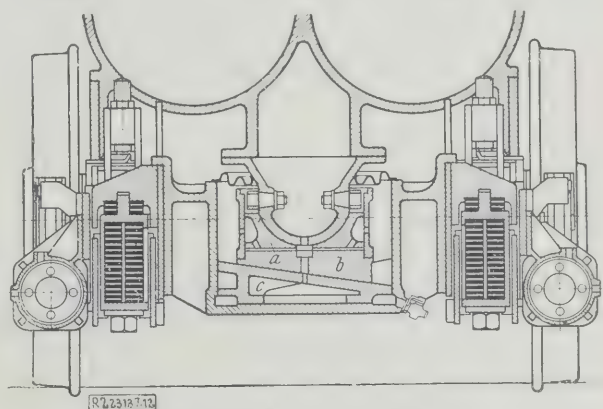


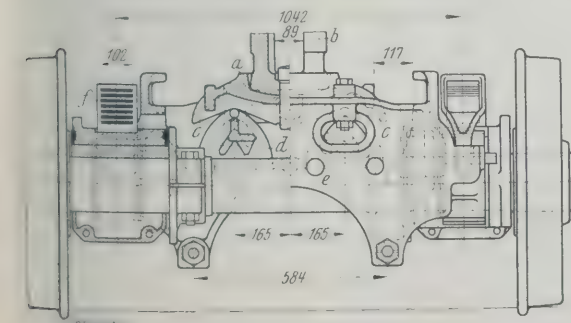
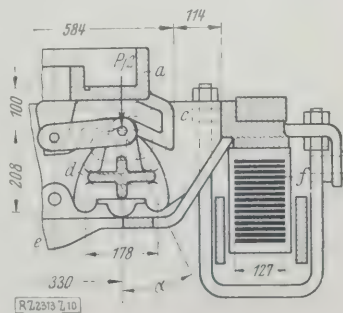
Abb. 11
Laufgestell mit Dreh- und Stützzapfen, Keilstütz-
flächen und Schwanenhals-
träger.

a Spurpfanne b und c Keilrückstellung

Abb. 9 (links)
Laufgestell, Dreh- und
Stützzapfen in der Mitte,
Dreieckstützen und Vier-
punktaufhängung.

Abb. 10 (rechts)
Amerikanische Dreieck-
stütze und Schwanen-
hals-Doppelträger.

a Spurpfanne
 b Dreh- und Stützzapfen
 c Doppelwiege
 d Dreieckstütze
 e Tragrahmen
 f Tragfedern



pfanne *a* des kugeligen Dreh- und Stützzapfens ruht auf zwei keilförmigen nebeneinander, aber mit entgegengesetzter Neigung angeordneten Unterlagen *b*, die auf der schiefen Ebene *c* von 15 vH Steigung gleiten. In der Mittelstellung halten sich die auf das Drehgestell in jedem Sinn ausgeübten Rückstellkräfte das Gleichgewicht. Bei der Auslenkung kommt nur jeweils eine schiefe Ebene zur Wirkung mit einer Rückstellkraft von $P \tan \gamma$, wobei *P* die vom Stützzapfen übertragene Last, γ den Neigungswinkel der schiefen Ebene bedeutet. Davon geht allerdings ein gewisser, von der Reibung aufgezehrter Betrag ab. Bei 15 vH Keilneigung beträgt $\gamma = 8\frac{1}{2}^\circ$ und $\tan \gamma = 0,15$. Da die Reibungszahl der gleitenden Bewegung Beträge bis fast 0,15 erreichen kann, erscheint die Neigung von 15 vH, wie im vorliegenden Fall, als unterste zulässige Grenze.

Die Rückstellkraft ist fast unabhängig von der Größe der Auslenkung, da sie nur durch den Winkel γ bestimmt wird, der gleich groß bleibt, und durch *P*, das allerdings infolge Zusammendrücken der Tragfedern mit wechselnder Auslenkung je nach dem Grade der Weichheit der Tragfedern etwas zunimmt. Sie ist weit geringer als bei den amerikanischen Bauarten.

Gemeinsame Eigenschaften

Eine Eigenschaft aller Drehgestelle mit Pendel-, Dreieckstützen- und Keilrückstellung ist, daß die Belastung des Drehgestells mit der Auslenkung zunimmt, d. h., daß die Tragfedern mehr angespannt werden. Nur beim Gebrauch der schrägen Pendel nach Abb. 1 bis 3 bleibt die Belastung angenähert gleich, weil die Pendel einer Seite sich um fast den gleichen Betrag heben, als die der andern Seite sich senken. Senkrechte Hängependel, Dreieckstützen und Keile spannen bei der Auslenkung des Drehgestelles die Tragfedern beider Seiten gleichmäßig. Die Beanspruchung der Tragfedern bei jeder Auslenkung führt zur Wahl weicher Federn. Besondere Dämpfungsfedern

gegen Rahmenschwingungen in senkrechter Richtung den heute nicht für nötig gehalten.

Bei den bisher beschriebenen Drehgestellen war Drehzapfen zugleich Stützzapfen. Die Last wird auf einem Punkt des Drehgestells, den Mittelpunkt, übertragen wie schräg sich auch der Hauptrahmen gegen das Ge einstellt, können keine wesentlichen Entlastungen e Räderseite eintreten. Die Raddrücke beiderseits än sich nur nach dem Hebelgesetz gemäß der Verlagerung Stützpunktes aus der Mittelebene des Drehgestells und soeben besprochenen Be- und Entlastung der ein Seiten mittels schräger Pendel. Selbst bei 100 mm Schlag nach einer Seite und einem Laufradiusabstand 1500 mm beträgt die Entlastung der Laufräder einer nur etwa 13 vH, ebensoviel natürlich die Mehrbelastung andern Seite. Diese Lastverschiebung ist insofern wünscht, als die in Gleiskrümmungen außen laufen meist führenden Räder mehr belastet werden. In der L richtung verteilt sich die gleichmäßige Last auf die Vor und auf die Hinterachse infolge des als gleichar Hebel wirkenden Drehgestellrahmens der Bauart n Abb. 1 bis 3 oder mittels der gleicharmigen schwanen förmigen Träger bei den übrigen, hier beschriebenen arten. Von diesen wesentlich verschieden ist das

Drehgestell mit seitlicher Abstützung des Hauptrahmens und Schwanenhals-Doppelträger, Abb. 12 bis 16,

das bei der Deutschen Reichsbahn vielfach eingeführt

Der Zapfen *a* hat den Hauptrahmen zu führen und Drehung und Schrägstellung des Laufgestelles zu ermöglichen; er ist im Hauptrahmen fest, im Drehgestellrahmen nachgiebig gelagert. Die Lagerschalen *b* sind ballig schwach hyperbolisch ausgedreht, so daß sich das Drehgestell nach allen Richtungen mäßig schrägstellen kann. Eine Scheibe *c* verhindert das Abheben des Hauptrahmens bei Unglücksfällen. Zwei Federn *d* mit einer Vors

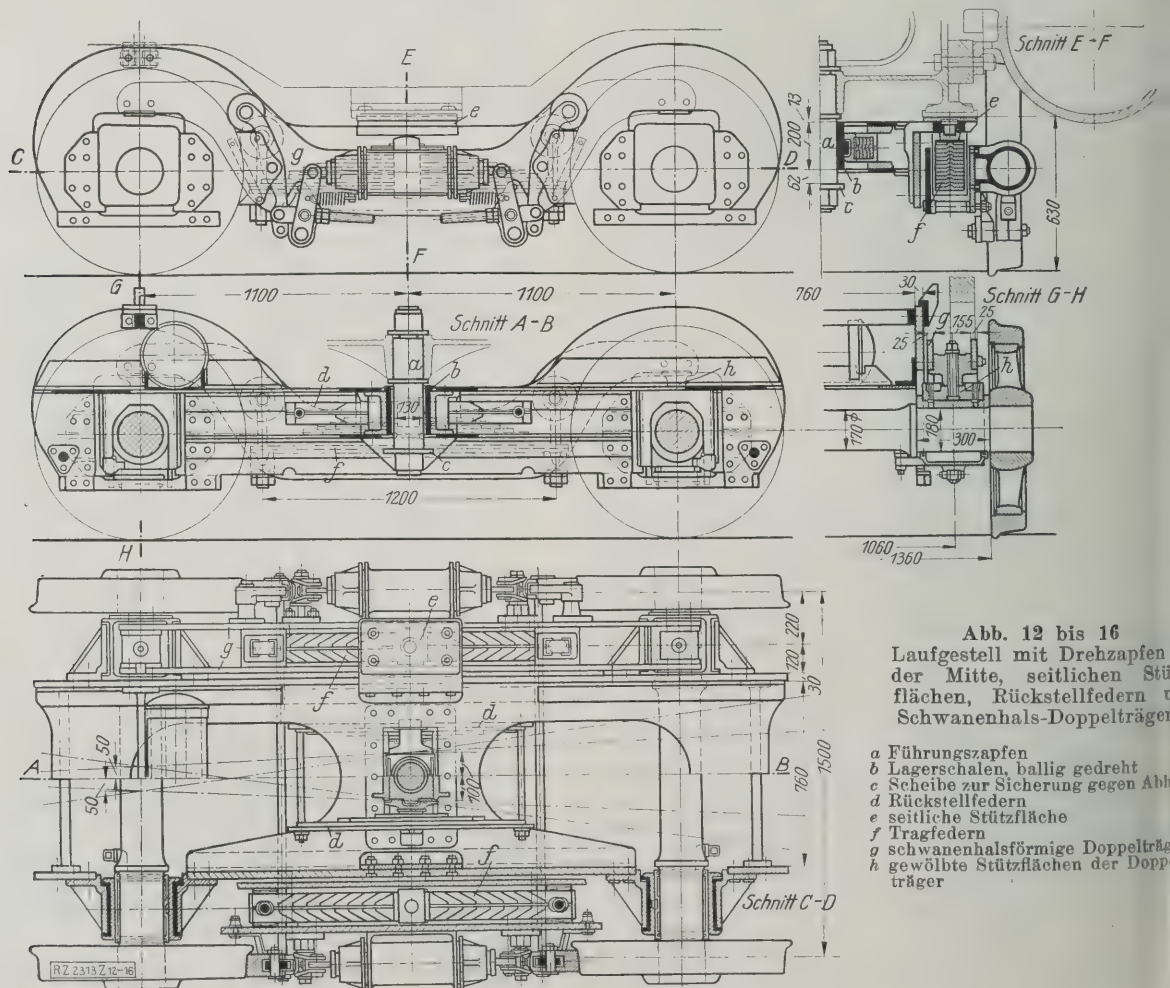


Abb. 12 bis 16
Laufgestell mit Drehzapfen
der Mitte, seitlichen Stüt-
flächen, Rückstellfedern u
Schwanenhals-Doppelträger

- a* Führungszapfen
- b* Lagerschalen, ballig gedreht
- c* Scheibe zur Sicherung gegen Abheben
- d* Rückstellfedern
- e* seitliche Stützfläche
- f* Tragfedern
- g* schwanenhalsförmige Doppelträger
- h* gewölbte Stützflächen der Doppelträger

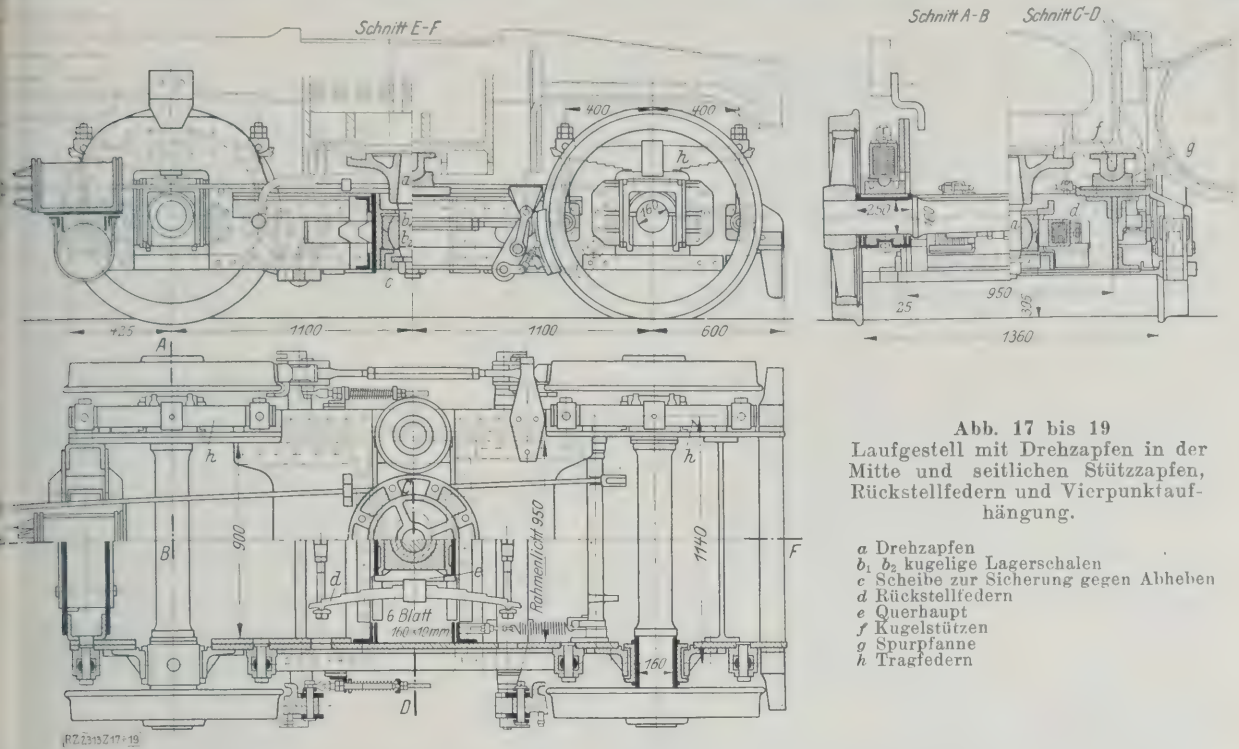


Abb. 17 bis 19
Laufgestell mit Drehzapfen in der
Mitte und seitlichen Stützzapfen,
Rückstellfedern und Vierpunktauf-
hängung.

- a Drehzapfen
- b₁, b₂ kugelige Lagerschalen
- c Scheibe zur Sicherung gegen Abheben
- d Rückstellfedern
- e Querhaupt
- f Kugelsstützen
- g Spurfanne
- h Tragfedern

von je 450 kg stellen den Drehzapfen, dessen größte Auslenkung nach jeder Seite 100 mm beträgt, in die Mittel-
lage zurück. Die Rückstellkraft beträgt in dieser Lage
seit 900 kg, bei 5 mm Seitenauslenkung des Drehgestells
10 kg und 9700 kg bei der größten Auslenkung von
10 mm. Die Federn sind also sehr hart.

Der einfach gehaltene Drehgestellrahmen hat nur die
Haupttrahnen auf die Laufachsen in axialer Richtung
angeordneten Schubkräfte aufzunehmen. Der Gewichtsanteil
des Hauptrahmens wird von seitlichen Stützflächen e ohne
Inanspruchnahme des Drehgestellrahmens auf die Längs-
federn f übertragen, auf denen auch der Drehgestellrahmen
ruht. Die Tragfedern f hängen an schwanenhalsartigen,
gelenkarmigen Doppelträgern g, die sich auf die Achs-
lager stützen. Die Auflageflächen h sind gewölbt, um
eine freie Einstellung in der Längsrichtung zu ermöglichen.

Das statische Verhalten

Der Belastungs-Längsausgleich auf die beiden Räder
von jeder Seite ist vollkommen. Die Auslenkung bedingt keine
zusätzliche Anspannung der Tragfedern, wie in den
anderen Fällen. Mit allen Konstruktionen, die sich eines
Doppelträgers bedienen, hat diese die Eigenschaft gemein,
daß die ungefederten Massen des Drehgestells verhältniß-
mäßig groß sind, da sie außer den Radsätzen, Achslagern
und Tragfedern auch die Federgehänge, die Doppelträger
und die ganze Drehgestellbremse umfassen. Im vorliegen-
den Falle des Drehgestells der 2 C 1-Einheitslokomotive
der Deutschen Reichsbahn beträgt das ungefederte Ge-
wicht 4200 kg, trotz des kleinen Laufrades von
58 mm Dmr.

Dem Schlingern und dem Pendeln um die senkrechte
Achse wirkt als bremsendes Moment die Reibung der seit-
lichen Stütz- und Gleitflächen mit großem Hebelarm ent-
gegen. Vom Gesichtspunkt des ruhigen Laufes bringt die
seitliche Lastübertragung somit einen Vorteil. Bei seit-
lichem Wanken oder starken Verwindungen des Haupt-
rahmens machen die seitlichen Stützzapfen alle senk-
rechten Ausschläge mit. Treten solche Fälle ein, so wer-
den die Laufräder einer Seite entlastet, und es besteht
eine Entgleisungsgefahr. Die große Masse des Haupt-
rahmens vermag zwar nur verhältnißmäßig langsame
Pendelschwingungen um die Lokomotiv-Längsachse aus-
zuführen, denen die Stützflächen e leicht zu folgen ver-
mögen, wenn auch der ganze Drehgestellrahmen von den
Flern mitzuheben ist. Voraussetzung allerdings ist, daß
die Drehzapfen a sich nicht klemmt und daß Wanken
oder Verwinden des Rahmens nicht so groß werden, daß

die Federn f spannungslos werden. Es empfiehlt sich des-
halb die Wahl weicher Tragfedern mit großem Biegungs-
pfeil zwischen voller Belastung und dem spannungslosen
Zustand. — Bei der 2 C 1-Einheitslokomotive ist die Trag-
feder erst ganz entspannt, wenn der Federbund um 65 mm
nach aufwärts zurückfedert. Eine bedenkliche teilweise
Entlastung einer Laufgestellseite tritt natürlich schon
vorher ein. Der Radstand der 2 C 1-Lokomotive beträgt
12,4 m. In der Rampe 1 : 300 beträgt die Gleisverwindung
auf dieser Länge 41 mm. In der Tragfederebene beträgt
sie rd. 30 mm. Bei gleichzeitig eintretendem Wanken
kann der senkrechte Federausschlag noch erhöht werden,
so daß eine Radentlastung von über 50 vH denkbar ist.

Das Drehgestell hat also gegenüber den Bauarten mit
Auflagerung des Hauptrahmens im Drehgestell-Mittelpunkt
den Vorteil, Drehschwingungen gut zu dämpfen, die Trag-
federn bei Auslenkung des Drehgestelles nicht zusätzlich
zu beanspruchen (abgesehen von der durch den Aus-
schlag der Stützpunkte hervorgerufenen, dem Hebelgesetz
unterworfenen Laständerung), es läßt sich leicht über-
wachen und schmieren und ist einfach und billig; es hat
aber den Nachteil nicht genügenden Querausgleichs der
Achselbelastung und großer ungefederter Massen.

Drehgestell mit seitlicher Abstützung des Hauptrahmens und Vierpunkt-Aufhängung

Ähnliche Vor- und Nachteile weist auch das Dreh-
gestell, Abb. 17 bis 19, auf, das bei Lokomotiven des bay-
rischen Netzes der Reichsbahn eingeführt und auch sonst
in dieser Grundform an zahlreichen Lokomotiven aus-
geführt worden ist. Statt des hyperbolischen Zapfens ist
ein kugelförmiger Zapfen verwendet.

Die Vorspannung der Rückstellfedern beträgt je
1250 kg und ist regelbar. In der Mittellage beträgt die
Rückstellkraft somit 2500 kg, sie steigt bei 5 mm seitlicher
Auslenkung des Drehgestelles auf 2760 kg und bei der
größten Auslenkung von 70 mm auf 6140 kg. Der Abstand
der Kugelsstützapfen f mit 960 mm ist kleiner als bei der
vorhergehenden Bauart, wo er 1060 mm beträgt. Eine ge-
ringere Entfernung der Stützzapfen ist wünschenswert. Die
ungefederten Gewichte sind sehr gering; sie belaufen sich
auf 2760 kg. Das Gesamtgewicht dieses Drehgestelles samt
Bremse beträgt 5177 kg gegen 5240 kg Gesamtgewicht des
Drehgestelles, Abb. 12 bis 16.

Der Längsausgleich der Belastung auf die Räder einer
Drehgestellseite wird durch den als gleicharmiger, in der
Mitte belasteter Hebel wirkenden Drehgestellrahmen
nahezu völlig erreicht. Der Querausgleich dagegen befrie-

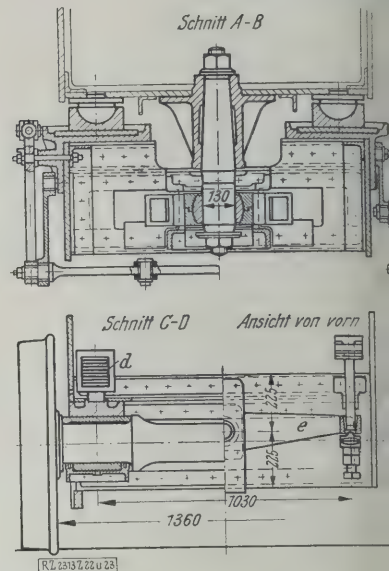
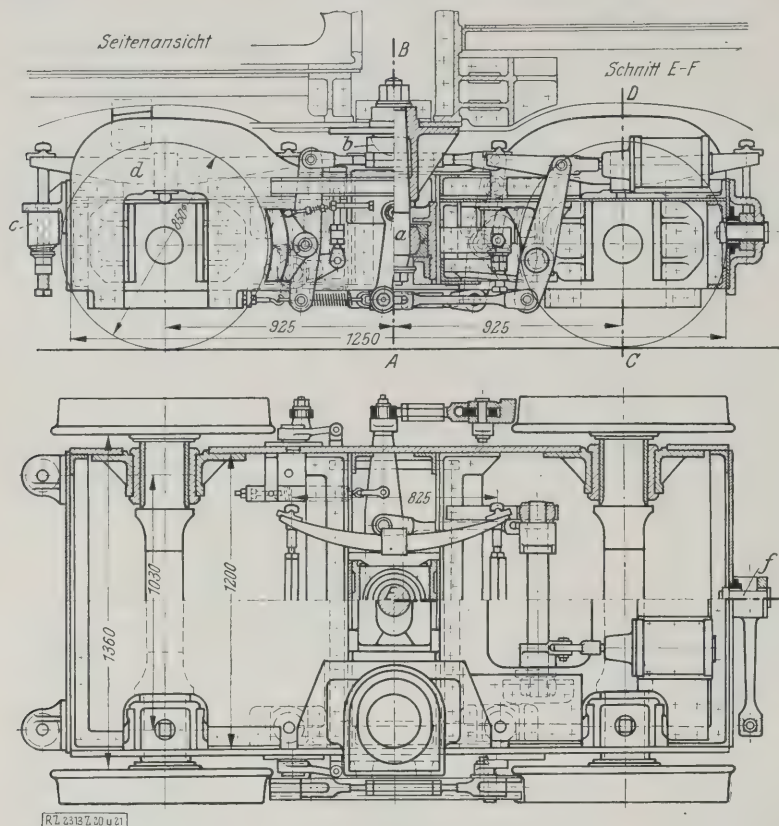


Abb. 20 bis 23
Laufgestell mit Drehzapfen in der M
und seitlichem Stützzapfen, Rückst
federn und Dreipunktaufhängung

- a Drehzapfen
- b Stützzapfen
- c Kegelfedern
- d Blattfedern
- e doppelarmiger Hebel
- f Zapfen für Hebel e

digst noch weniger als bei der vorhergehenden Bauart. Daß an den seitlichen Stützflächen Ausschläge von erheblicher Größe auftreten können, beweisen verschiedene Wahrnehmungen. Die Ursachen dafür sind: Schlechte Gleislage im allgemeinen, die windschiefe Gleislage in Bogenein- und ausfahrten, großer Radstand der Lokomotiven, zu hohe Fahrgeschwindigkeit in schlechten Gleisstellen, erzwungene Schwingungen des Hauptrahmens, z. B. bei aufeinanderfolgenden S-Kurven und dergl.

Die Tragfedern des Drehgestelles sind ziemlich hart; die Pfeilhöhe zwischen normal belasteter und entlasteter Tragfeder beträgt nur 36,5 mm. Wenn somit die seitlichen Stützzapfen des Hauptrahmens um einen solchen Betrag wanken, daß die Tragfedern um 36,5 mm nachgeben können (dazu genügt ein Ausschlag der Stützzapfen nach oben um 30 mm oder ein Unterschied der Schienenhöhenlage in der windschiefen Fläche von 45 mm), so ist eine Seite des Drehgestells völlig entlastet. Ein Aufsteigen des Spurkranzes an der Schiene wird aber schon bei teilweiser Entlastung begünstigt. Bei vorschriftsmäßigem Oberbau und genügend langen Übergangsrampen in Gleisbogen ist gegen das Drehgestell nichts einzuwenden. Dies ist jedoch kein Grund, es nicht weiter zu vervollkommen.

Fortschreitendes Altern des Oberbaues, seine erhöhte Beanspruchung infolge der Verkehrsdichte und auch die Anwendung neuer Oberbauarten bedingen, daß die Gleisanlage vielfach nicht mehr in dem gewohnten guten Zustand ist, oder daß sich die Elastizitätseigenschaften des Oberbaues geändert haben. Darauf muß bei Um- und Neubauten von Lokomotiven Rücksicht genommen werden, und wir haben jede, auch nur entfernte Wahrscheinlichkeit, daß Unfälle infolge der Bauart der Lokomotiven ermöglicht oder vergrößert werden, auszuschalten.

Drehgestell mit Dreh- und seitlichen Stützzapfen, Rückstellfedern und Dreipunktaufhängung, Abb. 20 bis 23

Das Drehgestell nach Abb. 17 bis 19 kann mit einfachen Mitteln verbessert werden, wie dies von J. A. Maffei, A.-G., an der elektrischen 2 B B 2-Personenzug-Lokomotive Gr. E 52 der Reichsbahn ausgeführt worden ist.

Konstruktion

Die Entfernung der Stützzapfen *b* beträgt 980 mm, die Verschiebbarkeit des Drehzapfens *a* 80 mm nach beiden Seiten. Die regelbare Vorspannung einer Rückstell-

feder in der Mittellage beläuft sich auf 1000 kg, die Rückstellkraft in der Mittellage somit auf 2000 kg. Bei größter Auslenkung von 80 mm erreicht die Rückstellkraft 4600 kg. Der Drehgestellrahmen ruht auf sechs Kegelfedern *c* (neuerdings werden Schraubenfedern gezogen) und vier besonders langen und weichen Blattfedern *d*. Das senkrechte Spiel des abgefederten Rahmens beträgt 85,5 mm zwischen Normalast und entspanntem Zustand. Außerdem sind die Tragfedern der vorderen Laufachse mittels eines doppelarmigen, gleichschenkligen Hebels *e*, der in Zapfen *f* gelagert ist, verbunden. Die zweite Laufachse viel weniger der Entgleisungsgefahr ausgesetzt ist als die erste, und wie schon gezeigt wird, der Hauptrahmen vom Drehgestell in drei Punkten gestützt wird, genügt in der Regel der vordere Querausgleich. Wird infolge Wankens oder Verdrehung des Hauptrahmens der Drehgestellrahmen einseitig niedergedrückt, so wird eine Mehrbelastung der vorderen Tragfeder eingeleitet. Sie kommt jedoch nur zur Geltung, da sie sich durch die gleicharmigen Blattfedern und den doppelarmigen Hebel *e* sofort auf die entlastete Tragfeder der gegenüberliegenden Seite überträgt. Die Last der beiden Vorderräder bleibt also gleich. Das Drehgestell ist in drei Punkten auf den Radsätzen gelagert: in zwei Punkten auf die hinteren Achsbüchsen, während der dritte auf der Mitte der vorderen Laufachse in gedachter Auflagepunkt ist.

Verhalten im Betrieb

Diese Bauart entspricht am besten allen Anforderungen: geringe ungefederte Massen; Dämpfung der Drehschwingungen infolge der Reibung der seitlichen Stützflächen und der Schlingerbewegungen mit Hilfe der reichenden Rückstellkräfte in der Mittellage; Auslenkung ohne Zusatzbeanspruchung der Tragfedern, deshalb Fall aller senkrechten auf den Rahmen wirkenden Kräfte in weiche Federung, deshalb Verringerung der Entlastung einer Drehgestellseite beim Wanken des Hauptrahmens bei der Fahrt in windschiefen Gleislagen; endlich unter allen Umständen gleichbleibende Raddrücke der vorderrahrenden Laufachse, daher große Sicherheit gegen Entgleisungen. Ein Umbau der noch vorhandenen Drehgestelle mit Vierpunktlagerung in solche mit Dreipunktlagerung ist ohne große Kosten möglich und empfehlenswert.

[B 2313]

Motorrettungsboot „Insulinde“

Von Prof. E. VOSSNACK, Delft (Holland)

An Motorrettungsboote für die holländische Nordseeküste sind besondere Anforderungen zu stellen. Außer der Beschreibung des Schiffskörpers und der Motoranlage eines der neuesten dieser Boote werden die Ergebnisse der Modell-schleppversuche und der Probefahrt gebracht und die Einrichtungen für das Selbstaufrichten dieses Bootes nach einem Kentern, sowie dessen Erprobung behandelt.

- a Wasserzelle
- b Ballastkiel
- c Sturmsteuerstand
- d Selbstlenzendes Kockpitt
- e Sprungnetz

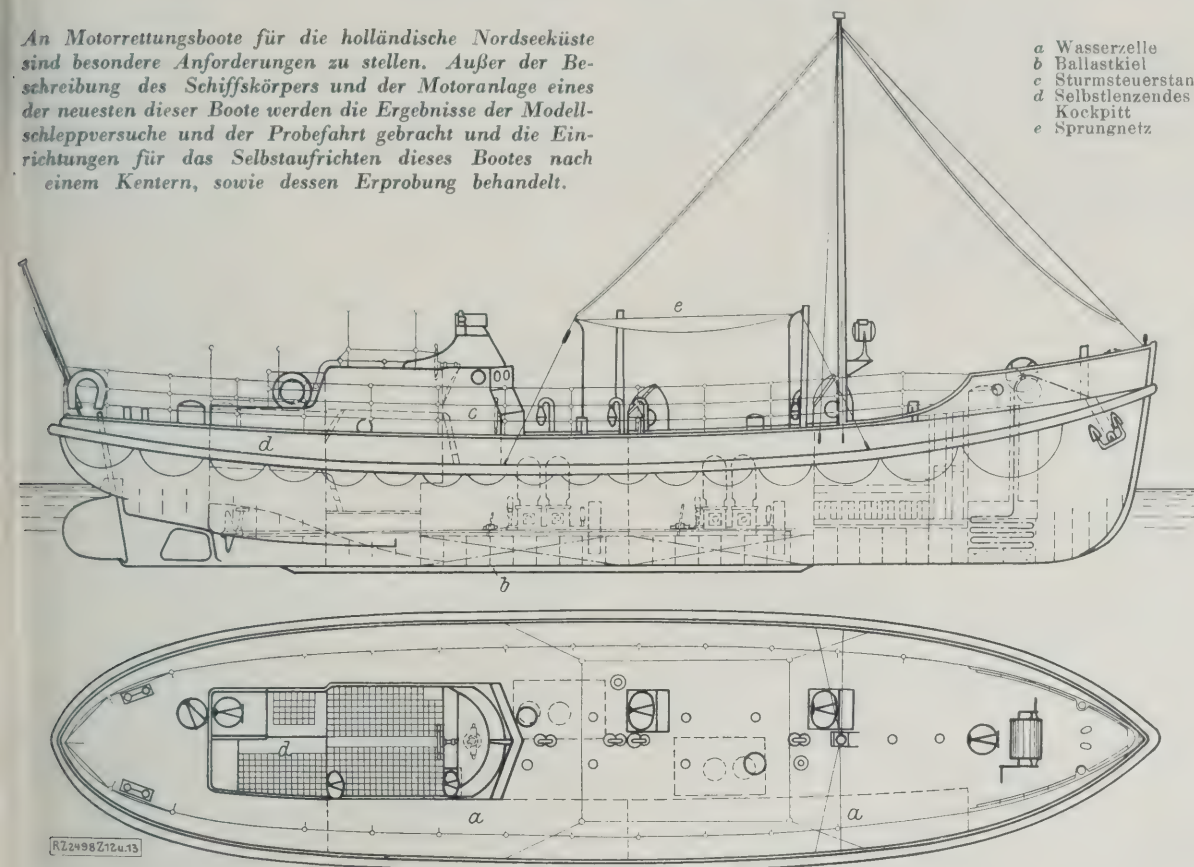


Abb. 12 und 13. Seitenansicht und Deckplan.

Anforderungen an Motorrettungsboote

Die Verhältnisse in den Seegaten an der holländischen Küste sind derart, daß die Rettungsboote, die zur Hilfeleistung für die auf den Sanden gestrandeten Schiffe zu fahren, große Antriebsleistungen erhalten müssen. Wenn man über mechanisch angetriebene Rettungsboote nachdachte, mußte man die Rettungsboote mit Schleppern in die Luv- und Stromseite des gestrandeten Schiffes bringen. Wenn aber Schlepper fehlten oder wegen ihres geringen Tiefganges nicht verwendbar waren, hatte die Bemannung der Rettungsboote sich oft stundenlang abzumühen, bevor sie zu ihrer eigentlichen Arbeit kam.

Dampfbetrieb ist wenig geeignet für die Rettungsboote, weil das Boot stets betriebsbereit sein muß. Für eine sofortige Betriebsbereitschaft bildet der Verbrennungsmotor eine brauchbare Lösung. Jedoch ist zu berücksichtigen, daß die Motorrettungsboote nicht stets durch Besatzungsleute, sondern oft auch durch Fischer oder Küstenbewohner mit nur praktischer Erfahrung als Maschinist bedient werden müssen. Daher ist es notwendig, Rohölmotoren, obwohl sie schwerer sind als Benzinmotoren, wegen ihrer einfacheren Bedienung, zu verwenden.

Der Schiffskörper der holländischen Rettungsboote wird aus weichem Stahl gebaut, während man in England und Frankreich mit überwiegend felsigen oder steinigem Meeresboden im allgemeinen Holzboote benutzt. Ein eiserner Boot kann auf dem Sandstrand der holländischen Küste besser heftigen Stößen widerstehen als ein hölzernes. Auch ist bei den heutigen Schiffen die Gefahr eines Zusammenstoßes des Rettungsbootes mit über Bord gerathenen Gegenständen nicht sehr groß, und der weiche Stahl kann tiefer eingeebult werden, bevor er durchbohrt wird oder Nieten abspringen. Die Motorrettungsboote

sind außerdem in rd. zwanzig wasserdichte Abteilungen unterteilt, von denen mehrere vollaufen können, ohne daß ein Sinken eintritt. In neuerer Zeit baut man ferner bei größeren Booten zwei Schrauben mit getrennt aufgestellten Motoren ein, so daß bei Ausfall eines Motors eine Reserve vorhanden ist. Da ein Kentern in der Brandung auch bei den größeren, gedeckten Motorrettungsbooten vorkommen kann, beschloß die Noord- en Zuid-Hollandsche Redding Maatschappij, Amsterdam, zur weiteren Erhöhung der Sicherheit des Bootes und der Besatzung, das im nachstehenden beschriebene Doppelschrauben-Motorrettungsboot „Insulinde“ so zu bauen, daß es sich nach dem Umschlagen nach dem Verfahren des Baumeisters J. Niestern, Delft, von selbst wieder aufrichtet.

Schleppversuche

Zur Überwindung der starken Strömung in den Seegaten ist eine Geschwindigkeit im stehenden Wasser von rd. 9 Kn erforderlich. Bei Anwendung von Schrauben, die in Tunneln arbeiten, wurde die für diese Geschwindigkeit nötige Gesamtleistung auf 120 PS geschätzt. In den Tunneln sind die Schrauben gegen Beschädigung geschützt und kommen auch beim Stampfen nicht leicht aus dem Wasser heraus. Wegen der abweichenden Form des Bootes sind Schleppversuche im Maßstab 1:7 in der Hamburgischen Schiffbau-Versuchsanstalt ausgeführt worden. Der ursprüngliche Entwurf der Bauwerft hatte 15,91 m Länge, 4 m Breite, 1,3 m Tiefgang und 38,95 t Verdrängung in Seewasser vorgesehen. Die Kurve a in Abb. 1 zeigt, daß mit 120 Wellen-PS nur 8,65 Kn erreicht wurden. Infolge des vollen Vorschiffes kam bei 9 Kn Fahrt bereits die Bugwelle an Deck. Auf meinen Vorschlag hin wurde dann die Länge auf 17,5 m gebracht, das Vorschiff in der Schwimmlinie bedeutend verschärft und die Spantform

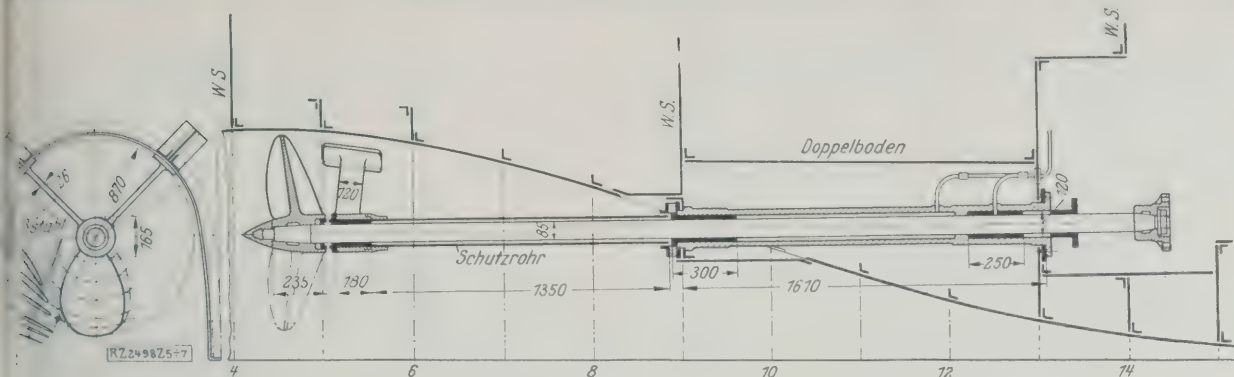


Abb. 5 bis 7

Schraube mit Flügelquerschnitten, Stevenrohr und Tunnel.

Die Seganten bei schwerem Wetter auftreten. Auch dann ist die Gefahr bei richtigem Manövrieren nur gering. Der Kapitän in Gefahr zu geraten, so läßt er die Menschen unter Deck gehen, alle Zugänge schließen und begibt sich selbst in den geschlossenen Sturmsteuerstand.

Um die Gefahr des Kenterns zu vermindern, wenn ein Boot dwars in eine Brandungswelle in geringer Wassertiefe geraten ist, wurde die Verbindung des Decks mit der Schiffseitenwand nicht eckig, sondern mit einer Abrundung ausgeführt, Abb. 8. Der Kopf einer Brandungswelle schiebt das geneigte Boot mit großer Gefährdungsgefahr quer durch das Wasser, das bei der geringen Wassertiefe nicht unter dem Boot hindurch ausweichen kann und deshalb an der eingetauchten Deckkante einen großen Widerstand verursacht. Das hierdurch entstehende kenternde Kräftepaar ist zweifellos bei einem Boot mit geringer Breite aber großer Gewichtsstabilität und abgerundeter Deckkante kleiner als bei einem breiten Boot mit scharfer Ecke oben.

Motoranlage

Die Motoranlage besteht aus zwei zweizylindrigen Schmiedestahl-Rohölmotoren mit einer Nutzleistung von je 60 PS bei 390 U/min. Die Maschinen sind in zwei getrennten Maschinenräumen untergebracht, die durch ein wasserdichtes Schott mit wasserdichter Tür geschieden sind. Die Tür ist so hoch angebracht, daß, wenn ein Maschinenraum durch ein Leck im Boden vollläuft, das Wasser auch bei aufstehender Tür nicht in den anderen Raum gelangen kann.

Die Motoren üblicher Bauart weisen für diesen besonderen Zweck einige Sonderteile auf. So sind sie mit elektrischen Glühzündung versehen, so daß auch kalten Motoren das Ingangbringen in einer Minute möglich ist. Ein wasserdichter Akkumulator liefert den Strom hierfür und für die Beleuchtung des ganzen Bootes. Zwei Bosch-Dynamos, die je mittels eines Reibrades vom Schwungrad angetrieben werden, dienen zum Aufladen des Akkumulators. Außerdem liefert dieser den Strom für zwei Magnetspulen, die beim Umschlagen des Bootes die Brennstoffpumpen abschalten, sobald das Boot über 90° überneigt.

Die Auspuffrohre werden mittels Kugelventile beim Umschlagen geschlossen und das etwa noch eingedrungene Wasser wird vor dem Wiedersetzen der Motoren entfernt. Damit nicht beim Umschlagen auf Untiefen die Auspuffrohre das Aufrichten verhindern können oder die Ventilgehäuse an Deck beschädigt werden, wird durch Einschalten eines dünnwandigen gußeisernen Rohrstückes ein Abbrechen der Rohre absichtlich herbeigeführt. Die Motoren müssen sowohl vom Decksteuerstand als auch vom Sturmsteuer-

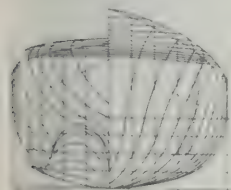


Abb. 2 bis 4
Linienriß des
Hilfsrettungsbootes
„Insulinde“

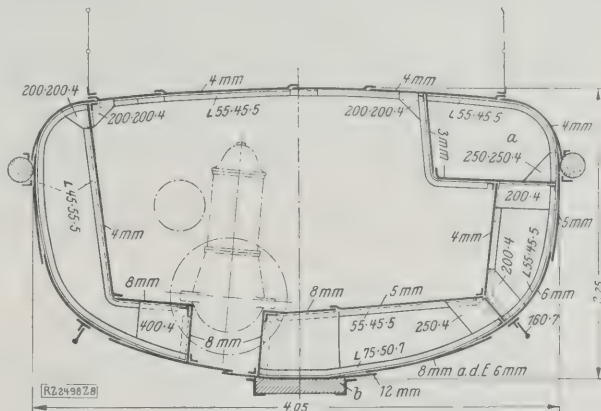


Abb. 8. Hauptspant.
a Wasse b Ballastkie

stand aus bedient werden können. Abb. 9 bis 11 zeigen die Anordnung und wasserdichte Durchführung sämtlicher Bedienungshebel, die ohne Umschaltung von beiden Stellen aus betätigt werden können. Die Brennstoffreglung wird mittels Gestänge unmittelbar auf die Motoren übertragen, während, des leichten Ganges wegen, die Umsteuerkupplungen mittels Drucköl betätigt werden. Für jeden Motor ist im Sturmsteuerstand ein Ölzyylinder vorhanden, dessen Kolben mit den Umsteuerhebeln verbunden ist. Die Gegenzyylinder sind bei den Kupplungen in den Motorräumen angeordnet. Nach einjährigem Betrieb wurde beschlossen, die Kolben in den Ölzyindern durch Druckluft zu bewegen, dabei konnten die großen Umsteuerhebel wegfallen.

Die Lenz- und Kühlwasserleitungen sind besonders sorgfältig durchgebildet, und an der Bordwand je mit einem Seeventil versehen, so daß sie unter allen Umständen ihren Zweck erfüllen. Sie sind an Saugkasten mit vier Anschlüssen für die vier Pumpen angeschlossen. Die Saugrohre dieser Pumpen sind außerdem an einen Saugkasten angeschlossen; dieser ist mit einem Lenzverteilkasten verbunden, woran sämtliche Saugkörbe angeschlossen sind. Somit kann man Kühlwasser sowohl an Backbord wie auch an Steuerbord mit der Kühlwasseroder mit der Lenzpumpe ansaugen. Die Kühlwassermäntel der beiden Motoren sind verbunden und die Kühlwasserpumpen drücken in das Verbindungsrohr. Der Lenzverteilkasten hat lose Ventile, damit auch bei einem falschen Stand der Schieber kein Wasser in das Schiff eindringt. Gelenzt werden der Raum mit dem Kettenkasten, die Motorräume und der Trimm-tank. Auch Druckrohre, die über die Wasserlinie ausmünden, sind mit einem Rückschlagventil versehen.

An Brennstoff werden 2000 l im Doppelboden untergebracht. Außerdem befindet sich in jedem Motorraum ein Brennstoffbehälter von 120 l. Dieser wird mittels einer Hand- oder, wenn der Motor läuft, mittels einer vom Motor getriebenen Pumpe gefüllt, so daß stets Öl nach dem Behälter gepumpt wird und der Überschuß

durch ein federbelastetes Ventil nach dem Doppelboden zurückfließt. Infolgedessen bleibt das Öl unter Druck, so daß der Brennstoff stets den Brennstoffpumpen zuläuft. Die Zuflußleitung mündet in der Mitte des Behälters damit in keiner Lage Luft in die Brennstoffleitung eindringen kann. Für beide Motoren ist ein gemeinsamer Schmierölbehälter von 60 l Inhalt im vorderen Maschinenraum vorgesehen.

Elektrische Anlage

Den Strom für die Beleuchtung und das Anlassen der Motoren liefert ein Stromerzeuger für 125 Watt und 12 Volt in jedem Maschinenraum. Da die Stromerzeuger von den Schwungrädern angetrieben werden, sind sie mit einem selbsttätigen Spannungsregler versehen, der die Spannung bei 700 bis 2000 U/min unverändert erhält. Außerdem ist in jedem Maschinenraum eine Akkumulatorbatterie von 100 Ampèrestunden und 12 V Spannung in dichtigem Eisengehäuse untergebracht und ein vollständiges Schaltbrett angeordnet. Von jedem Schaltbrett führt ein Kabel zu einem druckwasserdichten Umschalter, der in beiden Maschinenräumen betätigt werden kann. Der druckwasserdichte Lichtverteilkasten ist am Mittelkontakt dieses Umschalters angeschlossen, so daß man mittels des Umschalters die ganze Anlage von einem Schaltbrett aus bedienen kann. Im Kopf eines jeden Motorzylinders ist ein Zündglühfaden angebracht, der zum Anlassen dient und mit einem Strom von 75 A und 6 V geheizt wird. Hierfür werden die Pole der Batterie umgeschaltet, so daß die Batterie in zwei Zweige von je 6 V geteilt wird.

Einteilung des Schiffes

Das Schiff hat eine Länge über alles von 18,8 m, eine Breite von 4,5 m, eine Seitenhöhe von 2,15 m und einen Tiefgang von 1,43 m. Sieben wasserdichte Querschotten teilen das Boot in acht wasserdichte Hauptabteile, Abb. 12 und 13: Vorpiek-Kettenkasten und Vorratsraum, Unter- und Oberkammer mit Doppelboden für die Besatzung oder für Schiffbrüchige, — vorderer Maschinenraum, von den Schiffswänden durch wasserdichte Seitenzellen getrennt und mit wasserdichtem, in zwei Zellen unterteiltem Doppelboden, — hinterer Maschinenraum, in offener Verbindung mit dem Sturmsteuerstand, der wegen der Kompassse aus Kupferblech gebaut ist, — Unter- und Oberkammer mit Doppelboden für die Besatzung — an Backbord ein Vorratsraum, an Steuerbord das selbstlenzende Cockpit — Hinterpiek.

Das Boot ist aus Siemens-Martin-Stahl mit einer Festigkeit von 35 bis 37 kg/mm² bei einer Dehnung von 25 vH gebaut. Als Ballast dient der eiserne Kiel mit einem

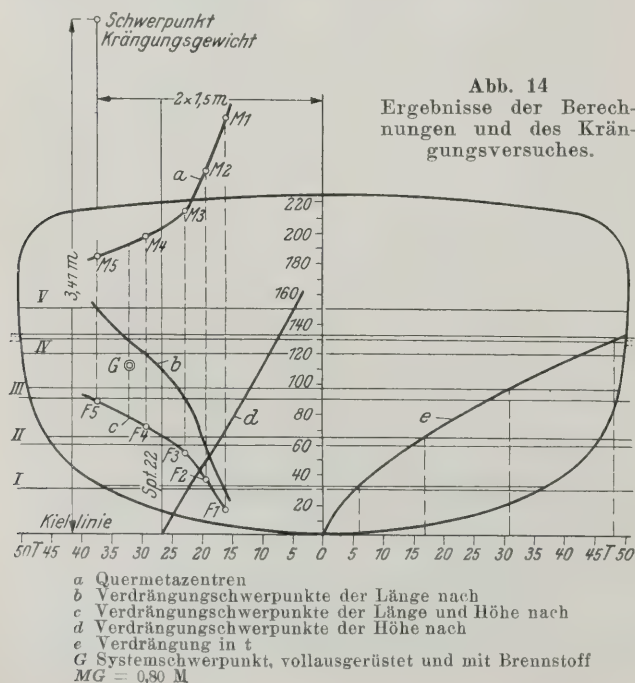


Abb. 14
Ergebnisse der Berechnungen und des Krängungsversuches.

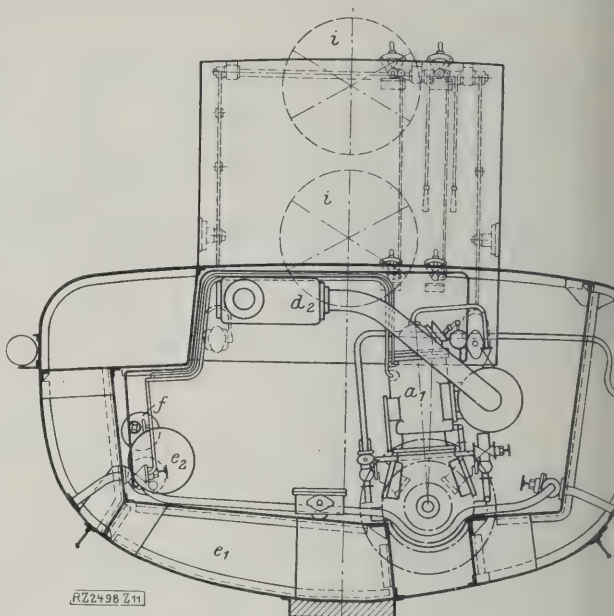


Abb. 9

Hinterer Maschinenraum, von vorn gesehen.

Querschnitt von 700 × 120 mm², Abb. 9. Die Schraubenspindel-Steuervorrichtung ist in der Hinterpiek auf Deck aufgestellt und wird vom Deck- oder vom Sturmsteuerstand aus betätigt, die je für sich mittels einer Schaltkupplung angeschlossen werden können. Alle Übergänge sind durch runde Lukendeckel mit Gummiringen wasserdicht abgeschlossen. In die wasserdichten Seitenzellen und Doppelböden gelangt man durch Mannlöcher, deren Deckel mit einem Anschluß für die Handlenzpumpe versehen sind. Auf Deck oberhalb der Seitenzellen befinden sich gleichfalls Anschlüsse für die Lenzhandpumpe. Der Doppelboden unter dem hinteren Mannschaftsraum dient als Trimm-tank. Hinter dem geschlossenen Sturmsteuerstand ist der Steuerstand an Deck angeordnet und zu beiden Seiten mittels eines festen Schanzkleides geschützt. In der Mitte sind zwei Kompassse an Bord und ferner ein Sprung für Schiffbrüchige, wie bei andern Motorrettungsbooten. In Vor- und Hinterpiek befinden sich je ein Behälter von 60 l Inhalt für Öl zum Beruhigen der Wellen. Der Öl- ausfluß wird mittels eines Hahnes, der von Deck aus bedient wird, geregelt.

Kenterprobe und Probefahrten

Nach der Fertigstellung des Bootes im Frühjahr 1927 wurde das Selbstaufrichten erprobt. Mittels eines Schwimmkranes neigte man das Boot, in dem sich die Besatzung aufhielt, und das erst umkippte, nachdem es eine 100° Neigung hatte. Man hörte die Luft aus der Wasserzelle ausströmen und nach 1 min 40 s lag das Boot wieder aufrecht.

Im Mai 1927, bei Windstärke 7 bis 8, fand die Probefahrt von Delfzyl aus statt, die in die Nordsee bis

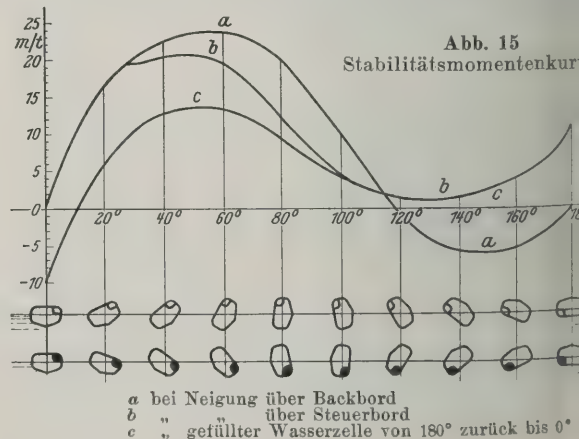
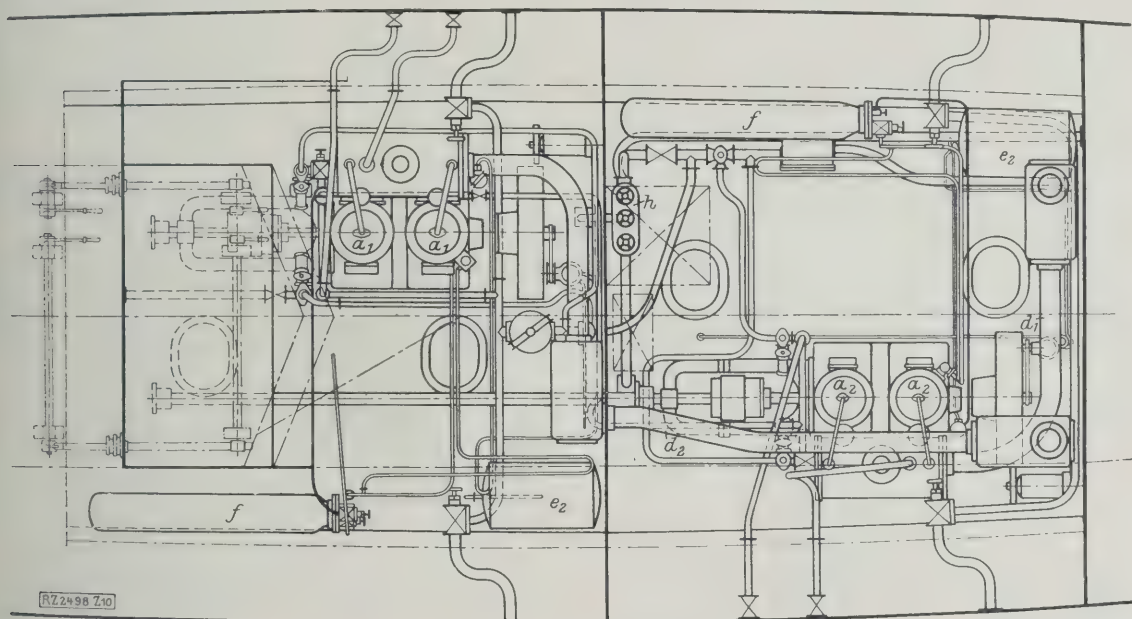


Abb. 15
Stabilitätsmomentenkurve

a) bei Neigung über Backbord
b) „ „ über Steuerbord
c) „ gefüllter Wasserzelle von 180° zurück bis 0°

Abb. 9 bis 11
Motorräume.



g Schmierölbehälter
h Lenzverteilkasten
i Handsteuerräder

Die „Insulinde“ ist das gemeinschaftliche geistige Werk des Direktors der Noord- en Zuid-Hollandsche Redding Maatschappij, *H. de Booy*, des Schiffsbaumeisters *J. Niestern* und des Verfassers. [B 2489]

Die Verdampfungswärme des Wassers und das spezifische Volumen von Sattedampf für Temperaturen bis 210°

Von MAX JAKOB

(Mitteilung aus der Physikalisch-Technischen Reichsanstalt.)

Während die Flüssigkeitswärme des Wassers bis 300° aus den Versuchen von *Dieterici* seit 1905 bekannt ist, die Überhitzungswärme des Dampfes bis zum Druck von 120 at aus den Arbeiten von *Knoblauch* und seinen Mitarbeitern, fehlen oberhalb 180° unmittelbare Messungen der Verdampfungswärme, also gerade des bei den üblichen Drücken größten Anteiles am Wärmeinhalt des Dampfes. Daher wurden mit Unterstützung der Notgemeinschaft der Deutschen Wissenschaft und des Vereines deutscher Ingenieure in der Physikalisch-Technischen Reichsanstalt die von *Henning* im Jahre 1909 bei 180° abgebrochenen Messungen der Verdampfungswärme mit verbesserter Versuchseinrichtung wieder aufgenommen und zunächst bis 210° (19,5 at) weiter geführt. Von dieser Untersuchung, die bereits ausführlich veröffentlicht ist¹⁾, wird hier einiges mitgeteilt.

Versuchsverfahren

Die Grundlage des Versuchsverfahrens ist äußerst einfach: Wasser von Sättigungstemperatur wird in einem Gefäß durch elektrische Beheizung verdampft. Der gebildete Dampf wird in einem durch Wasser gekühlten Gefäß wieder verflüssigt. Der Quotient aus der um die Wärmeverluste V verringerten elektrischen Heizleistung N und der Masse m des in der Zeiteinheit im Kondensgefäß niedergeschlagenen Wassers ist die gesuchte Verdampfungswärme r . Man muß also nur N , V und m bestimmen, um r zu erhalten.

Um die Wärmeverluste zu verringern, ist das Siedgefäß von einem Schutzmantel umgeben, der durch elektrische Heizung möglichst genau auf der Sättigungstemperatur des Dampfes gehalten wird. Die dennoch auftretenden Wärmeverluste kann man in die einzelnen Teile V_a , V_b , V_c und V_d zerlegen. Auf die geringfügigen Anteile V_b und V_d , die man leicht berechnen kann²⁾, soll hier nicht eingegangen werden. Der Ausdruck $N - (V_b + V_d)$ wird im folgenden N' genannt. Etwas beträchtlicher als V_b und V_d ist unter Umständen die Wärmemenge $V_a = a(\vartheta_w - \vartheta_0)$, die an den Schutzmantel abgegeben wird, wenn dessen Temperatur ϑ_0 niedriger ist als die Temperatur ϑ_w des Wassers im Siedgefäß. V_c endlich, der größte Verlustanteil, ist bei einer bestimmten Temperatur ϑ_w konstant. Um ihn zu eliminieren, führt man hintereinander Versuche aus, bei denen durch verschiedenen starke elektrische Heizung verschiedene schnelle Verdampfung erzielt wird. Jeder derartige Versuch liefert eine Wärmebilanz von der Form

$$N' = m r + a(\vartheta_w - \vartheta_0) + V_c \quad (1).$$

Aus drei solchen Gleichungen, die man durch Messungen bei drei verschiedenen Heizleistungen N' erhält, kann man a , V_c und r berechnen. Da aber $m r$ in Gl. (1) gegenüber den beiden anderen Summanden weit überwiegt, wird die Rechnung ungenau. Man ermittelt die Unbekannten daher besser aus sämtlichen bei einer Temperatur ϑ_w ausgeführten Messungen nach der Methode der kleinsten Quadrate.

Die Konstante a kann man auch unmittelbar messen, indem man Versuche unter ganz gleichen Verhältnissen, aber mit absichtlich verschieden eingestellten Temperaturunterschieden $\vartheta_w - \vartheta_0$ ausführt. Führt man für $N' - a(\vartheta_w - \vartheta_0)$ die Bezeichnung N'' ein, so geht Gl. (1) über in

$$N'' = m r + V_c \quad (2)$$

Aus sämtlichen Messungen kann man dann mit Gl. (2), wie mit Gl. (1), nach der Methode der kleinsten Quadrate V_c und r berechnen.

Anordnung und Ausführung der Versuche

Das Wasser wird in dem Siedgefäß a , Abb. 1, durch den elektrischen Heizkörper b verdampft; der Dampf strömt durch das Rohr c ab. Als Wärmeschutzmantel dient das mit Öl gefüllte Gefäß d mit dem elektrischen Heizkörper e und dem Rührwerk f . Der Dampf wird in den Gefäßen g' und g'' niedergeschlagen, die in fließendem kaltem Wasser stehen. g' und g'' sind mit der Stahlflasche h verbunden, die verdichtete Luft enthält. Infolge des großen Luftinhalts der Flasche h kann der Druck in g' und g'' nahezu gleich

dem Sättigungsdruck des Dampfes und konstant gehalten werden; der Dampf wird daher ohne wesentliche Drosselung niedergeschlagen. i ist ein Vorratgefäß mit verdichteter Luft, j bis l sind Druckmeßgeräte, m' bis q' , m'' bis q'' und r bis v sind Ventile, w und x Verbindungsrohre. n'' , o' , o'' und s , t bleiben bei den Hauptversuchen geschlossen; ihr Zweck ist in der ausführlichen Veröffentlichung erklärt.

Vor jedem Versuch sind auch m'' und p'' geschlossen, m' und p' aber geöffnet, so daß der Dampf nur in das Gefäß g' strömen kann. Ist ein Dauerzustand erreicht, werden gleichzeitig m' , p' geschlossen und m'' , p'' geöffnet. Der Dampf wird nunmehr während eines mit der Stop gemessenen Zeitraumes von $\frac{1}{2}$ bis 1 h in g'' kondensiert. Dann werden die Ventile wieder umgesteuert, so daß der Dampf wie vor dem Versuch nach g' strömt. Gemessen werden außer der Zeit das aus dem Hahn q'' abgezappte Kondensat durch Wägung, die Temperaturen ϑ_w und mit Platinthermometern; die elektrische Heizleistung wird aus Messungen von Strom und Spannung mittels eines Kompensators bestimmt. Die Dampfmenigen m wurden von 0,04 bis 0,86 kg/h verändert, die Heizleistungen N von bis 400 kcal/h.

Bezüglich der Einzelheiten der Anordnung, insbesondere des elektrischen Heizkörpers b und der Umsteuerventile p' , m'' , p'' und des Meßverfahrens, insbesondere der Bestimmung der Wärmeverluste, muß auf die ausführliche Veröffentlichung verwiesen werden.

Versuchsergebnisse

Außer vielen Vorversuchen wurden insgesamt 27 Einzelversuche bei 180° und 16 bis 210° ausgeführt. Man hielt dabei als Verdampfungswärme 479,6 und 454,1 kcal/kg unter Berücksichtigung der von *Henning* unterhalb 180° und der neuerdings von mir gemeinsam mit Dipl.-Ing. W. Fritz oberhalb 210° weitergeführten Messungen an die ausgeglichenen Werte der Zahlentafel 1.

Zahlentafel 1
Verdampfungswärme des Wassers
und spezifisches Volumen von Sattedampf

ϑ_w °C	p kg/cm ²	r kcal/kg	v'' m ³ /kg
180	10,2	480,6	0,1938
190	12,8	471,9	0,1562
200	15,9	462,8	0,1271
210	19,5	453,2	0,1041

In dieser Zahlentafel sind außerdem die aus r nach Clapeyron-Clausius'schen Gleichung berechneten Werte spezifischen Volumens v'' des Sattedampfes eingetragen.

Die ausführliche Veröffentlichung enthält eine Zahlentafel abgeglicherer Werte der Verdampfungswärme und spezifischen Volumens für 30 bis 210° und im Bereich 180° einen Vergleich mit der Verdampfungswärme nach *Henning's* Beobachtungen und dem spezifischen Volumen nach den unmittelbaren Messungen von *Knoblauch*, *Liebig* und *Klebe*. Hiernach und nach den möglichen Meßfehlern dürften die Werte der Zahlentafel 1 auf 2 vT genau sein.

[N 2751]

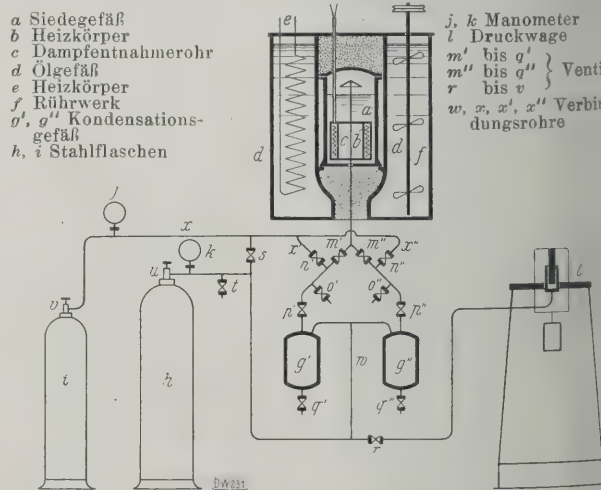


Abb. 1. Schema der Versuchsanordnung.

¹⁾ Vergl. M. Jakob, Forschungsarbeiten, herausgegeben vom Verein deutscher Ingenieure, Heft 310 (1928) S. 9.

²⁾ Ihre Definition und Berechnung ist im Forschungsheft 310 auf S. 10 angegeben.

R U N D S C H A U

Schmieden

Über Gesenkstähle¹⁾

Bei den Werkzeugen der spanabhebenden Formung ist die Werkstofffrage heute schon so weit gelöst, daß es in den meisten Fällen möglich ist, einen zur Durchführung einer bestimmten Zerspanung geeigneten Stahl zu wählen und der Wärmebehandlung zuzuführen, daß er den gestellten Anforderungen genügt. Dagegen gehen die Ansichten über die richtige Wahl des Werkstoffes bei den Werkzeugen der spanlosen Formung noch sehr weit auseinander.

Ursachen der Zerstörung von Warmgesenken

Zu der ersten Gruppe von Werkzeugen der spanlosen Formung gehören die Warmgesenke. Für ihre Zerstörung kommen hauptsächlich folgende Ursachen in Betracht:

1. die Schlagwirkung und der hohe Arbeitsdruck, den die Gesenke aufzunehmen haben;
2. die Reibung des zu verarbeitenden Werkstoffes an den Wänden des Gesenkes;
3. die Wärme des zu schlagenden Werkstoffes;
4. die Arbeitsgeschwindigkeit;
5. die Form, die Abmessung und der Werkstoff der herzustellenden Gesenkestücke.

Der Zerstörung durch Schlagwirkung und hohen Arbeitsdruck kann dadurch Rechnung getragen werden, daß man für die Gesenke Stähle mit genügender Härte verwendet. Die Härte darf allerdings ein gewisses Maß nicht überschreiten, da sonst infolge mangelnder Zähigkeit das Gesenk zerstört wird. Zum Teil wird das Gesenk aber auch durch unrichtige Konstruktion oder mangelhaftes Anrichten vernichtet. Um der Schlagwirkung standzuhalten, muß der verwendete Werkstoff große Härte bei genügender Zähigkeit aufweisen.

Infolge der Reibung des zu bearbeitenden Werkstoffes an den Gesenkwänden ist das Gesenk nach Herstellung einer entsprechenden Anzahl von Schmiedestücken nicht mehr maßhaltig. Durch zweckmäßige Konstruktion des Gesenkes, saubere Bearbeitung der Flächen, Anbringung von Abflüchern für entweichende Luft und Auswahl eines harten und warmfesten Stahles kann man diesem Übelstand wirksam begegnen. Die Wärme des zu schlagenden oder zu pressenden Werkstückes ist der größte Feind eines Gesenkes. Hervorspringende Ecken und scharfe Kanten nehmen in der Arbeit sehr leicht eine Temperatur an, durch die ein Abweichen des für das Gesenk verarbeiteten Stahles herbeigeführt werden kann. Von großem Einfluß auf die Erwärmung des Gesenkes ist das Verhältnis der Gesenkgröße zur Größe des herzustellenden Arbeitstückes. Ist dieses Verhältnis groß, so wird die Lebensdauer des Gesenkes infolge der besseren Wärmeabführung auch groß sein. Die Landrisse in den Gesenken sind eine Folge der Einwirkung der Wärme. Sie bilden sich im Laufe der Zeit senkrecht zu den Kanten und sind sicher auf Volumenänderungen durch das Anlassen zurückzuführen. Die Rißbildung wird auch durch Spannungen als Folge der Temperaturschwankungen herbeigeführt. Man kann das Auftreten der Brandrisse nicht vermeiden. Die Möglichkeit ihrer Entstehung kann aber durch höheres Anlassen der Gesenke verzögert werden. Dadurch werden die sonst während der Arbeit auftretenden Volumenänderungen verringert.

Die Arbeitsgeschwindigkeit beeinflusst natürlich die Lebensdauer eines Gesenkes. Der Verschleiß ist um so größer, je größer die Anzahl herzustellender Stücke innerhalb einer bestimmten Zeit ist.

Von Bedeutung sind auch Form, Abmessungen und Werkstoff des Gesenkschmiedestückes, sowie die Art der Form oder Pressen. Bei dünnwandigen Stücken muß man wegen der schnelleren Abkühlung des Arbeitstückes und des dadurch bedingten höheren Widerstandes mit der Härte des Gesenkes höher gehen. Das Gesenk wird natürlich höher beansprucht, wenn der zu schlagende Werkstoff hart ist. Je stärker die Schlagwirkung der Schmiedemaschinen ist, desto zäher und härter muß das Gesenk sein.

Härtearten der Schmiedegesenke

Man verwendet gehärtete, vergütete oder naturharte Schmiedegesenke. Gehärtete Gesenke haben eine nahezu geharte Oberfläche bei verhältnismäßig weichem oder ztem Kern. Härtet man die Arbeitsfläche mit dem Wasser-

strahl, um einen gleichmäßigen Härterand zu erreichen, so widerstehen solche Gesenke dem Arbeitsdruck und auch der Abnutzung sehr gut. Man kann allerdings nur unlegierte Stähle in dieser Weise behandeln.

Vergütete Gesenke werden auf etwa 300 bis 400 Brinelleinheiten gehärtet. Bei Gesenken mit Teilgravuren, sogenannten Teilgesenken und solchen, die möglichst zäh gehalten werden sollen, wählt man Brinellhärten von 300 bis 400, bei Flachgesenken geht man bis auf 450 Brinelleinheiten.

Rohe Stähle verwendet man für nicht hoch beanspruchte Gesenke, mit denen nur wenige Stücke zu schlagen sind, die keiner weiteren Wärmebehandlung unterzogen werden. Die Brinellhärte schwankt zwischen 270 und 300. Von diesen Gesenken kann man natürlich nicht die Leistungen erwarten wie bei Gesenken aus vergütetem oder gehärtetem Stahl.

Warmpreßwerkzeuge zum Stangenpressen von Metalllegierungen müssen gute Anlaßbeständigkeit aufweisen und gegen Temperaturwechsel unempfindlich sein. Das gilt namentlich für Teile, die nach dem eigentlichen Arbeitsgang mit Wasser gekühlt werden. Feine Risse bilden sich, das Gesenk wird unbrauchbar.

Bevor man die Gesenke in den auf Härtetemperatur befindlichen Ofen bringt, wärmt man sie auf eine Temperatur von etwa 300° vor, um ein Reißen infolge zu rascher und ungleichmäßiger Anwärmung zu vermeiden. Besonders die schweren Werkstücke müssen im Ofen gleichmäßig bis in das Innerste auf die notwendige Härtetemperatur erwärmt werden. Je nach der Zusammensetzung härtet man die Gesenke im Druckluftstrom, in Öl oder in Wasser. Beim Härten in Wasser muß die Bildung eines zu schwachen Härterandes oder das Entstehen weicher Flecke infolge von Gas- oder Dampfblasen vermieden werden. Zweckmäßig härtet man solche Gesenke mittels eines auf die Arbeitsfläche gerichteten kräftigen Wasserstrahles. Bei zu niedriger Härtetemperatur sind nach der Härtung die Arbeitsflächen weich; bei ungleichmäßiger Erwärmung treten leicht Risse auf. Wird die Härtetemperatur überschritten, so ist das Gefüge des Stahles nach der Erhärtung grob; der Stahl selbst ist sehr spröde. Nach der Abkühlung müssen die Stücke sofort angelassen werden. Die im Wasser gehärteten Gesenke läßt man von der Bodenfläche des Gesenkes aus gegen die Arbeitsfläche an. Allgemein gültige Regeln lassen sich schwer angeben, doch ist das Werkstück gut angelassen, wenn sich auf der Arbeitsfläche eine gelbe Anlaßfarbe bildet. Die durch das Anlassen erreichte Festigkeit sollte man mittels einer Härteprüfung überwachen.

Warmpreßwerkzeuge, die man zum Stangenpressen von Metalllegierungen, z. B. Messing und Kupfer, benutzt, müssen neben guter Anlaßbeständigkeit gegen Temperaturwechsel unempfindlich sein. Teile, die nach dem eigentlichen Arbeitsgang mit Wasser gekühlt werden, können infolge Bildung feiner Risse unbrauchbar werden.

Anforderungen an die anderen Metallpressenteile

Die wichtigsten Bestandteile einer Metallpresse sind: die Büchse, die das Preßgut aufnimmt, der Preßstempel, mit dessen Hilfe der Arbeitsdruck auf das Preßgut übertragen wird, die Druckscheibe, die vor dem Preßstempel sitzt und während des Arbeitsganges mit dem heißen Preßgut unmittelbar in Berührung steht, der Preßdorn, mit dem die zu pressenden Metalle gelocht werden, und die Preßmatrize, durch die das Preßgut gepreßt wird.

Die Preßbüchse muß das heiße Arbeitsgut aufnehmen und daher wärmebeständig sein. Der Preßdruck wird durch das Arbeitsstück auf die Wänden der Büchse übertragen. Sie muß daher eine genügend große Festigkeit aufweisen. Je nach dem zu pressenden Metall verwendet man für hohe und höchste Beanspruchungen Cr-Ni-Stähle oder Cr-Wo-Stähle. Für geringere Beanspruchungen, d. h. beim Pressen bei niedrigen Temperaturen, wie es z. B. bei Blei in Frage kommt, wird man mit niedriger legierten Cr-Ni-Stählen oder Cr-Si-Stählen auskommen. Die Festigkeit der Büchsen wird bei dem hochlegierten Cr-Wo-Stahl 160 kg/mm², bei Cr-Ni-Stahl 150 kg/mm² nie übersteigen.

Der Preßstempel muß zur Übertragung des Preßdruckes ebenfalls genügend Festigkeit haben, damit er nicht verformt wird, andererseits darf er nicht zu hart werden, um während des Pressens nicht zu brechen. Man verwendet am besten Cr-Ni-Stahl mit etwa 160 kg/mm² Festigkeit. Geht man mit der Festigkeit höher, so tritt während der Arbeit, da die Arbeitstemperatur die zum Vergüten des Stempels

¹⁾ Vorgetragen von Dr. Sommer, Düsseldorf, in der 83. Sitzung des Ausschusses für Schmiedetechnik der Arbeitsgemeinschaft deutscher Maschinenbauingenieure im Verein deutscher Ingenieure am 11. Januar 1929.

angewendete Anlaßtemperatur übersteigt, ein Weicherwerden des Stempels ein. Das kann zu zahlreichen Übelständen, wie Ribbildung, Aufplatzen des Stempels usw., führen. Aus diesen Gründen geht man mit den Festigkeiten sowohl bei Stempeln als auch bei Büchsen nicht zu hoch. Die mit dem Preßgut in Berührung kommenden Preßscheiben werden ebenfalls aus Cr-Wo- oder Cr-Ni-Stahl angefertigt, mit etwa 120 bis 140 kg/mm² Festigkeit.

Sehr wichtig bei dieser Art von Warmarbeit ist die Werkstofffrage bei der Anfertigung der Preßdorne. Sie müssen hohe Warmfestigkeit haben. Da sie abwechselnd auf Druck und Zug beansprucht werden, dürfen sie weder sich ausbauchen noch zerreißen. Vielfach werden die Formen nach dem Arbeitsgang mit Wasser gekühlt. In diesem Falle muß der Werkstoff auch noch gegen plötzliche Abkühlung unempfindlich sein. Cr-Wo-Stähle erfüllen die Bedingungen der hohen Festigkeit wohl vollauf; ob sie Warmwasserkühlung vertragen, ist noch nicht einwandfrei geklärt. Die Erfahrungen von Sommer zeigen, daß von einigen Verbrauchern Wasserkühlung bei diesen Stählen mit Erfolg angewendet wird, während andre Verbraucher bei Wasserkühlung nur Mißerfolge hatten. Die Festigkeit schwankt je nach der Güte des Preßgutes. Bei Cr-Wo-Stahl kann man Festigkeit bis 170 oder 180 kg/mm² anwenden, für geringere Temperaturen kann man mit Erfolg Cr-Ni-Stahl verarbeiten. Spritzmatrizen werden fast ausnahmslos aus Cr-Wo-Stahl mit 140 bis 150 kg/mm² Festigkeit hergestellt.

Werkzeuge aus Cr-Wo-Stahl sollte man bei etwa 1100 ° in Öl abschrecken oder in ruhiger Luft erkalten lassen. Nach der Härtung ist der Stahl auf die gewünschte Festigkeit sorgfältig anzulassen, da sonst ein Anlassen während der Arbeit eintritt. Bemerkenswert ist, daß der Cr-Wo-Stahl bei der angegebenen hohen Temperatur und während des Anlassens bei 600 bis 650 ° eine beträchtliche Härtesteigerung erfährt, die auf die Bildung von Martensit aus dem im gehärteten Zustand vorhandenen Austenit zurückzuführen ist. Da dieser Vorgang mit einer Volumenvergrößerung verbunden ist, kann ein Reißen des Werkzeuges sehr leicht eintreten. Die betreffende Härtesteigerung durch das Anlassen ist ganz beträchtlich; so beträgt die Festigkeit des Stahles nach dem Erkalten in ruhiger Luft bei einer Temperatur von 1100 ° etwa 130 bis 140 kg/mm², während sie nach dem Anlassen bei 600 bis 650 ° auf 170 bis 180 kg/mm² steigt.

Ist ein derartig hoch gehärteter Stahl einmal bei einer Temperatur über derjenigen, bei der die Härtesteigerung eintritt, angelassen worden, so tritt beim zweiten Anlassen keine Härtesteigerung mehr auf. Bei Verwendung dieses Stahles für Gesenke darf man mit der Härtetemperatur jedoch nicht zu hoch gehen, da sich die Gesenke sonst zu stark verziehen würden, auch würden feine Gravuren zu stark verzerrern. Man wählt daher Temperaturen von 950 bis 1000 °, härtet den Stahl in Öl und läßt ihn auf etwa 150 ° an. Werkzeuge aus diesem Stahl von 140 bis 150 kg/mm² Festigkeit lassen sich mit guten Schneidstählen noch ohne Schwierigkeiten bearbeiten. Besonders für das Nacharbeiten

von verschleißten Werkzeugen ist dies von großer Bedeutung, da man sich hierdurch in vielen Fällen eine zweite Wärmebehandlung ersparen kann.

Erwähnt sei, daß bei den Warmarbeitsstählen noch viel Kenntnisse über das Verhalten sowohl des Stahles als auch des zu verarbeitenden Werkstoffes in der Wärme fehlen. Die in den Versuchsanstalten gewonnenen Erfahrungen lassen sich nur schwer mit Erfolg in die Praxis übertragen. Nur durch ein enges Zusammenarbeiten sowohl der Stahlherzeuger als auch der Verbraucher und durch einen gegenseitigen Erfahrungsaustausch kann die sichere Grundlage für weitere Fortschritte geschaffen werden. [N 259]
Berlin Schildberger

Baumaschinen

Löffelbagger mit 6,5 m³ Löffelinhalt

Gänzlich neue Aufgaben stellte die Umwandlung der Rohstoffgewinnung vom Handbetrieb zur maschinellen Förderung in dem Kalksteinbruch der Portlandzement-Fabrik Dyckerhoff & Söhne G.m.b.H., Amöneburg bei Wiesbaden-Biebrich, an den Löffelbaggerbetrieb.

Die Verhältnisse in dem vorliegenden Kalk- und Mergelbruch liegen ganz besonders. Während in andern Steinbrüchen hohe Wände entweder im ganzen gesprengt werden und das anfallende Gestein von Ladebaggern in die Förderwagen geladen wird oder aber das Gestein auf verschönten Sohlen abgebaut wird, galt es hier mit einem großen Bagger die gesamte Bruchwand von etwa 25 m Höhe gleichmäßig abzugraben, damit ein aus chemischen Gründen notwendiges senkrechtes Gemisch erzielt wurde. War hier einmal eine besonders große Grabhöhe des Baggers erforderlich, so mußte überdies zum Abgraben der teilweise außerordentlich festen Steinbänke ein Bagger mit sehr großer Windekräften am Löffel gewählt werden. Außerdem sollte aber der Bagger in der Wagerechten sehr beweglich sein, damit er an der rd. 400 m langen Bruchwand nach Bedarf seinen Standort schnell wechseln konnte.

Die Firma Menck & Hambrock G.m.b.H., Hamburg-Altona, hatte die Aufgabe übernommen, eine diesen hohen Anforderungen entsprechende Maschine zu bauen. Aus Abb. 1 sind die Hauptabmessungen zu ersehen, während Abb. 2 den Bagger auf dem Weg zum Arbeitsplatz zeigt und Abb. 3 einen Begriff von der Größe des Löffels gibt. Der Bagger wird mit elektrischem Strom aus dem Kraftwerk der Fabrik gespeist, der ihm mittels beweglichen Kabels auf Drehstrom zugeführt, dessen Spannung von 3000 V auf den Bagger selbst auf 750 V herabgesetzt wird. Zum Heben der Last und Verfahren des Baggers dienen zwei Motoren von je 272 PS, zum Drehen des Oberwagens ein solcher von 272 PS, während der Vorschubmotor 150 PS leistet. Insgesamt sind also 966 PS eingebaut.

Als einzige und selbständig arbeitende Maschine grüßte dieser Bagger die ganze Wand ab, ohne daß es notwendig wäre, größere Sprengungen vorzunehmen. Lediglich um die Maschine zu schonen, lockert man außergewöhnlich massiv

Felsschichten, besonders wenn sie gerade in der Bruchsohle liegen, durch Sprengschüsse. Steine bis zu 15 m³ Größe reißt der Baggerlöffel aus der Bruchwand heraus und legt dieses wie das gesamte gebaggerte Gut auf einen parallel zur Bruchwand verlaufenden Haufen. Von diesem wird es mit drei kleineren, gleichfalls elektrisch betriebenen und auf Raupen laufenden Löffelbaggern der Firma Menck & Hambrock in die zur weiterverarbeitenden Fabrik führenden Förderwagen geladen. Da dieser Bagger Steine nur bis etwa zu 1 m³ aufnehmen dürfen, werden die größeren Steine im Haufen gebohrt und gesprengt. Die Anordnung ist also so getroffen, daß Störungen und Ausbesserungen am großen Bagger, die sich bei 400 t/h Höchstleistung niemals ganz werden vermeiden lassen, von dem Gesamtbetrieb ferngehalten werden.

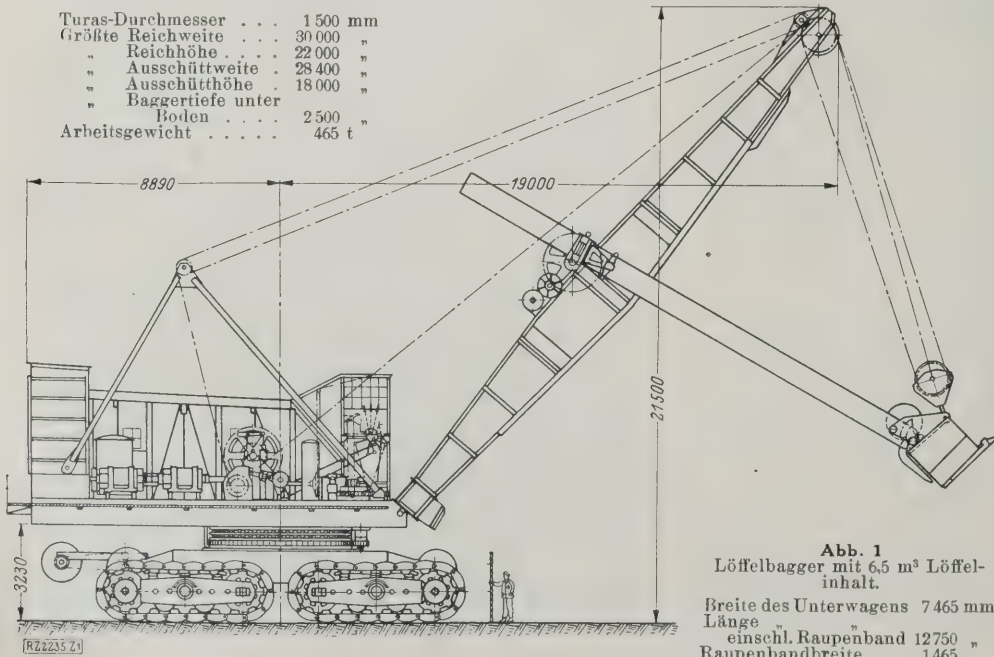


Abb. 2 und 3

Abb. 2
Löffelbagger mit 6,5 m³ Löffel-
inhalt auf dem Wege zur
Arbeitsstelle.



Abb. 3 (links oben)
Löffel in Grabstellung

Auf dem Bagger sind
auf- und Drehkrane so
aufgebaut, daß bei Ausbe-
rungen sämtliche Motoren
d Triebwerkteile be-
em abgehoben und leicht
oben den Bagger gesetzt
werden können. Sind Schä-
en am Unterwagen und
n Raupenbändern zu be-
iben, so ermöglicht eine
libvorrichtung, daß sich
er Bagger mit eigener
aft hebt. Infolgedessen
ibt die Zeit für die Aus-
esserarbeiten an den
sweren Teilen auf ein
ndestmaß beschränkt.

Der Bagger arbeitet seit
ahresfristzufriedenstellend,
ne daß nennenswerte Stö-
ngen eingetreten wären.

[M 2235]



Maschinenteile

stoßdämpfeinrichtung für Förderseile

Bereits in den letzten Jahrzehnten hat man festgestellt,
daß die dynamischen Überbeanspruchungen der Förderseile
durch Stoß, Schwingungen usw. eine wesentliche Rolle bei
dem schnellen Verschleiß dieser Seile spielen. Mit der Stoß-
dämpfeinrichtung ist zum ersten Mal ein Versuch gemacht
worden, diese dynamischen Überbeanspruchungen von den
Seilen fernzuhalten. Es ist grundsätzlich möglich und auch
durch Versuche an einer Modellanordnung nachgewiesen,
daß eine solche Stoßdämpfeinrichtung am Seileinband über
einen Förderkorb und an den Seilscheiben der Fördergerüste
eine günstige Wirkung ausübt. Praktische Gesichtspunkte
lassen es als zweckmäßig erscheinen, die erste Anordnung
zunächst zu erproben. Die Dämpfeinrichtung mußte als
Elemente einmal Tragfedern aufweisen, die die gesamte
statische Last von Förderkorb, Nutzlast und Unterseil zu
tragen imstande sind, sowie die überschießenden Stoßkräfte
aufzunehmen, ferner Kolben, die sich in einer frost-
sicheren Dämpfungsflüssigkeit in Zylindern bewegen, sobald die
Tragfedern durch Stöße usw. zusätzlich beansprucht werden.

Abb. 4 zeigt das Schema einer Dämpfeinrichtung am
Förderkorb. Durch das Dach des Förderkorbes *a* geht die
Königsstange *b*, die üblicherweise an ihrem unteren Ende
die Fangvorrichtung tragen möge, während an ihrem obern
Ende die Kolbenstange *c* mittels des Auges *d* angeschlos-
sen ist. Die Kolbenstange *c*, der Zylinder *e*, der Kolben *f*
und die Druckfeder *g* bilden die Dämpfeinrichtung. Alle
gegen Verschmutzung empfindlichen Teile sind somit in dem
schützenden Zylinder untergebracht, unter dem, ebenfalls ge-
schützt, die einzige Stopfbüchse liegt. Der vollständig mit
Dämpfungsflüssigkeit gefüllte Zylinder *e* trägt außen die beiden
Zapfen *h*, deren parallele Lage zur Achse des Auges *d* in
dem Schema durch die Nut und Nase *i* gesichert wird. Die
Zapfen *h* hängen in den Zwischenschirren *k*, die mit dem
Gerhaupte *l* am Förderseil befestigt sind. In dem Kolben *f*
liegen die Drosselkanäle *m*. Oberhalb des Dämpfraumes
des Zylinders *e* befindet sich der zweite Raum *n*, der durch
eine kleine Bohrung *o* mit dem Innenraum des Zylinders *e*
in Verbindung steht. Der Raum *n* ist nur zum Teil mit
Glycerin gefüllt, während der andere Teil dazu dient, der
Wärmeausdehnung des Glycerins im Zylinder *e*, ferner der
Lufteverdrängung durch die nach oben nicht durchgeführte
Kolbenstange und endlich Glycerinverlusten infolge Undich-
tigkeit der Stopfbüchsen Rechnung zu tragen.

Die Feder *g* muß nicht nur der aus dem Fördergut und
dem Gewicht des Korbes und des Unterseiles bestehenden
Gesamlast, sondern auch den im Förderkorb auftretenden
dynamischen Über- und Unterschreitungen dieser Kräfte
enthalten. Alle diese auf die Dämpfeinrichtung wirkenden
dynamischen Beanspruchungen, Stöße usw. werden von den
Kolben und der durch die Drosselkanäle ausweichenden

Bremsflüssigkeit nachgiebig und somit sanft aufgenommen
und in ihrer Wirkung auf das Seil unschädlich gemacht.
Treten dabei Schwingungen der Kolben und Federn auf, so
werden die Schwingungsenergien durch das Strömen der
Bremsflüssigkeit in den Drosselkanälen *m* schnell in Wärme
verwandelt und vernichtet. Die Schwingungen klingen also
schnell ab.

Die Förderseile verfügen an sich schon über eine große
Feder- und Dämpfwirkung. Die Dämpfeinrichtung hat dem-
nach die Aufgabe, diese Wirkung des Seiles beträchtlich zu
vergrößern, also etwa in gewissen ungünstigen Stellungen
sie womöglich zu verdoppeln.

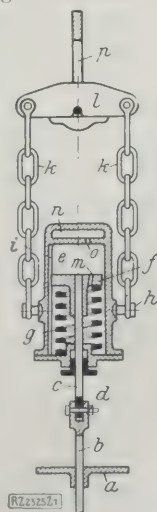
Die stärksten dynamischen Überbeanspruchungen durch
plötzliches Abstoppen, wie es beim Umsetzen an Füllort
und Hängebank unvermeidlich ist, treten bei kurzem Förder-
seil, d. h. also an der Hängebank auf. Es ist daher die Auf-
gabe der Dämpfeinrichtung, die geringe Federwirkung des
kurzen Seilendes von Hängebank bis Fördermaschine etwa
auf das Doppelte zu verstärken. An Stelle der Drossel-
kanäle *m*, Abb. 4, hat man selbsttätig sich öffnende und
schließende Drosselventile eingebaut.

Die erste Stoßdämpfeinrichtung wurde im Frühjahr
1924 in Betrieb genommen. Zur Überwachung der im Be-
trieb auftretenden Stöße ist nun noch zwischen Zylinder
und Königsstange eine Schleppeinrichtung eingebaut,
in der die Bewegung des Kolbens im Zylinder sichtbar
durch Verschieben des Schleppeinzeigers während des Betrie-
bes angezeigt wird. Dieser Größtwertanzeiger hat sich im
praktischen Betrieb besonders bewährt.
Die im Zylinder befindliche frostsichere
Dämpfungsflüssigkeit besteht aus einem Ge-
misch von technisch reinem Glycerin und
destilliertem Wasser und einem Zusatz von
säurefreier Schmierseife. Man kann auch
ein Mineralöl verwenden, wenn keine Be-
denken gegen seine Feuergefährlichkeit
bestehen.

Bei Inbetriebnahme der Dämpfeinrichtung
wurden sofort die verschiedensten
Erprobungen vorgenommen, jedoch konnte
erst nach einer längeren Zeit aus dem

Abb. 4
Stoßdämpfeinrichtung am Förderkorb.

- | | |
|---------------------------|-------------------------|
| <i>a</i> Dach des Förder- | <i>i</i> Nut und Nase |
| <i>b</i> Königsstange | <i>k</i> Zwischenschirr |
| <i>c</i> Kolbenstange | <i>l</i> Querhaupt |
| <i>d</i> Auge | <i>m</i> Drosselkanal |
| <i>e</i> Zylinder | <i>n</i> teilweise mit |
| <i>f</i> Kolben | Glycerin gefüllter |
| <i>g</i> Druckfeder | Raum |
| <i>h</i> Zapfen | <i>o</i> Bohrung |
| | <i>p</i> Förderseil |



Verhalten des Seiles ein Urteil über die Wirkung der Dämpfeinrichtung gewonnen werden. Zu diesem Zwecke wurden die außen sichtbaren Drahtbrüche durch Prüfung des Seiles in kurzen Zeitabständen ermittelt. Aus den Drahtbrüchen an andern Förderungen ohne Dämpfeinrichtung und denen an der Förderung mit Dämpfeinrichtung konnte dann in mehrjährigem Vergleich die tatsächliche Wirkung der Dämpfeinrichtung einwandfrei geprüft werden.

Während an einer gleichen Förderung ohne Dämpfeinrichtung nach zweijährigem Betrieb 120 Drahtbrüche festgestellt wurden und das Seil — wie üblich — nach zweijährigem Betrieb abgelegt werden mußte, wurden bei der Förderung mit Dämpfeinrichtung nach zweijährigem Betrieb erst 20 Drahtbrüche ermittelt. Infolgedessen blieb das Seil weitere zwei Jahre in Betrieb und weist jetzt am Ende der vierjährigen Betriebszeit erst 50 Drahtbrüche auf. Nach dem Urteil der Sachverständigen könnte das Seil noch längere Zeit unbedenklich benutzt werden; es wurde jedoch abgelegt, um über das innere Verhalten des Seiles durch entsprechende Untersuchungen ein Urteil zu gewinnen. Diese Untersuchungen sind noch nicht abgeschlossen. Das vorläufige Ergebnis aus einem mittleren Seilstück, an dem die äußeren Drahtbrüche am dichtesten beieinander lagen, kann folgendermaßen zusammengefaßt werden: Die auf den Seilscheiben laufenden Drähte waren außen teilweise abgeplattet. Im Innern waren nur zwei Runddrahtbrüche festzustellen. Im Gegensatz zu dieser Feststellung wurden an einem entsprechenden Stück eines Seiles, das zwei Jahre ohne Stoßdämpfer gearbeitet hatte und 135 äußere Drahtbrüche aufwies, 14 innere Runddrahtbrüche ermittelt. Die äußeren, im Betrieb ermittelten Drahtbrüche können daher wohl als maßgebend für den Seilzustand angesehen werden.

Aus dem bisher vorliegenden Versuchsergebnis mit der Stoßdämpfeinrichtung folgt somit, daß zunächst die Aufliedgedauer eines Seiles beträchtlich verlängert werden dürfte. Die Dämpfeinrichtung selbst dürfte, abgesehen von einzelnen Teilen, voraussichtlich ständig betriebsfähig bleiben. Infolgedessen werden die Anschaffungskosten der Dämpfeinrichtung bereits mit dem ersten Seil wieder hereingebracht, und es lassen sich darüber hinaus beträchtliche Ersparnisse erzielen. Dazu kommt, daß das Neuauflegen von Seilen mit seinen Betriebsunterbrechungen seltener erforderlich ist. Weiterhin besteht die Möglichkeit, die Fördergeschwindigkeit heraufzusetzen, weil gerade die bei großen Fördergeschwindigkeiten auftretenden heftigeren Stöße und dynamischen Überbeanspruchungen durch die Dämpfeinrichtung unschädlich gemacht werden. Endlich wird man daran denken können, die zulässigen spezifischen Seilbelastungen in Zukunft zu vergrößern oder diesen Belastungen nicht mehr die weniger maßgebenden statischen Höchstbelastungen, sondern die tatsächlich auftretenden dynamischen Höchstwerte zugrunde zu legen und unter Berücksichtigung dieser Werte die Seile zu bemessen. Die beiden Maßnahmen würden dann die Förderleistung eines Schachtes erhöhen.

Essen.

Dr. H. Hort.

Glastechnik

Wägen und Mischen in der Glashütte

Auf der 10. Glastechnischen Tagung, die vom 15. bis 17. November 1928 zu Berlin im Ingenieurhaus stattfand, wurden eine Reihe von Vorträgen gehalten, die sich mit dem Wägen und Mischen in der Glashütte befaßten. Dr. H. Jepsen-Marwedel, Gelsenkirchen, sprach über

Bewertung der Homogenität des Gemenges

und wies darauf hin, daß nicht nur die örtliche Gleichmäßigkeit des Gemenges derselben Mischung, sondern auch die zeitliche mehrerer Mischungen hintereinander für die Schmelze von Bedeutung ist. Die örtliche Gleichmäßigkeit wird nicht dadurch erreicht, daß die Körner der verschiedenen Stoffe gleiche Masse haben, sondern die Stoffe sind im Gemenge im Hinblick auf die später einsetzenden Reaktionen zu verteilen. Außerdem ist der Feuchtigkeitsgehalt nicht nur von Einfluß auf das Mischen, sondern auch auf das Schmelzen von Glasgemengen. Ein Gehalt von 2 bis 4 vH Feuchtigkeit ist für das Mischen wie für das Schmelzen am vorteilhaftesten.

Die Gleichmäßigkeit des Gemenges wird durch die Ermittlung des Wasser- und Säurelöslichen sowie des Unlöslichen geprüft. Für laufende Beobachtungen genügt eine Glühverlustbestimmung. Für Sodagemenge hat sich eine gasvolumetrische Bestimmung bewährt, die man mit dem Kalorimeter von Scheibler sehr rasch und genau durchführen kann. Die äußerst zu dulden Grenzen für die Abweichungen betragen $\pm 0,3$ vH des Sollwerts.

Waagen und Wägevorrückungen

behandelte Dr. W. Felgentraeger, Charlottenburg, der auf Grund der im Glashüttenbetrieb möglichen Fehlerquellen und Nachteile die einzelnen Bauarten beschrieb. Die neueste

Entwicklung ist eine völlig selbsttätige Vorrichtung. Jeder Bunker hat seine eigne, selbsttätige Balkenwaage, alle Waagen werden gemeinsam gesteuert, der Rohstoff ist immer vom freien Raum abgeschlossen und die Handarbeit fällt ganz weg. Die Anlagekosten sind natürlich entsprechend groß, so daß diese Einrichtung nur für neuzeitliche, größeren Hüttenbetriebe in Frage kommt. Infolgedessen hat sich die Schaltwaage auf Schmalspurgleisen unter Bunkern bis heute am besten eingeführt, Abb. 5.

Von grundlegender Bedeutung für den Schmelzvorgang ist eine fehlerfreie Verteilung und der Aufbau des Gemenges. Das Sandkorn als größter Satzanteil und Träger bei Gemengeeigenschaften soll mit allen andern Bestandteilen umhüllt werden. Diese Stoffhüllen sollen ausreichend halten, damit sie der Entmischung nach beendetem Mischvorgang wirksam widerstehen. Von maßgebendem Einfluß hierauf sind die Mengverfahren, die Dipl.-Ing. H. E. Weerd, Köln, in seinem Vortrag über

Gemenge-Mischmaschinen

untersuchte. Die zu einer Vervollkommnung von Mengverfahren beitragenden Punkte erblickt man in der Verteilungsintensität, in der Geschwindigkeit und in der Summe der Laufwege innerhalb des Menggutes. Die Mischzeit wird durch die Erfahrung zu bestimmen sein, wenn auch die bisherige Ansicht des Ausgleichs zwischen langsamer Verteilung und Mischzeit nicht mehr berechtigt ist.

Die verschiedenen Mischmaschinen lassen sich in Trommelmischer, Abb. 6, Trogmischer und Tellermischer¹⁾ einteilen. Um das geeignetste Verfahren feststellen zu können sollte man Vergleichsmischungen mit gängigen Mischmaschinen für die verschiedensten Glassätze anstellen, um dann das beste Verfahren zur näheren Prüfung des geeignetsten Aufbaues des Gemenges heranzuziehen. Um eine Entmischung des Gemenges auf dem Wege von der Mischmaschine zum Ofen zu verhindern, kann man das Gemenge nach dem Mischen verdichten. Über die

Möglichkeiten der Gemengeverdichtung

sprach Prof. Dr. G. Keppler, Hannover. Es gibt drei Möglichkeiten der Gemengeverdichtung:

1. die einfache mechanische Verdichtung unter hohem Druck,
2. die mechanische Verdichtung unter geringem Druck und Zusatz von Bindemitteln,
3. Verdichtung lose zusammengestampfter Gemenge bei langsam steigender Temperatur: „Vorsintern“.

Das Vorsintern ist von Dr. Keppler durchgeleitet und eingehend untersucht. Verhältnismäßig wenig zusammengestampfte Gemenge zeigen schon bald weitgehend Umsetzungen, wenn man die Temperatur so langsam erhöht, daß die Veränderungen der Masse der jeweiligen Temperaturstufe folgen. Unterhalb des Schmelzpunktes der Einzelbestandteile des Gemenges, bei 700 bis 800 °, entweicht die Kohlensäure der Karbonate fast vollkommen. Dieser Vorgang wird von Keppler unter „Vorsintern“ bezeichnet. Di-

¹⁾ Z. Bd. 72 (1928) Nr. 47 S. 1727.

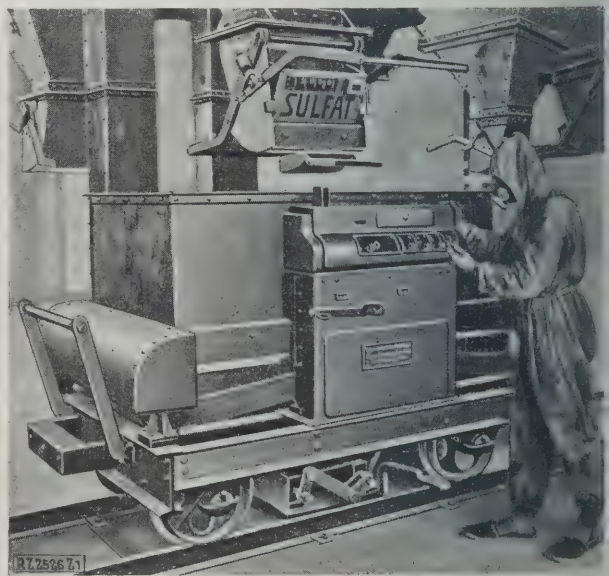


Abb. 5
Schaltwaage der Dinse-Maschinenbau A.-G. auf Schmalspurgleisen unter Bunkern.

erhaltenen Erzeugnisse sind dicht und hart und weitere
hitzung führt sie ohne jede Gefahr der Entmischung in
as über. Das Vorsintern gestattet also, einerseits
chwach gepreßte Formlinge weiter zu verfestigen und die
hmelzen sicher weitgehend gleichmäßig zu machen. Das
rsintern kann man möglicherweise unter Ausnutzung der
hitze des Ofens im Gegenstrom durchführen, so die
ärmewirtschaft der Glasschmelzöfen verbessern und gleich-
zeitig das ununterbrochene Schmelzen für Wannenschmel-
zen vereinfachen.

Ein weiterer Vortrag von Dr. E. Klever, Berlin, be-
steht sich mit neueren

Untersuchungen über Entwässerung von Kaolin im Zusammenhang mit der Mullitfrage,

er im Silikatforschungsinstitut in Berlin-Dahlem durch-
führt hat. Danach lassen sich die bisherigen Betrachtun-
gen über den Zerfall des Silimanits bei hohen Temperatu-
ren, denen eine im Schrifttum irrümlicherweise aufgeführte
Angabe über die negative Bildungswärme von Silimanit
Grunde lag, nicht aufrecht erhalten. Die Bildungs-
wärme wurde zu + 46 kcal/Mol bestimmt.

Gewerbemedizinrat Dr. K. Herbis, Berlin, sprach über Gesundheitsverhältnisse und Gesundheitsschutz in der Glasindustrie,

bei er besonders auf die Gefahren durch Staub, Hitze,
gase und gesundheitsschädliche Stoffe in der Glasherstel-
lung und -bearbeitung hinwies. Besonders sorgfältiger
Schutz ist bei der Verwendung von Bleiverbindungen,
Arsenik oder selenigsaurem Natrium erforderlich. Die
rahlende Hitze des Schmelzofens muß durch gute Lüftung
gemildert werden. Die Statistiken über die Gesundheitsver-
hältnisse der Glasmacher geben kein zuverlässiges Bild.
Der sogenannte „Glasmacherstar“ konnte nur bei einer ge-
ringen Anzahl festgestellt werden. Eine folgerichtige Er-
ziehung der Arbeiter zum eigenen Schutz gegen Erkran-
kung und gegen Unfälle wird die Verhältnisse weiter
bessern. [M 2526]

Schwenninger

Allgemeines

Bildungswerte der Technik

Man kann zu dem bemerkenswerten Buche von Wein-
rich¹⁾ stehen, wie man will, man mag gegen manches
seiner Darlegungen und gegen manches in der Form der
Darlegungen Einwendungen erheben, bestehen bleibt, daß
in diesem Buche von wesentlichsten Fragen unserer Zeit
handelt wird; denn nach einer langen Zeit des Kampfes
jetzt wenigstens der Erfolg errungen, daß niemand mehr
an Mut hat, an dem brennendsten Problem künftiger und

gegenwärtiger Kultur vorüberzugehen, dem Problem der
Einordnung der Technik in das Kulturbewußtsein der Gegen-
wart.

Vielleicht verschmilzt der Titel des Buches die Fragen,
um die sich die Erörterung zunächst zu bewegen hat: Wer-
tung der Technik und Bildung durch Technik. Die Ant-
wort auf die erste Frage bestimmt ja auch schon die Ant-
wort auf die zweite mit. Das ist auch etwa der Anlageplan
des Buches, und wenn dabei der Verfasser der Erörterung
des ersten Problems den weitaus größten Raum einräumt,
so liegt das daran, daß die zweite Frage im Zusammen-
hang mit der ersten steht. Dies bedeutet aber zugleich, daß
der Verfasser klar einsieht, wie notwendig es ist, zunächst
noch die Gegner seiner Auffassung durch möglichst viele
Gründe davon zu überzeugen, daß der Standpunkt vom Kul-
turanwert der Technik, den sie vertreten, zumindest an-
greifbar ist.

Was Weinreich zu geben versucht, ist ein Überblick
über die Anschauungen, denen man im Lager der Gegner
wie der Freunde der Technik etwa während des letzten
halben Jahrhunderts begegnet. Daß der ersten Durchfüh-
rung eines solchen Unternehmens mancherlei Mängel an-
haften müssen, ist einleuchtend. Darum dürfte es dem Buch
in der Kritik ähnlich ergehen wie dem Deutschen Museum
in München. Jeder wird mit Anerkennung von der Ge-
samtheit des Erreichten und Zusammengetragenen sprechen;
aber er wird finden, daß sein Arbeitsgebiet doch nicht so
vollkommen dargestellt ist, wie er wünscht und für erreich-
bar hält. Hier wird dann die schöpferische Kritik einzu-
setzen haben, die dem Verfasser die Möglichkeit gibt, in
einer zweiten Auflage zu bessern und zu ergänzen.

Nach einer kurzen Übersicht über die Geschichte der
Technik handelt der Verfasser in vier großen Abschnitten
zunächst „vom Widerstreit in den Beurteilungen der Tech-
nik und seinen Ursachen“, geht dann auf die Kernfragen
„Technik und Zivilisation“ und „Technik und Kultur“ über
und schließt mit einem Abschnitt über „die Technik im Er-
ziehungs- und Unterrichtsplan allgemeinbildender Schulen“.

So gut die straffe logische Ordnung des Inhalts ist,
möchte ich doch aus psychologischen Gründen empfehlen,
von der sehr weitgehenden Aufteilung zumindest im In-
haltsverzeichnis Abstand zu nehmen; wenigstens sagt mir
in dieser Hinsicht die Methode in Dessauers „Philosophie
der Technik“ mehr zu. Dort steht — ähnlich wie bei den
Abhandlungen in der VDI-Zeitschrift — vor jedem Ab-
schnitt eine kurze Zusammenfassung, die den Inhalt der
folgenden Darlegungen kennzeichnet. Das ist das neue
Verfahren der Aufsatztechnik.

Hervorzuheben ist die ehrliche Begeisterung mit der
Weinreich die Sache der Technik vertritt. Um dieser Be-
geisterung willen darf man es ihm nachsehen, daß der an-
scheinend wichtigste Abschnitt in mehrfacher Hinsicht am
wenigsten gelungen ist. Allerdings ist das Buch in erster
Linie für den Techniker bestimmt. Er spricht aber daneben
auch zur Lehrerschaft. Wenn jedoch Technik als geistige
Macht gewertet werden soll — und sie ist eine geistige
Macht, sobald sie als Gestaltwerdung schöpferischer Ideen
betrachtet wird, ist sie es auch dort, wo sie den Kampf der
Geister entfacht — wenn also Technik in solchem Sinne
gewertet werden soll, dann muß das Kapitel über „Tech-
nisches Denken und Schaffen“ viel stärker in die Tiefe
gehend behandelt werden. Ich halte auch vom logischen
Standpunkt aus den Abschnitt für verfehlt; denn der Zwei-
heit von Denken und Schaffen, die in der Überschrift ge-
nannt wird, entsprechen nicht die Unterabschnitte „Von der
geistigen Eigenart des Technikers“ und „die Psychologie
des Erfinders“, und auch was in diesen Abschnitten auf-
geführt wird, scheint mir etwas anfechtbar.

Ebenso bedürfen die Ausführungen über „die Technik
als Gegenstand der Kunst“ und über „Technik und Reli-
gion“ der Umarbeitung. Beim Verhältnis zwischen Technik
und Kunst ist es sehr reizvoll, rein morphologisch den Ein-
fluß technischer Gestaltung auf die Kunst nachzuprüfen,
zu prüfen, ob nicht z. B. die Rhythmisierung der modernen
Tanzkunst, die starke Strukturbetontheit der Malerei des
Expressionismus, unbewußte Einwirkungen technischer Aus-
druckformen und technischer Geräuscheindrücke auf die so
ungemein reizbare Empfindungsfähigkeit des Künstlers sind.
Daneben sehe ich aber, wenn es sich um die Behandlung
der Technik in der Dichtkunst handelt, die nicht minder
verlockende Möglichkeit, statt der Aufzählung von Werken,
in denen technisches Geschehen oder technisches Produkt
zum wesentlichen Bestandteil des Vorwurfs gehören, einen
aufklärenden Bericht darüber zu geben, wie in diesen Dich-
tungen das Problem der Technik überhaupt gefaßt wird
und in welchen Bahnen etwa die Phantasie verläuft, wenn
es sich um Zukunftsromane handelt. Gerade Verne bietet
die Möglichkeit, die Schöpfungen seiner Phantasie mit dem

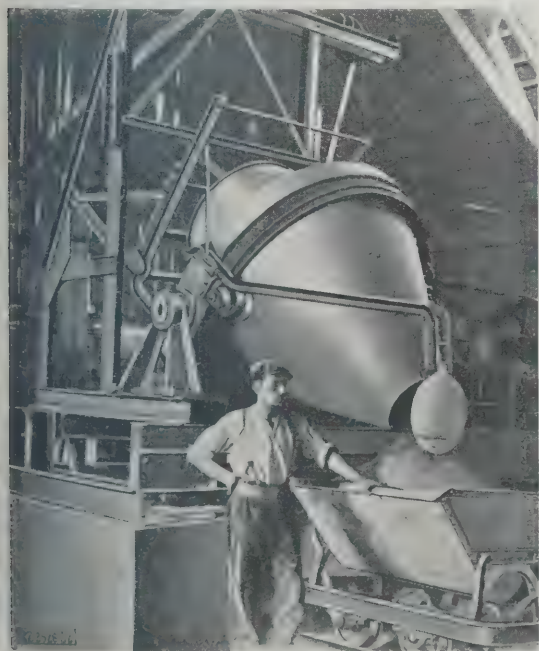


Abb 6
Trommelmischer der Draiswerke G. m. b. H.
Mannheim-Waldhof.

¹⁾ Hermann Weinrich: Bildungswerte der Technik. Berlin 1928
Vf-Verlag. 151 S. m. Abb. Preis 7 RM, für Mitglieder des V. d. L. 6,30 RM.

Unterseeboot oder dem Flugzeug zu vergleichen. Gefährlich in dem kurzen Absatz über Religion und Technik scheint mir die nicht hinreichend scharfe Unterscheidung zwischen Religion und Kirche. In einer andern Ebene vollzieht sich hier der gleiche Irrtum, den Weinreich so temperamentvoll bekämpft, wenn er vom Mißbrauch der Technik durch wirtschaftliche Organisationen spricht. Es gibt eben auch mißbrauchte Religion.

Diese Ausführungen sollen aber Weinreichs Buch als Ganzes nicht herabsetzen. Im Gegenteil; ich wünsche ihm

unter Technikern wie unter Laien eine möglichst weite Verbreitung. Die Einfügung der Technik in das geistige Leben unserer Zeit ist eine der wichtigsten Aufgaben, die wir im Interesse zumindest der Kultur unseres Volkes zu leisten haben. Jedes Wort und jede Tat, die diesem Zweck entgegenführt, verdient eifrige Unterstützung. Möge man sich über den Inhalt des Buches in recht weiten Kreisen und recht gründlich streiten; nichts kann gerechter Werbung der Technik besser dienen als solcher Streit.

Hamburg [M 2738]

Hans Schimank

Kleine Mitteilungen

Wirtschaftlichkeit des Hochdruckdampfbetriebes.

Gelegentlich einer beabsichtigten Erweiterung des Nordost-Kraftwerkes der Kansas City Power & Light Co. hat man die Kosten des Ausbaues für Hochdruck- und für Niederdruckbetrieb einander gegenübergestellt; das Ergebnis ist bemerkenswert:

Das Kraftwerk enthält zur Zeit drei Turbodynamos von je 23 000 kW und zwei von je 30 000 kW, die von zwölf 1250 m²-Kesseln mit Dampf von 21 at beliefert werden. Für den Ausbau kamen in Betracht: Aufstellung von weiteren 21 at-Kesseln und einer weiteren 30 000 kW-Turbodynamo oder von 98 at-Kesseln mit Zwischenüberhitzern und einer Vorschaltturbine für 21 at Gegendruck bei 10 000 kW Leistung.

Dem Vergleich der Kosten wurden Kessel für 45 000 kW Leistung zu Grunde gelegt, als Preis der 21 at-Turbine wurde ein Drittel der Kosten der 30 000 kW-Turbine eingesetzt. Der Vergleich zeigte, daß die gesamten Anlagekosten einer Hochdruckanlage für 98 at Kesseldruck um 31,6 vH höher als die der gleichen Anlage für Niederdruckbetrieb wären, dabei kostet eine 10 000 kW-Turbine für 84 at Anfangsdruck noch etwas weniger als ein Drittel der 30 000 kW-Turbine für 21 at. Die dadurch entstehenden Kapitalkosten hofft man durch die Ersparnis an Kohlenverbrauch einzubringen, der um 11 vH sinken soll. Die Hochdruckanlage, für die man sich auf Grund dieser Überlegung entschied, wurde Ende 1928 in Betrieb genommen. („Electrical World“ 9. März 1929 S. 492) [N 2841 a] *Le.*

Zweitakt-Dieselmotor mit neuartiger Lufteispritzung.

Der einfachwirkende Sechszylindermotor von rd. 190 mm Zyl.-Dmr. und 254 mm Hub der Climax Engineering Co., Glimton, Iowa, der bei 600 U/min 300 PS leistet und rd. 7,8 at mittleren indizierten Kolbendruck haben soll, kennzeichnet sich insbesondere dadurch, daß jeder Zylinder mit einem eignen Einblase-Luftverdichter versehen ist, der erhitzte verdichtete Luft in den Raum über dem zugehörigen Brennstoßventil fördert. Die Luft wird mit rd. 15 at durch einen vom Motor unabhängigen Verdichter geliefert. Die Brennstoffpumpe drückt nur gegen diesen Druck, da sie die Ladung in das Brennstoßventil fördert, während der Kolben des Einblase-Luftverdichters seinen Saughub macht.

Das Brennstoßventil öffnet sich 10° vor dem Totpunkt des Motors. Zu dieser Zeit befindet sich der Kolben des Verdichters noch 35° vor seinem Totpunkt, und der Druck der Einblaseluft steigt bis zum Hubende dieses Kolbens noch von rd. 77 auf 91 at. Der Fortfall der Kühlwirkung der sich entspannenden Einblaseluft macht es möglich, den Verdichtungsgrad des Motors verhältnismäßig klein zu bemessen.

Ein weiteres Merkmal dieses Motors ist, daß der Zutritt der Spülluft durch die Zylinderschlitze mittels eines umlaufenden Schiebers gesteuert wird; durch Verstellen des Schiebers kann man die Endtemperatur der Verdichtung regeln und das Anspringen des Motors aus dem kalten Zustand erleichtern. Die Spülluft wird von einer Stufe des Hauptkolbens geliefert, wobei je zwei benachbarte Zylinder miteinander zusammenwirken. („Power“ 12. März 1929 S. 429/30*) [N 2841 b] *H.*

Versuche mit Stofffiltern in Kohlenstaubbereitungsanlagen

Im Trenton Channel-Kraftwerk zapft man den Windichter oben durch eine Rohrleitung an, setzt auf 91° vorgewärmte Frischluft zu und leitet das Gemisch in ein Staubfilter. Dieses besteht aus einem zylindrischen Stahlbehälter von rd. 200 mm Dmr. und 2450 mm Länge. Die gleichfalls zylindrischen Staubsäcke, — 12 in jedem Behälter — sind unten offen und luftdicht in eine Stahlplatte eingesetzt. Oben sind sie mit einem Deckel abgeschlossen und an einer Platte aufgehängt, die mittels einer Rüttelvorrichtung bewegt werden kann. Das vorgewärmte Gemisch aus Staub

und Luft tritt unten in den Stahlzylinder ein und streift von da aus, nachdem sich ein Teil des Staubes bei der Umlenkung schon abgesetzt hat, durch die Stoffwände. Hier wird der Staub nahezu restlos festgehalten, während die gereinigte Luft mit einem kleinen Gebläse abgesogen wird. Sobald der Widerstand der Staubsäcke ein bestimmtes Maß überschreitet, schaltet ein selbsttätiges Ventil das Filter ab und setzt die Rüttelvorrichtung in Bewegung. Gleichzeitig tritt Luft von oben in den Stahlzylinder und strömt in umgekehrter Richtung durch das Filter. Man erreicht hiermit, daß die an den Stoffwänden angehaften Staubsäcke herunterfallen und sich unten sammeln. Es dauert rd. 15 min, bis sich das Stofffilter zugesetzt hat, das Rütteln nimmt nur 5 s in Anspruch. Während dieser Zeit fließt das Gemisch durch ein anderes Filter. Insgesamt sind 22 Filter im Betrieb. („Power“ 19. März 1929 S. 464) [N 2841 c] *Stg.*

Bussey-Tieftemperatur-Verkokungsverfahren

Die Tieftemperatur-Verkokungsanlage der Bussey Co. Distillation Co., die z. Z. in Glenboig bei Glasgow erbaut wird, soll Mitte 1929 in Betrieb genommen werden und täglich 500 bis 600 t Kohle durchsetzen sowie 300 bis 400 Halbkoks, 68 000 l Rohöl und 425 000 m³ Gas erzeugen. Es werden 14 ovale, kegelige Senkrechtreorten mit Innenbeheizung und je 50 t Durchsatz täglich von rd. 9150 mm Höhe bei 600/600 mm oberer und 2400/915 mm unterer Weite aufgestellt. Die Retorten sind unten mit Hohlrosten versehen. Unmittelbar über dem Rost ist die durch Schneckengetriebe und einen kleinen Motor betätigte Entladevorrichtung für den Koks eingebaut.

Die Kohle wird mittels eines selbsttätigen Schräglaufzuges und Fördervorrichtungen, die über die Retorten laufen, in abgemessenen Mengen und zu bestimmten Zeiten selbsttätig von oben her in die Retorten verteilt. Der Halbkoks wird mittels der Entladevorrichtung in einen luftdichten Behälter abgezogen, wo er mit Dampf gekühlt wird und fällt dann in einen zweiten Behälter und aus diesem auf die Fördervorrichtung. Die Temperatur am oberen Ende der Retorte beträgt etwa 150°, die der Entgasungszone liegt zwischen 150° und 425°; die dritte Zone am unteren Ende der Retorte ist die Verbrennungs- und Heizzone. („Engineering“ 29. März 1929 S. 409*) [N 2841 d] *Ste.*

Holztränkung

In einer Tagung der American Wood Preservers Association wurde über ein neues Verfahren der Holztränkung mit Kreosot ohne Anwendung von Druck berichtet, das sich gut bewährt haben soll. Die Behandlungsdauer hängt von der Holzart, der Größe, dem Gehalt an Feuchtigkeit und der Dicke des Kernholzes ab und kann zwischen 4 und 36 h schwanken.

Das Holz kommt zuerst in einen Behälter mit heißem Kreosot. Die Temperatur beträgt bei frisch gefälltem Tannenholz rd. 115° bei einer Tränkdauer von etwa 15 h. Danach legt man das Holz in ein kaltes Kreosotbad von rd. 50°, und zwar meist etwa halb so lange, wie in das heiße Bad. Die beste Aufnahmefähigkeit scheint das Holz während der ersten Stunde der Kaltbehandlung zu haben. Das Kreosot wird in einem besondern, mit Dampf geheizten Erwärmer erwärmt, den man auch als Kühler benutzen kann. („Engineering News Record“ 21. März 1929 S. 455) [N 2841 f] *Schr.*

Signale an Eisenbahnübergängen

In Minneapolis sind viele selbsttätige, halb selbsttätige und Handsignale an den Übergängen der Eisenbahnen über die Straßen aufgestellt. Am häufigsten ist das Griswold Signal, das für zwei Stellungen „Halt“ und „Frei“ beweglich eingerichtet ist. Näher sich ein Zug, so ist die achteckige, gelb beleuchtete Scheibe mit der Aufschrift „Halt“ der Straßenflucht zugewandt, ist der Übergang frei, so ist

Scheibe um 90° um die senkrechte Achse gedreht und
gt „Frei“. Ein kleiner Motor bringt sie in diese Stellung,
der sie mittels eines Magneten festgehalten wird, dage-
wird sie in die Haltstellung mittels eines Gewichtes
zurückgeführt, nachdem der Magnet ausgelöst worden
Zu beiden Seiten unterhalb der Scheibe sind Blink-
ter, über ihr zwei gekreuzte beleuchtete Arme angeord-

net mit der Aufschrift „Eisenbahnübergang“. Die Signale
mehrerer Eisenbahnübergänge werden von einem Turm aus
überwacht und bedient. An weniger verkehrsreichen Über-
gängen bedient man sich feststehender Blinklicht- und soge-
nannter „Wig-Wag“-Signale mit Glocke, die teils vom Zug
selbsttätig, teils mit der Hand bedient werden. („Railway
Age“ 16. März 1929 S. 617*) [N 2841 e] Ro.

BÜCHERSCHAU

Bücher und Zeitschriften des In- und Auslandes, auch solche nichttechnischen Inhaltes, liefert die VDI-Buchhandlung,
Berlin NW 7, Ingenieurhaus (Telegrammanschrift: Ingenieurverlag Berlin; Fernspr.: Zentrum 15204).

Alfred Krupps Briefe 1826 bis 1887. Herausgeg. von Wil-
helm Berdrow. Berlin 1928, Reimar Hobbing. 447 S. m.
Bildtafeln. Preis i. Leinen 16 RM, i. Halbleder 20 RM.

Die ersten zwei Bände von Berdrows ausgezeichnete
Biographie von Alfred Krupp liegen bereits in zweiter Auf-
lage vor, ein gutes Zeichen für das Interesse, das Deutsch-
land den wertvollen großen biographischen Werken selbst
den entgegenbringt, wenn sie in so hohem Maße, wie hier,
an Technik erfüllt sind, ein Zeichen aber auch dafür, wie
viele Alfred Krupp als großer Deutscher in das Bewußt-
sein unseres Volkes hineinwächst.

Als sehr wertvolle Ergänzung dieser Krupp-Biographie
ergänzt Berdrow jetzt im Auftrag der Familie und der Firma
Krupp einen dritten Band „Alfred Krupps Briefe 1826 bis
1877“ heraus. Das Inhaltsverzeichnis zählt 487 Briefe auf,
eine kleine Auswahl von den 10 000, die vorhanden sind.
Aber man wird dem Herausgeber zustimmen müssen, daß
diese Auswahl, die fast nur Briefe Krupps und nur wenig
Befehle an Krupp enthält, mehr bedeutet, als eine vollstän-
dige Sammlung, da diese nach der Art der Briefe natürlich
unzählige Wiederholungen enthalten und durch Über-
lappung mit Unwesentlichem das Interesse ermüden würde.

Berdrow weist im Vorwort mit Recht darauf hin, wie
ehr nicht nur das Werden eines großen Unternehmens,
sondern auch das Werden eines großen schöpferischen
Geistes sich literarisch niederschlägt. Der alte Krupp war
ein „Stilist von unvergleichlicher Kunst“. Wie er das ge-
litten hat, diese Entwicklung selbst, zeigt sich auch in den
Befehlen. Jeder, der die ersten beiden Bände der Biographie
betrachtet, wird erfreut sein, diese Briefe als dritten Band dem
Werke hinzufügen zu können. Die bereits erwähnte zweite
Auflage der beiden ersten Bände der Biographie konnte
sein, da sie durch den dritten Band, der die Briefe enthält,
wertvoll ergänzt wird, eine Kürzung gefallen lassen, weil
jede Biographie mit Recht auch weitgehend von dem
wertvollen Quellenmaterial der Briefe Gebrauch ge-
macht hat.

Es hieß, eine neue Biographie von Krupp schreiben,
wenn wir auf den Inhalt der ausgezeichneten Briefsammlung
in einzelnen hier eingehen wollten. Niemand, der für die
Geschichte der Technik Interesse hat und dem es daran ge-
ht, im Quellenmaterial wichtige Abschnitte der deut-
schen industriellen Entwicklung kennen zu lernen, wird
sich den Genuß dieser Lektüre entgehen lassen. Es sei
hier auch mit besonderem Nachdruck auf die empfehlenden
Wörter der Besprechung der ersten Auflage in dieser Zeit-
schrift — Bd. 71 (1927) S. 307 — hingewiesen.
[E 2685] C. Matschoß

Forschungsarbeiten auf dem Gebiete des Ingenieurwesens,
1929. H.: **Der Zündverzöger bei flüssigen Brennstoffen.** Von
Hartner-Seberich. Berlin 1928, VDI-Verlag. 23 S. m.
2 Abb. und 8 Zahlentaf. Preis 3,75 RM, für Mitglieder
des V. d. I. 3,35 RM.

Die vorliegende Arbeit, deren wesentlichste theore-
tische Ergebnisse Prof. K. Neumann bereits früher mitge-
teilt hat, befaßt sich mit einem sehr wesentlichen Teil des
Zündproblems im Dieselmotor. Die Ansichten über den
Zündvorgang haben sich seit den ersten Arbeiten von
Ruppel¹⁾ und andern wesentlich geändert. Während man
früher den Zündvorgang als ein reines Problem der Ölgas-
bildung aus dem eingespritzten Brennstoff anzusehen ge-
wohnt war, haben die Arbeiten von Neumann und seinen
Mitarbeitern gezeigt, daß die Verdampfung des Brennstoffes
beim Einspritzvorgang nicht die Bedeutung hat, die man
früher beimaß. Der Vorgang vollzieht sich bei flüssigen
Brennstoffen in der Dieselmachine vielmehr so, daß eine
gewisse, meßbare Zeit vergeht, ehe Zündung und danach
Verbrennung einsetzt.

Nach dem Vorgange von Neumann bezeichnet man
die Zeit als Zündverzöger. Die vorliegende Arbeit be-
handelt alle zugehörigen Einflußgrößen wie Wärmeleit-
fähigkeit, spezifische Wärme, spezifisches Gewicht, Mischungs-

verhältnis und Tropfendurchmesser. Auch die Strahlung
und die Verdampfung werden in Betracht gezogen. Der
Verfasser kommt zu dem Ergebnis, daß der Verdampfung
nur eine untergeordnete Rolle beizumessen ist; er lehnt
aber einen Einfluß der Verdampfung nicht völlig ab. Die
Arbeit enthält eine Reihe wichtiger Ergebnisse und dürfte
als grundlegend für die weiteren Arbeiten auf dem Gebiete
der Verbrennung flüssiger Brennstoffe anzusehen sein.
[E 2658] Allner

Die Entropie-Diagramme der Verbrennungsmotoren, ein-
schließlich der Gasturbine. Von P. Ostertag. 2. Aufl.
Berlin 1928, Julius Springer. 78 S. m. 16 Abb. Preis
4,50 RM.

Es ist zu begrüßen, daß durch eine zweite Auflage des
Büchleins von neuem auf die Notwendigkeit hingewiesen
wird, bei den Vorgängen in unseren Verbrennungsmotoren
mehr in Wärmemengen zu denken und damit eine bessere
Vergleichsgrundlage zu schaffen als die Druck-Volumen-
Diagramme sie bieten.

Nach einer kurzen Erläuterung der Grundbegriffe der
technischen Wärmelehre wird die Anwendung der Entropie-
tafel der Gase auf die Kreisprozesse der Verbrennungs-
kraftmaschinen einschließlich der Gasturbine gezeigt. In
einem kurzen Schlußabschnitt sind einige Sonderprobleme
erwähnt. Es würde sich empfehlen, die Rechnungsbeispiele
mehr der Wirklichkeit anzupassen. Die Annahme, daß bei
der Dieselmachine z. B. 10 vH des Heizwertes der Gase an
das Kühlwasser abgegeben werden, führt zu irreführenden
Werten für den thermischen und indizierten Wirkungsgrad.
Weiter sollte strenger zwischen Celsius- und absoluten
Temperaturen unterschieden werden.

Trotzdem ist das Buch eine gute Einführung in das
Wesen der Entropietafel für Gase und damit in die Frage
der Wärmeumsetzung in der Verbrennungskraftmaschine.
[E 2582] Ltr.

Festigkeitslehre. Von S. Timoshenko und I. M. Lessells. Ins
Deutsche übertragen von I. Malkin. Berlin 1928, Julius
Springer. 484 S. m. 391 Abb. Preis 28 RM.

Die beiden in der Forschungsanstalt der Westinghouse
Electric & Mfg. Co., East Pittsburgh, wirkenden Forscher
haben versucht, auf verhältnismäßig kleinem Raum die
theoretischen Grundlagen und praktischen Belange der
Materialprüfung für das Gesamtgebiet der metallischen
Werkstoffe zu bringen. Im ersten Teil gibt Timoshenko,
nach Beanspruchungsarten geordnet, eine Übersicht über
die Festigkeitslehre, die für den Konstrukteur auf dem Ge-
biete des Maschinenbaues von praktischer Bedeutung ist.
Die zweckmäßige Lösung bestimmter Aufgaben ist an Bei-
spielen dargestellt. Der von Lessells bearbeitete zweite Teil
des Buches behandelt die technische Materialprüfung und
ist nach Prüfverfahren geordnet. Die Ausführungen stützen
sich vornehmlich auf Erfahrungen durch eigene Versuche.

Der Inhalt des Buches deckt einen großen Teil der be-
sonders auf dem Gebiet der Kraftmaschinen auftretenden
Fragen. Der zweite Teil ist durch eine Zusammenstellung
von Kennziffern aus dem praktischen Betrieb ergänzt.
Trotz der auf praktische Ziele abgestellten Abhandlungen
erfordert besonders der erste Teil von dem praktisch tätigen
Ingenieur eine eingehende Beschäftigung mit dem sehr viel-
seitigen Stoff. [E 2705] D.

Impurities in Metals. Von Colin J. Smithells. London 1928.
Chapman & Hall. 157 S. m. 166 Abb. Preis 18 s.

Das hervorragend ausgestattete Buch, das der bekannte
Verfasser des Werkes „Tungsten“ geschrieben hat, behandelt
nicht nur die unbeabsichtigte in den Metallen auftretenden
Verunreinigungen, sondern auch beabsichtigte Legierungs-
bestandteile, so weit sie in sehr geringen Mengen vor-
kommen. Die Schrift ist elementar gehalten und der Ver-
fasser hat auf eine eingehende Behandlung der vielartigen
Probleme verzichtet. Die einzelnen Kapitel behandeln Gefü-
ge, mechanische und elektrische Eigenschaften und Kor-
rosion. Einige für uns technisch sehr wichtige Fragen, z. B.

¹⁾ Z. Bd. 51 (1907) S. 613.

über Verunreinigungen in Edelmetallen, Sauerstoff im Eisen u. a. sind nur berührt. Dagegen enthält das Buch auch einige allgemeine Abschnitte über das Gefüge reiner Metalle und von Legierungen, über die Anwendung der Röntgenstrahlen und über Kaltverformung.

Die reiche Stoffzusammenstellung ist durch die sehr schönen und gut gewählten Abbildungen ausgezeichnet ergänzt. [E 2727]

Die Statik der Bauwerke. Von *Rudolf Kirchhoff*. 1. Bd. 2. Aufl. Berlin 1928, Wilhelm Ernst & Sohn. 391 S. m. 494 Abb. Preis 28 RM.

Der Verfasser behandelt in dieser zweiten Auflage des ersten Bandes, die gegenüber der ersten erheblich erweitert ist, nach einer Einleitung über Zusammensetzung und Zerlegung von Kräften die Spannungstheorie, die wichtigsten statisch bestimmten ebenen Systeme: den einfachen Balken, den Gerberträger und den Dreigelenkbogen in den verschiedensten Formen, ferner die kinematische Theorie des ebenen Fachwerks und statisch bestimmte Raumbauwerke. Als Schüler Müller-Breslaus benutzt er dessen Methoden und berücksichtigt auch die Anforderungen, die der jetzige Inhaber des Berliner Lehrstuhles stellt.

In dem Abschnitt über statisch bestimmte Rahmenträger dürfte es sich empfehlen, die Auflagerkräfte entsprechend ihrem Richtungssinn mit Vorzeichen zu versehen, da sonst die Addition mehrerer Belastungsfälle auf Schwierigkeiten stößt. Der Stoff ist vorzugsweise auf die Erfordernisse des Brückenbaues zugeschnitten, die Behandlung der Einflußlinien nimmt einen sehr breiten Raum ein. Die Art der Darstellung ist klar und leicht verständlich, so daß das Buch jedem Studierenden durchaus empfohlen werden kann. [E 2544]

Petermann

RKW-Veröffentlichungen Nr. 26: Richtlinien für die Behandlung der Geschäftspost. Bearb. von *H. Halberstaedter*. Herausgeg. vom Ausschuß für wirtschaftliche Verwaltung beim Reichskuratorium für Wirtschaftlichkeit. Berlin 1929, Beuth-Verlag. 105 S. Preis 3,75 RM.

Mitteilungen der Preussischen Versuchsanstalt für Wasserbau und Schiffbau, Berlin, 4. H.: Widerstandsmessungen an umströmten Zylindern von Kreis- und Brückenpfeilerquerschnitt. Von *F. Eisner*. Berlin 1929, Julius Springer. 98 S. m. 63 Abb. Preis 10 RM.

Elemente der Graphostatik. Von *Georg Dreyer*. 9. Aufl. Leipzig 1929, Max Jäneckel. 143 S. m. 318 Abb. u. 4 Taf. Preis 5,20 RM.

Maste und Türme in Stahl. Von *P. Sturzenegger*. Berlin 1929, Wilhelm Ernst & Sohn. 219 S. m. 362 Abb. Preis 25 RM.

Autotechnische Bibliothek. 22. Bd.: Autotechnisches Wörterbuch in vier Sprachen. Von *R. Schmidt*. 2. Bd.: Französisch-Deutsch-Englisch-Italienisch. 2. Aufl. Von *Heinz Erblisch*. Berlin 1929, Richard Carl Schmidt & Co. 175 S. Preis 5 RM.

Jahrbuch des Deutschen Kraftfahr- und Motorwesens (Jahrbuch des Reichsverbandes des Kraftfahrzeughandels und -gewerbes E. V.). Herausgeg. von *Johannes Buschmann*. 11. Jg. Berlin 1929, Dr. Ernst Valentin. 276 S. m. 45 Abb. Preis 8 RM.

Official Handbook of Automobiles 1929. New York 1929, National Automobile Chamber of Commerce. 221 S. m. zahlr. Abb.

Auto-Diktionär. Dreisprachen-Wörterbuch des Kraftfahrzeugwesens. Bearb. für den Reichsverband der Automobilindustrie von *Beno R. Dierfeld*. 1. Bd.: Deutsch-Französisch-Englisch. Berlin 1929, Dr. Ernst Valentin. 176 S. Preis 6 RM.

Die großen Chemiekonzerne. Von *Alfred Marcus*. Leipzig 1929, S. Hirzel. 100 S. m. 6 Taf. Preis 8 RM.

Handbuch der Mineralchemie. Herausgeg. von *C. Doell* und *H. Leitmeier*. 4. Bd., 14. Lfg. Dresden und Leipzig 1928, Theodor Steinkopff. 160 S. m. 30 Abb. Preis 8 RM.

Untersuchungsmethoden der Lack- und Farben-Industrie (Physical and Chemical Examination of Paints, Varnishes, Lacquers and Colors). Von *Henry A. Gardner*. Übersetzt und ergänzt von *Bernhard Scheifele*. Berlin 1929, Union Deutsche Verlagsgesellschaft. 807 S. m. 20 Abb. Preis 45 RM.

Chemisches Fachwörterbuch. Herausgeg. von *A. W. Maass*. 1. Bd.: Deutsch-Englisch-Französisch. Leipzig 1929, Spamer. 826 S. Preis 75 RM.

Gold auf der Straße. Was aus Abfallstoffen werden kann. Von *Hanns Günther*. Stuttgart 1929, Dieck & Co. 80 S. m. 23 Abb. Preis 2,50 RM.

Der Privatgleisanschluß. Kommentar von *Heinrich Stölte*. Berlin-Lichtenrade 1929, Selbstverlag. 155 S. Preis 7 RM.

Aperçu de l'Évolution des Chemins de Fer Français de 1825 à 1928. Von *R. Godfernaux*. Paris 1928, Dunod. 234 S. m. 16 Abb. Preis 20 frs.

Technische Gesteinkunde. Von *Josef Stiny*. 2. Aufl. W. 1929, Julius Springer. 550 S. m. 422 Abb. sowie ein Beiheft: Kurze Anleitung zum Bestimmen der technisch wichtigsten Mineralien und Gesteine. Preis 45 RM.

Weltmontanstatistik. Herausgeg. von der Preussischen Geologischen Landesanstalt. Die Versorgung der Weltwirtschaft mit Bergwerkserzeugnissen. 1. Bd.: 1860 bis 1928. 2. T.: Erze und Nichterze. Bearb. von *M. Meissner*. Stuttgart 1929, Ferdinand Enke. 394 S. m. 107 Abb. Preis 35 RM.

Flugzeugbau und Luftfahrt. 5. H.: Grundlagen der Fluglehre. Von *E. Pfister* und *V. Porger*. 2. T.: Tragflügeltheorie. Berlin-Charlottenburg 1928/29, C. J. E. Vogelmann Nachf. 75 S. m. 70 Abb. Preis 2,50 RM.

La Pratique des Machines Frigorifiques. Von *G. Vassog*. Paris und Lüttich 1928, Ch. Béranger. 249 S. m. 62 Abb. Preis 60 frs.

Der städtische Schlacht- und Viehhof in München. Festschrift zum 50jährigen Bestand. Von *Ferdinand Oppenheimer*. München 1928, Deukula. 75 S. m. zahlr. Abb. Preis 4 RM.

Die neue Großmarkthalle in Frankfurt am Main. Zur Eröffnung am 25. Oktober 1928. Herausgeg.: Ernährungsamt und Hochbauamt Frankfurt a. M. Frankfurt a. M. 1928, Englert & Schlosser. 41 S. m. Abb. Preis 3 RM.

Freies Skizzieren ohne und nach Modell für Maschinenbauer. Von *Karl Keiser*. 4. Aufl. Berlin 1929, Julius Springer. 72 S. m. 46 Abb. Preis 2,80 RM.

Die elektrische Taschenlampe und die tragbaren elektrischen Handlampen. Von *R. Ziegenberg*. Berlin 1929, Hermann Meusser. 154 S. m. 84 Abb. Preis 12 RM.

Schriften der Volkswirtschaftlichen Vereinigung im rheinisch-westfälischen Industriegebiet 6. H.: Unternehmen gestalten aus dem rheinisch-westfälischen Industriebezirk: Friedrich Krupp und Franz Dinnendahl, Friedrich Harkort, Friedrich Grillo. Mit einem Anhang: Vorschlag zur Schaffung einer Rheinisch-Westfälischen Bergbaugraphie. Von *Walther Dabritz*. Jena 1929, Gustav Fischer. 54 S. Preis 2,10 RM.

Jahrbuch der Technik. 15. Jg. 1928/1929. Stuttgart 1929, Dieck & Co. 384 S. m. zahlr. Abb. Preis 6 RM.

Nobel. Dynamit, Petroleum, Pazifismus. Herausgeg. von *H. Schück* und *R. Sohlman*. Übers. von *W. H. v. Mühlbe*. Leipzig 1928, Paul List. 334 S. m. vielen Bildern. Preis 10 RM.

Schriften aus dem Gesamtgebiet der Gewerbehygiene. Herausgeg. von der Deutschen Gesellschaft für Gewerbehygiene. Neue Folge. 23. H.: **Das Tiefdruckverfahren.** Bearb. von *R. Krug, Fr. Rothe* und *H. Wenzel*. Berlin 1929, Julius Springer. 30 S. m. 18 Abb. Preis 3,60 RM.

Schluß des Textteiles

I N H A L T :

	Seite
Getriebepraxis bei Verpackungsmaschinen. Von <i>F. Maul</i>	481
Neues Verfahren zum Erzeugen von Eis	491
Hauptformen des zweiaxigen Lokomotiv-Laufgestells. Von <i>L. Schneider</i>	492
Motorrettungsboot „Insulinde“. Von <i>E. Vossnack</i>	499
Die Verdampfungswärme des Wassers und das spezifische Volumen von Sattdampf für Temperaturen bis 210 °C. Von <i>M. Jakob</i>	504
Rundschau: Über Gesenktstähle — Löffelbagger mit 6,5 m ³ Löffelinhalt — Stoßdämpfeinrichtung für	

Förderseile — Wagen und Mischen in der Glashütte — Bildungswerte der Technik — Kleine Mitteilungen	
Bücherschau: Alfred Krupps Briefe 1826 bis 1887. Von <i>W. Berdrow</i> — Der Zündverzug bei flüssigen Brennstoffen. Von <i>Hartner-Seberich</i> — Die Entropie-Diagramme der Verbrennungsmotoren. Von <i>P. Ostertag</i> — Festigkeitslehre. Von <i>S. Timoshenko</i> und <i>J. M. Lessells</i> — Impurities in Metals. Von <i>C. J. Smithells</i> — Die Statik der Bauwerke. Von <i>R. Kirchhoff</i> — Eingänge	

ZEITSCHRIFT DES VEREINES DEUTSCHER INGENIEURE

SCHRIFTFLEITER: C. MATSCHOSS ★

73

SONNABEND, 20. APRIL 1929

Nr. 16

Gas und Wasser

Die Entwicklung der Gasgeräte in der letzten Zeit

Von Oberbaurat Th. von GÄSZLER, München

Aufzählung der Punkte, die die Entwicklung der Gasgeräte beeinflussen. Entwicklung der Gasgeräte vom Standpunkt des Volkswirtes, vom Standpunkt des Benutzers, an den einzelnen Gasgeräten betrachtet: Der Gasherd, der Warmwasserbereiter, der Heizkörper, die gewerblichen Gasfeuerungen. Entwicklung der Gasgeräte vom Standpunkt der Hygieniker, vom Standpunkt der Gaswerke und vom Standpunkt des Konstrukteurs und Erzeugers.

Einflüsse auf die Entwicklung der Gasgeräte

Will man die Entwicklung der Gasgeräte in jüngster Zeit verfolgen, so muß man sich klar zu machen suchen, von welchen Grundforderungen diese Entwicklung bedingt ist und welche Wirtschaftsgruppen diese Grundforderungen aufstellten oder beeinflussen.

Die Grundforderungen, die die Wirtschaft heute an ein Gasgerät stellt — gleichgültig, welchem Zweige der Wirtschaft es dienen soll —, sind:

Das Gasgerät muß
verhältnismäßig billig auf den Markt gebracht werden, eine seinem Verwendungszweck angemessene Haltbarkeit aufweisen, geringen Unterhalt erfordern, einfache Bedienung gestatten, große Wirtschaftlichkeit im Gebrauch gewährleisten, möglichst hohe Betriebs- und Unfallsicherheit bei seiner Handhabung bieten, weitgehende Anwendung selbsttätiger, Zeit und damit Arbeit sparender Einrichtungen besitzen (selbsttätige Einrichtungen), Zeit- und Arbeitersparnis in seiner Bedienung ermöglichen, mit hohem Wirkungsgrad die zugeführte Energie auswerten,

10 möglichst hohe Anpassungsfähigkeit an örtlich verschiedene Verhältnisse besitzen.

Diese Grundbedingungen werden von einer ganzen Reihe von Wirtschaftsgruppen gefordert, deren Hauptvertreter ungefähr folgende sind: der Volkswirt, der Benutzer (Haushalt, Gewerbe und Industrie), der Hygieniker, das Gaswerk, der Konstrukteur und der Hersteller.

Entwicklung der Gasgeräte

Standpunkt des Volkswirtes

Der Volkswirt verlangt heute auf allen Gebieten des Wirtschaftslebens, mit besonderem Nachdruck auch in unserem verarmten deutschen Vaterland: Verfügbare Energie in irgendwelcher Form, nicht in der Gütererzeugung, noch im Güterverbrauch.

Dieser Forderung der Volkswirtschaft muß auch bei der Entwicklung des Gasgerätes Rechnung geschenkt werden; je mehr denn je, denn das Gasgerät scheint berufen, der

Haupt-Wärmeenergiespender in Haushalt, Gewerbe und in Industrie zu werden. Und da heute große Hausfrauenorganisationen dahin streben, auch den Haushalt, den kleinsten Wirtschaftsbetrieb, die Wirtschaftszelle sozusagen, der planmäßigen Energiewirtschaft zu erschließen, so mußte sich die Gastechnik zunächst besonders der Ausbildung der Gasgeräte für den Haushalt widmen. Können doch hier bei der ungeheuren Zahl dieser Wirtschaftseinheiten entsprechend große Energiemengen an Grundstoffen und an Arbeit dem Volksvermögen erhalten bleiben. Dies beleuchten grell zwei Zahlen. Rd. 80 vH unseres Gesamtvolkseinkommens gehen jährlich durch die Hand der Hausfrau für Zwecke des Haushalts, 19 vH unserer Jahreskohlenenerzeugung werden noch unveredelt in Haushalt und Gewerbe in Wärmeenergie umgesetzt.

Standpunkt des Benutzers

Neben dem Volkswirt, dem Anwalt der Gesamtheit, bestimmt jedoch vor allem der Benutzer des Gasgerätes dessen Entwicklung. Wie muß das Gasgerät von seiner Warte betrachtet aussehen?

Der Gasherd

Das am weitesten verbreitete Gasgerät ist wohl der Gasherd oder dessen Grundteil, der Gaskocher. Schon bei der Begründung des Haushalts, ja vielfach schon vorher, führt die Beschaffung des Gasherdes oder Gaskochers zu einer wirtschaftlichen Überlegung. Die Anschaffungskosten des Gasgerätes müssen in erträglichen Grenzen bleiben, soll seine Verwendung auch in bescheidensten Verhältnissen möglich sein.

Auf der andern Seite muß aber gerade von diesem Hauptgasgerät der Familie ein nicht zu knappes Mindestlebensalter bei üblicher Benutzung gefordert werden. Es würde der Wirtschaftlichkeit widersprechen, hieße Werkstoffe und Arbeit vergeuden, wollte man minderwertige Schleuderware mit kurzer Lebensdauer auf den Markt werfen. Aber auch zu lange Lebensdauer, erkaufte durch höheren Anschaffungspreis, ist zu verwerfen, da sich sonst die Fortschritte der Technik zu langsam auswirken würden. Eine sorgfältige Auswahl des Materials und der Materialstärken, entsprechend einer Mindestlebensdauer von 15 Jahren, wird als angemessen erachtet.

Außer den Anschaffungskosten müssen selbstredend die Erhaltungskosten auf ein Mindestmaß herabgedrückt wer-

PROGRAMM für die

Hauptversammlung
des Vereines deutscher Ingenieure
auf Seite 564.

den. Weitgehende Sicherheit gegen Anfressung möglichst vieler Teile muß man vor allem anstreben, um dieses Ziel zu erreichen. Alle der Verschmutzung und dem Verschleiß unterworfenen Teile müssen überdies leicht auswechselbar sein, also vor allem müssen nicht nur Herdplatte, Brenner, Bratrohrteile zwecks Reinigung leicht herausgenommen werden können, es müssen auch Düsen, Hähne, Hahnrohr, Luftregelung zur Ergänzung ohne große Schwierigkeiten ausgewechselt werden können.

Die Gasgeräte des Haushalts müssen unbedingt ohne besondere Vorkenntnisse und ohne besondere Schulung von jedermann bedient werden können. Dies ist zu erreichen vor allem durch möglichst einfache Zweckkonstruktionen. Verstellbare Teile sind soweit wie möglich auszuschalten. Es muß eine unbedingt zwangsläufige Handhabung aller Teile gegeben sein. Durch Zufälligkeiten dürfen keine Unfälle entstehen. Aus Sicherheitsgründen muß z. B. gefordert werden, daß die Hähne gegen zufälliges Öffnen durch Anstreifen der Kleider geschützt sind, sowie daß der Bratrohrhahn mindestens in der geschlossenen Stellung feststellbar ist.

Falls in einem Bratrohr Brat- und Grillbrenner eingebaut sind, müssen der Bratrohrhahn und der Grillbrennerhahn zwangsläufig so miteinander in Eingriff stehen, daß nur der eine oder andre geöffnet werden kann. Auch soll die Bratrohrtüre aus Sicherheitsgründen keinen Riegelverschluß haben, damit sie etwaigen kleinen Verpfuffungen keinen Widerstand entgegensetzt. Die Topfplatte soll deshalb möglichst aus einem Stück und als Rippenrost ausgebildet sein. Ein Falschlegen der Platte wie der Ringe wird hierdurch vermieden. Versenkbare Ringe sind zu verwerfen. Da die Bedienung und Einstellung der Luftregelung der Hausfrau bekanntlich Schwierigkeiten bereitet oder von ihr übersehen wird, sind für die Hausfrau rückschlagsichere Brenner ohne besondere Luftregulierung vorzuziehen. Auch der Einfachbrenner wird den Doppelsparbrenner aus der Küche verdrängen, weil der Doppelsparbrenner im Lauf der Zeit zu Störungen Anlaß gibt. Der einfacheren Bedienung und der guten Kleinstellbarkeit wegen wird beim Bratrohrbrenner wohl der Leuchtflammenbrenner allmählich den Sieg davontragen.

Um auch dem immerhin rauen Küchenbetrieb Rechnung zu tragen, soll man die Hähne am Hahnrohr mit mindestens vier Gewindegängen befestigen. Aus gleichen Gründen muß der Herd fest angeschlossen sein.

Von größter Wichtigkeit aber ist es, wie schon betont, daß die Hausfrau durch den Gebrauch von Gasgeräten wirklich Ersparnisse an Zeit und Arbeit erzielen kann. Die Erhaltung der Arbeitskraft und Frische der Hausfrau ist eine der wichtigsten Grundlagen für das Wohlergehen der Familie. Die Hausfrau soll nicht durch die Fülle der täglichen Hausarbeit erdrückt werden. Sie soll durch die Hilfsmittel der Technik soweit wie möglich von der stumpfmachenden Fron des täglichen Hausdienstes befreit werden. Die Gasgeräte sind eines dieser Mittel.

Der Gasherd soll daher vor allem für die üblichen Kochverfahren der Familie geeignet sein. Ein Mißlingen von Speisen darf bei Beachtung der wenigen einfachen Kochregeln überhaupt nicht vorkommen. Brenner für jeden Wärmebedarf des Normalhaushalt-Betriebes sind vorhanden. Der Familienherd besitzt zwei Mittelbrenner von je 1500 kcal/h, kleinstellbar bis auf rd. 200 kcal/h, und ein bis zwei Starkbrenner von 2300 kcal/h, kleinstellbar auf rd. 350 kcal/h, bezogen auf den unteren Heizwert von Normalgas. Bei diesen Wärmeleistungen der Brenner dürfte vor allem ein rasches und sicheres Arbeiten bei guter Ausnutzung des Brennstoffes gewährleistet sein.

Außer der zweckmäßigen Ausbildung der Kocherbrenner ist besonders auf gute Ausstattung des Bratrohres der Familienherde zu achten. Wie schon erwähnt, sind einfache Bratrohrbrenner Schwenkbrennern vorzuziehen, die in unkundiger Hand allzuleicht zu Bedienungsfehlern führen. Das Bratrohr soll so hoch wie möglich angebracht und bequem zugänglich sein. Die Zündung der Bratofenbrenner muß ein-

fach sein. Auch müssen die Flammen des Bratrohrbrenners leicht beobachtet werden können. Die Wärmeverteilung im Bratrohr muß unbedingt gleichmäßig und unter möglichst günstiger Ausnutzung der zugeführten Wärmemengen. Das Brat- und Backgut beobachten können, ist erwünscht. Es werden deshalb schon Bratrohren mit verglasten Türen auf den Markt gebracht.

Darüber hinaus soll der Brat- und Backvorgang durch Temperaturregler möglichst selbsttätig gestaltet werden. Es ist zu erreichen, daß viele landläufige Gerichte (Kuchen) die Hausfrau unter Zuhilfenahme eines Temperaturreglers, einer Weck- oder Abstelluhr außer dem Entzünden des Bratrohrbrenners dem Einstellen des Temperaturreglers sowie der Abstelluhr und dem Einschieben des Backgutes sich nur um das Wiederherausnehmen des fertigen Gerichtes bekümmern hat. Das zeigen Beispiele aus andern Ländern. Der Einführung solcher der Hausfrau Zeit und Arbeitsparender Verfahren in Deutschland steht bislang weniger der soviel zu Unrecht geschmähte Konservatismus der deutschen Hausfrau im Wege, als oft hohe Ansprüche des deutschen Hausvaters an den Küchensettel.

Zur Ersparnis an Zeit und Arbeit muß der Gasherd auch möglichst wenig Zeit für Reinigung und Instandhaltung erfordern. Es muß das Bratrohr der Gasherd so einfach, glatt und zweckmäßig wie möglich hergestellt sein, sowohl außen wie innen. Teile, die der Verschmutzung nicht vermieden werden kann, deren Reinigung daher erwünscht ist, müssen ohne Anwendung von Werkzeugen herausnehmbar sein. Solche Teile sind zum Beispiel die Rippenrostplatte, die Brenner und Brenneransätze, die Tropschalen, der Bratrohrboden und Bratrohrleistenrahmen. Diese Teile sind, um die Reinigung zu erleichtern, entweder feuerverzinkt oder aus korrosionsresistenten Metallen herzustellen.

Da Gas ein hochwertiger veredelter Brennstoff ist, der seinen Erzeugungskosten entsprechend bezahlt werden muß, ist die möglichst gute Ausnutzung der durchgeführten Wärme eine selbstverständliche Forderung, selbstverständlich sowohl auf Grund der Forderung der Gesamtenergiewirtschaft als der Einzelwirtschaft. Auf guten Wirkungsgrad der Gasgeräte muß daher großer Wert gelegt werden. Grenzen bieten sich bei der Steigerung lediglich Zeit- und Kraftersparnis und Verlangen hygienisch einwandfreier Verbrennung.

Als Massenware muß der Gasherd schließlich auch noch die Bedingung erfüllen, daß er gegen mögliche Schwankungen des Gasdrucks und der Gasbeschaffenheit unempfindlich ist, die immerhin selbst im regelsten Betrieb eines Gaswerkes einmal vorkommen können. Durch Ausstattung seiner Brenner mit austauschbaren Düsen oder besser verstellbaren Düsen kann diesen Verhältnissen Rechnung getragen werden. Ja noch mehr, ein solcher Gasherd ist dann auch für Gasverhältnisse aller Orte geeignet.

Der Warmwasserbereiter

Neben dem Gaskocher und dem Gasherd, die fast jede Küche in gasversorgten Gebieten erobert haben, gilt der Warmwasserbereiter als das nächstgebräuchlichste Gasgerät im Haushalt. Dieser dient zur Zeit in Deutschland hauptsächlich der häuslichen Badbereitung. In geringer Zahl werden zur Zeit noch eigene Warmwasserbereiter in der Haushaltsküche zur Herstellung von Sanitärwasser und dergl. verwendet, in ganz erheblichem Maße dagegen in gewerblichen Betrieben zur raschen Warmwassererzeugung für die verschiedensten Zwecke.

Da in Deutschland der Warmwasserverbrauch zu Badezwecken den größten Teil des Gesamtverbrauchs von Warmwasser im Haushalt ausmacht, herrscht zur Zeit der einfache Gasbadeofen als Warmwassergerät vor. Heute schon geht der Wunsch der Verbraucher nach Gasbädern, die imstande sind, mehrere Zapfstellen gleichzeitig zu versorgen, nach den selbsttätig arbeitenden Warmwasserbereitern. Es wird deshalb in Deutschland die Entwicklung wie in andern Ländern nach Gasgeräten gehen, ganz selbsttätig arbeiten und überhaupt keine Bedienung und Aufsicht mehr erfordern. Ein solches Gasgerät ist

ann allerdings auch selbsttätig arbeitende Sicherungen gegen folgende Einflüsse aufweisen:

- gegen zu hohen Wasserdruck,
- gegen mangelnde Wasserzufuhr oder Überhitzung,
- gegen Verlöschen der Zündflamme,
- gegen zu starke Gaszufuhr (Druckwelle),
- unter Umständen auch gegen Verkalkung.

In Gegenden mit sehr hohem Wasserdruck oder bei Verwendung nicht druckfester Geräte muß der Warmwasserbereiter durch ein vorgeschaltetes Sicherheitsventil oder einen Schwimmerkasten vor Zerdrücken geschützt werden. Wassermangelsicherung und Schmelzfropfsicherungen schützen das Gerät vor Zerstörung bei dem häufig auftretenden Wassermangel, und Zündammensicherungen vor Zerknall bei Verlöschen der Zündflamme, und Gasdruckregler vor Verrußung und Berhitzung bei Gasdruckschwankungen (Druckwellen).

Temperaturregler endlich schalten die Handregelung aus und ermöglichen in Vorratsgeräten selbsttätige Wärmezufuhr bei Wasserentnahme oder an Durchflußgeräten Schutz vor Kalkabscheidung.

Allerdings wird das Gasgerät durch Einbau aller dieser Sicherungen zu einem verhältnismäßig verwickelten Gebilde. Dies steht scheinbar in Widerspruch zu den Grundforderungen großer Wohlfelheit und einfacher Bauart.

Es dürfen jedoch keine Kosten gescheut werden, derartige Sicherungen anzubringen. Die größere Lebensdauer, bedingt durch die selbsttätig arbeitenden Einrichtungen und die Zeit und Arbeit sparenden selbsttätigen Einrichtungen solcher Geräte, gleichen diesen scheinbaren Verstoß gegen die genannten Bedingungen wieder reichlich aus.

Die Erkenntnis, daß auch dem kleinsten Haushalt ein eigenes Bad gebührt, hat in jüngster Zeit bewirkt, daß der Gaswarmwasserbereiter nicht mehr Luxusgerät vermögender Kreise ist. Er ist zum unentbehrlichen Gebrauchsgerät für die Körperpflege und Hygiene der Allgemeinheit geworden.

Der Heizkörper

Wenn schon der Warmwasserbereiter erst heute aus dem Luxusgegenstand ein Gebrauchsgegenstand der Familie wird, so gilt dies zur Zeit in verstärktem Maße dem Gasheizgerät. Aber gerade hier könnte der Ausfraue eine Plackerei sondergleichen abgenommen werden — das Schleppen der festen Brennstoffe und der Rückstände mit den sonstigen üblen Begleiterscheinungen. Die Menge der für Zwecke der Raumheizung aufgewendeten festen Brennstoffe ist ganz erheblich, die Ausnutzung vom Standpunkt der Energiewirtschaft aus betrachtet ist kläglich. Die Heizung mit Gas ist daher sowohl wegen der arbeitsparenden Benutzung wie wegen der geringeren Verteilungskosten und auch wegen der besseren Brennstoffausnutzung eine Forderung der Energiewirtschaft wie der Energiewirtschaft. Man könnte die Gasheizung geradezu als die Zentralheizung der Zukunft bezeichnen.

Dieser vorbildlichen Brennstoffverteilung stehen allerdings z. Z. noch einige Hindernisse im Wege. Zunächst muß die Tarifrage in einer Verbraucher wie Gaswerk befriedigenden Weise gelöst werden. Sie kann gelöst werden; das beweist das Beispiel des Auslandes und der fortschrittlicher Gaswerke. Dann ist die Speicherung solcher großer Energiemengen zu bewerkstelligen. Technisch ist sie durchaus möglich. Die Praxis hinkt der chemischen Lösung aus finanziellen Gründen nach. Verteilungsschwierigkeiten können durch Druckerhöhung beseitigt werden. Außerdem muß auch der Preis der Gasheizgeräte der Kaufkraft der Allgemeinheit mehr anpaßt werden. Auch muß ein Heizgerät für die Masse gleichen Schaden infolge von Bedienungsfehlern vermeiden, den Gebraucher wie für das Gerät ausschließen.

Dazu gehört außer leichter und einfacher Bedienung, daß Haupt- und Zündflammenhahn zwangsläufig miteinander in Eingriff stehen. Der Haupthahn darf erst nach dem Zündflammenhahn geöffnet werden

können. Noch besser ist eine Zündflammensicherung, die die Gaszufuhr zum Hauptbrenner erst dann freigibt, wenn die Zündflamme brennt, die aber auch das Gas sofort absperrt, wenn die Zündflamme durch irgend einen Zufall oder ein Versehen erlischt. Durch derartige Sicherungen können alle Unfälle infolge Ausströmens von unverbranntem Gas oder Explosionen mit Sicherheit vermieden werden.

Da das Gasheizgerät so gut wie keine Wärmespeicherung aufweist, so ist infolge der raschen Wärmeabgabe der Gesamtgasverbrauch um so geringer, je rascher sich der Raum erwärmt; daher sind leistungsfähige, reichlich bemessene Heizkörper mit geringem Speichervermögen zu fordern, besonders bei vorübergehender Heizung.

Bei Dauerheizung kann einer Gasverschwendung durch Vorschalten eines Temperaturreglers vorgebeugt werden, der die Gaszufuhr genau dem erwünschten Wärmegrad des betreffenden Raumes entsprechend regelt.

Die Anschaffungskosten eines Temperaturreglers machen sich in erstaunlich kurzer Zeit durch Gasersparnis bezahlt. Der Gasheizofen entfaltet erst in Verbindung mit einem Wärmeregler seine vollen Vorzüge. Nach dem Anzünden entfällt jede Bedienung.

Außer diesen selbsttätig wirkenden Einrichtungen muß jeder Gasheizofen ein Regelventil zum Schutz gegen Überlastung seiner Heizflächen, d. h. zur Einstellung der ihm zugehörigen, ziemlich scharf begrenzten Wärmeleistung aufweisen.

Von einem guten Gasheizofen muß auch noch gefordert werden, daß sein Baustoff widerstandsfähig gegen die Angriffe der Kondensate aus den Verbrennungsgasen ist. Auch ein zwangsläufig mit dem Gashauptrohr gekuppelter Abschluß des Abzugsrohrs ist von großem Vorteil, um Auskühlungen von Räumen durch zu guten Kaminzug zu verhindern.

Diese selbsttätigen Schutzvorkehrungen im Verein mit der selbsttätigen Wärmeregulation und den konstruktiven und den übrigen glänzenden Eigenschaften sichern dem Gasheizgerät weite Verbreitung im Haushalt der Zukunft.

Gewerbliche Feuerungen

Haben die Gasgeräte schon in dem wirtschaftlich meist knapp gestellten Haushalt in dem geschilderten Ausmaße Fuß fassen können, infolge ihrer Anpassungsfähigkeit an die Bedürfnisse der Hausfrau, so trifft dies in dem wirtschaftlich doch besser gestellten Gewerbe und vor allem in der Industrie in erhöhtem Maße zu. Vom Haushalt ausgehend, hat das Gas zunächst über das Lebensmittelgewerbe seinen Weg zum Gewerbe gefunden und ist nun auf dem Wege, einen großen Teil der Industrie zu gewinnen.

Bei den industriellen Feuerungen steht die Zweckmäßigkeit, Betriebssicherheit, Anpassungsfähigkeit an die feinsten Arbeitsgänge und der hohe Wirkungsgrad im Vordergrund.

Mehr noch als im Haushalt spielt die Zeitersparnis eine Rolle, da sich diese im Fabrikbetrieb unmittelbar als Ersparnis an Löhnen auswirkt. Dem Schutz der Arbeiter gegen Unfälle und gesundheitliche Schädigungen ist selbstverständlich große Beachtung zu schenken. Selbsttätig arbeitende Anlagen, die fast keine Bedienungskosten verursachen, sind für Gewerbebetriebe besonders vorteilhaft.

Soweit die gewerblichen Feuerungen zur Wärmebehandlung von Stoffen dienen, z. B. Stahl, Metallen, Glas, keramischen Erzeugnissen, ist es von ausschlaggebender Wichtigkeit, daß die Güte der Erzeugnisse durch die Gasfeuerung entweder gar nicht oder nur in günstigem Sinne beeinflusst wird.

An den gewerblichen Gasgeräten ist bemerkenswert, daß ihre Entwicklung etwas später eingesetzt hat, daß sie aber den Vorsprung der Haushaltgeräte in konstruktiver Hinsicht bereits eingeholt haben. An ihrer weiteren Vervollkommenheit wird von der beteiligten Industrie mit Eifer gearbeitet.

Standpunkt des Hygienikers

Nächst dem Benutzer hat der Hygieniker das Recht, eine Reihe von Forderungen an die Entwicklung der Gasgeräte zu stellen. Diese können ebensogut als Forderungen des einzelnen Verbrauchers wie der Gesamtheit gedeutet werden.

Die Bedürfnisse der Volkswohlfahrt und Volksgesundheit genießen heutzutage endlich die verdiente Beachtung. Das Gas als veredelter Brennstoff erfüllt schon von vornherein eine ganze Reihe dieser Bedingungen. Es vermeidet Rauch, Ruß und Asche, schafft bequem und rasch Heiß- und Warmwasser für Körperpflege und Reinigung im Haushalt und Gewerbe, gestattet die Zubereitung der Speisen auf die reichlichste und bekömmlichste Art, sorgt bei der Raumbeheizung für gute Frischluftzufuhr und besonders für Bodenwärme, kurz, es ist der gefügige Helfer des Hygienikers in Haushalt, Gewerbe und Industrie.

Es bleibt nur noch zu erwähnen, daß sowohl die Gasleitungen zum Gerät wie die Gasverteilungswege im Gerät scharfen Prüfungen unterworfen werden. Das Gasgerät wird in allen seinen Teilen einem Druck von 500 mm W.-S. unterworfen, womit seine unbedingte Dichtheit verbürgt ist. Die Ausgestaltung der Hähne unterliegt einer strengen Vorschrift, ebenso deren sichere Befestigung, da gerade diese Teile der oft sehr rauen und ungeschickten Behandlung von Laien ausgesetzt sind. Grundsatz ist ferner, daß alle Gasgeräte starr mit den Zuführungen verbunden sein müssen.

Die übrigen Sicherungsvorkehrungen wurden schon bei der Behandlung der einzelnen Geräte besprochen.

Sind so Schädigungen an der Gesundheit der Benutzer von Gasgeräten infolge von Gasausströmen beinahe zur Unmöglichkeit gemacht, so muß andererseits auch dafür gesorgt werden, daß die an sich unschädlichen Verbrennungsprodukte des Gases, Kohlensäure und Wasserdampf, sich nicht in lästiger Menge und damit unter Umständen sogar mit schädlicher Wirkung ansammeln können.

Zunächst wird durch das Verlangen der hygienisch vollkommen einwandfreien Verbrennung aller Gasfeuerstätten im Haushalt das Auftreten von Kohlenoxyd im Abgas bis auf Spuren (0,1 vH Höchstbetrag) vermieden. Man wird aber trotzdem grundsätzlich fordern müssen, daß die Abgase von allen Gasgeräten, die den ganzen Tag über benutzt werden (Heizkörper usw.) oder in kurzer Zeit große Gasmengen verbrauchen (Warmwasserbereiter), womöglich noch in kleinen Räumen (in Hausbädern), durch Schornsteine ins Freie abgeführt werden, und zwar durch warmliegende, möglichst vor Abkühlung geschützte, im freien Windstrom ausmündende Schornsteine. In keinem Fall dürfen Abgasleitungen von Gasgeräten in Stau- oder Überdruckzonen ausmünden, also in Winkel und Höfe bebauter Stadtteile mit ihren manchmal unberechenbaren Luftströmungen und Überdruckgebieten.

Unmittelbar durch Löcher in Mauern oder Fenstern ins Freie mündende Abgasleitungen sollten aus diesen Gründen vermieden werden. Solchen Ausführungen haftet meist auch noch die Unannehmlichkeit an, daß sie sich durch Eisverkrustung im Winter verlegen.

Die Abgasleitungen müssen außerdem so angelegt sein, daß Einflüsse des Schornsteins, also zu starker Auftrieb, d. h. Zug, oder Gegendruck, d. h. rückläufige Bewegung im Schornstein (bei Witterungsumschlägen und im Sommer) und Windstöße vom Gasgerät abgehalten werden. Die Verbrennung im Gasgerät darf durch diese Einflüsse nicht im geringsten gestört werden. Diese Forderungen sind in Gegenden mit stark wechselnder Witterung (Föhngebiete — Wasserkante) oft schwer zu erfüllen.

Zugunterbrecher, Rückstausicherungen und Kamin-aufsätze suchen diesen Einflüssen zu begegnen. Die Zahl der Formen und Ausführungsarten solcher Sicherungen ist z. Z. noch groß. Doch dürften nur ganz wenige den strengen Anforderungen der Praxis auf die Dauer ge-

nügen. Die Gasindustrie ist bemüht, den Bau die wenigen Sicherungen wissenschaftlich zu begründen.

Zu erwähnen ist ferner, daß bei der niedrigen Temperatur und mit Rücksicht auf den hohen Wasserdampfgehalt der Abgase aus Gasgeräten die Kamine warm geschützt liegen sollen. Es muß vermieden werden, die Temperatur der Abgase unter den Taupunkt zu senken und damit eine Kondensation im Schornstein eintritt. Ist außer durch geeignete Wahl des Schornsteins dies nicht zu hohe Ausnutzung der zugeführten Wärme leicht möglich.

Das ganze Gebiet der Abgasfrage kann nur durch sorgfältiges Weiterarbeiten der Geräte bauenden Industrie und durch genaue Ausführung in enger Zusammenarbeit mit den Gaswerken gelöst werden.

Standpunkt der Gaswerke

Für Volkswirt, Benutzer und Hygieniker stellen Gaswerke sozusagen den Treuhänder dar. Es müssen also deren Belange auch die Forderungen der Gaswerke sein. Die Gaswerke sind die Wärmezentralen ihrer Versorgungsgebiete; sie haben für wirtschaftliche Veredelung der ihnen überwiesenen Rohkohle, für wirtschaftliche Verteilung und für wirtschaftliche Ausnutzung veredelten Kohle zu sorgen. Sie müssen also allem den Wirkungsgrad der Gasverbrauchsgeräte die zulässige Höchstgrenze steigern. Sie werden ferner dafür sorgen, daß die Gasgeräte dauernd in einem hygienisch einwandfreien Zustand sich befinden, indem sie die Geräte beim Verbraucher überwachen. Sie werden bemüht sein, einheitliche Zweckformen der Geräte zu erreichen, die dem Gaswerk wie dem Verbraucher möglichst geringe Instandhaltungskosten und auf Grund ihrer Überwachungstätigkeit werden die Gaswerke auch die Sammelstelle aller Erfahrungen mit Gasgeräten. Ihre Aufgabe ist es daher, die Leistungsanforderungen an Gasgeräte aufzustellen, geeignete Prüfverfahren zu ersinnen und durchzuführen und schließlich die Wünsche und Forderungen der Verbraucher an die Gasgeräteindustrie zu vermitteln. Besonders die einschneidenden Neuerungen der letzten Jahre im Wohnungsbau und in der Ausgestaltung der Innenräume sowie vor allem die Platzverhältnisse in Kleinstwohnungen stellen dem Gerätebau und den Gaswerken bemerkenswerte und dankbare Aufgaben.

Standpunkt des Konstrukteurs und Erzeugers

Aufgabe der Gasgeräte bauenden Industrie ist es nun, die Anforderungen der Verbraucher und der Gaswerke mit der einen Hauptforderung zu vereinen, daß die Gasgeräte zu einem erschwinglichen Preis zu haben sind. Diese Industrie muß daher ihren Erzeugnissen auch noch die Bedingung auferlegen, daß sie möglichst einfach und wirtschaftlich hergestellt werden können. Vom Standpunkt der wirtschaftlichen Fertigung und der einfachen Lagerhaltung muß eine weitgehende Normung und Typisierung erfolgen. Zahl der hergestellten Bauarten muß auf die notwendigste beschränkt werden. Bei zweckmäßiger Ausbildung der Bauarten wird es trotzdem möglich sein, alle Wünsche der Verbraucher zu befriedigen.

Durch Zerlegung in einzelne Bauteile, die sich in verschiedenen Bauarten zusammensetzen lassen, wird äußerlich eine gewisse Mannigfaltigkeit der Gasgeräte zu erreichen sein. Es handelt sich bei diesen Konstruktionen weniger um schwierige Aufgaben, wie in anderen Zweigen des Maschinenbaues, sondern um konstruktive Kleinarbeit, die sich liebevoll mit jedem Teil beschäftigt, bis eine in jeder Beziehung befriedigende bildliche Form erreicht ist. Sache des Konstrukteurs ist es, die vom Verbraucher erträumte vorläufige Lösung mit den Mitteln der Werkstatt auf den Boden der Wirklichkeit zu stellen.

Der Entwicklung der Gasgeräte sind durch die letzten Zeitverhältnisse große Ziele gesteckt, die schon in nächster Zeit von der gesamten Gasfachwelt erreicht werden müssen.

Gasfernleitungen

Von Dipl.-Ing. K. TRAENCKNER, Essen

Bedeutung der Gasfernleitung als Energieübertragungsmittel. — Entwicklung des Industrie-gasverbrauches in Amerika. — Vergleich der Übertragungskosten gegenüber Elektrizität. — Wahl und Einfluß des wirtschaftlichen Durchmessers auf die Übertragungskosten. — Einfluß der Spitzenabnahme auf Wahl des Durchmessers und Anfangsdruckes. — Vergleich zwischen Industriegasabnahme und Kommunalgasabnahme. — Eigenschaften verschiedener Muffen-verbindingen. — Ergebnisse von Versuchen über die Festigkeit von Muffenverbindungen. — Vorsichtsmaßnahmen gegen schlechte Schweißungen. — Ausbildung der Dehnungsmuffen und Versuche über die Dichtigkeit einer Dehnungsmuffe. — Verwendung von Gasspeichern in Form von Hochdruckbehältern für die Gasfernleitung. — Kostenvergleich zwischen Hoch-druck- und Niederdruckbehältern bei der Verwendung im Fernleitungsnetz. — Maß-nahmen für die eingehende Betriebsüberwachung des Leitungsnetzes. — Bericht über ein neues Übertragungsverfahren für Meßwerte.

Gasfernleitung als Energieübertragungsmittel

Ihreits seit zwei Jahrzehnten gibt es Gasvertei-lnetze, die auf Grund ihrer Ausdehnung mit Recht als Gsferversorgungen bezeichnet werden können. Aber et seit rd. zwei bis drei Jahren ist die Gasferversor-g in ihrer ganzen Bedeutung und mit allen ihren Aswirkungen zu einem Gegenstand allgemein technischer Bichtung geworden¹⁾. Der Grund für dieses verhältniß-mäßig lange Kindheitsalter ist in der Hauptsache in dreierle Ursachen zu suchen.

Auf der einen Seite sind erst seit verhältnismäßig kzer Zeit infolge der Fortschritte der Rohrleitungs- und Sweißtechnik die Vorbedingungen gegeben für die Fort-leitung des Gases mit so hohen Drücken, wie sie durch die Wrttschaftlichkeit der Fortleitung bedingt sind. In den bi dahin gebräuchlichen Muffenleitungen, mit Bleiwolle ul Asbest gedichtet, war die Fortleitung großer Gas-mengen auf große Entfernungen und den damit verbun-den Drücken bis 30 at mit zu großen Gefahren und zu hren Verlusten verbunden. Erst die Möglichkeit, voll-zommen geschweißte Rohrleitungen herzustellen, setzte die Gstechnik in den Stand, auch größere Entfernungen zu ürbrücken. Wenn in andern Ländern, wie Amerika und Rnänien, mit einfacheren Mitteln schon längere Leitun-ge, insbesondere für Erdgas, ausgeführt worden sind, so kf man dies nicht auf deutsche Verhältnisse über-rten. Durch Lage der Leitung und Beschaffenheit des Gses ist die infolge Undichtigkeiten entstehende Gefahr kt erheblich geringer. Dazu spielen die Gasverluste eine n untergeordnete Rolle.

¹⁾ Z. Bd. 68 (1924) S. 1354 und Bd. 72 (1928) S. 869.

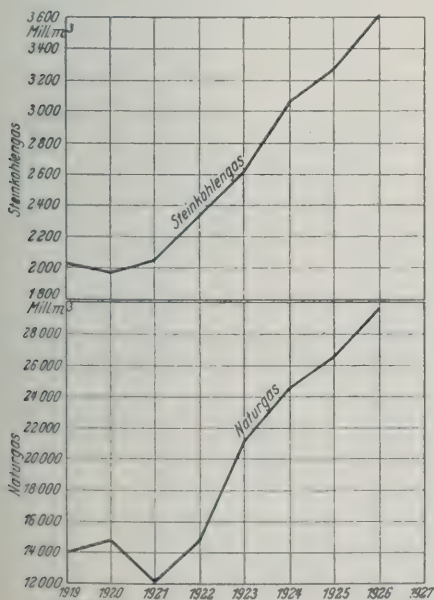


Abb. 1
Entwicklung des Industriegasver-brauches in Amerika.

Auf der andern Seite begünstigte die Entwicklung des Gasverbrauches, noch besser der Verwendungsmöglichkeit des Gases, den Aufschwung der Gasfernleitung. Die deutsche Industrie verlangt heute ihre Energie in-folge der neuzeitlichen Fertigungsverfahren in verfeiner-ter Form. Die Bestrebungen, zu rationalisieren, bringen eine fast vollkommene Mechanisierung aller wärmever-brauchenden Verfahren mit sich, wobei sich das aus Stein-kohlen destillierte Gas als Träger der Wärmeenergie ganz ausgezeichnet bewährt hat. So begegnete die ausgedehnte Werbung der Gasindustrie einem technischen Bedürfnis, aber gleichzeitig auch technischen Aufgaben, die in andern Ländern mittels des Erdgases zum großen Teil bereits ge-löst waren. Es entstand ein Gasbedarf von unerwartetem Ausmaß. Abb. 1²⁾ zeigt die Entwicklung des Industrie-gasverbrauches in Amerika von 1919 bis 1926. Der Ver-brauch von Steinkohlengas und Naturgas ist in gleichem Verhältnis gestiegen und hat sich von 1921 bis 1926 fast verdoppelt.

Nachdem die Zechen des Ruhrgebietes sich vor etwa drei Jahren dazu entschlossen haben, das bei ihnen anfal-lende Kokereigas für den öffentlichen Gasverbrauch in weitestgehendem Maße nutzbar zu machen, war auch die nächstliegende Sättigungsmöglichkeit für diesen neu auf-tretenden Gasbedarf gegeben.

Die Entwicklung der Rohrleitungstechnik, sprunghafte Steigerung des Gasbedarfes und gleichzeitige Verfügbarkeit großer Gasmengen haben es also bewirkt, daß die Gasfern-versorgung fast plötzlich von ihren verhältnismäßig kleinen Anfängen zu einer Aufgabe der Energieübertragung größ-ten Ausmaßes geworden ist.

Es liegt nahe, die Gasfortleitung auf größere Entfer-nungen andern Energieübertragungsmitteln gegenüberzu-stellen, oder wenigstens die Beförderungskosten zu vergleichen. So hat Smith³⁾ in seinem Beitrag zur Brennstofftagung der Weltkraftkonferenz, London 1928, sich mit einem Vergleich der Beförderungskosten von Kohle, Gas und Koks, Öl und Elektrizität beschäftigt. Ein bemerkenswertes Ergebnis seiner Berechnungen sei hier kurz mitgeteilt. Smith hat zunächst den häuslichen Ener-gieverbrauch in England und seine Zusammensetzung aus einzelnen Energiearten ermittelt, Zahlentafel 1.

Unter der Annahme, daß der durchschnittliche Beför-derungsweg der Kohle von der Zeche zum Verbraucher rd. 80 km beträgt, berechnet er nun die Beförderungskosten,

²⁾ Beitrag zur Weltkraftkonferenz, Sektion K 17 U. S. A. „Indu-strial gas in the United States — Growth and Trends“ A co-ope-rative paper prepared by the American Gas-Association. Erscheint in Kommission beim VDI-Verlag. ³⁾ s. Anm. 2).

Zahlentafel 1
Häuslicher Energieverbrauch in England

Gedeckt durch	Kohlenver-brauch	Verfügbare Wärme im Hause, umgerechnet auf gleichwertige Kohlenmengen	Wirksame Wärme, umge-rechnet a. ent-sprechende Kohlenmengen
	t	t	t
Kohlen	40 000 000	40 000 000	6 000 000
Gaswerke . . .	16 452 000	13 150 000	4 600 000
Elektr.-Werke	8 250 000	1 650 000	1 650 000
Gesamt	64 702 000	54 800 000	12 250 000

die entstehen würden, wenn der gesamte häusliche Energieverbrauch einmal durch Gas und Koks, das andre Mal durch Elektrizität befriedigt würde. Dabei unterscheidet er noch zwei Fälle, und zwar die Umwandlung der Kohle in Gas und Koks oder in Elektrizität in der Stadt und Umwandlung der Kohle auf der Zeche, wobei allerdings die Umwandlungskosten auf der Zeche und in der Stadt als gleich hoch angenommen werden. Die größte Ersparnis an Beförderungskosten gegenüber der jetzigen Verteilung der Energiearten ergibt sich bei dem Bezug der gesamten Energiemengen in Form von Gas und Koks bei Umwandlung der Kohle auf der Zeche, wogegen bei Bezug der gesamten Energiemengen in Form von Elektrizität die Übertragungskosten für die Kommunen praktisch die gleichen wie gegenwärtig bleiben, wenn die Elektrizität am Verbrauchsort erzeugt wird. Wird die Elektrizität dagegen auf der Zeche erzeugt, so erhöhen sich sogar noch die jetzt aufzuwendenden Beförderungskosten. Dieses Ergebnis der Rechnungen, auf englischen Verhältnissen fußend, darf zwar keineswegs verallgemeinert werden, es läßt jedoch einen Schluß auf die Beförderungskosten der verschiedenen Energiearten unter gewissen Verhältnissen (Beförderungsweg rd. 80 km) zu.

Die Möglichkeit einer Verbindung von Gasfernversorgung mit der Elektrizitätswirtschaft ist kürzlich von Gosebruch⁴⁾ behandelt worden. Trotz der außerordentlich ungünstigen Bedingungen für die Umwandlung der im Gas befindlichen Wärmeenergien in elektrische Energie kommt er zu dem Schluß, daß auf große Entfernungen die Energie bei weitem wirtschaftlicher in Form von Wärmeenergie des Gases als in Form von Elektrizität übertragen werden kann, daß dagegen die örtliche Verteilung nach Umwandlung in Form von Elektrizität vorgenommen werden sollte.

Auch die neueren Forschungsergebnisse auf dem Gebiete der Chemie des Gases werden sicher für die Gasfernversorgung von Bedeutung sein. Soweit es sich bisher überblicken läßt, werden gerade durch sie die Vorteile einer billigen Übertragung von Energie in einer leicht wandelbaren und vielfach verwendbaren Form erst recht zur Geltung gebracht werden.

Wahl von wirtschaftlichem Anfangsdruck und Durchmesser

Wie bereits erwähnt, ermöglicht nur ein großer Gasbedarf im Zusammenwirken mit ergiebigen Gasquellen die wirtschaftliche Überbrückung größerer Entfernungen. Aber auch in der technischen Durchbildung der Leitung mit Rücksicht auf den zu wählenden Anfangsdruck und den Leitungsdurchmesser liegt ein wesentlicher Punkt für die Gestaltung der Beförderungskosten. In der Hauptsache setzen sich diese zusammen aus Kapitaldienst und Betriebskosten für Leitung und Kompressoranlage, Meßeinrichtungen, Druckregler, Gasspeicher, ferner aus Kosten für Verwaltung, Steuern, sonstigen jährlichen Abgaben, wie Wegeabgaben usw.

Die Ergebnisse der Berechnung der sich so zusammensetzenden Beförderungskosten verschiedener Fördermengen auf eine bestimmte Entfernung sind, unter Annahme verschiedener Durchmesser, in Abb. 2 dargestellt. Bei einer Beförderung von 100 Mill. m³ auf eine Entfernung von 10 km ist also ein Durchmesser von 600 mm am wirtschaftlichsten, während bei der Wahl eines Durchmessers von 400 oder 900 mm die Beförderungskosten um rd. 25 vH

höher sind. Bei einer Fördermenge von 200 Mill. m³ man die Wahl zwischen 800 und 900 mm, wird praktisch einen Durchmesser von 850 mm wählen. Man sieht, von welcher ausschlaggebenden Bedeutung die Wahl des richtigen Durchmessers und des damit verbundenen Anfangsdruckes sein kann.

Die Umhüllungskurve dieser Kurvenschar veranschaulicht dann die Förderkosten verschiedener Gasmengen auf eine bestimmte Entfernung, in diesem Falle 10 km. Anwendung des jeweils wirtschaftlichsten Durchmessers bei Konstruktion der gleichen Umhüllungskurve für eine Reihe von Entfernungen ergibt sich Abb. 3. Es sind also die Kurven der Förderkosten eingetragen für Entfernungen von 10 bis 400 km, die wiederum durch steilverlaufende Kurven in Zonen eingeteilt sind, innerhalb deren jeweils ein bestimmter Durchmesser der wirtschaftlichste ist.

Es muß hierbei noch darauf hingewiesen werden, daß der Druck des Gases am Ende der Leitung 1 at abs trägt. Das Bild verschiebt sich, sobald ein wesentlich höherer Enddruck verlangt wird. Abb. 4 zeigt die Verschiebung des wirtschaftlichsten Durchmessers bei Fortleitung verschiedener Gasmengen auf eine sich gleichbleibende Entfernung für Enddrücke von 1 bis 6 at. Beträgt hierbei die zu befördernde Menge 200 Mill. m³ ist bei einem Enddruck von 1 at abs 800 der wirtschaftlichste Durchmesser, während bei einem Enddruck von 6 at abs ein Durchmesser von 500 mm zu wählen wäre. Die Berechnungen sind auf den heutigen Roh- und Maschinenpreisen, den zur Zeit geltenden Löhnen und den Kraftkosten für die Verdichtung aufgebaut, sie sich im rheinisch-westfälischen Industriegebiet eigenerzeugung gestalten. Eine Übertragung auf andere geartete Verhältnisse ist also auch hier nicht ohne weiteres möglich.

Die graphischen Darstellungen erfassen nur den einfachsten Fall der Gasfortleitung, Verdichtung am Anfang der Leitung auf den erforderlichen Druck, Entnahme des Gases lediglich am Ende der Leitung. In der Praxis liegen die Beförderungsverhältnisse natürlich verwickelter. Insbesondere erfolgt die Abnahme an verschiedenen Stellen der Leitung und in verschiedensten Mengen. Zudem kann der Fall eintreten, daß in verhältnismäßig kurzer

⁴⁾ Gosebruch, ETZ Bd. 49 (1928) S. 1465.

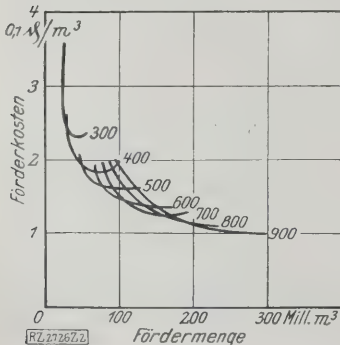
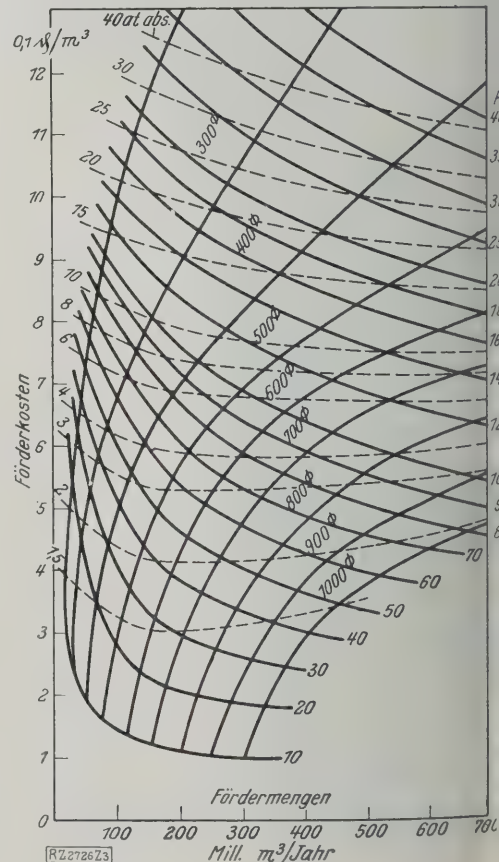


Abb. 2 (links)
Wirtschaftlichkeit verschiedener Durchmesser bei einer Gasfernleitung von 10 km Länge.

Abb. 3 (rechts)
Verschiebung des wirtschaftlichen Durchmessers und des wirtschaftlichen Anfangsdruckes bei einer Gasfortleitung bis zu 400 km.



ntfernung vom Beginn der Leitung der größte Teil r gesamten Beförderungsmenge entnommen wird, während n kleiner Teil bis ans Ende der Leitung befördert wer- en muß. Nicht allein durch die Wahl verschiedener Durch- esser ist unter diesen Verhältnissen die größte Wirt- haftlichkeit zu erzielen, da ja sonst der größte Teil der förderten Menge im ersten Teil der Leitung mit einem nötig hohen Druck zur Verfügung stehen würde, der angels geeigneter Verwendung nutzlos vernichtet werden uß, sondern man wird in einem solchen Fall außerdem ne Zwischenverdichtung des Gases vornehmen, derart, ß man die gesamte zu befördernde Menge mit niedrigem anfangsdruck durch eine Leitung mit großem Durchmesser is zur Hauptabnahmestelle befördert und erst dort das is zur leitende Gas auf den notwendigen Druck bringt, es unter Benutzung des wirtschaftlichsten Durchmes- ers bis zum Ende der Leitung zu befördern.

Die in der Praxis für solche Fälle erforderlichen irtschaftlichkeitsberechnungen werden weiterhin noch erschwert durch den Umstand, daß die Belastung der Lei- tung natürlich nicht sogleich hoch ist, sondern sich in den meisten Fällen erst im Laufe der Zeit entwickeln wird, oder ch, was die Verteilung der Abnahme längs der Leitung trifft, erheblich verschieben kann.

Auch die Verteilung des Gasverbrauches auf die ein- zeln Jahreszeiten oder Monate oder gar auf bestimmte agesunden ist für die Durchbildung der Leitung und r Verdichteranlage von großer Wichtigkeit. Je nach öße und Dauer der Spitzenbelastungen müssen im Durch- resser der Leitung oder in der Leitung der Verdichter- lage entsprechende Reserven vorgesehen werden. Auch r müssen Rechnungen wirtschaftlicher Art ergeben, ob zweckmäßig ist, die Reserve durch Wahl eines größeren urchmessers oder in der Form bereitzustellen, daß der uck der Verdichteranlage gesteigert werden kann. Hier rd sich ein möglichst hoher Industrieverbrauch, der sich i in der Hauptsache das ganze Jahr hindurch gleich- räßig gestaltet, besonders günstig auswirken.

Abb. 5 zeigt die Abgabeverhältnisse einer großen ame- ranischen Gaserzeugungsstätte an die Industrie⁵⁾. Die

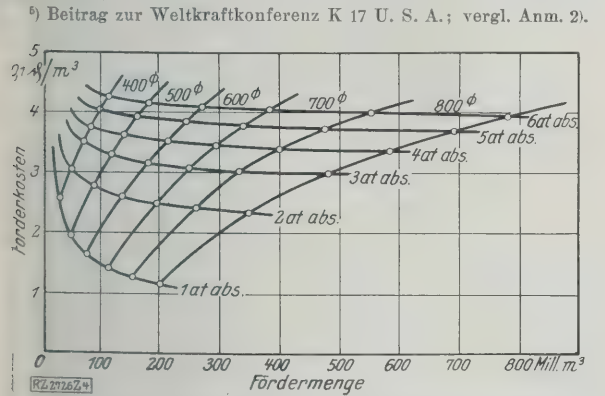


Abb. 4. Verschiebung des wirtschaftlichen Durchmessers bei einer Gasfortleitung über 10 km und bei Enddrücken von 1 bis 6 at abs.

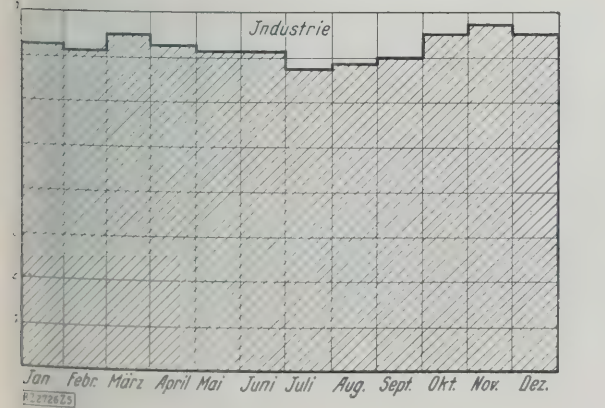


Abb. 5 (links) Abgabe einer amerikanischen Gasversorgung für Industrie. Jährlicher Tagesbelastungsfaktor 72 vH., höchste Anzahl der Verbrauchstage 262.

Darstellung läßt deutlich erkennen, daß die Abnahme das ganze Jahr hindurch mit nur geringen Schwankungen verläuft. Je höher die sich gleichbleibende Belastung einer Gasfernleitung durch Industriegas ist, desto geringer werden sich die im häuslichen Verbrauch beobachteten Spitzen bemerkbar machen. Abb. 6 zeigt die Abgabeverhältnisse aus dem früher zur Rheinisch-Westfälischen Elektrizitätswerk A.-G. gehörenden, jetzt im Besitz der Ruhrgas A.-G. befindlichen Leitungsnetz, unterteilt in Industriegas und Kommunalgas für die Monate Juli 1928 bis Januar 1929. Während die Abgabe an die Industrie fast ständig gleich groß ist, zeigt die Abgabe von Kommunalgas erhebliche Schwankungen. Dabei ist zu bedenken, daß das Industriegas lediglich das unmittelbar an die Industrie abgegebene Gas darstellt, während das Kommunalgas noch eine große Menge Gas umfaßt, das von der Kommune an die Industrie abgegeben wird. Hierdurch werden die Schwankungen der reinen Kommunalabgabe schon etwas ausgeglichen.

Technische Ausführung der Leitung

In Abb. 3 sind durch gestrichelt eingetragene Linien die Drücke gekennzeichnet, die für die Fortleitung des Gases mit den dort angegebenen Durchmessern erforderlich sind. Bei rein theoretischer Verfolgung der wirtschaftlichen Verhältnisse kommt man danach zu außerordentlich hohen Drücken von 30, ja sogar 40 at. Wie hoch man in der Praxis die Anfangsdrücke großer Gasfernleitungen wählen wird, kann der allmählichen Entwicklung überlassen bleiben. Immerhin werden aber schon bei den in der nächsten Zeit auszuführenden Gasfernleitungen Drücke in Frage kommen, die eine durchaus zuverlässige Ausführung der Leitung unbedingt erforderlich machen.

Gerade die durch den außerordentlich scharfen Frost des letzten Winters hervorgerufenen Undichtigkeiten in Stahl- und Gußrohrleitungen im In- und Ausland, sowohl in Hochdruck- als auch in Niederdrucknetzen, haben die Frage der Gasleitungen neu aufgerollt.

Über die technische Ausbildung und die Verlegung von Gasfernleitungen sind in der letzten Zeit so zahlreiche Veröffentlichungen⁶⁾ erschienen, daß es sich erübrigt, hier ausführlich darauf einzugehen. Dagegen sei hier noch auf die durch die Vorfälle der letzten Zeit besonders in den Vordergrund gerückte Frage der Muffenverbindung und ihrer Schweißung eingegangen.

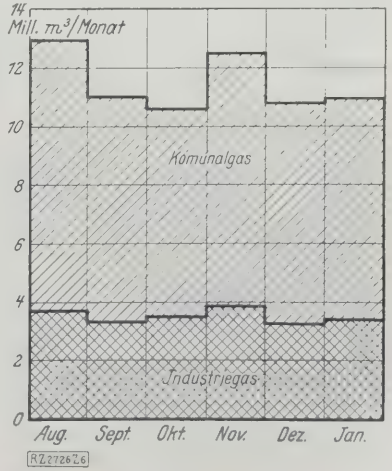
Abb. 7 bis 21 zeigen Schweißverbindungen, deren Zahl aber in den letzten Wochen noch durch viele neue Vorschläge vermehrt worden sind. Es wäre verfrüht, schon jetzt all die Neukonstruktionen zu behandeln. Sie müssen eingehend geprüft werden, wie dies bei den bisherigen Schweißverbindungen geschehen ist, und erst dann wird sich etwas über die Vorteile und Nachteile der Verbindungen sagen lassen. In einer ausführlichen Zusammenstellung hat Weckwerth⁷⁾ nochmals einige der wichtigsten mit verschiedenen Rohrschweißungen gemachten Versuche behandelt.

⁶⁾ „Stahl und Eisen“ Bd. 48 (1928) F. 161; „Das Gas- und Wasserfach“ Bd. (1928) S. 532 ff.; Pott, Beitrag zur Kohlenkonferenz Pittsburgh 1928.

⁷⁾ „Autogene Metallbearbeitung“ Bd. 22 (1929) Heft 3.

Abb. 5 (links) Abgabe einer amerikanischen Gasversorgung für Industrie. Jährlicher Tagesbelastungsfaktor 72 vH., höchste Anzahl der Verbrauchstage 262.

Abb. 6 (rechts) Abgabeverhältnis zwischen Industriegas und Kommunalgas aus dem Leitungsnetz der Ruhrgas A.-G., Essen, Juli 1928 bis Juni 1929.



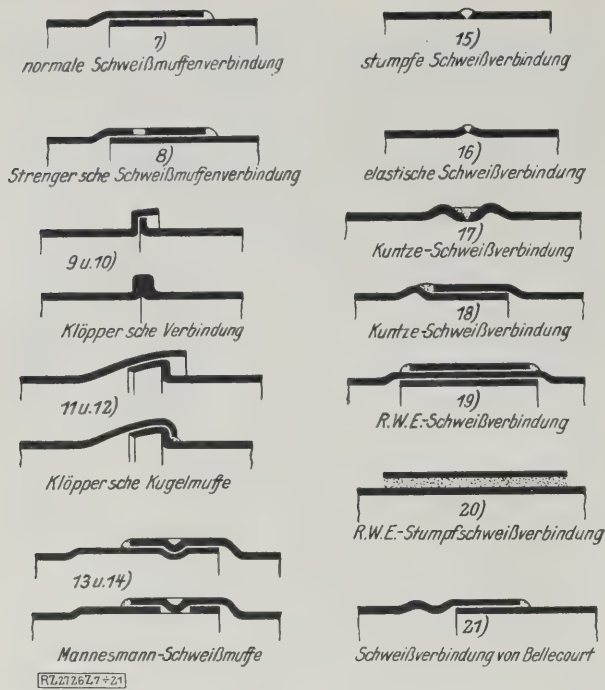


Abb. 7 bis 21
Schweißverbindungen.

Ganz allgemein kann gesagt werden, daß die Entwicklung der Schweißverbindungen dahin geht, daß man versucht, Verbindungen zu schaffen, bei denen die Schweißnaht selbst nach Möglichkeit von allen Beanspruchungen entlastet wird und in der Hauptsache lediglich als Dichtung dient. Dies kann dadurch erreicht werden, daß der Muffe eine Form gegeben wird, durch die die auftretenden Kräfte nicht die Schweißung sondern den Rohrwerkstoff selbst beanspruchen. Ferner kann man die Elastizität jedes einzelnen Rohres noch dadurch erhöhen, daß dem Rohr einzelne Wellen, sog. Siken, angewalzt oder angestaucht werden. Der erste Weg ist bei der Klöpplerschen Schweißverbindung, Abb. 9 und 10, beschränkt worden. Bei ihr wird das aufgebördelte Rohrende in das aufgemuffte offene Ende des Gegenrohres eingebracht und dann das überstehende Muffenende abschnittsweise im rotwarmen Zustand umgekannt. Beim Erkalten tritt dann eine außerordentlich günstige axiale Schrumpfung ein, durch die ein sattes Ineinandergreifen der beiden Rohrenden herbeigeführt wird. In ähnlicher Weise ist auch die Klöpplersche Kugelmuffe, Abb. 11 und 12, ausgebildet. Mittels der kugelförmigen Aufweitung des Rohrendes ist es sogar möglich, mit dieser Muffe durch Verschwenken Krümmungen bis zu 6° ohne Verwendung besonderer Krümmer auszugleichen.

Die zweite Form der Entlastung der Schweißnaht ist in verschiedenen Ausführungen, Abb. 13, 14, 16 bis 18 und 21, vorgeschlagen worden. Die Verbindung beider Formen zu einer Muffe dürfte dem Rohrstrang eine geradezu vorbildliche Sicherheit und Elastizität verleihen.

Aber auch die beste Muffenverbindung kann keine Gewähr für die Festigkeit der Rohrleitung bieten, wenn die dazugehörige Schweißung nachlässig und fehlerhaft ausgeführt wird. Daß gut geschweißte Muffenverbindungen ganz außerordentlich hohen Beanspruchungen standhalten können, geht aus Versuchen hervor, die im Dezember vorigen Jahres in dem Röhrenwerk des Hürder Vereins der Vereinigten Stahlwerke, A.-G., folgendermaßen durchgeführt wurden. 16 m lange Rohre, in der Mitte mit einer Schweißverbindung, wurden am Ende unterstützt und bei der Schweißverbindung belastet. Abb. 22 zeigt die Versuchsanordnung. Die Ergebnisse der Versuche sind in Zahlentafel 2 bis 4 zusammengestellt.

Die gewöhnliche Schweißmuffe zeigte erst bei einer Gesamtbelastung von 14 722 kg eine Durchbiegung von

223,95 mm und stauchte sich auf der Druckseite um 10 mm an. Ein Abflachen auf der Zugseite war noch nicht festzustellen. Erst bei einer Gesamtbelastung von 18 712 kg knickte das Rohr ein. Es bildete sich eine 40 mm tiefe

Zahlentafel 2 bis 4

Ergebnisse von Versuchen an Rohrverbindungen (Länge 16 m, 600 mm Dmr., Wanddicke 8 mm, Gewicht 120 kg, Widerstandsmoment des Rohrquerschnitts 2300 cm^4 , Trägheitsmoment $72\,500 \text{ cm}^4$).

Zahlentafel 2

Gewöhnliche Schweißmuffe.

	Zusatzbelastung kg	Entlastung kg	Gesamtbelastung kg	Durchbiegung mm	Bleibende Durchbiegung mm
Eigengewicht . .	1 920		1 920	0,65	
Sattelgewicht . .	552		2 472	0,95	
Plattengewicht . .	3 690		6 162	25,95	
Walze 1	3 990		10 152	48,95	32,95
Entlastung . . .		3 990	6 162		
Walze 2	5 910		12 072	71,95	45,95
Entlastung . . .		5 910	6 162		
Walze 3	8 560		14 722	223,95	179,95
Entlastung . . .		8 560	6 162		
Walze 1 und 3 .	12 550		18 712	745,95	

Zahlentafel 3

Gewöhnliche Klöppler-Muffe.

	Zusatzbelastung kg	Entlastung kg	Gesamtbelastung kg	Durchbiegung mm	Bleibende Durchbiegung mm
Eigengewicht . .	1 920		1 920	0,65	
Sattelgewicht . .	552		2 472	0,95	
Plattengewicht . .	3 690		6 162	30,95	
Walze 1	3 990		10 152	130,95	110,95
Entlastung . . .		3 990	6 162		
Walze 2	5 910		12 072	219,95	286,95
Entlastung . . .		5 910	6 162		
Walze 3	8 560		14 722	740,95	

Zahlentafel 4

Wassergasgeschweißte Rundnaht.

	Zusatzbelastung kg	Entlastung kg	Gesamtbelastung kg	Durchbiegung mm	Bleibende Durchbiegung mm
Eigengewicht . .	1 920		1 920	0,65	
Sattelgewicht . .	552		2 472	0,95	
Plattengewicht . .	3 690		6 162	22,95	
Walze 1	3 990		10 152	45,95	25,95
Entlastung . . .		3 990	6 162		
Walze 2	5 910		12 072	60,95	25,95
Entlastung . . .		5 910	6 162		
Walze 3	8 560		14 722	82,95	40,95
Entlastung . . .		8 560	6 162		
Walze 1 und 3 .	12 550		18 712	745,95	

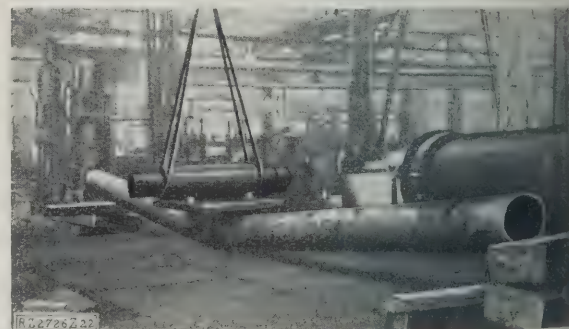


Abb. 22

Anordnung für Biegeversuche an 16 m langen in der Mitte geschweißten Rohren.

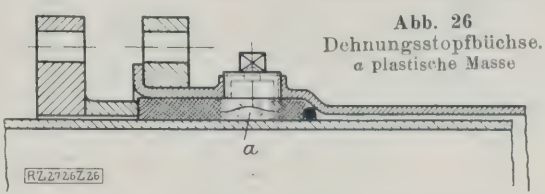
alte auf der Schulter der Schweißmuffe, Abb. 23, ohne daß der Werkstoff im Rohrquerschnitt oder in der Schweißnaht irgendwelche Anrisse zeigte. Dagegen war bei der Klöppermuffe bereits bei einer Gesamtbelastung von 0 152 kg eine merkliche Streckung der Muffe auf der inneren Seite festzustellen, die bei höherer Belastung noch deutlicher wurde. Bei einer Gesamtbelastung von 14 722 kg knickte die Muffe dann ein und bildete auf der oberen Seite eine Falte von 50 mm Tiefe, aber auch ohne jede Verletzung der Muffe an der Schweißung, Abb. 24. Die Wassergasschweißung war bei einer Gesamtbelastung von 14 722 kg noch vollständig in Ordnung und knickte erst bei einer Gesamtbelastung von 18 712 kg ein, wobei starke Faltenbildung und Verformung des Rohrquerschnittes eintrat. Die Schweißnaht und Rohrwerkstoff zeigten auch hier keinerlei Anriß, Abb. 25. Besonders bemerkenswert ist, wie aus Zahlentafel 4 hervorgeht, daß die durch Zusatzbelastung von 5910 kg und eine Gesamtbelastung von 20 72 kg entstehende zusätzliche Durchbiegung von 35 mm bei Entlastung vollständig auf den vorhergehenden Stand zurückging.

Die Ergebnisse dieser Versuche lassen erkennen, daß die in der Hauptsache zur Verwendung kommenden Schweißmuffen bei sorgfältig ausgeführter Schweißung den schwersten Beanspruchungen gewachsen sind.

Nachdem es sich in der letzten Zeit gezeigt hat, daß das Abpressen der Leitung mit dem Betriebsdruck durchaus nicht immer fehlerhafte Schweißungen erkennen läßt, erhebt sich die Frage: wie können schlechte Schweißungen vermieden oder wenigstens rechtzeitig erkannt werden? Die Haupthandhabung hierzu liegt immer noch in einer möglichst sorgfältigen Auswahl der Schweißer. Jeder Schweißer muß unbedingt einer eingehenden Prüfung unterzogen werden. Dabei genügt es nicht, wenn die bisher in Schweißprüfungen üblichen Probeschweißungen durchgeführt werden, sondern es ist erforderlich, daß der Schweißer auch bei der Rohrschweißung selbst in der Werkstatt und auf der Strecke, insbesondere aber auch beim Überkopfschweißen einer ähnlichen Probe unterzogen wird. Aber auch später während des Leitungsbaues ist er dauernd einer Überwachung zu unterwerfen. Auch der Beschaffenheit des zur Verwendung kommenden Schweißdrahtes muß eingehende Beachtung geschenkt werden. Jede Muffe ist so zu verschweißen, daß auf alle Fälle die Schweißung die volle Werkstoffdicke des Rohres aufweist. Jede Schweißung ist unbedingt unter Druck auf Undichtigkeit zu prüfen. Am besten geschieht dies durch Abseifen und gleichzeitiges Schlämmern.

In letzter Zeit ist man aber bestrebt, Schweißverfahren auszubilden, bei denen man von der persönlichen Meinung des Schweißers unabhängig wird. Die Versuche über die Mechanisierung der Rohrschweißungen sind im Gange. Über die Ergebnisse läßt sich aber bisher noch nichts Abschließendes sagen.

Ist die Leitung starken Bodenbewegungen ausgesetzt, wie dies in Bergbaugebieten immer der Fall sein wird, so ist der Einbau von Dehnungsmuffen unbedingt notwendig. Ebenso sind Freileitungen, auch wenn sie noch



so gut isoliert sind, durch den Einbau solcher Dehnungstücke vor den Beanspruchungen, die durch größere Temperaturunterschiede hervorgerufen werden, zu sichern. Auch die in die Leitung einzubauenden Schieber müssen unbedingt durch Dehnungsmuffen entlastet werden. In der Hauptsache weisen die Dehnungsmuffen die Form einer gewöhnlichen Stopfbüchse auf. Abb. 26 zeigt eine Dehnungsmuffe, bei der durch Einfüllen einer plastischen Masse die Dichtung noch besonders gesichert wird. Die Versuchsanordnung, mit der ein Versuch mit dieser Dehnungsmuffe durchgeführt wurde, zeigt Abb. 27. Ein besonders vorbereitetes Rohr mit Dehnungsmuffe wurde in eine Presse eingespannt und mittels Druckluft unter einen Druck von 8 at gesetzt. Daraufhin wurden die Rohre um 350 mm (einen größeren Hub ließ die Presse nicht zu) häufig auseinandergezogen und wieder zusammengeschoben. Während und nach dem Versuch wurde keinerlei Undichtigkeit festgestellt.

Bei Verlegung der Rohrleitungen durch die Ruhrgas-A.-G. im Ruhrgebiet sind solche Dehnungsmuffen in Abständen bis herunter zu 48 m in die Leitung eingebaut worden.

Welchen Beanspruchungen eine gut geschweißte Rohrleitung standhält, geht aus einer Veröffentlichung von Smith⁵⁾ hervor. Smith berichtet von der Herstellung einer Leitung in Amerika, die für einen Betriebsdruck von 70 at ausgeführt ist und eine Länge von 72 km hat. Nach Fertigstellung der Leitung war ein außerordentlicher Temperaturabfall auf -14,4° eingetreten, während die Leitung auf einer Länge von 32 km noch nicht mit

⁵⁾ The Oil- and Gas-Journal 29. März 1928. Übersetzung: „Das Gas- und Wasserfach“ Bd. 72 (1927) Heft 4 S. 86.

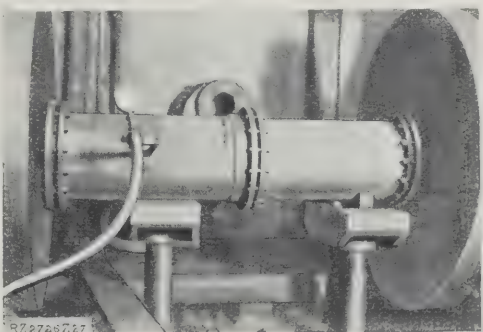


Abb. 27
Dichtungsprüfung der Dehnungstopfbüchse nach Abb. 26.

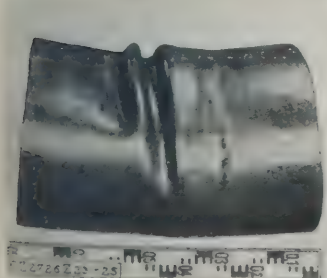


Abb. 23
Normale Schweißmuffe nach dem Biegeversuch mit 18 712 kg Belastung.



Abb. 24
Klöpper-Muffe nach dem Biegeversuch mit 14 722 kg Belastung.

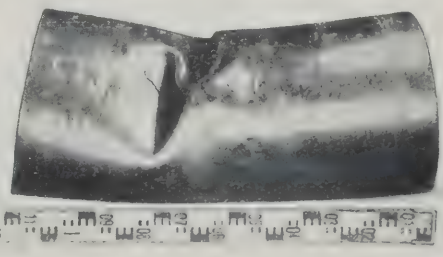


Abb. 25
Wassergasschweißung nach dem Biegeversuch mit 18 712 kg Belastung.

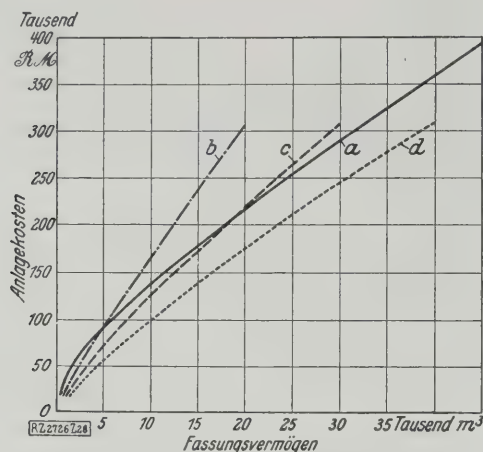


Abb. 28
Vergleich der Anlagekosten von
Hochdruck- und Niederdruck-
behältern.

a Niederdruckbehälter c Hochdruckbehälter 3 at abs
b Hochdruckbehälter 2 at abs d Hochdruckbehälter 4 at abs

Erde bedeckt war. Trotzdem hat die Leitung diese außerordentlich hohe Beanspruchung einwandfrei ausgehalten, ein Beweis dafür, welchen Anforderungen eine geschweißte Leitung bei sorgfältiger Ausführung genügt.

Gasspeicher

Eine Speicherung des Gases wurde bisher nur an der Gaserzeugungsstelle und an der Gasverbrauchsstelle vorgenommen. Zur Verwendung kamen dabei Niederdruckbehälter in Form der Teleskopbehälter oder der wasserlosen Gasbehälter⁹⁾, die sich in den letzten Jahren sehr stark eingeführt haben. Der Nachteil dieser Behälter besteht nun darin, daß sie nur mit verhältnismäßig geringem Druck betrieben werden können, und es lag zweifellos das Bedürfnis vor, auch Behälter zu schaffen, die im Zuge der Gasfernleitung und an den Nebenleitungen unmittelbar an den Rohrstrang angeschaltet werden können und somit das Gas unter dem Leitungsdruck aufspeichern. Auch hier ist in der letzten Zeit Abhilfe geschaffen worden.

Solche Hochdruckbehälter stehen jetzt in Walzenform mit Halbkugelböden oder in vollkommener Kugelform mit einem Rauminhalt bis zu 10 000 m³ und bis zu 7 at abs Betriebsdruck zur Verfügung. Welche Vorteile solche Hochdruckbehälter gegenüber den Niederdruckbehältern bieten, geht aus Abb. 28 hervor. Es sind darin die Anlagekosten für Behälter verschiedenen Inhalts eingezeichnet unter der Annahme, daß der Betriebsdruck 4, 3 und 2 at abs beträgt. Zum Vergleich sind die Anlagekosten des Niederdruckbehälters für den gleichen Fassungsraum eingezeichnet. Bei weitem am günstigsten für die Wirtschaftlichkeit des Hochdruckbehälters ist ein Druck von 4 at abs, während sich bei 3 at abs Niederdruckbehälter und Hochdruckbehälter die Waage halten. Bei der Konstruktion für höheren Druck als 4 at abs werden die Anlagekosten auch wieder etwas höher und nähern sich somit wieder dem Niederdruckbehälter. Kommen Speichermengen über 40 000 m³ in Frage, so werden sich allerdings die Verhältnisse zugunsten des Niederdruckbehälters verschieben, da die Grenze der Ausführbarkeit eines Hochdruckbehälters bei 40 000 m³ liegt, also mehrere Einheiten aufgestellt werden müßten.

Der Hochdruckbehälter wird aber in den meisten Fällen den Speicher für eine Reihe von Abnehmern bilden. Wollen diese Abnehmer sich denselben Speicher in Form von Niederdruckbehältern sichern, so können sie dies nur dadurch tun, daß jeder einzelne Abnehmer auf seiner Anlage einen Niederdruckbehälter in entsprechender Größe errichtet. Die Summe dieser Niederdruckbehälter wird natürlich ein bei weitem höheres Anlagekapital erfordern, als der in Abb. 28 zum Vergleich mit einem Hochdruckbehälter gleichen Speicherraums angeführte eine Niederdruckbehälter.

Durch ein Beispiel sei dies erläutert. Bei zehn Abnehmern mit einer Entnahme von zusammen 1000 m³ entsprechend etwa 8 Mill. m³ in einem Jahr und einer geforderten Speichermenge für vier Stunden ergibt sich folgendes Bild:

Niederdruckbehälter:

10 Behälter zu je 400 m ³ Inhalt	156 600 RM
15 vH Kapitaldienst	23 490 RM
Speicherkosten	0,2936 $\frac{RM}{m^3}$

Hochdruckbehälter:

1 Behälter mit einem geometrischen Inhalt von 1000 m ³ und einem entsprechenden Fassungsvermögen von 4000 m ³ bei 4 at abs	45 000 RM
15 vH Kapitaldienst	6 750 RM
Speicherkosten	0,0844 $\frac{RM}{m^3}$

Zudem ist bemerkenswert, daß der Hochdruckbehälter im Gegensatz zum Niederdruckbehälter keine nennenswerten Betriebskosten erfordert.

Ähnliche Behälter haben sich besonders in Amerika und England gut bewährt. In Deutschland sind einige dieser neuen Behälter im Bau.

Betriebsüberwachung

Für den Betrieb eines ausgedehnten Gasfernleitungsnetzes, besonders wenn es unter hohem Druck steht, ist eine eingehende, möglichst lückenlose Überwachung der Leitung und des Betriebes eine Notwendigkeit. Für die Überwachung und Prüfung der Leitung wird zweckmäßig das Netz in einzelne Abschnitte eingeteilt und mit der Überwachung eines jeden ein Beamter, der innerhalb seines Abschnittes wohnt, betraut.

Ferner ist dafür zu sorgen, daß der Beamte jederzeit von der Gaserzeugungsstelle oder der Hauptbetriebsstelle zu erreichen ist und er diese auch von jeder Stelle der Leitung aus erreichen kann. Dies geschieht am besten durch ein gleichzeitig mit der Leitung zu verlegendes Fernsprechkabel, dessen Adern so geschaltet werden, daß ein durchgehender Fernspreverkehr, ein Abschnittsverkehr und von einer Stelle aus ein allgemeiner Anruermöglichkeit wird, mit Hilfe dessen alle Überwachungsbeamten gleichzeitig eine gemeinsame Anweisung erhalten können. Auch auf der Strecke sind Steckkontakte einzubauen, damit der Überwachungsbeamte irgendwelche Störungen sofort an die Hauptbetriebsstelle weitermelden kann. Handelt es sich um mehrere Gaserzeugungsanlagen, die gemeinsam ein Netz speisen, so ist die Fernsprechanlage natürlich auch auf diese auszudehnen, ebenso wie es zweckmäßig ist, die Verbraucher selbst, wenigstens die Großverbraucher, an das Netz anzuschließen.

Die Überwachungsmöglichkeit wird noch vergrößert, wenn die beim Gaslieferer und Gasabnehmer, gegebenenfalls auch noch im Laufe der Leitung notwendigen Messungen, wie Druckmessung, Mengenmessung und Heizwertmessung, auf die Hauptbetriebsstelle übertragen werden. Diese erhält so ein lückenloses Bild über den augenblicklichen Betriebszustand des Netzes und ist jederzeit in der Lage, bei etwa eintretenden Störungen oder Änderungen der Liefer- oder Abnahmemengen augenblicklich die notwendigen Anordnungen zu treffen. Die für die Fernmeldeanlage erforderlichen Aderpaare werden zusammen mit den Fernsprekleitungen in einem Kabel untergebracht. Für die Fernmeßanlagen kann allerdings eine bestimmte Reichweite nicht überschritten werden. Kommt dazu noch, daß die Zahl der Fernmeßstellen sehr groß ist, wie die bei weiterem Ausbau der Gasfernversorgung zu erwarten ist, so wachsen die Leitungskosten ganz erheblich an. Man müßte dann die Leitung wieder in mehrere Gruppen teilen, deren Meßergebnisse durch Fernsprecher zur Hauptbetriebsstelle durchgegeben werden müßten.

Inzwischen ist aber ein besonderes Übertragungsverfahren von der AEG, Berlin, ausgearbeitet worden, durch das eine ganz außerordentliche Ersparnis an Leitungskosten erreicht wird und mit der die Überbrückung jeder noch so großen Entfernung ohne weiteres möglich ist.

Das Verfahren der von der AEG verwendeten Fernmeßeinrichtungen besteht darin, daß der Zeigerausschlag

⁹⁾ Z. Bd. 70 (1926) S. 1248.

nes beliebigen Meßgerätes durch einen mit gleichbleibender Geschwindigkeit angetriebenen Kontaktarm abtastet wird und dadurch in einen Meßimpuls verhältnismäßiger Zeitdauer verwandelt wird. Der Kontaktarm acht zunächst an einer Nullmarke Kontakt und schließt durch den Signalstromkreis, gibt dann am Zeiger Kontakt und öffnet dadurch den Signalstromkreis, die Einhaltezeit ist also der Meßgröße verhältnismäßig. Die Art der Übertragungsströme ist dabei belanglos, es kann mit Gleichstromimpulsen, Wechselstromimpulsen usw., je nach Lage der Verhältnisse, gearbeitet werden; auch können die Fernmessung verwendete Adern gleichzeitig für Fernsprechverkehr ausgenutzt werden.

Es ist nach diesem Verfahren möglich, eine große Zahl von Meßwerten nacheinander auf derselben Übertragungsleitung zu übermitteln. Besondere Schaltwerke, die hier im einzelnen nicht näher eingegangen werden kann, sorgen für die richtige Zuordnung der von den einzelnen Sendegeräten eintreffenden Meßimpulse zu den zugehörigen Empfangsgeräten. Die Schaltung der Erbindungsleitungen zwischen den einzelnen Sendestellen und der oder den Empfangsstellen ist ohne Einfluß; so ist es z. B. möglich, die Meßwerte mehrerer Reihen an derselben Leitung liegenden Sendestellen auf einer Leitung zu einer gemeinsamen Empfangsstelle zu übertragen. Auch das Zusammenzählen gleichzeitiger Meßgrößen, z. B. von Gasmengen, ist möglich, auch

wenn diese Meßangaben zeitlich nacheinander von verschiedenen Sendestellen eintreffen.

Infolge der Möglichkeit, dieselben Übertragungsleitungen vielfach auszunutzen, werden die Anlagekosten für die Fernmeßanlage wesentlich herabgesetzt; es wird dadurch erst die wünschenswerte zentrale Überwachung großer Ferngasnetze praktisch ermöglicht.

Zusammenfassung

Die Ausführungen geben nur einen kleinen Ausschnitt aus einer Reihe von Fragen technischer Art, wie sie durch den außerordentlich kräftigen Aufschwung der Gasfortleitung auf größere Entfernungen aufgeworfen worden sind. U. a. sind noch die besonderen Aufbereitungsverfahren des Steinkohlengases für die Fernleitung, wie wirtschaftliche Reinigung großer Gasmengen von Schwefelwasserstoff, Trocknung des Gases, Befreiung von Naphthalin, Einstellung des Heizwertes und spezifisches Gewicht von besonderer Bedeutung¹⁰⁾. Zusammenfassend kann gesagt werden, daß es gelungen ist, in ganz kurzer Zeit eine große Zahl der mit der Gasfernleitung zusammenhängenden Fragen zu klären. Im Laufe der Entwicklung der Gasfernleitung wird die Technik auch sicher noch vor weitere Aufgaben gestellt werden. Es ist jedoch zu erwarten, daß auch diese, zumal sie nur noch von untergeordneter Bedeutung sein können, schnell und sicher gelöst werden.

[B 2726]

¹⁰⁾ Vergl. Pott a. a. O.

Die Wanderausstellung „Technik im Heim“

Im Vorjahre war in München zum ersten Male der Versuch gemacht worden, die vielfachen Möglichkeiten der Bessergestaltung des Haushalts durch Ausnutzung der Eigenschaften neuzeitlicher Technik und der Ergebnisse wissenschaftlicher Forschung im Rahmen einer großen Ausstellung „Heim und Technik“ der Allgemeinheit nahebringen. Gerade eine derartige Ausstellung, deren Gegenstand sich so unmittelbar an die weitesten Kreise der Bevölkerung wendet, wird ihre Aufgabe erst dann voll erfüllen, wenn sie die Anteilnahme an den Fragen, denen sie gewidmet ist, auch über die Dauer der Veranstaltung hinaus wachzuhalten weiß.

In klarer Erkenntnis der Notwendigkeit, die so zwischen Ingenieuren und Hausfrauen geschaffene Verbindung zu festigen, hat sich der Verein deutscher Ingenieure mit dem Reichskuratorium für Wirtschaftlichkeit, der Reichsforschungsgesellschaft für Wirtschaftlichkeit im Bau- und Wohnungswesen, dem Reichsverband deutscher Hausfrauenvereine, dem Reichsverband landwirtschaftlicher Hausfrauenvereine, dem Deutschen Normenausschuß, dem Reichsverein Volksernährung, dem Lette-Verein und der Stadt Essen zur Veranstaltung einer Wanderausstellung „Technik im Heim“ zusammengeschlossen. Sie wurde am 1. April in Essen zum ersten Male der Öffentlichkeit zugänglich gemacht und wird in der Folgezeit eine Reihe von deutschen Städten besuchen, um so das Wissen um die vielseitigen Einflußmöglichkeiten der Technik auf die Lösung der Wirtschaftlichkeit und Behaglichkeit im Haushalt in alle Kreise zu tragen. Die Form der Wanderausstellung gestattet es, ihren Wirkungsbereich beliebig zu erweitern.

Die Veranstaltung hat ganz unverkennbar ihre eigene Fügung. Sie verzichtet bewußt darauf, den Besucher durch ein Übermaß des Gebotenen zu belasten. Durch Beschränkung auf wenige, aber sorgfältig ausgewählte und überzeugende Anwendungsbeispiele aus dem weiten Gebiet der Haushaltstechnik vermag sie ihrer großen pädagogischen Aufgabe weit besser gerecht zu werden als durch eine messerartige Anhäufung von Gegenständen. Sie ist in fast allem, was sie zeigt, abgestellt auf die Kreise der Bevölkerung, denen die Technik ein Mittel an die Hand geben soll, den Haushalt nicht allein zu vereinfachen, sondern vor allem zu verbilligen.

Aus diesem Grunde redet die Ausstellung der Einführung neuer Apparate und maschineller Einrichtungen in den Haushalt keineswegs bedingungslos das Wort. Sie zeigt vielmehr, wie die Wirkung der bereits vorhandenen technischen Hilfsmittel durch zweckmäßigere Handhabung gesteigert ist, und veranschaulicht, daß sich allein schon die geistige Vertiefung in die Theorie gewisser physikalischer Vorgänge und Zusammenhänge in der Praxis der Haushaltsführung durch eine Steigerung des Nutzeffektes wirtschaftlich bezahlt machen kann. So verstanden, bedeutet Technik

im Heim nicht so sehr die Werbung für technische Erzeugnisse, als das Bekenntnis zu technischer Betrachtungsweise. Die Hausfrauen zu veranlassen, auch die seit langem gewohnten Verrichtungen im Haushalt nach technisch-wirtschaftlichen Gesichtspunkten auf ihre Zweckmäßigkeit hin zu überprüfen, und sie davon zu überzeugen, daß ingenieurmäßiges Denken mit den Forderungen der Hauswirtschaft wohl vereinbar sei: dies ist das große Ziel der Veranstaltung.

Die belehrende Einführung am Beginn jeder Abteilung bringt bereits eindeutig die Absicht der Ausstellungsleitung zum Ausdruck, die Schau in erster Linie zu einer Schule für die Hausfrau zu gestalten. Die Gliederung in einzelnen folgt den Hauptanwendungsgebieten der Haushaltstechnik selbst. Die Ausstellung umfaßt die Abteilungen Beleuchtung, Heizung, Lebensmittel und deren Erhaltung, Küchengeräte, Kocher und Herde, eingerichtete Küchen, Waschen, Reinigen, Baden, Belehrung, Hausfleiß und Unterhaltung, Haus und Wohnung. Die Einteilung läßt erkennen, daß man sich keineswegs darauf beschränken will, nur die vielen Möglichkeiten für die Einführung maschineller Einrichtungen im Haushalt zu zeigen; auch die Technik der Ernährung ist in den Kreis des Gebotenen einbezogen.

Gerade in denjenigen Darstellungen, die in der lehrhaften Form von Modellen, Wandtafeln und Statistiken die großen Zusammenhänge zwischen Hauswirtschaft und Volkswirtschaft, zwischen Energieaufwand und -bedarf veranschaulichen, die in Gegenüberstellungen von Falsch und Richtig unmittelbar zu verwertende praktische Hinweise auf zweckmäßige Benutzung technischer Einrichtungen geben, oder in solchen, die einen klaren Einblick in die physiologischen Vorgänge innerhalb des menschlichen Körpers vermitteln, bietet sich dem Besucher ein einzigartiger Anschauungsstoff von hohem Wert. Überall dort aber, wo Haushaltgeräte und -maschinen selbst vorgeführt werden, ist dafür Sorge getragen, daß jede Gattung nur durch ein Muster vertreten ist, das den Anforderungen der Zweckmäßigkeit und Wirtschaftlichkeit auch wirklich in weitgehendem Maße genügt.

Wer offenen Auges durch die Ausstellung geht, kann mannigfache Anregungen aus ihr mitnehmen. Die Leiter der Veranstaltung haben das ihrige getan, den Besuchern ein möglichst abgerundetes Bild von den bisherigen Ergebnissen der gemeinsamen Arbeit von Ingenieuren und Hausfrauen zu vermitteln und den Einblick in das umfassende Gebiet neuzeitlicher Hauswirtschafts- und Ernährungstechnik zu erleichtern. An den Besuchern selbst, in erster Linie den Hausfrauen, wird es liegen, den reichen Wissensstoff, den ihnen die Ausstellung liefert, im eigenen Heim zu nutzen und auf diese Weise nicht nur sich selbst, sondern auch der Allgemeinheit einen wertvollen Dienst zu erweisen.

Berlin

[N 2881]

Landsberg

Der gegenwärtige Stand der Kohlenschwelung in Deutschland

Von Dr.-phil. R. HEINZE und Dr.-Ing. E. h. A. THAU, Halle a. S.

Begriff und Zweck der Schwelung von Stein- und Braunkohle — Wandlung im Verlaufe der Zeit — Schwelöfen für Steinkohle: Drehrohr- und Rundzellenöfen — Englische und amerikanische Schwelverfahren für Steinkohlen — Aussichten der Steinkohlenschwelung in Deutschland — Braunkohlenschwelöfen mit Außenbeheizung — Rolle, Honigmann-Bartling, Geissen. Spülgasöfen für Braunkohle: Lurgi, Seidenschur, Deutsche Erdöl-A.-G. — Wirtschaftsfragen — Verwendung von Braunkohlenschwelkoks — Feuerungen für Braunkohlenschwelkoks — Brikettierung.

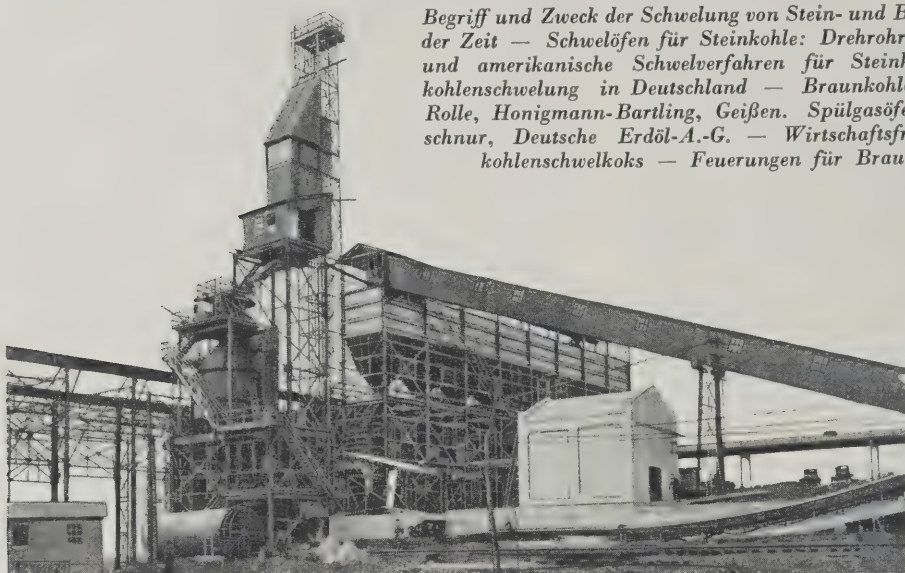


Abb. 1
Schwelanlage der Kohlen-
scheidungs-Gesellschaft in
Piscataway-Town, N. J.
Im Vordergrund Koks-
anlage, Kohlenbunker über
den Trommeln.

Kein anderer Industriezweig hat während seiner Entwicklungsdauer so viele Wandlungen durchgemacht wie die kurz als Schwelung bezeichnete Destillation der Kohle bei tiefer Temperatur, d. h. bei einer Temperatur, die beträchtlich unter der in Koksöfen und Gasretorten angewendeten liegt. Diese Wandlungen beziehen sich nicht nur auf wirtschaftliche Anschauungen, sondern auch in technischer Beziehung haben die Fachleute ihre Ansicht oft ändern müssen, worauf in folgendem kurz eingegangen werden soll.

Zweck der Schwelung

Der Zweck der Schwelung hat sich im Laufe der Zeiten verschieden gewandelt. Als Parker Ende der 90er Jahre die ersten Anregungen gab, unter Anwendung niedriger Temperatur bei der Entgasung von Steinkohle einen teerfreien und daher bei der Verbrennung nicht mehr rauchenden, leicht entzündlichen Brennstoff zu erzeugen, bestand die mitteldeutsche Braunkohlen-Schwelindustrie bereits seit fast einem halben Jahrhundert. Die Wege beider Schwelindustrien mußten aber mit Rücksicht auf die verschiedene Beschaffenheit beider Ausgangskohlen so andersartig sein, daß sie nicht von einander lernen konnten; auch in neuerer Zeit sind die oft wiederholten Versuche, auf gleichen Wegen mit gleichen technischen Mitteln beide Kohlenarten behandeln zu wollen, häufig ergebnislos verlaufen.

Der Anfang der Braunkohlenschwelerei ging von den Bestrebungen aus, über den Braunkohlenteer Öle und Paraffine zu gewinnen, wobei der Koks zunächst als lästiger Abfallstoff auf Halden verbrannte. Eine Wirtschaftlichkeit der Betriebe war unter diesen Umständen nur so lange gewährleistet, wie man über Schwelkohlen verfügte, deren hoher Teergehalt Ausbeuten ermöglichte, die uns heute fast sagenhaft erscheinen.

Da jedoch die Teerpreise damals wie auch heute vom eingeführten Erdöl abhängig sind, ließ sich eine Wirtschaftlichkeit der Braunkohlenschwelereien nur dann aufrechterhalten, wenn sich für den Koks ein lohnender Absatz bot. Diese Bemühungen führten bald zur Entwicklung der heute noch sehr verbreiteten Grudeherde. Es gab dann eine Zeit, in der die Grudekokserzeugung der Nachfrage nicht gerecht zu werden vermochte, und es mag hier die vielfach unbekannte oder in Vergessenheit geratene Tatsache ins Gedächtnis zurückgerufen werden, daß Braunkohlengruben, die auf eine Teererzeugung gar keinen Wert legten, sich genötigt sahen, Schwelereien zu erbauen, um ihren Brikettabnehmern gleichzeitig Grudekoks liefern zu können. Den Vorzug, Grudekoks kaufen

zu dürfen, genoß nur der Abnehmer, der sich zur gleichzeitigen Abnahme einer entsprechenden Brikettmenge verpflichtete. Diese Verhältnisse haben sich mittlerweile völlig geändert. Aber es ist immerhin bemerkenswert feststellen zu können, daß auch bei der Braunkohlenschwelerei eine Zeitlang die Schwelkokserzeugung als Endzweck maßgebend und grundlegend war.

Obgleich bei der heutigen Braunkohlenschwelung Erzeugung flüssiger Brennstoffe der Hauptzweck ist, gibt sich eine Betriebswirtschaftlichkeit nur dann, wenn man es mit einer teerreichen Durchsatzkohle zu tun hat und wenn sich der Schwelkoks für den Hausbrand oder für industrielle Zwecke zu Preisen absetzen läßt, die seiner Bewertung als heizkräftiger Brennstoff entsprechen. Auf die dadurch notwendigen, vom bisherig abweichenden Betriebsbedingungen wird weiter unten noch zurückzukommen sein. Fest steht jedenfalls, daß die Betriebsweise weitaus der Mehrheit aller Braunkohlenschwelereien in erster Linie heute noch auf die Erzeugung eines als Hausbrand absetzbaren Schwelkokes eingestrichelt ist, während Teer und Leichtöl als allerdings meist beseitigte Nebenerzeugnisse anfallen. Anders ausgedrückt kann man sagen, daß in betriebstechnischer Hinsicht der Schwelkoks, betriebswirtschaftlich jedoch der Teer neben dem Leichtöl das Haupterzeugnis darstellt.

Bei der in England begründeten Steinkohlenschwelerei ging man lediglich von dem Zweck aus, einen geeigneten Hausbrand zu erzeugen, um die Rauch- und Nebelplage der Großstädte zu mildern. Als hierfür geeigneter Brennstoff lag und liegt zwar der Gaskoks vor, jedoch ist zufolge seiner Graphithaut zu schwer entzündlich, um den offenen, ohne Zug brennenden Kaminfeuern der englischen Haushaltungen verwendet werden zu können. Der Kaminfeuer stellt, solange es mit Kohle beschickt ist, sofort einen Gaserzeuger dar, als die auf das Glutbett gelegte Kohle zunächst entgast und schließlich vergast wird, so daß Gase und Teerdämpfe unverbrannt und ungenutzt mitgeführt werden. Durch das Durchbrennen des Glutbettes das noch vorhandene entweichende Gas zur Entzündung gebracht wird.

Die Steinkohlenschwelerei verfolgte daher den Zweck, einen diesen Umständen der Verbrennung Rechnung tragenden Brennstoff zu erzeugen. Da hierfür ein gewaltiger Bedarf vorliegt, hat sich die Schwelereitechnologie gerade in England besonders entwickelt. In den Versuchsanlagen, die dort z. Z. betrieben werden, sind riesige Kapitalien angelegt worden, während die Zahl der a

se Verfahren begründeten Gesellschaften und die von
en ausgegebenen Summen fast märchenhaft erscheinen.
er wirtschaftliche Erfolg der Steinkohlenschmelzung steht
s jetzt allerdings noch aus. Da in Deutschland nur ge-
lossene Herde und Stubenöfen verwendet werden, die
schon unmittelbaren Anschluß an die Schornsteine eine
große Luftmenge bei so starker Strömungsgeschwindig-
keit einsaugen, daß die im Feuerbett einer Kohlenfeuer-
ung nutzte Luft das in der aufgelegten Kohlschicht ent-
wickelte Gas sehr schnell entzündet und auch die Ver-
wendung von Gas- oder Zechenkoks ohne weiteres zuläßt,
stand bei uns nie die dringende Notwendigkeit zur Er-
zeugung eines besonderen für Hausbrandzwecke geeigneten
Brennstoffs, zumindest nicht in dem Maß wie in England.
Man verhielt sich daher der Steinkohlenschmelzung gegen-
über vollkommen ablehnend oder beachtete sie auf die An-
regung von H. Bunte hin nur rein wissenschaftlich,
auch die grundlegend gebliebene ausführliche Arbeit
von Börsenstein¹⁾ zeigt, die im Laufe der Jahre fast in
Vergessenheit geraten war.

Als der Weltkrieg Deutschland von der Zufuhr
fossiler Brennstoffe abschnitt, wurde die Steinkohlen-
schmelzung als eine inländische Ölliefermöglichkeit vor-
geschlagen; sie wurde zunächst in Urteergaserzeugern an-
gewendet, auf die weiter unten noch kurz eingegangen
werden soll, soweit es sich um die Schmelzung von Braun-
kohle handelt, wohingegen Urteergaserzeuger für Stein-
kohle nur noch vereinzelt im Betrieb sind. Die Ergeb-
nisse befriedigten nicht recht; um höhere Teerausbeute
wie eine bessere Beschaffenheit des Schmelzteers zu er-
reichen, wandte man sich dem Schmelzofenbau zu. Seine
praktische Verwirklichung fiel schon in die Nachkriegs-
zeit mit den beginnenden Inflationserscheinungen, die die
Einfuhr fast ebenso erschwerten wie früher die Blockade.
Neukonstruktionen standen unter dem Zeichen einer
möglichst raschen Ölherzeugung. An eine Verwertung des
Schmelzkokes dachte zunächst niemand, wenngleich Thau
auf Grund seiner Erfahrungen in England wiederholt dar-
legte, daß der Schmelzkoks kein Nebenerzeugnis, son-
dern das Haupterzeugnis sei und seine Beschaffenheit
ebenso als auch die damit zusammenhängende Verwertungs-
möglichkeit nicht vernachlässigt werden dürfe.
Zu jener Zeit hatte sich jedoch die Preisspanne zwischen
Koks und Teer derart außer allem Verhältnis zuge-
steigert, daß des letzteren verschoben, daß die auf die Koksbeschaf-
fung hinzielenden Warnrufe ungehört verhallten, zumal
dieses auch noch eine gewisse Knappheit an festen
Brennstoffen bestand, die selbst für den Schmelzkoks wenn
schon beschränkte Absatzmöglichkeiten schuf. Der
steigende Brennstoffüberfluß hat freilich hierin wiederum
eine Wandlung geschaffen.

Man kann also mit Recht annehmen, daß trotz der
massenden, wissenschaftlichen Vorarbeit, die gerade in
Deutschland auf diesem Gebiete geleistet wurde, und trotz
der technischen Höhe des deutschen Maschinenbaues die
Steinkohlenschmelzung von abwegigen Grundlagen ausging;
sie wirkten sich in schweren Nackenschlägen aus, zogen
daherhin jedoch eine Ernüchterung und Gesundung der
Entwicklung nach sich, die der Fernstehende leicht
als Stillstand anzusprechen geneigt ist, die der Fachmann
aber als eine natürliche und in gewissem Sinn als zu-
genügende, gesunde Entwicklungsfolge einschätzt.

Die Steinkohlen-Schmelzöfen in Deutschland

Wie bereits erwähnt, ist der Zweck der Schmelerei
die Erzeugung eines verwertbaren Brennstoffs, wohin-
hin man bei der Errichtung von Schmelereien eine
möglichste Teererzeugung in den Vordergrund stellte.
Es ging zunächst daran, die Kohle bei größten Durch-
sätzen unter einem Mindestaufwand von Handarbeit zu
zerlegen und verfiel so auf den Drehofen, den in kleinem
Maßstabe bereits Franz Fischer²⁾ im Kohlenforschungs-
institut Mülheim zu Schmelzversuchen verwendet hatte;
die Bauart war als Agglomerier-, Zement- und Trocken-
ofen der Maschinenindustrie seit vielen Jahren wohl be-
kannt, so daß es nur einiger auf die Entgasung zuge-

schnittener Ergänzungen bedurfte, um den Drehofen den
Zwecken der Schmelzung anzupassen. Es entstanden zu-
nächst zwei verschiedene Bauarten, und zwar der ein-
große, glatte Blechrohr darstellende, geneigt verlegte
Drehofen nach N. Young von Fellner & Ziegler³⁾, Frank-
furt a. M., sowie der wagerecht verlegte Drehofen nach
Roser⁴⁾ von Thyssen, Mülheim, die beide in mehreren
Anlagen erbaut wurden. Die Einzelheiten beider Bauarten
sind im Schrifttum oft behandelt worden. Diese Schmel-
anlagen vermochten jedoch infolge der ungünstigen Be-
schaffenheit und der dadurch hervorgerufenen mangelnden
Absatzfähigkeit des Schmelzkokes ihre Wirtschaftlichkeit
nicht zu behaupten und wurden daher niedrigerissen. Ein
stehender Drehofen von der Maschinenfabrik Meguin⁵⁾,
Butzbach, als Versuchsanlage in Butzbach erbaut, kam
überhaupt nicht zur Einführung in den praktischen
Betrieb.

Diese Krisis der deutschen Steinkohlenschmelzindustrie
überlebte allein der geneigte Doppeldrehofen⁶⁾ der
Kohlenscheidungs-Gesellschaft, Berlin, der erstmalig
auf der Zeche Mathias Stinnes I—II, Karnap bei
Essen, erbaut wurde und heute noch als einziger Dreh-
schmelzofen Deutschlands in Betrieb ist. Der Erfolg dieser
Anlage gründet sich neben günstigen örtlichen Bedingun-
gen auf die bereits beim Bau in den Vordergrund gestell-
ten Bemühungen, einen verkäuflichen Stückkoks zu er-
zeugen. Während der sechs Betriebsjahre, auf die diese
Anlage nun zurückblicken kann, hat man unablässig daran
gearbeitet, die Koksbeschaffenheit zu verbessern und da-
durch die Wirtschaftlichkeit zu heben. Der Erfolg ist
insofern nicht ausgeblieben, als z. Z. in den Vereinigten
Staaten eine Großschmelzanlage⁷⁾ für einen Tagesdurch-
satz von 650 t in Piscataway, New Jersey, Abb. 1, ihrer
Vollendung entgegengeht und die Errichtung einer we-
iteren Schmelzanlage für einen Tagesdurchsatz von 500 t
in Coatesville im Staate Pennsylvania in Angriff genommen
wird. Auch in England und Frankreich sind Großschmel-
anlagen nach diesem Verfahren im Bau, während z. Z.
noch mit Japan, Australien, Südamerika, Indien und Span-
ien verhandelt wird. Die deutschen Verhältnisse
kennzeichnende abwartende Haltung im Schmelzofenbau
verhindert die Errichtung weiterer Schmelzöfen dieser Art.

Je mehr sich die Erkenntnis Bahn brach, daß nur die
Erzeugung eines stückigen Schmelzkokes den wirt-
schaftlichen Erfolg und damit die Ausbreitung der Stein-
kohlschmelzerei zu sichern vermag, desto eifriger wurde
an der Lösung dieser Frage gearbeitet. In seinem an
dieser Stelle bereits beschriebenen Zellenofen mit wage-
rechter Achse, verband Döbelstein⁸⁾ in sehr sinnreicher
Weise die Entgasung und Koksbildung bei ruhender Be-
schickung in einer ununterbrochenen Betriebsweise. Der
Ofen wurde dreimal als betriebsmäßige Einheit ausgeführt,
doch starb der Erfinder, ehe die Bauart in allen Teilen
voll entwickelt war.

Inzwischen hatte Pfaffmann⁹⁾ einen ähnlichen Rund-
zellenofen mit senkrechter Achse erbaut, der bei backender
Kohle ebenfalls einen stückigen Schmelzkoks liefert. Nach-
dem an einer bei Duisburg erbauten Versuchseinheit in
fast einjährigem Betriebe die nötigen Erfahrungen für den
Bau und Betrieb einer solchen Anlage gesammelt worden
waren, wurde im vorigen Jahre ein solcher Ofen auf der
Zeche Prosper bei Bottrop errichtet, und dieser ist heute
noch im Betrieb. Mit diesen beiden in Betrieb befindlichen
Schmelzöfen, die zusammen nicht viel mehr als 100 t trockene
Steinkohle täglich durchsetzen, ist der heutige Stand der
Steinkohlenschmelzerei in Deutschland gekennzeichnet. Bei
oberflächlicher Betrachtung mag dieser Umfang als ein
im Vergleich zum Ausland bescheidenes Ergebnis anzu-
sprechen sein. Bei näherem Zusehen wird man aber er-
kennen müssen, daß die gesunde Entwicklung solcher Ver-
fahren geraume Zeit braucht, wenn man sich vor unange-

³⁾ „Glückauf“ Bd. 59 (1923) S. 29.

⁴⁾ Thau, Die Schmelzung von Braun- u. Steinkohle (Halle 1927, Knapp) S. 334.

⁵⁾ „Entgasen und Vergasen“ (Berlin 1926, VDI-Verlag) S. 57 und Thau a. a. O. S. 357.

⁶⁾ ebenda S. 36.

⁷⁾ Z. Bd. 73 (1929) S. 106.

⁸⁾ „Entgasen und Vergasen“ S. 86; Thau a. a. O. S. 399.

⁹⁾ Z. Bd. 71 (1927) S. 1783; Thau a. a. O. S. 404.

¹⁾ Journ. f. Gasbel. 1906, S. 627.

²⁾ Ges. Abh. z. Kenntn. d. Kohle Bd. 1 S. 122; Bd. 3 S. 102 u. 248.

nehmen und kostspieligen Überraschungen sichern will, wie sie die deutsche Steinkohlen-Schmelindustrie, sofern man von einer solchen zu reden berechtigt ist, im Anfang ihrer reichlich überhasteten Entstehung im Übermaß erlebt hat.

Wenn man die Leistungen des Auslandes, wofür nur England und Amerika in Frage kommen, zum Vergleiche heranzieht, um für den deutschen Entwicklungsstand der Steinkohlenschmelerei einen Maßstab zu gewinnen, wird man zugeben müssen, daß die gegenwärtige deutsche Steinkohlenschmelerei von keinem andern Lande in Schatten gestellt wird. Nimmt man zunächst die Entwicklung in England zum Vergleich, so werden wir hier zwar von der Anzahl der verschiedenen Schmelofen-Bauarten bei weitem übertroffen, jedoch sind mehrfach ausgeführte Anlagen der gleichen Bauart dort nicht vorhanden. Am aussichtsreichsten steht immer noch das Coalite-Verfahren¹⁰⁾, das bis zu seiner heutigen Entwicklung 30 Jahre gebraucht hat und das man sich jetzt bemüht, auch in Deutschland einzuführen.

Ein Vergleich mit amerikanischen Verhältnissen fällt für die letzteren sehr kläglich aus, wenn man die Mißerfolge der mit ungeheuren Mitteln erbauten Carbo-coal-Anlage¹¹⁾ und der beiden großen von Ford erbauten Bleibadöfen¹²⁾ in Betracht zieht, die inzwischen sämtlich abgebrochen wurden. Es mag uns zur Genugtuung gereichen, daß die mit bescheidenen Mitteln in Deutschland entwickelte Schmelanlage der Kohlenscheidungs-Gesellschaft nun in großem Maßstabe sowohl in Amerika als auch in England gebaut wird.

Aussichten für die Steinkohlenschmelzung in Deutschland

Aus dem eingangs Gesagten geht hervor, daß bei der Verwendung unserer geschlossenen Stubenöfen und mangels einer Ruß- und Nebelplage die Erzeugung eines rauchfrei brennenden Hausbrandes nicht in dem Maße im Vordergrund steht, wie z. B. in England. Es wäre aber verfehlt, daraus ableiten zu wollen, daß bei uns in Deutschland für die lohnende Verwendung stückigen Schmelkokes keine Gelegenheit vorhanden sei. Bei den verhältnismäßig geringen Anthrazitmengen, über die wir verfügen, ist für einen in gleicher Weise brauchbaren, stückigen Schmelkokes jederzeit ein reichliches Absatzgebiet zu erwarten.

Unter den in Deutschland gegebenen Verhältnissen ist man gezwungen, die Aufgaben der Steinkohlenschmelerei vom andern Ende anzufassen und sie als ein Veredelungsverfahren von solchen Steinkohlen zu betrachten, die im Handel schwer oder nicht zu lohnenden Preisen unterzubringen sind. Dahin gehören alle backenden Kohlen, die sich zur Verarbeitung in Koksöfen nicht eignen, im besonderen aber der bei der Trockenaufbereitung der Kohle abgesaugte Kohlenstaub, sofern er eine genügende Backfähigkeit besitzt, um eine Stückkoks-bildung beim Schmelzen voraussetzen zu können. Die Verwendung stückigen Schmelkokes in Gaserzeugern ist zu oft erörtert worden, so daß sie hier lediglich erwähnt zu werden braucht.

Die Verwendung des feinen Schmelkokesanfalles in gemahlenem Zustande für Brennstaubfeuerungen hat nicht den erwarteten Erfolg gehabt. Wäre gemahlener Schmelkokes in gleichem Maße wie Kohlenstaub zur Brennstaub-Feuerung geeignet, so hätten sich die Wege der Steinkohlenschmelzung sehr leicht und ohne jede Schwierigkeit geebnet, weil dann der Schmelofen einfach in den Brennstoffweg zur Staubfeuerung als Erzeuger flüssiger Brennstoffe eingebaut worden wäre. Die zahlreichen, meist recht optimistisch gehaltenen Vorschläge, die in dieser Richtung gemacht wurden, sind inzwischen vollkommen verstummt, und es kommen nur noch Anregungen in dieser Hinsicht zum Vorschein, die darauf hinzielen, bei gleichzeitiger Erzeugung eines stückigen Schmelkokes diesen anschließend auf Wanderrosten zu verfeuern. Da aber ein stückiger Schmelkokes lohnenderen Absatz für sonstige Zwecke findet, haben auch diese Anregungen keine Gegenliebe gefunden. Immerhin sind Anzeichen genug vorhanden, die darauf hinweisen, daß sich die Steinkohlen-

schmelerei, auf den bisherigen Ergebnissen fußend, zwar langsam aber in sicherer Weiterentwicklung ausbreiten wird in dem Maße, wie die Absatzmöglichkeiten für Schmelkokes steigen und so weit man beabsichtigt, eine geeignete Steinkohle zu veredeln, für die sonst kein Markt vorhanden ist.

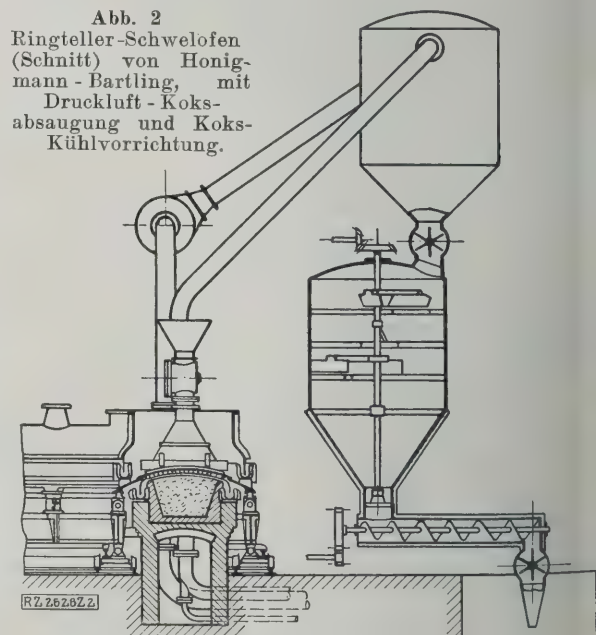
Braunkohlen-Schmelöfen

Die Entwicklung der Braunkohlenschmelöfen, deren Rolle im Jahre 1871 abschloß, wird als bekannt vorausgesetzt. Wenn auch dieser Entwicklungsabschluß soweit zurückliegt, so konnte doch in den folgenden Jahrzehnten nichts grundsätzlich Neues auf diesem Gebiete geschaffen werden. Erst in der Nachkriegszeit kam man zu dem Bewußtsein, daß man allzu lange auf den Lorbeeren von Honigmann-Bartling ausgeruht hatte und es höchste Zeit sei, an die Entwicklung solcher neuer Verfahren heranzugehen, die höhere Durchsätze und bessere Teerausbeute und Wärmewirtschaftlichkeit gewährleisten. Die Lösung dieser Aufgabe gestaltete sich aber wesentlich schwieriger als ursprünglich angenommen hatte, und die früher wenig achteten Leistungen Rolles mußten daher in einem ganz anderen Lichte erscheinen.

Die umfangreichen Versuche, einen einfachen, großen Durchsätze zugeschnittenen, eine hohe Teerausbeute sicherstellenden Ofen zu entwickeln, sollen hier übergangen und nur die Bauarten genannt werden, die wirklich in den Großbetrieb eingeführt wurden.

Da die Aufgabe, mulmige Rohbraunkohle bei großen Durchsätzen und voller Teerausbeute zu schmelzen, auch heute noch nicht als vollkommen gelöst zu betrachten soll auf die vorhandenen, die Entwicklung hemmenden Schwierigkeiten kurz eingegangen werden. Gegenüber Steinkohle ist die Rohbraunkohle kein einheitlicher Rohstoff und die physikalische Beschaffenheit der beiden Kohlenarten ist so verschieden, daß die Schmelöfen diesem Rohstoff von Fall zu Fall angepaßt werden müssen. Mulmige Braunkohle setzt dem Wärmedurchgang große Widerstände entgegen, so daß hohe Temperaturen erforderlich sind, in einer von außen beheizten Retorte eine mehrere Zentimeter dicke Kohlschicht abzuschmelzen. Dadurch wird der Teer an der Retortenwand teilweise zersetzt und bildet neben Gas festen Kohlenstoff, der sich auf dem Koksgebiß niederschlägt und die Verbrennlichkeit des Kokes beeinträchtigt.

Abb. 2
Ringteller-Schmelofen
(Schnitt) von Honigmann-Bartling, mit
Druckluft-Koks-
absaugung und Koks-
Kühlvorrichtung.



Im gemauerten Ringkanal Gasbrenner und Druckluftzuführung, darüber eine mit Quarzbrocken gefüllte Heizkammer, über der sich der auf der Unterseite mit Verstärkungstippen versehene Drehteller wölbt; seitlicher Abschuß hier sowie bei der über dem Teller befindlichen Gas-Sammelhaube durch Ringtassen mit Sand. Hinter dem trichterförmigen Kohleneintrag saugt ein Lüfter (Umlaufgas) den Koks nach einem Zyklonabscheider, der durch Zellenradschleuse den Koks durch einen Tellerkühler in eine Austragschnecke entläßt.

¹⁰⁾ Z. Bd. 69 (1925) S. 554; Thau a. a. O. S. 266.

¹¹⁾ „Brennstoff-Chemie“ Bd. 2 (1921) S. 246; Thau a. a. O. S. 298.

¹²⁾ „Glückauf“ Bd. 61 (1925) S. 825; Thau a. a. O. S. 415.

Zur Beseitigung dieses Übelstandes hat man zwei verschiedene Wege eingeschlagen. *Honigmann* und *Bart*¹³⁾ in München haben ein Verfahren entwickelt, bei dem die vorgetrocknete Kohle in einer nur wenige Millimeter dicken Schicht auf eine von unten beheizte als Dreher- oder Schüttelrutsche ausgebildete Herdplatte aufgetragen und der gebildete Koks mittels Druckluft abgesaugt und mechanisch ausgetragen wird, Abb. 2. Das vielversprechende Verfahren hat indessen die Versuchsgrenzen noch nicht überschritten. Ein anderer Weg bietet sich in der Schwelung mit entsprechend aufgeheizten Spülgasen, bei deren Anwendung der Wärmewiderstand des Schwelgutes weitgehend ausgeschaltet ist, daß jedes einzelne Kohle-
teil von heißen Gasen allseitig getroffen wird. Diese Verfahren boten jedoch bei mulmiger Rohbraunkohle infolge ihrer für Spülgas undurchlässigen Schichtung und

infolge der auftretenden Staubentwicklung, durch die ein stark verstaubter Teer erzeugt wird, so große Schwierigkeiten, daß ihre Einführung in den Großbetrieb noch aussteht.

Eine neue, grundlegende Erkenntnis für den Schwelofenbau verdanken wir *Geißen*¹⁴⁾, der zuerst darauf hinwies, daß der Schwelofen eine ungeeignete, unwirksame und zu kostspielige Einrichtung sei, um darin stark wasserhaltige Kohle zu trocknen. An die Trommel-, Teller- und Röhrentrockner¹⁵⁾ reicht in der Leistung und trotz der viel höheren Temperaturen und größeren Wärmemengen die Trockenzone keines von außen beheizten Schwelofens heran. Nachdem auch die althergebrachte Überlieferung, daß der Wasserdampf im Schwelofen erforderlich sei, um die gebildeten Teerdämpfe vor Zersetzung zu schützen, den Erkenntnissen neuerer Forschung nicht standhalten konnte, schritt *Geißen* mit gutem Erfolg dazu, die Trocknung und Schwelung räumlich zu trennen, d. h. die Kohle wird in einer der bekannten Trockenvorrichtungen von der Hauptmenge des Wassers befreit und gelangt dann in den ausschließlich Schwelarbeit leistenden Ofen, dessen Durchsatz dadurch wesentlich erhöht wird, wobei außerdem die Kohle bei ihrer Wanderung durch den senkrechten Ofen von oben nach unten ständig bewegt wird und den beheizten Wänden immer neue Berührungsflächen bietet, Abb. 3 und 4. Da der von *Geißen* entworfene und in mehr als 30 Einheiten erbaute Schwelofen nicht für den Durchsatz von Rohbraunkohle zugeschnitten ist, liegen keine Vergleichswerte vor, um die durch die getrennte Trocknung verursachte Leistungsteigerung einschätzen zu können. Inzwischen hat aber *Bube*¹⁶⁾ mehrere Rolleöfen mit einer Vortrocknung durch eine Büttnertrömmel ausgerüstet, wobei es im Dauerbetriebe gelang, die tägliche Ofenleistung von 4 bis 5 t Rohbraunkohle ohne Verminderung der Ausbeute um das 2,5- bis 3fache¹⁷⁾ zu steigern.

Während sich der Ofen von *Geißen*, der von der Firma Kohlenveredelung A.-G., Berlin, gebaut wird, hauptsächlich zum Durchsatz knorpeliger Kohle eignet, aus der der feinste Puderstaub nach der Trocknung entfernt wird, hat die Maschinenfabrik Sauerbrey, Staßfurt¹⁸⁾, einen Trommelschweler entwickelt, der vorzugsweise auf den Durchsatz staubförmiger Schwelkohle zugeschnitten ist und an zwei Stellen erfolgreich arbeitet. Der erste Großofen dieser Bauart wurde zwecks guter Wärmeausnutzung mit vier Walzen ausgerüstet; in den

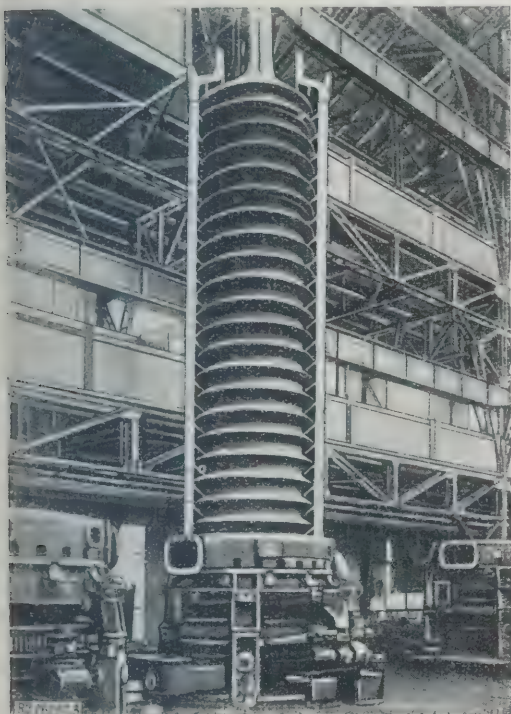


Abb. 3
Geißen-Ofen der Kohlenveredelungs-A.-G.,
Berlin, im Aufbau.

¹⁴⁾ Z. Bd. 70 (1926) S. 219; Thau a. a. O. S. 148; Heinze, Über den gegenwärtigen Stand der Kohlenschwelung in Deutschland, Vortrag auf der Teilkonferenz der Weltkraft-Konferenz, London 1928, S. 17.

¹⁵⁾ Thau a. a. O. S. 152 und 158.

¹⁶⁾ Z. Bd. 72 (1928) S. 963.

¹⁷⁾ „Braunkohle“ Bd. 27 (1928) S. 718.

¹⁸⁾ Thau a. a. O. S. 146.



Abb. 4
Groß-Schwelerei Gölzau. In diesem Werk sind acht Geißen-Öfen im Betrieb.

beiden oberen werden die Kohlen getrocknet. Auch hier hat man inzwischen eingesehen, daß es billiger ist und die Betriebsweise vereinfacht, wenn man sich mit zwei Schmelzwalzen begnügt, die noch heißen Abgase in einer Trockenvorrichtung üblicher Bauart ausnutzt und den Ofen mit getrockneter Kohle beschickt. Eine zweite Einheit wurde daher nur mit zwei Schmelzwalzen ausgestattet und hat sich durchaus bewährt. Bei dieser Bauart handelt es sich um den einzigen in den Großbetrieb eingeführten Schmelzofen, der ausgesprochen staubförmige Kohle durchsetzt.

Neuere Entwicklung

Die neuere Entwicklung der Schmelzöfen mit Außenbeheizung, soweit sie der Bearbeitung von Braunkohle dienen und in den Großbetrieb eingeführt sind, beschränkt sich auf die beiden genannten Ofenbauarten, wobei der in der Braunkohlenschmelzindustrie heute noch am meisten vertretene Rollofen außer Betracht bleiben soll, wie auch die in den letzten Jahren wiederholt gemachten Versuche, seine Leistung zu steigern. Zwar kann dadurch die Leistung bestehender Rolleschmelzereien meist nur in geringem Maße gesteigert und verbessert werden, doch läßt sich die Tatsache nicht leugnen, daß der Rollofen heute eine überlebte Bauart darstellt, die unter den jetzigen Verhältnissen bei Neubauten eine Wirtschaftlichkeit nicht mehr gewährleistet.

Von den Spülgasöfen sind drei verschiedene Bauarten in den Großbetrieb eingeführt; einer davon dient zum Durchsatz von Knorpelkohle, aus der feinsten Staub entfernt ist, ein anderer zur Verarbeitung von abgeseibtem Mulm, während das dritte, älteste Verfahren, gewöhnliche Braunkohlenbriketts verarbeitet. Die erste Bauart ist im Lurgi-Schmelzverfahren¹⁹⁾ verwirklicht; eine Einheit ist seit zwei Jahren im Betrieb mit einem täglichen Durchsatz von 120 t Rohkohle, aus der die feinen Anteile entfernt sind. Im Gegensatz zur Schmelzung mit Außenbeheizung läßt sich mit der Spülgasschmelzung die Trocknung der Kohle in einer besonderen Zone der gleichen Einheit ohne weiteres verbinden, wodurch die Wärmewirtschaft des ganzen Verfahrens verbessert wird. Anlagen dieser Art, von denen nur eine in Deutschland auf der Grube Archibald des Kaliwerkes Westeregeln bei Magdeburg erbaut wurde, haben an mehreren Stellen des Auslandes erfolgreichen Eingang gefunden. Inzwischen ist die Anwendung des Lurgi-Verfahrens versuchsweise und, wie verlautet, mit Erfolg, auch auf den Durchsatz mulmiger Rohbraunkohle ausgedehnt worden, die wie bei den im folgenden beschriebenen Verfahren in einer Walzenpresse zu Eierbriketts verpreßt und dann ohne weiteres in einem Arbeitsgange getrocknet und verschwelt wird.

Nachdem *Seidenschnur*²⁰⁾ sein Spülgasschmelzverfahren in Freiberg i. Sa. entwickelt und dabei erkannt hatte, daß die gleichmäßige Durchdringung mulmiger Kohle mit Spülgasen in dicken Lagen nicht möglich sei, andererseits aber ein besonderes Bedürfnis für die Verarbeitung von mulmiger Braunkohle vorliegt, wurde dieses Verfahren insofern ergänzt²¹⁾, als die rohe, mulmige Kohle in einer Walzenpresse zu Formlingen verpreßt, die dann auf einen ganz langsam bewegten Bandtrockner gelangen, der sie nach Absiebung zerfallener Preßlinge in den von Spülgasen durchströmten Schmelzschaft befördert. Aus diesem wird unten der

verhältnismäßig grobkörnige, leichtentzündliche Schmelzkoks durch eine mechanisch betätigte Schleuse abgetragen. Die nach Abschluß der in Freiberg durchgeführten Versuche auf der Grube Harbke im Magdeburger Braunschweiger Braunkohlenrevier erbaute Schmelzanlage, ist seit etwa Jahresfrist mit guten Ergebnissen in Betrieb und setzt täglich 100 t Rohbraunkohle durch.

Das älteste während des Krieges entstandene Verfahren der Deutschen Erdöl-A.-G. (Dea), Berlin, Großanlagen Rositz und Regis im Altenburger Kreis verwirklicht, hat eine eigenartige Entwicklung genommen. Als man während des Krieges auf der in Lützelndorf im Geiseltal erbauten, großen, heute jedoch nicht mehr genutzten Gaserzeugungs- und Teer-Destillationsanlage zu der recht kostspieligen Erkenntnis gekommen war, daß sich die dortige Rohbraunkohle im Groß-Gaserzeuger unter Teergewinnung nicht durchsetzen lasse, richtete die Dea ihre oben erwähnten Generatorenanlagen zur Erzeugung von Gas und Teer für den Durchsatz üblicher Braunkohlenbriketts ein²²⁾. Da aber die Leistung der Anlagen die Abgabemöglichkeit des Generatorgases nicht erlaubte, so wurde das Gas in einer Gaserzeugungszone durch seitliche Öffnungen im Gaserzeuger zwischen der Schmelz- und Vergasungszone herauszuziehen²³⁾; die Koks findet unter dem Namen Briko-Koks als Hausbrikett in Grubeöfen guten Absatz. Inzwischen ist man von diesem Verfahren dazu übergegangen, in mehreren zu Spülgasöfen²⁴⁾ umgebauten Gaserzeugern auf die Teilvergasung ganz zu verzichten und sie lediglich als Teer- und Kokserzeuger zu verwenden, Abb. 5 und 6. Im übrigen hat die Anwendung dieses Verfahrens in wirtschaftlicher Hinsicht umstrittene Schmelzung von Braunkohlenbriketts keine Vorteile aufzuweisen. Sofern es sich dabei jedoch gleichwohl um eine vollkommene oder teilweise Vergasung der Koks handelt, wird die Wirtschaftlichkeit durch die Ammoniakgewinnung beträchtlich gehoben, die bei der reinen Brikettschmelzung nicht lohnend ist.

Eine ganze Anzahl weiterer Verfahren, die die Schmelzung der Braunkohle vorgeschlagen worden sind, müssen in diesem Zusammenhang ausscheiden, weil die Versuchsarbeiten noch nicht überschritten haben, daher zur Kennzeichnung des gegenwärtigen Entwicklungsstandes nicht herangezogen werden können. Hierher gehören neben den bereits erwähnten Bauarten von *Honigmann* und *Bartling* der Ofen von *Heller-Bamberg*²⁵⁾ *Limberg*²⁶⁾ *Streppel*²⁷⁾ u. a., über deren Auswirkung auf eine Einführung in den Großbetrieb bestimmte Angaben noch nicht gemacht werden können. Die Entwicklung auf diesem Gebiete wäre sicherlich noch

²²⁾ Thau a. a. O. S. 234.

²³⁾ Thau a. a. O. S. 235.

²⁴⁾ Thau a. a. O. S. 237.

²⁵⁾ Heinze a. a. O. S. 22.

²⁶⁾ Thau a. a. O. S. 189.

²⁷⁾ Thau a. a. O. S. 133.

¹⁹⁾ „Entgasen und Vergasen“ S. 53, Z. Bd. 73 (1929) S. 229, Thau a. a. O. S. 195.

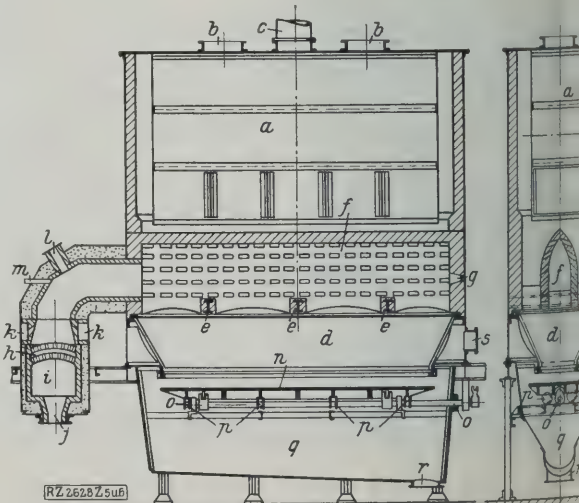
²⁰⁾ „Entgasen und Vergasen“ S. 82, Thau a. a. O. S. 200.

²¹⁾ Thau a. a. O. S. 651.

Abb. 5 und 6

Spülgas-Schmelzofen für Briketts der Deutschen Erdöl A.-G.

- | | |
|----------------------------------|-------------------------------|
| a Schmelzgefäß | l Öffnung zum Anzünden |
| b Beschicköffnungen | m des Gases |
| c Gas-Abgang | n Schauloch |
| d Korbrost | m Schiebeträger für Koks- |
| e T-Träger für | auswurf |
| f gemauerte Gasverteil- | o Nockenwelle |
| g Schauloch | p Tragrollen |
| h Feuerfestes Gewölbe | q Sammelbehälter für Koks |
| i Verbrennungsofen | r Austragvorrichtung für |
| k Zutritt für entteertes Spülgas | Koks |
| | s Lufteintritt (abgeflanscht) |



er fortgeschritten, wenn nicht die praktische Ver-
leichung solcher Verfahren vom zeichnerischen Ent-
f bis zur Großbetriebseinheit mit kaum erschwing-
en Kosten verknüpft wäre, vor denen die Industrie
st zurückschreckt.

Wirtschaftsfragen

Die Schwelung der Braunkohle ist im Vergleich zur
Brikettierung ein viel wirtschaftlicheres Veredelungs-
fahren, sofern der Teergehalt der Rohkohle über-
steigt eine Schwelwürdigkeit voraussetzen läßt. In
eher Weise ist der Gesteinpreis der Rohkohle in
acht zu ziehen, aber er scheidet bei einem Vergleich
der Brikettierung ebenso aus, wie der Kapitaldienst,
sich in beiden Fällen fast gleich stellen dürfte, sofern
sich um neu zu erbauende Anlagen handelt. Wenn
auch dort, wo schwelwürdige Braunkohle vorhanden
ist, Z. mehr brikettiert als geschwelt wird, so ist das
 allem darauf zurückzuführen, daß das Braunkohlen-
schwett viel leichter Absatz findet als große Mengen
an Schwelkoks. Die Absatzfrage für den anfallenden
Schwelkoks, dessen Menge, auf die Rohkohle bezogen,
bei 33 vH beträgt, ist bei weitem noch nicht endgültig
gelöst. Dadurch sind der Weiterentwicklung der
Braunkohlenschwelung gewisse Grenzen gezogen. Man
kann bisher davon ausgegangen, daß zur Erzielung der
Wirtschaftlichkeit einer Rolle-Ofenschwelerei der für
den Schwelkoks erzielte Preis mindestens die durch-
schnittliche Rohkohle bezahlen muß, wenn sie 4 bis 5 vH
erhöhten Teergehalt aufweist, von denen betrieb-
lich jedoch nur 65 bis 70 vH gewonnen werden; Teer und
Schwefel haben demnach die sonstigen Kosten für Löhne,
Verfeuerung, Instandhaltung, Kapitaldienst usw. zu
decken, so daß der hier erzielte Überschuß den Gewinn dar-
stellen muß. Bei einem Einstandspreis der Rohkohle von
9 M/t und bei 33 vH Koksabsatz könnte unter diesen
Bedingungen der Koks nicht unter 9 M/t abgegeben wer-
den. Ein solcher Preis ist beim Absatz als Hausbrand
kaum weiteres zu erzielen.

Rosin²⁰⁾ setzt den jährlichen Verbrauch an Grude-
koks mit 400 000 t ein und erwähnt, daß eine Steigerung
des Absatzes unmöglich sei, ja daß sogar mit einem steten
Zunahme im Verbrauch gerechnet werden müsse. Wenn
man die gegenwärtig erzeugten Grudekoksmengen die Ab-
satzmöglichkeiten bereits weit übersteigen, so scheint, so-
fern die Absatzfrage für eine Verwendung in der Groß-
industrie nicht in irgendeiner Form gelöst wird, die
Braunkohlenschwelung in ihrer Weiterentwicklung ernst-
lich gehemmt. Grudekoksbestände in Mittelddeutschland
sind heute auf Abruf. Während bei der Steinkohlen-
schwelung der Koksabsatz durch eine Verbesserung der
Verfahren in unbegrenztem Maße ohne weiteres ver-
größert werden kann, da sich ja der Steinkohlenschwel-
koks in jedem Ofen und in allen Feuerungen verwenden
läßt, treffen diese Voraussetzungen für den Braunkohlen-
schwelkoks nicht zu. Seine Verfeuerung in den Grude-
koksbindet seinen Absatz zunächst an Haushaltungen und
Landwirtschaftsbetriebe, die solche Öfen bereits be-
sitzen. Verbesserungen dieser Öfen werden jedoch den
Grudekoksverbrauch ebensowenig zu steigern vermögen,
als etwa eine Herabsetzung des Preises. Deshalb bleibt
es anders übrig als ein Großabsatzgebiet für Grude-
koks auf industriellem Gebiete zu suchen. Die in den
letzten Jahren hierin gemachten Fortschritte waren teil-
weise erfolgreich, so daß hier kurz darauf eingegangen
werden soll, um so mehr, als diese Fortschritte für die
Weiterentwicklung der Braunkohlenschwelerei von aus-
gegebender Bedeutung sind.

Verwendung von Braunkohlenschwelkoks

Zufolge seiner kapillaren, holzkohleähnlichen Struk-
tur gehört der Braunkohlenschwelkoks zu den Stoffen mit
großer Oberfläche; er hat in dieser Beziehung eine große
Ähnlichkeit mit aktiver Kohle²¹⁾. Zufolge seiner Absorp-
tionsfähigkeit ist er sehr pyrophor und muß daher zwecks
sicherer Verfrachtung und Lagerung unter Verhütung
von Selbstentzündung vollkommen in Wasser ertränkt

werden, so daß er mit einem Wassergehalt von etwa 20 bis
25 vH anstandslos für Hausbrandzwecke in den Handel
kommt.

In der Industrie kann der Braunkohlen-Schwelkoks
jedoch nur auf besonderen Rostbauarten als Brennstoff
verwendet werden, sowie als Brennstaub, wozu er sich
gegenüber dem Steinkohlen-Schwelkoks infolge seiner
großoberflächigen Eigenschaften sehr gut eignet, und
schließlich in beschränktem Maße auch als Farbkoks zur
Herstellung von Schwarzfarben. Besonders für die beiden
letzten genannten Zwecke, die eine feine Vermahlung voraus-
setzen, darf indessen der Wassergehalt des Koks 5 bis
6 vH nicht übersteigen. Da eine besondere Trocknung des
naßgelöschten, 20 bis 25 vH Wasser enthaltenden Koks
zu große Kosten verursacht, ganz abgesehen von der zu-
sätzlichen Leerfracht dieser Wassermengen, sah sich die
Braunkohlen-Schwelindustrie vor die Aufgabe gestellt, die
Selbstentzündlichkeit des Schwelkoks zu vernichten, um
für diese Zwecke einen mahltrockenen Koks liefern zu können.

Von einer besonderen hierfür gebildeten Arbeits-
gemeinschaft wurde Prof. Dr. Rosin²⁰⁾ mit der Lösung
dieser schwierigen Aufgabe betraut, die ihm in verhältnis-
mäßig kurzer Zeit glänzend gelang. Erwähnt sei hier nur,
daß der den Schwelofen verlassende Koks unter Sättigung
mit Luftsauerstoff behandelt wird, wodurch die Neigung
zur Selbstentzündung aufgehoben wird. Auf diese Weise
inertisierter Koks kann ohne die Gefahr einer Selbst-
entzündung verfrachtet und vermahlen werden, so daß
durch diese Maßnahme das Verwendungsgebiet für Braun-
kohlenschwelkoks erheblich erweitert wurde.

Die normale Verfeuerung des Braunkohlenschwel-
koks ist, abgesehen von höheren Verfrachungskosten,
nicht an einen bestimmten Wassergehalt gebunden; sie er-
fordert aber bei der Feinkörnigkeit und den sonstigen be-
sonderen physikalischen und chemischen Eigenschaften
des Koks besondere Rostbauarten, um deren Entwicklung
man sich besonders in den letzten Jahren erfolgreich be-
müht hat. Ohne hier auf Einzelheiten näher einzugehen,
sind zu erwähnen der Schirmventilrost der Kohlenvered-
lungs A.-G., Berlin²¹⁾, der Wanderrost der Vereinigten
Kesselwerke, Düsseldorf²²⁾, sowie die Bauart der Dampf-
kesselfabrik L. & C. Steinmüller, Gummersbach²³⁾. Dieser
letzten genannten Rost ist mehrfach ausgeführt worden und in
dem Kraftwerk Hungen der Frankfurter Gas-Ges., sowie
auf dem Kaliwerk Westeregeln erfolgreich im Betrieb, so
daß in diesen beiden Fällen die Schwelerei als ein in den
Brennstoffweg eingeschaltetes Veredlungsverfahren ange-
sprochen werden kann. Der Schirmventilrost der Kohlen-
veredlungs-A.-G. bewährt sich mit bestem Erfolg im Kraft-
werk Breitenungen und auf der Grube Edderitz. Bevor auf
Kupplungsmöglichkeiten von Dampferzeugungsanlagen mit
Schwelereibetrieben eingegangen wird, soll noch kurz eine
andere Verwertungsmöglichkeit des Braunkohlenschwel-
koks erwähnt werden, die aber noch in den Entwick-
lungsanfängen steckt, die Brikettierung des Schwelkoks.

Auf der Schwelerei Nachterstedt bei Aschersleben
wurde bereits vor etwa 30 Jahren ein Teil der Grudekoks-
erzeugung mit Sägemehl gemischt und mit eingedickter
Zellstofflauge als Bindemittel zu backsteinförmigen Bri-
kettens verpreßt, die als verwendbarer Glühstoff vor der all-
gemeinen Einführung der Dampfheizung in Eisenbahn-
wagen benutzt wurden. In neuerer Zeit versucht man, den
Grudekoks in Gestalt von Briketts in die Haushaltungen
einzuführen, da seine Verfeuerung dann nicht mehr an be-
sondere Grudeöfen gebunden ist, sondern der Koks in
jedem normalen Heiz- und Kochofen verwendet werden
kann. Die naheliegende Verpressung des Koks mit Pech
als Bindemittel ist nicht nur teuer, sondern verursacht
auch bei der Verwendung solcher Briketts leicht Schwierig-
keiten. Vor ihrer Verwendung in Dauerbrenner-Füllöfen
oder in Zentralheizungen bleiben die Briketts oft längere
Zeit geschichtet liegen, ehe sie zur Verbrennung kommen,
das Pech erweicht, die Preßlinge zerfallen und verhindern
den Luftdurchgang, so daß das Feuer verlöscht. Bemerk

²⁰⁾ „Braunkohle“ Bd. 27 (1928) S. 727, Archiv für Wärmewirtschaft
Bd. 9 (1928) S. 162 und 170.

²¹⁾ Niederschrift der Schwelausschußsitzung am 30. Nov. 1928
in Halle, S. 1. Vgl. Archiv f. Wärmewirtschaft Bd. 10 (1929) S. 132.

²²⁾ ebenda S. 2.

²³⁾ ebenda S. 4.

²¹⁾ „Brennstoff-Chemie“ Bd. 9 (1928) S. 182.

²²⁾ Z. Bd. 72 (1928) S. 1731.

sei hier, daß die Grudekokserzeugung einer Rollofenschwelerei in Böhmen unter Pechzusatz auf Eierpreßlinge verarbeitet wird; sie werden zum Anheizen der Staatsbahnlokomotiven verwendet und sollen die Rauchbildung in den innerhalb der Städte gelegenen Lokomotivschuppen einschränken.

Unter Ausschaltung der mit der Pechbrikettierung verbundenen Nachteile hat *Weber*³⁴⁾ ein Verfahren angegeben, dessen Ausnutzung die Koks- und Halbkoks-Brikettierungsg. m. b. H., Berlin, übernommen hat. Nach diesem Verfahren wird der Koks mit einer wässerigen Tonaufschlämmung und mit Zellstofflauge verpreßt, worauf die Eierbriketts in einem Schachtofen der Einwirkung heißer Gase bei 350° ausgesetzt und dadurch gehärtet werden, so daß sie wetterfest und hart zum Versand kommen und auch in der Wärme nicht erweichen oder auseinanderfallen, ehe ihre Verbrennung einsetzt. Das Verfahren wird gegenwärtig auf betriebsmäßiger Grundlage von einer neutralen Arbeitsgemeinschaft auf seine praktische Anwendbarkeit erprobt und in wirtschaftlicher Hinsicht überprüft.

Der Entwicklung der Braukohlenschwelung sind durch die Möglichkeit einer unmittelbaren Kupplung mit Kraftwerken, unter deren Kesseln der anfallende Koks als Staub oder auf besonderen Rosten verbrannt wird, neue Wege geebnet, die bereits an verschiedenen Stellen erfolgreich beschritten worden sind. „Über die Kupplungsmöglichkeiten zwischen Kohlenveredlung und Elektrizitätserzeugung“ hat *Rosin*³⁵⁾ auf der Teilkonferenz der Weltkraftkonferenz, London 1928, ausführlich berichtet.

Zusammenfassung

Wenn es bei oberflächlicher Betrachtung auch scheinen mag, als sei in den letzten Jahren in der Entwicklung der Kohlschwelerei Deutschlands ein Stillstand eingetreten, so wird doch mit zäher Energie im stillen daran gearbeitet,

³⁴⁾ Niederschrift S. 7.

³⁵⁾ *Rosin*. Z. Bd. 73 (1929) Nr. 1 S. 9.

Das neue Entgasungsverfahren beim Städtischen Gaswerk Jena

Mit dem Zwecke der Erhöhung der Gasausbeute unter Beibehaltung des Heizwertes ist beim Städtischen Gaswerk Jena ein neues Entgasungsverfahren ausgebildet worden, das sich in praktischen Betrieben seit längerer Zeit bewährt hat. Die Senkrechtretortenöfen mit je zwölf Retorten von 4 m Länge werden nicht vollständig mit Kohle gefüllt und darüber wird eine mindestens 700 mm hohe Koksschicht von 10 bis 20 mm Stückgröße aufgelagert.

Die Kokssäule soll ein Zusammenbacken der oberen Kohlschichten und die dadurch bedingte Druckerhöhung in den Retorten zurückhalten und eine schnellere Übertragung der Ofenwärme auf den Retorteneinhalt herbeiführen. Weiter werden durch den großen Porenraum und die damit zusammenhängende große Absorptionsfähigkeit des Kokses aus der Kohle aufsteigenden Teerdämpfe abgefangen und zur Gasmehrerzeugung mit Heizwertgewinnung nutzbar gemacht, so daß sich der Mengenanteil der schweren Kohlenwasserstoffe um 23,5 vH erhöht.

Der durchschnittliche CO-Gehalt des Gases beträgt bei dem neuen Verfahren 10,9 vH gegen 7 vH beim alten, der CO₂-Gehalt bei dem neuen Verfahren 3,02 vH gegen 2,74 vH beim alten, der O₂-Gehalt entsprechend 0,9 und 1,4 vH. Während beim alten Verfahren 390 m³ Gas aus 1 t Kohle mit einem Heizwert von 4670 kcal gewonnen wurden, beträgt die Gasausbeute beim neuen Verfahren 475 m³ mit 4600 kcal. Das spezifische Gewicht des Gases ist beim neuen Verfahren etwas niedriger als beim alten. Die Teerausbeute ist geringer. Dies ist auf ein Abfangen der flüchtigen Teerdämpfe durch die aufgelagerte Koksschicht und anschließende, stufenweise Zersetzung in gasförmige Erzeugnisse sowie wahrscheinlich auch auf eine durch katalytische Wirkung erfolgende Anlagerung von Kohlenwasserstoffen an ärmere Gase zurückzuführen. Die Koksbeute wird beim neuen Verfahren mit 67,3 bis 69,1 vH angegeben¹⁾.

Der Vorteil des Verfahrens liegt in der bedeutenden Mehrerzeugung an Gas mit gleichem Heizwert aus derselben

die Verfahren in technischer Hinsicht so zu verbessern, daß sie in wirtschaftlicher Beziehung bestehen können. Diese Weiterarbeit erstreckt sich in erster Linie auf eine Durchsatzsteigerung je Ofeneinheit oder andern Worten auf eine Herabsetzung des Kapitaldienstes je t Durchsatz, da gerade dieser Posten die Wirtschaftlichkeit der Schwelereien entscheidend beeinflusst. Die technische und volkswirtschaftliche Wichtigkeit der Schwelindustrie geht auch aus der umfassenden Behandlung hervor, die sie meist an erster Stelle auf großen technischen Tagungen der Welt erfährt. Eine Zeitlang hatte der Anschein, als wolle die Verflüssigung der Kohle³⁶⁾ Zwecke der unmittelbaren Gewinnung flüssiger Brennstoffe der Schwelindustrie das Lebenslicht ausblasen, aber diese Ansichten haben sich als irrig erwiesen. Das Gegenteil ist insofern eingetreten, als die Verflüssigung der Kohle die Entwicklung der Schwelung neu befruchtet hat und sie keineswegs entbehren kann. Diese Zusammenhänge sind indessen gegenwärtig noch nicht hinreichend geklärt, um darüber jetzt schon berichten zu können.

Auf ausführliche beschreibende Wiedergabe bester Ofenbauarten wurde in der vorstehenden Abhandlung verzichtet, da seit den letzten Veröffentlichungen ein Neues auf diesem Gebiet nicht vorliegt; es sei daher auf den Vortrag von *Heinze*³⁷⁾ auf der Teilkonferenz der Weltkraftkonferenz, London 1928, hingewiesen, worin die Lage der einzelnen Öfen mehr in den Vordergrund gestellt ist. Wenn auch die wenigen bei uns entwickelten verschiedenen Verfahren gegenüber der im Ausland durchgeprobten Anzahl einen bescheidenen Eindruck machen kann man demgegenüber der deutschen Schwelindustrie die Anerkennung nicht versagen, schrittweise und bewußt vorgegangen zu sein und solche Erfolge buchstäblich zu können, die bisher keinem der im Ausland entwickelten Verfahren beschieden waren. [B 262]

³⁶⁾ Z. Bd. 69 (1925) S. 1313 u. f.

³⁷⁾ *Heinze* a. a. O. Vergl. auch Dr. C. H. Lander und Dr. Sinnat: Low Temperature Carbonisation. Sektion Q, Weltkraftkonferenz 1928, London.

Menge Kohle. Man hofft bei den neuen Senkrechtkammeröfen des Gaswerkes Jena auf 540 bis 560 m³ Gasausbeute. Hieraus ergibt sich eine günstige Beeinflussung der Koksbeute. Ein gewisser Nachteil ist darin zu erblicken, daß die Ofeneinheit wegen der zusätzlichen Koksschicht etwas weniger Gas erzeugt, so daß der Kapazitätsdienst für die Öfen ungünstig beeinflusst wird. [N 2668]

Neues Baseler Gaswerk

Das seit dem Jahre 1860 allmählich weiter ausgebaut Gaswerk der Stadt Basel kann aus Platzmangel nicht vergrößert werden. Im Dezember 1928 hat man aus diesem Grunde mit dem Neubau eines Gaswerkes beim Rheinischen Kleinhüningen¹⁾ begonnen, das vorläufig Anlagen für 80 000 m³ Mischgas Tagesleistung umfassen soll. Nach dem gültigen Ausbau wird das Gaswerk täglich 300 000 m³ abgeben können. Gleichzeitig ist der Ausbau eines zweigebäudigen Beckens des Baseler Rheinhafens in Angriff genommen, dem die Kohlenlagerplätze des Gaswerkes liegen.

Neben dem Gas von 5300 bis 5800 kcal/m³, das im neuen Entgasungsverfahren erzeugt wird, wird mittels des Vergasungsverfahrens Wassergas von rd. 2800 kcal/m³ Heizwert gewonnen. Das abzugebende Heizgas setzt sich aus 80 vH Steinkohlengas und 20 vH Wassergas zusammen und hat rd. 5000 kcal/m³ Heizwert. Sollten aus irgend einem Grunde die Kohlenvorräte gestreckt werden müssen, so wird man in der Wassergasanlage gleichzeitig Öl verdampfen, dann entsteht ölkarburiertes Wassergas von höherem Heizwert. In den Gaserzeugern gewonnenes Gas mit 1200 kcal/m³ Heizwert dient nur zum Heizen der Kammeröfen für die Steinkohlengaserzeugung.

Nach den Berechnungsunterlagen sind für 80 000 m³ täglich zu erzeugende Gasmenge 200 t Steinkohlen und 100 t Koks (für Wasser- und Generatorgas) erforderlich. Nebenerzeugnisse fallen 150 t Koks, 10 t Rohteer und 10 t Gaswasser an. [N 2878]

¹⁾ „Das Gas- und Wasserfach“ Bd. 71 (1928) S. 1117.

¹⁾ Schweizerische Bauzeitung Bd. 93 (1929) Nr. 11 S. 135.

Gasprüfung / Von Dr.-Ing. A. SANDER, Berlin

Bei dem heutigen Mischgasbetrieb der Gaswerke wird auf die gleichmäßige Gasbeschaffenheit der größte Wert gelegt, die Überwachung des Betriebes hat hierbei wichtige Aufgaben zu erfüllen. Infolgedessen werden auch an die Meßgeräte erhöhte Anforderungen gestellt. Die Verfahren der Gasprüfung, die in den letzten Jahren sehr vervollkommen worden sind, werden ausführlich besprochen.

Der Krieg und die durch ihn bedingte Kohlennot haben auch den Betrieb der deutschen Gaswerke stark in Mitleidenschaft gezogen. So hat sich denn der Deutsche Verein von Gas- und Wasserfachmännern E. V. veranlaßt, im Jahre 1925 auf seiner 62. Jahresversammlung in Krummholtz für die Gasbeschaffenheit Richtlinien¹⁾ aufzustellen. Diese lauten:

„Das von den Gaswerken abzugebende Mischgas soll als normal betrachtet werden, wenn es einen oberen Heizwert von 4000 bis 4300 kcal/m³ (C, 760 mm) besitzt. Dieses Mischgas hat sich für alle in Frage kommenden Verbrauchszwecke als gut geeignet erwiesen, wenn entsprechende Anpassung der Brenner erfolgt und wenn dieser einen Heizwert durch Zusatz brennbarer Gase und nicht durch übermäßige Beimischung von stickstoffhaltigen kohlenstoffreichen Gasen (Rauchgas, Gase aus der Gaserzeugung) erreicht ist.

Das spezifische Gewicht des Mischgases soll 0,5 nicht überschreiten.

Sowohl für das gekennzeichnete Mischgas als auch für Steinkohlengas sollte nicht über einen Heizwert von 15 vH an unbrennbaren Gasen hinausgegangen werden.

Die Reinheit von Schwefelwasserstoff, Ammoniak und Teer ist unbedingt zu fordern.

Unvermeidlich ist vor allem, daß jedes Gaswerk die gleiche Gleichmäßigkeit seines Gases in bezug auf Heizwert, spezifisches Gewicht und Druck anstrebt.

Die dringend notwendigen Fortschritte in der konstruktiven Anpassung der Gasverbrauchapparate können nur erreicht werden, wenn die Gaswerke so bald als möglich entweder Mischgas oder Steinkohlengas in gekennzeichnete Art abgeben.“

Die Richtlinien, die sich auch nach Überwindung der Kohlennot als technisch und wirtschaftlich richtig erweisen haben und deshalb auf der 66. Jahresversammlung des Deutschen Vereins von Gas- und Wasserfachmännern E. V. im Jahre 1925²⁾ zur Norm erhoben wurden, enthalten auch bereits die Grundlagen dafür, in welcher Richtung man das Gas prüfen muß. Hierbei ist zu unterscheiden zwischen der physikalischen Gasprüfung, die die Bestimmung des Heizwertes und des spezifischen Gewichtes sowie die Druckmessung umfaßt, und der chemischen Gasprüfung, die zur Ermittlung der im Gas enthaltenen unbrennbaren Bestandteile sowie zum Nachweis von Schwefelwasserstoff, Ammoniak und Teer dient. Die zur Ausführung der vorgenannten Untersuchungen in neuzeitlich eingerichteten Gaswerken benutzten Geräte und Verfahren sollen hier kurz erläutert werden, soweit sie für die Prüfung des fertig gereinigten Gases, des Stadtgases, in Betracht kommen.

Bestimmung des Gasheizwertes

Obwohl sich der Heizwert aus der Gasanalyse mit ziemlicher Genauigkeit berechnen läßt, bevorzugt man im Gasbetrieb, namentlich wegen der rascheren Ausführbarkeit, die Heizwertbestimmung durch Versuch. Das im Jahre 1892 von Professor Junkers³⁾ konstruierte Gaskalorimeter war fast drei Jahrzehnte lang das einzige zuverlässige Gerät für diesen Zweck und hat daher in sämtlichen Betrieben, die brennbare Gase erzeugen oder verwenden, Eingang gefunden.

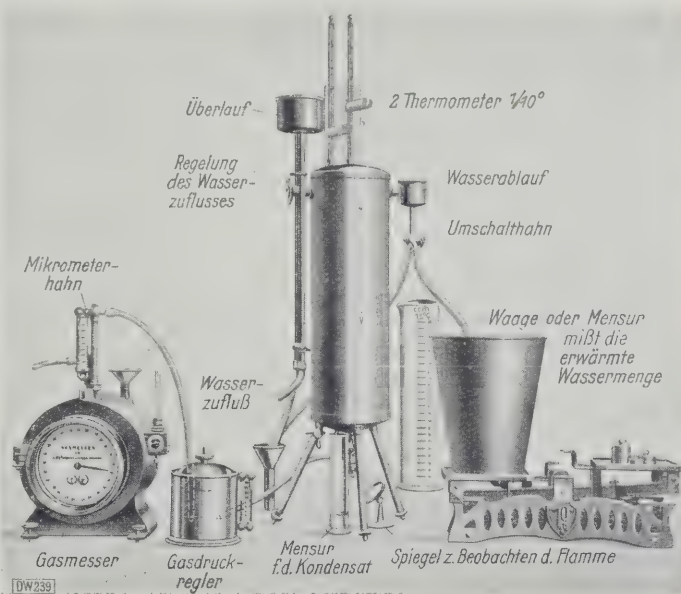


Abb. 1. Junkers-Handkalorimeter.

gen oder verwenden, Eingang gefunden. In seiner heute gebräuchlichen Ausführung besteht das Junkers-Handkalorimeter, Abb. 1, aus einem mit Manometer und Thermometer versehenen Versuchsgasmesser, einem Gasdruckregler und dem eigentlichen Kalorimeter, einem stehenden Röhrenkessel, der von einem sich gleichbleibenden Wasserstrom durchflossen wird und in dessen Innerem ein Bunsenbrenner brennt.

Die von der Flamme gelieferte Wärmemenge wird restlos von dem durch das Gerät hindurchfließenden Wasser aufgenommen, so daß man durch Messung der Temperaturzunahme des Wassers und des Gasverbrauchs sowie durch Wägung der ausgeflossenen Wassermenge während einer bestimmten Zeit den Heizwert des Gases nach der Gleichung

$$H = \frac{W}{G} T_d \dots \dots \dots (1)$$

berechnen kann. Hierin bedeutet H den oberen Heizwert in kcal/m³, W die ausgeflossene Wassermenge in g, G die verbrannte Gasmenge in l und T_d den mittleren Temperaturunterschied des austretenden und des eintretenden Wassers.

Wenn man genaue Werte erreichen will, muß zwischen der Temperatur des austretenden und der des eintretenden Wassers ein Unterschied von 12 bis 14° bestehen, ferner muß der Brenner mit straffer, blauer Flamme brennen und auf einen Gasverbrauch von 240 bis 250 l/h eingestellt sein. Für die Durchführung eines Versuches ist nach Eintreten des Beharrungszustandes die während der Verbrennung von genau 10 l Gas ausfließende Wassermenge in dem Auffanggefäß zu sammeln, das vorher und nachher auf einer genauen Dezimalwaage gewogen wird. Während des Versuches wird jeweils, wenn der Zeiger des Gasmessers einen vollen Liter anzeigt, zuerst die Temperatur des austretenden und dann die des eintretenden Wassers auf hundertstel Grade genau mit Hilfe einer Lupe abgelesen. Die Temperatur des eintretenden Wassers wird sich hierbei kaum ändern, sofern das Wasser

¹⁾ „Das Gas- und Wasserfach“ Bd. 64 (1921) S. 857.

²⁾ „Das Gas- und Wasserfach“ Bd. 68 (1925) S. 610.

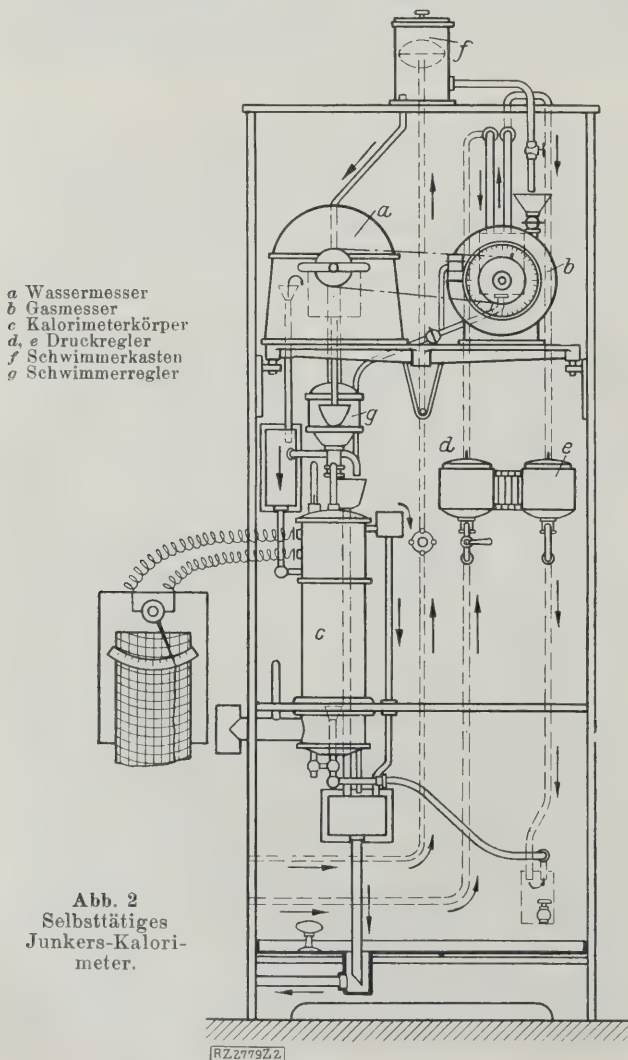
³⁾ Z. Bd. 38 (1894) S. 1395, Bd. 39 (1895) S. 564.

nicht unmittelbar der Leitung, sondern einem im Versuchsraum angebrachten größeren Hochbehälter entnommen wird. Zur Ermittlung des unteren Heizwertes ist es nötig, das bei der Verbrennung von mindestens 50 l Gas gebildete Kondenswasser, das unten aus dem Gerät dauernd abtropft, in einem engen Meßzylinder aufzufangen. Weitere beachtenswerte Punkte für die Ausführung, genauer Heizwertbestimmungen sowie Hinweise auf die Fehlerquellen enthält eine vom Gasinstitut, Karlsruhe, ausgearbeitete Anleitung⁴⁾, auf die hier nur verwiesen werden kann. Die Umrechnung des durch den Versuch bestimmten oberen und unteren Heizwertes auf Normalzustand erfolgt nach den bekannten Formeln; zur Vereinfachung dieser Berechnungen gibt es verschiedene Behelfe⁵⁾.

Eine Weiterentwicklung dieses Handkalorimeters stellt das selbsttätige Junkers-Kalorimeter dar, das ebenfalls in der Gasindustrie eine weite Verbreitung erlangt hat, und zwar nicht nur deshalb, weil es keinerlei Bedienung erfordert, sondern vor allem, weil es die einzelnen von ihm ausgeführten Heizwertbestimmungen auch fortlaufend aufzeichnet. Hierdurch geben sich Schwankungen in der Gaszusammensetzung sofort zu erkennen, so daß der Betriebsleiter in der Lage ist, rasch die entsprechenden Maßnahmen zu treffen, was bei dem heutigen Mischgasbetrieb besonders wichtig ist. Die laufende Aufzeichnung des Heizwertes ist ferner sehr wertvoll für Ferngaswerke und Kokereien, die sich ihren Abnehmern gegenüber meist vertraglich zur Lieferung eines Gases von bestimmtem Heizwert verpflichtet haben.

⁴⁾ Journ. f. Gasbeleuchtg. Bd. 62 (1919) S. 589.

⁵⁾ K. Ludwig, Reduktionstabelle für Heizwert und Volumen von Gasen, 3. Auflage, München und Berlin 1928, R. Oldenbourg; R. Michel, Gastechnische Rechentafel, Ebenda 1926; Kalorimetrischer Rechenschieber (Friedr. Lux, Ludwigshafen a. Rh.) u. a.



a Wassermesser
b Gasmesser
c Kalorimeterkörper
d, e Druckregler
f Schwimmerkasten
g Schwimmerregler

Abb. 2
Selbsttätiges
Junkers-Kalori-
meter.

RZ 27922

Der Vorgang der Heizwertbestimmung ist bei dem selbsttätigen Kalorimeter genau der gleiche wie bei dem Handkalorimeter, doch ist jenes mit einer sinnreichen Vorrichtung ausgestattet, die es ermöglicht, das Verhältnis der Wassermenge zur Gasmenge dauernd gleich zu halten.

Wenn in der Gleichung (1) der Quotient ein Festwert ist, so wird der Heizwert eine lineare Funktion der Temperaturerhöhung, womit die Möglichkeit einer selbsttätigen Arbeitsweise gegeben ist. Das Verhältnis der Wassermenge zur Gasmenge wird nun in dieser Weise gleich gehalten, daß bei dem selbsttätigen Kalorimeter, Abb. 2, der Wassermesser *a* mit dem Gasmesser *b* zwangsläufig gekuppelt ist. Ferner ist in dem oberen Teil des Kalorimeterkörpers *c* eine Thermosäule eingebaut, deren Lötstellen im Kalt- und Warmstrom liegen. Die erzeugte Thermokraft, die der Temperaturerhöhung verhältnismäßig ist, wird an einem empfindlichen Millivoltmeter abgelesen und zugleich aufgezeichnet. Die sorgfältig geeichte Kalorienskala des Galvanometers zeigt somit unmittelbar den oberen Heizwert des Gases an. Zwei Druckregler, *d* und *e*, sorgen für gleichbleibenden Gasdruck, während der Schwimmerkasten *f* und der Schwimmerregler *g* den Wasserzufluß regeln. Das ganze Gerät ist in einen verschließbaren Schrank mit Glasfenster eingebaut, so daß es vor befugten Eingriffen geschützt ist. Ein besonderer Vorteil dieses Gerätes ist, daß es auch als Handkalorimeter verwendet werden kann, so daß sich die Richtigkeit der selbsttätigen Anzeige jederzeit durch einen Versuch nachprüfen läßt. Durch geeignete Aufstellung des Kalorimeters an einem Ort, an den sämtliche Gasleitungen verschiedenen Betriebstellen geführt werden können, läßt sich mit dem Gerät je nach Bedarf abwechselnd der Heizwert des Stadtgases, des Produktionsgases oder auch des Wassergases vor der Zumischung zum Steinkohlengas rasch und zuverlässig ermitteln⁶⁾.

Neben dem Junkers-Kalorimeter benutzt man auch einige andere Bauarten, die weniger für die Überwachung des Betriebes, sondern vorwiegend für Versuchszwecke bestimmt sind. Für Versuche ist das Junkers-Kalorimeter weniger geeignet, weil man bei ihm stets eine Wasserleitung verfügen und zur Erreichung des Verbrennungszustandes, wie auch zur Heizwertbestimmung selbst größere Gasmengen verbrennen muß. Für Versuchszwecke hat man daher kleinere, leicht bewegliche Kalorimeter geschaffen, in denen auch mit wenigen Litern

⁶⁾ Über weitere Verbesserungen dieses Gerätes vergl. Kranz, „Gas- und Wasserfach“ Bd. 70 (1927) S. 801.

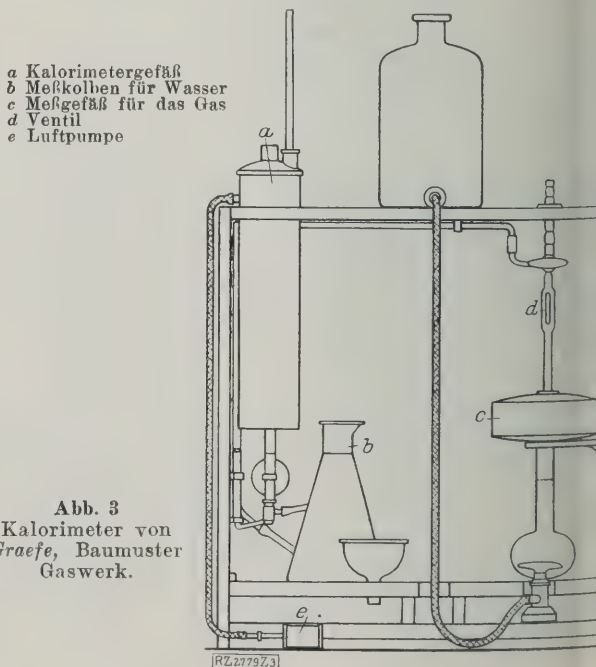


Abb. 3
Kalorimeter von
Graefe, Baumuster
Gaswerk.

RZ 27923

as eine hinreichend genaue Heizwertbestimmung ausge-
hrt werden kann. Von den mannigfachen Vorschlägen
llen hier jedoch nur die Kalorimeter von Graefe, Dom-
r und Strache-Löffler kurz besprochen werden.

Bei dem Kalorimeter von Prof. Dr. Graefe, Bau-
ster Gaswerk, Abb. 3, wird ebenfalls die von einem
sbrenner entwickelte Wärme rostlos an Wasser ab-
geben. Das Wasser fließt jedoch hier nicht ständig,
ndern das Kalorimetergefäß *a* ist mit einer abgewoge-
n Wassermenge gefüllt, deren Temperaturerhöhung
ährend der Verbrennung von 1 l Gas gemessen wird.
s zu untersuchende Gas wird aus dem etwas mehr als
fassenden Meßgefäß *c* über das Ventil *d* dem Brenner
geführt, indem nach Hochstellen der Niveauflasche die
den Gashähne geöffnet werden. Vor und während
r Verbrennung wird das im Kalorimetergefäß enthal-
e Wasser mittels einer kleinen Luftpumpe *e* gut durch-
ührt, damit der Wärmeausgleich rasch vonstatten
nt. Der schwenkbare Gasbrenner wird in das Kalori-
tergefäß in dem Augenblick eingeschoben, wo das
rrwasser die untere Marke des Gefäßes *c* durch-
ömt. Sobald 1 l Gas verbrannt ist, erlischt die Flamme
r selbst, indem sich das Ventil *d* schließt. Zur Verein-
ung der Berechnung ist die in das Gefäß *a* einzufül-
de Wassermenge so abgestimmt, daß sie zusammen mit
l Wärmekapazität des Metallgefäßes gerade 1 l Wasser
pricht. Somit ergibt die abgelesene Temperatur-
höhung $\times 1000$ unmittelbar den oberen Heizwert von
l des untersuchten Gases.

Auf einer ganz andern Grundlage beruht das von
C.-Ing. Dommer⁷⁾ konstruierte Union-Gaskalorimeter,
Abb. 4, das seit dem Jahre 1921 hergestellt wird und eben-
als recht weit verbreitet ist. Dieses leicht bewegliche
Gerät besteht aus einer mit Zahleneinteilung versehenen
Meßröhre von ähnlicher Gestalt wie die Bunte-Bürette.
In der Röhre wird das zu untersuchende Gas abgemessen,
dann mit Luft gemischt, durch einen Induktionsfunken
zündet und verbrannt. Die Meßröhre ist von einem
Petroleum gefüllten Glasmantel umgeben, an den ein
Kapillarrohr mit Millimeterteilung angeschmolzen ist. Die
Wärme wird auf das Petroleum in dem Mantelgefäß
übertragen, das Petroleum dehnt sich aus und steigt in
die Ansatzröhre je nach dem Heizwert des Gases mehr
oder weniger hoch. Bei diesem Gerät wird also im Gegen-
satz zu den beiden vorher besprochenen Kalorimetern
die abgeschlossene Gasmenge explosionsartig verbrannt,
und die hierbei erzeugte Wärme wird auf eine ruhende
Flüssigkeitsmenge von hoher spezifischer Wärme über-
tragen. Auf der gleichen Grundlage beruhte das bereits
im Jahre 1910 von Prof. Dr. Strache, Wien, angegebene
Explosionskalorimeter, bei dem jedoch die Verbrennungs-
wärme auf einen Luftpolster übertragen wurde, wobei man
keine sehr genauen Messungen erreichen konnte.

Das Union-Kalorimeter erfordert für eine Heizwert-
bestimmung eine Gasmenge von nur 10 bis 20 cm³, es ist
daher für Versuche, bei denen nur geringe Gas Mengen
verwendet werden, so z. B. für Schwelanalysen, besonders
geeignet. Allerdings muß jeder Reihe von Heizwert-
bestimmungen jeweils eine Eichung des Gerätes nach-
gehen, die man derart ausführt, daß durch elektrolyti-
sche Zersetzung der Sperrflüssigkeit (verdünnte Schwe-
lensäure) in dem Meßgefäß selbst eine bestimmte Menge
Knallgas erzeugt und sofort im Anschluß daran nach
Verdünnung mit Luft verbrannt wird.

Da der Heizwert des Knallgases eine bekannte
Größe ist (2030 kcal/m³) und da die bei beiden Gasen
beobachteten Anstiege der Petroleumssäule den Gasheiz-
werten verhältnismäßig sind, so ist die Berechnung des
Heizwertes, der hier unmittelbar auf Normalzustand be-
rechnet gefunden wird, sehr einfach. Die Gleichung lautet:

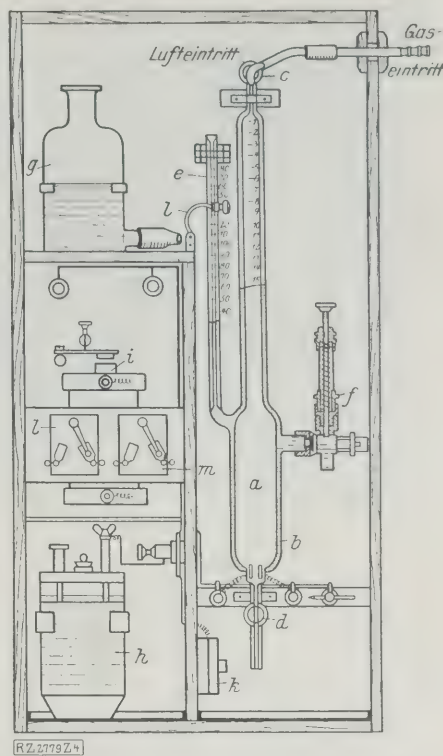
$$H_o(\text{korr.}) = \frac{G_k A_v}{G_v A_k} 2030 \dots \dots (2).$$

wo G_k und G_v die Knall- und Versuchsgasmengen in
cm³ und A_k und A_v die Ausschläge bei Knall- und Versuchs-
gas in mm bedeuten.

⁷⁾ Z. Bd. 65 (1921) S. 206.

Abb. 4
Union-Gaskalori-
meter von
Dommer.

- a Meßbürette
- b Mantelgefäß
- c Dreiweghahn
- d Absperrhahn
- e Steigrohr mit
Millimeterteilung
- f Feinreglung für
die Nullpunktein-
stellung
- g Niveaugefäß
- h Akkumulator
- i Funkeninduktor
- k Druckknopf für
Zündung
- l Schalter für
Lampe
- m Schalter für Elek-
trolyse



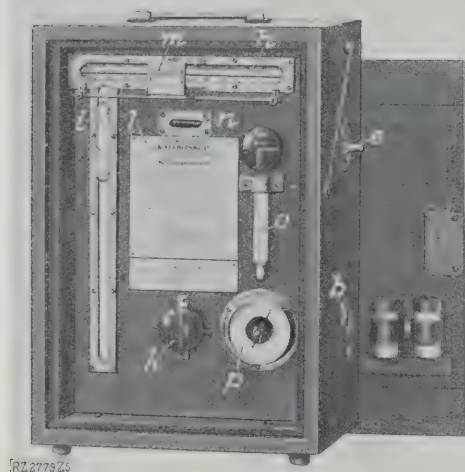
Die im Gasinstitut, Karlsruhe, und an andern Stellen
ausgeführten Prüfbestimmungen⁸⁾ haben ergeben, daß das
Union-Kalorimeter, wenn es sich im Gleichgewichtszu-
stand befindet und stärkere Temperatur- und Luftdruck-
schwankungen ausgeschlossen sind, sehr genaue Werte
liefert.

Auch das Explosionskalorimeter von Prof. Dr.
Strache wurde im Laufe der letzten Jahre so vervoll-
kommen, daß es heute ein sehr handliches und zuver-
lässiges Gerät für die rasche Heizwertbestimmung dar-
stellt. Eine Zwischenstufe in dieser Entwicklung bildet
das Kaloriskop von Strache-Kling⁹⁾, das heute aber durch
die neue Bauart nach Dr. Löffler¹⁰⁾ überholt ist. Dieses
mit allen notwendigen Hilfseinrichtungen ausgestattete
neue Gerät, Abb. 5 und 6, zeichnet sich durch seine kleinen
Abmessungen (35/24/16 cm) sowie durch sein geringes
Gewicht von etwa 4 kg aus. Das zu untersuchende Gas
wird in einer Pipette selbsttätig abgemessen, mit Luft
gemischt, in ein doppelwandiges Explosionsgefäß mit luft-
leer gepumptem, versilbertem Mantel hintbergedrückt
und hier durch einen Induktionsfunken zur Explosion ge-
bracht. Die dabei erzeugte Wärme wird auf ein Thermo-
meter übertragen, dessen große Quecksilberkugel sich
im Innern des Explosionsgefäßes befindet und somit
gleichzeitig als kalorimetrische und thermometrische
Masse dient. Der Temperaturunterschied vor und nach
der Zündung ist nur mit der Eichzahl der Gaspipette zu
vervielfachen, wodurch sich der Heizwert des Gases er-
gibt, der dann noch auf Normalzustand umzurechnen ist.
Dem Gerät werden drei leicht auswechselbare Pipetten
verschiedenen Inhalts beigegeben, damit man auch Gase
mit sehr hohem oder sehr niedrigem Heizwert mit gleicher
Genauigkeit untersuchen kann. Eine Bestimmung er-
fordert je nach dem Heizwert des betreffenden Gases nur
50 bis 100 cm³ und ist innerhalb von 2 min mit einer Ge-
nauigkeit bis zu 0,3 vH leicht ausführbar. Eine Nach-
eichung mit Knallgas ist bei diesem Gerät nicht erforder-
lich. Durch seine handliche Form ist es vorzüglich ge-
eignet, an jedem Punkte des Betriebes oder des Rohr-
netzes Gasproben zu entnehmen und an Ort und Stelle
ihren Heizwert zu ermitteln. Infolge dieses Vorzuges
sowie wegen der hohen Genauigkeit der Anzeige hat
auch dieses Gerät bereits eine recht weite Verbreitung
in Betrieben und wissenschaftlichen Instituten erlangt.

⁸⁾ Das Gas- und Wasserfach⁸⁾ Bd. 64 (1921) S. 83, Bd. 67 (1924) S. 393.

⁹⁾ DRP 312 832.

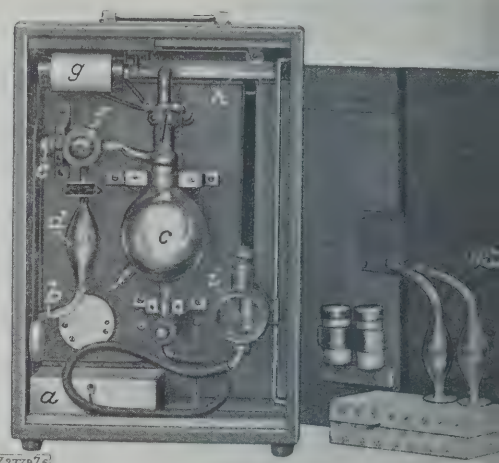
¹⁰⁾ Das Gas- und Wasserfach⁸⁾ Bd. 70 (1927) S. 1073; Z. d. österr. V.
Gas- u. Wasserfachm. Bd. 68 (1928) S. 12.



Vorderansicht

Abb. 5 und 6
Gaskalorimeter
von Strache-
Kling, Bauart
Löffler.

- a Batterie
- b Kapillare der Pipette
- c Explosionskugel in Dewarscher Luftleere
- d auswechselbare Pipette
- e Filter und Gasanschluß
- f Hahn 1
- g Induktionsspule
- h Explosions-thermometer
- i Wasserstandrohr für Niveaufaß
- k Hahn 2
- l Gebrauchsvorschrift, Eichdaten
- m Ableselupe, verschiebbar
- n Kontrollämpchen (Argonröhre)
- o Raumthermometer 1/10°
- p Aneroidbarometer



Rückansicht

Man hat natürlich auch auf Mittel und Wege gegonnen, das Junkers-Kalorimeter für solche Fälle zu verwenden, wo man nur über geringe Gasmengen für die Heizwertbestimmung verfügt. So haben Strache und Glaser¹¹⁾ bereits im Jahre 1915 vorgeschlagen, das dem Kalorimeter zuströmende Gas durch das aus dem Kalorimeter ausfließende Wasser aus einer 10 l fassenden Meßflasche zu verdrängen, wodurch die Gasuhr, zu deren Ausspülung stets eine größere Gasmenge erforderlich ist, entbehrlich wird; ebenso werden hierbei die durch ungenaue Anzeigen der Gasuhr bedingten Fehler vermieden. Dieses Meßflaschenverfahren wurde in neuerer Zeit von Geipert¹²⁾ noch wesentlich verfeinert und vervollkommenet.

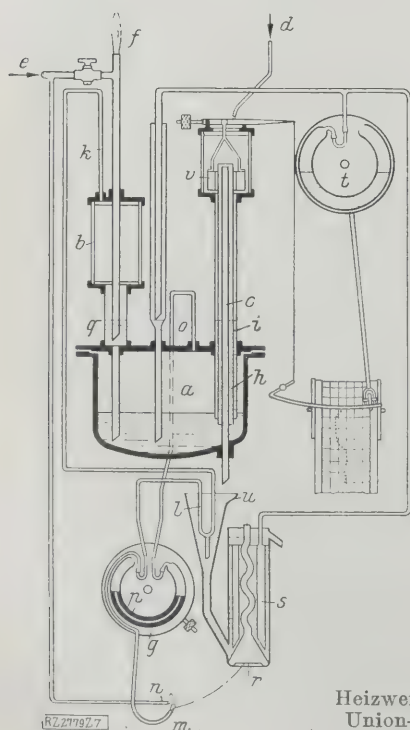
Zum Schluß sei noch ein neueres selbsttätiges Kalorimeter mit fortlaufender Aufzeichnung erwähnt, das auch keine Gasuhr erfordert, der von Dr.-Ing. Dommer konstruierte Union-Heizwertschreiber. Das Gerät, Abb. 7,

beruht auf derselben Grundlage wie das Handkalorimeter von Prof. Graefe, denn auch hier wird die durch Verbrennung einer bestimmten Gasmenge erzeugte Wärme einem mit Wasser gefüllten Kalorimeterkörper übertragen. Der Temperaturanstieg der Wasserfüllung wird gemessen und unmittelbar in kcal/m³ aufgezeichnet. Das Gerät, etwa alle 4 min selbsttätig eine Heizwertbestimmung führt, besteht aus folgenden Teilen: dem Kraftwerk *a*, von der Wasserleitung *d* dauernd gespeist wird; aus dem in Abb. 7 nicht dargestellten Überlaufvorrichtung *l*, das Wasser gleichmäßig zu. Das Kraftwerk hat die Aufgabe, in der Meßbürette *b* mittels der Hebevorrichtung jeweils eine bestimmte Gasmenge abzumessen, die eintritt. Ein Teil des Gases wird in dem Brenner *m* dauernd verbrannt, ein anderer Teil durch eine Wasserleitung zu der kleinen Zündflamme *n* geleitet, die ebenfalls dauernd brennt.

Die in der Bürette *b* abgemessene Gasmenge wird unter dem Wasserdruck durch die Rohrleitung *k*, *l*, *m* geleitet. Das bei *m* ausströmende Gas entzündet sich an Zündflamme *n*. In dem Augenblick, wo das Wasserstand *q* in der Meßbürette erreicht hat, kippt die Schwenkvorrichtung *g*, indem sich die Quecksilberfüllung des Kreisrohrs *p* infolge der Druckzunahme in dem Gefäß *a* *m* und mehr verschiebt, um, wodurch der Brenner *m* um das Kalorimetergefäß *r* geschwenkt wird. Der Brenner erlischt, sobald der Gasinhalt der Bürette *b* vollständig herausgedrückt ist. Die bei der Verbrennung des Gases erzeugte Wärme wird von dem Kalorimeterkörper *r* aufgenommen. Der Temperatursteigerung entsprechend dehnt sich die in dem Hohlkörper *s* enthaltene Luft aus, durch ein entsprechender Ausschlag des aufzeichnenden Manometers *t* bewirkt wird, dessen Schreibstift auf Papierrolle den Ausschlag aufzeichnet.

Das erwärmte Wasser wird aus dem Kalorimeterkörper nach jeder Heizwertbestimmung in der Weise entfernt, daß das beim Überfluten des Heberrohrs *c* laufende Wasser in dem Becher *u* aufgefangen wird, dem es durch den Kalorimeterkörper *r* abfließt. Mit zunehmendem Luftdruck in Gefäß *a* sinkt der Wasserspiegel in der Meßbürette *b*, die sich hierbei mit frischem Gas füllt; ebenso fließt das Quecksilber im Rohr *p* seine frühere Lage zurück, wodurch der Brenner *m* wieder in die Anfangsstellung geschwenkt wird, so daß eine neue Heizwertbestimmung beginnen kann.

Der Heizwert wird auch hier nach der Gleichung berechnet. Da Gas- und Wassermenge gleich groß ist, ist der Temperaturanstieg dem Heizwert verhältnismäßig. Der Temperaturanstieg wird auf dem Diagrammstreifen durch die Wirkung des Schwimmers *v* erst in dem Augenblick aufgezeichnet, in dem die Verbrennung des Gases beendet ist. Die Anzeige dieses Gerätes ergibt unmittelbar oben, auf 0° und trockenes Gas bezogenen Heiz-

Abb. 7
Heizwertschreiber der
Union-Apparatebau-
G. m. b. H.

¹¹⁾ Journ. f. Gasbeleuchtg. Bd. 58 (1915) S. 742.
¹²⁾ „Das Gas- und Wasserfach“ Bd. 70 (1927) S. 15.

Breite des Diagramms ist so gewählt, daß 100 kcal auf Diagramm 2 mm entsprechen; es ist somit eine recht gute Ablesung möglich. Das Gerät verbraucht nur etwa 1 l/h Wasser und 80 l/h Gas; es nimmt nur wenig Raum ein und hat ein Gesamtgewicht von 54 kg.

Eine eingehende, über mehrere Monate sich erstreckende Prüfung des Gerätes durch das Gasinstitut, Karlsruhe¹³⁾, ergeben, daß das Gerät in dem üblichen Bereich von 3000 bis 5500 kcal/m³ richtig und verhältnismäßig genau arbeitet. Für höheren oder niedrigeren Meßbereich muß eine andere Kompensation eingesetzt werden, worauf auch in diesen Bereichen der Heizwert genau angezeigt wird. Die normalen Schwankungen von Raum- und Wassertemperatur sind durch die Bauweise ausgeglichen. Die Ablesungen des Barometerstandes müssen wie üblich berücksichtigt werden. Der untere Heizwert kann durch die Messung des Kondenswassers angenähert bestimmt werden.

Bestimmung des spezifischen Gewichtes

Auch zur Bestimmung des spezifischen Gewichtes eines Gases benutzt man in der Praxis sowohl mit der Hand als auch selbsttätige, aufzeichnende Geräte. Zur ersten Gruppe gehört das seit langen Jahren eingeführte Meßgerät nach *Bunsen-Schilling*, bei dem eine abgemessene Gasmenge aus einem Glaszylinder unter dem Druck einer bestimmten Wassersäule durch eine feine Düse ausströmt. Die Messung des Gases erfolgt mit Hilfe zweier Marken, die oben und unten an dem Zylinder angebracht sind, und zwar ermittelt man unter Verwendung einer Stoppuhr die Zeit, die erforderlich ist, bis das Wasser von der unteren zur oberen Marke gekommen ist. Das Gerät wird geeicht, indem man unter gleichen Bedingungen die gleiche Menge Luft aus dem Zylinder ausströmen läßt und wiederum die Zeit mißt. Eine verbesserte Bauart dieses Gerätes nach Dr.-Ing. *Zipperer* zeigt Abb. 8. Hierbei ist an Stelle der in die Glaswand eingravierten Marken, die nach längerem Gebrauch immer deutlich sichtbar sind, ein Metallstab mit einer Spitze in dem Meßzylinder befestigt.

¹³⁾ „Das Gas- und Wasserfach“ Bd. 67 (1924) S. 780 und 788.

Setzt man das spezifische Gewicht der Luft gleich 1, so ergibt sich das spezifische Gewicht des Gases nach der Gleichung

$$s_g = \left(\frac{t_g}{t_l} \right)^2 \quad (3),$$

worin t_g die Ausströmzeit des Gases und t_l die Ausströmzeit der Luft in s bedeuten.

Da das spezifische Gewicht des Gases dem Betriebsleiter sehr wichtige Aufschlüsse über die Gasbeschaffenheit gibt, hat man schon frühzeitig versucht, diese Bestimmung laufend mit Hilfe selbsttätiger Schreibgeräte auszuführen. Von den mannigfachen Bauarten dieser Geräte können hier nur einige der wichtigsten angeführt werden. In vielen Gaswerken trifft man die von *Simmance* und *Abady* konstruierte Gaswaage, Abb. 9, an. Das Gerät¹⁴⁾ besteht aus einem engen, vom Gas dauernd durchflossenen Rohr, an dessen unterem erweiterten Ende sich eine reibungslos befestigte Tauchglocke befindet, die mit einem an einem Waagebalken angebrachten Zeiger oder einer Schreibvorrichtung verbunden ist. Solange das Rohr von Luft durchströmt wird, befindet sich die Waage in der Nulllage, sobald jedoch durch das Rohr ein Gas hindurchgeht, dessen spezifisches Gewicht von dem der Luft verschieden ist, hebt oder senkt sich die Tauchglocke und nimmt hierbei den Waagebalken mit, wodurch der Zeiger oder der Schreibstift mehr oder weniger weit ausschlägt. Das Gerät spricht sehr leicht an und liefert infolgedessen recht zuverlässige Werte; es ist daher namentlich in Verbindung mit den Anzeigen des selbsttätigen Kalorimeters für den Betriebsleiter von großem Nutzen, da diese beiden Geräte die Erzeugung eines Gases von gleichmäßiger Beschaffenheit außerordentlich erleichtern. Die Gaswaage bewährt sich besonders zur Überwachung der Gassäuger.

Noch einfacher ist die Bauart des Gasdichteschreibers der Firma Union-Apparatebau-Gesellschaft m. b. H., Karlsruhe i. B. Bei diesem Gerät, Abb. 10, lastet das Gewicht einer Gassäule von 2 m Höhe auf einer Flüssigkeit mit

¹⁴⁾ Journ. f. Gasbeleuchtg. Bd. 62 (1919) S. 168.

Abb. 8 (rechts)
Gerät zur Bestimmung des spezifischen Gewichtes des Gases nach *Bunsen-Schilling*, Bauart *Zipperer*, mit Spitzenablesung.

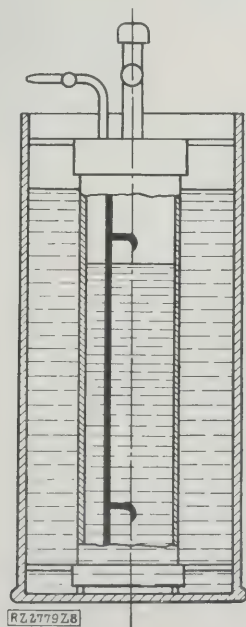
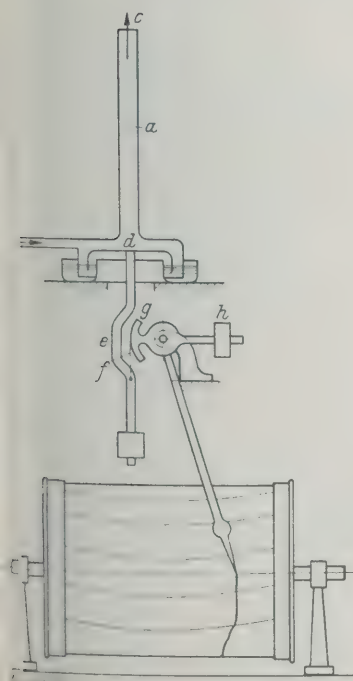
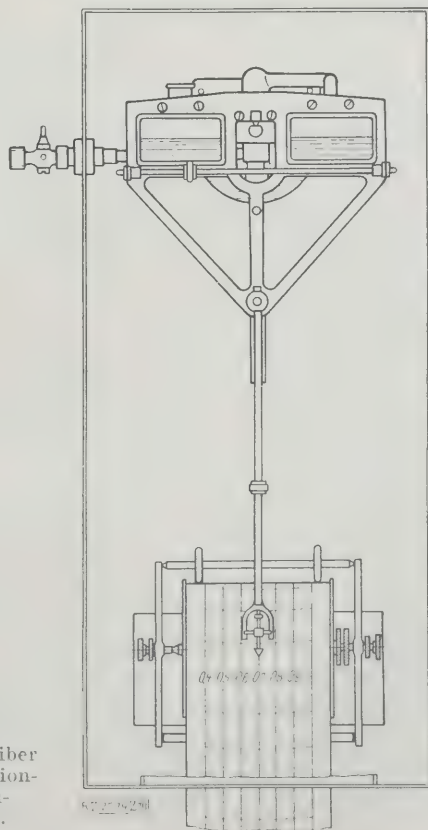


Abb. 9 (links)
Selbstanzeigende Gaswaage von *Simmance* und *Abady*.

- a Zylinder
- b Gaseintritt
- c Gasaustritt
- d Tauchglocke
- e Gestänge
- f Verbindungsglied
- g Waagebalken
- h Regelgewicht

Abb. 10
Gasdichteschreiber
der Firma Union-
Apparatebau-
Gesellschaft.



großer Oberflächenbegrenzung. Diese Flüssigkeit ist in zwei kommunizierenden Gefäßen von gleicher Größe enthalten, von denen das eine mit der Gassäule und das andre mit der Atmosphäre verbunden ist. Beide Gefäße sind auf einem drehbar gelagerten Rahmen befestigt. Sobald sich nun das Gasgewicht ändert, so verschiebt sich die Flüssigkeit in den Gefäßen und dreht den Rahmen um einen gewissen Winkel, der dem spezifischen Gewicht entspricht. Ohne jede mechanische Zwischenübersetzung zeichnet der Stift auf, so daß das Gerät sehr betriebsicher ist. Es ist im Gegensatz zu der vorher beschriebenen Gaswaage völlig unempfindlich gegen Zugluft und Erschütterungen und kann daher in allen Betriebsräumen Aufstellung finden.

Messung des Gasdruckes

Von der Druckmessung wird in jedem Gaswerk in großem Umfang Gebrauch gemacht. Bei der Gaserzeugung, wo es sich nur um geringe Über- oder Unterdrücke handelt, benutzt man hierfür gewöhnlich einfache Glasmanometer, die mit gefärbtem Wasser oder Petroleum gefüllt sind. Der bequemeren Ablesung wegen verwendet man vorwiegend einschenkelige Manometer, die alle nebeneinander auf einer Tafel befestigt werden, so daß an einer Stelle alle in Frage kommenden Drücke gleichzeitig überwacht und aufgezeichnet werden können.

Für die Druckmessung des Stadtgases benutzt man dagegen fast ausschließlich Geräte mit fortlaufender Aufzeichnung, ebenso wendet man in Großstädten vielfach zur Überwachung des Druckes im Rohrnetz Gasdruckfernmelder an. Einen Gasdruckschreiber der Union-Apparatebau-Gesellschaft m. b. H., Karlsruhe, zeigt Abb. 11. Das Gerät ist ähnlich gebaut wie der Gasdichteschreiber, Abb. 10, der gleichen Firma. Der Gasdruck wirkt auf eine Flüssigkeitssäule, die in einem kreisrunden, um seine Achse drehbar gelagerten Rohr eingeschlossen ist. Jede Druckänderung hat eine Verschiebung der Flüssigkeit zur Folge, wodurch sich das Manometersystem um einen entsprechenden Winkel dreht. Durch eine am Hebelarm befestigte Schreibfeder wird diese Drehung unmittelbar aufgezeichnet. Je nachdem zur Füllung des kreisförmigen Rohres Öl, Glycerin oder Quecksilber verwendet wird, läßt sich der Meßbereich in weiten Grenzen verändern.

Bestimmung der nichtbrennbaren Gasbestandteile

Die nichtbrennbaren Bestandteile des Stadtgases, deren Höchstgehalt in den Normen auf 15 vH festgesetzt ist, während der tatsächliche Gehalt jedoch im Durchschnitt bei 10 bis 11 vH liegen dürfte, setzen sich aus Kohlensäure, Sauerstoff und Stickstoff zusammen. Von diesen drei Gasen lassen sich nur die beiden ersten unmittelbar analytisch bestimmen, während der Stickstoff nur als Restglied ermittelt werden kann, indem man die Summe aller bestimmten Einzelgase von 100 abzieht. Hieraus folgt, daß für die Bestimmung des Stickstoffgehaltes eine vollständige Untersuchung des Gases notwendig ist; ferner sieht man, daß alle im Laufe dieser Untersuchung etwa vorkommenden Fehler und Ungenauigkeiten sich bei der Berechnung des Stickstoffgehaltes recht stark bemerkbar machen werden, sofern sie sich nicht zufällig gegenseitig aufheben.

Um also den Stickstoffgehalt mit möglichster Genauigkeit zu ermitteln, wird man solchen gasanalytischen Verfahren den Vorzug geben, bei denen der nach Absorption der Kohlensäure, der schweren Kohlenwasserstoffe, des Sauerstoffs und des Kohlenoxyds verbleibende Gasrest in seiner Gesamtheit und nicht nur zum Teile weiter untersucht werden kann. Letzteres trifft für die altbekannten und bewährten Verfahren nach *Bunte* und *Hempel* zu, die also im vorliegenden Falle weniger zu empfehlen sind, zumal sie auch für Untersuchungen in Betrieben zu viel Zeit brauchen. Das ebenfalls seit langen Jahren gebräuchliche Orsatgerät¹⁶⁾ ist nun in letzter Zeit sehr wesentlich vervollkommen worden, so daß es auch für die Ausführung der vollständigen Analyse von Heizgasen recht gut verwendbar ist.

Eine Ausführungsform, die von Dr. Brüggen angegeben worden ist, zeigt Abb. 12. Das Gerät besteht aus einem leicht tragbaren Holzgestell mit Zwischenwand. In der rechten Hälfte sind die Meßbürette der Druckausgleichflasche sowie die Absorptionspipetten für Kohlensäure (b), schwere Kohlenwasserstoffe Sauerstoff (d) und Kohlenoxyd (e) eingebaut, während in der linken Hälfte ein Verbrennungssofen (f) zur trennten Bestimmung von Wasserstoff und Methan dem Kupferoxydverfahren von *Jaeger* untergebracht. In diesem Ofen befindet sich ein dünnes mit Kohlenoxyd gefülltes Quarzröhrchen g, an das über den Verbrennungssofen eine weiche wegeahn i die Überführungspipette h angeschlossen ist. Die Absorption des Sauerstoffs wird durch Phosphor bewirkt, während die mit flüssigen Absorptionsmitteln gefüllten Pipetten b, c, e mit Rohrschlangen versehen sind, durch die die Absorption der einzelnen Gasbestandteile sehr wesentlich beschleunigt wird. Der Dreiweghahn dient dazu, nach der Verbrennung des Methans durch das Quarzröhrchen g Luft hindurchzusaugen, damit das gebildete Kupfer für die folgende Analyse wieder in den Verbrennungssofen verwandelt wird, ohne daß das Röhrchen ausgebaut werden braucht.

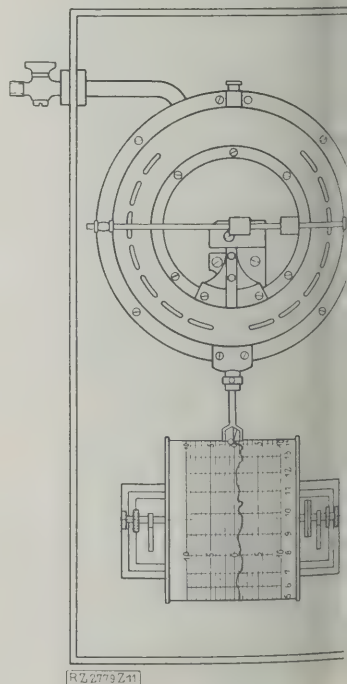
Eine andre Ausführungsform, die von der W. Z. (Karlsruhe, in jüngster Zeit ausgebildet worden ist, zeigt Abb. 13. Um das Gerät auch auf Reisen bequem mitführen zu können, sind die verschiedenen Teile in zwei getrennten Kästen verpackt, und zwar ist der rechte Kasten für sich zur Ausführung von Rauchgasanalysen ausreichend, während der linke Kasten für die Bestimmung von Wasserstoff und Methan noch wie oben der Verbrennungssofen sowie die Überführungspipette hinzukommt. Die Meßbürette ist an der einen Seite des Kastens an einer Klammer befestigt, wodurch ein genaues Ablesen des jeweiligen Flüssigkeitstandes erleichtert wird. Die Pipetten haben auch Rohrschlangen, und zwar sind insgesamt acht Pipetten vorhanden.

Die Bestimmung des Stickstoffgehaltes läßt sich ebenfalls mittels des *Jägerschen* Verfahrens auch wesentlich abkürzen, wenn man eine abgemessene Gasmenge unmittelbar (ohne vorherige Trennung der Einzelbestandteile) über eine rotglühende Kupferoxyd leitet und nach beendeter Verbrennung die hierbei gebildete Kohlensäure absorbiert, der danach verbleibende Gasrest ist lediglich Stickstoff.

¹⁶⁾ „Glückauf“ Bd. 64 (1928) S. 1394.

¹⁷⁾ „Das Gas- und Wasserfach“ Bd. 72 (1929) S. 59.

Abb. 11
Gasdruckschreiber
der Union-
Apparatebau-
Gesellschaft.



Nachweis von Schwefelwasserstoff, Ammoniak und Teer

Der Schwefelwasserstoff wird aus dem Rohgas überall mit Hilfe von Raseneisenerz oder ähnlich zusammengesetzten Abfallstoffen (Luxmasse, Lautmasse) auf trockenem Wege entfernt; die schon oft versuchte Schwefelung des Gases auf nassem Wege hat bisher auf einer deutschen Kokerei Eingang gefunden. Von dem Verfahren wird verlangt, daß sie den Schwefelwasserstoff restlos aus dem Gas entfernen. Zum Nachweis etwa noch vorhandenen Schwefelwasserstoffs benutzt man mit Bleiazetatlösung getränktes Filtrierpapier, das durch Spuren von Schwefelwasserstoff gebräunt und geschwärzt ist. Zur fortdauernden Prüfung des Gases auf einen etwaigen Gehalt an Schwefelwasserstoff dient die Schwefelprobe, von denen eine von Raupp angegebene, weit verbreitete Ausführungsform Abb. 14 ist. Hierbei wird mittels eines Uhrwerks ein mit Stundenteilung versehenes Papierband zunächst durch eine Azetatlösung und hierauf durch ein ständig von Gas durchströmtes Gefäß hindurchgeführt. Man kann daher genau feststellen, zu welchem Zeitpunkt das Gas ganz frei von Schwefelwasserstoff war, und den Gasbetrieb dementsprechend ändern.

Die Bestimmung der sehr geringen Mengen von Ammoniak, die im Stadtgas noch enthalten sind, erfolgt im Laboratorium, indem man 100 l Gas durch eine Waschflasche leitet, die 5 cm³ $\frac{1}{20}$ normale Schwefelsäure und 100 cm³ destilliertes Wasser enthält. Nach Durchgang der angegebenen Gasmenge, die durch eine hinter der Waschflasche geschaltete Gasuhr gemessen wird, titriert man die Säure mit $\frac{1}{20}$ normaler Natronlauge unter Verwendung von Methylorange als Indikator zurück. Gewöhnlich werden nicht mehr als 0,2 g Ammoniak in 100 m³ Gas gefunden, sofern die Gaswascher richtig arbeiten. Zum Nachweis von Teersparten im Stadtgas benutzt man sich eines besonderen Probierhahnes, aus dem man einen kräftigen Gastrom auf ein in bestimmtem Abstand davor angebrachtes Blatt Papier auftreffen läßt. Enthält das Gas Teer, so färbt sich das Blatt durch die niedergeschlagene Teertröpfchen alsbald schwarz. Schließlich müssen hier noch zwei Prüfverfahren erwähnt werden, die, wenn sie auch in den eingangs besprochenen Normen nicht besonders angeführt sind, in gewissen Fällen doch für die Überwachung des Betriebes von Wichtigkeit sind; dies ist die Bestimmung des Benzolgehaltes und die Ermittlung des Gesamtschwefels.

Die Bestimmung des Benzolgehaltes im Stadtgas hat in erster Linie den Zweck, die Wirksamkeit

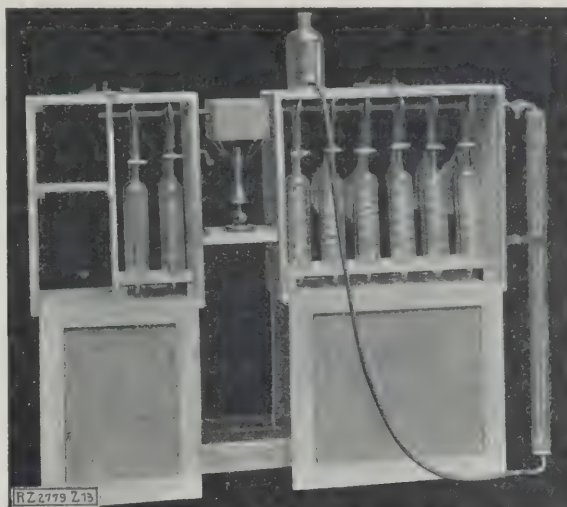


Abb. 13. Vorrichtung für die technische Gasanalyse vom Gasinstitut (Wärmehalle), Karlsruhe.

der Waschtürme, in denen durch Teerölberieselung dem Gas das Benzol entzogen wird, zu überwachen, darüber hinaus ist die Kenntnis des Benzolgehaltes auch insofern von Wichtigkeit, als das Auftreten von Anfrassungen im Rohrnetz auf die völlige Entfernung der Benzolkohlenwasserstoffe aus dem Gas zurückgeführt wird. Zur Bestimmung des Benzolgehaltes benutzte man bis vor wenigen Jahren ein Verfahren, das sich an die Gewinnung des Benzols im Betrieb anlehnte, d. h. man leitete das Gas zunächst durch mit Eis gekühlte Trockenrohre und danach durch mehrere Waschflaschen, die mit Paraffinöl gefüllt und durch eine Kältemischung auf -15 bis -20° abgekühlt waren. Die Gewichtszunahme dieser Waschflaschen ergab dann den Benzolgehalt der durchgeleiteten Gasmenge, die mit einer nachgeschalteten Gasuhr gemessen wurde. Dieses recht umständliche und nicht sehr genaue Verfahren ist heute vollkommen verdrängt durch

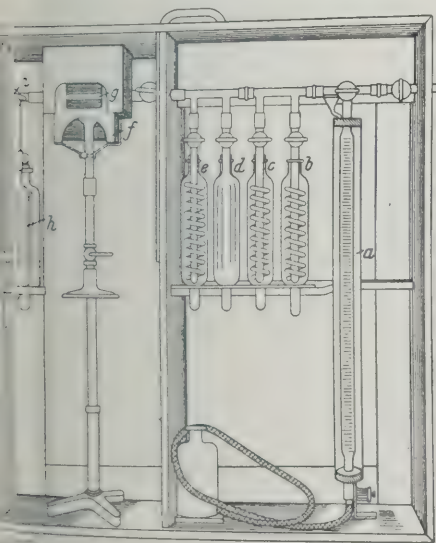


Abb. 12 (links) Vorrichtung für die technische Gasanalyse nach Dr. Brüggemann.

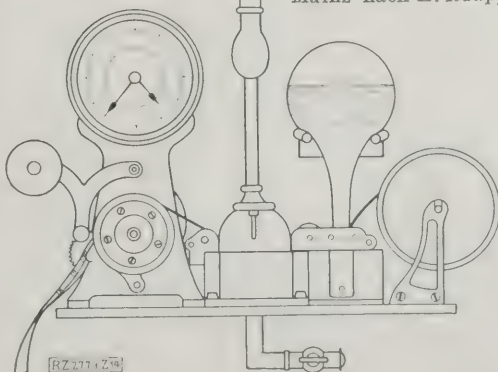
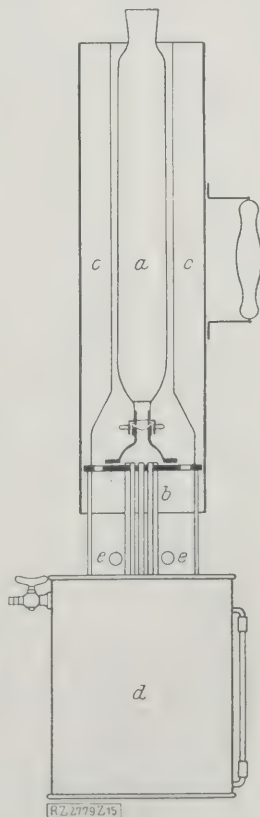


Abb. 15 (rechts) Vorrichtung nach Kattwinkel zur Bestimmung des Benzols im Gase.

- a Adsorptionsgefäß
- b Dampfüberhitzer
- c Isoliermantel
- d Dampfentwickler
- e Ruggasbrenner

Abb. 14 (links) Schwefelprober der Gasmesserfabrik Mainz nach H. Raupp.



- a Absorptionspipette für Kohlenoxyd
- b Verbrennungssofen
- c mit Kupferoxyd gefülltes Quarzrohr
- d Überführungspipette
- e Dreiweghahn

die Anwendung von aktiver Kohle¹⁸⁾, die sich für diesen Zweck vorzüglich eignet. Von den vielen hierfür vorgeschlagenen Geräten sei nur das von Dr. Kattwinkel¹⁹⁾ hier erwähnt, das auch ich bei meinen eigenen Untersuchungen mit bestem Erfolg benutzt habe. Das Gerät, Abb. 15, besteht aus einem für die Aufnahme der aktiven Kohle bestimmten zylindrischen Gefäß *a*, einem Dampfüberhitzer *b* und dem kupfernen Dampfentwickler *d*, die zusammen ein Ganzes bilden. Nachdem durch die aktive Kohle eine gemessene Gasmenge hindurchgeströmt ist, wird das Rohr *c* auf den Überhitzer aufgeschraubt, worauf das von der Kohle aufgenommene Benzol durch überhitzten Wasserdampf von etwa 250° wieder ausgetrieben, in einem Glaskühler niedergeschlagen und in einem Meßgefäß aufgefangen wird. Durch die Abgabe des den Überhitzer heizenden Ringbrenners *e*, die an dem Rohr *a* entlanggeführt werden, wird dieses auf der notwendigen Temperatur gehalten, so daß das Benzol in sehr kurzer Zeit restlos aus der Kohle ausgetrieben wird.

Zur Bestimmung des Gesamtschwefels, der fast vollständig aus solchen organischen Schwefelverbindungen besteht, die die übliche Trockenreinigung nicht

¹⁸⁾ Z. Bd. 71 (1927) S. 457.

¹⁹⁾ „Glückauf“ Bd. 63 (1927) S. 1787.

Die Gaswirtschaft auf deutschen Hüttenwerken

Als Überschubstoff verfügen die Hütten über Hochofen-Gichtgas, dessen Wert ein Sechstel bis ein Siebtel der Roheisenselbstkosten beträgt. Die Zusammensetzung des Gases ändert sich, je nachdem es sich um Reduktionsgas oder Verbrennungsgas handelt. Kennzeichnend ist steigender Stickstoff- und Kohlensäure-, fallender Kohlenoxydgehalt bei der Abnahme der unmittelbaren Reduktion. Da schon kleine Änderungen in der Zusammensetzung des Möllers tiefgreifend auf den Ofengang einwirken können, ergeben sich Streuungen in Zusammensetzung und Heizwert des Gases zwischen ± 5 und 20 vH. Die Gasanalyse ist also ein vorzügliches Mittel zur Beurteilung des Hochofengases, namentlich unter Berücksichtigung des Stickstoff- und des Kohlensäuregehaltes.

Die aus dem Hochofen mit 12 bis 60 g Staub auf 1 m³ Gas kommenden Gichtgase werden in zwei Abschnitten entstaubt. Die Grobentstaubung, die auf 5 bis 15 g Staub auf 1 m³ Luft durchgeführt wird, gelangt in Standrohren von 5 bis 10 m Dmr. und 10 bis 20 m Höhe bei Geschwindigkeiten von möglichst unter 0,5 m/s zur Anwendung. Bei der Naßreinigung werden zur Vorkühlung von 150 bis 250° auf 30 bis 40° Hordenwascher verwendet. Die Feinreinigung des noch etwa 0,5 bis 1,5 g Staub auf 1 m³ enthaltenden Gases geht in Theisenwaschern mit einem Kraftbedarf von 5 bis 6 kWh je 1000 m³ Gas auf eine Reinheit von unter 0,01 g/m³ vor sich. Bei der trockenen Gasreinigung durch Filterschläuche nach Hallberg-Beth läßt sich eine Reinigung auf 0,004 g/m³ erreichen; wegen des großen Druckverlustes von 200 mm W.-S. ist eine nachträgliche Druckerhöhung mit einem Kraftbedarf von 2,2 bis 3,2 kWh/1000 m³ notwendig¹⁾. Die Verwendung gereinigter Gichtgase gibt die Möglichkeit, beim Winderhitzerbetrieb mit gutschließenden Schieberarmaturen und kurzen Aufheizzeiten zu arbeiten. Durch die Anwendung von engen Kanälen können größere Heizflächen in einem Winderhitzer untergebracht werden, so daß man für hohe Erzeugungen mit einem Apparat auf Gas und einem auf Wind auskommen kann.

Zur Aufrechterhaltung des notwendigen gleichmäßigen Gasdruckes sind mehrfach Druckregler einzubauen. Man kommt in diesem Fall auch mit geringerem Luftüberschuß aus, der im Höchstfall nur 10 vH auszumachen braucht. Zur Vervollkommenheit der Verbrennung und Verkleinerung des Brennraumes bei gesteigerten Flammen- und Ofentemperaturen ist die Verwendung von Dralbbrennern zu empfehlen, mit denen man Brennraumbelastungen bis zu 15 · 10⁶ kcal/m³h bei bereits 40 bis 50 vH Verbrennung am Brennermund und völliger Verbrennung nach einem Meter erhält. Durch Vorwärmen von Luft oder Gas mittels der Abgaswärme erreicht man bei Blechwärmöfen Gesamtwirkungsgrade von 50 bis 55 vH und Wärmeverbrauchszahlen von 350 000 bis 400 000 kcal/t kalten Einsatzes. Die Verwendung von Koksofengas zur Anreicherung gibt die Möglichkeit, jede Feuerung auf Gas umzustellen und durch

zu entfernen vermag, benutzt man einen besonders struierten Gasbrenner mit übergestülpter Glasglocke, daß die Verbrennungsgase restlos aufgefangen werden können. Man leitet sie durch drei hintereinandergestapelte, mit Kalilauge und etwas Wasserstoffsuperoxy gefüllte Waschflaschen und bestimmt schließlich die hier aufgenommene Schwefelsäure. Bei reinem, d. h. nicht Wassergas vermischem Steinkohlengas findet man Gesamtschwefelgehalt von 30 bis 40 g in 100 m³; Entgasung englischer Steinkohlen, die meist höheren Schwefelgehalt aufweisen als die deutschen Kohlen, liegt dieser Wert um etwa 50 vH höher.

Die eingangs erwähnten Normen über die Beschaffenheit werden heute von der Mehrzahl der deutschen Gaswerke streng eingehalten, ja man kann feststellen, daß die Werke von sich aus die Grenzen ihnen die Normen geben, noch enger gezogen haben auf die gleichmäßige Beschaffenheit des von ihnen gegebenen Gases den größten Wert legen. Wenn ein Ziel in so verhältnismäßig kurzer Zeit erreicht werden konnte, so haben die ständig verfeinerten Verfahren Gasprüfung an diesem Erfolg einen nicht geringen Anteil.

[B 27]

Steigerung des Zusatzes auf jede gewünschte Temperatur und Leistung zu bringen.

Nach Abzug des Eigenverbrauches des Hochofens Winderhitzung und Gebläse bleiben noch 50 bis 55 vH Gaserzeugung entsprechend 1800 bis 2000 m³ Gas an Roheisen für andre Zwecke verfügbar. Bei zielbewußter Gaswirtschaft soll dieses Überschubgas allen Stellen zugewendet werden, in denen mit dem Gas hochwertige Energie-Wärmegefälle erzeugt werden. Hierzu gehören Siemens-Martin-Öfen, Wärmöfen und Gasfernleitungen.

Zur Kraft- und Winderzeugung macht die Dampfmaschine trotz 25 bis 50 vH höheren Wärmeverbrauchs der Gasmaschine den Platz streitig und ist dieser bei einem Wärmeverbrauch von 4500 kcal/kWh und einem Gasverbrauch von 0,233 m³/1000 kcal gleichwertig, so daß sie im Gasgesetz zur Ansicht früherer Jahre²⁾ bei Werken mit Gasüberschuß allein in Frage kommt. Wegen der Drehzahlregelung erreichbaren gleichen Wärmeverbrauchs bei Belastungsschwankungen liegen die Verhältnisse bei Verwendung der Dampfturbine zum Antrieb von Gasmaschinen besonders günstig.

Eine größere Heizflächenbelastung als bei den alten Flammrohrkesseln kann bei einer Kesselbauart angewendet werden, die aus einem Oberkessel mit fünf Flammröhren und einem Unterkessel mit Rauchrohren und eingebauten Überhitzern³⁾ besteht. Für größere Einheiten kommen Rohr-Strahlungskessel mit einer Heizflächenbelastung von etwa 80 kg/m² bei 80 bis 86 vH Wirkungsgrad und Dampftemperatur von 400° in Frage. Die Anlagekosten für eine 35 at-Anlage betragen etwa 800 RM/m² Heizfläche.

Bei den Siemens-Martin-Öfen wird die Wärme im Raum hauptsächlich durch Strahlung übertragen. Am besten und mit geringstem Temperaturgefälle strahlt fein verteilter Kohlenstoff die Wärme an Bad und Ofenwände. Hierzu ist besonders weitgehende Vorwärmung des aus dem Ofen- und Hochofengas bestehenden Mischgases erforderlich, da sich bei Temperaturen über 1100° fein verteilter Kohlenstoff bei der Umsetzung von Methan mit Kohlensäure Wasserdampf in großer Menge abspaltet. Bei Verwendung von Gichtgas setzt man zur Erhöhung der Wärmestrahlung 10 bis 20 vH Generatorgas zu oder stäubt 5 bis 10 g je 1000 kcal Gas in den Gaszug ein. Bei Mischgasbetrieb beträgt der Wärmeverbrauch 1,25 bis 1,4 · 10⁶ kcal/t.

Zur Erreichung hoher Ofenleistungen und gleichmäßiger Durchwärmung muß bei Stoßöfen die Abgastemperatur 600° gehalten werden. Wärmewirtschaftlich besonders günstig ist es, Luft oder Gas vorzuwärmen und einen Rekuperator zu benutzen. Eine wesentliche Vereinfachung des Ofenbaues ist durch Koksofengaszusatz möglich. Selbigen durch die stoßweise Beanspruchung des Wärmefeldes im Walzwerk lassen sich durch Mischdruckbeheizung, Vergrößerung der Abzugsquerschnitte, Saugzug überwinden. Der Gasverbrauch beträgt bei kaltem Einsatz 350 000 bis 450 000 kcal/t, bei warmem Einsatz 200 000 bis 300 000 kcal/t. [N 2704]

¹⁾ Archiv f. d. Eisenhüttenwesen Bd. 2 (1923) S. 812.

²⁾ Z. Bd. 58 (1914) S. 1217.

³⁾ „Stahl und Eisen“ Bd. 46 (1926) S. 1383.

Wasserhebung und Wasserspeicherung

Von Dipl.-Ing. S. BAER, Berlin

Es wird dargelegt, welche Richtung in den letzten Jahren die Entwicklung der Hebewerke in den größeren deutschen Wasserwerken genommen hat, in welchem Maße die Kreiselpumpen an Vorrang gewinnen, wie neben Dampf- kolbenmaschinen Dampf- turbinen mit Zwischengetriebe, Verbrennungskraftmaschinen und größere Elektromotoren als Antriebskräfte zu finden sind, an welchen Orten, mit welchen Abmessungen und welchen Wirkungs- graden. Die Eigentümlichkeiten neuerer Erdbehälter wer- den erörtert und ein Beispiel eines neuzeitlichen großen Wasserturmes wird angeführt.

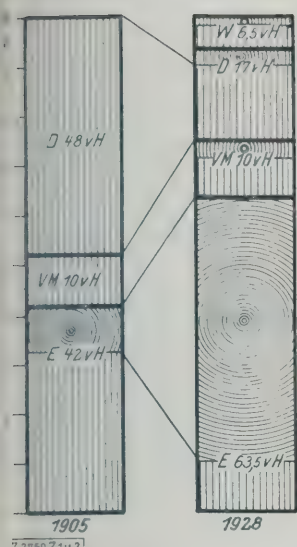


Abb. 1 und 2
Anzahl der Pumpen nach
Art und Antrieb.

Kreiselpumpen

Kolbenpumpen

	1905	1928
Anzahl	9	64 vH
Leistung	4,2	57,8 vH

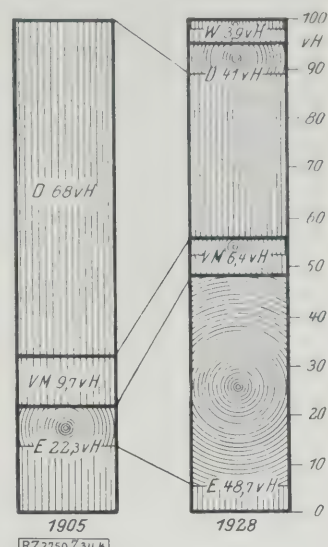


Abb. 3 und 4
Leistung der Pumpen
nach Art und Antrieb.

Die Entwicklung der deutschen Wasserwerke ist stärker als die anderer Betriebe durch die Zeit der Geld- wertung gehemmt worden. Das ergab sich teils aus der öffentlichen, meist kommunalrechtlichen Stellung der Wasserwerke, teils aus dem Zwang, unter dem Druck der Öffentlichkeit, von verwaltungsmäßigen oder rechtlichen Maßnahmen den Wasserpreis an der untersten Preismarktgrenze zu halten, schließlich aus dem auffälligen Minderverbrauch von Wasser. Alle diese rückfallenden Einflüsse sind seit einem Jahrzehnt weggefallen. Die Wasserwerke Deutschlands suchen, ungeachtet der Knappheit an Geldmitteln, vom Großteil der Technik wenig beachtet, in gründlicher Arbeit nachzuholen, was versäumt war. Sie haben ausgeführt, was seit langem, oft seit der Zeit vor dem Kriege 1914 bis 1918 geplant, hier und da vielleicht trotz der Ungunst der Zeiten bereits teilweise in Angriff genommen war, und setzen damit jetzt auch im Auslande wieder als musterbildig. So bildet die Entwicklung der letzten fünf Jahre einen Ausfluß der Erwägungen und Vorarbeiten, die länger zurückliegen. Deshalb soll der hier zu gebende Überblick etwa den Zeitraum von 15 Jahren, seit 1914, umfassen.

Wasserhebung und Wasserspeicherung stehen in einem inneren Zusammenhang, ergänzen sich gegenseitig. Sie geben dem Wasserwerkeningenieur die Möglichkeit, technisch-wirtschaftlichen Gesichtspunkten zu folgen, in höherem Maße als die Wassergewinnung und die Wasserreinigung, bei denen naturgebundene Voraussetzungen gegeben oder gesundheitliche Rücksichten entscheidend sind. Deshalb eignen sich Wasserhebung und -speicherung besonders gut als Prüfstein und Spiegelbild des jeweiligen Standes der Technik.

Die folgenden Ausführungen sind, um das Thema zu begrenzen, in erster Linie auf großstädtische Wasserwerke beschränkt. Bei diesen ist es den Ingenieuren schon vergönnt, von Grund auf neue Werke zu bauen. Beim Umbau muß man sich nach Bestehendem richten und es benutzen; dies möge man nicht außer acht lassen.

Wasserhebung

Allgemeines

Man hat heute eine weit größere Auswahl an Antriebsmaschinen als um die letzte Jahrhundertwende, wo in Wasserwerken nur Kolbendampfmaschinen, Leuchtgasmotoren, hier und da Elektromotoren, Kraftgasmotoren

und Wasserturbinen zu finden waren. Jetzt stehen Elektromotoren und Kolbendampfmaschinen, Dampf- turbinen und Ölmaschinen verschiedenster Art, nebenbei Wasserturbinen in Wettbewerb, bisweilen die schon früher verwendeten Leuchtgas- und Sauggasmotoren.

Wertet man, wie es hier geschehen ist, das Verzeichnis von Neuanlagen in der Statistik der deutschen Wasserwerke, herausgegeben vom Deutschen Verein von Gas- und Wasserfachmännern, vergleichsweise für das Jahr 1905 und für das Jahr 1927/28 aus, so erhält man die in Abb. 1 bis 4 dargestellten Schaubilder.

Es zeigt sich deutlich, wie der Anteil der Dampf- anlagen der Zahl nach gesunken ist, wie diese aber der Leistung nach noch einen bedeutenden Platz einnehmen. Ferner ergibt sich ein ziemlich bedeutendes Anschwellen der elektrisch betriebenen Anlagen. Die Dieselmotoren sind neu aufgetaucht, haben indessen mit den Gas- und Ölomotoren zusammen einen nicht wesentlichen größeren Anteil als vor etwa 25 Jahren. Ganz auffällig ist das Ansteigen der Zahl der Kreiselpumpen.

Dampfpumpwerke

Die Kolbendampfmaschine ist Jahrzehnte hindurch fast die einzige und lange Zeit für Großwasserwerke die wirtschaftlichste Antriebsmaschine gewesen. Die unmittelbare Übertragung der Bewegungskraft auf die Pumpe ergab einen äußerst günstigen Wirkungsgrad. Die unverwundliche Betriebssicherheit und die hohe Lebensdauer der Kolbendampfmaschine sind für Wasserwerke von überragender Wichtigkeit. Alte Schwinghebelmaschinen sind Jahrzehnte lang im Betrieb gewesen, so von 1859 bis 1926 in Altona, von 1875 bis heute in Magdeburg, wo sie demnächst neuen Maschinen Platz machen sollen. Manche Maschine hat über zehn Jahre hindurch keine Sekunde stillgestanden. Es ist kein Wunder, wenn Kolbendampfmaschinen, die ihre Dauerhaftigkeit in einer Weise bewiesen haben, wie es andere Maschinenarten erst tun müssen, auch jetzt in deutschen Wasserwerken noch hundertfach laufen.

Bereits vor 1914 hatte man Satteldampfmaschinen öfter zu Heißdampfmaschinen und für höhere Spannungen umgebaut. Der Kohlenmangel von 1916 bis 1923 begünstigte derartige Änderungen. Als Beispiel sei das Wasserwerk Geestemünde (Wesermünde) angeführt. Dort wurden 1920/21 zwei Dampfkessel mit 10 at anstatt bisher 6 at Überdruck eingebaut und an den beiden Dampfmaschinen die Satteldampfzylinder gegen

Zahlentafel 1. Neuere Pumpenanlagen mit Dampfkolbenpumpen.

Wasserwerk	Jahr der Inbetriebnahme	Lieferer der Antriebsmaschinen und Pumpen		Dampfüberdruck	Dampf-temperatur	Wassermenge	Manom. Förderhöhe	Umlaufzahl der Antriebsmaschinen und Pumpen	Spez. Förderarbeit des Dampfes	Bemerkungen
				at	°C					
Rheinisch-Westfälische Wasserkwerks-gesellschaft (Mülheim-Ruhr)	1915	Demag, Werk Mülheim (Thyssen & Co.)		13,5	325	5000 bis 6000	136	50 bis 60	60,4 gewährl.	Liegende Zwillings-Tandemmaschine mit 4 Zyl., 2 liegende doppeltwirkende Tauchkolbenpumpen
Hamburg (Rothenburgsort) Maschinen VII u. XII	1922	Ascherslebener Maschinenbau-A.-G.		12,0	350	1500 bis 1800	65	75 bis 90	53 erreicht	Stehende Zweifach-Verbundmaschine, je 2 stehende Tauchkolbenpumpen Vergl. Z. Bd. 68 (1924) S. 277
Frankfurt a. M. (Hattersheim)	1928	Demag, Werk Mülheim		19,0	350	1880 i. max.	112	25 bis 60	56,3 im Mittel (erreicht)	Stehende Dreifach-Expansionmaschine von 490, 830, 1300 m Zyl.-Dmr., 3 Differentialpumpen 900 mm Hub
Charlottenburger Wasser- und Industriewerke (Tiefwerder)	1928	A. Borsig		22,0	375	1100 bis 1400	55 bis 110	70	64 gewährl.	Liegende Zweifachverbundmaschine, liegende doppeltwirkende Zwillingspumpe, 1000 mm Hub mit federbelasteten Ringventilen u. Lenkerführung (Bauart Schoene)

gleich lange Gleichstrom-Heißdampfzylinder der Hano-mag (jetzt Braunschweigische Maschinenbauanstalt, Ab-teilung Pumpenbau) umgetauscht.

Wo man nicht nur Teile von Dampfmaschinen, son-dern ganze Dampfanlagen umbaut, sind die Dampfspan-nungen, gegenüber den vor einem Vierteljahrhundert üblichen, wie ein Blick auf die Zahlentafeln 1 und 2 lehrt, nicht in dem zu erwartenden Maße gestiegen. Der naheliegende Vergleich mit den Schwesterunternehmungen der Wasserwerke für die städtische Versorgung, den Elektrizitätswerken, würde sehr zu ungunsten jener ausfallen; er ist indessen abwegig, nicht nur, weil der erforderliche Kraftbedarf der Elektrizitätswerke viel höher ist, sondern weil die Rücksicht auf bestehende Anlagen von überragendem Einfluß bleibt.

Trotz dem Vordringen der Dampfturbopumpe weisen die Zugänge an neuen Kolbendampf-pumpen

einige stattliche Vertreter auf. Zahlentafel 1 gibt hierfür Beispiele. Die gewaltigste Pumpmaschine für kommunale Versorgungszwecke in Deutschland, vielleicht in Europa, wohl heute noch die 1915 in Betrieb genommene 6000 m³ auf 136 m manom. Förderhöhe hebende Pumpmaschine für 3000 PS der Rheinisch-Westfälischen Wasserwerk Gesellschaft in Mülheim-Styrum, die die Demag, Werk Mülheim (früher Thyssen), in liegender Anordnung m rd. 34 m Gesamtlänge gebaut hat¹).

Die allgemeine Anordnung der Kolbenpumpen hat sich wenig geändert. Nur die Pumpenventile sind ver-bessert worden. Große Ringventile werden häufig als Ventile mit Lenkerführung nach Bauart Dr.-Ing. Schoene gebaut. Diese Konstruktion gestattet den Ventiloberteilen mit möglichst geringem Gewicht auszuführen, so daß

¹) Journ. f. Gasbel. u. Wasserversorgung Bd. 60 (1917) S. 125.

Zahlentafel 2. Neuere Pumpenanlagen mit Dampfturbopumpen.

Wasserwerk	Jahr der Inbetriebnahme	Lieferer der		Dampf-überdruck	Dampf-temperatur	Wasser-menge	Mano-metr. För-derhöhe	Umlaufzahlen der		Über-setzungs-verhältnis	Spez Förderarbeit des Dampfes		Bemer-kungen
		Antrieb-maschinen	Pumpen					Tur-binen	Pum-pen		gewährl.	er-reicht	
				at	°C	m³/h	m	U/min	U/min		mt/kg	mt/kg	
Breslau Weidendamm	1924	Wumag, Görlitz	Wumag, Görlitz	6,8	240	1800	42,5	9000	1800	5 : 1	42,5	42,7	
Dortmunder Wasserwerke	1926	Maffei-Schwarzkopff		15	350	1380	82	5800	1450	4 : 1			Turbine 536 PS
Hamburg (Rothenburgsort)	1926	MAN	Amag-Hilpert	15	350 bis 375	4000	60	5400	855	6,32 : 1		60	einstufige Pumpe
Berl. Städt. Wasserwerke (Tegel)	1926	AEG	AEG	15	350	1800 bis 2000	40 bis 60	7850	725	10,8 : 1	54,5 bei 2000 m³/h u. 50 m man.	54,6	zweistufige Pumpe
Berl. Städt. Wasserwerke (Lichtenberg)	1927	AEG	AEG	15	350	5000	20 bis 32	5470	710	7,7 : 1	52,5 bei 5000 m³/h u. 32 m man.	62,5	einstufige Pumpe
Berl. Städt. Wasserwerke (Stolpe)	1928	AEG	AEG	15	350	2000	60 bis 90	5460	780	7 : 1	56,3 bei 2000 m³/h u. 70 m man.	60,1	dreistufige Pumpe
Charl. Wasserwerke (Johannis-thal)	1926	AEG	AEG	11	350	3000	65 bis 95	3015	590	5,13 : 1	54,5 bei 3000 m³/h u. 65 m man.	56,9	
Charl. Wasserwerke (Tiefwerder)	1928	AEG	AEG	22	350	3000	65 bis 95	3400	665	5,13 : 1	54,6 bei 3000 m³/h u. 95 m man.	60,2	
Wasserwerk Deutsch-Oberschl.	1929	A. Borsig	Gebr. Sulzer	32	380	2400	180	5000	1060	4,72 : 1	57,2		

h bei erhöhter Umlaufzahl ein ruhiges
zeiten erreicht ist.

Die Vorzüge der Dampfturbo-
mpen, Zahlentafel 2, sind geringe
schaffungskosten und geringer Platz-
verf, Ersparnis an Schmieröl, einfachere
ienung. Dem stand von vornherein ein
geringer Wirkungsgrad als bei Kolben-
en gegenüber. Als die Dampfturbo-
pe 1908 zunächst in dem Wasserwerk
itzhof der Charlottenburger Wasser- und
ndustrie-Werke auftauchte, betrug der Un-
chied im Wirkungsgrad beinahe 20 vH;
Pumpe diente daher nur zum Spitzenaus-
sch.

Den Vorsprung der Dampfkolbenpumpen
en die Turbopumpen in den letzten
aren recht weitgehend eingeholt, teils
in Verbesserung der Dampfturbinen, teils
olge Fortbildung der Kreispumpen.
verbesserte Technik im Fertigen von
nradern erlaubt es, Zwischengetriebe
aschinen Turbine und Pumpe einzuschalten.
nit kann man zwar nicht, wie bei Dampf-
enpumpen einer wirtschaftlich günstigen
aufzahl in weiten Grenzen folgen,
ch eine für die Antriebsmaschine
für die Pumpe jedes Mal möglichst geeignete
aufgeschwindigkeit suchen. Die Zahnradgetriebe
eilen als Pfeil, Schräg- oder neuerdings wieder von
AEG als gerade Zahnräder ausgeführt, die Über-
ungsverhältnisse gehen bis 1:10 hinauf, der Kraft-
eust überschreitet nicht 2 bis 3 vH. Das früher oft
plagte starke Geräusch ist bei den neuesten Ausführ-
aren bedeutend eingeschränkt. Die Ausbildung der
schengetriebe kommt außer Dampfturbinen auch an
schnellaufenden Antriebsmaschinen, wie den neu-
eiblichen Dieselmotoren, zugute.

Ein Beispiel für ein neuzeitliches Dampfturbowerk
iet das 1927 in Betrieb genommene Werk Lichtenberg
er Berliner Städtischen Wasserwerke, Abb. 5. In einem

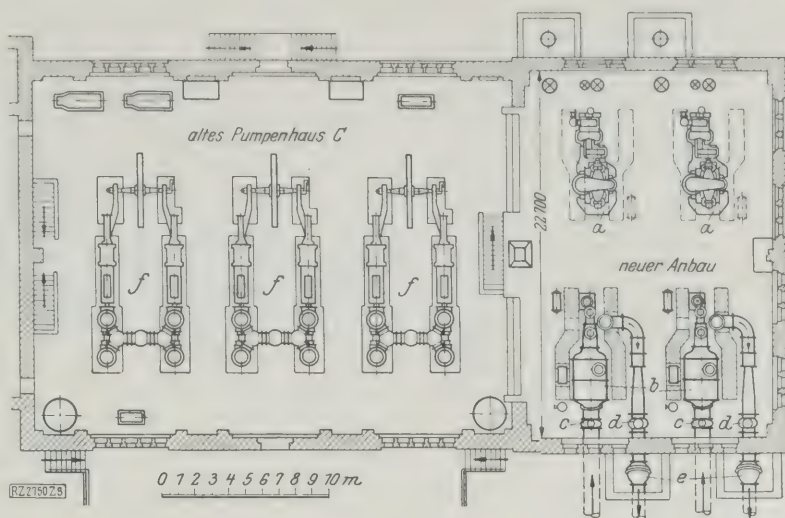


Abb. 5
Wasserwerk Berlin-Lichtenberg

- a Dampfturbo-
pumpen für Rein-
wasserförderung
b Kondensatoren, unter a aufgestellt
c Saugschieber
d Druckschieber
e Rückschlagklappen
f Dampfkolbenpumpen für Rein-
wasserförderung

Erweiterungsbau, der an das alte Kolbenpumpen-
haus C anstößt, stehen vier von der AEG erbaute
Dampfturbo-
pumpen mit Getriebeübersetzung. Jede för-
dert rd. 5000 m³/h auf 20 bis 32 m für das sogenannte
Tiefdruckgebiet. Die Anordnung der einzelnen Ma-
schinensätze im Maschinenraum ergab sich im vorliegen-
den Fall aus der durch die vorhandene Kolbenpumpen-
anlage bedingten Raumbreite; bei völligem Neubau hätte
man die Breite kleiner wählen können. Zum Vergleich
sei auf die 1899 erbaute Dampfkolbenpumpenanlage ver-
wiesen²⁾. In dieser damals stattlichen Anlage leistete
jede der drei Dampfkolbenpumpen bei gleicher Förder-
höhe, wie sie heute die Turbinen haben, 1250 m³, so daß

²⁾ Z. Bd. 35 (1901) S. 7.

Zahlentafel 3. Pumpenanlagen mit Antrieb durch Verbrennungskraftmaschinen.

ämtliche Pumpen sind Kreispumpen, mittels Zahnradgetriebe gekuppelt, bis auf die der Berl. Städt. Wasserwerke,
die unmittelbar gekuppelt sind.

Wasserwerk	Jahr der Inbetriebnahme	Lieferer der		Kennzeichnung der Antriebsmaschine	Leistung der Antriebsmaschine PS	Wassermenge m ³ /h	Manom. Förderhöhe m	Umlaufzahlen der		Übersetzungsverhältnis	Gewährleistete spez. Förderarbeit d. Brennst. mt/kg	Bemerkungen
		Antriebsmaschinen	Pumpen					Antriebsmaschinen U/min	Pumpen U/min			
ettin (Pomerensdorf)	1927	Mannheimer Motorenwerke	Maffei-Schwartzkopf	6-zyklindriger Viertakt-Dieselmotor	270	600 bis 650	70 bis 15	225	1480 bis 995	1 : 6,58 bis 1 : 4,42	1090	eine Hoch-, eine Niederdruckpumpe
Be. Städt. Wasserwerke (Mggelsee)	1927	Motorenfabrik Deutz	Maffei-Schwartzkopf	6-zyklindriger Viertakt-Dieselmotor	394 bis 612	3000	28 bis 44	225 bis 265	225 bis 265	1 : 1	1350 (bei 33 m Höhe)	zweistufige Pumpen
Be. Städt. Wasserwerke (Mggelsee)	1927	Motorenfabrik Deutz	Maffei-Schwartzkopf	6-zyklindriger Viertakt-Dieselmotor	201 bis 345	1500	28 bis 44	268 bis 315	268 bis 315	1 : 1	1265 (bei 33 m Höhe)	zweistufige Pumpen
omunder Wasserwerke	1928	Gebr. Körting A.-G.	Escher-Wyß	6-zykl. 4-Takt-Dieselmotor	650	1296	95	225	850	1 : 3,78	1156	
omunder Wasserwerke	1928	Gebr. Körting A.-G.	Escher-Wyß	6-zykl. 4-Takt-Dieselmotor	360	702	95	275	850	1 : 3,09	1120	
Köln (Eilingen)	1929	Motorenfabrik Deutz	Jaeger & Co.	3-zykl. 4-Takt-Dieselmotor	270	1020	53	250	1200	1 : 4,8	1153	(im Bau)
Köln (Eilingen)	1929	Motorenfabrik Deutz	Jaeger & Co.	8-zykl. 4-Takt-Dieselmotor	1200	3360	53	200	650	1 : 3,25	1120	
ettin (Eichow)	1929	Motorenfabrik Deutz	Deutsche Werke Kiel	3-zyklindriger Viertakt-Dieselmotor	95	450	36	300	865	1 : 2,88		einstufige Pumpe (im Bau)
ettin (Eichow)	1929	Motorenfabrik Deutz	Deutsche Werke Kiel	3-zyklindriger Viertakt-Dieselmotor	63	300	34	300	1015	1 : 3,38		(im Bau) für Wechselbetr. Gas, Öl

Abb. 10 und 11
Berliner Städtische Wasserwerke A.-G.
Werk Müggelsee
nach dem Umbau 1927.

- a Zwei Elektromotoren mit Geue-Pumpe 4200 m³/h
mittlere Leistung
b Zwei Elektromotoren mit Geue-Pumpe 2100 m³/h
c Zwei Deutz-Dieselmotoren
d Zwei Kreislumpen 3000 m³/h
Außerdem zwei Deutz-Dieselmotoren mit
Kreislumpen zu je 1500 m³/h
Gesamtleistung 21 600 m³/h

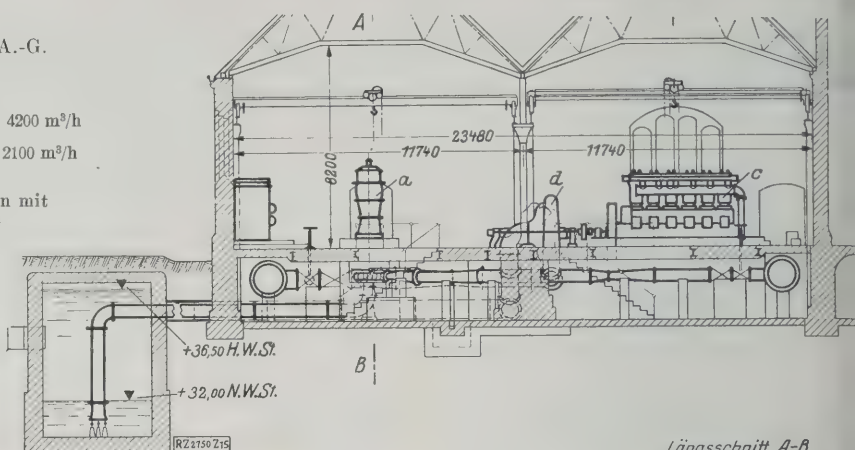
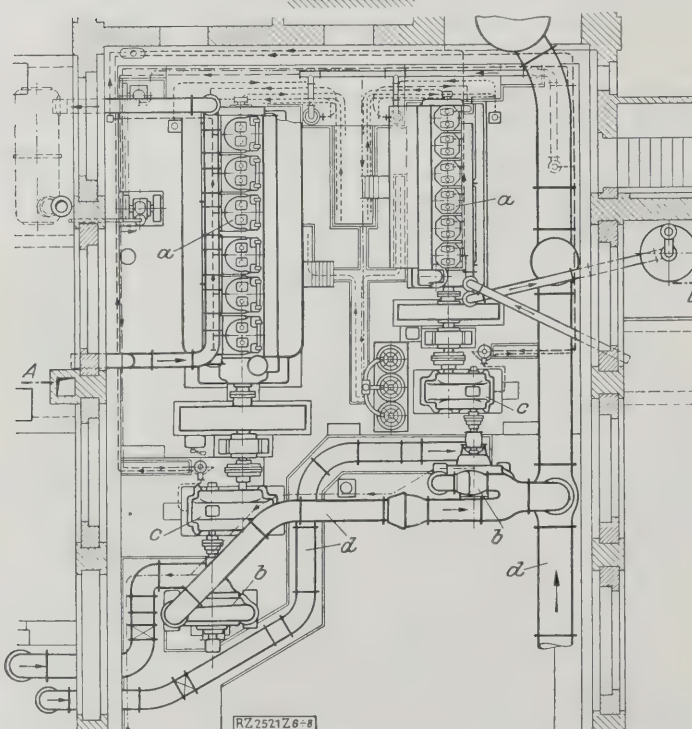
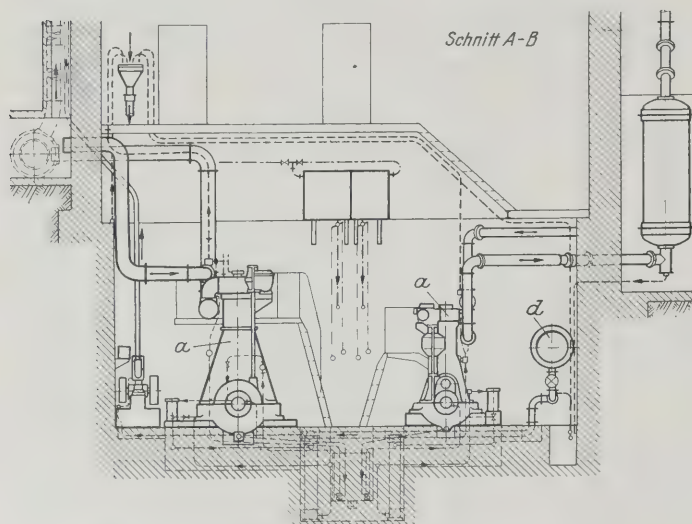


Abb. 6 u. 7. Dortmunder Wasserwerk-G. m. b. H. Teil des Pumpwerkes Westhofen. Umgebaut 1928.

- a Dieselmotoren d Hauptwasserleitungen
b Kreislumpen
c Getriebe



Längsschnitt A-B

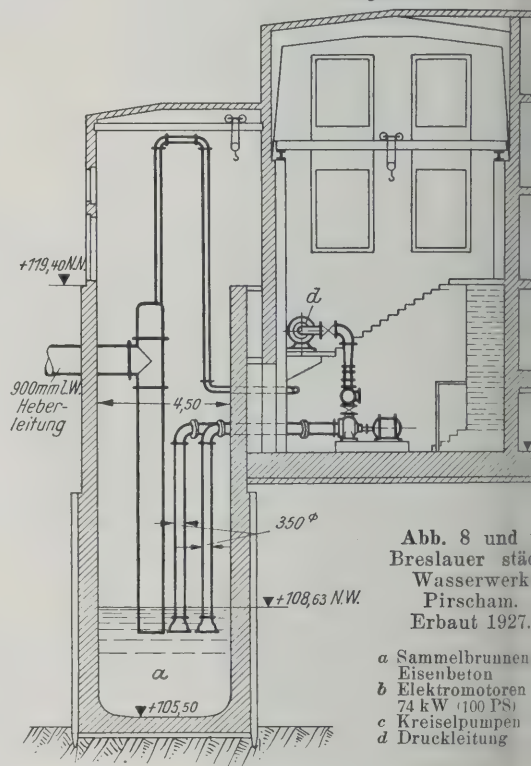
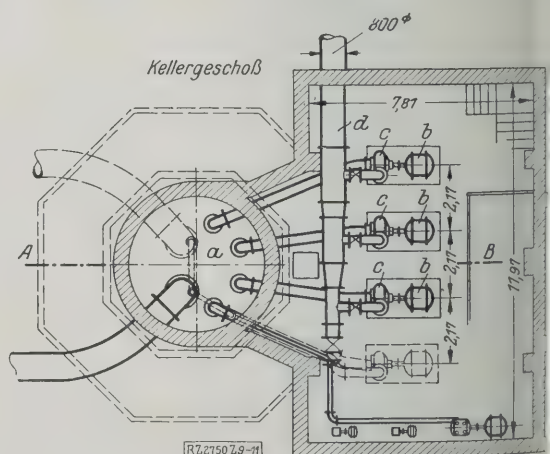


Abb. 8 und
Breslauer städt.
Wasserwerk
Pirschke.
Erbaut 1927.

- a Sammelbrunnen
Eisenbeton
b Elektromotoren
74 kW (100 PS)
c Kreislumpen
d Druckleitung

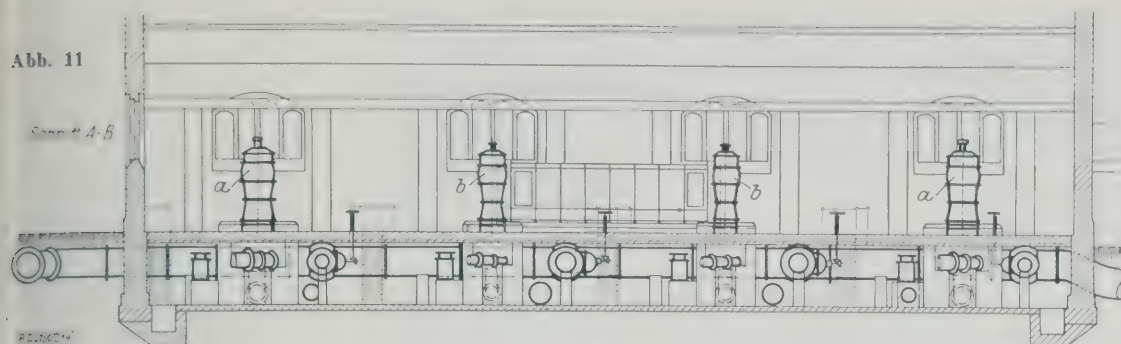


damals 3750 m³/h Förderleistung eine Grundfläche von 610 m² beanspruchten, während heute für 20 000 m³ 530 m² genügen.

Der Aufbau der Maschinensätze in Lichtenberg gleicht im wesentlichen dem im Wasserwerk Tegel der Berliner Städtischen Wasserwerke³⁾.

³⁾ s. Kurzack, Z. Bd. 70 (1926) S. 1521.

Ein ähnliches Bild wie Tegel und Lichtenberg bis das 1928 in Betrieb genommene Werk Stolpe der Berl. Städtischen Wasserwerke A.-G., wo drei neue Darbois turbinen der AEG von je 2000 m³/h Leistung auf bis 90 m Höhe als Ausbau einer früheren Kolbenmaschinen-Anlage von 2 × 700 m³/h Förderung untergebracht sind. Wenn man diese Dampfmaschinen-



Zahlentafel 4

Neuere Pumpenanlagen mit elektrischem Antrieb.
Sämtliche Pumpen sind mit dem Motor unmittelbar gekuppelte Kreiselpumpen.

Wasserwerk (Zahl gleichartiger Pumpen)	Inbetriebnahme	Lieferer		Art der Motoren	Stärke kW	Wassermenge m³/h	Manom. Förderhöhe m	Umlaufzahl der Motoren und Pumpen U/min	Gesamtwirkungsgrad des Pumpensatzes (berechn.) vH	Bemerkungen
		Motor	Pumpen							
Mannheim (Rheinau)	1926	BBC	Gebr. Sulzer			2500	60	970		einstufige Mittelpumpe
Altona (3)	1927	AEG	Weise Söhne	Drehstrom-Hochspannungsmotor	440 (598)	1000	100	1485	62	Pumpen einstufig
Breslau Pirscham (3)	1927	AEG	Escher-Wyß	Drehstrom-Asynchron-Motor	74 (100)	650	28	1460	68	
Berliner Städt. Wasserwerke Müggelsee (2)	1927	SSW	Vereinigung deutscher Pumpenfabriken	Drehstrom-Asynchron-Motor mit stehender Welle	488 (663)	4400 oder 4200 oder 3000	28 oder 33 oder 44	735	69 77,5 74	Senkrechte Kreiselpumpen, Schraubepumpen (Geue)
Berliner Städt. Wasserwerke Müggelsee (2)	1927	SSW			251 (341)	2200 oder 2100 oder 1500	28 oder 33 oder 44	980	67 75 72	
Dresden (Tolkewitz)	1927	AEG	Gebr. Sulzer	Drehstrom-Hochsp.-M.	730 (990)	2844	74	1480		einstufige Pumpe
Berliner Städt. Wasserwerke Kleistpark (2)	1928	Maffei-Schwartzkopff		Drehstrom-Asynchron-Motoren liegend	270 (300)	2500 oder 2000 oder 1500	20 oder 25 oder 30	730	62 62 56	
Berliner Städt. Wasserwerke Kleistpark (2)	1928	Maffei-Schwartzkopff			114 (155)	1200 oder 1000 oder 800	20 oder 25 oder 30	985	57 60 57	
Görlitz (2)	1928		Wumag			625 oder 170	95 95	1450 1450		zwei- und vierstufige Pumpen,
önigsberg i. Pr., Pregelwerk (2)	1928	Maffei-Schwartzkopff			75 (102) 46 (63)	360 bis 400 240 bis 260	48 bis 44 50 bis 46	1460 1470	65 72	einstufige Pumpe zweistufige „
Leipzig (Kanitz) (1)	1928	SSW	Gebr. Sulzer	Drehstrom-Asynchron-Motor	640	2300		1440	61	
Mainz (of Schönau) (1)	1928		Gebr. Sulzer		(302)	1300	46	1470	69	einstufige Pumpe
Mainz (of Schönau) (3)	1928		Gebr. Sulzer		(140)	600	46	1470	73	zweistufige Pumpe
alle a. S. (1)	1929	SSW	Weise Söhne	Drehstrommotor	400 (540)	1080 oder 1200 oder 1260	84 80 76	1450	62 66 65	im Bau

äter ebenfalls durch Turbopumpen ersetzen wollte, konnte man in den Raum, den sie einnehmen, drei weitere Dampfturbopumpen mit zusammen $3 \times 4000 \text{ m}^3$ einbringen.

Die in das Werk Tiefwerder der Charlottenburger Wasser- und Industriewerke A.-G. von der AEG einbaute Dampfturboanlage entspricht dem Aufbau nach den bisher erwähnten Anlagen, unterscheidet sich jedoch dadurch, daß sie die ungewöhnlich hohe Dampfspannung von 22 at Überdruck aufweist.

Pumpwerke mit Verbrennungskraftmaschinen-Antrieb

Bis um das Jahr 1920 herum waren Verbrennungskraftmaschinen bis zu rd. 120 PS mit einem Zylinder als Antriebmaschinen in Wasserwerken zahlreich zu finden, jedoch kaum größere. Entsprechend der Entwicklung der Dieselmotoren tauchen heute mehrzylindrige starke kompressorlose Motoren in stehender Bauart auf. Zahlentafel 3 (S. 541) gibt hierfür einige Beispiele.

Wie bereits angedeutet, hat das Zahnradgetriebe auch zwischen Dieselmotoren und Kreiselpumpe als Zwischen-

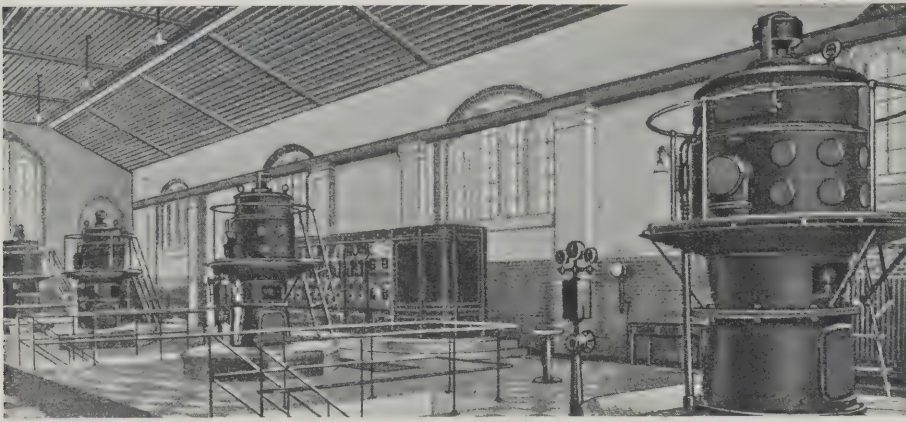


Abb. 12. Werk Müggelsee der Berliner Städtischen Wasserwerke.

glied Verwendung gefunden. Neuerdings hat man sogar im Werk Müggelsee der Berliner Städtischen Wasserwerke, A.-G., Dieselmotoren der Motorenfabrik Deutz unmittelbar mit Hochdruck-Kreiselpumpen gekuppelt, ohne daß die niedrige Umlaufzahl dem Wirkungsgrad abträglich ist.

Eine Kolbenpumpe in unmittelbarer Kupplung mit einem Dieselmotor mit Ventilen besonderer Konstruktion nach Dr. Schoene versehen, wird die Firma Freund-Stärke-Hoffmann (Hirschberg) auf der Ausstellung „Gas und Wasser“ in Berlin im Frühjahr 1929 zeigen.

Bei Riemenübertragung ist die Kupplung zwischen Motor und Pumpe schon öfter so eingerichtet worden, daß die Pumpe abwechselnd von der Dieselmachine oder von einem Elektromotor angetrieben werden kann. Die Anlage in Stettin-Pommerensdorf (Zahlentafel 3 Nr. 1) erreicht dasselbe mittels Zahnradgetriebes. Die Kreiselpumpe kann entweder unmittel-

bar gekuppelt mittels Drehstrommotors von 180 kW oder mittels Zahnradgetriebe der Demag, A.-G., in Schrägverzahnung laufen.

Die zur Zeit im Bau befindliche Anlage Stettin-Pommerensdorf, von der Motorenfabrik Deutz herrührend, sollte die Kraftversorgung des Wasserwerkes besonders vom Brennstoffmarkt sowie von Elektrizitäts- oder Gaswerken unabhängig machen. Sie erhält ein Gaskraftwerk, das abwechselnd mit feinkörnigem Gas- oder Zechenkoks, englischem oder deutschem Anthrazit oder aber mit Gasöl (Rohöl) arbeiten kann.

Da man die Gaskraftanlage für wirtschaftlich den Rohölbetrieb überlegen hält, zumal der Brennstoff in eigenen Betrieb anfällt, soll in der Regel mit Koks gearbeitet werden. Alle Motoren sind jedoch in wenigen Stunden von Gasbetrieb auf Dieselpumpe umzuwandeln.

Die stattlichsten Abmessungen für den Wasserwerkbetrieb mittels Dieselmotoren wird wohl das im Baubefindliche Wasserwerk der Stadt Köln in Fühlingen (Zahlentafel 3) mit seinem 1200 PS-Motor der Motorenfabrik Deutz aufweisen.

In Abb. 6 und 7 sind die von der Firma Gebr. Körting für das Wasserwerk Westhofen der Dortmunder Wasserwerk-G. m. b. H. gelieferten Dieselmotoren von 650 PS und 360 PS mit je einer Kreiselpumpe der Firma Escher-Wyß & Cie. dargestellt, während Abb. 10 das Wasserwerk Müggelsee der Berliner Städtischen Wasserwerke, A.-G., mit vier Pumpensätzen: Deutz-Dieselmotoren und Kreiselpumpen von Maffei-Schwartzkopff, zeigt.

Elektrischer Antrieb

Schon seit Jahren hat sich der elektrische Antrieb das Großwasserwerk erobert. Das Pumpwerk Niederstotzingen der Württembergischen Landeswasserversorgung bietet dafür ein klassisches Beispiel. Mehrere neue größere Anlagen sind in Zahlentafel 4 (S. 543) gekennzeichnet. Der Nachteil des elektrischen Antriebes, die Abhängigkeit von einer fremden Kraftanlage, scheint nicht mehr so ausschlaggebend wie früher in Betracht gezogen zu werden, obwohl dieser Nachteil nicht nur betrieblicher, sondern auch wirtschaftlicher Natur ist. Denn wenn die Elektrizitätswerke auch ihrerseits die Wasserwerke als sichere Abnehmer außerhalb der Spitzenbelastung schätzen, so bleibt doch die Wirtschaftlichkeit des Werkes mit der Tarifierung des Elektrizitätswerkes verknüpft, was besonders ins Gewicht fällt, wenn beide Werke in verschiedenen Händen liegen. Oft wiegen dann günstige Tarife, gegebenenfalls für Nachtstrom, das Hörigkeitsverhältnis auf. Die gewaltige Verbreitung des elektrischen Betriebes entspringt nur teilweise der Ersparnis an Raum und an Bedienung.

Viel mehr empfiehlt dem Wasserwerksingenieur den elektrischen Betrieb seine große Wendigkeit. Der elektrische Strom läßt sich fernlenken, läßt sich selbsttätig abstellen, wenn Hochbehälter gefüllt sind oder wenn selbsttätige Schaltvorrichtungen anspringen, läßt sich sogar bei kleineren Werken für bestimmte Stunden ein-

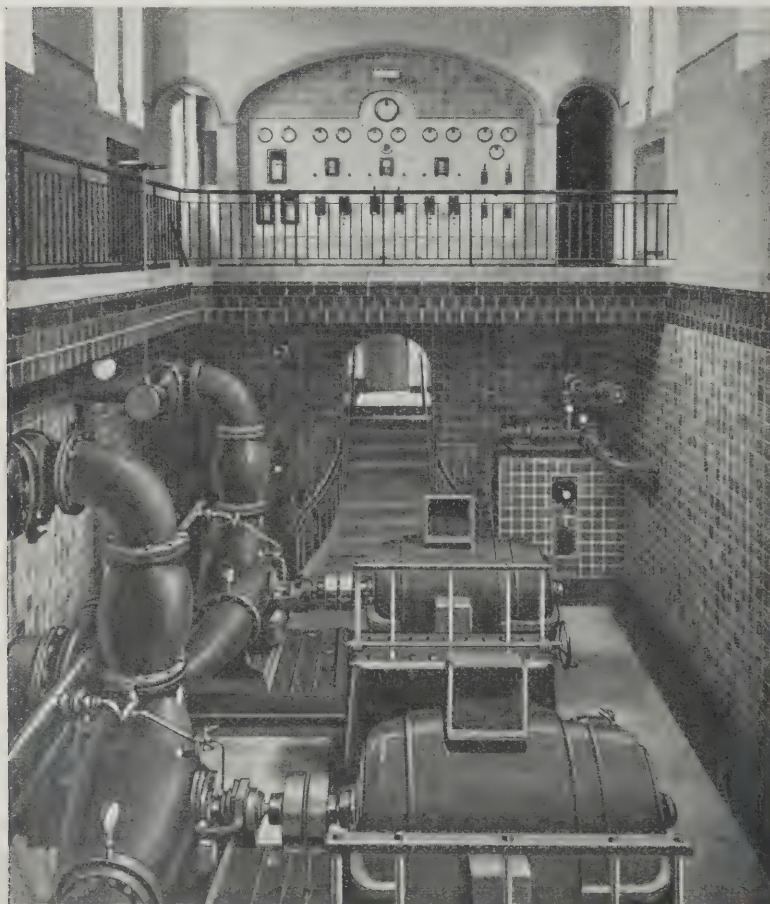


Abb. 13. Werk Blankenese der Altonaer Wasserwerke.

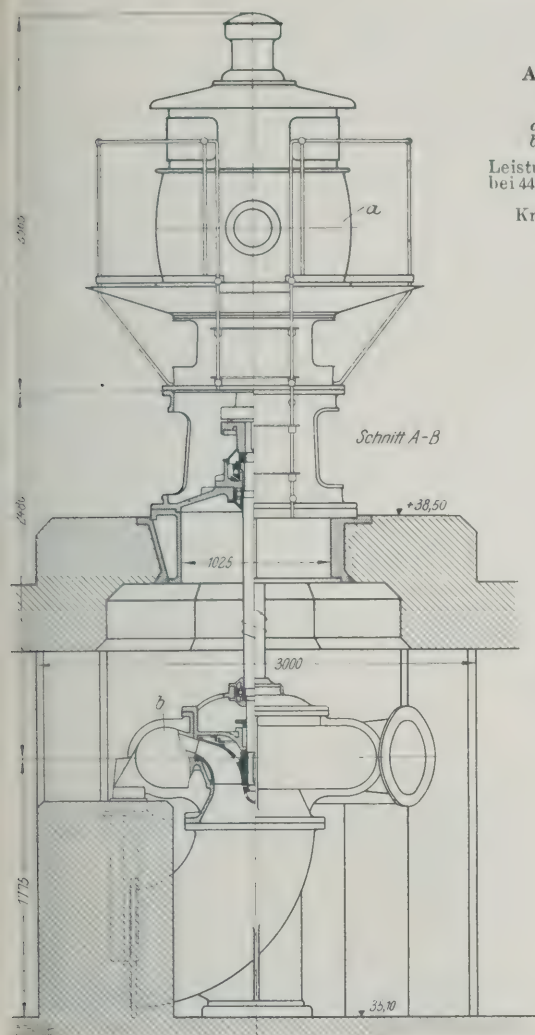


Abb. 14 (links)
Geue-Pumpe.

a Elektromotor
b Pumpe

Leistung: 3000 bis 4400 m³/h
bei 44 bis 28 m man.Förder-
höhe.
Kraftbedarf 620 PS.

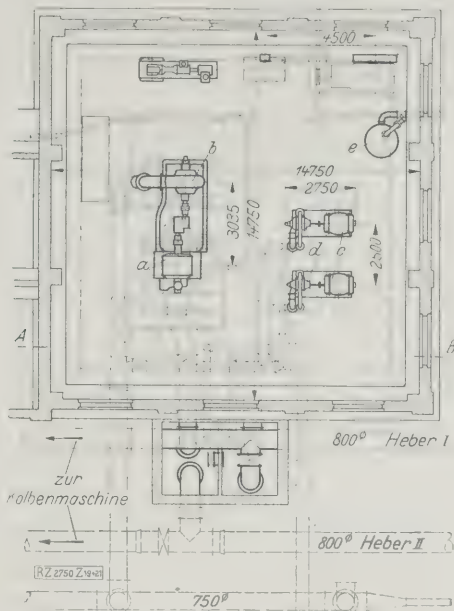
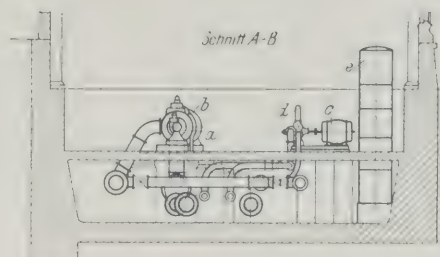


Abb. 15 und 16
(rechts)

Dortmunder Wasser-
werks-G. m. b. H.
Pumpwerk Hengsen.

a Dampfturbine
b Kreislumppe
c Elektromotoren
d Kreislumpfen
e Windkessel

ellen, etwa zur Nachtzeit, und erleichtert die Über-
wachung der Tätigkeit des Pumpwerkes. Steht dieses
in einem Park oder an ähnlicher bevorzugter Lage, so
kann es nicht durch Dämpfe und Abgase. Motor und Pumpe
lassen sich in Schächten zusammenbauen, in Tiefbrunnen
abst unter Wasser versen-
ken, ersparen so Heberleitungen
der Saugleitungen und erweisen
sich damit als hervorragend ge-
eignet zum Fördern des Roh-
wassers.

Als Beispiel elektrischen Be-
triebes zeigen Abb. 8 und 9 das
Werk Pirscham der Breslauer
Städtischen Wasserwerke.

Ein elegantes Beispiel bietet
das Werk Müggelsee der Ber-
liner Städtischen Wasserwerke.
Abb. 10 bis 12. Abb. 12 zeigt die
erhebliche Wirkung des Innen-
raumes und der Maschinen. Es
handelt sich von der Vereinigung deut-
scher Pumpenwerke gebaute
Geue-Pumpen, eine Schrauben-
pumpe mit senkrechter Welle
über stehenden Motoren der Sie-
mens-Schuckertwerke. Das Was-
ser tritt bei der Geue-Pumpe an
einer Seite aus. Die Schaufeln aus
Bronze sind räumlich gekrümmt.
In Leitrad ist nicht vorhan-
den, s. Abb. 14. Zusammen mit
den von Deutzer Dieselmotoren

angetriebenen Pumpen vereinigen sich im alten Ma-
schinenhaus C 21 600 m³/h mittlerer Förderleistung nach
dem 1927 erfolgten Umbau in 8 Maschinen, was 16 lie-
gende Dampfmaschinen und Kolbenpumpen leisteten,
als das Werk 1893 nach damals neuzeitlichsten
Gesichtspunkten errichtet wurde. Das recht ansehnlich
wirkende Werk von Blankenese der Altonaer Wasser-
werke, letzteres mit AEG-Motoren und Pumpen von Gebr.
Weise, zeigt Abb. 13.

Gleich dem Werk Berlin-Müggelsee betreibt auch das
1924/26 umgebaute Werk Hengsen der Dortmunder

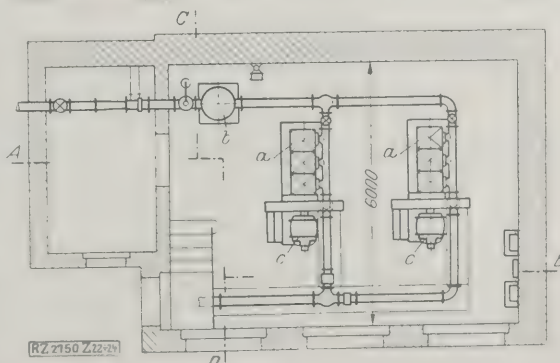
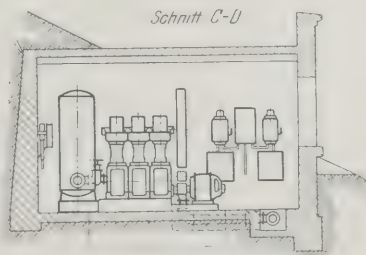
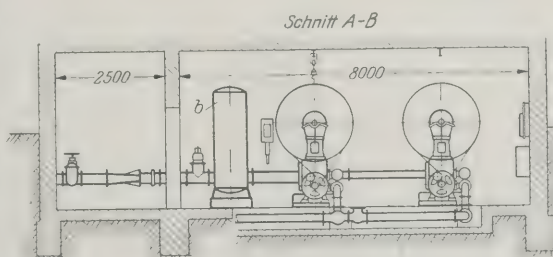


Abb. 17 bis 19

Gruppenwerk Lutzerat
(Kr. Cochem, Mosel)
Erbaut 1926/27.

a Dreizylinderpumpen, je 72 m³/h
b Druckwindkessel 10000 l Inhalt
c Elektromotoren je 30 kW

Wasserwerks-G.m.b.H. seine Pumpen mit Maschinen verschiedener Art. Eine Dampfturbopumpe von 1100 m³/h, Abb. 15 bis 16, und zwei Elektrokreiselpumpen von je 500 m³/h heben das Wasser auf 90 m. In dem 220 m² großen Raum ist Platz für mindestens eine Verdoppelung der Elektropumpen vorhanden. Abb. 17 bis 19 zeigen als Beispiel für ein Kleinwasserwerk das Gruppenwasserwerk der Bürgermeisterei Lutzerath in Kreis Cochem a. d. Mosel. Das nach Entwürfen von Kreisbaumeister Momm durch die Vereinigung deutscher Pumpenwerke errichtete Pumpwerk beweist zugleich, wie der elektrische Betrieb notwendigenfalls auch gut mit Kolbenpumpen arbeiten kann. Man hätte dort in den ersten Jahren die Leistungen der Kreiselpumpen zunächst stark drosseln müssen und entschied sich nach genauer Prüfung für Tauchkolbenpumpen. Örtliche Verhältnisse zwangen dazu, die Maschinenanlage möglichst wenig sichtbar (weil Naturschutzgebiet) und auf kleinem Raume unterzubringen. Es wurden Pumpen stehender Bauart mit drei Zylindern, Bauart Henry-Hall Nachf. in Fürstenwalde (Spree) gewählt. Zum Antrieb der Pumpen dienen zwei AEG-Drehstrommotoren mit je 30 kW Leistung und 725 U/min. Die Pumpen laufen mit 110 U/min und fördern 72 m³/h auf 83 m Förderhöhe. Sie werden durch den Wasserstand im Hochbehälter selbsttätig ein- und ausgeschaltet.

Diese selbsttätige Schaltung elektrischer Pumpen hat in den letzten Jahren das Entstehen vollkommen selbsttätiger Pumpwerke ohne Hochbehälter vermehrt. Na-

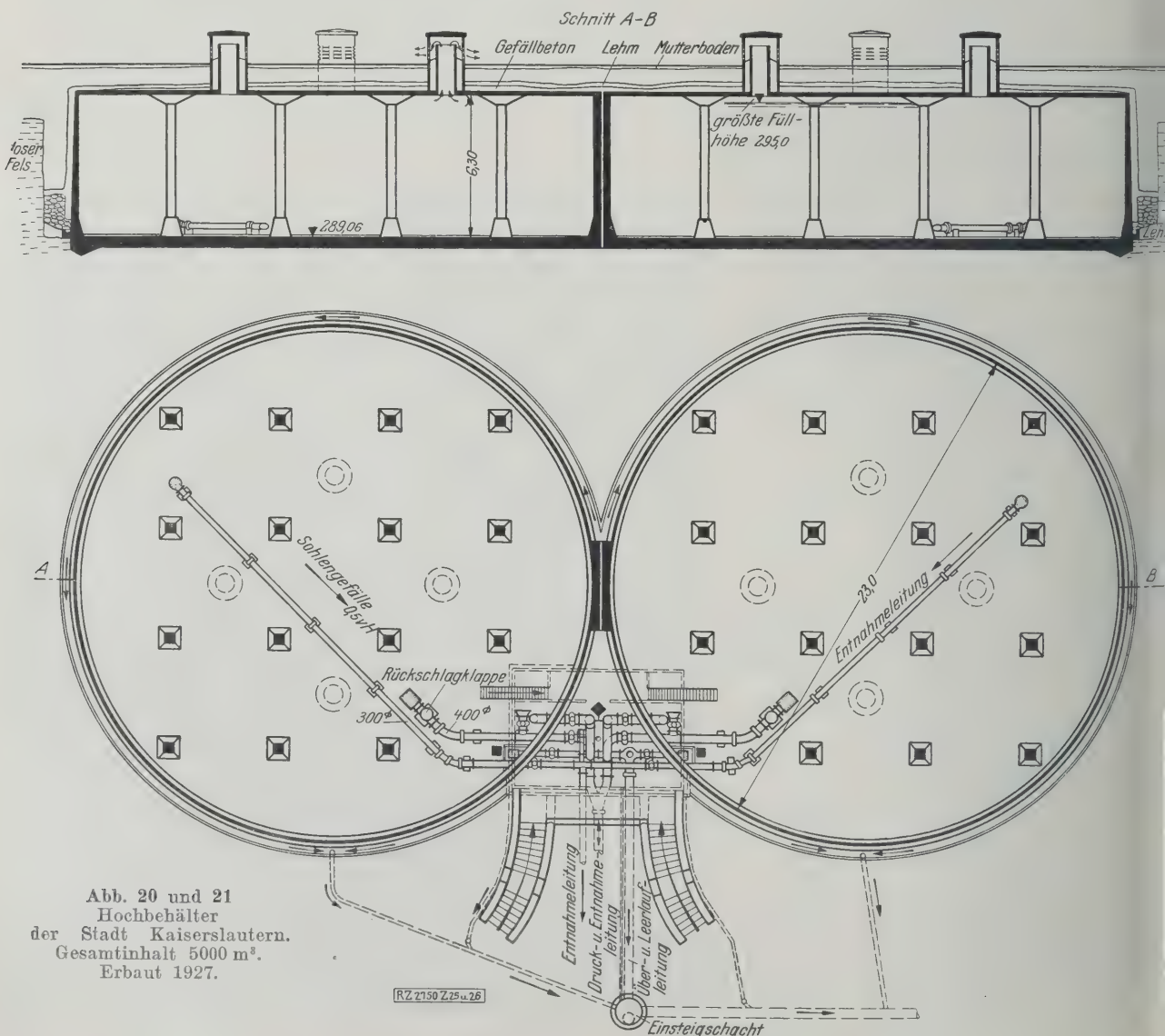
mentlich bei Erweiterungen, mit denen z. B. neue hochgelegene Stadtteile anzuschließen sind, erspart man dies durch Hochbehälter oder Wassertürme.

Wasserspeicherung

Die selbsttätigen Pumpwerke haben zwar dazu beigetragen, die Speicherung in Behältern vielfach entbehrlich zu machen, also die Zahl derartiger Bauten zu vermindern. Andere Umstände jedoch, wie die in Zukunft zweifellos steigende Versorgung mittels Gefälleleitung aus Talsperren und der Betrieb elektrischer Pumpwerke mit billigem Nachtstrom, begünstigen wieder den Bau von Behältern, insbesondere

Erdbehältern

Der größte Erdbehälter in Deutschland ist zur Zeit noch der 1917 vollendete Behälter III von Nürnberg ein Bauwerk fast ausschließlich aus Stampfbeton für 50 000 m³ Nutzinhalt. Ihm kommt der 1927 fertiggestellte Reinwasserbehälter Hamburg (Rothenburgsort) an Eisenbeton mit 40 000 m³ (Kosten 1,87 Mill. RM, schlechter Baugrund) und mehrere für die Berliner Städtischen Wasserwerke, A.-G., ausgeführte Reinwasserbehälter an Eisenbeton bei den Werken Müggelsee und Stolpe der Fassungsraume nahe. Es liegen bereits fertige Entwürfe für einen Behälter von 60 000 m³ für Dresden und für einen von 100 000 m³ für München vor. Der letzte Behälter würde einer der größten werden, die es überhaupt gibt.



Der Baustoff für Erdbehälter bestand in den letzten Jahren vorwiegend in Eisenbeton. Behälter aus Beton ohne Bewehrungslagen in der jahrzehntelang bewährten Form mit gewölbter Decke und gewölbten Endwiderlagern in der Füll- und geraden Stirnmauer als Abschlußwände in der Vorrichtung sind auch unter den neuen Behältern bis heute zu finden, wie die beiden 1922 für Bad Kissingen (Zivilingenieur Hassold (Nürnberg) erbauten, der 1923 für Mainz und der 1925 für Leipzig geschaffene, jeder mit 25 000 m³ Fassungsraum.

Der Eisenbeton ermöglicht mannigfache Formen, sowohl in der Grundrißbildung wie in Stützen, Wänden und Böden. Als Grundriß wendet man neuerdings mehr als früher die Kreisform an, die allerdings dann unzuverlässig wird, wenn sich der neue Behälter an einen bestehenden oder an ein Gebäude anschließt, wie es bei Wasserbehältern die Regel ist (das sind diejenigen, die als Vorratbehälter für die Hebewerke zwischen Aufbereitungsanlagen und Hebewerk geschaltet sind).

Die Theorie der Berechnung kreisförmiger Behälter ist neuerdings immer weiter durchgebildet worden, so daß Schwierigkeiten beim Entwerfen wegfallen. Will man den Behälter in zwei Kammern teilen, so entscheidet man sich für kreisförmigem Grundriß oft für den Zwillingsbehälter, zwei nebeneinanderliegende, meist gleich große Behälter, verbunden durch die Kammer für die Füll- und Entleerungsorgane. Größere Beispiele kreisförmiger Behälter sind die 1925 und 1927 für das Wasserwerk Deutsch-Oberesien von der Huta-Breslau nach Entwürfen von Direktor Dr.-Ing. H. Marcus gebauten Behälter am Grützberg bei Zawada von je 36 m Dmr. und je 6000 m³ Inhalt, die Behälter für die Talsperrenversorgung Muldenberg i. Sa. von 25 m Dmr., 5 m Wassertiefe und 2500 m³ Inhalt, der für Kaiserslautern 1927 erbaute von 5000 m³ Inhalt, Abb. 20 und 21, der für Dortmund-Hengsen der Dortmunder Wasserwerke G. m. b. H., 1927 erbaute mit 2800 m³ Inhalt. Die meisten über Rundbehältern erhalten von jeher gern Kuppelform. Muldenberg mit 25 m Spannweite und der Zwillingsbehälter Dortmund-Hengsen mit 21,6 m Spannweite der Regel sind dafür Beispiele aus den letzten Jahren. Eine neue Deckenart für runde wie rechteckige Behälter ist aus der Anwendung der Pilzdecke auf den Behälterbau entstanden. Nicht nur statische Gründe sprechen für die Pilzdecke, die im allgemeinen erst bei starker Auflast ihre volle Wirtschaftlichkeit erweist, sondern auch der Vorteil der ebenen Untersicht und damit einer guten Entlüftung der Behälterinnen, sowie ein rascher Baufortschritt. Pilzdecken haben die Rundbehälter in Zawada und in Kaiserslautern, mehrere rechteckige in den Jahren 1926 und 1927 in die Stuttgarter Wasserwerke erbaute Behälter, der Behälter Heidelberg-Eselsgrund mit 3000 m³ Inhalt, der Reinwasserbehälter Hamburg (Rothenburgsort) mit seinen 880 m³ Inhalt, Ausführung P. Kossel & Co., Bremen.

In eigentümlicher Weise, die bisher keine Nachahmung gefunden hat, sind die 1913 bis 1915 ausgeführten Behälter der Stadt Pforzheim eingedeckt. Es sind teils Füllkörper aus Schlacken-, teils Hohlkörper aus Bimsbeton, so angeordnet, daß Kreuzbewehrung möglich wurde⁵⁾.

Der Eisenbeton gestattet es leicht, notwendigenfalls die Höhe des Behälters über den Erdboden zu erheben, den Behälter also auf einen Hohlraum zu setzen. Davon hat man Beispiele in Heilbronn und in Görlitz Gebrauch gemacht. Der Görlitzer enthält in seinem unteren Stockwerk einen Transformator und Prüfraum, in seinem oberen den Filter, ähnlich der Heilbronner. Einen freitragenden Behälter hat ferner der Behälter Essen-Bredeneu erhalten, eine zweckmäßige Lagerung bei den durch den Bergbau verursachten Bodensenkungen zu erzielen. Das sehr bemerkenswerte Bauwerk, das 4000 m³ Wasser faßt, zeigt, daß sich der Eisenbeton schwierigen Gründungsverhältnissen anzupassen vermag. Die Behälteraußenwände sowie Zwischenwände stellen quadratisch bewehrte Eisenbetonplatten dar, die den Wasserdruck und die meterdicke Erdauflast auf eine möglichst kleine Grundfläche übertragen. Es zeigt sich der Boden, so kann sich der auf dieser kleinen Grundfläche ruhende Behälter mitbewegen, ohne daß man ihn zerreißen fürchten muß.

Die Bauausführung der größeren Erdbehälter macht sich die Fortschritte im Verarbeiten großer Betonmassen zu eigen. Der Behälter Hamburg (Rothenburgsort) ist z. B. von einer fahrbaren Betonierungsbrücke aus nach dem Gußbetonverfahren hergestellt. Zum Erdaushub dienen Löffelbagger; die Baustoffe werden mit neuzeitlichen Hilfsmitteln bewegt. Wie sich dadurch das Zeitmaß des Behälterbaues hebt, zeigt sich beim Bau des Reinwasserbehälters für das Müggelsee-Werk der Berliner Städtischen Wasserwerke von 30 000 m³ Nutzinhalt. Dieser vollkommen unter der Erde liegende Behälter erforderte für 45 000 m³ Bodenaushub 50 Tage, für 32 000 m³ umbauten Raum ohne Baustelleneinrichtung, aber einschl. aller sonstigen Arbeiten 100 Tage Bauzeit, im ganzen also nur reichlich 5 Monate.

Wassertürme

Im Wasserturmbau spielt der Eisenbeton ebenfalls eine immer größere Rolle. Außen den gemauerten Turmschäften für eiserne Behälter findet man solche für Eisenbetonbehälter. Mit Vorliebe scheint man den Turmschaft als Rahmengerippe in Eisenbeton zu gestalten, das außen mit Ziegeln oder — wie in Bremen-Inlandhafen — mit Betonformsteinen ausgefüllt ist.

Als Beispiel eines neuen Groß-Wasserturmes sei der Mitte 1928 in Halle a. S. vollendete Wasserturm für die dortigen Städtischen Wasserwerke angeführt, Abb. 22 und 23. Der Wasserturm steht auf der Stelle, an der sich früher ein bei der ersten Anlage des Halleschen Wasserwerkes 1868 von Salbach errichteter Turm befand, dessen äußere Form wohl den jetzigen Turm beeinflusst hat. Sein Entwurf stammt von den Städtischen Wasserwerken Halle a. S. und der dortigen Niederlassung der Firma Wayss & Freytag A.-G. (Direktor Dr. May). Der Eisenbeton-Wasserbehälter von 2000 m³ Wasserinhalt und rd. 12 m Wassertiefe hat teilweise einen nach oben gewölbten Kuppelboden. Der Abstand des obersten Wasserspiegels von Geländehöhe beträgt 37,76 m. Zehn äußere und zehn innere Stützen aus Eisenbeton, ausgesteift durch Eisenbetonrahmen, tragen den Eisenbetonbehälter. In der Außenwand liegen zehn kleinere Eisenbetonstützen. Die Außenwand besteht aus Ziegelmauerwerk mit Klinkerverkleidung, das mit Kupferplatten gedecktes Dach ist in Eisenbeton ausgeführt. Die Galerie, die in 6,6 m Höhe über Gelände um den Turm läuft, erweitert sich seitwärts zu einer monumentalen Plattform.

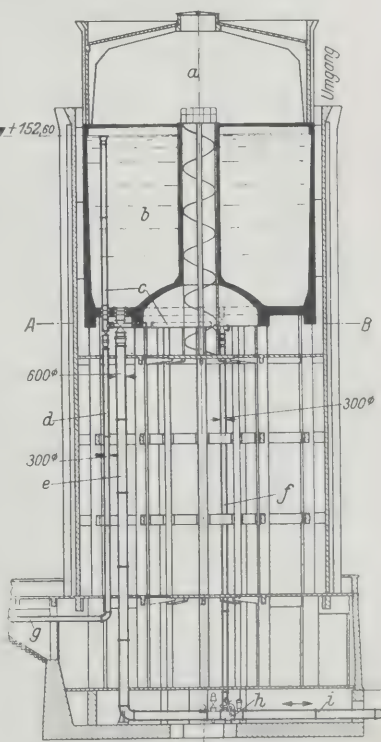
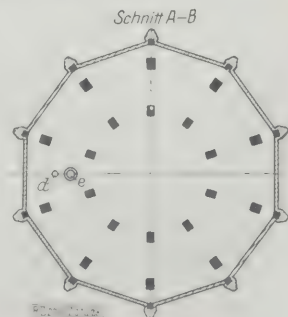


Abb. 22 und 23
Wasserturm Lutherplatz
in Halle a. S.
Erbaut 1928.

- a Kuppelhalle
- b Turbinbehälter
- c Verbindung zwischen Überlauf und Entleerleitung
- d Überlaufleitung
- e Zu- und Ablaufleitung
- f Entleerleitung
- g Leitung nach dem Erdbehälter
- h Rohrbruchventil
- i Leitung vom Pumpwerk Beesen und zur Stadt



⁵⁾ „Bauingenieur“ Bd. 2 (1920) S. 165 bis 169.

Die Leitungen des Turmes sind durch ein Rohrbruch-ventil gegen das Stadtrohrnetz abgeschlossen. Dieses Ventil schließt sich selbsttätig, sobald im Stadtrohrnetz ein Hauptrohr bricht. Diese Wirkung wird durch eine Stauscheibe im Ventil hervorgerufen; sobald ein Wasserstrom mit ungewöhnlich hoher Geschwindigkeit die Scheibe trifft, schließt sie mittels eines Gewichtmechanismus eine linsenförmige, sonst wagerecht liegende Abschlußklappe; eine Ölbremse verhindert einen Schnellschluß des Ventils. Es hat sich bereits in einem Fall bewährt, ebenso hat das Bauwerk einschl. des Eisenbetonbehälters ohne jeden Schaden dem strengen Frost Anfang 1929 standgehalten.

Die Wohnungsnot und der Wunsch, den Wasserturm auch für andre Zwecke auszunutzen, haben den alten Gedanken wieder aufleben lassen, den Wasserturm für Wohn- und Bureauzwecke im Unterbau nutzbar zu machen. Sogenannte „Wohnwassertürme“ sind in den letzten Jahren in Berlin-Neuenhagen und in Wesermünde ausgeführt worden. Die Architekten dieser Türme haben sich redlich bemüht, günstige Bilder zu schaffen. Ob es

möglich ist, dies zu erreichen, mag dahingestellt bleiben. Die Türme machen den Eindruck von Turmhäusern, deren tot wirkenden obersten Stockwerken die Fenster für

Schlußwort

Die deutschen Wasserwerke in Nord und Süd, Ost und West haben in den letzten Jahren nicht geruht, sich mannigfachen Fortschritte des Maschinenbaues für Hebewerke zunutze zu machen und dem Stande des Ingenieurwesens hinsichtlich ihrer Speichereinrichtungen folgen. Viel neuzeitlicher als noch vor einem Jahrzehnt sieht es heute in den Maschinenhäusern der Wasserwerke aus. Häufiger als ehemals begegnet man Kreiselpumpen bis hinauf zu je 150 000 m³/h Leistung, sowohl mit früher fast stets üblichen elektrischen Antrieben als mit Dampfturbinen und Verbrennungsmaschinen; es werden bis zu 53 vH bessere spezifische Förderleistungen gegenüber denen vor 15 Jahren. Im Bau der Behälter aus Eisenbeton und damit die ihm eigene Freiheit des struierens von wachsendem Einfluß. [B 27]

Wasserbedarf und Wasserbeschaffung

Von Mag.-Oberbaurat a. D. Direktor Dipl.-Ing. O. KOENIG, Magdeburg

Feststellung des Wasserbedarfs mit seinem jährlichen, monatlichen, wöchentlichen, täglichen und stündlichen Verbrauchsschwankungen. — Hydrologische Grundbegriffe bei der Wasserbeschaffung und -entstehung. Atmosphärische Niederschläge, Verdunstung, Versickerung und Bodencondensation. — Aufspeicherung von Oberflächenwasser und dessen Gewinnung in Zisternen und Talsperren. Entstehung und Erschließung des echten Grundwassers. Unterscheidung und Fassungsarten der Quellen, Oberflächenwasser aus Wasserläufen und Seen; Entnahme und Reinigung. — Künstliches Grundwasser aus Oberflächenwasser. Entstehung und Gewinnung von Dünenwasser.

Wasserbedarf und Wasserbeschaffung sind durch die immer weitere Ausdehnung gewinnende Gesundheitspflege und die Industrie zwei hochbedeutende Fragen unserer Zeit geworden, die eine weitgehende Kenntnis der Sitten und Gebräuche, der Statistik, sowie auch des umgebenden Landgebietes mit seiner Gewässerkunde und seinem geologischen Aufbau zur Bearbeitung voraussetzen. In erster Reihe ist zunächst für die richtige Wahl der Zweck entscheidend, dem das zu beschaffende Wasser dienen soll. Während nämlich für die verschiedenen Industrien und für das Gewerbe ganz bestimmte Voraussetzungen an die Beschaffung des Wassers hinsichtlich seiner Menge und Beschaffenheit gestellt werden müssen, entscheiden fast ausschließlich gesundheitliche Rücksichten den Wasserbedarf und die Wasserbeschaffung bei der Versorgung der menschlichen Siedlungen. Da sich nun aber meist die Industrien den Städten mit ihren Eisenbahnknotenpunkten, Wasserstraßen und ihren Häfen angliedern, oder wenn sie zunächst für sich allein liegen und größere Ausdehnungen annehmen, recht bald Städte neben sich erstehen lassen oder sehen, ist eine einheitliche Lösung jener beiden Fragen meist das Gegebene.

Das Ideal einer Wasserversorgung ist daher die einheitliche und reichliche Lieferung von gutem Wasser, das gleichmäßig gern in Haus, Gewerbe und Industrien verwendet werden kann. Mithin muß die Wasserbeschaffung darauf bedacht sein, ein klares, farbloses, gleichmäßig kühles, weiches, aber nicht aggressives Wasser zu erschließen, das frei von fremdartigem Geruch und Geschmack und chemisch wie bakteriologisch einwandfrei ist.

Wasserbedarf

Der Wasserbedarf ist, soweit er die Versorgung von Gemeinden anbelangt, nicht nur abhängig von der Kopfzahl und der Dichte der Bevölkerung, sondern auch im wesentlichen von ihrer sozialen Lage, der Art der Bebauung und der Wasserabgabe (ob mit oder ohne Wassermesser) und dem Wasserpreis. Aber auch die andern ört-

lichen Einrichtungen sowie die geographische (Klima) sprechen hierbei mit, so u. a. ob die Gemeinde Kanalisation besitzt, wie die Straßensprengung gehalten wird, wieviel Springbrunnen laufen, wie groß öffentliche Grünflächen sind, wieviel Klein- und Gartengärtner Wasser beziehen und nicht zuletzt, wie weit ansässige Industrie und das Gewerbe nach ihrer Art den Bezug des Leitungswassers angewiesen sind.

Der Gesamtbedarf setzt sich daher hauptsächlich aus dem Verbrauch der Haushaltungen, der Industrie und des Gewerbes sowie demjenigen für öffentliche Zwecke zusammen. Dem Eigenverbrauch des Wasserwerkes mit seinen Anlagen im Straßenrohrnetz zusammen. Es würde allerdings zu weit führen, diese einzelnen Bedarfsmerkmale eingehend zu erörtern, zumal hierfür statistische Angaben hinreichend zur Verfügung stehen, es sei denn nur auf einige maßgebende Zahlen hingewiesen, die sich auch der Fernstehende eine Vorstellung machen kann.

So brauchen z. B. in Deutschland Landstädte von 50 bis 701 auf den Kopf und Tag mit einem Zuschlag von 50 l je Stück Großvieh, während mittlere und Großstädte 100 bis 200 l im Jahresmittel benötigen. Bei ausprobenen Industriestädten jedoch wachsen diese Zahlen oft auf das Doppelte an, so z. B. in Bochum auf 349 l. In außerdeutschen Ländern schwanken diese Zahlen besonders nach dem kulturellen Stand der Bevölkerung überschreitet in den Vereinigten Staaten von Amerika der Wasserverbrauch auf den Kopf und Tag an vielen Orten oft 1000 l.

Ein wesentlicher Einfluß auf diese Verbrauchszahlen kommt aber noch den Jahreszeiten und dem Klima des betreffenden Versorgungsgebietes zu; denn fast überall wird im Winter die geringste, im Sommer die größte Wassermenge aus den Leitungen entnommen, während im Frühjahr den langsamen Aufstieg und der Spätherbst Abstieg erkennen lassen. So beträgt z. B. der Jahresverbrauch nur rd. 88 vH, der Juliverbrauch rd. 11% des monatlichen Jahresmittels.

An Wochentagen ist fast überall, insbesondere in den Abgaben an industrielle und gewerbliche Betriebe, der Wasserbedarf weit höher, als an den Sonntagen und Feiertagen, und zwar meistens an den Sonnabenden am größten. In vielen Großstädten macht sich weiterhin auch der Hauptschlachttag in den Schlachthöfen sehr bemerkbar.

Aber auch hiermit haben wir noch nicht vollends dem Wasserbedarf Rechnung getragen; denn er schwankt auch in den einzelnen Tagesstunden ganz beträchtlich. Um eine Vorstellung hierüber zu haben, sei bemerkt, in den Nachtstunden nur rd. 1,5 vH, in den Vormittags-

¹⁾ Vergl. Z. Bd. 72 (1928) S. 767.

den 5 bis 6 vH und in den Nachmittagsstunden 6 bis 7 vH vom jeweiligen Tagesdurchschnitt abgegeben werden. Um für diese Schwankungen einen gewissen Spielraum zu haben, baut man entsprechend große Hochbehälter oder Wassertürme, wobei besonders Rücksicht auf den mitunter recht großen Tageswechsel in der Abgabe zu nehmen ist.

Außerdem muß die Zunahme der Einwohnerzahl nach dem Verlauf der letzten zehn Jahre unbedingt ermittelt werden, damit man nicht in jedem Jahr Vergrößerungen der Rohrleitungen vornehmen muß, die aus wirtschaftlichen und kostspieligen Vorkahrungen getroffen werden.

Des weiteren müssen noch die Entwicklung der Stadt, besonders etwa in Aussicht stehende Eingemeinderungen, Industrien und andre Faktoren dabei berücksichtigt werden. Zu den besonderen Faktoren gehören auch nach dem Krieg in großem Ausmaß entstandene Siedlungen, die sogenannten Schrebergärten, die Zunahme der Kraftwagen, die rd. 200 bis 500 l für das Waschen erfordern, und die häuslichen und öffentlichen Bäder^{1a)}. Auch die bessere Ausrüstung der öffentlichen Badeanstalten, die Bäder zu geringen Preisen abgeben, hat zu einer Mehrbenutzung dieser Anlagen und damit natürlich auch zu einem erhöhten Wasserverbrauch geführt.

Es darf daher keinesfalls so lange gewartet werden, bis die Grenze der Leistungsfähigkeit der vorhandenen Wasserentnahme oder -gewinnung nahezu erschöpft ist, sondern der steigende Bedarf muß sich ohne Schwierigkeiten auf die Dauer von zehn Jahren im voraus daraus entnehmen lassen.

Wasserbeschaffung

Die Lösung dieser Aufgabe zählt infolge der damit verbundenen umfangreichen Vorarbeiten für die Erhebung und den wirtschaftlichen Betrieb zu den schwierigsten im Wasserfach. Bei kleineren Orten ist sie natürlich bei weitem viel leichter, als bei Mittelstädten und gar Großstädten mit dichter Besiedelung und großer Industrie.

Für die Beschaffung des notwendigen Wassers kommen nach alter Einteilung zunächst drei Hauptgruppen in Betracht, und zwar Oberflächenwasser aus offenen Gewässern oder künstlich geschaffenen Seen durch Sperrdämme (Talsperren), Quellwasser und Grundwasser, das wie natürlich gefiltertes.

Heute unterscheidet man indessen bei der Entnahme noch oberirdische und unterirdische Wasserläufe, da die Quellen nichts anderes sind, als Grundwasser, die auf natürlichem Weg zutage treten. Sie sind abhängig von der Niederschlagsmenge, mit der zunehmenden geographischen Breite und mit der Entfernung vom Meere abnimmt und andererseits mit der Höhe über dem Meeresspiegel zunimmt. Der gefallene Schnee wird hierbei naturgemäß mit berücksichtigt, und der Schneeeiswasserteil in einer Höhe von 12 mm mit 1 mm Grundwasser, während alter Schnee bis zu 4 mm Grundwasser gibt.

Von der Niederschlagshöhe sind aber noch für eine Berechnung des gewinnbaren Wassers die Verdunstung und die Versickerung abzuziehen. Für die Bestimmung der Verdunstung liegen bis jetzt jedoch noch nicht genügend einwandfreie Vergleichswerte vor, während für die Versickerung immerhin schon gute Anhaltswerte gegeben sind, zumal sich die Raumanteile der Sättigung eines Bodens durch neuzeitliche Meßgeräte und Versuche ebenso gut bestimmen lassen, wie die Festhaltung der Bodenfeuchtigkeit der in verschiedenen Erdbodenarten.

Schließlich spielt noch der Niederschlag des Wasserdampfes aus der Luft im Boden (die sogenannte Luftkondensation), die jetzt der Gegenstand vieler Versuche und Untersuchungen ist, eine gewisse Rolle.

Die unmittelbare Ausnutzung der atmosphärischen Niederschläge ist eine der ältesten Wasserbeschaffungen.

^{1a)} So liest man z. B. in der Zeitschrift „Deutsche Gesellschaft für Wasserbau“ Bd. 8 (1928) Heft 3: „Es ist erfreulich, festzustellen, daß in Deutschland jährlich schätzungsweise etwa 300 000 Hausbäder mit Gas- und Wasserbädern neu eingerichtet werden, das ist etwa dreimal so viel wie vor dem Kriege.“

Die Aufspeicherung

geschah und geschieht noch heute in Zisternen oder einseitig abgeschlossenen Becken oder Tälern. Zisternen werden aber auch heute noch nicht nur im Orient und um das ganze Mittelmeer herum öfters angewandt und benutzt, sondern auch in der Schweiz und in Süddeutschland, d. h. also meist dort, wo andres reines Wasser nicht zu haben ist. Sie müssen so groß angelegt sein, daß der Bedarf in der regenlosen Zeit daraus gedeckt werden kann. Falsch ist es, das Wasser daraus mit Eimern zu entnehmen, man sollte sich besser hierbei einer Pumpe bedienen. Soll es aber zu Trinkzwecken Verwendung finden, so muß es unbedingt gefiltert werden, sei es durch eingebaute Schüttelfilter oder besser durch über der Erde stehende geschlossene Filter. Zur nötigen Entkeimung benutzt man hierbei am besten Chlorkalk oder Carporit²⁾.

Talsperren

Die in Becken oder Tälern abgefangenen Wassermengen beschäftigen heute mehr denn je die Köpfe der für die Versorgung von Stadt- und Landgebieten verantwortlichen Stellen, da der Wasserbedarf — wie oben auseinander-gesetzt — zusehends anwächst und die erhöhten Niederschläge in den hochliegenden Waldgebieten am größten sind.

Die Größe der Talsperren ist neben den vorher angegebenen Werten noch besonders abhängig vom Niederschlagsgebiet und seinen Abflüssen mit ihren Veränderungen während eines längeren Zeitabschnittes von 25 bis 30 Jahren. Da sie aber meist nicht nur allein der Wasserversorgung dienen, sondern aus wirtschaftlichen Gründen noch der elektrischen Kräfteerzeugung, zur Regelung der Flußwasserstände für Landeskultur und Triebwerke und zur Verhütung von Hochwasserschäden, so ist an der Hand eines zutreffenden Wasserwirtschaftsplanes zunächst festzustellen, wieviel Wasser zu Versorgungszwecken in den einzelnen Monaten, mitunter sogar Tagen überhaupt der Sperre entnommen werden kann. Hierbei muß natürlich noch der Sickerverlust und die Oberflächenverdunstung berücksichtigt werden, diese beträgt allein rd. 600 bis 1000 mm der Spiegelfläche in einem Jahr.

Im allgemeinen empfiehlt es sich, die Sperre mit 80 bis 90 vH des mittleren Jahreszuflusses zu bemessen, denn je größer ein Becken ist, desto inniger ist auch die Mischung der Zuflüsse und desto besser die Absetzung und damit die Klärung des Wassers, was für seine Weiterverwendung nicht zu unterschätzen ist. Mit kleinen Becken hat man daher nach diesen Richtungen hin weniger gute Erfahrungen gemacht und saß zudem in trockenen Jahren richtig auf dem Trockenen.

In Amerika ging man daher hierin viel weiter, als wir es bisher gewohnt waren. Während die bisherigen deutschen Sperren 60 m an Höhe nicht überschritten, weist heute das Ausland ausgeführte und im Betrieb befindliche Talsperren von wesentlich mehr als 100 m Höhe auf und plant sogar Mauern von 200 m und mehr. Allerdings bauen auch wir in Deutschland eine recht große Talsperre in der Eifel, die 800 Mill. m³ Stauraum aufweist. Diese Sperre soll 106 m hoch werden.

Zum Absperren des Tales dient entweder ein Erddamm oder eine Mauer, die aber eine reine Felsfläche für die Gründung zur Voraussetzung hat. Den Erddämmen schenkt man zur Zeit in Deutschland besondere Beachtung, da sie meist viel billiger werden als Mauern aus Bruchstein, Beton oder Gußbeton.

Während wir in Ostpreußen, Danzig, Pommern und Schlesien schon seit Jahren Sperren mit Erddämmen haben, sind jetzt diejenigen der Sorpe im Ruhrgebiet, der Söse im Westharz und der Stadt Stuttgart ebenfalls als solche, jedoch in neuer Konstruktion, geplant. Ihre Höhen gingen bisher nur bis 20 m, in der neuen Konstruktion mit Betonkern soll nun aber die Sorpesperre sogar eine Höhe von 68 m erhalten. Die Böschung auf der Wasserseite ist abzupflastern und möglichst mit Beton zu belegen, während auf der Talseite auch Berausung genügt.

Wird ein Betonkern eingebaut, so muß dieser tief in den gewachsenen Boden hineinreichen, desgleichen ist auch

²⁾ Vergl. hierzu S. 555 dieses Heftes.

eine Mauerkonstruktion fast 2 m sowohl in die Sohle als auch in die Hänge einzulassen. Bei beiden Ausführungen müssen selbstverständlich Überlauf, Grundablässe und Entnahmestollen vorgesehen werden und die Sperrenkronen rd. 2 m über dem höchsten Wasserspiegel liegen.

Im Innern sind ferner möglichst begehbare Entwässerungskanäle und Entwässerungsrohre anzulegen, damit man lecke Stellen bald auffinden kann und ihnen zu begegnen in der Lage ist. Damit aber die Sperrwände nicht zu sehr geschwächt werden, empfiehlt es sich, nach Möglichkeit alle Wasserabführungen um die Sperre herum zu legen, während zur Fernhaltung der Sinkstoffe möglichst am oder vor dem Einlauf in das Becken sogenannte Vortische oder kleine Sperren anzuordnen sind. Tontrübungen der Zuläufe werden aber mit in die Sperre hineingetragen und sind dann an dem Rand und den Uferzonen deutlich bemerkbar. Lagert sich jedoch infolge des verschiedenen Gewichtes und der verschiedenen Temperatur das zufließende Wasser dem Stausee auf, so kann nach Beobachtungen von Geh.-Rat Gürtner⁸⁾ auch der ganze Stausee trübe werden. Hieraus geht wiederum der Vorteil eines großen langgestreckten Beckeninhaltes hervor, damit dieser für Trinkwasser üble Umstand vermieden wird.

Es empfiehlt sich daher, das Wasser solcher Sperren je nach der Beckenfüllhöhe und der verschiedenen Temperaturen innerhalb der Sperre aus verschiedenen Höhen zu entnehmen, und zwar bei uns in Deutschland nach den bisherigen Feststellungen rd. 6 bis 10 m unter dem jeweiligen Wasserspiegel und mindestens 1 bis 2 m über der Sohle.

Das Niederschlagwasser des Einzugsgebietes der Talsperre laugt aber beim Durchsickern das Moos und Gras, die flachen Schichten des Humus und verwitterten Gesteinbodens aus und nimmt hierdurch eine schwach gelbgrüne Farbe an, die ins Bräunliche übergehen kann, wenn sich Moore in dem Gebiet befinden sollten (z. B. Schweden, Norwegen, Finnland). Um aber das durch die Verwitterung des Bodens in der Talsperre und durch das hineingefallene oder angeschwemmte Laub und die Pflanzenteile immerhin schon rege Planktonleben möglichst auf das geringste Maß zu beschränken, muß bei diesen Anlagen für Trinkwasserzwecke gefordert werden, daß der Boden der Sperre vor dem Einlassen des Wassers von allen Bäumen und Sträuchern mitsamt ihren Wurzeln sowie von der Grasnarbe völlig und von der Humusschicht möglichst ganz befreit ist. Ferner müssen die Ufer, soweit der Wellenschlag reicht, d. h. vom höchsten bis zum niedrigsten Wasserspiegel, ganz von der Erdkruste befreit werden. Vieles Plankton erzeugt nämlich oft durch sein Absterben in der Sommerzeit einen unangenehmen Geruch und Geschmack, der teils seetangähnlich und fischig ist und teils auch schwefelwasserstoffartig ist. Die diese Übelstände hervorrufenden Organismen sind indessen jetzt erforscht und können durch Zusatz von Kupfersulfat, Chlor oder durch Rieselwiesen beseitigt werden.

Die Menge der in den Staubecken vorhandenen Bakterien steht in Abhängigkeit von den Zuflüssen. Daher muß das Einzugsgebiet möglichst ganz frei von menschlichen Ansiedlungen sein, und wenn sich dies nicht völlig erreichen läßt, so müssen die Abwässer der Ansiedlungen möglichst gründlich gereinigt oder besser noch jenseits der Wasserscheide zum Abfluß gebracht werden, damit keinesfalls Krankheitserreger in die Sperre hineingelangen können. Aus gleichem Grunde ist daher auch der Durchgangverkehr innerhalb des Niederschlaggebietes in andre ungefährliche Bahnen zu lenken, also umzulegen.

Die Temperatur des Talsperrenwassers schwankt trotz der vorher erwähnten Entnahme aus verschiedener Tiefe nach Gürtner dennoch zwischen 3 und 13 oder 15° im Lauf eines Jahres, wodurch sich seine Einarbeitung als Oberflächenwasser nie ganz verwischen lassen wird. Schließlich sind bei diesen Wassern häufig noch die Eisen- und Mangangehalte sowie die fast stets hierbei anzutreffende aggressive Kohlensäure neben hohem Sauerstoffgehalt zu berücksichtigen, die bei der meist geringen Karbonathärte von 1 bis 2° um so unangenehmer für die Rohrleitungen sind.

Diese Einflüsse, denen das Talsperrenwasser unterliegt, und die eine langgezogene Sperre mit großem Fassungsraum der Selbstreinigung wegen als am schenwertesten erscheinen lassen, machen bei Trinkwasserversorgungen aber noch eine Filtrierung und Entkeimung des Wassers auf alle Fälle notwendig, indessen mit einem zeitweise starken Planktongehalt rechnen, so empfiehlt sich weiterhin noch die Vorsicht, von Vorfiltern, damit sich die richtigen Filter zu schnell verstopfen oder verschlammen. In manchen Fällen bedingt auch das im Sperrwasser enthaltene Eisen und Mangan Vorkehrungen zur Beseitigung dieser Substanzen, namentlich, wenn sie an Humine gebunden sind und die Farbe leidet; denn dann müssen sogar chemische Reinigungsmittel angewendet werden^{9a)}.

Da aber fast jedes Talsperrenwasser durch seine Kohlensäure und seinen Sauerstoffgehalt aggressiv ist, eine sogenannte Entsäuerung, sei es durch Maschinelle Filtration oder durch Kalkwasser, vorgenommen werden muß, wobei auf die größtmögliche Zunahme der zeitlich veränderlichen Härte des Wassers bei seinem ständigen Wechsel der Aggressivität der größte Wert zu legen ist. Hierdurch gehen naturgemäß einige Meter Gefälle verloren, die im Gefälleplan der Talsperren-Rohrleitung zu berücksichtigen sind.

Das begehrteste, aber leider nicht überall in ausreichendem Maße zur Verfügung stehende Trinkwasser ist das echte Grundwasser.

Es entsteht fast ausnahmslos durch Versickerung Niederschlag- und teils auch Oberflächenwasser in den durchlässigen Untergrund, bis es den Grundwasserspiegel oder eine undurchlässige Schicht erreicht, die dann wassertragende Sohle bildet. Als zusätzliche Merkmale kommen noch die aus der vorher erwähnten Bodendensitation entstandenen hinzu. Bestes Grundwasser aber nur das oben bezeichnete, das durch Schichten aus lockerem Haufwerk mit geringer Korngröße wie Sand und Kies von mehreren Metern Dicke gesickert ist, wie die geologischen Diluvial- und Alluvialformationen sind auch einige aus dem Tertiär aufweisen. Dabei werden die von der Oberfläche stammenden Verunreinigungen zurückgehalten und aus dem Wasser beseitigt. Dieser Filtervorgang bezeichnet man als „natürliche Bodenreinigung“. Dagegen ist das durch spaltige, klüftige und mit grobem Stückkorn gefüllte Erdschichten hindurchgegangene Wasser meist nichts anderes als in die Tiefe gesunkenes Oberflächenwasser, das alle seine gesunden heilschädlichen Eigenschaften aufweist und daher „Wildwasser“ bezeichnet wird.

Die Charakterisierung wird daher in den meisten Fällen nur ermöglicht durch das Ergebnis der physikalisch-chemischen und der biologisch-bakteriologischen Untersuchung. Hierbei muß natürlich auch die Löslichkeit der durchflossenen Bodenschichten sowie ihre Beschaffenheit mit berücksichtigt werden, da sie Wasser anorganische und organische Stoffe, teils gasförmig oder als Gas begeben, die für die spätere Behandlung größter Bedeutung sind. Zum Auffinden von echtem Grundwasser gehören große Erfahrung und Übung aus einzelnen Erscheinungen Folgerungen und Schlüsse zu ziehen, wobei die Kenntnisse des geologischen und tektonischen Aufbaues des betreffenden Gebietes in Verbindung mit den hydrologischen Auswirkungen für Beurteilung unerlässlich sind. Für eine größere Wassernahme kommen nur Grundwasserströme in Betracht. Vorhandensein durch Bohrungen nachgewiesen, muß mittels deren gleichzeitig auch die Spiegellagen und die Bodenbeschaffenheit festgestellt werden. Das hydrologische Dreieck und der Beharrungszustand beim Pumpversuch sind hierbei die wichtigsten Indizes, die man, da sich aus ihnen die Strömungsrichtung und die Ergiebigkeit ermitteln lassen.

Selbstverständlich schwankt auch der Grundwasserspiegel; in der Nähe von Oberflächenwasser wird er mehr von den Schwankungen dieses Wassers beeinflusst, in der Nähe von Meeren geht er mit den Gezeiten.

⁸⁾ „Hygiene des Wassers“, Braunschweig 1915.

^{9a)} Vergl. S. 553 dieses Heftes.

an sich frei; ragen aber undurchlässige Deckschichten hin hinein, so hat er dort einen gespannten Spiegel. Ist dieser über Flur, so heißt das dann entströmende Wasser artesisch. Wechseln aber wasserführende und undurchlässige Schichten im senkrechten Schnitt miteinander ab, so spricht man auch von Grundwasserstocken.

Die entschieden beste Art, die Ergiebigkeit eines Grundwasserstromes zu ermitteln, ist der Versuchsbetrieb, wobei auf den Beharrungszustand besonders zu achten ist. Die Fassung von Grundwasser aber stets quer zur natürlichen Stromrichtung und in Möglichkeit nicht in einem Gelände erfolgen, das Überschwemmungen ausgesetzt ist. Muß dies dennoch geschehen, so muß eine Bodenauffüllung bis über den Wasserspiegel um die Brunnen herum unbedingt vorgenommen werden. Aber der Hauptübelstand bleibt dennoch bestehen, wenn keine vollkommen undurchlässige Schicht über dem Grundwasser liegt. Dann treten nämlich Auslaugungen des sonst mit Luft gefüllten Bodens, die zu den schwersten Verwicklungen in der Wasserversorgung und -beschaffenheit führen können.

Als Fassungskörper dienen Brunnen, offene Gruben oder Sickergalerien. Die Brunnen werden heute mit Steinzeugfiltern ausgerüstet, da sehr viele Grundwasser aggressive Kohlensäure enthalten, durch die metallische Rohrbrunnen meist angegriffen werden und damit die Ergiebigkeit stark schmälern.

Allerdings ist man in der Tiefenlage bei der Anordnung dieser Steinzeugfilter einstweilen noch bis zu 136 m beschränkt, es sei denn, daß durch bessere Festigung im Baustoff und Versuche der tiefere Einbau geleistet ist. Außerdem kommt bei dieser Brunnenkonstruktion auch noch die Schüttung um den Brunnen herum, die eine größere Bohrung nötig macht.

Schüttbrunnen haben sich im allgemeinen stets sehr bewährt und werden daher in der neueren Zeit gern verwendet. Sind aber die oben genannten lästigen Eigenschaften des Grundwassers nicht oder nur wenig vorhanden, dann steht der Anwendung metallischer Brunnenfilter natürlich nichts im Wege. Wenn der Wasserspiegel jedoch nicht zu tief liegt und der Wasserträger grobes Korn aufweist, so empfiehlt es sich oft, gemauerte Exbrunnen anzulegen.

Bei größeren Wasserfassungen werden die Brunnen häufig mit Saugleitungen oder Heberleitungen verbunden. Bei letzteren verwendet man am besten einen Sammelbrunnen, aus dem die Pumpen saugen. In den letzten Jahren sind nun die Bohrlochpumpen³⁾ wesentlich verbessert worden, wodurch die Möglichkeit gegeben ist, auch in unebenem Gelände Brunnen schlagen zu können, wo Heberleitungen zu teuer würden^{4a)}. Außerdem erfordern Heberleitungen eine ständige Entlüftung mittels Luftpumpen, die hierbei in Fortfall kommen. Stollen und Sickergalerien finden nur bei geringer Mächtigkeit der wasserführenden Schichten Anwendung, wobei die undurchlässige Sohle erreicht werden muß. Sie werden aus Ton, Zement und Eisenrohren oder Mauerwerk hergestellt mit einem Gefälle nach dem Sammelbrunnen und erfordern außer einer guten undurchlässigen Abdeckung gegen eindringendes Tageswasser noch Vorkehrungen (Schächte) zur Reinigung und Überwachung. Entsprechend den im Grundwasser gelösten Stoffen, zu denen meist Eisen und Mangan neben Kohlendioxid gehören, sind die Reinigungsanlagen dem Verwendungszwecke nach zu bestimmen. Ein besonderer Vorzug des echten Grundwassers, insbesondere für die Trinkwasserversorgung, ist seine gleichbleibende Temperatur, die in unsern Breiten entsprechend der Höhenlage bei 6 bis 10° liegt, und seine ständige Keimfreiheit.

Bei voller Sättigung des Untergrundes mit Wasser tritt naturgemäß das unterirdische Wasser an geeigneten Stellen wieder an die Oberfläche und wird dadurch eines der Oberflächenwasser, aus dem Bäche, Flüsse und Seen gespeist werden. An den Schnittpunkten der unterirdischen Wasserläufe mit der Erdoberfläche entstehen also

die Quellen.

Sie werden mit Vorliebe zur Trinkwasserversorgung herangezogen, doch muß man sich dann aus hygienischen Gründen über ihre Entstehung klaren Aufschluß verschaffen; denn je nach der geologischen Schichtung gibt es Schicht-, Überfall- und Spaltquellen, die verschieden bewertet werden müssen. Bei den Schichtquellen fällt das Grundwasser mit der geologischen Tragschicht in gleichem Sinne, während es sich beim Gegenfall um Überfallquellen handelt. Aus beiden wird also einwandfreies Grundwasser zutage treten, während bei Spaltquellen leicht schlecht filtrierte Niederschlagswasser durch Bruchspalten des Gebirges an die Erdoberfläche gelangt und daher gewisse Vorsicht bedingt. Zur Erschließung können auch hier Brunnen, Stollen mit Querschlägen und Schlitzen benutzt werden.

Am häufigsten faßt man die Quellen durch sogenannten Brunnenstuben, in die sie entweder von unten oder von der Seite her hineingeleitet werden. Diese Brunnenstuben müssen gegen Witterung und äußere Einflüsse schützen und sind mit guter Lüftung sowie Über- und Leerlauf mit Sandfang und Wassermessung auszustatten. Liegt die Quelle aber flach im Gelände, so ist besonders darauf zu achten, daß die versickerten Niederschlagswasser nur nach Durchdringung größerer Erdschichten zur Fassung gelangen. Ist mooriger Humusboden im Einzugsgebiet vorhanden, so hat auch das Sickerwasser eine gelbliche bis braune Farbe.

Ratsam ist es daher, die Umgebung und das Einzugsgebiet von gefaßten Quellen käuflich zu erwerben oder durch Pachtung vor Verunreinigungen zu schützen. Werden mehrere Quellen an einen gemeinsamen Sammelstrang angeschlossen, so muß natürlich jede für sich absperrbar sein. Ein einwandfreies Quellwasser muß selbstverständlich stets keimfrei sein und in seiner chemischen und physikalischen Beschaffenheit diejenigen Eigenschaften aufweisen, die beim Grundwasser bereits erörtert sind.

Die Quellen speisen meist Bäche und Flüsse, die aber auf ihrem Lauf oft vielen Verunreinigungen ausgesetzt sind, da sie fast überall als Vorfluter für die Beseitigung der Abwässer dienen. Die

Entnahme von Wasser aus Wasserläufen

muß daher stets oberhalb der Wohnstätten erfolgen, und zwar möglichst an tiefen Stellen mit stärkerer Strömung, doch niemals dicht an der Sohle und stets unter dem niedrigsten Wasserstand und der etwaigen Eisdecke. Auf diese Weise werden die Verschlämmungen, sowie das Hineingelangen von Eis (Treib- und Grundeis) und Schwebstoffen vermieden. Der letzte Winter hat außerdem die Forderung geltend gemacht, daß auch auf eine starke Eisdecke hierbei ebenfalls Rücksicht zu nehmen ist. Die Flüsse werden aber meist von Grundwasserströmen begleitet, die in ihr Bett münden. Es ist daher auch bei Wasserentnahme aus Flüssen ratsam, sich über ihr Einzugsgebiet zu unterrichten, um über die Veränderungen in der Wasserbeschaffenheit im Klaren zu sein. Die Entnahme kann daher verschiedenartig gestaltet werden, sie liegt bei einigen mitten im Flußbett, bei andern am Ufer. Es empfiehlt sich aber, stets die Entnahme so einzurichten, daß die Schwebstoffe und Fische zurückgehalten werden. Um dieses zu erreichen, benutzt man meist Gitter und Siebe, die man so anordnen muß, daß sie leicht zu reinigen sind. Man verwendet daher in neuerer Zeit oft bewegliche Bandsiebe, deren Antrieb über Hochwasser liegt, wo sie dauernd abgespült werden. Bei der Entnahme aus Seen sind dieselben Leitregeln zu beachten, nach denen meist eine längere Leitung in den See hinein verlegt werden muß; diese wird durch Pfähle befestigt und gesichert. Schwenkarme mit Siebköpfen, die zum Reinigen über den Wasserspiegel herausgeschwenkt werden können, leisten hier bei nicht zu großer Entnahme gute Dienste.

Jedes Oberflächenwasser muß aber einer guten Reinigung durch Filter und einer Sterilisation unterzogen werden. Da diesem Wasser aber meist auch feine Tontrübungen, wenigstens zeitweise, sowie Farbe anhaften, muß sehr häufig eine chemische Behandlung zur Be-

³⁾ Vergl. Z. Bd. 73 (1929) Nr. 6 S. 184.

^{4a)} s. S. 563.

seitigung dieser Übelstände angewandt werden. Diese Behandlungen können reichliche Aufwendungen nötig machen, so daß die Beschaffung solchen Oberflächenwassers auch mit größeren laufenden Ausgaben verbunden ist. Hervorzuheben sind hierbei noch die starken Temperaturschwankungen des Wassers, die zwischen 0 und 22° liegen und somit die Verwendung als Trinkwasser an sich schon von hygienischer Seite aus sehr einschränken.

Es wird daher stets das Bestreben der Städte und Industrien sein, nach Möglichkeit nur Grundwasser zur Versorgung heranzuziehen. Da dieses aber bei großem Bedarf oft der ausreichenden Menge und der praktisch erreichbaren Entfernung wegen geradezu unmöglich wird, so ist man in den letzten Jahrzehnten häufiger zur Erzeugung

künstlichen Grundwassers

oder zu einer künstlichen Anreicherung des Grundwassers übergegangen. Hierbei bedient man sich des Oberflächenwassers als Rohstoff und gewinnt dieses nach Versickerung im Untergrund schließlich mittels einer Grundwasserfassung als infiltriertes Grundwasser wieder, wobei es je nach der örtlichen geologischen und hydrologischen Beschaffenheit des Untergrundes mit mehr oder weniger Grundwasser gemischt oder unter Umständen auch ohne diese Vermengung entnommen wird. Verwendet man hierbei breite Anreicherungsgräben zur Versickerung, so bilden sich in diesen Filterflächen aus, die ihrer Verschlämmlung wegen zeitweilig auf natürlichem oder künstlichem Wege gereinigt werden müssen.

Bei uferfiltriertem Grundwasser, d. h. solchem, das in der Nähe eines Flusses durch Senkung des Grundwasserspiegels gewonnen wird, ist daher ganz besonders darauf zu achten, daß der Fluß die Verschlämmlung des Ufers durch Fortspülen verhindert; denn sonst dringt der feine Schlamm in den Untergrund und macht diesen schließlich mehr und mehr undurchlässig. Infolgedessen kann die ganze Wasserentnahme fast vollständig unterbunden werden, wie dies auch schon an mehreren Orten vorgekommen ist. Es empfiehlt sich daher stets, zwischen Fassung und Oberflächenwasser Beobachtungsbohrbrunnen anzulegen, damit der Verlauf der Senkungslinie verfolgt werden kann. Um jenen Schwierigkeiten aber aus dem Wege zu gehen, rät *Scheelhase*⁵⁾, das Wasser, bevor es versickert, vorher durch Schnellfilter zu reinigen, was insbesondere dort leicht durchführbar ist, wo das Wasser gehoben werden muß. Zur Versickerung bedient man sich sogenannter Sickerteiche, frostfrei verlegter Sickerrohre oder Sickerbrunnen (Schachtbrunnen sowie rückspülbare Rohrbrunnen). Will man einwandfrei natürlich gefiltertes Grundwasser erlangen, so muß die Aufenthaltsdauer des versickerten Oberflächenwassers in den Sanden bis zur Entnahme möglichst groß sein und zweckmäßig mehrere Wochen betragen, wobei auch die Temperatur einen günstigen Ausgleich mit dem Grundwasser erfährt. Diese künstlichen Grundwassererzeugungen oder Anreicherungen haben im allgemeinen auch in den Zeiten längerer Trockenheit genügend Wasser geliefert, während sie in strengen Wintern, insbesondere durch Vereisung der angewandten offenen Wasserspiegel, manche Schwierigkeiten mit sich brachten.

In der Nähe des Meeres und auf seinen kleinen Inseln liegen indessen die Wasserverhältnisse ganz anders. Hier deckt man den Wasserbedarf aus dem sogenannten

Dünenwasser

(Holland und Nordseeinseln). Das Meerwasser dringt dort mit seinem Salzgehalt naturgemäß in die tieferen Sandschichten ein, während sich das von oben durch die Dünenande eindringende Niederschlagwasser infolge seines geringeren spezifischen Gewichtes darüber lagert, ohne sich mit jenem zu vermischen. Es ist sogar beobachtet worden, daß das Süßwasser durch dauernd neu versickernde Niederschläge das Salzwasser verdrängt, und dieses infolgedessen in seiner Oberfläche auf den

Inseln eine Mulde bilden läßt, die mit Süßwasser gefüllt ist. Der Wasserspiegel des Süßwassers zeigt hingegen in der Mitte sogar eine Wölbung, die nach den Ufern hin abfällt, wodurch sich eine gewisse Mächtigkeit Süßwasserschicht ergibt, die zur Wasserbeschaffung mittels Rohrbrunnen ausgenutzt wird.

Schlußfolgerungen

Aus dem Gesagten geht hervor, wie viel Wasserbedarf und Wasserbeschaffung sind. Besonders für die größeren Gemeinden wird es immer schwieriger, den ständigen zunehmenden Verpflichtungen bezüglich der Lieferung gesundheitlich einwandfreien Wassers nachzukommen. Immer weiter hinaus müssen sie die Arme ausstrecken, um aus entfernt liegenden Wassergebieten solches Wasser herbeizuholen, so daß oft so 100 km lange Leitungen von großen Abmessungen hierher verlegt werden müssen.

Es erscheint daher immer notwendiger, daß Stadt und Land gemeinschaftlich an dem verantwortungsvollen Werk arbeiten, um Wassermangel und seine Folgen, wie Krankheit und Epidemien, vorbeugend zu schalten. Es empfiehlt sich, die Gründung provinzieller Landesplanungs-Verbände in wasserwirtschaftlicher und wasserbautechnischer Beziehung, deren Geschäftsbereich sämtliche Wasserfragen, welcher Art sie auch sein mögen, hineingehören. Die wasserwirtschaftlichen Aufgaben könnten dann von einer Stelle aus unter Zusammenschluß von Bergbau, Industrie, Landwirtschaft, kommunaler Selbstverwaltung und städtischen Aufsichtsbehörden behandelt werden, da jede größere wasserwirtschaftliche Einzelaufgabe mit andern zusammenhängt und infolgedessen nicht mehr für sich allein gelöst werden sollte. Im übrigen sind die Wasserschätze jeder Provinz einschl. ihrer Grundwasservorräte ebenso wichtig wie die übrigen Bodenschätze. Insbesondere haben die Städte, Landwirtschaftskammern, Stromverwaltungen, staatlichen Landesanstalten, Tiefbauämter, Industrien, Bergbau (Braunkohlengruben) usw. bei einer Fülle von Unterlagen, die man bereits heranziehen und mit denen man die Sammlung eröffnen könnte, sie dann für alle auftretenden Einzelfragen von Fall zu Fall fruchtbar zu machen. Natürlich werden sich hier noch verschiedene Ergänzungsarbeiten und Untersuchungen herausstellen, die dann Aufgabe dieses Verbandes wären.

Andererseits könnte bei Talsperrenbauten auch leichter ein Zusammenschluß herbeigeführt werden, sich auf die Anlieger und Triebwerkbesitzer der betreffenden Flüsse, die elektrischen Kraftwerke sowie auch auf die Landwirtschaft und die Wasserbezieher (Städte und Gemeinden) in erster Reihe erstreckt. Hier käme sicherlich auch eine Interessengemeinschaft bezüglich des Wasserbezuges für die im Gebiet liegenden Gemeinden weit leichter zustande, zumal dieser wasserwirtschaftliche Landesplanungsverband staatliche Befugnisse erhalten könnte und viel weitsichtiger arbeiten würde, als es jetzt bei der Einzelbehandlung der Aufgaben der Fall ist. Ähnlich wie bei Ferngas- und elektrischer Stromversorgung bilden sich jetzt immer häufiger auch für den Wasserbezug schon Genossenschaften zu bestimmten Zwecken, gemeinsam die hohen Kosten langer Leitungen für die notwendigen Neuanlagen aufzubringen und auf diese Weise möglichst vielen Menschen und Verbrauchsstätten den Bezug gesundheitlich einwandfreien Trink- oder guten Brauchwassers zu ermöglichen (Mulden-Weissteritz-, Möhnetalsperre usw.).

Um aber allen Zufälligkeiten, die immer einmal auftreten, begegnen zu können und dabei doch wenigstens eine gewisse Verbrauchsmenge sicherzustellen, wird es daher der Leiter eines größeren Wasserwerks, wenn irgend möglich, nicht auf ein Werk allein verlassen. Insbesondere bei weit außerhalb der Stadt liegenden Wasserkörpern, sondern sich auf zwei Bezugsquellen stützen. Es ist daher von größter Wichtigkeit, alle Möglichkeiten eines Wasserbezuges zu ergründen und sie gegeneinander auszuwerten.

⁵⁾ Journal für Gasbeleuchtung und Wasserversorgung Bd. 54 (1911) S. 665.

Wasserreinigung und Wasseraufbereitung

Von Wasserwerkdirektor E. LINK, Stuttgart

Die hauptsächlichen Eigenschaften des zu verwendenden Wassers. — Die mechanischen und chemischen Wasserreinigungsverfahren. — Die Wasseraufbereitung in Langsam- und Schnellfiltern. — Die Entkeimung, Enteisenung, Entmanganung, Enthärtung und Entsäuerung des Wassers.

Mit zunehmender Kultur und zunehmender Industrialisierung steigt der Bedarf an gutem, für den menschlichen und industriellen Gebrauch geeignetem Wasser in ordentlichem Umfang. In Deutschland ist in dieser Richtung in den letzten Jahren die beachtenswerte Entwicklung festzustellen, daß der Kopf- und Tagesverbrauch der städtischen Bevölkerung, der über ein Jahrzehnt im allgemeinen keine wesentlichen Änderungen aufwies und etwa bei 100 l für einen Einwohner an einem Tag lag, sehr stark angewachsen ist. Zahlreiche Wasserwerke haben in den zurückliegenden vier bis fünf Jahren Verbrauchsteigerungen von 25 bis 35 vH aufzuweisen, und es ist noch nicht abzusehen, wie diese Entwicklung weitergehen wird. Sie hängt zweifellos mit der Verbesserung der Körper- und Gesundheitspflege in den oberen Schichten der Bevölkerung zusammen, mit dem vermehrten Wasserverbrauch durch Baden, mit der Einführung der Schwemmkanalisation in den Städten. Diese Erscheinung bedingt in zunehmendem Maße einen weiteren Ausbau und eine weitere Entwicklung der Wasserreinigungs- und Wasseraufbereitungsverfahren.

Untersuchung des zu reinigenden Wassers

Liegt die Aufgabe vor, ein von vornherein nicht enthaltendes Wasser zu reinigen, so ist über zwei Gesichtspunkte Klarheit zu schaffen:

a) über den Charakter dieses Wassers, der sich in den ihm eigenen besonderen Verunreinigungen und in dem zeitlichen Wechsel und Ausmaß dieser Verunreinigungen ausdrückt,

b) über die besonderen Anforderungen an Güte und Reinheit, die im vorliegenden Einzelfall zu stellen sind.

Hiernach richtet sich das anzuwendende Behandlungsverfahren.

Die Verunreinigungen eines Wassers können ganz verschiedener Art sein. Flußwasser führt viel Hochwasser Schwebestoffe mit, die zum großen Teil aus dem bei Niedrigwasser auf der Flußsohle abgetrennten kalkreichen Schlamm und Schlick herrühren oder aus feinen Sanden bestehen. Bei aufeinander folgenden Hochwässern geht die Menge dieser Schwebestoffe zurück. Grundwasser enthält nicht selten Eisen und Mangan oder aggressive Kohlensäure, die, wenn sie in größeren Mengen auftreten, beseitigt werden müssen. Im dichtbesiedelten Gebiet sind die Flüsse durch gelöste und ungelöste Stoffe mehr oder weniger stark gefärbt und getrübt. Während es für industrielle Zwecke häufig genügt, ein klares Wasser herzustellen, hat ein brauchbares Trinkwasser weiterhin folgende Anforderungen zu erfüllen: es soll farblos, geruch- und geschmacklos sein, es soll Metalle und Mörtel angreifende Eigenschaften haben, frei von Krankheitserregern sein und mineralische Stoffe höchstens in einer solchen Menge enthalten, die den Genuß und Gebrauch nicht stören.

In betrieblicher Hinsicht ist wichtig, das erforderliche Wasser immer in zureichender Menge zu haben; die Folgen von Wassermangel können für Industrie und Bevölkerung katastrophal werden. Unter diesem Gesichtspunkte leisten die Wasserreinigungsverfahren jedoch größere Dienste zur Aushilfe, wenn die normalen Wasserbezugsquellen im Sommer oder bei Betriebsstörungen versagen.

Selbstreinigung

In Flüssen und Talsperren tritt die Selbstreinigung in die Erscheinung durch Bodenniederschlag und dadurch, daß die gelösten organischen Substanzen durch Mikroorganismen angegriffen und dabei hochmolekulare Verbindungen in einfachere gespalten werden. Durch Oxydationsvorgänge wird z. B. der Stickstoff der fäulnisfähigen Eiweißstoffe allmählich in unschädliche Nitrate übergeführt. Mit dem Bodenniederschlag ist ein erheblicher Rückgang des Bakteriengehaltes verbunden, da die zu Boden sinkenden Schwebestoffe einen Teil der Bakterien mit niederschlagen.

Absatzbecken, Siebhandrechen, Filterplatten

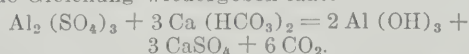
Der natürliche Selbstreinigungsvorgang kann beschleunigt werden in Absatzbecken, die aber den Nachteil erheblicher Kosten und großen Raumbedarfs haben. Die Durchflußgeschwindigkeit ist so zu wählen, daß 1 m² Beckenquerschnitt 0,1 bis 0,7 m³/s vorgereinigten Wassers liefert. Bei der üblichen Wassertiefe von 2 bis 5 m führt dies zu großen Abmessungen, so daß überall da, wo nicht vorhandene Seen als natürliche Absatzbecken mit herangezogen werden können, bei Neuanlagen für industrielle Zwecke die Gesteungskosten unaufbringlich werden. Wo es lediglich darauf ankommt, das Wasser zu entsanden und von Schwebeteilchen zu befreien, ohne Bakterienfreiheit erzielen zu müssen, wie dies in zahlreichen Industrien (Farben-, Papierfach usw.) der Fall ist, so kommt man mit einer Vorreinigung durch engmaschige Siebhandrechen oder durch Filtration mit Filterplatten von zweckmäßiger Körnung auf wesentlich billigere Weise zum Ziel. So kommen neuerdings unter dem Namen Brandolf filter von der Schumacherschen Fabrik in Bietigheim (Württbg.) Filterplatten in Aufnahme, die für Entsandungsanlagen bei einer Leistung bis zu 200 m³/m²h, ein gutes sauberes Betriebswasser ergeben. Die zu wählende Porenfeinheit muß der Größe der Sand- und Schwebeteilchen angepaßt werden. Wasserwerke, die das Rohwasser einer Vorreinigung unterziehen, entlasten die nachfolgende Hauptfiltration.

Die Wasserreinigung durch chemische Zusätze

steht in der Wasserreinigungstechnik z. Zt. im Mittelpunkt der Beachtung und ist durch umfangreiche Untersuchungen in den letzten Jahren stark gefördert worden.

Als Fällmittel finden in erster Linie Aluminiumsalze, wie Aluminiumsulfat (Alaun) oder Aluminiumchlorid, Verwendung. Nicht so allgemein zu gebrauchen sind die billigen Eisensalze, z. B. Eisensulfat oder Eisenchlorid. Vermischt man Aluminiumsulfatlösung in den üblichen Mengen unter 50 mg/l mit einem harten oder mittelharten Wasser, so beobachtet man nach kürzerer oder längerer Zeit, daß dieses erst opalesziert, sich dann mehr und mehr trübt, und schließlich deutlich die Auscheidung von Aluminiumhydroxydflockchen zeigt, die allmählich zu Boden sinken. Das darüberstehende, ehemals getrübe und gefärbte Wasser hat sich dabei geklärt und ist vollständig entfärbt worden. Ebenso weist auch der Keimgehalt des Wassers einen erheblichen Rückgang auf. Das Aluminiumhydroxyd hat also die Trüb- und Farbstoffe samt den Bakterien umhüllt und niedergeschlagen.

Die Bildung des Aluminiumhydroxyds beruht auf der chemischen Umsetzung zwischen den Bikarbonaten des Wassers und dem Aluminiumsalz, was sich z. B. durch folgende Gleichung wiedergeben läßt:



Ein Teil der Karbonathärte ist in Gips Härte übergegangen und die dabei freigewordene Kohlensäure bedingt ein Saurerwerden des Wassers. Bei weichem Wasser fällt man Aluminiumhydroxyd durch entsprechende Zugabe von Kalkwasser (Ca(OH)₂). Freie Kohlensäure entsteht hierbei nicht.

So einfach diese Erklärung des Fällungsvorganges erscheint, so verwickelt und teilweise wenig geklärt sind die dabei sich abspielenden Vorgänge. Nur mit dem Rüstzeug der neuzeitlichen Kolloidchemie gelingt es, den Schleier zu lüften und einen gewissen Einblick zu gewinnen. In den Oberflächenwassern finden sich sowohl organische, als auch anorganische Kolloide, d. h. Lösungen, bei denen der gelöste Stoff durch eine Pergamentmembran gegen chemisch reines Wasser nicht diffundiert. Bei den anorganischen Kolloiden des Wassers handelt es sich meist um tonige Substanzen, bei den organischen um Huminverbindungen und dergl. Die Kolloide sind infolge Ionenaufnahme elektronegativ geladen und wandern, wenn sie an eine Potentialdifferenz gelegt werden, zur Kathode (Kataphorese). Die gleichnamige negative Ladung stabilisiert den Kolloidzustand wesentlich. Das Hinzufügen entgegengesetzt geladener Ionen, z. B. von Aluminiumionen, führt zu einer allmählichen Absättigung der negativen Ladungen und damit einer Gelatinierung, d. h., Ausflockung der Kolloide. In verstärktem Maß wirkt das ebenfalls positiv geladene kolloide Aluminiumhydroxyd.

Es hat sich ergeben, daß im Neutralisationspunkt, dem isoelektrischen Punkte, die Fällung am günstigsten ist. Bei diesem Punkte wandern die Teilchen weder zur Kathode noch zur Anode; sie sind elektrisch neutral geworden und setzen sich ab. Der isoelektrische Punkt entspricht einer bestimmten Konzentration von Wasserstoffionen, die durch Versuch ermittelt werden kann.

Die Konzentration von Wasserstoffionen wird üblicherweise durch ihren negativen Logarithmus, dem sogenannten Wasserstoffexponenten p_H , ausgedrückt. Genaue Einhaltung des isoelektrischen Punktes ist nicht unbedingt nötig, da es mehrere p_H -Werte gibt, bei denen die günstigste Fällung stattfindet. Auf alle Fälle muß der p_H -Wert unter 7 liegen. Bei weichen Huminwässern trifft dies in der Regel zu. Ihre Reinigung ist, sofern sie nicht anorganisch-suspensoid, d. h. durch tonige Anteile getrübt sind, leicht zu ermöglichen. Gleich wie bei reinen Huminwässern, macht auch bei Wässern mit nichthumosen Tontrübungen die Aufbereitung keine Schwierigkeit. In diesem Fall scheinen die reinen adsorptiven Eigenschaften des Aluminiumhydroxyds vorzuherrschen, während bei Ausflockung der Huminstoffe in erster Linie elektrische Vorgänge eine Rolle spielen.

Anders liegen die Verhältnisse, wenn dem tonigen Stoff noch Humusstoffe beigemischt sind. Die Humusstoffe wirken den tonigen Bestandteilen gegenüber als Schutzkolloide und hemmen bei kleineren Elektrolytzusätzen die Ausfällung stark. Die Kolloide lassen sich hier durch weitere Zugabe von Elektrolyten, wie Aluminium- oder Eisensalzen, zur Flockung bringen. Besonders wirksam sind auch Schwefelsäure und Chlor, und zwar ist dem Chlor aus wirtschaftlichen Gründen der Vorzug zu geben. Sowohl Schwefelsäure als auch Chlor bedingen eine Erniedrigung des p_H -Wertes und begünstigen schon dadurch die Ausfällung. Man verfährt meist so, daß man den größten Teil der anorganischen Kolloide durch Aluminiumsulfat ausfällt und nach einer entsprechenden Absitzzeit, also vor der Schnellfiltration, das Wasser mit Chlor behandelt.

In Zahlentafel 1 bis 3 seien einige Beispiele für den Reinigungserfolg beim Aufbereiten der genannten Wasser behandelt. Bei sehr trüben Wässern hat sich auch die Ausflockung in Absätzen und bei Wässern, bei denen feinstverteilte und kolloide Tone vorherrschen, die Verwendung von Aluminiumchlorid an Stelle des Aluminiumsulfats bewährt.

Die Zahlentafel 4 läßt die bessere Wirkung des Aluminiumchlorids eindeutig erkennen bei einem durch lehmige Anteile getrüben Wasser.

Günstige Erfolge erreicht man auch bei dem Zusammenarbeiten von Aluminiumchlorid und Chlorgas. Die Bedenken, daß durch die Chlorzugabe bei einer nachfolgenden Langsamfiltrierung die biologische Wirkung der Langsamfilter beeinträchtigt würde, haben sich nicht

Zahlentafel 1
Reinigung von Wasser, das durch lehmige Anteile getrübt war.

Zusatz: 14,1 mg/l Aluminiumchlorid, Absitzzeit: 2 h.

	Farbe nach Olszewski- Rosenmüller mg Pt/l ¹⁾	Durchsich- tigkeit nach Olszewski- Rosenmüller vH	Trübungs- grad gegen- über einem Ver- gleichsprima vH ²⁾	Verbrä- uch an Kalium- manganat mg
Ursprüngliches Wasser . . .	6	68	287	8
Schnellfiltrat . .	0	100	23	4,5

Zahlentafel 2
Reinigung von weichem humosem Wasser, das frei von anorganischen Kolloiden war.

Zusatz: 40 mg/l Aluminiumsulfat, 10,8 mg/l Kalziumhydroxyd, keine Absitzzeit.

	Farbe nach Olszewski- Rosenmüller mg Pt/l ¹⁾	Durchsich- tigkeit nach Olszewski- Rosenmüller vH	Trübungs- grad gegen- über einem Ver- gleichs- prima vH ²⁾	Verbrä- uch an Kalium- manganat mg
Ursprüngliches Wasser . . .	61	85	—	18,5
Schnellfiltrat . .	0	100	—	2,5

Zahlentafel 3
Reinigung von humosem und lehmigem Oberflächenwasser.

Zusätze: a) 30 mg/l Aluminiumsulfat, b) 30 mg/l Aluminiumsulfat + 50 mg/l Schwefelsäure, c) 30 mg/l Aluminiumsulfat + 0,9 mg/l Chlor, Absitzzeit: 2 h.

	Farbe nach Olszewski- Rosenmüller mg Pt/l ¹⁾	Durchsich- tigkeit nach Olszewski- Rosenmüller vH	Trübungs- grad gegen- über einem Ver- gleichs- prima vH ²⁾	Verbrä- uch an Kalium- manganat mg
Ursprüngliches Wasser . . .	21	87	143	14
Schnellfiltrat a) . .	0 bis 1	100	19	11
„ b) . . .	0	100	16	10
„ c) . . .	0	100	16	10

Zahlentafel 4
Reinigungswirkung nach 2 h Absitzzeit mittels

Zusatz beim Versuch a) 14,1 mg/l Aluminiumchlorid, entsprechend 20 mg/l Aluminiumsulfat (Aluminiumäquivalent); Zusatz beim Versuch b) 20 mg/l Aluminiumsulfat.

	Farbe nach Olszewski- Rosenmüller mg Pt/l ¹⁾	Durchsich- tigkeit nach Olszewski- Rosenmüller vH	Trübungs- grad gegen- über einem Ver- gleichs- prima vH ²⁾	Verbrä- uch an Kalium- manganat mg
Ursprüngliches Wasser . . .	6	68	287	4
Schnellfiltrat a) . .	0	100	23	4,5
„ b) . . .	0 bis 6	85	128	4,5

¹⁾ Plattingehalt einer Vergleichslösung aus Kobalt und Platinchlorid.
²⁾ Messungen mit dem Zeißschen Becherapparat; Vergleichsprima = 100 vH.

allgemein bestätigt. Auf alle Fälle ist aber eine gewisse Vorsicht in der Richtung angezeigt, den Langsamfilter kein vorbehandeltes Wasser zuzuleiten, worin das nachweisbare Chlor einen gewissen Grenzwert überschreitet.

Sehr gute Filtrate erhält man u. a. bei huminhaltigen Wässern, wenn man mit Aluminiumsulfat versetztes Wasser unter Ausschaltung des Absitzbeckens zunächst unmittelbar auf das Schnellfilter und erst nach der Durchsetzung des Filters mit Aluminiumhydroxyd das nachfolgende Wasser über das Absitzbecken leitet. Das im Filter befindliche Aluminiumhydroxyd vermag sogar einige Teile des ursprünglichen Rohwasser ohne Chemikalienzusatz zu reinigen.

Durch Zusatz von Kupfersulfat oder Chlor wird das Wachstum von Algen und Organismen verhindert.

Langsamwirkende Sandfilter

Die älteste Form der Filtrierung zur endgültigen Bereitung von Oberflächenwassern ist die Langsamfiltrierung, bei der durch Sandfilter von etwa 80 cm wirkender Sandhöhe bei einem Filterkorn von 0,8 bis 1,2 mm nur eine tägliche Filterergiebigkeit von etwa 2,5 m³ erzielt wird. Die Wirkungsweise dieser Filter beruht auf einer mechanischen Siebwirkung, teils auf biochemischen Vorgängen zum Abbau der Schmutzstoffe und Bakterien. Diese Filter, die vor bald 100 Jahren in England aufkamen, haben sich während dieser Zeit als vorzügliche Bakterienfilter bewährt. Sie haben jedoch den Nachteil, daß feine tonige und kolloidale Trübungen im Wasser nicht zurückgehalten werden und bei der verhältnismäßig kleinen Filtergeschwindigkeit umfangreiche Flächen und damit große Kapitalfestlegungen notwendig werden.

Dies führte zum Bau von Schnellfiltern.

Grundsätzlich unterscheidet sich das Reinigungsverfahren der Schnellfiltrierung dadurch von der Langsamfiltrierung, daß die Trübungstoffe und die färbenden Bestandteile der Oberflächenwasser erst mit Chemikalien, Aluminium- oder Eisensalzen u. U. a. durch Kalkzusatz, ausgefällt werden und das Wasser nach Vorbehandlung in Absz Becken mit einer täglichen Belastung der Filterfläche von 100 bis 150 m³/m² das Schnellfilter durchläuft. Nach Rückspülen mit Reinwasser und Druckluft werden die Filter gereinigt. Seine Entwicklung nahm dieses Wasserreinigungsverfahren von Amerika aus, weil das Flußwasser, das dort in großem Umfang für Zwecke der Trinkwasserversorgung benutzt wird, durch tonige und humöse Verunreinigungen häufig getrübt ist und bei Langsamfiltration allein nicht zum Ziele führen würde. Schnellfilter haben dabei den weiteren Vorteil, daß sie sich einem raschen Wechsel in der Wasserbeschaffenheit durch die Vorbehandlung des Wassers anpassen lassen. Bei der Verwendung für Trinkwasserzwecke muß das Filtrat noch entkeimt werden.

Das gleiche Verfahren findet auch Anwendung bei der Enteisung und Entmanganung und in der Industrie überall da, wo man das Wasser mit geringen Kosten und in beschränktem Raum reinigen muß.

Entkeimung des Wassers

Die einfachste Art der Entkeimung stellt das Abkochen des Wassers dar. Wenn dieses Verfahren für die Zwecke zentraler Wasserversorgungen der hohen Kosten wegen nicht in Betracht kommt, so hat doch der einzelne Verbraucher dadurch ein Mittel in der Hand, um sich bei Gebrauch von Seuchen wirkungsvoll zu schützen. Das einfachste Verfahren zur Entkeimung von Trinkwasser ist zur Zeit die Chlorung. Neben der oxydierenden und keimtötenden Wirkung des in statu nascendi entstehenden Sauerstoffes ($2\text{Cl}_2 + 2\text{H}_2\text{O} = 4\text{HCl} + \text{O}_2$), scheint das Chlor eine spezifische Giftwirkung auf die Mikroorganismen auszuüben. Statt des früher üblichen Chlorkalks wird heute für Desinfektionen kleineren Umfanges das lagerbeständige Caporit, ein Kalziumhypochlorit mit rd. 75 vH wirksamem Chlor, verwendet. Das Hypochlorit bildet intermediär unterchlorige Säure, die in Trinkwasserstoff und naszierenden Sauerstoff zerfällt. Weiter werden benutzt das Elektrolytchlor (Natriumhypochlorit) und das Chloramin. Bei letzterem Verfahren verursachen auch hohe Chlorzusätze keinen unangenehmen Geschmack. Für größere Wasserversorgungen stellt sich der Gebrauch von Chlorgas, das in Stahlflaschen oder bei großem Verbrauch in Behältern, in flüssiger Form im Handel, am einfachsten und billigsten.

Die zur vollständigen Entkeimung notwendige Chlormenge ist abhängig von dem Chlorbindungsvermögen, dem chlorverbrauchenden organischen Stoffe des Wassers. Es genügen für die Trinkwasser-Entkeimung ganz geringe Mengen, etwa 0,1 bis 0,3 g/m³. Die Wirkung des Chlors geschieht entweder unmittelbar oder als einer wässrigen Chlorklösung (Verfahren der Chlorkalk-Gesellschaft). Die Chlorung bedarf einer sorgfältigen

Überwachung. Ein kleiner Überschuß an Chlor ist notwendig, doch darf Chlorgeschmack nicht auftreten. Zur raschen Nachprüfung eignet sich die Benzidinprobe, wobei sich freies Chlor durch Blaugrünfärbung des Wassers zu erkennen gibt. Spuren von Phenolen, die durch Ausflockung und Filtration nicht entfernt werden, können dem gechlorten Wasser einen jodoformähnlichen Geschmack verleihen.

Als weitere Sterilisationsverfahren sind noch die Ozonisierung und die Behandlung des Wassers mit ultravioletten Strahlen zu nennen. Das erstere Verfahren ist dem wesentlich billigeren Chlorungsverfahren gegenüber in den Hintergrund getreten; die Behandlung mit ultravioletten Strahlen hat sich wegen gewisser technischer Mängel noch nicht allgemein einführen vermocht.

Geruch- und Geschmacksverbesserung

Nachdem es gelungen ist, die Entfärbung, Klärung und Entkeimung von Oberflächenwassern in befriedigender Weise durchzuführen, sind nunmehr auch Bestrebungen im Gange, dem Wasser jeglichen unangenehmen Geruch und Geschmack zu nehmen. Auf die geschmacksverbessernde Wirkung der Vorchlorung wurde bereits hingewiesen. Ein ausgezeichnetes Mittel sind ferner die aktiven Kohlen, die infolge ihrer Kapillarität und großen Oberfläche, je nach der Art ihrer Herstellung, ein mehr oder weniger starkes Absorptionsvermögen sowohl für Geruch- als auch für Geschmackstoffe haben. Der hohe Preis stellt ihre Verwendung noch in Frage. Neuerdings wird versucht, durch Luftbehandlung unter gleichzeitigem Zusatz von Chlor oder von Kaliumpermanganat zum Ziele zu gelangen. Es ist zu hoffen, daß diese Arbeiten zum Erfolg führen. Die oben schon erwähnte Zugabe von Chlor bei der Vorbehandlung des Rohwassers mit Chemikalien wirkt gleichzeitig geschmacksverbessernd.

Enteisung

Das Eisen findet sich im Wasser meist als Eisenbikarbonat, $\text{Fe}(\text{HCO}_3)_2$, gelöst. Sofern es in größerer Menge vorhanden ist, bewirkt es durch seine allmähliche Ausscheidung Trübung und Färbung und vielfach einen unangenehmen, tintenartigen Geschmack des Wassers. Ferner können eisenspeichernde niedere Lebewesen ein Verstopfen der Rohrleitungen verursachen, was unter Umständen zu schweren Störungen in der Wasserversorgung führt. Die Beseitigung des Eisens ist, sofern es nicht als Eisenumat vorliegt, einfach. Man belüftet das Wasser. Dabei wird das Eisenbikarbonat oxydiert und in braunes Eisenhydroxyd umgewandelt. Die frei werdende Kohlensäure entweicht mit der Luft.

Zur Enteisung huminstoffhaltigen Wassers sind zur Zeit Versuche im Gange, die Aussicht auf Erfolg haben. Man hofft, durch Chlorzugabe das Eisen von der Huminsäure zu lösen und in eine leichter absehbare Form zu bringen.

Man unterscheidet zwischen offenen und geschlossenen Enteisungsanlagen. Bei offenen Anlagen läßt man das Wasser über Koks, Ziegel u. ä. rieseln oder regnen. Bewährt hat sich auch das Zersprühen durch sogen. Horndüsen (Amsterdamer Düsen), wobei die Wasserteilchen gleichzeitig einer starken Stoßwirkung ausgesetzt sind. Der Oxydation schließt sich im Absz Becken die Umwandlung des kolloidalen Eisenhydroxyds in solches der Gelform an. Diese vollzieht sich von selbst, erfordert aber eine gewisse Reaktionszeit. Zum Entfernen der noch vorhandenen Eisenflocken filtriert man mittels Schnellfilter. Die geschlossenen Enteisungsanlagen bestehen aus schmiedeisernen Kesseln mit entsprechender Einrichtung; sie zeichnen sich durch geringe Betriebskosten und geringen Platzbedarf aus, auch sind sie gegen Verunreinigungen besser geschützt als die offenen Anlagen. Als Kontaktstoff wird feiner Quarzsand oder Quarzkies verwendet und das Rohwasser unter Zugabe von Druckluft hindurchgeleitet. Die Apparate werden durch einfache Rückspülung gereinigt. Die Enteisung sollte möglichst bis zu einem Gehalt unter 0,1 mg/l durchgeführt werden.

Entmanganung

Neben Eisen findet sich vielfach auch Mangan im Grundwasser. Das Wasser ist bei höheren Gehalten häufig gefärbt, schmeckt schlecht und verursacht ähnlich dem Eisen Verstopfung der Rohrleitungen durch mangan-speichernde Algen. Für Wäschezwecke ist es völlig ungeeignet, da hierbei braune Flecken in den Wäschestücken auftreten. Die Entmanganung kann entweder auf chemisch-mechanischem oder biologischem Wege erfolgen, auch die Vereinigung beider Verfahren führt zum Ziel.

Die chemischen Reinigungsverfahren beruht auf einfacher Rieselfung über Koks oder durch Sandfilter, auf denen sich infolge Oxydation hydriatisches Manganoxyd niederschlägt, das auf weitere Manganmengen eine katalytische Wirkung ausübt und sie im Kontaktkörper niederschlägt. Der überschüssige Schlamm wird durch Rückspülung entfernt. In ähnlicher Weise wirkt Manganpermutit, das man durch Einwirkung von Manganchlorür auf gewöhnliches Permutit erhält. Gibt man zu diesem noch Kaliumpermanganatlösung, so bildet sich ein reaktionsfähiger Manganniederschlag von hydratischem Oxyd. Die Regeneration läßt sich durch Behandlung mit einer Kaliumpermanganatlösung von geringer Konzentration durchführen.

Die biologische Entmanganung geht in der gleichen Weise vor sich, daß man das Wasser durch Kiesfilter drückt, die mit manganaufnehmenden Algen (*Clonothrix* und *Crenotrix*) besiedelt sind. Auch hier wird der überschüssige Schlamm durch Rückspülung beseitigt. Einen höheren Gehalt als 0,1 mg/l sollte Trink- und Gebrauchswasser nicht haben.

Enthärtung

Wasser für industrielle Zwecke bedürfen, um sie verwenden zu können, vielfach einer besonderen Aufbereitung. Vorwiegend handelt es sich darum, das Gebrauchswasser zu enthärten. Die Entfernung der Kesselsteinbildner aus dem Wasser ist nicht nur für die ordentliche Durchführung des Dampfkesselbetriebes von größter Wichtigkeit, sondern auch ein dringendes Erfordernis für manche verarbeitenden Industrien.

Die chemischen Reinigungsverfahren, wie das Kalksoda- und das Permutitverfahren, die die weiteste Verbreitung gefunden haben, ermöglichen zwar eine mehr oder weniger restlose Beseitigung der Kalk- und Magnesiumsalze, doch verbleiben dabei die übrigen Salze des Wassers in diesem, und durch die Reinigungsmittel selbst werden neue Ionen eingebracht.

Die thermische Reinigung durch Destillation und die der Elektro-Osmose dagegen gestatten eine vollständige Entsalzung des Wassers. Das bekannte Kalksodaverfahren verwendet zur Entfernung der Bikarbonate des Kalziums und Magnesiums (Karbonathärte) Kalziumhydroxyd in Form von Kalkwasser.

Eine Herabsetzung der Härte auf 1 bis 2 Härtegrade ist leicht zu erreichen.

Das Permutitverfahren bedient sich der künstlichen Zeolithe. Das zu enthärtende, kalte Wasser strömt in einem geschlossenen eisernen Behälter langsam durch den feinkörnigen Stoff und läßt sich dabei mit Leichtigkeit bis auf 0° enthärten. Gleichzeitig bilden sich Natriumbikarbonat und Natriumsulfat. Das Natriumbikarbonat zerfällt im Kessel in Kohlensäure und Natriumkarbonat, und durch weitere Kohlensäureabsaltung entsteht schließlich Natriumhydroxyd. Die Auffrischung des Enthärtungskörpers erfolgt nach dem Rückspülen mit Wasser durch Behandlung des Zeoliths mit einer zehnprozentigen Natriumchloridlösung. Das Permutitverfahren arbeitet fast ganz selbsttätig ohne Dosierungseinrichtungen mit großer Sicherheit und ist einfach zu handhaben. Es eignet sich besonders für Wasser mit stark schwankender Zusammensetzung.

Es sei noch auf zwei von *Balcke* herausgebrachte Enthärtungsverfahren hingewiesen, auf das Impfverfahren und das Plattenkochverfahren. Beim Impfverfahren werden die Kesselsteinbildner mit Salzsäure

als Impfflüssigkeit in Chloride übergeführt. Seine Anwendung ist auf Vorwärmer, Verdampfer und dergl. beschränkt. Zur Reinigung von Kesselspeisewasser kommt es wegen des sich bildenden Chlormagnesiums, das u. u. im Kessel freie Säure abspaltet, nicht in Frage.

Beim Plattenkochverfahren wird das Heißdampf rasch auf 100° erhitzte Rohwasser durch Platten-elemente geführt, wobei die Bikarbonate des Wassers ausgefällt werden. Die bleibende Härte ist durch Soda zu entfernen.

Ein neues, viel versprechendes Verfahren zur völligen Entsalzung des Wassers auf kaltem Weg ist die der Elektro-Osmose (Siemens & Halske, A.-G.). Hierbei werden die Ionen der Salze des Wassers durch elektrischen Gleichstrom an den Elektroden einer Reihe von Zellen abgeschieden. Jede Zelle ist durch zwei Diaphragmen in einen Mittelraum und zwei Elektrodenräume geteilt. Die Mittelräume sind miteinander durch Heber verbunden; sie nehmen bei der ersten Zelle das Rohwasser auf und geben bei der letzten Zelle das vollständig entsalzte Wasser ab. Die aus den Mittelräumen abwandernden Bestandteile müssen aus den Elektrodenräumen durch dauernde Spülung mit kleinen Frischwassermengen entfernt werden. Bei billigem Nachtstrom erscheint das Verfahren besonders günstig.

Eng verknüpft mit der Erzeugung von Hochstdampf ist die Gewinnung von völlig entsalztem Wasser, auch sind zahlreiche Industrien auf ein so weitgehend gereinigtes Gebrauchswasser angewiesen. Der übliche Weg der Aufbereitung ist der der Destillation. Sofern das Wasser Speisezwecken dient, ist weitgehende Entgasung notwendig. Auch muß es vor erneuter Gasaufnahme geschützt werden.

Die Entsäuerung eines Wassers

Die Entsäuerung ist heute keine ungelöste Aufgabe und läßt sich in einfacher Weise durchführen, und zwar auf mechanischem oder chemischem Wege. Die mechanische Entsäuerung ist allerdings nicht vollständig. Bei Wasser, dessen Karbonathärte über 5 D.H. liegt, ist es in der Regel ohne Belang, nicht dagegen bei sehr weiches Wasser, dessen Gesamtgehalt an freier Kohlensäure praktisch aggressiv wirkt. Bei der mechanischen Ausscheidung der freien Kohlensäure handelt es sich um eine Abschwächung mit Luft entweder durch Zerstäubung des Wassers mittels Düsen oder, weniger wirkungsvoll, durch dessen Verteilung im Regenfall. Auch durch Rieseln des Wassers über Koks, Ziegel usw. u. U. auch mit Abspumpen, läßt sich der Kohlensäuregehalt vermindern. In harten Wassern kann die mechanische Entsäuerung unter Trübungen, d.h. Ausscheidung von Kalziumkarbonat, verursachen.

Die chemische Entsäuerung beruht entweder auf der Neutralisation der freien Kohlensäure mit Kalkhydrat, Ca(OH)_2 , in Form von Kalkwasser oder der Bindung an Marmor, CaCO_3 , unter Bildung des wasserlöslichen Kalziumkarbonat, $\text{Ca(HCO}_3)_2$, in einem wie im andern Fall ist vollständige Entsäuerung zu erreichen. Die Filtrierung durch Marmor Kies bedarf nur geringer Überwachung, weil nur so viel Kalziumkarbonat in Lösung gehen kann, als der vorhandene aggressive Kohlensäure entspricht. Doch brauchen Filter viel Platz und erhebliche Kapitalfestlegung.

Die Neutralisation mit Kalkwasser erfordert Dosierung, Löse- und Zuteilungsgeräte und eine ständige Überwachung der Kalkzugabe. Zu große Zusatzen führen u. U. zu Trübungen, die nur schwer zu beseitigen sind; andererseits beobachtet man aber bei starker Dosierung in den Rohrleitungen die Bildung einer zusammenhängenden, schützenden Kalziumkarbonathaut. Die Apparatur beansprucht nur wenig Platz und arbeitet bei Bauart *Bücher* vollkommen selbsttätig. Zweckmäßigerweise entfernt man einen Teil der Kohlensäure auf mechanischem Weg und den Rest durch chemische Mittel. Diese Verbindung verhindert ein zu großes Steigen der Härte des Wassers. [B 2769]

Neuere Bauarten motorischer Wassermesser

Dipl.-Ing. G. EGGERS, Berlin-Ruhleben

Betriebseigenschaften von Druckunterschiedmessern und motorischen Messern
— Für die Messung kleiner Wassermengen verwendet man Flügelradmesser, die als Einstrahl- und Mehrstrahlmesser gebaut werden; ihre Regel- und Stauorgane, Vergrößerung der Meßdauerhaftigkeit und Lebensdauer von Flügelradmessern durch Verwendung korrosionssicherer Werkstoffe. — Zur Erfassung größerer Wassermengen verwendet man Woltmanmesser: Woltmanmesser mit stehenden Flügeln für Rohrbrunnen. — Wassermesser-Kombinationen dienen zum Messen stark schwankender Durchflußmengen; Woltman-Kombinationen mit Klappenventilen; Flügelrad-Kombinationen in Parallel- und Hintereinanderschaltung mit gemeinsamem Gehäuse. — Kritik der Volumenmessung.

Abb. 2
Mehrstrahl-Trockenläufer.
rd. $\frac{1}{2}$ nat. Gr.

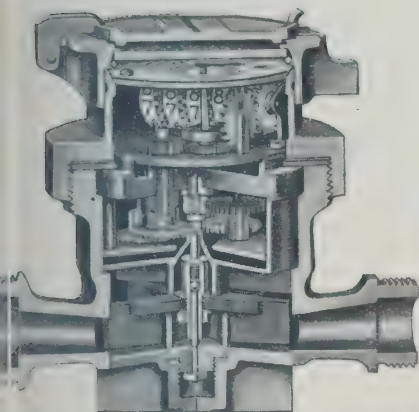


Abb. 1
Einstrahl-
Trockenläufer;
d. $\frac{1}{2}$ nat. Gr.

Abb. 1 bis 3.
Flügelrad-
Wassermesser.

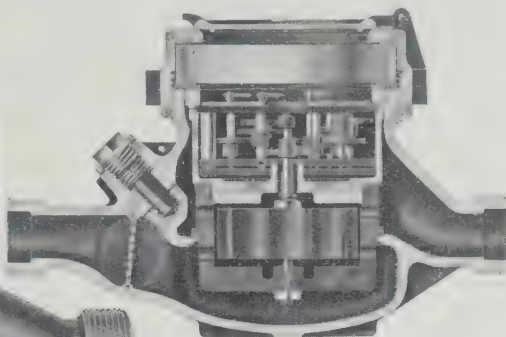
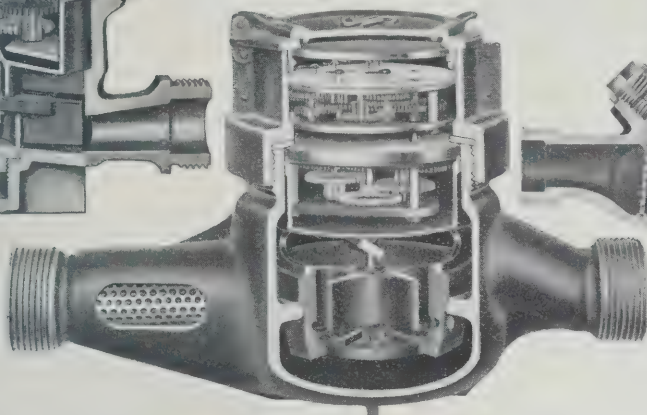


Abb. 3
Mehrstrahl-Naßläufer;
rd. $\frac{1}{3}$ nat. Gr.

Die Wassermessung bildet heute bei den weitaus meisten Wasserwerkbetrieben die Grundlage für die Berechnung der an die Verbraucher abgegebenen Wassermengen. Vorbedingung für ein wirtschaftliches Arbeiten der Wasserwerke sind Wassermesser, deren Meß- und Betriebseigenschaften stets eine hinreichend genaue Angabe aller Durchflußmengen gewährleisten. Die Ansprüche, die man an die Eigenschaften der Messer stellt, sind je nach ihrer Verwendung verschieden.

Man unterscheidet Fördermesser und Verbrauchsmesser. Fördermesser dienen in Wasserwerkbetrieben zum Feststellen der von den Wassergewinnungs- und -aufbereitungsanlagen gelieferten Wassermengen, die in das Rohrnetz eingebauten Verbrauchsmesser dagegen zum Messen der Durchflußmengen von Haupt- und Verteilerleitungen, des Wasserbedarfes von ganzen Bezirken oder des Einzelverbrauches der an die Verteilerleitungen angeschlossenen Grundstücke.

Als Fördermesser verwendet man neben den größeren Woltman-Messern heute in steigendem Maße Druckunterschiedmesser (Venturi-Messer), wohingegen die Verbrauchsmesser fast ausschließlich motorische Wassermesser sind. Der Unterschied dieser Konstruktionen besteht darin, daß bei den Druckunterschiedmessern zur Messung eine düsenartige, von beweglichen Teilen freie Rohrverengung dient, bei motorischen Wassermessern dagegen ein im Wasserstrom stehendes und von diesem unmittelbar angetriebenes Meßorgan (Flügelrad, Meßkammer mit Scheibe oder Nadelrad) benutzt wird. Daraus ergibt sich die besondere Eignung und Betriebsicherheit der Druckunterschiedsmesser für große Leistungen. Motorische Wassermesser dagegen haben eine höhere Meßeempfindlichkeit in größeren Meßbereichen; sie sind deshalb besonders für die Messung kleiner und mittlerer Durchflußmengen geeignet, die sie auch bei stark schwankenden Leistungen ohne Nachweg noch richtig erfassen.

Flügelrad-Wassermesser

Für kleine Durchflußmengen und Anschlußweiten verwendet man in Deutschland seit Jahrzehnten fast ausschließlich Flügelrad-Wassermesser, die in zwei Aus-

führungen, und zwar als „Einstrahlmesser“ und als „Mehrstrahlmesser“ hergestellt werden. Das Flügelrad, das bei der Einstrahlmesser-Bauart, Abb. 1, unmittelbar im Messergehäuse läuft, ist beim Mehrstrahlmesser, Abb. 2 und 3, von einem Meßbecher umgeben, dessen Mantel mit mehreren, gleichmäßig auf den Umfang verteilten tangentialen Kanälen versehen ist. An Stelle der Beaufschlagung des Flügelrades auf einer Seite durch den ungeteilten Wasserstrom des Einstrahlmessers erhält das Flügelrad des Mehrstrahlmessers Antrieb von allen Seiten durch den in Teilströme aufgelösten Wasserstrahl.

Mehrstrahl- und Einstrahlmesser werden als Trockenläufer und Naßläufer gebaut. Die ältere Trockenläuferausführung, Abb. 1 und 2, wird infolge ihrer geringeren Empfindlichkeit gegen die Beschaffenheit des Wassers meist bevorzugt. Jedoch können Wasserwerke, die über gut aufbereitetes Wasser verfügen, heute im allgemeinen auch ohne Schaden den Naßläufer, Abb. 3, verwenden. Der Unterschied in der Getriebeausführung der beiden Konstruktionen beruht darauf, daß das Getriebe des Trockenläufers in ein naßlaufendes Zählwerk mit schnelllaufenden Rädern und in ein trockenlaufendes Zeigerwerk mit langsam laufenden Rädern geteilt ist, während beim Naßläufer alle Räder in einem unter Wasser laufenden Getriebe vereinigt sind.

Die Stopfbüchse, das Abdichtungsorgan für die durch die Trennplatte des naß- und trockenlaufenden Getriebeteiles hindurchgeführte Verbindungswelle, ist eines der wichtigsten Organe des Trockenläufers, von dessen richtiger Ausführung die Betriebsicherheit und Meßdauerhaftigkeit des Wassermessers wesentlich abhängt. Denn die Stopfbüchse muß nicht nur jederzeit einwandfrei gegen das Wasser abdichten, sondern ihre Reibung und ihr Verschleiß sollen so gering wie nur möglich sein, damit die dem Flügelradmesser eigene hohe Meßeempfindlichkeit erhalten bleibt.

Deshalb müssen die Stopfbüchsen mit größter Genauigkeit hergestellt werden. Toleranzen von 0,005 mm sind bei der Fertigung dieses Teils heute keine Selten-

heit mehr. Die Laufflächen der Stopfbüchse sind gegen das Eindringen von Wasser durch eine mit wasserbeständigem Fett gefüllte Kapsel geschützt.

Die Naßläufer haben wegen Fortfalls der Stopfbüchse anfangs eine etwas höhere Meßempfindlichkeit, jedoch pflegt diese infolge der größeren Verschmutzungsgefahr des Naßläufergetriebes im Betrieb meist schneller abzunehmen als beim Trockenläufer.

Über die Notwendigkeit, daß die Flügelradmesser auch das rückwärts fließende Wasser mit der gleichen Genauigkeit wie das vorwärtsfließende erfassen, herrschen zur Zeit noch unterschiedliche Ansichten. Der für das Rückwärtsfließen oder Hin- und Herpendeln der Wassermengen angeführten Hauptursache, nämlich der Bildung von Luftsäcken in der Rohrleitung, dürfte bei richtig verlegten Rohrleitungen nur geringe Bedeutung beizumessen sein. Immerhin bereitet es keine Schwierigkeiten, selbst Mehrstrahlmesser so auszuführen, daß sie auch das rückwärts fließende Wasser genau anzeigen. Die Austrittöffnungen des Wassers aus dem Meßbecher dürfen in diesem Fall nicht oberhalb des Flügelrades, s. Abb. 2, sondern müssen in der Höhe der oberen Flügelradkante im Meßbecher, und zwar ebenfalls als Kranz tangentialer Kanäle angeordnet sein, bei denen die Beaufschlagungsrichtung der der darunterliegenden Eintrittskanäle entgegengesetzt ist, s. Abb. 3. Einstrahlmesser messen infolge der symmetrischen Anordnung ihrer Ein- und Auslaufstutzen auch das rückwärtsfließende Wasser ohne besondere Vorrichtungen mit der gleichen Genauigkeit wie das vorwärtsfließende.

Zifferblätter mit umlaufenden Zeigern sind bei den Flügelradmessern wie bei allen motorischen Wassermessern in Deutschland heute noch vorherrschend. Die schon seit längeren Jahren gebauten und in letzter Zeit vielfach verbesserten Rollenzählwerke mit springenden Ziffern kommen zwar dem Bedürfnis, das Meßergebnis in Zahlen ablesen zu können, entgegen, jedoch sind die Ansichten darüber, ob ihre Betriebseigenschaften die der bewährten Zeigerwerke bereits erreichen, geteilt.

Der Notwendigkeit, den Messer bei der Prüfung im Lieferwerk und nach Instandsetzungsarbeiten in der Ausbesserwerkstatt des Wasserwerkes bei der Nacheichung zu regulieren, wird dadurch Sorge getragen, daß Flügelradmesser mit besonderen Reguliervorrichtungen von 5 bis 10 vH Regulierbereich ausgerüstet werden. Reguliervorrichtungen, die ohne Auseinandernehmen und Ausbau des Messers aus der Prüfvorrichtung von außen betätigt werden können, führen sich immer mehr ein. Die Reguliervorrichtung des Mehrstrahlmessers, Abb. 2, besteht aus einer über dem Flügelrad drehbar angeordneten Fläche, Abb. 4, die je nach ihrem Neigungswinkel den im Meßbecher schraubenförmig aufsteigenden Wasserstrom mehr oder weniger ablenkt und dadurch die Drehzahl des Flügelrades beeinflusst. Die Regelfläche läßt sich nach Lösen einer Verschlußschraube in der Gehäusewandung des Messers durch einen Vierkantschlüssel von außen drehen. Der Mehrstrahl-Naßläufer, Abb. 3, wird reguliert durch Drehen eines Regelkükens, das in einem Verbindungskanal zwischen dem Einlaufstutzen und dem Raum oberhalb des Meßbeckers angeordnet ist. Zeigt der Messer zu wenig an, läuft also das Meßwerk zu langsam, so wird die Verbindungsleitung gedrosselt, so daß mehr Wasser durch das Meßwerk strömen muß, und umgekehrt.

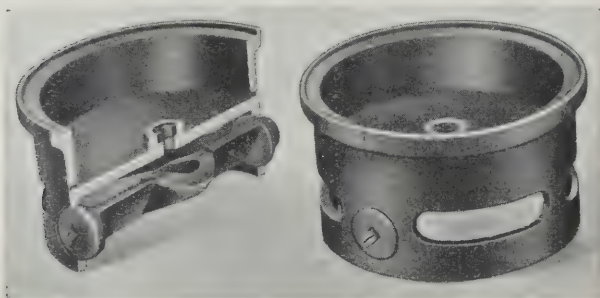
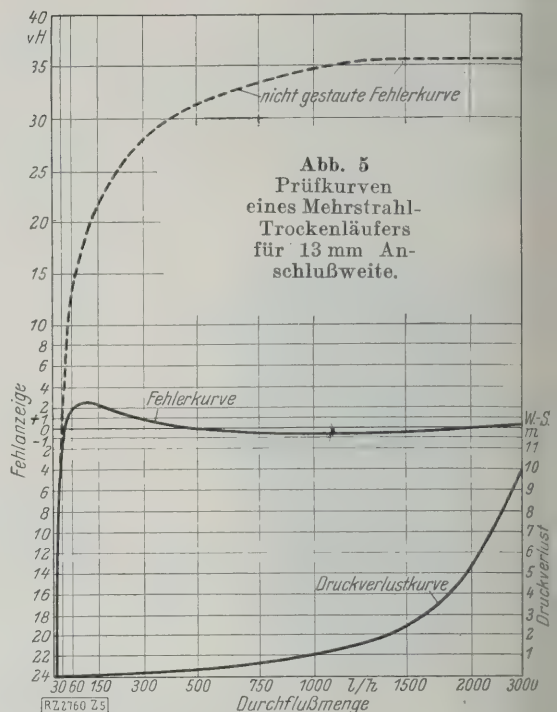


Abb. 4. Reguliervorrichtung des Trockenläufers nach Abb. 2.



Ein wesentlicher Bestandteil des Meßwerkes Flügelradmesser sind die über oder unter dem Flügel angeordneten Staurippen, Abb. 2 und 3, ohne eine hohe Meßempfindlichkeit bei Flügelradmessern nicht zu erzielen ist. Ihnen fällt die Aufgabe zu, durch die Stauwirkung die Flügelradgeschwindigkeit mit steigender Durchflußmenge zunehmend zu drosseln und dadurch den Schlupf zwischen Umlaufgeschwindigkeit des Flügelrades und Durchflußgeschwindigkeit des Wassers, der mit steigender Durchflußmenge abnimmt, entgegenzuwirken, so daß der Schlupf bereits von einer möglichst niedrigen Durchflußmenge an stets gleich bleibt. Gleichhalten des Schlupfes ist Vorbedingung für eine hohe Meßempfindlichkeit, also dafür, daß die Fehlerkurve des Messers, die die einzelnen Durchflußmengen die Größe der Meßfehler in Hundertteilen angibt, schon von einer möglichst geringen Leistung ab innerhalb der zulässigen Toleranz von ± 2 vH liegt.

Nach Abb. 5 verläuft die Fehlerkurve eines kleineren Flügelrad-Wassermessers bei niedrigen Durchflußmengen (bis 60 l/h) steil ansteigend, um oberhalb der Nulllinie bei etwa $+2$ vH, umzubiegen und sich in entgegengesetzter Richtung wiederum der Nulllinie zu nähern. Dieses Umbiegen der Kurve wird im wesentlichen durch die Wirkung der Staurippen erzielt. Bei Nichtvorhandensein des Stauorgans würde die Kurve, wie punktiert, weiter steigen und erst bei bedeutend höheren Durchflußleistungen einen wagerechten Verlauf einnehmen oder in den Toleranzbereich einlaufen. Der Messer würde dann kleine Durchflußmengen entweder überhaupt nicht oder nur mit sehr großen Meßfehlern anzeigen, so daß er für genaue Messungen kleiner Verbrauchsmengen nicht geeignet wäre.

Bei einzelnen Bauarten sind die Staurippen mit der Reguliervorrichtung vereinigt. Bei dem Einstrahlmesser, Abb. 1, ist über dem Flügelrad eine einzige große Staurippen angeordnet, mit der man den Messer dadurch reguliert, daß man den Meßwerkeinsatz, an dessen Boden die Schiene befestigt ist, um einen bestimmten Winkel dreht. Entscheidend für die Zweckmäßigkeit einer derartigen Vorrichtung ist, daß durch das Drehen der Schiene der charakteristische Verlauf der Fehlerkurve möglichst wenig geändert wird. Denn durch das Nachregulieren soll zwecks Wiedergewinnung der anfangs vorhandenen Meßempfindlichkeit lediglich eine Parallelverschiebung der charakteristischen Fehlerkurve in ihrer Höhenlage bewirkt werden. Durch Trennung d

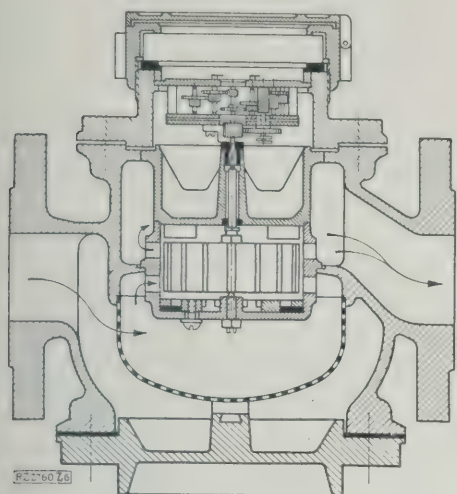


Abb. 6
Flügelrad-Wassermesser großer Ausführung;
Mehrstrahl-Naßläufer; rd. $\frac{1}{4}$ nat. Gr.

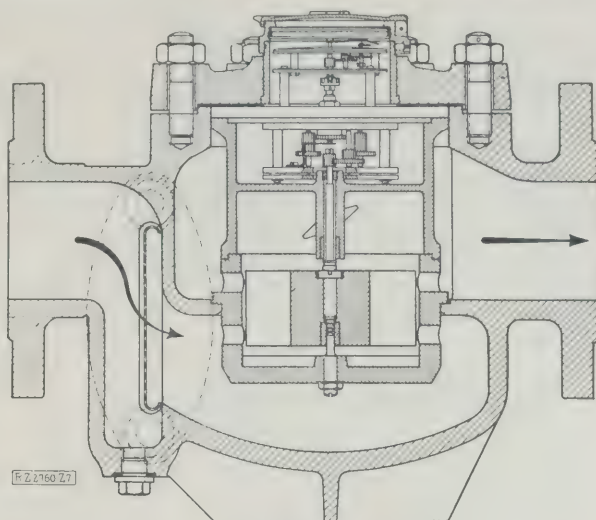


Abb. 7
Flügelrad-Wassermesser großer Ausführung;
Mehrstrahl-Trockenläufer; rd. $\frac{1}{4}$ nat. Gr.

Plane für Stauwirkung und Regelvorrichtung ist dieses
einfachsten und sichersten zu erreichen.

Die im Wassermesserbau erzielten Fortschritte der
letzten Jahre bestehen neben einer Verbesserung der
Eigenschaften vor allem in einer Steigerung der Meß-
genauigkeit und Betriebssicherheit. Die Vergrößerung der Meßempfindlichkeit hat man durch
Verringerung des Gewichtes der laufenden Teile des
Messerwerkes, namentlich des Flügelrades, durch Verwen-
dung besonders leichtgängiger Spurlager der Getriebe-
wellen Flügelradwellen und durch konstruktive Maßnahmen
verschiedener Art erreicht. Hierzu zählt auch der Ver-
brauch, die Spitzenlagerung des Flügelrades (Achat-Spur-
lager auf Hartgummispitze) durch die sogen. „Kugel-
lagerung“ (Kugel aus nicht rostendem Stahl) zu ersetzen,
Abb. 1.

Mindestens ebenso wichtig wie die Verbesserung der
Eigenschaften ist die Forderung, daß die Messer ihre
Eigenschaften lange Jahre hindurch unverändert bei-
behalten und von den zerstörenden Wirkungen des Was-
sers möglichst wenig beeinflusst werden. Die Aufgabe
der Weiterentwicklung der Wassermesser steht daher in
engstem Zusammenhang mit einer befriedigenden Lö-
sung der Werkstoff- und Korrosionsfrage. Einen Bau-
stoff, der den Angriffen des Wassers nicht ausgesetzt ist, stellt das
Gummi dar, das wegen seines geringen spezifischen
Gewichtes, seines gleichmäßigen, dichten Gefüges und
seiner verhältnismäßig hohen Festigkeit als Bau-
material für Meßbecher, Flügelräder und Platinen der naß-
laufenden Getriebe bevorzugt wird. Die unter Wasser
laufenden Getrieberäder bestehen hingegen meist noch aus
Metall. Diejenigen mit dem Wasser in Berührung kom-
menden Innenteile, für die aus Gründen der Festigkeit
und der Herstellbarkeit keine isolierenden Stoffe, sondern
Metalle, und zwar meist Kupferlegierungen verwandt wer-
den, versieht man tunlichst mit Schutzüberzügen. Denn
auch Legierungen mit hohem Kupfergehalt sind nicht
gänzlich sicher gegen Anfrassungen.

Die Aufgabe der Werkstoffauswahl für die Schutz-
überzüge ist bei den einzelnen Wassermesserbauarten
verschieden gelöst. Feuer- oder galvanisch verzinn-
te Teile sind namentlich in Amerika vorherrschend.
Ein neuartiges Verfahren besteht darin, daß man die Ge-
häuse und gefährdeten Innenteile mit einem isolieren-
den Lacküberzug versieht. Der Lack wird auf die Meß-
oberflächen nach einem besonderen Verfahren auf-
getragen und zeichnet sich durch emailleartige Härte,
Zugfestigkeit und Wasserbeständigkeit aus. Dieses
Verfahren bietet u. a. den Vorzug, daß sich örtliche gal-
vanische Elemente, die bei der Berührung zweier Metalle
(Zinn und Kupferlegierung) im Wasser entstehen und
korrosionsfördernd wirken, nicht bilden können.

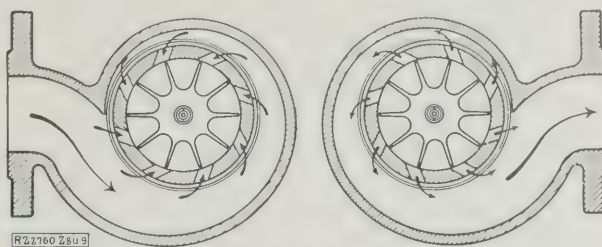


Abb. 8 und 9
Spiralgehäuse des Flügelrad-Wassermessers
nach Abb. 7.

Flügelradmesser werden in Deutschland bis zu An-
schlußweiten von 150 mm und mehr hergestellt. Bei
10 mm l. W. betragen die normalen Tagesbeanspruchungen
4 m³, bei 150 l. W. etwa 450 m³. Bis zu 50 mm l. W. be-
stehen die Gehäuse meist aus Bronze, für größere Aus-
führungen, Abb. 6 und 7, sind Gehäuse aus Guß-
eisen mit Flanschanschlüssen vorherrschend. Die Meß-
werke der großen Messer gleichen im wesentlichen den
der bereits beschriebenen kleinen Messer. Lediglich bei
der Gehäusekonstruktion sind kleine Abweichungen er-
wähnenswert. Das schraubenförmige Gehäuse, Abb. 8
und 9, ist eine Übertragung der im Kreiselpumpen- und
Turbinebau üblichen Gehäuseform auf das Gebiet der
Wassermesser, die eine weitere Verbesserung der
Wasserführung bezweckt. Das Sieb wird bei den großen
Messern teils seitlich herausziehbar im Einlaufstutzen,
Abb. 7, teils korbartig, unmittelbar im Gehäuse unter dem
Meßbecher, Abb. 6, angeordnet. Die untere Meßgenauig-
keitsgrenze der kleinsten Bauart (10 mm l. W.) liegt bei
einer Durchflußmenge von etwa 25 l/h, der größten Bau-
art (150 mm l. W.) bei etwa 400 l/h.

Woltman-Wassermesser

Diese Messer sind nach dem Hamburger Wasser-
werkdirektor Woltman benannt, der den von ihm erfun-
denen hydrometrischen Flügel im Jahre 1817 erstmalig
für die Messung der Wassergeschwindigkeit offener
Wasserläufe benutzte. Im Gegensatz zu den Flügelrad-
messern durchfließt das Wasser diesen Messer fast gerad-
linig, ohne umgelenkt zu werden. Woltman-Wassermesser
arbeiten daher mit sehr geringem Druckverlust; dies ist
ein Vorzug, der sie zum Einbau in die größeren Rohr-
stränge von Wasserversorgungsanlagen besonders geeig-
net macht. Sie werden heute für Rohranschlüsse von 50
bis 1000 mm l. W. gebaut. Diese Größen entsprechen zu-
lässigen Tagesbeanspruchungen von etwa 150 m³ bis
120 000 m³ (bezogen auf zehnstündigen Tagesbetrieb).

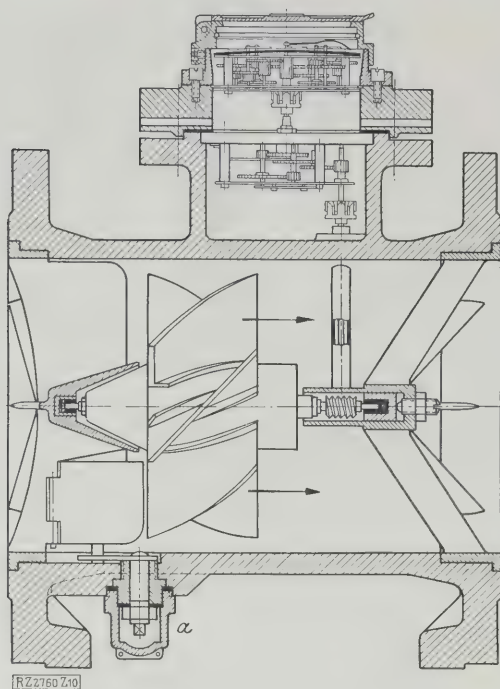


Abb. 10

Woltman-Wassermesser geschlossener Bauart
(200 mm l. W.); rd. $\frac{1}{2}$ nat. Gr.

a Reguliervorrichtung in der wagerechten Mittelebene
seitlich am Gehäuse

Konstruktion, Betriebsicherheit und Meßeigenschaften der Woltman-Wassermesser sind in den letzten Jahren wesentlich verbessert worden. Den liegenden Flügel hat man im Gegensatz zu ausländischen Messerbauarten, bei denen stehende Flügel bevorzugt werden, beibehalten, weil eine geradlinige Wasserführung Haupterfordernis für große Wassermesser ist. Die Kerne der aus Zelluloid oder Hartgummi bestehenden Woltmanflügel sind bei allen Bauarten als Hohlkörper ausgebildet. Die Flügel schwimmen infolgedessen im Wasser, die Flügellager sind entlastet und das Meßorgan erhält einen spielend leichten Gang. Zur Übertragung der Flügelumdrehungen auf das im Messerkopf untergebrachte Trockenläuferwerk dient ein gut eingekapseltes Schneckengetriebe.

Geschlossene Bauarten, Abb. 10, und Ausführungen mit herausnehmbarem Meßwerk, Abb. 11 und 12, bestehen nebeneinander. Die Messer mit herausnehmbarem Meßwerk werden für größere Ausführungen bevorzugt, weil sie die Möglichkeit bieten, daß verschmutzte oder ausbesserungs-

bedürftige Meßwerke aus dem Gehäuse entfernt und durch Reserve-Meßwerke ersetzt werden können, ohne daß das Messergehäuse aus der Leitung ausgebaut werden braucht. Bei Vorhandensein nur eines Meßwerks kann das Messergehäuse nach Herausnehmen des Meßwerkes gegebenenfalls durch einen Blinddeckel geschlossen werden, so daß längere Betriebsunterbrechungen nicht eintreten können. Die mit dem Wasser in Berührung kommenden Teile des Gehäuses sind entweder emailt oder mit Bronze ausgebucht oder ganz aus Bronze gestellt.

Von Wichtigkeit für das richtige Anzeigen des Messers ist der vor dem Woltmanflügel angeordnete Strahlregler. Dieser besteht aus einer Anzahl radialer und konzentrischer Führungsrippen, die die Aufgabe haben, den in die Messer eintretenden Wasserstrom stets in geraden Stromlinien dem Flügel zuzuführen. Es hat sich nämlich gezeigt, daß vor dem Messer angeordnete Krümmer, T-Stücke, Schieber usw. die Strömung beeinflussen und Wirbel verursachen, die die Meßgenauigkeit des Messers beeinträchtigen. Früher ordnete man meist nur in offensichtlichen Bedarfsfällen vor den Messern besondere Strahlregler an, heute werden jedoch die meisten Woltman-Wassermesser mit eingebauten Strahlreglern geliefert, die jedoch bei besonders günstigen Betriebsverhältnissen, namentlich hinter Stücken, meist noch durch besondere vorgeschaltete Strahlregler verstärkt werden.

Stauorgane verwendet man bei Woltman-Wassermessern nicht; denn bei diesen, nur zur Erfassung größer Wassermengen bestimmten Messern, ist eine genaue Messung auch der absolut kleinen und kleinsten Durchflüßmengen im allgemeinen nicht erforderlich. Zudem würde durch Stauorgane der Druckverlust erhöht werden, was dem Verwendungszweck der Woltmanmesser zuwider läuft. Die Fehlerkurve des Woltman-Wassermessers ist daher nicht „gestaut“. Neuzeitliche Woltman-Wassermesser sind heute mit besonderen Regelvorrichtungen ausgerüstet, die von außen betätigt werden können. Sie bestehen durchweg in einer im Strahlregler drehbar angeordneten Leitfläche, die von außen gedreht werden kann. Bei dem Messer mit herausnehmbarem Meßwerk, Abb. 11, befindet sich die Stellvorrichtung für die Regulierung oben auf dem Messerdeckel, bei dem Messer mit geschlossenem Gehäuse, Abb. 10, seitlich am Gehäuse der wagerechten Mittelebene des Messers.

Woltman-Wassermesser werden in Sonderbauart als Standrohr-Wassermesser und neuerdings auch als Brunnenwassermesser hergestellt. Bei diesen sind die Woltmanflügel stehend und die Ein- und Auslaufstutzen senkrecht zueinander angeordnet. Infolge Umlenkung des Wasserstromes hinter dem Meßwerk ist die spezifische Durchlaßfähigkeit etwas geringer als bei

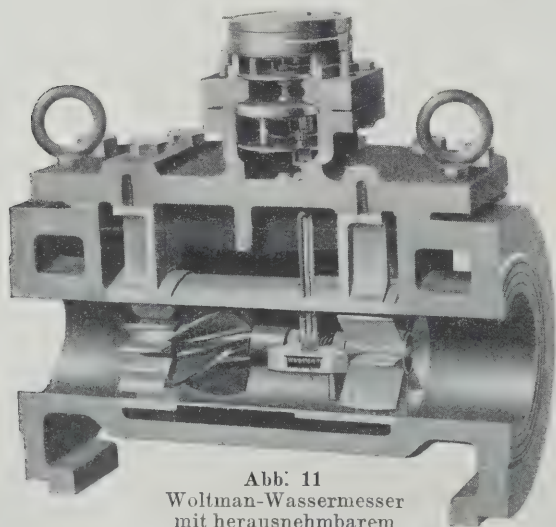


Abb. 11

Woltman-Wassermesser
mit herausnehmbarem
Meßwerk (100 mm l. W.);
rd. $\frac{1}{2}$ nat. Gr.

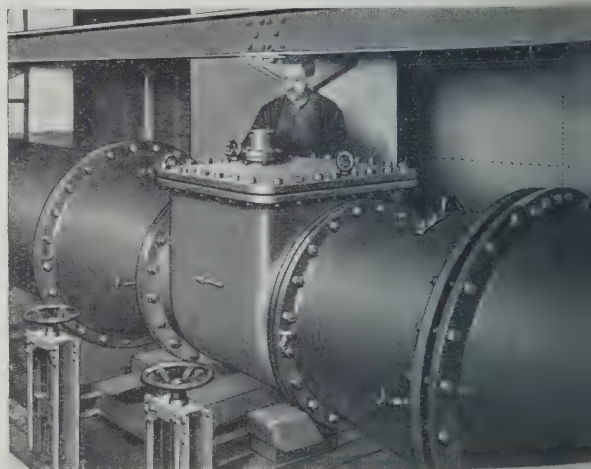


Abb. 12

750 mm-Woltmanmesser mit herausnehmbarem
Meßwerk auf dem Prüfstand.

normalen Woltman-Wassermessern. Bei der Konstruktion des Brunnenmessers, Abb. 13, ist das herausnehmbare Meßwerk beachtenswert. Nach Lösen der Deckelschraube kann es aus dem Gehäuse herausgezogen und ohne Beeinträchtigung seiner Meßeigenschaften in ein anderes Messer-Gehäuse eingesetzt werden. Man kann, wenn nur gelegentliche Kontrollmessungen bei den einzelnen Rohrbrunnen erforderlich sind, also gegebenenfalls

das Meßwerk für eine größere Anzahl Rohrbrunnen verwenden. In die Brunnen-Saugleitungen wird dann je ein Meßwerk, durch einen Blindflansch verschlossenes Messergehäuse eingesetzt. Die Vorzüge des Brunnenmessers bestehen in dem bequemen Einbau.

Der Brunnenmesser kann ohne nennenswerte Änderungen der Rohrleitung an Stelle der normalen Krümmer in die Saugleitung eingefügt werden. Eine Vergrößerung des Brunnenschachtes ist nicht erforderlich, Abb. 14. Wenn man dagegen, wie bisher vielfach üblich, einen normalen Woltman-Wassermesser in die wagerechte Heberleitung einbaut, braucht man mehr Platz als bei der Krümmer, beeinträchtigt durch die vom Krümmer verursachte ungünstige Wasserführung, selbst bei eingebauten Strahlern, häufig die Meßgenauigkeit des Messers. Brunnenmesser werden zur Zeit in den für Rohrbrunnen üblichen Größen von 100, 125 und 150 mm l. W. gebaut.

Wassermesser-Kombinationen

Für Rohrleitungen mit stark schwankenden Durchflüssen reicht häufig die untere Meßgenauigkeit eines großen Wassermessers zur Erfassung der kleinen Wasserentnahmen, deren Summe erfahrungsgemäß einen beträchtlichen Anteil am Gesamtwasserverbrauch ausmacht, aus. Eine genaue Messung ist unter solchen Verhältnissen nur mit sogen. Wassermesser-Kombinationen möglich, die die Meßempfindlichkeit der kleinen und die Meßfähigkeit der großen Wassermesser in sich vereinen. Sie bestehen aus einem kleinen Nebemesser, einem großen Hauptmesser und einem Umschaltventil.

Für größere Rohrweiten (50 bis 250 mm l. W. und darüber) führen sich die in den letzten Jahren mehrfach versuchten Wassermesser-Kombinationen mit Klappenventil, gemeinsamen Zeigerwerken und hintereinandergeschalteten Haupt- und Nebemessern immer mehr ein. Diese Bauart bietet zwei wichtige Vorteile: Ablesbarkeit der Messungen durch die Meßeinrichtung geflossenen Wassers an einem Zeigerwerk und sehr wirtschaftliches Verhalten infolge besonders niedriger Druckverluste. Wie aus Abb. 15 ersichtlich, ist bei dieser Bauart der Nebemesser mit dem gemeinsamen Zeigerwerk auf einer Säule angeordnet, die auf den Kopfflansch des Woltman-Wassermessers aufgesetzt ist. Unter dem Zeigerwerk sitzen als Entlastungsorgane für Haupt- und Nebemesser zwei Ventile, die so arbeiten, daß der jeweils langsamere Meßwerk seine Umdrehungen nicht auf das Zeigerwerk übertragen kann.

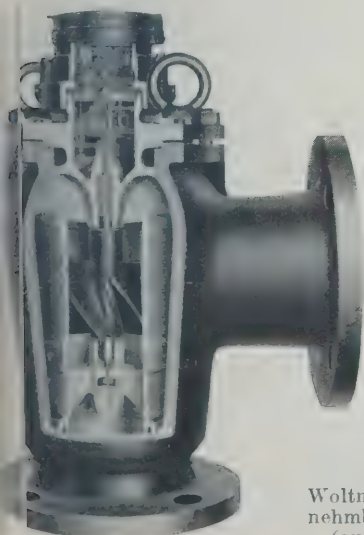


Abb. 13 (links)
Woltman-Wassermesser mit herausnehmbarem Meßwerk für Brunnen (aufgeschnitten); rd. 1/2 nat. Gr.

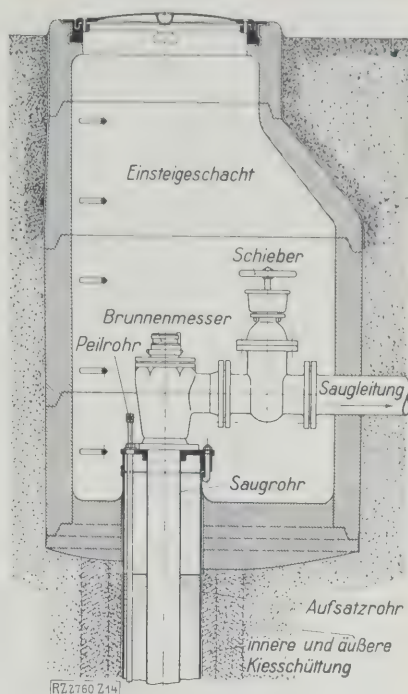
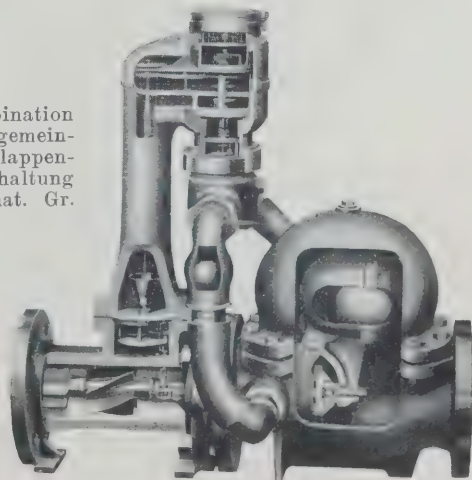


Abb. 14
Brunnenmesser, in den Schacht eines Rohrbrunnens eingebaut. Besondere Vorzüge dieser Bauart: geringer Platzbedarf im Schacht des Rohrbrunnens.

Bei kleinen Durchflußmengen werden nur die Umdrehungen des Nebmessers auf das Zeigerwerk übertragen, da das Meßwerk des Hauptmessers überhaupt nicht oder doch langsamer als das des Nebmessers läuft. Der Wasserstrom zweigt bei geschlossener Ventilklappe hinter dem Hauptmesser zum Nebemesser ab, der die Messung übernimmt. Steigt nun die Durchflußmenge, so wird bald die untere Meßgenauigkeitsgrenze des Hauptmessers erreicht und überschritten, obgleich das Ventil noch nicht geöffnet ist. Im gleichen Augenblick, wo sich bei weiter steigender Leistung das Ventil öffnet, beginnt der Nebemesser langsamer zu laufen und nur der Hauptmesser auf das gemeinsame Zeigerwerk zu arbeiten. Das Klappenventil ist so eingerichtet, daß es sich erst öffnet, wenn die untere Meßgenauigkeitsgrenze des Hauptmessers mit Sicherheit überschritten ist. Meßfehler können daher in der Umschaltzone nicht auftreten. Das Ventil öffnet sich nicht langsam und schleichend, sondern in einem Augenblick und vollständig, da sich beim Anheben der Ventilklappe der Schwerpunkt der Entlastungsvorrichtung verschiebt und die Kugel sofort in die entgegengesetzte Endlage rollt. Das zu messende Wasser strömt nunmehr auf geradem Weg ohne nennenswerte Umlenkungen und Druckverluste durch die Meßanlage.

Kombinationen mit Klappenventilen arbeiten heute sehr betriebsicher. Spaltverluste infolge nichtschließen-

Abb. 15 (rechts)
Woltman-Wassermesserkombination für 80/30 mm l. W. mit gemeinsamen Zeigerwerk und Klappenventil in Hintereinanderschaltung (aufgeschnitten); rd. 1/10 nat. Gr.



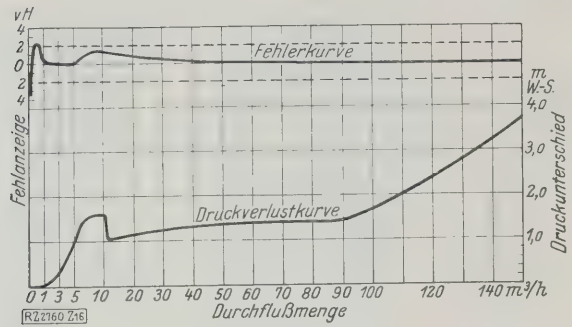


Abb. 16
Prüfkurven einer Woltman-Wassermesser-
kombination nach Abb. 17.

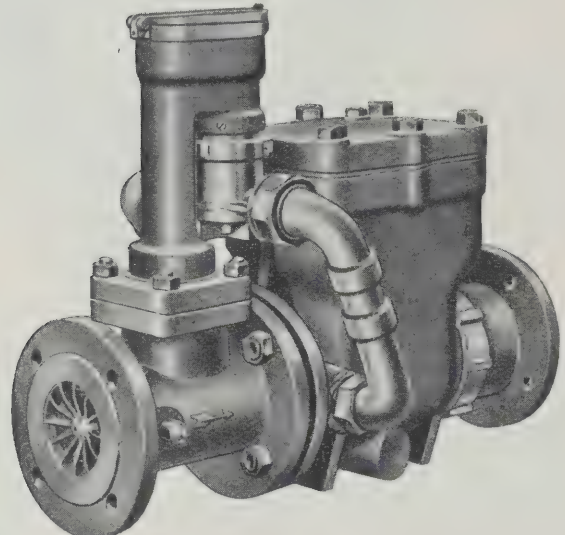


Abb. 17
Woltman-Wassermesserkombination für 100/40 mm
Anschlußweite mit gemeinsamem Zeigerwerk und
Klappenventil; rd. 1/10 nat. Gr.

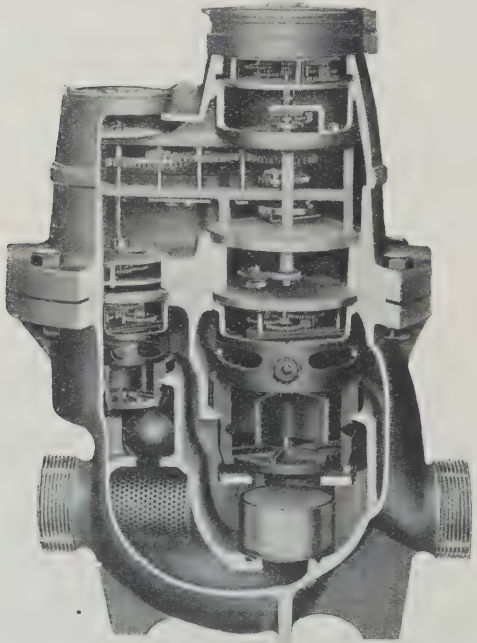


Abb. 18
40/13 mm-Zwillingwassermesser
(Flügelradwassermesser-Kombination mit
Hintereinanderschaltung — aufgeschnitten);
rd. 1/5 nat. Gr.

der Ventilkappen oder verzögerte Entlastung und durch verursachte Meßungenauigkeiten und erhöhte Druckverluste sind bei guten Ausführungen nicht zu fürchten. Die Ventilkappe ist bei der in Abb. 16 gezeigten Bauart in einem Kugelgelenk nach allen Seiten drehbar gelagert, kann also nicht kanten, und die Kugel entlastet, da sie in einem geschlossenen, gegen Wasserabsetzungen geschützten Gehäuse untergebracht ist, mit gleichbleibender Betriebssicherheit. Abb. 16 zeigt die Meßeigenschaften eines Klappenventil-Messers von 100/40 mm Anschlußweite ähnlich der Bauart Abb. 17. Die Wassermesser-Kombination zeigt alle Durchflußmengen von der unteren Meßgenauigkeitsgrenze des 40 mm Nebennessers (150 l/h) bis zur praktisch zulässigen Höchstbeanspruchung des 100 mm-Woltman-Wassermessers (90 m³/h) richtig an, hat also einen praktisch ausnutzbaren Meßbereich von 1 : 600. Innerhalb dieses Bereiches bleibt der Druckverlust durchweg unter 1,5 m W.-S.

Außer den Klappenventil-Kombinationen verwendet man noch mehrere andere Konstruktionen, teils in Hintereinanderschaltung mit gemeinsamem Zeigerwerk, teils auch mit parallelgeschalteten Haupt- und Nebennessern und Einzelzeigerwerken. Bei Parallelschaltungen hat man als Umschaltorgan auch das hydraulisch entlastete Umschaltventil gut bewährt, da bei dieser Ventiltbauart der Druckverlust des Hauptmessers in sinnreicher Weise durch die Entlastung des Ventilgewichts ausgenutzt wird. Derartige Meßgeräte arbeiten daher mit kaum höherem Druckverlust als die Klappenventil-Kombinationen.

In den starken Durchflußschwankungen unterworfenen kleineren Leitungen baut man Flügelradwassermesser-Kombinationen ein, die aus je einem kleinen und einem großen Flügelradmesser bestehen. Hier gibt es heute ebenfalls verschiedene Ausführungen. Hier soll nur noch auf eine neue Bauart kleinster Kombinationen hingewiesen werden, die in jüngster Zeit auf den Markt gebracht worden ist.

In der richtigen Erkenntnis, daß die von groen Mietshäusern, Gaststätten und manchen gewerblichen Betrieben verbrauchten Wassermengen starken Schwankungen unterliegen, die von den bisher durchweg benutzten

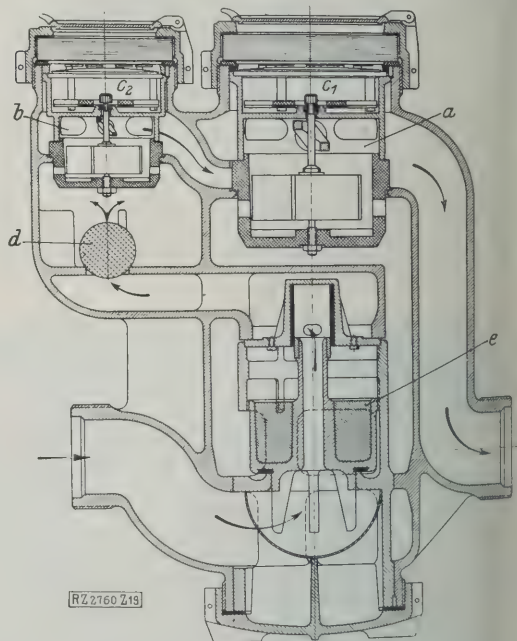


Abb. 19. 40/13 mm-Flügelradwassermesser-Kombination in Parallelschaltung mit getrennten Zeigerwerken und gemeinsamem Gehäuse; rd. 1/5 nat. Gr.

- a Hauptmesser
- b Nebennesser
- c₁ Zähl- und Zeigerwerke des Haupt- u. Nebennessers
- c₂ Rückschlagventil (Gummikugel)
- e Umschaltventil (hydraulisch entlastetes Ventil)

um-Flügelradmessern nur teilweise erfaßt werden können, forderten die Wasserwerke ein Meßgerät, das aus einem 40 mm und einem 13 mm-Flügelrad-Wassermesser besteht. Neuartig bei diesem kleinen, unter dem Namen *Zwillingswassermesser* bekannt gewordenen Gerät ist das gemeinsame Gehäuse für Hauptmesser, Nebmesser und Umschaltventil, Abb. 18. Haupt- und Nebmesser arbeiten auf ein gemeinsames Zeigerwerk und sind hintereinander geschaltet.

Das Gerät gleicht daher in seiner Schaltung der zuvor beschriebenen Klappenventil-Kombination, jedoch mit dem Unterschied, daß hier aus konstruktiven Gründen der Nebmesser vor dem Hauptmesser angeordnet und die Nulle des Klappenventils ein einfaches Gewichtsventil endet ist.

Außer diesem Zwillingswassermesser wird neuerdings — ebenfalls nur für 40 mm Anschlußweite — eine Kombination mit parallelgeschalteten Einzelmessern von 40 und 13 mm l. W. hergestellt, die gleich dem Zwillingsmesser in ein gemeinsames Gehäuse eingebaut ist, Abb. 19. Auch haben Haupt- und Nebmesser getrennte Zeigerwerke. Bei dieser Schaltung strömen die kleinen Durchflüssen nur durch den Nebmesser, ohne, wie bei der Serienschaltung, zuvor oder hinterher das Meßwerk des Hauptmessers zu durchfließen. Als Umschaltventil ist ein hydraulisch entlastetes Ventil verwandt, das nach dessen Wirkungsweise Meßfehler in der Umschaltung, die an sich bei der Parallelschaltung möglich sind, vermieden werden. Ausschlaggebend für die Wahl der Kombination hier beschriebenen 40/13 mm-Kombinationen wird nicht ob auf ein gemeinsames Zeigerwerk für beide Messer, das die Ablesung erleichtert, oder auf getrennte Zeigerwerke Wert gelegt wird, die wiederum die kleinen und die großen Verbrauchsmengen einzeln abzulesen gestatten. Die geringen Baulängen und die gemeinsamen Geräte dieser Kombinationen sind zweifellos Vorzüge, die die Verwendung in vielen Fällen anstelle der weniger empfindlichen, einfachen 40 mm-Messer begünstigen können.

Volumen-Wassermesser

Die Flügelrad-Wassermesser, Woltman-Messer und die aus diesen gebildeten Kombinationen sind Gebrauchsmeßgeräte, weil ihre Meßwerke nicht unmittelbar die durchgeflossenen Wassermengen, sondern deren Fließgeschwindigkeit feststellen, aus der sich infolge der Proportionalität zwischen Geschwindigkeit und Volumen eine hinreichend genaue Anzeige der Wassermengen ergibt.

Abweichend von diesen Mengennessern mit mittelbarem Meßverfahren messen die „Volumenmesser“, die ihrer Konstruktion nach ebenfalls motorische Wassermesser sind, in Meßkammern von bekanntem Inhalt unmittelbar die durchgeflossenen Wassermengen.

Die beiden bekanntesten Ausführungen dieser Messergattung, die Scheiben- und die Kapselradmesser, werden im Gegensatz zu andern Ländern bei uns in Deutschland als Verbrauchsmesser nur wenig verwandt, weil ihre Betriebssicherheit und Meßgenauigkeit in nicht unbedeutlichem Maße von der Beschaffenheit des Wassers abhängig sind. Denn geringe Fremdkörperbeimengungen des Wassers können unter Umständen schon ein Festkleben der Scheibe oder des Kapselrades verursachen.

Diese Gefahr suchen einige ausländische Fabrikanten dadurch zu beseitigen, daß sie zwischen Meßkammerwandung und Scheibe oder Kapselrad ziemlich große Spielräume zulassen, so daß kleine Fremdkörper durch die Spalte bequem hindurchströmen können. Dadurch entstehen jedoch erhebliche Spaltverluste. Von einer genauen Volumenmessung kann nicht mehr die Rede sein, und der einzige Vorteil der Volumenmesser, die Fähigkeit, auch sehr kleine Wassermengen noch genau zu messen, wird wieder aufgehoben.

Man bevorzugt daher in Deutschland im allgemeinen mehr die Flügelradmesser, die hinsichtlich ihrer Meßgenauigkeit und -empfindlichkeit die Eigenschaften ausländischer Volumenmesser vielfach erreichen, sie an Betriebssicherheit und Meßdauerhaftigkeit aber durchweg bedeutend übertreffen. Ein besonderes Anwendungsgebiet haben die Volumenmesser in Deutschland jedoch als Prüf-Wassermesser gefunden. Als solche werden sie in Verbindung mit Aufschreibgeräten von Zeit zu Zeit in die Leitungen vor oder hinter die Gebrauchsmesser eingeschaltet, um deren Meßeigenschaften zu prüfen, Lässigkeitsverluste zu ermitteln usw. Da es sich hierbei nur um jeweils kurze Prüfzeiten handelt, wirken sich die oben beschriebenen Nachteile dieser Bauart praktisch nicht aus. Auf die einzelnen Konstruktionen der in den letzten Jahren wenig veränderten Volumenmesser näher einzugehen, erübrigt sich, da wichtige Unterschiede gegenüber den üblichen ausländischen Konstruktionen zur Zeit nicht bestehen.

In einem späteren Aufsatz werde ich die Druckunterschiedsmesser behandeln. [B 2760]

Einzelbetrieb von Wasserwerkbrunnen

Oft liegt der Wasserspiegel in Brunnen sehr tief, und es müssen bei zentralen Wasserwerken eine Reihe von Brunnen zur gemeinsamen Wasserversorgung zusammengefaßt werden. Das kann durch Saugleitungen oder — wenn es zu lang werden — durch Heberleitungen geschehen. Die Leitungsarten bedürfen sehr sorgfältiger Verlegung und Überwachung, um stets die erforderliche Luftleere zu erhalten. Überdies ist man vom Gelände abhängig; denn wenn wie Heberleitungen sollen in stetig steigender Linie verlegt werden, und das läßt die Höhenlage hier und da zu. In solchen Fällen bleibt nur übrig, jeden Brunnen mit einem besonderen Pumpwerk zu versehen, das bei tiefem Wasserspiegel als Gestängepumpwerk ausgebaut sein kann.

Die wirtschaftliche Möglichkeit, derartige Brunnenwerke bei einer Wasserentnahme aus einer größeren Anzahl von Brunnen anzuwenden, besteht erst seit Einführung der Elektromotoren. Man kann dann neben dem Hauptpumpwerk das Wasser in das Versorgungsgebiet drückt, mittels eines kleinen Nebenpumpwerkes aus mehreren Brunnen schöpfen oder für jeden einzelnen Brunnen eine eigene Pumpe vorsehen. In dieser Weise ist man in dem kürzlich fertiggestellten Werke vorgegangen.

Die Hauptpumpen des Wasserwerkes der Stadt Tilsit, eine Maschinenanlage die Deutschen Werke A.-G., Kiel, ausgeführt haben, werden von drei Zweitakt-Dieselmotoren

für je 105 PS bei 375 U/min getrieben. Diese Motoren arbeiten über Zahnradgetriebe je auf eine Kolbenpumpe für 190 m³/h auf 50 m man. Förderhöhe und auf einen 50 kVA-Drehstromerzeuger. Die Stromerzeuger liefern den Strom für die 14 Tiefbrunnenpumpen, die das Wasser aus den bis zu 2000 m vom Hauptpumpwerk entfernten Brunnen heben und auf die Enteisungsanlagen drücken. Die bis zu 20 m tiefen Brunnen enthalten in einem Schacht je eine mittels Elektromotors, Riemtriebs und Gestänges angetriebene Differenzial-Tiefbrunnenpumpe. Jedes Tiefbrunnenpumpwerk kann von der Schalttafel im Maschinenraum durch selbsttätige Schaltgeräte ein- oder ausgeschaltet werden. Kleine Kontrolllampen auf der Schalttafel zeigen Störungen an.

Während man hier Gestängepumpen angewandt hat, sind verschiedene andre Anlagen mit Kreiselpumpen ausgeführt worden. Die Kreiselpumpen lassen sich u. a. auch unter den Wasserspiegel versenken. Der Motor mit senkrechter Welle in der bekannten laternenförmigen Form steht dann über Tage, gegebenenfalls auch auf dem Boden eines Senkschachtes. Größere derartige Pumpen sind neuerdings für das Wasserwerk Obersachsen von Gebr. Sulzer im Zusammenbau mit AEG-Motoren geliefert worden.

So ist es möglich, mit Hilfe des elektrischen Stromes die Wasserentnahme aus Brunnen einfacher und wirtschaftlicher zu gestalten als früher und damit ein störendes Hindernis im Betriebe von Grundwasserwerken zu überwinden.

[N 2880]

Baer

68. Hauptversammlung des Vereines deutscher Ingenieure Königsberg i. Pr., 23. Juni 1929

**Sonnabend,
den 22. Juni 1929**

Versammlung des Vorstandsrates

Zeit: 14,30 Uhr
Ort: Königsberg

TAGESORDNUNG:

1. Eröffnung, Anwesenheitsliste, Ernennung zweier Schriftführer, Wahl von drei Beglaubigern der Niederschriften.
2. Geschäftsbericht der Direktoren.
3. Neuwahl des Kurators.
4. Weitere Wahlen:
 - a) des Vorsitzenden-Stellvertreters,
 - b) zweier Beigeordneten im Vorstand,
 - c) eines Beigeordneten im Vorstand für die Jahre 1930 und 1931 an Stelle des ausscheidenden Kurators,
 - d) der Mitglieder des Wahlausschusses und ihrer Stellvertreter,
 - e) des Ausschusses für Berufsfragen,
 - f) des Patentausschusses,
 - g) des Wissenschaftlichen Beirates,
 - h) Vorschläge für zwei Rechnungsprüfer und zwei Stellvertreter für die Prüfung der Rechnung 1929.
5. Vorschläge für Ehrungen:
 - a) Ehrenmitgliedschaft,
 - b) Grashof-Denkmünze.
6. Antrag des Westfälischen B.-V. auf Änderung Nr. 3 der Geschäftsordnung betr. Prüfung der Annahmegesuche durch die Geschäftsstelle des Gesamtvereines.
7. Fortbestand der Ingenieurhilfe.
8. Ehrenzeichen.
9. Geschäftliches:
 - a) Rechnung des Jahres 1928; Bericht der Rechnungsprüfer.
 - b) Festsetzung des Beitrages 1930 für die in Deutschland wohnenden Mitglieder.
 - c) Haushaltplan.
 - d) Bericht des Kuratoriums der Ingenieurhilfe über das Jahr 1928.
 - e) Ort der Hauptversammlung 1930.

Falls erforderlich, findet die Fortsetzung der Versammlung am 23. Juni, 11 Uhr statt.
Die Verhandlungen über etwaige von der Hauptversammlung an den Vorstandsrat zur endgültigen Beschlussfassung zurückverwiesene Beschlüsse (Satzung §§ 32 und 44) finden gegebenenfalls am 23. Juni, 16 Uhr statt.

**Sonntag,
den 23. Juni 1929**

Hauptversammlung Geschäftliche Verhandlungen (nur für Vereinsmitglieder)

Zeit: 8,30 Uhr
Ort: Börse

TAGESORDNUNG:

1. Geschäftsbericht der Direktoren.
2. Bericht der Rechnungsprüfer, Genehmigung der Rechnung des Jahres 1928 und Entlastung des Vorstandes.
3. Wahl zweier Rechnungsprüfer und ihrer Stellvertreter für die Rechnung des Jahres 1929.
4. Entgegennahme und Besprechung des Berichtes über die Verhandlungen, Wahlen und Beschlüsse des Vorstandsrates.

Wissenschaftliche Verhandlungen

Zeit: 10 Uhr.
Ort: Börse

TAGESORDNUNG:

1. Begrüßungsansprache des Vorsitzenden.
2. Begrüßungen.
3. Ehrungen.
4. Vorträge:

Die Bedeutung der organischen Produktion für Technik und Industrie.

- a) Oberpräsident a. D. von Batoeki, Exz., Bledau, Kreis Königsberg: Landwirtschaft.
- b) Ministerialdirektor a. D. Wappes, München: Forstwirtschaft.

Wissenschaftliche Fachsitzungen

**Freitag,
den 21. Juni 1929**

- 10 Uhr: Verkehrswesen. }
15 Uhr: Wärmetechnik — Schweißtechnik. } Danzig, Technische Hochschule.

**Sonnabend,
den 22. Juni 1929**

- 14 Uhr: Landwirtschaftstechnik — Betriebstechnik. }
17 Uhr: Vertriebstechnik — Staubtechnik. } Königsberg.

**Montag,
den 24. Juni 1929**

- 9 Uhr: Ausbildungswesen — Holzprüfung — Industrielles Rechnungswesen.

Technische Besichtigungen, Montag, den 24. Juni 1929.

Das ausführliche Programm wird in den VDI-Nachrichten vom 24. April 1929 veröffentlicht.

Der Vorsitzende des Vereines deutscher Ingenieure

C. Köttgen.

I N H A L T:

	Seite	
Die Entwicklung der Gasgeräte in der letzten Zeit.		Die Gaswirtschaft auf deutschen Hüttenwerken . . .
Von Th. v. Gäßler	513	Wasserhebung und Wasserspeicherung. Von S. Baer . . .
Gasfernleitungen. Von K. Traenckner	517	Wasserbedarf und Wasserbeschaffung. Von O. Koenig . . .
Die Wanderausstellung „Technik im Heim“	523	Wasserreinigung und Wasseraufbereitung. Von E. Link . . .
Der gegenwärtige Stand der Kohlschwelung in Deutschland. Von R. Heinze und A. Thau	524	Neuere Bauarten motorischer Wassermesser. Von G. Eggers
Das neue Entgasungsverfahren beim Städtischen Gaswerk Jena	530	Einzelantrieb von Wasserwerkbrunnen
Neues Baseler Gaswerk	530	Angelegenheiten des Vereines: 68. Hauptversammlung des Vereines deutscher Ingenieure
Gasprüfung. Von A. Sander	531	

ZEITSCHRIFT DES VEREINES DEUTSCHER INGENIEURE

SCHRIFTFLEITER: C. MATSCHOSS



73

SONNABEND, 27. APRIL 1929

Nr. 17

Die Bedeutung der drahtlosen Telegraphie für die Wissenschaft

Von J. ZENNECK, München¹⁾

Der Vortrag hat den Zweck, an einer Reihe von Beispielen zu zeigen, welchen Einfluß die Entwicklung der drahtlosen Telegraphie auf die Wissenschaft gehabt hat. Von besonderer Wichtigkeit ist die Erweiterung der Schwingungslehre, die Bereicherung der experimentellen Hilfsmittel durch Röhrenverstärker und Röhrengeneratoren, die Wirkung auf die Röntgentechnik, die Wiederbelebung der physikalischen und physiologischen Akustik und der Übergang von physikalischen Meßanordnungen aus diesem Gebiet in die wissenschaftliche Medizin.

Bei der Betrachtung des Einflusses, den die drahtlose Telegraphie auf andere Wissenschaften ausgeübt hat, ist am nächsten die Frage: Wie hat die drahtlose Telegraphie ihre Dankspflicht gegen die Mutter Physik abzugeben, was verdankt die allgemeine Physik der drahtlosen Telegraphie?

Drahtlose Telegraphie und Schwingungslehre

Ein Gebiet, auf dem man einen Einfluß der drahtlosen Telegraphie von vornherein erwartet, ist das, auf dem sie zuerst entstanden ist, die Schwingungslehre.

Einfache Schwingungskreise

Noch heute gilt für einen einfachen Schwingungskreis die Gleichung von Kirchhoff und Lord Kelvin

$$Ri + L \frac{di}{dt} + \frac{1}{C} \int i dt = e \dots \dots (1).$$

Die freien oder erzwungenen Schwingungen eines solchen Kreises kennzeichnet, je nachdem die äußere EMK $e=0$ oder verschieden von null ist. (In Gl. (1) bedeutet R der Widerstand, i den Strom, L die Induktivität, t die Zeit und C die Kapazität.) Aber unter dem Einfluß der Erfahrungen in der drahtlosen Telegraphie sehen wir in dieser Richtung doch heute ganz andre Möglichkeiten als vor kurzem Jahren. Damals hätte es kaum irgendwelchen Sinn gehabt, unter den Größen R , L und C etwas anderes zu verstehen als unveränderliche, von etwaigen Schwingungen im Kreise unabhängige Größen. So kam man für die freien Schwingungen zu dem Ergebnis

$$i = J e^{-\delta t} \sin(\omega t + \varphi) \dots \dots (2).$$

zu Schwingungen von der Kreisfrequenz $\omega \approx \frac{1}{\sqrt{CL}}$, deren Amplitude

nach einem Exponentialgesetz abfällt. Gl. (2) galt lange als die Lösung der Differentialgleichung (1).

Aber schon zu der Zeit, als die Experimentationen mit ihren hellen und klaren Funken eine Art kleiner Fabriken darstellten, tauchten Zweifel auf, ob für den Primärkreis dieser Stationen mit ihren Funken Gl. (2) zuträfe. Es war nicht wahr-

scheinlich, daß der Energieverbrauch im Funken während einer Periode $\approx I^2$ ist, wenn I den Effektivwert des Stromes während dieser Periode bedeutet. Dann konnte auch der zeitliche Abfall der Amplitude in einem solchen Kreis nicht einem exponentiellen Gesetz folgen. Der Versuch hat diesen Bedenken Recht gegeben. Er hat gezeigt, daß der Abfall der Amplitude, wenn der Energieverbrauch im Funken den in den Drähten übersteigt, praktisch durch eine Gerade wiedergegeben wird. In Abb. 1 ist eine solche Amplitudenkurve zu sehen, die ich mit der Braunschen Röhre im Jahre 1904 gemessen habe²⁾. Die Erörterung der Kurve führt zu dem Ergebnis, daß der Energieverbrauch im Funken durch ein Gesetz, ähnlich dem für den Lichtbogen, bestimmt wird, daß also von einem gleichbleibenden Widerstand eines Schwingungskreises mit Funkenstrecke nicht die Rede sein kann.

Ob die Amplitude nach einem exponentiellen oder nach einem linearen Gesetz abfällt, macht physikalisch und praktisch nicht viel aus. Ganz andre Möglichkeiten für einen Schwingungskreis ergaben sich mit der Einführung des Lichtbogen- und Röhrengenerators (-senders).

Schaltet man z. B. einen Lichtbogengenerator ein, so erhält man Oszillogramme wie Abb. 2, das ich früher einmal mit der Braunschen Röhre aufgenommen habe³⁾. Ganz ähnliches findet man beim Röhrengenerator. Die Amplitude der Schwingungen steigt zuerst an, um sich dann einem konstanten Endwert zu nähern.

Bleiben wir bei der Form der Schwingungsgleichung (1), so bedeutet ein Anwachsen der Amplitude einen negativen Wert des gesamten Widerstandes, eine gleichbleibende Amplitude einen Gesamtwiderstand gleich null.

Für einen Mathematiker ist ein positives oder negatives Vorzeichen gleichberechtigt; aber ich bin überzeugt, wenn man vor 30 Jahren einem Physiker vorgeschlagen hätte, Gl. (1) auch für den Fall eines negativen Widerstandes R zu diskutieren, so würde er es mit Entrüstung als einen vollkommenen Unsinn abgelehnt haben. Wir wundern uns heute über einen solchen Begriff nicht mehr. Wir wissen, daß bei Anordnungen wie dem Lichtbogen- oder dem Röhrengenerator eine Energiezufuhr von außen stattfindet, die anfänglich den Energieverbrauch im Schwingungskreis

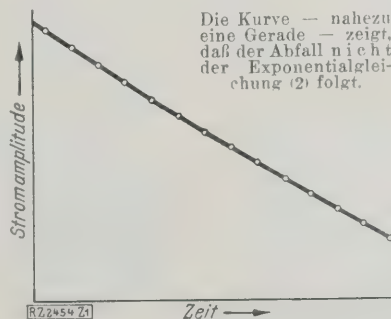


Abb. 1
Abfall der Amplitude in einem Schwingungskreis mit Funkenstrecke.

²⁾ J. Zenneck, Ann. Phys. Bd. 13 (1904) S. 822.

³⁾ J. Zenneck, Ann. Phys. Bd. 43 (1914) S. 481.

¹⁾ Deutsche gekürzte Bearbeitung des Vortrags, veröffentlicht durch die Medial Commission des Institute of Radio Engineers am 1. Sept. 1928 in New York. In der ursprünglichen Fassung ist der Vortrag in den Proc. of the Radio Engrs. Bd. 17 (1929) S. 89 erschienen. Die folgende gekürzte Wiedergabe erfolgt mit Genehmigung des Institute of Radio Engineers.

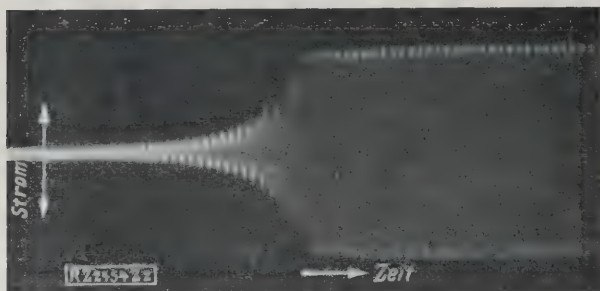


Abb. 2
Oszillogramm des Anstiegs der Schwingung eines Lichtbogensenders unmittelbar nach dem Schließen des Stromkreises.

übersteigt, aber mit wachsender Amplitude im Verhältnis zum Energieverbrauch abnimmt, bis sie gleich dem letzteren wird und zu einer gleichbleibenden Amplitude führt.

Diese eigentümlichen Energieverhältnisse haben noch eine weitere Folge, wenn wir auf ein solches selbstschwingendes System eine äußere EMK wirken lassen und deren Frequenz f verändern. Man erwartet, daß dann außer den Eigenschwingungen von der gleichbleibenden Frequenz f_0 noch erzwungene Schwingungen von der veränderlichen Frequenz der äußeren EMK auftreten. Man erwartet ferner, daß der Effektivwert des Stromes im Kreis sich in bekannter Weise aus den Effektivwerten der Eigen- und erzwungenen Schwingungen zusammensetzt und vermutet eine Resonanzkurve von der Form der gestrichelten Kurve in Abb. 3, in der die Ordinate ab dem Effektivwert der Eigenschwingungen entspricht. In Wirklichkeit erhält man die ausgezogene Kurve der Abb. 3 und findet zwischen den Punkten A und B überhaupt keine Eigenschwingungen von der Frequenz f_0 , sondern nur erzwungene Schwingungen von der veränderlichen Frequenz f^* . Daß auch diese Erscheinung, wie sie z. B. beim Empfang mit Schwingungsaudion eintritt, damit zusammenhängt, daß das Vorzeichen und die Größe des Widerstandes eines solchen Systems von der Amplitude abhängt, hat B. van der Pol jr.⁵⁾ in überzeugender Weise dargetan.

⁴⁾ Vergl. z. B. Vincent, Proc. Phys. Soc. London Bd. 32 (1920) S. 84 u. F. Roßmann u. J. Zenneck, Jahrb. d. drahtl. Telegraphie u. Telephonie Bd. 23 (1924) S. 47.

⁵⁾ B. van der Pol jr., Tijdschr. Nederl. Radiogenootschap Bd. 2 (1924) S. 56 u. Phil. Mag. (7) Bd. 3 (1927) S. 65.

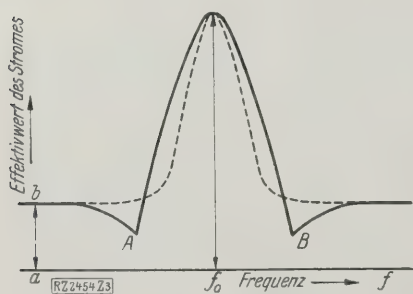


Abb. 3
Resonanzkurve eines selbstschwingenden Systems, auf das eine äußere EMK mit veränderlicher Frequenz f wirkt.

Die ausgezogene Kurve ist die Resonanzkurve des Systems; zur Erläuterung der gestrichelten Kurve vergl. den Text.

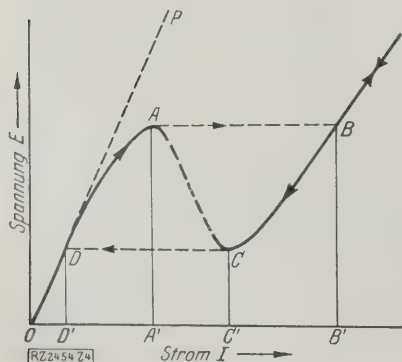


Abb. 4
Strom-Spannungs-Charakteristik eines Stromkreises.

OP Strom-Spannungscharakteristik eines Schwingungskreises mit einer eisenfreien Spule
 $ODAC$ Strom-Spannungscharakteristik eines Schwingungskreises mit einer Spule mit geschlossenem Eisenkern

Natürlich besteht nicht nur die Möglichkeit, daß der Widerstand eines Schwingungssystems eine Funktion der Amplitude ist, dasselbe kann auch bei der Induktivität der Fall sein. Ein bekanntes Beispiel dafür sind Spulen mit geschlossenem Eisenkern, wie sie in magnetischen Frequenzwandlern benutzt werden. Bei gleichbleibender Induktivität ergibt die Schwingungsgleichung die Beziehung

$$E = Z I.$$

wenn $Z = \sqrt{R^2 + \left(\omega L - \frac{1}{\omega C}\right)^2}$ der Scheinwiderstand des Schwingungskreises für die betreffende Frequenz ist. Man erhält also Proportionalität der Effektivwerte I und E . Tragen wir in üblicher Weise E abhängig von I auf, so erhalten wir die gestrichelte Gerade OP von Abb. 4 als Strom-Spannungs-Charakteristik⁶⁾. Enthält aber der Kreis eine Spule mit geschlossenem Eisenkern, deren Induktivität sich mit der Stromamplitude ändert, so kann die Charakteristik die Form der Kurve $ODACB$ in Abb. 4 annehmen. Eine solche Kurve bedeutet aber eine ganz neue Erscheinung, die uns sofort entgegentritt, wenn wir die Spannung allmählich steigern. Solange die Spannung unter dem Wert AA' bleibt, steigt der Strom in normaler Weise mit der Spannung an. Sobald aber der Wert AA' überschritten wird, springt der Strom plötzlich auf den viel größeren Wert BB' . Wir bekommen die sog. „Kipperscheinung“, die gefährlich sein kann, wenn die Anlage nicht für den starken Strom und die dadurch hervorgerufenen hohen Spannungen an den Spulen und Kondensatoren bemessen ist. Ich erinnere mich noch lebhaft an die Zeit, als wir auf der Station Sayville, Long Island, Anfang 1915 den Maschinensender mit Frequenzwandlern aufgebaut hatten und die ersten Versuche machten, und an unseren Schrecken, als der Stromzeiger bei einer kleinen Steigerung der Maschinenspannung auf beinahe den doppelten Wert sprang. Diese Erfahrungen waren für mich der Anlaß, die Verhältnisse theoretisch näher zu untersuchen und in einem Vortrag vor dem Institute of Radio Engineers darüber zu berichten⁷⁾.

Daß auch die Resonanzkurven eines solchen Kreises ganz anders ausfallen als bei einem Kreis mit konstanter Induktivität, ist von vornherein wahrscheinlich. Tatsächlich können sie Formen annehmen, wie sie in Abb. 3 für denselben Kreis, aber bei zwei verschiedenen Spannungen dargestellt sind.

Gekoppelte Schwingungskreise

Auch von gekoppelten Kreisen erwarten wir heute etwas ganz anderes als früher. Die induktive Kopplung zwischen zwei Kreisen, Abb. 6, besteht bekanntlich darin, daß der primäre Kreis auf den sekundären ein

EMK $= -L_{12} \frac{di_1}{dt}$, der sekundäre auf den primären rück-

wärts eine EMK $= -L_{21} \frac{di_2}{dt}$ induziert. Eine der Grund-

⁶⁾ O. Martienssen, Phys. Zeitschr. Bd. 11 (1910) S. 448; H. Schuch u. J. Zenneck, Jahrb. d. drahtl. Telegr. u. Teleph. Bd. 19 (1922) S. 170; L. Casper, K. Hubmann u. J. Zenneck, Jahrb. d. drahtl. Telegr. u. Teleph. Bd. 23 (1924) S. 63.

⁷⁾ J. Zenneck, Proc. Inst. Radio Eng. Bd. 8 (1920) S. 463. Vorgetragen am 1. Sept. 1915.

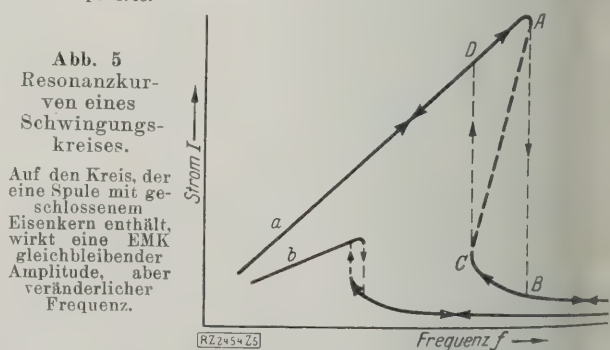


Abb. 5
Resonanzkurven eines Schwingungskreises.
Auf den Kreis, der eine Spule mit geschlossenem Eisenkern enthält, wirkt eine EMK gleichbleibender Amplitude, aber veränderlicher Frequenz.

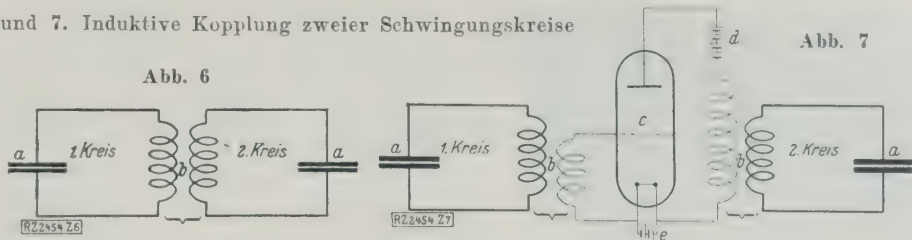
Die Kurven a und b beziehen sich auf zwei verschiedene Spannungen. Die Pfeile zeigen, welche Teile der Kurven für steigende und welche für fallende Frequenz gelten. Der gestrichelte Teil der Kurve a ohne Pfeil ist der labile Bereich, den die Theorie liefert.

Abb. 6
Unmittelbar gekoppelt.

Abb. 7
Über eine Verstärkerröhre
gekoppelt.

- a Kapazitäten
- b Kopplungsspulen
- c Verstärkerröhre
- d Anodenbatterie
- e Heizbatterie

Abb. 6 und 7. Induktive Kopplung zweier Schwingungskreise



In der Kopplungstheorie war früher die Beziehung, die in jedem Lehrbuch findet, $L_{12} = L_{21}$, d. h. allgemein gesprochen: Wenn die Systeme so gekoppelt sind, daß das eine auf das sekundäre eine starke Wirkung ausübt, muß notwendigerweise auch die Rückwirkung des sekundären auf das primäre verhältnismäßig stark sein. Das heute keineswegs mehr notwendig. Man braucht nur, auf meines Wissens E. H. Armstrong⁹⁾ zuerst aufmerksam gemacht hat, die beiden Kreise durch eine Verstärker- röhre hindurch zu koppeln, Abb. 7; dann kann die Ein- wirkung des Primärsystems auf das sekundäre sehr stark sein und trotzdem die Rückwirkung des sekundären auf das primäre nahezu verschwinden.

Ferner war eine Folgerung der Kopplungstheorie, daß bei fester Kopplung im Primär- und Sekundärkreis die- selben zwei Kopplungsschwingungen mit zwei verschiede- nen Frequenzen entstehen. Das bedeutet einen Strom- lauf im Primär- und Sekundärkreis, wie ihn die Kurven a und b in Abb. 8 darstellen. Auch dieses Er- gebnis hat eine ganz erhebliche Änderung erfahren in dem- mal wenn der Primärkreis eine geeignete Funkenstrecke, eine „Löschfunkenstrecke“ enthält, wie es die Quecksilber- flampe von Cooper Hewitt oder die kurzen Metall- funkenstrecken von M. Wien sind. Dann erhält man einen Verlauf von der Form der Kurven a b in Abb. 9. Die Wirkung des Primärkreises ist hier im wesentlichen die, die Eigenschwingungen des Sekundärkreises anzustoßen. Eine eigentümliche Weiterbildung dieser Stoßerregung ist die Art synchroner Stoßerregung, die die Erzeugung von ungedämpften Schwingungen im Sekundär- kreis, und zwar von sehr viel höherer Frequenz als die des Primärkreises zur Folge hat. Das Mittel zur Stoß- erregung ist hier ein ganz anderes als im Falle der Lösch- funkenstrecke. Der Primärkreis mit dem Wechselstromerzeuger a, Abb. 10, enthält außer einer großen, eisenfreien Selbstinduk- tion b eine Spule mit geschlossenem Eisenkern, und der- selbe wird so stark gewählt, daß der Eisenkern hoch ge-

⁹⁾ E. H. Armstrong, Proc. Inst. Radio Eng. Bd. 5 (1917) S. 145.

Abb. 8 und 9
Dämpfte Schwingungen in
fest gekoppelten Schwin-
gungskreisen.

Abb. 8
Primärkreis ohne Funken-
strecke oder mit gewöhn-
licher Funkenstrecke.

Abb. 9
Primärkreis mit Lösch-
funkenstrecke.

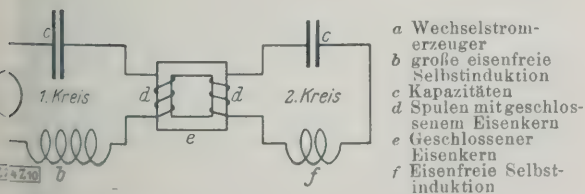
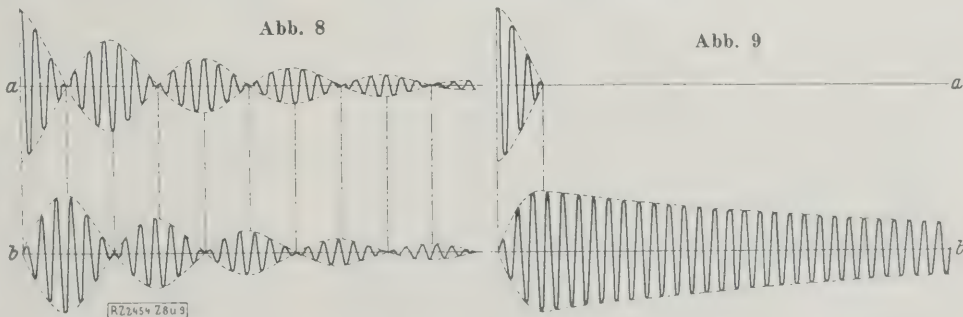


Abb. 10
Sichere magnetische Stoßerregung
(Frequenzvervielfachung).

Der Sekundärkreis ist auf ein ungerades Vielfaches
des Primärkreises abgestimmt.

sättigt wird. Dann hat die EMK, die von ihm auf den Sekundärkreis induziert wird, ungefähr die Form der Kurve e in Abb. 11. Ist der Sekundärkreis auf ein un- gerades, unter Umständen sehr hohes Vielfaches der Primärfrequenz abgestimmt, so werden seine Schwingungen — i_2 in Abb. 11 — zweimal während jeder Primärperiode angestoßen und fallen zwischen zwei Stößen ab. Ist das Dekrement (die Dämpfung) des Sekundärkreises klein, so gelingt es, im Sekundärkreis Schwingungen zu erzeugen, deren Amplitude fast vollkommen gleich bleibt. Abb. 12 gibt eine Aufnahme mit der Braunschen Röhre wieder, in der die Abszissen dem Primärstrom, die Ordinaten dem Sekundärstrom proportional sind.

Natürlich kann man diese Anordnungen, wie es auch meist geschieht, ebenso gut als ein Verfahren der

Frequenzvervielfachung

auffassen. Auch die Frequenzvervielfachung gehört zu den Errungenschaften, zu denen die Bedürfnisse der draht- losen Telegraphie geführt haben. Zum ersten Mal ist wohl der Gedanke der Frequenzvervielfachung mit einer ruhenden Anordnung von mir im Jahre 1899¹⁰⁾ aus- gesprochen worden. Ich verwandte bei der Schaltung Abb. 13 zur Ausführung dieses Gedanken zwei Ventil- zellen a und b — die einzigen mir damals bekannten waren die elektrolytischen — und setzte sie in umgekehr- ter Richtung in zwei Zweige e und f des Primärstroms, die mit entgegengesetztem Wicklungssinn auf einen Transfor- matorkern gewickelt waren. Aus einer dritten Spule g des- selben Transformators konnte dann eine EMK entnommen werden, deren Frequenz das Doppelte der Primärfrequenz betrug. Die Anordnung zeichnete sich nicht durch guten Wirkungsgrad aus. Aber der Gedanke, die Frequenz eines Wechselstroms gewissermaßen nachträglich zu ver- vielfältigen, hat sich durchgesetzt. Wenige Jahre später kam die magnetische Frequenzverdoppelung, die nach der bekannten Schaltung Abb. 14¹¹⁾ arbeitet. Sie fand Eingang in die drahtlose Telegraphie und wurde ein Jahrzehnt lang

¹⁰⁾ J. Zenneck, Ann. Phys. Chem. Bd. 69 (1899) S. 858.

¹¹⁾ J. Epstein, DRP Nr. 245 445 (1903).

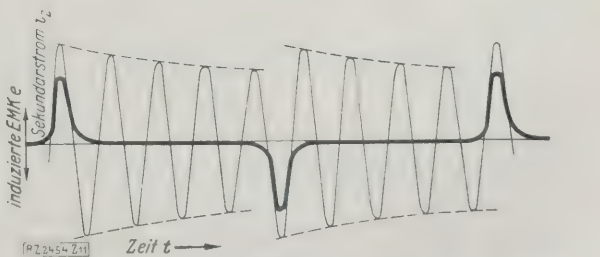


Abb. 11
Vom Primärkreis induzierte EMK e und Schwingungen i_2
des Sekundärkreises bei der Schaltung nach Abb. 10.



Abb. 12

Schwingungen des Sekundärkreises bei synchroner magnetischer Stoßerregung (Frequenz-Vervielfachung).

beim transatlantischen Betrieb der Station Nauen und vieler anderer Stationen, auch von Sayville, der amerikanischen Gegenstation von Nauen während der beiden ersten Kriegsjahre, verwandt.

Die Frequenz-Lage

Daß es außer der Frequenzmultiplikation auch Methoden für die „Frequenzdivision“ oder „Frequenzdivision“ gibt, wird jeder begreiflich finden, der weiß, daß Division die Umkehrung der Multiplikation ist, und der die Schwierigkeiten nicht kennt, mathematische Verfahren physikalisch nachzuahmen — ich erinnere nur an die Umkehr des Vorzeichens beim Widerstand, von dem oben die Rede war.

Damit sind aber die Möglichkeiten längst nicht erschöpft; tatsächlich kann man heute aus einem Strom von irgend einer Frequenz einen Strom von jeder beliebigen anderen Frequenz herstellen. Aus einer Hochfrequenz machen wir durch Überlagerung mit einer zweiten Hochfrequenz und mit Gleichrichtern irgend eine Niederfrequenz. Wir heben aus einem niederfrequenten Strom seine hochfrequenten Harmonischen heraus, und wenn wir aus einer Niederfrequenz eine davon verschiedene Niederfrequenz machen wollen, so ist auch das möglich, allerdings nur auf dem Umweg über eine Hochfrequenz. Es soll mich gar nicht wundern, wenn die Frequenzumformung auch in der Musik mit Hilfe von Lautsprechern Eingang findet. Derselbe Sänger kann dann ohne Frequenzwandler als Bassist und mit Frequenzwandler als Tenor auftreten. Oder ein Stück in As-dur soll auf der Flöte gespielt werden; da diese Tonart für die Flöte unbequem ist, so bläst man das Stück in der bequemen Tonart D-dur und überträgt es dann mit Hilfe von Frequenzwandlern in As-dur.

Wechselstrom mit periodisch veränderlicher Amplitude

Ehe ich das Gebiet der Frequenzvervielfachung und die gekoppelten Systeme verlasse, möchte ich noch auf eine merkwürdige Erscheinung hinweisen. Man erhält sie¹²⁾ mit der Schaltung nach Abb. 15 mit zwei gekoppelten Schwingungskreisen, von denen z. B. der sekundäre eine Spule mit geschlossenem Eisenkern enthält. Hier kann man unter Umständen in beiden Kreisen Ströme von der Form Abb. 16 und 17¹³⁾ bekommen, d. h. Ströme mit periodisch veränderlicher Amplitude. Das ist wichtig aus folgendem Grund. Wenn ein Wechselstromerzeuger von einer bestimmten Frequenz und mit gleichbleibender Amplitude auf irgendeine Anordnung von Leitern wirkt, so nimmt man im allgemeinen an, daß, wie auch immer die Verhältnisse liegen mögen, der Strom in diesen Leitern unter allen Umständen gleichbleibende Amplitude bekommen muß, wenn die Einsaltvorgänge abgelaufen sind. Man betrachtet es beinahe als selbstverständlich, daß man den zeitlichen Verlauf des Stromes in der Form $i = J e^{j\omega t}$ ansetzt (i = Momentanwert, J = Amplitude des Stromes, ω = Kreisfrequenz, $j = \sqrt{-1}$). Das oben Ausgeführte beweist, daß man mit dieser Annahme oder diesem Ansatz auch einmal fehlgehen kann.

Die angeführten Beispiele zeigen, wie außerordentlich vielseitiger und reichhaltiger die Schwingungslehre durch die Erfahrungen und Aufgaben der drahtlosen Telegraphie geworden ist.

Zu Abb. 13:
a. b. elektrische Ventiltzellen, umgekehrt geschaltet
e. Selbstinduktoren
d. f. Transformatorkerne
c. f. Wicklungen mit entgegengesetzten Wicklungssinn
g. dritte Wicklung des Kernes zur Entnahme des Sekundärstromes mit der doppelten Frequenz des Primärstromes

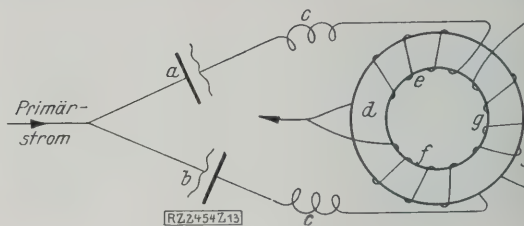


Abb. 13

Erste Schaltung zur Frequenz-Vervielfachung (1899).

Die experimentellen Hilfsmittel

Fast noch vielseitiger und reichhaltiger sind die experimentellen Hilfsmittel, die die drahtlose Telegraphie der Wissenschaft zur Verfügung gestellt hat.

Messung schwacher Wechselströme

Eine besonders schwierige Aufgabe war früher die Messung schwacher Wechselströme, ganz im Gegensatz zum Gleichstrom, wo man mit Drehspulen-Meßgeräten Ströme von der Größenordnung 10^{-9} A und mit Panzergalvanometern noch bis 10^{-12} A ohne ernsthafte Schwierigkeiten mißt. Das Beste, was man für die Messung schwacher Wechselströme hatte, war das Vakuumthermoelement; aber es war im Vergleich zu einem Gleichstrom-Galvanometer außerordentlich empfindlich. Heute haben wir in guten Kristalldetektoren, in der *Wehnelt-Flemingschen* Glühkathoden-Gleichrichtern, *de Forests* Audion und den Röhren-Strom- und Spannungsmessern¹⁴⁾ Anordnungen von so hoher Empfindlichkeit, daß die Messung schwacher Wechselströme und -spannungen geradezu ein Vergnügen geworden ist.

Dazu kommt

die Elektronenröhre als Verstärker.

Diese hat in der Physik und in den benachbarten Wissenschaften so ausgedehnte Verwendung gefunden, daß man sich heute wundert, wenn einmal bei einer experimentellen Untersuchung keine Verstärkerrohre verwendet wird. Jeder elektrische Vorgang — er mag noch so schwach sein, wenn er nur nicht an die Grenzen des Schrot-Effektes geht — läßt sich heute so weit verstärken, daß er bequem gemessen, oszillographiert, hörbar oder sichtbar gemacht werden kann. Infolge davon kann heute die experimentelle Technik an Aufgaben heranreten, die früher unzugänglich erschienen.

Einige Beispiele mögen das erläutern.

Bei der Photometrie von Sternen mit Hilfe der lichtelektrischen Zelle hat man es mit Strömen von der Größenordnung 10^{-14} A zu tun. Nach den Versuchen von *H. Rosenberg*¹⁵⁾ lassen sie sich rd. 100 000 mal verstärken und zwar so, daß der Strom, der von der Größenordnung von 10^{-9} A und mit einem Drehspul-Spiegelgalvanometer meßbar ist, bis auf rd. 2 vH der Lichtstärke proportional bleibt.

Zur Dosierung von Röntgenstrahlen werden die Ströme gemessen, die die Strahlen in einer Ionisationskammer hervorrufen. Sie sind von der Größenordnung 10^{-12} A. Siemens & Halske bauen Verstärker-Anordnungen mit einer einzigen Doppelgitterröhre¹⁶⁾, die die Ströme so verstärkt, daß sie mit einem unmittelbar an zeigenden Drehspul-Meßgerät mit einer Empfindlichkeit von $2.6 \cdot 10^{-7}$ A je Skalenteil gemessen werden können.

Ein anderes Beispiel ist der *Geigersche* Ionenzähler Abb. 18. In einem Metallzylinder a, der vorn durch eine Glimmerscheibe b abgeschlossen ist, befindet sich, vom Zylinder isoliert, eine Metallspitze c, z. B. eine Nähnadel. Zwischen Spitze und Zylinder ist eine Batterie d und ein großer Widerstand e geschaltet. An die Enden des Widerstandes sind Gitter und Kathode der Eingangsröhre eines Verstärkers f angeschlossen; im Anodenkreis der Ausgangsröhre liegt ein Lautsprecher g. Die Spannung der Batterie ist so gewählt, daß eben keine Glimmentladung zwischen Spitze und Zylinder einsetzt.

¹⁴⁾ Bericht über Strom-Spannungsmessungen mit Röhren v. *F. Trautwein*, Jahrb. d. drahtl. Telegr. u. Teleph. Bd. 18 (1921) S. 38.

¹⁵⁾ *H. Rosenberg*, Berl. Ber. Bd. 53 (1920) S. 716.

¹⁶⁾ *K. W. Hauber, R. Jaeger u. W. Vahle*, Wissensch. Veröffentlichungen des Siemens-Konzerns Bd. 2 (1922) S. 325.

¹²⁾ *K. Heegner*, Z. f. Physik Bd. 29 (1924) S. 91.

¹³⁾ Aufnahmen mit der Braunschen Röhre aus *H. Plendl, F. Sammer u. J. Zenneck*, Jahrb. d. drahtl. Telegr. u. Teleph. Bd. 26 (1925) S. 104.

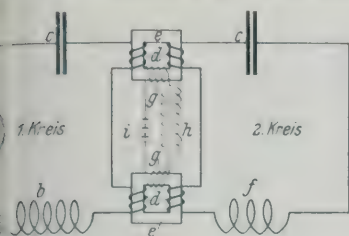


Abb. 14
Schematische Schaltung zur Frequenzverdopplung (1903).

a eisenfreie Selbstinduktion
b Wicklungen auf dem geschlossenen Eisenkern
c Kapazität
d Drosselspule
e Gleichstromquelle
f Transformator

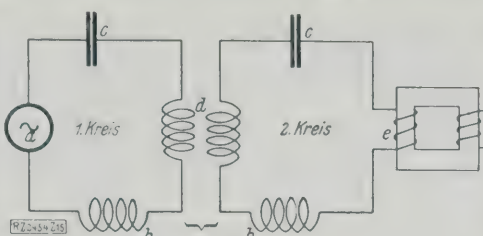


Abb. 15
Schaltung zur Erzeugung von Wechselstrom mit periodisch veränderlicher Amplitude.

a Wechselstromerzeuger
b eisenfreie Selbstinduktionen
c Kapazitäten
d eisenfreie Kopplung
e Spule mit Eisenkern

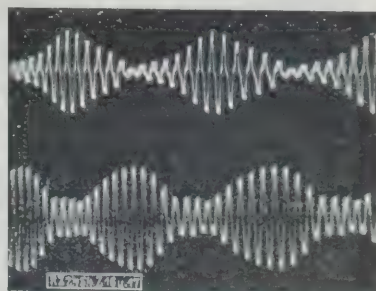


Abb. 16 und 17
Wechselstrom mit veränderlicher Amplitude.
Schaltung nach Abb. 15.

Abb. 16 (oben)
Primärstrom.

Abb. 17 (unten)
Sekundärstrom.

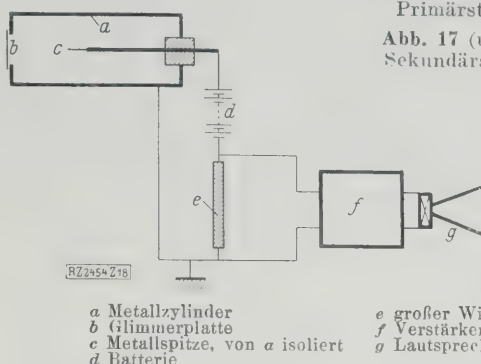


Abb. 18
Schematische Darstellung des Geigerschen Ionenzählers.

a Metallzylinder
b Glimmerplatte
c Metallspitze, von *a* isoliert
d Batterie
e großer Widerstand
f Verstärker
g Lautsprecher

Man führt man der Glimmerscheibe *b* einen radioaktiven Stoff, der α -Strahlen aussendet, so hört man jedesmal ein lautes und scharfes Knacken im Lautsprecher, sobald ein Teilchen in das Innere des Zylinders *a* gelangt und eine Ionisierung hervorruft. Schickt man Röntgenstrahlen in den Zylinder, so hört man eine große Anzahl solcher Knacke, die der Loslösung von Elektronen aus einem Atom und deren ionisierender Wirkung entsprechen. Man hat also in diesem Versuch, der ohne Schwierigkeit wieder der Experimentalvorlesung gemacht werden kann, ein akustisches Analogon zu der schönen optischen Anordnung von C. T. R. Wilson, die dieselben Vorgänge sichtbar macht.

Wenn man einen Stahl ummagnetisiert, so erfolgt die Ummagnetisierung nicht gleichförmig, sondern die magnetischen Elemente, was sie auch immer sein mögen, bewegen "in größeren Gruppen um, wie man mit Recht Unrecht zu sagen pflegt. Bekanntlich hat Barkhausen²⁷⁾ einen sehr hübschen Versuch angegeben, der es gestattet, die Erscheinung hörbar zu machen. Man bringt einen magnetischen Körper — einen Stahlstab oder Stahlblech — in das Innere einer Spule mit vielen Windungen und schließt an die Enden der Spule einen Verstärker an, dessen Endröhre ein Lautsprecher angeschaltet ist. Wenn man dann mit einem starken Stabmagneten an der Spule oder dem in ihr befindlichen Stahl entlang fährt, so hört man ein Rauschen im Lautsprecher, das von der ungleichförmigen Ummagnetisierung herrührt.

Diese beiden letzten Beispiele zeigen, wie die Veranschaulichung uns Elementarvorgänge näher gebracht haben, auf deren Vorhandensein man früher nur aus dem Integral schließen konnte.

Der Röhrengenerator

Die schönste Errungenschaft der drahtlosen Telephonie ist meines Erachtens der Röhrengenerator. Er liegt mir ferne, das Verdienst derer schmälern zu wollen, die auf den Fußtapfen Nicola Teslas fortschritten und das Ziel von ungedämpften Schwingungen mit Hilfe von Maschinen zu erreichen suchten. Diese Maschinen mit ihren Regelvorrichtungen — ich brauche nur die von Alexanderson zu erinnern — sind Kunstwerke, die dem Besten gehören, was die Elektrotechnik je geschaffen hat. Ungedämpfte Schwingungen waren von Anfang an der Traum jedes, der sich mit drahtloser Telephonie beschäftigte. Aber keiner hätte wohl im Traum denken gewagt, daß es einmal möglich sein würde, mit einfachen Mitteln ungedämpfte Schwingungen bis hin zu Frequenzen von 30 Mill. in 1 s, wie sie keine andere Quelle elektrischer Schwingungen als der Röhrengenerator aufweist, zu erzeugen, außerdem ihre Amplitude in einfachster Weise mittels Niederfrequenz zu variieren.

Wenn ich dem Röhrengenerator die höchste Konstanz beilege, so bin ich mir wohl bewußt, daß das heute noch nicht mehr ganz richtig ist. Tatsächlich hat er sich selbst übertroffen, als man ihm den piezo-elektrischen

Quarz, den Cady¹⁸⁾ in die drahtlose Telegraphie eingeführt hat, zur Steuerung beigab. Auch in dieser Beziehung verdankt die Physik der drahtlosen Telegraphie eine wertvolle Bereicherung. Sie hat nicht nur gezeigt, wie man von der Piezo-Elektrizität, die bis dahin mehr als ein Kuriosum betrachtet wurde, nützlichen Gebrauch machen kann, sondern auch bewiesen, daß Quarz fähig ist, mechanische Schwingungen mit einer Frequenz von über 1 Mill. in 1 s und mit äußerst geringer Dämpfung auszuführen. Man hat sich heute an den Quarzoszillator so sehr gewöhnt, daß man gar nicht mehr daran denkt, welches physikalische Wunder er ist. Ich bin überzeugt, kein Physiker hätte früher etwas Derartiges für möglich gehalten. Wenn jedenfalls zu mir jemand gekommen wäre, der mich versichert hätte, er habe eine Erfindung gemacht, um von einem Quarz mechanische Schwingungen mit Frequenzen von über eine Million Hertz herzustellen, so würde ich ihn sehr freundlich behandeln, ihm aber doch den Rat gegeben haben, sich in Behandlung eines Nervenarztes zu begeben.

Der Röhrengenerator hat in der Physik bei Hochfrequenzmessungen alles Andere verdrängt. Seine größte Bedeutung für die Physik hat er aber wohl erreicht in Verbindung mit der Fessendenschen Schwebungsmethode, wenn auch nicht in ihrer ursprünglichen Form, sondern in der, die dem Röhrengenerator angepaßt ist. Man kann wohl sagen, daß es hierdurch möglich geworden ist, irgendeine Veränderung, gleichgültig welcher Art und Kleinheit, nachzuweisen und zu messen: es wird fast immer möglich sein, durch diese Veränderung die Frequenz eines Kondensatorkreises in einem Röhrengenerator und damit die Schwebungsfrequenz zwischen ihm und einem Schwingungserzeuger mit gleichbleibender Frequenz zu beeinflussen. Daß es auf diese Weise z. B. möglich ist, die sehr kleinen Änderungen der Dielektrizitätskonstanten von Gasen in Abhängigkeit vom Druck zu messen, leuchtet ein; man braucht nur den Plattenkondensator eines Röhrengenerators in das betreffende Gas hereinzubringen. Weniger nahe liegt schon die Messung kleiner Längen. Wenn man die eine Kondensatorplatte *b*, Abb. 19, eines Röhrengenerators beweglich macht, so ändert sich bei ihrer Bewegung die Kapa-

zität des Kondensators und damit der Schwebungston. R. Whiddington¹⁹⁾ hat dieses Verfahren ausgearbeitet, so daß damit Bewegungen von der Größenordnung 10^{-8} cm meßbar werden. Das bedeutet eine Genauigkeit, die diejenige der bisher genauesten Messungen mit Hilfe von Interferenzerscheinungen des Lichtes ganz erheblich übersteigt. Daß man auf diese Weise sehr geringe Wärmeausdehnungen, kleine Drehungen von Bruchteilen von Bogensekunden und kleinste Ausschläge von Waagen bestimmen kann²⁰⁾, will ich nur erwähnen, um die vielseitige Anwendung dieses Verfahrens auch außerhalb der Domäne der elektrischen Schwingungen zu zeigen.

Röntgentechnik

Weit ab von den elektrischen Schwingungen liegt auch noch ein Gebiet, das aus der drahtlosen Telegraphie größten Nutzen gezogen hat, die Röntgentechnik. Das gilt in zweierlei Beziehung. Einmal sind die Hochvakuum-Gleichrichter mit Glühkathode, die die drahtlose Telegraphie für die hohen Gleichspannungen ihrer Anodenkreise entwickelt hat, für den Betrieb neuzeitlicher Röntgenröhren, die hochgespannten Gleichstrom verlangen, ein übliches Hilfsmittel geworden. Wohl gab es früher schon eine Anordnung, um hochgespannten Wechselstrom gleichzurichten, den synchron laufenden mechanischen Gleichrichter. Aber diese Gleichrichter mit ihren vielen kleinen und großen Funken und den dadurch angeregten, oft recht kräftigen elektrischen Schwingungen bedeuteten für ein physikalisches Laboratorium elektrisch ungefähr dasselbe, wie Hagel für ein Getreidefeld. Und dann sind die neuzeitlichen Röntgenröhren selbst mit Hochvakuum und Glühkathode, wie sie insbesondere durch Coolidge in die Röntgentechnik eingeführt wurden, auf demselben Boden gewachsen, auf dem die Hochvakuum-Elektronenröhren mit ihren Glühkathoden entstanden sind.

Drahtlose Telegraphie und Akustik

Wohl kein Gebiet der Physik ist von der drahtlosen Telegraphie unberührt geblieben, eines aber, das lange brach gelegen hatte, verdankt ihr geradezu seine Wiedererweckung.

Ich meine die Akustik. Sie war eine Zeit lang etwas in Mißkredit gekommen, und wer sich mit ihr beschäftigte, kam in den Verdacht, daß es ihm an wichtigeren Aufgaben fehle. Das ist heute anders geworden. Die drahtlose Telegraphie hat nicht nur neue akustische Probleme aufgeworfen, wie sie besonders der Bau von Räumen mit besonderen akustischen Eigenschaften, z. B. der Aufnahmeräume beim Rundfunk, oder die Konstruktion hochwertiger Mikrophone und Lautsprecher mit sich brachte²¹⁾, sie hat auch der Akustik mit ihren Röhrengeneratoren und -verstärkern und ausgezeichneten Mikrophenen Mittel in die Hand gegeben, um die Aufgaben der physikalischen und physiologischen Akustik, auch praktische Fragen, die man als hoffnungslos aufgegeben hatte, wie die objektive Untersuchung und die Verbesserung der Akustik eines vorhandenen Raumes, mit größtem Erfolg anzufassen.

¹⁹⁾ R. Whiddington, Phil. Mag. Bd. 40 (1920) S. 634.

²⁰⁾ A. Pfister, Phys. Zeitschr. Bd. 22 (1921) S. 73; F. Kock u. G. Schweikert, Phys. Zeitschr. Bd. 23 (1922) S. 123.

²¹⁾ Vergl. z. B. E. Lübecke, Akustik neuzeitlicher Sprechmaschinen, Z. Bd. 73 (1929) S. 333.

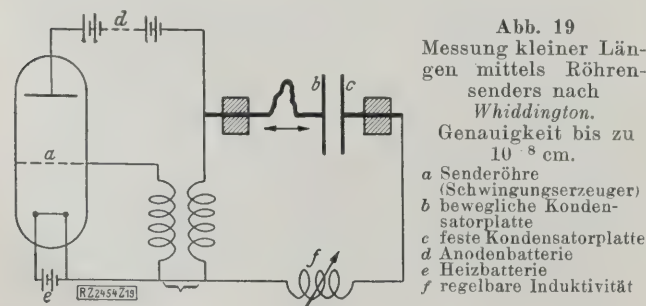


Abb. 19
Messung kleiner Längen mittels Röhrensenders nach Whiddington.
Genauigkeit bis zu 10^{-8} cm.

- a Senderöhre (Schwingungserzeuger)
- b bewegliche Kondensatorplatte
- c feste Kondensatorplatte
- d Anodenbatterie
- e Heizbatterie
- f regelbare Induktivität

Akustische Untersuchung von Räumen

Als Beispiel dafür darf ich wohl über Versuche berichten, die zwei meiner Schüler, Dipl.-Ing. Schindelin und Scharstein, auf meine Veranlassung angestellt haben²²⁾.

Wir haben zu akustischen Untersuchungen zwei Räume zwei im Prinzip nicht neue Verfahren entwickelt: Bei dem einen, der Stoßprüfung, wird an einer kleinen 6mm-Pistole (Rundkugelpatrone ohne Kugel) ein Schuß abgefeuert und der zeitliche Verlauf der Schalldruckkurve im Raum mit einem Mikrophon — bei unseren Versuchen einem Reichert-Mikrophon —, Mehrfachverstärker mit Widerstandskontrolle und Siemens-Oszillograph aufgenommen. Die Kurve, die man in freier Luft, z. B. auf dem Dach des Physikalischen Instituts der Technischen Hochschule München bekommt, ist Kurve a, Abb. 20; die Kurve b stellt Zeitmarken eines Stimmgabel-Unterbrechers von je $1/32$ s Länge dar.

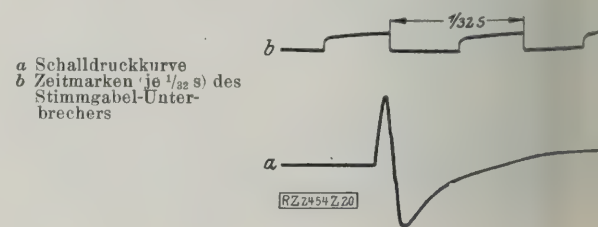
Das zweite, die Tonprüfung, bestand darin, daß ein Röhrensender mit Lautsprecher mit Hilfe eines Unterbrechers in regelmäßigen Abständen Tongruppen aufsandte und dann die Schallkurven in derselben Weise aufgenommen wurden.

Einige Beispiele sollen die Ergebnisse dieser Methoden zeigen. Das erste ist die akustische Stoßprüfung des physikalischen Hörsaals der Technischen Hochschule München, Abb. 21 und 22. Wie aus Abb. 21 hervorgeht, ist es ein ganz regelmäßig gebauter, amphitheatralischer Raum. Bei der Aufnahme befand sich die Pistole ziemlich genau im geometrischen Mittelpunkt des Saalgrundrisses (bei a in Abb. 22), während das Aufnahmegerät (Mikrophon unmittelbar daneben stand). Das Oszillogramm im leeren Hörsaal zeigt Kurve a in Abb. 21. Man sieht darin der Reihe nach den Abschluß, die Reflexion an den einzelnen Bankreihen — am stärksten diejenige an der ersten (überlagert von der Reflexion am Boden), die übrigen mit abnehmender Stärke —, dann die Reflexion an der verhältnismäßig hohen Rückwand des letzten Bankreihen und schließlich die an der Galerie (beide überlagert von Reflexionen an der Decke). Im vollbesetzten Hörsaal, Kurve b in Abb. 21, fallen die Reflexionen an den Bänken — abgesehen von der an der Vorderwand der ersten und an der Rückwand der letzten — fast vollkommen weg, da sie durch die in den Bänken sitzenden Zuhörer gestört werden. Die Genauigkeit, mit der die akustische Aufnahme, Kurve a in Abb. 23, die Einzelheiten des Hörsaals und seines Längsschnitts wiedergibt, könnte dazu verleiten, einen neuen Ausdruck „prägen“, wie es heute vielfach Sitte ist, und solche Kurven als „akustische Photogramme“ zu bezeichnen; glücklicherweise stehen dem schon philologische Rücksichten im Wege.

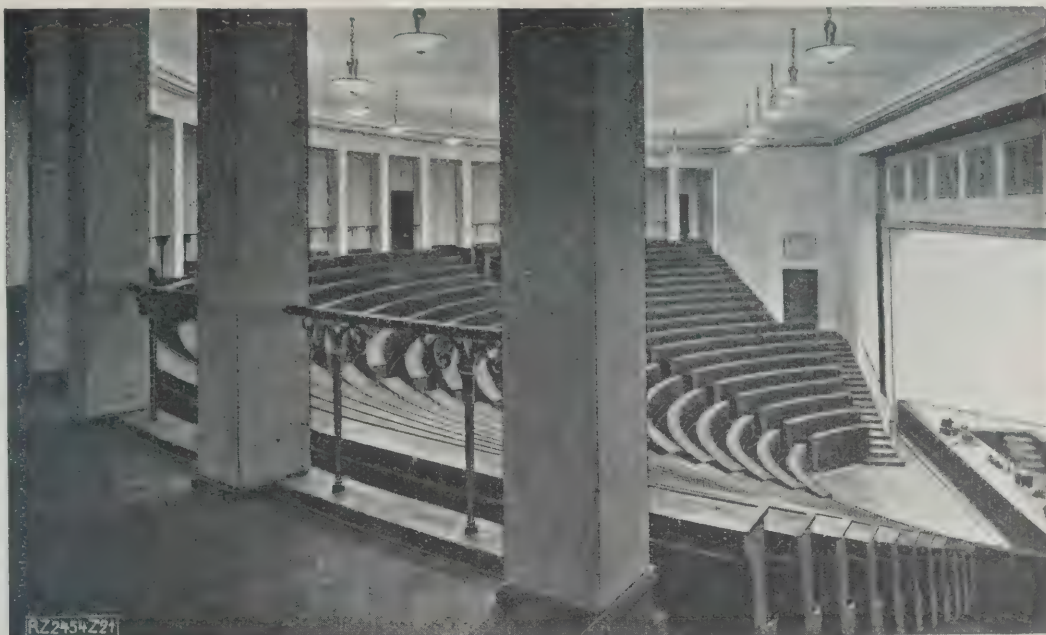
Der große Vorteil dieser Stoßprüfung liegt darin, daß man aus dem Zeitabstand der Reflexion unter Umständen unter Zuhilfenahme der Richtwirkung der Pistole mit Sicherheit auch in ziemlich verwinkelten Fällen die Stelle im Raum bestimmen kann, an der die Reflexion stattfindet und die unter Umständen für ein störendes Echo im Saal verantwortlich zu machen ist. Mit welcher Genauigkeit das möglich ist, dafür haben wir kürzlich

²²⁾ Die Arbeiten erscheinen in der nächsten Zeit in den Annalen der Physik.

Abb. 20. Schalldruckmessung eines Pistolenschusses in freier Luft. Aufgenommen auf dem Dach des physikalischen Instituts der Technischen Hochschule München.



bb. 21 und 22
Querschnitt
Hörsaal der
Technischen Hochschule München.
Pistole als Schall-
quelle für die Stoß-
prüfung
Aufnahme-Mikro-
phon



ein interessantes Beispiel gehabt.
Hr.-Ing. Schindelin und Dipl.-
Ing. Scharstein waren nach Frei-
burg i. Br. gerufen worden, um
den Hörsaal der dortigen Universi-
tät, der eine besonders schlechte
Akustik hat, auszumessen. Die
Messunterschiede zwischen den
starken Reflexionen, die sie
fanden, waren nicht in Ein-
stimmung zu bringen mit den Ab-
messungen des Saales. Sie
prüften ihre Stimmgabel-Unter-
brecher und damit ihre Zeit-
messung, fanden aber alles in
Einklang. Allmählich bekamen
sie Verdacht gegen die Richtigkeit der Pläne,
die man ihnen gegeben hatte, maßen den Saal
nach und fanden, daß ihre akustischen Mes-
sungen, nicht aber die Pläne mit den wirk-
lichen Abmessungen übereinstimmten²³⁾.

Tonprüfung eines Rundfunk-Senderaumes und einer Halle

Als Beispiel für die Tonprüfung enthält
Abb. 25 in Kurve *a* das Oszillogramm, das
die Aufnahme des Münchener Rund-
funksenders ergab; die Kurve *b* stellt den
Sommer im Lautsprecher, die Kurve *c* die Zeit-
marke dar. Die Schalldruckkurve *a* in
Abb. 25 zeigt entsprechend den guten akusti-
schen Eigenschaften des Raumes nur eine
schwache, auf den direkten Schall unmittel-
bar folgende Reflexion, die einzelnen Ton-
gruppen sind scharf voneinander getrennt.
Im Gegensatz dazu gibt die Kurve *a* in
Abb. 26 die entsprechende Aufnahme in einer
Eingangshalle der Technischen Hochschule
München mit einer gewölbten Decke und
einem Steinfußboden wieder (vergl. den
Querschnitt durch die Halle, Abb. 28). Die Kurve veranschau-
licht die geradezu ungeheuerlichen akustischen Eigen-
schaften des Raumes. Man bekommt überhaupt keine abge-
grenzten Tongruppen mehr, sondern nur ein allgemeines Tönen
im Raum. Dabei fiel die gewählte Frequenz nicht einmal auf
einen Eigenton des Raumes; sonst wären die Verhält-
nisse noch viel schlimmer. Untersucht man nun die

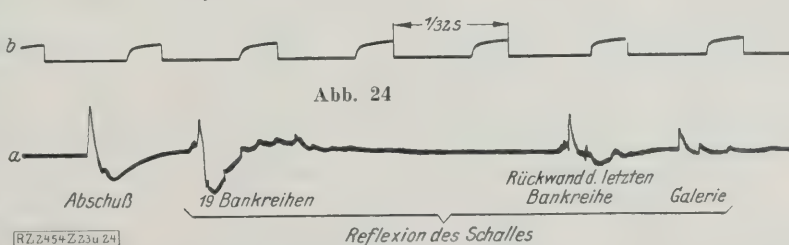
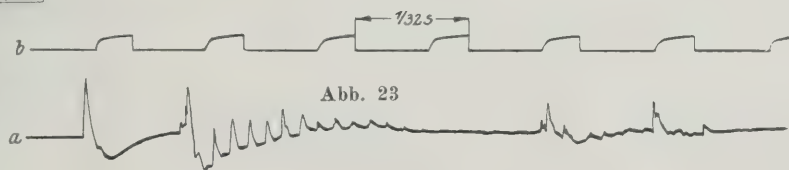
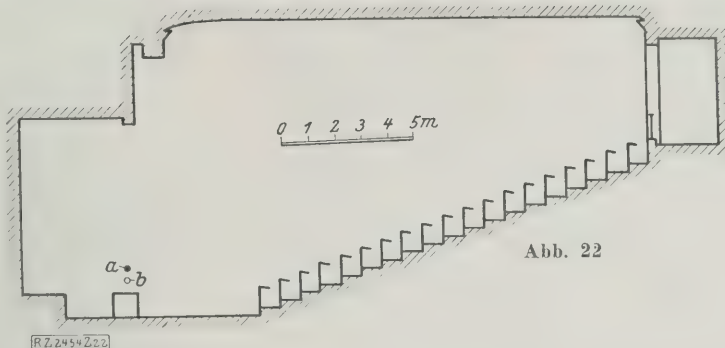


Abb. 23 und 24
Akustische Stoßprüfung des physikalischen Hörsaales der Technischen
Hochschule München, leer, Abb. 23, und vollbesetzt, Abb. 24.

Der Vergleich mit Abb. 22 zeigt die Übereinstimmung der räumlichen Verhältnisse
mit den aufgezeichneten Reflexionen

a Oszillogramm *b* Zeitmarken des Stimmgabel-Unterbrechers

²³⁾ Wie sich nachher herausstellte, stimmten die Pläne auch in
anderer Beziehung nicht ganz. Es waren augenscheinlich nicht die
gezeichneten, nach denen tatsächlich gebaut worden war. — Ein Bericht über
die Versuche erscheint demnächst in den Annalen der Physik.

Gründe dafür mit der Stoßprüfung, so findet man einen
Strahlengang, ähnlich dem in Abb. 29, wenn die Schallquelle
an der Stelle des Punktes *a* steht²⁴⁾. Man bekommt also
zuerst eine Reflexion an der gewölbten Decke, dann am
Boden, dann wieder an der Decke und so fort. Tatsäch-
lich geht das viele Sekunden lang so fort, da sowohl die
Decke, als auch der Fußboden sehr wenig von dem Schall
absorbiert. Es ist danach zu erwarten, daß man diese

²⁴⁾ Wegen Einzelheiten vergl. die Originalarbeit von Scharstein, die
demnächst in den Annalen der Physik erscheinen soll.

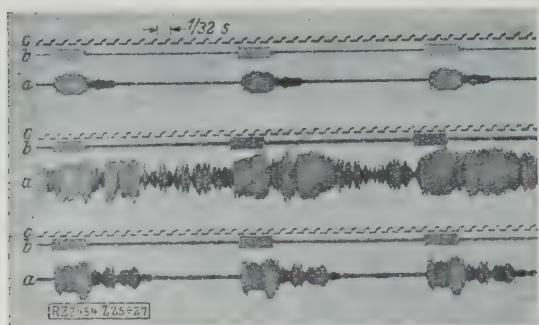


Abb. 25

Tonprüfungen im Aufnahmerraum des Münchener Rundfunksenders.

Abb. 26

Tonprüfungen in einer Eingangshalle der Techn. Hochschule München mit gewölbter Decke und Steinfußboden (siehe Abb. 28 und 29).

Abb. 27

Tonprüfungen in der gleichen Eingangshalle, aber mit schallabsorbierender Abdeckung des Fußbodens.

a Ozillogramm des Schalles
b Strom im Lautsprecher (Tonquelle)
c Zeitmarken (je $\frac{1}{32}$ s)

beinahe unendliche Reihe von Reflexionen schon nach dem ersten Glied abbrechen kann, wenn man den Schall gleich beim ersten Eintreffen am Boden dort absorbiert. Wir haben deshalb den Boden mit einem stark schallabsorbierenden Stoff, sog. Molton, belegt. Das Ergebnis war die Kurve *a* in Abb. 27. Die Akustik des Raumes ist durch diese Maßnahme aus einer ungewöhnlich schlechten zu einer so guten geworden, daß sie der des Rundfunk-Aufnahmerraumes nur wenig nachsteht. Interessant ist dabei, daß man in diesem Fall den schlechten Einfluß der Decke durch eine Maßnahme am Boden praktisch ausschalten konnte. Bemerkenswert war ferner die folgende Beobachtung. Stellt man den Lautsprecher an irgendeine Stelle an der Seite der Halle, so werden die Schallstrahlen, die von der Decke herunterkommen, im allgemeinen auf einen beschränkten Teil des Bodens reflektiert. Belegt man nun diesen Teil des Bodens mit absorbierenden Stoffen — bei den Versuchen genügten $2 \times 2 \text{ m}^2$ —, so kann die Akustik durch dieses einfache Mittel in derselben Weise verbessert werden, wie es Abb. 27 im Verhältnis zu Abb. 26 zeigt. Verblüffend war der Eindruck, wenn man den Stoff abwechselungsweise auflegte und wieder wegnahm: im ersteren Fall klar abgesetzte Tongruppen, im letzteren allgemeines Hallen. Da bei Vortragsälen und Kirchen der Redner im allgemeinen immer an demselben Platz steht, so ist hier ein Weg gewiesen, auf dem man unter Umständen mit ganz einfachen Mitteln die Akustik erträglich oder sogar gut machen kann — allerdings nur für einen ganz bestimmten Standpunkt des Redners.

Diese Beispiele und der Hinweis auf die neueren Versuche mit Schallwellen, deren Frequenz von der Größenordnung 300 000 in 1 s ist, also weit über den Hörgrenzen liegt, und bei denen natürlich ebenfalls Anordnungen benutzt wurden, die der drahtlosen Telegraphie entlehnt sind, mögen genügen.

Physiologische Akustik

Auch die physiologische Akustik hat aus den Mitteln der drahtlosen Telegraphie Nutzen gezogen. Als Beispiel

Abb. 25

Abb. 26

Abb. 27

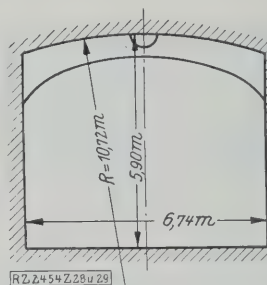


Abb. 28
Schnitt und
Abmessungen.

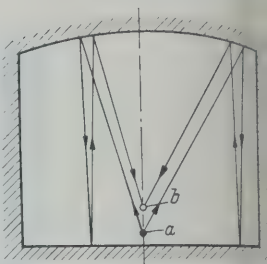


Abb. 29
Verlauf der Schallstrahlen
von der Tonquelle *a* aus.

Abb. 28 und 29
Eingangshalle der Technischen Hochschule München.

dafür zeigen Abb. 30 und 31 die Aufnahme von Schallwellen, wie sie beim Aussprechen der Vokale *a* und *e* ausgesandt werden. Die Aufnahmen wurden, wie die oben behandelten akustischen, mit einem modernen Kondensatormikrophon, Widerstand-gekoppeltem Verstärker und Siemens-Ozillograph in meinem Laboratorium aufgenommen. Man sieht in der Literatur gegenwärtig häufig solche Aufnahmen, auch früher hat es ähnliche gegeben. Vergleicht man die heutigen mit denen, die man früher aufgenommen hat und die sich noch in vielen Lehrbüchern finden, so überzeugt man sich am besten von dem großen Fortschritt, der durch die aus der drahtlosen Telegraphie übernommenen Mittel erzielt wurde²⁵⁾.

Anwendungen in der Medizin

Im Anschluß an solche physiologischen Untersuchungen fängt auch die Medizin an, sich die Mittel, die von der drahtlosen Telegraphie und der modernen Akustik entwickelt worden sind, zunutze zu machen. Als Beispiele sind in Abb. 32 und 33 aus einer Arbeit von *F. Trendelenburg*²⁶⁾ die Aufnahmen von Herztönen wiedergegeben. Sie wurden im wesentlichen mit derselben Anordnung, wie bei den erwähnten akustischen Untersuchungen gemacht, das Aufnahme-Mikrophon war das ausgezeichnete Kondensator-Mikrophon, das von *H. Rieggen* bei Siemens & Halske ausgebildet wurde. Abb. 32 zeigt das Herzgeräusch eines 31jährigen gesunden Mannes. Abb. 33 das einer herzleidenden 70jährigen Frau. Man wird schon als Nichtmediziner vermuten, daß auf Grund solcher objektiver Aufnahmen, wenn man damit einmal die nötige Erfahrung hat, eine viel sichere Diagnose möglich sein muß, als auf Grund des bisherigen subjektiven Befundes.

Meteorologie und Physik der Atmosphäre

Gerne würde ich noch auf eine Wissenschaft eingehen, die in den letzten Jahren in nahe Berührung mit der drahtlosen Telegraphie gekommen ist, die Meteorologie und die Physik der Atmosphäre. Aber so interessant die Arbeiten über die Fortpflanzung der Wellen durch die Atmosphäre für die drahtlose Telegraphie selbst sind, so wird doch vorläufig die Physik der Atmosphäre daraus nicht viel mehr entnehmen können, als eine mehr oder weniger unsichere Schätzung der Elektronenkonzentration in den verschiedenen Höhen. Ähnlich steht es auch mit dem Einfluß der Sonnentätigkeit auf unsere

²⁵⁾ Vergl. z. B. *F. Trendelenburg*: Zusammenfassende Darstellung über Methoden und Ergebnisse der Klangforschung, Jahrb. d. drahtl. Telegr. u. Teleph. Bd. 28 (1926) S. 54.

²⁶⁾ Wissenschaftl. Veröffentl. aus dem Siemens-Konzern Bd. (1928) S. 184.

Abb. 30 und 31
Schalldruckkurven beim Aussprechen von Vokalen.

Abb. 30 (links). Vokal *a*.

Abb. 31 (rechts). Vokal *e*.

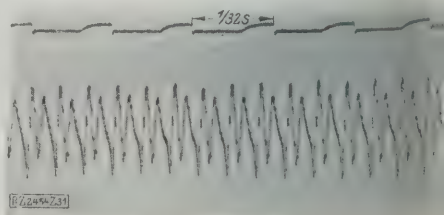
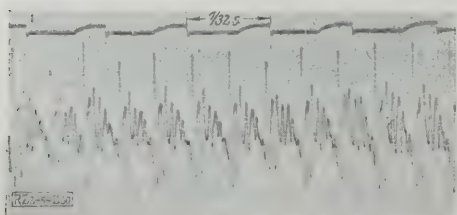


Abb. 32 und 33
Aufnahme von Herztönen.



Abb. 32
Bei einem 31jährigen gesunden Mann.



Abb. 33
Bei einer 70jährigen herzkranken Frau.

phäre, die nach den Arbeiten von Dr. L. W. Austin
W. Pickard die Fortpflanzung der drahtlosen
nicht unberührt läßt. Wir stehen hier ganz

augenscheinlich an dem Anfang einer Forschungsrichtung, die von größtem Interesse ist, aber auch auf besondere Schwierigkeiten stößt, weil uns hier eines der Haupterfordernisse des Experiments, die willkürliche Änderung der Versuchsbedingungen, versagt ist. Es wäre verfrüht, hier schon Schlüsse zu ziehen, die über das Gebiet der drahtlosen Telegraphie hinausgehen.

* * *

Ich habe versucht, an einigen Beispielen zu zeigen, was die Wissenschaft im allgemeinsten Sinn des Wortes der drahtlosen Telegraphie verdankt. Man kann die Bedeutung eines wissenschaftlichen oder technischen Gebietes nach den praktischen Erfolgen beurteilen, die es erreicht hat, oder man kann als entscheidend die Anregungen betrachten, die ihre Ergebnisse, ihre Probleme und Hilfsmittel auf dem Gesamtgebiet der Wissenschaft gegeben haben. Man mag den einen oder anderen Maßstab an die drahtlose Telegraphie anlegen, das Ergebnis bleibt dasselbe: sie steht in der Geschichte der Technik und Naturwissenschaften unerreicht da. [B 2454]

Knickfestigkeit der Pfosten von K-Fachwerken

Von Dr. K. GIRMANN, Wien

K-Fachwerke mit Streben und Pfosten aus Winkel-Abb. 1 und 2, sind im Eisenbau bei ebenen Verbänden häufig. Aus konstruktiven Gründen werden die Winkelstäbe so angeordnet, daß ein Winkelschenkel senkrecht zur Tragwandebene zu liegen kommt. Bei Verwendung gleichschenkliger Winkelstabe schließen dann die Hauptachsen der Stabquerschnitte mit der Tragwandebene Winkel von 45° ein, Abb. 2.

In folgenden wird die Knickbedingung für den durchgedachten Pfosten aus gleichschenkligen Winkelstaben aufgestellt. Die Zusammenschlußorte m zwischen Pfosten und Streben werden als seitlich nicht gehalten vorausgesetzt, zur Vereinfachung der Rechnung wird $l = l_0$ angenommen.

1. Fall

Die Stabkräfte P_1 und P_2 der beiden Stabhälften (Abb. 3), so kann die Knickbedingung mit Hilfe meiner Abhandlung „Die Knickfestigkeit der Ecken von Raumtragwerken mit ebenen Knoten“¹⁾ abgeleitet werden. Unter den dort geltenden Voraussetzungen sofort angeschrieben werden (für Geschoßzahl $n = 2$):

$$\left\{ t_1 \frac{P_1 + P_2}{2P_1} - t_2 \frac{P_1 + P_2}{2P_2} \right\}, \left\{ t_1 + \frac{P_1}{P_2} t_2 \right\} \left\{ t_1 \frac{P_1 + P_2}{2P_1} - (t_2) \frac{P_1 + P_2}{2P_2} \right\}, - \left\{ (t_1) - \frac{P_1}{P_2} (t_2) \right\} = 0 \quad (I),$$

$$t_1 = 1 - \frac{l\beta_1}{\text{tg}(l\beta_1)}, \quad (t_1) = 1 - \frac{l\gamma_1}{\text{tg}(l\gamma_1)} \quad \dots (a),$$

$$t_2 = 1 - \frac{l\beta_2}{\text{tg}(l\beta_2)}, \quad (t_2) = 1 - \frac{l\gamma_2}{\text{tg}(l\gamma_2)} \quad \dots (b)$$

$$\beta_1 = \sqrt{\frac{P_1}{E J_z \tau_1}}, \quad \gamma_1 = \sqrt{\frac{P_1}{E J_y \tau_1}} \quad \dots (c),$$

$$\beta_2 = \sqrt{\frac{P_2}{E J_z \tau_2}}, \quad \gamma_2 = \sqrt{\frac{P_2}{E J_y \tau_2}} \quad \dots (d)$$

un; J_y und J_z sind Hauptträgheitsmomente.

1. Bd. 72 (1928) S. 588.

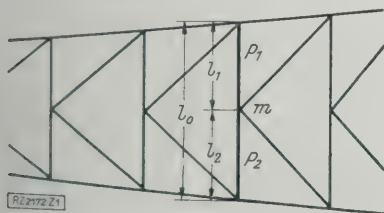


Abb. 1
K-Fachwerk. Der zu untersuchende Pfosten ist durch die Bezeichnungen hervorgehoben.

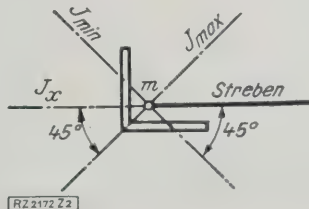
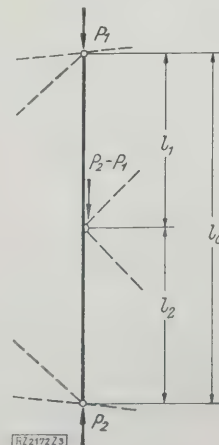


Abb. 2 (unten)
Pfostenquerschnitt.

Abb. 3 (rechts)
Belastung des Pfostens nach Fall 1: P_1 und P_2 sind Druckkräfte.



2. Fall

Ist P_1 Druck, P_2 jedoch Zug, so hat man in vorstehenden Gleichungen $-P_2$ anstatt P_2 einzuführen und $\tau_2 = 1$ zu setzen. Bedeuten P_1 und P_2 die absoluten Werte der Stabkräfte, so erhält man mit

$$\beta_2' = \sqrt{\frac{P_2}{E J_z}}, \quad \gamma_2' = \sqrt{\frac{P_2}{E J_y}} \quad \dots (d')$$

$$T_2 = 1 - \frac{l\beta_2'}{\text{tg}(l\beta_2')}, \quad (T_2) = 1 - \frac{l\gamma_2'}{\text{tg}(l\gamma_2')} \quad \dots (b')$$

die Knickbedingung (1) in der für den Fall (2) geänderten Schreibform:

$$\left\{ 2 - t_1 \frac{P_1 - P_2}{2P_1} + T_2 \frac{P_1 - P_2}{2P_2} \right\}, \left\{ t_1 - \frac{P_1}{P_2} T_2 \right\} \left\{ 2 - (t_1) \frac{P_1 - P_2}{2P_1} + (T_2) \frac{P_1 - P_2}{2P_2} \right\}, - \left\{ (t_1) - \frac{P_1}{P_2} (T_2) \right\} = 0 \quad (II).$$

Unter Zugrundelegung eines bestimmten Verhältniswertes $m = \frac{J_y}{J_z}$ kann aus der Knickbedingung (I) bzw. (II)

zu einem beliebigen Verhältniswert $\frac{P_2}{P_1}$ jener Kleinstwert P_1 (Knickstabskraft) ermittelt werden, bei dem der Winkelschenkel auszuknicken beginnt.

Die in der Zahlentafel 1 zusammengestellten Ergebnisse sind für $m = 3,933^2$ und für Knickung im elastischen Bereich berechnet worden. In Spalte 2 sind die unmittelbaren Lösungen der Knickbedingung eingetragen. Aus diesen erhält man P_1 als Funktion des Hauptträgheitsmomentes J_z . Mit Einführung des Trägheitsmomentes $J_x = \frac{1}{2}(J_y + J_z)$ entstehen die P_1 -Werte der Spalte 3. Die Gleichsetzung dieser Berechnungswerte P_1 mit $\frac{\pi^2 E J_x}{l_k^2}$ führt zu den in Spalte 4 eingeschriebenen Knicklängen l_k .

²⁾ a. a. O. S. 590 Anmerkung.

Zahlentafel 1

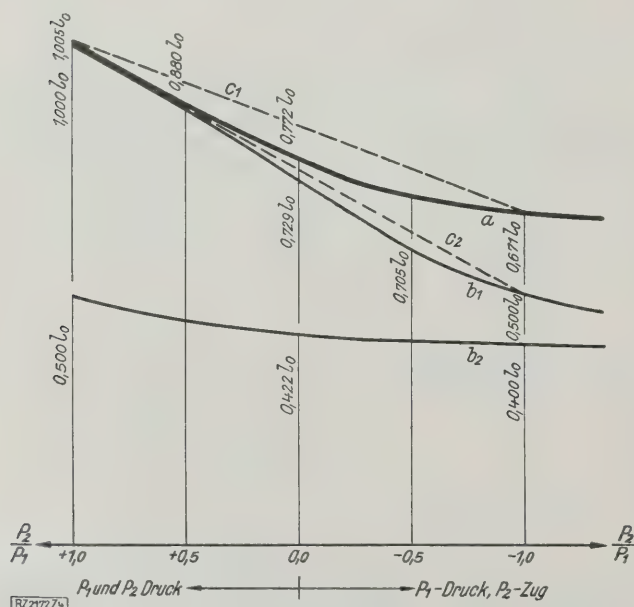
1		2	3	4
Verhältnisswerte $\frac{P_2}{P_1}$		$l\beta_1$	$P_1 = \nu \frac{E J x}{l_k^2}$	l_k
			Werte ν	
P_1 und P_2	$\frac{P_2}{P_1} = 1,0$	2,454	2,442	1,005 l_0
P_1 Druck P_2 Zug	$= 0,5$	2,803	3,184	0,880 l_0
	$= 0$	3,195	4,138	0,772 l_0
	$= 0,5$	3,499	4,963	0,705 l_0
	$= 1,0$	3,679	5,486	0,671 l_0
	$= 1,5$	3,790	5,823	0,651 l_0

Zur Veranschaulichung der Ergebnisse habe ich in Abb. 4 zu einzelnen Verhältnisswerten $\frac{P_2}{P_1}$ als Abszissen die zugehörigen l_k -Werte als Ordinaten aufgetragen und ihre Endpunkte verbunden (für Zugkräfte P_2 sind die Verhältnisswerte $\frac{P_2}{P_1}$ negativ bezeichnet). In Abb. 4 ist auch zum Vergleich der bekannte Verlauf der l_k -Werte für achsrecht angeordnete Pfosten (Querschnitte mit einer Trägheitshauptachse in der Tragwandebene liegend) dargestellt, und zwar für Knicken in und aus der Tragwandebene.

Für Knicken in der Ebene ist bei diesen Stäben der Einfluß von $\frac{P_2}{P_1}$ auf die Größe von l_k nur gering, weshalb es üblich ist, den Größtwert von l_k , $l_k = 0,5 l_0$, für alle Verhältnisswerte $\frac{P_2}{P_1}$ beizubehalten und die Knickberechnung mit dieser Knicklänge und der Achslast P_1 durchzuführen.

Für Knicken aus der Fachwerkebene zeigen sich aber innerhalb des Bereiches der in Betracht kommenden Verhältnisswerte $\frac{P_2}{P_1}$ erhebliche Unterschiede in den zugehörigen Knicklängen. Zur wirtschaftlichen Bemessung der Stäbe ist die Berücksichtigung der Belastungsverhältnisse notwendig. Nach den österr. Normen ist für diesen Knickfall die Knicklänge aus $l_k = l_0 \left(0,75 + 0,25 \frac{P_2}{P_1} \right)$ zu entnehmen, wobei P_1 Druckkraft, P_2 die kleinere Druckkraft oder Zugkraft (dann mit negativem Vorzeichen einzusetzen) bedeutet.

Die Knickberechnung der Winkeleisenpfosten kann nun in ähnlicher Art durchgeführt werden, wie die Berechnung

Abb. 4
Verlauf der l_k -Werte:

- a gleichschenkeliges Winkeleisen
 b_1 achsrecht liegender Pfosten, Knicken senkrecht zur Tragwandebene
 b_2 achsrecht liegender Pfosten, Knicken in der Tragwandebene
 c_1 Wert $l_k = l_0 \left(0,84 + 0,17 \frac{P_2}{P_1} \right)$ c_2 Wert $l_k = l_0 \left(0,75 + 0,25 \frac{P_2}{P_1} \right)$

achsrecht liegender Pfosten für Knicken senkrecht zur Tragwandebene, und zwar kann man auf Grund der stehend erhaltenen Ergebnisse die Knicklänge für diesen Bereich

$$\frac{P_2}{P_1} = +1 \text{ bis } \frac{P_2}{P_1} = -1 \text{ mit } l_k = l_0 \left(0,84 + 0,17 \frac{P_2}{P_1} \right)$$

annehmen. P_2 bedeutet wieder die kleinere Druckkraft oder Zugkraft und ist in letzterem Falle mit negativem Vorzeichen in (III) einzusetzen. Für $\frac{P_2}{P_1} = +1$ und $\frac{P_2}{P_1} = -1$ stimmen die Näherungswerte aus (III) mit den Rechnergebnissen ausreichend genau überein, für Zwischenwerte $\frac{P_2}{P_1}$ sind die Näherungswerte größer als die Rechnergebnisse.

Die Knickberechnung des Winkeleisenpfostens ist mit der zur jeweiligen Verhältnisszahl $\frac{P_2}{P_1}$ aus (III) sich ergebenden Knicklänge l_k und mit dem Trägheitsmoment I für die Druckkraft P_1 durchzuführen. [M 21]

Probefahrtergebnisse eines Dampfers der „Maier“-Schiffsform

Am 10. April fand die Abnahmeprobefahrt des Dampfers „Helios“ statt, des ersten Schiffes einer Reihe von Frachtdampfern, die von der Dampfschiffahrtsgesellschaft „Neptun“, Bremen, der Deutschen Schiff- und Maschinengesellschaft, Werk A.-G. „Weser“, Bremen, in Auftrag gegeben worden sind. „Helios“ stellt zugleich das erste Schiff nach der Maier-Schiffsform erbaute Fahrzeug dar. Das Kennzeichen dieser Schiffsform besteht in der ganzen Schiffslänge einheitlichen schrägen Spanten unter einem Winkel von 45 bis 50°, d. h. also Spanten laufen, in der Längsachse des Schiffes gegeneinander parallel und hüllen bis zu gewissen Grenzen die Seiten des Schiffes ein. Grundlegend hierbei ist der Gedanke, die einzelnen Wasserteile auf dem kürzesten Weg um den Schiffskörper herumzuführen und so den Schiffswiderstand zu verringern. Daraus ergibt sich dann entweder eine Zunahme an Geschwindigkeit oder eine Ersparnis an Maschinenleistung. Drei Fischdampfer sind bereits nach dieser Maier-Schiffsform erbaut worden und haben sich im Laufe der letzten 3-jährigen Betriebes auf das Beste bewährt.

Mit dem Bau der vier „Neptun“-Frachtdampfer hat sich nun auch dem Gebiet des Großschiffbaues nach der Maierform zugewandt. „Helios“ hat 86 m Länge zwischen den Loten, 13,99 m Breite auf Spanten, eine Seitenhöhe zum Hauptdeck von 7,9 m und eine Tragfähigkeit von 2800 t bei einem Tiefgang von 5,1 m. Zum Antrieb des Schiffes dient eine Dreifachexpansions-Kolbenmaschine mit nachgeschalteter Abdampfturbine, Bauart Bauer-Wach, mit einer inneren Gesamtleistung von 1200 PS entsprechend einer Dienstgeschwindigkeit von 10,5 Kn.

Da die Abnahmeprobefahrt mit leerem Schiff durchgeführt wurde, konnten die von der Maierform erwarteten Vorteile noch nicht in ihrem vollen Umfang zur Geltung kommen. Es ist zunächst nur festgestellt worden, daß der Dampfer ausgezeichnet steuern ließ und eine bemerkenswert geringe Wellenbildung während der Fahrt wies. Überhaupt kennzeichnet sich das Maier-Schiff allgemein durch ruhiges und stetes Verhalten auf See, bei hohem Wellengang, ist also ein ausgesprochenes Seeschiff. Dieser Umstand findet zum großen Teil seine Erklärung in der Form des weit überhängenden Deckstevens, der, im Gegensatz zu dem geraden Steven des gewöhnlichen Schiffes, sich nicht gegen die Brandung aufbaut, dadurch Erschütterungen im Schiffskörper erzeugt, sondern sich flach über die Wellen legt.

Die beim „Helios“ beobachtete geringe Wellenbildung läßt darauf schließen, daß der Schiffswiderstand verhältnismäßig gering ist und infolgedessen mit einem guten Geschwindigkeitsergebnis gerechnet werden darf. Bau und Reederei werden genaue Ermittlungen in dieser Richtung gemeinsam auf den ersten Reisen anstellen.

[N 2911]

1) Vergl. „Werft-Reederei-Hafen“, Bd. 17 (1928) S. 347.

- a Faradaykäfig (auf die Gittervorspannung gebracht)
- b Auffangplatte (Gitter)
- c isolierte Durchführung der Gitterleitung
- d Verstärkerröhren
- e Kompensationsbatterie
- f Gittervorspannungsbatterie

folgenden Rohres lieferten. Bei dieser Schaltung wurde mit isoliertem Gitter an der ersten Röhre, also ohne künstliche Ableitung, gemessen.

Der Unterschied gegenüber der Anordnung nach Abb. 1 liegt hauptsächlich in der Eingangsschaltung, indem in dieser Anordnung mit isoliertem Gitter gearbeitet wird, während die Schaltung mit Widerstandskopplung ein abgeleitetes Gitter benutzt. Die beiden Schaltungen unterscheiden sich bei rascheren Vorgängen grundsätzlich dadurch, daß die Anordnung mit isoliertem Gitter die Spannung U bzw. die Ladung Q des Aufnahmegegenstandes mißt, während die Schaltung mit Widerstandskopplung die zeitliche Änderung $\frac{dU}{dt}$ bzw.

$\frac{dQ}{dt}$ wiedergibt. So ergibt die Anordnung mit isoliertem Gitter wohl sehr genaue Aufzeichnungen der Vorgänge, besonders bei niedrigen Frequenzen, man kann jedoch wegen der notwendigen großen Konstanz der Gegenschaltungsbatterien nicht mehr als zwei Röhren hintereinanderschalten; der Verstärker ist dann für die schwächeren Wirkungen nicht genügend empfindlich. Diese Nachteile fallen zwar bei der Schaltung mit Widerstandskopplung und abgeleitetem erstem Gitter fort, jedoch ist sie stark abhängig von der Frequenz, so daß sie besonders bei niedrigen Frequenzen keine genauen Aufzeichnungen liefert; für die Verstärkung der höheren Frequenz wirkt sie jedoch günstig. Zum Ausgleichen der Frequenzabhängigkeit wurde in den Ausgang der letzten Röhre eine Drosselspule von 10^5 Windungen mit Permalloykern geschaltet, mit der das Galvanometer in Reihe geschaltet war. Ist für diese Spule $\omega L > R$, wobei ω die Kreisfrequenz, L die Selbstinduktion und R der Widerstand ist, so bewirkt sie, daß in dem mittleren Frequenzbereich die Oberwellen etwa im gleichen Maße geschwächt werden, wie sie durch die Eingangsschaltung vergrößert werden. Abb. 2 zeigt die unter diesen Vorichtsmaßregeln beobachteten Wirkungen bei Muskelzusammenziehungen.

Andere Photogramme, die teilweise unter Weglassung der Drosselspule im Endkreis aufgenommen wurden, bei denen somit die höheren Frequenzen verhältnismäßig mehr verstärkt wurden als die niedrigen, zeigten deutlich, daß bei den physiologischen Vorgängen ziemlich schnelle Ladungs- bzw. Spannungsänderungen auftreten. Es war von Interesse festzustellen, ob auch bei höheren Aufzeichnungsgeschwindigkeiten die schnellen Veränderungen und besonders die senkrechten Ablenkungen von der Zeitachse bestehen bleiben, die eben auf ein Vorhandensein höherer Frequenzen hindeuten. Die großen Anstiegsgeschwindigkeiten schließen auch die Vermutung, daß möglicherweise Strahlungsvorgänge auftreten, nicht gänzlich aus.

Da zur genauen Aufzeichnung dieser schnellen Vorgänge, besonders der Anstiegsgeschwindigkeiten, das Saitengalvanometer, das nur Frequenzen bis zu 200 Hertz getreu abbildete, nicht ausreichte, wurde versucht, einen Kathodenstrahl-Oszillographen zu benutzen. Geeignet erwies sich ein Glühkathoden-Oszillograph der Western Electric Co. (Vacuum Tube Nr. 224 A) mit einer Empfindlichkeit von rd. 1 V auf 1 mm Ablenkung. Der Ablenkungskondensator des Oszillographen war über einen Kopplungskondensator unmittelbar mit dem Anodenwiderstand der letzten Verstärkerröhre verbunden. Als solche diente dann eine Spannungsverstärkerröhre. Zu diesem Zweck wurde außer der SSIII-Röhre auch eine Schirmgitterröhre von Telefunken (Type RES 044) benutzt.

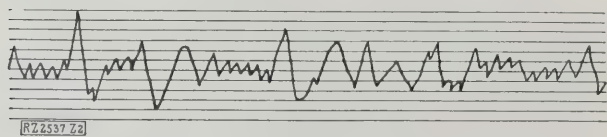


Abb. 2
Feldveränderungen bei Muskelkontraktionen.

Kontraktionen (Bewegung der Finger, Ellenbogen unbewegt). Aufgenommen mittels Saitengalvanometers. Vierröhren-Schaltung mit Widerstands-Kondensator und abgeleitetem erstem Gitter. Permalloy-Drosselspule hinter der letzten Röhre. ($\frac{1}{10}$ d. nat. Gr.)

Der Kathodenstrahl des Oszillographen wurde durch die aufzuzeichnenden Vorgänge noch in ein zweites zu der ersten senkrechten Richtung abgelenkt (Zeitablenkung). Der Kathodenstrahl beschrieb in einem genau feststellbaren Zeit einen geraden Strich auf dem Fluoreszenzschirm, dem sich die aufzuzeichnenden Ablenkungen senkrecht überlagerten. Nachdem der Kathodenstrahl seinen Weg über den Fluoreszenzschirm zurückgelegt hatte, schnellte er in seinen Ausgangspunkt zurück und wiederholte dann seinen Weg. Dieser periodisch sich wiederholende Ablauf wurde durch folgende Schaltung erreicht, Abb. 3:

Der Kathodenstrahl wurde aus seiner Ruhelage durch eine passend gewählte Spannung abgelenkt; gleichzeitig wurde der zu dem Ablenkungskondensator b parallel geschaltete Kondensator c aufgeladen. Entluden die Kondensatoren über eine Verstärkerröhre, so wertete der Kathodenstrahl in dem Maße, wie sich die Kondensatoren entluden, in seine Ruhelage zurück. Man hat es also durch geeignete Wahl des Kondensators c und der Verstärker- und Ablenkungsröhren in der Hand, die Zeitablenkung genau zu regeln. Die Zeit t des vom Strahl zurückgelegten Weges bestimmt sich aus der Beziehung

$$t = \frac{CE}{i},$$

wo C die Kapazität des Kondensators c , E die Aufladungsspannung und i den Emissionsstrom der Verstärkerröhre bedeutet. Die Aufzeichnungsgeschwindigkeit wurde entweder nach dieser Formel berechnet, wobei darauf zu achten war, daß der durch den Strahl zurückgelegte Weg nicht über den Schirm hinausging, oder die Sinuskurve einer Maschine für 50 oder 500 Hertz wurde längs der Zeitachse auseinandergezogen und photographiert. Die Zahl der Sinuswellen gab dann ebenfalls das Zeitmaß. Die Geschwindigkeit des Strahles konnte in dieser Anordnung in weiten Grenzen von mehreren Sekunden bis $\frac{1}{1000}$ s verändert werden. Schnelleren Aufzeichnungsgeschwindigkeiten war durch die beschränkte Lichtempfindlichkeit des photographischen Papiers eine Grenze gesetzt.

Zum periodischen Ein- und Abschalten der Aufladung der Kondensatoren diente der umlaufende Schalter d , auf die Welle eines Motors gesetzt war, dessen Umlaufzahl in weiten Grenzen geregelt werden konnte. Der über den Fluoreszenzschirm laufende Kathodenstrahl wurde von außen photographiert, und zwar wurde zu diesem Zweck ein Streifen hochempfindlichen Bromsilberpapiers durch ein Uhrwerk über den Fluoreszenzschirm gezogen.

Es wurden nun die gleichen physiologischen Vorgänge, wie sie schon mit dem Saitengalvanometer aufgenommen worden waren, mit dem Kathodenstrahl-Oszillographen aufgenommen. Abb. 4 und 5 zeigen zwei Aufnahmen der Feldänderungen bei ruhendem Unterarm und bewegten Fingern, also des gleichen physiologischen Vorgangs wie bei Abb. 2, nur sind die Aufzeichnungsgeschwindigkeiten des Kathodenstrahls schneller als die des Saitengalvanometers. Abb. 4 und 5 sind mit verschiedenen

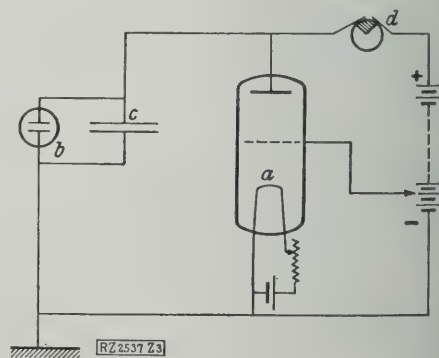


Abb. 3
Schaltung für die Zeitablenkung des Kathodenstrahl-Oszillographen.

a Verstärkerröhre
 b Ablenkungskondensator des Kathodenoszillographen
 c Kondensator, zu b parallelgeschaltet
 d umlaufender Schalter

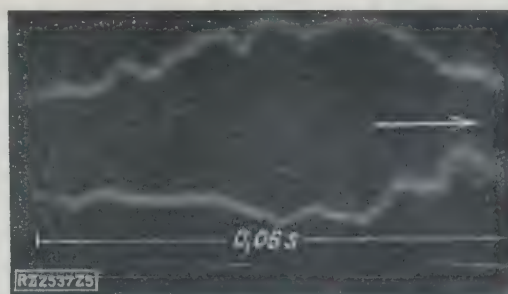
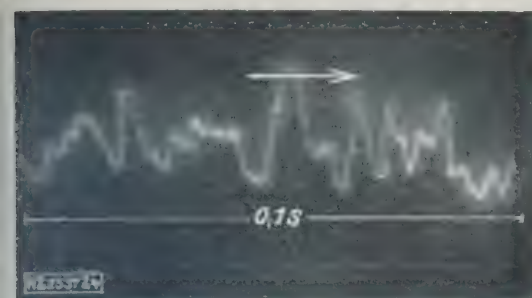


Abb. 4 und 5
Feldänderungen bei Muskelzusammenziehungen.

Bewegung der Finger, Unterarm unbewegt, wie bei Abb. 2. Aufgezeichnet mittels Kathodenstrahl-Oszillographen bei verschiedenen Aufzeichnungsgeschwindigkeiten. Die Pfeile zeigen die Ablauffrichtung des Vorganges.

ungsgeschwindigkeiten aufgenommen. Bei Abb. 4 ist die Zeit für die Aufzeichnung 0,1 s, bei Abb. 5 0,05 s. Die Aufzeichnungszeit des Saitengalvanometers beträgt für die gleiche Strecke wie beim Kathodenstrahl-Oszillographen (10 cm) 2,5 s, d. h. die Aufzeichnungsgeschwindigkeit des Kathodenstrahl-Oszillographen war 25- bis rd. 40mal so groß wie die des Saitengalvanometers.

Die hierdurch bedingten Unterschiede der Kurven sind offensichtlich. Die Versuche mit noch größeren Aufzeichnungsgeschwindigkeiten sind noch im Gange.

Die Durchführung der Arbeit war nur auf Grund der dauernden Hilfsbereitschaft der Notgemeinschaft der deutschen Wissenschaft möglich; es sei ihr dafür auch an dieser Stelle ergebenst gedankt. [B 2537]

Amerikanische Riesenlöffelbagger

Von Dr.-Ing. W. FRANKE, Dresden

ur Bewältigung großer Erdarbeiten haben die Amerikaner sehr frühzeitig, und zwar schon zu Beginn der 80er Jahre des vorigen Jahrhunderts, mit dem Bau der ersten Löffelbagger begonnen und wenn natürlich in dieser frühen Zeit auch viele durchgreifende konstruktive Verbesserungen an dieser Baumaschine¹⁾ zum Zwecke der Leistungssteigerung erfolgt sind, so ist doch bis heute der gleiche Zeitgedanke, der dem Aufbau des Löffelbaggers zugrunde liegt, der gleiche geblieben, wie eine Gegenüberstellung mit heutigen Erzeugnissen zeigt, Abb. 1 (S. 578). Die ersten Firmen, die vor nunmehr fast 40 Jahren etwa gleichzeitig den Bau von Löffelbaggern begonnen haben, sind Bucyrus, Marion und schließlich die Thew. Da infolge der hohen amerikanischen Arbeitslöhne die Zwischenzeit die Löffelbagger eine ungewöhnliche Verbreitung in den Vereinigten Staaten gefunden haben, so ist heute die Zahl der Sonderfirmen auf mehr als 100 gestiegen, und bei den kleineren Bauarten sind in einzelnen Verken monatliche Erzeugungszahlen von 40 bis 50 Stück durchaus keine Seltenheiten. Als bekannteste Löffelbaggerfirmen seien an erster Stelle: Thew, Northwest und Larnischfeger genannt, ferner Koehring, Byers und

Die starke Aufschwung hat der Bau von kleinen Löffelbaggern durch den in hoher Blüte stehenden Straßenbau erhalten, wofür Tausende dieser Maschinen arbeiten. Man kann der Besucher mitten in den Großstädten auf kleineren Baustellen drei oder mehr Löffelbagger beim Erdaushub für Gründungs- und ähnliche Bauarbeiten beobachten.

In gleichem Maß wie der kleine Löffelbagger hat in den letzten Jahren die Entwicklung des Großlöffelbaggers ungehörliche Fortschritte gemacht, und während man noch vor wenigen Jahren Bagger von etwa 5 m³ Löffelinhalt und einem Gewicht zu den Größtausführungen zählte, baut man heute bereits Großbagger zusammen, die etwa 1500 t Dienstgewicht erhalten werden.

Das Hauptabsatzgebiet für diese Riesenbagger ist der Steinkohlen-Tagebau, in geringerem Maß auch der Eisenerz-Tagebau, und nachdem sich in den letzten Jahren die Bauart „Marion 350“ mit 6 m³ Löffelinhalt gut eingeführt hat, ist ein neues größeres Modell „Marion 5480“ entwickelt worden, Abb. 2, das ich im Sommer 1928 in mehreren Ausführungen im Steinkohlen-Tagebau von Illinois im Beobachtungsgebiet der Steinkohle oder der Anthrazit nicht weit (8 bis 20 m) liegt, kann das steinige Deckgebirge durch den Löffelbagger abgeräumt werden, nachdem das Ge-

stein gesprengt worden ist. So ist es erklärlich, daß der Löffelbagger hier ein gutes Absatzgebiet finden konnte. Andererseits ist aber in manchen amerikanischen Steinkohlen-Tagebauen das Deckgebirge verhältnismäßig leicht und locker (Sand, Kies und Ton), so daß wir in Deutschland zweckmäßiger vielleicht den Eimerkettenbagger anwenden würden, der in den Ver. Staaten überhaupt nicht bekannt ist. Überhaupt kann man feststellen, daß in einzelnen Fällen unsere im Braunkohlentagebau arbeitenden hochentwickelten Abraumförderverfahren wirtschaftlicher sein würden.

Der neue Bagger mit der Bezeichnung „Marion 5480“ ist z. Z. der größte Löffelbagger der Welt, und es sind bereits 12 Ausführungen im Betrieb oder im Bau. Das Dienstgewicht einschl. Gegengewicht beträgt rd. 800 t, der Löffelinhalt rd. 9 m³.

Besonders auffällig ist die außerordentlich kräftige Fachwerkkonstruktion des 30 m langen Auslegers, der sich auch seitlich etwas einstellen kann, so daß keine hohen Verdrehungsbeanspruchungen auftreten; ferner sind zur Sicherheit zu beiden Seiten je zwei Halteseile angeordnet, die an der Auslegerspitze befestigt sind. Der 18 m lange Löffelstiel ist mit starken Stahlplatten bewehrt und nur einfach ausgeführt, im Gegensatz zu den Bucyrus-Baggern, die mit zwei seitlich am Ausleger geführten Löffelstielen ausgestattet sind. Alle Teile des Löffels, Abb. 3, die beim Graben mit dem Erdreich in Berührung kommen, sind aus Manganstahl gefertigt, und die auswechselbaren Zähne werden in der Regel aus Sonderstahl geschmiedet. Das Hubseil hat rd. 45 mm Dmr. und ist am Auslegerkopf dreifach aufgehängt, wogegen die Bucyrus-Bagger allgemein einen einfachen Strang des Hubseiles aufweisen.

Sehr umfangreich ist die Ausstattung des geräumigen Maschinenhauses, und einen Hauptteil des Platzes nimmt die elektrische Ausrüstung ein. Die beiden Hubmotoren entwickeln je 250 PS, die beiden Drehmotoren je 125 PS und der auf dem Ausleger untergebrachte Vorschubmotor 150 PS. Wie bei allen bisher gebauten amerikanischen Löffelgroßbaggern, so ist auch bei der neuen Type „Marion 5480“ die Ward-Leonard-Schaltung eingebaut, die sich infolge ihrer erheblichen Vorteile im Großbaggerbau allgemein eingeführt hat. Die bedeutend höheren Anschaffungskosten werden durch Ersparnisse im Stromverbrauch bald wieder ausgeglichen, und die übrigen Vorteile, die durch die gute Regelfähigkeit bedingt sind, dürften bekannt sein. Den Umformersatz für die Hubbewegung zeigt Abb. 4. In der Mitte der Maschinenplattform, vergl. die ähnliche Anordnung des Eimerseilbaggers, Abb. 7, befindet sich das Hubwerk mit den dazugehörigen mechanischen Triebwerken, das Drehwerk hingegen ist doppelt ausgeführt, und zwar an beiden Seiten der Plattform. Außerdem sind noch eine Reihe von Hilfsmaschinen, wie Luftverdichter,

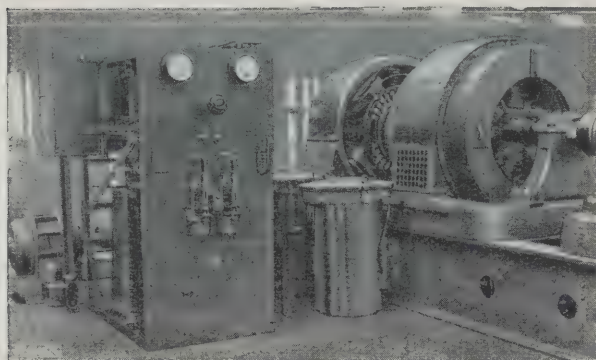


Abb. 4
Teil des Umformersatzes auf der Maschinenplattform.

Ölpumpe, Lichtmaschine usw. aufgestellt. Der Führerstand mit den Steuerschaltern ist auf dem vordersten Teil in einem besonders abgetrennten, geschlossenen Raum untergebracht, so daß der Baggerführer einen umfassenden Überblick über das Arbeitsgelände hat.

Der Rollenkranz, auf dem die Maschinenplattform ruht, hat rd. 10 m Dmr., seine 80 Rollen sind aus Sonderstahl. Von kräftiger Bauart ist der Rahmen des Unterwagens, der aus genieteten Blechträgern zusammengesetzt ist, die untereinander ausreichend versteift sind.

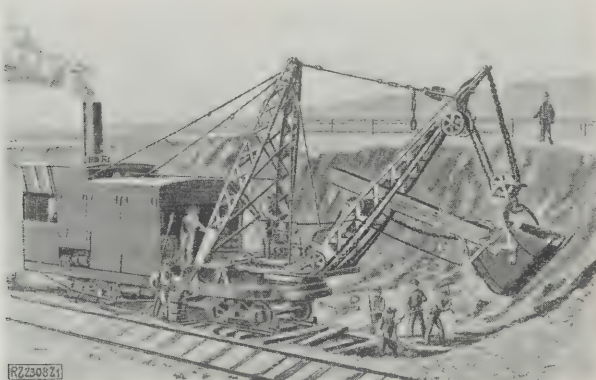


Abb. 1
Amerikanischer Löffelbagger aus dem Jahre 1890.

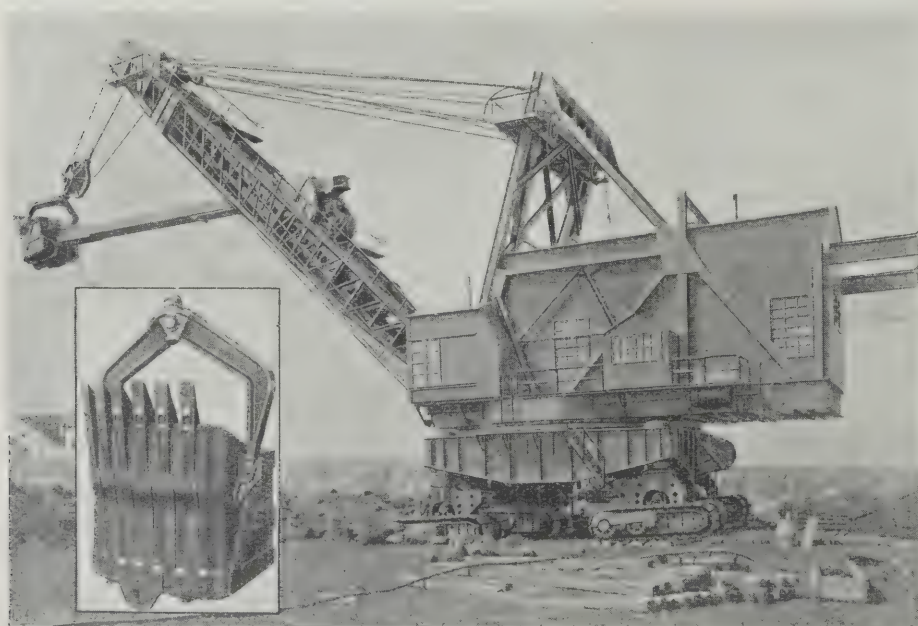


Abb. 2 und 3
Riesenlöffelbagger, Bauart „Marion 5480“ Löffelinhalt 9 m³, Dienstgewicht rd. 800 t

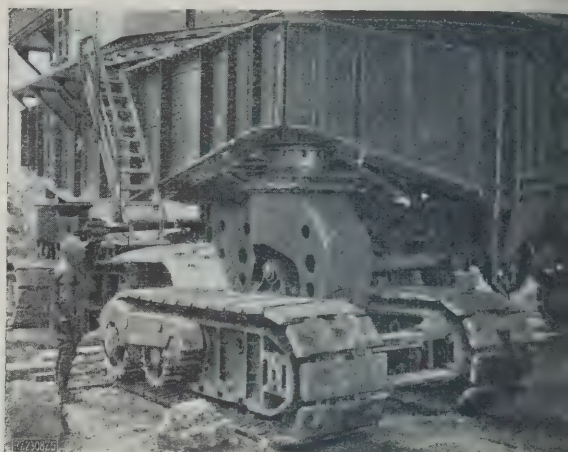


Abb. 5
Unterteil des Marion-Baggers mit vier Doppelraupen.
Verlagerung in Ölzylindern, Kurvensteuerung zwangsläufig.

Diese vier in Form eines Quadrates angeordneten Tr sind in der Mitte 1,8 m hoch, Abb. 5, in den Ecken sind Ölzylinder eingebaut. Diese der Firma Marion geschä Bauart ist dadurch bemerkenswert, daß diese Zylinder untereinander durch Öldruckleitungen verbunden sind, durch ein ständiger Druckausgleich herbeigeführt wird. Zweck dieser Vorrichtung besteht darin, daß das Bag gewicht möglichst gleichmäßig auf den Unterwagen teilt wird, und zwar auch dann, wenn der Bagger sich unebenem Gelände fortbewegt. Die sich in den Ölzylinder bewegenden Kolben stehen mit den über den Raupen findlichen Sattelstücken in starrer Verbindung. Diese ordnung hat gegenüber der von Bucyrus ausgeführten D punktllagerung praktische Vorteile.

Zu den bemerkenswertesten Einzelteilen des Baggers gehören die Raupenbänder, über die gewaltige Baggergewicht auf den Boden übertragen w Hier sind im Laufe der letzten Jahre in konstruktiver I sicht große Wandlungen vor sich gegangen. Bei der ne Bauart, „Marion 5480“, fallen dem Fachmann die verhält mäßig kleinen Abmessungen der vier Doppelraupen Abb. 5. Der Bodendruck ist hier wesentlich höher als her üblich, er beträgt außer Betrieb etwa 3,5 kg/cm² beim Graben etwa das Doppelte. Zum Lenken des Bag beim Fahren im Bogen dienen angetriebene Spindeln, die über den Raupen befindlichen Sattelstücke in die Fahrtr tung drehen und so die Raupenpaare zwangsläufig einstel

Bisher begnügte man sich dem Festbremsen einzelner R pen, während der übrige 2 weiterlief und so unter star Gleiterscheinungen die Richt geändert wurde. Außerdem noch durch je ein unter Bagger mit der Hand einzusch stendes Vorgelege die Mögl keit gegeben, den Raupen v schiedene Geschwindigkeiten erteilen. Der für die Raup tragflächen zugelassene h Bodendruck läßt sich z. T. da begründen, daß der Bagger der Grube vorzugsweise ziemlich festem Untergru meist Steinkohlen, steht. U dies werden noch starke H schwellen unter die Raupen legt. Diese Maßnahme spr allerdings gegen die eigentl Zweckbestimmung der Rau nämlich den Bagger vom V strecken von Schienen Schwellen unabhängig machen und die dazu erforderlichen Bedienungsleute zu ren. Da jedoch eine Fahrbe gung nicht allzu häufig ist, dann mit geringer Geschwin keit ausgeführt wird, so sich diese Arbeitsweise eini maßen rechtfertigen.

Abb. 6
Eimerseilbagger „Marion 5480“.
Kübelinhalt 8 m³, Auslegerlänge 51 m.

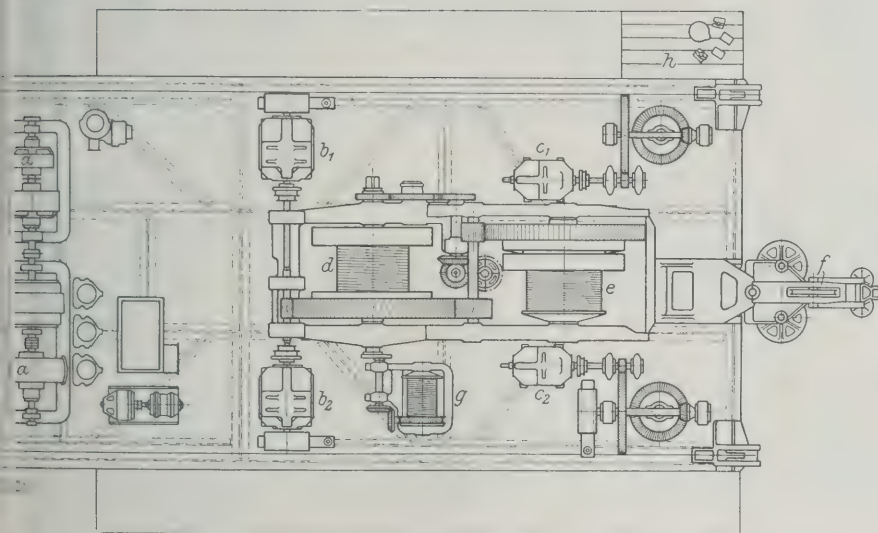
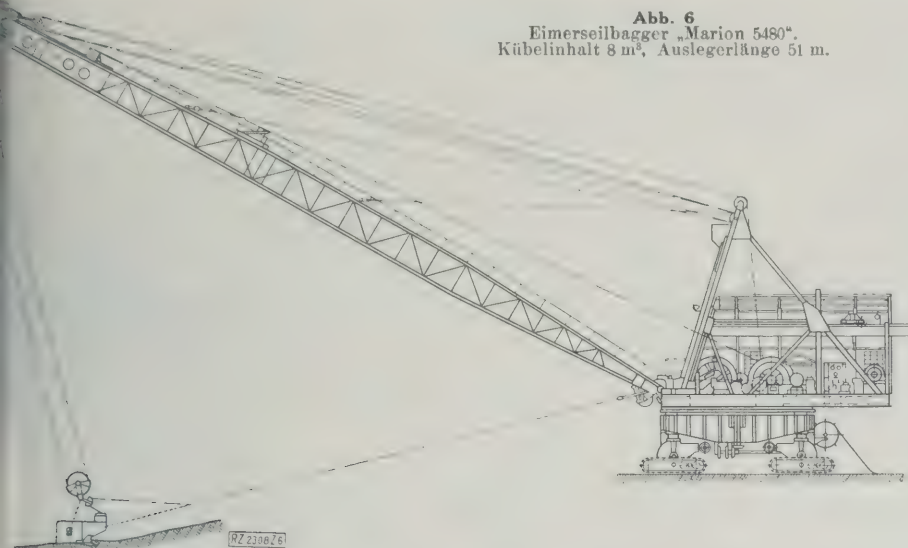


Abb. 7. Maschinenplattform des Eimerseilbaggers „Marion 5480“.

maschinenumformer
Hubmotoren
 c_1, c_2 Drehwerkmotoren
 d Hubtrommel
 e Schürftrommel
 f Seilführung für Schürfseil
 g Einziehwerk
 h Führerstand

Gleichzeitig mit dem neuen Löffelbagger „Marion 5480“
an eine entsprechende Bauart als Eimerseilbagger
„Marion 5480“, dessen Aufbau ganz ähnlich ist, Abb. 6,
auf den Markt gebracht worden. Auf der Maschinenplatt-
form befinden sich zwei Trommeln, Abb. 7, je eine für das

ungewöhnlich große Bodenmassen zu bewältigen. Andererseits
dürfte aber dahingestellt sein, ob nicht in einer Reihe von
Anwendungsfällen unsere neuen deutschen Abraumförder-
verfahren, die ja heute ebenfalls auf große Leistungen zuge-
schnitten sind, zweckmäßiger sind. [M 2308]

Hub- und Schürfseil, wäh-
rend mit Ausnahme des
wegfallenden Vorschub-
umformers die elektrische
Ausrüstung die gleiche wie
beim Löffelbagger ist. Sehr
zweckmäßig ist auch die
Anordnung eines 15 t-Lauf-
kranes im Maschinenhaus,
dessen Fahrbahn bis über
das Haus hinausragt, so
daß das Ein- und Ausbrin-
gen von Maschinenteilen
usw. sehr erleichtert wird.
Abb. 2. Der Ausleger des
Eimerseilbaggers hat die
ungewöhnliche Länge von
51 m, der Schürfkübel faßt
etwa 8 m³. Im Gegensatz
zum Löffelbagger schürft
bekanntlich der Eimerseil-
bagger vorzugsweise unter-
halb der Baggersohle, und
zwar bis rd. 15 m Tiefe;
er geht im amerikanischen
Tagebau in der Regel dem
Löffelbagger voran, um zu-
nächst den ersten Einschnitt
herzustellen. Bei geschick-
ter Arbeitsweise kann dabei
der Kübel ziemlich weit
über die Auslegerspitze hin-
ausgeschleudert werden, wo-
durch der Schürfbereich noch
etwas erweitert wird.

Die Entwicklung des
amerikanischen Löffelbag-
gers hat jedoch mit der be-
schriebenen Bauart „Mar-
ion 5480“ noch nicht den
Abschluß gefunden. Bei
meinem Besuch in den
Werkstätten zu Marion
(Ohio) habe ich mehrere
Einzelteile für eine Bauart
„Marion 5600“ im Zusam-
menbau gesehen, die bei
12 m³ Löffelinhalt rd. 1500 t
Dienstgewicht erhalten soll.

Nach den aufgestellten
Wirtschaftlichkeitsberech-
nungen arbeiten die neu-
sten großen Bauarten
günstiger als eine Anzahl
kleinerer Löffelbagger,
wenn es darauf ankommt,

Brüche an den Tragkabeln amerikanischer Hängebrücken

Beim Bau der Mount Hope-Hängebrücke in den Ver-
einigten Staaten von Amerika, die am 15. Mai dem Verkehr
übergeben werden sollte, sind in den beiden 28 cm dicken
Tragkabeln der 365 m weiten Hauptöffnung zahlreiche
Brüche festgestellt worden. Jedes Kabel besteht aus 11 Litzen
je 350 Drähten. Zum erstenmal hatte man bei dieser
Brücke an Stelle der sonst üblichen kaltgezogenen warm-
gewalzten und verzinkten Drähte verwendet, die sich bei
vorangegangenen planmäßigen Werkstoffprüfungen
ausgezeichnet bewährt, sogar den kaltgezogenen in bezug auf
Zugfestigkeit überlegen gezeigt hatten (134 gegen-
über 120 kg/mm²).

Zur Zeit, als die Brücke entdeckt wurden, war die
Anordnung der Hauptöffnung etwas über einen
Mittelmaß lang eingebaut, die Kabelbelastung betrug rd.
1,5 kg/mm² gegenüber rd. 56 kg/mm², die nach Inbetrieb-
nahme zu tragen waren. Bei der genauen Untersuchung
des Kabels 300 bis 400 Drahtbrüche auf, und

zwar war in jedem Kabel eine Litze mit allein 250
Drahtbrüchen besonders betroffen, während bei den übrigen
zehn Litzen verhältnismäßig wenige Brüche festgestellt
wurden. Die meisten Bruchstellen lagen den Kabelschuhen
sehr nahe. Hier hatten die Kabel eine Vorverformung beim
Verspinnen dadurch erhalten, daß sie um eine an der
Spitze des Schuhs befestigte Scheibe von 64,4 mm Dmr.
herumgeführt waren. Nunmehr hat sich die Bauleitung ent-
schlossen, die Fahrbahn der Brücke noch einmal abzu-
nehmen und die Kabel durch solche aus kaltgezogenen
Drähten zu ersetzen. Infolgedessen wird sich die Inbetrieb-
nahme um sechs Monate verzögern.

Auch beim Bau der großen Ambassador-Hängebrücke
in Detroit mit 565 m l. W. der Hauptöffnung, haben sich
vor kurzem Drahtbrüche gezeigt, und zwar unter einer
Belastung, die nur etwa 12 vH der Betriebslast betrug. Die
Drähte waren ebenfalls warm behandelt und verzinkt. Die
Bauleitung hat daher inzwischen auch hier eine Unter-
brechung der Bauarbeiten verfügt, damit die Kabel durch
solche mit kaltgezogenen Drähten ersetzt werden. (Engi-
neering News-Record Bd. 102 (1929) Nr. 13 S. 514)

[N 2914]

Sd.

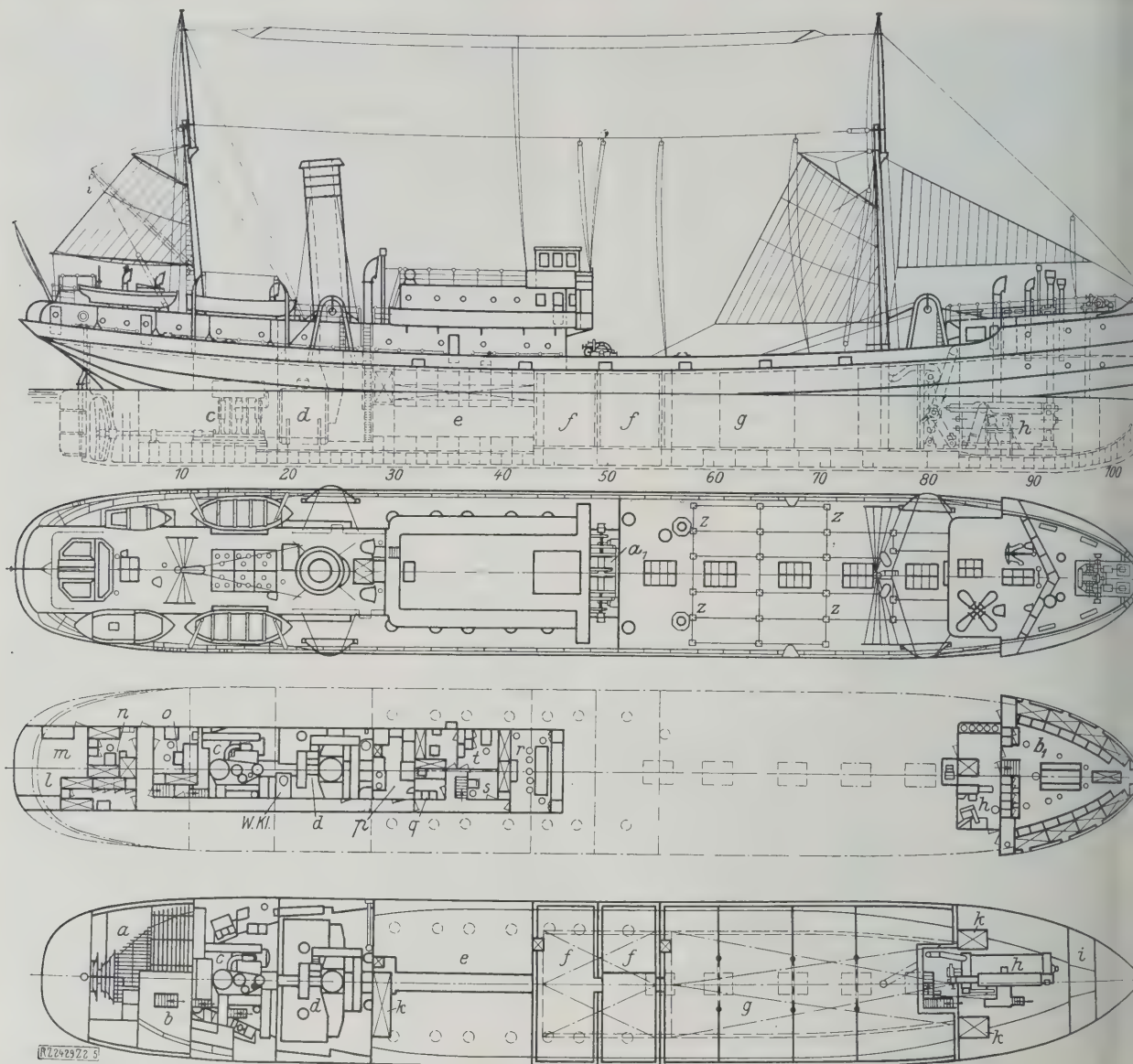


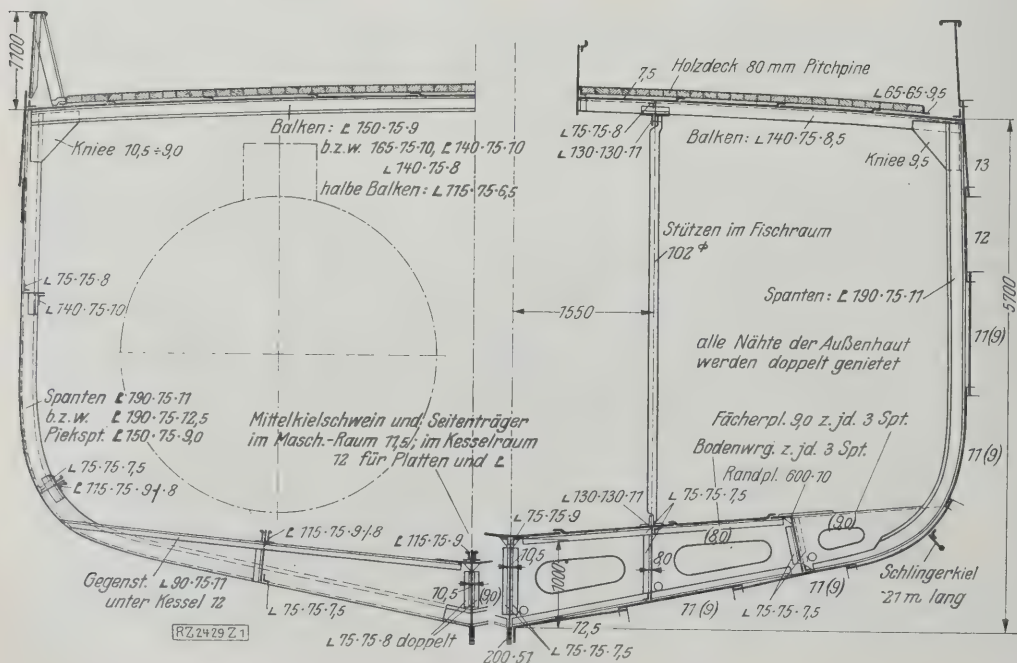
Abb. 2 bis 5
Hochseedampfer
„Aspirant Brun“
mit Einrichtungen.

Zu Abb. 2 bis 11:

- a Vorräte
- b Fischmehl
- c Maschinenraum
- d Kesselraum
- e Kohlenbunker
- f Reservebunker oder Raum für Fische und Fischmehl
- g Hauptladerraum für Salz o. Fische
- i Anlage für Fischmehlbereitung
- j Kettenkasten
- k Frischwasser
- l 3 Heizer
- m Maschinenwerkstatt
- n zwei Maschinisten
- o 1. Maschinist
- p Küche
- q Anrichte
- r Messe
- s Bootsmann
- t zwei Offiziere
- u FT-Raum
- v Bad
- w Kapitän
- x 1. Offizier
- y Kartenhaus
- z Setzböcke und Einsteckbo
- a₁ Dampfnetzwinde
- b₁ Raum für 18 Mann
- c₁ " " 16 "

Abb. 6

Abb. 1 (links)
Hauptspant.



Die Fischdampfer „Sergent Gouarne“ und „Aspirant Brun“, erbaut auf der Schiffswerft von H. C. Stülcken Sohn, Hamburg

Von C. BOLLOW, Schiffs-Ing., Hamburg

Die beiden Dampfer für die französische Neufundland-Fischerei haben zum Teil neuartige maschinelle Einrichtungen für die Verarbeitung der gefangenen Fische zu Klippfisch erhalten, z. B. Köpf-, Spalt- und Entgrütmaschinen, mit denen man stündlich 1000 bis 1200 Fische behandeln kann. Neu für diese Dampfer ist auch die Anlage zur Bereitung von 2000 kg Fischmehl am Tag aus 8000 kg Abfallstoffen.

Die Fischgründe der französischen Klippfisch-Industrie¹⁾ liegen bei Neufundland mit den Stützpunkten St. Pierre und Miquelon. Die Seglerflotte, die bisher ausschließlich den Fang ausübte, ersetzt und vergrößert allmählich durch Dampfer, die für ein wirtschaftliches Arbeiten z. T. mit neuzeitlichen Hilfseinrichtungen ausgerüstet sind. Zwei solche Schiffe gleicher Bauart sind auf Reparationskonto der Werft von H. C. Stülcken Sohn, Hamburg, von der Reederei Laisney, Paris, übertragen worden war, sind durch ihre Größe und Einrichtung bemerkenswert.

Die der Werft gestellten Bedingungen ergaben folgende Hauptabmessungen des Schiffskörpers:

Länge zwischen den Steven . . .	65 m
Breite auf den Spanten . . .	10 „
Seitenhöhe . . .	5,7 „
Tiefgang beladen im Seewasser . .	5,2 „
Tragfähigkeit auf Sommerfreibord .	1450 t
Raumgehalt, brutto . . .	1140 R.-T.
„ netto . . .	535 „
Geschwindigkeit . . .	11 Kn
Maschinenleistung, indiziert . . .	850 PS.

Die Schiffe sind aus bestem deutschen Schiffbauholz gebaut und führen die Klasse des Bureau Veritas 3/1. 1. F. P. R. A. u. C. P.; ihre Ausrüstung entspricht den Anforderungen des Gesetzes vom 17. April 1907 und dem Règlement d'administration publique vom 21. November 1908. Die Anordnung und die Abmessungen der Räume sind aus der Hauptspantzeichnung zu entnehmen, Abb. 1.

Unter dem durchlaufenden Hauptdeck liegenden Räume sind für folgende Zwecke vorgesehen, Abb. 2: 1. Im Hinterschiff liegen dem Hintersteven zunächst die Hinterpiek, die Lagerräume für Wein und Oliven (hiervon werden rd. 25 000 l mitgenommen), der Vorrat und Fischmehl, Abb. 5. Es folgen der Maschinenraum, der Kessel- und Heizraum, der Hauptkesselraum, die Reservieräume für Kohlen oder Fische und Fischmehl, der Hauptladerraum für Salz und Fische, der Raum für die Fischmehlbereitung, der Kettenspeicher und die Vorpiek.

Im Vorrat- und Netzraum, ferner ein Raum für 16 Mann sind ebenfalls unter dem vorderen Hauptdeck untergebracht, Abb. 10. Ein zweiter Raum für 18 Mann befindet sich unter der Back, Abb. 4. Auch die gesund-

1) Klippfisch ist ein aufbereiteter Fisch, zu dem man Schellfisch, Kabeljau, Lengfisch, Köhler und ähnliche Arten verarbeitet.

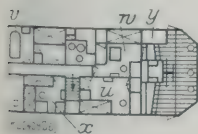


Abb. 6
Brückendeckhaus.

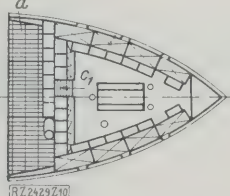


Abb. 7
Zwischendeck.

Abb. 6 bis 11
Hochseedampfer „Aspirant Brun“. Einrichtungen.

heitlichen Einrichtungen für die Seeleute sind hier untergebracht. Die Heizer, die Schiffs- und Maschinenleitung haben ihre Unterkunftsräume in den Aufbauten auf dem hinteren Deck erhalten. Ferner befinden sich hier eine Maschinenwerkstatt, die Küche mit Anrichte, die Messe, der Raum für die FT-Station, ein Bad, die Aborte für die Offiziere und die Navigationsräume, Abb. 4 und 6.

An Trinkwasser werden rd. 15 m³ in losen Tanks, 40 m³ Kesselspeisewasser und 80 m³ Ballast- und Frischwasser in einem Bodentank, der sich etwa über die Hälfte der Schiffslänge erstreckt, mitgeführt. Der Reservefischraum und der Hauptladerraum sind mit Kiefernholz nur ausgewegert. Eine weitergehende Isolierung mit Kork oder Torf, wie sonst üblich, fehlt, da man die Fische nur salzt. Zu diesem Zweck werden rd. 600 t Salz mit auf die Reise genommen. Als Belag des vollständig beplatteten Hauptdecks sowie der übrigen Decks dient Pitchpine. Die Einrichtung der Wohnräume ist aus Abb. 4 und 6 ersichtlich, sie entspricht den Wünschen der Reederei und ist im allgemeinen einfach gehalten. Für die Tischlerarbeiten im Vorschiff ist durchweg Kiefernholz, für die der Unteroffiziersräume Pitchpine, naturlackiert, verwendet worden, während Wandverkleidungen und Möbel in den Offiziersräumen vorwiegend in Mahagoni ausgeführt worden sind.

An Hilfsmaschinen auf Deck sind eine Dampf- und Handankerwinde, ein Dampf- und Handsteuerapparat und ein Schraubensteuerapparat als Notsteuer vorgesehen. Die Boots-ausrüstung besteht aus zwei Rettungsbooten für je 25 Personen, einem Arbeitsboot (Dingi) und einem Motor-Rettungsboot, das jedoch in Frankreich bereits für andere Zwecke an Land gesetzt worden ist.

Die beiden Masten bestehen aus nahtlos geschweißten Stahlrohren mit Stengen aus Pitchpine. Der Fockmast ist besonders kräftig und durch Wanten und Stage abgestützt, weil es oft vorkommt, daß daran Einzelfänge von 20 bis 30 t Gewicht mittels Gientalie bei Seegang an Bord genommen werden müssen. Die weitere Einrichtung für das Fischen mit dem Grundschleppnetz besteht aus besonders starken Galgen, Abb. 9, Leitrollen und

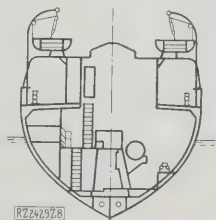


Abb. 8
Spant 15, von vorn
gesehen.

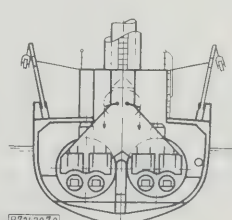


Abb. 9
Spant 26, von vorn
gesehen.

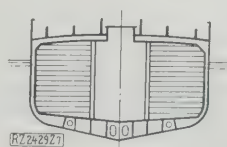


Abb. 10
Spant 60, von hinten
gesehen.

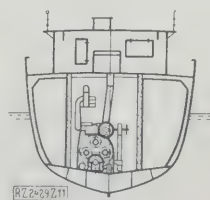


Abb. 11
Spant 83, von hinten
gesehen.

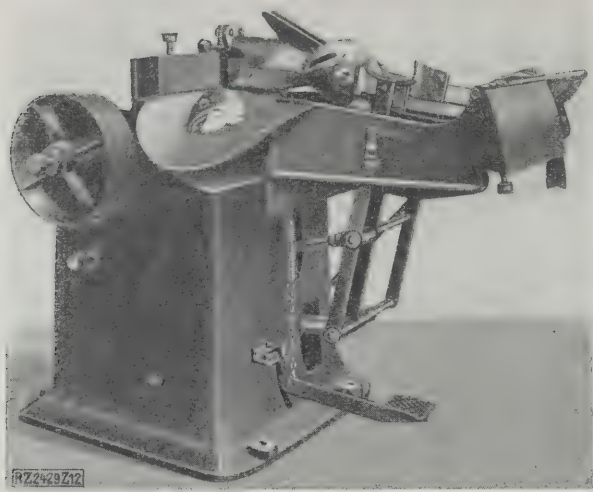


Abb. 12. Fischköpfmaschine.

einer Dampfnetzwinde mit zwei Seiltrommeln für je 2000 m Drahtseil von 7 cm Umfang, Abb. 3. Die Anordnung der Setzböcke und Einsteckbretter, mit denen verschiedene Abteilungen zum Aussondern, Reinigen und Schlachten der Fische gebildet werden, ist in Abb. 3 zu erkennen.

Die Verarbeitung des Fanges geht so vor sich, daß die zur Bereitung von Klippfischen geeigneten Tiere ausgesondert, gereinigt, und mit der Hand ausgeweidet werden. Zum Köpfen und Entgräten, das bei den Neufundlandfischern bisher immer noch mit der Hand ausgeführt wurde, sind hier je eine Köpf- und eine Entgrät-

maschine aufgestellt, bei *h* in Abb. 4, die sich auf Fischgröße selbsttätig einstellen und mittels umlaufender Scheiben unter ständiger Reinwasserspülung stündlich 1000 bis 1200 Stück Fische köpfen, entgräten und splitten, d. h. kunstgerecht aufschneiden, Abb. 12 bis 14. Die entgräteten Fischteile gelangen darauf zum Salzieren im Laderaum. Daß es möglich ist, durch den Einbau einer solchen Maschine bei aufmerksamer Bedienung etwa 6 Mann der Besatzung zu sparen und die Lebensdauer wesentlich zu schonen, haben Erprobungen bewiesen. Man empfiehlt sich jedoch, zwei Maschinensätze anzubringen.

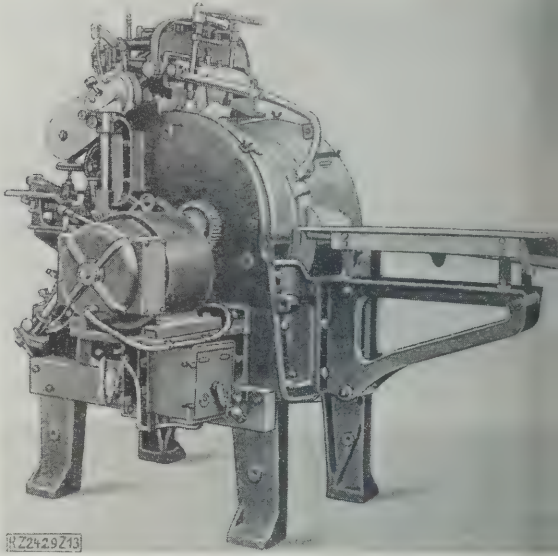


Abb. 13
Spalt- und Entgrätmaschine.

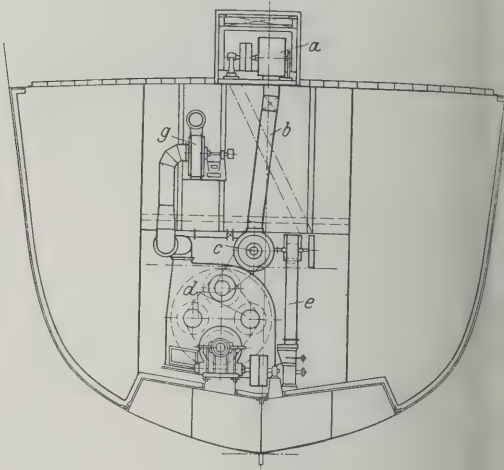
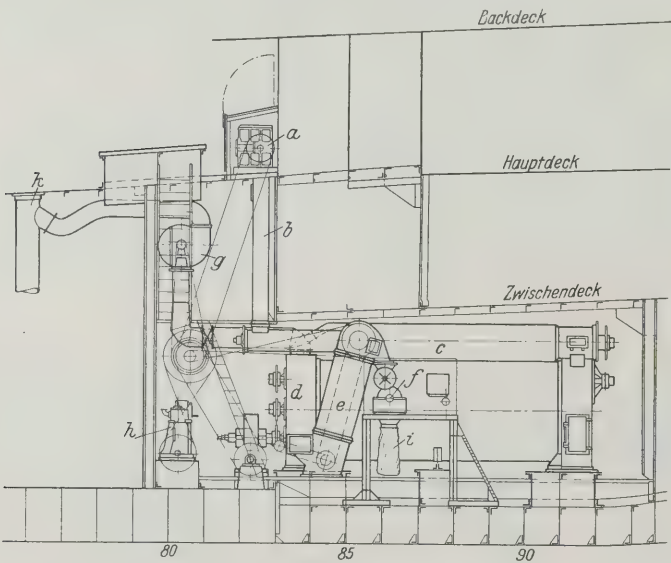


Abb. 15 bis 17
Anlage für Fischmehlbereitung.

- a* Zerkleinerungsmaschine
- b* Fallschacht
- c* Entkeimvorrichtung
- d* Stufentrockner
- e* Hubförderer
- f* Schlagkreuzmühle
- g* Lüfter
- h* Antriebsmaschine
- i* Entnahmestelle für Fischmehl
- k* Luftleitung zum Mast

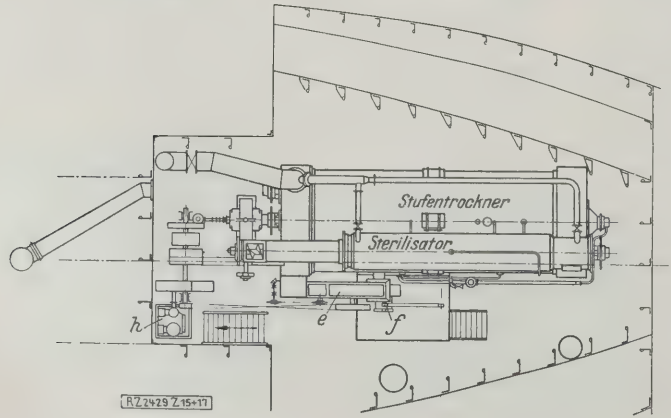




Abb. 14

Köpf- und Entgrätmaschine im Betrieb.
Rechts: herausfallende Fischköpfe, Mitte: die
zum Salzen fertigen Fische und links: heraus-
geschnittene Fischgräten.

Außer den fettreichen Lebern, aus denen schon früher
Dampfkochapparaten der Lebertran herausgezogen
wurde, übergab man bisher allen Beifang, Köpfe und
Gräten, wieder der See. Da sich aber diese Abfälle in
einem frischen Zustande vorzüglich für die Fischmehl-
herstellung eignen, schlug die Werft der Auftraggeberin
eine Anlage für Fischmehlbereitung einbauen zu
lassen. Die Reederei bestellte daraufhin je eine Anlage
auf zwei Schiffe, die täglich 2000 kg Mehl, ein vorzüg-
liches Viehfutter, aus 8000 kg Rohstoffen liefern können,
Abb. 15 bis 17.

Die in dem auf Deck stehenden Zerreißwolf
zerhackten Fischteile fallen zunächst in eine Entkeim-

anlage und werden dann zum Trocknen in mehreren
Trommeln durch Förderschnecken hin- und zurück-
bewegt, worauf sie in einer Kreuzschlagmühle auf die
gewünschte Korngröße zerkleinert werden, Abb. 15
bis 17. Das in Säcken aufgefangene Mahlgut wird in den
in Abb. 5 angedeuteten Stellen trocken gelagert. Die
beim Trocknen entwickelten Schwaden werden durch
den Fockmast abgeleitet. Zuverlässige Angaben über
die Betriebsergebnisse waren bisher leider noch nicht
zu erlangen, doch kann der Versuch nach den bisher
festgestellten Leistungen als gelungen angesehen
werden.

Die eingebaute elektrische Beleuchtungsanlage ist
im Bereiche der Arbeitsplätze auf dem Vordeck besonders
sorgfältig und umfangreich ausgebildet worden. Die
zum Antrieb des Schiffes dienende Dreifachexpansions-
maschine mit Oberflächenkondensation von sehr ge-
drängter Bauart, Abb. 5, hat bei etwa 125 U/min rd.
850 PS indizierte Leistung und ist mit 400 mm HDZ-Dmr.,
660 mm MDZ-Dmr., 1050 NDZ-Dmr. und 660 mm Hub aus-
geführt.

An Hilfsmaschinen sind im Maschinenraum unterge-
bracht: 1 Zirkulationspumpe, 1 Ballastpumpe, 1 Dampf-
speisepumpe, 1 Evaporatorpumpe, 1 Vorwärmer, 1 Wasch-
wassererwärmer, 2 Turbodynamos und 1 Aschenejek-
tor im Heizraum. Der Kondensator ist von der Maschine
getrennt aufgestellt. Den erforderlichen Dampf liefern
zwei Zylinderkessel mit rückkehrender Flamme von je
135 m² Heizfläche und 13 at Arbeitsdruck.

Die vierflügelige Schraube aus Bronze hat 3200 mm
Dmr. und 3000 mm Steigung. Vor ihr am Schraubenstern
und hinter ihr am Ruderstern sind je zwei Leitflächen
eines Star-Contra-Propellers eingebaut. Erwähnt wer-
den mag noch, daß die Werft mit dem Modell des
Schiffes in der Hamburger Schiffbau-Versuchsanstalt
einen Schleppversuch ausführen ließ, der ergab, daß die
gewählte Maschinenleistung für die vorgesehene Ge-
schwindigkeit ausreicht. [B 2429]

Über die Anfressung und das Rosten von unlegiertem und legiertem Gußeisen

Die großen Verluste, die durch die chemische oder
elektrochemische Zerstörung der Metalle und Legierungen
verursacht werden, haben es zu einer zwingenden Not-
wendigkeit gemacht, die Erscheinung und den Vorgang der
Anfressung so weit zu klären, daß diese Verluste mit Er-
gebnis herabgesetzt werden können. Bei den ersten Ver-
suchen, die entscheiden sollten, ob Gußeisen, Schweiß- oder
Stahl ein besseres Verhalten gegenüber anfressenden
Säuren zeigen, trat zum erstenmal die Schwierigkeit
auf, den Einfluß des ungebundenen Kohlenstoffs, des Gra-
phits im Gußeisen, richtig zu deuten. Nach der heute an-
erkannten elektrochemischen Anfressungstheorie
ergibt sich die schnellere Auflösung des Gußeisens in Säuren
über den reineren Eisensorten auf dem Auftreten
inneren Strömen zwischen dem Ferrit oder Perlit und
dem Graphit, da dem letzteren in der elektrochemischen
Reihenfolge der höchste elektropositive Wert zukommt.
Von geringerer Bedeutung als bei der Auflösung des Gu-
ßeisens in Säuren ist der Einfluß des Graphits auf den Rost-
vorgang, wobei durchweg keine wesentlichen Unterschiede
zwischen graphitfreiem und graphithaltigem Eisen festge-
stellt wurden.

Von den im Gußeisen auftretenden Eisenbegleitern ist
das wichtigste das Silizium, dessen Untersuchungen jedoch
bisher teilweise recht widersprechenden Ergebnissen führten.
Es ist über den Einfluß der beim Gußeisen ursprünglich
vorhandenen Verunreinigungen auf die mechanischen Eigenschaften zuleger-
ter Elemente Nickel, Chrom, Nickel und Chrom, sowie
Kupfer hinsichtlich ihres Verhaltens gegen Anfressung
bekannt. Infolgedessen haben P. Köttschke und
L. W. Nowarsky¹⁾ es unternommen, den Einfluß
1. der Ausbildungsform und Menge des Graphits,
2. des Siliziums,
3. des Nickels und Chroms, getrennt und bei gleich-
zeitiger Anwesenheit,
4. des Kupfers

auf die Anfressung des grauen Gußeisens in Säuren, wä-
sserigen Salzlösungen, starken Laugen und in der Atmo-
sphäre zu untersuchen.

Die Art der Graphitausscheidung, die durch ver-
schiedenen hohen Schmelzübertemperatur oder veränderte Abkühl-
geschwindigkeiten erreicht werden kann, hat keinen
wesentlichen Einfluß auf die Anfressung in Säuren als auch
auf das Rosten in wässrigen Salzlösungen. Die Menge
des Graphits je Flächeneinheit hat, solange sie in den im
grauen Gußeisen üblichen Grenzen wechselt, ebenfalls
keinen wesentlichen Einfluß auf die Anfressung.

Siliziumgehalte unter 1,5 vH verringern die An-
fressung bei Salzsäure, unter 3 vH bei Essigsäure; in star-
ken Laugen und Ätzalkalien steigt sie dagegen bis zu
3 vH Si sehr schnell an, während in wässrigen Salzlösun-
gen Siliziumgehalte von 0,7 bis 3 vH ohne Einfluß auf
den Rostvorgang sind. In allen Fällen, wo Säure- und
Laugenanfressungen des gewöhnlichen grauen Gußeisens in
Frage kommt, muß somit der Siliziumgehalt so gering wie
möglich sein.

Nickelzusätze zum grauen Gußeisen waren bis zu 6 vH
ohne Einfluß auf die Säureanfressung, während gleich-
zeitiger Chromzusatz (0,5 vH Cr, 2,5 vH Ni) vorteilhaft
wirkte. Die Anfressung in starken Laugen wurde durch
Nickelzusätze erheblich verringert, während Nickelzusätze
bis zu 6 vH ohne merklichen Einfluß auf die Anfressung
in wässrigen Salzlösungen war (hier war gleichzeitiger
Chromzusatz schädlich).

Ein Chromzusatz von 1 vH zum grauen Gußeisen setzt
die Säureanfressung — allerdings auf Kosten der Bearbeit-
barkeit — wesentlich herab. Auf das Rosten in wässrigen
Lösungen ist er jedoch ohne Einfluß.

Ein Kupferzusatz bis zu 0,9 vH ließ auf die Säureanfres-
sung keinen Einfluß erkennen. In Kochsalzlösung da-
gegen wird der Angriff mit steigendem Kupfergehalt be-
trächtlich herabgesetzt. Die atmosphärische Anfressung
wird durch Zusatz von 0,3 bis 0,4 vH Cu um etwa 25 vH
herabgesetzt; weiterer Kupferzusatz war ohne Vorteil.

[N 2748]

A. S.

Untersuchungen an zugfesten Anschlüssen im Holzbau

Einleitende Versuche mit glatten Dornen

Von JOHS. STAMER, Berlin-Dahlem

(Mitteilung aus dem Staatl. Materialprüfungsamt, Berlin-Dahlem)

Versuche mit Zugkörpern, deren Glieder mit glatten Dornen angeschlossen waren, als Einleitung zu einer größeren geplanten Versuchsreihe mit Bolzen- und Dübelverbindungen. Einfluß von Dornstärke, Dornzahl und Seitenverhältnis der Außenhölzer. Bettungsziffer und Winkel zwischen Kraft- und Faserrichtung.

Die Frage der zugfesten Anschlüsse für Holzkonstruktionen kann nicht als restlos gelöst betrachtet werden. Die Rechnungsannahmen z. B., die man für die Ermittlungen der Randspannungen bei Bolzenverbindungen aus der Theorie der Fundamentpressungen¹⁾ übernommen hat, werden als vorläufige Notbehelfe in der Praxis empfunden. Die Hauptschwierigkeit bietet das Holz selbst infolge der starken Ungleichmäßigkeit seiner Festigkeitseigenschaften, nicht bloß in den verschiedenen Richtungen; diese Ungleichmäßigkeit besteht auch innerhalb des Querschnittes in starkem Maße infolge Verkernung der inneren Teile, exzentrischen Wuchses, einseitiger Rot- holzbildung (bei Nadelhölzern) und anderer Ursachen. Schließlich geben Äste, Fehlstellen, Schwindrisse, Feuchtigkeitsunterschiede Anlaß zur mannigfachen Veränderung der Eigenschaften.

Zum Studium möglichst aller noch der Klärung bei Holzanschlüssen bedürftigen Fragen war ein Arbeitsplan vorgesehen, der sich auf die Untersuchung einfacher Bolzenverbindungen und später auch der hauptsächlichsten und gangbarsten Dübelverbindungen erstrecken sollte. Um bezüglich des Umfanges der Fragen allen Wünschen der Praxis gerecht zu werden, wandte sich das Amt an Dipl.-Ing. *Haber-Schaim*, Berlin, der einen Arbeitsplan, unter Berücksichtigung aller zunächst als wichtig erscheinenden Fragen entwarf. Der Gedankengang, der zur Aufstellung dieses Planes führte, war etwa folgender:

Der Wert einer Holzkonstruktion ist vornehmlich gegeben durch die Güte der zugfesten Anschlüsse. Eingehendere Kenntnis der Wirksamkeit der einzelnen Anschlußelemente ist zur Förderung wirtschaftlicheren Konstruierens erwünscht. Die Anschlußmittel, im wesentlichen Bolzen mit Muttern und Unterlegscheiben, Dübel der verschiedensten Art in Form und Stoff, bezwecken die Kraftübertragung von dem hochwertigen Eisen geringen Querschnittes, auf das weniger feste Holz größerer Abmessung, das die Kräfte meist mit seiner geringen Druckfestigkeit oder der noch niedrigeren Schubfestigkeit aufnehmen muß. Diese Umsetzung ist genauer zu studieren.

Zu diesem Zweck sind folgende Untersuchungen erwünscht:

1. Ist der Querschnitt eines Holzteiles $F = a \cdot b$, wie groß ist der Einfluß von verschiedenem Verhältnis a/b (^{1a})?
2. Wie wächst die übertragene Kraft mit der Zahl der Bindeglieder?
3. Wie wirkt sich die Dicke der Bindeglieder aus?
4. Wie äußert sich die Veränderung der Größe der Unterlegscheiben?
5. Welchen Einfluß hat die Reibung zwischen den Holzflächen?
6. Wie ist das Verhältnis der Inanspruchnahme der verschiedenen Festigkeiten bei einem Bolzen (Scherung, Biegung, Zug)?
7. Wie ändert sich die Kraftübertragung mit dem Winkel Kraft—Faserrichtung?

Würde man sich bei der Durchführung der nach 1 bis 7 notwendigen Versuchsreihen zunächst auf je drei Veränderungen und auf nur drei Parallelversuche be-

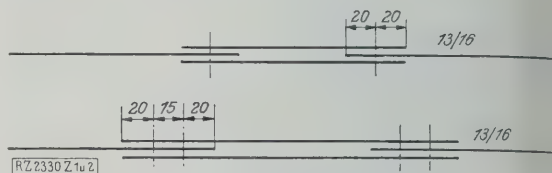


Abb. 1 und 2

Versuchskörper, Zugverbindungen aus Kiefernholz

schränken, so ergibt sich schon ein außerordentlich großer Umfang des Planes. Allerdings ist es nicht ausgeschlossen, daß sich im Laufe der Untersuchung die Möglichkeit einer Kürzung ergibt.

Untersuchungen mit glatten Dornen

Von dem vorstehenden Arbeitsplan sind bisher die einleitenden Versuche mit glatten Dornen (Dornkopf und Mutter) durchgeführt. Trotzdem sollen die Ergebnisse im Nachstehenden schon mitgeteilt werden, mit etwa sich ergebende neue Gesichtspunkte und Anregungen bei den Hauptversuchen Berücksichtigung finden können.

Als Versuchskörper dienten Zugverbindungen aus Kiefernholz. Die Mittelhölzer bildeten stets Stücke von $13 \times 16 \text{ cm}^2$ Querschnitt. Geändert wurde das Seitenverhältnis der Außenhölzer, die Dornstärke und die Zahl der Dorne; der Querschnitt der Außenhölzer wurde auf etwa 100 cm^2 bemessen und das Verhältnis der Querschnittskanten zu 10×10 , 8×10 und $6,5 \times 16 \text{ cm}$ gewählt. Die Zahl der Dorne in je einem Versuchskörper wurde auf 1 und 2 beschränkt, ihr Durchmesser auf 20, 16 und 13 mm und die Zahl der Parallelversuche auf 3.

Das Holz, aus dem Handel bezogen, lagerte mehrere Monate bis zur Lufttrockenheit in einem gedeckten Schuppen. Auf die genaue Herstellung und saubere Zusammenpassung der Bohrlöcher wurde besondere Sorgfalt gelegt. Die Dorne aus handelsüblichen Rundstählen füllten beim Zusammenbau die Bohrlöcher gut aus und mußten mit leichten Schlägen eingetrieben werden.

Die Endglieder (Mittelhölzer) wurden durch seitliche Laschen, die mit drei Bolzen im Holz gehalten wurden, an die Einspannköpfe der Maschine angeschlossen.

Bei den Versuchen wurde die Last stufenweise erhöht und die Bewegung der Mittelhölzer von einer Last nach je 2 min Lasteinwirkung gemessen.

Hier sei gleich bemerkt, daß von einer Bestimmung der Holzeigenschaften bei diesen Vorversuchen bewußt Abstand genommen wurde, da dergleichen Bestimmungen in den seltensten Fällen die gleiche Holzgüte erfassen können, auf deren Festigkeitseigenschaften das Ergebnis der Bolzenversuche beruht — Versuche in dieser Richtung liegen bereits vor²⁾. Dem Erfordernis der Innehaltung möglichst gleicher Anordnung des Holzstückes wurde dadurch Rechnung getragen, daß bei den Außenhölzern von 8×13 und $6,5 \times 16 \text{ cm}^2$ die Kernseite stets an der Mittelholzer anlag; bei den Außenhölzern 10×10 lag der Kern etwa in der Mitte des Querschnittes.

Von einer Wiedergabe der Formänderungskurven an dieser Stelle abgesehen; sie stimmen innerhalb der drei Parallelversuche in befriedigender Weise überein.

Die eingeführten wechselnden Versuchsbedingungen gestatten eine Betrachtung der Ergebnisse nach Punkt 3 des Arbeitsplan zu Grunde liegenden Fragen, nämlich hinsichtlich des Seitenverhältnisses der Außenhölzer, der Zahl und der Dicke der Dorne.

¹⁾ W. Schnitmann, Beitrag zur Ermittlung von Fundamentpressungen, Stuttgart 1920; H. Bronnecq, Holz im Hochbau, Wien 1927, u. a. m.
^{1a)} a in der Richtung des Dornes. b senkrecht dazu.

²⁾ Graf, „Bauingenieur“ Bd. 3 (1922) S. 100.

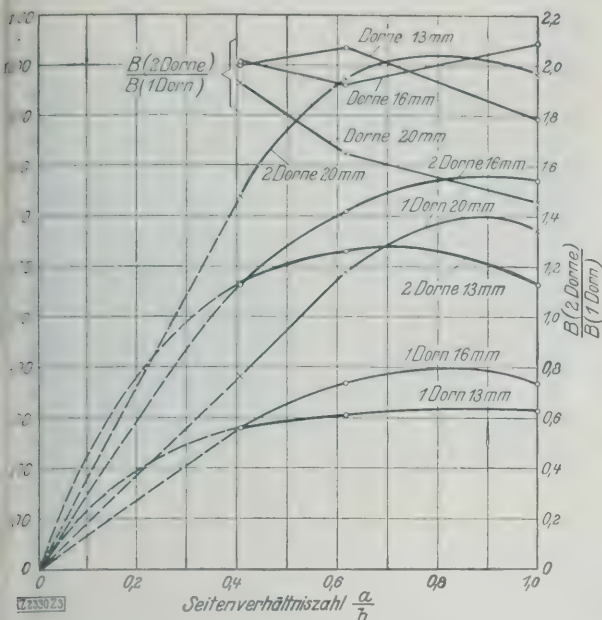


Abb. 3

Höchstlasten in Abhängigkeit vom Seitenverhältnis der Außenhölzer und Einfluß der Dornzahl auf die Höchstlasten.

ur Beurteilung des Einflusses dieser drei Verhältnisse können die Bruch- und Höchstlasten und die Verschiebungen als Funktion der Zugkräfte herangezogen werden. Die Höchstlasten wurden erreicht bei den Verbindungen mit Dornen von 20 und 16 mm Dmr. beim Aufsplintern der Seitenhölzer, also durch Spaltbildung, bei den Verbindungen mit Dornen von 13 mm dagegen überwiegend in den Fällen beim Abgleiten der Seitenhölzer von den Dornen. Bruch durch Aufplatzen des Mittelholzes trat nur in zwei Fällen ein.

Die mittleren Höchstlasten betrugen bei den drei Seitenverhältnissen der Außenhölzer a/b :

	$\frac{a}{b}$	B_{13} kg	B_{16} kg	B_{20} kg
Verwendung eines Dornes	1	3150	3700	6730
	0,615	3050	3700	5900
	0,406	2830	2800	3830
Verwendung zweier Dorne	1	5650	7720	9830
	0,615	6310	7100	9730
	0,406	5670	5630	7400

Einfluß der Dornstärke

Der Einfluß der Dornstärke würde sich auf Grund der Ergebnisse, wie folgt, auswirken:

$B_{16} : B_{20} = 1 : 1,2 : 2,1$ bei einem Dorn und $\frac{a}{b} = 1$
 $= 1 : 1,2 : 1,9$ „ „ „ „ „ $= 0,615$
 $= 1 : 1 : 1,4$ „ „ „ „ „ $= 0,406$

Mittel $= 1 : 1,1 : 1,8$

$B_{16} : B_{20} = 1 : 1,4 : 1,7$ bei zwei Dornen und $\frac{a}{b} = 1$

$= 1 : 1,1 : 1,5$ „ „ „ „ „ $= 0,615$
 $= 1 : 1 : 1,3$ „ „ „ „ „ $= 0,406$

Mittel $= 1 : 1,2 : 1,5$

Es würde besagen, daß bei Verwendung glatter Hölzer unter gleichen Bedingungen die Höchstlasten sich verhält wie die Durchmesser der Dorne $B_{16} : B_{20} = 13 : 16 : 20 = 1 : 1,2 : 1,5$.

Einfluß des Seitenverhältnisses der Außenhölzer

In Abb. 3 sind die mittleren Höchstlasten als Funktion des Seitenverhältnisses der Außenhölzer aufgetragen und Versuche gemacht, die Punkte zu Linienzügen zu

verbinden. Danach hat es den Anschein, als ob der Höchstwert bei einem Seitenverhältnis zwischen 0,7 und 0,9 zu suchen wäre. Es braucht wohl kaum besonders hervorgehoben zu werden, daß Zahl der Parallelversuche und Zahl der Veränderungen im Dorndurchmesser zu schlüssigen Aussagen in dieser Richtung noch nicht ausreichen. Die Beantwortung der Frage nach dem günstigsten Verhältnis $\frac{a}{b}$ dürfte auch erst bei Bolzenverbindungen mit Kopf und Mutter an Bedeutung gewinnen.

Unterhalb $\frac{a}{b} \approx 0,6$ nimmt jedenfalls bei den 20- und 16 mm-Dornen die Gefahr des Aufreißen der Seitenhölzer schnell zu; bei den 13 mm-Dornen kam Aufreißen als Bruchursache nicht mehr in Frage.

Einfluß der Dornzahl

Der Quotient $\frac{B(2 \text{ Dorne})}{B(1 \text{ Dorn})}$ drückt die Auswirkung der Verdoppelung der Dornzahl aus und ist in Abb. 3 gleichfalls als Funktion des Seitenverhältnisses $\frac{a}{b}$ aufgetragen. Für die Dorne von 13 und 16 mm Dmr. nähert sich der Wert in befriedigender Weise der Zahl 2. Der starke Abfall des Linienzuges für 20 mm Dorndurchmesser dürfte dahin zu deuten sein, daß bei stärkeren Dornen eine Verdoppelung der Höchstlast nicht zu erwarten ist, wenn nicht der Bolzenabstand entsprechend dem Durchmesser der Dorne und dem Seitenverhältnis $\frac{a}{b}$ vergrößert und damit die Gefahr des Aufreißen vermindert wird.

Für den Wert einer Holzverbindung ist nun die erreichbare Höchstbelastung nicht allein ausschlaggebend; diese ist von gewissen Zufälligkeiten, z. B. unvermeidlichen Schwindrissen, abhängig. Von Bedeutung sind in höherem Maße die Formänderungen an der Verbindungsstelle in Abhängigkeit von den Zugkräften. Die Kurven für die Bewegung der Mittelhölzer voneinander verliefen zunächst praktisch geradlinig; doch waren bereits in diesem Teil der Kurven die Verschiebungen größtenteils bleibender Art.

Es liegt nahe, die Neigung dieser Geraden zur Bewertung der Güte der Verbindung heranzuziehen, doch zeitigten Bemühungen in dieser Richtung keinen Erfolg. Die Kurven bogen dann im weiteren Verlauf allmählich im Sinne stärkerer Formänderung ab, so daß auch der Beginn stärkerer Formänderung als Maßstab der Güte wegen zu großer Unsicherheit der Bestimmung ausscheidet.

Entnimmt man den Schaulinien die Zugkräfte, die zu einer bestimmten stärkeren Formänderung erforderlich sind, z. B. für eine mittlere Bewegung von 5 mm an jedem Anschlußpunkt, so findet man:

	$\frac{a}{b}$	P_{13} kg	P_{16} kg	P_{20} kg
Bei Verwendung eines Dornes	1	1660	2460	4470
	0,615	1530	2390	3570
	0,406	1560	2530	3060
Bei Verwendung zweier Dorne	1	3090	5010	8270
	0,615	3060	4680	7320
	0,406	2810	4330	6070

Der Einfluß der Dornstärke würde sich hiernach, wie folgt, auswirken:

$P_{13} : P_{16} : P_{20} = 1 : 1,5 : 2,7$ bei einem Dorn und $\frac{a}{b} = 1$
 $= 1 : 1,6 : 2,3$ „ „ „ „ „ $= 0,615$
 $= 1 : 1,5 : 2,0$ „ „ „ „ „ $= 0,406$

Mittel $= 1 : 1,5 : 2,3$

$P_{13} : P_{16} : P_{20} = 1 : 1,6 : 2,7$ bei zwei Dornen und $\frac{a}{b} = 1$
 $= 1 : 1,5 : 2,4$ „ „ „ „ „ $= 0,615$
 $= 1 : 1,5 : 2,2$ „ „ „ „ „ $= 0,406$

Mittel $= 1 : 1,5 : 2,4$

Die Verschiebungskräfte würden sich danach im Mittel verhalten:

$$P_{13} : P_{16} : P_{20} = 1 : 1,5 : 2,4 = \text{etwa wie die Dornquerschnitte}^3)$$
$$= f_{13} : f_{16} : f_{20} = 1,33 : 2,01 : 3,14 = 1 : 1,5 : 2,4.$$

Beachtenswert ist der gleichsinnige Abfall der Verhältniszahl für einen und zwei Dorne von 20 mm mit fallendem Wert $\frac{a}{b}$.

In gleicher Weise wie in Abb. 3 die mittleren Höchstlasten, sind in Abb. 4 die mittleren Verschiebungskräfte für je 5 mm in jedem Anschlußpunkt als Funktion des Seitenverhältnisses der Außenhölzer aufgetragen. Der Einfluß des Seitenverhältnisses $\frac{a}{b}$ wird hierbei nur für die 20 mm-Dorne und die Anordnung von zwei Dornen von 16 mm Dmr. deutlich. Hier wachsen die Verschiebungskräfte mit zunehmenden $\frac{a}{b}$. Zur Beurteilung des Einflusses der Verdoppelung der Dornzahl ist in Abb. 4 der Quotient $\frac{P(2 \text{ Dorne})}{P(1 \text{ Dorn})}$ gegeben; er liegt für alle Dorn-durchmesser nahe dem Wert 2.

Abb. 5 zeigt den Schnitt durch das Dornloch eines Mittelholzes nach Beendigung des Versuches. Auffallend sind die durch eine regelmäßige Kurve begrenzten Flächen verformten Holzes unter den Enden des Dornloches. Man könnte versucht sein, auf die Beanspruchung des Holzes aus der Tiefe der Zone schließen zu wollen. Dies erscheint aber wenig aussichtsreich, weil nach den Versuchen G. Jankas⁴⁾, die ich teilweise nachprüfte, die Verdrückung von Nadelholz bei Teilbelastung der Hirnfläche zunächst zwar angenähert geradlinig mit der Belastung zunimmt, nach Eintritt des Wendepunktes, der dem Zerstörungsbeginn entspricht, jedoch dann bei sinkender Belastung schnell wächst.

Einfluß des Winkels Kraft — Faserrichtung

Zur Fragestellung 7: „Wie ändert sich die Kraftübertragung mit dem Winkel Kraft — Faserrichtung?“ wurden zwei Versuchsreihen folgender Art durch-

³⁾ Die gleiche Beziehung ergibt sich auch für größere Verschiebungswege als 5 mm an jedem Anschlußpunkt.
⁴⁾ G. Janka, Die Eignung des Buchenholzes zu Straßenpflaster im Vergleich mit Nadelhölzern, Wien 1902.

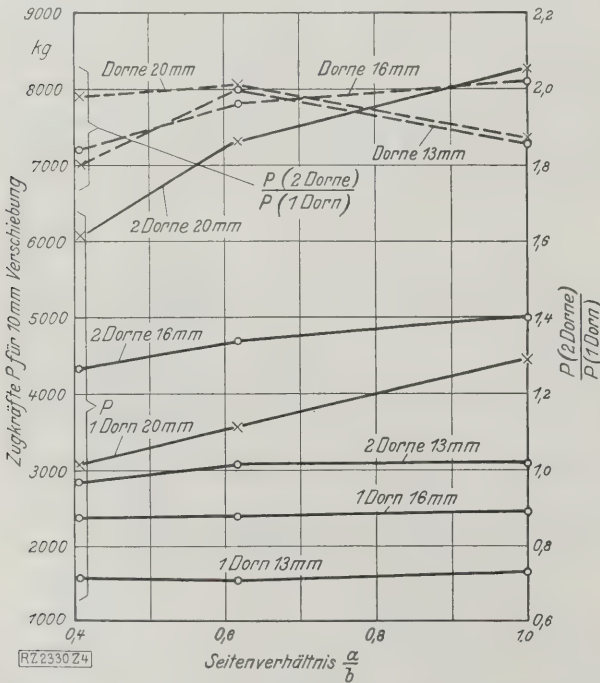


Abb. 4

Zugkräfte P für je 5 mm Verschiebung an jedem Anschluß in Abhängigkeit vom Seitenverhältnis und Einfluß der Dornzahl auf P.

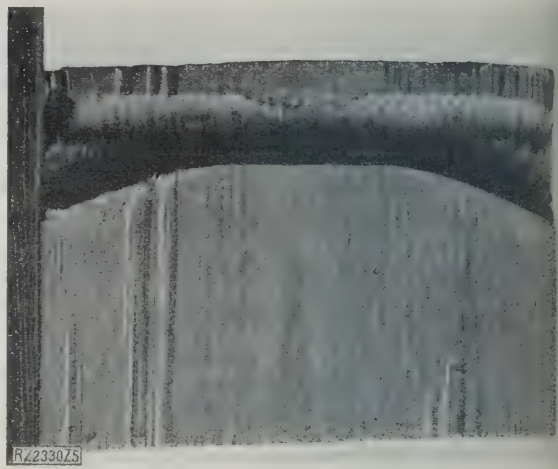


Abb. 5

Schnitt durch das Dornloch eines Mittelholzes nach dem Versuch.

geführt. Aus einem gut luftgetrockneten Kiefernholzball mit gerade durchlaufenden Fasern wurden zwei Reihen prismatischer Versuchskörper zu je 7 Stück von $a, b, h = 9, 12, 16$ cm Kantenlänge derart entnommen, daß die Fasern zur Höhe h um $0, 15, 30, 45, 60, 75$ u. 90° geneigt waren. In einer Endfläche (ab) war eine Rinne vom Halbkreisquerschnitt vorgesehen, die von der Mitte zu Mitte der Kante a lief, und zwar lagen die Versuchskörper genau an der gleichen Stelle im Querschnitt lag. Der Durchmesser der Rinne betrug bei der einen Reihe von 20 mm, bei der anderen $14,3$ mm, so daß zwei sauber gedrehte Stahlwalzen von 20 und $14,3$ mm Dmr. sich satt in die Rinnen einlegten. Die Walzen wurden stufenweise belastet und die Eindringung in das Holz mit Meßuhr gemessen, sobald einigermaßen Gleichgewicht erreicht war, d. h. der Waagebalken der Maschine innerhalb 2 min nicht mehr merklich absank. Die Belastung wurde bis zum Eintritt größerer Formänderungen gesteigert. Diese sowie der weitere Verlauf des Belastungsversuches waren nicht von Bedeutung, da sie die Vorgänge während der Zerstörung umfassen, die im vorliegenden Falle durch die beschränkten Abmessungen der Versuchskörper und den dadurch bedingten geringen Schubwiderstand in den Jahringgrenzen bei geneigter Kraft-Faserrichtung bedingt ist. Vor Eintritt größerer Formänderungen steigen die Eindringtiefe geradlinig mit den Druckkräften an, und zwar nimmt die Neigung der Geraden zur Achse der Eindringtiefe mit wachsendem Winkel Kraft-Faserrichtung ab.

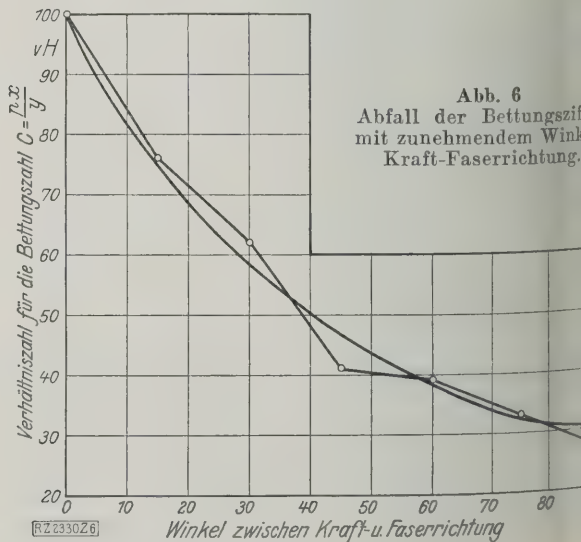


Abb. 6

Abfall der Bettungszahl mit zunehmendem Winkel Kraft-Faserrichtung.

Drückt man die Neigung der Geraden aus als $\frac{p}{x} = \frac{\text{Flächenpressung}}{\text{Eindringtiefe}}$, so ergeben sich für beide Versuchsreihen die Werte nach Zahlentafel 1. Die Erfahrung, daß dünnere Bolzen verhältnismäßig ihren Widerstand im Holz finden, bestätigt sich.

Abb. 6 gibt den Verlauf der mittleren Verhältniszahlen mit dem Winkel und die Ausgleichkurve. Als nächste Versuchsreihe ist in Aussicht genommen eine Reihe Zugkörper gleicher Abmessungen, wie oben, mit Bolzen als Bindeglieder und Veränderung der Bolzendicke und der Größe der Unterlegscheiben. [B 2230]

Zahlentafel 1		0°	15°	30°	45°	60°	75°	90°
Winkel Kraft—Faserichtung								
kg/cm² für Walzendurchmesser	2,0 cm	2720	1970	1760	1175	1100	875	650
	1,43 „	3470	2740	2020	1320	1310	1220	1050
Verhältniszahlen für C (bei 0° = 100) bei Walzendurchmesser	2,0 „	100	72,5	65	43	40,5	32	24
	1,43 „	100	79	58,5	38	38	35	30
	im Mittel	100	76	62	41	39	33	27

Metalle im Flugzeugbau

E. EVERLING und B. SPLANEMANN, Berlin

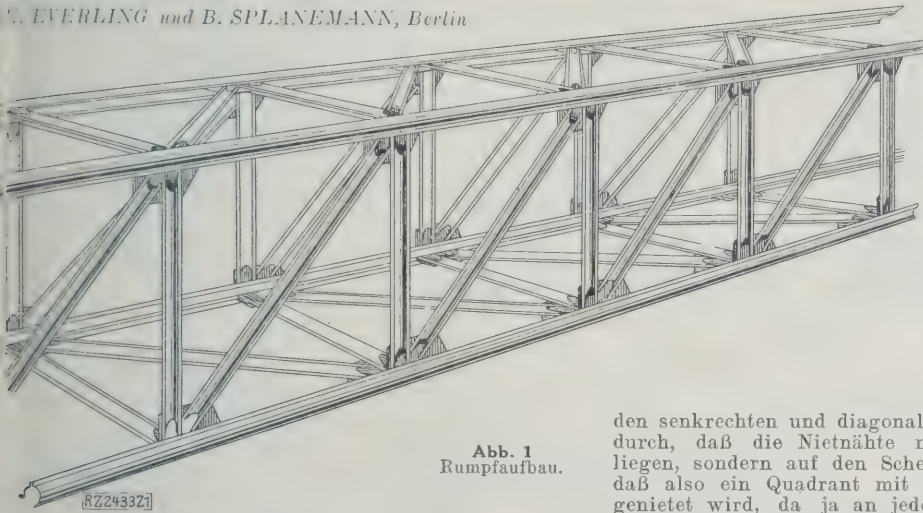


Abb. 1 Rumpfaufbau.

Die Entwicklung im Flugzeugbau geht darauf hinaus, mehr und mehr den Metallbau in den Vordergrund treten zu lassen. Obwohl sich der Holzbau durch jahrelange Erfahrungen zu einer hohen Blüte entwickelt hat, zieht der Metallbau allmählich weitere Kreise, weil er den höheren Anforderungen, die heutzutage in bezug auf Größe, Wetterbeständigkeit u. a. an ein Flugzeug gestellt werden, eher gerecht wird. Da es nicht immer leicht war, die alten Flugzeugkonstrukteure mit der neuen Richtung zu befreundeten, machte der Metallbau nur langsam Fortschritte. Neuerdings verlangt der Verbraucher aber nicht nur die Lufttuchtigkeit des Flugzeuges, sondern auch die Ausführung in Metall. In diesem Sinne berichtet H. I. Pollard¹⁾, ein bekannter amerikanischer Flugzeugfachmann, aus seinen eingehenden Erfahrungen bei der Firma Boulton & Paul.

Der Metallbau hat sich in England, nach schwachen Anfängen zu Kriegsende, nur ganz allmählich neben dem Holzbau eingeführt, und zwar vorwiegend als Stahlbau; Aluminium wird wenig und im allgemeinen nur für weniger beanspruchte Teil verwendet, ausgenommen die Beardmore-Aluminium-Flugzeuge, die von der deutschen Rohrbach-Werkart hergeleitet sind. Bemerkenswert ist auch, daß das deutsche Luftministerium Schweißungen an beanspruchten Teilen verbietet, da sie nicht zuverlässig und nicht leicht zu verbessern seien.

¹⁾ Pollard: Metall Construction Development, „Flight“ Bd. 20 (1928) S. 4 u. f., Abt. „The Aircraft Engineer“.



Abb. 2 bis 4 Schnitt genieteter Profiltröhre.

Aus Pollards Bericht, der sich dementsprechend auf den

Stahlbau mit Nietverbindungen beschränkt, sei die praktische Seite hervorgehoben, um die Eigenheiten dieser Bauart kurz darzulegen.

Beim **Stahlrumpfbau**, Abb. 1, werden nicht geschweißte Rundrohre benutzt, sondern gewellt profilierte, genietete Rohre. Abb. 2 bis 4 zeigen solche zu Rohren zusammenge-nietete Profilbleche im Schnitt. Für Rumpflängsgurte wird die Form, Abb. 2, gewählt; sie unterscheidet sich von

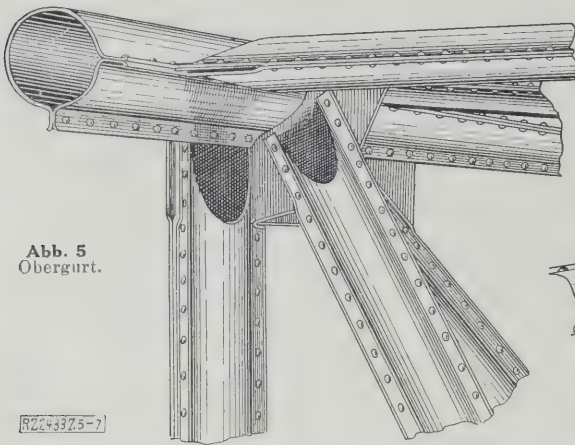
den senkrechten und diagonalen Streben, Abb. 3 und 4, dadurch, daß die Nietnähte nicht auf einem Durchmesser liegen, sondern auf den Schenkeln eines rechten Winkels, daß also ein Quadrant mit einem 270°-Blech zusammen-genietet wird, da ja an jeden Längsgurt nur wagerechte und senkrechte Verbände angeschlossen sind, Abb. 1.

Die Rohre werden in den Knotenpunkten so zusammen-gesetzt, daß sämtliche Stabachsen sich in einem Punkte schneiden, somit zusätzliche Momente ausgeschlossen werden. Die Rohre werden durch Knotenbleche, die die Stabkräfte voll aufnehmen und weiterleiten, verbunden, Abb. 5 bis 10. Zur Verminderung des Gewichtes werden die Rohre an den Enden auf beiden Seiten abgeschrägt, so daß allein die Nietränder übrig bleiben, da ja nur diese die Kräfte auf die Knotenbleche übertragen. Besonders stark beanspruchte Streben, z. B. die des ersten Rumpfspantes hinter dem Motorbockanschluß, werden an den Knotenpunkten durch kurze Überschubrohre versteift, Abb. 9; bei diesem Knotenpunkt ist auch das eingienietete Stahlformstück im Ende des Rumpflängsgurtes erwähnenswert, das zum Abschluß der im ganzen abnehmbaren Motorträgerstreben dient. Abb. 10 veranschaulicht eine bemerkenswerte Befestigungsart für den Beschlag zum Höhenflossen-Holman-schluß an einem Rumpfknotenblech.

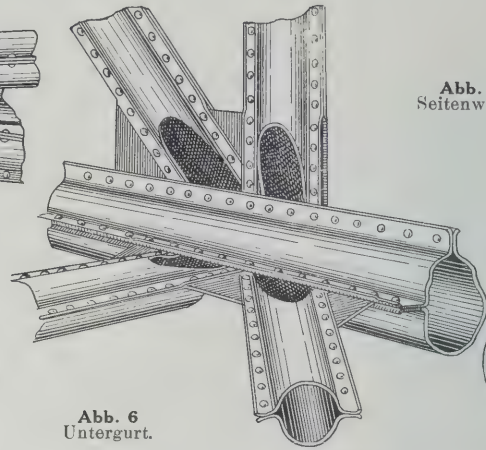
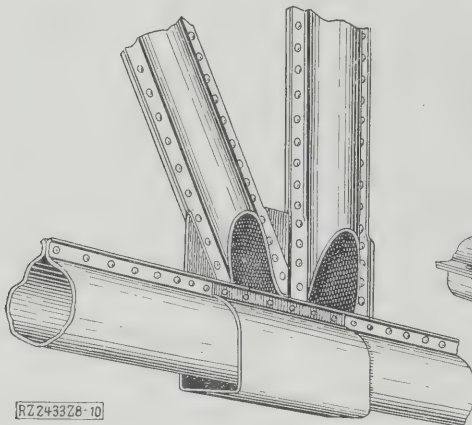
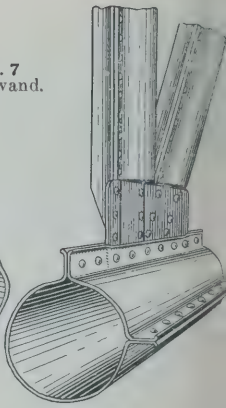
Versuche haben gezeigt, daß diese Bauart, wenngleich rechnerisch nicht immer leicht zu erfassen, für den Flugzeugbau wohl geeignet ist. Ein Vergleich mit Rundrohren ergibt bei größeren Rohrquerschnitten kleinere äquatoriale Tragheitsmomente und daher geringere zulässige Beanspruchungen als für genietete Rohre mit gewelltem Profil. Danach wäre diese Bauart besonders für knickbeanspruchte Stäbe schon des Gewichtes wegen unbedingt vorzuziehen. Nachteilig sind dagegen die größeren Kosten bei der Herstellung.

Bei den Tragflügeln werden die Luftkräfte, die auf das Tragwerk wirken, von der Beplankung auf die Rippen übertragen; diese wiederum leiten die Kräfte auf die Holme weiter, die also als Hauptträger auftreten. Der Holm besteht aus Ober- und Untergurt, die durch Stege verbunden sind. Die Gurte haben die Zug- und Druckkräfte aufzunehmen, während die Stege den Schubspannungen gewachsen sein müssen.

Da auf Grund der Wahl eines Flügelschnittes, die von strömungstechnischen Erwägungen ausschlaggebend bestimmt wird, eine begrenzte Bauhöhe eingehalten werden muß, besteht die Aufgabe des Konstrukteurs darin, durch geeignete Formgebung von Gurten wie Stegen ein möglichst

Abb. 5
Obergurt.

RZ 43375-7

Abb. 6
Untergurt.Abb. 7
Seitenwand.

RZ 43378-10

Abb. 9. Überschubrohr, Einsatz für Strebenanschluß.

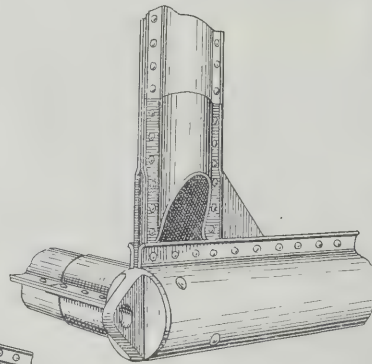
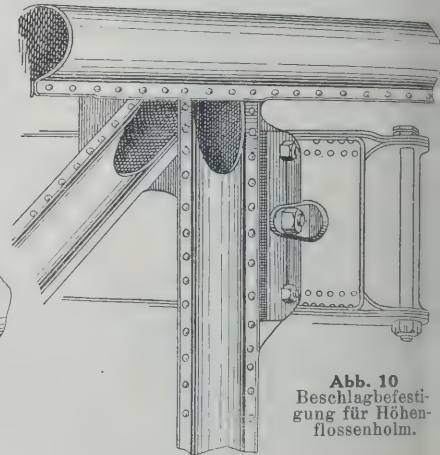
Abb. 8
Seitenwand.Abb. 10
Beschlagbefestigung für Höhen-
flossholm.

Abb. 5 bis 10. Rumpfknotenpunkte.

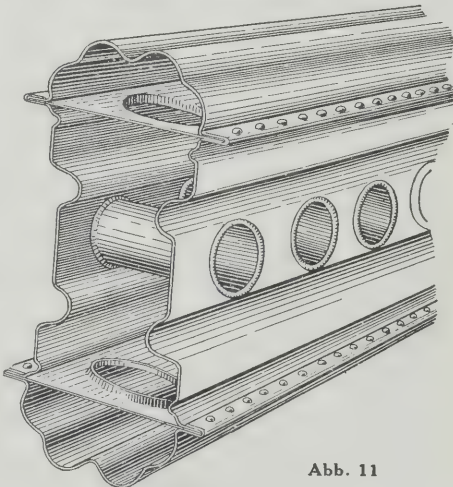
Abb. 11 bis 14
Flügelholme
mit durchlaufenden
Stegen.Abb. 11
Für starke Beanspruchungen,
mit Rohrnieten
und Längsplatten.Abb. 12
Mit durchlaufendem
Abstandrohr.Abb. 13
Für leichte Beanspruchungen.Abb. 14
Mit Rohrnieten
und Teilstegblechen.

Abb. 11

hohes Trägheitsmoment bei geringstem Gewicht herausarbeiten. Abb. 11 bis 14 zeigen Beispiele von Holmarten mit durchlaufenden Stegen. Ein Holm nach Abb. 11 für starke Beanspruchungen hat im Schnitt für Ober- und Untergurt eine gewellte Halbkreisform. Die Platten, die zwischen Gurten und Stegen längs laufen, sind an den kreisförmig ausgestanzten Erleichterungslöchern umgebördelt, was eine größere Steifigkeit zu ergeben. Die Stege, ebenfalls profilgewalzt, werden durch Abstand-Rohrniete von großem Durchmesser verbunden. Wo Gurte, Stege und Platten zusammenstoßen, entstehen im ganzen vier Nietreihen. Der Holm, Abb. 12, hat als Besonderheit in der Mitte ein durchlaufendes, dünnwandiges Rohr, das zur Versteifung beiträgt und den Stegen ihre Entfernung sichert. Der Holm für geringe Beanspruchungen, Abb. 13, besteht aus Ober- und Untergurt und den beiden einfach gewellten Stegblechen ohne jegliche Zusatzversteifung. Beim Träger, Abb. 14, sind auf die gewellten Stege noch Teilstegbleche aufgenietet; sie sollen die Höhe der Stege festhalten und einen Nietgrund für die durchlaufenden Rohrniete bilden.

Bei Fachwerkhölmern sind entweder je ein Ober- und Untergurt in einer Ebene durch Streben, Abb. 15, nämlich an den Enden zusammengedrückte Rohre, verbunden, oder d

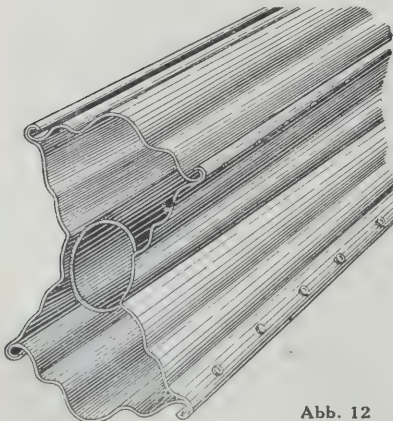
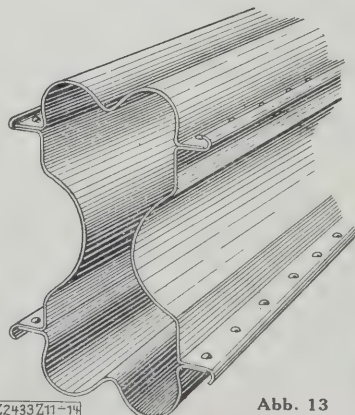


Abb. 12



RZ 43371-14

Abb. 13

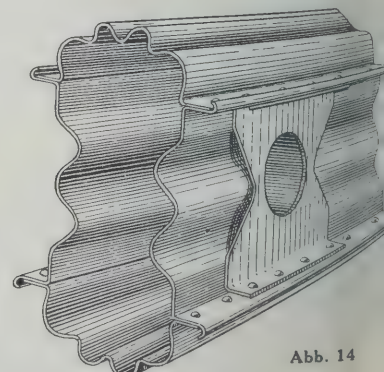


Abb. 14

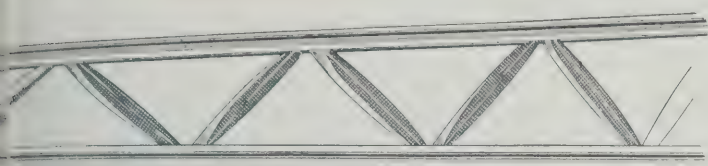


Abb. 15 Fachwerk in einer Ebene

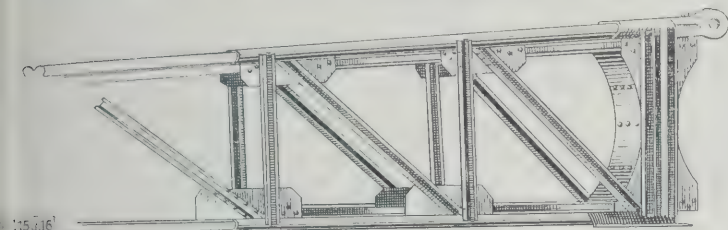


Abb. 16 Fachwerk in zwei Ebenen

Abb. 15 und 16 (links)
Flügelholme



Abb. 22 (rechts)
Stromlinien-Profilstrebe

RZ2433Z22

en, in Abb. 16 U-Profile, sind an den Gurtseiten in
si Ebenen durch Knotenbleche und Niete befestigt. Rip-
werden der geringen Kräfte wegen meist als U-Profil-
werk gebaut. Zur Befestigung zwischen Holm und
n wird nach Abb. 17 in die Rippe ein stehendes Form-
ele eingefügt und dieses mit dem Holm am Zusammen-
hden und mit je einem Schenkel in Ober- und Unter-
dieses Bleches nur am Steg. Eine Sonderbefestigung
r Abb. 19: Zwei Winkel, U-Profil, im Scheitel gelenkig
hden und mit je einem Schenkel in Ober- und Unter-
ter Rippe drehbar angeordnet, werden an den Holm
nreklappt (in Abb. 20 gestrichelt) und pressen den Holm
r Federkraft der Rippengurte fest. Abb. 20 zeigt links
eine einteilige, in die Rippengurte eingienietete Druck-
egung. Ein Flügelgerippe ganz aus Metall, aber in

gleicher Bauweise wie bei Holz, zeigt Abb. 21; eine sehr
geeignete Strebenbauart in Stromlinienprofil mit eingienete-
tem Anschlußbeschlag, Abb. 22.

Durch derart ausgeklügelte Bauformen und unter Ver-
wendung hochwertigen Baustoffs ist man natürlich in der
Lage, ein Flugzeug leicht und doch fest zu bauen. Auf der
andern Seite ist man aber durch die großen Unkosten ge-
hemmt, die diese Bauart mit sich bringt. Vorteilhaft kann
diese daher erst werden, wenn der Auftragbestand Reihen-
herstellung rechtfertigt. Werden daher schon beim Bau von
Stahlrohrholmen, z. B. in Deutschland, einfachere Gestalten
bevorzugt, so lassen beim Übergang zu Leichtmetallen die
geänderte Festigkeit und Bearbeitbarkeit andre Formen, wie
sie aus Beispielen des deutschen Flugzeugbaues wohl bekannt
sind, vorteilhafter scheinen. [M 2433]

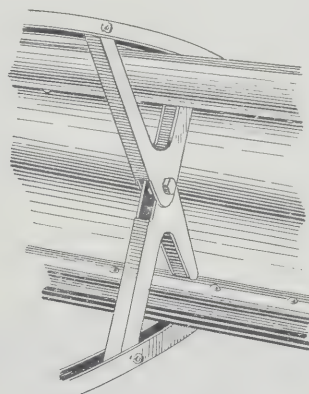
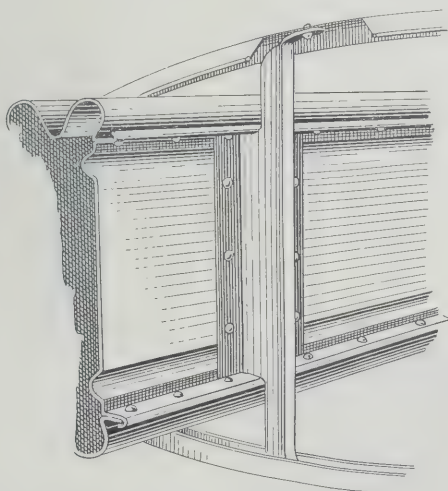
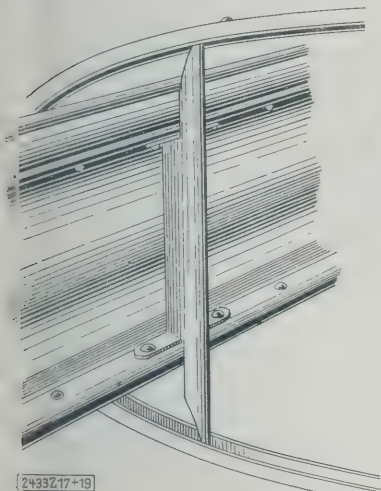


Abb. 17 bis 19. Befestigung zwischen Holm und Rippe

Abb. 17 und 18. Durch Nietung

Abb. 19. Durch Federung

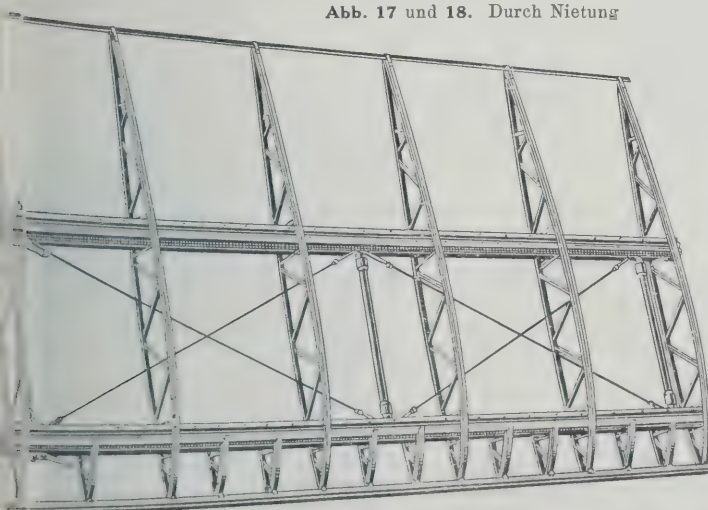
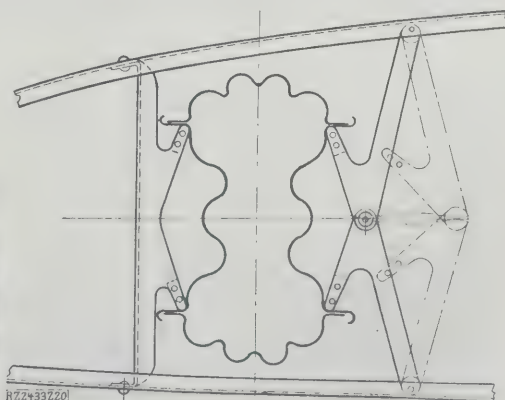


Abb. 21. Flügelgerippe

Abb. 20. Schematische Darstellung
von Abb. 19



HZ2433Z20

R U N D S C H A U

Aus dem Ausland

Landwirtschaftstechnik

Landmaschinenbau in England

Auch Englands Landwirtschaft am Scheidewege; unter dem Drucke des Wettbewerbes erwacht, das sah man auf der 87. Royal Show in Nottingham¹⁾ 1928, die Initiative in allen möglichen Richtungen. Die Regierung ist mit erheblichen Geldmitteln dabei. Die Stimmung war zuversichtlicher; im Absatz von Landmaschinen meint man, einen Tiefpunkt eben überwunden zu haben; der Landwirt zeigte Interesse, und das war erfreulich. Ausfuhrerfolge stammen natürlich nicht vom Festlande, das in Deutschland und Frankreich eine eigene leistungsfähigere Landmaschinenindustrie besitzt, sondern von den entwicklungsfähigen eigenen Kolonien und Dominions her.

Ganz besondere Beobachtung verdienen jetzt die nordafrikanischen Länder, die sich wieder zur Vorratskammer Europas entwickeln; das Tempo gibt England und Frankreich mit dem Ausbau der Bewässerung, der Verkehrswege und neuerdings der Autostraßen an. Nach dem Sudan lieferte McLaren, Leeds, in einem Jahr an die 60 Seilpfluganlagen, in denen deutsche Benz-Dieselmotoren eingebaut sind; Kohle und Wasser sind dort meist schwer zu beschaffen, Öl dagegen sehr viel leichter, so daß der höhere Anschaffungspreis dort natürlich keine entscheidende Rolle spielt. Gibt es doch Fälle, wo Öl tatsächlich billiger ist als gutes Wasser.

Fowler, auch in Leeds, benutzt seine Seilpflüge, Abb. 1, auch zur Ausführung von Maulwurfsdränagen²⁾. Für leichtere Böden, in denen der Maulwurfsgang allzubald zerfallen würde, hat er eine ganz einfache Hebelpresse, Abb. 2, erdacht, die in Abständen von etwa 60 m bis in den Maulwurfsgang eingegraben wird, in die man die üblichen Tonröhren hineinlegt und sie in den Maulwurfsgang eine nach der andern hineindrückt, bis die erste Röhre mit ihrem Führungskopfstück in dem nächsten Einstich aus dem Gang herauskommt.

Auch England hat nunmehr seinen 40 PS-Kettenschlepper wiederbekommen, und zwar in einer Bauart, wie sie ähnlich

¹⁾ Vergl. ausführlichen Bericht in „Technik in der Landwirtschaft“ Bd. 9 (1928) S. 211 u. 227.

²⁾ S. a. T. i. d. L. Bd. 10 (1929) H. 3 S. 46.



Clayton & Shuttleworth, Lincoln, schon im Krieg baute, und die jetzt nach Verbesserung auch von den Militärbehörden geprüft wurde. Der Schlepper der Industrial Vehicles, London, mit Vierradantrieb, entweder mit vier richtigen Greiferrädern oder mit gummirädern und Klappgreifern ausgerüstet. Seine jährige Auszeichnung mit der silbernen Denkmünze wohl schließen, daß diese Maschine dem Bedarf leistungsfähigen gummiereiften, aber gleichzeitig straffähigen Radschleppern entgegenkommt, was ja für das K nialreich auch sicher erforderlich ist, ganz abgesehen seiner Eignung für die Landesverteidigung. Von deutschen Schleppern war auf der Ausstellung nur der Lanz-Gulldog vertreten; inzwischen hat auch McLaren einen neuen Radschlepper mit einem deutschen zweizylindrigen Benz-Dieselmotor herausgebracht. So wendet sich das E in der Fordson-Pause, England will also doch noch n auf den eigenen Schlepper verzichten. Bei dem höchsten Anschaffungspreis des McLaren-Benz-Dieselschleppers v es sich ähnlich verhalten wie beim Seilpflug; in der k nialen Verwendung, wo oft auch leichter Kredit gew wird, sind eben ganz andere Gesichtspunkte ausschlaggeb als innerhalb unserer Grenzen.

Unter den kleinen Geräten mit motorischer Antriebskraft stehen sich der Gartenfräser der Simar Rototiller der die v. Meyenburg-Patente verwertet, und der Univer „Red E“-Power-Cultivator der Pioneer Mfg. Co., West A Wisconsin, oder der „Autokult“ der English Forestry Association, Reading, gegenüber; mit dem Fräser ko man natürlich am tiefsten in den Boden hinein, o daß seine Räder rutschen; alle drei Geräte sind aber v lei Verwendungszwecken angepaßt; neu ist auch der geteilte Fräschwanz, der mit seiner Lücke über einer R geht, Abb. 3.

Bei den ortfesten Rohöl- und Schwerölmotoren h es allgemein: „Cold Starting“. Bei dem kurb wellenlosen Motor von Michell³⁾, Abb. 4, übertra die Kolben, die rings um die Hauptwelle verteilt sind, Kraft unmittelbar über Gleitkeile, die sich um ein K gelenk dem Druck des Ölfilms entsprechend einste können, auf die elliptische zur Achse geneigte Antriebscheibe. Hierdurch wird, genau so wie bei dem bekannten Dampfturbinen-Drucklager desselben Erfinders, die Aus dung eines vollkommenen Ölfilms begünstigt, dessen d mischer Flüssigkeitsdruck die gesamten Lagerdrücke u völliger Ausschaltung fester Reibung überträgt. Der V teil dieser Maschine ist die äußerst gedrungene Bau ihr ziemlich hoher Preis ist allerdings für die L wirtschaft nicht gerade anreizend. Für Zapfwellenan hat jetzt Massey-Harris seinen Binder von 2,1 m Sch breite verstärkt, die übliche Binderkette durch eine B kette ersetzt, nachgiebige Rutschkupplungen, den um

³⁾ Z. Bd. 71 (1927) S. 866.

Abb. 1
Kanäle als Vor-
gewinde für Seil-
pflüge.

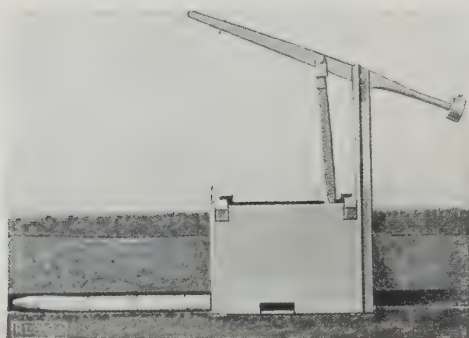


Abb. 2 Hebelpresse
zum Durchdrücken
von Tonröhren durch
den Maulwurfsgang.

Abb. 3
Bodenfräse mit
geteiltem
Fräschwanz.



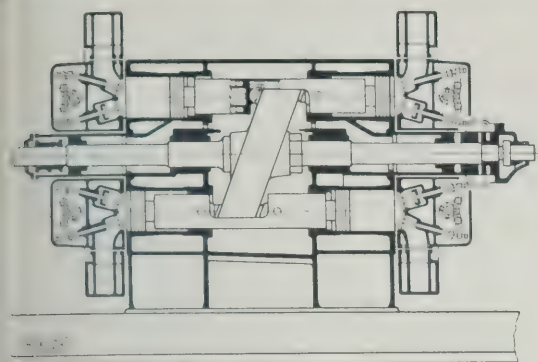


Abb. 4
Kurbelwellenloser Motor von Mitchell.

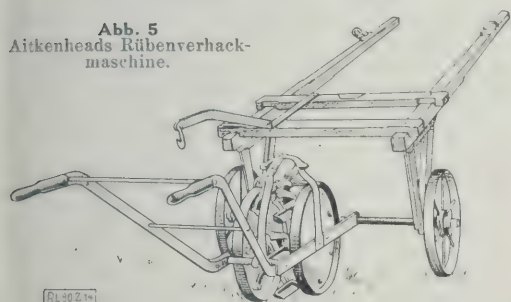


Abb. 5
Aitkenheads Rübenverhack-
maschine.

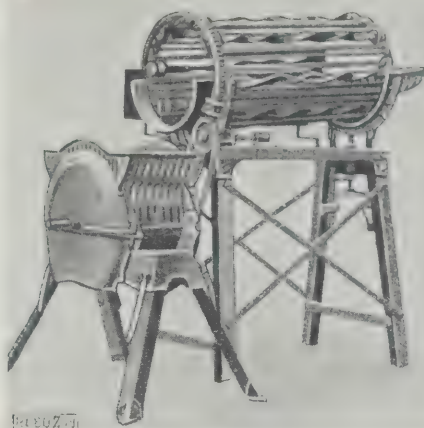


Abb. 6
Reinigungstrommel vor dem Rübenschneider.

den Stoppelendglätter und eine Anhängervorrichtung
eine Doppelscheibenegge vorgesehen, deren Zusammen-
bau mit dem Binder großer Schnittbreite sich ohne
weiteres immer mehr einbürgern wird.

Seit 1926 befaßt sich das Institut für Landmaschinen-
bau in Oxford mit der künstlichen Trocknung,
besonders der Heurante in der Oxford Crop-Drying Anlage;
dieses Verfahren im ganzen wirtschaftlich ist und ob es
genug größere Mengen bewältigt, muß sich noch
prüfen; das Preußische Landwirtschafts-Ministerium hat
von solcher Anlagen zur Probe erworben. Marshall, Sons
& Co., Ltd. empfehlen jetzt, dem Beispiel der Amerikaner
folgend, Dreschmaschinen mit Stahlrahmen und Blech-
verkleidung, deren Vorteil, besonders in den heißen Län-
dern in der geringeren Empfindlichkeit bei Bränden liegt.

Der halb selbsttätige Kartoffelpflanzler findet
in England Eingang; bei der Melotte-Bauart hat der
Pflanzler die aus dem Vorratskasten nachrutschenden Kar-
toffeln nur in die Löcher eines langsam gedrehten Tisches
einlegen, aus denen sie dann von selbst in gleichen Ab-
ständen herausrutschen. Da der Junge einen ziemlich
weiten Bereich der Drehscheibe vor sich hat, braucht er
nicht beim Einlegen weniger genau aufzupassen als bei den
gewöhnlichen halb selbsttätigen Maschinen mit Förderbändern.

Von vier Rübenverhackmaschinen erhielt
das Institut eine höchst einfache, kinematische recht interessante
Maschine Aitkenheads, Abb. 5, die silberne Denkmünze. In
der Beurteilung dieser Auszeichnung nach gründlicher Prü-
fung liegt auch die Anerkennung des auffällig großen Inter-
esses für einfache Rübenverhackvorrichtungen, das letzthin
in Paris bestand. Übrigens ist das Landmaschinen-
institut in Oxford dabei, alle Möglichkeiten der Verbilligung
des Rübenbaus auf breiter Grundlage zu untersuchen, von
der Bodenbearbeitung und der Saat an bis zur Fortschaf-
fung der Ernte, alles dies unter dem Drucke der billigeren
Verhältnisse auf dem Festlande, sowie die übliche
Erntesaison in Zuckerfabriken über das ganze Jahr
zu verteilen, dies wegen des drohenden, gefährlichen Wett-
bewerbs des Zuckerrohres.

In dem klassischen Grünlande ist es natürlich beson-
ders reich, die Entwicklung der Heuwendern und
Mähdrescher zu beobachten, die im allgemeinen darauf ab-
zielen, ein empfindliches Heu, z. B. Kleeheu oder Luzerne, mit
einer Maschine möglichst schonend zu verarbeiten. So wendet
man neuerdings Nicholson den Schwaden, statt wie früher
nach vorn, nach hinten heraus durch die Lücke des
genommenen Rechenmittelstückes, wodurch Stopfen
durcheinanderkommen der Schwaden verhindert und
das Heubrett entbehrlich wird.

Man erwähnen wäre schließlich noch ein Heuraffer „Mar-
shall“ angebaut an den Fordsonschlepper von G. W. King
und die zunehmende Verwendung der „Spinne“, die
auch beim Wenden sehr schont.

Für den ausgedehnten Obst- und Hopfenbau
liefern Drake & Flötscher verschiedene Spritzen und
Schwefelzerstäuber, letztere für Kartoffelbau, für Hand-,
Pferde- und Motorbetrieb. Merkwürdig ist, daß der
Düngerstreuer mit Wanderboden, der seinerzeit in
England aufkommen war, und der in Frankreich bis zum
Vorjahre den Markt allein beherrschte, in England wieder
verschunden ist.

Wie in Leipzig die Gebläseförderer, so gaben in Not-
tingham die vielen großen und vor allem hellen Ge-
flügelhäuser mit warmem sauberem Fußboden der
Ausstellung ein besonderes Gepräge. Eine der wenigen
silbernen Denkmünzen — im ganzen wurden nur vier ver-
geben — erhielten E. H. Bentall & Co. für eine neue
Geflügelrupfmaschine; bei dieser hält man das
Tier außen an die Schlitz eines kleinen, innen unter
Unterdruck stehenden Blechzylinders, in den sich die Federn
durch den Saugzug hineinziehen und in dem sie dann von
einer schnell umlaufenden, auf der Gebläsewelle sitzenden
Trommel eingeklemmt und abgerupft werden; das Saug-
gebläse befördert die gerupften Federn in einem Zuge in
den Sack. Ein Huhn zu rupfen, dauert 45 bis 90 s, eine
Ente 1½ bis 2 min.

Sehr zu beachten ist, daß man in England ganz allge-
mein vor die Rübenschneider eine ziemlich lange
Reinigungstrommel aus gedrehten Stäben vorschaltet, in der
manchmal sogar noch weitere kleinere kantige Trommeln
umlaufen, Abb. 6; bei unseren Rübenschnidern kann man
bekanntlich vom Füllkorbe her keine nennenswerte Reini-
gung erwarten.

Einen tragbaren Landwirtschaftsmotor
für Drehstrom, wetterdicht, liefert Ransomes mit drei Vor-
gelegewellen und zwei verschiedenen Riemenscheiben, so
daß man auf neun verschiedene Geschwindigkeiten über-
setzen und dadurch den Motor auf dem Hofe viel besser aus-
nutzen kann; solche Vorgelegemotoren gibt es auch in
Frankreich in den äußerst anpassungsfähigen „Law“-
Motoren; diese Möglichkeit vielseitiger Verwendung der
Elektromotoren scheinen bei uns noch viel zu wenig be-
kannt zu sein.

800 000 RM sind jährlich vom englischen Reichsaus-
schuß für Absatzfragen auf fünf Jahre zur Förderung
des Absatzes britischer Erzeugnisse bereitgestellt. Diese
Gelder werden zur Herausgabe und Verbreitung von z. T.
ganz ausgezeichneten verständlichen Flugblättern über Er-
zeugung und Verpackung von Standardwaren verwandt,
dann auch zu Vorführungen im Lande, wie auf der Schau
in Nottingham, an der z. B. das Landwirtschaftsministerium
in einer besonderen Halle den Erzeugern und dem Handel
den Weg zur Standardware zu zeigen versuchte: Kartoffel-
feln werden wie üblich nach Größe, Eier, Äpfel
und Birnen selbsttätig nach Gewicht sortiert,
und zwar laufen die Eier dabei auf kleinen Schienen, über
mehrere Waagen herunter, die auf verschiedenes Gewicht
eingestellt sind und das Ei durchfallen lassen; bei Äpfeln
und Birnen wird es ähnlich gemacht, sie werden dann in
Papier gewickelt und nach Schema in Kisten verpackt.
Überhaupt hat man für zweckmäßige Verpackungen Muster
und Richtlinien ausgearbeitet, und man erkennt auch nicht
den starken Wettbewerb ansprechender Aufmachung. Alles
geht unter dem Wahlspruch: Engländer, kauft Eure eigenen
Waren!

Nachdem im Vorjahre die Beschwerden über die kritiklose Verteilung der silbernen Denkmünzen immer stärker wurden, machte man in Nottingham erstmalig die Zuerkennung der höchsten Auszeichnung, ganz ähnlich wie bei der Deutschen Landwirtschafts-Gesellschaft, von einer gründlichen Dauerprüfung abhängig. Hierin hat sich also der Engländer trotz seines zähen Festhaltens an der Überlieferung zu notwendiger Änderung aufgerafft und vielleicht manches von der Deutschen Landwirtschafts-Gesellschaft gelernt; sollten umgekehrt auch wir nicht noch dies oder jenes dieser Royal Show absehen können, die in ihrem Aufbau tatsächlich musterhaft ist, nicht des schönen Rasens wegen, auf den man sich, wo man steht, ruhig niederlassen kann, sondern in der unübertrefflichen gedrängten Anordnung ihrer Stände, von denen sich, wie in Paris, einer an den anderen anreihet, so daß man in einigen Stunden die ganze Schau abwandern kann, ohne einen einzigen Stand zu übergehen?

[M 2364]

Bonn-Poppelsdorf

Prof. Dr.-Ing. Vormfelde,
Dr.-Ing. v. Sybel

Bergbau

Ölbergbau in den Vereinigten Staaten von Amerika

Die unvollständige Herausgewinnung des Öles aus dem Untergrunde bei dem gewöhnlichen Bohrlochbetrieb hat jetzt auch die Amerikaner veranlaßt, sich eingehender mit der rein bergmännischen Gewinnung des Öles zu befassen. Während man beim Bohrlochbetrieb im Durchschnitt nur etwa 10 bis 20 vH des Gesamtölvorrates gewinnt, gestattet der Bergbau auf Öl eine bedeutend größere Ausbeute. Eine vollständige Gewinnung des Öles aus der Lagerstätte läßt sich durch die bergmännische Gewinnung der ölführenden Sande und Gesteine in der Weise erreichen, daß man zunächst das kapillar nicht gebundene Öl frei ausfließen läßt und anschließend über Tage aus dem bergmännisch hereingewonnenen ölführenden Gestein die restlichen Ölmengen durch Hitze (Destillation), durch Waschverfahren oder durch ein Lösungsmittel gewinnt¹⁾.

Diese vollständige Gewinnung ist bei den herrschenden Ölpreisen in Amerika im Augenblick nicht wirtschaftlich; dagegen dürfte das bergmännische Aufschließen des Ölhorizontes ohne Herausfordern der anstehenden Ölsande aus der Grube, also das Heraussickernlassen des freien, nicht festgehaltenen Öls in die Strecken und das Fördern dieses herausgesickerten Öls nach Übertage in

¹⁾ Z. Bd. 73 (1929) S. 175.

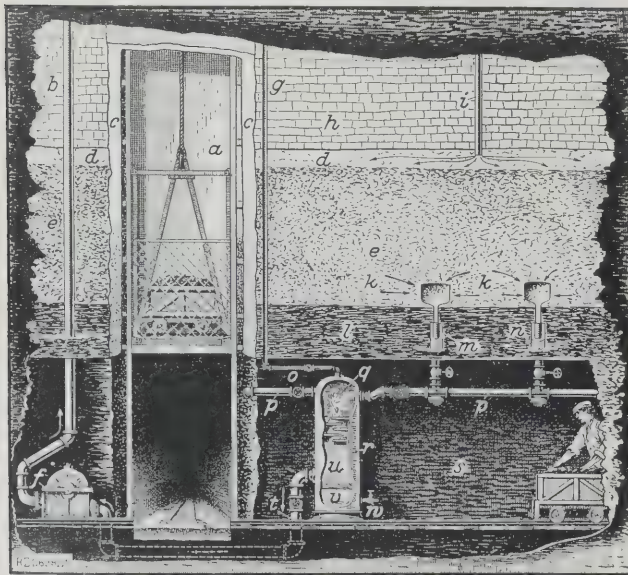


Abb. 7
Bergmännische Ölgewinnung bei Jacksboro, Texas.

- | | | |
|-------------------|--------------------|----------------|
| a Schacht | h Kalk | p Ölleitung |
| b Ölleitung nach | i Druckluftleitung | q Gas |
| Übertage | von Übertage | r Ölscheider |
| c Schachtausbau | k Ölzufluß | s Abbaustrecke |
| d Luft | l Schiefer | t Ölauslaß |
| e Öl-Sandstein | m Rohr mit 50 mm | u Öl |
| f Schleuderpumpe | n Abschuß | v Wasser |
| g Gasleitung nach | o Gasaustritt | w Wasserhahn |
| Übertage | | |

vielen Fällen wirtschaftlich sein. Dieses Verfahren ist Europa erstmalig im Ölgebiet von Pechelbronn zur Anwendung gelangt und auch im deutschen Schrifttum bereits eingehend erörtert²⁾.

In den Vereinigten Staaten von Amerika sind in den letzten Jahren verschiedene Verfahren zur bergmännischen Gewinnung von Öl ausgebildet und z. T. zum Patent gemeldet worden. Von diesen will das *Ehrat*-Verfahren ein Streckensystem über oder unter dem eigentlichen Sand auffahren und den Ölsand in kurzen Abständen in Bohrlöcher anbohren, die verrohrt werden, so daß der Sand vollständig von den Strecken abgeschlossen ist und das Öl durch weitgehende Ausnutzung des natürlichen Überdruckes in der Lagerstätte hereingewonnen werden kann. Nach dem Aufhören des Ölzufusses können an Mittel wie Unterdruck, Druckluft oder Überfluten gewendet und die Ölförderung damit besser als von der Erdoberfläche geregelt werden.

Während das *Ehrat*-Verfahren bis jetzt noch nicht probiert ist, um endgültig darüber urteilen zu können, ob die Aufgabe der bergmännischen Ölgewinnung löst, ist das *Ranney*-Verfahren in der Nähe von Jacksboro in Texas Großversuch im Betriebe. Dieses Verfahren³⁾ ähnelt mancher Beziehung dem Verfahren von *Ehrat*. Man geht hier so vor, daß ein Schacht bis unter den Ölsand getrieben wird und das Öl durch den Betonabau des Schachtes gewonnen von diesem abgeschlossen ist. Nachdem der Schacht 3 bis 5 m unter dem Ölhorizont abgeteuft ist, werden 2 hohe Strecken aufgeföhren, denen jeweils eine Fläche von 160 000 m² zugewiesen wird. Kleine Bohrlöcher werden in Abständen von 3 m nach oben zum Ölsand getrieben und mit 50 mm-Rohren verrohrt. Durch eine hohlraumartige Erweiterung am Ende jedes Bohrloches wird im Ölsand künstlich eine größere Oberfläche geschaffen, die einen größeren Ölzufuß zum Bohrloch ermöglicht, Abb. 7. Hierdurch erreicht man ebenfalls, daß der Ölsand unter dem Druck des Öles bleibt. Öl und u. U. Wasser werden in ein Hauptölrohr einem Abscheider zugeleitet, der Wasser, Gas und Öl trennt. Mit dem Vorrücken der Strecken werden immer neue Bohrlöcher gestoßen, jedoch wahrt man einen Abstand von rd. 30 m vom letzten Bohrloch bis zum jetzigen Streckenende. Zapft man am Boden des Ölsandes eine größere Menge Wasser mit einem Bohrrohr an, so wird dieses etwas weiter in den Ölsand über dem Wasserhorizont geschoben.

Bei großem Wasserdruck fährt man das Streckensystem oberhalb des Ölsandes auf. Es wird hierbei das Öl durch das nachdrückende Wasser in die Bohrlöcher gepreßt und hierdurch praktisch kein Salzwasser mit gefördert. Nach Aufhören des natürlichen Druckes in dem ölführenden Sand kann man mittels Druckluft oder -gas in besonderen Fällen der Tagesoberfläche gestoßenen Bohrlochern eine weitere Ölgewinnung herbeiführen.

Als Vorteil des Verfahrens wird angegeben, daß man nur eine Pumpe für eine fast unbegrenzte Anzahl von Bohrlochern zur Förderung des Öles nach Übertage braucht und daß der Wirkungsgrad dieser Pumpe bedeutend höher ist als der von Bohrlochpumpen. Daraus ergeben sich geringere Kosten, die ungefähr nur ein Viertel der Kosten für das Pumpen von Öl aus Bohrlochern ausmachen. Man hat geschätzt, daß aus bereits verlassenen Ölfeldern die doppelte bis vierfache Menge an Öl, die bereits herausgefördert worden ist, sich noch nachträglich nach diesem Verfahren gewinnen läßt bei Gesamtanlage- und Förderungskosten von 3,75 bis 8,80 RM/t.

In den ersten Jahren waren die Kosten des Ölbergbaus in Pechelbronn um ungefähr 30 vH höher als die der Ölgewinnung durch Bohrlöcher in demselben Feld. Etwa 17 vH Öl wurden aber auch bereits durch Bohrlochbetrieb aus dem Feld gewonnen, ehe der eigentliche Ölbergbau begann. Daher ist bei jungfräulichem Gebirge eine höhere Wirtschaftlichkeit des Erdölbergbaus zu erwarten. Dies hat sich auch in Pechelbronn bei der Inangriffnahme neuer Lagerstättenteile gezeigt. Die größte Ersparnis liegt in den verringerten Pumpenkosten, da man statt der zahlreichen kleinen Pumpen in den einzelnen Bohrlochern zu Heben des Öles aus einem Ölschacht nur eine mit großem Wirkungsgrade arbeitende, entsprechend größere Pumpe braucht. Dagegen sind die Anlagekosten für die bergmännische Gewinnung von Öl verhältnismäßig hoch; es dauert längere Zeit, ehe ein wirtschaftliches Arbeiten der Anlage eintritt.

[M 2638]

Berlin.

Fr. Prockat

²⁾ Schneiders, „Die Gewinnung von Erdöl“. Berlin 1927, S. 132.

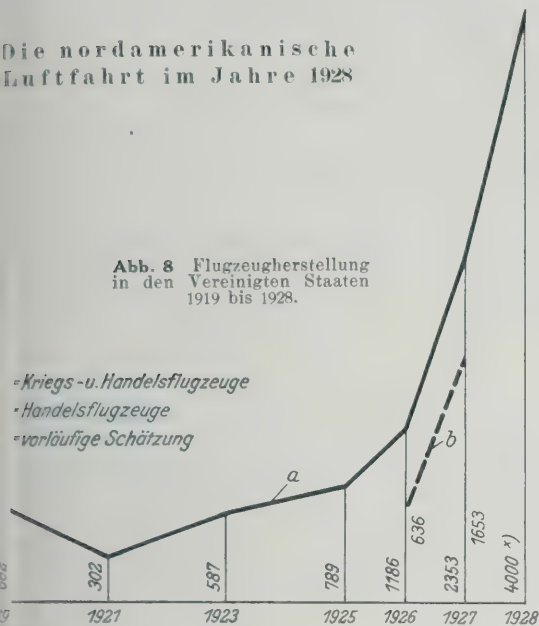
³⁾ E. Roesch, Oil mining, Bull. Amer. Association of Petroleum Geologists Bd. 10 (1926) Heft 4.

⁴⁾ The Oil and Gas Journal vom 7. Oktober 1926.

Luftfahrt

Die nordamerikanische
Luftfahrt im Jahre 1928Abb. 8 Flugzeugherstellung
in den Vereinigten Staaten
1919 bis 1928.

— Kriegs- u. Handelsflugzeuge
— Handelsflugzeuge
— vorläufige Schätzung



Das Jahr 1928 stand in den Vereinigten Staaten von Amerika im Zeichen einer raschen Entwicklung der Luftfahrt vor allem auf wirtschaftlichem Gebiet. Die Vereinigten Staaten nehmen darin unter allen Ländern der Welt eine einzigartige Stellung ein. Sie sind, abgesehen von Deutschland, wo es eine militärische Luftfahrt überwiegt, nicht gibt, der einzige Staat, in dem wenigstens seit zwei bis drei Jahren die Herstellung von Flugzeugen zu friedenszwecke diejenige für Kriegszwecke überflügelt. Die gesamte Herstellung von Flugzeugen zeigt von 1919 bis 1927 eine Vermehrung um das 7,8fache, der Anteil der Handelsflugzeuge betrug dabei im Jahre 1926 53,5 vH, im Jahre 1927 über 70 vH, Abb. 8.

Die Entwicklung in der Herstellung von Handelsflugzeugen allein im Jahre 1927 gegenüber 1926 betrug 160 vH. Im Jahre 1928 hat sich diese Entwicklung fortgesetzt. Genaue Angaben über die fertiggestellten Flugzeuge sind allerdings zur Zeit noch nicht vor. Die Zahl von 4000 in Abb. 8, ist nur eine vorläufige Schätzung.

Die Tatsache eines weiteren raschen Anstiegs wird jedoch durch die statistischen Angaben über die Ausfuhr von amerikanischen Flugzeugen nach dem Ausland bestätigt. In den ersten acht Monaten des Jahres 1928 wurden 118 Flugzeuge verkauft im Wert von rd. 1,3 Mill. \$, im ganzen Jahr 1927 nur 63, im Wert von 850 000 \$. Dieser Aufschwung ist erreicht worden, indem sich in einer Richtung die Bedingungen, unter denen die amerikanische Flugzeugindustrie (wenigstens bei der Erbauung kleinerer Flugzeuge) bisher arbeiten konnte, sehr erweiterten — nämlich in der Ver-

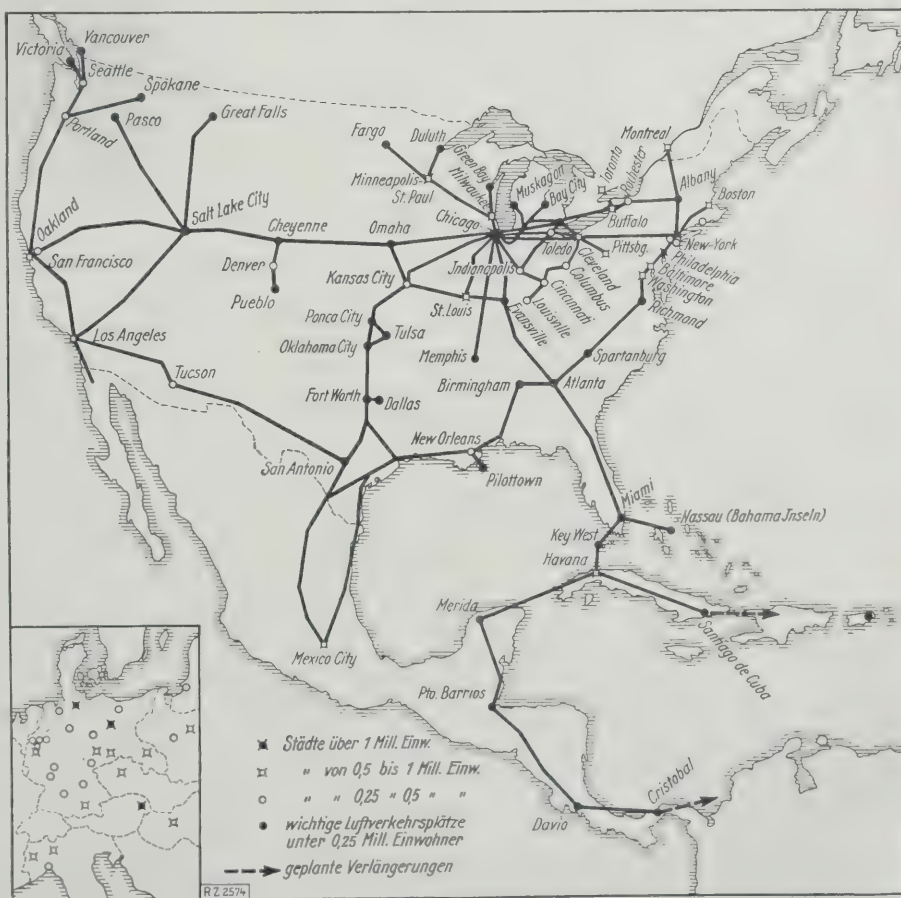
sorgung mit Motoren. Bis zum Jahre 1928 waren Curtiss OX-5- und Curtiss OXX-6-Motoren (90 und 110 PS) zu billigen Preisen verfügbar²). Diese Motoren sind während des Krieges von der Heeresverwaltung für Schulzwecke ausgewählt und in großen Mengen, im ganzen über 5000 Stück, hergestellt worden. Nach dem Ende des Krieges wurden sie zu ungefähr ein Viertel des Herstellungspreises an die Flugzeughersteller abgegeben und von diesen in großem Umfang benutzt. Ein erheblicher Teil der technischen Arbeit des amerikanischen Flugzeugbaues richtete sich seitdem darauf, die Leistungen von Flugzeugbauarten mit diesen Motoren zu verbessern. Im übrigen sah sich der amerikanische Flugzeugbau den gleichen Anforderungen gegenüber wie der europäische.

Steigerung der Leistungen und Wirtschaftlichkeit, der Sicherheit, Bequemlichkeit usw. stehen im Vordergrund, die Geschwindigkeiten mußten erheblich vergrößert werden; während noch vor wenigen Jahren Reisegeschwindigkeiten von ungefähr 160 km/h als genügend betrachtet wurden, werden heute 200 bis 210 km/h verlangt. Trotzdem bestand für die Erbauung sehr großer Flugzeuge — über die Größenordnung der dreimotorigen Fokkerflugzeuge hinaus — wenig Neigung, im Gegensatz zu Deutschland, wo gerade diese Bauarten (Junkers, Baumuster J 38, Dornier-Superwal, Rohrbach-Romar) in den letzten Jahren besonders gefördert wurden. Der Grund dafür ist vermutlich in Amerika die besondere Beachtung augenblicklich herrschender wirtschaftlicher Gesichtspunkte. Die Wirtschaftlichkeit des Luftverkehrs wird eben durch die Einführung der mehrmotorigen Großflugzeuge in Deutschland nicht verbessert.

Das amerikanische Luftverkehrsnetz hat sich auf andern Wege als das europäische entwickelt. In Europa wurde zunächst ein ausgedehnter Fluggastverkehr durch staatliche Unterstützung teilweise unter Aufsaugung privater Gesellschaften durch gemischtwirtschaftliche Unternehmungen ins Leben gerufen, zuerst auf kleineren, dann auf größeren Strecken. Danach erst versuchte man — in diesem Abschnitt stehen wir heute — durch Heranziehung von Post- und Frachtgütern die Einnahmen zu erhöhen und durch Schaffung größerer ausgedehnter Linien (Europa — Indien, Europa — Ostasien, Europa — Südamerika) die Eigenwirtschaftlichkeit zu erreichen. In Amerika stand der Postdienst im Anfang. Er wurde zuerst auf der größten

²) Vergl. „Aeronautics“ Mai-August 1928, S. 57.

Aviation Bd. 24 und 25 (I. und II. Halbjahr 1928) und Bd. 26 (I. Halbjahr 1929), S. 1.

Abb. 9 Luftliniennetz Nordamerikas
Anfang 1929.
Nebenkarte im Maßstab der
Hauptkarte zum Vergleich.

möglichen Linie vom Atlantischen zum Pazifischen Ozean vom Staate eingerichtet und dann in private Hände übergeführt. Für eine Reihe weiterer Strecken wurden Verträge über Postbeförderung mit einer größeren Zahl von andern Fluggesellschaften abgeschlossen. Der Fluggastverkehr wurde staatlich nicht unterstützt. Diese Art der Durchführung des Luftverkehrs erwies sich unter den vorliegenden Verhältnissen als günstig, das Jahr 1928 hat neben dem weiteren Ausbau des Postdienstes eine zunehmende Umstellung der Luftverkehrsgesellschaften auf Fluggastbeförderung gebracht. Wie stark für beide Verkehrswege die von zahlreichen Gesellschaften gezeigte Initiative ist, zeigt Zahlentafel 1 über die Eröffnungen von Luftlinien (oder Erweiterungen oder Umstellungen bestehender Linien auf Fluggastbeförderung), die keinen Anspruch auf Vollständigkeit erheben kann.

Zahlentafel 1

Eröffnung von Linien 1928 und 1929

Februar 1928: Täglicher Fluggastdienst Chicago—Kansas City.

März: Fluggastdienst San Francisco—Seattle.

April: Spokane—Portland.

Mai: New York—Atlanta.

Juni: Mexico—New-Orleans, Albany—Buffalo, Los Angeles—San Antonio, Oklahoma City—Tulsa, Dallas—San Antonio, Havana—Santiago de Cuba.

Juli: Erweiterung von New York—Chicago nach Lincoln, Fargo—Minneapolis, Vancouver—Seattle.

August: Fluggastdienst St. Louis—Chicago, Great Falls—Salt Lake City, Louisville—Cleveland, Los Angeles—Salt Lake City.

September: Omaha—Kansas City, Miami—Havana (Erweiterung Key West—Havana).

Oktober: San Antonio—Mexico City, New York—Montreal, Tulsa—Kansas City, Miami—Nassau (Bahama Inseln), Detroit—Toledo—Indianapolis.

November: Täglicher Dienst Detroit—Chicago, Indianapolis—Louisville, Chicago—Evansville, Wichita—Tulsa, St. Louis—Kansas City.

Dezember: Milwaukee—Green Bay.

Januar 1929: Key West—Panama-Kanal, Miami—San Juan.

Nicht immer handelt es sich dabei um geglückte Versuche. Veränderungen jeder Art sind an der Tagesordnung. Trotzdem ist die große Erweiterung des Verkehrsdienstes und seine außerordentliche Ausdehnung im Vergleich zu europäischen Verhältnissen offensichtlich, (Abb. 9^a).

Besonders wichtig ist das Übergreifen über die Grenzen der Vereinigten Staaten hinaus. Nach Vancouver, Mon-

^a) Vergl. auch „Flight“ Bd. 20 (1928) S. 1017.

treil, nach Mexico City, nach Kuba ist die Verbindung gestellt. Die Erweiterung nach Mittelamerika, der Kanzone mit Einbeziehung der Mittelamerikanischen Republik sollte am 1. Januar 1929 eröffnet werden. Noch viel weitere Pläne werden jedoch erwogen. Von maßgebender Seite (dem Postministerium) ist bekanntgemacht worden, daß Pläne für die Herstellung einer durchgehenden Verbindung von Montreal bis Buenos Aires und Santiago de Chile geprüft werden; nach der bisher gezeigten Tatkraft ist zu erwarten, daß aus diesen Plänen, an deren technischer Möglichkeit und wirtschaftlicher Berechtigung kaum zu zweifeln ist, sehr bald Wirklichkeit wird.

Es ist dabei den amerikanischen Luftlinien zum größten Teil möglich gewesen, verhältnismäßig günstige finanzielle Ergebnisse zu erzielen. Die von ihnen verlangten Tarife liegen niedriger als die vor kurzem noch mitgeteilten Selbstkosten europäischer Luftverkehrsgesellschaften. Übersicht gibt Zahlentafel 2.

Zahlentafel 2. Tarife

Strecke	Länge km	Flugpreis RM	Preis für Fluggast 4/km
Boston—New Brunswick	350	105	30
Boston—Hartford			
Field	152	63	41,
New York—Chicago	1240	420	34
Chicago—Detroit	380	126	33
St. Louis—Chicago	445	126	28,
Chicago—Kansas City	725	231 bis 263	31,7 b,
Chicago—St. Joseph	650	238	36,
Chicago—Moline	240	109	45,
Kansas City—St. Louis	390	126	32,
Fargo—Minneapolis	355	105	29,
Portland—Seattle	245	504	20,
Portland—San Francisco	880	190	21,
Portland—Los Angeles	1480	252	17
Los Angeles—Tucson	810	168	20,
Havana—Key West	166	210	12,
Miami—Havana	360	315	88

Die angegebenen Preise gelten dabei für einfachen Fahrpreis. Für Hin- und Rückflug läßt ein Teil der Gesellschaften noch weitere Ermäßigungen von etwa 10 bis 20 vH eintreten.

Alles in allem haben sich also im Lauf der letzten beiden Jahre die Vereinigten Staaten auch im Luftverkehr hinsichtlich Ausdehnung ihres Flugnetzes wie Wirtschaftlichkeit ihres Luftverkehrs und ihres Flugzeugbaues die Spitze aller Staaten der Welt gestellt, und ihr Vorrang darin wird wohl bald nicht kleiner sein wie Vorrang in der Weltwirtschaft überhaupt. (M 257)

Berlin-Karlshorst

Karl H. Rüch

Kleine Mitteilungen

Explosion einer Kesseltrommel

Bei der Untersuchung der 3,4 m langen hinteren Untertrommel eines am 2. April 1927 explodierten Stirling-Kessels, die an der hinteren Längsnaht in der ganzen Länge aufgerissen war, wurde festgestellt, daß die obere Hälfte der Trommel, in die die Wasserrohre eingewalzt waren, aus 14,3 mm dickem, die untere Hälfte aus 11,1 mm dickem Blech bestand. Die Längsnahte waren zweireihig überlappt genietet, der Nietdurchmesser betrug 20,6 mm, der Nietabstand 70 mm, der Abstand der beiden Reihen 38,1 mm. Der Kessel war bereits 21 Jahre in Gebrauch und für 11,6 at Betriebsdruck zugelassen. Die letzte innere Untersuchung hatte etwa drei Monate vor der Explosion stattgefunden. Von den Nietlöchern gingen zahlreiche Risse aus, auch hatten sich die Nietlöcher in der Längsrichtung der Trommel geweitet.

Anzeichen dafür, daß der Kessel zu hohem Druck oder Wassermangel ausgesetzt gewesen wäre, waren nicht vorhanden, auch die Beschaffenheit des Werkstoffs war ohne Fehler. Man nimmt daher an, daß sich die Risse schon vor längerer Zeit gebildet haben, zumal 12 Tage vor dem Unfall die Naht, die nachher aufriß, wegen Undichtheit verstemmt wurde. Hätte man den Kessel, wie es auf Schiffen üblich ist, in regelmäßigen Zeiträumen mit Wasser abgedrückt, so wäre der Schaden vermutlich bemerkt worden. („Engineering“ 5. April 1929 S. 424.) Le.

Messung der Einspritzdrücke bei Dieselmotoren

P. H. Schweitzer berichtete in einer Sitzung der American Society of Mechanical Engineers zu New York über das im Maschinenlaboratorium des Pennsylvania

State College erprobte Verfahren zum Messen des Druckverlaufs in dem von einer schnellaufenden Pumpe einer Spritzdüse erzeugten Brennstoffstrahl. In der Brennstoffleitung werden sechs Membranen angeordnet, die verschiedene Drücke, z. B. 14, 28, 52,5, 84, 140 und 210 at abgemessen sind. Sobald ihr Druck erreicht ist, schließt die betreffende Membran einen elektrischen Kontakt, so lange der Druck in der Brennstoffleitung diese Höhe überschreitet, springt an der Nadel des Schreibgerätes eine Funkenreihe über, durch die mehrere Löcher im Papier erzeugt werden. Aus den so entstehenden Linien deren Länge die Zeit angibt, während welcher der Druck die betreffende Höhe mindestens erreicht hatte, kann man 12 Punkte der Drucklinie ableiten, 6 für den ansteigenden und 6 für den absteigenden Ast.

Mittels dieser Einrichtung lassen sich Druckkurven von sehr großer Höhe aufnehmen, die in weniger als 0,01 s auftreten. Die Genauigkeit ist sehr groß, da Membranen nur ganz kleine Hübe machen, der Einfluß ihrer Masse daher unwesentlich ist. (Transactions of the American Society of Mechanical Engineers, Aeronautics Bd. 50 (1929) Nr. 26 S. 48/49*)

[N 2913b]

Dieselmotoren-Anlage für ein Warenhaus

Das Warenhaus Grands Magazins du Louvre in Paris deckt seinen Strombedarf, der in den Wintermonaten bis auf 1300 kW steigt, in der Regel aus dem Netz der Compagnie parisienne de Distribution de l'Electricité, der Strom mit 12 000 V entnommen und sodann in zwei Transformatorsätzen auf 220 V herabgesetzt wird. Um

des Warenhauses auch bei Störungen im Netz voll
erhalten zu können, hat die Gesellschaft neuer-
im Untergeschoß des Warenhauses drei Maschinen-
von je 610 kVA bei 240 V aufgestellt, die von
ressorlosen Dieselmotoren angetrieben werden. Diese
der Société générale de Constructions mécaniques, La
neuve, nach der Bauart MAN hergestellten Motoren
bei 425 mm Zyl.-Dmr., 600 mm Hub und 215 U/min
50 PS Nutzleistung berechnet und nach der neueren
rt mit durchgehenden Ankerschrauben für Zylinder
Hauptlager ausgeführt. Sie werden mittels Druck-
gelassen und elektrisch von der Schalttafel aus ge-
n. Die Luft wird durch einen von außen her ge-
Kanal unter der Maschinenraumsohle oder
ntelbar aus dem Maschinenraum abgesogen, die Aus-
ase werden ebenfalls unterirdisch aus dem Maschi-
am abgeleitet. („Le Génie Civil“ 13. April 1929
9/54*) [N 2913c]

Wasserkraft in den Vereinigten Staaten
am 1. Januar 1929 betrug die Gesamtleistung der
Werkstoff. Die hierbei auftretende innere Reibung be-
wirkt eine Erwärmung und infolgedessen eine meßbare
Erhöhung des elektrischen Widerstandes. Den Punkt, bei
dem der elektrische Widerstand zu wachsen anfängt, be-
zeichnet Honda als endurance limit (Dauerfestigkeit).
Diese Grenze lag bei den Versuchen, die an schwedischem
Stahl durchgeführt wurden, weit unterhalb der statischen
Proportionalitätsgrenze. Honda fand ferner geradlinige
Beziehungen zwischen der nach diesem Verfahren gefun-
denen Dauerfestigkeit und der Härte nach Shore und
Brinell. („Automotive Industries“ 23. März 1929 S. 476*.)
[N 2913 f] Pahl

Fräsmaschine mit veränderlichem hydraulischem Vorschub

Die Cincinnati Milling
Machine Co. baut eine Frä-
maschine mit hydraulischem
Vorschub, der sich von an-
deren Einrichtungen ähn-
licher Art dadurch unter-
scheidet, daß der Kolben,
auf dem Tisch bewegt, auf beiden Seiten dauernd unter
Spannung steht. Der Vorschub hängt von der Ölmenge ab,
die an auf einer Seite mittels einer einstellbaren Pumpe
zugeführt wird. An der Maschine kann man noch eine Einrichtung
einbauen, die bei veränderlicher Schnittbreite oder Schnitt-
tiefe den Vorschub selbsttätig so einstellt, daß die Maschine
den vollen Beanspruchung eingestelltem Vorschub betragt 37 s. Infolge der Zeitersparnis erhöht
der Ausstoß einer Maschine teilweise bis um 90 vH.
„American Machinist“ London, 1. April 1929 S. 347)
[N 2913e]

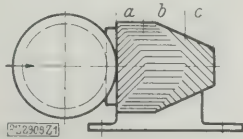


Abb. 1

a Vorschub abnehmend
b gleichmäßiger Vorschub
c Vorschub zunehmend

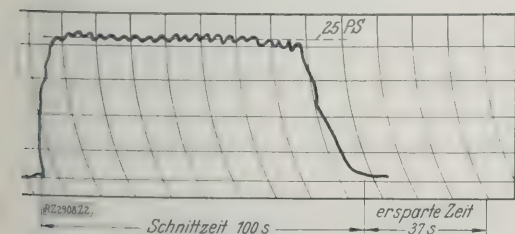


Abb. 2

Bestimmung der Dauerfestigkeit von Metallen durch Messung des elektrischen Widerstandes

Über ein zeitersparendes Verfahren zur Bestimmung
der Dauerfestigkeit berichtet Dr. Kataro Honda von der
Tohoku Universität, Senday, Japan.

Er verwendet hierzu eine Dauerbiegemaschine, die der
Schenkischen Maschine ähnlich ist. Der umlaufende Probe-
stab wird einer steigbaren Biegebbeanspruchung unter-
worfen und hierbei der elektrische Widerstand zwischen
zwei an den Probestab angedrehten Schleifringen ge-
messen. Es zeigte sich, daß bei Belastung, die bis zu einem
bestimmten Punkt gesteigert wurde, der elektrische Wider-
stand sich nicht ändert. Dann beginnt er zuzunehmen, erst
langsam und allmählich schneller. Diese Erscheinung
wird folgendermaßen erklärt:

Hat die Beanspruchung die Dauerfestigkeitsgrenze
überschritten, so tritt ein Gleiten auf den Korngrenzen
ein, jedenfalls eine nicht umkehrbare Veränderung im
Werkstoff. Die hierbei auftretende innere Reibung be-
wirkt eine Erwärmung und infolgedessen eine meßbare
Erhöhung des elektrischen Widerstandes. Den Punkt, bei
dem der elektrische Widerstand zu wachsen anfängt, be-
zeichnet Honda als endurance limit (Dauerfestigkeit).
Diese Grenze lag bei den Versuchen, die an schwedischem
Stahl durchgeführt wurden, weit unterhalb der statischen
Proportionalitätsgrenze. Honda fand ferner geradlinige
Beziehungen zwischen der nach diesem Verfahren gefun-
denen Dauerfestigkeit und der Härte nach Shore und
Brinell. („Automotive Industries“ 23. März 1929 S. 476*.)
[N 2913 f] Pahl

Die Eisenbahnen der Erde

Die Länge der Eisenbahnen der Erde beträgt nach der
neuesten Zusammenstellung von 1926 1 233 530 km gegen
1 229 923 km im Jahre 1925. Diese Länge verteilt sich
auf die einzelnen Erdteile: Europa 385 406 km, Amerika
600 234 km, Asien 137 772 km, Afrika 60 861 km und
Australien 49 257 km. In Europa steht Deutschland mit
58 333 km an erster Stelle, es folgen Rußland mit 57 516 km,
Frankreich mit 53 561 km und Großbritannien und Irland
mit 39 262 km. (Archiv für Eisenbahnwesen 1929
Heft 1 S. 1.) [N 2913 g] Ro.

Die in den Vereinigten Staaten von Amerika 1928 gebauten Flugzeuge und Motoren

Im Jahre 1928 wurden in den Vereinigten Staaten von
Amerika 3885 Sport- und Handelsflugzeuge und 1094 Kriegs-
flugzeuge gebaut¹⁾. Ferner wurden 2526 Motoren für Sport-
und Handelsflugzeuge (darunter 100 überholte) und 2050
Motoren für Kriegsflugzeuge (darunter 600 überholte)
fertiggestellt. Von den Motoren für Sport- und Handels-
flugzeuge leisten: 157 weniger als 50 PS, 1023 50 bis
150 PS, 868 150 bis 250 PS und 478 über 250 PS.

Die Sport- und Handelsflugzeuge gliedern sich in
2704 Doppeldecker, darunter 2651 einmotorige offene Flug-
zeuge, 47 einmotorige Kabinenflugzeuge, 1 zweimotorige
und 5 dreimotorige Flugzeuge; 1143 Eindecker, darunter
105 einmotorige offene Flugzeuge, 967 einmotorige Ka-
binenflugzeuge, 3 zweimotorige und 68 dreimotorige Flug-
zeuge und ferner 38 Wasserflugzeuge, darunter 30 Amphi-
bien-Flugzeuge und 8 Flugboote. Von den 183 eingetra-
genen flugzeugbauenden Firmen haben im Jahre 1928
109 Firmen Flugzeuge gebaut; 11 hiervon haben 76 vH der
Gesamterzeugung hergestellt. Nur 9 Firmen haben sich 1928
mit der Herstellung von Kriegsflugzeugen beschäftigt, von
denen zwei 48 vH der Gesamtmenge der Kriegsflugzeuge
fertiggestellt haben. Die sport- und handelsflugzeug-
bauenden Firmen verteilen sich auf 25 Staaten; in zwei
Staaten (Kansas und Ohio) wurden 42 vH hergestellt. In
fünf Staaten wurden Kriegsflugzeuge gebaut; in einem
Staate (New York) stellte man 63 vH der Kriegsflugzeuge
her. („Aviation“ 9. März 1929, S. 718*) [N 2913 h] Gw.

¹⁾ Vergl. dieses Heft S. 593.

BÜCHERSCHAU

Bücher und Zeitschriften des In- und Auslandes, auch solche nichttechnischen Inhaltes, liefert die VDI-Buchhandlung,
Berlin NW 7, Ingenieurhaus (Telegrammanschrift: Ingenieurverlag Berlin; Fernspr.: Zentrum 152/4).

Abwässer. Ihre Reinigung, Beseitigung und
wiederverwertbare Verwertung. Bearb. von Bruno Böhm. Berlin
1924, Otto Elsner. 320 S. m. 80 Abb. Preis 17,50 RM.
Auf Grund eigener langjähriger Erfahrungen und
Zusammenarbeit mit anderen Fachleuten und führenden
Firmen hat Verfasser unter Beigabe guter schematischer
Darstellungen eingehend die Reinigung von
Abwässern im allgemeinen und im besonderen die in den

letzten Jahrzehnten sehr verbesserte Reinigung von indu-
striellen Abwässern eingehend behandelt. Das Werk ist
nicht streng wissenschaftlich, sondern aus der Praxis her-
aus entstanden und als Nachschlagewerk für den Praktiker
bestimmt.

Erörtert werden Umfang und volkswirtschaftliche Be-
deutung der Abwasserindustrien im Vergleich mit der
Binnenfischerei, die bei Einleitung von industriellen Ab-

wässern in Kanalisationsanlagen zu beachtenden Vorsichtsmaßnahmen, die Selbstreinigung der Gewässer, die in Wasserläufen durch Einleitung nicht genügend gereinigter Abwässer eintretenden Mißstände. An der Hand praktischer Beispiele wird nachgewiesen, daß die Reinigung industrieller Abwässer wirtschaftlich sehr wohl vertreten werden kann, weil in ihnen vielfach Werte enthalten sind, durch deren Rückgewinnung außer Deckung der Kosten des Reinigungsverfahrens noch Überschüsse erzielt werden.

Sodann erläutert der Verfasser die für die einzelnen Industriezweige in Frage kommenden technisch möglichen und wirtschaftlich erträglichen Verfahren zur Reinigung und Beseitigung ihrer Abwässer. Im Anhang sind die gesetzlichen Bestimmungen, auf Grund deren sich die Benutzung der Gewässer zur Einleitung von Abwässern regelt, behandelt.

Aus dieser kurzen Inhaltsangabe erkennt man die Reichhaltigkeit des Werkes, das im übrigen klar und übersichtlich angelegt und daher für Unternehmer, Betriebsleiter, Verwaltungsbeamte u. a. m. ein ausgezeichnetes Nachschlagewerk ist. [E 2681]

H. Wenten

Technologie der Textilfasern. Herausgeg. von R. O. Herzog. 4. Bd. 3. T.: Chemische Technologie der Baumwolle. Von R. Haller. — Mechanische Hilfsmittel zur Veredelung der Baumwolltextilien. Von H. Glasfey. Berlin 1928, Julius Springer. 711 S. m. 266 Abb. Preis 67,50 RM.

Der Inhalt des vorliegenden Bandes ist dadurch gekennzeichnet, daß unter der chemischen Technologie der Baumwolle alle im Großbetriebe mit der Baumwollfaser, dem Rohgospinst und dem Rohgewebe vorgenommenen chemischen Verfahren verstanden sind, die den Zweck verfolgen, den Rohstoff zu veredeln. Dabei dient die Baumwolle meist lediglich als Substrat, um darauf chemische, dem Zweck der Veredelung dienende Reaktionen hervorzurufen. Eingeteilt ist der Stoff entsprechend den Bedürfnissen der Praxis in die Abschnitte: Rohbaumwolle, Einwirkung physikalischer und chemischer Einflüsse auf die Baumwolle, Bleiche der Baumwolle, Merzerisation und verwandte Veredelungsverfahren, Färberei der Baumwolle, Bedrucken baumwollener Gewebe, Druck auf Kunstseide usw. Vorwiegend werden die neuen Verfahren berücksichtigt und die älteren nur soweit erwähnt, als man sie noch verwendet oder sie entwicklungsgeschichtlich von Wert sind. Sehr wertvoll sind die zahlreichen Hinweise auf das Schrifttum und die Berücksichtigung der Rundschreiben und Veröffentlichungen der Farbenfabriken.

Der zweite Teil behandelt die mechanischen Hilfsmittel zur Veredelung der Baumwoll-Textilien. Der Inhalt ist gegeben durch die verschiedenen Arbeitsgänge und Arbeitsverfahren. Zahlreiche Abbildungen zeigen die einzelnen Bauarten der Vorrichtungen und Maschinen, so daß der Fachmann sich schnell und sicher über die einzelnen ihm zu Gebote stehenden neuzeitlichen Einrichtungen unterrichten kann.

Vielleicht hätte aber der Verfasser mehr Kritik walten lassen dürfen oder wenigstens auf die Mängel einzelner Maschinen hinweisen und so zur Verbesserung anregen sollen. [E 2609]

Schr.

Vorträge über Hebezeuge. Von Ludwig Klein. 4. Aufl. Hannover 1929, Helwingsche Verlagsbuchhandlung. 239 S. m. 151 Abb. Preis 13,75 RM.

Die neue Auflage dieses Buches, in dem der bekannte Hochschullehrer seine reichen Erfahrungen der Allgemeinheit zugänglich macht, ist entsprechend dem gegenwärtigen

Stand der Fördertechnik erheblich umgearbeitet. So u. a. auch die Wippkrane, wenn auch vielleicht etwas neu behandelt worden. Die Drahtseilberechnung ist auf Versuchen von Benoit und Woernle sowie den von aufgestellten Kurven aufgebaut. Hierbei wird mit auf den entscheidenden Einfluß der Anzahl der Biege wechsel hingewiesen, wie es die neusten Versuche Woernle soeben bestätigt haben¹⁾. Neu sind u. a. auch Berechnung des Königzapfens sowie die der Nabens reibung zylindrischer Drehscheiben-Laufräder bei kranken. Das Studium des Buches kann insbesondere Studierenden, aber auch den in der Praxis stehenden dem Entwurf von Hebezeugen betrauten Ingenieuren empfohlen werden. [E 2823]

¹⁾ Vergl. Z. Bd. 73 (1929) Nr. 13 S. 417.

Feuerschutz in Häusern und Betrieben. Von Leopold Berlin 1928. Rich. Carl Schmidt & Co. 170 S. m. 109 Preis 7,50 RM.

Das Buch soll den Inhabern und Betriebsleitern Fabriken, von Heil- und Erziehungsanstalten, von Wohnhäusern sowie den Verwaltern von Lager- und Geschäftshäusern zeigen, welche Waffen zum Kampf gegen das Feuer ihnen die heutige Technik zur Verfügung stellt. Die übersichtliche Anordnung des Textes, dessen Verständnis durch zahlreiche gute Abbildungen unterstützt wird, macht das Buch für diesen Zweck besonders geeignet. Während der erste Teil eine allgemeine Anleitung für die Einrichtung eines privaten Feuerschutzes gibt, werden in den Teilen bis 6 die hauptsächlichsten Feuerlöschgeräte und -anlagen beschrieben. [E 2753]

Die Preisberechnung der Bauarbeiten. 1. T.: Grab-, Maurer-, Eisenbeton-, Dachdecker-, Kanalisations-, Pflaster-Arbeiten. Von Chr. Märkle. 4. Aufl. Stuttgart 1929, Selbstverlag, Wildparkstr. 51. 185 S. m. 15 Preis 6 RM.

Sammlung Götschen, 486. Bd.: Die Kalkulation im Maschinenbau. Von Hugo Bethmann. 2. Aufl. Berlin und Leipzig 1929, Walter de Gruyter & Co. 127 S. m. 61 Abb. Preis 1,50 RM.

Berichtigungen

Neuere Ergebnisse auf dem Gebiete der Kreisel-pumpenforschung

In dem Aufsatz von W. Schulz in Z. Bd. 73 (1929) Nr. 14 muß auf S. 455 l. Sp. unten Gl. (3) richtig lautet:

$$H_{th_i} = \text{Konst} - \text{konst} (V + V_{sp}) \dots$$

Entsprechend muß es in dem darauf folgenden Satz heißen: „Darin wird bei gleichbleibender Drehzahl Konst allein der Verdrängungsströmung vorgeschrieben, ist also.“ [N 2933]

Sternradgetriebe

In dem Aufsatz von A. Bock in Z. Bd. 73 (1929) Nr. 12 lautet auf S. 397 r. Sp. oben die zweite Gleichung richtig:

$$\varphi' = \frac{180^\circ (n + 2)}{n}$$

Auf S. 401 l. Sp. 12. Zeile ist zu setzen: $\frac{41}{55} = 0,745$ [N 2933]

Schluß des Textteiles

		I N H A L T:	
		Seite	
Die Bedeutung der drahtlosen Telegraphie für die Wissenschaft. Von J. Zenneck	565	Untersuchungen an zugfesten Anschlüssen im Holzbau. Einleitende Versuche mit glatten Dornen. Von J. Stamer	565
Knickfestigkeit der Pfosten von K-Fachwerken. Von K. Girkmann	573	Metalle im Flugzeugbau. Von E. Everling und B. Splanemann	573
Probefahrtergebnisse eines Dampfers der Maier-Schiffsform	574	Rundschau: Landmaschinenbau in England — Ölbergbau in den Vereinigten Staaten von Amerika — Die nordamerikanische Luftfahrt im Jahre 1928 — Kleine Mitteilungen	574
Die Messung des elektrischen Feldes des Menschen. Von O. Utesch	575	Bücherschau: Gewerbliche Abwässer. Von B. Böhm — Chemische Technologie der Baumwolle. Von R. Haller — Mechanische Hilfsmittel zur Veredelung der Baumwolltextilien. Von H. Glasfey — Vorträge über Hebezeuge. Von L. Klein — Feuerschutz in Häusern und Betrieben. Von L. Merz — Eingänge	575
Amerikanische Riesenlöffelbagger. Von W. Franke	577	Berichtigungen: Neue Ergebnisse auf dem Gebiete der Kreisel-pumpenforschung-Sternradgetriebe	577
Brüche an den Tragkabeln amerikanischer Hängebrücken	579		
Die Fischdampfer „Sergeant Gouarne“ und „Aspirant Brun“, erbaut auf der Schiffswerft von H. C. Stücken Sohn, Hamburg. Von C. Bollow	580		
Über die Anfressung und das Rosten von unlegiertem und legiertem Gußeisen	583		

ZEITSCHRIFT DES VEREINES DEUTSCHER INGENIEURE

SCHRIFTFLEITER: C. MATSCHOSS ★

73

SONNABEND, 4. MAI 1929

Nr. 18

Deutsche Verkehrsflugzeuge

Von Dipl.-Ing. ERICH GOSSOW, Berlin

Die Jahre 1928 und 1929 sind Jubiläumsjahre in der Geschichte der Luftfahrt. — Entwicklung des deutschen Luftverkehrs in den Jahren 1927 und 1928. — Neben der Wirtschaftlichkeit sind die Verkehrssicherheit und die hierzu notwendigen Maßnahmen von besonderer Bedeutung. — Verkehrsflugzeuge der Firmen Arado-Handelsgesellschaft m. b. H., Döcker-Wulf Flugzeugbau A.-G., Bayerische Flugzeugwerke A.-G., Dornier-Metallbauten G. m. b. H. und Rohrbach Metall-Flugzeugbau G. m. b. H. werden beschrieben.

In beiden Jahre 1928 und 1929 sind in der Geschichte der Luftfahrt, insbesondere der des Luftverkehrs, Jubiläumsjahre. Am 17. Dezember 1928 waren 25 Jahre vergangen, seitdem zum ersten Male von den Gebrütern Wright und Orville Wright mit einem motorgetriebenen Flugzeug ein Flug ausgeführt wurde, und vor zehn Jahren, am 5. Februar 1919, hat die Deutsche Lufttreederei auf der Strecke Berlin-Weimar den Luftverkehr mit Verkehrsflugzeugen aufgenommen.

Entwicklung des deutschen Luftverkehrs 1927 und 1928

Die Entwicklung des deutschen Luftverkehrs bis zum Jahr 1926 ist in dieser Zeitschrift vor zwei Jahren behandelt worden¹⁾. In den Jahren 1927 und 1928 wurde das Streckennetz erweitert. Während der Sommermonate 1928 flogen die Flugzeuge der Deutschen Luft-Hansa, teilweise in Betriebsgemeinschaft mit ausländischen Luftverkehrsgesellschaften etwa 100 in- und ausländische Linien. Die tägliche Flugleistung betrug rd. 10 km.

Zahlentafel 1 gibt eine Übersicht über die Entwicklung des Luftverkehrs in den Jahren 1919 bis 1928. In statistischer Hinsicht ist bemerkenswert, daß Ex-

¹⁾ Z. Bd. 71 (1927) S. 617.

Zahlentafel 1

Entwicklung des deutschen Luftverkehrs
in den Jahren 1919 bis 1928.

Liniensflugstrecken Länge, km	Höchste Tagesstrecke km	Befördert wurden			
		Personen	Güter t	Post t	Zeitungen t
0,58	—	2 042	—	—	—
0,48	3 060	3 975	5,7	6,4	—
1,654	6 780	6 820	—	—	—
1,204	9 860	7 733	37	32	—
0,718	9 670	8 507	39	5	—
1,583	15 000	13 422	71	22	—
4,95	35 000	55 185	521	287	—
6,141	37 222	56 268	644	188 ¹⁾	114
9,208	49 898	102 681	1463	274	206
0,218	61 719	111 115	1892	318	162

¹⁾ Von 1926 ab Post- und Zeitungsdienst getrennt.

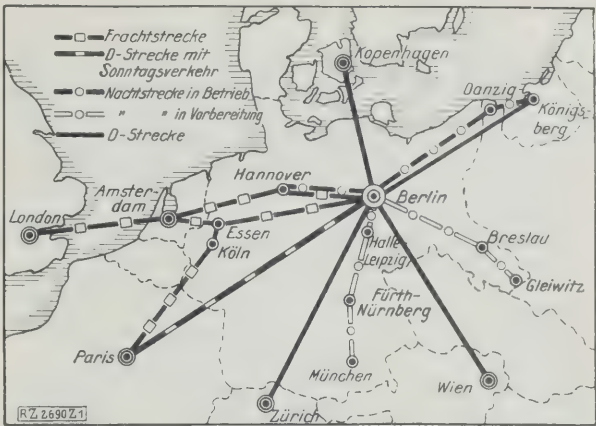


Abb. 1

Deutsche Expres-, Fracht- und Nachtstrecken

press- (D-)Strecken geschaffen wurden, um eine schnellere Verbindung zwischen den wichtigsten Industrie- und Wirtschaftsmittelpunkten zu ermöglichen. Ferner wurden reine Frachtstrecken eingerichtet. Ein Abkommen zwischen der Deutschen Luft-Hansa und der Deutschen Reichsbahn-Gesellschaft über den Flug-Eisenbahn-Verkehr (Flugverkehr) erleichterte die Ausnutzungsmöglichkeit des Luftverkehrs für Personen und Fracht für die deutsche Wirtschaft ganz bedeutend. Unbedingt notwendig ist es aber, den Nachtluftverkehr weiter auszubauen. Neben der Strecke Berlin-Danzig besteht die Strecke Berlin-Hannover. Mit Nachtbefeu- rung sollen noch, sobald die hierfür notwendigen Mittel vorhanden sind, die Strecken Berlin-Breslau-Gleiwitz und Berlin-Halle-Leipzig-München ausgerüstet werden. Abb. 1.

Geplant sind Luftverkehrsstrecken nach dem fernen Osten (10 000 km) und Amerika 6000 bis 12 000 km. Besonders sorgfältige Untersuchungen und eingehende Erfahrungen mit den hierfür erforderlichen Flugzeugen sind notwendig, um auf diesen großen Entfernungen regelmäßigen Luftverkehr zu betreiben. Die Vorbereitungen sind bereits im Gange. Die Erfahrungen bei dem Ostasienflug der Deutschen Luft-Hansa (24. Juli bis 26. September 1926), ihren beiden Sibirienflügen (27. August bis 2. September 1928 und 8. bis 24. September 1928) und dem erfolgreichen Ozeanflug von Köhl, Fitzmaurice und v. Hünefeld²⁾ in der Ost-West-Richtung, sowie den in der West-Ost-Richtung mehrfach durchgeführten Ozeanflügen, bieten wertvolle Unterlagen für diese Pläne.

²⁾ Z. Bd. 72 1928 S. 575.

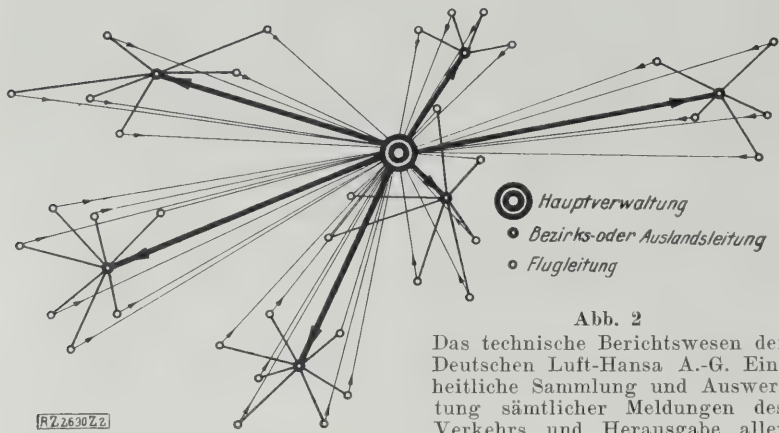


Abb. 2
Das technische Berichtswesen der Deutschen Luft-Hansa A.-G. Einheitliche Sammlung und Auswertung sämtlicher Meldungen des Verkehrs und Herausgabe aller technischen Anweisungen durch die Hauptverwaltung.

Sicherheit voran!

Eingehende Arbeiten wurden auf technischem Gebiet durchgeführt. Unter dem Leitwort „Sicherheit voran!“, zeigte die Deutsche Luft-Hansa auf der Internationalen Luftfahrtausstellung, Berlin 1928, eindringlich ihre der Verkehrssicherheit dienenden Maßnahmen. Nach der Abnahmeprüfung der Deutschen Versuchsanstalt für Luftfahrt, Berlin-Adlershof, werden die für den Luftverkehr bestimmten Flugzeuge von technischen Sachverständigen der Deutschen Luft-Hansa geprüft und erst nach Beseitigung aller Beanstandungen dem Verkehr übergeben. Eine technische Überwachung der Flugzeuge erstreckt sich über die gesamte Zeit, während der sie in den Verkehr eingesetzt sind, Abb. 2. Die Hauptverwaltung übermittelt die gewonnenen Erfahrungen an die Deutsche Versuchsanstalt für Luftfahrt und die Herstellerwerke. Nach einer bestimmten Anzahl von Betriebsstunden, die für die einzelnen Flugzeugmuster verschieden ist, werden die Flugzeuge aus dem Verkehr genommen, die eingebauten Motoren, die Bordgeräte, die Flugzeugzellen und alle andern betriebswichtigen Teile einer sorgfältigen Grundüberholung unterworfen. Die Betriebstüchtigkeit wird sodann durch mehrere Probeflüge festgestellt.

Bemerkenswerte Einzelheiten über die Sicherheit im Luftverkehr enthält eine wertvolle Arbeit von E. Milch^{2a)}, Berlin, die auf Grund der Betriebsergebnisse der Deutschen Luft-Hansa A.-G. in den Jahren 1926 bis 1928 zusammengestellt worden ist. Die Regelmäßigkeit der am gleichen Tage bis zum Endhafen durchgeführten Flüge betrug 89,7 vH im Jahre 1927 und 91,9 vH im Jahre 1928. Im Jahre 1927 mußten infolge des Wetters 9,3 vH, infolge technischer Mängel 0,7 vH und infolge sonstiger Einflüsse 0,3 vH der Flüge ausfallen oder abgebrochen werden; die Zahlen für das Jahr 1928 sind: Wetter 7 vH, technische Mängel 0,8 vH und Sonstiges 0,3 vH. Die Anzahl der Zwischenlandungen betrug 916 1927 und 1169 1928, d. h. 12,5 vT und 15,3 vT der Gesamtflüge. Innerhalb und

^{2a)} Berlin 1929, Ernst Siegfried Mittler & Sohn.

außerhalb des Verkehrsbetriebes ereigneten sich 1926 128, 1927 144 und 1928 138 Brüche, d. h. 1926 bis 1928 zusammen 410 und Mittel 2,04 vT der Gesamtflüge. Innerhalb des Verkehrsbetriebes betrug die Zahl der Brüche in den Jahren 1926 bis 1928 378; die Bruchursachen waren: Wetter 17, Flugzeugzelle 26, Motor 107 (hiervon 74 einmotorigen, 8 bei zweimotorigen und 1 bei drei- und mehrmotorigen Flugzeugen), Besatzung 18, Flugplatz 45 und Sonstiges 57. 32 Brüche kamen außerhalb des Verkehrsbetriebes vor. In den drei Betriebsjahren kamen 118 Personen zu Schaden; Zahl der Verletzten betrug 89 und der Toten 29, d. h. 0,26 vT und 0,06 vT der Gesamtflüge. Die Statistik zeigt, daß die Häufigkeit der Personenschäden laufend zurückgegangen ist; das gleiche gilt von den Betriebszwischenfällen (Brüche und unvorhergesehene Zwischenlandungen).

Sämtliche Großflugzeuge haben heute Bordfunkanlagen. Während der ganzen Dauer eines Fluges stehen sie mit den Erdstationen in Verbindung, um insbesondere über die Wetterlage unterrichtet zu sein. Auch immer noch ist der Nebel der schlimmste Feind des Verkehrs. Der Führer verfügt heute an Bord über Höhenmesser³⁾ für sein Gleichgewichtsgefühl, die sich bei Flug im Nebel und beim Durchfliegen dicker Wolkenschichten ausgezeichnet bewähren. Auch beim Abwärtsfliegen verrichten sie ausgezeichnet ihren Dienst bis zum Augenblick, da sich das Flugzeug in Bodennähe befindet und landen soll. Die vollkommene Unsicherheit und das Fehlen jeglichen Anhaltspunktes für das menschliche Auge nimmt dem Flugzeugführer jede Möglichkeit, Hindernisse so rechtzeitig zu bemerken, daß ihnen noch ausweichen könnte. Hier ist also die Flugsicherheit⁴⁾ noch ernstlich gefährdet.

Überblick

Im deutschen Luftverkehr ist in den letzten beiden Jahren eine Reihe neuer Verkehrsflugzeuge eingeführt worden. Als Baustoff wird nur noch bei einigen Konstruktionen Holz verwendet. Bevorzugt wird die Gemischtbauweise, d. h. Stahlrohr, umkleidet mit Stoff, Holz oder Metallblech, und die Ganzmetallbauweise. In dieser Zeitschrift sind inzwischen das Dornier-Großflugzeug „Superwal“⁵⁾, das Schul- und Verkehrsflugzeug von Focke-Wulf, Baumuster GL 18 c⁶⁾, das Junkers-Großflugzeug, Baumuster G 31⁷⁾ und das Junkers-Post- und Frachtflugzeug, Baumuster W 33⁸⁾, eine Weiterentwicklung des Baumusters A 20⁹⁾, ausführlich beschrieben worden. Weitere neue Flugzeuge folgen hier; die Konstruktionszahlen enthält Zahlentafel 2.

³⁾ Z. Bd. 72 (1928) S. 1426.
⁴⁾ Z. Bd. 72 (1928) S. 1268.
⁵⁾ Z. Bd. 71 (1927) S. 1403.
⁶⁾ Z. Bd. 71 (1927) S. 924.
⁷⁾ Z. Bd. 71 (1927) S. 648.
⁸⁾ Z. Bd. 72 (1928) S. 575 und 1435.
⁹⁾ Z. Bd. 70 (1926) S. 1641 u. f.

Zahlentafel 2. Konstruktionszahlen d

Hersteller	Bauart	Motor	Leistung PS	Spannweite m	Länge m	Flügelstreckung
Arado Handels-Ges. m. b. H., Berlin und Warnemünde	Ar V 1, Abb. 3 bis 5	Pratt & Whitney Hornett	500	18	12	47
Focke-Wulf Flugzeugbau A.-G., Bremen	A 17a, Abb. 6 bis 8 GL 22, Abb. 9	Bristol Jupiter	480	20	13	62
Bayerische Flugzeugwerke A.-G., Augsburg	BFW M 18, Abb. 10 und 11 BFW M 20, Abb. 12 bis 14	Siemens & Halske SH 12	2 × 100	16	11	34
Dornier-Metallbauten, G. m. b. H., Friedrichshafen a. B.	Delphin III, Abb. 15 bis 17	Siemens & Halske SH 12	108/125	15,7	8,05	24
Rohrbach Metall-Flugzeugbau G. m. b. H., Berlin	Rocco, Abb. 18 und 19 Romar, Abb. 20 bis 23	BMW VI	500/720	25,5	14,9	65
		BMW VI	500/720	19,6	14,35	60
		Rolls Royce Condor III	2 × 650	26	19,3	94
		BMW VI	3 × 550/750	36,9	22	170

Arado-Verkehrsflugzeug

Das Verkehrsflugzeug, Baumuster Ar V 1, der Arado-Handelsgesellschaft m. b. H., Berlin-Warnemünde, Abb. 3 bis 5, ist ein halbfreitragender Hochdecker. Die Flächen des Rumpfobergurtes gelenkig aufgehängt; sie stützen sie am Rumpf ab. Das Flächengerippe besteht aus Holz, Abb. 4, und der Rumpfhinterholm-Unterseite bis Hinterholm-Unterseite mit Sperrholz beplankt. Das hintere Leitwerk hat Leinwandbespannung. Die Ruder haben einen Duraluminholm und sind mit Leinwand überzogen.

Der Rumpf bildet eine Fachwerkkonstruktion aus Stahlrohren mit vier Längsträgern. Er ist mit Stoff bespannt; nur der verbaubare Rumpfrücken ist aus Elektron hergestellt, damit man das Rumpfrücken leicht überwachen kann. Das Fahrgestell hat 3,51 m Spurweite. Vorn in den Rumpf ist ein luftgekühlter 500pferdiger Motor eingebaut, der im Reiseflug nur zu 50 vH ausgenutzt wird. Er gibt dem Piloten also eine starke Reserve für Notfälle, kann aber auch durch einen 320pferdigen Junkers-Motor ersetzt werden.

Hinter dem Motor liegt erhöht, durch einen Branddeckel geschützt, der vollkommen geschlossene Führerraum für zwei Flugzeugführer. Die 2,2 m lange, 1,35 m hohe und 1,9 m hohe Kabine enthält Plätze für vier Personen. Hinter der Kabine befinden sich ein 0,95 m langer, 1,3 m breiter und 1,7 m hoher Gepäckraum. Nach dem Aussteigen der Kabinenrückwand und der Sitze verbleibt man über einen großen Gepäckraum für sperrige Güter. Die Brennstoffbehälter liegen in den Flügeln unmittelbar am Rumpf. Das Höhen- und Seitenleitwerk sowie das Höhen- und Seitenruder sind mit Leinen bespannt. Der Rumpf ist mit Stahlrohrrahmen.

Focke-Wulf-Verkehrsflugzeuge

Der freitragende verspannungslose Hochdecker, Baumuster A 17 a, Möwe, der Firma Focke-Wulf, Flugzeugbau A.-G., Bremen, Abb. 6 bis 8, ist mit einem luftgekühlten 480pferdigen Bristol-Jupiter-Motor mit Getriebe ausgerüstet. Der durchgehende, völlig freitragende Flügel mit dickem Profil in der Mitte und nach außen abnehmender Flügeltiefe und -dicke verläuft an der Oberseite geradlinig, an der Unterseite leicht gebogen. Die aus einem verdrehungsfesten Kastenprofil und Sperrholzrippen bestehende Tragflügelstruktur ist außen ganz mit Sperrholz beplankt. Der Flügel ist mittels Stahlbolzen am Rumpf befestigt.

Der Rumpf besteht aus geschweißtem Stahlrohr, das mit Stahlseilen und -drähten verspannt ist. Der Kabinenboden ist mit Sperrholz bekleidet, die übrigen Teile des Rumpfes dagegen haben Stoffbespannung. Das Fahrgestell besteht aus zwei zu beiden Seiten des Rumpfes gelenkig angeordneten Achsen, die durch je ein Paar Zug- und Druckstreben zum Rumpf und zum Flügel hin abgestrebt



Abb. 3. Halbfreitragender Hochdecker der Arado Handels-G. m. b. H., Berlin-Warnemünde.

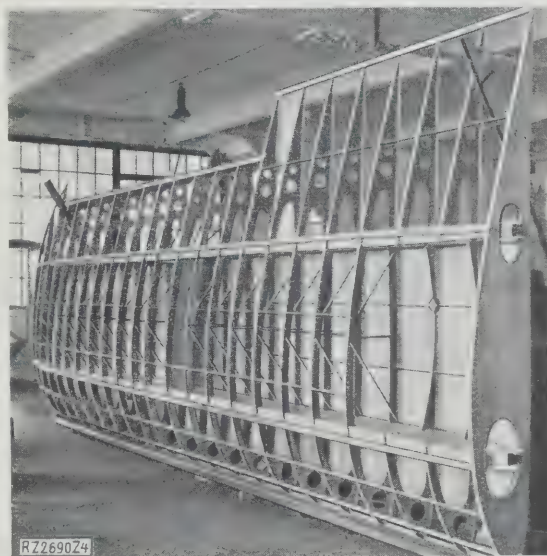
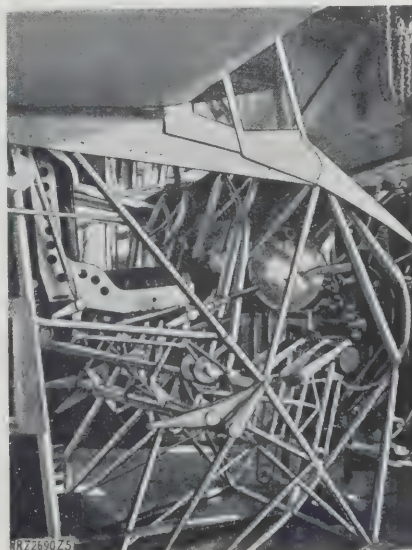


Abb. 4. Flächengerippe aus Holz des Flugzeuges, Abb. 3.

Verkehrsflugzeuge.

	Leistungsbelastung kg/PS	Leergewicht t	Zuladung t	Gesamtgewicht t	Geschwindigkeit km/h	Landegeschwindigkeit km/h	Zahl der Fluggäste
50	4,7	1,35	1	2,35	200	80-85	4
64	8,3	2,45	1,55	4	200	90	8
52	9,1	1,33	0,49	1,82	156	80	1
49	11,4	0,675	0,55	1,225	140	75	4
71	9,3	2,6	2,05	4,65	175	90	10
62	7,4	2,4	1,3	3,7	160	95	10
63	7,5	6,21	3,49	9,7	202	125	10
14	11,8	10,2	9,3	19,5	206	121	12

Abb. 5. Fachwerkkonstruktion aus Stahlrohren des Motoreinbaues und des Führerraumes des Flugzeuges, Abb. 3



sind. Die Gummiseilabfederung der senkrechten Druckstrebe sitzt innerhalb der Flügelnahe. Höhenflosse, Höhen- und Seitenruder bestehen aus Holz und sind mit Stoff bespannt. Die zum Ausgleich des Schraubenstrahls um 5° ausgeschwenkte Kielflosse ist aus Stahlrohr mit Stoffbespannung hergestellt. Die Brennstoffbehälter liegen rechts und links vom Führerraum in der Flügelnahe. Hinter dem Motorspant folgt ein brand-sicherer Raum, an den sich der durch ein Brandschott getrennte Führer- und Bordmonteurraum anschließt. Die Kabine bietet acht Fluggästen Raum. Dahinter liegen nebeneinander Abort und Gepäckraum.

Der verspannungslose, freitragende Hochdecker, Baumuster GL 22, Abb. 9, ist ein Schul- und Sportflugzeug und dient zum Umschulen beim Übergang vom ein- zum mehrmotorigen Flugzeug. Als Werkstoff verwenden die Erbauer Holz. Der verdrehungsfeste Kastenholm mit Sperrholzrippen bildet das Flügelgerippe, das an der Vorderkante mit Sperrholz, im übrigen mit Stoff verkleidet ist. Der Rumpf ist als Holzdrahtboot ausgebildet und mit Stoff bespannt.

Die beiden Siemens-Motoren, Baumuster SH 12, von je 100 PS, sind unter der Tragfläche zu beiden Seiten des Rumpfes eingebaut. Das Fahrgestell ist ähnlich wie beim Baumuster A 17a durchgebildet. Vorn im Rumpf liegen die beiden Führersitze nebeneinander. Dahinter kommt die Kabine für einen Fluggast.

Verkehrsflugzeuge der Bayerischen Flugzeugwerke

Die Bayerischen Flugzeugwerke, A.-G., Augsburg, stellen das Kleinverkehrsflugzeug, Baumuster BFW M 18,

Abb. 10, her, bei dem für Träger, Spanten, Rippen und Metallbeplankung Duralumin, für Beschläge, Achsen, Motoreinbau, Lager usw. hochwertige Stahlsorten verwendet werden. Bei dem freitragenden Ganzmetallhochdecker ist der stark profilierte durchgehende Flügel der einzige I-ähnlichen Flügelholm aufgebaut, der in Verbindung mit der drehsteif ausgebildeten Flügelkante sämtliche Verdrehungskräfte aufnimmt. Die Flügelkante ist gradlinig ausgebildet, während die Unterseite nach außen hin V-förmig verläuft. Bis zum Holm ist die Flügelnahe mit glatten Duraluminblechen verkleidet, das Ende ist mit Stoff bespannt, ebenso die aus den Rippen zusammengesetzten Querruder. Die Fläche, der auch die Brennstoffbehälter untergebracht sind, liegt auf dem Rumpf auf.

Die einzelnen Spanten des Rumpfes sind durch vier Längsurte miteinander verbunden. Die Querrücken werden von den Spanten gemeinsam mit der glatten Außenhaut aufgenommen, zu deren Versteifung auch noch Längsprofile angenietet sind. Das Fahrgestell liegt im Innern des Rumpfes, aus dem nur zu beiden Seiten die die Räder tragenden Achsstummel herausragen, stromlinienartig verkleidet sind. Die Achse ist durch Gummiseile an einem nach Lösen von vier Bolzen leicht auszubauenden Fahrgestellrahmen aufgehängt. Höhen- und Seitenleitwerk bestehen aus Rippen, die an Trägern befestigt sind. Das Fachwerk hat Stabbespannung.

Der neunzylindrige luftgekühlte Siemens & Halske Motor Baumuster SH 12, von 108/128 PS, ist an einem Stahlrohrgerüst befestigt, das mittels fünf Bolzen

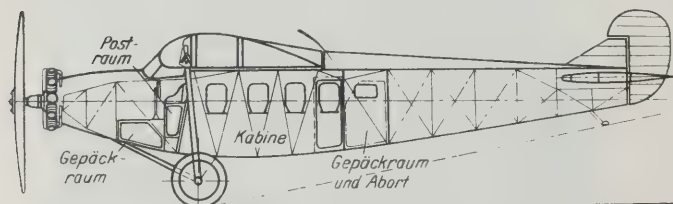


Abb. 6 bis 8
Verkehrsflugzeug mit einem
Getriebemotor.

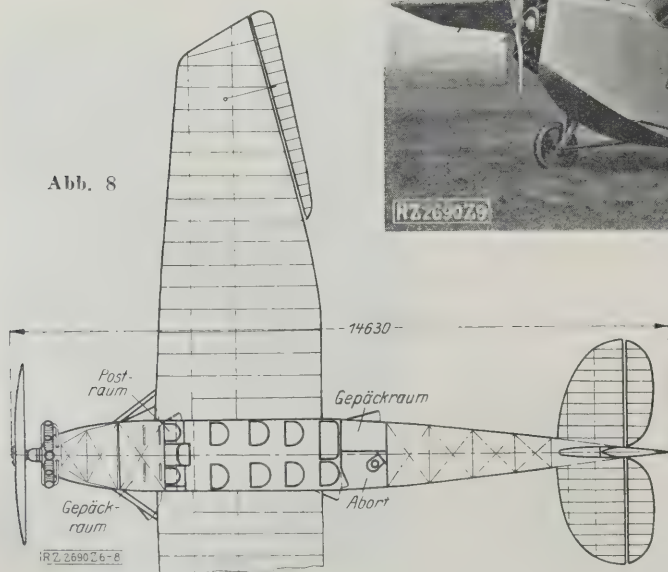


Abb. 8

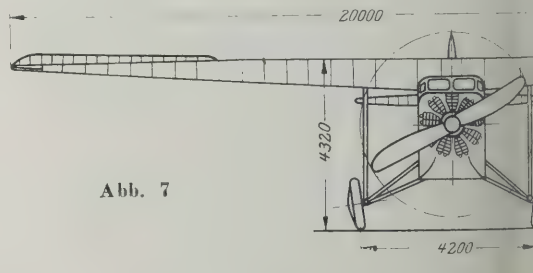


Abb. 7

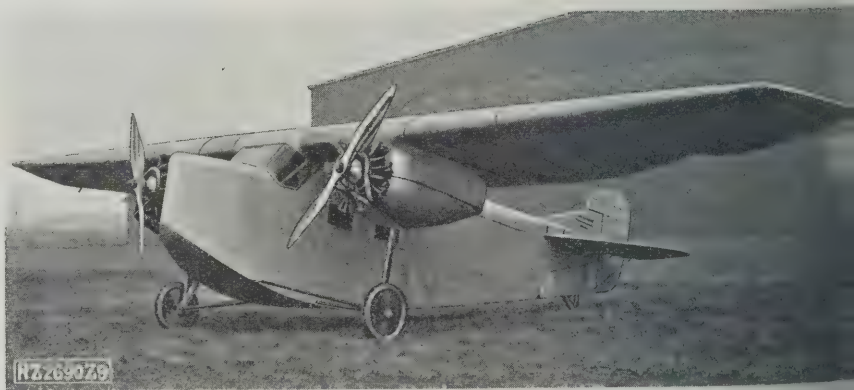


Abb. 9
Zweimotoriges Schul- und Sportflugzeug.

Abb. 6 bis 9
Freitragende verspannungslose Hochdecker der
Firma Focke-Wulf Flugzeugbau A.-G., Bremen.

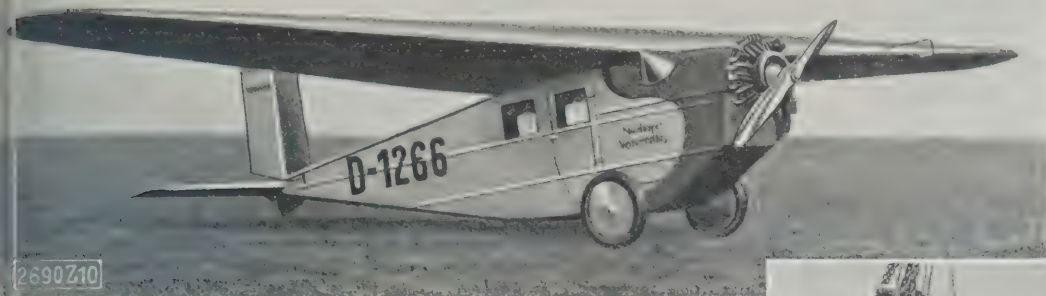


Abb. 10

Kleinverkehrsflugzeug, Baumuster BFW M 18.

versichern Spant vorn am Rumpf angeschraubt wird, b 11. Hinter dem einsitzigen Führerraum liegt der Frachtraum mit vier Plätzen¹⁰⁾.

Eine Weiterentwicklung des Baumusters BFW M 18 ist für 8 bis 10 Fluggäste oder rd. 1000 kg zählende

Ein neues Baumuster, BFW M 18 d, ist nach den jahrelangen Erfahrungen im mitteldeutschen Streckennetz aus dem Baumuster BFW M 18 entstanden. Die Fläche liegt nicht mehr auf dem Rumpf, sondern ist von dem Rumpf eingesenkt. Die Sicht vom Führerraum aus wurde dadurch verbessert, daß man die Motorverkleidung nicht mehr an die Nase herangezogen hat. Der Fluggast- und der Gepäckraum wurde verbreitert und verlängert. Infolge des Einbaues eines stärkeren Motors, Siddeley Lynx von 200/220 PS, mußte man den Bodenabstand vergrößern. Das Fahrgestell wurde deshalb aus dem Rumpf herausgenommen und durch je eine Federstrebe gegen den Flügel abgestützt.

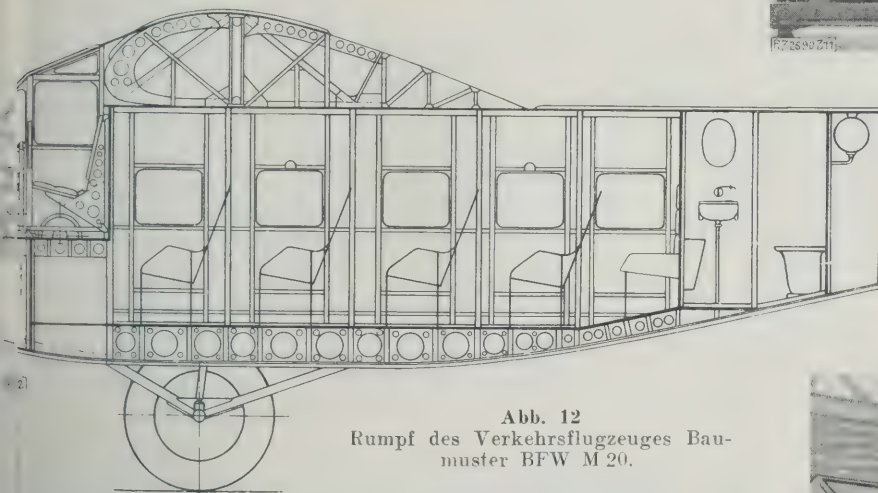


Abb. 12

Rumpf des Verkehrsflugzeuges Baumuster BFW M 20.

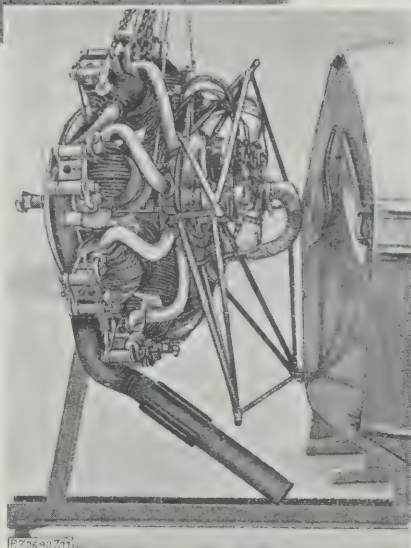


Abb. 11

Motor Stahlrohrgerüst, mittels fünf Bolzen am Brandschott befestigt, Flugzeug Abb. 10.

Abb. 14 (unten)
Motoreinbau
des Verkehrsflugzeuges
Baumuster BFW M 20.

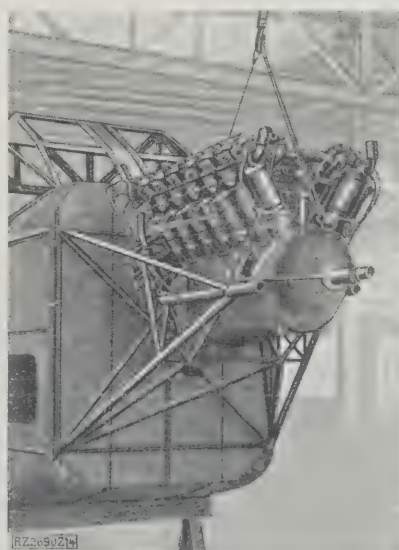
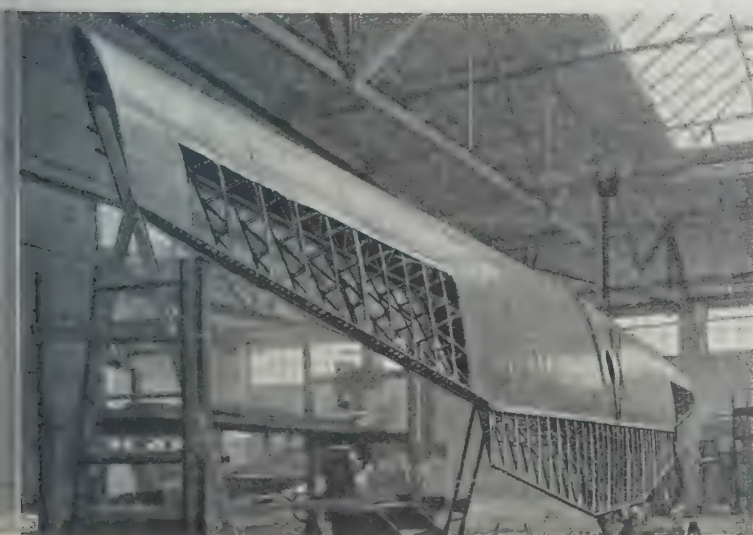
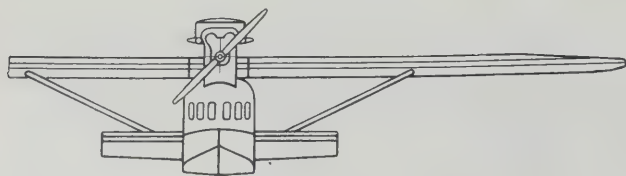


Abb. 13 (links)

Tragfläche des Verkehrsflugzeuges Baumuster BFW M 20.

Abb. 10
bis 14
Freitragende
verspannungslose
Hochdecker
der Firma
Bayerische
Flugzeug-
werke A.-G.,
Augsburg.



Last ist das Ganzmetallflugzeug, Baumuster BFW M 20, Abb. 12 bis 14. Es ist mit einem wassergekühlten zwölfzylindrigen BMW VI-Motor von 500/720 PS ausgerüstet. Der konstruktive Aufbau paßt sich dem Baumuster BFW M 18 an. Hinter dem Fluggastraum liegen ein Waschraum, ein Abort und ein Gepäckraum. Das Fahrgestell besteht aus je zwei seitlichen Auslegern, die mit Kugelgelenken am Rumpf befestigt und mit je einer Strebe gegen den Flügel abgestützt sind. In diese Strebe ist auch die Gummizugfederung eingebaut. Die Räder laufen auf Achsstummeln, die mit der zum Flügel laufenden Strebe starr verbunden sind. Sämtliche Streben sind tropfenförmig verkleidet. Die Spurweite beträgt 3,6 m.

Dornier-Verkehrsflugzeuge

Das einmotorige Ganzmetall-Flugboot, Baumuster Delphin III, der Firma Dornier-Metallbauten, G. m. b. H., Friedrichshafen am Bodensee, Abb. 15 bis 17, ist mit einem zwölfzylindrigen BMW VI-Motor von 500/720 PS ausgerüstet. Das Flügelmittelstück ist mit der Rumpfoberseite fest verbunden. Die beiderseitig angesetzten Flügel sind rechteckig mit schwach abgerundeten Ecken ausgebildet. Je zwei schräg nach unten zur Flosse führende Streben stützen sie zu beiden Seiten des Bootes ab. Die Flügelkonstruktion besteht aus zwei durchgehenden Stahlholmen mit Duraluminkastenrippen. Die zwischen den Rippen liegenden Flügelteile sind mit Duraluminblechbahnen belegt. Die durch kleine Hilfsflächen entlasteten Querruder sind mit Stoff bespannt.

Der vorn stark gekielte einstufige Rumpf und die Flossen sind durch Schottwände in mehrere wasserdichte Räume geteilt, die durch verschließbare Mannlöcher zugänglich sind. Der auf einen möglichst geringen Wellenwiderstand scharf zugeschnittene Bug des Bootes ist auf der Oberseite flach und niedrig, da die darüberliegende Schraube die Höhenlage des Motors bestimmt und man bestrebt ist, die schweren Lasten des Flugbootes möglichst tief zu legen. Unmittelbar hinter dem Bug ist der

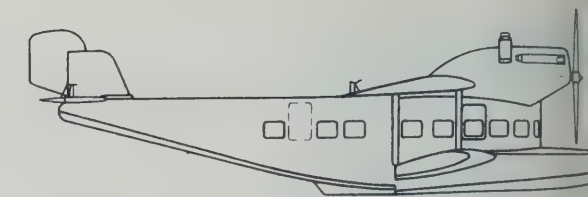
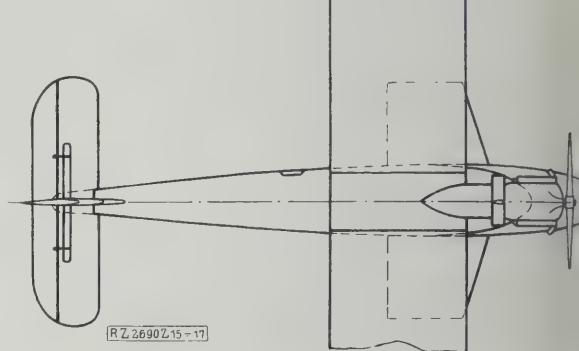


Abb. 15 bis 17
Einmotoriges Ganzmetall-Flugboot Baumuster Delphin III der Firma Dornier-Metallbauten G. m. b. H., Friedrichshafen am Bodensee.



Führer- und Gastraum hochgezogen und trägt auf Oberseite das Stützwerk für den Motor.

Unmittelbar unter dem Motor in dem abgerundeten Vorderteil sind sechs große Fenster ausgerüsteten Vorderteil, die Führer untergebracht. Dahinter folgt der Fluggastraum mit zehn Sitzen. Die beiden Brennstoffbehälter von je 285 l Fassungsvermögen liegen zwischen den Holmen der Flügel zu beiden Seiten des Rumpfes.

Die zu einem Flächenkreuz vereinigten und durch kleine Hilfsflächen entlasteten Seiten- und Höhenflossen sind auf das Bootsende aufgesetzt.

Rohrbach-Verkehrsflugzeuge

Das als Hochdecker mit Stützschwimmern gebaute zweimotorige Verkehrsflugboot, Baumuster Rohrbach-Rocco, Abb. 18 und 19, der Firma Rohrbach Metall-Flugzeugbau G. m. b. H., Berlin.

Abb. 18

Zweimotoriges Verkehrsflugboot, Baumuster Rohrbach-Rocco, der Firma Rohrbach-Metall-Flugzeugbau G. m. b. H., Berlin.

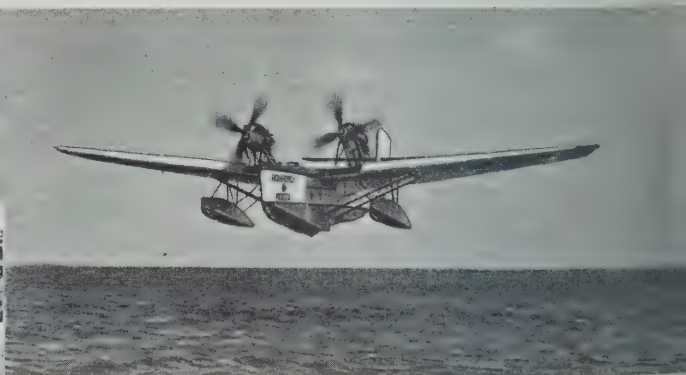
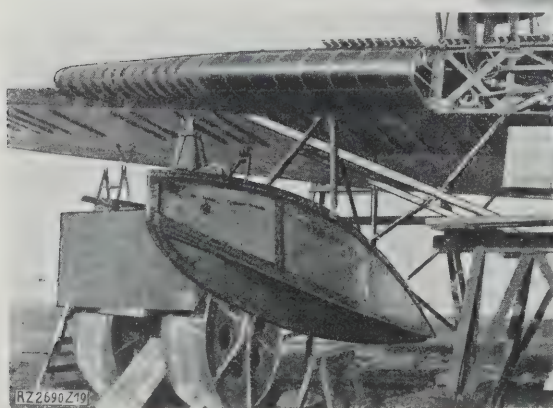


Abb. 19 (links)

Ein Stützschwimmer und ein zweirädriger Bergungswagen des Verkehrsflugbootes, Baumuster Rohrbach-Rocco.

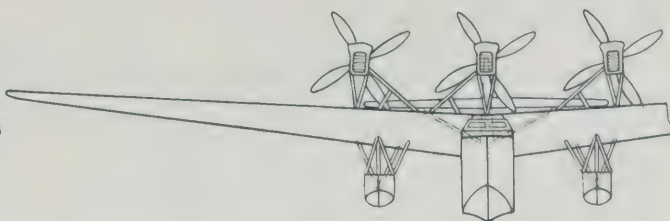
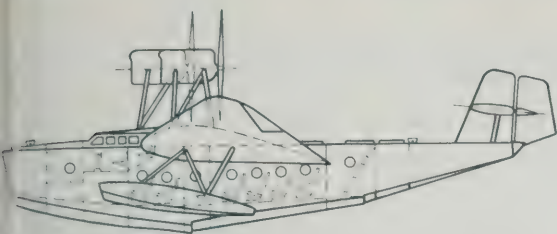


Abb. 20 bis 23
Dreimotoriges Verkehrs-
flugboot Baumuster
Rohrbach Romar, der
Firma Rohrbach Metall-
Flugzeugbau G. m. b. H.,
Berlin.

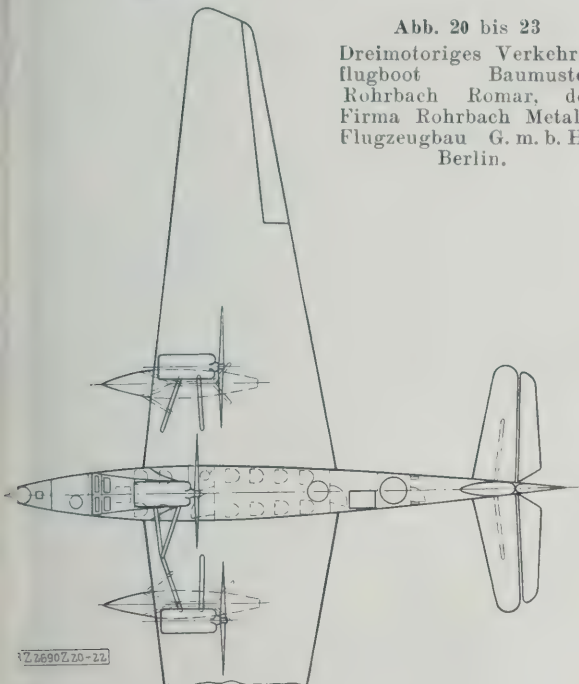


Abb. 23
Motorenanlage des Verkehrsflugbootes, Baumuster
Rohrbach Romar.

Vorn in der Bootspitze befindet sich der Raum für die Bord- und Seeausrüstung; dann folgt der Führerraum für zwei Flugbootführer. In dem 0,92 m langen und 1,5 m breiten Funkerraum ist auch die Hilfsmaschinenanlage schalldicht untergebracht. Der 6,8 m lange, 1,7 m breite Fluggastraum für zehn Fluggäste ist durch ein Schott mit wasserdicht schließender Tür geteilt. Am hinteren Ende ist die Einsteigöffnung in die Decke eingebaut. Wasch- und Frachtraum schließen sich an.

Die Motorenanlage bilden zwei wassergekühlte auf je einem Strebengestell frei oberhalb der Flügel befestigte Rolls-Royce-Condor-Motoren von je 650 PS, die eine leicht abnehmbare Verkleidung haben. Die beiden Röhrenkühler sind als Stirnkühler ausgebildet. Der Brennstoff, der aus den in den Flügeln eingebauten Behältern einem Sammler zufließt, wird durch Motorpumpen zu den Motoren gefördert. Das Flugboot wird mittels zweier schwimmfähiger zweirädriger Bergungswagen, die unter den Flügeln befestigt werden, auf das Ufer gerollt.

Das Flugboot, Baumuster Rohrbach-Romar, Abb. 20 bis 23, ist eine Weiterentwicklung des Baumusters Rohrbach-Rocco. Flügel und Rumpf stimmen in den Bauelementen mit dem Baumuster Rocco überein; nur die Rumpfeinteilung ist eine andere: vorn Kollisionsraum, Funk- und Navigationsraum, Führerraum; hinter den beiden Führersitzen, oberhalb des Rumpfraumes, durch einen Gang zwischen den Führersitzen zu erreichen, liegt der Monteerraum. An den unter dem Führerraum liegenden Gang, durch ein Schott mit Tür getrennt, grenzt der geteilte Fluggastraum für zwölf Fluggäste. Durch ein Schott ist er in zwei Hälften geteilt. In der vorderen sind vier, in der hinteren acht Sitze eingebaut; dazwischen liegt der Waschraum und der Abort. Im Bootende ist der Vorräum zum Fluggastraum mit Einsteigöffnung und Treppe und der Gepäckraum untergebracht.

Die drei BMW VI-Motoren von je 550/750 PS stehen auf hohen Stützgestellen, windschnittig verkleidet, über dem Flügel und haben vierflügelige Druckschrauben. Jeder Motor hat seine eigene Brennstoffanlage [2690]

Bau, G. m. b. H., Berlin, ist ganz aus Duralumin in Form von glatten Blechen, Bändern und offenen Profilen gebaut, nur die Befestigungsbeschläge und Bolzen der nambaren Teile und die Streben bestehen aus Stahl. Die Betriebstoffbehälter aus Messingblech. Infolge Verwendung offener Profile sind sämtliche Nietköpfe an allen Knotenpunkte von beiden Seiten leicht nachweisbar. Sämtliche Teile haben, da sie dem Seewasser ausgesetzt sind, einen seewasserbeständigen Schutzanstrich. Die beiden Flügelhälften sind am Rumpf mit zwei Stahlbolzen befestigt und gegen den Rumpf durch zwei Streben abgestützt. Jeder Flügel besteht aus einem Hohlkastenträger mit glatten Häuten; an diesem ist leicht abklappbare Nasen- und Endrippenkasten, als Brennstoffbehälter ausgebildet sind. Die glatte Blechhaut versehenen Querruder sind an den Enden Endrippenkasten gelagert.

Der schiffsförmige Rumpf ist zweistufig mit stark gekieltem Boden als Hohlkastenträger gebaut. Die zum Boot als wasserdichte Schotte ausgestalteten Hauptspann- und mehrere Zwischenspannten zur Bodenaussteifung sind mit den vier Längsholmen und einem Kielwinkel als Umpfergest, das mit Blechen wasserdicht verkleidet ist. Durch die Schotte, die wasserdicht schließende Abteilungen haben, wird das Boot in mehrere wasserdichte Abteilungen unterteilt. Das Flugzeug bleibt noch schwimmfähig, wenn zwei benachbarte Abteilungen leck werden.

Wie zu beiden Seiten des Rumpfes angeordneten, durch die Flügel durch Streben abgestützten, bootartig mit scharfem Vorderstev und mit gekieltem Boden getragenen Schwimmer geben auch beim Leckwerden dem Boot eine gute Querstabilität. Die Bauart des Leitwerks ist der der Flügel sehr ähnlich. Es ist mittels Beschlägen und Stahlbolzen am Rumpf befestigt.

Der Zerspanungsvorgang bei Kaltkreissägen¹⁾

Versuchsbedingungen

In sehr ausführlichen und gründlichen Untersuchungen haben Wallichs und Hemscheidt die grundlegenden Vorgänge bei der Zerspanung durch Kaltkreissägen und die verschiedenen Einflüsse von Zahnform, Zahnteilung u. a. klargestellt.

Die Versuche wurden, bedingt durch die Maschine, bei je einer Umdrehungszahl des Sägeblattes und für verschiedene gestufte Vorschubgeschwindigkeiten angestellt. Schnittdrehmoment und Vorschubkraft wurden getrennt gemessen, da der Vorschub durch einen besonderen Nebenschlußmotor betätigt wurde. Die Vorschübe lagen in dem Bereich zwischen 8,5 bis 83 mm/min. Die Schnittgeschwindigkeiten wurden bei einem Sägeblattdurchmesser von 550 mm in den Grenzen von 10 bis 36 m/min veränderlich gestaltet.

Die Brustwinkel konnten mittels der Sägeschärfmaschine bis zu 30° hinauf, die Anstellwinkel bis zu 0° herunter, und die Form des Zahnrückens beliebig gestaltet werden. Die Kräfte wurden unter vorheriger Feststellung der elektrischen und mechanischen Verluste, die bei einer bestimmten mechanischen Leistung auftraten, mittelbar gemessen. Die Vorschubkräfte wurden hydraulisch angezeigt und aufgezeichnet. Die für den Schneidvorgang selbst aufzuwendende Leistung wurde gleichfalls mittelbar durch vorherige Ermittlung der mechanischen Wirkungsgrade mit Hilfe eines Pronyschen Zaumes gemessen, der auf einer von der Sägeblattspindel ins Schnelle übersetzten Welle angriff.

Die Versuche erstreckten sich auf die Untersuchung des Einflusses des Brustwinkels auf die Leistung. Hierbei wurden untersucht:

1. Weiches Gußeisen von 35 kg/mm² Festigkeit als bröckelnder Werkstoff,
2. Harter Perlitguß von 40 kg/mm² Festigkeit als halb bröckelnder, halb spanender Werkstoff,
3. Stahlguß von 45 kg/mm² Festigkeit als spanender, aber stark schweißender Werkstoff,
4. Stahl von 50 kg/mm² Festigkeit (in der Erstveröffentlichung wegen Raummangels fortgelassen),
5. Stahl von 85 kg/mm² Festigkeit, die beiden letzten Werkstoffe als sauber spanende Werkstoffe.

Für jeden Werkstoff wurden mit einer Schnittgeschwindigkeit 4 bis 5 verschiedene Vorschübe gefahren, wobei die Brustwinkel in den Stufen 0, 8, 12, 15, 18 und 30° verändert wurden. Gekühlt wurde auch bei Gußeisen mit Sodawasser, und zwar gleichmäßig mit 8 l/min.

Der Anstellwinkel von 7° wurde einheitlich eingehalten, ebenfalls eine nach Schablone geschliffene Zahnformenform. Als Werkstück wurden Stangen von 100 mm durchgesägt. Bei Stahl wurde die Walzhaut nicht entfernt, dagegen wurden bei Stahlguß, Perlitguß und Gußeisen die Wellen von 110 mm auf 100 mm Durchmesser abgedreht. Als Vergleichsleistung wurde der höchste Wert in der Stelle des größten Spanquerschnittes genommen.

Ergebnisse

Vergrößerung des Brustwinkels

Bei Gußeisen hat infolge der geringen Reibung und Stauchung des abgedrehten Spanes die Form der Zahnfläche

¹⁾ Nach A. Wallichs und H. Hemscheidt Der Schneidvorgang bei der Zerspanung durch Kaltkreissägen, „Maschinenbau“ Bd. 7 Heft 20 (1928), S. 949 und 1059.

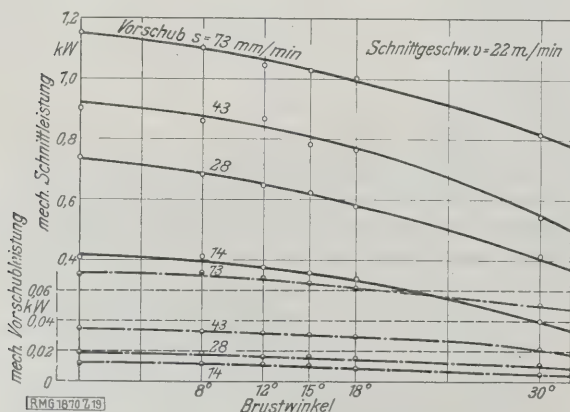


Abb. 1
Einfluß des Brustwinkels auf die Leistung;
Werkstoff: Gußeisen von 35 kg/mm² Festigkeit

fast keinen Einfluß. Die Energieersparnis durch Vergrößerung des Brustwinkels wirkt sich jedoch recht erheblich aus. In gleicher Weise, wie in Abb. 1 dargestellt, sind die Verhältnisse für die übrigen Werkstoffe untersucht.

Die tatsächlich auftretenden Energieersparnisse durch Vergrößerung des Brustwinkels von 0 auf 30° sind in Schaubildern dargestellt und betragen bei Gußeisen 33 vH, bei Perlitguß 20 vH, bei Stahlguß 32 vH, bei Stahl 85 kg/mm² 40 vH. Mit Ausnahme von Gußeisen, wo die Ersparnis der Vorschubleistung bei Vergrößerung des Brustwinkels kleiner als diejenige der Schnittleistung ist, wird sich die verbesserten Schnittbedingungen infolge Vergrößerung des Brustwinkels auf die Vorschubleistung in umgekehrtem Maße aus. Die Energieersparnisse der Vorschubleistungen betragen: bei Gußeisen 33 vH, bei Perlit 38 vH, bei Stahlguß 58 vH, bei Stahl von 85 kg/mm² 50 vH. Besonders hervorzuheben sind die Energieersparnisse bei Stahlguß, da durch die Verbesserung des Brustwinkels der Gefahr des Kaltschweißens sehr stark vermindert wird.

Die Veränderung des Anstellwinkels

Der theoretisch erforderliche Anstellwinkel bei stärksten Vorschub von 48 mm/min hätte nur 0,13° zu erreichen brauchen. Ein zu großer Anstellwinkel ergibt die Gefahr des Hakens. Die Anstellwinkel wurden in dem Bereich von 0,5 bis 25° gleichmäßig geändert. Bei kleineren Vorschüben ist der Einfluß der Winkelvergrößerung kaum bemerkbar. Von 38 mm/min Vorschubgeschwindigkeit an macht sich der Einfluß auf die Vorschubleistung schon recht erheblich bemerkbar, Abb. 2. Je größer der Spanabflußraum, desto geringer ist die erforderliche Leistung. Eine Vergrößerung des Durchmessers der Zerspanung von 5 auf 9 mm ergab eine Ersparnis von 12 vH der Schnittleistung und etwa 20 vH der Vorschubkraft.

Schneidhaltigkeit

Als bedeutsam wurde ferner die Untersuchung des Einflusses der Zahnform auf die Schneidhaltigkeit erachtet. Bei einem Brustwinkel von 0° trat die Abstumpfung raschesten ein. Bei 12° blieb die Schneidhaltigkeit am längsten gleichmäßig, während bei 30° trotz des geringen Energiebedarfs die Abstumpfung sich verhältnismäßig erheblich stärker auswirkte. Beim zehnten Schnitt erreichte der Kräftebedarf bereits einen um 16 vH höheren Betrag. Als Merkmal für die Abstumpfung diente die Zunahme des Kraftverbrauchs. Daraus ergab sich als günstigster Brustwinkel zur Erzielung einer möglichst gleichbleibenden Schneidhaltigkeit für Perlitguß 8 bis 12° und für Stahl 85 kg/mm² Festigkeit rd. 18°.

Die Versuche ergeben zusammengefaßt folgendes:

1. Vergrößerung des Brustwinkels erzeugt bei sämtlichen Werkstoffen eine beträchtliche Leistungersparnis.
2. Der Anstellwinkel ist größer als für den notwendigen Freigang zu wählen, jedoch nicht größer als 7°.
3. Die Zahnflächenrundung soll so groß wie möglich gewählt werden, um ein widerstandloses Aufrollen des Spanes zu ermöglichen.
4. Die Teilung der Spanbreite verringert die Reibung an den Materialwänden sehr stark und erzeugt einen größeren Schnitt. [M 2405]

Dr. S.

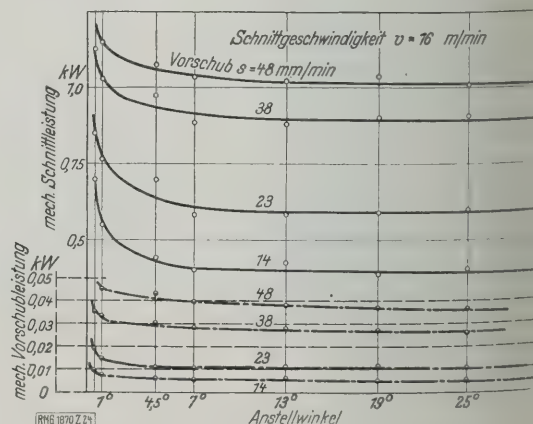


Abb. 2
Einfluß des Anstellwinkels auf die Leistung;
Werkstoff: Stahl von 85 kg/mm² Festigkeit.

Aufgaben des Elektromaschinenbaues¹⁾

Die neuen elektrotechnischen Institute der Technischen Hochschule Braunschweig

Von Prof. Dr. techn. FRANZ UNGER, Braunschweig



Abb. 1

Die neuen elektrotechnischen Institute.

Links das Institut für Hochspannungstechnik und Meßkunde, rechts das Institut für elektrische Maschinen, in den oberen Stockwerken das Institut für Fernmelde- und Hochfrequenztechnik.

Der Elektromaschinenbau hat im letzten Jahrzehnt große Fortschritte gemacht, die wesentlich gefördert oder überhaupt erst ermöglicht wurden durch die neuen Forschungen und Erkenntnisse der Wissenschaft. Die Formgebungsgesetze (Wachstumsgesetz, Verlustgesetz und Kostengesetz), die man erst in neuerer Zeit mehr und mehr erkannt hat, haben auf die innere und äußere Gestaltung der Maschinen großen Einfluß gehabt. Die Verbesserung der Werkstoffe und die fortschreitende Erkenntnis ihrer Eigenschaften ermöglicht ihre höchste Ausnutzung. Die verbesserte Wärmeabfuhr aus den Maschinen wirkt in gleicher Richtung. Die erwähnten Fortschritte stellen gleichzeitig neue Aufgaben für die Forschung. An der Weiterentwicklung dürften die neuen elektrotechnischen Institute der Technischen Hochschule Braunschweig, deren Einrichtungen hier kurz beschrieben werden, auch in Zukunft Anteil haben.

Entwicklung der Elektrizitätswirtschaft und der schärfere wirtschaftliche Wettkampf zwingen den Elektromaschinenbau dazu, immer leistungsfähigere und kleinere Maschinen zu bauen²⁾. Auch die Anforderungen an die Betriebssicherheit werden ständig höher. So kommt es naturgemäß zu immer größeren Maschineneinheiten und zur Reihenfertigung mittlerer und kleinerer Maschinen. Den Fortschritt erkennt man am besten, wenn heutige Maschinen mit solchen vergleicht, die vor 20 Jahren gebaut wurden. Die neuen Maschinen sind deutlich kleiner und einfacher in ihrer Form, trotzdem sind ihre Wirkungsgrade keineswegs schlechter geworden. Besonders auffallend ist die häufige Verwendung von Wälzlagern, die man vor zehn Jahren noch allgemein nicht kannte. Der Weg der Entwicklung geht auch weiterhin in die Richtung der Verbesserung und Ausnutzung der Werk-

stoffe, der Verbesserung der elektromagnetischen Eigenschaften und der Kühlung der Maschinen sowie der weiteren Vervollkommnung der Fertigung. Eine solche Entwicklung ist nur möglich, wenn die Industrie mit der Forschung Hand in Hand geht, ihr Aufgaben stellt und sich ihre Ergebnisse zunutze macht.

Die Formgebungsgesetze

Um die Maschinen und Transformatoren richtig bemessen zu können, muß man vor allem die drei Gesetze der Formgebung beherzigen:

das Wachstumsgesetz,
das Verlustgesetz und
das Kostengesetz.

Das Wachstumsgesetz läßt sich aus der *Maxwellschen Kette* entwickeln. In ganz einfacher Weise läßt sich für sämtliche Maschinenarten und Transformatoren ableiten, daß das Verhältnis Leistung: Frequenz — wir wollen es kurz „Moment“ nennen — verhältnismäßig ist dem Produkt aus magnetischem Kraftfluß und elektrischer Durchflutung³⁾. Unter elektrischer Durchflutung verstehen wir die Gesamtheit der elektrischen Strömung in der arbeitenden Wicklung. Kraftfluß und Durchflutung greifen bei elektrischen Maschinen und Transformatoren ineinander wie zwei benachbarte Kettenglieder: Die Durchflutung umschlingt den Kraftfluß und der Kraftfluß umschlingt die Durchflutung, daher rührt der Name „*Maxwellsche Kette*“.

Mit steigendem „Moment“ wachsen sowohl Kraftfluß als auch Durchflutung. Bei ähnlicher Vergrößerung einer

³⁾ Bedeuten N = die Leistung, U die Spannung, I den Strom einer Maschine, f die Frequenz, Φ den Kraftfluß und a , b , c und $k = abc$ Unveränderliche, so kann man schreiben:

$$N = a U I \quad a b f \Phi;$$

$$I = c A,$$

worin A die Gesamtdurchflutung ist. Somit wird das „Moment“

$$M = \frac{N}{f} = a b c \Phi A = k \Phi A,$$

das ist die *Maxwellsche Kette*.

Vorgetragen am 15. Februar 1929 zur Einweihung der neuen elektrotechnischen Institute an der Technischen Hochschule zu Braunschweig. Bei dieser Gelegenheit hat die Technische Hochschule Braunschweig eine Festschrift mit einem Umfang von 130 Seiten herausgegeben, in der die Entwicklung der Abteilung für Elektrotechnik und die Einrichtungen der neuen Institute ausführlich beschrieben sind.

Vergl. a. *Niethammer*, Fortschritte im Bau elektrischer Maschinen, Z. Bd. 72 (1928) S. 129 u. f.

Maschine wächst die Durchflutung unter Beibehaltung gleicher Stromdichte mit dem Quadrat des Bohrungsdurchmessers der Maschine. Ebenso wächst der Kraftfluß bei gleicher Induktion und bei ähnlicher Vergrößerung der Maschine mit dem Quadrat der Länge des wirksamen Eisens. Unter diesen Voraussetzungen würde das Produkt Kraftfluß mal Durchflutung der vierten Potenz der Längenabmessung der Maschine verhältnismäßig sein. Da der Rauminhalt der dritten Potenz der Länge verhältnismäßig ist, kann man erkennen, daß das Produkt Kraftfluß mal Durchflutung also die Leistung einer Maschine, bei fester Frequenz verhältnismäßig ist der vierdritten Potenz des Rauminhaltes, der durch den Bohrungsdurchmesser und die axiale Länge des wirksamen Eisens gegeben ist.

Das Verlustgesetz besagt, daß bei gleicher Induktion und Stromdichte die Eisen- und Stromwärmeverluste in einer Maschine dem Wicklungsgewicht und dem Eisengewicht, also dem Rauminhalt, verhältnismäßig sind. Wir haben gesehen, daß das „Moment“ der vierdritten Potenz des Rauminhaltes verhältnismäßig ist, also der Rauminhalt der dreivierten Potenz des „Momentes“. Somit ändern sich die Verluste mit der dreivierten Potenz des „Momentes“ oder bei gleichbleibender Drehzahl mit der dreivierten Potenz der Leistung der Maschine. Je größer eine Maschine, um so verhältnismäßig weniger Verluste hat sie, um so höher wird ihr Wirkungsgrad.

Das Kostengesetz besagt, daß die Werkstoffkosten verhältnismäßig dem Gewicht sind, also der dritten Potenz der Längenabmessung, während die Bearbeitungskosten im Verhältnis stehen zur Fläche, also der zweiten Potenz der Längenabmessung. Die gesamten Kosten steigen mit einer etwas über zweidrittel liegenden Potenz des Rauminhaltes oder etwas stärker als mit der Wurzel aus dem „Moment“. Die gesamten Kosten für das Kilowatt Maschinenleistung sinken also mit zunehmender Größe der Maschineneinheit.

Diese Gesetze der Formgebung zeigen uns, warum die Elektrizitätswirtschaft immer größere Maschineneinheiten fordert. Raumbedarf sowohl, als auch Verluste und Preis für die Leistungseinheit der Maschinen werden mit zunehmender Leistung immer kleiner.

Werkstoffe

Die heutigen Maschinenriesen mit Leistungen von 100 000 kW und darüber können natürlich nur aus besten Werkstoffen gebaut werden, weil die mechanischen Beanspruchungen einzelner Teile sehr hoch werden.

Man unterscheidet wirksame Maschinenteile, die den magnetischen Kraftfluß oder den elektrischen Strom führen müssen, und tragende Maschinenteile. Vergleicht man die Eisen- und Stahlarten, die vor fünfzehn Jahren verwendet wurden, mit den heutigen, so zeigt sich, daß sowohl die magnetische Durchlässigkeit bedeutend gesteigert worden ist, als auch die Ummagnetisierungsverluste herabgesetzt werden konnten. Ein guter Dynamostahlguß aus dem Jahre 1910 brauchte für eine Induktion von 15 000 Gauß eine Magnetisierung von 33 Amperewindungen/cm. Heute braucht guter Dynamostahlguß bei derselben Induktion eine Magnetisierung von nur 22 Amperewindungen/cm. Die besten hochlegierten Transformatorbleche hatten bei 0,35 mm Dicke und einer Induktion von 10 000 Gauß vor fünfzehn Jahren eine Verlustziffer von 1,6 W/kg. Heute bekommt man Bleche mit einer Verlustziffer von 1,3 W/kg. Bemerkenswert ist auch die Verwendung von Chrom- und Kobaltstählen für Dauermagnete. Elektrolyteisen, das in jüngster Zeit wieder von sich reden macht, gestattet eine weit höhere Magnetisierung als gewöhnliches Dynamoblech.

Leider scheint allgemein festzustehen, daß die elektrische Leitfähigkeit der Legierungen niemals höher steigen kann, als die eines der legierenden Metalle. Wir werden also auch weiterhin gezwungen sein, in den elektrischen Maschinen Kupfer zu verwenden, solange Kupfer zu erschwinglichen Preisen zu haben ist. Sollte der Preis des Kupfers noch sehr steigen, so müßte Aluminium an seine Stelle treten, was aber unbedingt eine

Vergrößerung der ganzen Maschine zur Folge haben muß, weil man wegen der niedrigeren Leitfähigkeit des Aluminiums größere Leiterquerschnitte für dieselben Stromstärken verwenden muß.

Auch nach neuen Isolierstoffen sucht man; bisher wenig Erfolg. In der Hauptsache sind es heute noch dieselben Isolierstoffe wie vor fünfzehn Jahren, vor allem Baumwolle, Papier, Glimmer, Mikanit, Harze und Transformatoröl. Wesentlich anders geworden sind die Isolierverfahren, bei denen besondere Sorgfalt auf die Entfernung von Luft- und Wasserbläschen aus der Isolierschicht angewendet wird. Allgemein isoliert man heute bei höheren Temperaturen und unter Luftleere. Sehr verbessert wurden die Mikanisierungsverfahren⁴⁾. Von grundlegender Bedeutung wäre es, wenn man homogene mineralische Isolierstoffe von ähnlichen Eigenschaften wie Porzellan fände, die aber plastisch sein müßten.

Die Festigkeitseigenschaften der tragenden Maschinenteile sind in den letzten Jahren sehr gesteigert worden. Wir verfügen heute über Stahlsorten mit Streckgrenzen bis etwa 6500 kg/cm² (ungehärtet). Die Fortschritte der Schweißtechnik haben zu leichteren und den festeren Bauarten geführt⁵⁾.

Wärmeabfuhr

Große Aufgaben erwachsen dem Elektromaschinenbau aus der Forderung nach gesteigerter Wärmeabfuhr bei elektrischen Maschinen. Induktion und Stromdichte müssen immer weiter erhöht werden, um die Maschinen billiger bauen zu können; damit wachsen aber die Wärmeverluste quadratisch. Die Verlustwärme muß aus der Maschine herausgeführt werden, um ihren Temperaturanstieg in zulässigen Grenzen zu halten.

Hier hat die Axialkühlung, bei der das Kühlmittel in großer Geschwindigkeit in der Achsrichtung durch die Maschine hindurch geleitet wird, umwälzend gewirkt. Dadurch, daß man sich von der Umfangsgeschwindigkeit der Läufer freimacht und zu einem besonderen Lüfter greift, kann man die Durchströmgeschwindigkeit des Kühlmittels unabhängig wählen.

Bis vor kurzem hat man noch, abgesehen von kleinen Transformatoren, die mit Öl gekühlt werden, als Kühlmittel ausschließlich Luft verwendet. Man saugte frische Luft durch die Maschine und blies sie wieder aus. Vollkommene Luftfilter gibt es nicht; ein Teil des in die Luft schwebenden Staubes kommt immer in die Maschine und bei jeder Richtungsänderung des Luftstromes wird Staub abgelagert. Da in den großen Kraftwerken durch die heutigen Maschinenriesen ungeheure Luftmengen hindurchgejagt werden müssen (eine 20 000 kW-Maschine schluckt rd. 25 bis 30 m³/s Luft), kann man sich denken, welche Staubmengen nach mehreren Betriebsmonaten in der Maschine abgelagert werden. Die Verstaubung der Luftkanäle bedeutet aber eine gewaltige Verschlechterung der Wärmeabfuhr. Versuche haben ergeben, daß eine Staubschicht von 1 mm Dicke die Wärmeabfuhr auf rd. ein Drittel herabsetzt, d. h. die Temperatur der warmen Maschinenteile auf das Dreifache erhöhen kann. Man führt daher bei großen Maschinen allgemein mit Kreislaufkühlung aus. Zur Kühlung dient meistens Wasser in Kühlschlangen. Dieses Verfahren hat auch den Vorteil, bei Wicklungsbränden das Feuer durch Einblasen von Kohlensäure rasch zu löschen zu können⁶⁾.

Bei mittleren und kleinen Maschinen hat die Kreislaufkühlung bisher noch verhältnismäßig wenig Anklang gefunden, wenn auch mehrere Firmen in den letzten Jahren derartige Maschinenreihen herausgebracht haben. Die Schwierigkeit liegt in der Hauptsache darin, daß eine Kühlung des Kühlröhrensystems mit Wasser bei kleineren Maschinen, die meist auch ortveränderlich sein sollen, unmöglich ist und die einfache Luftkühlung nicht ausreicht. Man hat daher eine Kühlmantelbauart entwickelt, bei der die Kühlluft nicht mehr in die Maschine selbst geleitet wird, sondern einen die Maschine umschließenden Mantel durchspült. Auch bei Kühlmanteltypen haben sich die Verstaubungen

⁴⁾ Vergl. a. „Der Isolierstoff Glyptal“, Z. Bd. 71 (1927) S. 869.

⁵⁾ Vergl. Z. Bd. 71 (1927) S. 1449 u. 1760, ETZ Bd. 50 (1929) S. 145 u.

⁶⁾ Vergl. a. Z. Bd. 68 (1924) S. 155 u. 656, Arch. f. Elektr. Bd. 19 (1923) S. 361.

⁷⁾ Vergl. Z. Bd. 71 (1927) S. 836, 894, 1308 u. 1886.

erscheinungen sehr unangenehm bemerkbar gemacht, man hat daher für möglichst geradlinige Luftführung besonders Sorge getragen. Durch Verbindung der Lauf- mit der Kühlmantelkühlung kann man eine Mannart entwickeln, die auch das Gegenstromprinzip auszunutzen gestattet.

Kühlmittel

Die guten Erfolge der Kreislaufkühlung haben dazu geführt, Betrachtungen darüber anzustellen, ob man nun doch eingekapselte Luft nicht durch ein besseres, besser wirkendes Kühlmittel ersetzen könnte. Man hat auf der Weltkraftkonferenz in London die Ölkühlung bei elektrischen Maschinen als ausreichend für die Zukunft hingestellt⁶). Ob er recht bewirkt, erscheint fraglich. Die Wärmeübergangszahl ist eine Funktion des Produktes aus Wärmeleitfähigkeit und der spezifischen Wärme des Mittels darstellbar. Vergleicht man die verschiedenen, als Kühlmittel in Frage kommenden Stoffe, findet man, daß Transformatoröl eine 7½mal so große Wärmeleitfähigkeit hat wie Luft und eine 2mal so große spezifische Wärme, Helium 3½mal so große Wärmeleitfähigkeit wie Luft und eine 1 so große spezifische Wärme (auf gleiches Gewicht), Wasserstoff ebenfalls eine 6½mal so große Wärmeleitfähigkeit und eine 14mal so große spezifische Wärme wie Luft. Alle übrigen bisher untersuchten Gase und Flüssigkeiten kommen, mit Ausnahme des Wassers, nicht in Betracht. Wasser kann man aus begreiflichen Gründen nicht in die Maschine hineinleiten. Mithin wäre Wasserföhl das geeignetste Kühlmittel⁷). Leider bildet Wasserföhl mit Luft Knallgas. Es ist fraglich, ob es möglich wird, auf die Dauer eine Mischung mit Luft zu verwenden. Das ungefährliche Helium würde aber auch eine gewaltige Verbesserung gegenüber Luft bedeuten und es nur ab und zu zu erneuert werden.

Wasserföhl kühlt Transformatorenöl bedeutend besser als Luft, doch ist es fraglich, ob es möglich sein wird, die Wicklungen in Öl genügend zu isolieren. Beim Transformator ist die Aufgabe anders. Dort kann man die Abstände der Spulen beliebig wählen und damit der mechanischen Durchschlagfestigkeit des Öles Rechnung tragen. Bei Maschinen liegt die Wicklung in Nuten, man kann nur kleine Abstände zwischen Wicklungsmetall und Gehäuse zulassen, muß also ein Isoliermittel von hoher Durchschlagfestigkeit verwenden. Auch ist es nicht ratsam, Öl in sehr enge Kanäle zu leiten, die unter hoher elektrischer Spannung stehen. Vorläufig scheint es also noch, als ob Luft als Kühlmittel bessere Aussichten hätte als Öl.

Bei Transformatoren dürfte vorläufig Öl das ideale Kühlmittel bleiben. Man hat den Gesetzen der Ölbewegung noch viel zu wenig Aufmerksamkeit geschenkt und darf sicher durch geeignete Maßnahmen eine Verstärkung der Ölströmung und damit eine Verbesserung der Kühlung erreichen.

Elektromagnetische Eigenschaften

Die Gleichstrommaschine blickt auf ein Alter von mehr als 40 Jahren, die Wechselstrommaschine und der Transformator von mehr als 40 Jahren zurück; trotzdem sind die elektromagnetischen Eigenschaften noch nicht völlig bekannt. Das liegt wohl in erster Linie daran, daß die Untersuchungen der Oberwellen von Spannungen und Strömen verhältnismäßig jung sind. Es hat lange gedauert, bis die Erkenntnis Bahn brach, daß der Oszillograph¹⁰) ein unverzichtbares Instrument ist und daß man mit ihm nicht nur qualitativ, sondern auch quantitative Untersuchungen vornehmen kann¹¹). So kam es, daß in den letzten Jahren die Forschung auf dem Gebiete der elektromagnetischen Erscheinungen neu einsetzte.

Die Magnetisierung von Maschinen und Transformatoren wird in jüngster Zeit wieder eingehend durchforscht. Über Magnetisierungsströme und ihre Oberwellen

sind verschiedene Arbeiten erschienen¹²). Wenig erforscht sind noch die Einschaltstrom-Erscheinungen.

Ankerückwirkung, Luftspalt-Leitfähigkeit und Stoßkurzschluß-Ströme sind in den letzten Jahren eingehend untersucht worden¹³). Vor allem wurde und wird versucht, die Vektordiagramme der synchronen Wechselstrommaschinen, sowie auch ihre Stromdiagramme rechnerisch und experimentell festzulegen¹⁴).

Die Streuung hat ebenfalls in den letzten Jahren zu neuen Forschungen Anlaß gegeben. Vor allem ist die Wickelkopfstreuung eingehender erforscht worden, sowie auch der Einfluß der Streuung auf Wirbelstromverluste in Gehäuseteilen¹⁵). Untersuchungen über die Streuung bei unsymmetrischer Lage der Transformatorwicklungen sowie bei Vieleckschaltung von Transformatoren erscheinen wünschenswert.

Auch die Wirbelströme in massivem Eisen bilden einen Gegenstand der modernen Forschung. In den letzten Jahren sind mehrere Arbeiten auf diesem Gebiet erschienen¹⁶), doch muß noch Vieles untersucht und geklärt werden.

Die Stromwendung bei Kollektormaschinen wird erforscht, seit es Gleichstrommaschinen gibt¹⁷). Heute berechnet man sie in der Praxis immer noch nach dem *Pichel-mayerschen* Verfahren. Nur die Rundfeuererscheinungen bei Einanker-Umformern sind in der letzten Zeit einigermaßen geklärt worden¹⁸). Eine grundlegende Wandlung in der Erforschung der Stromwendung wird erst möglich sein, wenn man sich die Erfindung des Kathodenoszillographen und des Kinematographen für experimentelle Untersuchungen auf diesem Gebiet zunutze macht.

Der Drehstrom-Induktionsmotor ist der Industrie noch nicht einfach genug. Bekanntlich hat die Induktionsmaschine die Eigenschaft, nur dann mit großem Anzugmoment anzufahren, wenn ihr Läuferwiderstand groß ist. Ein großer Läuferwiderstand bedingt aber einen schlechten Wirkungsgrad. Beim Anlassen des Schleifringläufer-Motors schaltet man in den Läuferkreis einen Widerstand, den man mit zunehmender Drehzahl verkleinert. Durch Kurzschließen der Schleifringe und Abheben der Bürsten kann der Wirkungsgrad des Motors verbessert werden; aus betriebstechnischen Gründen lohnt man aber heute mit Recht Kurzschlußvorrichtungen vielfach ab. Man will wie in Amerika heute einen Kurzschlußläufermotor mit hohem Anlaufmoment haben. Da ein Kurzschlußläufer-Motor nicht gegen eine größere Last anfahren kann, hat man Kuppelungen gebaut, die nach dem Anlauf des Motors die Last einkuppeln. Auch diese Lösung erscheint noch zu verwickelt. Man hat daher versucht, Drehstrommotoren zu bauen, deren Läuferwiderstand im Stillstand groß, bei Normaldrehzahl aber klein ist¹⁹), teils nach den Grundsätzen *Boucherots*, teils nach dem *Feldschen* Stromverdrängungsprinzip, teils mit Polumschaltung, teils auch mit Fliehkraftumschaltern²⁰). Stromverdrängungs- und Doppelkäfig-Motoren haben naturgemäß einen schlechten Leistungsfaktor. Zu einer einwandfreien, einfachen Lösung dieser Aufgabe ist es bis heute nicht gekommen.

Kurz nach dem Kriege war die Verbesserung des Leistungsfaktors die große Mode. Es muß zugegeben werden, daß in der Inflationszeit besonders die Überlandwerke über sehr schlechte Leistungsfaktoren zu klagen hatten, was in der Hauptsache darauf zurückzuführen ist, daß überall viel zu große Drehstrommotoren in die Betriebe eingebaut waren. Damals tauchten die phasenkompensier-

¹²) Vergl. *Mellenthin*, Dissertat., Braunschweig 1928; ETZ Bd. 50 (1929) S. 117.

¹³) Vergl. *Rüdenberg*: „Kurzschlußströme usw.“, Berlin, 1925; *Biermanns*: „Überströme usw.“, Berlin, 1926.

¹⁴) Vergl. E. u. M. Bd. 43 (1925) S. 781; Arch. f. El. Bd. 13 (1924) S. 12; E. u. M. Bd. 45 (1927) S. 1; *Grellmann*, Diplomarbeit, Braunschweig 1927.

¹⁵) Vergl. ETZ Bd. 45 (1924) S. 37, 59, 5/9; Bd. 46 (1925) S. 1182; Siemens-Zeitschr. Bd. 6 (1926) S. 605.

¹⁶) Vergl. *Rüdenberg*, Dissertat., Hannover 1906; ETZ Bd. 44 (1923) S. 513; Arch. f. El. Bd. 14 (1925) S. 433.

¹⁷) Vergl. ETZ Bd. 17 (1896) S. 585; ETZ Bd. 20 (1899) S. 97; Arch. f. El. Bd. 12 (1923) S. 144; ebenda Bd. 12 (1923) S. 286, 398; ebenda Bd. 13 (1924) S. 67; *Rüdenberg*, „Theorie der Kommutation“, Stuttgart 1907; *Pichel-mayer*, „Dynamobau“, Leipzig 1908; *Gruber*, Diplomarbeit, Braunschweig 1927; *Schliephake*, Dissertation, Darmstadt 1927.

¹⁸) Vergl. Journal of the I. E. E. Bd. 60 (1922) S. 501; ETZ Bd. 43 (1922) S. 1389; ETZ Bd. 48 (1927) S. 129.

¹⁹) Vergl. Z. Bd. 67 (1923) S. 375, Bd. 68 (1924) S. 173 u. Bd. 72 (1928) S. 1646; Arch. f. El. Bd. 15 (1925) S. 121; Bd. 21 (1928) S. 1; Bd. 21 (1928) S. 289.

²⁰) Z. Bd. 72 (1928) S. 707.

⁶) Transact. First World Power Conference Bd. III S. 794, London 1925 (Vertrieb für Deutschland VDI-Buchhandlung).

⁷) Z. Bd. 70 (1926) S. 889, Arch. f. El. Bd. 12 (1923) S. 361.

¹⁰) Vergl. Z. Bd. 68 (1924) S. 485, Bd. 69 (1925) S. 1198 u. Bd. 73 (1929) S. 30.

¹¹) Vergl. „Technische Blätter“ Prag 1911 Heft 2 u. 3.

ten Motoren²¹⁾ auf, die recht gut arbeiteten; sie hatten nur einen Nachteil, sie waren recht verwickelt und schwerer zu warten. Große phasenkompensierte Induktionsmotoren werden immer noch gebaut. Auch heute ist die Frage des Leistungsfaktors der Kraftwerke wichtig. Man sucht sie meist dadurch zu lösen, daß man in Speisepunkten mit schlechtem Leistungsfaktor große Phasenschieber aufstellt. Der Bau von Blindleistungsmaschinen²²⁾ hat sich in den letzten Jahren sehr entwickelt, und hier sowohl wie überhaupt auf dem Gebiet der Drehstrom-Kollektormaschinen²³⁾ ist noch viel Neues und Wichtiges zu erwarten.

*

Man könnte meinen, daß mit den heutigen größten Maschinenleistungen, mit den heutigen höchsten Spannungen schon nahezu das Ende der Entwicklung erreicht sei. Bedenkt man aber die Fortschritte der letzten zehn Jahre, so wird man vorsichtig im Voraussagen. Die Entwicklung der Elektronik, vor allem des Quecksilbergleichrichterbaues²⁴⁾, hat in den letzten Jahren stürmisch eingesetzt, und es ist noch schwer abzusehen, wie weit diese Entwicklung zu Umwälzungen in der Elektrotechnik, vor allem im Elektromaschinenbau führen wird. Eines kann man vorläufig wohl voraussagen: Stromerzeuger und Motoren werden auch durch die schönsten Erfolge der Elektronik nicht verdrängt werden können, wohl aber vielleicht die verschiedenen Ausführungen der Maschinenumformer.

²¹⁾ Z. Bd. 70 (1926) S. 847. Arch. f. E. Bd. 15 (1926) S. 237; ETZ Bd. 45 (1924) S. 456; B.J. 44 (1923) S. 4.

²²⁾ Vergl. ETZ Bd. 33 (1917) S. 1079; Bd. 46 (1925) S. 142.

²³⁾ Vergl. ETZ Bd. 31 (1910) S. 228, 749, 785, 794, 1181, 1221; ETZ Bd. 32 (1911) S. 233; E. u. M. Bd. 28 (1910) S. 367; ETZ Bd. 33 (1912) S. 89; ETZ Bd. 46 (1925) S. 142.

²⁴⁾ Vergl. Z. Bd. 72 (1928) S. 906 u. 1755.

Die deutsche Elektrotechnik war infolge der Kriegszeit gegenüber der amerikanischen zurückgeblieben. Heute ist der amerikanische Vorsprung eingeholt zum Teil überholt. Was der gesamten deutschen Industrie fehlt, auch der Elektroindustrie, ist ein großes Absatzgebiet, und darin liegt auch die Gefahr, daß Amerika wieder überflügelt. Hoffen wir, daß es unslingen möge, trotz aller Schwierigkeiten im In- und Lande neue Absatzgebiete zu erobern. Dann wird deutsche Elektrotechnik und mit ihr der deutsche Maschinenbau auch weiterhin führend bleiben.

Die neuen elektrotechnischen Institute

Die neuen elektrotechnischen Institute, Abb. 1, auf einem der alten Hochschule unmittelbar benachbarten 11 500 m² großen Grundstück erbaut worden. Dabei Teile eines sehr solide gebauten Fabrikgebäudes mitwendet und ausgebaut worden. Die umbaute Grundflächeträgt rund 1800 m², auf der drei große Institute stehen sind.

Der Nordflügel umfaßt das Institut für elektrische Meßkunde und Hochspannungstechnik mit einem großen Hochspannungsraum 500 m² Grundfläche und 14,5 m Höhe, in dem Spannung von mehr als 1 Mill. V erzeugt werden können, Abgesehen sind drei 500 kV-Transformatoren, von denen einer bereits arbeitet; außerdem ist eine größere Anzahl Transformatoren für Spannungen bis zu 150 kV vorhanden. Eine große Stoßprüfanlage für mehr als 1 Mill. V und eine große Tesla-Transformatoren, die Funken von über 1 m Länge geben können, vervollständigen die Einrichtung. In einem der kleineren Hochspannungsräume steht ein Kathodenoszillograph nach Rogowski²⁵⁾. Insgesamt enthält das Institut in fünf Stockwerken 43 Räume, die für mechanische Übungen sowie für Forschungsarbeiten auf dem Gebiet der Meßkunde und Hochspannungstechnik eingerichtet sind. Ein Freiluft-Versuchsfeld ermöglicht, Isolatorenversuche und dergl. Freien auszuführen.

Der Südflügel mit einem anschließenden Westflügel enthält in drei Stockwerken das Institut für elektrische Maschinen, dessen große dreischiffige Halle, Abb. 3, eine Grundfläche von 400 m² bedeckt und eine Hebezeuganlage enthält, die den Kran auf den Hof hinausreicht.

Das Institut hat in 25 Räumen außer der großen Halle mehrere kleine Maschinenäle für Forschungsarbeiten, Transformatoren-Versuchsräume, einen großen Zeichensaal usw. 35 Grundplatten und Spannrosten stehen 100 Maschinen und 20 Transformatoren, wie verschiedene Bremsenrichtungen.

Die obersten Stockwerke enthalten 24 Räume das Institut für Fernmelde- und Hochfrequenztechnik mit einer gesamten nutzbaren Grundfläche von 800 m². Außer einer großen Antennenanlage ist eine Frankesche Schiene²⁶⁾ im Kabelmeßzimmer aufgebaut, verschiedene Kurzwellensender für sehr kleine Wellenlängen, sowie Meßeinrichtungen außerordentlich kleine Spannungen und Ströme sind vorhanden, ebenso ein Oszillograph mit sechs Schleifen.

Ein kleines galvanotechnisches Laboratorium und ein Laboratorium für technische Elektrizität sind ebenfalls eingerichtet worden.

Die Institute sind angeschlossen an die 6000 V-Drehstromleitung des Städtischen Elektrizitätswerkes und an die 2 × 220

²⁵⁾ Ein Bericht von Prof. Rogowski über seine Arbeiten mit dem Kathodenoszillographen wird ausschließlich in dieser Zeitschrift erscheinen.

²⁶⁾ Vergl. ETZ Bd. 34 (1913) S. 433.

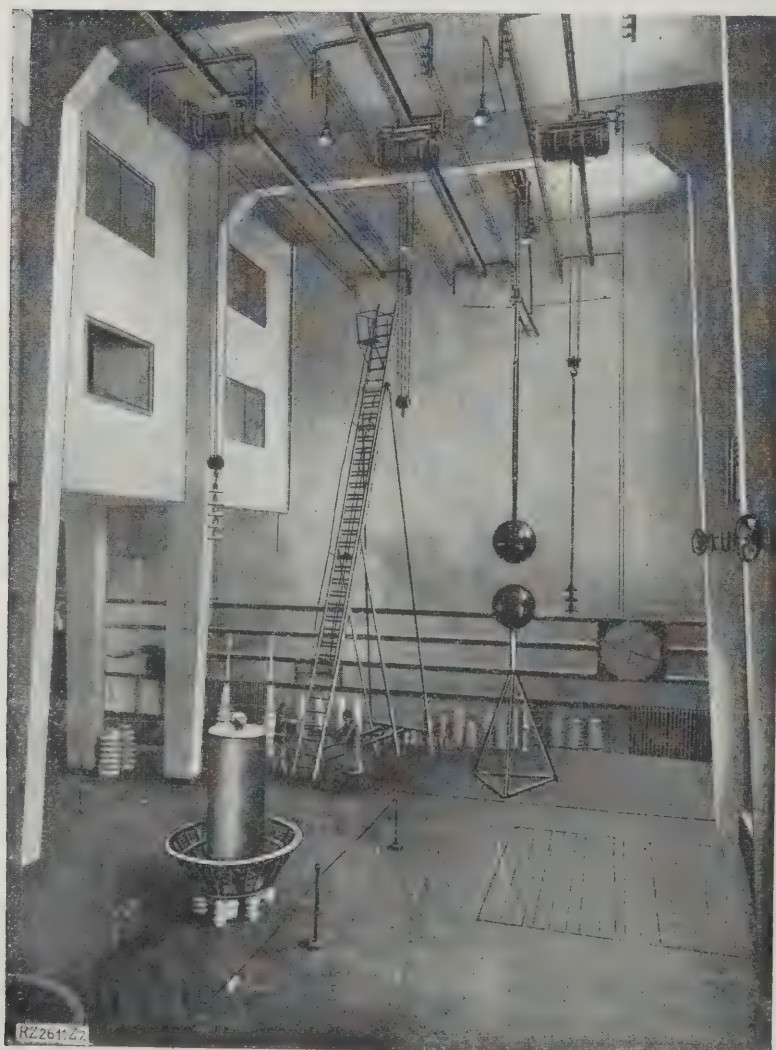


Abb. 2.
Großer Hochspannungsraum im Institut für Hochspannungstechnik in Braunschweig.
Blick von der Schaltbühne auf die Funkenstrecke und einen Tesla-Transformator.

g sowohl des Städtischen Elektrizitätswerks auch der Hochschulzentrale. Gleichrichter mformer zur Umformung von Drehstrom in Strom und umgekehrt sind vorhanden. stweilen sind im Neubau noch ein Zeichen-on der Maschinenbauabteilung und mehrere von dem Lehrstuhl für Schweißtechnik be- ie später auch für die elektrotechnische An- rei werden.

Entwicklungsarbeiten

Die Entwicklung der Elektrotechnik sind im Institut für elektrische Maschinen an der schen Hochschule Braunschweig eine Reihe rbeiten durchgeführt worden; weitere sind unge. Sie umfassen: Wachstumsgesetze und eubung bei elektrischen Maschinen und Trans- oren²⁷⁾, Kapazitätstransformator²⁸⁾, Wälz- bei Elektromotoren, Erwärmung und Wärme-, Magnetisierungsströme bei Drehstrommoto- Ankerückwirkung, Stromdiagramme und und Gegenfeldreakanz bei synchronen Wech- maschinen²⁹⁾, Einphasen-Drehtransforma-), Drehfeld-Wechselfeld-Transformation, Syn- usatz- und Phasenschleibermaschinen, Luf- itung bei Elektromagneten, Streuung³²⁾, ströme in massivem Eisen, Elektromagnetische



Abb. 3. Westliches Schiff der großen Halle im Institut für elektrische Maschinen. Im Hintergrunde der Gleichstromteil der 14 m breiten Hauptschalttafel.

Unger, ETZ Bd. 41 (1920) S. 3; *Weißensee*, Arch. f. Elektrotechn. 1928) S. 356, ETZ Bd. 49 (1928) S. 618 u. Dissert. Braunschweig 1928.
Probst, ETZ Bd. 45 (1924) S. 750 u. Dissert. Braunschweig 1924.
Mellenthin, Dissert. Braunschweig 1928.
Unger, ETZ Bd. 41 (1920) S. 306 u. Fachber. Jahresvers. 1926 Verb. Elektrotechniker S. 3, *Vossius*, ETZ Bd. 46 (1925) S. 769 u. Dissert. hweig 1923.
Unger, Wiss. Veröff. Siemenskonzern Bd. 2 (1922) S. 128.
Unger, ETZ Bd. 41 (1920) S. 627 u. Bd. 48 (1927) S. 1229, Elektro- . Maschinen (Wien) Bd. 39 (1921) S. 17 u. Arch. f. Elektrotechn. 1926) S. 467.

Werkstoffprüfung, Stromwendung, Doppelkäftig-Drehstrom- motoren³³⁾ und selbsttätige Anlaßkupplungen.

Die Arbeiten sind zum Teil noch in den engen Keller- räumen des alten Instituts für Elektromaschinenbau durch- geführt worden. Es ist zu hoffen, daß in den neuen schönen Laboratoriumsräumen noch zahlreiche Forschungs- arbeiten entstehen.

[B 2611]

³³⁾ *Früser*, Dissert. Braunschweig 1927 u. Arch. f. Elektrotechn. Bd. 19 (1922) S. 289.

Brandgefahren durch Unterstellen von Kraftwagen in ungeeigneten Räumen

folge der starken Ausbreitung des Kraftwagenver- sein den letzten Jahren haben sich neue Brandgefahren ie Unterstellung der Wagen in unvorschriftsmäßigen nn ergeben. Besonders durch die unzulängliche „vor-“ Unterbringung des soeben angeschafften Kraft- es, die leicht zu einer ständigen wird, entstehen Brand- en, die noch viel zu wenig bekannt sind.

uf dem Land ist man in dieser Hinsicht überaus sorg- nnen, Scheunen, Wagenschuppen werden wahllos zur estellung benutzt. In den Städten sind die Verhält- e ünstiger infolge der schärferen Aufsicht.

ie hauptsächlichsten Gefahren bilden Vergaser- üde beim Anlassen der Kraftwagenmotoren. Sie sind ungelhafter Unterbringung der Wagen nur zu oft die ace von Gebäudebränden. Als wirksames Mittel zum öhen dieser Brände hat sich die Bereithaltung eines duerlöschers im Kraftwagen und der Einbau eines ita, selbsttätig arbeitenden Feuerlöschers oberhalb des gers als zweckmäßig erwiesen; bei einem Vergaser- wird dieser durch die unterhalb der Motorhaube ent- kee Hitze in Tätigkeit gesetzt und erstickt den Brand e Regel selbsttätig, bevor ein größerer Schaden ent- t.

ie Ausbreitung solcher Brände, die auch auf andern en beruhen können, läßt sich nur verhindern, wenn e Kraftwagenräume so herstellt, daß in feuerpolizei- e Hinsicht keine Bedenken vorliegen.

ie Vorschriften über die Unterstellung n Kraftwagen enthalten aber auch noch Lücken, n Beseitigung als dringend notwendig anzusehen ist, we zu weit führen, diese hier zu besprechen. Viel wig Wert wird noch auf die Entlüftung der eräume gelegt. Viele Menschen werden alljährlich hie sich entwickelnden giftigen Gase getötet.

Zr Verhütung von vermeidbaren Bränden, wodurch hjährlich unserer verarmten Volkswirtschaft große unwiederbringlich verlorengehen, ist es daher er- reich, beim Bau von Räumen zur Unterstellung von fhrzeugen die nachstehenden hauptsächlichsten For- rungen zu beachten:

1. Die Kraftwagen-Unterstellräume müssen in der Regel feuerbeständige (massive) Wände haben und dürfen keine Verbindung mit Nebenräumen erhalten.

2. Die Decken müssen feuerbeständig (massiv) oder feuerhemmend (verputzt), je nach Lage des Raumes, herge- stellt werden.

3. Die Fußböden müssen unverbrennlich sein.

4. In den Kraftwagenräumen dürfen sich keine Feuer- stätten und Reinigungsöffnungen für Schornsteine befinden. Ausbesserwerkstätten dürfen nicht mit den Wagenräumen in Verbindung stehen. Für eine genügende Entlüftung ist zu sorgen.

5. Die Kraftwagenräume müssen durch fugendichte, feuerbeständige, von außen zu heizende Kachelöfen oder durch andre geeignete Heizanlagen geheizt werden.

6. Elektrische Glühlampen, Schalter, Steckdosen und Sicherungen sind mindestens 1,50 m über dem Fußboden an- zubringen. Sonstige Beleuchtungen sind als Außenbeleuch- tung gestattet, wenn sie durch festgemauerte Fenster von den Innenräumen dicht abgeschlossen sind.

7. An Betriebsstoffen ist in den Kraftwagenräumen nur die Unterbringung eines Kanisters bis zu 15 l Inhalt, der jedoch am Wagen befestigt sein muß, gestattet.

8. An den Zufahrten der Wagenräume ist durch An- schlag augenfällig und in dauerhafter Ausführung bekannt- zugeben:

„Kraftanlage. Rauchen, offenes Licht und offenes Feuer verboten!“

Ferner ist in den Wagenräumen folgender Aushang an- zubringen:

„Vorsicht beim Lauflassen der Motoren! Vergiftungsgefahr!“

9. Für jeden Kraftwagen ist geeignetes Löschgerät be- reitzuhalten.

10. Auf Räume, in denen Kraftfahrzeuge mit Betriebs- stoffbehältern von weniger als 15 l Fassungsvermögen ein- zeln untergebracht sind, brauchen diese Vorschriften nicht angewendet zu werden, wenn die Räume feuerbeständige Wände erhalten.

An vielen Stellen sind diese Anforderungen nicht er- füllt. Mit der weiteren Zunahme des Kraftwagenverkehrs werden ohne Zweifel auch die Brandschäden durch die Kraft- wagenunterstellung in ungeeigneten Räumen zunehmen, wenn in dieser Hinsicht nicht rechtzeitig vorgebeugt wird.

Kiel [N 2511]

H. Clausen,
Techn. Landesoberinspektor

Fließarbeit in der Galvanotechnik

Von J. W. WOLF und W. MICHAELIS, Berlin-Frohnau

Da die betriebsmäßigen Grundbedingungen für die Fließarbeit ununterbrochenes Vorarbeiten vieler Einzelteile, in vielen Betrieben, auch für die Vorgänge des Galvanisierens gegeben sind, hat man besondere Verfahren und Geräte hierfür entwickelt. Bei den Ringbädern wird die Ware mit einer Förderkette an das Ringbad herangeschleppt, an die feste ringförmige Kathodenstange abgegeben und nach dem Galvanisieren wieder von der Förderkette übernommen.

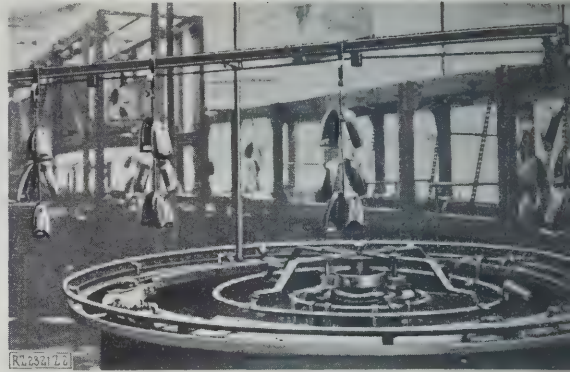
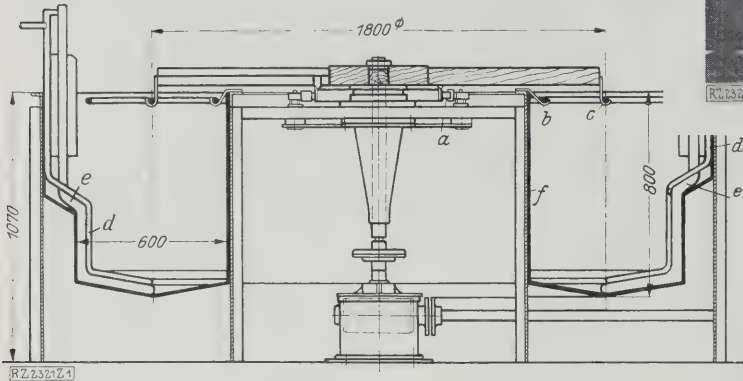


Abb. 1 und 2
Ansicht und Schnitt von einem Ringbad.

- | | |
|---|--------------------------------------|
| a Stromzufuhr zur Anode | d Rohr zum Zuführen angewärmter Luft |
| b Anodenring | e Saugrohr |
| c Kathodenring (umlaufende Warenstange) | f Badbehälter |

Die günstigen Erfahrungen, die man mit der Fließarbeit bei einer großen Zahl von Fertigungsarbeiten gemacht hat, haben auch in der Galvanotechnik mit ihrem vielfach auf Massenfertigung eingestellten Betriebe dazu geführt, die Arbeitsweise der Fließarbeit anzupassen und durchzubilden. Elektrizitätsfirmen, Kraftwagen-, Fahrrad- und Metallwarenfabriken haben häufig galvanische Anlagen, wo man große Mengen gleichartiger Einzelteile behandeln muß. Alle diese Betriebe weisen hohe Stückzahlen auf, so daß die Anwendung der Fließarbeit größere Wirtschaftlichkeit gewährleistet.

Das Galvanisieren, als Schutzmittel gegen Anfrassung oder zum Verschönen angewandt, verlangt im Fließbetriebe die zwangsläufige Schaltung folgender Arbeitsgänge: Zuführen der Werkstücke, Vorbehandlung, Galvanisieren, Nachbehandlung und Abführen der Arbeitsstücke. Die Vorbehandlung besteht aus einer chemischen und mechanischen Behandlung, aus dem Entfetten und unter Umständen dem Dekapieren. Die Nachbehandlung erstreckt sich auf das Spülen, Trocknen und Nachpolieren.

Mechanische und chemische Vorbehandlung

Jede Unebenheit der Oberfläche zeichnet sich auch im galvanischen Metallüberzug ab; die mechanische Vorbehandlung mit Bürsten und Schleifscheiben ist also sorgfältig auszuführen. Für die Fließarbeit kommt nur maschinelles Schleifen und Polieren in Frage. Es gibt einige Bauarten von selbsttätigen Schleifmaschinen, die für bestimmte Werkstücke eingerichtet sind. Eine Sonderbauart dient z. B. zum Planschleifen der Bügeleisensohlen. Runde Körper, wie Rohre, Töpfe u. a., können ebenfalls auf selbsttätigen Schleif- und Poliermaschinen bearbeitet werden; die zu bearbeitenden Teile müssen jedoch mit der Hand eingesetzt werden. Für alle Teile, die man nur im Handbetrieb poliert und schleift, muß ein größerer Betrag in die Kostenberechnung eingesetzt werden. Unter Umständen ist noch eine chemische Vorbehandlung notwendig, z. B. müssen verzündete Stücke oder rohe Gußwaren in die Beize, Messingguß in die Gelbbrenne gebracht werden. Hierfür hat man ebenfalls selbsttätig arbeitende Anlagen ausgebildet. Vorbedingung für das Haften der galvanischen Niederschläge auf dem Grundmetall ist die völlige Glätte der zu schützenden Oberfläche und die vollständige Oxyd-, Fett- und Schmutzfreiheit.

Entfetten

Da das Entfetten so wichtig für gute Arbeitsergebnisse ist, seien die üblichen Entfettungsverfahren kurz geführt:

1. Verseifen in kochender Lauge,
2. Anwendung geeigneter Fettlösungsmittel, hauptsächlich Benzin und nicht feuergefährliches Triethyläthylen,
3. elektrolytische Entfettung.

Dabei ist zu beachten, daß einzelne Metalle und Legierungen, z. B. Aluminium, Messing, Zink und Zinn, Alkalien bei gewisser Temperatur und Dichte angegriffen werden können. Verschiedentlich hat man versucht, schnell mit Lösungsmitteln zu entfetten. Zu diesem Zweck werden die zu entfettenden Teile und das unter Umständen erwärmte Lösungsmittel in einem geschlossenen Gefäß sammengebracht. Das fetthaltige Lösungsmittel wird destilliert, kondensiert und im Kreislauf für neue Verwendung zurückgewonnen. Solche Einrichtungen wurden bisher von Pfannhauser, Heller-Christ und Wacker in den Handel gebracht. Im Betriebe hat sich in letzter Zeit auch aus Amerika stammende Crescent-Waschmaschine bewährt, wo das mechanische Reinigen mit der Entfettung vereinigt ist.

Einen wichtigen Fortschritt bietet die elektrolytische Entfettung: Ein Eisenblech ist Anode, der entfettende Gegenstand ist Kathode. Als Elektrolyt dienen z. B. Lösungen von Soda, Pottasche oder bestimmter Salze von Alkalien. Die lebhaft Gasentwicklung an der Kathode sprengt die dem Gegenstande anhaftende Fettschicht und das Fett wird von der Lauge, die sich während der Elektrolyse bildet, verseift. Die entfetteten Gegenstände müssen so rasch wie möglich in das Galvanisierbad gebracht werden, um der Bildung hauchfeiner, nicht metallischer Niederschläge, z. B. von Oxyden, zuvorzukommen. Diese wirken sonst beim Galvanisieren als trennende Schicht zwischen dem Grundmetall und dem niederschlagenden Überzuge.

Sind solche Niederschläge dennoch entstanden, so ist ein neuer Arbeitsgang erforderlich: das sogenannte Dekapieren. Angelaufene Stücke werden in einem Bad behandelt, das die Oxyd- oder Sulfidschicht löst. Die Nachreinigung kann man bei Eisen, Blei und Zink

metallen durch elektrolytisches Entfetten mit so-
anschließendem Verkupfern vermeiden. Das Ver-
n ist gleichzeitig die Probe für einwandfreie Ent-
z, da Spuren noch anhaftenden Fettes den Kupfer-
schlag verhindern würden.

Bäder mit bewegter Ware

on der richtigen Wahl der Stromdichte hängt das
einwandfreier galvanischer Überzüge wesentlich
ruhenden Bädern arbeitete man bis vor kurzem mit
Zahlentafel 1 ersichtlichen Stromstärken.
urden die für jedes Bad zulässigen Grenzen der
lichte überschritten, so traten an den Niederschlägen
Eigenschaften auf.

Zahlentafel 1

Stromdichten für ruhende Bäder

	Dichte ° Bé	Strom A/dm ²
Nickelbäder	15 bis 16	0,6 bis 0,8
saure Kupferbäder	15 „ 20	1 „ 3
Zyankali	7 „ 8	0,3 „ 0,4
saure Zinkbäder . .	24 „ 26	1 „ 3
Kadmiumbäder . .	8 „ 10	1 „ 1,5

in neuzeitlichen Anlagen kann man mit größeren
lichten arbeiten, ohne verfärbte, abblätternde oder
Niederschläge zu erhalten. Erhöhte Stromdichte be-
die Bewegung der Ware im Bade, eine gute Filtra-
nd höhere Badtemperatur. Die zweckmäßigste Be-
der zu galvanisierenden Gegenstände und die
des Galvanisierungsades müssen einander angepaßt
Wanderbäder mit Kettenförderung und Stromzufüh-
über die Kette haben mitunter zu Störungen und
verlusten geführt, infolge gelegentlich ungenauen Kon-
e- und des Oxydierens der Fördervorrichtung. Eine
günstigere andere Anordnung der Waren- und der
zuführung weisen die *Riedelschen* Ringbäder, Abb. 1,

Die Hauptmerkmale sind die starre Warenstange mit
er Stromzuführung und Kontaktgebung und die
eileilung zwischen der Förderkette und der festen
estange. Im Gegensatz zu anderen Anordnungen
ent hier die Förderkette die Waren nicht durch die
sondern führt sie ihnen nur zu, gibt sie dort an
feste Warenstange ab und übernimmt sie von dieser
dem Galvanisieren wieder zur Weiterförderung durch
Sil- und Trockenanlage. Die Führung innerhalb der
erfällt ausschließlich der ringförmigen, sich drehenden
arenwarenstange zu, Abb. 2.

Die Fördervorrichtung besteht aus zwei Förder-
eta, Abb. 3, oder einer einfachen Kreuzgelenkkette,
in regelmäßigen Abständen durch besonders geformte
mermerstangen miteinander verbunden sind. An diesen
gliedern hängt ein Doppelhaken c, an dem die Auf-
sterrrichtungen angehängt oder eingeschraubt werden
re. In der Mitte des Bades sind der Antrieb und der
inter eingebaut. Die Badflüssigkeit befindet sich in
mzylindrischen Ring. An einem Drehgestell ist die
stunde Warenstange über der Badflüssigkeit an-
ant. Die Umlaufzeit des Drehgestelles kann auf meh-
eschwindigkeiten eingestellt werden. Ein Umlauf
richt der gesamten Behandlungszeit. Hohlkörper und
teile können während des Kreislaufes im Bade mit-
der Sondervorrichtung noch um ihre eigene Achse
re werden.

Die kupferne, nickelplattierte Warenstange ist leicht
blich und wird mit einer umlaufenden Formbürste
urch eine Gummiabstreichvorrichtung unter Be-
zuz mit reinem Spülwasser dauernd mechanisch ge-
e. Kräftige Stromabnehmer (Stromschiene, Schleif-
ste und Kontaktringe) sind an die Warenstange starr
areschlossen, daß sie nicht von den oxydierenden
schläpfen getroffen werden. Eine besondere Fangvor-
rtung verhindert, daß der ausgebleite Badbehälter durch
eintrillende schwere Gegenstände beschädigt wird;
ichtig wird dem Liegenbleiben hineingefallener Ge-

genstände vorgebeugt und damit den unerwünschten Re-
aktionen zwischen dem Metalle dieser Gegenstände und
dem Elektrolyten. Diese Fangvorrichtungen können un-
ter den mechanischen Ein- und Aushängevorrichtungen
angebracht werden.

Das Bad wird mittels Heizschlangen erwärmt. Acht
bis zwölf getrennt eingebaute Umlauffilter (Zirkular-
Elektrolytfilter) sorgen für die Reinhaltung. Glasklare
Badflüssigkeiten sind nötig, um einwandfreie, dichte Nie-
derschläge in bewegten Bädern zu erhalten. Die Art des
Filterns muß man sorgfältig auswählen. Das Sauberhalten
der Badflüssigkeit, insbesondere das Filtern und das Ab-
saugen des Schlammes, wird durch die Form des Bad-
behälters unterstützt, dessen Boden nach der Mitte hin ab-
geschrägt ist. Infolgedessen kann der angehäuften Schmutz
nicht aufgewirbelt werden und so die Güte des Nieder-
schlages beeinträchtigen. Die Badflüssigkeit wird durch
dauernd zugeführte angewärmte Luft ständig in Bewegung
gehalten. Alle Verunreinigungen werden nach den Ab-
saugrohren der Pumpen gespült, dort restlos erfaßt und
abgesogen. Jede der acht Pumpen leistet 25 l/min, so daß
man bis 18 m³/h filtern kann.

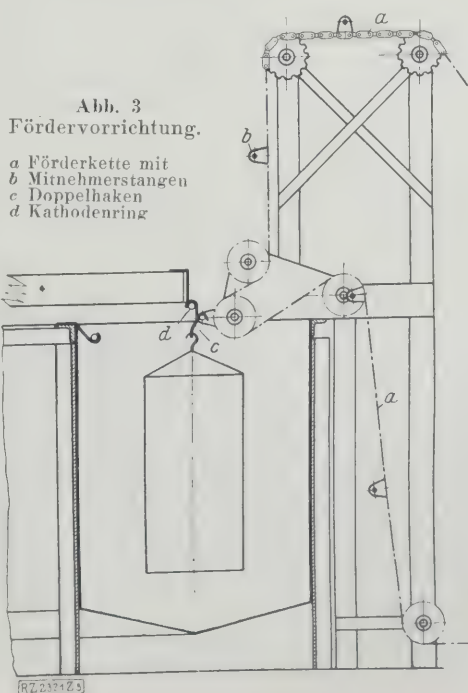
Zum Einführen der Warmluft und zum Ansaugen der
Badflüssigkeit in die Filter sind in der Mitte des Badbehäl-
terbodens Bleirohre angeordnet. Eine Anlage braucht in
der Minute etwa 50 l ölfreie Druckluft von 0,2 bis 0,5 at.

Die erwähnten acht bis zwölf Umlaufelektrofilter
sind bei den *Riedelschen* Ringbädern über den ganzen Bad-
umfang gleichmäßig verteilt. Der ringförmige Badbehäl-
ter hat an seiner Stirnseite zur Aufnahme der Filter Aus-
bauten. Jeder Filterkasten ist rd. 12 cm breit.

Der erzeugte Badumlauf soll auch die Bildung von
Poren (Sommersprossen) im Niederschlag verhindern. Sie
entstehen durch kleine Wasserstoffblasen, die sich ab-
scheiden und am Niederschlage fest haften bleiben.

Das Entfetten wird zweckmäßig in einem nach gleichen
Grundsätzen gebauten Entfettungsbad vorgenommen. Eine
selbsttätig arbeitende Oberflächen-Reinigungsanlage sorgt
dann dafür, daß die entfettete Ware in einem vollkommen
fett- und schaumfreien Gebiet herausgehoben wird. Die
Größe des Ringbades läßt sich jedem Betrieb anpassen.
Aus Gründen der Raumausnutzung ist dies von großer
Bedeutung. Besonderen Betriebsverhältnissen angepaßte
Fließanlagen zeigen Abb. 2, 4 und 5.

Ein Ringbad hat die gleiche Leistung wie z. B. zwölf
ruhende, leichte Nickelbäder, erfordert aber höchstens ein



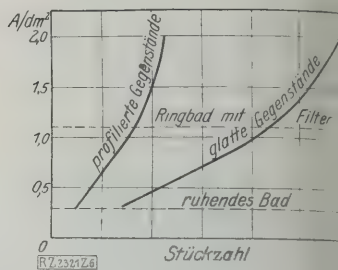
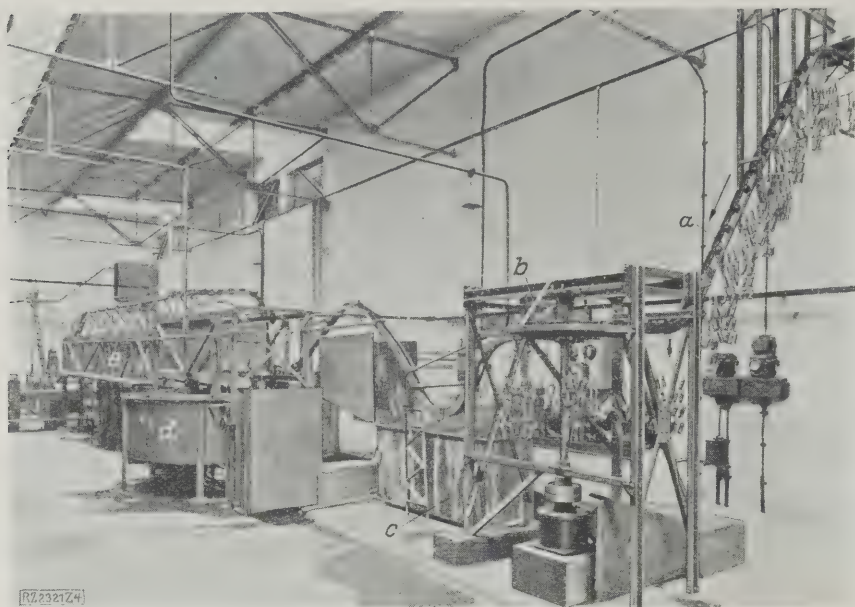


Abb. 6
Leistungssteigerung (Stückzahl der Zeiteinheit) bei bewegter Ware gegenüber ruhender Ware

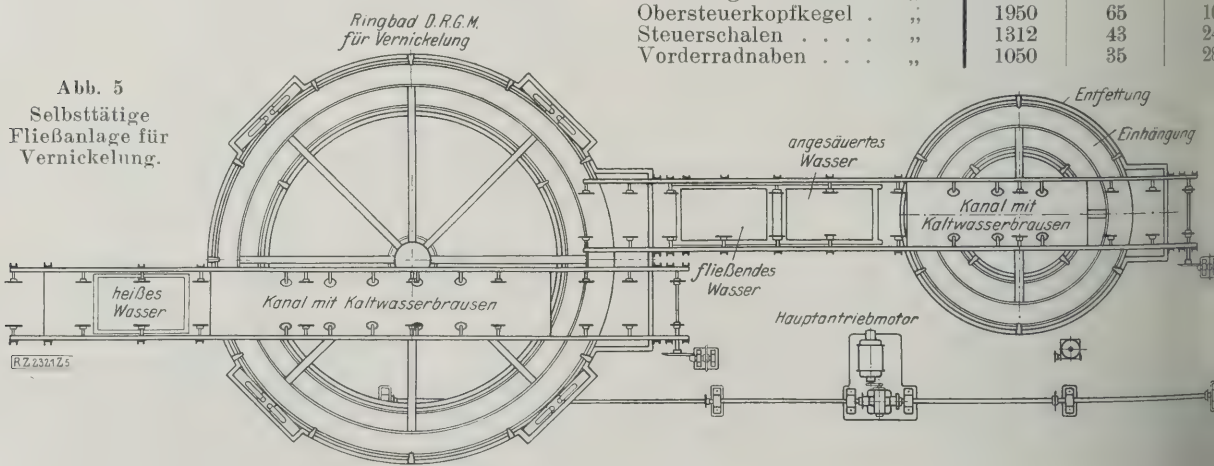
Abb. 4 (links)
Teilansicht einer selbsttätigen Galvanisieranlage.
a Förderkette
b Antrieb
c Vorreinigung
d Entfetten im Ringbad
e Vorbehandlung

Drittel der Bedienungsmannschaft. Die Leistungssteigerung geht aus Abb. 6 hervor. Der Platzbedarf würde für zwölf ruhende Bäder 45 m², für das Ringbad 22 m² betragen. Die verwendete Stromdichte steigt von 0,3 A/dm² auf 1,2 A/dm² bis zu 3 A/dm². Die beschränkte Anoden-Lösungsgeschwindigkeit bedingt jedoch praktisch die Anwendung einer Kathoden-Stromdichte bis zu 2 A/dm². Das in den Anoden angelegte Kapital verringert sich bei dem Ringbade gegenüber den zwölf Nickelbädern um einen Betrag, der dem Unterschiede der gebrauchten Anodengewichte entspricht. Beispiele für die Zahl der in einem Ringbade zu vernickelnden Gegenstände gibt Zahlentafel 2, S. 611. Danach kann man mit dieser Anlage die Einzelteile für 450 bis 500 Fahrräder, ohne die Lenkstangen, in 8 h vernickeln.

Im Auslande versucht man die Fließarbeit in der Galvanotechnik mit Hilfe der einfachen Kettenförderung derart durchzuführen, daß die Ware von der Kette selbst durch das Bad geschleppt wird.

Zahlentafel 2. Mindestleistungen eines Ringbades mit einem Warenring von 3 m Durchmesser

Ware	Vernickelungsmenge je Radbeschickung	Leistung in 1 min	Zeit 1000 Stück
	Stück	Stück	min
Lenkstangen, gewöhnliche deutsche (40 min)	80	2	500
Kettenräder, gewöhnliche (30 min)	90	3	333
Kurbeln	225	8	133
Sattelwinkel	225	8	133
Nabenhülsen	675	23	46
Bremshebel	225	8	133
Bremsschuhe	225	8	133
Schutzblechstreben	450	15	66
Kurbelachsen	1125	38	28
Bremshebelkloben	1312	43	23
Gabelringe	1500	50	20
Obersteuerkopfkegel	1950	65	16
Steuerschalen	1312	43	23
Vorderradnaben	1050	35	28



Temperaturmessung durch Farbumschlag

Nacser entwickelte auf der 15. Vollsitzung des Werkstoffausschusses des Vereins deutscher Eisenhüttenleute¹⁾ ein optisches Temperaturmeßgerät, das nach folgenden Grundsätzen arbeitet:
Der Grad der Helligkeit eines strahlenden Körpers ist von der Oberflächenbeschaffung abhängig; die auf der Gesamtstrahlung beruhenden Pyrometer zeigen erfahrungsgemäß zu niedrige Werte an. Dagegen deckt sich

die durch die Farbe des grauen Strahlers auf Grund spektralen Verteilung des Lichtes bestimmte Temperatur fast genau mit der wirklichen. Zur Farbmessung benutzt man zwei keilförmige Filter von Komplementärfarben, im Spektrum entgegengesetzt liegen. Die Filter werden so lange gegeneinander verschoben, bis der Farbton wechselt und das durchfallende Licht weiß erscheint. An einer Skala kann man dann die richtige Temperatur ablesen. Bei einfacher und schneller Handhabung gestattet die Meßgerät zwischen 900 und 2000 ° eine Genauigkeit ± 13 °. [N 2949]

¹⁾ „Stahl und Eisen“ 4. April 1929 S. 464.

Über Kokillenguß

Von Dipl.-Ing. HERMANN OBERMÜLLER, Stuttgart¹⁾

Die verschiedenen Verfahren des Gießens in Dauerformen werden angeführt, Sand-, Spritz- und Kokillenguß einander gegenübergestellt. Die für den Gang des Verfahrens wesentlichsten Punkte, wie die Gestaltung der Kokille (Werkstoff, Anschnitt und Einguß, Entlüftung, Schräge der Seitenwände, Kerne) und das Gießen selbst werden beschrieben. Schließlich wird noch kurz die Wirtschaftlichkeit des Verfahrens besprochen.

Das Gießen in Dauerformen unterscheidet sich zunächst gegenüber dem sonst üblichen Verfahren des Sandgußs in Sandformen dadurch, daß die Form nicht nach dem Guß zerstört wird, sondern daß sie aus einem hitzebeständigen Stoff besteht und so gestaltet ist, daß sie zum Entnehmen des Teils geöffnet und nachher wieder geschlossen werden kann und damit wieder zu weiteren Güssen bereit steht. Diese Art des Gießens hat sich besonders bei der Massenherstellung von Gußteilen aus Aluminium bewährt, und man spricht daher von Aluminiumkokillenguß, obgleich heute auch Gußeisen und verschiedene Kupferlegierungen in Dauerformen — als Form verwendet man Gußeisen — vergossen werden:

Im Gießen von Formteilen in Dauerformen können folgende Verfahren unterschieden werden:

Guß in ruhende Dauerformen mittels der Schwerkraft, d. h. Kokillenguß,

Guß in ruhende Dauerformen, unter Druck, d. h. Spritzguß,

Guß in umlaufende Dauerformen, d. h. Schleuderguß.

Außerdem kommen noch zwei Verfahren von z. Z. größerer Bedeutung zur Anwendung, nämlich

Guß in ruhende Dauerformen mit Nachverdichtung, d. h. Preßguß. Das in der Form befindliche flüssige Metall wird durch einen Stempel unter Druck gesetzt; dadurch soll es gezwungen werden, die feinsten Ecken und Kanten der Form auszufüllen und soll außerdem ein sehr dichtes Gefüge erhalten.

Stempelguß. Das Metall wird in die Eisenform eingegossen; sofort nach dem Eingießen wird die Form umgedreht und das noch flüssige Metall wieder ausgegossen. Das Metall, das mit den Formwänden in Berührung kam, ist inzwischen erstarrt und zeigt nach dem Herausnehmen eine schöne glänzende Oberfläche. Dieses Verfahren wird vielfach zur Herstellung von Spielwaren verwendet.

In den folgenden Ausführungen soll nun lediglich das Kokillenguß-Verfahren behandelt werden, das in den letzten Jahren dank seiner mannigfaltigen Vorzüge eine wachsende Bedeutung in der Industrie gefunden hat. Um dieser Bedeutung des Verfahrens gerecht zu werden, ist es notwendig, zunächst seine Vorzüge gegenüber den andern Gießverfahren, besonders gegenüber dem Sandguß und dem Spritzgußverfahren zu erörtern.

Gegenüber der rauen Oberfläche der Sandgußteile besitzen die in der Kokille gegossenen Stücke eine hellglänzende

zende, glatte Oberfläche, die eine Bearbeitung, außer an Paßflächen, überflüssig macht. Die zu erreichende Maßgenauigkeit ist wesentlich größer als beim Sandguß; infolgedessen ist es möglich, beim Kokillenguß mit geringerer Werkstoffzugabe (0,5 bis 1 mm) als beim Sandguß (rd. 2 mm) an bearbeiteten Stellen auszukommen. Die bei Kokillenguß erreichbare Maßgenauigkeit ist von einer Reihe von Punkten abhängig, z. B. von der Größe und Gestaltung des Gußstücks, von der Gestaltung und Herstellung der Form, zum geringeren Teil auch noch von der Legierung. Im allgemeinen wird eine Genauigkeit von $\pm 0,1$ bis $0,3$ mm gewährleistet; diese ist jedoch bei kleinen Gußstücken wesentlich besser einzuhalten als bei großen, da hier die Schwindung eine große Rolle spielt. Auch nimmt die Maßgenauigkeit um so stärker ab, je mehr Teile aus einer Form hergestellt werden, da die Form und auch die Kerne sich unter dem Einfluß der dauernden Wärmeschwankungen verziehen.

Im Gegensatz zum Sandformguß, wo die Form nach jedem Guß zerstört und wieder neu hergestellt werden muß, lassen sich in einer Kokille aus Gußeisen 10 bis 50 000 Stück gießen, die nach Eigenschaften und Maßgenauigkeit größte Gleichmäßigkeit aufweisen. Die beim Kokillenguß stattfindende rasche Abkühlung ergibt ein sehr druckdichtes Gefüge und läßt Festigkeitswerte erzielen, die beim Sandgußverfahren nicht erreicht werden, Abb. 1 bis 4 und Zahlentafel 1 und 2.

Kokillengußstücke können durch ungelernte Arbeiter gegossen werden, gelernte Former und Modelltischler sind nicht notwendig, wohl aber geübte Werkzeugmacher für die Herstellung der Kokillen. Hier gleichen sich also Vorzüge und Nachteile ungefähr aus. Ebenso ist dies der Fall hinsichtlich des Zeitverbrauchs bei verhältnismäßig geringen Stückzahlen. Während die Gußstücke sehr rasch hergestellt werden können, wenn erst die Form gebrauchsfertig vorhanden ist, so dauert häufig die betriebsmäßige Fertigstellung einer Form so lange, daß man mit dem Gießen in Sandformen, die auf einer Formmaschine hergestellt werden, bei geringeren Stückzahlen rascher zum Ziel kommt. Dieses Bild ändert sich jedoch, sobald die Fertigungszeit der Gußstücke im Verhältnis zur Fertigungszeit der Form größer wird; d. h. bei größerer Stückzahl. Kokillenguß wird im allgemeinen erst wirtschaftlich bei Stückzahlen über 1000. In manchen Fällen können auch kleinere Stückzahlen, z. B. 400, noch wirtschaftlich sein, wenn nämlich die Bearbeitungskosten nachher größer sind als die Kosten für die Herstellung einer Form.

Kokillengußteile lassen sich besser polieren und bearbeiten als Sandgußteile, auch soll die Beständigkeit gegen Anfrassungen bei Kokillenguß besser sein als bei Sand-

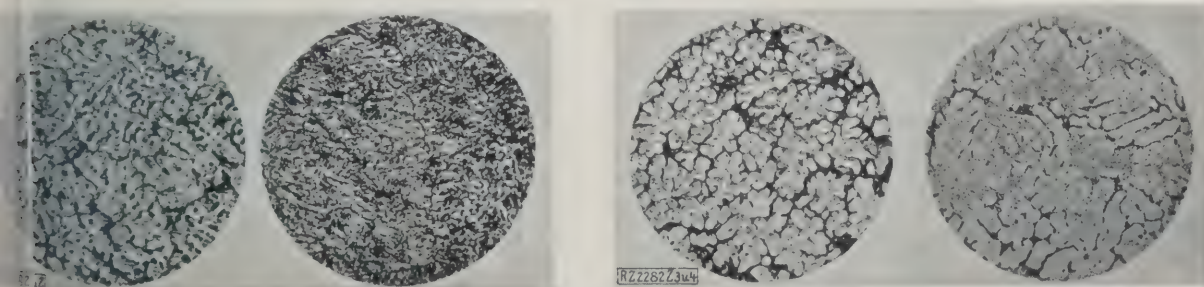


Abb. 1. Sandguß.

Abb. 2. Kokillenguß.

Abb. 1 und 2

Abb. 3. Sandguß.

Abb. 4. Kokillenguß.

Abb. 3 und 4

Dutsche Legierung (3 vH Cu, 10 vH Zn, Rest Al).

Amerikanische Legierung (Cu-Al-Legierung mit 8 vH Cu).

Zahlentafel 1

Festigkeitseigenschaften von Sand- und Kokillenguß von Lautal nach Fuß

Lautal als Gußmaterial wird zum Unterschied gegen das durchgeknettete mit „L IV“ bezeichnet (Schwindmaß rd. 1,5 vH).

Zugfestigkeit kg/mm ²	Sandguß		Kokillenguß	
	unvergütet 12 bis 20	vergütet 16 bis 25	unvergütet 17 bis 25	vergütet 20 bis 30
Dehnung . vH	bis 4	bis 4	bis 10	bis 10
Brinellhärte (5/250/30) kg/mm ²	55 bis 60	65 bis 70	66 bis 80	90 bis 110

Die höheren Festigkeits- und Dehnungswerte entsprechen den geringeren, die niedrigen den größeren Wanddicken.

guß. Trotz der großen Vorzüge des Kokillengußverfahrens wird jedoch das Sandgußverfahren für kleinere Stückzahlen, für geringe Wanddicken sowie für sehr große oder verwickelte Teile nicht entbehrt werden können.

Auch beim Spritzguß ist gleich wie bei dem Kokillenguß als Massenfertigungsverfahren die Herstellung einer oft sehr verwickelten Form notwendig, die sich erst bei größeren Stückzahlen bezahlt macht. Während jedoch die Herstellkosten einer Kokille 50 bis 100 vH geringer sind als die einer Spritzgußform, ist außerdem die Lebensdauer einer Kokille wesentlich größer als die einer Spritzgußform. Ferner sind beim Spritzgußverfahren noch verwickelte Gießmaschinen erforderlich, während beim Kokillenguß nur einfache Vorrichtungen zum Halten und Bewegen der Formhälften gebraucht werden.

Die erreichbare Maßgenauigkeit ist beim Spritzgußverfahren wesentlich größer als beim Kokillenguß, so daß beim Spritzguß die Kosten für eine Weiterbearbeitung fast vollständig gespart werden können. Infolge der beim Spritzguß unvermeidlichen Schwindungsporen sind aber Festigkeit und Dichte der Spritzgußteile meist geringer als die von Kokillenguß.

Schließlich ist noch zu erwähnen, daß die Vergütung durch Wärmebehandlung, die einen Vorzug der Aluminium-Gußlegierungen bildet, am besten bei Kokillenguß anwendbar ist, während Sandguß und Spritzguß hierfür weniger geeignet sind.

Bei allen diesen Vorzügen erhält man beim Gießen in Dauerformen keineswegs immer nur gute Stücke. Hier ist wie beim Sandguß größter Wert zu legen auf beste Ausgangsstoffe, sorgfältiges Schmelzen und Gießen, richtige Lage und Abmessung der Eingüsse, zweckmäßige Gestaltung der Form sowie noch auf eine Reihe weiterer Punkte, von denen später noch gesprochen wird.

Das geschmolzene Metall wird in die mit einem Eingußtrichter versehene, vorgewärmte Kokillenform mittels eines Löffels eingegossen. Kurz darauf werden die Kerne, die die Aussparungen des Gußstücks erzeugen, herausgezogen, die Form wird geöffnet und das Gußstück herausgenommen. Hierauf werden die beiden Formhälften wieder zusammengebracht, die Kerne eingesteckt und die Form verschlossen, die jetzt wieder zu einem neuen Guß bereit ist.

Für die Gewinnung einwandfreier Gußstücke nach diesem Verfahren sind folgende Punkte von ausschlaggebender Bedeutung:

1. Verhalten und Eigenschaften des zu vergießenden Metalls,
2. Gestaltung und Behandlung der Form.
3. der Gießvorgang selbst, d. h. die Berücksichtigung der aus den Eigenschaften des Metalls und der Form sich ergebenden Forderungen.

Im folgenden soll nun auf das Gießverfahren, und zwar hauptsächlich auf die Gestaltung der Form etwas näher eingegangen werden, wobei als Gußmetall Aluminiumlegierungen verschiedenster Art gedacht sind, auf deren Eigenschaften ich hier nicht näher eingehen kann.

Gestaltung der Kokillen

Um das Entfernen des Gußstücks aus der Form zu ermöglichen, ist es notwendig, die Kokillen zweiteilig auszuführen, wobei die beiden Formhälften sich mittels besonderer Vorrichtungen zusammen- und auseinanderziehen

Zahlentafel 2

Festigkeitseigenschaften von Sand-, Kokillen- und Spritzguß von KS-Seewasser nach Sterner-Rainer.

Spezifisches Gewicht 2,8, Schwindmaß 1 bis 1,5 vH
Schmelzintervall 620 bis 640 °.

	Sandguß	Kokillenguß	Spritzguß
Elastizitätsgrenze (0,03) kg/mm ²	10	12	12
Zugfestigkeit	16	19	19
Dehnung vH	2,8	3,8	3,8
Härte (10/1000/30) . . . kg/mm ²	68	70	70
Einschnürung vH	7,5	12	12
Kerzbähigkeit mkg/cm ²	0,65	1,16	1,16
Ermüdungsfestigkeit (0,5 kg-Hammer)	10 000	40 000	40 000

*) Z. Bd. 69 (1925) S. 1324.

oder -klappen lassen. Damit ein wirtschaftliches Arbeiten gewährleistet ist, muß sich die Form sehr rasch sicher öffnen und schließen lassen. Aus diesem Grunde sind die beiden Formhälften geführt und außerdem Paßstiften versehen, die zur Einhaltung der richtigen Stellung während des Gießens dienen. Die Befestigung der Formhälften erfolgt meist derart, daß die Trennfläche der Formhälften senkrecht oder unter einem bestimmten Winkel zur Senkrechten liegt.

Die zur Erzeugung von Aussparungen oder Hohlräumen dienenden Kerne sind in den Formhälften so angebracht, daß sie mittels Hebels oder ähnlich leicht verschoben und aus dem Gußstück entfernbar sind.

Als Werkstoff für Kokillen benutzt man in der Regel Grauguß oder für manche Zwecke auch Stahlguß. Die Graugußblöcke müssen sehr dicht und porenfrei sein und sich gut bearbeiten lassen. Phosphor- und Schwefelgehalt sollen gering sein.

Die Beanspruchung des Werkstoffes besteht hauptsächlich in dem ständigen Wechsel der Temperatur, der dauerndes Sichausdehnen und -zusammenziehen der Form und besonders der Formoberfläche mit sich bringt. Aus diesem Grunde weisen auch diejenigen Formen die größte Lebensdauer auf, in denen immer sehr viel Güsse nacheinander ausgeführt wurden, die Form sich also verhältnismäßig selten von der Temperatur während des Gießens auf gewöhnliche Temperatur abkühlte. Ebenso ist natürlich gleichmäßige Anwärmung und Warmhaltung, sowie vorsichtige Abkühlung besonders bei verwickelten Teilen Hauptbedingung für eine lange Lebensdauer der Form, die sich bei längerem Arbeiten häufig bis auf dunkle Rotglut erhitzt. Auch durch Ausglühen der Blöcke vor dem Bearbeiten soll es möglich sein, den Kokillen eine längere Lebensdauer zu verschaffen.

Im übrigen wird die Lebensdauer der Kokillen wenig durch stoffliche Vorgänge beeinflusst, als durch Änderungen an der Form der zu gießenden Teile oder durch geringe Stückzahlen. Risse und Anfrasserscheinungen treten dagegen häufiger bei Kernen auf, die größeren Temperaturschwankungen zu ertragen haben als die Form selbst. Die Kerne werden daher meist aus Stahlguß, z. B. Kohlenstoffstahl mit rd. 0,5 vH C hergestellt; für besonders hoch beanspruchte Kerne verwendet man auch Chromnickel- oder Chrom-Vanadium-Stahl.

Der der Gestaltung von Kokillen zugrundeliegende Hauptgesichtspunkt ist die leichte Entfernbarkeit der gegossenen Stücke sofort nach dem Gießen. Außerdem sind bei der Gestaltung noch eine Reihe von Aufgaben zu lösen, die sich zwar bei jedem Gußstück wiederholen, aber je nach seiner Art immer wieder neue Ausführungsformen bedingen. Dabei ist es durchaus nicht möglich, alle in Frage kommenden Punkte schon am Reißbrett zu berücksichtigen, vielmehr gibt es in den meisten Fällen erst der praktische Versuch die endgültige Ausführungsform der Kokille.

Die Abmessungen sind abhängig vom Schwindmaß der vergossenen Legierung und von der mittleren Ausdehnungszahl des Kokillenwerkstoffes bei erhöhter Temperatur.

Anschnitt und Einguß

dem Einguß einschließlich Eingußtrichter sei der verstanden, in dem das flüssige Metall an die eigentümliche Form herangebracht wird, unter dem Anschnitt die Stelle, an der der Einguß in die Form eintritt. Beide bilden dadurch, daß sie in die Trennungsebene der Form gelegt werden müssen, einen wesentlichen Teil für die Gestaltung der Kokille.

Im einen Fall ist es zweckmäßig, am stärksten Querschnitt anzuschneiden, damit genügend flüssiges Metall durchfließen kann; im andern Fall kann es vorsein, an einem schwachen Querschnitt anzuschneiden, das Metall bis zum stärksten Querschnitt eine Strecke durchläuft, auf der es abkühlen kann. Während im ersten Fall die Erstarrung vom schwächsten bis zum stärksten Querschnitt allmählich fortschreitet, wird im zweiten Fall die Erstarrung ziemlich gleichzeitig durch das Gußstück hindurch eintreten. Diese Art der Erstarrung ist jedoch nur dann vorteilhaft, wenn die starken Stellen in den schwachen in einem bestimmten, nicht zu großem Verhältnis stehen. Dies gilt in entsprechender Weise auch dann, wenn der Anschnitt zwischen dem Punkt, an dem die Erstarrung beginnt und dem stärksten Querschnitt des Metallstückes eine Mittelstellung etwas nach dem letzteren zu gelegen, einnimmt. Auch in diesem Fall können, wenn die Masse des zuletzt erstarrten Querschnitts sehr groß ist, Schwindungserscheinungen auftreten, die durch Nachgießen kaum behoben werden können.

Um bei sehr großen Querschnittunterschieden Verformungen zu verhüten, muß daher der Anschnitt so gewählt werden, daß am stärksten Querschnitt angeschnitten wird und die Erstarrung vom schwächsten zum stärksten Querschnitt allmählich fort-

schreitet. Das Anschneiden gilt außerdem die Forderung, das Metall die Form möglichst ruhig und gleichmäßig zu füllen. Es wird daher meist tangential angeschnitten, so daß das Metall ruhig gegossen, wobei der Einguß kurvenförmig in die Form eintritt oder unter einem bestimmten Winkel zur Senkrechten erfolgt. Der Einguß muß sich durch Absägen usw. vom Gußstück abtrennen lassen. Steiger spielen bei Kokillenguß keine so große Rolle wie beim Sandguß. Man kann ihre Anwendung in manchen Fällen über die Schwindungserscheinungen hinweghelfen. Sie sind hauptsächlich für die Luftabfuhr aus der Kokille während des Gießens.

Die Abmessungen des Eingusses müssen im Hinblick auf den möglichst geringen Werkstoffverbrauch so klein wie möglich gehalten werden. Andererseits hängt der Querschnitt des Eingusses davon ab, mit welcher Geschwindigkeit das Metall die Form füllen muß, da es sich zu stark verformen würde, ehe die Form ganz gefüllt ist, wenn der Eingußquerschnitt zu knapp bemessen ist.

Die endgültige Form und die Bemessung von Anschnitt und Einguß kann in den meisten Fällen erst auf dem Verstand festgelegt werden, sie hängen nicht zuletzt auch von der Beschaffenheit, d. h. von der Zusammensetzung und Reinheitsgrad der vergossenen Legierung, gegebenenfalls auch von der Gießtemperatur und von dem Flüssigkeitsvermögen ab.

Entlüftung

Die Luft soll beim Gießen im allgemeinen durch einen möglichst hohen Punkt der Form angebrachten Steiger ausströmen. Häufig gibt es jedoch Ecken und Winkel, aus denen die Luft nicht rasch genug entweichen kann. Hier bilden sich die Stellen, an denen das Gußstück nicht voll ausläuft oder abgerundete Ecken und Kanten zeigt. Um sich in solchen Fällen dadurch, daß man kleine Löcher bohrt, die entweder durch Stifte wieder ausgefüllt oder offen gelassen werden, wenn sie klein genug sind, häufig kann man scharfe Kanten auch dadurch vermeiden, daß man sie in die Trennfläche der Form legt, so daß eine besondere Trennfuge längs der Kante anbringt.

Schräge der Seitenwände usw.
Um die Risse und Brüche infolge der Schwindung zu vermeiden, muß man die Teile nach dem Gießen, sobald sie einigermaßen fest geworden sind, aus der Form herausnehmen. Um dies zu erleichtern,

wird den Seitenwänden und auch den Kernen eine gewisse Schräge gegeben. Sie beträgt bei Seitenwänden rd. 0,5 vH. d. h. auf 100 mm Länge 0,5 mm Anzug, bei Kernen rd. 1,5 vH. d. h. auf 100 mm Länge 1,5 mm Anzug.

Die Mehrzahl der Gußstücke wird aus der Form mittels eines zentrischen Kerns ausgestoßen; wo dieser nicht genügt oder nicht vorhanden ist, müssen besondere Auswerferstifte, die durch einen Hebel gemeinsam bewegt werden, vorgesehen werden.

Kerne

Man unterscheidet zwischen festen, beweglichen und teilbaren Kernen aus Metall und solchen aus Sand. Feste sind aufgeschraubt in der Form werden in der Regel nur solche Kerne, die einen großen Anzug haben oder die nur Aussparungen von geringer Tiefe bilden. Sobald das Auftreten von Schrumpfspannungen zu befürchten ist, wie z. B. bei sehr tiefen Aussparungen, werden die Kerne beweglich gemacht, um sie sofort nach Erstarren des Gußstücks, meist mittels eines Gelenkhebels, der außen an der Form angebracht ist, herausziehen zu können.

Um die Herstellung des Kerns möglichst zu erleichtern, erhalten die Aussparungen gern einen kreisrunden oder sonst einfach herzustellenden Querschnitt; vergrößert sich die Aussparung nach dem Inneren der Form, so wird der Kern unterteilt, d. h. er erhält einige Stücke aufgesetzt, die dem nach innen zu vergrößerten Querschnitt entsprechen. Diese Stücke verbleiben dann beim Herausziehen des Kerns zunächst im Inneren des Gußstücks und werden erst nach dem Ausheben des Gußstücks aus der Form herausgenommen. Sind die Aussparungen so verwickelt, daß auch teilbare Kerne nicht mehr angewendet werden können, so benutzt man Sandkerne, die sich nach dem Erkalten leicht aus dem Gußstück herausklopfen lassen.

In vielen Fällen haben die Kerne eine sehr geringe Masse und erwärmen sich deshalb während des Gießens rascher als die übrige Form. Die Kerne muß man daher von Zeit zu Zeit in ein geeignetes Kühlmittel, z. B. Wasser, Öl, eintauchen. Die Aussparungen müssen deshalb regelmäßig überwacht werden.

Der Gießvorgang

Bei der Massenerzeugung von Aluminiumgußteilen in Dauerformen ist der einwandfreie Verlauf des Gießvorgangs auf einer Reihe von Voraussetzungen hinsichtlich des Metalls und der Form aufgebaut.

Metall

Als Grundbedingung gilt die genaue Einhaltung der auf dem Versuchstand festgestellten Gießtemperatur. Schwankungen in der Gießtemperatur, die über $\pm 10^\circ$ hinausgehen, verursachen Fehlgüsse und müssen deshalb vermieden werden. Gut anzeigende Pyrometer sind unerlässlich und bilden das beste Mittel, den Ausschuß stets so niedrig wie möglich zu halten.

Ist die Gießtemperatur zu niedrig, so ist das Metall nicht imstande, die Form vollständig auszufüllen; es erstarrt zu früh. Bei zu hoher Gießtemperatur dagegen tritt Porosität auf, was allerlei unliebsame Erscheinungen mit sich bringt, ganz abgesehen von dem ungünstigen Einfluß auf die Festigkeitseigenschaften.

In der Kokillengießerei verwendet man daher meist einen Schmelzofen, in dem das gesamte Metall geschmolzen wird, und außerdem bei jedem Gießtisch einen geheizten Tiegel, in dem das Metall auf gleichmäßiger Gießtemperatur gehalten wird, aus dem gegossen wird und der stets wieder mit flüssigem Metall nachgefüllt wird. Dieser Einrichtung ist der Vorzug zu geben gegenüber der andern Möglichkeit, an jedem Gießtisch einen Schmelzofen aufzustellen, der das bereits legierte und in Masselformen umgeschmolzene Metall wieder einschmilzt. Hierbei müssen immer wieder kalte Masseln zugegeben werden, wobei es unmöglich ist, die Badtemperatur auf der erforderlichen gleichmäßigen Höhe zu halten. In der amerikanischen Praxis sollen sich elektrisch beheizte Gießtöpfe besonders gut bewährt haben.

Ein weiterer wichtiger Punkt ist, die Gleichmäßigkeit der Legierungszusammensetzung zu überwachen.

Eine Abweichung vom Soll der Legierungszusammensetzung kann z. B. eintreten durch absichtliches oder unabsichtliches Versehen des Lagerhalters, Schmelzers oder Gießers. Häufig wird versucht, durch Zugabe von Altmetail (Steiger, Eingüsse usw.) eine Legierung besser gießbar zu machen. Hierdurch kann die in Frage kommende Legierung sehr stark verunreinigt werden. In gewissen Zeitabständen soll man Legierungsproben aus der Gießpfanne entnehmen und sofort analysieren, wenn man Wert auf eine gleichmäßig und richtig zusammengesetzte Legierung legt. In diesem Zusammenhang soll auf die Schädlichkeit von geringen Zinkgehalten in Cu-Al-Legierungen hingewiesen werden, ferner auf die Schwierigkeiten beim Vergießen der deutschen Legierung (2,5 bis 3 vH Cu, 10 vH Zn, Rest Al), wenn der Cu-Gehalt im Verhältnis zum Zn-Gehalt zu hoch ist.

Von schädlicher Wirkung für die Legierung ist das Eisen, das in das Metallbad durch Angriff der Tiegelfwandung oder der eisernen Rührwerkzeuge aufgenommen wird. Sehr häufig kommt auch schon beim Zusammen setzen der Legierung ein Eisengehalt herein, wenn viel Altmetail verwendet wird. Insbesondere sind hier auch die Angüsse gefährlich, infolge der Neigung des Eisens oder der eisenreichen Verbindung $FeAl_3$ zur Seigerung, d. h. zur Anreicherung an den Stellen, die am längsten warm bleiben. In den britischen Normen ist eine Verunreinigung durch Fe von höchstens 0,8 vH zugelassen. Wenn auch diese Grenze etwas schwer einzuhalten erscheint, so wird man doch nicht über 1,2 vH Fe gehen dürfen, wenn man einwandfreie Stücke erhalten will. Ein höherer Eisengehalt macht besonders Schwierigkeiten beim Polieren, da die harten $FeAl_3$ -Kristalle aus der polierten Fläche hervorstehen.

Form

Neben der Gießtemperatur ist die Temperatur der Form von großer Bedeutung, denn es muß ein bestimmtes Verhältnis der Abkühlungszeiten der verschiedenen Querschnitte zueinander vorhanden sein. Bis jetzt kann man auf diesem Gebiet nur der Erfahrung nach vorgehen, und es ist notwendig, für jeden Teil oder für jede Form die richtige Temperatur auszuprobieren. Dabei ist es natürlich nicht üblich, die Temperatur mit dem Pyrometer zu messen, sondern man ist hierbei lediglich auf das Gefühl angewiesen. Während der Arbeit erhält sich die Form meist selbst auf richtiger Temperatur, vorausgesetzt, daß die Arbeitsgeschwindigkeit genügend hoch ist. Bei einigen Stücken ist eine dauernde Wärmezufuhr zu einzelnen Teilen der Form erforderlich. Im allgemeinen ergibt eine zu heiße Form weniger fehlerhafte Stücke als eine zu kalte. Die Formen müssen daher stets genügend angewärmt werden, ehe man sie in Betrieb nimmt; die erforderliche Formtemperatur liegt ungefähr bei 200 bis 300°. Die ersten 5 bis 10 Güsse aus einer Form bei Beginn der Schicht dienen in der Regel noch zur Anwärmung der Form und sind deshalb Ausschuß.

Die Formen werden meist durch eine Gasflamme angewärmt. Bei der Eureka Vacuum Cleaner Co., Detroit, wird während der Nacht über die Drehtische, auf denen die Kokillen liegen, eine Haube, Abb. 5, gestülpt, die an der Innenseite mit elektrischen Widerstandsheizkörpern versehen ist. Nach außen sind die Hauben mit einer 50 mm dicken Schicht aus Kieselgur isoliert. Die Temperatur unter der Haube beträgt rd. 200°, die Formen sind bei Beginn der Schicht sofort betriebsfertig.

Einzelne Teile einer Form müssen bei manchen Stücken abgekühlt werden; man feuchtet sie mittels einer Spritzpistole an. Die Abkühlgeschwindigkeit der Form kann man durch Oberflächenbehandlung beeinflussen. Mittels Spritzpistole werden Mischungen von Schlemmkreide mit Wasserglas oder Graphit mit Wasser und etwas Wasserglas aufgespritzt.

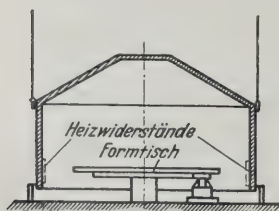


Abb. 5.
Gießtisch mit Heizhaube.

Oberflächenanstriche dürfen natürlich keine schädlichen Gase entwickeln. Sie sollen den Form-

stoff gegen das flüssige Metall isolieren, um die kühlggeschwindigkeit zu vermindern, etwaige Anfrässe des flüssigen Metalls und das Anbacken der Teile an der Form zu verhindern. Man wäscht die Formen vor Verwendung auch mit einer Graphitschwärze aus, trocknet sie und wiederholt dies mehrmals, bis der Überzug ganz glatte Fläche ergibt. Einen solchen Graphitüberzug braucht man erst nach 4 bis 6 Wochen zu erneuern. Hier behandelt man auch die Form mit Talkum.

Für die Wirtschaftlichkeit des Verfahrens ist die Arbeitsgeschwindigkeit von großer Bedeutung. Sie ist abhängig von der Gießgeschwindigkeit des Stückes, von der Wartezeit, von der Temperatur der Form, von der Konstruktion der Kokille und des Gießtisches.

Obleich die Gießgeschwindigkeit besonders bei kleinen Stücken im allgemeinen keine sehr großen Unterschiede zuläßt, gibt es doch Stücke, bei denen entweder besonders langsam oder besonders rasch eingegossen werden muß. Es hängt dies meist mit dem Auslaufen von schweren Querschnitten, Vermeidung von eingefallenen Stellen zusammen. Auch die für das Nachgießen erforderliche Zeit ist in der Gießgeschwindigkeit mit einbegriffen; das Nachgießen kann im Einzelfall sehr verschiedene Zeiten beanspruchen. Die Temperatur der Form ist insoweit von Bedeutung, als bei zu hoher Arbeitsgeschwindigkeit die Formtemperatur zu sehr ansteigt, und umgekehrt bei geringer Arbeitsgeschwindigkeit zu sehr fällt. Die richtige Arbeitsgeschwindigkeit muß deshalb schon auf dem Versuchstand festgelegt und später genau eingehalten werden.

Treten irgendwelche Störungen auf, sei es durch Verzug von Kernen, die sich verzogen haben, sei es, daß die Form nicht mehr dicht schließen läßt, so ist es zweckmäßiger, die Form sofort wieder zum Versuchstand zurückzugeben, als erst noch viel unbrauchbare Teile herauszubringen.

Wirtschaftlichkeit des Kokillengusses

Die Selbstkosten eines Kokillengußstückes sind hauptsächlich abhängig von Gewicht und Legierung, Komplexität oder Herstellkosten der Kokille, Art und Lage der Kerne im Gußstück, Arbeitsgeschwindigkeit und Stückzahl in der Zeiteinheit, Maßgenauigkeit (je größer diese verlangt wird, desto schärfere Präzision erforderlich), Art und Zustand der gesamten Herstellungseinrichtungen.

Ein sehr wesentlicher Punkt hierbei sind die Herstellkosten der Kokille oder deren Lebensdauer und Genauigkeit. Um Anhaltspunkte für die Wirtschaftlichkeit des Verfahrens zu gewinnen, teile ich nachstehend Zahlenangaben zweier Werke mit, die bereits seit Jahren Aluminium-Kokillenguß herstellen.

Werk I: a) Einfache Kokille: Kolben für Kraftwagenmotor, 70 mm Dmr., 90 mm hoch mit dreiteiligem Stempelkern. Gesamtherstellkosten rd. 500 RM. Lebensdauer des Kerns rd. 15 000 Abgüsse.

b) Verwickelte Kokille: Magnetgehäuse, 60/70 mm Querschnitt, 150 mm hoch. Gesamtherstellkosten rd. 1500 RM. Lebensdauer der Kerne rd. 7 bis 10 000 Abgüsse.

Zu den Lebensdauerzahlen ist zu bemerken, daß der Verschleiß der Formhälften bei diesen Stückzahlen nicht festzustellen war. Die Preise ließen sich gegebenenfalls noch herunterdrücken, jedoch nur auf Kosten des Werkstoffs oder der Genauigkeit, was letzten Endes keine Verbilligung bedeuten würde.

Werk II: a) Einfache Kokille: Batterieverteiler, eingegossenem Lagerzapfen, 65 mm Innendurchmesser. Abb. 6. Gesamtherstellkosten rd. 350 RM. Lebensdauer rd. 25 000 Abgüsse.

b) Verwickelte Kokille: Bremsgehäuse, 125 mm Innendurchmesser, 2,4 kg Stückgewicht, Abb. 7. Gesamtherstellkosten rd. 1500 RM. Lebensdauer rd. 15 000 Abgüsse.

Die Wirtschaftlichkeit des Verfahrens kann durch verschiedene Umstände in Frage gestellt werden, die durch zu geringe Stückzahlen, zu hohe Formkosten oder zu geringe Lebensdauer, was besonders bei hoher Maßgenauigkeit in Frage kommt, zu hohen Ausschußzahlen und hohen Unkostensatz bei der Herstellung, hervorgerufen werden können.

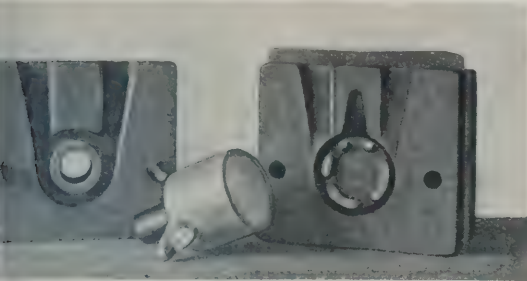


Abb. 6
Kokille für Batteriegehäuse.

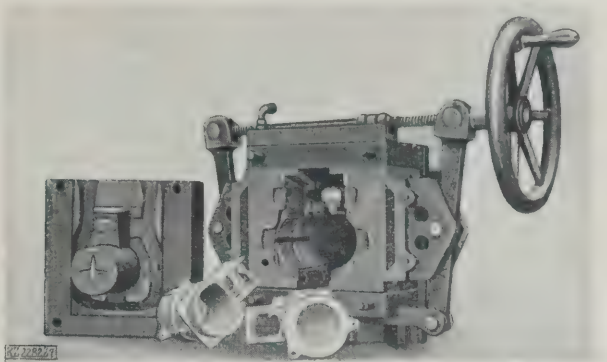


Abb. 7
Kokille für Bremsgehäuse.

Abbrandverluste, Brennstoffverbrauch für Schmelz-
wärmeföen usw. Alle diese Punkte müssen aber
im Sandguß und besonders beim Spritzgußver-
berücksichtigt werden.

Zusammenfassung

Minium-Kokillenguß bildet ein ausgezeichnetes
Verfahren für große Mengen von Gußstücken, die
Messung und Eigenschaften größte Gleichmäßigkeit
weisen und möglichst wenig nachbearbeitet werden
Für die Erzielung gesunder Gußstücke sind be-
die Gestaltung der Kokillen hinsichtlich Anschnitt,
ng, Schräge der Seitenwände usw. sowie die

Eigenschaften des zu vergießenden Metalles von Be-
deutung. Die Wirtschaftlichkeit des Verfahrens hängt in
der Hauptsache von der Stückzahl, sowie von den Kon-
struktionsbedingungen der Kokille ab.

Die Möglichkeiten der Weiterentwicklung des Ko-
killengusses liegen hauptsächlich auf dem Gebiet der Ko-
killenherstellung und des Gießens mit selbsttätigen Gieß-
maschinen, ferner in der Einführung wirklicher Massen-
fertigung und in der Schaffung weiterer geeigneter Le-
gierungen für Kokillenformguß. [B 2282]

**Indizierte Wirkungsgrad der kompressor-
losen Dieselmachine**

Von Dr.-Ing. FRITZ SCHMIDT, München

aus Heft 314 der Forschungsarbeiten, herausgegeben
vom Verein deutscher Ingenieure.

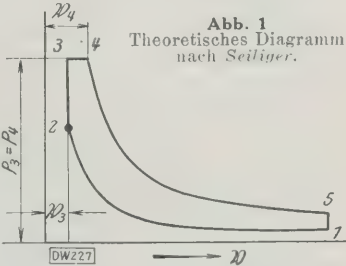
Wird ein einfaches Verfahren zur Bestimmung des indizierten
Wirkungsgrades angegeben, wobei zur Berechnung der Arbeit der
verlustlosen Maschine die Änderung der spez. Wärmen mit der
Temperatur, die Gewichtsänderung der Ladung durch die Ein-
spritung des Brennstoffes und die Verschiedenheit der Gas-
zusammensetzung vor und nach der Verbrennung berücksichtigt
werden. Der Wirkungsgrad der verlustlosen Maschine wird für
beliebige Luftüberschüsse, Verdichtungsgrade, Brennstoffzu-
sammensetzungen und Anfangstemperaturen ermittelt.

Beurteilung der Brennstoffausnutzung im Zylinder
Verbrennungskraftmaschinen dient der thermische Wir-
kungsgrad η_t . Der indizierte Wirkungsgrad, auch Güte-
grad genannt, ist eine Kenngröße für die Vollkommenheit
des Verfahrens und durch das Verhältnis der inneren
Arbeit der wirklichen Maschine zur Arbeit L_0 der ver-
lustlosen Maschine ausgedrückt.

$$\eta_i = A L_i / A L_0 = \eta_t \eta_0.$$

In der technischen Literatur findet man verschiedene
Ausdrucksweisen des Begriffes der „verlustlosen“ Dieselmachine
entsprechend verschiedene Formeln für ihren Wir-
kungsgrad η_0 . Neumann¹⁾ hat ein genaues Verfahren zur
Bestimmung der Arbeit der verlustlosen Maschine angegeben,
wobei die Einstellung der Maschine und der Betriebszu-
stände berücksichtigt wird. Wegen der großen Variations-
breite der Voraussetzungen muß die verwickelte Rech-
nung in jedem Fall besonders durchgeführt werden. For-
meln η_0 haben Güldner²⁾, Seiliger³⁾ und Köhler⁴⁾
entwickelt. Alle enthalten aber Vernachlässigungen, so daß
der Heizwert erscheint, einen neuen Rechnungsgang an-
zudeuten, der das Arbeitsverfahren im Dieselmotor besser als

es in der formelmäßigen
Darstellung möglich ist,
wiedergibt, und es ermög-
licht, den Wirkungsgrad
 η_0 für alle praktisch wich-
tigen Fälle leicht und genau
zu berechnen. Es ist wes-
entlich, daß hierbei im Ge-
gensatz zu den bekannten
Formeln die Gewichtsände-
rung der Ladung durch die
Einspritzung des Brennstoffes
und die Abhängigkeit der
spezifischen Wärme von der
Temperatur genau berücksich-
tigt werden, weil dadurch der
Wirkungsgrad entscheidend
beeinflußt wird.



Der vorliegenden Arbeit liegt ein Prozeß zu Grunde,
der bei gegebenem Verdichtungsgrad, Luftüberschuß und
Höchstdruck den besten Wirkungsgrad erreicht. Soll im
theoretischen Diagramm ein bestimmter Höchstdruck nicht
überschritten werden, so kann mit der von Seiliger ange-
gebenen Diagrammform, Abb. 1, der günstigste Wirkungsgrad
erreicht werden. Für diesen Idealprozeß ist η_0 zu berech-
nen. Es ist üblich, η_0 und den thermischen Wirkungsgrad
durch das Verhältnis des Wärmewertes der von 1 kg Brenn-
stoff geleisteten Arbeit zum Heizwert darzustellen. Man
vergleicht also die äußere Arbeit mit der bei Abkühlung
der Verbrennungsgase freiwerdenden Wärmemenge.

Bei Verbrennungskraftmaschinen kann man jedoch im
Gegensatz zur Dampfkraftanlage nicht mehr von einer ein-
heitlichen Arbeitsgas zugeführten Wärmemenge sprechen,
weil das Gas bei der Verbrennung seine Zusammensetzung
ändert und das Ladegewicht zunimmt. Es ist richtiger, den
Wirkungsgrad durch $\eta_0 = A L_0 / A L_{\max}$, also als Verhältnis
der geleisteten Arbeit zur größten möglichen Arbeit des
brennbaren Gemisches darzustellen. Zur Berechnung der
Verbrennung wird die chemische Energie eingeführt.

Bezeichnet man mit

- U die Energie eines brennbaren Gemisches oder der ent-
stehenden Verbrennungsgase, wobei sich der Zeiger
- 1 auf die Anfangstemperatur der Verbrennung,
- 2 auf die Endtemperatur der Verbrennung,
- 3 auf den Zustand vor der Verbrennung,
- 4 auf den Zustand nach der Verbrennung bezieht, mit
- H_0 den Heizwert bei konstantem Volumen und 15°
- E die chemische Energie von 1 kg Brennstoff, so gilt

Neumann, Untersuchungen an der Dieselmachine, III. Thermo-
dynamischer Kreisprozeß und Arbeitsverluste, Z. Bd. 65 (1923) S. 279.
Güldner, Entwerfen und Berechnen von Verbrennungsmotoren,
Seiliger, Thermodynamische Untersuchung schnelllaufender
Motoren, Z. Bd. 53 (1911) S. 627; Halbideale Gase und Wirkungs-
grade von Verbrennungskraftmaschinen, Z. Bd. 64 (1922) S. 8.
Köhler, Thermodynamische Untersuchung schnelllaufender
Motoren, Z. Bd. 54 (1912) S. 241.
Stohr, Die Dampfturbinen, 4. Aufl. S. 663.

$$E = U_2'' - U_1' = H_v + (U_1'' - U_1') \dots (2).$$

Den Unterschied zwischen der inneren Energie von Gas und Brennstoff und der inneren Energie der Verbrennungsprodukte hat erstmals *Nußelt*⁶⁾ chemische Energie genannt. Heizwert und chemische Energie unterscheiden sich durch den Unterschied zwischen der inneren Energie der Abgase und der Brenngase bei der Anfangstemperatur der Verbrennung. Die Energie nach der Verbrennung ergibt sich daher aus

$$U_2'' = U_1' + E \dots (3)$$

und nicht aus

$$U_2'' = U_1' + H_v \dots (4).$$

Es ist für die Anwendung wichtig, daß E konstant ist. Der Fehler, der bei Verwendung des Heizwertes anstatt der chemischen Energie entsteht, ist aber in den meisten Fällen so klein, daß er für praktische Ausrechnungen vernachlässigt werden kann. Nennenswerte Unterschiede ergeben sich erst dann, wenn man mit absoluten Temperaturen rechnet und die mittleren spezifischen Wärmen zwischen 0° abs und 7° abs einführt.

Bei der Berechnung von Verbrennungstemperaturen mit Hilfe der chemischen Energie fällt die Energie unterhalb der Umgebungstemperatur, wie sich leicht zeigen läßt, aus der Rechnung heraus, und es werden nur die spezifischen Wärmen zwischen der jeweiligen Temperatur der Heizwertbestimmung und t verwendet. Die Richtigkeit der Rechnung wird also durch eine beliebige Extrapolation der spezifischen Wärme bis 0° abs und Umrechnung auf $c_v^{m|T}$ nicht beeinträchtigt. Wird E aus Gl. 3 mit Hilfe der extrapolierten spezifischen Wärme berechnet, so ist E lediglich als Rechnungswert aufzufassen, der eine genaue Ermittlung der Verbrennungsendtemperatur für jeden beliebigen Zustand des brennbaren Gemisches gestattet. Mit Benutzung von Gl. (3) lautet die Energiegleichung der Verbrennung für den gewählten Prozeß ($\mathfrak{B}_3, \mathfrak{B}_4$ s. Abb. 1)

$$U_2 + J_B + E = U_4 + A P_4 \mathfrak{B}_4 - A P_3 \mathfrak{B}_3$$

⁶⁾ *Nußelt*, Die Entropievermehrung in der Gasmaschine durch die nichtumkehrbare Ausführung der Verbrennung, Z. f. d. ges. Turbinenwesen Bd. 14 (1917) Nr. 1 bis 3.

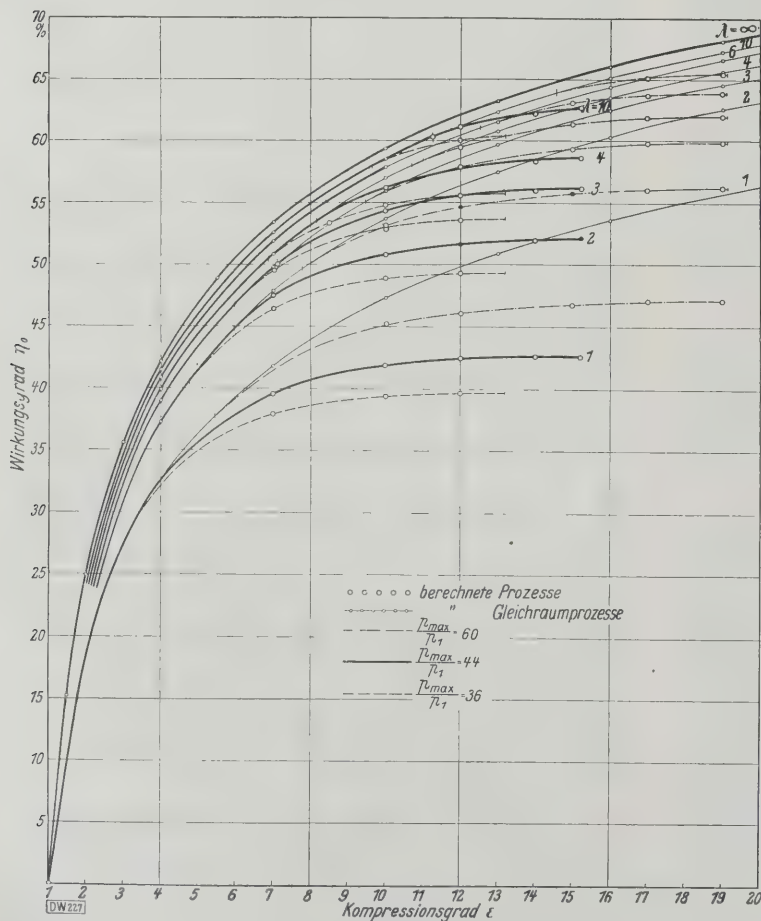


Abb. 2

Wirkungsgrad η_0 der Idealprozesse.

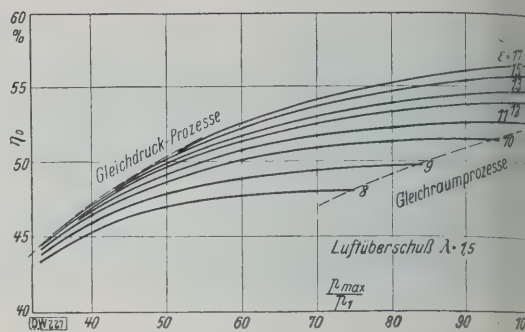


Abb. 3

Abhängigkeit der Wirkungsgrade η_0 vom Höchstdruck bei verschiedenen Verdichtungsgraden und konstantem Luftüberschuß.

und η_0 ergibt sich zu

$$\eta_0 = \frac{A L_0}{H_u} = \frac{(A P_4 \mathfrak{B}_4 - A P_3 \mathfrak{B}_3) + (U_4 - U_5) - (U_2 - U_1)}{H_u} = \frac{U_1 + E + J_B - U_5}{H_u}$$

In Gl. (5) bedeutet:

$A L_0$ die Arbeit der verlustlosen Maschine oder des Prozesses, bezogen auf 1 kg Brennstoff,

U_1 und U_2 die Energie der angesaugten Luft,

U_4 und U_5 die Energie des Zylinderinhalts an betreffenden Diagrammpunkten, J_B den Wärmehalt von 1 kg Brennstoff bei 288° abs.

Weil es allgemein üblich ist, zur Berechnung des mechanischen Wirkungsgrades den Heizwert zu verwenden, wird H_u statt $A L_{\max}$ eingeführt.

Bei der Berechnung der Wirkungsgrade der verlustlosen Maschine wurde angenommen, daß keine Restgas im Zylinder zurückbleiben, der Zylinder also vollkommen mit Luft ausgespült wird und die Pumpenarbeit zum Verdichten des Öles vernachlässigt werden kann. Verdichten und Expansion wurden adiabatisch angenommen und nach *Nußelt* mit der Beziehung

$$f(T_2) = f(T_1) + 1,985 \ln \frac{\mathfrak{B}_1}{\mathfrak{B}_2}$$

berechnet, wobei

$$f(T) = \mu c_v^{m|T} + \int_{T_0}^T \frac{\mu c_v^{m|T}}{T} dT.$$

Der Heizwert, die Brennstoffzusammensetzung und die Anfangstemperatur wurden häufig konstant angenommen. Der Verdichtungsgrad $\varepsilon = \frac{\mathfrak{B}_1}{\mathfrak{B}_2}$ wurde von $\varepsilon = 1$ bis $\varepsilon = 20$ verändert. Die Luftüberschußzahl

$$\lambda = \frac{\text{Luftmenge auf 1 kg Brennstoff}}{L_{\min}}$$

wurde für Überlast, Vollast, Dreiviertel-Halb-, Einviertelast und Leerlauf zwischen 1 und 10 angenommen. Die Berechnung wurde für Mindest- und Höchstwerte des Verhältnisses vom Höchstdruck bei der Verbrennung zum Druck der angesaugten Luft $\frac{p_{\max}}{p_1}$ und für zwei Zwischenwerte durchgeführt. Werte für die mittlere spezifische Wärme der beteiligten Gase wurden Grund einer kritischen Bearbeitung der schlagigen Forschungsergebnisse zusammengestellt⁷⁾.

Es wurden angenommen: Brennstoffwert $H_u = 10\,000$ kcal/kg; Elementaranalyse 86 vH C, 12 vH H, 2 vH O + N. Diese Zusammensetzung entspricht dem Mittel aus verschiedenen handelsüblichen Treibölen. Temperatur der angesaugten Luft vor dem Verdichten $T_1 = 288^\circ$ abs.

In Abb. 2 sind die Wirkungsgrade in Abhängigkeit vom Verdichtungsgrad ε dargestellt. Bei großem Luftüberschuß, also brennarmem Gemisch oder kleinem Verdichtungsgrad, sind die Wirkungsgrade niedrig.

⁷⁾ F. Schmidt und H. Schnell, Die mittleren spezifischen Wärmen der zweiatomigen Gase Kohlendioxydes und Wasserdampfes zwischen 0° und 3000° abs, Z. Techn. Physik Bd. 25 (1928) S. 81.

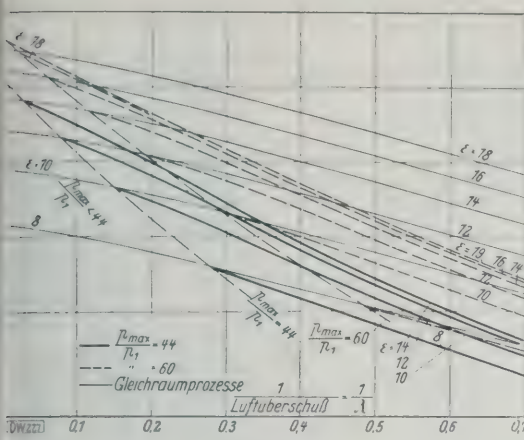


Abb. 4

Abhängigkeit des Wirkungsgrades η_0 von $\frac{1}{\lambda}$ für $\frac{p_{\max}}{p_1} = 44$ und 60 .

wird der verlangte Höchstdruck unter Umständen nicht erreicht. Die Verbrennung erfolgt dann nur mehr bei kleinem Volumen und der Idealprozeß geht in einen "Raumprozeß" über. Die Wirkungsgrade dieser Gleichraumprozesse sind in Abbildern ohne Rücksicht auf die angenommenen Drücke für alle Fälle eingezeichnet. Der Einfluß des Leistungsgrades auf η_0 ist beim Gleichraumprozeß am besten, s. Abb. 2, und wird um so kleiner, je näher der Druck der Verdichtung dem Höchstdruck liegt. Eine wesentliche Verbesserung des Wirkungsgrades ist bei der verlustlosen Maschine nur erreichbar, wenn man gleichzeitig ϵ und p_{\max}/p_1 erhöht. Dies gilt auch für die aus Abb. 2 ersichtliche Maschine, wenn ihr indizierter Wirkungsgrad an sich konstant ist. Die Abhängigkeit der Wirkungsgrade η_{\max}/p_1 ist aus Abb. 3 zu ersehen. Die Abhängigkeit der Wirkungsgrade η_0 vom reziproken der Luftüberschubzahl λ ergibt für Gleichraumprozesse nahezu gerade Linien, Abb. 4, während die Wirkungsgrade der Idealprozesse mit $1/\lambda$ bedeutend stärker abnehmen. Ein geringerer Luftüberschub macht sich dann der Einfluß der unvollkommenen Expansion stärker bemerkbar als beim Gleichraumprozeß. Für einen beliebigen Brennstoff mit dem Heizwert H_u , die gegebener Elementaranalyse kann man η_0 aus Abb. 3 ermitteln, wenn man an Stelle des wirklichen Luftüberschubes einen reduzierten Luftüberschub

$$\lambda' = \frac{L'_{\min}}{H_u} 841 \lambda$$

annimmt, wobei L'_{\min} die theoretische Luftmenge des verbrannten Brennstoffes in m^3 (bei 15° , 1 at) bedeutet. Eine Änderung der Anfangstemperatur um rd. 10° wirkt sich erst in der zweiten Dezimale des Wirkungsgrades bemerkbar. Die Berücksichtigung der Restgase ergibt Wirkungsgrade, die sich nur um $0,1$ vH von den berechneten unterscheiden. Daher können der Zustand der Restgase und die Abweichung von der angenommenen Anfangstemperatur vernachlässigt bleiben. Durch den Anfangsdruck wird wohl die Ausnutzung des Hubraumes, aber nicht der Wirkungsgrade einflußt, denn in die Rechnung wird nur das Verhältnis der Drücke eingeführt.

Die Berechnung des indizierten Wirkungsgrades aus den Versuchen an kompressorlosen Dieselmotoren

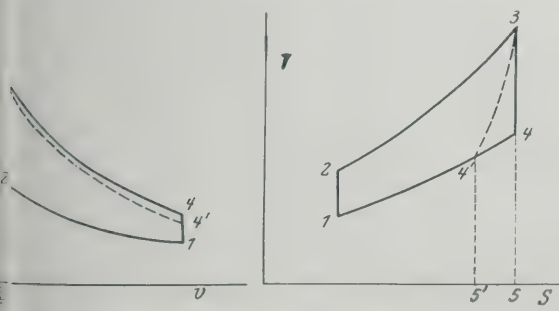


Abb. 6 und 7

Theoretische Diagramme einer Verbrennungsmaschine.

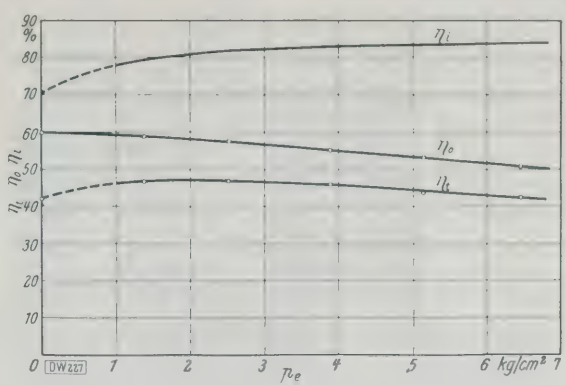


Abb. 5

Versuche an einem kompressorlosen Motor der MAN.

hat ergeben, daß η_i bei Belastungsänderung nahezu konstant bleibt und je nach Art der Maschine 75 bis 85 vH beträgt. Abb. 5 zeigt in einem Beispiel⁸⁾ die Abhängigkeit der Wirkungsgrade von der Belastung.

Beim Vollastverbrauch wurden rd. 44 vH des Heizwertes in indizierte Leistung verwandelt. Für den entsprechenden Fall ergab die verlustlose Maschine rd. 53 vH von H_u als indizierte Leistung. Berücksichtigt man, daß an das Kühlwasser rd. 34 vH des Heizwertes abgeführt werden, so erkennt man, daß nur rd. $\frac{1}{4}$ der Kühlwasserswärme als Arbeitsverlust erscheint. Der größere Teil der Kühlwasserswärme bedingt bei der ausgeführten Maschine den geringeren Abgasverlust als beim Idealprozeß, ferner enthält er die Reibungswärme des Kolbens.

Die Verhältnisse lassen sich am übersichtlichsten im T-S-Diagramm darstellen, Abb. 6 und 7. Führt man einen umkehrbaren Kreisprozeß aus und nimmt man nur während der Expansion Abkühlung an, so ist die gesamte, während der Expansion an das Kühlwasser abgegebene Wärme die Fläche 3 5 5' 4' 3 und der Arbeitsverlust infolge der Kühlung die Fläche 3 4 4' 3. [M 2497]

⁸⁾ Landahn, Abnahmeprüfung eines kompressorlosen MAN-Dieselmotors, Z. Bd. 67 (1925) S. 1261.

Die elektrische Leitfähigkeit von Kupfer, Aluminium und Eisen

H. Schmidt hat in seiner Dissertation (Aachen 1928)¹⁾ die Abhängigkeit der elektrischen Leitfähigkeit von der Kaltverformung und der Wärmebehandlung untersucht und hierfür die wichtigsten Metalle: Kupfer, Aluminium und Eisen, herausgesucht. Bei Kupfer nimmt die elektrische Leitfähigkeit langsam ab, bis zu einer durch Ziehen bewirkten Querschnittsverminderung um 30 vH; sie sinkt dann rasch weiter bis zu einem Mindestwert bei 50 vH, um dann schnell wieder anzusteigen. Dies gilt aber nur für schwache Züge. Bei Aluminium nimmt die Leitfähigkeit mit wachsendem Reckgrad fast linear ab. Bei Elektrolyt-eisen, sowie Weicheisen und Stahl verläuft sie unregelmäßig mit dem Reckgrad, und bei letzterem scheint ein schwaches Ansteigen aufzutreten. Allgemein kann die Erniedrigung der elektrischen Leitfähigkeit durch Kaltbearbeitung auf die dadurch erzeugten inneren Spannungen zurückgeführt werden, die in hohem Maße von der Art der Kaltverformung abhängen.

Bringt man sie durch Erhitzen auf unterhalb der Rekristallisationstemperatur zum Verschwinden, so steigt die Leitfähigkeit wieder an, und zwar bei Legierungen in stärkerem Maß als bei reinen Metallen, wie durch entsprechende Versuche an Messing festgestellt wurde. Die Rekristallisation wirkt sich bei den einzelnen Werkstoffen verschieden aus. Durch langes Glühen bei niedrigerer Temperatur scheint sich das durch Glühen bei hoher Temperatur verdorbene Kupfer bis zum gewissen Grade wieder regenerieren zu lassen. Durch Lagern von geglühtem Aluminium wird seine Leitfähigkeit im allgemeinen nur unbedeutend geändert. Bei Weicheisen ist die Leitfähigkeit unabhängig von der Korngröße. Bei Stahl wächst sie mit dem Kohlenstoffgehalt linear, und zwar bei lamellarem Perlit stärker als bei kugeligem. Auf Grund dieser Versuchsergebnisse wird darauf hingewiesen, welche Behandlung zur Erzielung höchster Leitfähigkeit im Einzelfalle jeweils erforderlich ist. [N 2825] A. S.

¹⁾ Vergl. Physik. Ber. Bd. 10 (1929) S. 488.

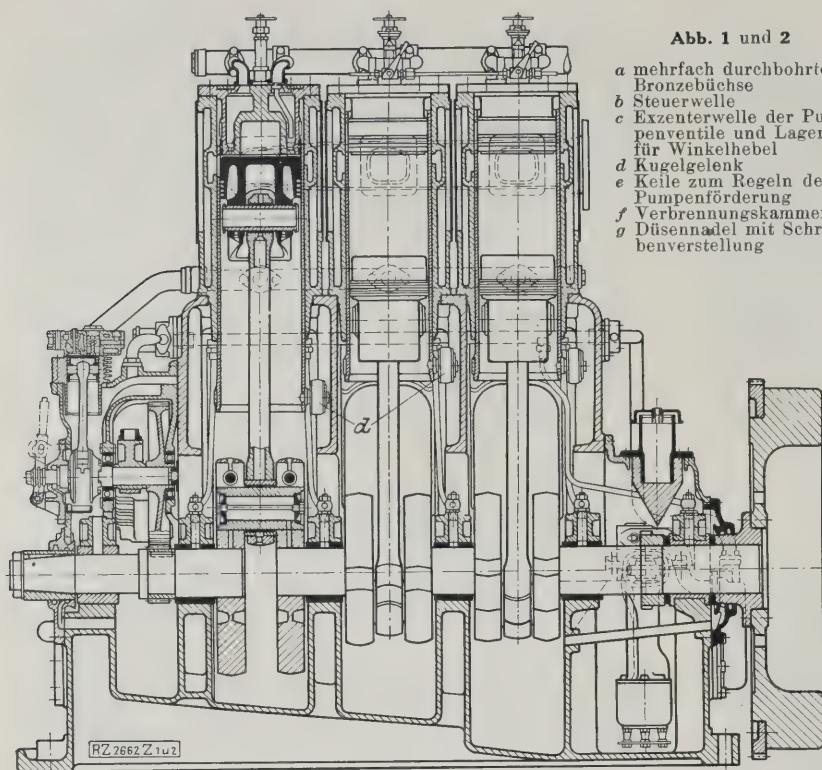
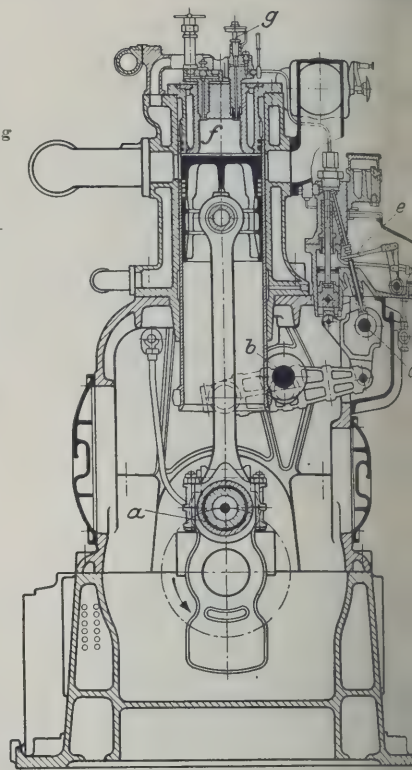


Abb. 1 und 2

- a mehrfach durchbohrte Bronzebüchse
- b Steuerwelle
- c Exzenterwelle der Pumpenventile und Lagerung für Winkelhebel
- d Kugelgelenk
- e Keile zum Regeln der Pumpenförderung
- f Verbrennungskammer
- g Düsenadel mit Schraubenverstellung



Schnellaufender Dieselmotor, Bauart Ricardo

Auf der am 18. Februar eröffneten britischen Industrie-Ausstellung zu Birmingham zeigte die Firma Peter Brothorood, Peterborough, zum erstenmal öffentlich einige Ausführungen des von Ricardo entworfenen schnellaufenden kompressorlosen Ölmotors, der bereits jahrelangen Prüfstandsversuchen unterzogen wurde¹⁾.

Die Steuerung dieser im Viertakt arbeitenden Maschinen, Abb. 1 und 2, erfolgt für den Eintritt der angesogenen Verbrennungsluft, sowie den Austritt der Abgase bei jedem Zylinder durch nur einen Kolbenschieber, der ähnlich wie bei Vergasermotoren mit Schiebersteuerung zwischen Kolben und Zylinder gleitet. Der Motor läuft mit 900 U/min und hat bei 190,5 mm Zyl.-Dmr. und 305 mm Hub eine Zylindernutzleistung von rd. 50 PS. Eine Sechszylindermaschine, bei der jeder Zylinder einzeln auf ein gemeinsames Kurbelgehäuse aufgesetzt ist, wiegt bei 2,9 m Länge, 1,4 m Breite und 2 m Höhe rd. 5,3 t, also 18 kg/PS.

Die in einem Stück aus Leichtmetall in besonders gedrängter Form gegossenen Kolben mit kreuzkopffartiger Führungsverlängerung haben sechs Kolbenringe, von denen die beiden untersten als Ölabbreiter dienen. Die Kolbenringe sitzen verhältnismäßig tief, damit sie nicht mit den Schlitzen in Berührung kommen. Die im Gesenk geschmiedeten Pleuelstangen mit rundem Schaftquerschnitt sind aus einem besonderen Nickel-Kohlenstoffstahl ausgeführt und der Länge nach weit ausgebohrt. Zum Lagern der Pleuelstangen am Kurbelwellenzapfen dienen in den Pleuelstangen feste, gehärtete Stahlbüchsen und frei zwischen diesen und den ebenfalls gehärteten Kurbelzapfen spielende, mehrfach durchbohrte Bronzebüchsen a. Dadurch soll die Reibungsgeschwindigkeit auf die Hälfte der sonst üblichen Werte herabgesetzt und somit ein höherer Flächendruck zulässig werden. Die Kurbelwelle ist aus einzelnen Teilen zusammengesetzt, wobei die Lagerzapfen auf die Wangen aufgeschrupft und die Kurbelzapfen, über die vorher die Bronzebüchsen zu streifen sind, in den geschlitzten Wangen festgeklemmt werden.

Die Steuerschieber aus Stahl werden an der Oberfläche gehärtet und sauber geschliffen. Die Schlitze werden nach Schablone ausgefräst. Da hier ein Schieber den Einlaß und den Auslaß zu steuern hat, muß seine Bewegung aus Heben und Senken, sowie aus Hin- und Herdrehung bestehen, wodurch der Einlaß- oder der Auslaßkanal geschlossen wird. Zur Bewegung der Steuerschieber dienen Schwinghebel. Die Steuerwelle b treibt diese in der Mitte durch Exzenter an. An einem Ende der Schwinghebel sind

mittels Kugelgelenke d die Schieber befestigt, während den andern Enden Winkelhebel angreifen, deren Scheitel b festgelagert sind. Die freien Schenkel dieser Hebel dienen zur Bewegungsableitung für den Kolben der Brennstoffpumpen. Die Exzenter der Steuerwelle brauchen so Exzentrizität nur etwa den halben Schieberhub. Schwinghebelenden an den Schiebern beschreiben elliptische ähnliche Linien, die Kugelgelenke ermöglichen den Schiebern die Drehbewegung.

Jeder Zylinder hat eine eigene Brennstoffpumpe, gesteuertem Saug- und Überströmventil. Die Exzenterwelle der Pumpenventile wird mittels Kette von der Steuerwelle angetrieben. Die Pumpenförderung regeln Keile e, die an der Pleuelstange zwischen den Teilen des Abschlößgestänges einschlagen. Die Pumpe fördert gegen 350 at.

Die Verbrennungskammer f hat zylindrische Form. Die Einspritzung des Brennstoffes erfolgt zwar axial, doch nicht zentral, sondern am Rande der Kammer. Durch die anfängliche Überdeckung der Schieberschlitze erhält angesogene Luft im Zylinder eine tangential wirbelnde Bewegung, die sich beim VerdichtungsHub auch der Verbrennungskammer mitteilt. Tritt nun in diesen Wirbel Brennstoff ein, so erfolgt eine besonders gute Zerstäubung und Gemischbildung. Flammbilder auf den Kolbenboden haben das bestätigt. Die Wassergekühlte Kammer ist im Zylinderkopf zentriert.

In der Düse sind außer einer federbelasteten Stützkugel, die den Abschluß vermittelt, keine beweglichen Teile vorhanden. Die axiale Düsenbohrung hat rd. 0,8 mm Dmr. In die Abrundung ragt eine mit Schraubenverstellung ausgestattete feststehende Nadel g hinein, von deren Vorhandensein die Zuverlässigkeit der Zerstäubung in hohem Maße abhängt. Beim Einstellen wird die Nadel zunächst ganz geschlossen und dann um etwa 0,15 mm angehoben. Ein zweiter Stutzen in der Verbrennungskammer ist zur Vermeidung eines Sicherheitsventils oder eines Höchstdruckindikators vorgesehen. Mit diesem soll auch bei der hohen Drehzahl, die keine einwandfreie Diagrammabnahme ermöglicht, mit hinreichender Genauigkeit die gleichmäßige Lastverteilung auf alle Zylinder überwacht werden.

Die Maschine bietet in ihrem gesamten Aufbau außerordentlich viel Neues. Viele seiner Erfahrungen im Fahrzeugmaschinenbau hat sich Ricardo hier zum Erreichen des Schnellaufes auch für größere Leistungen zu Nutzen gemacht. Wie sich die in ihren Einzelheiten aber immer sehr verwickelte Maschine unter den Händen nicht besonders geschulten Personals und im rauen Betrieb, z. B. Schiffsmaschine, bewähren wird, muß erst die Praxis zeigen.

Dresden

¹⁾ „Engineering“ Bd. 127 (1929) S. 193.

RUNDSCHAU

Eisenbahnwesen

Die neue elektrische Verschiebelokomotive für Einphasen-Wechselstrom¹⁾

von den am meisten gebräuchlichen Stromarten für den Eisenbahnbetrieb hat sich noch keine allgemein ansetzen können. Alle haben Vorzüge und Nachteile. Im ersten Blick scheint der Einphasen-Wechselstrom die beste Stromart für den Bahnbetrieb zu sein: Er ermöglicht hohe Spannungen, infolgedessen wenig Speisepunkte, einfache und übersichtliche Fahrleitung. Für den Betrieb der Lokomotiven verwendet man Reihenschlußmaschinen, die jedoch mit Rücksicht auf den Kollektor nur für niedrige Frequenzen von 16 2/3 bis 25 Per./s. gebaut werden können. Man ist daher im allgemeinen gezwungen, besondere Bahnkraftwerke oder Umformerwerke zu errichten.

Gleichstrom im Bahnbetrieb ermöglicht es ebenfalls mit einer einfachen Fahrleitung auszukommen, jedoch ist es nicht möglich, auf hohe Spannung zu gehen, so daß Speisepunkte erforderlich sind.

Bei Drehstrom ist es möglich, den Strom ohne Umwandlung aus den allgemeinen Kraftnetzen zu entnehmen. Die Ausrüstung (zwei Fahrleitungen) wird jedoch teuer sein an den Bahnhöfen, wo Luftweichen erforderlich sind, ist es verwickelt. Da bei höheren Spannungen die Isolierung der Fahrleitungen gegeneinander Schwierigkeiten macht, ist es gezwungen, niedrige Spannungen anzuwenden, so daß wiederum eine große Anzahl von Speisepunkten erforderlich ist. Für den Antrieb der Lokomotiven verwendet man Drehstrom-Asynchronmotoren, die im Aufbau sehr einfach sind, aber auch sehr betriebssicher sind. Drehstrom-Asynchronmotoren wirken bei übersynchronem Lauf als Stromerzeuger, wodurch sich eine vollkommene selbsttätige Nutzung ergibt.

Das neue Kruppsche System,

das bei 2 bis 4, verwendet zum Antrieb einen einphasigen Motor und einen Dreiphasen-Motor. Der Einphasen-Motor hat einen im Luftspalt zwischen Ständer und Läufer

Hier sei darauf hingewiesen, daß Nr. 20 dieser Zeitschrift vom April als Fachheft „Elektrische Bahnen“ erscheint.

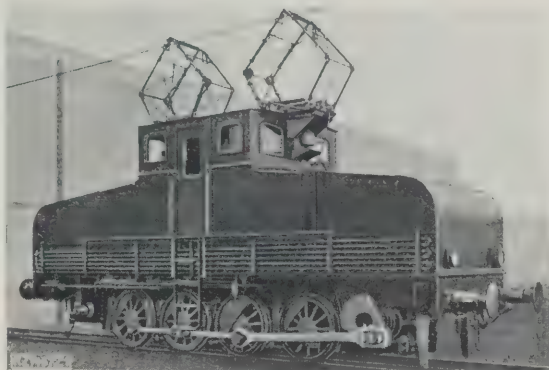


Abb. 1
Elektrische Verschiebelokomotive von Fried. Krupp.

synchron und frei umlaufenden, mit Erreger- und Dämpferwicklung versehenen Zwischenläufer (Hohlzylinder), der dem Motor trotz einphasiger Speisung des Ständers annähernd die Eigenschaften eines Drehstrom-Asynchronmotors verleiht²⁾. Dieser Motor ergibt nach Anlassen des Zwischenläufers ein hohes Anzugmoment und arbeitet bei richtiger Erregung mit $\cos \varphi = 1$ oder sogar mit voreilendem Strom. Er kann, da er keinen Kollektor hat, für 50-periodigen Wechselstrom gebaut werden. Es ist also möglich, den Fahrdraht unter Zwischenschaltung eines einfachen Isoliertransformators an ein vorhandenes Drehstromnetz der allgemeinen Landesversorgung anzuschließen; damit wird die Anlage im Gegensatz zu den bestehenden Einphasen- und Gleichstrombahnen durch Fortfall der teuren Umformerwerk wesentlich einfacher.

Durch Einschalten von Drosselspuln in die Speiseleitungen kann die Anlage kurzschlußsicher gemacht werden, da infolge des voreilenden Motorstromes auch bei Be-

¹⁾ Vergl. L. Schön, Z. Bd. 70 (1926) S. 1259, und F. Punga und L. Schön, ETZ Bd. 47 (1926) S. 842 und 877.

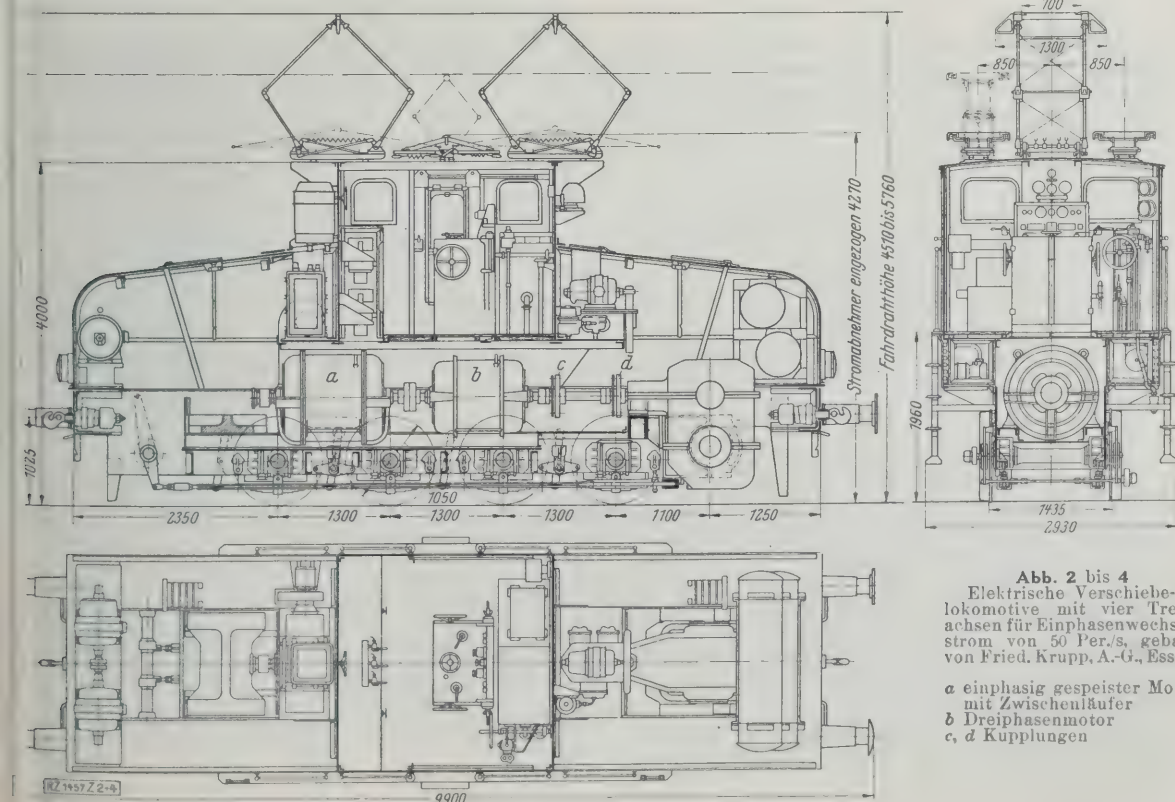


Abb. 2 bis 4
Elektrische Verschiebelokomotive mit vier Treibachsen für Einphasenwechselstrom von 50 Per./s. gebaut von Fried. Krupp, A.-G., Essen.

a einphasig gespeister Motor mit Zwischenläufer
b Dreiphasenmotor
c, d Kupplungen

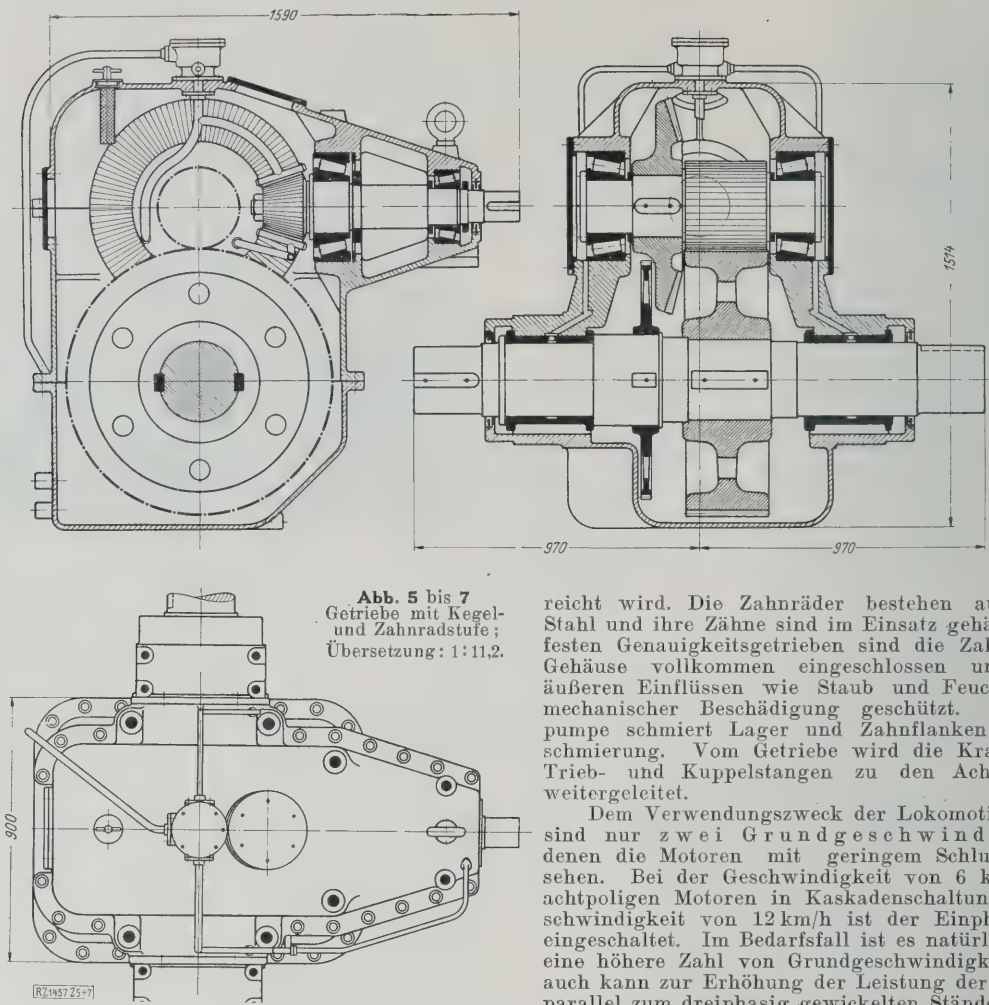


Abb. 5 bis 7
Getriebe mit Kegel-
und Zahnradstufe;
Übersetzung: 1:11,2.

lastung die Selbstinduktion der Drosselspulen keinen Spannungsabfall hervorruft. Genau wie bei den Drehstromlokomotiven greift auch bei der neuen Anordnung die Nutzbremsung vollkommen selbsttätig ein. Ferner kann die Fahrdrachtspannung hoch gewählt werden, so daß man mit wenig Speisepunkten auskommt.

Ein weiterer Vorteil der Neuerung liegt in der Möglichkeit, als Anlaßwiderstand einen Flüssigkeitsanlasser zu verwenden, der vollkommen stoßfrei anzufahren und die Zugkraft stetig zu steigern gestattet. Man kann bis an die Reibungsgrenze herangehen, ohne Schleudern der Räder befürchten zu müssen.

Zwei Einphasenlokomotiven dieser neuen Anordnung sind für den Verschiebedienst an der Bunkeranlage einer mitteldeutschen Braunkohlengrube der I.-G. Farbenindustrie gebaut worden. Die Lokomotive hat Plattenrahmen, die im mittleren Teil mittels Versteifungskonstruktion verbunden sind. Diese Versteifung trägt die beiden Antriebmotoren *a* und *b* und schließt den Maschinenraum nach unten hin ab, Abb. 2 und 3. Die Motoren sind miteinander gekuppelt. Ihre Achsen fallen mit der Längsachse der Lokomotive zusammen.

Die Kraftübertragung.

Infolge der Verwendung eines zweistufigen Zahnradgetriebes mit einer Kegelrad- und einer Stirnradstufe konnten die Motoren gut geschützt und gut zugänglich zwischen den Rahmenblechen untergebracht werden. Von den Motoren wird die Kraft zum Getriebe über eine kurze Zwischenwelle und zwei nachgiebige Kupplungen *c* und *d* übertragen. Diese nachgiebige Verbindung verhindert das Auftreten von äußeren Kräften in den Motor- und Getriebelagern, die bei starrer Kupplung infolge von Verwindungen des Rahmens entstehen würden. Die Motoren und Getriebe werden also nur durch reine Drehmomente beansprucht, wodurch sich ihre Lebensdauer und Betriebssicherheit wesentlich gesteigert.

Das Getriebe mit einem Übersetzungsverhältnis 1:11,2 ist in Abb. 5 bis 7 dargestellt. Die Wellen der Kegelradstufe sind in Schrägrollenlagern spielfrei gelagert, wodurch richtiger Eingriff der Verzahnung und geräuschloser Gang er-

reicht wird. Die Zahnräder bestehen aus hochwertigem Stahl und ihre Zähne sind im Einsatz gehärtet. Wie bei den besten Genauigkeitsgetrieben sind die Zahnräder in ein Gehäuse vollkommen eingeschlossen und dadurch äußeren Einflüssen wie Staub und Feuchtigkeit und mechanischer Beschädigung geschützt. Eine Zahnradpumpe schmiert Lager und Zahnflanken mittels Umlaufschmierung. Vom Getriebe wird die Kraft über Kurbeltrieb- und Kuppelstangen zu den Achsen und Rädern weitergeleitet.

Dem Verwendungszweck der Lokomotiven entsprechend sind nur zwei Grundgeschwindigkeiten, denen die Motoren mit geringem Schlupf laufen, vorzusehen. Bei der Geschwindigkeit von 6 km/h arbeiten achtpoligen Motoren in Kaskadenschaltung. Bei der Geschwindigkeit von 12 km/h ist der Einphasenmotor allein eingeschaltet. Im Bedarfsfall ist es natürlich auch möglich eine höhere Zahl von Grundgeschwindigkeiten zu erzielen, auch kann zur Erhöhung der Leistung der Dreiphasenmotor parallel zum dreiphasig gewickelten Ständer des Einphasenmotors geschaltet werden, da der Einphasenmotor gleichzeitig als Motor und Phasenteiler arbeiten kann. Beim Anfahren wird in den Läuferstromkreis des Einphasenmotors und des Dreiphasenmotors der veränderliche Flüssigkeitswiderstand eingeschaltet. Zur Kühlung der Anlasserflüssigkeit, die sich beim öfteren Anfahren des Verschiebebetriebes stark erwärmt, dienen außen an der Lokomotive angebrachte Röhrenkühler.

Die Motoren sind für 600 V am Ständer und Läufer gewickelt. Der Einphasenmotor erhält den Strom über einen Spartransformator, der über einen Ölschalter und die Stromabnehmer mit der Fahrleitung, die 3000 V führt, verbunden ist. Um die Fahrtrichtung der Lokomotive zu ändern, wird die Stromzuführung des Einphasenmotors vom Ständer zum Läufer, oder umgekehrt, verlegt. Da hierbei die Zwischenläufer stets im selben Drehsinn weiterläuft, erfolgt der Fahrtrichtungswechsel ohne jeglichen Zeitverlust.

Das geräumige, vollkommen geschlossene und elektrisch geheizte Führerhaus, in dem sämtliche für die Steuerung notwendigen Einrichtungen untergebracht sind, ist in der Mitte über den Motoren angeordnet. Seine hohe Lage gestattet einen vorzüglichen Überblick über den Zug auf der Strecke, was besonders für den Verschiebedienst von Vorteil ist.

Die Hauptkonstruktionszahlen:

Spurweite	1 435 mm
Rad-Dmr.	1 050 "
Gesamter Radstand	3 900 "
Länge über die Puffer	9 900 "
Größte Breite	2 930 "
Höhe ohne Stromabnehmer	4 000 "
Dienstgewicht = Reibungsgewicht	48 t
Achsdruck	12 t
Grundgeschwindigkeit	6 und 12 km/h
Motor-Stundenleistung	2 x 300 PS
Größte Zugkraft am Zughaken	16 000 kg
Stundenzugkraft am Zughaken	12 000 "
Fahrdrachtspannung	3 000 V
Frequenz	50 Per.s.

Essen

Dipl.-Ing. E. Burmeister
[M 1457]

Verarbeitende Industrien

Selbsttätig arbeitende Reismühlen

Wie jede andre Getreideart muß auch der Reis, bevor er als eigentliche Arbeitsverfahren durchläuft, erst gründlich gereinigt werden. Der angelieferte Rohreis wird von einem Becherwerk *b*, Abb. 8 und 9, den Vorreinigungsspirateuren *c* und *c*₁ zugeführt, wo er von Staub, Schmutz, Steinen, Stroh und andern Fremdkörpern befreit wird. Die Reinerer arbeiten nach dem üblichen Verfahren der Reinsichter.

Aus dem vorgereinigten Reis (Paddy) werden mittels Überlaufmagnete *d* und *d*₁ etwaige Eisenteile entfernt, auf der Unterläuferschälung *e* und *e*₁ wird, wo er zwischen den beiden mit einer besonderen Reismasse belegten Läufern geschält wird, Abb. 10. Der Reinsichter der Schälflächen ist regelbar. Den Einlauf regelt am Einlaufrechter befindliche verstellbare Manschette. Das den Schälgang verlassende Erzeugnis: geschälte ungeschälte Körner und Hülsen, wird von dem Doppelbecherwerk *f*, Abb. 8 und 9, zu den Flachsieben *g* und *g*₁ geführt, wo das Schälmehl (Kargomehl) und der kleine Reinsbruch abgesiebt wird. Die über die Siebe laufenden Reinsichter, geschälten und ungeschälten Körner fallen in die unter stehenden Windsichter *h* und *h*₁ (Hülsenseparator), wo die Reishülsen ausgeschieden werden. Die Hülsen kann

man bei größeren Reismühlen als Feuerungstoffe für den Dampfkessel verwenden. Der abgesiebte Schälbruch gelangt in einen an die Entlüftungsleitung angeschlossenen Putzkasten *k*, wo die kleinen Schälenteile abgesogen werden, worauf man ihn mittels des Becherwerks *l* unmittelbar dem ersten Schleifgang *m* zuführt, ohne damit den Paddyausleser zu belasten.

Der von den Hülsenseparatoren *h* und *h*₁ kommende geschälte und ungeschälte Reis läuft in die Paddyausleser *i* und *i*₁, die die geschälten und ungeschälten Körner trennen¹⁾. In dem Ausleser gelangt das Gut zuerst in einen Speisetrog und wird von hier durch die einzelnen einstellbaren Speiselöcher in die Kammern eines mit Prallflächen versehenen geneigten Schütteltisches geführt. Infolge der Schüttelbewegungen trennen sich die verschiedenen Körner voneinander. Die ungeschälten Körner, die spezifisch leichter sind als die geschälten, wandern nach oben, während die geschälten, spezifisch schwereren Körner unten abfließen. Die Maschine hat ein Vorgelege mit kegeligen Riemenscheiben, damit man die Drehzahlen der Maschine leicht den verschiedenen Reissorten anpassen kann.

Die die Ausleser verlassenden ungeschälten Körner werden dem Becherwerk *b* zugeführt, das sie wieder auf den Schälgang bringt. Die geschälten Körner werden von dem Becherwerk *l* zu dem ersten Schleifgang *m* gefördert.

¹⁾ Vergl. Z. Bd. 73 (1929) Nr. 2 S. 43.

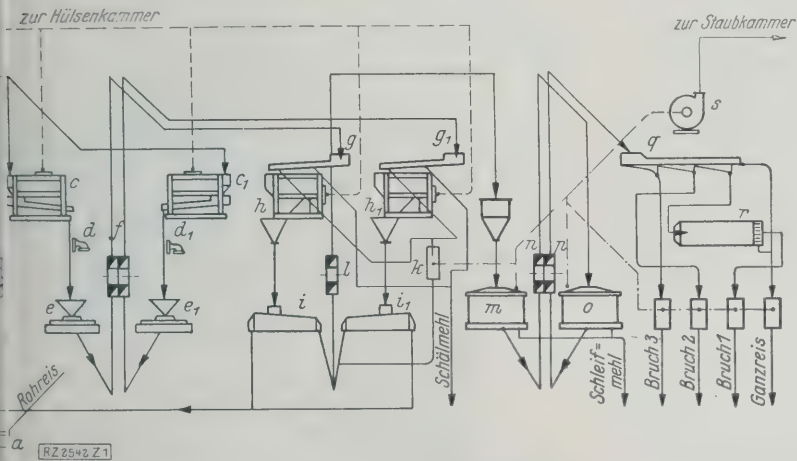


Abb. 8
Arbeitsplan einer selbsttätig arbeitenden Reismühle.

- Zu Abb. 8 und 9:
- a Einschütttrichter
 - b, l einfache Becherwerke
 - c, c₁ Vorreiner (Aspirateur)
 - d, d₁ Überlaufmagnete
 - e, e₁ Unterläuferschälung
 - f, n, p Doppelte Becherwerke
 - g, g₁ Flachsiebe
 - h, h₁ Windsichter H Hülsenseparator
 - i, i₁ Paddyausleser
 - k Putzkasten
 - m Erster Schleifgang
 - o Zweiter Schleifgang
 - p Plansieb
 - r Trommelausleser (Trieur)
 - s Sauglüfter

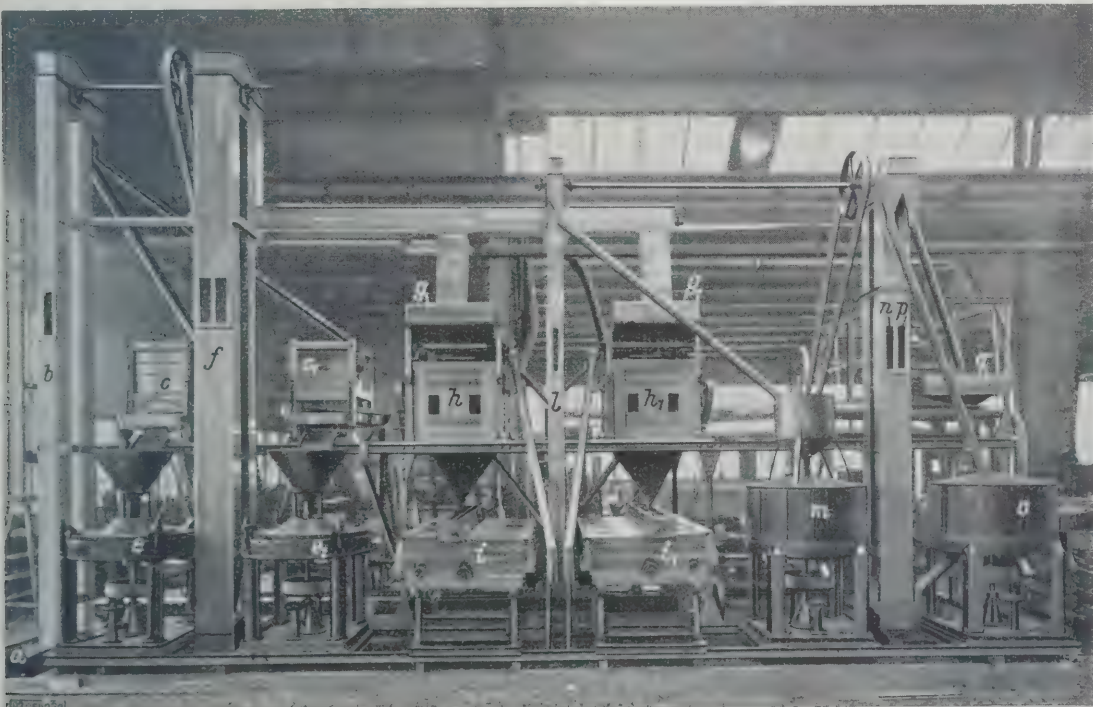


Abb. 9

Selbsttätig arbeitende Reismühle für Birma, gebaut von der Firma „Miag“ Mühlenbau- und Industrie-A.-G., Braunschweig.

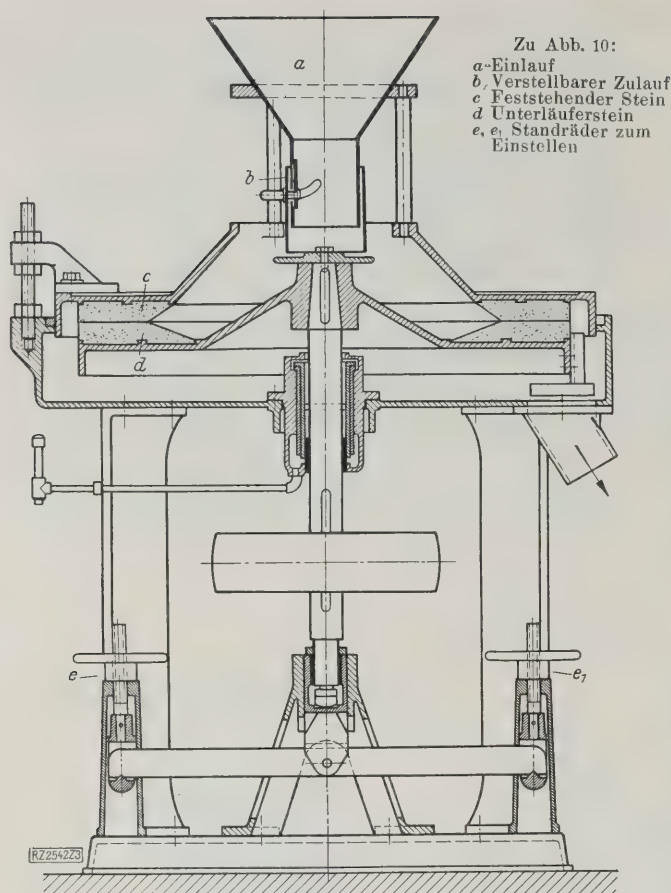


Abb. 10
Unterläuferschälgang.

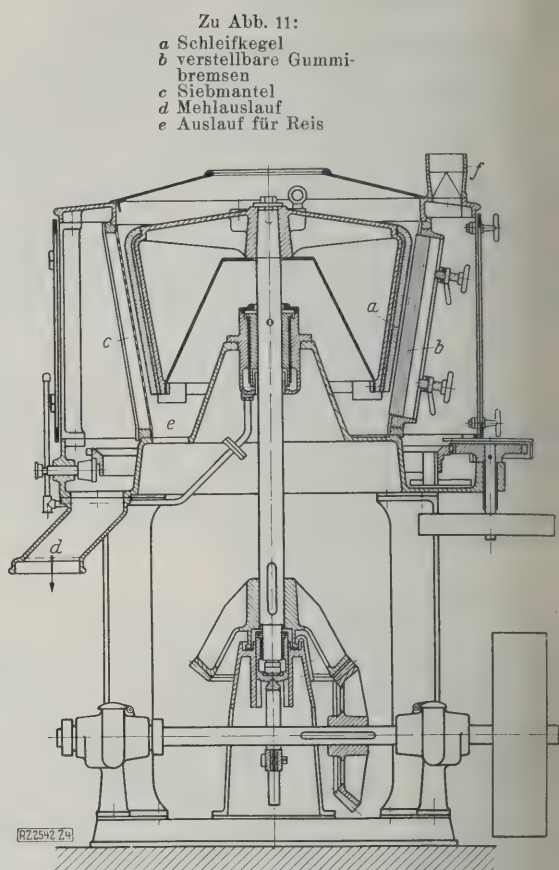


Abb. 11
Schleifgang.

dert. Dieser, Abb. 11, gibt dem geschälten Reis, der noch von einer grauen, fettigen Haut umgeben ist, ein besseres Aussehen.

Der Schleifgang besteht aus einem mit einer Steinmasse belegten Schleifkegel *a*, der in einem mit verstellbaren Gummibremsen *b* versehenen Siebmantel *c* umläuft. Der Reis wird zwischen dem Kegel und dem Drahtgewebe geschliffen. Die Gummibremsen stauen den Reis, wenden ihn, so daß er allseitig geschliffen wird, verringern die Bruchbildung und verhindern, daß der zu schleifende Reis die Umlaufgeschwindigkeit des Kegels annimmt und die Schleifwirkung dadurch aufgehoben wird.

Das Schleifmehl tritt durch den Drahtmantel aus, verläßt die Maschine bei *d* und wird abgesackt. Der geschliffene Reis fällt bei *e* heraus. Je nach der gewünschten Ware kann der Schleifvorgang wiederholt werden. Ferner kann man den Reis noch durch eine Poliermaschine gehen lassen. Im allgemeinen schleift man zwei- bis dreimal. Bei der Anlage nach Abb. 8 und 9 ist noch ein zweiter Schleifvorgang *o* vorhanden, dem der Reis vom ersten Schleifgang *m* mit dem Becherwerk *n* zugeführt wird.

Nach dem Schleifen wird der Weißreis durch ein Becherwerk *p* einem Plansieb *q* zugeführt, das die verschiedenen Bruchsorten vom Ganzreis trennt. Die zweite Sortierung enthält vielfach noch kleineren Ganzreis, weshalb man sie noch durch einen Trommelausleser (Trieur) *r* führt. Das dem Reis noch anhaftende Mehl wird durch einen Sauglüfter bei jeder einzelnen Sorte abgesogen.

Alle bei dem Arbeitsverfahren beteiligten Maschinen sind leicht zugänglich und übersichtlich in einem kräftigen Eisengestell eingebaut. Der Kraftbedarf einer Reismühle für 1000 kg/h Rohreis beträgt 20 bis 25 PS. Von dieser Stundenleistung an aufwärts ist Dampfkraft am wirtschaftlichsten, da die beim Schälen anfallenden Hülsen für das Heizen des Kessels genügen. Von 1000 kg Rohreis erhält man rd. 220 kg Hülsen, die einen mittleren Heizwert von rd. 3000 kcal/kg haben. Diese vollkommen selbsttätig arbeitenden Mühlen werden von der „Mia“, Mühlenbau- und Industrie-A.-G. in Braunschweig für Leistungen von 300 kg/h bis 4000 kg/h gebaut.

[M 2542]

Berlin

Schweiningen

Maschinenteile

Schnellschlußventil mit freiem Durchgang

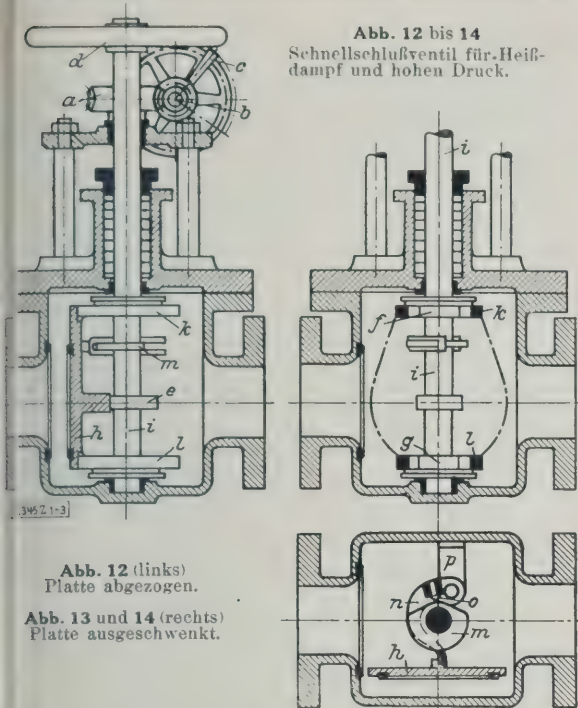
Von einschneidender Bedeutung für die Sicherheit und Wirtschaftlichkeit in Dampftrieben ist die richtige Wahl der Absperrorgane. Im folgenden sei ein neues Heißdampfventil für hohen Druck von Karnath, das die Fa. Dingler A.-G., Zweibrücken, baut, beschrieben¹⁾.

Die Abdichtung wird durch eine elastische Platte *h* (Abb. 12 bis 14, die sich unter dem auf ihr lastenden Dampfdruck den ungleichförmigen Dehnungen des Ventilgehäuses anpaßt, bewirkt. Auf der Spindel sind drei Kurvenscheiben aus Chromnickelstahl befestigt. Um die obere und die untere Kurvenscheibe, *f* und *g*, ist je ein Abhebebügel, *k* und *l*, geführt, der an der Platte *h* festsetzt. Durch Drehen des seitlichen Handrades wird die Spindel *i* mittels Schneckenübersetzung bewegt. Der untere Abhebebügel *l* hebt nun infolge seiner besonderen Ausbildung die Platte zuerst von ihrem Sitz. Nachdem sie um mehr als die Hälfte abgehoben ist, greift der obere Abhebenocken ein. Dadurch wird die Platte langsam von ihrem Sitz gewissermaßen abgerollt. Der Anpreßnocken *e* schwenkt dann die abgehobene Platte um 90°. Beim Schließen wird das Ventil durch den Winkelhebel *n*, Abb. 14, zurückgedreht. Die Kurvenscheibe *m* übt auf den Gleitkopf *o* des Winkelhebels *n* einen Druck aus. Der Hebel wird dadurch zwangsläufig bewegt und schwenkt die Platte wieder in ihre Ausgangsstellung, Abb. 12, zurück. Muß man das Ventil rasch schließen, so kann man mittels des Schalthebels *c* die Schnecke *b* ausschalten. Eine einzige Umdrehung des an der Spindel sitzenden Handrades *a* schließt das Ventil vollkommen ab. Da der Dampfdruck den Schließvorgang unterstützt, läßt sich das Handrad leicht bedienen.

Das Ventil bedarf auch bei hohem Druck keiner Druckausgleichsvorrichtung. In der Dampfströmung stehen lediglich Spindel und Nocken. Bei dem erweiterten Querschnitt behindern diese die freie Dampfströmung nicht in nennenswerter Weise, so daß dieses Ventil praktisch einen freien Durchgang hat und infolgedessen keinen größeren Spannungsverlust verursacht, als ein Schieber gleicher Lichtweite²⁾. In Abb. 15 sind die den einzelnen Ventildurch-

¹⁾ Z. Bd. 70 (1926) Nr. 38 S. 1261.

²⁾ Vergl. „Glückauf“ Bd. 52 (1916) Nr. 47 S. 997.



- Zu Abb. 12 bis 14:
a Schneckenrad
b Schnecke
c Ausklinkhebel für Schnecke
d Schnellschlußflandrill
e Anpreßnocken
f oberer Abhebenocken
g unterer Abhebenocken
h Ventilplatte
i Ventilschindel
k oberer Abhebebügel
l unterer Abhebebügel
m Kurvenscheibe für Rückdrehvorrichtung
n Rückdrehhebel
o Gleitkopf
p Haltearm für Rückdrehvorrichtung

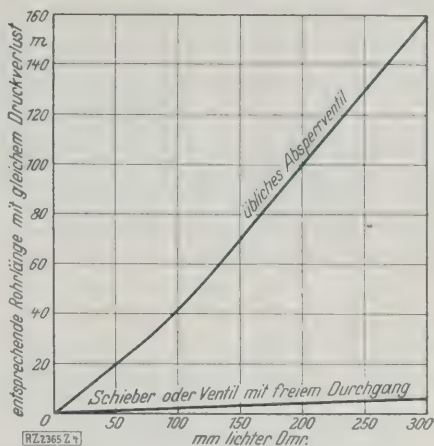


Abb. 15
Druckverluste für Schieber und Normalventile, ausgedrückt durch entsprechende Rohrlängen.

ern in bezug auf ihren Strömungswiderstand entsprechenden geraden Rohrlängen mit gleichem Druckabfall für größere Dampfgeschwindigkeiten aufgezeichnet. Für größere Rohrdurchmesser kommen demnach nur noch Schieber oder Ventile mit freiem Durchgang in Frage.

Bei bestehenden Rohrleitungen, die zu großen Druckunterschieden aufweisen, kann man diesen durch Einbau von Ventilen mit geringem Strömungswiderstand wesentlich verringern. Durch die Möglichkeit, bei gleichem Druckverlust größere Leitungsdurchmesser als bisher zu nehmen, kann auch der thermische Wirkungsgrad verbessern, außerdem verringern sich die Kosten für den Wärmeschutz der Röhre. [M 2345]

Zeichnungen Dipl.-Ing. H. Bund

Anstrichtechnik

Farbspritzten mit 0,05 at Überdruck

Man unterscheidet heute unmittelbare Zerstäubung, mittelbare Zerstäubung und Umlaufzerstäubung. Die unmittelbare Zerstäubung, Abb. 16, benutzt man bei kleinen Baum- und Pflanzenspritzten. Der zu verspritzende Stoff wird unter hohem Druck, rd. 2 bis 4 at, durch eine Düse gepreßt. Der Spritzstoff befindet sich in einem Behälter und wird mittels einer Handpumpe unter Druck gesetzt. Man kann nur leichtflüssige Stoffe zerstäuben.

Die mittelbare Zerstäubung, Abb. 17, mit einem Druck von 2 bis 8 at ermöglicht feinste Vernebelung von jedem Farbstoff. Den erzeugten Spritzstrahl kann man aber nicht geschlossen halten, sondern am Rande des Spritzstoffs sehr ab. Es bilden sich Farbnebel, die mittels Vorrichtungen absaugen muß, damit der Arbeiter nicht gefährdet seine Spritzarbeit verrichten kann. Zur Erzeugung des hohen Druckes braucht man verhältnismäßig kleine Maschinen. Fahrbare Anlagen dieser Art kann man nicht als leicht beweglich bezeichnen. Beim weiteren Bau darf man nicht allein die Handlichkeit in Betracht ziehen, sondern muß das Hauptaugenmerk auf die sehr geringe Beseitigung der Farbnebelbildung richten.

Da bei der mittelbaren Zerstäubung eine brauchbare Vernebelung nur durch den hohen Druck möglich ist, dürfte die Beseitigung der Farbstaubbelastung große

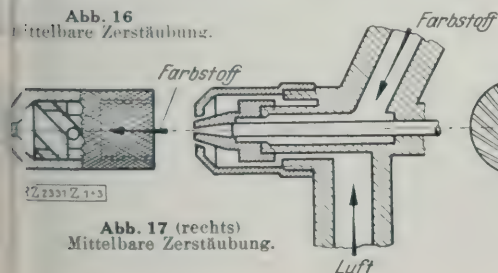


Abb. 17 (rechts)
Mittelbare Zerstäubung.

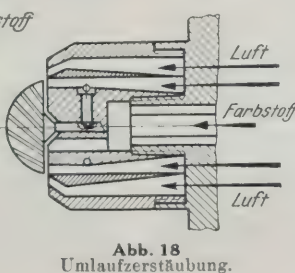


Abb. 18
Umlaufzerstäubung.

Schwierigkeiten bereiten. Es sind in letzter Zeit auch „Niederdruck-Spritzanlagen“ auf den Markt gekommen, die keine oder nur geringe Farbstaubbelastung zeigen. Bei diesen Anlagen wurde die Nebelbildung nur auf Kosten der Zerstäubung vermindert, so daß die Brauchbarkeit in vielen Fällen in Frage gestellt ist.

Einen völlig neuartigen Weg stellt die Umlaufzerstäubung dar, Abb. 18. Der Spritzstoff wird hier infolge Umlaufens des Zerstäubers vernebelt. Bei dieser Ausführungsform wird ein mit Flügeln versehener, im Luftstrahl liegender, drehbar angeordneter Körper in möglichst schnelle Drehung versetzt. In diesen umlaufenden Körper tritt aus zweckentsprechend geformten Düsen Spritzstoff, der beinahe senkrecht zur Achse, also fast parallel zur Arbeitsfläche, abgestoßen wird. Um nun das so zerstäubte Spritzgut auf die Fläche auftragen zu können, muß man es am seitlichen Abfliegen verhindern. Dies erreicht man durch eine bestimmte Luftstrahlführung. Der Luftstrahl muß in zwei Teile geteilt werden, und zwar einen inneren und einen äußeren. Der innere Luftstrahl dient zum Antrieb des Zerstäubers, der äußere gibt zusammenfassend und mantelbildend die Spritzrichtung. Der um den Spritzstoff herumgelegte Luftmantel ist von höchster Wichtigkeit, da er die Nebelbildung vollkommen beseitigt. Zur Betätigung einer derartigen Spritzanlage genügt die Verwendung eines Elektrogebläses für 0,05 at Überdruck. [M 2331]

Berlin-Charlottenburg

A. Funk

Schiffs- und Seewesen

Wirtschaftlichkeit neuerer Schiffsdampfanlagen

Die Verbesserungen in bezug auf den Brennstoffverbrauch bei neuen großen Schiffen zeigt ein Vortrag von J. Johnson in der diesjährigen Hauptversammlung der Institution of Naval Architects. Wertvoll war vor allem der Vergleich der Ergebnisse der älteren Schiffe mit denen der neuen „Duchess“-Klasse, bei denen Dampfturbinen für 24 at Anfangsdruck und Kessel mit Ölfeuerung angewendet worden sind. Im Gesamtergebnis hat die „Duchess of Bedford“ mit 20 000 B.-R.-T. eine Reise von Liverpool nach New York und zurück bei 17,8 Kn Geschwindigkeit mit einem Brennstoffverbrauch von 1443 t einschließlich Hafenverbrauch gemacht, während die 1922 gebaute „Montclare“ von 16 300 B.-R.-T. mit Getriebeturbinen für niedrigen Druck unter ähnlichen Wetterverhältnissen bei 16,35 Kn Geschwindigkeit 2182 t verbrauchte. Der Brennstoffverbrauch des neuen Schiffes war also um 34 vH geringer, obschon es etwas größer und etwas schneller ist. Die Haupt- und Hilfsmaschinen verbrauchten, bezogen auf die Wellenleistung, 0,283 gegen 0,444 kg/PSh, also 36 vH weniger. Für die Hauptmaschinen allein wurden als Verbrauch 0,258 gegen 0,394 kg/PSh, also eine Ersparnis von 34 vH ermittelt. Allerdings ist der Unterschied nicht der Anwendung von höherem Dampfdruck allein zuzuschreiben; denn die „Empress of Australia“, der frühere deutsche Dampfer „Tirpitz“, verbrauchte nach Einbau einer neuen Maschinenanlage für niedrigen Druck (verbesserte Getriebeturbinen) schon 1926 auch nur 0,322 kg/PSh Heizöl, so daß der Verbrauch der „Duchess of Bedford“ nur eine Verbesserung um 12 vH bedeutet. („The Motorship“ April 1929 S. 22/23.) [N 2858] C.

Kleine Mitteilungen

Neuartige Drehrost- und Schrägrostfeuerungen für Dampfkessel

Schon vor sechs Jahren führte die Firma Atkinson, Glasgow, die ersten Versuche mit neuen Feuerungen für geringwertige Kohlen und sonstige Abfallbrennstoffe aus. Eine Drehrostfeuerung nach Art der Drehöfen wird bei Flammrohrkesseln, eine Schrägrostfeuerung bei Wasserrohrkesseln benutzt. Bei beiden Feuerungen wird der Brennstoff während der Verbrennung in dauernde Schüttelbewegung versetzt.

Die geeigneten Drehroste haben 4 bis 5 m Länge und rd. 1 m Innendurchmesser und laufen mit rd. 0,3 U/min um. Die Stahltrommeln werden mit feuerfestem Stoff und mit Luft- oder wassergekühlten Roststäben aus Gußeisen ausgekleidet. Der Brennstoff wird selbsttätig mittels Schnecke, Vorschubkolben oder Wurfvorrichtung zugeführt. Die Verbrennungsluft tritt am Umfang der Trommel durch Düsen ein. Bei Rostbelastungen bis zu 733 kg/m²h beträgt der Gesamtwirkungsgrad 70 bis 80 vH, dabei ist die Kesselleistung bis um 50 vH höher als bei üblichen guten Handfeuerungen. Kohlenstaub mit 45 vH Brennbarem wird mit gutem Erfolg verfeuert. Ebenso eignet sich die Feuerung für Grubenabfallkohlen mit 30 vH Asche und 30 vH Feuchtigkeit und einem Heizwert von 3140 kcal/kg, wobei eine 4,5- bis 5fache Verdampfung, entsprechend einer Dampfleistung von 4 bis 7 t/h, erreicht wird. Für Bedienung ist ein Mann für 4 bis 5 Kessel einschließlich Antrieb und Entaschung erforderlich.

Ähnliche Ergebnisse hat man mit dem aus Kettengliedern bestehenden muldenförmigen Schrägrost mit unterteilter Luftzufuhr erzielt. Holzspäne wurden unter einem Stirling-Kessel verfeuert bei 2,5- bis 3facher Verdampfung und bis zu 8 t/h Dampfleistung. („Engineering“ 8. März 1929 S. 312*, 5. April 1929 S. 426*, 19. April 1929 S. 501*)

[N 2950 a]

Kr.

Erfahrungen mit großen Schiffsdieselmotoren

Am 9. April berichtete Dr.-Ing. Sass, Berlin, in einer Sitzung der Institution of Engineers and Shipbuilders in Scotland über die bisherigen Ergebnisse der drei doppeltwirkenden Zweitakt-Schiffsdieselmotoren, Bauart AEG-Hesselman, von je 5000 PS Nutzleistung, die in den Motorschiffen „Leverkusen“, „Duisburg“ und „Kulmerland“ der Hamburg-Amerika-Linie eingebaut sind. Die Bauart dieser Motoren, die sechs Zylinder von 700 mm Bohrung und 1200 mm Hub haben, ist aus der Veröffentlichung in Bd. 72 (1928) S. 1693 bekannt. Die Schiffe haben sich im Brennstoffverbrauch als sehr wirtschaftlich erwiesen, so daß ein weiteres Schiff nachbestellt worden ist.

Einige Schwierigkeiten, die an den Stopfbüchsen der Kolbenstangen auftraten, wurden durch den Einbau neuer Stopfbüchsen, Bauart *Davy Robertson*, Göttingen, behoben. Eine wichtige Neuerung an den Motoren ist die Verwendung von schmiedeeisernen Zylinderdeckeln, die aus einzelnen Teilen hergestellt sind und durch ein von Dir. *Baßler*, AEG-Berlin, angegebenes Sonderverfahren so in dem elektrischen Ofen miteinander verbunden werden, daß ein praktisch einheitlicher Körper entsteht. Bei der Herstellung wird eine Glühtemperatur von 1200° erreicht. Hierdurch und durch langsames Abkühlen der Deckel wird ein spannungsfreies Werkstück erzielt. Ein derart hergestellter Deckel besteht im Gegensatz zu gußeisernen Zylinderdeckeln aus einem homogenen, fehlerfreien Werkstoff, der eine erheblich größere Betriebssicherheit und Lebensdauer gewährleistet. Mehrere derartige Deckel, die in der Werkstatt einem Probedruck von 75 at auf der Feuerseite und von 30 at auf der Wasserseite unterworfen wurden, befinden sich bereits seit längerer Zeit im Betrieb und haben sich sehr gut bewährt. Eine ausführliche Veröffentlichung über dieses Verfahren in dieser Zeitschrift ist in Aussicht genommen. („The Engineer“ 12. April 1929 S. 415)

[N 2950 b]

H.

Vierspindelautomat

Eine neuartige Werkzeugmaschine für die Bearbeitung von kleineren Preß-, Schmiede- oder Gußstücken aus Messing, Stahl u. a. baut die New Britain Machine Co., New Britain, Connecticut. Die Maschine hat vier Spindeln und fünf selbstspannende Zweibackenfutter. Bei jedem Wechsel der Futter ist ein Futter in Ruhe- oder Ladestellung. Drei Spindeln dienen zum Langdrehen, Bohren und Plandrehen, während die vierte Spindel zum Gewinde-schneiden bestimmt ist. Die ersten drei Spindeln haben voneinander unabhängige Geschwindigkeiten, die in vier Stufen von 160 bis 1200 U/min regelbar sind. Den Vorschub kann man ebenfalls für jede Spindel unabhängig einstellen.

Die zum Gewindeschneiden bestimmte Spindel wird über eine Zahnkupplung angetrieben und ist zwischen 45 U/min und 700 U/min regelbar. Zum Schneiden von Linksgewinde muß man ein Zahnrad zwischenschalten. Die Zweibackenschneidköpfe werden mittels Druckluft gesteuert. Die Druckluft wird, falls in der Werkstatt keine Druckluftanlage vorhanden ist, mittels eines kleinen an der Maschine angebrachten Verdichters erzeugt. Erforderlichenfalls kann man die Schneidbacken auch mittels Drucköl steuern. („Engineering“ 19. April 1929 S. 499.) [N 2950 c] Sch.

Sandgefüllte Stützen für den Streckenausbau in Bergwerken

Für den Streckenausbau in Bergwerken verwendet man einen Werkstoff mit hoher Druckfestigkeit und genügender Querschnittfläche, der dem auf den Strecken lastenden Gebirgsdruck standhalten kann. Man kann aber auch den Stützen eine runde oder hohle Form geben und das Innere mit sandigen oder körnigen Stoffen ausfüllen. Zahlreiche in Süd-Afrika durchgeführte Versuche haben ergeben, daß mit Sand gefüllte eisenbewehrte Beton- oder Stahlrohrglieder größere Festigkeit aufweisen und weniger unsicher sind, als scheibenförmige eisenbewehrte Betonplatten. Werden die einzelnen Glieder über die Zugfestigkeit der Eiseneinlage hinaus beansprucht, so gehen sie zu Bruch. Vor dem Bruch der Eiseneinlage sind aber die eingefüllte Sand oder die körnigen Füllstoffe bereits so fest zusammengedrückt, daß ein plötzliches Niederbrechen der Glieder niemals vorkommt.

Infolge der zusammenschiebbaren Form der Glieder gibt eine solche Stütze infolge der gleichmäßigen Verteilung des Sanddruckes mehr nach als eine aus einem ungeteilten Rohr bestehende Stütze. Die Widerstandsfähigkeit der Stütze wird aber noch erheblich vergrößert, wenn man die Kanten der inneren Ringe abschrägt. Die günstigste Form der Eiseneinlage für eisenbewehrte Betonröhren oder Ringe ist eine an den Enden offene Drahtspirale, die bei dem auf ihr lastenden Druck nachgeben kann. Zusammen-schiebbare Stahlrohstützen von 300 mm Dmr., 5 mm Wanddicke und 900 mm Länge, die mit Sand gefüllt waren, hielten 360 t Belastung bei 137 mm Zusammendrückung aus. Aus fünf Teilen bestehende zusammenschiebbare Eisenbetonstützen, die mit Sand gefüllt sind, hielten 330 t aus. (Iron and Coal Trades Review 19. April 1929 S. 564.)

[N 2950 d]

Ste.

Die Wood-Leerlaufeinrichtung für Lokomotivzylinder

Die Great Southern-Eisenbahn Irlands will alle ihre Lokomotiven, die Kolbenschiebersteuerung haben, mit einer neuen Leerlaufeinrichtung versehen, deren Brauchbarkeit durch umfangreiche Versuche bewiesen ist. Die Einrichtung beseitigt den Unterdruck im Zylinder bei Leerlauf und vermeidet also das Ansaugen von Rauchgasen und bietet gleichzeitig ein Mittel, Kolben und Schieber auch in diesem Fall weiter unter Dampf zu schmieren.

Zu diesem Zweck führt ein Rohr von rd. 25 mm l. W. vom Wasserraum des Tenders oder vom Speisewasserrohr aus zum Hauptdampfrohr, und zwar auf der Zylinderseite also hinter dem Regler, oder zur Satteldampfammer des Überhitzers. In das Rohr ist ein Rückschlagventil eingebaut, um bei Fahrt unter Dampf dessen Eintreten in den Wasserraum zu vermeiden. Bei Leerlauf hingegen saugt der Kolben durch das Rohr eine geringe Menge Wasser an, die auf ihrem Wege durch den Überhitzer in Dampf verwandelt wird. („The Locomotive“ 15. April 1929 S. 119*.) [N 2950 e] Ro.

Holland-Amerika-Dampfer „Statendam“

Am 11. April d. J. hat der vor kurzem fertiggestellte Schnelldampfer „Statendam“ der Holland-Amerika-Linie seine Jungfernfahrt angetreten, die insofern von besonderer Bedeutung ist, als gerade vor 300 Jahren das erste holländische Schiff in New York eingetroffen ist. Der neue Dampfer stellt mit seiner Maschinenanlage einen weiteren Fortschritt in der Verwendung von Hochdruck-Dampfturbinen als Schiffsantrieb dar.

Die „Statendam“ hat 212 m Länge über alles, rd. 25 m Breite und 16,2 m Seitenhöhe. Sie ist bei 30 000 B.-R.-L. Raumgehalt für 1600 Fahrgäste und 600 Mann Besatzung eingerichtet. Die Maschinenanlage besteht aus zwei Parsons-Turbinensätzen mit einfacher Übersetzung von 20 000 PS. Die dreiflügeligen Schrauben arbeiten mit 125 U/min und verleihen dem Schiff eine Geschwindigkeit von 19 Knoten. Dampf von rd. 30 at Druck wird in sechs Wasserrohrkesseln mit Ölföhrung, Bauart Babcock & Wilcox, erzeugt. De.

licht- und Kraftzwecke erforderlichen elektrischen liefern vier Dieseldynamos von je 400 kW. Schiffs- und Maschinen wurden von Harland & Wolff, Belfast; die Wilton's Engineering & Slipway Company, Rotterdam, hat das Schiff ausgerüstet und die Marineingebaut. („The Engineer“ 19. April 1929 S. 423.) [N 2950 f] Bl.

Japanisches Fischmotorschiff

Der Werft der Mitsubishi Zosen Kaisha ist jetzt das japanische Motorschiff für den Fischereibetrieb bestellt worden. Das Schiff, mit Namen „Kushiro“

Maru“, hat 41 m Länge, 7,3 m Breite und 4,1 m Seitenhöhe bei einem Raumgehalt von 312 B.-R.-T. Die Fisch- und Eisräume, die sich über eine beträchtliche Länge des stählernen Schiffkörpers erstrecken, werden durch eine Kohlensäureanlage mit Motorantrieb gekühlt. Winden und Ankerspül werden elektrisch betrieben. Zum Antrieb des Schiffes dient ein von den Niigata Iron Works in Yokohama erbauter einfachwirkender Zweitakt-Dieselmotor von 750 PS. Die sechs Zylinder haben 350 mm Bohrung und 490 mm Kolbenhub. Die Dienstgeschwindigkeit des Schiffes beträgt $11\frac{1}{2}$ Kn. („The Motorship“ April 1929 S. 39*) [N 2950 g] Bl.

BÜCHERSCHAU

Bücher und Zeitschriften des In- und Auslandes, auch solche nichttechnischen Inhaltes, liefert die VDI-Buchhandlung, Berlin NW 7, Ingenieurhaus (Telegrammanschrift: Ingenieurverlag Berlin; Fernspr.: Zentrum 15204).

Rietschels Leitfaden der Heiz- und Lüftungstechnik. 2. Aufl. Von *Heinrich Gröber*. Mit einem Abschnitt über die Lüftung von *J. Bürgers*. Berlin 1928, Julius Springer. 8. m. 368 Abb., 26 Zahlentaf. und 10 Hilfstaf. Preis 20 RM.

Heizungs- und Lüftungsanlagen in den verschiedenen Gebäudetypen. Von *M. Hottinger* und *W. v. Gonzenbach*. Berlin 1929, Julius Springer. 191 S. Preis 10 RM.

Es ist gleichzeitig sind im gleichen Verlage zwei Bücher erschienen, die inhaltlich manches gemeinsam haben. Zunächst fällt rein äußerlich auf, daß bei beiden Werken der Leser des technischen Teiles sich mit einem Mediziner bei der Bearbeitung der Fragen der Hygiene zusammenschließen wird. Gerade diese Abschnitte bieten daher für den Ingenieur besonders Beachtenswertes. Der technische Teil der beiden Büchern wesentlich verschieden behandelt. Bei *Rietschel* im großen und ganzen der alte bekannte Aufbau beibehalten ist, wonach die verschiedenen Heiz- und Lüftverfahren beschrieben und in einem zweiten Teil die Berechnungen enthalten sind, bezieht *Hottinger* sich auf die Darstellung der für die einzelnen Gebäudearten angemessenen Heiz- und Lüftanlagen. Berechnungen sind in seinem Buch daher nicht enthalten. Die Vorzüge der Darstellung von *Hottinger* sind darin zu sehen, daß der Leser für die verschiedenen Gebäudearten nur Wunsch nur das durchzusehen braucht, was er im konkreten Fall braucht. Andererseits bedingt diese Art der Behandlung des Stoffes vielfache Verweisungen und manche Wiederholungen. Störend sind für den norddeutschen Leser eine Reihe von schweizerischen Ausdrücken, Druck- und Interpunktionsfehler, die nicht zum Genuß des sachlich wertvollen Inhaltes kommen.

In der neuen Auflage von *Rietschel* sind wesentliche Verbesserungen gegenüber der vorhergehenden festzustellen. Auffällig sind der Abschnitt über das Schweißen der Eisen- und eine Reihe von mustergültigen Abbildungen über die Vorrichtungen bei Warmwasserheizungen, der Abschnitt über Abwärmeverwertung und Fernheizungen sowie die Behandlung der Unterdruckdampfheizung, die damit zum ersten Mal rechnerisch erfaßt ist. Wertvoll ist die Hand des Bearbeiters an den Stellen zu erkennen, die Fortlassungen gegen früher erfolgt oder neue hinzugekommen sind.

Natürlich fallen auch einzelne kleine Unstimmigkeiten auf. So fehlt auf S. 43 die zu Abb. 91 gehörende Zahlen- und die Hilfstafel VI müßte wohl in der Überschrift die Bezeichnung „Unterdruck-Dampfheizung“ aufweisen. Auch sei ich den Hinweis auf die Möglichkeit, bei Dampfheizungen durch Einbau sogenannter Patronen einzelne mit Wasser gefüllte Heizkörper anzubringen. Zusammenfassend kann jedoch nur festgestellt werden, daß beide Bücher eine wertvolle Bereicherung des auf dem Gebiet vorhandenen Schrifttums anzusprechen sind.

Dr.-Ing. Fischer

Wärme- und Kälteschutz in der Industrie. Von *J. S. Gomerer*. Berlin 1928, Julius Springer. 276 S. m. 111 Abb. Preis 21,50 RM.

Der Verfasser hat sich die Aufgabe gestellt, die wissenschaftlichen Erkenntnisse auf dem Gebiete des Wärme- und Kälteschutzes zusammenzufassen, sie durch einfache Rechnungen und Rechentafeln der Praxis bequem zugänglich zu machen und auf nicht ganz offen liegende Probleme aufmerksam zu machen und zu ihrer Lösung anzuleiten. In diesem Zweck geht er im ersten, die Grundlagen der Technik behandelnden Teil des Buches von den physikalischen Gesetzmäßigkeiten aus; die ohne viel Ableitung thermisch aufgeführt und durch Zahlenbeispiele er-

läutert werden. Es folgt eine kurze, sehr gute Beschreibung der Isolierstoffe und ihrer Eigenschaften und dann eine ausführliche Zusammenstellung der Zahlenwerte aller wärmeschutztechnischen Größen. In dem Abschnitt über die Meßtechnik ist u. a. der *Schmidt'sche* Wärmeflußmesser gründlich behandelt. Auch das Wichtigste über die Technik der Temperaturmessungen findet man hier gut dargestellt. Nur die Parallelschaltung von Thermoelementen zur Bestimmung von Mitteltemperaturen (Abb. 56) halte ich nicht für richtig.

Der zweite Teil des Buches umfaßt die Berechnungen und Anwendungen. Der Abschnitt „Wärmeverluste während des Betriebes“ bringt Tafeln für Einheitswärmeverluste, aus denen man die gesamten Verluste einfach und zweckmäßig durch Multiplikation mit einem „Temperaturfaktor“ und einem „Windfaktor“ erhält. Die folgenden Abschnitte befassen sich mit der Wärmespeicherung, der unterbrochenen Betriebsweise, mit der Bemessung von Anlagen unter betriebstechnischen Gesichtspunkten. Der Abschnitt „Bemessung von Wärme- und Kälteschutzmitteln nach der Wirtschaftlichkeit“ enthält Betrachtungen und Zahlentafeln über die wirtschaftlichste Isolierstärke. In dem letzten Abschnitt des Buches werden die Grundlagen der Vergebung von Aufträgen und der Lieferung ausführlich besprochen, in einem Anhang zahlreiche Tabellen, Diagramme und Literaturstellen gebracht.

Zusammenfassend muß man dankbar anerkennen, daß der Verfasser die Fülle seiner Kenntnisse und Erfahrungen auf dem Gebiet des Wärmeschutzes in so leicht faßlicher Weise der Praxis zur Verfügung gestellt hat.

[E 2675]

Max Jakob.

Handbuch der Eisen- und Stahlgießerei. Herausgeg. von *C. Geiger*. 2. Aufl. 3. Bd.: Schmelzen, Nacharbeiten und Nebenbetriebe. Berlin 1928, Julius Springer. 747 S. m. 967 Abb. Preis 68,50 RM.

Die Gießereifachleute haben den vorliegenden dritten Band des bereits gut eingeführten Handbuches schon längere Zeit erwartet. Die Verzögerung war aber nicht zuletzt auf die Umstellung und die Neuauflage der beiden ersten Bände zurückzuführen.

Band 3 umfaßt den Schmelzbetrieb der Eisen-, Stahl- und Tempergießerei, die Nachbehandlung und das Fertigmachen der Erzeugnisse, die Aufbereitung der Formstoffe und den Modellbau, ein Namen- und Sachverzeichnis bildet den Abschluß.

Es würde zu weit führen, allen Einzelheiten aus den von bewährten Fachleuten bearbeiteten Abschnitten gerecht zu werden und diese hier zu erörtern. So weit der Abschluß der Drucklegung es möglich machte, sind die wertvollsten Neuerungen aus den verschiedenen Fachgebieten, zum Teil eingehend behandelt worden. Dies betrifft insbesondere die Berichte über das Schmelzen im Tiegel-, Schacht-, Flamm-, Siemens-Martin- und Elektro-Ofen, in der Kleinbessemerie und in der Darstellung des Tempergußverfahrens. Leider zwang der begrenzte Umfang des Werkes die Mitarbeiter auch hier zu gewissen Einschränkungen in ihren Ausführungen, sonst hätte vielleicht mancher Abschnitt, wie z. B. der über hochwertiges Gußeisen, eine umfassendere Behandlung erfahren können. Ähnliche Einschränkungen wurden auch den Abschnitten 8: Putzerei, und 9: Behandlung der Gußoberflächen, zuteil. In fast allen Berichten hätten aber mehr oder weniger überflüssige Bilder zugunsten wichtiger Einzelheiten fortbleiben können. Einiges kann allerdings im nächstfolgenden Bande noch nachgeholt werden, in dem auch etwas über die Gießereinormen zu sagen wäre; trotzdem, auch in einem mehrbändigen Handbuch lassen sich leider nicht alle Wünsche in bezug auf die Einzelheiten der Berichte erfüllen.

Aber im großen ganzen bringt der vorliegende Band viel neue Anregungen, so daß auch der leitende Fachmann im Gießereibetrieb auf manche Fragen seines verantwortungsvollen Berufes Aufklärung finden wird.

Im übrigen ist der stattliche Band, wie die Vorgänger, in mustergültiger Weise aufgebaut, er bildet mit den andern Bänden eine Zierde der Fachbücherei des Gießereitechnikers und wird auch als Lehrbuch allen andern Interessenten willkommen sein. [E 2737] *Joh. Mehrtens*

Précis de Construction, Calcul et Essais des Avions et Hydravions. Von *J. Guillemin*. Paris 1929, Gauthier-Villars & Cie. 442 S. m. 583 Abb. Preis 100 Fr.

Der Verfasser, Chefingenieur der Firma Hanriot und Lehrer an der École technique d'Aéronautique, übergibt mit seinem Werk der Öffentlichkeit ein Lehr- und Handbuch des Flugzeugbaues, geschrieben für die Unterweisung des Studierenden und die Unterstützung des Konstrukteurs in seiner Arbeit. Ungeklärte wissenschaftliche Fragen, Zukunftsaufgaben der Flugtechnik bleiben damit folgerichtig unbesprochen. Dafür werden mit vorbildlicher Klarheit und reichlicher Unterstützung durch Skizzen fast alle technischen Arbeiten und Überlegungen beim Bau eines Flugzeuges von der Aufstellung des Entwurfs, der Auswahl der Werkstoffe bis zu den Prüfungen vor dem Flug und der Auswertung der Flugergebnisse gezeigt.

Trotzdem sind die einzelnen Gebiete nicht ganz gleichmäßig behandelt. Am ausführlichsten sind die Abschnitte über die Festigkeitsberechnungen der Flugzeuge (abgesehen von der Knickbiegungsberechnung, die man vermißt) und über die Eigenschaften und Prüfung der Baustoffe. Dazu gehören eine Reihe von Normblättern und Rechentafeln. Dagegen wird die Stabilitätsberechnung auf eine Erklärung der Verfahren unter Verzicht auf Wiedergabe zahlenmäßiger Ergebnisse der Windkanal-Untersuchungen beschränkt. Die Vorberechnung der Flugleistungen fehlt auffallenderweise ganz. Die bauliche Gestaltung, und zwar aller Bauweisen und aller Teile, ist dafür umfassend geschildert.

[E 2752]

Karl Rühl

Vorlesungen über allgemeine Mechanik. Von *Alexander Brill*. München und Berlin 1928, R. Oldenbourg. 356 S. m. 165 Abb. Preis 20 RM.

Das Werk ist in zwei Teile gegliedert, die die Mechanik des materiellen Punktes und des starren Körpers behandeln, es beschränkt sich somit auf die Mechanik starrer Massen. Was der Verfasser mit seinem Werk beabsichtigt, sagt er im Vorwort: Erfahrungen des gewöhnlichen Lebens und Ergebnisse einfacher physikalischer Versuche sollen die elementaren Begriffe liefern. Erst nachdem an der Hand von Beispielen das Eindringen und gewissermaßen Einfühlen des Studierenden in den Stoff vorbereitet ist, werden durch Vergleichen von mathematisch konstruierten Bewegungen mit einfachen natürlichen die bekannten Grundsätze abgeleitet und endgültig formuliert. Im Einklang hiermit geht der Verfasser im ersten Teil von den verschiedenen Bewegungsarten des Punktes aus und gelangt so zu ihrer Ursache, der Kraft. Ein kurzer Abschnitt über Vektorrechnung bereitet auf die folgenden Abschnitte vor, die die Zentralkräfte, Massenanziehung, die unfreie und die Relativbewegung behandeln.

Der zweite Teil ist in entsprechender Weise aufgebaut; hier wird von der Geometrie der Bewegung des starren Körpers ausgegangen, es folgt die Zusammensetzung der Kräfte am Körper und sodann die Bewegung des Körpers

selbst. Das Werk ist nicht nur für den Ingenieur bestimmt, sondern dient der Sache selbst, die Schönheit der Mechanik findet im Aufbau und Inhalt einen lebendigen Ausdruck. [E 2796]

Die Fermente und ihre Wirkungen. Von *Carl Oppenheimer*. 5. Aufl. 3. Bd.: **Die Methodik der Fermente.** Herausgegeben von *Carl Oppenheimer* und *Ludwig Pincussen*. 5. Aufl. Leipzig 1929, Georg Thieme. 313 S. m. 57 Abb. Preis 28 RM.

Mit dem Erscheinen dieser Lieferung, die außer dem Schluß der bereits behandelten Abschnitte die Methodik der Fibrinfermente behandelt und den dritten Hauptteil des Nachweis der Fermente in biologischen Objekten sowie klinische Fermentmethodik enthält, liegt das großzügig gelegte, nahezu 100 Druckbogen umfassende Werk, das in dieser Zeitschrift an zwei Stellen¹⁾ gedacht wurde, nunmehr vollendet vor. Die weit überwiegende Mehrzahl der einzelnen Abschnitte ist von deutschen Forschern bearbeitet, deren besonderes Arbeitsgebiet innerhalb des Stoffgebietes des Buches gelegen ist. Dies legt zugleich ein berechtigtes Zeugnis für den regen Anteil ab, den deutsche Arbeit an der Erschließung dieses Gebietes der biochemischen Forschung nimmt, die, wie auch unlängst *P. Walden* in seinem Vortrag in der ersten allgemeinen Sitzung der 90. Versammlung deutscher Naturforscher und Ärzte in Hamburg ausführte²⁾, das nächste Ziel der organisch-chemischen Synthese sein wird. [E 2580] *Böttger*

¹⁾ Vergl. Bd. 72 (1928) Nr. 46 S. 1691 und Bd. 73 (1929) Nr. 2 S. 71.

²⁾ Vergl. Zeitschr. „Die Naturwissenschaften“ Bd. 16 (1928) S. 84.

Handbuch der Experimentalphysik. Herausgegeben von *W. Wien* und *F. Harms*, unter Mitarbeit von *H. Lenz*. 9. Bd. 1. T.: **Hohe und tiefe Temperaturen.** Von *H. Wartenberg*. Gasverflüssigung. Von *H. Lenz*. Wärmeleitung. Von *Osc. Knoblauch* und *H. Reihner*. Wärmestrahlung. Von *W. Wien* und *C. Müller*. Leipzig 1929, Akademische Verlagsgesellschaft. 484 S. m. 157 Abb. Preis 44,60 RM.

Deutsche Forschung. Aus der Arbeit der Notgemeinschaft der Deutschen Wissenschaft. 1. H.: Wiederabdruck des 5. Bericht. 116 S. Preis 3,60 RM. 2. H.: Denkschriften über Gemeinschaftsarbeiten. 205 S. Preis 6,40 RM. 3. H.: Metallforschung. 122 S. m. 49 Abb. Preis 4,40 RM. 4. H.: Geophysik und Aerologie. 91 S. m. 15 Abb. und 2 Taf. Preis 3 RM. 5. H.: Völkerzusammenhänge und Ausgrabungen. 133 S. Preis 4,40 RM. 6. H.: Deutsche Volkskunde. 150 S. Preis 4,80 RM. Berlin 1928, Verlag der Notgemeinschaft der Deutschen Wissenschaft. In den Buchhandel durch Karl Siegmund.

Aufgaben aus der Fernmeldetechnik (Telegraphen, Fernspreche- und Funktechnik) nebst Lösungen. Von *K. Bülter*. Lübeck 1929, Franz Westphal. 264 S. m. Abb. Preis 11,50 RM.

Einführung in die Telegraphentechnik. Von *Karl Patemann*. Lübeck 1929, Franz Westphal. 167 S. m. 226 Abb. Preis 5,20 RM.

Zeitstudie und Betriebsüberwachung im Arbeitsschaubau. Von *Walther Poppelreuter*. München und Berlin 1929, R. Oldenbourg. 86 S. m. 71 Abb. Preis 5 RM.

Lichttechnische Hefte der Deutschen Beleuchtungstechnischen Gesellschaft. 2. H.: **Die Beleuchtung von Innenräumen durch Tageslicht.** Von *H. G. Frühling*. Berlin 1929, Union Deutsche Verlagsgesellschaft. 95 S. m. 34 Abb. Preis 4,80 RM.

Schluß des Textteiles

I N H A L T :

	Seite
Deutsche Verkehrsflugzeuge. Von <i>E. Gossow</i> . . .	597
Der Zerspanungsvorgang bei Kaltkreissägen . . .	604
Aufgaben des Elektromaschinenbaues. Die neuen elektrotechnischen Institute der Technischen Hochschule Braunschweig. Von <i>F. Unger</i> . . .	605
Brandgefahren durch Unterstellen von Kraftwagen in ungeeigneten Räumen . . .	609
Fließarbeit in der Galvanotechnik. Von <i>J. W. Wolf</i> und <i>W. Michaelis</i> . . .	610
Temperaturmessung durch Farbumschlag . . .	612
Über Kokillenguß. Von <i>H. Obermüller</i> . . .	613
Der indizierte Wirkungsgrad der kompressorlosen Dieselmachine. Von <i>F. Schmidt</i> . . .	617
Die elektrische Leitfähigkeit von Kupfer, Aluminium und Eisen . . .	619
Schnellaufender Dieselmotor, Bauart Ricardo . . .	620

Rundschau: Neue elektrische Verschiebelokomotiven für Einphasen-Wechselstrom — Selbsttätig arbeitende Reismühlen — Schnellschlußventil mit freiem Durchgang — Farbspritzten mit 0,05 at Überdruck — Wirtschaftlichkeit neuerer Schiffsdampfanlagen — Kleine Mitteilungen . . .	6
Bücherschau: H. Rietschels Leitfaden der Heiz- und Lüftungstechnik. Von <i>H. Gröber</i> und <i>J. Bürgers</i> — Die Heizungs- und Lüftungsanlagen in den verschiedenen Gebäudarten. Von <i>M. Hottinger</i> und <i>W. v. Gonzenbach</i> — Der Wärmeschutz in der Industrie. Von <i>J. S. Cammerer</i> — Handbuch der Eisen- und Stahlgießerei. Von <i>C. Geiger</i> — Précis de Construction, Calcul et Essais des Avions et Hydravions. Von <i>J. Guillemin</i> — Vorlesungen über allgemeine Mechanik. Von <i>A. Brill</i> — Die Methodik der Fermente. Von <i>C. Oppenheimer</i> und <i>L. Pincussen</i> — Eingänge . . .	6

ZEITSCHRIFT DES VEREINES DEUTSCHER INGENIEURE

SCHRIFTFLEITER: C. MATSCHOSS ★

73

SONNABEND, 11. MAI 1929

Nr. 19

Die Verdampfungswärme des Wassers und das spezifische Volumen von Sattdampf zwischen 210 und 250 °C

Von M. JAKOB und W. FRITZ, Berlin¹⁾

(Mitteilung aus der Physikalisch-Technischen Reichsanstalt)

Herrn Professor Dr.-Ing. A. Stodola wird zum 70. Geburtstag am 10. Mai 1929 von seinen Freunden und Schülern eine sehr wertvolle wissenschaftliche Festschrift überreicht. Wir sind den Herausgebern dankbar, daß sie uns gestattet haben, aus dieser Festschrift in der Zeitschrift des Vereins deutscher Ingenieure und im Archiv für Wärmewirtschaft je einen Aufsatz gleichzeitig abzdrukken. Wir danken heute besonders Herrn Professor Stodola, dem der Verein bereits 1908 die Grashofdenkmünze überreichte, für seine treue Mitarbeit an dieser Zeitschrift.

Die Schrifileitung.

Die Verdampfungswärme des Wassers hat Henning²⁾ zwischen 30 und 180 °C [0,043 bis 10,2 kg/cm²], Jakob³⁾ dem gleichen Verfahren im Bereich von 180 bis 210 °C [2 bis 19,5 kg/cm²] bestimmt. In der vorliegenden wird diese Untersuchung auf das Gebiet von 210 bis 250 °C [19,5 bis 40,5 kg/cm²] ausgedehnt. Hierüber liegen keine unmittelbaren Messungen vor. Nun setzt sich z. B. bei überhitztem Dampf von 30 at und 400 °C, bei Dampfturbinen gebräuchlichen Eintrittzustand, der Wärmehalt des Dampfes zusammen aus 240 kcal/kg Sättigungswärme, 430 kcal/kg Verdampfungswärme und 10 kcal/kg Überhitzungswärme. Die Verdampfungswärme steigt somit bei diesem Dampfzustand, und eine Ungenauigkeit ihres Wertes verursacht den größten Fehler im Wärmehalt. Auch das spezifische Volumen von Sattdampf, das man aus der Verdampfungswärme einfach berechnen kann, ist oberhalb 210 °C nur unsicher bekannt. Bestand daher neben dem physikalischen ein dringendes technisches Bedürfnis nach der vorliegenden Untersuchung. Nicht unwesentlichen Mittel zur Fortsetzung der Untersuchung haben die Notgemeinschaft der Deutschen Wissenschaft und der Verein Deutscher Ingenieure zur Verfügung gestellt. Sie ermöglichten auch die Teilnahme des zweitgenannten Verfassers an der Arbeit. Beiden Körperschaften sei für ihre Unterstützung auch hier gedankt.

Versuchsverfahren

Bei dem der Untersuchung zugrunde liegenden Verfahren wird Wasser von Sättigungstemperatur in einem Siedegefäß durch elektrisches Beheizen verdampft. Der gebildete Dampf wird in einem zweiten, mittels Wasser gekühlten Gefäß wieder verflüssigt. Der Quotient aus der um die Wärmeverluste verringerten elektrischen Heizleistung und der Masse des in der Zeiteinheit verdampften und im Kondensgefäß wieder nieder-

geschlagenen Wassers ist die gesuchte Verdampfungswärme. Man muß also die elektrische Heizleistung, die Wärmeverluste, die Versuchsdauer und die Menge des Kondensates bestimmen, um die Verdampfungswärme zu erhalten. Zur Verminderung der Wärmeverluste ist das Siedegefäß von einem Schutzmantel umgeben, der möglichst genau auf der Sättigungstemperatur des Dampfes gehalten wird. Die trotzdem noch auftretenden Verluste werden dadurch eliminiert, daß man bei gleicher Temperatur hintereinander Versuche anstellt, bei denen durch verschieden starkes elektrisches Heizen verschieden schnelles Verdampfen erzielt wird.

Führt man dem Wasser in der Zeit t die Wärmemenge Q , also die Heizleistung $N = Q/t$ zu, und wird hierdurch in der Zeit t die Wassermasse M und in der Zeiteinheit $m = M/t$ verdampft, so gilt:

$$N = m r + V_a + V_b + V_c + V_d \dots (1).$$

Hierin ist r die zu ermittelnde Verdampfungswärme; V_a , V_b , V_c , V_d bedeuten Wärmeverluste in der Zeiteinheit, und zwar ist

$V_a = a(\vartheta_w - \vartheta_0)$, wobei ϑ_w die Temperatur des siedenden Wasser, ϑ_0 die Temperatur des Schutzmantels und a ein konstanter Wärmedurchgangswert⁴⁾,

$V_b = b \frac{\Delta \vartheta_w}{t}$, worin $\Delta \vartheta_w$ die Zunahme der Temperatur des Siedegefäßes nebst Wasserinhalt während der Versuchsdauer t und b der Wasserwert des Gefäßes mit seinem jeweiligen Inhalt,

V_c ein bei immer gleicher Innen- und Außentemperatur und unverändertem Wärmeschutz konstanter Wärmeverlust,

$V_d = m \frac{dr}{d\vartheta} (\vartheta_w - \vartheta)$ schließlich bedeutet ein Berichtigungsglied für die Abweichung der mittleren Wassertemperatur ϑ_w eines Einzelversuches von der Temperatur ϑ , bei der die Verdampfungswärme r bestimmt werden soll.

Hat man n derartige Versuche mit verschiedenen Verdampfungsgeschwindigkeiten ausgeführt, so können die drei

¹⁾ Die Arbeit ist im Auszug zuerst in der Dresdener Sitzung des Ausschusses für Wärmeforschung des Vereines deutscher Ingenieure am 1. Dezember 1928 vorgetragen und wird unverkürzt in der Festschrift zum 70. Geburtstag Prof. Stodolas abgedruckt.

²⁾ Fr. Henning, Ann. d. Phys. (4. Folge) Bd. 21 (1906) S. 849, Bd. 29 (1908) S. 441, Bd. 58 (1919) S. 759.

³⁾ M. Jakob, Forschungsarbeiten auf dem Gebiete des Ingenieurwesens, Heft 310 (1928) S. 9.

⁴⁾ Vergl. M. Jakob, Z. f. d. ges. Kälte-Industrie Bd. 33 (1926) S. 21

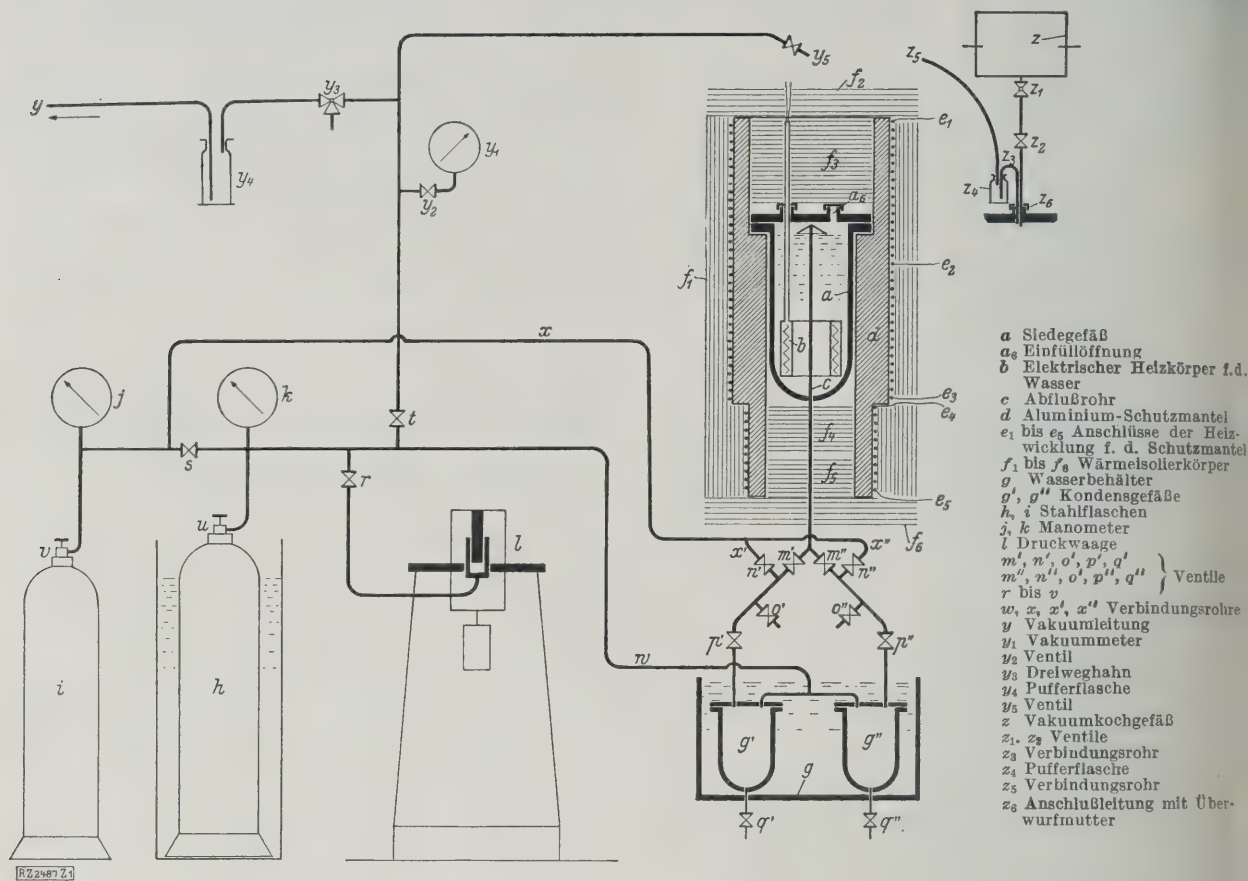


Abb. 1
Die Versuchsanordnung.

Unbekannten r , a und V_c nach der Methode der kleinsten Quadrate ermittelt werden⁵⁾. Eigentlich genügten hierzu schon $n=3$ Versuche, da man hieraus drei Gleichungen (1) erhält, doch würde bei der verschiedenen Größenordnung der Unbekannten (a und V_c sind bei unserer Anordnung etwa 50 bis 200mal kleiner als r) die Bestimmung zu ungenau sein.

Die Größe a kann auch getrennt für sich experimentell ermittelt werden. Die verbleibenden Unbekannten V_c und r erhält man dann wieder nach der Methode der kleinsten Quadrate.

Versuchsanordnung

Allgemeine Beschreibung

Das Wasser wird im Siedegefäß a , Abb. 1, durch den elektrischen Heizkörper b („Wasserheizkörper“) verdampft; der Dampf strömt durch das Rohr c ab. Das Siedegefäß hängt in einem Aluminium-Hohlzylinder d (Wärmeschutzmantel), der mittels elektrischer Heizwicklungen (Stromzuführungen bei e_1 bis e_5) auf der gleichen Temperatur gehalten werden kann, wie das Wasser in a . Gegen Wärmeabgabe nach außen sind das Siedegefäß und der Aluminiumzylinder durch die Isolierkörper f_1 bis f_6 geschützt.

Der Dampf wird entweder bei offenem Ventil m' in das Kondensgefäß g' oder bei offenem Ventil m'' in das Kondensgefäß g'' geleitet; g' und g'' stehen im Behälter g in fließendem kalten Wasser. Das Kondensat kann durch die Ventile q' oder q'' abgelassen werden. Von g' und g'' führt die Rohrleitung w zu dem mit Gas gefüllten Ausgleichbehälter h , der so groß ist, daß der Druck in den Kondensgefäßen und im Siedegefäß a während der ganzen Verdampfungsdauer konstant bleibt. Dies wird mit der Druckwaage l geprüft; die Manometer j und k dienen zur Orientierung. Aus einer zweiten Gasflasche i kann h nachgefüllt werden.

Die Bedeutung der Ventile n' , n'' , o' , o'' , p' , p'' , u , v , r , s , t und der Rohrleitungen x , x' , x'' ist bei Jakob (For-

schungsarbeiten, Heft 310) erklärt. In der nun folgenden Beschreibung der Einzelteile der Versuchsanordnung werden nur neu konstruierte Teile geschildert, die übrigens sämtlich für Drücke bis 200 at bei 365°C ausreichen sollen^{5a)}.

Das Siedegefäß

Das neue Siedegefäß für höhere Drücke ist in Abb. 2 dargestellt. Es ist aus Kruppschem Chromnickelstahl geschmiedet, der bei 20° eine Zugfestigkeit von 115 kg/mm² hat, und wiegt 36,5 kg. Die 12 Flanschschrauben des Deckels a_1 bestehen aus Chromnickelstahl von 85 kg/mm² Festigkeit bei 20° und 65 kg/mm² bei 340°. Die Deckelstutzen a_3 , a_4 , a_5 sind die Rohre b_3 , b_7 und abgedichtet; außerdem ist eine Füllöffnung a_6 vorhanden (s. Abb. 1 und 3). Die Überwurfmutter bestehen aus nichtrostendem Kruppschem V1M-Stahl. Zum Abdichten dienen teils Kupferringe, teils Klingeritscheiben.

Die Wassertemperatur wird mit dem geraden Platin-Widerstandsthermometer a_9 (im Nickelrohr a_7) gemessen; die Dampftemperatur mit dem durch a_5 hindurchgeführten Platin-Widerstandsthermometer a_{10} ; dieses ist in der spiralförmig gebogene Rohr a_8 aus nichtrostendem Kruppschem V2A-Stahl eingebaut. Die etwa 5 cm lange Platinwicklung a_{11} , Abb. 4, befindet sich am Ende der Spirale 25 cm von der Durchföhrung a_6 , so daß keine Meßfehler durch Wärmeableitung entstehen können. Bei Beginn jedes Versuches reicht das Wasser gerade bis zur Unterkante des Rohres a_8 ; am Ende des Versuches muß der Heizkörper b noch ganz mit Wasser bedeckt sein.

Den Heizkörper b , dessen Wicklung zwischen zwei hart zusammengelöteten Kupferzylindern liegt, hat schon Jakob benutzt und beschrieben (a. a. O., Abb. 7). Er ist nur noch vernickelt worden. Das über das Rohr b_3 gesteckte Nickelrohr a_{12} nimmt durch die Blaufeder a_{13} den Druck auf, der auf den Querschnitt von unten her wirkt und den Heizkörper sonst trotz d

⁵⁾ Näheres siehe bei M. Jakob, Forschungsarbeiten, Heft 310.

^{5a)} Die feinmechanischen Arbeiten hat der Techniker der Reichsanstalt H. Kneise ausgeführt, der sich auch an den Messungen beteiligte.

Abb. 2
Siedegeäß mit Zubehör.

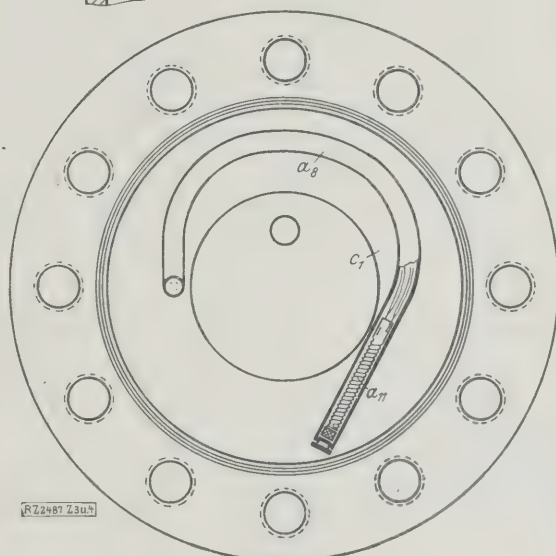
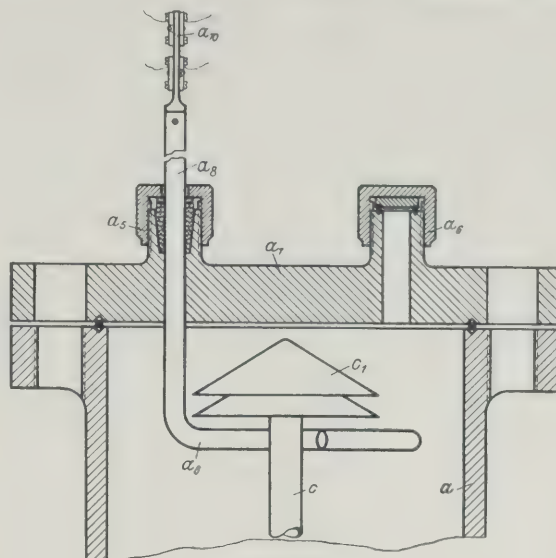
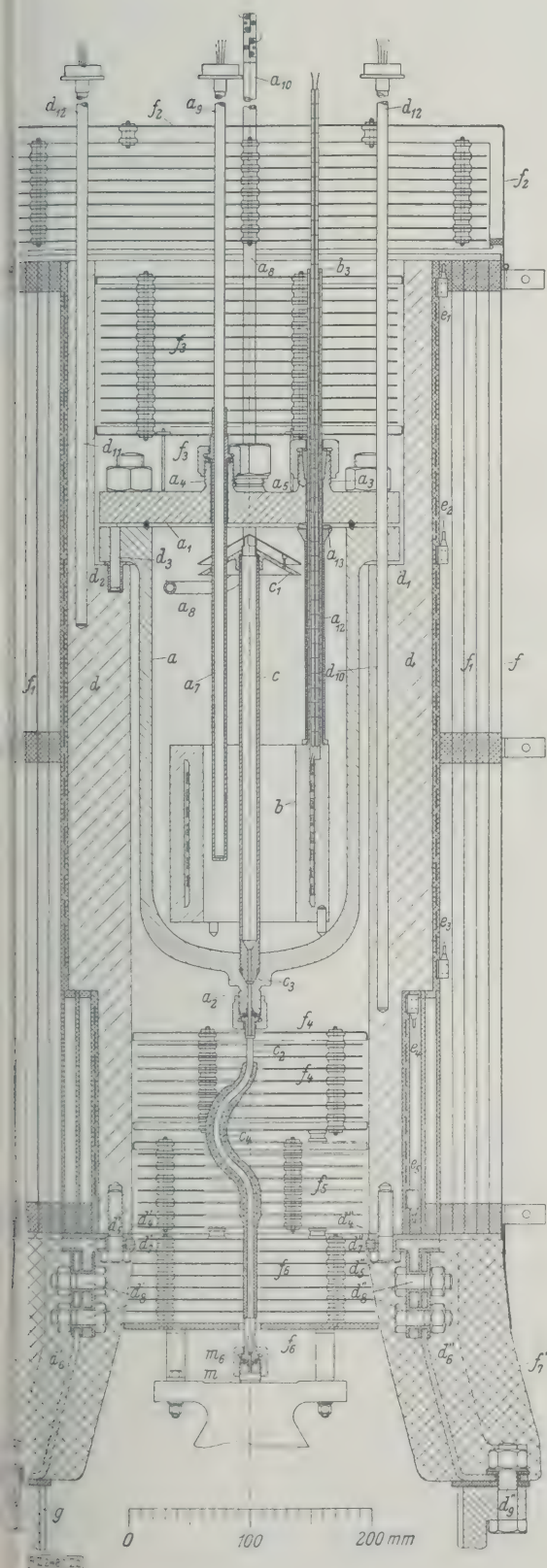


Abb. 3 und 4
Das Platin-Widerstandsthermometer zur
Messung der Dampftemperatur.

Zu Abbildung 2 bis 4:

- a Siedegeäß
- a₁ Deckel
- a₂ Bodenstützen
- a₃, a₄, a₅ Deckelstützen
- a₆ Füllöffnung (Abb. 3)
- a₇ Nickelrohr
- a₈ Rohr aus V2A-Stahl
- a₉, a₁₀ Platinwiderstandsthermometer
- a₁₁ Platinwicklung (Abb. 4)
- a₁₂ Nickelrohr über d₃
- a₁₃ Blattfeder
- b Wasserheizkörper
- b₃ Nickelrohr
- c Dampfableitung
- c₁ Doppelhaube
- c₂ Abflußrohr
- c₃ Dichtungskegel
- c₄ Heizwicklung
- d Aluminium-Hohlzylinder
- d₁ Ringförmiger Absatz des Aluminiumzylinders
- d₂ Auflagestelle des Siedegeäßes
- d₃ Nickelstahlbolzen
- d₄, d₄' Auflagerflächen des Aluminiumzylinders
- d₅, d₅'', d₆, d₆'', d₇, d₇'', d₈, d₈'', d₉, d₉'', d₁₀, d₁₀'', d₁₁, d₁₁'', d₁₂, d₁₂'', d₁₃, d₁₃'', d₁₄, d₁₄'', d₁₅, d₁₅'', d₁₆, d₁₆'', d₁₇, d₁₇'', d₁₈, d₁₈'', d₁₉, d₁₉'', d₂₀, d₂₀'', d₂₁, d₂₁'', d₂₂, d₂₂'', d₂₃, d₂₃'', d₂₄, d₂₄'', d₂₅, d₂₅'', d₂₆, d₂₆'', d₂₇, d₂₇'', d₂₈, d₂₈'', d₂₉, d₂₉'', d₃₀, d₃₀'', d₃₁, d₃₁'', d₃₂, d₃₂'', d₃₃, d₃₃'', d₃₄, d₃₄'', d₃₅, d₃₅'', d₃₆, d₃₆'', d₃₇, d₃₇'', d₃₈, d₃₈'', d₃₉, d₃₉'', d₄₀, d₄₀'', d₄₁, d₄₁'', d₄₂, d₄₂'', d₄₃, d₄₃'', d₄₄, d₄₄'', d₄₅, d₄₅'', d₄₆, d₄₆'', d₄₇, d₄₇'', d₄₈, d₄₈'', d₄₉, d₄₉'', d₅₀, d₅₀'', d₅₁, d₅₁'', d₅₂, d₅₂'', d₅₃, d₅₃'', d₅₄, d₅₄'', d₅₅, d₅₅'', d₅₆, d₅₆'', d₅₇, d₅₇'', d₅₈, d₅₈'', d₅₉, d₅₉'', d₆₀, d₆₀'', d₆₁, d₆₁'', d₆₂, d₆₂'', d₆₃, d₆₃'', d₆₄, d₆₄'', d₆₅, d₆₅'', d₆₆, d₆₆'', d₆₇, d₆₇'', d₆₈, d₆₈'', d₆₉, d₆₉'', d₇₀, d₇₀'', d₇₁, d₇₁'', d₇₂, d₇₂'', d₇₃, d₇₃'', d₇₄, d₇₄'', d₇₅, d₇₅'', d₇₆, d₇₆'', d₇₇, d₇₇'', d₇₈, d₇₈'', d₇₉, d₇₉'', d₈₀, d₈₀'', d₈₁, d₈₁'', d₈₂, d₈₂'', d₈₃, d₈₃'', d₈₄, d₈₄'', d₈₅, d₈₅'', d₈₆, d₈₆'', d₈₇, d₈₇'', d₈₈, d₈₈'', d₈₉, d₈₉'', d₉₀, d₉₀'', d₉₁, d₉₁'', d₉₂, d₉₂'', d₉₃, d₉₃'', d₉₄, d₉₄'', d₉₅, d₉₅'', d₉₆, d₉₆'', d₉₇, d₉₇'', d₉₈, d₉₈'', d₉₉, d₉₉'', d₁₀₀, d₁₀₀'', d₁₀₁, d₁₀₁'', d₁₀₂, d₁₀₂'', d₁₀₃, d₁₀₃'', d₁₀₄, d₁₀₄'', d₁₀₅, d₁₀₅'', d₁₀₆, d₁₀₆'', d₁₀₇, d₁₀₇'', d₁₀₈, d₁₀₈'', d₁₀₉, d₁₀₉'', d₁₁₀, d₁₁₀'', d₁₁₁, d₁₁₁'', d₁₁₂, d₁₁₂'', d₁₁₃, d₁₁₃'', d₁₁₄, d₁₁₄'', d₁₁₅, d₁₁₅'', d₁₁₆, d₁₁₆'', d₁₁₇, d₁₁₇'', d₁₁₈, d₁₁₈'', d₁₁₉, d₁₁₉'', d₁₂₀, d₁₂₀'', d₁₂₁, d₁₂₁'', d₁₂₂, d₁₂₂'', d₁₂₃, d₁₂₃'', d₁₂₄, d₁₂₄'', d₁₂₅, d₁₂₅'', d₁₂₆, d₁₂₆'', d₁₂₇, d₁₂₇'', d₁₂₈, d₁₂₈'', d₁₂₉, d₁₂₉'', d₁₃₀, d₁₃₀'', d₁₃₁, d₁₃₁'', d₁₃₂, d₁₃₂'', d₁₃₃, d₁₃₃'', d₁₃₄, d₁₃₄'', d₁₃₅, d₁₃₅'', d₁₃₆, d₁₃₆'', d₁₃₇, d₁₃₇'', d₁₃₈, d₁₃₈'', d₁₃₉, d₁₃₉'', d₁₄₀, d₁₄₀'', d₁₄₁, d₁₄₁'', d₁₄₂, d₁₄₂'', d₁₄₃, d₁₄₃'', d₁₄₄, d₁₄₄'', d₁₄₅, d₁₄₅'', d₁₄₆, d₁₄₆'', d₁₄₇, d₁₄₇'', d₁₄₈, d₁₄₈'', d₁₄₉, d₁₄₉'', d₁₅₀, d₁₅₀'', d₁₅₁, d₁₅₁'', d₁₅₂, d₁₅₂'', d₁₅₃, d₁₅₃'', d₁₅₄, d₁₅₄'', d₁₅₅, d₁₅₅'', d₁₅₆, d₁₅₆'', d₁₅₇, d₁₅₇'', d₁₅₈, d₁₅₈'', d₁₅₉, d₁₅₉'', d₁₆₀, d₁₆₀'', d₁₆₁, d₁₆₁'', d₁₆₂, d₁₆₂'', d₁₆₃, d₁₆₃'', d₁₆₄, d₁₆₄'', d₁₆₅, d₁₆₅'', d₁₆₆, d₁₆₆'', d₁₆₇, d₁₆₇'', d₁₆₈, d₁₆₈'', d₁₆₉, d₁₆₉'', d₁₇₀, d₁₇₀'', d₁₇₁, d₁₇₁'', d₁₇₂, d₁₇₂'', d₁₇₃, d₁₇₃'', d₁₇₄, d₁₇₄'', d₁₇₅, d₁₇₅'', d₁₇₆, d₁₇₆'', d₁₇₇, d₁₇₇'', d₁₇₈, d₁₇₈'', d₁₇₉, d₁₇₉'', d₁₈₀, d₁₈₀'', d₁₈₁, d₁₈₁'', d₁₈₂, d₁₈₂'', d₁₈₃, d₁₈₃'', d₁₈₄, d₁₈₄'', d₁₈₅, d₁₈₅'', d₁₈₆, d₁₈₆'', d₁₈₇, d₁₈₇'', d₁₈₈, d₁₈₈'', d₁₈₉, d₁₈₉'', d₁₉₀, d₁₉₀'', d₁₉₁, d₁₉₁'', d₁₉₂, d₁₉₂'', d₁₉₃, d₁₉₃'', d₁₉₄, d₁₉₄'', d₁₉₅, d₁₉₅'', d₁₉₆, d₁₉₆'', d₁₉₇, d₁₉₇'', d₁₉₈, d₁₉₈'', d₁₉₉, d₁₉₉'', d₂₀₀, d₂₀₀'', d₂₀₁, d₂₀₁'', d₂₀₂, d₂₀₂'', d₂₀₃, d₂₀₃'', d₂₀₄, d₂₀₄'', d₂₀₅, d₂₀₅'', d₂₀₆, d₂₀₆'', d₂₀₇, d₂₀₇'', d₂₀₈, d₂₀₈'', d₂₀₉, d₂₀₉'', d₂₁₀, d₂₁₀'', d₂₁₁, d₂₁₁'', d₂₁₂, d₂₁₂'', d₂₁₃, d₂₁₃'', d₂₁₄, d₂₁₄'', d₂₁₅, d₂₁₅'', d₂₁₆, d₂₁₆'', d₂₁₇, d₂₁₇'', d₂₁₈, d₂₁₈'', d₂₁₉, d₂₁₉'', d₂₂₀, d₂₂₀'', d₂₂₁, d₂₂₁'', d₂₂₂, d₂₂₂'', d₂₂₃, d₂₂₃'', d₂₂₄, d₂₂₄'', d₂₂₅, d₂₂₅'', d₂₂₆, d₂₂₆'', d₂₂₇, d₂₂₇'', d₂₂₈, d₂₂₈'', d₂₂₉, d₂₂₉'', d₂₃₀, d₂₃₀'', d₂₃₁, d₂₃₁'', d₂₃₂, d₂₃₂'', d₂₃₃, d₂₃₃'', d₂₃₄, d₂₃₄'', d₂₃₅, d₂₃₅'', d₂₃₆, d₂₃₆'', d₂₃₇, d₂₃₇'', d₂₃₈, d₂₃₈'', d₂₃₉, d₂₃₉'', d₂₄₀, d₂₄₀'', d₂₄₁, d₂₄₁'', d₂₄₂, d₂₄₂'', d₂₄₃, d₂₄₃'', d₂₄₄, d₂₄₄'', d₂₄₅, d₂₄₅'', d₂₄₆, d₂₄₆'', d₂₄₇, d₂₄₇'', d₂₄₈, d₂₄₈'', d₂₄₉, d₂₄₉'', d₂₅₀, d₂₅₀'', d₂₅₁, d₂₅₁'', d₂₅₂, d₂₅₂'', d₂₅₃, d₂₅₃'', d₂₅₄, d₂₅₄'', d₂₅₅, d₂₅₅'', d₂₅₆, d₂₅₆'', d₂₅₇, d₂₅₇'', d₂₅₈, d₂₅₈'', d₂₅₉, d₂₅₉'', d₂₆₀, d₂₆₀'', d₂₆₁, d₂₆₁'', d₂₆₂, d₂₆₂'', d₂₆₃, d₂₆₃'', d₂₆₄, d₂₆₄'', d₂₆₅, d₂₆₅'', d₂₆₆, d₂₆₆'', d₂₆₇, d₂₆₇'', d₂₆₈, d₂₆₈'', d₂₆₉, d₂₆₉'', d₂₇₀, d₂₇₀'', d₂₇₁, d₂₇₁'', d₂₇₂, d₂₇₂'', d₂₇₃, d₂₇₃'', d₂₇₄, d₂₇₄'', d₂₇₅, d₂₇₅'', d₂₇₆, d₂₇₆'', d₂₇₇, d₂₇₇'', d₂₇₈, d₂₇₈'', d₂₇₉, d₂₇₉'', d₂₈₀, d₂₈₀'', d₂₈₁, d₂₈₁'', d₂₈₂, d₂₈₂'', d₂₈₃, d₂₈₃'', d₂₈₄, d₂₈₄'', d₂₈₅, d₂₈₅'', d₂₈₆, d₂₈₆'', d₂₈₇, d₂₈₇'', d₂₈₈, d₂₈₈'', d₂₈₉, d₂₈₉'', d₂₉₀, d₂₉₀'', d₂₉₁, d₂₉₁'', d₂₉₂, d₂₉₂'', d₂₉₃, d₂₉₃'', d₂₉₄, d₂₉₄'', d₂₉₅, d₂₉₅'', d₂₉₆, d₂₉₆'', d₂₉₇, d₂₉₇'', d₂₉₈, d₂₉₈'', d₂₉₉, d₂₉₉'', d₃₀₀, d₃₀₀'', d₃₀₁, d₃₀₁'', d₃₀₂, d₃₀₂'', d₃₀₃, d₃₀₃'', d₃₀₄, d₃₀₄'', d₃₀₅, d₃₀₅'', d₃₀₆, d₃₀₆'', d₃₀₇, d₃₀₇'', d₃₀₈, d₃₀₈'', d₃₀₉, d₃₀₉'', d₃₁₀, d₃₁₀'', d₃₁₁, d₃₁₁'', d₃₁₂, d₃₁₂'', d₃₁₃, d₃₁₃'', d₃₁₄, d₃₁₄'', d₃₁₅, d₃₁₅'', d₃₁₆, d₃₁₆'', d₃₁₇, d₃₁₇'', d₃₁₈, d₃₁₈'', d₃₁₉, d₃₁₉'', d₃₂₀, d₃₂₀'', d₃₂₁, d₃₂₁'', d₃₂₂, d₃₂₂'', d₃₂₃, d₃₂₃'', d₃₂₄, d₃₂₄'', d₃₂₅, d₃₂₅'', d₃₂₆, d₃₂₆'', d₃₂₇, d₃₂₇'', d₃₂₈, d₃₂₈'', d₃₂₉, d₃₂₉'', d₃₃₀, d₃₃₀'', d₃₃₁, d₃₃₁'', d₃₃₂, d₃₃₂'', d₃₃₃, d₃₃₃'', d₃₃₄, d₃₃₄'', d₃₃₅, d₃₃₅'', d₃₃₆, d₃₃₆'', d₃₃₇, d₃₃₇'', d₃₃₈, d₃₃₈'', d₃₃₉, d₃₃₉'', d₃₄₀, d₃₄₀'', d₃₄₁, d₃₄₁'', d₃₄₂, d₃₄₂'', d₃₄₃, d₃₄₃'', d₃₄₄, d₃₄₄'', d₃₄₅, d₃₄₅'', d₃₄₆, d₃₄₆'', d₃₄₇, d₃₄₇'', d₃₄₈, d₃₄₈'', d₃₄₉, d₃₄₉'', d₃₅₀, d₃₅₀'', d₃₅₁, d₃₅₁'', d₃₅₂, d₃₅₂'', d₃₅₃, d₃₅₃'', d₃₅₄, d₃₅₄'', d₃₅₅, d₃₅₅'', d₃₅₆, d₃₅₆'', d₃₅₇, d₃₅₇'', d₃₅₈, d₃₅₈'', d₃₅₉, d₃₅₉'', d₃₆₀, d₃₆₀'', d₃₆₁, d₃₆₁'', d₃₆₂, d₃₆₂'', d₃₆₃, d₃₆₃'', d₃₆₄, d₃₆₄'', d₃₆₅, d₃₆₅'', d₃₆₆, d₃₆₆'', d₃₆₇, d₃₆₇'', d₃₆₈, d₃₆₈'', d₃₆₉, d₃₆₉'', d₃₇₀, d₃₇₀'', d₃₇₁, d₃₇₁'', d₃₇₂, d₃₇₂'', d₃₇₃, d₃₇₃'', d₃₇₄, d₃₇₄'', d₃₇₅, d₃₇₅'', d₃₇₆, d₃₇₆'', d₃₇₇, d₃₇₇'', d₃₇₈, d₃₇₈'', d₃₇₉, d₃₇₉'', d₃₈₀, d₃₈₀'', d₃₈₁, d₃₈₁'', d₃₈₂, d₃₈₂'', d₃₈₃, d₃₈₃'', d₃₈₄, d₃₈₄'', d₃₈₅, d₃₈₅'', d₃₈₆, d₃₈₆'', d₃₈₇, d₃₈₇'', d₃₈₈, d₃₈₈'', d₃₈₉, d₃₈₉'', d₃₉₀, d₃₉₀'', d₃₉₁, d₃₉₁'', d₃₉₂, d₃₉₂'', d₃₉₃, d₃₉₃'', d₃₉₄, d₃₉₄'', d₃₉₅, d₃₉₅'', d₃₉₆, d₃₉₆'', d₃₉₇, d₃₉₇'', d₃₉₈, d₃₉₈'', d₃₉₉, d₃₉₉'', d₄₀₀, d₄₀₀'', d₄₀₁, d₄₀₁'', d₄₀₂, d₄₀₂'', d₄₀₃, d₄₀₃'', d₄₀₄, d₄₀₄'', d₄₀₅, d₄₀₅'', d₄₀₆, d₄₀₆'', d₄₀₇, d₄₀₇'', d₄₀₈, d₄₀₈'', d₄₀₉, d₄₀₉'', d₄₁₀, d₄₁₀'', d₄₁₁, d₄₁₁'', d₄₁₂, d₄₁₂'', d₄₁₃, d₄₁₃'', d₄₁₄, d₄₁₄'', d₄₁₅, d₄₁₅'', d₄₁₆, d₄₁₆'', d₄₁₇, d₄₁₇'', d₄₁₈, d₄₁₈'', d₄₁₉, d₄₁₉'', d₄₂₀, d₄₂₀'', d₄₂₁, d₄₂₁'', d₄₂₂, d₄₂₂'', d₄₂₃, d₄₂₃'', d₄₂₄, d₄₂₄'', d₄₂₅, d₄₂₅'', d₄₂₆, d₄₂₆'', d₄₂₇, d₄₂₇'', d₄₂₈, d₄₂₈'', d₄₂₉, d₄₂₉'', d₄₃₀, d₄₃₀'', d₄₃₁, d₄₃₁'', d₄₃₂, d₄₃₂'', d₄₃₃, d₄₃₃'', d₄₃₄, d₄₃₄'', d₄₃₅, d₄₃₅'', d₄₃₆, d₄₃₆'', d₄₃₇, d₄₃₇'', d₄₃₈, d₄₃₈'', d₄₃₉, d₄₃₉'', d₄₄₀, d₄₄₀'', d₄₄₁, d₄₄₁'', d₄₄₂, d₄₄₂'', d₄₄₃, d₄₄₃'', d₄₄₄, d₄₄₄'', d₄₄₅, d₄₄₅'', d₄₄₆, d₄₄₆'', d₄₄₇, d₄₄₇'', d₄₄₈, d₄₄₈'', d₄₄₉, d₄₄₉'', d₄₅₀, d₄₅₀'', d₄₅₁, d₄₅₁'', d₄₅₂, d₄₅₂'', d₄₅₃, d₄₅₃'', d₄₅₄, d₄₅₄'', d₄₅₅, d₄₅₅'', d₄₅₆, d₄₅₆'', d₄₅₇, d₄₅₇'', d₄₅₈, d₄₅₈'', d₄₅₉, d₄₅₉'', d₄₆₀, d₄₆₀'', d₄₆₁, d₄₆₁'', d₄₆₂, d₄₆₂'', d₄₆₃, d₄₆₃'', d₄₆₄, d₄₆₄'', d₄₆₅, d₄₆₅'', d₄₆₆, d₄₆₆'', d₄₆₇, d₄₆₇'', d₄₆₈, d₄₆₈'', d₄₆₉, d₄₆₉'', d₄₇₀, d₄₇₀'', d₄₇₁, d₄₇₁'', d₄₇₂, d₄₇₂'', d₄₇₃, d₄₇₃'', d₄₇₄, d₄₇₄'', d₄₇₅, d₄₇₅'', d₄₇₆, d₄₇₆'', d₄₇₇, d₄₇₇'', d₄₇₈, d₄₇₈'', d₄₇₉, d₄₇₉'', d₄₈₀, d₄₈₀'', d₄₈₁, d₄₈₁'', d₄₈₂, d₄₈₂'', d₄₈₃, d₄₈₃'', d₄₈₄, d₄₈₄'', d₄₈₅, d₄₈₅'', d₄₈₆, d₄₈₆'', d₄₈₇, d₄₈₇'', d₄₈₈, d₄₈₈'', d₄₈₉, d₄₈₉'', d₄₉₀, d₄₉₀'', d₄₉₁, d₄₉₁'', d₄₉₂, d₄₉₂'', d₄₉₃, d₄₉₃'', d₄₉₄, d₄₉₄'', d₄₉₅, d₄₉₅'', d₄₉₆, d₄₉₆'', d₄₉₇, d₄₉₇'', d₄₉₈, d₄₉₈'', d₄₉₉, d₄₉₉'', d₅₀₀, d₅₀₀'', d₅₀₁, d₅₀₁'', d₅₀₂, d₅₀₂'', d₅₀₃, d₅₀₃'', d₅₀₄, d₅₀₄'', d₅₀₅, d₅₀₅'', d₅₀₆, d₅₀₆'', d₅₀₇, d₅₀₇'', d₅₀₈, d₅₀₈'', d₅₀₉, d₅₀₉'', d₅₁₀, d₅₁₀'', d₅₁₁, d₅₁₁'', d₅₁₂, d₅₁₂'', d₅₁₃, d₅₁₃'', d₅₁₄, d₅₁₄'', d₅₁₅, d₅₁₅'', d₅₁₆, d₅₁₆'', d₅₁₇, d₅₁₇'', d₅₁₈, d₅₁₈'', d₅₁₉, d₅₁₉'', d₅₂₀, d₅₂₀'', d₅₂₁, d₅₂₁'', d₅₂₂, d₅₂₂'', d₅₂₃, d₅₂₃'', d₅₂₄, d₅₂₄'', d₅₂₅, d₅₂₅'', d₅₂₆, d₅₂₆'', d₅₂₇, d₅₂₇'', d₅₂₈, d₅₂₈'', d₅₂₉, d₅₂₉'', d₅₃₀, d₅₃₀'', d₅₃₁, d₅₃₁'', d₅₃₂, d₅₃₂'', d₅₃₃, d₅₃₃'', d₅₃₄, d₅₃₄'', d₅₃₅, d₅₃₅'', d₅₃₆, d₅₃₆'', d₅₃₇, d₅₃₇'', d₅₃₈, d₅₃₈'', d₅₃₉, d₅₃₉'', d₅₄₀, d₅₄₀'', d₅₄₁, d₅₄₁'', d₅₄₂, d₅₄₂'', d₅₄₃, d₅₄₃'', d₅₄₄, d₅₄₄'', d₅₄₅, d₅₄₅'', d₅₄₆, d₅₄₆'', d₅₄₇, d₅₄₇'', d₅₄₈, d₅₄₈'', d₅₄₉, d₅₄₉'', d₅₅₀, d₅₅₀'', d₅₅₁, d₅₅₁'', d₅₅₂, d₅₅₂'', d₅₅₃, d₅₅₃'', d₅₅₄, d₅₅₄'', d₅₅₅, d₅₅₅'

starken Reibung von b_3 in a_3 innerhalb des Siedegefäßes in die Höhe treiben würde.

Der erzeugte Dampf strömt durch die Doppelhaube c_1 , das Ableitungsrohr c aus V2A-Stahl und das mit einer Heizwicklung c_2 versehene Neusilberrohrchen c_2 . Das Rohr c ist mit Feingewinde in den Boden des Siedegefäßes eingeschraubt; der Kegel c_3 dichtet dabei das Siedegefäß gegen das Innere des Röhrchens c_2 ab. Dieses ist durch den Stutzen a_2 an a und durch m_6 an das Umsteuerventil m angeschlossen (s. Jakob a. a. O.).

Vorrichtung zum Einfüllen des Wassers

Bei den ersten Versuchen mit der neuen Anordnung wurde das Kalorimeter ohne weitere Vorsichtsmaßregeln mit destilliertem Wasser, das Ausgleichgefäß h mit Luft gefüllt. Obwohl das Siedegefäß vernickelt war, bildete sich an der Innenwand Rost; auch neues Vernickeln blieb erfolglos. Daher mußte der Zutritt von Luft durch ein besonderes Entlüfte- und Füllverfahren ausgeschlossen werden:

Destilliertes Wasser von der Firma Schering-Kahlbaum A.-G., Berlin, wird in einem Vakuum-Kochgefäß z , Abb. 1, auf 40 bis 50° erwärmt und dann mit Hilfe einer Wasserstrahlpumpe über die Leitung y unter starkem Sieden entlüftet, wobei z_1 mit y_5 verbunden ist; hierauf wird das Wasser, ohne mit Luft wieder in Berührung zu kommen, durch Anschluß von z_1 an z_2 und z_6 an a_6 in das vorher mit reinem Stickstoff ausgespülte Siedegefäß a eingesogen. Die Saugleitung geht von y , wo die Wasserstrahlpumpe angesetzt ist, über y_5 , wo z_5 angeschlossen wird, über die Pufferflasche z_4 und das Verbindungsstück z_3 nach a_6 . y_1 ist ein Vakuummeter, y_2 dessen Sperrventil, y_3 ein Dreiweghahn, y_4 ein Puffergefäß. Während der ganzen Füllung bleibt das Ventil t geschlossen.

Ist a bis zum oberen Rand von a_6 gefüllt, so wird z_6 abgenommen und dann das Siedegefäß mittels der Über-

wurfmutter von a_6 nach außen schnell abgedichtet. In diesem Augenblick kommt die kleine Wasseroberfläche in der Bohrung von a_6 mit Luft in Berührung.

Die Ausgleichgefäße h und i , die bei Jakob mit Luft gefüllt waren, enthielten bei unseren Versuchen reinen Stickstoff, mit dem auch sämtliche Rohrleitungen ausgefüllt wurden.

Der Wärmeschutzmantel

An Stelle des früheren Ölmantels, der wegen der Verdampfung des Öles nur nach vollkommenem Abdichten hätte weiter benutzt werden können, ist ein 800 mm langer und 65 kg schwerer Hohlzylinder d , Abb. 2, getreten, die Metallhütte Baer & Co., Rastatt, aus Reinaluminium gegossen hat. Um die Wärmeableitung zu verringern sind die Enden dünner als die Mitte. Das Siedegefäß ruht auf dem ringförmigen Absatz d_1 des Aluminiumzylinders nur an drei um 120° versetzten Stellen d_2 , wird durch Nickelstahlbolzen d_3 festgehalten, die in Stützbüchsen sitzen; die metallische Berührung zwischen d und d_1 wird durch Glimmerröhrchen bei d_3 und durch Glimmerplatten verhindert.

Der Aluminiumzylinder ist am unteren Ende bei d_4 mit Hilfe geeigneter Winkel d_5 , d_6 , d_7 und Verschraubungen d_7 , d_8 , d_9 und d_{10} , d_{11} , d_{12} auf Wasserbehälter g gelagert. Doch findet (wie elektrisch nachgeprüft) nirgends metallische Berührung statt; Stoßflächen sind nämlich durch Asbestlagen getrennt.

Zur Messung der Temperatur und ihrer Verteilung erhielt der Aluminiumzylinder zwei Längsbohrungen d_{11} von 9,2 mm Dmr. und 365 bzw. 300 mm Länge. Längs dieser Bohrungen können die Temperaturen durch Verschieben der Platin-Widerstandsthermometer d_{12} getastet werden (s. a. Abb. 6).

Der Aluminium-Mantel wird elektrisch mit Hilfe einer zwischen 3 mm dicken Asbestschichten liegenden Wicklung aus Chromnickelband von 15 mm Breite beheizt. Diese dreifach unterteilte Wicklung mit den Anzahlstrichen e_1 bis e_5 gestattet, alle drei Abschnitte des Zylinders unabhängig voneinander zu beheizen.

Die Brauchbarkeit des Wärmeschutzmantels hängt wesentlich von der Güte der Wärmeisolierung ab. Solche bewährte sich die von E. Schmidt (Danzig), vorgeschlagene „Alfol“-Isolierung⁶⁾ sehr gut. Sie besteht aus unserem Aluminiumzylinder aus fünf konzentrischen, dünnen Aluminiumfolien von 0,03 mm getrennten Luftschichten. Die Folien werden durch Asbestringe, die an drei Stellen aufgebracht sind, im Abstand von 10 mm gehalten. Die äußerste Umhüllung f besteht aus Zinkblech.

Nach der Definition von V_c soll die Wärmeisolierung des Siedegefäßes a immer gleich sein. Diese Forderung wurde bei der früheren Glaswollisolierung schwer erfüllbar. Es wurden daher besondere Isolierkörper aus beiderseits mit Aluminiumfolie beklebten dünnen Asbestscheiben hergestellt, die durch Porzellanrollen auseinander gehalten werden. Acht bis vierzehn solcher Scheiben werden durch drei bis vier Neusilberstäbe von 2 mm Dmr. verbunden. Sind die Isolierkörper f_2 bis f_6 ausgeführt; die Stütze d_5 , d_6 und d_7 , d_8 dagegen sind nur mit Asbestschnur und f_7 umwickelt. Alle Isolierkörper können, wenn man an das Siedegefäß heran will, leicht weggenommen und ohne jede Veränderung wieder eingesetzt werden.

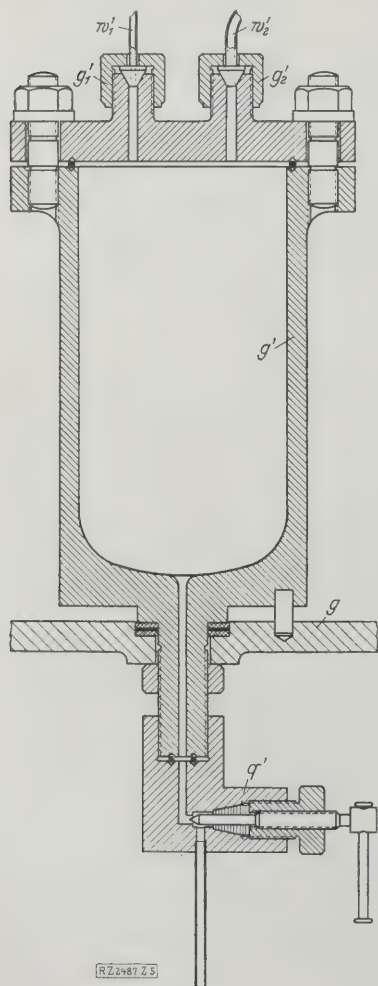
Die Kondensgefäße

Die Kondensgefäße g' und g'' , Abb. 1 und 5, hat die Deutsche Metallwerk, Berlin-Oberschöneweide, aus einer Nickellegierung von rd. 65 kg/mm² Festigkeit bei 20° geschmiedet. An die Deckelstutzen g_1' und g_2' sind Röhrchen w_1' und w_2' angeschlossen, die zum Siedegefäß a und zum Ausgleichgefäß h führen. g' und g'' stehen im Wasserbehälter g ; der Dampf wird jedoch schon vorher durch Röhrchen w_1' durch starke Wasserbespülung niedergeschlagen. Die Abflußventile q' und q'' wurden in der Reichsanstalt hergestellt.

⁶⁾ Wir sind dem Direktor der Turbinenfabrik der Allgemeinen Elektrizitäts-Gesellschaft, Prof. E. A. Kraft, zu besonderem Dank verpflichtet, daß er diese ungünstig gelegenen Bohrungen (Mindestlänge der Bohrer für d_{10} etwa 650 mm) kostenlos hat ausführen lassen.

⁷⁾ E. Schmidt, Z. Bd. 71 (1927) S. 1395.

⁸⁾ Prof. Schmidt hat uns die erforderlichen Aluminiumfolien freundlichst kostenlos zur Verfügung gestellt.



Die übrigen Einrichtungen: Ventile, Rohrleitungen, Instrumente und dergl. sind unverändert geblieben, Jakobs Arbeit (a. a. O.) beschrieben.

Die Meßgeräte
Spannung und Strom zur Bestimmung der Widerstände des Wasserheizkörpers b und die Widerstände der Thermometer wurden mit einem Kompensationsapparat von Wolff, Berlin, gemessen. Schaltung, Normalwiderstand und Normalelement blieben unverändert wie früher. Von den Widerstandsthermometern zum Messen der Temperatur im Wasser, Dampf und Aluminiumzylinder zwei schon früher gebraucht, aber inzwischen etwas geändert worden, während das Dampfthermometer a_{10} , frei in dem Rohr a_8 liegt, Abb. 3 und 4, neu hergestellt wurde.

Die drei Thermometer wurden beim Eisschmelzpunkt und beim Wassersiedepunkt öfters geeicht, wonach sich als mittlere Platintemperaturen für die Thermometer

im Wasser $(\vartheta_p)_w = 2,01479 w_w - 255,686$
„ Dampf $(\vartheta_p)_d = 0,96083 w_d - 256,056$
„ Schutzmantel $(\vartheta_p)_0 = 1,04115 w_0 - 257,120$. (2)

Indem noch eine weitere im Laboratorium für Thermometrie der Reichsanstalt ausgeführte Messung bei 320 ° herangezogen wurde, erhielt man in ausreichender Übereinstimmung bei allen drei Thermometern die wahre Temperatur ϑ die Beziehung:

$$\vartheta = \vartheta_p + 1,49 \left[\left(\frac{\vartheta}{100} \right)^2 - \frac{\vartheta}{100} \right] \dots \dots (3).$$

Außer den Widerstandsthermometern wurden noch Thermoelemente zum Messen der Temperaturen am Heizröhrchen c_2 und an den Zuleitungen zum Heizkörper b verwendet.

Die Versuche

Hilfsversuche

Mit einer einheitlichen Temperatur des Schutzmantels, bei der Definition des Verlustes V_a vorausgesetzt ist, kann man nur rechnen, wenn längs des Siedegefäßes, d. h. der Bohrung d_{10} , kein merkliches Temperaturgefälle herrscht. Durch Vorversuche wurde ermittelt, bei welchem Verhältnis der Wärmeleistungen in den Heizsträngen e_2, e_3, e_4, e_5 dies der Fall ist. Es ergab sich, daß bei 250 ° die Wärmeleistungen in diesen Wicklungen 74, 84 und 264 kcal/h betragen mußten. Dieser Verteilung gelang es, die Temperaturunterschiede längs d_{10} auf wenige Hundertstel Grad zu bringen. Vor und nach jedem Versuch wurde die Temperaturverteilung geprüft; während des Versuches wurde die Temperatur ϑ_0 bezeichnete Temperatur nur an einer mittleren Stelle gemessen.

Abb. 6 gibt die Temperaturverteilung für einen Versuch bei 230 ° wieder. Neben dem Längsschnitt des Aluminiumzylinders sind die in den Bohrungen d_{10} und d_{11} gemessenen Temperaturen aufgetragen. Die Temperatur ϑ_w hiernach längs des Siedegefäßes a nur um wenige Hundertstel Grad von der in mittlerer Höhe herrschenden Temperatur ϑ_w abweicht und springt beim Übergang vom Aluminium in den Deckel plötzlich nahezu auf die Wassertemperatur ϑ_w , die bei diesem Versuch absichtlich um 1 ° niedriger gehalten wurde. Selbst der Deckel und die Gassen haben demnach fast genau die gleiche Temperatur wie das Wasser im Siedegefäß.

Um den Widerstand der Zuleitungen zum Heizkörper b zu messen, sowie um entscheiden zu können, ob die in der Nähe innerhalb des Siedegefäßes a entstehende Joulesche Wärme zur Verdampfung beiträgt oder nach außen abgeführt wird, wurde die Temperatur der Enden dieser 2 mm dicken Kupferdrähte mit angelöteten Eisen-Konstantan-Thermoelementen gemessen. Sie betrug bei 250 ° Innentemperatur 100 bis 110 °. Eine hiermit durchgerechnete Wärmebilanz ergab, daß nahezu die gesamte in den Zuleitungen innerhalb a entstehende Wärme (etwa 1 vT der gesamten Leistung) durch die Drähte abgeleitet wird.

Es wurde auch nachgeprüft, ob längs des Abflußrohrs c_2 die Temperatur merklich abfällt. Messungen mit angelöteten Thermoelementen ergaben, auch wenn

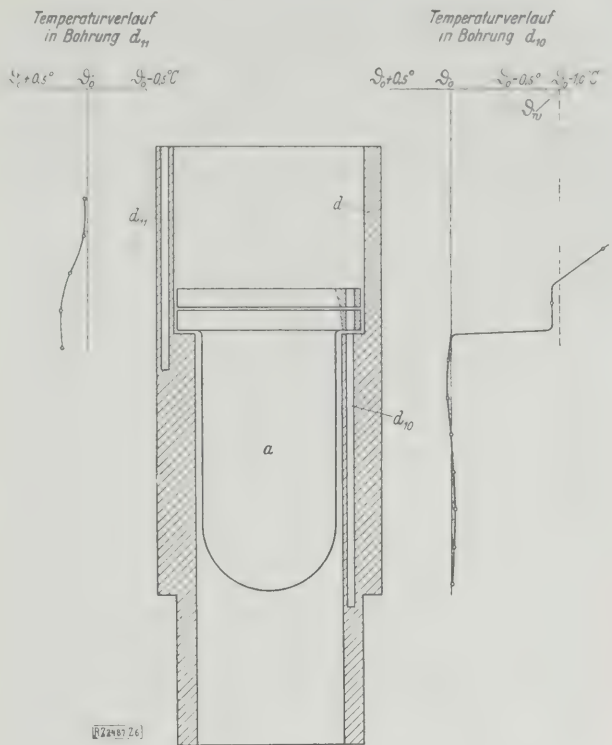


Abb. 6
Temperaturverteilung im Schutzmantel bei 230 °.

die Wicklung c_4 stromlos war, kein Temperaturgefälle, also auch keine Verluste. Die Heizwicklung c_4 wurde deshalb im allgemeinen nicht benutzt.

Zustand des erzeugten Dampfes

Wie schon Henning sowie Jakob haben auch wir im Dampf eine tiefere Temperatur beobachtet als im Wasser, und zwar unabhängig von der Siedetemperatur. Allerdings beträgt nach unseren Messungen dieser Unterschied nur 0,1 bis 0,2 °, während Jakob 0,2 bis 0,4 ° und Henning „einige Zehntel“ Grad beobachtet haben. Henning hat überschlägige Berechnungen über den Fall angestellt, daß der ausströmende Dampf nachträglich auf die Wassertemperatur überhitzt wird. Nach Jakobs Ausführungen rührt jedoch ein Teil der von Henning und von ihm beobachteten Temperaturunterschiede von der Anordnung des Dampfthermometers her. Die von uns mit verbesserter Anordnung, Abb. 2 bis 4, gemessenen Unterschiede dagegen sollten wirkliche Unterschiede zwischen Wasser- und Dampftemperatur sein. Mit sinkendem Wasserspiegel wächst der Temperaturunterschied innerhalb der genannten Grenzen, was wir bis jetzt noch nicht erklären können. Vorläufig haben wir, wie Henning und Jakob, die Wassertemperatur allein als maßgebend angesehen.

Bei neueren Bestimmungen der Verdampfungswärme des Wassers für 100 ° wurde die Frage der Feuchtigkeit des gebildeten Dampfes angeschnitten⁹⁾. Nun lag die Geschwindigkeit, mit der der Dampf bei unsern Versuchen in die Doppelhaube c_1 eintrat, bei 210 ° zwischen 0,16 und 0,92 cm/s, bei 250 ° zwischen halb so großen Grenzwerten. Sie war also außerordentlich gering; außerdem scheidet die Dampfhaube mit ihren scharfen Rändern beim zweimaligen Umbiegen der Strömung etwa noch vorhandenes Wasser ab. Endlich dürfte beim Verdampfen von höchstens 0,885 kg/h an einer Oberfläche des Heizkörpers b von 1110 cm² ein Fortreißen von Wasserteilchen wohl ausgeschlossen sein. Übrigens hätte sich auch ein Einfluß der Dampfgeschwindigkeit bemerkbar machen müssen, wenn der Dampf feucht gewesen wäre.

⁹⁾ T. Carlton-Sutton, Proc. Roy. Soc. London Bd. 113 (1917) S. 155; J. H. Mathews, Journ. Phys. Chemistry Bd. 21 (1917) S. 536; A. W. Smith, Journ. Opt. Soc. America Bd. 10 (1925) S. 716.

Beschreibung der Hauptversuche

Jede Versuchsreihe erforderte einen Versuchstag und bestand anfänglich aus drei, später aus vier hintereinander ausgeführten Einzelversuchen mit verschiedenen Verdampfungsgeschwindigkeiten, wobei aber die Wassertemperatur und die Temperatur im Aluminiumzylinder möglichst gleich gehalten wurden. Die Masse des erzeugten Dampfes setzt sich zusammen aus dem Kondensat M_k , dem Tropfwasser (fast stets weniger als 0,1 g) und dem im Siedegefäß verbleibenden Dampf $M_k \frac{v'}{v''}$ (wobei v' das spezifische Volumen des Wassers, v'' das des Dampfes bedeutet). Die Zeitdauer t wurde mit einer geeichten Stoppuhr ermittelt.

Die Spannung des Normalelementes, der Strom I und der Spannungsabfall E im Wasserheizkörper wurden in gleichen Abständen von etwa 5 min abgelesen, im ganzen acht- bis neunmal bei jedem Versuch, die Kompensationswiderstände der Platinthermometer doppelt so oft, nämlich jeweils ein zweites Mal mit veränderter Stromrichtung zur Eliminierung von Thermoströmen. Von der gemessenen Leistung $0,8604 E I \text{ kcal/h}$ [s. Anm. ¹⁰)] wurde der Verbrauch der Zuleitungen $0,8604 I^2 R$ abgezogen, ihr Widerstand R wurde unter Berücksichtigung ihrer Temperatur (s. S. 633, linke Spalte, unter Hilfsversuche, 3. Abs.) berechnet.

Außer den bereits erwähnten Vorversuchen zur Bestimmung der Temperaturverteilung im Aluminiumzylinder und drei Versuchsreihen zur unmittelbaren Messung von V_a wurden

5 Versuchsreihen mit insgesamt 16 Versuchen bei 210 °					
4	"	"	"	15	"
6	"	"	"	24	"

durchgeführt. Von diesen 55 Versuchen mußten wegen Unregelmäßigkeiten nur 3 ausgeschieden werden. Die Hauptangaben über diese Versuche sind in den Zahlentafeln bis 4 zusammengestellt. Hierin sind die Versuchsreihen nach ihrer zeitlichen Folge mit römischen, die Versuche mit arabischen Zahlen bezeichnet. Die Dauer t eines Versuchs lag zwischen 0,5 und 0,9 h, die Dampfmengen zwischen 0,15 und 0,89 kg/h. Die Versuchsreihen begannen bald mit großer, bald mit kleiner Verdampfungsgeschwindigkeit, ein Einfluß dieser Reihenfolge war nicht festzustellen. Die Unterschiede $\vartheta_w - \vartheta_0$ wurden bei den Versuchen absichtlich teils positiv, teils negativ eingestellt; auch diese Veränderung der Versuchsbedingungen beeinflusste das Messergebnis nicht.

Unmittelbar gemessene Wärmedurchgangswerte a

Wie von Jakob a. a. O. beschrieben, läßt sich der Wärmedurchgangswert a dadurch bestimmen, daß man zwei Versuche mit möglichst gleichen Dampfmengen m , aber einigermaßen verschiedenen Unterschieden $\vartheta_w - \vartheta_0$ anführt.

So haben wir für 210 ° bei drei Versuchen mit $m =$ und $\vartheta_w - \vartheta_0 = -1,30^\circ, +0,02^\circ$ und $+1,60^\circ$, wobei die gemessene Leistung also jeweils unmittelbar gleich der Summe aller Verluste war, $a = 2,32 \text{ kcal/h } ^\circ\text{C}$ erhalten.

Zahlentafel 1

Hauptangaben über die Versuche zur Bestimmung der Verdampfungswärme für $\vartheta = 210,45^\circ$

$r = 451,55$

$N' = N - V_b - V_d$

$N'_{\text{ber.}} = 451,55 m + 2,41 (\vartheta_w - \vartheta_0) + 7,56$

Versuchs-Nr.	Versuchstag 1928	t h	m kg/h	ϑ_w °C	$\vartheta_w - \vartheta_0$ °C	N kcal/h	V_b kcal/h	V_d kcal/h	N' kcal/h	$m r$ kcal/h	V_a kcal/h	$N'_{\text{ber.}}$ kcal/h	$N' - N'_{\text{ber.}}$ kcal/h
I, 1	29. Juni	0,7827	0,2932	210,37	+0,60	139,86	−0,97	+0,02	140,81	132,39	+1,44	141,40	−0,59
2		0,5895	0,5780	210,53	+0,78	269,89	−0,39	−0,05	270,33	260,97	+1,88	270,42	−0,03
3		0,4546	0,8695	210,63	+0,74	400,58	−0,80	−0,16	401,54	392,60	+1,79	401,96	−0,42
II, 1	3. Juli	0,6671	0,3204	210,48	+0,43	153,30	−0,72	−0,01	154,03	144,66	+1,05	153,27	+0,76
2		0,5948	0,5789	210,62	+0,54	269,24	−0,71	−0,10	270,05	281,38	+1,30	270,24	−0,19
3		0,5838	0,8563	210,71	+0,69	396,91	−0,19	−0,23	397,33	386,66	+1,66	395,89	+1,44
III, 1	4. Juli	0,5567	0,8413	210,76	0	386,01	+0,24	−0,27	386,04	379,90	+0,01	387,47	−1,44
2		0,6908	0,5132	210,74	−0,06	238,81	+0,53	−0,15	238,43	231,72	−0,14	239,14	−0,71
3		0,7189	0,2924	210,58	−0,11	140,69	−0,23	−0,04	140,96	132,04	−0,27	139,33	+1,63
IV, 2	5. Juli	0,7029	0,4696	210,32	+0,23	220,89	+0,20	+0,06	220,63	212,05	+0,55	220,16	+0,47
3		0,6029	0,8347	210,45	+0,30	384,11	−0,11	0	384,22	376,90	+0,72	385,19	−0,98
IX, 1	18. Juli	0,6282	0,8381	209,88	−0,77	386,61	+1,38	+0,48	384,75	378,46	−1,86	384,16	+0,59
2		0,6920	0,5962	210,17	−0,54	277,02	−0,29	+0,17	277,14	269,22	−1,31	275,47	+1,67
3		0,6675	0,3773	210,22	−0,53	176,20	+0,62	+0,08	175,50	170,37	−1,29	176,65	−1,15
4		0,6979	0,1649	210,17	−0,55	79,61	−0,09	+0,05	79,65	74,46	−1,34	80,69	−1,03

Zahlentafel 2

Hauptangaben über die Versuche zur Bestimmung der Verdampfungswärme für $\vartheta = 229,94^\circ$

$r = 432,74$

$N' = N - V_b - V_d$

$N'_{\text{ber.}} = 432,74 m + 2,13 (\vartheta_w - \vartheta_0) + 7,84$

Versuchs-Nr.	Versuchstag 1928	t h	m kg/h	ϑ_w °C	$\vartheta_w - \vartheta_0$ °C	N kcal/h	V_b kcal/h	V_d kcal/h	N' kcal/h	$m r$ kcal/h	V_a kcal/h	$N'_{\text{ber.}}$ kcal/h	$N' - N'_{\text{ber.}}$ kcal/h
V, 1	10. Juli	0,7098	0,3350	230,04	−0,30	153,78	−0,56	−0,04	154,38	144,96	−0,65	152,15	+2,23
2		0,6283	0,6291	230,01	−0,33	280,00	−0,01	−0,05	280,06	272,24	−0,71	279,37	+0,69
3		0,5678	0,8728	230,05	−0,28	386,20	−0,51	−0,11	386,82	377,68	−0,60	384,92	+1,90
VI, 2	11. Juli	0,5947	0,3892	230,04	+0,01	176,56	−1,23	−0,04	177,83	168,40	+0,02	176,27	+1,56
3		0,5950	0,6331	229,97	−0,15	280,18	−0,09	−0,02	280,29	273,98	−0,32	281,50	−1,22
4		0,5811	0,8752	229,98	−0,19	385,49	−0,84	−0,04	386,37	378,72	−0,41	386,14	+0,23
VII, 1	12. Juli	0,5840	0,8673	229,68	+0,15	384,58	+2,66	+0,26	381,66	375,30	+0,32	383,46	−1,80
2		0,6228	0,6126	229,91	+0,23	272,83	−0,50	+0,02	273,31	265,08	+0,49	273,41	−0,10
3		0,5822	0,3887	230,01	+0,39	175,56	−1,05	−0,03	176,64	168,19	+0,84	176,87	−0,21
4		0,5897	0,1630	230,12	+0,54	79,67	+0,10	−0,03	79,60	70,55	+1,15	79,54	+0,06
VIII, 1	17. Juli	0,6217	0,8778	229,64	−0,45	387,38	+0,45	+0,29	386,64	379,88	−0,96	386,76	−0,12
2		0,6461	0,6208	229,82	−0,43	273,96	−0,88	+0,09	274,75	268,63	−0,92	275,55	−0,80
3		0,6684	0,3953	229,91	−0,52	176,32	−0,74	+0,02	177,04	171,07	−1,10	177,81	−0,77
4		0,7023	0,1726	229,88	−0,51	79,21	−0,59	+0,01	79,79	74,71	−1,10	81,45	−1,66

ei 250 ° wurde aus zwei Versuchen mit $m \approx 0,63$ und $\vartheta_w - \vartheta_0 = +1,09^\circ$ und $-1,73^\circ$
vier Versuchen mit $m \approx 0,06$ und $\vartheta_w - \vartheta_0 = -1,69^\circ, +1,02^\circ, -1,60^\circ$ und $+0,57^\circ$
28 kcal/h °C ermittelt.

Versuchsergebnisse¹⁰⁾

Versuche bei 210 und 230 °C

us den in den Zahlentafeln 1 und 2 zusammen-
ten Versuchsreihen erhält man

für $\vartheta = 210,45^\circ \dots n = 15$ Gleichungen wie (1)

„ $\vartheta = 229,94^\circ \dots n = 14$ „ „ „

us diesen nach der Methode der kleinsten Quadrate
die Werte der Unbekannten:

für 210,45 ° $a = 2,41$, $V_a = 7,56$, $r = 451,55$,

„ 229,94 ° $a = 2,13$, $V_a = 7,84$, $r = 432,74$.

man an Stelle von N die Leistung

$$N' = N - V_b - V_d \dots (4)$$

ie, wie aus Zahlentafel 1 bis 4 ersichtlich, sehr
von N verschieden ist, so lassen sich die Versuche
ellen durch:

er. = 451,55 $m + 2,41 (\vartheta_w - \vartheta_0) + 7,56$ bei 210,45 ° (5),

er. = 432,74 $m + 2,13 (\vartheta_w - \vartheta_0) + 7,84$ „ 229,94 ° (6).

ar unmittelbar gewonnene Wärmedurchgangswert
32 kcal/h °C bei 210 ° ist von dem nach der Me-
der kleinsten Quadrate berechneten nur um wenige
rtstel verschieden. Eine solche Unsicherheit in a
aber in N' fast nichts aus, da a nur in Verbin-
mit dem kleinen Temperaturunterschied $\vartheta_w - \vartheta_0$ in
(1) und (6) auftritt.

Wärmemengen sind in Kilokalorien (bezogen auf 15 °C) aus-
rt, wobei 1 kcal = 4184,2 internat. Joule gesetzt ist.

Zahlentafel 3

angaben über die Versuche zur Bestimmung der Verdampfungswärme für $\vartheta = 250,03^\circ\text{C}$. Gruppe I

$$r = 409,71$$

$$N' = N - V_b - V_d$$

$$N'_{\text{ber.}} = 409,71 m - 3,14 (\vartheta_w - \vartheta_0) + 2,70$$

Versuchstag 1928	t h	m kg/h	ϑ_w °C	$\vartheta_w - \vartheta_0$ °C	N kcal/h	V_b kcal/h	V_d kcal/h	N' kcal/h	m r kcal/h	V_a kcal/h	N' _{ber.} kcal/h	N' - N' _{ber.} kcal/h
15. Oktober	0,6855	0,1569	250,16	-0,08	66,84	-0,10	-0,03	66,97	64,30	+0,25	67,25	-0,28
	0,6852	0,3947	249,98	-0,24	163,69	-0,11	+0,03	163,77	161,71	+0,75	165,16	-1,39
	0,6686	0,5855	249,97	-0,18	244,26	-0,31	+0,04	244,53	239,90	+0,57	243,17	+1,36
	0,5381	0,8567	250,01	-0,19	355,34	+0,52	+0,02	354,80	350,98	+0,61	354,29	+0,51
17. Oktober	0,6506	0,8736	250,07	+0,05	359,15	-0,43	-0,05	359,63	357,91	-0,15	360,46	-0,83
	0,6452	0,5974	250,08	0	248,16	-0,21	-0,04	248,41	244,77	+0,01	247,48	+0,93
	0,6507	0,4011	250,08	-0,20	166,21	-0,29	-0,03	166,53	164,31	+0,63	167,64	-1,11
	0,6796	0,1646	250,09	-0,11	70,13	0	-0,01	70,14	67,44	+0,36	70,50	-0,36
19. Oktober	0,6856	0,6078	250,04	-0,25	250,46	-0,10	-0,01	250,57	249,03	+0,79	252,52	-1,95
	0,6745	0,3856	250,03	-0,24	163,75	-0,09	0	163,84	158,00	+0,74	161,44	+2,40
	0,7285	0,1608	250,02	-0,22	69,61	-0,16	0	69,77	65,88	+0,68	69,26	+0,51
23. Oktober	0,7115	0,1613	249,95	-0,28	70,02	+0,22	+0,02	69,78	66,10	+0,88	69,68	+0,10
	0,6619	0,3888	249,96	-0,18	162,61	-0,22	+0,03	162,80	159,27	+0,57	162,54	+0,26
	0,6532	0,5915	250,02	-0,22	245,07	+0,22	0	244,85	242,32	+0,71	245,73	-0,88
	0,6019	0,8622	250,05	-0,21	357,07	-0,21	-0,03	357,31	353,25	+0,66	356,61	+0,70

Zahlentafel 4

angaben über die Versuche zur Bestimmung der Verdampfungswärme für $\vartheta = 250,03^\circ\text{C}$. Gruppe II.

$$r = 411,13$$

$$N' = N - V_b - V_d$$

$$N'_{\text{ber.}} = 411,13 m + 0,12 (\vartheta_w - \vartheta_0) + 0,57$$

Versuchstag 1928	t h	m kg/h	ϑ_w °C	$\vartheta_w - \vartheta_0$ °C	N kcal/h	V_b kcal/h	V_d kcal/h	N' kcal/h	m r kcal/h	V_a kcal/h	N' _{ber.} kcal/h	N' - N' _{ber.} kcal/h
5. Dezember	0,6506	0,8854	250,08	+0,37	365,06	+0,01	-0,06	365,11	364,01	+0,05	364,63	+0,48
	0,6735	0,6179	250,11	+0,23	254,08	-0,43	-0,06	254,57	254,05	+0,03	254,65	-0,08
	0,6504	0,4225	250,08	+0,20	174,22	-0,31	-0,03	174,56	173,68	+0,02	174,27	+0,29
	0,6522	0,1814	250,10	+0,45	75,78	0	-0,02	75,80	74,56	+0,06	75,19	+0,61
7. Dezember	0,7066	0,1830	250,06	+0,38	75,88	-0,21	-0,01	76,10	75,22	+0,05	75,84	+0,26
	0,6574	0,4207	250,07	+0,38	171,93	-0,21	-0,02	172,16	172,96	+0,05	173,58	-1,42
	0,6669	0,6103	250,06	+0,36	251,25	0	-0,02	251,27	250,93	+0,04	251,54	-0,27
	0,6517	0,8854	250,06	+0,38	364,41	-0,30	-0,03	364,74	364,02	+0,05	364,64	+0,10

Zahlentafel 5. Abgeglichenen Werte der Verdampfungswärmer und des spezifischen Volumens v'' von Sattedampf.

Temperatur ϑ °C	Druck p kg/cm ²	r kcal/kg	$1000 \frac{r-r_K}{r_K}$	$1000 \frac{r-r_M}{r_M}$	v'' m ³ /kg	$1000 \frac{v''-v_K}{v_K}$	$1000 \frac{v''-v_M}{v_M}$
200	15,85	462,8	+2,6	-3,0	0,1271	-1,0	-3,9
210	19,45	453,3	+3,5	-2,4	0,1041	-1,8	-3,8
220	23,65	443,3	+4,4	-1,4	0,08599	-0,7	-2,4
230	28,53	432,8	+5,1	+0,2	0,07146	+0,7	-1,3
240	34,13	421,7	+5,4	+2,1	0,05970	+2,4	+0,5
250	40,55	409,9	+4,6	+4,4	0,05011	+4,6	+2,6

getrennt von denen der Zahlentafel 4 berechnet werden. Auf diese Weise erhielten wir analog Gl. (5) und (6)

nach Zahlentafel 3

$$N'_{\text{ber.}} = 409,71 m - 3,14 (\vartheta_w - \vartheta_0) + 2,70 \quad (7)$$

nach Zahlentafel 4

$$N'_{\text{ber.}} = 411,13 m + 0,12 (\vartheta_w - \vartheta_0) + 0,57 \quad (8)$$

Zum Vergleich wurde der Verlust V_a mit dem unmittelbar gemessenen Wert $a = 2,28 \text{ kcal/h } ^\circ\text{C}$ (s. S. 635, l. Sp.) berechnet und in Gleichung 1 eingesetzt. Man erhält dann r aus n Gleichungen von der Form:

$$N - V_b - V_a - V_c = N' - V_a = m r + V_c \quad (9)$$

wieder nach der Methode der kleinsten Quadrate, und zwar

nach Zahlentafel 3 $r = 409,23 \text{ kcal/kg}$,

nach Zahlentafel 4 $r = 411,24 \text{ „}$.

Da Zahlentafel 4 nur etwa halb so viel Versuche umfaßt wie Zahlentafel 3 und hiernach auch die Berechnung nach der Methode der kleinsten Quadrate unsicherer ist, wurde dem Ergebnis nach Zahlentafel 3 das dreifache Gewicht gegeben, und so als Mittel der Versuche für $\vartheta = 250^\circ$

$$r = 409,9 \text{ kcal/kg}$$

erhalten.

Ausgleich der Werte der Verdampfungswärme und Berechnung des spezifischen Volumens von Sattedampf für 30° bis 250°C .

Der von Jakob vorgenommene Ausgleich der gemessenen Werte der Verdampfungswärme zwischen 30 und 210° wurde bis 250° fortgesetzt. Für r ergaben sich dabei

die Werte in Spalte 3 der Zahlentafel 5. Das spezifische Volumen v'' von Sattedampf, berechnet nach der Clausius-Clapeyronschen Gleichung:

$$v'' = v' + r \frac{A}{T} \frac{1}{\frac{dp}{d\vartheta}} \quad (1)$$

mit $A = 426,9 \text{ mkg/kcal}$, $T = 273,2 + \vartheta$, ist in Spalte 6 enthalten. Die Werte von $\frac{dp}{d\vartheta}$ wurden hierfür aus Tabellen der Wärmetabellen der Reichsanstalt¹¹⁾ berechnet.

Weiterhin sind in Zahlentafel 5 die Abweichungen der Werte r und v'' gegenüber den rechnerisch ermittelten Werten der Dampftabellen von Knoblauch, Raisch und Hausen¹²⁾ (r_K, v_K), sowie von Mollier¹³⁾ (r_M, v_M) eingetragen. Man sieht, daß die Werte dieser Dampftabelle mit den neuen gemessenen Werten von r und v'' auch bei 250° noch auf 5 vT übereinstimmen. Die Genauigkeit unserer ausgeglichenen Werte von r und v'' schätzen wir auf etwa 2 vT . Zahlentafel 5 ist durch Zahlentafel der Jakobschen Arbeit bis einschließlich 200° zu ergänzen. Durch beide Zahlentafeln zusammen sind die Verdampfungswärme r des Wassers und das spezifische Volumen v'' von Sattedampf im Bereich von 30° bis 250° ($0,043$ bis $40,55 \text{ at}$) gegeben. [B 2487]

¹¹⁾ L. Holborn, K. Scheel, F. Henning, Wärmetabellen, Braunschweig 1919.

¹²⁾ O. Knoblauch, E. Raisch und H. Hausen, Tabellen und Diagramme für Wasserdampf, München und Berlin 1923.

¹³⁾ R. Mollier, Neue Tabellen und Diagramme für Wasserdampf, 2. Aufl., Berlin 1925.

Die Beeinflussung von Grenzschichten durch Temperaturfelder

hat J. Schmuckel, Greifswald, vor Kurzem eingehender behandelt¹⁾. Im Anschluß an die bekannten Arbeiten von Prandtl, Kármán und Latzko²⁾ über den Wärmeübergang von einem festen Körper an eine Flüssigkeit oder ein Gas hat Schmuckel versucht, den bisher nicht mitberücksichtigten Auftrieb in die Grenzschichttheorie einzuführen, die freie Abkühlung also als Korrektur der erzwungenen behandelt. In dieser Richtung ist im ersten Teil eine Deutung der Experimente von Soenneken³⁾, Stanton⁴⁾ und Stender⁵⁾ versucht. Diese zeigen, daß bei turbulentem Flüssigkeitsstrom in einem Rohr die Wärmeübergangszahl größer ist, wenn die Wärme von der Flüssigkeit an die Wand übergeht, als wenn der Vorgang umgekehrt verläuft. Es ist hier ein wagrecht liegendes Rohr angenommen. Nußelt hat diese Versuche zusammengestellt und zu ihrer Erklärung die Veränderung der Flüssigkeitskonstanten mit der Temperatur angenommen. Dazu kommt aber grundsätzlich immer der Auftrieb, die Abhängigkeit der Flüssigkeitskonstanten im Auftriebsglied von der Temperatur und die dadurch bedingte Änderung des Strömungszustandes.

Da die Impulsgleichung für tropfbare Flüssigkeit nicht vorlag, wurde die Berücksichtigung des Auftriebs auf Gase beschränkt. Die Integration und zahlenmäßige Berechnung liefert dann zum mindesten einen Anhalt für die Größe

des Effekts. Die Dicke der Grenzschicht, die ein Maß für den Wärmeübergang darstellt, ist in erster Näherung berechnet in zwei Zahlentafeln in Abhängigkeit von der Auflänge und der Temperatur. Sie zeigen die erwartete Abhängigkeit, wenn auch natürlich aus dem Verhalten Gase nicht auf das der tropfbaren Flüssigkeiten zahlenmäßig geschlossen werden kann. Es ist weiter versucht, diesen Einfluß gegenüber dem der Temperaturveränderlichkeit der Flüssigkeitskonstanten abzugrenzen, indem ihre Abhängigkeit von verschiedenen Veränderlichen durch mittlere Potenzexponenten zusammengestellt wird. Nicht so ausführlich wird der turbulente Strom an einer ebenen, wagrecht liegenden Platte behandelt, die auf der Oberseite umströmt wird. Doch wird für eine solche Platte weiterhin versucht, den oben angegebenen Einfluß einer Grenzschichtänderung durch den Auftrieb festzustellen. Die Integration der einfachen Gleichung gibt einen an sich nicht schwierigen, aber äußerst unhandlichen Ausdruck, den man wohl nur zahlenmäßig verwerten kann.

Die resultierende periodische Bewegung kann man als Wirbel deuten, die sich auf der Grenzschicht abrollen. Ist die Grenzschicht geändert wird und ihrerseits wieder eine Änderung des Strömungszustandes bedingt, bis Stabilität eintritt, ist versucht, die Erscheinung der Turbulenz auf einen Wärmeübergang zurückzuführen. Die Frage ist für eine unendliche, ideal glatte Ebene erörtert. Die übergende Wärme ist die Reibungswärme. Diese Deutung widerspricht nicht der kinetischen Theorie der Reynoldsschen Zahl von v. Kármán.

Der Aufsatz liefert nicht in allen Punkten abschließende Ergebnisse, besonders im Schluß sind nur Fingerzeige für weitere Arbeiten gegeben. [N 2852]

¹⁾ Vergl. Z. f. angew. Math. u. Mech. Bd. 9 (1929) Nr. 2 S. 101.

²⁾ Vergl. Latzko, ebenda Bd. 1 (1921) S. 268.

³⁾ Vergl. Soenneken, Diss. Techn. Hochschule, München 1910.

⁴⁾ Vergl. Stanton, Trans. Roy. Soc. London (A) 190, 67, 1897.

⁵⁾ Vergl. Stender, Wärmeübergang, Berlin 1924.

Das Röntgenlaboratorium an der Technischen Hochschule Stuttgart¹⁾

Von Prof. Dr. GLOCKER, Stuttgart

Unterstützung der Deutschen Röntgengesellschaft und der deutschen Röntgenindustrie sowie einer An-privater Stifter wurde im Jahre 1920 in Stuttgart als gsinstitut unter Angliederung an die Technische hule ein Forschungsinstitut für technische Röntgen- gegründet. Im Frühjahr 1922 konnte ein eigenes atoriumsgebäude bezogen werden, das inzwischen Anbauten eine beträchtliche Erweiterung erfahren ie große Durchdringungskraft der Röntgenstrahlen e besondere bauliche Maßnahmen erforderlich. Das e gliedert sich in zwei durch eine von der Grün- bis zum Dache reichende Barytmauer von 6 cm getrennte Teile. Rechts von der Eingangshalle,

Die Technische Hochschule Stuttgart feiert vom 15. bis 17. Mai hundertjähriges Bestehen.

Abb. 1, liegt die „röntgenfreie“ Seite, links sind die durch eine mit 5 mm Blei beschlagene Tür zugänglichen Röntgenräume angeordnet. Auf der „röntgenfreien“ Seite befinden sich die Räume für Verwaltung, Assistenten und Doktoranden, die Werkstätte, ein chemisches Laboratorium und ein Metalllaboratorium, sowie der von außen zugängliche Raum, der eine von der Notgemeinschaft der deutschen Wissenschaft in dankenswerter Weise zur Verfügung gestellte Luftverflüssigungsanlage von 4 l/h Leistung und die Hochfrequenzmaschine des Induktions-schmelzofens enthält.

Die acht Röntgenräume sind rings um das Schutzhaus, das die Schaltapparate enthält, angeordnet. Nur bei dem neben der Eingangshalle liegenden Raum ist eine Ausnahme von dieser Regel gemacht worden, als die drückende Raumnot einen nachträglichen Einbau in diesen Raum erforderte. Jeder Röntgenraum enthält einen Röntgenapparat und die für die betreffenden Untersuchungen erforderlichen Versuchsanordnungen. Diese sind so eingerichtet, daß der Beobachter während des Betriebes der Röntgenröhre sich gewöhnlich außerhalb des Raumes, im Schutzhaus, befindet. Die inneren Wände sämtlicher Röntgenräume sind mit 6 cm dicken Barytplatten oder 5 mm dickem Bleiblech belegt, so daß eine gegenseitige Störung bei Ausführung genauer Strahlungsmessungen ausgeschlossen ist. Die strahlensicheren Wände sind in Abb. 1 mit gestrichelten Linien gekennzeichnet. Zur Beobachtung der Vorgänge in den Röntgenräumen dienen 40 × 50 cm² große Fenster aus 4 mm dickem Bleiglas, Abb. 2. Dank dieser weitreichenden Schutzmaßnahmen ist seit Bestehen des Laboratoriums kein einziger Fall einer Röntgenschädigung vorgekommen.

Das Institut verfügt über neun Röntgenapparate, unter denen alle Konstruktionen (Induktor, umlaufender Gleichrichter, Abb. 2, Glühventil-Gleichrichter) vertreten sind. Infolge der starken Nachfrage sind sämtliche Arbeitsplätze des Institutes ständig besetzt. Mit Einschluß der Gäste von deutschen und ausländischen Hochschulen (Rußland, Tschechoslowakei, Amerika) sind zur Zeit zehn wissen-

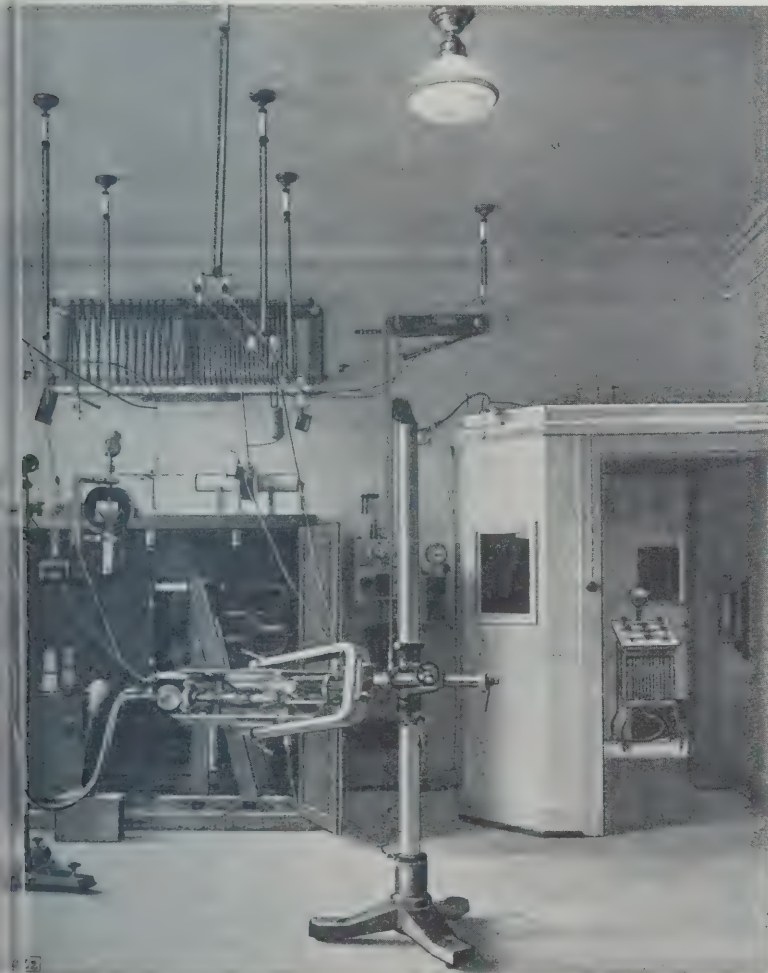
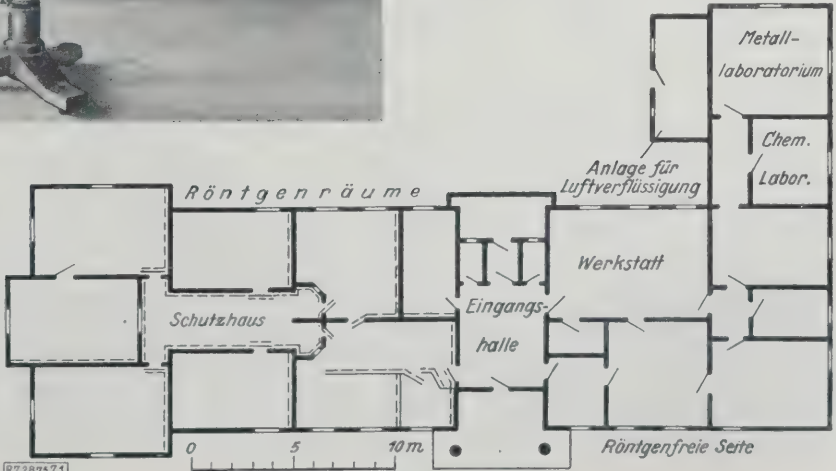


Abb. 2 (oben).
n enapparat mit umlaufendem Gleichrichter.

Abb. 1 (rechts).
uß des Röntgenlaboratoriums
chnischen Hochschule Stuttgart.



schaftliche Mitarbeiter tätig. Hierzu kommen je Semester noch etwa 20 bis 25 Praktikanten, die aus den Reihen der Studierenden der Elektrotechnik, der technischen Physik und der Chemie kommen und halbtägige Übungen auf dem Gebiete der Röntgentechnik ausführen. Die immer zunehmende Bedeutung des Institutes für den Unterricht (Ausbildung von Röntgeningenieuren und Unterweisung in den Verfahren der Werkstoffprüfung mit Röntgenstrahlen) hat darin ihren äußeren Ausdruck gefunden, daß die Stelle des Institutvorstandes 1923 in ein Extraordinariat und 1925 in ein persönliches Ordinariat umgewandelt worden ist. Röntgentechnik ist Prüfungsfach in der Diplomprüfung für Elektroingenieure; ferner können Elektroingenieure, Physiker und Chemiker mit einer Arbeit aus dem Gebiet der Röntgentechnik zum Doktor-Ingenieur promovieren.

Die Forschungsarbeiten des Institutes umfassen das ganze Gebiet der physikalisch-technischen Anwendungen der Röntgenstrahlen. Im Hinblick auf die medizinischen Anwendungen der Röntgenstrahlen wurden Untersuchungen ausgeführt über die Grundlagen der verschiedenen Meßverfahren, die in der Aufstellung eines einfachen Grundgesetzes der Strahlenwirkung ihren Abschluß fanden. Ferner wurden Strahlenschutzmessungen an verschiedenen Stoffen und Anordnungen durchgeführt; die erhaltenen Werte bilden die Grundlage der von der

Deutschen Röntgengesellschaft herausgegebenen Vorschriften zur Verhütung von Röntgenschädigungen. Das Institut ist eine der Eichstellen für die Eichung der ärztlichen Dosimeter in dem einheitlichen Maß, in der R-Einheit (Röntgeneinheit), die seit 1928 international anerkannt ist.

Viele Arbeiten beschäftigen sich mit den Fragen der Anwendung der Röntgenstrahlen für die Zwecke der Werkstoffprüfung, mit der Untersuchung der Veränderung der Kristallitlage bei der Bearbeitung und Behandlung, mit der Struktur von Legierungen, mit Korrosionsversuchen an Metalleinkristallen u. a. Auf dem Gebiet der Röntgenspektroskopie wurde ein Verfahren entwickelt, daß eine allgemeine Anwendung einer quantitativen Röntgenspektralanalyse dadurch möglich macht, daß der zu untersuchende Stoff in kaltem Zustand zur Aussendung seiner Röntgenlinien veranlaßt wird. Aus dem metallographischen Gebiet liegt eine Fülle von Aufgaben, deren Lösung mit Hilfe der Röntgenstrahlen möglich sein wird. In dieser Hinsicht haben die Arbeiten des Institutes dadurch eine wesentliche Förderung erfahren, daß vor Jahresfrist mit Unterstützung der Naturforschenden Gemeinschaft ein eigenes Metallaboratorium mit Vakuum-schmelzöfen, Vakuumglühöfen und verschiedenen Pressmaschinen, sowie mit den erforderlichen mikroskopischen Apparaten eingerichtet werden konnte. [B 2875]

Tankschiff zur Beförderung von Schmierölen

Bei den Vulcan-Werken in Hamburg ist ein Motortankschiff mit einer Tragfähigkeit von 11 000 t im Bau, das für die Beförderung von Schmieröl von den Vereinigten Staaten nach Europa bestimmt ist. Es zeigt wesentliche Abweichungen von der üblichen Bauart von Tankschiffen, da man die verschiedenen Ölsorten sehr sorgfältig voneinander getrennt aufbewahren muß, um gegenseitige Verunreinigungen zu verhindern. Das Schiff ist etwa 134,1 m lang, 19,3 m breit und 11,35 m hoch, hat einen Tiefgang von 8,2 m und ist nach dem Längsspanntensystem von Isherwood gebaut. Die Dienstgeschwindigkeit soll sich auf 11,5 Kn belaufen; das Schiff hat einen geraden etwas ausfallenden Vorderstern und ein Kreuzerheck. Es wird als Eindecker gebaut und erhält 24 öldichte Abteilungen, von denen die zehn mittleren als senkrechte zylindrische Tanks ausgeführt werden, die das Vermischen der einzelnen Öle vollständig vermeiden lassen. Diese Behälter reichen von der Doppelbodendecke bis zum Deck und sind in zwei nebeneinanderstehenden Reihen so angeordnet, daß außerhalb genügend Platz bleibt, um ein gutes Instandhalten der Behälter zu ermöglichen. Diese zehn zylindrischen Behälter fassen je 525 t; sie sind innen vollständig glatt, so daß man sie gut reinigen kann.

Die unter den Zylinderbehältern liegenden Doppelbodenabteilungen dienen zur Aufnahme von Wasserballast oder Ladungsöl. Die übrigen vierzehn Ladungstanks sind in zwei Gruppen an beiden Enden der Zylindertanks angeordnet und haben die übliche Bauweise in rechteckiger Ausführung mit je zwei Längsschotten und Querschotten. In der Mitte liegen je drei und an den Seiten je zwei Behälter an jedem Ende des Schiffes. Auch im Bereich dieser Behälter ist ein Doppelboden vorhanden; er ist jedoch nur

aus konstruktiven Gründen angeordnet, denn er ist nur für Öffnungen versehen und steht mit den Ladungsbehältern in Verbindung.

Die übrige Raumanordnung entspricht der üblichen Ausführung bei Tankschiffen. Hinter der Vorpiek befindet sich ein Laderaum, ein Kofferdamm und dann die Ladungsbehälter; weiter folgen wieder ein Kofferdamm, ein Querbunker, ein weiterer Kofferdamm, der Maschinenraum und schließlich die Hinterpiek. Die Besatzungsräume liegen unter der Brücke und der Back. Die Lade- und Löscheinrichtungen sind bei diesem Schiff besonders ausgebildet, und zwar derart, daß eine große Zahl von Ölleitungen und Zweigverbindungen mit vielen Schaltmöglichkeiten vorgesehen ist; man kann infolgedessen jeden einzelnen Behälter für sich bearbeiten. Um die Leitungen kurz zu halten, hat man fünf Pumpenräume über das ganze Schiff verteilt. Jeder Pumpenraum erhält zwei Pumpen, die etwa 80 t/h fördern; zum Antrieb der Pumpen dienen geschlossene und gekühlte Elektromotoren. Auf Deck sind fünf Rohrleitungen an jeder Seite des Schiffes mit den zugehörigen Querleitungen vorgesehen, so daß im ganzen zehn verschiedene Ölsorten durch das Schiff befördert und bearbeitet werden können. Zum Antrieb dient ein siebenzylindriger MAN-Motor von 700 mm Zyl.-Dmr. und 1200 mm Kolbenhub, der bei 95 U/min 3250 PS leistet. Das Schiff ist mit Feuerlöschrichtungen ausgerüstet, die mit Kohlen säure und Schaum arbeiten. („The Lamp“ Bd. 11 (1922) Nr. 5 S. 13) [N 2813]

Tiefladewagen

Zur Beförderung von Straßenwalzen baut u. a. die Firma Kleinhenz & Schaefer, G. m. b. H., Mainz-Mombach neuerdings einen Tiefladewagen nach Abb. 1. Durch

Ausbildung der Hinterachse der Kröpfachse wird eine tiefe Ladung der Plattform erzielt, so daß mit Hilfe der angebauten Anfahrvorrichtung möglich ist, die Walzen hinaufzufahren. Zur Erzielung größter Wendigkeit ist die Vorderachse vollkommen durchlenkbar. An den mit Hochelastikumgummibereifung ausgestatteten hinteren Stahlscheibenrädern sind Innenbackenbremsen angeordnet. Um die Walzen ohne eigne Kröpfung hinauffahren zu können und gegebenenfalls den Kessel vor dem Entladen nicht anfeuern zu müssen, kann man auch eine Zugwinde an den Wagen anbauen. [M 2666]

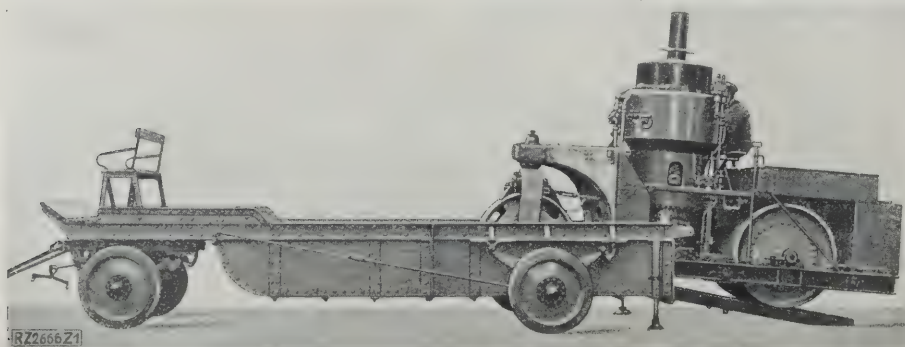
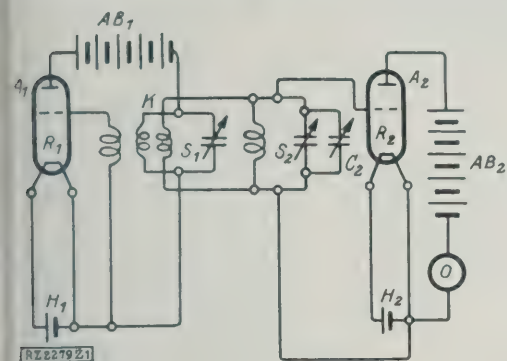


Abb. 1. Tiefladewagen zur Beförderung von Straßenwalzen.

Aufzeichnung schneller Schwingungen

Von H. THOMA, Karlsruhe



Eine Einrichtung zur verzerrungsfreien Aufzeichnung mechanischer Schwingungen auf elektrischem Wege über einen Hochfrequenzsender und Gleichrichterröhren gibt eine Reihe von Kurven, die an verschiedenen Kraftmaschinen, wie Stromerzeuger mit Wasser- und Dampftrieb und an einer Werkzeugmaschine aufgenommen wurden. Die Kurven zeigen, daß außer den mit mechanischen Aufzeichnungsverfahren gewöhnlich allein wiederzugebenden langsamen Schwingungen meist noch sehr viele Oberschwingungen auftreten, die zur Ermittlung von Störungsursachen wichtig sind. — Weitere Anwendungen für Werkzeugmaschinenbetriebe, für Bau und Abnahme von Kraftmaschinen, Bauwerke usw. sind möglich.

Abb. 1. Schaltbild der Hochfrequenzeinrichtung.

AB₁, AB₂ Anodenbatterien A₁, A₂ Anoden R₁, R₂ Glühkathodenröhren C₂ einstellbare Kapazität H₁, H₂ Heizbatterien K Kopplungsschleife S₁, S₂ Schwingungskreise O Oszillograph

Kennzeichnung der Aufgabe

ne Längenveränderungen, wie z. B. die Dehnung von Fachwerkträgern, kann man messen, indem man entsprechenden Bewegungen auf zwei parallele Metallplatten überträgt, die mit geringem Luftspalt senkrecht zueinander aufgestellt und in eine Hochfrequenzschaltung eingefügt sind. Die mit dem Abstand der Platten veränderliche elektrostatische Kapazität bewirkt hierbei die Hochfrequenzschwingungen, womit eine Veränderung der bei diesen Schwingungen aufgetretenen Werte der elektrischen Größen, wie Stromstärke und Spannung verbunden ist. Mißt man diese, so kann man daraus auf den Abstand der Platten und damit auf die Längenänderung schließen. Für eine Messung von vorübergehenden Vorgängen ist diese Einrichtung geeignet, da gerade die für Hochfrequenz geeigneten Geräte meist recht träge sind, so daß sie den Änderungen des Plattenabstandes nur langsam folgen.

Der Wunsch, mit einer derartigen Einrichtung auch die vorübergehenden Vorgänge lückenlos aufzuzeichnen, ist. Hierzu ist einerseits erforderlich, die schwachen Frequenzwirkungen so zu verstärken, daß sie für den schnell aufzeichnenden Meßgeräte ausreichen, und andererseits dafür zu sorgen, daß die Hochfrequenzschwingungen selbst nicht störend in Erscheinung treten. Nach den Versuchen ist es im Hochspannungsinstitut der Universität Karlsruhe gelungen, diese Gedanken in verhältnismäßig einfacher Form zu verwirklichen. Da bei den ersten Aufnahmen gezeigt haben, daß auf diesem Verfahren Schwingungsfragen weit besser geklärt werden können, als mit älteren, meist mechanisch arbeitenden Verfahren, soll das neue Verfahren hier kurz beschrieben werden¹⁾.

Meßeinrichtung und -verfahren

Das Grundsätzliche der hierzu gehörigen Schaltung ist in Abb. 1 dargestellt. Die linke Hälfte des Schaltbildes stellt im wesentlichen einen Hochfrequenzsender dar, der aus einer gewöhnlichen Glühkathodenröhre R₁, die für Funkzwecke benutzt wird, die unter Vermittlung einer Anodenbatterie AB₁ den Schwingungskreis S₁ des Hochfrequenzsenders zu Schwingungen veranlaßt. Zweckmäßig ist diese während der Versuchsdauer einigermaßen aufrecht erhalten. In passend loser Kopplung mit dem Schwingungskreis, wozu etwa die Kopplungsschleife K dient, ist ein zweiter Schwingungskreis S₂ gebildet, in dem sich eine mit der Hand einstellbare Kapazität C₂ befindet, wie eine weitere in Abb. 1 mit C₂ bezeichnete besteht aus den beiden Meßplatten, die beweglich zueinander angeordnet sind.

Stellt man nun den Schwingungskreis S₂ auf den Resonanzkreis S₁ oder die Sendefrequenz ν_1 des Hochfrequenzsenders so ab, daß sie sich nahezu in Resonanz befinden, so wird bereits eine sehr kleine Änderung der Kapazität C₂ zu einer wesentlichen Änderung der Stromstärke im dem Schwingungskreis S₂ führen. Die Ab-

hängigkeit zwischen Strom und Spannung und der Eigenfrequenz ν des Kreises S₂ verhält sich etwa, wie in Abb. 2 schematisch dargestellt.

Wählt man diese Eigenfrequenz so, daß sie bei mittlerem Abstand der Kondensatorplatten C₂ etwa dem Werte ν_1 gleichkommt, so wird eine geringe Änderung der Kapazität oder, was auf dasselbe hinauskommt, eine geringe Änderung des Abstandes der Platten des Kondensators C₂ eine große Änderung von Strom und Spannung des Schwingungskreises S₂ hervorrufen. Die Steilheit des entsprechenden Kurvenastes wird dabei um so größer, je geringer die Dämpfung des Schwingungskreises gewählt wird, und bei den praktischen Verhältnissen fällt es nicht schwer, diese Dämpfung recht klein, also die Steilheit der Resonanzkurve recht groß zu wählen. Im übrigen ist es auch möglich, die mittlere Betriebsspannung so zu wählen, daß sie in der Nähe eines Wendepunktes der Kurve nach Abb. 2 liegt, wodurch sich ein praktisch linearer Zusammenhang zwischen den zu messenden kleinen Änderungen des Meßplattenabstandes und den Strömen oder Spannungen im Schwingungskreis S₂ ergibt.

Schaltungen dieser und ähnlicher Art werden vielfach zur Messung kleiner Längenänderungen benutzt. Um nun hiermit eine schnelle Aufzeichnung des Plattenabstandes und damit der Längenänderungen zu erreichen, ist eine Gleichrichtung nötig. Außerdem ist es in der Regel erwünscht, eine weitere Verstärkung vorzunehmen. Hierzu dient die Glühkathodenröhre R₂ in Abb. 1, deren Steuerspannung in geeigneter Weise etwa durch eine Verbindungsleitung von dem zweiten Schwingungskreis S₂ abgenommen wird. Diese Steuerspannung bewirkt eine Auslenkung von Gleichstrom verschiedener Stärke aus den durch die Batterie H₂ geheizten Glühfäden dieser Röhre. Der ausgesandte Gleichstrom wird in der in der Funktechnik allgemein üblichen Weise durch die Anode A₂ aufgefangen und mit Hilfe der Anodenbatterie AB₂ durch den Oszillographen O hindurchgeleitet. Der in der Elektrotechnik gebräuchliche Oszillograph, der im vorliegenden Fall in der Ausführung von Siemens & Halske benutzt wurde, ist im wesentlichen ein Saitengalvanometer mit photographischer Aufzeichnung. Seine Eigenschwingungszahl läßt sich ohne Schwierigkeit auf etwa 5000 bis 10000 Hertz halten, so daß die Anwendung dieses schon fertig ausgebildet vorliegenden schnell aufzeichnenden Gerätes sofort die Möglichkeit ergibt, alle Erzitterungen und mechanische Schwingungen bis zu den hier als Höchstwerte zu erwartenden Schallfrequenzen ohne nennenswerte Verschleppung aufzuzeichnen.

Wesentlich für die einwandfreie Aufzeichnung ist allerdings die Anwendung von Hochfrequenzschwingungen, deren Schwingungszahl der Größenordnung nach

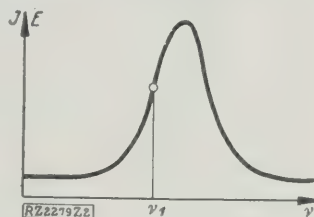
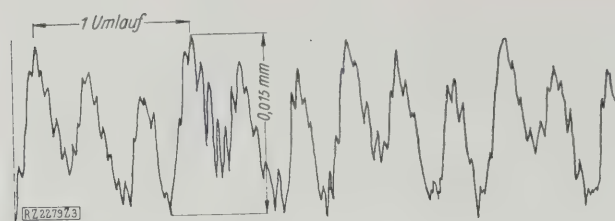


Abb. 2
Resonanzkurve.

¹⁾ Herrn Dipl.-Ing. M. Himmelheber habe ich für die erfolgreichen Arbeiten zu danken.



noch weit über die Eigenschwingungszahl des Oszillographen hinausreicht. Bei den Versuchen wurde mit einer Frequenz von etwa 3 Mill. Hertz gearbeitet. Daß andererseits die natürlich noch vorhandenen Einschwingungsvorgänge in der Hochfrequenzschaltung keine merklichen Verschleppungen bedingen, läßt sich leicht feststellen, wenn man das plötzliche Zu- oder Abschalten kleiner Zusatzkapazitäten oszillographisch aufnimmt. Bei passender Wahl der Verhältnisse kann man erreichen, daß hierbei keine andre Verzögerung eintritt, als sie von der oben angegebenen, für mechanische Aufgaben im allgemeinen sehr hochliegenden Eigenfrequenz des Oszillographen selbst bedingt wird.

Das Verfahren gestattet daher die praktisch trägeheitslose und verzerrungsfreie Aufzeichnung mechanischer Erzitterungen und Schwingungen, die auch kurz als Vibrationen bezeichnet werden. Die trägeheitslose und verzerrungsfreie Aufzeichnung solcher Vibrationen zeigt dabei, daß diese gewöhnlich aus einer Über-einanderlagerung sehr verwickelter und meist nicht harmonischer Schwingungen bestehen. Wenn auch vielleicht die genaue Kenntnis derartiger Erschütterungsvorgänge bei Maschinen und Bauwerken, sowie auch bei Schiffsverbänden, im Anfang als überflüssig erscheinen mag, so zeigt sich doch, daß diese vielfach den Schlüssel für die Erkenntnis und Beseitigung dieser häufig zu schwerwiegenden Störungen Veranlassung gebenden Erscheinungen bildet. Durch weitere Vervollkommen der Schaltung, deren Einzelbeschreibung hier zu weit führen würde, ist es auch gelungen, die Empfindlichkeit der Messung weit über das bisher mit mechanischen Mitteln Erreichte zu steigern. Es gelingt z. B. leicht, die Vergrößerung auf den Wert $1:10^6$ zu bringen, so daß also eine Plattenverschiebung von $\frac{1}{100\,000}$ mm bereits einem Ausschlag von 10 mm im Oszillogramm entspricht.

Während die zur Ausbildung des Verfahrens nötigen Versuche im Gange waren, hat *Sachsenberg*²⁾ einen Bericht über ein dem gleichen Zwecke dienendes Verfahren veröffentlicht. Dieses gestattet jedoch nur eine Aufnahme von Schwingungskurven in Punkten mit verhältnismäßig großen Zeitabständen, so daß eine eigentliche Schnellaufzeichnung nicht möglich ist. Daß eine verzögerungsfreie und fortlaufende Aufzeichnung von Schwingungsvorgängen tatsächlich wichtig ist, ergibt sich aus den mit dem neuen Verfahren hergestellten Aufnahmen.

Anwendung des Verfahrens

Abb. 3 zeigt z. B. die senkrechte Bewegung des Mittel-lagers einer größeren Wasserkraftmaschine, deren Wellen-anordnung in Abb. 4 schematisch dargestellt ist. Man sieht aus Abb. 3, daß das mittlere Lager vorwiegend mit einer dritten Harmonischen, d. h. mit drei Schwingungen je Umlauf schwingt. Das entspricht genau der in Abb. 5 dargestellten Schwingungsform, deren Frequenz vom Erbauer und vom Verfasser zu rd. 1600 in 1 min berechnet wurde. Es ergibt sich hieraus das bisher noch nicht allgemein bekannte Gesetz, daß es mißlich ist, Maschinensätze mit irgendeinem ganzzahligen Bruchteil ihrer Eigenschwingungszahl laufen zu lassen.

O. Föppl und Stodola³⁾ haben als eine mögliche Ursache dieser Schwingungen Drehmomentsschwankungen der Kraftmaschine u. ä. angegeben. Diese Ursachen, die numerisch meist sehr geringfügig sind, kamen hier nicht in Frage, weil auch bei Leerlauf die Schwingungen nicht verschwanden. Auch Unregelmäßigkeiten des magnetischen Feldes, des Polrades oder des Luftspaltes des Generators scheiden als weitere mögliche

Abb. 3 (links)
Vibrationen des
Mittel-lagers eines
Wasserkraft-Bahn-
stromerzeugers für
5500 V, 5000 kVA
bei Vollast und
500 U/min.

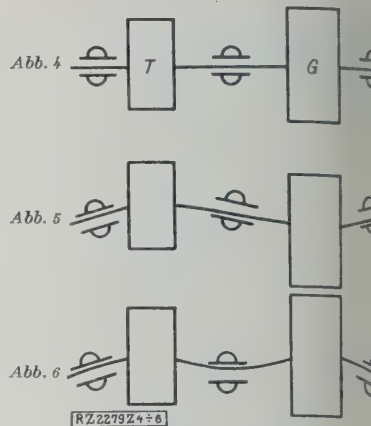


Abb. 4 bis 6 (rechts)
Wasserkraft-Strom-
erzeuger mit Grund-
schwingung und
erster Ober-
schwingung.

Ursachen aus, da auch bei möglichst weitgehend erregter Maschine die Schwingungen in ähnlicher Form jedoch mit etwas verringerter Größe, in Erscheinung traten. Wenn die Schwingungen hier kleiner waren, wurde als Ursache die nicht allgemein beachtete Erscheinung ermittelt, daß bei der erregten Maschine infolge der Rückwirkung der magnetischen Kräfte die Eigenschwingungszahl des Läufers herabgesetzt wird und so in diesem Falle dem Dreifachen der Betriebsdrehzahl näher rückt.

Die Auffindung der Ursache der Schwingungen gelang schließlich, nachdem mit Hilfe des Oszillographen nicht bloß das Vorhandensein dieser Schwingungen, sondern auch die Phasenlage der Schwingungen auf dem Läufer festgestellt war. So fand man, daß bei der in der Mitte ausgesparten Nabe des Turbinenrades zwei um 120° versetzte Keile die Formänderung der Welle periodisch beeinflussten und dabei die Eigenschwingungen anfachten.

Überlagert über diese bei einem Umlauf dreimal auftretende Schwingung bemerkt man in Abb. 3 eine Reihe kleiner und schneller Schwingungen. Sie werden, wie die Nachrechnung zeigt, von den Becherimpulsen der Freistrahlturbine hervorgerufen. Abb. 7 zeigt die Meßanordnung am Lager zur Feststellung der senkrechten Bewegung und Abb. 8 die gesamte Meßeinrichtung.

Außer der Lagerbewegung wurde auch die senkrechte Bewegung der Welle beim gleichen Maschinensatz gemessen, Abb. 9, und zwar an der Oberfläche einer neben dem Lager angeordneten Riemenscheibe. Hierzu wurde eine Kondensatorplatte mittels einer Schleiffeder auf die polierte Riemenscheibe aufgedrückt, während die andere Kondensatorplatte wie bei den vorhergehenden Messungen durch ein schweres U-förmiges, beiderseits des Maschinensatzes auf dem Fundament aufstehendes Gestell gehalten wurde. Da die Riemenscheibe einen kleinen Schlag hatte, zeichnet sich jede Umdrehung durch eine wellenförmige Erhebung ab.

Beachtenswert sind zwei Durchtritte der Welle durch kritische Drehzahlen, wobei der erste kritische Zustand der Resonanz der Becherfrequenz der Freistrahlturbine mit der Grundschwingung nach Abb. 5, der zweite in Abb.

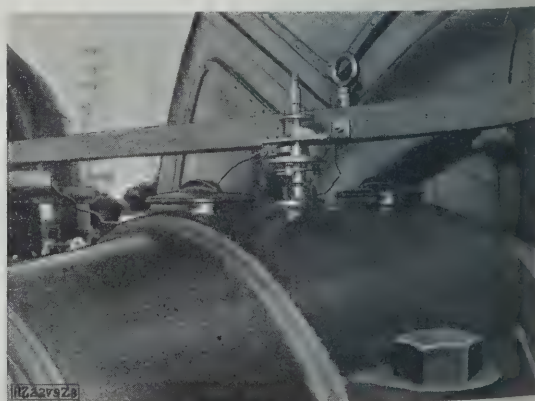


Abb. 7. Meßkondensator mit Mikrometer.

²⁾ Z. Bd. 71 (1927) S. 1609, Bd. 72 (1928) S. 469.

³⁾ Z. Bd. 63 (1919) S. 866 u. f.

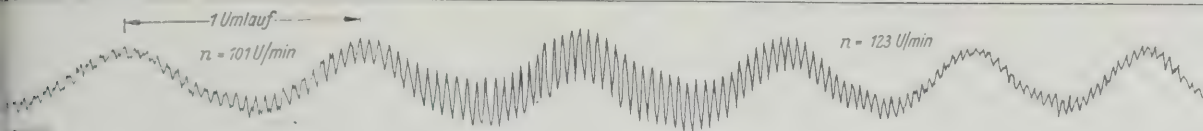


Abb. 9. Ausschnitt aus dem normalen Anlaufvorgang des Bahnstromerzeugers (Abb. 4); senkrechte Bewegung der Welle.

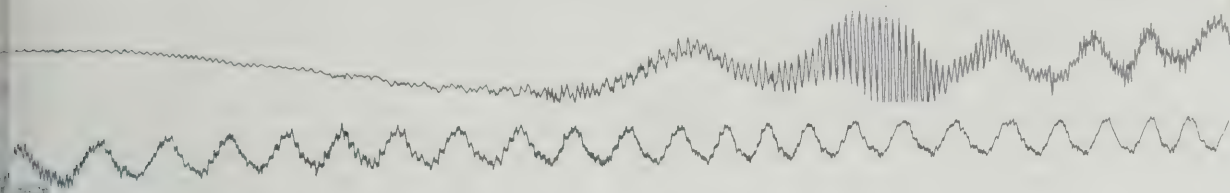


Abb. 10. Aufschwimmen der Welle in der Schmierschicht beim Anfahren.

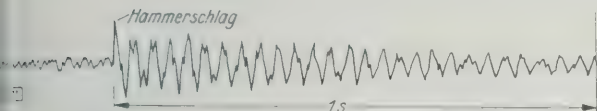


Abb. 11

Eigenschwingungsvorgang am Läufer des Bahnstromerzeugers nach Abb. 4.

Abb. 12 (rechts)
Bewegung der Lagerschale mit Kugelaufgabe beim Bahnstromerzeuger nach Abb. 4.

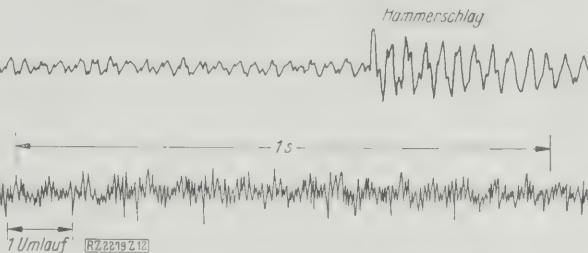
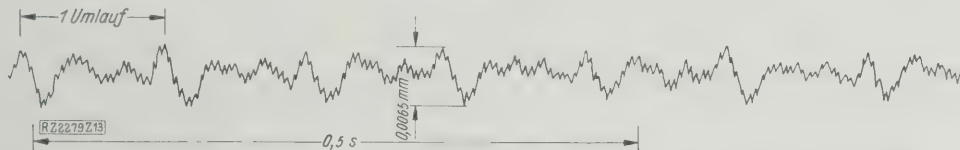


Abb. 13
Vibrationsbewegung des Mittellagers eines Wasserkraft-Bahnstromerzeugers ähnlich Abb. 4.



erhebare kritische Zustand der Resonanz der Becher-
renz mit einer Oberschwingung nach Abb. 6 entspricht.
Abb. 10, die den gesamten Anlaufvorgang in ent-
sprechend verkleinertem Maße, im übrigen gemessen wie
Abb. 9, darstellt, sieht man ferner sehr deutlich das
Aufsteigen der Welle, wie es im Anlauf durch den Ein-
tritt der Schmierschicht zwischen Zapfen und Lagerschalen
verursacht wird. Diese Art der Messung der Schmierschicht-
bewegung ist nicht nur sehr viel einfacher, als andere Ver-
fahren, sondern sie zeigt auch alle Einzelheiten der Ent-
stehung des Schmierfilms.

Die Eigenschwingungszahl des Läufers wurde ferner
auch aufgenommen, daß bei stillstehender Maschine die
elektrische Kondensatorplatte an dem Magnetrad des Strom-
erzeugers befestigt und dieses durch einen mäßigen
Hammerschlag zu Eigenschwingungen erregt wurde.
Abb. 11 zeigt diesen Schwingungsvorgang, wobei sich die
eigene Eigenschwingung zu 1620 Schwingungen in
der Sekunde ergibt. Es zeigte sich, daß sie in den verschiedenen
Lagerungen verschieden ausfiel. Daß die damit festge-
stellte Unsymmetrie des Rotors nicht bloß eine Einwirkung
auf die Lagerung sein kann^{3a)}, geht aus Abb. 12 hervor, die die
senkrechte Beweglichkeit der kugelig ausgebildeten Lager in

Sie rührt vielmehr von der Verkeilung des Turbinenrades her,

dem Gehäuse darstellt, wobei die Meßplatten einerseits an
einem Ende der Lagerschalen, andererseits an dem Lager-
bock selbst befestigt waren.

Abb. 13 zeigt die senkrechten Bewegungen des mitt-
leren Lagers einer gleichen Maschine, bei der jedoch die
dritte Harmonische nur ganz schwach ausgeprägt ist, da-
für aber andere Impulse vorherrschen. Diese beruhen z. T.
auf Bewegungen des Fundaments, die sich übrigens auch
sehr gut aus dem linken Teil von Abb. 11 entnehmen
lassen, da ja der schwingungsfähige, sehr schwere und
verhältnismäßig langsam schwingende Läufer wie ein
Seismograph die Relativbewegungen des Fundaments zum
Läufer erkennen läßt, solange die Eigenschwingung nicht
durch äußere Umstände, wie z. B. die für Meßzwecke
ausgeführten Hammerschläge erregt ist.

Ein ähnliches Oszillogramm von einem ganz andern
Maschinensatz, nämlich einer Dampfturbine mit Dreh-
stromerzeuger ($N = 12\,500\text{ kVA}$, $n = 1500\text{ U/min}$) mit
starrer, beiderseits in ein und demselben Lagerbock ge-
lagerter Kupplung, zeigt Abb. 14. Es wurden hierbei die
senkrechten Bewegungen der Welle im Kupplungslager
auf der Turbinenseite gegenüber dem Lagerbock bei
Nenn Drehzahl im unerregten Leerlauf aufgezeichnet.
Dabei zeigt sich ein bei jeder zweiten Umdrehung wieder-
holtes starkes Aufsteigen der Welle im Lager, während
bei den dazwischen liegenden Umdrehungen die Welle
sich im Lager tiefer nach unten bewegt. Die Ursache
dürfte in periodischen Schwankungen der Schmierfilm-
bildung in dem zu eng gebohrten Lager zu suchen sein,
im Verein mit thermischer Verkrümmung der Welle⁴⁾.

^{3a)} Z. Bd. 69 (1925) S. 985.

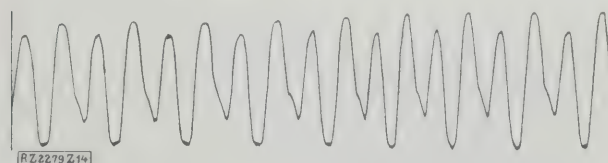


Abb. 14. Senkrechte Vibrationsbewegung der Welle im turbinenseitigen Kupplungslager eines Dampf-Turbogenerators von 12 500 kVA bei 1500 U/min im unerregten Leerlauf (starre Kupplung).

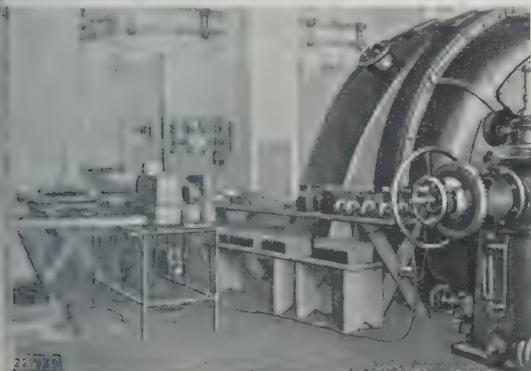


Abb. 8. Gesamte Meßeinrichtung.

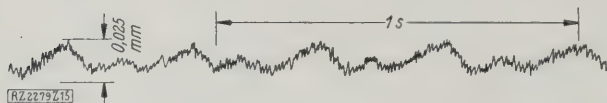


Abb. 15

Supportbewegungen einer Drehbank beim Längsdrehen eines gußeisernen Werkstückes.

Weitere Nutzanwendungen

Man erkennt, daß sich die Ursachen von Schwingungserscheinungen weitgehend klären lassen, wenn man diese mit einem praktisch trägheitslosen und dabei fortlaufend anzeigenden Meßgerät aufnimmt. Meist findet sich gleichzeitig ein Weg für ihre Beseitigung.

Auffallend ist bei den Versuchen, daß selbst bei Maschinen, die an sich nur sehr geringe Unruhe des Laufes zeigen, eine große Menge verschiedenartiger Schwingungen auftreten, von denen jede eine gewisse Erklärung in den Eigenschaften des Maschinensatzes findet. In Bahnkraftwerken ist z. B. mit diesem Verfahren sehr deutlich die 33periodige Drehmomentbeanspruchung, die der übliche Einphasenstromerzeuger auf das Fundament überträgt, in dessen Bewegungen nachweisbar. Ebenso sind in diesen Werken auch noch Oberwellen dieser Bewegung meist leicht zu erkennen. Das gleiche gilt auch für Drehstrom-Kraftwerke mit etwas unsymmetrischer Belastung, nur mit dem Unterschied, daß hier die niedrigste Frequenz 100 Per./s zu betragen pflegt.

Mit der Größe von Maschinen und Bauwerken wächst die Gefahr, daß irgendein von den laufenden Maschinen ausgehender periodischer Impuls mit einer Eigenschwingung des Bauwerkes oder der Maschine zusammenfällt. Die vollständige Aufzeichnung der Schwingungen, selbst bei Maschinen, die einwandfrei arbeiten, zeigt deutlich, wie viele solcher Möglichkeiten bestehen und wie schwierig es oft ist, ihnen auszuweichen. Da die Amplituden hierbei auf Hundertstel und Tausendstel Millimeter genau gemessen werden können, besteht die Möglichkeit, Streitfälle von vornherein auszuschalten, wenn die zulässigen Amplitudenwerte und Frequenzbereiche vertraglich festgelegt werden.

Das Verfahren ist ebenfalls sehr geeignet, um Formänderungen von Schiffen während der Fahrt, einschließlich der schnellen Erschütterungsbewegungen, hervorgerufen durch die Maschine und den Seegang, aufzuzeichnen. Gegenüber den Meßverfahren, die auf der Aufzeichnung des Widerstandes von Kohlenplattenpaketen beruhen, und mit denen auch von uns die ersten Versuche angestellt wurden, ergibt sich nicht nur der Vorteil größerer Empfindlichkeit der Anordnung, so daß bereits sehr kurze Meßlängen genügen, sondern auch der Wegfall der Nachwirkungserscheinungen, die, wie aus den hiesigen Versuchen hervorgeht, leider bei den Kohlenkontaktapparaten ständig aufzutreten scheinen. Diese Nachwirkungen machen es unmöglich, aus den Widerständen ohne weiteres auf die Bewegungen der zu messenden Bauteile zu schließen, so daß die durch derartige Apparate verzeichneten Kurven recht weitgehende Verzerrungen aufzuweisen scheinen, wie ein Vergleich mit oszillographischen Aufnahmen ergibt.

Ein anderes Anwendungsgebiet ist bei der Prüfung von Werkzeugmaschinen gegeben. Schlesinger hat bereits auf die Bedeutung der Messung der Kräfte und Durchbiegungen an Werkstück und Werkzeug hingewiesen, er hat jedoch nur nicht näher gekennzeichnete Mittelwerte dieser Größen mit seinen sehr trägen Einrichtungen gemessen. Einen klaren Einblick in die wirklichen Vorgänge an der Werkzeugmaschine verschafft erst die Aufzeichnung der dabei auftretenden Schwingungen, und es ist auch sicher, daß Größe und Art der Schwingungen für die Güte der Arbeit ebenso wichtig wie für den Bestand der Werkzeuge sind.

Abb. 15 zeigt beispielsweise die senkrechten Bewegungen des Supports einer Drehbank von 250 mm Spitzenhöhe beim Längsdrehen an einem gußeisernen Werkstück von 50 mm Außendurchmesser bei 5 mm² Span-

querschnitt. Welche Bedeutung die hier wohl zu erstmalig klar ersichtlichen Vibrationen der Werkzeugmaschine für Konstruktion und Bewertung von Werkzeugmaschinen und Werkzeugen haben, sollen Versuche lehren, die von Keffner und dem Verfasser im Werkzeugmaschinen-Laboratorium der Technischen Hochschule Karlsruhe ausgeführt werden.

Zur Zeit sind auch Versuche zur einwandfreien Indizierung schnelllaufender Kolbenmaschinen usw. im Gange. Die große Empfindlichkeit und Genauigkeit des beschriebenen Verfahrens gestattet offenbar, die Durchbiegung sehr steifer und daher der Druck praktisch unverzögert folgender Teile, wie z. B. eines Ventildeckels, einwandfrei und unverzögert aufzuzeichnen, womit sich eine verzerrungsfreie Indizierung auch bei sehr hohen Drehzahlen ermöglichen läßt, was auf mechanischem Wege nicht gelingt.

Zusammenfassung

Mit Hilfe zweier kleiner gegeneinander bewinkelten Metallplatten läßt sich ein Hochfrequenz-Röhrensende in geeigneter Schaltung so beeinflussen, daß er schon bei sehr kleinen Relativbewegungen der Platten von weniger als 1 μ erhebliche Änderungen seiner Strom- und Spannungswerte aufweist. Wird die Frequenz des Senders genügend hoch, etwa zu einigen Millionen Schwingungen in der Sekunde gewählt, und richtet man seine Impulse durch eine zweite Röhre unter gleichzeitiger Verstärkung gleich, so ergibt sich ein Gleichstrom, der mittels eines Oszillographen aufgeschrieben werden kann. Die der Hochfrequenz-Wechselzahl entsprechende Unterbrechungen dieses Gleichstromes verschwinden für alle praktischen mechanischen Zwecke, so daß die Schnellaufschreibung des Abstandes der oben erwähnten Meßkondensatorplatten für alle von Oszillographen erfaßbaren Frequenzbereiche praktisch trägheitslos und ununterbrochen möglich ist. Da die gewöhnlichen Oszillographen Eigenschwingungszahlen von 1000 bis 10 000 Hertz aufweisen, lassen sich mit dieser Einrichtung alle Vibrationen, Erschütterungen, Lagenänderungen bis zu den bei mechanischen Aufgaben gewöhnlich auftretenden höchsten Frequenzen, die etwa den Schallfrequenzen entsprechen, praktisch verzerrungsfrei aufnehmen. Im Gegensatz zu älteren Versuchen gibt dieses Verfahren daher ununterbrochene und verzerrungsfreie Bilder von Erschütterungen. Die Eichung der Oszillographenausschläge ist dabei in einfachster Weise möglich durch Anbringung eines Mikrometers, das willkürlich hergestellte und meßbare Verschiebungen der Kondensatorplatten in Vergleich stellt mit den dazugehörigen Oszillographenausschlägen.

Das Verfahren hat für die Untersuchung der Formänderung von Schiffsverbänden, Bauwerken, Maschinen oder für die Messung der hierbei auftretenden Erschütterungen wesentliche Bedeutung. Aus derartigen Aufnahmen ergeben sich u. a. sehr anschauliche Vorstellungen über die Vorgänge beim Durchgang von Maschinen durch kritische Drehzahlen. Das Verfahren ist ferner geeignet, um bei Abnahmeprüfungen den Begriff der Vibrationen von Maschinen, Bauwerken oder Fahrzeugen nach Größe und Frequenz der Ausschläge zahlenmäßig zu erfassen. [B 2279]

Hauptformen des zweiachsigen Lokomotiv-Laufgestells

Zu meinem obigen Aufsatz in Z. Bd. 73 (1929) Nr. 1 S. 492 bemerke ich, daß bei der Rückstellung mittels Federkraft nach jeder Seite hin jeweils nur eine Feder wirkt, die andere das Widerlager bildet. In den Zeichnungen ist dies nicht immer klar erkennbar. Die Rückstellkräfte nach jeder Seite betragen daher zusammengefaßt bei der Raumnach Abb. 4: 7030, 1570, 1270 kg, nach Abb. 12: 4850, 67450 kg, nach Abb. 17: 3070, 1380, 1250 kg, nach Abb. 20: 2300, 1080, 1000 kg, jeweils bei größter und bei 5 mm Auflenkung und in der Mittellage. [N 2915]

München

Dr.-Ing. L. Schneider

rsuchung der Khlle bei der Zahnradbearbeitung

Von Geheimem Regierungsrat Prof. A. WALLICHS und Dr.-Ing. K. KREKELER, Aachen¹⁾

Die Wirkung einer Reihe von Khllen auf die Erhhung der Schneidhaltigkeitsdauer der Werkzeuge wird im Ausgebeverfahren untersucht. Die le werden in Hauptleistungsversuchen und in Dauerleistungsversuchen geprft. Das Ergebnis ist in beiden Fllen bereinstimmend. Es zeigt sich, da Rbl in der Leistung sehr schnell nachlt und altert, whrend Minerall diese Erscheinungen nicht zeigt. Die technologischen Prfungen erfassen die sonstigen Eigenschaften der le und vervollstndigen das durch die Standzeitversuche gewonnene Bild. Ein l wird als besonders gut erkannt und zur Anwendung empfohlen.

er spanabhebenden Metallbearbeitung hat die Verwendung eines Khlmittels den Zweck, die Lebensdauer des Werkzeuges, die Standzeit, zu erhhen und dem Werkstck eine grere Genauigkeit und bessere Oberflchenbeschaffenheit zu geben. ber die hierbei auftretenden Erscheinungen sind an verschiedenen Stellen Untersuchungen angestellt worden. Eine sehr gute Zusammenstellung der bisherigen Forschungsarbeiten und Versuchsergebnisse hat Gottwein²⁾ gegeben. Bei den vorliegenden Versuchen wurde hiernach in der Linie das Verhalten der le beim Drehen und Frsen untersucht; die Anzahl der verwendeten Khlle wurde eingeschrnkt, um berhaupt zunchst einige grundlegende Zusammenhnge zu klren. In den vorliegenden Versuche wurde als Arbeitsvorrichtung die Zahnradherstellung nach dem Maag-Verfahren³⁾ gewhlt, da fr die Zahnradbearbeitung noch keine Untersuchungen vorlagen und die Ermittlung der geeigneten Khlle entsprechend den schweren Arbeitsbedingungen und den hochwertigen Werkstoffen von grter Wichtigkeit war.

Anlage der Versuche

Fr die Versuche standen sechs verschiedene Mineralle und eine Rblsorte zur Verfgung, Zahlentafel 1. Wegen in Folge der groen Anzahl der untersuchten le und der angewandten neuen, genauen Untersuchungsmethoden das fr die Metallbearbeitung in jeder Beziehung gnstigste l bestimmt werden konnte. Im Hinblick auf das gnzliche Fehlen geeigneter Vorarbeiten wurde eine mglichst umfassende Versuchsdurchfhrung auf der weitestest Grundlage gewhlt.

berblick ber die zur Klrung der wichtigsten Fragen erforderlichen Teilaufgaben

Die Versuche gliedern sich in drei Hauptgruppen: Leistungsversuche, Dauerleistungsversuche und technologische Prfungen.

Hauptleistungsversuche. Die wichtigste Aufgabe der Bearbeitungstechnik ist die Halte- oder Standzeit des Werkzeuges bis zu dessen Abstumpfung. Die

Die Versuche wurden im Auftrage der Rhenania-Ossag, Minerallwerke A.-G., Dsseldorf, in der Zeit vom 1. August 1927 bis 1. Oktober 1928 im Laboratorium fr Werkzeugmaschinen der Technischen Hochschule Aachen durchgefhrt.

1) Gottwein, Khlen und Schmieren bei der Metallbearbeitung, Aachen 1928.

2) Die Versuchsmaschine wurde mit allen Werkzeugen und mit einer Spezialschleifmaschine von der Firma A. H. Schtte, Kln-Deutz, zur Verfgung gestellt.

Zahlentafel 1
Zhlfhigkeit der bei den Versuchen benutzten le.

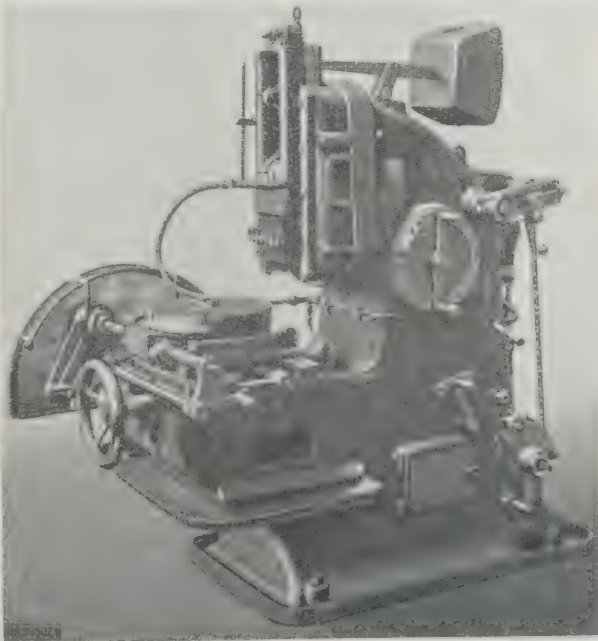
Zhlfhigkeit in Englergraden		
bei 20° C	bei 50° C	bei 100° C
12,1	2,6	1,3
29,1	5	1,6
29,1	5	1,6
13,1	2,6	—
23,2	5	1,53
29	5	1,56
15,7	5,1	—

Abb. 1
Zahnrad-Hobelmaschine der Maag-Zahnrad- und Maschinen-A.-G., Zrich

Standzeit wird nach dem Ausgebeverfahren dadurch ermittelt, da man das Werkzeug unter bestimmten Zerspanungsbedingungen so lange arbeiten lt, bis es infolge der Abstumpfung nicht mehr schneidet. Bei den vorliegenden Versuchen wurde statt der Zeit die Anzahl der mit einem Werkzeug geschnittenen Zhne als das wichtigste Kennzeichen der Leistungsfhigkeit der le gewhlt. Die Schnittbedingungen waren bedeutend schwerer gewhlt, als es in der Praxis blich ist, um die Dauer der Einzelversuche abzukrzen und den Werkstoffverbrauch herabzusetzen.

Dauerleistungsversuche im Ausgebeverfahren. Bei den Dauerleistungsversuchen wurde eine beschrnkte Anzahl von len, die auf Grund der vorhergehenden Prfungen ausgesucht waren, unter werkstattmigen Schnittbedingungen einer Dauererprobung von 48 h unterzogen. Hierbei sollte vor allen Dingen die bereinstimmung mit den Hauptleistungsversuchen nachgewiesen und mgliche nderungen der le in der Khl- und Schmierfhigkeit, der chemischen Beschaffenheit usw. festgestellt werden.

Technologische Prfungen. Der Zweck der technologischen Prfungen war, einen Zusammenhang zwischen der durch den Ausgebeversuch ermittelten Standzeit oder Anzahl der geschnittenen Zhne eines Khlles und den sonstigen Eigenschaften dieses les zu finden, um unter Umstnden die zeitraubende und teure Standzeitbestimmung durch einen anderen Versuch zu ersetzen. Durch die technologischen Prfungen sollten aber auch noch alle die Eigenschaften des les geprft werden, die sich durch Standzeitversuche nicht unmittelbar erfassen lassen und doch bei einem in jeder Beziehung hochwertigen l nicht fehlen drfen. Diese Versuche erstreckten sich auf Benetzungsfhigkeit, Abtropf-



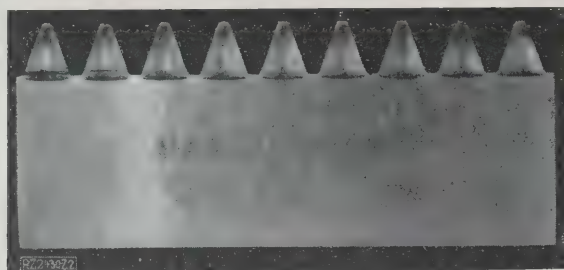


Abb. 2
Werkzeug zum Hobeln der Zahnräder
nach dem Maag-Verfahren.

fähigkeit, Schaumbildung, Rauchbildung und Korrosionsbildung. Das Rüböl (Nr. 7) wurde auf Benetzungsfähigkeit und Korrosionsbildung untersucht, da es erst zum Schluß der Versuche zu Vergleichszwecken herangezogen wurde.

Durchführung der Versuche

Die Maschine

Bei den Versuchen wurde die schnellaufende Zahnrad-Hobelmaschine der Maag-Zahnrad- und Maschinen-A.-G., Zürich, benutzt, die in der Hauptsache zur Herstellung von Kraftwagen- und Flugzeugrädern nach dem Abwälzverfahren dient, Abb. 1 (s. a. Abb. 7 und 8). Bau und Wirkungsweise sind als bekannt anzusehen^{3a)}. Als Werkzeug diente ein Zahnstangen-Schneidwerkzeug, Modul 4 und 20° Flankenwinkel, aus Schnellarbeitsstahl mit durchgehender Härtung, Abb. 2. Die Härte der einzelnen Zähne wurde mit dem Rockwell-Gerät geprüft und dabei eine sehr große Gleichmäßigkeit festgestellt. Zum Nachschleifen der Werkzeuge diente unter stets gleichen Bedingungen eine Sonderschleifmaschine.

Die Werkstoffe

Für die Ausgebeversuche wurde der Chromnickel-Vergütungsstahl VCN 35, Din Kr. G. 601, gewählt. Es standen zwei genügend große Wellen zur Verfügung, die der gleichen Charge entstammten, jedoch auf verschiedene Festigkeiten vergütet waren, Zahlentafel 2. VCN 35₁ wurde bei den Hauptleistungsversuchen und VCN 35₂ bei den Dauerleistungsversuchen benutzt. Die von den Wellen abgeschnittenen Radkörper wurden alle auf das gleiche Maß vorgedreht und fortlaufend auf ihre Gleichmäßigkeit geprüft.

Zahlentafel 2

Die Festigkeitswerte der bei den Versuchen zerspannten Werkstoffe

Werkstoff	Streckgrenze kg/mm ²	Bruchgrenze kg/mm ²	Dehnung vH	Einschnürung vH
VCN 35 ₁ . . .	70	85	12,5	59
VCN 35 ₂ . . .	81	95	10	56,5

Die Kühle

Die Zahlen über die Zählfähigkeit der bei den Versuchen benutzten Öle sind in Zahlentafel 1 zusammengestellt. Weitere Angaben wurden nicht gemacht und auch nicht eingefordert, um die Versuche ganz unbeeinflusst von der Kenntnis über Natur und Wert der Öle durchführen zu können. Besonders sorgfältige Vorkehrungen wurden getroffen, um eine Vertauschung der Öle zu verhindern. Von jeder Sorte wurden bei der Anlieferung zwei Abstellmuster von je 250 g entnommen, von denen das eine in einen besonderen Raum des Laboratoriums, das andre im Düsseldorfer Laboratorium der Rhenania-Ossag, Mineralölwerke A.-G., aufbewahrt wurde. Nach Beendigung der Versuche wurden aus den einzelnen Kannen wieder Proben entnommen und mittels Analyse die Übereinstimmung mit den Abstellmustern nachgeprüft. Die Öle wurden außerdem noch ständig in einem besonderen Raum mit gleichbleibender Temperatur aufbewahrt.

^{3a)} s. Z. Bd. 71 (1927) S. 509 u. Maschinenbau Bd. 5 (1926) S. 402.

Die Hauptleistungsversuche

Die Hauptleistungsversuche wurden stets unter gleichen Schnittbedingungen mit gleichem Werkstoff und Werkzeug gemacht, so daß das jeweils benutzte Kühlöl, von dem immer 35 l in die Maschine eingefüllt wurden, die einzige Veränderliche war. Die Maschine wurde so eingestellt, daß nur ein Zahn des Werkzeuges zum Schnitt kam. Daher konnte der Zeitpunkt der Blankbremsung als Merkmal der Abstumpfung einwandfrei festgestellt werden. Während des Schneidens wurden der erste und der letzte geschnittene Zahn besonders bezeichnet, um später nach dem Abwaschen in Benzol die Anzahl der geschnittenen Zähne abzählen können. Jeder Hauptleistungsversuch wurde zweimal dreimal wiederholt, um den Einfluß der unvermeidlichen Streuung, die immer unter 10 vH blieb, gering zu halten. Bei einer ganzen Reihe von Versuchen wurden außerdem noch der Ausgebepunkt mit dem Pendelgeometer von Herbert nachgeprüft, um die Übereinstimmung durch das abgestumpfte Werkzeug hervorgerufenen Oberflächenhärtung mit der ersten Blankbremsung nachzuweisen. Es ergab sich in allen Fällen, daß auch hier die Blankbremsung mit der Abstumpfung des Werkzeuges zusammenfällt und somit auch als ein gutes Merkmal des Ausgebens angesehen werden kann. Die Mittelwerte dieser Versuche sind in Abb. 3 zusammengestellt; sie zeigen deutlich, welchen überraschend großen Einfluß die einzelnen Öle auf die Lebensdauer des Werkzeuges haben.

Die Dauerleistungsversuche

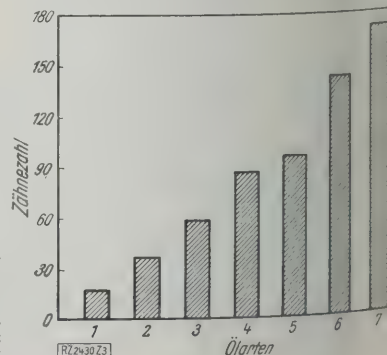
Auf Grund der vorhergehenden Untersuchung wurden die Öle Nr. 1, Nr. 2 und Nr. 3 für die folgenden Dauerleistungsversuche ausgeschieden, da ihre Leistungen nicht genügten. Durch die Dauerleistungsversuche sollte folgendes festgestellt werden:

1. Hat die durch die Hauptleistungsversuche bestimmten schweren Schnitten bestimmte Ordnung auch Gültigkeit für die Dauererprobung mit leichteren Schnitten?
2. Bleibt die Leistung der Öle gleich?
3. Welche Ergiebigkeit haben die Öle, ausgedrückt durch die bei Schluß der Versuche noch in der Maschine zurückgebliebene Ölmenge?
4. Ändert sich die Säurezahl des Öles durch längere Erprobung und beeinflussen die feinen Eisenspartikelchen, die beim Zerspanungsversuch entstehen, die Öl irgendwie ungünstig?

Die Dauer der Erprobung wurde auf 48 h festgelegt. Mit jedem Öl wurden 2000 Zähne entsprechend einer Zahnzahl des Schnittstehens des Werkzeuges von 34 h geschnitten. Der Rest der Zeit entfiel auf Ein- und Ausspannen der Räder. Die Pumpe wurde während des Umspannens nicht abgestellt, so daß das Öl 48 h umgewälzt wurde. Die Schnittbedingungen waren der Praxis entsprechend angepaßt, die nach einer möglichst langen Schneiddauer des Werkzeuges streben muß. Die Abstumpfung wurde auch hier durch die Blankbremsung festgestellt. Die Anzahl der bei jedem Einzelversuch geschnittenen Zähne ist in Abb. 4 zusammengestellt. Als Abszisse ist, um ein Bild über den zeitlichen Verlauf zu gewinnen, die Gesamtzahl der geschnittenen Zähne aufgetragen.

Abb. 3
Anzahl der mit einem Zahn des Werkzeuges bis zu dessen Abstumpfung geschnittenen Zähne.

Zahnform Modul 4
Flankenwinkel 20°
Höhe des Zahnräderkörpers 40 mm
Schnittgeschwindigkeit 20 m/min
Vorschub 0,8 mm/Hub
Werkstoff VCN 35, mit 85 kg/mm² Festigkeit



Die Ergebnisse zeigen: die Ordnung der Hauptleistungsversuche gilt auch für leichte Schnitte; die Leistung bei den Ölen Nr. 5 und Nr. 6 bleibt gleich, bei den Ölen Nr. 4 ist sie starken Schwankungen unterworfen, und bei dem Rüböl (Nr. 7) fällt sie mit der Zeit stark ab.

Die übrigen Ergebnisse der Leistungsversuche sind in Tafel 3 zusammengestellt. Es weist nach, daß sich die Benetzungsfähigkeit ähnlich verhält wie die Leistung. Jedoch spielt auch die Zähflüssigkeit eine Rolle, da bei hoher Zähflüssigkeit die Spritzverluste so groß sind. Die Säurezahl der Öle Nr. 5 und Nr. 6 ist gleich geblieben, während die der Öle Nr. 4 und Nr. 7 eine starke Zunahme zeigen, woraus besonders die Alterung des Öles Nr. 7 hervorgeht. Der Aschengehalt zeigt keine wesentliche Veränderung, woraus geschlossen werden kann, daß die feinsten Eisenspäne keine Verschlechterung der Öle verursachen.

Keine irgendwelche schädlichen physiologischen Wirkungen an Haut oder den Atemwegen wurden bei keinem Öl, weder vor noch nach dem Gebrauch festgestellt.

Die technologischen Prüfungen

Die Benetzungsfähigkeit

Das bei der Zerspanung verwendete Kühlöl muß sowohl kühlen wie auch schmieren. Der Einfluß, den die Viskosität auf die Steigerung der Schneidhaltigkeit ausübt, läßt sich durch Temperaturmessung⁴⁾ an der Bohrerbrille ermitteln. Es ist bisher aber kein Verfahren bekannt geworden, die Schmierfähigkeit einwandfrei zu messen, obwohl ein solches Verfahren den Vorteil hätte, von ganz bestimmter Zusammensetzung zu schaffen, nachdem die Kühl- oder die Schmierwirkung abzuwiegen soll. Bei den vorliegenden Untersuchungen wurde versucht, zwischen der Benetzungsfähigkeit und der Schmierfähigkeit einen Zusammenhang zu ermitteln. Ein Öl mit guter Benetzungsfähigkeit

Vergl. „Maschinenbau“ Bd. 5 (1926) S. 505.

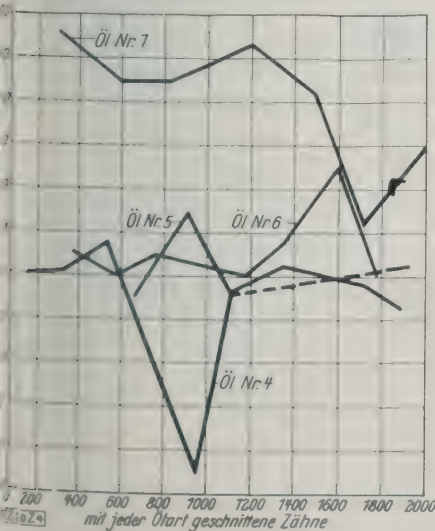
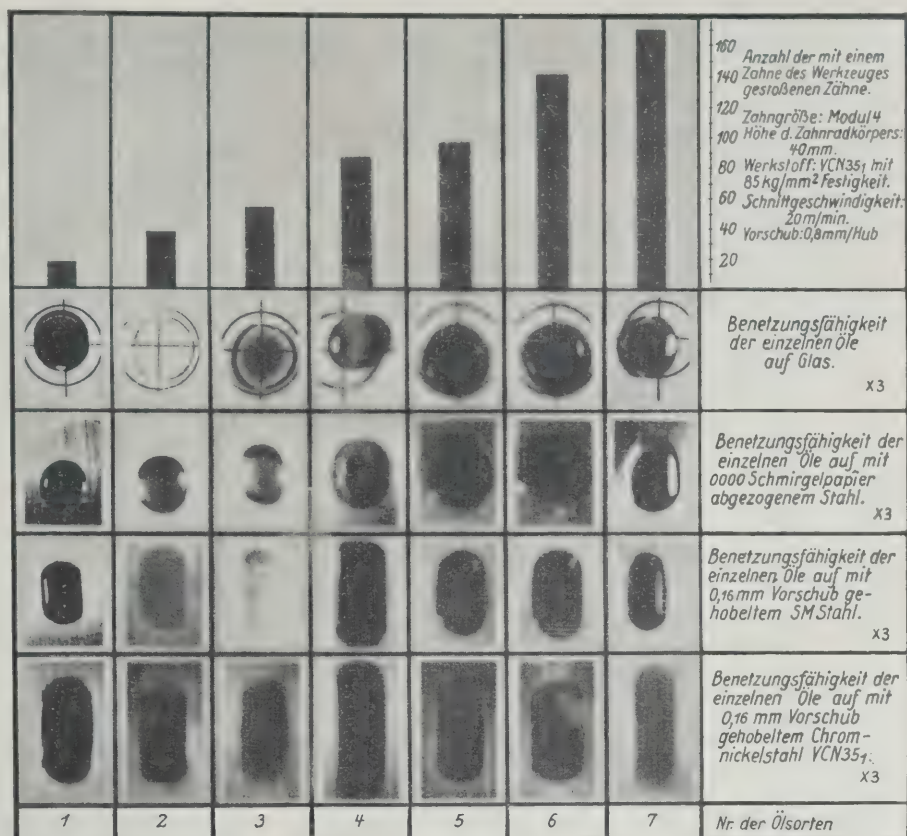


Abb. 4
Ergebnis
der Dauer-
leistungs-
versuche.
Mit jedem
Öl wurden
2000 Zähne
geschnitten.



RZ2+9025

Abb. 5
Benetzungsproben auf verschiedenen Unterlagen.

Zahlentafel 3

Ergiebigkeit, Säurezahl und Aschengehalt der bei den Dauerversuchen benutzten Öle

Öl Nr.	4	5	6	7
Eingefüllte Ölmenge in l.	35	35	35	35
Rest nach 2000 Zähnen	27	28	29	30
Verlust	8	7	6	5
Säurezahl vor dem Gebrauch . . .	1,2	0,34	0,32	1,7
" nach	2,6	0,34	0,32	2,5
Asche vor dem Gebrauch	0,26	0,011	0,006	0,008
" nach	0,26	0,011	0,008	0,11
Zähnezahl bis zur Abstumpfung des Werkzeuges	87	97	142	171

keit kann sich nach allen Richtungen und in alle Spalten hinein gut ausbreiten, und kann so vermöge seines Fettgehaltes die trockene Reibung zwischen Span und Werkzeugbrust und den einzelnen Spandelementen untereinander zum mindesten an einigen Stellen in eine halbtrockene verwandeln.

In der Praxis ist es üblich, die Benetzungsfähigkeit mit einem eingetauchten Metallprisma zu prüfen, ohne daß jedoch hierbei die Möglichkeit einer einwandfreien Unterscheidung gegeben ist. Dreyes gibt ein Verfahren an, auf einem bestimmten Papier die Benetzungsfähigkeit zu prüfen. Da jedoch die Benetzungsfähigkeit sehr stark von der Art des Werkstoffes und dessen Oberflächenbeschaffenheit beeinflusst wird, ist nicht immer eine einfache Vergleichsmöglichkeit gegeben. Bei den vorliegenden Versuchen wurde ein anderes Verfahren angewandt, um die vorstehend erwähnten Nachteile zu vermeiden.

Mittels einer Bürette wurde die gleiche Ölmenge auf ein wagerecht ausgerichtetes Probestück aufgebracht und nach Ablauf einer bestimmten Zeit im Bilde festgehalten. Die Probestücke wurden zur Gewinnung aller Vergleichsmöglichkeiten besonders vorbereitet. Die einzelnen Aufnahmen, die unter gleich-

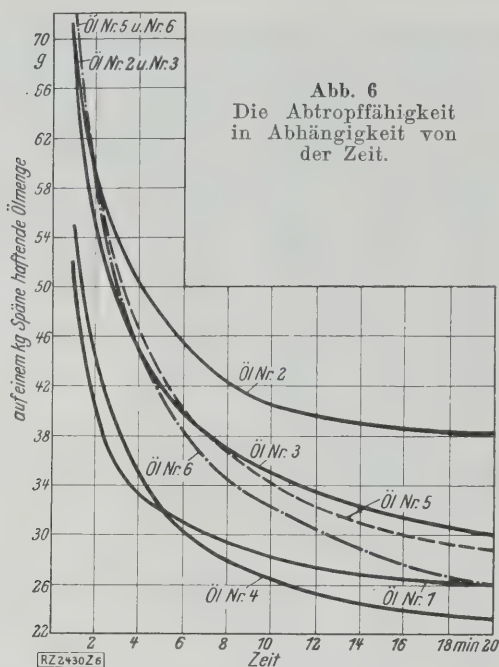


Abb. 6
Die Abtropffähigkeit
in Abhängigkeit von
der Zeit.

bleibenden Verhältnissen, wie Belichtungsdauer usw., aufgenommen wurden, sind in Abb. 5 zusammengestellt. Als Unterlage wurde das chemisch nicht affine Glas, dann mit feinem Schmirgelpapier abgezogener SM-Stahl und gehobelter SM-Stahl, ferner Chromnickelstahl benutzt. Zum Vergleich sind die bei den Hauptleistungsversuchen festgestellten Zähnezahlen als Wertmaßstab für die Leistung eingezeichnet. Auf dem Glas zeigen die Benetzungsproben keine großen Unterschiede. Dagegen ist auf dem mit feinem Schmirgelpapier abgezogenen SM-Stahl ein ganz guter Zusammenhang mit der Leistungsfähigkeit der Öle gegeben dadurch, daß das Öl mit der größten Zähigkeit auch die größte Benetzung ergibt. Die Bilder der gehobelten Proben ergeben ein nicht so eindeutiges Bild. Auf Chromnickelstahl ist die Ausbreitung durchweg besser als auf SM-Stahl. Dies hat seinen Grund darin, daß legierter Stahl sich sauberer bearbeiten läßt und die Hobelrillen gleichmäßiger und glatter sind.

Ein klarer und eindeutiger Zusammenhang zwischen der Benetzungsfähigkeit und der im Ausbeverfahren erzielten Leistung kann auf Grund der vorliegenden Bil-

der noch nicht festgestellt werden, obwohl in einigen Fällen schon gute Anhaltspunkte gegeben sind. Besonderer Vorteil dieser Versuche ist, daß sich alltäglich vorkommenden Oberflächenbeschaffenheiten der Werkstoffe darstellen lassen.

Die Abtropffähigkeit

Die Bestimmung der Abtropffähigkeit soll ein Anhaltspunkt dafür geben, in welchem Maße das Öl an den Spänen haftet. Bei der im üblichen Fertigungsverfahren vorwiegenden großen Zerspanungsleistung wird unter Umständen eine sehr große Ölmenge von der Maschine angesammelten Spänen zurückgehalten, was bedeutet einen sehr großen Verlust an Schmiermittel, der nur teilweise mit teuren Schleuderapparaten eingespart werden kann.

Die Versuche wurden so durchgeführt, daß auf eine siebartige Wagschale 1 kg der bei den Versuchen gewonnenen Späne genau ausgewogen wurde. Auf diese immer in gleicher Form geschichteten Späne wurde Öl aufgebracht, das nach unten abtropfen konnte. Nach einer Minute zu Minute ausgewogen und in Abb. 6 aufgetragen. Nach jedem Versuch wurden die Späne sauber mit Wasser ausgewaschen, um alle Ölreste zu entfernen. Die Zusammenstellung zeigt deutlich, wie verschieden groß die anhaftende Ölmenge ist. Die Werte ändern sich, wenn man eine andere Spanform, z. B. Locken, untersucht.

Die Schaumbildung

ruht in erster Linie daher, daß Luft in sehr feiner Form in das Öl hineingetrieben wird, die eine mehr oder weniger hohe Schicht von einer Ölhaut eingebetteten Bläschen an der Oberfläche bildet. Der Hauptnachteil dieser Schaumbildung beruht darin, daß diese sehr fein verteilten Luftblasen während des Schwebens und Aufsteigens im Öl nicht an der Schmierung teilnehmen. Die Praxis lehrt, daß eine starke Schaumbildung auch aus äußeren Gründen der erschweren Beobachtung usw. wegen, abzu-

Die Versuche wurden, um den praktischen Verhältnissen möglichst nahe zu kommen, unter Verwendung der an der Maschine selbst vorhandenen Pumpe und Leitung, Abb. 7 bis 10, durchgeführt. Als Meßbehälter für die Schaumhöhe diente ein Blechbehälter, dessen Vorderwand durch eine Glasplatte mit Millimetermarkierung ersetzt war. Das Ölflußrohr wurde nach dem Meßen über den Meßbehälter ausgeschwenkt. Von dort aus wurde das Öl wieder in den Sammelbehälter der Maschine geleitet, dann unter gleichbleibenden Bedingungen, wie bei

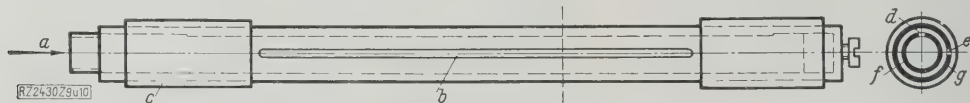


Abb. 9 und 10
Ölflußrohr

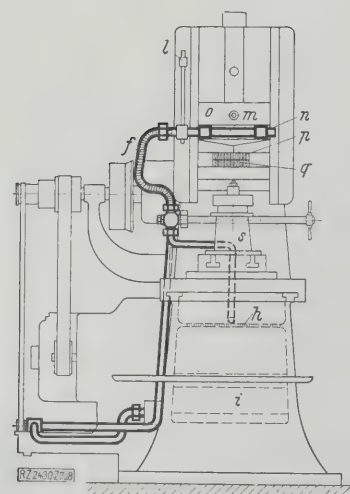


Abb. 7 und 8. Kühleinrichtung an
Maag-Zahnrad-Hobelmaschine.

- a Pumpenantrieb
- b Zahnradpumpe
- c Ölzulaufleitung
- d Öldruckleitung
- e Dreiweghahn
- f Metallschlauch
- g Leerlaufleitung
- h Ölsieb
- i Ölbehälter
- k Trennwand
- l Höhenverstellung für Ölflußrohr
- m Ölflußregelung
- n Rohrstück
- o Ölflußregelung
- p Strahlbreite
- q Stößel
- r Stützplatte
- s Werkzeug
- t Werkstück
- u Aufspannung
- v richtung

e, Fallh he usw., von neuem umgew lzt zu werden. Laufdauer wurde auf 3 h festgesetzt und die Schaum- an der Einteilung alle 20 min abgelesen.

Die Ergebnisse zeigen einen sehr verschiedenen Verlauf, Abb. 11. Einige  le lassen ein starkes Absinken erkennen, andere wieder starkes Absinken erkennen. Vergleich mit der Leistung ergibt keine Zusammen- h nge, jedoch stimmen die Ergebnisse mit dem Verhalten der  le in der Maschine w hrend des Arbeitsvorganges gut  berein. Durch dieses Verfahren ist daher die M glichkeit gegeben, die Schaumbildung eines  les schon vor dem Einf llen in die Maschine zu beurteilen. Es ist nicht nur bei spanabhebenden Bearbeitungs- maschinen, sondern auch bei andern Maschinen, wie z. B. Pressen, sehr wichtig. Der Einflu  der Temperatur kann sich durch Einbau einer Heizvorrichtung in die Versuchsanordnung untersuchen.

Die Rauchbildung

Die Pr fung der Rauchbildung wurde mit heranzu- gen, weil einerseits die Rauchentwicklung anzeigt, das  l eine weitere Zuf hrung von Zerspanungs-  le nicht vertr gt, andererseits aber auch die  l- str den die Atmungsorgane sehr belastigen. Es war sehr schwer, ein Merkmal f r die Rauchentwick- lung zu finden, da pers nliche Beobachtung keinen An- haltspunkt gibt und eine Lichtaufnahme nicht m glich ist. Mit Hilfe des Vorschubmechanismus der Maschine, eine abgestufte Verstellung w hrend des Arbeits- vorganges erm glicht, konnte ein zuverl ssiger Ver- gleichswert gefunden werden. Aus der Anzahl der H be, die einen Zahn fertiggestellt wird, l st sich dann die betreffende Zahntiefe der als Vergleichswert benutzte Vorschub je Hub berechnen.

Die Versuche werden so durchgef hrt, da  bei einer Schnittgeschwindigkeit von 10 m/min mit dem niedrigsten Vorschub, also der gr  sten Hubzahl begonnen wurde. Die Hubzahl wurde dann in gleichen Abst nden ver-  ndert und die erste Rauchentwicklung einwandfrei bei der gerade eingestellten Hubzahl ermittelt. In

Abb. 12 sind die Ergebnisse zusammengestellt, die einen guten Zusammenhang mit den Hauptleistungs- und Dauerleistungsversuchen zeigen.

Die Korrosionsbildung

Die Korrosionserscheinungen wurden besonders ein- gehend gepr ft, da sich diese bei den hochwertigen Ma- schinen und Werkst cken sehr unangenehm auswirken k nnen. Es wurde insbesondere der Einflu  der  le auf die Oberfl chenver nderung der verschiedensten Werk- stoffe in Abh ngigkeit von der Zeit untersucht. Die Pr - fungen wurden noch dadurch vervollst ndigt, da  man auch die von der Maschine kommenden Werkst cke mit den jeweils benutzten  len 144 h auf Merkmale von An- fressungen beobachtete. In allen F llen ergab sich, da  die gelieferten  le durchaus den Anspr chen in bezug auf Sicherheit gegen Korrosionsbildung gen gen.

Zusammenfassung

Bei den vorliegenden Versuchen wurde das Wirken einer Reihe von K hl len bei der Herstellung von Zahn- r dern nach dem Maag-Verfahren untersucht. Die Pr - fungen erstreckten sich auf die Ermittlung der mit dem jeweils benutzten  l erreichten Z hnezahlen bis zur Ab- stumpfung des Werkzeuges. Dieses sogenannte Ausgebe- verfahren wurde einmal im Kurzversuch mit schweren Schnittbedingungen und einmal im l ngeren Versuch mit leichten Schnittbedingungen angewandt. F r beide Zerspanungsbedingungen wurde eine f r schwere und leichte Schnitte  bereinstimmende Ordnung der  lsorten erreicht. Bei den Dauerleistungsversuchen konnten gleichzeitig die Ver nderungen der  le in bezug auf S urezahlen, Aschengehalt usw. ermittelt werden.

Neben diesen Ausgebeversuchen wurden noch tech- nologische Pr fungen gemacht, die andere als die K hl- und Schmierwirkung hervorrufoende Eigenschaften der  le erkennen lassen sollten. Aus den gewonnenen Wert- ziffern wurden Zusammenh nge mit den Hauptleistungs- versuchen und Dauerleistungsversuchen gesucht. Es konn- ten hierbei alle diejenigen Eigenschaften erfa t werden, die bei den Ausgebeversuchen nicht ohne weiteres zu er- kennen, jedoch f r die Beurteilung hochwertiger  le wichtig sind.

Auf Grund der Gesamtwertung der vorliegenden Untersuchungen wurde das  l Nr. 6 f r die Zwecke der Zahnradherstellung und  hnliche Vorg nge als das geeignetste erkannt.

W hrend der Drucklegung dieses Aufsatzes wurde das  l Nr. 6 in den Werkst tten der Firma Alfred H. Sch tte in K ln-Deutz einer ausgedehnten praktischen Dauererprobung unterzogen. Das  l bew hrte sich hierbei sehr gut, und es ergab sich somit eine gute  ber- einstimmung zwischen den Ergebnissen des Labora- toriumsversuches und der praktischen Erprobung unter werkstattm  igen Bedingungen. [B 2430]

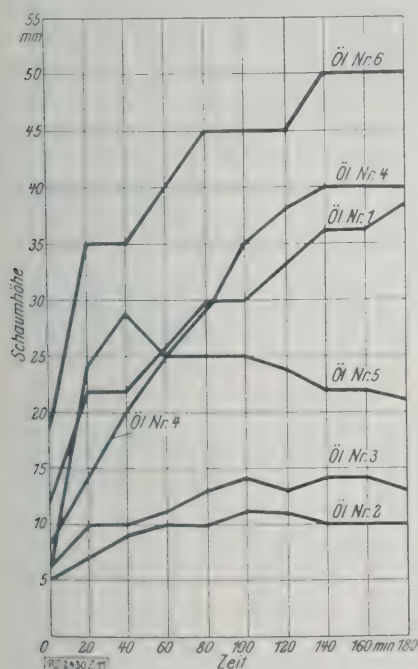
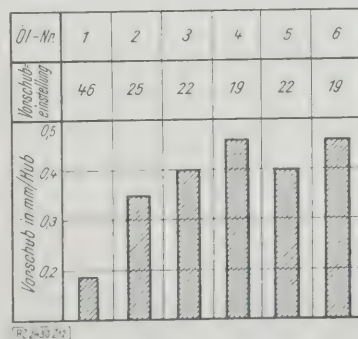


Abb. 12
Vorschubwerte, bei denen die erste Rauch- entwicklung eintrat.

Abb. 11 (links)
H he der Schaumbildung in Abh ngigkeit von der Zeit.



Fortpflanzungsgeschwindigkeit der Flamme in Gasgemischen

Von Dipl.-Ing. W. LINDNER, Dresden

Prof. F. W. STEVENS, Washington, hat uns freundlichst einen weiteren Bericht über Untersuchungen nach seinem in Z. Bd. 70 (1926) S. 659 ausführlich beschriebenen Verfahren zur Verfügung gestellt; der vorliegende Aufsatz faßt die wesentlichen Ergebnisse dieser und einer andern in der Zeitschrift „Industrial and Engineering Chemistry“, Bd. 20 (1928) S. 1018, veröffentlichten Arbeit zusammen.

Nach dem Verfahren von F. W. Stevens werden die zu untersuchenden Gasgemische in der Mitte einer Seifenblase gezündet. Die Ausbreitung der kugelförmigen Flammenschale wird auf einen bewegten Filmstreifen fotografiert, so daß die Fortpflanzungsgeschwindigkeit der Flamme daraus ermittelt werden kann. Ist r der Halbmesser des in der Blase enthaltenen Gasvolumens vor der Zündung und r' der Halbmesser, wenn das Volumen vollständig verbrannt ist, so folgt aus der durch das Photogramm gegebenen Fortpflanzungsgeschwindigkeit im Raume

$$s' = \frac{r'}{t} \quad (1)$$

die Geschwindigkeit s gegenüber der bewegten Gasmasse zu

$$s = s' \frac{r^3}{r'^3} \quad (2)$$

Da der Druck in der Seifenblase (Bombe unter konstantem Druck) während des gesamten Vorganges konstant bleibt, so tritt das unverbrannte Gas unter unveränderlichen Teildrücken in die Flammenzone ein. Das bedeutet, daß die chemische Reaktionsgeschwindigkeit konstant bleiben muß. Nach den Versuchen von Stevens ist die Fortpflanzungsgeschwindigkeit, s bzw. s' , ebenfalls konstant. Er setzt sie daher proportional der Reaktionsgeschwindigkeit, indem er für Gemische aus CO und O₂ schreibt:

$$s = s' \frac{r^3}{r'^3} = k [\text{CO}]^2 [\text{O}_2] \quad (3)$$

Hierin bedeuten die Klammerwerte die Teildrücke der Gasanteile und k den Proportionalitätsfaktor. Das van't Hoff'sche Gesetz für die Reaktionsgeschwindigkeit enthält noch ein zweites Glied, das die gegenläufige Reaktion zum Ausdruck bringt. Dieses Glied wird hier vernachlässigt, da bei Gasexplosionen die Reaktion in einer Richtung vollkommen verläuft. Der Proportionalitätsfaktor ist nach früheren Versuchen für CO-O₂-Gemische im Mittel $k = 691$.

Nach der gleichen Methode hat Stevens den Einfluß der Zumischung inerte und brennbarer Gase auf die Fortpflanzungsgeschwindigkeit der Flamme in Gemischen aus CO und O₂ untersucht¹⁾.

Einfluß inerte Gase

Der nicht brennbare Anteil des Gemisches mit CO, dessen Teildruck $[1 - \text{CO}]$ ist, setzt sich aus dem wirksam an der Reaktion beteiligten Teil a , dem Sauerstoff und dem inerten Teil $(1 - a)$ zusammen:

$$[1 - \text{CO}] = [1 - \text{CO}] a + [1 - \text{CO}] (1 - a).$$

Gl. (3) läßt sich somit in der Form schreiben:

$$s = k [\text{CO}]^2 [1 - \text{CO}] a + k [\text{CO}]^2 [1 - \text{CO}] (1 - a) \quad (4)$$

¹⁾ Reports of the National Advisory Committee for Aeronautics, Washington, Ind. Eng. Chem. Bd. 20 (1928) S. 1018.

Zahlentafel 1. Ergebnisse der Messungen, bei denen 40 vH des Gemischanteils $[1 - \text{CO}]$ aus dem inerten Gas N₂ besteht.

Teildrücke von			$[\text{CO}]^2 [1 - \text{CO}]$	$s' = \frac{r'}{t}$ cm/s	$s = s' \frac{r^3}{r'^3}$ cm/s	$k_1 = \frac{s}{0,6 [\text{CO}]^2 [1 - \text{CO}]}$	$\beta = \frac{s - a k_1 [\text{CO}]^2 [1 - \text{CO}]}{[N_2]}$
$[\text{CO}]$ at	$[1 - \text{CO}]$ at	$[N_2]$ at					
0,200	0,800	0,320	0,0320	118	23,9	1248	43,7
0,250	0,750	0,300	0,0469	181	32,5	1155	43,3
0,294	0,706	0,282	0,0610	277	37,4	1021	42,9
0,350	0,650	0,260	0,0796	347	43,7	915	41,2
0,400	0,600	0,240	0,0960	414	50,0	868	42,5
0,450	0,550						
0,500	0,500	0,200	0,1250	511	60,3	804	41,5
0,550	0,450	0,180	0,1362	555	64,0	784	41,7
0,600	0,400	0,160	0,1440	597	66,2	766	40,6
0,650	0,350	0,140	0,1480	617	67,3	758	42,8
0,700	0,300	0,120	0,1470	607	66,0	748	41,8
0,750	0,250	0,100	0,1439	540	62,5	741	42,0
0,800	0,200	0,080	0,1280	441	56,6	737	43,7
0,850	0,150	0,060	0,1084	291	46,4	713	41,6

Mittelwert 42,2

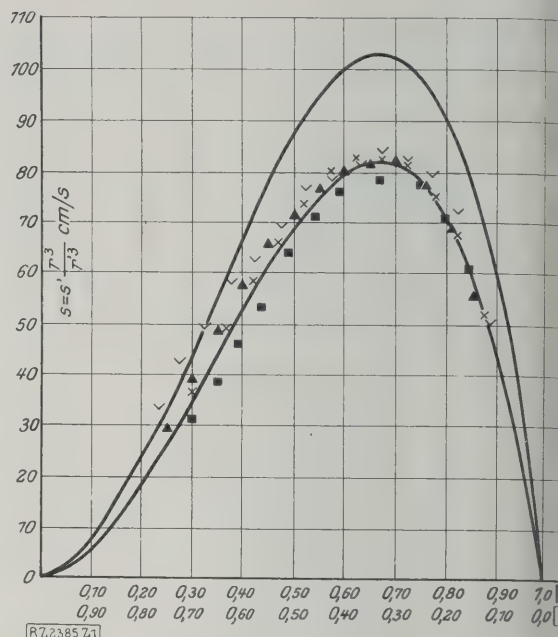


Abb. 1
Fortpflanzungsgeschwindigkeit der Flamme für Gemische von CO und O₂, bei denen 20 vH des Gemischanteils $[1 - \text{CO}]$ aus inertem Gas besteht.
× N₂ ▲ He v Ar ■ CO₂

Hierin würde dem inerten Gas der gleiche Einfluß auf die Fortpflanzung der chemischen Reaktion wie dem Sauerstoff zugeschrieben werden. Es wird daher das zweite Glied vernachlässigt:

$$s = k_1 [\text{CO}]^2 [1 - \text{CO}] a = k_1 \Gamma a$$

Diese Gleichung berücksichtigt ausschließlich den wirksamen Teil der Gase. Die Abweichung von ihr ist so gering, daß den Einfluß des inerten Anteils klarzulegen durch die Veränderung der spezifischen Wärme und Wärmeleitfähigkeit des Gemisches bedingt ist, wenn man die mittelbare Einwirkung der Moleküle des inerten Anteils auf den Reaktionsvorgang unbeachtet läßt.

Stevens berichtet über Versuchsreihen, bei denen die Teildrücke der brennbaren Bestandteile $[\text{CO}]$ und der brennbaren $[1 - \text{CO}]$ verändert werden, während der Anteil an inertem Gas $(1 - a)$ in $[1 - \text{CO}]$ verhältnismäßig gleichbleibt. Auf diese Weise sind Unterschiede im Einfluß der benutzten inerten Gase N₂, Ar, He und CO₂ erkennbar. Insgesamt werden drei Gruppen von Versuchsreihen durchgeführt, für die als Gehalt $(1 - a)$ an inertem Gas 0,1, 0,2 und 0,4 gewählt sind.

Zahlentafel 1 enthält die Ergebnisse für 40 vH N₂ inerten Anteil. In Abb. 1 und 2 sind für 20 und 40 vH inerte Bestandteile in $[1 - \text{CO}]$ die Flammgeschwindigkeiten s über den Werten von $[\text{CO}]$ dargestellt. Die Linien in Abb. 1 und 2 stellen den Verlauf von Gl. (3) für Gemische ohne Zusatz von inerten Gasen unter Ber

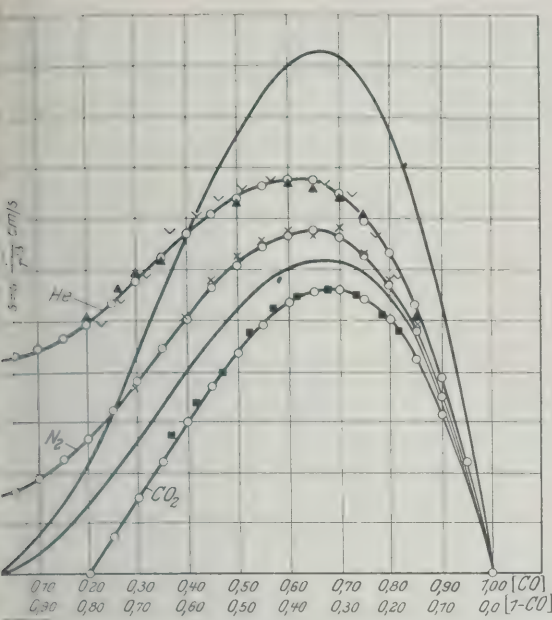


Abb. 2
Fortpflanzungsgeschwindigkeit der Flamme für Gemische von CO und O₂, bei denen 40 vH des Gemischanteils [1 - CO] aus inertem Gas besteht.
× N₂ ▲ He √ Ar ■ CO₂

Bestimmung des früher ermittelten Wertes von $k = 691$ dar; die Kurven darunter entsprechen dem Verlauf nach Gl. (5). Die eingetragenen Versuchspunkte zeigen, daß die Abweichung von Gl. (5) mit zunehmendem Anteil an inertem Gas erheblich zunimmt und die Unterschiede im Einfluß der verschiedenen Gase, die durch die verschiedenen physikalischen Eigenschaften bedingt sind, stärker fühlbar werden. Bestimmt man für die Punkte einer Versuchsreihe $s/a[CO]^2[1 - CO]$, so müßte dieser Wert unverändert gleich dem für reine CO-O₂-Gemische gefundenen $k = 691$ sein, wenn Gl. (5) befolgt wird. Aus Zahlen- und Tabelle 1 ersieht man, daß k sich diesem Wert um so mehr nähert, je geringer der Teildruck des inertem Gases im Gemisch ist. Stevens setzt daher den Einfluß der inertem Gase auf die Fortpflanzungsgeschwindigkeit proportional zum Teildruck $[G_i]$ und berücksichtigt ihn, indem er Gl. (5) ein weiteres Glied anfügt:

$$s = k [CO]^2 [1 - CO] a + \beta [G_i] \dots \dots (6)$$

Der Proportionalitätsfaktor β berechnet sich aus den durch die Versuche gefundenen Werten von s zu:

$$\beta = \frac{s - k a [CO]^2 [1 - CO]}{[G_i]} = \frac{s - 691 a [CO]^2 [1 - CO]}{G_i} \quad (7)$$

Die Versuchsreihen mit dem Anteil $(1 - a) = 0,4$ an inertem Gas ergeben sich als mittlere Werte

für	Ar	He	N ₂	CO ₂
β	111	109	42	41,8.

Zusatztafel 2. Fortpflanzungsgeschwindigkeit der Flamme in Gemischen aus CH₄ und O₂.

Teildrücke [CH ₄] [O ₂]		[CH ₄][O ₂] ²	s' = $\frac{r'}{t}$ cm/s	s = s' $\frac{r^2}{r'^2}$ cm/s	k ₁ = $\frac{s}{[CH_4][O_2]^2}$
[CH ₄] t	[O ₂] at				
0,40	0,860	0,1035	3347	430	4155
0,70	0,830	0,1169	4536	488	4172
0,00	0,800	0,1280	5156	554	4326
0,30	0,770	0,1362	6048	596	4375
0,61	0,739	0,1425	6098	610	4280
0,91	0,709	0,1460	6359	615	4212
0,10	0,690	0,1476	6586	622	4212
0,20	0,680	0,1478	6636	621	4200
0,33	0,667	0,1478	6714	623	4213
					Mittel 4240
0,46	0,654	0,1478	6586	598	4044
0,81	0,619	0,1457	4988	426	2903
0,25	0,575	0,1411	2808	188	1333
0,75	0,525	0,1308	1308	102	780

Der negative Wert von β läßt erkennen, daß CO₂ die Geschwindigkeit gegenüber Gl. (5) herabsetzt, während alle übrigen untersuchten Gase in diesem Sinn einen beschleunigenden Einfluß ausüben. Der nach Gl. (6) errechnete Verlauf ist in Abb. 2 durch die mit kleinen Kreisen bezeichneten Kurven dargestellt. Innerhalb des Bereiches der Versuchswerte geben die Linien den wahren Verlauf gut wieder, während in der Nähe der unteren Zündgrenze durch das zusätzliche Glied eine zunehmende Abweichung auftreten muß. Bemerkenswert ist, daß die beiden inertem Gase Ar und He einen gleich starken Einfluß auf die Fortpflanzungsgeschwindigkeit ausüben, obwohl sich die Werte ihrer Wärmeleitfähigkeit wie 1:8,5 verhalten. Die Werte ihrer spezifischen Wärme hingegen sind gleich, da beide einatomig sind.

In der weiteren Arbeit behandelt Stevens den
Einfluß der Zumischung von Methan

zu CO-O₂-Gemischen. Die Verbrennungsgeschwindigkeit von CO wird bekanntlich durch die Gegenwart von Wasserdampf stark beeinflusst. Nach den früheren Versuchen ändert der Wasserdampfzusatz die Größe von s lediglich in der Weise, daß in Gl. (3) nur die Konstante k einen andern Wert annimmt. Der katalytische Einfluß des Wasserdampfes bei der Verbrennung von CO beruht nach Nernst in einer Zwischenreaktion nach dem Wassergasprozeß. Da sich die Versuche allein durch die Bedingungen für den dreimolekularen Gesamtvorgang $2CO + O_2 = 2CO_2$ in Gl. (3) darstellen lassen, folgt, daß die Zwischenreaktionen die Gesetzmäßigkeiten der kinetischen Verhältnisse bei der Gesamtumwandlung nicht verändern können, daß vielmehr nur die Werte der Geschwindigkeit in einem konstanten Verhältnis beeinflusst werden. Dieses ist durch die Änderung des Wertes k bestimmt. Der Umstand, daß möglicherweise auftretende Zwischenreaktionen ausschließlich die Konstante k verändern, läßt vermuten, daß das Verhalten der Fortpflanzungsgeschwindigkeit in Gemischen, die mehrere brennbare Bestandteile enthalten, mit Erfolg nach dem von Stevens angegebenen Verfahren dargestellt werden kann.

Die Versuche wurden an Gemischen des zusammengesetzten Brenngases [F] mit Sauerstoff [O₂] durchgeführt.

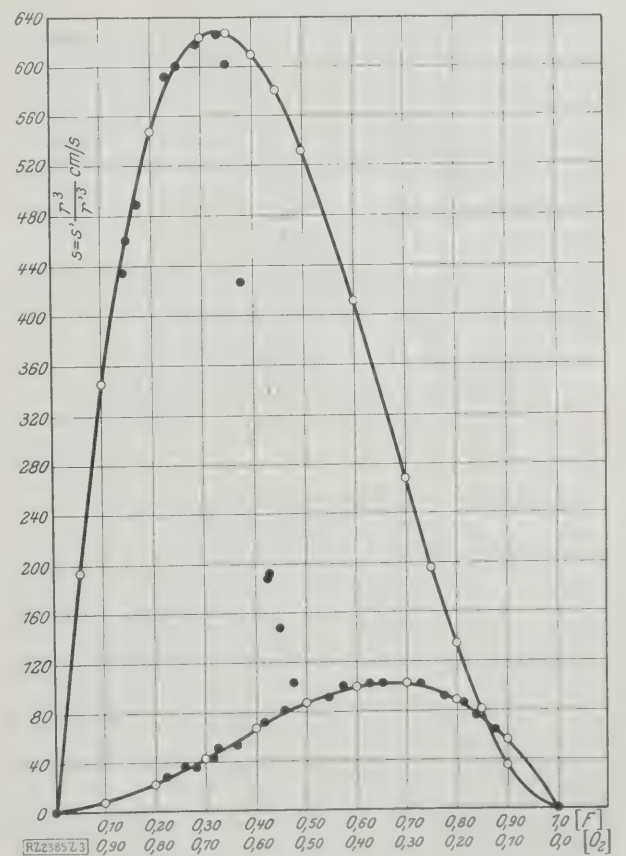
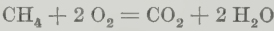


Abb. 3
Fortpflanzungsgeschwindigkeit der Flamme in Gemischen aus CH₄ mit O₂ (obere Linie) und in Gemischen aus CO und O₂ (untere Linie).

Zahlentafel 3. Fortpflanzungsgeschwindigkeit der Flamme in einem Gemisch aus Brenngas F (50 Teile CH_4 und 50 Teile CO) und O_2 .

Teildrücke		$[F]^{1,53} [O_2]^{1,67}$	$s' = \frac{r'}{t}$ cm/s	$s = s' \frac{r^3}{r'^3}$ cm/s	$k_1 = \frac{s}{[F]^{1,53} [O_2]^{1,67}}$
F at	O_2 at				
0,175	0,825	0,0714	1579	223	3125
0,225	0,775	0,0898	2365	281	3128
0,275	0,725	0,1050	2879	325	3097
0,325	0,675	0,1163	3691	372	3198
0,375	0,625	0,1238	4148	395	3191
0,425	0,575	0,1272	4347	409	3215
0,473	0,527	0,1268	4073	400	3160
					Mittel 3159
0,485	0,515	0,1262	3467	340	2697
0,498	0,502	0,1253	3568	336	2675
0,508	0,492	0,1243	3504	330	2659
0,521	0,479	0,1229	3455	311	2532
0,532	0,468	0,1215	3019	263	2164
0,555	0,445	0,1182	2530	219	1852
0,606	0,394	0,1084	1165	104	956

Als Brenngas wird ein Gemisch aus CO und CH_4 in verschiedenen Verhältnissen benutzt. Für jede gewählte Zusammensetzung von $[F]$ werden die Geschwindigkeiten über den gesamten Bereich der Gemische $[F]$ und $[O_2]$ ermittelt. Zunächst werden die Werte von k für die reinen Gemische mit CO oder CH_4 bestimmt. $k_{\text{CO}} = 691$ ist bereits bekannt. Für $\text{CH}_4\text{-O}_2$ -Gemische folgt aus der Reaktionsgleichung



die Fortpflanzungsgeschwindigkeit

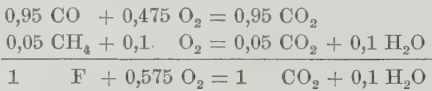
$$s = k_{\text{CH}_4} [\text{CH}_4] [\text{O}_2]^2 \dots \dots \dots (8)$$

mit dem Höchstwert für das theoretische Gemisch:

$$s_{\text{max}} = k_{\text{CH}_4} [0,333] [0,667]^2.$$

Die Versuchswerte sind in Zahlentafel 2 und Abb. 3 zusammengestellt. In Abb. 3 ist zum Vergleich der Verlauf von v für Gemische mit CO eingezeichnet. Als mittlerer Wert ergibt sich $k_{\text{CH}_4} = 4240$. Abb. 3 läßt erkennen, daß die beobachteten Werte von s nur im Gebiete des Sauerstoffüberschusses der Gleichung (8) folgen. Diese Erscheinung hat Stevens bei allen Kohlenwasserstoffe enthaltenden Brenngasen beobachtet, und zwar in um so stärkerem Maße, je höher der Gehalt an Kohlenwasserstoffen im Gemisch ist. Er nimmt an, daß diese Abweichung mit dem Auftreten einer endothermen Reaktion, wie der Wassergasreaktion, zusammenhängt.

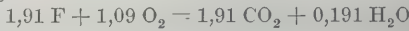
Die Ermittlung von k_F für ein zusammengesetztes Brenngas sei für ein Gemisch aus 5 vH CH_4 und 95 vH CO im Brenngas erläutert. Die Verbrennungsgleichungen lauten:



Zahlentafel 4. Zusammensetzung des Brennstoffes F , berechnete und beobachtete Werte von k und Mischungsverhältnissen für s_{max} .

Teildrücke im Brennstoff		Teildrücke im Gemisch für Höchstwerte von s		k_F	
CO at	CH_4 at	F at	O_2 at	beobachtet	berechnet
1,00	0,00	0,667	0,333	694	105
0,95	0,05	0,637	0,363	1103	136
0,90	0,10	0,625	0,375	1483	192
0,80	0,20	0,557	0,443	2054	241
0,70	0,30	0,513	0,487	2476	282
0,60	0,40	0,476	0,524	2899	318
0,50	0,50	0,444	0,556	3180	349
0,40	0,60	0,417	0,583	3505	377
0,30	0,70	0,393	0,607	3794	403
0,20	0,80	0,370	0,630	4034	424
0,10	0,90	0,351	0,649	4177	424
0,00	1,00	0,333	0,667	4250	424

Da die Gesamtreaktion wie die Einzelreaktion dreimolekular ist, so folgt:



und damit

$$s = k_F [F]^{1,91} [\text{O}_2]^{1,09} \dots \dots \dots$$

Hieraus ergibt sich als Höchstwert von s

$$s_{\text{max}} = k_F [0,637]^{1,91} [0,363]^{1,09}.$$

Aus den Versuchen folgt als Mittelwert $k_F = 1103$.

Für Gemische mit gleichen Anteilen von CO und im Brenngas sind in Zahlentafel 3 die Versuchswerte dergegeben. In Zahlentafel 4 sind für die verschiedenen untersuchten Zusammensetzungen des Brenngases die Werte k_F und die Gemischanteile $[F]$ und $[O_2]$, für die die höchste Fortpflanzungsgeschwindigkeit eintritt, zusammengestellt. Trägt man in einem Diagramm die Werte von k_F über zu s_{max} gehörenden Gemischanteilen $[F]$ bzw. $[O_2]$ auf, liegen die Punkte mit guter Annäherung auf einer Geraden zwischen den Werten k_{CO} und k_{CH_4} . Ihre Neigung ergibt sich zu:

$$C = \frac{k_{\text{CH}_4} - k_{\text{CO}}}{[F]_{\text{CO}} - [F]_{\text{CH}_4}} = 11\,270.$$

Berücksichtigt man noch, daß die Gerade die Abszissenachse bei $[F] = 0,728$ schneidet, so lautet ihre Gleichung

$$k_F = 11\,270 (0,728 - [F]) \dots \dots \dots$$

Mit dieser Beziehung kann man die Fortpflanzungsgeschwindigkeit der Flamme für alle Gemische mit O_2 , bei denen Brenngas in beliebigem Verhältnis aus CO und CH_4 zusammengesetzt ist, berechnen, indem man Gl. (9) in der gemeinen Form

$$s = k_F [F]^n [\text{O}_2]^m$$

anwendet. Die auf diesem Wege berechneten Geschwindigkeiten passen sich den durch Versuch beobachteten im reichen des Sauerstoffüberschusses gut an. [M 238]

Einfluß der Länge der Saugleitung bei Verbrennungsmotoren

A. Capetti¹⁾ hat einige Untersuchungen über die Änderung des volumetrischen Wirkungsgrades von Vierzylindermotoren beim Verändern der Länge der Ansaugleitung durchgeführt, aus denen sich ergibt, daß man durch richtige Wahl der Rohrlänge nicht nur den Saugverlust ausgleichen, sondern darüber hinaus bei niedriger Drehzahl sogar eine Überladung des Zylinders mit Gemisch erreichen kann. Allerdings nimmt diese günstige Wirkung der Rohrlänge auch mit steigender Motordrehzahl ab, doch kann man unter Umständen Vorteile in weiteren Bereichen der Drehzahl erzielen²⁾. Die Möglichkeit, gerade bei niedriger Motordrehzahl starke Zylinderfüllungen zu erreichen, scheint jedenfalls durch das Durchziehen des Motors erwünscht. Die Versuche hatten unter anderem folgende Ergebnisse:

¹⁾ Annali della R. Scuola d'Ingegneria di Padova, vergl. Automotive Industries Bd. 60 (1929) S. 582.

²⁾ Das Gleiche haben frühere Versuche von R. Matthews und R. W. Gardiner gezeigt, vergl. Technical Note Nr. 180 (1924) National Advisory Committee for Aeronautics.

Länge der Leitung mm	Volumetr. Wirkungsgrad bei		Mittlerer nutzbarer Kolbendruck bei	
	1000 U/min vH	1400 U/min vH	1000 U/min at	1400 U/min at
0	88	72	5,11	4,2
350	94	78	5,32	4,78
935	104	80	5,4	4,78
1200	104	79	5,64	4,78
1600	100	76	5,81	4,56
2600	99	69,5	5,11	4,34
3900	76	66	4,73	4,2

Die Zahlentafel zeigt, daß der Einfluß der Rohrlänge bei höheren Drehzahlen bedeutend geringer wird, aber nicht ganz verschwindet. Er beruht auf der Resonanz zwischen den Druckschwankungen und der Eigentönhöhe der Saugleitung, den schon Voissel³⁾ auch rechnerisch untersucht hat, der aber bei Vielzylindermotoren zu verwirren ist, als daß er anders als durch Versuche geklärt werden könnte. [N3002]

³⁾ Vergl. Forschungsarbeiten, Heft 106, Z. Bd. 56 (1912) S. 720.

Handlung und Bewertung von flüssigen Brennstoffen

Von Prof. Dr. AUFHÄUSER, Hamburg
Vorträgen der Internationalen Brennstoff-Konferenz,
London 1928¹⁾

Von den zahlreichen Beiträgen zur Gruppe F dieser Konferenz sind hier einige ausführlicher besprochen, die auch für unsern Verein wichtig sind und Neues enthalten.

Der Bericht von Lubbock über Lagerung, Behandlung und Transport von flüssigen Brennstoffen

Es sich zwar nur auf Erdölprodukte und auf englische und amerikanische Verhältnisse, seine Ausführungen aber auf alle flüssigen Brennstoffe, also auch auf die in Deutschland wichtigen Erzeugnisse des Steinkohlens, Anwendung finden.

anz abgesehen von der „Brennbarkeit“ bestehen in flüssigen wässrigen und öligen Flüssigkeiten tiefgreifende Unterschiede der Eigenschaften. Wer mit flüssigen Brennstoffen zu tun hat, empfindet es häufig als Übelstand, daß die verschiedenen Arten auf Grund einer Überlieferung bezeichnet, die weder sachlich noch übersichtlich ist. Die Unterscheidung in leichtes und schweres Öl ist nur allgemein; vollends aber bei den Heizölen herrscht Verwirrung durch die verschiedenen Bezeichnungen.

Außer Benzin kennt man gegen drei Arten von flüssigen Brennstoffen:

	spez. Gewicht	°Beaumé
Gasöl	0,84/0,86	36/32 °
Dieselöl	0,86/0,90	32/27 °
Heizöl	0,88/0,96	29/16 °

Da die meisten Dieselmotoren mit Gasöl betrieben werden, so kann Dieselöl nur ein Öl zwischen Gasöl und Heizöl sein. Die leichtesten Heizöle aus Niederländisch-Indien (z. B. nicht verschieden von den schwersten Gasölen). Die richtige Unterscheidung in Destillat und Destillationsrückstände. Diese würden auch die verschiedenen umfassen, allerdings nicht als reine Rückstände, sondern vermisch mit hochsiedenden Destillaten.

Lagerung

Im Gegensatz zu den Kohlen kann man flüssige Brennstoffe viel leichter lagern, besonders an Bord, wo man dafür die Doppelböden der Schiffe benutzt. Eine Schwierigkeit ergibt sich hierbei dadurch, daß der Begriff Feuergefährlichkeit ziemlich wahllos ausgelegt wird. Die deutschen Bestimmungen schreiben vor, daß der Flammpunkt (angeschlossenen Prüfapparat) nicht unter 65 ° liegen soll. Bei Gasölen ist der Flammpunkt mindestens um 10 ° höher und erst recht bei den Heizölen. In Amerika nennt man leichte Heizöle solche mit einem niedrigsten Flammpunkt von 43 ° und mittlere Heizöle solche mit 52 °. England unterscheidet man zwischen den Vorschriften „Petroleum Act“ und der „Lloyd's Rules for the Burial and Carrying of Oil Fuel“; letztere beziehen sich ausschließlich auf Dieselmotoren-Treiböle und auf Heizöle.

Die flüssigen Brennstoffe sind nicht so feuergefährlich, wenn man oft annimmt, und es ist unbegründet, wenn man die Tankanlagen den Tankanlagen über der Erde anordnet. Man kann die Tanks sogar über der Feuerung anordnen. Das hat den Vorteil, daß der momentane Bedarf an Brennstoff ohne Pumpen zu befriedigen kann. Für die Sicherheit der Tankanlagen gelten folgende Regeln:

1. Befindet sich der Tank innerhalb eines Gebäudes, so soll er mit einem öldichten Auffanggraben umgeben werden, der etwa 80 vH des Tankinhalts aufnehmen kann.
2. Um Drucksteigerungen bei raschem Auffüllen zu vermeiden, soll jeder Tank mit einem Entlüftungsröhr versehen sein. Dieses muß ins Freie münden und am Ende mit einem Drahtsieb bedeckt sein.
3. Ist mit scharfem Frost zu rechnen, so verwenden man die Tanks aus Stahlguß und isoliere sie. Das Gleiche gilt für die ganze übrige Ausrüstung, wie Deckel, Stützen usw.
4. Große Tanks von 100 t Inhalt schützt man gegen einen Brand durch das Hauptventil durch ein Bodenventil, das sich von unten betätigen läßt.

Die gesammelten Transactions of the Fuel Conference, London 1928, deutsche, englische und französische Beiträge, 3 Bände in rd. 1000 Seiten, sind zum Preise von 245 RM von der VDI-Buchhandlung, Berlin, Ingenieurhaus, zu beziehen.

Stehen große Tanks auf schlechtem Untergrund, so soll in die Hauptrohrleitung ein biegsames Zwischenstück eingeschaltet werden.

An einigermaßen großen Tanks soll man niemals Standgläser anbringen. Diese sind auch bei kleineren Tanks für unmittelbaren Verbrauch nur mit Vorsicht verwendbar.

Die großen Ölgesellschaften und Verbraucher, die das Öl in Schiffsanlagen erhalten, benutzen die bekannten zylindrischen Stahltanks. Diese Form empfiehlt sich für Inhalte von mehr als 100 t. Jeder Tank soll auf Pfählen oder auf einer Schicht von Steinschlag ruhen, deren Dicke von der Natur des Bodens abhängt. Zuerst liegt eine Schicht von reinem Sand, auf die man die Bodenplatten aufsetzt. Noch besser ist eine Grundplatte aus Beton, ebenfalls mit einer dünnen Sandschicht bedeckt. Neue Tanks füllt man zunächst mit Wasser und beobachtet sie sorgfältig, solange sie sich setzen. Bei kleineren Tanks, insbesondere solchen für den Tagesbedarf, ist man in der Form weniger beschränkt. Sie können zylindrisch sein, z. B. alte Dampfkessel, oder rechteckig, wenn sie gut versteift und gut gelagert werden.

Besonders von kleineren Tanks behaupten manche Fachleute, sie seien überhaupt nicht völlig abzudichten. Sicher sind geschweißte Tanks besser als genietete. Für diese schreibt Lloyd doppelte Nietung vor. Man kann aber auch Beton als Baustoff verwenden, nur muß man die Innenfläche mit einem widerstandsfähigen Zement 15 bis 25 mm dick überziehen.

Kleinere Tanks aus Beton sollen nur in den Boden eingelassen werden, wenn es nicht anders geht. Der Boden soll dann auf Humussäuren usw. geprüft und die Außenfläche des Tanks mit einem Schutzanstrich aus Bitumen o. ä. versehen werden.

Behandlung

Zweck des Vorwärmens kann sein:

1. Erleichterung der Pumparbeit.
2. Beschleunigen der Verbrennung in Feuerungen oder Motoren.
3. Entfernen des Wassers durch Absetzen oder Ausschleudern des erwärmten Öls.

In den meisten Fällen verwendet man Dampfschlangen. Für ihre Berechnung sind maßgebend: die spezifische Wärme des Öles, die im Mittel 0,5 beträgt und bis 0,45 bei schwereren Ölen abnimmt; die Wärmedurchgangszahl der Heizschlange mit 100 kcal/m² h °C und die Wärmeverluste durch Leitung und Strahlung, die je nach Standort des Tanks, Windstärke, Außentemperatur und Art der Tankoberfläche verschieden sind. Bis zu Temperaturen von 38 ° im Tank kann man diesen Verlust mit 5 kcal/m² h ° veranschlagen. Darüber hinaus nehmen die Verluste mit der Temperatur ähnlich zu wie bei einer nackten Dampfleitung.

Man braucht überschläglich 0,03 bis 0,05 m² Heizfläche für 1 t Öl, wobei die größeren Werte für abnehmende Tankgrößen gelten.

Um das Öl unmittelbar vor dem Verbrennen vorzuwärmen, benutzt man Röhrenheizkörper. Sie sollen so nahe wie möglich an der Feuerung oder am Motor angebracht sein, und ihre Heizleistung muß genau mit dem Brennstoffverbrauch abgestimmt werden. Für kleine Anlagen und Temperaturen unter dem Flammpunkt, also bis zu rd. 70 °, baut und berechnete man diese Vorwärmer ähnlich wie Speisewasservorwärmer; soll aber sehr dickflüssiges Heizöl zerstäubt werden, so muß man es unter Druck vorwärmen. Solche Vorwärmer gibt es für Temperaturen von 50 bis 150 °. Elektrisches Anwärmen kann bei unterbrochenem oder schwankendem Betrieb vorteilhaft sein.

Der Wassergehalt von Ölen schwankt von Spuren bis zu 1 vH in schwerem Heizöl. Bildet das Wasser mit dem Öl eine vollständige Emulsion, so schadet es im Ölbrenner gar nicht. Jedes Öl neigt aber dazu, Wasser und in Verbindung damit Schlamm abzusetzen. Am einfachsten ist es daher, wenigstens einmal im Monat vom Boden des Tanks Wasser und Schlamm abzusaugen und einmal im Jahr den Tank zu entleeren und zu reinigen. Außerdem benutzt man Ölsiebe; diese sollen aber nicht am Bodenventil angebracht sein. Vielmehr empfiehlt es sich, ein gröberes Sieb in die Hauptleitung zum Tank und feinere Siebe in die Leitungen vom Tank zu den Verbrauchsstellen einzubauen.

In England werden flüssige Brennstoffe immer nach Gewicht verkauft. Die Wägung, z. B. von Kesselwagen, ist daher immer das einfachste Mittel zum Überwachen von Lieferungen. Die Menge in einem Tank mißt man in be-

¹⁾ W. L. Badger, Heat Transfer and Evaporation, Morris und Whitman, Heat Transfer for Oils and Water in Pipes, Industrial & Engg. Chemistry Bd. 20 (1928) S. 234.

kannter Weise mittels der Standhöhe. Die Genauigkeit der Ablesung beträgt hierbei rd. 2,5 mm.

Sehr bemerkenswert ist die Mengenfeststellung im Tank mittels des „Pneumercator“. Am Boden des Tanks ist eine Tauchglocke angebracht, die zum Teil mit Luft gefüllt ist. Steigt das Öl im Tank, so steigt auch der Druck der eingeschlossenen Luft, der mittels eines Quecksilbermanometers gemessen wird. Jede Höhe der Quecksilbersäule entspricht einem bestimmten Gewicht an Öl. Man braucht also keine Berichtigung für das spezifische Gewicht.

Für die Messung des Ölverbrauchs sind Geräte nach Art der Wasseruhren gut brauchbar. Ihre größte Genauigkeit beträgt ± 1 vH. Aber auch mit Fehlern bis zu 2 vH leisten sie gute Dienste, weil sie eine einfache Möglichkeit bieten, die Schwankungen im Verbrauch zu verfolgen.

Zum Fortleiten von Heizölen sind Duplex-Dampfkolbenpumpen, Ein- oder Mehrzylinderpumpen, mit Riemen- oder Zahnradantrieb, Kapsel- oder Handpumpen in Gebrauch. Kreiselpumpen kommen nur für sehr dünne Öle (Gasöle) in Betracht. Sie sind daher selten, weil die Pumpen für die ungünstigsten Witterungsverhältnisse entworfen werden, bei denen selbst leichte Heizöle für Kreiselpumpen zu dickflüssig würden.

Die Duplex-Dampfpumpe ist, insbesondere für schwere Öle, am meisten verbreitet. Sie ist einfach und im Betrieb zuverlässig, hat aber hohen Dampfverbrauch, z. B. bei 5,25 at Gegendruck 12,5 kg Dampf für 1 t Öl. Womöglich soll man daher ihren Abdampf verwerten. Für die Kolben wird besonders dichtes Gußeisen und für die Kolbenstangen Stahl verlangt. Die Zylinderbüchsen sollen aus Rotguß bestehen; die Sitzflächen der Ventile sind möglichst groß zu bemessen. Bei größeren Pumpen ist ein Windkessel vorteilhaft.

Durch Getriebe oder Riemen angetriebene Tauchkolbenpumpen eignen sich besonders für hohe Gegendrucke. Man treibt sie neuerdings gern mittels Dieselmotoren, bei kleineren Anlagen auch mittels Elektromotoren an. Für Wechselstrom sind Schleifringmotoren erwünscht, die man gut regeln kann. Dasselbe gilt von Kapselpumpen, die sich für zäheste Öle eignen. Man verwendet sie vorzugsweise für kleinere Fördermengen, z. B. zum Auffüllen von Tagestanks oder bei Ölfuerungen in Verbindung mit Vorwärmern. In England ist die Feuerherdpumpe, z. B. auf Tankschiffen, verbreitet; man treibt sie über ein Schneckengetriebe vom Elektromotor oder Dieselmotor an.

Zum Berechnen des Druckhöhenverlustes, der die Pumpenleistung bestimmt, dient die *d'Arcysche* Gleichung

$$h = \frac{4 f l v^2}{2 g d}$$

(h = Druckhöhenverlust, f = Reibungszahl, l = Länge der Rohrleitung, v = Geschwindigkeit des Öles, d = Durchmesser der Rohrleitung).

Die Reibungszahl f ist eine Funktion der *Reynoldsschen* Zahl $\frac{d v \sigma}{\mu}$ (σ = spez. Gew., μ = kinematische Zähigkeit).

Für Öle kann man aus vorhandenen Zahlentafeln den Wert von f für laminare oder turbulente Strömung für eine gegebene *Reynoldssche* Zahl entnehmen. Bei schwerer flüssigen Ölen kann man stets mit laminarer Strömung rechnen. Die Berechnung der *Reynoldsschen* Zahl stößt aber auf erhebliche Schwierigkeiten, weil man selten die kinematische Zähigkeit, vielmehr nur die Viskosität eines Öles in einem der verschiedenen Maße (*Engler*, *Redwood*, *Saybolt*) kennt. Diese Schwierigkeit läßt sich aber umgehen, wenn man beachtet, daß das Produkt aus *Reynoldsscher* Zahl und Reibungszahl für laminare Strömung konstant ist. Man erhält so als Druckhöhenverlust für je 100 m Rohrlänge

$$h = \frac{0,0026 v E}{d^2} \text{ mit der Grenzbedingung } \frac{51 d v}{E} < 1, \text{ für } E > 13^\circ,$$

wenn v die Geschwindigkeit in m/s, d den Rohrdurchmesser in m und E die Zähflüssigkeit des Öls in Englergraden bedeutet.

W. A. Ostwald sprach über

Anforderungen des Kraftfahr- und Flugzeugwesens an die flüssigen Brennstoffe.

Das spezifische Gewicht des Benzins hat in der Entwicklung dieses Betriebstoffes eine bedeutende Rolle gespielt. Noch heute ist es ein selbstverständlicher Gegenstand der Untersuchung. Aber das spezifische Gewicht erlaubt weitere Schlüsse, insbesondere auf die Flüchtigkeit, nur wenn man Benzine von gleicher Herkunft vergleicht. Erwünscht ist, daß Betriebstoffe wasserklar und farblos

sind. Aber eine schwache Gelbfärbung ist nicht schädlich, zumal die Menge der färbenden Stoffe sehr gering ist. Technische Benzin ist niemals chemisch rein und vollständig einheitlich, es enthält daher immer Stoffe, die beim Lagern und insbesondere beim Belichten färben können.

Maßgebende Eigenschaften eines Brennstoffs für Kraftwagen sind

1. Flüchtigkeit,
2. Reinheit,
3. Verbrennung.

Die Flüchtigkeit erkennt man aus dem Siedeverhalten. Da die Siedelinien nicht anschaulich genug sind, so *Ostwald* für den praktischen Gebrauch die Kennziffer eingeführt, die die mittlere Siedetemperatur angibt. Man hält sie, indem man beim Destillieren die übergehenden Raumteile von 5 bis 95 vH in Abständen von je 10 vH vermerkt, die zugehörigen Temperaturen zusammenzählt und ihr Mittel bildet. Für die leichtesten Benzine ist die Kennziffer kleiner als 120° , für Benzol beträgt sie 100° , für gewöhnliches Kraftwagenbenzin bis 130° . Über 130° haben schwere Betriebstoffe.

Bei Siedelinien ist besonders die Steigerung anschaulich. Wenn sie zunimmt, so nimmt die Verbrennungsgeschwindigkeit ab. Am bedenklichsten sind im Sprünge in der Siedelinie; sie ergeben sich besonders unrichtigen Gemischen.

Die Reinheit eines Brennstoffes bezieht sich vor allem auf seine Neigung, zu verpichen oder zu verharren, und auf den Schwefelgehalt. Die Neigung zum Verpichen und Verharzen, die besonders an den Ventilen stört, erfährt man durch den Schwefelsäure-Test. Konzentrierte Schwefelsäure löst solche Stoffe auf, während sie reine Benzolkohlenwasserstoffe nicht angreift. Den Maßstab bildet die Gelbfärbung der Säure, wofür der Benzol-Verband eine Farbenreihe aufgestellt hat.

Der Schwefelgehalt von gut gereinigtem Benzol oder Benzin liegt unter 0,1 vH. Schwefel wirkt nur dann schädlich, wenn sich die bei der Verbrennung entstehende schweflige Säure zusammen mit Wasserdampf auf Metallen niederschlägt. Die schädliche Wirkung des Schwefels hängt also nicht unmittelbar mit seiner Menge zusammen, sondern noch mehr mit Temperatur und Geschwindigkeit der Verbrennung.

Die Art der Verbrennung wird in erster Linie durch den chemischen Aufbau bestimmt. Nachteilig sind Rußbildung und die Neigung zum Klopfen. Ruß bildet sich, wenn das Verhältnis Wasserstoff: Kohlenstoff abnimmt. Benzole rußen deshalb leichter als Benzine, in Mischung mit Benzin oder Alkohol nimmt aber auch bei Benzin die Neigung, zu rußen, ab. Praktisch rußfrei verbrennen sauerstoffhaltigen Kohlenwasserstoffe, wie Spiritus.

In bezug auf die Neigung zum Klopfen verhalten sich die Brennstoffe umgekehrt. Das wasserstoffarme und symmetrisch aufgebaute Benzol klopft weniger leicht als wasserstoffreiche Benzin. Ebenso ist die Neigung zum Klopfen gering bei Brennstoffen, die Sauerstoff enthalten. So wichtig gerade beim Klopfen der chemische Aufbau ist, gibt es doch kein Verfahren, um hier eine Norm zu schaffen. Entscheidend ist vielmehr der Versuch, besonders im Motor mit veränderlichem Verdichtungsgrad.

Der Krackprozeß

nahm in den Vorträgen einen breiten Raum ein, besonders nannte *Egloff* das Kracken eine „universelle Quelle für Motoren- und Flugzeugbetriebsstoffe“. Die Bedeutung des Verfahrens ist bekannt³⁾; seine Anwendbarkeit auf schwere Öle sowie auf bituminöse Schiefer, Asphalt, pflanzliche und tierische Öle usw. gestattet, es als das vielseitigste Verfahren zur Gewinnung von Betriebstoff zu bezeichnen.

Eine andre Frage aber ist die der Ausbeute und Kosten. Immer handelt es sich darum, aus hochmolekularen Verbindungen durch thermische Zersetzung niedermolekulare, einfachere Kohlenwasserstoffe zu gewinnen. Das ist aber nur möglich, wenn ein Teil des Öles bei der Zersetzung in Kohlenstoff und Wasserstoff oder einfach gasförmige Kohlenwasserstoffe übergeht. Gewiß gibt es für Wasserstoff sehr viele Verwendungen. Trotzdem scheidet über den Krackprozeß technisch und wirtschaftlich die chemische Bilanz, d. h. Art und Menge aller gewonnenen Stoffe. Über diesen Punkt gingen aber Redner leicht hinweg. Sie betonten die Ausbeute und Güte der gewonnenen Leichtöle ohne mitzuteilen, mit welchen Opfern dies erreicht wird. [M 267.]

³⁾ Z. Bd. 69 (1925) S. 759.

R U N D S C H A U

Holzbearbeitung

Neuere Forschungen

In den letzten Jahren ist im Versuchsfeld für Werkzeugmaschinen und Fertigungsverfahren der Technischen Hochschule Dresden, dem auch eine Abteilung für Holzbearbeitung angegliedert ist, eine Reihe wertvoller Untersuchungen geführt worden, über die Prof. Dr.-Ing. E. Sachsenberg in der Zeitschrift „Maschinenbau“⁽¹⁾ ausführlich berichtet. Die meisten beziehen sich zunächst auf Sägen, Bohren, Langfräsen, Hobeln und Stanzen. Eine der größten Schwierigkeiten für die Durchführung einwandfreier Versuche lag in der Eigenart des Werkstoffes an sich. Das Holz als gesunder organischer Werkstoff weist Ungleichmäßigkeiten des Gefüges auf, die nicht nur zwischen Brettern aus verschiedenen Stämmen, sondern ebenso sehr zwischen den verschiedenen Teilen des gleichen Stammes bestehen. Der Einhalt dieser Einflüsse, die u. a. bedingt sind durch Alter, Wachstumsgeschwindigkeit, Fällzeit usw., wurde besondere Aufmerksamkeit gewidmet. Mittels Tiefbohrungen, unter gleichen Bedingungen an verschiedenen Stellen des Stammes vorgenommen wurden, wurden Mittelwerte für den Werkstoff-Kennzahlen festgestellt.

Sägen

Von allgemeiner Bedeutung für die Holzbearbeitung sind die Untersuchungen an Kreissägen⁽²⁾ bezüglich der Ausbildung der Schneide, Schränkung und Schnittgeschwindigkeiten. Für die Zahnform ergeben sich die günstigsten Verhältnisse bei einem Rückenwinkel von 15°, möglichst spitzem Schneidenwinkel und einem Anstragwinkel von etwa 45°. Mit Rücksicht auf die Widerstandsfähigkeit der Zähne kann man Schneidenwinkel und Anstragwinkel nicht beliebig verringern. Für die Schränkung zeigten die Versuche die niedrigste Leistungsaufnahme für sämtliche Hölzer und Feuchtigkeitsgrade bei 1 mm, mit dem Unterschied, daß dabei die Leistungsaufnahme für das feuchte Holz etwas höher lag. Die Versuche über die Schnittgeschwindigkeit zeigten die Abhängigkeit zwischen Leistungsaufnahme und Vorschubkraft.

Bohren

Bei den Bohrversuchen⁽³⁾ wurde besonders eingehend der Zentrumborher untersucht. Bei dieser Bohrerart lassen sich konstruktive Änderungen vornehmen, die in der Auswirkung auch Rückschlüsse auf andere Bohrerarten gestatten. Für die Versuche wurden der Bohrdruck mit 2 kg und die Drehzahl mit 3600 U/min unverändert gehalten; gemessen wurde die Änderung des Vorschubes in Abhängigkeit von der Lochtiefe. Von ausschlaggebender Bedeutung ist die Spanabführung. In der Praxis ist es üblich, den Bohrer nach einer gewissen Lochtiefe wieder auszuwechseln, um die Späne aus der Bohrung abzuführen und wieder einzusetzen. Richtig ist, den Bohrer so zu entnehmen, daß eine reibungslose und genügende Spanabführung gewährleistet ist. Die Frage der Spanabführung ist für den Zentrumborher am günstigsten gelöst.

Bei geringen Bohrdrücken ist eine Staffelung der Drehmomentenlinie entsprechend der Härte der Holzart zu beobachten. Will man wirtschaftlich arbeiten, so ist es erforderlich, den Bohrdruck dem vorliegenden Werkstoff entsprechend zu wählen. Die größte Wirtschaftlichkeit ist auch in dieser Beziehung dem Zentrumborher zuzurechnen. Nach den Versuchen kommt der Spiralborher der Holzbearbeitung weniger in Frage. Wahrscheinlich ist aber durch konstruktive, dem Wesen der Holzbearbeitung angepaßte Änderungen auch mit dem Spiralborher eine bessere Wirtschaftlichkeit erreichbar. Hier sei nur das Hinterschleifen der Schneide erwähnt. Bei der Feststellung des Einflusses des Bohrerdruckmessers auf Drehmoment und Vorschubgeschwindigkeit ergab sich ein fast linearer Verlauf der Drehmomentenlinie.

In gleicher Weise wurde die Ausbildung des Rückenwinkels an Bohrern untersucht. Ein ganz charakteristischer Bestwert ergab sich für den Rückenwinkel,

und zwar in Abhängigkeit von der Holzart. Für Fichte lag dieser Wert z. B. bei 25°, für die meisten andern Hölzer um 40°. Für den Schneidenwinkel kann man ohne Bedenken in fast allen Fällen mit dem Winkel von 20° wirtschaftlich arbeiten.

Eine weitere Versuchsreihe diente der Untersuchung des Bohrens von Sperrholz⁽⁴⁾. Ein wirtschaftliches Arbeiten zur besten Ausnutzung der zugeführten Leistung würde Bohrdrücke von rd. 20 kg erfordern. Das bringt aber einen Nachteil in bezug auf die Güte der Bohrung mit sich. Die mit höheren Bohrdrücken erreichbaren größeren Vorschubgeschwindigkeiten bewirken beim Durchschnitt des Bohrers durch die Platte ein Aussplittern an der Unterseite. Um glatte Löcher zu erhalten, müßte man also den Bohrdruck kurz vor dem Durchschnitt des Bohrers vermindern. Besonders sind auch die Wirkungen der Leimschichten zu beachten. Bereits nach verhältnismäßig wenig Bohrungen zeigte sich eine starke Abnutzung der Bohrerschneide. Für Sperrholzbohrungen kommt daher nur ein ausgezeichneter Werkzeugstahl in Frage, andererseits ist eine Bohrerform geeignet, die sich leicht und genau nacharbeiten läßt.

Fräsen

Das Langlochfräsen⁽⁵⁾ wird besonders in der Bau- und Möbeltischlerei benutzt. Untersucht wurde das Verhalten von Fräsern mit ein, zwei und drei Schneiden. Der einschneidige Fräser erzielte für sämtliche Durchmesser bei kleinstem Drehmoment die größten Vorschübe auf eine Umdrehung. Der für die Spanabführung vorhandene Querschnitt ist ebenfalls beim einschneidigen Fräser am günstigsten und nimmt über den zweischneidigen nach dem dreischneidigen Fräser hin ab. Eine nicht zu kleine Schnitttiefe ist besonders auch in Hinsicht auf die Güte der Arbeit von Vorteil; es hat sich gezeigt, daß das Verlaufen des Fräasers durch Anwendung größerer Schnitttiefen verhindert wird. Der zweischneidige Fräser ist zwar in der Leistung dem einschneidigen unterlegen, doch scheidet letzterer seiner ungenauen Arbeit wegen aus. Der dreischneidige Fräser ergibt wohl für Durchmesser über 15 mm höhere Spanleistung, verbraucht aber auch entsprechend mehr Energie.

Hobeln

Die Hobelversuche⁽⁶⁾ wurden auf einer Abrichtobelmaschine durchgeführt, um Vorschubkraft und Auflagerdruck genau messen zu können; gearbeitet wurde mit drei verschiedenen Formen von Messerwellen. Wenn auch die Versuche zeigten, daß Hobelleistung und Vorschubkraft mit kleinerem Zuschärfungswinkel geringer werden, so kann man doch praktisch Winkel unter 35 bis 40° nicht anwenden, solange kein Werkzeugstahl vorliegt, dessen Schneidhaltigkeit auch für kleinere Winkel noch zufriedenstellend ist. Mit einer Zunahme der Schnittgeschwindigkeit ist eine Senkung des Leistungsbedarfes und der Vorschubkraft verbunden, die bei kleinen Schnitttiefen beträchtlicher ist als bei großen. Die Anwendung hoher Vorschubgeschwindigkeiten hat hohe Schnittgeschwindigkeiten oder größere Messerzahl zur Voraussetzung; einfacher ist es, die Schnittgeschwindigkeit zu erhöhen; denn eine größere Zahl von Messern wirklich genau einzustellen, stößt auf erhebliche Schwierigkeiten.

Stanzen von Sperrholz

Zum Schluß sei noch eine Untersuchung aus dem Gebiet der spanlosen Formung erwähnt, die sich auf das Stanzen von Span- und Sperrholzplatten⁽⁷⁾ bezieht. Stanzwerkzeuge, wie sie in der Metallbearbeitung Verwendung finden, zeigten sich ungeeignet, da die Werkzeugwinkel an der Schnittkante zum Aussplittern führten. Gute Erfolge ergaben sich mit einem Werkzeug⁽⁸⁾, bei dem die Schnittkante des Stempels einen Winkel von 75° erhielt, die Matrize einen Winkel von 30°. Die gesperrte Platte erforderte, wohl unter dem Einfluß der Leimschicht, höheren Schnittdruck als die Spanplatten von gleicher Dicke. [N 2481]

Hä.

¹⁾ Dr.-Ing. F. Hetzel: „Über die Bearbeitbarkeit von Spanholzplatten und Sperrholzplatten“, Berichte über betriebswissenschaftliche Arbeiten, Bd. 2, (im Druck). Berlin, VDI-Verlag.

²⁾ Dr.-Ing. G. Harnisch: „Untersuchungen über das Langlochfräsen in Holz unter besonderer Berücksichtigung des Vergleiches der gebräuchlichsten Fräserformen“, Berichte über betriebswissenschaftliche Arbeiten, Bd. 2, (im Druck). Berlin, VDI-Verlag.

³⁾ Dr.-Ing. K. Fobbe: „Untersuchungen über die bei Hobelmaschinen mit umlaufenden Messern auftretenden Komponenten“, Berichte über betriebswissenschaftliche Arbeiten, Bd. 2, (im Druck). Berlin, VDI-Verlag.

⁷⁾ DRP ang. H 110 771 XII 38 e.

⁴⁾ Bd. 7 (1928) S. 1094.

⁵⁾ Vergl. Ausgewählte Arbeiten des Lehrstuhls für Betriebswissenschaften der Technischen Hochschule Dresden, herausgegeben von Prof. Dr. E. Sachsenberg 3. Band: „Untersuchungen über die den Zernungsvorgang mittels Holzkreissägen beeinflussenden Faktoren“, von Dr. Max Meyer, Berlin 1926, Julius Springer.

⁶⁾ Ebenda Band 4, Dr.-Ing. W. Osenberg, „Untersuchung über die den Zernungsvorgang mittels Holzbohrern beeinflussenden Faktoren“, Berlin 1927, Julius Springer.

Eisenbahnwesen

Selbsttätige optische Zugsicherung

Grundzüge der Zugsicherung — Beschreibung des Sendegerät und Empfangsgerätes — Geschwindigkeitsbegrenzung des fahrenden Zuges mit Hilfe der optischen Signalübertragung — Betriebserfahrungen — Weitere Anwendungsgebiete.

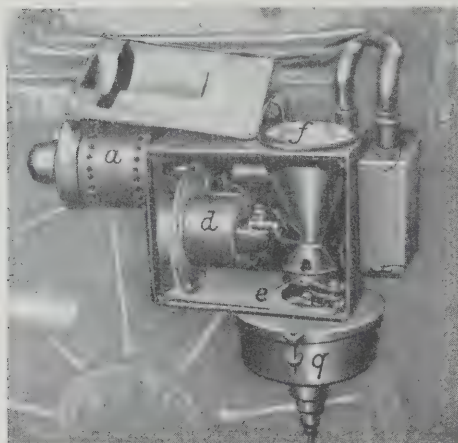


Abb. 1 und 2
Sendegerät für optische Signalübertragung; links mit abgehobenem Deckel.

a Scheinwerferlampe
d Motor mit Lochscheibe
e Selenzelle
f Linse
q Tachometer



Die zur selbsttätigen Zugsicherung vor Haltsignalen erforderliche Übertragung der Signalstellung (Warnstellung des Vorsignals) auf die fahrende Lokomotive verlangt auf Fernstrecken aus Gründen der Zuverlässigkeit eine Übertragungsform, die, wie z. B. die Fernwirkungen des elektromagnetischen Feldes, nicht an stoffliche Leitungen gebunden ist. In den letzten Jahren haben auch optische Vorgänge mehr und mehr Beachtung für diese Zwecke gefunden. In Deutschland wird das Verfahren von Reichsbahnrat Dr.-Ing. W. Bäseler, München, zur optischen Signalübertragung seit etwa zwei Jahren im Betrieb erprobt.

Bei diesem Verfahren befindet sich, um die Anlage von Kraftquellen auf der Strecke als Ursachen häufiger Störungen zu vermeiden, die Kraftquelle auf der Lokomotive, und zwar besteht sie in einem Scheinwerfer, der einen Lichtkegel nach oben strahlt. Raumspiegel (drei unter 90° fest zusammengefügte spiegelnde Flächen), die weitgehend unabhängig von ihrer Lage einen auftreffenden Lichtstrahl stets in seine Ausgangsrichtung zurückwerfen, sind an den Signalmasten so angeordnet, daß sie beim Vorüberfahren der Lokomotive vom Lichtkegel des Scheinwerfers getroffen werden und dabei einen Lichtstrahl in die Einfallsrichtung zurückwerfen. Dieser trifft eine Selenzelle und ruft einen Stromstoß in dem Empfänger auf der Lokomotive hervor. Im einzelnen ist die Anordnung in der neuesten Ausführung folgende: Das auf der Lokomotive befindliche

Sende- und Empfangsgerät,

Abb. 1 bis 4, besteht aus einem wagerechten Scheinwerfer a, der einen Lichtstrahl auf den Prismenspiegel b wirft. Auf seinem Wege nach b wird der ursprünglich ununterbrochene Strahl mittels einer Lochscheibe c, die von einem Motor d mit gleichbleibender Drehzahl angetrieben wird, in einzelne mit bestimmter Geschwindigkeit aufeinanderfolgende Lichtstöße zerlegt. Die Notwendigkeit hierzu ergibt sich aus der Gefahr, daß fremde Lichtquellen in den Empfänger eindringen und eine unbeabsichtigte Beeinflussung der Selenzelle hervorrufen könnten. Zwar kann man dem Eindringen der Sonnenstrahlen dadurch vorbeugen, daß man die Streckenspiegel steiler anordnet, als dem höchsten Stande, der Sonne entspricht. Indessen besteht die Gefahr, daß beleuchtete Wolken ungewollte Beeinflussungen hervorbringen. Man ist daher gezwungen, dem Scheinwerferlicht der optischen Signalübertragung eine besondere Eigenschaft zu verleihen, die hier in der Zerlegung des ununterbrochenen Strahles mittels der Lochscheibe in etwa 1000 Lichtstöße in 1 s besteht. Im einzelnen wird die Schaltung der Zelle so abgeglichen, daß die Einwirkung ruhenden oder in der Anzahl der Stöße wesentlich abweichenden Lichtes ausgeschlossen ist. Vom Prismenspiegel wird der Lichtstrahl der Scheinwerferlampe durch die Linse f nach oben geworfen, wo er den am Signalmast angeordneten Spiegel g trifft. Abb. 5 zeigt den aus drei Spiegelflächen bestehenden Raum- oder Tripelspiegel, die miteinander ein Würfeck bilden, von dem dem Gleis zugekehrten Seite her.

Neuerdings stellt man diese Spiegel aus einem massiven Glasblock durch Anschleifen der Flächen her. Gibt man einer der Flächen eine ein wenig andere Neigung als 90° , wird der auftreffende Lichtstrahl nicht genau in die Ausgangsrichtung zurückgeworfen, sondern es entstehen zwei Lichtpunkte (Bilder des Glühdrahts der Scheinwerferlampe), die auf einem Kreis um den Ausgangspunkt liegen. Man benutzt vorläufig praktisch nur einen dieser Lichtpunkte. Der zurückgeworfene Lichtstrahl fällt also bei dem Spiegelart etwas seitlich vom Ausgangspunkt, d. h. am Rande der Linse f auf, von wo er durch Linsen f_1 und entsprechend abgelenkt auf die lichtempfindliche Selenzelle e geworfen wird. Den Zeiss-Werken in Jena ist gelungen, die Trägheit der Zelle außerordentlich zu verringern.

Der Eigenschaft des Selen entsprechend, seinen optischen Widerstand mit der Lichtstärke zu verändern, bewirkt, daß die Zelle treffende Lichtstrahl einen Stromstoß, der durch die Verstärker h den Anker des unter Ruhestrom stehenden Relais i auslöst und hierdurch den Bremsmagnet k Strom macht; dieser steuert das Ventil l in der Bremsleitung und ruft dadurch Schnellbremsung hervor. Gleichzeitig erleuchtet die Kontrolllampe m, die Lampe n leuchtet auf und ein Zählwerk o zeigt die eingetretene Wirkung an. Die Bremsbereitschaft wird durch Betätigen eines Rückholknopfes p, nur bei stillstehender Lokomotive bedient werden kann, wieder hergestellt.

Verminderung der Zuggeschwindigkeit

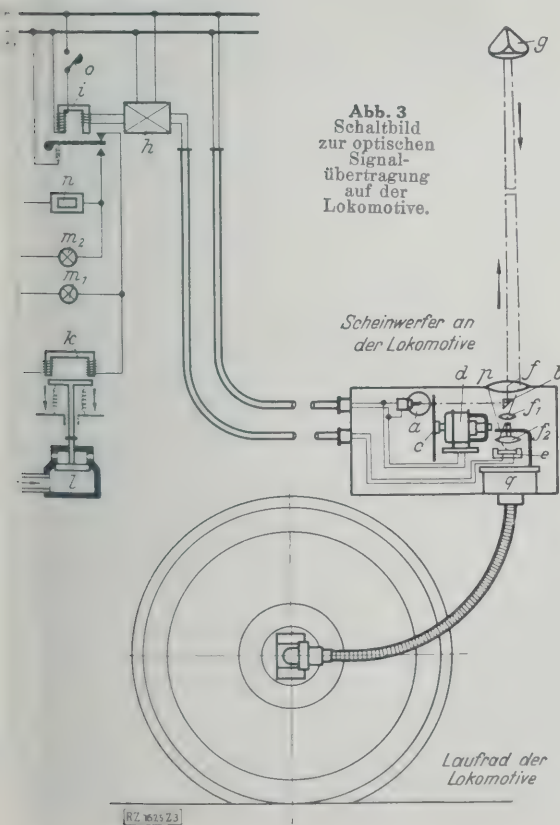
Die Einrichtung gestattet nun nicht nur den Zug gegebenenfalls zum Stehen zu bringen, sondern auch seine Geschwindigkeit innerhalb beliebiger Grenzen zu vermindern und zwar auf folgende Weise: Die Lage des vom Signalmast zurückgeworfenen Lichtpunktes ist von der Einstellung des Spiegels in der Grundrißebene abhängig. Durch man den Spiegel in dieser Ebene, so bewegt sich der zurückgeworfene Punkt auf einem Kreis um den Lichtausgangspunkt, dessen Durchmesser durch Spiegelschleif und Abstand des Spiegels von der Linse abhängig ist. Man kann also, wenn man dem Spiegel eine bestimmte Einstellung in der Grundrißebene gibt, einen bestimmten Punkt des Empfangsgerätes ansteuern. Legt man nun in den Strahlengang von der Lokomotive zur Selenzelle eine Blende p, s. Abb. 4, die von einem Geschwindigkeitsmesser gesteuert wird, so kann man leicht erreichen, daß der Weg von der Linse zur Selenzelle für den zurückgeworfenen Lichtstrahl dann gesperrt ist, wenn die Fahrtgeschwindigkeit unter einer bestimmten Grenze bleibt, während er bei höherer Geschwindigkeit freigegeben ist.

In der Fahrtrichtung mögen z. B. vor dem Hauptsignal in bestimmten Abständen mehrere Spiegel aufeinanderfolgend von denen jeder eine andere Einstellung in der Grundrißebene hat und daher eine andere Stelle des Empfangsgerätes trifft. Fährt die Lokomotive an dem ersten, z. B. auf 100 km/h Geschwindigkeit eingestellten, Spiegel mit einer geringeren Geschwindigkeit, z. B. 90 km/h, vorbei, so hat

den Beeinflussungspunkt abgedeckt, der Spiegel wirkungslos. Das gleiche gilt von dem zweiten Spiegel auf eine Grenzgeschwindigkeit von 75 km/h eingestellt sein soll, wenn die Fahrtgeschwindigkeit z. B. 50 km/h beträgt; wird dagegen der dritte Spiegel, der auf 50 km/h eingestellt sei, mit einer Fahrtgeschwindigkeit von 75 km/h überfahren, so hat die vom Geschwindigkeitsgesteuerte Blende den entsprechenden Einwirkungsstrahl noch nicht abgedeckt, s. Abb. 4, sie läßt also den Strahl zur Selenzelle gelangen, und es tritt Schnellbremsung ein.

Die Anordnung der Spiegel vor dem Hauptsignal und die Stellung ihrer jeweiligen Grenzgeschwindigkeit richtet sich nach dem gewollten Bremsverlauf (Bremsdiagramm) und erfolgt so, daß der Zug am Hauptsignal zum Stillstand kommt. Da aber nicht alle Züge das gleiche Bremsverhalten haben, geht man neuerdings dazu über, die Grenzgeschwindigkeit auf die Grundgeschwindigkeit des Zuges zu beziehen, was man dadurch erreicht, daß sich alle Züge in einem besonderen Spiegel ihr Bremsdiagramm durch entsprechende Verstellung des Antriebs für den Geschwindigkeitsmesser selbsttätig einstellen. Auf diese Weise wird vermieden, daß z. B. ein Güterzug mit einer Grundgeschwindigkeit von 50 km/h und einem Bremsweg von etwa 100 m, wie im obigen Beispiel, am dritten Spiegel erwidert.

Bei der Stellung der Signale auf „freie Fahrt“ sind die Signale abgedeckt. Neuerdings kommt man hiervon ab und die Spiegel bei Fahrtstellung in ihrer Grundrißebene über überall gleiche Grundstellung zurück. Dieser Grundriß entspricht überall der gleiche Empfängerpunkt, wenn hier eine weitere Selenzelle angeordnet wird, erreicht die Möglichkeit, alle Spiegel laufend zu registrieren und auf diese Weise die gesamte Sicherungsvorrichtung zu überwachen. Bei Übergang der Signale in die Fahrtstellung werden die Spiegel aus dieser Grundstellung in ihre jeweilige Einstellung in der Grundrißebene vorverrückt, was neuerdings auch auf elektrischem Wege erreicht soll. Für die genaue Anzielung des Empfängerpunktes ist von den sechs Möglichkeiten der Lagenänderung der Spiegel (drei Verschiebungen und drei Verdrehungen) nur die Verdrehung in der Wagerechten von nennenswertem Nutzen. Nach allen andern Richtungen hin kann der Spiegel strahlend verschoben werden, ohne daß die Lage des geworfenen Lichtpunktes sich ändert. Bei der Verdrehung in der Grundrißebene läßt sich im praktischen Betrieb leicht eine Genauigkeit auf einige Grad erzielen, die ausreicht.



Erfahrungen im Betriebe

Von den Witterungseinflüssen sind Schnee, Nebel und Regen unschädlich. Der Nebel wird in allen Fällen vom Lichtkegel durchdrungen, da man mit einem etwa 25fachen Lichtüberschuß arbeitet. Durch Anordnung von kurzen Schutzrohren nach unten und andere Maßnahmen konnte der Niederschlag von Tau und das Ansetzen von Rauheis, das anfänglich erhebliche Schwierigkeiten bereitete, verhindert werden. Dieser Punkt bedarf aber noch einer eingehenden betriebstechnischen Erprobung. Die Geschwindigkeitsbegrenzung läßt sich, wenn Scheinwerfer und Spiegel aufeinander geeicht sind, mit großer Genauigkeit, nämlich auf etwa 1 km/h, erreichen. Die Zuverlässigkeit des Verfahrens ist sehr groß; einige Versager bei den rd. 4500 Versuchen waren in keinem Fall einem grundsätzlichen Mangel des Verfahrens zuzuschreiben. Störende Verschmutzung der Spiegel war bisher nicht zu beobachten. Auch die Verqualmung der Lichtstrecke war nicht in der Lage, die Wirkung der Einrichtung aufzuheben.

Bemerkenswert erscheint die Möglichkeit, den Anwendungsbereich der optischen Zugsicherung zu erweitern. Wird nämlich noch eine zweite Spiegelart mit etwas anderem Schliff hinzugenommen, so liegen deren reflektierte Lichtpunkte auf einem zweiten (größeren oder kleineren) Kreis um den Lichtausgangspunkt und man erhält mittels verschiedener Spiegeleinstellungen eine Anzahl von Wirkungspunkten, bei denen nun wiederum einem jeden eine besondere Bedeutung zugesprochen werden kann. Auf diese Weise wäre es möglich, dem fahrenden Zug eine beliebige Anzahl häufiger vorkommender Aufträge zu übermitteln, wie z. B. die Erlaubnis zum Überfahren eines Haltsignals, Abweichungen von der Bahnhof-Fahrordnung, Durchfahrt bei bedarfsweise vorgesehenem Aufenthalt, Langsam-Fahrstrecken usw.

Das Kennzeichen der beschriebenen Sicherungseinrichtung in ihrer heutigen Form ist, daß sie dem Zug vor dem geschlossenen Hauptsignal einen Bremsverlauf aufzwingt, der sich erst dann durch eine Zwangsbremse bemerkbar macht, wenn er ihn durchbrechen will. Die Einrichtung stellt also zugleich eine dauernde Prüfung des Lokomotivführers dar, ohne ihn aber in der Führung des Zuges zu behindern.

Berlin

Dr. J. Hausen

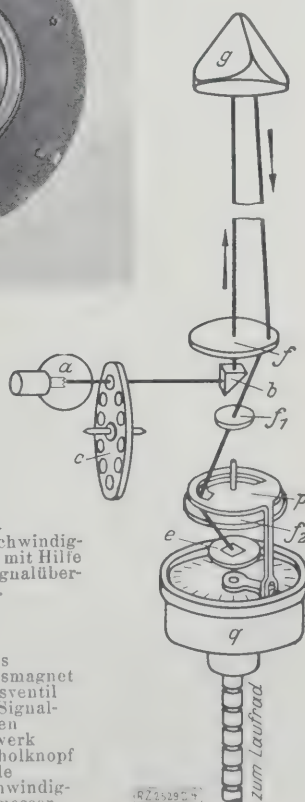


Abb. 5
Raumspiegel am Signalmast für optische Signalübertragung mit verstellbaren Flächen.

Abb. 4
Schema der Geschwindigkeitsbegrenzung mit Hilfe der optischen Signalübertragung.

Zu Abb. 3 und 4:

- | | |
|--|--|
| a Scheinwerferlampe | i Relais |
| b Prisma | k Bremsmagnet |
| c Lochscheibe | l Bremsventil |
| d Motor | m ₁ , m ₂ Signallampen |
| e Selenzelle | n Zählwerk |
| f ₁ , f ₂ Linsen | o Rückholknopf |
| g Raumspiegel am Signalmast | p Blende |
| h Verstärker | q Geschwindigkeitsmesser |



Landwirtschaft

Großfeldregner

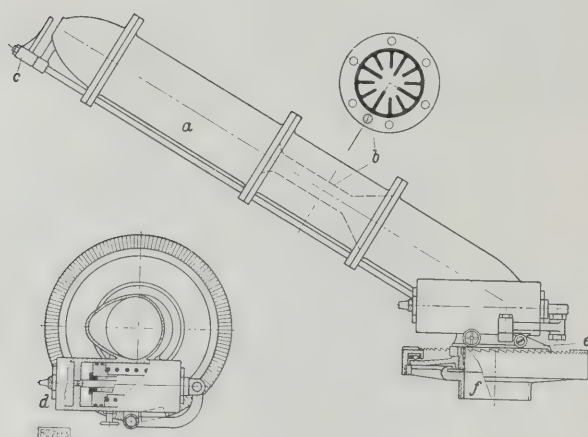


Abb. 6 bis 8
Hüdig-Großfeldregner.

a Düsenrohr
b Gleichrichter
c umlaufender Strahlverteiler
d Wassermotor
e Sperrklinke
f Schmutzsieb

Unter Verwertung von Versuchsergebnissen der Studiengesellschaft für Feldberegnung im Reichskuratorium für Technik in der Landwirtschaft hat die Firma Hüdig, Berlin, einen Regner für Großflächenberegnung konstruiert, Abb. 6 bis 8. Bemerkenswert ist vor allem die Form der Düse und der in das Düsenrohr *a* eingebaute Gleichrichter *b*. Um auf große Reichweiten zu kommen, ist außer der Gestaltung und Bemessung des Düsenrohres wesentlich, daß Drehung und Stillstand ständig abwechseln. Im Stillstand wird die größte Reichweite erzielt, während der Drehung dagegen das Wasser auf die Innenfläche verteilt, und zwar dadurch, daß hierbei der umlaufende Strahlverteiler *c* abwechselnd den Strahl freigibt oder in ihn eingreift und teilweise nach innen ableitet. Diese Vorrichtung ist einfach und sicher. Sie wird von dem Wassermotor¹⁾ mit angetrieben. Eine Sperrklinke *e* greift in einen feststehenden Zahnkranz ein und bewegt das Düsenrohr schrittweise vorwärts. Die Drehung kann verlangsamt und beschleunigt werden. Der Regner dreht sich auch bei hohem Druck leicht, da er auf Kugellagern läuft. Die Leistungen dieses Regners gehen aus der Zahlentafel 1 hervor.

Zahlentafel 1

Leistungen des Hüdig-Regners für 30 mm Düsenbohrung bei verschiedenen Drücken und Düsenbohrungen

Druck am Regner	3 at	4 at	5 at	6 at	7 at	8 at
Reichweite m	43	52	60	65	70	73
Fläche m ²	5800	8500	11 300	13 270	15 400	16 750
Wasserverbrauch m ³ /h	58,3	67,3	75,2	84,4	89	95,2
1/s	16,2	18,7	20,9	22,8	24,7	27,4
Niederschlag... mm/h	10	7,95	6,65	6,2	5,75	5,70

[M 2665]

¹⁾ Z. Bd. 73 (1929) Nr. 4, S. 113/14*, vergl. a. Nr. 8, S. 269.

Anstrichtechnik

Anstrichchemie und Anstrichtechnik

Auf Anregung des Fachausschusses für Anstrichtechnik im Verein deutscher Ingenieure fand am 18. und 19. Februar 1929 gemeinsam mit dem Polytechnischen Verein in Bayern und anderen Verbänden die 4. Farbentagung in München statt. In mehr als 30 Vorträgen kamen die Vertreter von Kunst und Wissenschaft, von Industrie und Handwerk zu Wort. In den Sitzungen waren etwa 750 Teilnehmer anwesend. Hier soll aus den Vorträgen berichtet werden, was auch für den Ingenieur bemerkenswert ist.

Allgemeine Werkstofffragen und Normung

Die Anforderungen, die an die Mal- und Anstrichstoffe gestellt werden, brachten Prof. Doerner, München, als Vertreter der Künstlerschaft und Oberstudiendirektor Rückert, München, als Vertreter des Malerhandwerks in beredten Worten zum Ausdruck. Auch der Vortrag von K. Wehlte,

Dresden, über „Lehr- und Forschungstätigkeit auf dem Gebiet der Künstlerfarben“ behandelte einschlägige Fragen. fordert werden einheitliche Bezeichnungen und Benennungen, eine zweckmäßige Normung der Werkstoffe und Führung der Werkstoffkunde. Die Baumaier fordern vor allem auch Erforschung des Verhaltens der Putzgründe und Anziehung sachverständiger Meister beim Aufstellen Baubeschreibungen. Die Frage der Normung der Mal- und Strichstoffe berührte Dir. Trillich, München, in einem gemeinen Überblick über das Gesamtgebiet und wie allem auf die wesentliche Änderung der Grundsätze hin bisher für das von ihm herausgegebene Farbenbuch hinsichtlich der Reinheitsbezeichnung galten und nun nur für Künstlerfarben beibehalten werden sollen.

Dr. Würth, Schlebusch, behandelte die Normung Mal- und Anstrichstoffe als Frage des Werkstoffs. Die Strichstoffe werden vielfach noch nicht als die edlen Werkstoffe betrachtet, die sie in der Tat sind und sein können. Nicht nur der Maler, sondern auch Architekt und Ingenieur müssen sich mit ihnen befassen.

Dr. Gademann, Schweinfurt, der einen Überblick über die Anstrichstoffe vom Standpunkt des Herstellers brachte und vor allem über die wirtschaftlichen Verhältnisse in dieser Industrie und deren Bedeutung berichtete, wies auf die Normungsbestrebungen des von ihm vertretenen Verbandes hin, der sich für seine Mitglieder ein Zeichen V. D. F.-Buntnorm schützen ließ. Im übrigen warnt er vor privaten Normbestrebungen.

Über allgemeine wissenschaftliche Fragen auf dem Gebiet der Mal- und Anstrichstoffe gab Prof. Dr. Eibner, München, ein übersichtliches Bild; er berichtete über Untersuchungsmethoden und die bestehenden Schwierigkeiten.

Farbuntersuchung und Messung

Die Frage der Farbmessung und Farbordnung wurde in Vorträgen von Prof. Krüger, Dresden, von Baumeier, Aue, und vor allem auch sehr eingehend in der Diskussion behandelt. Krüger sprach besonders über die Weiterentwicklung der Ostwaldschen Farbordnung sowohl in wissenschaftlicher Richtung, als auch als Hilfsmittel in der Praxis.

Binde- und Streichmittel

Prof. Dr. Ivanov, Moskau, berichtete über sein Studium der Faktoren der Ölbildung in den Pflanzen. Er brachte eine wissenschaftliche Begründung der Erscheinung, daß z. B. Leinöl aus verschiedenen Gegenden verschiedene Eigenschaften hat, weil die Bildung des einen oder anderen Ölbestandteils vom Klima abhängig ist. Er verursachte starke Schwankungen zwischen Tag- und Nachttemperatur eine stärkere Bildung von Linol- und Linolsäuren. Die Ölbildung in der Pflanzenwelt ist nur durch Gemeinschaftsarbeit zu erforschen.

Prof. Dr. Steger, Delft, berichtete über die Unvollständigkeit der bisherigen Ölanalyse. Die Bestimmung der Jodzahl des Holzöls nach Wjsscher Vorschrift ergibt niedrige Werte (160 bis 170); größerer Überschuß in Wjsschen Lösung und Verlängerung der Zeit der Jodwirkung gibt wesentlich höhere Werte (bis 224). Bei Leinöl wurde bei gewöhnlicher Kontaktdauer von 2½ h mit wechselnden Überschüssen an Wjsscher Lösung gearbeitet, festgestellt, daß die wahre Jodzahl erst bei 100 vH Ölüberschuß erreicht wird. Bei älterem Leinöl wurde unter gleichen Bedingungen ein Unterschied zwischen wahren und scheinbarer Jodzahl gefunden.

Über die Ölforschung sprach auch Prof. Dr. Eibner, München, und zwar besonders über den Trockenvorgang. Alle jungen Ölfilme sind mehr oder weniger scheinbar trockene Gebilde. Der Trockenvorgang kann nur unter Berücksichtigung der kolloiden Natur der entstehenden Endstoffe erforscht werden. Holzölfilme haben im Gegensatz zu Leinölfilmen die Eigenschaft der Frühschwundbildung, jedoch ist die sogenannte Holzölerscheinung (Eisblumenbildung in Holzölfilmen) auch bei einem Leinölbestandteil, einem isolierten Glycerid, festgestellt worden.

Über Wachs in der Malerei und Anstrichtechnik machte Prof. Dr. Täuber, Berlin, beachtenswerte Mitteilungen. Wachs wurde seit Jahrtausenden in der Mal- und Anstrichtechnik verwendet. Die Funde aus früheren Zeiten sprechen sicherer Beweis für die Brauchbarkeit in jetziger Zeit. Prof. Urban hat die Eignung für Tafelmateriale nachgewiesen. Das Verhalten von Malereien im Freien jedoch nicht geprüft. Versuche ergaben, daß dünne Wachsschichten wasserundurchlässig sind, nicht aber dicke Schichten. Diese trennten sich jedoch nach längerer Zeit von der Glasunterlage, was die Wirkung von Alkali zurückgeführt wurde. Harzzusatz scheint die Schutzwirkung gegen Wasser zu erhöhen, und Fette setzen sie herab. Punisches Wachs unterscheidet sich von gewöhnlichem Wachs in der Wasserdurchlässigkeit nicht. Auch der Schmelzpunkt ist nur wenig höher.

Nitrolacke

In jetziger Zeit besonders wichtigen Nitrolacke Gegenstand des Vortrages von Dr. Wolff, Berlin. Bei der Lackierung hat sich gezeigt, daß die Unterschiede bei verschiedenen Nitrozelluloselacken viel größer sind als bei Öllacken. Während Öllacke für innen immer noch eine gute Wetterbeständigkeit haben, ist dies bei Nitrolacken nicht der Fall. Die Spezialisierung muß infolge dessen bei den Nitrolacken viel größer sein. Auch die Abhängigkeit von der Holzart ist größer. Grundierung mit Nitrolack ist nicht ausschlaggebend für die Haltbarkeit, kann unter Umständen sogar ungünstig wirken. Auch bei Lackierung von Metall sind die Grenzen der Brauchbarkeit bei Nitrolacken enger.

Farbstoffe

Über die technische Herstellung der Lithopone und deren Verwendung als Anstrichstoff sprach Prof. Dr. Maas. Lithopone hat durch Vereinheitlichung des Herstellungsverfahrens eine wesentliche Verbesserung erfahren. Sie sind mit einem geeigneten Bindemittel angerieben, eine brauchbare Malerfarbe, die man auch für Außenarbeiten verwenden kann. Man kann sie aber nicht als Schutzfarbe bezeichnen. Die nicht völlig befriedigende Wetterbeständigkeit ist auf mangelnde Verseifungsfähigkeit zurückzuführen. Versuche, die Wetterbeständigkeit zu erhöhen, sind im Gange.

Dr. Wagner, Stuttgart, untersuchte im Auftrag des Vereins deutscher Farbenfabriken die Wirkung der Substanzen auf Buntfarben. Verglichen wurden Kreide, Leinwand und Spat. Kreide wirkt auf die Lichtechtheit ähnlich wie Anstrichweiß. Die Härte der Anstriche ist von der Art der Substanzen abhängig; der Unterschied in der Härte zwischen belichteten und unbelichteten Anstrichen ist bei allen Substanzen und Farbstoffmischungen annähernd gleich. Die Bildung der Seifenbildung bei Kreide ist noch unentschieden. Anstriche sind wasseranziehender als solche mit Spat.

Über Mennige fragen sprach Dr. Bolte, Düsseldorf, und wies darauf hin, daß es noch unentschieden ist, ob ein hoher Superoxydgehalt vorteilhafter ist als ein niedriger Bleioxydgehalt, der eine stärkere Verseifung gewährt. Über chemische und physikalische Eigenschaften von Anstrichweiß in bezug auf sein anstrichtechnisches Verhalten sprach Dr. Kamp, München. Nach seinen Versuchen ist kurzweiliges Licht in der Lage, Wasser in Wasserstoffperoxyd umzuwandeln, wodurch vielleicht gewisse Verwitterungserscheinungen bei Zinkweiß-Außenanstrichen entstehen. Untersuchungen ergaben, daß durch Änderung der Struktur der Ölbedarfe bei gleicher Teilchengröße beeinflusst werden kann.

Anstriche

Über Versuche zur Untersuchung des Einflusses der Farbstoffe auf die technologischen Eigenschaften der Farben und auf die Anstriche, machte Prof. Schob, Berlin, interessante Mitteilungen. Es wurden Anstriche aus Leinwand und Holzölzerzeugnissen mit basischen und indifferenten Farbstoffen geprüft. Auch Dr. Blom, Zürich, hat Untersuchungen über Festigkeitseigenschaften von

Anstrichen ausgeführt. Nach gewissen Zeiten läßt sich jeweils feststellen, ob ein Anstrich plastisch, zäh oder spröde geworden oder ob er unverändert geblieben ist. Die Messung der Festigkeit wird ergänzt durch Studium der Bruchfiguren. Der alte Lackierergrundsatz „unten mager, oben fett“ findet seine wissenschaftliche Begründung und wird für Metallanstriche erweitert zu dem Prinzip der zunehmenden Elastizität von unten nach oben.

Dr. Seufert, München, spricht zusammenfassend über Rostschutzanstriche, schildert ihre wirtschaftliche Bedeutung auf Grund von statistischen Angaben der Reichsbahn, der Post und der Schifffahrt, die Grundlagen für die Herstellung von Rostschutzfarben, die Vorgänge beim Trocknen und schließlich die Zerstörungserscheinungen der Anstriche.

Die Beeinflussung des Wirkungsgrades von Heizkörpern durch Anstriche wurde von Dr. Werner, Wiesbaden, untersucht und hat die Ergebnisse älterer deutscher Messungen, wonach alle Mineralfarbenanstriche praktisch „schwarz strahlen“, nicht aber die abweichenden Angaben von Gardner, bestätigt gefunden. Bronzefarbenanstriche strahlen von allen Anstrichen am wenigsten. Die Veränderung des Farbtons bei Heizkörperanstrichen ist eine Bindemittelfrage, die noch ungeklärt ist.

Anstrichtechnik

Die Entwicklung der Anstrichtechnik ist durch die Anwendung des Spritzverfahrens und der rasch trocknenden Nitrolacke gekennzeichnet. Dr.-Ing. Nettmann, Berlin, gab einen allgemeinen Überblick über die Beziehungen des Ingenieurs zur Anstrichtechnik, und in einem besonderen Vortrag berichtete er über seine Untersuchungen auf dem Gebiet der Spritztechnik, wobei für den Ingenieur besonders die Frage der zweckmäßigen Formgebung und die Vorbereitung der aufzunehmenden Fläche für den Anstrich bemerkenswert sind. Seine im Auftrag des Fachausschusses für Anstrichtechnik im Verein deutscher Ingenieure gemachten Untersuchungen beziehen sich u. a. auf Leistung, Werkstoff- und Luftverbrauch und Nebelbildung bei den verschiedenen Spritzpistolen. Er macht beachtenswerte Vorschläge zur Beseitigung der Unsicherheit beim Vergleich zwischen Wetterprüfung und Kurzprüfung. Die Bedeutung der Luft als Mal-, Trocknungs- und Zerstäubungsmittel schildert Krautzberger, Leipzig-Holzhausen, und vergleicht die Spritz- und die Pinseltechnik.

Maltechnik

Auf reichliches Anschauungsmaterial gestützt, machte Prof. Urban, München, Mitteilungen über seine Versuche über Öl- und Leimgrund in der Ölmalerei, die sich auf einen Zeitraum von über 30 Jahren erstrecken. Er zeigte, daß besonders hergestellter Leimgrund notwendig ist, wenn Bilder ihre ursprüngliche Frische und Farbtonung behalten sollen, und weist auch auf seine Arbeiten in Enkaustiktechnik hin. Der Umstand, daß Freskomalerei am ehesten befähigt ist, sich der neuzeitlichen Bauweise anzupassen, veranlaßte Prof. Miller, München, zu einem Bericht über Technik und Material beim Fresko.

Schlebusch (Rheinl.)

Dr. K. Würth

Kleine Mitteilungen

Der Kessel für das Hell Gate-Kraftwerk
Für das Hell Gate-Kraftwerk der United Light & Power Co. in New York City, sind bei Babcock & Wilcox zwei neue Kessel in Auftrag gegeben worden, die im August 1930 fertig sein sollen. Die Kessel sollen mit Überhitzern, Wasserpumpen und Luftvorwärmern ausgerüstet werden und sollen kürzlich aufgestellten 160 000 kW-Turbodynamomaschinen angeschlossen werden. Die Kessel sollen einen Dampf von 19,3 at und 385 ° C liefern. Die höchste Leistung eines dieser Kessel wird 362 t/h betragen. Die Kessel erhalten vollständige Wasserkühlung und werden mit Kohlenstaub betrieben. Für jeden Kessel sind zwei Brenner und vier Kohlenmühlen vorgesehen. Der Dampfverbrauch eines Kessels bei ununterbrochenem Betrieb und höchster Belastung beträgt rd. 40 t/h. („Power“ April 1929 S. 649) [N 2986 a] Le.

Wasserkraftwerk bei Bombay
Die jährlichen Monsunregenfälle in Indien wird man in Tale Gath zur Kraftversorgung von Bombay und Umgebung zunutzen machen. Die Tata Power Company hat den Bau einer großen Wasserkraftanlage von rd. 100 PS, deren erster Entwurf bereits aus dem Jahre 1919 stammt, vor zwei Jahren begonnen. Ein 460 Mill. m³ fassendes Speicherbecken wird von einer aus Blöcken gemauerten Staumauer von 45 m Höhe und

1100 m Länge begrenzt; am Nordende befindet sich außerdem ein Notwehr, das während der Monsunzeit in Tätigkeit tritt. Das Wasser gelangt durch drei Schützen in einen 4½ km langen Stollen und von da aus durch fünf größtenteils geschweißte Rohre von rd. 1,3 m Dmr. und 2100 m Länge zum Krafthaus. Hier dient es zum Antrieb von sechs Freistrahlturbinen von je 17 500 kW bei 11 000 V. Der Strom wird auf 110 kV umgespannt und zum 128 km entfernten liegenden Unterwerk in Bombay geleitet. Die so erzeugte und übertragene Kraft dient zum Antrieb von Eisenbahnen, Mühlen und zu andern Gebrauchszwecken. („Engineering“ 19. April 1929 S. 487/88*) [N 2986 b] Bl.

Das Hochspannungsnetz in England

Das elektrische Leitungsnetz zur Stromversorgung Englands wird Drehstrom von 132 kV \pm 5 vH bei 50 Hertz übertragen. Die 19,5 mm dicken Hauptleitungen werden für 50 000 kVA bemessen; sie bestehen aus Stahlaluminiumseilen mit 30 Aluminiumdrähten von je 2,8 mm Dmr. und 7 Stahl- drähten gleichen Durchmessers. Die einzelnen Haspel werden in Längen von 1610 m angeliefert, man ist aber bestrebt, die Verbindungsstellen möglichst an die Abspannmaste zu legen. An den Verbindungsstellen, die 95 vH der Festigkeit der Leitung haben sollen, werden die Stahlseile und die Aluminiumleitungen je für sich miteinander verbunden.

Die einpoligen Ölschalter haben Löschkammern und mehrfache Unterbrechung. Sie werden zu je dreien zusammengebaut und mit der Hand betätigt, sind aber für späteren Anbau elektrischer Fernsteuerung eingerichtet. („Engineering“ 26. April 1929 S. 515*) [N 2986 c] Pa.

Schweißen der Tragkonstruktion eines vierstöckigen Geschäftshauses

Beim Bau des Carnegie-Gebäudes in Cleveland, Ohio, wurden alle Verbindungen der tragenden Teile mittels Lichtbogens geschweißt. Im Gegensatz zu der üblichen Anordnung bei Nietverbindungen hat man die Deckenträger durchgehend ausgeführt und nur in der Mitte des Gebäudes Trennfugen angeordnet, während die senkrechten Stützen aus einzelnen Stücken von Stockwerkhöhe bestehen, die im untersten Stockwerk entsprechend der größten Last mit 254 mm Profilhöhe am dicksten sind und von Stockwerk zu Stockwerk geringere Abmessungen haben. Stützen und Träger wurden mittels Winkelleisen verschweißt, während die Fugen zwischen den beiden Trägereiten in der Mitte des Gebäudes mittels vier an den Innenseiten der I-Trägerflansche aufliegender Bänder verschweißt wurden. Die Verbindungen weisen vielfache Sicherheit auf.

Das Gebäude ist 36,2 m lang und 18,2 m breit. Die Stützen lassen einen lichten Raum von rd. $5,1 \times 5,1 \text{ m}^2$ frei. Damit erforderlichenfalls durch Wegnahme jeder zweiten Stütze im untersten Stockwerk eine freie Länge der einzelnen Räume von 10,2 m geschaffen werden kann, hat man für die darüber liegenden Deckenträger ein I-Profil von 910 mm Höhe gegenüber dem normalen von 350 mm gewählt. (Engineering News-Record 18. April 1929 S. 618/21*) [N 2986 d] Sd.

Große Luftschiffhalle in den Vereinigten Staaten von Amerika

Die Firma Goodyear Zeppelin Corp. läßt z. Z. nach den Plänen der Firma Wilbur Watson & Associates (Dr. K. Arnstein), Cleveland, Ohio, auf dem Flugfeld Akron, Ohio, eine 352,5 m lange, 97,5 m breite und 61,5 m hohe Luftschiffhalle errichten, in der nacheinander zwei Luftschiffe für die amerikanische Marine gebaut werden. Die parabolische, mit vernieteten Stahlblechen gedeckte Eisenkonstruktion des Daches ruht zum Temperatenausgleich auf Walzen. Jeder Binder (Dreigelenkbogen) stützt sich auf mehrere 9 m tief in den Erdboden gerammte Betonpfähle — im ganzen 1900 —, die die Seitenwände der Halle bilden.

An einem Ende ist die Halle geschlossen. Am andern Ende, in Richtung des Flughafens, sind zwei je 600 t wiegende Tore eingebaut, die kugelschnittartig ausgebildet sind und mit Rollen auf einer Gleisbahn mit 60 m Halbmesser, angetrieben durch Elektromotoren, laufen.

Jedes der beiden zu erbauenden Luftschiffe wird 185 000 m³ Gesamtinhalt, 235,5 m Länge, rd. 40 m Dmr. haben und

acht zusammen 4480 PS leistende Motoren erhalten. Höchstgeschwindigkeit wird rd. 135 km/h betragen. 92 km/h Reisegeschwindigkeit kann das Luftschiff 17 000 in ununterbrochenem Fluge durchfliegen. („Aviation“ 30. März 1929 S. 957*) [N 2986 e] G.

Betonieranlage für die Verankerung d Kabel der neuen Hudsonbrücke

Die Gründungen für die Kabelverankerung der großen im Bau befindlichen Hängebrücke über den Hudson¹⁾ im Gegensatz zu denen anderer Hängebrücken auf der Yorker Seite als ein großer Block von 47 m Höhe und $85,5 \times 53,5 \text{ m}^2$ Grundrißfläche aus der Umgegend her. Insgesamt waren zur Ausfüllung dieses Blockes rd. 80 000 Beton und 2200 t Bewehrungsseile notwendig.

Eine elektrisch angetriebene Betonmischanlage, die zu 910 m³ Beton an einem Arbeitstag von 16 Stunden fertige, ermöglichte es, die Betonierung in 5½ Monaten beenden. Zement und Zuschlagstoffe wurden mit Bandförderern von 300 m Länge, der Strecken von 32 Steigung aufwies, zur Mischanlage gebracht. Den fertigen Beton beförderte ein Band von 38 m Länge mit 168 m/min Geschwindigkeit zum Fuße eines Betongießturmes. Turm enthält zwei Gießanlagen, eine an der Nord-, die andere an der Südseite, denen der Beton mittels eines Aufzugs von 116 m/min Geschwindigkeit zugeführt wird. Der Aufzugskübel faßt rd. 1 m³. (Engineering News-Record, 11. April 1929 S. 591/96*) [N 2986 f] S.

¹⁾ Vergl. a. Z. Bd. 71 (1927) S. 1773.

Neue Kanalmotorschiffe

Die Belfast Steamship Co. hat im April das Motorschiff „Ulster Monarch“ in Dienst gestellt, dem im Abstand je einem Monat zwei Schwesterschiffe „Ulster Queen“ und „Ulster Prince“ folgen werden.

Die Schiffe haben 105 m Länge, 14 m Breite und 5 m Seitenhöhe bei 3760 B.-R.-T. Raumgehalt. Ihre Linienführung und ihre äußere Form — sie haben zwei Schornsteine — machen einen gefälligen Eindruck. Nach dem neuesten Geschmack ausgestatteten Gesellschaftsräume und Kammern sind für 419 Fahrgäste 1. Kl., 86 Fahrgäste 3. Kl. eingerichtet. Die erste Klasse besteht größtenteils Kammern für eine Person, einige für zwei Personen, die dritte Klasse hat Kammern für zwei oder drei Personen. Es ist ferner eine Fernsprechanlage vorhanden, die im Hafen Landanschluß erhalten kann. Jede Welle Doppelschraubenschiffe treibt ein einfachwirkender Zylinder-Viertaktmotor mit luftloser Einspritzung, Bau Harland-Burmeister & Wain. Die Hilfsmaschinen werden größtenteils elektrisch betrieben, und den für Licht und Kraft erforderlichen Strom liefern drei Sechszylinder-Dieselmotoren. („The Engineer“ 26. April 1929 S. 451) B.

BÜCHERSCHAU

Bücher und Zeitschriften des In- und Auslandes, auch solche nichttechnischen Inhaltes, liefert die VDI-Buchhandlung, Berlin NW 7, Ingenieurhaus (Telegrammanschrift: Ingenieurverlag Berlin; Fernspr.: Zentrum 15204).

Festschrift, Prof. Dr. A. Stodola zum 70. Geburtstag überreicht von seinen Freunden und Schülern, herausgegeben von E. Honegger, Zürich und Leipzig 1929, Örell & Füssli. 625 S. m. 436 Abb.

Der vorliegende stattliche Band mit 63 von wohlbekannten Fachleuten¹⁾ verfaßten wissenschaftlichen Beiträgen ist das würdigste Geschenk, das die Ingenieure dem weltbekannten Altmeister des Dampfturbinenbaues anlässlich seines 70. Geburtstages und seines Rücktritts vom Lehramt darbringen konnten.

¹⁾ J. Ackeret, Zürich; E. Amstutz, Zürich; A. Barbezat, Loèche; G. Bauer, Hamburg; G. Belluzzo, Rom; J. C. Breint, Prag; H. Brown, Winterthur; A. Büchi, Winterthur; A. Carrard, Zürich; C. Colombi, Lausanne; G. Darrieus, Paris; E. Dübi, Gerlafingen; Fr. Dubois, Schaffhausen; G. Eichelberg, Winterthur; A. Einstein, Berlin; F. Flatt, Zürich; G. Flügel, Danzig; L. Föppl, München; O. Föppl, Braunschweig; C. C. Franck, Philadelphia; J. v. Freudenreich, Baden; R. Grammel, Stuttgart; M. Grossmann, Zürich; E. Hahn, Nancy; J. Havlicek, Mähr-Ostau; O. Hellmann, Beraun; E. Höhn, Zürich; H. Holzer, Nürnberg; E. Honegger, Zürich; A. Hugenberg, Zürich; A. Huquenin, Paris; Ch. Hummel, Uzwil; M. Jakob u. W. Fritz, Berlin; E. Jaquet, Zürich; K. Imfeld, München; E. Josse, Berlin; C. Keller, Zürich; M. Koenig, Zürich; K. Körner, Prag; E. A. Kraft, Berlin; St. Löffler, Berlin; H. Lorenz, Danzig; F. Lösel, Wien; J. Magg, Graz; E. Meissner, Zollikon; R. v. Mises, Berlin; L. Miskovsky, Prag; R. Mollier, Dresden; A. Nachtweh, Hannover; W. G. Noack, Baden; W. Nußelt, München; H. Nuffeneger, Zürich; A. Piccard u. W. Johnner, Brüssel; L. Prandtl u. A. Busemann, Göttingen; F. Ribary, Baden; A. Rohn, Zürich; M. Ros u. A. Eichinger, Zürich; P. Schläpfer u. M. Brunner, Zürich; W. Schüle, Gölitz; C. Seippel, Baden; G. Stauber, Berlin; R. v. Steiger, Uzwil; Th. Stein, Berlin; R. F. Vogt, Milwaukee; G. Zerkowitz, München.

Geboren am 10. Mai 1859 in einem slowakischen Städtchen am Fuße der Tatra, kam Stodola nach Beendigung seines Studiums an der Oberrealschule, dem Polytechnicum in Budapest und Zürich sowie kürzeren Studien in Berlin, Paris als Konstrukteur zur Maschinenbaugesellschaft Ruß & Co. in Prag, wo er große Dampfmaschinen mit Corlious-Steuerung für Fabriken, Berg- und Hüttenwerke zu berechnen und zu entwerfen hatte; doch wurde er schon nach etwa 10 Jahren 1892 als Lehrer der mechanisch-technischen Abteilung an die Eidgenössische Polytechnische Schule in Zürich berufen, der er trotz vieler ehrenvoller Angebote treu geblieben ist.

Seine ungeteilte Anerkennung in der Ingenieurwelt dankt Stodola der Beschäftigung mit der Dampfturbinen-Grundlegende Betrachtungen und Rechnungen, die er 1900 der Hauptversammlung des Vereines deutscher Ingenieure vorgetragen hatte und die seine erste öffentliche Tat auf diesem Fachgebiete darstellten, bildeten den heute fast allgemein wirkenden Kern, um den sich 27 Jahre weit verstreute Forschungen ordneten. Sie fanden alle ihren Niedersatz in dem bekannten Lehrbuch, das sich von einem kleinen Leitfaden auf 220 Seiten und 119 Abbildungen in der heutigen 6. Auflage zu dem stattlichen Umfang von 1150 Seiten und 1200 Abbildungen und 12 Tafeln entwickelt hat.

Dem Verein deutscher Ingenieure, dessen Zeitschrift auch diese erste grundlegende Arbeit Stodolas über Dampfturbinen veröffentlichen konnte, ist Stodola in den späteren Jahren ein treuer Mitarbeiter geblieben. Nachstehend

er Fülle seiner Beiträge zur Zeitschrift des Vereines der Ingenieure nur die wichtigsten angeführt:

Bd. 42 (1898) S. 1045: Die Kreisprozesse der Gasmaschine.

Bd. 47 (1903) S. 1: Die Dampfturbinen und ihre Aussichten als Wärmekraftmaschinen.

Bd. 51 (1907) S. 1269: Die Nebenspannungen in umlaufenden Scheibenrädern.

Bd. 55 (1911) S. 1709: Die neue hydraulische Regelung der Sulzer-Dampfturbine und Versuche an der 2000 kW-Turbine des Basler Elektrizitätswerks.

Bd. 57 (1913) S. 1776: Die Unterkühlung beim Ausfluß gesättigten Dampfes mit Rücksicht auf die Molekularvorgänge.

Bd. 63 (1919) S. 31: Strömung in Düsen und Strahlvorrichtungen, dimensional betrachtet.

Bd. 67 (1923) S. 1163: Leistungsversuche an einer Gegendruckturbine der Ersten Brüner Maschinenfabriks-Gesellschaft in der Nestomitzer Zuckerraffinerie in Nestomitz a. E.

Bd. 69 (1925) S. 1177: Leistungsversuche an einer Gegendruck-Dampfturbine.

Bd. 71 (1927) S. 747: Leistungsversuche an einer 11 000 kW-Zoelly-Dampfturbine.

Bd. 72 (1928) S. 421: Leistungsversuche an einem Dieselmotor mit Büchischer Aufladung.

ie Anerkennung der wissenschaftlichen Leistungen im Dampfturbinenbau hat der Verein deutscher Ingenieure ausgesprochen, als er, wie 1904 *G. de Laval* und *h. Parsons*, den bedeutendsten Erfindern auf dem Gebiet der Dampfturbinen, 1908 auch ihm die Goldene Grashof-Medaille verlieh. Die Widmung der Denkmünze hebt die Verdienste *Stodolas* als Lehrer der Jugend hervor, „den das Geschick, mit dem er das wissenschaftliche Rüstzeug des Ingenieurs handhabt, ohne doch dabei die Bedürfnisse des schaffenden Lebens aus den Augen zu verlieren, befähigt, uns das meisterhafte Lehrbuch von der Dampfturbine zu danken“. Unter den vielen Verehrern und Freunden, die *Stodola* zu seinem 70. Geburtstag Glück und ein langes Alter wünschen, wird auch der Verein deutscher Ingenieure nicht fehlen.

auf den reichen Inhalt der Festschrift, deren Ergebnisse den äußeren Anlaß für die Veröffentlichung dieser Festschrift bildet, kann an dieser Stelle nicht eingegangen werden. Wir haben uns damit begnügen müssen, die Namen der Verfasser zu nennen, die Beiträge zu dieser Schrift geliefert haben. Wir glauben aber unser Bestes über den wissenschaftlichen Wert der Beiträge zu sagen, wenn wir an der Spitze der vorliegenden Hefte und an der Spitze der in diesen Hefen erscheinenden Ausgabe der Zeitschrift „Archiv für Elektrotechnik und Dampfkesselewesen“ je einen dieser Beiträge in vollem Wortlaut abdrucken. Der Abdruck dieser Beiträge ist in Aussicht genommen. [E 2895]

C. Matschoß

berichte der Gewerbeaufsichtsbeamten und Bergwerksbesitzer für das Jahr 1927. 1. bis 4. Bd. Berlin 1928, Reichsarbeitsministerium. Insgesamt 3119 S. Preis zus. 10 RM.

Innerhalb von 85 Aufsichtsbezirken im Reich erfassen diese Berichte für das Jahr 1927 rd. 460 000 Beschäftigte in 243 000 Betrieben mit rd. 7,85 Mill. Arbeitnehmern. Eine Übersicht gestattet die Gliederung nach: Arbeiter im allgemeinen, Schutz der Arbeitnehmer vor Unfällen, wirtschaftliche und sittliche Zustände.

In der Einleitung wird der dankenswerte Versuch unternommen, die bei der Durchführung von Rationalisierungsmaßnahmen auftretenden Erscheinungen hinsichtlich der wirtschaftlichen und sozialen Auswirkung, der Beeinflussung der Unfallzahlen und nach der physiologischen Seite hin zu untersuchen. Eine Senkung der Unfallzahlen und der Krankheitsfälle in zweckmäßig organisierten Fließarbeitsanlagen ist festgestellt, eine Erscheinung, die sich mit den Erfahrungen, die man an die Einführung der Fließarbeit gewöhnt hat, deckt. Auch den Unfall- und Gesundheitszustand beim Spritzguß hat man erhöhte Aufmerksamkeit geschenkt. Bei vorschriftsmäßiger Durchführung sind nur geringfügige Erkrankungen festzustellen gewesen.

In der großen Teil der Gewerbebezirke stand im Jahr 1927 die Zunahme der Unfälle im Vordergrund. In diesem Zusammenhang stand die Einführung einer vermehrten Zahl von Arbeitnehmern, teilweise auch ein Mangel an gelernten Arbeitskräften. Damit zusammenhängend ist besonders in der Stein-, Bau- und Metallindustrie ein Transportgewerbe die Zunahme der gemeldeten Unfälle zu erklären. Die vielfach beobachtete Zunahme der Unfälle hängt jedoch andererseits mit den in den letzten Jahren durchgeführten Änderungen und Ergänzungen der Reichsversicherungsordnung zusammen, wonach z. B.

auch ein Unfall auf dem Wege von und zur Arbeitsstätte als entschädigungspflichtig anerkannt wird. Die Bemühungen der Gewerbeaufsichtsbeamten bei ihren oft wenig dankenswerten und viel Takt erfordernden Feststellungen werden im allgemeinen von den Betrieben gefördert; ein sehr erfreuliches Zeichen.

[E 2828]

Schildberger

American lubricants. Von L. B. Lockhart. 3. Aufl. Easton, Pa. 1927, The Chemical Publishing Co. 408 S. m. Abb. Preis 5 \$.

In 40 Kapiteln und zwei Anhängen werden die Gewinnung der Schmiermittel, ihre Eigenschaften, die Anwendung, die physikalischen und chemischen Untersuchungsmethoden gründlich dargestellt. Den Bedingungen für Bestellung und Abnahme ist der Raum von 22 Kapiteln gewidmet, was die Schrift besonders wertvoll macht. Eine Reihe nützlicher Zahlentafeln bildet den Schluß der sorgfältigen Arbeit, die gemäß dem Vorwort hauptsächlich dem Einkäufer und Verbraucher zur Unterstützung dienen soll. In der Tat hat man nach Studium des Buches den Eindruck, daß derjenige, der sich den Inhalt zu eigen gemacht hat, weiß was er bestellen soll und in der Lage ist zu beurteilen, ob die Lieferung der Bestellung bzw. dem Angebot entspricht.

Es ist nicht möglich, auf gedrängtem Raum näher auf Einzelheiten des reichen Inhaltes einzugehen; an allen Stellen zeigen sich Wissen und Erfahrung einer fortschrittlich gesinnten Persönlichkeit, die den Leser nach besten Kräften fördern will. Erfreulich ist, daß S. 114 von der absoluten Zähigkeit, deren physikalische Dimensionen leider falsch angeführt sind, gesagt wird, sie sei noch nicht eingebürgert im Ölgeschäft, aber sie werde es ohne Zweifel werden.

Auch bei den Abnahmevorschriften findet sich manches, was dem erfahrenen Leser aus der Seele gesprochen ist; so S. 221, wo es heißt: daß die Öle besser sind als das vorgelegte Muster, wird nicht angerechnet. Also auch jenseits des großen Wassers Vorsicht gegenüber den geschäftstüchtigen Verkäufern, die „bessere“ Öle als verlangt liefern, und damit gewöhnlich eine umfangreiche Maschinenreparatur vorbereiten.

Für den, der mit amerikanischen Schmiermitteln zu tun hat, ist das Buch ein unentbehrlicher Ratgeber.

[E 2754]

G. Duffing

Engineering chemistry. Von Thomas B. Stillman. 6. erweiterte Aufl. bearb. von Albert L. Stillman. Easton, Pa. 1928, The Chemical Publishing Co. 1093 S. m. 235 Abb. Preis 12,50 \$.

Vorliegendes Handbuch, dessen erste Auflage schon vor 33 Jahren erschien, gibt über die chemischen und physikalischen Untersuchungsverfahren der meisten, besonders von Betriebsingenieuren und -chemikern benötigten Werk-, Betriebs- und Hilfsstoffe Auskunft. Es behandelt metallische Werkstoffe, Baustoffe, besonders Zement, feste, flüssige und gasförmige Brennstoffe, Öle und Fette, Seifen, Farben, Lacke, Wasser und Papier. Porzellan, Kautschuk, Gespinnstfaser und ähnliche Stoffe sind nicht behandelt.

Das Buch ist unter Mitwirkung der namhaftesten amerikanischen Institute, Gesellschaften und Firmen entstanden und gibt damit die Gewähr, daß in ihm auch die jetzt in den Vereinigten Staaten von Amerika gebräuchlichen Untersuchungsverfahren verzeichnet sind. In den meisten Abschnitten findet man Verfahren, die in Europa weniger bekannt sind, während man umgekehrt einige hier übliche Verfahren vermisst. Der behandelte Stoff ist klar eingeteilt. Die Untersuchungsverfahren sind, wo nur zugänglich, in sehr übersichtlichen Tafeln zusammengestellt; nur vermisst man manchmal eine Erläuterung des bei der Prüfung sich abspielenden Vorganges. Das Handbuch leistet Chemikern und Ingenieuren, die mit den in Amerika üblichen Prüfungsverfahren bekannt werden wollen, gute Dienste.

[E 2755]

Dr. Ploetz.

Die Praxis der planmäßigen Entwässerung im Braunkohlenbergbau. Von J. Nahnsen. Halle (Saale) 1929, Wilhelm Knapp. 59 S. m. 37 Abb. Preis 6,90 RM.

Nahnsen beschreibt die verschiedenen Verfahren zur Entwässerung des Braunkohlengebietes und stellt den Satz auf, daß jedes Gebirge entwässerbar ist. Abdämmung ist nur eine Maßnahme der Notwehr. Zum Entwässern wendet man Schächte und Strecken, Filter verschiedener Art und Tiefbrunnen an. Die Erkenntnis des Verfassers, daß eine Entwässerung nur gelingt, wenn man der Luft ungehemmten Zutritt in die zu entwässernden Schichten gibt, ist bedeutungsvoll und in dieser Klarheit noch nicht ausgesprochen. Das für den Braunkohlenbergbau wichtige Büchlein ist mit zahlreichen Abbildungen über Entwässerungsarbeiten, -pumpen und andere Einrichtungen ausgestattet und bringt auch Beispiele mit Zahlenangaben aus den umfangreichen Erfahrungen des Verfassers. [E 2844]

G. Klein

Handbuch für Eisenbetonbau. 4. Aufl. Herausgeg. von *F. Emperger*. 6. Bd. 2. T.: Dachbauten, Kragdächer, Schalen und Rippenkuppeln. Bearb. von *H. J. Kraus* und *Fr. Dischinger*. Berlin 1928, Wilhelm Ernst & Sohn. 390 S. m. 584 Abb. Preis 28 RM.

Gegenüber der erst vor 8 Monaten erschienenen 3. Auflage sind nur wenig Änderungen vorgenommen worden. Neu hinzugekommen ist das 10 Seiten umfassende Kapitel „Kragdächer“, das Beispiele von Bahnsteighallen und Industriebauten bringt. Wie schon bei Besprechung der 3. Auflage hier hervorgehoben wurde, ist die wichtige Frage der Eindeckung der Eisenbetondächer nicht eingehend genug behandelt worden. Dies gilt vor allem für die konstruktiven Einzelheiten der Oberlichter und der Ausführungen in Glaseisenbeton, aber auch für die Regelausführungen der Eindeckung ebener und gekrümmter Dachflächen.

[E 2578]

Prof. Dr.-Ing. *Birkenstock*

Schriften aus dem Gesamtgebiet der Gewerbehygiene. Herausgeg. von der Deutschen Gesellschaft für Gewerbehygiene. Neue Folge. 23. H.: **Das Tiefdruckverfahren.** Bearb. von *R. Krug*, *Fr. Rothe* und *H. Wenzel*. Berlin 1929, Julius Springer. 30 S. m. 18 Abb. Preis 3,60 RM.

Die Schrift ist als Bericht des Technischen Ausschusses der Deutschen Gesellschaft für Gewerbehygiene auf eine Anregung des Verbandes der Deutschen Buchdrucker hin verfaßt worden. An der Hand guter Abbildungen und Zeichnungen wird nach einer geschichtlichen Einleitung die Arbeitsweise der Tiefdruckmaschinen, sowie die Anfertigung der Photographie, der Kopie, der Ätzung und des Druckes beschrieben. Es wird gezeigt, daß die gesundheitlichen Schädigungen, die durch Verdunsten der unentbehrlichen Farblösungsmittel (Benzol, Toluol, Xylol usw.) verursacht werden, nicht durch Änderung der Bauart der Maschinen selbst verhindert werden können. Vielmehr können nur bei ausgiebigster Anwendung von Absaugvorrichtungen für Gase und peinlichster Befolgung aller für ähnliche Betriebe schon bestehenden gewerbehygienischen Vorschriften Gesundheitsschädigungen der Arbeiter vermieden werden. Zum Schluß wird dargetan, daß bei Bränden nur Schaum-, Trocken- oder auch Tetralöscher in Frage kommen. [E 2863]

Hbl.

Die Deutsche Wirtschaft in Karten. Von *Ernst Pfohl* und *Ernst Friedrich*. Berlin 1928, Reimar Hobbing. 240 S. Preis 36 RM.

In ziemlich weitgehender Gliederung der einzelnen Wirtschaftsguppen, die sich an die Fassung der beim Reichsamt für Statistik üblichen anschließt, gibt der Verfasser eine für den Praktiker sehr brauchbare Standortübersicht der einzelnen Industrie- und Gewerbezweige einschließlich Herausarbeitung der industriellen Großbetriebe. Es wäre vielleicht gut gewesen, nicht nur die Zahlen der Gewerbeaufsicht-Statistiken, sondern auch die der amtlichen Betriebs- und Berufszählung 1925 in weitestgehender Weise auszuwerten. Die gewählte Darstellungsart für Wirtschaftszahlen auf den einzelnen Kartenblättern, Genauigkeit der Maßstäbe und der drucktechnischen Behandlung erleichtern den Gebrauch. Die den einzelnen Standortkarten beigegebenen Texte bringen die wichtigsten Angaben, so daß man über jeden Zweig eine gewisse Übersicht gewinnt. Das Kartenwerk bietet in Verbindung mit umfangreicheren Zahlenunterlagen aus den amtlichen Statistiken ein wertvolles Hilfsmittel für die Marktforschung.

[E 2822]

Bader

Schluß des Textteiles

I N H A L T:

Seite

Die Verdampfungswärme des Wassers und das spezifische Volumen von Sattedampf zwischen 210 und 250 °C. Von <i>M. Jakob</i> und <i>W. Fritz</i>	629
Die Beeinflussung von Grenzschnitten durch Temperaturfelder	636
Das Röntgenlaboratorium an der Technischen Hochschule Stuttgart. Von <i>Glockner</i>	637
Tankschiff zur Beförderung von Schmierölen	638
Tiefadewagen	638
Aufzeichnung schneller Schwingungen. Von <i>H. Thoma</i>	639
Hauptformen des zweiachsigen Lokomotiv-Laufgestells	642
Untersuchung der Kühltöle bei der Zahnradbearbeitung. Von <i>A. Wallicks</i> und <i>K. Krekeler</i>	643
Fortpflanzungsgeschwindigkeit der Flamme in Gasgemischen. Von <i>W. Lindner</i>	648
Einfluß der Länge der Saugleitungen bei Verbrennungsmotoren	650
Behandlung und Bewertung von flüssigen Brennstoffen. Von <i>Aufhäuser</i>	651

- Vorlesungen über Maschinenelemente. Von *M. ten Berge*. 1. H.: Festigkeitslehre. 72 S. m. 104 Abb. Preis 6 RM. 2. H.: Wellen und Lager. 86 S. m. 141 Abb. Preis 6,60 RM. Berlin 1929, Julius Springer.
- Stilkes Rechtsbibliothek, 44. Bd.: **Automobilgesetz.** *Fritz Müller*. 4. Aufl. Berlin 1929, Georg Stilke. 101 S. Preis 22 RM.
- Power resources of the world.** Zusammengest. von *H. Quigley*. London 1929, World Power Conference. 170 S. Preis 21 s. Das Buch kann durch die VDI-Buchhandlung bezogen werden. Verkaufspreis 22 RM.
- Steam turbines.** Von *James Ambrose Moyer*. 6. Aufl. New York 1929, John Wiley & Sons. 557 S. m. 231 Abb. Preis 22 s 6 d.
- Vibration problems in engineering.** Von *S. Timoshenko*. New York 1928, D. Van Nostrand Comp. 351 S. m. 119 Abb. Preis 4,50 \$.
- Das Erdöl. Begründet von *C. Engler* und *H. Höfer*. 2. Aufl. Herausgeg. von *J. Tauß*. 3. Bd., 2. T.: Lagerung und Transport des Erdöls und seiner Produkte zu Lande. Von *Julius Swoboda*. Leipzig 1929, S. Hirzel. 256 S. m. 179 Abb. und 13 Taf. Preis 28 RM.
- Chemie in Einzeldarstellungen.** Herausgeg. von *Julius Schmidt*. 14. Bd.: **Die künstlichen Harze.** Von *Johann Scheiber* und *Kurt Sändig*. Stuttgart 1929, Wissenschaftliche Verlagsgesellschaft. 376 S. m. 29 Abb. Preis 28 RM.
- Haeders Hilfsbücher für Maschinenbau. Der kranke Motor und Ölmotor.** Aus der Praxis von *Hermann Haeder*. Herausgeg. von *Walter Haeder*. 5. Aufl. Berlin 1929, Richard Schmidt & Co. 467 S. m. 960 Abb. Preis 16 RM.
- Maßanalytische Verfahren und deren Anwendung in Zellstofffabriken.** Von *Erik Oeman*. Übers. von *W. Schmalz*. Berlin 1928, Verlag „Zellstoff und Papier“ Carl Hofmann. 119 S. m. 14 Abb. Preis 5 RM.
- Handbook of refrigerating engineering.** Von *W. R. Worthington*. New York 1929, D. Van Nostrand Comp. 331 S. m. 45 Abb. Preis 4 \$.
- Practical Finishing Series, 4. Bd.: Practical railway painting and lacquering.** Von *H. Hengerveld*, *C. P. Disch* und *William J. Miskella*. Chicago 1929, Finishing Research Laboratories, Inc. 242 S. m. 164 Abb. Preis 3,50 \$.
- Naval electrical manual 1928.** 1. Bd. London 1928, Majesty's Stationery Office. 812 S. m. zahlr. Abb. Preis 12 s 6 d.
- Vom Wasser.** Ein Jahrbuch für Wasserchemie und Wasserreinigungstechnik. Herausgeg. von der Fachgruppe Wasserchemie des Vereins Deutscher Chemiker. 2. Bd. 1928. Berlin 1928, Verlag Chemie. 280 S. m. 72 Abb. und 1 Taf. Preis 16 RM.

Berichtigung

Maschinenteile — Neue Forschungen und Erfahrungen

Prof. *J. Bach*, Chemnitz, legt Wert darauf, die in Bd. 73 (1929) Nr. 11 S. 360 erwähnte Äußerung dahin berichtigen, daß er nicht die Zuverlässigkeit der *Stribeck'schen* Formel für Dauerfestigkeit angezweifelt hat. Er lediglich hervorheben wollen, daß die Formel auch mit von ihrem Urheber angegebenen Beschränkung auf Kohlenstoffstähle es wahrscheinlich mache, daß zwischen statischen Zugfestigkeit und der Dauerfestigkeit gewisse gesetzmäßige Beziehungen bestehen, die uns davor warnen sollten, die erstere als Wertmesser für das Material gerade zu achten. [D 2947]

ZEITSCHRIFT DES VEREINES DEUTSCHER INGENIEURE

SCHRIFTFLEITER: C. MATSCHOSS



73

SONNABEND, 18. MAI 1929

Nr. 20

FÜNFZIG JAHRE ELEKTRISCHE EISENBAHN

Der George Stephenson der elektrischen Eisenbahn heißt Werner von Siemens. Nach der Erfindung der Dynamomaschine begeistert er sich bereits für die Anwendung der Kraftübertragung und besonders für die elektrischen Bahnen. Schon damals glaubt er daran, daß die Kraftübertragung noch wichtiger werden würde, als die elektrische Beleuchtung. Am 1. Mai vor 50 Jahren zeigten die Berliner in ihrer Gewerbeausstellung die erste elektrische Bahn, erbaut von Werner von Siemens, an. Augenschein nehmen, die größere Begeisterung auslöste, als einige Wochen in Betrieb gekommen, später die Besucher durch den vielbewunderten Ausstellungslehrer Bahnhof fahren konnte. Am 9. Mai 1879 hielt Werner von Siemens im Verein zur Beförderung des Gewerbefleißes einen Vortrag „Über die elektrische Eisenbahn der Berliner Gewerbeausstellung“, den wieder zu lesen, ist beim 50. Geburtstag der elektrischen Eisenbahn einen besonderen Genuß gewährt. Werner von Siemens führte aus:

„Die erste Veranlassung zu der Einrichtung gab eine Anfrage des Baumeisters Westphal aus Kottbus über die Möglichkeit, die Kraft dort aus verbrannten Kohlen nach Berlin zu transportieren. Der Betreffende hatte nämlich eine Bemerkung meines Bruders Wilhelm in London über die Möglichkeit des Transports der Kraft des Niagarafalles gelesen und wollte dies hier in die Praxis übertragen. Ging dies auch nicht an, so sind wir doch der Sache nähergetreten, um zu sehen, wie weit sich die elektrische Krafttransmission zum Transportieren auf Schienenbahnen benutzen lasse. Der Versuch, den wir machten, ist recht gut ausgefallen. Die Einrichtung, wie sie Ihnen in der Ausstellung entgegentritt, ist folgende: Es ist eine kleine schmalspurige Bahn, bei der die Schienen in einer Kurve in sich zurückgekrümmt, angelegt. In der Mitte derselben befindet sich eine dritte Schiene, ein aufrechtstehendes Flacheisen¹⁾. Die Lokomotive trägt zwei Rollen, durch welche sie mit den letzteren in Verbindung steht — ob Rollen oder Räder besser sind, muß noch ausprobiert werden. Eine dynamo-elektrische Maschine steht in der Maschinenhalle und eine gleiche bildet die Lokomotive.“

¹⁾ Vergl. S. 697 dieses Heftes, Abb. 1.

Der Vortragende führt dann Weiteres über die Wirkungsweise aus, da er wußte, wie wenig man noch von dem Grundgedanken der elektrischen Kraftübertragung kannte. Er kommt dabei nochmals auf das Prinzip der dynamo-elektrischen Maschine, das er der Berliner Akademie der Wissenschaften im Januar 1867 mitgeteilt hatte, zurück:

„Die ganze Sache ist aber noch zu neu, um schon jetzt bestimmte Angaben über die Grenze des praktisch Erreichbaren machen zu können ... wie weit sich der Arbeitsverlust bei der elektrischen Kraftübertragung wird vermindern lassen, läßt sich noch nicht beurtheilen. Vorläufig wird man sich mit 30 bis 40 Procent effektiver Arbeitsleistung begnügen müssen... Ich meine, es wird schon jetzt Fälle geben, wo elektrische Kraftübertragung sowie auch elektrische Lokomotiven praktisch mit Vortheil verwendbar sind. Die Maschine der Ausstellung ist ursprünglich nicht dazu gemacht, um die 3 eleganten kleinen Personenwagen mit 18 bis 24 Personen in 1 bis 2 Minuten über die gegen 300 m lange Kreisbahn zu befördern, sondern um aus den Kohlenstollen des Herrn Westphal Kohlen zu Tage zu fördern! Man muß daher auch ihre Leistungen als Schnellzuglokomotive für das Ausstellungspublikum mit Nachsicht beurtheilen! Die Frage der Ausdehnung, welche der Anwendung der dynamo-elektrischen Maschine möglicherweise zu geben ist, ist bisher schwer zu entscheiden. Sie hängt einmal vom Leitungswiderstande der Schienen und zweitens von der Möglichkeit ab, dieselben hinreichend zu isoliren.

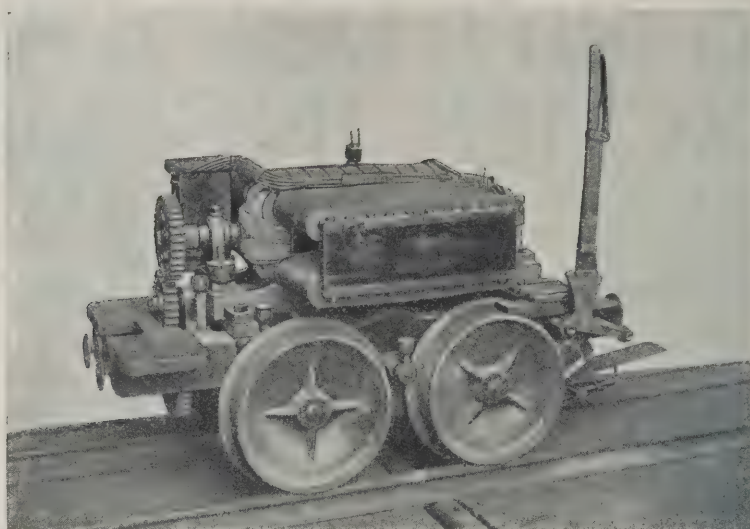
Das erste Erforderniß, geringer Leitungswiderstand der Schienen, läßt sich bei längeren Bahnen zum Theil dadurch erreichen, daß man von Zeit zu Zeit neue primäre Dynamomaschinen aufstellt, welche die elektrische Spannungsdifferenz zwischen der inneren und den äußeren Schienen aufrecht erhalten. Das zweite wird sich für längere Bahnen kaum auf anderem Wege erfüllen lassen als durch Konstruktion hängender Eisenbahnen. Im ersten Erforderniß nach Auffindung des dynamo-elektrischen Principes und der dadurch gegebenen Möglichkeit, beliebig starke Ströme billig zu erzeugen, träumte ich schon von einem Netze hängender elektrischer Eisenbahnen



Werner von Siemens
1816—1892

(Nach einem Gemälde von Lenbach.)

Die erste elektrische Lokomotive der Welt von Siemens auf der Berliner Gewerbeausstellung 1879; Fahrgeschwindigkeit 7 km in der Stunde.



Leistung der Lokomotive: 3 PS bei 150 V Spannung und 600 bis 700 Umdrehungen des Motors in Minute; Kraftübertragung auf die beiden Achsen mittels Stirn- und Keilräder mit einer Geschwindigkeitsübersetzung von 2,45.

über den Straßen Berlins, dessen niedriger Wasserstand leider kein unterirdisches Eisenbahnnetz gestattet, und gab dem auch in einer Mitteilung an dieser Stelle Ausdruck. Es war aber ein langer Weg technischer Fortschritte bis zum jetzigen Standpunkte erst zurückzulegen, und es wird auch noch ferner viel Wasser durch die Spree fließen, bevor mein Traum auch nur in beschränktem Massstabe zur Ausführung kommen kann.“

Auch mit dem Schlußsatz hat *Werner von Siemens* Recht behalten. Wie viel wissenschaftliche, technische und industrielle Arbeit gehörte dazu, um über den heutigen Stand des Erreichten in der Weise berichten zu können, wie es in diesem, der elektrischen Bahn gewidmeten Heft der Zeitschrift des Vereines deutscher Ingenieure geschehen ist. Nur an einige wenige aus der großen Geschichte der elektrischen Eisenbahn herausgegriffenen Tatsachen sei noch kurz erinnert.

Es wurde damals in Berlin die Stadtbahn gebaut; ein riesiges technisches Unternehmen jener Zeit. *Siemens* plant sofort, Berlin mit einem Netz von elektrischen Hochbahnen durchziehen zu lassen, als Zubringer für die Stadtbahn. Durch die Friedrichstraße soll eine solche Hochbahn gehen. Aber erfolgreich wehren sich die Anwohner gegen dieses neue Verkehrsunternehmen, bei dem man von der Bahn aus einem in die Wohnungen des ersten Stockes hineinblicken könne. Der Plan wird abgelehnt, obwohl man gerade damals in Amerika Hochbahnen mit Dampftrieb einrichtete.

Diese Pläne aber zeugen noch heute von der seiner Zeit weit vorausseilenden Gestaltungskraft *Werner von Siemens*. Einen wichtigen Schritt vorwärts bedeutete es, als *Siemens* im Mai 1881 die erste elektrische Straßenbahn, Anhalter Bahnhof – Lichterfelde, eröffnen konnte. Er hatte ein praktisch brauchbares Verkehrsmittel entwickelt gegenüber der kleinen, mehr zufällig entstandenen Ausstellungsbahn von 1879. *Werner von Siemens* schreibt hierüber am 13. Mai 1881 nach der ersten Probefahrt an seinen Bruder *Wilhelm* nach London:

„Gestern ist unsere elektrische Bahn in Lichterfelde mit großem Glanz eröffnet. Der Eisenbahnminister *Maybach* mit seinen Räten, ebenso der Reichspostminister *Stephan* waren zugegen. Alle waren überrascht und erstaunt, einen gewöhnlichen Eisenbahnwagen und nicht den von der Ausstellung her bekannten kleinen Wagen mit einer kleinen Lokomotive zu sehen. Der Eisenbahnminister erklärte unter dem Eindruck dessen, was er hier in Lichterfelde zu sehen bekam, daß er jetzt an den Ernst und die große Zukunft der elektrischen Lokomotive glaube.“

Damit schien der Weg für eine schnelle und starke Entwicklung in Deutschland und Europa gegeben. Aber Amerika kam hier zunächst schneller voran. In Deutschland wehrte man sich gegen die Oberleitung. Die Behörden machten Schwierigkeiten, die lange Zeit unüberwindbar schienen. In Amerika, wo die erste Straßenbahn 1884 eröffnet wurde, half die große Ausdehnung der Städte, das stark empfundene Bedürfnis, schneller voran-

zukommen, die Entwicklung der elektrischen Bahn beschleunigen. Dieser Anreiz führte auch zu sehr wichtigen technischen Verbesserungen, mit denen der Name des großen Amerikaners *Sprague* verbunden ist. *Werner von Siemens* ließ sich hierüber sehr eingehend unterrichten. Im März 1889 schreibt er an *Schwieger*: „Sehen, daß das Fortschrittsrad über uns fortgeht, weil wir hier nichts tun“, und „Die Entwicklung der elektrischen Bahn wird auch in Europa bald das amerikanische Tempo annehmen und wir können dann um möglichst zurückbleiben“. 1885 hatte Amerika 12 km Gleislänge und 13 Wagen in Betrieb, Europa 22 km mit 35 Fahrzeugen, 1890 hat Amerika bereits 1142 km Bahn mit 1230 Wagen, Europa nur etwa 71 km mit 140 Wagen.

Amerikanische Erfahrungen und Konstruktionen wurden in Deutschland besonders durch die in Amerika in engster Fühlung arbeitende Union Electricitäts-Gesellschaft, die später mit der Allgemeinen Electricitäts-Gesellschaft — AEG — vereint wurde, gefördert. Halle a. S. war die erste deutsche Stadt, die 1891 die Möglichkeit bot zu einem von der Union E.-G. erbauten Straßenbahnnetz. Der Ehrgeiz deutscher Städte, auch elektrisch zu fahren, macht sich jetzt sehr stark bemerkbar. Die neunziger Jahre bringen große Entwicklungen. Elektrische Bahnen werden zu wichtigen Aufträgen der Industrie. Eine ausnehmend große Ingenieurarbeit war zu leisten. Die Stromzuführung wurde entwickelt, die Motoren sehr weitgehend verbessert. Zum Gleichstrom, der zuerst allein herrschte, gesellte sich der Drehstrom und später der einphasige Wechselstrom.

1901 erregten die Schnellbahnversuche von *Siemens*, *Halske* und der AEG das Interesse der ganzen Welt. Man erreichte mit diesen Drehstromwagen eine Geschwindigkeit von rd. 200 km in der Stunde. Noch nie zuvor hatte ein Verkehrsmittel Menschen so schnell dahingetragen. Die technische Tat bleibt hoch zu bewerten, auch wenn sich die wirtschaftliche Auswertung noch nicht ermöglichen ließ. Zu den elektrischen Flachbahnen kamen die Hoch- und Untergrundbahnen Berlins. Die erste Erfüllung der Pläne *Werner von Siemens* wurde am 18. Februar 1902 dem Verkehr übergeben. Die Ingenieure aber wollten nicht nur in den Straßen der Großstadt elektrisch fahren. Der Plan Vollbahnen auf elektrische Betriebe umzustellen, wurde immer lebhafter erörtert. Viel Lehrgeld war auch hier zu zahlen, aber die Aufgabe wurde gelöst. Heute werden von Schweizer Vollbahnen bereits 58 vH elektrisch betrieben, in Deutschland 3 vH.

So sind die kühnen Ideen *Werner von Siemens* durch die Mitarbeit mancher Generation von Erfindern und hervorragenden Ingenieuren in einem Zeitraum von nur 50 Jahren verwirklicht worden, wie es sich auch den gutgläubigsten Benutzer der ersten elektrischen Bahnen 1879 nie haben träumen können. In dem großen technischen Genie liegen auch heute noch ungeahnte Quellen des großen technischen und wirtschaftlichen Fortschrittes.

[B 2959]

C. M.



1Do1-Schnellzuglokomotive mit Einzelachs-antrieb der Deutschen Reichsbahn.

Elektrischer Zugbetrieb auf der Reichsbahn

Von Reichsbahndirektor W. WECHMANN, Berlin

Geschichtlicher Rückblick auf die Entwicklung der elektrischen Zugförderung / Der heutige Stand bei der Deutschen Reichsbahn / Die Gründe für die Wahl des Einphasenstromes / Lokomotiven, Triebwagen, Fern- und Fahrleitungen.

Im jenem Sommer, in dem Werner Siemens in der Berliner Ausstellung zum ersten Male einen elektrisch betriebenen Eisenbahnzug zeigte, verstrichen mehr als dreißig Jahre, bis auf einer Hauptbahn in Deutschland eine elektrische Lokomotive in Betrieb genommen wurde. Die erste Lokomotive wurde im Jahre 1911 die klassische Versuchsbahn für den elektrischen Hauptbahnbetrieb. Bald darauf wurden auch in Bayern und in Baden Eisenbahnstrecken auf elektrischen Betrieb umgestellt. Es kam dies die Strecken Garmisch-Mittenwald und Bad-Weil-Zell im Wiesental nebst Schopfheim-Säckingen. Es scheint es, als ob sich die elektrische Lokomotive im Verhältnis zu den stürmischen Fortschritten der übrigen Technik äußerst schleppend zu einer für den praktischen Eisenbahnbetrieb brauchbaren Maschine entwickelt hat. In Wirklichkeit war aber jene winzige Ausstellungslokomotive mit ihren 2½ kW Leistung der Vorläufer nur der Eisenbahnwagen, deren Motoren bald auf die zehn- und zwanzigfache Leistung heranwuchsen. Alsdann erschießen die Grubenlokomotiven. Hierauf mußte der Motor-Struktureur immer noch einen gewaltigen Sprung ausführen, um zu den im Vollbahnbetrieb erforderlichen Leistungen und Spannungen zu gelangen. So setzte der Bau elektrischer Lokomotive für den öffentlichen Eisenbahnverkehr erst um das Jahr 1895 ein. Einige Jahre darauf, kurz nach der Jahrhundertwende, erkannte man die Bedeutung des Wechselstroms für Fernbahnen, und so schuf man auch für diese Stromart einen brauchbaren Motor zur Zubehörsbildung. Dieser mußte sich ebenfalls erst über den kleineren Triebwagenmotor (Blankenese-Ohlsdorf) zum Lokomotivmotor entwickeln, der auf den oben genannten Strecken seine Brauchbarkeit zeigen sollte. Zu jenen ersten Versuchsbetrieben gesellten sich noch die weiteren schlesischen Gebirgsbahnen und auf den Strecken bei Bad Reichenhall.

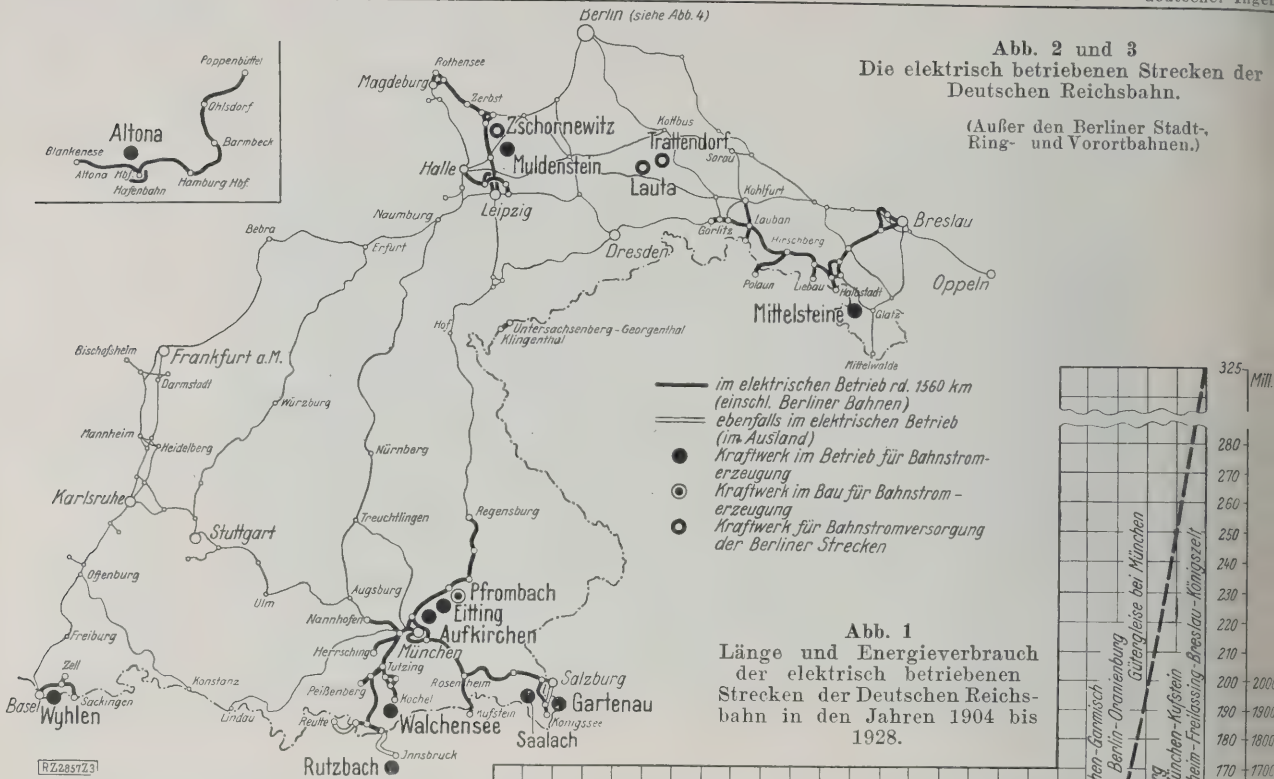
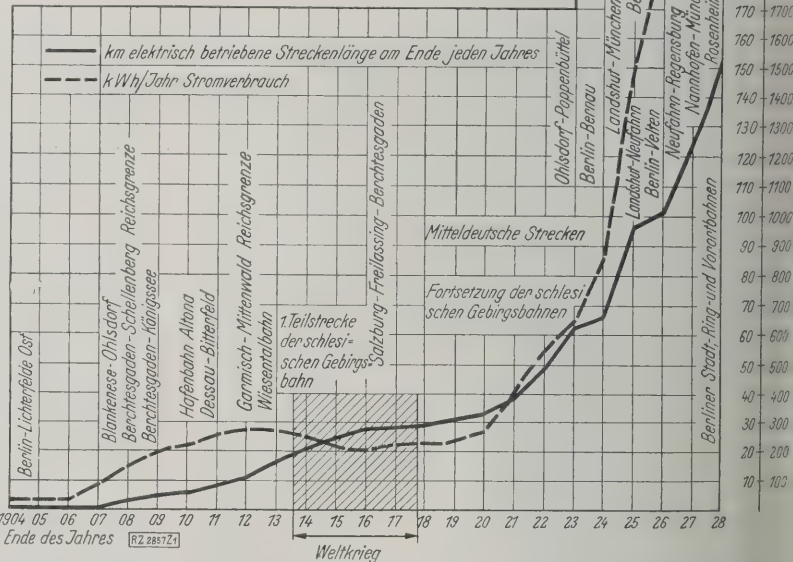
Der Krieg brachte die weitere Entwicklung fast zum Stillstand. Um so erfreulicher war es, daß sich bald nach dem Kriege der damalige Reichsverkehrsminister Groener für die Einführung des elektrischen Zugbetriebes auf

größeren Streckengebieten stark einsetzte. Dies war deshalb bedeutungsvoll, weil ja Versuchsbetriebe immer nur gewisse Eigenschaften der zu untersuchenden Betriebsweise, namentlich solche auf konstruktivem Gebiet, erforschen können, z. B. die zweckmäßige Bauart einer elektrischen Schnellzuglokomotive oder einer Fahrleitung für hohe Geschwindigkeiten. Die beschränkte Ausdehnung des Versuchsbetriebes gestattet aber nicht, eine Reihe von Vorzügen des elektrischen Zugbetriebes klarzustellen, z. B. die Ausnutzbarkeit der Lokomotiven im Fahrdienst oder geeignete Verfahren der Ausbesserung und Unterhaltung unter Verwendung von Austauschbau mit einem Stammgut eingearbeiteter Handwerker.

Glücklicherweise konnten die Ideen Groeners, wenn auch nur zum kleinen Teil, in dem Jahrzehnt nach dem Kriege verwirklicht werden. Während im Jahre 1918 die Länge der elektrisch betriebenen Strecken der Reichsbahn rd. 300 km betrug, wuchs sie bis zum Frühjahr 1929 einschließlich der Stadt- und Vorortstrecken auf rd. 1560 km, also auf das Fünffache. Der Stromverbrauch für die Zugförderung betrug im Jahre 1918 etwa 23 Mill. kWh und erreichte im Jahre 1928 den Wert von etwa 325 Mill. Abb. 1 zeigt die Entwicklung der elektrisch betriebenen Strecken der Reichsbahn und ihres Stromverbrauchs in den letzten 25 Jahren.

Ein größerer Teil der gesamten Streckenlänge, nämlich etwa 700 km, bildet ein betrieblich zusammenhängendes Netz in Bayern, dessen Ausdehnung aus Abb. 2 und 3 hervorgeht. Es sind dies im wesentlichen die von München nach Norden, Osten und Süden abgehenden Linien. Etwa halb so lang sind die elektrisch betriebenen Strecken der schlesischen Gebirgsbahn Breslau-Hirschberg-Görlitz nebst Zweiglinien und Verbindungsstrecken.

Die ursprüngliche Versuchstrecke Dessau-Bitterfeld ist nach der vollständigen Umstellung der Strecken Halle-Leipzig-Magdeburg auf elektrischen Betrieb auf eine Streckenlänge von 200 km erweitert worden. Die elektrisch betriebenen Berliner Stadt-, Ring- und Vorortbahnen, Abb. 4, weisen eine Streckenlänge von 240 km auf.

Abb. 2 und 3
Die elektrisch betriebenen Strecken der
Deutschen Reichsbahn.(Außer den Berliner Stadt-,
Ring- und Vorortbahnen.)Abb. 1
Länge und Energieverbrauch
der elektrisch betriebenen
Strecken der Deutschen Reichs-
bahn in den Jahren 1904 bis
1928.

Für die gesamten Strecken der Reichsbahn sind im Betrieb und im Bau 413 elektrische Lokomotiven und 919 Triebwagen.

Stromart

Ausgedehnte Streckenbereiche mit großer Verkehrsleistung verlangen für die Zugförderung beträchtliche Energien, die mit möglichst geringen Verlusten von den Kraftwerken bis an die Zughaken der Lokomotiven zu übertragen sind. Es ist einleuchtend, daß hierfür die für die verwendeten Stromarten zulässigen höchsten Spannungen in Betracht kommen. Sehr hohe Spannungen bis zum Stromabnehmer der Triebfahrzeuge können bei Einphasen-Wechselstrom angewendet werden. Hier gelingt es, in der Fahrleitung mit einer Spannung von 15 kV zu arbeiten, die sich mit einem Kupfergewicht von nur 900 kg/km je Gleis begnügt.

Den Entschluß, die Strecken mit einphasigem Wechselstrom zu betreiben, haben die drei eingangs genannten Staatsbahn-Verwaltungen in Deutschland bereits um die Jahreswende 1912/13 gefaßt. Auf Anregung der bayerischen Staatsbahnverwaltung wurde in einem Übereinkommen als Stromart Einphasen-Wechselstrom mit einer Nennspannung am Fahrdraht von 15 kV und einer Frequenz von 16 2/3 Hertz festgelegt. Als nach Beendigung des Krieges die Staatsbahnen zur Reichsbahn zusammengeschlossen wurden, fand eine nochmalige Aussprache zwischen den Sachverständigen der Reichsbahn unter Hinzuziehung namhafter Persönlichkeiten der Wissenschaft und der Industrie über die Stromart statt. Auch damals wurde einstimmig anerkannt, daß für die Verhältnisse in Deutschland die bereits gewählte Stromart zweckmäßig ist. Inzwischen haben sich auch die Schweizerischen und die Österreichischen Bundesbahnen, die Schwedischen und die Norwegischen Staatsbahnen zu der gleichen Stromart bekannt. Im Internationalen Eisenbahnverband sind in den letzten Jahren für den Einphasenstrom die Spannung, die Frequenz und die zulässigen Schwankungen beider Größen genormt worden.

Die Wahl des Einphasenstroms für das Fernbahnnetz schließt nicht aus, daß für Bahnen, die einen besonderen Betrieb darstellen, andere, für sie geeignete Strom-

arten gewählt werden. So fiel für die Berliner Stadt-, Ring- und Vorortbahnen im Jahre 1920 die Wahl auf Gleichstrom mit 800 V Nennspannung.

Mit dem Wechselstrom werden die besten Erfahrungen gemacht. Neben größter Einfachheit in dem Aufbau der Energieübertragungs- und Verteilanlagen, insbesondere der Fahrleitung, und in der Konstruktion der elektrischen Lokomotiven wird bei dieser Stromart die erforderliche Kupfermenge so gering wie möglich, was bei hohen Kupferpreisen von größter Bedeutung ist.

Fahrleitung

Die Fahrleitung für Wechselstrombahnen ist in den Jahren 1924 und 1925 in ihrem Gesamtaufbau vereinheitlicht worden. Auch entstanden damals die Vorschriften über die Ausführung und die Festigkeitsberechnung der Fahrleitungen für Wechselstrom-Fernbahnen. Gegenwärtig werden die Einzelteile dieser Fahrleitung, wie Isolatoren, Fahrdrahtklemmen, genormt.

Die bei den ersten Fahrleitungsanlagen auf Bahnhöfen und teils auch auf freier Strecke verwendeten schweren eisernen Fachwerkkonstruktionen¹⁾ quer zu den Gleisen sind verlassen und haben auf Bahnhöfen Seilkonstruktionen Platz gemacht, Abb. 5. Diese gestatten zwischen

¹⁾ Vergl. S. 697 dieses Heftes.



Abb. 5
Reichsbahndirektion Breslau, Fahrleitungsanlage auf dem Bahnhof Kohlfurt.

von Masten eine beträchtliche Anzahl von Gleisen, zur
ei bis zu 16 Stück, zu überspannen. Der enge Raum
zwischen den Gleisen wird demnach nicht durch Masten
mehr eingeschränkt. Die leichte Drahtseilkonstruktion
in der Querrichtung der Gleise behindert in keiner Weise
den Blick auf die Signale. Dasselbe gilt auch von den
etwa drei Jahren mit Erfolg verwendeten Vollkern-
isolatoren, deren Durchmesser nicht viel größer ist
als der der Seile und sonstigen eisernen Bauteile, s. Abb. 5.
Die Vollkernisolatoren konnten von dem Zeitpunkt an be-
nutzt werden, als es gelungen war, ein Porzellan herzu-
stellen, das sich auch auf Zug hoch beanspruchen läßt
(vgl. S. 701 dieses Heftes).

Unterwerke

Die an der Strecke verteilten Unterwerke, in denen
die Spannung des Bahnstromes von der Fernleitungs- auf
die Fahrleitungsspannung herabgesetzt wird, hat die
Reichsbahn bis jetzt als Gebäudestationen ausgeführt. Den
Ubergang zu dem billigeren und vor allem betriebsicheren
Freiluftunterwerk bildet das im vergangenen
Jahre fertiggestellte Freiluftschaltwerk in Nieder Salz-
brunn (Schlesien). In Zukunft werden zum mindesten die
Fernspannungsanlage und die
Transformatorstationen im Freien auf-
gestellt werden.

Besondere Beachtung ver-
dienen die Gleichrichter-
werke der Berliner Stadt-,
Ring- und Vorortbahnen. Zum
ersten Male auf der Welt ist hier
die Stromversorgung einer ver-
kehrsreichen Hauptbahn nur
mit Gleichrichterbetrieb aufge-
baut. Dieser geht völlig störungs-
frei vonstatten.

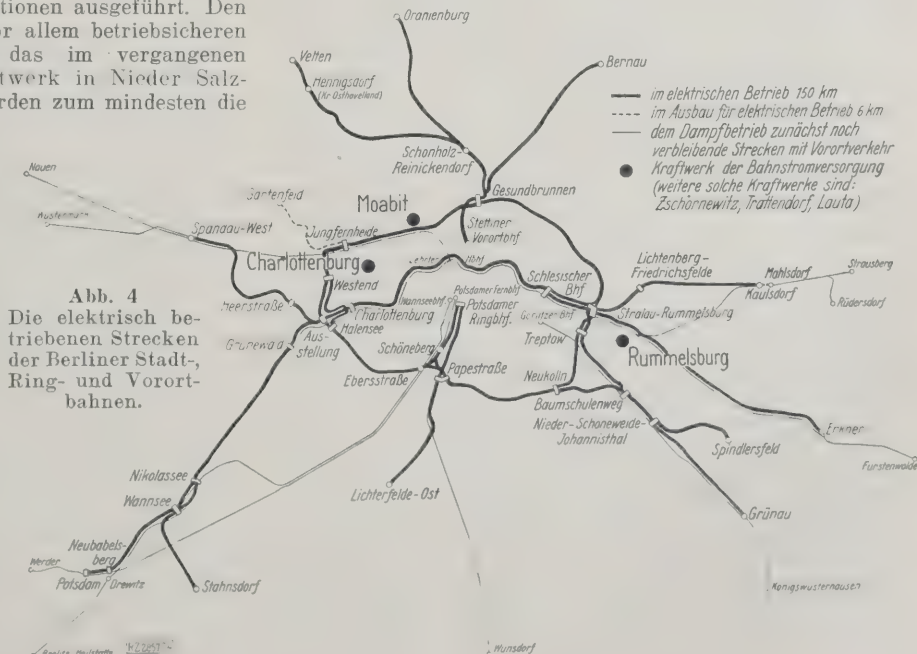
Fernleitungen

Für die Fernleitungen be-
steht leider noch keine einheit-
liche Spannung, weil die ersten
Anlagen schon im Jahre 1911,
als zu einer Zeit entstanden
sind, wo Erfahrungen über
Hochspannungs-Anlagen noch nicht in ge-
nügendem Umfang vorlagen. So

hat das Fernleitungsnetz Mitteldeutschlands eine Spannung
von 60 kV und das in Schlesien von 80 kV. Erst bei der
Elektrisierung der Durchgangslinien in Bayern ging die
Reichsbahn auf 100 kV über.

Lokomotiven

Die bereits genannten 413 elektrischen Lokomotiven
lassen sich der Konstruktion nach in zwei Klassen ein-
teilen. Die erste Klasse umfaßt die zum größeren Teil
älteren Lokomotiven, von denen nur ganz wenige Stücke
jeder Gattung vorhanden sind. Sie dienen dazu, die
Zweckmäßigkeit einer Konstruktion auszuprobieren. Es
sind dies im ganzen 65 Stück. Es ist selbstverständlich,
daß diese Lokomotiven an Unterhaltungskosten weit höhere
Beträge erfordern als solche, von denen ganze Reihen
gleicher Bauart im Betriebe sind. Allein die Vorhaltung
von Ersatzteilen für nur ein oder zwei Lokomotiven be-
lastet die Ausgabeseite sehr stark.



Von den Reihenlokomotiven sind 348 Stück in 15 Reihen vorhanden. Die kleinste Stückzahl einer Reihe beträgt sechs, die größte 79.

Diese Lokomotiven unterscheiden sich in konstruktiver Beziehung, abgesehen von den infolge der verlangten Höchstgeschwindigkeit vorgesehenen Abmessungen des Triebraddurchmessers, der Zahnradübersetzung usw., hauptsächlich durch die verschiedene Ausbildung des Antriebes und der Steuerung sowie durch die Aufteilung in einzelne Triebgestelle oder durch Verwendung eines durchlaufenden Rahmens.

Was den Antrieb anlangt, so werden bei einigen Bauformen mehrere Triebräder mittels Stangen von einem Motor oder einer Motorgruppe aus angetrieben (Gruppenantrieb), während in anderen Bauformen für jede Triebachse ein oder zwei Motoren vorhanden sind (Einzelantrieb). Unmittelbarer Einzelantrieb, bei dem der Anker auf der Triebachswelle sitzt, wird bei der Deutschen Reichsbahn nicht verwendet.

Es ist interessant, festzustellen, daß die erste deutsche Wechselstromlokomotive Einzelantrieb aufweist, und zwar unter Benutzung von Tatzenlagermotoren. Es ist dies die von der Allgemeinen Elektrizitäts-Gesellschaft im Jahre 1907 hergestellte Lokomotive der damaligen Preussischen Staatsbahnverwaltung, die übrigens heute noch als Reichsbahn-Lokomotive auf der Hafenbahn in Altona ihren Dienst verrichtet. In der Folgezeit bis zum Krieg erhielten nur noch Lokomotiven mit sehr niedriger Höchstgeschwindigkeit (45 km/h) Tatzenlagermotoren, während für die schneller laufenden der Gruppenantrieb mittels Stangen bei verschiedenen Bauarten benutzt wurde. Bevorzugt wurden Blindwellen und Zahnrad-Vorgelegewellen. Die wichtigsten Vertreter dieser Bauweisen sind die einmotorigen Lokomotiven der Achsfolge 2 D 1 (Bergmann-Elektrizitäts-Werke und Maffei-Schwartzkopff-Werke), die schweren Güterzuglokomotiven der Achsfolge C C (Brown, Boveri & Cie. und der Waseg-Gruppe²), die Schnellzuglokomotiven 2 C 2 (Bergmann-Elektrizitäts-Werke) und die leichten Güterzuglokomotiven 1 B + B 1 und 1 B B 1 (Bergmann und Maffei-Schwartzkopff).

Nachdem es in den letzten Jahren gelungen ist, die auf die Gewichtseinheit bezogene Leistung der Wechselstrommotoren bedeutend hinaufzusetzen, neigt die Deutsche Reichsbahn-Gesellschaft wieder mehr den Lokomotiven mit Einzelachsantrieb zu³). Die Hauptvertreter dieser Gruppen sind die Schnellzuglokomotiven 1 Do 1⁴) mit *Buchli*-Antrieb (Brown, Boveri & Cie.) und die gleicher Achsfolge mit *Westinghouse-Kleinow*-Antrieb (Waseg-Gruppe), ferner die schweren Güterzuglokomotiven 1 Co + Co 1 mit Tatzenlagermotoren (Waseg-Gruppe).

Die Steuerung der Lokomotiven ist bisher nicht vereinheitlicht. Die Mehrzahl der Lokomotiven besitzt elektromagnetische Schützensteuerung. Die von Brown, Boveri & Cie. gelieferten Lokomotiven haben Schlittenschalter nach Bauart dieser Firma selbst, während die von Bergmann, den Maffei-Schwartzkopff-Werken und der Pöge-Elektrizitäts-A.-G., gelieferten Güter- und Personenzuglokomotiven mit der Feinreglersteuerung, System Maffei-Schwartzkopff-Pöge, ausgestattet sind.

Triebwagen

Von den neueren Triebwagen für Fahrleitung seien erwähnt die in dem bayerischen Lokalverkehr eingestellten Wagen mit Transformator und Steuerung im Wagenkasten (elektrische Ausrüstung Brown, Boveri & Cie.) sowie die Schnelltriebwagen für die mitteldeutschen Flachlandstrecken, bei denen Transformator und Steuerung unten am Wagenkasten angehängt sind (elektrische Ausrüstung von der Waseg-Gruppe).

Besondere Beachtung verdienen die neuen, seit 1926 bestellten Triebwagen der Berliner Stadt-, Ring- und Vorortbahnen, von denen bis jetzt 568 Stück geliefert sind oder kurz vor der Anlieferung stehen. Die mehr als 2300 Motoren (je vier für einen Triebwagen nebst Ersatz-

stücken) sind von der Waseg-Gruppe erbaut, während die neuartige ganzselbsttätige Klinkensteuerung von Bergmann und Maffei-Schwartzkopff hergestellt worden ist.

Schlußwort

Wenn in den vorstehenden Ausführungen die wichtigsten Entwicklungsstufen des elektrischen Zugbetriebes der Reichsbahn wie auch der gegenwärtige Stand kurz behandelt worden sind, so dürfte auch ein Blick in die Zukunft am Platze sein. Bei der gegenwärtigen schlechten Finanzlage ist allerdings mit einer großzügigen weiteren Umstellung auf elektrischen Betrieb kaum zu rechnen. Gleichwohl ist die Überlegung erlaubt, welche Strecken aus rein betrieblichen und wirtschaftlichen Gründen wohl für eine Fortsetzung in Betracht kommen. Aus betrieblichen Gründen wird man vor allem danach trachten, die bestehenden Netze zu erweitern und, wenn möglich, auch zusammenzuschließen. Im Hinblick hierauf käme München westwärts (süddeutsche Ostwestlinie) und auch nordwärts nach Berlin in Betracht. Letztere würde das mitteldeutsche Netz mit dem bayerischen verbinden. Die schlesische Hauptstrecke würde, da sie eine sehr starke Verkehrsleistung aufweist, mit verhältnismäßig geringen Kosten elektrisch betrieben werden können. Hierauf käme ihre Verbindung durch Sachsen mit den Linien Berlin-München in Betracht. Auch die badische Nordsüdlinie ist von hervorragender Bedeutung für elektrischen Zugbetrieb.

[B 2857]

Stand der elektrischen Zugförderung in außerdeutschen Ländern¹⁾

Land	Elektrisch betriebene Streckenlänge km	Gesamtnetzlänge km	Stromart
Schweiz Bundesbahnen	3 300	5 250	Einphasenstrom
Österreich	623	5 808	"
Italien	1 600	16 570	Drehstrom
Schweden	926	6 055	Einphasenstrom
Norwegen	206	3 235	"
Holland	135	3 627	Gleichstrom
Frankreich	1 560 ²⁾	30 950	Gleichstrom und Einphasenstrom
Ungarn	143	7 110	Gleichstrom
Spanien	166 ³⁾	7 000	Gleichstrom und Einphasenstrom
England	130	31 137	"
Vereinigte Staaten von Amerika und Kanada	2 900 ⁴⁾	400 000	"
Japan	210	rd. 20 000	Gleichstrom
Chile	255 ⁵⁾	8 500	"

¹⁾ Deutschland: elektrisch betrieben rd. 1560 km (Ende 1925) gesamte Streckenlänge 53 600 km.

²⁾ Hiervon Südbahn 1040 km und Paris-Orleansbahn 520 km.

³⁾ Ein neuer Bauplan sieht insgesamt 2043 km für die Umstellung auf elektrischen Betrieb vor.

⁴⁾ „Elektrische Bahnen“ Bd. 4 (1928) S. 355.

⁵⁾ „Wasserkraft und Wasserwirtschaft“ 1928 S. 22.

[N 3046]

Kennzeichnung der Achsfolge und der Antriebsart elektrischer Lokomotiven¹⁾

Es bezeichnet z. B.:

- 1 B B 1 eine Lokomotive mit je einer Laufachse an den Enden und vier Treibachsen, von denen je zwei Achsen miteinander gekuppelt sind. Alle vier Achsen haben gemeinsamen Rahmen, zum Unterschied von einer 1 B + B 1-Lokomotive, bei der je zwei Treibachsen in einem Triebgestell gelagert sind,
- 1 D 1 eine Lokomotive mit vier gekuppelten Treibachsen einer vorderen und einer hinteren Laufachse und reinen Kurbelantrieb, hingegen
- 1 Do 1 eine Lokomotive mit vier einzeln angetriebenen Achsen, und zwar wird der Einzelachsantrieb, d. h. also ohne Kuppelstangen, durch eine 0 (Null) gekennzeichnet, die zu dem großen, die Achsenzahl angegebenden Buchstaben ohne Zwischenraum auf die Zeile zu setzen ist.

[N 3047]

¹⁾ „Einheitliche Bezeichnung der Lokomotiven, Tender und Triebwagen.“ Berlin 1925. Vom Verein Deutscher Eisenbahnverwaltung herausgegeben.

²⁾ Die Bezeichnung „Waseg“ ist aus den Abkürzungen AEG und SSW gebildet.

³⁾ Vergl. hierzu die Arbeiten von Tetzlaff und Schlemmer, S. 676, und von Sachs, S. 677 dieses Heftes.

⁴⁾ Der Zusatz o zur Kennzahl der Triebachsen bedeutet Einzelantrieb (ohne Stangen).

Neuere elektrische Lokomotiven der Deutschen Reichsbahn

von Dipl.-Ing. TETZLAFF, Reichsbahnberrater, Berlin, und Dipl.-Ing. SCHLEMMER, Reichsbahnberrater, Mannheim

(Hierzu Tafel 1 und 2)

Vier kennzeichnende, in größerer Anzahl für die Reichsbahn beschaffte Gattungen von Einphasenlokomotiven geben Beispiele für die wichtigeren, neueren Entwicklungsgedanken im elektrischen Lokomotivbau Deutschlands: eine schwere Güterzuglokomotive mit Tatzenmotoren, zwei große Schnellzuglokomotiven mit verschiedenen Antrieben, Motorarten, Transformatorbauweisen und Steuerungen und eine leichtere Güterzuglokomotive mit Stangenantrieb und einer weiteren Steuerungsart.

Während im Dampflokomotivbau bei allen deutschen Eisenbahnverwaltungen gewisse stetige Entwicklungsvorgänge vorzufinden sind, bietet die Entwicklung elektrischer Lokomotiven ein beträchtlich vielseitigeres Bild und weist auch manche Sprünge auf, die tief in das Wesen der Fahrzeuge einschneiden. Dies ist ohne weiteres erklärlich, weil der Bau elektrischer Lokomotiven bei den deutschen Eisenbahnen seit etwa 20 Jahren Bedeutung gewonnen hat, also zu einer Zeit, wo die Dampflokomotive in ihren großen Grundlinien schon seit Jahrzehnten feststand, außerdem aber, weil der elektrische Antrieb mannigfache Wege einschlagen kann. Auch heute steht noch nicht fest, ob die bei der Reichsbahn verwendeten Gattungen elektrischer Lokomotiven durchweg endgültig abgeschlossen zu Erzeugnissen darstellen, mit deren wesentlicher Abänderung man auf längere Jahre hinaus nicht rechnen brauchte. Vielmehr hat die Deutsche Reichsbahn-Gesellschaft noch bis in die letzte Zeit einzelne Versuchslokomotiven bauen lassen, die ganz grundsätzliche Verschiedenheiten, besonders der Getriebe, aufweisen und heute noch nicht so erprobt sind, daß man die Folgerungen für die weitere Beschaffung eindeutig zu sich sähe.

Die ersten deutschen elektrischen Vollbahnlokomotiven schlossen sich ziemlich eng den Grundgedanken des Dampflokomotivbaues an, hauptsächlich in den eine hohe Lokomotive vorwiegend kennzeichnenden Formen des Antriebs der Achsen. Man benutzte fast ausschließlich Kurbelgetriebe, die über Blindwellen die verhältnismäßig langsame Umlaufgeschwindigkeit eines oder auch zweier Motoren ohne Übersetzung auf die Räder übertrugen. Sehr bald ging man bei Güterzuglokomotiven zu Übersetzungen über, um kleinere, schneller laufende Motoren und leichte Ausrüstungen zu bekommen. Der erste grundlegende Schritt war sodann die Aufgabe des Stangenantriebs überhaupt zugunsten des Einzelachsanantriebs. Die einfachste Form des Achsmotors ohne Zwischengetriebe, die in Amerika und Frankreich Verbreitung gewonnen hat, findet man in Deutschland überhaupt nicht, vielmehr verwendet man bei Einzelachsanantrieb stets Zahnradübersetzungen.

Der bei Straßenbahnen längst eingeführte Tatzenantrieb erschien bei Vollbahnlokomotiven verhältnismäßig spät. Es scheint, als ob sich die Erbauer der elektrischen Lokomotiven erst allmählich dahin umstellen ließen, daß diese Fahrzeuge in mancher Beziehung den Straßenwagen verwandt sind als den Lokomotiven bisheriger Entwicklungsstufen. Die guten Erfolge, die man im Jahre 1920 bei Güterzuglokomotiven der Bauart 1 Co + Co auf den schlesischen Gebirgstrecken sammelte, führte die Reichsbahn zu weitgehender Verwendung der Tatzenmotoren in elektrischen Lokomotiven. Seine Vorteile bestehen in sehr günstiger Raumnutzung im Innern des Fahrzeuges, weil die gesamte Antriebsvorrichtung zwischen den Rädern liegt und im Markkasten der Lokomotive nur so viel Platz über den Motoren freigelassen zu werden braucht, daß man ohne

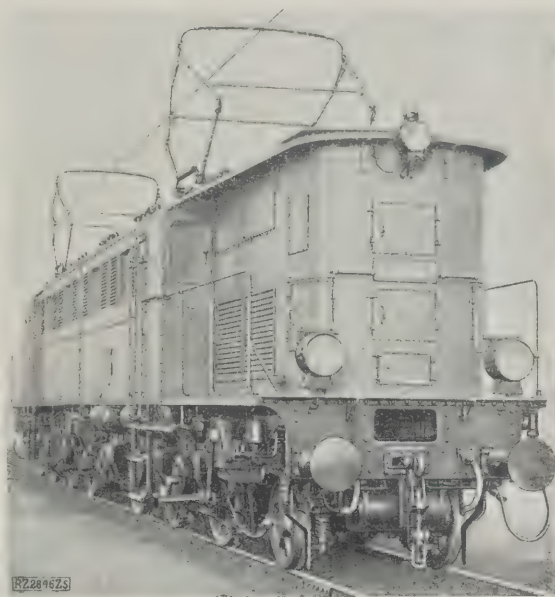


Abb. 1

1 Co + Co-Güterzuglokomotive von vorn.

Mühe an die Kommutatoren gelangen kann, um sie nachzusehen, zu reinigen und Kohlenbürsten auszuwechseln. Weiter fällt die Einfachheit des Übersetzungsgetriebes ins Gewicht sowie die leichte Auswechselbarkeit jedes einzelnen Motors zusammen mit der zugehörigen Treibachse. Im Ausbesserungswerk brauchen dann bei weitem nicht so hohe Werte in Form von Ersatzstücken festgelegt zu werden als bei den älteren Lokomotiven mit großen Motoren, die zwei bis vier Achsen gleichzeitig antreiben.

Nachteile der Tatzenmotoren sind die größeren auf den Achsen ruhenden ungefederten Gewichte, deren oft ins Feld geführte schädliche Wirkung auf den Oberbau bisher allerdings nicht nachgewiesen ist, und die bei jedem Einzelachsanantrieb in Rechnung zu stellende Einwirkung wechselnder Achsbelastungen auf die ausnutzbare Schienenreibung. Diese Lastverschiebungen entstehen, weil der Zughaken, der Angriffspunkt der Lokomotivzugkraft, rd. 1 m über den Schienen als den Angriffspunkten der Reibungskraft liegt, und bei Tatzenmotoren außerdem infolge des zwischen Achse und Motoraufhängung wirkenden Drehmoments. Diese einzelnen Treibachsen entlastenden Momente können durch die Verteilung und Einbauweise der Motoren im Lokomotivgestell mehr oder weniger aufgehoben werden.

1 Co + Co 1-Güterzuglokomotive

Unter diesen Gesichtspunkten entschloß sich die Deutsche Reichsbahn, ihre gegenwärtig größte Güterzuglokomotive mit Tatzenmotoren auszuführen, nachdem alle anderen Möglichkeiten des Antriebs in eingehender Forschungsarbeit berücksichtigt worden waren¹⁾. So entstand die in Abb. 1 bis 5 wiedergegebene Lokomotive, die zunächst schwere Großgüterzüge im Flachland und auch Personenzüge befördern sollte. Da die vorgesehene Flachlandstrecken aber noch nicht auf elektrischen Betrieb umgestellt werden konnten, verwendet man diese Lokomotiven z. Z. auf den schlesischen Gebirgstrecken. Sie ziehen hier Güterzüge von 1300 bis 1400 t hinter dem Zughaken auf 10 ‰ Steigung mit 30 bis 35 km/h. Außer-

¹⁾ Vergl. „Elektrische Bahnen“ 1929 Lokomotivsonderheft.

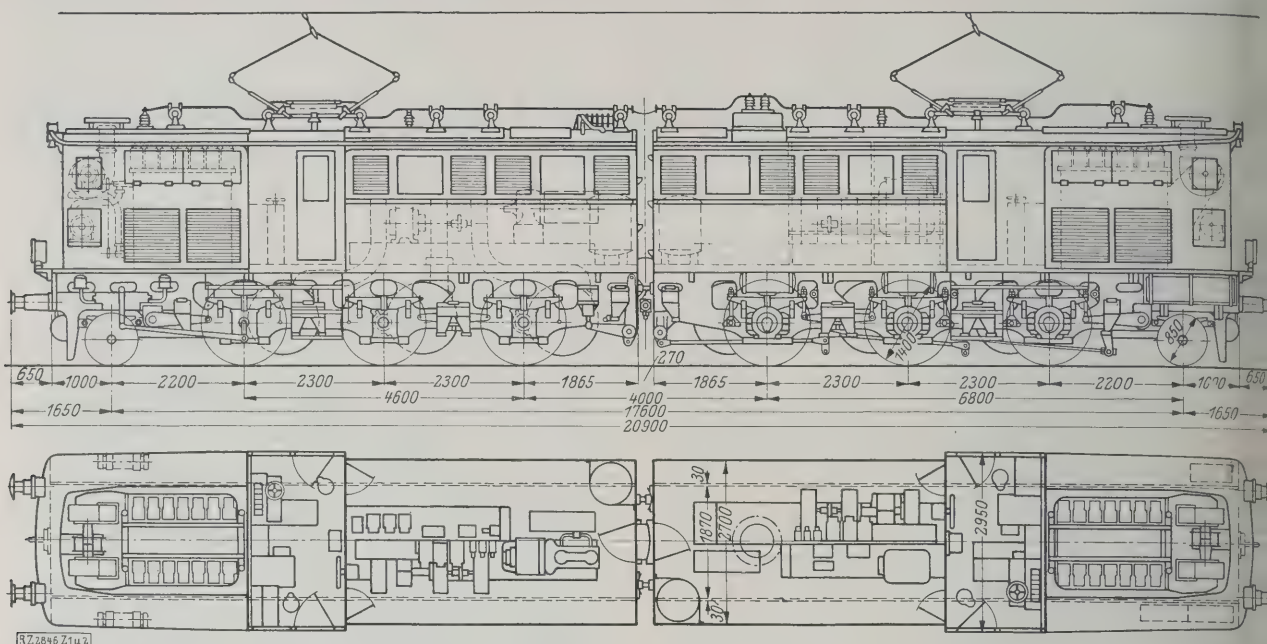


Abb. 2 und 3

dem wurde durch Versuchsfahrten nachgewiesen, daß die Lokomotive einen Großgüterzug von über 2500 t Wagengewicht auf Flachlandstrecken mit 55 bis 60 km/h befördert. Obgleich die Höchstgeschwindigkeit nur 65 km/h beträgt, fährt sie regelmäßig auch Personenzüge ohne Fahrzeitverlängerung, da ihre sechs angetriebenen Achsen sehr hohe Anfahrbeschleunigungen ergeben.

Die Achsanordnung dieser Lokomotive, 1 Co + Co 1, ist in zwei nur mittels mechanischer und elektrischer Kupplungen verbundenen Fahrzeugteilen untergebracht. Als Verbindung zwischen den beiden Fahrgestellen dienen außer den die Zug- und Stoßkraft übertragenden Kuppelleisen dachförmige Stoßpuffer und eine sogenannte Ausgleichkupplung, die den einander zugekehrten Enden der Fahrgestelle keine senkrechten Bewegungen gegeneinander erlaubt. Hierdurch wird der oben erwähnten Entlastung einzelner Achsen entgegengewirkt. Die Laufachsen, deren Raddurchmesser zur Verringerung von Lokomotivlänge und -gewicht 850 mm beträgt, sind in Deichselgestellen gelagert und können aus der Mittellage um je 60 mm nach beiden Seiten ausschlagen. Durch zwei miteinander verbundene wagerechte Blattfedern wird das Deichselgestell zur Querrführung der Lokomotive befähigt. Die Rahmen sind aus 30 mm dicken Blechplatten zusammengesetzt, die trotz der großen, für die Motoren freizuhaltenden Räume zwischen den Achsen gut versteift sind.

Da die Achsdrücke aller Reichsbahnlokomotiven 20 t nicht übersteigen dürfen, außerdem aber eine möglichst gute Annäherung an diese Grenze zum Besten der Reibungszugkraft nötig war, wurden sehr eingehende Berechnungen über die Lastverteilung innerhalb der Lokomotive angestellt und infolgedessen die auf den ersten Blick etwas störend erscheinende Unterbringung der Transformatoren vor den Führerräumen für erforderlich gehalten. Es ist gelungen, durch zweckmäßige Formgebung der Vorbauten dem Lokomotivpersonal einen guten Ausblick auf die Strecke zu verschaffen. Außerdem sind an den einspringenden Ecken des Kastenaufbaues zwischen Führerräumen und Maschinenräumen schmale Schlitzfenster angebracht, die das Aufnehmen der Signale von hinten beim Verschiebedienst erleichtern.

Die Teile der elektrischen Ausrüstung sind derart untergebracht, daß die für jede Lokomotivhälfte selbständig ausgeführten Öltransformatoren zwischen Lauf- und Treibachsen im Vorderteil der Lokomotivhälften auf dem Rahmen stehen. Die zweiteilige Bauart des Fahrzeuges machte diese Unterteilung des Transformators in zwei Einheiten unvermeidlich. Einen gewissen Ausgleich findet dieser Mehraufwand aber darin, daß die Loko-

motivhälften bei Störungen auf der Niederspannungseite auch einzeln betriebsfähig bleiben. Vor den Transformatoren stehen zwei von Hilfsmotoren angetriebene Maschinensätze übereinander, unten je eine Ölpumpe, die den Inhalt des Transformatorbessels durch die diesem selbst angebrachten Kühlrohre wälzt, oben je zwei Lüfter, die die Kühlluft für diese Umlaufrohre am Transformator von oben nach unten vorbei saugen und durch eine Öffnung im Dach ausblasen. Zum Luftzutritt dienen die im unteren Teil der Vorbauseitenwände sichtbaren Lüftungsgitter.

Eine der beiden Lokomotivhälften hat einen mit der Ölpumpensatz verbundenen Lichtstromerzeuger erhalten. Es ist üblich, elektrische Lokomotiven mit einer von der Fahrdrahtspannung unabhängigen Batterie (24 V) als Stromquelle zu beleuchten, um die Beleuchtung auch bei Störungen des elektrischen Betriebes zu sichern. Die Batteriebehälter sind außen am Rahmen der einen Lokomotivhälfte angebracht.

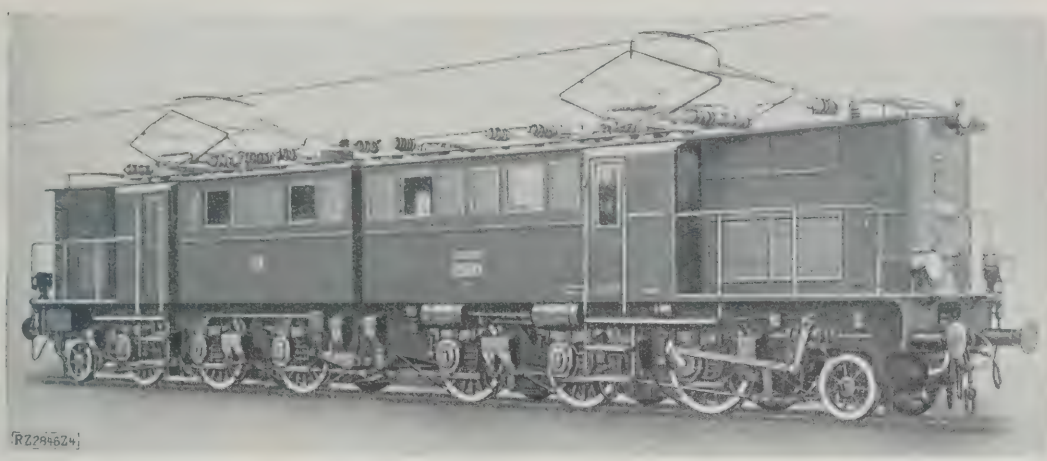
Die andere Lokomotivhälfte hat vorn rechts und links je eine Fahrluftpumpe, die von der vordersten Treibachse angetrieben wird und die während der Fahrt die Luftbehälter speisen hilft. Außerdem weist dieselbe Lokomotivhälfte eine zweistufige Motorluftpumpe (Einheitsbauart Knorr der Reichsbahn) auf, die im Maschinenraum nächst der Kurzkupplung aufgestellt ist. Ihr Gewicht wird bei der anderen Lokomotivhälfte durch den im Dach aufgehängten Hauptschalter (Ölschalter) ersetzt, den man nicht zweimal hat ausführen wollen, da hochspannungsseitige Störungen, die zur getrennten Verwendung der einzelnen Lokomotivhälften führen könnten, äußerst selten sind. Über der Motorluftpumpe liegt auf dem Dach ein Röhrenkühler, durch den die in der ersten Stufe verdichtete Luft vor ihrer zweiten Verdichtung gefördert wird. Die beiden Hauptluftbehälter von je 400 l Inhalt stehen in den Ecken der Maschinenräume an den Kurzkupplungsenden. Zur Verbindung zwischen beiden Fahrzeughälften dienen einfache Übergangstritten und Anschlußtüren in jeder Stirnwand.

Einen auf die Treibachse aufgesetzten Fahrmotor zeigt Abb. 6. Die Übersetzungszahnräder sind der großen Umfangskräfte wegen zu beiden Seiten des Motors in geschweißten Blechkästen angeordnet. Oben sieht man links die Klappe zum Kommutator, sodann die Speisekabel und rechts den Kühlluftzutritt²⁾.

Die Mitte der Maschinenräume nehmen die Lüftungsätze für die Fahrmotoren ein, Abb. 7; je drei Lüfter, für jeden Fahrmotor einer, werden von einem gemeinsamen

²⁾ Über die Kühlluftführung an einem neueren Einphasenmotor vergl. Abb. 62 S. 693 dieses Heftes.

3650
2 bis 5
Co 1-
lokomotive
deutschen
Eisenbahn.
Leistungsdaten
Tafel 1)



[RZ 294624]

Motor angetrieben. Neben und über diesen Teilen
sind die Schaltvorrichtungen angeordnet, die zur Ein-
stellung der Fahrtrichtung dienen sowie zur Regelung
des Laufes der Lüfter, der Motorluftpumpe, der Licht-
anlage, zum Prüfen der elektrischen Vorrich-
tungen mit Strom von 200 V aus ortfesten Netzen, zum
Anlassen einzelner Motoren und zur elektrischen Zug-
steuerung. Eine der bisher ausgeführten 1 Co + Co 1-Lo-
komotiven hat außerdem eine sehr bewährte Brems-
einrichtung erhalten, bei der die Fahrmotoren von den
Transformatorstromen erregt werden und auf Wider-
stände arbeiten, die in den austretenden Luftstrom der
Ventilatorlüfter eingebaut sind. Die für diese Schal-
tungen notwendigen Vorrichtungen sind in denjenigen Ecken
des Maschinenraumes untergebracht, die an den Kurz-
schlüssen noch frei waren.

Der Fahrstrom wird mittels elektromagnetischer
Ventile gesteuert, die in je zwei Reihen auf den beiden
Transformatorströmen Platz gefunden haben und durch
Ventile in den Seitenwänden der Vorbauten dicht unter
dem Dach zugänglich sind. Die in den Abbildungen 1
sichtbaren Stufen und Geländer ermöglichen es,
während der Fahrt an diese Schütze zu gelangen
und etwa hängengebliebene Kontakte zu öffnen. Der
Fahrstrom wird mit der für alle Reichsbahnlokomotiven
festgesetzten auf 200 V festgesetzten Hilfsspannung, der
sämtliche Hilfsmotoren betreibt, mittels eines
Kontaktwalzen üblicher Art versehenen Führer-
schalters in den Führerräumen geregelt. Die An-
ordnung der Starkstromkreise für die Fahrmotoren zeigt
Abb. 8. Der Führerschalter nimmt die rechte vordere
Ecke des Führerraumes, Abb. 9, ein. Außer dem für die
Betätigung der Schaltstufen zu betätigenden Handrad weist er
auch mittels Hebels einstellbare Vor- und Rückwärts-
fahrstellung auf und bei der mit elektrischer Bremse ver-
bundene Ausrüstung gleichzeitig einen weiteren Griff,
um zum Umstellen auf Bremschaltung bedient wird.
Die Führerschalter sind pultförmig die Meßgeräte
für Spannungen und Ströme aufgebaut, über dem Fenster
ein Druckzeiger für die Luftdruckbremse, deren Führer-



[RZ 294624]

Abb. 7
Blick in einen Maschinenraum der
1 Co + Co 1-Lokomotive.

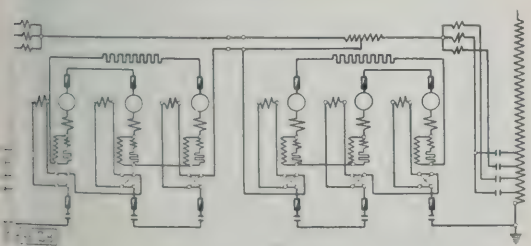
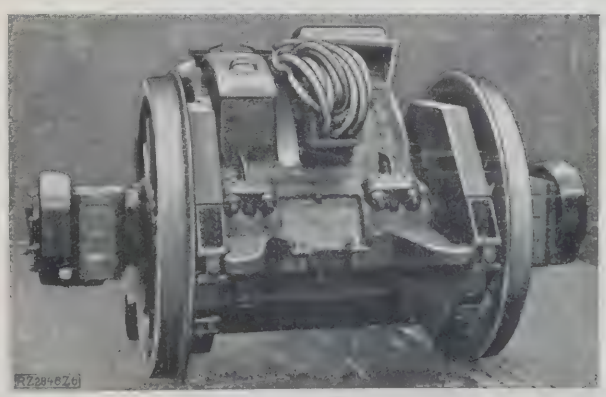


Abb. 8
Schaltskizze der Fahrmotoren in der 1 Co + Co 1-
Lokomotive.



[RZ 294624]

Abb. 6
Motor der 1 Co + Co 1-Lokomotive.
Tatzenlagerseite mit Isothermos-Schleuderflügel-
schmierung der Achslager

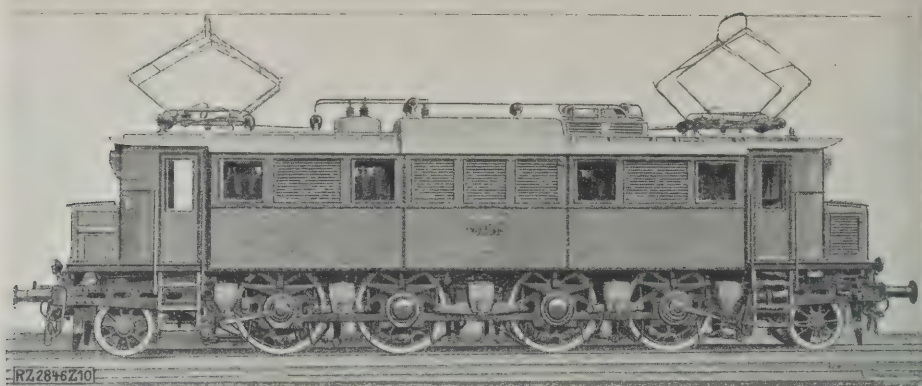


Abb. 10

1 Do 1-Schnellzuglokomotive
der Deutschen Reichsbahn
mit Hohlwellenantrieb
gebaut von der AEG und
Siemens-Schuckertwerken

ventil sich in üblicher Weise an der rechten Seitenwand des Führerstandes befindet. Neben dem Stirnwindfenster haben die Handschalter für Lüfter und Luftpumpe Platz gefunden. Zur Linken am Führerschalter ist je ein Betätigungsventil für die Stromabnehmerbügel angebracht und daneben der Anstellhahn für die Preßluftsandstreuer. In Anbetracht der großen Entfernungen zu den einzelnen Sandstreustellen leitet dieser Hahn die Preßluft nur zu der jeweilig vordersten Treibachse, während die übrigen Achsen durch druckluftgesteuerte Ventile ihre Sandstreuluft unmittelbar aus den Luftbehältern bekommen. Ein Handgriff über dem Kopf des Lokomotivführers dient dazu, den Hauptschalter im Gefahrfalle mechanisch zu öffnen. Rechts an der Wand sieht man das Pfeifenventil.

Die linke Seite des Führerraumes nimmt der Platz für den Begleitmann ein. Es ist im Güter- und Personenzugdienst üblich, hierfür den Zugführer oder einen Schaffner zu verwenden. Zu seinen sonstigen Dienstverrichtungen ist deshalb ein Schreibpult und ein Fächergestell vorgesehen. Der Begleitmann kann von diesem Platz aus ohne Mühe die Strecke und den Lokomotivführer beobachten.

Der Fahrzeugteil der Lokomotiven stammt von der Allgemeinen Elektrizitäts-Gesellschaft, der elektrische Teil ist nach gemeinsamen Entwürfen von dieser Firma und den Siemens-Schuckertwerken ausgeführt worden.

Für den Vergleich dieser 1Co + Co 1-Lokomotive mit andern Lokomotivgrundformen sei kurz auf die 1Co-Co 1-Lokomotive der Lötschbergbahn hingewiesen,

vergl. S. 684 dieses Heftes. Diese unterscheidet sich grundsätzlich von der deutschen durch den Hohlwellenantrieb (Ausführungsform Séchéron, Genf), die Zusammenfassung zweier Triebgestelle unter einem durchlaufenden Oberkasten und den hier ungeteilten Transformator. Die deutsche Lokomotive wiegt 138,8 t, die schweizerische 141,6 t, die Dauerleistungen bei 70 vH Höchstgeschwindigkeit an der Motorwelle nach AEG-Erwärmungsvorschrift betragen entsprechend 3050 und 3560 PS. Nimmt man die Leistung, auf die Einheit des Baugewichtes bezogen, als Kennwert für die Güte der Lokomotive — was aber durchaus nicht in jeder Beziehung maßgebend zu sein braucht — so verhalten sich die Werte wie 22 : 25 PS/t. Der Unterschied erklärt sich durch die größere Geschwindigkeit der Schweizer Lokomotive (75 km/h).

1 Do 1-Schnellzuglokomotive mit Hohlwellenantrieb

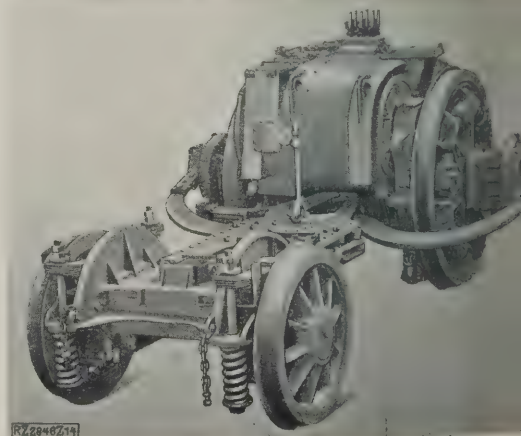
Der Hohlwellenantrieb wurde wegen seiner Einfachheit und seiner Eignung für große Geschwindigkeiten infolge geringer unabgefederter Gewichte von der Deutschen Reichsbahn gründlich erprobt. Beschaffung zweier Versuchslokomotiven der Achsanordnung 2Do 1 und günstigen Betriebsergebnissen der Versuche gab die Reichsbahn eine größere Anzahl solcher Lokomotiven in etwas verkleinerter Ausführung an die Allgemeine Elektrizitäts-Gesellschaft und die Siemens-Schuckertwerke in Auftrag, wobei wieder der Fahrzeugteil vom erstgenannten Werk hergestellt wurde.

Diese Lokomotiven, Abb. 10 bis 13, weisen noch sechs Achsen auf, d. h. eine Achsfolge 1Do 1. Laufachse konnte dadurch erspart werden, daß die Nutzung der Fahrmotoren, d. h. ihre Leistung, bezogen auf das Gewicht, noch etwas höher getrieben wurde bei den beiden Versuchslokomotiven, ferner dadurch, daß der ursprünglich vor den Motoren angeordnete Transformator in die Mitte zwischen die Motoren gesetzt wurde. Hierzu kam weiter ein artiges Lenkgestell der Allgemeinen Elektrizitäts-Gesellschaft.



Abb. 9
Führerstand
der
1 Co + Co 1-
Lokomotive.

Abb. 14
Lenkgestell
der 1 Do 1-
Schnellzug-
Lokomotive
mit
Hohlwellen-
antrieb.



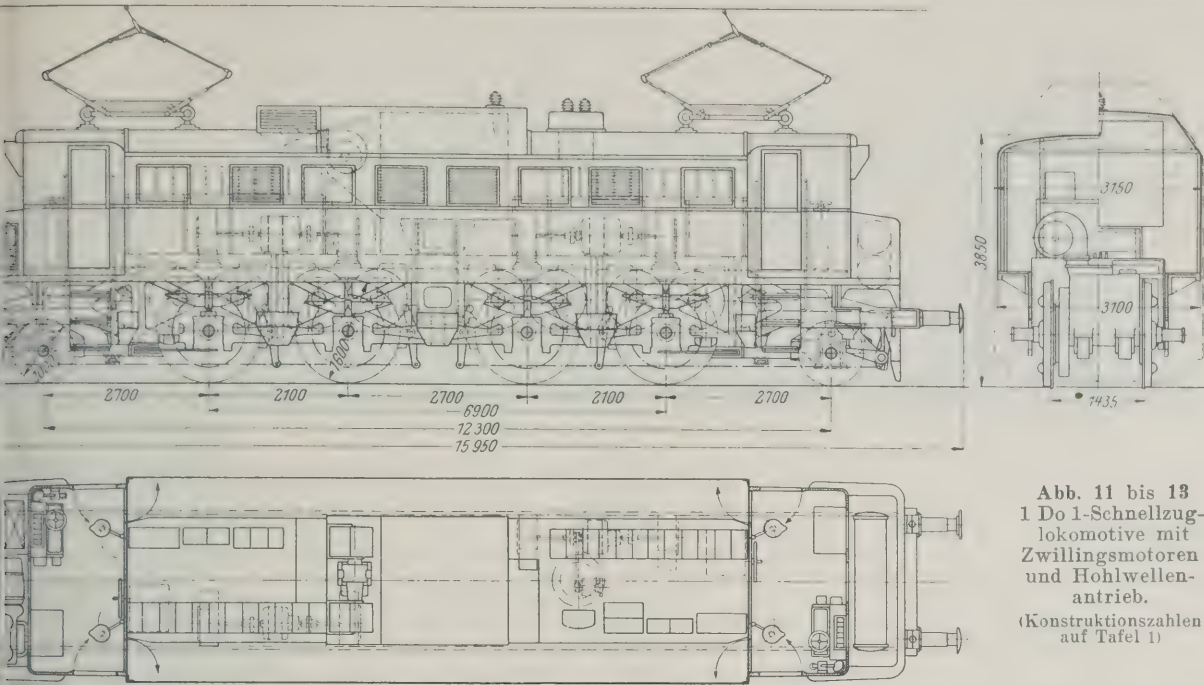


Abb. 11 bis 13
1 Do 1-Schnellzug-
lokomotive mit
Zwillingsmotoren
und Hohlwellen-
antrieb.
(Konstruktionszahlen
auf Tafel 1)

haft nach Abb. 14, das auch bei nur einer fñh-
Laufachse an den Enden der Lokomotive bei den
ten Fahrgeschwindigkeiten ruhigen Lauf und gute
ng im Gleis ermöglichte.
(s Wesen dieses Lenkgestells³⁾) deckt sich mit der
Helmholtz-Bauart, d. h. es stellt die Verbindung
m einen Drehzapfen nach dem Mittelpunkt der
krümmung einstellbaren Laufachse mit einer quer
bbaren, angetriebenen Achse dar, so daß sich bei
urch die Krümmung die Führungskräfte auf diese
n Achsen zugleich verteilen. Die Motoren, die als
lignismotoren über den Treibachsen angeordnet sind,
ita mit einseitiger Zahnradübersetzung auf eine
lorgußstück gelagerte Hohlwelle, innerhalb deren
d Treibachse, dem Federspiel und der Einstellung
das Drehgestell folgend, frei bewegt. Das Dreh-
er überträgt ein auf der Hohlwelle angeordneter
szukiger Kuppelstern, der nicht wie bei dem zwar
undform benutzten Westinghouseantrieb mittels
ber Konstruktion und Wirkungsweise vergl. Abb. 45 und 46
des Heftes.

Wickelfedern mit den Radspeichen verbunden ist. Viel-
mehr wird das Drehmoment auf die Treibradspeichen
mittels pufferartiger Stempel übertragen, die von Fe-
dern im Innern dieser Stempel angeedrückt werden. Abb. 14
läßt auch diese Teile erkennen. Bei senkrechten und
wagerechten Bewegungen der Treibräder können diese
Stempel an auswechselbaren Druckstücken im Radstern
gleiten. Diese Ausführung nach Vorschlägen der Allge-
meinen Elektrizitäts-Gesellschaft hat sich im Betrieb be-
währt und nur unbedeutende Abnutzungen gezeigt. Die
Fñhrung der Lokomotive durch dieses eigenartige Dreh-
gestell ist bei allen Geschwindigkeiten einwandfrei.
Die erwähnte hohe Ausnutzung der Motoren ist u. a.
auf die besonders durchgebildete Luftkñhlung, Abb. 15
und 16, zurückzuführen. Diese Motoren stellen die neuesten
Einphasen-Kommutatormotoren für Loko-
motivbetrieb dar, die nach der gewöhnlichen Reihenschluß-
schaltung mit Erreger-, Kompensations- und Wendepol-
wicklung im Ständer ausgeführt worden sind, d. h. also
ohne die später zu erwähnenden Widerstandsverbindungen
am Kommutator.

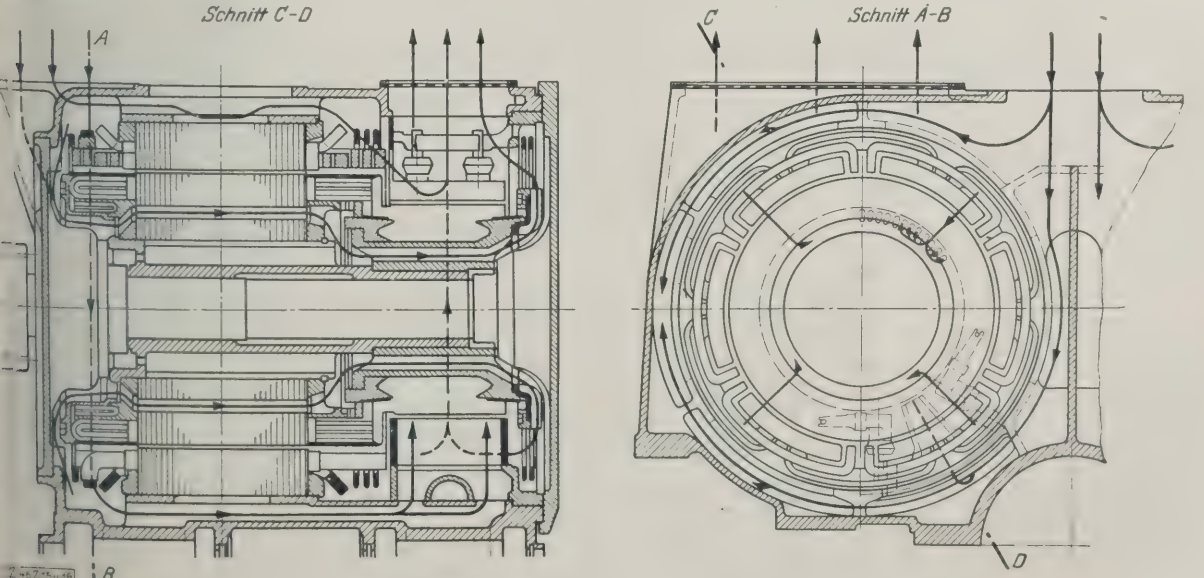


Abb. 15 und 16
Zwillingsmotor der 1 Do 1-Schnellzuglokomotive mit Hohlwellenantrieb.



Abb. 18
1 Do 1-Schnell-
lokomotive m
Buchli-Antrie
gebaut von
Brown, Boveri &

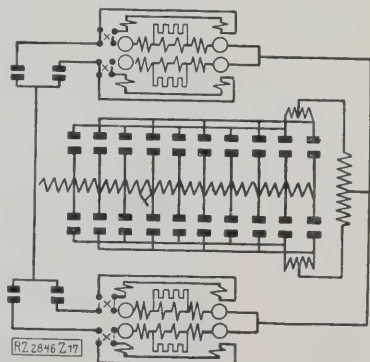
Man kann hier eine gewisse Vereinheitlichung der Grundgedanken im Einphasenmotorenbau feststellen, der sich nach einer mehr als zwanzigjährigen Entwicklung herausgebildet hat, die verschiedene elektrotechnisch bemerkenswerte Erfindungen auf die Probe gestellt und ausgesiebt hat. Wie aus den Schaltbildern Abb. 8 und Abb. 17 ersichtlich, haben die Ständer dieser Motoren übereinstimmend eine Erregerwicklung und um 90 elektrische Grade hierzu verschoben eine in Reihe geschaltete Wendefeld- und Kompensationswicklung. Parallel zum Wendefeld liegt ein Widerstand zur Einstellung des Phasenwinkels dieses Feldes auf günstigste Kommutierung.

Der Transformator ist bei diesen Lokomotiven ohne Ölkühlung ausgeführt worden. Die Deutsche Reichsbahn wendet schon seit einer Reihe von Jahren dem Vergleich zwischen Öl- und Trockentransformatoren besondere Sorgfalt zu. Beide Arten sind daher in ihren neueren Lokomotiven zur Zeit etwa gleich stark vertreten. Gegen den Öltransformator wurde stets sein großer, bei Unfällen feuergefährlicher Inhalt an Öl angeführt, gegen den Trockentransformator jedoch die schwierigere Isolierung und das schnellere Altern sowie die Empfindlichkeit gegen eindringende Feuchtigkeit. In bezug auf Anschaffungskosten bestehen keine ausschlaggebenden Unterschiede, dagegen wird der Trockentransformator trotz der für ihn erforderlichen etwas leistungsfähigeren Lüftersätze leichter als der ölkühlte Transformator.

Bei der 1Do1-Lokomotive sind die neuesten Erfahrungen auf dem Gebiete des Trockentransformatorenbaues ausgenutzt und ist die erstmals bei den oben erwähnten 2Do1-Versuchslokomotiven ausgeführte Bauart als Grundlage benutzt worden. Die auch hier vorgesehenen Transformatorlüfter saugen einen Luftstrom aus dem Maschinenraum unmittelbar durch die entsprechend isolierten Transformatorwicklungen hindurch. Diese Wicklungen sind hier als Zylinderwicklungen ineinander geschachtelt und lassen zwischen einander einen für ausgiebigen wirkungsvollen Kühlluftdurchstrom günstigen, auch leicht zu reinigenden Querschnitt offen. Die Windungen sind um die Mittelsäule eines wagerecht angeordneten dreisäuligen Kerns gelegt.

Abb. 17
Schaltskizze der
Einphasen-Kom-
mutatormotoren
für die 1 Do 1-
Schnellzug-
lokomotive.

Ständer mit Erreger-
wicklung und um 90°
versetzt, in Reihe ge-
schaltete Wendefeld-
und Kompensations-
wicklung



Da die Motoren beim Hohlwellenantrieb verhältnismäßig hoch und gut zugänglich in den Maschinenraum hinaufzugen, mußte der Transformator über dem Motorverkleidungskasten so hoch angebracht werden, wie die vorgeschriebene Fahrzeugumgrenzung erlaubt. blieb daher kein Platz, die auch bei diesen Lokomotiven als Magnetschützen ausgeführten Steuerungs- über dem Transformator wie bei der 1Co + Co1-Lokomotive aufzubauen, sondern sie sind in Gerüsten vor hinter dem Transformator über den Motorverkleidung aufgestellt worden. Die Zugänglichkeit der Motoren wird hierdurch nicht beeinträchtigt. Für den Wechsel der Fahrrichtung sind druckluftgesteuerte Schalter ähnlich denen der 1Co + Co1-Lokomotiven eingebaut. Die sonstige Ausführung der Steuerung und ihrer Einzelteile deckt sich soweit, wie möglich war, mit der Bauart der vorbeschriebenen Lokomotive. Der Hauptstrom, über den der Hochspannungsstrom von den Stromabnehmern dem Transformator zufließt, ist vor dem Transformator im Dach aufgehängt und in seiner Grundform (Einheitsform BBC der Reichsbahn) dem 1Co + Co1-Lokomotive ähnlich. Für die Motorluftpumpe und die Luftbehälter befinden sich an den Enden der Lokomotive niedrige Vorbauten. Fahrlluftpumpen sind bei dem geringeren Luftbedarf der Schnell- und Personenzüge im Vergleich zu dem der Güterzüge nicht erforderlich. Die Einrichtung der Führerstände spricht im wesentlichen der bei den 1Co + Co1-Lokomotiven beschriebenen.

Die Leistungsfähigkeit dieser Lokomotive erlaubt es, Schnellzüge von 500 t Wagengewicht auf 10 vT Strecken mit 90 km/h und im Flachland 700 t mit 110 km/h zu befördern. Im Personenzugdienst sind die Zugkräfte infolge des häufigeren, größeren Zugkraftbedarfes sprichenden Anfahrens etwa 30 vH geringer.

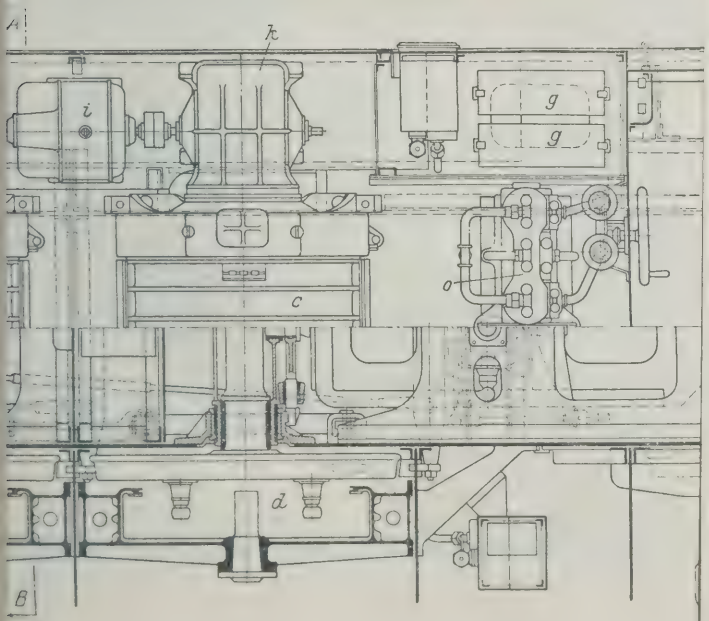
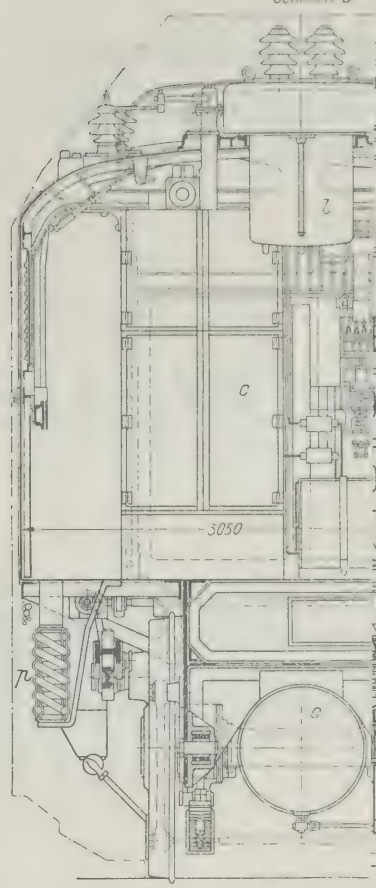
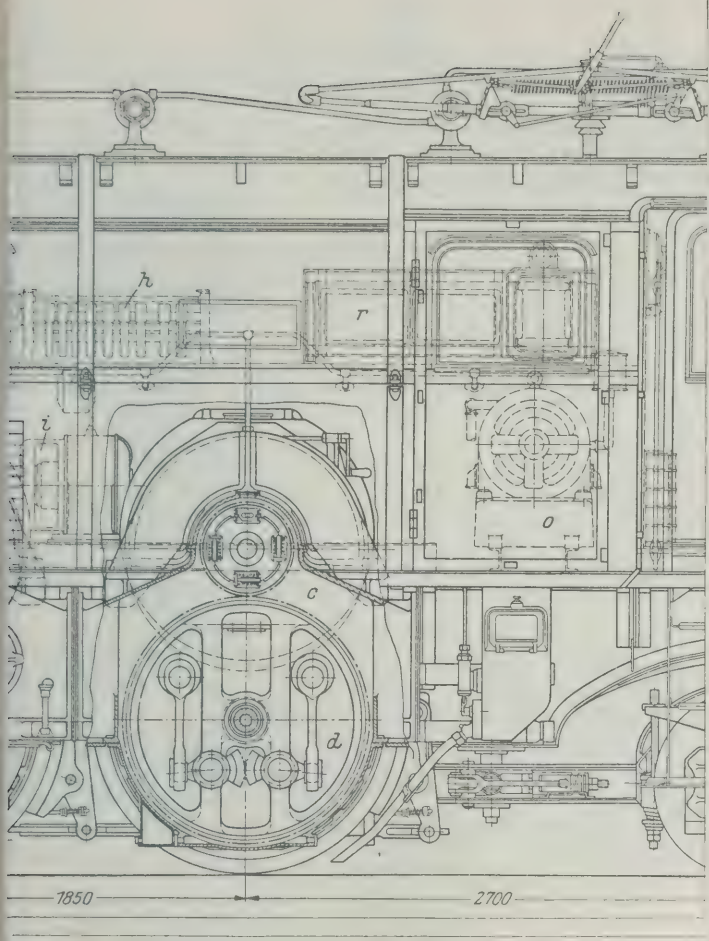
1 Do 1-Schnellzuglokomotive (Buchli-Antrieb)⁴⁾

Eine weitere von der Reichsbahn wiederholte beschaffte ähnliche Schnellzuglokomotive verkörpert die 1Do1-Lokomotive, Bauart Brown, Boveri & Cie., Mannheim. Von der vorbeschriebenen Lokomotive unterscheidet sich diese Bauart hauptsächlich durch ihren Buchli-Antrieb zwischen Motor und Treibachse, der erlaubt, einen Motor je Achse anzuordnen, während der Hohlwellenantrieb infolge der geometrischen Beziehung zwischen Zahnradmittenabstand, Motordurchmesser und Übersetzung die erforderliche Leistung auf zwei Motoren zu verteilen zwingt. Ferner weist diese Schnellzuglokomotive gegenüber der vorigen Lokomotive als besondere Merkmale den Widerstandskommutator in den Fahrmotoren und die Schlittensteuerung, Bauart Brown, Boveri & Cie., auf. Der Wettbewerb zwischen den beiden Grundformen der neuesten Reichsbahn-Schnellzuglokomotiven ist noch nicht endgültig ausgetragen.

Der Buchli-Antrieb wurde in seiner ersten Ausführung bereits 1918 mit einer Versuchs-Schnellzuglokomotive an die Schweizer Bundesbahnen geliefert. Die Erfahrungen, die bis 1922 mit einer Reihe nachbestellter Lokomotiven

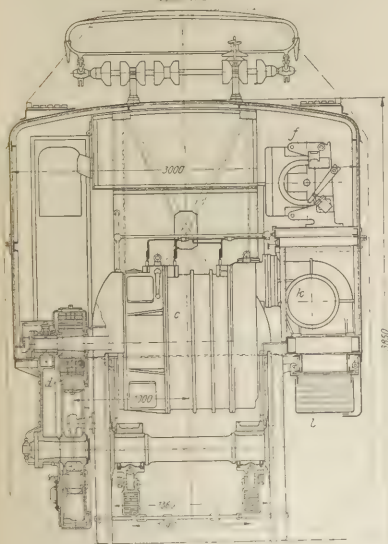
⁴⁾ Verfasser dieses Abschnittes ist Oberger, Oertel, Mannheim

Schnitt A-B

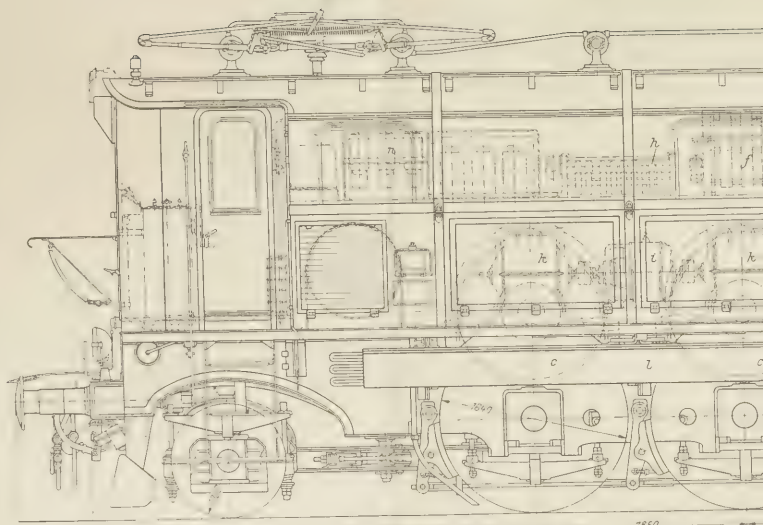
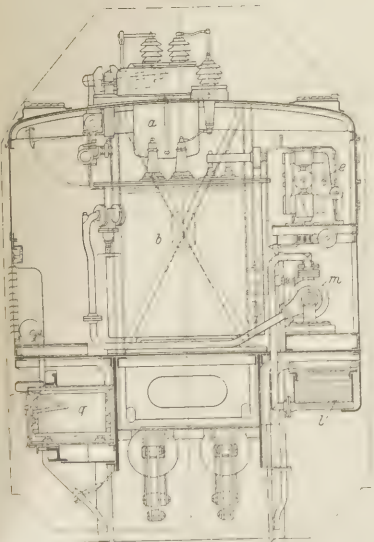


Tetzlaff und Schlem
Neuere elektrische
Deutschen Reichs

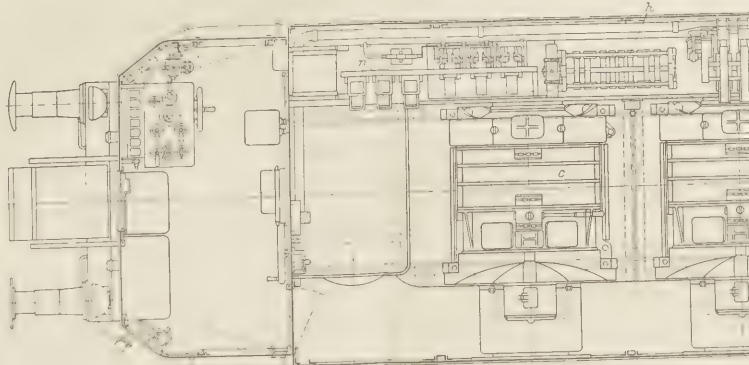
Schnitt A-B

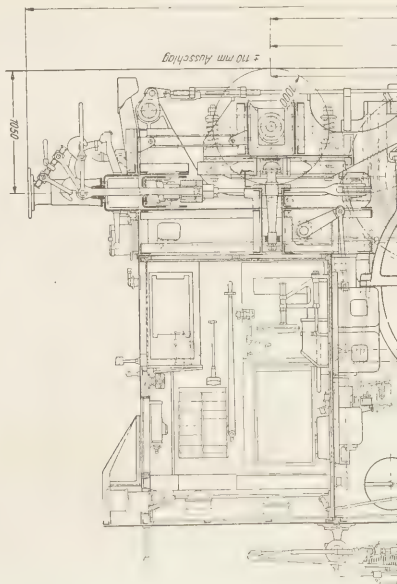


Schnitt C-D



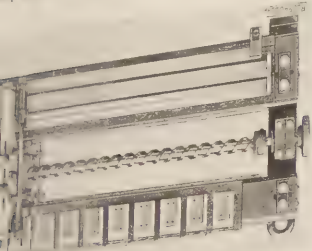
650 1250 1850





This technical drawing illustrates the internal structure of a ship's hull, likely a steamship, in a longitudinal section. The hull is shown with a rounded bottom and a flat deck. The internal structure includes a central longitudinal bulkhead, transverse bulkheads, and various compartments. A large, complex machinery compartment is located in the center, featuring a large horizontal cylinder, possibly a boiler or a large engine component, and various pipes, valves, and structural supports. The drawing is labeled with 'Q. 21' at the top center. Below the main hull section, there is a detailed longitudinal section of the hull bottom, showing the internal structure of the keel and the arrangement of the hull plating and stiffeners. The drawing is a black and white line drawing, typical of technical illustrations from the early 20th century.

d Radmotor
 c Transformator
 b Schaltwalze
 a Fahrtriegel
 e Lüfter
 f Ölkühler
 g Ölpumpe
 h Fahrtrwender
 i Luftpumpe
 k Hauptbehälter
 m Begleitheiz
 n Motorventil
 o Druckluftbehälter
 p Zwischenkühler der Luftpumpe

[illegible]

Total und Subtotal:

[illegible]

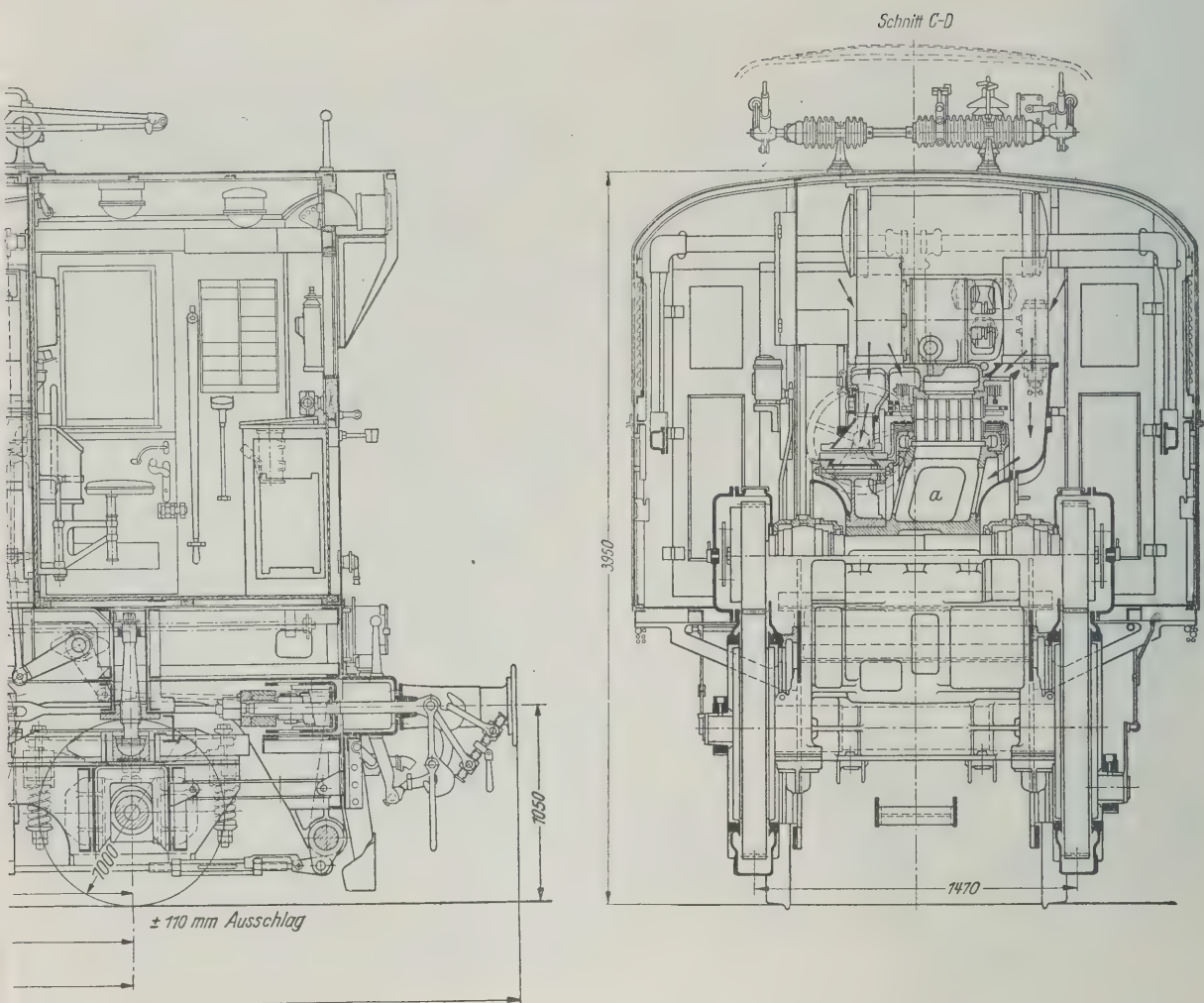
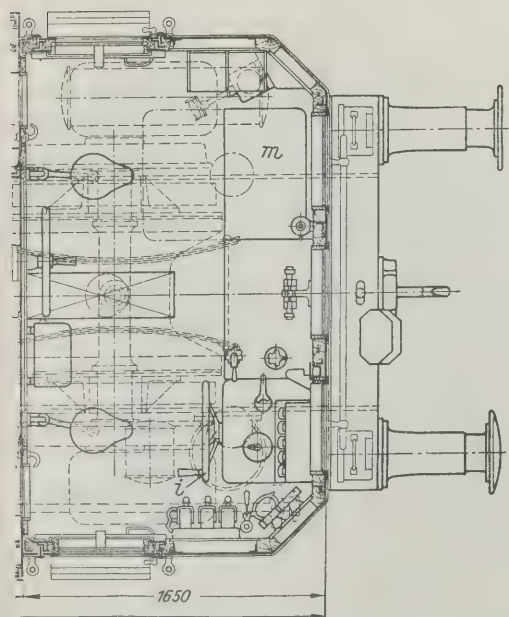
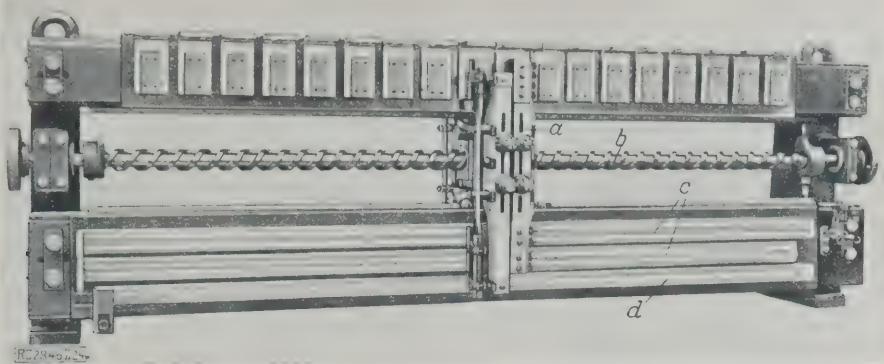


Abb. 28 bis 31
1 BB 1-Güterzuglokomotive der Deutschen Reichsbahn, gebaut
von Bergmann—Maffei—Schwartzkopff.



- a Fahrmotoren
- b Transformator
- c Schaltwalze
- d Fahrtregler
- e Lüfter
- f Ölkühler
- g Ölpumpe
- h Fahrtwender
- i Führerschalter
- k Luftpumpe
- l Hauptschalter
- m Begleiterplatz
- n Motortrennschützen
- o Druckluftbehälter
- p Zwischenkühler der Luftpumpe

Abb. 24
Schlittenschalter für 18 Stufen
und 4000 A.
a doppelseitige Schaltbrücke
b Antriebsspindel
c Motor-Hauptschienen
d Überschaltschiene



emacht wurden, veranlaßten auch die Deutsche Reichs-
bahn, diese Antriebe für neu zu beschaffende Schnell-
lokomotiven vorzusehen, und zwar unter Verzicht
auf nochmalige Versuche auf deutschen Strecken. Die
bei Brown, Boveri & Cie. bestellten zehn Lokomotiven
haben den Erwartungen entsprochen, und es wurden
1927 sieben gleiche Lokomotiven nachbestellt nach genau
den gleichen Zeichnungen. Lediglich die Wicklung der
Motoren wurde etwas vereinfacht und infolgedessen ihre
Leistung erheblich gesteigert.

Die Lokomotive, Abb. 18 und Tafel 1, Abb. 19 bis 22,
ist einteilig und hat durchgehenden Rahmen, der die elek-
trische Ausrüstung und den Lokomotivkasten trägt. Die
äußersten Treibachsen sind je mit einer Laufachse zu
Krauß-Helmholtz-Gestellen, s. Abb. 53 S. 690 dieses Heftes,
vereinigt, während die beiden mittleren Treibachsen ± 15 mm
seitenverschieblich sind. Die erwähnte Abbildung zeigt
auch den einfachen Aufbau des Drehgestells. Demnach hat
die Lokomotive keine feste Achse. Auch die Helmholz-
Achsen haben einen Seitenaus Schlag von ± 15 mm. Die
Beweglichkeit der Achsen und das Federspiel werden
vom Buchli-Antrieb aufgenommen, ohne daß die Dreh-
bewegungen irgendwie unstetig werden. Das Ergebnis
dieser Anordnung war ein einwandfreier Lauf im Gleis.
Die Geschwindigkeit steigerte man bei Versuchsfahrten
bis zu 122 km/h, ohne daß irgendwelche Schlinger- oder
Schwingungsbewegungen oder auch Stöße auftraten. Auf
diese guten Laufeigenschaften ist die überraschend ge-
ringe Spurkranzabnutzung zurückzuführen.

Beim Buchli-Antrieb, dessen Konstruktion und Wir-
kungsweise S. 683 dieses Heftes beschrieben werden, ist
noch die Schmierpumpe bemerkenswert, die vom Zahnrad
angetrieben wird und das obliegende Ritzel, das Motor-
wellenlager und alle Getriebeteile des großen Zahnrades
mit Öl schmiert. Der Antrieb wird mittels eines Schutz-
kastens öldicht abgeschlossen, so daß die eingefüllte Öl-
menge immer von neuem umläuft und an der Schmierung
einnimmt.

Der Lokomotivkasten ist in dem Bestreben
durchgebildet, den Einbau und die betriebliche Unterhal-
tung der elektrischen Ausrüstung so übersichtlich und ein-
fach wie nur möglich zu gestalten. Aus diesem Grunde
wurden — wie auch bei den kleinen 1 C 1-Personenzug-

lokomotiven — die bis zur halben Höhe des Kastens her-
untergezogenen Lokomotivdächer in einzelnen Teilen ab-
nehmbar gemacht.

Die hochspannungsseitige Schaltung der
Lokomotive weicht von der üblichen in keiner Weise ab.
Für die Unterspannungsschaltung ist die Steuerung, hier
die handbetätigte Schlittenschalter-Steuerung, maßgebend.
Die Unterspannungswicklung des Transformators weist
18 Anzapfungen für Spannungstufen von 0 bis 700 V auf.
Bei Stufenschaltern kann bei sehr geringem Gewicht eine
große Anzahl einzelner Fahrstufen ausgeführt werden, da
eine Stufe nur eine geringe Länge des Schlittenhaupt-
schalters beansprucht. Man kann also hierbei auf Sonder-
schaltungen mit Zusatztransformatoren, Kommutator-Fein-
reglern und andern Mitteln zur Verringerung der Stufen-
zahl auch bei großer Leistung verzichten.

Der konstruktiv leichten Ausbildung der Schalter
kommt der Umstand zugute, daß die BBC-Motoren mit
Widerstandsverbindungen in der Läuferwicklung bei
hohen Klemmspannungen verhältnismäßig niedrige Strom-
stärken brauchen. Die Stromstärken ließen sich deshalb
ohne Stromteiler beherrschen, obwohl alle vier Motoren
parallel geschaltet sind. Wie aus Abb. 23 hervorgeht,
gehören zu jedem Motor zwei Funkenzieher, die zu
vierein in je eine Gruppe zusammengefaßt sind. Von
beiden Führerständen aus kann mittels des Handrades d
das durchgehende Ketten-Wellen-Getriebe betätigt werden,
von dem aus die Stufenschalterwelle angetrieben wird.
Die einzelnen Funkenschalter werden von Daumenschei-
ben zwangsläufig geöffnet und von einer Rückzugfeder
wieder geschlossen. Um die Motoren in einer beliebigen
Schaltstufe sofort abschalten zu können, ohne den Stufen-
schalter a auf die Nullstellung zurückdrehen zu müssen,
ist bei diesen Schaltern eine sogenannte Schnellauslösung e
eingebaut. Der Führer kann mit dem Druckknopf f im
Führertisch ein elektrisch gesteuertes Ventil g betätigen,
durch das Druckluft in die Zylinder h der Funkenschalter-
gruppen strömt. Die Druckluftkolben heben dann unab-
hängig von der Stellung des Fahr Schalters im gleichen
Augenblick alle vier Motorhauptkontakte ab und unter-
brechen somit den gesamten Motorstrom. Alsdann kann
der Führer den Stufenschalter leer auf die Nullstellung
zurückdrehen, in der die Funkenzieher selbsttätig wieder
in ihre Grundstellung einfallen.

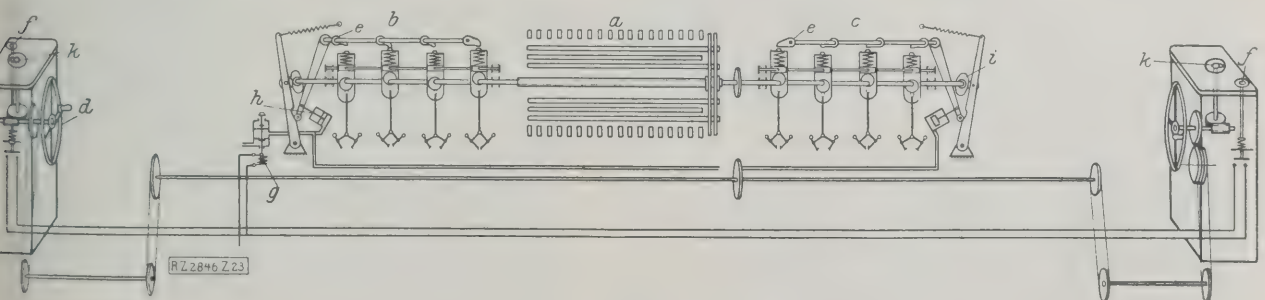


Abb. 23. Mechanische Arbeitsweise der Schlittenschalter-Steuerung von Brown, Boveri & Cie.
a Stufenschalter b, c Funkenschalter d Handrad für das Schaltergetriebe e Schnellauslösung f Druckknopf für Schnellauslösung
g elektrisch gesteuertes Ventil h Druckluftzylinder i Drehmomentausgleich k Stufenzeiger

Der eigentliche Stufenschalter, Abb. 24, mit doppelseitigen Schaltbrücken *a*, besteht aus den Anschlußkontakten für die Transformatoranzapfungen, der Antriebspindel *b* mit Kugelmutter aus zwei Motorhauptschienen *c* und einer Überschaltchiene *d*. Eine Hilfsbrücke übernimmt beim Überschalten die Stromführung über die dritte Schiene und einen Zwischenwiderstand.

Die Funkenzieher, Abb. 25, beanspruchen bei der Drehung des Schalters ein veränderliches Drehmoment, was für die Handbetätigung seitens des Führers ungünstig wäre. Mittels eines entsprechend ausgebildeten Gegendaumens wird nun ein praktisch vollkommener Ausgleich erzielt, so daß am Handrad der Führer nur die unvermeidlichen Reibungskräfte zu überwinden hat. Die Handbetätigung, die sich im Betrieb als genügend leichtgängig erwies, wurde bei diesen Lokomotiven erstmalig für eine so hohe Schaltleistung ausgeführt.

Die Motoren, vier Stück je Lokomotive, der zweiten Lieferung stimmen in ihren Abmessungen mit den Motoren der ersten Lieferung von zehn Lokomotiven überein und sind also auswechselbar. Die Leistung, bezogen auf die gleiche Erwärmung, konnte jedoch infolge Vereinfachung in der Wicklungsanordnung und besserer Ausnutzung des Nutenraumes ganz bedeutend gesteigert werden. Ein Motor wiegt rd. 5900 kg und leistet bei 70 vH seiner Höchstdrehzahl 700 PS dauernd, bezogen auf die für Dauerlast zulässigen Höchsttemperaturen nach den Vorschriften des VDE für ortsfeste Maschinen. Die Leistung der zuerst gelieferten zehn Lokomotiven betrug 4×500 PS dauernd.

Die Betriebserfahrungen mit diesen Lokomotiven, die sich am längsten von den vier beschriebenen Lokomotivgattungen im Dienst befinden, lauten sehr günstig. Störungen kamen an der Steuerung während mehrjähriger Betriebszeit von etwa 46 damit ausgerüsteten Lokomotiven nur sehr vereinzelt vor. Die Abnutzung der Stufenschalterkontakte ist ganz gering. Sie bedürfen nach etwa 200 000 km Laufzeit, entsprechend einer Betriebszeit von etwa 2 Jahren, einer Nacharbeit von nur $\frac{3}{10}$ mm. Die Funkenschalterkontakte werden nach etwa 100 000 km ausgewechselt. Auch die Motorkommutatoren haben sich infolge der guten Kommutierung gut gehalten.

Die Abnutzung im mechanischen Teil ist ebenfalls gering. Die Abnutzung der kugelförmigen Lagerschalen betrug kaum $\frac{1}{10}$ mm, nach einem Laufwege von rd. 100 000 km. Dieser geringe Verschleiß beweist, wie günstig sich die Beanspruchung durch gleichmäßige Kräfte auswirkt. Ebenso zeigten die Zahnflanken nach 100 000 km gegen Gipsabdrücke neuer Zähne keine meßbare Abnutzung.

Die Radreifenabnutzung zeigt, daß im wesentlichen nur auf der Lauffläche ein Verschleiß eingetreten ist, während kein Spurkranz scharf gelaufen ist. Dieses Ergebnis ist zunächst überraschend, da der große Achsstand der beiden Helmholtz-Achsen erwarten ließ, daß infolge des verhältnismäßig großen Anschneidwinkels auch eine größere Spurkranzabnutzung entstehen würde. Offenbar setzt aber der weiche Lauf der Lokomotive und die Freiheit des Achsenspiels die Beanspruchung der Spurkränze so herunter, daß der Anschneidwinkel keine Nachteile ergibt. Der Verschleiß auf der Lauffläche beträgt etwa 2 mm bei 100 000 km Laufweg der Treibachsen, während die Laufachsen infolge ihres geringeren Durchmessers einen größeren Verschleiß aufweisen. Ähnlich günstige Ergebnisse zeigten übrigens auch die oben erwähnten 2 Do 1-Versuchslokomotiven, trotz ihres nur 600 mm kürzeren aber festen Treibachsstandes.

Der Schmierölverbrauch sämtlicher Getriebe und Motorlager einschließlich der Zahnräder betrug im letzten Sommer etwa 3,5 kg für 1000 km, während für die Achslager die auch sonst übliche Menge aufgewendet werden mußte. Der Ausbesserungsstand für das Jahr 1928 betrug im Mittel 5 vH.

Die Lokomotive ist bahnbrechend für die Einführung des Einzelachsantriebes geworden. Mit ihrem Bau ist der Name des 1927 verstorbenen Direktors *A. Wichert* von Brown, Boveri & Cie., Mannheim, eng verknüpft, der einen großen Teil seiner Arbeit auf die bahnmäßige Durch-



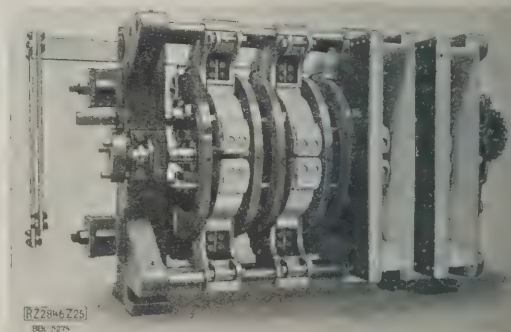
Abb. 26

bildung aller Teile aufgewandt hat. Den Wagenteil Lokomotive hat nach dem grundsätzlichen Entwurf Brown, Boveri & Cie. die Lokomotivfabrik Krauß & A.-G., München, durchgebildet und gebaut.

1 B B 1 - Güterzuglokomotive

Die im vorstehenden wiedergegebene Entwicklung elektrischer Lokomotiven mit Einzelachsantrieb nicht zu dem Urteil verleiten, daß die Lokomotiven Stangenantrieb der Vergangenheit angehören. Reichsbahn läßt vielmehr solche Lokomotiven auch noch anliefern und die zur wirtschaftlichen Ausnutzung des elektrischen Zugbetriebes nötige Stetigkeit in Formgebung des Lokomotivbestandes rechtfertigte Weiterbeschaffung solcher Lokomotiven bis in neueste Zeit auch angesichts der unverkennbaren Vorteile des Einzelachsantriebes. Der Übergang zu letzter Bauform dürfte jedoch bei Umstellung weiterer Strecken des Reichsbahnnetzes auf elektrischen Betrieb, d. h. bei größerem Bedarf an elektrischen Lokomotiven, auch für leichteren Güterzuglokomotiven, nicht aufzuhalten sein.

Die 1 B B 1-Lokomotive, Abb. 26 und 27 und Tafel Abb. 28 bis 31, die für Flachlandstrecken und leicht hügelndes Gelände vorgesehen ist, wurde ursprünglich als 1 B + B 1-Lokomotive mit zwei getrennten Triebgestellen und gemeinsamem Mittelkasten für den Transformator gebaut. Zur Vereinfachung der Gesamtanordnung und Gewichtersparnis sowie nach den günstigen Erfahrungen mit langen Achsständen der in einem Rahmen gelagerten Treibachsen (z. B. bei den 2 Do 1-Versuchslokomotiven) ging man zu der jetzigen Bauart mit einem durchlaufenden Rahmen oder Kasten sowie gewöhnlichen Deichlen-Lenkgestellen an den Enden über. Hierdurch entfiel die in der Erhaltung kostspieligen Faltenbälge zwischen den einzelnen Kastenteilen, die zahlreichen mechanischen

Abb. 25
Funkenziehergruppe für zwei Motoren.

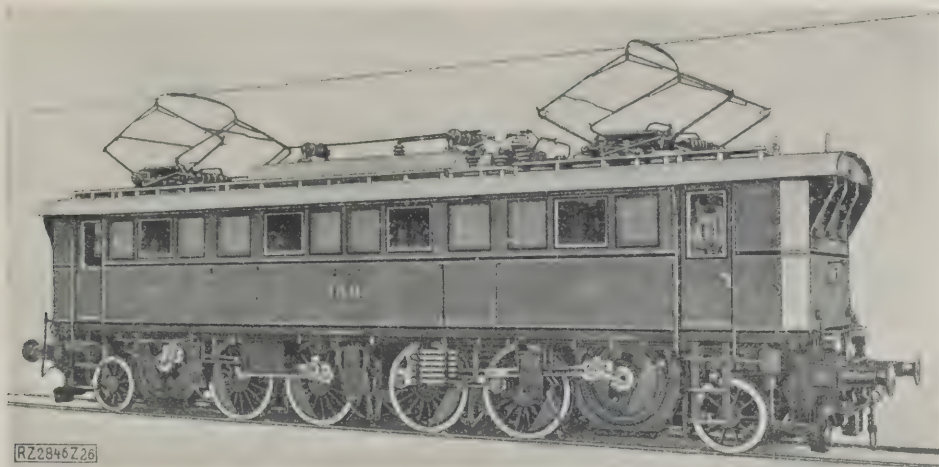


Abb. 26 und 27
BB 1-Güterzuglokomotive
mit Stangenantrieb der
Deutschen Reichsbahn

elektrischen und Druckluftkupplungen und der größere Umbedarf der auseinandergenommenen Lokomotivteile Ausbesserungswerk. In der elektrischen Ausrüstung kommen diese Lokomotiven mit ihren Vorgängerinnen bis auf die Steuerung genau überein. Sie haben zwei Einphasen-Reihenschlußmotoren und einen ölgekühlten Transformator zwischen den beiden Motoren. Schräg unterhalb des Motors trägt ein mit diesem gemeinsames, gleichzeitig den Rahmen versteifendes Stahlgußstück je eine Vorgelegewelle mit beiderseitig aufgesetzten Zahnrädern, in die greifen die auf der Motorwelle sitzenden mit Federung und Dämpfung versehenen Ritzel. Von den Zahnradscheiben der Vorgelegewelle übertragen schwach geneigte Pleibstangen die Motorleistung auf je zwei miteinander gekuppelte Achsen. Die infolge des senkrechten Spielspiels der Treibachsen in den Schrägstangen erzeugten Zusatzkräfte halten sich im Rahmen elastischer Formänderungen dieser Stangen und der in den Pleib- und Stangenlagern sowie Achsbüchsführungen vorhandenen geringen Spielräume, so daß diese Lokomotiven neuerdings ohne Nachstellung an den Kurzapfen der Treibachsen ausgeführt werden konnten und trotzdem keine höheren Abnutzungen zeigen als ihre Lokomotiven mit Stangenantrieb. Auch die bisher so gefürchteten Schüttelschwingungen sind bei diesem Antrieb wie überhaupt bei Anwendung der im zeitlichen Lokomotivbau beobachteten Genauigkeits-

arbeit als überwunden zu betrachten. Die nicht mit der besondern Art der Lokomotive zusammenhängenden Teile, wie Stromabnehmer, Hauptschalter, Motorluftpumpe, Bremsausrüstung, Meßgeräte, Hilfsschalteneinrichtungen, Beleuchtung usw. stimmen mit den entsprechenden Teilen der vorherbeschriebenen Lokomotiven überein. Man sieht in Abb. 27 unterhalb des Lokomotivkastens vor den Rädern links den Batteriebehälter, rechts den Zwischenkühler der Luftpumpe, außerdem drei Sandkästen.

Das Öl des hier noch benutzten Öltransformators wird mittels eines Röhrenkühlers, s. Abb. 28 und 29, gekühlt. Auf dem Gehäuse des Kühlers stehen die Lüfter mit gemeinsamem Motor, die einen Kühlluftstrom durch die Zwischenräume des Rohrbündels hindurch-

Abb. 33
Fahrmotor der BB 1-Güterzuglokomotive mit Lüftern und Fahrtwender im Prüffeld.

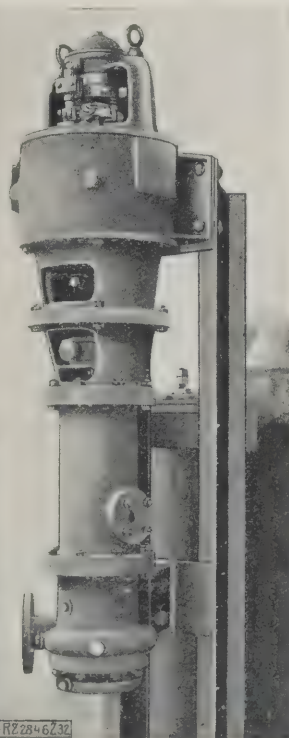
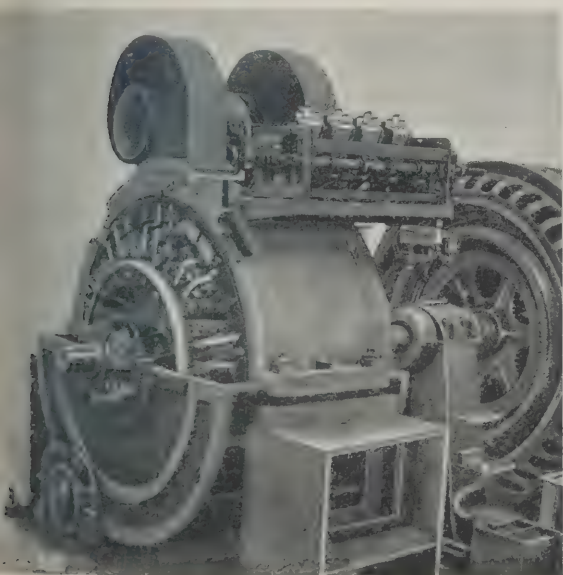
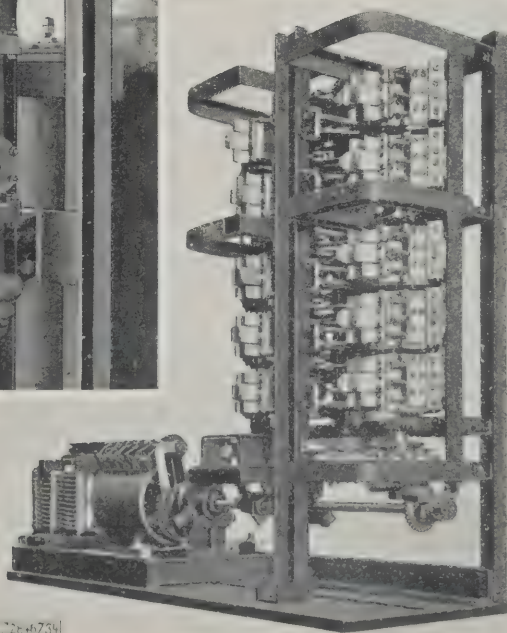


Abb. 32 (links)
Ölpumpe der BB 1-
Güterzuglokomotive.

Abb. 34
Schaltwalzensteuerung
der Maffai-Schwartz-
kopff-Werke
mit Feinregler.



Fortschritte im Bau elektrischer Lokomotiven

Von Dr.-Ing. K. SACHS, Eaden (Schweiz)

Die Formen der elektrischen Lokomotive haben im letzten Jahrzehnt viele Wandlungen durchgemacht. Ausgehend von den nach dem Krieg entstandenen Konstruktionen werden die neuesten Antriebformen und Laufwerke eingehend behandelt und auf Grund der damit gemachten Erfahrungen und ihrer Verbreitung wird ihre Zweckmäßigkeit für die weitere Entwicklung geprüft. Von Einzelachs-antrieben, der wohl aussichtsreichsten Antriebform, sind der Kleinow-, Buchli-, Federstern-Antrieb (quill-drive) u. a. besonders hervorgehoben, vom Laufwerk insbesondere die aus dem Kraus-Helmholtz-Drehgestell hervorgegangenen Abarten. — Bahnmotoren für Drehstrom, Einphasenstrom und Gleichstrom; die Konstruktion der Senkrechtmotoren¹⁾.

Innerhalb der elektrischen Zugförderung bedeutet das Jahr 1928 gewissermaßen einen Abschluß der Entwicklung, und zwar den Abschluß von großzügigen Versuchen einer neuen Betriebsform in fast allen Ländern, die in den letzten zehn Jahren darangegangen waren, den Dampftrieb durch den elektrischen Betrieb zu ersetzen. Neben den volkswirtschaftlich-finanziellen Auswirkungen steht innerhalb dieser Umstellung die elektrische Lokomotive im Vordergrund der fachmännischen Aufgaben. Sie bildet den eigentlichen Träger der Änderung der Betriebsform, die sich am sinnfälligsten zum Ausdruck kommt. Es scheint daher zeitgemäß, auf die konstruktive Entwicklung der elektrischen Lokomotive und ihrer Ausrüstungsteile während des letzten Jahrzehnts hier näher einzugehen.

Mechanischer Teil (Wagenteil)

Antriebsformen

Hinsichtlich Antriebsart scheiden die Kriegsjahre, wenigstens in Europa, deutlich zwei Entwicklungsstufen:

Antrieb mittels Stangen mit oder ohne Blindwellen

Der unmittelbare Antrieb von einem oder höchstens zwei langsamlaufenden frei im Lokomotivkasten aufgestellten Motoren mittels langer Stangen über eine oder mehrere Blindwellen, dem man in der Vorkriegszeit den Vorzug gegeben hatte, ist sozusagen aufgegeben worden unter dem Eindruck von schweren Triebwerkzerstörungen; als deren Ursache wurden einerseits zu schwache Beseitigung der ungünstig beanspruchten Blindwellen, ander-

seits Schüttelschwingungen erkannt, die unter der Wirkung der Läufermassen als Folge ungenauer, beträchtliches Lagerspiel zurücklassender Triebwerkeinstellung entstanden waren. Unter den Lokomotiven des letzten Jahrzehnts ist diese Antriebform nur noch bei den 2 C 2-Lokomotiven (Reihe E 0601) der Deutschen Reichsbahn-Gesellschaft vertreten, Abb. 1, hier allerdings in der statisch und dynamisch günstigsten Form mit gleichmäßigem Drehmomentablauf von den Kurbeln des einzigen für die ganze Lokomotivleistung bemessenen Triebmotors aus je über ein Schrägstangenpaar nach zwei Blindwellen hin; von diesen ist die eine zwischen erster und zweiter Triebachse, die andere außerhalb des Triebbradstandes im Rahmen gelagert. Bemerkenswert ist ferner die Ausbildung der Läuferfederung, Abb. 2. Der Läufer sitzt lose auf der Welle unter Zwischenschaltung einer Bronzebüchse. Auf der Kollektorseite ist er federnd mit der Welle verbunden, während auf der Blechkörperseite eine Lamellendämpfung der Federung eingebaut ist, um Schwingungen der Federung zum Abklingen zu bringen.

Der unmittelbare Antrieb unter Vermeidung von Blindwellen ist auch noch in der Nachkriegszeit viel verwendet worden, und zwar hauptsächlich in der Form des flachen Kuppelrahmens, dessen Eckpunkte die Anschlußpunkte für die Kurbeln der beiden Motoren bilden, während in der im Tiefpunkt des Kuppelrahmens angeordneten Kulisse der Kurbelzapfen eines der Triebräder mittels Gleitstein mit senkrechter Spielrichtung geführt ist. Beiderseits der Kulisse greift das mit den Kurbeln der übrigen Triebräder verbundene Kuppelgestänge an. Bei kleinen Pfeilhöhen wird der Kuppelrahmen voll geschmiedet, bei größeren als Fachwerkträger, Abb. 3, ausgeführt.

¹⁾ Die übrigen Teile der elektrischen Ausrüstung von Lokomotiven werden in einem demnächst erscheinenden besonderen Aufsatz des Verfassers behandelt werden.

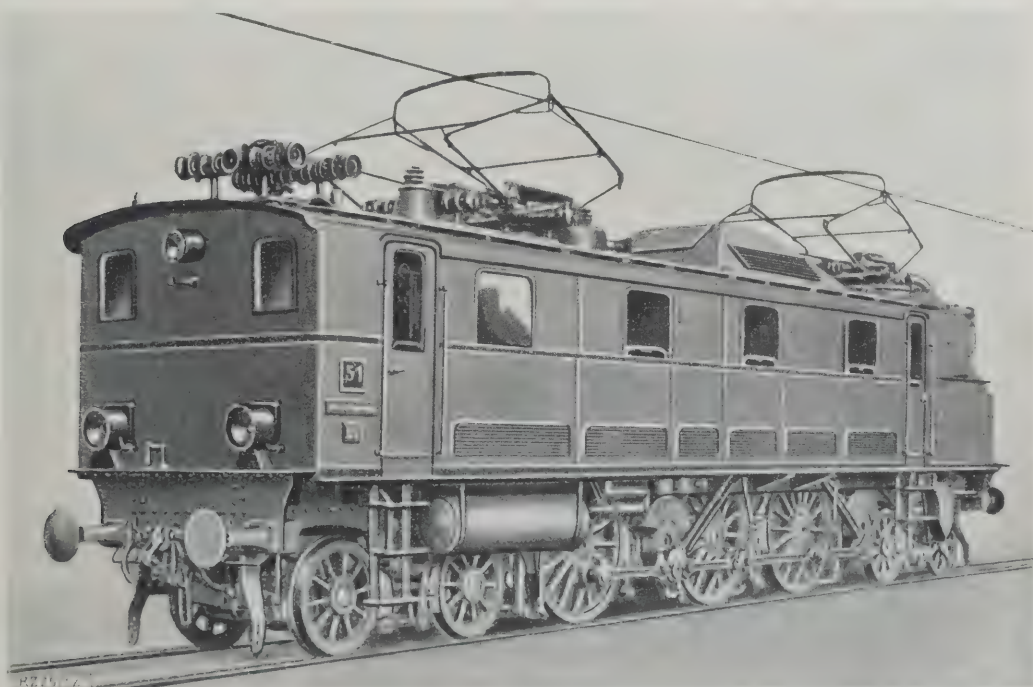
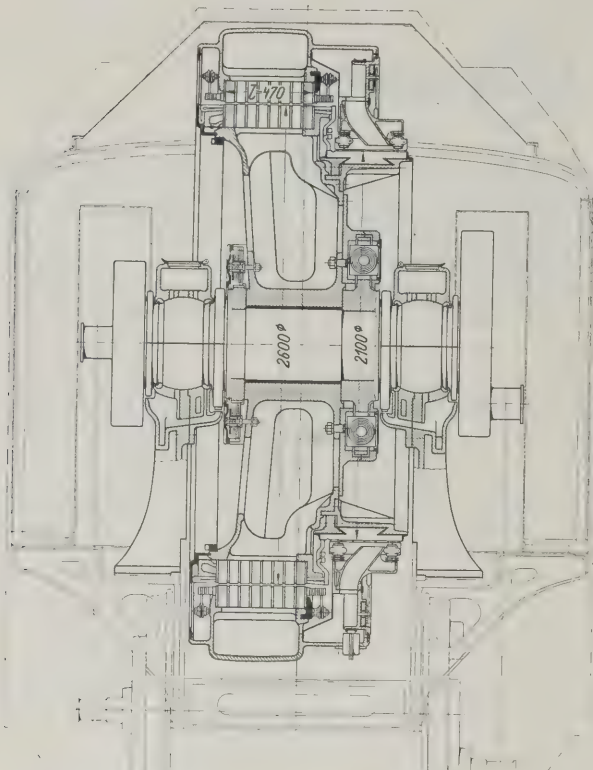


Abb. 1
2 C 2-Schnellzug-
lokomotive,
Reihe 0601, der
Deutschen Reichs-
bahn-Gesellschaft.
(Bergmann-
Schwartzkopff.)



Der Antrieb hat sich soweit bewährt, nur wird bei allseits offenen Kulisse infolge der Fliehkraft viel Geschwindigkeit, das durch reichliches Schmieren ersetzt werden muß, wenn Anfressungen der Gleitflächen sicher werden sollen.

Es sind nun zwei Antriebe entwickelt worden, denen das Federspiel statt von einer empfindlichen Kuppel von einer Lenkergeradföhrung aufgenommen wird, dem Antrieb von K. v. Kandó, Abb. 4^{1a)}, bewirkt die gegenseitige Verschiebung der Kuppelstangen *a* und *e* die wagerechten Triebkräfte genau so auf den Zapfen übertragen werden wie beim flachen Kuppelrahmen. Tritt jedoch infolge der Abfederung des Rahmens eine lotrechte Bewegung der Radachse oder des Zapfens in bezug auf den Rahmen oder die Kuppelstange *a* so wird — wenn die Kuppelstange *a* als ortsfest und

^{1a)} DRP Nr. 347 756. — Angewendet bei den E-Lokomotiven (E 552) der Italienischen Staatsbahnen, bei den 2B-B2-Lokomotiven (E 401) der Paris-Orléans-Bahn, bei den Lokomotiven Achsfolge 1D1 der Reihen 1470 und 1180 der Österreichischen Bundesbahnen und bei der E-Versuchslokomotive der Ungarischen Staatsbahnen.

Abb. 2.

Einphasen-Lokomotivmotor für 3400 PS Stundenleistung, 250 U/min und unmittelbarem Stangenantrieb der 2C2-Schnellzuglokomotive, Reihe 0601, der Deutschen Reichsbahn. (Bergmann).

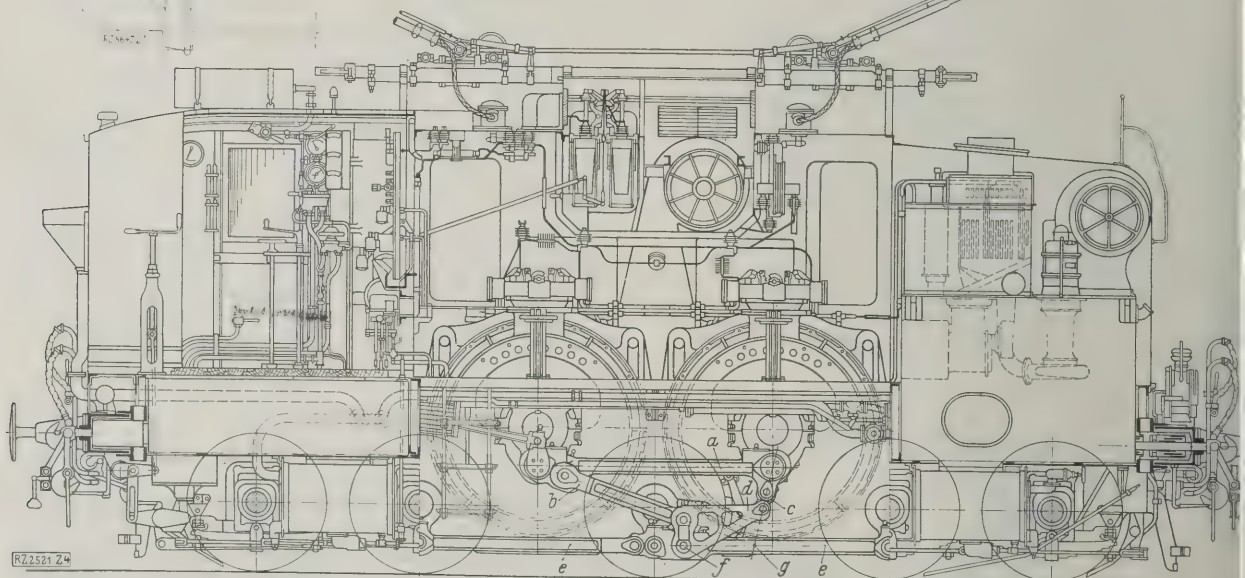


Abb. 4

E-Güterzuglokomotive Gruppe E 552, der Italienischen Staatsbahnen

a, b, c, d trapezförmiger Rahmen
e Kuppelstangen
f Kurbelzapfen
g Schnittpunkt der Mittellinien der Stangen *c* und *b*

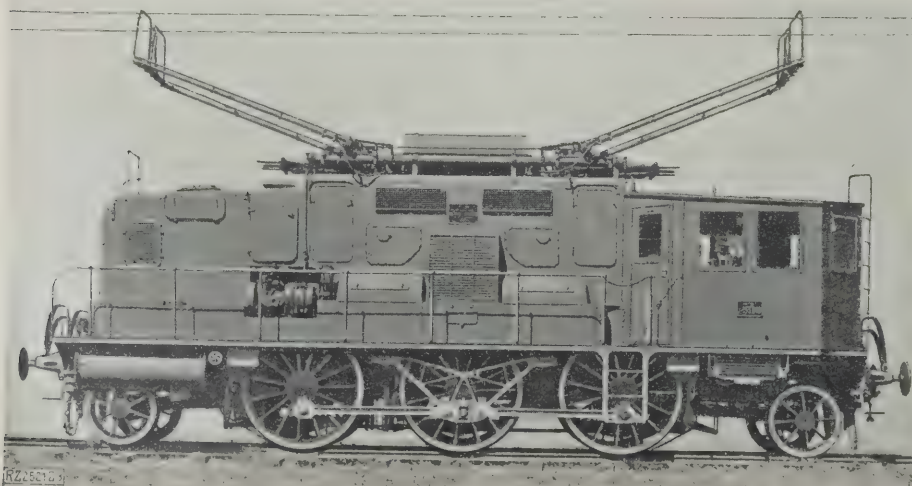
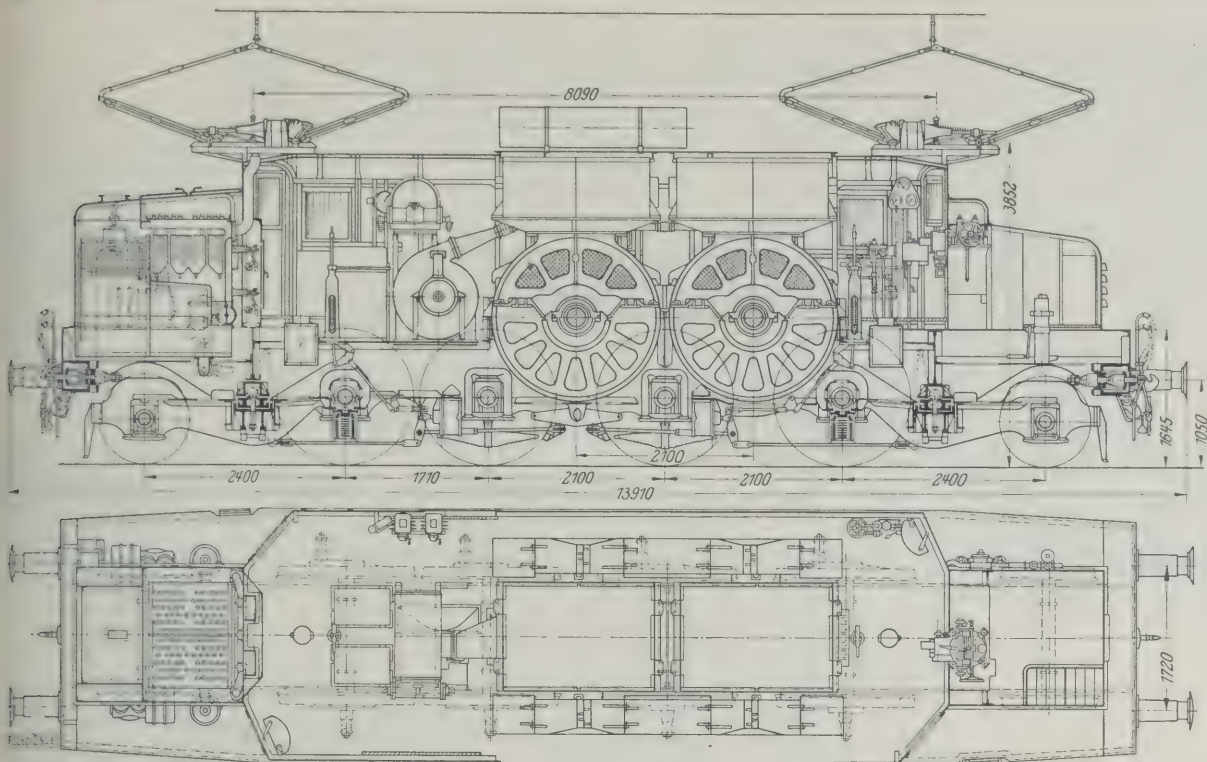


Abb. 3

1 C1-Personenzuglokomotive Gruppe E 333, der Italienischen Staatsbahnen.

Der Kuppelrahmen ist als Fachwerkträger ausgeführt. (Società per Costruzioni Elettromeccaniche di Saronno)



Kurbelzapfen *f* als in lotrechter Richtung schwingend betrachtet wird — der Hebel *d* samt dem Kurbelzapfen *f* eine Bewegung vollziehen, deren jeweiliger augenblicklicher Drehmittelpunkt stets im Schnittpunkt *g* liegt. Da die Punkte *g* und *f* in gleicher Höhe liegen, so ist die Bewegung des Zapfens *f* lotrecht.

Beim zweiten Antrieb dieser Art, Abb. 5 bis 8, der von Bianchi angegeben wurde²⁾, greifen an die beiden Motorkurbelzapfen verbindende Kuppelstange *a* zwei Schrägstangen *b* und *c* an, die an ihren unteren Enden *d* und *e* mit den Hebeln *f*, *g* gelenkig verbunden sind. Diese schwingen um Zapfen *h* und *i*, die auf dem Kuppelgestänge *k* angeordnet sind. Die Hebel *f*, *g* sind mittels eines kleinen Lenkers *l* derart verbunden, daß sie gezwungen werden, sich um gleich große Winkel zu drehen, aber in entgegengesetzten Richtungen.

Die Hebelarme *h*—*d* und *i*—*e* sind einander gleich, ebenso die Arme *h*—*m* und *i*—*n*. Die Triebstangen *b* und *c* bilden die Seiten eines gleichschenkligen Dreiecks, dessen Grundlinie die Kuppelstange *a* ist und dessen Scheitel auf der Achse des Kuppelgestänges *k* liegt. Durch diesen Punkt geht auch die Achse des kleinen Lenkers *l*. Daraus ergibt sich, daß von den Kräften der Motorkurbeln auf die Räder nur die wagerechten Teilkräfte übertragen werden. Alle Verschiebungen senkrecht zu den Rädern, ob nach oben oder unten gerichtet, setzen sich in eine Drehung der Triebstangen *b* und *c* um die Zapfen *o* und *p* und in Drehungen in entgegengesetztem Sinne um die Gelenkpunkte *h* und *i* der Hebel *f* und *g* um. Auf diese Weise nimmt das Kuppelgestänge *k* weder die senkrechte Verschiebung des Gestelles, noch irgendeine Kraftwirkung in dieser Richtung auf. Im Gegensatz dazu werden die wagerechten Teilkräfte der Verschiebung und der Kurbelkräfte der Motoren vollständig auf die Räder übertragen, weil infolge einer wagerechten Verschiebung der Kuppelstange *a* die Triebstangen *b* und *c* daran gehindert werden, sich um die Zapfen *o* und *p* zu drehen, da sie auch nicht die Hebel *f* und *g* drehen können, die wieder wechselseitig in der Drehung durch den kleinen Lenker *l* gehindert werden. Der Hebel *g* kann auch so ausgebildet sein, daß auch dessen Ende *n* und damit der Lenker *l* über dem Kuppelgestänge *k* zu liegen kommen³⁾.

²⁾ DRP Nr. 380 044. — Angewendet bei den 1D1-Lokomotiven (Gruppe E 432) und bei den E-Lokomotiven (Gruppe E 554) der Italienischen Staatsbahnen.

³⁾ Ausgeführt bei den E-Lokomotiven (Gruppe E 554) der Italienischen Staatsbahnen.

Abb. 5 und 6

Abb. 7

Zu Abb. 8:

- a* Kuppelstange
- b*, *c* Schrägstangen
- d*, *e* untere Enden der Schrägstangen
- f*, *g* Hebel
- h*, *i* Zapfen
- k* Kuppelgestänge
- l* Lenker
- m*, *n* Zapfen des Lenkers *l*
- o*, *p* Zapfen an *a*

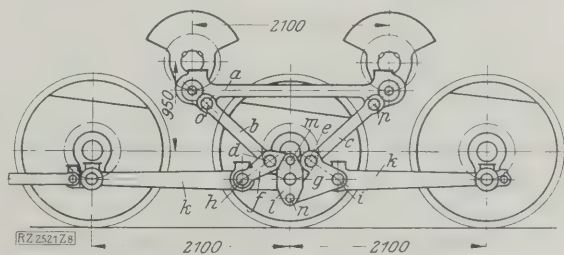
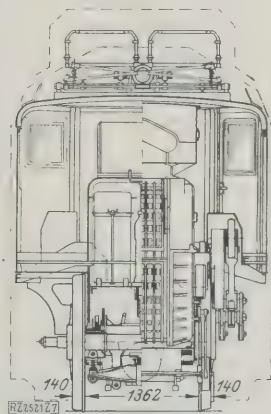


Abb. 5 bis 8

1 D1-Schnellzuglokomotive, Gruppe E 432, der Italienischen Staatsbahnen.

(Servizio Materiale e Trazione der Italien. Staatsbahnen)

Antrieb mittels Zahnradvorgelege und Kuppelstangen

Bei den unmittelbar nach dem Kriege entstandenen Lokomotiven, die teilweise, wie z. B. in der Schweiz, noch während des Krieges entworfen wurden, werden bereits durchwegs raschlaufende Motoren in Verbindung mit Übersetzungstriebwerken verwendet. Dabei werden bei Drehgestelllokomotiven mit halbhoher Motorlagerung die Kurbeln von zwei bis drei Triebrädern, bei Lokomotiven mit durchgehendem Rahmen bis zu fünf Triebräder mittels Gestänge mit der Kurbel des Vorgelegezahnrades verbunden, das entweder in gleicher Höhe wie die Triebräder oder allenfalls mit geringer Überhöhung im Rahmen gelagert

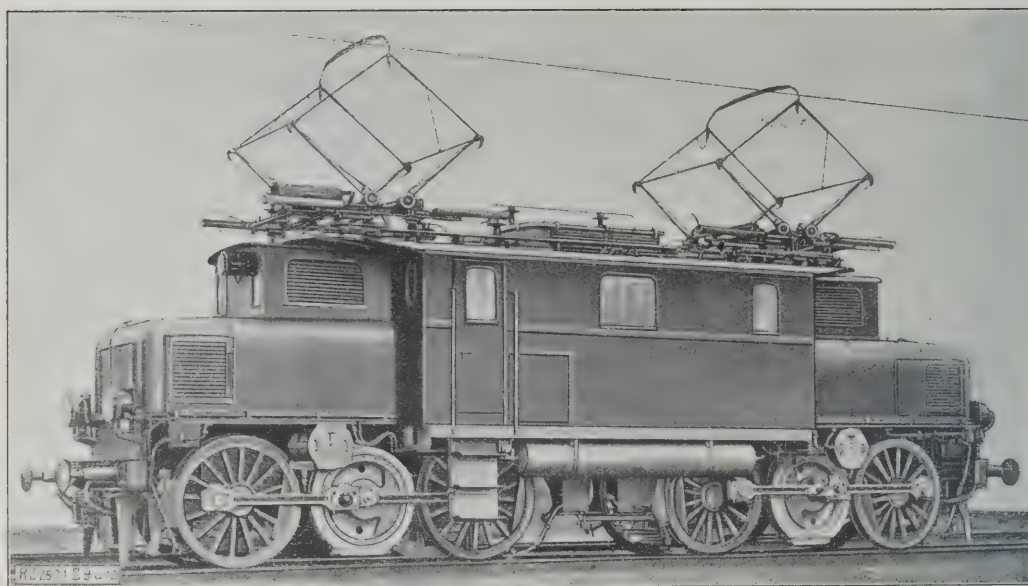


Abb. 9
B-B-Personenzuglokomotive, Reihe E 4213 der Deutschen Reichsbahn.

(AEG)

Abb. 12
1 B-B 1-Personenzuglokomotive, Reihe 301, der Bernischen Dektetsbahnen

(A. G. Brown, Boveri & Cie. — Schweiz. Lokomotiv- und Maschinenfabrik, Winterthur)

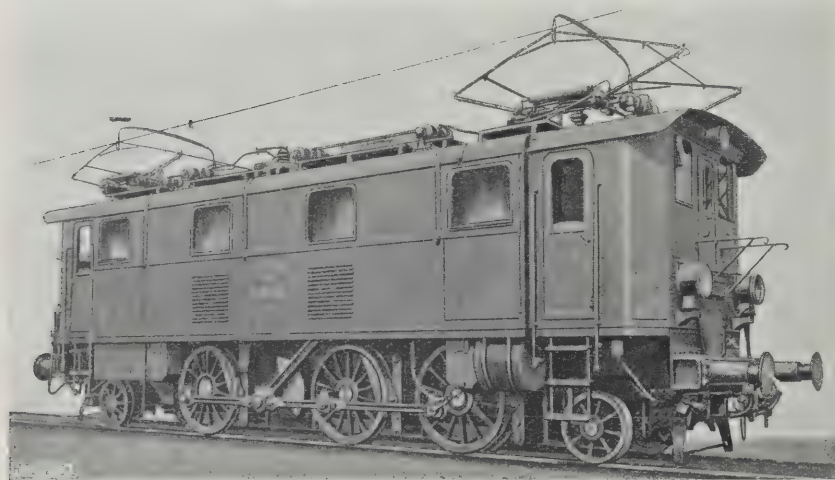


Abb. 13
1 C 1-Personenzuglokomotive, Reihe E 3206, der Deutschen Reichsbahn.

(Brown, Boveri & Cie. — J. A. Maffei)

Abb. 14
2 D 1-Güterzuglokomotive, Reihe E 7901, der Deutschen Reichsbahn.

(Pöge-Elektrizitäts-A.-G. — I. A. Maffei)



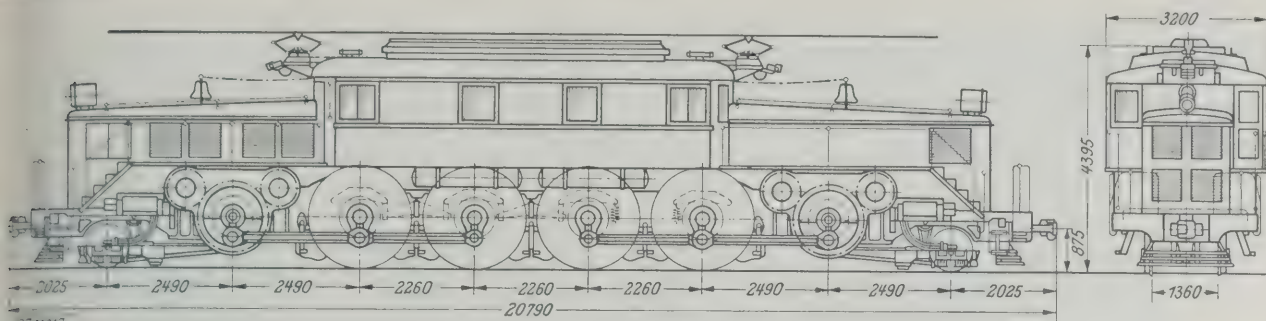


Abb. 10 und 11
1 B-B 1-Personenzuglokomotive, Reihe 7801, der Pennsylvania-Bahn.
(American Brown Boveri Electric Corporation)

ist, und zwar in Europa innerhalb, Abb. 9, und in Amerika außerhalb des Triebbradstandes, Abb. 10 und 11. Bei Lokomotiven für mäßige Geschwindigkeit findet sich zur Überwindung geringer Überhöhungen der Lagerung des Vorgelegezahnades die Schlitzkuppelstange vorwiegend bei zwei gekuppelten Achsen, Abb. 12, während hauptsächlich bei drei, seltener bei zwei gekuppelten Achsen die Kraft mittels langer, sehr geneigter Schrägstange übertragen wird, die ohne Zwischenschaltung einer Blindwelle gelenkig mit dem Kuppelgestänge verbunden ist^{3a)}. Dabei ordnet man in Europa mit der einzigen Ausnahme der 1 C 1-Lokomotive, Reihe 1029 und 1029/500, der Österr. Bundesbahnen das Gestänge in einer, in Amerika durchweg in zwei Ebenen an.

Größere Überhöhungen, zu denen im allgemeinen bereits höhere Lagerung der Triebmotoren im Lokomotivkasten führt, werden von der Kurbel des Vorgelegezahnades, das je nach Lokomotivleistung von einem oder zwei Motoren gemeinsam, Abb. 13, angetrieben werden kann, durch Schrägstangen größerer Neigung über eine Blindwelle nach den Triebrädern überbrückt. Als Neuerung ist in diesem Zusammenhang der von Lotter herührende, bei den 2 D 1-Lokomotiven (Reihe E 7901) der Deutschen Reichsbahn-Gesellschaft benutzte Antrieb⁴⁾ anzusehen, wobei von den Kurbeln des Vorgelegezahnades, das von einem Motorpaar mittels zweier Ritzel angetrieben wird, je ein Schrägstangenpaar nach zwei in Triebachshöhe gelagerten Blindwellen ausgehen, Abb. 14. Den Antrieb kann man sich aus dem eingangs erwähnten, bei der Lokomotive nach Abb. 1 dargestellten Antrieb durch Vorschaltung eines Vorgeleges vor das Gestänge entstanden denken.

Schließlich wird zur Überwindung größerer Überhöhungen auch der flache Kuppelrahmen verwendet. Dabei braucht jedoch, wie Abb. 15 zeigt, nur der eine Eckpunkt des Kuppelrahmens den motorseitigen Anschluß zu bilden, wenn der andere an eine besondere lediglich als Führungswelle dienende Blindwelle angeschlossen wird⁵⁾. Bei diesem Antriebsmechanismus bilden nun die von der Vorgelegewelle an die Dreieckstange abgegebene wagerechte Drehkraftkomponente P und die ihr gleiche von der Dreieckstange auf den Kulissenstein auf die wagerechte Kuppelstange übertragene Kraft ein wagerechtes Kräftepaar, deren Hebelarm x gleich ist der Überhöhung der Vorgelege-(Blind-)Welle über den Triebbradachsen. Dieses Kräftepaar muß bei einwandfreiem Betrieb offenbar durch ein entgegengesetztes Kräftepaar aufgehoben werden, gebildet durch die senkrechten Drehkraftkomponenten Q in den Kurbelzapfen, an denen die Dreieckstange angreift, mit y als Hebelarm. Damit nun zur Herstellung des Gleichgewichts außer den zur Eigenbewegung der Blindwelle nötigen Antriebskräften auf dieser nur senkrechte Gegenkräfte auftreten können, ist die erwähnte Führungsblindwelle beweglich gelagert, indem die beiden Lagerträger an einer durchgehenden Achse schwingbar aufgehängt sind und je von einer seitlich angebrachten Feder in der Mittelstellung gehalten werden. Die Federn

werden mit Vorspannung eingelegt, damit die Lager den erforderlichen Widerstand gegen den für das Drehen der Blindwelle erforderlichen Kraftaufwand haben. Sobald eine größere wagerechte Kraft auf das Lager wirkt, geben die Federn nach.

Der flache Kuppelrahmen, dessen Kulisse sehr empfindlich ist, ist auch hier durch den Dreistangenantrieb von v. Kandó ersetzt worden, und zwar auch wieder in der Form, daß ein Eckpunkt des Stangendreiecks den Anschlußpunkt für die Kurbel des Vorgelegezahnades bildet, während der andere mit einer Führungswelle verbunden wird, Abb. 16⁶⁾.

Einzelachsenantrieb

Neben den erwähnten Antriebsformen, die also in der vereinigten Anwendung von raschlaufenden Motoren mit Zahnradvorgelegen und Kuppelstangen bestehen, finden sich aber bereits bei den ersten Nachkriegslokomotiven Einzelachsenantriebe vor, die seither in immer steigendem Maße Verwendung finden. Bei diesen wird die Bewegung des Elektromotors ohne Umwandlung in hin und her gehende Bewegung, also ohne Stangen, auf die einzelnen Triebräder übertragen. Abgesehen von der im wesentlichen auf Amerika beschränkt gebliebenen unmittelbarsten Form des Einzelachsenantriebes, bei der die Motoranker auf den Radachsen sitzen, lassen sich zunächst zwei Hauptformen des Einzelachsenantriebes unterscheiden:

der bei Straßenbahnen übliche Antrieb, bei dem der Motor einseitig federnd am Rahmen aufgehängt ist und sich mit Hilfe der Tatzenlager auf die zugehörige Triebachse stützt, die er mittels in der Regel einfachem Vorgelege einseitig oder beidseitig antreibt, und die Einzelachsenantriebe mit schief oder senkrecht über der zugehörigen Triebachse fest im abgefederten Rahmen sitzenden Motor, der allgemein über eine nachgiebige Kupplung die Triebachse treibt. Je nach der Art dieser Kupplung, nach der Art der Ausföhrung des Vorgeleges (einfach oder mehrfach), nach der Anordnung der Motorwelle (wagerecht oder senkrecht) ergeben sich weitere Formen.

^{3a)} Österreich. Patent Nr. 103 555 (AEG-Union). — Angewendet bei den E-Lokomotiven (Reihe 1280) der Österreichischen Bundesbahnen.

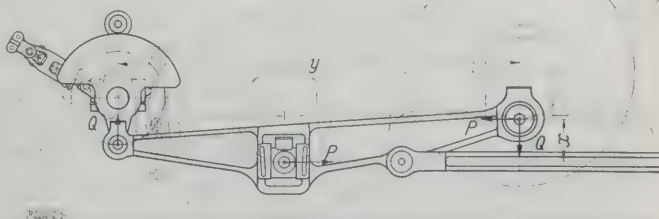


Abb. 15
Antriebsgestänge der 1 C-C 1-Güterzuglokomotive, Reihe 14 251, der Schweizerischen Bundesbahnen.
(Schweizerische Lokomotiv- und Maschinenfabrik, Winterthur)
 P Wagen-Drehkraftkomponente Q Senkrechte Drehkraftkomponente x, y Hebelarme der Momente

^{3a)} s. Abb. 26 und 27 S. 674 dieses Heftes und Tafel 2.
⁴⁾ DRP Nr. 413 712 (G. Lotter).
⁵⁾ Schweiz. Patent Nr. 46 520, 69 106, DRGM Nr. 627 671; O. Kjelsberg. — Ausgeföhrt bei den 1 C-C 1-Lokomotiven (Reihe 14 251) der Schweizerischen Bundesbahnen.

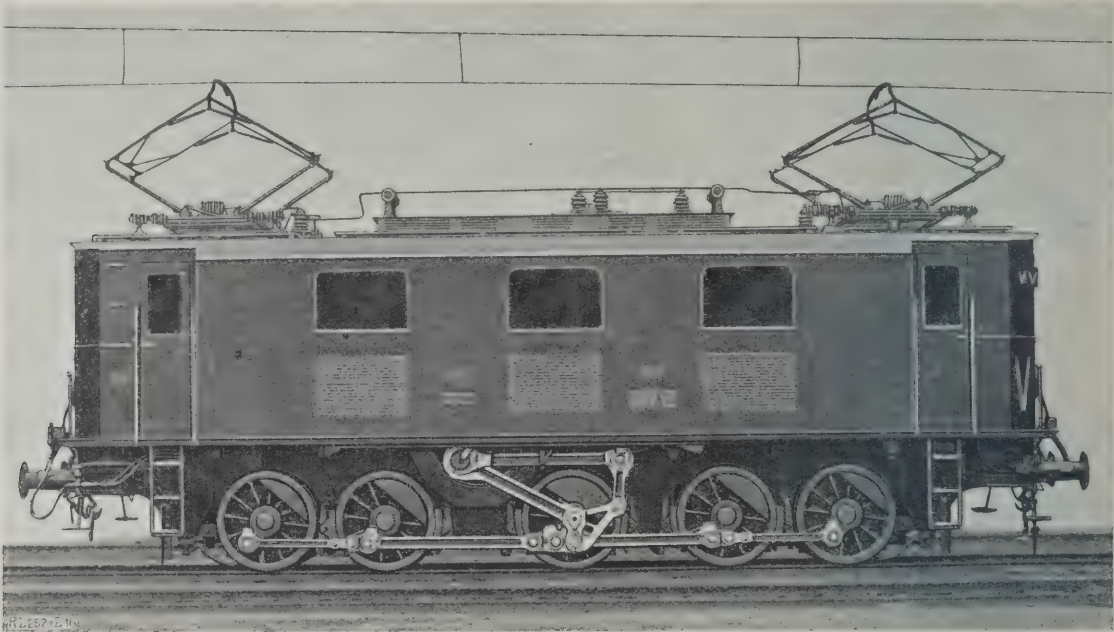


Abb. 16
E-Güterzuglokomotive, Reihe 1280,
der Österreichischen Bundesbahnen.
(AEG Union — Lokomotivfabrik der
Staatseisenbahn-Gesellschaft)

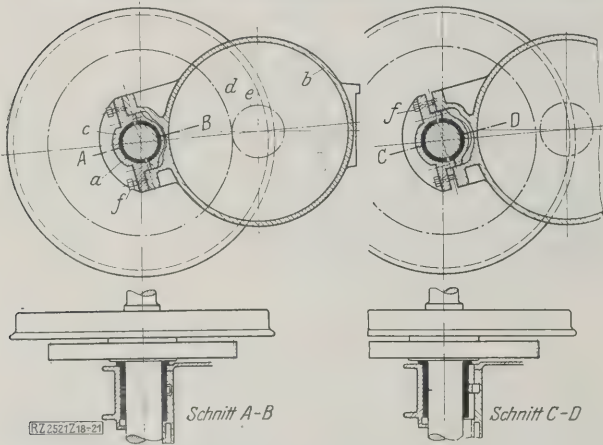
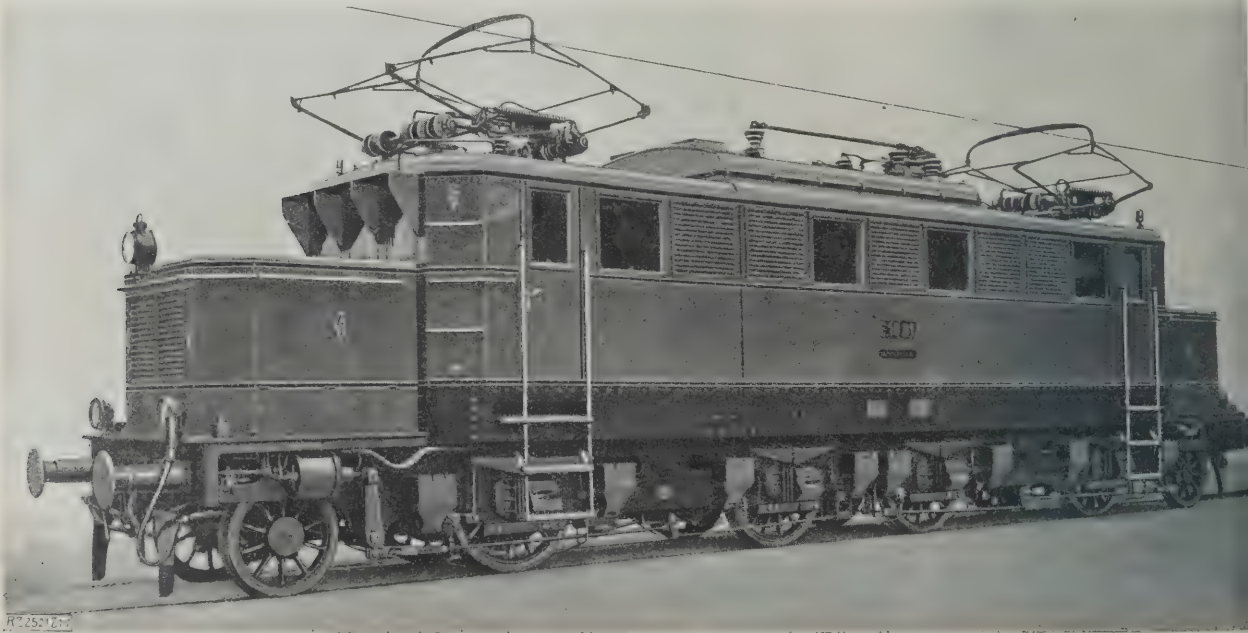


Abb. 18 bis 21
Ausrückvorrichtung für Tatzenlagermotoren.
(Siemens-Schuckertwerke A.-G.)
a Lagerschale b Motorgehäuse c Bügel d, e Zahnräder
f Abdrückschrauben

Der Antrieb mit Tatzenlagermotoren der den ältesten Einzelachsantrieb darstellt, wurde nächst für Lokomotiven, wenigstens in Europa, nur einzeln angewendet, da die Auswirkungen des hohen teils der unabgefedert auf der Triebachse lasten Motormasse bedenklich schienen. Nach dem Kriege wurden jedoch zunächst in Frankreich Lokomotiven mit diesem Antrieb in der Achsanordnung Bo-Bo und 1 Co-Co z. T. für Höchstgeschwindigkeiten bis 100 km/h und über gebaut, die bis jetzt günstige Betriebsergebnisse aufweisen. Von besonderem Interesse ist aber der Versuch der Deutschen Reichsbahn-Gesellschaft mit z

Abb. 17
1 Bo - Bo 1-Schnellzuglokomotive, Reihe E 1801,
der Deutschen Reichsbahn-Gesellschaft.
(Siemens-Schuckertwerke A. G. — Borsig, G. m. b. H.)



okomotiven, Achsfolge 1Bo-Bo1 und 1Do1 (Reihe 1801 und E 16 101), für 110 km/h Höchstgeschwindigkeit ad mit einer sechs Ausführungen umfassenden Reihe von itterzuglokomotiven, Achsfolge 1Co-Co1 (Reihe E 9501), ir 65 km/h Höchstgeschwindigkeit, weil es sich hier um e schwersten bis jetzt bei dieser Antriebsart benutzten otoren handelt.

Bei der 1Bo-Bo1-Lokomotive, Abb. 17, ist im Zusammenhang mit dem Antrieb als Neuheit bemerkenswert, wie die Zahnräder eines beschädigten Motors außer Eingriff gebracht werden können, Abb. 18 bis 21. Das Tatzengetriebe wird mittels eines zwischen der Lagerschale *a* und dem Gehäuse *b* eingebauten Bügels *c* am Lagerdeckel festgehalten. Zum Ausrücken der Zahnräder *d* und *e* werden die Lager nach Lösen der großen Deckelschrauben mit Hilfe der Abdrückschrauben *f* aus ihrem Sitz im Gehäuse gelöst, ohne daß sie selbst geteilt oder geöffnet zu werden brauchen; sie stützen sich nach wie vor auf die Triebachse, und der ganze Motor wird mit Hilfe der Schrauben *f* von der Triebachse weg nach der Aufhängebohle hin verschoben. Die Seitenwände der Zahnradchutzkasten sind zu diesem Zweck mit Gleitflächen versehen.

Bei den 1Co + Co1-Lokomotiven, s. Abb. 2 bis 5 S. 668/69, ist die Art der Motoraufhängung, Abb. 22 und 23, neuartig⁷⁾. Am Motorgehäuse *a* sind zwei Federtöpfe *b* angebracht, deren Deckel mittels Federn *c* auseinandergedrückt werden und sich gegen einen im Gestell *d* pendelnd aufgeführten Rahmen *e* stützen. Der Motor hängt an Leisten *f* der Deckel. Die Federn sind hier für beide Kraftrichtungen nur auf Druck beansprucht, und die zusätzlichen Belastungen unterworfenen Federbolzen sind vermieden.

Von den Einzelachsantrieben der zweiten Gruppe ist der älteste der vor und während des Krieges in Amerika vielverwendete sogenannte „quill-drive“, der

Federstern-Antrieb zu nennen, bei dem das große Zahnrad, das mit dem Ritzel des zugehörigen, häufig als Zwillingsmotor ausgeführten Antriebmotors in Eingriff steht, auf einer die zugehörige Triebachse konzentrisch umschließenden Hohlwelle sitzt. Diese endigt in einer Anzahl sich prattenartig fortsetzender Arme, die unter Zwischenschaltung von Wickelfedern mit den Triebbradspeichen verbunden sind. Von Nachteil ist bei diesem Antrieb, der sich in Europa, z. B. bei den 1Co1-, 2Co1- und 1Bo1-Bo1-Lokomotiven der Reihen 10201, 10261, 12501 der Schweizerischen Bundesbahnen findet, die mit der Drehrichtung

⁷⁾ DRP Nr. 451 356 (AEG).

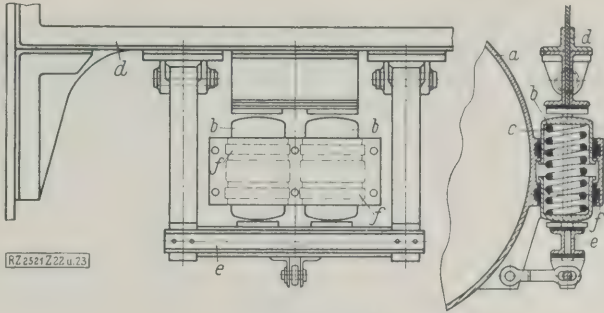
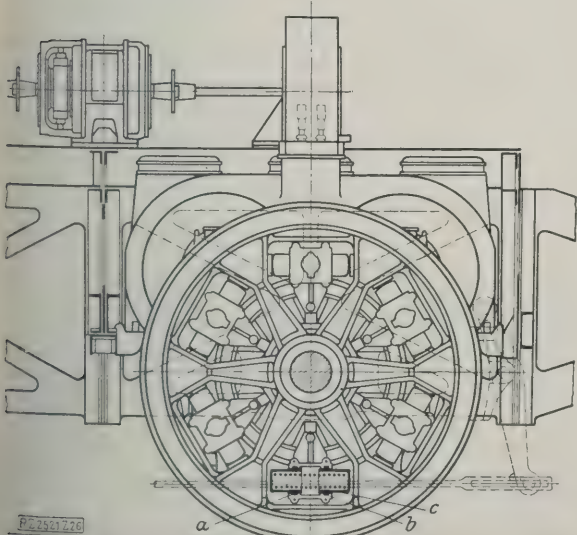


Abb. 22 und 23
Aufhängung für Tatzenlagermotoren.

- (A E G)
- | | |
|----------------|-----------------------|
| a Motorgehäuse | d Gestell |
| b Federtöpfe | e Rahmen |
| c Federn | f Befestigungsleisten |

wechselnde Beanspruchung der Federn auf Zug und Druck, zu denen bei Schiefstellung der Radsätze verwickelte Biegebeanspruchungen hinzukommen. Um diese letzteren zu vermindern hat die S. A. des Ateliers de Sécheron bei ihrer bei der 1Co-Co1-Güterzuglokomotive, Reihe 201 der Lötschbergbahn, Abb. 24 und 25, angewendeten Bauart, drei Doppelfederelemente angeordnet, die mittels der drei mittleren starren Federfassungen mit der Hohlwelle der beiden sechs äußeren Fassungen mit dem Triebbrad verbunden sind⁸⁾. W. Kleinow (AEG) vermeidet den Beanspruchungswechsel und die zusätzlichen Biegebeanspruchungen der Federn, indem er diese in Töpfen faßt, deren gemeinsames Lagergehäuse zweiteilig ausgeführt ist, Abb. 26 und 27. Ringe *a* mit außen angeordneten Bunden *b* bilden die Lagerstellen der Töpfe *c* in dem Lagergehäuse. Ringe und Bunde können zugleich mit den Töpfen nach einfachem Lösen des Gehäusedeckels ausgetauscht werden⁹⁾.

Alle übrigen Einzelachsantriebe dieser zweiten Gruppe suchen das Problem der allseitig beweglichen Verbindung zwischen Motor und Triebbrad mittels Gelenkkupplungen zu lösen. So zeigt zunächst Abb. 28 den von J. Buchli bei der A.-G. Brown, Boveri & Cie. angegebenen Einzelachs-

⁸⁾ Patent der Vereinigten Staaten von Amerika Nr. 1 580 937; Schweiz. Patente Nr. 106 695, 116 062. — Ausgeführt bei den 1Co-Co1-Lokomotiven (Reihe 201) der Lötschbergbahn, bei den Bo-Bo-Lokomotiven (Reihe 1170) der Österreichischen Bundesbahnen und bei der Bo-Bo-Lokomotive Nr. 82 der Bernina-Bahn.

⁹⁾ DRP angem. A 47 853/201. — Die 2Dc1-Lokomotiven (Reihe E 2101) und 1Do1-Lokomotiven (Reihe E 1701 und E 17 101) der Deutschen Reichsbahn sind mit diesem Antrieb ausgerüstet.

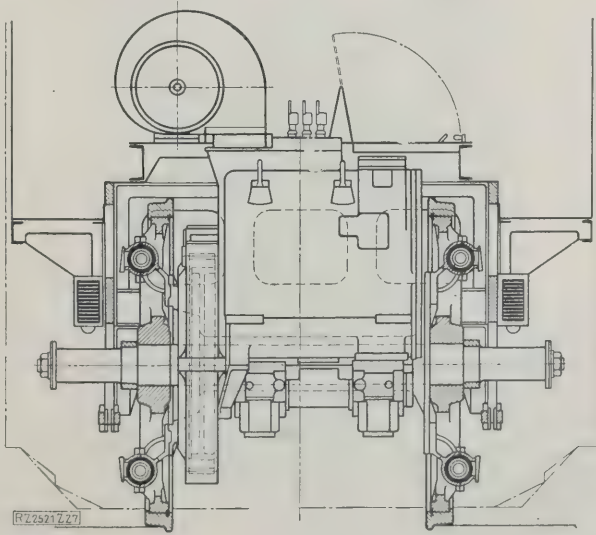
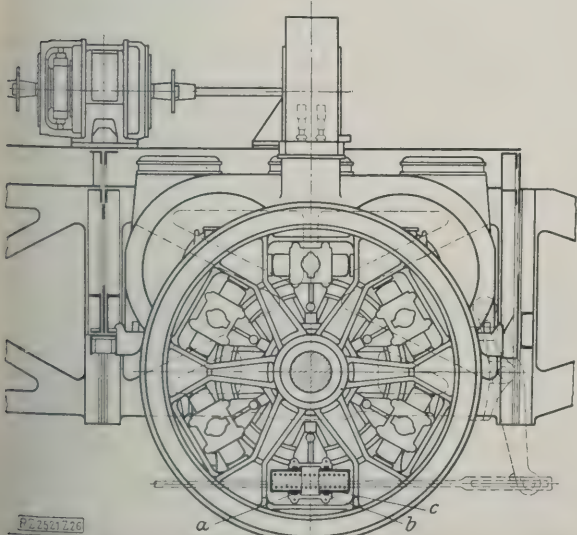


Abb. 26 und 27
Einzelachsantrieb der 2Do1- und 1Do1-Schnellzuglokomotiven, Reihe E 2101, E 1701 und E 17 101, der Deutschen Reichsbahn.

- (AEG — W. Kleinow).
- | | | |
|--------|--------|-------------|
| a Ring | b Bund | c Federtopf |
|--------|--------|-------------|

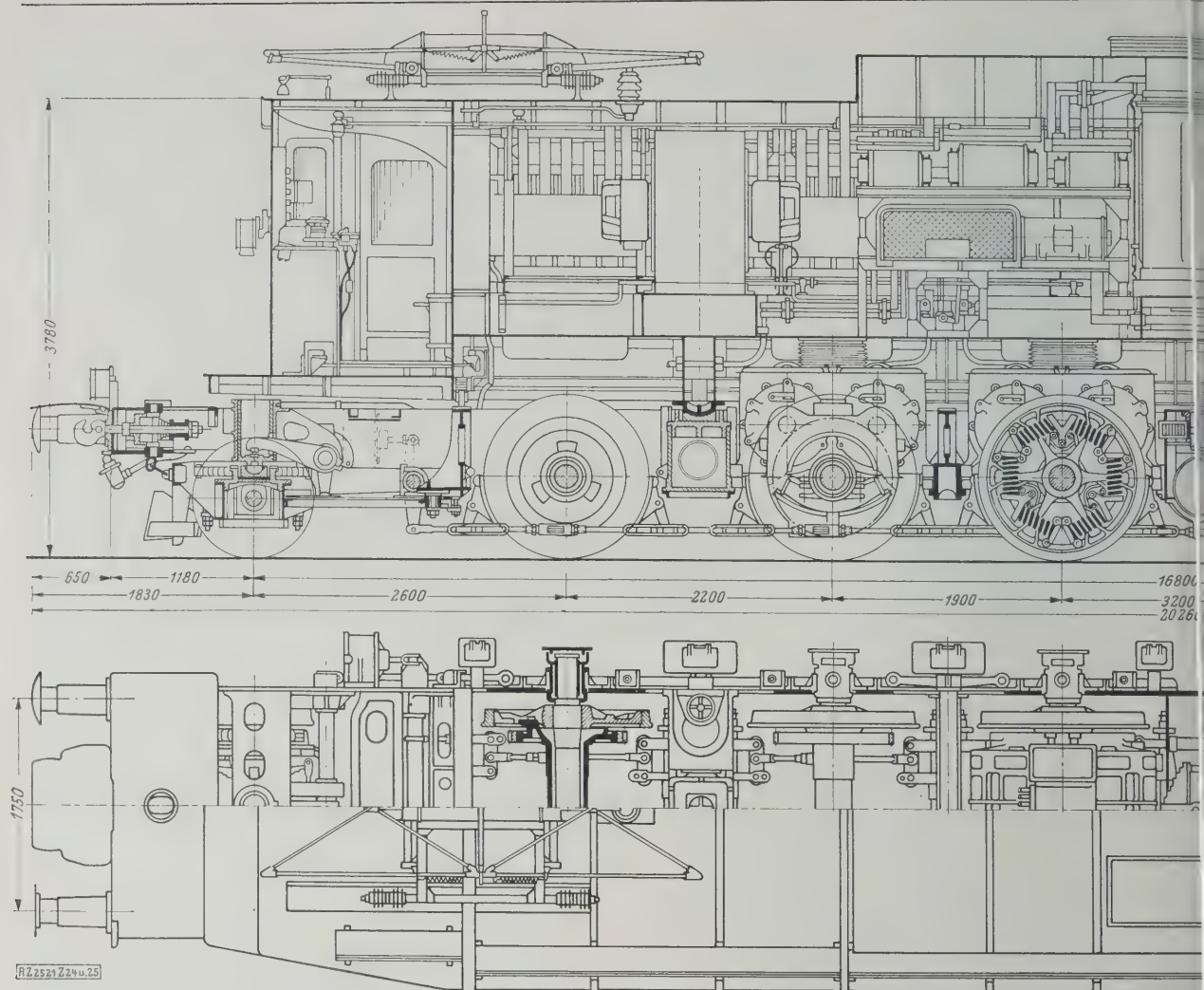


Abb. 24 und 25
1 Co - Co 1-Güterzuglokomotive, Reihe 201, der
Lötschbergbahn.
(S. A. des Ateliers de Sécheron — Società Italiana Ernesto Breda
per Costruzioni Meccaniche)

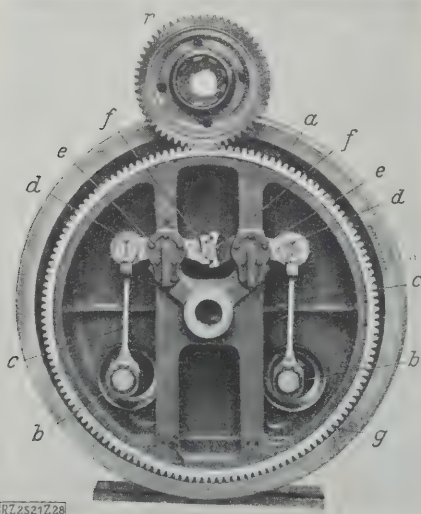


Abb. 28
Einzelachsantrieb der A.-G. Brown,
Boveri & Cie.

(J. Buchli).

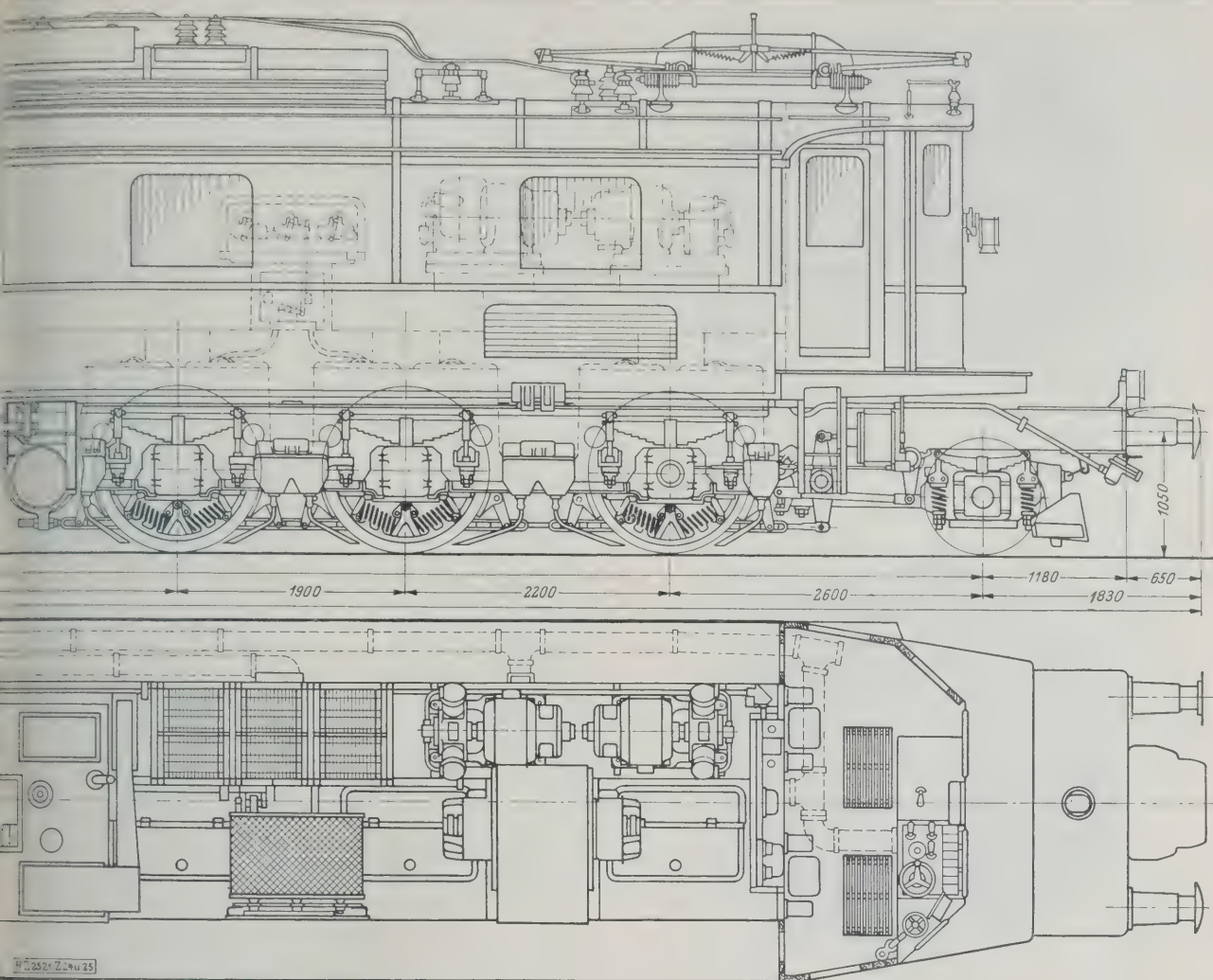
- | | |
|-----------------|------------------|
| a Triebrod | e Hebellager |
| b Zapfen | f Zahnsegmente |
| c Kuppelstangen | g großes Zahnrad |
| d Hebel | h Ritzel |

antrieb, und zwar dessen allseits bewegliche Kupplung die eine starre, exzentrische Lagerung des großen Zahnrades ermöglicht. An den zwei am Triebrod *a* befestigten Zapfen *b* greifen die Kuppelstangen *c* an, mit einer Gabel an den kugelig ausgebildeten Enden der Hebel *d* befestigt sind. Die Zapfen *b* durchdringen die hintere Wand des Zahnradkörpers und sind über Stangen *c*, die Hebel *d* und deren Zahnsegmente *f* in Hebellagern *e* mit dem Zahnrad *g* kraftschlüssig verbunden. Die Zapfen *b* sind ebenfalls kugelig ausgebildet, daß jede Bewegungsfreiheit zwischen Triebrod und Zahnrad in den betriebmäßig vorkommenden Grenzen gewährleistet ist. Das große Zahnrad dreht sich auf einem Zapfen, an einem am Rahmen befestigten Lagerbock kegelförmig eingesetzt ist. Dadurch ist bei diesem Antrieb die Verwendung einer Hohlwelle vermieden.

Die in Abb. 29 dargestellte, von der Maschinenfabrik Oerlikon entwickelte Kupplung¹¹⁾ besteht aus fünf S-Form angeordneten Hebeln *a*, *b*, *c*, *b*, *a*, von denen der Hebel *b* mit *d* als Anschluß- und Drehpunkt an das große Zahnrad angeschlossen sind, während die Kuppelstangen mittels der Zapfen *e* mit dem Triebrod verbunden sind. In mindestens eine der Kuppelstangen *a* ist eine Feder einzubauen, da bei exzentrischer Stellung von Zahnrad

¹⁰⁾ DRP Nr. 304 997. — Folgende Lokomotiven sind mit dieser Kupplung versehen: 2Co1-Lokomotiven (Reihe 10 601) und 2Do1-Lokomotiven (Reihe 10 901) der Schweiz, Bundesbahnen, 1Do1-Lokomotiven (Reihe E 1) der Deutschen Reichsbahn, 1Do1-Lokomotiven (Reihe 3001) der Niederländisch-Indischen Staatsbahnen, 1Do1-Lokomotiven (Reihe 7000) der Japanischen Staatsbahnen, 2Co-Co2-Lokomotiven (Reihe 7201) der Sibirischen Nordbahn, 1Do1-Lokomotiven (Reihe E 465) der Tschechoslowakischen Staatsbahnen, 2Co2-Lokomotive Nr. 4002 der Great Indian Peninsula-Bahn, 1Do1-Lokomotive No 231 der Paulista-Bahn, 2Do2-Lokomotiven (Reihe E 501) der Paris-Orléans-Bahn und 1Do1-Lokomotiven der Strade Ferrate Secondarie Meridionali, Neapel.

¹¹⁾ Angewendet bei den 2Bo-Bo2- und 2Co-Co2-Lokomotiven (Reihe 242/BE und 262/AE) der französischen Mittelmeerbahn.



Triebachse die Kuppelstangen Längendehnungen unterworfen sind, die von dem Zapfenspiel allein nicht aufgenommen werden können.

Abb. 30 zeigt eine gleichfalls von der Maschinenfabrik Oerlikon entworfene Gelenkkupplung¹²⁾. Die über das Zahnradvorgelege angetriebene Hohlwelle *a* endigt einseitig in dem Kupplungsgehäuse *b*, in dem die Kulissen *c* angeordnet sind. Die zugehörigen Gleitsteine sitzen auf den Zapfen *d* des zweiteiligen Kuppelrahmens *e*, mit dem die Kuppelstangen *f* allseitig beweglich verbunden sind; die anderen Enden der Stangen *f* greifen an zwei im Trieb- rad eingelassenen Zapfen *g* an. Die einzelnen Gelenke und Kulissen werden selbsttätig mittels zweier von der Rahmen- bewegung angetriebener diagonal angeordneter Kolben-

pumpen *h* geschmiert, die das infolge der Fliehkraft nach außen geschleuderte Öl durch biegsame Röhren den einzelnen Schmierstellen unmittelbar zuführen¹³⁾.

Bei der in Abb. 31 dargestellten Kupplung der A.-G. vorm. Skodawerke¹⁴⁾ in Pilsen sind die Hebel *a* gelenkig mit dem Trieb- rad und miteinander durch den Hebel *b* verbunden, während die Triebstangen *c* einerseits etwa im Mittelpunkt der Hebel *a* angreifen (in der Abbildung nicht sichtbar), andererseits mittels Kugelgelenke an das große Zahnrad angeschlossen sind, das auf der die Triebachse konzentrisch umschließenden Hohlwelle sitzt.

Die von der „Société Alsacienne de Constructions Mécaniques“ entwickelte Gelenkkupplung, Abb. 32¹⁵⁾, be-

¹²⁾ DRP Nr. 424 234. — Eingebaut bei der 2Co2-Lokomotive Nr. 4001 ^{EB} der Great-Indian-Peninsula-Bahn.

¹³⁾ DRP Nr. 459 424, Schweiz. Patent Nr. 120 980 (M.F.Ö.).

¹⁴⁾ Schweiz. Patent Nr. 112 055. — Ausgeführt bei den 1Dol-Loko- motiven (Reihe E 466) der Tschechoslowakischen Staatsbahnen.

¹⁵⁾ Angewendet bei zwei Radsätzen der 2Bo-Bo2-Lokomotive (Reihe 242/AE) der französischen Mittelmeerbahn.

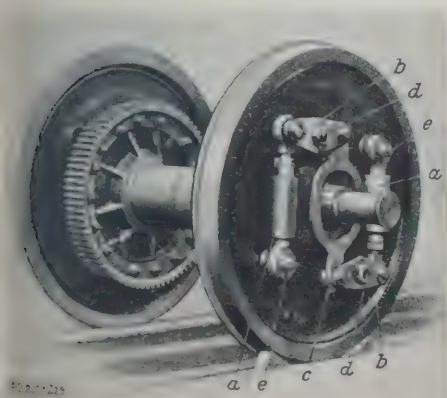
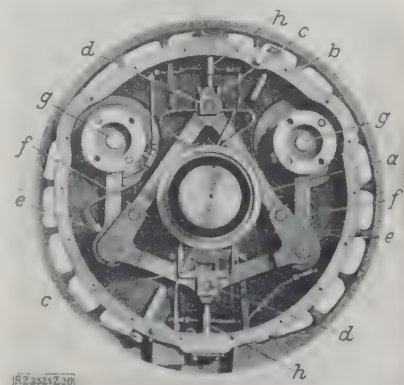


Abb. 29
Einzelachs-
antrieb der
Maschinenfabrik
Oerlikon mit
Gelenkhebel-
kupplung.

a, b, c Hebel
d Drehpunkt der
Hebel *b* am gro-
ßen Zahnrad
e Zapfen am
Trieb-
rad

Abb. 30
Einzelachs-
antrieb mit
Kuppelrahmen
Maschinenfabrik
Oerlikon.

a Hohlwelle
b Kupplungsgehäuse
c Kulissen
d Zapfen in *e*
e Kuppelrahmen
f Kuppelstange
g Zapfen am Trieb-
rad
h Kolben-Schmier-
pumpen



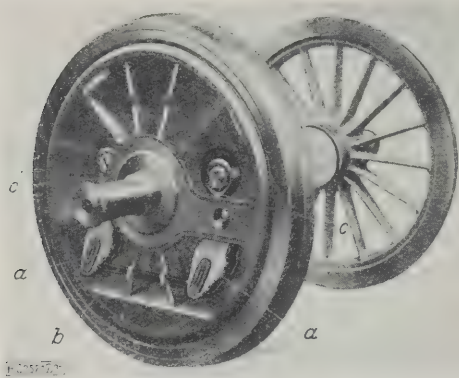
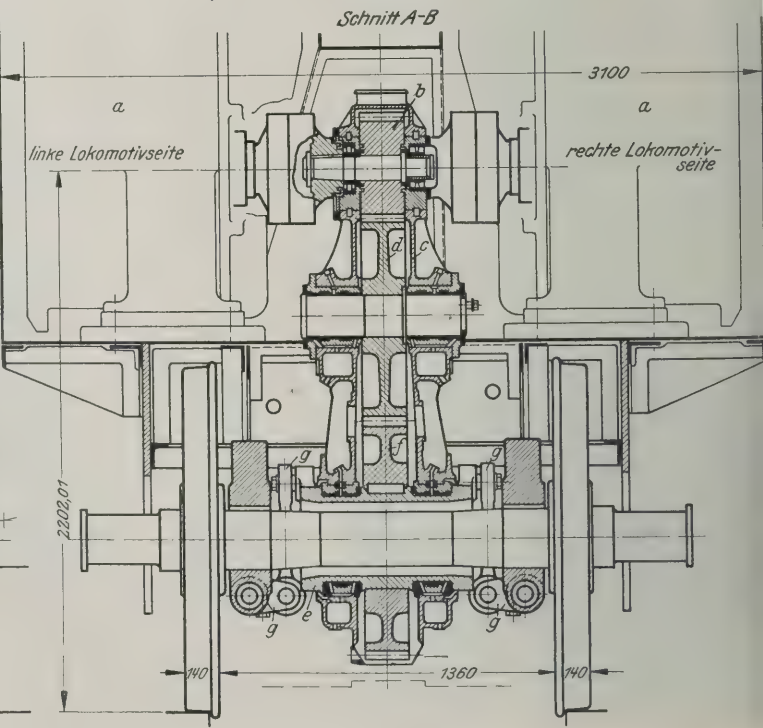
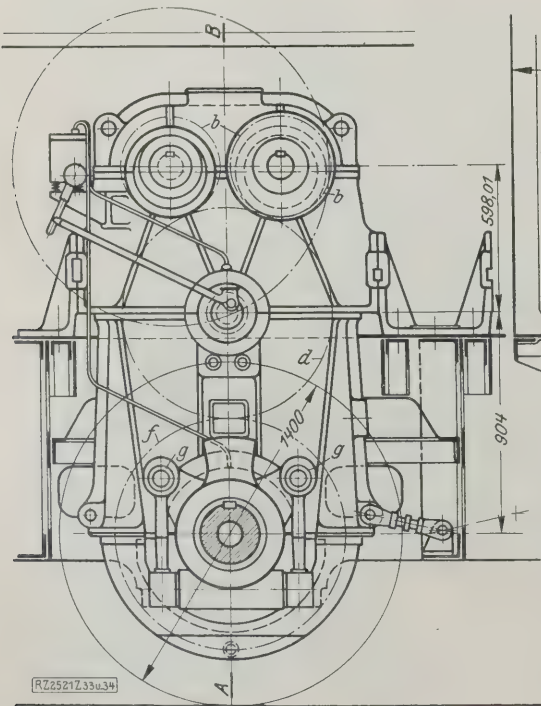


Abb. 31. Einzelachs Antrieb mit Gelenkhebelkuppelung der A.-G. vorm. Skodawerke.
a Hebel, verbunden mit dem Triebrad
b Hebel zwischen a c Triebstangen, greifen in der Mitte von a an und sind mit dem großen Zahnrad verbunden



Abb. 32. Einzelachs Antrieb der „Société Alsacienne de Constructions Mécaniques“.
a, b und c, d Hebelpaare e Zapfen an f f großes Zahnrad
g Zapfen am Treibrad h Treibrad i Lenker



steht aus zwei gegeneinander um 180° versetzten, einen rechten Winkel bildenden Hebelpaaren *a b* und *c d*, von denen die Hebel *a* und *c* in Zapfen *e* des Zahnrads *f*, die Hebel *b* und *d* in Zapfen *g* des Triebrads *h* gelenkig gelagert sind. Die gelenkigen Scheitelpunkte der beiden Hebelpaare sind mittels eines den Radachsschenkel umgreifenden Lenkers *i* miteinander verbunden.

Die Einzelachs antriebe unter Verwendung von Zwischenrädern oder doppelten Übersetzungen haben den Vorteil der hohen Lagerung und damit des leichteren Ausbaus der Motoren. Außerdem besteht eine weitgehende Unabhängigkeit der Motorabmessungen und des Triebdurchmessers von der Übersetzung.

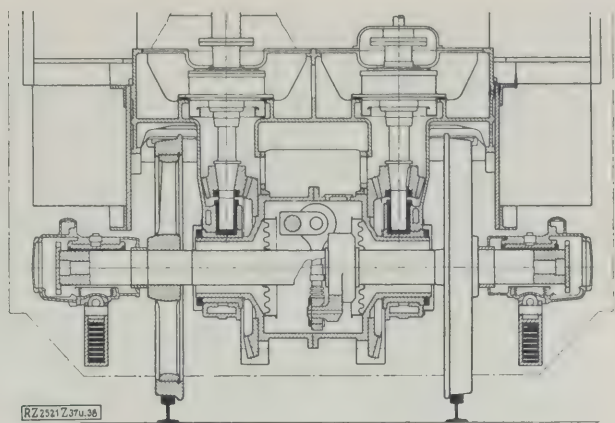
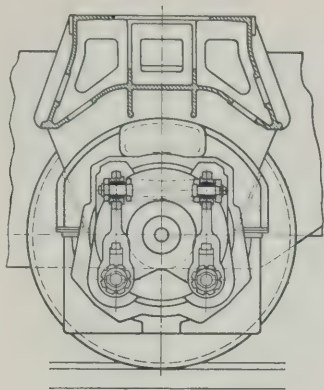
Bei dem in Abb. 33 und 34 dargestellten Antrieb der Linke-Hofmann-Busch-Werke arbeiten je zwei Motoren *a* von zwei Seiten her auf eine Triebachse. Die Ritzel *b* der Motorwellen greifen in ein in einem Getriebekastengelagertes Zwischenrad *d* ein; dies steht mit dem Zahnrad *f* in Eingriff, das auf einer die Triebachse umschließenden Hohlwelle *e* sitzt. Die Hohlwelle ist mit den Triebrädern mittels Gelenkkupplungen *g* verbunden.

Die Schweizerische Lokomotiv- und Maschinenfabrik Winterthur (*J. Buchli*), löst den Zwischenradantrieb Abb. 35, vorteilhaft in zwei voneinander unabhängige Zahnradübersetzungen auf und erhält so einen Antrieb¹⁷⁾, bei dem alle nur möglichen Übersetzungen durch passende Aufteilung auf die beiden Übersetzungen untergebracht werden können. Die allseitig bewegliche Kupplung ist unmittelbar in das große Zahnrad eingebaut.

Schließlich sind Einzelachs antriebe mit senkrecht angeordneten Motoren entwickelt worden, die ebenfalls den Vorteil einer hohen Schwerpunktlage haben, eine günstige Raumaussnutzung ermöglichen, zugänglich und leicht auszubauen sind. Die Bedenken, die

¹⁶⁾ DRGM Nr. 911 712. — Die 2Do1-Lokomotive (Reihe E 21) der Deutschen Reichsbahn ist damit ausgerüstet.
¹⁷⁾ DRP Nr. 126 369. — Patent der V. St. von Amerika Nr. 1 681 312. Schweiz. Patent Nr. 128 358. — Ausgeführt bei der 2Co1-Lokomotive Nr. 4000 ^{EA} der Great Indian Peninsula-Bahn.

Abb. 37 und 38
Einzelachsantrieb mit
Zwillings-Senkrecht-
motoren der Österr.
Siemens-Schuckert-
Werke.



man anfangs gegen die Kegelradgetriebe hegte, haben sich im Betrieb als unberechtigt erwiesen.

Abb. 36 zeigt einen Antrieb dieser Art unter Verwendung eines Motors je Triebachse, Abb. 37 und 38 einen solchen mit Doppelmotoren, wie er der in Abb. 39 dargestellten 1Do 1-Lokomotive (Reihe 1670) der Österreichischen Bundesbahnen zugehört. Die Hohlwelle ist trommelartig ausgebildet und trägt außen die Zahnkränze der großen Kegelräder, innen die bewegliche Kupplung¹⁸⁾, Abb. 40. Diese besteht aus zwei Lenkern *a*, die einerseits an zwei Kurbelzapfen *b* angelenkt sind, die an Armen *c* der Radachse *d* sitzen, andererseits mit den Armen *e* einer in dem Gehäuse der Trommel *g* gelagerten Achse *f* gelenkig verbunden sind. Durch Verschieben der Trommel *g* in der Achsrichtung können die Kegelräder leicht außer Eingriff gebracht werden. Bei den 1Do 1-Lokomotiven der Reihe 1670 der Österreichischen Bundesbahnen, s. Abb. 39, haben die Lenker der Kupplungen eine steife, aus Kruppschen Plattenfedern bestehende Federung erhalten. Statt der Gelenkkupplung wäre als Verbindung zwischen Hohlwelle und Radachse auch eine Kupplung mittels Wickelfedern möglich¹⁹⁾.

Um bei Güterzuglokomotiven diesen Antrieb benutzen und die entsprechend größere Übersetzung unterbringen zu können, ist deren Aufteilung auf Kegelrad- und Stirnradgetriebe vorgeschlagen worden²⁰⁾.

Aber auch trotz Einzelachsantrieb hat man die Triebäder gelegentlich durch Stangen gekuppelt. Die Notwendigkeit hierzu lag z. B. bei den E-Lokomotiven der

¹⁸⁾ Österr. Patent Nr. 103 625, 105 392 (Österr. Siemens-Schuckert-Werke).

¹⁹⁾ Ausgeführt bei den 2Co 2-Lokomotiven (Reihe E 3101) der Französischen Südbahn.

²⁰⁾ Österr. Patent Nr. 107 423 (Österr. Siemens-Schuckert-Werke).

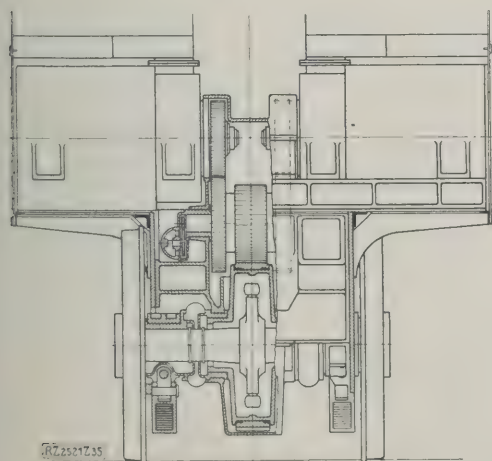
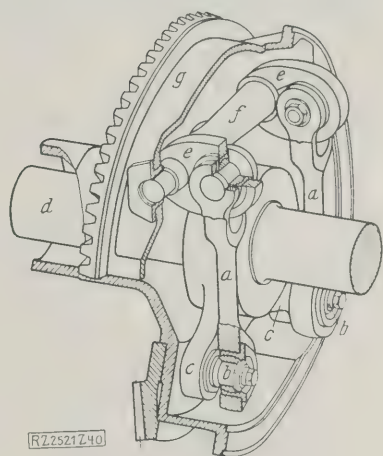


Abb. 35

Einzelachsantrieb mit zwei Motoren und
doppelter Übersetzung der Schweiz. Loko-
motiv- und Maschinenfabrik, Winterthur,
(J. Buchli).

Abb. 40
Gelenkkupplung,
Bauart der
Österreichischen
Siemens-Schuckert-
Werke.



- a* Lenker
- b* Kurbelzapfen
- c* Arme an der Radachse
- d* Radachse
- e* Arme an der Welle
- f* Achse an der Trommel
- g* Trommel

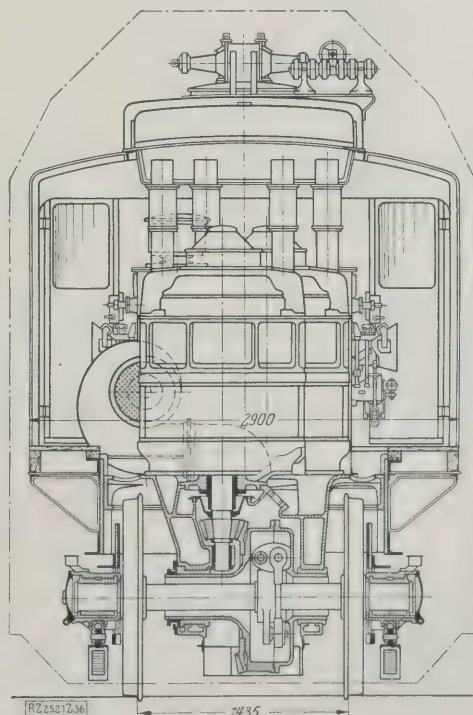


Abb. 36

Einzelachsantrieb der Österr. Siemens-
Schuckert-Werke mit senkrechtem Motor.
(1Do 1-Schnellzuglokomotive, Reihe 1570, der
Österr. Bundesbahnen)

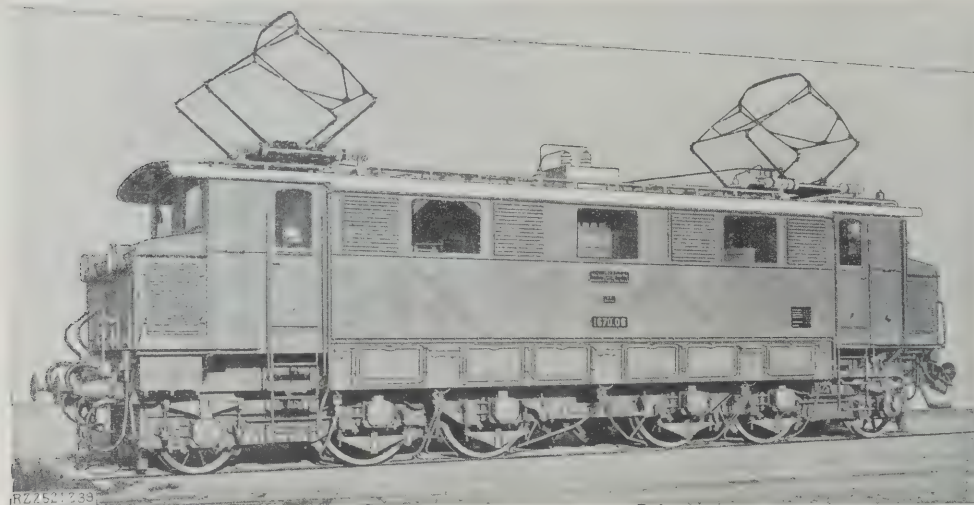


Abb. 39

1Do1-Schnellzuglokomotive
Reihe 1670, der Österreichischen
Bundesbahnen mit Zweifels-Senkrechtmotoren
Österr. Siemens-Schuckert-Werke
— Lokomotivfabrik Krauß & Co.

Reihen 1080 und 1080/100 der Österreichischen Bundesbahnen vor, bei denen des niedrigen Achsdruckes wegen nur drei der fünf Achsen mit Achsmotoren versehen werden konnten, während andererseits das Gesamtgewicht der Lokomotiven für die Reibung ausgenutzt werden mußte.

Bei den Co-Co-Lokomotiven (Reihe P. F. A. 101) der „Société Minière et Métallurgique de Peñarroya“ sind die einzeln von Tatzenlagermotoren angetriebenen Triebachsen der Drehgestelle auch miteinander gekuppelt, teils um ein Schleudern der Achsen einzeln zu verhindern, teils um die bei Anfahrt auftretende Entlastung der vorderen Achsen durch erhöhte Belastung der hinteren Achsen auszugleichen.

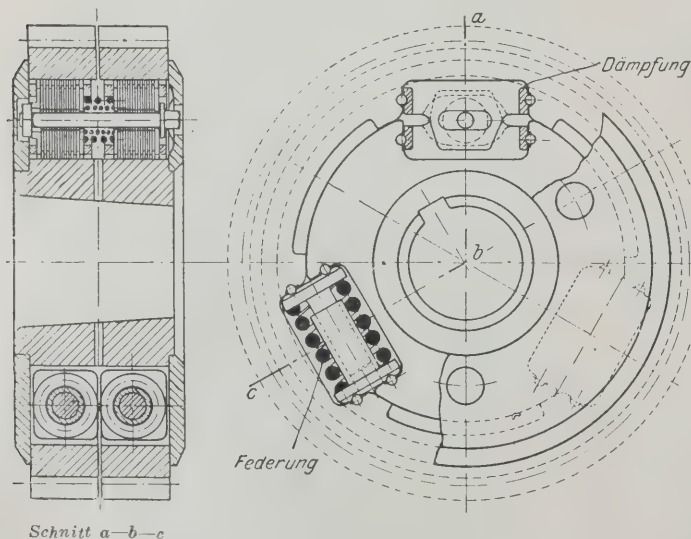
Es ist noch hervorzuheben, daß sich die Einzelachsantriebe in dem Ausmaß und für Leistungen, wie sie die Nachkriegszeit brachte, im wesentlichen erst infolge der nach dem Abwälzverfahren geschnittenen Zahnräder mit theoretisch genauen Zahnflanken anwenden ließen und weiterhin erst, nachdem man Zahnformen mit breiter, gegen Bruch widerstandsfähiger Zahnwurzel benutzte, wie sie von der Firma Maag-Zahnäder, A.-G., Zürich, und von der AEG für Stirn- und Schraubenräder eingeführt wurden. Beide Firmen härteten auch ihre Räder und berichtigen die beim Härten entstehenden, nicht zu vermeidenden Profiländerungen durch Schleifen auf besonderen Schleifmaschinen, die gleichfalls nach dem Abwälzverfahren arbeiten. Eine beachtenswerte Neuerung der letzten Zeit bilden die im Gesenk geschmiedeten einteiligen und auch zweiteiligen Zahnäder der AEG, die sich ihres gleichartigen Gefüges

wegen ungleich zuverlässiger zum Härten eignen als Stahlgußäder. Die neuere Praxis hält allerdings das Härten für entbehrlich, da auch bei von vornherein ungehärteten Rädern infolge des Abrollens der Zahnflanken aufeinander eine ausreichende Oberflächenhärtung eintritt.

Zum Abdämpfen der Ursache rezonanzfähiger Schwingungen ist die Federung der Zahnradübersetzungen in der Regel geworden. Das große Zahnrad abzufedern, was am nächsten baulich bequemer scheint, vermeidet man heute nach Möglichkeit, da dabei ein sehr genauer Einbau des Ritzels erforderlich ist. Zur Federung der Ritzel gibt es verschiedene brauchbare Konstruktionen.

Die Wirksamkeit federnder Vorrichtungen wird durch eine hinreichend große Dämpfung wesentlich erhöht. In dieser Richtung wirken Blattfedern günstig, an sich schon mit ziemlicher Dämpfung behaftet sind. Werden aber dämpfungsarme Schraubenfedern verwendet, dann empfiehlt es sich, zusätzliche dämpfend wirkende Reibflächen anzuordnen. Abb. 41 und 42 zeigt ein Ritzel, dem zwischen je zwei der am Umfang gleichmäßig verteilten Schraubenfedern je eine Lamellenkupplung eingebaut ist, wodurch die Bewegung zwischen Kranz und Nabe gebremst wird. Wie ersichtlich, sind die Lamellen abwechselnd gefaßt, der eine Teil in der Aussparung des Kranzteilens und der andere in der des Nabeiteils. Um zu verhindern, daß sich die Lamellen, die den Reibungsdruck auf die Kammerwandungen übertragen sollen, in diese einfressen, sind die Lamellen in einem besonderen Rahmen gehalten, der seinerseits mit den Kammerwandungen mittels besonderer Stahlbolzen gekuppelt wird. Der Rahmen wird mitsamt den eingepackten Lamellen von der Seite eingeschoben²¹⁾. Das Ritzelgehäuse enthält drei Taschen, zwei davon nehmen die Federung auf und die dritte die Dämpfungslamellen, deren Pressung sich bequem von außen mittels Steckschlüssel nachstellen läßt.

Wie zuerst die Schweizerische Lokomotiv- und Maschinenfabrik, Winterthur, vorgeschlagen hat²²⁾, kann bei Ritzeln von kleinem Durchmesser die Federung in einer seitlich an das Ritzel angebrachten Schüssel untergebracht werden; die gestattete dann auch Blattfedern, die eine zusätzliche Dämpfung entbehrlich machen, zu benutzen. Abb. 43 und 44 zeigt ein Ritzel dieser Bauart mit Wickelfederung und Dämpfung mittels einer Lamellenbremse. Der auf der Motorwelle *a* befestigte innere kegelige Körper *b* stützt sich an den Ansätzen *c* gegen die Enden kräftiger Schraubenfedern *d*, deren andere Enden sich gegen die Ansätze *f* des äußeren zylindrischen Körpers *e* stützen. Die Dämpfungslamellen *d* sind abwechselnd mit dem inneren kegelligen und dem äußeren



Schnitt a—b—c

Abb. 41 und 42
Ritzel mit Federung und Lamellendämpfung.
(BBC — A. Wichert).

²¹⁾ DRP Nr. 373 837, 387 662, 446 624 (BBC — Dr. Wichert).

²²⁾ Schweiz. Patent 76 596.

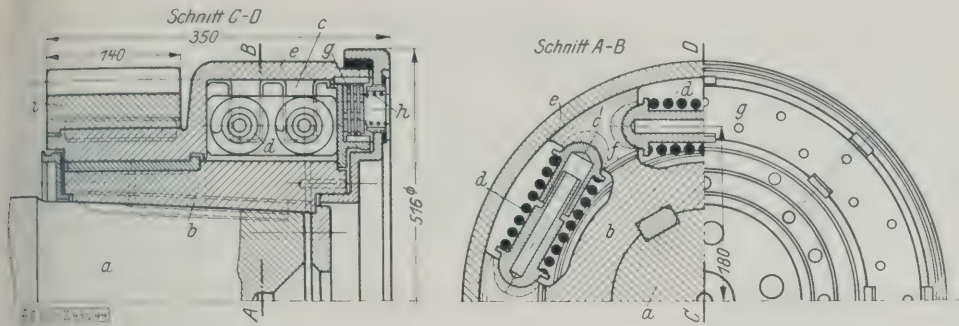


Abb. 43 und 44
Ritzel mit Federung und
Lamellendämpfung.
(Pöge-Elektrizitäts-Aktiengesellschaft)

- a Motorwelle
- b kegelförmiger Körper
- c Ansätze an b
- d Schraubenfedern
- e zylindrisches Gehäuse
- f Ansätze an e
- g Dämpfungslamellen
- h Druckfedern
- i Ritzel

zylindrischen Körper fest verbunden. Bewegungen der Federn verursachen also wieder einen Energieverlust in den aufeinander gleitenden Dämpferscheiben, dessen Größe mittels der Druckfedern *h* eingestellt werden kann. Mit dem äußeren zylindrischen Körper ist das Ritzel *i* starr verbunden.

Bei Schrägverzahnung und doppelseitigem Antrieb glaubt man auf die Federung vielleicht ganz verzichten zu können.

Über die voraussichtliche Weiterentwicklung der Antriebsfrage

läßt sich soviel sagen, daß für Schnellzuglokomotiven in Zukunft jedenfalls nur Einzelachsantrieb verwendet werden dürfte, ohne daß sich heute über die zweckmäßigste Form desselben etwas aussagen ließe. Es ist möglich, daß auch der Antrieb mittels Tatzenlagermotoren bei Fahrzeugen für große Geschwindigkeit Zukunft hat, vorausgesetzt, daß man sich mit dem Außenrahmen abfindet, an den diese Antriebsart mehr oder weniger gebunden ist und gegen den eine z. T. begründete Abneigung besteht. Von den übrigen Einzelachsantrieben vermeiden uneingeschränkt nur die Antriebe ohne Hohlwelle den Außenrahmen, alle Antriebe mit Hohlwelle aber nur dann, wenn die bewegliche Kupplung zwischen dieser und der Triebachse in die Mitte der letzteren verlegt werden kann, was bei den Antrieben mit Zwischenrad und Doppelvorgelege und bei den Antrieben mit Senkrechtmotoren grundsätzlich möglich ist. Vielleicht kommt gerade aus diesen Gründen den letztgenannten Antrieben besondere Bedeutung zu.

In der nächsten Zukunft wird es sich vor allem entscheiden, ob bei Güterzuglokomotiven auf die Kupplung der Triebachsen und den Gruppenantrieb zu Gunsten des Einzelachsantriebes wird verzichtet werden können, der hier in Form des Antriebes mit Tatzenlagermotoren am aussichtsreichsten scheint.

Laufwerk

Man kann behaupten, daß das Laufwerk, worunter die Vereinigung von Rahmen und Radsätzen verstanden sei, eine besondere, den elektrischen Lokomotiven angepaßte Durchbildung überhaupt erst in dem Entwicklungsabschnitt der letzten 10 Jahre erfahren hat. Denn solange es sich um elektrische Lokomotiven mit Kuppelachsen handelte, lagen die Verhältnisse gleich oder fast gleich wie bei Dampflokomotiven und die von dort her bekannten Bauformen des Rahmens, der Achslager, der Laufachsen, der Drehgestelle usw., konnten unverändert übernommen werden. Mit der Einführung des Einzelachsantriebes aber haben sich vielfach teils vereinfachende, teils erschwerende Bedingungen ergeben.

Bei den Achslagern z. B. fielen die hin- und hergehenden Beanspruchungen weg, so daß die Abnutzung wesentlich kleiner wurde und auf die Anwendung von Nachstellkeilen verzichtet werden konnte, allerdings unter Voraussetzung reichlicher Schmierung.

Der Rahmen

Der beim Einzelachsantrieb mit Hohlwellen- und Federkupplung unvermeidliche Außenrahmen sollte so ausgebildet werden, daß namentlich die kraftübertragenden Teile des Antriebes gut zugänglich bleiben. Bei den 2 Do 1-Lokomotiven der Reihe E 2101 und den

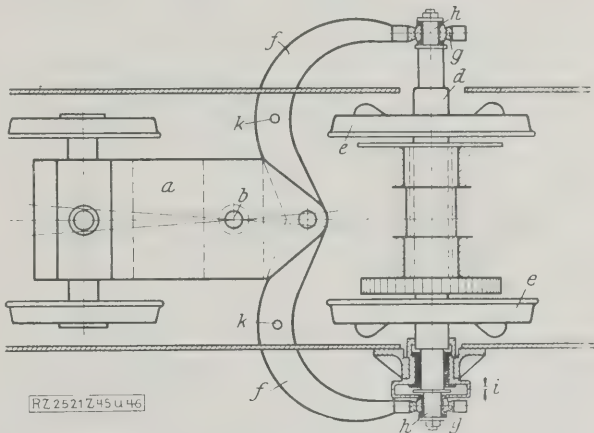
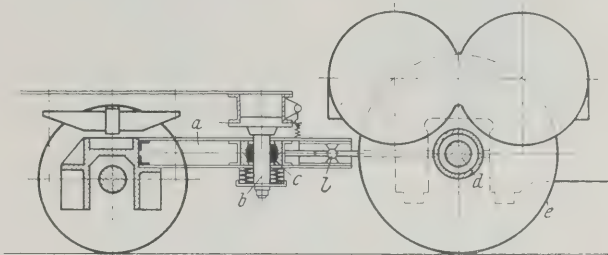


Abb. 45 und 46
Krauß-Helmholtz-Drehgestell.
Bauart Kleinow
(AEG)

- | | | |
|-------------------|---------------------|-----------------------|
| a Deichsel | e Triebräder | i Spiel am Hauptlager |
| b Drehzapfen | f Bügel | k Aufhängepunkte des |
| c Drehzapfenlager | g Pendelrollenlager | Bügels am Rahmen |
| d Triebachse | h Zapfen für g | l kugliges Gelenk |

1 Do 1-Lokomotiven der Reihen E 1701 und E 1710 der Deutschen Reichsbahn, s. Abb. 26 und 27 S. 683, hat W. Kleinow den Rahmen als Fachwerkrahmen²³⁾ ausgebildet, der aus einem durchgehenden Obergurt besteht und einem von den Lagerausschnitten unterbrochenen Untergurt mit senkrechten Verbindungstegen. In den von den Gurten und Verbindungstegen gebildeten Feldern sind Doppelschrägen angeordnet, wodurch bei eingelegten und auch herausgenommenen Achsgabelstegen ein vollkommen tragfähiger Gitterträger geschaffen wurde. Obergurt und Untergurt vereinigen sich gegen die Fahrzeugenden zu einem Stück, an das beidseitig der aus einem U-förmig gebogenen Blech bestehende Pufferträger mittels Winkelisen angeschraubt wird.

Drehgestelle

Bei den Trieb- und Laufachsen wird zwang der tiefe Schwerpunkt der meisten Formen des Einzelachsantriebes, insbesondere aber des Antriebes mittels Tatzenlagermotoren die verschiedensten Formen von Drehgestellen auszuführen, um den Ansnchnittwinkel beim Befahren von Gleiskrümmungen zu vermindern. Eine Anzahl bemerkenswerter Neukonstruktionen wurden geschaffen.

²³⁾ DRP Nr. 425 118 (AEG).

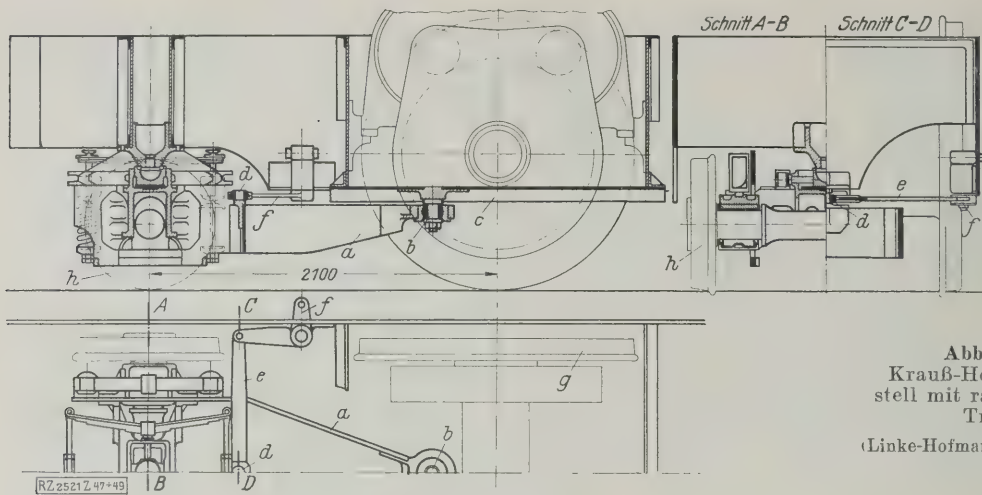


Abb. 47 bis 49
Krauß-Helmholtz-Dreh-
gestell mit radial einstellbarer
Triebachse.

(Linke-Hofmann-Busch-Werke, A.-G.)

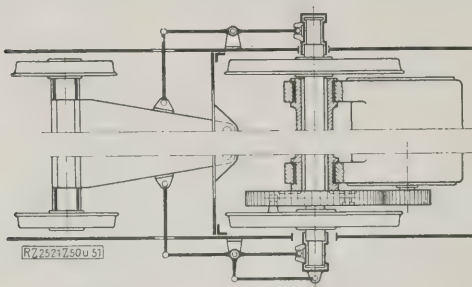


Abb. 50 und 51
Krauß-Helmholtz-Drehgestell (oben) mit seiten-
beweglicher, (unten) radial einstellbarer Trieb-
achse.

(B B C — E. Eugster)

Was zunächst das Krauß-Helmholtz-Drehgestell anbelangt, so ist dieses bei allen Hohlwellenantrieben infolge der Unzugänglichkeit der Triebachse in unveränderter Form nicht ausführbar. Die Bergmann Elektrizitätswerke, A.-G., haben zur Umgehung dieser Schwierigkeit vorgeschlagen, die Hohlwelle aus zwei getrennten Teilen bestehen zu lassen, die dazwischen Platz für ein drittes Achslager (Halslager) lassen, an dem die Deichsel angreift.

W. Kleinow hat das Drehgestell in der Weise abgeändert, Abb. 45 und 46, daß die am Drehzapfen *b* im Hauptrahmen mittels Drehzapfenlager *c* drehbar gelagerte Deichsel *a* die Triebachse *d* mittels eines die Triebräder *e* umfassenden Bügels *f* erfäßt, und zwar an besonderen Gleit- oder Pendelrollenlagern *g*, in denen die Triebachse mit

besonders verlängerten Zapfen *h* zusätzlich gelagert. Der Zweck dieser Konstruktion besteht darin, daß Achse nicht mit den Hauptachslagern verschoben wird, wobei namentlich bei gebremster Achse große Reibungskräfte zwischen den ungeschmierten rauen Flächen der Achslagergehäuse und der Achslagerführungen überwinden wären, sondern nur mit den Zusatzlagern im Spiel *i* der Hauptlager zwischen den glatt dauernd geschmierten Achslager-Lauflächen²⁴⁾. Der Bügel *f* ist bei den Punkten *k* noch am Rahmen federnd aufgehängt. Um die verschiedenen Bewegungen der Deichsel *a* gegenüber dem Drehzapfen *b* und dem Bügel *f* zu ermöglichen, sind die Drehzapfenlager *c* und Gelenk *l* kugelig ausgebildet.

Die bisher behandelten Bauarten des Krauß-Helmholtz-Drehgestells erlauben wohl eine Seitenverschiebbarkeit der Triebachse, eine radiale Einstellung der Achse nach dem Krümmungsmittelpunkt des Gleises aber nur in ganz geringem Maße. Um diese zwecks Verkleinerung des Schneidwinkels zu erzielen, haben zuerst die Linke-Hofmann-Busch-Werke A.-G., Breslau, nach Abb. 47 bis 49 v

²⁴⁾ DRP Nr. A 50 704 und A 51 121, Schweiz. Patent Nr. 128 (AEG), Österreich. Patent Nr. 111302. — In Gebrauch bei den 11 Lokomotiven Reihe E 1701 und E 17101 der Deutschen Reichsbahn.

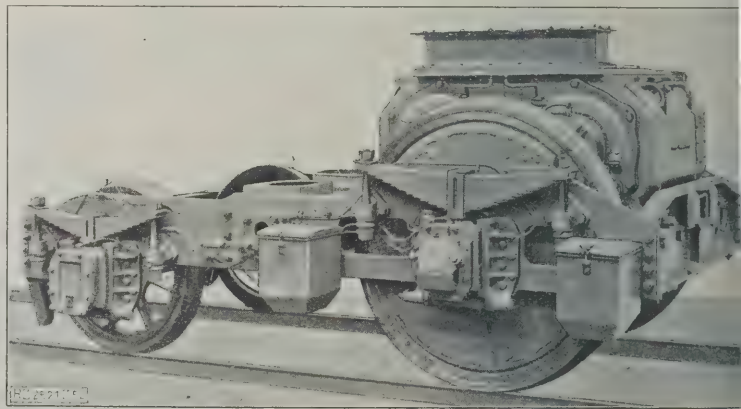


Abb. 52
Laufrad-Triebrad-Drehgestell mit im Dreh-
gestellrahmen gelagertem Motor.
(A. G. vorm. Skodawerke, Pilsen)

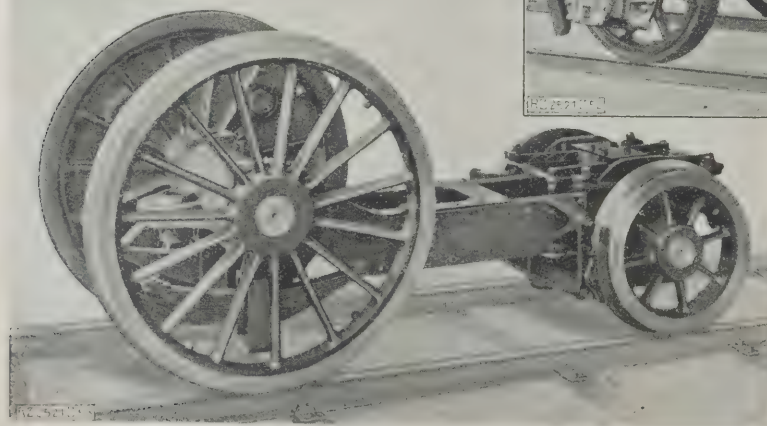


Abb. 53
Laufrad-Triebrad-Drehgestell mit im
Hauptrahmen gelagertem Motor.
(B B C — J. Buchli)

geschlagen, die Laufachsdeichsel mit den Achslagern der Triebachse durch einen Gelenkmechanismus derart zu verbinden, daß die Triebachse ebenfalls eine ihrem Abstand von der Mittelsenkrechten proportionale Winkelablenkung erfährt²⁵⁾. Der feste Drehpunkt *b* der Deichsel *a* ist auf einem starren Querverbindungsstück *c* des Fahrzeugrahmens gelagert. Mit der Deichsel fest verbunden schwingt um den Zapfen *d* ein zweiarmliger Hebel *e*, der unter Zwischenschaltung von Winkelhebeln *f* an den beiden Achslagern der Triebachse *g* angreift. Die Einrichtung bewirkt, daß in Kurven infolge der seitlichen Verschiebung der Laufachse *h* in radialer Richtung des Krümmungshalbmessers die Deichsel derart abgelenkt wird, daß hierdurch die Triebachse um eine geachtete senkrechte Achse so gedreht, daß sie ebenfalls in die Richtung des Krümmungshalbmessers fällt.

Abb. 50 und 51 zeigt zwei Anordnungen, bei denen die in der Gleiskrümmung ausschwenkenden (Bissel)-Laufachse mittels eines einfachen Hebelmechanismus die Triebachse entweder nur seitlich verschiebt (oben), oder sie gleichzeitig auch radial einstellt (unten)²⁶⁾. Schließt man das Hebelgestänge auch an weitere Triebachsen an, so können auch diese von der Laufachse aus zwangsläufig in die radiale Lage gebracht werden.

Unter völligem Verzicht auf Seitenverschiebbarkeit der Triebachse zugunsten der Radialeinstellung läßt sich die Triebachse mit der Laufachse zu einem eigenen Drehgestell vereinigen, d. h. Triebachse und Laufachse sind in einem gemeinsamen Gestell gelagert, wobei der der Triebachse zugeordnete Motor in diesem Gestell, Abb. 52²⁷⁾, oder namentlich bei Vorhandensein einer allseitig beweglichen Kupplung zwischen Motor und Triebachse vorteilhafter im kräftigeren Haupttrahmen fest gelagert sein kann²⁸⁾, Abb. 53. Der Drehzapfen ist dicht hinter der Triebachse angeordnet. Der Vorteil dieser Anordnung besteht jedenfalls in der praktischen tangentialen Einstellung der Spurkränze, deren Abnutzung infolgedessen vermindert wird, von Nachteil aber ist der Umstand, daß zwischen Triebachse und Schiene lediglich Haftreibung besteht²⁹⁾.

Abb. 54 und 55 zeigt im Schnitt eine verbesserte Form³⁰⁾ dieser Drehgestellbauart, der folgende Überlegung zu Grunde liegt: Da der der Triebachse zugeordnete Motor im Haupttrahmen gelagert ist, so muß der Seitenausschlag dieser Achse begrenzt werden, um zu verhindern, daß sie in den Haupttrahmen schlägt. Damit nun aber die Laufachse gleichwohl den Schienen in den Krümmungen folgen kann und von der Triebachse, die nur einen bestimmten Ausschlag gestattet, an ihrem Ausschlage nicht gehemmt wird, so ist sie gegenüber dem Drehgestellrahmen seitlich auf einer Kreisführung verschiebbar angeordnet, und zwar durch Ausbildung als Adamachse. Der Drehgestellrahmen *a* ist mittels Kugelzapfens *b*, der am Träger *c* befestigt ist, mit dem Haupttrahmen *d* gelenkig verbunden. Der Haupttrahmen stützt sich auf den Drehgestellrahmen mittels des Zapfens *e*, dessen Pflanne im Drehgestellrahmen *a* seitlich verschiebbar gelagert ist. Die Laufachse ist in einer Doppel-Achskiste *f* gelagert, die in den mit dem Drehgestell starr verbundenen Führungen *g* läuft. Doppelachskiste und Führungen sind nach Halbmessern *r* gekrümmt, mit *h* als Mittelpunkt. Zapfen *e* wird mittels der Federn *i*, die Laufachse mittels der Federn *k*, die unter der Laufachse an der Doppelachskiste angreifen, zurückgestellt.

Eine neuartige verbesserte Ausführungsform eines zweiachsigen (amerikanischen) Drehgestelles zeigt Abb. 56

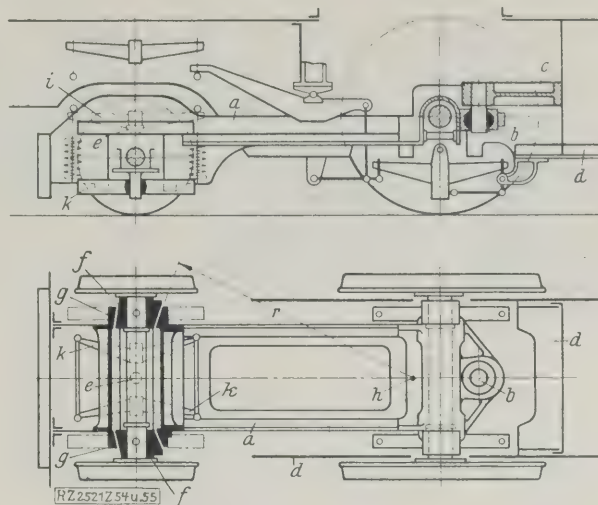


Abb. 54 und 55.

Laufachse-Drehgestell mit Adamachse und im Haupttrahmen gelagertem Motor.

(Schweiz. Lokomotiv- und Maschinenfabrik — M. Weiß)

- | | |
|---|---------------------------------|
| a Drehgestellrahmen | f Doppelachskiste |
| b Kugelzapfen | g Führungen für f |
| c Träger am Haupttrahmen | h Mittelpunkt der Krümmung |
| d Haupttrahmen | i Rückstellfeder des Zapfens e |
| e Zapfen gegen a, seitlich verschiebbar | k Rückstellfedern der Laufachse |
| | r Halbmesser der Krümmung |

und 57. Die Rückstellvorrichtung ist dabei so ausgebildet, daß sie das Drehgestell bei Fahrt in der Geraden in die Mittellage zurückzudrehen sucht und damit dessen Schlingerbewegung verhindert oder mindestens stark dämpft, bei Fahrt in der Krümmung aber selbsttätig unwirksam wird³¹⁾. Der am Haupttrahmen befestigte Drehzapfen *a* aus Stahlguß trägt an seinem unteren Ende einen gleichschenkligen Hebel *b*, der nur in der Längsrichtung der Lokomotive um Achse *c* schwingen kann. Die Hebelenden ruhen mit halbkugelförmigen Abstützungen *d* in Kugelpfannen *e*. Die Pfannen sind im entsprechenden Stahlgußgehäuse *f* des Drehgestellrahmens *g* seitlich verschiebbar, so daß das Drehgestell sich entsprechend den Kurvenausschlägen verschieben und verdrehen kann. Auf die Hebel *b* des Drehzapfens wirkt nun die Rückstellvorrichtung, bestehend aus den Hebeln *h* und Federn *i*, ein, Abb. 58 und 59.

Die Zunahme der Rückstellung gegen Verdrehung um den Drehzapfen bei Fahrt in der Geraden erfolgt mit ziemlicher Steilheit nach dem Federdiagramm, Abb. 59, ungefähr nach Kurve *a*, wobei *c* die Vorspannung, *d* die größte seitliche Drehgestellverschiebung und *e* den größten Federdruck bedeutet. Der Federdruck wird mittels der Rückstellvorrichtung, bestehend aus Kniehebeln, Federn und auf schiefen Flächen laufenden Rollen auf ein ungefährliches Maß gebracht, deren Wirkungsweise aus den eingetragenen Hebelstellungen in Ruhe (*c*, *d*) und beim größten Ausschlag *e* des Drehgestelles von 150 mm (*c'*, *d'*), sowie bei den verschiedenen Federlängen in beiden Drehgestellen (*f*, *f'*) ersichtlich ist.

Bereits vor dem Kriege war das sogenannte *Krauß-Lotter*-Drehgestell bekannt und wiederholt ausgeführt worden. Es besteht aus der Verbindung eines zweiachsigen (amerikanischen) Drehgestelles mit der benachbarten Triebachse, die sich in Abhängigkeit von der Auslenkung des Drehgestells in der Kurve seitlich verschieben kann. Dem gleichen Zweck dient das von *K. v. Kandó* angegebene Drehgestell³²⁾, Abb. 60, nur daß hier an den Bewegungen der Laufachse die beiden dem Drehgestell zunächst liegenden Triebachsen teilnehmen. Diese tragen Lager für die Kugelzapfen des Verbindungsbalkens *a*, an dessen

²⁵⁾ DRP Nr. 412 346 (Linke-Hofmann-Werke, A.-G.).
²⁶⁾ DRP angem. A 52 909 (A.-G. Brown-Boveri & Cie.).
²⁷⁾ Schweiz. Patent Nr. 107 119 (Schweiz. Lokomotiv- und Maschinenfabrik, Winterthur).

²⁸⁾ Die Bezeichnung Drehgestell ist also für die Anordnung *Krauß-Helmholtz* nicht ganz zutreffend. Es handelt sich hierbei vielmehr um eine Bisselachse, deren Deichselende, statt wie sonst drehbar im Haupttrahmen gelagert zu sein, an der Triebachse gelenkig angreift.

²⁹⁾ DRP Nr. 390 341 (von *J. Buchli* der A.-G. Brown, Boveri & Cie. angegeben). — Ausgeführt bei den 1Do1-Lokomotiven (Reihe 7000) der Japan. Staatsbahnen, (Reihe 3001) der Niederländisch-Indischen Staatsbahnen und bei der 2Co1-Lokomotive Nr. 4000 $\frac{EA}{1}$ der Great-Indian-Peninsula-Bahn.

³⁰⁾ DRP Nr. 457 432 (von *M. Weiß* der Schweiz. Lokomotiv- und Maschinenfabrik angegeben). — Angewendet bei den 2Do1-Lokomotiven (Reihe 10 901) der Schweizerischen Bundesbahnen.

³¹⁾ DRP Nr. 422 433 (Schweiz. Lokomotiv- und Maschinenfabrik, Winterthur). — In Gebrauch bei den 2Do2-Lokomotiven (Reihe E 501) der Paris-Orléans-Bahn und der 2Co1- und 2Co2-Lokomotive (Nr. 4000 $\frac{EA}{1}$ und 4002 $\frac{EC}{1}$) der Great-Indian-Peninsula-Bahn.

³²⁾ Angewendet bei den 2B-B2-Lokomotiven (Reihe E 401) der Paris-Orléans-Bahn.

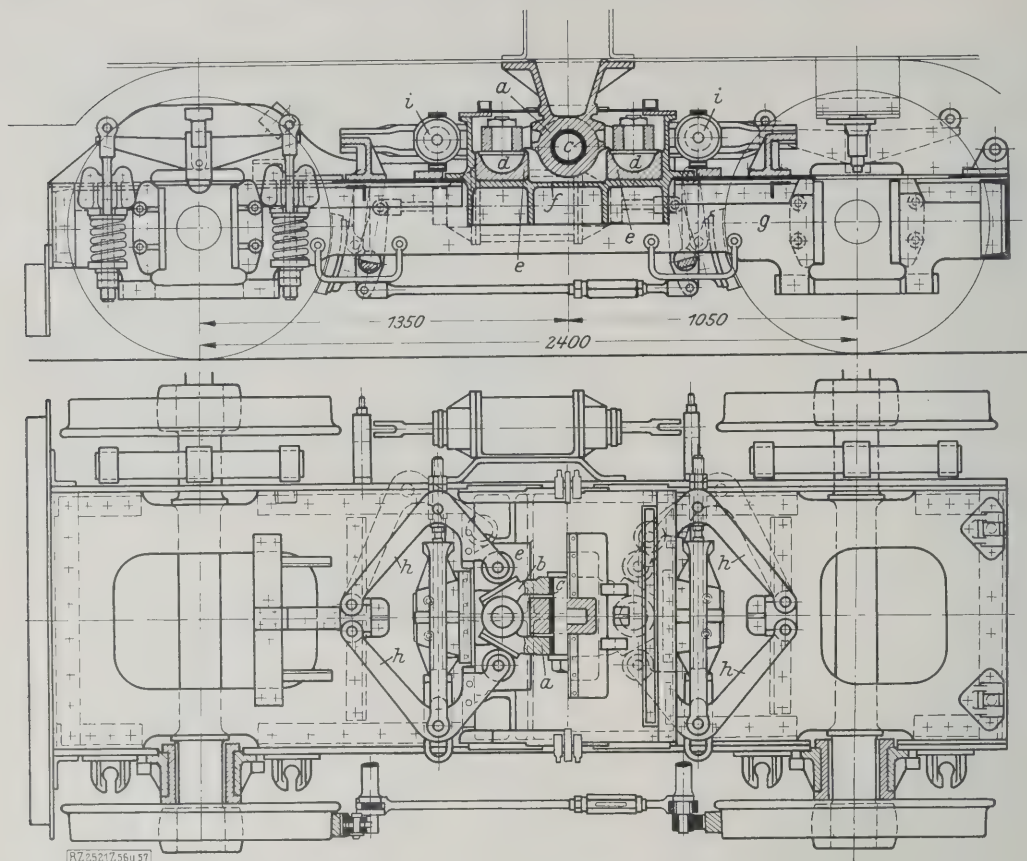


Abb. 56 und 57
Zweiachsiges (ame-
kanisches) Dreh-
gestell (Ausführung
der Schweizerisch
Lokomotiv- und
Maschinenfabrik
Winterthur).

- a Drehzapfen
- b Hebel
- c Schwingachse für
- d halbkugelförmige
- e Abstützungen
- f Kugelflächen
- g Drehgestellrahmen
- h Stahlfußgehäuse
- i Rückstellhebel
- j Federn

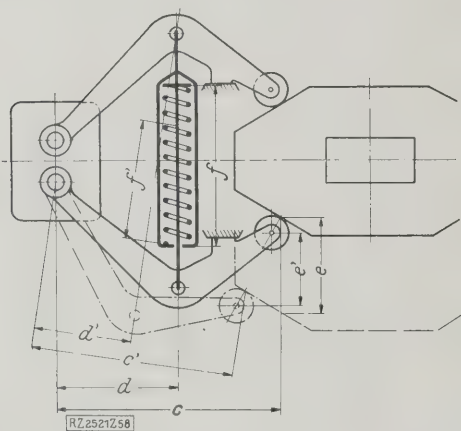


Abb. 58. Schema der Rückstellvorrichtung
nach Abb. 56 und 57.

- c, d Hebelverhältnisse für Ruhestellung
- c', d' desgl. bei größter Drehgestellverschiebung
- f Federlänge für Ruhestellung
- f' desgl. bei größter Drehgestellverschiebung
- e größte Drehzapfenverschiebung
- e' " Hebelausladung

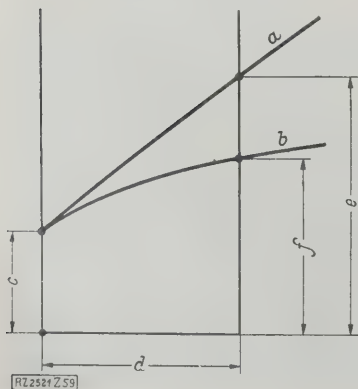


Abb. 59
Diagramm der Rück-
stellkräfte bei der
Rückstellvorrichtung
des zweiachsigen Dreh-
gestells nach Abb. 56
und 57.

- a Kurve der Rückstell-
kraft
- b Federdruck unter Wir-
kung der Rückstell-
vorrichtung
- c Vorspannung
- d größte seitliche Dreh-
gestellverschiebung
- e größter Federdruck
- f Federdruck bei größ-
ter Drehgestellver-
schiebung

Mitte die Dreieckstange *b* angreift. Das Verbindungsstück *c* der Dreieckstange ist um den Zapfen *d* drehbar, während die Drehgestelldeichsel *f* in den Augen *e* der Stange *b*, die Langlochbohrungen enthalten, eingreift. Die Deichsel *f* besteht aus einem Stück mit dem Querriegel, auf den sich die Rückstellfeder *h* abstützt.

Elektrische Ausrüstung^{35a)}

Fahrmotoren

Bei den

Lokomotivmotoren für einphasigen Wechselstrom

ist im elektrischen Entwurf zunächst zwischen zwei verschiedenen Bauformen zu unterscheiden. Die eine ist gekennzeichnet durch geringen Kraftfluß, niedrige induzierte Spannung in den von den Bürsten kurzgeschlossenen Ankerspulen und demgemäß niedrige Klemmspannung, große Stromstärke und schwerfällige Steuerungseinrichtungen. Die andere weist umgekehrt großen Kraftfluß, hohe induzierte Spannung in den von den Bürsten kurzgeschlossenen Ankerspulen, damit große Klemmspannungen und niedrigere Stromstärke auf. Um c

^{35a)} Über weitere Einzelteile der elektrischen Ausrüstung wird einem der nächsten Hefte berichtet.

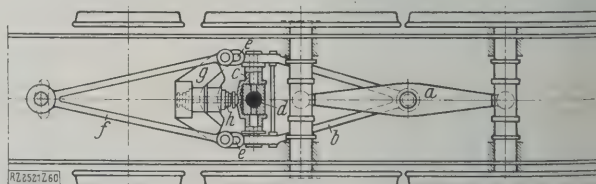


Abb. 60
Drehgestell, Bauart K. v. Kandó.

- a Verbindungsbalken
- b Dreieckstange
- c Verbindungsstück
- d Zapfen
- e Augen
- f Drehgestell-Deichsel
- g Querriegel
- h Rückstellfeder

infolge des größeren Kraftflusses in den von den Bürsten kurzgeschlossenen Spulen entstehenden Kurzschlußströme zu begrenzen, werden Widerstandverbinder zwischen Ankerwicklung und Kommutator vorgesehen und in der Bauart von Brown, Boveri & Cie. zu einem besonderen Körper zusammengebaut⁶⁶⁾, der die Abfuhr der erzeugten Verlustwärme erleichtert. Die neuere Praxis sucht unter Verzicht auf Widerstandverbinder, die sich in der erwähnten Bauart zwar gut bewährt haben, das Mittel zwischen beiden Entwürfen zu halten und die Motoren namentlich durch hohe Polzahl, d. h. hochübersynchrone Nenndrehzahl in der Klemmenspannung und Stromstärke den Entwürfen mit Widerstandverbindern nahezubringen. Im mechanischen Aufbau ist als Neuerung die bei größeren Lokomotivmotoren namentlich in Deutschland angewendete Lagerung der Motoren, d. h. der Motorständer in einer mit dem Lokomotivrahmen fest verschraubten Stahlgußschale, der sogenannten Motorwanne, bemerkenswert, die eine wesentliche Versteifung des Rahmens bildet und nötigenfalls auch die Lager der Vorgelegewelle enthält, Abb. 61.

Mehr und mehr finden Wälzlager in Form von Rollenlagern Eingang, und zwar sowohl bei Tatzenlagermotoren, Abb. 62, als auch bei halbhoch gelagerten Lokomotivmotoren verhältnismäßig großer Leistung.

Eine besondere konstruktive Durchbildung erfuhren die Motoren mit senkrechter Welle. Bei den 1 Do 1-Lokomotiven (Reihe 1570) der Österreichischen Bundesbahnen z. B. ruht der Motor, Abb. 63 und 64, auf einem eigenen Stahlgußstück, dem sogenannten Antriebgehäuse, das zwischen die Rahmenplatten eingelassen ist. Die Welle ist dreifach gelagert. Das oberste Halslager ist mit dem Spurlager im Spurlagerkopf zusammengebaut, das zweite sitzt oberhalb des Ritzels im unteren Motorschild, das dritte unterhalb des Ritzels im Antriebgehäuse. Als Spurlager dient ein als Doppelspurlager gebautes Kruppsches Segmentlager, das außer dem Läufergewicht auch den in einer Fahrtrichtung nach unten wirkenden Axialschub der Kegelräder aufzunehmen hat. Der Läuferkörper ist auf der Welle zwischen Anschlägen verdrehbar; er überträgt das Drehmoment über eine aus Blattfedern bestehende dämpfend wirkende Kupplung auf die Welle. Das Öl im Spurlager und in den beiden dem Motor zugehörigen Halslagern wird mittels einer eigenen von der Motorwelle über Kegelräder angetriebenen Drehkolbensmierungspumpe ständig in Umlauf versetzt.

Bei den 1 Do 1-Lokomotiven (Reihe 1670) der Österreichischen Bundesbahnen, s. Abb. 39, wurde der Antrieb unter Verwendung von Zwillingsmotoren insofern abgeändert, s. Abb. 37 und 38, als das Spurlager nach unten verlegt und die Motorwelle geteilt wurde, um auch hier den Motoranker im Falle eines Schadens mechanisch abtrennen

zu können. Man löst zu diesem Zweck die die beiden Wellenstränge verbindende Flanschkupplung durch eine Öffnung im Antriebgehäuse, worauf der ganze Anker des beschädigten Motors mittels zweier Abdruckschrauben gehoben werden kann. In dieser Stellung läßt sich der gesamte Motor einschließlich Ständer abheben. Da hierbei der untere als Ritzelwelle bezeichnete Motorwellenstrang in der Maschine bleibt, bleibt auch die Einstellung der Zahnräder unverändert. Zur Federung des Antriebes wurde zwecks Raumersparnis eine auf Drehung beanspruchte, in der hohlen Motorwelle untergebrachte Federwelle eingebaut. Allerdings sind hier auch unter Verzicht auf die bequeme Zugänglichkeit die Kommutatoren ritzelseitig, d. h. unten angeordnet.

Die Lokomotivmotoren für Gleichstrom weisen in der Bauart als Tatzenlagermotoren, abgesehen von der künstlichen Belüftung, keine grundlegenden Unterschiede oder Neuerungen gegenüber den Motoren der Triebwagen der Straßen- und Überlandbahnen auf, aus denen sie konstruktiv entwickelt wurden. Im elektrischen Entwurf bestehen sogar trotz der höheren Spannung geringere Schwierigkeiten, da wenigstens bei Regelspur größere Eisenbreiten möglich sind, die gestatten, mit einer Windung je Kommutatorlamelle und sogar mit der hinsichtlich Stromwendung zuverlässigeren Parallelwicklung auszukommen.

Bei größeren Leistungen wird die Bauart mit sechs Polen bevorzugt, bei der die Ankerrückwirkung auch bei Nutzbremsebetrieb noch leicht beherrscht werden kann.

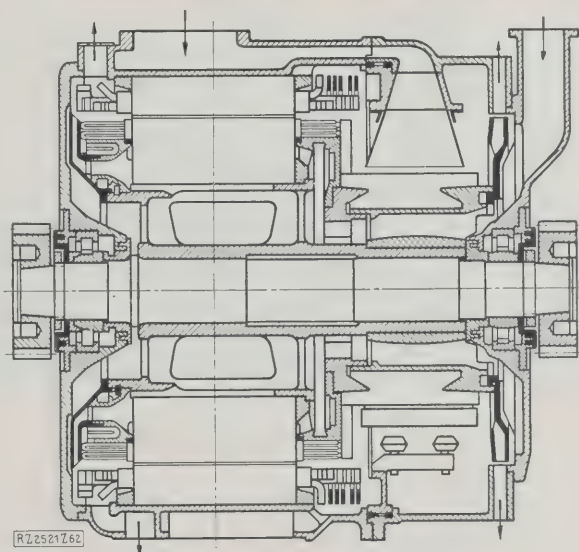


Abb. 62

Tatzenlager-Einphasenmotor mit Rollenlagern der 1 Bo - Bo 1-Schnellzuglokomotive, Reihe E 1801, der Deutschen Reichsbahn.

(Siemens-Schuckertwerke A.-G.)

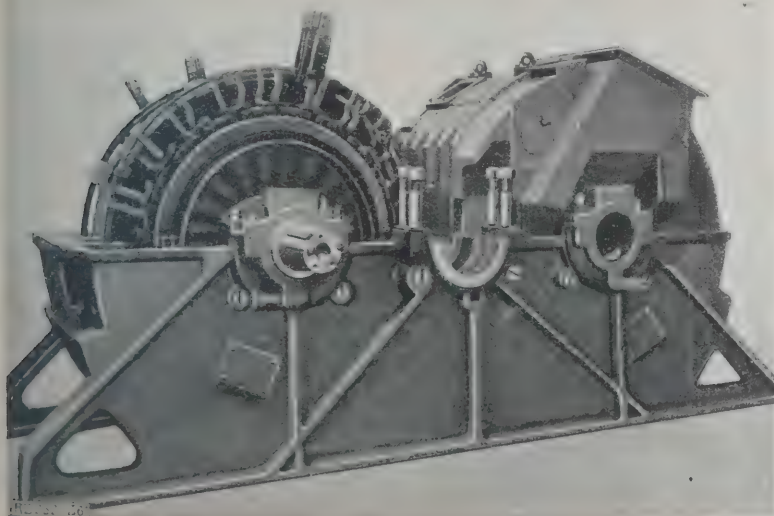


Abb. 61

Einphasen-Zwillings-Lokomotivmotor mit Motorwanne der 2 D 1-Güterzuglokomotive Reihe E 7901 der Deutschen Reichsbahn.

(Pöge-Elektrizitäts-A.-G.)

⁶⁶⁾ DRP Nr. 283 433 (Brown Boveri & Cie. A. G. — L. Modrow.)

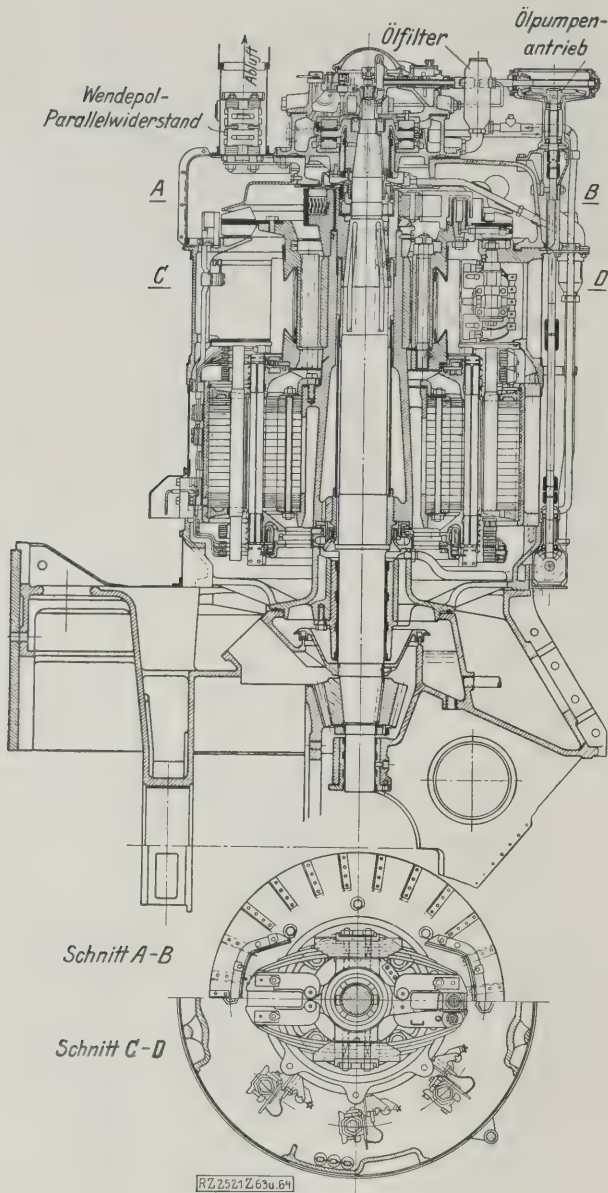
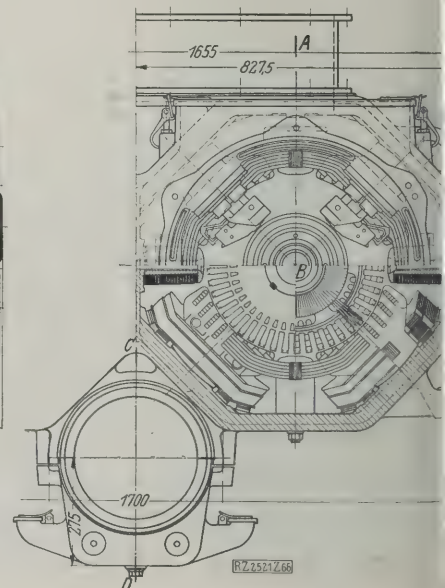
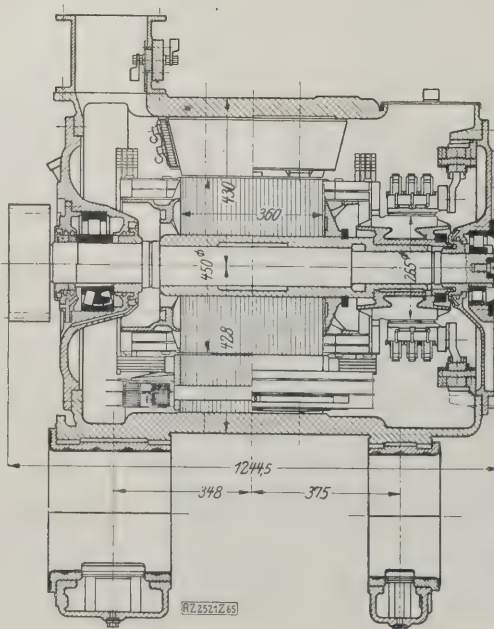


Abb. 63 und 64
Einphasen-Lokomotiv-
motor mit senkrechter
Welle der 1 Do 1-Schnell-
zuglokomotiven, Reihe
1570, der Österr. Bundes-
bahnen.
(Österr.
Siemens-Schuckert-Werke)

Abb. 65 und 66
Gleichstrom-Zwillings-
motor mit Kompensations-
wicklung der 1 Do 1-Schnell-
zuglokomotiven, Reihe
E 466, der Tschechoslowa-
kischen Staatsbahnen.
(A.-G. vorm. Skodawerke,
Pilsen)



Vierpolige Entwürfe bedingen neben einer größeren Ladung der Ankerspulenköpfe aus dem gleichen Grunde einen verhältnismäßig großen Luftspalt und daher einen größeren Aufwand an Feld-Amperewindungen oder zwingen zur Anordnung einer verteilten Kompensationswicklung, Abb. 65 und 66. Im mechanischen Aufbau die Verwendung von einteiligen Gehäusen und Lagerschilden mit Rollenlagern zur Regel geworden, für die sowohl Öl- wie Fettschmierung verbreitet ist, während für die Zahnradvorgelege Ölschmierung vorherrscht. Entwurf der letzteren ist man bei Lokomotiven wegen des größeren Raddurchmessers wesentlich weniger beschränkt als bei Triebwagen mit ihren durch die Einsteighöhe begrenzten Triebraddurchmessern.

Halbhoch im Rahmen gelagerte Schnellläufer unterscheiden sich im Aufbau kaum wesentlich von ortsfesten Gleichstrommotoren. Häufig werden namentlich in Verbindung mit Einzelachsantrieb Zwillingsmotoren mit gemeinsamem großen Zahnrad benutzt, die innerhalb eines bestimmten Leistungsbereiches zusammen leichter zu fallen als ein Motor gleicher Summenleistung, da infolge der Leistungsteilung höhere Drehzahlen möglich sind. Dieses Vorteils halber wird die doppelte Zahl von Lagern und Kommutatoren in den Kauf genommen.

Bei den

Drehstrom-Lokomotivmotoren

ist die Bauart der Vorkriegszeit mit außenliegenden Schaltern und hohler Welle verlassen worden. Die Schalterringe werden trotz ihrer durch die Polumschaltung bedingten großen Zahl innen angeordnet. Abb. 67 und 68 zeigt einen der Motoren der 1 D 1-Schnellzuglokomotivgruppe E 432, der Italienischen Staatsbahnen, s. Abb. 67 im Schnitt. Im Gegensatz zu den Ausführungen der Vorkriegszeit ist hier die Ständerwicklung in drei Stufen d. h. auf zwölf, acht und sechs Pole umschaltbar, um hinsichtlich Blindstromverbrauch ungünstige Kaskadenschaltung nur in einer Polzahl (acht) ausführen zu müssen. Umgeschaltet wird von zwölf auf acht bei unveränderter Phasenzahl (drei). In sechspoliger Schaltung werden die Statoren der beiden Motoren zweiphasig nach Scott geschaltet, um einen Zwischentransformator zur Änderung der Phasenzahl zu vermeiden. Die hier verwendete Ständerwicklung³⁷⁾ bedingt 53 freie Wundlungen. Die Läuferwicklung ist eine geschlossene Gleichstrom-Zweischichtwicklung, die nach Creedy an 48 Punkten aufgeschnitten ist und so mittels 13 Schalter von einem zwölfpoligen Drehfeld zweiphasig, einem achtpoligen dreiphasig und von einem sechspoligen vierphasig induziert wird. [B 2521

³⁷⁾ Italienisches Patent Nr. 250 806 (G. Fianchi).

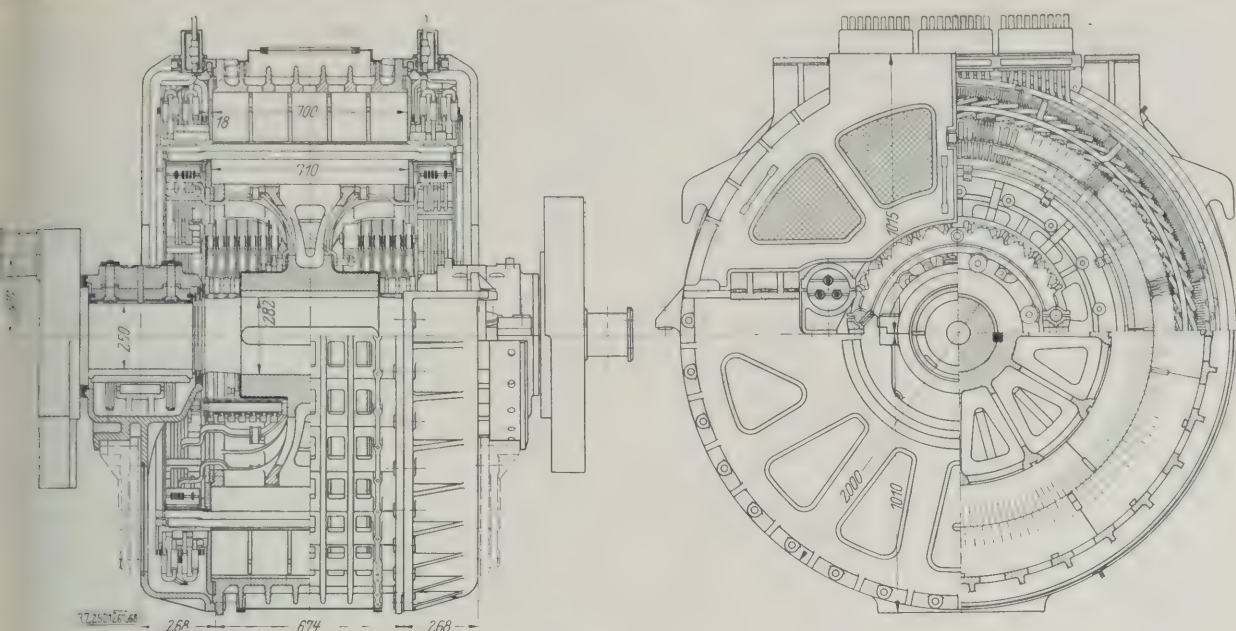


Abb. 67 und 68

Drehstrom-Lokomotivmotor der 1 D 1-Schnellzuglokomotiven, Gruppe E 432, der Italienischen Staatsbahnen.
(Servizio Materiale e Trazione delle Ferrovie dello Stato.)

Straßenbahn-Gelenkwagen- züge, Bauart Niesky

Der Gelenkwagenzug besteht aus zwei Triebwageneinheiten und einem von diesen getragenen Mittelteil, Abb. 1. Die Triebwageneinheiten sind nach der Niesky-Bauart für sich vollkommen betriebsfähig, während der Mittelteil die Kupplung zwischen diesen beiden Endwagen ersetzt. Infolge der Längeneinteilung des Zuges wird der in den Gleiskrümmungen zur Verfügung stehende Lichtraum weitgehend ausgenutzt, da beim Einfahren in die Krümmungen der Mittelteil nach außen bis an die Grenze des Lichtraumquerschnittes ausgeschwenkt wird. Die Einzelteile des Wagenzuges können sich gegeneinander nach allen Richtungen bewegen, außer in der Längsrichtung des Zuges. Das Eigengewicht und Nutzlast des Mittelteils werden durch die in die Kopfstücke der Endwagen hinein verlängerten äußeren Langträger *a*, Abb. 2 bis 6, des Mittelteils über-

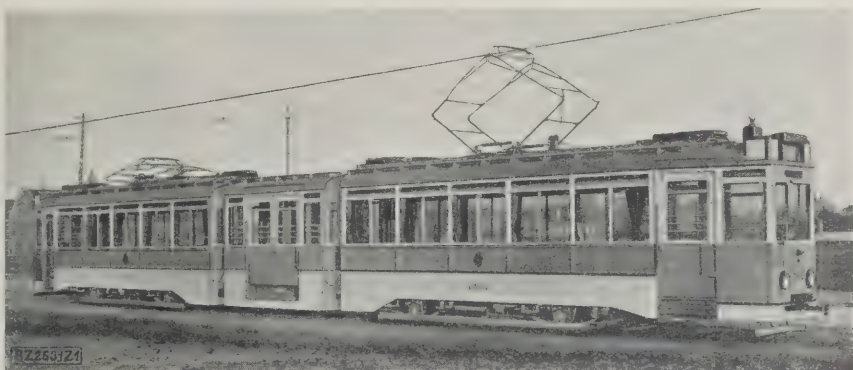


Abb. 1. Straßenbahn-Gelenkwagenzug, Bauart Niesky.

tragen, während die Längskräfte und die Fliehkräfte von dem Gelenkbolzen *b* aufgenommen werden. Zur freien Bewegungsmöglichkeit gleitet der aus Stahl hergestellte Gelenkbolzen in einer Bronzebüchse *c*, deren Außenfläche als

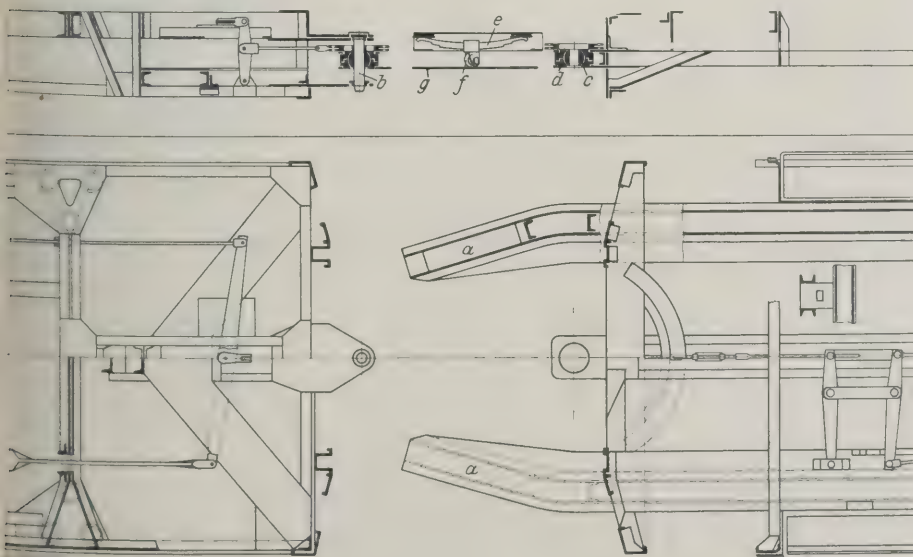


Abb. 2 bis 6
Gelenkwagenzug.
Anordnung und Schnitt durch
Gelenkteil.
Schnitt durch die Trag-
rollenkonstruktion.

- a* verlängerter äußerer
Langträger
- b* Gelenkbolzen
- c* Bronzebüchse
- d* Gußkörper
- e* Blattfedern
- f* Tragrolle
- g* Gleitflächen des
Endwagens

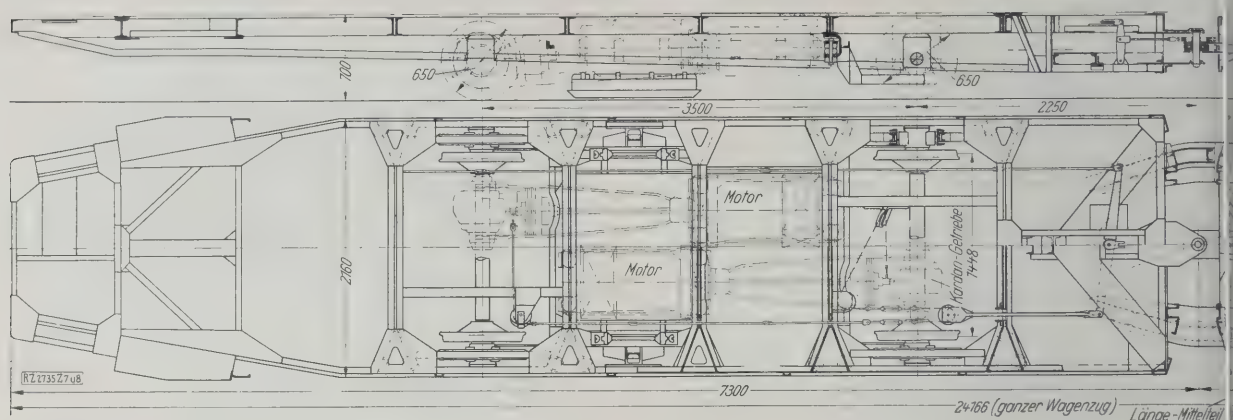


Abb. 7 und 8. Gelenkwagenzug. Vorderer Triebwagenteil und Mittelteil.

Kugel ausgebildet und ihrerseits wieder in Gußkörpern *d* drehbar gelagert ist. Das Ganze stellt also ein in einer Richtung festgelegtes Kardan-Gelenk dar.

Damit die senkrechten Kräfte weich und elastisch übertragen werden und sich die Wagen in Krümmungen, insbesondere S-Kurven, leicht einstellen, sind unter den Federbünden der Blattfedern *e* Rollenlager angeordnet, auf denen die eigentliche Tragrolle *f* läuft. Dank dieser Anordnung wälzen sich die Wagenteile reibungslos aufeinander ab. Die Gleitflächen *g* des Endwagens sind aus Chromnickelstahl hergestellt, so daß sich die Rollen nicht einfressen. Infolge des guten gegenseitigen Spiels der Wagenteile in Gleiskrümmungen, bei Gleisunebenheiten usw. und infolge der Lagerung des Mittelteils auf den Endwagen sind die Schlingerbewegungen, die man vielfach bei Zweiwagenzügen antrifft, nur gering und der Lauf des Gesamtzuges außerordentlich ruhig.

Das Kastengerippe, Abb. 7 und 8, ist nach einer dem ausführenden Werk geschützten Sonderbauart „Hohlsäule, Bauart Niesky“ hergestellt. Im Mittelteil des Wagenzuges sind 30 Stehplätze, in den beiden äußeren Wagenteilen je 30 Sitzplätze und einschließlich der Plattformen je 14 Stehplätze vorhanden. Das Gewicht des betriebsfertigen Zuges beträgt 28 000 kg, das Gewicht der elektrischen Ausrüstung 7000 kg.

Die elektrische Ausrüstung wurde vom Sachsenwerk, Licht- und Kraft, A.-G., Niedersiedlitz, geliefert. Die vier Achsen des Zuges werden einzeln von einem mit Eigenbelüftung und Rollenlager ausgestatteten Hauptstrommotor der Tatzenlagerbauart angetrieben. Die Stundenleistung eines Motors beträgt 33 kW bei Gleichstrom von 500 V und 800 U/min. Die Bremsausrüstung des Gelenkzuges ist dreifach. Vorgesehen sind eine elektrische Kurzschlußbremse, eine durchgehende auf vier Kniehebelbremsen — Bauart Bergische Stahlindustrie, Remscheid, — wirkende Ausgleich-Handbremse und eine Schienenbremse, Bauart Jores. Die Schienenbremsschalter führen den einzelnen Bremsmagnetgruppen den Strom dertat zu, daß jeweils die Magnete des Endwagens zuerst ansprechen.

Die verkehrstechnischen Vorteile des Gelenkwagens bestehen in dem bei gleicher Zuglänge erhöhten Fassungsraum, in der Verkürzung der Haltestellen-Aufenthalte, da gleichzeitig aus- und eingestiegen werden kann, der großen Anfahrbeschleunigung und Reisegeschwindigkeit, da alle vier Achsen angetrieben sind. Der ganze Wagenzug bildet einen durchgehenden Raum, so daß u. U. ein Schaffner den ganzen Zug bedienen kann. [M 2531]

Elektrische Zugförderung auf der Mailänder Nordbahn

Die zweigleisigen Strecken Mailand — Saronno (22 km) und Bovisa — Meda (19 km) der Ferrovie Nord Milano, Abb. 1, deren Netz 250 km lang ist, werden für elektrischen Betrieb umgebaut. Die Strecken in der Umgebung von Mailand dienen dem Nah- und Fernverkehr, während die andern Strecken, die die Sommerfrischen im Hügellande nördlich von Mailand (Como, Varese und Langensee) erreichen, nur von Fernzügen befahren sind. Bis jetzt wurde das ganze Netz nur mit Dampflokomotiven betrieben. Infolge der Bewegung, die in den letzten Jahren auch in Mailand für eine Erweiterung der Stadt nach den Vororten hin entstanden ist, ergab sich die Notwendigkeit, den Nahverkehr auf den Strecken in der Umgebung von Mailand zu verstärken. An den nun für elektrischen Betrieb bestimmten beiden Hauptlinien Mailand — Saronno und Bovisa — Meda

liegen wichtige Knotenpunkte. Die Strecke Mailand — Saronno (5 km) erhält die größte Verkehrsdichte (rd. 90 Züge täglich in beiden Richtungen, den Nahverkehr inbegriffen).

Mit Rücksicht auf die hohen Kosten sah man ab, die Fern- von den Nahzügen durch den Bau einer gleisigen Linie zu trennen, da die Strecke Bovisa — Meda im Einschnitt und als Untergrundbahn bis mitten in die Stadt führt. Um unter solchen Umständen den Fernverkehr durch den Nahverkehr nicht zu behindern, beschloß man, die Nahzüge den elektrischen Betrieb zu wählen, und sie beschleunigen, daß sie die Strecken Mailand — Saronno und Mailand — Meda in derselben Zeit zurücklegen werden wie die Fernzüge. Die Wagen werden mit breiten Türen versehen, die den Aufenthalt in den Bahnhöfen auf das kürzeste zu beschränken gestatten.

Die Strecken werden mit Gleichstrom von 3000 V betrieben. Die Züge werden aus Trieb- und Schleppwagen bestehen; der Endschleppwagen des Zuges erhält einen Führerstand, so daß die Wagen in den Endbahnhöfen umgestellt zu werden brauchen.

Der Triebwagen hat eine gesamte Länge von 24 m mit 89 Sitzplätzen; das Gewicht beträgt 53 t, vier Motoren von zusammen 740 PS Leistung gestatten, eine Geschwindigkeit von 100 km/h zu erreichen. Es ergibt sich ein Gewicht von 72 kg für 1 PS und von 595 kg auf einen Sitzplatz. Auch die durchgehenden Güterzüge werden elektrisch betrieben, und zwar um einen wirtschaftlichen Betrieb gleich für die im elektrischen Vorortverkehr auftretenden Belastungsspitzen, besonders morgens und abends zu schaffen. Für diesen Zweck bestellte die Ferrovie Nord Milano bei der italienischen Firma Compagnia Generale Eletticità vier Lokomotiven von je 1400 PS. Sie haben vier Achsen, die einzeln von einem 350 PS-Motor angetrieben werden.

Mailand [M 2843]

Ing. Tito Scotti

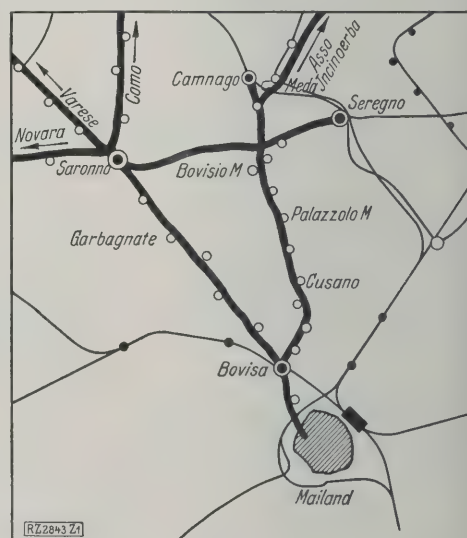


Abb. 1

Plan der Mailänder Nordbahn und benachbarter Eisenbahnlinien.
— Eisenbahnnetz der Ferrovie Nord Milano
— Staatsbahnen und Nebenbahnen



Portalträger bei Melbourne für Längsaufhängung der Fahrleitung mit doppelter Isolation für Gleichstrom.

Fahrleitungen für Vollbahnen

Von Reichsbahnoberrat NADERER, München

(Hierzu Bildbl. 3 und 4)

Bauformen: Quer- oder Einfachaufhängung, Längs- oder Vielfachaufhängung, senkrechte, halb windschiefe und windschiefe Verspannung; Einfluß der Witterung auf die Anordnung der Verspannung und den Abstand der Maste. Einzelteile: Isolatoren, Leiter und Klemm-Mittel, Nachspanner, Maste für die freie Strecke und Bahnhöfe.

Netzschaltung: Speiseschaltung; Anordnung der Umspann- und Umformeranlagen als Stützpunkte; Schutzstrecken; Streckenschaltung.

Die Fahrleitungen unterscheiden sich von den gewöhnlichen Leitungen, die der elektrischen Kraftübertragung dienen, dadurch, daß sich bei ihnen der Ort der Kraftabnahme zeitlich fortwährend ändert, während er sonst unverändert bleibt. Hieraus folgt, daß zur Kraftabnahme bewegliche Einrichtungen dauernd mit den Fahrleitungen in Berührung sein müssen: die Stromabnehmer. Das innige Zusammenarbeiten dieser beiden Teile der Kraftübertragung wirkt sich nicht bloß auf die Formgebung für die Stromabnehmer aus, sondern auch auf die Bauform der Fahrleitung.

Bei der ersten elektrischen Bahn der Welt ordnete Werner von Siemens¹⁾ die Fahrleitung als hochkant gehaltenes, von einer Bürste bestrichenes Flacheisen zwischen den Fahrschienen an, Abb. 1. Diese Ausführungsform bezeichnen wir heute als „Stromschiene“. Hinsichtlich ihrer grundsätzlichen Anordnung hat sie sich im Laufe der Entwicklung bei den mit Gleichstrom, schweren Zügeinheiten und auf eigenem Bahnkörper betriebenen Stadt- und Vorortbahnen bis auf den heutigen Tag technisch und wirtschaftlich behauptet; nur Querschnitt, Verlegungsform und Verlegungsort der Stromschiene wurden im Laufe der Zeit den höheren Spannungen, der stärkeren Belastung, der größeren Geschwindigkeit angepaßt. Im Gegensatz hierzu blieb andern Anordnungen, so z. B. der in Sonderfällen aus ästhetischen Gründen in Städten gewählten sogenannten „Unterleitung“, bei der die Stromzuführung unterhalb der Fahrschienen in Schlitzkanälen angeordnet oder bei der der Strom von zwischen den Fahrschienen in bestimmten

Abständen verlegten Kontaktstellen (Knöpfen) abgenommen wurde — Teilleiterbetrieb — eine größere Ausbreitung versagt. Denn die Technik befreit sich im Laufe der Entwicklung von allen, wenn auch noch so geistvollen Ausführungsformen, die ihr ohne Rücksicht auf das Endziel und die Wirtschaftlichkeit aufgezwungen werden. Im Kampfe mit der einfachen, betriebsicheren, billigen „Oberleitung“ die etwas später aufkam, mußte die Unterleitung, bis auf ganz wenige Ausnahmen, das Feld räumen. Die Oberleitung beherrscht heute — abgesehen von dem verhältnismäßig engen Anwendungsgebiet der Stromschiene²⁾ — wegen ihrer technischen und wirtschaftlichen Vorzüge das gesamte Gebiet der Stromzuführung bei elektrischen Bahnen. Der nachfolgende Überblick befaßt sich daher nur mit der Oberleitung.

²⁾ s. Z. Bd. 72 (1928) S. 894.

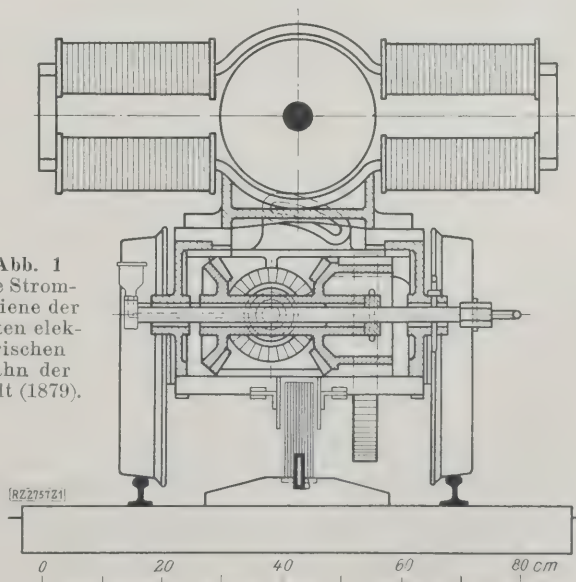


Abb. 1
Die Stromschiene der ersten elektrischen Bahn der Welt (1879).

¹⁾ Siehe Originalbericht Werner von Siemens: Verhandlungen des Reiches zur Beförderung des Gewerbefleißes; Bericht über die Sitzung vom 9. Juni 1879; Sitzungsberichte 58. Jahrg. S. 117.

Bauformen

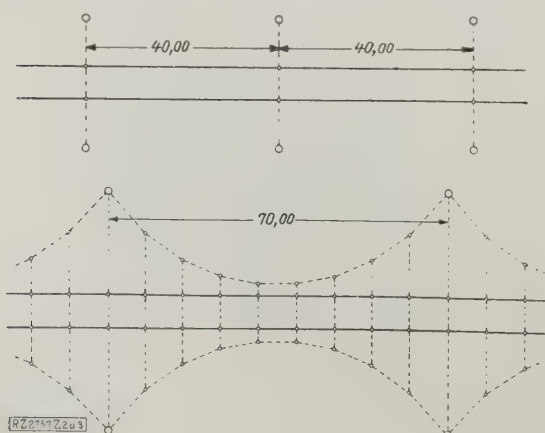
Von der Stromart an sich wird die Bauform nicht entscheidend beeinflusst, nur hinsichtlich der Zahl und des Querschnittes der Leiter wirkt sie sich aus. Bei Drehstrombahnen sind immer zwei elektrisch voneinander getrennte Leiter nötig; denn eine solche Oberleitung ist zweiphasig. Bei Gleichstrom sind zwei elektrisch getrennte Leiter nur in Ausnahmefällen erforderlich, nämlich wenn die Fahrschienen nicht als Rückleitung benutzt werden oder es sich um Dreileiteranlagen mit zwei Oberleitungen handelt; bei stark belasteten Gleichstrombahnen ist häufig zur Einhaltung der unteren Grenze des Spannungsabfalles der Fahrdrabtquerschnitt so groß zu nehmen, daß er auf zwei elektrisch getrennte Leiter aufgeteilt werden muß: ist diese Maßnahme noch nicht ausreichend, um die Verluste in den nötigen Grenzen zu halten, so werden am Fahrleitungsgestänge besondere Verstärkungsleitungen ausgelegt. Wechselstrombahnen haben nur einen Fahrdrabt; wo starke Steigungen den Spannungsabfall übermäßig erhöhen, werden auch bei Wechselstrom-Fahrleitungen Verstärkungsleitungen an den Masten angebracht.

Die Höhe der Fahrdrabtspannung beeinflusst die elektrischen Baubedingungen, denen im allgemeinen mittels entsprechend hoher Isolation und durch bestimmte Abstände zwischen spannungsführenden und geerdeten Teilen genügt wird. Fahrgeschwindigkeit, Temperaturunterschiede und Windstärke wirken sich auf die mechanischen Baubedingungen aus. Gerade diese sind es aber, die hauptsächlich die äußere Bauform der Fahrleitungen bestimmen, und zwar ist die Fahrgeschwindigkeit vor allem maßgebend. Denn die Beziehungen zwischen Stromabnehmer und Fahrleitung stellen bei einer Geschwindigkeit von 28 m/s, entsprechend 100 km/h, wesentlich andere Anforderungen an die Lage des Fahrdrabtes als bei mäßiger Fahrgeschwindigkeit (40 bis 50 km/h), wie sie Straßenbahnen, Nebenbahnen usw. aufweisen. Der Stromabnehmer muß nämlich dauernd mit dem Fahrdrabt in Berührung bleiben, also ihrem jeweiligen Durchhange folgen. Dies ist bei hoher Geschwindigkeit im Hinblick auf die zu beschleunigende Masse des Stromabnehmers nur dadurch zu erreichen, daß die Veränderungen in der Höhenlage des Fahrdrabtes möglichst gering gehalten werden; man braucht nur zahlreiche Aufhängepunkte des Fahrdrabtes vorzusehen. Für niedrige Geschwindigkeiten genügen demnach wenige Aufhängepunkte.

Aufhängung

Quer- oder Einfachaufhängung

Solange die Stromabnehmer der wechselnden Fahrdrabthöhe zu folgen vermögen, also bis zu Geschwindigkeiten von etwa 45 km/h, genügt es, den Fahrdrabt in der geraden Strecke ungefähr alle 40 m an Masten mit Auslegern oder an Querspannwerken aufzuhängen, wie dies bei Kleinbahnen oder bei Straßenbahnen gebräuchlich ist. Hier wird in neuerer Zeit, um die Anzahl der Maste und der Verankerungen an Gebäuden zu verringern, häufig auch in gerader Strecke das Querspannwerk polygonartig gestaltet, eine Form, die bei Krümmungen zur Fest-



legung des Fahrdrabtes quer zur Gleisachse seitlich üblich ist, Abb. 2 und 3. Neben den geringeren Auskosten wird infolge der vermehrten Aufhängepunkte der Fahrdrabtes auch ein technischer Vorteil erreicht, der besseren Gleiten des Stromabnehmers besteht.

Für Vollbahnen kommt die Quer- oder Einfachaufhängung nur in Ausnahmefällen an jenen Stellen zur Anwendung, wo ganz mäßige Geschwindigkeiten vorkommen, z. B. für Fahrleitungen vor den Einfahrten in Schienen über Privatananschlußgleisen und dergl.

Längs- oder Vielfachaufhängung

Haben die Aufhängepunkte — wie bei der gewöhnlichen Queraufhängung, s. Abb. 2, — einen Abstand von 35 bis 40 m, so belastet das ganze Gewicht dieser Aufhängepunkte den Aufhängepunkt. Dieses Gewicht ist vielfaches vom Anpressungsdruck des Stromabnehmers auf den Fahrdrabt; in seiner Beziehung zum Stromabnehmer also ein solcher Aufhängepunkt als starr anzusehen. Bei der Stromabnehmer am Aufhängepunkt vorbei, so bei den plötzlichen Richtungswechsel in der Höhenlage des Fahrdrabtes, vom Ansteigen zum Senken, überwinden die Bruchteilen einer Sekunde — bei hohen Fahrgeschwindigkeiten — muß die Masse des Stromabnehmers auf der steigenden Seite des starren Aufhängepunktes beschleunigt, auf der gegenüberliegenden verzögert werden. Diesem plötzlichen Wechsel der Winkelgeschwindigkeit kann jedoch seine Masse nicht folgen. Der Stromabnehmer schlägt daher an den sich senkenden Teil des Fahrdrabtes an und klappt von diesem ab, was dies nicht schon infolge seiner Trägheit am anstehenden Ast des Fahrdrabtes geschehen ist. Die Folge solcher kurzzeitigen Stromunterbrechungen äußern sich in Lichtbögen, die frühzeitig das Schleifstück des Stromabnehmers und den Fahrdrabt zerstören und sich auch die Betriebssicherheit der Motoren und sonstigen elektrischen Einrichtungen ungünstig auswirken können. Die Nachteile der Queraufhängung werden vermieden, wenn innerhalb des Fahrdrabtes ein Seil (Tragseil) ausgelegt ist, an dem beliebig oft der Fahrdrabt aufgehängt werden kann. Auf die Aufhängepunkte trifft dann nur ein geringer Teil des Fahrdrabtgewichts, so daß der Fahrdrabt auch an der Aufhängestelle gegenüber dem Anpressungsdruck des Stromabnehmers nachgiebig ist. Eine solche Anordnung der Fahrleitung bezeichnet man als Längs- oder Vielfachaufhängung.

Da das Tragseil seinem Zwecke nach im allgemeinen nicht zur Kraftübertragung benutzt wird, kann ein Material von höherer Festigkeit als der des Kupfers (Bruchstahl) verwendet werden; man kann also die Tragstützpunkte erheblich weiter auseinanderücken als bei der gewöhnlichen Queraufhängung.

Das Tragseil erleidet nun seinerseits infolge der Wärmeschwankungen Durchhangsänderungen, die um so geringer sind, je größer der Durchhang ist, dem das Tragseil ausgelegt wird. Dieser Vorteil wird jedoch nur in mäßigem Umfange ausgenutzt, wenn sich der Abstand des Fahrdrabtes vom Tragseilstützpunkt die sogenannte Systemhöhe, auf die Länge der Tragstützungen über Boden und damit auf die Baukosten

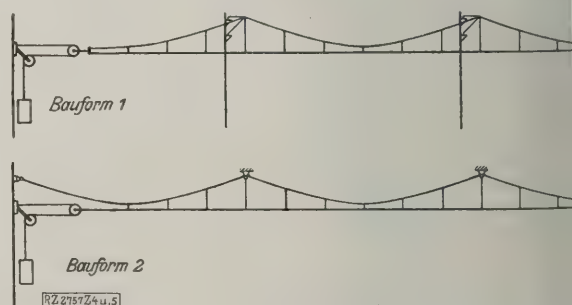


Abb. 4 und 5
Grundsätzliche Bauformen der Längsaufhängung.

Abb. 2 und 3 (links)
Queraufhängungen der Fahrleitung.

wirkt. Der Einfluß der Durchhangänderungen des Tragseiles auf die Höhenlage des Fahrdrahtes kann beseitigt werden, wenn die Zugspannung im Tragseil möglichst unverändert gehalten wird. Dieses Ziel versucht man mittels selbsttätiger Nachspannung des Tragseiles zu erreichen.

Die bisher zur Ausführung gekommenen Bauformen der Längsaufhängung lassen sich im wesentlichen in zwei Hauptgruppen unterteilen:

Bauform 1: das Tragseil wird gemeinsam mit dem Fahrdraht oder jede dieser beiden Leitungen für sich nachgespannt, Abb. 4,

Bauform 2: nur der Fahrdraht wird nachgespannt, das Tragseil aber fest an den Stützpunkten gelagert, Abb. 5.

Eine Abart der Bauform 2 verzichtet auf die Nachspannung auch des Fahrdrahtes; dabei gleichen sich die infolge der Wärmeschwankungen auftretenden Zugspannungen des Fahrdrahtes und des Tragseiles gegenseitig aus, indem beide mechanisch starr in einander übergehen.

Längsaufhängungen beider Bauformen wurden bisher in umfangreichem Maß ausgeführt. Zur ersten Hauptgruppe gehört z. B. die Einheitsfahrleitung der Österreichischen Bundesbahnen, bei der Tragseil und Fahrdraht mittels eines gemeinschaftlichen Gewichtes nachgespannt werden; für das Tragseil ist verzinkter Stahldraht von 35 mm² Querschnitt mit mindestens 70 kg/mm² Bruchfestigkeit verwendet, der Fahrdraht aus Kupfer hat 100 mm² Querschnitt. Den verschiedenen Wärmedehnungszahlen von Eisen und Kupfer ist durch Einbau einer entsprechenden Hebelanordnung, Abb. 6, Rechnung getragen. Im Gegensatz hierzu gehört die Einheitsfahrleitung der Deutschen Reichsbahn zur zweiten Hauptgruppe der Längsaufhängungen.

Das Bestreben, eine möglichst gleichmäßige Höhenlage des Fahrdrahtes bei hohen Fahrgeschwindigkeiten zu erreichen, führte zur Längsaufhängung mit Hilfstragdraht, einer Bauform, die die Siemens-Schuckertwerke auch bei Umstellung von Vollbahnstrecken vor Festsetzung der Einheitsfahrleitungen angewendet haben. Bei dieser Bau-

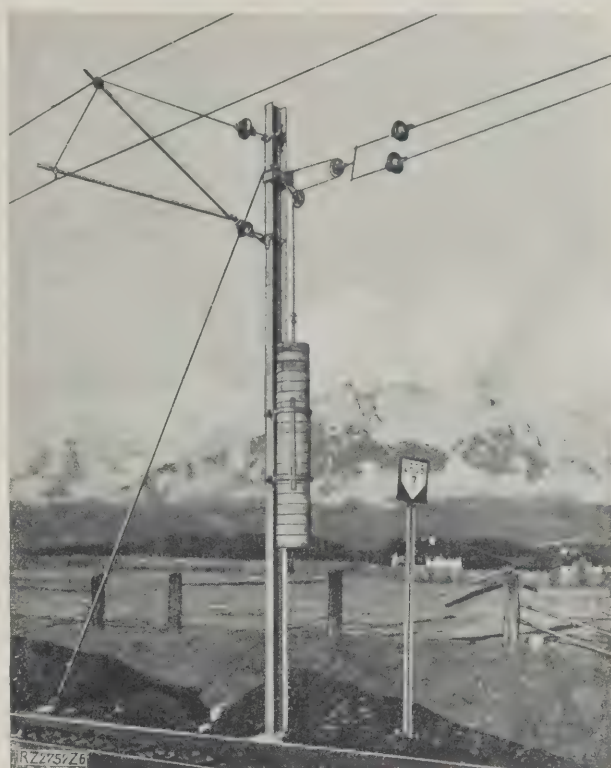


Abb. 6
Gemeinsame Nachspannung von Fahrdraht und Tragseil.
Einheitsfahrleitung der Österreichischen Bundesbahnen.

art verläuft im Abstände von 120 mm über dem Fahrdraht ein Hilfstragdraht, an dem alle sechs bis sieben Meter der Fahrdraht mit Klemmen aufgehängt ist, die in ihrem oberen, den Hilfstragdraht umfassenden Teil als Schleifen ausgebildet sind, so daß sie sich beim Anheben des Fahrdrahtes durch den Stromabnehmer längs verschieben können, wenn die Nachspannung des Fahrdrahtes dies erfordert. Der Hilfsdraht ist am Tragseil mittels Hängedrähte in doppelt so großem Abstände als der Fahrdraht am Hilfstragdraht aufgehängt. Tragseil und Hilfsdraht werden nicht nachgespannt. Die Erfahrung zeigte nun, daß der Hilfstragdraht auch für hohe Geschwindigkeiten entbehrt werden kann. Diese Erkenntnis war die Grundlage für die grundsätzliche Anordnung der Einheitsfahrleitung der Deutschen Reichsbahn: mit nachgespanntem Fahrdraht und festgelagertem Tragseil, Abb. 7; der Abstand der Aufhängepunkte wurde hier zu 12,5 m gewählt, um bei 6,25 m mittlerer Höhenlage des Fahrdrahtes im Falle seines Bruches mit Sicherheit den Kurzschluß herbeizuführen.

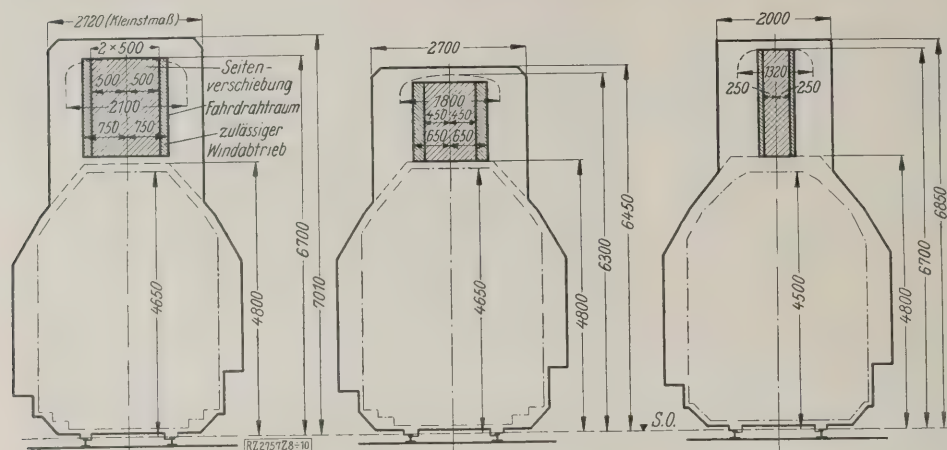
Wenn auch die Längsaufhängungen der Bauform 1, namentlich beim Gebrauch von Drehauslegern, die die wagerechte Bewegung des Kettengebildes auf einer zur Gleisebene gleichlaufenden Bahn ermöglichen, gemäß theoretischen Überlegungen zweifellos die Forderungen nach einer unverändert bleibenden Lage der Fahrleitung am ehesten erfüllen, so zeigen doch die im vergangenen strengen Winter gewonnenen Erfahrungen mit der Einheitsfahrleitung der Deutschen Reichsbahn, daß trotz den über die Berechnungsgrundlagen hinausgehenden, außergewöhnlich tiefen Temperaturen sich die Verzerrung des Kettenwerkes bei festgelagertem Tragseil noch in Grenzen bewegte, die die Betriebsabwicklung nicht gefährdeten.

Verspannung

Im engsten Zusammenhang mit der Bauform der Aufhängung steht Art und Stärke der Verspannung, die die Höhen- und Querlage des Fahrdrahtes zur Gleisspur festlegt. Ist die Fahrgeschwindigkeit auf die Aufhängung von grundlegendem Einfluß, so wirken sich auf die Verspannung zwei andere Größen aus: die Temperatur



Abb. 7. Das Ende des Tragseils ist fest abgefangen.
Fahrdrahtnachspanner mit Bruchsperr bei der Einheitsfahrleitung der Deutschen Reichsbahn (Strecke Rosenheim - Salzburg).



Deutsche Reichsbahn

Österreich

Schweiz

schwankung (Eislast), von der die Höhenlage, und die Windstärke, von der die Lage quer zur Gleisachse abhängig ist. Beide Lagen müssen aber den Arbeitsbedingungen des Stromabnehmers genügen. Von diesen Bedingungen sind maßgebend: der höchste Arbeitsbereich des Abnehmers für die obere Grenzlage des Fahrdrabtes, die Schleifstückbreite des Stromabnehmers für die äußerste Grenze der Fahrdrabtraquerlage. Die untere Grenzlage des Fahrdrabtes ist durch das lichte Raummaß der Bahnanlage im allgemeinen, durch das zugelassene Lademaß + Sicherheitsabstand im besonderen bestimmt. Liegen also Bauform und Arbeitsbedingungen des Stromabnehmers für eine Bahnanlage fest, so sind damit die Grenzen des Fahrdrabtraumes umrissen. Nur innerhalb dieser Grenzen dürfen sich die Folgen der Temperaturschwankungen und der Windstärken auswirken. Abb. 8 bis 10 zeigen die Ausmaße des Fahrdrabtraumes der elektrischen Vollbahnen in Deutschland, Österreich und der Schweiz.

Der Mastabstand

Die Verspannung muß so durchgeführt sein, daß der Fahrdrab in allen Fällen innerhalb des Fahrdrabtraumes bleibt. Mit dieser Forderung wird auch der Mastabstand vom Fahrdrabtraum abhängig; denn die Mastteilung wird zunächst beeinflusst einerseits von der Zugspannung im Fahrdrab und im Tragseil, andererseits von dem mit dem Fahrdrabtraum festgelegten höchstzulässigen Windabtrieb. Außerdem ist im Zusammenhange mit dem Windabtrieb noch das Maß für die an den Stützpunkten gewählte, von der Stromabnehmerbreite abhängige Seitenverschiebung zur Gleisachse (Zickzack) bestimmend für den Mastabstand.

Für die gerade Strecke ($R = \infty$), gleichmäßigen Zickzack ($b_2 = -b_1$ in m) und einen größten Windantrieb von e'_{\max} ($= 0,75$ m) können diese ziemlich verwickelten Beziehungen annähernd erfaßt werden durch die Formel³⁾:

$$l_2 = \sqrt{\frac{Z}{W} \left(e'_{\max} + \sqrt{e'^2_{\max} - b_1^2} \right)},$$

worin l die Mastteilung in m, Z den Kettenzug (Fahrdrab- plus Tragseilspannung) in kg, W den Winddruck

³⁾ S. a. Glasers Annalen, Jubiläums-Sonderheft vom 1. Juli 1927 S. 199 u. 200.

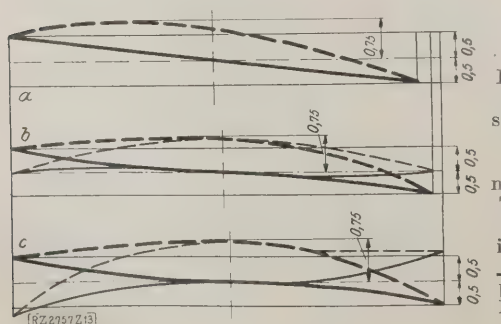


Abb. 13
Lotrechte (a),
halbwind-
schiefe (b) und
windschiefe
(c) Verspan-
nung zwischen
Tragseil und
Fahrdrab
im Grundriß.
--- abgetrie-
bene Lage des
Kettenwerkes

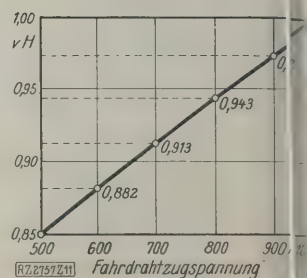


Abb. 11
Einfluß der Zugspannung
im Fahrdrab auf den
Mastabstand.

Abb. 8 bis 10
Fahrdrabtraum
elektrischer Bahnen.

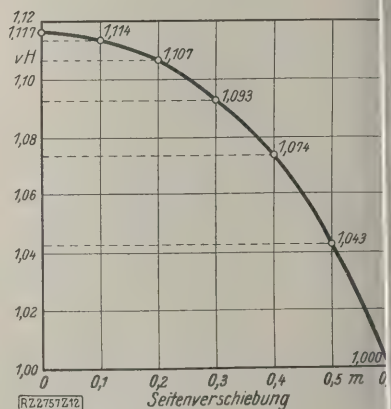


Abb. 12
Einfluß der Seiten-
verschiebung des
Fahrdrabes auf
den Mastabstand.

auf das Kettenwerk in kg/m bedeutet. In welcher Weise der Mastabstand, z. B. bei der Längsaufhängung mit feilgelagertem Tragseil abhängig ist von der Zugspannung im Fahrdrab und von der Größe der Seitenverschiebung zeigt Abb. 11 und 12, wobei ein größter Windabtrieb der Fahrleitung von 0,75 m aus der Gleisachse (Einheit fahrleitung der Reichsbahn) zugrunde gelegt ist.

Die einschneidenden Auswirkungen der Windbelastung wurden erst im letzten Jahrzehnt genau erkannt; die ersten Ausführungen der Längsaufhängungen hatten denn auch Mastteilungen auf gerader Strecke bis zu 100 m bei einer Fahrdrabzugspannung von 500 bis 600 kg. Entgleisungen der Stromabnehmer bei verhältnismäßig geringer Windstärke führten in solchen Fällen zu empfindlichen Betriebsstörungen; der Einbau von Zwischenmasten erwies sich als unabweisbar; denn selbst bei einem Fahrdrabzuge von 10 kg/mm² darf für den Fahrdrabtraum der Reichsbahn, s. Abb. 8, und eine Seitenverschiebung von 0,5 m die Mastteilung nach oben angeführter Formel nur etwa 73 m in gerader Strecke betragen. Für die Betriebsicherheit der Fahrleitungskette spielen demnach deren Verspannung im besonderen hinsichtlich ihres Verhaltens bei Wind eine große Rolle; dieses immer mehr zu verbessern, hat man denn auch in den letzten Jahren wiederholt versucht. Ein Mittel hierzu bietet sich in der

Art der Verspannung

des Tragseiles im Verhältnis zu jener des Fahrdrabtes. Hierbei sind drei Möglichkeiten gegeben:

die lotrechte Verspannung, bei der das Tragseil von einem Stützpunkt zum andern die gleiche Seitenverschiebung wie der Fahrdrab erhält,

die halbwind-schiefe Verspannung, bei der das Tragseil zwischen den Stützpunkten keine Seitenverschiebung hat, also lotrecht über der Gleisachse fortlaufend angeordnet wird und

die windschiefe Verspannung, bei der das Tragseil mit einer zum Fahrdrab gegenläufigen Seitenverschiebung an den Stützpunkten ausgelegt wird.



Abb. 14. Längsaufhängung mit doppelter, räumlich getrennter Isolation für Tragseil und Seitenhalter, lotrecht verspanntem Hilfstragdraht und Langseil.

Strecke Salzburg Reichenhall (1916).



Abb. 15. Einfache Isolation mit drehbaren Rohrauslegern, lotrechter Verspannung und selbsttätig nachgespanntem Fahrdrabt.

Riksgränsbahn in Schweden.



Abb. 17. Halbwindschief verspannte Längsaufhängung mit Schrägausleger, Kappenisolatoren mit selbsttätig nachgespanntem Fahrdrabt für 15 kV an Streckmasten, Bauart Jucho.

Strecke Landshut-Regensburg.



Abb. 16. Weitspann-Fahrleitung mit Stützisolatoren und Zwischenmasten.

Deutsche Reichsbahn in Schlesien.

Naderer: Fahrleitungen für Vollbahnen



Abb. 18. Halbwindschief verspannte Längsaufhängung mit zwei Fahrdrähten, Schrägauslegern und Kappenisolatoren für Gleichstrom von 1500 V.

Staatsbahn Java.



Abb. 19. Windschiefe Längsaufhängung mit Motorisolatoren.

Güterverbindungsbahn München-Ost-Feldmoching.

Naderer: Fahrleitungen für Vollbahnen

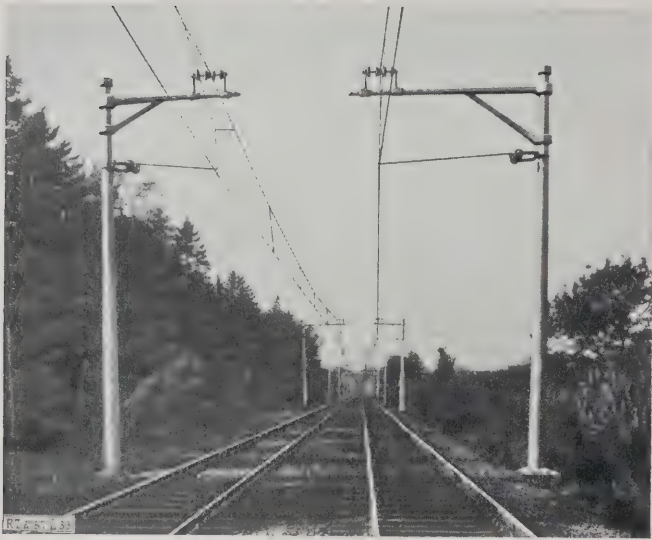


Abb. 39. Eisenbetonmaste und Eisenbetonausleger zum Tragen der Längsaufhängung mit lotrechter Verspannung und doppelter Isolation.
Doppelbahn München-Landshut.



Abb. 40. Längsaufhängung mit doppelter Isolation, zwei Fahrdrähten (Gleichstrom, 1500 V), Verstärkungsleitung, unter den Schwellen verbundenen Masten bei schlechtem Untergrund.
Strecke Delft-Schiedam, Holland.



Abb. 41
Querseil-Tragwerke für die Längsaufhängung im Verschiebebahnhof München-Ost mit geerdeten Richtseilen und Rohrstützen für Seitenhalter.



Abb. 42
Querseil-Tragwerke mit spannungsführenden Richtseilen und Knüppelisolatoren.

Abb. 13 veranschaulicht diese drei Verspannungsarten in Grundriß. Die windschiefe Anordnung der Hänge-
rähre wirkt dem Windabtrieb entgegen; die Untersuchun-
en hietüber zeigen, daß bei der halbwindstiefen Ver-
annung der Mastabstand um etwa 5 vH, bei der wind-
stiefen um etwa 7 vH größer genommen werden kann als
ei der lotrechten Verspannung, weil die Windsteifigkeit
er windschief verspannten Kettengebilde höher ist als die
er lotrecht verspannten. Die windschiefe Anordnung wird
nützlich um so wirksamer, je kleiner die Systemhöhe der
ängsaufhängung genommen wird. Ist das Trageil nicht
arr an den Stützpunkten befestigt, sondern an Hängeisola-
ren aufgehängt, die ausschwingen können, so wird die
indfestigkeit der Kette etwa um 10 vH vermindert. Soll
her eine mit Hängeisolatoren ausgerüstete Fahrleitung
nähern die gleiche Sicherheit gegen Windabtrieb auf-
eisen als eine Kette mit völlig festgelagertem Trageil
nd lotrechter Verspannung, so sind entweder die Mast-
stände zu verringern oder die windschiefe Verspannung
t zu wählen.

Einzelteile der Fahrleitung Isolatoren

Mit dem Isolationszustand der Fahrleitung hängt die
etriebsicherheit einer Bahnanlage unmittelbar zusammen.
enn das Versagen der Isolation läßt den der elektrischen
etriebsform anhaftenden Nachteil der Abhängigkeit von
er Kraftübertragung in seiner vollen Schärfe auswirken.
ie Wahl einer den Anforderungen des Eisenbahnbetriebs
 jeder Hinsicht gerecht werdenden Isolation ist dem-
nach von größter Wichtigkeit. Auf Grund dieser Er-
kenntnis führte man bei den vor und unmittelbar nach dem
Weltkriege auf den elektrischen Betrieb umgestellten
recken häufig eine doppelte, räumlich getrennte Isola-
on aus, Abb. 14 (Abb. 14 bis 19 s. Bildblatt 19). Für
e Festlegung des Trageils und des Fahrdrahtes sind in
esem Falle zusammen sechs Isolatoren nötig.

Stützisolatoren

Die hohen Kosten hierfür sowie die Nachteile der
ntereinander geschalteten Isolatoren veranlaßten bald
en Übergang zur einfachen Isolation; ein Bei-
iel hierfür ist die Fahrleitung der Riksgräns-
ahn in Schweden, Abb. 15, bei der Stützisolatoren be-
utzt wurden. Solche Isolatoren, in zweischerbiger Aus-
ührung, baute man auch in Deutschland erst vor kurzem
if einem Abschnitt der in Schlesien⁴⁾ elektrisch betrie-
enen Bahnen ein, Abb. 16. Der Abschnitt wurde außer-
em versuchsweise mit einer Weitspann-Fahrlei-
ung ausgerüstet, bei der die Trageilstützpunkte alle
20 m in der Geraden angeordnet sind. Da das Ketten-
erk bei Wind weit über den Fahrdrahtraum hinaus ab-
etrieben würde, ist es bei dieser Anordnung nötig, in der
itte der Spannweite Fahrdrat und Trageil festzulegen,
nd zwar mittels eines Seitenhalters, der an einem
erhältnismäßig schwachen Mast befestigt ist und der das
ettenwerk um das Maß der Seitenverschiebung (0,5 m)
s den Zwischenmast heranzieht, s. Abb. 16. Der Zickzack
s Fahrdrahtes wechselt also alle 60 m; das Trageil liegt
n Stützpunkt über der Gleismitte, am Zwischenmast über
m Fahrdrat. Die Verspannung ist also halbwindstief,
er nur einseitig. Da die Systemhöhe wegen der großen
pannweite sehr groß wird (4 m), hat die halbwindstiefe
erspannung auf die Windsteifigkeit keinen großen Ein-
uß; dessen bedarf es auch nicht, da die für den Abtrieb
er Fahrleitung maßgebende Mastteilung nur 60 m beträgt.
uch die Schweizerischen Bundesbahnen haben Stützisola-
ren für die Längsaufhängung und für den drehbaren
itenhalter häufig benutzt, wobei auch in Krümmungen
pannweiten bis zu 100 m mit zwei Abzugmasten inner-
lb dieser Teilung vorkommen.

Hängeisolatoren

Einen weiteren Fortschritt in der Entwicklung der
ahrleitungsisolatoren brachten die hängenden (Kappen-)
olatoren. Ihre Verwendung bereitet am Trageilstütz-
unkt keine Schwierigkeiten; der Seitenhalter dagegen, der
n Zickzack des Fahrdrahtes festlegt, ist entsprechend
abzugestalten, weil er in der geraden Strecke abwech-

selnd auf Zug und Druck beansprucht wird. Kappen-
isolatoren zugleich mit Schrägauslegern, Abb. 17 und 18,
machen das äußere Bild der Fahrleitung gefälliger als
die älteren Ausführungsformen. In beiden Abbildungen
ist eine Längsaufhängung mit halbwindstiefer Ver-
spannung mit Kappenisolatoren und Schrägauslegern
dargestellt, in Abb. 17 für Wechselstrom mit 15 kV, in
Abb. 18 für Gleichstrom mit 1500 V und zwei Fahr-
drähten; da der Querschnitt der Fahrdrähte mit je
107 mm² nicht ausreicht, wurde als Trageil ein Kupfer-
seil von 150 mm² ausgelegt.

Die Kappenisolatoren, bei denen das Porzellan auf
Druck beansprucht wird, sind nicht durchschlagsicher, da-
gegen sind es die Knüppelisolatoren, die sich aus
diesem Grunde besonders für einfache Isolation eignen.
Der Isolierkörper wird bei ihnen jedoch auf Zug be-
ansprucht; die Benutzung solcher Isolatoren im Fahrlei-
tungsbaue war zulässig, seit es gelang, ein Porzellan mit
besonders hoher spezifischer Zerreißfestigkeit herzustellen;
Versuche ergaben im Mittel eine solche Festigkeit von
290 kg/mm²; dies führt bei 60 mm Strunk-Dmr. zu einer
Zugfestigkeit von über 8000 kg. Eine mehr als aus-
reichende Sicherheit gegen Bruch läßt sich demnach durch
entsprechenden Querschnitt leicht erreichen, ohne daß das
Gewicht des Isolators besonders hoch wird. Auch die
Biegefestigkeit der Knüppelisolatoren ist recht ansehn-
lich; sie geht bis über 500 kg/cm².

Nur das Verhalten der Knüppelisolatoren gegen plötz-
liche Erwärmung, wie sie bei Überschlügen eintritt, ist noch
unbefriedigend. Mittels Hörnerableitungen läßt sich der
Nachteil mildern, wenn man nicht vorzieht, solche Iso-
latoren mit großen Schirmen zu versehen, die den Kriechweg
vergrößern. Ein Beispiel hierfür bietet der „Einheits-
isolator“ der Österreichischen Bundesbahnen, s. Abb. 6,
und der in eine Versuchsstrecke bei München mit wind-
stiefer Aufhängung eingebaute Motorisolator,
Abb. 19. Solche Bauformen sind verhältnismäßig teuer,
weil sie wegen des Schirmes einen großen Brennraum
erfordern; dieser wird kleiner und der Isolator billiger,
wenn an Stelle eines großen Schirmes eine Reihe von
Rillen angeordnet werden; Abb. 20 zeigt den auf Grund
mehrfähriger Erfahrungen ausgebildeten Querschnitt eines
Rillenisolators; in die Fahrleitung nach Abb. 7 sind solche
eingebaut. Die Rillen sind zur Vergrößerung und Unter-
brechung des Kriechweges mit Tropfkanten versehen; die
Überschlagsspannung dieser Isolatoren unter Regen mit
100 μ S/cm Leitfähigkeit des Wassers beträgt nach Ver-
suchen über 70 kV. Auch aus Steatit hergestellte Knüppel-
Isolatoren wurden eingebaut; dieser Baustoff hat den Vor-
zug wesentlich höherer Biegefestigkeit, ist aber gegen Licht-
bogen empfindlicher als Porzellan.

Leiter und Klemmen

Als Fahrdratbaustoff wird
fast ausnahmslos Kupfer ver-
wendet. An Stelle des früher
gebräuchlichen Querschnittes in
8-Form wird in neuerer Zeit
der kreisrunde Querschnitt mit
Rillen zum Ansetzen der Klem-
men bevorzugt, seit der große
Einfluß der Windbelastung auf
die Steifigkeit der Ketten er-
kannt wurde; denn der Wind-
druck auf den achterförmig
ausgebildeten Fahrdrat ist, wie
eingehende Versuche bei der
aerodynamischen Versuchs-
anstalt in Göttingen dargetan
haben, um etwa 26 vH größer
als auf den Rillendrath gleichen
Querschnittes. Abb. 21 bis 26
zeigen Querschnittformen; die
Österreichischen Bundesbahnen



Abb. 20
Querschnitt eines Knüppel-
Rillenisolators mit Tropf-
kanten.

⁴⁾ „Elektrische Bahnen“ Bd. 4 (1928) Juniheft S. 165.

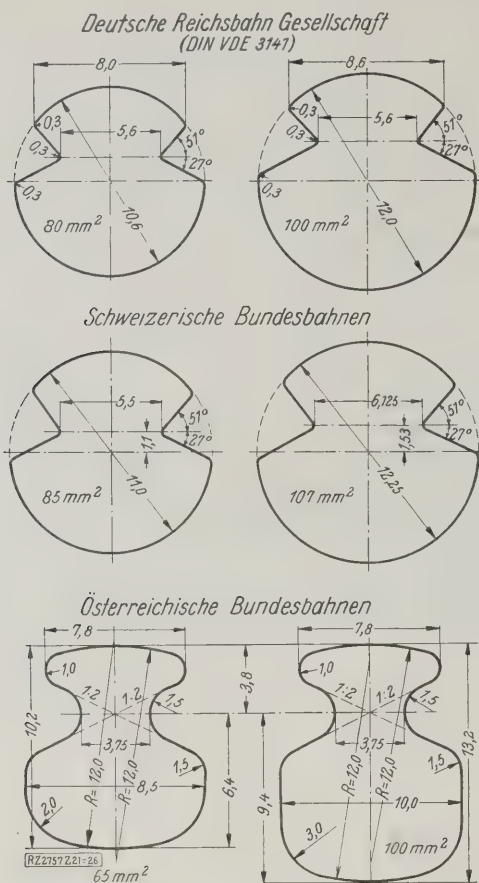


Abb. 21 bis 26
Fahrdrabt-Querschnitte.

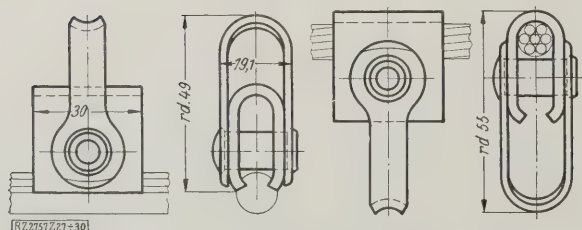


Abb. 27 bis 30. Hängerklemme (Kupfer).

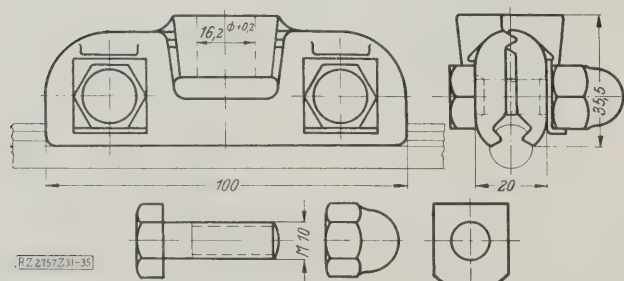


Abb. 31 bis 35. Seitenhalterklemme mit
Schraubenbolzen.

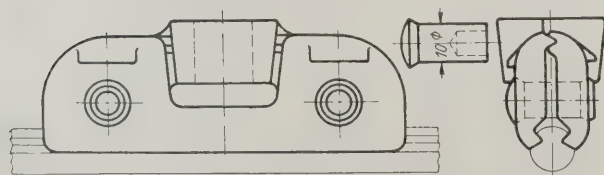


Abb. 36 bis 38. Seitenhalterklemme mit Nieten.

Abb. 27 bis 38
Hänger- und Seitenhalterklemmen.
(Deutsche Reichsbahn)

haben den 8-Querschnitt bei ihrer Einheitsfahrleitung beibehalten; der Querschnitt der Einheitsfahrleitung Reichsbahn entspricht den DIN-Vorschriften.

Eine große Vielgestaltigkeit, die gegenwärtig der Normung beseitigt wird, brachte die Entwicklung Klemmen, die zweiteilig ausgeführt werden müssen und sehr großer Anzahl gebraucht werden. Als Baustoff wurde daher früher Preßmessing (MS 60) bevorzugt, mindestens 60 vH Kupfer, 1 vH Blei und dem Rest Zinn. Solche Preßteile erfordern bei der Herstellung eine gleichmäßige und sorgfältige Wärmebehandlung, die Härte nicht über 120° Brinell betragen. Da derartige Klemmen nicht selten während des Betriebes brechen, ist Kupfer als Baustoff vorzuziehen. Die kupferne Klemme nach Abb. 27 bis 30 kann gleichzeitig für Fahrdrabt und Tragseil genutzt werden (Hängerklemme). Seitenhalterklemmen dienen zum Festlegen des Fahrdrabtes im Zickzack. Die Teile werden entweder mit Hilfe von Schrauben mit Kappenmuttern, Abb. 31 bis 35, oder mit Rohrnieten, Abb. 36 bis 38, zusammengepreßt.

Als Endklemmen für den Fahrdrabt werden vielfach Klemmen mit Keil aus Temperguß mit mindestens 8% Dehnung und 35 kg/mm² Bruchfestigkeit eingebaut. Auch für das Tragseil können Klemmen aus Temperguß genutzt werden; Korbverbinder mit Schlaufen sind etwas teurer, jedoch betriebssicherer. Als Baustoff für das Tragseil wählt man Bronze (65 kg/mm²) oder verzinkt-verbleiten Stahl (70 kg/mm²), der billiger ist als Bronze, aber geringere Lebensdauer und einen sehr niedrigen Altstoffwert hat.

Nachspanner

In Abständen von höchstens 1500 m muß der Fahrdrabt oder wenn auch das Tragseil nachgespannt werden, das Kettenwerk mit Hilfe von Gewichten so stark-abgezogen werden, daß auch unter den ungünstigsten Verhältnissen die Fahrleitung den vorgeschriebenen Fahrdrabtraum nicht überschreitet. Eine Nachspannvorrichtung mit Kette und Rolle, s. Abb. 6, benutzen die Österreichischen Bundesbahnen bei ihrer Einheitsfahrleitung. Da im Winter Ketten und Rillen oft stark vereisen, werden in neuerer Zeit auch Hebelschleppspanner eingebaut, s. Abb. 7, die sich mit einer Sperre versehen lassen, um das Herabfallen des Gewichtes bei Bruch des Fahrdrabtes oder eines Isolators zu verhindern.

Maste für die freie Strecke

Holzmaße zum Tragen des Kettenwerkes werden nur bei Bahnen von untergeordneter Verkehrsbedeutung oder bei Privat-, Anschluß- und Nebengleisen angewendet. Am häufigsten kommen als Tragmaße sogenannte Doppel-Flachmaste aus L-Eisen mit einem Anzug von 1000 kg vor, s. Abb. 18 und 19; L-Eisen NP 12 ist bei Mastenteilungen bis zu 75 m ausreichend, namentlich wenn Stiele an der Schenkellinnenseite mittels schräg angeordneter Winkelisen 35 × 35 × 4 versteift werden, die mittels der früher üblichen Flacheisenschrauben zwischen den Schenkeln der L-Eisen. Auch Streckmaste, Bauart Jucho, s. Abb. 16 und 17, werden vorteilhaft gebraucht, da sie wenige Nietarbeit erfordern, sind sie meist billiger als andre Konstruktionen. Dies trifft im besondern Maße zu für die bei den Österreichischen Bundesbahnen eingebauten, vollwandigen, breitflanschigen Differdinger Träger, s. Abb. 6, die, gleich vom Walzwerk in der vorgeschriebenen Länge hergestellt, keine weitere Bearbeitung erfordern. Trotz ihres höheren Gewichtes — begründet in der schlechten Stoffausnutzung gegen das oben Ende zu — sind sie billiger als die aus Formeisen zusammengenieteten Maste, lassen sich aber schlechter transportieren als diese.

Das gleiche ist bei Betonmasten der Fall, die kreisrunden Querschnitt haben: Schleuderbetonmasten (Abb. 39⁵⁾; ihr Vorzug liegt in dem Wegfall des Anstriches, ihr Gewicht ist verhältnismäßig groß, sie sind daher unständlicher aufzustellen. Bei günstigen Bodenverhältnissen reicht bei solchen Masten eine Druckplatte als Fundament aus. Die Eisenmaste müssen einbetoniert werden. Bei schlechter Untergrund vorhanden, z. B. Moor, dann müssen

⁵⁾ Abb. 39 bis 42 s. Bildblatt 4.

die Maste auf Pfähle gesetzt oder auf einem besonderen Schwellenrost verankert werden, um ein Absacken zu verhindern. In solchen Fällen werden bei Doppelbahnen die Ausleger meist miteinander gekuppelt und die Mastfüße mittels zweier Eisenbahnschienen unter den Gleisen fest miteinander verbunden, um den Horizontalschub aufzunehmen, Abb. 40.

An den Nachspannstellen des Fahrdrahtes oder Kettenwerks müssen wegen des einseitigen Zuges kräftigere Maste, z. B. Quadrat-Winkelmaste, s. Abb. 7, aufgestellt oder besondere Verankerungsstreben (Zuganker) an den Flachmasten angebracht werden, s. Abb. 6.

Bahnhofsmaste und Tragwerke

Die Bespannung der in Bahnhöfen nebeneinander liegenden Gleise erfordert zum Befestigen der Fahrleitungen senkrecht zu den Gleisen verlaufende Tragwerke. Da den Weichen und Kreuzungen der Spuranlage sogenannte Luftweichen und Luftkreuzungen der Fahrleitung entsprechen müssen, sind auch Ketten auszulegen, die die Fahrleitung der gleichlaufenden Gleise überschneiden. Auch diese Kettenwerke müssen an den Tragvorrichtungen abgefangen werden. Hierzu eignen sich am besten Tragwerke in Form von Jochen oder Portalen, die die Gleise überspannen. Sie führen jedoch bei größeren Spannweiten zu sehr teuren Bauwerken, namentlich wenn man zwischen den Gleisen (Pendel-)Stützen zum Tragen des eisernen Querbaues vermeiden will, s. Titelbild, das eine Portalträgeranlage in Melbourne (Australien) darstellt. Außerdem besteht selbst bei kleinen Spannweiten der Nachteil, daß die Joche und Portale die Sicht des Lokomotivführers auf die Signale behindern.

In neuerer Zeit werden daher Quertragwerke aus Seilen bevorzugt. Diese erfordern je nach der Zahl der quer zu überspannenden Gleise wegen der mit großem Durchhang auszuliegenden Querseile mitunter sehr hohe Maste (Quadrat- oder Rechteck-Maste). Abb. 41 zeigt Quertragwerke aus Bronzeseilen im Rangierbahnhof München-Ost, die bis zu 15 Gleise überspannen und an 20 m hohen Türmen befestigt sind. In solchen Fällen werden vier, bei kleinen Spannweiten zwei Querseile angeordnet. Außerdem sind zum Festlegen des Fahrdraht-Seitenhalters und des Längskettenwerkes noch sogenannte Richtseile — zwei bei kleinen und mittleren, drei bei sehr großen Spannweiten — nötig, die an den Quertragseilen aufgehängt werden, um eine möglichst wagrechte Lage zu erzielen. Sind die Richtseile geerdet, so müssen in die Querverspannung senkrechte Stützen (Rohre), s. Abb. 41, eingebaut werden, die den Seitenhalter mit Isolator tragen und versteifen. Diese Stützen können entfallen, wenn spannungsführende Richtseile angeordnet werden; der Seitenhalter ohne Isolation wird dann in einfacher Weise an den Richtseilen mittels Klemmen befestigt. So wird die gesamte Bespannung leichter und durchsichtiger, Abb. 42. Zum Abfangen der für Weichen und Kreuzungen erforderlichen Längsketten müssen, soweit die an den Außenseiten der Bahnhöfe aufgestellten Türme hierzu nicht benutzt werden können, bei der Querseilanordnung besondere (kleine) Maste aufgestellt werden.

Netzschaltung

Von der Kraftquelle bis zur Fahrleitung sind je nach der Art der Stromversorgung der Bahn weitere Kraftübertragungsmittel erforderlich. Überspannungs-(Fern-) Leitungen, Umspannanlagen (bei Drehstrom und Wechselstrom), Umformeranlagen (bei Gleichstrom und Wechselstrom), Speiseleitungen, Spann- und Umformeranlagen bilden die Stützpunkte des elektrischen Bahnbetriebes, soweit in den Kraftquellen selbst nicht unmittelbar der Strom mit Fahrleitungsspannung erzeugt und verteilt wird. Von diesen Stützpunkten aus führen Speiseleitungen zum Fahrleitungsnetz.

Die Speiseschaltung

beginnt also an den Sammelschienen der Stützpunkte, denen bei der elektrischen Betriebsform eine ähnliche Bedeutung zukommt wie beim Dampfbetrieb den Anlagen des Betriebsmaschinendienstes, nämlich die Bereitstellung der Kraftträger für die Zugförderenergie (Kohlenlager, Wasser-

aufnahmeverrichtungen bei den Betriebwerken). Während diese aber an den Stützpunkten des Dampfbetriebs auf die einzelnen Zugkräfte verteilt werden, sind die Zugkräfte der elektrischen Betriebsform dauernd vom Stützpunkt abhängig, da hier die Freizügigkeit der Zugkraft aufgegeben ist.

Diesen unbestreitbaren Nachteil der elektrischen Betriebsform zu mildern und auszugleichen, ist in erster Linie Aufgabe der Speiseschaltung.

Anordnung der Stützpunkte (Umformer- und Umspannanlagen)

Zahl, Leistungsfähigkeit und Ausrüstung der Stützpunkte sind so zu wählen, daß die Fahrleitungen auch dann noch gespeist werden können, wenn ein Stützpunkt ganz oder teilweise versagt. Die Sammelschienen der Stützpunkte müssen unterteilt und als Doppelschienen mit Umschaltmöglichkeit ausgeführt sein. An diese Doppelsammelschienen sind die Speiseleitungen über Trennmesser und Ölschalter anzuschließen. Die beiden Fahrleitungen einer zweigleisigen Bahn sollen zur Sicherstellung des eingeleisigen Betriebs, oder wenn ausnahmsweise das falsche Gleis zu befahren ist, elektrisch voneinander getrennt sein, und die Fahrleitung jeder Fahrtrichtung muß daher für sich gespeist werden. Deshalb sind die Speiseleitungen für eine zweigleisige Bahn aus Sicherheitsgründen an voneinander trennbare Abschnitte der Doppelsammelschienen zu schalten.

Der Abstand der Stützpunkte bei Wechselstrom-Fernbahnen wird in neuerer Zeit erheblich größer gewählt als bei den ersten Umstellungen auf den elektrischen Betrieb. Stützpunktentfernungen bis über 70 km können, wie die Erfahrungen nach dem Kriege lehrten, ohne Anstand beherrscht werden, wenn nicht außergewöhnliche Betriebs- oder Streckenverhältnisse vorliegen und wenn kurzzeitige Spannungsabfälle in der Fahrleitung bis auf etwa 12 kV zugelassen werden. Die Spannungsschwankungen und Arbeitsverluste wirken sich weniger stark aus, wenn man zur zweiseitigen Speisung der zwischen zwei Stützpunkten gelegenen Fahrleitungen übergeht. Bei dieser Schaltung hängen die Sammelschienen der Stützpunkte über Speise- und Fahrleitungen zusammen.

Strecken-Kupplungsschalter

Um Störungen im Fahrleitungsnetz nicht auf zu lange Strecken auswirken zu lassen, werden bei der zweiseitigen Speiseschaltung etwa in der Mitte zwischen zwei Stützpunkten Strecken-Kupplungsschalter eingebaut, die selbsttätig den kranken Teil vom Netz abschalten, die zweiseitige Speisung also aufheben, um den gesunden Teil nur einseitig zu speisen. Werden die Stützpunkte von einem Überspannungsnetz aus versorgt, auf das mehrere Kraftquellen arbeiten, so müssen die Kupplungsschalter mit Relais versehen sein, die dann anzusprechen haben, wenn die Spannungsvektoren der gekuppelten Stützpunkte sich nicht decken, die Stützpunkte also aus irgendeinem Grunde von zwei verschiedenen, nicht synchronen Kraftquellen versorgt werden.

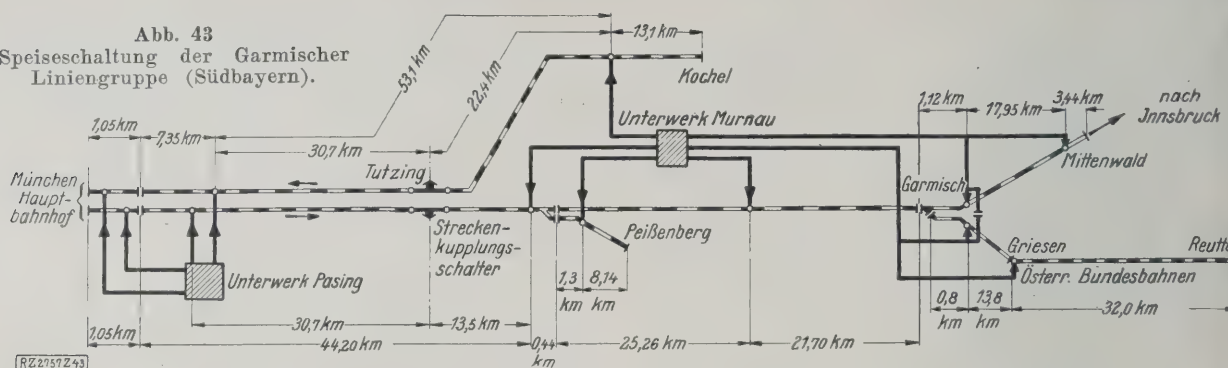
Schutzstrecken

Aus dem gleichen Grunde sind an diesen Stellen Schutzstrecken in die Fahrleitung einzubauen, damit die Stromabnehmer der Triebfahrzeuge die Koppelung der nicht synchronen Netze bewirken. Diese Schutzstrecken, die bei zweiseitiger Speisung in der Regelschaltung unter Spannung stehen, werden mittels besonderer Signale, deren Zeichen international vereinbart sind, dem Führer der Triebfahrzeuge angekündigt; denn die Schutzstrecke ist bei aufgehobener zweiseitiger Speisung spannungslos, kann also in diesem Falle zur Kraftübertragung nicht benutzt werden.

Abschnitte, die nicht zwischen zwei Unterwerken liegen, müssen einseitig gespeist werden, wenn nicht besondere Speiseleitungen bis zum Ende der Strecke ausgelegt sind, was bei wichtigen eingeleisigen Bahnen mit Rücksicht auf die Betriebssicherheit unerlässlich ist.

Abb. 43 zeigt die Speiseschaltung der Garmischer Liniengruppe mit dem Strecken-Kupplungsschalter in Tutzing, Oberbayern, für die zweiseitige Speisung. Daß Fahrleitungsnetze besonders ausgedehnter Bahnhöfe für

Abb. 43
Speiseschaltung der Garmischer
Liniengruppe (Südbayern).



sich gespeist und von den Fahrleitungen der freien Strecken abgetrennt sein müssen, weil die zahlreichen Weichen und Kreuzungen dieser Bahnhöfe leicht Anlaß zu Betriebsstörungen und Unfällen geben, hängt mit der Abhängigkeit der elektrischen Zugkraft von der Kraftübertragung aufs engste zusammen.

Streckenschaltung

Bei doppelspurigen Bahnen ist die getrennte Speisung der Fahrleitungen beider Fahrrichtungen ein Gebot der Betriebssicherheit: Ein Schaden auf der einen Fahrrichtung soll sich auf die andere nicht auswirken. Werden die Fahrleitungen beider Fahrrichtungen zur Verhütung eines übermäßigen Spannungsabfalles nebeneinander geschaltet, so sind selbsttätige Querkupplungsschalter einzubauen, die bei Störungen in einer Fahrrichtung diese Verbindung sofort aufheben. Der Betrieb fordert aber ferner noch, daß die Ausdehnung des gestörten Abschnitts so klein wie nur möglich ist.

Nach diesem Ziel strebt man mit der Streckenschaltung. Sie muß eine rasche, enge Eingrenzung gestörter Fahrleitungsabschnitte ermöglichen. Deshalb werden die Speiseleitungen über Schalter an die Fahrleitung angeschlossen, die Fahrleitungen der freien Strecken zu beiden Seiten der Haltestellen abschaltbar eingerichtet, die Fahrleitungen großer Bahnhöfe in voneinander abtrennbare Gruppen unterteilt und über Gleisen, die besonderen Zwecken dienen, z. B. über Ladegleisen, im Regelschaltzustand gerundet.

Da die zweiseitige Speiseschaltung bei Störungen selbsttätig aufgehoben wird, muß es möglich sein, nach Abtrennen des gestörten Abschnittes (entweder freie Strecke zwischen zwei Bahnhöfen, ein Bahnhof selbst oder Grup-

pen eines Bahnhofes) den verbliebenen betriebstüchtigen Teil, der in der Regel eine viel größere Ausdehnung als der gestörte Abschnitt hat, unter Spannung zu halten und dem Betriebe so rasch wie möglich dienstbar zu machen. Zu diesem Zweck sind in allen Bahnhöfen, in denen Überholungsgleise vorhanden sind und Züge gegebenenfalls auf das falsche Gleis umgeleitet werden müssen, Schalter anzuordnen, die die Fahrleitungen beider Fahrrichtungen aushilfsweise zu verbinden gestatten. Mittels dieser Querkupplungen können die gestörten Abschnitte bei zweigleisigen Bahnen zeitweise überbrückt werden, bei eingleisigen geschieht dies mittels der Speiseleitungen, s. Abb. 43. Und dies ohne großen Zeitverlust durchführen zu können werden die Schalter häufig für elektrische oder mechanische Fernbedienung eingerichtet oder, wie bei den Österreichischen Bundesbahnen, auf einem in nächster Nähe des Fahrdienstleiters befindlichen Schaltgerüst für Handbedienung zusammengezogen. Unentbehrlich zur raschen Eingrenzung von Störungen ist eine unabhängige Fernsprechverbindung zwischen Stützpunkten (Unterwerkwärter) und jenen Bediensteten der Bahnhöfe, die die Streckenschalter zu bedienen haben.

Strecken- und Speiseschalter sind die einzigen Abwehrmittel, die im Betriebe dem Fahrleitungstechniker im Kampfe mit den Tücken der Kraftübertragung zur Verfügung stehen. Störungen werden hauptsächlich hervorgerufen durch Gewitter (Blitzschlag), große Vögel, die die Isolatoren überbrücken, schadhafte Stromabnehmer der Triebfahrzeuge und nicht zuletzt durch die säurehaltigen Rauchschwaden der Dampflokomotiven — namentlich bei Nebel und Rauhreif — in Bahnhöfen, wo gemischter Betrieb unvermeidlich ist. [B 2757]

Elektrische Industrielokomotiven

Im Bergbau unter Tage tritt die elektrische Oberleitungslokomotive immer mehr an die Stelle von Seilbahnen, Benzol- und Druckluftlokomotiven. Die AEG baut elektrische Industrielokomotiven für Leistungen von 3 kW bis 640 kW. Im Steinkohlen- und Kalibergbau wurden bei 250 V Gleichstromspannung und Spurweiten von 450 bis 625 mm die Leistungen bis auf 62 kW gesteigert. Das Lokomotivgewicht beläuft sich auf 5 bis 10 t. Die Fahrgeschwindigkeit beträgt rd. 12 km/h, die Zuggewichte betragen 30 bis 80 t. Neuerdings werden vollkommen schlagwettergeschützte Akkumulatorenlokomotiven gebaut, die bis an die Gewinnungsstelle der Kohle heranfahren können.

Der Erzbergbau erfordert bei 700 mm Spurweite Lokomotiven bis zu 420 kW Leistung und 50 t Gewicht. Im Braunkohlenbergbau braucht man große vierachsige Drehgestellokomotiven bis zu 640 kW Leistung, deren niedrige, langgestreckte Bauart dem Baggerdurchfahrtsprofil angepaßt wird. In Hüttenwerken sind Lokomotiven für gemischten Betrieb am geeignetsten, und zwar wählt man auf den Hauptverschiebebahnhöfen und den Rampen Oberleitung, unter Kranbahnen und in Hallen Akkumulatoren als Stromquelle. Derartige Regelspurlokomotiven wiegen 36 bis 72 t und haben bis zu 660 kW Motorleistung. Schmalspurlokomotiven werden gewöhnlich nur als reine Akkumulatorenlokomotiven ausgeführt.

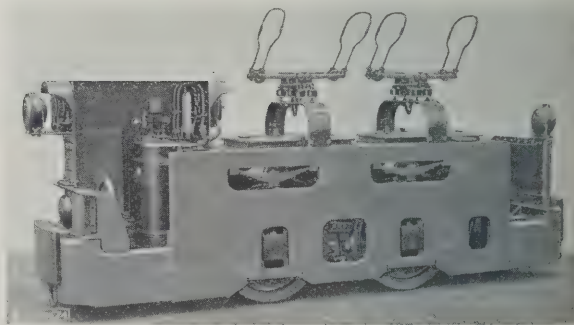


Abb. 1. Elektrische Industrielokomotive.

In Kokereien und Zechen befördert man Löschwagen mit elektrischen Lokomotiven; die Leistungen betragen bei etwa 16 t Gewicht 50 bis 70 kW. Man benutzt hier ausnahmsweise auch Drehstrom zum Betrieb, da es sich meist um eine kurze, geradlinige Strecke ohne Gleiskrümmungen und Weichen handelt. [M 2831]

Berlin

Ohl

Selbsttätige Steuerung von Zügen der Berliner Hoch- und Untergrundbahn

Von Dir. BURGHARDT, Berlin

Die Mängel der Handsteuerung veranlaßten zur Einführung der selbsttätigen Zugsteuerung. Bei dem gewählten System wird der untere Teil der Fahrerschalterwalze, der die Stromkreise zum Betätigen der einzelnen Motorschützen und der übrigen Schaltapparate steuert, durch einen kleinen Schaltmotor angetrieben. Den Schaltschritt regelt der Stromwächter, der vom Motorstrom durchflossen wird. Die Handkurbel weist durch ihre jeweilige Stellung die Endstufe an, die der untere Walzenteil erreichen kann.

Das Anwachsen des Berliner Schnellverkehrs veranlaßte im Jahre 1927 die damalige Gesellschaft für elektrische Hoch- und Untergrundbahnen, Berlin, ihren Wagenpark zu vergrößern. Sie entschloß sich, die neu zu beschaffenden Züge mit einer selbsttätigen elektrischen Zugsteuerung auszurüsten. Diese Steuerung wurde mit den Siemens-Schuckertwerken, A.-G., Berlin, gemeinschaftlich ausgearbeitet.

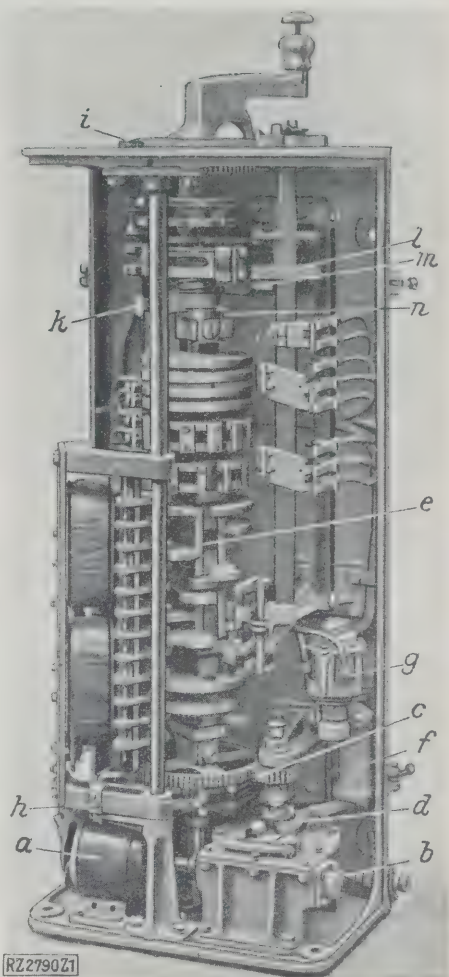
Bisher wurde die Zugsteuerung derart mit der Hand bedient, daß der Zugfahrer die Schaltkurbel im führenden Triebwagen, wie beim Straßenbahn-Fahrerhalter, von Stufe zu Stufe weiterschaltete und auf diese Weise die Schaltschützen der Triebwagen betätigte und die Motoren schaltete. Das Einschalten hing also von der Geschicklichkeit des Fahrers ab, und hierbei waren die nachteiligen Folgen unzulässig hoher Stromstöße und zu langen Verweilens auf einzelnen Widerstandsstufen unvermeidlich. Zur Behebung der Mängel, die der Handsteuerung anhaften, forderte man von der selbsttätigen Steuerung, daß sie unbeeinflußt vom Zugfahrer stoßfrei und mit geringen Verlusten anzufahren gestattet, ohne über andererseits die Motoren zu überlasten. Außerdem wurde verlangt, daß man von der selbsttätigen Zugsteuerung, die im Regelfall benutzt werden sollte, im Bedarfsfall auf Handbedienung übergehen könne.

Die Wagenzüge bestehen höchstens aus acht vierachsigen Drehgestellwagen, und zwar aus vier Triebwagen mit je vier Motoren und vier Beiwagen; Trieb- und Beiwagen wechseln in der Reihenfolge ab; an den Zügen sind stets Triebwagen mit Fahrerstand, während die Mitteltriebwagen zum Teil keinen Fahrerstand enthalten. Ausgerüstet sind die Triebwagen mit Gleichstrom-Hauptschlußmotoren von je 60 kW Stundenleistung bei 910 U/min und 750 V Klemmenspannung. Die Motoren treiben über eine Zahnradübersetzung von 1:5,53 die Triebäder von 850 mm Dmr. an; sie haben Selbstlüftung und sind mit Rollenlagern für die Ankerwelle versehen. Die in ein Drehgestell eingebauten beiden Motoren sind ständig parallel, die Motorgruppen untereinander werden über die Anfahrwiderstände in Reihe und parallel geschaltet, und zwar mittels elektromagnetisch betätigter Einzelschützen. Diese werden vom Fahrerschalter des führenden Triebwagens aus gesteuert, nachdem die in allen Triebwagen des Zuges eingebauten elektromagnetisch betätigten Fahrtwender vom gleichen Fahrerschalter aus auf die gewünschte Fahrtichtung eingestellt sind.

Während nun bei den früheren Ausführungen die Schaltwalze des Führerschalters mit der Schaltkurbel verbunden war, ist bei den Schaltern für selbsttätige Steuerung im Regelfalle die Walze frei beweglich und wird erst abhängig von der Stellung der Kurbel von einem kleinen Motor auf die angewiesene Stufe gebracht, wobei sie die Schützen und damit die Triebmotoren in der reibschäftigten Folge schaltet. Der Schaltmotor *a*, Abb. 1, reibt über Schnecke *b*, Stirnradvorgelege *c* und austückbare Klauenkupplung *d* die Schaltwalze *e* an. Die Kupplung wird mittels eines Kolbens, der sich in dem

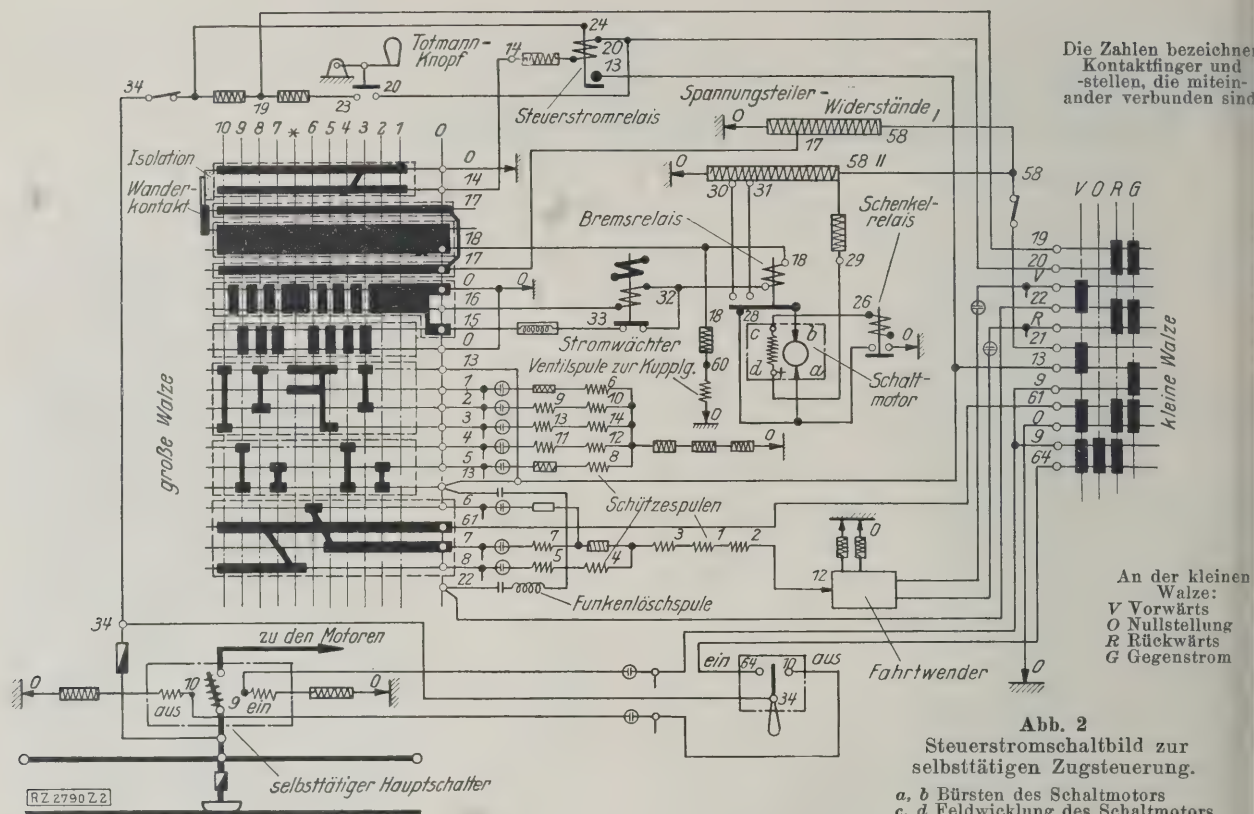
Abb. 1
Führer-
schalter
für
selbsttätige
Zugsteuerung.

- a* Schaltmotor
- b* Schnecken-
getriebe
- c* Stirnradvor-
gelege
- d* Klauenkupp-
lung
- e* Schaltwalze
- f* Druckluft-
zylinder
- g* elektrisch be-
tätigtes Ventil
- h* Nase an der
Kurbel
- i* Fenster in der
Schalterplatte
- k* Stift
- l* Kurven-
scheibe
- m* Sperrstück
- n* federnder
Stift



Druckluftzylinder *f* bewegt und von dem elektrisch betätigten Ventil *g* gesteuert wird, eingerückt und schaltet sich selbsttätig aus; der Motor wird abgeschaltet, sobald die Walze die Stellung erreicht, die ihr von der Schaltkurbel angewiesen ist. Beim Ausschalten der Kurbel wird die Schaltwalze mittels einer Nase *h* auf die Nullstellung zurückgenommen. Die Drehung der Schaltwalze wird auf eine unter der Schalteroberplatte sitzende Nummernscheibe übertragen; unter einem Fenster *i* in der Schalterplatte erscheinen die Nummern, die der jeweiligen Stellung der Schaltwalze entsprechen, so daß das Nachschalten der Walze hinter der Kurbel beobachtet werden kann. Bei Störungen im selbsttätigen Betrieb kann mittels eines Stiftes *k* die Schaltwalze unmittelbar mit der Achse der großen Kurbel gekuppelt werden, so daß einfache Handsteuerung möglich ist; die Klauenkupplung zwischen Motor und Getriebe bleibt dann ausgerückt.

Die Schaltkurbel ist mit einem Totmannknopf versehen, der einen Springkontakt bewegt. Beim Niederdrücken des Knopfes wird auf diese Weise über eine Steuerstromschütze der Steuerstrom an die Schaltwalze des führenden Triebwagens gelegt, während beim Loslassen der Steuerstrom unterbrochen wird. Ist der Totmannknopf einmal losgelassen, so muß die Schaltkurbel in die Nullstellung zurückgedreht werden, ehe man wieder einschalten kann.



Bei Einstellung der Fahrtrichtungswalze auf „Rückwärts“ oder „Gegenstrom“ (Gefahrbremse) ist das Niederdrücken des Totmannknopfes nicht erforderlich. Er wird daher in diesem Falle durch das Sperrstück *m* in Verbindung mit der Kurvenscheibe *l* gegen Niederdrücken verriegelt. Der federnde Stift *n*, der beim Drücken des Totmannknopfes zurückgeschoben wird, bleibt also im Eingriff mit dem oberen Walzenteil, d. h. für diese Fälle ist nur Handsteuerung vorgesehen.

Die Steuerstromschaltung

und im besonderen die selbsttätige Arbeitsweise des Führerschalters sind aus dem vereinfachten Schaltbild, Abb. 2, ersichtlich. Der Schaltmotor ist mit Nebenschlußwicklung versehen, seine Betriebsspannung von 110 V wird einem Spannungsteiler-Widerstand entnommen. Um bei Stromunterbrechung im Nebenschlußkreis den Anker vor Überlastung zu schützen, ist der Ankerstrom über die Kontakte des Schenkelrelais geführt, dessen Magnetwicklung im Schenkelstromkreis liegt. Gesteuert wird der Motor von einem Bremsrelais, das seinerseits einmal von den Kontakten 15 und 0 oder 16 und 0 der Schaltwalze abhängig ist und das andere Mal von der Stellung des Stromwächters beeinflusst wird. Der Stromwächter gestattet den Fluß des Steuerstroms über das Bremsrelais und damit das Weiterschalten der Schaltwalze nur dann, wenn die Triebmotoren eine derartige Umdrehungszahl erreicht haben, daß der sie durchfließende Strom auf einen bestimmten Wert gesunken ist.

Die Schaltwalze des Führerschalters besteht aus zwei Teilen, einem kleinen obenliegenden, der aus den Schleifringen 0 und 14, sowie dem Wanderkontakt besteht, und einem großen darunter liegenden Teil. Der obere Teil ist mit der Fahrkurbel fest verbunden, seine Achse geht durch die hohle Welle des unteren Walzenteils hindurch. Der untere Walzenteil nimmt an der Kurbeldrehung nicht teil, sondern wird über das schon erwähnte Vorgelege vom Schaltmotor angetrieben; er besteht seinerseits aus zwei Gruppen, die verschiedenen Zwecken dienen. Die erste Gruppe, die Kommandowalze, umfaßt die von den Fingern 15 bis 18 bestrichenen Schleifringe und dient dazu, im Verein mit Bremsrelais und Stromwächter stufenweise zu schalten. Die zweite Gruppe, die Steuer-

walze, umfaßt die von den Fingern 1 bis 8, 13 und bestrichenen Ringe; mit ihrer Hilfe werden die Schütze des Zuges gesteuert.

Wird die Schaltkurbel gedreht, so laufen nun die Finger 0 und 14 auf die entsprechenden Schleifringe an und gleichzeitig verbindet der Wanderkontakt die von ihm bestrichenen Schleifringe 17 und 18 elektrisch miteinander, während der Walzenteil von Ring 17 an abwärts zunächst noch in Ruhe bleibt. Das hat zur Folge, daß die oben erwähnte Klauenkupplung einrückt; gleichzeitig beginnt der Schaltmotor zu laufen und dreht, falls der Stromwächter dies erlaubt, die Walze stufenweise die Kurbel nach. Sobald die Walze diese eingeholt hat, bleibt der Motor stehen und die Kupplung rückt wieder aus.

Beim Einschalten mit heruntergedrücktem Totmannknopf springt infolge Kontaktschlusses an den Fingern 13 und 0 das Steuerstromrelais ein und speist über den Belastungswiderstand 13, 21 an der Fahrtrichtungswalze (kleine Walze) drei Stromkreise, nämlich:

1. den Spannungsteilerwiderstand 58, 31, 30, 0, der die Teilspannung für den Anker des Schaltmotors liefert
2. den Vorschaltwiderstand 58, 29 für das Feld des Schaltmotors und das Schenkelrelais und
3. den Spannungsteilerwiderstand 58, 17, 0, der die Teilspannung für Bremsrelais und Stromwächter liefert.

Hat man die Kurbel z. B. in einem Zug bis Stellung 1 gedreht, so stellt sich in dem Augenblick, in dem der Wanderkontakt die beiden Schleifringe 17 und 18 verbindet, folgender Relaisstrom ein: Vom Anschluß 17 der Spannungsteilers über die Finger und Beläge 17 und 18 nach der Spule des Bremsrelais und von dort über die geschlossenen Kontakte des Stromwächters, den induktiven Vorschaltwiderstand 33, 15 und die Finger und Beläge 15, 0 nach Erde; gleichzeitig stellt sich auch der Zweigstrom 18, 60, 0 ein, der das Ventil der Kupplung erregt, so daß diese einrückt. Das Bremsrelais zieht seinen Anker an und legt den Anker des Schaltmotors an die Zapfspannung 31, 0. Da das Feld bereits erregt ist, läuft der Schaltmotor an und dreht die Schaltwalze von der Stellung 0 der Kurbel nach. Kurz nach Verlassen der Nullstellung läuft an der Kommandowalze Finger 15 an und dafür Finger 16 auf, d. h. es wird an Stelle des Wide-

andes 33, 15 die Hebe-
pule 32, 16 des Strom-
ächters eingeschaltet,
daß dieser seinen
ker anzieht und seine
hekontakte 32, 33
fnet.

Die Schalterstellun-
n 1 und 2 werden, um
eit zu sparen, über-
haltet, ohne anzuhalt-
n, weil auf diesen
ellungen die auftren-
nden Stromstärken der
riebmotoren noch un-
dem am Stromwäch-
r eingestellten Werte
egen. Ist Stufe 3 er-
eicht, so gleiten die
inger 16 und 0 von
em von ihnen bestriche-
en Belag der Kom-
andowalze ab, so daß
er Anker des Brems-
lais abfällt. Infolge-
essen wird die Strom-
eileitung zum Anker
es Schaltmotors unter-
brochen, und der Anker

ird mit Hilfe des Ruhekontaktes am Bremsrelais durch
urzschlußbremsung stillgesetzt. Infolge der Unterbrechung
s Relaisstromkreises wird zwar auch die Hebespule des
romwächters stromlos, sein Anker wird aber trotzdem
ch von der vom Strom der Triebmotoren durchflossenen
romspule festgehalten, weil inzwischen die unteren Teile
er Schaltwalze die Schaltstellung 3 erreicht haben
nd die Schützen 1, 2, 3, 7, 9 und 10 eingesprungen sind,
erst wenn nach genügender Beschleunigung dieser Strom
s zu dem am Stromwächter eingestellten Wert gesunken
t, fällt der Anker des Stromwächters ab und schließt
ine Ruhekontakte. Das hat sofortiges Wiederanspringen
es Bremsrelais zur Folge, der Schaltmotor läuft wieder
i und dreht die Walze nach Schaltstellung 4, dort hält
wieder an und so wiederholt sich das gleiche Spiel, bis
e Walze schließlich die Kurbel auf Schaltstellung 10 ein-
holt hat, dann laufen die Schleifringe 17, 18 unter dem
änderkontakt ab und so kommen das Bremsrelais, der
romwächter und der Schaltmotor zur Ruhe. Gleichzeitig
ird auch der Strom zur Ventilbetätigung unterbrochen,
e Kupplung rückt aus und trennt die Verbindung zwi-
chen Schaltmotor und Walze. Diese bleibt, von der Sperr-
heibe festgehalten, auf der Schaltstellung 10 stehen.

Wie bereits erwähnt, wird die Hilfsspannung für den
etrieb des Schaltmotors dem Spannungsteiler
3, 0 entnommen, und zwar am Zapfpunkt 31; dieser ist,
enn der angezogene Anker des Bremsrelais den Strom
ber die Motorbürste b schließt, gleichbedeutend mit
unkt 30, weil der dazwischenliegende Widerstandsteil 30,
l kurzgeschlossen ist. Wenn der Schaltmotor infolge
bfallens des Bremsrelaisankers abgeschaltet wird, so wird
er Kurzschluß aufgehoben und der Strom fließt über den
annungsteiler. Der Leerlaufstrom des Spannungsteilers
ird so auf einen geringen Wert begrenzt.

Das Bremsrelais, Abb. 3, ist mit rasch und
cher arbeitendem Klappanker versehen und hat magne-
sche Funkenlöschung.

Der Stromwächter, Abb. 4, ist mit besonderer
orgfalt durchgebildet, weil von seiner Arbeit das sichere
ortschreiten der selbsttätigen Steuerung abhängt. Der
ortschaltstrom läßt sich in gewissen Grenzen verändern.

Beim Ausschalten läßt der Fahrer den Tot-
annknopf los — dabei wird der gesamte Steuerstrom
bgeschaltet — dann führt er die Kurbel auf Schaltstel-
lung 0 zurück und nimmt dabei mittels einer Nase die
Walze mit. Man kann aber auch, falls dies erforderlich,
e Triebmotoren auf eine Stufe geringerer Fahrgeschwin-
igkeit schalten, ohne auszuschalten. In diesem Falle
reht der Fahrer die Schaltkurbel und mit ihr auch die

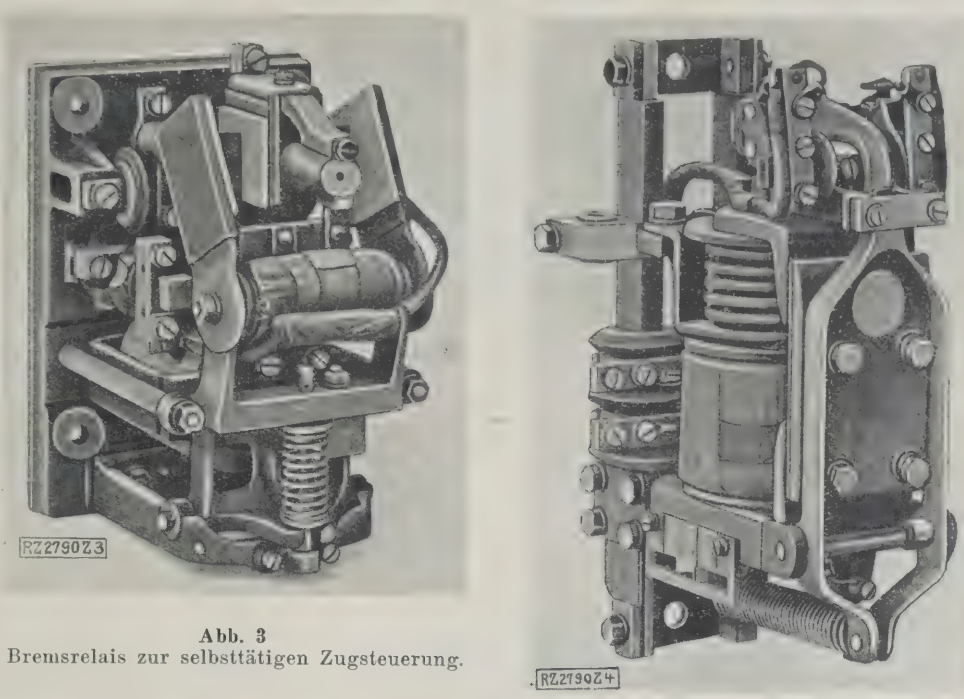


Abb. 3
Bremsrelais zur selbsttätigen Zugsteuerung.

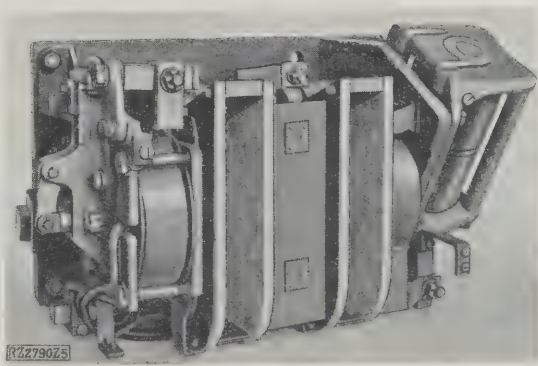


Abb. 4 (oben)
Stromwächter zur selbsttätigen Zugsteuerung.

Abb. 5 (unten)
Selbsttätiger Hauptschalter.

Walze von der Stufe hoher Fahrgeschwindigkeit auf die
Stufe, die der gewünschten niedrigeren Geschwindigkeit
entspricht, z. B. schaltet er von der Parallelstufe auf Reihe.
Hierbei muß der Totmannknopf niedergedrückt bleiben.

In besondern Fällen ist das selbsttätige Fortschalten
des Schalters nicht erwünscht, es soll vielmehr bewußt eine
Überbeanspruchung der Triebmotoren eintreten, z. B. beim
Abstreppen eines beschädigten Zuges. Hierbei wird die
Handsteuerung benutzt, wofür der Schalter entsprechend
eingerrichtet ist. Mit der Hand gesteuert wird auch, wenn
die selbsttätige Steuerung gestört ist. Ist der Schaden
elektrischer Natur, so muß der kleine Trennschalter 21,
58 geöffnet werden, um den Schaltmotor mit allem Zu-
behör abzuschalten.

Für Rückwärtsfahrt und Gegenstrom-
schaltung bedient man sich stets nur der Handsteue-
rung; stellt man die Fahrtrichtungswalze auf „Rückwärts“
oder „Gegenstrom“, dann wird die Schaltwalze mit der
Schaltkurbel zwangsläufig verbunden, der Steuerstrom ist
nicht mehr von der Betätigung des Totmannknopfes ab-
hängig, es wird vielmehr die Steuerstromschütze über die
Umgehungsverbindung 19, 20 an der Fahrtrichtungswalze
erregt. Durch diese Umgehungsleitung wird auch ein Teil
des Vorschaltwiderstandes der Steuerstromschützen über-
brückt, so daß diese sehr schnell anspringt, was beson-
ders auf der Stellung „Gegenstrom“ von Bedeutung ist.

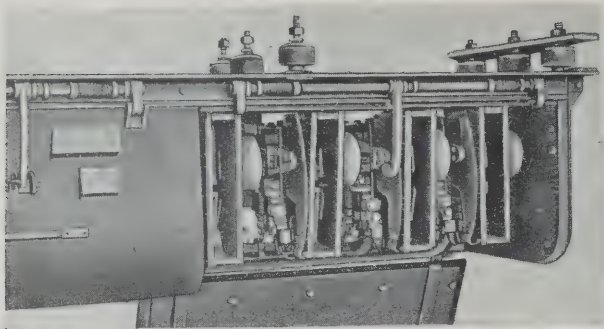


Abb. 6. Schutzkasten mit Einzelschützen.

Der Steuerstrom fließt bei Gegenstrom genau so wie bei Rückwärtsfahrt, jedoch wird außerdem noch die durchgehende Steuerleitung 9, die die Einschaltspulen der selbsttätigen Hauptschalter bedient, über die Kontakte der Fahrtsenkrechten Federspiels der Treibachsen in der Schrägrichtungswalze in den Stromkreis einbezogen, so daß die Hauptschalter festgehalten werden; dadurch wird deren Unterbrechung für den Gefahrfall verhindert.

Die Hauptschalter, Abb. 5, haben Fern-Ein- und -Ausschaltung und doppelten Funkenabriß. Sie sind so gebaut, daß sie in kürzester Zeit ausschalten. Die elektro-

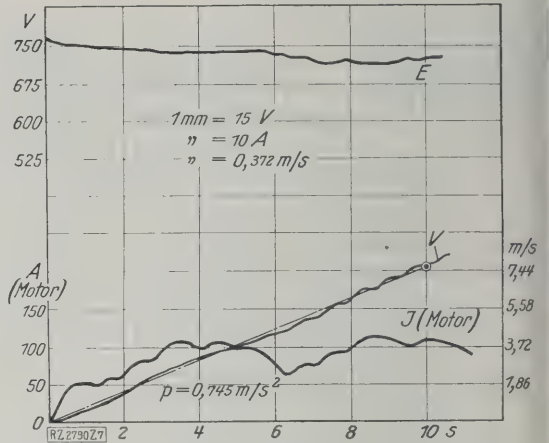


Abb. 7. Anfahrsschaulinien der selbsttätigen Zugsteuerung.

magnetischen Schützen sitzen, isoliert aufgehängt, je sieben in einem Schutzgehäuse, Abb. 6.

Die Schaulinien für die Anfahrt eines mit der selbsttätigen Zugsteuerung ausgerüsteten Zuges auf wagerechter Strecke, wobei eine Anfahrbeschleunigung von 0,745 m/s² erzielt wurde, zeigt Abb. 7. [B 2790]

Straßenbahn-Leichtgewichtsmotor

Der Leichtgewichtsmotor, Abb. 1, wurde 1928 von der AEG für die Berliner Verkehrs-A.-G. gebaut. Die Motoren sind für die neuen Dreiwagenzüge der Berliner Straßenbahn mit Schützensteuerung und je zwei Motoren für den Wagen bestimmt. Die bedeutende Verminderung des Gewichtes, z. B. gegenüber einem Straßenbahnmotor von etwa gleicher Leistung der Bauart 1911, ist aus der folgenden Zahlentafel zu ersehen:

	Stundenleistung bei 550 V		Gewicht des Motors mit Zubehör	Gewicht des Ankers mit Ritzel	Gehäusebauhöhe	Mittenabstand
	kW	U/min	kg	kg	mm	mm
Bauart 1911	39	560	1180	275 ¹⁾	594	360,5
Leichtgewichtsmotor	40	820	910	225 ¹⁾	466	250

¹⁾ Mit Ankerwelle für Getriebebremse.

Die neuen Motoren sind mit Selbstlüftung ausgerüstet; der Lüfter ist auf der Kommutatorseite angeordnet. Die Kühlluft gelangt von einer am oberen Gehäuseteil befindlichen, besonders geschützten Stelle in das Innere. Die Rollenlager sind mittels Labyrinth geschützt. Um die Haupt- und Hilfsfeldspulen gut befestigen zu können, hat man an den Auflageflächen der Spulen im Gehäuse Be-

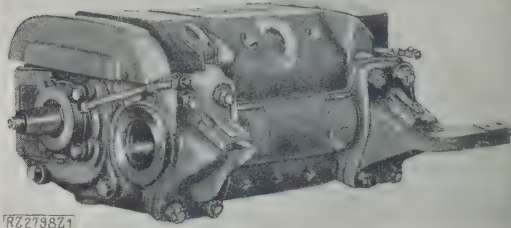


Abb. 1. Straßenbahn-Leichtgewichtsmotor.

arbeitungsansätze vorgesehen, so daß sich Gußungenauigkeiten beseitigen lassen und genaue Abstände zwischen der Lagefläche der Spule am Pol und am Gehäuse erreicht werden. Die Ankerwellen bestehen aus hochwertigem, vergütetem Chromnickelstahl.

Eines der wichtigsten Teile der neuen Leichtgewichtsmotoren ist das aus hochwertigem Stahl und mit gehärteten Zahnflanken hergestellte Getriebe. Infolge des geringen Winkels der Schraubenräder von 6° 17' ist die Axialkraft verhältnismäßig klein. Die Ritzel bestehen aus Chromnickelstahl und die Achszahnräder aus Elektrosonderstahl. Eine Neuerung bedeutet auch die Auswechselbarkeit der Kohlenführungstasche, sie läßt sich nach Lösen von vier Schrauben herausnehmen. Als Getriebebremse ist auf der Kollektorseite eine Zangenbremse nach einer Sonderkonstruktion der Berliner Verkehrs-A.-G. angeordnet. Berlin [M 2798] Mecke

Schluß des Textteiles

I N H A L T :		Seite
Fünzig Jahre elektrische Eisenbahn		661
Elektrischer Zugbetrieb auf der Reichsbahn. Von W. Wechmann		663
Stand der elektrischen Zugförderung		666
Kennzeichnung der Achsfolge und der Antriebsart elektrischer Lokomotiven		666
Neuere elektrische Lokomotiven der Reichsbahn. Von Tetzlaff und Schlemmer. (Hierzu Tafel 1 und 2)		667
Fortschritte im Bau elektrischer Lokomotiven. Von K. Sachs		668
Straßenbahn-Gelenkwagenzüge, Bauart Niesky		669
Elektrische Zugförderung der Mailänder Nordbahn		670
Fahrleitungen für Vollbahnen. Von Naderer. (Hierzu Bildbl. 3 und 4)		671
Elektrische Industrielokomotiven		672
Selbsttätige Steuerung von Zügen der Berliner Hoch- und Untergrundbahn. Von Burghardt		673
Straßenbahn-Leichtgewichtsmotor		674

ZEITSCHRIFT DES VEREINES DEUTSCHER INGENIEURE

SCHRIFTFÜHRER: C. MATSCHOSS ★

73

SONNABEND, 25. MAI 1929

Nr. 21

Das neue Fernamt in Berlin

Von Oberposttrat O. KUHN, Abteilungsdirigent
im Reichspostzentralamt, Berlin

Das neue, am 18. Mai 1929 in Betrieb
genommene Fernamt Berlin, eines der
größten der Welt, ist sowohl wegen seiner
Lage als auch wegen seiner Raum-
verteilung und besonders wegen seiner
technischen Einrichtungen bemerkenswert,
in denen die neuesten Erfahrungen der
deutschen Reichspost verwertet worden sind.

Abb. 1
Ansicht von der
Winterfeldtstraße.



Entwicklung der Berliner Fernamtseinrichtungen

Im November 1906 wurde der erste Teil des bis-
herigen Berliner Fernamtes auf dem Grundstücksblock
Französische-, Oberwall-, Jägerstraße eröffnet, dessen im-
mer noch leerer Stock gelegener Betriebsaal 132 Fernplätze um-
faßte. Wenige Jahre später fand eine Erweiterung des
Amtes durch Hinzunahme eines Saales im dritten Ge-
schosse mit 166 Arbeitsplätzen statt. Die Zahl der zum Be-
trieb eingeführten Fernleitungen betrug im Frühjahr
1911 rd. 380. Die außergewöhnlich starke Zunahme der
Fernverbindungen infolge Aufschwungs des Fernspreche-
verkehrs nach Beendigung des Krieges, die Fortschritte
im Fernsprecheverfahren, die Fernleitungen besser auszunutzen¹⁾,
die neuen zeitlichen Anforderungen an die Technik
der Fernamtseinrichtungen (Verteiler, Ringübertrager-
einrichtungen, Spulengestelle, Fernsprecheverstärker) führten
nach Kriegsende die Deutsche Reichspost zu dem
Entschluß, ein neues Fernamt in einem eigens dafür
zustellenden Gebäude zu schaffen. Auch die z.T.

verbrauchten und unvollkommenen technischen Einrich-
tungen sowie die ungünstigen Raumverhältnisse, ins-
besondere die unzureichenden Nebenräume, ließen die
schleunigste Erneuerung des Amtes geboten erscheinen.
Aber noch ehe ein geeignetes Grundstück erworben wer-
den konnte, zwangen die Verhältnisse bereits zu umfang-
reichen Erweiterungen des vorhandenen Fernamtes im
alten Gebäude. Glücklicherweise ließ sich infolge Ver-
legung des Haupttelegraphenamtes vom Grundstücks-
block Französische-, Oberwall-, Jägerstraße in den Neubau
in der Oranienburger Straße eine Reihe von Räumen dem
Fernverkehr nutzbar machen. Im Jahre 1922 wurde in
ihnen eine Fernamterweiterung um 178 Arbeitsplätze
und im Jahre 1923 eine nochmalige um 162 Fernplätze
vorgenommen. Da diese Erweiterungen wegen Raum-
mangels größtenteils unter Beibehaltung der vorhandenen
Leitungseinführungen, der Verteilereinrichtungen usw.
ausgeführt werden mußten, waren die Um- und Erwei-
terungsbauten des Amtes selbstverständlich nicht zureichend.

Im Jahre 1921 gelang es der Deutschen Reichspost,
im Westen Berlins, und zwar in der Winterfeldt-
straße 28 bis 30, für den Bau des neuen Fernamtes ein
geeignetes Grundstück zunächst zu pachten, das später er-
worben wurde. Es führt südlich nach der Pallasstraße
zu, hat an der Winterfeldtstraße eine Breite von 90,55 m,
an der Flucht nach der Pallasstraße zu eine Breite von
79,46 m und eine Tiefe von durchschnittlich 131 m. Die

¹⁾ Vergl. auch Kruckow: „Technische Entwicklung in der Deutschen
Reichspost“, Z. d. V. d. I. Bd. 71 (1927) S. 737, und K. W. Wagner: „Fort-
schritte im elektrischen Nachrichtenwesen im Jahre 1927 in Deutsch-
land“, Z. d. V. d. I. Bd. 72 (1928) S. 743.

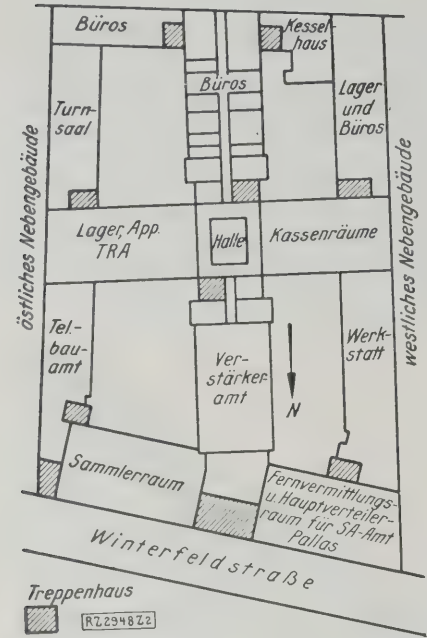


Abb. 2
Grundriß des
Fernamtes
im zweiten
Geschoß.

Bodenfläche beträgt rd. 11 135 m². Auf diesem Grundstück ist ein aus einem Kreuzbau mit vier Gebäudeflügeln bestehendes Hauptgebäude errichtet worden, an dessen Nordflügel das Vordergebäude in der Winterfeldstraße anstößt, s. Titelseite. Außerdem sind, an den Ost- und den Westflügel beiderseitig rechtwinklig anschließend, je ein niedrigeres Nebengebäude und nach der Pallasstraße zu, rechtwinklig zum Südflügel, ein Hintergebäude vorhanden. Den Grundriß des Amtes im zweiten Geschoß zeigt Abb. 2.

Gliederung der Gebäude des neuen Fernamtes

Das Vordergebäude besteht in seinem mittleren Teil aus sechs Geschossen von normaler Höhe (3,30 bis 3,50 m), die beiden Seitenteile haben je vier Geschosse gleicher Höhe und je ein Geschoß von annähernd doppelter Höhe (rd. 6,80 m). In der Front zu-

rückgerückt, ist auf das 6. Geschoß ein Doppelgeschoß aufgesetzt, dessen mittlerer Teil zwei niedrigere schosse enthält. Vor dem eingertickten Geschoß ist Dachgarten angelegt.

Das Mittelstück des Kreuzbaues hat 2 Geschosse von normaler Höhe, das 2. und 3. Geschosse sind als eine Halle mit einem Glasdach ausgebaut. Die übrigen Geschosse dieses Mittelstücks bilden einen offenen Lichtschacht mit Umgängen in jedem Stockwerk. An das Kreuzstück schließen sich an allen vier Flanken Treppenhäuser an. Ferner führt ein doppelter Umlaufzug (Paternosterwerk) an der Südseite hoch.

Die an den Kreuzbau anstoßenden Nord- und Südflügel bestehen aus je vier Geschossen normaler Höhe, auf die je zwei Stockwerke von doppelter Höhe aufgesetzt sind.

Die Ost- und Westflügel sind so gebaut, daß im unteren Teil, anschließend an den Kreuzbau, zwei Geschosse normaler Höhe in Breite und Tiefe von etwa über einem Drittel der Gebäude vorhanden sind; während die übrigen knappen zwei Drittel drei niedrigere schosse enthalten als Unterstand für Räder und Kleiderablagen. Auf die beiden unteren Geschosse sind je drei hohe Geschosse aufgebaut.

Das östliche Nebengebäude besteht aus vier Geschossen verschiedener Höhe (rd. 2,65 bis 3,40 m).

Das westliche Nebengebäude wird teilweise aus drei niedrigen Geschossen verschiedener Höhe teilweise aus einem doppelt hohen Geschoß sowie einem normal hohen gebildet.

Das sogenannte Hintergebäude endlich besteht aus vier Geschossen verschiedener Höhen (rd. 2,65 bis 3,60 m, z. T. 5,25 m) zusammen, nach Westen zu schließt es sich an den Schornstein des Heizkraftwerkes und an diesen an das etwas niedrigere Kesselhaus an.

Sämtliche Gebäudeteile sind unterkellert. Die Außenseiten des Vorderhauses und der Kreuzbaues sind fast durchweg, die der Gebäudeflügel des Kreuzbaues in den oberen hohen Stockwerken und die Hinterhauses in den beiden oberen Stockwerken mit rotbraunen Klinkersteinen ausgeführt, die unteren Geschosse dieser Gebäudeteile sind verputzt.

Raumverteilung

Die Verteilung der wichtigeren Betriebs- und Verwaltungsräume zeigt die untenstehende Übersichtstafel.

Tafel der Raumverteilung

Geschoß	Vordergebäude	Kreuzbau	Nordflügel	Südflügel	Ostflügel	Westflügel
Keller	Kabeltunnel, Kabelaufteilungskeller	Kessel für die Heizung	Kabeleinführung	Kessel für die Stadtröhre	Vorrats- und Ölkeller	Keller für die Hausverwaltung usw.
1.	Einfahrten, Eingänge, Büroräume, Pfortnerwohnung	Kessel für die Zettelhöhre	Verteilerraum des Fernamtes (496 m ²)	Maschinenraum (rd. 450 m ²)	Durchfahrt 1a Raum für Räder 1b } Kleiderablagen 2a } 2b }	Durchfahrt 1a } Kleiderablagen 1b } 2a } 2b Erholungsraum
2.	Sammlerraum (512 m ²) Fernvermittlungs- und Hauptverteilerraum des SA-Amtes Pallas	Halle	Verstärkersaal (530 m ²)	Büroräume	Lageraum, Maßräume	Kassenräume, Büroräume
3.	Maschinenraum (528 m ²), Ladewärterraum, SA-Amt Pallas (586 m ²)		Durchgangssaal (460 m ²), Relaisgestellraum	Büroräume		
4.	Amtsvorsteherwohnung, Wähler für Meldeamt, und für Haus- und Überwachungsamt, Unterlagungs- und Wechselstromtelegraphie	—	Wählerraum f. d. Fernvermittlungsverkehr	Relaisraum für das Schnellverkehrsamt	Fernbetriebsaal (537 m ² + 90 m ² Empore)	Fernbetriebsaal (532 m ² + 90 m ² Empore)
5.	Zwei Fernbetriebsäle (z. Zt. dem Postscheckamt überlassen)	—	Meldeamt (633 m ² + 90 m ² Empore)	Schnellverkehrs-saal *) (435 m ²)	Fernbetriebsaal (z. Zt. dem Postscheckamt überlassen)	Fernbetriebsaal (503 m ² + 90 m ² Empore)
6.		—				
7.	Erfrischungsräume, Küche	—	Verfügbare Saal (z. Zt. dem Postscheckamt überlassen)	Betriebsüberwachungsamt, Untersuchungs- und Beschwerde-stelle *)	Fernbetriebsaal (z. Zt. dem Postscheckamt überlassen)	Fernbetriebsaal (z. Zt. dem Postscheckamt überlassen)
8.	(Mitte) Küche	—				

*) Die Säle im 5. bis 6. und 7. bis 8. Geschoß des Südflügels sind wegen der Nottreppenanlage rd. 6 und 11 m kürzer als die unteren Geschosse

Nebengebäude Ost	Nebengebäude West	Hintergebäude
Lager für das Telegraphenbauamt und Fernamt	Keller f. d. Hausver- waltung u. das Selbst- anschl. uß(SA)-Amt	Vorratskeller
Lager für das Telegraphenbauamt, Kleiderablagen	Kleiderablagen	Brausebad
Büro für das Telegraphenbauamt, Turnsaal	Kleiderablagen	
U.T. Trockenböden	Büro, Lagerraum, Apparaterwerkstatt	Heizkessel- haus (172 m ²)
		Büros;
		Unter- richts- räume

Sammlerraum

An Sammlerbatterien sind vorhanden:

- 2 × 31 Zellen + 3 Gegenzellen zu 4752 Ah (Ampere-stunden) bei dreistündiger Entladung, für das Fernamt, Selbstanschluß-(SA-) Amt usw.;
- 2 × 12 Zellen + 2 Gegenzellen zu 1080 Ah für Lampenstromkreise, Summermaschine usw. in diesen Ämtern;
- 2 × 6 Zellen zu 6264 Ah für die Heizung der Verstärkerröhren,
- 3 × 20 Zellen zu 224 Ah und
- 2 × 60 Zellen zu 378 Ah für Unterlagerungstelegraphie und
- 2 × 114 Zellen zu 162 Ah für den Anodenstrom der Verstärkerröhren.

Dazu kommen noch mehrere kleinere Sammlerbatterien, z. B. für Meßzwecke.

Technische Einrichtung des Fernamtes

Kabeleinführung und Kabelaufteilung

Die großen Fernkabel mit den auf weite Entfernung unterirdisch geführten Fernleitungen und die Kabel mit Fernleitungen, die außerhalb Berlins oberirdisch verlaufen (Fernleitungskabel), werden durch den Kabel-tunnel in den Kabelaufteilungsraum geführt und hier mit 20paarigen Aufteilungskabeln in Muffen verbunden. Ferner befinden sich im Kabelkeller die Muffengestelle zur Aufteilung der Kabel mit Fernvermittlungs-, Schnellverkehrs- und ähnlichen Leitungen.

Verteilerraum

Die Aufteilungskabel der Fernkabel führen zunächst zu Endverschlüssen, die mit einer Einrichtung zur Auftrennung der einzelnen Adern ausgerüstet sind (sogen. Trennendverschlüsse) und sich an einem Verteilergestell befinden. Die Fernleitungskabel enden im Verteiler-raum in Kabelendverschlüssen mit Grobsicherungen. Von hier aus sind die in ihnen ankommenden Fernleitungen gleichfalls an den Verteiler verlegt, und zwar an Sicherungsleisten (mit Kohlenblitzableitern und Feinsicherungen). Die oberirdisch eingeführten Fernleitungen haben im obersten Geschoß des Kreuzbaues ihre Sicherungen und laufen von diesen in 20paarigen Kabeln ebenfalls zu den Sicherungsleisten des Verteilers.

Von dem Verteiler aus führen alle Fernleitungen zu Ringübertragern in den rechtwinklig zum Verteiler angeordneten Ringübertragergestellen, Abb. 3. Die Fernkabelleitungen, die gleichzeitig dem Telegraphenbetrieb dienen — Unterlagerungstelegraphie —, verlaufen vorher noch über Zusatzgestelle mit Drosselspulen usw.

Vom Ringübertragergestell führen die Leitungen weiter zu den Fernprüfschränken (Klinkenumschalter Abb. 4. In die Fernkabelleitungen, in denen 500periodigem Wechselstrom gerufen werden muß (Leitungen mit Unterlagerungstelegraphie, Vierdrahtleitungen usw.) wird jedoch vor dem Fernprüfschrank ein Rufumsetzer eingeschaltet, bestehend aus zwei Verstärkerröhren mit Übertragern und Relais, wodurch Rufstrom von 500 Per./s auf gewöhnlichen Wechselstrom von 25 Per./s oder umgekehrt umgesetzt wird.

An den Fernprüfschränken — aufgestellt sind die Fernprüfschränke mit je drei Plätzen — werden Meßverbindungen zu den Meßschranken hergestellt und einfachere Messungen unmittelbar ausgeführt.

Von den Fernprüfschränken aus führen die Fernleitungen über einen Verteiler weiter zu den einzelnen Fernsälen sowie zu dem Durchgangssaal und dem V

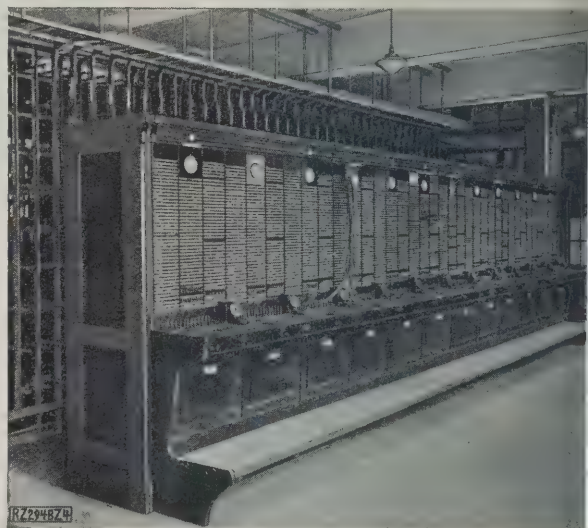


Abb. 4
Fernprüfschränke.



Abb. 5

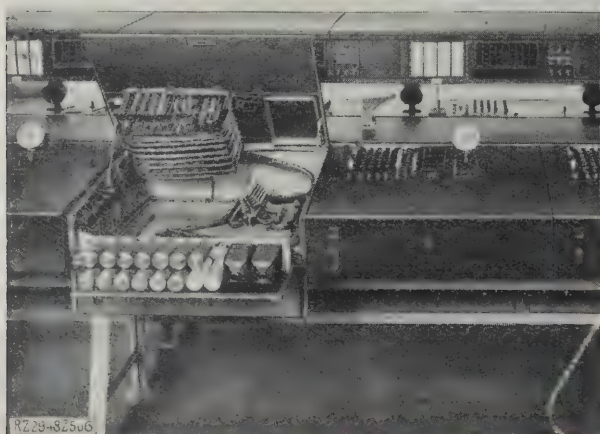
Blick in einen Fernsäl.

Im Hintergrund die Empore. Die Umschalter sind in der Form von Tischen ausgeführt.

Abb. 6 (links)

Arbeitsplätze an den Fern-tischen.

Doppeltisch mit einander gegenüberliegenden Arbeitsplätzen. Die aufgeklappte Tischplatte läßt die innere Ausführung erkennen. Die Stöpsel und Schnüre der sonst üblichen Klinkenschranke sind durch Umschalter und Tasten ersetzt worden.



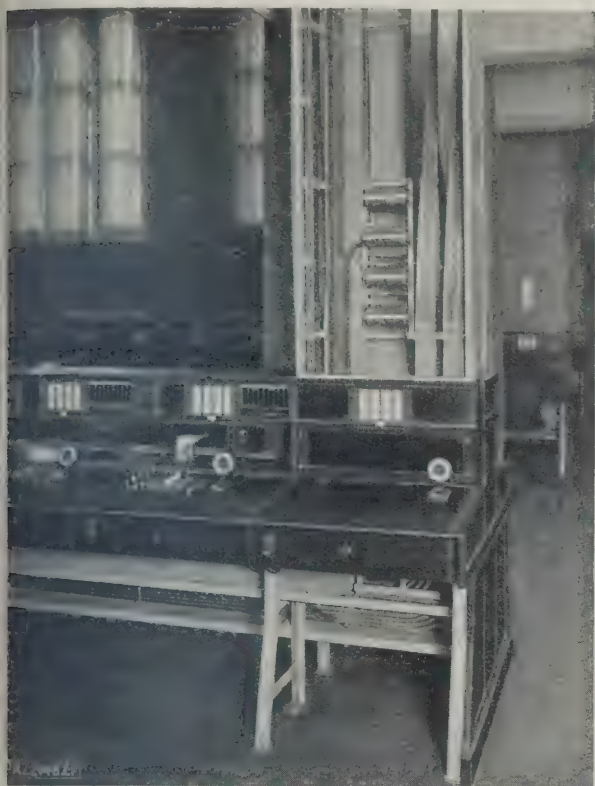


Abb. 7

Zuführungsschacht zu den Fernstischreihen.

Der Schacht enthält die Kabel und sonstige Zuleitungen sowie die Fahrrohre der Zettelrohrpost zwischen der Empore und den Fernstischreihen. Die vordere Abdeckung ist abgenommen.

ärkeramt, zu Teilnehmern (vermietete Leitungen) usw. Eine besondere Führung ist vorgesehen für Rundfunkleitungen, für den drahtlosen Überseeverkehr usw.

Besondere Verteilergestelle dienen zur Zu- und Weiterführung der Fernvermittlungsleitungen nach den einzelnen Ortsämtern, den Meldeleitungen von den Ortsämtern zum Meldeamt, den Schnellverkehrsleitungen, den Leitungen zum Haupttelegraphenamt, zum Hausamt usw.

Eingeführt sind insgesamt:

- 8 Fernkabel mit 806 Doppeladern und 1209 Sprechkreisen,
- 10 Fernleitungskabel mit rd. 500 Doppeladern,
- 50 Freileitungen,
- 20 Kabel für Fernvermittlungsleitungen, Dienstleitungen, Meldeleitungen usw. mit rd. 8000 Doppeladern.

In Betrieb werden genommen:

- 686 Zweidraht- und Vierdrahtleitungen (über Fernkabel),
- 250 sonstige Fernleitungen (über Fernleitungskabel u. Freileitungen),

zusammen: 936 Fernleitungen.

Außerdem sind 450 sonstige Leitungen, z.B. Ausnahme-Querverbindungen, vermietete Kabeladern, Funkleitungen, Börsenleitungen, vorhanden.

Des weiteren werden betriebsmäßig eingeschaltet:

- 2817 Fernvermittlungsleitungen und
- 350 Meldeleitungen.

Fernsäle

Die Umschalteneinrichtungen für die Abwicklung des Verkehrs sind in drei Fernsälen, Abb. 5, untergebracht, in denen sich je einer im 3. und 4. Geschoß des Ost- und des Westflügels und einer im 5. bis 6. Geschoß des Westflügels befindet. Die Säle haben eine Länge von rd. 33 m, eine

Breite von 16,25 m (die Zahlen weichen in jedem Saale etwas ab). Ihre Grundflächen betragen 537 m², 532 m² oder 503 m²; dazu kommen die Emporen von je rd. 90 m². Für Erweiterungszwecke stehen noch fünf Säle ähnlicher Abmessungen zur Verfügung (vergl. die Tafel der Raumverteilung). Abweichend von den technischen Einrichtungen der bisher gebauten Fernämter sind an Stelle der schrankförmigen Umschalter solche in Tischform verwendet worden, Abb. 6. Der Grund hierfür ist folgender: Das Vielfachklinkenfeld der Fernvermittlungsleitungen zu den zahlreichen Berliner Ortsämtern würde sich bei seinem großen Umfang im schrankförmigen Oberteil eines Fernschrankes schon jetzt nicht so unterbringen lassen, daß die Beamtinnen die einzelnen Klinken noch bequem erreichen könnten. Ferner würden die Kosten für die Klinken und Kabel einen unverhältnismäßig hohen Teil der Anlagekosten ausmachen und sich bei einer Erweiterung noch gewaltig vergrößern. Im weiteren würde die Sprechverständigung infolge der Dämpfung in den langen Kabelstrecken beeinträchtigt werden. Ein Mittel zur Herabsetzung der Kosten und Vermeidung der Nachteile einer solchen Anordnung bietet die Verwendung von Wählern. Die Einrichtung ist so getroffen, daß jeder Fernplatz, auf dem die Fernleitungen in der üblichen Weise an Anrufzeichen (Glühlampen) endigen, für die Herstellung der Verbindungen nur einige Leitungen zur Wähleranlage erhält (Vorbereitungsleitungen). Über diese Leitungen kann die Fernbeamtin durch Betätigen einer Nummernscheibe am Fernplatz die Fernvermittlungsplätze der einzelnen Ämter erreichen, wo die Verbindungen mit den verlangten Teilnehmern hergestellt werden, ferner die Arbeitsplätze des Durchgangamtes (für unverstärkten Verkehr oder die für Schnurverstärkerbetrieb). Da bei diesen Schaltvorgängen die Fernleitungen nur mit den erwähnten Vorbereitungsleitungen zu verbinden sind, wurden die Stöpsel und Schnüre mit den Klinkenfeldern der sonst üblichen Fernschränke bei den Fernstischen durch Umschalter und Tasten ersetzt; infolgedessen erübrigte sich der Oberteil der Fernschränke, und so ging man dazu über, die Abfrage- und Verbindungsorgane — Schalter, Tasten, Anruf- und Schluß- sowie Überwachungslampen — in eine Tischplatte einzubauen. Unter dieser befindet sich ein Kasten zur Aufnahme der erforderlichen Apparate und des Zubehörs (Relais, Spulen, Kondensatoren usw.).

Der Fernstisch besteht im wesentlichen aus einem eisernen Untergestell, auf dem die Tischkasten, in der Regel für sechs Arbeitsplätze, so angebracht sind, daß immer drei Beamtinnen nebeneinander und je zwei einander gegenüber sitzen (Doppeltisch). Außerdem sind noch Fernstische mit drei Plätzen nebeneinander im Gebrauch (Einfachtisch). Die Tische haben einen von Säulen getragenen Aufsatzkasten, in dem die Platzbeleuchtungskörper, Fächer für erledigte Gesprächblätter, Gesprächszeitmesser usw. untergebracht sind. Der Aufsatzkasten befindet sich bei den Doppeltischen in der Mitte über einer Platte, die zwischen je zwei gegenüberliegenden Tischkasten angebracht ist. Bei den Einfachstischen stößt die Platte an den Tischkasten an; über ihr ist ebenfalls der Aufsatz befestigt. Einfach- und Doppeltische sind gebaut worden, damit die Breite der Säle möglichst gut ausgenutzt werden kann.

In jedem der drei Fernsäle sind zwei Doppeltischreihen, und zwar links und rechts von einer doppelten Säulenreihe aufgestellt; längs der Fensterwände zieht sich je eine Einfachstischreihe hin, Abb. 5. Die Plätze der einen dieser Reihen dienen als Sammelplätze in der verkehrsschwachen Zeit oder als Nachtplätze. Die Fernleitungen werden gegebenenfalls auf Anrufglühlampen und Abfrageklinken geschaltet, die im Aufsatzkasten dieser Einfachstische eingebaut sind. Zum Abfragen usw. werden hier Stöpsel und Schnüre — je 8 Stück — benutzt, die im übrigen mit den Umschaltern und Tasten in der Tischplatte — wie an den normalen Fernplätzen — in Verbindung stehen.

Am Anfang jeder Tischreihe führt ein mit durchlochtem Blechplatten abgedeckter Schacht, Abb. 7, zu der Empore längs der Saalstirnseite. In dem Schacht sind die Kabel, Fahrrohre der Zettelrohrpost und sonstige Zuleitungen zu den Fernstischen verlegt. In den Tischreihen selbst dient das eiserne Untergestell zur Führung der Kabel usw., und zwar bei Doppeltischen der mittlere Teil

zwischen je zwei gegenüberliegenden Tischkästen, bei Einfachstischen der Unterteil hinten am Gestell. Diese Führung hat den erheblichen Vorteil, daß keine Kabel- und Rohrpostkanäle im Fußboden des Saales hergestellt zu werden brauchen.

Im Fernsaal des Ostflügels des 3. bis 4. Geschosses sind insgesamt aufgestellt

189 ausgerüstete und 3 unausgebaute Fernplätze,
38 Sammelplätze und 12 Aufsichtsplätze,

im Fernsaal des Westflügels desselben Geschosses und im Fernsaal des Westflügels des 5. bis 6. Geschosses je

190 ausgerüstete und 2 unausgebaute Fernplätze,
37 Sammelplätze sowie 12 Aufsichtsplätze.

Auf den Emporen haben die Zwischenverteiler Platz gefunden, die ein Umlegen der Fernleitungen auf die einzelnen Fernplätze ermöglichen, ferner die Gestelle mit den Anrufrelaisätzen, die Sicherungsgestelle, die umlaufenden Spannungssicherungen, die die Beamtinnen gegen Knackgeräusche schützen, ferner die Saalklinkenumschalter und die Verteiler- und Sammelstelle der Zettelrohrpost, Abb. 8.

Meldeamt

Im Meldeamt werden von den Teilnehmern die Anmeldungen auf Ferngespräche entgegengenommen. Die Beamtinnen der Meldeplätze schreiben hierbei die Anschlußnummer des anmeldenden Teilnehmers sowie Ort, Amt und Nummer des verlangten Teilnehmers und die Anmeldezeit auf Gesprächsblätter nieder, die den Fernplätzen zugeleitet werden. Außerdem haben die Beamtinnen Auskunftszettel auszufüllen, wenn ein Teilnehmer eine Anfrage über die Höhe der durch ein Ferngespräch entstandenen Gebühren, über die Rufnummer von Teilnehmern in fernen Orten richtet oder wenn er ein gewöhnliches Gespräch in ein dringendes umzuwandeln wünscht usw. Die eingehenden Anmeldungen usw. werden mit Hilfe einer Wähleranlage selbsttätig auf die Arbeitsplätze verteilt, soweit sie mit einer Beamtin besetzt sind.

Im Meldesaal selbst sind ähnlich wie in den Fernsälen zwei Doppeltischreihen und eine Einfachtischreihe aufgestellt, eine zweite Einfachtischreihe kann als Erweiterung später noch Platz finden. Die Meldetische gleichen hinsichtlich ihrer Bauart den vorher beschriebenen Fernstischen. Nur ist die Ausrüstung der Tischplatten und Tischkästen sowie der Aufsätze dem Zweck des Meldeplatzes entsprechend eingerichtet (1 Umschalter, 1 Taste, 1 Lampe).

Die Einfachtischreihe enthält 38 Meldeplätze, jede Doppeltischreihe $2 \times 38 = 76$, so daß im ganzen 190 Meldeplätze vorhanden sind.

Auf der Empore ist die Hauptverteilstelle für die Gesprächsblätter, die Auskunftsblätter usw. untergebracht, die die Meldesammelstelle, die Leitstelle, die Auskunftsstelle und die Prüfstelle für Staats- und Pressegespräche umfaßt.

Die Meldesammelstelle wird aus drei Tischen mit je zwei nebeneinander und zwei gegenüberliegenden Arbeitsplätzen gebildet; die Leitstelle besteht aus zwei gleichen Tischen mit je vier Plätzen, die Auskunftsstelle aus vier solchen Tischen und die Prüfstelle aus einem Tisch mit vier Plätzen. Die Leitstelle und die Auskunftsstelle dienen in der Nacht gleichzeitig als Meldeplätze.

Fördereinrichtungen für Gesprächsblätter

Das neue Fernamt ist mit einer umfangreichen Zettel-Rohrpostanlage und z. T. mit Förderbändern ausgerüstet, damit die Gesprächsanmeldeblätter usw. möglichst schnell von den Meldeplätzen zu den Fernplätzen, der Auskunftsstelle usw. befördert werden³⁾. Über jede Doppeltischreihe des Meldeamts führen zwei Förderbänder, die an einer auf der Empore untergebrachten Meldesammelstelle die Anmeldeblätter und Auskunftsblätter abwerfen, Abb. 9. Die Einfachtischreihe ist mit einem solchen Bande versehen. Von der Meldesammelstelle aus gelangen diese Blätter durch Saugluft zu den einzelnen Fernsälen, soweit die Auskunftsblätter nicht durch Saugluft der ebenfalls auf der Empore aufgestellten Aus-

kunftsstelle zuzuführen sind. Zwischen Meldesammelstelle und Auskunftsstelle befindet sich die aus zwei gleichen Tischen bestehende Leitstelle, deren Beamtinnen Gesprächsblätter mit Anmeldungen nach wenigen bekannten Orten mit einem Leitvermerk versehen. Die Rohre mit Saugluft- und Druckluftbetrieb steht die Hauptverteilungsstelle mit der im 7. bis 8. Geschloß des Ostflügels untergebrachten Beschwerde- und Untersuchungsstelle in wechselseitiger Verbindung.

In jedem Fernsaal befindet sich auf der Empore eine mit Saugluftempfängern ausgerüstete Sammelstelle und eine zweiplätzigige Rohrpostverteilerstelle, Abb. 8 (für jede Saalhälfte eine Stelle). Von hier aus werden die von der Meldesammelstelle ankommenden Gesprächsblätter durch Druckluft zu den Fernplätzen weiterbefördert. Je ein Druckluftfahrröhre versorgt vier Arbeitsplätze der Doppeltischreihe und drei Plätze in den Einfachtischreihen mit Blättern. Von den Tischreihen aus führen in umgekehrter Richtung Saugluftfahrröhre — für je vier oder zwei Plätze ist ein Sender vorgesehen — zu der Sammelstelle auf der Empore für die Zuleitung der erledigten Auskunftsblätter, Sicherungsblätter und gegebenenfalls Durchgangsblätter. Querverbindungen für Druckluftbetrieb gestatten die beschleunigte Zuführung von Irrläufern von einem Fernsaal zu einem anderen. Außerdem sind noch Einrichtungen vorhanden, damit die Rohrpostanlage in der Nacht nur teilweise benutzt zu werden braucht.

Die Zahl der im Meldeamt, Fernamt usw. eingebauten Druckluftsender und Druckluftempfänger beträgt je Saalhälfte die der Saugluftsender 292 und die der Saugluftempfänger 44. Die erforderliche Druck- und Saugluft wird in einem größeren Gebläse mit einer Leistung von $67 \text{ m}^3/\text{min}$ (40 PS) bei einem Druckunterschied von 2000 mm W.-S. erzeugt. Ein gleiches Gebläse dient als Aushilfe. Für die Nachtzeit und für den Betrieb der Prüfstelle der Staats- und Pressegespräche ist ein kleineres Gebläse von $11,5 \text{ m}^3/\text{min}$ ($7,5 \text{ PS}$) Leistung vorhanden.

An Fahrröhren — rechteckig gezogenes Messingrohr von rd. $70 \times 10 \text{ mm}^2$ Querschnitt — sind rd. 7000 m verlegt worden.

Durchgangsamt

Zur Ersparnis von Klinken und Kabeln und zur Verringerung der Dämpfung werden Durchgangsverbindungen zwischen zwei Fernleitungen nicht, wie es bisher die Regel war, an den Fernplätzen selbst ausgeführt, sondern an besonderen Durchgangsständen. Die Aufzeichnung und Überwachung der Durchgangsgespräche findet dagegen an den Fernplätzen statt. Das Durchgangsamt enthält drei Plätze — ein großer Vielfachumschalter —, an denen haupt-

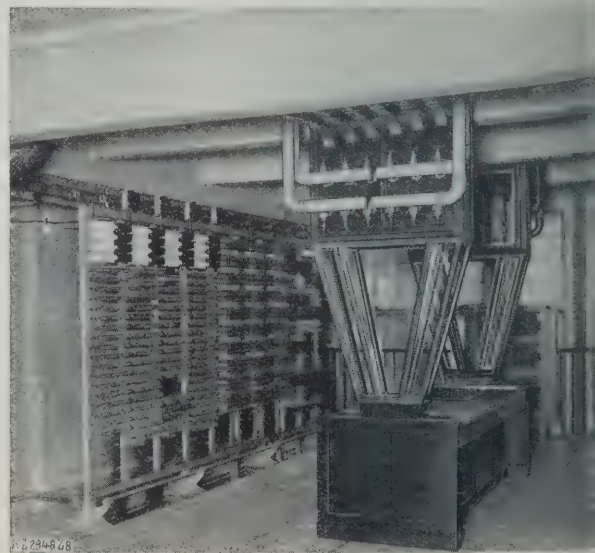


Abb. 8

Blick auf eine der Emporen in den Fernsälen.
Links Sicherungs- und Relaisgestelle, in der Mitte
Verteiler- und Sammelstelle der Zettelrohrpost.

³⁾ Weitere Einzelheiten siehe O. Kuhn: „Zettelrohrposten, Förderbänder und Bandposten in Fernämtern“ in Bd. 18 der Telegraphen- und Fernsprechtechnik Bd. 18 (1928) S. 91.

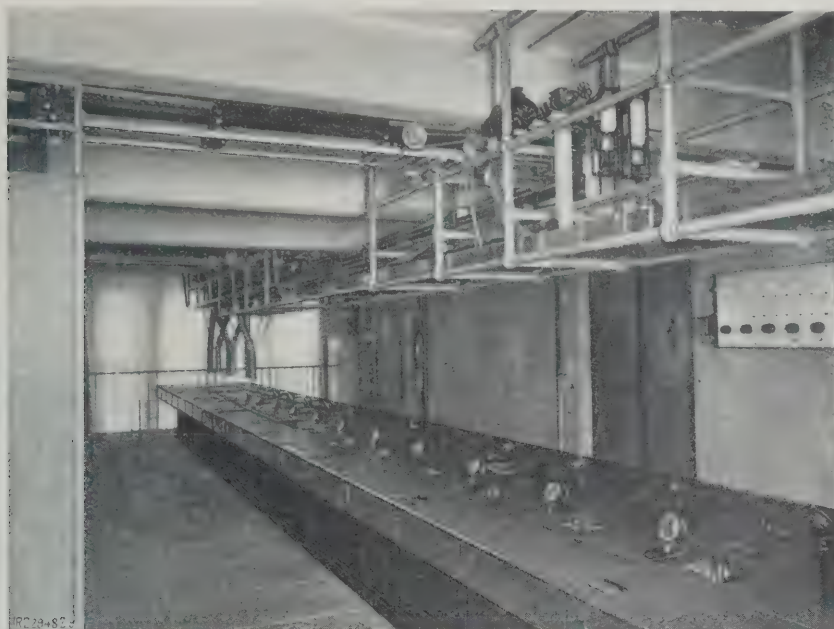


Abb. 9
Hauptverteilstelle für Gesprächszettel (Meldesammelstelle)
auf der Empore des Meldeamtes.
Über den Tischen liegen die Förderbänder.

lich Ferndurchgangsverbindungen ohne Zwischenhaltung einer Verstärkereinrichtung (unverstärkter Verkehr) und Verbindungen mit Selbstanschlußämtern des Berliner Schnellverkehrsnetzes ohne Fernvermittlungszentrale hergestellt werden.

Ferner sind fünf Umschalter gleicher Art mit insgesamt 15 Plätzen — ausgebaut zunächst 9 Plätze — vorhanden, an denen unter Verwendung von Einheits-Schnurpaaren (10 Stück je Platz) folgende Verbindungen ausgeführt werden können:

- 1) Verbindungen von Zweidraht- mit Zweidrahtleitungen unter Einschalten eines Schnurverstärkersatzes,
- 2) Vierdraht—Vierdrahtverbindungen ohne Schnurverstärker und
- 3) Vierdraht—Zweidrahtverbindungen mit Verstärkersatz, wobei die auf der Vierdrahtseite liegende Verlängerungsleitung eingeschaltet und die auf der Zweidrahtseite liegende ausgeschaltet ist.

Das Vielfachfeld der Durchgangsschränke für den verstärkten Verkehr enthält die Klinken für zunächst 1200 Leitungen, das für den unverstärkten Verkehr für 600 Leitungen. Die 90 Schnurverstärker sind auf 18 fünfzigen Gestellen, die Leitungszusätze und Nachbildungen auf 600 Zweidraht- und 200 Vierdrahtleitungen auf 20 Gestellen untergebracht. Diese Gestelle haben ebenso wie die erforderlichen Relais-, Sicherungs- usw. Gestelle ihre Plätze in der einen Saalhälfte hinter den Durchgangsschränken.

Verstärkeramt

In das Verstärkeramt sind diejenigen Leitungen aus den anderen Fernkabeln eingeführt, die in Berlin dauernd zum Einsatz geschaltet sind, z. B. Fernleitungen Hamburg—Breslau, Hamburg—Prag. Der erste Ausbau umfaßt 60 Zweidrahtverstärker, 160 Vierdrahtverstärker und 100 Gabeln

(Einrichtungen für den Übergang von Vierdraht- auf Zweidrahtleitungen).

Diese Verstärker usw. sind auf 22 Gestellen untergebracht. Dazu kommen noch die erforderlichen Sicherungsgestelle usw. Zu Leitungsprüfungen, Pegel- und Dämpfungsmessungen dienen sechs Meßschränke. Die technische Einrichtung des Verstärkeramtes entspricht im übrigen der in den Bezirken üblichen.

Schnellverkehrsamt

Für die Abwicklung des Schnellverkehrs zwischen Berlin und seinen Seitenämtern, z. B. Potsdam, Oranienburg, Birkenwerder, Hoppegarten, Zeuthen, Caputh, Werder, Nauen, Erkner, Königs-Wusterhausen, wird noch ein besonderes Schnellverkehrsamt eingerichtet werden. Es soll rd. 50 Schnellverkehrsplätze (Abfrageplätze) und 8 Zahlengeberplätze (Verbindungsplätze) umfassen.

Hausamt

Dieses Amt dient zur Herstellung der Verbindungen zwischen den einzelnen Dienststellen des Fernamtes unter Verwendung von Wählern. Für den Verkehr von und nach außerhalb sind drei Verbindungsschränke aufgestellt worden. Das Amt ist zunächst für 500 Anschlüsse ausgebaut.

Selbstanschlußamt

Das Selbstanschlußamt „Pallas“ ist ein Amt gewöhnlicher Bauweise für eine Endaufnahmefähigkeit von 10 000 Anschlüssen. Belegt wird es zunächst mit 5500 Anschlußleitungen.

*

Zum Schluß möge noch erwähnt werden, daß das männliche Personal des Fernamtes z. Zt. rd. 200 und das weibliche rd. 1470 Köpfe zählt. An Gesprächsverbindungen werden täglich hergestellt: rd. 30 000 ankommend, 23 000 abgehend, ferner 3500 Durchgangsverbindungen. Außerdem werden rd. 3000 Auskünfte und Beschwerden täglich erledigt. [B 2948]

Asbest und seine Verarbeitung

Von Dr.-Ing. KURT GEISLER, Aachen

Nach einem kurzen Überblick über Zusammensetzung und Vorkommen des Asbestes werden seine Aufbereitung, die Herstellung der Vorgarne, das Spinnen und Verweben der Fäden, die Herstellung von Asbestpappe und Papier, von Dichtungseichen, Isolierstoffen u. a. besprochen. Die Abbildungen geben besonders Einblick in die Aufbereitung, das Krempeln und den Spinnvorgang.

Asbest ist eine Abart der Hornblende, die im allgemeinen aus $MgSiO_3$, $CaSiO_3$, meist auch noch aus Al_2O_3 und Fe_2O_3 besteht. Es sind hauptsächlich zwei Arten von Asbest zu unterscheiden: der Hornblendeasbest und der Chrysotilasbest¹⁾. Die monoklinen Kristalle sind lang und faserig. Die Fasern sind leicht trennbar, biegsam, weich, filzartig. Auf dieser zuletzt genannten Eigenschaft beruht die Möglichkeit, Asbest zu Fäden zu verspinnen oder ihn zu Asbestfilz und Asbestpappe zu verarbeiten. Die wichtigsten Fundstätten des Asbestes sind neben Tirol und St. Gotthard das Erzgebirge, Reußler Oberland, Bayern bei Hof usw., vor allem Kanada, Sibirien, Ural, Rhodesia, Cypern und Südafrika.

Asbest wird bisher fast ausschließlich im Tagebau gewonnen. Der Asbestgehalt der Gesteine ist recht niedrig. Im allgemeinen nimmt man 5 vH Asbestgehalt als untere Grenze der Wirtschaftlichkeit an. Die reichsten Lager sind die rhodesischen mit bis zu 15 vH Asbest²⁾. Der von Gesteinen befreite Asbest besteht nur zu einem geringen Teile aus gut verspinnbaren Fasern. In Kanada ist etwa der zwölfte Teil des gewonnenen Asbestes zum Verspinnen geeignet. Der Rest besteht aus kurzen Fasern, die man zur Herstellung von Pappen, Asbestschiefer, Isoliermassen u. a. benutzen kann.

Zerkleinerung

Schon gleich an Ort und Stelle wird eine Sonderung vorgenommen derart, daß man unbrauchbares Gestein abschlägt und längere und kürzere Fasern sowie reine und noch mit Gestein durchwachsene Fasern trennt. Die verschiedenen Sorten haben unterschiedlichen Handelswert und gehen von nun an schon getrennte Wege.

Das Mineral wird entweder in Backenbrechern³⁾ oder Rundbrechern⁴⁾ zerkleinert. Nach Vorzerkleinerung wird das Gut getrocknet. Bisweilen geschieht das noch jetzt in kleineren Betrieben durch Aufstapeln unter Regenschutz, vorwiegend jedoch in umlaufenden Trommeln mit Dampfmantel. Sodann wird das Gut, wenigstens in den größeren Werken, in Vorratsgebäuden gespeichert.

¹⁾ Vergl. „Asbest“, herausgegeben von Becker und Haag, Berlin 1927 und Z. Bd. 61 (1917) S. 487.

²⁾ Vergl. Z. Bd. 61 (1917) S. 487 u. f.

³⁾ C. Naske, „Zerkleinerungsvorrichtungen“ S. 21, Leipzig 1926.

⁴⁾ Vergl. Z. Bd. 56 (1912) S. 1094.

Dem Bedarf entsprechend verarbeitet man den Asbest dann in Schlagstiftmühlen⁵⁾, Kollergängen oder Walzwerken⁶⁾ weiter, wobei man vorwiegend glatte Walzen benutzt; meist sind zwei Walzenpaare untereinander geordnet. Große Walzwerke mit einer Leistung von 10 000 kg/h haben etwa 950 mm Walzendurchmesser und 500 mm Walzenbreite und verbrauchen etwa 30 PS.

Aufbereitung

Von dem soweit zerkleinerten und zerbrockelten Gestein muß man nun die Fasern trennen. Hierzu nutzt man meist die in Abb. 1 dargestellte Aufbereitungsanlage. Sie ist für elektrischen Einzelantrieb eingerichtet, wird jedoch auch mit Transmissionsantrieb gebaut. Das Gut gelangt zunächst in den Fülltrichter der Schüttelmaschine. Zwei geriffelte Zuführwalzen b bringen dann die Masse auf das oberste Schüttelsieb c mit 7 mm Maschenweite. Die groben Stücke werden nach der Seite abgeführt. Die brauchbaren Bestandteile fallen durch dieses Sieb hindurch auf das darunter befindliche Band d, das sie auf das 4 mm weite Sieb e für die kleineren Steine fallen durch das untere Sieb f. Der Boden, während die Fasern, von allen Steinen befreit, jedoch noch reichlich zusammengeballt, auf den Kastenspeiser gelangen.

Das Kratzentuch f des Kastenspeisers bringt die Fasern zusammen mit drei mit Kratzern besetzten Walzen die sie gleichmäßig aus. Ein weiteres Fördertuch bringt sie sodann zum Vorschläger, einer mit Schlagern besetzten Welle, die sich mit rd. 1000 U/min dreht. Hier beginnen sich die geballten Fasern aufzulösen. Dieser Vorgang wird fortgesetzt und beendet in der dahinter geschalteten Doppelloffner. Die Schlagrollen dieser Öffner machen ebenfalls rd. 1000 U/min. Sie haben etwa sieben Scheiben, an denen Stahlnasen genietet sind. Das Gut durchläuft die Öffner von unten nach oben. Der Staub wird durch die Roste g abgeführt. Auch die Siebtrommel h steht noch mit dem Staubsauger in Verbindung. Die Fasern, die nunmehr völlig wolle aufgelockert sind, verlassen auf dem Lattentuch die Maschine. Ein Doppelloffner verarbeitet rd. 300 kg/h.

Eine Auflösung erfährt die Watte weiterhin in einem Reiß- und Mischwolf (Reißkrepel). Je nach Bedarf werden dem Asbest hier Baumwolle oder andre Fasern beigemischt. In der Asbestverarbeitung benutzt man ähnliche Reißwölfe wie bei der Aufbereitung der Baumwolle. Ein Reißwolf größter Abmessung hat bei der Verarbeitung von etwa 280 kg/h einen Leistungsbedarf von rd. 7 PS.

Da es nun aber bisweilen notwendig ist, die kurzen Fasern auszusondern, so bedient man sich neben der Schüttelmaschine, Abb. 1, noch besonderer Ausleser.

⁵⁾ Z. Bd. 70 (1926) S. 1113 u. Bd. 65 (1921) S. 495.

⁶⁾ Vergl. Naske, a. a. O.

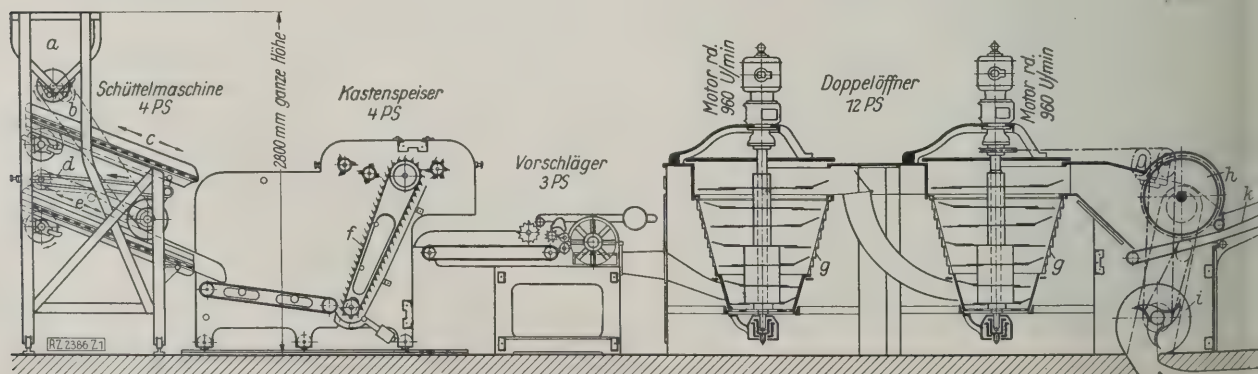


Abb. 1. Aufbereitungsanlage für Asbest.

a Fülltrichter b Zuführwalze c oberes Schüttelsieb d Förderband e unteres (feineres) Schüttelsieb f Kratzentuch
g Rost h Siebtrommel i Staubsauger k Lattentuch

meln. Die Trommeln haben Siebmäntel, durch die die feineren Fasern hindurchfallen. So kann man die kürzesten Fasern auslesen.

Hierbei erhält man ein bis zwei Sorten Spinnfasern, ferner unverspinnbare mittlere und kurze Fasern. Die ganz kurzen Fasern benutzt man bei der Herstellung von grober Pappe und Farben, während man mit den etwas längeren, aber noch nicht verspinnbaren Fasern ein filzartiges Gebilde erzeugen kann, aus dem man Asbestschiefer, Asbestpapier, Dichtungsringe u. a. fertigt. Aus dem Rohasbest gewinnt man rd. 10 vH reinen Asbest.

Herstellung der Vorgarne

Die Vorgänge bei der Herstellung der Garne sind ähnlich wie bei der Streichgarnspinnerei. Eine Zweiabnehmer-Krempel, die besonders für Asbestfabriken entworfen ist, zeigt Abb. 2. Diese Krempel legt die Einzelfaser vollständig frei und dient zur Herstellung von Vorgarn in den Nummern 5 bis 20 (d. h. 500 bis 2000 m/kg); für feinere Garne, etwa in den Nummern 20 bis 60, benutzt man Einabnehmer-Krempel. Für gröbere Garne gibt es wieder besondere Zweiabnehmer und für feine bis feinste Garne, Nummer 60 bis 200, eine besondere Bauart des Einabnehmer-Krempels. Die Krempel statet man je nach der Feinheit der zu erzeugenden Garne entweder mit einem Doppel- oder Vierfach-Nitschelwerk-Riemchenflorteiler aus. Um das Umherfliegen von Staub zu vermeiden, ist die Krempel oben mit staubdichten Hartholzhauben und unten mit Blechmulden abgedeckt.

Die gebräuchlichste Krempelbreite beträgt 1500 mm. Hierbei liefert eine Maschine etwa 30 kg Vorgarn in 1 h bei einem Leistungsbedarf von rd. 4,5 PS.

Besondere Parallelisiervorrichtungen, Streckwerk und Kämmaschinen, fehlen bei der Asbestverarbeitung. Das Vorgarn wird nicht durch Verzug, sondern vorwiegend durch Spalten verfeinert. Der Riemchenflorteiler teilt das Vlies in schmale Bändchen.

Asbest wird meist nicht rein, sondern mit 2 bis 10 vH Baumwolle versponnen. Gewöhnlich mischt man verschiedene Arten von Asbest. Jede Asbestart wird zunächst im Kollergang für sich gekollert. Gemischt wird dann, auch mit der Baumwolle oder den andern Zusätzen, im Faseröffner, der bereits oben dargestellt wurde.

Man kann die Baumwolle auch erst beim Krempeln zusetzen, Abb. 3. Die genau abgewogene Menge Baumwolle wird einer Vorkrempelung unterworfen und verläßt die Reißkrempel als Flor oder Vlies. Dieser Flor wird in die Asbestkrempel geleitet. Er legt sich auf die Asbestschicht in genau zu regelnder Weise, und nun laufen Baumwollflor und Asbestflor gleichzeitig über die Tambour- und Peigneurwalzen. Ein einheitlicher Flor entsteht, den der Riemchenflorteiler in schmale Bänder aufteilt. Im Nitschelwerk werden die einzelnen Vorgarne gebildet, die ihre Festigkeit im nachfolgenden Spinnvorgang erhalten.

Spinnen und Weben von Asbest

Beim Spinnen erhalten die Fäden Verzug und Drall; Asbestfasern vertragen nur geringen Verzug. Bisweilen dreht man beim Spinnen eine Baumwollseele oder eine Metallseele mit ein. Die Asbestspinnmaschinen, Abb. 4, ähneln denen der Baumwoll-Abfallgarnspinnerei. Nach dem Spinnen wird in üblicher Weise gezwirnt. Die Flügelzwirnmachine, Abb. 5, ist mit Gravityflügeln ausgerüstet. Die Spulenbremsvorrichtungen sind völlig eingekapselt und so vor dem Verschmutzen geschützt. Der Wagen wird mittels zweier Wagenhubwellen von Zahnstange und Exzenter bewegt.

Aus den gezwirnten Fäden kann man dann gedrehte Schnüre und aus diesen wieder Seile fertigen.

Die Herstellung der Asbestgewebe unterscheidet sich nicht wesentlich von der anderer Gewebe. Ebenso ist es mit der Erzeugung der Asbestpackungen und Asbestschnüre auf den Flecht- und Klöppelmaschinen⁷⁾. Der Zwischenraum zwischen den einzelnen Fäden oder Schnüren des Geflechtes kann je nach dem Verwendungszweck ausgefüllt werden mit feinem Asbest oder auch mit andern Füll- und Tränkmitteln, wie Kieselgur, Paraffin, Talk, Öl, Fett, Graphit usw. Zur Verstärkung werden oft andre Fäden oder Metalldrähte eingeschaltet. Mit Kaliberwalzen bringt man die Schnüre auf runden, rechteckigen oder quadratischen Querschnitt.

⁷⁾ Vergl. Z. B. 70 (1926) S. 903 u. f.

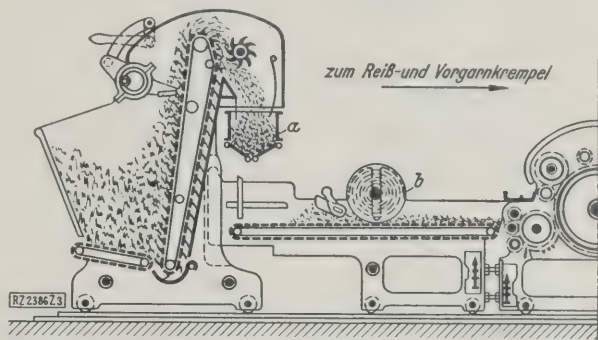


Abb. 3

Sonderausführung einer Krempel, bei der die dem Asbest a beizumischende Baumwolle in Wickelform b der Reißkrempel vorgelegt wird.

Abb. 4 (unten)

Doppeldraht-Ringspinnmaschine für feine Asbestgarne.

a Kapsel für die Aufnahme der Vorgarnwickel
b₁, b₂ Oberwalzen
c₁, c₂ Unterwalzen
d Kötzer
e Spinnring

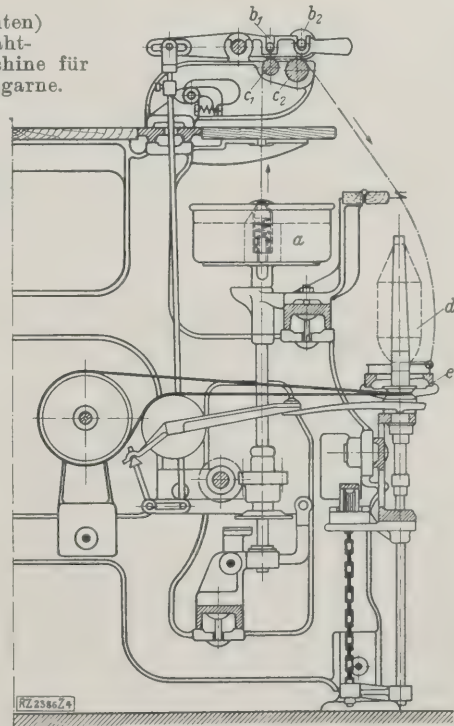


Abb. 2 (links)
Zweiabnehmer-Asbestkrempel.

a Selbstauflieger mit Waage a,
b Zuführwalzen
c Vorreißer
d Vorreißermesser
e Vortrommel
f Arbeitswalzen
g Trommel
h Läufer
i Abnehmer od. Sammler
k Hocker
l Florteiler und Aufroller (Riemchenflorteiler)

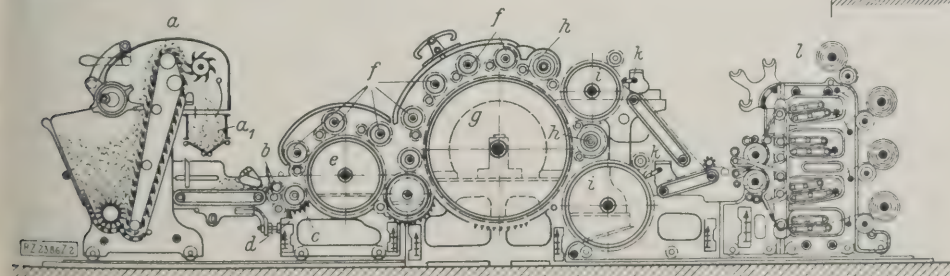
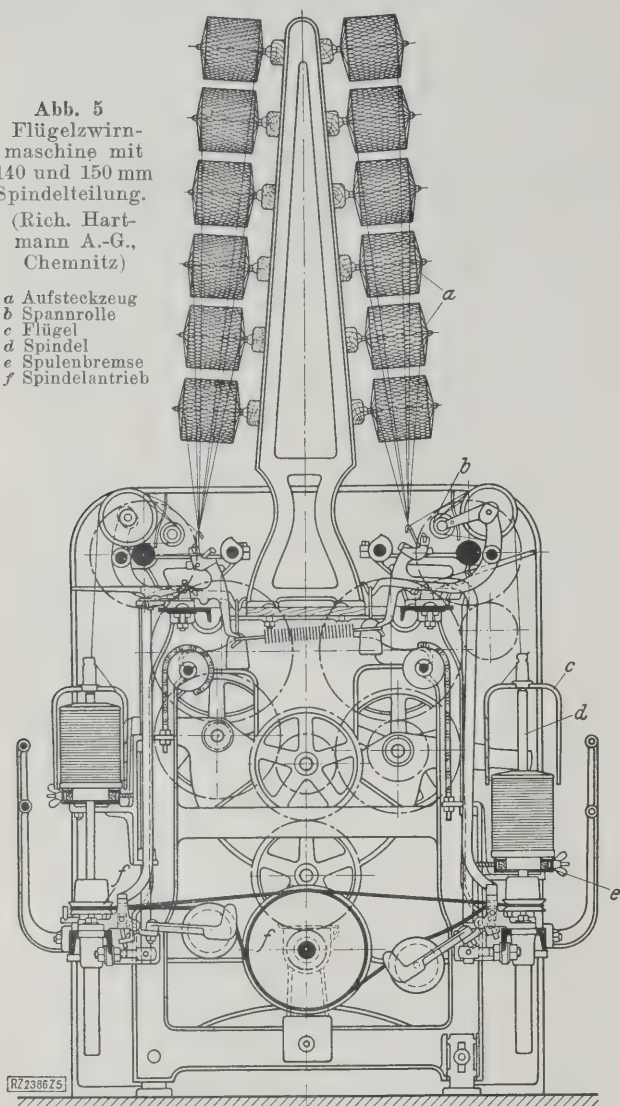


Abb. 5
Flügelzwirnmachine mit
140 und 150 mm
Spindelteilung.

(Rich. Hartmann A.-G.,
Chemnitz)

- a Aufsteckzeug
- b Spannrolle
- c Flügel
- d Spindel
- e Spulenbremse
- f Spindeltrieb



Herstellung von Asbestpappe und Asbestpapier

Hierzu werden die ganz kurzen Fasern verarbeitet, die die Hauptmenge des gewonnenen Rohasbestes darstellen. Das zu Pappe und Papier zu verarbeitende Pulver muß sehr fein sein. Benutzt man nicht von vornherein Abfälle aus der Spinnerei, so muß man den kurzfasrigen Asbest in Kollergängen gründlichst vermahlen und ihn durch Siebe von allen Gesteinen und sonstigen Verunreinigungen befreien. Die wichtigste Stufe der Aufbereitung ist dann die Verarbeitung im Holländer. Hier wird, wie in der Papierfabrikation, gemahlen und gemischt.

Pappen können ohne Bindemittel nicht hergestellt werden. Die Masse besteht aus etwa 75 bis 80 vH Asbest, 3 vH Bindemitteln und im übrigen aus Füllstoffen, insbesondere Kaolin. Bemerkenswert ist, daß ein sehr großer Wasserüberschuß der fertig vermahlenen Masse in der Rührbütte zugeführt wird. Das hat den Zweck, die Gleichmäßigkeit zu erhöhen.

Die Pappenmaschine für Asbestverarbeitung ist nicht wesentlich von gewöhnlichen Pappenmaschinen unterschieden. Sie hat Rundsiebe, die üblichen Gautschwalzen, Preßpartie, Formatwalzen usw. Nach dem Verlassen der Maschinen enthalten die Pappen noch so viel Wasser, daß man sie unter etwa 150 bis 250 at Druck in Wasserdrukpressen behandelt. Schließlich trocknet man im Kanaltrockner bei Temperaturen bis zu 80°. Die Pappen durchwandern den Trockner hängend⁶⁾.

Bei der Herstellung von Asbestpapier werden die Stoffe noch feiner zerkleinert; die Masse wird

noch gründlicher von Knoten gereinigt. Die Formatwalze fehlt und die Preßpartie ist anders gebaut, da die Feinheit der Papierschicht gestattet, das Wasser viel weitergehend abzapressen als bei den dicken Pappen. Man hat daher zwei Saugpressen, deren erste schon bis auf 30 vH entwässert. Auf der Oberfläche einer Reihe von Trockenzylindern wird dann in üblicher Weise das letzte Wasser verdampft.

Die für die neuere Dampftechnik als Dichtung so wichtigen It-Platten bestehen zu etwa zwei Teilen aus Asbest, je einem Teil Füllstoff (Eisenoxyd, Magnesia) und einem Teil Kautschuk in Lösung von Benzin als Bindemittel. Die gut gemischte Masse wird in einem Plattenwalzwerk zu Platten der gewünschten Dicke verarbeitet. Man kann auch fertige Platten mit einer Gummilegierung zusammenkitten und in Kalandrwalzwerken unter beträchtlichem Druck pressen. Diese Platten sollen sich sogar besonders gut bewährt haben.

Wird die Beanspruchung durch Hitze und mechanische Angriffe größer, so muß man die Anwesenheit von organischen Bestandteilen vermeiden. Man verwendet dann in neuester Zeit mit Kupferfolien umhüllte oder galvanisch verkupferte Asbestringe, deren weicher Metallmantel als Dichtungsmittel dient.

Aus einer Mischung von feinstem Asbest- und Zementmehl erhält man den vielverwendbaren Asbestzementschiefer⁶⁾.

3. Einige weitere Anwendungen des Asbestes

Wegen seiner schlechten Leitfähigkeit wird Asbest in der Elektrotechnik als Isolierstoff sehr geschätzt. Allerdings nimmt er in reinem Zustand verhältnismäßig leicht Feuchtigkeit auf. Aber eben diese Feuchtigkeit macht ihn geeignet zum Tränken mit hochisolierenden Stoffen, Firnissen, Asphalt usw. Besonders wird Asbest in der Form von Pappe, als Garn oder als Gewebe in der Elektrotechnik benutzt. Eternit verwendet man da, wo gleichzeitig hohe mechanische und elektrische Festigkeit gebraucht werden. Die isolierenden Handgriffe, Sockel und Deckel der Schalter, Wanddosen, Führungen usw. werden mit gutem Erfolge vielfach aus Gemischen von Asbestpulver mit Harzen, Kautschuk, Pech usw. hergestellt, die sich schneiden, sägen, hobeln, drehen, fräsen und polieren lassen.

Besonders hoch ist der Asbestverbrauch in der chemischen Industrie. Seine Widerstandsfähigkeit gegen Säuren macht ihn (in seinen verschiedenen Formen) unentbehrlich als Auskleidungs- und Dichtungsmittel. Langfaseriger Asbest dient zum Filtern von Stoffen, die jedes andere Filter zerstören würden; also z. B. bei heißen Säuren und scharfen Laugen. Man legt dabei entweder die Filtergefäße unmittelbar mit Asbest aus, oder man setzt den Asbest einfach den zu filternden Flüssigkeiten zu. Er setzt sich sofort ab und tut seine reinigende Wirkung. Die Tücher der Filterpressen in Zuckerfabriken und Raffinerien bestehen vielfach aus Asbest, da Tücher aus organischen Fäden den hier auftretenden ätzenden Kalkverbindungen nicht lange widerstehen können. — Bekannt ist als Kontaksubstanz der Platin-Asbest. Er wird dadurch erhalten, daß man Asbestfasern in einer Lösung von Platin in Königswasser tränkt. Die Fasern werden dann geglüht und man erhält Platin in feinsten Form auf den Asbestfäden niedergeschlagen. Die I.-G. Farbenindustrie verbrauchen jährlich in ihren Betrieben etwa 300 000 kg Asbest. Auch als Wärmeisolerstoff⁶⁾ benutzt man Asbest oft, und in Bremsbändern bewirkt seine natürliche Schlupfrigkeit, daß die Reibung allmählich und sanft einsetzt. Man erzielt so stoßfreien Lauf und vermeidet Heißwerden.

In neuerer Zeit versucht man, Asbest auch im Straßenbau zu verwenden; man mischt ihn mit Asphalt und anderen bituminösen Massen, mit Zement usw. Es erscheint nicht ausgeschlossen, daß sich hier ein besonders aussichtsreiches Verwendungsgebiet gerade für die immer noch im Überschuß anfallenden kürzeren Fasern eröffnet.

[B 2386]

⁶⁾ Vergl. Z. Bd. 70 (1926) S. 1335 u. f., Bd. 71 (1927) S. 676 u. f. u. Bd. 73 (1929) Nr. 5 S. 172.

⁶⁾ Vergl. Z. Bd. 61 (1917) S. 381 u. 515.

Thermodynamik der Staubfeuerung

Von P. ROSIN, Dresden¹⁾

Die Untersuchung der thermischen Grundlagen zeigt die Staubfeuerung als ausgesprochenes Geschwindigkeitsproblem. Brennzeit, Belastungsfähigkeit, Feuerraumgröße und Gasgeschwindigkeit stehen in einem gesetzmäßigen Zusammenhange, der bei der Konstruktion nicht außer acht gelassen werden darf. Theoretisch ist die Belastungsfähigkeit der Feuerräume der Brennzeit umgekehrt proportional, und die Brennzeit selbst ist eine verwickelte Funktion von Staubfeinheit, Temperatur und aerodynamischen Verhältnissen des Feuerraumes; praktisch hängt die Belastbarkeit von der Geschwindigkeit der Wärmeübertragung an die Heizflächen ab.

Die Leistung eines Dampfkessels beruht auf der Entwicklung einer bestimmten Wärmemenge im Feuerraum. Das Maß dieser Wärmeentwicklung ist die Belastung des Feuerraumes in kcal/m³ h. Heute gelten noch als wichtigste Merkmale einer Kesselanlage der Wirkungsgrad, der eine reine Gütezahl, ein Urteil über Verrennung und Wärmeübertragung ist, und die spezifische Dampferzeugung, die mit der eigentlichen Verbrennung nichts zu tun hat. Es fehlt aber die Größe für die Geschwindigkeit der Verbrennung, die Belastung des Feuerraumes. Hohe Wirkungsgrade senken die Brennstoffkosten, hohe Belastungen den Kapitaldienst. Welcher Posten in der Gesamtbilanz wichtiger ist, entscheidet gewöhnlich der Ausnützungsgrad des Kraftwerks und der Preis der Kohle. In Urteil über die Wirtschaftlichkeit einer Feuerungsanlage läßt sich daher nur aus der Verbindung von Wirkungsgrad als Maß der Güte der Verbrennung und von Belastung als Maß ihrer Geschwindigkeit fällen.

Diese Arbeit befaßt sich mit dem Begriff der Belastung und den Einflüssen, von denen sie abhängt. Deshalb ist zuerst eine genaue Erklärung dieses Begriffes notwendig²⁾. Die Belastung eines Feuerraumes ist die Anzahl von Kalorien, die darin auf 1 m³ in 1 h bei vollständiger und restloser Verbrennung einschließlich der Vorwärmung stammenden Wärme entwickelt wird. Theoretisch ist der Begriff der Belastung nicht an vollständige und restlose Verbrennung gebunden, denn er zieht sich nur auf die im Feuerraum freigemachte Wärme; die auf Nachverbrennung und Unausgebranntes entfallenden Anteile der zugeführten Wärme sind aber praktisch niemals auch nur annähernd bestimmbar. Nur wenn man daher vollständige und restlose Verbrennung im Feuerraum annimmt, erhält der Begriff Belastung die Eigenschaft einer wichtigen Kenngröße für Erreichtes und eines hilfreichen Wegweisers in neue Entwicklungsgebiete.

Ich habe im Jahre 1925 auf aerodynamischer Grundlage die erste Belastungsgleichung von Verbrennungsräumen entwickelt³⁾

$$B = \frac{3600 H_u}{V_T z} \quad [\text{kcal/m}^3 \text{ h}] \quad \dots \dots \dots (1).$$

hierin bedeutet

- H_u den unteren Heizwert des Brennstoffes in kcal/kg,
- V_T das aus 1 kg Brennstoff entwickelte Gasvolumen in m³ bei der absoluten Temperatur T des Feuerraumes,
- z die Brennzeit des größten Staubkorns in s.

¹⁾ Vorgetragen in der 2. Internationalen Kohlenkonferenz zu Edinburgh.

²⁾ Archiv für Wärmewirtschaft Bd. 7 (1926) S. 3.

³⁾ Vergl. „Braunkohle“ Bd. 24 (1925) S. 241.

Zahlentafel 1. Einfluß des Luftüberschusses auf die Belastung *)

Bezeichnung	Dimension	Luftüberschuß				
		1,0	1,25	1,5	1,75	2,0
0,760 mm Q.-S.	m ³ /kg	7,9	9,75	11,7	13,55	15,45
	kcal/m ³	890	720	600	520	455
t_{max}	° C	2040	1800	1590	1430	1280
t_{max}	° abs	2313	2073	1863	1703	1553
T_{max}	—	18 250	20 200	21 800	23 100	24 000
vH	vH	100	90	84	79	76

*) Berechnet für Steinkohle mit $H_u = 7000$ kcal/kg.

Wenn V_0 das Abgasvolumen Normalgas bei 0°, 760 mm Q.-S. für 1 kg Brennstoff in m³ bezeichnet, so ist

$$V_T = V_0 \frac{T}{273} \quad \dots \dots \dots (2),$$

$$B = 982\,000 \frac{H_u}{V_0} \frac{1}{T} \frac{1}{z} \quad [\text{kcal/m}^3 \text{ h}] \quad \dots \dots \dots (3).$$

Im Jahre 1926 gelang mir der Nachweis, daß der Quotient H_u/V_0 , das Verhältnis von unterem Heizwert und Normalabgasvolumen, für alle Brennstoffe einer gesetzmäßigen Beziehung gehorcht⁴⁾. Deshalb kann man den Wert dieses Bruches bei derselben Kohle nur durch den Luftüberschuß beeinflussen. Erhöhter Luftüberschuß vergrößert das Gasvolumen, senkt aber auch gleichzeitig die Temperatur T des Feuerraumes, solange die Verbrennungsluft nicht hoch vorgewärmt ist. Zahlentafel 1 und Abb. 1 zeigen, daß höhere Luftüberschüsse immer geringere Belastbarkeit bedeuten⁵⁾.

Sieht man indessen von den Veränderungen durch wechselnde Luftüberschüsse ab, so kann man H_u/V_0 für die folgenden Untersuchungen als konstant ansehen und erhält

$$B = \text{konst} \frac{1}{T} \frac{1}{z} \quad [\text{kcal/m}^3 \text{ h}] \quad \dots \dots \dots (4).$$

Der Zahlenwert der Konstanten ist für beliebige Kohlen und Luftüberschüsse leicht zu berechnen, da H_u/V_0 für alle Brennstoffe und Luftüberschüsse aus den Hilfstafeln des It -Diagrammes⁶⁾ abgegriffen werden kann. Bei theoretischer Luftmenge und Grenztemperatur erhält man aus Gl. (1) die schon früher⁷⁾ von mir abgeleitete Beziehung

$$B = \frac{338\,000}{z} \quad [\text{kcal/m}^3 \text{ h}] \quad \dots \dots \dots (5),$$

welche die Belastung als hyperbolische Funktion der Zeit zeigt. Das Belastungsproblem ist also ein Geschwindigkeitsproblem, und seine Charakteristik ist die Zeit, in der sich die Verbrennung in der Feuerung abspielt.

Zahlentafel 2 mag den Einfluß der Brennzeit an einem praktischen Beispiel veranschaulichen. Sie enthält für einen 1000 m²-Kessel in Abhängigkeit von der Brennzeit die Grenzbelastung des Feuerraumes, die Dampferzeugung, bezogen auf 1 m³ Feuerraum, den notwendigen Feuerrauminhalt bei einer Dampfleistung von 43 kg/m²h und von

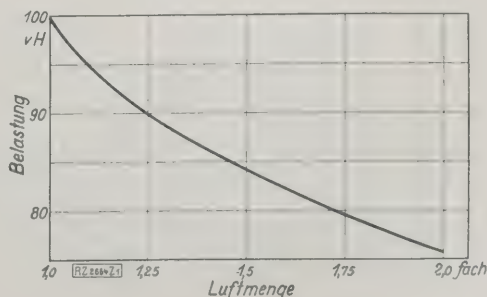
⁴⁾ Vergl. Rosin, Das It -Diagramm der Verbrennung. Z. Bd. 71 (1927) S. 383.

⁵⁾ Bei dieser und den folgenden Rechnungen sind Nebenwirkungen, wie Änderung des Wärmeübergangs, der Brennzeit usw., nicht berücksichtigt, da es auf qualitative Darstellung ankommt.

⁶⁾ Rosin-Fehling, Das It -Diagramm der Verbrennung, Berlin 1929.

⁷⁾ Vergl. „Braunkohle“ a. a. O.

Abb. 1
Einfluß des Luftüberschusses auf die Belastung, s. a. Zahlentafel 1.



Zahlentafel 2
Abhängigkeit der Belastung von der
Brennzeit
Dampfkessel von 1000 m² Heizfläche

Brenn- zeit <i>z</i>	Belastung <i>B</i> kcal/m ² h	Dampfer- zeugung kg/m ² h	notwendiger Feuerraum bei		Verhältnis von Heiz- fläche zu Feuerraum bei	
			43	100	43	100
			kg/m ² h Belastung der Heizfläche m ³	kg/m ² h Belastung der Heizfläche m ³	kg/m ² h Belastung der Heizfläche m ² /m ³	kg/m ² h Belastung der Heizfläche m ² /m ³
s						
4	84 500	109	396	922	2,5	1,1
3	112 500	145	297	691	3,4	1,4
2	169 000	218	198	461	5,1	2,2
1	338 000	435	99	230	10	4,4
0,6	564 000	727	59	138	17	7,3
0,5	676 000	873	50	115	20	8,7
0,4	845 000	1090	40	92	25	11
0,3	1 125 000	1450	30	69	34	14
0,2	1 690 000	2180	20	46	51	22
0,1	3 380 000	4350	10	23	101	44

100 kg/m²h und das Verhältnis von Heizfläche zu Feuerraum bei diesen beiden Dampfleistungen. Dabei ist zu bemerken, daß die längste Brennzeit des größten Kernes üblicher Staubfeuerungen 4 s nicht überschreitet. Die Belastungen der meisten Feuerräume in Kraftwerken mit Kohlenstaubfeuerung liegen zwischen 100 000 und 200 000 kcal/m²h, entsprechend längsten Brennzeiten von 1,5 bis 3 s; bei Lokomotiven stehen dagegen nur 0,15 bis 0,2 s zur Verfügung. Bei den heutigen Belastungen gehört, wie Zahlentafel 2 zeigt, zu einem 1000 m²-Kessel mit 100 t/h Dampferzeugung ein Brennraum von mindestens 500 bis 600 m³. Hieraus erkennt man die Notwendigkeit, die Belastung zu steigern. Da indessen die Belastung der Brennzeit umgekehrt proportional ist, so müssen wir die Brennzeit verkürzen.

Die Brennzeit und ihre Einflußgrößen

Die Brennzeit ist der Ausdruck vieler, teils unabhängiger, teils voneinander abhängiger Veränderlichen, der Sammelbegriff für die Geschwindigkeit mannigfaltiger physikalischer und chemischer Reaktionen, deren Einzelvorgänge nicht mathematisch faßbar, zum Teil auch chemisch noch gar nicht erforscht sind. Indessen läßt sich der Einfluß der drei wichtigsten Größen, von denen die Brennzeit abhängt, wenigstens qualitativ untersuchen. Diese sind: Staubfeinheit (*St*), Temperatur (*T*) und die Gesamtheit der hydro- oder aerodynamischen Vorgänge im Brennraum (*Ae*).

Man kann also die Brennzeit ausdrücken als Funktion dieser drei Unabhängigen:

$$\frac{1}{z} = f(St, T, Ae) \dots \dots \dots (6)$$

und damit die Belastung nach Gl. (4)

$$B = \frac{\text{konst}}{T} f(St, T, Ae) \dots \dots \dots (7).$$

Staubfeinheit

Daß die Brennzeit mit abnehmender Korngröße kürzer wird, ist klar. Das Gesetz, nach dem Brennzeit und Korngröße zusammenhängen, ist nach meinen Untersuchungen die Gleichung einer allgemeinen Hyperbel von der Form

$$z = \frac{C}{\left(\frac{F}{G}\right)^m} \text{ [s]} \dots \dots \dots (8),$$

worin *z* = Brennzeit in s,
C = Konstante,
F = geometrische Oberfläche des Staubkorns in mm²,
G = Gewicht des Staubkorns in mg,
m = Exponent

ist. Für die rechnerische Auswertung dieser Gleichung muß man die vereinfachende Annahme treffen, daß die wahrscheinlichste mittlere Kornform ein Würfel oder eine Kugel ist. Bei der Kantenlänge oder dem Durchmesser *a* und dem spezifischen Gewicht *γ* wird

$$\frac{F}{G} = \frac{6}{\gamma a} \left[\frac{\text{mm}^2}{\text{mg}} \right] \dots \dots \dots (9).$$

Da *γ* bei bekannter Kohlenart als Konstante gelten kann folgt

$$z = \text{konst } a^m, \dots \dots \dots (10)$$

worin

$$\text{konst} = C \left(\frac{\gamma}{6} \right)^m \dots \dots \dots (11)$$

In dieser Form erscheint also *z* nur als Funktion der Kantenlänge, während es nach Gl. (6) außerdem eine Funktion von Temperatur und aerodynamischen Verhältnissen ist. Die Einflüsse dieser beiden Unabhängigen sind demnach im Exponenten *m* enthalten.

Gl. (10) kann also nur für dieselbe Kohle bei eindeutigen gleichbleibenden Werten von *T* und *Ae* den gleichen Exponenten haben. Sowie sich Temperatur und Strömungsverhältnisse im Feuerraum ändern, ändert sich auch *m*, und die Abhängigkeit der Brennzeit von der Korngröße verläuft nach einer anderen Hyperbel. Leider sind diese Zusammenhänge noch nicht genügend beachtet worden, so daß die früher⁸⁾ von mir für deutsche Braunkohle bei 1300 °C experimentell gewonnenen Zahlenwerte *C* = 1000 und *m* = 1,8 vielfach im Schrifttum verallgemeinert, mit anderen Werten verglichen und auf andere Verhältnisse übertragen wurden, woraus leicht Fehlschlüsse entstehen⁹⁾.

Außer den drei genannten Größen üben noch die chemische Zusammensetzung und vor allem Menge und Heizwert der flüchtigen Bestandteile einen Einfluß auf die Verbrennungsgeschwindigkeit aus, der wahrscheinlich durch den Wert der Konstanten *C* in Gl. (11) ausgedrückt werden kann, so daß diese die Einflüsse der Kohlenart, des Exponenten *m* die Abhängigkeit von den Verhältnissen im Feuerraum zum Ausdruck bringt. Man sieht, wie weit wir noch von der quantitativen Anwendung dieser Gleichung auf praktische Fälle entfernt sind.

Nur eine wichtige Frage läßt sich heute schon beantworten, inwieweit nämlich durch Erhöhen der Feinheit die Belastung eines Feuerraumes gesteigert werden kann. Hierzu reicht Gl. (10) unter dem Vorbehalt aus, daß durch das Feinermahlen Temperatur und Strömungsverhältnisse im Feuerraum nicht verändert werden. Für die Wiedergabe des grundsätzlichen Verlaufes der Abhängigkeit zwischen Feinheit und Brennzeit genügt es, daß die Zahlenwerte in Gl. (10) und (11) mit einer wirklich vorkommenden Größenordnung übereinstimmen. Daher sei auf *C* = 1000 und *m* = 1,8 zurückgegriffen. Der Untersuchung sei Steinkohle von 7000 kcal/kg unterem Heizwert und *γ* = 1,2 zu Grunde gelegt, die als Staub mit der 1,25fachen Luftmenge verbrannt wird. Nach Gl. (3) und (10) ist:

$$B = 982\,000 \cdot \frac{7000}{9,75} \cdot \frac{1}{2073} \cdot \frac{1}{z} = \frac{6200}{a^{1,8}} \text{ [kcal/m}^2\text{h]} \dots (12).$$

In Zahlentafel 3 ist Gl. (12) für Kantenlängen von 10 bis 200 μ ausgewertet, da für die heutigen Kraftwerkessel jeder Staub als brennfertig gelten kann, wenn die Kantenlänge seines größten Kernes 200 μ nicht übersteigt. Sie bestätigt, daß die gewählten Werte den heutigen Verhältnissen der Kessel mit Staubfeuerung entsprechen, bei denen für Staub, der auf dem deutschen Sieb Nr. 30 (Maschenweite 200 μ) keinen Rückstand ergibt, Belastungen zwischen 100 000 und 200 000 kcal/m²h die Regel sind.

⁸⁾ „Braunkohle“ Bd. 24 (1925) S. 244.
⁹⁾ Gumz, „Feuerungstechnik“ Bd. 15 (1927) S. 186; Bleibtreu, 13. Berichtfolge des Kohlenstaubausschusses des Reichskohlenrates S. 7.

Zahlentafel 3
Abhängigkeit der Belastung von der
Staubfeinheit.

Kantenlänge <i>μ</i>	Belastung kcal/m ² h	Kantenlänge <i>μ</i>	Belastung kcal/m ² h
10	24 700 000	110	330 000
20	7 100 000	120	282 000
30	3 420 000	130	242 500
40	2 035 000	140	213 500
50	1 362 000	150	188 500
60	983 000	160	168 000
70	744 000	170	150 500
80	585 000	180	136 000
90	473 000	190	122 500
100	391 000	200	112 500

Dem Wesen der Exponentialfunktion entsprechend nimmt die Belastung mit abnehmender Kantenlänge immer stärker zu; von einer bestimmten Feinheit ab könnte sie gar beliebig hoch gesteigert werden, ohne daß hierzu noch eine wesentliche Erhöhung der Feinheit notwendig wäre, sofern es die beiden andern Unabhängigen, Temperatur und Strömung, zulassen. Es fragt sich nur, wo die praktischen Grenzen für die Feinheit liegen. Nach Zahlenfeld 3 wird die Belastung von 2 Mill. kcal/m³h erst bei 1 μ überschritten, also bei einer Kantenlänge, die noch unterhalb der Maschenweite des deutschen Siebes Nr. 100 (10 000 Maschen auf 1 cm²) liegt.

Eine solche Feinheit kommt wirtschaftlich für die Selbstfeuerung nicht in Frage. Der Kohlenstaub braucht aber nicht ohne Rückstand durch ein solches Sieb zu gehen. Man kann vielmehr einen gewissen Rückstand und damit einen Feuerungsverlust zulassen, wenn man nur diese hohe Belastung erzielt und dabei den Verlust infolge unvollständigen Ausbrandes ausgleicht durch die geringeren Kapitalkosten infolge der höheren Belastung. Voraussetzung dafür ist allerdings, daß die unverbrannten Teile keine Betriebsstörungen durch Aschenansätze und Schwalbennester hervorrufen. Unbedingte Klarheit muß an sich indessen über die Größe des Verlustes durch unvollständigen Ausbrand verschaffen.

Das ist heute auf Grund der Forschungen über die Zusammensetzung von Kohlenstaub möglich, die ich zusammen mit Rammler im Auftrag des Reichskohlenrates ausführt habe¹⁰⁾, Abb. 2. Aus ihnen ergibt sich, daß schon bei den heute üblichen Feinheiten von 10 bis 20 vH Rückstand auf dem Sieb mit 4900 Maschen auf 1 cm² der größte Anteil auf eine Kornklasse entfällt, deren Brennzeit unter den Umständen beliebig hohe Belastungen erreichen läßt. Nur die verhältnismäßig geringen Anteile an Körnern von großer Kantenlänge brennen in einer zu hoch belasteten Feuerung nicht vollständig aus, sind aber auch nicht ganz so Verlust zu buchen, da sie an der Verbrennung teilnehmen.

Um den oberen Grenzwert dieses Verlustes festzustellen, muß man Annahmen über den Verlauf der Verbrennung eines Staubkorns machen. Versuche liegen hierüber noch nicht vor. Wir kennen nur die Grenzen, daß nämlich von einem Korn mit der Brennzeit z zur Zeit null vH und zur Zeit z 100 vH verbrannt sind. Es bedeute: z die zur Verfügung stehende Brennzeit, a die Kantenlänge oder den Durchmesser der in dieser Zeit gerade noch restlos verbrennenden Kornklasse, z_i die Brennzeit einer andern Kornklasse mit der Kantenlänge $a_i > a$ ($z_i > z$), z_n den größten vorkommenden Wert von Kantenlänge oder Durchmesser.

Wir betrachten ein einzelnes Staubkorn mit der Kantenlänge a_i . Die einfachste Annahme ist, daß es proportional der Zeit abbrennt, daß also das Gewicht nach der Geraden B , Abb. 3, abnimmt. Sicher entspricht diese Annahme nicht dem wirklichen Verbrennungsverlauf, der wahrscheinlich durch die gestrichelte Linie wiederzugeben ist. Weil die lineare Abhängigkeit zu hohe Anteile an Unverbranntem liefert, wird unsere Rechnung also ungünstiger als die Wirklichkeit. Wenn somit schon die Rechnung einen erträglichen Verlust liefert, so muß er in Wirklichkeit noch kleiner werden.

Kohlenstaub¹¹⁾ besteht nun aus stetig aufeinander folgenden Kornklassen mit den Kantenlängen $a_1, a_2, a_3, \dots, a_{n-1}, a_n$, von denen die Anteile $r_1, r_2, \dots, r_i, \dots, r_n$ vorhanden sind, derart, daß $\sum_{i=1}^n r_i = 1$ = der gesamten Staubmenge ist. Für die Kornklasse r_i ist der unverbrannte Rückstand bei der Brennzeit z

$$u_i = r_i - r_i \frac{z}{z_i} \dots \dots \dots (13).$$

Die Summe des insgesamt Unverbrannten ist also

$$U = \sum u_i = \sum_{i=1}^n r_i - z \sum_{i=1}^n \frac{r_i}{z_i} \dots \dots \dots (14),$$

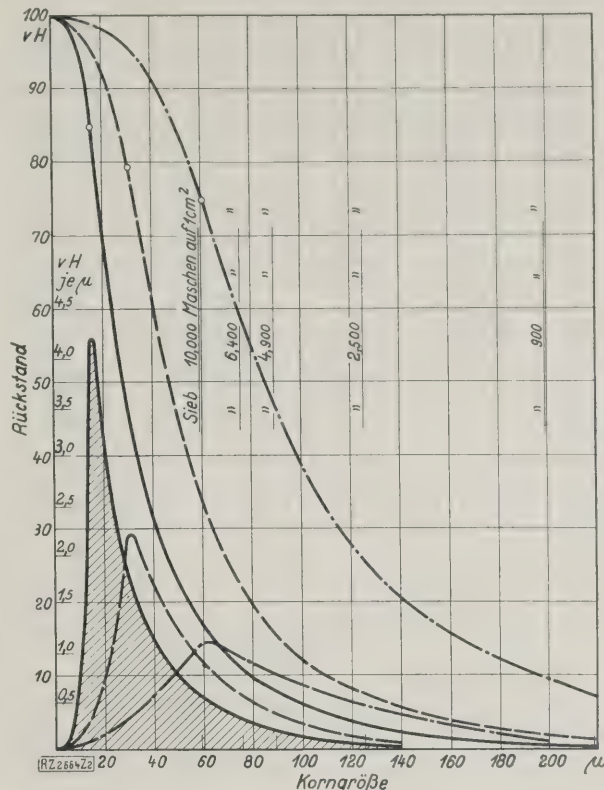


Abb. 2
Kennlinien und Verteilung der Korngröße von Kohlenstaub.

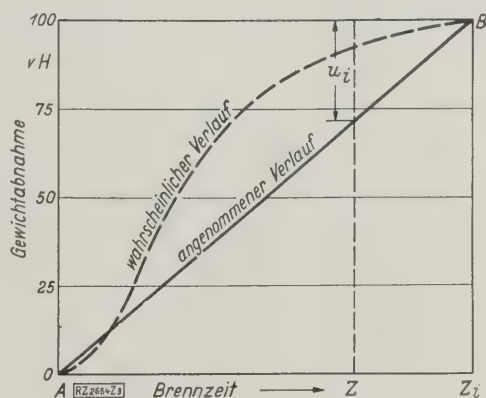


Abb. 3
Verlauf der Verbrennung eines Staubkornes.

da die Kornklassen von 0 bis a Kantenlänge oder Durchmesser, entsprechend einer Brennzeit 0 bis z , vollständig verbrennen.

$\sum_{i=1}^n r_i$ ist aber der gesamte Rückstand R_a des Staubes auf dem Sieb mit der Maschenweite a , also

$$U = R_a - z \sum_{i=1}^n \frac{r_i}{z_i} \dots \dots \dots (15).$$

Nach Gl. (15) kann man die Linie des Verlaufs der gesamten Verbrennung ermitteln, wenn man die Staubkennlinie und die Brennzeit als Funktionen der Kantenlänge aufgetragen hat und die Brennzeit von z_0 bis z_n und sinngemäß den Rückstand R_a und die untere Summengrenze der Kantenlänge verändert. Auf diese Weise ist in Abb. 4 die Verbrennungslinie gewonnen, die gestattet, für jede beliebige Brennzeit den unverbrannten Rückstand abzulesen.

¹⁰⁾ Z. Bd. 71 (1927) S. 1.
¹¹⁾ Vergl. hierzu Rosin-Rammler a. a. O.

Abb. 4 gilt für Staub aus westfälischer Fettkohle, die auf einer Rohrmühle vermahlen wurde¹²⁾. Bei einer Brennzeit von 1 s, entsprechend einer Belastung von 340 000 kcal/m³ h, beträgt der Verlust an Unverbranntem höchstens 4 vH, während er bei 1 000 000 kcal/m³ h auf etwa 11,5 vH steigt. Man ersieht hieraus, daß man zum Erreichen so hoher Belastungen zwar feiner mahlen muß, daß aber die Feinheit nicht bedeutend höher zu sein braucht, wenn die Verluste an Unverbranntem erträglich sein sollen, zumal die Berechnung noch zu hohe Werte liefert.

Aufhäuser¹³⁾ erklärt als wahre Verbrennung die elementare Oxydation der Wassergasbestandteile CO und H₂. Da diese in den natürlichen Brennstoffen von vornherein nicht vorhanden sind, so muß der eigentlichen Verbrennung eine Wandlung zu dieser Verbrennungsreife vorangehen, bestehend in der pyrogenen Zersetzung der Brennstoffe und einer additiven Oxydation oder Überoxydation, die von einer gewissen Beschleunigung an die Zündung darstellt. Somit zerfällt der als einheitlich wahrgenommene Verbrennungsvorgang in zwei wesensverschiedene Abschnitte: in die Wandlung zur Verbrennungsreife und in die eigentliche Verbrennung.

Die Wandlung selbst besteht wieder in drei Vorgängen: der Wärmeaufnahme, der pyrogenen Zersetzung unter Abgabe der flüchtigen Bestandteile und der additiven Oxydation, die in ihrer beschleunigten Phase die Zündung bedeutet. Nur darf man nicht denken, daß diese Vorgänge zeitlich streng getrennt hintereinander verlaufen. Sie tun es schon bei dem einzelnen Staubkorn nicht. Sowie dieses in den Feuerraum eintritt, beginnt seine Erwärmung. Wegen seiner schlechten Wärmeleitfähigkeit tritt sehr bald ein Wärmestau und damit die pyrogene Zersetzung der Oberfläche ein, wobei Gase austreten. Gleichzeitig beginnt auch die Adsorption von Sauerstoff und die Autoxydation, die beide zur schnellen Temperatursteigerung beitragen, so daß die Zündung eintritt. Während sich aber diese Vorgänge an der Oberfläche abspielen, setzt sich die Wärmeleitung in das Innere fort und bewirkt dort fortschreitend die Vollen-

derung der pyrogenen Zersetzung. Die geschilderte Wandlung zur Verbrennungsreife ist ein Vorgang, der, hauptsächlich auf der Wärmeleitfähigkeit des Brennstoffes beruhend, eine endliche Zeit beansprucht. Infolgedessen beobachten wir in noch ausgesprochenem Maße als bei den kompressorlosen Dieselmotoren und den Ölf Feuerungen den Zündverzögerung¹⁴⁾, den zuerst Hawkes¹⁵⁾ an Dieselmotoren untersucht hat. Der Zündverzögerung ist in Kohlenstaubfeuerungen noch größer, weil der größte Durchmesser der Brennstoffteilchen bei Dieselmotoren nur 10 µ¹⁶⁾ und bei Ölf Feuerungen etwa 20 µ¹⁷⁾, beim Staub dagegen bis zu 200 µ beträgt.

Da aber der Höchstwert der Linie der Kornverteilung bei feingemahlenem Kohlenstaub zwischen 10 und 20 µ liegt, so kann man auch für Kohlenstaub die Größenordnung des an Dieselmotoren und Ölf Feuerungen beobachteten Zündverzögerung heranziehen. Ich habe aus vielen Beobachtungen an Staubfeuerungen ungefähr 0,05 bis 0,2 s Zündverzögerung ermittelt. Diese Werte zeigen, daß, ebenso wie das Öl während des Zündverzögerung in der Dieselmotore nur zu einem kleinen Teil verdampfen kann, auch die Entgasung des Staubes vor der Zündung nur ein geringes Maß erreicht und sich auf die Oberfläche beschränkt. Denn der Zündverzögerung ist viel zu kurz, als daß bei der geringen Wärmeleitfähigkeit der Kohle ihre pyrogene Zersetzung in nennenswertem Umfang eintreten könnte.

Die Größe des Zündverzögerung ist maßgebend für den Verlauf des Anfangs der Verbrennungslinie in Abb. 3. Da für die hohen Belastungen nur Bruchteile von Sekunden als Gesamtbrennzeit zur Verfügung stehen, so

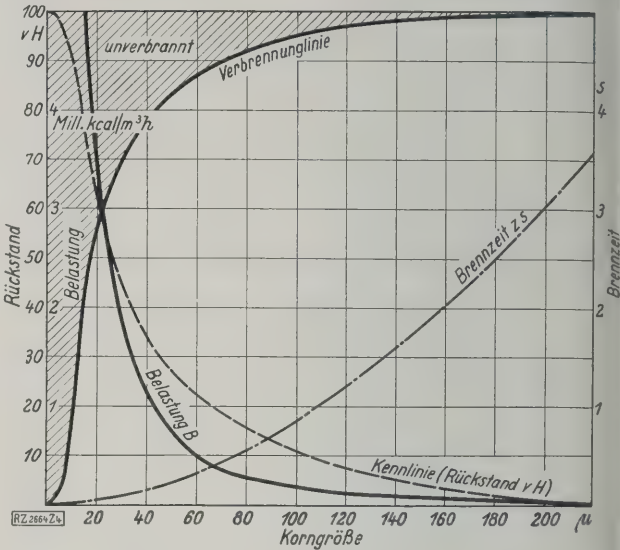


Abb. 4
Verbrennungslinie und Belastung in Abhängigkeit von der Korngröße.

erkennt man, welche große Bedeutung dem Zündverzögerung zukommt. Ihn zu vermeiden, ist somit die wichtigste Aufgabe der Brennzeitverkürzung.

Einfluß der Temperatur auf Zündverzögerung und Brennzeit

Die Belastung hängt von der Temperatur in unmittelbarer und in mittelbarer Weise ab. Gl. (4) zeigt zunächst, daß mit sinkender Feuertemperatur die Belastbarkeit des Feuerraumes steigt, weil das Rauchgasvolumen $V_0 T$ abnimmt. Auf der andern Seite ist nach

$$\frac{1}{z} = f(St, T, Ae) \dots \dots \dots (6)$$

z auch eine Funktion der Temperatur in dem Sinne, daß mit steigender Temperatur die Brennzeit sinkt und damit die Belastbarkeit wächst, weil die Reaktionen der Wandlung und Verbrennung bei hoher Temperatur mit größerer Geschwindigkeit verlaufen. Diese beiden Einflüsse der Temperatur arbeiten sich also gewissermaßen entgegen, brauchen einander aber nicht auszuschließen. Denn für das Volumen ist die fühlbare mittlere Temperatur der Gasmasse im Verbrennungsraum, für die Reaktionsgeschwindigkeit dagegen ist die Temperatur des einzelnen Kohlenstaub- oder Gasteilchens oder der reagierenden Grenzschicht maßgebend. Beide Temperaturen sind voneinander verschieden.

Die Abhängigkeit der Belastung von der Gastemperatur ist eine einfache hyperbolische Funktion; in Abb. 5 ist sie für verschiedene Brennzeiten dargestellt. Man kann sich die Verbrennung einmal so geführt denken, daß sie in einem Raum mit der theoretischen Grenztemperatur erfolgt und daß dann erst die Gase im eigentlichen Arbeitsraum mit den Kesselheizflächen in Wärmeaustausch treten, wie in den Anfängen der Staubfeuerung mit ihren nahezu adiabatischen, ungekühlten Brennkammern, ähnlich wie noch heute in den metallurgischen Öfen. Findet dagegen die Verbrennung in einem Feuerraum mit gekühlten Wänden statt, so daß unmittelbar aus der Flamme Wärme an die Heizflächen abgegeben wird, Verbrennungs- und Arbeitsraum also identisch sind, und die mittlere Gastemperatur z. B. nur 1200 ° beträgt, so steigt für $z = 0,5$ s unter Berücksichtigung der Dissoziation die Belastung um 55 vH.

Die durch Temperatursenkung erzielbare Steigerung der Belastung ist um so höher, je kürzer die Brennzeit ist, und da sich außerdem der verzögernde Einfluß der Temperatursenkung auf die Reaktionsgeschwindigkeit bei feinem Staub mit kurzer Brennzeit weniger bemerkbar macht, wird die Temperatursenkung in erster Linie für hohe Feinheiten wichtig. Man muß sie durch unmittelbare Wärmeabgabe an die Kesselheizflächen herbeiführen; alle Mittel, die Wärmeübertragung zu beschleunigen, haben daher große

¹²⁾ Rosin-Rammler, 5. Berichtsfolge des Kohlenstaubausschusses des Reichskohlenrates S. 8.
¹³⁾ Aufhäuser, Brennstoff u. Verbrennung, 2. Teil. Berlin 1928.
¹⁴⁾ Neumann, Z. Bd. 70 (1926) S. 1071.
¹⁵⁾ „Engineering“ Bd. 110 (1920) S. 756.
¹⁶⁾ Z. Bd. 70 (1926) S. 1090.
¹⁷⁾ Z. Bd. 71 (1927) S. 415.

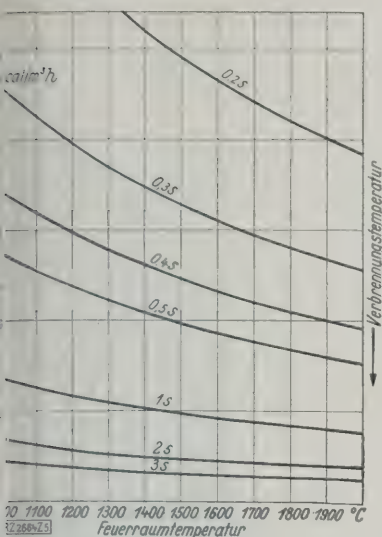


Abb. 5
Belastung des
Feuerraumes als
Funktion der Tem-
peratur.
Steinkohle von
 $H_u = 7000$ kcal/kg,
verbrannt mit theore-
tischer Luftmenge.

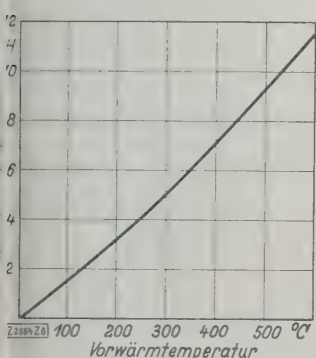


Abb. 6
Einfluß der Vor-
wärmung auf die Be-
lastung.

Wichtigkeit. Ihre Wirkung findet aber eine Grenze da, wo die abnehmende Reaktionsgeschwindigkeit die Brennzeit vergrößert und dadurch den Einfluß des Volumens ausgleicht.

Es gibt demnach bei den gewöhnlichen Staubfeuerungen eine bestimmte Temperatur, die einem Höchstwert der Belastung entspricht und sich dadurch kennzeichnet, daß die Temperatur noch hoch genug ist, um ausreichende Wandlungs- und Verbrennungsgeschwindigkeit aufrechtzuerhalten, aber doch so niedrig ist, daß sie einen Gewinn an Belastung durch das kleinere Gasvolumen ergibt. Früher glaubte man, daß hohe Belastungen nur durch möglichst hohe Feuerraumtemperaturen erzielbar seien, da man nur auf die Beschleunigung der Reaktion durch hohe Temperaturen zielte und den Einfluß der Temperaturerhöhung auf die Belastung außer acht ließ. Man stieß hierbei immer wieder auf die bekannten Schwierigkeiten mit verfesteten Baustoffen, auf deren Überwindung ungenügende Arbeit verwendet wurde. Das Problem ist aber nicht, die Temperatur im Feuerraum möglichst hoch zu erhalten, sondern sie möglichst tief zu senken und trotzdem die Reaktionsgeschwindigkeit nicht zu verringern.

Der Einfluß der Temperatur auf die Wandlungs- und Verbrennungsgeschwindigkeit von Kohlenstaub ist noch nicht untersucht worden. Es handelt sich um Reaktionen zweier verschiedener Phasen, die sich immer nur in einer Grenzschicht vollziehen und für deren Geschwindigkeit nicht so sehr die mittlere Temperatur der Verbrennungsprodukte, als die augenblickliche Temperatur der Grenzschicht maßgebend ist. Hieraus folgt, daß die eigentliche Verbrennung nahezu unabhängig von der Temperatur des Feuerraumes erfolgt.

Die Gastemperatur des Feuerraumes hat also weniger auf die Verbrennung als vielmehr auf die Wandlung entscheidenden Einfluß. Adsorption und Autoxydation während der Wandlung sind ebenfalls exotherme Vorgänge, die ihre Geschwindigkeit durch die selbstentwickelte Wärme steigern. Die Erwärmung des Brennstoffes aber, die Einleitung der ganzen Wandlung, ist ausschließlich ein wärmeverbrauchender Vorgang, dessen Geschwindig-

Zahlentafel 4
Einfluß der Vorwärmung auf die Belastung

$$B = \left(\frac{H_u}{V_0} + \frac{Q}{V_0} \right) \frac{3600 \cdot 273}{T Z}$$

Vorwärm- Temperatur °C	$\frac{H_u + Q}{V_0}$	t_{\max} °C	Belastung	
			kcal/m²h	Zunahme vH
0	720	1820	339 000	
100	750	1870	343 000	+ 1
200	780	1915	350 000	+ 3,5
300	810	1960	356 000	+ 5
400	845	2000	365 000	+ 7,5
500	875	2040	372 000	+ 9,5
600	905	2080	378 000	+ 11,5

keit von allen für den Wärmeübergang maßgebenden Größen, insbesondere vom Temperaturgefälle abhängt. Somit wird klar, daß durch die Feuerraumtemperatur weit aus in erster Linie die Größe des Zündverzugs bestimmt wird.

Hiermit ist die Aufgabe deutlich herausgearbeitet: Man muß die Gastemperatur im Feuerraum durch unmittelbare Wärmeabgabe möglichst weit senken, darf aber trotzdem die Geschwindigkeit der Wandlung nicht beeinträchtigen. Hierfür gibt es verschiedene Lösungen. Die erste und allgemeinste ist, eine günstigste Temperatur einzuhalten, indem man die Kühlflächen des Feuerraumes nur so groß bemißt, daß die Wärmeabgabe die Feuerraumtemperatur nicht unter die erforderliche Höhe senkt. Dieser Weg allein führt, weil er gleichzeitig den Zündverzug erhöht, nicht weit. Man muß daher die Erstluft möglichst hoch vorwärmen.

Nicht nur der Staub ist bei der Wandlung zu erhitzen, sondern auch die ganze damit eingeblasene Luft. Sie erhitzt sich in erster Linie durch Berührung mit der großen Oberfläche des Staubes, der sich unter dem Einfluß der Feuerraumstrahlung erwärmt. Kalte Verbrennungsluft wirkt somit kühlend auf den Staub und verlängert die Wandlungszeit. Je weniger man also bei gasarmen Kohlen über die Hilfe der Verbrennung flüchtiger Bestandteile verfügt, desto höher muß die Luft zur Beschleunigung der Wandlung vorgewärmt sein.

Aber auch die Belastung steigt, wie Zahlentafel 4 und Abb. 6 für Verbrennung von Steinkohle mit $H_u = 7000$ kcal/kg bei 25 vH Luftüberschuß zeigen. Denn in Gl. (3) wird der Zähler größer, da Vorwärmung gleichbedeutend mit höherem Heizwert ist, während dank der Dissoziation die Verbrennungstemperatur nicht proportional zunimmt. Daher wird die Feuerraumbelastung aus doppeltem Grund durch Luftvorwärmung höher. Allerdings bedeutet Dissoziation immer eine Verzögerung der vollständigen Verbrennung; sie betrifft aber die Reaktion schon gasförmiger Produkte und berührt deshalb die Brennzeit des eigentlichen Staubkornes nicht.

Es gibt noch einen dritten Weg zum Steigern der Feuerraumbelastung, der allerdings bei Staubfeuerungen noch nicht betreten worden ist. Bei Ölmaschinen mit Zünd- oder Vorkammer wird bekanntlich der Brennstoff ohne Luft eingespritzt unter einem Druck, der dem Ölstrahl im allgemeinen eine nur geringe Energie erteilt. Das eigentliche Brennstoff-Luft-Gemisch wird durch eine Teilverbrennung des Brennstoffes in der Vorkammer gebildet, und durch den in der Vorkammer entstehenden Überdruck werden die überschüssige Luft und die Abgase wirbelnd mit beträchtlicher Geschwindigkeit zusammen mit dem Brennstoff durch den Verbindungskanal zwischen Kammer und Brennraum (Zylinder) getrieben.

Man erkennt, daß ein solches Verfahren nur mit Unterbrechungen arbeiten kann, wenn die Frischluft lediglich durch den Kammermund eintritt, wie bei der Ölmaschine. Die kurzen Zeiten, in denen sich die geschälerte Bereitung des Brenngemisches vollziehen muß, erlauben kaum eine nennenswerte Wandlung des gesamten Brennstoffes zur Verbrennungsreife in der Vorkammer; sie findet für den Hauptteil des Brennstoffes erst im Arbeitszylinder statt. Die Bauarten der Vorkammermaschinen weichen voneinander ab, je nachdem mehr Gewicht auf Überdruck oder auf Übertemperatur in der Vorkammer gelegt wird.

Es wäre möglich, ein ähnliches Verfahren für die Staubfeuerung auszuarbeiten mit dem Ziel, durch Einbau einer Art Vorkammer an Brennkammerinhalt zu sparen. Im Gegensatz zur Ölmaschine wird diese Vorkammer ununterbrochen betrieben. Der Brennstaub muß aus bekannten Gründen mit Luft eingeblasen werden; abgesehen davon muß aber die Verbrennungsluft in der Vorkammer stetig ergänzt werden (was bei der mit Unterbrechungen arbeitenden Ölmaschinenvorkammer während des Verdichtungs- hubes durch Luftüberströmung aus dem Zylinder erreicht wird).

Der Zweck der Vorkammer einer Staubfeuerung ist weniger die Gemischbildung als die Vorbereitung des Brennstoffes für die Verbrennung, es sei denn, daß man in ihr beträchtliche Überdrücke zulassen will. In diesem Falle wäre ein Teil der Zweitluft im Querschnitt zwischen Zünd- und Brennkammer zuzuführen, damit die Brennfähigkeit des Gemisches gesichert ist. In der Zündkammer muß eine höhere Temperatur als die mittlere Temperatur des Feuerraumes herrschen, damit die Vorbereitungszeit für den größten Teil des Brennstaubes, d. h. der Zündverzögerung, verkürzt wird. Diese hohe Temperatur wird durch Verbrennung eines Teils der Staubmenge bei entsprechendem Wärmeschutz der Kammer erzielt; es ist wichtig, daß die Kammerwände annähernd die gleiche Temperatur haben, damit der Brennstaub die günstigsten Bedingungen für die Wärmefaufnahme vorfindet.

Die Wirksamkeit dieses Verfahrens beruht auf der Entlastung der Brennkammer von der Brennstaubvorbereitung, für die sie wegen anderer Forderungen nicht am günstigsten ausgebildet werden kann. Die Zündkammer liefert ein erheblich reaktionsfähigeres Brennstoffgemisch¹⁸⁾ als die bisherigen Brennkammern bei niedrigerer mittlerer Brennkammertemperatur und vermindertem Zündverzögerung; sie kann also in mehrfacher Hinsicht die Belastung steigern.

Einfluß der aerodynamischen Verhältnisse (Wirbelung) auf die Belastung

Wandlung zur Verbrennungsreife und Verbrennung von Kohlenstaub sind Reaktionen zwischen festen und gasförmigen Stoffen, primär also reine Oberflächenreaktionen. Da auch die Reaktionsprodukte gasförmig sind, so bilden sie sehr bald eine Trennschicht zwischen dem festen Brennstoff und dem Sauerstoff der Luft, wodurch die chemische Reaktion zwischen beiden verlangsamt wird. Auch der physikalische Vorgang der ersten Erwärmung durch Berührung und Konvektion wird durch Trennschichten austretender Schwelgase verzögert. Schnelle Wandlung und Verbrennung setzt daher schnelle Zerstörung der Trennschichten voraus.

Temperatur und Sauerstoffkonzentration bestimmen die Reaktionsgeschwindigkeit. Die Temperatur der Grenzschicht ist, wie schon erwähnt, während der Wandlung niedriger, während der Verbrennung höher als die mittlere Temperatur der Verbrennungsgase im Feuerraum. Die Sauerstoffkonzentration nimmt in der Grenzschicht rasch ab. Frischer Sauerstoff wird nur zum kleinsten Teil durch Diffusion, zum überwiegenden durch die Bewegung der festen Stoffe gegenüber den Gasen herangeführt. Die Unterschiede der Masse von Staub, Luft und Gasen, die beim Einblasen und Schweben des Staubes zur Geltung kommen, sowie die durch Temperaturunterschiede bedingten Dichtenunterschiede der Gase selbst, haben wohl eine ständige Bewegung zur Folge, die aber ziemlich langsam verläuft und die Bildung von Trennschichten nicht verhindern kann. Trennschichten bedeuten aber verlangsamte Wandlung und verminderte Sauerstoffkonzentration und verlängern die Brennzeit. Ihre Zerstörung durch lebhafteste Bewegung von Brennstoff, Luft und Gasen gegeneinander, also durch Wirbelung, ist daher das wirksamste Mittel, um die Reaktion zu beschleunigen.

Bei allen Oberflächenreaktionen ist der Umsatz in der Zeiteinheit der reagierenden Fläche proportional. Beim Vermahlen auf übliche Staubfeinheit wird die Oberfläche des Brennstoffs auf etwa das Tausendfache vergrößert, aber hieraus darf man noch nicht schließen, daß auch die um-

gesetzten Mengen das Tausendfache betragen oder, umgekehrt, die Reaktion auf $\frac{1}{1000}$ verkürzt werde. Das wäre nur dann der Fall, wenn die gesamte Oberfläche der Staubteilchen als gleichzeitig frei reagierende Oberfläche wirken würde.

Bei den meisten Brennerkonstruktionen trifft das aber heute nicht zu. Man bläst den Staub in verhältnismäßig dichtem Strahl in die Feuerung ein; man vereinigt also im Brenner wieder, was man vorher unter Aufwand von Kraft und Kosten getrennt hat. Um daher die durch Vermahlen geschaffene Oberfläche auch zu frei reagierender zu machen, muß man erstens Staub und Luft möglichst gleichmäßig mischen, zweitens die sich sofort bildenden trennenden Reaktionsschichten zerstören. Da diese bei Staub infolge der großen freien Oberfläche sehr groß sind, müssen auch die Mittel zu ihrer Zerstörung kräftiger, als bei stückiger Kohle sein. Gleichmäßige Mischung und Zerstören der Trennschichten erreicht man durch Wirbelung, die um so besser wirkt, je feiner von vornherein der Staub im Brenner aufgeteilt ist.

Die Verhältnisse in der Staubfeuerung sind insofern von der Rostfeuerung ganz verschieden, als Brennstoff und Luft gemeinsam in den Verbrennungsraum eintreten; ihr an sich kleiner Geschwindigkeitsunterschied ist um so geringer, je feiner der Staub vermahlen ist. Es ist bekannt, daß sich von einer bestimmten Grenze an Staub aus Gasen nicht mehr abscheidet; die Wirbelung wird daher um so dringender notwendig, je feiner der Staub ist. Bei Rostfeuerung dagegen ist der Brennstoff in Ruhe; Trennschichten werden daher von der vorbeistreichenden Luft sofort wieder zerstört. Leider sind Unterlagen aus Versuchen über den Einfluß der Wirbelung auf die Brennzeit des Staubes noch nicht vorhanden, und auch die mathematische Erfassung stößt auf die größten Schwierigkeiten.

Wenn auch die Strömung bei der Verbrennung ausgesprochen turbulent ist, so reicht dies doch nicht aus, um die für hohe Belastungen nötige kurze Brennzeit zu erzielen, so daß mit allen zur Verfügung stehenden Mitteln künstliche Wirbelung erzeugt werden muß. Bei den kompressorlosen Dieselmotoren hat man den Einfluß der Wirbelung viel besser erforscht und das Ergebnis erfolgreich konstruktiv verwertet.

Aus den ganzen Untersuchungen geht eins klar hervor: Wandlung und Verbrennung sind sehr verwickelte, aus vielerlei Reaktionen zusammengesetzte Vorgänge, deren Ablauf durch Feinheit, Temperatur und Wirbelung bestimmt wird. Es ist daher unmöglich, einen einzelnen Punkt dieses sehr labilen Verlaufes als den Zündpunkt herauszugreifen und ihn als Eigenschaft des Brennstoffes zu bezeichnen. Man mag nach besonderen Vereinbarungen Zündpunkte im Laboratorium bestimmen und miteinander vergleichen, darf aber nicht vergessen, daß sie nicht von dem Brennstoff allein, sondern von einer Unzahl außerhalb liegender Einflüsse abhängen. Deshalb gibt es in technischen Feuerungen einen vergleichbaren Zündpunkt überhaupt nicht. Der Zündpunkt ist vielmehr die Antwort des Brennstoffes auf das Verhalten seiner Umgebung.

Die Grenzen der Belastbarkeit

Mit der Verkürzung der Brennzeit ist das Problem noch nicht ganz gelöst. Von einer gewissen Staubfeinheit an erreicht man beliebig hohe Feuerraumbelastungen und theoretisch wie technisch gibt es für die Vermahlung keine Grenze der Feinheit. Wohl aber gibt es wirtschaftliche Grenzen; denn die Mahlkosten erhöhen sich so schnell, daß sie die Ersparnis durch höhere Leistung der Kesselanlage wieder aufwiegen. Schon heute ist die Mahlanlage eine schwere Bürde für die Staubfeuerung, so daß man sich bemüht, mit der größten Mahlung auszukommen.

Dagegen ist die Verbrennung von Kohlenstaub im Dieselmotor, von der Asche abgesehen, nichts weiter als ein Problem hoher Wandlungs- und Verbrennungsgeschwindigkeit, vom thermischen Standpunkt aus also eine reine Frage der Belastung. Beim Motor steht aber der Staub im Wettbewerb mit teurem Öl, so daß auch weitgetriebene Feinmahlung wirtschaftlich ist.

Die ganzen Untersuchungen galten bisher der Aufgabe, in einem Feuerraum eine möglichst große Wärmemenge zu entwickeln; ebenso wichtig aber ist es, diese Wärme nutz-

¹⁸⁾ Vergl. Rosin, Selbstentzündlichkeit von Halbkoks, „Braunkohle“ Bd. 27 (1928) S. 727.

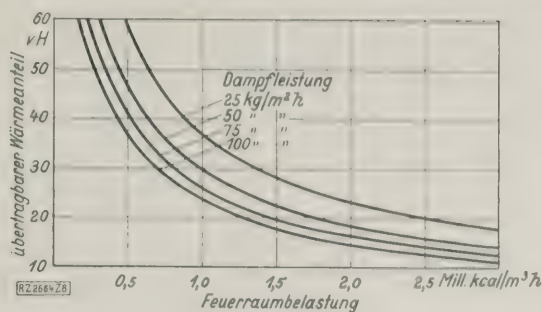
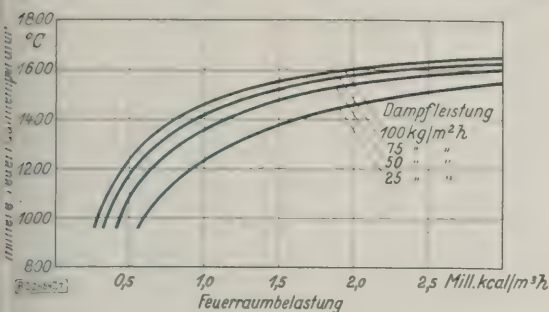


Abb. 7 und 8

Mittlere Feuerraumtemperatur und im Feuerraum übertragene Wärme eines 1000 m²-Kessels.

abzuführen. Die Senkung der mittleren Gastempera- wurde notwendig, damit die Belastung gesteigert werden n. Es fragt sich also, welche Wärmemengen über- an die Kühlflächen eines Feuer-raumes abgegeben len können und welche Temperatursenkung man dabei lt. In Abb. 7 und 8 ist für die Verbrennung von Stein- enstaub von $H_u = 7000 \text{ kcal/kg}$ mit 1,25facher Luft- ge angenommen, daß fünf Seiten des kubischen Feuer- es aus wärmeaufnehmenden Kühlflächen beständen. r Wärmeübergangszahl wurde mit $200\,000 \text{ kcal/m}^2\text{h}^{(9)}$, e höchsten bisher an Kohlenstaubfeuerungen gemessenen t, gewählt. Abb. 8 zeigt den Anteil der entwickelten me, der von den Kühlflächen aufgenommen werden n. Abb. 7 die wirklichen Feuer-raumtemperaturen, die in- folge dieser Wärmeabgabe einstellen. Schon bei $1\,000\,000 \text{ kcal/m}^2\text{h}$ Belastung und $50 \text{ kg/m}^2\text{h}$ pfeistung beträgt die Temperatur 1360° , und bei

⁹⁾ Z. Bd. 70 (1926) S. 1067.

höheren Belastungen wird durch die Kühlung die Tempera- tur nur noch wenig gesenkt. Man erkennt daraus die Not- wendigkeit, den Wärmeübergang an Kühl- und Heizflächen zu erhöhen. Dieses Geschwindigkeitsproblem betrifft nicht mehr die Brennzeit, sondern die Kühlzeit und ist ebenso bedeutungsvoll. Kurze Brennzeiten haben nur Sinn, wenn sie mit schneller Wärmeableitung verknüpft sind, sonst treten alle Schwierigkeiten mit Schlacke, Schäden an Feuer-raumwänden und Flugasche auf, die bei überlaste- ten Feuer-räumen bekannt sind.

Ebenso wie die Wärmemengen müssen auch die Ver- brennungsgase abgeführt werden. Diese Grenze der Be- lastung ist durch die zulässige oder erreichbare Gas- geschwindigkeit bestimmt. Die theoretische Grenze der Gas- abfuhr ist mit seiner Schallgeschwindigkeit erreicht; diese würde allerdings eine Belastung von rd. $100 \cdot 10^6 \text{ kcal/m}^2\text{h}$ ergeben, so daß hier die theoretischen Grenzen weit außer- halb der praktischen liegen. [B 2664]

Verwendbarkeit von Schwerölen im Explosionsmotor¹⁾

Beim Betrieb von Fahrzeugmotoren mit Schwerölen man dem Umstande Rechnung tragen, daß die chemi- schen und physikalischen Eigenschaften dieser Öle von den der Benzine abweichen. Die Schweröle enthalten Kohlenwasserstoffe von der gleichen Gattung wie die Benzine, es überwiegen aber gerade die Kohlenwasser- stoffe, die die Klopfestigkeit vermindern. Im Vergleich mit dem Betrieb mit Benzin ist daher der Verdichtungsgrad erniedrigt. Der durch den chemischen Aufbau bedingte Heiz- wert der Öle unterscheidet sich nicht wesentlich von dem der Benzine.

Die Dampfdrücke der Schweröle sind bei gewöhnlicher Temperatur sehr gering. Soll daher wie bei Benzin- betrieb dem Motor ein Gemisch zugeführt werden, das den Brennstoff annähernd dampfförmig enthält, so muß die Sättigungstemperatur bedeutend höher sein. Zur Sättigung des Ansaugluft mit Brenndämpfen genügt im allgemeinen eine Anfangstemperatur von 15° , für Schweröle muß diese Temperatur 80 bis 90° betragen. Die Öle verdampfen aber erst dann nur unvollständig, weil sie wegen ihrer höheren Sättigungsdampfdruckspannung vom Vergaser schlechter zerstäubt werden als Benzin und die Zeit zum völligen Verdampfen länger ausreicht. Erst bei wesentlich höherer Temperatur der Ansaugluft (rd. 120°) erreichen die Schweröle die Verdampfungsgeschwindigkeit der Benzine.

Versuche, durch feinere Zerstäubung die geringe Verdampfungsgeschwindigkeit der Öle auszugleichen, hatten kein befriedigendes Ergebnis. Daher wurde der Verbrennungsraum des Motors mit vollständig verdampftem Schweröl beheizt. Die Gemischtemperatur wird nahe der Sättigungstemperatur von Luft und Öl erhalten, und es wird nur die für einen Arbeitshub notwendige Brennstoffmenge verdampft.

Die Untersuchungen wurden im Maschinenlaboratorium der Technischen Hochschule Braunschweig an einem stehenden Zylinder-Viertaktmotor ausgeführt, der bei Betrieb mit Benzin und 1150 U/min 4 PS Nennleistung hat. Der Zylinderkopf wurde mit Auspuffgas beheizt, nachdem be-

sondere Versuche gezeigt hatten, daß ein so beheizter Verdampfer für den Betrieb geeignet ist.

Untersucht wurden ein amerikanisches Gasöl mit 291° und ein russisches Gasöl mit 293° mittlerer Siedetemperatur. Der Verdichtungsgrad konnte nicht über $4,63$ gesteigert werden, ohne daß unzulässiges Klopfen auftrat. Bei einem Motor mit günstiger geformtem Verbrennungsraum dürfte sich der Verdichtungsgrad steigern lassen.

Die Gemischtemperatur mußte wenigstens 85° betragen; sank sie unter die Sättigungstemperatur, so bildete sich nur Brennstoffnebel, der aber noch gut verarbeitet wurde. Die Gemischtemperatur darf daher etwas unter der Sättigungstemperatur liegen, wenn nur das Ansaugrohr eine gewisse Übertemperatur hat, die verhindert, daß sich das Öl flüssig an den Wänden niederschlägt. Bei zu hoher Gemischtemperatur sinkt der Füllungsgrad des Motors unnötig. Mit steigender Gemischtemperatur wurde überdies die Verbrennung unvollkommener.

Das günstigste Mischungsverhältnis von Luft und Brennstoff lag beim 1,1fachen des theoretischen Gemisches. Dabei ist große Vorzündung erforderlich, meist 25° , damit die Verbrennung vollständig ist; dagegen wird das Klopfen durch große Vorzündung begünstigt. Änderungen der Drehzahl übten bis zu 1200 U/min auf die Vollständigkeit der Verbrennung der Öle keinen Einfluß aus.

Der Auspuff war sauber, die Ventile und der Verbrennungsraum blieben frei von Verkrustungen, wenn die richtige Gemischtemperatur eingehalten wurde. Zum Anlassen war reiches Gemisch erforderlich. Die Verdünnung des Schmieröles beim Betrieb mit Gasöl war nicht stärker als bei Benzinbetrieb.

Die Leistung, die der Motor bei Betrieb mit Öl erreichte, blieb bei gleicher Verdichtung im Mittel um 8 vH hinter der mit Benzin zurück. Der nutzbare thermische Wirkungsgrad von $18,9 \text{ vH}$ war hierbei um $5,5 \text{ vH}$ kleiner als der mit Benzin erreichbare von 20 vH . Der Betrieb mit Öl ist dennoch billiger, weil der Unterschied im Wirkungsgrad durch den Preisunterschied der Brennstoffe ausgeglichen wird. Die Brennstoffkosten, bezogen auf die Nennleistung, betragen $0,141 \text{ RM/PS}$ bei 312 g/PS Benzinverbrauch und $0,042 \text{ RM/PS}$ bei 325 g/PS mittlerem Gasverbrauch, sind also bei Schwerölbetrieb um rd. 70 vH niedriger.

Ludwigshafen (Rhein) [M 2642] Dr.-Ing. E. Drenckhan

¹⁾ Auszug aus der von der Techn. Hochschule Braunschweig veröffentlichten Dissertation des Verfassers.

Leerlaufeinrichtungen an Lokomotiven

Von F. MEINEKE, Berlin

Heißdampflokomotiven brauchen für den Leerlauf Druckausgleicher, für die bisher besonders durch Ventil abschließbare Verbindungsleitungen der Zylinderenden benutzt worden. Diese Vorrichtungen verursachen Kosten und Dampfverluste, so daß sie in steigendem Maße ersetzt werden durch eine besondere Ausbildung der Steuerorgane selbst. Eine Anzahl solcher Bauarten wird beschrieben.

Von den noch im Jahre 1920¹⁾ gebräuchlichen drei Gruppen, nämlich Luftventilen, Druckausgleichern und Umlaufvorrichtungen, sind im Lauf achtjähriger Entwicklung die Luftventile sehr zurückgedrängt und die Umlaufvorrichtungen nicht weiterverbreitet worden.

Der größte Mangel der Luftventile besteht darin, daß das Schmieröl bei Luftzufuhr verbrennt und daß dabei auch noch schädliche Rückstände auf den Gleitflächen zurückbleiben können. In den ersten Jahren des Heißdampfbetriebes wagte man noch nicht die hohen Dampftemperaturen von 400° wie jetzt, und deshalb wurde auch nicht immer der Entflammungspunkt des Öles erreicht. Wo man sich mit niedrigeren Dampftemperaturen begnügt, werden auch — noch der Einfachheit wegen — Luftventile viel benutzt, aber ihre Schädlichkeit ist seit Jahren bekannt²⁾.

Die Umlaufvorrichtungen bestanden in der Verbindung der Ein- und Ausströmröhre; sie waren vorteilhaft bei zweizylindrigen Verbundmaschinen, wo die großen Niederdruckzylinder un bequem große Querschnitte der Druckausgleicher erfordert hätten. Mit diesen Lokomotiven ist auch die Berechtigung der Umlaufvorrichtungen geschwunden; sie haben aber gut gearbeitet.

Demnach sind nur

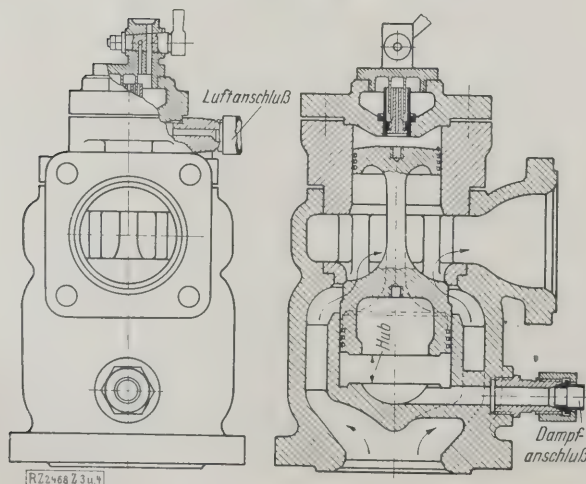
die Druckausgleicher

übriggeblieben, die beide Kolbenseiten miteinander verbinden. Als Abschlußorgane haben sich des leichten Ganges und dichten Schlusses wegen nur Ventile gehalten. Aber auch der Gedanke, die Steuerorgane selbst zum Druckausgleich zu benutzen, den ich 1908 zuerst bei Ventilsteuerung und 1909 bei Schiebersteuerung verwirklicht habe, ist in verschiedenen Formen lebendig geblieben.

¹⁾ Vergl. Meineke: Leerlaufeinrichtungen an Lokomotiven, Z. Bd. 64 (1920) S. 784.

²⁾ R. P. Wagner: Die Schmierung der unter Dampf gehenden Teile der Heißdampflokomotive, Z. Bd. 69 (1925) S. 1589.

Abb. 1 und 2
Druckausgleicher
der Deutschen
Reichsbahn-Ge-
sellschaft.



Druckausgleich mittels Ventilen. Druckausgleicher der Deutschen Reichsbahn-Gesellschaft, Abb. 1 und 2, ist für ihre Lokomotiven genormt. Er hervorgegangen aus der Bauart Müller, Abb. 3 und 4, es mag dahingestellt sein, ob er der Ursprungsform treu liegt. Die neueste Müllersche Bauart, Abb. 5, ist je falls sehr einfach und leicht zerlegbar; auch die For rung nach kleinen schädlichen Räumen und Flächen wie glattem Durchfluß sind gut erfüllt.

Allen diesen Ventilen gemeinsam ist das Öffnen mit Hand mittels Druckluft und das Schließen durch Schieberkastendruck, verstärkt durch den Druck des überströmenden Dampfes oder Federn. Bei offenem Druckausgleicher kein hoher Schieberkastendruck nicht entstehen, so daß zunächst Frischdampf frei ausströmen würde. Wenn man den überströmenden Dampf wie in Abb. 5 geschickt leitet, verstärkt er die Schließkraft, so daß die Ventilkolben sofort in Schlußstellung gehen. Die Überströmquerschnitte werden jetzt so reichlich bemessen, daß zu große Dampfgeschwindigkeiten, Strömungswiderstände und Erwärmungen vermieden werden und die früher hinzugefügten Luftventile entbehrlich sind.

Druckausgleich mittels der Steuerorgane. Die Steuerorgane selbst zum Druckausgleich zu benutzen, bietet den Vorteil, daß besondere Vorrichtungen mit all ihren Nachteilen (Kosten, Undichtheiten, leerer schädlicher Raum) vermieden und die Steuerorgane selbst geschont werden. Bei Ventilsteuerung gelang Verwirklichung stets ohne Schwierigkeiten, sowohl unmittelbar mit der Hand als auch mittels Druckluft. Auch der Lenz-Steuerung werden die Ventile neuerdings angeschlossen, Abb. 6 und 7, Bauart Rihosek.

Viel schwieriger ist es, die Kolbenschieber zum Druckausgleich heranzuziehen. Bei der ersten Bauart von 1908 für die Moskau-Kasan-Bahn wurden die Schieberkolben

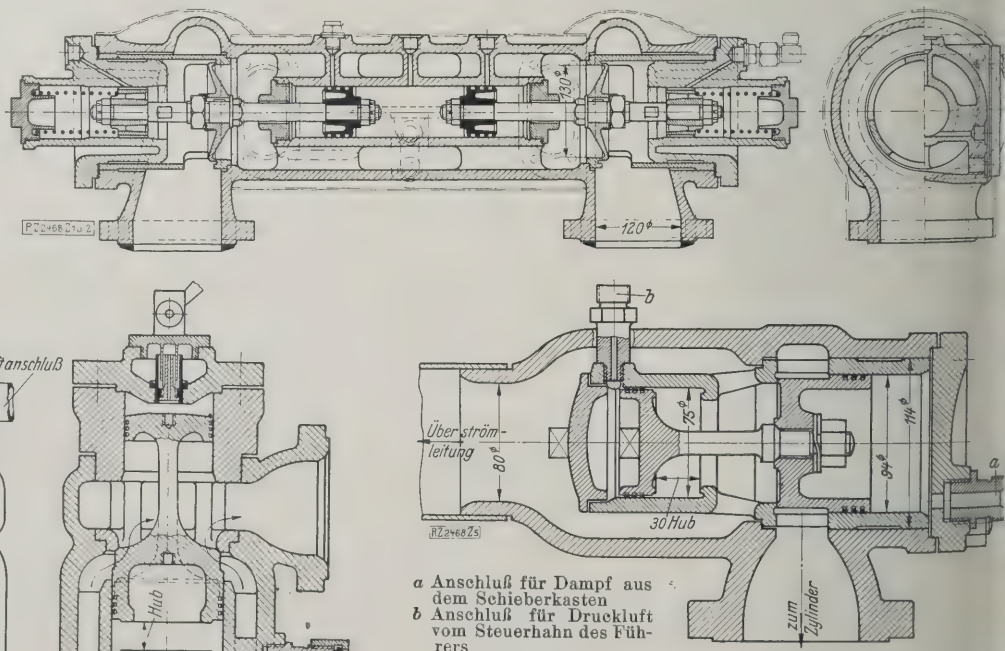


Abb. 5. Druckausgleicher, neueste Bauart Müller.

Abb. 3 und 4
Selbsttätiges Druckausgleich-
Eckventil, Bauart Müller, stehend.

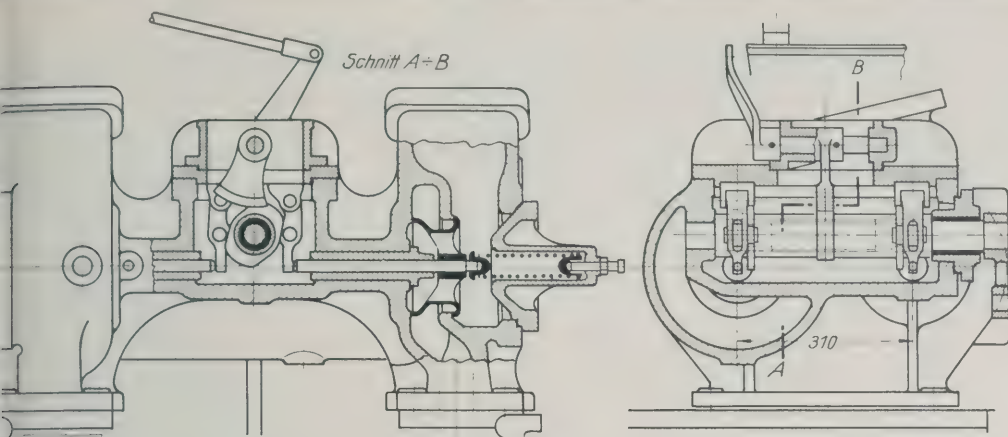


Abb. 6 und 7
Druckausgleicher
für Ventilsteu-
erung, Bauart
Rihosek.

am Frischdampfdruck auseinander gegen Anschläge der Schieberstange gedrückt. Bei Leerlauf konnten sie in den Totpunktlagen stehenbleiben. Das war sehr einfach und ergab vorzüglichen Druckausgleich infolge der ungeöffneten Ausströmung, jedoch schlugen die Kolben im Dampfgeben so heftig gegen die Anschläge, daß sie zerstört wurden. Deshalb dämpfte Trofimoff den Schlag mit einem Luftkissen, Abb. 8 und 9, das sich zwischen dem großen scheibenförmigen Anschlag und dem Kolbenschieber bildet. Diese Bauart wird in großem Umfang auf den Lokomotiven der russischen Bahnen benutzt.

Ein Schlag wird auch dann vermieden, wenn die Schieberkolben mittels Reibungsfedern abgebremst werden, Abb. 10. Man kann die erforderliche Reibungsarbeit sogar berechnen. Bei Stillstand werden die Schieberkolben mit einer Kraft $P = fR$ festgehalten (R = Anpreßdruck der Schieberringe an die Laufbüchse, f = Reibungswert der Ringe, etwa $= 1/6$). Der Dampfdruck muß erst eine Größe $P = \frac{P}{d_k^2 \cdot \pi \cdot 4}$ (d_k = Schieberdurchmesser) erlangen, bis er diese Reibung überwindet. Sind die Kolben dann in Bewegung, so geht die Reibung auf den Wert $P\mu$ herab (μ etwa $= 1/20$). Bei einem größten Schieberhub s ist die größtmögliche Arbeit $A = P(f - \mu)s$. Bei der ersten Ausführung eines solchen Schiebers mit Uerdinger Ringfeder

betrug der Federhub nur wenige Millimeter, so daß zwar große Kräfte, trotzdem aber kein Schlagen auftrat. Um die Arbeit A mit größerem Hub aufzufangen, wurden nach Abb. 10 die Federringe durch aufgeschnittene Ringe ersetzt.

Bei der Bauart von Nicolai, Abb. 11, bleiben nicht die Schieberkolben stehen, sondern der Schieber ist so geteilt, daß nur die Austrittskante mit der Schieberstange verbunden bleibt, während die Eintrittskante beim Verschwinden des Dampfdruckes nach innen geschoben wird. Auf diese Weise werden ausreichende Umlauferschnitte freigegeben. Die bewegten Massen sind zwar kleiner, aber sie werden elastisch aufgefangen, und Schlüge sind nicht zu vermeiden.

Die Bauart Müller, Abb. 12, ist der vorhergehenden insofern ähnlich, als auch hier die Schieberkolben nicht stillstehen. Sie werden im ganzen so weit einander genähert, daß die Ausströmung nicht mehr überdeckt wird. Zu dem Zweck wird Dampf durch die hohle Schieberstange eingeführt, wobei sich eine Feder spannt, die den Rückhub besorgt. Mittels Drosselbohrungen kann man sanft und geräuschlos schließen. Die Vorrichtung wirkt aber nicht selbsttätig, im Gegensatz zu denen nach Abb. 8 bis 11. Neuerdings gibt es auch für die Federn Stahl, der die Heißdampf Temperatur von 400° aushalten soll.

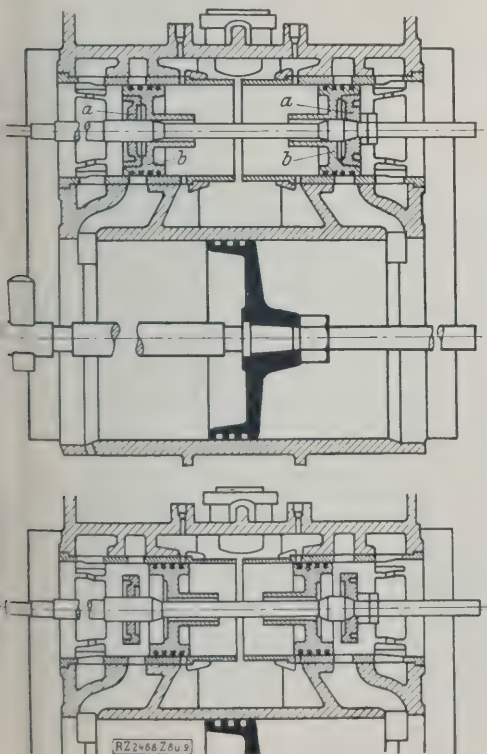
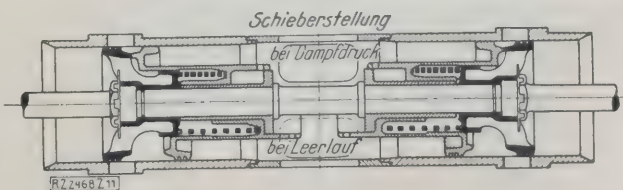
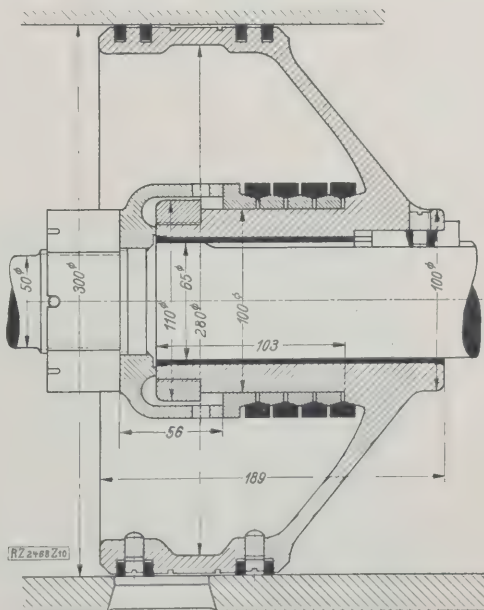


Abb. 8 und 9 (links)
Druckausgleichsschieber,
Bauart Trofimoff.
a Stützscheiben
b Kolbenschieber

Abb. 10 (rechts)
Druckausgleichsschieber,
Bauart Meineke.

Abb. 11 (unten)
Druckausgleichsschieber,
Bauart Nicolai.



Die Schieber nach Abb. 8 bis 10 können ohne weitere Veränderungen eingebaut werden, während die Konstruktionen nach Abb. 11 und 12 längere Schieberlaufbüchsen erfordern. Bei den Schiebern nach Abb. 8 bis 10 sind im Leerlauf die geringsten Massen bewegt, weil die Schieber ganz still stehen. Infolgedessen schon man die Steuerungsgelenke und die Schiebergleitflächen.

Die großen Vorzüge der Druckausgleichsschieber erklären die zahlreichen neuen Bauarten, nachdem die feststehenden Druckausgleicher einen großen Grad von Vollkommenheit erreicht haben, der ihre grundsätzlichen Mängel aber nicht beseitigen kann. [B 2468]

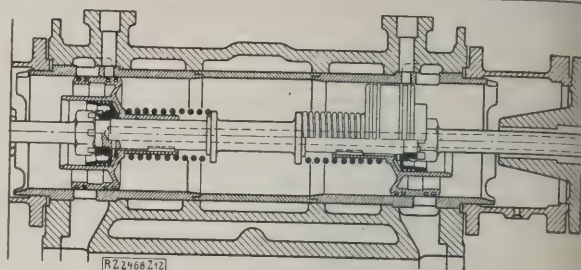


Abb. 12
Druckausgleichsschieber, Bauart Müller.

Einachsschleppkran

Die „MIAG“, Mühlenbau- & Industrie-Akt.-Ges., Braunschweig, hat seit einiger Zeit einen elektrisch betriebenen Schleppkran auf den Markt gebracht, den man zum Be- und Entladen von Güterwagen, Abb. 1, Lastkraftwagen und Straßenfuhrwerken und zum Hochstapeln von Kisten, Ballen, Fässern und Säcken, Abb. 2, verwenden kann. Der Schleppkran wird in zwei Größen hergestellt, und zwar für 500 bis 1000 kg und für 1000 bis 2000 kg Tragkraft. Er kann auf jedem einigermaßen festen Gelände fahren, da seine Laufräder gummiereift und gut abgedefert sind. Beim Fahren braucht er eine geringe Wegbreite und zum Durchfahren von Toren eine lichte Durchfahrthöhe von 2900 bis 3000 mm Dmr. Er kann auf der Stelle wenden. Außer den beiden Treibrädern haben die beiden Kranausführungen am Auslegerende zwei oder vier Stützräder, am Führerstand ein oder zwei Lenkräder.

Man kann den Schleppkran auch zum Verschieben von Eisenbahnwagen benutzen, die er entweder mit der Kette zieht oder mit Hilfe eines seitlich herauschiebbaren Stoßwinkels drückt, Abb. 3.

Der Ausleger, der steil nach oben und schräg nach unten gewippt werden kann, besteht aus Mannesmannrohr. Die größte Hubhöhe über Flur beträgt 5,6 m, unter Flur 8 m. In dem schmiedeeisernen Wagen sind die beiden Windwerke für das Wippen des Auslegers und für das Heben und Senken der Last eingebaut. Durch ein Wechselgetriebe werden vom Fahrmotor auch beide Windwerke angetrieben. Der Motor ist ein Gleichstrom-Hauptstrommotor und leistet 3/7/10 PS, er ist hochliegend angeordnet, völlig gekapselt und als langsam laufender Bahnmotor von großer Bedeutung für die Betriebssicherheit und Wartung. Das Fahrwerk hat breite doppelgummibereifte Räder und eine schwingungsdämpfende Blattfederung. Zur Übertragung der Antriebsenergie des Motors dient ein Differentialgetriebe, ein gleiches Getriebe ist für die Windwerke eingebaut. Die Geschwindigkeit beim Senken der Last läßt sich steigern bis zu rd. 6 m/s. Die Ladung der in den kleineren Kran



Abb. 3
Der Schleppkran beim Verschieben von Eisenbahnwagen.

eingebauten Akkumulatorenbatterie reicht bei voller Hubhöhe zum Löschen von 50 Eisenbahnwagen mit je 10 t Inhalt aus, bei geringerer Hubhöhe für entsprechend mehr, während der größere Kran bis 110 Eisenbahnwagen mit nur einer Batterieladung entlädt. Die für alle drehenden Teile verwendete Kugel- und Rollenlagerung gewährleistet einen verhältnismäßig niedrigen Stromverbrauch. [M 2746]

Braunschweig

Dipl.-Ing. E. Gascard

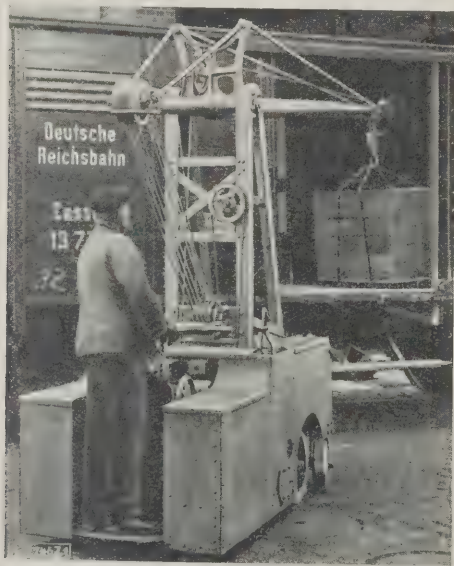


Abb. 1
Einachsschleppkran beim Entladen von Güterwagen.



Abb. 2
Der Schleppkran beim Stapeln von Ballen.

Leistungs- und Zugkraftkurven der Diesellokomotive

Von Prof. Dr.-Ing. Gg. MANGOLD, Danzig-Langfuhr

Aus den Leistungs- und Zugkraftdiagrammen verschiedener Diesellokomotiven kann festgestellt werden, daß die Diesellokomotive mit unmittelbar und mittelbarer Übertragung und Aufladung der unmittelbar übertragenden Dieselmachine das kleinste Lokomotivgewicht bei günstigem Gesamtwirkungsgrad ergeben muß.

Der Eisenbahnbetrieb erfordert, daß die Zugkraft der Lokomotive mit sinkender Fahrgeschwindigkeit erheblich zunimmt. Die Dampflokomotive wird diesen Erfordernissen gerecht. Sie stellt im wesentlichen eine Leistungsanlage dar, deren größte Leistung bei der der vorteilhaftesten Fahrgeschwindigkeit entsprechenden Geschwindigkeit vorhanden ist und bei der diese Leistung mit sinkender Geschwindigkeit bis zur Reibungsgeschwindigkeit v_r verhältnismäßig wenig abnimmt. Nach Strahl¹⁾ ist das Verhältnis der indizierten Grenzleistung L_i einer Dampflokomotive bei der Fahrgeschwindigkeit v zu der Höchstleistung L'_i bei der vorteilhaftesten Geschwindigkeit v' :

$$\frac{L_i}{L'_i} = 0,6 \left(2 - \frac{v}{v'} \right) \frac{v}{v'} + 0,4 \dots \dots (1).$$

Die Zylinderzugkräfte Z_i ergeben sich dann mittels der Beziehung:

$$Z_i = \frac{270 L_i}{v} \dots \dots \dots (2).$$

Nimmt man den mechanischen Wirkungsgrad der Übertragung vom Dampfzylinder auf den Treibradumfang als konstant an, so gelten die Beziehungen (1) und (2) auch für die Leistung L und die Zugkraft Z_t am Treibradumfang, Abb. 1 und 2, wobei das Zugverhältnis an der Reibungsgrenze der 2 C 1-Einheits-Schnellzuglokomotive²⁾ mit einem Reibungswert $= \frac{1}{5}$ eingetragen ist.

Die klassische Dieselmachine entspricht als mit den Treibachsen unmittelbar gekuppelte Antriebmachine für Lokomotiven nicht den Anforderungen des Eisenbahnverkehrs, da ihre Leistung sich ziemlich angenähert verhältnismäßig ihrer Umdrehungszahl oder der Lokomotivgeschwindigkeit ändert. Um die Diesellokomotive diesen Anforderungen anzupassen, gibt es für die Kraftübertragung vom Dieselmotor auf die Treibräder eine Reihe von Möglichkeiten, die sich in folgende vier Gruppen zusammenfassen lassen:

1. Die mittelbare Kraftübertragung, und zwar auf elektrischem Wege, mittels Zahnradgetriebe mit schaltbarer Übersetzung, mittels Gasen und Dämpfen und Flüssigkeitsgetriebe³⁾,
2. Die unmittelbare Kraftübertragung mit Aufladung der Dieselmachine nach der Zunahme der Zugkraft⁴⁾,
3. Die mittelbare und unmittelbare Kraftübertragung⁵⁾.

¹⁾ Strahl: Verfahren zur Bestimmung der Belastungsgrenzen der Dampf-Lokomotiven, Z. Bd. 57 (1913) S. 254.
²⁾ Vergl. Z. Bd. 70 (1926) S. 1725.
³⁾ s. Dr.-Ing. H. Brown: Der heutige Stand des Diesellokomotivwesens, „Der Ingenieur“ Bd. 41 (1926) S. 949.
⁴⁾ Sonderheft Eisenbahnwesen, VDI-Verlag, Berlin 1925 s. a. ⁵⁾ DRP 304 838 von Dr.-Ing. Kreplewski.

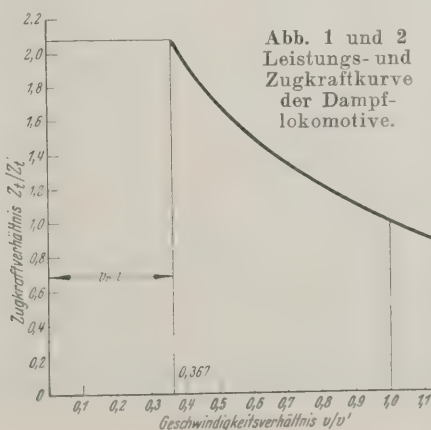
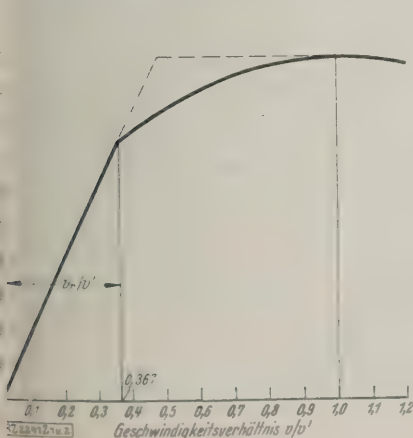


Abb. 1 und 2
Leistungs- und
Zugkraftkurve
der Dampf-
lokomotive.

4. Die mittelbare und unmittelbare Kraftübertragung mit Aufladung der unmittelbar übertragenden Dieselmachine nach der Zunahme der Zugkraft⁶⁾.

Im folgenden sollen die Leistungs- und Zugkraftkurven dieser vier Kraftübertragungsarten miteinander verglichen werden. Für die Wirtschaftlichkeit der Zugbeförderung und der Fahrplanbildung ist bei der Dampflokomotive die kleinste Geschwindigkeit an der Grenze der Kesselleistung und die größte an der Reibungsgrenze, d. i. die Reibungsgeschwindigkeit, maßgebend.

Soll deshalb eine Diesellokomotive in ihrer Leistungsfähigkeit einer Dampflokomotive gleichwertig sein, so müssen bei gleichen Höchstleistungen bei der vorteilhaftesten Fahrgeschwindigkeit der beiden Lokomotiven die Leistungen bzw. die Zugkräfte bei der Reibungsgeschwindigkeit mindestens gleich sein.

Bei der mittelbaren Übertragung lassen sich bekanntlich Leistungs- und Zugkraftkurven wie bei der Dampflokomotive erzielen, so daß es sich erübrigt, hierauf einzugehen.

Die unmittelbare Kraftübertragung mit Aufladung des Dieselmotors nach der Zunahme der Zugkraft

Die erste Diesellokomotive, die im Jahre 1911 von Klose-Sulzer-Borsig für die Preußische Staatsbahn ausgeführt wurde, war ihrem Wesen nach eine Diesellokomotive mit unmittelbarer Übertragung und Aufladung nach der erforderlichen Zunahme der Zugkraft. Die Zweitakt-Dieselmachine wurde aufgeladen, indem man eine größere oder kleinere Menge verdichteter Luft in die Verbrennungszyylinder am Ende des Verdichtungs-hubes einführte. Zum Anfahren arbeiteten die Dieselmachine bis zu einer Geschwindigkeit von etwa 10 km/h mit Druckluft, und wurden dann auf Brennstoffbetrieb umgeschaltet⁷⁾. Diese erste Diesellokomotive hatte keinen dauernden Erfolg. Einen Vorschlag ohne praktische Bedeutung einer unmittelbar angetriebenen Diesellokomotive hat Seiliger gemacht: Aufladung durch Erhöhung des Druckes der Ansaug- oder Spül- und Ladeluft, veränderliche Verdichtungsräume, um zu hohe Verdichtung zu vermeiden, Anfahren mit Druckluft⁸⁾.

Die Größe der Aufladung der unmittelbar übertragenden Dieselmachine ergibt sich aus dem Leistungsdiagramm, bezogen auf den Treibradumfang. In Abb. 3 bedeutet OAB die Leistungskurve der Dampflokomotive, wie sie etwa der 2 C 1-Einheits-Schnellzuglokomotive entspricht. Bei der vorteilhaftesten Geschwindigkeit muß die Lokomotive ihren besten Gesamtwirkungsgrad haben, und die Diesellokomotive arbeitet deshalb ohne Aufladung. Durch die Leistung bei dieser Geschwindigkeit liegen ihre Abmessungen fest, so daß die Gerade OB die Leistungskurve der unaufgeladenen Dieselmachine unter Annahme eines unveränderlichen mechanischen Wirkungsgrades darstellt. Soll die Diesellokomotive die gleichen Zugkräfte wie die Dampflokomotive ausüben, so ergibt sich aus der erforderlichen Zugkraft bei der Reibungsgeschwindigkeit die Aufladung der Dieselmachine zu 110 vH. Die senkrechten Strecken zwischen OAB und OB stellen die Leistungen, die der Aufladung der Dieselmachine entsprechen,

⁶⁾ DRPa. M 94 552 vom 3. 5. 1926 vom Verfasser.

⁷⁾ Sternberg: Die erste Thermolokomotive, Z. Bd. 57 (1913) S. 1325.

⁸⁾ Sonderheft Eisenbahnwesen, VDI-Verlag, Berlin 1925.

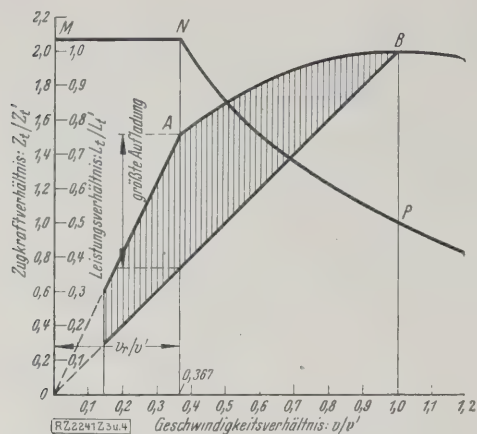


Abb. 3
Leistungs- und Zugkraftkurve der mittelbaren Kraftübertragung mit Aufladung des Dieselmotors nach der Zunahme der Zugkraft.

dar. Sie ist demnach bei der Reibungsgeschwindigkeit am größten und nimmt auf null bei der vorteilhaftesten Geschwindigkeit ab. Die Zugkräfte der Dampflokomotive und der Diesellokomotive mit 110 vH Aufladung zeigt die Kurve MNP.

Die Größe der Hilfsdieselmachine zum Anfahren ergibt sich aus der erforderlichen Zugkraft und Geschwindigkeit, bei der die Zündung der unmittelbar übertragenden Dieselmachine mit Sicherheit einsetzt. Es kann angenommen werden, daß diese bei 40 U/min sicher zündet. Bei der 2 C 1-Einheits-Dampflokomotive mit 2 m Treibrad-Dmr. und 110 km/h vorteilhaftester Geschwindigkeit entspricht die Umdrehungszahl etwa 15 vH der vorteilhaftesten Geschwindigkeit, so daß sich die Anfahrleistung am Treibrad zu $0,15 \cdot 2,07 = 0,31$ der Höchstleistung der Lokomotive ergibt. Der Übertragungswirkungsgrad von der Welle der Hilfsdieselmachine auf die Treibräder beträgt selbst bei Vorerwärmung der Druckluft mittels der Auspuffgase höchstens 0,6, da die Füllung der als Druckluftzylinder arbeitenden Dieselzylinder sehr groß sein muß. Damit ergibt sich die Leistung der Hilfsdieselmachine zu 51 vH der Höchstleistung der Lokomotive. Von der Hilfsdieselmachine werden außer dem Aufladegeräte noch die andern Hilfsmaschinen angetrieben, d. s. die Lüfter für den Wasser- und Ölkühler und, bei Verwendung einer im Zweitakt arbeitenden unmittelbar übertragenden Dieselmachine, die Spülpumpe. Der Antrieb eines Einblasluftverdichters kommt nicht in Betracht, da für die Lokomotive zweckmäßigerweise kompressorlose Maschinen gewählt werden. Demgemäß beträgt die Belastung der Hilfsdieselmachine bei der vorteilhaftesten Geschwindigkeit höchstens $\frac{1}{2}$ ihrer Höchstleistung. Hieraus ergibt sich somit, daß bei Diesellokomotiven mit unmittelbar übertragenden Dieselmachines Hilfsdieselmachines mit großer Leistung untergebracht werden müssen, die bei der Höchstleistung der Lokomotive nur ganz schwach belastet sind. Bei dieser Art der Diesellokomotive muß also ein großes totes Gewicht mitgeführt werden. Sie wird infolgedessen sehr schwer und teuer in der Ausführung, Außerdem verschlechtert die geringe Belastung der Hilfsdieselmachine den Gesamtwirkungsgrad.

Die mittelbare und unmittelbare Kraftübertragung

In der deutschen Patentschrift Nr. 304 838 aus dem Jahre 1914 wird eine Brennkraftlokomotive mit mehreren selbständigen Antriebmotoren vorgeschlagen, von denen die Hauptmotoren unmittelbar mit den Treibachsen gekuppelt sind und die Nebentmotoren die Leistung auf die Treibachsen oder besondere Lauf- und Drehgestellachsen irgendwie mittelbar übertragen. Die Lokomotive fährt mit den Dieselmotoren für die mittelbare Übertragung an. Bei einer bestimmten Lokomotivgeschwindigkeit wird die Zündung der unmittelbar übertragenden Dieselmachine eingeschaltet, so daß nun die Kraft zugleich mittelbar und unmittelbar übertragen wird. Infolge dieser Unterteilung wird ein sicheres Anfahren der Lokomotiven erzielt. Die Hilfsmaschinen läßt man zweckmäßigerweise von der Dieselmachine für die mittelbare Übertragung antreiben. Die untere Grenze der mittelbaren Übertragung ist durch das Anfahren der Lokomotive gegeben. Bezogen

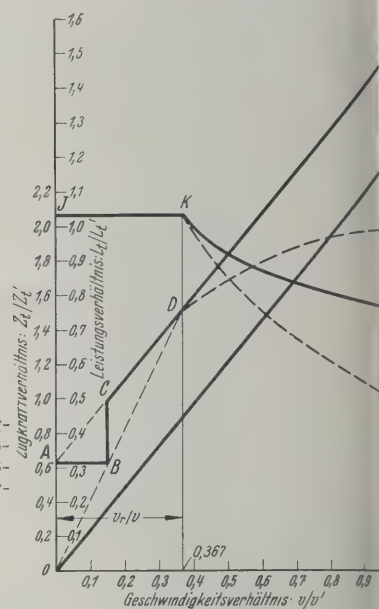


Abb. 4
Leistungs- und Zugkraftkurve der mittelbaren und unmittelbaren Kraftübertragung.

auf die Höchstleistung beträgt die Leistung am Treibradumfang der 2 C 1-Einheits-Schnellzug-Dampflokomotive bei 15 vH der vorteilhaftesten Geschwindigkeit d. 0,31fache. Damit liegt für die Diesellokomotive die Größe der kleinsten mittelbaren Übertragung fest. Die Größe der unmittelbar übertragenden Dieselmachine ergibt sich aus der erforderlichen Gesamtleistung bei der Reibungsgeschwindigkeit.

In Abb. 4 bedeutet *ABCDE* die Leistungskurve der mittelbar und unmittelbar übertragenden Diesellokomotive. Die Gerade *OF* stellt die Leistung der unmittelbar übertragenden Dieselmachine allein dar. Bei der mittelbaren Übertragung ist angenommen, daß der Wirkungsgrad der Übertragung unabhängig von der Geschwindigkeit ist. Je nach der Veränderlichkeit dieses Wirkungsgrades mit der Geschwindigkeit, die von der Übertragungsart abhängt, wird die mittelbar übertragende Leistung bei der vorteilhaftesten Geschwindigkeit größer oder kleiner als der eingezeichnete Wert. Zum Vergleich ist die Leistungskurve *ODG* der Einheits-Schnellzug-Dampflokomotive eingezeichnet. Die entsprechenden Zugkraftkurven sind *IK* für die Diesel- und *IKM* für die Dampflokomotive. Aus dem Vergleich der Leistungskurven beider Lokomotiven folgt, daß bei der Diesellokomotive die Höchstleistung beträchtlich höher als bei der Dampflokomotive sein muß, um bei der Reibungsgeschwindigkeit die gleiche Leistung bzw. Zugkraft wie bei der Dampflokomotive zu erreichen und zwar ist sie um so größer, je kleiner die mittelbare Übertragung ist.

Die Zugkraft bei der Reibungsgeschwindigkeit ist bestimmend für das zu ziehende Wagengewicht. Demnach kann diese Diesellokomotive bei der vorteilhaftesten Geschwindigkeit ihre Leistung nicht voll ausnutzen. Die Dieselmachines müssen dabei mit kleinerer Belastung als der der Vollast entsprechenden arbeiten. Bei der vorteilhaftesten Geschwindigkeit muß sie deshalb ein großes totes Gewicht schleppen. Damit wird das Lokomotivgewicht groß, die Herstellung teuer und der Gesamtwirkungsgrad verschlechtert.

Die mittelbare und unmittelbare Kraftübertragung mit Aufladung der unmittelbar übertragenden Dieselmachine nach der Zunahme der Zugkraft

Bei dieser Art der Diesellokomotive sind mehrere voneinander unabhängige Dieselmachines vorhanden, von denen die einen ihre Leistung unmittelbar, die anderen irgendwie mittelbar auf die Lokomotivtreibräder übertragen; dabei werden die unmittelbar übertragenden Dieselmachines nach der Zunahme der Zugkraft aufgeladung und zwar durch Erhöhung des Druckes der Ansaug- oder Spül- und Ladeluft. Die Lokomotive fährt mit den mittelbar übertragenden Dieselmachines an. Bei einer bestimmten Fahrgeschwindigkeit schaltet man

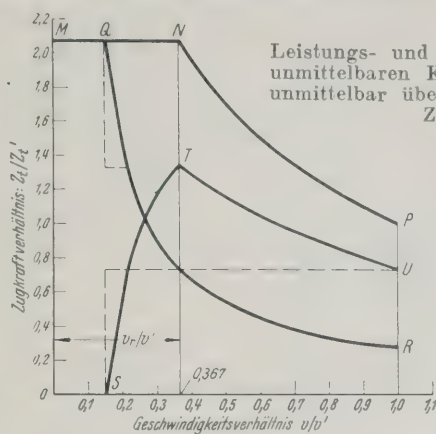
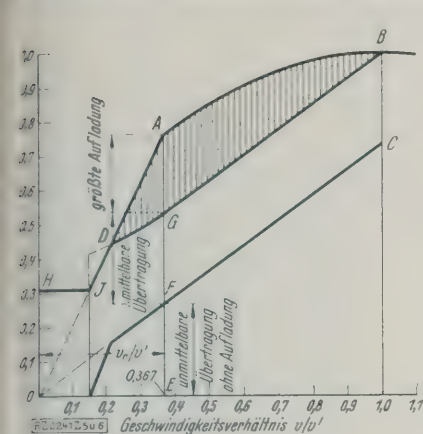


Abb. 5 und 6
Leistungs- und Zugkraftkurve der mittelbaren und unmittelbaren Kraftübertragung mit Aufladung der unmittelbar übertragenden Dieselmachine nach der Zunahme der Zugkraft.

φ einen Wert, der das Verhältnis der Leistungen der aufgeladenen zur nicht aufgeladenen Dieselmachine bei der Reibungsgeschwindigkeit angibt, L_m die Leistung an der Kurbelwelle der mittelbar übertragenden Dieselmachine, $(L_k)_v$ und $(L_k)_r$ der Leistungsbedarf des Gebläses für die Erhöhung des Ansaug- oder Spül- und Ladedrucks bei der vorteilhaftesten und bei der Reibungsgeschwindigkeit.

Zündung der unmittelbar übertragenden Dieselmachines, so daß von nun ab die Übertragung unmittelbar und mittelbar erfolgt. Das Spül- und Ladegebläse sowie die sonstigen Hilfsmaschinen werden von den mittelbar übertragenden Dieselmachines angetrieben.

Bevor bei dieser Lokomotive die Größe der mittelbaren Übertragung festgelegt werden kann, ist erst die Lage zu klären, in welcher Weise die Größe der verhältnismäßigen Aufladung der unmittelbar übertragenden Dieselmachine von der Unterteilung in mittelbare und unmittelbare Übertragung abhängig ist, da die Aufladung der Dieselmachine beschränkt ist. Bei gleicher Veränderung des Zugkraftverhältnisses mit dem Geschwindigkeitsverhältnis sowohl für die Gesamtzugkraft der Lokomotive als auch für die Zugkraft, die mittelbar übertragen wird, ergibt sich, daß die Größe der verhältnismäßigen Aufladung der unmittelbar übertragenden Dieselmachine unabhängig von der Größe der Unterteilung in mittelbare und mittelbare Übertragung ist. Der Verlauf der Zugkraftkurve der mittelbaren Übertragung hängt von der Art der Übertragung ab. Abweichungen dieser Veränderungen der Zugkraftverhältnisse haben Zunahme bzw. Abnahme der verhältnismäßigen Aufladung bei der Unterteilung zur Folge. Es können jedoch die Abweichungen der beiden Kurven für die in Betracht kommenden Übertragungsarten als klein angenommen werden. Aus der Unabhängigkeit der Aufladung von der Unterteilung und dem Umstand, daß die mittelbare Übertragung schwerer als die unmittelbare ist, ergibt sich, daß die mittelbare Übertragung auf die Größe zu verkleinern ist, wie durch die Anfahrbedingungen gegeben ist.

Es sei wiederum das Zugkraft- und Leistungsdiagramm der 2 C 1-Einheits-Schnellzuglokomotive zugrunde gelegt. Danach ist der Leistungsbedarf am Treibradumfang bei einer Geschwindigkeit von 15 vH der vorteilhaftesten Geschwindigkeit das 0,31fache der Höchstleistung, womit die Größe der mittelbaren Übertragung festliegt. Aus der erforderlichen Höchstleistung bei der vorteilhaftesten Geschwindigkeit und der bei dieser Geschwindigkeit vorhandenen Größe der mittelbaren Übertragung ergibt sich die Größe der unmittelbar übertragenden Dieselmachine. Die größte Aufladung erfolgt aus der notwendigen Leistung bei der Reibungsgeschwindigkeit und der bei dieser Geschwindigkeit vorhandenen Größe der mittelbaren Übertragung. In den nachstehenden Betrachtungen sind der mechanische Wirkungsgrad der unmittelbar übertragenden Dieselmachine und der Übertragungswirkungsgrad der mittelbaren Leistung von der Welle der Dieselmachine auf die Treibräder bei allen Geschwindigkeiten als gleichbleibend angenommen. Es ist:

$$(L_t)_v = (L_u)_v + [L_m - (L_k)_v] \eta_{\text{gl}} \dots \dots (3)$$

$$\text{und: } (L_t)_r = \varphi (L_u)_r + [L_m - (L_k)_r] \eta_{\text{gl}} \dots \dots (4)$$

abei bedeutet

L_v und L_r die erforderliche Leistung bei der vorteilhaftesten und der Reibungsgeschwindigkeit,

$(L_u)_v$ und $(L_u)_r$ die Leistung der unmittelbar übertragenden Dieselmachine ohne Aufladung bei der vorteilhaftesten und der Reibungsgeschwindigkeit,

In Abb. 5 und 6 bedeuten HAB die Leistungskurve und MNP die Zugkraftkurve dieser Diesellokomotive, die mit den Kurven der 2 C 1-Einheits-Schnellzugdampflokomotive vollständig übereinstimmen. Die Gerade OC stellt die Leistung L der unmittelbar übertragenden Dieselmachine ohne Aufladung dar. Die zwischen $HIDGB$ und der Geraden OC liegenden senkrechten Strecken geben die mittelbar übertragenen Leistungen an. Ferner entsprechen die zwischen DAB und DGB liegenden senkrechten Strecken der Aufladung der unmittelbar übertragenden Dieselmachine. Die größte Aufladung tritt bei der Reibungsgeschwindigkeit $0,367$ auf und beträgt in dem vorliegenden Beispiel dem Verhältnis der Strecken $AG:FE$ entsprechend 85 vH. QR in Abb. 6 gibt die Zugkraft der mittelbaren und STU die der unmittelbaren Übertragung an.

Der Berechnung des Leistungsdiagramms ist eine doppelwirkende Zweitakt Dieselmachine mit Aufladung durch Auspuffdrosselung zugrunde gelegt. Als Spül- und Aufladagebläse sind Turbogebälse vorgesehen, die von der unmittelbar übertragenden Dieselmachine angetrieben werden, und zwar sind bei der Reibungsgeschwindigkeit 0,217 PS Leistung für 1 PS der unmittelbar übertragenden Dieselmachine am Treibrad als Spül- und Aufladeleistung und bei der vorteilhaftesten oder Fahrgeschwindigkeit 0,07 PS für 1 PS am Treibrad für die Antriebsleistung der Spülpumpe in Rechnung gestellt.

Bei einer Dieselmachine mit Aufladung durch Erhöhung des Ansaug-, Spül- und Ladedruckes steigt bei gleichem Verdichtungsverhältnis der Verdichtungsdruck annähernd mit dem Ansaug-, Spül- und Ladedruck. Um zu große Höchstdrucke zu vermeiden, setzt man den Verdichtungsdruck der unaufgeladenen Maschine auf ungefähr 20 at herab. Infolge dieser Maßnahme erhöht sich der Brennstoffverbrauch der Maschine unwesentlich, da die Wärmeverluste an das Kühlwasser abnehmen und der mechanische Wirkungsgrad zunimmt. Um jedoch die notwendige Zündtemperatur bei dem kleinen Verdichtungsverhältnis zu erreichen, ist die Ansaug-, Spül- und Ladeluft entsprechend vorzuwärmen. Die Vorwärmtemperatur ergibt sich für die gleiche Verdichtungs- endtemperatur und den gleichen Verdichtungsdruck bei Aufladung aus der Beziehung:

$$\frac{T'_a}{T_a} = \left(\frac{p_a}{p'_a} \right)^{\frac{k-1}{k}};$$

p_a, T_a Druck und absolute Temperatur der Ansaug-, Spül- und Ladeluft der normalen Dieselmachine,

p'_a, T'_a Druck und absolute Temperatur der Ansaug-, Spül- und Ladeluft mit vergrößertem Verdichtungsraum und Aufladung,

k Exponent der Verdichtungsline, der als gleichbleibend angenommen ist.

Die Ansaug-, Spül- und Ladeluft der unmittelbar übertragenden Dieselmachine wärmt man mit den Abgasen der mittelbar übertragenden Dieselmachine vor. Da diese Maschine bei allen Lokomotivgeschwindigkeiten voll belastet im Betrieb ist, so steht für die Vorwärmung bei allen Betriebsfällen genügende Wärme zur Verfügung.

Die Diesellokomotive mit unmittelbarer und mittelbarer Übertragung und Aufladung der unmittelbar übertragenden Dieselmachine nach der erforderlichen Zugkraft hat gegenüber der Diesellokomotive mit nur unmittelbarer Übertragung und Anfahrvorrichtung sowie gegenüber der Diesellokomotive mit unmittelbarer und mittelbarer Übertragung den Hauptvorteil, daß bei vorteilhaftester oder Fahrgeschwindigkeit sämtliche auf der Lokomotive untergebrachten Dieselmachines voll belastet sind. Außerdem kann bei ihr die mittelbar übertragende Dieselmachine auf die Größe verringert werden, die den Anfahrbedingungen entspricht. Aus diesen beiden Umständen

den ergibt sich für diese Art von Diesellokomotiven erheblich kleineres Lokomotivgewicht als bei den hier ebenfalls beschriebenen Diesellokomotiven. Ebenso ergibt sich ein günstiger Gesamtwirkungsgrad, da der größte Teil der Lokomotivleistung unmittelbar übertragen wird. Auch gegenüber der Diesellokomotive mit mittelbarer Übertragung hat diese Diesellokomotive ein kleineres Gewicht und günstigeren Gesamtwirkungsgrad, da die mittelbare Übertragung immer schwerer als die unmittelbare ist und einen schlechteren Gesamtwirkungsgrad aufweist. [B 2241]

Der gegenwärtige Stand des Blitzschutzes

In einem Vortrag vor dem Elektrotechnischen Verein Berlin am 29. Januar 1929 behandelte Prof. Matthias, Berlin, die neuesten Erkenntnisse über die Einwirkung von Gewittern auf elektrische Hochspannungsanlagen nach den Arbeiten der Studiengesellschaft für Höchstspannungsanlagen.

In den früheren Arbeiten von Prof. Matthias¹⁾ sind bereits die Ziele dieser Gesellschaft auf dem Gebiete der Gewitterforschung dargelegt und die Wege angegeben worden, auf denen man zu einer Klärung der Gewittereinwirkungen zu kommen versucht.

Die 1925 begonnenen Versuche haben zusammen mit einer planmäßigen Sammlung der Erfahrungen bei Gewitterstörungen im praktischen Betriebe bereits zu wichtigen Ergebnissen geführt.

Über die Entstehung der Blitzentladung kann die Theorie von Max Toepler als endgültig erwiesen angesehen werden. Nach ihr entsteht der Blitz in der Grenzschicht zweier Wolken mit entgegengesetzter Ladung und dringt allmählich zur Erde vor. Dabei entsteht vor seinem Kopf eine starke Verdichtung des elektrischen Feldes.

Die in der Gewitterstation der Studiengesellschaft in Wünsdorf aufgenommenen Oszillogramme²⁾ haben auch über die Strömungsrichtung der Blitze Anhaltspunkte ergeben. Die Blitze von der Erde zur Wolke überwiegen über die von der Wolke zur Erde im Verhältnis 6 : 1. Die Stromstärke im Blitzkanal, d. i. im inneren, stark leuchtenden Teil der Blitzentladung, ist zu 10 000 bis 50 000 A gemessen worden, jedoch sind höhere Werte nicht unwahrscheinlich.

Der Blitz besteht meistens aus zahlreichen Teilentladungen, die in Abständen von einigen Zehntel Sekunden aufeinander folgen. Ob auch hochfrequente Entladungen vorhanden sind, steht noch nicht einwandfrei fest. Sie würden auch für den Gewitterschutz keine große Rolle spielen. Die räumliche Ausdehnung der Teilentladungen erstreckt sich auf rd. 1 km². Die gesamte Blitzdauer beträgt rd. 1 s. Die Elektrizitätsmenge des Hauptstrahls muß mit 10 bis 100 Coulomb angenommen werden. Die Versuche der letzten Jahre, an denen auch der Schwede Dr. Norinder beträchtlichen Anteil hat, haben ergeben, daß die Änderung der Feldstärke bei einem Gewitter keineswegs so plötzlich vor sich geht, daß die frühere Ansicht über die Art der Gewittereinwirkung auf die Anlagen, nämlich das plötzliche Verschwinden des Feldes unter einer Wolke und das dadurch bedingte Freiwerden großer Ladungen auf den Leitungen, weiter aufrecht erhalten werden könnte. Es muß als erwiesen angesehen werden, daß die meisten Gewitterstörungen auf unmittelbare Einschläge in Anlagenteile zurückzuführen sind. Statische Ladungen könnten höchstens in schlecht isolierten Netzen eine Rolle spielen.

Es steht fest, daß nur Wanderwellen die Störungen hervorrufen. Wie hoch bei einem Blitzeinschlag die Spannung ansteigt, richtet sich nach der zugeführten und der abfließenden Elektrizitätsmenge. Die zufließende ist durch den Blitz gegeben, die abfließende durch die Lage der Einschlagstelle und die Verhältnisse auf der Leitung. Wird z. B. ein Leitungsseil getroffen, so wird von der Einschlagstelle aus nach beiden Seiten eine Welle laufen, deren Größe durch den Wellenwiderstand des Seiles bestimmt ist. Kann auf diesem Wege nicht die ganze zugeführte Ladung abgeführt werden, so wird bei genügend hoher Spannung nach einer gewissen Zeit (Überschlagverzögerung) der Isolator gegen Erde überschlagen. Durch die dabei zur Erde abfließende Strommenge, deren Größe durch die Güte der Masterdung gegeben ist, ergibt sich die Spannungshöhe des Rückens der Wanderwelle auf der Leitung. Bei kleinem Erdungswiderstand wird diese Spannung auf unschädliche Beträge herabgesetzt.

Trifft der Blitz den Mast oder das Erdseil, so wird dem Erdseil ein Teil der Elektrizitätsmenge nach beiden Seiten abfließen. Aus dem verbleibenden Überschuß und dem Widerstand der Masterdung ergibt sich die Spannung am Mast, die so hohe Werte annehmen kann, daß die Isolatoren von der Erde her nach der Leitung überschlagen.

Die wirksamste Bekämpfung eines unmittelbaren Blitzeinschlages ist demnach dann vorhanden, wenn an der Einschlagstelle für sofortige Abfuhr der Elektrizitätsmenge zur Erde gesorgt wird. Blitzauffangstangen auf den Masten sind nicht wirksam genug, weil Teilentladungen die Leitungen doch noch treffen können. Das Erdseil kann nur einen sehr geringen Wellenwiderstand entsprechenden Strom abführen. Die Masterdung muß auf jeden Fall hervorragend sein, damit sie eine ausreichend große Elektrizitätsmenge ableiten kann. Hier der Isolator eine kleine Überschlagverzögerung, so kann an der Abfuhr der Strommenge wirksam teilnehmen. Es muß dann allerdings auch den nachfolgenden Erdschluß Lichtbogen ohne Schaden aushalten können.

Der umgekehrte Weg, die Isolatoren mit möglichst großer Überschlagverzögerung zu bauen und einen Ableiter in den Umspannwerken aufzustellen, kann nicht empfohlen werden.

Da die Umstellung der Isolation bereits bestehender Netze in erster Linie eine wirtschaftliche Frage ist, kann man für solche Anlagen Maßnahmen treffen, um die stärksten Störungen der Wanderwellen abzufangen und die langen Rücken hoher Spannung unschädlich zu machen. Für die Abflachung einzelner durch Reflexion entstandener Überspannungen würden sich Kondensatorableiter wirtschaftlich ausführen lassen, während für die Vernichtung der langen Rücken Ableiter vorhanden sein müssen, die die Abfuhr eines großen Stromes ohne Spannungserhöhung ermöglichen. Die Ableiter sollten am besten vor den Einführungen der Leitungen in die Umspannwerke angeschlossen sein, um jede Reflexion zu vermeiden.

In Amerika sind ebenfalls umfangreiche Versuche gemacht worden unter Verwendung von Klydonographen³⁾ zur Messung der Wellenstärke. Abgesehen davon, daß man dort die Störungen größtenteils auf mittelbare Gewittereinflüsse zurückzuführen sucht, sind die Gedankengänge wesentlich die gleichen wie bei uns. [N 2591]

Berlin-Steglitz

H. Grünewald

¹⁾ Vergl. Z. Bd. 68 (1924) S. 859 und Bd. 71 (1927) S. 1013.

Selbsttätiges Hartlöten in Wasserstoffatmosphäre

Die General Electric Co., Schenectady, N. Y., hat einen neuen elektrisch beheizten Ofen zum selbsttätigen Löten von Massenwaren mittels Kupfer gebaut. Die Werkstücke finden sich auf Tischen, die mittels eines Rollenförderers unter den zylinderförmigen Ofen geführt und dann selbsttätig von unten durch eine sich ebenfalls selbsttätig öffnende Klappe in den Ofen eingebracht werden. Ein Stößel schiebt nun den Werkstück auf die innerhalb des Ofens befindliche Rollenbahn; diese führt ihn bis an das Ende des Ofens, wo er durch eine Bodenklappe selbsttätig ausgebracht wird. Die erste Hälfte des Ofens wird elektrisch auf 1100 ° erwärmt, während in der anderen Hälfte des Ofens die Arbeitstücke mittels Sprühwasser wieder abgekühlt werden.

Der Ofen ist mit Wasserstoffgas gefüllt, das nicht nur die Arbeitstücke reinigt, sondern auch ein besonderes Flußmittel entbehrlieh macht und so ein gutes Einfließen des Kupfers in die Lötstellen gewährleistet. („American Machinist“, London, 4. Mai 1929 S. 527) [N 3080 h] Schw

¹⁾ ETZ Bd. 46 (1925) S. 873, „Elektrizitätswirtschaft“ Bd. 25 (1926) S. 297 und Bd. 26 (1927) S. 2.

²⁾ s. „Elektrizitätswirtschaft“ Bd. 25 (1926) S. 297.

R U N D S C H A U



Abb. 1.
Gerätebrett für den
Motorenwart.

- a Fern-Umlaufzählmesser
- b Öldruckmesser
- c Fernthermometer für Öl
- d für Wasser
- e Fernmeßgeräte für den Brennstoffvorrat

Luftfahrt

Bordgeräte im neuzeitlichen Verkehrsflugzeug

Mit der technischen Entwicklung der Verkehrsflugzeuge und Motoren und den mehr und mehr gesteigerten Anforderungen an das Flugzeug als Verkehrsmittel wachsen auch die Aufgaben der Besatzung und die Anzahl der zur Erfüllung dieser Aufgaben erforderlichen Hilfsgeräte. In den ersten Flugzeugen war der Umlaufzähler das einzige Gerät, das dem Führer zur Überwachung von Motor und Flugzeug diente. Im Laufe der Zeit kamen mehr und mehr Bordgeräte hinzu. Trotzdem standen infolge der technischen Mängel, die zum Teil die Geräte noch aufwiesen, die Flugzeugbesatzungen diesen Hilfsgeräten mit einer gewissen Vorsicht gegenüber, besonders den Geräten für die Überwachung der Steuerung. Der eigentliche Wert der Bordgeräte, besonders für die Steuerüberwachung, setzte eigentlich erst im Laufe des regelmäßigen Verkehrsflugbetriebes ein. Sicherheit, Regelmäßigkeit und Pünktlichkeit stellten die Forderung auf, Verkehrsflüge auch bei schlechter Sicht, nachts und über See, ohne erkennbare Bodenmarkierungen durchzuführen.

Bei der Ausrüstung der Verkehrsflugzeuge mit Bordgeräten lag die Gefahr nahe, das Flugzeug mit einer derartigen Anzahl von Geräten auszustatten, daß eher eine Verwirrung als eine Entlastung der Besatzung erreicht worden wäre. Deshalb war man von Anfang an bestrebt, mit möglichst wenigen einfachen, betriebsicheren Geräten eine verlässliche dauernde Überwachung aller Teile von Flugwerk und Triebwerk zu erreichen. Die Erhöhung der Zuverlässigkeit der Besatzung konnte nur durch zweckentsprechende Einteilung der Aufgaben von Orts-, Flugzeugführer, Motorenwart und Funker erreicht werden. Die Geräte sind als Ergänzungen und Ersatz der Sinne der Besatzung anzusehen.

Gegründet auf den mit früheren Anordnungen der Geräte gemachten Erfahrungen macht sich mehr und mehr eine Entwicklung geltend, die Geräte entsprechend den Aufgaben der Besatzung in übersichtliche Gruppen aufzuteilen. An der Hand des s. Z. auf der Internationalen Luftfahrt-Ausstellung 1928 von der Deutschen Luft-Hansa A.-G., Berlin, aufgestellten Modells der Bordgeräte-Anordnung im Bord- und Steuerungsraum eines viermotorigen Verkehrsflugzeuges, Abb. 1 und 2, seien die neuzeitlichen Gesichtspunkte erläutert.

Gerätebrett für den Motorenwart

Der Motorenwart eines viermotorigen Flugzeuges hat einen Aufenthaltsraum, der möglichst gleich nahe zu allen Motoren gelegen ist. In dieser Betriebsweise müssen dem Motorenwart, in jedem Augenblick schnell übersehbar, auf einem Brett vereinigt, alle Angaben über das gesamte Triebwerk gemacht werden. Auf dem Gerätebrett, Abb. 1, sind daher geordnet: vier Fern-Umlaufzählmesser a, vier Öldruckmesser b, vier Fernthermometer für Öl c, vier Fernthermometer für Wasser d und die Fernmeßgeräte für den Brennstoffvorrat e. Der Bau von Anzeigegegeräten mit Längsskala ist besonders im Hinblick auf die günstige, wenig Fläche beanspruchende und übersichtliche Anordnungsmöglichkeit von Überwachungsgeräten für das Triebwerk eingeleitet

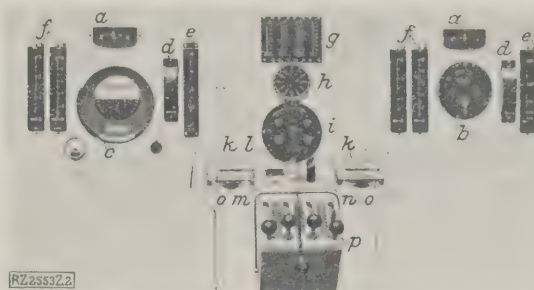


Abb. 2. Gerätebrett für den Flugzeugführer.

- a Kurszeiger vom Fernkompaß
- b Wendezeiger mit Pendel
- c Künstlicher Horizont mit Pendel
- d Längsneigungsmesser
- e Staudruckmesser
- f Höhenmesser (verschied. Meßbereiche)
- g Ferndrehzahlmesser
- h Borduhr
- i Magnetschalter
- k Auslöser für Landelichter
- l Schalter für Scheinwerfer
- m Kurzschließer für elektr. Anlage
- n Brandhahn
- o Auslöser für Vergaserbrandlöscher
- p Gashebel

worden. Der Motorenwart liest nicht mehr einzelne Umlaufzähler nacheinander ab, wie es bei früheren Anordnungen der Fall war, sondern er hat beim Blick auf die Umlaufzählergruppe ein Kurvenbild vom Zustand des Triebwerks in bezug auf Drehzahlen. Das gleiche gilt für die anderen Geräte. Für die Brennstoffvorratmesser erscheint die Verwendung von Geräten mit Rundskala deshalb zweckmäßig, weil auf einem solchen Zifferblatt eine größere Skalenlänge unterzubringen ist, was bei größeren Behälterinhalten (600 bis 1000 l) vorteilhaft ist.

Gerätebrett für den Flugzeugführer

Auf dem Gerätebrett für den Flugzeugführer, Abb. 2, unterscheidet man vier Gruppen von Geräten: links und rechts vor jedem Steuerrad die Steuerüberwachungsgeräte, in der Mitte Geräte für das Triebwerk, darunter eine Gruppe von Schaltern für Beleuchtungszwecke (Nachlandungen) und eine Gruppe von Schaltern für den Brandfall, davor befinden sich noch die Gashebel.

Der Flugzeugführer braucht Geräte zur Überwachung der Seiten-, Höhen- und Quersteuerung (Fußhebel, Steuersäulen- und Handradbetätigung). Die Anordnung ist so getroffen, daß vor der Mitte der Steuersäule die Geräte für die Seiten- und Quersteuerung, links und rechts davon die für die Höhensteuerung eingesetzt werden. Für die Überwachung der Seitensteuerung ist ein Kurszeiger vom Fernkompaß und der Wendezeiger vorgesehen. Die Höhensteuerung kann mit Hilfe des Längsneigungsmessers, Staudruckmessers und Höhenmessers überprüft werden. Für die Überwachung der Quersteuerung dient ein künstlicher Horizont mit Pendel oder ein Wendezeiger mit Pendel.

Zur Übersicht über das gesamte Triebwerk und die Leistungsverteilung zu beiden Seiten der Hoch- und der Längsachse des Flugzeuges sind die in der Mitte des Gerätebretts oben erkennbaren Ferndrehzahlmesser vorgesehen, die den für den Flugzeugführer wichtigsten Drehzahlbereich enthalten. Darunter befindet sich die Borduhr und sodann der Magnetschalter für die vier Motoren mit einem Kurzschließer.

In dem schräg an das Instrumentenbrett angesetzten Tisch liegen in der einen Reihe nebeneinander: elektrische Auslöser für Landelichter (Flügelendfackeln) und Schalter für Scheinwerfer, in der zweiten Reihe: Kurzschließer für die elektrische Anlage, Brandhahn (zum Abstellen der Brennstoffzufuhr zu den Motoren), links und rechts davon elektrische Auslöser für die Vergaserbrandlöscher an den Motoren.

Erstrebenswert wäre, daß diese Anordnung — abgesehen von geringfügigen Änderungen — grundsätzlich bei allen größeren Verkehrsflugzeugen eingeführt würde, damit die Flugzeugführer beim Wechseln der Flugzeuge immer wieder die gleiche Anordnung vorfinden und auf diese Weise eine weitere Entlastung beim Ablesen der Geräte und beim Gebrauch der verschiedenen Schalter erreicht wird.

Von den Flugzeugbauern muß beim Entwerfen neuer Verkehrsflugzeugmuster auf diese Anordnung der Geräte von vornherein Rücksicht genommen werden. Ergänzende

Zusammenarbeit zwischen Flugzeugenbauer und Flugzeughalter muß mehr und mehr zu einer organischen Einfügung der Ausrüstung in das Flugzeug, den gestellten Aufgaben entsprechend, führen.

Den schwierigen Verkehrsaufgaben müssen jedoch nicht nur Flugzeug, Triebwerk und Ausrüstung angepaßt sein, sondern auch die Besatzung derartiger Maschinen. Es ist dringend erforderlich, daß alle Stellen, denen die Ausbildung und Fortbildung der Flugzeugführer obliegt, sich ernsthaft mit der Aufgabe des Schulens im Fliegen ohne Sicht beschäftigen. Nur die Verbindung von maschineller Eignung von Triebwerk und Flugwerk mit persönlichen Fähigkeiten der Besatzung kann die bestmögliche technisch-fliegerische Leistung des Verkehrsflugbetriebes erwarten lassen. [M 2553]

Berlin-Lichterfelde.

Dr. M. Mäder.

Bauingenieurwesen Tagesfragen im Eisenbetonbau

Die 32. Hauptversammlung des Deutschen Betonvereins vom 7. bis 9. März in Berlin zeigte aufs neue, daß die theoretische und experimentelle Erforschung des Betons und Eisenbetons und die praktische unter steigender Verwendung der Baumaschinen sich ausbreitende Anwendung dieser Bauart immer weitere Gebiete des Bauingenieurwesens durchdringt.

Über

hochwertigen Beton unter Berücksichtigung der Darstellung im Vierstoffparallelogramm

berichtete Oberbaurat *Spindel*, Innsbruck. Dieses neue praktische Verfahren soll die Vorausbestimmung der Druckfestigkeit von Mörtel und Beton ermöglichen. In dem Vortrag wurden der Einfluß der Zementbeschaffenheit und des Zementanteiles für gewöhnliche und hochwertige oder frühhochfeste Portlandzemente und Tonerdeschmelzzemente, der Einfluß der Zuschlagstoffe und ihrer Körnungsverhältnisse, der Einfluß des Wasserzusatzes und der Verarbeitung behandelt und gezeigt, wie man das richtige Verhältnis von Zement, Zuschlagstoffen und Wasser abstimmt und den Beton mittels der Darstellung der Anteile von Zement, Zuschlagstoffen, Wasser und Luft im *Spindelschen* Vierstoffparallelogramm verarbeiten kann.

Dr.-Ing. *Olsen*, München, befürwortet in seinem Vortrag: Untersuchungen über die Zugfestigkeit von Zementmörtel und Beton,

das Streben nach einer möglichst hohen Zugfestigkeit. Bei vielen Konstruktionsaufgaben spielt diese doch eine erhebliche Rolle. Die „Mittlere Isar“-A.-G. war z. B. genötigt, für den Bau eines rd. 10 km langen Eisenbetondruckrohres umfangreiche Versuche unter Leitung von *Olsen* anzustellen, um einen möglichst zugfesten Beton zu erhalten. Die Versuche zeigten den Einfluß der Normenfestigkeit, des Zuschlagstoffes, des Mischungsverhältnisses, des Alters u. a. auf die Zugfestigkeit. Mit erdfeuchtem Beton wird z. B. die größere Zugfestigkeit erreicht. Von verschiedenen Seiten ist bereits die Forderung aufgestellt, die in den Normen vorgeschriebene Mindestzugfestigkeit der Zemente, besonders der hochwertigen Zemente, zu erhöhen.

An den Vortrag knüpfte sich eine lebhafte Aussprache, aus der hervorging, daß die chemischen und physikalischen Eigenschaften des Zementes nach längerer Wirkung im Beton durchaus noch nicht einwandfrei geklärt sind und von der Forderung größter Steigerung der Druckfestigkeit im allgemeinen nicht abgegangen werden darf.

In zwei Vorträgen über

Leichtbeton

wurde die Aufgabe behandelt, durch Poren das Eigengewicht des Betons zu vermindern und damit zugleich seine Isolierfähigkeit zu erhöhen¹⁾. Dip.-Ing. *Luft*, München, beschrieb ein Verfahren, durch das während des Mischens des Betons von einem Schaumbildungsapparat aus mehr oder weniger große Schaumengen zugeführt werden. Diese erzeugen im Beton Poren (Zellenbeton). Das Gewicht des Betons kann dadurch bis auf 300 kg/m³ herabgedrückt werden²⁾.

Reg.-Bmstr. *Fränkel*, Berlin, sprach über den Gasbeton (Aerokret), bei dem durch Zusatz von Chemikalien zur Betonmischung Gase entwickelt werden, die den Beton wie die Hefe im Brotteig aufreiben¹⁾. Das Gewicht kann so auf 350 kg/m³ vermindert werden. Entsprechend dem Gewicht ändern sich natürlich die Druckfestigkeit und

die Wärmedurchgangszahl. Bei 0,35 t/m³ erhält man einen reinen Isolierstoff, bei 0,8 t/m³ den Leichtstein für Füllwände in Gerippebauweise. Gasbeton mit 1,0 bis 1,3 t/m³ spez. Gewicht dient schon als selbsttragender Baustoff. Wichtig ist die Verwendung bei Eisenfachwerk; in dieser Bauart sind in Deutschland schon mehrere Häuser ausgeführt. Zweigeschossige Häuser ohne Gerippe sind in Deutschland noch nicht, in Schweden jedoch mehrfach gebaut. Auch für die Decken und Dacheindeckung bietet der Leichtbeton Vorteile, ebenso für das Einkleiden von Eisenstützen.

Im ganzen kann man dem Leichtbeton eine Zukunft im Flach- und Hochbau voraussagen. Der Baustoff kann an der Baustelle wie in der Fabrik verarbeitet werden; er ist feuer- und frostbeständig, verkürzt die Bauzeit, vermindert Raumbedarf, erspart Arbeitskraft und ist nach Angabe der Vortragenden bei richtiger Verwendung und Vorbereitung billiger als andre Baustoffe.

Prof. Dr. G. Garbotz, Berlin, und Prof. O. Graf, Stuttgart, berichteten über

Leistungsversuche an Mischmaschinen³⁾

Die Versuche haben *Garbotz* vom Standpunkt des Betriebes und *Graf* vom Standpunkt der Werkstoffprüfung aus auf Veranlassung der Erzeuger und Verbraucher durchgeführt. Dabei wurde an 30 Maschinen bei vier verschiedenen Mischzeiten mit vier gleichen Mischungen untersucht, wie sich für verschiedene Betonzusammensetzungen verhalten und zwar mit Bezug auf die Mischzeiten, den Wasserzusatz, den Kraftverbrauch u. a. unter dem Gesichtspunkt der größten Wirtschaftlichkeit. Die Ergebnisse sind nach verschiedenen Gesichtspunkten ausgewertet. Lehrreich und für die Zeitersparnis wichtig ist, daß im allgemeinen durch länger als 1 min dauerndes Mischen keine praktische Verbesserung des Betons erreicht wird, daß der sofortige Zusatz von Wasser, also ohne vorherige Trockenmischung keinerlei Nachteile aufweist. Mischzeiten von 3 bis 5 min vorzuschreiben, bringt also unnötigen Zeitverlust.

Als ein Erfolg theoretischen und praktischen Fortschritts im Eisenbetonbau muß der Kuppelbau angesprochen werden, wie er durch Oberingenieur Dr.-Ing. *Fr. Dischinger*, Wiesbaden-Biebrich, in seinem Vortrag über die

Großmarkthalle Leipzig

dargestellt wurde. Mit der Kuppelwirkung ist eine Trägerwirkung derart verbunden, daß die Lasten der Kuppel unmittelbar auf die Eckpunkte des gewählten viereckigen Grundrisses übertragen werden. Damit fallen die Schwierigkeiten fort, die sich bei großen Abständen der Stützpunkte durch sehr schwere und sehr teure Abfangkonstruktionen der früheren Kuppelbauten ergeben. Die Vieleckkuppeln setzen sich aus Zeiß-Dywidag-Schalengewölben⁴⁾ zusammen. Die Schalengewölbe zwischen den Graten wirken als Träger mit großem Trägheitsmoment. Bei der Großmarkthalle in Leipzig sind zuerst drei solche Achteckkuppeln von 76 m Spannweite zur Überdeckung eines Raumes von 76 m × 237 m ausgeführt worden, wobei nur acht Zwischensäulen im Innern dieser großen Grundfläche nötig waren. Es ist klar, daß sich auf diese Weise neue Bauformen in besonders vorteilhafter Weise entwickeln lassen⁵⁾.

Von rein praktischer Bedeutung sind die nachfolgenden Vorträge.

Die Senkkastengründungen der neuen Rheinbrücken bei Düsseldorf, Köln und Duisburg

behandelte Reichsbahnoberrat Dr.-Ing. *Tils*, Köln. Infolge Steigerung der Brückenlasten und Vergrößerung der Spannweiten und Fahrbahnbreiten sind die Senkkasten für die Pfeilergründungen mit Druckluft so groß geworden, daß die in Eisenbeton ausgeführten Senkkasten erheblichen Schwierigkeiten bereiten, die man jedoch mit Erfolg bei den genannten drei neuen Rheinbrücken überwunden hat. Vor allem sind die angreifenden Kräfte und Belastungsmöglichkeiten geklärt und die erforderlichen Widerstände eingebaut. Gerade dank der Bauart in Eisenbeton gelang es, die Schwierigkeiten auf folgende Weise zu überwinden. Man brachte die Senkkasten schwimmend zur Baustelle und versenkte sie ohne Inselfüllung auf die Flußsohle mittels gegeneinander abgesteifter dünner Eisenbetonwandungen am Pfeilerumfang, die nach der Absenkung noch über Wasser ragten. Für die Druckluftgründung sprach auch die Feststellung, daß die beobachteten Druckluftekrankungen im Verhältnis zu den geleisteten Arbeitschichten häufig überschätzt worden sind.

³⁾ Hierüber werden Prof. *Garbotz* und Prof. *Graf* ausführlich in unsrer Zeitschrift berichten.

⁴⁾ Vergl. Z. Bd. 72 (1928) S. 753.

⁵⁾ Einen Aufsatz über die Großmarkthalle Leipzig werden wir demnächst veröffentlichen.

¹⁾ Vergl. hierzu a. *Schmuckler*, Z. Bd. 73 (1929) Nr. 12 S. 385.

²⁾ Ein Auszug aus diesem Vortrag erscheint demnächst in dieser Zeitschrift.

Ein weiteres Anwendungsgebiet des Eisenbetons bot
e
Instandsetzung und Verlängerung des Trockendocks VI
der Deutschen Werke A.-G., Kiel,

der Dipl.-Ing. S. Kiehne, Kiel, beschrieb. Das 175 m lange
ock, das in den Jahren 1897 bis 1903 aus Traßkalkbeton
ter der Taucherglocke erbaut worden ist, zeigte undichte
rheitsfugen infolge Auswaschungen durch das Seewasser
nd Ausspülungen von feinem Sand aus dem Untergrund.
hließlich gab eine Seitenmauer um 30 cm nach und ver-
laßte hierdurch erneut Risse und Sandausspülungen.
usfüllung der Hohlräume mit Druckzement führten zu
inem dauernden Erfolg. Man entschloß sich daher, die
nenflächen des Docks mit einer wasserdichten Hülle aus
senbeton von 1 m Dicke zu verkleiden und diese im alten
ston zu verankern. Um aber das alte Dockprofil einzu-
alten, mußte man den schadhaften alten Traßbeton vorher
stemmen und den neuen Beton fest, dicht und seewasser-
ständig werden lassen. 10 000 m³ Eisenbeton waren dazu
ötig. Mit 30 Tiefpumpen wurde das Grundwasser abge-
nkt. Gleichzeitig verlängerte man auch das Dock um
m landeinwärts und bildete die Wände aus 22 m langen
rissen-Spundwänden, deren oberer Teil an einem wage-
chten Gewölbebogen verankert war. Dieser Bogen hat
e Form einer Winkelstützmauer. Das Ganze bildet
so eine in vielfacher Hinsicht äußerst lehrreiche Instand-
etzung.

Nicht nur technisch beachtenswert war der Vortrag des
afenbaudirektors Eckhardt, Wilhelmshafen, über den

Hafenbau in Helgoland.

er Bau von 1908 bis 1915 und die Zerstörung 1921 bis 1923
bildet ein Stück Weltgeschichte, dem besonders die deut-
chen Ingenieure mit tiefem Schmerz gegenüberstehen! Die
ntwendigkeit, diesen Hafen zu bauen, lag in der Natur der
elgoländer Reede, die keinen gesicherten Ankerplatz bot.
n Ergänzen von Betriebsstoffen war auf der Reede in der
egel wegen Seeganges ausgeschlossen. So mußten zwei
n der Südspitze der Insel ausgehende Molen gebaut wer-
en, die zunächst unter 45° auseinanderliefen, später aber
urch Einschaltung von Kurven aufeinander zuziehen und
den Enden eine Einfahrt von 80 m offen ließen. Lage
nd Form paßten sich derjenigen an, die die Felsbeseiti-
gung unter Wasser möglichst klein zu halten ermöglichten.
e westliche Mole war 1535 m, die östliche 1100 m lang.
ide beginnen im Flachem, enden aber in 10 m Wasser-
te und haben hier Höhen von 17 m. Von der Meeres-
liche, die die Molen umschlossen, blieben 30 ha Wasser,
ha wurden als Land gewonnen. Die Anlegestellen des
afens waren 3000 m lang.

Die erste Ausführung der Molen bestand in Trichter-
schüttung von Beton unter Wasser zwischen Schalung und
senbetonplatten. Diese wurden durch I-Träger gehalten,
es 50 bis 60 cm in den Felsgrund eingerammt waren. War
e Schüttung unter Wasser so hoch, daß sie bei Niedrig-
wasser trocken wurde, so konnte im Tidebetrieb (Tide
i M. 2,5 m) zwischen Granitquadern trocken weiter be-
nnt werden. Wegen Behinderung durch Seegang wurden
i zweiter Ausführungsform die Molen später in größeren
efen auf Senkkasten gegründet. Diese waren 20 m lang,
bis 10 m breit und ebenso hoch; ihre Höhe richtete sich
ch der Wassertiefe. Sie waren auf dem Festlande ge-
ut und dabei bereits mit einer Bodenbetonierung ausge-
stet, hatten wasserdichte eiserne Außenhaut, die in Hel-
land noch eine Klinkerhintermauerung erhielt. Dann
urden sie durch Einlassen von Wasser auf den vorher ge-
neten Grund gesenkt, ausgepumpt und unabhängig vom
ußenwasser vollbetoniert. Solch ein einheitlicher Beton-
ock hatte bis 5000 t Gewicht. Insgesamt betrug die Zahl
er Blöcke 48. Auf diesen Blöcken wurde dann der Oberbau
i Niedrigwasser im Trocknen betoniert.

Eine dritte Bauweise für einen Teil des Unterbaues der
t mole bestand in der Herstellung eines schweren Ge-
stes aus Breitflanschträgern, von dem aus zwischen den
Blützen Betonblöcke von 10 t Gewicht im Verband ver-
etzt wurden. Das Gerüst wurde dann herausgezogen und
weiter verwendet. Für die Abschlußmauer des neuen Lan-
es an der Innenseite des Hafens war eine vierte Bauart ge-
ählt, die aus Versenkung von Steinkasten, 20 m × 5 m × 5 m
bestand. Die Hinterwand bildeten dichte Bohlen, die übri-
gen Wände setzten sich aus Lattung und starkem Maschi-
ndrahtnetz und der Boden aus einem lose gespannten
lahtnetz zusammen. Das Drahtnetz konnte sich glatt auf
en unregelmäßigen Felsgrund aufsetzen. Diese Kasten
urden durch Einwerfen von Bruchsteinen versenkt.

1,5 Mill. m³ Sand für das Hafengelände hinter dieser
auer wurden aus der Elbmündung gebaggert, nach Helgo-
land geschleppt und aufgespült. Bei Austiefung des Hafen-
beckens mittels besonderer Eimerbagger waren immerhin

noch 400 000 m³ Felsmassen zu lösen. Die Molen haben rd.
215 000 m³ Beton, die Hochbauten (Kraftwerk, Werk- und
Wohnstätten) rd. 35 000 m³ Beton erfordert. Der Kies wurde
mittels Dampfer aus dem Rhein über Rotterdam bezogen.
40 Mill. RM Baukosten sind nun dem unglückseligen Kriegs-
ende zum Opfer gefallen!

Im Gegensatz hierzu kann der Inhalt des Vortrages von
Dir. Dr. Arndt, Buenos Aires, über den

Bau der großen Elektrizitätswerke

die deutschen Ingenieure nur mit einem berechtigten Stolz
erfüllen. Die Ausführung lag in den Händen der Compañia
General de Obras Publicas, einer Tochtergesellschaft der
Firmen Ph. Holzmann, A.-G., Frankfurt a. M., und Gebr.
Goedhardt, Düsseldorf. Hier handelt es sich um die inge-
nieurtechnisch sehr beachtenswerte Verbindung von Hafen-
bauten, Tief- und Hochbauten neuzeitlicher Art, die in vor-
bildlicher Zusammenarbeit und wechselseitiger Verflechtung
beider Bauanlagen, durch gründliche und weitausschauende
Vorarbeit, Sicherheit des Entwurfes und Straffheit der ge-
samten Ausführungsplanung fertiggestellt wurden.

Die Anlagen waren auf zwei verschiedenen Landungen
des neuen, dem Meer (Mündung des La Plata-Stromes) ab-
zugewinnenden Hafens einschließlich Herstellung dieser
Landungen mit allem Zubehör, Straßen- und Eisenbahn-
anschluß sowie des dazwischen liegenden Hafenbeckens zu
errichten. Die großen, in kurzer Zeit zu bewältigenden
Massen haben besonders umfangreiche Arbeiten notwendig
gemacht, wobei nebeneinander deutsche und nordamerika-
nische Maschinen arbeiteten. Die Ausführung der gesamten
Baggerarbeiten, des Baues der Kaimauern, der Gründungen
und Hinterfüllungen erfolgte dank einer günstigen geolo-
gischen Konstellation im Trockenen, so daß Fangdämme
in einer Gesamtlänge von 3,5 km auszuführen waren, bei
denen 6000 t Larssen-Eisen, die bis in den weichen Fels-
grund gerammt wurden, Verwendung fanden. Der Vortrag
zeigte die überragende Geltung des deutschen Bauingenieurs
in ferner Übersee und weckte so neue Hoffnungen für die
Zukunft.

Prof. Dr.-Ing. Beyer, Dresden, sprach über die

Arbeiten am Kraftwerk Niederwartha.

Das Kraftwerk soll den Spitzenbedarf in der Elektrizitäts-
versorgung des Freistaates Sachsen decken. Ein unteres
Becken, ein 145 m höher gelegenes Speicherbecken von
2 Mill. m³ Nutzhalt, Verbindungsleitungen und das eigent-
liche Kraftwerk mit vorläufig halber Maschinenausstattung
von vier Sätzen (Turbine, Stromerzeuger, Motor und Pumpe)
bilden die umfangreiche Kraftanlage. In den verbrauchs-
schwachen Stunden wird der von den Hauptwerken Böhlau
und Hirschfelde erzeugte Strom dazu benutzt, das Wasser
des unteren Beckens in das obere zu pumpen. Beim Spitzen-
bedarf wirkt die hier geschaffene Anlage als selbständiges
Kraftwerk, das beim Ausfall der Stromerzeugung aus andern
Quellen den Gesamtbedarf der Stadt Dresden auf einige
Stunden deckt. Die Gebäude und sonstigen Kunstbauten
nebst ihren Gründungen, besonders die Turbinen- und
Pumpenfundamente einschließlich der zugehörigen Druck-
rohrleitungen sind nach dem Entwurf von Prof. Beyer vor-
wiegend aus Eisenbeton konstruiert. Nur das Hallendach
besteht aus Stahlfachwerk mit Bimsbetonplatten. [N 2811]

Berlin

Dr.-Ing. E. h. Karl Bernhard

Lager- und Ladevorrichtungen

Klappkübel-Verladeanlagen mit selbstgreifenden Kübelgeschirren

Zum Betrieb mit Klappkübel ist ein Kran mit Greifer-
windwerk erforderlich, an den statt des Greifers ein Kübel-
geschirr angehängt ist. Zum Einhaken des Geschirres
in die Haken und Ösen des Kübels dienen ein oder
zwei Bedienungsleute. Diese Einhängemannschaften können
bei Verwendung eines besonderen selbstgreifenden Kübel-
geschirres erspart werden, sofern der betreffende Kran keine
Drehbewegung ausführt. Dies ist z. B. der Fall bei Lauf-
kranen und Verladebrücken mit nicht drehbaren Lauf-
katzen¹⁾.

Die Wirkungsweise dieses selbstgreifenden Kübelge-
schirrs zeigen Abb. 3 bis 5. Da das Geschirr immer die gleiche
Winkelstellung beibehält, kann der Kranführer ohne Zu-
hilfenahme weiterer Bedienungsleute selbst die beiden Trag-
haken *b* in die Drehachsen *d* des Kübels *a* einführen. Dies ge-
schieht durch einfaches Fahren und Anheben des Ge-
schirrs, wobei ein genügend großer Spielraum in den Ösen
sowie die besondere Ausbildung der Haken das Einführen

¹⁾ Vergl. a. Schönfeld, Z. Bd. 73 (1929) Nr. 6 S. 191.

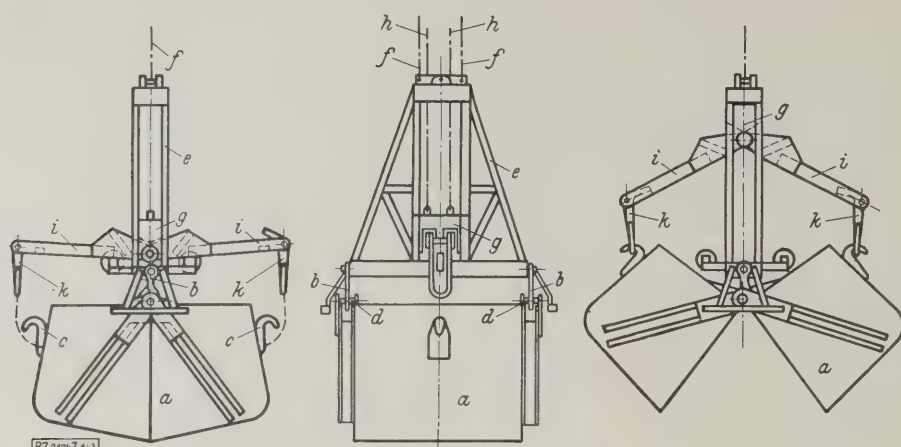


Abb. 3 bis 5
Aufbau und Wirkungsweise des
Klappkübels mit selbstgreifen-
dem Kübelgeschirr.

- a Kübel
- b Traghaken des Kübel-
geschirrs
- c Traghaken des Kübels
- d Drehachsen des Kübels
- e Führungen des Kübel-
geschirrs
- f Schließseile
- g Gewicht
- h Halteseile
- i Greifhebel
- k Ösen des Kübelgeschirrs



Abb. 6
Kalkstein-Verladeanlage mit Klappkübeln der Zementfabrik
Dyckerhoff & Söhne, Amöneburg

erleichtern. Die beiden Greifhebel *i* mit den Ösen *k* befinden sich beim Einhängen des Kübels in hochgeklappter Stellung, so daß sie frei über den Kübel hinwegfahren können. Die Greifhebel bewegen sich erst dann, wenn der Kübel entleert werden soll. Werden die Schließseile *f* nachgelassen bei gleichzeitigem Festhalten der Halteseile *h* (entsprechend dem Entleervorgang beim Selbstgreiferbetrieb), so werden die Greifhebel *i* durch die Führungen *e* so geführt, daß sich die Ösen *k* in die Haken *c* des Kübels einhängen. Bei weiterem Nachlassen der Schließseile öffnet sich der Kübel, da die Haken *c* in ihrer Höhenlage festgehalten werden. Zum Schließen werden die Schließseile wieder angezogen. Ist der Kübel vollständig geschlossen, so haken sich die Ösen *k* von selbst wieder aus und gehen unter dem Einfluß des Gewichtes *g* in ihre Ruhelage zurück. Beim Absetzen hängt also der Kübel wieder nur in den Traghaken *b*, und das Kübelgeschirr kann durch Senken und Verfahren ohne Hilfsmannschaften wieder ausgehängt werden.

Derartige selbstgreifende Kübelgeschirre wurden von der Demag, Aktiengesellschaft, für Kübel aller gebräuchlichen Größen gebaut. Abb. 6 zeigt die Kalksteinverladeanlage einer großen Zementfabrik. Die für die Zementherstellung erforderlichen Kalksteine werden in einem Steinbruch gewonnen, der mit der Fabrik durch eine Schmalspurbahn verbunden ist. Zwischen Fabrik und Steinbruch verkehren kleine Wagen, von denen jeder einen Klappkübel von 9 m³ Fassungsvermögen entsprechend 12 t Kalkstein trägt. Die Kübel werden im Steinbruch durch Bagger gefüllt und zur Fabrik gefahren, wo sie in die Bunker über den Steinbrechern zu entleeren sind. Die Gleise der Schmalspurbahn sind zu

diesem Zweck längs der Brechanlage verlegt. Sie werden gemeinsam mit den Aufgabelbunkern von zwei Laufkränen überspannt, deren Laufkatzen also die angefahrenen Kübelwagen und die fünf hintereinanderliegenden Bunker bestreichen können. Die Kübel werden durch die Katze einzeln von den Wagen abgehoben, über einen der Bunker befördert und durch Auseinanderklappen ihrer beiden Hälften entleert. Hierauf werden sie wieder geschlossen und auf die Schmalspurwagen abgesetzt. An den Enden der Wagen sind Führungsbleche angebracht, die das richtige Aufsetzen der Kübel erleichtern. Mit jedem Kran werden stündlich etwa 20 Kübel umgeladen.

Die Aufgabe der in Abb. 7 bis 9 dargestellten Koksverladeanlage für ein Gaswerk besteht darin, den frisch geschmolzenen Koks in den Koksturm oder in den Tagesbehälter zu befördern. Zu diesem Zwecke fährt unter der Koksrampe ein Wagen vor, auf dem zwei Klappkübel von 11 m³ Fassungsvermögen stehen. Durch besondere Zellenverschlüsse, die auf der ganzen Länge der 12 m langen Rampe angebracht sind, werden die Kübel gefüllt und unter einen Schacht gefahren, durch den sie herausgehoben werden sollen. Das Windwerk, das den Kübelwagen an Seilen hin- und herzieht, ist ortsfest aufgestellt und wird von einem festen Führerstand aus gesteuert. Mit der Windanlage ist eine Anzeigevorrichtung verbunden, die dem Führer die jeweilige Stellung des Kübelwagens anzeigt, so daß er leicht feststellen kann, ob der eine oder der andere Kübel genau unter dem Schacht steht, oder welche Stellung die Kübel gegenüber der Koksrampe beim Beladen einnehmen. Die Zellenverschlüsse an der Rampe werden gleichfalls vom Führerstand aus betätigt.

Über die ganze Anlage erstreckt sich vom Kohlenturm bis zum Koksturm die Fahrbahn einer Zweischienen Laufkatze, an deren Seilen ein selbstgreifendes Kübelgeschirr zum Aufnehmen und Entleeren der Kübel hängt. Der Führer dieser Katze fährt genau bis zu einem Zeichen, das deutlich sichtbar an der Katzfahrbahn angebracht ist und die Stellung angibt, bei der sich das Kübelgeschirr genau über dem Schacht befindet. Das Kübelgeschirr gleitet nun beim Senken durch ein Führungsgerüst in den Schacht. Sobald es in der tiefsten Stellung angekommen ist, wird durch eine Schleppeisenhalter das Hubwerk selbsttätig stillgesetzt. Die Haupttragösen des Kübelgeschirrs werden durch einen besonderen Antrieb in die Traghaken des Kübels eingeführt, indem der Kranführer einen kleinen Steuermotor einschaltet. Hierauf kann durch Einschalten des Hubmotors die Hubbewegung beginnen. Über dem Tagesbehälter oder dem Koksturm angelangt, wird der Kübel erforderlichenfalls wieder etwas gesenkt und dann durch Einschalten des Schließmotors im Senksinne geöffnet. Nachdem der Kübel entleert ist, wird er wieder geschlossen, und der Kranführer fährt die Katze in die vorgeschriebene Stellung zurück, senkt den leeren Kübel und löst die Ösen des Kübelgeschirrs von den Kübelhaken, sobald das Hubwerk durch den Schleppeisenhalter wieder stillgesetzt worden ist. Hierauf wird der zweite Kübel unter den Schacht gefahren, und der gleiche Vorgang wiederholt sich. Inzwischen fährt der erste Kübel zur Aufnahme der nächsten Füllung vor die Koksrampe.

In dieser Weise kann der Koks verladen werden, selbst wenn der Raum in der Umgebung des Kübelwagens voll kommen in Rauch gefüllt ist und weder der Führer der Katze, noch der Führer des Kübelwagens das Kübelgeschirr und den Kübelwagen sehen können. Das Hubwerk an der Katze ist zudem noch mit einem Teufenzeiger ausgerüstet, der dem Führer genau die jeweilige Höhenlage des Geschirrs anzeigt. Als Verständigungsmittel zwischen den

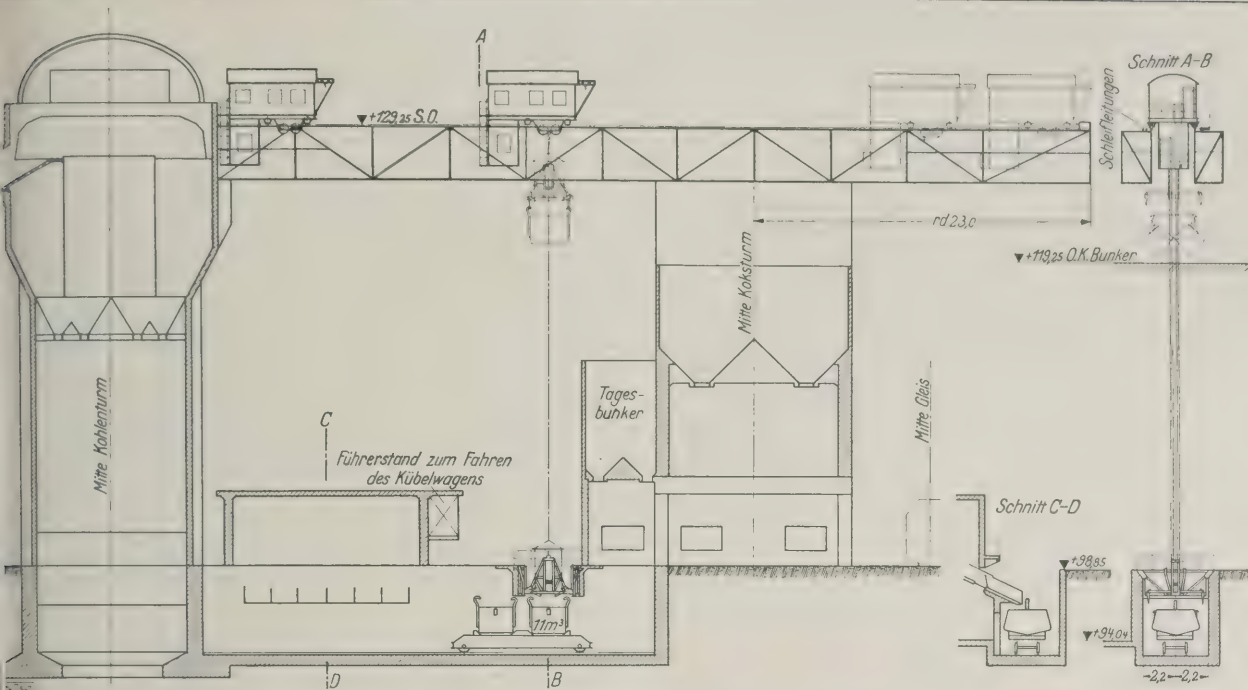


Abb. 7 und 9
Koksverladeanlage mit Klappkübeln für ein Gaswerk. M. 1:500.

Wagenführer und dem Wagenführer dienen Glockenzeichen. Durch Anschläge an eine lauttönende Glocke gibt der Wagenführer dem Katzführer bekannt, daß ein Kübel zum Heben bereitsteht; andererseits zeigt der Kranführer dem Wagenführer durch ein Glockenzeichen an, daß der Kübel unten angekommen und von dem Geschirr freigegeben ist. Da die Ofenbatterien stündlich neun Abbrände je 9 t Koks liefern, so sind bei einem Fassungsvermögen der Kübel von annähernd 5 t in der Stunde 18 Spiele auszuführen.

Die Katzfahrbahn ist über den Koksturm hinaus verlängert, so daß im Bedarfsfall noch ein Eisenbahngleis jenseits des Koksturmes bedient werden kann. Die Windwerke der Katzen sind bei den beiden beschriebenen Anlagen als Differentialwindwerke²⁾ ausgebildet. Zur Steuerung dienen nur zwei Schalter, von denen der eine das Heben und Senken, der andere das Öffnen und Schließen des Kübels steuert. Eine Entleerbremse und Kupplungen sind nicht vorhanden.

[M 2174]

²⁾ Vergl. a. Z. Bd. 73 (1929) Nr. 7 S. 234.

Kleine Mitteilungen

Wirtschaftlichkeit einer neunstufigen 37 500 kW-Turbine

Diese Turbine arbeitet im Oakland-Kraftwerk C der Pacific Gas & Electric Co. und hat ihre Wirtschaftlichkeit im längeren Betrieb erwiesen. Die Anordnung von neun Stufen weicht von der üblichen Bauart dieser Turbinen mit ihren 17 und mehr Stufen bewußt ab und ermöglicht im Bereich bis zu 30 000 kW einen höheren Wirkungsgrad. Darüber hinaus arbeitet die Turbine jedoch unrentabler als andere. Sie ist als Anzapfturbine für Leistungen von 20 000 bis 42 000 kW gebaut und wohl die kleinste neunstufige Turbine.

Der Dampf wird in zwei Kesseln von je 3300 m² Heizfläche erzeugt. Diese Kessel, die größten ihrer Art, sind mit Ölföhrung und Lufterhitzern ausgerüstet; sie passen sich der wechselnden Belastung gut an und können mit 10 kg/m² h Dampf belastet werden. Bemerkenswert ist die Größe der Lufterhitzerfläche; sie verhält sich zur Kesselfläche wie 1,5 zu 1. („Electrical World“ 20. April 1929 S. 71) [N 3080 a] Stg.

Zusammenarbeit von Herdöfen und Abhitzekesseln

Die Timken Steel & Tube Co. hat kürzlich eine Abhitzekesselanlage in Betrieb genommen, die eine gute Ausnutzung der Abgase der Herdöfen gewährleistet. Die zwei Trommel-Abhitzekessel von je 565 m² Heizfläche mit Wasservorwärmern und Überhitzern liefern Dampf bei 10,55 at und 55,5° Überhitzung; sie liegen Seite an Seite zwischen den Essen der Herdöfen. Der Abgasstrom aus dem Ofen teilt sich unter dem Kesselfundament in zwei Arme: einer führt unmittelbar zur Esse, der andere zum Kessel. Auf diese Weise gelangt das Gas auf dem kürzesten Wege vom Gitterspeicher zum Kessel. Die Abgase des zu den Essen und den Kesseln strömenden Gases werden von wassergekühlten Schiebern mit elektrischem Antrieb geregelt. Jeder Kessel ist mit einem Saugapparat ausgerüstet, das von einer 66 PS-Dampfmaschine an-

getrieben wird und 59 t/h Abgase von 260° zur Esse befördern kann. Die Abgase verlassen den Gitterspeicher mit 650° und werden in drei Zügen durch den Kessel geführt. („Power“ 30. April 1929, S. 711*)

[N 3080 b]

Le.

Selbsttätiges Wasserkraftwerk

An dem Spaulding-Stausee in Kalifornien arbeitet ein Wasserkraftwerk mit einer 7000 kVA-Turbine ganz selbsttätig¹⁾. Der Geschwindigkeitsregler der Turbine ist durch eine selbsttätige Regelvorrichtung ersetzt worden, die elektrisch gesteuert wird. Die Kraft zum Regeln des Wasserzuflusses wird dem Druckrohrstrang entnommen. („Electrical World“ 27. April 1929 S. 821*) [N 3080 c] Pa.

Mit Wasserstoff gekühlter Stromerzeuger

Die General Electric Co. hat einen Synchronstromerzeuger für 20 000 kVA, 11 000 V gebaut, der mit Wasserstoff gekühlt wird²⁾. Der Wasserstoffgehalt in der Maschine wird durch Überwachungsventile gleichbleibend gehalten. („Electrical World“ 27. April 1929 S. 820*) [N 3080 d] Pa.

Härten der Wellen für Kühlwasserpumpen nach dem Nitrierverfahren

Eine Fabrik von Kraftfahrzeugen in Detroit hat in ihrem Betrieb die Anwendung des Nitrierverfahrens in großem Maßstab aufgenommen und als Gegenstand der ersten Anwendung die Wellen für die Kühlwasserpumpen der Motoren gewählt, die früher aus nichtrostendem Stahl hergestellt wurden. Die aus Kruppschem Stahl von 0,36 vH Kohlenstoff-, 0,51 vH Mangan-, 0,27 vH Silizium-, 1,23 vH Aluminium-, 1,49 vH Chrom-, 0,01 vH Schwefel-, 0,013 vH Phosphor- und 0,18 vH Molybdänggehalt geschnittenen Rundstangen von 127 mm Länge und 16,3 mm Dmr. werden in einem elektrisch beheizten Ofen behandelt, dessen Gebläse

¹⁾ Vergl. auch Z. Bd. 72 (1928) S. 905.

²⁾ Vergl. Z. Bd. 70 (1926) S. 889 und Bd. 73 (1929) Nr. 18 S. 607.

90 l/h Ammoniak fördert. Der Ofen ist mit Ölverschluß und mit einem Doppelmantel versehen; durch den Mantelraum wird Druckluft zum schnellen Abkühlen der Werkstücke nach der Behandlung getrieben. Im Ofen bleiben die Teile 21 Stunden lang bei rd. 525°. Sie überziehen sich dabei mit einer 0,2 mm dicken Schicht, die eine Brinellhärte von 1000 erreichen soll. Die Stücke verlassen den Ofen äußerlich silberweiß mit einem um rd. 0,025 mm vergrößerten Durchmesser und werden dann spitzenlos fertig geschliffen. Die Kosten der Pumpenwellen nach diesem Verfahren sollen sich zu den früheren wie 12 bis 15 zu 20 bis 30 verhalten. („The Iron Age“ 25. April 1929 S. 1150) [N 3080 e] H.

Französischer Kriegsschiffbau

In der Zeit vom 10. bis 24. April d. J. sind in Frankreich zehn neue Kriegsschiffe für die französische und polnische Flotte vom Stapel gelaufen.

Beim Auftrag der französischen Marineleitung handelt es sich hier zunächst um vier große Unterseeboote, die bei 92 m Länge, 8 m Breite und 1560 t Verdrängung (aufgetaucht) die größten U-Boote der französischen Flotte darstellen. Die Dieselmotoren von 6000 PS sind teils nach Bauart Sulzer, teils nach Bauart Schneider erbaut; die Geschwindigkeit beträgt 18 Kn an der Wasseroberfläche und 10 Kn unter Wasser.

Sodann liefen ein Flugzeugmutterschiff und ein Minenleger vom Stapel. Der Minenleger, der eine neue Bauart

diesseits des Kanals darstellt, hat 5300 t Verdrängung; sein Turbinenanlage leistet 57 000 PS, seine Geschwindigkeit beträgt 30 Kn. Die Bewaffnung des Minenlegers besteht aus vier 138 mm-, zehn 37 mm-Geschützen und zwölf Maschinengewehren.

Für die polnische Flotte lief ein Flottillenflaggschiff von 1550 t Verdrängung und 33 Kn Geschwindigkeit vom Stapel, ein Schwesterschiff dieser Klasse steht bereits im Dienst. Besondere Beachtung verdient der Stapellauf von drei Unterseebooten, der ersten für die polnische Flotte. Sie werden als Minenleger ausgebildet und mit einem 100 mm- und einem 40 mm-Geschütz, sowie mit sechs Torpedoausstößrohren ausgerüstet. Bei 980 t Verdrängung (aufgetaucht) und 3600 PS sollen sie eine Geschwindigkeit von 14 Kn an der Wasseroberfläche und 9 Kn unter Wasser erreichen. („Shipbuilding and Shipping Record“ 25. April 1929 S. 525/26*) [N 3080 f] Bl.

Blitzforschung

In der Institution of Electrical Engineers hat Dr. G. Simpson neue Forschungsergebnisse über den Blitz vortragen¹⁾. Die beim Blitzschlag übertragene Elektrizitätsmenge wurde von Wilson zu 10 bis 50 C, in der Regel zu 20 C bestimmt; die Spannung wird auf rd. 10^9 V geschätzt. In nicht geerdeten Leitungen sollen Überspannungen bis 10^7 V bei Blitzschlägen auftreten. („Engineering“ 3. Mai 1929 S. 555*) [N 3080 g] Pa.

¹⁾ Vergl. a. S. 732 dieses Heftes.

BÜCHERSCHAU

Bücher und Zeitschriften des In- und Auslandes, auch solche nichttechnischen Inhaltes, liefert die VDI-Buchhandlung, Berlin NW 7, Ingenieurhaus (Telegrammanschrift: Ingenieurverlag Berlin; Fernspr.: Zentrum 15204).

Handwörterbuch des elektrischen Fernmeldewesens. Herausgeg. von Ernst Feyerabend, Hugo Heidecker, Franz Breisig und August Kruckow. Berlin 1929, Julius Springer. 1. Bd.: A bis K. 830 S. m. 1319 Abb., 2. Bd.: L bis Z. 903 S. m. 1450 Abb. Preis zus. 192 RM.

Ein groß angelegtes, höchst wertvolles Werk! Erstaunlich auch die Schnelligkeit, mit der der weit ausgreifende Plan durchgeführt und das Werk vollendet worden ist; man darf wohl sagen, daß trotz der raschen Entwicklung der Fernmeldetechnik weder etwas vom Neuesten fehlt, noch auch das Dargebotene veraltet ist.

Das Buch behandelt in lexikonmäßiger alphabetischer Anordnung sowohl die wissenschaftlichen Grundlagen der Fernmeldetechnik aus Physik, Chemie und Mathematik, auch aus Zoologie und Botanik, wie das Telegraphen-, Fernsprech- und Funkwesen, Eisenbahnsignalwesen, Anwendung der Telephonie im Bergbau und in der Schifffahrt, insbesondere Linien- und Leitungsbau, den Betrieb, die Verwaltung und das Rechtswesen, Statistik; es schildert das Fernmeldewesen auch in fremden Ländern und die zwischenstaatlichen Beziehungen, auch die Geschichte. Außerordentlich zahlreiche Literaturhinweise dienen als Leitfaden für genaueres Studium. Jedem Stichwort ist in der Regel der gleichbedeutende Ausdruck im Englischen und im Französischen beigelegt, so daß man zugleich ein deutsch-englisches und ein deutsch-französisches Wörterbuch vor sich hat. Man findet ferner kurze Lebensbeschreibungen bedeutender Fernmeldetechniker. Die zahlreichen Abbildungen (2769 auf 1733 Seiten) sind vortrefflich und scheinen zum großen Teil für dieses Buch neu angefertigt worden zu sein. Unter „Schrifttum“ findet man eine Aufzählung von 191 Büchern und 58 Zeitschriften, die sich größtenteils ausschließlich mit der Fernmeldetechnik, zum kleineren Teil auch mit andern Gegenständen der Technik befassen.

Ein vollständiges Verzeichnis der Mitarbeiter wird nicht mitgeteilt; doch läßt sich aus andern Angaben schließen, daß sich etwa 75 Fachleute in die Bearbeitung geteilt haben, durchweg Männer, die in Fachkreisen hoch geschätzt werden. Der Umfang der Beiträge schwankt, wie in andern Handwörterbüchern, von wenigen Zeilen bis zu mehreren Seiten. Es handelt sich in der Hauptsache nicht lediglich um Angaben, die aus der vorhandenen Literatur zusammengetragen worden sind; vielmehr erkennt man schon aus der Wahl der Mitarbeiter — und es wird im Vorwort noch ausdrücklich gesagt — daß die Absicht war, das lebendige Wissen der im Fernmeldewesen selbst tätigen Techniker und Verwaltungsbeamten nutzbar zu machen und der gesamten Fachgenossenschaft zur Verfügung zu stellen.

Druck, Papier, Abbildungen, die ganze Ausstattung sind ausgezeichnet gut.

Das Vorwort der Herausgeber schließt mit dem Wunsch, dem ich mich von Herzen anschließe: Möge das Werk die

große Arbeit durch Erfüllung seines Zweckes lohnen: ein Bild von der Größe und Bedeutung des elektrischen Fernmeldewesens zu geben und dem Fachmann ein stets willkommenes Helfer sein! [E 2865] Strecker

Forschungsarbeiten auf dem Gebiete des Ingenieurwesens Heft 316: Der indizierte Wirkungsgrad der Gasmaschine. Von Hermann Schnell. Der Einfluß des Wärmeübergangs auf den indizierten Wirkungsgrad der Gasmaschine. Von Eberhard Hecker, Berlin 1929, VDI-Verlag. 34 S. m. 48 Abb. und 30 Zehntafel. Preis 6,50 RM, für Mitglieder des V. d. I. 5,85 RM.

Der erste Teil befaßt sich mit dem indizierten Wirkungsgrad (Gütegrad) der Gasmaschine. Der thermische Wirkungsgrad wird unter Berücksichtigung der Abhängigkeit der spezifischen Wärme von der Temperatur und der Verschiedenheit der Gaszusammensetzung vor und nach der Verbrennung in Abhängigkeit von der Art des Frischgases, des Luftüberschusses und des Verdichtungsgrades bestimmt. Aus Versuchsergebnissen wird der indizierte Wirkungsgrad bei geänderter Drosselung, verschiedenen Mischungs- und Verdichtungsverhältnissen ermittelt.

Der zweite Teil bringt die rechnerische Ermittlung des indizierten Wirkungsgrades einer Großgasmaschine (1500 PS) und zeigt dessen Abhängigkeit von Luftüberschuß, endlicher Verbrennung, Drehzahl, mittlerer Wärmtemperatur, Endtemperatur des Ausgases und Maschinengröße. Zuletzt wird der berechnete indizierte Wirkungsgrad mit dem beim Versuch ermittelten verglichen. [E 2575] Ltr.

Oil Refinery Specifications. Von A. L. Nugey. Easton 1929 The Chemical Publishing Co. 210 S. m. 34 Abb. Preis 3,50 \$.

Raffinieren von Ölen bedeutet in den englisch sprechenden Ländern die Aufbereitung von Ölen mittels Destillation. Nugey hat ein Buch geschaffen, wie wir es wohl an den allerwenigsten Gebieten der chemischen Großprozesse haben, eine Einzelbeschreibung in so scharfer und sachlicher Art, daß ich fast wünschen möchte, daß das Buch in deutscher Sprache den Fachleuten und den Ingenieuren allgemein zugänglich gemacht würde.

Es fehlt in dem verhältnismäßig kleinen Buch kein Teil aus dem Gebiet der Ölverarbeitung als nur die Säurepumpen. Jeder Teil, von der Fabrikanlage angefangen bis zum kleinsten Nebengerät und Maschinenteil, ist beschrieben. Die Heizvorrichtungen, seien es Gas-, seien es Ölbrenner, die Beseitigung von Abgasen und die Gewinnung von Destillationsgasen, alles findet seine außerordentlich sachliche Behandlung in kurzen, sehr genauen Angaben. Die Übersichten über die Fabrikanlagen sind skizzenhaft, aber so genau ausgeführt, daß für den Fachmann alles darauf zu ersehen ist.

Wenn das Buch auch schon 1924 erschienen ist, so hat es im vollen Umfang auch heute noch seinen Wert, sowohl für den Bauingenieur wie für den Chemiker und Techniker. Dabei geht es nicht nur auf die Destillationstechnik, sondern auch auf die Einrichtung von Krackanlagen usw. ein. Ich habe selten ein Buch in der Hand gehabt, was ich so empfehlen kann wie dieses. Es ist wirklich bedauerlich, daß diese Dinge in Deutschland nicht genügend Beachtung finden dürften, um eine Übersetzung zu gestatten. Bei der Wiedergabe der Skizzen macht sich das schlechte Druckpapier ungünstig bemerkbar. [E 2827] Frank

Motorshipping. Von A. C. Hardy. London 1928, Chapman & Hall Ltd. 166 S. m. Abb. Preis 15 sh.

Der Umstand, daß ein Motorschiff für die gleiche Geschwindigkeit nur ein Drittel des Brennstoffgewichtes verbraucht, wie ein Dampfer gleicher Ladefähigkeit und daß mit dem Dieselantrieb noch eine ganze Reihe weiterer Vorteile verknüpft sind, hat zu einer Umwälzung in der Schifffahrt geführt. Diese Vorteile sind vor allem eine Vergrößerung des Fahrbereiches, des Laderaumes infolge Portfalls der Kohlenbunker, an deren Stelle Ölzellen treten, eine Verringerung des Brennstoffverbrauches im Hafen, Portfall des zum Anheizen der Kessel erforderlichen Brennstoffes, Möglichkeit, die Geschwindigkeit der Frachtschiffe wesentlich zu erhöhen und Vergrößerung der bewohnbaren Deckfläche bei Fahrgast-Motorschiffen. Wie sich diese Vorteile im einzelnen bei verschiedenen Schiffsgattungen auswirken, wird im vorliegenden Werk an vielen Beispielen eindrucksvoll dargelegt. [E 2795] W. S.

Einführung in die mathematische Behandlung naturwissenschaftlicher Fragen. Von Alwin Walther. 1. T.: Funktion und graphische Darstellung, Differential- und Integralrechnung. Berlin 1928, Julius Springer. 220 S. m. 174 Abb. Preis 9,60 RM.

Das Buch, das den Leser in die für den Naturwissenschaftler wichtigen mathematischen Methoden einführen will, behandelt in seinem 1. Teil Funktion und graphische Darstellung, im 2. Teil die Differential- und Integralrechnung.

Inhaltlich sei zunächst erwähnt, daß neben den formelmäßigen die zeichnerischen und die Verfahren der Zahlenrechnung gleichberechtigt behandelt werden. So ist im 1. Teil der zeichnerischen Darstellung der Funktion, auch durch Funktionsleitern (mit Anwendung auf den Rechenschieber) ein breiter Raum gewidmet. Die Ableitung wird zuerst geometrisch als Steigungsmaß eingeführt und erst nachdem der Wert dieses Begriffs in verschiedenen Anwendungen erprobt ist, wird er vertieft und auf seine Erklärung als Grenzwert des Differenzenquotienten eingegangen. Anschließend werden Funktionsdifferenz und Differential behandelt, der Wert des Differentials für die Fehlerschätzung auseinandergesetzt und an Beispielen gezeigt, wie fein gerade das Differential dem naturwissenschaftlichen Denken ungepaßt ist. Das unbestimmte Integral wird gleichzeitig mit der Ableitung eingeführt. Bei der Einführung des bestimmten Integrals wird sofort auf seinen Zusammenhang mit der Ableitung geachtet und dieser von allen Seiten aufs tellste beleuchtet.

Neben diesen allgemeinen Dingen enthält das Buch eine eingehende Besprechung der elementaren Funktionen: lineare Funktion, Potenz (Darstellung auf Logarithmenpapier), Polynome (Anwendung auf die Interpolation), trigonometrische und zyklometrische Funktionen, natür-

licher Logarithmus und Exponentialfunktion. Dabei wird stets an Beispielen erörtert, inwiefern die betreffende Funktion für den Naturwissenschaftler von Bedeutung ist.

Aus der Inhaltsangabe geht schon hervor, daß das Buch dem Leser nicht nur Fertigkeiten übermitteln, sondern ihm den Sinn der mathematischen Methoden zeigt und gleichzeitig an zahlreichen Beispielen erläutert, wie diese Methoden in den Anwendungen sinnvoll zu gebrauchen sind. Dabei ist besonders wertvoll, daß nicht nur die rein mathematischen Fragen eingehend behandelt sind, sondern gerade auch die Überlegungen, die zu einem mathematischen Ansatz führen.

Die Darstellung ist klar und anschaulich. Die Sätze werden größtenteils bewiesen, soweit das nicht der Fall ist, wird aber jedenfalls ihr Gehalt klar herausgearbeitet. Auch auf eine anschauliche Feststellung der Begriffe wird Wert gelegt. Man kann sich nur fragen, ob der für das ganze Gebiet gemeinsame Begriff des Grenzwertes nicht etwas zu kurz gekommen ist. Vielleicht hätte sich auch manches vereinfacht, wenn er am Anfang des zweiten Teiles allgemein erörtert worden wäre. Nicht ganz glücklich ist die Fassung des Begriffes der Stetigkeit, sie bringt nicht voll zum Ausdruck, daß durch „hinreichend“ kleine Wahl der Argumentdifferenz die Funktionsdifferenz „beliebig“ klein gemacht werden kann. Doch dies sind Kleinigkeiten gegenüber den genannten großen Vorzügen des Buches.

[E 2818]

Lösch

Flughandbuch für das Deutsche Reich. Herausgeg. vom Reichsverkehrsministerium. 1. Lieferung: Beschreibung von 32 Flughäfen. Berlin 1928, Reichskartenstelle des Reichsamts für Landesaufnahme. Preis der 1. Liefg. allein 21 RM; für jede weitere Liefg. 9 RM; Gesamtpreis für alle 4 Lieferungen 48 RM.

Probleme des Betonstraßenbaues. Von E. Probst und H. Brandt. Berlin-Charlottenburg 1928, Zementverlag. 289 S. m. Abb. Preis 12 RM.

Wissenschaft und Wirtschaft, 5. Bd.: Vorträge der VII. Ingenieur-Tagung, Brünn 1928. Zusammengest. von der Vereinsleitung des „Hauptvereines deutscher Ingenieure in der Csl. Republik“. Brünn 1929, Verlag des HDI. 398 S. m. 172 Abb. Preis 55 K., für Mitglieder des HDI 40 K.

Handbuch des Grubenrettungswesens. Von Gustav Ryba. 1. Bd.: Brände und Grubenexplosionen. Leipzig 1929, Arthur Felix. 302 S. m. 147 Abb. Preis 24 RM.

Italianische Normen für Lieferung von hydraulischen Bindemitteln. Charlottenburg 1928, Zementverlag. 17 S. m. 2 Abb. Preis 1,20 RM.

ETZ. Gesamtinhaltsverzeichnis der 25 Jahrgänge 1903 bis 1927 der Elektrotechnischen Zeitschrift, der Bände 1 bis 18 des Archivs für Elektrotechnik und der VDE-Fachberichtshefte 1926 und 1927. Herausgeg. vom Verband Deutscher Elektrotechniker e. V. und Elektrotechnischen Verein e. V. Bearb. von Franz Moeller. Berlin 1928, Julius Springer. 653 S. Preis 28 RM.

Große Naturforscher. Von Philipp Lenard. München 1929, J. F. Lehmanns Verlag. 324 S. m. 67 Bildnissen. Preis 12 RM.

Das Urheberrecht an Werken der Literatur und der Tonkunst in Deutschland. Kommentar zum Reichsgesetz vom 19. Juni 1901, 22. Mai 1910 und den internationalen Verträgen Deutschlands. Von Bruno Marwitz und Philipp Möhring. Berlin 1929, Franz Vahlen. 402 S. Preis 16,50 RM.

68. Hauptversammlung des Vereines deutscher Ingenieure Königsberg i. Pr., 23. Juni 1929

Das Programm der 68. Hauptversammlung des Vereines deutscher Ingenieure ist in Nr. 16 dieser Zeitschrift vom 20. April 1929 S. 564 veröffentlicht. Zur Ergänzung sei hier noch folgendes mitgeteilt. Entsprechend dem diesjährigen Tagungsort der Hauptversammlung sind die wissenschaftlichen Darbietungen zum größten Teil auf die Gebiete der Land- und Forstwirtschaft, insbesondere der Gewinnung, Prüfung und Verarbeitung von Holz abgestellt.

Die wissenschaftlichen Verhandlungen

beginnen Sonntag, den 23. Juni 1929, 10 Uhr, in der Börse. Die beiden Vorträge werden das Thema „Die Bedeutung der organischen Produktion für Technik und

Industrie“ behandeln, und zwar werden Wirkl. Geh.-Rat Dr. jur. h. c. von Batocki, Exz., Oberpräsident a. D., über „Landwirtschaft“ und Ministerialdirektor Dr. Dr.-Ing. E. h. Wappes, München, über „Forstwirtschaft“ sprechen.

Fachsitzungen

Am Freitag, dem 21. Juni 1929, werden bereits in Danzig drei Fachsitzungen abgehalten. In der Fach-

Verkehrswesen,

die vom Verein deutscher Ingenieure gemeinsam mit der Deutschen Gesellschaft für Bauingenieurwesen am 10 Uhr in der Technischen Hochschule veranstaltet wird, wird Prof. Dr.-Ing. Pirath, Stuttgart, über „Verkehrs-

probleme der Gegenwart“ und Prof. Dr.-Ing. *Faßbender*, Berlin, über „Die Hochfrequenztechnik im Dienste der Verkehrssicherung“ sprechen.

Die Fachsitzung

Wärmetechnik,

15 Uhr in der Technischen Hochschule, bringt einen Vortrag von Dr.-Ing. *von Laßberg*, München: „Die Wärme-wirtschaft in der Zellstoffindustrie“ und einen zweiten von Prof. Dr.-Ing. *E. Schmidt*, Danzig, über „Versuche über Wasserumlauf in Dampfkesseln“.

In der ebenfalls um 15 Uhr in der Technischen Hochschule stattfindenden Fachsitzung

Schweißtechnik

wird der erste Vortrag über „Die Stumpfschweißung im Abschmelzverfahren und ihre Anwendungsmöglichkeiten im Schiffbau“ von Dr. *Wuppermann*, Schlebusch, gehalten. Sodann spricht Dr. *Sommer*, Düsseldorf, über „Fort-schritte in der Verwendung hochwertiger Schweißdrähte“, Prof. Dr. *A. Hilpert*, Berlin, über „Neueste Untersuchungen des Werkstoffüberganges im Schweißlichtbogen“ und Dr. *Holler*, Knapsack, über „Die Azetylschweißung von Rohrleitungen für Ferngasversorgung“.

In Königsberg finden *Sonnabend*, den 22. Juni 1929, vier Fachsitzungen statt. Die Fachsitzung

Landwirtschaftstechnik

wird um 14 Uhr im Tragheimer Gemeindehaus abgehalten. Nach einem Vortrag über „Technik im Wirtschafts-walde“ spricht Oberforststrat *Ring*, Gumbinnen, über „Die Technik im ostpreussischen Forst“.

Die Fachsitzung

Betriebstechnik

um 14 Uhr im Gebauhr-Saal ist mit einem Vortrag von Reichsbahnrat *Schächterle*, Stuttgart, über „Holz als Kon-struktionsmittel“ und einem weiteren Vortrag von Dipl.-Ing. *Warlimont*, Heidelberg-Rohrbach, über „Holztrock-nung“ ganz auf das Holz als Bau- und Werkstoff einge-stellt.

In der Fachsitzung

Staubtechnik

um 17 Uhr im Körtesaal werden Patentanwalt Dr.-Ing. *Meldau*, Berlin, über „Eigenschaften und Verwertung von Holzmehl und Holzstaub“ und Dr. *Teleky*, Düsseldorf, über „Die neueren Anschauungen über Staubschädigung und deren Verhütung“ vortragen.

Die Fachsitzung

Vertriebstechnik

wird um 17 Uhr im Stadthallen-Salon abgehalten. Hier wird Ziviling. *Bader*, Berlin, über die Arbeitsergebnisse der Fachgruppe „Vertriebsingenieure“ berichten. So-dann wird Dr. *Reithinger*, Berlin, über „Saisonschwankungen und deren Einfluß auf Arbeitsvorbereitung und Arbeitsplanung“ und Dr.-Ing. *Weicken*, Berlin, über „An-teil der Verpackungskosten am Warenpreis“ sprechen.

Montag, den 24. Juni 1929, finden drei weitere Fachsitzungen statt. Die Fachsitzung

Ausbildungswesen

um 9 Uhr im Hause der Technik steht ebenfalls im Zei-chen des Holzes. Studienrat *Kersten*, Berlin, spricht über „Neuzeitliche Holzbauweise und ihre Beziehungen zum Unterricht der höheren Baugewerkschulen“ und Dir. *Becker*, Rosenheim, über „Die deutschen holztechnischen Fachschulen“; sodann behandelt Oberreg.-Rat *Lutze*, Königsberg, „Das technische Schulwesen in Ostpreußen“.

In der Volksmissionshalle Immanuel findet um 9 Uhr die Fachsitzung

Holzprüfung

statt. Der erste Vortrag von Prof. Dr. *Schwalbe*, Ebers-walde, ist dem Thema „Die chemischen und physikalisch-chemischen Eigenschaften des Holzes“ gewidmet, während in einem zweiten Vortrag Prof. *Graf*, Stuttgart, über „Die Festigkeitseigenschaften des Holzes und ihre Prü-fung“ sprechen wird.

In der Fachsitzung

Industrielles Rechnungswesen

um 9 Uhr im Tragheimer Gemeindehaus behandelt Fhr. *von Stengel*, München, „Neuzeitliches Rechnungswesen in holzverarbeitenden Betrieben“. Der zweite Vortrag von Dr. *Schnutenhaus*, Berlin, lautet „Analyse der Vertriebs-kosten“.

In den Räumen des Hauses der Technik, am Wall-ring, wird während der Hauptversammlung eine Lehr-schau „Holz“ gezeigt.

Für Montag, den 24. Juni 1929, sind zahlreiche Besichtigungen angesetzt. Weitere Einzelheiten, insbesondere über die Bestellung von Teilnehmerkarten und Wohnungen sind aus den VDI-Nachrichten Nr. 17 vom 24. April 1929 zu ersehen. [V 3079]

Berichtigungen

Hauptformen des zweiachsigen Lokomotiv-Laufgestells

In Z. Bd. 73 (1929) Nr. 15 muß es S. 493 r. Sp., 1. Zeile heißen „entspannt“ anstatt „gespannt“, linke Spalte, Zeile 9 von unten „Drehgestellrahmen“ anstatt „Druckgestellrahmen“. [N 3081]

Wasserhebung und Wasserspeicherung

In dem Aufsatz von *Baer* in Z. Nr. 16 vom 20. April 1929 sind folgende Zahlen zu ändern.

In Zahlentafel 1 S. 540, 3. Zeile, Frankfurt a. M. – Hat-tersheim, lautet Sp. 9 anstatt 56,3 richtig: 68 bis 68,9 er-reicht.

In Zahlentafel 3 S. 541, 6. u. 7. Zeile, Köln – Fühlingen ist Sp. 8 anstatt 53 zu setzen: 68.

Auf S. 547, r. Sp., 3. Abs., 11. Zeile muß der Name nicht May, sondern *Muy* heißen. [N 3066]

Metalle im Flugzeugbau

In dem Aufsatz von *E. Everling* und *B. Splanemann* in Z. Nr. 17 vom 27. April 1929 sind auf S. 588 die Bilder der Abbildungen 8 und 9 zu vertauschen. [N 3067]

Die nordamerikanische Luftfahrt im Jahre 1928

In Zahlentafel 2, Z. Nr. 17 vom 27. April 1929, S. 594, ist die letzte Spalte der vorletzten Zeile von 12,6 in 126 $\frac{s}{km}$ umzuändern. [N 3068]

Schluß des Textteiles

I N H A L T:

Seite

<p>Das neue Fernamt in Berlin. Von <i>O. Kuhn</i></p> <p>Asbest und seine Verarbeitung. Von <i>K. Geisler</i></p> <p>Thermodynamik der Staubfeuerung. Von <i>P. Rosin</i></p> <p>Verwendbarkeit von Schwerölen im Explosionsmotor</p> <p>Leerlaufeinrichtungen an Lokomotiven. Von <i>F. Meineke</i></p> <p>Einachsschleppkran</p> <p>Leistungs- und Zugkraftkurven der Diesellokomotive. Von <i>G. Mangold</i></p> <p>Der gegenwärtige Stand des Blitzschutzes</p> <p>Selbsttätiges Hartlöten in Wasserstoffatmosphäre</p> <p>Rundschau: Bordgeräte im neuzeitlichen Verkehrsflugzeug — Tagesfragen im Eisenbetonbau — Klappkübel-Verladeanlagen mit selbstgreifenden Kugelgeschirren — Kleine Mitteilungen</p>	<p>709</p> <p>716</p> <p>719</p> <p>725</p> <p>726</p> <p>728</p> <p>729</p> <p>732</p> <p>732</p> <p>733</p>
--	---

I N H A L T:

Seite

<p>Bücherschau: Handwörterbuch des elektrischen Fernmeldewesens. Von <i>E. Feyerabend</i>, <i>H. Heidecker</i>, <i>F. Breisig</i> und <i>A. Kruckow</i> — Forschungsarbeiten auf dem Gebiete des Ingenieurwesens, Heft 316. Von <i>H. Schnell</i> und <i>E. Hecker</i> — Oil Refinery Specifications. Von <i>A. L. Nugey</i>. — Motorshipping. Von <i>A. C. Hardy</i> — Einführung in die mathematische Behandlung naturwissenschaftlicher Fragen. Von <i>A. Walther</i> — Eingänge</p> <p>Angelegenheiten des Vereines: Programm der 68. Hauptversammlung</p> <p>Berichtigungen: Hauptformen des zweiachsigen Lokomotivgestelles — Wasserhebung und Wasserspeicherung — Metalle im Flugzeugbau — Die nordamerikanische Luftfahrt im Jahre 1928</p>	<p>738</p> <p>739</p> <p>740</p>
---	----------------------------------

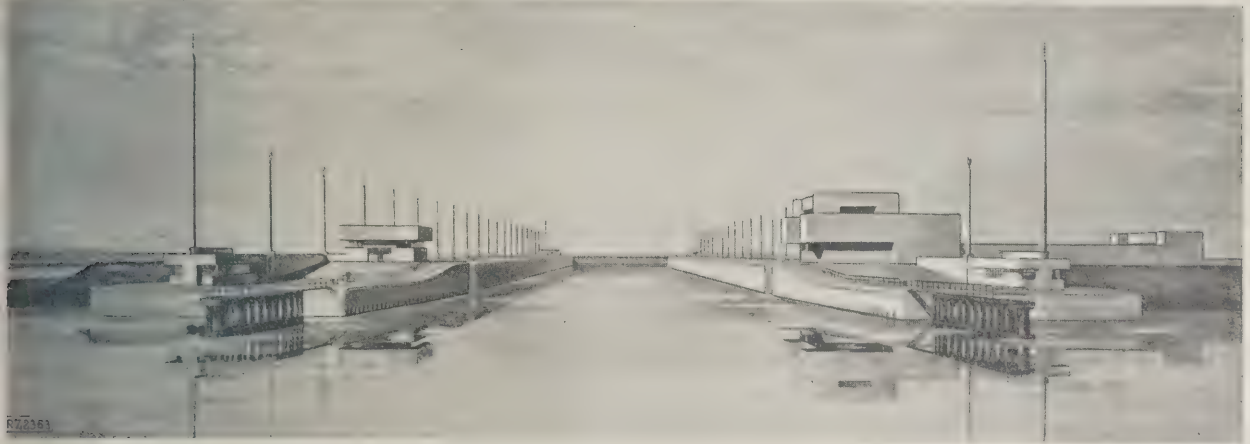
ZEITSCHRIFT DES VEREINES DEUTSCHER INGENIEURE

★ SCHRIFTFLEITER: C. MATSCHOSS ★

d. 73

SONNABEND, 1. JUNI 1929

Nr. 22



Die neue Schleuse in Ymuiden

von C. T. C. HEYNING, Hoofdingenieur van den Rykswaterstaat, Ymuiden

Die neue Ymuiden Schleuse, die größte der Welt, ermöglicht eine bedeutende Verbesserung des Zufahrtsweges zum Hafen von Amsterdam. — Die großen Abmessungen und die tiefe Gründung der Schleuse führten zu schwierigen technischen Aufgaben, deren Klärung eingehende Versuche erforderlich machte. Die Schleuse ist in trockener Baugrube auf Betonpfählen in unverkleidetem Beton ausgeführt worden. Als Verschlusskörper der Häupter sind Schiebetore gewählt; die Umläufe in den Häuptern werden durch Rollenschützen abgeschlossen. Alle Vorrichtungen werden elektrisch angetrieben. — Der Bau wurde in drei Teilen ausgeführt: die Kammermauern, das Innenhaupt und das Außenhaupt. Insgesamt sind 225 000 m³ Eisenbeton mit 19 000 t Eisen erforderlich; der Bodenaushub betrug rd. 20 000 000 m³. Die Arbeiten werden wahrscheinlich dieses Jahr beendet werden, die Kosten belaufen sich auf rd. 19 Millionen Gulden.

Einleitung

Der Bau der neuen Schleuse in Ymuiden gehört zu den Arbeiten zur Verbesserung des Zufahrtsweges von der Nordsee zum Hafen von Amsterdam. Früher war Amsterdam von der Nordsee aus nur über die Zuidersee zu erreichen. Im Anfang des 19. Jahrhunderts wurde dieser Weg, der nur für Schiffe mit einem Höchsttieftgang von 3,60 m bei Hochwasser zu befahren war, gänzlich beseitigt und durch einen Kanal von Amsterdam durch die Provinz Nordholland nach Den Helder ersetzt. Im Jahre 1826 eröffnet wurde und für Schiffe mit einem Höchsttieftgang von 5 m fahrbar war, Abb. 1. Dieser Kanal, der bei seiner Eröffnung eine für lange Zeit ausreichende Verbesserung der Zufahrt nach Amsterdam zu sein schien, wurde nach ungefähr 30 Jahren schon zu klein. Zwischen der Verbreiterung des bestehenden Kanals und der Schaffung eines neuen Verbindungsweges, der Amsterdam auf dem kürzesten Wege mit der Nordsee verbinden würde, bevorzugte man letztere Lösung.

Diese Verbindung war auch schon Anfang des 19. Jahrhunderts erwogen worden, jedoch hat man den Gedanken dafür notwendigen Außenhafens an der sandigen Nordseeküste seinerzeit noch nicht gewagt. Auch im Jahre 1863, als man mit diesen Arbeiten begann, war der Gedanke des neuen Zufahrtsweges nach Amsterdam und insbesondere der Bau des Außenhafens in Ymuiden mit den damals zur Verfügung stehenden Mitteln ein schwieriges technisches Problem, und es dauerte bis zum Jahre 1876, bevor der Nordseekanal der Schifffahrt übergeben wurde.

Nunmehr konnte der Hafen von Amsterdam von Schiffen mit einem Tieftgang von 7,25 m erreicht werden.

Seit der Eröffnung des Nordseekanals hat dieser Hafen, der in der Mitte des 19. Jahrhunderts einen Teil seiner Bedeutung verloren hatte, sich sehr stark entwickelt. Der Gesamteinhalt der eingehenden Seeschiffe, der 1876 nur 1 136 000 m³ betrug, war im Jahre 1928 bis auf 26 084 000 m³ gestiegen. Insgesamt fuhren im Jahre 1927 7020 Seeschiffe mit einem Gesamteinhalt von 54 638 800 m³ durch die Schleuse von Ymuiden aus und ein.

Da nicht nur die Zahl der Schiffe, sondern auch ihre Größe während dieser Zeit sehr zugenommen hat, mußte selbstverständlich der Nordseekanal wiederholt verbreitert und verbessert werden. Die größte Verbesserung war der Bau einer Schleuse, die 1896 eröffnet wurde und eine Schwellentiefe von 10,15 m — NAP (Normaler Amsterdamer Pegelstand), eine Durchfahrtsbreite von 25 m und eine Länge von 225 m hatte. Gleichzeitig wurde das Kanalprofil erweitert auf eine Sohlenbreite von 50 m bei 10,3 m Tiefe — NAP, bei einer Neigung der Böschungen von 1 zu 3.

Im Zusammenhang mit dem Bau des Panamakanals und der beabsichtigten Erweiterung des Suezkanals, wurden schon um 1909 herum die Abmessungen des Nordseekanals und der größten Ymuiden Schleuse als ungenügend betrachtet. Nachteilig war nicht nur, daß Schiffe von mehr als 20 000 t den Amsterdamer Hafen nicht erreichen konnten, sondern in der Hauptsache, daß in Ymuiden



Abb. 1
Ältere und neuere Wasserstraßen zwischen
Amsterdam und der Nordsee.

nur eine große Schleuse zur Verfügung stand. Falls diese infolge eines Unfalls zeitweise außer Betrieb kam, wäre der größte Teil der Amsterdamer Schifffahrt stillgelegt worden, weil die alte Schleuse aus dem Jahre 1876 für große Seeschiffe viel zu klein ist. Ein Bauausschuß riet 1911 zum Bau einer Schleuse von 360 m Länge, 40 m Durchfahrtsweite und einer Schwellentiefe von 15 m — NAP, sowie außerdem zum Erweitern des Kanalprofils. In der Hauptsache infolge des Krieges wurde erst im Januar 1916 durch Gesetz beschlossen, zum Bau einer Schleuse mit einer Schwellentiefe von 15 m — NAP und einer Erweiterung des Nordseekanals im Zusammenhang mit dieser Schwellentiefe zu schreiten.

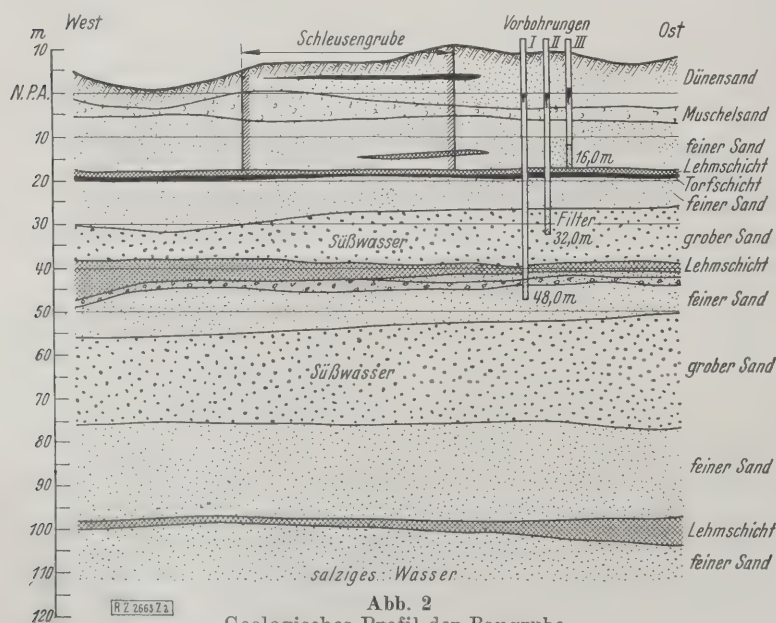


Abb. 2
Geologisches Profil der Baugrube.

Abmessungen der neuen Schleuse

Das Gesetz schrieb nur die Schwellentiefe vor, daß die übrigen Hauptabmessungen noch näher zu stimmen waren. Beim Ausarbeiten der Pläne kam man zu folgender Größe: Nutzbare Länge 400 m., Durchfahrtsweite der Schleusenkammer und der Häupter 50 m., Schwellentiefe 15 m — NAP, Oberkante Kammerwände 5 m + NAP. Mit diesen Abmessungen ist die neue Schleuse in jeder Hinsicht größer als alle bestehenden Schleusen. Sie muß bei jedem Wasserstand des Innen- und Außenwassers benutzbar sein.

Für das Außenwasser kommt in Frage:

Höchster Wasserstand . . .	3,7 m + NAP,
Normalhochwasser . . .	0,75 m + NAP,
Normalniedrigwasser . . .	0,9 m — NAP,
Niedrigster Wasserstand . .	2,5 m — NAP.

Für das Binnenwasser kommt in Frage:

Höchster Wasserstand . . .	0,2 m + NAP,
Normaler Wasserstand . . .	0,5 m — NAP,
Niedrigster Wasserstand . .	0,8 m — NAP.

Es wurde angenommen, daß bei dem höchsten bekannten Außenwasserstand von 3,7 m + NAP der Binnenwasserstand gleichzeitig nicht unter 0,3 m — NAP tragen würde, so daß der größte Wasserstandsunterschied nicht mehr als 4 m beträgt. Unterschiede über 1,75 m werden jedoch zu den Ausnahmen gehören. Bei der Entscheidung zwecks Verbreiterung des Kanals innerhalb der Schleusen legte man ein Profil mit einer Sohlenbreite von 100 m und einer Tiefe von 15,5 m — NAP zugrunde. Vorläufig wird jedoch die Sohlenbreite auf 75 m und die Tiefe auf 12,5 m — NAP gebracht. Auch der neue Zufahrtsweg vom Außenhafen zur Schleuse und der Außenhafen selbst werden auf diesen Tiefgang ausgebaggt.

Der Entwurf

Während der Vorarbeiten waren einige wichtige Fragen zu klären: nämlich die Möglichkeit, die Schleuse ohne ernsthafte Beeinflussung der Wasserversorgung der Umgebung mittels einer trockenen Baugrube auszuführen, ferner ob das Seewasser in Ymuiden den unbedeckten Beton angreift, und schließlich welche Art der Wasserzu- und -abflusses zur Schleusenkammer angewendet sei.

Trockene Baugrube

In Hinblick auf eine einfache Durchführung der Erdarbeiten wählte man als Bauverfahren die trockene Baugrube. Die Schleuse liegt in einem Gebiet ausgedehnter Wasserentziehung, sowohl für Trink- wie auch für Gebrauchswasser. Welchen Einfluß würden die Trockenlegung der tiefen Baugrube auf die Wassernutzung haben? Dabei wurden an folgende Nachteile gedacht:

1. Senkung des Grundwasserstandes während des Schleusenbaues, wodurch ein Teil der Wasserfassungen in der Umgebung während mehrerer Jahre trocken gelegt werden mußte.
2. Vergeudung der in diesem Dünengebiet vorhandenen Süßwassermenge, die allmählich durch Regen und Schnee wieder aufgefüllt wird.
3. Störung des Gleichgewichtszustandes des Grundwasser, wodurch das in größeren Tiefen vorhandene Salzwasser aufsteigt und das darüber gelegene Süßwasser versalzt, so daß es unbrauchbar wird.

Abb. 3 deutet an, wie man sich die Bewegungen des Wassers in diesem Gebiete vorzustellen hat. Mittels einer großen Zahl Grundbohrungen, die planmäßig über das ganze Gebiet der Baugrube verteilt waren, wurden in erster Linie die geologischen Bodenverhältnisse festgestellt, Abb. 2. Bis auf große Tiefe war Sandboden vorhanden, der mit drei Lehmsschichten

rd. 18 m, 38 m und 100 m — NAP durchsetzt ist. Hier wurde mittels einer großen Anzahl Steigrohre die Höhe des Grundwassers bestimmt, und zwar einmal das Wasser über der obersten Lehmschicht, ferner das zwischen der obersten und der mittleren und schließlich für das unterhalb der mittleren.

Die Beobachtungen ergaben, daß das Oberwasser einen freien Spiegel hat, hingegen das mittlere und tiefe Wasser unter Druck stehen. Das obere Wasser war innerhalb eines bestimmten Abstandes vom Meere, von der Tide und dem Barometerstand unabhängig, die dagegen das mittlere und tiefere Wasser beeinflussen. Weigerte man annehmen, daß die beiden Lehmschichten auf 18 und 38 m — NAP wahrscheinlich wasserdicht seien. Diesen Umstand benutzte man zur Herstellung der trockenen Baugrube, in dem diese mittels einer Spundwand, die bis 39 m — NAP in die mittlere Lehmschicht reichte, eingeschlossen wurde. In dieser wasserdichten Grube konnte man nunmehr die Grundwerke errichten, ohne daß das Grundwasser der Umgebung nachteilig beeinflusst worden wäre. Jedoch waren Spundwandeneisen bis zu einer Länge von 26 m zu bekommen, und man hatte damit zu rechnen, daß die Oberkante der Spundwand auf 13 m — NAP lag.

Damit nun das Grundwasser nicht über die Spundwand in die Grube eindringen konnte, war das Grundwasser außerhalb der Grube bis auf 13 m — NAP abzusenken. Hierdurch wäre ausschließlich das Oberwasser beeinflusst worden und wo dieses mancherorts verunreinigt und als Nutzwasser ohne Bedeutung ist, brachte die Absenkung keine weiteren Nachteile. Neben dieser Absenkung des Oberwassers ist jedoch auch noch eine Absenkung des Mittelwassers nötig, Abb. 3, weil dieses unter Druck steht und die Lehmschicht auf 18 m — NAP außerhalb der Spundwand durchbrechen wird, sobald das Gewicht dieser Schicht zusammen mit dem Boden- und Wasserdruck oberhalb kleiner werden als der Druck des Mittelwassers. Aus der Dicke der Schicht konnte man feststellen, daß der Druck des Mittelwassers, der ursprünglich einer Steighöhe bis NAP gleichkam, durch Absenkung auf eine Steighöhe von 9 m unter NAP verringert werden mußte. Dies würde wohl einen nachteiligen Einfluß auf die Wasserversorgung der Umgebung haben, jedoch dieser Einfluß ist viel kleiner, als anfangs in Rücksicht auf die Gründungstiefe von 19,50 m — NAP befürchtet wurde.

Bevor man mit dem Trockenlegen der Baugrube begann, hat man eine Probegrube von 25 m² auf diese Art beckengelegt.

Das Rammen der langen Spundwandeneisen war ohne Stützen nicht möglich. Obwohl jedoch die erste Lehmschicht infolge des Spülens in der Nähe der Spundwand möglicherweise beschädigt worden ist, blieb der Anfluß der Lehmschicht an die Spundwand genügend wasserdicht. Mehrere Wochen, nachdem die Probegrube auf 19,5 m — NAP ausgegraben und trockengelegt war, stellte man fest, daß die Absenkung des Oberwassers einen merkbaren Einfluß auf das Mittelwasser hatte und daß die Absenkung des Mittelwassers nur wenig Einfluß auf das Tiefwasser ausübte. Eine Gleichgewichtstörung zwischen dem Süß- und dem darunter gelegenen Salzwasser war daher nicht zu befürchten, und

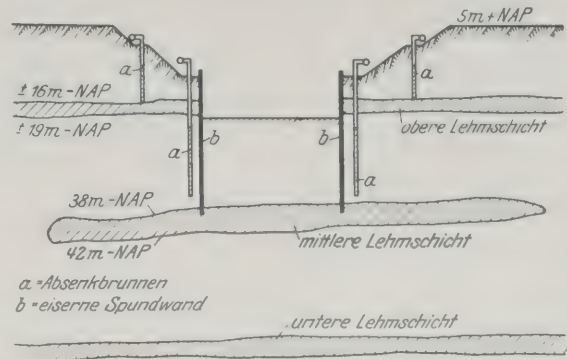


Abb. 3
Schema der Grundwasserabsenkung.

man entschloß sich, die Baugrube auf diese Weise herzustellen und trockenzulegen. Zur weiteren Einschränkung eines schädlichen Einflusses beschloß man, das Innen- und Außenhaut nacheinander auszuführen.

Einfluß von Seewasser auf Beton

Zur Feststellung der Erhärtung von Beton in Seewasser wurden folgende Untersuchungen gemacht:

1. Zugproben mit Mörtel.

Zusammensetzung in Gewichtsteilen:

- a) 3 Zement, 1 Wasser,
- b) 3 Zement, 1 Traß, 1,35 Wasser,
- c) 1 Zement, 3 Flußsand und 0,7 Wasser,
- d) 1 Zement, ½ Traß, 3 Flußsand und 0,8 Wasser.

2. Druckproben mit Betonwürfeln von 10 cm Kantenlänge.

Zusammensetzung:

7,5 kg Zement, 7,5 l Dünnsand, 15 l Flußsand und 26 l Kies.

3. Biegeproben mit 1 m langen bewehrten Balken mit einem Querschnitt von 2 × 2 dm².

Zusammensetzung in Gewichtsteilen:

- a) 1,5 Zement, 0,5 Traß, 3 Sand und 5 Kies,
- b) 2 Zement, 1 Traß, 3 Sand und 6 Kies,
- c) 2 Zement, 2 Traß, 3 Sand und 7 Kies.

Von allen Untersuchungen führte man zwei Versuchsreihen aus: die eine Probe ließ man in Salzwasser, die andere in Süßwasser oder feuchtem Sand erhärten. Die Zugproben wurden bereits nach 24 h der Einwirkung des Seewassers ausgesetzt. Die Druckproben ließ man drei bis vier Tage an der feuchten Luft, dann vier bis sechs Wochen in salzigem Wasser, um sie schließlich in Seewasser zu tauchen. Die Biegeproben ließ man vier Wochen

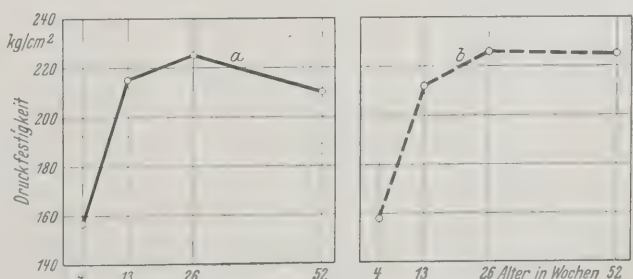


Abb. 8 und 9. Druckversuche.

Abb. 4 bis 9
Zug- und Druckfestigkeit von Mörtel und Beton.

— Erhärtung im Seewasser
- - - Erhärtung im Süßwasser

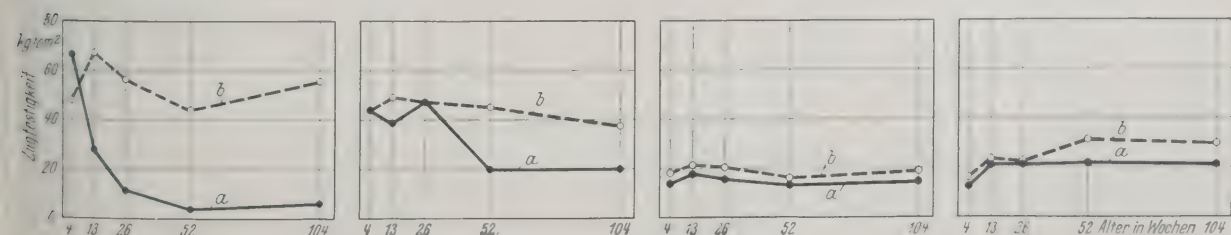


Abb. 4 bis 7. Zugversuche.

Trossenzug in den Haltetauen bei einem Schiff von 45 200 t Verdrängung
Zahlentafel 1. 4 m Wasserstandsunterschied.

Anordnung	Füllzeit min	Hubgeschwindigkeit des Abschlußschiebers mm/s	Größter Trossenzug t
Seitenöffnungen in der Kammermitte	12	45	47
Seitenöffnungen in der Nähe der Häupter, verbunden durch einen Stollen	12	20	57
Stichkanäle über die ganze Kammerlänge	12	14	46
Kurze Umläufe in den Häuptern	12	20	56
Öffnungen in den Schleusentoren	12	80	140

Zahlentafel 2. 1,4 m Wasserstandsunterschied.

Anordnung	Füllzeit min	Hubgeschwindigkeit des Abschlußschiebers mm/s	Größter Trossenzug t
Seitenöffnungen in der Kammermitte	7,5	45	29
Seitenöffnungen in der Nähe der Häupter, verbunden durch einen Stollen	8	20	25
Stichkanäle über die ganze Kammerlänge	8	14	20
Kurze Umläufe in den Häuptern	8	20	20
Öffnungen in den Schleusentoren	7,5	80	45

an der feuchten Luft, bevor man sie in Seewasser brachte. Die Untersuchungen auf Druck und Zug wurden 4, 13, 26, 52 und 104 Wochen nach der Herstellung der Proben und die Biegeversuche zwei und zehn Jahre nach Herstellung der Proben ausgeführt.

Es hat sich gezeigt, daß der Mörtel 1a vier Wochen nach der Erhärtung in Seewasser gleich hohe und sogar höhere Festigkeit als der im Süßwasser erhärtete aufweist, er wird aber auf die Dauer durch Seewasser angegriffen, so daß nach 104 Wochen die Festigkeit der Proben in Seewasser im allgemeinen nicht mehr als 10 bis 20 vH der anfänglichen beträgt. Mörtel ausschließlich aus Hochofenzement ändert seine Festigkeit nach vier Wochen bei weiterem Liegen in Seewasser nicht mehr. Die Zufügung von Traß zu Portlandzement hat eine Verbesserung zur Folge, jedoch genügt dies nicht, die Verringerung der Festigkeit aufzuhalten. Mörtel aus Portlandzement und Sand zeigt im allgemeinen eine größere Festigkeit beim Erhärten in Süß- wie beim Erhärten in Salzwasser. Die Unterschiede sind jedoch gering und eine Abnahme der nach vier Wochen vorhandenen Festigkeit ist im allgemeinen nicht beobachtet worden.

Die Druckproben zeigten ähnliche Ergebnisse wie die Zugproben von Zement und Sand, Abb. 4 bis 9. Die Biegeproben ergaben keinen Unterschied in der Festigkeit der Bälkchen, die in Seewasser und derjenigen, die in feuchtem Sand erhärteten. Nach der Untersuchung deckte man außerdem die Bewehrung ab. Bei 2 cm Deckung war sowohl in der feuchten Luft wie auch im Seewasser Rostbildung eingetreten. Diese war jedoch bei den Proben, die im Seewasser erhärtet waren, bedeutend größer, so daß das Eisen an einigen Stellen größere Anfrassungen zeigte. Bei 5 cm Betondeckung wurden bei allen Proben nur hier und da vereinzelte kleinere Rostflecken gefunden, im allgemeinen war das Eisen blank geblieben. Die Rostbildung nach zwei und die nach zehn Jahren zeigte keine Unterschiede.

Auf Grund der Ergebnisse aller oben genannten Proben schien die Anwendung von unbedeutendem Beton daher zulässig, zur Sicherheit hat man jedoch Beton mit möglichst hoher Dichte verwendet. Daher wurde eine neue Reihe Proben ausgeführt, um aus den bei diesem Schleusenbau leicht erhältlichen Baustoffen den Beton mit der größtmöglichen Dichte zusammenzustellen. Zu diesem Zweck fügte man dem Zement Traß und dem gröberen Flußsand feinen Dünsand bei. Die Dichte wurde an Betonplatten gemessen. Diese standen unter Wasserdruck und man bestimmte den Überdruck, bei dem die Platten begannen durchzuschwitten. Außer der Dichtheit wurde auch das Schwinden beim Erhärten gemessen. Es zeigte sich, daß bei einer Zusammenstellung von weniger als 375 kg Zement auf 1 m³ Beton durch Zufügen von 1/4 bis 1/5 Teil Traß auf 1 Teil Zement, sowohl die Festigkeit wie auch die Dichte erhöht wurden und daß der Zusatz von 0,5 Teilen feinem Dünsand auf 1 Teil Flußsand die Dichte des Betons erhöht, ohne die Festigkeit und das Schwundmaß merkbar zu beeinflussen.

Wasserumläufe

Beim ersten Entwurf hat man für den Zu- und Abfluß des Wassers durchgehende Umläufe vorgesehen, die ganz in den Kammermauern liegen und mit vielen Stichkanälen zur Kammer hin versehen sind. Die Bauart, die bereits bei vielen großen Schleusenbau durchgeföhrt worden ist, erfordert schwere Kammermauern mit tief gelegenen Fundamenten. Zum Verrin gern der Baukosten und zum Einschränken der Grundwasserabsenkung bevorzugte man eine Mauerkonstruktion mit hoch gelegenen Fundamenten, eine Konstruktion, die nur praktisch ausführbar war ohne durchgehende Umläufe in den Kammermauern, doch mit kurzen Umläufen in den Häuptern, wie sie bereits bei einigen Schleusen für die Binnenschiffahrt angewandt worden sind. Bevor man sich zu dieser Konstruktion entschloß, wollte man feststellen, ob während des Füllens der Kammer die Zugkräfte in den Haltetauen der Schleusen bei Anwendung von kurzen Umläufen nicht ungünstig wären als bei Ausführung von durchgehenden Umläufen oder von andern Systemen von Wasserläufen. Zu diesem Zweck wurden verschiedene Modelle in der Versuchsanstalt für Wasser- und Schiffbau in Berlin untersucht, wobei für die verschiedenen Ausführungen der Umläufe die Zugkräfte in den Haltetauen eines Schiffes von 45 200 t während des Füllens der Kammer in einer vorgeschriebenen Füllzeit gemessen wurden, Zahlentafel 1 und 2.

Erhöhte man bei den kurzen Umläufen in den Häuptern die Füllzeit von 12 min auf 12 min 20 s, so verringerte sich die höchste Zugkraft auf 46 t.

Diese Ergebnisse führten zur Anwendung von kurzen Umläufen in den Häuptern. Ferner versuchte man noch durch Änderung des Verlaufes und des Profils der kurzen Umläufe die Trossenzüge zu verringern. In folgedessen sind die Mündungen der Umläufe, die ursprünglich senkrecht geplant waren, in einem stumpfen Winkel zur Schleusenachse ausgeführt worden. Ferner nimmt der Querschnitt von 26,5 m² bei den Schiebern allmählich auf 60 m² in der Nähe der Mündung zu und schließlich hat man das Profil der Umläufe unmittelbar bei den Schiebern unten mit abgeschrägten Ecken versehen, so daß bei gleichmäßigem Abheben der Schieber die Vergrößerung der Durchflußöffnung im Anfang sehr langsam und allmählich schneller vorsichgeht.

Dadurch wurde erreicht, daß bei 4 m Gefälle und einer Füllzeit von 12 min die höchste Zugkraft nur 13,5 t betrug. Bei 1,4 m Gefälle und 7,5 min Füllzeit ergibt sich eine Zugkraft von 5 t. Die Hubgeschwindigkeit des Umlaufschiebers beträgt dabei 10 mm/s. Weiter ist darauf zu sorgen, daß das Schiff wenigstens 35 m vom Schleusentor entfernt ist. Eine weitere Untersuchung ergab außerdem, daß der Einfluß des Durchtrittes der Umläufe durch die Tornische unwesentlich ist, so daß bei Binnenhaupt diese Anordnung, die eine beträchtliche Ersparnis an Mauerwerk ergibt, gewählt wurde. Da die Außenhaupt mit zwei Toren ausgeführt wird, ist die Lösung dort unmöglich.

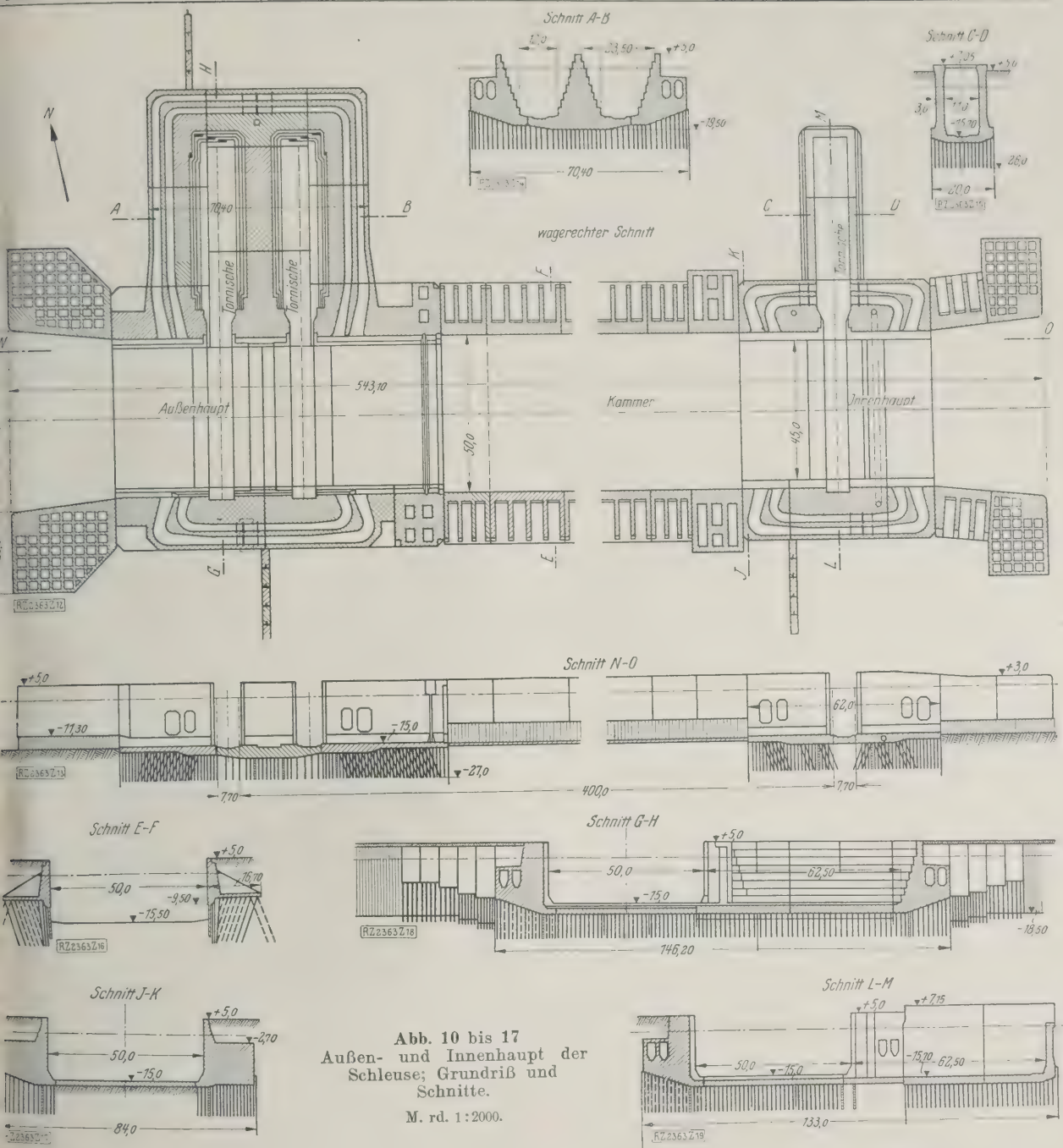


Abb. 10 bis 17
Außen- und Innenhaupt der
Schleuse; Grundriß und
Schnitte.

M. rd. 1:2000.

Das Bauwerk

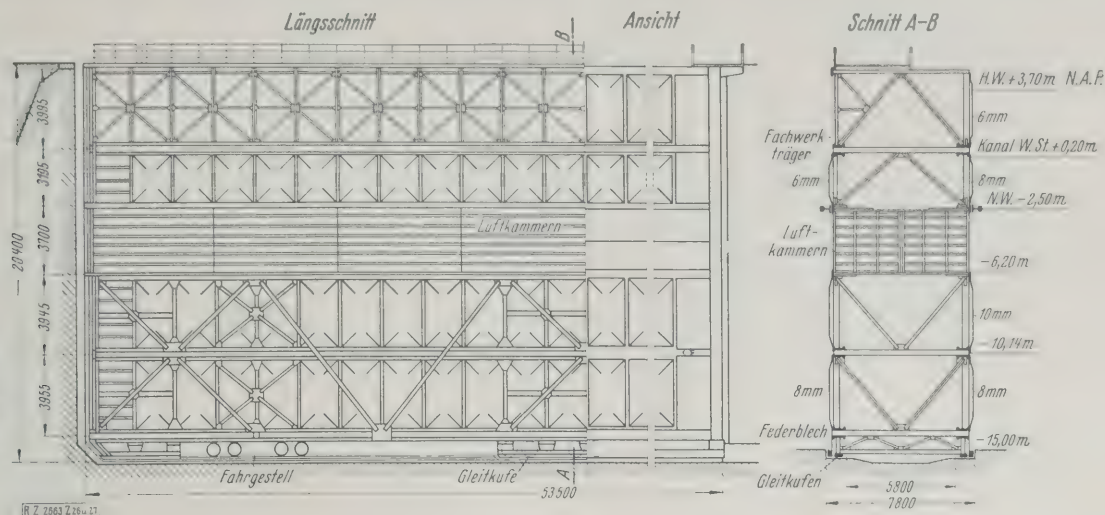
Das ganze Bauwerk ist auf Betonpfählen aufgebaut, Abb. 10 bis 17. Ein Fundament ohne Pfähle wäre nicht möglich gewesen, jedoch bot das Pfahlfundament größere Sicherheit ohne beträchtliche Erhöhung der Kosten. Ein Fundament ohne Pfähle hätte im Zusammenhang mit der Lehmschicht von 18 bis 19 m — NAP eine Fundamenttiefe bis auf 19,5 m — NAP erfordert für das ganze Bauwerk. Das Fundament auf Pfählen ist unabhängig von der Lehmschicht, so daß der mittlere, tiefste Teil auf 1,5 m liegt, während die Tiefe nach den Seiten zu auf 13,6 m — NAP abnimmt.

Probepfähle ergaben eine zulässige Belastung von 10 t Druck und 25 t Zug für jeden Pfahl. Die beiden Haupt- und die Kammerwände sind durch senkrechte Flächen in gesonderte Baublöcke unterteilt, deren Länge im allgemeinen 20 bis 30 m beträgt. Die Blöcke sind zum Verhindern des Haftens mittels Asphaltplatten von 1,6 cm Dicke getrennt. Eiserne Rohre, mit Asphalt gefüllt, und Reifen aus Münzmetall, die gleichzeitig in je zwei benachbarte Blöcke eingelassen sind, bilden den wasserdichten Abschluß, Abb. 18 bis 22.

Die Kammermauern sind hochfundierte Kaimauern, während der Boden unterhalb des Fundaments mittels schwerer Eisenbetonwände abgeschlossen wird. Die Kammersohle wird nur mittels leichter durch Steine beschwerter Faschinen abgedeckt. Dagegen sind bei den Haupten Betonsohlen vorgesehen, worauf die massiven Mauern ruhen. Auch dort, wo nach den Berechnungen keine Zugkraft zu erwarten war, hat man eine Bewehrung vorgesehen, um so weit wie möglich Schwundrisse zu vermeiden.

Das Binnenhaupt hat eine, das Außenhaupt zwei Törnischen. In jeder Nische befindet sich ein Tor, und da alle drei Tore genau gleich ausgeführt sind, dient das zweite im Außenhaupt sowohl für das Außen- wie für das Innenhaupt als Ersatztor. Jede Törnische kann mittels eiserner Wände beim Leerpumpen abgeschlossen werden, so daß in jeder das Tor nachgesehen und ausgebessert werden kann. Die Törnische im Binnenhaupt wird jedoch nur ganz selten dazu benutzt werden, weil dann die Schleuse stillgelegt ist. Bei der doppelten Anordnung im Außenhaupt behindert diese Verwendung der Nischen die Schifffahrt nicht. Aus diesem

bb. 26 und 27
as Schleusen-
r, in gleicher
Konstruktion
ir Innen- und
Außenhaupt
angewandt.



Für Schiffe, die aus dem Außenhafen kommen, sind an beiden Seiten der Fahrrinne in je 100 m Abstand Dalben vorgesehen. Diese Dalben bestehen aus Betongylindern von 7 m Dmr., die schwimmend herangeführt, an Ort und Stelle abgesenkt und mit Sand aufgefüllt werden. Ferner befinden sich auf beiden Ufern zwischen zwei Dalben Poller auf Pfahlgründung. Die beiden ersten Dalben liegen 300 m außerhalb der Schleuse, damit die wartenden die ausfahrenden Schiffe nicht behindern, Abb. 32.

Bedienung der Tore und Schieber

Alle Vorrichtungen werden elektrisch angetrieben. Diese Anlage wird in einem späteren Aufsatz behandelt werden. Es sei hier erwähnt, daß ein Beamter vom zentralen Bedienungsstand aus alle Vorrichtungen bedient. Dieser kann jedoch das Gesamte nicht übersehen, so daß er ausschließlich nach Befehl des Schleusenleiters durch Fernsprecher handeln muß. Die Gebäude, worin die Maschinen für sämtliche Vorrichtungen untergebracht sind, geben der Schleuse das äußere Gepräge, Titelbild.

Bauausführung

Bodenarbeiten und Grundwasserabsenkung

Die Kammermauern, das Binnenhaupt und das Außenhaupt sind im Zusammenhang mit der Wasserabsenkung nacheinander ausgeführt worden. Die Bauarbeiten wurden mittels Eimerbagger und z. T. mit Löffelaggrern im Trockenen ausgeführt. Zum Hinterfüllen der Säpfer und Mauern benutzte man den Aushub aus den Zufahrtskanälen. Diese sind nur bis zu einer geringen Tiefe im Trockenen gegraben worden, im übrigen hat

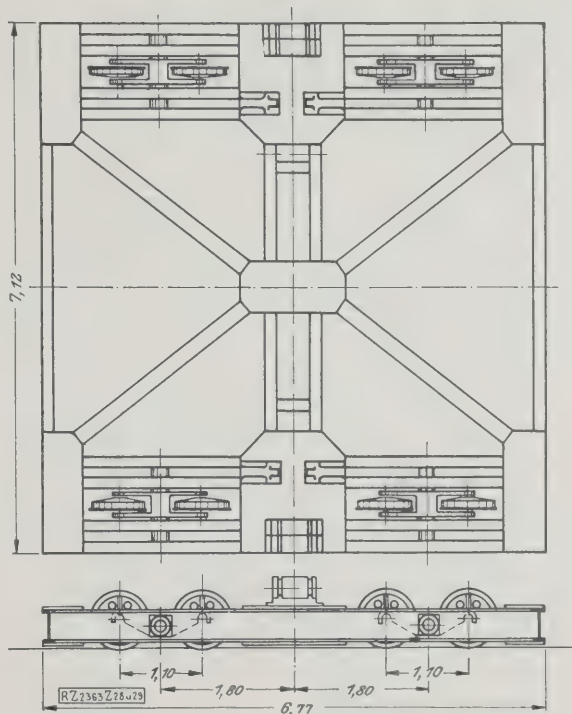
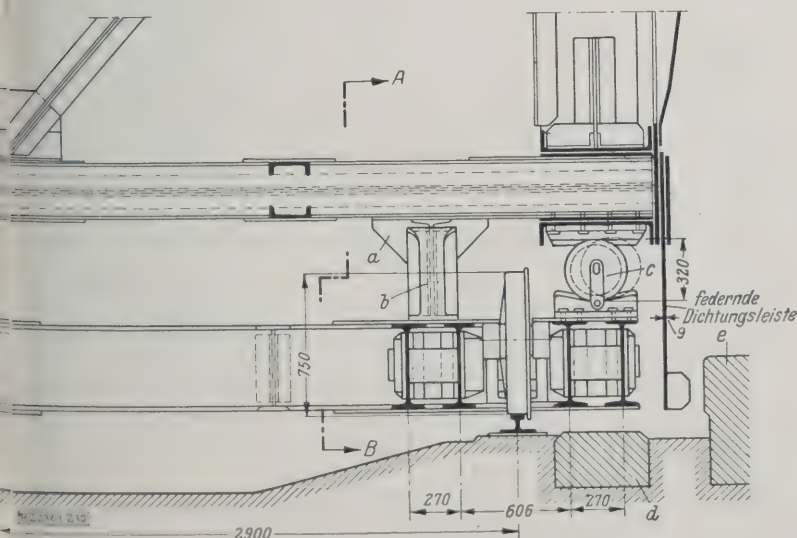


Abb. 28 und 29
Fahrgestell für die Tore.



a b, Führungsteile zwischen Tor und Fahrgestell
c Walze für die Seitenbewegung des Tores
d Granitschwelle
e Drempe

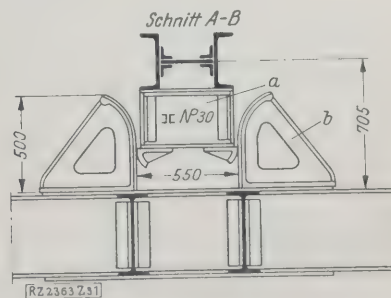


Abb. 30 und 31
Lagerung des Tores auf dem Fahrgestell und Abdichtung gegen den Drempe.

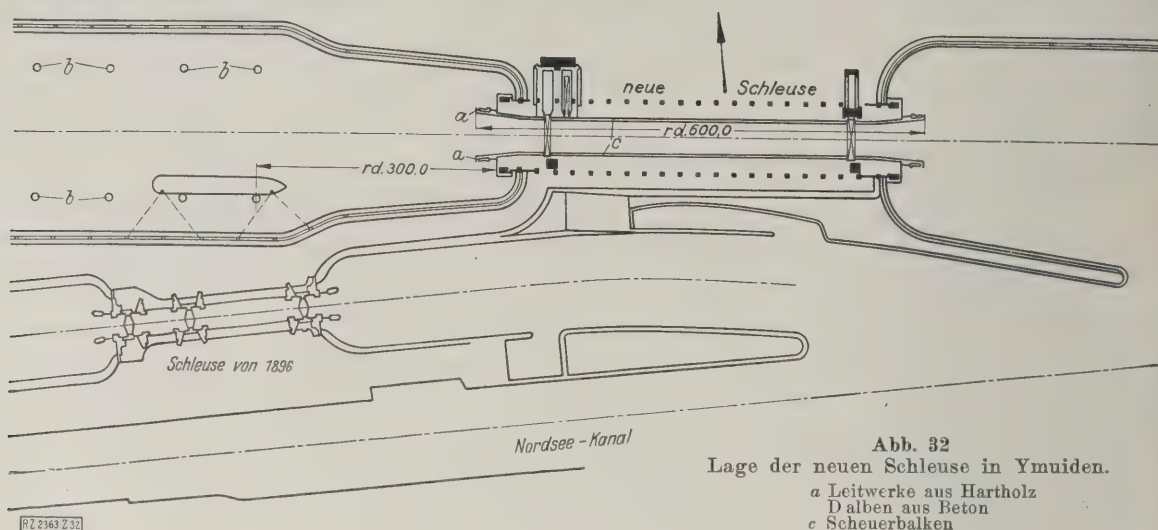


Abb. 32
Lage der neuen Schleuse in Ymuiden.

a Leitwerke aus Hartholz
b Dalben aus Beton
c Scheuerbalken

man Schwimm- und Saugbagger verwendet, wobei dann das Baggergut mittels Spülleitung hinter die Schleusenmauern gebracht wurde. Insgesamt betrug der Bodenaushub 20 Mill. m³, die zum größten Teil nach Amsterdam zur Erhöhung neuer Stadtgebiete verschifft wurden.

Die Grundwasserabsenkung beim Bau der Schleusenmauern ergab nichts Besonderes.

Das Absenken des Wassers im Innen- und Außenhaupt wurde nach der S. 743, Abb. 3, erwähnten Anordnung ausgeführt. Die Anlage für das Außenhaupt zeigt Abb. 33. Die nördlichen Brunnen für das Mittelwasser ergaben reines Wasser, während die südlicheren, die dem Nordseekanal näher lagen, brackisches Wasser lieferten. Zum Verwerten des reineren Wassers hat man die nördlichen Brunnen an eine besondere Pumpanlage angeschlossen, die das Wasser mittels einer Hochdruck-

Schleuderpumpe nach der Wasserfassung des Wasserwerkes der Provinz drückte. Im Mittel mußten folgende Mengen weggepumpt werden:

außerhalb der Spundwand

Oberwasser 80 l/s,
Mittelwasser 100 l/s,

innerhalb der Spundwand

Leckwasser 20 l/s,
insgesamt 200 l/s.

Rammwerk

Vor der Ausführung hat man einige Probepfähle gerammt und versuchsweise belastet. Jede Belastung wurde im allgemeinen 48 Stunden belassen und dann vor der Vergrößerung jeweils nahezu ganz weggenommen, damit man die bleibenden und die elastischen Einsenkungen unterscheiden konnte, Abb. 34 und 35. Diese Versuche ergaben, daß die Pfähle höchstens mit einem Druck von 50 t und einem Zug von 25 t belastet werden konnten.

Insgesamt wurden 15 500 Pfähle und 350 Spundwandbohlen verwendet. Obwohl die Herstellung und die Beförderung dieser Mengen für die Bauunternehmung eine schwierige Aufgabe war, würde es zu weit führen, dies ausführlich darzulegen. Aus der Anordnung des Arbeitsplatzes für das Außenhaupt, Abb. 36, ist der Förderweg in der Hauptsache zu erkennen. Die Pfähle und die Beton-Spundwandbohlen wurden im allgemeinen erst nach einer Lagerung von 60 Tagen verwendet. Anschlußbohlen stellte man aus Schmelzzement her, so daß sie bereits nach drei Tagen eingebaut werden konnten. Den Querschnitt und die Bewehrung zeigen Abb. 37 bis 40. Alle Pfähle und Bretter wurden vorgespült und danach gerammt. Zum Rammen benutzte man Maschinen von Menck & Hambrock, Halbach und Mac Kiernan & Terry mit einem Rammbar von 4200 kg. Abb. 41.

Für das Vorspülen hat man ein Pumpwerk mit mehreren Hochdruck-Schleuderpumpen vorgesehen, die das Wasser mit 9 at in die Zufuhrleitung drücken, woran die Spülschlangen angeschlossen wurden. Beim Außenhaupt arbeitete man bisweilen mit vier Rammen zu gleicher Zeit. Im Mittel betrug der Verbrauch 25 l/s für jeden Pfahl. Die Pfähle wurden bis auf 70 cm über der endgültigen Tiefe in den einzelnen Abteilungen eingespült. Das Nachrammen bis zum erwünschten Halt erfolgte erst dann, wenn in der betreffenden Abteilung nicht mehr gespült wurde.

Im Anfang geschah es mitunter, daß beim Vorspülen das Loch in der Lehmschicht nicht

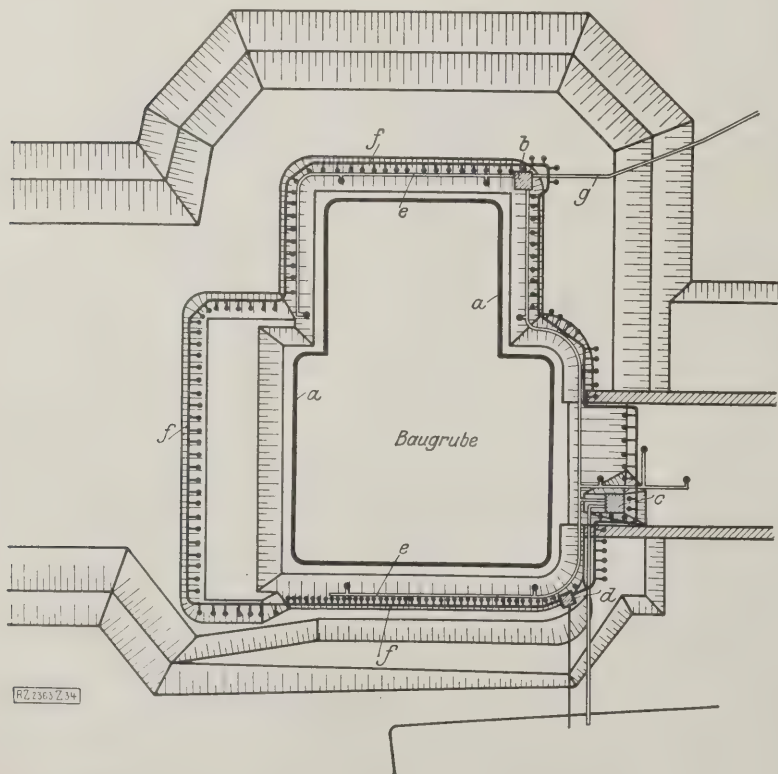


Abb. 33. Brunnenanlage für die Entwässerung der Baugrube des Außenhauptes.

a Eiserne Spundwand
b Pumpanlage für 5 Brunnen zum Mittelwasser
c Pumpanlage für 4 Brunnen zum Mittelwasser
d Pumpanlage für 150 Brunnen zum Mittelwasser
e Saugrohr zum Mittelwasser auf 12 m — NAP
f Saugrohr zum Oberwasser auf 9 m — NAP
g Druckrohr nach der Wasserfassung der Provinz

der Achse des Pfahles lag. Beim Her-
tergehen des Pfahles wurde infolgedessen
Spitze zur Seite gedrückt, so daß der Pfahl
olge des auftretenden Biegemomentes
sch. Später traten diese Schwierigkeiten
olge größerer Übung der Belegschaft nicht
hr auf. Außerdem ließ man die Spitze
g, die im Entwurf bei allen Pfählen vor-
sehen war, nachdem man gesehen hatte,
daß die Pfähle ohne Spitze weniger leicht
röh die Lehmschicht beiseite gedrückt wur-
n. Die Bretter der Spundwände neigten
zu, beim Rammen nach vorn überzuneigen.
trotz aller Maßnahmen neigten manche Bret-
ter so weit vornüber, daß man ein Keilbrett,
unten 30 cm breiter war als oben, ver-
wenden mußte. Die Nute der einzelnen Bret-
ter ist 1,5 cm größer als die Feder. Dieser
Raum wurde nach dem Rammen
möglichst vom Sand befreit und mit Zement
gefüllt. Dort, wo die Bretter nicht gut
sammenschlossen, so daß der Zwischen-
raum größer war, hat man ihn vor dem Aus-
len mit einer Hartholzleiste versehen. Auf
diese Weise war die Spundwand sehr dicht.

Für die eiserne Spundwand verwendete
man Larseisen Nr. 3 und spülte die Eisen,
mit der Lehmschicht auf 38 m — NAP
nicht beschädigt wurde, nur bis zu einer
Tiefe von 37,5 m — NAP vor, worauf dann,
sobald eine ganze Gruppe bis zu dieser
Tiefe heruntergebracht war, die Eisen einzeln nur mittels
Rammen auf die volle Tiefe von 39,5 m — NAP gebracht
wurden. Dieses Nachrammen erforderte vielfach 1500
Schläge mit einem Bären von 4200 kg bei rd.
1 m Fallhöhe. Auch die eisernen Spundwände neigten
nach vorn über. Für die keilförmigen Eisen schnitt man
bei gewöhnliche Eisen mit dem Schneidbrenner schräg
ab und verschweißte die entsprechenden Teile elektrisch.

Betonierungsarbeiten

Insgesamt sind für die Schleuse 225 000 m³ Eisenbeton
und 19 000 t Eisen eingebaut worden. Für die einzelnen
Verwendungszwecke hatte der Beton folgende Zusammen-
setzung:

- für Pfähle und Spundwandbalken: 7 Mengenteile
Kies, 6 Teile Flußsand und 450 kg Zement je m³ Bau-
werk. Bei einem Teil der Pfähle hat man an Stelle
von 450 kg nur 350 kg Zement und 75 kg Traß ver-
wendet;
- für die Schleusensohlen und einige hochbelastete
Teile: 13 Teile Kies, 8 Teile Flußsand, 4 Teile Dünen-
sand, 300 kg Zement und 60 kg Traß je m³ Bauwerk;
- für die Kammermauern, Abb. 41: 15 Teile Kies,
8 Teile Flußsand, 4 Teile Dünsand, 270 kg Port-
landzement und 54 kg Traß je m³ Bauwerk;
- für die Teile des Mauerwerkes, die im allgemeinen
nicht mit Seewasser in Berührung kommen: 37 Teile
Kies, 22 Teile Flußsand, 10 Teile Dünsand, 225 kg
Portlandzement und 50 kg Traß je m³ Bauwerk.

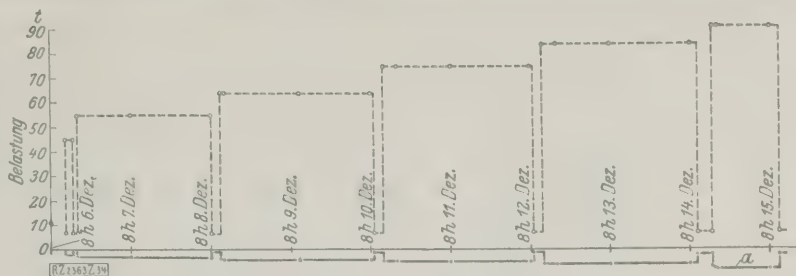


Abb. 34
Dauer der Probelastung auf Druck.
1 cm = 24 h a Senkung des Pfahlkopfes im M. 1 : 3.



Abb. 35
Dauer der Probelastung auf Zug.
1 cm = 24 h b Hebung des Pfahlkopfes im M. 1 : 3
Abb. 34 und 35
Probelastung der Pfähle.

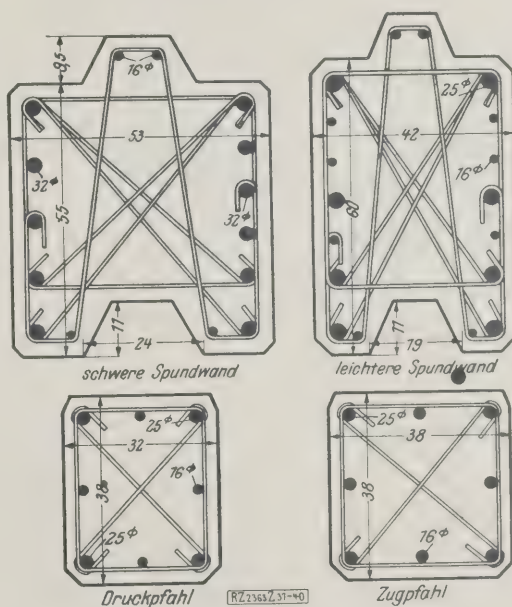


Abb. 37 bis 40
Querschnitt und Bewehrung der Beton-
Spundwandbohlen.

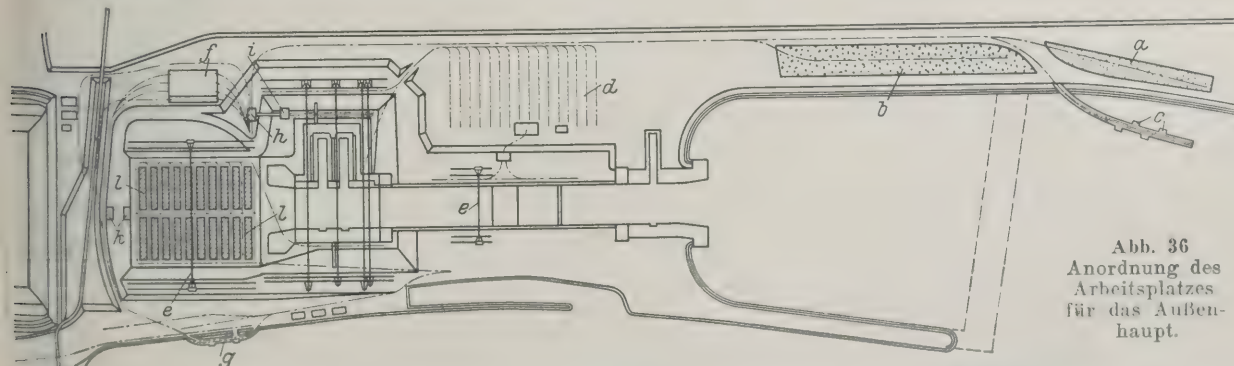


Abb. 36
Anordnung des
Arbeitsplatzes
für das Außen-
haupt.

a Flußsandlager
b Kieslager
c Ladeplatz für Sand und Kies
d Eisenlager und Biegungsbänke

e Kabelkrane
f Zement- und Traßschuppen
g Ladeplatz für Zement, Traß, Eisen
h Hauptabmeßstelle

i Mischerhaus
k Mischerhaus für den Beton
l Lager für Pfähle und Spundwände

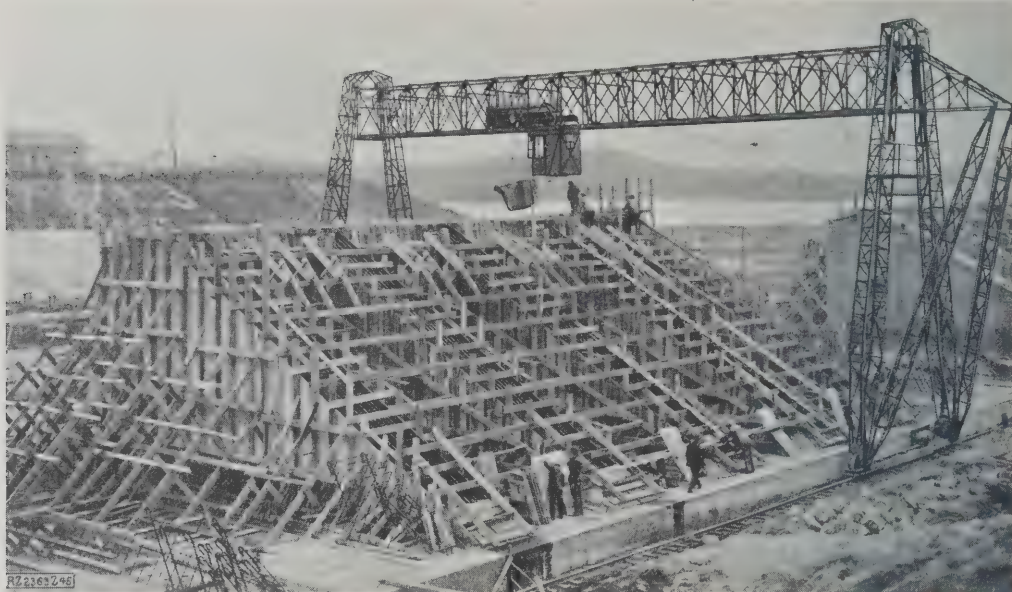


Abb. 44
Beton-
arbeit
an der
Kamm-
mauer

Bei verschiedenen Bauteilen hat man an Stelle von Portlandzement Hochofenzement genommen, dafür ist dann der Traß durch die halbe Menge dieses Zementes ersetzt worden.

Die Flüssigkeit des Betons beim Verarbeiten wurde mittels der Setzprobe gemessen und betrug rd. 20 cm. Für Betonmischung b ergab sich eine Übereinstimmung dieser Setzprobe von 20 cm mit einer Wassermenge von 250 l je m³ Bauwerk. Die Zufügung des feinen Dünsandes hatte insofern einen günstigen Einfluß, als beim Transport keine Entmischung auftrat und der Beton leicht zu bearbeiten war. Für die beiden Häupter hat man ungefähr dieselben Betonaufbereitungsanlagen benutzt, Abb. 42 bis 44. Dabei wurden zunächst der Zement mit dem Traß und der Flußsand mit dem Dünsand vorgemischt. Das Gemisch Zement-Traß, der gemischte Sand und der Kies wurden mittels Abmeßschieber selbsttätig abgemessen und auf das Förderband gebracht, das die trockenen Baustoffe dem Mischer zuführte. In dem Mischerhaus waren drei Mischer, Bauart *Gauhe-Gockel*, aufgestellt, hiervon diente einer zur Aushilfe.

Beim Innenhaupt brachte man die Mischung mittels Aufzugturmes, Bauart *Insler*, und Gießrinnen ein, Abb. 45. Der Aufzugturm war doppelt ausgeführt, so daß mit zwei Behältern gearbeitet werden konnte und die Leistung 60 m³/h betrug.

Beim Außenhaupt wurde das Gemisch in Behältern auf Schmalspurwagen zu den vier Kabelkränen gebracht, Abb. 46. Die Behälter wurden mittels der Kabelkrane auf die Gießtürme aufgesetzt. Diese waren oben mit einem Bunker versehen, woraus der Beton mittels kurzer Gießrinnen bei einer Neigung von 1:3 bis 3,5 eingebracht wurde. Die Gießtürme waren so bemessen, daß sie mittels der Kabelkrane versetzt werden konnten, was jede Woche geschah und wenig Schwierigkeiten bereitete. Im allgemeinen dienten drei Kabelkrane zum Betonieren, wobei jeder Kran einen Turm bediente. Den vierten Kabelkran verwendete man dann zur Beförderung der Bewehrungs-eisen und zum Anbringen der Verschalungen. Die drei Kabelkrane hatten eine Leistung von 55 bis 60 m³/h.

Das ganze Bauwerk ist durch senkrechte Fugen in gesonderte Baublocke unterteilt. Jeder Baublock besteht außerdem, mittels einiger im voraus bestimmter waagerechter Gußfugen getrennt, aus Gießungen. Dabei war vorgeschrieben, daß jede Gießung ohne Unterbrechung von mehr als einer Stunde herzustellen sei. Die größte Gießung hatte einen Inhalt von 4570 m³ und eine Oberfläche von rd. 1000 m². Die Größe des Inhalts verursachte keinerlei Schwierigkeiten. Jedoch bei der großen Oberfläche war es schwierig, den Beton so gleichmäßig zu verteilen, daß nirgends eine Schicht bereits abge bunden war, bevor die

nächste darüberliegende eingebracht werden konnte, w bei der Leistung von 55 bis 60 m³/h die Gießung in ein Stunde nur 6 cm anstieg.

Die Güte des verarbeiteten Betons wurde an der Herstellung von Probeflächen von 30 cm Kantenlänge für jede Gießung in einem Amsler-Druckmesser untersucht. Gewöhnlich wurden je drei Blöcke nach sieben Tagen, vier Wochen, drei und sechs Monaten untersucht. Während der Erhärtung ließ man die Probeflächen, soweit zugänglich, unter ähnlichen Verhältnissen wie der im Bauwerk verarbeitete Beton erhärten. Deshalb stimmte die Festigkeit der Probeflächen so ziemlich genau mit der Festigkeit des verarbeiteten Betons überein. Dies wurde z. B. auch bei der Herstellung der Pfähle und der Beton-Spundwandbohlen befolgt.

Sobald die Probeflächen eine Druckfestigkeit von mehr als 300 kg/cm² aufwiesen, wurde die Erlaubnis zur Verwendung auch dann gegeben, wenn die vorgeschriebene Erhärtungszeit noch nicht verstrichen war. Gleichzeitig die



Abb. 45
Das innere Schleusenhaupt während des Baues.

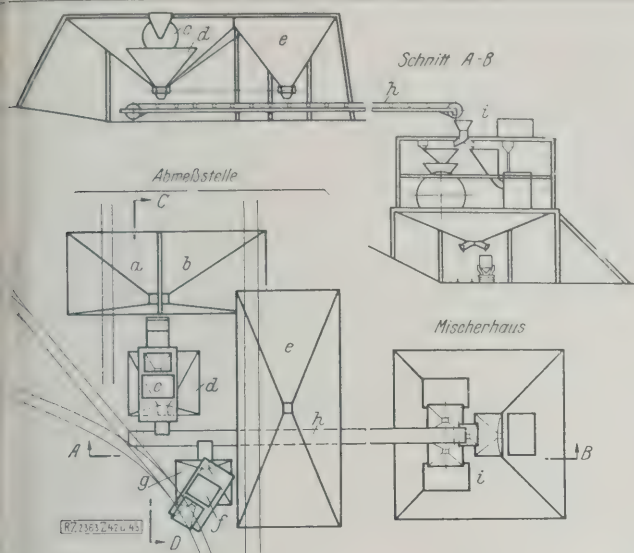


Abb. 42 bis 44
Betonanlage.

- | | |
|-----------------------------------|----------------------------------|
| a Bunker für Dünnensand | e Bunker für Kies |
| b Bunker für Flußsand | f Mischer für Zement und Traß |
| c Mischer für Dünen- und Flußsand | g Bunker für Zement-Traß-Gemisch |
| d Bunker für gemischten Sand | h Förderband |
| | i Mischerhaus |

Temperatur während der Erhärtung gemessen. Abb. 47 und 48 zeigt deutlich, daß die Temperaturen sich stark erhöhen.

Soweit wie möglich hat man eine Einheitsschalung von 2m Breite und 3,9m Höhe verwendet. Diese Einheitsschalung und ihre Verankerung sind für einen gleichmäßigen Druck von frischem Beton von 1000 kg/m² berechnet. Es hat sich erfahrungsgemäß erwiesen, daß es

Die Ergebnisse zum Nachprüfen der Betonherstellung. Dabei war jedoch die Temperatur während der Erhärtung in Rechnung zu stellen, da diese besonders die Festigkeit des Betons nach sieben Tagen und nach vier Wochen stark beeinflusst. Beton mit dem Mischverhältnis b, zwischen dem 15. Juli und dem 1. Oktober 1927 eingebracht, zeigte als Mittel aus vier großen Anzahl Proben eine Druckfestigkeit von:

- | | |
|--------|---------------|
| 107 kg | nach 7 Tagen, |
| 168 „ | „ 4 Wochen, |
| 227 „ | „ 3 Monaten, |
| 242 „ | „ 6 Monaten. |

Beton von derselben Mischung jedoch, zwischen dem 1. Oktober und dem 15. Dezember eingebracht, hatte eine Druckfestigkeit von:

- | | |
|-------|---------------|
| 52 kg | nach 7 Tagen, |
| 109 „ | „ 4 Wochen, |
| 173 „ | „ 3 Monaten, |
| 250 „ | „ 6 Monaten. |

Man sieht daraus, daß die Festigkeit während der kalten Jahreszeit anfänglich sehr niedrig bleibt, aber schließlich dieselbe Höhe erreicht wie beim Beton der Sommermonate. Bei verschiedenen Gießungen hat man die

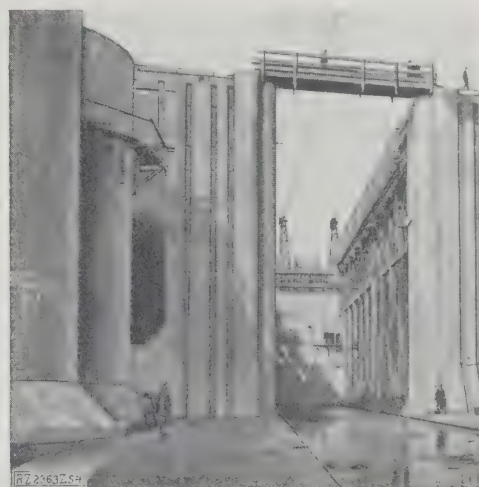


Abb. 49
Tor-kammer
des
Außen-
hauptes.



Abb. 46
Die Baugrube der
Schleuse mit den
Gießtürmen und
Kabelkranen.

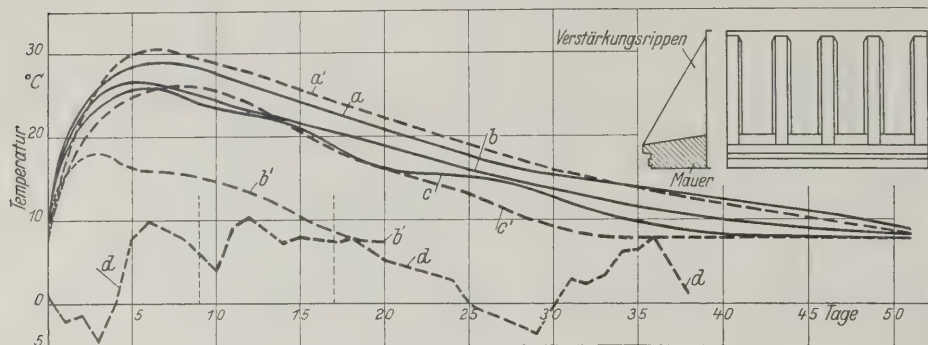


Abb. 47 und 48
Temperatur während der Erhärtung des Betons beim Bau der Kammermauer.

a 2 m von der Außenseite in die Mauer
a' 2 m " " " " " "
b 1 m " " " " " "
b' 1 m " " " " " "Vers-
fungsrippen
c 0,50 m von der Außenseite in die Mauer
c' 0,50 m " " " " " "
d Lufttemperatur " " " "

nicht erwünscht war, bei diesen Schalungen den Beton mehr als 16 bis 20 cm/h ansteigen zu lassen, da sonst der Druck auf die Schalungen zu groß wurde.

Schleusentore

Die Schleusentore sind auf einer Schiffswerft in Rotterdam hergestellt. Da die Tore in aufrechter Stellung bei ganz leerem Luftkasten einen Tiefgang von 12 m haben, und diese Tiefe sowohl bei der Werft wie auch auf dem Fahrweg nach Ymuiden nicht zur Verfügung stand, wurden sie liegend gebaut und zu Wasser gelassen, Abb. 49. Damit sie in dieser Stellung schwimmen konnten, hat man sie mit einem zweiten Hilfsluftkasten ausgerüstet. Von Rotterdam nach Ymuiden sind sie über See geschleppt worden. Die Tore wurden nach dem Binnenhaupt gebracht, wo man sie durch Füllen des zweiten Luftkastens in aufrechte Stellung brachte. Diesen Kasten hat man dann in der Tornische des Binnenhauptes, die hierfür trockengelegt wurde, entfernt.

Baukosten und Bauzeit

Die Kosten betragen ungefähr:

Grunderwerb	2 000 000
Betonarbeiten:	
Schleusenammerwände	1 600 000 fl
Binnenhaupt	3 000 000 „
Außenhaupt	4 700 000 „
Verschiedenes	200 000 „
Schleusentore und Abschlußkasten	9 500 000
Bodenaushub, Ufer- und Bodenbefestigung	1 000 000
Bedienungsanlage	3 500 000
Verschiedenes	600 000
	1 400 000
Insgesamt:	18 000 000

Mit dem Bodenaushub hat man schon im Jahre 1923 begonnen, mit den Betonarbeiten 1929. Man hofft, die Schleuse vor Ende 1929 dem Verkehr übergeben zu können. [B 2363]

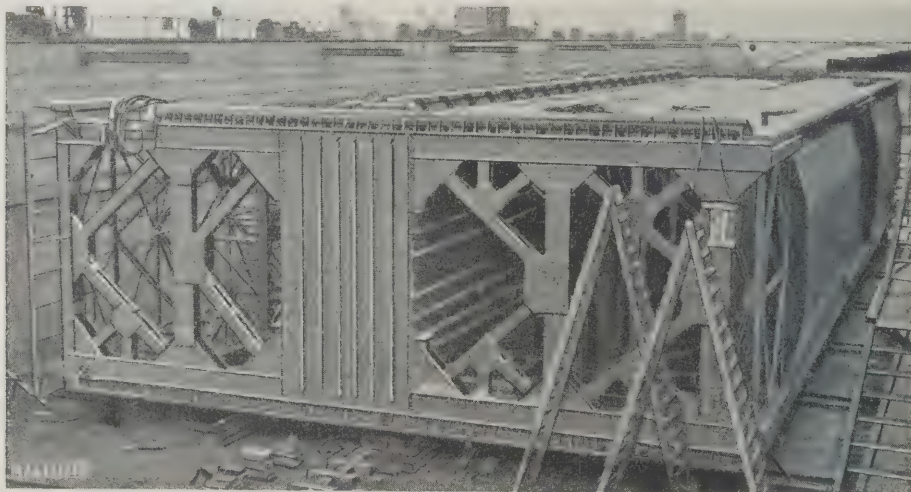


Abb. 50
Tor während
des Baues
(liegend).

Physikalische Eigenschaften von Chrom-Eisen- und Vanadium-Eisen-Legierungen

K. Ruf¹⁾ hat die physikalischen Eigenschaften, und zwar den spezifischen elektrischen Widerstand, seinen Temperaturkoeffizienten, die thermoelektrische Kraft, das spezifische Gewicht und den thermischen Ausdehnungskoeffizienten an einer Reihe von kohlenfreien Legierungen aus Chrom-Eisen und Vanadium-Eisen in Abhängigkeit von der Temperatur und von der Zusammensetzung untersucht.

Die Legierungen enthielten 0 bis 50 Gewichtshundertteile Chrom und 0 bis 18 Gewichtshundertteile Vanadium.

Von besonderer Bedeutung war die Bestimmung des spezifischen Widerstandes von elektrolytisch niedergeschlagenem Chrom, das im Vakuum geschmolzen war; hierfür ergab sich der Wert: $\sigma_{20} = 0,284 \Omega \text{ mm}^2/\text{m}$.

Die Dichte von reinem Elektrolyteisen (C weniger als 0,02 vH) ergab sich zu 7,876 und die von reinem Chrom zu 7,011. Die Kurven des spezifischen Widerstandes, so-

wie der Thermokraft steigen mit wachsendem Chrom- oder Vanadiumgehalt an; die spezifischen Gewichte nehmen geradlinig ab, und zwar stärker bei Vanadiumzusatz. Die thermische Ausdehnung der Vanadium-Eisen-Legierungen fällt mit steigendem Zusatz an Vanadium nach einer Kurve, die konvex gegen die Konzentrationsachse gekrümmt ist. Die Vanadium-Eisen-Legierung mit 6, 12 und 18 vH Vanadium zeigen keine nennenswerten Richtungsänderungen in ihren Erwärmungskurven, zudem fällt die Abkühlungskurve vollkommen mit der Erwärmungskurve zusammen. Der Zusatz von Vanadium zu reinem Eisen bringt also die Zustandsänderungen $A_{2,3}$ des reinen Eisens zum Verschwinden, so daß die Legierungsreihe Vanadium-Eisen wenigstens in dem untersuchten Gebiet (bis 18 vH Va) eine ununterbrochene Reihe von Mischkristallen zu bilden scheint — was auch in Übereinstimmung mit den anderen Eigenschaftenkurven steht. Durch Zusatz von Chrom (bis 12 vH) wird die Abweichung der Ausdehnung (bei A_3) vom regelmäßigen Verlauf verringert und der Umwandlungspunkt A_3 selbst nach tieferen Temperaturen verschoben. Bei mehr als 13 vH Chrom sind keine Abweichungen der Wärmeausdehnung mehr vorhanden. [N 2826] A. S.

¹⁾ Vergl. Z. f. Elektrochemie Bd. 34 (1928) S. 813.

Aufgaben des Betriebsingenieurs in Heilanstalten

Von TH. PLOPPA, Kiel

Der Begriff der Heilanstalten wird erläutert. — Die Errichtung von großen leistungsfähigen Krankenanstalten ist anzustreben. — Stellung des technischen Betriebsleiters in einer neuzeitlichen Heilanstalt und sein Betätigungsfeld: Kraftbetrieb und Wärmewirtschaft, Heizung und Lüftung, Wäschereien und Kochküchen, wärmeverbrauchende medizinische Apparate, elektro-medizinische Geräte, Instandsetzungswerkstätten, Normung der Geräte, Beleuchtung, Förderanlagen, Unterhaltung der Baulichkeiten. — Schlußfolgerungen: Die Besetzung der Stellen technischer leitender Beamten durch wissenschaftlich vorgebildete Ingenieure ist eine Notwendigkeit. Die Berufung von Ingenieuren in die Stellung leitender Verwaltungsbeamter liegt infolge immer weiter schreitender Einführung der Technik in die Krankenhausbetriebe im allgemeinen Interesse.

Unter dem Begriff „Heilanstalten“ habe ich alle diejenigen Anstalten zusammengefaßt, die der Pflege Erkrankter dienen. Dazu gehören Krankenhäuser, Irrenanstalten, Altersheime u. a. m. Es ist nicht zu verkennen, daß diese Anstalten nicht nur hinsichtlich ihrer Aufnahmefähigkeit, sondern auch in bezug auf ihre technische Ausstattung erhebliche Fortschritte gemacht haben. Mit der Entwicklung der ärztlichen Wissenschaft hat die Technik in immer steigendem Maß Eingang in den Betrieb der Heilanstalten gefunden. Andererseits fordert der Gutachterausschuß für das öffentliche Krankenhauswesen mit Recht eine möglichst weitgehende Selbständigkeit nicht nur für die Wärme- und Kraftwirtschaft, sondern auch für die sonstigen technischen Einrichtungen, um Störungen durch Streiks und dergl. auszuschalten. Was die Krankenanstalten im besonderen anlangt, ist es im Zeitalter der Kraftwagen und gut ausgebauter Straßen ebenso wichtig, in einem Bezirk nicht mehrere kleine und wenig leistungsfähige Krankenhäuser zu erreichen, sondern, wenn irgend möglich, nach der Schaffung von großen Anstalten zu streben, in denen nicht nur für jedes Sonderfach ausgebildete Spezialärzte vorhanden sind, sondern auch die Forderungen der Gesundheitspflege und der Wirtschaftlichkeit in vollkommener Weise befriedigt werden können. Zu berücksichtigen ist ferner, daß Heilanstalten, insbesondere solche, die sich in einsamer Lage befinden, ein Gemeinwesen für sich darstellen und daher auch möglichst selbständig in bezug auf ihre Wirtschaftsführung gestellt werden müssen.

Durch diese Umstände ist auch die Stellung des technischen Betriebsleiters und sein Einfluß auf die Wirtschaftlichkeit des Betriebes ganz anders, als er zu der

Zeit gewesen ist, in der die technischen Einrichtungen solcher Anstalten sich in der Hauptsache auf einige in den Gebäuden befindliche Sammelheizungen und Warmwasserbereitungen beschränkten. In einer neuzeitlichen Anstalt finden wir dagegen technische Einrichtungen von einer solchen Mannigfaltigkeit, wie kaum in einem anderen Unternehmen.

In erster Linie wären

Kraftbetrieb und Wärmewirtschaft

zu nennen.

Aus den genannten Gründen wird in manchen größeren Anstalten der Strom für Licht- und Kraftzwecke aus einer eigenen Anlage gewonnen. In vielen Fällen, wie beispielsweise in den Krankenhäusern München-Schwabing und Düsseldorf, wird der Betrieb der Stromerzeugungsanlage lediglich nach dem Wärmebedarf geregelt. Dabei wird der Überschußstrom in das städtische Netz geleitet, während zu anderen Zeiten vom städtischen Werk Strom bezogen wird. Eine solche Kupplung stellt unter bestimmten Voraussetzungen wärmetechnisch den günstigsten Fall dar. Es gibt aber auch Fälle, in denen es wirtschaftlicher und zweckmäßiger ist, zum Dampf- und Strombezug überzugehen, namentlich dann, wenn besondere Umstände, beispielsweise die Nähe eines Elektrizitätswerkes, dies rechtfertigen oder die Anfuhr der Brennstoffe und Beseitigung deren Rückstände in gesundheitlich einwandfreier Weise nicht möglich ist.

Da bei Eigenbetrieb der Abdampf der Antriebsmaschinen in wirtschaftlicher Weise für Zwecke der Heizung und Warmwasserbereitung das ganze Jahr über benutzt werden kann, werden vornehmlich wegen des öl-

Lageplan des Städt.
Rudolf-Virchow-Krankenhauses
zu Berlin

Krankenbelegung bis	2600
im Jahre	
Kohlenverbrauch	15 000 t
Stromverbrauch	580 000 kWh
Warmwasserverbrauch	132 000 m ³
Kälteverbrauch	50 000 kWh
Stromverbrauch	500 000 kWh
Stromerzeugung	1 000 t

- a Aufnahmehaus (Verwaltung)
- b Badehaus
- c Apotheke
- d Operationshaus
- e Röntgenhaus
- f Anatom.-patholog. Institut
- g Desinfektion
- h Kochküche
- i Remise für Speisewagen
- k Kesselhaus
- l Kohlenhof
- m Maschinenhaus
- n Schornsteine
- o Wasserturm
- p Waschküche
- q Bleichplatz
- r Remise für Wäschewagen
- s Werkstätte
- t begehbare Kanäle zur Aufnahme der Dampf-, Warmwasser-, Heizwasser- und Kondensatleitungen



freien Kondensats Dampfturbinen verwendet. In vielen Fällen ist auch eine eigene Wasserversorgung eingerichtet, deren Pumpen zweckmäßig elektrischen Antrieb bekommen, damit die Krafterzeugung einheitlich gestaltet wird. Das gleiche gilt auch für die Eisbereitungs- und Kühlanlagen, die in einer neuzeitlichen Anstalt nicht fehlen dürfen.

Der von den Antriebsturbinen kommende Dampf kann, soweit es sich um Gebäudeheizung handelt, mit rd. 2 at Überdruck zu den einzelnen Häusern geführt werden, oder er wird in Wärmeaustauschern niedergeschlagen, und die Wärme wird in die einzelnen Häuser mittels Pumpen-Warmwasserheizung geleitet. Die in jedem Fall erforderlichen Rohrleitungen werden in Kanälen verlegt, in denen gleichfalls die Leitungen zur Rückführung des Kondensats untergebracht sind.

Die Versorgung mit Wärme von einer Stelle aus bietet gesundheitliche und wirtschaftliche Vorteile, weil man die Überwachung und Regelung einer einheitlichen Anlage besser durchführen kann als die von mehreren Kleinanlagen und die Brennstoffe im ersten Falle bei geringerem Aufwand an Personal besser ausgenutzt werden. Da jedoch außerdem erhebliche Dampfmengen zum Kochen, Waschen und Sterilisieren erforderlich sind, müssen im Fall einer Warmwasserheizung, die aus gesundheitlichen Gründen bevorzugt wird, besondere Dampfleitungen für diese Zwecke eingebaut werden.

In welcher Größenordnung sich die Kosten für Brennstoffe bewegen und welche Ersparnismöglichkeiten durch eine zweckmäßig durchgeführte Wärmewirtschaft erzielt werden können, mag aus folgendem erschen werden:

In einer Krankenanstalt von etwa 2000 Betten, die eine eigene Stromerzeugung, Kühl- und Eisbereitungsanlage nebst Wasserversorgung mit Enteisung hat, wurden die vorhandenen Dampftriebsmaschinen der Stromerzeuger mit Kondensation betrieben. Auf Grund wärmewirtschaftlicher Überlegungen wurde die Kondensationsanlage stillgesetzt und der Abdampf dieser Maschinen für Heizungszwecke und zur Warmwasserbereitung verwendet. Die Brennstoffersparnisse betragen nach der Umstellung rd. 41 000 RM im Jahr, während der gesamte Umbau einschl. Fernleitungen für die neu angelegte Pumpenheizung nur 56 000 RM betrug, so daß der Kapitalaufwand durch die erzielten Brennstoffersparnisse in reichlich einem Jahr gedeckt werden konnte. Von dergartigen Beispielen ließen sich noch mehrere anführen.

Auf Grund von Messungen ist nach dem Umbau die Verteilung der in den Dampfkesseln erzeugten Wärme auf die einzelnen Verbrauchsstellen im Jahresmittel wie folgt ermittelt oder geschätzt worden:

1. Kraftbetrieb nach Abzug der durch Abdampfverwertung zurückgewonnenen Wärme	3,6 vH.
2. Gebäudeheizung	49,9 „
3. Warmwasserbereitung	16,2 „
4. Waschküche	6,0 „
5. Kochküche	2,95 „
6. Medizinische Geräte und Wärmeschränke in den Krankenstationen	5,0 „
7. Rohrleitungsverluste einschließlich Kondensatleitungen und Restglied	16,35 „
	100.— vH.

Dabei ist zu berücksichtigen, daß der Anteil der Raumheizung der Koch- und Waschküche unter Nr. 2 eingesetzt ist.

In dem Werk „Das deutsche Krankenhaus 1925“ schätzt Obering. Arthur Schulze den Gesamtenergieverbrauch aller öffentlichen Krankenhäuser zu 642 000 t Kohlen im Jahr, entsprechend einem Geldwert von 22,5 Mill. RM. Nur 20 vH Ersparnis, wie sie aber unter den gegebenen Verhältnissen leicht erreichbar ist, würden jährlich rd. 4,5 Mill. RM ausmachen.

Der Wirkungsgrad der Heizanlagen kann durch zweckmäßige Maßnahmen beachtlich verbessert werden. Beispielsweise können die in ausgedehnten Dampfrohren unentbehrlichen Kondensatableiter eine ständige Verlustquelle darstellen, wenn ihre Zahl nicht auf das zulässige Maß verringert und eine scharfe Überwachung

durchgeführt wird. Des weiteren spielen die Wahl der Brennstoffe und die jeweilige Anpassung des Wärmeaustausches an die Außentemperatur eine erhebliche Rolle.

Es ist daher von Vorteil für die Krankenhäuser die technischen Anlagen erfahrener und diese Zwecke vorgebildeten Ingenieuren zu übertragen, die über das erforderliche wissenschaftliche Rüstzeug verfügen. Zu dieser Ansicht sind die meisten wärmeverbrauchenden Industrien gekommen; sie haben sich auch dementsprechend eingestellt. Man könnte einwenden, daß die erforderliche Überprüfung durch Sonderingenieure der Hauptverwaltung mit demselben Erfolg und billiger durchgeführt werden könnte. Dies ist entgegenzuhalten, daß man den größten wirtschaftlichen Erfolg nur durch zielsichere und eingehende Vertiefung, d. h. durch gründliche Beschäftigung mit jedem Einzelfall erreichen kann. Deshalb können für die Leitung solcher Betriebe nur hauptamtlich tätige, wissenschaftlich vorgebildete Ingenieure in Frage kommen. Sicherlich wird auch für die Professoren und Ärzte eine fachwissenschaftliche Beratung von erheblichem Vorteil sein und zu weiterer Entwicklung der technischen Hilfsmittel führen.

Im Zusammenhang mit dem Wärmeverbrauch steht die viel umstrittene Frage der Lüftung der Krankenzimmer, und ich glaube sagen zu können, daß man auf diesem Gebiete nur vorwärts kommen wird, wenn in Zukunft mehr als bisher die Beaufsichtigung solcher Anlagen entsprechend vorgebildeten Fachleuten unterstellt wird; denn nur durch Erfahrungen im Betriebe können die noch schwebenden Fragen einer Lösung entgegengeführt werden.

Andere technische Einrichtungen in Heilanstalten

Einen weiteren wichtigen Bestandteil der Heilanstalten bilden die Wäschereien und Kochküchen. Diese Betriebe, in denen der elektrische Kraftantrieb vorherrschend ist, sind von großer Bedeutung. Durch rationelle Arbeitsverfahren und Mechanisierung der Betriebe kann die Wirtschaftlichkeit erheblich verbessert werden, sowohl hinsichtlich des Wärme- und Materialverbrauches als auch des Personalaufwandes. Der Betrieb der Wäscherei verlangt von dem technischen Betriebsleiter gewisse chemische Kenntnisse, die folgerichtig angewendet, erhebliche Ersparnisse bei Schonung der Wäsche im Gefolge haben. Bei dem verhältnismäßig hohen Kapitalaufwand, den der Wäschebestand eines Krankenhauses erfordert, spielt die pflichtliche Behandlung der Wäsche eine wichtige Rolle.

Der Streit, ob Zentralküche oder Einzelküche die beste Lösung darstelle, ist zu Gunsten der gemeinsamen Küche entschieden worden. Diese kann aber den gestellten Anforderungen nur genügen, wenn neben einer straffen Arbeitsteilung auch die Hilfsmittel, die die Technik bietet, dienstbar gemacht werden. Zu



Abb. 1
Genormtes Personalbett.

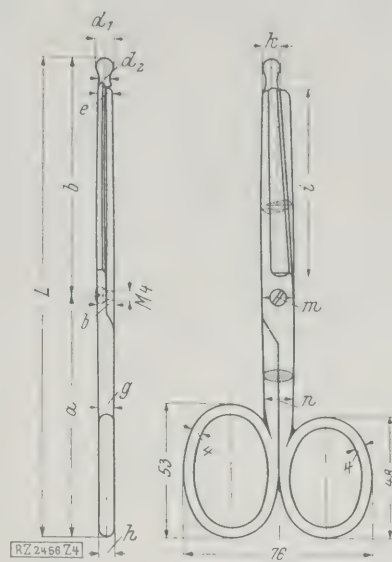


Abb. 4
Darmschere.

²⁾ Vergl. a. Z. Bd. 72 (1928) S. 1893.

folgenden Feststellungen, die ich wörtlich wiedergeben möchte, da sie die bestehenden Verhältnisse treffend kennzeichnen.

„Es wurde bereits mehrfach von der Technifizierung in der Krankenpflege gesprochen und die Ausbesserwerkstätten mit kleinen Maschinenfabriken verglichen und die mannigfachen, teilweise recht schwierigen technischen Einrichtungen erwähnt, die in einem Krankenhaus notwendig sind und ständig zunehmen. Wenn man einmal das Krankenhaus auch hinsichtlich seines Personals mit einer Maschinenfabrik vergleicht, ergibt sich, daß der wissenschaftlich gebildete Ingenieur nur sehr schwach vertreten ist, während jede kleine Maschinenfabrik über eigenes technisch vorgebildetes Personal verfügt. Gegenüber den kostbaren technischen Einrichtungen, die es im Krankenhaus zu überwachen, instandzuhalten und zu verbessern gibt, erscheint das vollkommen unzulänglich.“

„Daß die Krankenhäuser im allgemeinen wärmewirtschaftlich noch so rückständig sind, ist eine große Folge davon, daß die wissenschaftliche Betriebsführung meist fehlt. Es ist für einen wissenschaftlich arbeitenden Betriebsingenieur gerade im Krankenhaus unendlich viel zu tun.“

„Man kann ruhig aussprechen, daß das Krankenhaus im allgemeinen nicht dem wissenschaftlichen Stande der Technik entsprechend besetzt ist.“

Gleichzeitig wurde durch die Umfrage festgestellt, daß in der Rationalisierung noch Weniges, nur Vereinzelt, nirgends etwas Ganzes getan ist, bei der großen Zahl der Anstalten verschwindend wenig.

Diese klar zum Ausdruck gebrachten Mängel bedeuten aber große Verluste an Nationalvermögen, die durch entsprechende Besetzung der Stellen leicht vermieden werden können. Wenn man bedenkt, welche Werte in den Krankenhäusern stetig umgesetzt werden, so erscheint die Forderung nach besserer Auswahl der leitenden technischen Persönlichkeiten als eine Selbstverständlichkeit. In einer Zeit, in der das deutsche Volk schwer um seine Existenz ringt, müssen auch im Betriebe der Heilanstalten alle technischen Fortschritte angewendet werden, um den höchsten Grad der Wirtschaftlichkeit zu erreichen. Die erzielbaren Erfolge sind bedeutend, und sie kommen letzten Endes den Kranken und damit der Volksgemeinschaft zugute.

Ist so die Notwendigkeit der Besetzung der Stellen der leitenden technischen Beamten mit wissenschaftlich vorgebildeten Ingenieuren nachgewiesen, so glaube ich, daß bei der immer weiter sich entwickelnden Technifizierung des Krankenhauses sich der Ingenieur auf Grund seiner Vorbildung auf den Gebieten der Naturwissenschaften, der Verwaltung und der Statistik auch für die Stelle des leitenden Verwaltungsbeamten eignet. Bisher sind die Stellen der Verwaltungsdirektoren und Krankenhausleiter mit Beamten, die aus der allgemeinen Verwaltung hervorgegangen sind, besetzt worden, zum Teil liegt die Leitung der Verwaltung in den Händen des ärztlichen Direktors.

In verschiedenen Anstalten werden die Verwaltungsgeschäfte und die Vertretung nach außen von einem Direktorium besorgt, in dem neben zwei ärztlichen Direktoren der Verwaltungsdirektor Sitz und Stimme hat. Diese Organisation ist nach dem Urteil berufener Fachleute für größere Anstalten als die beste Lösung anzusehen. Mit diesem Vorschlage sollen die Verdienste und Leistungen der bisherigen Verwaltungsdirektoren durchaus nicht geschmälert oder herabgesetzt werden. Aber da die technischen Einrichtungen derartiger Anstalten bereits jetzt einen überragenden Einfluß auf ihre Wirtschaft und ihren Betrieb ausüben und zweifellos sich in Zukunft dieser Einfluß noch verstärken wird, so scheint mir die Berechtigung obigen Vorschlages durch die Entwicklung der Dinge nachgewiesen zu sein.

Abgesehen davon, daß der Betriebsingenieur in seiner geordneten Stellung wegen des unvermeidlichen Stanzens seines Ideen und Vorschlägen nicht immer die gewünschte Auswirkung sichern kann, gibt es in der Verwaltung der Heilanstalten sehr viele Aufgaben, von vornherein in das Gebiet des Technikers fallen. Ich möchte in diesem Zusammenhang den Einkauf der Materialien anführen, der eine ausschlaggebende Rolle spielt, die Durchführung von Statistiken über den Personalaufwand für den Wirtschaftsbetrieb, über Energie- und Materialverbrauch.

Man darf nicht einwenden, daß der Ingenieur die Fragen der allgemeinen Verwaltung nicht beherrsche; die Entwicklung unserer Industrie zeigt es an unzähligen Beispielen, daß Ingenieure auch hervorragende Verwaltungsbeamte sein können, und das gleiche ist von verschiedenen Zweigen der Kommunalverwaltung zu sagen. Natürlich gehört eine gründliche Auslese bei der Besetzung solcher Stellen dazu, und es ist eine Selbstverständlichkeit, daß nur solche Bewerber in Frage kommen können, die den Krankenhausbetrieb aus eigener Anschauung von Grund auf kennen. Dazu ist es notwendig, daß die oberen Verwaltungsbehörden jungen Ingenieuren Gelegenheit zur Aneignung der erforderlichen Sonderkenntnisse geben durch mehrjährige Tätigkeit in einem gut geleiteten größeren Heilanstalt.

Zweckmäßig dürfte es ferner sein, wenn auf den technischen Hochschulen die in den Heilanstalten vorkommenden Sondergebiete behandelt werden würden. Ich bin überzeugt, daß mit der immer fortschreitenden Entwicklung dieser Anstalten ganz von selbst der vorgeschlagene Weg beschritten wird, wenn das höchste Wirtschaftlichkeit erreicht werden soll. [B 2456]

Die deutsche Maschinenausfuhr

behandelt Dr. O. Veit für das vergangene Jahr im „Maschinenbau“¹⁾. Den sehr beachtenswerten Mitteilung entnehmen wir die folgende Zusammenstellung der wichtigsten Absatzmärkte der deutschen Maschinenindustrie für die Jahre 1926 bis 1928. Die Länder sind nach dem Gesamtwert der Ausfuhr von 1928 geordnet.

Absatzmärkte	1928		1927		1926	
	1000 t	Mill. RM	1000 t	Mill. RM	1000 t	Mill. RM
Insgesamt	606,2	1 113,3	534,8	937,7	457,2	769,2
Davon nach:						
Rußland	74,8	132,2	67,1	124,1	37,2	65,4
Niederlande	54,3	78,1	43,7	59,7	40,4	52,4
Polen (einschl. Danzig)	36,4	71,9	26,1	51,1	10,5	21,4
Frankreich (einschl. Elsaß-Lothringen) .	30,4	65,7	17,5	38,4	10,2	23,1
Tschechoslowakei . .	26,0	61,2	14,8	36,1	14,9	33,8
Großbritannien . . .	33,7	57,1	36,2	57,2	27,2	39,8
Italien	28,0	56,3	28,3	46,4	43,4	61,9
Schweiz	23,3	44,2	17,5	33,2	15,9	26,6
Argentinien	25,8	43,4	20,1	31,4	19,3	30,1
Österreich	18,7	41,1	13,6	31,2	12,6	26,5
Belgien (einschl. Luxemburg) . . .	21,6	37,2	16,9	25,8	11,8	17,8
Spanien	17,5	35,1	14,0	26,6	18,0	31,1
Vereinigte Staaten . .	13,7	32,9	14,5	34,1	17,8	34,6
Brasilien	15,8	32,0	13,6	25,7	21,7	38,5
Rumänien	18,0	32,0	21,7	33,3	13,4	21,4
Schweden	16,6	26,8	15,8	25,6	13,5	22,7
Jugoslawien	12,1	23,3	10,8	19,2	6,3	11,0
Niederl.-Indien . . .	15,2	23,0	12,5	16,7	12,6	16,4
Dänemark	11,7	18,1	9,7	16,0	9,7	14,3
Ungarn	8,4	17,7	8,0	17,0	5,6	13,2
Japan	7,7	17,1	11,1	18,0	8,1	15,9
Britisch-Südafrika . .	11,9	16,8	12,3	20,1	2,8	4,6
Finnland	9,6	16,0	8,6	13,5	5,7	10,1
Britisch-Indien . . .	8,7	15,0	7,3	12,6	7,8	13,6

[N 3101]

¹⁾ „Maschinenbau — Wirtschaft“ Bd. 8 (1929) Nr. 10 S. 109 (W).

Erziehung zum werkstattgerechten Konstruieren

Von Prof. Dr.-Ing. KARL LAUDIEN, Stettin¹⁾

Die Erziehung zum werkstattgerechten Konstruieren verlangt die Schaffung neuen Unterrichtsstoffes und eine Umstellung vom „Nachkonstruieren“ zum „konstruktiven Denken“. Der Aufsatz gibt Aufschluß über den von der Arbeitsgemeinschaft deutscher Betriebsingenieure geschaffenen und geplanten Unterrichtstoff und erklärt eine neue Unterrichtsmethode.

Wie an jede Maschine und jeden Maschinenteil gestellten Forderungen „Gut“ und „Billig“ laufen in gewissem Grade gegeneinander. Nur dann kommt eine reibmäßige Konstruktion zustande, wenn der Ausgleich zwischen diesen Forderungen gelingt. — So gilt es, den Konstrukteur dahin zu erziehen, daß er solchen Ausgleich findet, daß er beim Konstruieren stets an die Forderung „Billigkeit der Herstellung“ oder, was dasselbe ist, „werkstattgerechtes Gestalten“ denkt.

Für die Erziehung zum Konstrukteur ist eine gute praktische Ausbildung unbedingt erforderlich. Der Sinn für die Einzelheiten, für zulässige Spandicke, für die Reihenfolge der Bearbeitungsvorgänge läßt sich nicht allein durch Worte wecken; er muß aus dem eigenen Erleben kommen. Gefühlsmäßig muß der Konstrukteur beim Konstruieren entscheiden; genau nachrechnen kann er die Herstellkosten erst dann, wenn die Arbeit abgeschlossen ist.

Die Begabung ist und bleibt entscheidend für den Erfolg. Wer kein Gefühl für Wirtschaftlichkeit hat, wird niemals werkstattgerecht konstruieren. Seine Formen werden entweder überhaupt falsch sein oder zum mindesten den Eindruck erwecken, als sei nachträglich etwas remdes hineingearbeitet. Seine Konstruktionen werden ein organisches Ganzes bilden. Man wird zum Konstrukteur geboren; das Konstruieren ist eine Kunst.

Aufgaben des Konstruktionsbüros

Vor 60 Jahren waren Konstruktionsbüro und Betrieb eins. Der Konstrukteur schrieb die Bearbeitung vor, er gab bei den Gußstücken die Einförmigkeit an, er zeichnete Schrägungen. Dann verzichtete die Konstruktion auf diese Festlegungen; sie konnte diese Arbeit nicht mehr leisten und gab nur noch an, wo bearbeitet werden sollte. Wieder etwas später legte die Konstruktion fest, welche Maße genau einzuhalten wären, dann schrieb sie den Genauigkeitsgrad für diese Maße vor. Damit begann das Konstruktionsbüro von neuem den Herstellvorgang vorzuschreiben. Es hat keinen Wert, eine Höchstgenauigkeit zu verlangen, ohne zugleich eine Vorschrift „Schleifen“ zu geben.

Mit dem Verschreiben der Herstellart kam es zu einer schärferen Kritik von Form und Lage der Bearbeitungsflächen. Die mit „Schleifen“ gekennzeichnete Fläche mußte so gebaut und angeordnet sein, daß sie sich schleifen ließ. Heute will man noch einen Schritt weitergehen: Die Konstruktion soll für einen ganz bestimmten Arbeitsplan arbeiten.

Daß sich dieses Ziel nur bei enger Zusammenarbeit von Konstruktionsbüro und Betriebsbüro erreichen läßt, ist selbstverständlich. Die jungen Konstrukteure haben nur in seltenen Fällen den Einblick in die Fabrikationsrichtungen, den sie für diese Arbeit brauchen. Selbst wenn man mit der Gepflogenheit, den Konstrukteuren den Besuch der Werkstätten zu verbieten, bricht, wird man nicht ans Ziel kommen. Die jungen Konstrukteure wechseln verhältnismäßig häufig ihre Stellungen. So bedarf es der engen Fühlungnahme mit den Betriebsleuten, um die Konstruktionen den Sondereinrichtungen der Fabrik anzupassen. Letzten Endes liegt die Entscheidung, auf welche Maschine ein Stück kommt, beim Betriebsleiter; nur er weiß, welche Maschine zur Zeit verfügbar ist.

Für die Umstellung der Konstrukteurserziehung ist wesentlich eine Änderung des Technologieunterrichts, eine

Umstellung von der Erklärung und Berechnung der Werkzeugmaschinen und ihrer Einzelheiten zur eingehenden Behandlung der Fertigungsmöglichkeiten.

Dieser Richtung hat man sich seit Kriegsschluß weitgehend angepaßt. Zwar geht diese Arbeit unter der Losung „Erziehung des Betriebstechnikers“ vor sich, aber diese Umstellung kommt nicht nur dem Betriebsmann, sondern auch dem Konstrukteur zugute.

Lehrstoff für den Konstruktionsunterricht

Eine so weitgehende Umstellung bedarf der vorhergehenden Schaffung von Unterrichtsmitteln. Es ist nicht damit getan, daß man das Ziel angibt und den Weg genau festlegt.

Mit den Lehrmitteln trifft man auf zwei Gruppen: Die werdenden Konstrukteure, d. s. die Schüler der technischen Lehranstalten, und die in der Praxis stehenden Konstrukteure. Beiden soll das Gleiche: „Werkstattgerechtes Konstruieren“, vermittelt werden. Diese beiden Gruppen stehen aber der Aufgabe verschieden gegenüber. Während die werdenden Konstrukteure noch keinen Formenschatz besitzen und leicht in die neue Richtung eingestellt werden können, haben die in der Praxis stehenden eine große Menge Formen, auch falscher, in sich aufgenommen und müssen aus der alten in die neue Richtung umgestellt werden. Die werdenden Konstrukteure müssen „Berechnen und Formgeben“ lernen, die in der Praxis stehenden sind dagegen überwiegend zum „Formändern“ zu erziehen, deshalb müssen die Unterrichtsmethoden, d. i. die Art der Benutzung des Unterrichtsmittels, ja dieses selbst in gewissem Grade, verschieden sein. — Für die in der Praxis stehenden Konstrukteure gibt die Arbeitsgemeinschaft deutscher Betriebsingenieure eine Sammlung „Werkstattgerechtes Konstruieren“²⁾ heraus.

Der Unterricht

Die Unterrichtsmethode bleibt Sache der Lehrerpersönlichkeit. Der eine wird das Ziel „Erziehung zum konstruktiven Denken“ im planmäßigen Aufbau zu erreichen suchen; er könnte z. B. die verschiedenen Formen miteinander vergleichen. Der andre wird anders vorgehen und an einer Reihe von Beispielen diese Formen lehren. — Ist der letztere Weg für die in der Praxis stehenden Konstrukteure der richtige, so ist damit noch nicht entschieden, ob er nicht auch für den Schüler wenigstens vorerst richtig ist, solange nämlich, bis eine umfassende und lückenlose Systematik vorliegt. Das durch den ganzen Unterricht über Maschinenteile gehende System „Bach“ mag theoretisch noch so anfechtbar scheinen. Vorerst gibt es keine Veröffentlichung, die die gleiche Lehrstoffmenge planmäßig erfaßt. Ja, es mag dahingestellt sein, ob man nicht überhaupt die Erziehung zum Konstrukteur auf den Schulen in drei aufeinander folgenden Stufen durchführen soll:

Erste Stufe: „Berechnen der Maschinenteile und Vertrautmachen mit ihren bewährten Formen“.

Zweite Stufe: „Kritik der Formen nach ihrer Werkstattgerechtigkeit“.

Dritte Stufe: „Systematisch Lösungswege suchen“.

Der erste Teil der Sammlung „Werkstattgerechtes Konstruieren“ wird für die verschiedenen Herstellarten: Gußeisenteile, Schmiedeteile, Bearbeitung usw., „Falsch“ und „Richtig“ einander gegenüberstellen. Im zweiten

¹⁾ Der Aufsatz enthält in stark gekürzter Form den Inhalt eines von verschiedenen Bezirksvereinen des Vereines deutscher Ingenieure zwischen dem 1. Dezember 1927 und dem 20. Juni 1928 gehaltenen Vortrages.

²⁾ I. Teil „Entwurf von Gußeisenteilen“ erscheint im August d. Js. Weitere Teile, z. B. „Entwurf von Schmiedeteilen“, werden folgen.

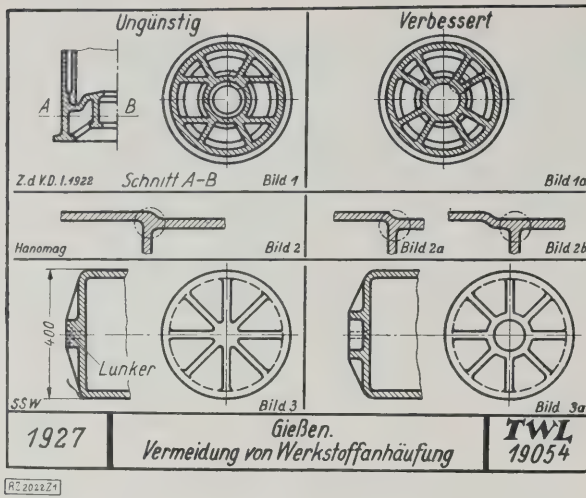


Abb. 1
Gießen. Vermeidung von Werkstoffanhäufung.

Teile sollen Konstruktionsbeispiele die Vielgestaltigkeit der Lösungsmöglichkeiten klarstellen, dadurch eine Kritik der verschiedenen Lösungswege geben und zur Wahl des günstigsten Lösungsweges erziehen.

Es muß dazu betont werden, daß die Umstellung in der Technikerverziehung gewissermaßen von hinten angefangen hat. Zuerst wurde die Kalkulation verbessert. (Ein fehlerhaft konstruiertes Stück kann durch richtige Kalkulation billiger werden, aber nicht so billig, wie ein richtig konstruiertes.) Dann wurden die groben Fehler der Herstellung aus den Konstruktionen ausgemerzt. Dahin zielt der erste Teil der Sammlung „Werkstattgerechtes Konstruieren“. Der zweite Teil der Sammlung soll zum Einschlagen des besten Konstruktionsweges und zur Wahl der einfachsten Bauart erziehen. Für diese Richtung ist die Bezeichnung Erziehung zum „konstruktiven Denken“ geprägt worden.

Es ist schon oben erklärt worden, daß der Konstrukteur bei seiner Arbeit gefühlsmäßig vorgehen muß. Es sei zur Ergänzung betont, daß man nur in wenigen Fällen die Formänderung eines verwinkelten Stückes genau genug nachzurechnen vermag und daß man sich gerade dort, wo die Steifigkeit der Form von ausschlaggebender Bedeutung ist, auf das Gefühl stützen muß. Dabei wird mit der stetigen Erhöhung der Festigkeitszahlen und der zulässigen Beanspruchungen die Prüfung der Steifigkeit immer wichtiger. Vor allem aber spielt das Gefühl die ausschlaggebende Rolle beim Erfassen der Gesamtaufgabe. Der Konstrukteur muß den Kraft- und Arbeitsfluß in seiner Konstruktion empfinden.

Damit ist das konstruktive Gefühl nicht begrenzt, auch die Formenerinnerungen gehören dazu. Auf sie stützen sich die Konstrukteure beim Entwerfen in sehr vielen Fällen, ohne sich genau zu überlegen, ob die Bedingungen, aus denen die alte Form entstand, dieselben waren, für die sie nun konstruieren wollen.

In diesem Zusammenhang muß von der „Schönheit der Form“ gesprochen werden. Man hält oft die Form für schön, an die man gewöhnt ist; Neuformen erscheinen nicht nur ungewöhnlich, sondern manchmal auch häßlich. Auf den ersten Blick gefällt uns ein keglicher Putzen besser, als ein zylindrischer; in sehr vielen Fällen ist aber der zylindrische richtiger.

Einfluß der Herstellung

Gießen oder Schmieden

Aus dem Abschnitt „Gießen“ des ersten Teiles der Sammlung „Werkstattgerechtes Konstruieren“ seien nachstehend ein paar Bilder nach einzelnen der dort klargelegten Gesichtspunkte gebracht.

Für das Gußstück gilt „Vermeidung der Lunker und Risse“; daraus ergibt sich die sehr einfach klingende

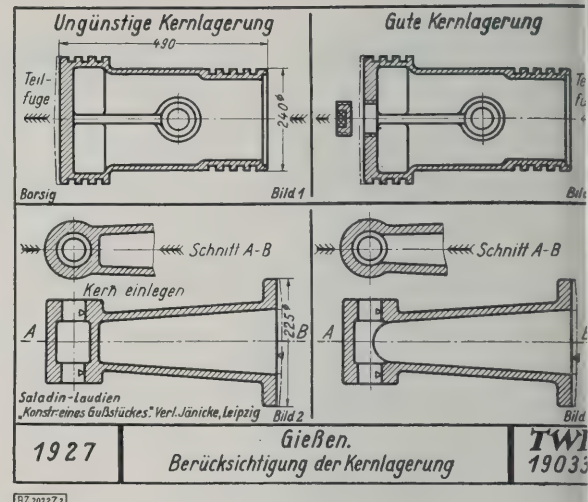


Abb. 2
Gießen. Berücksichtigung der Kernlagerung.

und vielfach sehr schwer erfüllbare Forderung: Gleichmäßigkeit der Wanddicken. Kennzeichnend für Änderungen in dieser Hinsicht ist Abb. 1³⁾.

„Gut ausheben können“ ist die zweite Forderung. Hier gibt es für die Erziehung nur ein Radikalmittel. Als Schlagwort muß man dem Anfänger einprägen: „bearbeitete Flächen liegen niemals senkrecht zur Teilenebene!“ — Es mag nach „Drill“ klingen, wenn solche Regel empfohlen wird; es geht aber nicht anders. Auch heute noch wird immer wieder gegen diese Forderung verstoßen.

Für die Verbilligung des Einförmens gilt „möglichst Vermeidung der Kerne“. Zwar darf nicht übersehen werden, daß bei größeren Stückzahlen ein kerngeformter Teil nicht teurer wird, als der ohne Kern geformte, wenn die Kernform einfach ist, z. B. zylindrisch. Es werden sich auch Fälle finden, in denen der kerngeformte Teil billiger ist. Aber darum bleibt für die Mehrzahl der Fälle das Kernsparen das Ziel, und als solches muß betont werden. Schließlich ist es selbstverständlich, daß bei allen Regeln, die dem Konstrukteur gegeben werden, zu ergänzen ist: „Überlege, ob die Bedingungen gegeben sind, die der Regel zugrunde liegen.“

Auf gute Kernstützung wird verhältnismäßig wenig geachtet. Die Verbesserung der Kernstützung läßt Kernmarkenlänge sparen und die aus der Durchbiegung und Schrägstellung des Kernes sich ergebende Ungenauigkeit vermeiden, Abb. 2. Die Vereinigung beider Kerne in der unteren Konstruktion zeitigt eine Stützung auf drei Punkten, also ohne freitragende Kerne. Dafür erfordert diese Konstruktion einen Kasten; die Ausgangskonstruktion ließ sich mit schmalen Kernen formen.

Daß Innenform und Außenform voneinander unabhängig sind, sobald man mit einem Kern formt, wird oft übersehen. Unwillkürlich zieht der Anfänger bei beiden Umrissen parallel, Abb. 3. Unbeachtet bleibt in den meisten Fällen die Lage des Grases; ein Beispiel diesen Fall gibt Abb. 4. Der Teil soll mit unbearbeiteter Schaft, der aber glatt sein muß, in großen Mengen hergestellt werden. Diese Vorschrift erzwingt die Umlegung der Formrichtung von der zunächst günstig erscheinenden Lage von Bild 1 a in die Lage von Bild 1 b, Abb. 4.

³⁾ Dieser Arbeit ging ein Versuch von „Stahl und Eisen“ vor in einer „Fehlerecke“ Unterlagen zu sammeln; der Versuch ist nicht mißglückt. Ein weiterer Vorläufer ist das kleine Buch von Saladin-Laudien: „Wie konstruiere ich ein Gußstück“, Leipzig 1925. Verner Z. Bd. 72 (1928) S. 17, 549 und 1047; „Die Gießerei“ Bd. 14 (S. 681 u. f.), „Gießerei-Zeitung“ Bd. 23 (1926) S. 407 u. f., „Maschinen-Betrieb“ des „Maschinenbau“ Bd. 6 (1927) Heft 16 S. 785 u. f. Auch die Vortragsreihe „Einfluß der Fertigung auf die konstruktive Gestaltung“ der Ortsgruppe Berlin der Arbeitsgemeinschaft deutscher Betriebsingenieure im Winter 1926/27 veranstaltet hat, sowie auf den von der gleichen Ortsgruppe vom 22. März bis 25. April 1928 abgehaltenen Konstrukteurstudienkursus ist hier hinzuweisen.

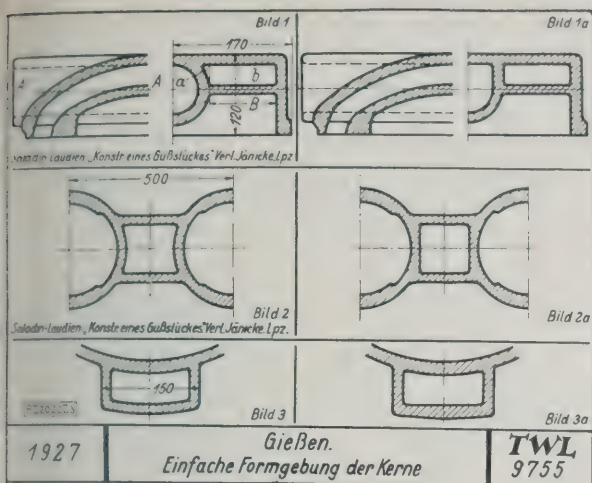


Abb. 3

Gießen. Einfache Formgebung der Kerne.

(Im Querschnitt A—A hat der Kanal „b“ nur die Breite B. Die Erweiterung a ist also zwecklos.)

Für das Schmiedestück lassen sich Regeln der obigen Art nicht mit derselben Allgemeingültigkeit aufstellen⁴⁾. Das zeigt schon die erste Regel für das Freiformschmieden: „Parallele Flächen“. Für das gesenkgeschmiedete Stück wird man kegelige Flächen vorziehen. Daß die kegelige Form größere Elastizität gibt, muß ausdrücklich betont werden. Man muß überhaupt bei der Befolgung der Herstellregeln immer nachprüfen, ob nicht die Verstärkung die Gleichmäßigkeit der Beanspruchung zu sehr stört. In diesem Zusammenhange sei ausdrücklich darauf aufmerksam gemacht, daß die Gefahr der Korbwirkung die Befolgung der obigen Regeln hindern kann.

Die Regel „Einfachheit der Form“ läßt die Lasche, Abb. 5 und 6, falsch erscheinen gegenüber der Ausführungsform Abb. 6 und 7. Dieser Unterschied gilt aber nur für das freigeschmiedete Stück. Beim gesenkgeschmiedeten Stück wird man die Rundung vorziehen.

⁴⁾ Vergl. Meyer-Rinno: Das Schmieden, Leipzig 1926, ferner „Werkstattgerechtes Konstruieren“ Teil „Schmieden“ und „Maschinenbau“ d. 6 (1927) S. 793 u. f. u. Bd. 4 (1928) S. 1125.

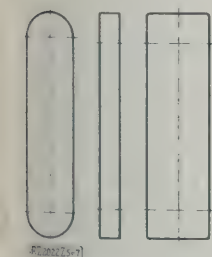


Abb. 5 bis 7. Lasche aus Schmiedeeisen.

Abb. 5
Günstige Form für das Schmieden im Gesenk.

Abb. 6
Gemeinsame Seitenansicht.

Abb. 7
Günstige Form für das aus Flach-eisen abgesägte Stück.

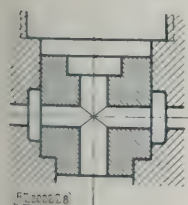


Abb. 8
Der Außenkörper enthält den Ringraum; er muß deshalb auf der Drehbank bearbeitet werden.

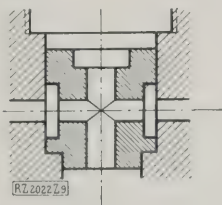


Abb. 9
Der Innenkörper enthält den Ringraum; das glatte Loch des Außenkörpers kann infolgedessen auf der Bohrmaschine gebohrt werden.

Abb. 8 und 9

Einfluß der Konstruktion auf die Art der Bearbeitung.

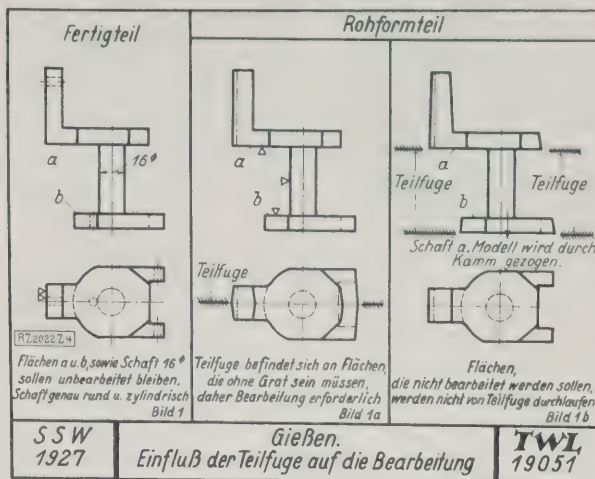


Abb. 4

Gießen. Einfluß der Teilfuge auf die Bearbeitung.

Überall, wo Schmiedestücke mit Gußstücken verbunden werden, soll man den zentrierenden oder entlastenden Vorsprung an das Gußstück legen. Am Gußstück macht der Vorsprung auch nicht annähernd die Schwierigkeiten, die er am Schmiedestück verursacht.

Einfluß der Bearbeitungsverfahren

Ist schon bei Regeln für das Schmieden die Schwierigkeit sehr groß, weil der Unterschied zwischen Gesenkgeschmieden und Freiformschmieden hereinspielt, so werden die Schwierigkeiten hier noch größer, da von Maschinenart zu Maschinenart andre Regeln gelten. Das geht so weit, daß man auf diesem Gebiete gut tun wird, nach dem Schema „Maschinenart gegen Maschinenart“ aufzubauen. Damit klärt man dann nicht nur die Ansprüche der Einzelbauart, sondern man zieht auch den Trennstrich für die Verwendbarkeit der einen Maschine gegenüber der Verwendbarkeit der andern, der gerade deshalb wichtig ist, weil der Konstrukteur für einen bestimmten Arbeitsplan konstruieren soll. Beispiele zur Frage „Bohrmaschine oder Drehbank“ zeigen Abb. 8 und 9. In Abb. 8 enthält der Außenkörper den erforderlichen Ringraum. In Abb. 9 liegt der Ringraum im Innenkörper, so daß der Außenkörper auf einer Bohrmaschine gebohrt werden kann. Hieraus ergibt sich die Regel: Außenbearbeitung ist billiger als Innenbearbeitung; man soll deshalb alles, was die Bearbeitung erschwert, auf die Außenwand des Innenkörpers legen.

Allgemeinbedeutung kann man der Regel beilegen: „Zusammenlegen der Bearbeitungsflächen in eine Ebene“, Abb. 10 und 11.

In den meisten Fällen ist die Entscheidung viel schwieriger. Der Erzieher wird nicht immer entscheiden können: „Dieses ist unbedingt besser als jenes“. Aber das ist auch gar nicht nötig. Das Vergleichen allein schon erzieht zur Kritik.

Zur Kennzeichnung dienen Abb. 12 bis 23. Augenscheinlich sind die beiden Konstruktionen nach Abb. 18 bis 23 wesentlich billiger als die Konstruktionen nach Abb. 12 bis 17. Damit beleuchtet dieses Beispiel scharf,

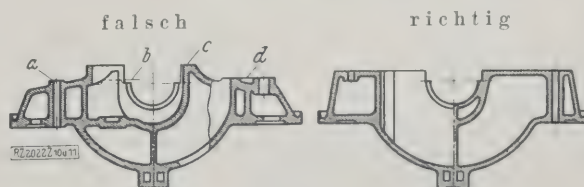


Abb. 10 und 11

Beispiel für die Regel: Zusammenlegen der Bearbeitungsflächen in eine Ebene. Die in verschiedenen parallelen Ebenen liegenden Flächen a bis d von Abb. 10 sind in Abb. 11 zu einer Bearbeitungsfläche vereinigt.

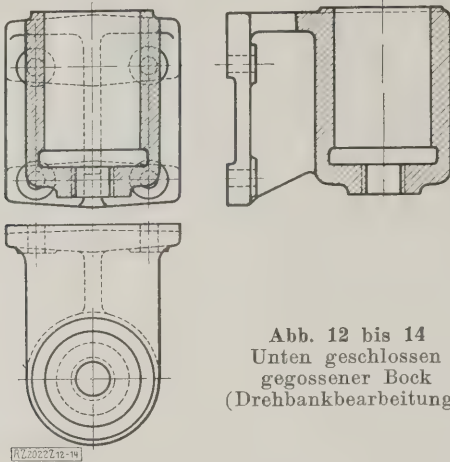


Abb. 12 bis 14
Unten geschlossen
gegossener Bock
(Drehbankbearbeitung).

R220227-12-14

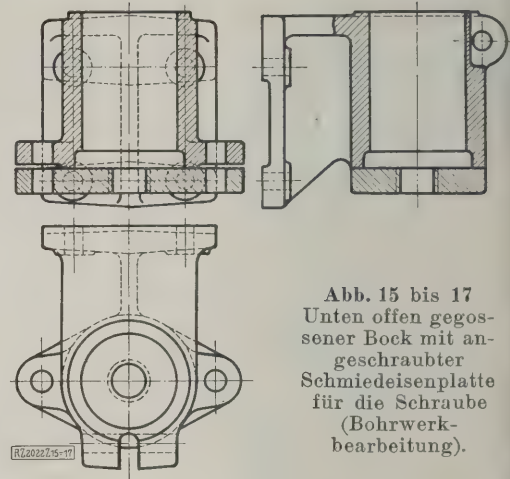


Abb. 15 bis 17
Unten offen gegossener Bock mit angeschraubter Schmiedeisenplatte für die Schraube (Bohrwerk-bearbeitung).

R220227-15-17

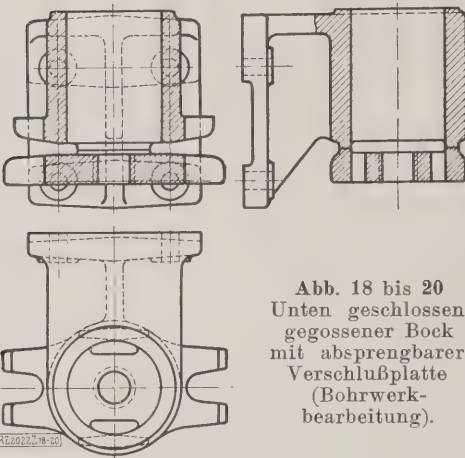


Abb. 18 bis 20
Unten geschlossen gegossener Bock mit absprengebare Verschlussplatte (Bohrwerk-bearbeitung).

R220227-18-20

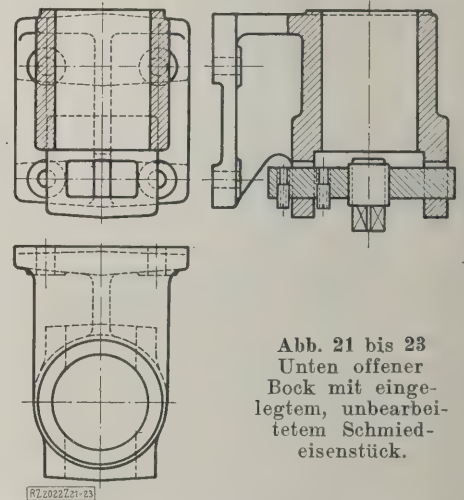


Abb. 21 bis 23
Unten offener Bock mit eingelegtem, unbearbeitetem Schmiedeisenstück.

R220227-21-23

Abb. 12 bis 23. Verschiedene Lösungsmöglichkeiten der Aufgabe: Stützbock mit Nachstellschraube für einen zylindrischen Körper.

daß das Vermeiden von Fehlern nicht genügt. Man muß auch zur Wahl der richtigen Konstruktionswege erziehen. Dafür erscheint die Kritik verschiedener Konstruktionswege ein und desselben Stückes die beste Methode.

Das Gegenüberstellen verschiedener Konstruktionen erscheint ferner günstig für die Entwicklung der Konstrukteurphantasie. Der geniale Konstrukteur wird geboren; denn das Konstruieren ist eine Kunst. Aber darum bleibt immer noch der Erziehung ein sehr großes Feld. Sie vermag den Konstrukteur durch das Vertrautmachen mit den vielen Lösungswegen für ein und dieselbe Aufgabe elastischer, wendiger zu machen. Zugleich ermöglicht das Gegenüberstellen verschiedener Konstruktionen eine bessere Erziehung zur Beurteilung der Einzelkosten. Es lassen sich die Gegensätze zwischen der Form für die Einzelanfertigung und der Form für das Massenstück herausarbeiten. Der Gegensatz zwischen der Herstellung aus Guß- und Schmiedeisen wird deutlich, die Ansprüche an den Genauigkeitsgrad können beleuchtet werden. Kurzum: Das Gegenüberstellen verschiedener Konstruktionen für ein und denselben Zweck bietet eine außerordentliche Fülle des Wertvollen.

Man könnte einwenden, die Fülle der Gesichtspunkte, nach denen entschieden werden muß, ist für den Lernenden, mag er Konstrukteur oder Schüler sein, zu groß; sie wird ihn verwirren. Dem muß zunächst entgegengehalten werden, daß die Konstrukteurerziehung das Gegeneinanderhalten der verschiedenen Einflüsse verlangt. Und dann ist folgendes zu bedenken: Die Fülle der Gesichtspunkte macht die Entscheidung nur theoretisch schwer. Es lassen sich praktisch Aufgaben von solcher Einfachheit und mit solcher Beschränkung stellen, daß die Gefahr einer Verwirrung verschwindet.

Ausbildung der werdenden Konstrukteure

Bei dieser Ausbildung ist eines von allergrößter Wichtigkeit: Der Lernende darf keine Vorbilder erhalten, muß gezwungen sein, frei zu entwerfen. Sobald der werdende Konstrukteur in der Lage ist, ein Vorbild zu nutzen, wird er im guten Glauben an die Werkstattgerechtigkeit seines Vorbildes die Lösung seiner Aufgabe darauf aufzeichnen und Überlegungen bezüglich der Herstellung zurückstellen. Er wird erst berechnen, dann zeichnen und ganz zuletzt den Herstellgang überdenken, um danach vielleicht kleine Änderungen vorzunehmen.

Im Unterricht können nacheinander immer schwierigere Aufgaben gestellt werden. Vom einfachen Stützbock — Böckchen, Hebel, Halter, Führung usw. — wird man zu zusammengesetzten Stücken und schließlich zu ganzen Maschinen übergehen. Die für die erste Aufgabe gegebene Lösung „gußeiserne Konstruktion“ wird gelockert. Es wird später „schmiedeiserne und gußeiserne Konstruktion“ vorgeschrieben. Die Bindung „Einzelstück“ wird dann gelöst, „ein Stück oder 50 Stück“ werden vorgeschrieben. So läßt sich nacheinander immer mehr in die Aufgabe hereinziehen, bis schließlich eine große Anzahl Gesichtspunkte gegeneinander abzuwägen ist.

Wie kann ein solcher Konstruktionsunterricht aufgebaut werden?

Das Richtige wäre, jeder Schüler bekäme eine besondere Aufgabe zum Durchkonstruieren nach mehreren Richtungen, z. B. für Einzelfertigung, für die Fertigung kleiner Reihen, als Massenstück, für eilige Lieferung (Dauerlieferung), für sehr hohe Betriebsansprüche (hohe Drehzahl) und für geringe Betriebsansprüche (Handbetrieb) für leichte Nachstellbarkeit usw., kurzum, für zwei

ei nach den verschiedenen Bestimmungsfaktoren ab-
liche Forderungen. In dieser Weise wird man nicht
können.

So bleibt nur der eine Weg: einer größeren Anzahl
Schülern wird ein und dieselbe Aufgabe gegeben.
man von vornherein das Zustandekommen verschie-
der Lösungen zu sichern, muß den Schülern einzeln
gruppenweise eine Richtung vorgeschrieben werden,
er eine besondere Bedingung gestellt werden. Das ge-
hört bei der gemeinschaftlichen Besprechung der Auf-
gabe. Dabei werden die Konstruktionsforderungen fest-
gelegt, die Lösungsmöglichkeiten erklärt und verteilt.
Diese Besprechung geht schon in der Richtung „systema-
tisch Lösungswege suchen“.

Ein Beispiel mag diesen Vorgang erklären. Aufgabe:
Schwinghebel und Lagerbock für eine nachstellbare Preß-
vorrichtung. — Es werden die Arten der Nachstellung
Keil, Schraube, Hebel, Exzenter usw.) und deren Lage
Verstellung an der Platte, Verstellung des Hebelstütz-
punktes, Verstellung des als Druckstange wirkenden
Hebelarmes usw.) festgelegt. Weitere Unterschiede wer-
den bestimmt: Der eine soll sein Böckchen für Drehbank-
arbeit konstruieren, der andre für Bohrwerkarbeit. Selbst-
verständlich wird dabei jedem Schüler freigelassen, einen

eigenen Lösungsweg zu gehen. Die Festlegung soll nur
hindern, daß alle ein und denselben Weg verfolgen.

Die so gewonnenen Konstruktionen werden der ganzen
Klasse gezeigt und gemeinsam besprochen. Jeder Schüler
hat seine Konstruktion zu erklären und zu verteidigen;
denn alle dürfen ihn angreifen. Das gibt die Erziehung
zur Kritik. So wird die gemeinschaftliche Besprechung
einer der Hauptteile bei der Erziehung der angehenden
Konstrukteure.

Vielleicht ist es gut, wenn in diesem Zusammenhang
ausdrücklich darauf hingewiesen wird, daß Schulzeich-
nungen vielfach falsch beurteilt werden. Den Erziehungs-
wert sieht man keiner Zeichnung an. Sie gibt nur das
Endergebnis.

Zusammenfassend

mag betont werden:

Es muß versucht werden, das Nachempfinden
einzuschränken und den Konstruierenden zum stetigen
Nachdenken der Herstellung zu zwingen.
Dazu sollen die „Falsch—Richtig“-Zusammenstellungen
dienen, die alte Gewohnheitsfehler aufdecken; dazu soll
ferner die Gegenüberstellung verschiedener Lösungen
und Lösungswege dienen, die den Wert der einzelnen Form
im Verhältnis zu andern Formen klarlegen.

Der Wärmeübergang beim Kondensieren von Heiß- und Sattedampf

Von M. Jakob und S. Erk, Berlin

(Mitteilung aus der Physikalisch-Technischen Reichs-
anstalt; Auszug aus der in den Forschungsarbeiten,
Heft 310, abgedruckten Arbeit)

Die viel umstrittene Frage, ob sich zum Beheizen von Ver-
dampfern und dergleichen kondensierender Heißdampf oder
Sattedampf besser eigne, wird an dem einfachsten Fall des
senkrechten, von Dampf durchströmten und außen gekühlten
Rohres geprüft. Aus den Versuchsergebnissen kann man
mit Hilfe eines „Gütegrad des Wärmeüberganges“ genannten
Vergleichsmaßes nachweisen, daß der Wärmeübergang bei
Heißdampf im allgemeinen etwas größer ist. Dies stimmt
mit Folgerungen aus der Nußeltschen Theorie der Ober-
flächenkondensation überein.

Obwohl das Kondensieren von Dampf eines der üblich-
sten Arbeitsverfahren der Technik ist, weiß man recht
wenig von dem Kondensationsvorgang. So streitet man
immer noch darüber, ob es zweckmäßig sei,
um Beheizen von Verdampfern, Vorwärmern
usw. überhitzten Dampf unverändert zu ver-
wenden oder ob man ihn erst durch Einspritzen
von Wasser in Sattedampf verwandeln soll¹⁾.
Durch die uns bekannten Versuchsarbeiten²⁾
ist diese Frage nicht mit Sicherheit ent-
schieden worden, ja man hat noch nicht einmal ein
brauchbares Vergleichsmaß für die Bewertung
von Heiß- und Sattedampf als Wärmeträger
gefunden³⁾. Eine gut begründete Theorie
der Oberflächenkondensation stammt von
L. Nußelt⁴⁾. Aus ihr hat zuerst Stender⁵⁾ die
Folgerung gezogen, daß kondensierter Heiß-
dampf dem Sattedampf als Wärmeträger über-
legen sei.

Da die Nußeltsche Theorie für den Fall
strömenden Dampfes experimentell noch nicht
geprüft ist, haben wir es unternommen, zu-
nächst für einen möglichst einfachen Fall, den
des senkrechten Rohres, durch das Dampf von
oben strömt, zu untersuchen, ob die Kondensa-
tion von Sattedampf oder von Heißdampf be-
züglich des Wärmeüberganges günstiger ver-
läuft. Von den hierbei gewonnenen vorläufigen
Ergebnissen, die wir, dem Drängen der Praxis
folgend, vor kurzem veröffentlicht haben⁶⁾, soll

einiges mitgeteilt werden. Wir beabsichtigen, die Versuche
fortzusetzen und durch Änderung der Versuchsbedingungen
(nach Größe, Lage und Art der Kühlflächen, Geschwindig-
keit und Druck des Dampfes usw.) den Kondensations-
vorgang weiter aufzuklären und die Berechnung von Kon-
densatoren und Wärmeaustauschern zu erleichtern. Hierzu
werden noch sehr umfangreiche Arbeiten erforderlich sein,
weil bei der Kondensation neben Wärmeleitung und Gas-
und Flüssigkeitsströmungen auch Zustandsänderungen be-
teiligt sind.

Mittel für die Versuche haben uns die Notgemeinschaft
der Deutschen Wissenschaft und der Verein deutscher In-
genieure zur Verfügung gestellt; beiden Körperschaften sei
auch an dieser Stelle aufrichtig gedankt.

Versuchsverfahren

Unserm Versuchsverfahren liegt der Gedanke zugrunde,
die vom Dampf in dem Versuchsrohr abgegebene Wärme-
menge kalorimetrisch aus Menge und Temperaturzunahme
des Kühlwassers zu bestimmen und gleichzeitig nicht nur
Menge, Ein- und Austrittstemperatur des Dampfes, sondern
auch die Temperatur der Rohrwand zu messen. Daß letz-
teres bei allen uns bekannten früheren Untersuchungen

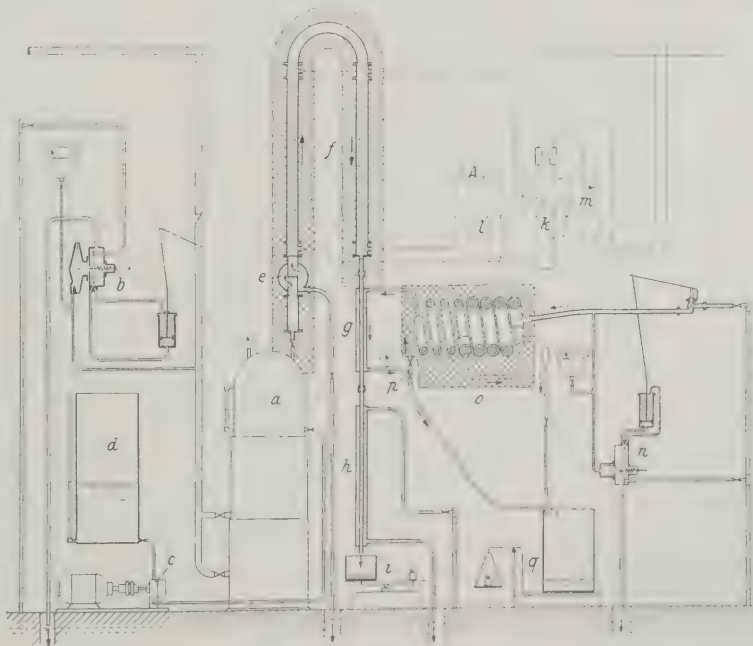


Abb. 1. Versuchsanordnung.

a Dampfessel b Gasregler c Speisewasserpumpe d Speisewasserbehälter
e Wasserabscheider f Überhitzer g Versuchsrohr h Kondensator i Waage
k, l Schalter m Stufenwiderstand n Wasserregler o Wärmeaustauscher
p Zweigventile q Waage

¹⁾ Vergl. z. B. W. Stender, Z. Bd. 69 (1925) S. 905.
²⁾ H. Claßen, Z. Bd. 46 (1902) S. 418; F. Holmboe,
Ing. Poly. Journ. Bd. 324 (1909) S. 85 und Bd. 325 (1910)
S. 88; H. Jelinek, Zeitschr. f. d. Zucker-Ind. in Böhmen
Bd. 19 (1894) S. 79.
³⁾ Vergl. z. B. „Power“ Bd. 69 (1924) S. 160, 498 u. 917.
⁴⁾ W. Nußelt, Z. Bd. 60 (1916) S. 541 u. 569.
⁵⁾ W. Stender, „Die Wärme“ Bd. 48 (1925) S. 485.
⁶⁾ M. Jakob u. S. Erk, Forschungsarbeiten, Heft 310

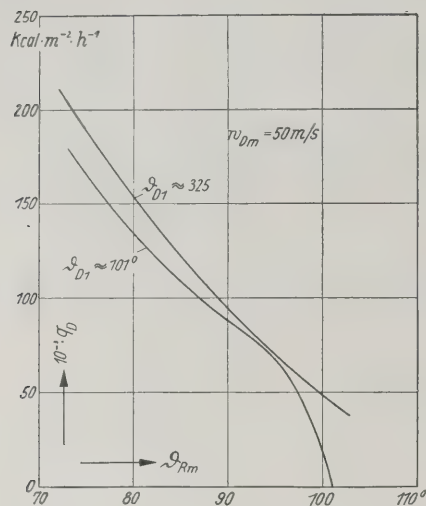


Abb. 2
Wärmeabgabe von
Heiß- und Sattdampf,
abhängig von der
Wandtemperatur des
Niederschlaggefäßes
bei 50 m/s mittlerer
Dampfgeschwindigkeit.

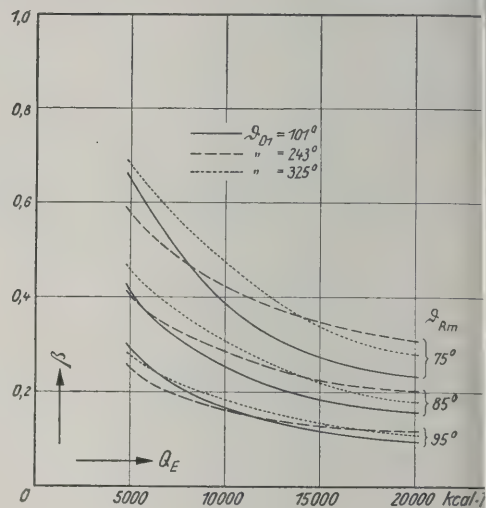


Abb. 3
Gütegrad des
Wärmeüberganges
von Heiß- und
Sattdampf, abhän-
gig von der zu-
geführten Wärme-
menge bei ver-
schiedenen Dampf-
und Wandtemperaturen.

versäumt worden ist, scheint uns ein Hauptgrund für die geringen Erfolge dieser Versuche zu sein.

Ein senkrechtes Rohr, in dem innen der Dampf und an dem außen das Kühlwasser strömt, wählen wir, weil der Zylinder die einfachste und technisch wichtigste Übertragungsfläche ist und in senkrechter Anordnung aus Symmetriegründen die einfachste Gesetzmäßigkeit ergeben muß. Da wir außer dem Einfluß der Wandtemperatur auch den der Geschwindigkeit des strömenden Dampfes feststellen wollten, durften wir in dem Versuchsrohr nur einen Teil des Dampfes niederschlagen, um aus Ein- und Austrittsgeschwindigkeit mit hinreichender Annäherung eine mittlere Geschwindigkeit errechnen zu können. Den Rest des Dampfes mußten wir in einem zweiten Rohr niederschlagen, um die gesamte Menge des in das Versuchsrohr eintretenden Dampfes durch Wägen des Kondensats zu ermitteln.

Versuchsanordnung

Die Versuchsanordnung zeigt Abb. 1. Der Dampf wurde in einer Menge bis zu 40 kg/h einem kleinen Kessel *a* entnommen, dessen Heizgaszufuhr durch einen Strahlregler *b* mit Membrasteuerung gleichgehalten wurde. Aus dem Kessel *a* strömte der Dampf durch den Wasserabscheider *c*, den elektrischen Überhitzer *f* und das Versuchsrohr *g* in den Kondensator *h*. Das Kondensat wurde mittels der Waage *i* gewogen. *k* und *l* sind Schalter, *m* ist ein Regelwiderstand für den Überhitzer *f*, *n* ein Strahlregler für das Kühlwasser.

Um die Versuche mit verschiedenen Wandtemperaturen durchführen zu können, mußten wir das Kühlwasser vor dem Eintritt in den Mantel des Versuchsrohres erwärmen. Dazu diente ein von einer Lindeschen Luftverflüssigungsanlage stammender Gegenstromkühler *o*, in dem je nach der Einstellung der Ventile bei *p* mehr oder weniger erwärmtes Wasser strömte und dabei das Frischwasser erwärmte. Die Kühlwassermenge wurde dann mittels der Waage *q* festgestellt.

Das Versuchsrohr aus gezogenem Messing war 17 mm weit und von einem zweiten, 40 mm weiten Rohr umgeben. Durch den Zwischenraum strömte das Kühlwasser. Die Temperatur des Dampfes wurde unmittelbar vor und hinter der Meßstrecke durch Thermoelemente gemessen, die in Messingröhrchen eingeführt waren. Die Temperatur des Kühlwassers wurde im Ein- und Austrittsstutzen durch Thermometer bestimmt. Die Temperatur der 1 mm dicken Wand des Versuchsrohres wurde mit einem Thermoelement gemessen, das in einem an das Versuchsrohr angelöteten Messingröhrchen von 1,5 mm l. W. und 0,75 mm Wanddicke längs der ganzen Versuchsstrecke verschoben werden konnte.

V Versuchsergebnisse

Die Versuche ergaben, daß die vom Dampf an die gekühlte Wand abgegebene Wärmemenge in erster Linie von dem Unterschied zwischen Dampf- und Wandtemperatur und von der Dampfgeschwindigkeit abhängt. Für eine mittlere Dampfgeschwindigkeit von 50 m/s ist in Abb. 2 die stündlich auf 1 m² übergehende Wärmemenge q_D für Heißdampf von etwa 325° und Sattdampf von etwa 101°, abhängig von der mittleren Wandtemperatur θ_{Rm} dargestellt. Hiernach ist bei gleicher Wandtemperatur die Wärmeabgabe von Heißdampf etwas größer als die von Sattdampf.

Die beiden Linien sind jedoch auf gleiche Dampfgeschwindigkeit, also auf gleiches Dampf volumen, aber verschiedene Dampfmasse in der Zeiteinheit bezogen. Würde dagegen gleiche Dampfmasse in der Zeiteinheit als Bezugsgröße gewählt, so käme der bedeutende Einfluß der Dampfgeschwindigkeit (bezüglich dessen wir hier die ausführliche Behandlung im Forschungsheft 310 weissen müssen) nicht zum Ausdruck.

Ein einwandfreies und praktisch brauchbares Vergleichsmaß erhält man, wenn man die mit dem strömenden Dampf an die Kühlfläche herangeführte Wärmemenge Q_E (Kcal/h) als Bezugsgröße wählt. Die denkbar größte Wärmeleistung Q_E würde an die Wand übertragen, wenn der gesamte Dampf kondensiert und das Kondensat auf Temperatur θ_{Rm} der Wand abgekühlt würde. Tatsächlich wird nur eine kleinere Wärmeleistung Q_W (Kcal/h) übertragen. Das Verhältnis

$$\beta = \frac{Q_W}{Q_E}$$

nennen wir den „Gütegrad des Wärmeüberganges“.

In Abb. 3 ist der Gütegrad β als Funktion der zugeführten Wärmemenge Q_E für verschiedene Wand- und Dampftemperaturen dargestellt. Für $Q_E = 0$ müßte, leicht einzusehen ist, $\beta = 1$ werden. Mit zunehmendem Q_E wird β bei gleicher Wandtemperatur immer kleiner, da den Wärmedurchgang behindernde Wasserhaut dabei entsteht. Mit abnehmender Wandtemperatur steigt dagegen bei gleicher Wärmezufuhr Q_E , weil sich von dem zuströmenden Dampf an einer kälteren Wand mehr niederschlägt.

Weniger klar ist der Einfluß der Dampftemperatur. Bei großem Q_E liegt β für Heißdampf höher als für Sattdampf; bei kleinem Q_E aber kann Sattdampf günstiger sein. Welche Einflüsse hierbei eine Rolle spielen, müssen wir noch nicht.

Ein Vergleich unserer Versuchsergebnisse mit der Nußeltschen Theorie hat diese in den Grundzügen bestätigt; für genauere Berechnungen, namentlich bei niedriger Wandtemperatur, reicht sie aber nicht aus.

Bei einigen Versuchen lag die mittlere Wandtemperatur über der Sättigungstemperatur des Dampfes. Dabei zeigte sich, daß sich mit steigender Wandtemperatur auch beim Beginn des Siedens auf der Kühlwasserseite der Wärmeübergang nicht sprunghaft ändert; dagegen können Gasausscheidungen und Wandbelag auf der Seite der Kühlwasserseite den Wärmedurchgang stark beeinflussen. Wir dürften in manchen Fällen an dem in der Praxis zu beobachteten schlechteren Wärmedurchgang bei Heißdampf schuld sein.

Zusammenfassung

Die beim Kondensieren von Satt- und Heißdampf abgegebene Wärmemenge nimmt mit steigender Wandtemperatur ab, mit steigender Dampfgeschwindigkeit zu. Durch Einführung des Begriffes „Gütegrad des Wärmeüberganges“ läßt sich einwandfrei zeigen, daß der Wärmeübergang von kondensierendem Heißdampf im allgemeinen etwas besser ist als der von Sattdampf. [M 2860]

7) Die ausführliche Veröffentlichung (Forschungsheft 310) enthält mehrere Diagramme für verschiedene Wand- und Dampftemperaturen.

Der Stoßverlust an plötzlichen Erweiterungen in Rohren beim Durchfluß von Gasen und Dämpfen

Von Prof. Dr.-Ing. WILHELM NUSZELT, München

Die Rechnung ergibt, daß der wirkliche Verlust bei Gasen kleiner ist als der nach der Carnotschen Formel für Flüssigkeiten berechnete, was durch Rückverwandlung von Reibungswärme in kinetische Energie erklärlich ist.

Die Versuche von Schütt¹⁾ haben die Carnotsche Formel über den Druckverlust, der beim Strömen von Wasser durch Rohrleitungen an einer plötzlichen Rohrerweiterung eintritt, recht gut bestätigt. Dies hat mich veranlaßt, den Strömungsverlust für elastische Flüssigkeiten auszurechnen und mit dem nach der Carnotschen Formel berechneten zu vergleichen.

Man kann bekanntlich mit Hilfe des Satzes vom Punkthaufen die Carnotsche Formel ableiten, wenn man annimmt, daß im Anfangsquerschnitt I, s. Abb. 1, des erweiterten Rohres derselbe statische Druck p_1 herrscht, wie im Mündungsquerschnitt des engen Rohres. Diese Annahme der Rechnung wird auch durch die Versuche von Schütt gut bestätigt. Es ist nun zu erwarten, daß diese Druckgleichheit im Querschnitt I auch beim Strömen von Gasen und Dämpfen durch eine solche Rohrerweiterung bestehen bleibt.

Es seien F_1 und F_2 die Querschnitte des engen und des weiten Rohres. Der Zustand des strömenden Gases im Endquerschnitt des engen Rohres sei gegeben durch w_1 , P_1 , T_1 , v_1 und i_1 . Der Zustand im erweiterten Rohr, der sich in einiger Entfernung von der plötzlichen Erweiterung, siehe den Querschnitt II in Abb. 1, einstellt, läßt sich dann durch die Auflösung der folgenden 5 Gleichungen nach w_2 , P_2 , T_2 , v_2 und i_2 ermitteln.

Es gelten:
die Strömungsgleichung

$$i_1 + \frac{A w_1^2}{2g} = i_2 + \frac{A w_2^2}{2g} \quad (1)$$

nach dem Satz vom Punkthaufen

$$P_2 - P_1 = \frac{w_2}{g v_2} (w_1 - w_2) \quad (2)$$

die Kontinuitätsgleichung

$$\frac{w_1 F_1}{v_1} = \frac{w_2 F_2}{v_2} \quad (3)$$

die thermische Zustandsgleichung

$$v = \varphi(P, T) \quad (4)$$

und die kalorische Zustandsgleichung

$$i = \psi(P, T) \quad (5)$$

Diese fünf Gleichungen lassen sich näherungsweise, z. B. an der Hand eines Mollierschen i - s -Diagramms, auflösen. In ein solches, s. Abb. 2, sind durch die Punkte 1 und 2 die Zustände vor und nach dem Stoß in den Querschnitten I und II abgebildet. Wegen der Nichtumkehrbarkeit dieses Vorgangs muß die Entropie im Zustand 2 größer sein als die im Zustand 1. Läßt man das Gas nach der Erweiterung verlustlos, also adiabatisch, wieder auf den Anfangsdruck P_1 expandieren, so erhält man für diesen Zustand den Punkt 3 im Diagramm. Bezeichnet man

¹⁾ H. Schütt: Versuche zur Bestimmung des Energieverlustes bei plötzlicher Rohrerweiterung, Mitteilungen des hydraulischen Institutes der Technischen Hochschule München 1926, Heft 1.

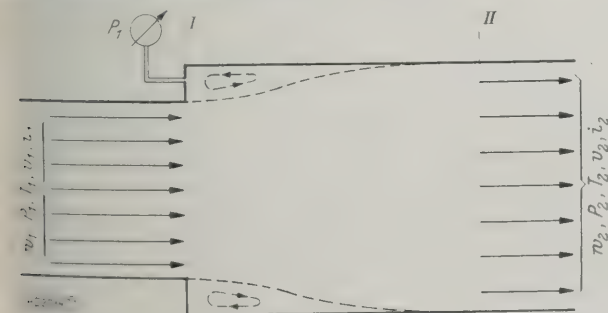


Abb. 1
Schema des Verlaufes der Strömung in der Erweiterung.

die zum Zustand 3 gehörige Geschwindigkeit mit w_3 , so gilt nach der Strömungsgleichung

$$i_1 + \frac{A w_1^2}{2g} = i_3 + \frac{A w_3^2}{2g} \quad (6)$$

Aus ihr folgt

$$\frac{1}{2g} (w_1^2 - w_3^2) = i_3 - i_1 \quad (7)$$

Es tritt also durch die Strömungsverhältnisse in der Erweiterung ein Verlust an kinetischer Energie im Werte von

$$Z = i_3 - i_1 \quad (8)$$

ein. In Zahlentafel 1 sind die Werte des Strömungsverlustes für den Anfangszustand $p_1 = 1$ at abs und $t_1 = 15^\circ$ für das Erweiterungsverhältnis $F_2/F_1 = 2$ unter der Annahme,

Zahlentafel 1
Strömungsverlust für Luft

$$p_1 = 1 \text{ at abs, } T_1 = 288^\circ \text{ K, } \frac{F_2}{F_1} = 2$$

w_1 m/s	w_2 m/s	Z kcal/kg	Z_{Car} kcal/kg	$100 \frac{Z_{\text{Car}} - Z}{Z}$ vH
100	49,0	0,304	0,311	2,3
200	93,3	1,26	1,36	7,9
300	129	2,98	3,49	17,1
400	155	5,62	7,17	27,6
500	174	9,34	12,7	36,0
600	189	14,0	20,2	44,2
700	202	19,6	29,7	51,6
800	215	26,8	40,9	55,5
900	226	33,8	54,3	60,7
1000	236	41,6	69,8	67,8

Abb. 2
Darstellung des Strömungsverlustes im i - s -Diagramm.

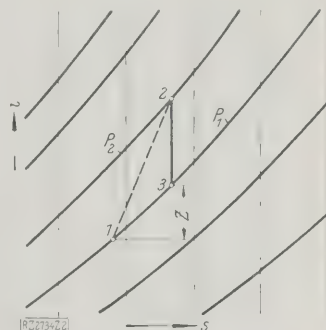
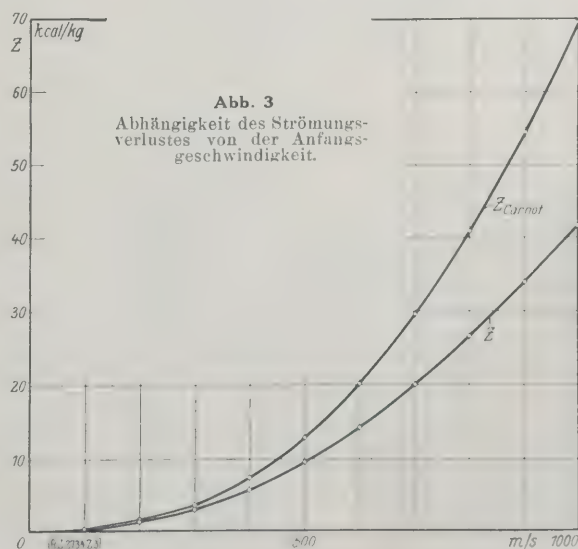


Abb. 3
Abhängigkeit des Strömungsverlustes von der Anfangsgeschwindigkeit.



daß Luft durch die Erweiterung strömt, für wechselnde Anfangsgeschwindigkeiten w_1 eingetragen. Zum Vergleich ist noch der Wert der Carnotschen Formel

$$Z_{\text{Car}} = \frac{A}{2g} (w_1 - w_2)^2 \dots \dots \dots (9)$$

angegeben. Z und Z_{Car} sind dann über w_1 in Abb. 3 aufgetragen. Man erkennt, daß der wirkliche Verlust bei Gasen kleiner ist als der nach der Carnotschen Formel berechnete, und zwar ist der Unterschied um so größer, je

höher die Anfangsgeschwindigkeit w_1 ist. Es läßt sich leicht zeigen, daß für kleine Geschwindigkeitsänderungen $Z = Z_{\text{Car}}$ wird.

Während bei Flüssigkeiten die ganze Reibungsarbeit als Wärme erscheint, wird bei Gasen und Dämpfen ein Teil davon infolge der Ausdehnung durch diese Wärmezufuhr wieder in kinetische Energie verwandelt. Deswegen ist bei gleicher Geschwindigkeitsabgabe bei Gasen und Dämpfen der Strömungsverlust durch die Erweiterung kleiner als bei Flüssigkeiten. [M 273]

Der Busch-Schumann-Projektor, ein Ablesegerät für Brinellsche Kugeleindrücke

Es ist ein häufig empfundener Mangel der bisherigen Ausmeßverfahren für Kugeleindrücke, daß das Ablesen mit Meßlupe oder mit Mikroskopen bei der laufenden Betriebsüberwachung die Augen sehr anstrengt und ein verhältnismäßig häufiges Abwechseln der Leute notwendig macht. Wo nicht ganz besonders günstige Lichtverhältnisse vorliegen, kann man ohne künstliche Beleuchtung mit allen ihren Umständlichkeiten und Störungsquellen nicht auskommen. Nach mannigfachen Versuchen ist es gelungen, in dem Busch-Schumann-Projektor, Abb. 1, ein Ablesegerät auszubilden, das die Arbeitsgeschwindigkeit erhöht und die Augen viel weniger ermüdet.

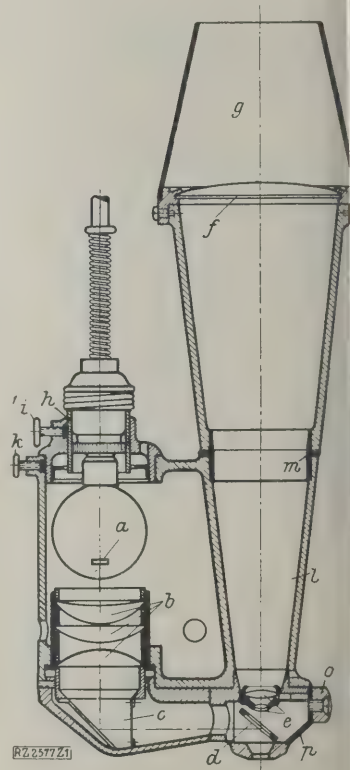
Das von der Lichtquelle a , einer kleinen Sonderglühlampe, durch die Linsen b tretende Lichtbündel wird durch das Prisma c und das spiegelnde Glasplättchen d nach unten auf die zu prüfende oder zu messende Oberfläche geworfen. Das Objektiv e bildet nun diese äußerst stark beleuchtete Fläche in zehnfacher Vergrößerung auf der mit Kreuzteilung versehenen Mattscheibe f ab, die zur Aufhellung des Bildes noch eine plankonvexe Linse trägt, während eine Lichtschutzhaube g störendes Seitenlicht abhält. Das Rohrstück h , das die Glühlampenfassung trägt, ist nach Lösen der Rändelschraube i zur etwa erforderlichen Einstellung des Lampenlichtpunktes im Gehäusedeckel verstellbar; der Deckel selbst wird durch eine Rändelschraube k in seiner Lage gehalten. Die Lampe a und die Linsen b sind in ein Gehäuse eingebaut, das mit dem unteren, für die Beobachtung bestimmten Rohrteil l vereinigt ist. Der Gewindestutzen m verbindet das untere Rohrteil mit dem Oberteil, das oben den drehbar angeordneten, abnehmbaren Mattscheibenrahmen f hält, der durch die Schraube n in jeder Stellung festgeklemt werden kann.

Bei photographischen Aufnahmen entfernt man den Mattscheibenrahmen und tauscht ihn gegen einen besonderen Kassettenrahmen aus. Mittels eines besonderen Winkelansatzes kann man auch an den inneren Wandungen zylindrischer Hohlkörper mit dem Projektor Messungen oder Prüfungen vornehmen. Lichtschutzhaube und Photokassettenrahmen passen selbstverständlich auch dann auf den Winkelansatz. Die Mattscheibe trägt eine Kreuzteilung von 0 bis 6 mm, die Teilstrichenentfernung beträgt $\frac{1}{10}$ mm; bei jeder Scheibenstellung lassen sich zwei Messungen senkrecht zueinander machen, ohne das Gerät drehen zu müssen. Ein Handgriff an der Seite des Gehäuses dient nur zum Ablegen des Gerätes, er kann auch abgeschraubt werden, um das Gerät an einem Stativ oder dergl. befestigen zu können.

Da die kleine Glühlampe nur für 12 V Spannung eingerichtet ist, schaltet man bei Gleichstrom einen Vorschaltwiderstand, bei Wechselstrom auch einen Transformator vor. Die Vorschaltgeräte sind der vielseitigen Verwendung halber

Abb. 1
Busch-Schumann-Projektor

- a Glühlampe
- b Sammellinsen
- c Prisma
- d spiegelndes Glasplättchen
- e Objektiv
- f Mattscheibe mit Kreuzteilung
- g Lichtschutzhaube
- h verstellbares Rohrstück
- i, k Rändelschrauben
- l Rohr (Gehäuse)
- m Gewindestutzen
- n Schraube
- o Haltering
- p Ansatz



für drei verschiedene Spannungen eingerichtet. Bei Gleichstrom wird die Überspannung in dem Vorschaltwiderstand vernichtet.

Mit der rechten Hand umfaßt man den unteren Haltring o , während die linke Hand den oberen Teil des Rohres l hält. Dann setzt man das Gerät mit der Öffnung des Ansatzes p auf die zu prüfende Oberfläche und übelndem Druck so auf, daß der schmale Gummiring der Ansatzöffnung in seiner ganzen Fläche auf dem Werkstück fest anliegt. Bei senkrechter Lage der Rohrachse 2 Prüffläche wird dann das Bild des Kugeleindrucks mit gleichmäßiger Schärfe auf der Mattscheibe erscheinen. Abb. 2.

Um den Durchmesser der Eindrücke auszumessen schiebt man zunächst den Randkreis an die Nulllinie der einen Teilung heran, liest ab und verfährt ebenso auf der andern Teilung. Bei sehr kleinen Eindrücken empfiehlt sich, nicht an die Nulllinie heranzugehen, sondern mehr der Mitte von irgend einem andern Teilstrich aus die Messung vorzunehmen. Da das Werkstück bei dem Projektion normal zur Meßfläche beleuchtet wird, so erscheint der Merand auch bei Aufwulstungen oder Einsenkungen der Kugeleindrücke stets scharf, sofern die Unterschiede nicht allgroß sind, was aber erfahrungsgemäß selten der Fall ist. Sollte dies jedoch öfters vorkommen, so besteht die Möglichkeit durch einen verstellbaren Meßring mit Zehnteilung auch Ablesungen an unebenen Flächen vorzunehmen. Der Verstellbereich beträgt 1 mm und reicht für alle vorkommenden Fälle aus.

Die richtige Anzeige kann man durch einen Vorschaltwiderstand mit zwei Lochblenden, deren Kontrollbohrungen (2 und 5 mm) mit einem Komparator auf 0,001 mm Genauigkeit geprüft sind, jederzeit nachprüfen. [M 2577] Döhmer.

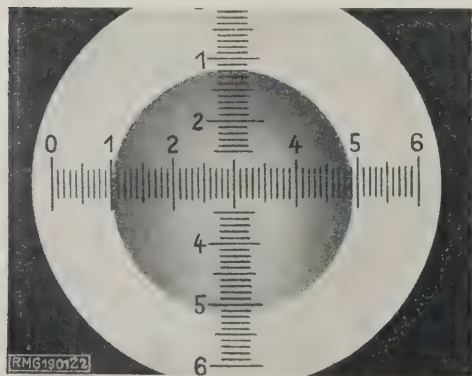


Abb. 2
Bild des Kugeleindrucks auf der Mattscheibe.

R U N D S C H A U

Elektrotechnik

Gleichstrom-Doppelmaschinen für 12 000 kW

Die Norsk-Hydro-Gesellschaft, die in ihren Anlagen in Rjukanfos, Norwegen, bisher stickstoffhaltige Erzeugnisse nach dem Verfahren von *Birkeland* und *Eide* herstellte, ist neuerdings zu dem Verfahren von *Haber* übergegangen. Hierbei erhält man Ammoniak durch Synthese von Wasserstoff mit Stickstoff, der nach dem Verflüssigungsverfahren aus der Luft gewonnen wird. Den Wasserstoff will man auf elektrolytischem Wege herstellen. Der hierzu notwendige Gleichstrom wird in dem Kraftwerk Vermork in Rjukanfos erzeugt, in dem bisher elf Drehstromerzeuger von je 17 000 kVA aufgestellt waren, die bei dem früheren Verfahren zur Speisung der elektrischen Flammenbögen dienten. Die Drehstromerzeuger werden unter Beibehaltung der vollständigen Wasserkraftanlage durch Gleichstrom-Doppelmaschinen, bestehend aus je zwei Gleichstromerzeugern von je 6000 kW bei 250 U/min ersetzt. Drei derartige Maschinensätze wurden von der Norsk Hydro-Gesellschaft der AEG in Auftrag gegeben.

Die beiden Gleichstrommaschinen stehen auf einer gemeinsamen Grundplatte; sie sind für ununterbrochenen Tag- und Nachtbetrieb bestimmt. Zur Erhöhung der Betriebssicherheit wurde die höchstzulässige Erwärmung bei einer Belastung mit 12 000 kW und 505 V, entsprechend 23 800 A, mit 45° vorgeschrieben. Darüber hinaus wurde verlangt, daß die Maschinen auch mit 470 V und 26 000 A oder 540 V und 22 200 A in Betrieb gehalten werden können unter Zulassung einer Temperaturzunahme in den in den Regeln für die Prüfung elektrischer Maschinen (REM) vorgeschriebenen Grenzen. Die Abnahmeprüfung ergab, daß nicht nur diesen Temperaturbedingungen über das erforderliche Maß hinaus entsprochen, sondern daß auch der vereinbarte Wirkungsgrad von 94,1 vH wesentlich überschritten wurde.

Die Maschinen gehören, was ihre Leistung anbelangt, zu den größten bisher gebauten Gleichstrommaschinen. Abb. 1 zeigt einen Maschinensatz im Prüffeld der AEG. Die Kollektoren liegen innen und können von einer Treppe mit Bedienungsgang beobachtet werden. Die Lager haben Spülschmierung, das Öl wird in einem besonderen Behälter rückgeköhlt. Zur Vermeidung von übermäßigem Geräusch und zu starker Erwärmung des Maschinenhauses sind die Maschinen bis auf den Kollektor gekapselt. Zur Belüftung dienen außerhalb des Maschinenraumes aufgestellte Lüfter. Die Welle ist dreiteilig; jeder Anker kann einzeln ausgetauscht werden.

Abb. 2 zeigt den bis auf die Bandagierung der Wickelköpfe fertiggestellten Anker. Die Kommutatorsegmente sind unterteilt, die beiden Teile eines Segmentes sind durch

nachgiebige Zwischenglieder miteinander verbunden. Um bei der größten Umfangsgeschwindigkeit des Ankers von 100 m/s den Armstern des Ankers von der Fliehkraft des in Schwalbenschwänzen festgehaltenen Blechkranzes und von den Zusatzspannungen durch Erwärmung frei zu halten, sind mehrere Ringe aus Siemens-Martin-Stahl auf den Armstern aufgeschraubt, die die von dem Blechkranz ausgeübten Kräfte aufnehmen. Die fertigen Anker wurden in der Schleudergrube mit der vorgeschriebenen Durchgangsdrehzahl von 480 U/min geprüft. [M 2651] *Lewinnek*

Freiluft-Trennschalter für 220 kV

Für Freiluft-Schaltwerke in 220 kV-Netzen baut das Sachsenwerk, Niedersiedlitz, Trennschalter, Abb. 3, bei denen der mittlere Isolator, der das Schaltmesser trägt, drehbar ist. Die Isolatoren bestehen aus je vier Teilen, von denen die oberen einen kleineren Durchmesser haben als die unteren. Die Gesamthöhe der Isolatoren beträgt 3,25 m; sie halten 650 kg Spitzenzug und ein Drehmoment von 1400 mkg aus. Bei niedriger Frequenz und Trockenheit beträgt die Überschlagnspannung 770 kV, bei Regen und Nebel 694 kV, liegt also noch wesentlich über der vom Verband Deutscher Elektrotechniker vorgeschriebenen Grenze von 650 kV. Bei 20 000 Hertz beträgt die Trockenüberschlagnspannung 730 kV, bei Nebel und Regen 710 kV. Die Überschlagnspannung bei Stoßbeanspruchung liegt bei 940 kV.

Wegen der Aufstellung im Freien ist der Trennschalter mit einer Eisbrechvorrichtung versehen, damit das Schaltmesser in den Kontakten nicht festfriert. Zu diesem Zweck

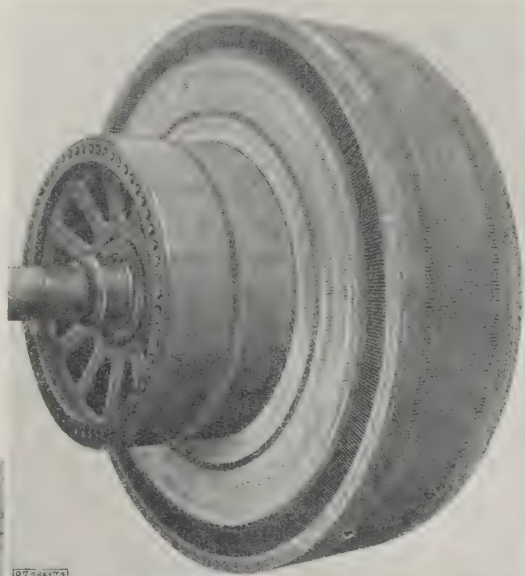


Abb. 2
Anker eines der Gleichstromerzeuger nach
Abb. 1.
(Die Wickelköpfe sind noch nicht bandagiert.)

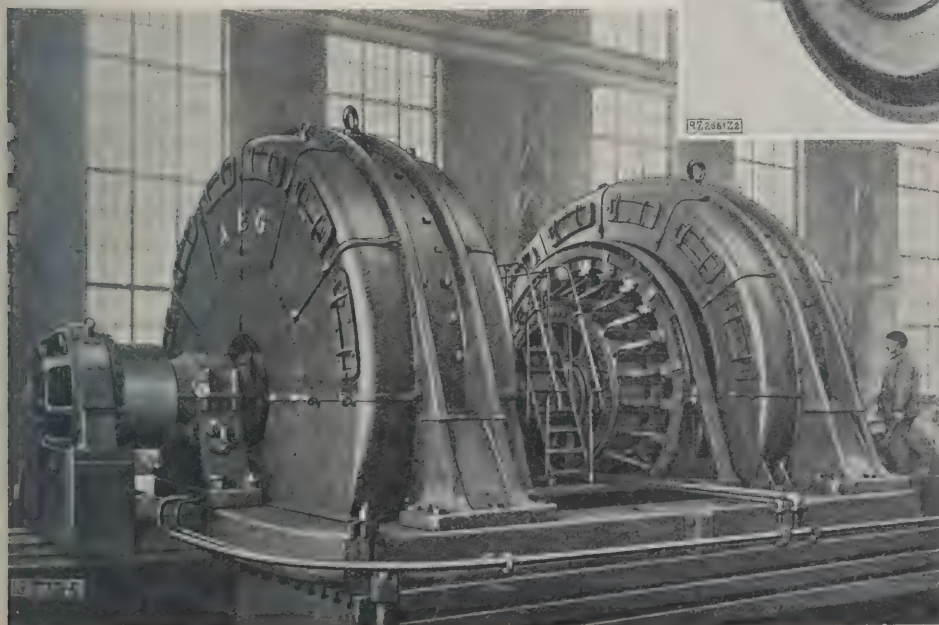


Abb. 1
Gleichstrom-Doppelmaschine für 12 000 kW, 22 200 bis 26 000 A bei 250 U/min für das Stickstoffwerk Rjukanfos (Kraftwerk Vermork) in Norwegen.
Aufnahme im Prüffeld der AEG, Berlin.

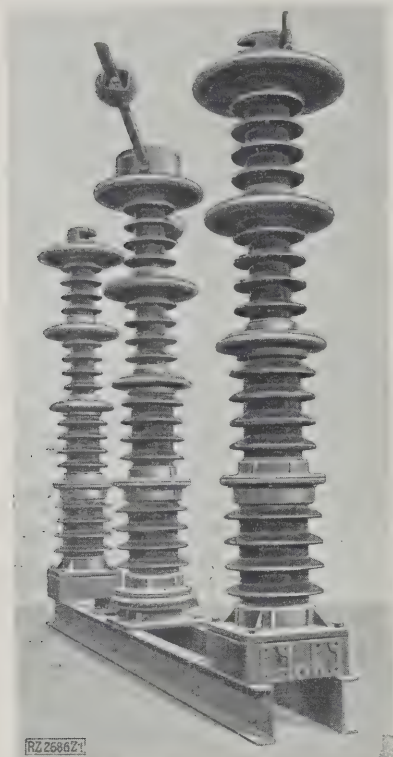


Abb. 3
Freiluft-Trennschalter
für 220 kV mit Eisbrech-
vorrichtung an den Mes-
sern. Überschlagspan-
nung 694 bis 770 kV bei
Trockenheit.

sind die Enden des Messers mit dem Mittelstück gelenkig und federnd verbunden, so daß sie beim Ausschalten um einen bestimmten Winkel abknicken können. Die Gleitbewegung, die die Messerenden infolgedessen in den Kontakten ausführen, sprengt das Eis ab. Unterstützt wird diese Wirkung durch begrenzten Leergang des drehbaren Isolators, der die Ausschaltbewegung mit einem Ruck be-
ginnen läßt. [M 2686]

Pa.

Werkstoffe

Feststellung der Dämpfung von Porzellan mittels der Drehausschwingungsmaschine

In dieser Zeitschrift¹⁾ habe ich über Versuchsergebnisse berichtet, die auf einer Verdrehungsausschwingungsmaschine erhalten wurden. Es ist die verhältnismäßige Dämpfungsfähigkeit ψ in Abhängigkeit von der Randverformung γ_0 festgestellt worden. Die Versuchsanordnung bestand aus dem Probestab *a*, der an einem Ende *b* festgehalten wurde und der am andern Ende *c* eine Schwungmasse trug. Die Schwungmasse wird verdreht und plötzlich losgelassen. Stab und Schwungmasse führen dann abklingende Schwingungen aus, bei denen die Schwingungsenergie Δ während einer Schwingung um den Betrag ΔA abnimmt. Unter der Voraussetzung, daß die Schwingungen nur unter dem Einfluß der Werkstoffdämpfung des Stabes *a* abnehmen, ist die Werkstoffdämpfung $\psi = \frac{\Delta A}{A}$. Die Randformänderung γ_0 , von der die Dämpfung ψ abhängig ist, ist gleich der Randspannung τ_0 geteilt durch den Gleitmodul G .

In Abb. 4 ist die Spannung τ in Abhängigkeit von der Formänderung γ aufgetragen. Der Gleitmodul $G = \frac{\tau}{\gamma}$ beträgt etwa 300 000 kg/cm². Bei einer Schwingung wird von jeder Faser im Spannungs-Formänderungsdiagramm eine Kurve durchlaufen, deren Flächeninhalt Δ gleich ΔA ist. Die bezogene Formänderungsarbeit Δ in der äußersten Lage wird in Abb. 4 durch die Fläche *e* wiedergegeben. In Abb. 4 ist $\psi = \frac{\Delta}{e}$.

An der angegebenen Stelle¹⁾ habe ich unter Abb. 4 Dämpfungskurven (ψ - γ_0 -Kurven) für verschiedene Werkstoffe wiedergegeben. U. a. war auch Porzellan untersucht worden, das dem Laboratorium für diese Versuche von den Hermsdorfer Porzellanfabriken zur Verfügung gestellt worden war. Bei den uns ursprünglich übersandten Probestä-

ben waren die beiden Einspannenden *f* und *g* des Probestabes Abb. 5 und 6, nicht bearbeitet und deshalb verhältnismäßig uneben. Die Probestäben wurden unter diesen Umständen von den Einspannbacken der Maschine nicht gleichmäßig festgehalten, so daß kleine Bewegungen in den Einspannenden während der Ausschwingung auftraten. Die kleinen Bewegungen haben, wie nachträglich festgestellt wurde, beträchtliche Energiemengen verzehrt und eine Einstellung der Ergebnisse zur Folge gehabt. Die Hermsdorfer Porzellanfabriken haben auf meine Bitte hin neue Probestäbe hergestellt, bei denen die vorgeschriebenen Maße genau eingehalten und die Probestäben *f* und *g* tadellos eben geschliffen worden waren. Mit diesen Probestäben haben neue Versuche angestellt und wesentlich geringere Dämpfungswerte, namentlich bei größerem Ausschlagwinkel erhalten, als mit den ursprünglich gelieferten Stäben.

In Abb. 7 ist die gestrichelte Kurve aus Abb. 4 meiner genannten Veröffentlichung übernommen worden. Die ausgezogenen Dämpfungskurven sind nachträglich an den verschiedenen Probestäben aufgenommen worden, die in verschiedener Weise mit besonderer Sorgfalt hergestellt worden waren. Wie man sieht, ist z. B. bei $\gamma_0 = 0,0004$ die Dämpfung bei den einwandfrei hergestellten Probestäben nicht Viertel von dem fälschlicherweise ermittelten Wert der ursprünglich hergestellten Porzellanstäbe. Die damals n

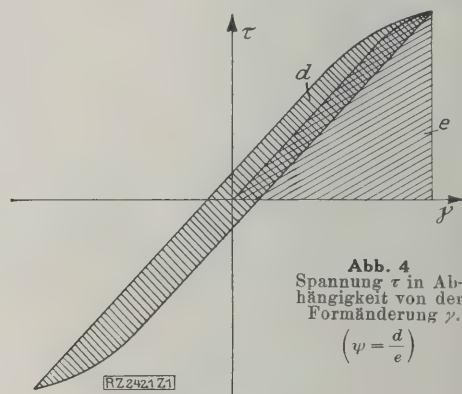


Abb. 4
Spannung τ in Ab-
hängigkeit von der
Formänderung γ .
($\psi = \frac{\Delta}{e}$)

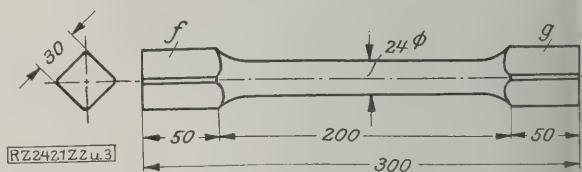


Abb. 5 und 6
Probestab aus Porzellan
f, g Einspannenden

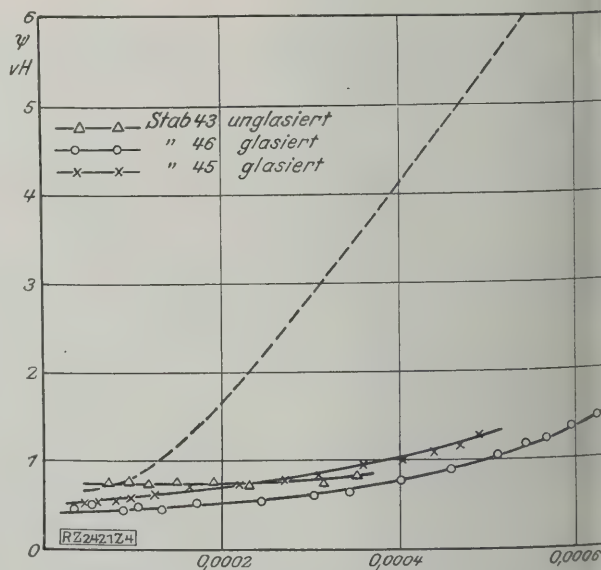


Abb. 7
Kurven der verhältnismäßigen Dämpfung von Porzellan.

¹⁾ Z. Bd. 72 (1928) S. 1923.

geteilten Dämpfungswerte für Porzellan waren also viel zu hoch ausgefallen; sie erfahren durch Abb. 7 eine wesentliche Berichtigung.

Von den drei neuerdings zur Untersuchung gekommenen Stäben war der eine (43) unglasiert und die beiden andern (45 und 46) glasiert. Die Glasur hat auf die Dämpfung nur geringen Einfluß, was bei der geringen Dicke der Glasur (etwa 0,4 mm bei einem Stab von 24 mm Dmr.) nicht zu verwundern ist. Die Glasur hat aber zur Folge, daß der Stab stärker beansprucht werden kann, ohne zu Bruch zu gehen. Die Dämpfungskurve für den unglasierten Stab konnte nur bis zum Werte 0,000 35 aufgenommen werden, da der unglasierte Stab beim Überschreiten dieser Grenze zerbrach. Von den glasierten Stäben konnte der eine bis zu einer Randformänderung 0,000 48 und der andre sogar bis 0,000 62 beansprucht werden, ohne daß Bruch auftrat. Für die Festigkeit des Porzellans ist also die Glasur trotz ihrer geringen Dicke sehr wesentlich.

Die vorstehenden Ausführungen lassen erkennen, wie unsicher die Dämpfungsbestimmung mit Hilfe der Ausschwingmaschine heute noch bei dynamisch spröden, d. h. wenig dämpfungsfähigen Stoffen ist. Es ist naheliegend, die Frage aufzuwerfen, ob unter diesen Umständen die Dämpfungsbestimmung auf der Ausschwingmaschine Wert für die Praxis hat, selbst wenn man die Probestäbe besonders sorgfältig herstellt, oder ob man nicht damit rechnen muß, daß auch vielleicht bei den jetzt mitgeteilten Ergebnissen noch große Fehler vorhanden sind. Dem ist entgegenzuhalten, daß man bei Nichtmetallen keine Dämpfungsbestimmung mit Hilfe der einwandfreie Ergebnisse liefernden Dauerdrehschwingmaschinen anstellen kann. Man ist deshalb bei diesen Stoffen, wenn man überhaupt ihre Dämpfung ermitteln will, auf das Ausschwingverfahren angewiesen. Die Dämpfungsermittlung mit Hilfe des Ausschwingverfahrens ist ferner für Porzellanstäbe besonders ungünstig, weil die Dämpfung sehr gering ist. Wenn man statt des Porzellanstabes einen Stab z. B. aus einem Kunstharz verwendet, so ist die Werkstoffdämpfung ein Vielfaches von dem Betrag, den man für Porzellan erhält, während die Versuchsfehler in beiden Fällen die gleichen bleiben. Der verhältnismäßige Fehleranteil ist deshalb bei dämpfungsreichen Stoffen viel geringer als bei dem besonders dämpfungsarmen Porzellan.

Ähnlich liegen die Verhältnisse bei Ausschwingversuchen, die man etwa an verschiedenen Stahlsorten anstellen kann. Wenn man Stäbe aus gehärtetem Kugellagerstahl im Anlieferzustand untersucht, erhält man nach der Arbeit von E. Pertz²⁾ ψ -Werte unter 2 vT. Für normale Baustähle erhält man dagegen ψ -Werte, die zehn- bis hundertmal so groß sind. Selbst wenn also im ersten Fall der Fehler bei der Bestimmung von ψ 50 vH betragen würde, so wäre er im letzteren Falle höchstens noch 5 vH. Aus den besonders kleinen Werten für ψ , die bei dynamisch spröden, d. h. wenig dämpfungsfähigen Stoffen erhalten werden, erkennt man also, daß die Dämpfungsbestimmung auf der Ausschwingmaschine bei dynamisch zähen Baustoffen mit verhältnismäßig geringen Fehlern behaftet ist. [M 2421]

Braunschweig

O. Föppl

²⁾ E. Pertz, „Die Bestimmung der Baustoffdämpfung nach dem Verdrehungsausschwingverfahren“, Sammlung Vieweg, Heft 91, 1928.

Über das Monel-Metall

Da das Monel-Metall jetzt in den verschiedenartigsten Industriezweigen Verwendung findet und immer mehr an Bedeutung gewinnt, soll im folgenden über einige Arbeiten berichtet werden, die dessen Eigenschaften behandeln. Das Monel-Metall ist eine Naturlegierung, die aus etwa 67 vH Nickel, 28 vH Kupfer und 5 vH Eisen und Mangan, sowie Spuren von Kohlenstoff und Silizium besteht. Die Zusammensetzung der einzelnen Monel-Metallproben schwankt um mehrere Hundertteile. Die innige Vermischung der Hauptbestandteile, Nickel und Kupfer, ist bereits in den Erzen vorhanden, wie sie vor allem in Kanada und auch in den Vereinigten Staaten gefunden werden.

Zunächst ist von A. Schulze¹⁾ eine Reihe physikalischer Eigenschaften des Monel-Metalls untersucht worden, und zwar handelt es sich um den elektrischen Widerstand, die Thermokraft, die thermische Ausdehnung und die Längenänderung im Magnetfeld harter und weicher Proben. Ferner hat A. Kußmann²⁾ die Magnetisierungsintensität und die Temperaturabhängigkeit der Magnetisierung bestimmt und endlich ist von A. Schulze³⁾ in einer zusammenfassenden Arbeit über die gesamten physikalischen und che-

¹⁾ Z. f. Metallkunde Bd. 20 (1928) S. 403.
²⁾ Z. f. Metallkunde Bd. 20 (1928) S. 406.
³⁾ Gießerei-Zeitung Bd. 25 (1928) S. 697.

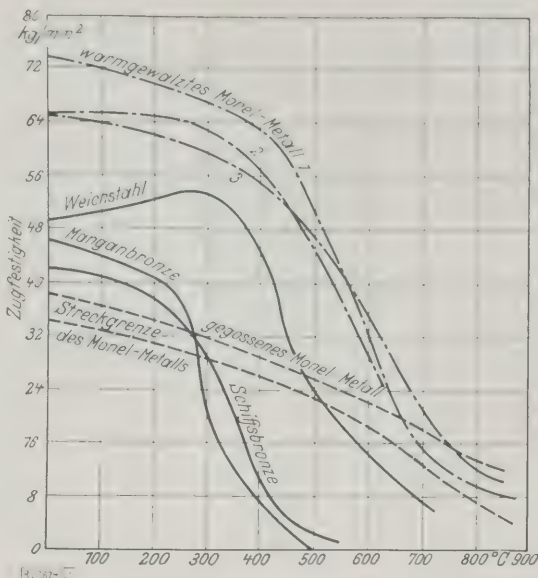


Abb. 8
Die Abhängigkeit der Zugfestigkeit von der Temperatur bei Monel-Metall und andern Metallen.

mischen Eigenschaften, sowie über die Festigkeitseigenschaften, die Mikrostruktur und die Bearbeitung des Monel-Metalls berichtet worden.

Von den physikalischen Eigenschaften ist zunächst der elektrische Widerstand beachtenswert. Hierbei ergab sich, daß von dem weichen Metall ein Draht von 1 m Länge und 1 mm² Querschnitt einen Widerstand von rd. 0,46 Ω bei Zimmertemperatur hat, während bei hartem Metall der Widerstand 0,48 Ω beträgt. Die Widerstandstemperaturzahl beträgt 1,5 bis 2 vT in diesem Temperaturgebiet. Der spezifische Widerstand ist somit sehr hoch und nahezu ebenso groß wie der des Mangans. Oberhalb 100° bis etwa 1000° beträgt die Temperaturzahl nur etwa 0,4 vT. Das plötzliche Umbiegen der Widerstandskurve bei 100° ist sehr wahrscheinlich auf den an dieser Stelle liegenden Curie-Punkt zurückzuführen. Auf Grund dieses günstigen elektrischen Verhaltens hat man das Monel-Metall häufig für elektrische Heizkörper verarbeitet. Die Wärmeleitfähigkeit beträgt etwa 6 vH von der des Kupfers.

Was die magnetischen Eigenschaften anbetrifft, so zeigt sich, daß es bei Zimmertemperatur schwach magnetisch ist. Das harte Material hat eine geringere Magnetisierungsintensität als das weiche. Mit zunehmender Temperatur nimmt die Magnetisierung ab, bis es etwa in der Nähe von 100° unmagnetisch wird. Der magnetische Zustand ist umkehrbar, d. h. bei Abkühlung wird das Monel-Metall wieder magnetisch.

Parallel mit dem Absinken des Curie-Punktes bei den Nickel-Kupferlegierungen sinkt auch der magnetische Sättigungswert $4\pi I_w$. Er beträgt beim Nickel 6200 und beim Monel-Metall in weichgeglühtem Zustande nur noch etwa 1500. Die Koerzitivkraft liegt je nach der thermischen Behandlung zwischen 0,1 und 0,3 Gauß; bei einem kalt-gereckten Stabe betrug sie sogar 1 Gauß.

Für die Anfangspermeabilität, die heute besonders in der Fernsprechtechnik von großer Wichtigkeit ist, ergaben sich bei von 600° langsam abgekühltem Metall $\mu_0 = 1100$, bei abgeschrecktem $\mu_0 = 200$. Die Anfangspermeabilität erreicht mit 1100 etwa den vierfachen Wert des Stahles. Die Verkleinerung der Magnetisierbarkeit des Monel-Metalls durch Abschrecken ist eine sehr sonderbare Erscheinung und bedarf noch der Aufklärung. Sie hat vielleicht ihren Grund darin, daß durch den Abschreckvorgang entweder die Menge oder die Zusammensetzung des magnetisierbaren Metalles sich geändert hat.

Thermoelektrisch ist Monel-Metall positiv gegen Kupfer, und zwar beträgt die Thermokraft (kalte Lötstelle auf 0°) bei 100° 2,9 mV und bei 500° 16,9 mV. Das spezifische Gewicht beträgt 8,8, das Schwindmaß etwa 2 vH. Für ein Monel-Metall mittlerer Zusammensetzung läßt sich die thermische Ausdehnung (Δl in $\frac{mm}{m}$ und $\tau = \frac{t}{100}$) durch die Gleichung:

$$\Delta l = 1,41 \tau + 0,033 \tau^2$$

darstellen, d. h. die lineare Ausdehnungszahl zwischen 20 und 100 ° ist $\beta = 14,4 \cdot 10^{-6}$. Das Monel-Metall schmilzt zwischen 1300 und 1360 °C; die Schmelztemperatur ist in der Hauptsache vom Kohlenstoffgehalt abhängig. Die beste Gießtemperatur wird bei 1500 bis 1550 ° angegeben.

Für die technische Verwendung sind von besonderer Wichtigkeit die Festigkeitseigenschaften. Die große Brauchbarkeit des Monel-Metalls beruht darauf, daß es dem Weichstahl an Festigkeit nichts nachgibt. Der eigentliche Stahl ist in vielen Formen natürlich an Festigkeit dem Monel-Metall überlegen und hat eine höhere Proportionalitätsgrenze; aber sobald es sich um hohe Temperaturen handelt, fällt seine Festigkeit gegenüber dem Monel-Metall ab. Um einen Vergleich mit andern Legierungen zu haben, ist in Abb. 8 die Abhängigkeit der Zugfestigkeit (in kg/mm²) von der Temperatur dargestellt. Das Monel-Metall ist, gerade was seine Festigkeitseigenschaften anbetrifft, ein eigenartiger Werkstoff. Man kann, je nach der Behandlung, große Festigkeit mit großer Dehnung, kleine Festigkeit mit großer Dehnung, auch große Festigkeit mit kleiner Dehnung erreichen. Die Brinellhärte ist sehr hoch. Bei gegossenem Monel-Metall beträgt sie etwa 120; warm gewalzte Stangen und Bleche haben eine Brinellhärte von 120 bis 180, und bei kalt gezogenen Stangen steigt sie sogar bis auf 170 bis 210. Die Untersuchung des Gefüges läßt deutlich die verschiedenen Behandlungen des Monel-Metalls erkennen und bildet somit eine wertvolle Ergänzung.

Unter den chemischen Eigenschaften ist seine Widerstandsfähigkeit gegen Anfrassung wohl die wichtigste. So läßt sich Monel-Metall bei klarem Wasser für selbsttätige Ventile, z. B. bei Sprinklern, wo Rostsicherheit unbedingt erforderlich ist, ferner auch bei Salzwasser oder bei säurehaltigem Bergwerkswasser, endlich sogar bei Abgüssen verwenden. Es widersteht auch zuverlässig den Alkalien, Seifen und Bleistoffen. Zum Ätzen von Monel-Metall in gegossenen und bearbeiteten Formen können die gleichen Verfahren wie beim Nickel angewendet werden. Es hat gegen das Anätzen etwa die gleiche Widerstandsfähigkeit wie die besseren Bronzen. Als Beispiel lassen sich Versuche mit Dampfturbinenschaufeln anführen, die aus verschiedenem Werkstoff bestehen. Wegen der hohen Beständigkeit gegen Anfrassung hat das Monel-Metall bereits große Anwendungsgebiete gefunden.

In chemischer Beziehung zeigt das Monel-Metall dieselben Erscheinungen wie Nickel, nämlich die zwischenkristalline Bruchigkeit, die durch Einwirkung von schwefelhaltigen Gasen hervorgerufen wird. Kohlenstoff härtet den Werkstoff, erleichtert das Warmwalzen und Schmieden, erschwert aber das Kaltwalzen. Zusatz von Mangan erhöht die Festigkeit. Geringe Mengen Silizium machen es dünnflüssiger und leicht schmelzbarer.

Die Bearbeitbarkeit des Monel-Metalls ist außerordentlich vielseitig; die wichtigsten der Bearbeitungsvorgänge wie das Gießen, Schmieden, Ziehen, Warm- und Kaltwalzen, Beizen, Löten, Schweißen, ferner die spanabhebende Bearbeitung und das Schleifen und Polieren, sind in der unter 3) erwähnten Arbeit kurz besprochen.

[M 2624]

A. Schulze.

Brennstoffe

Richtlinien für Untersuchungen an Kohlenmühlen

Als sich in Deutschland vor mehreren Jahren die Kohlenstaubfeuerung für Dampfkessel einzuführen begann, lag für die Erzeugung von Staub fast nur die Erfahrung der Zementindustrie vor, die die Kohlen in ähnlicher Weise zerkleinert wie Zementklinker. Bei den ersten Versuchen Anhaltspunkte für das Vermahlen verschiedenartiger und verschieden feuchter Kohlen auf Mühlen verschiedener Art zu gewinnen, zeigten sich viele ungeklärte Zusammenhänge. Für die Versuche, die der Kohlenstaubausschuß des Reichskohlenrates zur Aufstellung von Kennlinien an Kohlenmühlen, zur Forschung an besonders geeigneten Mühlenbauarten für Kohle und zur Untersuchung der Wirtschaftlichkeit der Kohlenstaubherstellung unternommen hatte, mußten daher zunächst die mechanisch-physikalischen Zusammenhänge der Vermahlung von Kohle erforscht werden. In zahlreichen Arbeiten¹⁾ haben Rosin und Ramm festgestellt, daß z. B. zwischen Kraftbedarf für die Gewichtseinheit des Mahlguts und der Art der Beschickung verhältnismäßig einfache gesetzmäßige Zusammenhänge bestehen — daß und wie sich der Durchsatz und Leistungsbedarf einer Mühle mit der Mahlfineinheit ändert, — daß die Mahlfineinheit der Kohlenarten, die insbesondere von der Feuchtigkeit abhängt, ganz erhebliche Unterschiede im Durchsatz der Mühle und der Mahlfineinheit verursachen kann usw. In Beurteilung des Arbeitens einer Mühle und gar der Vergleich zweier verschiedener Mühlen sind also durchaus nicht einfach; dazu braucht man erheblich mehr Angaben, als man gemeinhin annimmt, und man muß diese Angaben in einheitlicher Weise erlangen, wenn man falsche Urteile vermeiden will.

Rosin und Ramm haben diese Erfahrungen zu Richtlinien für Mühlenuntersuchungen verdichtet, die als 16. Berichtfolge des Kohlenstaubausschusses des Reichskohlenrates erschienen sind²⁾, und ihnen als Erläuterungen eine Behandlung der Vorgänge in Kohlenstaubmühlen angefügt. Diese Richtlinien geben praktische Anhaltspunkte und einheitliche Grundlagen für Untersuchungen an Kohlenstaubmühlen, die sich Lieferer und Bezieher einigen können. Sie sollen auch als erste Grundlage für etwaige später beim Verein deutscher Ingenieure zu bearbeitende Regeln für Abnahmeversuche dienen. Aufbau und Anordnung sind daher sehr ähnlich wie bei anderen Regeln für Abnahmeversuche gewählt. Für Ergänzungen und Erweiterungen auf Mühlen für andere Stoffe ist Spielraum gelassen.

In den ersten Abschnitten werden die Begriffe für Mühlen, Mahlsatz und Mahlanlage, die verschiedenen Zwecke der Versuche und die Maßeinheiten festgelegt. Dann werden die Untersuchungsgrößen, Meßverfahren und Meßgeräte sowie allgemeine Bestimmungen für Abnahmeversuche und Gesichtspunkte für die Ausführung und Auswertung der Untersuchungen angegeben. [N 2910]

¹⁾ 2., 3., 5., 9., 10. und 12. Berichtfolge des Kohlenstaubausschusses des Reichskohlenrates.

²⁾ 16. Berichtfolge des Kohlenstaubausschusses des Reichskohlenrates: P. Rosin und E. Ramm: Richtlinien für Mühlenuntersuchungen. Berlin 1929. 34 S. Preis 3 RM. Diese sowie alle Berichtfolgen erscheinen jetzt in Kommission beim VDI-Verlag und sind von dort zu beziehen.

Aus dem Ausland

Schiffbau

Entwicklung der Kriegsmarinens im Jahre 1928¹⁾

England

Im Anfang des Jahres 1928 wurden die Kreuzer „Suffolk“ und „Kent“, die letzten der „Kent“-Klasse, in Dienst gestellt. Hervorgehoben werden ihre guten Seieigenschaften und die Größe ihres Fahrbereichs. Als Nachteil wird die fehlende Panzerung angegeben, auch die hohen Kosten von im Mittel 40 Mill. RM für ein Schiff, werden gerügt. Die „Kent“-Klasse führt keine Flugzeuge.

Zur zweiten Gruppe der 10 000 t-Kreuzer gehören „London“, „Devonshire“, „Shropshire“ und „Sussex“, bei denen die Außenhautwulste als Torpedoschutz fortgefallen und die Maschinenleistung auf 90 000 PS an der Welle erhöht worden ist. Für Marschfahrt dient ein Dieselmotor. Ein Flugzeug mit Abflugkatapult ist vorgesehen. „Sussex“ und „Shropshire“ sind im vorigen Jahr in Dienst gestellt worden, die beiden übrigen Schiffe bereits 1927.

Der Kreuzer „Norfolk“ ist im Dezember und der Kreuzer „York“ am 17. Juli 1928 vom Stapel gelaufen. Dieser hat 8500 t Verdrängung und eine Turbinenanlage von 80 000 PS

Wellenleistung für 31,25 Kn Geschwindigkeit. Die Bstückung umfaßt sechs 20,3 cm-Geschütze, vier 10,2 cm-Luftabwehrkanonen und sechs Torpedorohre. Auch „York“ erhält eine Dieselanlage für Marschfahrt und wird mit zwei Flugzeugen und einem Startkatapult ausgerüstet. Das Schwesterschiff „Exeter“ ist im August in Devonport am Stapel gelegt worden.

Der Umbau des Flugzeugträgers „Couragious“ ist im März 1928 beendet worden, die Umbaukosten haben über 40 Mill. RM betragen. Ein Flottenführerboot und acht Zerstörer sind auf verschiedenen Privatwerften im Bau. Vom Stapel gelassen sind ferner fünf U-Boote der „O“-Klasse von 1565 t Verdrängung (ausgetauscht), zwei Sloops von 960 t Verdrängung mit Turbinenantrieb und zwei wichtige Hilfsschiffe, nämlich das U-Boot-Mutterschiff „Medway“ und das Werkstattschiff „Resource“. „Medway“ wird durch doppelwirkende MAN-Dieselmotoren von zusammen 8000 PS, „Resource“ durch Parsons-Getriebeturbinen von 7500 PS Leistung an der Welle angetrieben.

Vereinigte Staaten von Amerika

Von den im Dezember 1924 bewilligten acht Kreuzern die im Bau sind, ist bisher noch keiner vom Stapel gelassen. Die beiden ersten, „Pensacola“ und „Salt Lake City“, werden nicht vor 1930 fertiggestellt werden. Alle Kreuzer haben 10 000 t Verdrängung, weichen jedoch in

¹⁾ Nach „The Engineer“ Bd. 147 (1929) Nr. 1 S. 2.

ihren Konstruktionseinzelheiten voneinander ab. Mit 40 000 PS Turbinenleistung an der Welle hofft man 33 Kn Geschwindigkeit zu erreichen. Die Bestückung wird aus 12 20,3 cm-Geschützen L/55 und vier 12,7 cm-Flugzeugabwehrkanonen bestehen. Die 20,3 cm-Geschütze werden in drei Dreirohr- und zwei Doppeltürmen angeordnet werden.

Die Flugzeugträger „Lexington“ und „Saratoga“ von 3000 t Verdrängung haben mit ihren turbo-elektrischen Maschinenanlagen 33,04 und 33,42 Kn erreicht, hatten jedoch einige Schäden an den Turbinen.

Vier Flottillen-Führerboote von 1830 t Verdrängung sind im Bau, über die keine Einzelheiten veröffentlicht worden sind. Das Minen-U-Boot „V 4“ ist fertiggestellt worden. Mit 2940 t Oberflächen-Verdrängung ist es heute das größte der Welt; die Dieselmotoren von 5600 PS sollen für 17 Kn Geschwindigkeit (ausgetauscht) ausreichen. Die Gesamtbewaffnung umfaßt ein 15 cm-Geschütz, vier Torpedorohre und 10 Minen. Die Baukosten werden zu etwa 25 Mill. RM angegeben. Die Linienschiffe „Oklahoma“ und „Nevada“ werden zur Zeit umgebaut. Die Änderungen erstrecken sich u. a. auf den Einbau von neuen Kesseln, Torpedowulsten und zusätzlichem Panzerschutz.

Japan

Das Hauptereignis war die Ablieferung der Flugzeugschiffe „Akagi“ und „Kaga“, die nach den Bestimmungen der Washington-Konferenz umgebaut worden sind. Das erste Schiff hat 28 500 t Verdrängung und erreicht 28,5 Kn, das zweite hat die gleiche Verdrängung, jedoch nur 23 Kn Geschwindigkeit. Beide haben die sehr starke Bewaffnung von zehn 20,3 cm- und sechzehn 12 cm-Geschützen; sie bieten etwa 60 Flugzeugen Raum. Obgleich Japan bereits im Jahre 1924 mit dem Bau der 10 000 t-Kreuzer begonnen hatte, ist der erste, „Myoko“, erst im Oktober 1928 abgeliefert worden. Das Schiff erledigt zur Zeit seine Probefahrten.

Die Schwesterschiffe „Haguro“ und „Ashigara“ sind im März und Mai 1928 vom Stapel gelaufen. Diese Kreuzer werden durch Getriebeturbinen von 130 000 PS Leistung an der Welle angetrieben und sollen 33 Kn Geschwindigkeit erreichen. Die Bestückung umfaßt zehn 20,3 cm-Geschütze in Doppeltürmen, vier 12 cm-Geschütze und zwölf Torpedorohre. Zwei Flugzeuge werden an Bord geführt. Weitergehender Panzerschutz und Dreihüllenschutz des Schiffskörpers sollen vorhanden sein. Der Kreuzer „Aoba“ ist im Januar v. J. in Dienst gestellt worden, er ist ein Schwesterschiff der „Kinugasa“. Diese Kreuzer verkörpern mit nur 7200 t Verdrängung einen sehr gefechtsarken Typ. Mit 100 000 PS Turbinenleistung an der Welle erreichen sie 33 Kn Geschwindigkeit, ihre Bestückung besteht aus sechs 20,3 cm-Geschützen.

Mehrere Torpedobootzerstörer sind vom Stapel gelaufen, sie gehören zu einer Gruppe von 24 Booten von 1740 t. Ihre vertragliche Geschwindigkeit beträgt 34 Kn, die Bewaffnung umfaßt sechs 12 cm-Kanonen und neun Torpedorohre. Es ist sicher, daß im Laufe des Jahres mehrere U-Boote zu Wasser gebracht worden sind, von denen die größten 1675 t Verdrängung bei 21 Kn Geschwindigkeit an der Oberfläche haben. Ein Minenleger und vier Netzleger für U-Bootabwehr sind im Laufe des Jahres begonnen worden.

Frankreich

Die Kreuzer „Tourville“ und „Duquesne“ von 10 000 t Verdrängung sind in Dienst gestellt worden; sie haben 36,15 und 35,5 Kn Geschwindigkeit erreicht.

Im Sommer ist der Schulkreuzer „Jeanne d'Arc“ von 6700 t Verdrängung, 35 000 Wellen-PS Turbinenleistung in St. Nazaire auf Stapel gelegt worden. Er soll 25 Kn Geschwindigkeit erreichen. Die Bestückung besteht aus acht 15 cm-Geschützen in Doppeltürmen. Auf der gleichen Werft ist im April der Minenleger „Pluton“, ein Schiff von 5400 t Verdrängung und 30 Kn Geschwindigkeit, auf Stapel gelegt worden. Er hat außer einer starken Minenbewaffnung vier 14 cm-Geschütze an Bord. In Lorient ist das U-Boot-Mutterschiff „Jules Verne“ auf Stapel gelegt worden, das 6100 t verdrängen und eine Dieselmotorenanlage von 8000 PS Leistung erhalten wird. Die Geschwindigkeit soll 18 Kn betragen.

Von Stapel gelaufen sind fünf Torpedoboot-Zerstörer von 2740 t Verdrängung, 35 bis 36 Kn Geschwindigkeit und einer Bewaffnung von sechs Torpedorohren und fünf oder sechs 14 cm-Geschützen, ferner mehrere Zerstörer der „Adroit“-Klasse, sie haben etwa 1500 t Verdrängung, 33 Kn Geschwindigkeit und eine Bestückung von vier 13 cm-Kanonen und sechs Torpedorohren. Insgesamt sind bisher 55 U-Boote gebaut oder in Auftrag gegeben worden, unter ihnen zwei U-Kreuzer der „Surcouf“-Klasse, die mit 3330 t

die größten U-Fahrzeuge der Welt werden. Die Mehrzahl sind indessen Hochsee-U-Boote von etwa 1575 t Verdrängung mit einer schweren Torpedobewaffnung und 18 Kn Geschwindigkeit. Die Küstenboote verdrängen etwa 600 t und erreichen 14 Kn.

Italien

Die 10 000 t-Kreuzer „Trento“ und „Triest“ sind in die Marine eingereiht worden. Die Maschinenanlage besteht aus Triebturbinen von 150 000 PS Leistung an der Welle mit 12 ölgefeuerten Yarrow-Kesseln. Die Geschwindigkeit wird zu 36 Kn angegeben. Acht 20,3 cm Geschütze, sechzehn 10 cm-Luftabwehrkanonen und acht Torpedorohre bilden die Bestückung. Zwei weitere Kreuzer sind im Bau: „Fiume“ bei Stabilimento Tecnico in Triest und „Zara“ bei Odero-Terni bei Spezia. Vier kleinere Kreuzer sind auf Stapel gelegt worden. Zwölf große Zerstörer von 1220 t werden demnächst fertiggestellt. Zerstörer von 1470 t Verdrängung sind in Auftrag gegeben worden, zehn U-Boote von 865 bis 890 t Verdrängung sind im Bau.

Spanien

Im August sind in Ferrol zwei 10 000 t-Kreuzer auf Stapel gelegt worden. Im Mai ist auf der gleichen Werft der Kreuzer „Cervantes“ von 8000 t Verdrängung vom Stapel gelaufen. Zwei Flottillenführer und einige U-Boote sind auf der Werft in Cartagena im Bau.

Niederlande

Die von Yarrow & Co. entworfenen, jedoch in Holland gebauten acht großen Zerstörer sollen sich außerordentlich bewähren. Sie verdrängen 1650 t und führen ein Flugzeug mit Katapult an Bord.

Argentinien

Zwei der in England bei J. Samuel White & Co. bestellten drei Flottillenführer sind im Juli und Oktober vom Stapel gelaufen, und zwar „Mendoza“ und „Tucuman“. Verdrängung 1545 t, Geschwindigkeit 36 Kn, Bestückung: fünf 12 cm-Kanonen und sechs Torpedorohre.

Chile

Alle sechs bei L. C. Thornycroft bestellten Zerstörer haben die Helling verlassen. Die beiden ersten, „Serrano“ und „Orella“ haben ihre Probefahrten mit gutem Erfolg beendet. Bei Vickers-Armstrong sind für die chilenische Marine drei U-Boote im Bau, von denen der erste, „Captain O'Brien“, im Oktober in Barrow zu Wasser gebracht worden ist. Sie gleichen in ihrer Größe und vielen konstruktiven Einzelheiten den Booten der englischen „Oberon“-Klasse.

In dem englischen Jahresbericht ist die deutsche Marine auch aufgeführt, und zwar zwischen Italien und Spanien.

In erster Linie hat man den Panzerkreuzer A ausführlich erwähnt. Amtlich als Panzerschiff bezeichnet, sei es wohl als Mittelding zwischen Küstenmonitor und einem schwer bewaffneten Kreuzer anzusprechen. Seine Bewaffnung werde aus sechs 28 cm-Geschützen in Dreirohrtürmen bestehen. Alle lebenswichtigen Teile sollen durch ein Panzerdeck bedeutender Stärke geschützt werden. Neben einer weitgehenden wasserdichten Unterteilung sind durchgehende Längsschotte vorgesehen. Die Schiffskörper werden durchweg elektrisch geschweißt werden und sich durch außerordentliche Leichtigkeit auszeichnen. Über die Maschinenanlage ist bereits an anderer Stelle veröffentlicht worden, daß MAN-Motoren mit Vulcan-Getrieben von 50 000 PS eingebaut werden sollen.

Am 20. Mai 1928 ist der Kreuzer „Köln“ in Wilhelmshaven vom Stapel gelaufen, ein Schwesterschiff der „Königsberg“ und „Karlsruhe“. Verdrängung 6000 t, Turbinenanlage 65 000 PS, Geschwindigkeit 32 Kn. Für Marschgeschwindigkeit ist eine Dieselmotoranlage vorgesehen. Neun 15 cm-Geschütze sind in Dreirohrtürmen angeordnet, außerdem werden Minen mitgeführt. Vier Torpedoboote von 800 t Verdrängung sind zu Wasser gebracht worden.

[N 2486]

Kp.

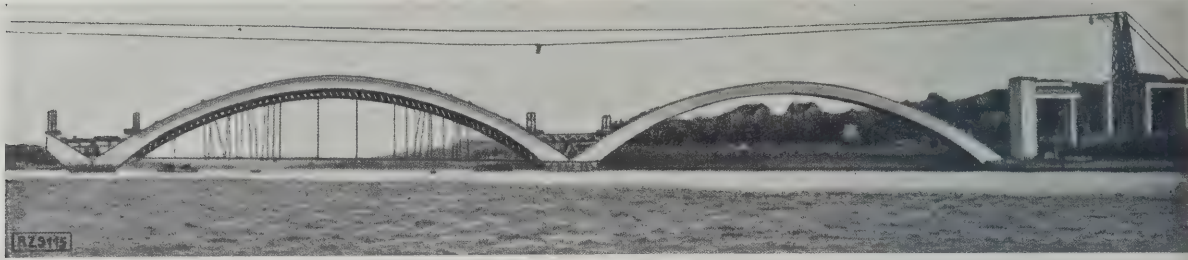
Metallbearbeitung

Geschweißte Gesenke

Zur Herstellung gekrümmter Ofenteile verwendet die Firma Frost Mfg. Co., Galesburg, Illinois, in ihrer 500 t-Druckwasserpresse geschweißte Gesenke, da die Herstellungsdauer und die Kosten solcher Gesenke gegenüber den gegossenen bedeutend geringer sind. Die beiden Gesenkhälften hat man mittels des elektrischen Lichtbogens aus Stahlplatten und Profilleisen zusammengeschweißt. Die größte Stahlplatte, die man bisher in geschweißten Gesenken kalt gebogen hat, hatte die Abmessungen 2794 × 4064 × 10 mm³ und wog rd. 1 t. („The Iron Age“ 9. Mai 1929 S. 1285*) [N 3115 d] .

Gac.

Kleine Mitteilungen



Die zwei ersten Bogen von je 196 m Spannweite der Brücke bei Plougastel.

Vom Bau der Brücke bei Plougastel

Von der Brücke über den Elorn¹⁾, die mit drei Bogen von je rd. 196 m Spannweite die zur Zeit weitestgespannte Eisenbeton-Bogenbrücke der Welt ist, sind bereits zwei Bogen fertiggestellt, s. Abb. Die Bogen sind als Gewölbe von kastenförmigem Querschnitt mit vier senkrechten und zwei waagerechten Wänden ausgeführt. Die Höhe der Gewölbe beträgt im Scheitel 4,3 m, im Widerlager 9 m, ihre Breite durchweg 9 m. Sie sind unmittelbar auf den Fels gegründet. Da die Gründungen auch den einseitigen Schub nur eines Gewölbes aufnehmen können, war es möglich, ein Gewölbe nach dem andern auszuführen.

Die Fahrbahnkonstruktion weist oben eine Straße und unten eine eingleisige Eisenbahnstrecke auf. Beide Teile sind durch Eisenbeton-Fachwerkwände verbunden. Seit Mitte Januar ist das dritte Gewölbe im Bau. (Schweiz. Bauzeitung 18. Mai 1929 S. 252) [N 3115 a] *Sd.*

¹⁾ Vergl. a. Z. Bd. 73 (1929) Nr. 3 S. 94.

Neuartige Überwachung von Weichen- und Fahrsignalen

Die Michigan-Zentralbahn hat für den Gleisabschnitt bei Detroit, wo die doppelgleisige Belt Line-Strecke abzweigt und dabei die sechs Gleise der Grand Trunk Western-Strecke kreuzt, eine neuartige elektrische Überwachung der Signal- und Weichenstellungen in Betrieb. Im Stellwerk befindet sich ein Gleisschaubild mit Lampen, die den Signalen und Weichen in der Gleisanlage entsprechen; neben den Überwachungslampen, und das ist das Neue der Einrichtung, sind Druckknöpfe angeordnet, die ebenfalls den Signalen und Weichen entsprechen, desgleichen Druckknöpfe in der Mitte der Gleisabschnitte. Zur Bedienung der Kraftstellweichen dienen Hebel, die elektrisch verriegelt oder entriegelt werden können, und zwar wie die Signale durch Bedienen der Druckknöpfe. Wird ein Knopf gedrückt, und damit die entsprechende Weiche und Fahrstraße freigegeben, so erlischt die neben dem Knopf befindliche rote Lampe; dies gibt dem Stellwärter an, daß das zugehörige Signal „grün“ zeigt. Gleichzeitig werden die die freigegebene Fahrstraße gefährdenden Weichen verriegelt. Es sind noch mehrere gegenseitige Abhängigkeiten vorhanden, die mittels der Druckknöpfe eingeleitet oder aufgehoben werden. („Railway Age“ 20. April 1929 S. 894*) [N 3115 b] *Ro.*

Abhitzekessel mit Kohlenstaub-Zusatzfeuerung

Die Chicago-Malleable-Castings Co., West Pullman, ersetzte kürzlich zwei Abhitzekessel mit 372 und 186 m² Heizfläche, die die Abgase von Schmelzöfen verwerteten und mit der Hand bediente Kohlen-Zusatzfeuerungen hatten, durch einen 372 m²-Abhitzekessel mit Kohlenstaub-Zusatzfeuerung, der wirtschaftlicher arbeiten und sich der Belastung besser anpassen sollte. Der neue Kessel hat 186 m² Vorwärmer-Heizfläche, 63 m³ Feuerraum und 11,2 at Betriebsdruck. Bei 42 kg/m²h Kesselbelastung werden in der Feuerung etwa 170 000 kcal/m² entwickelt, die Belastung kann jedoch auf mehr als 50 kg/m²h gesteigert werden.

Die Einblasemühle mit 1130 kg/h Durchsatzleistung ist in einer Grube vor dem Kessel untergebracht; der Einfülltrichter befindet sich daher in der Nähe des Fußbodens, und die Kohle kann unmittelbar hineingeschaufelt werden. Das Staub-Luft-Gemisch wird mittels eines regelbaren Wirbelbrenners waagrecht in die Feuerung geblasen. Von ihrem Eintritt in die Mühle wird die Verbrennungsluft durch ge-

wundene senkrechte Kanäle in den Feuerraumwänden führt und hier auf 244° vorgewärmt. Ein weiterer Teil der Verbrennungsluft tritt an der Feuerbrücke in den Feuerraum, um die Abgase der Schmelzöfen, die noch reich an CO sind, vollständig zu verbrennen. Die Temperatur der Abgase bei ihrem Eintritt in die Feuerung beträgt höchstens 1120°.

Der Brennstoffverbrauch für 1 t Dampf konnte gegenüber der früheren Handfeuerung um 50 vH verringert werden. Auch ist es infolge der hohen Luftvorwärmung möglich, äußerlich nasse Kohle ohne nennenswerte Senkung des Kraftbedarfes zu mahlen. („Power“ 7. Mai 1929 S. 749*) [N 3115 c] *Le.*

Deckenfördevorrichtungen für Feineisen und Draht in Rollen

Die Sheffield Steel Corp., Sheffield, Kansas City, im Dezember 1928 ein Knüppel-Feineisen- und Drahtwerk in Betrieb genommen, das wegen der wirtschaftlichen Fördereinrichtungen bemerkenswert ist und in dem Drahtrolle von 180 kg Gewicht als Normaleinheit der ganzen Erzeugung zugrunde gelegt wurde. Nachdem die Drahtrollen von den Haspeln abgenommen sind, durchlaufen eine 76 m lange gedeckte Fördervorrichtung. Die neuartigen Drahtrollen werden dann mittels Hakens auf Arme von zwei Sternrädern gesteckt, von denen jeder acht Drahtrollen im Gewicht von je 180 kg faßt. Waagrecht, haarnadelförmig aus Eisenkonstruktion hergestellte Haken nehmen sie von diesen Armen ab und bringen sie entweder zum Lager oder zur Beizerei. Diese haarnadelförmig ausgebildeten waagerechten Haken haben Laufrollen und laufen in Reihen nebeneinander auf Schienen, die der Dachkonstruktion befestigt sind. („The Iron Age“ 2. Mai 1929 S. 1206) [N 3115 e] *Ste.*

Neue Gefäßförderanlage bei der Ilseeder Hütte

Die von Heckel, Saarbrücken und Züblin, Straßburg, baute erste Hauptschacht-Gefäßförderung im deutschen Eisenbergbau ist seit mehreren Monaten auf dem zur Ilseeder Hütte gehörenden Gerhard-Schacht bei Kleinbülten, Kreis Peitz für eine Leistung von 220 t/h erfolgreich in Betrieb. Eisenerze werden auf der 90 m-Sohle der Gerhardsschachtanlage durch eine Kettenbahn am Füllort über einen Doppelschwinger in einen 300 t fassenden Eisenbeton-Schrägbunker gekippt, der durch Züblinsche Klappenverschlüsse¹⁾ abgeschlossen ist. Darunter befinden sich zwei Meßbehälter für je 3,2 t Fassungsvermögen und Sektorenverschlüssen. Die Schachtförderung wird durch Kippkübel²⁾ mit einem Eigengewicht von je 3,7 t durchgeführt. Wegen der beschränkten Überfahrhöhe an der Hängebank ist die eine Kübelwaage geneigt hochgezogen, so daß der Kübel über Tage auf kürzestem Kippwege entleert werden kann. Zur Verteilung der anfallenden Abgabebehälter und von diesem über zwei Stahlplattenbänder in die eigentlichen Vorratbehälter der Aufbereitung. Unter Tage wird der Kübel in 5 bis 6 s mit dem Erz aus der Meßtrommel beladen; hierzu kommt für die Teufe von 134 m als reine Fahrzeit noch 42 s. Gegenüber der Gestellförderung ergibt sich bereits hieraus eine um 32 vH günstigere Zeit. Da sich bei der Kübelförderung außerdem das Verhältnis Nutzlast zu Totlast günstig stellt, läßt sich im gleichen Schachtquerschnitt unter Beibehaltung der Fördermaschine eine Stundenleistung erreichen, die doppelt so groß wie bei der früher angewendeten Gestellförderung ist. [N 3090] *Pr.*

¹⁾ Glückauf Bd. 65 (1929), S. 690. ²⁾ Z. Bd. 71 (1927), S. 696.

BÜCHERSCHAU

Bücher und Zeitschriften des In- und Auslandes, auch solche nichttechnischen Inhaltes, liefert die VDI-Buchhandlung, Berlin NW 7, Ingenieurhaus (Telegrammanschrift: Ingenieurverlag Berlin; Fernspr.: Zentrum 15204).

Der Verbrennungsvorgang im Gas- und Vergaser-Motor. Von *Wilhelm Endres*. Berlin 1928, Julius Springer. 80 S. m. 29 Abb. Preis 6,80 RM.

Die vorliegende Schrift behandelt zum Teil auf neuen Wegen die Fragen nach der Ausbreitung der Verbrennung im Raume von einer Zündstelle aus und die Wirkungen des verbrannten Gemischteiles auf die unverbrannten Gasteilchen. Die Ausführungen des Verfassers sind deshalb von besonderem Wert, weil die entwickelte Theorie an der experimentellen Erfahrung, die an Bomben- und Motorversuchen gewonnen wurde, nachgeprüft wird.

Die Schwierigkeiten der gestellten Aufgabe werden dadurch etwas gemindert, daß zunächst nur Gasgemische untersucht werden und daß die Wärmestrahlung außer Betracht bleibt. Die physikalischen Vorgänge der Verbrennung werden mathematisch durch die Differentialgleichung der Wärmeleitung erfaßt, wobei das Integral benutzt wird, das das plötzliche Entstehen einer Wärmequelle an einer bestimmten Stelle des Raumes und das Absinken der Temperatur durch Wärmeleitung in die Umgebung versinnbildlicht. Als wesentlich für die Größe der Fortpflanzungsgeschwindigkeit der Verbrennung werden die Temperatur und die Dichte des Gemisches und vor allem die Wirkung ermittelt, die das verbrannte auf das noch unverbrannte Gemisch ausübt. Das Zusammenwirken dieser Verdrängungserscheinung mit der Gestalt des Verbrennungsraumes ist nahegebend für den wirklich zurückgelegten Weg der Flammenfront.

Vergleichsrechnungen an den im Motorenbau praktisch vorkommenden Verbrennungsräumen, an Bomben- und Benzinmotoruntersuchungen zeigen, daß die entwickelte Theorie grundsätzlich die Verbrennungsvorgänge richtig wiedergibt; denn der rechnerisch gefundene Druckanstieg während der Verbrennung stimmt gut mit dem gemessenen Druckverlauf überein.

Im einzelnen enthält die Arbeit zahlreiche Anregungen, die auch für den erfahrenen Forscher von Bedeutung werden können. Die klare mathematische Behandlung des Stoffes und ihre folgerichtige Anwendung auf den Versuch zeigen sehr eindringlich, daß die Forschung nur auf diesem Weg vorwärts gebracht werden kann. Der Leser wird die Gedankengänge des Verfassers mit steigender Aufmerksamkeit verfolgen. [E 2845]

Kurt Neumann

Practical Steelmaking. Von *Walter Lister*. London 1929, Chapman & Hall, Ltd. 413 S. m. 211 Abb. Preis 25 s.

Lister stellt in seinem Buch in gedrängter Form Erfahrungen zusammen, die er in mehr als zwanzigjähriger Tätigkeit in den verschiedenartigen Stahlwerken, wie Bessemer-, Thomas-, Martin- und Elektrostahlwerken, gesammelt hat. Auf Konstruktionseinzelheiten geht er dabei nur soweit ein, wie sie der praktische Stahlwerker unbedingt kennen muß und sie noch zu seinem Aufgabenkreis gehören. Er wendet sich in seinem Buche nicht nur an die in der Praxis stehenden Ingenieure, sondern auch schon an die Studenten und will besonders ihnen die Vorgänge bei der Stahlerzeugung aus der Praxis heraus erklären und ihnen so Einzelheiten vermitteln, zu deren Erkenntnis sie sonst jahrelanger Tätigkeit bedürften.

Er geht in den ersten beiden Kapiteln auf den Bessemer- und Thomas-Prozeß ein, um sich dann viel ausführlicher mit dem sauren und basischen Siemens-Martin-Verfahren zu beschäftigen. Besondere Abschnitte widmet er hierbei dem Duplex-, dem Hoersch- oder Bertrand-Thiel-, dem Monell- und dem Talbot-Verfahren. In den letzten Abschnitten beschäftigt er sich mit der Elektrostahlerzeugung, der Herstellung von Sonder- und legierten Stählen, den Ursachen von Werkstofffehlern und der Möglichkeit ihrer Vermeidung. Das letzte Kapitel behandelt die Erzeugung von Ferrosilizium.

Das Buch ist mit einer großen Zahl guter Skizzen und der Praxis entnommener Abbildungen versehen. Es vermittelt in seiner knappen und kurzen Form so viel Einzelheiten aus der Praxis des Stahlwerkers, wie man sie nirgends zusammengestellt findet und bisher nur durch ein eingehendes Studium aller auf diesem Gebiete führenden Zeitschriften zu erlangen vermochte. Wenn auch manche Einzelheiten und Ansichten, die *Lister* entwickelt, nicht allgemeine Anerkennung finden werden, kann man dem Buch doch nur die weiteste Verbreitung wünschen und es allen, die sich einmal praktisch im Stahlwerk beschäftigen wollen, wärmstens zum genauen Studium empfehlen. [E 2854]

H. Mathesius

Standards and Standardization. Von *Norman F. Harriman*. New York 1928, McGraw-Hill Book Co. 265 S. m. Abb. Preis 3 \$.

Der Verfasser des Buches ist Mitglied namhafter amerikanischer wissenschaftlicher Institute und Verfasser des Werkes „Principles of Scientific Purchasing“. Er gibt im Anfang seines Buches eine anschauliche und reizvolle Schilderung der geschichtlichen Entwicklung von Normen im weitesten Sinne des Wortes und verfolgt ihren Zweck und ihre Wirkung von den geschichtlichen Anfängen über die Hausindustrie, die Zünfte, die Renaissance, die Reformationszeit bis zur systematischen Durchführung und Anwendung von Normen im heutigen Wirtschaftsleben. Im Hauptteil des Buches behandelt er eingehend wichtige Grundsätze der Normung von ihrer wissenschaftlichen, technischen und wirtschaftlichen Seite. Dabei stellt der Verfasser die herstellenden Industrien in den Mittelpunkt seiner Ausführungen, während Landwirtschaft, Bergbau und Verkehrswesen nur gelegentlich erwähnt werden.

Das Buch enthält wertvolle Unterlagen über die Voraussetzungen und die Vorbereitung der Normen, ihre praktische Auswirkung auf moderne Massenfertigung und vereinfachte Warenverteilung und zeigt auch den Zusammenhang der Normungsbewegung mit der gesamten Wirtschaft. Dem Verfasser ist nicht so sehr daran gelegen, eine allumfassende Darstellung der Normungsbewegung zu geben, als vielmehr an einigen Beispielen wesentliche Grundsätze der Normung darzulegen. In weiteren Kapiteln werden die nationalen Normungskörperschaften, die amerikanischen und ausländischen physikalisch-technischen Anstalten besprochen. Hervorzuheben sind die Ausführungen über die Richtung, in der sich die Normungsarbeiten bis jetzt bewegt haben, sowie ihre Aufgaben für die Zukunft, über die meist auf Mißverständnissen beruhenden Widerstände, deren Beseitigung und über die Stellung des Einzelmenschen zur Normung.

Ein Anhang behandelt den Einfluß der Normen auf den Warenbedarf der Regierungsstellen; ein Nachweis des einschlägigen Schrifttums gibt denjenigen, die sich mit dem Thema näher befassen wollen, zahlreiche Quellen. Das Buch *Harrimans* ist meines Wissens das erste und bis jetzt einzige in englischer Sprache erschienene Werk, das die Normung auf so breiter Grundlage behandelt und stellt eine willkommene Ergänzung der entsprechenden deutschen Normungsliteratur dar. [E 2903]

Dr.-Ing. E. h. F. Neuhaus

Technik der Emulsionen. Von *Otto Lange*. Berlin 1929, Julius Springer. 391 S. m. 66 Abb. Preis 49,40 RM.

Dr. *Otto Lange* ist als der Verfasser des weit verbreiteten Werkes „Chemisch-Technische Vorschriften“ bekannt. Das vorliegende Buch ist als die technologische Fortführung des Buches von *Clayton* („Die Theorie der Emulsionen“) gedacht. Der Verfasser stellt sich hier die Aufgabe, die von 1924 bis 1928 erschienenen technischen Veröffentlichungen und die Patentliteratur über Emulsionen zusammenzustellen und zu ordnen. Diese Aufgabe ist gerade bei Emulsionen besonders schwierig, weil die theoretischen Grundlagen dieses Gebietes trotz der großen Fortschritte, die wir den grundlegenden Arbeiten von *Langmuir*, *Harkins*, *Adam* u. a. verdanken, noch keineswegs hinreichend geklärt und gesichert sind, um heute schon eine zuverlässige und erschöpfende Theorie der Bildung und Zerstörung von Emulsionen, der Wirkungsweise der Emulgiermittel und der Stabilisatoren geben zu können.

Lange versucht in der Einleitung und im allgemeinen Teil dieser grundsätzlichen Schwierigkeit Herr zu werden, indem er eine Darstellung mit Hilfe von modellmäßigen Bildern benutzt. Leider sind in dieser anschaulichen, aber natürlich stark vereinfachten Darstellung eine Reihe von Grundbegriffen (wie z. B. Adsorption, Randwinkel u. a.) nicht genügend scharf festgelegt oder mit unzutreffenden Beispielen und Bildern belegt. Sehr dankenswert ist die Zusammenstellung der wichtigsten Emulgiermittel und der maschinellen Einrichtungen zur Erzeugung, Homogenisierung und Zerstörung von Emulsionen. Der spezifische Teil des Buches, der die Emulsionen auf den verschiedenen technischen Gebieten (Industrien der Fette, Mineralöle, Seifen, Lebensmittel, Kautschuk, Harze, Lacke usw.) behandelt, sammelt in dankenswerter Arbeit die bisher weit zerstreuten Unterlagen. Bei der absichtlich verschleiern Darstellung vieler Patentschriften und der oft einseitigen Berichterstattung über technische Verfahren und Erzeugnisse

ist es nicht verwunderlich, daß bei manchen der hier behandelten Industriegebiete, die ein einzelner Verfasser unmöglich vollkommen beherrschen kann, sich wiederholt Fehlurteile im Buche finden. So sind Schmierölemulsionen (Wasser in Dampfzylinderöl) keineswegs geringschätzig zu beurteilen; sie haben vielmehr gerade nach dem Kriege für die Zylinderschmierung an Lokomotiven auch in Deutschland große Bedeutung gewonnen. Ferner geht es nicht an, kolloidale Auflösungen von entaschem Graphit, gewonnen aus Naturgraphit (Kollag, Hydrokollag), die in der praktischen Maschinenschmierung eine wichtige Rolle spielen, ebenso zu bewerten wie rohe Vermischungen von aschenhaltigem, grobem Graphit mit Öl. Sehr vermißt wird schließlich in dem Buch eine Behandlung der Asphalt- und Teeremulsionen (z. B. Colas, Bitumuls, Magnon), die schon heute im Straßenbau von großer technischer Bedeutung sind. [E 2853] *H. Karplus*

Lehrbuch der Physik in elementarer Darstellung. Von *Arnold Berliner*. 4. Aufl. Berlin 1928, Julius Springer. 658 S. m. 802 Abb. Preis 19,80 RM.

Das vorliegende Buch ist als eine Einführung in die Physik gedacht. Der Stoff ist übersichtlich gruppiert und das Auffinden bestimmter Gebiete durch ein umfangreiches, gut durchgebildetes Sach- und Namen-Verzeichnis sehr erleichtert. Gut ausgewählte Bilder, die das Wesentliche schnell erfassen lassen, unterstützen den klaren Text. An jeder Stelle ist Wert auf den Nachweis der Dimensionen gelegt, so daß der Lernende die Begriffe mit Sicherheit aufnehmen wird. Das Vermeiden von langen Ableitungen und das Vermitteln des Stoffes durch Schilderung täglich zu beobachtender Erscheinungen machen das Buch wertvoll für den Ingenieur in der Praxis, der die Physik als Hilfswissenschaft braucht und sich kurz unterrichten will. Dabei wird ihm die durch den Druck hervorgehobene Gruppierung des Stoffes in Abschnitte, welche die grundlegenden Gesetze behandeln, und in solche, die die Anwendung in der Praxis bringen, besonders behilflich sein. Auf diese Weise wird der Leser auch mit der Wirkungsweise einiger in der Technik verwendeter Maschinen und Apparate grundsätzlich vertraut gemacht. Eine etwas eingehendere Behandlung in dieser Richtung wäre wünschenswert gewesen.

Durch die Art der Stoffbehandlung grenzt sich das Buch gegen Handbücher und Nachschlagewerke ab und kommt somit einem wirklichen Bedürfnis nach. Seinen Zweck, dem Lernenden eine schnelle Einführung zu vermitteln und dem Ingenieur eine rasche Orientierungsmöglichkeit zu geben, erfüllt das Buch weitgehend. [E 2868] *Grunwald*

Physik. Ein Lehrbuch für Studierende an den Universitäten und Technischen Hochschulen. Von *Wilhelm H. Westphal*. Berlin 1928, Julius Springer. 536 S. m. 471 Abb. Preis 19,60 RM.

Das Buch, das sich auf die Bedürfnisse der Studierenden einstellt, gibt in ausgezeichneter Weise eine Einführung. Auch für den Selbstunterricht kann es empfohlen werden. Die eingehende Behandlung der Mechanik starrer und verformbarer Körper dürfte das Verständnis für physikalische Gesetzmäßigkeiten besonders fördern. Eine etwas eingehendere Darstellung der Anwendungsmöglichkeiten in der Technik, besonders in den Abschnitten Elektrizität und Wärmelehre, wäre zu empfehlen; sie würde auch das Verständnis für die allgemeinen Gesetze vertiefen. Die Wiedergabe der Gesetze in äußerst übersichtlich zusammengestellten Formeln wird auch von dem Fort-

geschrittenen, der das Gebiet noch einmal überblicken will, als nützlich empfunden werden. Im ganzen gibt das Buch eine glänzende Einführung, die jedem Lernenden empfohlen werden kann, weil sie in gedrängter, aber übersichtlicher Form und klarer Methodik eine Fülle von Stoff vermittelt. [E 2869] *Grunwald*

Die Abwärmetechnik. Von *Hans Balcke*. 3. Bd. München und Berlin 1928, R. Oldenbourg. 242 S. m. 169 Abb. Preis 13,50 RM.

Die Organisation der Wärmeüberwachung in technischen Betrieben. Von *Hans Balcke*. München und Berlin 1928, R. Oldenbourg. 312 S. m. 213 Abb. Preis 17,50 RM.

Der durchlaufende Träger. Von *A. Kleinlogel* und *G. Sigmann*. Berlin 1929, Wilhelm Ernst & Sohn. 184 S. m. 200 Abb. Preis 17 RM.

Jahrbuch der Deutschen Gesellschaft für Bauingenieurwesen. 1928. 4. Rd. Berlin 1929, VDI-Verlag. 227 S. m. 51 Abb. und 7 Taf. Preis 12 RM, für Mitglieder des V. d. I. 10,80 RM.

Der Einfluß von Oberflächenbeschädigungen auf die Eigenschwingungsfestigkeit. Von *W. Zander*. Berlin 1929, NEM-Verlag. 65 S. m. 46 Abb. Preis 5 RM.

Grundlagen und Geräte technischer Längenmessungen. Von *G. Berndt*. Mit einem Anhang von *H. Schulz*. 2. Aufl. Berlin 1929, Julius Springer. 374 S. m. 581 Abb. Preis 43,50 RM.

Land-Kraftschlepper. Herausgeg. im Auftrage der Deutschen Kraft-G. m. b. H. von *Fritz Seidler*. Berlin 1929, Ernst Mittler & Sohn. 266 S. m. 234 Abb. Preis 7,50 RM.

RKTL-Schriften, 3. H.: Kannenwaschmaschinen. Von *H. Schulz*. Hildesheim 1929, Verlag der Molkerei-Zeitung. 91 S. m. 45 Abb. 1,50 RM.

Monographien zur Chemischen Apparatur, 6. Bd.: Wandstärkenberechnung druckbeanspruchter Gefäße aus Schweißstahl-, Flußstahl-, Kupfer- und Aluminiumblech im Apparatebau. Von *Hans Melhardt*. Leipzig 1929, Otto Spamer. 61 S. m. 10 Abb. Preis 8,50 RM.

Die Maschinentechnik in Zuckerfabriken und Raffinerien. 2. T. Von *Karl Schiebl*. Magdeburg 1929, Schallehn Wollbrück. 270 S. m. 141 Abb. Preis 13,50 RM.

Technik und Praxis der Papierfabrikation. Herausgeg. von *Emil Heuser* und *Erich Opfermann*. 1. Bd., 1. T.: Die Geschichte des Papiers. Die Roh- und Halbstoffe. Von *F. von Hössle*, *Korn*, *Friedrich Mosel*, *E. Opfermann* und *Ludwig E. Walter*. Berlin 1929, Otto Elsner. 278 S. m. 149 Abb. Preis 26 RM.

Enkes Bibliothek für Chemie und Technik, 8. Bd.: Kali. 2. T. Von *Ernst Fulda*, unter Mitwirkung von *Otto Krull*, *Paul Krische*, *Willy Gropp*. Stuttgart 1929, Ferdinand Enke. 400 S. m. 109 Abb. Preis 29,50 RM.

Lehrbuch für Installateure und Techniker des Gasfachs. Von *A. Rasche*. Frohe-Elbe 1928, Selbstverlag. 446 S. m. 365 Abb. Preis 8,80 RM.

Praktische Infinitesimalrechnung. Von *F. F. P. Bischoff*. Deutsche Ausgabe, herausgeg. von *Ernst König*, unter Mitwirkung von *E. Trefftz*. Leipzig und Berlin 1929, B. Teubner. 364 S. m. 104 Abb. und 5 Taf. Preis 18 RM.

Wirtschaftlicher Vertrieb, 1. H.: Statistischer Quellen-Nachweis für die Durchführung von Marktanalysen. Herausgeg. von der Fachgruppe „Vertriebsingenieure“ des Vereins deutscher Ingenieure. Bearb. von *A. Reithmeier*. Berlin 1929, VDI-Verlag. 45 S. Preis 3,50 RM, für Mitglieder des V. d. I. 3,15 RM.

Schluß des Textteiles

I N H A L T:

	Seite		Seite
Die neue Schleuse in Ymuiden. Von <i>C. T. C. Heyning</i>	741	Rundschau: Gleichstrom-Doppelmaschinen für 12000 kW	
Physikalische Eigenschaften von Chrom-Eisen- und Vanadium-Eisen-Legierungen	752	— Freiluft-Trennschalter für 220 kV — Feststellung der Dämpfung von Porzellan mittels der Drehausschwingungsmaschine — Über das Monelmetall — Richtlinien für Untersuchungen an Kohlenmühlen — Entwicklung der Kriegsmarinieren im Jahre 1928 — Geschweißte Gesenke — Kleine Mitteilungen	
Aufgaben des Betriebsingenieurs in Heilanstalten. Von <i>Th. Ploppa</i>	753	Bücherschau: Der Verbrennungsvorgang im Gas- und Vergaser-Motor. Von <i>W. Endres</i> — Practical Steelmaking. Von <i>W. Lister</i> — Standards and Standardization. Von <i>N. F. Harriman</i> — Technik der Emulsionen. Von <i>O. Lange</i> — Lehrbuch der Physik. Von <i>A. Berliner</i> — Physik. Von <i>W. H. Westphal</i> — Eingänge	
Die deutsche Maschinenausfuhr	756		
Erziehung zum werkstattgerechten Konstruieren. Von <i>K. Laudien</i>	757		
Der Wärmeübergang beim Kondensieren von Heiß- und Sattdampf. Von <i>M. Jakob</i> und <i>S. Erk</i>	761		
Der Stoßverlust an plötzlichen Erweiterungen in Rohren beim Durchlaß von Gasen und Dämpfen. Von <i>W. Nußelt</i>	763		
Der Busch-Schumann-Projektor, ein Ablesegerät für Brinellsche Kugeleindrücke	764		

ZEITSCHRIFT DES VEREINES DEUTSCHER INGENIEURE

★ SCHRIFTFLEITER: C. MATSCHOSS ★

Id. 73

SONNABEND, 8. JUNI 1929

Nr. 23

Leistungsversuche an Betonmischmaschinen

Von Professor Dr. GEORG GARBOTZ, Berlin

Der Aufsatz stellt die Wiedergabe eines Vortrages in der Jahreshauptversammlung des Deutschen Beton-Vereins dar. Im wesentlichen wird über den betriebstechnischen Teil der Leistungsversuche an Mischmaschinen berichtet und hierbei nach einem geschichtlichen Rückblick unter Aufführung der beteiligten Firmen und Verbände der Zweck der Versuche erklärt; ferner werden die Versuchsgrundlagen, die Vorversuche und die Zusammenstellung der Versuchsergebnisse behandelt. Die wichtigsten Ergebnisse bei der Art der Wasserabmessung, der Eignung der Maschinen für verschiedene Betonsorten, des Einflusses der Größe, der Mischverfahren und Mischorgane, der Trommelfüllung und der Mischgeschwindigkeit werden mitgeteilt. Die Rückschlüsse aus den Aufzeichnungen über Energieverbrauch werden mit den betontechnischen Ergebnissen zu Forderungen für den Aufbau und den Betrieb der Maschinen sowie für die Durchbildung des Mischvorganges, die im wesentlichen dem anschließenden Aufsatz von Prof. Graf vorbehalten ist, verarbeitet. Zum Schluß wird die Forderung nach der Aufstellung von Leistungsregeln erhoben.

Im Sommer des Jahres 1925 wurde im Straßenbau-
maschinen-Ausschuß der Studiengesellschaft für Auto-
mobilstraßenbau bei der Erörterung der für Deutsch-
land brauchbaren Straßenbetonmischer die Frage
aufgeworfen: Welches Mischersystem (insbesondere
Rühr- oder Freifallmischer) eignet sich für die Her-
stellung von Straßenbeton am besten? Der Deutsche
Beton-Verein griff die Frage auf in der Absicht, hierbei
gleichzeitig die Eignung der einzelnen Mischersysteme
in die verschiedenen Betonarten überhaupt festzustellen.
In den folgenden Erörterungen trat eine so große An-
zahl, auch die Allgemeinheit interessierender Fragen auf,
daß man sich entschloß, die Behandlung des ganzen Pro-
blems auf wesentlich breitere Basis zu stellen, um auf
diese Weise auch die Unterstützung des Reichskura-
toriums für Wirtschaftlichkeit und der Notgemeinschaft
für Deutschen Wissenschaft zu erhalten.

Für die Durchführung der Versuche schlossen sich
der Erzeuger in Gestalt des Mischmaschinen-Verbandes
und die Verbraucher, vertreten durch den Deutschen
Beton-Verein, die Studiengesellschaft für Automobil-
straßenbau, den Deutschen Zementbund und die Deutsche
Gesellschaft für Bauingenieurwesen, zusammen, während
das Reichskuratorium für Wirtschaftlichkeit und die Not-
gemeinschaft der deutschen Wissenschaft in großzügiger
Weise öffentliche Mittel zur Bestreitung der Versuchs-
kosten zur Verfügung stellten. Der Mischmaschinen-
verband lieferte die zu untersuchenden Maschinen kosten-
los und stellte die erforderliche Bedienung zur Ver-
fügung. Die Verbraucherverbände stellten teils un-
mittelbar die Rohstoffe, teils haben sie, wie der Deutsche
Beton-Verein und der Deutsche Zementbund, durch ihre
Vertreter, persönlich an den Versuchen mitgearbeitet.
Als Versuchsfeld stellte die Siemens-Bauunion dem For-
schungsinstitut für Maschinenwesen beim Baubetrieb ihren
Prüfplatz in Siemensstadt zur Verfügung. Die Kosten der
etwa 1000 Versuche mit mehr als 5000 Würfeln waren
nicht unerheblich.

Der Zweck der Versuche

Können in folgenden Fragen zusammengefaßt werden:

1. Sind die Mischerbauarten unterschiedlich geeignet für Betonzusammensetzungen verschiedener Konsistenz?

2. Ist die Gleichmäßigkeit der Mischung über die ganzen Mischgutmengen bei allen Ausführungsformen gleich?
3. Wie lang ist für jedes Mischverfahren die kürzeste noch zulässige Mischdauer?
4. Ist die Trockenvormischung wirtschaftlich und technisch gerechtfertigt?
5. Bestehen wesentliche Unterschiede im Mischergebnis bei kleinen und großen Mixern?
6. Wie ändert sich das Mischergebnis bei verschiedenen Drehzahlen und Füllungen?
7. Werden Mischdauer und Festigkeit beeinflusst durch tonige Beimengungen zu den Zuschlagstoffen?
8. Ist die Reihenfolge der Zuschlagstoffe von Einfluß auf das Mischergebnis?
9. Sind die vorhandenen Abmeßeinrichtungen für eine sorgfältige Betonherstellung geeignet?
10. Bestehen wesentliche Unterschiede in der Spieldauer der einzelnen Mischer?
11. Wie weit ist der Energieverbrauch abhängig von dem Mischvorgang?
12. Wie sind die Maschinen betriebstechnisch, also nach ihrem Gewicht, der Bedienungsmöglichkeit, der Zu- und Abfuhr der Rohstoffe, etwaigen konstruktiven Vor- und Nachteile usw. für die Arbeit auf der Baustelle geeignet?

Versuchsgrundlagen

Um eine einheitliche Vergleichsgrundlage zu gewinnen, wurden zunächst alle 30 Mischmaschinen in der gleichen Ausführung, also fahrbar mit Aufzugkasten, Wasserabmeßeinrichtung, teilweise mit zweitem Windwerk (Betonhebewerk) und in zwei Größen mit 150 und 500 l Inhalt von den Fabriken angeliefert, Zahlentafel 1.

Grundsätzlich sollten die Maschinen mit vier Betonzusammensetzungen, und zwar Stampf-, Eisen-, Straßen- und Gußbeton, Zahlentafel 2, untersucht werden. Rüttelproben und Ausbreitmaß unterschieden im wesentlichen darüber, ob die Mischung zur Entnahme von fünf Würfeln $20 \times 20 \times 20 \text{ cm}^3$ für geeignet erachtet wurde. Abgedrückt wurde nach 28 Tagen. Der Energieverbrauch wurde doppelt, mit Zähler und selbstschreibendem Wattmeter, Abb. 1, und die Zeiten mit der Stoppuhr gemessen. Von bemerkenswerten Ar-

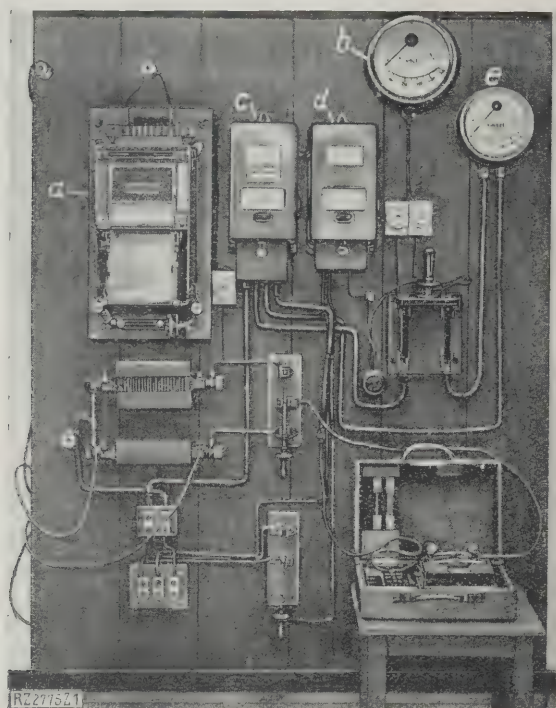
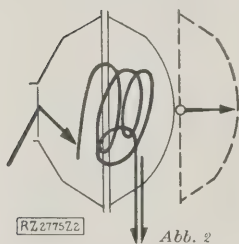
Abb. 1
Meßschrank.a selbstschreibender Wattmesser
b Spannungsmesserc, d Kontrollzähler
e Strommesser

Abb. 2

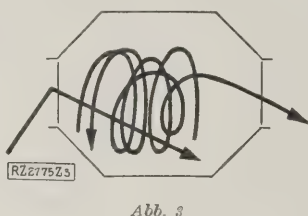


Abb. 3

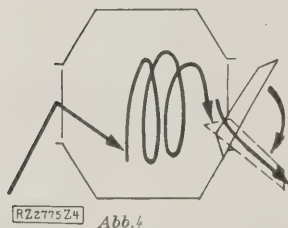


Abb. 4

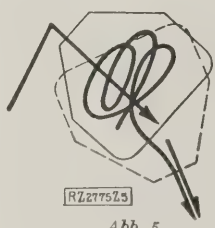


Abb. 5

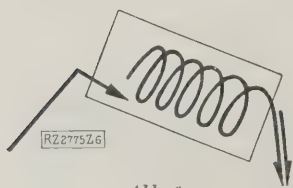


Abb. 6

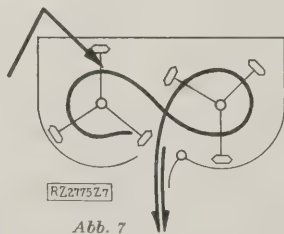


Abb. 7

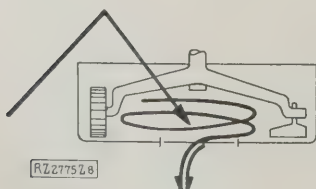


Abb. 8

- Abb. 2. Freifallmischer ohne ausgesprochene Mischschaufeln; Entleeren durch Auseinanderziehen der Trommelhälften.
Abb. 3. Freifallmischer mit Mischschaufeln; Entleeren durch Ändern der Drehrichtung.
Abb. 4. Freifallmischer mit Mischschaufeln; Entleeren durch Einschwingen.
Abb. 5. Freifallmischer mit Mischschaufeln; Entleeren durch Kippen der Trommel.

- Abb. 6. Freifallmischer; ununterbrochener und Abfluß des Mischgutes.
Abb. 7. Zwangsmischer mit waagrechtm Rührwerk und Doppeltrög. Entleeren mittels Bodenklappe.
Abb. 8. Zwangsmischer mit senkrechtem Rührwerk und Kollergang. Entleeren mittels Bodenklappe.

Zahlentafel 1

Aufstellung der beteiligten Firmen und Fabriken

Firma	Ort	Mischsystem	Füllum 500 l	1
Gustav Baader & Co. Ges. m. b. H.	Feuerbach/Stuttg.	Freifallmischer		
Draiswerke Ges. m. b. H.	Mannheim-Waldh.	"	1 St.	
Gustav Eirich Ges. m. b. H.	Hardheim/Nordbad	Zwangsm. senkr. m. Koller		
Wolff Netter- u. Jacobi-Werke	Leipzig-Paunsdorf	Freifallmischer	1 "	
Eschrich & Schlüter G. m. b. H.	Berlin	kontinuierlicher Mischer		
Dr. Gaspary & Co.	Markranstädt bei Leipzig	Freifallmischer		
Gauhe, Gockel & Cie.	Oberlahnstein am Rhein	Zwangsm., waagr. u. Freifallmischer	1 u. 2 "	
Internationale Baumasch. A.-G. (Ibag)	Neustadt a. d. Haardt	Freifallmischer		1 St. zu
Otto Kaiser Klöcknerwerke	St. Ingbert/Pfalz Osnabrück	"	1 "	
Karl Peschke Deutsche Baumasch.-Ges. Rammer & Co.	Zweibrücken Mügeln/Leipzig	Zwangsm. senkr. m. Koller	1 "	
G. Anton Seelmann & Söhne	Neustadt/Orla	Freifallmischer	1 "	
Hüttenamt Sonthofen	Sonthofen/Bay.	kontinuierlicher Mischer	1 "	
Technik u. Handel Hermann Ulrich	Neuwied	Zwangsm. waagr.	1 "	
Joseph Vögele A.-G.	Eßlingen Mannheim	"	1 St. u. 1 zu 750 l	
Allgem. Baumasch.-G. m. b. H.	Leipzig	Freifallmischer	1 St.	

beitsvorgängen, besonders auffälligen Mischergebnissen u. a. wurden photographische oder Filmaufnahmen gemacht.

Vorversuche

Durch ausgedehnte Vorversuche an sieben Vertretern der verschiedenen Mischerbauarten, Abb. 2 bis 8, sollte in erster Linie die Frage des zeitlichen Wasserzusatzes sowie der Mischzeit geklärt werden. Hierzu wurden drei Versuchsreihen mit vier bis zu verschiedenen Mischzeiten durchgeführt:

- Mischzeiten: 10 + 35, 20 + 55, 45 + 75 und 80 + 120 s, wobei jeweils 10, 20, 45 und 80 s trocken vorgemischt, dann das Wasser zugesetzt und während des Restes der Zeit naß nachgemischt wurde.
- Mischzeiten: 35, 55, 75, 100 und 120 s, wobei die Trockenvormischung wegfiel und man die hieraufgewandte Zeit einsparte; das Wasser wurde bei verkürzten Mischzeiten gleichzeitig mit dem Mischgut in die Trommel aufgegeben.
- Mischzeiten: 35, 55, 75, 100 und 120 s; wie Versuchsreihe b), nur wurde das Wasser vor dem Mischgut in die Trommel eingelassen.

Als Typenmischer wurden folgende 500 l-Fabrikate gewählt:

- Doppeltrogmischer des Bayerischen Hüttenamts Sonthofen,
- Originalmischer der Allgemeinen Baumaschinen-Gesellschaft Leipzig,
- Maschinenfabrik Otto Kaiser, St. Ingbert/Pfalz,
- Karl Peschke, Zweibrücken,
- kontinuierlicher Mischer, Type „ver Mehr“ von Escherich & Schlüter,
- Rex-Mischer der Firma Gauhe, Gockel & Cie., G. m. b. H., Oberlahnstein,
- Kollergangmischer der Klöcknerwerke, Osnabrück.

Auf Grund der Ergebnisse dieser Versuche wurde beschlossen, von der Fortsetzung der Gußbetonversuchsreihen abzusehen, da sich herausstellte, daß

Abb. 2 bis 8

Aufgeben, Durchgang und Entleeren des Mischgutes bei sieben grundlegenden Mischerbauarten.

Zahlentafel 2
Betonzusammensetzungen

Eisenbeton
500 l: 340 kg Sand, 840 kg Kies, 105 kg Zement, ergibt 300 kg m³ Gew. d. fertigen Betons. Wasserzusatz einschl. Feuchtigkeit der Zuschlagstoffe 70 l = 8,94 vH der Gewichtsteile, Wasserzementfaktor $w = 0,68$, Konsistenz weich; Ausbreitmaß 46 cm.
50 l: 102 kg Sand, 102 kg Kies, 31 kg Zement, 21 l Wasser.

Stampfbeton
500 l: 370 kg Sand, 370 kg Kies, 58 kg Zement, — 150 kg/m³ Gew. d. fertigen Betons. Wasserzusatz 46 l = 5,75 vH, $w = 0,794$, Konsistenz erdfeucht.
50 l: 111 kg Sand, 111 kg Kies, 17,5 kg Zement.

Straßenbeton
500 l: 250 kg Sand, 380 kg Basaltsplitt von 5 bis 35 mm, 125 kg Zement, — 400 kg/m³ Gew. d. fertigen Betons. Wasserzusatz 66 l = 0,74 vH; $w = 0,53$, Konsistenz plastisch, Ausbreitmaß 35 cm.
150 l: 75 kg Sand, 114 kg Splitt, 37,5 kg Zement.

Gußbeton
500 l: 338 kg Sand, 338 kg Basaltsplitt von 5 bis 50 mm, 70 kg Zement, — 180 kg/m³ Gew. d. fertigen Betons. Wasserzusatz 77 l = 10,3 vH, $w = 1,10$, Konsistenz flüssig, Ausbreitmaß 55 cm.

Festigkeitsunterschiede für Gußbeton bei verschiedenen Mischern und Mischzeiten sich in so engen Grenzen bewegen, daß man, technisch und wirtschaftlich gesehen, behaupten kann, Gußbeton läßt sich in jedem Mischer bei einer Mischzeit von nur 45 s verarbeiten.
Ein zweiter weit wichtigerer Umstand war die Folgerung, die sich aus den Vergleichsversuchen zwischen „Trockenvormischung“, „Wasserzusatz gleichzeitig mit den Mischstoffen unter Einsparung der Trockenmischzeit“ und „Wasserzusatz vorab“ ergab. Es zeigte sich nämlich, daß wesentliche Festigkeitsunterschiede zwischen den drei verschiedenen Formen des Mischvorganges nicht vorhanden sind, Abb. 9. Die überlieferte Anschauung von der Bedeutung der Trockenvormischung muß man daher als überholt betrachten; gleichzeitig kann man die Trockenvormischzeit bei der Gesamtmischzeit ohne Schaden sparen.

Weiter lassen die Vorversuche erkennen, daß die bisher, insbesondere behördlicherseits, geübte Praxis, die Mischzeiten stark zu verlängern, weder technisch noch wirtschaftlich zu rechtfertigen ist. Vielmehr deuten die Festigkeitszahlen darauf hin, daß für Stampf-, Eisen- und Gußbeton eine wesentliche Zunahme der Festigkeit bei einer Mischzeit von mehr als 60 s, bei Straßenbeton von mehr

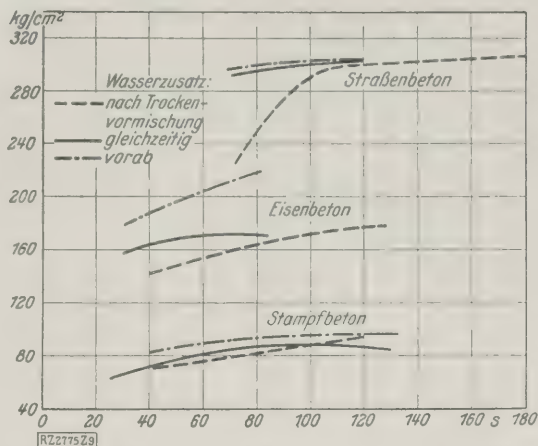


Abb. 9
Festigkeiten in Abhängigkeit von der Art des Wasserzusatzes.

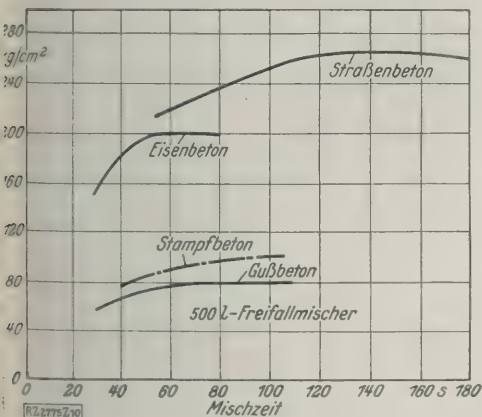


Abb. 10

Abb. 10 bis 13
Festigkeiten in Abhängigkeit von der Zeit.

Wasserzusatz:
--- nach Trockenvormischung
— gleichzeitig
--- vorab

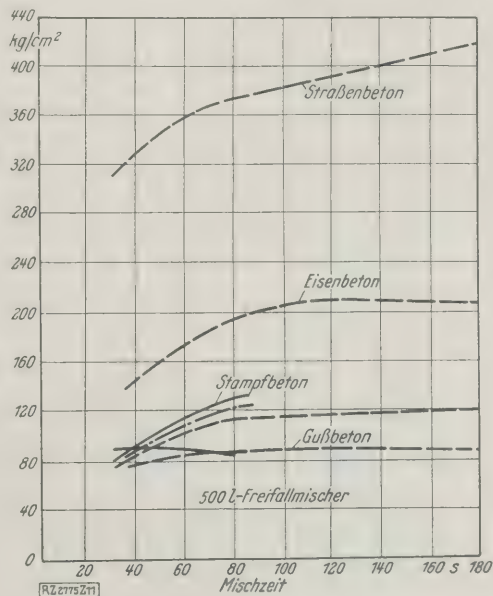


Abb. 11

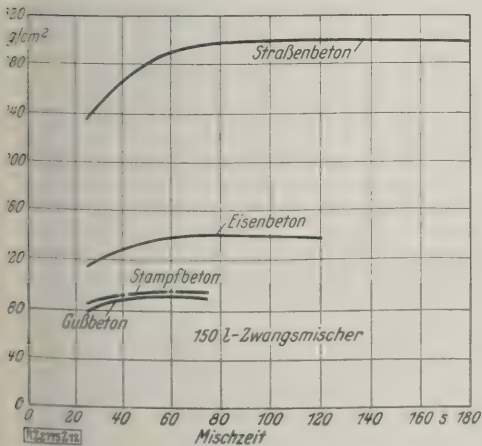


Abb. 12

Abb. 10
500 l-Freifallmischer.

Abb. 11
500 l-Freifallmischer.

Abb. 12
150 l-Zwangsmischer.

Abb. 13
150 l-Freifallmischer.

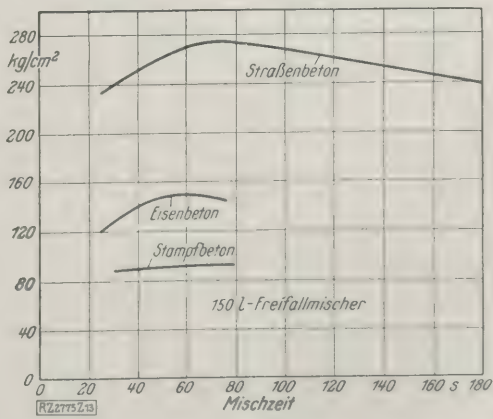


Abb. 13

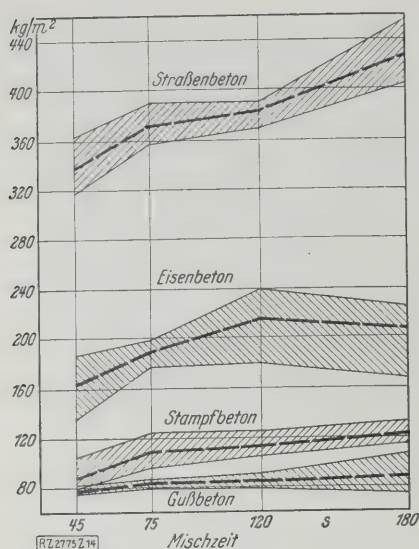


Abb. 14
Druckfestigkeiten der verschiedenen
Betonarten mit Streuung.

Abb. 14 bis 18
Aus den Maschinenprotokollen.
Festigkeiten, abhängig von der
Mischzeit.

Abb. 15 und 16
Einfluß der Wasserzugabe.

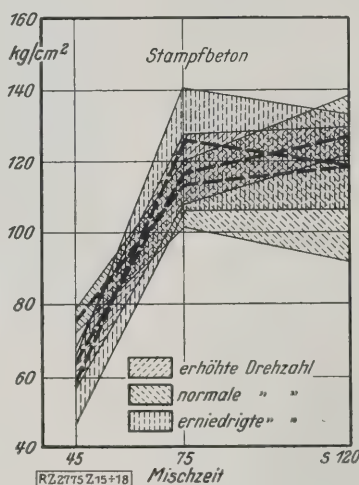
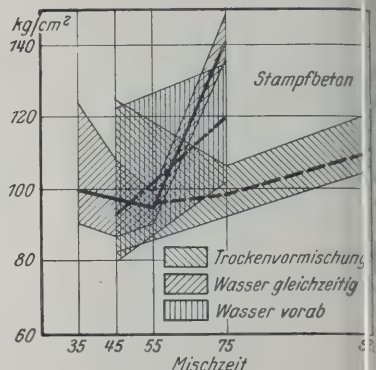
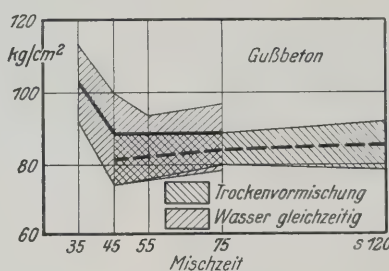


Abb. 17. Einfluß der Drehzahl.

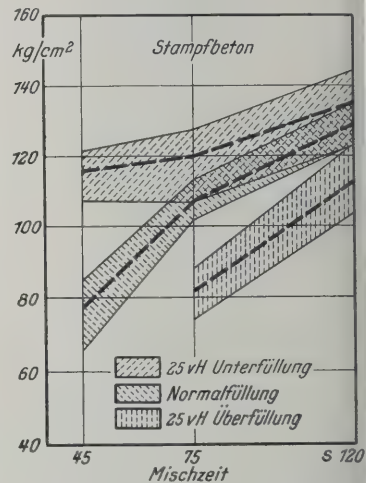


Abb. 18. Einfluß der Füllung.

als 90 s nicht mehr eintritt, Abb. 10 bis 13. Es wurden daher die Normalversuche mit den vorher unter b) genannten Mischzeiten durchgeführt und dabei gerade der Frage der Mischzeit bei ihrer großen wirtschaftlichen Bedeutung das besondere Augenmerk zugewandt.

Neben die Normalversuche trat sodann eine große Anzahl von Zusatzversuchen, um den Einfluß einer Über- und Unterfüllung in der Trommel, einer Erhöhung oder Verminderung der Drehzahl des Mischorgans, von tonigen Beimengungen, einer verschiedenen Schichtung der Zuschlagstoffe, eines geänderten Zementgehaltes usw. festzustellen. Das gleiche gilt von den Kontrollversuchen, die in großer Zahl zu den verschiedensten Zeiten durchgeführt wurden, um über die Treffsicherheit der Ergebnisse ein einwandfreies Bild zu gewinnen.

Zusammenstellung der Versuchsergebnisse

Alle Versuchsergebnisse für die einzelne Maschine sind in einem umfangreichen Maschinenprotokoll zusammengefaßt, das etwa folgende Einzelheiten enthält:

1. Eine Zusammenstellung aller bei den Versuchen unmittelbar anfallenden Zahlenwerte sowie die daraus gezogenen Mittelwerte.

Die Zusammenstellung ist aufgeteilt in:

- a) die Zahlenreihe der Beobachtungsverhältnisse, an Hand deren eine Kritik der gewonnenen Festigkeitswerte durchgeführt worden ist,
- b) die Zeiten für die Gesamt- sowie die Teilvorgänge des Arbeitspiels, wie Aufziehen, Mischen, Entleeren, um so die Einflüsse auf die Spieldauer festzustellen,
- c) die Energieverbrauchszahlen für Leerlauf und Belastung, in der gleichen Weise unterteilt, um den Anteil insbesondere des Mischens und des Aufziehens am Gesamtenergieverbrauch der Maschine beurteilen sowie den Arbeitsaufwand der verschiedenen Systeme (Zwangs- oder Freifallmischer) für den Mischvorgang vergleichen zu können,
- d) den normalen mittleren und höchsten Kraftbedarf der Maschinen, um so einen Einblick in die Ab-

nutzungs- und Antriebverhältnisse zu bekommen und die richtige Bemessung der Motoren zu ermöglichen,

e) die Raumgewichte, Druckfestigkeiten, Streuung der Betonwürfel, die die Grundlage aller Schlüsse aus den Versuchen bilden.

2. Die graphische Darstellung der Energieaufnahme für verschiedene Betonsorten und Mischzeiten und der Druckfestigkeiten, Abb. 14. Dazu treten für die Zusatzversuche in den erweiterten Maschinenprotokollen Schlinien der Energieaufnahme und der Festigkeiten verschiedenen Drehzahlen, bei verschiedenen Füllungen und bei verschiedener Wasserzugabe, Abb. 15 bis 18.

Von jedem Mischspiel sind Wattmeteraufzeichnungen vorgenommen worden, um die Arbeitsweise der Maschine genauestens zu erfassen. Eine Kritik vom betriebstechnischen Standpunkt schließt sich an.

Wasserzumessung

Bei 99 vH aller Mischmaschinen kann von einer nur einigermaßen einwandfreien Wasserzumessung kaum die Rede sein, Abb. 19. Es wurde deshalb nach eingehenden Vorversuchen die Abmeßvorrichtung von Vogelsam, Abb. 20, die mit einer Meßgenauigkeit bis 0,5 vH arbeitet, bei sämtlichen Versuchen benutzt. In gewünschte Wassermenge wird durch den veränderlichen Inhalt eines mit einem beweglichen Kolben versehenen Zylinders durch eine Schraubenspindel mittels eines Handrades nach einer geeichten Einteilung eingestellt. Bei den handelsüblichen Wasserabmeßeinrichtungen eine zahlenmäßige Zumessung einer bestimmten Menge Litern nach Bedarf nicht möglich. Man kann zwar mit den üblichen Einrichtungen einer Mischmaschine in den Grenzen der den Einrichtungen anhaftenden Ungenauigkeiten die gleiche Menge wie bei einer früheren Mischung einstellen; man kann aber nicht sagen, wieviel Liter Wasser nun der Mischung zugeführt werden. Bei den kontinuierlichen Mixern eine zählende, also ununterbrochen arbeitende Wasserabmeßeinrichtung nötig. Ein dritter schwacher Punkt

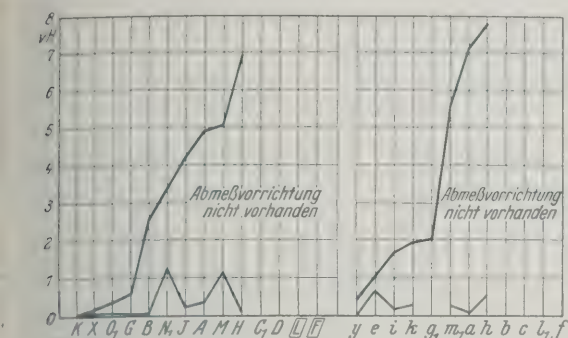


Abb. 19
Wasserzumeßvorrichtung, obere und untere Fehlergrenze.

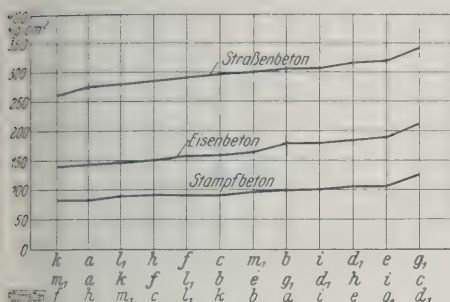


Abb. 21 und 22
Festigkeiten der verschiedenen Betonarten bei Verwendung der verschiedenen Mischer.

Abb. 21 (links)
150 l-Mischer.

Abb. 22 (rechts)
500 l-Mischer.

st der Wasserabfluß. Die in diesen Versuchen ermittelten erheblich kürzeren Mischzeiten bedingen eine Wasserzuführung, die eine möglichst rasche Durchmischung gewährleistet.

Die Güte der Mischmaschinen

Die Frage: welcher Mischer ist nun der beste? ist, angesehen von den Schwierigkeiten, die den Veranstaltern entstehen würden, nicht so einfach zu beantworten. Es wurde auch, um den Einzelnen vor wirtschaftlichen Nachteilen zu schützen, ein Geheimschlüssel für die Bezeichnung der Maschinen gewählt und die Beteiligten unbedingtem Stillschweigen verpflichtet. Jede Fabrik nennt so die Ergebnisse für ihre eigenen Maschinen und deren Lage zu anderen, um die Rückschlüsse für die Weiterentwicklung ihrer Erzeugnisse ziehen zu können; sie weiß aber nicht, wer die Nachbarn nach oben und nach unten, wer die besten und die schlechtesten in den Zusammenstellungen sind. Auch aus rein sachlichen Gründen ist eine Antwort nicht so einfach zu geben. Neben die Wertung der reinen Festigkeitszahlen tritt eine solche der Güte der Wasserabmeßeinrichtungen, der Spielraum, der Energieverbrauchszahlen, der Abnutzgröße, der betriebstechnischen Eignung und nicht zum wenigsten der Gewichte und damit der Preise.

In Anbetracht dieser Schwierigkeiten wurde vorerst davon abgesehen, eine Wertungsskala für das Gesamtergebnis aufzustellen. Selbst aus den Festigkeitswerten ist keine bestimmte Reihenfolge in der Güte der Maschinen ersichtlich. Es stehen nicht etwa die Versuchsergebnisse eines Fabrikates durchweg an oberster Stelle, sondern Maschinen, die vielleicht bei Eisenbeton hervorragende Festigkeiten erzielt haben, stehen bei Stampfbeton an unterster Stelle u. a. Das bedeutet aber, daß die Mischerbauarten unterschiedlich für die verschiedenen Betonsorten geeignet sind, Abb. 21 und 22. Die Bauunternehmer haben aber im Gegensatz zu den Betonwarenfabriken keinen Vorteil von Spitzenwerten für eine Betonart, sondern müssen den größeren Wert auf gleichmäßige Mittelergebnisse legen.

Mischverfahren und Mischorgan

Unter Freifallmischer sind all die Mischer zu verstehen, bei denen in mehr oder minder freiem Fall das durch die Trommel mit hochgenommene Gut durcheinander geworfen und dabei die Mischwirkung erzielt wird, Abb. 23, während beim Zwangsmischer, Abb. 24,

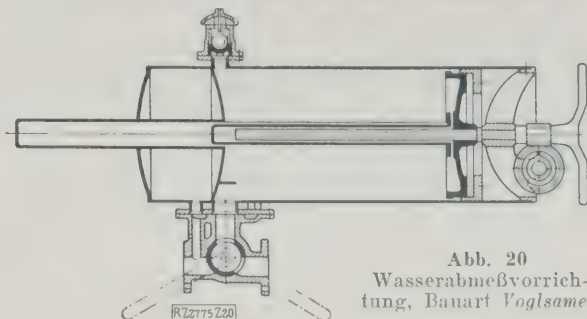
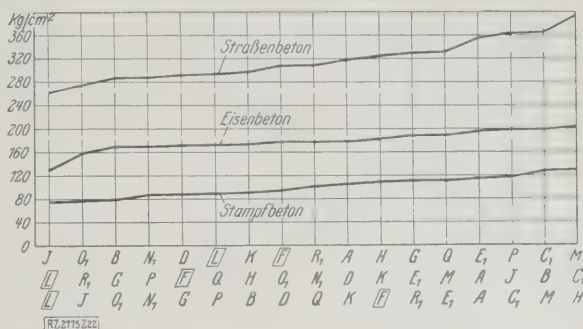


Abb. 20
Wasserabmeßvorrichtung, Bauart Voglsamer.



Es bedeuten:
kleine Buchstaben 150 l-Mischer,
große 500 l-Mischer,
mit Zeiger 1 "Zwangsmischer",
ohne Zeiger Freifallmischer,
umrahmte Buchstaben kontinuierliche Mischer.

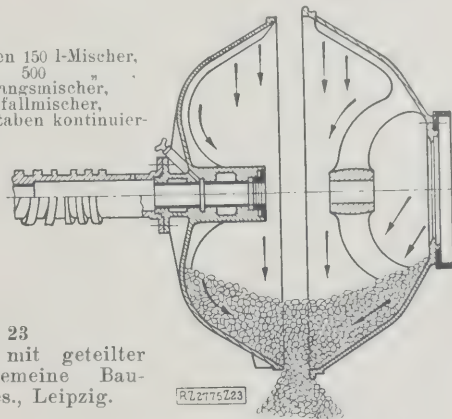


Abb. 23
Freifallmischer mit geteilter Trommel, Allgemeine Baumaschinen-Ges., Leipzig.

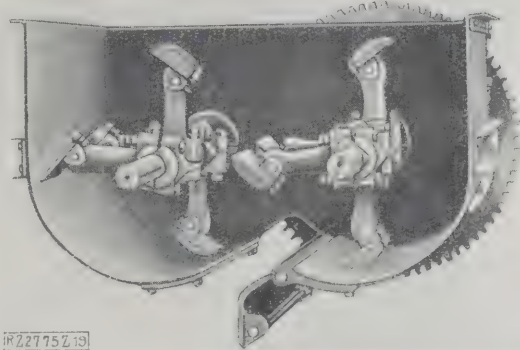


Abb. 24
Zwangsmischer mit Doppelführwerk, Bayrisches Hüttenamt Sonthofen.

ein waagerechtes oder senkrechtes Rührwerk das in einem Trog befindliche Mischgut durcharbeitet. Aus Abb. 17 und 22 sieht man, daß zunächst ganz allgemein weder zu Gunsten des einen noch des anderen Mischverfahrens eine ausgesprochene Tendenz in den Festigkeitsergebnissen vorliegt. Dabei ist selbstverständlich abzusehen von dem Verhalten beider Verfahren bei der Verarbeitung von fettem Kalkmörtel, eine Untersuchung, die noch bei ihrer Bedeutung für den Hochbau geplant ist.

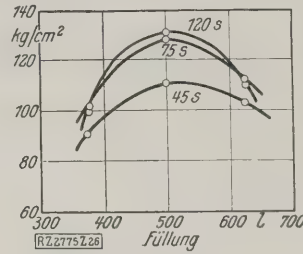
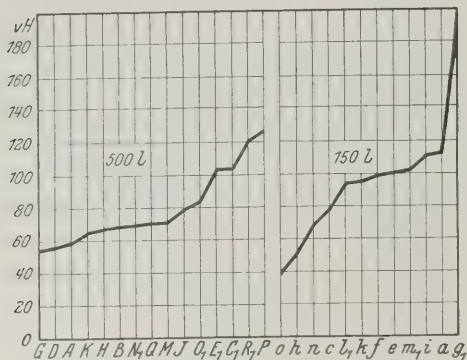


Abb. 26 und 27
Festigkeit in Abhängigkeit von der Füllung.

Abb. 25 (links). Verhältnis vom Wasserinhalt des
Mischbehälters zur Nennfüllung der Maschine.

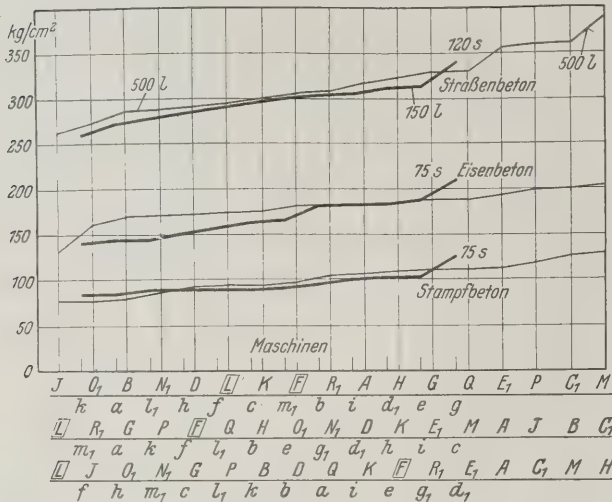


Abb. 28. Vergleich der mit Mixchern von 150 l und 500 l
Inhalt erzielten Festigkeiten.

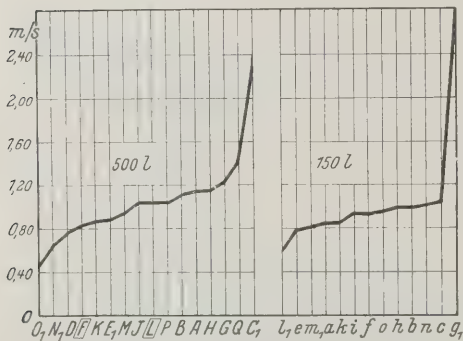


Abb. 29
Größte Um-
fangsgeschwin-
digkeit des
Mischorgans.

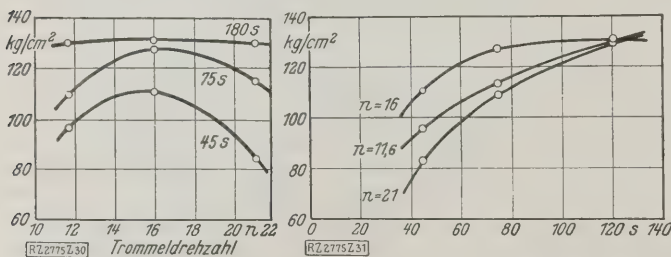


Abb. 30 und 31
Festigkeit in Ab-
hängigkeit von
der Drehzahl.

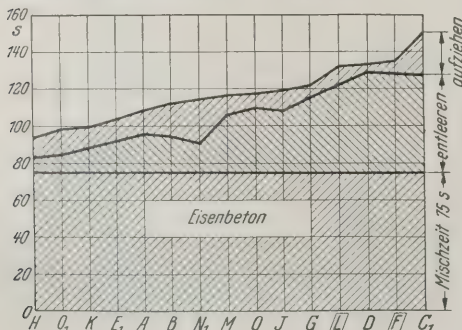


Abb. 32 und 33
Spieldauer und Entleerzeiten
des Mixers mit 500 l Inhalt
bei Straßen- und Eisenbeton.

Ebenso ließ sich bereits hier wenigstens in bezug auf die Festigkeiten ein Überblick über die Eignung des kontinuierlichen Mischverfahrens für Bauzwecke gewinnen. Die Festigkeiten liegen für Stampfbeton nicht schlecht. Für die anderen Betonsorten doch wohl so, daß man mit einer Weiterentwicklung des Verfahrens rechnen darf. Über die z. Zt. noch bestehenden betrieblichen Schwierigkeiten soll im Zusammenhang mit der Beurteilung berichtet werden.

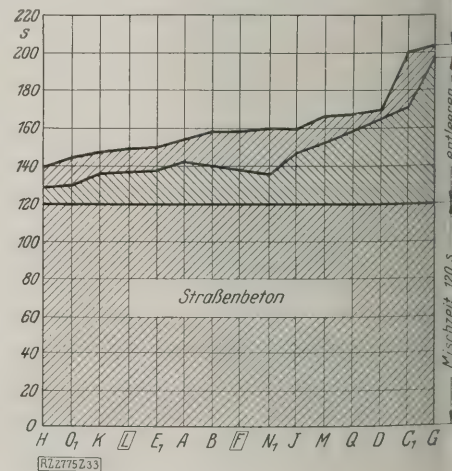
Von wesentlich größerem Einfluß als die Wahl des Mischverfahrens ist aber nun im einzelnen die Ausbildung der Mischorgane selbst. So kann wohl ausgesprochenen Gußbeton-, Stampfbeton- oder andere Schaufeln bei Freifallmischern gesprochen werden, wo der Konstrukteur Spitzenwerte für bestimmte Betonarten erzielen will. Zu kurze Trommellängen, etwa gar keine Verbindung mit falsch durchgebildeten Schaufeln, können sowohl den Mischvorgang wie vor allem das Entleeren insbesondere bei den Mixchern mit axialem Durchgange sehr ungünstig beeinflussen. Es ist auch verkehrt, die Mischschaufel eine solche Form zu geben, daß das Material sofort von der Einlauf- auf die Entleerseite wandert und sich dort zusammenhängt.

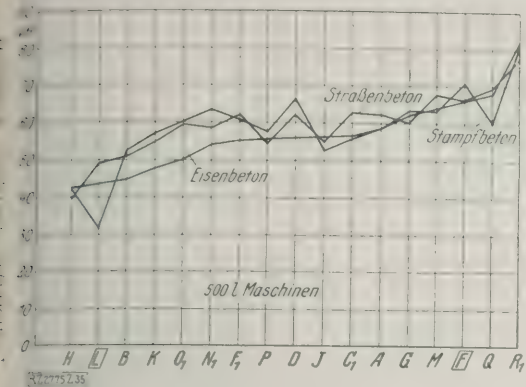
Füllung der Trommel

Der Deutsche Beton-Verein hat gemeinsam mit dem Mischmaschinen-Verband die Füllungen mit 75, 150, 375, 500, 750 und 1000 l genormt. Der Rauminhalt der Mischtrommel oder Trog muß zur Füllung in einem gemessenen Verhältnis stehen, Abb. 25. Hier sind bei einzelnen Bauarten erhebliche Unterschiede vorhanden. Wie sich dann die Festkeitszahlen bei Über- oder Unterfüllung ändern können, zeigen Abb. 26 und 27. Man muß also vor der auf den Baustellen oft geübten Praxis, die Trommel höher zu beschicken, als ihrer Nennfüllung entspricht, nicht eindringlich genug warnen. Die Hauptaufgabe, daß der große Mischer besser mischt als der kleine, ist falsch, Abb. 28.

Mischgeschwindigkeit

Wohl die gleiche Bedeutung wie der Form der Mischorgane und der Größe des Mischraumes kommt der richtigen Wahl der Mischgeschwindigkeit zu, we-





nuch keinesfalls etwa eine Proportionalität zwischen dieser und der Festigkeit vorhanden ist. Bei den ausgeführten Maschinen sind recht erhebliche Unterschiede vorhanden, Abb. 29. Im allgemeinen kann man die gewählte Größe als richtig bezeichnen. Wie nachteilig sich aber eine Vermehrung oder Verminderung auswirken kann, zeigen Abb. 30 und 31. Man muß also auf den Baustellen das Einhalten der vorgeschriebenen Drehzahlen sorgfältig beachten. Die Hoffnung, auf dem Wege der Erhöhung der Mischgeschwindigkeit eine Abkürzung der Spieldauer und damit eine größere Stundenleistung zu erzielen, muß man als abwegig bezeichnen. Andererseits zeigt die Nebeneinanderstellung der Spieldauern der einzelnen Maschinen bei gleich gehaltenen Mischzeiten, wie wenig Aufziehen und Entleeren die Dauer des Arbeitspieles beeinflussen. Abb. 32 und 33. Die etwa erzielbaren Ersparnisse, die sich nur beim Entleeren auswirken können, dürften sich nur in den Grenzen von 15 bis 20 s bewegen, also bei 60 s Mischzeit nicht mehr als 20 bis 30 vH ausmachen.

Energieaufnahme und Kraftbedarf

Wenn auch der Energieanteil bei den Erzeugungskosten des Betons nicht mehr als höchstens 0,5 bis 1 vH ausmachen dürfte, so hat gerade die Feststellung der Energieaufnahme sowie des mittleren und größten Kraftbedarfs mit Hilfe eines selbstschreibenden Wattmeters einen recht anschaulichen Einblick in den konstruktiven Aufbau der Mischer ermöglicht, Abb. 34. Nur hierdurch war man wiederholt in der Lage, den Maschinenfabriken

Abb. 35 und 36
Mischaufwand und Kraftbedarf der 500 l-Mischer in Abhängigkeit von der Betonart.

Abb. 34
Energieaufnahme der Mischer mit 500 l Inhalt; Mischzeit bei Eisenbeton 75 s, bei Straßenbeton 120 s.

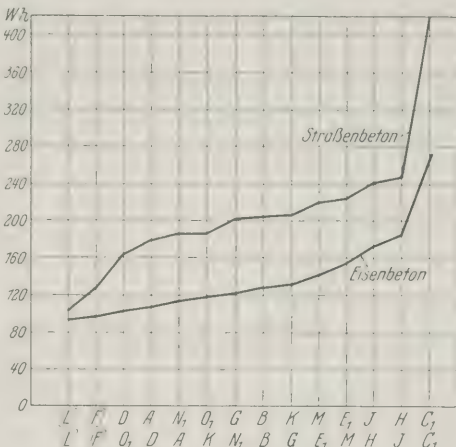


Abb. 37
Kraftbedarf der Mischer für 500 l Inhalt für Mischen, im Mittel und im Höchstfall.

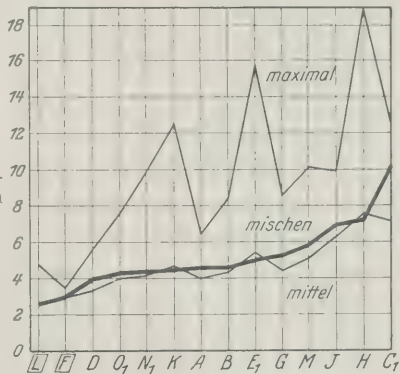


Abb. 38 bis 43. Einfluß der Aufzugsgeschwindigkeit, der Entleerung und der Anordnung der Mischschaufeln auf den Energieverbrauch bei Zwangsmischern.

Abb. 38 bis 40

Einlauf des Mischgutes quer zur Mischachse.

- Abb. 38. Aufzugsgeschwindigkeit richtig; Entleerungszeit kurz, günstig; Anordnung der Mischschaufeln günstig.
- Abb. 39. Aufzugsgeschwindigkeit zu gering; Entleerungszeit lang; Anordnung der Mischschaufeln noch brauchbar.
- Abb. 40. Aufzugsgeschwindigkeit zu hoch; Entleerungszeit kurz; Anordnung der Mischschaufeln ungünstig.

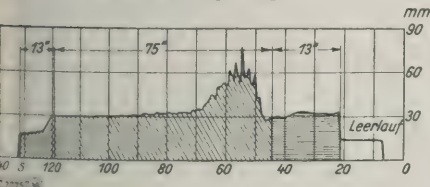


Abb. 38

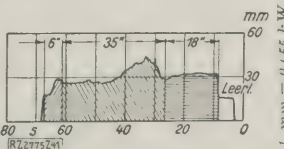


Abb. 41

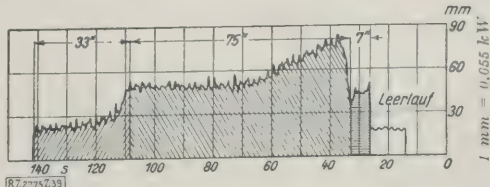


Abb. 39

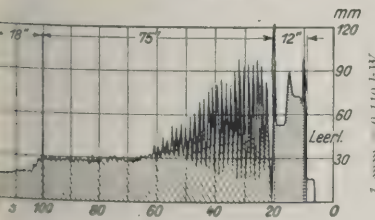


Abb. 40

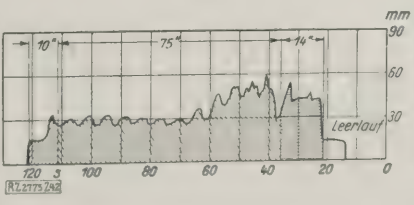


Abb. 42

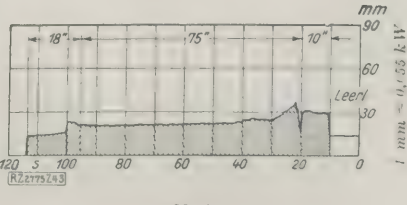


Abb. 43

Abb. 41 bis 43

Einlauf des Mischgutes parallel zur Achse.

- Abb. 41. Aufzugsgeschwindigkeit richtig. Entleerungszeit sehr kurz. Anordnung der Mischschaufeln günstig.
- Abb. 42. Aufzugsgeschwindigkeit etwas hoch. Entleerungszeit kurz. Anordnung der Mischschaufeln noch brauchbar.
- Abb. 43. Aufzugsgeschwindigkeit richtig. Entleerungszeit kurz. Anordnung der Mischschaufeln gut.

- aufziehen
- mischen
- entleeren

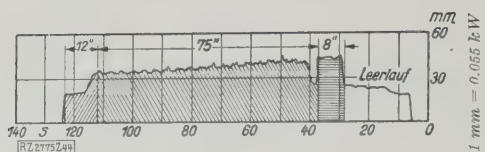


Abb. 44

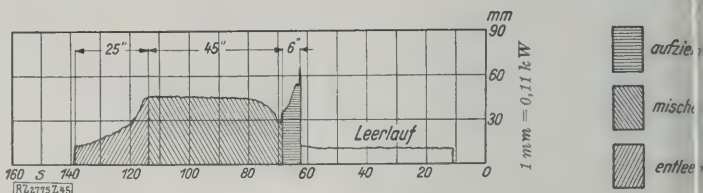


Abb. 45

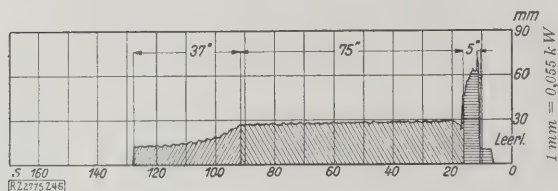


Abb. 46

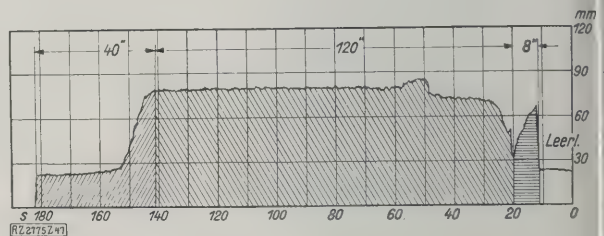


Abb. 47

Abb. 44 bis 47

Einfluß der Aufzugsgeschwindigkeit und Entleerungszeit auf den Energieverbrauch bei Freifallmischern.

A Aufzugsgeschwindigkeit B Entleerungszeit

Abb. 44. Maschine günstig abgestimmt. A richtig; B kurz.

Abb. 45. A etwas hoch; B lang.

Abb. 46. A zu hoch; B zu lang.

Abb. 47. A zu niedrig; B zu lang.

Anregungen zur Abstellung verhältnismäßig leicht behebbarer Mängel zu geben.

Die Ordnung der Maschinen nach der Größe der Energieaufnahme zeigt zunächst die große Überlegenheit des kontinuierlichen Mischvorganges, Abb. 34. Die Schaulinien zeigen auch, daß der vielfach behauptete höhere Energieverbrauch der Zwangsmischer gegenüber den Freifallmischern keineswegs grundsätzlich auf dieses Mischverfahren zutrifft, da Aufziehen und Entleeren den Vorgang stark beeinflussen. Bemerkenswert wird das Bild, wenn wir den Energieaufwand für das Mischen allein betrachten, der in überraschender Parallelität zur Festigkeit steht, und wenn wir dann den Begriff des sogenannten Mischaufwandes, d. h. das Verhältnis von reinem Energieverbrauch für den Mischvorgang zum Gesamtaufwand des Arbeitspieles bilden, Abb. 35 und 36. Man könnte hier geradezu von einem Wirkungsgrad sprechen, wenn man Mischaufwand und Festigkeitsergebnis in Beziehung zueinander setzt. Gleichzeitig läßt sich feststellen, daß der Energieaufwand auf 1 m³ Beton im Mittel bei allen Maschinen bei etwa 0,5 kWh liegt.

Mittels einer Gegenüberstellung von mittlerem und größtem Kraftbedarf, Abb. 37, gewinnen wir einen Einblick in die dauernden Betriebsstöße, denen eine Maschine ausgesetzt ist, und können daraus Rückschlüsse auf die Abnutzung ziehen. Je höher die stetigen Spitzen, desto nachteiliger müssen sie sich im Triebwerk auswirken. Auch die Antriebverhältnisse werden offensichtlich hierdurch beeinflusst. Zwar spielen die Stromstöße beim Elektromotor keine große Rolle, aber der Verbrennungsmotor, der nur eine sehr geringe Kraftreserve aufweist, wird bei starken Belastungsstößen unnötig kräftig und damit schwer und teuer.

Der Einfluß irgendwelcher konstruktiver Eigentümlichkeiten oder Mängel spiegelt sich im Schaubild deutlich wieder, Abb. 38 bis 40. Eine geschickte Schaufelform und ein richtig gewählter Eingriff der Rührwerkarme läßt eine nahezu gleichmäßige Belastung des Antriebsmechanismus auch bei Zwangsmischern erreichen, Abb. 41. Der Einfluß der Aufzugsgeschwindigkeit ist von größter Wichtigkeit. Wird sie zu groß gewählt, so zwingen die Aufzugspitzen zu einer Überbemessung des Antriebsmechanismus, Abb. 40. Ist sie zu klein, Abb. 39, so wird der an und für sich für den Mischvorgang zu bemessende Motor nicht voll ausgenutzt. Sogar die Zahl der Durchwürfe des Mischgutes läßt sich genau ablesen, Abb. 44 bis 47, ebenso wie man mit Hilfe des selbstschreibenden Wattmeters deutlich die Folgen einer unregelmäßigen Mischgutzufuhr bei einem der untersuchten kontinuierlichen Mischer feststellen konnte, Abb. 48.

Bei der betontechnischen Entwicklung dieses Mischverfahrens sind nicht die Schwierigkeiten zu verkennen,

die bei den großen Mengen in der gleichmäßigen Zufuhr des Mischgutes bestehen, sowie in der Frage der Gleichhaltung der Konsistenz und vor allem der Zusammensetzung des Mischgutes, die in beliebigem vorherbestimmten Mengenverhältnis jederzeit ohne große Abweichungen leicht einstellbar gestaltet werden muß. Man darf auch nicht übersehen, daß die fließende Fertigung von Beton, so erstrebenswert sie vom wirtschaftlichen Standpunkt ist, bei unseren Bauarbeiten für mehr als 95% ausscheiden dürfte, weil die für längere Zeit geforderten gleichen Stundenleistungen nur für ganz große Bauten in Frage kommen.

Forderungen für den Bau und Betrieb der Maschinen

Die Zusammenstellung der Gewichte führt bereits zur Kritik der Betriebseigenschaften der Maschinen. Sie soll in die Form von Forderungen gekleidet werden, die Erzeuger und Verbraucher gemeinsam als Folgerungen aus diesen Versuchsergebnissen für die Weiterentwicklung des maschinellen Betonmischens heben sollten. Diese Forderungen seien gegliedert in die Gesichtspunkte, die sich auf die Maschinen und die sich auf den Mischvorgang beziehen

1. Die graphische Darstellung der Maschine gewichte, Abb. 49, die man im allgemeinen als gleichlaufend mit den Preisen ansehen kann, zeigt, daß bei nahezu allen Maschinen der deutsche Grundsatz kräftiger Bauart vorherrschend ist. Sie zwingt aber auch zu der Bemerkung, daß weder dem Verbraucher noch dem Erzeuger mit Auswüchsen nach oben oder unten gedient sein kann. Für eine Maschine von 150 l sollte sich das Gewicht zweckmäßig um 1800 bis 2000 kg, für eine Maschine von 500 l um 4000 bis 5000 kg bewegen.

2. Vom betriebstechnischen Standpunkt von größter Bedeutung ist die Möglichkeit, die Zu- und Abfuhr des Mischgutes so zu gestalten, daß die Aufenthalte zwischen zwei Mischerspielen auf ein Mindestmaß beschränkt werden, um die theoretische Zahl der Mischungen in 1 h möglichst zu erreichen. Diese Möglichkeit hindert jedoch für den konstruktiven Aufbau z. B. der Mischers von 500 l folgende leider noch nicht verwirklichten Forderungen:

- a) Der Aufbau der Maschine muß so sein, daß man ohne Hochklotzen oder besondere Aufbauten mit dem üblichen $\frac{3}{4}$ -Muldenkipper die Rohstoffe auffahren und den fertigen Beton ohne Rückstände dem Auslauf und ohne Überlaufen der Wagen abfahren kann.
- b) Die Zu- und Abfuhr der Wagen muß im Kreisbetrieb unbehindert durch die Fahrräder und andere Teile der Mischmaschine möglich sein.

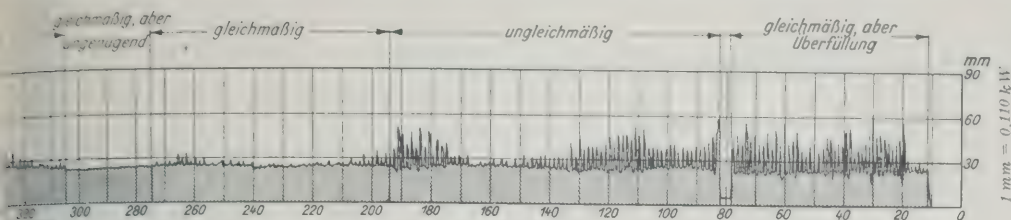


Abb. 48
Einfluß der ungleichmäßigen Beschickung auf den Energieverbrauch eines kontinuierlichen Mischers.

- c) Hierzu ist eine schräge Aufzugbahn zweckmäßiger als eine senkrechte, weil sie ein vorheriges Wagschieben des Muldenkippers erübrigt.
- d) Der Aufzugkasten ist so durchzubilden, daß seine Breite der Länge des $\frac{3}{4}$ m³-Muldenkippers entspricht, damit man ohne besondere Schürren auch bei nicht genauer Wagenstellung Verluste an Mischgut beim Aufheben vermeidet.
- e) Die Form des Aufzugkastens soll ein restloses Entleeren in der Füllstellung gewährleisten. Ein Rutschwinkel unter 50° ist zu klein. Unzweckmäßige Durchbildung der Auslaufschurre oder des Halses, Nietköpfe in der Blechwandung müssen vermieden werden; u. U. ist eine besondere Rüttelvorrichtung vorteilhaft, obwohl sie natürlich zusätzliche Maschinenteile erfordert. Die Entwicklung der äußeren Form scheint nach dem flachen Aufzugkasten der Straßenmischer, die keine Grube erfordern, zu weisen.
- f) Die Aufzugsgeschwindigkeit ist durch den Kraftbedarf der Mischorgane nach oben festgelegt; sie beträgt mit dieser Einschränkung zweckmäßig etwa 0,25 bis 0,3 m/s. Dabei ist mit Rücksicht auf den Seilverschleiß nach Möglichkeit den Grundsätzen der neuen Reichaufzugsverordnung Rechnung zu tragen, wo die Trommel- und Seilrollendurchmesser auf das 22- bis 25fache des Seildurchmessers gegenüber den zur Zeit teilweise etwa 10- bis 15fachen festgelegt werden. Mindestens sollten aber die Bremsenanweisungen beachtet werden, nach denen das Auskuppeln der Winde selbsttätig das Einfallen der Bremse bedingt. Die Bestimmungen der Reichaufzugsverordnung für die zweiten Windwerke, die zur Bedienung von Schnellbauaufzügen und ähnlichem dienen, müssen in jedem Falle eingehalten werden.

3. Zu den wichtigsten Forderungen in konstruktiver Beziehung gehört ein ausreichendes Verhältnis von wasserinhalt zum Wasserinhalt der Maschinen-trommel. Es sollte nicht unter 0,7 bis 0,950 bei 500 und 50 l heruntergehen. Auch die Schaufelform ist von ausschlaggebender Bedeutung. Zu fordern sind Bauarten, die bei bestimmten Betonarten nicht Höchstwerte, sondern in gleichmäßig gutes Ergebnis für alle Mischgutarten liefern. Das Mischgut muß während des ganzen Mischvorganges ohne Streuung nach außen gut in der Mitte der Trommel bewegt werden, ein Zubacken der Schaufelecken darf nicht eintreten, eine gute Auswasch- und Reinigungsmöglichkeit muß gewährleistet sein, wobei es möglich sein muß, ohne Auswaschen auch die letzten Wasserreste auf üblichem Wege zu entleeren.

4. Bei der Bedeutung der Geschwindigkeit der Mischorgane für die Mischintensität ist es unbedingt erforderlich, in Zukunft das Leistungsschild der Maschinen durch Angaben über die Drehzahl der Trommel oder der Mischwelle sowie der Antriebmaschine zu erweitern. Ebenso ist der Kraftbedarf anzugeben, wobei nochmals die Forderung erhoben wird, die Mischorgane so durchzubilden, daß sich der Kraftbedarf über das ganze Arbeitspiel in etwa gleichmäßig entwickelt.

Auch eine gewisse Vereinheitlichung des Antriebs ist in der Richtung unbedingt

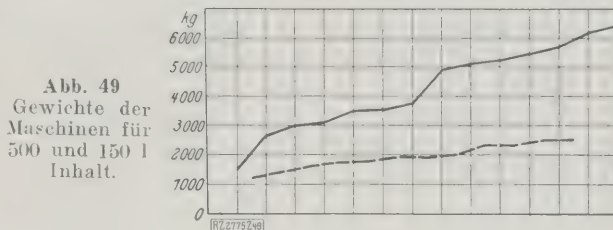


Abb. 49
Gewichte der Maschinen für 500 und 150 l Inhalt.

erforderlich, daß die Drehzahlen oder besser die Umfangsgeschwindigkeiten der Antriebscheiben weitgehend übereinstimmen, um dem Verbraucher für jede Maschine die Verwendung eines genormten Elektromotors zu gestatten. Dabei ist die Möglichkeit des Einbaues von Verbrennungsmotoren mit üblichen Drehzahlen vorzusehen.

5. Für die Durchbildung der Wasserabmeßeinrichtungen schließlich werden die Forderungen erhoben, daß sie zunächst mit Fehlergrenzen von nicht über 2 vH arbeiten, vor allem eine zahlenmäßige Zumessung in Litern gestatten, daß ihre Einstellung von Mischung zu Mischung dem Einfluß des Bedienungspersonals entzogen ist, daß sie unter Umständen gestatten, diese Einstellung durch die Maschinen selbst vornehmen zu lassen. Die Entleerungszeit soll nicht mehr als 15 s betragen. Für die Maschinen von 1000, 750, 500, 375 oder 250 und 150 l sollen die Wasserabmeßeinrichtungen einen Fassungsraum von 200, 150, 100, 75 oder 50 l aufweisen.

Forderungen für die Durchbildung des Mischvorganges

Die Gesichtspunkte für die Durchbildung des Mischvorganges können mit Rücksicht auf den folgenden Aufsatz von Prof. Graf darauf beschränkt werden, sie möglichst zu unterstreichen.

1. An die Spitze zu stellen ist die Forderung, die Trockenvormischung fallen zu lassen und nach Bedarf das Wasser gleichzeitig oder vorab in die Trommel zu geben.

2. Die Mischzeit sollte für Stampf-, Guß- und Eisenbeton nicht über 60 s, für Straßenbeton nicht über 90 s ausgedehnt werden.

3. Für die Wasserzumessung müssen bestimmte Fehlergrenzen festgelegt werden.

Aufstellung von Leistungsregeln

Es bliebe nur übrig, darauf hinzuweisen, daß es im gleichen Interesse von Erzeugern wie Verbrauchern zu begrüßen wäre, wenn einem kürzlich geäußerten Wunsch entsprechend die bisherige erfolgreiche Gemeinschaftsarbeit sich fortsetzt in der Aufstellung von Leistungsregeln für Mischmaschinen, durch die minderwertigen Erzeugnissen von vornherein der Boden zur Gefährdung des Marktes entzogen werden könnte. Von der fernerer Zukunft kann man dann eine technisch-wirtschaftliche Verständigung der Erzeuger erhoffen, die die unnötige Vielzahl der Bauarten auf einige wenige Vertreter der beispielsweise heute in den Vereinigten Staaten von Amerika nur noch ausgeführten zwei Bauarten: „Kipptrommelmischer“ und „Freifallmischer mit Materialdurchlauf in einer Richtung“, zu denen zweckmäßig noch ein „Zwangsmischer“ träte, beschränkt. [B 2775]

Die wichtigsten Ergebnisse der Versuche mit Betonmischmaschinen / Von OTTO GRAF, Stuttgart

Die Ergebnisse älterer Untersuchungen an Betonmischmaschinen lassen nicht alle Mischvorgang auftretenden Einflüsse erkennen, so daß weitere umfangreiche Versuche in der Leitung von Garbotz und Graf durchgeführt wurden. Die versuchstechnischen Grundlagen werden dargelegt und die Mischdauer für verschiedene Arten von Beton, die Frage des trockenen und nassen Mischens, sowie die Wasserzugabe und die Wassermesserbehandlung. Neueste Untersuchungen in den Vereinigten Staaten von Amerika.

Ältere Untersuchungen

Versuche mit Mischmaschinen und Erörterungen über den Einfluß der Bauart der Mischmaschinen (Freifallmischer, Zwangsmischer, kontinuierliche Mischer u. a.). kennen wir seit den Anfängen des neuzeitlichen Betonbaues^{1a)}. Die älteren Untersuchungen beschränken sich fast ausschließlich auf die Feststellung des Einflusses der Mischdauer auf die Widerstandsfähigkeit des Betons. Untersuchungen, die den Einfluß der Art des Mischens und die Eigenschaften der Maschine ausreichend beurteilen ließen, haben bis jetzt fast ganz gefehlt. Gary hat über Versuche mit dem Mörtelmischer, Bauart Steinbrück, berichtet²⁾, der noch heute bei der Zementprüfung für das Mischen des Normenmörtels benutzt wird. Dabei hat man einen verhältnismäßig großen Einfluß der Mischdauer, Zahlentafel 1, gefunden; der Grenzwert lag noch außerhalb des beobachteten Gebietes.

Versuche für das Hüttenamt Sonthofen haben für den Sonthofener Zwangsmischer erkennen lassen; daß Stampfbeton, der 2 min gemischt wurde, praktisch die gleiche Druckfestigkeit lieferte wie Beton gleicher Zusammensetzung mit nur 1 min Mischdauer. Mit einer anderen Maschine sind unter sonst gleichen Umständen bei 1 min Mischdauer nur rd. drei Viertel der Festigkeit ermittelt worden, die bei 2 min Mischdauer vorhanden war. Stuttgarter Versuche³⁾, Zahlentafel 2, haben für die Misch-

¹⁾ Vorgetragen auf der 32. Hauptversammlung des Deutschen Betonvereines am 8. März 1929 in Berlin.

^{1a)} Vergl. Rüsing und Schumann: „Der Portlandzement“, 2. Aufl. 1899, S. 181 und S. 217, ferner 3. Auflage 1905, S. 281.

²⁾ Protokoll der Verhandlungen des Vereins deutscher Portlandcement-Fabrikanten 1898 S. 118.

³⁾ C. Bach und O. Graf, Forschungsarbeiten 1909 Heft 72 bis 74 S. 14; Graf, „Armierter Beton“, Bd. 7 (1914) S. 199.

Zahlentafel 1

Mörtel aus einem Gewichtsteil Zement und drei Gewichtsteilen Normalsand, erdfeucht angemacht.

Mischverfahren	Zugfestigkeit kg/cm ² nach		Druckfestigkeit kg/cm ² nach	
	7 Tagen	28 Tagen	7 Tagen	28 Tagen
Handarbeit	19,6	24,6	144,7	204,2
Mörtelmischer- umdrehungen 6	18,7	25,1	134,9	193,0
„ 8	19,9	25,5	140,1	192,5
„ 10	19,2	25,4	140,7	194,2
„ 15	20,7	26,1	143,5	200,1
„ 20	21,3	28,4	141,5	201,8
„ 30	20,8	27,5	150,6	214,4
„ 40	22,5	27,2	159,7	216,8
„ 50	23,9	26,9	163,0	233,1
„ 70	23,2	27,8	161,6	225,3
„ 100	23,8	28,4	166,3	227,6

Zahlentafel 2. Versuche mit der Mischmaschine, Bauart Hüser.

Zusammensetzung des Betons	Dauer des Mischens			Würfel- festigkeit des Betons kg/cm ²
	trocken min	naß min	ins- gesamt min	
1 Raumteil Zement, 2 Raumteile Rheinsand (0 bis 7 mm), 3 Raum- teile Rheinkies (7 bis 20 mm) 7,1 vH Wasser (erdfeuchter Beton)	Alter: 46 Tage, feuchte Lagerung			
	1 1/2	1 1/2	1	(314 + 324 + 326) : 3 = 321
	1 1/2	1	1 1/2	(322 + 322 + 333) : 3 = 326
	1	1 1/2	2 1/2	(340 + 329 + 318) : 3 = 329
	1	2 1/2	3 1/2	(326 + 330 + 344) : 3 = 333

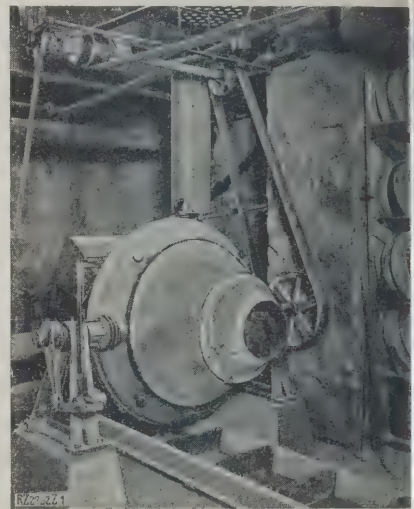


Abb. 1
Mischmaschine,
Bauart Smith,
benutzt bei den
Versuchen von
Abrams.

maschine, Bauart Hüser, gezeigt, daß der Einfluß der Mischdauer von 1 bis 3 1/2 min zwar noch zu erkennen, aber als unerheblich anzusehen ist.

Die bisher genannten Feststellungen veranlaßten wiederholt, auf die Notwendigkeit planmäßiger Leistungsversuche mit Mischmaschinen verschiedener Bauart aufmerksam zu machen⁴⁾. Den Anregungen folgten Versuchspläne; der Entschluß, die erforderlichen Mittel bereitzustellen, blieb aber jeweils aus. Später bekanntgewordene Beobachtungen ließen die Forderung nach umfassenden Versuchen noch dringender erscheinen.

Burchartz⁵⁾ empfahl nach Versuchen mit Stampfbeton von Hand gemischt wurde, zunächst den gebrauchsfertigen Mörtel herzustellen und erst diesem die groben Bestandteile beizumischen. Mahir⁶⁾ hat mit lehrreichen Erörterungen und auf Grund von Versuchen mit verschiedenen Maschinen verschiedener Art vorgeschlagen, allgemein mindestens 3 min Mischdauer vorzusehen und eine Vorgehensrichtung anzubringen, die das Entleeren der Maschine nur nach dem Durchlaufen einer bestimmten Anzahl Umdrehungen ermöglicht. Die Versuchsergebnisse lieferten keine Begründung zu der Forderung für 3 min Mischdauer; m. E. wäre nach den in Zahlentafel 3 wiedergegebenen maßgebenden Beispielen eine Erhöhung der Mischdauer über 1 1/2 min nicht nötig gewesen. Die Zahlen gelten für einen Trommelmischer von Gockel & Cie. bei 14 U/min.

Später hat Abrams⁷⁾ umfangreiche Versuche über den Einfluß der Mischdauer auf die Widerstandsfähigkeit des Betons (Druckfestigkeit, Abnutzwiderstand) bekanntgegeben; er hat mit Betonen verschiedener Zusammensetzung gearbeitet und die Ergebnisse in der Mischmaschine, Bauart Smith, veröffentlicht.

⁴⁾ Vergl. Graf, „Beton und Eisen“, Bd. 7 (1908) S. 302, Fußbemerkung.

⁵⁾ „Zement“ Bd. 17 (1928) S. 414.

⁶⁾ „Beton und Eisen“ Bd. 12 (1913) S. 414.

⁷⁾ „The Canadian Engineer“ 25. Juli 1918, auch als Sonderdruck „Structural Materials Research Laboratory Lewis Institute, Chicago, Oktober 1918 erschienen.

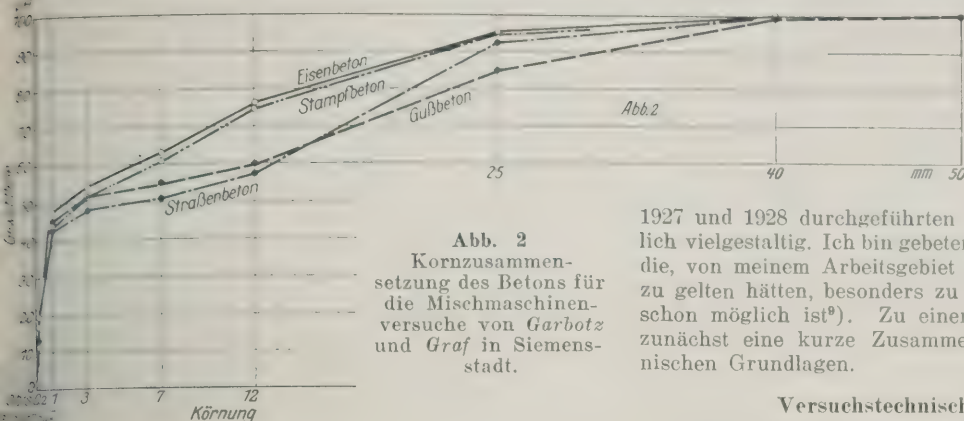


Abb. 2
Kornzusammensetzung des Betons für die Mischmaschinenversuche von Garbotz und Graf in Siemensstadt.

Abb. 1. benutzt. Kennzeichnende Ergebnisse sind in Zahlentafel 4 wiedergegeben. Hiernach ist die Festigkeit mit der Mischdauer fortwährend gewachsen. Der Einfluß der Mischdauer war bei Stampfbeton größer als bei Gußbeton. Bei magerem Stampfbeton stieg die Festigkeit durch fetteres Mischen verhältnismäßig mehr als bei fetterem Stampfbeton, bei Mörtel aus feinem Sand viel mehr als bei rohem Mörtel, bei diesem mehr als bei Beton. Es war zweifelhaft, ob die Ergebnisse auf Maschinen anderer Bauart übertragen werden können; nach unseren Versuchen ist eine solche Einschränkung geboten. Die Feststellungen von Abrams zeigen aber jedenfalls die Richtung der Einflüsse, die mit der Zusammensetzung des Betons zu beurteilen sind.

Aus Karlsruher Versuchen⁸⁾ mit Maschinen, Bauart Meyer, geht hervor, daß eine Verlängerung der Mischdauer über 1 min bei weich angemachtem Kiesbeton mit rd. 90 kg Zement in 1 m³ Beton ohne erheblichen Einfluß auf die Druckfestigkeit blieb, wiederholt sogar Festigkeitsrückgang lieferte. Weiter ist diesen Versuchen u. a. entnommen worden, daß es nicht unzweckmäßig sei, zuerst das Wasser, dann das feste Mischgut in die Trommel zu werfen.

Versuche unter Leitung von Garbotz und Graf

Inzwischen war in der Studiengesellschaft für Automobilstraßenbau ein Ausschuß für Straßenbaumaschinen gebildet worden; die frühere Anregung, planmäßige

⁸⁾ Vergl. Kleinlogel: „Beton und Eisen“ Bd. 25 (1926) S. 278 sowie d. 26 (1927) S. 55.

Zahlentafel 3. Mischversuche von Mahir.

r.	Anzahl der Umdrehungen der Mischmaschine trocken + naß	Druckfestigkeit der Probekörper kg/cm ²	Mittel aus den Einzelversuchen	Abweichungen vom Mittel %H	Mischdauer min
1	10 + 30 Zement seitlich eingefüllt	124,6 137,0 119,6	127	2,0 8,0 6,0	rd. 3
2	10 + 20 Zement seitlich eingefüllt	117,0 110,3 104,4	111	5,5 — 5,5	„ 2
3	10 + 10 Zement seitlich eingefüllt	124,6 115,4 132,9	124	0,2 7,2 7,0	„ 1 1/2
4	10 + 30 Zement seitlich eingefüllt	116,2 133,7 132,9	128	8,9 4,8 4,0	„ 3
5	10 + 30 Zement seitlich eingefüllt	129,6 132,9 118,7	127	2,0 4,6 6,6	„ 3
6	10 + 15 Zement seitlich eingefüllt	129,6 145,5 142,1	139	6,9 4,6 2,1	„ 1 3/4
7	10 + 25 Zement seitlich eingefüllt	143,8 141,3 128,8	138	4,2 2,4 6,7	„ 2 1/2
8	20 + 30 Zement seitlich eingefüllt	116,2 116,2 125,4	119	2,6 2,6 5,1	„ 3 1/2

Untersuchungen mit verschiedenen Maschinen durchzuführen, fand hier tatkräftige Unterstützung und eine weitgehende Entwicklung des Arbeitsplans. Die Ergebnisse dieser in den Jahren

1927 und 1928 durchgeführten Versuche sind außerordentlich vielgestaltig. Ich bin gebeten worden, die Feststellungen, die, von meinem Arbeitsgebiet gesehen, als die wichtigsten zu gelten hätten, besonders zu erörtern, so weit dies heute schon möglich ist⁹⁾. Zu einer solchen Darlegung gehört zunächst eine kurze Zusammenfassung der versuchstechnischen Grundlagen.

Versuchstechnische Grundlagen

Zunächst sollte festgestellt werden, ob das Mischen verschiedener Mischungen verschiedene Mischzeiten erfordere und welche Zeiten jeweils nötig sind. Demgemäß wurden in der Regel viererlei Mischungen gemacht:

- a) Eisenbeton mit rd. 300 kg Zement in 1 m³ fertig verarbeitetem Beton, Wasserzementfaktor $w = 0,68$, Ausbreitmaß 45 cm¹⁰⁾;
- b) erdfeucht angemachter Stampfbeton mit rd. 150 kg/m³ Zement, $w = 0,79$;
- c) weich angemachter Straßenbeton mit rd. 400 kg/m³ Zement, Ausbreitmaß 35 cm, $w = 0,53$ und
- d) bei einem Teil der Versuche auch Gußbeton mit 180 kg/m³ Zement, Ausbreitmaß 55 cm, $w = 1,10$.

Die Zusammensetzung der Mischungen war dabei so gewählt, daß sie im allgemeinen ungünstigen Verhältnissen entsprach, also reichlich Feines enthielt, weil feine Mischungen noch viel Verwendung finden und nach dem vorher Bekannten mehr Mischzeit erfordern als grobe.

Abb. 2 zeigt die Kornzusammensetzung der vier Betonmischungen aus Mischgut, das im Juni 1928 geliefert worden ist. Andere Lieferungen gaben nach den gemachten Feststellungen nur unerhebliche Abweichungen. Der Zement war Portlandzement und mußte, wie der Kies und Sand, wegen des sehr großen Bedarfs in mehreren Lieferungen abgerufen werden. Dadurch entstanden Abweichungen der Zementfestigkeiten, was bei Auswertung der Versuche berücksichtigt worden ist. Ermittelt wurden für 28 Tage alte, normengemäß hergestellte und kombiniert gelagerte Proben die Zugfestigkeit zu 39,7 bis 45,3 kg/cm² und die Druckfestigkeit zu 442 bis 546 kg/cm². Die Zemente lassen sich dabei in zwei Gruppen teilen; als mittlere Druckfestigkeit $K_{n,28}$ ist für die erste Gruppe 475 kg/cm² und für die zweite Gruppe 522 kg/cm² eingesetzt.

Soweit es die Verhältnisse zuließen, wurde für gleichartige Aufbereitung der Stoffe gesorgt. Um die vielen Mischungen immer wieder gleich herstellen zu können, sind die festen Bestandteile durch Wägen zusammenge-

⁹⁾ Der ausführliche Versuchsbericht dürfte erst in einigen Monaten vorliegen.
¹⁰⁾ Mit dem Stuttgarter Rütteltisch, vergl. „Beton und Eisen“ Bd. 25 (1926) S. 210 u. f.

Zahlentafel 4. Ergebnisse der Mischmaschinenversuche von Abrams.

Zusammensetzung des Betons	Korngrößen	1	2	3	4	5	6	7	8	9	10
		Druckfestigkeit des Betons, wenn die Festigkeit des Betons, der 1 min gemischt wurde, gleich 100 gesetzt wird									
		15 s	30 s	45 s	1 min	1 1/2 min	2 min	5 min	10 min	15 min	20 min
1:4 Stampfbeton	0 bis 32 mm	77	89	95	100	106	112	127	138		
1:4 Gußbeton		90	95	98	100	103	105	112	118		
1:2 weicher	0 „ 32 „	86	93	97	100	104	107	117	121		
1:6 Stampfbeton		78	89	96	100	107	112	127	138		
1:15 beton		62	81	92	100	111	119	144	163		
1:5 weicher	0 „ 1,2 „	28	64	85	100	120	136	184	222		
Stampfbeton	0 „ 2,4 „	39	70	89	100	120	133	176	208		
oder Mörtel	0 „ 4,7 „	50	75	90	100	114	125	159	184		
	0 „ 51 „	81	91	96	100	106	109	122	131		

stellt worden; das Wasser ist sorgfältig gemessen worden. Weiterhin sind die fertigen Mischungen mit der Ausbreitprobe beurteilt worden. Der Beton war unmittelbar neben der Mischmaschine ohne Zwischenförderung zu verarbeiten. Die fertigen Würfel sind nach dem Lagerraum getragen worden, wo sie eine Woche unter feuchten Tüchern lagerten. Die Temperatur im Lageraum war durch Heizung zu regeln. Über diese Maßnahmen hinaus ist weiterhin verfolgt worden, ob Prüfungen, die nach Monaten wiederholt wurden, mit den bereits vorliegenden Feststellungen hinreichend übereinstimmende Werte liefern. Diese Vergleichsprüfungen ergaben, im ganzen betrachtet, nur Abweichungen, die zu erwarten waren; sie zeigten außerdem, daß die getroffenen Anordnungen keineswegs hätten vereinfacht werden dürfen. Unter solchen Umständen konnten die Feststellungen insgesamt zur Beantwortung der Frage nach der erforderlichen Mischzeit herangezogen werden.

Mischdauer für verschiedene Arten von Beton

Zahlentafel 5 enthält die Mittelwerte der Druckfestigkeiten von drei Betonarten in Beziehung zur Mischzeit (Zeit von Beginn des Einlaufs des Mischguts in den Mischbehälter bis zum Beginn des Entleerens), und zwar als Durchschnitt der Ergebnisse von drei Zwangsmischern mit 500 l Füllung¹¹⁾. Beim Straßenbeton hat die Verlängerung der Mischzeit über 45 s bis 180 s nur eine unbedeutende Steigerung der Druckfestigkeit bewirkt. Beim Stampfbeton scheint eine Mischzeit von 45 s zu genügen. Zahlentafel 6 bringt die Werte für acht Freifallmischer mit 500 l Füllung. Hier war festzustellen, daß im Mittel 75 s Mischzeit ausreichen, um Festigkeiten zu erlangen, die nahe denjenigen liegen, die sich nach 120 s Mischzeit einstellen.

Ebenso sind in Zahlentafel 7 die Werte für vier Zwangsmischer mit 150 l Füllung zusammengetragen. Die Zahlenreihen besagen, daß hier die Verlängerung der Mischzeit über 55 s mit keinen oder nur mit unbedeutenden Erhöhungen der Festigkeit verbunden war.

Die so gekennzeichneten Durchschnittsergebnisse treffen das Verhalten der meisten Maschinen. Man kann hiernach bei Verwendung der geprüften Mischmaschinen mit 1 min Mischdauer für Eisenbeton und Stampfbeton, auch in der hier verwendeten ziemlich feinkörnigen Zusammensetzung, das praktisch Notwendige erlangen. Für Straßenbeton erscheint es geboten, etwas größere Misch-

¹¹⁾ Ein Mischer ist ohne und mit Mischwalze (Koller) geprüft worden; alle Versuche sind am Durchschnitt gleich beteiligt; mit dem zweimal geprüften Mischer entstanden verhältnismäßig hohe Betonfestigkeiten.

Zahlentafel 5. Versuche mit drei Zwangsmischern mit 500 l Füllung (ein Mischer ohne und mit Koller).

Mischdauer in s	35	45	75	120	180
Druckfestigkeit in kg/cm ²					
von Straßenbeton . . .	—	316	322	322	341
„ Eisenbeton . . .	—	171	195	192	—
„ Stampfbeton . . .	91	105	103	106	—

Zahlentafel 6. Versuche mit acht Freifallmischern für 500 l Füllung.

Mischdauer in s	35	45/55	75	120	180
Druckfestigkeit in kg/cm ²					
von Straßenbeton . . .	—	274	306	312	324
„ Eisenbeton . . .	170	174	182	187	—
„ Stampfbeton . . .	95	100	108	107	—

Zahlentafel 7. Versuche mit vier Zwangsmischern für 150 l Füllung.

Mischdauer in s	35	55	75	100	120
Druckfestigkeit in kg/cm ²					
von Straßenbeton . . .	286	298	307	304	308
„ Eisenbeton . . .	172	170	161	—	—
„ Stampfbeton . . .	95	93	102	—	—

dauer zu wählen. Mit 1½ min Mischdauer ist aber auch für Straßenbeton das Erforderliche zu erreichen.

Beim Mischbetrieb auf unseren Baustellen können wir sowohl zu kurze als zu lange Mischdauer beobachten. Dieser Mißstand ist nur aufzuheben durch Anordnung von Zeitmessern oder Umlaufmessern, wie dies schon früher u. a. von *Mahir* gefordert wurde. Solche Einrichtungen sind bei einzelnen neueren Maschinen bereits vorgesehen.

Die besprochenen Ergebnisse werden auch durch die Versuche mit tonhaltigen Stoffen bestätigt. Die Schlußfolgerung über die nötigen Mischzeiten findet sich ferner gestützt durch die weitere Feststellung, daß die Abweichungen der Einzelwerte der Druckfestigkeiten von den Mittelwerten jeder Mischung bei Mischzeiten von 55 und mehr Sekunden nicht ausgeprägt verschieden ausfielen, Zahlentafel 8.

Trockenes Vermischen und nasses Mischen

Eine andre Aufgabe lautete: Ist das bis jetzt übliche Mischverfahren, nämlich zuerst trocken, dann naß mischen, auch weiterhin besonders zu empfehlen? Sind andere Mischverfahren gleichwertig oder minderwertig?

Zunächst wurden aus Mischungen, die 1 min und länger in der Maschine bewegt waren, an verschiedenen Stellen der Füllung Proben entnommen. Dr. *Hägermaier* in Karlsruhe, hat in diesen Proben den Zementgehalt festgestellt. Wesentliche Unterschiede der Zementverteilung ließen sich unter den gewählten Umständen nicht nachweisen.

In Stuttgart ausgeführte Mischungen mit Zusatz feingeschlämmter Eisenoxyde¹²⁾ zeigten weiterhin, daß die Umhüllung der Gesteinsteile (Rheinkiesand) mit dem Farbbrei schon nach 30 s soweit vorgeschritten war, daß mit dem Auge wahrnehmbare Unterschiede nicht mehr zu verzeichnen waren.

Es wurden dann weiterhin verschiedene Mischungen derart hergestellt, daß man zuerst trocken, dann naß unter Zugabe von Wasser mischte; es folgten Mischungen gleicher Zusammensetzung unter gleichzeitigem Einfüllen von Zement, Sand, Kies und Wasser, auch Mischungen mit Vorausschüttung des Wassers, sowie Mischungen mit tonigen Sanden u. a. Aus den Stuttgarter Versuchen stammen die Angaben in den Zahlentafeln 9 bis 13.

Wir können diesen Feststellungen entnehmen, daß für trockne Vormischung nicht nötig ist, daß vielmehr die Aufnahme der Naßmischung von vornherein eher höher als niedrigere Festigkeiten entstehen. Die Reihenfolge der Stoffzugabe erwies sich als nicht bedeutsam.

Diese Beobachtungen wurden durch die Hauptversuche an andern Maschinen bestätigt. Hiernach ist eine Vereinfachung des Mischvorgangs möglich, die neben der Loslösung von der bisherigen umständlichen Mischweise auch zur Milderung der Staubplage an den Mischmaschinen beiträgt. Eine besondere Art der Vorbereitung des Mischvorgangs finden wir bei den ununterbrochen arbeitenden Mixern. Für Beton, dessen Eigenschaften sich wenig verändern sollen, sowie für hochwertigen Beton bestimmter Kornzusammensetzung sind m. E. weitgehend Vorkehrungen angezeigt.

¹²⁾ Auf Vorschlag von Oberbergrat *Greinwald*, Sonthofen.

Zahlentafel 8. Mittelwerte der größten Abweichungen bei den Versuchen mit Eisenbeton.

Mischzeit s	500 l-Zwangsmischer vH	500 l-Freifallmischer vH
35	—	+ 11,9 — 14,1
55	+ 5,4 — 5,7	+ 11,7 — 7,7
75	+ 5,6 — 5,9	+ 9,4 — 9,8
120	+ 5,9 — 5,0	+ 11,9 — 7,2

Zahlentafel 9
Stampfbeton aus 1 Gewichtsteil Portland-
zement S II, 6 Gewichtsteilen Rheinsand
(0 bis 7 mm) und 7 Gewichtsteilen Rheinkies,
 $w=1,03$. 159 kg Zement in 1 m^3 fertig
verarbeitetem Beton. Eirich-Mischer.
Würfel mit 20 cm Kantenlänge; geprüft im
Alter von 28 Tagen.

Mischen	Druckfestigkeit Mittel aus drei Versuchen kg/cm ²
Zement, Sand, Kies und Wasser einge- füllt, dann 1 min gemischt	119
Zement und Wasser $\frac{1}{4}$ min gemischt, dann Zugabe von Sand und Kies, hier- auf eine weitere Minute gemischt, ins- gesamt $1\frac{1}{4}$ min	120
Sand und Wasser $\frac{1}{4}$ min, dann mit Ze- ment und Kies eine weitere Minute ge- mischt, insgesamt $1\frac{1}{4}$ min	123

Zahlentafel 10
Stampfbeton aus 1 Gewichtsteil Portland-
zement S II, 6 Gewichtsteilen Rheinsand
(0 bis 7 mm) und 7 Gewichtsteilen Rheinkies
(bis 25 mm), $w=0,98$. 157 kg Zement in 1 m^3 fer-
tig verarbeitetem Beton. Eirich-Mischer.
Würfel mit 20 cm Kantenlänge, geprüft im
Alter von 28 Tagen.

Mischen	Druckfestigkeit Mittel aus drei Versuchen kg/cm ²
$\frac{1}{2}$ min trocken, 1 min feucht, insgesamt $1\frac{1}{2}$ min	103
Zement, Sand, Kies und Wasser einge- füllt, dann 1 min gemischt	103
wie b), jedoch $1\frac{1}{2}$ min gemischt	102
Zement und Wasser $\frac{1}{4}$ min gemischt, dann Zugabe von Sand und Kies, hier- auf eine weitere Minute gemischt, ins- gesamt $1\frac{1}{4}$ min	96
Sand, Kies und Wasser $\frac{1}{4}$ min, dann mit Zement eine weitere Minute ge- mischt, insgesamt $1\frac{1}{4}$ min	106

Wassermesser und Wasserzugabe

Um vergleichbare Ergebnisse zu schaffen, war bei
den einzelnen Betonarten fortlaufend das gleiche Ver-
hältnis des Wassergewichts zum Zementgewicht herzu-
stellen. Der Zement wurde für jede Mischung gewogen.
Das Wasser wurde mittels der zuverlässig arbeitenden
Wassermesser von Voglsamer abgemessen, weil die zu-
erst geprüften Betonmischer mit unbrauchbaren oder doch
unzureichenden Wassermessern versehen waren. Der Not-
wendigkeit, auf regelmäßige, nicht zu große Wasserbe-
träge zu achten, wird z. Zt. oft noch nicht entsprochen.
Es gibt Maschinen auf den Baustellen, die als einziges
Organ einen Wasserhahn aufweisen. Es dürfte heute
fordern sein, daß die Betonmischmaschinen nur noch
zuverlässigen Wassermessern verkauft werden. Als
hinreichend zuverlässig dürfte ein Wassermesser gelten,
der im ordentlichen Zustand nicht mehr als etwa $\pm 3\text{ vH}$
Abweichung vom Sollwert zuläßt.

Die besprochenen Versuchsergebnisse lassen es als
erwünscht erscheinen, daß das Wasser rasch in den Misch-
behälter gelangt. Die Wasserbehälter müssen deshalb
gute Falleitungen haben. Wenn die Einführung des
Wassers mit dem Leitungsdruck des Wasserleitungsnetzes
mittelbar geschehen kann, so ist die rasche Wasser-
einführung ohne weiteres möglich. Nach Angaben der
Materialprüfungsanstalt der Technischen Hochschule
Stuttgart hat nun die Firma Andrae in Stuttgart einen
Wassermesser gebaut, der sich hierzu eignet, Abb. 3. Der
Zeiger z_1 steht auf null. Den mit dem Stab s verbun-
denen Zeiger z_2 stellt man mittels des Knopfes in der

Zahlentafel 11
Stampfbeton aus 1 Gewichtsteil Portland-
zement „S II“, $\frac{4}{3}$ Gewichtsteilen Rheinsand
(0 bis 7 mm) und $\frac{8}{3}$ Gewichtsteilen Rhein-
kies (7 bis 25 mm) $w=0,86$. 161 kg Zement in
 1 m^3 fertig verarbeitetem Beton. Eirich-
Mischer. Würfel mit 20 cm Kantenlänge; ge-
prüft im Alter von 7 Tagen.

Mischen	Druckfestigkeit Mittel aus drei Versuchen kg/cm ²
a) $\frac{1}{3}$ min trocken, $\frac{2}{3}$ min feucht, insge- samt 1 min	97
b) Zement, Sand, Kies und Wasser einge- füllt, dann 1 min gemischt	106
c) wie b) jedoch nur 40 s gemischt	93

Zahlentafel 12
Eisenbeton aus hochwertigem Portland-
zement, Rheinsand und Rheinkies. 284 kg
Zement in 1 m^3 fertig verarbeitetem Beton.
Eirich-Mischer. Würfel mit 20 cm Kanten-
länge; geprüft im Alter von 28 Tagen.

Mischen	Mittlere Druckfestigkeit kg/cm ²
a) $\frac{1}{2}$ min trocken, 1 min feucht, insgesamt $1\frac{1}{2}$ min	375
b) Zement, Zuschläge und Wasser einge- füllt, dann 1 min gemischt	377
c) wie b), jedoch $1\frac{1}{2}$ min gemischt	390

Zahlentafel 13
Straßenbeton aus hochwertigem Portland-
zement, Rheinsand und gebrochenem Bas-
alt. 377 kg Zement in 1 m^3 fertig verarbei-
tetem Beton. Eirich-Mischer. Würfel mit
20 cm Kantenlänge; geprüft im Alter von
28 Tagen.

Mischen	Mittlere Druckfestigkeit kg/cm ²
a) $\frac{1}{2}$ min trocken, 1 min feucht, insgesamt $1\frac{1}{2}$ min	649
b) Zement, Zuschläge und Wasser einge- füllt, dann 1 min gemischt	666
c) wie b), jedoch $1\frac{1}{2}$ min gemischt	660

Mitte des Zifferblattes auf die entsprechende Wasser-
menge, in Abb. 3 bei 10, ein. Der Absperrhahn der
Leitung, neben dem Wassermesser eingebaut, wird ge-
öffnet, der Zeiger z_1 wandert, bis beim Eintreffen auf
Teilstrich 10 der Zulauf durch Schließen des Hahns ge-
sperrt wird. Für die nächste Mischung wird die Teil-
lung mit Ring a gedreht, bis z_1 wieder auf null steht.

Hier sei nur noch kurz auf die aus Amerika ge-
kommene Wasser-Zement-Waage hingewiesen. Mit die-

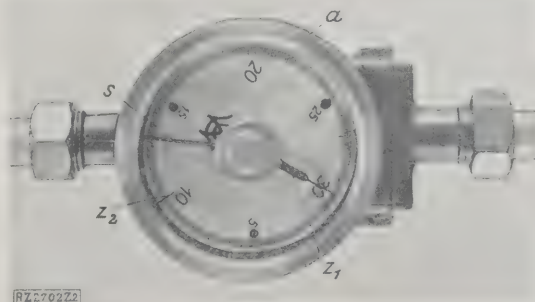


Abb. 3
Wassermesser mit Einstellzeiger für bestimmte Mengen.
 a Ring s Stab, verbunden mit Zeiger z_2 z_1 Nullzeiger

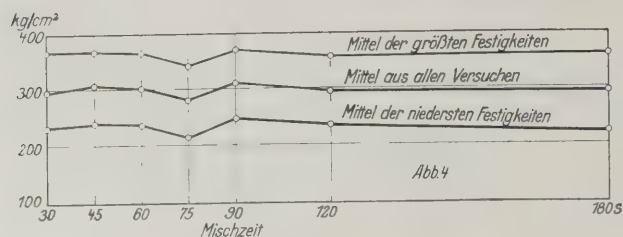


Abb. 4
Versuche von Harrison.

ser Einrichtung werden die Ausführenden fortdauernd erinnert, daß das Verhältnis Wasser zu Zement im frischen Beton große Bedeutung hat. Allerdings scheint die derzeitige Ausführung für Baustellen noch nicht einfach genug.

Meine Erörterung der neuen Versuche soll, wie bereits gesagt, nur Ergebnisse hervorheben, für die besonderes Interesse zur Zeit zu erwarten stand. Prof. Garbotz hat andere Feststellungen kurz mitgeteilt, die nicht weniger wertvoll werden dürften. Wichtig ist dabei ganz besonders, daß die Hersteller der Maschinen Feststellungen machen konnten, die uns Fortschritte in der Bauart und in den Einzelheiten der Mischmaschinen erwarten lassen.

Neueste Untersuchungen in den Vereinigten Staaten von Amerika

Fast gleichzeitig mit unseren Untersuchungen sind in den Vereinigten Staaten von Nordamerika Versuche mit Freifallmischern für den Betonstraßenbau ausgeführt worden, über die im Herbst vorigen Jahres von Harrison¹³⁾ berichtet worden ist. Abb. 4 enthält die Mittelwerte der Ergebnisse dieser Versuche. Hieraus ist zu entnehmen, daß eine Verlängerung der Mischzeit über 1 min unter den gewählten Verhältnissen keine Steigerung der Druckfestigkeit brachte. Wir finden damit eine Bestätigung unserer Feststellungen. Auf der letzten Tagung des American Concrete Institute berichteten Gonnermann und Woodworth¹⁴⁾ über das Verhalten von Beton, der nach dem Mischen gewisse Zeiten lagerte und dann durch Nachmischen unter Zugabe von Wasser auf die ursprüngliche Konsistenz gebracht worden ist. Die Ergebnisse bestätigen unsere Auffassung, wonach der Beton baldmöglichst zu verarbeiten ist. Ferner sind nur Beobachtungen über den Einfluß der Mischzeit mit der Maschine, Abb. 1, mitgeteilt, die anscheinend im Bereich der Ergebnisse nach Zahlentafel 4 liegen.

Vor kurzem sind noch bemerkenswerte Versuche von Talbot mit Koehring-Mischern bekannt geworden¹⁵⁾. Sie erstrecken sich hauptsächlich auf den Einfluß der Gestalt von Elementen der Mischtrommel und auf den Einfluß der Wasserzugabe. Die Berichtler empfehlen u. a. mit dem Zufluß des Wassers in die Mischtrommel vor dem Einfüllen der festen Stoffe zu beginnen und nach diesem aufzuhören.

Zusammenfassung

Die Ergebnisse lassen durchweg erkennen, daß solche Untersuchungen eine technische und wirtschaftliche Bedeutung haben, die nicht außer acht zu lassen ist. Diese Erkenntnis hat aus der Industrie den Wunsch entstehen lassen, es mögen auch andere Baumaschinen und andere Vorgänge einer planmäßigen Untersuchung unterzogen werden; auch wurde angeregt, eine Beurteilung für heute noch wenig gebrauchte, aber offensichtlich zweckmäßige Vorkehrungen einzuleiten. So wird u. a. das Bedürfnis geltend gemacht, die Hilfseinrichtungen zum Betonmischen, vor allem die Meßeinrichtungen, zu erörtern. Wir erkennen mit solchem Gedankenaus-

tausch ein Arbeitsgebiet, das zwar längst bekannt, bis jetzt wenig beachtet ist.

Heute kann man jedenfalls sagen, daß die Bemühungen des Deutschen Ausschusses für Eisenbeton für die Ausführung von Bauwerken aus Beton und Eisenbeton eine Vereinfachung und Ergänzung über das Mischen und die Mischzeit in der Hinsicht erfahren können, daß das Mischen nicht in einer bestimmten Folge, sondern möglichst gleichzeitig in die Mischtrommel gelangt. Als Mischzeit wäre bei Verwendung gut unterhaltener Maschinen für gewöhnlich mindestens 1 min. für Straßenbeton und mindestens 1½ min zu fordern. Nach einer solchen Vereinbarung würden die heute weit auseinandergehenden Gepflogenheiten und Anweisungen für das Mischen von Betons zu verlassen sein.

Über Staubabscheider, Bauart Stelz

Frank F. Stelz, New York City, hat an elektrischen Staubabscheidern eigener Bauart Versuche durchgeführt, die in einer zur Krafterzeugung dienenden und mit Kohlenstaub geheizten Kraftanlage eingebaut worden sind. Versuche erstreckten sich jeweils über eine Zeit von 3 bis 4 vollen Tagen. Durch den Rauchkanal, in den der Staubabscheider eingebaut ist, gehen 100 m³/min Rauchgas. Die Gasgeschwindigkeit in dem Teil des Abscheiders, in dem die elektrische Aufladung erfolgt, betrug 4 m/s. Gearbeitet wurde mit Gleichstrom, der aus hochgespanntem Wechselstrom von 25 000, 40 000 und 50 000 V durch Glühkathoden-Gleichrichter, und zwar vier von insgesamt 10 kW Gleichstrom-Leistung bei 0,78 elektrischem Wirkungsgrad, unter Nutzbarmachung beider Wellenhälften umgeformt wurde. Die Netzspannung betrug 550 V. Zahlentafel 1 gibt einen Anhalt über die Ergebnisse der Versuche, obgleich eine vollkommene Beurteilung einige Angaben fehlen.

Zahlentafel 1

Versuchsergebnisse an Staubabscheidern
Bauart Stelz

Versuch Nr.	1	2	3	4	5
Versuchsdauer . . h	100	72	72	72	72
Spannung zwischen den Elektroden . . . kV	25	25	40	40	50
Staubgehalt des Rauchgases beim Eintritt . . . g/m³	6	7	8	7	8
desgl. beim Austritt . . . g/m³	0,05	0,06	0,05	0,04	0,05
Gastemperaturen beim Eintritt °C	150	155	150	160	150
desgl. beim Austritt . . . °C	138	144	139	146	140

Die Zahlen sind Mittelwerte, die einzelnen Beobachtungsangaben fehlen; ebenso genaue Angaben über Gaszusammensetzung, insbesondere den Wasserdampfgehalt und die Körnung des Flugstaubes. Der Abscheider ist mit bewegten Elektroden ausgerüstet. Einige der Stelz-Anlagen sollen schon in Zementfabriken, für die Hochtemperaturgas-Reinigung, in der Hartmüllerei usw. mit Vorteil in Betrieb sein. [N 2966]

Moderne Lichttechnik in Wissenschaft und Praxis

Herr Dr.-Ing. W. Arndt vom Beleuchtungstechnischen Laboratorium der Technischen Hochschule Berlin macht darauf aufmerksam, daß der Verfasser des in Z. Bd. 73 (1929) Nr. 14 S. 473 erschienenen Aufsatzes, Herr Dr. W. Köhler, vom „ersten und bisher einzigen lichttechnischen Hochschuleinstitut“ in Karlsruhe geschrieben und dabei das Beleuchtungstechnische Laboratorium der Technischen Hochschule Berlin nicht berücksichtigt hat. Herr Dr.-Ing. Arndt verweist auf die Ausführungen in der Fachzeitschrift „Licht und Lampe“ Bd. 18 (1929) Nr. 1 S. 3. [D 3042]

¹³⁾ „Public Roads“ Bd. 9 (1928) S. 93 bis 112.

¹⁴⁾ American Concrete Institute Bd. 25 (1929) (Tests of Retempered Concrete).

¹⁵⁾ Vergl. Engineering News-Record Bd. 102 (1929) S. 394; ausführlicher in einem Bericht der Koehring Co.

Neuzeitliche städtische Milchversorgung

von Prof. Dr. B. LICHTENBERGER, Kiel, Direktor des Instituts für Maschinenwesen der Preussischen Versuchs- und Forschungsanstalt für Milchwirtschaft.

Mit dem Anwachsen der Großstädte und damit der Zunahme des Milchverbrauchs werden die Anforderungen an die städtische Milchversorgung immer höher. In der Milchgewinnung: Kleinkühlanlagen und, zur Verbilligung der Erzeugerkosten, der Einheitsstall. — Im Milchversand: Kesselwagen für Kraftverkehr oder auf der Eisenbahn. — Die Milchbehandlung in der städtischen Großmeierei: Durchflußerhitzer und Dauerheißhaltung, Einflur- und Mehrflurbetrieb. Anlage von 250 000 l Tagesleistung. Förderanlagen, Füll- und Verschlußmaschinen. Nebenbetriebe, Kraft- und Wärmewirtschaft.

„Trinkt mehr Milch“ besagt ein Plakat, das allerorts in Deutschland zu finden ist und das aus der Erkenntnis entstanden ist, daß zu einer guten Volksernährung auch ein reichlicher Milchverbrauch für Koch- und Trinkzwecke gehört. Den Milchverbrauch eines Landes zu eben, ist aber nur möglich, wenn die Milch in guter Beschaffenheit zur Verfügung steht. Die Milch in dieser Güte zu liefern, wird um so schwerer, je größer die Städte werden; denn die Milch ist ein äußerst empfindliches Nahrungsmittel, das Infektionen leicht zugänglich ist, und dessen Eigenschaften infolge langer Versandwege, falscher Behandlung, ungünstiger Temperaturen nur allzu leicht verändert werden.

Die Milchversorgung der Städte ist aus diesen Gründen eine Frage von großer Bedeutung u. a. für die neuzeitliche Bau- und Maschinentechnik geworden. Drei Hauptabschnitte sind auf dem Wege der Milch von der Kuh zum Verbraucher zu unterscheiden: die Milchgewinnung, der Versand und die Milchbehandlung.

In der

Milchgewinnung

Daß die Technik das, was geleistet werden konnte, noch nicht geschaffen. Eine gute Milch kann nur von gesunden Kühen in gesunden Ställen gewonnen werden; ferner muß sie sofort nach dem Melken gekühlt werden, um für den Versand haltbar gemacht zu werden.

Ein gesunder Stall soll gute Luft, reichlich Licht und die richtige Temperatur haben, zudem arbeitskräfteparend eingerichtet und billig sein. Derartige Ställe treffen wir bei uns noch selten an, weil der Krieg uns in Rückstand gebracht hat und die Technik sich um die Rationalisierung der Stallbauten bisher herzlich wenig kümmerte, ganz im Gegensatz zu den Vereinigten Staaten von Amerika, wo der schon während des Krieges entstandene billige Einheitsstall sehr schnell Eingang fand. Für Umbau- und Neubau können dort ganze Ställe oder deren Einzelteile auf Grund von Katalogbestellungen bezogen werden. Gerechterweise ist allerdings auch festzustellen, daß die Landwirtschaft von sich aus z. Zt. wenig Interesse für die Stallnormung bezeugt und es an der Aufstellung von Richtlinien fehlen läßt.

Unter den Stalleinrichtungen nimmt die Milchammer noch eine besonders wichtige Stellung ein. In ihr soll die Milch mit Wasser oder mit Hilfe einer Kleinkältemaschine gekühlt werden, ferner sollen dort die Geräte gereinigt und entkeimt werden. Kleinkältemaschinen zu entwickeln, wie sie den Bedürfnissen der Landwirte entsprechen, ist man bemüht; jedoch geht diese Arbeit viel zu langsam vorwärts. Zweckmäßige Reinigungs- und sterilisier Vorrichtungen werden als Massenartikel überhaupt noch nicht angefertigt. Es ist ja selbstverständlich, daß der Landwirt hierfür nicht viel Geld ausgeben kann, besonders wenn man auf die große Zahl milchliefernder Kleinbetriebe blickt. Um so mehr ist aber notwendig, daß die Industrie sich bemüht, hier Gutes und Billiges zu bringen. Eine gewisse Förderung des Absatzes dieser Geräte und Maschinen läßt sich von dem bevorstehenden Reichsmilchgesetz erwarten, vorausgesetzt, daß die Gesetzgeber Durchgreifendes schaffen¹⁾.

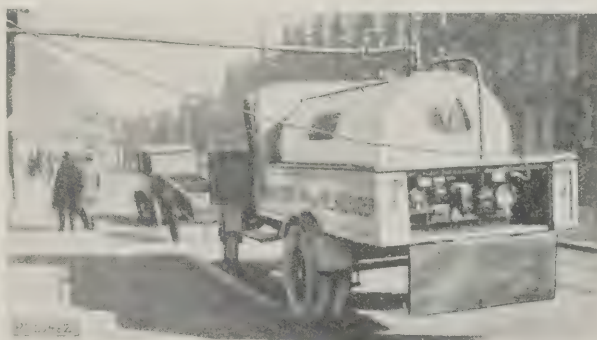


Abb. 1
Großbehälter-Kraftwagen für Milchversand mit Druckluftförderung.

Milchversand

Bessere technische Leistungen sind auf dem Gebiete des Milchversandes zu verzeichnen. Das gebräuchlichste Versandgerät ist nach wie vor die Kanne von 20 l Inhalt, jedoch benutzt man auch immer mehr die 40 l-Kanne, da sie wesentlich wirtschaftlicher ist. Recht gut hat sich auch das Faß von 125 l eingeführt, während der Einführung des geeignetsten Versandbehälters, des Kesselwagens von 3000 bis 5000 l, noch verschiedene Hindernisse entgegenstehen. Diese Versandart eignet sich am besten, da sich in dem Großbehälter die Temperatur gut hält, die Ansteckungs- und Verfälschungsgefahr fast ausgeschlossen ist, die Verluste sehr gering sind und die Anschaffungs- und Versandkosten, auf ein Liter Milch bezogen, ganz erheblich sinken.

Sehr entscheidend spricht bei diesen Gefäßen der Werkstoff mit. Die bisherige eisenverzinnte Kanne konnte nicht restlos befriedigen, man versucht es jetzt mit Aluminium und nichtrostendem Stahl, ohne jedoch wesentlich vorwärts gekommen zu sein, denn Haltbarkeit und hoher Preis bringen auch hier Hemmungen. Für Fässer und Kessel sind Aluminium und V2A-Stahl schon wesentlich besser geeignet, und auch der emaillierte Stahl ist für den Kessel ein ganz vorzüglicher Werkstoff. Der Großbehälterversand setzt natürlich Eisenbahnanschluß oder Kraftwagenbetrieb, Abb. 1, voraus.

Die in technischer Beziehung bemerkenswerteste Entwicklung zeigt

die städtische Meierei

selbst, in der die Milch haltbar gemacht und in zweckmäßigen Verpackungen an die Verbraucher verteilt wird.

Die Frage der Haltbarmachung hat die Technik vor schwierige Aufgaben gestellt, zumal die Ansichten über das Verfahren der Haltbarmachung der Milch in Wissenschaft und Praxis stets recht schwankten und leider auch heute noch nicht entschieden sind. Die Theorie wurde hier leider nur zu oft der Wirtschaftlichkeit vorangestellt.

Das Ausland hat für die Haltbarmachung fast ausschließlich die sogenannte Dauerheißhaltung angenommen, d. h. die Milch wird auf 63° erhitzt und 30 min auf dieser Temperatur gehalten. Mit ziemlicher Sicherheit werden bei

¹⁾ Flugschrift „Milchkammern“ des Reichskuratoriums für Technik und Landwirtschaft. Verlag Hildesheimer Molkereizeitung.

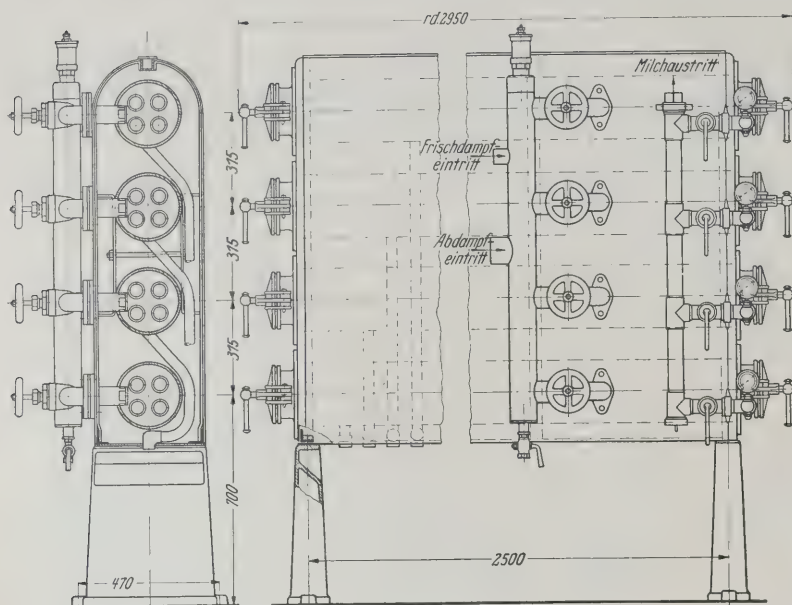


Abb. 2

Abb. 3

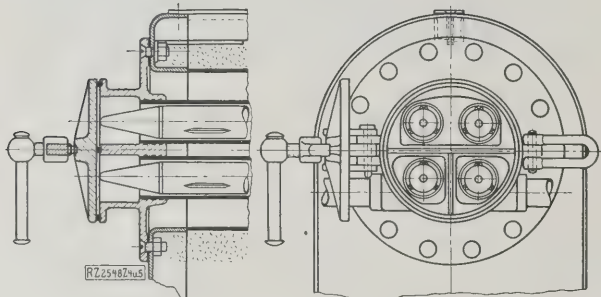


Abb. 4

Abb. 5

Abb. 4 und 5. Verschlussklappe.

Abb. 2 bis 5

Röhren-Durchflußheizer „Montana“ für 1000 l Milch
(vier Gruppen).

diesem Verfahren alle Krankheitskeime und sonstwie schädlichen Mikroben vernichtet. In Deutschland wird die Dauerheißhaltung wohl bevorzugt, ist aber noch immer nicht amtlich anerkannt worden, so daß noch längst nicht alle Betriebe sie anwenden. Dazu kommt, daß gewisse Kreise trotz gegenteiliger Erfahrungen im In- und Ausland es für angebracht halten, sich für Rohmilchbelieferung auch der Großstädte einzusetzen.

Eine planmäßige Forschung hinsichtlich Bau und Einrichtung städtischer Molkereien, wie sie für andere Gewerbe längst üblich ist, wurde erst möglich, nachdem Preußen das Institut für Maschinenwesen bei der Preuß. Versuchs- und Forschungsanstalt für Milchwirtschaft eingerichtet und das Reichskuratorium für Technik in der Landwirtschaft für diese besonderen Arbeiten erhebliche Geldmittel ausgeworfen hat.

Diese Planung für den Bau städtischer Molkereien ist im Laufe der Entwicklung verschiedene Wege gegangen, bis sich jetzt gewisse Richtlinien durch die Forschung ergeben haben. Richtungsgebend ist hier in erster Linie das Bestreben, Milchpumpen zu vermeiden, da diese die Milch bakteriologisch und physikalisch ungünstig beeinflussen. Beim Einflurbetrieb muß man die Milch mit mehreren Pumpen von Behälter zu Behälter fördern, während im Mehrflurbetrieb die Milch mittels Kannenaufzügen in das oberste Stockwerk gehoben wird und von dort infolge der Schwerkraft der Reihe nach in die Behälter strömt. Bei Ausschaltung von einer oder zwei Pumpen lassen sich Planungen finden, die einen Mittelweg zwischen Ein- und Mehrflurbetrieb darstellen.

Der Weg der Milch ist folgender: sie wird bei ihrer Ankunft gewogen und dann in einen Behälter abgelassen.

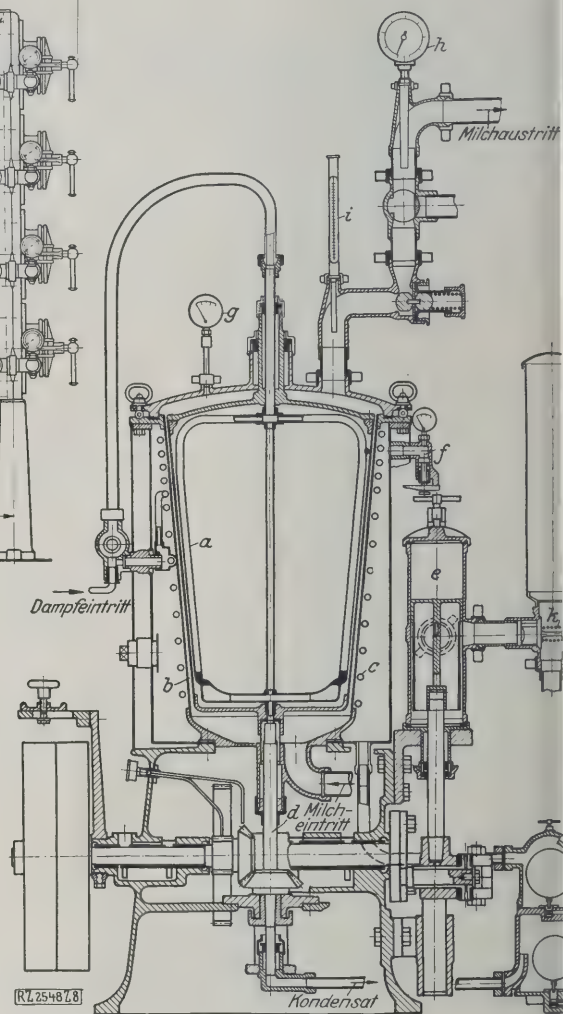


Abb. 6.

Tödt-Milcherhitzer mit umlaufender, innen
beheizter Trommel.

- | | |
|------------------------------------|--------------------------|
| a innere Heizztrommel | e Milchpumpe |
| b äußerer feststehender Heizmantel | f Dampfüberdruckventil |
| c kupferne Rohrschlangen für den | g Druckmanometer |
| äußeren Heizmantel | h Zeigethermometer |
| d Hohlwelle für Kondensatabfluß | i Quecksilberthermometer |

Von hier fließt sie der Reinigungszentrifuge und anschließend den Milcherhitzern zu, die sie auf 63° erwärmen. Dargestellt ist die Reihe nach in die Dauerheißhalter, Kühler und schließlich in die Behälter des Milchlagers unmittelbar zur Flaschenabfüllung. Die gefüllten Flaschen kommen entweder in einen Kühlraum oder sofort auf Lieferwagen.

Als wichtigste Nebenbetriebe dieses Arbeitsganges sind die Kannenwäsche bei der Annahme der Milch und die Flaschenwäsche vor der Abfüllung zu nennen.

Ein neuzeitlicher Großbetrieb braucht neben den eigentlichen Behandlungsmaschinen eine ganze Reihe von

Förderanlagen.

Tatsächlich ist das Anlagekapital einer Großmolkerei zum großen Teil in derartigen Anlagen festgelegt, auch hier an Arbeitskräften gespart werden soll. Die größten der augenblicklich in der Ausarbeitung befindlichen Entwürfe, die bis auf eine Tagesleistung von 250 000 l Milch kommen, haben insgesamt z. B. mehr als 400 m Roll- und Kettenbahnlänge; hinzu kommen noch zahlreiche Aufzüge, Paternoster, Schrägrutschen und Pendelelevatoren.

Nicht alles, was die Förderanlagenindustrie anzubieten hat, konnte in den Molkereien benutzt werden. So eignen sich z. B. teilweise für die Kannenförderung die in England und Amerika gebräuchlichen Kettenbahnen besser als Rollbahnen und Brettelförderer.

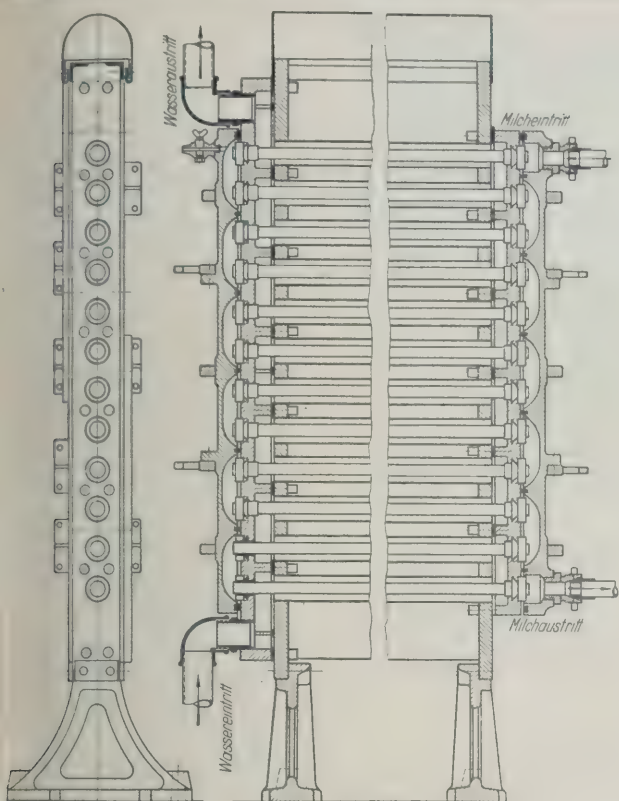


Abb. 7 und 8. Doppelrohr-Gegenstromerhitzer.

Zum Befördern der Milch innerhalb der Molkerei bediente man sich bisher allein der Milchpumpen; jetzt tritt mit ihnen die Druck- und Saugluft erfolgreich in Wettbewerb, da die Förderung selbst einfacher ist und die Milch schonender behandelt wird.

Geräte für die Milchbehandlung

Nachdem die Milchwaage und die Reinigungsschleuler einen hohen Vollkommenheitsgrad erreicht haben, hat man augenblicklich den Einrichtungen zum Erhitzen und Heißhalten der Milch erhöhte Aufmerksamkeit zugewandt. Zahlreiche neue Konstruktionen sind auf dem Markte, deren Güte aber nicht nur von Konstruktion und Werkstoff allein abhängt, sondern nach ihren bakteriologischen und physikalischen Einflüssen auf die Milch bewertet werden muß.

Durchflußerhitzer

Die Durchflußerhitzung bei hohen Temperaturen, 70 bis 85°, steht hier besonders im Kampfe mit der Dauerheißhaltung bei 63° während 30 min. Wohl hat die Dauerheißhaltung vorerst den Sieg davongetragen, aber es auch immer neue Durchflußerhitzer auf mit tatsächlichen oder vermeintlichen Verbesserungen, die sich infolge der Billigkeit der Geräte, einfacherer Bedienung und geringeren Platzbedarf je 1000 l Leistung durchzusetzen hoffen. Die meisten dieser Einrichtungen versuchen, nach dem Verfahren der dünnen zweiseitig erhitzten Milchsichten zu arbeiten, das eine besonders schnelle Bakterienabtötung bei möglichster Erhaltung des Rohmilchzustandes herbeiführen soll. Theoretisch ist dies auch erreichbar, in der Praxis mußte man die ganz dünnen Schichten bereits verlassen, da bei angesäuerter Milch Festbrennen und Verstopfen eintrat.

Abb. 2 bis 5 zeigt den „Montana“-Durchflußerhitzer des Bergedorfer Eisenwerkes, einen Röhrenerhitzer mit Verdrängungskörpern in den Röhren, Abb. 6 den „Tödt“-Erhitzer mit einem umlaufenden, innen beheizten Trommelsatz für die Milchförderung unter einem Flüssigkeitsdruck von 2 at. Abb. 7 und 8 schließlich zeigen den jetzt vielfach gebräuchlichen Doppelrohr-Gegenstromerhitzer der Firma Eduard Ahlborn, Hildesheim. Dieser Durchflußerhitzer erwärmt die Milch auf nur 63°, um sie dann an den

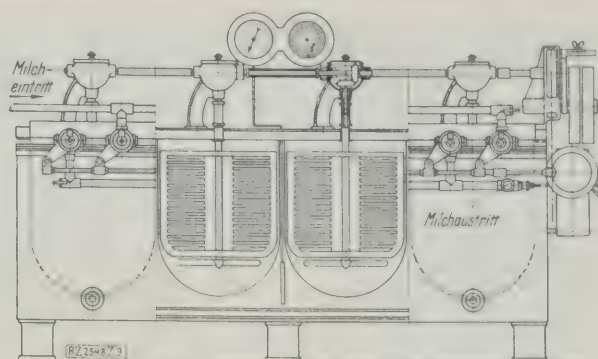


Abb. 9. Vierzellen-Dauerheißhalter.

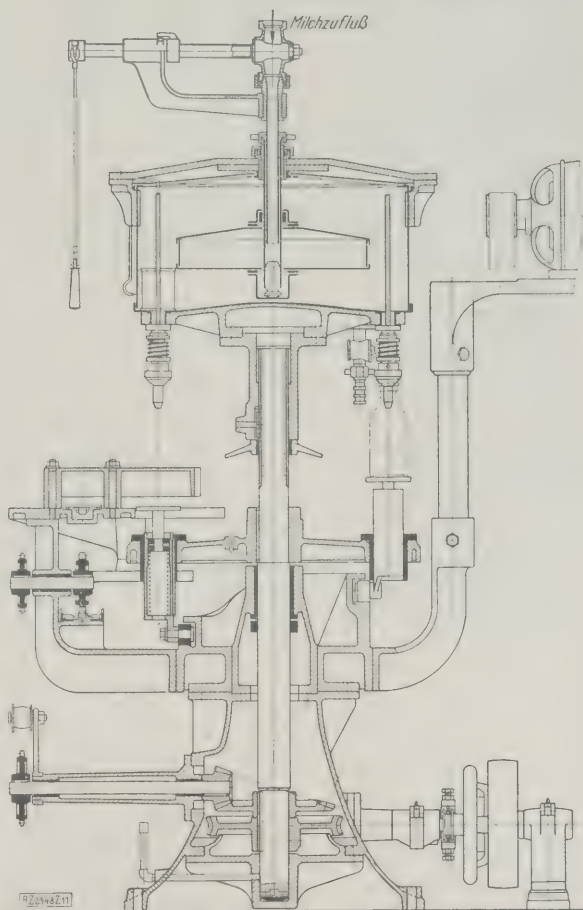


Abb. 10. Flaschenfüller mit mechanischer Anpressung.

Dauerheißhalter,

die Vierzellenstandwanne, Abb. 9, abzugeben. Diese Wanne und ähnliche Erzeugnisse anderer Firmen dienen nur zur Heißhaltung, während für kleinere Leistungen auch Einzelwannen auf dem Markte sind, in denen die Milch erhitzt, 30 min auf 63° gehalten, gekühlt und bis zur Verteilung auch aufbewahrt wird, ein Gerät, das in den Vereinigten Staaten von Amerika vielfach gebräuchlich ist.

Füll- und Verschlußmaschinen

Für das Abfüllen der Milch auf Flaschen gibt es selbsttätige Füller verschiedenster Konstruktion, die die Flaschen auch gleichzeitig verschließen, Abb. 10 und 11, Bauart Holstein & Kappert, Dortmund. Als vollständig selbsttätigen Verschluß kennen wir z. Zt. nur die Pappscheibe, während die sogenannte Kronenkappe nur äußerst langsam Eingang findet. Sehr viel Aussichten hat die Aluminiumkappe mit Papierunterlage, wenn es erst gelingen wird, sie ganz selbsttätig aufzubringen.

Als Milchflasche ist die von dem Maschineninstitut Kiel entwickelte Normenflasche in der Einführung begriffen.

¹⁾ Bauart der Aluminium Plaut und Vessel, Co. London.

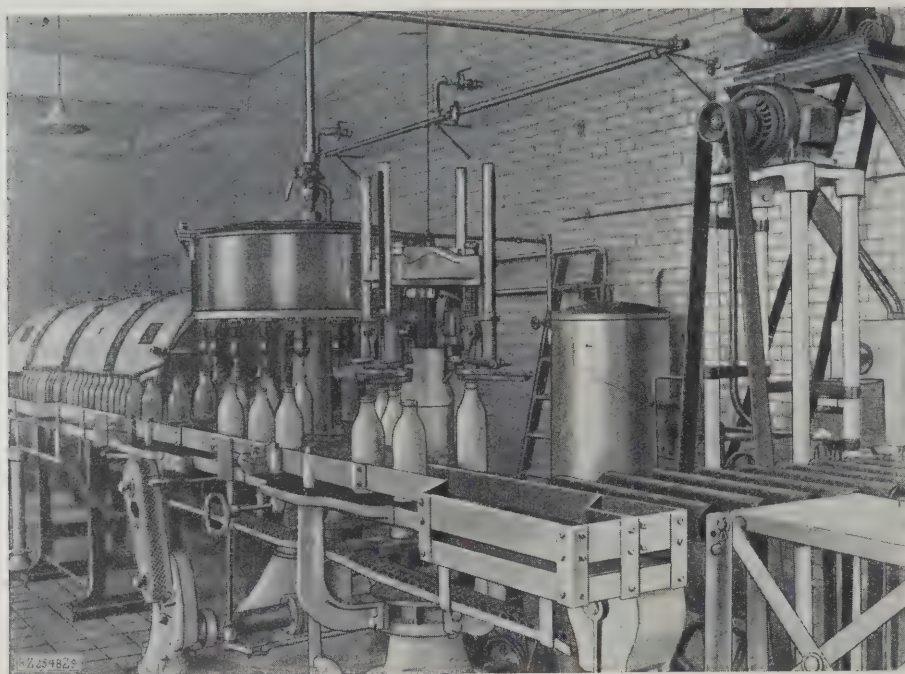


Abb. 11
Flaschenreinigungs-, Füll- und Verschlußanlage.

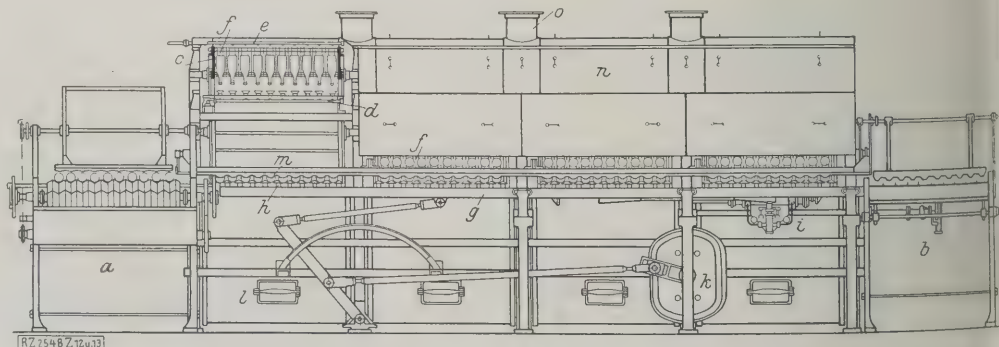
nachdem man sich eine Zeitlang völlig abwegig der Metallflasche zugewandt hatte. Die Glasflasche könnte m. E. nur noch von der einmalig zu benutzenden billigen Papierflasche verdrängt werden. Durch die Flasche ist die Flaschenwaschmaschine zu großer Bedeutung gelangt; denn es gilt nun täglich bis zu 100 000 Flaschen und mehr bakteriologisch einwandfrei mit geringstmöglichen Unkosten zu reinigen. Einweich- und Spritzmaschinen, Abb. 12 und 13, (Firma Holstein & Kappert, Dortmund), und reine Spritzmaschinen, Abb. 14, Bauart Enzinger Unionwerke, A.-G., Mannheim, die mit Laugen und Wässern verschiedener Temperatur und verschiedenen Druckes arbeiten, erfüllen die gestellten Forderungen. An dieser Stelle seien auch die Kannenwaschmaschinen, Abb. 15, der Firma Göbel, Feuerbach-Stuttgart, erwähnt, die mit Spritzwasser und Laugen, Dampf und heißer Luft die Kannen bei erheblicher Ersparnis an Arbeitskräften reinigen.

Sonstige Einrichtungen

Neben diesen wichtigsten Maschinen weisen städtische Betriebe je nach Einstellung noch zahlreiche andere Maschinen auf, die der Verwertung von Überschuß- und Nebenerzeugnissen dienen, sofern man diese nicht bereits auf dem Lande verwertet. Genannt seien nur Yoghurtherstellung, Homogenisiermaschinen, Eiskremanlagen, Milchtrockner und Kondensiereinrichtungen nebst dem dazu notwendigen Zubehör. In besonderen Abteilungen finden wir dann noch alle Einrichtungen einer vollständigen Butterei und Käserei; wesentliche technische Neuerungen sind hier zu verzeichnen.

Abb. 12 und 13
Einweich-
und Spritzmaschine
für Milchflaschen-
reinigung.

- a Aufgabe
- b Abgabe
- c Trommel
- d Innenspritzung
- e Außenberieselung
- f Zellen für Flaschen
- g Beschickungstisch
- h Flaschenträger
- i Ölbremse
- k Tischkurvenscheibe
- l Reinigungsluken
- m Ausstoßer
- n Geschlossene Haube
- o Dunstabzug



Kraft- und Wärme- wirtschaft

Einen großen Raum nehmen noch die Einrichtungen für Kraftversorgung, Kälte-, Wasser- und Wärmeversorgungsanlagen in den Großmolkereien ein. Kraft- und Wärmeverbrauch gelangt der Betrieb zumeist der Dampfmaschine zur größtmöglichen Wirtschaftlichkeit, jedoch ist nicht immer ganz leicht, den Bedarf so abzustimmen, daß allein mit Abdampf auskommen oder dieser zu allen Betriebstunden restlos zu verwerten ist. Besonders im Sommer Zeiten großen Kälte- und großen Wärmebedarfs treten häufig große Abdampfüberschüsse auf. Weiterhin stören die starken Milchschwankungen sowohl an Wochenenden als auch zu Zeiten verschiedener Milcherzeugnisse den Kraftbedarfsausgleich recht empfindlich.

Neu ist in den letzten Jahren die Elektrizität hinzugekommen, denn die Betriebe wurden weitläufig, daß man von der Transmission zum Gruppen- und Einzelantrieb übergehen

mußte. Untersuchungen und Berechnungen lehren, daß die Erzeugung von Eigenstrom im allgemeinen am wirtschaftlichsten ist, und zwar wählte man Dampfstrom, um im Bedarfsfall auch vom städtischen Netz Strom beziehen zu können. Mit dieser Stromart muß aber auch erst Erfahrungen gesammelt werden; denn genaue, vor allen Dingen aber auch sehr schwankende Kraftbedarf milchwirtschaftlicher Maschinen war ungenügend bekannt gewesen, die Motoren wurden zu groß bemessen, es gab infolgedessen große Phasenverschiebung und hohen Blindstromverbrauch. Die Einführung der Elektrizität ermöglichte Betrieben mit Abdampfüberschuß Fremdstrom zu beziehen, was sonderlich außerhalb der Hauptbetriebszeiten z. B. für Kälteanlagen gern geschieht, wenn die Stromtarife leidlich günstig sind.

Große Beachtung wird der Wasserwirtschaft in den Molkereien geschenkt. Man ist bemüht, das Wasser möglichst zweimal, zuerst für Kühlung, dann für Kesselheizung und Reinigung zu benutzen, womit gleichzeitig eine erhebliche Wärmerückgewinnung durch Austauschapparate verschiedener Art verbunden wird.

Um die Kraftwirtschaft der deutschen städtischen Molkereien schnell zu fördern, führt das Kieler Institut für Molkereimaschinenwesen mit Hilfe von Mitteln des Reichskuratoriums für Technik in der Landwirtschaft auf breiter Grundlage Forschungsarbeiten aus, und nach diesen Ergebnissen werden Um- und Neubauten entworfen und durch Beratung gefördert. Einige der Neubauten gewonnene, besonders kennzeichnende Zahlen seien nachstehend gebracht.

In städtischen Betrieben den wir bisher einen
Verbrauch von 70
kg für 1000 l behan-
elter Milch, der Neubau
Plauen, der alle neuzeit-
lichen Einrichtungen auf-
weist, kommt mit 43 kg aus,
und wir sind überzeugt,
daß wir durch weitere
Neubauten noch günstige
Zahlen zu erreichen. Um
laufendartige Ergebnisse zu
erhalten, werden die Neu-
bauten von uns mit allen
erforderlichen Meßgerä-
ten, die unser Eigen-
tum bleiben, ausgerüstet,
um eine technische
Durchführung und liefern
der Ergebnisse allwöchent-
lich zur Auswertung ein-
zuzeichnen. Die neuzeitliche
Architektur und die letzten
Erfahrungen des Bauwesens
zeigen auch am Molkereibau,
wie man aus Abb. 16 ersieht,
dem Neubau Plauen, der von
Kiel entworfen, vom Architekten
H. Pflaume, Plauen, durchgearbeitet
und gebaut wurde, während die
maschinelle Einrichtung von den
Firmen Bergedorfer Maschinenwerk
und Enzinger-Union-Werke,
Mannheim, geliefert wurde.
Heizung, Lüftung, Abwasserbesei-
tigung, Auswahl milchsäurebestän-
diger Kunststoffe sind weitere
Gebiete, auf denen die besonde-
ren Ansprüche der Molkerei-
technik erforscht und dann
angewendet werden müssen.

Schlußwort

Dieses äußerst kräftige Streben zur
Rationalisierung der Molkereibau- und
Maschinentechnik hat seine Ursache ein-
mal in den höher geschraubten hygieni-
schen Ansprüchen und weiterhin in der
eigentlichen Notwendigkeit, die Unkosten so
niedrig wie möglich zu halten. Es liegt in der
Natur der städtischen Milchversorgung, in
ihrer sozialen Bedeutung, daß dem Unkosten-
faktor eine besonders hohe Bedeutung zu-
kommt, zumal der Verbraucher noch sel-
ten zwischen guter und schlechter Milch
einen Unterschied macht und stets die
billigste Milch kauft.

Diesen Verhältnissen muß Rechnung ge-
tragen werden, und manche sehr wünschens-
werte Neuerung kann einfach nicht ange-
schafft werden, weil die durch sie
vielleicht hervorgerufene Unkostenerhö-
hung um $\frac{1}{4}$ bis auf 1 l Milch unter
den Umständen schon als untragbar
bezeichnet werden muß. Auch hier
werden sich die Verhältnisse im Laufe
der Zeit noch ändern; einstweilen
müssen alle Ingenieure und Bau-
techniker zu beliefern, zu beraten
oder gar zu begutachten

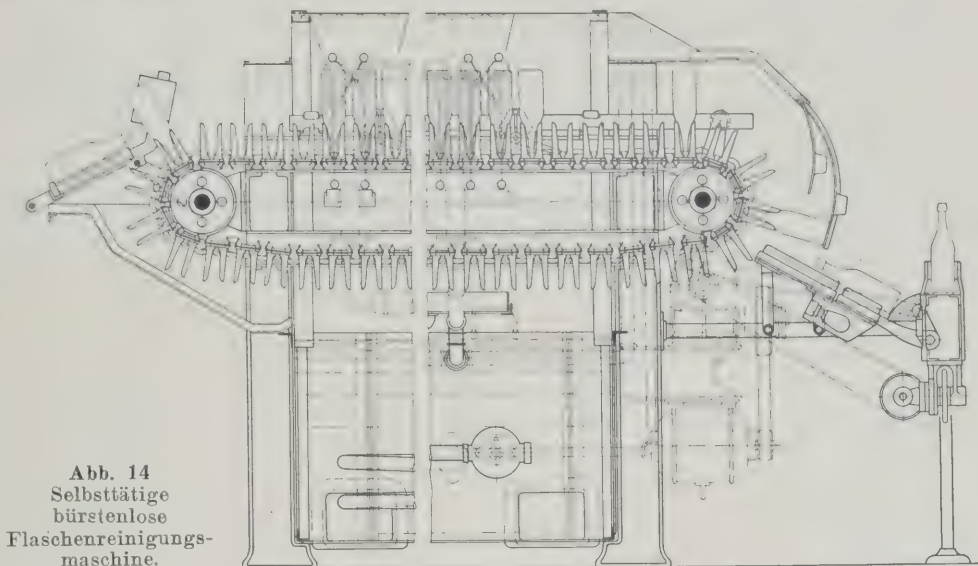


Abb. 14
Selbsttätige
bürstenlose
Flaschenreinigungs-
maschine.



Abb. 16
Milchhof Plauen i. Vogtl. von der Kesselhausseite.

haben, diese besondere Lage genau kennen. Tatsache ist
aber auch, daß die Technik, vor allem die Sonderfirmen,
hier bereits viel Fortschrittsarbeit geleistet haben und daß
auch für die Zukunft ein reiches Arbeitsgebiet offen steht.
Die Kreditaktionen des Reiches haben eine lebhaft
Entwicklung angeregt, die auf Jahre hinaus anhalten wird,
wenn die allgemeine Wirtschaftslage einigermaßen günstig
bleibt. [B 2548]

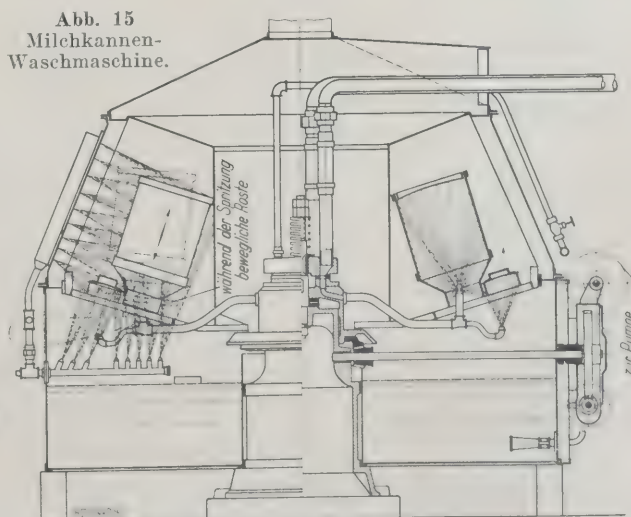
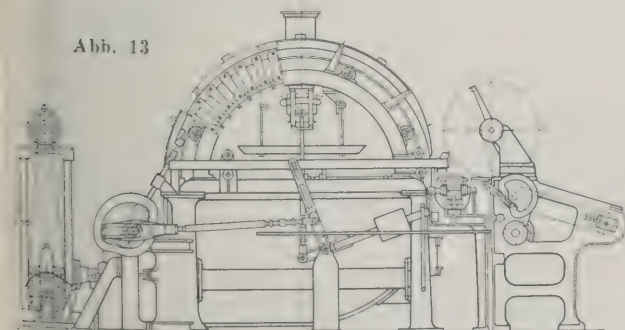


Abb. 15
Milchkannen-
Waschmaschine.

Abb. 13



Zugfestigkeit und Härte bei Metallen¹⁾

Von Dr.-Ing. O. SCHWARZ, Stuttgart

Die praktische Bedeutung des Kugeldruckversuches. Bei Nichteisenmetallen besteht auch bei gleichen Metallgruppen, Aluminium und seine Legierungen ausgenommen, kein linearer Zusammenhang von Brinellhärte und Zugfestigkeit. Die Umrechnungszahlen hängen vom Grad der Kaltbearbeitung ab und können zwischen 0,3 und 0,6 schwanken. Einfluß und Abhängigkeit der Härtezahlen von der Verfestigung. Zusammenhänge der Härtekennzahlen mit den einfachen Dehnungslinien und der Zugfestigkeit. Verfahren zur Ermittlung der Brinellfestigkeit. Bei hohem Streckgrenzeverhältnis gilt für alle Metalle praktisch genügend genau der Beiwert 0,36. Hinweis auf das Verhältnis bei höherer Temperatur und bei gegossenen Metallen.

Wenn uns die Aufgabe gestellt ist, einen Werkstoff zu beurteilen, so pflegen wir auch heute noch in allererster Linie die Zugfestigkeit zu ermitteln. Damit ist in manchen Fällen schon viel gewonnen, allein die Ermittlung dieser Größe stößt dann auf Schwierigkeiten, wenn man nur über kleine Mengen des Werkstoffes, wie es häufig bei Teilen, die im Betriebe versagt haben, der Fall ist, verfügt, oder der Werkstoff nicht zerstört werden soll. In diesem Fall zieht man zur Beurteilung die Härteprüfung nach dem Kugeldruckverfahren heran, bei der man als Härteziffer nach dem Vorschlag von Brinell das Verhältnis der Belastung der Kugel zur erzeugten kugelförmigen Eindruckfläche ansieht. Dabei hat die Erfahrung bestätigt, daß unter den für Stahl einheitlichen Bedingungen für Kugelgröße und Kugelbelastung die so gefundene Härteziffer H_n der Zugfestigkeit K_z verhältnismäßig ist, derart, daß

$$K_z = 0,36 H_n \text{ (kg/mm}^2\text{)}$$

gesetzt werden kann. Diese Beziehung ist so wertvoll geworden, daß man trotz der physikalischen Unzulänglichkeit dieser Härteziffer recht froh war, mittels eines angenäherten abgekürzten Verfahrens die Zugfestigkeit ermitteln zu können. In der Tat ist die Treffsicherheit, mit der man aus der Härteziffer die berechnete Zugfestigkeit, die Brinellfestigkeit, wie sie kurz bezeichnet wird, erlangt, in den meisten Fällen so überraschend, daß der Fehler selten mehr als ± 5 vH beträgt. Indessen ist auch bekannt, daß für Stahl die Grenzwerte für die Umrechnungszahlen bei 0,3 und 0,4 liegen und damit die übliche Beziehung Abweichungen von ± 10 vH ergeben kann. Wenn man

¹⁾ Auszug aus Heft 313 der Forschungsarbeiten auf dem Gebiete des Ingenieurwesens, herausgegeben vom Verein deutscher Ingenieure, Berlin 1929, VDI-Verlag G. m. b. H.

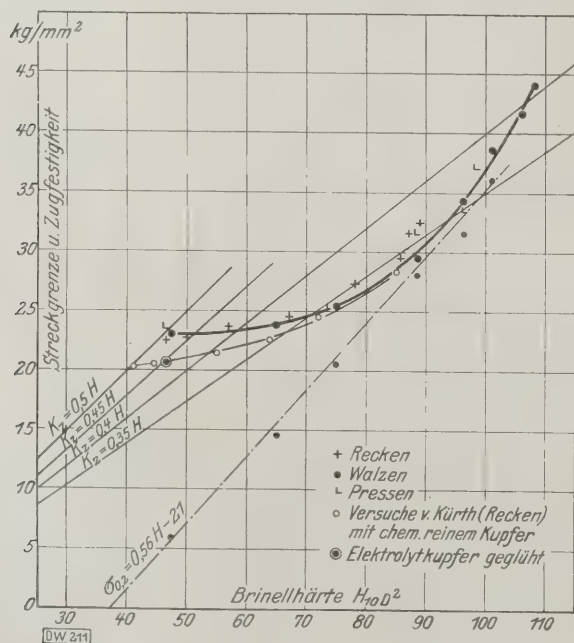


Abb. 1

Zusammenhänge von Brinellhärteziffer, Streckgrenze und Zugfestigkeit für Kupfer.

10 D² ist die notwendige Belastung P in kg, wenn D der Kugeldurchmesser in mm ist.

auch über deren Gründe zunächst keinerlei Anhaltspunkte hatte, so vermochte dies nichts an der praktischen Bedeutung der Brinellprüfung zu ändern, denn in vielen Fällen ist eine an sich auch nur überschlägige Bestimmung der Festigkeit, wenn sie nur rasch und billig ausgeführt werden kann, von unschätzbarem praktischen Nutzen.

Brinellhärteziffer, Zugfestigkeit und Streckgrenze bei Nichteisenmetallen

Es hat nicht an Versuchen gefehlt, auch bei Nichteisenmetallen nach einer Beziehung zwischen Zugfestigkeit und Härte zu suchen, sie haben jedoch zu keinem brauchbaren Ergebnis geführt, weil die Umrechnungszahlen für einen und denselben Werkstoff zwischen 0,3 und 0,6 nach dem Zustand der Kaltbearbeitung liegen können. Damit versagt die einfache Umrechnung von Brinellhärte in Festigkeit und es blieb als einzige Möglichkeit übrig, nachst zu verfolgen, wie sich für die einzelnen Metalle die Verhältniszahlen mit der Kaltbearbeitung ändern.

Abb. 1 zeigt für Kupfer, dessen Härte und Festigkeitswerte durch Kaltwalzen (bis 90 vH) soweit wie möglich gesteigert worden waren, diesen Zusammenhang. Die praktischen Werte dieses Zusammenhanges zu erhöhen sind auch Ergebnisse mit andern Kupfersorten, so wie sie im Schrifttum zu finden waren, eingetragen. Das ergibt sich, daß eine lineare Beziehung keineswegs besteht; man könnte wohl aus dieser Darstellung für bestimmte Härteziffern zeichnerisch die Zugfestigkeit abnehmen, aber auch dabei ergeben sich schon für gleiche Härteziffern Unterschiede in der Festigkeit, wenn man verschiedenen Kupfersorten vergleicht. Genau dasselbe Bild ergibt sich für Reinnickel.

Bei Messing kommt als neue Schwierigkeit hinzu, daß schon im geglähten Zustand je nach der Legierung erhebliche Härteunterschiede bestehen. Für verschiedene Legierungen ergeben sich wohl ähnliche Linienzüge, für gleiche Härteziffern verschiedene Festigkeiten; so

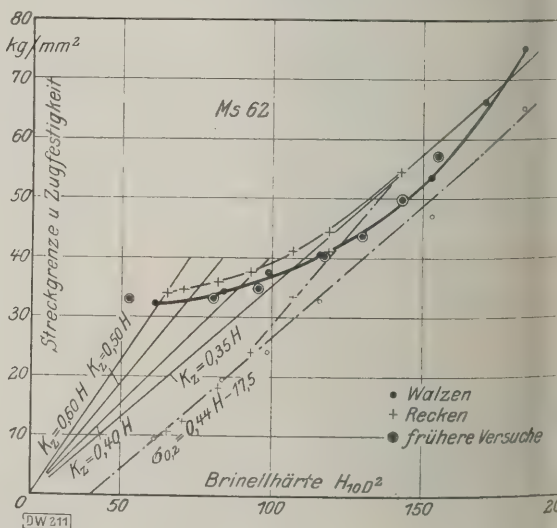


Abb. 2

Zusammenhänge von Brinellhärteziffer, Streckgrenze und Zugfestigkeit für Messing Ms 62.

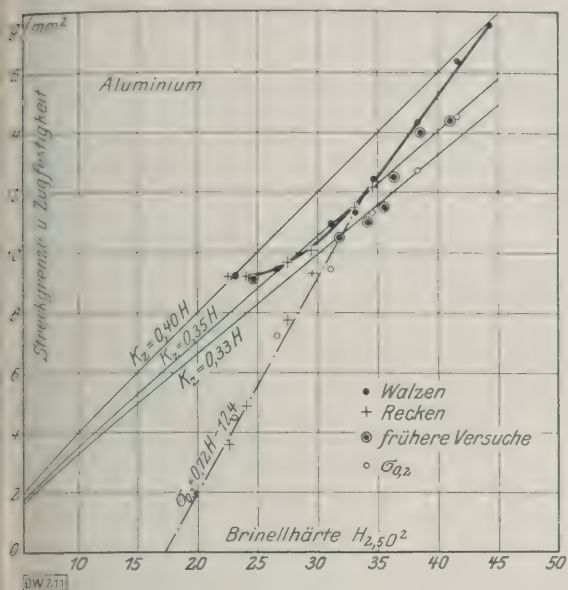


Abb. 3

Zusammenhänge von Brinellhärtezahl, Streckgrenze und Zugfestigkeit für Aluminium.

Für eine Brinellhärte $H_{10/1000} = 80 \text{ kg/mm}^2$ Festigkeiten von 26,5 bis 37,5 kg/mm^2 . Damit versagt auch dieser Weg gerade bei Messing, weil die Zusammensetzung als unbekannt anzusehen ist und selbst bei gleicher Zusammensetzung der Gefügebau sich in den mechanischen Eigenschaften geltend macht, Abb. 2. Eine von Guillet angegebene Beziehung für Kupfer, Messing, Bronze und Aluminiumbronze, nach der für den ausgeglühten Zustand $K_z = 0,55 H_{10/1000}$ und für den kalt bearbeiteten $K_z = 0,05 H_{10/1000}$ gesetzt werden kann, läßt sich nicht allgemein anwenden, weil die kleinere Umrechnungszahl nur für einen ganz bestimmten Grad der Kaltbearbeitung gilt, dessen Feststellung die Kugeldruckprobe nicht ermöglicht. Außerdem kann der Wert 0,55 für den ausgeglühten Zustand Abweichungen von 20 vH ergeben, ganz abgesehen davon, daß man schwer in allen Fällen mit Sicherheit sagen kann, ob das Metall in diesem Zustand vorliegt.

Bei Aluminium werden die Umrechnungszahlen durch Kaltbearbeitung nicht in dem Maße verändert, wie für die genannten Metalle, so daß nach Abb. 3 im Mittel gesetzt werden kann

$$K_z = 0,33 \text{ bis } 0,36 H_{2,5 D^2}$$

Bessere Übereinstimmung läßt sich noch erreichen, wenn man beachtet, daß bei weichgeglühtem und bei federhart gewalztem Aluminium der Beiwert bis 0,4 ansteigen kann.

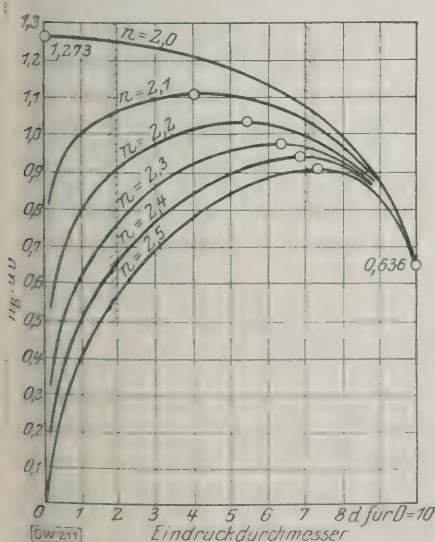


Abb. 5 (links)
Abhängigkeit der Brinell-
schen Härtezahl vom Ein-
druckdurchmesser.

Abb. 6 (rechts)
Abhängigkeit des mittleren
spezifischen Druckes (Meyer-
Härte) vom Eindruckdurch-
messer.

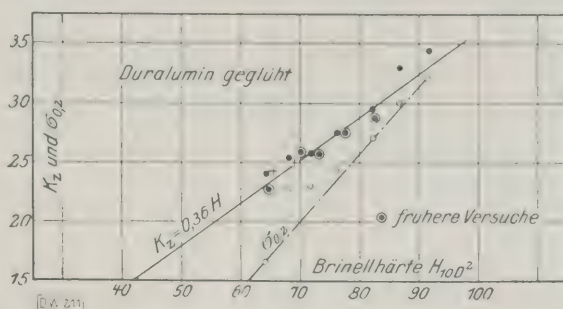
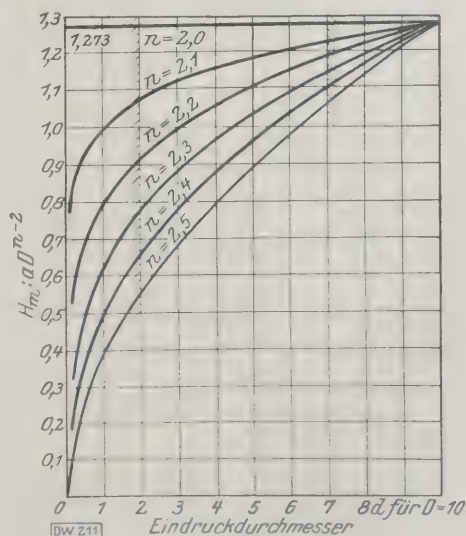


Abb. 4

Zusammenhänge von Brinellhärtezahl, Streckgrenze und Zugfestigkeit für Duralumin (geglüht).

Eine recht gute lineare Beziehung ergibt sich für Duralumin, Abb. 4:

$$\begin{aligned} \text{Duralumin geglüht} & \dots \dots K_z = 0,36 H_{10 D^2} \\ \text{Duralumin veredelt} & \dots \dots K_z = 0,31 \text{ bis } 0,36 H_{10 D^2} \\ \text{Skleron veredelt} & \dots \dots K_z = 0,35 \text{ bis } 0,36 H_{10 D^2} \end{aligned}$$

Für die Aluminiumgruppe kann demnach die Frage als befriedigend gelöst angesehen werden, und man wird nicht fehlgehen, den Mittelwert 0,35 auch auf die übrigen veredeltbaren Aluminiumlegierungen wie Konstruktal, Lautal, Aeron und ähnliche auszudehnen.

Beziehungen zur Streckgrenze lassen sich in der Form $\sigma_s = BH - C$ ausdrücken. Da aber die Festwerte B und C für verschiedene Metalle verschieden sind und für gleiche Metalle noch von der Art der Kaltbearbeitung abhängen, so ist der praktische Wert solcher Beziehungen nur gering.

Bei den Nichteisenmetallen, die Aluminiumgruppe ausgenommen, besteht also selbst dann, wenn die einzelnen Metallgruppen besonders betrachtet werden, ein so einfaches Verhältnis wie bei Stahl nicht. Dieser Umstand ist in erster Linie darauf zurückzuführen, daß die Brinellhärte, wie ja schon durch die notwendige Normung der Kugelbelastung zum Ausdruck kommt, keinen Festwert darstellt und infolgedessen mit der Zugfestigkeit nicht ohne weiteres oder doch nur in besonderen Fällen vergleichbar ist.

Härtelinie und Zugdehnungslinie

Einen Einblick in das Wesen der Kugeldruckhärte gewinnt man, wenn man die Abhängigkeit der Kugelbelastung P vom Eindruckdurchmesser d verfolgt. Dann gilt die Beziehung $P = ad^n$ mit dem Exponenten n als Festwert. Da der Wert a außer vom Werkstoff noch von der Größe der verwendeten Kugel abhängt, ist es zweckmäßig, für die Betrachtungen denjenigen Wert a zugrunde zu legen, der zur Einheitskugel $D = 10 \text{ mm}$ gehört. Unter dieser Voraussetzung kann auch a als Festwert angesehen

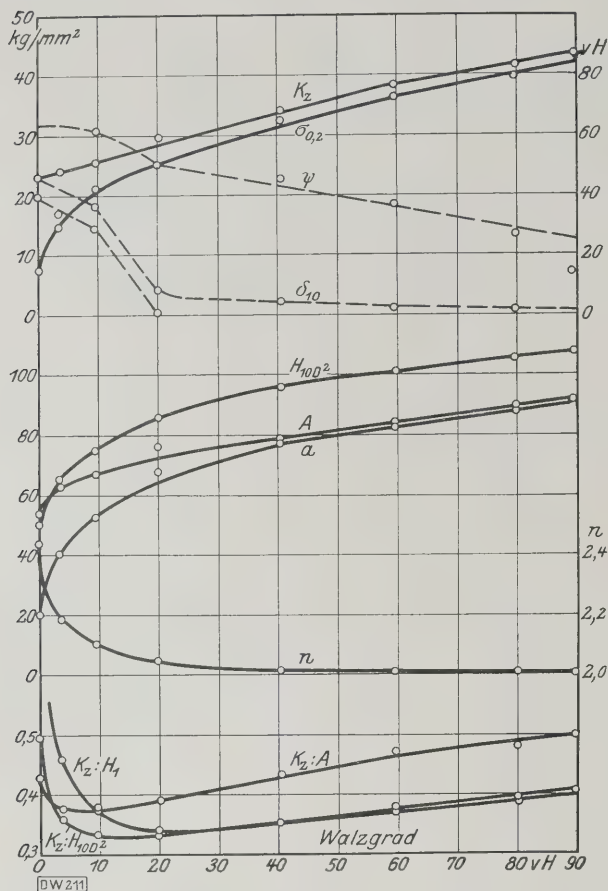


Abb. 7

Änderung der Härte- und Festigkeitswerte von Kupfer mit dem Walzgrad.

werden; die Umrechnung von a auf andre Kugelgrößen ergibt sich, daß der Wert $a D^{n-2} = A$ unabhängig vom Kugeldurchmesser bleibt. Aus den Härtekennziffern a und n kann man für beliebige Eindruckdurchmesser die Brinellhärtezahlen errechnen, Abb. 5. Als physikalisch richtigere Härtezahl ist der mittlere spezifische Druck (Meyerhärte) anzusehen, der sich aus der einfachen Beziehung $H_m = \frac{4 a d^{n-2}}{\pi}$ ergibt. Aus Abb. 6 ersieht man, daß diese Härtezahlen mit dem Eindruckdurchmesser stetig wachsen, und zwar um so mehr, je mehr n von 2 verschieden ist.

Das Anwachsen der Härtezahlen ist aber nichts anderes als die Erscheinung der Verfestigung, die allerdings in bezug auf den Härtebegriff zu der Erkenntnis führt, daß die Härte als Eindringwiderstand keinen Festwert darstellen kann, weil dieser Widerstand mit dem Eindringen wächst. Demgemäß kann auch das Verhältnis von Zugfestigkeit und Härte nur dann als unveränderlich werden, wenn die Verfestigung bei beiden Vorgängen gleichwertig ist. Die Formänderungsvorgänge beim Eindringen einer Kugel lassen sich daher nicht durch eine einzelne Härtezahl ausdrücken, vielmehr muß man die ganze Härtelinie, die durch die Kennziffern a und n bestimmt ist, heranziehen. Dabei scheidet aber die Brinellsche Härtelinie aus, weil der Verfestigungsvorgang zugunsten einer wenig veränderlichen Härtezahl verschleiert wird. Übrigens trifft das letzte auch nur dann zu, wenn n zwischen 2.1 und 2.2 liegt. Durch die eigenartige Zunahme der Kalottenoberfläche entsteht ein Größtwert (Größthärtezahl), der aber mehr geometrischer Natur ist und einen Vergleich mit der Höchstspannung der Zugdehnungslinie weder rechtfertigt noch ergibt.

Der Exponent n liegt nun bei Stahl- und Aluminiumlegierungen im geglähten Zustand etwa bei 2.1 bis 2.3, für die übrigen Nichteisenmetalle aber bei 2.3 bis 2.6; durch Kaltbearbeitung nimmt n für beide Metallgruppen bis auf 2

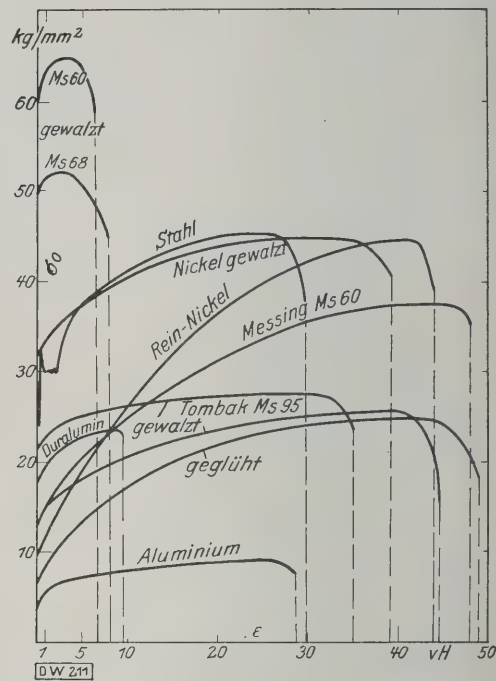


Abb. 8

Dehnungslinien verschiedener Metalle.

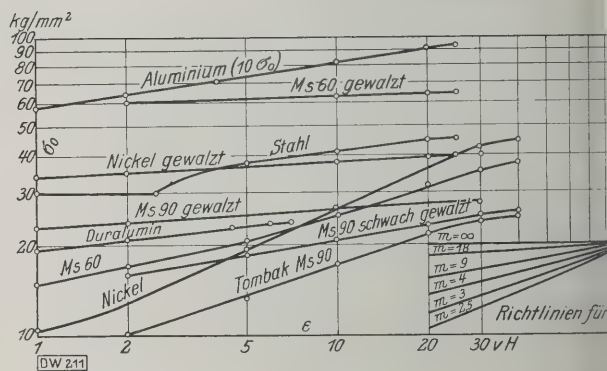


Abb. 9

Dehnungslinien verschiedener Metalle (Abb. 8) in logarithmischer Darstellung.

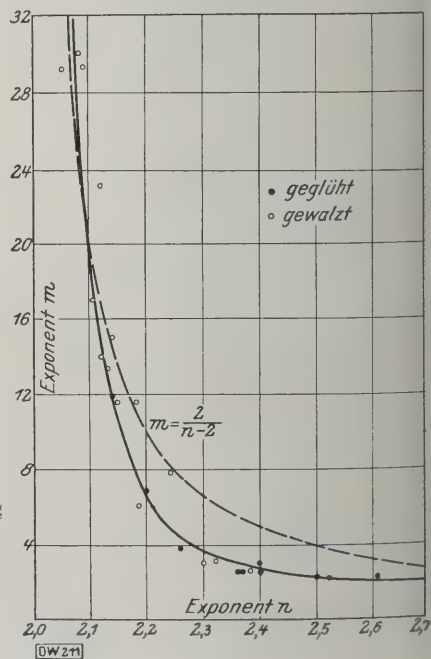


Abb. 10
Zusammenhang der
Exponenten n
($P = a d^n$)
und m
($\epsilon = (\alpha \tau_0)^m$).

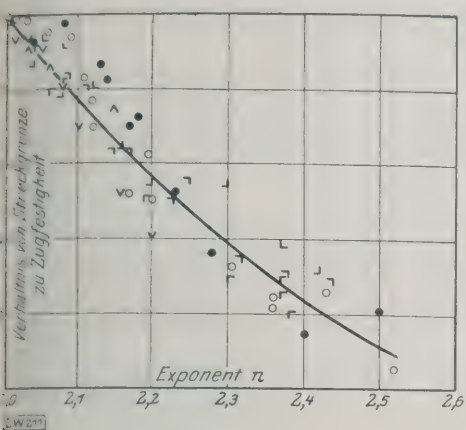


Abb. 11
Streckgrenzeverhältnis und Exponent n .

□ Ms 90 ○ Kupfer
■ Ms 85 ● Nickel
△ Ms 62 ▲ Duralumin
▴ Ms 60 ▼ Aluminium

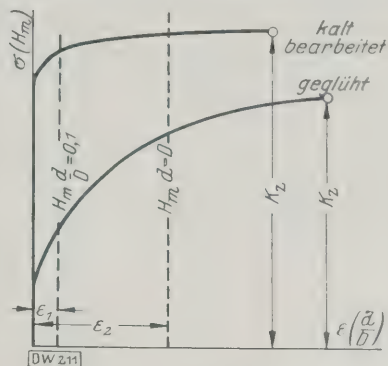


Abb. 12
Überlagerung von Härtelinie und Zugdehnungslinie.

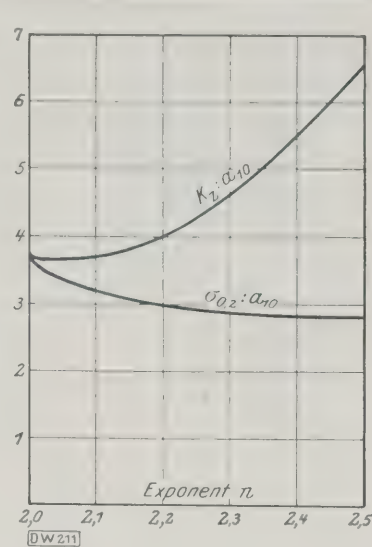


Abb. 13 (rechts)
Abhängigkeit der Zugfestigkeit und Streckgrenze von den Härte-kennziffern a und n auf Grund der abgeleiteten Beziehungen.

ab. Das letztere tritt ein, wenn Streckgrenze und Zugfestigkeit zusammenfallen, der Stoff also nicht mehr in dem Sinne verfestigungsfähig ist, daß das Streckgrenzeverhältnis sich hebt, Abb. 7. Im Einklang damit steht, daß für $n = 2$ der mittlere spezifische Druck unabhängig von der Eindringgröße wird. Dies und weiterhin die Tatsache, daß gerade für Metalle mit Exponenten zwischen 2 und 2,3 ein wenig veränderliches Verhältnis zwischen Zugfestigkeit und Brinellhärte besteht, weisen aber darauf hin, daß der Exponent n zu den einfachen Dehnungslinien in Beziehung stehen muß.

Diese Zusammenhänge lassen sich zahlenmäßig verfolgen, wenn man die Dehnungslinie durch eine Gleichung von der Form $\varepsilon = (\alpha \sigma_0)^m$ zu erfassen sucht. Abb. 8 und 9 zeigen an dem nahezu geradlinigen Verlauf der üblichen Zugdehnungslinien im logarithmischen Schaubild, daß eine solche Beziehung, naturgemäß nicht bei allen Metallen, aber, wie die Versuche zeigen, doch in sehr vielen Fällen eine recht anschauliche Darstellung gestattet, bei der auch die Zugdehnungslinie durch zwei Festwerte gekennzeichnet wird. Bestimmt man diese Festwerte, so ergeben sich Zusammenhänge zwischen a und α , sowie den Exponenten n und m , Abb. 10. Daraus geht hervor, daß die Bedeutung von n nicht mehr allein auf den Kugeldruckversuch beschränkt bleibt, sondern ohne Rücksicht auf den Zustand, in dem sich das Metall befindet, den Anstieg der Dehnungslinie, mit andern Worten, die Verfestigungsfähigkeit kennzeichnet.

Metalle mit hohen Exponenten n haben steil ansteigende Dehnungslinien, verfestigen sich also rasch; Metalle mit kleinen Exponenten haben geringere Verfestigungsfähigkeit, ihre Dehnungslinien steigen flach an. Für $n = 2$ fehlt die Verfestigungsfähigkeit; dieser Zustand tritt ein bei Metallen, die soweit verfestigt sind, daß sie keine gleichmäßige Dehnung mehr haben, ferner im Fließbereich bei Stahl und schließlich bei hohen Temperaturen, wenn die Verfestigung durch Erweichung wieder aufgehoben wird. In letzterem Fall kann die gleichmäßige Dehnung recht beträchtlich sein. Findet sich n kleiner als 2, wie z. B. bei Blei, so unterliegt der Stoff der Erweichung, m müßte negativ werden, d. h. die Dehnungslinie abfallen, was in der Tat auch bei Blei beobachtet wird. Die Zusammenhänge werden aber bei solchen Metallen leicht durch den Einfluß der Formänderungsgeschwindigkeit gestört. Daß beim Kugelschlagversuch²⁾ der dynamische Exponent n stets kleiner als der statische gefunden wird und beim dynamischen Zugversuch die Dehnungslinie flacher ansteigt³⁾ als beim statischen, muß als eine Bestätigung des Zusammenhangs angesehen werden.

Wenn nun n den Anstieg der Dehnungslinie kennzeichnet, so muß das Verhältnis von Streckgrenze zur Zug-

festigkeit durch n bestimmt sein unter der Voraussetzung, daß die gleichmäßige Dehnung als unveränderlich anzusehen ist. Da aber meistens Metalle mit hohen Exponenten n auch eine große gleichmäßige Dehnung haben, und die Dehnungslinien im Bereich der Höchstlast häufig ein längeres Stück waagrecht verlaufen, so tritt der Einfluß der gleichmäßigen Dehnung teilweise wieder zurück, so daß, wie Abb. 11 zeigt, n mit recht guter Annäherung das Streckgrenzeverhältnis zum Ausdruck bringt. Dadurch gewinnt der Exponent n besondere praktische Bedeutung, und es sollte auf seine Ermittlung dort nicht mehr verzichtet werden, wo man aus einer Härteprüfung möglichst weitgehenden Aufschluß über die Eigenschaften des Werkstoffes erhalten will.

Die Tatsache, daß die Härtekennziffern a und n denselben Formänderungswiderstand zum Ausdruck bringen, den die Zugdehnungslinie darstellt, erlaubt einen anschaulichen Vergleich beider Vorgänge, wenn man Härte und Zugdehnungslinie überlagert und die Spannungen im Zugdehnungsschaubild mit den mittleren spezifischen Drücken vergleicht. Zu dieser Anschauung bin ich unabhängig von Ludwik⁴⁾ gelangt, der in ähnlicher Weise die Brinellschen Härtezahlen mit den Spannungen für die Zugdehnungslinie vergleichen konnte. Nach Abb. 12 entspricht dem Anwachsen der Härtezahlen vom Wert a ($d = 1$ mm) bis zum Werte $A = a D^{n-2}$ ($d = D = 10$ mm) ein bestimmtes Stück der Zugdehnungslinie.

In bezug auf das Verhältnis der Zugfestigkeit zu einer Härtezahl läßt sich daraus ableiten, daß von allen Härtezahlen für die verschiedensten Metalle in beliebigen Zuständen der Wert $a D^{n-2}$ das am wenigsten veränderliche Verhältnis hat und beliebige Härtezahlen nur dann in einem wenig veränderlichen Verhältnis zur Zugfestigkeit stehen, wenn das Streckgrenzeverhältnis^{4a)} hoch liegt, die Dehnungs- und Härtelinie flach verläuft, also n klein ist. Härtezahlen, die bei kleinen Eindringen ermittelt werden, stehen in näherer Beziehung zur Streckgrenze, umgekehrt sind tiefe Eindringe erforderlich, wenn das Verhältnis der Zugfestigkeit zur Härte möglichst wenig veränderlich sein soll. Man sieht aber auch, daß für Metalle mit hohen Exponenten n selbst bei diesen Härtezahlen noch nicht die Verfestigung erzielt wird, die der Zugfestigkeit entspricht, was auch Abb. 7 an dem eingetragenen Verhältnis $K_2 : A$ zeigt.

Zugfestigkeit und Härtekennziffern

Um in bezug auf das Verhältnis der Zugfestigkeit zur Härte zu einem gesetzmäßigen Zusammenhang zu kommen, wurde ein von Kokado gezeigter Weg eingeschlagen. Kokado⁵⁾ ist es auf rechnerischem Wege gelungen, den Nach-

²⁾ Claß, Der Kugelschlaghärteprüfer, Heft 296 der Forschungsarbeiten auf dem Gebiete des Ingenieurwesens. (Vergl. Z. Bd. 71 (1927) S. 1680.)
³⁾ Meyer, Zugversuch bei raschem Zerreißen. Heft 295 der Forschungsarbeiten auf dem Gebiete des Ingenieurwesens.

⁴⁾ Ludwik, Z. Bd. 71 (1927) S. 1532. Die vorliegende Arbeit wurde Ende 1927 abgeschlossen.
^{4a)} Verhältnis der Streckgrenze zur Zugfestigkeit.
⁵⁾ Kokado, Hardness and Hardness-Measurement, Tech. Rep. Tohoku Imp. University Bd. 6 (1927) Heft 4. Einen Auszug enthält Forschungsheft 313 S. 3 u. f.

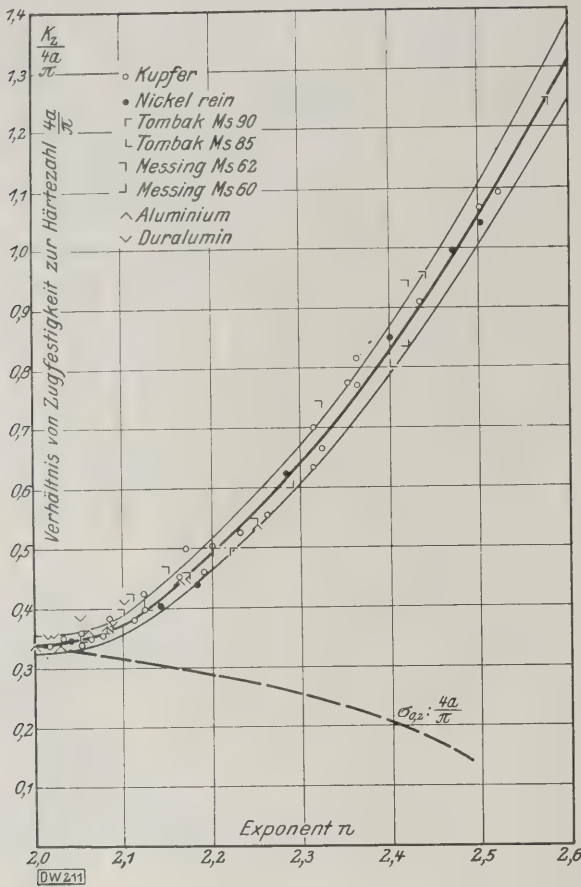


Abb. 14
Abhängigkeit der Zugfestigkeit von den Härte-
kennziffern a_{10} und n auf Grund der Versuche.

weis zu erbringen, daß das Eindringen einer Kugel, das durch a und n bestimmt ist, sich auch durch diejenigen Größen, die den Zusammenhang von wirklicher Spannung und Dehnung für die einfache Druckdehnungslinie angeben, ausdrücken läßt. Die rechnerischen Ableitungen ergeben als gegenseitige Zusammenhänge $m = \frac{2}{n-2}$ und $\sigma = a \cdot f(n)$, wenn als Gleichung für die Druckdehnungslinie $\frac{\epsilon_d}{1-\epsilon_d} = (\sigma/a)^m$ gesetzt wird.

Beachtet man, daß aus der Druckdehnungslinie die Zugdehnungslinie dadurch gefunden werden kann, daß man den Ausdruck $\frac{\epsilon_d}{1-\epsilon_d}$ durch die Zugdehnung ϵ ersetzen kann, so findet sich für den Zusammenhang zwischen Zugfestigkeit und Härtekennziffern folgender Ausdruck:

$$K_z = \frac{(4-n)^{\frac{4-n}{2}} (n-2)^{\frac{n-2}{2}} 2^{\frac{n-2}{2}} n a D^{n-2}}{(6-n)^2}$$

Abb. 13 zeigt den durch diese Gleichung bestimmten Zusammenhang für $D=10\text{ mm}$ in Abhängigkeit vom Exponenten n . Wenn auch diese Beziehung zahlenmäßig nicht verwertbar ist, so kommt durch sie doch zum Ausdruck, daß im allgemeinsten Fall nicht eine einzelne Härtezah, sondern die Härtekennziffern a und n in Beziehung zur Zugfestigkeit stehen. Als neuer Gesichtspunkt kommt noch hinzu, daß auch die gleichmäßige Dehnung (mathematisch als die zur Zugfestigkeit gehörige Abszisse aufzufassen) in dieser Beziehung oder in der Funktion für n enthalten ist.

Trägt man nun für die untersuchten Metalle das Verhältnis $K_z:a$ in Abhängigkeit von n auf, so ergibt sich Abb. 14. In der die schwach ausgezogenen Linien ein Gebiet der Abweichungen vom Mittelwert von $\pm 5\text{ vH}$ ein-

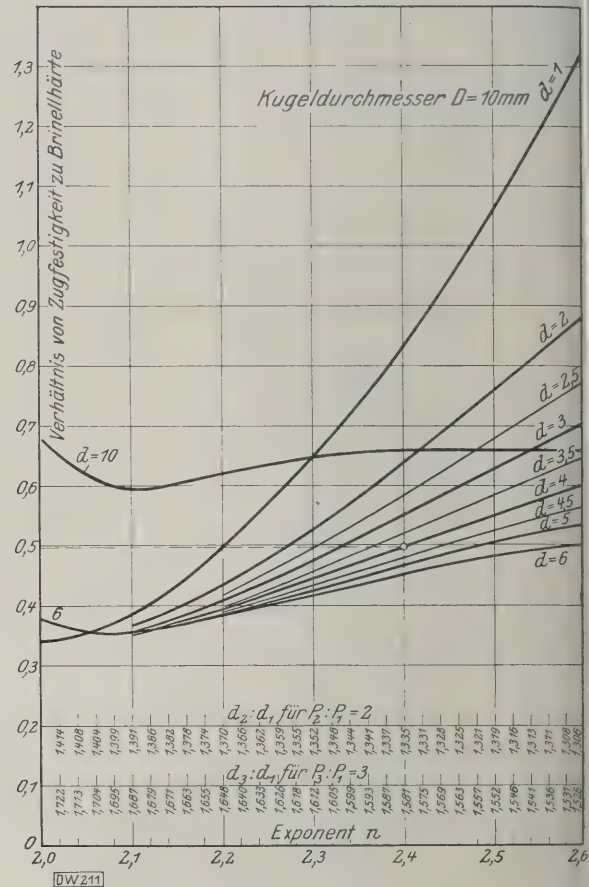


Abb. 15
Tafel zur Bestimmung der Umrechnungszahlen.

schließen. Der Einfluß der gleichmäßigen Dehnung tritt aus demselben Grund, wie für das Streckgrenzeverhältnis fast ganz zurück, bedingt aber mit den Unregelmäßigkeiten im Verlauf der Dehnungslinien die Abweichungen. Die Brinellfestigkeit läßt sich damit aus den Werten a und n bestimmen. Dazu sind mindestens zwei mit verschiedenen Kugelbelastungen erzeugte Eindrücke notwendig.

Bei bestimmter Wahl der Belastung (z. B. Verhältnis 1:2 oder 1:3) kann n unmittelbar aus dem Verhältnis der Eindruckdurchmesser angegeben werden; a muß aber durch Logarithmieren bestimmt werden. Um die zu umgehen, ist die Tafel Abb. 15 so entworfen, daß es möglich ist, aus der üblichen Brinellhärte und dem Exponenten n die Brinellfestigkeit zu bestimmen. Hat man z. B. bei $P_1=1000\text{ kg}$ $d_1=4\text{ mm}$, entsprechend $H_{10/1000}=76,6\text{ kg/mm}^2$, gefunden, bei $P_3=3000\text{ kg}$ $d_3=6,32\text{ mm}$, ergibt sich aus $d_3:d_1=1,581$ $n=2,4$. Auf der Senkrechten durch $n=2,4$, Abb. 15, findet man beim Schnittpunkt mit $d=4\text{ mm}$ als Umrechnungszahl 0,49, damit wird $K_z=0,49 \cdot 76,6 \approx 38\text{ kg/mm}^2$. Weiterhin kann man aus Abb. 11 entnehmen, daß für $n=2,4$ das Streckgrenzeverhältnis etwa 0,3 beträgt. Findet man $n \leq 2,2$, so liegt die Umrechnungszahl zwischen 0,3 und 0,4, ganz wie wir bei Stahl gewohnt sind, und es ergibt sich dann hinreichend genau für alle Metalle $K_z=0,36 H_B$.

Die praktische Bestimmung der Brinellfestigkeit wird außerordentlich vereinfacht, wenn man weiß, daß das Metall in kaltverformtem Zustand vorliegt. Es ist üblich bei gewalzten und gezogenen Metallen die Härtestufen viertelhart, halbhart, dreiviertelhart, hart und federhart zu unterscheiden⁵⁾. Da für diese Zustände bei allen untersuchten Metallen $n < 2,2$ gefunden wurde, so kann in diesen Fällen auf die Bestimmung von n verzichtet und ohne weiteres $K_z=0,36 H_B$ gesetzt werden. Die Bestimmung von n wird daher nur bei geglähten oder gar

⁵⁾ Nach einem noch nicht endgültigen Normvorschlag soll die Festigkeit in diesen Fällen das 1,1, 1,2, 1,3, 1,4 und 1,8 fache vom geglähten Zustand betragen.

wach verformten Metallen notwendig; dabei hat sich angegebene Verfahren auch bei den inzwischen angestellten Versuchen mit Walzbronze, Duranametall und Elektron als praktisch brauchbar erwiesen.

Die ermittelten Zusammenhänge finden sich auch bei Kupfer in höherer Temperatur bestätigt, dabei hat sich, wie zu erwarten war, gezeigt, daß es nicht zulässig ist, bei gewöhnlicher Temperatur gültigen Beiwert auch bei höheren Temperaturen zu übertragen. Allgemeine Bedeutung kommt den Zusammenhängen insofern zu, als auch bei Stahl das Verhältnis von 0,36 nach oben abweicht und bei n und n abhängig wird, wenn n größer als 2,3 ist, d. h. das Streckgrenzeverhältnis sinkt. Dies kann durch Grobstrukturigkeit oder Legierungszusätze (austenitische Stähle) bedingt sein. Ein hohes Streckgrenzeverhältnis, wie es z. B. bei Chromnickelstahl vorliegt, bedingt umgekehrt kleinere Umrechnungszahlen (0,34).

Gegossene Metalle

Die gefundenen Zusammenhänge gelten zunächst nur für zähe Metalle, d. h. solche, die sich einschnüren; wenn diese Bedingung schon beim gegossenen Metall erfüllt ist, so sind sie auch auf diese anwendbar. Zu beachten ist, daß solche Metalle nie ganz frei von örtlichen Unregelmäßigkeiten sind, die die Festigkeit in höherem Maße beeinflussen als die Härte, so daß bei der Beurteilung der Festigkeit gegossener Metalle aus der Brinellhärte stets Rücksicht am Platze ist. Zumeist finden sich wegen der feinen Struktur hohe Werte für n .

Bei gegossenen Metallen, die spröde sind, mißt man mit der Zugfestigkeit keinen Formänderungswiderstand, sondern nur Trennungswiderstand; man kann daher nur auf rein empirischem Wege entscheiden, ob Festigkeit und Härte gleichlaufend sind. Es scheint, als ob für solche Metalle die Umrechnungszahl für $H_{10/1000}$ bei 0,25 liege.

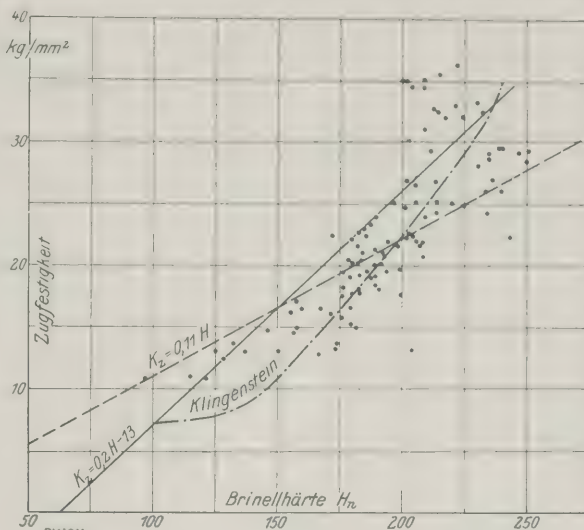


Abb. 16

Zugfestigkeit und Brinellhärte bei Gußeisen.

Für Gußeisen werden die bisher aufgestellten Beziehungen untereinander und mit weiteren Versuchswerten verglichen, Abb. 16. Daraus folgt, daß ein einfaches Verhältnis nur für Gußeisen mit ferritisch-perlitischer Grundmasse annähernd besteht ($K_z = 0,09$ bis $0,11 H_n$). Für Gußeisen mit perlitischer Grundmasse läßt sich aber eine allgemeine Verhältniszahl nicht angeben, weil die Festigkeit im Gegensatz zur Härte durch Form und Menge des in Form von Graphit ausgeschiedenen Kohlenstoffs und weniger durch die metallische Grundmasse bedingt ist.

2. Jahresversammlung des Institute of Metals

Am 13. und 14. März fand in London unter der Leitung des Vorsitzenden, Prof. Dr. W. Rosenhain, die diesjährige Jahrestagung des Institute of Metals statt. Ihr besonderes Gepräge erhielt die Tagung dadurch, daß sie die 21. Jahresversammlung war, das Institute of Metals somit zum laufenden Jahre in das dritte Jahrzehnt seines Bestehens eintritt. Ebenso erscheint das bekannte und geschätzte Journal of the Institute of Metals (zufällig ebenso die Zeitschrift für Metallkunde) im dritten Jahrzehnt. Von den deutschen Gästen vertrat Dr. W. Rohn den Verein deutscher Ingenieure und die Deutsche Gesellschaft für Metallkunde.

Von den Vorträgen seien folgende erwähnt: Über eine verbesserte Form des elektrischen Widerstandofens berichteten W. Rosenhain und J. Prytherch. Der Ofen weist bei höherer Arbeitstemperatur (bis 1400 °) eine größere Haltbarkeit auf und ist frei von Oxydation des Kohlenwiderstandrohres. Der Heizkörper des Ofens besteht aus Kohlen- oder Graphitrohren, die in feuerfesten Hüllen gelagert sind. Die Heizelemente werden durch Kontaktwiderstand erhitzt. Bei der günstigsten Luftabschluß tritt nur geringe Oxydation ein.

Clement Blazey sprach über die Brüchigkeit von arsenhaltigem Kupfer. In einer früheren Arbeit*) wurde eine Brüchigkeit von arsenhaltigem Kupfer beschrieben, die sich durch geringe Zugfestigkeit und Dehnung, interkristallinen Bruch ohne Einschnürung und geringe Biegefähigkeit auch nach Glühen unter 600 bis 700 ° kennzeichnete. Nach Glühen bei höheren Temperaturen verschwand diese Sprödigkeit, sie erschien jedoch wieder bei Kaltbearbeitung und Glühungen bei tieferen Temperaturen. Man stellte fest, daß unter bestimmten Bedingungen eine geringe Menge Wismut (ungefähr 0,4 vH) einen ähnlichen schädlichen Einfluß hervorzurufen kann. Die Versuchsbedingungen sind: Einschmelzen von arsenhaltigen Kupfers unter Holzkohle, dann Polieren und dem Vergießen Zusatz von Wismut. Anschließendes Phosphorzusatz hebt die Schädlichkeit auf, ebenfalls Umschmelzen. Bei Phosphorzusatz genügt einmaliges Umschmelzen, sonst ist mehrmaliges Umschmelzen erforderlich. Bei feinen Drähten genügt langes Erhitzen in Wasserstoff-

atmosphäre bei hoher Temperatur. Die Sprödigkeit trat in nicht arsenhaltigem Kupfer auf.

Das Altern der Aluminiumlegierungen einiger Aluminiumlegierungen behandelten Marie L. V. Gayler und G. D. Preston. Folgende physikalische Eigenschaften von fünf kennzeichnenden Aluminiumlegierungen, die Kupfer oder Magnesium-Silizid oder beide Komponenten enthielten, wurden unter gleichen Bedingungen der Wärmebehandlung die Brinellhärte, die Zerreißfestigkeit, die Dichte, die elektrische Leitfähigkeit und die Kristalländerung durch Untersuchung mittels Röntgenanalyse untersucht. Die Änderungen der Dichte und im Raumgitter lassen während des Alterns die Annahme zu, daß eine Ausflockung aus fester Lösung stattfindet. Die Röntgenanalyse zeigt auch, daß die Kristalle in einem gestörten Zustand sind, der sich erst allmählich bei der Alterung bei höherer Temperatur erholt. Die Zunahme des elektrischen Widerstandes während der Alterung entspricht dieser Störung des Raumgitters der festen Lösung, die durch kleinste Zersetzungsteilchen der festen Lösung hervorgerufen wird.

Man nimmt an, daß die Umsetzungen in der festen Lösung zwei Vorgänge umfassen:

1. Ausscheidung der Atome des gelösten Metalls aus dem Raumgitter der festen Lösung, von der möglichen Bildung von Molekülen begleitet.
2. Eine Koagulierung dieser ausgeschiedenen Atome oder Moleküle, ein Vorgang, der dicht dem ersten folgt oder ihn überlappt.

Zusammenfassend ergeben die Versuche eine starke Bestätigung, daß Härtung auf Ausscheidung hoch disperser Teilchen beruht.

Über das System Magnesium-Zink berichteten W. Herme Rothery und E. O. Rounsefell. Das Gleichgewichtsschaubild wurde für 0 bis 70 Atomhunderteile Mg untersucht. (Der magnesiumreiche Teil ist von Hansen geklärt*). Die feste Löslichkeit von Magnesium in Zink steigt von 0,15 Atomhunderteilen bei 200 °C, auf 0,3 Atomhunderteile bei 364 °C, der Temperatur des Zn-Mg-Zn₂-Eutektikums. Die Verbindung MgZn₂ wurde bestätigt, ebenfalls MgZn₃. Eine neue Verbindung MgZn wurde festgestellt. Diese findet sich stets bei Elektron u. ä. Legierungen vor, wo Zink im Überschuß der festen Löslichkeit vorhanden ist.

[N 2835]

Aachen

Dr.-Ing. M. Haas

*) J. Inst. Metals Bd. 37 (1927) S. 51.

*) J. Inst. Metals Bd. 39 (1928) S. 298; Z. f. Metallk. Bd. 19 (1922) S. 455.

R U N D S C H A U

Schweißtechnik

Werkstoffübergang im Schweißlichtbogen

Während man über die Schweißflamme des Azetylen-Sauerstoff-Brenners ziemlich genau Bescheid weiß, ist man bis vor kurzem noch ziemlich im Unklaren gewesen über das Verhalten des Metall-Schweißlichtbogens, insbesondere über den Übergang des Werkstoffs von der Elektrode zum

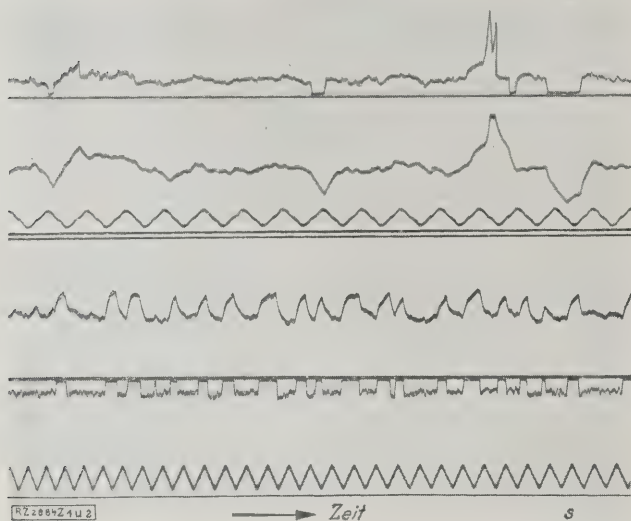
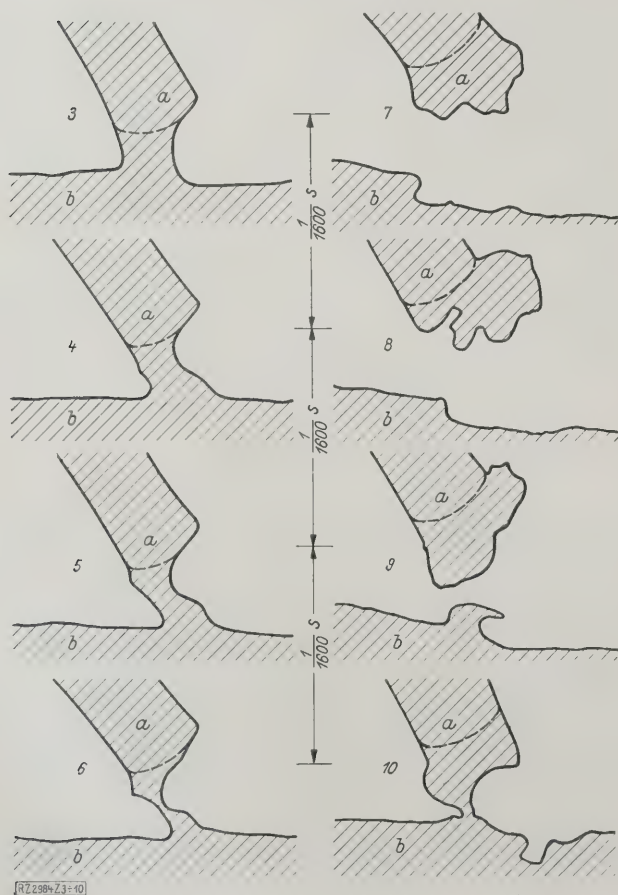


Abb. 1 und 2
Oszillographische Aufnahmen beim Schweißvorgang für zwei verschiedene Elektroden und die zugehörigen Wechselstromspannungskurven (unten).



Werkstück. Man hat versucht, durch Photographie Übergang sichtbar zu machen, mußte aber schon sehr Glück haben, wenn man zufällig einmal einen wirklichen Tropfen erfassen konnte, da sich die Vorgänge im Metalllichtbogen ganz außerordentlich rasch abspielen. Man kann dann mit mehr Erfolg versucht, mittels des Oszillographen sich Klarheit zu verschaffen dadurch, daß man aus dem Verlauf der Schweißspannungskurve und der Schweißstromkurve Rückschlüsse auf Dauer und Größe des Lichtbogens zog. Denn in dem Augenblick, wo ein Tropfen abgeht, erfolgt ein Kurzschluß, die Stromstärke steigt an, bis durch die Wicklung der Maschine nach oben begrenzter Höchstwert und die Spannung sinkt auf null und bleibt so lange auf null, bis der Tropfenübergang vollzogen ist und sich wieder ein neuer Lichtbogen bildet. Trotz der sehr großen Empfindlichkeit des Oszillographen vermochte man aber immer noch nicht restlos den außerordentlich rasch wechselnden Vorgängen nachzukommen.

Es lag der Gedanke nahe, den Lichtbogen zu filmen, wenn man in der Lage war, recht viele Bilder in einer Sekunde aufzunehmen. So wurde Anfang 1927 im Versuchsfeld für Schweißtechnik an der Technischen Hochschule Berlin auf Anregung von Prof. Dr.-Ing. A. H. Thun zum ersten Mal der Schweißlichtbogen gefilmt und mit einem Gerät des Filmfachmannes, Ing. Thun, dem man damals schon 800 Bilder in einer Sekunde aufnehmen konnte. Die mit einer 40fachen Dehnung vorgenommene Abrollung dieses Films ließ aber wegen der überstrahlenden Helligkeit des Lichtbogens in keiner Weise erkennen, wie der Werkstoff von der Elektrode zum Schweißstück übergeht. Wohl aber zeigte sich, daß der 40fachen Verlangsamung der Lichtbogen noch in der außerordentlich lebhaft herumtanzte.

Inzwischen waren in Amerika unter Ausnutzung der Wärmestrahlen beim Werkstoffübergang Filmaufnahmen des Schweißlichtbogens auf stark rot empfindlichem Film hinter strengen Rotfiltern gemacht worden, wobei es gelang, mit Rücksicht auf genügend lange Belichtungszeit nur ein Bild zu machen, etwa 60 Bilder in einer Sekunde aufzunehmen, so daß der Film nur mit etwa vierfacher Zeitdehnung abrollen konnte¹⁾. Trotzdem war hier zum ersten Mal der Werkstoffübergang zu beobachten, der aber hinsichtlich Form und Verlauf an Deutlichkeit zu wünschen übrig ließ, besonders deshalb, weil bei dem außerordentlich raschen Abspielen der Vorgänge 60 Bilder in einer Sekunde viel zu wenig sind.

Inzwischen war von Thun ein neues Verfahren entwickelt worden. Bei diesem konnten bis zu 4000 Bilder in einer Sekunde aufgenommen werden. Der Werkstoffübergang wurde dadurch klar sichtbar gemacht, daß der Lichtbogen durch eine stärkere Lichtquelle, die dem aufzunehmenden Objekt gegenüberliegenden Winkel überstrahlt wurde, so daß man den übergehenden Werkstoff im Film als Schattenbild erfaßte.

Nachdem einige erste Probeaufnahmen sofort die Brauchbarkeit des Verfahrens erwiesen hatten, wurden im Verein des Fachausschusses für Schweißtechnik im Verein deutscher Ingenieure planmäßige Untersuchungen des Werkstoffübergangs vorgenommen, und zunächst mit nackten, kohlenstoffarmen, an den Minuspole gelegten Elektroden unter Verschweißung durch einen Arbeiter, um die Unsicherheit der Hand des Schweißers auszuschalten. Hierbei wurden gleichzeitig mit dem Film die Wechselstromspannungen aufgenommen und außerdem noch die Stromstärke einer Wechselstrombogenlampe von 50 Per/s. Der Vergleich mit den Filmbildern war es nun möglich, die einzelnen Tropfenübergänge bezüglich Zeitdauer, vorangehender Schweißspannung und Schweißstromstärke, sowie vorangehender Lichtbogendauer genau zu verfolgen.

Durch Veränderung der Schweißspannung bei gleichbleibender Stromstärke und Veränderung der Stromstärke bei gleichbleibender Schweißspannung konnte man ein Bild machen über zweckmäßigste Spannung

¹⁾ Z. Bd. 72 (1928) S. 750.

Abb. 3 bis 10. Tropfenübergang von der Elektrode zur Schweißraupe von je vier aufeinanderfolgenden je um $\frac{1}{1000}$ s zeitlich auseinanderliegenden Umformungen in mikroskopischer Vergrößerung.

a Elektrode b Schweißraupe

Abb. 3 bis 6. Fadenförmiger Tropfenübergang.

Abb. 7 bis 10. Pilzförmiger Tropfenübergang.

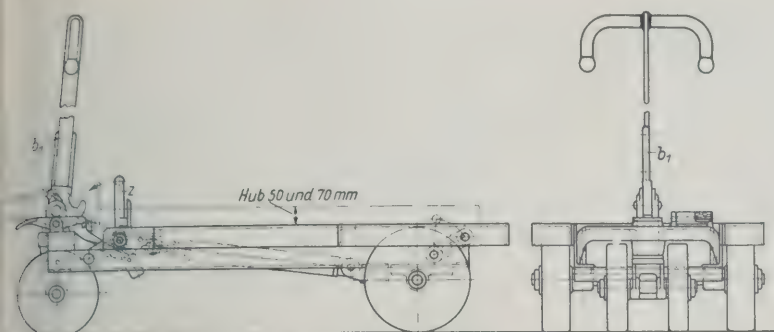


Abb. 11 bis 13 (unten)
Hubwagen für Lasten von 200 bis 800 kg.

- a Achse, auf der die beiden Klinken c auf-
gekeilt sind
- b Auslösebügel zum Auslösen der Hubsperre
bei schräger Deichsel
- c Klinken
- d₁ Deichsel, senkrecht festgestellt
- d₂ Deichsel, schräg
festgestellt
- e Stützräder

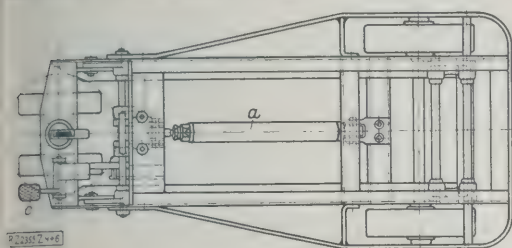
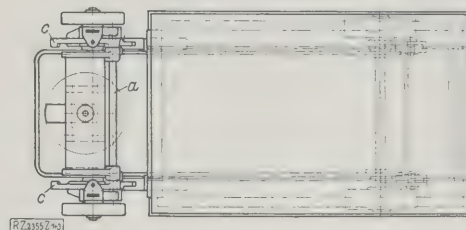
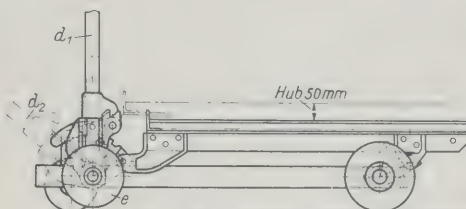


Abb. 14 bis 16 (oben)
Hubwagen für Lasten bis zu 2000 kg.

- a Ölbremse
- b₁ Deichselstellung vor dem Heben
- b₂ Deichselstellung nach dem Heben
- c Fußtritt zur Einleitung der Senkbewegung
- z Zugbügel



stromstärke für eine bestimmte Elektrode und insbe-
sondere auch über das Verhältnis von Lichtbogendauer zu
ropfenübergangsdauer, das für genügende Vorwärmung
id damit genügende Einbrandtiefe für die Schweißung
ichtig ist. Abb. 1 und 2 zeigen Ausschnitte aus Oszillo-
rammen für zwei verschiedene Elektroden und die Wech-
elstromspannungskurven der mitaufgenommenen Wechsel-
romlampe. Man wird hierdurch unabhängig von der Ge-
hwindigkeit des ablaufenden Film- und Oszillogramm-
reifens. Die Entfernung von Spitze zu Spitze bei der
echselstromkurve bedeutet $\frac{1}{50}$ s; danach kann die Länge
r Tropfendauer, die durch schwarze Striche auf der Null-
ie kenntlich ist, ermittelt werden. In dem Oszillogramm-
usschnitt, Abb. 1, ist die Tropfenfolge langsam, in dem
usschnitt, Abb. 2, wesentlich rascher.

Von den etwa 3000 aus den Versuchen erfaßten
ropfen hatte der längste die Dauer von etwa $\frac{1}{7}$ s, der
irzeste von etwa nur $\frac{1}{2000}$ s. Die Filme waren mit etwa
100 bis 2400 Bildern in einer Sekunde aufgenommen; des-
alb konnten die Filme mit etwa 130facher Zeitdehnung
gerollt werden. Hierdurch werden für das Auge die
schesten Vorgänge noch gut sichtbar erfaßt. Hauptsäch-
h haben sich zwei Tropfenformen ermitteln lassen, der
denförmige Tropfen und der pilzförmige Tropfen. Beim
denförmigen Tropfen geht der Werkstoff ohne Verdickung
s Elektrodenendes fadenförmig über, beim pilzförmigen
ldet sich eine mehr oder weniger starke Verdickung des
elektrodenendes, an dem der Tropfen mehrfach hin und her-
nzt, bis er schließlich auf den zu schweißenden Werk-
off übergeht.

Wie rasch diese Vorgänge sich abspielen, zeigen Abb. 3
s 10. Abb. 3 bis 6 stellen einen fadenförmigen, Abb. 7
s 10 einen pilzförmigen Übergang des Schweißtropfens
r, und zwar geben Abb. 7 bis 10 die mikroskopische Ver-
ößerung von je vier aufeinanderfolgenden, je um $\frac{1}{1000}$ s
itlich auseinanderliegender Umformungen wieder. Inner-
lb $\frac{1}{1000}$ s verändert sich also die Form stark; daher ist
otwendig, daß mit einer sehr großen Bildzahl bei der
orschung des Werkstoffübergangs im Schweißlichtbogen
arbeitet werden muß.

Über die neuesten Untersuchungen des Werkstoffüber-
anges im Schweißlichtbogen werde ich in der im Rahmen
r Hauptversammlung des Vereines deutscher Ingenieure
atfindenden Fachsitzung Schweißtechnik am 21. Juni in
nzig berichten. [M 2984]

Berlin-Charlottenburg

A. Hilpert

Fördertechnik

Neuere Hubwagen

Alle bisher bekanntgewordenen Hubwagen, auch die
nachstehend behandelten neuen Bauarten, sind so ein-
gerichtet, daß ein Deichselausschlag genügt, um die
Last auf die gewünschte Höhe, nach dem Betriebsblatt Nr. 29
des AWF etwa 50 mm, zu heben. Das mögliche Übersetzungs-
verhältnis (Deichsellänge \times Handkraft) : (Hebelarm an der
Hubvorrichtung \times Ladelast) bedingt, daß die zu hebende
Last nicht beliebig groß sein kann. 1500 kg ist wohl das
größte Gewicht, das möglich ist. Bei größeren Lasten, für
die Hubwagen ebenfalls gebaut werden, wird entweder
Spindelhubwerk mit Handkurbel oder eine ähnliche Ein-
richtung notwendig. Man hat schon Vorrichtungen versucht,
die auf dem Grundsatz der Exzenterwirkung beruhen. Die
Versuche sind aber noch nicht zu einem Abschluß ge-
kommen.

Das Senken der Lasten von mehr als rd. 800 kg besorgt
eine sogen. Ölbremse, deren Wirkungsweise hier als bekannt
vorausgesetzt werden darf, vollkommen selbsttätig, damit
der Bedienungsmann entlastet und Gefahren, wie sie
durch die hochschnappende Deichsel bei Handbedienung be-
stehen, ausgeschlossen werden. Bei solchen Lasten macht
sich die Beschaffung eines entsprechend teureren Hubwagens
mit Ölbremse immer bezahlt aus den Ersparnissen an anderen
Umlademitteln.

Die aus Abb. 11 bis 22 ersichtlichen Hubwagenkonstruk-
tionen haben sich z. T. aus schon bekannten Ausführungs-
formen entwickelt.

Für Lasten von 200 bis 800, nötigenfalls auch bis
1000 kg und für die Mehrzahl der vorkommenden Trans-
porte genügt der aus Abb. 11 bis 13 ersichtliche Hubwagen¹⁾.
Der Wagen wiegt in der gezeigten Ausführung 110 kg.
Die Ladegestelle für diesen Wagen müssen zwischen den
Füßen 610 mm l. Br. und 265 mm lichte Höhe der Ladeplatte
haben, sie können im ganzen 950 mm lang sein. Die Platt-
form sollte nicht über 720 mm breit sein. Die Verriegelung
der gehobenen Plattform wird durch Hochziehen des in der
Deichsel geführten bügelartigen Griffes gelöst.

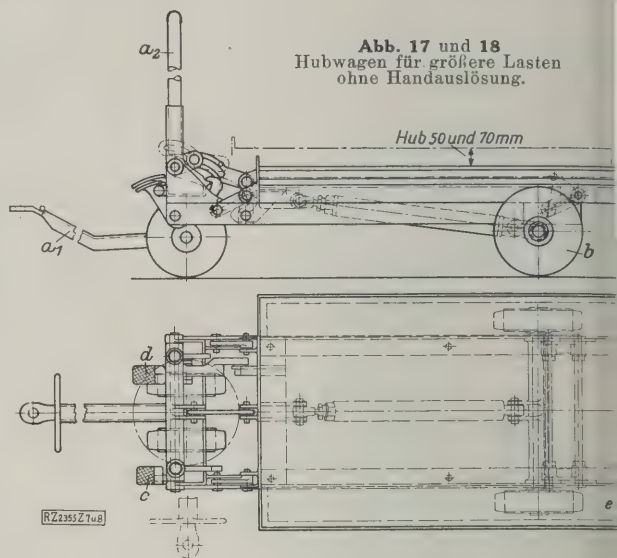
Für größere Lasten wird die gleiche Wagenbauart mit
Öldruckbremse und doppelter Lenkrolle (Drehschemel) aus-
gerüstet. Aus den oben schon ausgeführten Gründen ist aber
bei größeren Lasten ein Wagen mit größeren Rädern vorzu-
ziehen, s. Abb. 14 bis 16. Er wird für Tragkräfte bis zu 2000 kg

¹⁾ Marke „Schildkröte“ (Hersteller Wagner, Reutlingen).

gebaut. Bei einer Tragkraft von 1500 kg haben z. B. die Vorderräder (Lenkräder) 250 mm, die Hinterräder 300 mm Dmr. Die Größe der meist aus Holzbrettern hergestellten Abdeckung beträgt dabei $1050 \times 650 \text{ mm}^2$, wodurch Ladegestelle von $1100 \times 820 \text{ mm}^2$ Plattformgröße bedingt werden. Ohne Abdeckung kann der Wagen ebenfalls benutzt werden. Die Höhe über Fußboden beträgt dann 305 mm, mit Abdeckung 355 mm. Das Wagengewicht beträgt 150 kg einschließlich der aus den oben angeführten Gründen eingebauten Ölbremse. Die Stahlgußräder laufen auf staubdicht gelagerten Rollenlagern. Zur Auslösung der Verriegelung der gehobenen Plattform und damit der Einleitung der Senkbewegung dient ein aus Abb. 14 bis 16 ersichtlicher Fußtritt für den rechten Fuß. Dabei legt sich der Zugbügel z in den Haken ein, so den Wagen wieder zum Heben fertigmachend. Dieser Wagen ist im allgemeinen zum Ziehen gedacht. Damit man aber auch beim Schieben des Wagens mit hochgestellter Deichsel lenken kann, ist an der Deichsel der Quergriff angebracht.

Eine neue Lösung, die die Vorteile der beiden erstgenannten Wagenbauarten vereinigt, zeigen Abb. 17 bis 19. Man hat hier auf die Handauslösung verzichtet, die bei größeren Lasten doch gewisse Nachteile hat. Von den beiden Fußritten dient der rechte zum Auslösen der Festhaltevorrückung für die Deichsel, wenn diese senkrecht steht; will man also heben, so muß man diesen Hebel treten. Um Verwechslungen mit dem linken Fußhebel, der die Senkbewegung auslöst, zu vermeiden, hat man auf dem rechten Hebel ein „H“, auf dem linken ein „S“ angebracht. Der Wagen ist für Lasten bis 1000 kg gedacht, normal für 800 kg, und deshalb mit Ölbremse ausgerüstet. Gleich gute Wendigkeit beim Ziehen und Schieben wird durch die Lenkrolle, hier als Drehschemel ausgeführt, erreicht. Diese Bauart kann für 50 und 70 mm Hub geliefert werden.

Der Wagen kann, da er insbesondere als Anhänger für Elektrokarren gedacht ist, eine zweite Deichsel erhalten, die mit dem Drehschemel verbunden ist und die Lenkung



- a_1 Anhängedeichsel
- a_2 bügelartiger Hubhebel (Schiebegriff)
- b Vollgummireifen
- c Fußtritt zum Lösen der Feststellvorrückung des Hubhebels
- d Fußtritt zum Lösen der Senksperrvorrichtung
- e Holzpritsche

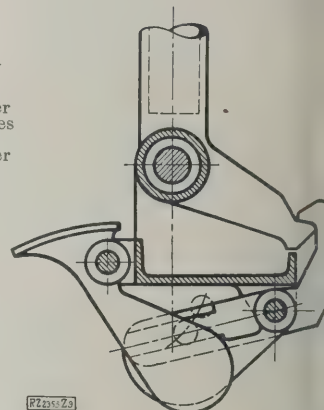


Abb. 19
Feststellvorrichtung des Hubwagens, Abb. 17 und 18, für die Deichsel beim Schieben.

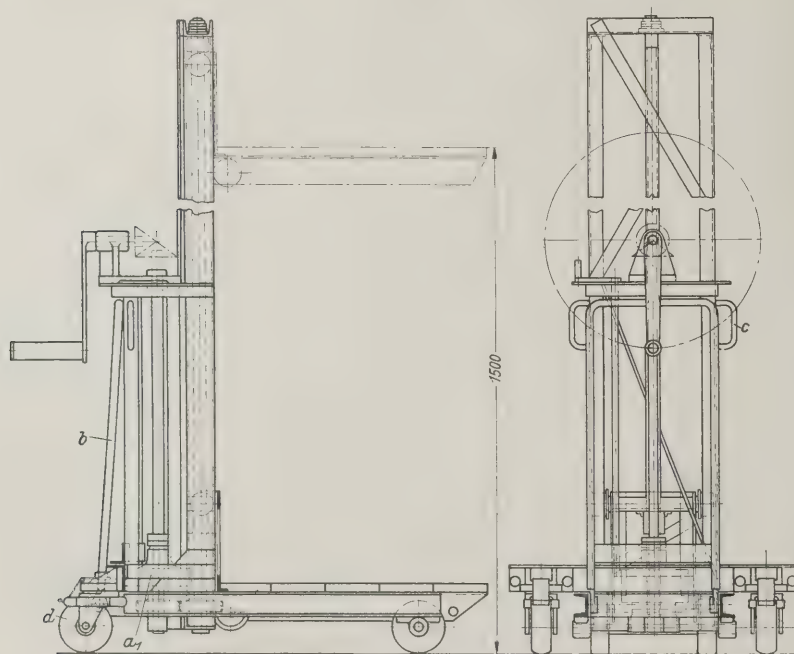
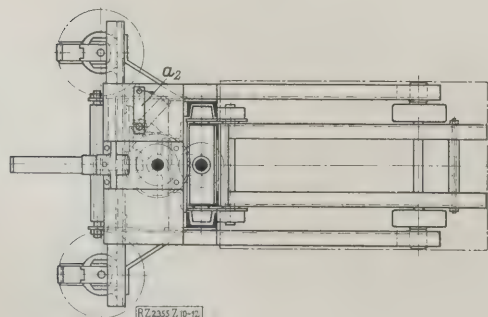


Abb. 20 bis 22
Hochhubwagen

- a_1 Senkbremsregler zum selbsttätigen Senken der Hubplattform
- a_2 Bremsregler, ausschaltbar, so daß die Last der Kurbel senkbar ist
- b Zugdeichsel, bügelartig
- c Schiebegriffe
- d Lenkräder, feststellbar



zwangsläufig gestaltet. Die Räder des Wagens sind mit Gummi bereift, wodurch die bei der größeren Fahrgeschwindigkeit auftretenden Stöße wieder gemildert werden.

Zum Schluß sei noch ein neuer Hochhubwagen, Abb. 20 bis 22, gezeigt. Dieser Wagen ist weniger für Förderung auf längere Strecken, sondern vielmehr für Förderung in senkrechter Richtung gedacht, zum Stapeln der mit Hubwagen vorbesprochenen Bauart ankommenden Ladegestelle. Trotzdem ist er in einer rahmenartigen Deichsel versehen, die das Unterfahren der Ladegestelle erleichtert. Dem gleichen Zweck dienen die aus Abb. 21 ersichtlichen beiden Handgriffe c zu beiden Seiten des Plattformführungsrahmens. Zum Heben betätigt man die Handkurbel, vergl. Abb. 20 und 21. Die Hubhöhe beträgt bis 1,5 m, die Tragfähigkeit bis 800 kg. Die Ladegestelle können in der eingangs angedeuteten Weise übereinandergestapelt werden, ohne daß sie dabei mit der Hand in waagerechter Richtung bewegt zu werden brauchen.

Aus den gezeigten Typen haben sich noch einige Sonderausführungen entwickelt.

[M 2355]

Berlin.

H. R. Müller.

Aufbereitung

Fortschritte der Kohlenaufbereitung

Verhandlungen der Weltkraftkonferenz London 1928

Die Abteilung Kohlenaufbereitung beschäftigte sich mit den Fragen der Aufbereitung im engeren Sinne, der Trocknung und der Briкетierung. Die Aufstellung von „Sackkurven“ vor dem Bau einer neuen Wäsche wird jetzt auch von Engländern und Amerikanern als zweckmäßig und unbedingt erforderlich, sowohl bei naßmechanischer wie auch bei trockenmechanischer Aufbereitung der Kohle hinstellt. Von den verschiedenen technischen Verfahren der Feinkohlenaufbereitung hat sich in Amerika das Rheo-Verfahren¹⁾, auch zur Aufbereitung von Steinkohle unter 8 mm, insbesondere im Pittsburgbezirk eingeführt. Die Aufbereitung der feinen Korngrößen auf Herden findet wegen der Schwierigkeiten der Aufbereitung dieser Korngröße in Setzmaschinen besondere Beachtung; doch wird die geringe Leistungsfähigkeit dieser Herde, die zwischen 5 und 10 t/h schwankt, unangenehm empfunden. Zur Erhöhung der Leistung, wie auch des Anreicherungsgrades, wird von Bird und Yancey²⁾ eine Klassierung des Aufgabegutes mittels aufsteigender Wasserströme an Stelle der mechanischen durch Siebe vorgeschlagen. Zur laufenden Untersuchung von Kohlenaufbereitungsanlagen wird in den Vereinigten Staaten von Amerika vielfach ein kleines, nach dem Schwimm- und Senkverfahren arbeitendes Gerät, der Delatester, angewendet, der einen schnellen Überblick über die Arbeitsweise ergibt.

Von besonderer Bedeutung ist die Fortentwicklung der trockenen Aufbereitung der Kohle, insbesondere für die feineren Korngrößen, die sich nur schwer entwässern lassen.

Für Kohle unter 50 mm wird in amerikanischen Aufbereitungsanlagen in verschiedenen Fällen die Spiral-Fliehkraftschleuder³⁾ benutzt, deren Anwendung auf europäische Verhältnisse wegen der andersgearteten Kohle nur beschränkt sein dürfte. Für die Aufbereitung von Feinkohle unter 10 mm sind eine Reihe von trockenen arbeitenden Luftverfahren durchgebildet worden. Es werden nach diesem Verfahren in England jährlich 12 Mill. t Kohle aufbereitet.

Ein Nachteil der Aufbereitung der Kohle auf Luftherden ist die hierbei nötige enge Klassierung vor Aufgabe der Kohlen auf den Herd. Durch neuere Untersuchungen von Law und Ridley ist es möglich geworden, die Kohle ohne Vorklassierung auf nach dem statischen Verfahren arbeitenden Herden aufzubereiten. Dieses Verfahren beruht auf dem Ausbalancieren des Kohlenbettes ohne Einwirkung des Luft zur Geschwindigkeit der Luft zurückzuführenden Luftwiderstandes. Hierzu ist unklassierte Kohle besonders geeignet. Es wird hierdurch der Luftdruck nur dazu verwendet, den Widerstand des Bettes zu überwinden, so daß keine freien Luftströmungen entstehen und der Druck in allen Teilen des Bettes statisch wirkt. Durch die Stoßbewegung des Herdes wird der statische Gleichgewichtszustand unterbrochen und es werden die schwereren Bestandteile nach und nach unter die leichtere Kohle abinken. Dadurch findet eine Schichtung des Aufgabegutes nach dem spezifischen Gewicht statt. Nach diesem Verfahren arbeitende Herde sind in Nordengland seit längerer Zeit in Betrieb und weisen günstige Ergebnisse auf. Die Anlagekosten belaufen sich für 100 t/h auf etwa 200 000 RM.

Wie bei der naßmechanischen Aufbereitung der Kohle ist auch bei der Aufbereitung auf Luftherden der Staub unter etwa 0,4 mm vorher zu entfernen. Die Staubschwierigkeiten werden bei Luftherden sogar noch größer sein, als bei naßmechanischer Aufbereitung, da die Kohle auf den Herden durch Druckluft gut durchgearbeitet wird. Zum Niederschlagen des Staubes werden im allgemeinen für den Grobstaub Fliehkraftabscheider, für den feinen Staub Tuchfilter nach Art der Bethfilter benutzt. Verschiedene Analysen in Bethfiltern niedergeschlagenen Staubes zeigen, daß etwa 30 bis 40 vH der Menge größer als 0,3 mm sind. Der Staub ist also nicht unmittelbar für Staubfeuerungen verwendbar. Von Bedeutung ist, daß dieser Filterstaub allgemein einen Aschengehalt aufweist, der nur etwa vier Fünftel des Aschengehaltes des Staubes in der Rohkohle ausmacht. Für die Aufbereitung des Staubes unter etwa 0,4 mm kommt nur die Schwimmaufbereitung in Frage, die in einigen Fällen auch zur Aufbereitung gröberer Kohle bis 2 mm Korngröße benutzt wird. Der Luftzusatz bei Druckluftgeräten muß für 1 t Kohle mindestens 260 l betragen. Die Aufbereitung des gewöhnlich sehr aschenreichen Staubes ist besonders dann wichtig, wenn aus der Kohle guter Hochofenkoks erzeugt werden soll. Es ist durch Versuche festgestellt worden, daß im Hochofen für je 1 vH mehr an Asche im Koks 1 vH mehr Koks gebraucht wird.

Eine Schwierigkeit der Schwimmaufbereitung bildet die Entwässerung der mit 50 bis 60 vH anfallenden Konzentrate.

Für die Entwässerung der Kohle wird von J. R. Campbell allgemein vorgeschlagen, daß die Kohle über 12 bis 15 mm durch natürliche Entwässerung, die Kohle über 0,3 mm durch Schleudern und die Schlämme unter 0,3 mm durch Hitze zu trocknen sei. Für die Entwässerung des Schlammes haben sich Zellenfilter verschiedener Art⁴⁾ gut eingeführt, mit denen eine Trocknung auf 15 bis 20 vH Wasser möglich ist. Von den Schleudern wird im amerikanischen und englischen Bergbau die Carpenterschleuder⁵⁾ am meisten benutzt; hierzu kommt noch die Hoyle- und die Elmore-Schleuder, bei denen jedoch der Siebverschleiß verhältnismäßig groß ist. Für die Trocknung der Feinkohle durch Feuergase ist in England der Trockner von Ruggles-Coles am meisten eingeführt, der ähnlich wie die deutschen Bauarten arbeitet.

Für die Wirtschaftlichkeit der Feinkohlenaufbereitung liegen von amerikanischer Seite neue Zahlen vor. So betragen die Betriebskosten einer Wäsche mit 500 t/h Durchsatz:

Gebäude 1 \$, Maschinen 5,9 \$, Arbeitskräfte 12,6 \$, Kraft 9,5 \$, Ausbesserungen 1,3 \$, Allgemeines 7,1 \$, insgesamt 37,4 \$. Einschließlich Abschreibung und Verzinsung wird man unter gewöhnlichen Verhältnissen in neuzeitlichen Anlagen mit Gesamtwaschkosten von 80 \$ bis 1 RM/t für amerikanische Verhältnisse rechnen können.

Über die Trocknung wasserreicher Braunkohle sind von Prof. Fleißner⁶⁾ neue Angaben über die Einführung und Bewährung seines Verfahrens der Trocknung von Braunkohle unter Beibehaltung ihrer Stückform bei der österreichischen Alpen Montan-Gesellschaft gemacht worden. Es beträgt hiernach die Schrumpfung der Kohle bei der Trocknung etwa ein Fünftel des ursprünglichen Volumens. Da durch das Schrumpfen der Kohle beim Trocknen ein Teil der Feuchtigkeit durch die Kohle selbst herausgepößt wird, ergibt sich ein sehr geringer Dampfverbrauch in Höhe von 0,6 bis 0,7 kg auf 1 kg zu entfernenden Wassers bei diesem Verfahren. Durch die Schrumpfung verliert die Kohle die Eigenschaft, Wasser aufzunehmen, und kann daher im Freien unter Beibehaltung ihrer Stückform gelagert werden. Wegen der Festigkeit der stückigen Trockenkohle eignet sich die Kohle zur Herstellung von Gas in Drehrost-Gaserzeugern, wobei für 1 kg Trockenkohle mit rd. 5000 kcal rd. 2,5 m³ Gas mit 1500 kcal Heizwert erzeugt wurde. Im Doppelgas-Gaserzeuger nach Strache aus dieser Kohle hergestelltes Wasser gas hatte 3040 kcal Heizwert bei einer betriebsmäßigen Gasausbeute von rd. 67,2 m³/100 kg Kohle. [N 2617]

Berlin

Prockat

¹⁾ Z. Bd. 69 (1925) S. 1437. ²⁾ Z. Bd. 70 (1926) S. 46.
³⁾ Berg- und hüttenmännisches Jahrbuch d. Mont. Hochschule Leoben/Österr., Bd. 74 S. 105.

Werkstoffe

Kupferstähle mit hohem Kohlenstoffgehalt

A. F. Stogoff und W. S. Messkin¹⁾ haben Kupferstähle mit hohem Kohlenstoffgehalt von 0,69 bis 1,22 vH, deren Kupfergehalt 1,19 bis 5,07 vH betrug, im Tiegelofen erschmolzen und mit diesen Stählen folgende Untersuchungen durchgeführt:

1. thermische Untersuchungen mittels des Saladin-Gerätes und mittels Dilatometers nach Chenevard,
2. Bestimmungen der elektrischen Leitfähigkeit im ausgeglühten Zustand bei Zimmertemperatur,
3. Gefügeuntersuchungen im ausgeglühten, gehärteten und angelassenen Zustand,
4. magnetische Untersuchungen im gehärteten und ausgeglühten Zustand,
5. Festigkeitsuntersuchungen nach verschiedenen Wärmebehandlungen.

(Zum Vergleich wurden auch praktisch Cu-freie Stähle mit 0,66 bis 1,06 vH C herangezogen.)

Aus den Versuchen haben die Verfasser folgende Schlußfolgerungen gezogen: Kupferzusatz erniedrigt den Ar-Punkt der Stähle (bis zu 640 ° bei 5 vH Cu) und ruft eine beträchtliche Temperaturhysteresis hervor, ohne daß das Kleingefüge wesentlich beeinflusst wird, d. h. ohne den Kohlenstoffgehalt des Perlits zu verändern. Die Messung der elektrischen Leitfähigkeit gestattete keine eindeutigen Schlüsse über den Einfluß des Kupfers. Das Kupfer bewirkte andererseits keine tiefere Durchhärtung im Vergleich zu den reinen Stählen.

Kupfer ruft ferner eine Erhöhung der magnetischen Eigenschaften der Stähle hervor, und zwar derart, daß die Koerzitivkraft H_c und das Produkt $B_r H_c$ (bis etwa zu dem Wert 700 · 10³) mit zunehmendem Kupfergehalt ansteigen, ohne daß die Remanenz abnimmt. Der Höchstwert dieses Produktes wurde bei einem Stahl mit 1,03 vH C und 5,07 vH

¹⁾ Z. Bd. 69 (1926) S. 521 u. f. ²⁾ Z. Bd. 68 (1925) S. 975.
³⁾ Techn. Publ. A. I. M. E. Nr. 76. ⁴⁾ Z. Bd. 68 (1925) S. 975.

⁵⁾ „Stahl und Eisen“ Bd. 48 (1928) S. 1743; Archiv f. Eisenhüttenw. Bd. 2 (1928) S. 321.

Cu bei Härtung unter 770° in Wasser erhalten. Die Abhängigkeit der magnetischen Eigenschaften einiger Stähle vom Kupfergehalt ist in Kurven dargestellt. Die Zunahme der Koerzitivkraft durch Kupferzusatz ist mit großer Wahrscheinlichkeit auf die Erhöhung der inneren Spannungen der Stähle im gehärteten Zustand zurückzuführen.

Der Induktionsfluß blieb nach dreimonatigem Lagern praktisch ungeändert. Sein Abfallen ist bei den Kupferstählen durch Alterung geringer als für die Kohlenstoffstähle, aber größer als für die Chrom-Wolfram-Stähle. Da das Kupfer die Koerzitivkraft der Stähle im ausgeglühten Zustande vergrößert, kann angenommen werden, daß das Kupfer im Stahl nicht in freier Form vorhanden ist.

Bei geglühten Proben mit körnigem Perlit wachsende Brüche, Streckgrenze und Brinellhärte mit zunehmendem Kupfergehalt, während Dehnung, Einschnürung und Zähigkeit sich oberhalb 3 vH Cu umgekehrt verhalten. Proben mit lamellarem Perlit zeigten diese Eigenschaften einen Wendepunkt bei etwa 3 bis 3,5 vH Cu. Die Festigkeit vergüteter Stähle, die nach ihrem Kohlenstoffgehalt unterperlitisches anzusprechen sind, nimmt mit wachsendem Kupfergehalt ab, während sie bei überperlitisches damit steigt. Streck- und Bruchgrenze haben bei verhältnismäßig guter Dehnung und Einschnürung hohe Werte im angestrebten Zustande nach dem Abschrecken.

[N 2749]

A. S.

Kleine Mitteilungen

Ein neuer Rauchröhrenkessel

Die Constructional Engineering Co., Ltd., Birmingham, hat einen stehenden Rauchröhrenkessel auf den Markt gebracht, bei dem die Heizfläche gegenüber der üblichen Bauart erheblich vergrößert ist, allerdings auf Kosten des Verbrennungsraumes. In die Feuerbüchse ist von oben eine mittlere Wassertrommel hineingehängt, die mit dem ringförmigen Wasserraum um die Feuerbüchse mittels waagerechter Rohre von großem Durchmesser in Verbindung steht. Die Rauchrohre gehen z. T. vom Boden der Wassertrommel, z. T. von der Kuppel der Feuerbüchse aus.

Bei Versuchen an einem nicht isolierten Kessel im Freien, der mit Brennöl geheizt wurde, stieg der Dampfdruck nach 25 min auf 5,6 at und die Dampflieferung auf 512 kg/h bei einem Ölverbrauch von 5 kg/h; sie konnte auf mehr als 600 kg/h gesteigert werden. („The Engineer“ 17. Mai 1929 S. 554*) [N 3135 a]

Le.

Schmiervorrichtung zur Verminderung der Spurkranzabnutzung

Um die Zerstörungen an den Spurkränzen insbesondere beim Durchfahren von Krümmungen zu verringern, machte die Orleansbahn seit langem Versuche. Vorrichtungen, die ständig bei der Fahrt in der Geraden und in den Krümmungen die Berührungsstelle zwischen Schiene und Spurkränzen mit Öl schmieren, hatten keine günstigen Ergebnisse. Es zeigte sich nämlich, daß der Ölstrahl die Schiene gerade beim Einfahren in die Krümmung nicht traf, diese Krümmungen also trocken durchfahren wurden. Die genannte Bahngesellschaft hat nunmehr eine Schmiervorrichtung gebaut, die zwangsläufig die Schienen nur in den Krümmungen schmiert.

Der Ölbehälter ist durch ein Rohr mit dem Bremsluftbehälter verbunden. Das Öl wird also mittels Druckluft in einem Zerstäuber fein verteilt und über einen Dreiweghahn und Röhren auf die Schienen gespritzt. So weit ist die ganze Vorrichtung auf dem Drehgestellrahmen angeordnet. Der Dreiweghahn wird mittels eines Hebelgestanges gesteuert, dessen fester Drehpunkt sich am Hauptrahmen der Lokomotive befindet. In der Geraden schließt der Hahn die Ölzufuhr ab, bei der Einfahrt in die Krümmung und während der Durchfahrt betätigt das Gestänge infolge der seitlichen Bewegung des Hauptrahmens gegen den Drehgestellrahmen den Hahn, so daß jeweils Öl auf die äußere Schiene gespritzt wird. Die naheliegende Anordnung der Schmierrohre vor der ersten Achse hat zu

häufigen Schäden an der Vorrichtung geführt; man hat sie daher zwischen der ersten und zweiten Achse angebracht. Die Orleansbahn hat bereits eine große Zahl Lokomotiven damit ausgerüstet. Der Verbrauch an Schmieröl beträgt 3 kg für 100 km. Die Spurkranzabnutzungen haben sich um etwa 90 vH vermindert. („Revue générale des Chemins de fer“ Mai 1929 Nr. 5 S. 353*) [N 3135 c]

Ro.

Doppeltwirkende Hobelmaschine

Die Firma C. Redman & Sons, Ltd., Pioneer Ironwork, Parkinsane Lane, Halifax, baut eine doppeltwirkende Hobelmaschine für Werkstücke bis zu 1981 mm Breite, 1829 mm Höhe und 5486 mm Länge. Der Aufspanntisch ist in zwei Hälften geteilt, so daß man jeden Teil gesondert benutzen kann. Besonders bemerkenswert sind die Redman Binns-Stahlhalter, die ein Bearbeiten des Werkstückes bei Vor- und Rücklauf gestatten. Der in einer um ihre Querschnittsachse drehbar gelagerten Hülse eingespannte, beiderseitig geschliffene Hobelstahl wird mittels eines Solenoids für den Vor- und Rückgang des Schlittens dadurch in Schnittrichtung gebracht, daß seine Doppelschneide entweder vor- oder zurückgedreht wird.

Die Tischgeschwindigkeit ist bei Vor- und Rücklauf gleich groß. Bei Vergleich einer einfach- und einer doppeltwirkenden Hobelmaschine wurden bei einer Schnittgeschwindigkeit von 13,7 m/min beim Vor- und Rücklauf 16 Arbeitshübe gleich 16 Arbeitshübe in zwei Minuten gezählt und bei der einfachwirkenden Hobelmaschine bei der gleichen Schnittgeschwindigkeit und einer Rücklaufgeschwindigkeit von 30,5 m/min in ebenfalls zwei Minuten neun Hübe gleich neun Arbeitshübe. („Engineering“ 24. Mai 1919 S. 659) [N 3135 b]

Schr.

Große Brennstoffbehälter für Flugzeug

Um die stoßende Bewegung der Flüssigkeit in Brennstoffbehältern für Flugzeuge zu hindern und um die Behälter zu versteifen, baut man darin gelochte Bleche ein. Eine eigenartige Ausführungsform hat die Firma Glenn L. Martin Co. durchgebildet. Sie hat die zur Versteifung dienenden gelochten Duraluminbleche auf einem gelochten Zylindermantel aus Duralumin befestigt und außerdem noch zur Versteifung zwischen den Blechen verzierte Stahlstreben eingebaut. Den gleichen Werkstoff benutzt sie für den Mantel des Behälters. Jeder Behälter wird vor der Abnahme in einer Vorrichtung während 50 h Schwingungen ausgespart. („American Machinist“ 25. Mai 1929 S. 618*)

[N 3135 d]

Gr.

BÜCHERSCHAU

Bücher und Zeitschriften des In- und Auslandes, auch solche nichttechnischen Inhaltes, liefert die VDI-Buchhandlung, Berlin NW 7, Ingenieurbüro (Telegraphenanschrift: Ingenieurbüro Berlin; Fernspr.: Zentrum 15204).

Die Kunst der Ofenplatten, dargestellt an der Sammlung des Vereins deutscher Eisenhüttenleute in Düsseldorf. Von **Albrecht Kippenberger**. Herausgeg. vom Verein deutscher Eisenhüttenleute. Düsseldorf 1928, Verlag Stahl Eisen. 52 S. m. 70 Taf. Preis 22,50 RM.

Dem Andenken **Emil Schröders**, des langjährigen Führers des Vereins deutscher Eisenhüttenleute, ist das Buch gewidmet, das die Bedeutung der von ihm mit so großer Liebe angelegten Sammlung eiserner Platten darlegt. Der Verfasser, der bekannte Marburger Kunsthistoriker, hat in seine Betrachtung über die Düsseldorfer Sammlung hinaus auch Kunstwerke gleicher Art einbezogen, die sich an andern Stellen oder in andern Sammlungen befinden.

Die Kunst des Plattengusses — offenbar Herdguß, dessen Formarbeit und Guß (Roheisen mit der Kelle aus dem Tümpel des Hochofens geschöpft) in einem besondern, vom Verein deutscher Eisenhüttenleute zur Verfügung ge-

stellten Anhang beschrieben wird — ist gegen Ende des 15. Jahrhunderts fast gleichzeitig in verschiedenen Gegenden Deutschlands aufgekommen. Der Eisenguß war vorher bereits zur Anfertigung von Kanonenteilen verwendet worden¹⁾. Die Ofenplatten stellten die ersten Zeugnisse des Hüttengewerbes für Wohnungen dar. Zwei Zeitabschnitte scheiden sich nach dem Stil der Darstellung auf den Platten scharf voneinander, Gotik und Renaissance, letztere bis zum Ende des 17. Jahrhunderts reichend. Darüber hinaus hat sich die Kunst des Eisenplattengusses nicht erhalten.

Die Darstellungen auf den Platten, die durch ausgezeichnete Bildwiedergabe von 46 Textabbildungen der verschiedensten Erzeugnisse und 70 Tafeln von Platten der Düsseldorfer Sammlung veranschaulicht sind, bestanden

¹⁾ s. *Agricola*, Zwölf Bücher vom Berg- und Hüttenwesen. Berlin 1928, VDI-Verlag.

nächst in einfachen Verzerrungen, Umrahmungen, architektonischem Maßwerk, dann kamen Heiligenbilder unter Einflusse der bis dahin nur der Kirche dienenden Anstrichkunst. Daran schlossen sich, dem Gedankengange nach den Wünschen des Volkes angepaßt, vornehmlich Heiligenbilder, daneben aber auch Darstellungen aus der Geschichte.

Ein besonderes Kapitel hat der Verfasser den Meistern der Bildwerke, den Schnitzern der in den Formsand abstrichenden Modellplatten, gewidmet und diese Männer aus der Vergessenheit hervorgeholt.

Die Sammlung ist aus dem Hause des Vereines deutscher Anstrichkünstler als „ständige Leihgabe“ dem städtischen Kunstmuseum in Düsseldorf überwiesen worden, wo sie dem mehr allgemein zugänglich geworden ist. Das Buch ist ein wertvoller Führer durch diese Schau- und Studien- und dürfte dazu anregen, daß die etwa noch vorhandenen Stücke dieser fast völlig untergegangenen Kunst der Vernichtung bewahrt und als Beispiele einer früher künftlichen Kunst der Nachwelt erhalten bleiben.

[E 2928] Fr. Frölich

Englische Elektrizitätswirtschaft. Von Günther Brandt. Berlin 1928, Julius Springer. 112 S. Preis 6 RM.

Nachdem durch die Elektrizitäts-Gesetzgebung von 1919 und 1922 eine gewisse Unsicherheit bezüglich der Weiterentwicklung der englischen Elektrizitätsversorgung eingetreten war, hatte das Gesetz von 1926 hierin eine erfreuliche Klarheit geschaffen. Da nunmehr die Ergebnisse umfangreicher statistischer Erhebungen der letzten Jahre vorliegen, kommt das vorliegende Buch gerade zur rechten Zeit.

Nach einer kurzen Einleitung über die Bedeutung der Elektrizität für Staat und Wirtschaft und die Entwicklung der Vorkriegszeit bis zum Jahre 1928 ist der Hauptteil des Buches der Organisation der Stromerzeugung und -verteilung gewidmet.

Der Verfasser gibt einen wertvollen Überblick über die Kraftquellen Großbritanniens, insbesondere den Kohlenbergbau, und zwar sowohl in wirtschaftlicher (Konventionen, Kartelle usw.) als auch in technischer Hinsicht (neueste Wege der Kohlenverwertung usw.). Die Stromerzeugung wird gewöhnlich nach der öffentlichen und der Eigenversorgung, letztere nach den sogenannten konzessionierten und nicht-konzessionierten Unternehmern unterteilt. In der Stromverteilung bespricht der Verfasser nach der örtlichen und mittelbaren und der Großstromversorgung eingehend das 1866 geschaffene Central Electricity Board, dessen Hauptaufgabe auf dem Gebiete der Stromverteilung liegt. Im Zusammenhang hiermit wird der Stand der Organisation der Stromversorgung in den wichtigsten Elektrizitätsbezirken geschildert und ein Überblick über die Gliederung des Stromverbrauches in Großbritannien gegeben. Nach einer zusammenfassenden Schlußbetrachtung über den Weg, den England mit der Monopolisierung des Handels mit Großstrom unter Trennung von Stromerzeugung und Stromverteilung beschritten hat, gibt der Anhang einen Aufschluß über die neuesten Elektrizitätspläne in Großbritannien.

Das Studium dieses oft vielleicht etwas zu sehr ins Einzelne gehenden Buches ist sehr zu empfehlen.

[E 2926] Dr. Gerhard Dehne

Enzyklopedien aus dem Gebiete der Fett-Chemie. Herausgegeben von K. H. Bauer. 11. Bd.: Die trocknenden Öle. Von K. H. Bauer. Stuttgart 1928, Wissenschaftliche Verlagsgesellschaft. 354 S. m. 20 Abb. Preis 27 RM.

Die Anstrichstoffe spielen für den Ingenieur heute eine größere Rolle als je, und besonders die Ölfarben sind für ihn in vielen Fällen von der allergrößten Bedeutung. In diesen spielen die trocknenden Öle eine ausschlaggebende Rolle. Das Bauersche Buch gibt ein sehr gutes Bild des jetzigen Standes unseres Wissens auf diesem Gebiete.

Anschließend an die Beschreibung der trocknenden Öle, die er in leinöl-, mohnöl- und holzölarartige einteilt, schildert er die Fettsäuren der trocknenden Öle und dann die analytischen Untersuchungsmethoden. Besonders wichtig für den Anstrichfachmann sind die folgenden Abschnitte, die das Verhalten der trocknenden Öle auf ihrer Fettsäuren beim Erhitzen und bei Luftzutritt behandeln, also vor allem den Standölbildungs- und den Lackenprozeß. Eingehend werden auch Firnisse und Sikkatine behandelt. Den Schluß bildet der Abschnitt über die chemische Verwendung der trocknenden Öle.

Wenn das Buch auch in erster Linie für den Chemiker geschrieben ist, so findet doch auch der Ingenieur viele wertvolle Einzelheiten, manches wird er aber vermissen. So sind z. B. die aus geschwefelten Ölen hergestellten Anstrichstoffe, die in mancher Hinsicht interessant sind, nicht erwähnt. Wünschenswert wäre auch ein Hinweis auf die Wirkung der Bakterien auf Ölfilme gewesen und ebenso ein solcher auf das Wasseraufnahmevermögen

trockener Öl- und Ölfarbfilme, das gerade bei Rostschutzfarben eine große Rolle spielt. Es wurde schon von Pettenkofer im Jahre 1870 festgestellt und später eingehend von Treumann, Jones u. a. studiert. Wohl weist der Verfasser darauf hin, daß fette Öle beim Antrocknen Wasserspeicher sind.

Diese kleinen Mängel vermögen aber nicht, den Wert des Buches zu beeinträchtigen. Mein Hinweis soll lediglich eine Anregung sein, in Neuauflagen darauf Rücksicht zu nehmen. [E 2939] Dr. K. Würth

Chemisches Fachwörterbuch. Herausgeg. von A. W. Mayer. 1. Bd.: Deutsch-Englisch-Französisch. Leipzig 1929, Otto Spamer. 826 S. Preis 75 RM.

Es sei vorweg gesagt, daß ein ähnlich umfangreiches Fachwörterbuch für die Chemie bisher nicht vorlag und das Bedürfnis nach einem solchen aus naheliegenden Gründen dringend geworden war. Dem Sachkundigen wird dieses in guter Form dargebotene Werk auch gute Dienste leisten, dagegen muß vor unkritischer Benutzung gewarnt werden.

Es soll nicht die Rede von Druckfehlern sein, selbst der Nichtfachmann wird „Elektroeleisen“ durch das richtige „Elektrolyteisen“ ersetzen können. Auch nicht von der kaum zu rechtfertigenden Uneinheitlichkeit der Gestaltung, einmal heißt die Schwefelsäure SO_4H_2 , ein andermal H_2SO_4 . Im gleichen Absatz findet sich für rauchende Schwefelsäure die zusammengezogene Formel $\text{S}_2\text{O}_5\text{H}_2$, die kaum zu verteidigen sein dürfte. Gefährlicher ist schon die ziemlich große Zahl veralteter Ausdrücke, die wohl in der alten Ausgabe des deutsch-englischen Muret-Sanders ihren Platz hatten, woraus sie auch samt Übersetzung entnommen sind.

Die kritiklose Übernahme von Ausdrücken aus andern Werken, und sei es aus einem Standardwerk von der Bedeutung der Illustrierten Technischen Wörterbücher Schlotmanns, ist ein gefährlich Unterfangen. Warum wurde übrigens die ausgiebige Benutzung dieser Wörterbücher im Vorwort ganz verschwiegen? Die an dieser Stelle in Aussicht gestellte weitgehende Berücksichtigung der Phraseologie oder gar darüber hinaus die Anwendung des betreffenden Wortes in praktischen Satzbeispielen ist leider eine Versprechung geblieben. Sogar in Fällen, wo die Fremdsprache dringend den Gebrauch der Redewendung als Ersatz für das Zeitwort erheischt, fehlt diese: färben = einen Anstrich geben = peindre. Es fehlt: appliquer oder donner une couche de peinture.

Als einer captatio benevolentiae wünscht man dem französischen Vorwort etwas mehr von dem, was das Wesen und den Reiz der französischen Sprache ausmacht. So ist es eine etwas mühsame und nicht immer ganz einwandfreie Übersetzung des deutschen Vorworttextes geworden.

Es handelt sich aber trotz aller Mängel um ein Werk, das als organisatorische Gesamtleistung nicht unterschätzt werden darf. [E 2927] F. Dahl

Auto-Diktionär. Dreisprachen-Wörterbuch des Kraftfahrzeugwesens. Bearb. für den Reichsverband der Automobilindustrie von Benno R. Dierfeld. 1. Bd.: Deutsch-Französisch-Englisch. Berlin 1929, Dr. Ernst Valentin-Verlag. 176 S. Preis 6 RM.

Das im Auftrage des Reichsverbandes der Automobilindustrie herausgegebene Buch ist, soweit man bei der flüchtigen Durchsicht ersehen kann, eine ziemlich vollständige Sammlung der heute im Automobilwesen gebräuchlichen Fachausdrücke. Das Buch stützt sich zum Teil auf das Verzeichnis der einschlägigen deutschen Fachausdrücke, das vor einigen Jahren auf Anregung der Militärbehörden gesammelt wurde, um eine gewisse Einheitlichkeit in den Bezeichnungen der Ersatzteile zu erreichen, ist aber diesem Verzeichnis gegenüber wesentlich erweitert, namentlich durch die Aufnahme von Ausdrücken, die sich auf die Bedienung des Fahrzeuges und auf das Zubehör beziehen. Die beigelegten französischen, englischen und amerikanischen Übersetzungen sind gut und entsprechen dem heutigen Sprachgebrauch dieser Länder. [E 2960] H.

Jahrbuch des Deutschen Kraftfahr- und Motorwesens (Jahrbuch des Reichsverbandes des Kraftfahrzeughandels und -gewerbes E. V.). Herausgeg. von Johannes Buschmann. 11. Jg. Berlin 1929, Dr. Ernst Valentin Verlag. 276 S. m. 45 Abb. Preis 8 RM.

Der Inhalt dieses Jahrbuches, das früher der Übersicht über die Entwicklung des Sports gewidmet war, hat sich entsprechend der Wandlung, die sich im Automobilwesen vom Sport zum Verkehr vollzogen hat, ganz nach der Seite des Handels und seiner Interessen gewandt. Während die beiden ersten Abhandlungen die Statistik des Kraftverkehrs und des Handels in Deutschland zum Gegenstande haben, befassen sich zwei weitere, sehr lesenswerte Aufsätze mit den rechtlichen Fragen, teilweise auf Grund von prak-

tischen Erfahrungen in Streitangelegenheiten. Eine weitere Arbeit schildert die Möglichkeiten, die sich heute der Kostenersparnis in Ausbesserbetrieben für Kraftfahrzeuge bieten. [E 2961]

Deutsches Biographisches Jahrbuch. Herausgeg. vom Ver-
bande der Deutschen Akademien. Überleitungsband 2,
1917 bis 1920. Stuttgart, Berlin und Leipzig 1928,
Deutsche Verlags-Anstalt. 770 S. Preis 24 RM.

Die Kriegs- und Nachkriegsjahre haben nicht nur das
Erscheinen des „Deutschen Biographischen Jahrbuches“
unterbrochen, sie hatten es auch mit sich gebracht, daß die
Toten dieser Jahre nicht die Beachtung fanden wie in
Friedenszeiten. Es ist daher erfreulich, daß nach dem
Wiedererscheinen des biographischen Jahrbuches auch die
Herausgabe zweier Überleitungsbande beschlossen wurde,
um die entstandene Lücke zu schließen. Mit dem nun vor-
liegenden zweiten Überleitungsband ist dies geschehen. Ein
Blick in die Biographien der Jahre 1917 bis 1920 zeigt,
daß in ihnen die Technik viele Männer der Wissenschaft
und Praxis zu beklagen hatte. So finden wir im Jahre 1917
die Biographien von *Rudolph Veit*, *Graf Ferdinand v. Zeppelin*,
Heinrich Ziese und *Theodor Beck*, dem bekanntem
Förderer der Geschichte der Technik, dem 1918 sein Bruder
Ludwig Beck folgte. In diesem Jahre starb auch *Heinrich v. Buz*,
der um die Entwicklung der Kältemaschinen und des
Dieselmotors hochverdiente Generaldirektor der
Maschinenfabrik Augsburg-Nürnberg und *Otto Mohr*, der
Altmeister der wissenschaftlichen Mechanik. Im Jahre 1919
starben *Dolivo Dobrowolski*, *Otto v. Grove*, *Wilhelm v. Siemens*
und *Emanuel v. Seidl*, der leitende Architekt des Deutschen
Museums.

Es würde natürlich zu weit führen, hier auf die sämt-
lichen 25 Biographien von Männern der Industrie und Tech-
nik einzugehen. Noch größer ist die Anzahl von Technikern,
Industriellen und Ingenieuren, die in der Totenliste auf-
geführt sind. [E 2904]

Einrichtung und Betrieb eines Gaswerkes. Von *A. Schäfer*,
unter Mitarbeit von *A. Langthaler*. 4. Aufl. München
und Berlin 1929, R. Oldenbourg. 805 S. m. 495 Abb. und
6 Taf. Preis 44 RM.

Kohlenrevier- oder Kommunalgas? Von *Heinrich Doeven-
speck*. Essen 1929, G. D. Baedeker. 90 S. m. 14 Abb.
Preis 6 RM.

Thermochemische Versuchs-Anstalt Professor Dr. Aufhäuser,
Hamburg: **Brennstoff-Untersuchungen 1927 bis 1928.**
Hamburg 1929, Selbstverlag. Nicht im Buchhandel.

**Deutsche Wirtschaftsbücherei. 1. Bd.: Die deutsche Mineral-
öl-Industrie und verwandte Teerprodukt-Betriebe.**
Herausgeg. unter Mitwirkung des Zentral-Verbandes von
Mineralöl-Handel und -Industrie E. V., von *Ernst Herzen-
berg*. Jg. 1929. 3. Aufl. Berlin und Leipzig 1929, Ver-
lag für Börsen- und Finanzliteratur. 496 S. Preis 25 RM.

Hebezeuge. Von *Friedrich Bülz*. 2. Aufl. Leipzig 1929,
S. Hirzel. 232 S. m. 259 Abb. Preis 9 RM.

Leichtmetallkolben. Von *Gabriel Becker*. Berlin 1929, M.
Krayn. 48 S. m. 26 Abb. Preis 3 RM.

**Einzelkonstruktionen aus dem Maschinenbau. 6. H.: Schub-
stangen und Kreuzköpfe.** Von *H. Frey*. 2. Aufl. Berlin
1929, Julius Springer. 48 S. m. 158 Abb. Preis 4,20 RM.

**AWF. Getriebe und Getriebemodelle. 2. T. Zweite Getriebe-
schau des AWF und VDMA 1929.** Herausgeg. vom Aus-
schuß für wirtschaftliche Fertigung. Berlin 1929, Beuth-
Verlag und Julius Springer. 143 S. m. 125 Abb. Preis
4,50 RM.

Grundbegriffe der Elektrotechnik. Von *W. Kesseldorfer*.
Berlin 1929, Deutsche Verlagswerke Strauß, Vetter & Co.
152 S. m. 48 Abb. Preis 5,60 RM.

Elektronen-Röhren. Von *H. Barkhausen*. 3. Bd.: **Empi-
ger.** Leipzig 1929, S. Hirzel. 255 S. m. 124 Abb. P.
10 RM.

Siemens-Jahrbuch 1929. Herausgeg. von Siemens & Hal-
A.-G. und den Siemens-Schuckertwerken A.-G. Be-
1929, VDI-Verlag. 644 S. m. vielen Abb. Preis 12
Modern Central Stations. Von *Charles W. Marshall*. 2. A.
London 1929, Isaac Pitman & Sons, Ltd. 137 S. m. 29 A.
Preis 2 s 6 d.

**Die Stromtarife der Elektrizitätswerke, Theorie und Pra-
Von *H. E. Eisenmenger*. Deutsche Bearb. von *A.
Arnold*. München und Berlin 1929, R. Oldenb.
242 S. m. 67 Abb. Preis 15 RM.**

Alkaline Accumulators. Von *J. T. Crennell* und *F. M. J.
London, New York, Toronto 1928, Longmans, Green &
Co. 132 S. m. 24 Abb. Preis 10 s 6 d.*

**Tüten-, Beutel- und Papiersack-Fabrikation sowie i
Nebenfächer.** Von *Heinrich Thümmes sen.* 2. Aufl. 2.
Berlin 1929, Verlag der Papier-Zeitung, Carl E.
mann. 372 S. m. 165 Abb. Preis 15 RM.

**RKW-Veröffentlichungen, Nr. 35: Zweckmäßige Verpack-
aus Pappe.** Bearb. und herausgeg. vom Ausschuß V.
packungswesen beim AWF. Berlin 1929, Beuth-Verl-
83 S. m. 75 Abb. Preis 1,20 RM.

**Die Einheitslokomotiven der Deutschen Reichsbahn
Bild. 2. Aufl. Stand Mitte 1929.** Herausgeg. von *M.
mann Maey*. Darmstadt 1929, Verkehrszentralamt
Deutschen Studentenschaft. 3 S. m. 12 Bildtaf. Pr.
0,75 RM.

Neuzeitliche Automobil-Wertung. Auswertung der 1. AD
Gebrauchs- und Wirtschaftlichkeitsfahrt 1928. Hera-
gegeben vom Allgemeinen Deutschen Automobil-Club, e.
München-Berlin. Berlin 1929, Julius Springer. 165
m. 99 Abb. Preis 7 RM.

**Flugzeugbau und Luftfahrt. 2. H.: Der Bau des Flugzeug
2. Aufl. Von *E. Pfister*. 2. T.: Tragwerkverspannu-
und Leitwerk. Berlin-Charlottenburg 1929, C. J. E. Vol-
mann. 56 S. m. 91 Abb. Preis 2 RM.**

**Die Sicherheit im Luftverkehr auf Grund der Betriebserg-
nisse der Deutschen Luft-Hansa 1926 bis 1928.** Von *A.
hard Milch*. Berlin 1929, Deutsche Luft-Hansa, A.
Wird kostenlos abgegeben.

**Musterbetriebe deutscher Wirtschaft. 10. Bd.: Der Lan-
maschinenbau** *Heinrich Lanz A.-G., Mannheim.* Von
Hofer. Berlin 1929, S. Hirzel. 97 S. m. 39 Abb. Pr.
2,75 RM.

Die Heizungsanlage. Von *Otto Ginsberg*. 2. Aufl. 1.
Material und Werkzeuge. München und Berlin 1929,
Oldenbourg. 175 S. m. 199 Abb. u. 9 Taf. Preis 5,50 RM.

**Grundsätze für Kachelofen- und Herdbau. 2. verb. Au-
1926.** Berlin 1927, Albert Lüttke. 66 S. m. 32 A.
Preis 2 RM.

**Müller-Pouille's Lehrbuch der Physik. 11. Aufl. Hera-
geg. von *A. Eucken*, *O. Lummer* und *E. Waetzma-
1. Bd., 1. bis 3. T. Unter Mitwirkung zahlreicher M-
arbeiter herausgeg. von *Erich Waetzmänn*. Braunsch-
1929, Friedrich Vieweg & Sohn. 1. T.: Mechanik pun-
förmiger Massen und starrer Körper. 860 S. m. 673 A.
2. T.: Elastizität und Mechanik der Flüssigkeiten u.
Gase. 410 S. m. 398 Abb., Preis zus. 82 RM. 3.
Akustik. 484 S. m. 393 Abb., Preis 32 RM.***

Höhere Algebra. Von *L. E. Dickson*. Deutsche Ausg. v.
Ewald Bodewig. Leipzig und Berlin 1929, B. G. Teub-
242 S. m. 3 Abb. Preis 14 RM.

Vertriebskosten senken. Ein Querschnitt durch Aufgab-
und Ziele der Fachgruppe „Vertriebsingenieure“ be-
Verein deutscher Ingenieure. Berlin 1929, Selbstverl-
32 S. m. 9 Abb. Preis 1 RM.

Schluß des Textteiles

I N H A L T:

	Seite
Leistungsversuche an Betonmischmaschinen. Von <i>G. Garbotz</i>	773
Die wichtigsten Ergebnisse der Versuche mit Beton- mischmaschinen. Von <i>O. Graf</i>	782
Über Staubabscheider, Bauart Stelz	786
Moderne Lichttechnik in Wissenschaft und Praxis	786
Neuzeitliche städtische Milchversorgung. Von <i>B. Lich- tenberger</i>	787
Zugfestigkeit und Härte bei Metallen. Von <i>O. Schwarz</i>	792
21. Jahresversammlung des Institute of Metals	797

Rundschau: Werkstoffübergang im Schweißlichtbogen — Neuere Hubwagen — Fortschritte der Kohlen- aufbereitung — Kupferstähle mit hohem Kohlen- stoffgehalt — Kleine Mitteilungen	
Bücherschau: Die Kunst der Ofenplatten. Von <i>A. Kip- penberger</i> — Englische Elektrizitätswirtschaft. Von <i>G. Brandt</i> — Die trocknenden Öle. Von <i>K. H. Bauer</i> — Chemisches Fachwörterbuch. Von <i>A. W. Mayer</i> — Autodiktionsr. Von <i>B. R. Dier- feld</i> — Jahrbuch des deutschen Kraftfahr- und Motorwesens. Von <i>J. Buschmann</i> — Deutsches Biographisches Jahrbuch — Eingänge	8

ZEITSCHRIFT DES VEREINES DEUTSCHER INGENIEURE

SCHRIFTFÜHRER: C. MATSCHOSS



73

SONNABEND, 15. JUNI 1929

Nr. 24

Geschweißte Rohrkonstruktionen

Von Prof. Dr.-Ing. A. HILPERT und Dipl.-Ing. O. BONDY, Berlin-Charlottenburg

Versuche mit geschweißten Rohrgittermasten verschiedener Höhe und Bauform. Die statischen Vorteile des Rohrquerschnittes für Druckstäbe konnten im Stahlbau noch wenig ausgenutzt werden; denn die alten Verbindungsmittel, wie Nieten, Schrauben und Schellen können technisch und wirtschaftlich nicht befriedigen. Die Schweißung bietet hier neue Vorteile. — Die Versuche wurden in drei Abschnitten durchgeführt: 1. Gittermaste von 6 m Höhe, 2. geschweißte Rohrknoten, 3. Gittermaste von 12 m Höhe. Für Abschnitt 1. und 2. wurden genietete Winkeleisenmaste zum Vergleich herangezogen. Der Vergleich ergibt die mehr als doppelt so hohe Ausnutzung des Werkstoffes bei den geschweißten Rohrgittermasten von 6 m Höhe gegenüber den genieteten Winkeleisenmasten. Auch für geschweißte Rohrgittermasten vielfacher Höhe wurden einfache Schweißverbindungen für den Zusammenbau auf der Baustelle erprobt.

Schon wiederholt ist auf die Bedeutung des Rohres als besonders geeignetes Element im Eisenhochbau hingewiesen worden¹⁾. Im Kraftfahrzeug- und Flugzeugbau²⁾, in der Rohrmöbelindustrie und auf andern Sondergebieten hat man auch schon von dieser Möglichkeit Gebrauch gemacht. Der besondere Vorteil des Rohrquerschnittes liegt in dem nach allen Richtungen hin gleich großen Trägheitsmoment, so daß man mit geringster Querschnittfläche und infolgedessen auch mit geringstem Gewichtaufwand den größten Widerstand gegen Knickung erreicht. Diese schon lange gewonnene Erkenntnis hat sich bisher im Eisenbau nur selten in die Praxis umsetzen können, da bei Eisenkonstruktionen das Nieten und Verschrauben gerade für die Verbindung von Rohren sehr ungeeignet ist und die statischen Vorteile dadurch aufgehoben werden, daß die Rohre an der Verbindungsstelle in einen für Verschraubung oder Vernietung geeigneten Querschnitt umgewandelt werden müssen.

Infolge der Möglichkeit, solche Rohre zu verschweißen, insbesondere dünnwandige Rohre durch Gas-schmelzschweißung zu verbinden, konnte ein Wandel eintreten. Zur Feststellung der Anwendungsmöglichkeit dieser Schweißverbindung bei Stahlkonstruktionen haben wir vergleichende Versuche an Gittermasten angestellt. Für ein Teilgebiet des Eisenhoch- und Brückenbaues soll hierdurch ein gangbarer Weg für die Anwendung der Schweißtechnik gewiesen werden.

Für die zu verarbeitenden Rohre kamen zweierlei Herstellungsarten in Frage, erstens das nahtlos gezogene Rohr, zweitens das in der Längsnaht geschweißte Rohr.

¹⁾ A. Hilpert, Z. Bd. 70 (1927) S. 1449, Techn. Zentralblatt 1928 S. 174. Werkstofftagung 1927. Stahl und Eisen als Werkstoffe: Gesammelte Vorträge der Gruppe Stahl und Eisen, herausgegeben vom Verein deutscher Eisenhüttenleute, Bd. 2 S. 92, Düsseldorf 1928.

²⁾ Kuchel, Die autogene Schweißung im Flugzeugbau, „Schweißtechnik“ S. 35; Berlin 1926.

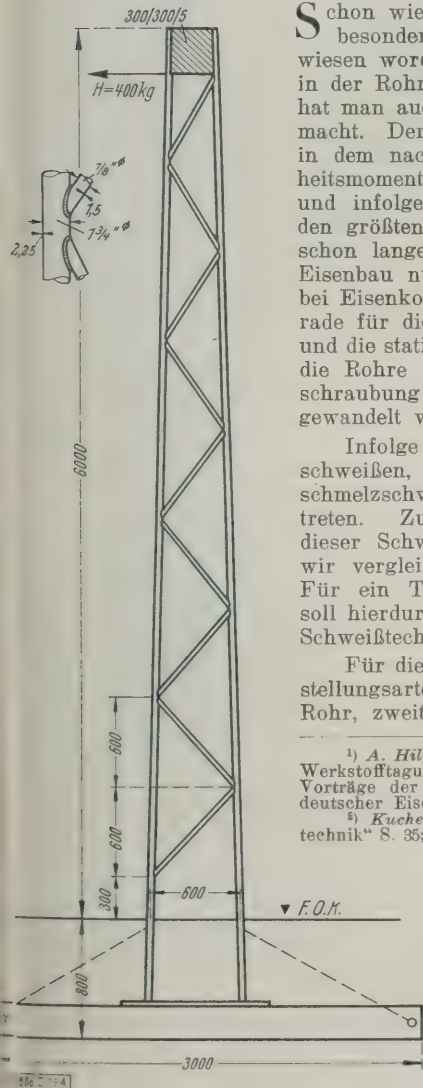
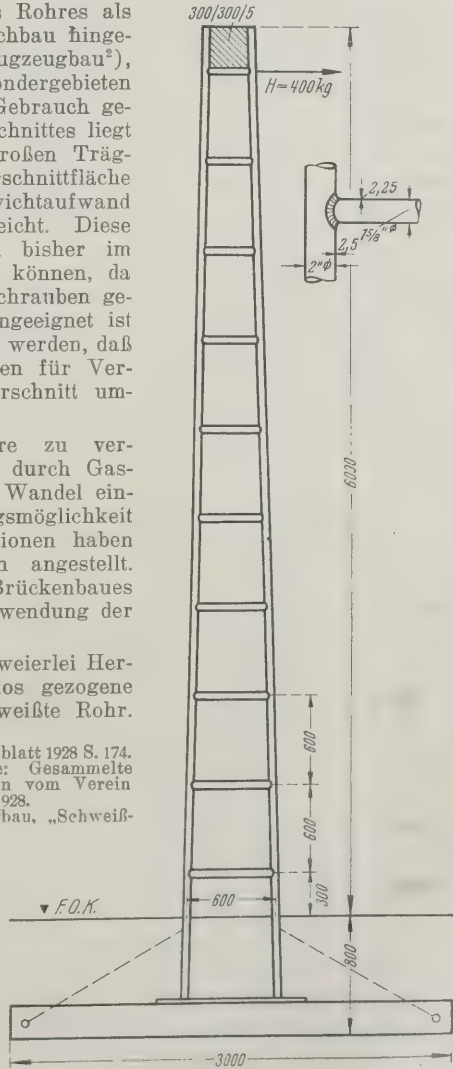


Abb. 1 und 2
6 m hoher Mast mit Schrägen,
aus Rohren geschweißt.

Abb. 3 und 4
6 m hoher Mast mit Riegeln,
aus Rohren geschweißt.



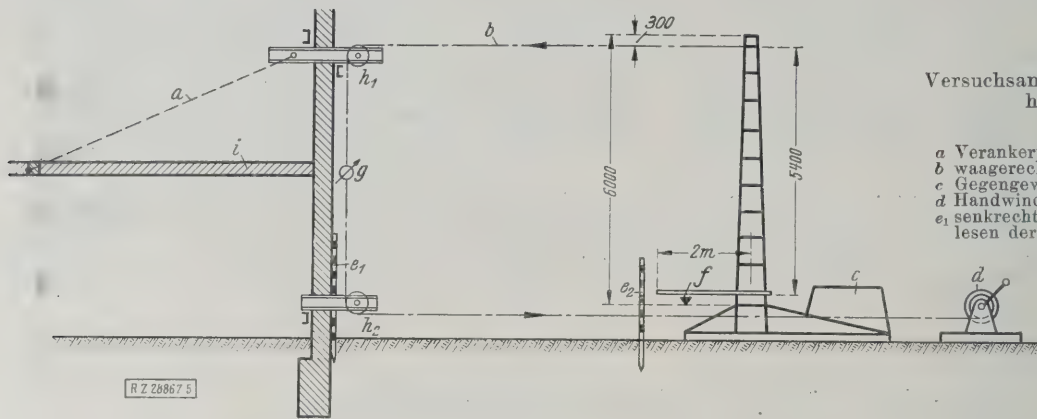


Abb. 5
Versuchsanordnung für die 6 m hohen Masten.

a Verankerung
b waagerechter Seilzug
c Gegengewicht
d Handwinde
e senkrechte Meßlatte zum Ablesen der Ausbiegungen
f Gründungsoberkante
g Dynamometer
h₁, h₂ Rollen
i Decke

Zahlentafel 1

Ausbiegung der Mastspitze des 6 m hohen geschweißten Rohrmastes mit Schrägen

a	b	c	e		f
Vers.-Nr.	waage- rechter Zug H kg	Ausbiegung der Mastspitze			Bemerkung
		gesamt	infolge Nach- giebigkeit der Ein- spannung $\Sigma \Delta_1^*)$ mm	c — d rein $\delta = \Delta_1 - \Delta_2$ mm	
1	0	0	0	0	
2	100	32	6	26	
3	200	47	17	30	
4	300	62	26	36	
5	400	74	31	43	
6	0	50	17	(33)	bleibend
7	400	72	31	41	
8	500	84	37	47	
9	600	96	43	53	
10	700	110	46	64	
11	800	118	49	69	
12	0	52	26	(26)	bleibend
13	800	122	49	73	
14	900	130	„	81	
15	1000	134	„	85	
16	1100	145	51	94	
17	1200	154	„	103	
18	0	70	29	(41)	bleibend
19	1200	160	51	109	
20	1300	167	54	113	
21	1400	174	„	120	
22	1500	185	57	128	
23	1600	262	„	205	
24	500	372	„	315	Ausknicken der Druckstiele

*) Δ_1 , gemessen an der Latte e₁, Abb. 5; Δ_2 , gemessen an der Latte e₂, Abb. 5.

Der wesentlich niedrigere Preis des geschweißten Rohres gegenüber dem nahtlosen drängte zur Wahl des geschweißten Rohres. Um Gewicht zu ersparen, wählten wir dünnwandige Rohre von großem Durchmesser; sie wurden mittels Azetylen-Sauerstoff maschinell geschweißt, eine Ausführung, die sich schon in den verschiedensten Anwendungsgebieten seit Jahren bewährt hat.

Umfang der Versuche

Für die vergleichenden Versuche wählten wir Gittermastkonstruktionen. Zunächst wurde eine Reihe von drei 6 m hohen Masten verschiedener Form und Herstellung erprobt, anschließend daran Einzelheiten der Konstruktionen, geschweißte Knotenverbindungen verschiedener Ausführung und schließlich auf Grund der hierbei gewonnenen Ergebnisse eine Reihe von doppelt so hohen, also 12 m hohen Gittermasten in genietet und geschweißter Ausführung. Die Versuche gliederten sich auf Grund dieser Einteilung in drei Gruppen. Die genieteten und die geschweißten Masten wurden in den Werkstätten des Märkischen Eisenwerkes, G. m. b. H., Berlin-Spandau, herge-

stellt; dort führten wir auch die Versuche durch, die die Beobachtung der Durchbiegung besondere Einsparvorrichtungen erforderten.

Für die statischen Berechnungen der Gittermasten wurden die neuen Vorschriften für Starkstrom-Freileitung des Verbandes Deutscher Elektrotechniker e. V. zu Grunde gelegt, die am 1. Januar 1928 in Kraft getreten sind. Die Bestimmungen — wie alle andern Vorschriften, die in Deutschland für die Herstellung von Eisenbauwerken gelten — beziehen sich nur auf genietete Ausführungen. Sie wurden hier sinngemäß auf Bauwerke mit geschweißten Verbindungen angewendet. Inzwischen ist es der Fachausschuß für Schweißtechnik im Verein deutscher Ingenieure gelungen, in diese Bestimmungen einen Absatz von folgendem Wortlaut aufnehmen zu lassen:

„Geschweißte Masten sind zulässig, wenn die Schweißung so ausgeführt wird, daß mindestens die gleiche Sicherheit des Anschlusses wie bei der Nietung gewährleistet ist. Für geschweißte Masten gelten die Bestimmungen wie für genietete Masten sinngemäß.“

Der Anwendung der Schweißung im Bau von Leitungsmasten aller Art dürfte damit der Weg eröffnet sein.

Herstellung und Erprobung der Konstruktionen

Genietete und geschweißte Masten von je 6 m Höhe

Zunächst wurde ein genieteter Winkелеisenmast der heute allgemein üblichen Form und Bemessung für 400 kg Spitzenzug (Betriebslast) bis zum Bruch belastet, anschließend daran ein 6 m hoher geschweißter Gittermast aus Rohrstielen und Rohrschragen, Abb. 1 und 2, und schließlich ein ebenso hoher Gittermast aus geschweißten Rohren mit waagrecht in 60 cm Abstand angeschweißten Rohrriegeln (Vierendeel-Form), Abb. 3 und 4. Ähnliche Rohre sind in der Längsnaht geschweißt.

Abb. 5 zeigt das Wesentliche der Versuchsanordnung für diese 6 m hohen Masten. Um die Versuchskosten niedrig zu halten, wurde ein vorhandener gußeiserner Fundamentrahmen zur Einspannung der Stiele herangezogen, Abb. 6. Als Gegengewicht wurden Betonblöcke und Eisenbarren aufgelagert. Der waagerechte Zug an der Mastspitze wurde durch ein Seil bewirkt, das über einen an der lotrechten Fabrikwand befestigten Rollen zu einer Handwinde führte. Der durch die Winde ausgeübte Zug wurde durch ein im lotrechten Seiltrum eingefügtes Dynamometer gemessen. Unabhängig von diesem Zugseil wurde der waagerechte Ausschlag der Mastspitze durch ein zweites dünneres Meßseil an einem lotrechten, ebenfalls an der Fabrikwand befestigten Maßstab abgelesen. Um etwaige Bewegungen im Fundament und in der Einspannung festzustellen, wurden drei weitere Ablesungen vorgenommen, und zwar für die lotrechte und für die waagerechte Verschiebung des Gründungsblockes und für dessen Verdrehung. Aus allen diesen Ablesungen wurde schließlich die reine Ausbiegung der Mastspitze berechnet.

Abb. 6, 7 und 8 zeigen die drei je 6 m hohen Masten zum Zugversuch aufgestellt und eingespannt. In Abb. 6 sieht man auch die Gesamteinrichtung mit dem zur Prüfung eingespannten Riegelrohrmast. Einen geschweißten

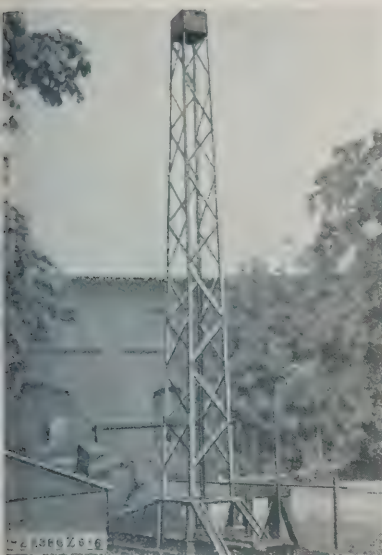


Abb. 6

6 m hoher Mast, aus Winkleisen genietet. Zum Zugversuch aufgestellt und eingespannt.

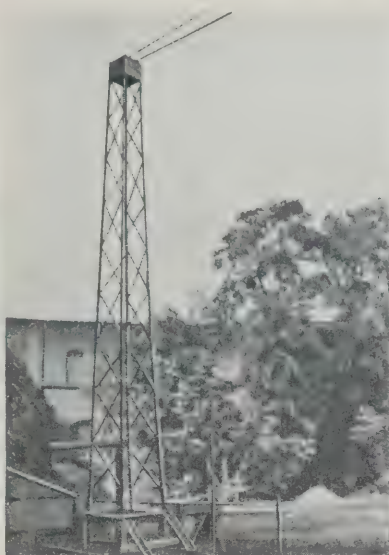


Abb. 7

6 m hoher Mast, Rohre geschweißt mit Schrägen. Zum Zugversuch aufgestellt und eingespannt.



Abb. 8

Versuchseinrichtung mit dem eingespannten 6 m hohen Riegelrohrmast; an der Mastspitze Zugseil und Meßseil.

Der Knoten dieses Riegelmastes zeigt Abb. 4. Die Ausbiegung der Kehle durch die Schweißnaht ist statisch durchaus günstig, denn das größte Biegemoment für Mast und Riegel muß hier aufgenommen werden.

Zahlentafel 1 gibt ein Beispiel für die Auswertung beim Versuch gewonnenen Ablesungen zum Ermitteln der reinen Ausbiegung der Mastspitze. Die Zahl 2,85 in Spalte d wurde als feste Größe aus den Abmessungen der Versuchseinrichtung errechnet. Aus der Zahlentafel 1 und den entsprechenden Tafeln für die beiden anderen Maste wurden die Schlußwerte in Schaulinien aufgetragen, Abb. 9. Sie geben einen guten Überblick über die Verformung und Steifigkeit der drei verschiedenen Bauarten.

Die folgenden Abbildungen zeigen die Versuchsmaste nach der Zerstörung. In Abb. 10 erkennt man, daß beide Druckstiele ausgeknickt sind, und zwar in Übereinstimmung mit der Rechnung in der Richtung der ξ -Achse entsprechend zur Tragwand. Der Bruch trat bei 1400 kg Spitzenzug ein, also bei 3,5facher Betriebslast.

Der aus Rohren geschweißte Mast mit Diagonalen, Abb. 11, hielt 1600 kg Belastung aus, obwohl er nur wenig mehr als das halbe Gewicht des Winkleisenmastes hatte. Dem Ausknicken der Rohrstiele mußten die dünnen Rohrwände nachgeben, an den Schweißnähten der Diagonalen hat sich aber nichts geändert, Abb. 12.

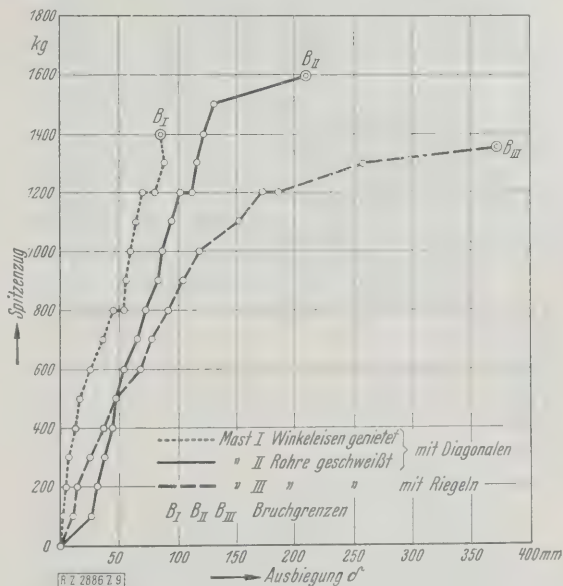


Abb. 9

Schaulinien für die Ausbiegung der Mastspitzen der drei 6 m hohen Maste verschiedener Herstell- und Bauart.



Abb. 10

Die ausgeknickten Druckstiele des 6 m hohen, aus Winkleisen genieteten Mastes (Bruchlast 1400 kg).



Abb. 11

Der zerstörte 6 m hohe geschweißte Rohrmast mit Schrägen (Bruchlast 1600 kg, Gewicht nur 55 vH des genieteten Winkleisenmastes).

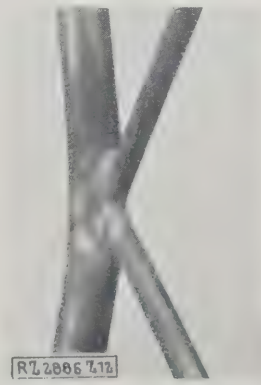


Abb. 12

Geschweißter Rohrknoten des geschweißten 6 m-Mastes mit Schrägen nach der Zerstörung; die Schweißnähte der Diagonalen sind unverletzt.

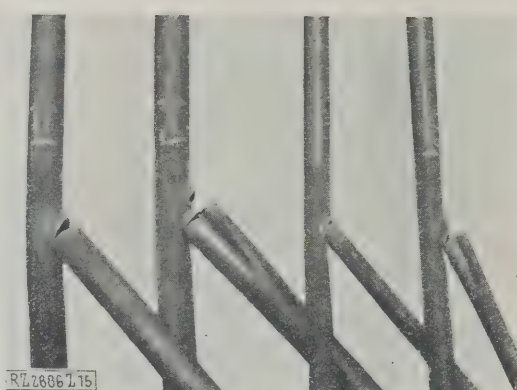
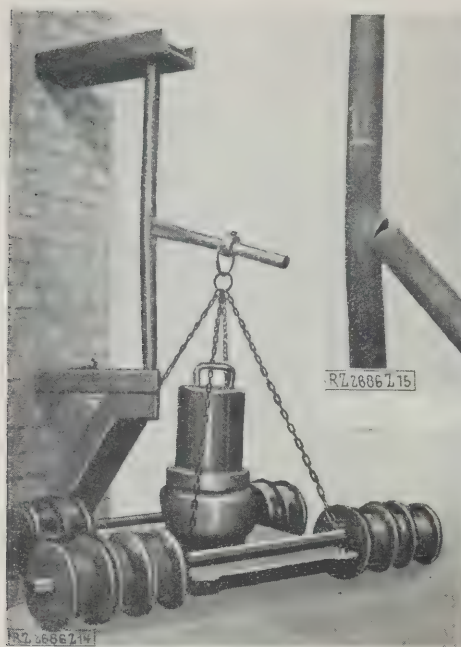


Abb. 14

Geschweißte Rohrknoten nach der Zerstörung durch Biegung; lotrechtes Rohr in der unteren Kehle eingedrückt, dann Abreißen des Kragrohres.



Abb. 15 (links)

Biegeprobe für einen geschweißten Rohrknoten. Rohre von 2" Dmr. und 2,5 mm Wanddicke. Unter der Kraglast von 407 kg sind beide Rohre sichtbar verbogen, die Schweißnaht hält.

Abb. 13

Der geschweißte Rohrmast mit Riegeln, durch Einreißen in den Riegelkehlen zerstört (Bruchlast 1350 kg).

Abb. 13 zeigt den zerstörten 6 m hohen Rohrmast mit Riegeln. Die kräftige Aussteifung durch die 5 mm dicken Kopfbleche hatte eine deutlich S-förmige Biegelinie zur Folge. Die Bruchursache war ein Ausreißen der Riegel in den Kehlen an der Stelle von M_{\max} . Mit der Ribbildung in den Kehlen war aber die Tragfähigkeit dieses Mastes nicht erschöpft. Anders als bei den Masten der Abb. 10 und 11, die durch Knickung zerstört wurden, fällt hier das Tragvermögen nach Überschreitung der Bruchgrenze nur allmählich ab. Darin liegt ein praktischer Vorteil dieser Bauform.

In Zahlentafel 2 sind für die erste Gruppe der Versuche, die 6 m hohen Maste, die Abmessungen und Gewichte zusammengestellt. Aus den Versuchswerten wurde die Zahlentafel 3 errechnet, aus der sich ein wertvoller Vergleich der drei Bauarten ergibt. Das Verhältnis der Tragfähigkeit des Mastes zu seinem Eigengewicht, also die Ausnutzung des Baustoffes, ist bei dem geschweißten Diagonalrohrmast über doppelt so hoch wie beim genieteten Winkeleisenmast.

Geschweißte Rohrknoten

Bevor man die 12 m hohen Maste herstellte, sollten noch einige Versuche mit geschweißten Rohrknoten Unterlagen liefern. Hierzu wurden insgesamt 14 verschiedene Knotenverbindungen auf Biegung geprüft. Die Rohre hatten 2" und 3" Dmr. bei 2,5 und 3 mm Wanddicke. Die Riegel waren an der Verbindungsstelle auf verschiedene Querschnittformen gepreßt. Zwei dieser Formen sind in Abb. 14 zu erkennen. Die einfache Versuchseinrichtung zeigt Abb. 15; das lotrechte Rohr von 600 mm freier Länge ist in die beiden Wandkonsolen eingespannt, das recht-

winklig angeschweißte Kragrohr ist in 300 mm Abstand belastet. Beide Rohre sind (unter 407 kg Kraglast) sichtbar verbogen, ohne daß die Schweißverbindung nachgibt. Bezeichnend war, daß unter der Belastung fast immer zuerst das lotrechte Rohr in der gedrückten Kehle einknickte, bevor ein Riß an der Zugseite des Kragrohres (meist außerhalb der Schweißnaht) zum Bruch führte.

Diese Gruppe der Versuche hat ergeben, daß man besten den kreisrunden Rohrquerschnitt auch im Knoten beizubehalten hat. Diese Art der Knotenverbindung wurde auch für die weiterfolgenden 12 m hohen Rohrmaste angewendet, da sie auch hinsichtlich Arbeitszeit und Kosten den geringsten Aufwand erfordert.

Genietete und geschweißte Maste von je 12 m Höhe

Ein genieteter Winkeleisenmast und ein geschweißter Diagonalrohrmast von je 12 m Höhe wurden hergestellt. Da die Durchführung der Zugmessung bei lotrecht stehendem Gittermast erhebliche Schwierigkeiten bereitet hätte — die Ausübung eines wagerechten Spitzenzugs von etwa 2000 kg in 12 m Höhe über dem Erdboden hätte besondere Kosten verursacht —, wurde hier eine Versuchseinrichtung geschaffen, bei der der Mast in waagerechter Lage auf Spitzenzug geprüft wurde. Nach verschiedenen Entwürfen für eine geeignete Einspannvorrichtung, die sich zum Teil auf geldlichen, zum Teil aus betriebstechnischen Gründen nicht ausführen ließ, wurde zuletzt die Anordnung, Abb. 16 und 17, gewählt. Zur Einspannung wurde das Gewicht des Mauerpfählers und des rechts und links danebenliegenden Mauerstreifens vorteilhaft herangezogen. Auf diese Weise hat man mit verhältnismäßig

Zahlentafel 2

Stabkräfte, Momente, Beanspruchungen und Gewichte der drei 6 m hohen Versuchsmaste

Bezeichnung	Anzahl	l m	Winkeleisen genietet mit Schrägen					Rohre geschweißt mit Schrägen					Rohre geschweißt mit Riegeln				
			P	Profil	σ	g	G	P	Profil	σ	g	G	P	M	Profil	σ	g
			kg		kg/cm ²	kg/m	kg	kg		kg/cm ²	kg/m	kg	kg	kgm		kg/cm ²	kg/m
Eckstiele	4	6,58	— 2000	L 45/45/5	860	3,38	89	— 2000	1 3/4"/2,25	1090	2,32	61	— 2000	30	2"/2,5	1250	2,96
Schrägen	36	0,75	— 290	L 45/30/4	423	2,25	61	— 290	7/8"/1,5	930	0,77	21	—	—	—	—	—
Riegel	36	0,45	—	—	—	—	—	—	—	—	—	—	0	30	1 5/8"/2,25	1198	2,15
Kopfbleche	4	0,30	—	300/300/5	—	—	15	—	300/300/5	—	—	15	—	—	300/300/5	—	—
Nieten	—	—	—	13 Dmr.	—	—	5	—	—	—	—	—	—	—	—	—	—
der Versuchsmast			berechnet	ausgeführt				berechnet	ausgeführt				berechnet	ausgeführt			
wiegt kg			170	173				97	95				128	124			
" vH			100	100				57	55				75	72			
Gewichtersparnis			0	0				43	45				25	28			

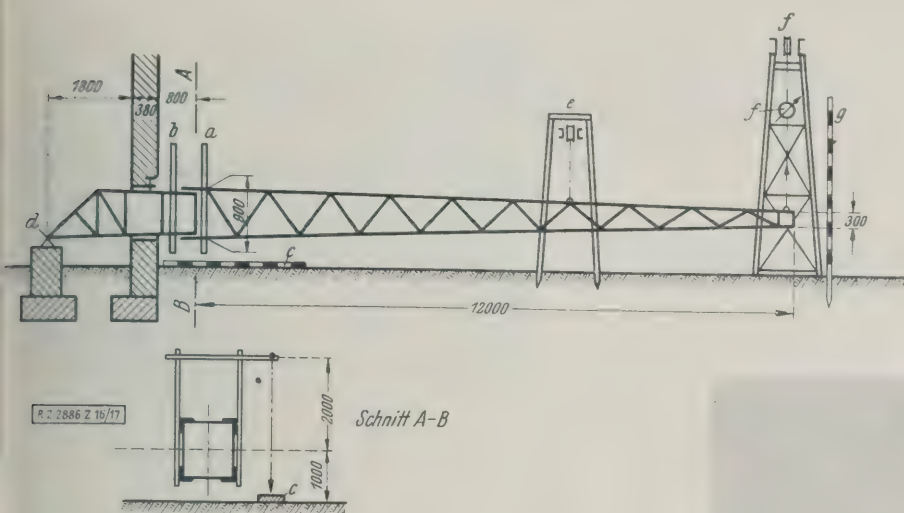


Abb. 16 und 17
Versuchsanordnung für die
12 m hohen Maste.

- a Lot zum Messen der Verdrehung der Maststiele
- b Lot zum Messen der Verdrehung der Einspannstiele
- c waagerechte Meßlatte
- d Widerlager
- e Entlastung vom Eigengewicht
- f Seilzug mit Dynamometer
- g senkrechte Meßlatte

ingen Kosten eine Einspannung des Mastfußes erreicht. rechnerisch einem 2000 kg großen Spitzenzug, also fünffachen Betriebslast, gewachsen war. Um die Abbiegungen für die Ausbiegung der Mastspitze unbeeinflusst das Eigengewicht des Mastes festzustellen, wurde ein über Rollen geführtes Seil mit Gegengewicht das eigewicht des Mastes in zwei Drittel seiner freien Höhe aufgehoben. Vor Beginn des Zugversuches hatte auf diese Weise eine genau waagerechte Lage der Maststache erreicht. Die Art der Ablesungen an der Spitze genieteten Mastes zeigt Abb. 18.

Abb. 19 zeigt den 12 m hohen, aus Rohren geschweißten Mast, zum Versuch waagrecht eingespannt. Hier sind die Entlastungs- und Zugvorrichtung mit Dynamometer zu erkennen. Die Verdrehung in der Einspannung wurde durch zwei Meßlote festgestellt, Abb. 16 und 17, getrennt die Stiele des Mastes (Meßlot a) und für die Stiele der Einspannung (Meßlot b).

Die abschließenden Versuche an den 12 m hohen Masten wurden in Gegenwart von Baurat Wendl und Baurat Cajar vom Statischen Prüfungsamt der Stadt Berlin am 15. März 1929 in Spandau durchgeführt. Die Versuchsergebnisse sind in Zahlentafel 4 zusammengestellt. Auch Abb. 19 zeigt sich, ähnlich wie bei den genieteten und geschweißten Masten von 6 m Höhe, die bedeutende Überlegenheit des geschweißten Rohrmastes gegenüber dem genieteten Winkeleisenmast.

Obwohl der 12 m hohe geschweißte Rohrmast aus 12 m hohen Rohrstielen ohne Stoß hätte hergestellt werden können, wurde mit Rücksicht auf die Verbindungen beim Zusammenbau bei späteren noch höheren Rohrmasten bei hier eine möglichst einfache Stoßverbindung erprobt. Deshalb wurde der 12 m hohe Rohrmast in zwei 6 m lange Abschnitte unterteilt und diese beiden an der Verbindungsstelle in der in Abb. 20 und 21 dargestellten Anordnung verschweißt. In die geschlitzten Rohrstielen wurden verhältnismäßig kleine, nur wenig über die Rohrwände hinausstehende Knotenbleche eingeschweißt. Aus bautechnischen Gründen wurden diese Knotenbleche und damit die Schweißnähte viel länger gewählt, als es die Berechnung erfordert hätte. Die unter der Betriebslast auftretende Zugspannung in der Schweißnaht wurde mit nur 1 kg/cm² gewählt, während die zulässige Scherbeanspruchung ein Mehrfaches beträgt. Diese Art des geschweißten

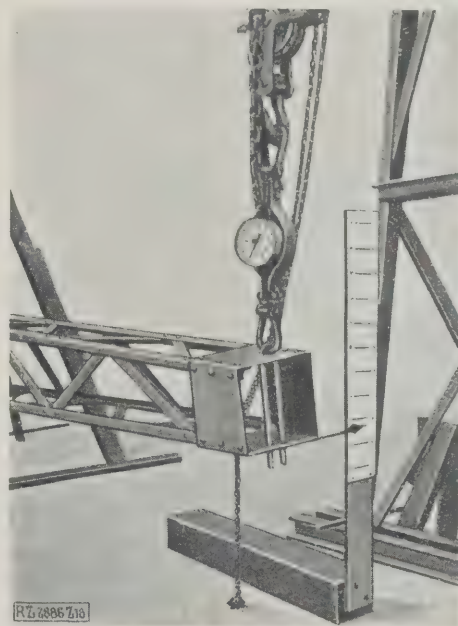


Abb. 18
Kopf des genieteten 12 m hohen
Mastes; Seilzug mit Dynamometer,
Ablesung der Spitzendurchbiegung.

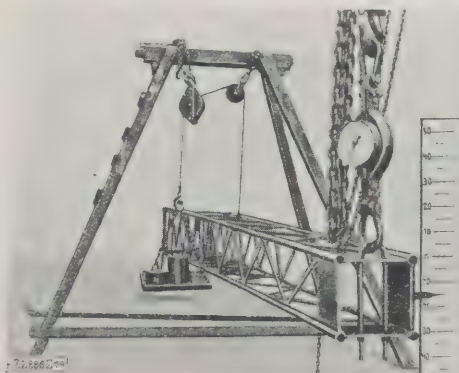


Abb. 19
Der geschweißte 12 m hohe Rohrmast,
waagrecht eingespannt.

Zahlentafel 3
Vergleichszahlen für die drei 6 m hohen
Maste

Baustoff	Winkeleisen genietet	geschweißte Rohre geschweißt
Verbindung	Schrägen	Schrägen Riegel
Eigengewicht G . . . kg	173	95 124
Bruchlast B . . . "	1400	1600 1350
B : G . . . "	8,1	16,8 10,9
Baustoffausnutzung	1	2,07 1,43

Zahlentafel 4
Vergleichszahlen für die zwei 12 m hohen
Maste

Baustoff	Winkeleisen genietet	geschweißte Rohre geschweißt
Verbindung	Schrägen	Schrägen Riegel
Eigengewicht G . . . kg	331	186
Bruchlast B . . . "	1400	1300
B : G . . . "	4,23	7
Baustoffausnutzung	1	1,66

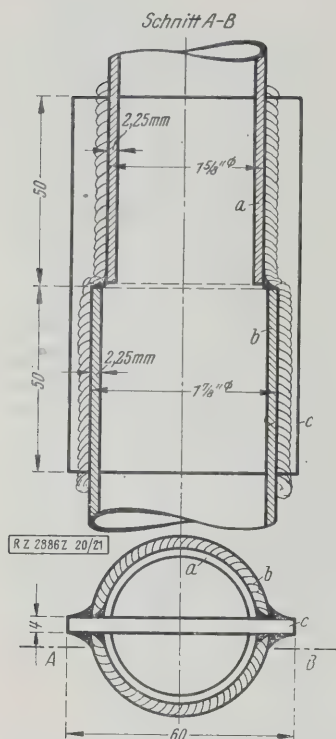


Abb. 22
Geknickte Druckstiele des
12 m hohen Rohrmastes.

Abb. 20 und 21
Geschweißter Stoß der
Rohrstiele des 12 m
hohen Mastes.

a Oberschuß
b Unterschuß
c Blech

ten Stoßes ist wesentlich einfacher als die Ausbildung mit Stoßflaschen oder Muffen. Die Herstellung derartiger Stöße für den Zusammenbau auf der Baustelle würde also auch bei Masten, die um ein Vielfaches höher sind, keine Schwierigkeit bereiten. Man könnte diese Stoßverbindung entweder an den liegenden Schüssen herstellen und den fertigen Mast im ganzen aufrichten, oder aber zuerst den Unterschuß aufstellen und die je etwa 6 m langen Oberschüsse einzeln hochziehen und oben verschweißen.

Über die Systeme Wolfram-Kohlenstoff, Wolfram-Eisen und Molybdän-Eisen

Infolge der Schwierigkeit, das System Wolfram-Kohlenstoff metallographisch und chemisch bearbeiten zu können, hat die große Anzahl von Arbeiten über dieses System trotz seiner hohen technischen Bedeutung noch zu keinem einheitlichen Ergebnis geführt. Einstimmigkeit herrschte bisher nur bezüglich des Karbides WC; über das Vorhandensein und die Eigenschaften der andern Karbide (W_3C , W_2C , W_3C_2) gingen die Ansichten weit auseinander. Es ist nun von Skaupy¹⁾ gezeigt worden, daß im System W-C nur zwei bei Zimmertemperatur beständige Verbindungen WC und W_2C vorkommen und daß außerdem noch ein oberhalb von 2400° stabiles Karbid auftritt, das als eine neue Phase zu bezeichnen ist. K. Becker hat nun diese drei Wolframkarbide untersucht²⁾.

Er fand bestätigt, daß nur zwei Karbide mit Sicherheit vorkommen; es sind dies WC und W_2C , wobei das W_2C in zwei allotropen Modifikationen vorkommt, die bei 2400° einen Umwandlungspunkt zeigen. Das bei Zimmertemperatur beständige α - W_2C kristallisiert hexagonal, das β - W_2C konnte nicht berechnet werden. WC kristallisiert ebenfalls hexagonal. Der röntgenographisch bestimmte lineare thermische Ausdehnungskoeffizient ergab nach den verschiedenen Achsenrichtungen folgende Werte:

	β [001]	β [100]	Temperaturintervall °C
α - W_2C	$11,4 \times 10^{-6}$	$1,2 \times 10^{-6}$	20 — 1930
WC	$7,3 \times 10^{-6}$	$5,2 \times 10^{-6}$	20 — 2400

¹⁾ Z. f. Elektrochemie Bd. 33 (1927) S. 487.

²⁾ Z. f. Elektrochemie Bd. 34 (1928) S. 640; Z. f. Phys. Bd. 51 (1928) S. 481; Z. f. Metallkunde Bd. 20 (1928) 437.



Abb. 22 zeigt die ausgeknickten Druckstiele des geschweißten Rohrmastes nach der Zerstörung. Auch sieht man, daß die Rohrwand eingedrückt ist, ohne die Schweißverbindung der Schrägen sich gelöst hat.

Zusammenfassung

Die Versuche haben gezeigt, daß verhältnismäßig lichte, in der Längsnaht geschweißte dünnwandige Rohre Erfolg an Stelle von Walzprofilen treten können. Besonders wo es sich um Verminderung der Frachtgewichte oder möglichst geringe Einheitsbelastung des Baugrundes handelt, werden solche geschweißten Rohrkonstruktionen nützlich sein. Ein weiterer Vorteil des Rohres ist, daß dem Wind eine wesentlich geringere Angriffsfläche bietet, was häufig entscheidend sein kann. Die rohrgeschweißten Masten wirken außerordentlich schlank und spinnwebartig, so daß sie sehr wohl geeignet erscheinen, das Landschaftsbild weniger zu stören als die Profileisen- oder Betonmaste. Auch bezüglich der Rostgefahr muß betonen werden, daß bei der vollständig dichten Schweißung Feuchtigkeit im Innern des Rohres niemals auftritt, so daß nur von außen angegriffen werden können; diese Angriffe können man aber, wie bei Eisenkonstruktionen anderer Art, verhindern.

[B 2886]

Die allotrope Umwandlung des α - W_2C in β - W_2C bei 2400° macht sich außer auf röntgenographischem Wege auch in den Kurven der elektrischen Leitfähigkeit bemerkbar.

Ein drittes Karbid W_3C_2 wird vermutet, ist jedoch bei 2600°C nicht nachweisbar; sein Vorkommen kann nur knapp unterhalb des Schmelzpunktes reichen. Beim Abkühlen zerfällt es in WC und W_2C .

Das Karbid W_2C schmilzt unzersetzt in einer Atmosphäre mit genügend hohem C-Partialdruck. Dagegen zersetzt sich WC auch bei genügend hohem C-Partialdruck beim Schmelzen unter C-Abscheidung zu einem Gemisch von WC und W_2C oder zu dem hypothetischen Karbid W_3C_2 , das seitens beim Abkühlen weiter zerfällt. Eine merkwürdige Mischkristallbildung zwischen den Karbiden mit W oder C tritt nicht auf. Die Schmelzpunkte liegen bei rd. 2700°C.

Bei dem System Wolfram-Eisen ergaben die von H. Arnfeldt³⁾ nach der Pulvermethode (röntgenographisch) angestellten Versuche das Vorkommen zweier Phasen von der Zusammensetzung Fe_3W und Fe_3W_2 . Fe_3W hat ein hexagonales Raumgitter; die Dichte beträgt 13. Die Verbindung scheint jedoch bei höherer Temperatur instabil zu sein; ihre Zersetzungstemperatur liegt zwischen 1000° und 1450°C. Die Verbindung Fe_3W_2 hat ein trigonales Raumgitter; die Dichte beträgt 13,9. Beide Phasen sind innerhalb gewisser nicht genau bestimmter Konzentrationsbereiche homogen.

In dem System Molybdän-Eisen wurde die dem trigonalen Fe-W-Phase analoge Phase Fe_3Mo_2 beobachtet. Eine der hexagonalen Phase des Fe-W-Systems entsprechende Phase konnte im Mo-Fe-System nicht gefunden werden. Doch tritt bei höherem Molybdängehalt eine neue, zuerst erstarrende Phase mit noch unbekanntem Raumgitter auf; sie scheint jedoch bei tieferen Temperaturen zu zerfallen. Vielleicht kommt eine weitere Phase vor in den Legierungen mit geringem Molybdängehalt. [N 2673] A.S.

³⁾ Carnegie Scholarship Mem. of the Iron and Steel Institute Bd. 17 (1928) S. 21.

Röntgenverfahren zur räumlichen Ausmessung von Fehlstellen in Werkstoffen

Von Dipl.-Ing. C. Kantner und Dipl.-Ing. A. Herr, Wittenberge

Geringe Genauigkeit und umständliche Handhabung aller bisherigen Verfahren führten zur Ausbildung des densographischen und des stereometrischen Verfahrens. Erläuterung der Wirkungsweise und Handhabung dieser Verfahren an Beispielen im allgemeinen und im besonderen an geschweißten Werkstoffen. Anwendung auch auf andern Gebieten der Werkstoffprüfung. Die Untersuchungen wurden in der Schweißtechnischen Versuchsanstalt Wittenberge der Deutschen Reichsbahn-Gesellschaft ausgeführt.

Die Durchdringung der Werkstoffe mittels Röntgenstrahlen konnte infolge der Leistungssteigerung der Röntgenröhren für die Werkstoffprüfung wirtschaftlicher gestaltet werden, so daß Metalle und Metallegierungen in dickeren Abmessungen als bisher durchstrahlt und mit Fehlstellen im Inneren bis zu gewissen Grenzen nachträglich ermittelt werden konnten. Man hat nun auf die verschiedenste Weise versucht, die Röntgenschattebilder, also die Flächenprojektion solcher Aufnahmen, auch so zu deuten. Neben der Erkenntnis, ob ein Werkstück innerlich gesund oder von Fehlstellen durchsetzt ist, war es natürlich noch besonders wichtig, die Lage dieser mit Hilfe der Durchstrahlung ermittelten inneren Fehler feststellen zu können.

Zunächst zog man die Erfahrungen aus der medizinischen Röntgenologie heran, die man bei der Lagebestimmung von Fremdkörpern, Geschossen u. a. im menschlichen Organismus gesammelt hatte. Hier wäre das stereometrische Verfahren als einfachstes Hilfsmittel zu erwähnen. In dem Werkstück a, Abb. 1, liegt die Fehlstelle b, deren Lage in der Vertikalen durch die senkrechte Durchstrahlung ermittelt wurde, deren Gang in 3 liegt. Aus dem Strahlengang der beiden Winkel-Aufnahmen in den Richtungen A_1B_1 und A_2B_2 bilden sich bei beiden ähnlichen Dreiecke, aus deren bekannten Grundlinien und Seiten sich die Höhen ergeben¹⁾. Mit dem Stereo-Aufnahmeverfahren kann der Arzt wohl zum Ziele kommen, da er sich durch die Kenntnis der Lage der Organe leicht zurechtfinden kann.

Der Werkstoffprüfer kennt aber nur in den allerersten Fällen irgendwelche Anhaltspunkte im Inneren des Werkstückes, die ihm eine räumliche Orientierung mittels Röntgenaufnahme gefundenen Fehlstelle ermöglichen könnten. Für ihn bleibt der Wert einer Stereoaufnahme lediglich bei der subjektiven Betrachtung der beiden Aufnahmen im Stereoskop allenfalls in einer groben Schätzung begrenzt. Im Gegensatz zur medizinischen Röntgen-Stereoaufnahme bietet allerdings die stereographische Werkstoffprüfung auf stereoskopischem Wege insofern keine Schwierigkeiten bei der Herstellung, als der zu untersuchende Gegenstand ruhig liegen

bleibt, also eine Verlagerung seines Innern während der Aufnahmen oder während der Pause zwischen den beiden Aufnahmen wenigstens bei festen Werkstoffen kaum zu befürchten ist.

Einen ganz andern Weg verfolgt das densographische Verfahren, in dem man aus der verschieden starken Schwärzung der lichtempfindlichen Schicht durch die aus dem durchstrahlten Untersuchungsstück austretenden Röntgenstrahlen Schlüsse zieht und sich dabei unabhängig von der subjektiven Beobachtung gemacht hat²⁾.

Das Helligkeitsempfinden des Beobachters eines Röntgennegatives ist starken Wechseln durch äußere und innere Einflüsse unterworfen; von der Empfindlichkeit der Augen anderer Beobachter unterscheidet es sich dabei oft wesentlich. Hinzu kommt vor allem noch die mehr oder minder große Übung der Beobachter in der Betrachtung und Auswertung von Röntgennegativen, wobei es hauptsächlich auf die Helligkeit und auf die Form der Schwärzungsunterschiede ankommt. Hierbei wird der Geübtere seine Schlüsse aus der Schattierung der Schwärzungsunterschiede schneller und leichter ziehen als der Anfänger. Der Geübte verläßt sich dabei vollkommen auf sein Helligkeitsempfinden, indem er größere oder geringere Schwärzungsunterschiede im Vergleich zu Erinnerungseindrücken wirken läßt.

In den weitaus meisten Fällen genügen solche subjektiven Feststellungen zur Beurteilung des Grobgefüges von Werkstoffen. In sehr vielen Fällen aber reicht diese Erkenntnis doch nicht aus, zumal das subjektive Helligkeitsempfinden gegenüber den Feinheiten des Röntgennegatives immer noch viel zu grob ist, so daß Täuschungen nicht ausgeschlossen sind. So kann z. B. das bloße Augenmaß für die Beurteilung der Form einer Fehlstelle nicht ausreichen, wenn es sich darum handelt, den Verlauf oder die Ausdehnung eines Risses oder einer Blase im Inneren eines Werkstückes zu ermitteln. In dem aufgenommenen Werkstoffe (Schweißung, Gußstück o. a.) kann z. B. ein Hohlraum von etwa trichterförmiger Gestalt oder ein Schlackeneinschluß von tropfenförmiger Gestalt im Strahlengang der Röntgenröhre, Abb. 2, liegen. In dem Flächenbild der Durchstrahlungsaufnahme wird der Hohlraum oder Einschluß als vieleckiges oder un rundes Gebilde in tieferer Schwärzung als der Baustoff selbst erscheinen und wiederum in sich konzentrisch schattierte Schwärzungsunterschiede aufweisen. Diese muß man erst durch verzerrte Aufnahmen, Abb. 3, oder rückwärtige Aufnahmen, Abb. 4, auswerten, wenn man genauere Aufschlüsse über die räumliche Beschaffenheit solcher Gebilde in einem Werkstück erhalten will. Liegen z. B. mehrere Fehlstellen übereinander in der Durchstrahlungsrichtung, so wurde bisher das früher besprochene Ermittlungs-

¹⁾ Vergl. Kantner und Herr: Die Verwendbarkeit der Röntgenverfahren in der Technik, Berlin 1928, VDI-Verlag; Janus, „Stahl und Eisen“, Bd. 33 (1918) S. 561.

²⁾ Stumpf, P., Fortschritte auf dem Gebiet der Röntgenstrahlen Bd. 36 (1927) S. 695.

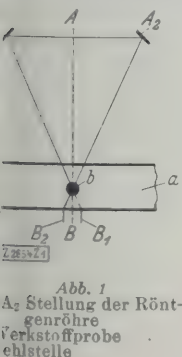


Abb. 1
Geometrische Bestimmung der Lage einer Fehlstelle in einem Werkstoff.

Abb. 2
Röntgenographische Wiedergabe (Flächenbild) eines Hohlraumes in einem Werkstück.

Abb. 3
Verzerrte Röntgenaufnahme der Hohlstelle, Abb. 2. Die Röntgenröhre ist um die Strecke f zur Senkrechten verschoben.

Abb. 4
Rückwärtige Aufnahme des gleichen Werkstückes, Abb. 2.

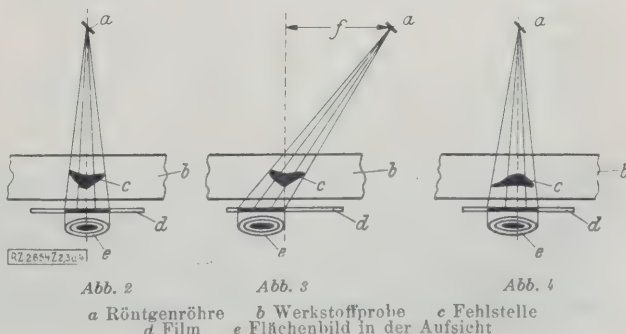


Abb. 2
a Röntgenröhre b Werkstoffprobe c Fehlstelle d Film e Flächenbild in der Aufsicht

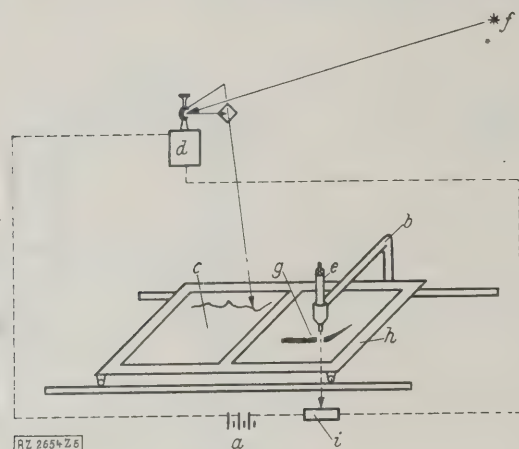


Abb. 5
Schematische Darstellung des Röntgen-Densographen nach Janus für Werkstoffprüfungen.

a Stromquelle b Beleuchtungseinrichtung c Aufzeichnungspapier
d Galvanometer e Lichtquelle f Lampe für das Spiegelgalvanometer g Röntgennegativ h Rolltisch
i Lichtelektrische Zelle

verfahren durch Winkelbestrahlung³⁾ benutzt. An seine Stelle tritt jetzt das röntgen-stereometrische Verfahren, auf das weiter unten ausführlicher eingegangen werden wird.

Das densographische Prüfverfahren

ist bereits mit Erfolg in der röntgenographischen Werkstoffprüfung erprobt worden⁴⁾. Inzwischen hat man auch das Gerät technisch brauchbar ausgestaltet, Abb. 5. Auf dem Rolltisch h wird das Röntgennegativ g unter der Beleuchtungsvorrichtung so vorbeigeführt, daß das von der Lichtquelle e ausgesendete Strahlenbündel das Röntgennegativ bei seinem Vorbeigange durchdringen und nach seinem Durchgange auf die lichtelektrische Zelle i treffen kann. Diese wird dabei erregt und steuert entsprechend den Schattenunterschieden des durchleuchteten Röntgennegativs den Strom, indem das Spiegelgalvanometer d zu stärkerem oder schwächerem Ausschlag gebracht wird. Diese Ausschläge werden mit Hilfe des Strahlenbündels der Hilfslichtquelle f photographisch als Schaulinie aufgezeichnet. Auf solche Weise entsteht das Lichtbild der Schwärzungsunterschiede, das Densogramm c, des zu untersuchenden Werkstoffes. Durch die Erhöhung der Spannung im Stromkreis des Stromerzeugers a oder durch die Steigerung der Stärke der Lichtquelle e kann jede beliebige Dichte des Negatives in den günstigsten Teil seiner Charakteristik gebracht werden.

Diese Möglichkeit ist für das Ermitteln verlaufender Helligkeiten, wie sie etwa in dem Beispiel der Abb. 1 auftreten können, von besonderer Bedeutung. Auch in der röntgenographischen Prüfung von metallischen Werkstoffen, insbesondere bei der Grobgefüge-Untersuchung von Schweißungen, ist das Verfahren herangezogen worden⁵⁾.

Für die Untersuchung des Grobgefüges metallischer Werkstoffe im allgemeinen hat das densographische Verfahren den Wert, daß Helligkeitsunterschiede in den

Röntgennegativen sichtbar gemacht werden können, auch das geschulteste, ja selbst das bewaffnete Auge nicht als solche wahrzunehmen vermag.

In Abb. 6 bis 8 sind das Röntgenschatenbild ein fehlerhaften Werkstückes und das dazugehörige Densogramm dargestellt. Die dunklen Stellen im Röntgenbild (negativ) zeigen zahlreiche Fehlerstellen in Gestalt von Hohlräumen im Inneren des Werkstückes an. Die densographische Aufnahme erfolgte in der Richtung der beiden Pfeile $\rightarrow \leftarrow$ im Röntgenbild. Betrachtet man nun gleichzeitig das daruntergestellte Densogramm, so erkennt man an dem Verlauf der Schaulinie ihre Beziehung zu den Schwärzungen im Röntgenbild. Auf das Koordinatensystem bezogen entspricht dem Wert der Ordinate die Schwärzungstiefe, dem Wert der Abszissen die Lage der Schwärzung und dem Neigungswinkel der Schaulinie die Abszisse die Schattierung.

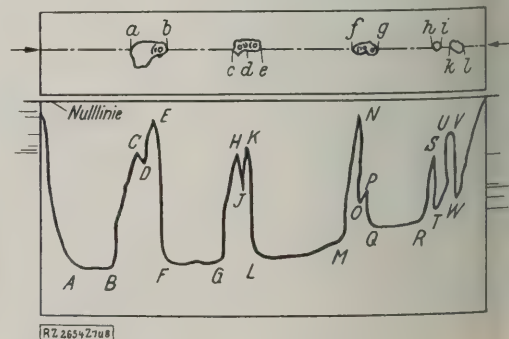
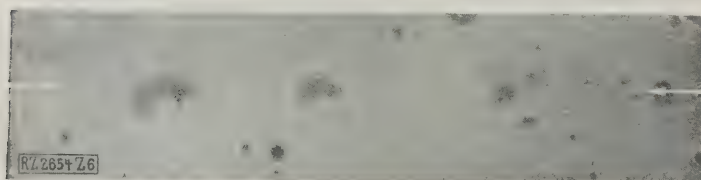
Verfolgt man die Schaulinie von dem Nullpunkt links so erreicht sie in steilem Fall den normalen Stand der Schwärzung in A für die Meßstrecke AB, Abb. 8. Hier liegt die erste Blase a, Abb. 7, deren Schattenbild im Röntgennegativ verschiedene Schattierung zeigt. Für die verschiedene Helligkeit gibt das Densogramm die Erklärung: Die erste Schattenstufe wird in sehr steilem Anstiege der Schaulinie bis C, Abb. 8, erreicht. Letztere fällt nun etwas bis zum nächsten Knickpunkte D, um sich abermals von D fast senkrecht zu erheben, und erreicht ihren Scheitelwert in E. Von hier folgt der abermalige Abstieg nach Punkt F, der im Röntgenbild die Begrenzung der Blase in b, Abb. 7, entspricht. Aus dem Densogramm ist also zu entnehmen, daß dieser Hohlraum der senkrechten, demnach in der Richtung des Strahlendurchganges, verschiedene Tiefen aufweist.

Im weiteren Verlauf der Schaulinie wiederholt sich das gleiche Spiel in den Punkten G, H, J, K, L, Abb. 8, entsprechend den Schattierungen des Hohlraumes c, d, e, Abb. 7, in dem Röntgennegativ. Das Densogramm zeigt in den Punkten H, J, K, Abb. 8, an, daß der tiefste Schwärzung eine Aufhellung vorgelagert ist, die einer teilweisen Trennung des Hohlraumes infolge stehengebliebenen Werkstoffes entspricht. Im Röntgennegativ ist dieser Erstarrungsvorgang nur sehr schwach erkennbar. Aus der Lage der beiden Kurvenscheitelpunkte H und K im Vergleich mit der Lage der Scheitelpunkte B und C läßt sich schließen, daß nach dem Grad der Schwärzung die Tiefenlage des Hohlraumes c, d, e, Abb. 7, derjenige des ersten Teiles der Blase a, b entspricht, daß aber die Blase a, b an sich tiefer in dem Werkstück liegt als der Hohlraum c, d, e. Am tiefsten liegt die Fehlerstelle f, g, denn die Schaulinie M, N, O, P, Q, Abb. 8, im Densogramm erreicht in ihrem Scheitel N den größten Wert auf die Ordinate bezogen. Während die Hohlräume a bis i, Abb. 7, krater- oder tropfenförmig gestaltet sind, zeigt k, l mehr eine Zylinderform auf, die aus dem Verlauf der Kurve T, U, V, W, Abb. 8, mit der abgestumpften Scheitel UV zu schließen ist. Schließlich endet die Schaulinie wieder in der Nulllinie bei Erreichung der völligen Randschwärzung des Filmbildes negatives.

Abb. 7 (oben). Röntgenbild der Abb. 6 in zeichnerischer Darstellung ($\rightarrow \leftarrow$ Verlauf der densographischen Aufnahme). $\frac{1}{3}$ nat. Gr.

Abb. 8 (unten). Densogramm des Röntgenbildes Abb. 6. $\frac{1}{3}$ nat. Gr.

Abb. 6
Röntgenaufnahme (negativ) eines Stahlgußstückes. Die dunklen Flecke sind Hohlräume in dem Werkstoff. $\rightarrow \leftarrow$ Verlauf der densographischen Aufnahme, Abb. 8.



³⁾ Vergl. Herr, Z. Bd. 72 (1928) S. 1672, Abb. 4 bis 6.

⁴⁾ M. v. Schwarz, „Die Gießerei“, Bd. 15 (1928) S. 924; Herr, s. Anm. 3.

⁵⁾ In Zusammenarbeit mit Prof. Dr.-Ing. M. v. Schwarz, München.

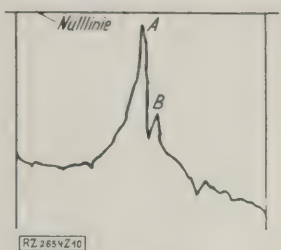


Abb. 10

Densogramm der Lage I, Abb. 9. Der Hauptriß hat seine größte Tiefe in A erreicht. Der Seitenriß ist in B nach der Oberfläche verflacht.

Abb. 9

Röntgenaufnahme (positiv) einer Gasschmelzschweißung (Abschnitt) an einer kupfernen Lokomotiv-Feuerkiste. Die Aufhellungen bedeuten Lockerungen des Werkstoffes infolge Verbrennung. Helle Stellen: Gasaufnahme. Helle Streifen: Risse. I, II, III = Lagen der densographischen Aufnahmen, Abb. 10 bis 12.

nat. Größe.

Baustoff 25 mm dick, 180 kV Gleichspannung, 6 mA (Seifert-Spektoralisovolt), 400 mm Abstand (Film-Brennfleck der Matra-Strickfokusröhre), 6 min Belichtungszeit.

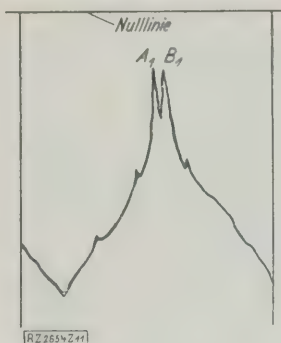


Abb. 11

Densogramm der Lage II, Abb. 9. Geringere Tiefe des Hauptrisses in A₁, die von der Tiefe des Seitenrisses in B₁ übertroffen wird.

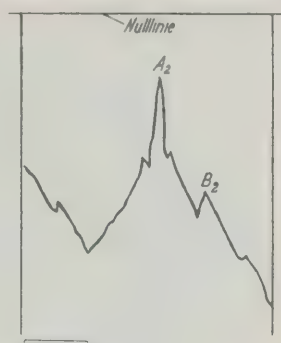
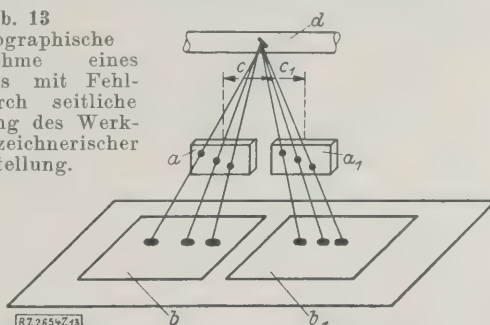


Abb. 12

Densogramm der Lage III, Abb. 9. Geringere Tiefe des Hauptrisses A₂ als in A₁, Abb. 11. Seitenriß B₂ verläuft zur Oberfläche hin.

Abb. 13

Röntgenographische Stereoaufnahme eines Werkstückes mit Fehlerstellen durch seitliche Verschiebung des Werkstückes in zeichnerischer Darstellung.



a, a₁ die um die Werte c und c₁ verschobenen Lagen des selben Werkstückes, b, b₁ Röntgennegative, d Röntgenröhre, e Fehlerstellen

In der Schweißtechnik wird das Verfahren bei der Beurteilung von Fehlerstellen in geschweißten und nichtgeschweißten Baustoffen nach Art und Lage dann herangezogen sein, wenn z.B. aus dem einfachen Röntgenflächenbild in der Flächenprojektion, das an und für sich qualitativ das Vorhandensein eines Risses in einer Schweißung aufdeckt, auf die Tiefenlage, die Beschaffenheit des Risses, seine Umgebung usw. geschlossen werden soll. Als Beispiel ist in Abb. 9 eine innerlich durch einen Rumpfriß zerstörte Gasschmelzschweißung an einer Lokomotivfeuerkiste aus Kupfer dargestellt⁶⁾, und die zugehörigen Densogramme, die durch das Negativ in den Lagen I, II und III bezeichneten Lagen gelegt wurden, zeigen Abb. 10 bis 12.

Im Flächenbild, Abb. 9, nimmt der Riß einen unregelmäßigen Verlauf. In der Lage I haben sich die verschiedenen Verzweigungen zu einem Ast vereinigt, der weiter über die Lage I hinaus in der Schweißung schließlich die Schweißung gänzlich zerstört. Die Densogramme der Aufnahmelagen I, II, III, Abb. 10 bis 12, zeigen gemeinsam in ihren Scheiteln A₁ (B₁), A₂ die stärkste Schwärzung an, die dem Verlauf des Risses in der Längsachse der Schweißung entspricht. In der Lage II ist der Riß in seiner größten Tiefe gedoppelt; das Schaubild, Abb. 11, zeigt die beiden Scheitel A₁, B₁, während in den Lagen I und III entsprechend der Lage der Scheitel B, Abb. 10, und B₂, Abb. 12, weniger tief als der parallel verlaufende Ast A, Abb. 10, und A₂, Abb. 12, liegt.

Dieser Seitenriß, der durch die Scheitel B, B₁, B₂ gekennzeichnet ist, hat demnach in der Lage II an der Scheitel B₁, Abb. 11, den Hauptriß A₁, vergl. die Scheitel der Schaulinien, Abb. 10, 11 und 12, übertroffen, während er sich nach den Lagen I und II hin verflacht hat und zur Oberfläche hin verflacht. Die Gesamttiefe des Risses ist in den Lagen II und III nach den Höhen der Scheitelpunkte A₁ (B₁) und A₂ der Densogramme, Abb. 11 und 12, die gleiche. Es nimmt aber nach der Lage I, Scheitel A, Abb. 10, zu. Es könnte also auf den baldigen Bruch im Verlauf

des Risses über die Lage I hinaus geschlossen werden. In Wirklichkeit war er denn auch in einem Abstand von rd. 5 cm von der Lage I tatsächlich erfolgt. Aus dem Verlauf der Schaulinien läßt sich allgemein noch erkennen, daß die Dichtigkeit des eingeschweißten Baustoffes zum nicht geschweißten Werkstoff hin abnimmt. Der metallographische Nachweis bestätigte den Röntgenbefund.

Dieses für die Röntgenprüfung der Werkstoffe wichtige Meßverfahren bedarf in allen seinen Teilen noch einer durchgreifenden Bearbeitung, Erweiterung und Sicherung auch in photo-optischer Beziehung. Man kann mittels des Verfahrens bei der Grobgefügeuntersuchung

1. unsicher verlaufende Grenzen in der Dichtigkeit der Werkstoffe aufsuchen,
2. den Verlauf und die Ausdehnung von Fehlerstellen, Rissen, Blasen, Einschlüssen u. a. ermitteln,
3. Schwärzungseffekte in Röntgennegativen verschiedener Herkunft vergleichend bestimmen,
4. verschiedene Aufnahmen gleicher Werkstoffe vergleichend auswerten,
5. am fertigen Stück Messungen vornehmen, ohne es zu verändern oder zu zerteilen,
6. die Aufnahmetechnik durch Aufzeichnung der Densogramme vervollkommen, ohne die bisherigen Untersuchungen zu erschweren.

Über die noch im Gange befindlichen Arbeiten wird später noch an gleicher Stelle zu berichten sein.

Während sich das densographische Verfahren durch seine Unabhängigkeit von jeder subjektiven Beobachtung auszeichnet, vereinigt

das röntgen-stereometrische Verfahren

die subjektive Betrachtung der Röntgenaufnahme mit einer zeichnerischen Darstellung der räumlichen Wahrnehmungen. Diese beiden Verfahren müßten daher zweckmäßig in unmittelbarem Zusammenhange angewendet werden. Alle bisher herangezogenen Stereoverfahren sind nur für die Betrachtung geeignet, sie

⁶⁾ Vergl. Kantner „Elektrotechnik und Maschinenbau“ Bd. 46 (1928) S. 2, Abb. 13.

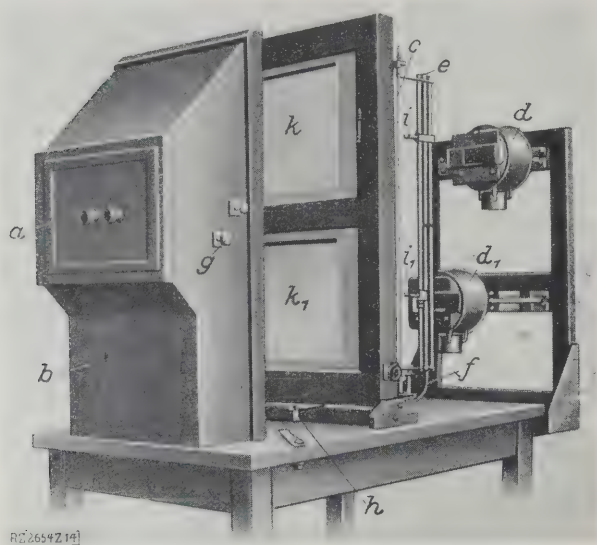


Abb. 14 bis 16

Röntgen-Stereomeßgerät für Werkstoffprüfungen.

a Stereobinokel b Betrachtungsaufsatz c Meßfaden
d, d₁ Lichtquellen e Meßstab f Storchschnabelführung
g Spiegel h Schreibstift i, i₁ Meßzeiger k, k₁ Filmnegative

sind also auf die subjektive Beobachtung stereoskopischer Röntgenaufnahmen allein beschränkt. Das neue Meßverfahren ist dagegen für eine zeichnerische Ausmessung ausgebildet worden, so daß diese Aufzeichnungen auch später jederzeit herangezogen werden können. Wie bei allen gewöhnlichen stereoskopischen Aufnahmen müssen auch hier zwei von einander paralaktisch verschiedene Röntgenaufnahmen gemacht werden.

Läßt sich der zu untersuchende Gegenstand zur Röntgenröhre verschieben, so benutzt man für die Aufnahme ein besonders hierfür ausgebildetes Gerät, Abb. 13. Das Werkstück *a* wird nach seiner Durchstrahlungsaufnahme in *b* in der Pfeilrichtung um $c + c_1$ verschoben, zum zweitenmal röntgenographisch aufgenommen und als Schattenbild im Negativ *b₁* festgehalten. Die Negative können ohne besondere Vorbereitungen sofort ausgemessen werden. Hat das Werkstück sehr große Abmessungen oder ist es ortsfest eingebaut, so verschiebt man die Röntgenröhre.

Die stereoskopischen Aufnahmen können in dem Röntgen-Stereometrometer, Abb. 14 bis 16, das nach den Grundlagen der in der Meßtechnik vielfach benutzten Stereo-Ortho-Diagraphen gebaut ist, betrachtet und gleichzeitig graphisch aufgenommen werden. Von den beiden Lichtquellen *d* und *d₁* wird neben dem stereoskopischen Gesamtbild der Röntgenfilme *k, k₁*, das mit dem Stereobinokel *a* und den Spiegeln *g* vom Beschauer

Abb. 17

Ausschnitt aus einem Lokomotivzylinderteil, Baustoff 30 mm dickes Gußeisen mit 35 mm dicker Warmschweißung. → ← Lage der Meßebene für die Stereoaufnahme.

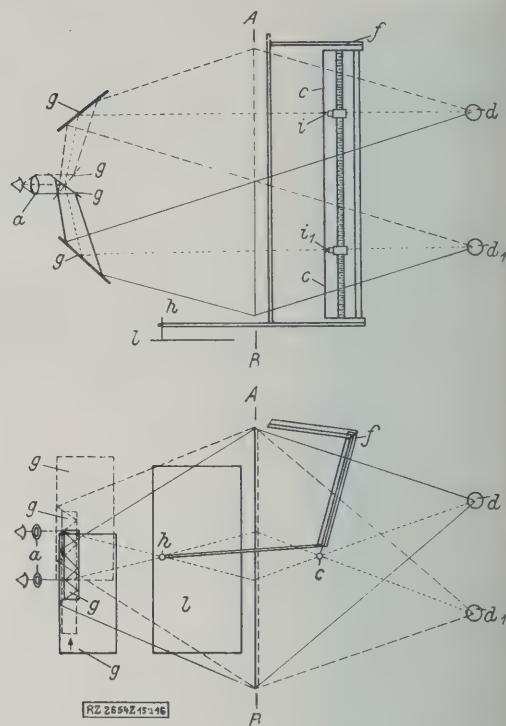
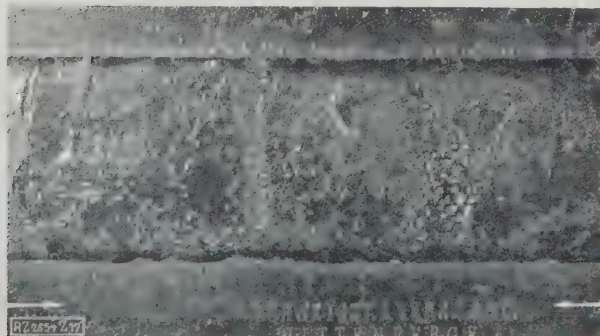


Abb. 15 und 16

Zeichnerische Darstellung des Strahlenganges bei dem Stereomeßverfahren für röntgenographische Werkstoffaufnahmen.

AB Bildebene l Zeichenebene

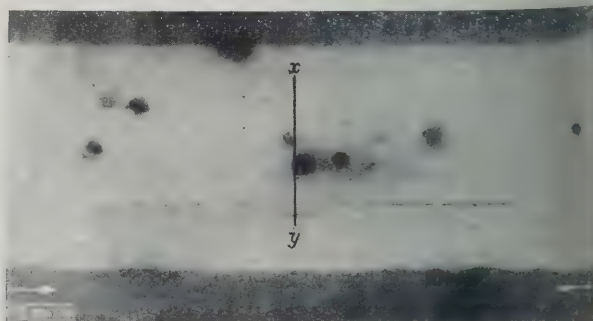
in *A* und *B* betrachtet wird, der Schatten eines Metallfadens *c* auf jedes einzelne Schattenbild getrennt geworfen. Der Abstand *dd₁* der jeweils gewählten Stereobasis, der der Verschiebung des zu untersuchenden Stückes zur Röntgenröhre ($c + c_1$ in Abb. 13) oder der Verschiebung der Röntgenröhre um den gleichen Betrag zu den feststehenden Werkstück entspricht, und außerdem der Abstand der Lichtquellen *dd₁* zur Bildebene *A, B* ist gleich dem Abstände der Antikathode der Röntgenröhre von der Filmebene. Daher entstehen in dem stereoskopischen Bilde der Röntgenaufnahmen zwei Schattenbilder des Meßfadens *c*, die in stereoskopischer Vereinigung den Meßfaden als räumlich orientierte Linie innerhalb des Röntgenraumbildes erscheinen lassen. Der Meßfaden *c* ist in der waagerechten Richtung leicht verschiebbar, während seine senkrechte Lage unverändert festgelegt ist.

Auf ein zwischen den Betrachtungsaufsatz *b* und den Negativhalter gelegtes Zeichenblatt *l*, Abb. 15 und 16

Abb. 18

Röntgenaufnahme des Werkstücks, Abb. 17 (negativ). 145 kV Gleichspannung (Seifert-Spektoralisovolt), 4 mA, 10 min Belichtungszeit, 350 mm Abstand (Film-Brennfleck der Matwa-Strichfokusröhre). → ← Lage der Meßebe für die Stereoaufnahme.

x y Lage des späteren metallographischen Schnittes



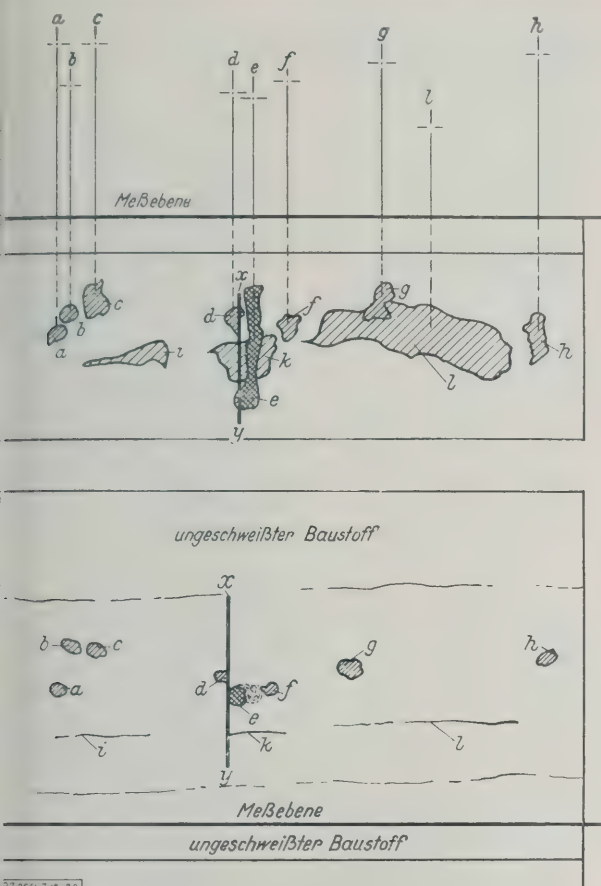


Abb. 19

Abstände der Fehlstellenmitten von der Meßebene und Tiefenlagen der Fehlstellen in der Schweißung zum Strahlengang.

Abb. 20

Zeichnerische Darstellung der Röntgenaufnahme.

Abb. 19 und 20

Stereomeßbild der Röntgenaufnahme Abb. 18.

a bis h Fehlstellen e Formsandeinschluß i bis l Risse x, y metallographischer Schnitt der Abb. 20

un mit einem Schreibstift h an einer Storchschnabel-
rührung f ein Strich- oder Punktbild in der Weise ent-
rden werden, daß man in dem Röntgenraumbild den
denschatten mit der Lage der Schatten im Röntgenbild
r Deckung bringt und gleichzeitig auf dem Zeichen-
st aufschreibt. Werden nun in der gleichen Weise
e Schattenbilder senkrecht in der Bildebene mittels der
dem Meßfaden verschieblich angebrachten Zeiger i
d i_1 abgegriffen und an der Maßteilung e die Höhen
nittelt, so können aus den beiden Meßbildern z. B. in
nem undurchsichtigen Werkstoff eine oder mehrere
hstellen räumlich festgelegt werden.

In Fällen, in denen das stereoskopische Sehen nur
einer räumlich empfindlicheren Beobachtung an dem
Röntgenbilde herangezogen werden müßte, kann die Messung
auch unmittelbar in der Weise
vorgenommen werden, daß der
Betrachtungsaufsatz b, Abb. 14,
abgenommen wird und man den
Meßfaden solange verrückt, bis
sein Schatten zwei sich ent-
sprechende Schatten der Negative



Abb. 21

Metallographische Aufnahme des Schnittes xy durch das Werkstück. M. rd. $\frac{1}{2}$ nat. Größe.

→ ← Lage der Meßebene

berührt, wodurch die Lage dieses Raumgebildes im Grundriß gefunden ist. Werden hierzu noch diese Schattenlagen senkrecht mit den Zeigern i und i_1 ver-
messen, so ergibt sich der entsprechende Wert im Aufriß.

Das Meßverfahren soll nun an einer absichtlich
schlecht ausgeführten elektrischen Warmschweißung.
Abb. 17 und 18, erläutert werden. In der Schweißung
liegen Gasblasen und Schlacken, die dunklen Stellen.
Abb. 18. Ein Schrumpfriß zwischen geschweißtem und
nicht geschweißtem Baustoff (stellenweise unterbrochen)
wird durch die dunkle Linie, Abb. 18, gekennzeichnet. In
Abb. 19 ist das Röntgennegativ noch einmal schematisch
dargestellt. Die Fehlerstellen sind zum Vergleich mit
den Raumaufnahmen mit Buchstaben bezeichnet. Die
eingezeichnete Nulllinie zeigt die Lage der Meßebene für
den Grundriß der Raumaufnahme an.

Abb. 20 zeigt das Stereomeßbild der Röntgenauf-
nahme parallel zum Strahlengange. Die Tiefenlagen der
im Röntgenbild aufgenommenen Fehlstellen wurden mit-
tels des für Werkstattzwecke besonders gebauten
Beyerlen-Gerätes aufgezeichnet, und auch die Aus-
dehnungen dieser Fehlstellen ermittelt. Die Tiefenlagen
der Risse i, k und l sowohl für sich wie in Beziehung
zu den Hohlstellen sind besonders eigenartig zur Aus-
wirkung gekommen. An der Stelle der Überlagerung
wurde ein Schnitt xy, Abb. 19 und 20, durch das Werk-
stück gelegt. Die metallographische Aufnahme des
Schnittes xy zeigt Abb. 21.

Die Gasblase d und der Schlackeneinschluß e liegen
auf die Meßebene bezogen, über dem Riß k in dem Strom-
meßbild, Abb. 20, also vor dem Riß k. Durch diesen
metallographischen Nachweis konnte die Richtigkeit der
räumlichen Messung einwandfrei bestätigt werden. Der
Schlackeneinschluß e ist von dem Schnitt XY in seiner
unteren Ausbuchtung getroffen worden, er verläuft
dann hinter der Gasblase d in dem eingeschweißten Bau-
stoffe nach der Oberfläche der Schweißung zu, konnte
aber vor der Erstarrung diese nicht mehr erreichen.

In Abb. 19 sind die Lagen der Mitten der Fehl-
stellen im Aufriß eingezeichnet. Um die Abbildung nicht
zu unübersichtlich zu machen, sind die Meßstrecken der
übrigen Lagen nicht eingezeichnet worden. Diese Er-
mittlung erfolgt in der gleichen Weise. Für den Werk-
stättenbetrieb wird man natürlich nur diejenigen Mes-
sungen vornehmen und aufzeichnen, die für die Bear-
beitung des Werkstückes von besonderem Werte sind. Man
wird z. B. zu berücksichtigen haben, sofern ein Werk-
stück überhaupt weiter bearbeitet werden soll (bei der
vorliegenden Schweißung würde das natürlich kaum der
Fall sein), in welcher Lage eine Bohrung oder eine Zer-
teilung zweckmäßig eine Fehlstelle räumlich umgehen
könnte, wie tief eine Bearbeitung noch vorgenommen
werden kann usw. Hier wird die praktische Handhabung
des Verfahrens im Laufe der Zeit manche Erleichterung
bringen und auch anderseits dazu beitragen, wertvolle
Werkstücke, die im Röntgenbilde bei der einfachen
Durchleuchtung schon zu Bedenken Anlaß geben, vor
dem gänzlichen Ausscheiden zu retten oder sie doch
wenigstens einer andern Verwendung zuzuführen. Hier
wären solche Untersuchungen z. B. an Wänden von
Dampfzylindern zu erwähnen.
Zeigt das Röntgenbild Blasen
im Guß, dann wird man mit-
tels der Stereovermessung
ermitteln, ob die Blasen so
tief liegen, daß sie die Boh-
rung des Zylinders stören
würden, oder ob sie, mehr zur
äußeren Wandfläche gelegen,
ohne störenden Einfluß sind
oder dergl.

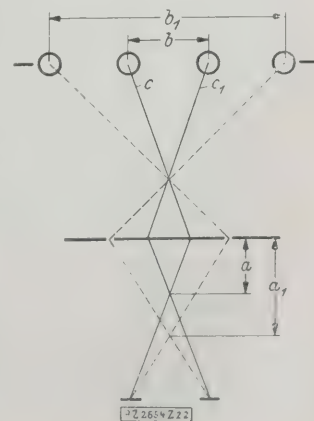


Abb. 22

Zeichnerische Darstellung des Strahlenganges der stereoskopischen Verzerrung (Hyperstereoskopie).

a, a1 scheinbare Werkstoffdicke
b, b1 Abstand der Lichtquellen c, c1

Man kann aber nicht nur die Räumlichkeit des Stereomeßbildes bei objektgleicher Wiedergabe verändern, sondern auch das Meßergebnis selbst einem bestimmten Zwecke entsprechend gesetzmäßig verzerren, d. h. in einem Vielfachen des Tiefenmaßstabes auswerten. Da die Empfindlichkeit der menschlichen stereoskopischen Beobachtungsgabe um rd. fünf Bogensekunden herum liegt, muß in den Fällen, in denen diese Begrenzung zu eng ist, die Meßgenauigkeit durch Vervielfältigung der Aufnahmebasis vergrößert werden, Abb. 22. Macht man den Abstand b der Lichtquellen c, c_1 , der in der Zeichenebene den Wert a ergeben würde, gleich b_1 , so wird auch in der Zeichenebene die erscheinende Werkstückdicke auf den Wert a_1 vergrößert. Diese Hyper-Stereoskopie wird besonders bei der Untersuchung dünner Stücke anzuwenden sein.

Die Untersuchung dünner Bleche, die Beobachtung aufeinanderliegender Schichten (Blechsichten, mehrfach geschichtet verleimte Sperrholzplatten, Holzpropeller) kann auf diesem Wege erfolgreich weitergeführt werden, indem für die Röntgenaufnahme ein Vielfaches der Aufnahmebasis gegenüber der Vermessung gewählt wird. In diesem Falle würde ein z. B. aus fünf Schichten von je 1 mm Dicke verleimtes Sperrholz mit einer Basis (Abstand der Röntgenröhre bei der ersten Aufnahme von der Stellung der Röntgenröhre bei der zweiten Aufnahme) von 500 mm aufgenommen werden. In dem Stereomeßgerät wird nun die Entfernung der Lichtquellen auf eine Basis von 100 mm eingestellt. Bei der Beobachtung oder Ausmessung ergibt sich alsdann ein Tiefenmaß des ganzen Sperrholzstückes von 25 mm gegenüber der natürlichen Dicke von rd. 5 mm. Hier trennen sich deutlich auseinandergezogen scheinbar je 5 mm dicke Schichten, vergl. die schematische Darstellung, Abb. 23 und 24. Die Genauigkeit der Messung wird hierdurch entsprechend gesteigert und die Beobachtung ganz bedeutend erleichtert⁷⁾.

Schließlich wurde das Meßgerät mit einer wichtigen Einrichtung ausgerüstet, um die Beobachtung und Vermessung umkehren zu können. Ein weiterer Spiegelsatz wurde in dem Betrachtungsaufsatz so eingebaut, daß derselbe willkürlich in den Strahlengang so hineingeschoben werden kann, daß der Strahlengang in seiner doppelten Knickung in der Knickrichtung durch die eingeschobenen Spiegel einmal umgekehrt wird. Dabei ist erreicht, daß z. B. eine Zylinderwand von ihrer konkaven und von ihrer konvexen Seite, und zwar rasch hintereinander beobachtet werden kann, um etwaigen Irrtümern und Beobachtungsfehlern vorzubeugen. Das Meßergebnis und das Meßbild selbst werden natürlich von dieser Veränderung in der Betrachtung nicht beeinflusst.

Die Untersuchungsergebnisse konnten bisher nur auf die Grobgefüge ausgedehnt werden. Es besteht aber auch die Möglichkeit, Feingefügeaufnahmen stereoskopisch auszuwerten. Auch Lauediagramme, Texturaufnahmen, Drehkristalldiagramme und Debye-Scherrer-Aufnahmen können stereoskopisch aufgenommen und räumlich ausgemessen werden. Diese Arbeiten sind aber erst begonnen worden, so daß über die Genauigkeit solcher Messung noch kein abschließendes Urteil gefällt werden kann⁸⁾. An dieser Stelle wird hierüber noch zu berichten sein.

Dieses für die Werkstoffprüfung außerordentlich wichtige Verfahren bedarf noch einer eingehenden Bearbeitung, da sich seine Anwendungsmöglichkeiten noch nicht übersehen lassen. Nach den bisherigen Arbeiten läßt sich zusammenfassend folgendes sagen:

1. Es bietet sich die Möglichkeit, ein in allen Teilen meßbares Röntgenbild zu erhalten,
2. durch die subjektive Beobachtung des Raumbildes kann die Beurteilung der Beschaffenheit eines Werkstoffes nach dem Röntgenflächenbild wirksam unterstützt werden,
3. es bietet sich die Möglichkeit, die subjektiven Wahrnehmungen bei der Betrachtung des Röntgenraumbildes sofort zeichnerisch festzulegen,

⁷⁾ Die Versuchsstücke wurden uns von der Deutschen Versuchsanstalt für Luftfahrt E.V., Berlin-Adlershof, in dankenswerter Weise zur Verfügung gestellt.

⁸⁾ In Zusammenarbeit mit Professor Schiebold, Leipzig.

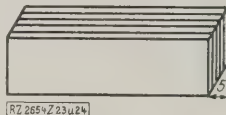
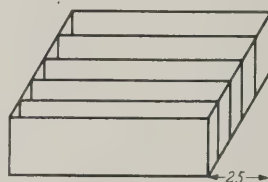


Abb. 23 und 24

Zeichnerische Darstellung der Wirkungsweise der stereoskopischen Verzerrung (Hyperstereoskopie) bei der Prüfung geschichteter Werkstoffe, z. B. verleimter Sperrholzplatten

4. die räumlichen Aufzeichnungen können im Werkstättenbetrieb praktisch angewertet werden,
5. sämtliche Messungen können am fertigen Stück ohne Veränderung oder Zerstörung desselben vorgenommen werden.
6. die Aufnahmetechnik erfordert keine besondere Vorbereitungen und kann in gleicher einfacher Weise wie die gewöhnlichen Röntgenaufnahmen an Werkstoffen ausgeführt werden,
7. die Meßtechnik ist einfach zu handhaben und bedarf keiner besonderen Vorkenntnisse der stereoskopischen Meßverfahren.

Zusammenfassung

Das densographische und das stereometrische Verfahren können in entsprechender Vereinigung bei der Ermittlung von Fehlstellen innerhalb von Werkstoffen auch am fertigen Stück ohne Zerstörung des selben erfolgreich angewendet werden. Die Grobgefügeuntersuchung wird auf diese Weise an Verlässlichkeit gewinnen, da die bisher erhaltenen Flächenbilder bei der Röntgendurchstrahlung auch räumlich erfaßt und ausgewertet werden können. In allen mit Röntgenstrahlen durchdringbaren Werkstücken lassen sich feststellen:

1. die Lage und Ausdehnung von Fehlstellen, hervorgerufen durch Blasen, Risse, Fremdkörper usw.,
2. die Verschiedenheiten in der Beschaffenheit der Werkstoffe hinsichtlich Dicke und Dichte, Schichtungen usw.,
3. die Ausmessung der genannten Fehler und Verschiedenheiten in den Werkstoffen nach ihrer Lage und Ausdehnung.

Die Feingefügeuntersuchung wird aus dem stereometrischen Verfahren Nutzen ziehen können. Diese Arbeiten sind noch nicht abgeschlossen.

Der Zweck der vorliegenden Arbeiten zunächst aus dem Gebiete der Grobgefügeuntersuchung ist die Ausbildung eines betriebsmäßig auch in den Werkstätten verwendbaren Verfahrens, das mit einem einfach zu handhabenden Gerät leicht und schnell ausgeführt werden kann. [B 2654]

Martin Kubierschky †

Am 11. Mai 1929, wenige Monate nach seinem 60. Geburtstag, verschied plötzlich auf einer Dienstreise in Rio de Janeiro infolge eines Herzschlages **Martin Kubierschky**, der Generaldirektor der Firma Mix & Genest, A.-G.

Der Verstorbene war nach Vollendung seiner Studien an den Technischen Hochschulen in Charlottenburg und München zunächst als Ingenieur für Eisenbahnbauten tätig. Aus dieser Zeit stammen verschiedene Erfindungen, die im elektrischen Eisenbahnbetriebe weite Verbreitung gefunden haben und heute noch verwendet werden. In den Jahren 1909 bis 1911 war er Vizepräsident der United Railways Investment Comp. Bereits im Jahre 1901 war **Kubierschky** in Amerika, um dort die technische Bedeutung und den wirtschaftlichen Wert des im Entstehen begriffenen selbsttätigen Fernsprechens zu prüfen. Der Erfolg dieser Reise war der Ankauf der sogenannten *Strowger*-Patente für Deutschland, wodurch der Grundstein der heutigen Fernsprechtechnik mit Selbstanschluß gelegt worden ist. Im Jahre 1912 wurde er in den Vorstand der Firma Mix & Genest, A.-G. berufen. [P 3091] Be. Ws.

Wassermessung mit scharfkantigen Überfallwehren

Von TH. REHBOCK, Karlsruhe

Für die Wassermessung und die Regelung des Wasserzuflusses bei Modellversuchen auf dem Gebiete des Wasserbaus eignen sich besonders lotrechte Plattenwehre mit scharfer waagerechter Überfallkante und vollgelüftetem Strahl. Zur genauen Bestimmung der Abflußmengen aus der Wehrlänge, Wehrhöhe und Überfallhöhe ist eine zuverlässige Formel erforderlich.

Der Verfasser zeigt durch den Vergleich mit 280 in den letzten Jahren von hervorragenden Forschern veröffentlichten Wehrrechnungen, daß die von ihm in den Jahren 1911 bis 1913 aufgestellten Abflußformeln allen Forderungen an Zuverlässigkeit und Genauigkeit genügen. Er bringt sodann eine neue Abflußformel (1929), die den ältesten Formeln an Genauigkeit nicht nachsteht, sich aber vor diesen durch einen einfacheren, leichter bestimmbaren und dimensionsrichtigen Beiwert auszeichnet.

Allgemeines

Die Wassermessung dient entweder dazu, die Größe des Abflusses in einem gegebenen Wasserstrom zu ermitteln, oder aber die Zuflußmenge zu regeln. Letztere Meßart kommt namentlich in den wasserbaulichen Versuchsanstalten häufig vor, wenn den maßstäblich gestellten Modellen die richtigen, aus dem Naturzufluß Hilfe des hydraulischen Ähnlichkeitsgesetzes berechneten Wassermengen zugeleitet werden müssen.

Für diese Regelung gibt es kein besseres Verfahren als die Wassermessung mit Überfallwehren, die es gestattet, den gewünschten Zufluß in wenigen Minuten genau zu stellen und dann auch beliebig lang zu erhalten.

Es empfiehlt sich, das Meßwehr zwischen den parallelen Seitenwandungen der Zulaufrinne in der Länge der vollen Rinnenbreite einzubauen, um dadurch die direkte Zusammenziehung des Wasserstromes vor dem Wehr zu verhüten. Dadurch wird der Vorteil erreicht, daß die Abflußmenge bei gleicher Überfallhöhe unabhängig von der Wehrlänge (Rinnenbreite) anwächst. Es ist bei Wehren, die zwischen parallelen Wänden eingebaut sind, sehr genau der Fall, daß der Einfluß der Reibung verschwindend klein ist und bei glatten Seitenwandungen nach Karlsruher Vergleichsmessungen praktisch nicht ins Gewicht fällt.

Als Meßwehr ist das lotrechte Plattenwehr mit waagerechter, scharfer Überfallkante und vollgelüftetem Strahl allen andern Wehrformen überlegen, weil es leicht genau hergestellt werden kann, weil die überfallende Wassermenge durch die Wandrauigkeit der Wehrplatte bei ebener Ausbildung nicht merklich beeinflusst wird und weil für keine andre Wehrform gleich zuverlässige Abflußformeln vorliegen. Die Stetigkeit des Abflusses ist nach meinen Erfahrungen bei den scharfkantigen Wehren durchaus gewährleistet, wenn die Lüftung des Raumes unter dem fallenden Strahl unter allen Umständen ausreicht.

Das Auftreten von angelegten Schwingungen im Oberwasser, die bei bestimmten Abmessungen der Wehrrinne, namentlich bei kleinen Überfall- und Absturzhöhen, gelegentlich beobachtet werden, werden durch geeignete Einbauten unterbunden, da die Schwingungen infolge der eintretenden Schwankungen in der Lüftung und der dadurch hervorgerufenen Störungen des Strahles trotz des schießenden Abflusses ins Oberwasser hinein fortsetzen können. Wenn der Wasserspiegel nur noch in geringer Höhe auf den Wehrrinne steht, können die mittleren Wasserspiegelschwankungen auch die mittlere Wasserspiegellage merklich beeinflussen können, so sind sie doch zu vernachlässigen, weil sie die genaue Einstellung der Meßstelle erschweren.

Entgegen den abweichenden Ansichten, die auf Grund der Messungen Hailers in München¹⁾ in letzter Zeit ge-

legentlich geäußert wurden, vollzieht sich der Abfluß (abgesehen von den erwähnten unwesentlichen und leicht zu beseitigenden Störungen) auch bei den lotrechten Plattenwehren streng gesetzmäßig.

Dies wurde aus vielen Tausenden von Abflußmessungen festgestellt, die bei Wehranlagen der verschiedensten Form im Karlsruher Flußbaulaboratorium vorgenommen worden sind, und wird bestätigt durch Hunderte von Eichergebnissen über den Abfluß über scharfkantige Meßwehre, die von zahlreichen Forschern auf dem Gebiete des wasserbaulichen Versuchswesens, wie Schoder und Turner (Ithaca), Engels (Dresden), Koch (Darmstadt), Lindquist (Stockholm), Schaffernak (Wien), Thyse (Delft) und vom Eidgenössischen Amt für Wasserwirtschaft in Bern herrühren und alle mit den Karlsruher Messungen gut übereinstimmen. Diese genaue Übereinstimmung so vieler Meßergebnisse zwingt zu dem Schluß, daß die in den einzelnen Meßreihen bei der gleichen Meßanlage von Hailer gefundenen starken Schwankungen des Abflusses bei den gleichen Überfallhöhen um mehrere Hundertstel auf Störungen bei der Eichung zurückzuführen sind. Die genaue Übereinstimmung so vieler, in verschiedenen Versuchsanlagen gewonnener Meßergebnisse läßt auch darauf schließen, daß weder der Temperatur des Wassers noch der Geschwindigkeitsverteilung des Wassers im Zulaufgerinne bei Meßanlagen zweckmäßiger Ausbildung ein wesentlicher Einfluß auf das Meßergebnis zugesprochen werden darf.

Einfluß der Temperatur und Geschwindigkeitsverteilung

Daß die Temperatur des Wassers innerhalb der praktisch in Frage kommenden Grenzen keinen nennenswerten Einfluß auf das Meßergebnis ausübt, wurde durch Vergleichseichungen des gleichen Wehres im Karlsruher Flußbaulaboratorium bei Wassertemperaturen von 7° und von 19°C nachgewiesen.

Auch die Geschwindigkeitsverteilung im Meßgerinne übt bei zweckmäßig gebauten Meßanlagen keinen wesentlichen Einfluß auf das Meßergebnis aus. Ein solcher Einfluß tritt nur dann auf, wenn durch eine allzu kurze Zulaufrinne, durch stark unsymmetrische Wasserzuleitung oder durch den Einbau unzureichend zweckmäßig angebrachter Führungen des Wassers der Abfluß künstlich in einzelnen Teilen des Rinnenquerschnittes zusammengedrängt wird. Der Einfluß der Geschwindigkeitsverteilung kann jedenfalls immer dann vernachlässigt werden, wenn die Überfallhöhen kleiner als sechs Zehntel der Wehrhöhe sind und wenn die Höchstgeschwindigkeiten im Zulaufgerinne zum Wehr an der Meßstelle die Kleinstgeschwindigkeiten um nicht mehr als 80 vH übersteigen. Denn innerhalb dieser Grenzen weichen die Schwankungen in der Abflußmenge bei der gleichen Überfallhöhe vom Mittelwert im allgemeinen nur um weniger als 0,2 vH ab, so daß sie auch bei genauen Abflußmessungen vernachlässigt werden können.

Die im toten Wasser im Raum oberhalb des Wehres dicht über der Sohle auftretenden ungesetzmäßigen Strömungsvorgänge, wie sie in nahezu stillstehendem Wasser stets beobachtet werden, können nach meiner Ansicht den Abfluß des Wassers über das Wehr nicht meßbar beeinflussen, weil dazu die hier auftretenden Geschwindigkeiten und infolgedessen auch die im Wasser enthaltenen kinetischen Energiemengen viel zu klein sind.

Die Wehrrechnung

Schwierig gestaltet sich bei der Wassermessung mit Meßwehren allein die Eichung, weil bei dieser die mühsame und nicht ganz einfache Bestimmung der Größe des Abflusses durch ein anderes Meßverfahren nötig ist. Eine solche Eichung ist aber nur ein einziges Mal erforderlich. Sie wird entbehrlich, wenn eine zuverlässige Abflußformel vorliegt.

¹⁾ Vergl. R. Hailer: „Fehlerquellen bei der Überfallmessung“. Mitteilungen des hydraulischen Institutes der Techn. Hochschule München, München 1928, R. Oldenbourg.

Ist aber die Eichung eines Meßwehres einmal durchgeführt, oder liegt eine vertrauenswürdige Formel vor, die die Abhängigkeit der Abflußmenge Q , der Wehrhöhe p , der Wehrlänge l und der Überfallhöhe h_0 voneinander festlegt, Abb. 1, so ist die Ausführung der einzelnen Wassermessungen äußerst einfach. Sie beschränkt sich nach einmaliger Messung der Wehrhöhe p und der Wehrlänge l auf die jeweilige Bestimmung der Überfallhöhe h_0 , die in genügender Entfernung e von der Stauwand des Wehres (etwa $e = 4 h_{0\max}$ oder $e = 2 [p + h_{0\max}]$) auszuführen ist, und alsdann auf die Entnahme der Abflußmenge, die der gemessenen Überfallhöhe entspricht, aus einer Zahlentafel, einer Eichkurve oder aus einer Formel. Eine solche Messung läßt sich in einer einzigen Minute vornehmen und in einer weiteren auswerten.

In Versuchsanstalten wird bei diesen Messungen bei guten Versuchsanlagen, genauen Meßgeräten und nicht allzu großen Abflußmengen die Überfallhöhe h_0 unschwer auf $1/10$ mm genau bestimmt.

Die Grundlage einer genauen Wassermessung ist nach den vorstehenden Ausführungen eine zuverlässige Abflußformel, die eine stets schwierige und zeitraubende Eichung unnötig macht und es ermöglicht, aus den durch Messung bestimmten Werten p , l und h_0 die Abflußmenge Q in bequemer Weise zu bestimmen.

Die Gestaltung der Wehrröhre übt bei den scharfkantigen Plattenwehren auf das Ergebnis der Messungen keinen Einfluß aus, wenn nur die Stauwand eben, glatt und oben durch eine schmale waagerechte Fläche begrenzt ist, die sich scharfkantig an die Stauwand anschließt, und wenn die Wehrplatte nicht so dick ist, daß sie die freie Ausbildung des Strahles behindert.

Die gebräuchlichen Abflußformeln für scharfkantige Überfallwehre bei freiem vollgelüftetem Strahl

Fast alle bisher verwandten Abflußformeln gehen aus von der Grundformel von *Poleni* (1767)

$$Q = {}^2_3 \mu_0 \sqrt{2g} l h_0^{3/2} \quad (1),$$

die für die Wehre ohne Seitenzusammenziehung des Wasserstroms, bei denen

$$Q = q l \quad (2)$$

gesetzt werden kann, sich noch vereinfachen läßt zu:

$$q = {}^2_3 \mu_0 \sqrt{2g} h_0^{3/2} \quad (3),$$

wobei q den Abfluß auf 1 m Wehrlänge bedeutet.

Wird die Fallbeschleunigung $g = 9,81 \text{ m/s}^2$ gesetzt, so geht diese Formel über in die nur für Metermaß gültige Formel

$$q = 2,953 \mu_0 h_0^{3/2} \quad (4)$$

für die der Wert μ_0 , der alle Fehler und Ungenauigkeiten bei der Ableitung der *Polenischen* Formel auszugleichen hat, zu bestimmen bleibt.

Um den Einfluß der Zulaufgeschwindigkeit zu berücksichtigen, wurde von *Weißbach* (1841) dem μ_0 -Wert die Form

$$\mu_0 = \mu \left[1 + a \left(\frac{h_0}{p + h_0} \right)^2 \right] \quad (5)$$

gegeben, in der μ den Grenzabflußbeiwert für ein unendlich hoch gedachtes Wehr ($p = \infty$) bedeutet.

Bazin, *Freese* und der *Schweizerische Ingenieur- und Architekten-Verein* bestimmten auf Grund des von *Weißbach* vorgeschlagenen Aufbaues den Abflußbeiwert μ_0 in der *Polenischen* Grundformel (1) und in Formel (4), wie folgt:

Formel *Bazin* (1888):

$$\mu_0 = \left(0,6075 + \frac{0,0045}{h_0} \right) \left[1 + 0,55 \left(\frac{h_0}{p + h_0} \right)^2 \right] \quad (6),$$

Formel *Freese* (1890):

$$\mu_0 = \left(0,615 + \frac{0,0021}{h_0} \right) \left[1 + 0,55 \left(\frac{h_0}{p + h_0} \right)^2 \right] \quad (7),$$

Formel des *Schweizerischen Ingenieur- und Architekten Vereins* (1924):

$$\mu_0 = 0,615 \left(1 + \frac{1}{1000 h_0 + 1,6} \right) \left[1 + 0,5 \left(\frac{h_0}{p + h_0} \right)^2 \right] \quad (8).$$

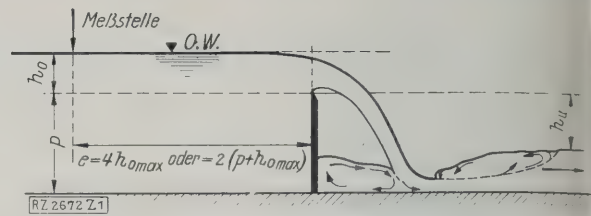


Abb. 1. Schnitt durch ein scharfkantiges lotrechtes Meßwehr mit waagerechter Überfallkante.

Auch ich habe mich lange bemüht, auf Grund des *Weißbachschen* Aufbaues des μ_0 -Wertes eine zuverlässige Abflußformel zu finden. Diese Versuche schlugen aber fehl und führten zur Aufstellung einer von der *Weißbachschen* abweichenden, einfacheren Zusammensetzung des μ_0 -Wertes in der Form

$$\mu_0 = \mu + a \frac{h_0}{p} \quad (9)$$

Für diese Form des μ_0 -Wertes habe ich in den Jahren 1911, 1912 und 1913 drei verschiedene Formeln für den Abflußbeiwert μ_0 in der *Polenischen* Grundformel aufgestellt. Von diesen, unter Abb. 5 angegebenen Formeln, deren Ergebnisse sich nur um wenige Tausendstel voneinander unterscheiden, ist die Formel *Rehbock* (1913)

$$\mu_0 = 0,605 + \frac{1}{1000 h_0} + 0,08 \frac{h_0}{p} \quad (10)$$

die einfachste und nach neueren Untersuchungen auch wohl die genaueste. Ihr haftet jedoch ebenso wie den Formeln (6) bis (8) der Nachteil an, daß sie nicht dimensionsrichtig ist und daher nicht für alle Maßsysteme ohne weiteres benutzt werden kann und daß sie den Ähnlichkeitsgesetz nicht genügt. Sie hat ferner, wie alle aus der *Polenischen* Grundformel abgeleiteten Abflußformeln, den Nachteil, daß die Beiwerte μ_0 für verschiedene Wehrröhrenhöhen p bei Auftragung nach der Überfallhöhe h_0 eine Hyperbelschar bilden (s. Abb. 5), was die Auswertung der Beobachtungen in Formeln erschwert.

Neue Abschlußformel mit linearem Beiwert

Um den zuletzt genannten Übelstand zu beseitigen habe ich in neuester Zeit, angeregt durch meine Mitarbeit am Deutschen Hydraulik-Ausschuß, eine von der *Polenischen* Grundformel etwas abweichende neue Grundformel aufgestellt, indem ich für die tatsächliche Überfallhöhe h_e die „Ersatzüberfallhöhe“ h_e eingeführt habe, die die Größe

$$h_e = h_0 + 0,0011 \text{ m} \quad (11)$$

hat. Diese Ersatzüberfallhöhe h_e kann unmittelbar am Maßstab der Meßstelle abgelesen werden, wenn der Nullpunkt des Maßstabes auf 1,1 mm unter die Wehrröhrenhöhe eingestellt wird. Durch die Einführung von h_e geht die *Polenische* Grundformel über in die neue Grundformel *Rehbock* (1928):

$$q = 2,953 \mu_0 h_e^{3/2} = q_0 h_e^{3/2} \quad (12)$$

Diese Formel hat den Vorteil, daß das nicht dimensionsrichtige Glied μ_0 der *Polenischen* Grundformel in einen dimensionsrichtigen Beiwert μ_0 bzw. q_0 übergeht und daß ferner diese beiden Beiwerte bei Auftragung nach der Ersatzüberfallhöhe h_e für jede Wehrhöhe p eine gerade Linie bilden. Denn die Beiwerte μ_0 und q_0 nehmen nach dem Ergebnis der Beobachtungen für jede Wehrhöhe p die lineare Form

$$\mu_0 = a' + b' \frac{h_e}{p} \quad (13)$$

und

$$q_0 = a + b \frac{h_e}{p} \quad (14)$$

an.

Die Werte a' und b' sowie a und b müssen aus den Eichwerten so bestimmt werden, daß das Mittel der Abweichungen der Meßwerte von den Formelwerten, d. h. die Werte

$$\Delta \mu_0 = \frac{q}{2,953 h_e^{3/2}} - \left(a' + b' \frac{h_e}{p} \right) \quad \dots (15)$$

$$\Delta \varrho_0 = \frac{q}{h_e^{3/2}} - \left(a + b \frac{h_e}{p} \right) \quad \dots (16)$$

möglichst klein werden.

Die Konstanten a' und b' sowie a und b können auf empirischem Weg oder auch analytisch nach der Methode der kleinsten Quadrate bestimmt werden. Ich habe unter Verwendung der in Karlsruhe ausgeführten Messungen und weiterer 280 fremder Messungen auf zeichnerischem Wege ermittelt und erhielt die Größen

$$a' = 0,6035, \quad b' = 0,0813, \quad a = 1,782 \quad \text{und} \quad b = 0,240.$$

Diese Werte in Gl. (12) eingesetzt, ergeben die neuen Flußformeln Rehbock (1929):

$$q = 2,953 \left(0,6035 + 0,0813 \frac{h_e}{p} \right) h_e^{3/2} \quad \dots (17)$$

$$q = \left(1,782 + 0,24 \frac{h_e}{p} \right) h_e^{3/2} \quad \dots (18).$$

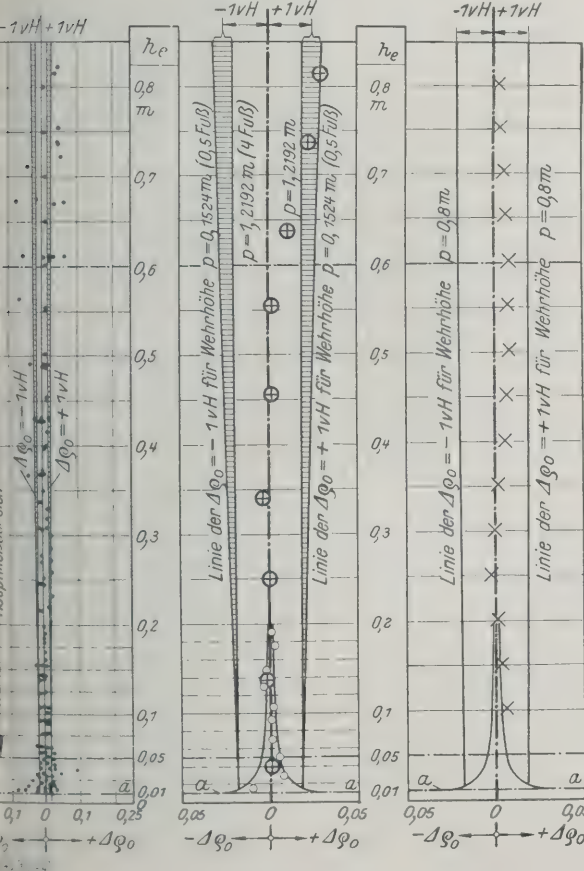


Abb. 2. Abweichungen einzelner 280 Messungen von den Formelnlinien.
Abb. 3. Zusammenfassung der Meßwerte in Gruppen von 10 zu 10 und 2 zu 2 cm.
Abb. 4. Abweichungen der Messungen des Eidgen. Amts für Wasserwirtschaft an einem Wehr von 0,8 m Höhe.

Abb. 2 bis 4
Darstellung der Abweichungen $\Delta \varrho_0$ der Meßwerte von den berechneten Werten der Formel Rehbock 1929:

$$Q = \varrho_0 l h_e^{3/2} = \left(1,782 + 0,24 \frac{h_e}{p} \right) l h_e^{3/2};$$
$$\Delta \varrho_0 = \frac{q}{h_e^{3/2}} - \left(1,782 + 0,24 \frac{h_e}{p} \right), \quad Q = q l.$$

Von diesen Formeln ist Gl. (18) die bequemere. Sie soll daher weiterhin allein verwendet werden. Zur Bestimmung der Festwerte dieser Formel genügen schon zwei zuverlässige Messungen, die an dem gleichen Wehr oder aber auch an zwei Wehren verschiedener Höhe ausgeführt sein können. Sie ergeben die Werte q_1, p_1, h_1 und q_2, p_2 und h_2 , aus denen sich a und b berechnen lassen zu:

$$a = \frac{q_1 p_1 h_1^{3/2} - q_2 p_2 h_2^{3/2}}{p_1 h_1^{3/2} h_2^{5/2} - p_2 h_1^{5/2} h_2^{3/2}} \quad \dots (19),$$

$$b = p_1 p_2 \frac{q_1 h_2^{3/2} - q_2 h_1^{3/2}}{p_2 h_1^{5/2} h_2^{3/2} - p_1 h_1^{3/2} h_2^{5/2}} \quad \dots (20).$$

Nachprüfungen der neuen Formel auf zeichnerischem Wege

Um zu zeigen, daß der Wert

$$\varrho_0 = 1,782 + 0,24 \frac{h_e}{p} \quad \dots (21)$$

für alle Wehr- und Überfallhöhen mit den in der neueren Literatur angegebenen Eichwerten gut übereinstimmt, wurden in Abb. 2 die nach der Formel

$$\Delta \varrho_0 = \frac{q}{h_e^{3/2}} - 1,782 - 0,24 \frac{h_e}{p} \quad \dots (22)$$

berechneten Abweichungen der Meßwerte von der Formel von einer Lotrechten als Nulllinie aus, nach den Ersatzüberfallhöhen h_e als Ordinaten geordnet, aufgetragen. Abb. 2 läßt erkennen, daß sich die 280 Punkte, die das Ergebnis aller mir zugänglichen fremden Eichungen²⁾ an Wehren bis 1,25 m Höhe gegenüber den Werten der Formel (21) festlegen, sehr nahe bei der Nulllinie liegen und von ihr namentlich bei den mittleren Überfallhöhen nur wenig abweichen.

Um die Größe der Abweichungen der Meßpunkte von den Formelwerten richtig beurteilen zu können, sind in Abb. 2 zwei schmale schraffierte Flächen eingezeichnet, in die alle diejenigen Meßpunkte hineinfallen, die von den Formelwerten um $\pm 1,0 vH$ abweichen. Alle zwischen den beiden Flächen liegenden Meßpunkte weichen von dem zugehörigen Formelwert um weniger als $\pm 1,0 vH$ ab. Die äußeren Begrenzungen der beiden schraffierten Flächen legen die Fehlergrenze von $\pm 1 vH$ für das niedrigste untersuchte Wehr von 0,1524 m ($\frac{1}{2}$ Fuß) Höhe, die inneren Grenzen die gleichen Fehlergrenzen für das höchste zum Vergleich herangezogene Wehr von 1,2192 m (4 Fuß) Höhe fest.

Aus der Lage dieser beiden Flächen ist zu ersehen, daß die Abweichungen der Meßpunkte von den Formelwerten im allgemeinen ganz erheblich unter $1 vH$ liegen. Von den 161 Meßpunkten, die in den gewöhnlich verwendeten Meßbereich der Überfallhöhen zwischen 0,05 m und 0,60 m fallen, zeigen 15 oder 9,3 vH dieser Meßpunkte Abweichungen von mehr als $\pm 1 vH$. Nur ein einziger dieser 161 einzelnen Meßpunkte zeigt eine größere Abweichung als $1,6 vH$. Bei den Meßpunkten für Überfallhöhen unter 0,05 m ist die Streuung der Meßpunkte wegen des stärkeren Einflusses kleiner Meßfehler bei Bestimmung der nur kleinen Überfallhöhen größer, ebenso bei den nur selten vorkommenden ganz großen Überfallhöhen, bei denen die Lüftung und die volumetrische Messung Schwierigkeiten bereitet.

Um die Genauigkeit der Übereinstimmung der Formelwerte mit den Meßwerten noch besser zu zeigen, sind in Abb. 3 alle Meßpunkte, die zwischen bestimmten Grenzen der Überfallhöhen liegen, in einem in ihrem Schwerpunkt liegenden Punkt zusammengefaßt worden. In dem Gebiet mit Überfallhöhen unter 0,20 m,

²⁾ Fr. Schaffernak in Wien an einem 0,56 m hohen Wehr (17 Vergleichswerte); veröffentlicht in den Mitteilungen der Versuchsanstalt für Wasserbau, 1. Folge 1915. — Erik G. W. Lindquist in Stockholm an einem 0,50 m hohen Wehr in den Jahren 1925 und 1926 (Handschriftliche Mitteilung des Ergebnisses an den Verfasser vom 3. April 1926). (10 Vergleichswerte). — Das Eidgenöss. Amt für Wasserwirtschaft in Bern an einem 0,8 m hohen Wehr im Kraftwerk Amsteg (Mitteilungen des Amtes für Wasserwirtschaft Nr. 18, Bern 1926). (15 Vergleichswerte). — Ernest W. Schoder und Kenneth B. Turner an der Cornell-Universität in Ithaka (N. Y.) an Wehren von 0,5; 0,75; 1,0; 1,5; 2,0; 3,0 und 4,0 Fuß Höhe. (213 Vergleichswerte). (Proceedings of the American Soc. of Civil Engrs. August 1927). — Diese 280 Vergleichswerte erstrecken sich auf 0,1524 m bis 1,2192 m Wehrhöhe und 0,0104 m bis 0,8226 m Überfallhöhe

Zahlentafel 1

Abweichungen der von 2 zu 2 cm zusammengefaßten Meßwerte für Ersatzüberfallhöhen unter $h_e = 0,2$ m von den entsprechenden Formelwerten

Nr.	untere Grenze	obere Grenze	Mittlere Abweichungen der Meßwerte von den Formelwerten vH
	der Ersatzüberfallhöhen h_e m		
1	0,01	0,02	- 0,54
2	0,02	0,04	+ 0,42
3	0,04	0,06	+ 0,28
4	0,06	0,08	+ 0,07
5	0,08	0,10	+ 0,04
6	0,10	0,12	+ 0,10
7	0,12	0,14	- 0,21
8	0,14	0,16	- 0,11
9	0,16	0,18	+ 0,15
10	0,18	0,20	+ 0,04
1 bis 10	Absolutes Mittel d. Abweichungen		0,20

Zahlentafel 2

Abweichungen der von 10 zu 10 cm zusammengefaßten Meßwerte für Ersatzüberfallhöhen bis $h_e = 0,6$ m von den entsprechenden Formelwerten

Nr.	untere Grenze	obere Grenze	Mittlere Abweichungen der Meßwerte von den Formelwerten vH
	der Ersatzüberfallhöhen h_e m		
1	0,01	0,10	+ 0,06
2	0,10	0,20	- 0,09
3	0,20	0,30	+ 0,01
4	0,30	0,40	- 0,18
5	0,40	0,50	+ 0,08
6	0,50	0,60	+ 0,09
1 bis 6	Absolutes Mittel d. Abweichungen		0,08

für das sehr zahlreiche Eichungen vorliegen, sind die Grenzen der zusammengefaßten Zonen von 2 zu 2 cm, bei Überfallhöhen über 0,20 m aber in Abständen von 10 zu 10 cm gewählt worden.

Die Mittelwerte der Meßpunkte in den nur 2 cm hohen Zonen sind durch kleine Kreise, die der 10 cm hohen Zonen aber durch große Kreise kenntlich gemacht worden. Auch für das in 2 cm hohe Streifen aufgeteilte Gebiet ist gleichfalls der Schwerpunkt der Meßpunkte in den beiden 10 cm hohen Zonen bestimmt, und durch große Kreise bezeichnet worden.

Diese Abbildung, in die wieder die Flächen der Abweichungen für 1 vH der Formelwerte eingetragen sind, läßt erkennen, daß die Nulllinie bis zur Überfallhöhe von 0,6 m sehr genau durch die Schwerpunkte der Meßwerte in den einzelnen Zonen hindurchgeht. Die Abweichungen der Meßschwerpunkte von den Formelwerten sind in Zahlentafel 1 und 2 zusammengestellt. Die absoluten Mittel betragen hiernach nur rd. zwei und ein Tausendstel der Formelwerte. Sie lassen vor allem auf die Stetigkeit der Abflußerscheinungen schließen, denn ohne diese wäre eine so weitgehende Übereinstimmung der Meßwerte mit den Formelwerten unmöglich.

Die beiden im unteren Teil der Abb. 3 noch eingezeichneten, nach oben stark zusammenlaufenden Kurven geben an, wie große Werte Δe_0 entstanden, wenn bei genau bestimmten Wehrhöhen, Wehrlängen und Abflußmengen die Ersatzüberfallhöhen um 0,1 mm zu groß oder zu klein bestimmt wären. Aus dem Umstand, daß die Meßpunkte fast restlos zwischen diesen beiden Kurven liegen, kann gleichfalls auf den hohen Genauigkeitsgrad der ausgeführten Eichungen und auf die Zuverlässigkeit der Formeln (17) bzw. (18) geschlossen werden.

Die erheblich größeren Abweichungen der Meßpunkte für die äußerst selten vorkommenden Überfallhöhen über 0,6 m von der Formellinie sind auf die aller Wahrscheinlichkeit nach für diese Überfallhöhen zu großen Eichwerte bei den Messungen von Schoder und Turner zurückzuführen, die sich aus der Art der Wasserzuleitung und der ungenügenden Größe des Eichbehälters erklären.

Gegen einen plötzlichen Knick in der e_0 -Linie bei Überfallhöhen von etwa 0,6 m Höhe sprechen sowohl das Ähnlichkeitsgesetz, als auch die Messungen des Eidgenössischen Amtes für Wasserwirtschaft in Amsteg, die wohl als die zuverlässigsten Messungen an scharfkantigen Überfallwehren bei großen Überfallhöhen betrachtet werden können, da sie durch drei verschiedene Meßverfahren überprüft worden sind.

Die in Abb. 4 eingetragenen Δe_0 -Werte für die steger Messungen zeigen das aus Abb. 3 hervorgehende schnelle Anwachsen der Δe_0 -Werte für Überfallhöhen über 0,6 m nicht. Im Gegenteil lassen die Amsteger Δe_0 -Werte, die für $h_0 = 0,50$ m den Höchstwert der Abweichung vom Formelwert mit 0,47 vH erreichen, eine größere Überfallhöhe eine langsame Abnahme der Δe_0 -Werte erkennen, da die Abweichung Δe_0 für $h_0 = 0,8$ m nur noch 0,20 vH beträgt, und bei geradlinigem Verlauf der Δe_0 -Linie etwa bei $h_0 = 1,0$ m ganz verschwinden würde. Durch die Amsteger Messungen wird daher die Ansicht gestützt, daß die Messungen von Schoder und Turner für sehr große Überfallhöhen etwas zu große Abflußmengen liefern.

Wegen des Vertrauens, das die Messungen des Eidgenössischen Amtes für Wasserwirtschaft in Amsteg der Sorgfalt ihrer Ausführung und bei den verschiedensten angewandten Kontrollverfahren verdienen, ist das Ergebnis dieser Messungen in Zahlentafel 3 in die Formeln meiner Formeln und denjenigen des Schweizer Ingenieur- und Architekten-Vereins gegenübergestellt worden, wobei die Mittelwerte der in Tafel 26 der Veröffentlichung des Amtes für Wasserwirtschaft³⁾ gegebenen beiden Reihen von μ_0 -Werten (Valeurs réelles) zugrunde gelegt wurden.

Zahlentafel 3

Mittlere Abweichungen der 15 vom Eidgenössischen Amt für Wasserwirtschaft bestimmten μ_0' -Werte von den μ_0 -Werten nach den verschiedenen Formeln

Formel	Arithmetisches Mittel der Abweichungen		Mittel der absoluten Abweichungen	
	$\Delta \mu_0 = \mu_0' - \mu_0$	$\Delta \mu_0$ in vH von μ_0 vH	$\Delta \mu_0 = \mu_0' - \mu_0$	$\Delta \mu_0$ in vH von μ_0 vH
Rehbock 1911 . .	- 0,0004	- 0,06	0,0009	0,14
" 1912 . .	+ 0,0018	+ 0,20	0,0016	0,25
" 1913 . .	+ 0,0012	+ 0,18	0,0016	0,24
" 1929 . .	+ 0,0017	+ 0,26	0,0018	0,27
Schweiz. Ing. und Arch. Ver. 1924 .	- 0,0025	- 0,37	0,0026	0,39

Bei meiner neuen Formel (18) mußten für diesen Vergleich die e_0 -Werte auf μ_0 -Werte in der Polenski-Formel umgerechnet werden.

Die Zahlentafel läßt die gute Übereinstimmung aller meiner Formeln mit den Meßwerten des Eidgenössischen Amtes für Wasserwirtschaft erkennen. Die Mittelwerte der absoluten Abweichungen betragen 0,14 bis 0,27 vH. Bei der Formel des Schweizer Ingenieur- und Architekten-Vereins beträgt der Mittelwert der Abweichung 0,39 vH.

Daß die neue Formel (1929) von den Messungen des Eidgenössischen Amtes für Wasserwirtschaft etwas mehr abweicht als meine früheren Formeln, ist bei der Kleinheit der Unterschiede mehr zufälliger Natur. Durch eine kleine Erhöhung des Zahlenwertes a im e_0 -Wert von 1,782 auf 1,786 würde das arithmetische Mittel der Δe_0 -Werte auf + 0,01 vH und das absolute Mittel a 0,16 vH zurückgehen. Von einer solchen Änderung der Formel wurde aber Abstand genommen, weil sich dadurch die Abweichungen der Meßwerte der übrigen Vergleichseichungen von den Formelwerten gerade im wichtigsten Meßbereich etwas vergrößern würden.

Formel für ungleichmäßige Geschwindigkeitsverteilung im Zulaufkanal

Soll Formel (18) auch für Abflußmessungen bei Wehren benutzt werden, in deren Zulaufkanal eine stark unregelmäßige Geschwindigkeitsverteilung auftritt, ist an Stelle der Wehrhöhe p eine reduzierte „Ersatzwehrhöhe“ p_e einzuführen, deren Größe

$$p_e = p \frac{\alpha_n}{\alpha_a} \quad (2)$$

³⁾ Mitteilungen des Amtes für Wasserwirtschaft Nr. 18. Untersuchungen über Wassermessungen, Bern 1926.

etzt werden kann. Darin bedeutet α_n den Geschwin-
keitshöhen-Ausgleichswert bei normaler Geschwindig-
keitsverteilung, und α_a den Geschwindigkeitshöhen-Aus-
gleichswert bei der gestörten, stark unregelmäßigen Ge-
windigkeitsverteilung in der Zulaufrinne zum Wehr.
Wird für die normale Geschwindigkeitsverteilung
 $= 1,05$ gesetzt, so geht die Formel (18) über in:

$$q = \left(1,782 + 0,228 \alpha_a \frac{h_e}{p} \right) h_e^{3/2} \dots \dots (24),$$

in α_a aus den gemessenen Geschwindigkeiten w in
einzelnen Teilen des Querschnittes und aus der mitt-
elnen Geschwindigkeit u dieses Querschnittes an der
Mündung des Zulaufkanals mit Formel

$$\alpha_a = \frac{\int_0^F (w^3 dF)}{Q u^2} \dots \dots \dots (25)$$

ermittelt werden muß.

Wenn die Geschwindigkeitsverteilungslinie angenähert
geradlinig verläuft, kann α_a näherungsweise auch aus der
Formel

$$\alpha_a = 1 + \left(\frac{w_{\max} - w_{\min}}{2 u} \right)^2 \dots \dots \dots (26)$$

genommen werden.

Die für die Bestimmung des α_a -Wertes erforderlichen
ständigen Geschwindigkeitsmessungen lassen aber
Wassermessung an Wehren mit stark ungleichmäßi-
ger Geschwindigkeitsverteilung im Zulaufkanal un-
möglich erscheinen.

Vergleich der Formeln (8), (10) und 18 mit den
neueren Wehrungen

Zahlentafel 4

Auch für diesen Vergleich wurden nur die genannten
fremden Wehrungen²⁾ benutzt, die erst nach Auf-
stellung meiner Formel (10) ausgeführt worden sind,
aber bei der Aufstellung meiner neuen Formel (18) schon
berücksichtigt werden konnten⁴⁾.

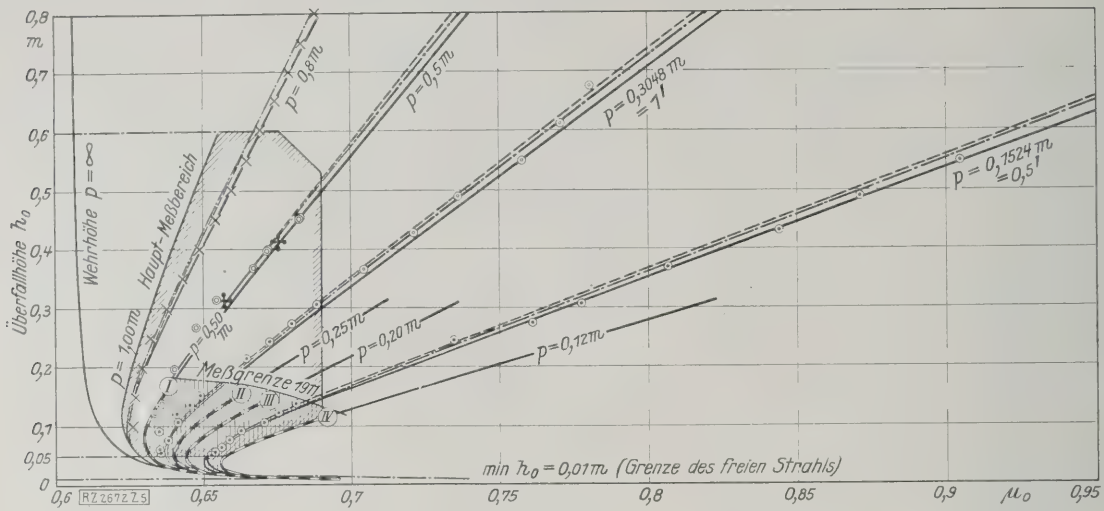
Auf die Formeln von *Bazin* (1888) und von *Frese*
(1890) wurde bei diesem Vergleich nicht eingegangen, da
sie um mehrere Hundertstel zu große Werte ergeben. Auch
meine älteren Formeln (1911) und (1912), für die der
numerische Vergleich vollkommen durchgeführt worden ist,
wurden in Zahlentafel 4 nicht aufgenommen, da sich die
Werte dieser Formeln mit denen der Formel (1913) fast
vollkommen decken.

Für einen möglichst vollständigen Vergleich wurden
jedoch in Zahlentafel 4 die arithmetischen Mittel und
die Mittel der absoluten Abweichungen (ohne Berück-
sichtigung der Vorzeichen) der gemessenen Abfluß-

⁴⁾ Die noch größere Zahl der in Karlsruhe ausgeführten Messun-
gen wurden bei diesem Vergleich nicht berücksichtigt. Bei ihnen sind
die Abweichungen zwischen den Meß- und Formelwerten geringer als
bei diesen 280 Messungen. Diese 280 fremden Messungen enthalten alle
aus neuerer Zeit vorliegenden, zahlenmäßig bekanntgegebenen Eichungen
mit Ausnahme einer einzigen Messung von *Schoder* und *Turner* für ein
zwei Fuß hohes Wehr bei 0,0104 m Überfallhöhe. Dieser Eichwert wurde
vom Vergleich ausgeschlossen, da er einen um 13 vH zu hohen Wert zeigt,
was augenscheinlich darauf zurückzuführen ist, daß sich der Strahl bei
der sehr kleinen Überfallhöhe schon an die Wehrwand anschmiegte
und daher nicht frei abfloß.

Zahlentafel 4. Vergleich der gemessenen und der aus den Formeln (8), (10) und (18)
berechneten Abflußbeiwerte.

Name des Beobachters	Wehr- höhe p m	Grenzen der Überfallhöhen h_1 m	Art der Mittel- bildung	Absolute und arithmetische Mittel der Abweichungen der Meßwerte von den Formelwerten vH							
				Vergleich mit sämtlichen 280 vor- liegenden Eichungen				Vergleich mit den 163 Eichungen inner- halb der Grenzen d. Schweiz. Ing. u. A.-V.			
				An- zahl	Formel (8) Schw. Ing. u. Arch. Ver. vH	Formel (10) Rehbock 1913 vH	Formel (18) Rehbock 1929 vH	An- zahl	Formel (8) Schw. Ing. u. Arch. Ver. vH	Formel (10) Rehbock 1913 vH	Formel (18) Rehbock 1929 vH
<i>Schoder</i> und <i>Turner</i>	0,1524 m (½ Fuß)	$h_{\min} = 0,0104$ $h_{\max} = 0,6096$	Arithmet. Absolut	28	+ 3,46 3,68	+ 0,46 0,81	+ 0,34 0,71	—	—	—	—
<i>Schoder</i> und <i>Turner</i>	0,2286 m (¾ Fuß)	$h_{\min} = 0,0104$ $h_{\max} = 0,7102$	Arithmet. Absolut	35	+ 0,64 1,27	— 1,27 1,27	— 1,37 1,37	—	—	—	—
<i>Schoder</i> und <i>Turner</i>	0,3048 m (1 Fuß)	$h_{\min} = 0,0104$ $h_{\max} = 0,7205$	Arithmet. Absolut	32	+ 1,35 1,79	— 0,06 0,54	+ 0,03 0,56	17	+ 0,14 0,78	— 0,26 0,43	— 0,22 0,42
<i>Schoder</i> und <i>Turner</i>	0,4572 m (1½ Fuß)	$h_{\min} = 0,0108$ $h_{\max} = 0,7349$	Arithmet. Absolut	30	+ 1,40 1,79	+ 0,58 0,75	+ 0,62 0,75	18	+ 0,24 0,87	+ 0,08 0,33	+ 0,15 0,38
<i>Lindquist</i>	0,5000 m	$h_{\min} = 0,1242$ $h_{\max} = 0,4517$	Arithmet. Absolut	10	— 0,57 0,66	— 0,03 0,27	+ 0,01 0,27	10	— 0,57 0,66	— 0,03 0,27	+ 0,01 0,27
<i>Schaffernak</i>	0,5600 m	$h_{\min} = 0,0288$ $h_{\max} = 0,3082$	Arithmet. Absolut	17	+ 0,37 0,45	+ 0,46 0,56	+ 0,56 0,61	17	+ 0,37 0,45	+ 0,46 0,56	+ 0,56 0,61
<i>Schoder</i> und <i>Turner</i>	0,6094 m (2 Fuß)	$h_{\min} = 0,0139$ $h_{\max} = 0,7542$	Arithmet. Absolut	28	+ 0,54 1,04	+ 0,10 0,52	+ 0,18 0,49	20	— 0,23 0,56	— 0,17 0,28	— 0,08 0,28
<i>J. O. Jones</i>	0,7620 m (2½ Fuß)	$h_{\min} = 0,0116$ $h_{\max} = 0,4134$	Arithmet. Absolut	25	+ 0,51 0,94	+ 0,02 1,33	+ 0,14 1,38	20	+ 0,79 1,11	+ 0,74 0,94	+ 0,87 1,02
Eidgen. Amt für Wasser- wirtschaft	0,8000 m	$h_{\min} = 0,1000$ $h_{\max} = 0,8000$	Arithmet. Absolut	15	— 0,37 0,39	+ 0,18 0,24	+ 0,26 0,27	15	— 0,37 0,39	+ 0,18 0,24	+ 0,26 0,27
<i>Schoder</i> und <i>Turner</i>	0,9144 m (3 Fuß)	$h_{\min} = 0,0107$ $h_{\max} = 0,8135$	Arithmet. Absolut	30	+ 0,91 1,24	+ 0,42 0,63	+ 0,53 0,70	23	+ 0,19 0,67	+ 0,26 0,53	+ 0,41 0,60
<i>Schoder</i> und <i>Turner</i>	1,2192 m (4 Fuß)	$h_{\min} = 0,0109$ $h_{\max} = 0,8226$	Arithmet. Absolut	30	+ 0,96 1,13	+ 0,50 0,69	+ 0,64 0,78	23	+ 0,40 0,63	+ 0,50 0,61	+ 0,66 0,72
		Gesamtmittel d. Abweichungen	Arithmet. Absolut	280	+ 1,02 1,44	+ 0,08 0,75	+ 0,14 0,78	163	+ 0,17 0,69	+ 0,24 0,49	+ 0,33 0,53



Zu A' 5:

$$\text{Grundformel: } Q = \frac{2}{3} \mu_0 \sqrt{2gl} h_0^{3/2}$$

A. Formelwerte nach Rehbock:

—	a) Formel 1911: $\mu_0 = 0,605 + \frac{1}{1100} h_0 + \frac{h_0}{12p}$	} h_0 und p in m
- - -	b) " 1912: $\mu_0 = 0,605 + \frac{1}{1050} h_0 + 0,08 \frac{h_0}{p}$	
- - -	c) " 1913: $\mu_0 = 0,605 + \frac{1}{1000} h_0 + 0,08 \frac{h_0}{p}$	
- - -	d) " 1929: $\mu_0 = \left[0,6035 + 0,0813 \frac{h_0}{p} + \frac{0,00009}{p} \right] \left[1 + \frac{0,0011}{h_0} \right]^{3/2}$	

aus $Q = \left[1,782 + 0,24 \frac{h_e}{p} \right] l h_e^{3/2}$, worin $h_e = h_0 + 0,0011$ m

B. Durch Messung bestimmte μ_0 -Werte:

- x Meßwerte des Eidg. Amtes für Wasserwirtschaft 1926
- o " von Schoder und Turner 1927
- " von Lindquist 1926
- + " Dr. Böß, 1924

mengen von den Formelwerten in Hundertsteln der Formelwerte angegeben.

Der Vergleich wurde zunächst für die drei Formeln (8), (10) und (18) auf alle zum Vergleich herangezogenen 280 Vergleichswerte erstreckt, sodann aber auch allein für die 163 Vergleichswerte durchgeführt, die innerhalb der vom Schweizerischen Ingenieur- und Architekten-Verein angegebenen Grenzen des Gültigkeitsbereiches seiner Formel (8):

$$p > 0,3 \text{ m, } 0,025 \text{ m} < h_0 < 0,80 \text{ m und } h_0 < p$$

liegen. Diese Werte sind in den drei letzten Spalten der Zahlentafel 4 enthalten.

Aus den Vergleichsversuchen geht hervor, daß meine Formeln (10) und (18) hinsichtlich ihrer Genauigkeit etwa gleichwertig sind. Die arithmetischen Mittel der sämtlichen 280 Abweichungen der Meßwerte von den Formelwerten betragen +0,08 bzw. +0,14 vH. Diese kleinen positiven Abweichungen sind absichtlich nicht beseitigt worden, weil angenommen werden mußte, daß die Meßwerte für große Überfallhöhen meist etwas zu groß bestimmt worden sind.

Das Mittel der absoluten Abweichungen beträgt für den ganzen Meßbereich der 280 Eichungen bei beiden Formeln rund $\frac{1}{4}$ vH und geht für den nur selten überschrittenen Meßbereich der vom Schweizerischen Ingenieur- und Architekten-Verein angegebenen Grenzen auf rund $\frac{1}{2}$ vH zurück. Diese Abweichungen erscheinen klein, wenn beachtet wird, daß sie sich aus den Ungenauigkeiten der Formeln, den Ungenauigkeiten bei der Bestimmung der Wehrlängen l , der Wehrhöhen p , der Überfallhöhen h_0 , den Zeitfehlern bei den Wassermessungen und den volumetrischen Fehlern bei der Wassermengenbestimmung zusammensetzen.

Aus dieser guten Übereinstimmung der Meßwerte mit den Formelwerten kann geschlossen werden, daß sich der

Abfluß bei diesen zahlreichen an verschiedenen Stellen und nach verschiedenen Meßverfahren ausgeführten Messungen durchaus gesetzmäßig vollzogen hat und daß auch schwierige Eichung von Meßwehren bei genügender Sorgfalt sehr genau durchgeführt werden kann.

Von den festgestellten Gesamtabweichungen zwischen den Meß- und den Formelwerten kann nur ein verhältnismäßig kleiner Teil der Ungenauigkeit der Formeln Last gelegt werden. Dies geht einwandfrei aus der Betrachtung der Verteilung der positiven und der negativen Abweichungen der einzelnen Meßwerte von den Formelwerten im ganzen Meßbereich hervor. Diese Verteilung der Abweichungen läßt erkennen, daß die Abweichungen überwiegend nicht auf systematische, sich auf große Gebiete des Meßbereiches erstreckende Fehler der Formeln, sondern auf die zufälligen Ungenauigkeiten einzelner Messungen zurückzuführen sind. Der Nachweis hierfür soll später in einer in Vorbereitung befindlichen, eingehenderen Schrift geliefert werden.

Es ist wohl nicht zu günstig geschätzt, wenn angenommen wird, daß von den mittleren festgestellten Abweichungen von rd. $\frac{1}{2}$ und $\frac{3}{4}$ vH zwischen den Eichwerten und den Formelwerten nicht mehr als etwa ein Drittel, d. h. $\frac{1}{6}$ bis $\frac{1}{4}$ vH, auf Fehler der Formeln und zwei Drittel, d. h. $\frac{1}{2}$ bis $\frac{1}{2}$ vH, auf die verschiedenen Fehlerquellen der Messung der Wehrhöhe, der Wehrlänge, der Überfallhöhe, der Zeit und des Volumens des Wassers entfallen. Meßfehler von zusammen $\frac{1}{3}$ bis $\frac{1}{2}$ vH bei der Ausführung dieser fünf verschiedenen für die Eichungen erforderlichen Messungen erscheinen keineswegs besonders hoch, wenn berücksichtigt wird, daß über 50 der Meßpunkte Überfallhöhen von 0,01 m bis 0,025 m gelten, bei denen schon eine Ungenauigkeit in der Bestimmung der Überfallhöhe von 0,1 mm bei 0,025 m Überfallhöhe 0,6 vH Fehler und 0,01 m Überfallhöhe sogar 1,3 vH Fehler bei der gemessenen Abflußmenge hervorruft.

Auch die Formel (8) ist innerhalb ihrer Grenzen recht genau. Sie zeigt jedoch auch innerhalb dieser Grenzen um rd. $\frac{1}{3}$ größere Abweichungen als Formel (10) und (18).

Im allgemeinen ergibt die schweizerische Formel (10) für kleine Überfallhöhen kleinere, bei großen Überfallhöhen aber größere Abflußmengen, als aus den Eichungen hervorgeht, während bei den mittleren Überfallhöhen von etwa 7,5 bis 20 cm die Übereinstimmung gut ist.

Betrachtung der μ_0 -Werte in Gl. (1)

Die Formelwerte und die zugehörigen Meßwerte μ_0 in Gl. (1) sind für alle untersuchten Wehrhöhen angegeben worden. Ihres Umfanges wegen können die Auftragungen bei dieser vorläufigen Veröffentlichung nicht sämtlich wiedergegeben werden. Einige dieser Linien enthält Abb. 5, die die μ_0 -Kurven für die vier Wehrhöhen von 0,1524 m ($\frac{1}{2}$ Fuß), 0,3048 m (1 Fuß), 0,5 m und 0,8 m nach den Formeln des Verfassers aus den Jahren 1911, 1912, 1913 und 1929 und die zugehörigen Meßpunkte enthält. Die Werte Q_0 in der Formel von 1929 mußten da

Abb. 5
Vergleich der Werte aus neuen Messungen an scharfkantigen Plattenwehren den Jahren 1911 bis 1927 mit μ_0 -Werten nach Formeln Rehbock 1911 bis 1929

(Zur Aufstellung Formel R 1911 wurden die Meßlinien II, III und IV in halb der schraffierten Fläche verwendet)

die μ_0 -Werte der *Polenischen Grundformel* (1) umgekehrt werden, wozu die Umrechnungsformel unter Abb. 5 gegeben ist.

Abb. 5 zeigt, daß alle meine Formeln im ganzen Meßbereich Werte ergeben, die sich nur sehr wenig voneinander unterscheiden.

Der für die Ableitung der im Jahre 1911 aufgestellten Formel²⁾ verwendete Meßbereich, in dem die zur Aufklärung der Formel verwendeten Eichungen allein ausreichte, ist durch Schraffur kenntlich gemacht. Auf Grund dieser Messungen allerdings unter Veränderung der Regeln des Ähnlichkeitsgesetzes aufgestellte Formel (1911) liefert trotzdem μ_0 -Kurven, die bis zu den Grenzen der später ausgeführten Messungen, bei denen bis als viermal so große Überfallhöhen angewendet wurden, fast vollkommen mit den Meßergebnissen zusammenfallen.

Der hohe Wert des Ähnlichkeitsgesetzes in der praktischen Hydraulik zeigt sich auch in diesem oft ungünstigen Fall, als gerade bei den scharfkantigen Wehren eine Störung dieses Gesetzes vorliegt. Auch in der neuen Formel mit der Ersatz-Überfallhöhe ist diese Störung zu Tage. Denn das Zusatzglied 0,0011 m der Überfallhöhe h_0 in Formel (11), das die Störung berücksichtigen soll, ist eine unveränderliche Länge, während es im Ähnlichkeitsfall verhältnismäßig der Wehrhöhe p anwachsen müßte. Bei Überfallhöhen von mehr als 0,2 m Größe verliert aber das kleine Zusatzglied seine Bedeutung. Daher konnte bei den größeren Wehr- und Überfallhöhen die Extrapolation nach dem Ähnlichkeitsgesetz genaue Ergebnisse liefern.

E. Prandtl hat die Vermutung ausgesprochen, daß die kapillaren Erscheinungen für die Form des der Ähnlichkeit entsprechenden zweiten Gliedes im μ_0 -Wert der älteren Formeln vom Verfasser verantwortlich zu machen seien und vorschlagen, das Glied durch die kapillare Steighöhe des Wassers auszudrücken. Da die kapillare Steighöhe des Wassers an einer ebenen Wand nach Prandtl die Größe

$$h' = \sqrt{\frac{K}{\gamma}} = 0,00267 \text{ m} \dots \dots \dots (29)$$

bedeutet, in der K die Kapillaritätskonstante mit dem Wert 7 dyn/cm und γ das Gewicht der Volumeneinheit des Wassers ist, kann der μ_0 -Wert in Formel (10) dimensionsmäßig geschrieben werden:

$$\mu_0 = 0,605 + 0,375 \frac{h'}{h_0} + 0,08 \frac{h_0}{p} \dots \dots \dots (30).$$

Da h' , h_0 und p Längen sind, wird der Wert μ_0 in dieser Schreibweise ein reiner Zahlenwert.

In ähnlicher Weise kann auch die Formel (20) dimensionsrichtig und für jedes Maßsystem verwendbar gemacht werden, wenn sie geschrieben wird in der Form:

$$q = \left[1,782 + 0,24 \left(\frac{h_0 + 0,41 h'}{p} \right) \right] (h_0 + 0,41 h')^{3/2} \dots \dots \dots (31),$$

so daß ohne merkliche Änderung der Größe von q gesetzt werden kann:

$$q = \left[1,782 + 0,24 \frac{h_0}{p} \right] (h_0 + 0,41 h')^{3/2} \dots \dots \dots (32).$$

Diese Schreibweise hat allerdings nur wissenschaftliche Bedeutung. In der praktischen Hydraulik empfiehlt es sich, die Formel (21) beizubehalten, zumal auch die Formeln (30) bis (32) dem Ähnlichkeitsgesetz nicht genügen, weil wegen der erwähnten Störung auch nicht genügen können.

Ob die Störung des Ähnlichkeitsgesetzes bei den scharfkantigen Wehren tatsächlich auf eine kapillare Wirkung des Wassers zurückzuführen ist, wie es Prandtl vermutet, ist zwar noch nicht erwiesen, aber doch sehr wahrscheinlich.

²⁾ Z. d. Verb. Deutsch. Arch. und Ing.-Ver. Bd. 1 (1912) Heft 1.

Zusammenfassung

Sowohl meine ältere Formel (10) als auch meine neue einfachere Formel (21) haben sich beim Vergleich mit fremden Meßwerten als äußerst genau erwiesen. Es ist nicht anzunehmen, daß es gelingen wird, bei der genauen Erfassung der verwickelten Abflußfrage bei scharfkantigen Wehren für den ganzen Bereich der vorkommenden Wehr- und Überfallhöhen noch einfachere Formeln aufzufinden. Auch eine Steigerung der Genauigkeit der Formeln durch Änderung der Zahlenwerte scheint dem Verfasser höchstens noch um wenige Tausendstel möglich zu sein. Mit den aufgestellten Formeln wird es bei guten Meßanlagen und Geräten möglich sein, die Ergiebigkeit eines fließenden Wasserstromes mit einer Genauigkeit zu bestimmen, die wohl kaum mit einem andern Verfahren erreicht werden kann.

Die größte Lokomotive der Erde

Die American Locomotive Co. macht z. Zt. Versuche mit einer neuen Dampflokomotive, die für den Dienst in den Staaten Nord-Dakota und Montana auf den Strecken der Northern Pacific bestimmt ist. Ihr Kessel und ihre Feuerbüchse haben wegen der zur Feuerung verwendeten sehr minderwertigen Kohle ungewöhnliche Abmessungen erhalten, die alle bisher bekannten Maße weit übertreffen. Diese Kohle, die 25 bis 30 vH Wasser bei nur 3500 bis 4000 kcal/kg enthält, stellte die Konstrukteure vor eine überaus schwierige Aufgabe. Die Lokomotive ist zur Beförderung von 4000 t-Güterzügen auf langen Steigungen in den sogenannten „Bad Lands“ von Nord-Dakota und Montana bestimmt.

Der 6,75 m lange Rost erfordert für die Reinigung seitlich an der Feuerbüchse zwei weitere Türen. Vor diesen seitlichen Türen sind besondere, klappbare Plattformen für den Heizer angeordnet. Der Regler wird mittels Druckluft betätigt. Der Tender ist vollständig geschweißt.

Hauptkonstruktionszahlen:

Achsfolge	1DD2
Lokomotivgewicht einschließlich Tender (181 t)	505 t
Reibungsgewicht auf den Treibachsen	251 „
Reibungsgewicht auf der Achse der Zusatzmaschine	21 „
Treibachsdruk	31,5 „
Anfahrzugkraft	63 „
Anfahrzugkraft einschließlich Zusatzmaschine	70 „
Zylinder:	
Anzahl	4
Zyl.-Dmr.	660 mm
Hub	812 „
Treibachs-Dmr.	1600 „
Ganze Länge der Lokomotive	38 m
Kesselgewicht	75 t
Wasservorrat	80 m ³
Kohlenvorrat	27 t
[N 2855]	G.

Arthur Scherbius †

Am 13. Mai 1929 verstarb plötzlich Dr.-Ing. Arthur Scherbius in Wannsee bei Berlin an den Folgen eines schweren Unfalles. Er wurde am 30. Oktober 1878 in Frankfurt a.M. geboren. Nach seinem Studium an den Technischen Hochschulen Hannover und München war er bei W. Lahmeyer & Co., bei Brown, Boveri & Cie. und zuletzt als beratender Ingenieur bei den Siemenswerken tätig. Im Jahre 1920 gründete er mit Dipl.-Ing. Ritter die Firma Scherbius & Ritter, die durch ihren Temperaturregler bekanntgeworden ist.

Auch mit dem Bau eines mittelbar wirkenden Wasserturbinenreglers, mit der magnetischen Induktion in geschlossenen Spulen, mit Fragen des hochgespannten Gleichstromes und mit dem Bau einer Chiffriermaschine hat sich der Verstorbene beschäftigt. Besonders bekanntgeworden ist sein Name durch den „Scherbius-Regelsatz“ für Asynchronmotoren. [P 3100]

Mischungsverhältnis und Verbrennungsvorgänge im Ölmotor

Von Prof. P. MEYER, Delft

Frühere Vorschläge zur Ermittlung des Mischverhältnisses im Ölmotor aus der Auspuffanalyse. Prüfung ihrer Brauchbarkeit. Genauere Feststellung der Bestandteile der Verbrennungsgase in Gemisch- und Einspritzmotoren bei Luftmangel. Vergleich mit Leuchtgasflammen. Verbrennungsversuche in einer Bombe lieferten vom Gemischmotor abweichende Ergebnisse. Erklärungsversuche.

Seit 1923 wurden im Motorenlaboratorium der Delfter Hochschule Untersuchungen über das Mischungsverhältnis und den Verbrennungsvorgang im Ölmotor ausgeführt, bei denen durchweg die Analyse der Auspuffgase Verwendung fand. Da die Versuche nur grundsätzliche Aufklärung schaffen sollten, wurden zur Gasanalyse die in der Technik üblichen Absorptionsgeräte mit Wasserabschluß benutzt. Um ihre nicht absorbierten brennbaren Bestandteile zu verbrennen, wurden die Gase mehrfach durch ein glühendes Porzellanrohr geleitet.

Die Verwendbarkeit der Auspuffgasanalyse

Die erste Anregung zu den Untersuchungen gab das 1920 erschienene Buch des verstorbenen Dr. Karl Dietrich-Helfenberg „Die Analyse der Kraftstoffe“, in dem er die Ermittlung des CO_2 - und O_2 -Gehaltes der Auspuffgase zur Einstellung des günstigsten Mischverhältnisses empfiehlt. Ungefähr gleichzeitig erschienen auch die Arbeiten: „Rechentafeln zur Rauchgas und Auspuffanalyse“ von Wa. Ostwald¹⁾ und „Berechnung von Schaubildern zur Abgasanalyse“ von Seufert²⁾.

Diese beiden gehen von der Annahme aus, daß der Luftsauerstoff, der sich nach der Verbrennung in den Auspuffgasen nicht mehr frei oder zu CO_2 oder in einem festen Verhältnis dazu zu H_2O gebunden vorfindet, zur Bildung von CO und einer entsprechenden Menge H_2O gedient haben müsse, ohne darauf einzugehen, ob die Richtigkeit dieser Annahme durch Versuche bewiesen ist; das wäre aber nötig gewesen, da es auch andre Möglichkeiten gibt, wie gezeigt werden wird. Dr.-Ing. J. van Dorp hat daher im Delfter Laboratorium die Frage geprüft, ob bei Kenntnis der Zusammensetzung und Menge des Brennstoffes die Ermittlung des CO_2 - und O_2 -Gehalts der Auspuffgase zur Bestimmung des Luftverbrauches eines Kraftwagenmotors ausreicht.

Das erste theoretische Ergebnis war der Nachweis, daß das von Ostwald und Seufert benutzte Schaubild, Abb. 1, bestehend aus einem rechtwinkligen Dreieck, auf dessen Katheten CO_2 und O_2 abgetragen werden, bezüg-

lich der Linien gleichen Mischverhältnisses insofern nur angenähert, allerdings genügend, richtig ist, da diese Linien nicht parallel laufen, sondern einen, wenn auch ziemlich entfernt liegenden, gemeinsamen Schnittpunkt haben. Das zweite, experimentelle Ergebnis war die Bestätigung, daß der aus der CO_2 - und O_2 -Bestimmung berechnete Luftverbrauch genügend richtig ist, solange der Motor noch mit einem gewissen Sauerstoffüberschuß arbeitet; arbeitet dagegen der Motor mit Luftmangel, ohne daß sich die Grenze hierfür genau angeben läßt, so genügt diese Rechnung nicht mehr.

Die Analyse der Auspuffgase ist also für das Einstellen des Vergasers, wie Dietrich-Helfenberg vorgeschlagen hatte, recht gut brauchbar, und man kann auch die verbrauchte Luftmenge mit Hilfe dieser Analyse bei nicht zu fetten Gemischen aus dem Brennstoffverbrauch berechnen.

Ausführung der Untersuchung des Mischverhältnisses

Van Dorp hat gleichzeitig Brennstoff- und Luftverbrauch bei einem Kraftwagenmotor gemessen, den Brennstoffverbrauch, wie üblich, mit Hilfe eines auf eine Waage gestellten Gefäßes. Zum Zweck der Luftmessung wurde der Vergaser in ein eisernes Gefäß eingeschlossen, das auf zwei Wegen Luft zugeführt werden konnte, durch einen Hahn unmittelbar von außen oder durch eine Leitung aus einem Kessel von bekanntem Inhalt, der bis zu 10 at aufnehmen konnte. Der Motor wurde, mit Luft von außen arbeitend, in Beharrungszustand gebracht und darauf auf Luft aus dem Kessel umgeschaltet. Gleichzeitig begann eine Brennstoffmessung, bei deren Beendigung auch die Luftzufuhr wieder auf die Außenleitung umgeschaltet wurde.

Der Druck der aus dem Kessel strömenden Luft wurde mittels zweier hintereinander geschalteter Ventile mit der Hand geregelt, was so gut gelang, daß der Druck am Vergaser gegenüber der Außenluft nur um wenige Millimeter Wassersäule schwankte. Vor und nach jedem Versuch wurden Druck und Temperatur im Kessel bestimmt, woraus die verbrauchte Luftmenge berechnet werden konnte. Der Wassergehalt der Luft wurde ebenfalls berücksichtigt.

Das gleiche Verfahren hat sich viel später auch beim Messen des Luftverbrauches eines Dieselmotors bewährt. Nur wurde, da es sich um einen Einzylindermotor handelte, an das Ansaugrohr ein federbelasteter Druckregler angeschlossen.

Genauere Analyse der Auspuffgase bei Luftmangel

Nach Abschluß der Versuche von van Dorp gab der Mannheimer Fachsitzung „Verbrennungsmotoren“ 1927 mit dem Vortrag von Richter über Probleme des Zündens der flüssigen Brennstoffe³⁾ einen neuen Anstoß zur Beschäftigung mit der Auspuffgas-Analyse, da diese als Mittel zur Bestimmung des Mischverhältnisses bezeichnet wurde.

Da die Grenze, bis zu welcher die Gasanalyse für die Berechnung des Luftverbrauches verwendet werden kann, auf Grund der Versuche von van Dorp nicht genau bekannt war, hat Dipl.-Ing. J. J. van Aartsen 1928 unter meiner Leitung besonders bei Luftmangel entstandene Auspuffgase auf CO_2 , O_2 , CO, H_2 und CH_4 untersucht, wobei auch beachtet wurde, ob sich freier Kohlenstoff als Ruß zeigte. Es hatte sich nämlich herausgestellt, daß bei reichlicher Brennstoffzufuhr in den Auspuffgasen des Gemischmotors H_2 und CH_4 auftraten. Der CO -Gehalt konnte daher nicht mehr mit dem aus den Schaubildern von Ostwald und Seufert abgelesenen übereinstimmen. Brennstoff- und Luftmessungen waren hierbei nicht nötig.

³⁾ Z. Bd. 71 (1927) S. 1164.

⁴⁾ Z. Bd. 72 (1928) S. 532.

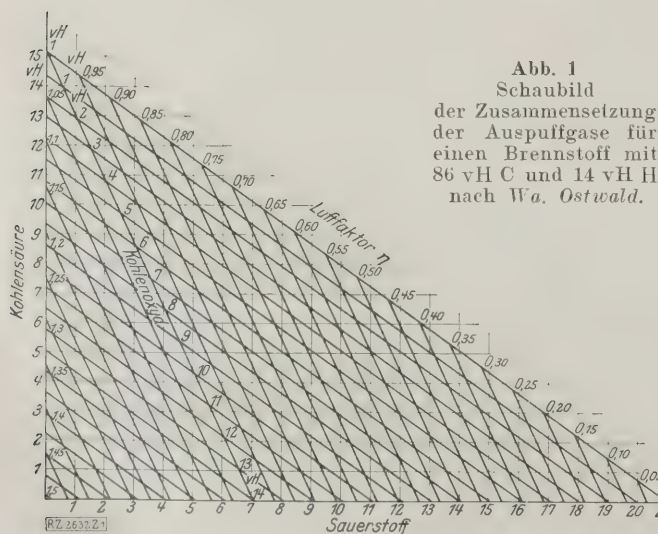


Abb. 1
Schaubild
der Zusammensetzung
der Auspuffgase für
einen Brennstoff mit
86 vH C und 14 vH H
nach Wa. Ostwald.

Um die Erkenntnisse über die Zusammensetzung des Auspuffs verallgemeinern zu können, hat man die Untersuchungen auf die Auspuffgase eines Viertakt-Dieselmotors ausgedehnt. Man bezeichnet einen Dieselmotor gewöhnlich als überlastet, wenn der Auspuff deutliche Rußbildung zeigt. Im vorliegenden Fall wurde der Motor jedesmal so überlastet, daß der Auspuff stark rußte. Trotzdem enthielt der Auspuff, was allgemein bekannt ist, noch wenigstens 5 vH Sauerstoff, ein Luftüberschuß von etwa 30 vH entsprechend, dagegen kein oder höchstens 0,5 vH CO, kein H_2 und kein CH_4 .

Verschiedenes Verhalten von Gemisch- und Einspritzmotor

Während die Verbrennung der Kohlenwasserstoffe im Gemischmotor bei genügender Luftmenge das gleiche Ergebnis liefert wie im Dieselmotor, ergeben sich starke Unterschiede, sobald die Verbrennung unvollständig wird. Dies tritt beim Gemischmotor ein, wenn der Gehalt der Auspuffgase unter etwa 3 vH sinkt, beim Dieselmotor viel früher. Beim Gemischmotor zeigt sich die Unvollständigkeit der Verbrennung im zunehmenden Gehalt der Auspuffgase an CO, H_2 und CH_4 , wahrscheinlich auch an freiem Kohlenstoff, beim Dieselmotor dagegen enthalten die Auspuffgase dann fast ausschließlich freien Kohlenstoff. Wahrscheinlich verhält sich jeder Einspritzmotor ebenso wie der Dieselmotor.

Die Ursache dieser Verschiedenheit kann man in der Verschiedenheit der Brennstoffe und der zeitlichen Lage von Gemischbildung und Verbrennung suchen. Zur weiteren Aufklärung wurden zunächst beide Motoren mit dem gleichen Brennstoff, Petroleum, betrieben. Die Verschiedenheit beider Motorarten zeigte sich auch hierbei verändert; es bleibt nur der Schluß übrig, daß ein früher fertig gebildetes Gemisch von Luft und Brennstoffdampf bei Luftmangel in der Weise verbrennt, daß Kohlenstoff bildet, begleitet von unverbrannten Bestandteilen, wie H_2 , CH_4 und C; bläst man dagegen einen zerbrochenen Brennstoffstrahl in so heiße Luft ein, daß die Verbrennung schon während des Einspritzens beginnt, scheidet sich in jedem Fall Kohlenstoff ab; dieser verbrennt nur dann noch mit, wenn er bei genügend hoher Temperatur den nötigen Sauerstoff vorfindet, d. h. bei einem Luftüberschuß.

Vergleich mit Leuchtgasflammen

Ein ähnliches Verhalten findet man bei der leuchtenden und der nichtleuchtenden Leuchtgasflamme. Das Leuchten beruht, wie bekannt, auf der Ausscheidung von Kohlenstoffteilen, die in glühendem Zustand Licht ausstrahlen und schließlich selbst noch verbrennen, wenn sie nicht vorher durch starke Abkühlung daran gehindert werden. Das Leuchten der Flamme unterbleibt, wenn man der Verbrennung dem Gas Luft beimischt. Auch ist dann keine erhebliche Ausscheidung von Kohlenstoff möglich.

Vermutlich muß man sich die Vorgänge in den Motoren wie in den Flammen folgendermaßen vorstellen: Im Zusammentreffen von Luft und Kohlenwasserstoffen und gleichzeitig einsetzender Verbrennung ist fänglich der Luftmangel oder der Brennstoffüberschuß groß, daß nur der Wasserstoff vollständig verbrennt und der Kohlenstoff sich teilweise ausscheidet. Erst bei fortschreitender Mischung verbrennt auch der ausgeschiedene Kohlenstoff zu CO_2 oder gar nicht, aber nicht zu CO. Hat aber die Mischung des Brennstoffs mit der Luft vorher stattgefunden, so daß O_2 -Moleküle neben den verdampften Kohlenwasserstoffen liegen, so verbrennen C wie H_2 in dem Augenblick zu verbrennen, in dem das Molekül auseinanderfällt, ohne daß erst erhebliche Lichtstrahlung auftritt. Bei Sauerstoffmangel findet bei auch Verbrennung zu CO statt, und es scheiden sich H_2 und CH_4 unverbrannt ab.

Die Ursache des Unterschiedes zwischen beiden Arten der Verbrennung ist vielleicht, daß bei gleichzeitiger Mischung und Verbrennung die Kohlenwasserstoffe bei gänzlicher Abwesenheit von Sauerstoff zerfallen, wobei sich der Kohlenstoff größtenteils als Ruß abscheidet.

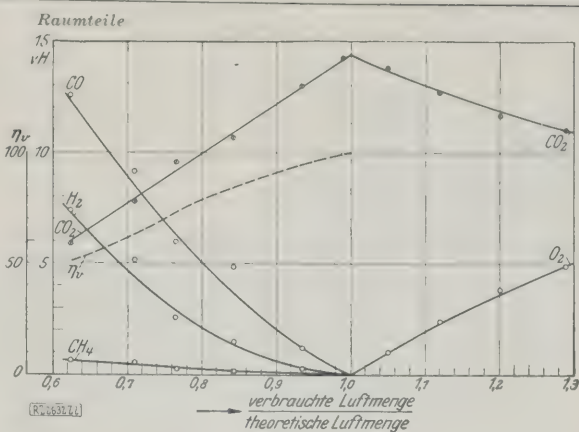


Abb. 2

Zusammensetzung der Verbrennungsgase eines Kohlenwasserstoffes bei Verbrennung in einer Bombe.

Gemischmotor und Einspritzmotor zeigen bei Luftmangel Unterschiede in der Zusammensetzung der Verbrennungsgase, die auf einen grundsätzlichen Unterschied im Verlauf der Verbrennung hinweisen; man muß annehmen, daß dieser Unterschied auch bei Luftüberschuß vorhanden ist.

Verbrennungsversuche in der Bombe

Nun sind die Erscheinungen im Gemischmotor insofern nicht rein, als die Möglichkeit besteht, daß außer Dampf auch Tropfen vorhanden sind und daß das Mischverhältnis nicht in allen Teilen des Verbrennungsraumes gleich ist. Deshalb wurden Verbrennungsversuche durchgeführt, bei denen man diese Verhältnisse beherrschen konnte. Dazu diente eine Bombe von rd. 12 l Inhalt und ein Brennstoff, aus Petroleumäther abdestilliert, der schon bei 70° vollständig verdampfte.

In der Bombe hing eine kleine kupferne Schale, in die der Brennstoff aus einer Meßpipette geträufelt wurde. Darauf wurde die Bombe geschlossen und noch soviel Luft eingefüllt, bis der Druck 1,250 at abs betrug. Die Temperatur der Bombe wurde vor dem Zünden bestimmt. Versuche hatten gezeigt, daß der Brennstoff ziemlich schnell aus der Schale verdampfte. Um durch Luftumwälzung gleichmäßige Mischung zu erzeugen, erwärmte man die Bombe unten mittels einer Gasflamme.

Die Elementaranalyse des Brennstoffes war bekannt, so daß die Brennstoffmenge, die für die Verbrennung mit der theoretischen Luftmenge nötig war, berechnet werden konnte. Das Verhältnis von Brennstoff zu Luft betrug 1 : 15,23. Wurde dieses Gemisch verbrannt, so fand sich in den Verbrennungsgasen weder O_2 noch CO. Der CO_2 -Gehalt entsprach ziemlich genau dem berechneten. Ein derartiges Ergebnis wäre im Motorzylinder nicht zu erreichen gewesen.

Weiterhin wurde eine Anzahl Verbrennungen mit verschiedenen Mischungsverhältnissen ausgeführt. Die Ergebnisse der Analysen sind in Abhängigkeit vom Verhältnis der verbrauchten zur theoretischen Luftmenge in Abb. 2 dargestellt. Man sieht aus dem Verlauf der Linien, daß mit CO auch H_2 und in geringerem Maß auch CH_4 aufzutreten beginnen. Ob auch freier Kohlenstoff auftritt, läßt sich nur berechnen, indem man annimmt, daß der Teil des bekannten, ursprünglich zugeführten Kohlenstoffs, der sich nicht in CO_2 , CO und CH_4 wiederfindet, frei geworden ist. Damit scheinen sich bei diesen Versuchen bis zu 10 vH C frei abgeschieden zu haben.

Wegen der möglichen Ungenauigkeiten dieses Verfahrens darf man aber mit den Schlußfolgerungen nicht zu weit gehen. Es wäre eher die Aufgabe eines chemischen Laboratoriums, diese Zusammenhänge eingehender zu untersuchen und auch die jedenfalls vorhandenen chemischen Gleichgewichtsbedingungen festzustellen. Erwähnt sei, daß ein Versuch, das Ergebnis durch Änderung

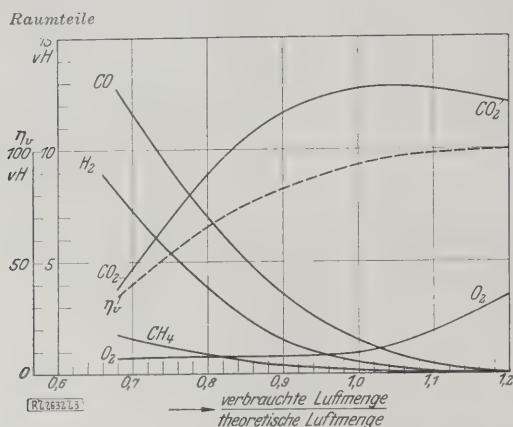


Abb. 3
Zusammensetzung der Verbrennungsgase
eines Kohlenwasserstoffes bei Verbren-
nung in einem Gemischmotor.

der Temperatur vor der Verbrennung zu beeinflussen, keinen Erfolg hatte. Vielleicht waren aber die gewählten Temperaturänderungen von rd. 90° noch zu gering.

Abweichendes Verhalten des Gemischmotors

Die Analysen der Auspuffgase des Kraftwagenmotors, die in Abb. 3 ebenfalls in Abhängigkeit vom Luftverhältnis dargestellt sind, lieferten ein anderes Ergebnis. Es fällt auf, daß die Bedeutung des Luftverhältnisses 1 für den Verlauf der Linien geschwunden ist, was sich dadurch erklärt, daß in verschiedenen Teilen des Verbrennungsraumes des Motors sehr verschiedene Luftverhältnisse herrschen; die Erscheinungen, die in der Bombe nur bei Luftmangel auftraten, erstrecken sich infolgedessen noch weit in das Gebiet mittleren Luftüberschusses, woraus folgt, daß im Motor eine vollkommene Verbrennung nur bei erheblichem Luftüberschuß zu erreichen ist.

In beiden Darstellungen stellt die Linie η_v den Wirkungsgrad der Verbrennung dar. Dieser Wirkungsgrad ist gleich eins, vermindert um das Verhältnis des untern Heizwertes der übriggebliebenen brennbaren Bestandteile zum Heizwert der verbrauchten Brennstoffmenge.

Zusammenfassung

Aus dem CO_2 - und dem O_2 -Gehalt der Auspuffgase kann man also bei Gemisch- wie bei Einspritzmotoren auf Grund der elementaren Zusammensetzung des Brennstoffes einen sicheren Schluß auf das ursprüngliche Verhältnis Luft zu Brennstoff ziehen, falls genügend Luftüberschuß vorhanden war.

Beim Gemischmotor macht sich der Luftmangel dadurch bemerkbar, daß der CO_2 -Gehalt zur Erklärung des Sauerstoffverbrauches nicht mehr ausreicht, vielmehr auch Bildung von CO angenommen werden muß. Die bisher gebräuchliche Annahme, daß neben CO_2 und entsprechenden Mengen von H_2O ausschließlich CO entsteht, ist nicht richtig. Vielmehr bilden sich bei Auftreten von CO auch H_2 und CH_4 , vielleicht auch freier Kohlenstoff. Demnach beginnt die Berechnung des Mischverhältnisses mit dem Auftreten von CO unrichtig zu werden, anfänglich jedoch nur in geringem Maße. Daß auch bei ziemlich hohem Gehalt der Auspuffgase an CO noch freier O_2 zu finden ist, erklärt sich aus ungleichmäßiger Mischung.

Beim Einspritzmotor macht sich unvollständige Verbrennung durch Rußbildung bemerkbar, ohne daß dabei nennenswerte Mengen von CO, H_2 und CH_4 auftreten. Ruß kann sich schon bilden, wenn noch 5 vH und mehr O_2 vorhanden sind, was sich daraus erklärt, daß die Mischung viel ungleichmäßiger ist, als beim Gemischmotor.

Die verschiedenartige Zusammensetzung der Abgase bei Luftmangel bei beiden Motorenarten beruht nicht auf Unterschieden der Brennstoffe. Sie zeigt sich auch bei gleichem Brennstoff und ist jedenfalls dem Unterschied in

der zeitlichen Aufeinanderfolge von Mischung und Verbrennung zuzuschreiben, ähnlich wie bei der leuchtenden und nichtleuchtenden Flamme des Leuchtgases. Hier muß man wieder folgern, daß die Verbrennung bei beiden Motorenarten auch auf verschiedene Weise verläuft, wenn kein Luftmangel vorhanden ist und die Verbrennung gleichen Gase ergibt, nämlich ausschließlich CO_2 und H_2O .

In einer Bombe ausgeführte Verbrennungen von mit verschiedenen Mengen eines leichtflüchtigen Kohlenwasserstoffes zeigen deutlich eine gesetzmäßige Abhängigkeit des CO_2 -, CO-, H_2 - und CH_4 -Gehaltes der Verbrennungsgase vom Mischverhältnis. Beim Motor läßt sich diese Gesetzmäßigkeit wegen des ungleichmäßigen Mischungsverhältnisses weniger gut verfolgen. Aus dem Gehalt der Abgase an brennbaren Bestandteilen läßt sich der Wirkungsgrad der Verbrennung berechnen.

Abhängigkeiten von Anfangsdruck und Temperatur sowie von der Art des Brennstoffes werden wahrscheinlich bestehen, sind aber noch nicht festgestellt worden.

[B 26]

Beförderung von Kohlenstaub

Infolge der Schwierigkeiten beim Entladen von breiartigem Kohlenstaub aus Eisenbahnwagen wird er meist am Verbrauchsort gemahlen. Wenn Staub jedoch in größeren Mengen als Nebenerzeugnis anfällt, läßt sich seine Beförderung nicht vermeiden, und man muß versuchen, eine beförderungsfähige Mischung zu machen. Prof. L. Klein, Hannover, hat daher auf Veranlassung und mit Unterstützung des Reichsbahn-Zentralamtes und des Reichskohlenrates Versuche durchgeführt, um die Vorgänge beim Ausfluß von Kohlenstaub aus Kohlenstaubwagen zu klären¹⁾.

Die Teilchen des breiartigen Kohlenstaubes sind kleiner als 0,2 mm und sehr unregelmäßig geformt. Bei Einfüllen in Behälter legen sie sich zunächst lose aneinander und bilden viele Zwischenräume; diese machen etwa 140 bis 170 vH des Rauminhaltes der Kohle aus. Durch Erschütterungen, z. B. während der Eisenbahnfahrt, sackt der Staubteilchen zusammen und verhalten sich ineinander. Dieses Verhaken oder Verfilzen erschwert das Austreten der Luft und damit weitere Volumenverminderung, so daß das Entladen des Staubes. Bei den Versuchen wurde der Kohlenstaub lose in einen Behälter geschüttet und der Ausfluß geöffnet. Es fiel fast gar kein Staub heraus. Auch durch Stoßern von unten mit einem Draht konnte nur geringe Staubmengen zum Abfließen gebracht werden. Nun wurde über das Gefäß ein Brettchen gelegt und dieses ein kleiner Elektromotor mit einem ein wenig exzentrischen Schwungrad gestellt. Nach Einschalten des Stromes kamen Motor und Gefäßwände in Schwingungen, die ein restloses Ausfließen des Staubes veranlaßten.

Das Verfilzen von Kohlenstaub wurde im Laboratorium durch eine Rüttelmaschine künstlich hervorgerufen. Zur Kontrolle wurden die Versuche im fahrenden Eisenbahnwagen wiederholt. Als Maßstab für die Verfilzung wurde die Volumenverminderung genommen. Es ergab sich, daß diese mit abnehmender Feinheit und zunehmendem Wassergehalt des Staubes etwas zunimmt, von der Gefäßform aber nicht abhängig ist. Die schädliche Verfilzung tritt schon nach wenigen Kilometern Bahnfahrt ein und erschwert dann weitere Volumenverminderung. Diese nimmt mit der Heftigkeit der Stöße erheblich zu, wie Versuche bei verschiedenen Fallhöhen des Rütteltisches und bei Fahrten in Güterzug und mit Personenzug zeigten.

Wurde das Gefäß mit verfilztem Staub auf die gleiche Weise in Schwingungen versetzt, wie vorher das mit losgeschüttetem, so förderte dies nicht das Ausfließen des Staubes. Erfolg hatte dagegen der Einbau eines um eine lotrechte Achse drehbaren schraubenförmigen Rührwerkes, das während des Rüttelns ab und zu gedreht wurde.

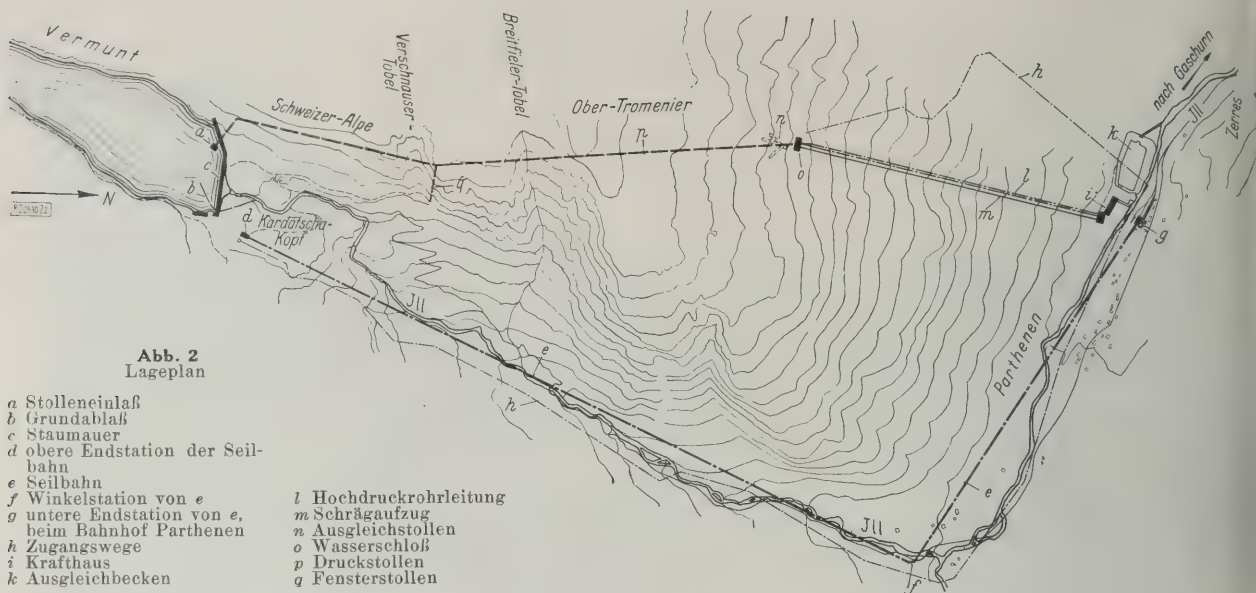
Da das Zusammenpacken des Kohlenstaubes auf Luftaustritt beruht, wurde versucht, dadurch mehr Staub aus den Behältern zu bringen, daß man während des Einfüllens Luft absaugte und die Luftleere aufrecht hielt. Versuche im Laboratorium und mit großen Kohlenstaubwagen der Preussischen Reichsbahn zeigten, daß das Einfüllen des Staubes unter Luftleere das Füllgewicht erheblich vermehrt und die Füllzeit abkürzt. [N 3121]

¹⁾ Archiv für Wärmewirtschaft Bd. 10 (1929) Nr. 5 S. 177.

Hochdruck-Wasserkraftanlage Vermunt



Abb. 3
Längsschnitt durch Stausee,
Stollen und Rohrbahn.

Abb. 2
Lageplan

- a Stolleneinlaß
- b Grundablaß
- c Staumauer
- d obere Endstation der Seilbahn
- e Seilbahn
- f Winkelstation von e
- g untere Endstation von e, beim Bahnhof Parthenen
- h Zugangswege
- i Krafthaus
- k Ausgleichbecken

- l Hochdruckrohrleitung
- m Schrägaufzug
- n Ausgleichstollen
- o Wasserschloß
- p Druckstollen
- q Fensterstollen

dem obersten Ankerklotz beträgt der Höhenunterschied 669,9 m; die Rohrleitung ist 1368 m lang und hat auf der steilsten Strecke 85 vH Neigung. Unterhalb der Krümmungsfundamente sind jeweils Ausdehnungsmuffen angebracht. Die Rohrschüsse haben je 6,5 bis 8 m Länge und werden auf Sockeln mit Rohrsätteln gelagert. Die geschweißten Rohre werden mittels kegelförmiger Nietmuffen, die mit Bändern verstärkten Rohre mittels Nietlaschen verbunden. Das Eisengewicht der beiden Rohrleitungen beträgt 4800 t.

Krafthaus

Zunächst werden vier Maschinensätze mit insgesamt 90 000 kW aufgestellt; der Platz für einen weiteren ist vorgesehen. Die Turbinen sind eindüsige Freistrahlturbinen mit wagerechter Welle, das Laufrad ist aus Chromnickelstahl in einem Stück gegossen. Die Turbinen werden bei 688 m mittlerem Nutzgefälle, 4,03 m³/s Wassermenge und 500 U/min je 31 800 PS leisten. Vor dem zu jeder Turbine gehörigen Kugelschieber wird eine Wassermengen-Meßdüse eingebaut. Die Turbinen erhalten selbsttätige Doppelreglung, die auf die Strahlableiter und die Düsenadel wirkt. Zum Stillsetzen der Maschinen sind Gegendüsen angeordnet.

Die Drehstromerzeuger mit angebauten Erregermaschinen werden mit den Turbinen unmittelbar gekuppelt. Ihre Nennleistung beträgt je 30 000 kVA bei $\cos \varphi = 0,85$ und 6000 V. Jede Maschinengruppe erhält drei Lager. Die Umspannanlage in Freiluftausführung wird neben dem Maschinenhaus errichtet.

Neben dem Krafthaus wird ein Ausgleichbecken mit rd. 100 000 m³ Nutzinhalt angelegt. Dieses Becken ist notwendig, um die Ansprüche der Unterlieger befriedigen zu können. Damit auf der linken Talseite für den Bau des Beckens genügend Raum frei wurde, mußte man die III im Bereich des Krafthauses verlegen.

Fördereinrichtungen

Im Anschluß an die Montafoner Bahn wurde eine 18 km lange Schmalspurbahn mit Umladebahnhof in Tschagguns erbaut. Die normalspurigen Wagen werden auf Brückenzugmaschinen weiterbefördert. Für das Umladen schwerer Maschinenteile dient ein Bockkran für 70 t Tragkraft.

Vom Endbahnhof Parthenen führt eine 4,6 km lange Luftseilbahn mit 10 t/h Leistung über eine Winkelstation zur Staumauer. Längs der Rohrleitung ist ein Schrägaufzug für 15 t Last, der zum Befördern der Rohre und Baustoffe dient, im Betrieb. Für die Bauarbeiten an diesem Rohraufzug und an der Rohrleitung sowie für die Stollenarbeiten beim Wasserschloß mußte längs der Rohrleitung ein Hilfsschrägaufzug und eine Luftseilbahn errichtet werden.

Die Jahreserzeugung des Vermuntwerkes wird rd. 150 Mill. kWh betragen, die in der Hauptsache nach Deutschland geleitet wird; das Land Vorarlberg hat sich den Landesbedarf gesichert. Das Staubecken des Vermuntwerkes verbessert wohl die Winterwassermengen, jedoch genügt es nicht, den Sommer- und Winterabfluß auszugleichen. Es bestehen indessen im oberen Ilgebiet noch verschiedene Möglichkeiten zur Anlage größerer Speicherbecken; das im Ochsenboden wird voraussichtlich bald zur Ausführung kommen.

Winterthur

[M 2530]
Luchsinger

Anstrichtechnik

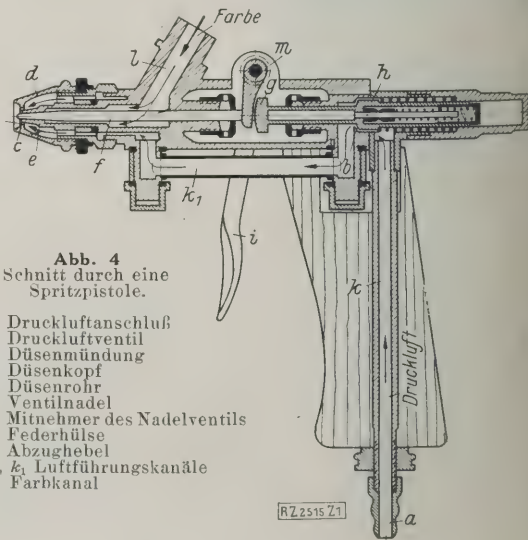
Vergleichende Versuche mit Farbspritzpistolen

Es ist eine Naturnotwendigkeit, unsere Erzeugnisse vor äußeren Zerstörungseinflüssen zu schützen. Gegen Angriffe von außen bietet die Farbschicht den einfachsten und billigsten Schutz. Um die für den Farbauftrag notwendigen Arbeitsgänge in die Fließfertigung einzureihen, muß besondere Mittel eronnen werden.

An dieser Stelle soll nur der rein handwerksmäßige Arbeitsvorgang des Farbauftrags behandelt werden. In Amerika hat man den letzten Teil der Fertigung mit dem Ausdruck „finishing“ festgelegt. Ich möchte hierfür den Ausdruck „Vollendung“ vorschlagen. Wendet man diese Betriebswissenschaft auf den Farbauftrag an, so ergibt sich, daß man eine gute Arbeit verlangen muß, die nur von geschulten Händen mit bestem Farbstoff und ausgesuchtem Borstenpinsel erreicht werden kann. Aber auch hiermit sind die Ansprüche dieser Vollendungstechnik nicht befriedigt. Es bedarf der Zuführung staubfreier Luft von genau festgesetzter Temperatur und Feuchtigkeit, um den Trocknungsvorgang ordnungsgemäß einzuleiten und erfolgreich durchzuführen.

Bei der Massenherstellung ist es ebenso wichtig, den Flächenschutz bis ins kleinste zu durchdenken und entsprechende mechanische Vorrichtungen bereit zu stellen, wie es auch bei der Erzeugung von Werkzeugmaschinen, Schreibmaschinen, Kraftwagen usw. der Fall ist. Die Erfahrung hat eindeutig gelehrt, daß nur bei reiflicher Überlegung und der Zuhilfenahme des ganzen in Betracht kommenden Rüstzeugs ein bleibender wirtschaftlicher Erfolg zu erzielen ist.

¹⁾ Paul Nettmann, Vergleichende Versuche mit Farbspritzpistolen, Fachausschuß für Anstrichtechnik, Berlin 1929, VDI-Verlag, (24. m. 59 Abb. und 9 Zahlentafeln, Preis 3,50 RM, f. Mitgl. d. V. d. I. 3,15 RM)

Abb. 4
Schnitt durch eine
Spritzpistole.

- a Druckluftanschluß
- b Druckluftventil
- c Düsenmündung
- d Düsenkopf
- e Düsenrohr
- f Ventilladel
- g Mitnehmer des Nadelventils
- h Federhülse
- i Abzughebel
- k, k1 Luftführungskanäle
- l Farbkanal

RZ 2515 Z1

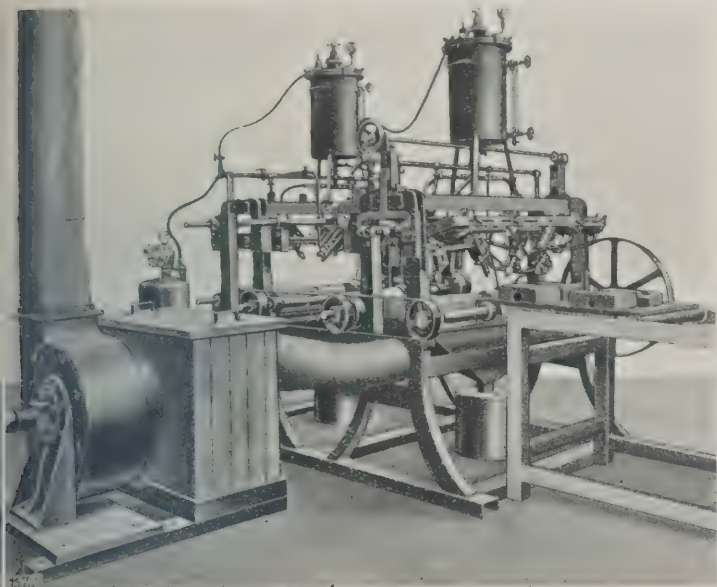


Abb. 5
Selbsttätige Farbspritzmaschine.

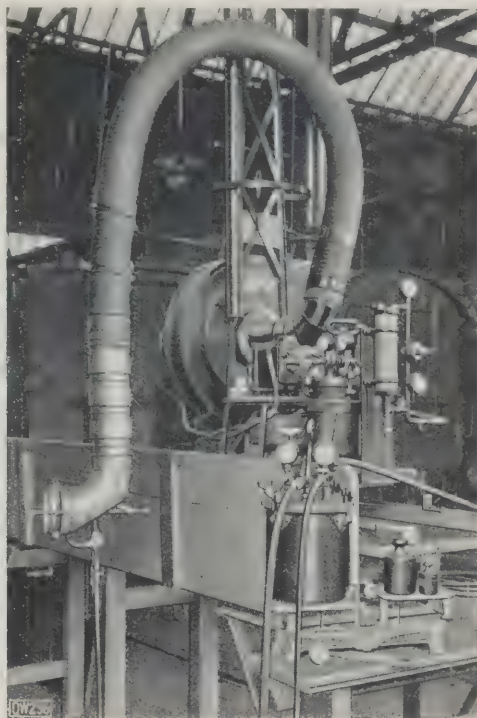


Abb. 8
Versuchsanlage zur Bestimmung der Nebelmengen von Spritzpistolen.

erzielt ist. Es sind zu überlegen das Fördern der Gegenstände, die Formung, die zweckmäßigste Aufstellung der Arbeiter, ob der Gegenstand getaucht, nach dem Tauchen geleudert oder nur mit Farbe übergossen werden soll. Ferner, ob bei der Fertigung diese Vorgänge sich zweckmäßig wiederholen müssen und ob die Einschiebung einer künstlichen Trocknung notwendig erscheint.

Die schnellste, beweglichste und anpassungsfähigste Art des Farbenauftrages finden wir bei Anwendung des sogenannten Luftpinsels (Farbspritzpistole) in seinen verschiedensten Ausführungen. Das Aufsprühen der Farbe ist je nach der zur Anwendung gelangenden Druckstufe eingeteilt worden in das Vakuum-sprühen, das Niederdruck-spritzverfahren, das Mitteldruckverfahren und das Hochdruckverfahren.

Einen Einblick in den Aufbau einer Pistole gibt Abb. 4. Der neuzeitlichen Farbspritzautomat, der zwangsläufig aus den Forderungen der Fließarbeit entsteht, zeigt Abb. 5. Die Vorteile sind genaue Anpassung an die Arbeitsergiebung, Betätigung im Einklange mit der Arbeitsgeschwindigkeit, vollständig mechanische Betätigung, unabhängig von jedem mittelbarem Eingriff des Arbeiters, gekapselte Bauart mit selbstabsaugen, also hygienisch einwandfrei.

Für den Betriebsingenieur und den Wirtschaftler sind die Untersuchungen bemerkenswert und fruchtbringend, die sich mit der Bestimmung der Leistung, des Luftverbrauches, der Neigung zur Nebelbildung und des Wirkungsgrades der Spritzpistolen beschäftigen, Abb. 6 und 7. Den

Vorteil der höheren Leistung erkaufte man aber mit einer Farbverschwendung. In der Praxis wird der große Verlust notgedrungen in den Kauf genommen zugunsten der besseren Zerstäubung, die sich durch Anwendung eines höheren Spritzdruckes erzielen läßt.

Wichtig ist, den schädlichen Nebel zu beseitigen. Man faßt ihn an der Stelle seiner Entstehung: an der Spritzpistole. Eine hierfür geeignete Vorrichtung, mit der die in Abb. 7 eingetragenen Werte gewonnen wurden, zeigt Abb. 8.

Dies Gerät eignet sich nur für den Anstrich von großen senkrechten und vollständig glatten Flächen. Aus der Reihe von ausgeführten Absauganlagen zeigt Abb. 9 eine solche, die für den Anstrich von Wagen in Frage kommt.

In Fällen, wo eine kostspielige Nebelabsaugeneinrichtung nicht in Frage kommt, greift man zu den wohlfeileren Schutzmasken, von denen sich besonders jene mit Frischluftzufuhr einer zunehmenden Beliebtheit bei der Arbeiterschaft erfreuen. Die Verwendung von Spritzkammern macht die Verwendung der Masken noch nicht entbehrlich.

Für die Instandhaltung des Spritzgeräts in großen Betrieben muß eine eigene Sonderwerkstatt bestehen. Zur Unterhaltung von 15 Spritzpistolen und den dazugehörigen Geräten ist ein Mann nötig. Rein wirtschaftlich betrachtet

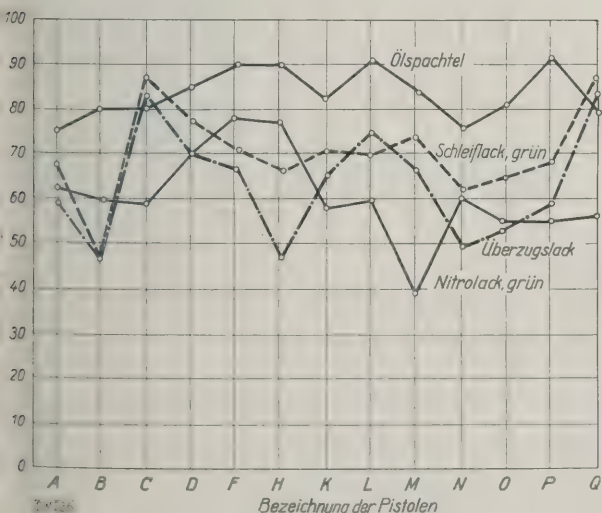


Abb. 6
Leistung von Spritzpistolen bei verschiedenen Anstrichstoffen.

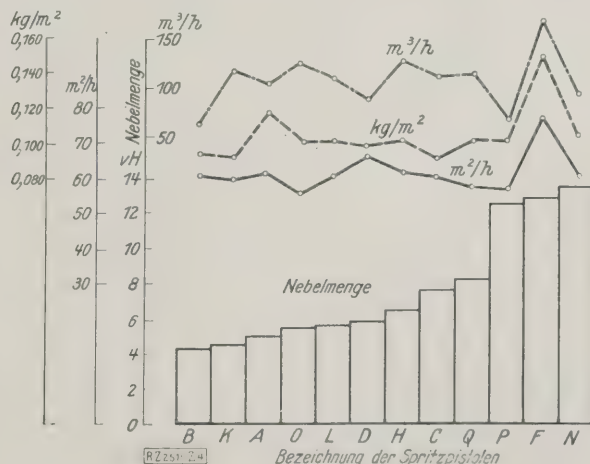


Abb. 7
Leistung, Farb- und Luftverbrauch und Nebelmengen von Spritzpistolen von Nitrozelluloselack.
Versuchsbedingungen: 1. gleichbleibender Druck, 2. gleichbleibende Spritzbreite von 70 mm, 3. gleichbleibende Zähflüssigkeit der Farben.

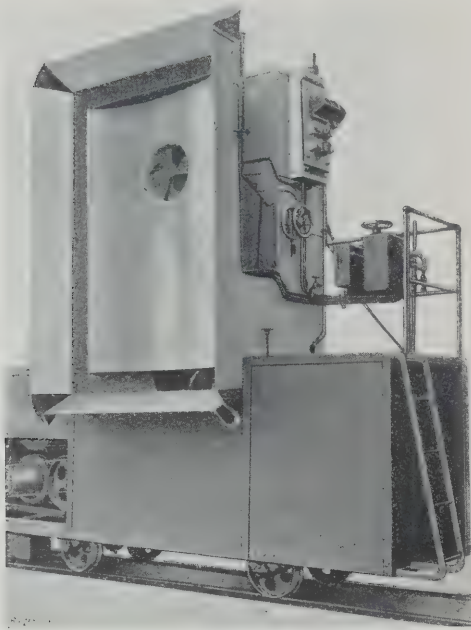


Abb. 9
Selbstfähriger Spritzstand für Eisenbahnwagen
mit Nebelabsauganlage.

werden die kleinen Kosten für den Unterhalt der Pistolen eine größere Leistungsfähigkeit des Betriebes bringen und darüber hinaus die Lebensdauer der Spritzgeräte erhöhen.

Es würde den hier gezogenen Rahmen überschreiten, wollte man auf die mannigfaltigen Erscheinungen, Bedingungen, Bedürfnisse und Auswirkungen der Farbenspritztechnik im einzelnen genauer eingehen. Es muß hier auf die eingangs erwähnte Originalarbeit verwiesen werden.

Charlottenburg

Dr.-Ing. P. Nettmann

Werkstoffe

Konstante Brucharbeit als Erklärung für den Bruch durch Ermüdungs- und andere Belastungen

Seit Wöhlers bahnbrechenden Versuchen in den fünfziger und sechziger Jahren des vorigen Jahrhunderts ist das Problem der „Ermüdungsfestigkeit“ Gegenstand von Studien und Untersuchungen in den Festigkeitslaboratorien der ganzen Welt gewesen. Die neueren Versuche haben die Ergebnisse und Ansichten Wöhlers in weitem Maße bestätigt; aber es ist noch keine wirklich befriedigende Erklärung der Vorgänge bekannt geworden.

Ljungberg hat nun in der letzten Zeit unter Mitarbeit von O. Hallström im Festigkeitslaboratorium der Technischen Hochschule, Stockholm, verschiedene Versuchsreihen durchgeführt und dabei Beobachtungen gemacht, die eine gute Erklärung für die Mehrzahl der hierher gehörenden Vorgänge geben¹⁾. Die Versuche zeigen, daß die Arbeit, die je Raumeinheit zur Herbeiführung des Bruches an irgendeiner Stelle des Körpers erforderlich ist, gleich bleibt, unabhängig davon, ob die Brucharbeit auf einmal oder in verschiedenen Phasen geleistet wird.

Bei reinem Zugversuch kommt der Bruch durch eine einfache ununterbrochene Belastungssteigerung und eine

¹⁾ Karl Ljungberg, Teknisk Tidskrift Bd. 58 (1928) S. 409 u. f.

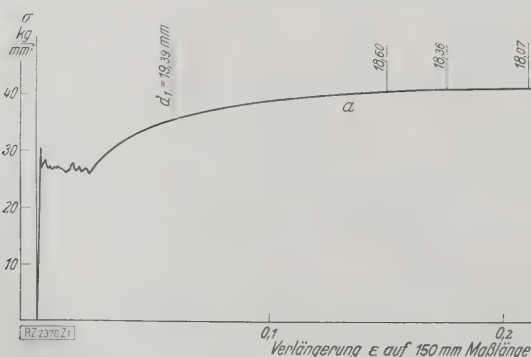


Abb. 10
Schaubild (nicht maßstäblich) eines Zugversuches an einem unbehandelten Stahl mit 0,2 % C.

Durchmesser der Probe vor dem Zugversuch	20 mm
Durchmesser der Probe nach dem Zugversuch	12,13 mm
Querschnitt der Probe vor dem Zugversuch	314 mm²
Querschnitt der Probe nach dem Zugversuch	116 "
Normalmaßlänge	200 mm
Diagrammaßlänge	150 "
obere Streckgrenze (9 640 kg)	30,5 kg/mm²
untere (8 400 ")	26,7 "
Bruchgrenze (12 940 kg)	41 "
Brucharbeit (12 940 kg) auf Bruchfläche bezogen (10 000 kg)	86 "

entsprechende Verlängerung zustande. Die Brucharbeit einem Probestab bei einem solchen Zugversuch zeigt Schaubild a in Abb. 10. Dieses Schaubild ist unmittelbar von der an der Prüfmaschine des Laboratoriums angebrachten selbstschreibende Vorrichtung aufgezeichnet worden. Das Schaubild stellt jedoch nicht die Brucharbeit innerhalb eines Teils der eigentlichen Bruchfläche dar, denn hier ist die wirkliche Spannung und auch die Verlängerung je Längeneinheit bedeutend größer als sie in dem Schaubild zum Ausdruck kommt.

Schaubild b, Abb. 11, zeigt den Zusammenhang zwischen der wirklichen Spannung (σ_1), d. h. der Kraft (P) geteilt durch die Einschnürungsfläche (A_1), und der Dehnung (ϵ) in derselben Einschnürungsstelle. Die Dehnung ist durch Messen des Durchmessers des Probestabes an der Einschnürungsstelle unter der Annahme gleichbleibenden Volumens eines Elementes an dieser Stelle berechnet²⁾.

Auch das Schaubild b drückt eine Arbeit aus, gibt aber auch nicht die wirkliche Arbeit je Raumeinheit an. Die

wird nämlich durch $\int_0^{\epsilon} \sigma d\epsilon_1$, worin σ die Kraft P , geteilt

durch die ursprüngliche Querschnittsfläche A , bedeutet, ist nämlich die Arbeit an der Einschnürungsstelle gleich der Kraft P , d. h. σA , vervielfacht mit der Verlängerung dieser Stelle, und somit die Arbeit je Raumeinheit gleich dem angegebenen Integral. Dieses Integral wird aus Schaubild c, Abb. 11, erhalten. Zum Vergleich ist auch die Schaubild a, Abb. 10, in Abb. 11 eingezeichnet (in andern Maßstäben als in Abb. 10).

Wenn man bei einem Zugversuch die Spannung nicht bis zum Bruch unmittelbar absteigen läßt, sondern den Versuch bei einem Punkt C, Abb. 12, unterbricht und mit der Spannung auf null hinab- und dann wieder auf denselben Wert hinaufgeht, so ergibt sich beim Hinab- und beim Hinaufgehen nicht dieselbe Schaulinie, sondern es zeigt sich eine gewisse Hysteresis, die einer aufgewendeten Arbeit entspricht. Wird der Versuch bei verschiedenen Spannungen unterbrochen oder läßt man die Spannung nicht auf null

²⁾ Vergl. Considère, Die Anwendung von Eisen und Stahl. Übersetzung von Hauff.

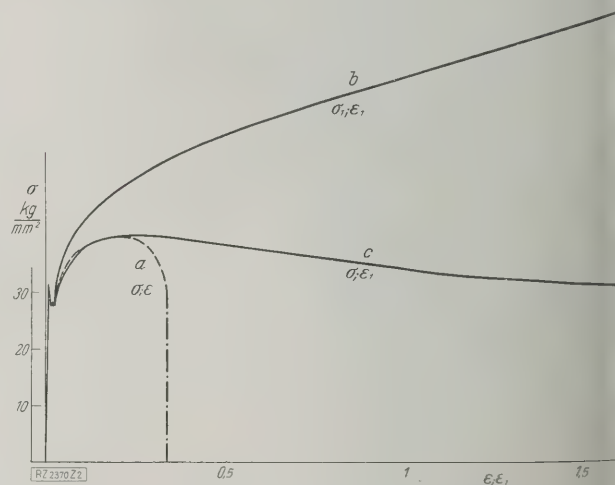


Abb. 11
Verschiedene Schaubilder des Zugversuches

- a Zugversuch an einem Probestab (anderer Maßstab als Abb. 10)
b Beziehung zwischen wirklicher Spannung und der Dehnung in derselben Einschnürungsstelle
c Arbeit, bezogen auf Raumeinheit

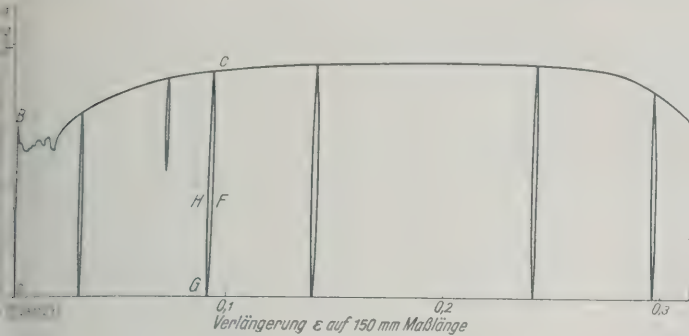
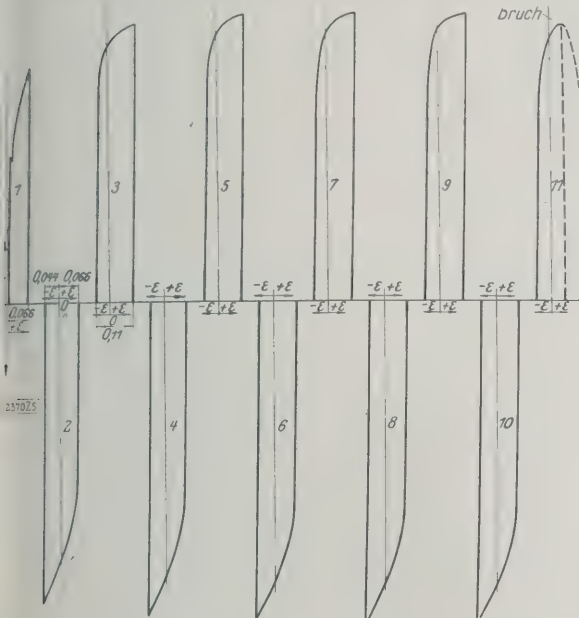


Abb. 12

Zugversuch mit Unterbrechung bei C, wobei die Spannung auf null fällt und dann wieder ansteigt.



Auch einige andre Bruchvorgänge, die nicht auf Ermüdungserscheinungen zurückgeführt zu werden brauchen, da die Anzahl der dem Bruch vorausgehenden Spannungswechsel sehr gering ist, können durch den von *Ljungberg* aufgestellten Satz erklärt werden. Ein Beispiel dieser Art stellt der gewöhnliche Biegeversuch bei Blech oder Draht dar, wobei einige wenige Hin- und Herbiegungen den Bruch verursachen. Wird nämlich ein Stab so stark gebogen, daß die Streckgrenze in den Außenfasern auf der Zugseite weit überschritten wird, so folgt die Spannung hierbei dem Kurvenzug *OBC*, Abb. 13. Wird er dann auf die andre Seite und daraufhin wieder in die vorerwähnte Lage gebogen, so geht die Verlängerung durch die Nulllinie in eine Verkürzung und schließlich wieder in eine Verlängerung über. Hierbei verändert sich die Spannung entsprechend dem Kurvenzuge *CGHIJKL*, Abb. 13. Die von diesem Kurvenzug umschlossene Fläche stellt den mit einer Hin- und Herbiegung verbundenen Arbeitsverlust dar. Ähnliche Verluste werden bei jeder Biegung erhalten, und der Bruch tritt dann ein, wenn die Summe aller dieser Verluste gleich der gesamten Brucharbeitsfläche entsprechend Schaubild c, Abb. 11, geworden ist.

Die Erklärung ist durch wechselnde Zug- und Druckversuche nachgeprüft worden. Hierbei wurde das Probestück zuerst einem Zug ausgesetzt, bis die Dehnung $\epsilon = 0,066$ betrug, daraufhin einem Druck bis zu einer Verkürzung von

$\epsilon = 0,066 + 0,044$ usw. Der Versuch wird schaubildlich durch Abb. 14 wiedergegeben. Die gesamte Brucharbeitsfläche den Werkstoff betrug 60 kg/mm^2 und die Summe der Verluste bis zum Eintreten des Bruches entsprechend Abb. 14 64 kg/mm^2 .

Aus den Beispielen geht hervor, daß man durch den von *Ljungberg* aufgestellten Satz über die konstante Brucharbeitsfläche sowohl eine bessere Erklärung oder ein besseres Verständnis der bekannten Ermüdungsvorgänge wie auch einen natürlichen Zusammenhang zwischen dem Bruchverlauf bei gewöhnlichen Belastungsfällen bei einmaliger Belastung oder einer geringen Zahl von Belastungen und den bei gemischten oder sehr oft wiederholten Belastungen erhält. Der ungleiche Bruchverlauf ist lediglich auf verschiedene Phasen desselben Vorganges zurückzuführen.

Durch die beschriebenen Untersuchungen ist die Frage keineswegs gelöst, sondern erst in Angriff genommen. ist deshalb möglich, daß die Fortsetzung der Versuche kleine Abänderungen der hier gezogenen Schlußfolgerungen mit sich bringen wird. Wegen der großen Bedeutung der behandelten Frage und um auch für andre Forscher eine Bearbeitung möglichst zu machen, hat *Ljungberg* es doch für richtig gehalten, das Ergebnis der bisherigen Untersuchungen bekanntzugeben.

Berlin

Prof. Dr.-Ing. Durre

Kleine Mitteilungen

Neues Hochdruckdampf-Kraftwerk

Die American Gas & Electric Co. und die United Gas Improvement Co. errichten z. Zt. gemeinsam in Deepwater ein Elektrizitätswerk, das gleichzeitig das 450 m entfernte Industriewerk von E. J. du Pont de Nemours & Co. mit Strom und Dampf versorgen soll. Das Kraftwerk ist für 400 000 kW Höchstleistung entworfen, vorläufig werden jedoch nur je eine 53 000 kW-Turbogruppe für die beiden Teilhaber und eine von 12 500 kW für die Versorgung des Industriewerkes aufgestellt. Die beiden 53 000 kW-Gruppen bestehen je aus einer 11 000 kW-Hochdruck- und einer 42 000 kW-Niederdruck-Turbodynamo. Alle Turbinen verarbeiten Dampf von 85 at und 385 bis 400 °.

Die Kesselanlage besteht aus sechs 835 m²-Kesseln, davon zwei für die Zwischenüberhitzung des Abdampfes der beiden 11 000 kW-Turbinen. Abgesehen von den letzten haben die Kessel noch je 1700 m² Vorwärmerheizfläche¹⁾. Die Kessel erhalten Kohlenstaubfeuerung und wassergekühlte Feuerraumwände. Um Staubbereitung mit Bunkerung und Einblasemühlen unter gleichen Bedingungen zu vergleichen, werden beide Verfahren angewendet.

Der Abdampf der 12 500 kW-Dampfturbine, bei Vollast 240 t/h, wird in Verdampfer geleitet, die 180 t/h Dampf von 12,6 at liefern. Dieser wird dann durch Frischdampf von 85 at auf 227 ° überhitzt und dem Industriewerk zugeführt. („Electrical World“ 11. Mai 1929 S. 919*) [N 3158 a] Le.

¹⁾ Vergl. Z. Bd. 73 (1929) S. 413.

Die Deckung des Winter-Strombedarfs der Schweiz

Der Stromverbrauch der Schweiz einschließlich der Stromausfuhr wird für das Jahr 1930/31 auf 4700 Mill. kWh geschätzt, wenn man voraussetzt, daß seine gegenwärtige Entwicklung anhält. Da in wasserarmen Jahren die Lauf- und Tagesspeicherwerke 3200 Mill. kWh, die Jahresspeicherwerke 480 Mill. kWh liefern können und aus Wärmekraft- oder fremden Werken rd. 430 Mill. kWh, im ganzen also nur rd. 4110 Mill. kWh zur Verfügung stehen, würde ein Restbedarf von 590 Mill. kWh ungedeckt bleiben. Dr.-Ing. *Sidner* hat berechnet, daß Wasserkraftwerke, die aus Lauf- und Tagesspeicherwerken bestehen, in der Schweiz billiger als Wärmekraftwerke arbeiten, daß sich dagegen letztere zur Deckung des Spitzenbedarfs mit einer Benutzungsdauer von 3300 h besser eignen als Wasserkraftspeicherwerke. (Schweizerische Bauzeitung 1. Juni 1929 S. 268*)

[N 3158 b]

Pa.

Untersuchungen an Betonfüßen für Leitungsmasten

Für den Bau einer 110 kV-Leitung hat die Pacific Gas and Electric Co. Untersuchungen über die zweckmäßigste Form von Mastfüßen aus Beton durchgeführt. Man strebte hierbei danach, die vorgeschriebene Standfestigkeit mit dem niedrigsten Werkstoffaufwand zu erreichen und Handarbeit weitgehend durch Maschinenarbeit zu ersetzen. Auf Grund der Untersuchungen fand man eine Form, die sich mit weniger als den halben Kosten der bisherigen Normal-

form herstellen läßt. Diese Fußform wurde für die Leitung Newark-Morgan Hill gewählt. Weitere Versuche sollen zeigen, ob sich nicht auch eine andre Form, die einen Wulst hat, eignet. Bei den bisherigen Versuchen hat sich herausgestellt, daß auch diese Form wesentlich billiger angefertigt werden kann als die bisherige Normalform; verlangt aber ein schräges Loch, das nicht immer leicht und sicher herzustellen ist. Man sucht deshalb nach einer Abwandlung dieser Form, die nur ein senkrechtes Loch verlangt. („Electrical World“ 18. Mai 1929 S. 967*)

[N 3158 c]

Kabelkran von rd. 700 m Spannweite

Beim Bau der Rohrleitung für die Hetch Hetchy Wasserkraftanlage in Kalifornien bedient man sich auf der Strecke, die durch die Schlucht Tuolumne führt, eines Kabelkranes von 5 t Tragfähigkeit, dessen Tragseil von rd. 57 m Dicke bei der großen Spannweite von 700 m unbelastet einen Durchhang von 38 m, mit 5 t Last in der Mitte der freien Länge einen solchen von rd. 45 m aufweist.

Der Maschinenturm ist 19,8 m, der Gegenturm 18,5 m hoch. Die Katze wird mit 6,1 m/s verfahren, die Last mit rd. 1,5 m/s gehoben. („Engineering News-Record“ 16. Mai 1929 S. 793/94*) [N 3158 d]

Kleine Gießerei mit elektrischen Schmelzeinrichtungen

In der Gießerei der Firma Hobart Brothers Co., Troy, Ohio, die täglich 2 t Guß liefert, wird das Metall in zwei elektrischen Schaukelöfen von je 100 kW Leistung der Detroit Electric Furnace Co., Detroit, erschmolzen. In jedem Ofen stellt man Gußeisen aus einem Einsatz von 45 kg Roheisen, 90 kg Spänen und 90 kg zerkleinertem Schrott her; der Schmelzvorgang dauert 2 h; sechs Schmelzen werden täglich durchgeführt. In dem andern Ofen werden Gußeisen auch Messing erschmolzen. Die auf den Formmaschinen hergestellten Formen werden mittels eines Förderbandes an der Gießpfanne vorbeigeführt. Diese hängen in einer Vorrichtung, die auf einer an der Decke befestigten Schiene läuft. Der Sand wird mechanisch aufbereitet und mittels Förderbandes den über den Formmaschinen erbauten Behältern zugeführt. („The Iron Age“ 16. Mai 1929 S. 1351/53*) [N 3158 e]

„Rocket“

Die Firma Robert Stephenson and Co., Ltd., deren Gründer vor 100 Jahren die berühmte Lokomotive „Rocket“ erbauten, hat im Auftrage von Ford für dessen Museum in Detroit eine genaue, betriebsfertige Nachbildung geschaffen, die um die Mitte des vorigen Monats der Öffentlichkeit vorgeführt wurde.

Bemerkenswert ist, bis zu welchem Grade diese Nachbildung dem Vorbild entspricht. Man bediente sich nicht nur zur Herstellung derselben Arbeitsweise wie vor 100 Jahren und baute unwesentliche, nicht sichtbare Maschinenteile genau nach, sondern man wählte sogar denselben Werkstoff, den die Erbauer in jenen Zeiten zur Verfügung hatten. („The Engineer“ 31. Mai 1929 S. 592) [N 3158 f] Stg.

Erz- und Kohlendampfer

Im Auftrag der Berwindmoor-Dampfschiffahrts-Gesellschaft, Liverpool, ist vor kurzem auf der Scotstoun-Werft Erz- und Kohlendampfer „Berwindlea“ vom Stapel gegangen. Beim Bau des Schiffes hat man sich die letzten Erfahrungen auf dem Gebiet dieser Sonderbauart zunutze gemacht. Der Schiffskörper ist mit seitlich überkragenden Abbehältern gebaut und hat entsprechend seiner Bestimmung besondere Verstärkungen erhalten. Die vier Lademäule werden durch sieben Luken, Bauart Hogg-Carr, bedient. Die „Berwindlea“ ist außerdem das erste englische Schiff, das besonders für Kohlenstaubfeuerung eingerichtet worden ist. Die Bunker sind so angeordnet, daß die Kohlen mittelbar zu den Kohlenstaubmühlen gelangen können. Entsprechend dem Kesselbedarf ist verhältnismäßig wenig Raum für Kohlenstaub vorhanden.

Die Hauptangaben über das Schiff sind folgende: Länge 11 m, Breite 15,8 m, Seitenhöhe 9,1 m, Geschwindigkeit

11 Kn. Die Maschinen- und Kesselanlage besteht aus einer Dreifach-Expansionsmaschine für überhitzten Dampf von 14 at und zwei Einenderkesseln, die mit künstlichem Zug arbeiten. („The Engineer“ 31. Mai 1929 S. 589)

[N 3158 g]

Bl.

Öffnen und Schließen von Selbstentladungswagen mittels Druckölzylinders

Große Selbstentladungswagen, die von Schleppern gezogen werden, hat eine amerikanische Firma mit einer Drucköl-anlage zum Öffnen der Türen versehen. Die zugehörige Druckölpumpe wird vom Motor des Schleppers mit angetrieben. Eine biegsame Verbindungsleitung führt vom Schlepper über die Kupplung zum Zylinder auf dem angehängten Wagen. Der Kolben des Zylinders überträgt seine Bewegung auf eine Rolle, über die das Drahtseil zum Öffnen der Türen führt. Bedient wird die Vorrichtung vom Führersitz des Schleppers aus. („Engineering News-Record“ 23. Mai 1929 S. 851*) [N 3158 h] Ro.

BÜCHERSCHAU

Bücher und Zeitschriften des In- und Auslandes, auch solche nichttechnischen Inhaltes, liefert die VDI-Buchhandlung, Berlin NW7, Ingenieurhaus (Telegrammanschrift: Ingenieurverlag Berlin; Fernspr.: Zentrum 15204).

tsche Forschung. Aus der Arbeit der Notgemeinschaft der Deutschen Wissenschaft. 1. H.: Wiederabdruck aus dem 5. Bericht. 116 S. Preis 3,60 RM. 2. H.: Denkschriften über Gemeinschaftsarbeiten. 205 S. Preis 4,40 RM. 3. H.: Metallforschung. 122 S. m. 49 Abb. Preis 4,40 RM. 4. H.: Geophysik und Aerologie. 91 S. m. 15 Abb. und 2 Taf. Preis 3 RM. 5. H.: Völkerzusammenhänge und Ausgrabungen. 133 S. Preis 4,40 RM. 6. H.: Deutsche Volkskunde. 150 S. Preis 4,80 RM. Berlin 1928, Verlag der Notgemeinschaft der Deutschen Wissenschaft. Für den Buchhandel durch Karl Siegmund.

Die im Jahre 1920 gegründete Notgemeinschaft der Deutschen Wissenschaft, die bisher über ihr verdienstvolles Werk nur kurz in ihren Tätigkeitsberichten Rechenschaft abgelegt hat, hat sich nunmehr entschlossen, durch Herausgabe einer Schriftenreihe weiteren Kreisen Kenntnis von dem Fortschreiten der großen Gemeinschaftsarbeiten der Notgemeinschaft zu geben. Zur Zeit liegen sechs Hefte vor.

Wie im Vorwort des Heftes 1 angekündigt wird, sollen in der ersten Linie die Gebiete der nationalen Wirtschaft, der Volksgesundheit und des Volkswohls behandelt werden. Doch nicht nur der Arzt, der Jurist, der Volkswirt und der Ingenieur werden aus den neuen Veröffentlichungen Anregungen schöpfen können, sondern auch der Theologe, der Philosoph, der Geschichts- und Naturforscher können zum Schluß über die neuesten Arbeiten ihrer Fachgebiete auf dem Laufenden sein. Jeder, der an der Entwicklung unseres deutschen Volkslebens Anteil nimmt, wird in der neuen Schriftenreihe der Notgemeinschaft eine Fülle wissenschaftlicher Neuentdeckungen finden.

Ein Blick in die bisher erschienenen sechs Hefte gibt einen Begriff vom Umfang der Aufgaben, die von der Notgemeinschaft gefördert werden. Während Heft 1 einen allgemeinen gehaltenen Rückblick auf die Tätigkeit der Notgemeinschaft in den ersten sieben Jahren ihres Bestehens gibt, werden im zweiten Heft im einzelnen verschiedene Gebiete der naturwissenschaftlichen und technischen Forschung umrissen. Für den Techniker ist insbesondere noch hervorzuheben, daß Heft 3 der Metallforschung und Heft 4 Gebiete der Geophysik und der atmosphärischen Physik behandelt sind. [E 3096]

Dr. Zaepke

Wichtige Akkorde. Von G. Peiseler. Berlin 1929, Julius Springer. 157 S. m. 64 Abb. Preis 10,50 RM.

In dem vorliegenden Buch ist das Gebiet der Stückpreise vom Standpunkt des Betriebswirtschaftlers aus gesehen, behandelt. Die vollständige Lösung dieser Fragen, die den Arbeitgeber und Arbeitnehmer gleichermaßen betreffen, soll auf dem Weg über die Gemeinschaftsarbeit gefunden werden. Zu ihrer Klärung sind umfangreiche und mühselige Zeitaufnahmen nötig. Man muß also die Zeitnahmen für derartige umfangreiche Untersuchungen wirtschaftlicher gestalten. Eine Mechanisierung der Zeitnahmen erlaubt das Aufnahmegerät, der „Diagnostiker“. Dr. Peiseler, dessen Konstruktion der Verfasser beschreibt und dessen Anwendung er an der Hand zahlreicher Beispiele zeigt. Das Buch kann denen, die sich mit den Fragen der Rationalisierung der Fertigung befassen, zur eingehenden Durchsicht empfohlen werden. [E 3000]

Schr.

Lehrbuch der physikalischen Chemie in elementarer Darstellung. Von John Eggert. 2. Aufl., gemeinsam bearb. mit Lothar Hock, Leipzig 1929, S. Hirzel. 552 S. m. 123 Abb. Preis 27 RM.

Der Umstand, daß das vorliegende Buch bereits nach wenig mehr als zwei Jahren in zweiter Auflage vorliegt, beweist, daß das Bedürfnis nach einem Lehrbuch der physikalischen Chemie in elementarer Darstellung sehr rege ist.

Die Stoffeinteilung behandelt zunächst die Grundlagen der atomistischen und der energetischen Betrachtungsweise, darunter die Grundlagen der klassischen Chemie, die Grundlagen der Thermodynamik, die Grundlagen der kinetischen Theorie der Materie und die Grundlagen der Quantentheorie.

Es folgt ein weiteres Kapitel über die Lehre von den Stoffen, in dem die Atome, die Molekeln, die Aggregationen, nämlich Ein-, Zwei- und Mehrstoffsysteme, und die Phasengrenzflächen abgehandelt werden. Der dritte Abschnitt behandelt die Lehre von den chemischen Vorgängen und bespricht das chemische Gleichgewicht und das Massenwirkungsgesetz, die Thermochemie, die Elektrochemie, die chemische Kinetik und die Photochemie. Die Gliederung des Stoffes ist übersichtlich und klar.

Da das Buch sich an einen weiten Leserkreis wendet, sind nur Grundbegriffe von Chemie und Physik, sowie die elementaren Rechenoperationen vorausgesetzt. Sorgfältig ausgewählte und einheitlich gezeichnete Abbildungen und Kurven ergänzen das sorgfältig ausgestattete Buch. Die neue Auflage ist vollkommen überarbeitet und zum Teil vollkommen umgestaltet. Die leichte Übersicht wird noch dadurch erleichtert, daß der Inhalt der einzelnen Absätze durch Randbemerkungen gekennzeichnet ist und ferner auf Parallelstellen durch Seitenzahlen am Rande hingewiesen ist. [E 2968]

Berlin

Allner

Flughandbuch für das Deutsche Reich. Herausg. vom Reichsverkehrsministerium. 1. Lieferung: Beschreibung von 32 Flughäfen. Berlin 1928, Reichskartenstelle des Reichsamts für Landesaufnahme. Preis der 1. Lieferung allein 21 RM, für jede weitere Lieferung 9 RM; Gesamtpreis für alle vier Lieferungen 48 RM.

Infolge des ausgedehnten Luftverkehrs verfügen wir im Deutschen Reich über etwa 100 Flughäfen und Verkehrslandeplätze. Das Reichsverkehrsministerium hat in Form von losen Blättern ein Handbuch geschaffen, in dem auf den einzelnen Blättern besonders dem Flugzeugführer alle wichtigen Angaben über den anzufliegenden Flughafen gemacht werden.

Jedes Blatt enthält einen Kartenausschnitt 1 : 300 000, in dem der Flughafen oder Verkehrslandeplatz ungefähr seiner Geländeform entsprechend gekennzeichnet ist. Der Kartenausschnitt 1 : 20 000 bringt alle für den Luftverkehr wichtigen Einzelheiten unter besonderer Hervorhebung der Luftfahrthindernisse. Die Luftbildschrägaufnahme zeigt das Rollfeld und die nächste Umgebung. Im Text sind alle für die sichere Durchführung des Luftverkehrs notwendigen Angaben enthalten. [E 2967] Gw.

Steam Turbines. Von T. M. Naylor. London 1929, Chapman & Hall Ltd. 207 S. m. 171 Abb. Preis 12 s 6 d.

Hydraulic Laboratory Practice. (Auf den Stand von 1929 ergänzte Übersetzung des 1926 vom Verein deutscher Ingenieure herausgegebenen Buches „Die Wasserbaulabora-

- torien Europas“, nebst Beschreibungen anderer europäischer und amerikanischer Laboratorien und Beiträgen über die theoretischen Grundlagen von Modellversuchen.) Herausgeg. von *John R. Freeman*. New York 1929, The American Society of Mechanical Engineers. 868 S. m. 996 Abb. Preis 10 \$.
- Fünfzehnte Berichtsfolge des Kohlenstaubausschusses des Reichskohlenrates: *Beitrag zur Klärung der Frage, wie die Asche nach Menge und Art im Kohlenstaub enthalten ist und welche Wege gegeben sind, sie trockenmechanisch zu beseitigen.* Von *H. Schwartzkopff*. Berlin 1929, in Kommission beim VDI-Verlag. 24 S. m. 7 Abb. Preis 2,50 RM.
- Mitteilungen aus dem Kaiser Wilhelm-Institut für Eisenforschung. Herausgeg. von *Friedrich Körber*. 10. Bd. 1. bis 19. Lfg.: Abhandlung 96 bis 115 und Gesamtinhaltsverzeichnis der Bände 1 bis 10 (1920 bis 1928). Düsseldorf 1928, Verlag Stahl Eisen. 402 S. m. 689 Abb. Preis 43,50 RM.
- La Science des Plans de Villes. Von *A. Augustin Rey*, *Justin Pidoux*, *Charles Barde*. Lausanne 1928, Payot & Cie. und Tunod, Paris. 493 S. m. 435 Abb. Preis 175 Fr.
- Handbuch der neuen Straßenbauweisen. Von *W. Reiner*. Berlin 1929, Julius Springer. 400 S. m. 216 Abb. Preis 30,50 RM.
- Forschungsarbeiten des Wissenschaftlich-Technischen Komitees des Volkskommissariats für Verkehrswesen, 89. Bd.: *Ergebnisse der experimentellen Brückenuntersuchungen in der U.S.S.R.* Moskau 1928. Sammelheft 22 der Abteilung für Ingenieuruntersuchungen, redig. von *N. Streletzky*. Kommissionsverlag Wilhelm Ernst & Sohn, Berlin. 192 S. m. Abb. Preis 4 RM.
- Elementare Einführung in die Wellenmechanik. Von *Karl K. Darrow*. Übersetzt und ergänzt durch *E. Rabinowitsch*, mit einem Vorwort von *E. Schrödinger*. Leipzig 1929, S. Hirzel. 102 S. m. 3 Abb. Preis 5 RM.
- Maschinenelemente und Betriebsnormen. DIN-Taschenbuch 12. April 1929. Herausgeg. vom Deutschen Normenausschuß. Berlin 1929, Beuth-Verlag. 207 S. Preis 4,50 RM.
- DIN-Normblatt-Verzeichnis. Stand der Normung Frühjahr 1929. Herausgeg. vom Deutschen Normenausschuß. Berlin 1929, Beuth-Verlag. 242 S. Preis 2,50 RM.
- Ente Autonomo per l'Acquedotto Pugliese (Unabhängige Vereinigung für die Apulischen Wasserleitungen). Prima Relazione sull'attività dell'ufficio speciale irrigazione. 1926. 66 S. m. 32 Abb., 17 Taf. und 3 Karten. Preis 45 Lire. — Seconda Relazione: 1928. 201 S. m. 40 Abb. und 8 Taf. Preis 40 Lire. — Relazione al Parlamento sull'andamento dell'azienda durante l'anno 1927. 1928. 213 S. m. 12 Taf. Preis 25 Lire. Bari, Gius. Laterza & Figli.
- Das Gesundheitswesen der Stadt Magdeburg nebst Sonderbeiträgen. Herausgeg. vom Städtischen Gesundheitsamt Magdeburg. Düsseldorf 1928, Th. P. Braun. 208 S. m. Abb. Preis 10 RM.
- Marktnoten. Einführung in die monatliche Marktberichterstattung der VDI-Nachrichten. Sonderabdruck VDI-Nachrichten 1929 Nr. 3. Bearb. in der Fachgruppe „Vertriebsingenieure“ im Verein deutscher Ingenieure. Berlin 1929, Selbstverlag. 12 S. m. 3 Abb. Preis 0,50 RM.
- Die Lochkarte. Herausgeg. vom Ausschuß für Rechnungswesen des Vereines deutscher Eisenhüttenleute. Düsseldorf 1929, Verlag Stahl Eisen. 91 S. m. 95 Abb. Preis 10 RM.
- Kommentar zum Wettbewerbsrecht. Von *Adolf Baumbach*. Berlin 1929, Otto Liebmann. 585 S. Preis 29 RM.
- Ministerio da Agricultura, Industria e Commercio Serviço Geologico e Mineralogico do Brasil: *Fontes de Energia do Brasil*. Von *Euzébio Paulo de Oliveira*. Rio de Janeiro 1928, Officinas Typographicas do Serviço de formações do Ministerio da Agricultura. 21 S. m. 7 Abb.
- Organisatorischer Aufbau des Reichsverbandes der Deutschen Industrie. Nach dem Stande vom 1. März 1929. Berlin 1929, Selbstverlag des Reichsverbandes der Deutschen Industrie. 247 S. Preis 12 RM.
- Schriftenreihe des Reichsverbandes des Kraftfahrzeughandels und -gewerbes E. V. Nr. 4: *Einkommen- und Kraftfahrzeughaltung in Deutschland*. Von *J. A. Bader*. Berlin 1929, Verlag der Wirtschaftsgesellschaft m. b. H. Deutschen Automobilhändler-Verbandes. 50 S. Preis 3 RM.
- Précis de Brevetabilité. Von *Armand Picard*. Paris 1929, Dunod. 604 S. m. Abb. Preis 50 fr.
- Deutsche Hochschulstatistik. Herausgeg. von den Hochschulverwaltungen. Winterhalbjahr 1928/29. Berlin 1929, Struppe & Winckler. 248 S. Preis 14 RM.
- Zum Jubiläum der 35jährigen wissenschaftlichen Tätigkeit des Akademikers *W. N. Ipatieff*. Wissenschaftlich-Technische Verwaltung des Volkswirtschaftsrates. Leningrad 1929, Wissenschaftlicher Chemisch-Technischer Verlag. 170 S. Preis 3,25 Rubel.
- Die Radio-Reihe, 1. Bd.: *Was ist Radio*. Von *Hans L. Schenck* und *Fritz Noack*. 168 S. m. 85 Abb. Preis 5,50 RM. 2. Bd.: *Der Radio-Empfänger*. Von *W. Braunbek*. 2. Aufl. 93 S. m. 34 Abb. Preis 3,50 RM. Berlin 1929, Richard Carl Schmidt & Co.
- Sammlung Götschen, 1006. Bd.: *Elektrizität im Hause*. Von *F. Niethammer*. Berlin und Leipzig 1929, Walter de Gruyter & Co. 140 S. m. 104 Abb. Preis 1,50 RM.
- Der Große Brockhaus. Handbuch des Wissens in zwanzig Bänden. 15. Aufl. 2. Bd.: *Asu bis Bla*. Leipzig 1929, F. A. Brockhaus. 792 S. m. zahlr. Abb. Preis 26 RM.
- Die Grundbautechnik und ihre maschinellen Hilfsmittel. Von *G. Hetzell* und *O. Wundram*. Berlin 1929, Julius Springer. 399 S. m. 436 Abb. Preis 35 RM.
- Metallschlauch-Fabrik Pforzheim, vormals Hch. Witzmann: *Erinnerungsschrift 1829 bis 1929*. Pforzheim 1929, 26 S. m. Abb.
- Elektrotechnischer Briefsteller in 4 Sprachen. Deutsch-Französisch-Englisch-Spanisch. Bearb. von *Hugo Loewe*. Leipzig 1929, Hachmeister & Thal. 287 S. Preis 12 RM.

ANGELEGENHEITEN DES VEREINES

Sitzung des Wissenschaftlichen Beirates

am 12. April 1929 im Ingenieurhaus, Berlin.

Verhandlungsleiter: Herr *Lippart*.

Anwesend:

vom Wissenschaftlichen Beirat die Herren: *Föttinger*, *Knoblauch*, *Köttgen*, *Lippart*, *Prandtl*, *Schlesinger*; vom Vorstand die Herren: *Bannwarth*, *Blaum*, *Bretschneider*, *Dorfs*, *Krauß*, *Nügel*, *Graf v. Soden*, *de Thierry*; als Gast Herr *Petersen* (Düsseldorf); von den wissenschaftlichen Ausschüssen die Herren: *Bar-kow*, *Ellerbeck*, *Füchsel*, *Hort*, *Jakob*; die Vereinsdirektoren: *Hellmich*, *Matschoß*; von der Geschäftsstelle die Herren: *Adrian*, *Kothe*. Entschuldigt fehlen die Herren: *Goerens*, *Möring*, *Petersen* (Berlin), *Plank*, *Scholz*.

Hr. *Lippart* gab seiner Freude Ausdruck, daß es ihm wieder möglich sei, nach längerer Unterbrechung durch Krankheit an den Beratungen teilzunehmen. Er hat während seiner erzwungenen Muße die Tätigkeit des Vereines lebhaft beobachtet; besonders erfreulich war ihm die Entwicklung der Arbeiten in den Ausschüssen.

Wenn es dem Verein möglich war, seit der Währungs-festigung für die Unterstützung wissenschaftlicher For-

schungsarbeiten etwa eine Viertelmillion an barem Geld bereitzustellen, so kann der Verein darin mit Recht ein Verdienst um die deutsche Technik erblicken, da er diese Summe selbst erst verdienen mußte. Andererseits ist zu betonen, daß mit diesen „Werbekosten“ die Mitarbeit der führenden Wissenschaftler an den technischen Aufgaben der Gegenwart gewonnen wurde. Man kann diese Mitarbeit nicht gut Geldwerten ausdrücken. Wenn man aber einmal versucht, die Zeit zu schätzen, die die in den Ausschüssen ehrenamtlich tätigen Herren für diese Gemeinschaftsarbeit aufwenden und einen bescheidenen Stundensatz rechnet, so ergibt sich ein Betrag von 300 000 bis 400 000 RM im Jahre; d. h. die deutschen Wissenschaftler stellen durch ihre Mitarbeit in den Ausschüssen der deutschen Technik einen für unschweren Zeit ganz außerordentlich beachtenswerten Betrag in 4 Jahren weit über eine Million Mark zur Verfügung. Dieser Gemeinschafts- und Opfersinn der führenden deutschen Techniker kann nicht hoch genug anerkannt werden. Andererseits darf man in dieser stets bereitwillig geleisteten Mitarbeit auch eine Anerkennung dafür erblicken, daß dem Verein deutscher Ingenieure gelungen ist, den in seiner Satzung festgelegten Zweck zu erfüllen, nämlich:

ges Zusammenwirken der geistigen Kräfte deutscher Technik zum Wohle der gesamten vaterländischen Industrie.“
Hr. Petersen wies darauf hin, daß die wissenschaftliche Forschung in erheblicher und äußerst dankenswerter Weise durch die Mittel der Notgemeinschaft der deutschen Wissenschaft gefördert wird. Man muß alles tun, um die Notgemeinschaft zu stützen. Der wissenschaftliche Beirat bevollmächtigte dementsprechend Hr. Nägeli, zu gegebener Zeit in Verbindung mit dem Deutschen Verband Technisch-Wissenschaftlicher Vereine für die Notgemeinschaft im Namen des Wissenschaftlichen Beirates aufzutreten.

Hr. Petersen wies weiter darauf hin, daß die Industrie auch andere Stellen in eigenen Laboratorien und mit eigenen Mitteln zur Durchführung von Forschungsarbeiten oftmals nennenswerte Summen aufwenden. Es erscheint vermünftig, einmal diese von der Industrie unmittelbar gebrachten Mittel festzustellen, um einen Vergleich mit ehrenamtlich geleisteten Arbeit deutscher Forscher zu ziehen.

Schließlich machte Hr. Petersen darauf aufmerksam, trotz der Strömung der Zeit, notwendige wissenschaftliche Arbeiten durch Zusammenfassung der Fachleute bei bestehenden Körperschaften zu erledigen, neuerdings wieder eine eigene Gesellschaft gegründet worden sei: die Deutsche Gesellschaft für technische Röntgenkunde. Die Industrie erwartet, daß man im organisatorischen Bereich von einer Neugründung, die neue Satzungen, neue Beiträge usw. erfordert, Abstand genommen hätte. Wissenschaftliche Beirat trat dieser Ansicht bei. Die der neuen Gesellschaft vorgesehenen Arbeiten hätten also eindringlich und wirksam auch bei bestehenden Gesellschaften, z. B. beim Deutschen Verband für die Materialforschung der Technik, durchgeführt werden können.

Hr. Schlesinger machte auf die Verbreitung technischer wissenschaftlicher Erkenntnisse in den Kreisen der Meister aufmerksam. Unter Zustimmung der Versammlung führte die Notwendigkeit aus, diesen Kreis von etwa 120 000 Personen, der zwischen dem Ingenieur und dem ausführenden Arbeiter steht, in richtiger Weise für die Verwertung wissenschaftlicher Arbeitsergebnisse zu gewinnen. Erfolgreiche Ansätze sind hierfür vorhanden, z. B. in der Notgemeinschaft deutscher Betriebsingenieure.

Hr. Matschoß gab in ähnlicher Weise wie in der vorigen Sitzung des Wissenschaftlichen Beirates¹⁾ einen Überblick über die Entwicklung der technischen Forschung im letzten Jahr und den Anteil des Vereines deutscher Ingenieure hieran²⁾.

Im Anschluß an diese Ausführungen erstatteten die anwesenden Obleute der engeren

Ausschüsse des Wissenschaftlichen Beirates

gaben kurzen Bericht über die Tätigkeit der Ausschüsse für die Entwicklung des betreffenden Zweiges der Technik.

Wärmeforschung

Die Arbeiten des Ausschusses für Wärmeforschung, über die Hr. Jakob berichtete, betreffen:

1. thermische Eigenschaften technischer Stoffe, thermodynamische Vorgänge in Maschinen und technischen Einrichtungen und Geräten, 2. den Zusammenhang wärmephysikalischer und wirtschaftlicher Fragen.

Als Beispiel zu Punkt 1 nannte der Berichterstatter die Forschung der Eigenschaften von Hochdruckdampf aus dem Münchener Laboratorium für technische Physik und die Physikalisch-Technische Reichsanstalt, wobei er sich auf die neueren Arbeiten des Auslandes hinwies, und die Aufstellung einer Zustandsgleichung der festen, flüssigen und gasförmigen Kohlensäure im Kaltegebiet der Technischen Hochschule Karlsruhe.

Zu Punkt 2 gehören u. a. Versuche im Dresdner und Münchener Maschinenlaboratorium über die Verbrennung, die im Danziger Maschinenlaboratorium entwickelte Theorie der Verdampfung in Kesselrohren und die an verschiedenen Stellen im Gang befindlichen Messungen des Wärmeüberganges ohne und mit Kondensation, ferner die Untersuchung von Temperatur- und Wärmeübergangsschwankungen in Maschinen und des Einflusses von Dampfströmen und Zwischenheizung auf die Arbeitsweise von Dampfturbinen. Ein Beispiel zu Punkt 3 ist die Berechnung von Tafeln für die wirtschaftliche Isolierdicke.

Zusammenfassend kann gesagt werden, daß der Ausschuß die Richtung der wärmetechnischen Forschung in

Deutschland stark beeinflußt. Die meisten Ergebnisse dieser Forschung, abgesehen von dem, was einzelne Firmen geheim halten, laufen bei dem Ausschuß zusammen³⁾.

Mechanische Schwingungen

Hr. Hort sprach über die Tätigkeit des Ausschusses für mechanische Schwingungen, der im Jahre 1924 mit einer kleinen Zahl von Mitgliedern ins Leben getreten ist, die sich sodann auf 20 erhöht hat. Zu diesen kommen bei den wissenschaftlichen Tagungen in der Regel noch 40 bis 50 geladene Gäste. Das Interesse für diese Veranstaltungen ist stets sehr reg.

Tagungen fanden bisher statt im Jahre 1926 in Jena mit dem Ziel einer Aussprache über allgemeine mechanische Schwingungsfragen, die durch Experimentalvorträge der Herren Geh.-Rat Wien und Prof. Dr. Busch, Jena, unterstützt wurde. Die Tagung 1927 in Braunschweig behandelte die Schwingungsfestigkeit der Werkstoffe, sowie eine Anzahl von akustischen Fragen. In Darmstadt wurden 1928 vorzugsweise die Schwingungen bei Bauwerken⁴⁾ und im Erdboden, sowie das neuerdings wichtige Gebiet der Energieausnutzung durch mechanisch schwingende Vorrichtungen behandelt. Die Tagung 1929 in Göttingen soll vorzugsweise den technisch wichtigen Schwingungserscheinungen in der Luft und in flüssigen Mitteln gewidmet sein.

Die Beiträge sind größtenteils veröffentlicht worden, z. T. in besonderen Heften, die im Buchhandel zu haben sind. Die Forschungsarbeiten, die auf Anregung oder unter Befürwortung des Schwingungsausschusses in der Berichtszeit in Angriff genommen wurden, bezogen sich in der Hauptsache auf die Untersuchung der Schwingungsfestigkeit und der inneren Dämpfung maschinentechnischer Werkstoffe. Hier sind die Arbeiten von O. Föppl⁵⁾, Braunschweig, A. Esau⁶⁾, Jena, und K. Memmler, Berlin zu nennen.

Ferner hat der Schwingungsausschuß eine größere Untersuchung von K. W. Wagner und E. Meyer unterstützt, die der Feststellung der akustischen Eigenschaften von Wandbekleidungsstoffen für Vortrags- und Versammlungssäle gewidmet ist. Diese Arbeiten sind noch im Gange. Gleichfalls in der Entwicklung begriffen ist eine kürzlich begonnene Untersuchung von W. Hort über die Prüfung und Eichfähigkeit schwingungstechnischer Meßgeräte.

Schließlich ist in der Berichtszeit das vom Schwingungsausschuß angeregte Werk von Dr.-Ing. H. Stending, „Messung mechanischer Schwingungen“ erschienen⁷⁾, nachdem es vorher mit einem vom Wissenschaftlichen Beirat ausgesetzten Preis bedacht worden war.

Augenblicklich ist der Wissenschaftliche Beirat durch den Schwingungsausschuß an einem Preisausschreiben zur Gewinnung von Vorschlägen für die Bekämpfung des Verkehrslärms beteiligt. Das Ergebnis dieses Preisausschreibens steht noch aus.

Schweißtechnik

Über den im Jahre 1925 beim Verein deutscher Ingenieure ins Leben gerufenen Fachausschuß für Schweißtechnik berichtete Hr. Füchsel. Der Ausschuß hat in Anlehnung an die Haupteinflußgebiete besondere Arbeitsgruppen gebildet. Diese wurden im Berichtsjahre um zwei Werkguppen für Einführung der Schweißtechnik bei den Eisen verarbeitenden Industrien und bei der Metallindustrie ergänzt. Eigene Beobachtungen des Gesamtfachgebietes und Anregungen aus der Industrie lenkten gleichzeitig die Aufmerksamkeit auf den für die Schweißtechnik zumeist ungünstigen Unterricht an den Technischen Hochschulen, eine Lücke, die sich in der Praxis empfindlich bemerkbar macht.

¹⁾ In diesem Zusammenhang s. a.

Jakob u. Erk: Wärmeübergang beim Kondensieren von Heiß- und Sattdampf, Forschungsarb. Heft 310, Z. Bd. 73 (1929) Nr. 22 S. 761.

Jakob: Die Verdampfungswärme des Wassers und das spezifische Volumen von Sattdampf für Temperaturen bis 210 °C, Forschungsarb. Heft 310, Z. Bd. 73 (1929) Nr. 15 S. 504.

Knoblauch u. Koch: Die spezifische Wärme des überhitzten Wasserdampfes für Drücke von 31 bis 120 at und von Sättigungstemperatur bis 450 °C, Z. Bd. 72 (1928) S. 1733.

Nußelt u. Jürges: Das Temperaturfeld über einer lotrecht stehenden geheizten Platte, Z. Bd. 72 (1928) S. 597.

Schiller u. Burbach: Wärmeübergang strömender Flüssigkeit in Rohren, Z. Bd. 72 (1928) S. 1195.

Klüssen: Untersuchungen zur Dynamik des Zündvorganges, Forschungsarb. Heft 309, Z. Bd. 72 (1928) S. 1580.

Jakob u. Fritz: Die Verdampfungswärme des Wassers und das spezifische Volumen von Sattdampf zwischen 210 und 250 °C, Z. Bd. 73 (1929) Nr. 19 S. 629.

⁴⁾ S. a. Betz: Winddruck auf offene Gebäudemodelle, veröffentlicht als Beitrag zur Frage der Berücksichtigung des Windes im Bauwesen, Jahrb. 1928 d. Dtsch. Ges. f. Bauingwes. S. 160.

⁵⁾ S. Z. Bd. 72 (1928) S. 1293 u. 1516 und Kuntze: Statische Grundlagen zum Schwingungsbruch, Z. Bd. 72 (1928) S. 1488.

⁶⁾ Z. f. techn. Phys. Bd. 9 (1928) S. 321 (Voigt).

⁷⁾ Berlin 1928, VDI-Verlag.

¹⁾ Z. Bd. 72 (1928) S. 719.

²⁾ Der Bericht wird in den VDI-Nachrichten Nr. 25 vom 19. Juni 1929 veröffentlicht.

In zwei Besprechungen mit Hochschulprofessoren in Karlsruhe und in Berlin wurden die eingelaufenen Wünsche erörtert, die Schweißverfahren im Rahmen des Lehrstuhls für mechanische Technologie und die Fragen der Formgebung einschließlich der Profilwahl in Hinblick auf die Eigenart des Arbeitsverfahrens in den Fakultäten für Maschinenwesen und für Bauwesen zu behandeln. In den Besprechungen wurde Bereitschaft zur Erweiterung des Lehrplanes bekundet und Versorgung mit Unterrichtsmitteln erbeten und zugesagt. Die Forschungsarbeiten sollen gegeneinander abgeglichen werden.

Dem Verlangen der Bezirksvereine wurde durch Abhalten von Sprechabenden entsprochen. Große Beteiligung fanden diese besonders in den deutschen Grenzländern. Unglücksfälle in der Gasfernversorgung an der Ruhr führten zu einer Gemeinschaftsarbeit der beteiligten Kreise (Sachverständige, Behörden, Rohrerzeuger und industrielle Unternehmer). Es wurden nach dem Entwurf unserer Gruppe „Arbeitsverfahren“ vorläufige Richtlinien für die Herstellung von Schweißverbindungen bei Gasrohrleitungen aufgestellt und von den beteiligten Kreisen verbindlich übernommen. Das weitere Bedürfnis, die Richtlinien auf gastechnische, bautechnische und wirtschaftliche Belange auszudehnen, wurde dem Verein deutscher Ingenieure zur Einberufung eines Sonderausschusses unterbreitet.

Der Fachausschuß steht in Fühlung mit den Betrieben, die fortgeschrittene schweißtechnische Arbeiten geleistet haben, so mit der Kriegs- und Handelsmarine, der Reichsbahn, dem Verein Deutscher Eisenhüttenleute, dem Stahlbauverband u. a. Er ist durch Forschungsaufträge an der Entwicklung des Schweißgerätes beteiligt. Schweißstäbe für schiedbare Schweißungen bedeuten neue Erfolge der Stahlindustrie. Brennschneidapparate deutscher Lieferwerke leisten so glatten Schnitt, daß, abgesehen von Einwirkungen der Werkstoffbeschaffenheit, keine mechanische Nachbearbeitung nötig ist. Untersuchung des Werkstoffübergangs im Lichtbogen⁸⁾ und Schweißbrenner⁹⁾ wurde weitergeführt durch Zeitdehnungsfilme bei 2400 Aufnahmen je Sekunde¹⁰⁾. Die Arbeitsprüfung durch Röntgenverfahren wurde gefördert¹¹⁾. Dem Unfallschutz diente die Einführung geeigneter Brillengläser. Der Fachausschuß steht im Erfahrungsaustausch mit dem Ausland, wie Amerika, Holland, Österreich, Polen und der Schweiz.

Anstrichtechnik

Hr. *Ellerbeck* berichtete über den Fachausschuß für Anstrichtechnik. Der Fachausschuß hat dreierlei Aufgaben. Einmal soll er Anregungen zu der notwendigen wissenschaftlichen Forschung über Anstriche sowohl nach der chemischen als auch nach der technologischen und ästhetischen Seite hin aufnehmen und Forschungen einleiten. In dieser Aufgabe hat der Fachausschuß von Anfang an die lebhafteste Unterstützung aller interessierten Kreise gefunden. Die Anregungen zur Aufnahme von Forschungsarbeiten gingen bisher aus den Kreisen der Wissenschaftler auf diesem Gebiete, der Erzeuger von Lack und Farbe und der Großverbraucher zahlreich ein. In jüngster Zeit ist der Fachausschuß z. B. gebeten worden, eine Zusammenfassung der führenden Fachleute zur Beurteilung der Lebensdauer von Eisenanstrichen als Arbeitsgruppe vorzunehmen. Es handelt sich um die Gewinnung von Unterlagen über die bestgeeigneten Stoffe und die Lebensdauer von Anstrichstoffen für Stahlhäuser.

Die zweite Aufgabe des Fachausschusses ist die Förderung der mit den Versuchen betrauten Forscher. Hier haben sowohl die Erzeuger von Lack und Farbstoffen als auch die Großverbraucher, die wirtschaftlichen und wissenschaftlichen Verbände und die Behörden dem Ausschuß Geldmittel in ausreichendem Maße zur Verfügung gestellt. Nicht minder bereitwillig haben aber die Forscher selbst ihre Erfahrung und auch ihre Zeit in den Dienst der Allgemeinheit zur Durchführung der als dringend und wichtig erkannten Forschungsarbeiten gestellt. Die Arbeiten selbst vollziehen sich im allgemeinen im Laboratorium und dauern der Natur der Sache nach längere Zeit.

Die dritte Aufgabe des Fachausschusses ist es, die Arbeitsergebnisse in den Kreisen, für die sie gewonnen wurden, bekannt zu machen und den Gedankenaustausch aller am Anstrich Interessierten, insbesondere aber der Ingenieure, Chemiker, Handwerker, Vertreter der technischen Behörden, Hygieniker usw. zu vermitteln¹²⁾. Zu diesem Zweck hat der Fachausschuß eine Schriftenreihe in zwangloser

Folge herausgegeben, in der die Arbeitsergebnisse niedergelegt sind. Die ersten beiden Hefte sind im Bericht erschienen und zwar: „Vergleichende Versuche mit Feinspritzpistolen“ von Dr.-Ing. *Nettmann*^{12a)} und „Seifenbild in Anstrichen“ von Dr.-Ing. *Droste*. Die erste Arbeit ist in das Gebiet der Technologie, also mehr der Ingenieurarbeit, die zweite Untersuchung klärt eine umstrittene chemische Frage. Daneben hat der Fachausschuß monatlich in wechselnden Orten Deutschlands alle interessierten Personen zu sog. Sprechabenden zusammengeführt, die sich lebhaften Zuspruchs und reger Anteilnahme erfreuen. Es wurden Sprechabende veranstaltet in Braunschweig, Hamburg, Leipzig, Köln, Karlsruhe, Erfurt, Breslau, Braunschweig, Saarbrücken, Danzig, Königsberg, Dresden, Stuttgart, München, Oppeln, Görlitz. Der Besuch betrug durchschnittlich 150 Personen aus den Kreisen der Ingenieure, Chemiker, Handwerker usw. Die Aussprache war überall sehr lebhaft. Der Fachausschuß findet nach wie vor die regste Beachtung in den Fachkreisen; es ist zu hoffen, daß er weiter gleich wirksam die Belange wissenschaftlicher Arbeit auf diesem Gebiete fördert.

Staubtechnik

Hr. *Barkow* berichtete über die Tätigkeit des Fachausschusses für Staubtechnik, der im Februar 1928 gegründet wurde¹³⁾. Er gliedert sich in einen geschäftsführenden Vorstand, eine Fördererguppe und einen Arbeitsausschuß. Innerhalb des Arbeitsausschusses sind bisher einige Arbeitsgruppen gebildet worden und zwar für Meßwesen, für Filterstoffuntersuchungen, für Staubexplosionsfragen und für die Beförderung staubförmiger Körper. Die ersten drei Arbeitsgruppen haben ihre Arbeit bereits aufgenommen und Begriffsbestimmungen für den Gütegrad der Filterung und den Begriff „Staubexplosionen“ bearbeitet, die demnächst der Öffentlichkeit übergeben werden sollen. Außerdem ist eine Kabineneinrichtung worden, in der das gesamte Schrifttum über Staubfragen zusammengestellt werden soll. Sie umfaßt zur Zeit 350 Schriftstellen und wird fortgesetzt.

Die Arbeitsgruppen „Meßwesen“ und „Filterstoffe“ haben Aufgaben vorgelegt, für deren Durchführung Geldmittel beantragt sind.

Strömungslehre

Auf eine Anregung des Wissenschaftlichen Beirates berichtete Hr. *Prandtl*, Göttingen, über die jüngste Entwicklung der Strömungslehre. Mit Rücksicht auf die knappe für den Bericht zur Verfügung stehende Zeit wünschte er, die mathematischen Ergebnisse der Lehre von der reibungslosen Flüssigkeit, in der verschiedene Forscher bemerkenswerte neue Ergebnisse erzielt hätten, zu übergehen, und beschränkte sich auch im übrigen auf einige typische Errungenschaften, besonders des Göttinger Instituts. Sehr eingehend wird dort zur Zeit die turbulente Flüssigkeitsbewegung studiert. Die meisten technischen Strömungen verlaufen wirbelig, und es ist deshalb eine sehr wichtige Aufgabe, die zahlenmäßigen Gesetze dieser Bewegungsart zu erforschen, so daß die Dinge auch der Rechnung zugänglich werden. Ein wichtiger Schritt vorwärts war hier eine Formulierung für die durch die Mischbewegungen geweckten Reibungskräfte. Diese Formulierung liefert im Einklang mit den Beobachtungen Widerstände proportional dem Quadrat der Geschwindigkeit. Als wichtig hat sich dabei die Größe des Weges, den die einzelnen Flüssigkeitsteile bei den Mischbewegungen auf einmal zurücklegen, erwiesen. Die Gesetze über die Verteilung dieses „Mischungsweges“ werden zur Zeit an turbulenten Strömungen der verschiedenen Art festgestellt; in solchen Fällen, wo diese Verteilung durch einfache Überlegungen vorausgesagt werden konnte, hat sich sehr gute Übereinstimmung der berechneten Geschwindigkeitsverteilung mit den beobachteten ergeben.

Sehr wesentlich sind auch die turbulenten Vorgänge in den Reibungsschichten, die sich beim Entlangströmen einer Flüssigkeit längs einer Wand oder Körperoberfläche ausbilden. Es hängt nicht nur die Oberflächenreibung davon ab, die z. B. bei Schiffen und Luftschiffen einen ausschlaggebenden Anteil an dem Gesamtwiderstand hat, sondern es wird auch die ganze Strömung davon beeinflusst. Nur dadurch, daß diese Reibungsschicht turbulent verläuft, sind die Strömungen mit geringem Widerstand und großem Auftrieb möglich, wie sie bei den Luftfahrzeugen und den Propellern usw. zur Anwendung kommen. Es handelt sich dabei darum, daß die Strömung sich hinter dem Körper wieder möglichst vollständig schließt, was nur durch die Mitwirkung der Turbulenz tatsächlich zu erreichen ist.

⁸⁾ S. a. *Bung*: Der Werkstoffübergang im elektrischen Schweißlichtbogen, Z. Bd. 72 (1928) S. 750.

⁹⁾ S. a. *Keel*: Verbilligung der Gasschmelzschweißung durch neue Schweißverfahren, „Maschinenbau“ Bd. 7 (1928) S. 110.

¹⁰⁾ A. *Hilpert*: Werkstoffübergang im Schweißlichtbogen, Z. Bd. 73 (1929) Nr. 23 S. 798.

¹¹⁾ Z. f. Metallkunde Bd. 20 (1928) S. 341 u. f. (Fachheft Röntgenforschung) und Z. Bd. 72 (1928) S. 941.

¹²⁾ S. a. *König*: Beanspruchung von Schutzanstrichen an Fahrzeugen, Z. Bd. 72 (1928) S. 1213.

^{12a)} s. dieses Heft S. 828.

¹³⁾ In diesem Zusammenhang sind auch die Arbeiten von *Rammler* bemerkenswert. (16. Berichtfolge des Kohlenstaubausschusses des Reichskohlenrates.)

turbulenz, die sonst wegen der Vermehrung aller Widerstände als höchst unerwünschte Beigabe erscheint, ist also auch dem Ingenieur durchaus hilfreich für die Erreichung der Zwecke.

Eine besondere Frage ist die nach der Entstehung der Turbulenz. Diese Angelegenheit ist lange Zeit ziemlich dunkel geblieben und über alte Rechnungen von *Stokes-Reynolds* nicht viel hinausgekommen trotz der Anregungen verschiedener Forscher, eine Schwingungsform zu finden, die, von kleinen Störungen ausgehend, mit der Zeit immer anwächst. Man erhielt jedoch immer Schwingungen, die unter der Wirkung der Reibung mit der Zeit langsam abklingen. In dieser Richtung konnte der Vorgang einen Erfolg melden, indem es bei einer anderen Form und gerade einer solchen, wie sie durch die Übung beim Entlangströmen längs einer Wand entsteht, gelungen ist, anwachsende Schwingungen nachzuweisen. Die näheren Umstände sind auch mit den Beobachtungen im guten Einklang, so daß man wohl sagen kann, daß jetzt eine Erklärung für das Auftreten der Turbulenz gefunden ist.

Über die Arbeiten am Windkanal mag kurz das Folgende gesagt werden: Früher bewegten sich diese Arbeiten wesentlich in der Richtung, daß für Flugzeugflügel, Rumpfe oder für Schrauben die günstigsten Formen gesucht wurden, wobei jedesmal nur das eine Objekt untersucht wurde. Zur Zeit wird vor allem die gegenseitige Beeinflussung studiert, und es zeigt sich, daß hier ganz wichtige Aufgaben vorliegen. Auch bei den gerade im rein deutschen Ingenieure interessierenden Winddruckfragen tritt die gegenseitige Beeinflussung der einzelnen Objekte sehr stark hervor und es zeigt sich, daß durch, daß jedes einzelne Objekt die Strömung an dem Ort verändert, die Verhältnisse ungemein verwickelt werden. Es ist einstweilen kein anderer Weg vorhanden, als alle in Betracht zu ziehenden einzelnen Fälle der Reihe nach vorzunehmen. Mit der wachsenden Menge von Ergebnissen ist allerdings zu hoffen, daß es möglich sein wird, auch allgemeinere Regeln zu geben, die freilich nicht einfach sein werden wie die Winddruckregeln der bisherigen Bauvorschriften.

Alles in allem darf man wohl hoffen, daß durch gleichzeitige Verfolgung derselben Aufgaben in Rechnung und Versuch immer mehr Klarheit über die Gesetzmäßigkeiten der Strömungsvorgänge erreicht werden wird.

Im Anschluß daran machte Hr. *Nägel* Mitteilungen über die neuesten Arbeiten, die mit Unterstützung der Notgemeinschaft der Deutschen Wissenschaft für die Erforschung hoher Luftschichten durch Flugzeuge durchgeführt werden.

Geschäftsbericht

Zum Geschäftsbericht führte Hr. *Adrian* folgendes aus: Im Berichtsjahre wurde an 56 Versuchsreihen gearbeitet, deren Durchführung der Wissenschaftliche Beirat durch Bereitstellung von Geldmitteln oder durch Vermittlung von Hilfe anderer Art unterstützt hat. Von diesen Arbeiten wurden 27 abgeschlossen. Die Ergebnisse sind naturgemäß ganz verschieden. Sie bestehen zum Teil aus Ausarbeiten von Anschauungsstücken, Modellen und dergl., zum Teil in Zahlentafeln, Schaubildern und Filmen, die in Vorträgen verwertet werden können, und schließlich in veröffentlichten fertigen Berichten. Dementsprechend wurden die Arbeitsergebnisse auch ausgewertet, und zwar in 11 Vorträgen und 13 Aufsätzen und besonderen Druckschriften, z. B. als Forschungsberichte usw.

Für die Durchführung der vom Wissenschaftlichen Beirat unterstützten Versuche wurden in der Berichtszeit von den Forschern 31 257,75 RM abgerufen. Am 1. April 1929 standen den Forschern für die Weiterarbeit an diesen Aufgaben noch 24 393,10 RM aus den Bewilligungen des Wissenschaftlichen Beirates zur Verfügung. Für die im Jahre 1928 abgeschlossenen Arbeiten hat der Wissenschaftliche Beirat im ganzen 62 040,24 RM ausgegeben. Wenn man die Versuche ganz verschieden umfangreich und verschieden kostspielig sind, so läßt sich doch der Durchschnittsbetrag ungefähr mit dem Vorjahre vergleichen. Im Berichtsjahre kostete der einzelne Versuch rd. 2300 RM. Im Jahre 1927/28 wurden 26 Forschungsarbeiten abgeschlossen und im ganzen 64 094 RM dafür ausgegeben; das macht im Mittel 2465 RM je Versuch. Für die am 1. April 1929 noch nicht beendeten Versuche haben die Forscher bisher insgesamt 33 811,50 RM abgerufen. Zu den für bereits genehmigte Versuche noch zur Verfügung stehenden 24 393,10 RM kommen noch 8 077 RM, die dem Herrn Kurator an die Hand gegeben wurden.

Außer diesen Beträgen, die der Wissenschaftliche Beirat unmittelbar zur Verfügung stellte, haben die wissenschaftlichen Ausschüsse für die von ihnen als dringend bezeich-

neten Forschungsarbeiten durch Werbung unsres Vereines zum Teil erhebliche weitere Beträge erhalten. Insbesondere gilt dies für die Anstrichtechnik, bei der sowohl die wirtschaftlichen Verbände der Erzeuger von Anstrichstoffen, als auch die Großverbraucher einschließlich der Behörden bereitwilligst Geldmittel zur Verfügung stellten. Ähnlich liegt es bei der Schweißtechnik. Für zahlreiche Aufgaben, die die Grundlagen der technischen Wissenschaft berühren, hat ferner die Notgemeinschaft der Deutschen Wissenschaft auf Fürsprache unsres Vereines Mittel bereitgestellt, und weiter hat auch das Reichskuratorium für Wirtschaftlichkeit den von unsern Fachausschüssen aufgenommenen Rationalisierungsarbeiten Mittel zugeleitet.

An die Überweisung der Mittel des Wissenschaftlichen Beirates wird gemäß den Leitsätzen die Bitte geknüpft, die Arbeitsergebnisse in erster Linie unserm Verein zur literarischen Verwertung zu übergeben. Durch die in den letzten Jahren in erfreulicher Weise gewachsene Zahl der unterstützten Forschungen ist auch die Anzahl der zur Veröffentlichung eingereichten Berichte ständig gewachsen. Vor allen Dingen ist der Eingang an Manuskripten für die Reihe unser Forschungshefte immer größer geworden. Wir können mit Stolz feststellen, daß die Aufnahme einer Arbeit in die Forschungshefte bei den Verfassern als eine wissenschaftliche Qualifikation angesehen wird. Seit Begründung der Forschungshefte vor 30 Jahren sind bisher 315 Hefte erschienen. Mit Rücksicht auf die Festlegung von Geldmitteln glaubt der VDI-Verlag, von einer erheblichen Steigerung der jährlichen Anzahl der Forschungshefte absehen zu müssen. Das bedeutet, daß die Auswahl der eingereichten Manuskripte wissenschaftlich sehr scharf vorgenommen werden muß und daß trotzdem die einzelnen Hefte nicht immer sehr schnell erscheinen können. Es kommt hinzu, daß die Wirkung des vom Wissenschaftlichen Beirat im vorletzten Jahre ausgearbeiteten und im vergangenen Jahre durch den Deutschen Verband Technisch-Wissenschaftlicher Vereine herausgebrachten

Merkblattes für technisch-wissenschaftliche Veröffentlichungen¹⁴⁾

noch gering ist. Jedenfalls lassen die eingereichten Schriftsätze vielfach eine redaktionelle Überarbeitung durchaus wünschenswert erscheinen. Mit Rücksicht auf die mit allen Mitteln zu erstrebende Senkung der Verkaufspreise unsrer Forschungshefte findet jedoch seit 1½ Jahren keine redaktionelle Überarbeitung mehr statt. Es ist unser Bestreben, durch immer wiederholten Hinweis auf die „Leitsätze“ des genannten Merkblattes die Verfasser von vornherein im Interesse des Lesers für einwandfreie Darstellung ihrer Gedanken zu gewinnen.

In der vorjährigen Sitzung des Wissenschaftlichen Beirates wurde dem Gedanken zugestimmt, für sämtliche bisher erschienenen Forschungshefte ein Schlagwortverzeichnis aufzustellen. Die Verfolgung dieser Absicht hat dazu geführt, daß der VDI-Verlag zunächst ein umfassendes Verzeichnis der Forschungshefte aufgestellt hat, das in Kürze herauskommt. In ihm wird in einem Sachverzeichnis auf jene Stellen der Forschungshefte hingewiesen, an denen über den betreffenden Gegenstand ausführlicher berichtet wird. Weiter wurden für einzelne Teilgebiete aus dem Gesamtinhalt der Forschungshefte Übersichten vorgesehen. Als erster derartiger Überblick ist ein Aufsatz über die Verbrennung gewählt worden. Der Aufsatz soll das zu diesem Gegenstand Gehörnde in den Forschungshäften und im übrigen gleichwertigen Schrifttum enthaltene erfassen. Er soll nach Erscheinen den Mitgliedern des Wissenschaftlichen Beirates vorgelegt werden und nach deren Beurteilung als Muster für entsprechende Übersichten über andere Teilgebiete gelten.

In unsern wissenschaftlichen Ausschüssen wuchs die Arbeit und mit ihr wuchsen die Mitglieder immer fester in den Ausschuß hinein. Das Berichtsjahr hat erneut bestätigt, daß diese Form der Pflege heute wichtiger Aufgaben der früher üblichen Form der Gemeinschaftsarbeit überlegen ist. Zwei neue Gebiete wurden aufgenommen, und zwar die Staubtechnik und die Textiltechnik.

Unsre Ausschüsse wählen ihre Mitglieder nur nach dem Gesichtspunkt der Fachkunde. Sie erheben keine Mitgliedsbeiträge usw., erledigen ihre Aufgaben durch Sitzungen und dergl. und finden in dankenswerter Weise die ehrenamtliche Mitarbeit der führenden Fachleute aus allen Gebieten des Deutschen Reiches und Österreichs.

In den Sitzungen der Ausschüsse des Wissenschaftlichen Beirates (außer den Arbeitsgemeinschaften deutscher Betriebsingenieure und Technik in der Landwirtschaft) wurden im vergangenen Jahre insgesamt 138 wissenschaft-

¹⁴⁾ Zu beziehen vom Deutschen Verband Technisch-Wissenschaftlicher Vereine, Berlin NW 7, Ingenieurhaus; Stück 10 Pfg.

liche Vorträge gehalten. Im vorhergehenden Jahre betrug diese Zahl 71. Es hat sich immer wieder gezeigt, daß zur Verbreitung neuer Gedanken und Arbeitsergebnisse das gesprochene Wort viel eingehender wirkt als das gedruckte. Deshalb haben auch die Ausschüsse größeren Wert auf die mündliche Berichterstattung und unmittelbare Kritik durch die Fachleute als auf die umfassende Veröffentlichung aller Vorträge gelegt. Natürlich wurde über die wichtigeren Sitzungen aus maßgebender Feder in der Fachpresse berichtet, insbesondere auch in der Zeitschrift unseres Vereines. Zu erwähnen sind hier die Berichte über die Tagungen für Getriebelehre¹⁵⁾, für Maschinenelemente¹⁶⁾, für Wärmeforschung¹⁷⁾, für Schwingungslehre¹⁸⁾, für Drahtseilforschung¹⁹⁾, für Textiltechnik²⁰⁾ u. a., die weitestgehende Beachtung fanden.

In einigen Fällen haben die Ausschüsse zur Einwirkung auf behördliche und andre Stellen auch die Form der Denkschrift gewählt. So hat der Fachausschuß für Schweißtechnik eine Denkschrift „Die Bedeutung der neuzeitlichen Schweißtechnik für die künftigen Ingenieure“ verfaßt. Ferner hat der Ausschuß für Getriebelehre ebenfalls eine Denkschrift verfaßt, und zwar über „Die Behandlung der Getriebelehre an den Technischen Hochschulen“. Die technologischen Ausschüsse haben im Berichtsjahre weitere „Zwanglose Mitteilungen“ über ihre Arbeiten herausgegeben. Diese „Zwanglosen Mitteilungen“ haben sich als vorzügliches Werbemittel erwiesen, um alle Fachleute in den Bereich des Fachausschusses zu ziehen.

Abnahmeregeln

In den Ausschüssen zur Aufstellung von Abnahmeregeln wurden weitere Aufgaben in Angriff genommen. Die bereits früher eingeleiteten Bestrebungen, einheitliche Abnahmeregeln und Lieferbedingungen durch zwischenstaatliche Abmachungen zu schaffen, wurden weiter verfolgt. Sowohl auf dem Gebiete der Wasserturbinen wie der Dampfturbinen ist Deutschland an maßgebender Stelle an den zwischenstaatlichen Arbeiten beteiligt.

Erwähnenswert sind vor allem die Regeln für die Prüfung von Wärme- und Kälteschutzanlagen, die abgeschlossen werden konnten. Im Anschluß hieran sind die Arbeiten zur Schaffung einheitlicher Lieferbedingungen in Angriff genommen.

Der Ausschuß für Strömungsmesser hat mit Erfolg eine enge Zusammenarbeit auf dem Gebiet der Messung strömender Mengen mit dem amerikanischen Fluid Meter Committee angebahnt.

Dampfkesselwesen

Im Dampfkesselwesen hat der Unterausschuß für Speisewasser die Abhängigkeit des korrodierenden Einflusses der Laugen von der Baustoffbeanspruchung untersucht. Weitere Versuche über den Einfluß des Dampfraums auf die Kesselleistung stehen vor dem Abschluß. Um die Ergebnisse der Ausschüßarbeiten in zusammengefaßter Form zur Verfügung zu haben, werden sie als „Zwanglose Mitteilungen des Speisewasserausschusses“ veröffentlicht. Eine Anzahl von Untersuchungen an Dampfkesselfeuerungen über Anheizgeschwindigkeit und Elastizität wurde vom Unterausschuß für Dampfkesselfeuerungen durchgeführt. Ihre Ergebnisse wurden im Archiv für Wärmewirtschaft²¹⁾ veröffentlicht, außerdem werden sie als Berichtfolge vom Verein deutscher Ingenieure gemeinsam mit dem Reichskohlenrat herausgegeben.

Sehr erfreulich ist, daß im Berichtsjahr die völlige Unparteilichkeit unserer wissenschaftlichen Ausschüsse wachsend anerkannt wurde. So arbeitet z. B. das Preußische Handelsministerium mit dem Fachausschuß für Schweißtechnik zusammen. Unter Führung des Fachausschusses wurden in gemeinsamer Beratung mit Vertretern der Behörde, der erzeugenden und verwendenden Industrie „Vorläufige Richtlinien für die Herstellung von Schweißverbindungen bei Gasrohrleitungen von mehr als 200 mm Dmr. und von mehr als 1 at Betriebsüberdruck“ aufgestellt. Ebenso erfreulich ist der Umstand, daß aus den Kreisen der Erzeuger von Stahlhäusern der Fachausschuß für Anstrichtechnik als am meisten dazu berufene Stelle gebeten wurde, eine unabhängige Prüf- und Gutachterstelle für Anstriche im Stahlhausbau zu schaffen.

Wenn wir so im vergangenen Jahr erfolgreich bemüht waren, Forschungen zu fördern und die Forscher von vornherein in die Beratung mit Fachgenossen in unsern Aus-

schüssen zu ziehen, so ist doch auch zu erwähnen, daß nicht alle Forschungsarbeiten in dem Maße vorangebracht werden konnten, wie es zunächst möglich schien. An den verschiedensten Gründen konnten einzelne Forschungsaufgaben, für die der Wissenschaftliche Beirat im Vorjahre oder früher Mittel bewilligt hatte, bisher noch nicht in Angriff genommen werden. Es erscheint zweckmäßig, die Frist für die Bereitstellung von Mitteln des Wissenschaftlichen Beirats zu setzen, damit nicht die bereitgestellten Geldmittel mehrere Jahre festliegen.

Der Wissenschaftliche Beirat beschloß den Verfall der für Forschungen bereitgestellten Geldmittel, wenn die betreffenden Versuche innerhalb von zwei Jahren nicht in Angriff genommen werden konnten.

Dem Wissenschaftlichen Beirat lagen zahlreiche neue Anträge auf Unterstützung von Forschungsarbeiten vor. Wegen teilweise verspäteter Einreichung konnten die Anträge noch nicht sämtlich in den zuständigen Ausschüssen beraten werden. Die Stellungnahme der Ausschüsse schien aber wünschenswert; daher wurde der Herr Kurator ermächtigt, nach Erledigung der Ausschüßberatungen über die Bewilligung solcher Anträge zu entscheiden. Folgende Anträge wurden bewilligt:

Bewilligte Anträge

1. Deutsche Gesellschaft für Bauingenieurwesen: Winddruckversuche an offenen Gebäudemodellen.

Fortsetzung der bisherigen Winddruckversuche beim Aerodynamischen Institut der Universität Göttingen. Es soll ermittelt werden, wie sich bei einem Aufprall auf Brückenträger der Wind auf einzelnen hintereinander liegenden Träger verteilt.

2. Flügel, Danzig: Strömungsvorgänge in Kreiselbläsen und Kreiselverdichtern.

Die Strömungsvorgänge in umlaufenden Laufrädern von Kraf- und Arbeitsmaschinen sollen planmäßig geklärt, wenn möglich ist die Theorie entwickelt werden. Die Versuchseinrichtung ist bereits konstruiert. Die beantragte Summe soll als Beihilfe zu den Kosten dienen.

3. Süring, Potsdam: Kritik der Meßgeräte und Messverfahren für Staubgehalt.

Der Antrag wird auf Veranlassung des Fachausschusses für Staubtechnik mit Zustimmung der Vertreter des Reichsgesundheitsamtes, der Landesanstalt für Wasser-, Boden- und Lufthygiene und des Preuß. Meteorologischen Observatoriums gestellt. Das Arbeitsprogramm umfaßt folgende Aufgaben:

- Vergleichende Untersuchungen mit dem Staubzähler von Owens und dem Staubzählgerät der Preuß. Landesanstalt für Wasser-, Boden- und Lufthygiene, sowie Versuche einer Umarbeitung des Meßfilters von Owens (Automatic Owens) zur Staubbestimmung (Die Landesanstalt für Wasser-, Boden- und Lufthygiene hat sich diese Forschungsarbeit vorbehalten).
- Untersuchung der Ablagerungsbedingungen von Staub aus bewegter Luft an Sieben und Filtern und der Strömungsverhältnisse an geeigneten Modellen zum Zwecke der Trennung verschieden großer Staubteilchen (Meteorologisches Observatorium Potsdam).
- Prüfung der Staubmeßverfahren in gewerbehygienischer Hinsicht (Gewerbehygienisches Laboratorium des Reichsgesundheitsamtes).
- Untersuchung der Tyndall-Wirkung von Staub für kurzwellige und langwellige Strahlen in seiner Abhängigkeit von der Teilchengröße; elektrische Ladung und Lichtezeugungsvermögen von Staub verschiedener Größe (Meteorologisches Observatorium Potsdam).
- Vergleichung der natürlichen Trübung der Luft in verschiedenen Stadtteilen Berlins und seiner Umgebung (Hygienisches Laboratorium des Reichsgesundheitsamtes, Preuß. Observatorium Potsdam, Universitätsinstitut für Strahlenforschung).

4. Behrens, Danzig: Verschleißfeste Auftragschweißungen.

Es soll untersucht werden, wie die mechanisch-physikalischen Eigenschaften einer Aufschweißung zu beeinflussen sind durch:

- Verschiedene Zusammensetzung des Schweißgutes:
 - Verschleißfestigkeit,
 - Bearbeitbarkeit,
 - Härte,
 - Festigkeit und Dehnung,
 - Gefäße,
 - chemische Zusammensetzung.
- Art der Schweißung
- Güte der Nachbehandlung.

5. Erk, Charlottenburg: Beendigung der Untersuchungen von Flammpunktprüfern.

Die Arbeiten haben einen etwas größeren Umfang angenommen als zunächst vorgesehen war.

6. Erk, Charlottenburg: Verhalten der Öle in der Kälte. Diese Arbeit kann erst im Anschluß an die Arbeit „Untersuchung von Flammpunktprüfern“ vorgenommen werden; wegen der Erweiterung ist auch bei dieser Aufgabe ein größerer Umfang zu erwarten, als bisher vorgesehen war.

7. Gerngroß, Charlottenburg: Leimprüfung.

Für diese Forschungsarbeit sind bisher 1000 RM bereitgestellt worden. Die Summe wurde aber überschritten.

8. Kleditz, Hannover: Preisausschreiben über ein wasserloses Sicherheitsvorlage.

Der Fachausschuß für Schweißtechnik beabsichtigt, durch ein Preisausschreiben die von der Industrie bisher nicht geschaffte zuverlässige Sicherheitsvorlage für Azetylenentwickler zu erlangen. A. Gesamtsumme 10 000 RM veranschlagt. Hierzu haben die Berufsgenossenschaften und die einschlägigen Vereine bereits über 8000 RM zugesagt.

¹⁵⁾ Z. Bd. 72 (1928) S. 1933.

¹⁶⁾ Z. Bd. 73 (1929) Nr. 11 S. 357 u. „Maschinenbau“ Bd. 8 (1929) Heft 2 (Fachheft Maschinenelemente).

¹⁷⁾ Z. Bd. 72 (1928) S. 341 und 379.

¹⁸⁾ Z. Bd. 72 (1928) S. 1118.

¹⁹⁾ Z. Bd. 73 (1929) Nr. 13 S. 417.

²⁰⁾ Z. Bd. 73 (1929) Nr. 9 (Fachheft Textiltechnik).

²¹⁾ Bd. 10 (1929) Heft 3 S. 99.

4. **Knoblauch**, München: Weiterführung der Arbeiten die spezifische Wärme höchstgespannten Wasserdampfes. Die Untersuchungen bis 120 at hat der Verein Deutscher Ingenieure bisher unterstützt. Für die Weiterführung bis 250 at hat die Mittel beantragt.

10. **W. Schmidt**, Berlin-Friedenau: Auswertung von Meilenfahrtergebnissen bei Kriegsschiffen.

Die unter Forschungsarbeit 193 durchgeführten Rechnungsbeispiele dieser Meilenfahrtergebnisse sind für rd. 80 Kriegsschiffe erstellt und veröffentlicht worden²²⁾. Im Anschluß hieran soll eine stichhaltige Darstellung der Maschinenleistungen in Abhängigkeit von den Schiffsabmessungen ausgearbeitet werden. Erstrebt wird ein von Versuchen mit freifahrenden Modellschrauben auf die Sachlage bei Schiffen schließen zu können. Die Kriegsmarine unterstützt die Arbeiten mit Geldmitteln. Weiter soll geklärt werden: Wie ändert sich die Sachlage bei Kavitation?

11. **Leyensetter**, Stuttgart: Bestimmung der Bearbeitbarkeit von Werkstoffen mit dem *Leyensetter*-Pendelgerät. Die Arbeitsgemeinschaft deutscher Betriebsingenieure befürwortet den Antrag, um die Standzeitwerte von Werkzeugstählen beim Zerschneiden von Werkstoffen, die durch verschiedene Untersuchungen schon festgestellt wurden, in Zusammenhang zu bringen mit den Werten, die das Pendelinstrument ergibt.

12. **Meldau**, Berlin-Charlottenburg: Messung von Filterverlusten für Staub.

In Fühlung mit dem Reichskohlenrat und einigen Stellen der Industrie sollen im Institut für Heizung und Lüftung der Technischen Hochschule Berlin Messungen über den Wirkungsgrad von Trocknern für Staub durchgeführt werden. Sie haben zum Ziel, in der Praxis brauchbare Richtlinien für Lieferung und Bewertung solcher Trockner zu gewinnen. Der Fachausschuß für Staubtechnik hat für die Frage eine besondere Untergruppe gebildet, die diese Versuche durchführen und verfolgen soll.

13. **Nußelt**, München: Klopfen von Vergasermaschinen. Die bisherigen Versuche sind abgeschlossen, müssen aber noch wissenschaftlich verarbeitet werden.

14. **O. Föppl**, Braunschweig: Untersuchungen über die Ermüdungsfähigkeit von Baustoffen auf der Ausschwingungsprüfungsmaschine.

Es handelt sich um die Fortsetzung der 1928 vom Verein Deutscher Ingenieure unterstützten Versuche. Der Probestab soll zunächst zuerst auf der Ausschwingungsmaschine und dann auf der Schwingungsmaschine untersucht werden.

Im Jahre 1928 abgeschlossene Forschungsarbeiten

Siemann, Bremen: Dehnungsmessungen an Schiffskörpern.

Vorläufig abgeschlossen; über das Ergebnis ist berichtet.

Föttinger-Zumbusch, Berlin: Strömungsvorgänge an den Schaufelenden treibender und getriebener Turbinenräder. Abgeschlossen, noch nicht veröffentlicht.

Baumann, Stuttgart: Spannungen der Kesselbleche an Mannlochausschnitten.

Abgebrochen, Forscher gestorben.

Jakob, Berlin-Charlottenburg: Verdampfungswärme des Wassers bei Drücken von 10 at aufwärts.

Veröffentlicht.

Knoblauch, München: Spezifische Wärme des Wasserdampfes bei Höchstdruck bis 120 at.

Vorgetragen und veröffentlicht, wird fortgesetzt bis 250 at.

Raisch, München: Wärmeleitung feuerfester Steine bei Temperaturen über 500° und Abbrand der Steine.

Vorgetragen, wird veröffentlicht.

Rüster, München: Verbrennungsvorgänge an Dampfkesselfeuerungen.

Veröffentlicht.

Woernle, Stuttgart: Systematische Drahtseilversuche.

Vorgetragen und veröffentlicht.

Baumann, Stuttgart: Systematische Untersuchungen der Schraubensicherungen.

Unterbrochen, Forscher gestorben.

Seidl, Berlin: Zerdrück- und Zerreißversuche mit Gesteinen.

Vorgetragen, wird veröffentlicht.

Jakob, Berlin-Charlottenburg: Kondensation von Heiß- und Sattdampf.

Vorgetragen, veröffentlicht.

Gerngroß, Berlin-Charlottenburg: Leimprüfungsarbeiten.

Veröffentlicht.

Sachsenberg, Dresden: Räumnadelversuche.

Veröffentlicht.

Nettmann, Berlin-Charlottenburg: Versuche mit Farberstäubern für mechanisches Anstreichen.

Vorgetragen und veröffentlicht.

Gottwein, Breslau: Versuche über Kühlung und Schmierung bei spangebender Formung.

Veröffentlicht.

Wallichs-Schöpke, Aachen: Meßsupportversuche.

Betz, Göttingen: Winddruckmessungen an offenen Gebäudemodellen.

Veröffentlicht.

18. **Baumgärtel**, Braunschweig: Einfluß von Umwickelungen bei Schweißstäben.

Vorgetragen, wird veröffentlicht.

19. **Zapke**, Berlin: Kritik der Verfahren zur Güteprüfung fester mineralischer Brennstoffe.

Veröffentlicht.

20. **Wagenbach**, Darmstadt: Genaue Messung mit einem Schirm zur Prüfung der Überfall-Beiwerte bei Flüssigkeitsströmungen.

21. **Esau**, Jena: Dämpfungsmessungen von Longitudinalschwingungen in Werkstoffen.

Vorgetragen und veröffentlicht.

22. **Berl und Standinger**, Darmstadt: Einfluß des Speisewassers, insbesondere seiner alkalihaltigen Beimengungen auf die Kesselwerkstoffe und das Verhalten bei Dampfkesselbetrieben.

Wird veröffentlicht.

23. **Meldau**, Berlin: Sammlung und Kritik der Literatur über Staub.

Wird veröffentlicht.

24. **Hilpert-Thun**, Berlin: Zeitlupenaufnahmen von Schweißlichtbogen.

Vorgetragen und veröffentlicht.

25. **W. Schmidt**, Berlin-Friedenau: Rechnungsbeispiele von Meilenfahrtergebnissen auf Kriegsschiffen.

Veröffentlicht.

26. **O. Föppl**, Braunschweig: Vergleichende Drehschwingungsversuche zur Dämpfungsbestimmung.

Vorgetragen und veröffentlicht.

27. **Knoblauch**, München: Einfluß des Wärmeüberganges auf die Temperaturmessung.

Wird in Kürze veröffentlicht.

28. **Würth, Schlebusch**: Unterlagen für die Normung von Anstrichstoffen.

Vorgetragen.

Noch nicht abgeschlossene Forschungsarbeiten

1. **Knoblauch**, München: Wärmeübergang strömender heißer Luft an Rohre und Rohrbündel.

Untersuchung von Rohren kreisförmigen Querschnitts, vor dem Abschluß.

2. **E. Schmidt**, Danzig: Gesamtstrahlung von Kohlen-säure.

3. **E. Schmidt**, Danzig: Gesamtstrahlung von Wasserdampf bei hoher Temperatur.

Zu 2. und 3.: Versuchsanlage fertig, Meßempfindlichkeit wurde gesteigert, Messungen an großen Schichtdicken beginnen.

4. **Knoblauch**, München: Nachprüfung der *Thomaschen* Modellversuche.

Diffusionskonstante wurde bestimmt, Bestimmung der Wärmeübergangszahlen ist im Gange.

5. **Memmler**, Berlin: Bestimmung von Festigkeitszahlen bei Schwingungs-Dauerbeanspruchung.

Sieben verschiedene Werkstoffe wurden untersucht, Bericht ist in der Feder.

6. **Jakob**, Berlin-Charlottenburg: Wärmeleitfähigkeit von Metallen bei höheren Temperaturen.

Versuchsanlage fertig, Messungen beginnen.

7. **Trautz**, Heidelberg: Spezifische Wärme von Gasen bei konstanten Volumen.

Arbeiten laufen; das Gesetz für Reibung der Gasgemische wurde gefunden.

8. **v. Möllendorf**, Berlin: Eigenschaften von Bekleidungsstoffen.

Arbeiten über Wollschaden im Gange.

9. **v. Möllendorf**, Berlin: Feuerfestigkeit von Werkstoffen verschiedener Art.

Brandhaus im Bau, Untersuchungen an Holzverbindungen beendet und im Druck, Klärung von Kugeldruckproben an Holz veröffentlicht.

11. **Strelow**, Hamburg: Belastungsversuche mit genieteten und geschweißten Trägern.

Belastungsversuche an zwei Trägern stehen noch aus.

12. **Kantner**, Wittenberge: Röntgenographische Arbeiten auf dem Gebiete der Schweißtechnik.

Versuche zur Bestimmung des Feinbaues und der Fehlstellen laufen.

13. **Graf**, Stuttgart: Versuche über Rechnungsgrundlagen für Holzstützen.

14. **Graf**, Stuttgart: Versuche über Feuerschutz neuerer Holzkonstruktionen.

Versuche stehen vor dem Abschluß.

15. **Nußelt**, München: Klopfen von Vergasermaschinen.

Stärke und Zeitpunkt des Klopfstoßes wurden untersucht; Bericht ist für Sommer 1929 zu erwarten.

16. **Nettmann**, Berlin-Charlottenburg: Versuche mit Saugkörpern in der Spritzzone des Farberstäubers.

Versuche sind begonnen, Messung der Geschwindigkeit steht bevor

²²⁾ Z. Bd. 72 (1928) S. 1713.

17. *K. W. Wagner*, Berlin: Versuche über die Resonanz von Holzplatten und dergl. mit dem Ziele, die Hörsamkeit von Räumen im voraus zu bestimmen.
Bisher wurden Dicke und Frequenzgebiet der mitschwingenden Holzplatten bei Schallerregung untersucht.
18. *Tafel*, Breslau: Versuche zur Bestimmung der Quetschgrenze und des Kraftbedarfs beim Schmieden verschiedener Metalle und in verschiedenen Temperaturen.
Stichversuche und Arbeitsmessungen sind durchgeführt, Abschluß der Arbeiten voraussichtlich im Sommer 1929.
19. *Nußelt*, München: Wärmeübergang aus einem mit Dampf geheizten waagerechten Rohr an ruhendes kaltes Wasser.
Versuchseinrichtung fertig, Messungen beginnen.
20. *Loschge*, München: Abhängigkeit des Ausflußkoeffizienten von der Mündungsform bei Dampfmessungen.
Versuchseinrichtung im Bau.
21. *E. Schmidt*, Danzig: Untersuchung des Wärmeübergangs von Rohrleitungen an Flüssigkeiten hoher Zähigkeiten.
Versuche sind im Gange.
22. *E. Schmidt*, Danzig: Verhalten von Düsen und Stauungen bei Messung zäher Flüssigkeiten.
Versuchseinrichtung wurde verbessert, Messungen beginnen demnächst.
23. *Rötscher*, Aachen: Spannungsverteilung in gekröpften Wellen.
Arbeiten laufen.
24. *Knoblauch*, München: Untersuchung der thermischen Eigenschaften von Flüssigkeitsgemischen.
Einrichtung beendet, Messungen beginnen.
25. *Knoblauch*, München: Untersuchung über die Schall-dämpfung in Kanälen.
Vorversuche abgeschlossen, Arbeiten laufen.
26. *Rötscher*, Aachen: Spannungsverteilung in Riemen-scheiben.
Arbeiten laufen.
27. *Erk*, Berlin-Charlottenburg: Verhalten der Öle in der Kälte.
Vorarbeiten erledigt.
28. *Erk*, Berlin-Charlottenburg: Flammprüfer.
Temperaturverteilung im Versuchsöl untersucht.
29. *Thum*, Darmstadt: Schwingungsbeanspruchung von Schrauben.
Statische Zerreißeversuche abgeschlossen, Pendelschlagversuche werden begonnen.
30. *Finck*, Berlin: Verschleißprüfungen.
Arbeiten laufen.

Stipendien

Der Wissenschaftliche Beirat beriet über die Vergebung der Stipendien aus der *Klingenberg-Stiftung* und der *Bach-Stiftung* des Vereines deutscher Ingenieure.

Im Vorjahre waren aus der *Klingenberg-Stiftung* zwei Stipendien zu je 600 RM verteilt worden. Die Berichte der Stipendiaten über die Verwendung der Mittel wurden in der gegenwärtigen Sitzung vorgelegt. Hr. *Möring* hatte diese Berichte und die Unterlagen der Bewerbungen um die diesjährigen Stipendien eingehend durchgesehen. Er berichtete darüber schriftlich. Entsprechend seinem Bericht empfahl der Wissenschaftliche Beirat dem Vorstand die Verteilung von wiederum zwei Stipendien aus der *Klingenberg-Stiftung* zu je 600 RM an einen Studierenden des Bauingenieurwesens in Dresden und an einen Studierenden des Maschinenbaues in Braunschweig.

Hr. *Möring* hatte als Rechnungsprüfer die Rechnungen der *Klingenberg-Stiftung*²³⁾ und der *Bach-Stiftung*²⁴⁾ geprüft und die Bücher in Ordnung befunden. Den Satzungen der *Bach-Stiftung* sind die eingereichten Anträge durch einen kleinen Sonderausschuß zur Prüfung. Der Wissenschaftliche Beirat wählte die H. v. *Bach*, *Möring* und *Füchsel* zur Prüfung der beiden liegenden Anträge.

Für die Rechnungsprüfung der beiden Stiftungen den die Herren v. *Bach* und *Möring* wiedergewählt.

Der Vorsitzende gab davon Kenntnis, daß der Vorstand mit Ende des Jahres 1929 satzungsgemäß aus dem wissenschaftlichen Beirat ausscheidenden Herren *Möring*, *P. Prandtl* und *Schlesinger* für eine weitere Amtszeit von Jahren wieder gewählt hat.

Zum Schluß dankte Hr. *Lippart* der Versammlung herzlichen Worten für die Mitarbeit, insbesondere daß es ihm vergönnt war, während der verfloßenen Jahre als Kurator und Vorsitzender des Wissenschaftlichen Beirates an den hohen Aufgaben mitzuarbeiten. Sein gesundheitlicher Zustand verbiete es ihm, dieses Amt weiterzuführen, er habe es deshalb in die Hände des Vorstands zurückgelegt. Hr. *Lippart* wird aber weiter wie bisher dem Verein lebhaft Anteil nehmen.

Hr. *Petersen* sprach unter lebhafter Zustimmung scheidenden Kurator den Dank der Versammlung für seine erfolgreiche und stets verständnisvolle Betreuung der wissenschaftlichen Aufgaben des Vereines aus. [N 294]

²³⁾ *Klingenberg-Stiftung*. — Hr. *Möring* hat die vom Verein deutscher Ingenieure erteilte Abrechnung für Ende 1928 an der Hand der Unterlagen nachgeprüft und in Übereinstimmung mit den vorgelegten Belegen gefunden.

Das Stiftungskapital von 20 000 RM setzt sich zusammen aus dem nom. 10 000 RM 9. Pr. Zentrallandschaftl. Goldpfandbriefen, J/J., Kurs 96 vH, 9600 RM, nom. 10 000 RM 4. Pr. Landespfandbriefanstalt-Goldpfandbriefen, J/J., Kurs 96,5 vH, 9650 RM und einem vom Verein deutscher Ingenieure zum Reichsbankdiskont verzinster Barbetrag in Höhe von 750 RM, zuzüglich des nur mäßigen Kursverlustes von insgesamt 580,85 RM. Der bisherige Zinsertrag beläuft sich abzüglich Depotgebühren auf 2299,65 RM. Stipendien sind je 600 RM an W. *Gräß*, Berlin, und an K. *Erk*, Charlottenburg, gezahlt, so daß ein Zugang von 1099,65 RM zuzeichnen ist. Das Vermögen stellt sich mithin ohne Berücksichtigung des nur buchmäßigen Kursverlustes am 31. Dezember 1928 auf 21 099,65 RM.

²⁴⁾ *Bach-Stiftung*. — Hr. *Möring* hat die vom Verein deutscher Ingenieure erteilte Abrechnung für Ende 1928 an der Hand der Unterlagen nachgeprüft und in Übereinstimmung mit den vorgelegten Belegen gefunden.

Das Grundkapital belief sich auf 21 176,40 RM, wovon in Papieren nom. 11 000 RM 9. Pr. Zentrallandschaftl. Goldpfandbriefe, J/J., Kurs 96 vH, 10 560 RM und nom. 10 000 RM 4. Pr. Landespfandbriefanstalt-Goldpfandbriefen, J/J., Kurs 96,5 vH, 9650 RM festgelegt sind. Der verbleibende Barbetrag von 966,40 RM zuzüglich des nur buchmäßigen Kursverlustes von insgesamt 609,90 RM wird dem Verein deutscher Ingenieure zum Reichsbankdiskont verzinster. Der bisherige Zinsertrag beläuft sich abzüglich Depotgebühren auf 2708,35 RM. Da Ausgaben nicht vorliegen, stellt sich das Vermögen am 31. Dezember 1928 ohne Berücksichtigung des nur buchmäßigen Kursverlustes auf 23 884,72 RM.

Berichtigung

Verwendbarkeit von Schwerölen im Explosionsmotor

In der Abhandlung von *E. Drenckhan* in Z. B. (1929) Nr. 21 S. 725 muß es im 4. Absatz von der 4. Zeile ab richtig heißen: Der Verdampfer wurde mit Leuchtgas beheizt, nachdem besondere Versuche gezeigt haben, daß ein mit Auspuffgasen beheizter Verdampfer den Betrieb geeignet ist. [N 315]

Schluß des Textteiles

I N H A L T:

	Seite
Geschweißte Rohrkonstruktionen. Von <i>A. Hilpert</i> und <i>O. Bondy</i>	805
Über die Systeme Wolfram-Kohlenstoff, Wolfram-Eisen und Molybdän-Eisen	810
Röntgenverfahren zur räumlichen Ausmessung von Fehlstellen in Werkstoffen. Von <i>G. Kantner</i> und <i>A. Herr</i>	811
Martin Kubierschky †	816
Wassermessung mit scharfkantigen Überfallwehren. Von <i>Th. Rehbock</i>	817
Arthur Scherbius †	823
Die größte Lokomotive der Erde	823
Mischungsverhältnis und Verbrennungsvorgänge im Ölomotor. Von <i>P. Meyer</i>	824
Beförderung von Kohlenstaub	826

Rundschau: Hochdruck-Wasserkraftanlage Vermont — Vergleichende Versuche mit Farbspritzpistolen — Konstante Brucharbeit als Erklärung für den Bruch durch Ermüdungs- und andere Belastungen — Kleine Mitteilungen	
Bücherschau: Deutsche Forschung — Richtige Akkorde. Von <i>G. Peiseler</i> — Lehrbuch der physikalischen Chemie in elementarer Darstellung. Von <i>J. Eggert</i> — Flughandbuch für das Deutsche Reich — Eingänge	
Angelegenheiten des Vereines: Sitzung des Wissenschaftlichen Beirates	
Berichtigung: Verwendbarkeit von Schwerölen im Explosionsmotor	

ZEITSCHRIFT DES VEREINES DEUTSCHER INGENIEURE

SCHRIFTFLEITER: C. MATSCHOSS



73

SONNABEND, 22. JUNI 1929

Nr. 25

Hauptversammlung KÖNIGSBERG 1929

Ostpreußen und seine deutsche Mission im Osten

Von Dr. jur. PAUL BLUNK, Landeshauptmann der Provinz Ostpreußen

„Das alte Ordensland ist ein Hafendamm, verwegen
hinausgebaut vom deutschen Ufer in die wilde See
der Völker.“

It diesen Worten hat *Heinrich von Treitschke* nicht nur die besondere Art der geographischen Lagerung Ostpreußens umschreiben, sondern auch die Aufgabe anzeichnen wollen, der Ostpreußen durch Jahrhunderte deutscher Geschichte getreu gedient hat: Bollwerk des Deutschtums gegen das von Osten herandrängende slawische Element zu sein. Diese Mission ist das Schicksal Ostpreußens geworden, das uns mit unverminderter Uinge auch heute noch in seinen Bann geschlagen hält.

Aus der Geschichte Ostpreußens

1930 werden 700 Jahre darüber vergangen sein, seitdem der Deutsche Ritterorden, von dem Herzog *Konrad von Masovien* gerufen, in das Land östlich der Weichsel gezogen kam, um die heidnischen Pruzen zu unterwerfen und zum Christentum zu bekehren. An der Schwelle der heute von Polen emsig betriebenen Geschichtsklitterung muß die Tatsache festgehalten werden, daß es keine slawischen Stämme waren, die hier unter der Herrschaft des Deutschen Ordens gezwungen wurden. In diesen Gebieten saßen die alten Pruzen, ein zähes Volk, das nach der Völkerwanderung die dort hier wohnenden germanischen Stämme verdrängt hatte und nun in harten, über ein halbes Jahrhundert dauernden Kämpfen dem Werk der Christianisierung des Pruzen Widerstand entgegensetzte. Der Deutsche Orden hat auch nicht die hier vorgefundene Bevölkerung mit Feuer und Schwert ausgerottet, sondern Volk und Land in mühe- und gefahrvoller, kolonisatorischer Arbeit für den deutschen Kulturkreis gewonnen. Noch heute lassen sich — abgesehen von Ortsbezeichnungen und andern historischen Denkmälern — Geschlechter nachweisen, deren Namen ihrem Ursprung nach auf das Pruzenvolk zurückgehen.

Es ist noch immer so in der Geschichte der Völker, daß höhere Kulturen niedrigere in sich aufsaugen. So war es auch hier in den Landen östlich der Weichsel. Träger dieses Kolonisationswerks, das der Deutsche Orden im Osten aufrichtete, war nicht der Deutschritter

allein, sondern ebensosehr der deutsche Bürger; denn mit dem Orden zog auch der Bauer und Handwerker, der Kaufmann und Künstler ins Land und half deutsche Art und Arbeit verbreiten. Mit der Beherrschung der Ostsee durch die Hanse gelang es immer mehr, den deutschen Einfluß, namentlich in den Küstengegenden, zu stärken und Handel und Verkehr auch nach dem fernerem Hinterlande zu verpflanzen. Hier verlief eine der großen Handelsstraßen nach dem weiten Rußland und manche alte Stadt — wie besonders Danzig, Elbing und Königsberg — könnte erzählen, wieviel ihrer damaligen Blüte sie dem Orden und der Hanse zu verdanken hat. Deutsche Kultur hat dem Lande den Stempel aufgedrückt. Und es ist deshalb durch nichts berechtigt, wenn Polen und mit ihm der solchen Einflüsterungen leider zu geneigte Völkerbund historische Ansprüche auf dieses Gebiet geltend machen, indem sie seine Unterwerfung durch den Deutschen Orden als einen Raubzug an polnischem Erbgut darzustellen suchen. Ostpreußen hat staatsrechtlich nie zu Polen gehört. Wohl weiß die Geschichte von einer Zeit zu berichten, da der östliche Teil des Ordenslandes unter polnischer Souveränität gestanden hat. Aber diese Anerkennung polnischer Hoheitsrechte auf Ostpreußen ist ebenso wie der Verlust Pommerns an die Krone Polens lediglich die Folge eines Gewaltaktes, der durch den 2. Thorner Frieden 1466 an dem Deutschen Orden vollzogen wurde. Der polnische Sieg bei Tannenberg im Jahre 1410 hatte die Macht des Ordens gebrochen und weite Teile des deutschen Landes — die ihrer räumlichen Ausdehnung nach über die Grenzen des heutigen sogenannten „Korridors“ noch hinausgriffen — den Polen ausgeliefert. Erst mit dem Großen Kurfürsten fiel durch den Frieden zu Oliva 1663 die polnische Souveränität über Ostpreußen, und ein Jahrhundert später waren durch Friedrich den Großen die ehemals verlorengegangenen Gebietsteile von Westpreußen und Posen für Preußen wieder zurückgewonnen.

Der Große Kurfürst hatte Ostpreußen „das Auge des Staates“ genannt und mit der Errichtung der Seefeste Pillau den Grundstock zur ersten brandenburg-preussischen Flotte gelegt. Von hier aus wurden auch die Schiffe ausgerüstet, die zur Sicherung des ersten deutschen Kolonialbesitzes, der „Afrikanischen Kompagnie“, nach der Goldküste hinausfuhren.

Abb. 1
Ostpreußen — vor dem
Versailler Diktat.



Abb. 2
Ostpreußen — nach dem
Versailler Diktat.

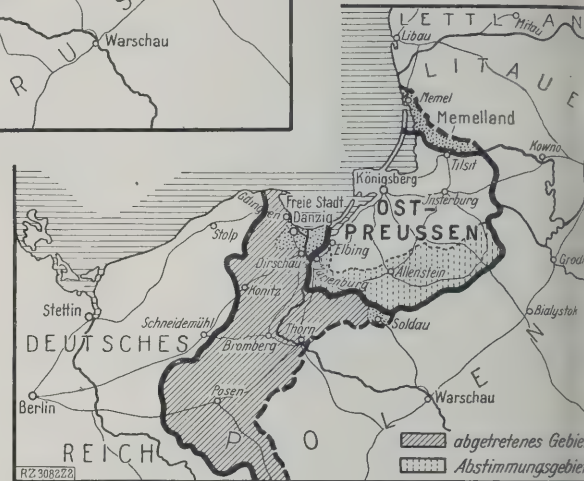


Abb. 3
Die widersinnige Grenzziehung an der Weichsel
nach dem Versailler Diktat.

Die wechselvollen Geschicke des Landes östlich der Weichsel haben den Zug der preußischen Geschichte mitbestimmt. Die Provinz hat dem preußischen Staat nicht nur den Namen gegeben, hier stand auch die Wiege deutscher Seegeltung und deutscher kolonialer Machtentfaltung. Von hier aus gab die Tat eines York im Jahre 1813 das Signal zur Befreiung Preußens vom Napoleonischen Joch.

Wirtschaftliche Bedrückung in der Gegenwart

Politisch gesehen, hat die Gegenwart das Land Ostpreußen um Jahrhunderte wieder zurückgeworfen; denn der Versailler Gewaltfriede, der das deutsche Vaterland um alte, angestammte Besitzteile, um seine Flotte und seine Kolonien beraubte und in schwere Schuld knechtete, hat Ostpreußen vom „Reich“ gerissen und dem Lande damit die Quelle seiner wirtschaftlichen Kraft genommen. Ein Blick auf die Karten, Abb. 1 und 2, zeigt die Zerstückelung des deutschen Ostens durch den Versailler Vertrag in grellstem Lichte.

Wieder trennt wie nach dem 2. Thorner Frieden ein „Korridor“ die Ostmark vom Mutterlande. Aus dem Gebiet der Provinz Ostpreußen sind die Soldauer Ecke an

Polen und das Memelland an Litauen gefallen, zum H auf das von Wilson vorher so emphatisch verkündete Selbstbestimmungsrecht der Völker.

Hatte schon der mehrmalige Russeneinfall im letzten Kriege die Provinz schwer heimgesucht — es sind 1 in 35 Städten und 1900 ländlichen Gemeinden über 30 Gebäude zerstört worden —, so bedeutete die Abtretung der Gebiete im Südosten und Nordosten, Zahlentafel eine neue schwere Einbuße an Menschen und Wirtschaftskraft für Ostpreußen.

Von Ostpreußen sind demnach rd. 315 800 ha 166 000 Menschen durch das Versailler Diktat an Polen und Litauen ausgeliefert worden.

Mit dem Verlust der ehemaligen Provinzen Westpreußen und Posen gingen außerdem der ostpreußischen Wirtschaft wichtige Absatzgebiete verloren, für die durch die polnische Gewaltpolitik geknebelte Freie Stadt Danzig auch nicht im entferntesten einen Ersatz bieten vermochte. Ostpreußen ist heute einem Glied vergleichbar, das vom deutschen Wirtschaftskörper nicht amputiert, aber abgeschnürt worden ist. Wirtschaftliches Siechtum muß die Folge dieser Vergewaltigungspolitik sein. Nach den Begriffen der politischen Geographie ist Ostpreußen heute nicht mehr Grenzland, es ist zu einer deutschen Insel inmitten fremder Staatsgebilde geworden. Auch dem Fernstehenden wird jetzt klar sein, was wir meinen, wenn wir hier in Ostpreußen von „blutigen Grenzen“ sprechen. Der ganze Widerstand dieser Grenzziehung offenbart sich am deutlichsten bei der Schaffung des polnischen Brückenkopfs bei Kumbark. Die Karte, Abb. 3, zeigt den Verlauf der polnischen Grenzlinie. Fünf deutsche Dörfer auf der ostpreußischen Weichselufer sind dadurch zu Polen geschlagen, ohne der Tatsache Rechnung zu tragen, daß durch die Deichlinie der Marienwerderer Niederung nicht weniger als sechsmal von der polnischen Grenzlinie durchschnitten und die Ausübung des Deichschutzes bei Hochwassergefahr zur Unmöglichkeit gemacht wurde. Diese Maßnahme ist ebenso wie der Abbruch der Münsterwalder Brücke lediglich auf politisch-strategische Gründe der Polen zurückzuführen.



Die Marienburg in Westpreußen

Der Dansker vom Schloß
in Marienwerder



Ostpreußen als Wirtschaftseinheit

Welche Wirkungen hat nun die Abtrennung Ostpreußens vom Mutterland auf die bisherige Stellung Ostpreußens in der deutschen Volkswirtschaft gehabt? Um diese Frage überzeugend beantworten zu können, muß man sich zunächst vergegenwärtigen, welche Bedeutung Ostpreußen bisher als Wirtschafts- und Wirtschaftseinheit eingenommen hat.

Ostpreußen zählt seiner Fläche nach zu den größten Provinzen Preußens. Auf seinen 87 000 qkm² wohnen nach der letzten Volkszählung von 1925 rd. 2¼ Millionen Menschen. Die berufliche Gruppierung der Bevölkerung ergibt sich aus der Zusammenstellung, Zahlentafel 2.

Landwirtschaft

Die Übersicht läßt deutlich erkennen, daß nahezu die Hälfte der Bevölkerung beruflich zur Landwirtschaft zu rechnen ist. Der Charakter Ostpreußens als einer Agrarprovinz ist damit von vornherein gekennzeichnet. Er tritt noch greifbarer in Erscheinung, wenn man berücksichtigt, daß fast zwei Drittel der Bevölkerung (61 vH) auf dem platten Lande wohnen gegenüber nur 35 vH im Reichsdurchschnitt. Das spiegelt sich in der ostpreußischen Gesamtwirtschaft mit also die Landwirtschaft ein. Sie ist sozusagen das Schlüsselgewerbe im Wirtschaftssystem unserer Provinz anzusehen. Unter allen preußischen Provinzen ist Ostpreußen mit seiner landwirtschaftlich genutzten Fläche von 2,66 Mill. ha an erster Stelle. Seine Bedeutung für die deutsche Ernährungswirtschaft erhellt aus dem Umstand, daß die ostpreußische Landwirtschaft bei



Das Immanuel Kant-Denkmal in Königsberg

Zahlentafel 1. Im einzelnen haben verloren:

	Regierungsbezirk Königsberg		Regierungsbezirk Gumbinnen					Regierungsbezirk Allenstein	
	Memel Stadt	Memel Land	Kreis Heydekrug	Kreis Niederung	Kreis Ragnit	Tilsit Stadt	Tilsit Land	Kreis Neidenburg	Kreis Osterode
Fläche	2 581	106 255	61 889	2 156	26 852	1 357	64 578	48 614	1 524
Bevölkerung 1910	21 470	40 502	36 795	959	8 934	662	31 916	24 001	786
Prozent Staatszugehörigkeit ..	Litauen					Polen			

Zahlentafel 2. Die Bevölkerung Ostpreußens nach ihrer Berufszugehörigkeit 1925.

Wirtschaftsweige	1	2	3	4	5	6	7	8
	Landwirtschaft	Industrie und Handwerk	Handel und Verkehr	Verwaltung usw.	Gesundheitswesen usw.	Häusliche Dienste usw.	Ohne Beruf	Insgesamt
Anzahl	1 023 502	442 785	290 352	130 721	26 461	77 810	264 718	2 256 349
Prozent .. vH	45,96	19,91	13,32	6,05	1,25	1,64	11,87	100

einer pflanzlichen und tierischen Jahreserzeugung im Werte von rd. 450 Mill. RM in der Lage ist, außer der ostpreußischen Bevölkerung die Ernährung für weitere 3 Mill. Menschen sicherzustellen.

Was die landwirtschaftliche* Besitzverteilung anbelangt, so ist es ein Irrtum, anzunehmen, daß Ostpreußen das typische Land des Großgrundbesitzes sei. Vielmehr liegt das Schwergewicht im mittel- und großbäuerlichen Besitz, der etwa die Hälfte der landwirtschaftlich genutzten Fläche in seiner Hand vereinigt, während die andre Hälfte zu fast gleichen Teilen auf kleinbäuerlichen und Großgrundbesitz entfällt.

Im Vergleich zur Landwirtschaft spielt die Forstwirtschaft längst nicht die Rolle im ostpreußischen Wirtschaftsleben. Ostpreußen muß mit seinem Waldbestand von 17 vH der Fläche gegenüber einem Staatsdurchschnitt von 24,2 vH geradezu als waldarmes Land gelten. Unter den preußischen Provinzen steht es deshalb auch an vorletzter Stelle. Die vor dem Kriege günstigen Handelsverbindungen mit Rußland führten trotz des fehlenden Eigenbesitzes an Wäldern dennoch zu einem blühenden Holzhandel und zu einer ebenfalls in steigender Entwicklung befindlichen Sägewerkindustrie in Ostpreußen. Die größten

holzverarbeitenden Industrien

der Provinz sind die Zellstoff-Fabriken in Königsberg und Tilsit-Ragnit, die vorwiegend polnisches, finnisches und russisches Holz verarbeiten. Die Jahresproduktion dieser Werke, die eine Zeitlang dem Stinneskonzern angehörten, ist so groß, daß sie den Papierbedarf Deutschlands um mehr als das Vierfache übersteigt.

Der gänzliche Mangel an Erz- und Kohlenvorkommen ist der Grund dafür, daß die eisenverarbeitende Industrie in Ostpreußen nur wenig an Ausdehnung hat gewinnen können. Werden doch in der Provinz — wie wir vorher gesehen haben — nur 20 vH der Bevölkerung in Industrie und Gewerbe beschäftigt. Immerhin sind die hier heimischen Unternehmungen bedeutende Gründungen, so die Schichauwerke und die Maschinen- und Automobilfabrik von F. Komnick in Elbing, die Uniongießerei und die Waggonfabrik Steinfurth in Königsberg. Von anderen Industrien wären noch die Zigarrenfabrik von Loeser & Wolff zu nennen, deren Stammhaus in Elbing liegt. Alle anderen industriellen Betriebe sind mehr oder minder als Hilfgewerbe der Landwirtschaft anzusehen, wie Molkereien, Brennereien, Mühlen und Brauereien.

Technik in der Landwirtschaft

In diesem Zusammenhang — und nicht zuletzt im Hinblick auf das besondere Interesse, das gerade der Verein deutscher Ingenieure an diesen Vorgängen nimmt — verdient die Frage eine eingehendere Würdigung, inwieweit die Technik Eingang in die ostpreußische Landwirtschaft gefunden hat.

Die Maschinenhaltung ist in Ostpreußen infolge seiner klimatischen Verhältnisse und der Bodengestaltung nicht in dem Maße vorgeschritten, wie es mit Rücksicht auf eine intensive Betriebsführung sonst zu wünschen wäre. Die Drillmaschine ist im Großbetrieb allgemein vorhanden, dagegen fehlt sie in vielen Bauern- und Siedlerbetrieben noch gänzlich. Hackmaschinen findet man in den Gebieten des Rübenbaues (Marienwerder) allgemein, in Getreide bauenden Betrieben seltener. An Erntemaschinen wird mit besonderer Vorliebe der Grasmäher mit Anhaublech zum Getreidemähen verwendet. Er hat sich für das Mähen von Lagerfrucht, das in den regnerischen Erntemonaten besonders häufig auftritt, gut eingeführt. Daneben wird, wo irgend möglich, auch der Bindemäher benutzt; doch findet man noch kaum Bindemaschinen mit Zapfwellenantrieb. Höhenförderer und Gebläse werden überall benutzt; denn ihre Arbeit kommt vor allem der Bergung und Sicherung der Ernte zugute.

Die Zahl der Motorpflüge in Ostpreußen darf heute vielleicht mit 2500 Maschinen angenommen werden.

Damit würden etwa 75 vH der Betriebe über 100 H. Ostpreußen mit einem Motorflug ausgerüstet sein. In anderen Provinzen, hat sich auch hier die Wartung und Instandhaltung der Motorpflüge durch Motorflugüberwachungs-G. m. b. H. bewährt und gebürgert.

Der Ausbau der Überland-Elektrizitätsversorgung hat in den letzten Jahren bedeutende Fortschritte gemacht, so daß kaum mehr ein Kreis elektrischen Strom ist¹⁾. Die gesamte Elektrizitätsleistung des Ostpreußenwerks, des größten Elektrizitätsunternehmens der Provinz — das übrigens eine Abteilung des Provinzial-Verbandes darstellt — betrug 46 Mill. kWh, von denen 26,5 vH an landwirtschaftliche Abnehmer abgegeben wurden. Von besonderem Interesse ist das Kraftwerk Karwinden, das nur mit Torf gewirkt wird und als solches wohl das einzige seiner Art im Osten ist.

Um dem elektrischen Betrieb in der Landwirtschaft die Wege zu ebnen, hat das Ostpreußenwerk in verschiedener Weise einen landwirtschaftlichen Betrieb als Versuchsbetrieb eingerichtet, in dem dauernd Versuche mit Motoren und Geräten aller Art für Haus- und Hofwirtschaft durchgeführt werden. Diese geben einwandfreie Grundlagen für den Ausbau der Elektrizitätsversorgung für die Behandlung der Tariffragen. Zur Befriedigung befinden sich in der Provinz auch drei Elektropflüge, die als Seilpflüge nach der Zweimaschinenanordnung einem Transformatorwagen gebaut, eine hohe Arbeitsleistung aufweisen, wobei besonders hervorzuheben ist, daß die entstehenden Betriebskosten auf 1 ha Ackerfläche noch unter denen bei Benutzung von Pferden gespannt bleiben.

Wenn auch die Landmaschinenindustrie Ostpreußen nicht so stark vertreten ist, daß sie der Provinz den Charakter einer reinen Agrarprovinz nehmen könnte, so sind doch einige Firmen zu nennen, deren Bedeutung durchaus über die Grenzen der Provinz hinausgeht durch den Ruf und die Verwertung ihrer Erzeugnisse. Als Fabriken landwirtschaftlicher Maschinen stehen hier in erster Reihe die Firmen Rud. Wermke, A.-G., Heiligenbeil, und das Carlswerk, Königsberg. Auch größere Werke haben sich nebenbetrieben mit der Herstellung landwirtschaftlicher Maschinen abgegeben. So bauen die Union-Gießerei, Contienen, die ganz vorzügliche Universalwalze, die Automobilfabrik Komnick die Komnick-Motorpflüge, die Schlepper, neuerdings im Verein mit der Benz-Sendling G. m. b. H. einen Dieselschlepper. Die Waggonfabrik Steinfurth, Königsberg, hat keine Mühe gescheut, einen modernen Ackerwagen nach den Richtlinien der Deutschen Landwirtschafts-Gesellschaft zu schaffen, hierbei einen sehr beachtenswerten Wagen entwickelt, der sich bereits in der Praxis unter schwierigsten Bedingungen sehr gut bewährt hat.

Neben diesen, durch ihre Fabrikate bekannten Herstellerfirmen verdienen auch die großen Verkaufsunternehmungen für landwirtschaftliche Maschinen, die ostpreußische Maschinen-Genossenschaft und die F. Witt & Svendsen, genannt zu werden, die durch ein großes Maschinen- und vor allem Ersatzteillager ein erhebliches Mittell zwischen der landwirtschaftlichen Praxis und der westlichen Industrie bilden.

So fehlt es nicht an Bemühungen, die ostpreußische Landwirtschaft mit brauchbaren technischen Einrichtungen zu versorgen, und es ist erfreulich, feststellen zu können, daß sich auch die Landwirtschaft selbst erfolgreich bemüht, ihre Betriebe mit Maschinen auszustatten, die die Rentabilität erhöhen können oder bei günstiger Lage den Betrieb überhaupt aufrechtzuerhalten vermögen. So haben bereits im vergangenen Jahre 2 Mähdreschmaschinen in Ostpreußen gearbeitet. Durch an ihnen im Auftrage des Reichskuratoriums für Technik in der Landwirtschaft ausgeführten Betriebsuntersuchungen konnten wichtige Aufschlüsse über die Anwendbarkeit dieser amerikanischen Maschinen in klimatischer und

¹⁾ Vergl. S. 847.



Königsberg
vom Flugzeug
(Kneiphof)



Die Börse in
Königsberg



Getreide-
speicher im
Hafen



Die Dre
brücke d
Reichsba
über den P



Zellstofffab
Koholyt A
am König
berger Haf



Der neu
Bahnhof
Königsber
(Bauzustan
1927)



die Schichau-Werft
in Elbing.

ten Verhältnissen gewonnen werden. Auch ein unter
Oberaufsicht des Landmaschinen-Instituts der Univer-
sität Königsberg arbeitender Maschinenring ist als Keim-
zelle für rationelle Maschinenanwendung und -verwal-
tung anzusprechen, an den sich hoffentlich bald weitere
Kreise ankrystallisieren werden.

Ein Überblick über die ostpreußischen Industrie-
verhältnisse — der hier nur summarisch gegeben werden
kann — würde eines wesentlichen Merkmals entbehren,
wenn dabei nicht einer Industrie gedacht werden würde,
deren Stellung in der ganzen Welt einzigartig ist: das ist

die ostpreußische Bernsteinindustrie.

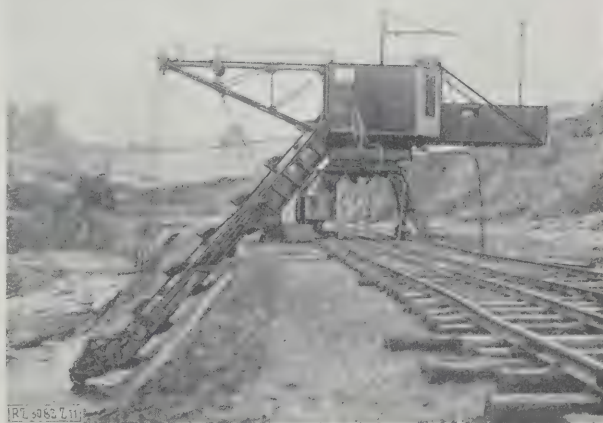
Der Bernstein, das „Gold der Ostsee“, wird hier im Tage-
abbau mit großen Baggern gewonnen. Die Jahres-
erzeugung beträgt rd. 400 000 kg. Das Bernsteinvorkom-
men in Ostpreußen gehört zu den reichsten und aus-
gelehntesten der Erde. An der Küste des Samlandes findet
sich der Bernstein in Stücken bis Kopfgröße, eingelagert in
der sogenannten „blauen Erde“, die etwa 40 bis 50 m unter
der Steilküste liegt und unter den Sanden flach ins Meer
hinschneit.

Damit ist in großen Linien das Bild umrissen, das
das Wirtschaftsleben Ostpreußens das eigentliche Gepräge
gegeben hat. Von dieser natürlichen Grundlage, die Land-
wirtschaft und Industrie darbieten, ist

der ostpreußische Handel

begonnen, als er sich in altem hanseatischen Unter-
nehmungsgeist sein Betätigungsfeld schuf. Er beschränkte
sich nicht nur auf die Vermittlung des Handelsverkehrs
zwischen Stadt und Land und den Absatz nach dem Reich,
sondern eroberte sich sehr bald auch das Ausland, und hier
erster Linie das besonders an Getreide und Holz so
reiche russische Hinterland. Das „Rußlandgeschäft“ spielte
der Zeit vor dem Krieg eine gewichtige Rolle im ost-
preußischen Wirtschaftsleben, und hier war es der Hafen
Königsberg, über den, begünstigt durch die deutsch-
russischen Handelsverträge, die gesamte Ausfuhr an
landwirtschaftlichen Erzeugnissen aus dem westlichen
Rußland ging.

Hier wurde der Weltmarktpreis für Hülsenfrüchte, ins-
besondere für Linsen, bestimmt, hier wurde russisches Ge-
trocknetes, Roggen und Gerste, Öl- und Leinkuchen aufgeliefert.
Umgekehrt ging ein großer Teil von deutschen Industrie-
erzeugnissen von hier nach Rußland, und auch der He-
belhandel nach diesen Gebieten erzielte von Jahr zu
Jahr höhere Umsätze. In der Vorkriegszeit wurden jähr-



Ein Schwenkbagger in der Bernsteingrube Palmnicken.

lich über eine halbe Million Tonnen Heringe über Königs-
berg nach Rußland verfrachtet.

Die Eroberung des russischen Marktes entschädigte
die Wirtschaft Ostpreußens — und besonders Königsbergs
— für die Ungunst der verkehrspolitischen Lage, die der
Provinz als nordöstlichem Ausläufer vom Schwerpunkt der
deutschen Wirtschaft von der Natur zugewiesen war. Im
Rußlandgeschäft lag von jeher die Hauptstütze des Kö-
nigsberger Handels: fast ein Drittel des gesamten rus-
sischen Ausfuhrhandels nach Deutschland ging über Ost-
preußen, und Königsberg fiel der Löwenanteil dabei zu.
Von erheblicher Bedeutung war auch der Holzhandel, der
über den Memel- und Weichselstrom alljährlich riesige
Traften Holz aus Rußland ausfuhrte.

Von dieser einstigen Vormachtstellung im Handels-
verkehr des Ostens hat Ostpreußen und mit ihm Königs-
berg heute nahezu alles eingebüßt. Konnte man aus dem
wachsenden Geschäft der letzten Jahre vor dem Kriege auf
eine weiter steigende Entwicklung des Rußlandhandels mit
Sicherheit rechnen, so hat die Gegenwart diese Hoffnungen
nicht erfüllt, sondern gerade das Gegenteil davon herbei-
geführt, so daß man in den ersten Nachkriegsjahren von
einem Rußlandhandel überhaupt nicht mehr sprechen
konnte.

Worauf ist dieser katastrophale Umschwung zurück-
zuführen?

Wie die Karten, Abb. 1 und 2, bereits gezeigt haben, ist Ostpreußen von dem ehemals zu seiner Interessensphäre gehörenden russischen Hinterland durch die Randstaaten abgeschnitten. Wie ein Riegel haben sich diese neuen Staategebilde zwischen Rußland und Ostpreußen geschoben und unsere Provinz von ihren alten Einflußgebieten im russischen Reich abgedrängt, gleichsam einen neuen „Korridor“ auch im Osten Ostpreußens aufrichtend.

Es liegt auf der Hand, daß eine derart tief greifende Verschiebung der politischen Machtverhältnisse im Osten von den schwerwiegendsten Folgen für die wirtschaftliche Lage Ostpreußens begleitet sein mußte. Memel und Weichsel die beiden großen Zubringerströme für Ostpreußen, haben keine deutschen Mündungen mehr. Der Memelstrom soll nach dem Versailler Vertrag zwar internationalisiert sein, aber deutsche Schifffahrt und Handel sind ausgeschaltet, und Litauen bleibt eifrig bemüht, seine gesamte Ein- und Ausfuhr über den Hafen Memel zu leiten. Die gleiche Politik verfolgt Polen, wenn es niedrige Exporttarife auf seinen Bahnen einführt und seine Ausfuhr wie die im Transitverkehr von Rußland eingehenden Güter planmäßig über Danzig und den neuen polnischen Hafen Gdingen verfrachtet, um so Ostpreußen von jedem Handelsverkehr abzudrosseln. Die Kampftarife der polnischen Eisenbahn sind teilweise so niedrig gehalten, daß sie selbst unter den eigenen Selbstkosten liegen.

Außerdem hat Polen mit einem Aufwand von bisher rd. 30 Mill. Zloty den systematischen Ausbau von Gdingen zu einem großen Handels- und Umschlagplatz betrieben, um die Aufnahmefähigkeit der polnischen Verkehrseinrichtungen weiter zu steigern und damit auch den noch sehr unbequemen Wettbewerb des Danziger Hafens zu beseitigen. Der polnische Staat läßt sich also den Versuch etwas kosten, Ostpreußen — und den Freistaat Danzig — wirtschaftlich zu isolieren. Es würde der Zähigkeit und dem Selbstbehauptungswillen des Ostpreußen nicht entsprochen haben, hätte er angesichts dieser Sachlage die Hände in den Schoß gelegt. Alle Berufstände der Provinz haben sich zusammengetan, um diesen Widerständen der neuen Zeit entgegenzutreten und die alte Machtstellung für ihre Wirtschaft wieder zurückzugewinnen.

Die ostpreußische Landwirtschaft ist zur Herstellung von Erzeugnissen hoher Güte übergegangen und hat erreicht, daß ihre Zuchtprodukte sowohl in Saaten wie in Tieren heute wieder Absatz in Rußland finden. Die Deutsch-russische Saatgut-Aktiengesellschaft besitzt eine Konzession im nördlichen Kaukasusgebiet, die für den weiteren Ausbau der Handelsbeziehungen wertvolle Dienste leistet. Man hofft insbesondere auch, daß der Königsberger Transithandel allmählich wieder eine Belebung erfährt. Es ist bekannt, daß Rußland bereits seit Jahren regelmäßig die deutsche Ostmesse in Königsberg beschickt und dort auch als Abnehmer landwirtschaftlicher Maschinen auftritt, für die die russische Landwirtschaft immer besonders aufnahmefähig war. Noch vor wenigen Wochen hat eine ostpreußische Delegation unter Führung des Oberpräsidenten der Provinz Ostpreußen Rußland besucht, um die Wirtschaftsbeziehungen zwischen beiden Ländern enger zu knüpfen.

Die geographische Lage weist Ostpreußen ganz von selbst darauf, seine alte Stellung als Mittler des Handelsverkehrs zwischen Osten und Westen mit aller Energie — trotz der Widerstände, die die Handelspolitik der Randstaaten dagegen anwendet — wieder zurückzuerobieren. Wenn heute bereits Erfolge in dieser Richtung erzielt worden sind, so liegt das nicht zuletzt an der geschickten und zielbewußten Einstellung der ostpreußischen Wirtschaftskreise.

Die Stadt Königsberg hat zu diesem Zweck in den Jahren 1917 bis 1924 einen nach neuzeitlichen Begriffen angelegten Industrie- und Handelshafen geschaffen und an dem am Unterlauf des Pregels befindlichen Hafenbecken große Getreidespeicher errichtet²⁾, die ihresgleichen auf dem Kontinent suchen. Ein moderner Flughafen und der

jetzt der Vollendung entgegengehende Hauptbahnhof weisen, daß Königsberg und Ostpreußen nicht gezwungen sind, sich von der Not der Zeit überrennen zu lassen, sondern mit ungebrochenem Mut und altem Selbstvertrauen den Kampf gegen fremde Gewalten und die Ungunst des Schicksals durchzuführen bestrebt sind.

*

In diesen Ausführungen spiegelt sich das Gesichtsbild der ostpreußischen Wirtschaft. Nun noch ein Wort über den Träger dieser Wirtschaft: dem ostpreußischen Menschen. Wenn es richtig ist, daß „die Menschen das Schicksal eines Volkes“ sind, so wird jeder Blick in die Zukunft Ostpreußens von der Tatsache abhängen, ob dem Ostpreußen so viel Lebensenergien eigen sind, daß er seine Mission im Osten mit Erfolg auch unter den veränderten Bedingungen erfüllen kann. Diese Frage führt selbst auf ein Thema, das hier noch nicht berührt worden ist, auf

die kulturelle Sendung Ostpreußens.

Auch in den Kreisen der Gebildeten im Reich pflegt man im allgemeinen keinen allzu hohen Begriff von dem Geistesleben unserer Provinz zu haben. Die nahebarschaft von Rußland schien das Urteil über die geistige Regsamkeit des Ostpreußen etwas einseitig und unserem Nachteil beeinflußt zu haben. Wenn man der Zeit vor dem Kriege von dem Lande sagen hört, daß sich hier „die Füchse Gute Nacht sagten“, so erinnert man über den Menschen höchstens, daß er ein glühender Verkünder des „ostpreußischen Maitranks“ sei und man im übrigen „mit ihm Pferde stehlen könne“!

Während des Krieges hat sich diese Vorstellung gewandelt, denn die unmittelbare Berührung mit ostpreussischer Art hat mit diesem oberflächlichen Urteil aufgeräumt und mehr als je zuvor die Aufmerksamkeit auch auf die kulturelle Seite des Ostpreußentums gelenkt. Man hat sich mehr und mehr auch mit der Geschichte des Landes befaßt und daraus gelernt, daß Ostpreußen zu allen Zeiten seiner kulturellen Aufgabe gewachsen gewesen und darüber hinaus dazu beigetragen hat, die Geistesgüter dieser Welt durch die Leistungen seiner eigenen Söhne in hervorragendem Maße zu bereichern. Man denke nur an die Zeit, in der ein Immanuel Kant am philosophischen Lehrstuhl der Königsberger Universität inne hatte und mit seinem Wirken dieses Pflanzstadium ostpreußischen Bildungswesens und Geisteslebens ein in der ganzen Welt geachteten Namen verschaffte. Auch in den späteren Jahren sind bedeutende Männer an der Universität tätig gewesen, so Herbart und der Hegelianer Rosenkranz, der Volkswirtschaftler Krauß, der Jurist Eduard von Simson, der Erfinder des Augenspiegels, Helmuth von Helldorf und der Astronom Bessel. Zu ihren Schülern zählen Männer wie Theodor von Schön, Herder, Hamann, Ferdinand Gregorovius, Wilhelm Jordan und von Hippel. So diese wenigen Namen lassen erkennen, wie befruchtend die nach ihrem Stifter Herzog Albrecht von Preußen benannte Albertus-Universität auf das gesamte Geistesleben nicht nur Deutschlands, sondern der ganzen Welt gewirkt hat.

Wie auf wissenschaftlichem und künstlerischem Gebiet so hat Ostpreußen auch in literarischer Hinsicht beachtenswerte Leistungen aufzuweisen. Dichter und Schriftsteller wie Simon Dach, E. T. A. Hoffmann, beide Skowronneks, Bogumil Goltz, Ernst Wichert, C. Bulcke, Agnes Miegel, Johanna Ambrosius, Albert Brust, Rolf Laukner und Arno Holz, sowie Walter Hasenclever und Hermann Sudermann sind Kinder ostpreussischer Erde und haben mit ihren Werken dazu beigetragen, das literarische Leben im Reich zu befruchten.

Von allen diesen Menschen und ihrer Heimat gilt das Wort des im Krieg gefallenen Dichters Gorch Fock: „Die Heimat ist der Schlüssel zu der Seele des Menschen. Dann aber gibt es Menschen, die der Schlüssel ihrer Heimat sind.“

Wo Land und Volk so innig miteinander verwachsen sind, wie hier in Ostpreußen, da ist es sicher, daß die Aufgabe, die wir vor 700 Jahren hier übernommen

²⁾ Vergl. Z. Bd. 68 (1924) S. 1257.

... auch in Zukunft nicht im Stiche lassen werden. Unerschrockenheit und Liebe zur Heimat geben uns die Kraft, den Existenzkampf, der uns aufgezwungen ist, weiterhin durchzukämpfen. „Dies Land bleibt deutsch!“ Unser Schicksal ist auch das Schicksal des Vaterlandes! Die Besuche von Korporationen und Verbänden, von Brüdern und Schwestern aus dem Reich wirken in uns immer von neuem das Gefühl, daß wir nicht allein auf äußerstem Posten stehen.

Wir sind heute schon einen Schritt weiter vorwärts gekommen; denn das „Ostpreußenproblem“ ist nicht nur lediglich ein Verhandlungsgegenstand der Regierungen und Parlamente, es ist zu einer Angelegenheit des ganzen deutschen Volkes geworden. Es muß noch zur Aufklärung über die ostpreußische Lage getan werden, noch mehr für eine Gesundung unserer schwer darniederliegenden Wirtschaft, die die Grundlage unseres Eigenlebens bildet. Jeder, der Ost-

preußen besucht, hilft dieses Werk fördern; denn er schlägt eine Brücke vom Reich zur „Insel Ostpreußen“ und trägt zu der Erkenntnis bei, daß die Erhaltung Ostpreußens als Bollwerk der deutschen Ostmark ebenso eine Notwendigkeit ist wie die Wiedergewinnung des Korridors.

In diesem Sinne begrüße ich den Verein deutscher Ingenieure auf ostpreußischem Boden. Lernen Sie die Schönheiten dieses Landes, sein Volk und seine Wirtschaft kennen und machen Sie sich zum Verkünder ostpreußischer Art und Arbeit im Reich und den Teilen der Welt, da der deutsche Ingenieur zu wirken berufen wird.

„Heimatland, sei es Moor und Strand
Oder Fluß und Sand,
Es ist daraus etwas zu gewinnen,
Wenn man's nur anschaut mit rechten Sinnen.“

[B 3082]

(Johannes Trojan)



Die Eisenbahnbrücke über die Weichsel bei Münsterwalde, die von den Polen abgebrochen wird.

Die ostpreußische Elektrizitätsversorgung

Von Dipl.-Ing. OTTO JAHNCKE

Mitglied des Vorstandes der Ostpreußenwerk-A.-G., Königsberg i. Pr.

Ostpreußen hatte vor dem Kriege keine einheitliche Elektrizitätsversorgung. Nur einzelne der größeren Städte hatten örtliche Zentralen, und in den ehemals ostpreußischen Kreisen östlich der Weichsel, die nach dem Kriege ebenfalls der Provinz Ostpreußen angegliedert wurden, fanden sich die ersten Anfänge einer Überlandversorgung.

Erst nach dem Krieg entstand eine alle Teile der Provinz erfassende Stromversorgung. Die Gründe für diese späte Entwicklung liegen auf der Hand. Die Bevölkerungsdichte der Provinz liegt weit unter dem Durchschnitt des preußischen Staates, große Dörfer sind selten, die Gemeinden mit weniger als 500 Einwohnern verhältnismäßig häufig. Die Ortschaften liegen in Ostpreußen meist nicht geschlossen, sie bestehen vielmehr aus dem größten Teil aus weit auseinanderliegenden Häusern und Gehöften. Alle diese Punkte sind für die Wirtschaftlichkeit einer Überlandversorgung nicht günstig; andererseits besteht infolge der schweren Benachteiligung der Provinz gegenüber den andern Landesteilen in geographischer, klimatischer und politischer Beziehung ein geradezu dringendes Bedürfnis nach einer einheitlichen Elektrizitätsversorgung des Landes.

Infolge der ungünstigen geographischen Lage wird der Bezug der Rohstoffe für die Landwirtschaft, Gewerbe und Industrie, wie Dünger, Kohle usw. verteuert, durch gleichzeitig alle Preise erhöht werden. Andererseits erschwert die große Entfernung von den Absatzmärkten die Verwertung der landwirtschaftlichen und gewerblichen Erzeugnisse.

Die ungünstigen klimatischen Verhältnisse haben zu kürzerer Wachstumszeit zur Folge und bedingen daher eine höhere lebendes Inventar (Angespann). Eben-

so ist wegen des rauen Klimas ein größeres Gebäudekapital nötig; der Anteil des Gebäudekapitals am gesamten Gutswert, der in Mitteldeutschland rd. 22 vH beträgt, erreicht in Ostpreußen rd. 44 vH.

Große Schwierigkeiten bringt vor allem die von Jahr zu Jahr zunehmende Abwanderung hochwertiger Arbeitskräfte nach dem Westen, wodurch die ostpreußische Landwirtschaft in eine außerordentlich schwierige Lage versetzt wird.

Unter diesen Umständen wartete die ostpreußische Landwirtschaft sehnsüchtig auf die Versorgung mit elektrischer Energie. Aber die schwierige wirtschaftliche Lage gab dem Privatkapital doch keinen rechten Anreiz zu einer derartigen Unternehmung. Kurz vor dem Kriege war zwar ein gemischtwirtschaftliches Unternehmen entstanden, das die Versorgung der um Königsberg gelegenen Landkreise, also der wirtschaftlich stärksten Gebiete, beabsichtigte. Sollte jedoch der ganzen Provinz, und vor allen Dingen auch den wirtschaftlich am schwersten leidenden südlichen Gebieten geholfen und damit eine gemeinnützige Aufgabe erfüllt werden, so mußte diese Zersplitterung verhindert werden, was nur durch ein Eingreifen der öffentlichen Hand geschehen konnte.

Es ist das Verdienst der Provinzialverwaltung gewesen, diese Verhältnisse klar erkannt und durch ihre Initiative die nirgend sonst erreichte Einheitlichkeit der Überlandversorgung ermöglicht zu haben.

Im Jahre 1920 gründete die Provinz unter erheblicher Beteiligung des Reiches (Vereinigte Industrie-Unternehmungen A.-G.) und Preußens Preußischer Elektrizitäts-Aktiengesellschaft, die Ostpreußenwerk-Aktiengesellschaft mit dem Ziel, die ganze Provinz

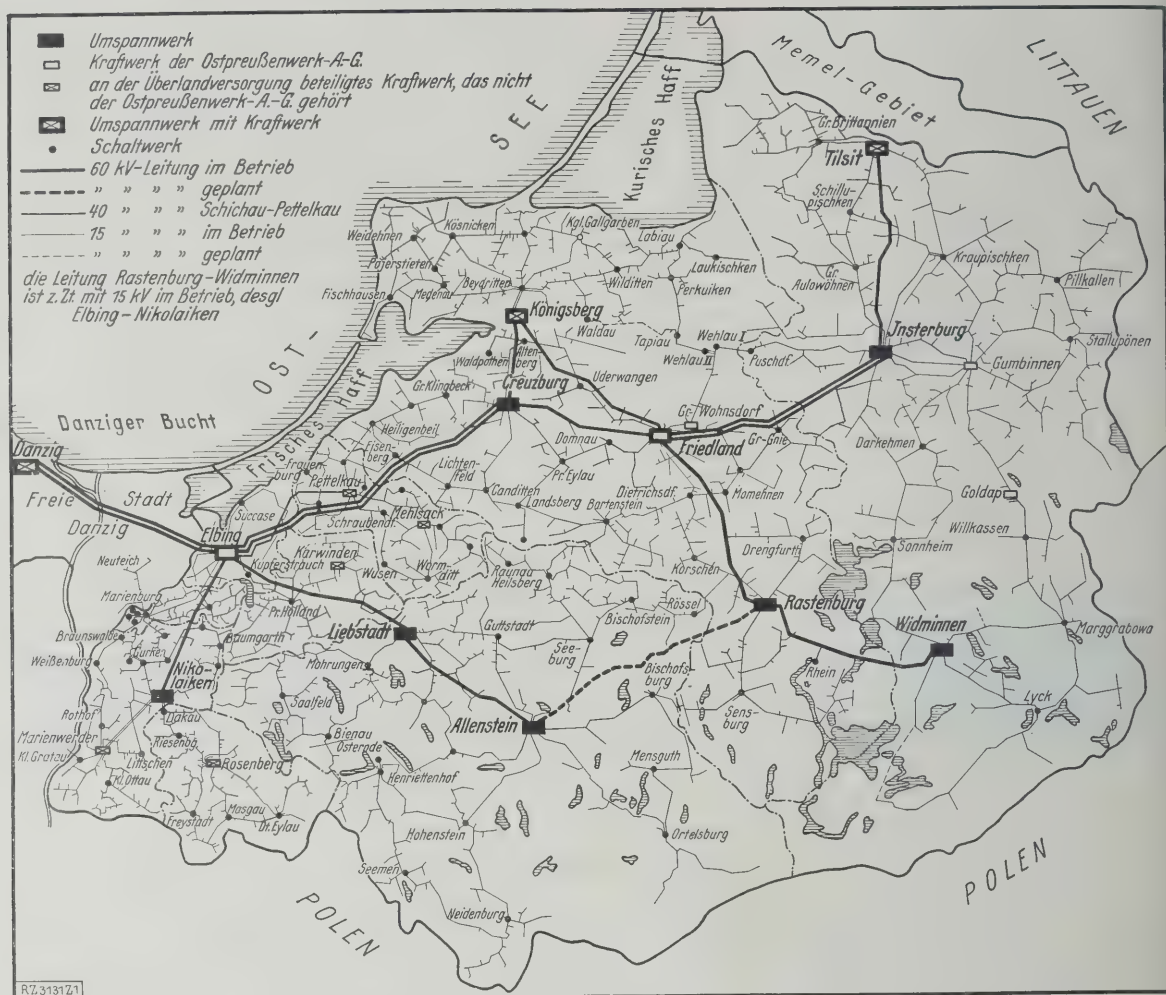


Abb. 1. Das Stromversorgungsgebiet des Ostpreußenwerks.

mit elektrischer Energie zu versorgen. Schon bei den ersten Untersuchungen wurde eine Nutzbarmachung der in Ostpreußen vorhandenen Energiequellen ins Auge gefaßt. Zwischen dem im Süden der Provinz gelegenen ostpreußischen Seengebiet und dem Meerespiegel besteht ein Gefälle von rd. 100 bis 200 m. Die wasserwirtschaftlichen Untersuchungen ergaben, daß ein großer Teil des Energiebedarfes der Provinz Ostpreußen durch Ausbau der Wasserkräfte gedeckt werden könne. Die Speichermöglichkeit ist allerdings bei allen diesen Wasserkraften gering, es war also nicht möglich, ohne Dampfkraft auszukommen. Immerhin lag es nahe, sich der ausbauwürdigsten Wasserkräfte zu bedienen, und man entschloß sich daher, zunächst zum Ausbau der Wasserkräfte Friedland und Gr. Wohndorf an der Alle mit einer mittleren jährlichen Erzeugung von rd. 30 Mill. kWh. Die Ausnutzung dieser Wasserkräfte war nur möglich durch den Anschluß an ein die ganze Provinz umspannendes Hochspannungsnetz¹⁾.

Das Stromversorgungsgebiet

Aus Abb. 1 ist das Versorgungsgebiet des Ostpreußenwerkes mit dem 60 kV-Netz und dem Gerippe der mittelspannungsseitigen Verteilung ersichtlich. In 32 Landkreisen besorgt das Ostpreußenwerk durch seine drei Betriebsdirektionen Königsberg, Gumbinnen und Osterode auch die Verteilung des Mittelspannungsstromes bis zu den Städten, Gemeinden und Gütern. Die Verteilung des Niederspannungsstromes liegt in der Hand der Städte und Gemeinden. Es sind dies 61 Städte, rd. 1300 Gemeinden und 700 Güter. Außerdem versorgt das Ostpreußenwerk noch die Stadt Elbing, die früher westpreu-

ßischen Kreise Marienburg und Elbing und das Westpreußische Überlandwerk mit den Kreisen Stuhm und Marienwerder als Großabnehmer, während der Kreis Preußisch-Holland nur zum Teil beliefert wird. Kreise Rosenberg und Braunsberg haben eigene Kraftwerke, sind jedoch mit den Netzen des Ostpreußenwerkes technisch gekuppelt. Im Jahre 1928 wurde außerdem ein Stromlieferungsvertrag mit dem Elektrizitätswerk Freien Stadt Danzig geschlossen, der eine Teilbelieferung der Stadt Danzig und die Erbauung einer 60 kV-Leitung von Elbing nach Danzig vorsieht.

Wasserkraftwerke Friedland und Groß-Wohndorf

Von den beiden oben erwähnten Wasserkraftwerken wurde Friedland, Abb. 2, als Spitzenkraftwerk gebaut, während das unterhalb Friedland liegende Kraftwerk Groß-Wohndorf, Abb. 3, als Laufwerk arbeitet. Mittelwasser beträgt das Gefälle in Friedland 14 m, in Groß-Wohndorf 5 m. Die Maschinenanlagen in Friedland bestehen aus drei Francis-Zwillingsturbinen von je 4000 kW und einer von 1500 kW. In Groß-Wohndorf sind vier senkrechte Francisturbinen von je 770 kW aufgestellt, von denen je zwei mit einem Drehstromerzeuger von 1850 kVA gekuppelt sind.

Neben der Deckung des Energiebedarfes durch die beiden angeführten Wasserkraftwerke bestand ein Stromaustauschvertrag mit der Stadt Königsberg, der die Lieferung von Überschußenergie der Wasserkraftwerke an die Stadt vorsah und umgekehrt zu Zeiten geringen Wasserzuflusses den Bezug der fehlenden Leistung an der dem der Stadt gehörenden Dampfkraftwerk gestattete. Infolge der unerwartet raschen Entwicklung des Stromabsatzes mußte zu Anfang des Jahres 1927 die Un-

¹⁾ Vergl. a. Z. Bd. 69 (1925) S. 164.

Entscheidung über die Errichtung eines neuen Kraftwerkes angenommen werden, da für den Winter 1928/29 die vorhandenen und bis zur äußersten Grenze ausgebauten Kraftwerke des Ostpreußenwerkes und der Stadt Königsberg aller Voraussicht nach nicht mehr ausreichen. Nach eingehender Untersuchung entschloß man sich, das Kraftwerk in Elbing zu errichten, weil das für eine Übertragungsleistung von 60 000 V gebaute Versorgungsnetz dem stark wachsenden Strombedarf im Westen der Provinz kaum noch gewachsen war und sich der Verbrauchsschwerpunkt immer mehr nach dem Westen hin verlagerte. Der Anschluß des Danziger Gebietes konnte erst nach dem Vorhandensein eines westlich gelegenen Kraftwerkes in Betracht gezogen werden.

Dampfkraftwerk Elbing

Im Juni 1927 wurde mit dem Bau des Dampfkraftwerkes in Elbing, Abb. 4, begonnen, das nach einer außerordentlich kurzen Bauzeit von nur 15 Monaten dem Betrieb übergeben wurde. In diesem Werk sind im ersten Bauabschnitt zwei Dampfturbinen von 8000 und 10 000 kW und eine Hausturbine von 1260 kW aufgestellt, während für den Vollausbau 50 000 kW Maschinenleistung vorgesehen sind. Durch das an das Kraftwerk angegliederte Umspannwerk wird der Strom mit 60 kV verteilt und der weiteren Umgebung mit 6 und 15 kV zugeleitet.

Der für den Betrieb der Turbinen erforderliche Dampf wird in 4 Steilrohrkesseln von je 650 m² Heizfläche mit einem Betriebsdruck von 26 at erzeugt.

Das Dampfkraftwerk wird mit Kohlenstaubfeuerung betrieben; die Kohle gelangt mit Hilfe der Kohlenförderanlage aus Schiffen (Elbingfluß) oder Eisenbahnwagen in die Kohlenmahlanlage. In zwei Kugelmøhlen wird sie fein vermahlen und in Dampftrocknern getrocknet.

Man wählte Kohlenstaubfeuerung, um in der Auswahl der Kohlen von den verschiedenen Liefergebieten (Oberschlesien, Westfalen usw.) möglichst unabhängig zu sein, und in Anbetracht der guten Anpassungsfähigkeit dieser Feuerung an plötzliche Belastungsschwankungen, wie sie in rein landwirtschaftlichen Überlandnetzen auftreten.



Abb. 2 (oben)
Das Wasserkraftwerk
Friedland.
(14 m Gefälle, Gesamt-
leistung 13 500 kW)

Abb. 3
Das Wasserkraftwerk
Groß-Wohnsdorf.
(rd. 5 m Gefälle,
Gesamtleistung 3080 kW)



In der Warte, dem Gehirn der ganzen Anlage, werden alle mechanischen, elektrischen und Wärmevorgänge des Kraftwerks und gleichzeitig die Verteilung der elektrischen Energie auf die verschiedenen Freileitungen eingeleitet und überwacht. Ebenso sind hier die Zähler für die Großverbraucher eingebaut.

Schaffung von Absatzgebieten

Die besonders schwierige Wirtschaftslage Ostpreußens stellt an die Stromverbrauchwerbung besondere Anforderungen und war andererseits für die Wirtschaftlichkeit des Unternehmens von größter Bedeutung. Da in Ostpreußen Industrie in nennenswertem Umfang nicht besteht, eine Steigerung des landwirtschaftlichen Stromverbrauchs für Dreschkraft, Licht- und Kleinkraft in den bereits angeschlossenen Anlagen nur noch in geringem Maße zu erwarten ist, was in bezug auf Beleuchtungsstrom auch für Gewerbe und Haushalt gilt, mußte versucht werden, neue Absatzmöglichkeiten zu schaffen. Diese schienen gegeben durch vermehrte Anwendung von Kleinkraft und Wärmestrom in der Landwirtschaft und durch Einführung der elektrischen Haushaltsküche.

Um nun die Steigerungsfähigkeit des Stromabsatzes auf den beiden letztgenannten Gebieten praktisch zu erproben und zugleich zu fördern, hat das Ostpreußenwerk auf einem staatlichen Gut von 600 Morgen (153 ha), in der nächsten Nähe von Königsberg, in Zusammenarbeit mit deren Pächter ein Mustergut als Versuchsanlage eingerichtet, in der jede Möglichkeit zur Elektrizitätsversorgung landwirtschaftlicher Betriebe wahrgenommen wird; außerdem wird eine elektrische Versuchsküche in Königsberg geschaffen, in der unter Mithilfe einer besonders hierfür geschulten Hausfrau die verschiedensten elektrischen Haushaltgeräte sowohl einzeln als auch in bezug auf ihre wirtschaftliche Zusammenarbeit geprüft und vorgeführt werden. Die planmäßigen Untersuchungen an diesen beiden Küchen führten bereits zu dem Ergebnis, daß eine ganze Reihe von Elektroküchen eingerichtet werden konnten, deren Wirtschaftlichkeit durch diese Versuche erwiesen war.

Über die Versuche auf dem Mustergut läßt sich vor der Hand ein abschließendes Urteil nicht fällen, da die Anlage erst seit etwa einem halben Jahr in Betrieb ist und eine Versuchsdauer von mindestens einem Jahr erforderlich ist, ehe die Ergebnisse ausgewertet werden können. Aber wesentliche Ergebnisse sind bereits erzielt worden, die als Grundlage für eine planmäßige Werbung dienen und neue Anwendungsgebiete für die Elektrizität in der Landwirtschaft erschließen, wie z. B. elektrische Frühbeetbeheizung, Bestrahlung erkrankten Viehes mit Vitalux-Lampen, elektrische Viehfuttermittelbereitung u. a. m.

Besonders den Versuchen zur Einführung der elektrischen Frühbeetbeheizung kommt wegen der ungünstigen klimatischen Verhältnisse und den sich daraus ergebenden hohen Gemüsepreisen erhebliche Bedeutung zu, da hier ein großes neues Anwendungsgebiet für die Elektrizität vorzuliegen scheint.



Abb. 3
Das Dampfkraftwerk Elbing
des Ostpreußenwerks.

Ausgebaut für 19 260 kW
Vorgesehen für 50 000 kW

Stromabsatz

Die bisherige Entwicklung des Stromabsatzes der Ostpreußenwerk-A.-G. war durchaus zufriedenstellend. Die nutzbare Abgabe hat sich seit etwa 1924 vervierfacht und betrug im verflossenen Jahr 52 Mill. kWh. Es ist zu erwarten, daß auch in den nächsten Jahren die Stromabgabe weiter steigen wird, zumal sich die neue 60 000 V-Leitung für die Versorgung des Danziger Gebietes bereits im Bau befindet.

Als wichtigstes Bindeglied zwischen Stromabnehmer und Elektrizitätswerk ist das Elektroinstallationsgewerbe einschließlich der Elektrogroßfirmen zu betrachten. Dies gilt ganz besonders für das Versorgungsgebiet des Ostpreußenwerkes, das sich, unter Verzicht auf eigene Installationsstätigkeit, jedes Vertriebes von Elektromaterial zugunsten des Installateurgewerbes enthält. Auch steht das Ostpreußenwerk in dauernder enger Fühlungnahme mit seinen Installateuren und erzielt sie planmäßig zur Mitarbeit an der Elektrizitätswerbung in der Provinz.

Um den Installateuren den Vertrieb stromverbrauchender Maschinen und Geräte zu erleichtern und dem Verbraucher den Ankauf zu ermöglichen, hat das Ostpreußenwerk ferner die „Ostpreußische Elektrizitäts-Kreditgenossenschaft“ gegründet, der die Finanzierung aller in den Aufgabenkreis des Installateurs fallenden Geschäfte zur Aufgabe gemacht wurde. Diese Einrichtung hat sich bisher auf das Beste bewährt.

Die Stromversorgung Königsbergs

Neben der Ostpreußenwerk-A.-G., die, wie oben schon dargelegt, sieben Achtel der Provinz Ostpreußen mit ihrem Versorgungsgebiet umfaßt und mit sämtlichen bedeutenden Elektrizitätsunternehmen der Provinz in irgendeinem Stromlieferungs- oder Stromaustauschverhältnis steht, ist als nächstgrößtes Elektrizitäts-Lieferungsunternehmen das Elektrizitätswerk der Stadt Königsberg zu nennen. Es ist mit dem Gaswerk, dem Wasserwerk und der Straßenbahn zu der Firma Königsberger Werke und Straßenbahn, G. m. b. H., vereinigt und erzeugt seinen Strom in einem eigenen, am Pregel gelegenen Dampfkraftwerk mit einer Maschinenleistung von 34 000 kW. Die Kupplung mit der Ostpreußenwerk-A.-G. wurde bereits oben erwähnt. Bemerkenswert ist, daß in der Stadt Königsberg bereits 98 vH aller Haushaltungen mit Elektrizität versorgt werden.

Überlandversorgung

Die erste Überlandversorgung erfolgte, wie eingangs bereits erwähnt, in den Kreisen Stuhm und Marienwerder durch das Westpreußische Überlandwerk, G. m. b. H., das den größten Teil seines westlich der Weichsel gelegenen

Versorgungsgebietes durch den Versailler Vertrag verloren und nach dem Kriege gezwungen war, in Marienwerder ein neues kleines Dampfkraftwerk mit einer Leistung von 2000 kW zu errichten. Das Kraftwerk wurde im Laufe dieses Jahres stillgesetzt. Das Überlandwerk bezieht von da ab in einsichtsvoller Erkenntnis der elektrowirtschaftlichen Lage der Provinz Ostpreußen seinen gesamten Strombedarf von rd. 6 Mill. kWh von der Ostpreußenwerk-A.-G.

Zur Fernstromlieferung dient eine 60 kV-Leitung von Elbing aus zum Umspannwerk Nikolaiken.

An Überlandwerken sind neben der Ostpreußenwerk-A.-G. und dem Westpreußischen Überlandwerk, G. m. b. H., noch die schon erwähnten Kreisüberlandwerke zu nennen wie Rosenberg, Preußisch-Holland, Marienburg, Elbing und Braunsberg. Die beiden erstgenannten haben eigene kleine Kraftwerke; Marienburg und Elbing, von denen das letztere inzwischen in den Besitz des Ostpreußenwerkes übergegangen ist, beziehen Fernstrom vom Ostpreußenwerk. Braunsberg bezieht seinen Strom aus dem Wasserkraftwerk der Firma Schichau in Pettelkau. Die Zersplitterung der Elektrizitätswirtschaft in dem westlichen Teil Ostpreußens hat ihren Grund in der Entwicklung, da die genannten Unternehmungen bereits vor der Gründung der Ostpreußenwerk-A.-G. gegründet waren.

An größeren städtischen Elektrizitäts-Unternehmungen, die noch Kraftwerke betreiben, sind neben den Königsberger Werken noch zu erwähnen: Elektrizitätswerk und Straßenbahn Tilsit, A.-G., die Städtischen Elektrizitätswerke Allenstein und die Städtischen Elektrizitätswerke Insterburg. Alle drei stehen aber daneben auch mit der Ostpreußenwerk in einem Stromlieferungsverhältnis.

Zukunftsansichten

Betrachtet man die Zukunftsaussichten der ostpreußischen Elektrizitätswirtschaft, so muß man zwar gewisse Besorgnisse hegen, die durch die sehr schlechte Lage der ostpreußischen Wirtschaft überhaupt und der Landwirtschaft insbesondere bedingt sind und in einer augenblicklich nur langsamen Steigerung des Stromabsatzes ihren Ausdruck finden. Andererseits ist erst etwa die Hälfte der für den Anschluß in Frage kommenden Gemeinden und Güter elektrisch versorgt; auch bei den bereits angeschlossenen Verbrauchern wird der elektrische Strom noch nicht in dem Umfange verwendet, wie im übrigen Reich, so daß noch mit einer erheblichen Steigerung des Stromabsatzes gerechnet werden kann. Außerdem lassen die bisherigen Erfolge erhoffen, daß durch weiteren engeren Zusammenschluß aller an der Elektrizitätswirtschaft Beteiligten die Betriebswirtschaft immer günstiger gestaltet wird.

JAHRESSCHAU DER TECHNIK

1928/29

Dem engeren Fachgenossen zum Auffrischen des Gedächtnisses, dem Fernerstehenden und dem werdenden Ingenieur zur Einführung und zum Anregen des Studiums, zur raschen Unterrichtung dem Vielbeschäftigten.

Energie

Wärmekraftmaschinen Dampfdruck

Hochdruckdampf

Über die übliche Druckgrenze der Kessel von Kraftanlagen hat das letzte Jahr eine Klärung insofern gebracht, als sich im allgemeinen für Kraftwerke Drücke von 35 bis 40 at als wirtschaftlich ausgewiesen haben. Für Sonderzwecke, die zu Trocken- und Heizanlagen in wertvollen Gegenden verlangen und bei denen sich eine günstige Absatzmöglichkeit der in Vorschaltmaschinen erzeugten Energie bietet, kommen Drücke von 100 at und mehr in Frage.

Die 100 at-Anlage Mannheim¹⁾ kam im letzten Jahr in Betrieb. Sie ist mit normalen Zweitrommel-Steilrohrkesseln und Kohlenstaubeuerung ausgerüstet. Die Betriebserfahrungen mit der Anlage sowie mit dem ähnlichen noch im Bau befindlichen 120 at-Kraftwerk der Zeche Bergbau-A.-G.²⁾ werden auch in Deutschland Grundlagen für die wirtschaftliche Beurteilung von Höchstdruckanlagen schaffen.

In der Überwindung betrieblicher Schwierigkeiten der Armaturenbauteile³⁾ für Höchstdruckdampf und der Kesselbau selbst einen großen Antrieb erhalten. Zur Vergrößerung der Verdampfung und dadurch möglichen Verkleinerung der Heizflächen und Anlagekosten werden weitgehend Strahlungsheizflächen⁴⁾ angewandt, die bei erhöhten Feuerraum bedingen. Diese Entwicklung ist deutlich an den Erweiterungsbauten der seit 1925 mit 100 at betriebenen amerikanischen Hochdruckanlage Edgar in Boston⁵⁾ zu erkennen, die trotz erheblicher Verkleinerung der Heizflächen zeigt. Die Gruppen-Wasserrohrkessel mit einer Obertrommel werden nach Taylor-Schrägröstkoker beheizt.

Die Konstruktionen zur Höchstdruckdampf-Erzeugung nach den Verfahren von Benson⁶⁾, Löffler⁷⁾ und Schmidt⁸⁾ sind weiter entwickelt und teilweise bereits in industrieller Anwendung ausgebildet worden. Einleitende Versuche der Reichsbahn mit der Hochdrucklokomotive Bauart Schmidt⁹⁾, lassen die Anwendung des Hochdruckdampfes im Lokomotivbetrieb für Kolbenmaschinen ohne Kondensation ausreicht erscheinen. Auch die Hochdrucklokomotive der Schweizer Lokomotivfabrik¹⁰⁾, die als Gleichstromkolbenmaschine in drei Zylindern mit einfacher Dampfentnahme arbeitet, hat sich in langem Betriebe durchaus bewährt. Andererseits werden jetzt die Versuche der Stungesellschaft für Kohlenstaubeuerung auf Lokomotiven¹¹⁾, die in Kassel an ortfesten Lokomotivkesseln günstig verliefen, auch auf den Fahrbetrieb ausgedehnt.

Verfahren

Das Vordringen der Kohlenstaubeuerung hat auf den Rostfeuerungsbauteile¹²⁾ eine belebende Wirkung

ausgeübt. Durch Verbesserung der Luftführung und Vorwärmung durch Zonenwandlerroste, vergrößerte Heizfläche sowie Verwendung wärmebeständiger Baustoffe ist die Rostfeuerung unter Ausnutzung der Strahlungsheizflächen und günstiger Zündeinrichtungen wieder in erfolgreichen Wettbewerb mit der Kohlenstaubeuerung für Großanlagen eingetreten. Die Regelbarkeit der Feuerungen auch bei der Verbrennung minderwertiger Brennstoffe ist durch die Ausbildung der mechanischen Vorschub-Treppenroste bedeutend verbessert worden.

Die Deckung der Spitzenlast

der Kraftwerke mit möglichst geringem Kapitaldienst wird weiter durch verschiedene Speichersysteme erstrebt. Die Hochdruckkessel mit ihrem verhältnismäßig geringen Wasserraum bedingen an sich schon große Wasserraumspeicher, die in den verschiedensten Schaltungen als Gleichdruck-Verdrängungsspeicher¹³⁾ für Spitzen geringerer Höhe, wie in Mannheim, oder als Gefällespeicher nach Ruths¹⁴⁾ für das Charlottenburger Werk stehend ausgeführt werden, s. Bildbl. 5. Besonders für Kraftwerke, die sich eine Städteheizung angegliedert haben und die immer mehr an Zahl und Leistung zunehmen, können die Speicher die Wirtschaftlichkeit steigern. Die Verwendung des Dieselmotors in den Kraftwerkenanlagen hat nach den guten Erfahrungen mit dem Motor im Werk Hamburg-Neuhof Fortschritte gemacht. Besonders die lange Lebensdauer der Motoren und ihre volle Betriebsbereitschaft nach wenigen Minuten haben hierzu beigetragen (vergl. Großdieselmotoren). Da man immer mehr erkannt hat, daß alle Teile einer Kraftanlage unbedingt als Ganzes zu betrachten und zu bemessen sind, erscheint eine Einzelwürdigung der Teile in ihrer Zweckmäßigkeit für die eine oder andere Anlage schwierig; denn die Faktoren, die auf die Wirtschaftlichkeit einer Konstruktion einwirken, sind sehr verschieden, je nachdem es sich um Grundlast- oder Spitzenlastwerke handelt.

Dampfdruckmaschinen

Bauliche Schwierigkeiten im Hochdruckteil von Höchstdruckturbinen kleineren Leistungen und Werkstoffschäden infolge höchster Dampftemperaturen bedingen auch heute noch u. U. die Anwendung von Kolbendampfmaschinen¹⁵⁾ als Vorschalt- oder Hauptmaschinen. Bemerkenswert ist die bei A. Borsig, G. m. b. H.¹⁶⁾, von Amerika in Auftrag gegebene 6000 PS-Gegendruckmaschine mit dreifacher Dampfdehnung, die mit 100 at Anfangsdruck arbeitet.

Im Turbinenbau¹⁷⁾ werden für Höchstdruck meist Anzapf-Gegendruckturbinen in Mehrgehäusenordnung mit Zwischenüberhitzung durch Heizdampf gebaut, die besonders bei gekuppelter Kraft- und Wärmeversorgung Verwendung finden. Ältere, langsam laufende Turbinen werden vielfach durch schnelllaufende Getriebeturbinen ersetzt, nachdem es gelungen ist, den Wirkungsgrad der Getriebe zu steigern. Ebenso ist eine Drehzahlerhöhung festzustellen, wobei man höhere Leistungen je Welle für Großanlagen in Verbindung mit zweiflutiger Anordnung erreicht. Um den Übergang eines Kraftwerks zu höheren Drücken zu ermöglichen, sind Vorschalt-Gegendruckturbinen entwickelt worden, deren Wirkungsgrad im Hochdruckteil sich günstig gestaltet.

¹⁾ Z. Bd. 73 (1929) Nr. 10 S. 345; eine ausführliche Darstellung befindet sich in einem der nächsten Hefte.

²⁾ „Wärme“ Bd. 52 (1929) Nr. 17 S. 328.

³⁾ Archiv f. Wärmewirtsch. Bd. 10 (1929) Nr. 3 S. 74.

⁴⁾ Schack, Wärmestelle Düsseldorf, Mitt. 55.

⁵⁾ „Wärme“ Bd. 52 (1929) S. 377; „Power“ Bd. 68 (1928) S. 273.

⁶⁾ Z. Bd. 72 (1928) S. 1037; s. a. „Hochdruckdampf II“, Berlin

⁷⁾ VDI-Verlag.

⁸⁾ Desgl. S. 1353; s. a. Sonderheft „Hochdruckdampf II“.

⁹⁾ Desgl. S. 1521; s. a. „Hochdruckdampf II“.

¹⁰⁾ Desgl. S. 1915; s. a. „Hochdruckdampf II“.

¹¹⁾ Z. Bd. 73 (1929) Nr. 5 S. 151.

¹²⁾ Archiv f. Wärmew. Bd. 10 (1929) Nr. 1 S. 12.

¹³⁾ „Wärme“ Bd. 52 (1929) Nr. 4 S. 66 u. f.

¹⁴⁾ Desgl. Nr. 17 S. 334.

¹⁵⁾ Desgl. Nr. 17 S. 341

¹⁶⁾ Z. Bd. 72 (1928) S. 1641.

¹⁷⁾ Desgl. S. 1729.

¹⁸⁾ Archiv f. Wärmew. Bd. 10 (1929) Nr. 3 S. 89.

Verbrennungskraftmaschinen

Großdieselmotoren

Die Durchbildung des Dieselmotors bezog sich im letzten Jahr besonders auf die Schaffung von Einheiten höchster Leistung und von Fahrzeugmotoren. Beiden gemeinsam ist zum Erreichen dieses Zieles die Einführung des Schnellaufs und damit, sowie durch Anwendung besonderer Werkstoffe und Konstruktionen, die Gewichtverminderung.

Einen bedeutenden Anteil an dieser Entwicklung hat die erfolgreiche Anwendung der kompressorlosen Einspritzung auch bei Großanlagen. Die ersten, allerdings noch langsamer laufenden kompressorlosen Schiffsmotoren der Bauart AEG-Hesselman¹⁸⁾ von 5000 PS Nutzleistung in sechs doppeltwirkenden Zweitaktzylindern, bei denen besonders die Anordnung von je zehn Düsen an der Kurbelseite der Zylinder für gleichmäßige Brennstoffverteilung beachtenswert ist, haben sich in drei Motorschiffen auf vielen Reisen gut bewährt und zeigen einen auffallend niedrigen Brennstoffverbrauch. Jetzt hat die AEG ein neues Verfahren zur Herstellung hochbeanspruchter, verwickelter Bauteile durch Zusammenlötlung aus geschmiedeten Stücken¹⁹⁾ entwickelt. Infolgedessen ist man u. U. in der Lage, die bei weiterer Drehzahlsteigerung unvermeidbare höhere Wärme- und Abnutzungsbeanspruchung in Dieselmotoren ohne Schaden zuzulassen.

Die bei der MAN für das Elektrizitätswerk Hennigsdorf bestellten Spitzenlastmaschinen, Bildbl. 7, sind fertiggestellt und haben den Probelauf befriedigend beendet. Sie sind dem Zweck entsprechend als besonders leichte Maschinen in doppeltwirkender kompressorloser Zweitaktbauart durchgebildet und ergeben in zehn Zylindern bei 215 U/min 11 700 PS Nutzleistung. Das hierauf bezogene Einheitsgewicht beträgt 25 kg/PS.

Während sich in den letzten Jahren für größte Leistungen der Zweitakt, u. zw. in Doppeltwirkung, durchgesetzt hat, steht bei Anlagen, für die im Dauerbetrieb thermische Ausnutzung, Lebensdauer und Betriebsicherheit gegenüber dem Anschaffungspreis ausschlaggebend sind, der Viertakt für mittlere Leistungen noch in hartem Kampf mit dem Zweitakt. Günstig für ihn ist die Anwendung des Aufladeverfahrens zum Steigern der Leistung.

Für die früher mehr empirisch gewählten Regler werden jetzt infolge der hohen Anforderungen der Elektrizitätswerke besonders bei Parallelbetrieb die Einflüsse des gesamten Maschinensatzes genauer berücksichtigt.

Im Schiffbau gewinnt der Dieselmotor immer mehr an Boden. Um auch hier dem Schnellauf Eingang zu verschaffen, hat man neuere Zahnradgetriebe mit Übersetzungen von 1:2 bis 1:3 entwickelt, die in Verbindung mit Öl- oder mechanischen Kupplungen auch das Arbeiten von mehreren Maschinen auf eine Schraube gestatten. Der Vermeidung gefährlicher Dreh- und Biegungsschwingungen der Motoren wird bei zunehmender Verwendung auch auf Fahrgastschiffen, erhöhte Aufmerksamkeit geschenkt.

Im einzelnen sei die Motorenanlage der Hapag-Schiffe „St. Louis“ und „Milwaukee“ erwähnt; sie besteht aus je zwei doppeltwirkenden MAN-Zweitaktmotoren, die in sechs Zylindern je 3150 PS Nutzleistung bei 225 U/min aufweisen²⁰⁾. Beide Schiffe sind mit Übersetzungsgetrieben ins Langsame ausgerüstet.

Die Firma Gebr. Sulzer liefert jetzt für vier holländische Einschraubenschiffe²¹⁾ in ihrer bekannten einfachwirkenden Zweitaktbauart Motoren mit der bemerkenswerten Nutzleistung von 7000 PS in acht Zylindern bei nur 100 U/min. Es sind dies die größten zur Zeit im Schiffbau für unmittelbaren Antrieb verwandten Motoren. Auch die Bauart der Junkers-Doxford-Schiffsmotoren ist auf den Schnellauf umgestellt und durch günstigeren Massenausschleiß verbessert worden.

Neue Wege, um Leichtgewicht und Schnellauf zu erreichen, geht der englische kompressorlose Ricardo-Motor²²⁾, der für den Steuervorgang auf die vom Vergasermotorenbau

her bekannte Schieberkonstruktion von Knight zurückgreift. Der Motor ist bislang nur als kleinere Schiffsmaschine entwickelt für Drehzahlen von 900 U/min. bildet damit den Übergang zu den eigentlichen Fahrzeugmotoren.

Über seine Versuche mit dem Kohlenstaubmotor richtete Pawlikowski auf der letzten Hauptversammlung eingehend. Für den Schnellauf kann auch der Ersatz mechanischen Steuerung durch hydraulische Ölsteuerung wie sie die Firma Wumag, Görlitz, baut, besonders als für größere Einheiten, von Bedeutung werden²⁴⁾.

Fahrzeug-Schwerölmotoren

Diese ausgesprochenen Leichtmotoren sind aus dem Zustande des Versuchs in den der industriellen Auswertung eingetreten. Zunächst vor allem für Lastkraftwagen Antrieb werden die Motoren in steigendem Maße eingebaut, da sich ihre Regelfähigkeit, wie ihr Anzugmoment und die Wirtschaftlichkeit als besonders vorteilhaft gegenüber Leichtölmotoren erwiesen haben.

Die fast durchweg kompressorlose Einspritzung folgt nach verschiedenen Verfahren. Bei Strahlenspritzung vermeidet die besonders einfache Bauweise der neuen Bosch-Pumpe und -Düse das unerwünschte Nachtropfen. Andere Motoren arbeiten nach dem Vorkammervorverfahren mit ohne Anlagelihschspirale. Der Luftspeichermotor nach Bosch-Acro hat sich ebenfalls durchgesetzt. Genannt seien hier die Motoren der Firmen: Bosch-Acro²⁵⁾, Deutz²⁶⁾, Junkers²⁶⁾, Körting, Linke-Hofmann, Mercedes-Benz²⁶⁾ und der MAN.

Die weiteren Arbeiten am Fahrzeugmotor beziehen sich jetzt auf seine Einführung in den Flugbetrieb. Durch noch beträchtliche Gewichtsverminderung bis unter 2 kg/PS Nutzleistung. Während als leichteste Vergasflugmotoren wohl die neuerdings sehr vervollkommenen Sternmotoren anzusprechen sind, wird der Dieselflugmotor leichter Reihenaubauart dem Vergasermotor gleichen Ausbaues das Feld streitig machen, da der Dieselmotor betrieblich und feuersicherer arbeitet und ein verhältnismäßig geringeres Brennstoffgewicht verlangt.

Als erster dieser Motoren kam der Junkers-Dieselmotor von 850 PS Nutzleistung mit Doppelkolben zu praktischer Flugerprobung. Ähnlich im Aufbau wie der Junkers-Fahrzeugmotor arbeitet diese Bauart jedoch auf zwei durch Stirnräder miteinander verbundene Wellen. Für den Flugzeug-Dieselmotor hat bei Verwendung im Höhenfliegen die Aufladung durch Abgasturbogebläse nach dem Verfahren von Lorenzen²⁷⁾ noch große Aussichten.

Wissenschaftliche Forschung

Hier sei für das Gebiet des Wasserdampfes auf den Beitrag über technisch-physikalische Forschung S. 880 verwiesen. Schwierige Probleme stellt noch die genaue Dampfwärmemengenmessung²⁸⁾ mit einfachen Apparaturen. Schaffung für die Ausbreitung der Heizkraftwerke besonders wichtig ist. Die neuerdings veröffentlichten Arbeiten hierüber betrafen meist Versuche mit recht umfangreichen Laboratoriumseinrichtungen, dürften aber eine Grundlage zum Aufbau solcher Apparate bilden.

Die Erscheinungen des Verbrennungsvorganges werden noch durch eine größere Anzahl von Arbeiten erforscht. Im Zusammenhang mit der Ausbildung des schnellaufenden Fahrzeug-Schwerölmotors wurden Versuche über die Zündvorgänge und den Zündverzugs veröffentlicht und ergaben über die Größe des Zündverzuges Abhängigkeit von der Vorverdichtung und Tropfengröße wichtige Aufschlüsse. Die Wirbelung und damit die günstigste Gestaltung des Verbrennungsraumes zur Gemischbildung bei luftloser Einspritzung bildeten den Stoff zu der fortgesetzten Versuchsreihe von K. Neumann.

Zur besseren Beherrschung der Einspritzzeiten bei Großölmotoren, unabhängig von der Länge der Leitungen und der Lage der Brennstoffpumpen, wurden die frü-

¹⁸⁾ Z. Bd. 72 (1928) S. 1693.

¹⁹⁾ Z. Bd. 73 (1929) Nr. 18 S. 626.

²⁰⁾ Hierüber erscheint demnächst ein Aufsatz in dieser Zeitschrift.

²¹⁾ Z. Bd. 72 (1928) S. 1555.

²²⁾ Z. Bd. 73 (1929) Nr. 18 S. 620.

²³⁾ Z. Bd. 72 (1928) S. 1283.

²⁴⁾ Arch. f. Wärmew. (1929) Nr. 3 S. 109.

²⁵⁾ Z. Bd. 72 (1928) S. 1371. u. f. ²⁶⁾ Desgl. S. 1569.

²⁷⁾ Desgl. S. 1869.

²⁸⁾ Z. Bd. 72 (1928) S. 1493.

Versuche von *Sulzer-Eichelberg*²⁹⁾ mit der Akkumulatorpumpe in erweitertem Maße wieder aufgenommen. Es gelang auch durch umfangreiche Apparaturen gelungen, die Zündpflanzung der Flammenfront und der Druckwellen in der Explosionsbombe in mehreren aufeinanderfolgenden Versuchen festzuhalten; daraus ergibt sich eine Möglichkeit, das Verhalten verschiedener Brennstoffgemische zu erforschen. Mit der Festlegung des Idealprozesses zur Ermittlung des Wirkungsgrades der Energieumwandlung in Verbrennungskraftmaschinen beschäftigen sich andre Untersuchungen.

Die Mehrzahl dieser Ergebnisse sind in der Tagung der Ausschüsse für Wärmeforschung behandelt³⁰⁾ oder in der Reihe der Forschungsarbeiten des Vereines deutscher Ingenieure ausführlich veröffentlicht worden, von denen folgendes das Gebiet der Wärmekraftmaschinen betreffenden Hefte aufgeführt seien:

Sulzer: Statische und dynamische Untersuchung von Mündungsdampfmengenmessung, Heft 297;

Sturm: Stauring-Mengenmessung von strömendem Dampf, Heft 298;

Stinner-Seberich: Zündverzögerung bei flüssigen Brennstoffen, Heft 299;

Sturm: Schuß für Wärmeforschung: Wärmedurchgang bei einfachen Körpern und Maschinen, Heft 300;

Sturm und Klüsener: Untersuchungen an der Dieselmotormaschine — Zur Dynamik des Zündvorganges, Heft 309;

Sturm und Erck: Der Wärmeübergang beim Kondensieren von Heiß- und Sattdampf — Verdampfungswärme des Wassers und das spezifische Volumen von Sattdampf für Temperaturen bis zu 210 °C, Heft 310;

Sturm und Kretschmar: Durchflußzahlen von Normaldüsen, Heft 311;

Sturm: Untersuchung der von Spritzvergäsern gelieferten Zerstäubung, Heft 312;

Sturm: Der indizierte Wirkungsgrad in der kompressorlosen Dieselmotormaschine, Heft 314;

Sturm: Begrenzung der Leistungssteigerung der schnelllaufenden Verbrennungsmaschine durch den Steuervorgang, Heft 315;

Sturm: Der indizierte Wirkungsgrad der Gasmaschine, Heft 316;

Sturm: Der Einfluß des Wärmeüberganges auf den indizierten Wirkungsgrad der Gasmaschine, Heft 316.

[3083] A. Nügel

²⁹⁾ Z. Bd. 70 (1926) S. 1088.

³⁰⁾ Z. Bd. 73 (1929) Nr. 3 S. 82.

Wasserkraftmaschinen und -anlagen

Kaplanturbinen

Immer mehr werden bei Niederdruckanlagen Kaplan-turbinen bevorzugt, und zwar nicht allein wegen ihrer hohen Schnellläufigkeit, sondern auch wegen ihrer günstigen hydraulischen Eigenschaften. Gelingt es doch, durch entsprechende Ausbildung der Schaufelformen mit Kaplan-turbinen Wirkungsgrade zu erreichen, die mit Francis-turbinen bei Niederdruckanlagen kaum zu erzielen sind. Es wurden schon Wirkungsgrade bis zu 95 vH gemessen. Für wichtige große Anlagen wird es heute für notwendig erachtet, jeweils eine Modellturbine herzustellen und zu prüfen, um mit voller Sicherheit gute Wirkungsgrade zu erreichen und bei höheren Gefällen sicher zu gehen, daß keine schädliche Kavitation im Laufräumtritt eintritt. Als obere Gefällgrenze gilt heute für Kaplan-turbinen 18 m (kommt in Deutschland der Anlage Tannheim der Oberschwäbischen Elektrizitäts-Werke für eine Kaplan-turbine von 4400 PS bei 100 U/min zur Anwendung) und für Propellerturbinen die Überdeckung der Laufradschaufeln 30 m.

Bei den Kaplan-turbinen mit drehbaren Laufradschaufeln gestaltet man jetzt vielfach den Laufradkopf und den Laufradmantel in der Höhe der Laufradschaufeln kugelig statt zylindrisch, um den Spalt bei den Stellungen der Laufradschaufeln klein zu bekommen und dadurch die Spaltkavitation möglichst zu vermeiden und den Wirkungsgrad zu verbessern.

Da bei den Kaplan-turbinen sowohl die Leitschaufeln als auch die Schaufeln des Laufrades verstellt werden, so hat man neuerdings diese Doppelregelung als

Sicherheitsregelung aus. Man trennt die Ölläufe beider Steuerungen vollständig von einander und bringt außer dem normalen Pendel des Turbinenreglers noch ein von ihm unabhängiges zweites Pendel als Sicherheitspendel an, das bei Überschreitung einer bestimmten Drehzahl die Turbine abstellt; oder aber es werden zwei getrennte Betriebspendel angeordnet, von denen das eine die Leitschaufeln einstellt und das andre auf die drehbaren Laufradschaufeln einwirkt. Die Pendel sind je für sich allein in der Lage, den Betrieb weiter zu führen, wenn das andre versagt und beim Eintreten der Störung nicht den Stillstand der Turbine eingeleitet hat. Infolge der dadurch gewährten Sicherheit kann man auf die Ausbildung der Turbineneinlaßschützen als Schnellschlußschützen verzichten, ja in günstigen Fällen können die Einlaßschützen überhaupt weggelassen und durch einen Dammblekverschluß für besondere Fälle ersetzt werden. Bei großen Anlagen vermindern sich dadurch die Anlagekosten nicht unerheblich.

Welche große Vorteile die Kaplanturbinen gegenüber den Francis-turbinen bei Niederdruckanlagen bieten können, zeigt sich am besten beim Umbau älterer Anlagen. So konnten bei der Anlage Rheinfelden die stehenden Vierfach-Francis-turbinen, also mit vier Laufrädern auf einer Welle, durch Einrad-Kaplanturbinen ersetzt werden, wobei es zudem noch, mit geringen Änderungen der Turbinenkammern unter Ausnutzung der hohen Schluckfähigkeit und Schnellläufigkeit dieser Turbinenart gelang, die Leistung um rd. 60 vH und die Drehzahl um 100 vH, von 55 auf 110 U/min, zu steigern. Die engen Turbinenkammern bedingten dabei die Wahl von kegeligen Leitapparaten.

Francisturbinen

Mit zunehmender Leistung steigt auch das Gefälle, für das noch Francis-turbinen angewendet werden, immer höher und ist jetzt bei 300 m angelangt, und zwar bei einer deutschen Anlage, dem im Bau begriffenen Wasserkraft-Speicherwerk mit Pumpenförderung Bringhausen in der Nähe der Edertalsperre. Die vier zur Aufstellung kommenden Francis-Spiralturbinen leisten bei 281 bis 300 m Gefälle je 41 000 PS bei 500 U/min. Durch während des Betriebes aus- und einrückbare hydraulisch-mechanische Kupplungen ist mit jeder Turbine unmittelbar eine Hochdruck-Speicherpumpe verbunden, die eine Antriebsleistung bis zu 29 800 PS erfordert.

Bedienungsloser Betrieb

Nicht nur kleine und mittlere, sondern auch große Anlagen werden heute vielfach für vollkommen selbsttätigen, bedienungslosen Betrieb eingerichtet, weil sich dadurch die Betriebskosten der Wasserkraftwerke, bei denen die Bedienung einen erheblichen Anteil ausmacht, herunterdrücken lassen³¹⁾. Selbst Speicherkraftwerke mit Pumpenförderung, bei denen mehrmals am Tage vom Turbinen- auf Pumpenbetrieb umgeschaltet werden muß, werden für bedienungslosen Betrieb ausgebaut, so z. B. das große Pumpspeicherwerk Herdecke a. d. Ruhr. Eine Schwierigkeit bereitet bei den bedienungslosen Anlagen immer noch die Rechenreinigung, die sehr schwer ganz selbsttätig gemacht werden kann, doch kommt man auch diesem Ziel immer näher.

Vielfach begnügt man sich deshalb auch damit, eine Anlage wenigstens so weit selbsttätig zu machen, daß keine ständige Wartung erforderlich ist und sie sich auf eine gelegentliche Kontrolle in gewissen Zeiträumen, etwa einer Woche, beschränkt. Dabei wird dann meist darauf verzichtet, die Anlage von der Ferne aus in Betrieb setzen zu können, was eine Vereinfachung der Ausrüstung mit Schaltgeräten und Sicherheitseinrichtungen bedeutet.

Freistrahlturbinen

Bemerkenswert sind die großen Freistrahlturbinen mit senkrechter Welle, die Escher, Wyß & Cie. in wachsender Zahl und zunehmender Leistung ausführt.

³¹⁾ „Wasserkraft und Wasserversorgung“ Bd. 22 (1927) S. 321, „Wasserkraft“ (Wien) Bd. 20 (1927) S. 524, F.W.C.-Mitteilungen Bd. 2 (1929) S. 27, Schweiz. Bauzeitung Bd. 93 (1929) S. 63.

Elektrotechnik¹⁾

Elektrische Maschinen

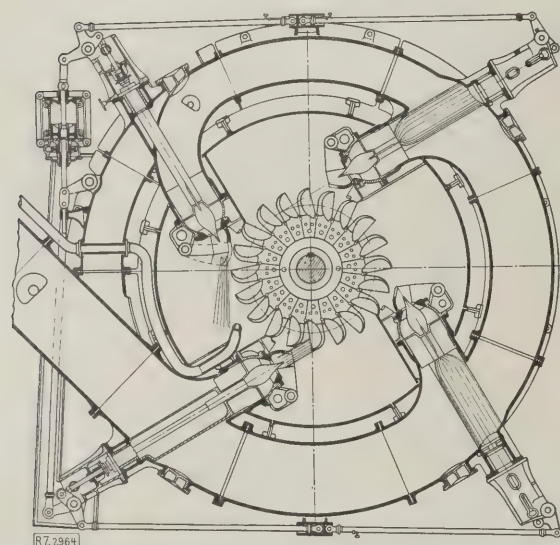
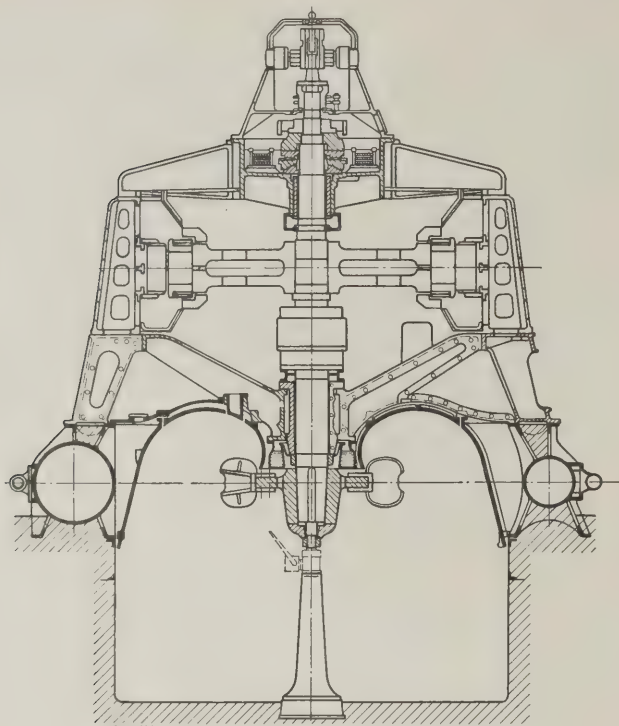
Die großen amerikanischen Turbosätze von 160 und 208 000 kW sind in Betrieb gekommen. Mehrwelsätze sucht man neuerdings möglichst zu vermeiden. 160 000 kW-Stromerzeuger der General Electric Co. mit der Ölschalter wegen zwei getrennte Wicklungen für 80 000 kW erhalten, denen je eine Kurzschluß-Drosselspule für 10 vH der Stromerzeugungsspannung geschaltet ist. Für das Kraftwerk Zschornowitz sind Einwellen-Turbostromerzeuger für je 100 000 kVA, $\cos \varphi = 0,85$, 1500 U/min, 50 Hertz, 13 kV bei 13,5 at Dampfdruck in Arbeit. Das sind die größten Turbosätze Europas. Für das Pariser Kraftwerk Vitry II Turbosätze von 65 000 kVA in Auftrag gegeben werden. Das Westkraftwerk Berlin wird sechs Turbosätze von je 34 000 kW, 3000 U/min bei 28 at Dampfdruck erhalten. Für die Preussische Elektrizitäts-A.-G. ist ein Turbo-Stromerzeugersatz von 40 000 kVA, 10,5 3000 U/min im Bau. Die Entwicklung strebt 3000 U/min bereits nach Leistungen von 60 000 kW und mehr.

Mit der rasch wachsenden Einheitsleistung muß auch die Klemmenspannung wachsen; in Amerika und England geht man schon auf 22, ja auf 33 kV Maschinenspannung. Dafür dürfte Ölkühlung am Platze sein.

Im Wasserkraftwerk Nore (Norwegen) sind zwei lotrechte Drehstromerzeuger für je 29 000 kVA, 500 U/min, 12 kV aufgestellt worden, im Kraftwerk Handeck ein Wasserkraft-Stromerzeuger für 28 000 bis 32 000 kVA, 500 U/min, die größten der Schweiz, in Betrieb gekommen. Das 1000 m hoch gelegene Vermuntwerk²⁾ in Värmland soll die größten lotrechten Wasserkraft-Stromerzeuger Österreichs zu je 30 000 kVA, 500/930 U/min, $6 \text{ kV} \pm 8 \text{ vH}$, $\cos \varphi = 0,85$, Schwungmoment 280 tm^2 , halten. Bei den zugehörigen vier Transformatoren gleicher Leistung für 6/119,4 kV geht die Eiseninduktion nicht über 13 000 hinaus. Noch größere lotrechte Maschinen zu 32 500 kVA, 10,5 kV für nur 75 U/min kommen am Oberrhein in Ryburg-Schwörstadt³⁾ zur Aufstellung; sie gleichen mit ihrem Außendurchmesser von 11 500 mm und ihrem Läuferdurchmesser von 9400 mm den größten amerikanischen Stromerzeugern in Conowingo. Für das Southern California Edison Co. sind zwei lotrechte Stromerzeuger für 35 000 kVA, 375/450 U/min, 50/60 Hertz im Bau, die etwa den größten europäischen lotrechten Stromerzeugern für 36 000 kVA, 252/300 U/min, 42/50 Hertz entsprechen. In Brasilien wird ein dritter lotrechter Stromerzeuger von 33 000 kVA bei 125 U/min, 50 Hertz aufgestellt. In den Vereinigten Staaten werden lotrechte Wasserkraft-Stromerzeuger in Freiluftausführung gebaut, z. B. für die Kraftwerke Norwood (62 000 kW) und Wiston, Idaho⁴⁾. Ferner arbeitet dort eine Wasserkraftanlage von $8 \times 12\,500 = 100\,000 \text{ kVA}$, 13 800 V ganz selbsttätig, eine Betriebsweise, die auch in Europa nachahmbar gefunden hat⁵⁾.

Die elektrischen Maschinen werden immer häufiger aus geschweißtem Flußstahlblech aufgebaut. Beachtenswert ist die Verwendung dreiphasiger Drosselspulen zur Prüfbelastung von Stromerzeugern bei $\cos \varphi = 0$, wie die Maschinenfabrik Oerlikon für Scheinleistungen von 45 000 kVA durchführt.

Das Rheinisch-Westfälische Elektrizitätswerk kürzlich die Lieferung einer großen Anzahl Umlaufspanner für 40 000 und 60 000 kVA mit 220 kV Oberspannung bei 50 Hertz vergeben; sie sind mit lotrechten Umlaufkühlern versehen, die mit Druckluft gekühlt werden. Das Werk Kardaun bei Bozen hat drei Drehstromspanner für 36 000 kVA und 252 kV erhalten. Die Maschinenfabrik Oerlikon baut bei ihren großen Ölkühlern mit Selbstkühlung die Ölumlaufpumpe samt Motor ins Gehäuse ein, so daß alle Stopfbüchsen entfallen; kommt die Pumpe zum Stillstand, so wird selbsttätig eine Umlaufleitung geöffnet und die Pumpenleitung abgesperrt. Der größte



Vierdüsiges Einrad-Freistrahlturbine von Escher, Wyss & Cie. für die Anlage Maipo in Chile; 18 600 PS bei 204 m Gefälle und 250 U/min.

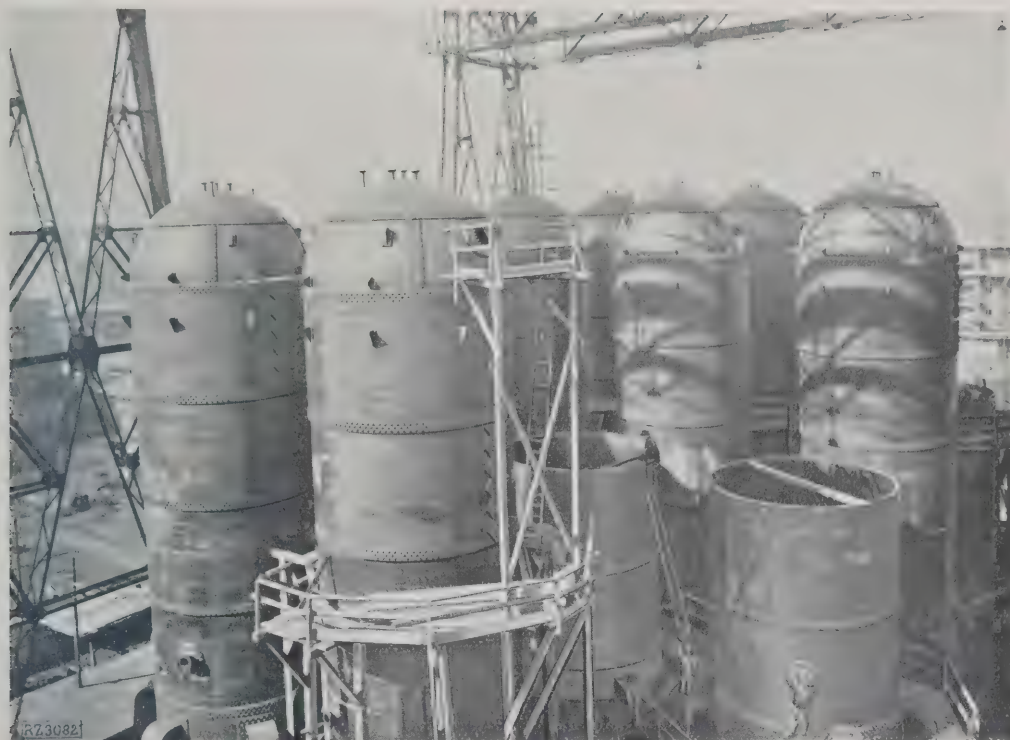
Sie haben den Vorteil des geringen Raumbedarfes und der Möglichkeit, an einem Laufrad bis zu vier und fünf Düsen anbringen zu können, also einen schnellaufenden, sehr gedrängt zusammengebauten Maschinensatz zu schaffen. Eine besonders in axialer Richtung wenig Raum beanspruchende Bauart ist hier abgebildet. Der Maschinensatz, Turbine und Stromerzeuger, hat nur zwei Führungslager, und das spiralförmige Wasserzuflußrohr dient als Abstützung für den Stromerzeuger, so daß bei der geringen Bauhöhe nur ein Maschinenhausboden notwendig ist. Das Laufrad sitzt, wie bei allen diesen Freistrahlturbinen mit stehender Welle, fliegend auf der Welle.

Die zur Zeit größten Freistrahlturbinen sind wohl die von J. M. Voith für das Kraftwerk Fusenko (Korea) gelieferten Turbinen, die bei 605 m Gefälle je 45 625 PS leisten, s. Bildbl. 6. Sie haben liegende Welle, und jedes Laufrad wird von zwei Düsen beaufschlagt. [B 2964]

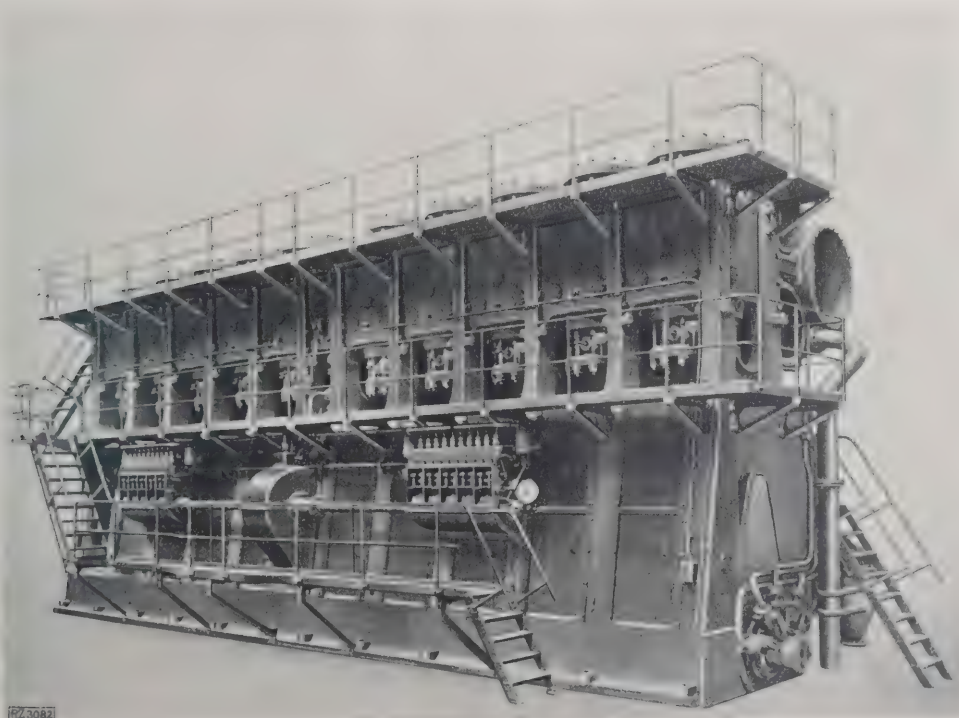
Oesterlen.

¹⁾ Vergl. auch Z. Bd. 72 (1928) S. 129 u. f. und Elektrot. u. Maschin. Bd. 47 (1929) Nr. 1 S. 1 und Nr. 13 S. 264. ²⁾ Z. Bd. 73 (1929) Nr. 24 S. 827. ³⁾ Z. Bd. 72 (1928) S. 81. ⁴⁾ Z. Bd. (1929) Nr. 13 S. 447. ⁵⁾ Z. Bd. 72 (1928) S. 905.

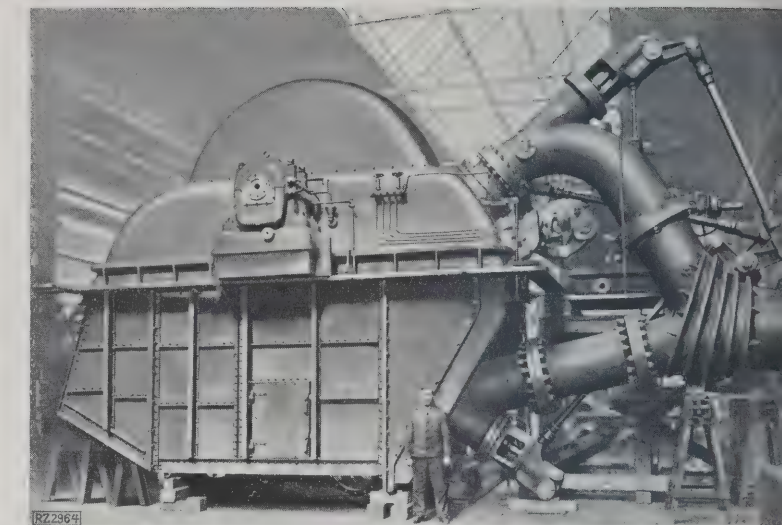
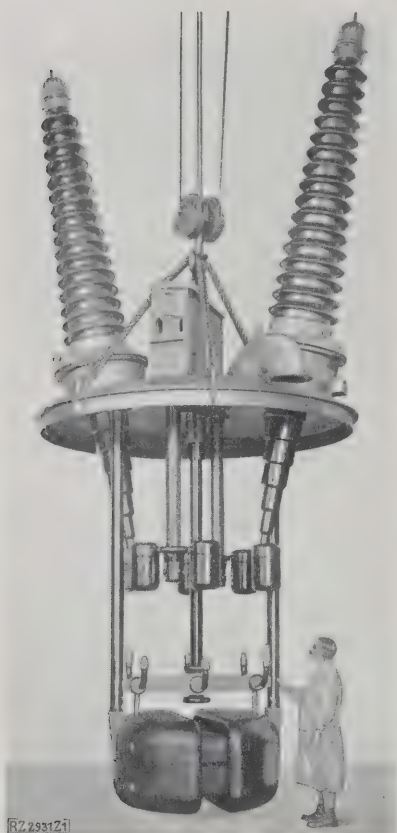
Jahresschau der Technik 1928/29



Ruths-Speicher im Kraftwerk Charlottenburg im Bau.
16 Speicher von insgesamt 5000 m^3 Inhalt für $610\,000 \text{ kg}$ Dampf von 13 bis 0,5 at.



Doppeltwirkender kompressorloser zehnzylindriger Zweitakt-Dieselmotor, Bauart MAN,
für das Kraftwerk Hennigsdorf der Märkischen Elektrizitätswerke; $11\,700 \text{ PS}$, 215 U/min.



Turbine des Kraftwerks Fushiko (Japan), gebaut von J. M. Voith, Heidenheim a. d. Brenz; rd. 46 000 PS, 605 m Gefälle.

Einpoliger Ölschalter
der Siemens-Schuckert-
werke für 220 kV, 600 A.
Deckel mit Schaltkontakten
und Durchführungen heraus-
gehoben.

Jahresschau der Technik 1928/29



Drei Erzverladebrücken von je 800 t/h Leistung, erbaut von
der MAN für den Rotterdamer Hafen.

Netzbetrieb (in Buffalo) arbeitende Umspanner leistet Sparschaltung dreiphasig 83 333 kVA bei 25 Hertz, 4 kV; er ist fünfschenkelig. Für Prüfzwecke benutzt AEG einen dreiphasigen Fünfschenkelumspanner mit 100 000 kVA Leistung, 13,5/125 kV. Ein 100 kVA-Ölumspanner von Westinghouse für 60 Hertz ist nur mit Selbstkühlung.

Beachtenswert ist die zusätzliche Ringluftkühlung an 3-Umspannern für starke Belastung und Überlast. Der Leistungsregelung dienen die Schubtransformatoren von AEG & Sterzel, Dresden. Umspanner werden immer häufiger mit angebauten Spannungsregelstufen oder Anordnungen versehen, die während des Betriebes geschaltet werden. Ebenso finden Drei- und Mehrwicklungs-Umspanner immer mehr Eingang, wobei eine Wicklung in Leerlauf geschaltet ist, damit sie die zu Überspannungen führenden Oberwellen ausgleicht; sie dient meist gleichzeitig zum Anschluß eines Phasenschiebers. Zu den besten derartigen Umspannern gehört einer von Brown, Boveri & Cie. für 65 000 kVA mit drei Wicklungen für 23 und 9 kV. Das Umspannwerk Aschaffenburg erhält einen Dreiwicklungs-Regeltransformator für 35 000 kVA mit Stufenschalter in ± 6 Stufen, unter Last regelbar zur Kupplung zweier Netze mit 110/104 kV ± 15 vH/V, Offenbug einen Vierwicklungstransformator für 105,22/11 kV ± 20 vH/4 kV, Freiburg i. B. einen für 15 000 kVA mit 107 kV $\pm 7\frac{1}{2}$ vH/73 kV $\pm 6 \times 2\frac{1}{2}$ vH/kV, je mit angebautem Stufenschalter.

Die selbsttätige Ein- und Ausschaltung der vielen Umspanner entsprechend der Netzbelastung würde eine bedeutende Veränderung der beträchtlichen Netzverluste ergeben; hierzu dient der sogen. Rückwärt-Auslöser von Dr. Paul Meyer, A.-G.

Öfen-Umspanner für 100 bis 170 V bereiten wegen riesigen Stromstärken Schwierigkeiten; man hat bei 20 000, je 35 000 kVA bei 100 000 A in einem Öl-Umspanner erreicht.

Die Luftdrosselspulen für Strombegrenzung legt man in Amerika neuerdings in Ölkessel, z. B. drei Einphasenspulen zu je 2800 kVA ohne Eisenkern an 120 kV-Eisenbahnschienen für 450 000 kVA in der Trenton Channel Station, Detroit. Im Prüffeld der General Electric Co., Schenectady, arbeitet ein „Blitzgenerator“, der aus hintereinandergeschalteten Umspannern aufgebaut ist, mit Spannungen bis 3,6 Mill. V; durch Reflexion erreicht man über 4,7 Mill. V. Im Carnegie-Institut in Washington hat man über einen Schwingungskreis in einem Tesla-Transformator 5 Mill. V Hochfrequenz erzielt.

Im Wasserkraftwerk Rjukanfos (Norwegen) werden die Stromlieferungen für die Wasserstoffherstellung eines Ammoniakwerkes an Stelle der Drehstromerzeuger durch Gleichstrom-Doppelmaschinen für 2×6000 kVA 250/480 U/min, 470/520 V eingebaut⁸⁾. Pöge, Chemnitz, liefert eine beachtenswerte Grenzleistungs-Gleichstrommaschine für Bahnzwecke, die parallel mit einer Leistung bei 300 U/min sowohl 4000 kW bei 640 V als auch 1000 kW bei 800 und 950 V leisten und kurzzeitig um 100% überlastbar sein soll. Bei den Hochspannungsgleichstrommaschinen für 10 kV und mehr macht man allerdings den Kommutator im Durchmesser größer als den Anker und läßt Segmentspannungen von einigen hundert Volt zu. Die Siemens-Schuckertwerke bauen einen umsteuerbaren Walzenzug-Gleichstrommotor für 100 kW Stoßleistung bei 50 bis 100 U/min.

Wasserkraftwerke

Der Ausbau der Wasserkraft hat sich fast überall etwas verlangsamt, und man ist auch davon abgekommen, in den Kohlengruben gelegenen Schachtzentralen zu verbleiben. Von Kraftwerk-Neubauten⁹⁾ erwähne ich für den schon genannten Werken das Schwandorfer Wasserkraftwerk des Bayernwerkes und das Zechenwasserkraftwerk Javorzno zur Versorgung von Krakau und Umgebung. Die AEG hat einen Entwurf für das Tauernkraftwerk in den österreichischen Alpen ausgearbeitet für eine Leistung von 1 500 000 kW und eine Jahreserzeugung

von 6,6 Milliarden kWh. Bei Mayrhofen im Zillertal entsteht ein neues Großkraftwerk für 200 Mill. kWh Jahreserzeugung, ebenso bei Ybbs-Persenberg für Wien; das Achenseewerk⁸⁾ erhält eine Pumpspeicheranlage. Im badischen Schwarzwald wird das Schluchseewerk mit 250 000 kW Spitzenleistung bei 600 m Gefälle in drei Stufen errichtet. Das Oberrhein-Albdruck-Dogern-Werk soll im Jahre 1932 fertig werden. In der Schweiz sind das Kraftwerk Schwanden mit 24 500 kW sowie die Kraftwerke Klingnau mit 27 500 kW und Wildegg-Brugg mit 42 000 kW, letztere beide an der Aare, im Bau. Die Siemens-Schuckertwerke bauen bei Dnjeproproj⁹⁾ in Südrussland ein Wasserkraftwerk von 350 000 PS, später 1 Mill. PS und 1,3 Milliarden kWh im Jahr. Das Sillwerk der Stadt Innsbruck ist von Zweiphasen- auf Dreiphasenstrom umgebaut worden.

Apparate

Da in großen Hochspannungs-Schaltanlagen die Ölschalter immer wieder explodieren und zu schweren Bränden und Störungen führen, so steht nach wie vor das Studium des Ölschalters im Vordergrund; von einer wirklichen Klärung ist trotz großer Fortschritte keine Rede. Die vom Rheinisch-Westfälischen Elektrizitätswerk bestellten 220 kV-Ölschalter, Bildbl. 6, werden bald die Feuerprobe zu bestehen haben¹⁰⁾; sie sind z. T. mit DTS-Sillimanit-Isolatoren¹¹⁾ ausgerüstet. Das Porzellan für die mit Sprühringen versehenen Durchführungen der Höchstspannungs-Öl- und Trennschalter sowie Transformatoren wird in den letzten Jahren vielfach namentlich im Freien und auch für die Tropen durch Steinzeug oder Sillimanit ersetzt. Für Innenräume sind Kondensator-Durchführungen aus Hartpapier am besten. Porzellandurchführungen werden bei 110 bis 220 kV mit Öl oder Masse gefüllt.

Die Westinghouse Co. baut den Deion-Luftschalter^{11a)} für Spannungen bis 15 kV. Hierbei wird der Lichtbogen unter einem kräftigen Blasfeld mit hoher Geschwindigkeit in die rd. 1,5 mm engen Spalte vieler aneinander gereihter Metallplatten von rd. 1,5 mm Dicke geblasen, wobei auf jede Unterbrechung weniger als 250 V entfallen.

Eisengepanzerte oder gußegekapselte Schaltanlagen¹²⁾ haben sich bei beschränktem Raum rasch eingebürgert und sollten auch mit Isoliermasse oder Öl gefüllt werden. Die Isogußgeräte von Klöckner sind mit unverbrennbarem keramischen Isolierstoff gekapselt.

Das Impedanzrelais oder richtiger das Reaktanzrelais in kräftiger Ausführung setzt sich als Fehlerabstandrelais in Verbindung mit dem Richtungsrelais zum zuverlässigen Ausschalten kranker Netzteile allgemein durch. Zur Fernbetätigung von Schalt- und Anlaßgeräten dient immer häufiger elektrisch gesteuerte Druckluft oder auch Drucköl.

Da die üblichen Spannungswandler bei 110 bis 250 kV unverhältnismäßig groß und teuer werden, ersetzt man sie durch Anordnungen, bei denen man an einem zwischen Leitung und Erde gelegten kapazitiven, induktiven oder Ohmschen Widerstand eine Teilspannung mißt. Die zweite Art wird als Kaskadenspannungswandler bezeichnet, die erste als Kondensatordurchführung mit Anzapfung ausgeführt.

In ganz erstaunlichem Maße sind in jüngster Zeit die elektrischen Fernmessungen¹³⁾ beliebiger, auch nicht-elektrischer Vorgänge und die Fernmeldeanlagen ausgebaut worden, wobei meist Gleichstrom und Kreuzspulensinstrumente und vielfach das Impuls-Zeit- oder das Impuls-Zähl-Verfahren, auch leitungsgeschaltete Hochfrequenz, in Anwendung kommen. Auf die gleiche Weise werden die Angaben vieler entfernter Zähler in einem einzigen Summenzähler vereinigt. Im Achenseewerk in Jenbach werden über vier dem normalen Sprechverkehr

⁸⁾ Z. Bd. 72 (1928) S. 389.

⁹⁾ Z. Bd. 72 (1928) S. 354.

¹⁰⁾ Über den 200 kW-Ölschalter der AEG wird demnächst noch berichtet.

¹¹⁾ Vergl. Z. Bd. 71 (1927) S. 122 u. 1560.

^{11a)} Transact. Am. Inst. El. Engrs. Bd. 48 S. 93 u. f. Ein Bericht folgt in dieser Zeitschrift.

¹²⁾ Hierüber folgt ein Bericht in dieser Zeitschrift.

¹³⁾ Z. Bd. 72 (1928) S. 1784.

¹⁾ Z. Bd. 73 (1929) Nr. 22 S. 765.

²⁾ Vergl. auch Elektrot. u. Maschinenb. Bd. 47 (1929) Nr. 21 S. 433.

dienende Adern des Bahntelephonkabels die Turbinen von dem 40 km entfernten Unterwerk Wilten aus entsprechend der dort an das Bayernwerk abgegebenen Leistung selbsttätig elektrisch geregelt; auf denselben Adern werden auch die gemessenen Werte der Spannung und Leistung von Wilten nach Jenbach übertragen.

Leitungen

Die Hängeisolatoren versteht man bei Höchstspannungen oben und unten mit Schutz- oder Sprühlingen, um die Entladung vom Isolierstoff fernzuhalten. In Frankreich und Italien hat der Glasisolator weite Verbreitung gefunden.

Einleiterkabel können für Betriebsspannungen bis 150 kV hergestellt werden. Die AEG liefert Dreifachkabel für 100 kV, wobei jeder Leiter seinen eigenen Bleimantel erhält. Der Bleimantel des SO-Kabels der Kabelfabrik Preßburg ist dreieckig. In den Vereinigten Staaten werden nicht nur Höchstspannungs-Einleiterkabel, sondern auch dreifach verseilte Kabel von 33 kV aufwärts mit Öl gefüllt.

Unterwerke

Die großen Einankerumformer versteht die AEG mit einer Staubabsaugvorrichtung auf der Schleifringseite und mit einem Spannungsschwankungsrelais zum raschen Wiedersynchronisieren. Der Quecksilberdampf-Gleichrichter setzt sich insbesondere bei höheren Gleichspannungen, wie sie der Bahnbetrieb verlangt, immer mehr durch und geht schon bis 16 kV Gleichspannung und bis 16 000 A¹⁴⁾.

Beim Glasgleichrichter, dessen Kolben Brenndauern von mehr als 20 000 Stunden erreichen, hat man mittels Luft-, Öl- oder Wasserkühlung Ströme von 600 A und mehr je Glaskolben erreicht. Im Bahnkraftwerk Leipzig wird in drei Glasgleichrichtern für 750 A Gleichstrom von 2 × 220 V aus 16% periodigem Einphasenbahnstrom erzeugt, wobei eine besondere Glätteinrichtung zur Erzielung flimmerfreien Lichtes eingebaut ist. Die zu starke Welligkeit des Gleichrichter-Gleichstromes wird vermindert durch Glättrosselspulen im Gleichstrom, durch einen Querkreis aus Selbstinduktion und Kapazität, der auf die Oberwelle abgestimmt ist und sie schluckt, und durch Wahl hoher Phasenzahl, 6 bis 12, was aber nur bei Drehstrom möglich ist. Die Siemens-Schuckertwerke haben Spritzzündung der Gleichrichter statt der Kippzündung eingeführt.

Neben den Synchronphasenschiebern, die von der General Electric Co. bis 50 000 kVA gebaut und mit Wasserstoffkühlung versehen werden — auch die Stromerzeuger der Pumpspeicherwerke dienen dem gleichen Zweck —, haben die asynchronen Blindleistungsmaschinen auch in selbsttätigen Anlagen ausgedehnte Verbreitung gefunden, und zwar erhalten sie ihren Läuferstrom aus Drehstrom-Erregermaschinen, selten mit Eigenerregung, meist mit Fremderregung durch die Motorspannung oder den Motorstrom (Bauart Oerlikon). Für Japan ist eine asynchrone Blindleistungsmaschine von 30 000 kVA mit rd. 25 kV Läuferspannung bei Stillstand geliefert worden. In den Vereinigten Staaten sind neuerdings Kondensatoren (capacitors), die auch als ölgefüllte Kabel ausgeführt werden, nicht nur parallel ans Netz, sondern auch in Reihe mit den Fernleitungen geschaltet worden, wodurch der induktive Spannungsabfall ausgeglichen wird.

Beleuchtung

Im Jahre 1928 wurden in den Vereinigten Staaten 320 Mill. Glühlampen und 240 Mill. Kleinslampen verkauft, was wohl etwa zwei Drittel der Welterzeugung darstellt. Die General Electric Co. hat eine 50 kW-Glühlampe für mehr als 100 000 HK mit Kühlrippen gebaut. Die sehr starken Lampen von 2 bis 10 kW dienen mit parabolischen Spiegeln als Leuchtfener für den Luftverkehr, allerdings durchdringt das orangefarbene Neonfeuer in Spiralförmigkeit den Nebel bei weitem am besten. Die Vitalux-Osramlampe für 300 und 500 W liefert gemischt mit Wärmestrahlen reichlich ultraviolette Strahlen für eine

milde Bestrahlung; man erzielt dies durch hohe anspruchung des Glühfadens und geeignetes Glas. Errichtung fensterloser Hochhäuser mit in den Wänden und Decken vorgesehenen durchscheinenden elektrisch beleuchteten Mattglasscheiben und künstlicher Belüftung scheint nur eine Frage der Zeit zu sein. Die Sperry Gyroscope Co. in Brooklyn wirft mit einem Strahl von 400 Mill. NK Bilder auf die Wolken.

Elektrowärme

Die Verwendung elektrischer Wärme in der Industrie ist überall in rascher Zunahme begriffen. Wärme motorisch erzeugter Verdichtung zu schaffen, ist eine Zukunftsaufgabe. In Kanada sind Elektrodenkessel für 30 000 kW bei 6,6 kV mit je drei Trommeln im Betrieb; man geht sogar bis 25 kV. Die Widerstand-Lichtbogen-Schweißapparate versteht man immer mehr mit Vorrichtungen zum ganz selbsttätigen Arbeiten und zur Erhöhung der Arbeitsgeschwindigkeit.

In den Vereinigten Staaten gibt es einzelne Elektrizitätswerke, an die z. B. 400 000 elektrische Kühe angeschlossen sind, und es ist zu erwarten, daß in den nächsten Jahren sich auch in Europa die „Elektrizität im Hause“ durchsetzen wird, wobei Speicherapparate, d. h. nicht nur Warmwasserspeicher, sondern vor allem auch Speicherherde, z. B. Bauart Pfeiffer, Speicheröfen eine große Rolle spielen werden. In diesem Fall ist die Einführung eines in England zuerst genutzten, mit dem Zähler zusammengebauten Lastausgleichsrelais von Wert, das, sobald die Gesamtlast im Netz eine gewisse Grenze überschreitet, die Verbraucher ausschaltet, die ohne Schädigung des Stromverbrauchers zeitweise stromlos sein können; das sind die Speicherapparate. Beim Nachlassen der Gesamtlast schließt das Relais sie sofort wieder an.

[B 2931]

Nietthamm

¹⁴⁾ Z. Bd. 73 (1929) Nr. 7 S. 209.

Arbeitsmaschinen

Hebezeuge und Förderanlagen

Steigerung der Wirtschaftlichkeit

Zur Steigerung der Wirtschaftlichkeit der Förderanlagen wird unverkennbar nach einer Erhöhung der Förderleistungen gestrebt, und zwar durch Geschwindigkeitsteigerung, Vergrößerung des Fördergefälles oder der Tragkraft, Verkürzung der Beschick- und Entladungspausen und Erhöhung der Steuerfähigkeit durch mechanische und elektrische Mittel. Bei der zunehmenden Leistungsteigerung der Förderanlagen wird das wichtigste Organ der Hebe- und Fördertechnik, das Drahtseil, erhöhte Aufmerksamkeit zugewendet¹⁾, hinsichtlich der Betriebssicherheit und Störungsfreiheit der Anlagen wesentlich von der Güte des Seiles ab. Bei Förderanlagen wie bei neuzeitlichen Kabelschürfbaggern²⁾ ist die Bewährung der Drahtseile von maßgebendem Einfluß auf die Wirtschaftlichkeit.

Aufzüge

Der Hochhausbau zwingt uns zur Steigerung der Aufzuggeschwindigkeit. Mit 3 m/s Hubgeschwindigkeit nähern wir uns bereits den in den Vereinigten Staaten bei Hochhausaufzügen üblichen Geschwindigkeiten von 4 bis 4,5 m/s. Auch die in Amerika weit verbreitete Steuerung der Aufzugtüren mittels Druckluft und elektrischer Kraft findet bei uns zunehmend Eingang. Braunkohlentagebau ist an Stelle der Streckenförderung der Großraumaufzug^{3a)} im Vordringen.

Kabelkrane

Beachtenswert ist die von Bleichert gebaute Krananlage auf „Gräfin Johanna-Schacht“, Bobrek, Oberschlesien³⁾. Diese Anlage ist in bezug auf Tragkraft (Kübel von 16 m³) und Leistungsfähigkeit (Leistung

¹⁴⁾ Hierüber wird noch berichtet.

¹⁾ Z. Bd. 73 (1929) Nr. 13 S. 417. ^{2a)} Z. Bd. 72 (1928) S. 1256.

³⁾ Z. Bd. 72 (1928) S. 737.

^{3a)} Z. Bd. 72 (1928) S. 581 u. f.

0 t/h, Hubgeschwindigkeit 40 m/min, Fahrgeschwindigkeit der Laufkatze 280 m/min) wohl die größte ihrer Art, bisher errichtet wurde. Hervorhebenswert ist auch die Belkrananlage mit Betongießbühne, die beim Bau der Ummauer Spitalamm des Grimsel-Speicherbeckens⁴⁾ verwendet wird. Bei dieser Hochleistungs-Kabelkrananlage wird durch Steigerung der Geschwindigkeit bei einem Förderkübelinhalt von 3 m³, Tagesleistungen von 1500 bis 10 m³ Beton in Doppelschicht und bei mittleren Fördergeschwindigkeiten zu erwarten. Der Kabelkran ist hierbei zu einem Gußbetongerät geworden, daß bei Talsperrenbauten der Förderung mit Turm und Rinne überlegen scheint.

Erzverladebrücken

Die beiden gewaltigen von der Demag für Rotterdam-Vlaardingen gelieferten Brücken zum Erzschlag mit Greifern von je 16 t Nutzinhalt, einer Fahrgeschwindigkeit von 6 m/s und je 550 t/h werden getroffen durch die drei von der MAN kürzlich für den Hafen von Rotterdam gelieferten Erzverladebrücken von je 10 t/h Leistung⁵⁾, s. Bildbl. 6.

Abraumförderer

Bei Abraumförderbrücken im Braunkohlenabbau sind weitere Fortschritte zu verzeichnen. Bei den von der ATG erbauten Anlagen Werminghoff und Böhlen (mit 1500 und 1950 m³/h Leistung gerechnet⁶⁾). Dem entgegen nach Verbilligung der Abraumbeseitigung und Leistungserhöhung folgend haben die Maschinenfabrik Sekau R. Wolf, A.-G., die Lübecker Maschinenbau-Gesellschaft⁷⁾ und die Firma Fried. Krupp A.-G.⁸⁾ neue Absetzgeräte geschaffen, die bei einer Erhöhung des Absetzleistung die Förderweite vergrößern.

Löffelbagger

Der Löffelbagger entwickelte sich in den Vereinigten Staaten einerseits zum Riesenbagger, andererseits zum Kleinbagger. Im Eisenerz- und Steinkohleabbau werden Löffelbagger auf Raupenfahrwerken eingesetzt mit 800 t Leistungsgewicht und 9 m³ Löffelinhalt⁹⁾, die auch als Eimerbagger mit 8 m³ Kübelinhalt und einer Auslegerlänge 51 m verwendbar sind. Man ist im Begriff, in Amerika Löffelbagger bis zu 1500 t Dienstgewicht und 12 m³ Löffelinhalt zu schaffen. Von mehreren amerikanischen Firmen werden demgegenüber für das Baugewerbe Klein-Löffelbagger auf den Markt gebracht herunter bis zu einem Löffelinhalt von 0,25 m³ und nur 6 t Dienstgewicht.

Seilschwebebahnen

Bei den im gegenläufigen Pendelbetrieb arbeitenden Seilschwebebahnen für Personenbeförderung sucht man den Nachteil einer verhältnismäßig geringen Leistungsfähigkeit und den Mangel dieser Bahnart, daß sie den Stoßverkehr, dem bei Touristenbahnen je nach der Anwesenheit plötzlich auftretenden Andrang, nicht zu genügen vermag, durch Erhöhung der Fahrgeschwindigkeit (bis gegen 5 m/s) und durch Steigerung des Fassungsvermögens der Kabinen (bis zu 50 Personen) auszugleichen. Man verwendet mehrgeschossige Kabinen (Bleibkabinen¹⁰⁾), bei denen durch An- oder Abhängen des zweiten Stockwerkes den Verkehrsanforderungen Rechnung getragen werden kann. Bei der im Bau befindlichen Schauinsland-Bahn (Heckel) bei Freiburg im Breisgau wird bei Lastenbahnen übliche Grundsatz des Rundlaufbetriebes auf die Personen-Seilschwebebahn übertragen, um durch Erhöhung der Wagenzahl den Stoßverkehr aufnehmen zu können.

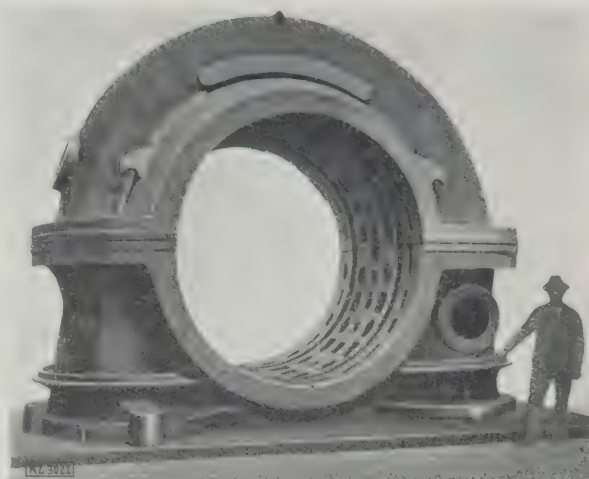
Sicherheitstechnik

Als eine neuartige Lösung, die auf dem Gebiete der Sicherung von erheblicher wirtschaftlicher Bedeutung werden dürfte, ist der Sacksilo zu erwähnen¹¹⁾.

B 3041]

Woernle

Pumpen und Kompressoren



Gehäuse der Hochdruck-Speicherungspumpe von 16 750 bis 18 600 PS für das Murg-Schwarzenbach-Werk.

Pumpen

Von den verschiedenen Einrichtungen zur Förderung von Flüssigkeiten haben insbesondere die Kreiselpumpen weitere Fortschritte zu verzeichnen, angeregt durch die mannigfachen Bedürfnisse in öffentlichen Werken und in Fabrikbetrieben. Große Einheiten sind für hydraulische Speicheranlagen zum Teil abgeliefert, zum Teil noch im Bau begriffen. Die Anlage Niederwartha bei Dresden wird nach vollendetem Ausbau acht Pumpen enthalten, von denen jede 27 000 PS braucht. Eine noch größere Anlage ist in Herdecke an der Ruhr im Bau, wo das Wasser in einen künstlichen See hinaufgepumpt und aufgespeichert wird; dadurch sollen etwa 150 Mill. kWh im Jahr abgegeben werden können. Vorläufig sind drei Pumpen vorgesehen, jede liefert 12 m³/s auf 166 m manometrische Höhe.

Für Wasserversorgung verwendet man vielfach selbsttätig gesteuerte Pumpwerke, die keiner ständigen Wartung bedürfen. Damit ein Versagen der Saugwirkung vermieden wird, erhält die Saugleitung eine selbsttätige Entlüftung. Soll die Wasserwerkpumpe durch eine Dampfturbine angetrieben werden, so wird ein Zahnradgetriebe vorgeschlagen, wodurch der Wirkungsgrad der Gruppe erhöht werden kann und sich demjenigen der Kolbenmaschine nähert oder sogar gleichstellt. Die Berliner Wasserwerke haben letztes Jahr drei solcher Sätze aufgestellt¹⁾. Auch für das Speisen der Dampfkessel werden Kreiselpumpen mit Zahnradgetrieben verwendet, selbst für höchste Drücke²⁾. Die erwähnten Erfolge haben auf das Studium der hydraulischen Vorgänge befruchtend gewirkt; dies zeigt sich in den zahlreichen Veröffentlichungen, die letztes Jahr über das Gebiet der Kreiselpumpen erschienen sind³⁾.

Kompressoren

Der Bedarf an Kolbenverdichtern — insbesondere für hohe Drücke — hat sich in der Berichtszeit weiter erhöht, in günstiger Weise beeinflusst durch die steigende Entwicklung der chemischen Großindustrie. Gewaltige Maschinensätze für Enddrücke bis zu 1000 at werden von den führenden Firmen angeboten; eine größere Zahl dieser „Hyper“-Kompressoren befinden sich bereits in Betrieb und erfüllen die gestellten Bedingungen. Die anfänglich aufgetretenen Schwierigkeiten scheinen demnach überwunden worden zu sein, was wohl hauptsächlich der sorgfältigen Auswahl der Bauteile für Kolben und Zylinder zuzuschreiben ist. Der genannte Druck wird in sechs bis sieben Stufen erreicht, hierbei ist die

¹⁾ Z. Bd. 73 (1929) Nr. 16 S. 539.

²⁾ Z. Bd. 73 (1929) S. 393.

³⁾ Forsch.-Arb. des V. d. I. Heft 307; Z. Bd. 73 (1929) Nr. 4 S. 126, Nr. 6 S. 177.

⁴⁾ Z. Bd. 73 (1929) Nr. 13 S. 427.
⁵⁾ VDI-Nachrichten 14. Februar 1923, S. 1; Werft. Reederei, Hafen (1927) S. 208, Z. Bd. 73 (1929) Nr. 8 S. 251.
⁶⁾ Z. Bd. 71 (1927) S. 341, Z. Bd. 73 (1929) S. 252.
⁷⁾ Z. Bd. 72 (1928) S. 1032.
⁸⁾ Z. Bd. 72 (1928) S. 959. ⁹⁾ Z. Bd. 73 (1929) Nr. 17 S. 577.
¹⁰⁾ Zeitung des Vereins Deutscher Eisenbahnverwaltungen Nr. 12, S. 319, Z. Bd. 73 (1929) Nr. 8 S. 253.
¹¹⁾ Z. Bd. 72 (1928) S. 1635.

liegende Anordnung mit Aneinandersetzen mehrerer Zylinder in der gleichen Achse bevorzugt. Eine eigenartige Lösung des Antriebes und der Abdichtung für die letzte Stufe ist von einem Erbauer dadurch gefunden worden, daß Öl als Übertragungsmittel vom liegenden Kurbeltrieb zu den senkrecht auf und ab gehenden Kolben des Verdichters benutzt wird, womit ein vollkommener Abschluß nach außen und eine bequeme Regelfähigkeit in der Liefermenge erreicht ist. Für normale Enddrücke (8 bis 10 at) erfreuen sich die Turbokompressoren einer stets wachsenden Bedeutung, was Größe der Einheiten und Anzahl der Anlagen anbelangt. Dieser Erfolg ist hauptsächlich dem Zusammenbau mit der raschlaufenden Antriebmaschine — Elektromotor oder Dampfturbine — zu verdanken. Entweder wird der Antrieb durch unmittelbare Kupplung oder durch Zwischenschalten eines Zahnradgetriebes übertragen; in letzterem Falle macht sich ein wirtschaftlicher Vorteil geltend, falls die Zahnräder tadellos ausgeführt sind.

Für kleinere Druckerhöhungen und große Liefermengen finden die Turbogebläse ebenfalls steigende Verwendung, namentlich seitdem man begonnen hat, die Städte in großzügiger Weise mit Gas aus den Kokereien der Hochofenbetriebe zu versorgen.

[B 3022]

P. Ostertag.

Landmaschinen

Einfluß des Auslandes

Die ausländische, namentlich nordamerikanische Industrie bedrängt uns mit hochwertigen Maschinen und zwingt bei der bekannten Vorliebe vieler Landwirte für amerikanische Erzeugnisse, die Gebrauchsfähigkeit und Haltbarkeit der einheimischen Landmaschinen auch bei niedrigen Preisen zu verbessern. Das befördert die aus andern Gründen eingeleitete Abkehr technisch oder betrieblich zurückgebliebener Werke vom Landmaschinenbau, andererseits die sorgfältige Durchbildung der Bauentwürfe und die vorsichtige Auswahl der Werkstoffe. Der Werkstoffuntersuchung wird denn auch sowohl im Eisenforschungsinstitut in Düsseldorf wie in der Versuchsanstalt des Remscheider Verbandes, den besonderen Forderungen des Landmaschinenbaues entsprechend, stärkere Beachtung geschenkt. Forschungsarbeiten über Verschleiß sind an mehreren Stellen im Gange¹⁾.

Kraftbetrieb

Die Schwerölmotoren können in den Schleppern nur langsam Fuß fassen²⁾, bisher fast nur der Zweitakt-Glüh-

¹⁾ Über Einrichtung und Arbeiten von Landmaschinen-Instituten vergl. Kühne, „Das Landmaschinenwesen als Lehrgebiet für Ingenieure, Landmaschinenlaboratorium der Technischen Hochschule München“, Z. Bd. 73 (1929) Nr. 14 S. 449.

²⁾ Vergl. Vormfelde, „Die Entwicklungstendenzen im Landmaschinenbau“ Z. Bd. 72 (1928) S. 1443.

kopfmotor in einer besondern Bauart. Ihre Unbequemlichkeiten im Betrieb und die Gefahr stärkeren Brennstoffdurchschlages zum Öl sind im landwirtschaftlichen Betrieb sehr hinderlich. Vielleicht tritt die Feldberegnung als Anwendungsgebiet für Dieselmotoren von 20 bis 50 PS immer mehr hervor.

Abgesehen von den Pflügen werden nur wenig Feldmaschinen in der näheren Zukunft motorisch betrieben werden, weil Zugtiere leichter zu halten und ihre Leistung dem wechselnden Arbeitsbedarf besser anzupassen sind. Kraftbetrieb der Saat- und Pflegegeräte wird große Betriebe beschränkt bleiben. Dagegen paßt besser für die Getreide- und Hackfruchternte, zumal deren Arbeitswerkzeuge durch den Antrieb vom Motor aus über eine Zapfwelle von der Triebkraft des Feldrades unabhängig gemacht werden können³⁾. Dies befließt die Bauweise der Kraftschlepper; der Tragpflug ist verschwunden, Schlepper mit Riemenscheibe und Zapfwelle herrschen vor.

Saat- und Erntemaschinen

An Drillmaschinen hat das Nortongetriebe zur Regelung der Saatmenge die Oberhand gewonnen, auf glockenartige Entleerungsvorrichtungen wird allgemein Wert gelegt. Hackmaschinen haben großenteils zu verwickelte, recht seltsame Stellgetriebe; die Entwicklung führte schon zu gut ausgewuchteten, in weiten Grenzen einstellbaren und steuerbaren Hackrahmen.

Für Kraftbetrieb werden sehr breite und in allen Teilen verstärkte Bindemähmaschinen mit Zapfwellenantrieb, s. unten, gebaut, deren Leistung nicht mehr hinter der von zwei Pferdezugbindern zurücksteht. In der Kartoffelernte ist die Krautbeseitigung mittels Schlagwerk gelungen und damit der Weg für die Trennung der Knollen von der Erde mittels Siebe freigeworden.

Dreschen und Reinigen der Saat

Da nicht mehr so viel Wert wie früher auf glattes, ganzes Stroh gelegt wird, werden Schneid- und Zerkleinerungsvorrichtungen gebaut, da zerkleinertes Stroh leichter zu beschaffen ist. Gebläse für die Beförderung von Haarfächern sind in voller, aussichtsreicher Entwicklung. Windgebläse werden auch in Reinigungsanlagen zur Sortierung und Förderung mehr als sonst verwendet.

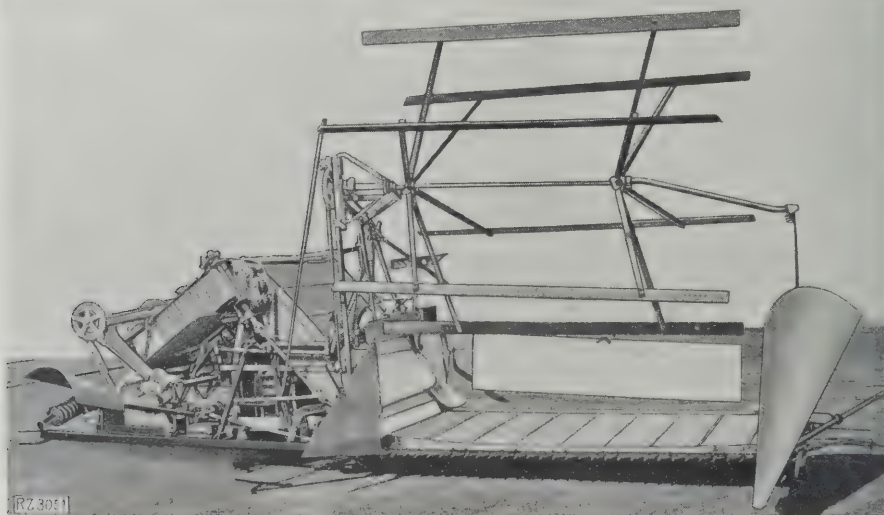
Regenanlagen

Die Großfeldberegnung aus Düsen mit Wurfweilen bis über 30 m wird bevorzugt, neue Düsenformen sind entstanden⁴⁾. Die bestgeeigneten, preiswerten Rohre werden noch gesucht. [B 3051]

Gustav Fischer

³⁾ Vergl. Holldack, „Neuerungen im Landmaschinenbau“ Z. Bd. 73 (1929) Nr. 4 S. 109.

⁴⁾ Vergl. Oehler, „Die Feldberegnung auf der 4. Ausstellung Grünen Woche Berlin 1929“, „Technik in der Landwirtschaft“ B. 1929) Nr. 5 S. 112.



Zapfwellen-
antrieb
der Firma Lan-
gner für Schle-
perantrieb.



Ver. Stahlwerke A.-G.,
Gruppe Dortmund,
Zentralkokerei
Hansa.
130 Koppers-
Verbundkoksofen.

Ofenmaße:
Länge zwischen den
Türen 12 800 mm
Höhe 4 000 „
Breite 400 „

Leistungen: (Syndi-
katsnachweis vom 1. Juli
bis 21. August 1928)

Trockenkohlendurchsatz
in 24 h bei einem Wasser-
gehalt der Rohkohle von
9,76 vH
der Anlage . . 2 675 t
je Ofen 20,6 „
Kokserzeugung der An-
lage in 24 h bei 5 vH
Wasser im Koks 2 030 t
Betriebszeit . . . 16 h

Kohstoffgewinnung und Verarbeitung

Bergbau und Brennstoffe

Arbeits- und Vorrichtung, Abbau, Gewinnung, Abteufen

Eine Reihe von Arbeiten, die sich mit dem Gebirgs-
druck als Abbaufolge befassen, haben sich dessen
Ausnutzung für die Gewinnung durch die sogenannte
Stützbohrung oder nach *Spackeler* den Nutzdruck als
Ziel gesetzt (Vorbild Mansfeld). Durch Rege-
lung der Abbaugeschwindigkeit erhofft man eine für den
Gang des Flözes notwendige Druckübertragung
zubekommen. In Verbindung mit den neuen Erkennt-
nissen über den Gebirgsdruck wurde auf einer westfäl-
ischen Fettkohlenzeche eine neue Art des Streckenauf-
baues und -ausbaues in Form stempelloser Abbauf-
lässe mit absichtlich hergestellten Stützgewölben im
Stollen selbst durchgebildet, die sich gut bewährt hat.
Durch die bisherigen Versuche zur Änderung des im
Braunkohlentiefbau üblichen Bruchbaues wurde die Un-
geeignetheit des Kammerbruchbaues mit senkrechtem
Stützhieb und des versatzlosen Strebbaues mit breitem
Stützbohr nachgewiesen.

Die Mechanisierung bei der Hereingewinnung der
Kohle ist weiter und damit fast an die Grenze des Mög-
lichen fortgeschritten. Rd. 78 vH sämtlicher Kohlen des
Stollenbezirks werden durch Abbauhämmer hereingewon-
nen, die insbesondere in ihrer schweren Ausführung die
Stützbohrmaschine z. T. verdrängen. Den Fragen der
Stützbohrstoffauswahl und der weiteren Durchbildung der
Gewinnungsmaschinen wurde ebenso wie der Frage der
Vermeidung des Rückstoßes von Bohr- und Abbauhämmern
auf den Körper des Handhabenden und der Abschwä-
chung des Rückstoßes besondere Beachtung geschenkt.

Versatz

Eine starke Steigerung der Abbaugeschwindigkeit
ist damit volle Ausnutzung der Kohलगewinnungs-
maschinen wird durch die Schwierigkeiten, die sich im
Stollenbezirk aus dem sehr engen Querschnitt ergeben, beim
Einbringen des Versatzes unmöglich gemacht. Versatz-
maschinen verschiedener Bauart wurden erprobt;
keine vollständige Betriebsicherheit, die bei der Mechan-
isierung des gesamten Abbaubetriebes unbedingt verlangt
werden muß, ist jedoch noch nicht erreicht¹⁾. Günstige Er-
gebnisse sind mit dem Blasversatz gemacht worden, der
den erheblichen betrieblichen Vorteilen einen schnel-

leren Abbaufortschritt gestattet. Die Schwierigkeiten,
genügende Mengen geeigneten Versatzgutes zu be-
schaffen, haben zur Gründung einer besonderen Gesell-
schaft Anlaß gegeben, die sich mit dem Ankauf von Ge-
lände und den Fragen der Heranschaffung des Versatz-
gutes von der Lagerstätte zu den Zechen befassen soll.

Im Zusammenhang hiermit gewinnen die Abbauarten
mit Rippenversatz und planmäßiger Absenkung des Han-
genden besondere Bedeutung. Auf der Wencelslaus-
Grube N.-S. ist die Versatzfrage durch den Abbau mit
Selbstversatz in Verbindung mit parallel zur Abbaufont
verschiebbaren Holzkästen, ähnlich dem im englischen
Bergbau üblichen versatzlosen Longwall-Betriebe unter
weitgehender Ausnutzung des Gebirgsdruckes für die
Hereingewinnung der Kohle, in einwandfreier Weise
gelöst. Im Kalibergbau hat sich für den Versatz der leer-
geförderten Firsten der Schrapper zum Teil gut einge-
führt^{1a)}. Es hat sich herausgestellt, daß er der Schüttel-
rutschenförderung mindestens im Einbruch- und Quer-
schlagbetrieb von Bergemühlen überlegen ist.

Förderung

Förderbänder haben sich an den Stellen weiter ein-
führen können, wo eine längere Liegezeit möglich ist.
Sie werden daher besonders als Zubringer der Kohle zu
den Stapeln (besonders verbunden mit Gefäßförderung
in den Stapeln) oder Hauptförderstrecken angewendet. Im
steierischen Braunkohlenbergbau ist durch Einführung
der Bandförderung unter Übergang zum Pfeilerrückbau
eine Verminderung des Lohnanteiles und eine gute Zu-
sammenfassung des Betriebes erreicht worden.

Tagebau

Auch im letzten Jahre wurde der Hauptwert auf die
wirtschaftliche Ausgestaltung des Abraumbetriebes
gelegt. Mit einem Raupenbagger mit 400 l-Eimern sind
in der Lausitz gute Erfahrungen gemacht worden. Der
Vorteil dieser Geräte liegt in der Hauptsache im Weg-
fall der Gleisanlage für den Bagger. Kabelbagger haben
sich an verschiedenen Stellen eingeführt; eine Leistungs-
steigerung ist in einem Fall dadurch möglich geworden,
daß man den Kübel von der eigentlichen Baggerarbeit
befreit hat. Für das mechanische Absetzen der Abraum-
massen wurden 13 neue Absetzgeräte mit Eimern von 600
und 700 l Inhalt und 50 m Bandauslegerlänge in Betrieb ge-
nommen sowie mehrere Abraumförderbrücken aufgestellt.
Der Raupenbagger von 5 m³ ist durch den Großraumwagen
von 16 m³ weitgehend ersetzt worden. Die Entwässerung
der freigelegten Braunkohle durch besondere Entwässe-

¹⁾ „Glückauf“ Bd. 65 (1929) Nr. 7 S. 221.

^{1a)} „Glückauf“ Bd. 65 (1929) Nr. 21 S. 697.

rungsstrecken ist z. T. durch eine solche mit Entwässerungsgräben, die durch besonders durchgebildete Raupengrabenbagger bis auf das Liegende der Kohle getrieben werden, ersetzt worden.

Preßlinge

Die Erkenntnisse über die Wichtigkeit einer richtigen und gleichmäßigen Trocknung der Rohbraunkohle haben eine Reihe von Änderungen im Naß- und Trockendienst der Brikettfabriken veranlaßt²⁾, deren Hauptzweck die Erreichung einer gleichmäßigen Feuchtigkeit der einzelnen Korngrößen der zu pressenden Kohlen ist. Zum Überwachen des Betriebes des Trockendienstes erweisen sich Schnellbestimmungen des Wassergehaltes der Kohle in den verschiedensten Verarbeitungsgraden notwendig. Von den auf Grund eines Preisausschreibens des deutschen Braunkohlen-Industrie-Vereins eingesandten Geräten zur Schnellwasserbestimmung zeigte sich ein nach dem dielektrischen Verfahren arbeitendes Gerät, das auch zur Bestimmung des Wassergehaltes einer großen Reihe anderer Stoffe, wie Getreide und Tabak, anwendbar ist, als besonders geeignet. Die jetzt vorliegenden längeren Erfahrungen mit den neuen Kniehebelpressen verschiedener Bauart lassen eine Leistungssteigerung von durchschnittlich 20 bis 30 vH erkennen.

Aufbereitung

Für feinverwachsene Erze wird die Schwimmaufbereitung allgemein angewendet. Bei Kupferkieserzen erreichte man durch Übergang von saurer zu basischer Trübe in einer Anlage bei gleichzeitiger Verminderung der Reagenzienkosten auf ein Drittel der früheren eine Erhöhung der Anreicherung auf 22 vH Cu bei nur 0,08 vH Cu in den Abgängen. Das Gebiet der Kohlenaufbereitung und -veredelung hat durch die Londoner Brennstofftagung der Weltkraftkonferenz³⁾ wie durch die Pittsburgher Kohlentagung⁴⁾ auf allen Teilgebieten wesentliche Fortschritte erfahren. In Deutschland sind verschiedene eingehende Untersuchungen über die Eigenschaften und Gefügebestandteile der Kohle⁵⁾ und die Vorgänge bei ihrer Verkokung⁶⁾ angestellt. Die verschiedene Kokbarkeit der einzelnen Gefügebestandteile läßt ihre Trennung von einander durch Aufbereitung notwendig erscheinen, an der von mehreren Seiten gearbeitet wird.

Kokerei

Durch die Errichtung mehrerer neuer Kokereien verfügt das Ruhrgebiet jetzt über 36 Großkokereien mit rd. 7000 Öfen und einer Jahresleistung von 24,9 Mill. t Koks. Durch erhebliche Vergrößerung des Kammerraumes unter Beibehaltung der Breite und Verringerung der Garungszeit ließ sich eine starke Leistungssteigerung der einzelnen Kammern herbeiführen. Versuche über den Einfluß der verschiedenen Schüttdichten der Einsatzkohle im Ofen, die sich bei den neuen Hochkammern mit bis 6 m Höhe besonders bemerkbar machen, auf die Eigenschaften des Koks sind im Gange. Eine starke Verringerung der Garungszeit ist durch die Silikasteine, die im Dauerbetrieb 1350 bis 1380 ° aushalten, und auch durch thermische Kokskohlentrocknung (Zeche Lothringen) mit wirtschaftlichem Erfolge zu erreichen. Trotz der großen Bedeutung der trockenen Kokskühlung ist auf den neuen Kokereien überall die Naßlöschung beibehalten worden⁷⁾. Mit Rücksicht auf die im Ausbau begriffene Gasfernversorgung sind die Öfen allgemein als Verbundöfen auch für Schwachgasbeheizung eingerichtet.

Gasfernversorgung

Von den Gasfernleitungen der Ruhrgas A.-G., Essen, ist die Siegener Leitung bis Plettenberg verlegt, der weitere Teil befindet sich im Bau. Für die Rohrleitungen sind eine Reihe von zweckmäßigen Schweißmuffenverbindungen durchgebildet, die sich auch in Bergbau-

senkungsgebieten bewährt haben⁸⁾: Neben der eigentlichen Gasfernversorgung vom Ruhrbezirk aus haben sich verschiedene Gruppen von Gasversorgungsbezirken herausgebildet, die eine Versorgung einzelner Bezirke wie Harz, Sachsen, Hessen durchführen wollen⁹⁾. Die Versuche zur Erzeugung von Stadtgas aus Braunkohle sind erfolgreich durchgeführt, so daß jetzt ein großer Teil im Schmelzwerk Edderitz erzeugten Gasmenge nach Vorbereitung nach Dessau abgegeben wird.

Verflüssigung

Die von der I.-G. Farbenindustrie A.-G. in ihrer Anlage im Leunawerk erzeugten Mengen an Kunstbenzol haben sich gut eingeführt. Als Rohstoff wird neben Braunkohle teilweise auch Teeröl aus der Steinkohlenscheide verwendet. Der Bau der Steinkohlen-Verflüssigungsanlage in Duisburg-Meiderich ist weit vorgeschritten, der wendige Wasserstoff soll aus Kokereigas der Zeche Concordia gewonnen werden. Die Anlage nimmt ihre Erzeugung Mitte 1929 auf.

Schmelzung

Der Geißen-Ofen hat sich für die Schmelzung Braunkohle weiter einführen können. Das Schmelzwerk Gölzau der Schmelzwerke Minna Anna ist vollständig in Betrieb genommen worden. Mehrere weitere Anlagen mit Tagesdurchsätzen bis zu 1000 t sind im Bau. Die Unentzündlichkeit des Grudekoks läßt sich nach den Untersuchungen von Rosin auf verschiedene Weise beheben. Zur Verbrennung von Grudekoks sind besondere Rostarten wie der Schirmventilrost durchgebildet, die eine wirtschaftliche Verbrennung der Grude ermöglichen¹⁰⁾. Auf dem Gebiete der Steinkohlenschmelzung hat besonders der Doppeltrummelofen der Kohlenscheidungs-G. m. b. H. Berlin, weiteren Eingang gefunden und zur Errichtung verschiedener Neuanlagen im Auslande geführt. Auf die erste Großschmelzanlage dieser Bauart auf Zeche Matthias Stinnes 1/2 wird auf dreifache Leistung erweitert. Ebenso hat sich der Rundzellenofen der Chemisch-Technischen Gesellschaft, Duisburg-Meiderich, der Zeche Prosper 2 im Großbetrieb bewährt. Eine weitere Großanlage nach diesem Verfahren wird bei Lorfeld für eine Leistung von 200 t erbaut.

Kohlenstaub und Kraftwerke

Für die Staubherstellung benutzt man neben der Dreiringwalzenmühle die kurze Rohrmühle wegen ihrer Einfachheit und Betriebssicherheit wieder mehr. Gebläse-Verpuffungsgefahren in der Mühle bildet die Verdichtung von Rauchgasen an Stelle von Luft für Sicht- und Förderung durch die Mühle einen wirksamen Schutz. Hierdurch ist gleichzeitig eine Mahltrocknung in der Mühle möglich. An Stelle der Hauptmahlanlagen werden Einzelmahlanlagen mehr und mehr verwendet. Die Reserve wird durch die Möglichkeit einer wechselweisen Schaltung der Mühlen mit verschiedenen Kesseln geschaffen.

Auf dem Gebiete der Kohlenstaubfeuerung hat die Entwicklung im vergangenen Jahre zum weiteren Auswärtigen wassergekühlter Feuerräume und in bewußter Fortentwicklung zum eigentlichen Hochleistungs-Strahlungskessel geführt. Seitenwandrohre und Deckenkühlung gehen bei den neuesten Ausführungen z. T. unmittelbar in die Öfenröhren, der Rost in die Untertrommel des Kessels. Die Deckung von Spitzenleistungen hat sich in älteren Braunkohlen-Kraftwerken die Staubzusatzfeuerung auch in der einfachsten Form der Eigenherstellung der Anlage an dem Werke selbst, als geeignet erwiesen. Die zahlreichen Untersuchungen und Fortschritte auf dem Gebiete der Kohlenstaubfeuerung haben auch Veranlassung gegeben, die etwas vernachlässigste Behandlung der Feuerwerke grobstückiger Brennstoffe auf Rosten mehr in den Kreis der Untersuchungen einzubeziehen.

Berlin

Prock

²⁾ „Braunkohle“ Bd. 28 (1929), Nr. 15 S. 281.

³⁾ Z. Bd. 73 (1929) Heft 1 S. 9.

⁴⁾ Z. Bd. 73 (1929) Heft 7 S. 235.

⁵⁾ „Glückauf“ Bd. 64 (1928) S. 589, 654, 841.

⁶⁾ „Glückauf“ Bd. 64 (1928) S. 1073, 1105, 1288.

⁷⁾ „Stahl und Eisen“ Bd. 49 (1929) Nr. 5 S. 129.

⁸⁾ Z. Bd. 73 (1929) Heft 16 S. 517.

⁹⁾ Z. Bd. 72 (1928) S. 869.

¹⁰⁾ „Braunkohle“ Bd. 27 (1928) S. 241.

¹¹⁾ „Braunkohle“ Bd. 28 (1929) Nr. 9 S. 164.

Hüttenwesen

Kokereibetriebe

Eine Reihe von Kohlsorten sind über ihr Verhalten bei der Verkokung untersucht worden. Man interessiert heute beim Koks den graphitartigen Kohlenstoff, die sogenannte Teerkohle. Mengenteile dieser Bestandteile beeinflussen die Verbrennlichkeit. Weitere Untersuchungen gelten dem Einfluß der trockenen Koksaufbereitung auf die Beschaffenheit des Kokses. Im Betriebe ist der Gedanke der mechanischen Arbeitsverrichtung weitgehend durchgeführt. Bemerkenswert ist der Kreislauf mit Beheizung durch Koksgas unter Wiederverwendung eines Teiles der Abgase, bei den Nebenprodukten die getrennte Auswaschung des flüchtigen gebundenen Ammoniaks und die Entschwefelung des Koks mit Natronlauge.

Hochofenbetriebe

Man hat sich mit der Vorbereitung, Stückbarmachung, Aufbereitung und Röstung von Erzen eingehend befafßt. Bemerkenswert ist ein neuer Agglomerierofen von Leans. Die Hochofenuntersuchungen erstrecken sich auf die Ermittlung der Einflüsse von Möllern und Koksbeschaffenheit auf den Hochofengang, Untersuchungen über Temperatur und Gaszusammensetzung im Verbrennungsraum, insbesondere die Temperaturverteilung im Ofen und in der Rast, und den eigentlichen Verbrennungsvorgang vor den Formen. Als weiteres Aufgabengebiet sind Großversuche zur Ermittlung der wirtschaftlichen Betriebsweise von Winderhitzern, der Prüfung der Gasbewegung in Winderhitzern und dem Druckgefälle beim Gasdurchgang bemerkenswert. Ferner die Erzeugung, die rekuperative Winderhitzung wieder einzuführen, nachdem heute hitzebeständige Legierungen hergestellt werden können. Zur Überwachung der Betriebspunkte des Hochofenbetriebes werden durch Fernmessung betätigte Einrichtungen vorgeschlagen. Verfahren zur unmittelbaren Stahlerzeugung aus Erzen sind im Grund mehrerer Verfahren weiter fortgeführt worden. Mehrere große elektrische Gasreinigungssysteme sollen heute befriedigende Betriebsergebnisse liefern. Die wirtschaftliche Ausnutzung der Hochofenschlacke wird in steigendem Umfange durchgeführt. Richtlinien für die Herstellung und Lieferung von Hochofenschlacke als Straßenbaustoffe sind aufgestellt worden. Neuerdings laufen Versuche über die Eignung der Hochofenschlacke als Düngemittel.

Stahlwerkbetriebe

Die Untersuchungen erstrecken sich in wärmetechnischer, metallurgischer und wirtschaftlicher Richtung. Es wird über Erfahrungen im Betriebe des Siemens-Martin-Ofens mit Koksofengas und Mischgas, insbesondere aus dem Kaltgasbetriebe berichtet, ferner über Betriebsergebnisse an Ofen mit Mollkopf. Daneben laufen Untersuchungen über die Entkohlungsgeschwindigkeit im basischen Stahlverfahren, sowie über den Einfluß der Schrott- und Roheisenverhältnisse auf die Wirtschaftlichkeit des Stahlwerkbetriebes. Besondere Fortschritte sind auf dem Gebiete der Elektrotahlöfen zu verzeichnen, da nun wohl der Hochfrequenzofen als Betriebsofen allmählich in die Erscheinung tritt. Bei Lichtbogenöfen versucht man durch magnetische Beeinflussung den Lichtbogen abzulenken. Die Hochfrequenzöfen werden sowohl in ihrer elektrischen Ausrüstung Fortschritte und Neuerungen, beispielsweise umlaufende Funkenstrecke, erfahren, als auch in der Herstellung haltbarer Schmelzgefäße.

Über die Untersuchung der erzeugten Werkstoffe sind Ergebnisse über die Oberflächenhärtung durch Nitrierung, über praktische Korrosionsuntersuchungen an Stählen, über die Festigkeitseigenschaften von Stahlguß bei erhöhten Temperaturen und die Bearbeitbarkeit verschiedener Stahlsorten, insbesondere von Einsatz- und Legungsstählen zu nennen. Ferner sind zu nennen Untersuchungen über den Hitzewiderstand von Stahlliegierungen mit Zusätzen.

Walzwerkbetriebe

Bemerkenswerte Angaben werden über den Bau und Betrieb von Bandisenstraßen, über Universalwalzwerke zum Walzen von breitflanschigen Trägern und Schienen gemacht. Untersuchungen über Kraftbedarf beim Schrägwalzen, wie durchlaufend elektrisch betriebenen Walzenstraßen und von Blechwalzwerken liegen ebenfalls vor. Über Gefügeverhalten ist bemerkenswert der Einfluß der Walztemperatur und des Walzdruckes auf das Kornwachstum und der Einfluß des Kaltwalzens und des Glühens auf die Festigkeitseigenschaften von Feinblechen. Bei Walzwerköfen ist die weitere Einführung von kohlenstaubgefeuerten Öfen, von Glühöfen mit elektrischer Beheizung und von Durchlaufglühöfen zur Vergütung von Tiefziehblechen bemerkenswert.

Nichteisenmetalle

Bei der Gewinnung von Metallen außer Eisen spielt die Vorbehandlung der Metallerze eine besondere Rolle. Es wird vielerorts sowohl über Verbesserungen, Vervollkommnungen von bekannten Aufbereitungsverfahren, insbesondere deren Anpassung an die jeweils vorliegenden Erzverhältnisse, daneben aber auch über eine allmähliche Einführung der Schwimmaufbereitung berichtet. So z. B. über naßmechanische Aufbereitung von Bleizinkaufwerken, über Aufbereitmöglichkeiten von Silbererzen, über die Aufbereitung sulfidischer und komplexer Erze und auf der andern Seite über Versuche bei der Schwimmaufbereitung von Kupfer, Blei und Zinkerzen und die Nutzbarmachung großer Lagerstätten armer Erze. Im Zusammenhang damit steht die planmäßige Untersuchung der Schwimmaufbereitungsmittel und ihrer Eigenschaften und die Erfassung der Adsorptionseffekte bei Schwimmaufbereitungsverfahren.

In der Hütten Technik ist bemerkenswert der Versuch zum Ersatz des Hochofens durch Flammöfen in Blei- und Zinkhütten, neue Verfahren zur Zinkgewinnung, wie das Corley-Verfahren oder das Ashcroft-Verfahren; insbesondere weitere Angaben über neue Anlagen für Zinkelektrolyse, damit im Zusammenhang Untersuchungen über Badspannungen und Stromausbeute. Vergleichende Untersuchungen an Zinkdestillation und Elektrolyse sind nicht zu ungunsten der Zinkdestillation ausgefallen. Ferner wird verwiesen auf wirtschaftliche Untersuchungen der Kupfergewinnung auf nassem Wege und die Aussichten des Amenabarverfahrens zur Gewinnung von Kupfer mittels Jod auf nassem Wege. Zu verzeichnen sind auch Fortschritte des elektrischen Schmelzens in Induktionsöfen mit senkrechter Schmelzrinne und in Lichtbogen-Schaukelöfen. Bei Kupferraffinieröfen sind Kohlenstaubfeuerungen eingeführt worden.

Gießerei

Die Förderfragen unterliegen eingehender Untersuchung. Man versucht es häufig, verwinkelten Betriebsverhältnissen in deutschen Gießereien die Vorteile der fließenden Fertigung anzupassen. Vorbedingung ist die planmäßige, bis in alle Einzelheiten gehende Untersuchung aller Fördervorgänge. Die Untersuchung der in den Gießereien verwendeten Rohstoffe nimmt immer größeren Raum ein. An der Spitze steht die Prüfung der Roheisenarten, nicht nur in bezug auf ihre Zusammensetzung, sondern auch auf ihre Eignung für die Gießereizwecke, von der Erkenntnis angeregt, daß die Grundeigenschaften des Roheisens auch nach der Umschmelzung wiederzuerkennen sind und der Erfahrung, daß Roheisenarten verschiedener Herkunft, jedoch gleicher chemischer Zusammensetzung, verschiedene Eigenschaften haben können. Untersuchungen über die Gasdurchlässigkeit von Formsanden sind auf praktische Betriebe übertragen worden, ebenso planmäßige Prüfungen von Kernbindern und ihr Verhalten bei höheren Temperaturen.

Die Schwindung von Gußlegierungen ist in einer Reihe von Untersuchungen festgestellt worden, sowohl bei Grauguß unter dem Einfluß von Silizium, Mangan und Kohlenstoff, ferner von Chrom und Nickel, als auch bei Stahlguß und Temperguß. Bemerkenswert sind die

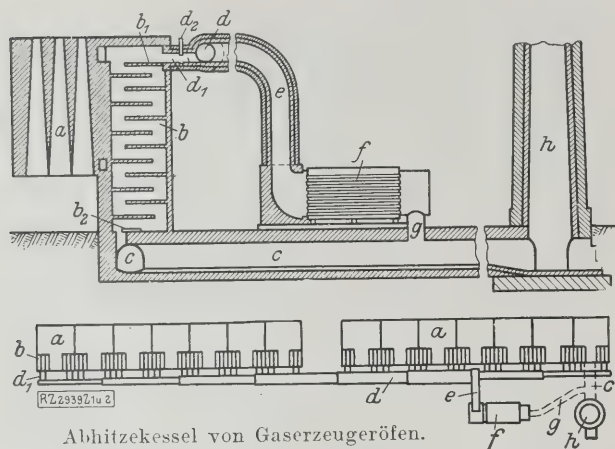
Untersuchungen über den Trocknungsvorgang und den Betrieb von Trockenöfen mit Kohle, Gas und elektrischer Beheizung.

In den Metallgießereien spielt die Wirtschaftlichkeit der Schmelzeinrichtungen eine besondere Rolle. So liegen Untersuchungen über das elektrische Schmelzen von Bronzen und Messing vor, sowie über den Einfluß von Metallzusätzen auf die Gießeigenschaften von Bronze. Besonderen Prüfungen unterliegen Aluminiumgußlegierungen in bezug auf Anfrassung, die Erzeugung porenfreier Aluminiumgußstücke und das Verhalten der Metalle beim Spritzverfahren.

[B 3037]

Diepschlag

Gasindustrie



Abhitzekeßel von Gaserzeugeröfen.

- | | |
|--|------------------------------|
| a Ofenraum | d ₁ Zuflußstutzen |
| b Rekuperation | d ₂ Schieber |
| b ₁ oberster Rekuperationskanal | e Verbindungsrohr |
| b ₂ Schieber | f Dampfkessel |
| c Fuchs | g Kanal zwischen f und c |
| d Sammelrohr | h Schornstein |

Rohstoff

Durch Übernahme von Besitzanteilen oder Kauf von Zechen sichern sich einige Gaswerke Kohlen zu günstigen Bedingungen¹⁾.

Untersuchung der Kohlen

Die seither üblichen Verfahren werden durch folgende Beobachtungen ergänzt²⁾. Erweichen der Asche nach K. Bunte, Blähprobe nach Lessing, Backfähigkeit nach Kattwinkel, Verkokungswärme nach Terres, gasförmige Wärmeeinheiten nach Geipert.

Gaserzeugung

Die Rationalisierung³⁾ beginnt mit den geringen Anlagekosten neuer Gaswerke, die sich auf 10 M/m^3 Jahreserzeugung an Gas ermäßigen lassen. Bei günstiger Auswahl der Kohlen steigt nur das Ausbringen an Gas, es verbessert sich auch die Güte des Koks, die sich im Rückgange seines Gehaltes an Grus ausdrückt. Im Jahre 1922 gelangten 90 000 t Koksgrus auf den Berliner Markt, im Jahre 1926 10 000 t, so sehr war inzwischen die Backfähigkeit der Kohle gewachsen. Wissenschaftlich beherrschte Feuerführung der Öfen bringt neben andern Vorteilen eine lange Lebensdauer der Entgasungsräume, und zwar bis zu 4000 Feuertagen und mehr. Handarbeit sollte immer mehr durch Maschinenarbeit ersetzt werden. Eine bemerkenswerte technisch-wirtschaftliche Vereinigung von Gaswerken mit Elektrizitätswerken und chemischen Fabriken ist die Magdeburger Großgaserei⁴⁾.

Wärme

Die wichtige Aufgabe, an Einzel-Gaserzeugeröfen den Wärmehalt der den Ofenraum verlassenden heißen Verbrennungsgase zur Dampferzeugung auszunützen, wird leicht gelöst, indem nur ein Teil der Verbrennungsgase zur Vorwärmung der Verbrennungsluft in die Rekuperation

geschickt, der andre aber zu einem Abhitzekeßel a zweigt wird. Die früher geschilderte Einrichtung (Geipert) ist nicht nur an neuen, sondern auch an vorhandenen Öfen möglich und alsdann so zu ändern, wie die nebenstehenden Abbildungen schematisch wiedergeben. Sie zeigen den Ofenraum a, die Rekuperation b, Fuchs c, das Sammelrohr d, das Verbindungsrohr e, zum Kessel f führt, den zwischen Kessel und Fuchs stehenden Kanal g und den Schornstein h. Das Sammelrohr d ist mittels 28 Zuflußstutzen d₁ an 14 Gaserzeugeröfen angeschlossen.

Die Rauchgase treten aus dem Ofenraum a, den von unten nach oben durchziehen, zunächst in den oberen Rekuperationskanal b₁ ein. Ein durch den Schieber regelbarer Teil davon strömt durch die Rekuperation von oben nach unten zum Fuchs c, von da zum Schornstein h. Der andre Teil der Rauchgase wird durch Schieber d₂ geregelt und mittels des Zuflußstutzens zum Sammelrohr d abgezweigt. Von da gelangen die gezweigten Rauchgase durch das Verbindungsrohr e zum Kessel f und von diesem durch den Kanal g in den gemeinsamen Fuchs c der Öfen.

Für den Betrieb genügt der Schornsteinzug, ist künstlicher Zug entbehrlich. Die Leitungen, in denen heißen Rauchgase von den Öfen zum Kessel ziehen, Blechrohre und mit einem Wärmeschutz ausgekleidet, nach vorsichtiger Berechnung auf der ganzen Strecke den Öfen bis zum Kessel einen Temperaturabfall von gesamt höchstens 70 °C ergibt.

Gasreinigung

Besonders beachtet wurde die Beseitigung des Schwefelwasserstoffs aus dem Gase. Die Gesellschaft für Koks- und Gas-technik⁵⁾ absorbiert den Schwefelwasserstoff mit einer Aufschlammung von Eisenhydroxyd in Ammoniakwasser. Die Firma Carl Still⁶⁾ mit einer Aufschlammung von Eisenhydroxyd in sodaalkalischer Lösung. Die I.-G. Benindustrie⁷⁾ verwenden aktive Kohle und lösen den auf der Kohle ausscheidenden Schwefel mittels wässriger Ammoniumsulfats von Zeit zu Zeit auf. Das hierbei stehende Polysulfid liefert angeblich reinen Schwefel gleichwertig dem raffinierten sizilianischen oder amerikanischen. Walter Felds Vorschlag, das Gas gleichzeitig von Schwefel und Ammoniak mit Hilfe von Polythionatverbindungen zu reinigen, unter Gewinnung von Ammoniumsulfat und elementarem Schwefel, erweist sich in seinen chemischen und physikalischen Grundlagen nach Terras⁸⁾ als richtig und bei Einhaltung der in Frage kommenden Arbeitsbedingungen auch als durchführbar. Hans Böhmer⁹⁾ führt den Schwefelwasserstoff nach entsprechender Zugabe zum Gase mit Hilfe geeigneter Kontakte in schwache Säure über, die zur unmittelbaren Ammoniakbindung dient.

Gasverwendung

Die Einführung und Verbesserung der Gruppenarbeit bringt es mit sich, daß die Gasteknik sich auch dem Gebiete der Straßenbeleuchtung auf einer aufsteigenden Linie bewegt¹⁰⁾. Der Gasgeräteausbau¹¹⁾ widmet sich mit Erfolg seiner Aufgabe, die Gasgeräte allen Anforderungen des praktischen Lebens anzupassen.

[B 2939]

R. Geipert

Stoffkunde

Im Gesamtgebiet der Stoffkunde ist in den letzten Jahren in immer stärkerem Maße eine Umgestaltung erkennen insofern, als die Ergebnisse angestrebter Forschungstätigkeit sich allmählich für die Praxis der Stoffkunde und der Technologie auszuwirken beginnen.

Metalle

Besonders zahlreiche physikalische Arbeiten über Eigenschaften einzelner Kristalle sind entstanden. Untersuchungen über die Struktur von Legierungen

¹⁾ „Gas- und Wasserfach“ Bd. 71 (1927) S. 403; Bd. 73 (1929) Nr. 1 S. 21.
²⁾ Desgl. Bd. 73 (1929) Nr. 6 S. 124.
³⁾ Desgl. Bd. 72 (1928) S. 865.
⁴⁾ Desgl. Bd. 73 (1929) Nr. 11 S. 259.

⁵⁾ „Gas- und Wasserfach“ Bd. 73 (1929) Nr. 8 S. 173.
⁶⁾ Desgl. Bd. 72 (1928) S. 171.
⁷⁾ Desgl. Bd. 72 (1928) S. 1135.
⁸⁾ Desgl. Bd. 72 (1928) S. 290.
⁹⁾ Desgl. Bd. 72 (1928) S. 49.
¹⁰⁾ Desgl. Bd. 72 (1928) S. 1.
¹¹⁾ Desgl. Bd. 72 (1928) S. 3.

allhaufwerken mittels Röntgenstrahlen durchgeführt. Mechanik der plastischen Verformungen ist im Auf begriffen, die sowohl der technischen Werkstoffprü fung, als auch der Technologie neue Wege weist. Hier im Zusammenhang sind auch die Erklärungen zu en, die mit der Anwesenheit innerer Spannungen in llen zusammenhängen.

Die theoretischen und praktischen Untersuchungen das Fließen der Metalle unter verschiedenen Bedin en haben zwar einen gewissen Abschluß erreicht und der Lösung der Frage der Bausicherheit nähergebracht. der andern Seite macht sich aber auch das Bestreben erklarbar, bei dem für viele Fälle unbefriedigenden Stand rer Untersuchungsverfahren ganze Bauteile unter An ung an die praktischen Verhältnisse der Beanspru g zu untersuchen.

Auf dem Gebiet der Nichteisenmetalle sind schritte in den Arbeiten über Vergütung der Alumi gierungen für verschiedene Verwendungszwecke und Vergütung von Kupfer durch Beryllium zu verzeich n. Durch Untersuchung der Erstarrungsvorgänge beim en sind Erfahrungen über die Ordnung der Kristalle n über den Einfluß bei der Verarbeitung gesammelt en. Der Ersatz der Bronze durch Sondermessing, mit enderen Eigenschaften hinsichtlich Verschleiß, Bearbeit eit und Beständigkeit gegen Anfressung hat Fort itte gemacht.

Von den neueren Untersuchungsverfahren für die kle sind besonders die Dauerversuche und neue Arten Härteprüfung behandelt worden. Eingehende Unter ungen über die Verhältnisse bei der Ermittlung der rkgrenze zeigten, daß dem Verfahren und der Ver sausführung besondere Aufmerksamkeit geschenkt en muß. Die Arbeiten grundlegender Art über die ektigkeitsprüfung mit der Kerbschlagbiegeprobe dürften mehr abgeschlossen sein. Ob die Verhandlungen über efestlegung der Einzelheiten des Verfahrens zur Ein lung als Abnahmeprüfung führen werden, ist wegen der Schwierigkeiten zweifelhaft.

Bei den Bemühungen um die Lösung der Bearbeitbar ige sind in Hinsicht auf das Werkzeug bereits nam f Erfolge aufzuweisen, dagegen ist die Lösung der sich f das Werkstück beziehenden Fragen noch durchaus

Organische, nichtmetallische Werkstoffe

Hier zeigt sich die gleiche Richtung wie bei den Me h, daß man beginnt, grundlegende wissenschaftliche rsuchungen für die Praxis auszunutzen.

Durch neuere Untersuchungen an natürlichen eteinen ist der Zusammenhang zwischen Gestein fe und Elastizitätsmodul klargelegt worden. Die Er bisse der Elastizitätsuntersuchungen lassen Schlüsse e Bewährung der Gesteine als Straßenbaustoff und eisbettungsstoff zu.

Die Zusammenhänge zwischen der Kornzusammen zung, dem Wasserzusatz und den verschiedenen Eigen ten (Druck- und Biegefestigkeit, Schwinden und Quel n, Abnutzung, Wasserdurchlässigkeit und Widerstand r chemische Angriffe) sind für Zementmörtel r Beton weiter geklärt worden. Auch für diese Stoffe r grundlegende Forschungen, z. B. über Erhärten und nden, über Angriffe durch Säuren und über elastische ischaften durchgeführt. Besondere Beachtung ist den en des Bau- und Wohnungswesens in Hinsicht auf die nftmäßige Bewirtschaftung entgegengebracht worden.

Bei den technischen Prüfungen von Mörtel und Beton en die Einflüsse der Probenform, des Wasserzusatzes r Probenherstellung weiter geklärt. Für die Fest gung der Größe von losen Körnern ist ein neues Wind rverfahren entwickelt worden, bei dem besonders die en zwischen 5μ bis 30μ festgestellt werden.

Als Folge verbesserter und neuer Herstellverfahren en die in den Normen festgelegten Festigkeitwerte e. Zemente durchweg erhöht werden. Die Min estigkeiten für Portlandzement sind auf 275 kg/cm^2 ukfestigkeit nach 28 Tagen Wasserlagerung und auf

350 kg/cm^2 bei kombinierter Lagerung festgesetzt. Auch für die Naturzemente sind Normen im Entstehen.

Die Arbeiten über Straßenbaustoffe bezogen sich sowohl auf die verwendeten Gesteine, Zuschläge und Bindemittel, als auch auf die Bauarten. Für die bitumi nösen Stoffe sind Vorschriften fertiggestellt worden, für die Untersuchungen natürlicher Gesteine sind die Prüfungen ebenfalls festgelegt. Hierbei zeigt sich, daß besonderer Wert auf die Zusammenarbeit zwischen den Werkstoff prüfern und den Geologen zu legen ist, und daß die mecha nische Prüfung allein keine sicheren Grundlagen bietet.

Auf dem Gebiet der Brennstoffprüfung strebt man nach Verfahren, die sich den tatsächlichen Beanspru chungen beim Verbrauch besser anpassen. Für die Be stimmung des Blähungsgrades und der Backfähigkeit wer den neue Prüfverfahren erprobt, die Aschenschmelzvor gänge werden mit neuen Prüfeinrichtungen untersucht. Die Prüfung der Koksfestigkeit wird zur Zeit mit verbesserten Geräten betrieben.

Organische Stoffe

Auf allen Einzelgebieten sind neue Arbeiten aufge nommen worden, die in gleicher Weise, wie bei den anorga nischen Stoffen, die Schaffung von wissenschaftlichen Grundlagen für die Bewertung zum Ziele haben. Mehr als auf den übrigen Gebieten zeigen sich hier die Schwie rigkeiten bei der Nachahmung der praktischen Beanspru chungen durch den Versuch.

In der letzten Zeit machen sich die Bestrebungen be merkbar, für das Holz als Baustoff sichere Unterlagen für die Bedürfnisse des Bauwesens zu schaffen. Es wurde besonders der Einfluß von Fehlstellen (Ästen usw.) aufgedeckt. Die Arbeiten sind durch Untersuchungen über die Verdrehungsfestigkeit und über die Festigkeit von Rund holz ergänzt worden. Vielartige Untersuchungen bezogen sich auf Sonderbauarten. Außerdem sind die früher ab geschlossenen Arbeiten über die Prüfung der Holzarten aus dem Bestande und über die Untersuchung an ausgesuchten Probestücken wieder aufgenommen worden. Bei den Ar beiten über Holzschutzmittel, insbesondere über Stein kohlenteeröl, hat sich gezeigt, daß hier planmäßige For schungen dringend notwendig sind.

Für die Beurteilung der Schmiermittel müssen noch immer die Erfahrungen aus dem Betrieb herangezogen werden, wenn es auch gelungen ist, die Ermittlung der ver schiedenen Kennziffern durch einheitliche Verfahren auf sichere Grundlage zu stellen. Die Verfahren zur Bestim mung eines Schmierwertes unter den verschiedenen, durch die Versuchsausführung gegebenen Bedingungen werden ergänzt durch z. Z. noch rein wissenschaftliche Unter suchungen über Grenzflächenkräfte.

Die wichtige Rolle, die der Kautschuk in der Wirtschaft spielt, war Veranlassung, daß auch auf diesem Gebiet grundlegende Forschungsarbeiten angesetzt wur den. Die noch ungeklärten Vorgänge bei der Vulkanisa tion konnten aber die Entwicklung auf dem Gebiete der Beschleuniger, die eine Abkürzung der Vulkanisationszeit und damit Ersparnisse an Heizkosten und Formenwerk stoff zur Folge haben, nicht aufhalten. Ebenso wurden die als Verstärkungsmittel dienenden aktiven Füllstoffe und die damit im Zusammenhang verwendeten Erweichungs mittel untersucht. Sehr wichtige Forschungen über den Molekularzustand bilden Ansätze, Aufklärung über die Konstitution des Kautschuks und über Mittel zur Verbes serung der Fertigung zu geben.

Für die gummifreien Isolierpreßmassen sind die Prüfverfahren weiter ausgebildet worden. Die ständige Überwachung der Erzeugung hat zu einer Typisierung der Erzeugnisse und damit zu einer Erhöhung der Lei stungen geführt.

Die technischen Prüfungen über die Haltbarkeit von Anstrichen haben noch kein befriedigendes Ergebnis gezeigt. Auch auf diesem Gebiet wird die chemische Ana lyse noch weiterhin eine wichtige Grundlage für die Be wertung bleiben. Forschungen über den Aufbau des An strichfilmes und über den Einfluß der Farbkörper und des Malgrundes sind an vielen Stellen durchgeführt worden.

Die mechanischen Prüfungen an Treibriemen verschiedener Art sind durch Leistungsversuche ergänzt worden. Gerbstoffe und Gleitschutzmittel können daher mehr als früher kritisch bewertet werden. Auch für Textilriemen sind Vorschläge für Flechtart, Tränkung und für Leistungsversuche zur Abnahme gemacht worden.

Auf dem Gebiet der Faserstoffe sind neben der Vervollständigung der Prüfung durch neue Verfahren besonders die Einflüsse der Herstellung und der Atmosphären bearbeitet worden. Außerdem sind Arbeiten für einheitliche Prüfverfahren für alle Textilien aufgenommen.

Prüfmittel

Im Prüfmaschinenbau werden Maschinen bevorzugt, die sich für Prüfungen im Betriebe eignen. Neue Bauarten sind für Dauerversuche und für die Prüfung von Federn entwickelt worden. Hinsichtlich der Kraftbereiche und der Meßgenauigkeit sind keine Änderungen eingetreten.

[B 3107]

Deutsch

Verarbeitende Betriebe

Organisation und Werkzeugmaschinen

Fabrikorganisation

Nachdem in den letzten Jahren zahlreiche Vertreter von Technik und Wirtschaft ihre in Amerika gesammelten Eindrücke der deutschen Industrie mitgeteilt hatten, glaubte man, möglichst schnell die sogenannten „amerikanischen Verfahren“ unter dem Schlagwort der „Rationalisierung“ in tunlichster Anlehnung an die Vorbilder durchführen zu müssen. Es traten dabei zahlreiche Rückschläge auf, weil der Kapitalsdienst für die Aufwendungen zur Verbilligung bei dem hohen Zinssatz in Deutschland die Erfolge wieder aufzehrte und die Rationalisierung bei schon vorhandenem ungenügendem Absatz oder bei Rückgang der Beschäftigung das Gegenteil bewirkte. Und so brach sich immer mehr die Erkenntnis Bahn, daß es sich nicht nur um die sehr einfache Übertragung eines bestimmten „Systems“ auf deutsche Verhältnisse handelte, sondern um eine unermessliche Kleinarbeit bei sorgfältigster Einfühlung in die deutschen Zustände, um stufenweise die Wirtschaftlichkeit der Betriebe zu erhöhen. Im Zeichen dieser Kleinarbeit standen die organisatorischen Maßnahmen in den meisten industriellen Werken im letzten Jahr.

Ein Kennzeichen des letzten Jahres ist es, daß sich die Rationalisierungsbestrebungen nicht nur auf Werke mit einem oder wenigen Erzeugnissen und mit Massenerstellung erstreckten, sondern z. B. auch von Erfolg gekrönt waren in Hüttenwerken, Preß- und Hammerwerken, in Werftbetrieben¹⁾ und sogar in Ausbesserwerkstätten²⁾. Bemerkenswert ist, daß sich das Durchorganisieren der Betriebe von den großen Werken auf die mittleren und kleineren ausbreitete.

Konstrukteur und Betrieb. Das Streben nach größerer Wirtschaftlichkeit zeigt sich treffend in der Neu- oder Durchgestaltung der Erzeugnisse, Normung und Formgebung zielen auf eine zweckmäßigere und billigere Herstellung hin. Zu dem Zwecke mußten die Konstrukteure weiter geschult werden, und unter dem Kennwort „Konstrukteur und Betrieb“ wurden zahlreiche Tagungen und Vorträge abgehalten³⁾.

Arbeitsvorbereitung. In steigendem Maße ist erkannt worden, daß eine gute Arbeitsvorbereitung Voraussetzung für eine wirtschaftliche Fertigung ist. Sie wurde in den Betrieben vervollkommen und zahlreich im Schrifttum und in Vorträgen behandelt⁴⁾.

Fertigung. Neben der Anwendung zweckmäßigerer Werkzeugmaschinen und Werkzeuge suchte man

vor allem durch eine bessere Arbeitsführung die stellkosten herabzudrücken⁵⁾. Dabei versucht bei Umstellungen möglichst beweglich zu bleiben, tunlichst einfache, wenig kostspielige Mittel anzuwenden. So wurden in zahlreichen Unternehmungen (Übergang zur Gruppenfertigung beachtliche Erfolge erzielt. Der fließende Zusammenbau, streng angepaßt die vorliegenden Verhältnisse, fand weiterhin Eingang. Und wo selbst die schlechtesten Einrichtungen sich verlohnten, versuchte man, wenigstens eine „glatte Fließfertigung“ einzuführen, um die Durchlaufzeit der Werkstücke zu verkürzen und eine Herabsetzung des triebkapitals zu erreichen.

Förderwesen. Brachte die Gruppenfertigung an sich schon Vorteile hinsichtlich der Beförderungskosten, so suchte man auch weiterhin durch planmäßige Gestaltung des ganzen Förderwesens die Stellkosten herabzudrücken. Vorzugsweise waren es der Elektrokran und der Drehlaufran, die sich mehr einführen ließen. Die Bedeutung des gesamten Förderwesens erhellten drucksvoll zahllose Abhandlungen und Vorträge.

Betriebsüberwachung. Die Betriebsüberwachung machte nach zwei Seiten hin Fortschritte: einmal durch die Schaffung oder Verbesserung von Meß- und Apparaten zur objektiven Messung der Betriebsgänge und ihrer Erfolge⁶⁾, zum andern durch eine weitgehend vervollkommnete Betriebsabrechnung, insbesondere zur Aufdeckung von Verlustquellen.

Kennzeichnend für das letzte Jahr waren auch Versuche zur Schaffung von Einheitsbuchführungen, Einheitsabrechnungen für gleiche Industrien, um die Vergleiche die Wirtschaftlichkeit der Betriebe zu steigern⁷⁾.

Stückzeitermittlung. Die Arbeiten des Reichsausschusses für Arbeitszeitermittlung (Refa) der Arbeitsgemeinschaft Deutscher Betriebsingenieure (ADB) regten vielfach dazu an, auch für Sonderverhältnisse geeignete Verfahren zu schaffen; insbesondere wurde begonnen, die Grundsätze des Refa auf der Holzbearbeitung, in der Faserindustrie u. a. einzuführen und entsprechende Unterlagen zu schaffen. Anregung hierzu gab das Refabuch „Einführung in die Arbeitszeitermittlung“.

Vertrieb. Beachtenswert erscheint, daß sich in den letzten Jahre der Gedanke mehr und mehr durchgesetzt hat, daß die Rationalisierung der Erzeugung nur den vollen Erfolg verbürgen kann, wenn ihr eine Rationalisierung des Einkaufes vorangeht und eine Rationalisierung des Vertriebes nachfolgt. Der Verkaufsingenieur soll am Ausbau einer wissenschaftlichen Gestaltung des Vertriebes mitwirken. Als Hilfsmittel dazu dienen Konjunktur- und die Marktbeobachtung. Eine planmäßige Anpassung der hergestellten Erzeugnisse an die Anforderungen des Bedarfs muß der Anfang eines bewußten „Dienstes am Kunden“ sein. Auf diesen Grundlagen sich ein zielsicherer Einsatz der Werbemaßnahmen aufbauen. Nur sorgfältig betriebene Auslese und Schulung der Verkäufer führen zur engsten Fühlung mit dem Verbraucher. Besondere Betonung fand der Gedanke der Gemeinschaftsarbeit im Vertriebe⁸⁾.

Von der Bedeutung, die man dem Betriebe zuwendet, die Gründung einer Fachgruppe für Vertriebsingenieure beim Verein deutscher Ingenieure, die an den gut besuchten Fachsitzungen und die Wanderschaften „Vertriebsingenieure“, die auf der Hauptversammlung 1928 in Essen, dann auf der Frühjahrsmesse 1929 in Leipzig, in Stuttgart, Darmstadt, Amsterdam, an verschiedenen Orten in Berlin und bei Versammlungen industrieller Verbände gezeigt wurde.

Bürobetrieb. Die Mechanisierung des Bürobetriebes machte weitere Fortschritte. Wie man organisatorisch gut geleiteten Werken betrieblich

¹⁾ Vergl. „Maschinenbau“ Bd. 8 (1929) Heft 6 S. 185.

²⁾ Vergl. „Maschinenbau“ Bd. 8 (1929) Heft 10 S. 305.

³⁾ Z. Bd. 73 (1929) Nr. 22 S. 757 und „Maschinenbau“ Bd. 7 (1928) S. 61 und S. 705.

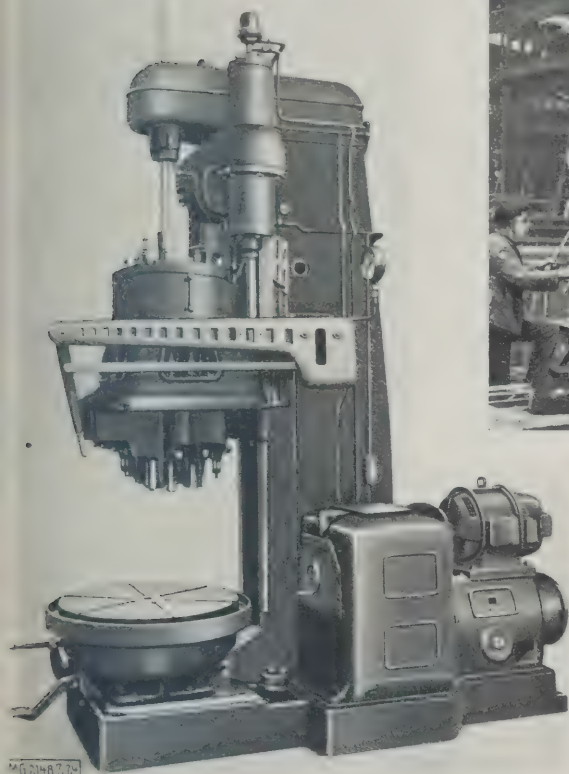
⁴⁾ Z. Bd. 72 (1928) S. 293 und „Maschinenbau“ Bd. 8 (1929) Heft 3 S. 72.

⁵⁾ „Maschinenbau“ Bd. 7 (1928) S. 966.

⁶⁾ Vergl. „Maschinenbau“ Bd. 7 (1928) S. 854, S. 1052, S. 1155, Bd. 8 (1929) Heft 3 S. 80.

⁷⁾ RKW-Veröffentlichungen Nr. 9 und Nr. 14.

⁸⁾ Vergl. „Technik und Wirtschaft“ Bd. 21 (1928) Heft 6, Bd. 22 (1929) Heft 2, Heft 3 S. 63 und Heft 4 S. 89.

Spindelstock einer Großdrehbank
von 1500 mm Spitzenhöhe.

Zwölfspindlige Bohrmaschine mit Druckölvorschub.

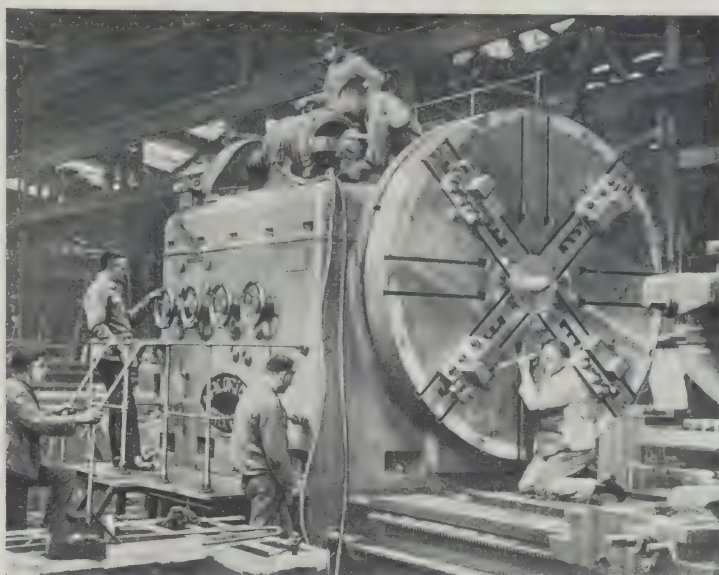
immer stärkeren Trennung der Arbeitsvorbereitung von der Arbeitsausführung gelangte, so hat auch diehaltung des Bürobetriebes zur Trennung der Büroarbeit in einen geistigen und einen maschinellen Teil geführt. Die maschinelle Gestaltung der Verbuchungs- und Berechnungsarbeit wurde weiter gefördert. Besondere Vervollkommenung erfuhr das Lochkartenverfahren⁹⁾.

Werkzeugmaschinen und Werkzeuge

Die Werkzeugmaschinen entwickelten sich im letzten Jahre weiter nach der Forderung: Produktionssteigerung bei höchster Wirtschaftlichkeit. Die Hauptrichtungen werden gekennzeichnet durch eine Starrheit des Aufbaues der Maschine, hohe Durchzugskraft, großen Wirkungsgrad, höchste Leistung im Dauerbetriebe, weite Geschwindigkeitsbereiche, Streben nach dauernd einwandfreier Arbeit, leichte Bedienbarkeit und größte Betriebssicherheit. In bezug auf die Verwendbarkeit lassen sich zwei grundsätzliche Wege unterscheiden: der eine führt zu einer vielseitigen Verwendbarkeit der Werkzeugmaschine, der andre zur Sondermaschine, die ihren besten Ausdruck in der Einzweckmaschine findet¹⁰⁾.

Der elektrische Antrieb wächst mit der Maschine immer mehr und mehr zu einem geschlossenen Ganzen zusammen¹¹⁾. Der Einzelantrieb, vor allem der Flanschmotor, setzt sich weiterhin durch. Elektrische Einrichtungen fanden zahlreiche Anwendung. Ihnen werden Aufgaben übertragen, die früher viel umständlicher auf mechanischem Wege erfüllt wurden oder überhaupt nicht lösbar waren.

Die Anzahl der Geschwindigkeiten und Vorschübe ist meist gesteigert worden. Die Stufensprünge nach den



Richtlinien des VDIW sind bei einer Reihe von Maschinen angewandt¹²⁾. Die wissenschaftlichen Erkenntnisse der Zerspanungslehre waren vielfach entscheidend für die Konstruktion¹³⁾. Der Bearbeitung von Leichtmetallen ist durch erhöhte Spindelgeschwindigkeiten Rechnung getragen. In der Anordnung der Bedienungselemente und der Beschränkung auf wenige Hebel sind weitere Fortschritte gemacht. Einrichtungen zum Ablesen der Geschwindigkeiten und Vorschübe sind mehrfach durchgeführt. Verschieberäder setzen sich mehr und mehr durch. Als Kupplungen dienen vielfach Lamellenkupplungen. Die Gleitlager werden oft durch Kugel- und Kegelrollenlager ersetzt. Für die Supporte bürgert sich der Eilgang weiterhin ein. Besondere Beachtung widmet man auch der Schmierung. Bezeichnend ist die Verwendung hochwertiger Baustoffe.

Drehbänke. Zur Verbilligung der Erzeugnisse findet man Ansätze, daß mehrere Fabriken sich zusammenschließen und einen Einheitstyp herausbringen, dessen verschiedene Größen auf die Firmen verteilt werden.

Die Maschinen zur Verwendung von Hartmetallen und für sehr hohe Schnittgeschwindigkeiten wurden weiter vervollkommen. Drehbänke, vorzugsweise für die Bearbeitung von Leichtmetallen, sind neu entwickelt. Es entstanden auch Neukonstruktionen an Großdrehbänken¹⁴⁾. Die Kurbelwellendrehbänke sind mit bemerkenswerten Neuerungen ausgestattet. Für Teile aus Werkstoffen, die nicht geschliffen werden können, wurde eine Diamantdrehbank entwickelt.

Revolverdrehbänke. Revolverschlitten und Quersupporte wurden vielfach mit Eilverstellung ausgerüstet. Die Revolverköpfe werden oft auswechselbar eingerichtet. Die Spindelkästen sind mehrfach neu durchgebildet. Auf Sicherungseinrichtungen wurde besonderer Wert gelegt.

Automaten. Ein Sechsspindelautomat mit 18 Werkzeugaufnahmen wurde neu herausgebracht. An Futterautomaten sowie an Gridleyautomaten entstanden Verbesserungen¹⁵⁾.

Bohrmaschinen. Die Bohrmaschinen wurden im letzten Jahre weiterhin den verschiedenen Betriebs- und Arbeitsverhältnissen durch Antrieb, Umlaufzahlen, Vorschübe und Handhabung angepaßt. Bohrmaschinen mit Steuerung des Vorschubes durch Öldruck sind entstanden. Eine Reihe vollselbsttätiger Bohrmaschinen ist neu entwickelt. Bohrmaschinen werden durch hohe Spin-

¹²⁾ „Werkstattstechnik“ Bd. 23 (1929) Heft 2 S. 47.

¹³⁾ Z. Bd. 72 (1928) S. 1619; „Maschinenbau“ Bd. 7 (1928) S. 905, S. 949 und S. 1059. Berichte über betriebswissenschaftliche Arbeiten, Bd. 2: Berlin 1929, VDI-Verlag.

¹⁴⁾ Vergl. „Maschinenbau“ Bd. 7 (1928) S. 453.

¹⁵⁾ „Maschinenbau“ Bd. 7 (1928) S. 527.

⁹⁾ Z. Bd. 72 (1928) S. 1799 und Fachheft der Zeitschrift „Technik, Wirtschaft“ Bd. 22 (1929) Nr. 2.

¹⁰⁾ Z. Bd. 72 (1928) S. 229; „Maschinenbau“ Bd. 8 (1929) Heft 11 S. 345.

¹¹⁾ „Maschinenbau“ Bd. 8 (1929) Heft 11 S. 367.

deldrehzahlen bis 20 000 U/min immer mehr auch der Bearbeitung von Leichtmetallen und der Ausnutzung kleinster Bohrdurchmesser angepaßt. Vielfach erhielten die Bohrmaschinen Zusatzeinrichtungen für Gewindeschneiden. Auf mechanischem Wege wurden Radialbohrmaschinen mit 36 Spindelgeschwindigkeiten und Eilgang des Bohrschlittens ausgestattet. Neuartig ist eine zweispindlige Waagrecht-Bohr- und Gewindeschneidmaschine zum Bohren und Gewindeschneiden in einer Aufspannung des Werkstückes. Ein Drehscheibenbohrwerk wurde für Eisenkonstruktionswerkstätten, die nach dem Zulageverfahren arbeiten, entworfen.

Ein neues Waagrecht-Bohr-, Langfräs- und Zylinderbohrwerk soll die Vorzüge einer gewöhnlichen Waagrecht-Bohr- und Fräsmaschine, eines Zylinderbohrwerkes und einer Langfräsmaschine verbinden.

Fräsmaschinen. Bei den Fräsmaschinen wurde besonders starrer Aufbau angestrebt. Für Einfach-, Universal- und Senkrecht-Fräsmaschinen werden von den Firmen möglichst dieselben Teile verwendet, um eine wirtschaftliche Herstellung zu erzielen. Bei Senkrechtfräsmaschinen sind Verbindungen zwischen dem Tisch und dem Gegenhalter ausgeführt. Eilrückgang und Sprungvorschub fanden weitere Verbreitung. Bei manchen Konstruktionen wird das Werkzeug beim Rückgang stillgesetzt. Statt des teuren Vorschubräderrkastens werden oft Wechselläder verwendet.

Bei den Kaltsägen sind Öldruckschaltung und hydraulische Spannung eingeführt worden.

Schleifmaschinen. Besonders bemerkenswerte Vervollkommnungen wiesen im letzten Jahre die Schleifmaschinen auf. Hydraulische Tischbewegung und hydraulische Beistellung wurden von vielen Werken neu eingeführt¹⁶⁾. Allgemein geht man zu immer größeren Schleifscheibendurchmessern über. Eigene Wege beschreitet eine Firma mit der Anwendung von Druckluft für den Antrieb. Eine Senkrechtschleifmaschine mit Doppeltisch will die Aufspannzeit herabsetzen. Auch Sondermaschinen, Stangenkopfschleifmaschinen, Kurbelwellenschleifwerke sowie Sägeblatt- und Werkzeugschleifmaschinen, wurden wirtschaftlicher gestaltet.

Hobelmaschinen. Die Weiterentwicklung der Hobelmaschinen zielt ab auf eine Vergrößerung des Vorschubes, wobei 50 mm mit Hilfe eines Zusatzgetriebes, 100 mm auf elektrischem Wege erzielt wurden. Die Tische erhalten neuerdings Sprungbewegungen. Eine Neuerung stellt der Antrieb durch zwei Drehstrommotoren dar, die über ein Differentialgetriebe wirken.

Maschinen für Blechbearbeitung. Die Tafelscheren wurden vielfach schwungradlos ausgebildet. Selbsttätige Hochleistungs-Langnahtlösmaschinen mit angekuppeltem Dosenrumpf-Auseck-, Bieg- und Falzautomaten zum selbsttätigen Herstellen von Konservendosenrumpfen mit gefalzter und gelöteter Langnaht wurden entwickelt. Streifenpressen wurden vollautomatisch ausgeführt. Auch Kniehebelpressen und Stanzautomaten erhielten bemerkenswerte Verbesserungen¹⁷⁾.

Verschiedene Maschinen. Neue Auswuchtmaschinen mit elektrischer Auswuchtvorrichtung gestatten. Wuchtfehler nach Lage und Größe in wenigen Sekunden zu bestimmen. Ein neuer Gesenkschmiedehammer wird durch zwei Kolbenstangen hochgedrückt und zum Schlag mittels Druck über den Kolben herabgeworfen.

Werkzeuge. Maßgebend für die Entwicklung der Werkzeuge im letzten Jahre waren die in Industrie und wissenschaftlichen Instituten durchgeführten planmäßigen Schneidversuche. Sie haben zu einer zweckmäßigeren Ausbildung der bekannten Werkzeuge, namentlich hinsichtlich der Formung der Schneiden, geführt. So haben die Werkzeuge für die Bearbeitung von Stahl und Eisen eine weitere Entwicklung erfahren, die selbst an den einfachsten und kleinsten Werkzeugen beobachtet werden kann.

Wie auf die Werkzeugmaschinen übte die stärker zunehmende Verwendung von Leichtmetallen auch ihren Einfluß aus auf die Gestaltung der Senk- und Reibwerkzeuge. Für jede Leichtmetallbearbeitung wurden Sonderwerkzeuge auf den Markt gebracht¹⁸⁾.

Meßwerkzeuge für Dickenmessungen (Mikrometer) und für Bohrungsmessungen wurden weiter vollkommnet. Besonders zahlreiche Neuerungen kamen an den Lehren für die Gewindeprüfung festgestellt. Die neuzeitlichen Ansprüche auf dem Gebiete der Zahnradherstellung ließen hochentwickelte Prüfungen entstehen, die entweder nur für Sonderräder ganz allgemein Verwendung finden können.

Für die werkstattmäßige Werkstoffprüfung schon früher bekannte Meßgeräte weiter verbessert. Überhaupt läßt sich feststellen, daß die Meßwerkzeuge für den Werkstattgebrauch unempfindlicher handlicher geworden sind.

Vorrichtungen. Besonders bemerkenswert ist die Fortbildung der Spannvorrichtungen im letzten Jahre. Neben einer Neugestaltung verwickelterer Vorrichtungen finden wir eine Vervollkommnung selbst der einfachsten Spannelemente hinsichtlich Ausführung, Werkstoff und Güte. Das zeigt sich beispielsweise an Drehbohrfutteren sowie Maschinenschraubstöcken. Spannvorrichtungen wurden weiter vervollkommnet¹⁹⁾.

Beachtenswert ist die Mechanisierung der Handwerkzeuge zur Vorrichtung. Dabei findet die biegsame Vorrichtung vielfach Anwendung. Als Beispiele mögen Schleif-, und Schabvorrichtungen sowie elektrisch betriebene Handblechscheren genannt sein.

Behr

¹⁶⁾ Vergl. „Maschinenbau“ Bd. 8 (1929) Heft 11 S. 362.

¹⁷⁾ „Maschinenbau“ Bd. 7 (1928) S. 208.

Chemische Industrie

Apparatewesen

Ohne Sperrflüssigkeit arbeitende Chlorverdichter ermöglichen einen geruchlosen Betrieb¹⁾. Die meisten Chlorkalkkammern nach *Backmann* liefern einen höherprozentigen und haltbaren Chorkalk durch ständige Chlorierung und Homogenisierung im Geströmverfahren²⁾. Siliziumkarbidsteine genügen bei Ausmauerung von Kesselfeuerungen den höchsten Anforderungen³⁾. Mit Hilfe des Kalorisierungsverfahrens (Schweiz. P. 71 195) läßt sich Eisen technisch einwandfrei homogen verbleien⁴⁾. Destilliertes Wasser wird durch Destillation durch Wasserentsalzung im Dreizellenverfahren elektroosmotisch erzeugt⁵⁾. Eine neue Filterbauart für die chemische Industrie bilden die Asbestschwemmfilter; sie eignen sich zur vollkommenen Trennung kolloidaler Trübstoffe⁶⁾. Die visuelle Färbefähigkeits-Titration und Leitfähigkeitsmessung von Ammonsalzen, schwachen oder stark verdünnten Säuren läßt sich jetzt mit Hilfe des Thermokreuzes durchführen⁷⁾.

Organisch-chemische Industrie

Zusatz von Alkalisalzen von Schwefelsäureestern der Azetonderivate von Zuckern ermöglicht Herstellung eines genießbaren, festen Alkohols (461 303)⁸⁾. Für die Zuckergewinnung aus Holz nach Patenten von *Bergius* wird eine Anlage in Stettin einer Tagesleistung von 600 bis 700 t errichtet⁹⁾. Sie liefert ein Glukohexonit, kann bis zu 80 g täglich als Diabetikum Nahrungsmittel verwendet werden, ohne den Harnzucker zu vermehren¹⁰⁾. Hosal besteht aus polyaminosäuren und ziumdoppelsalzen und dient zur Verbesserung des Geschmackes bei salzreicher Kost¹¹⁾. Impletol, eine

¹⁾ Chem. Fabr. Bd. 1 (1928) S. 547.

²⁾ Chem. Ztg. Bd. 52 (1928) S. 964.

³⁾ Chem. Fabr. Bd. 1 (1928) S. 95.

⁴⁾ Chem. Ztg. Bd. 52 (1928) S. 719.

⁵⁾ Chem. Ztg. Bd. 53 (1929) S. 52; Chem. Fabr. Bd. 2 (1929)

⁶⁾ Chem. Ztg. Bd. 52 (1928) S. 111.

⁷⁾ Chem. Fabr. Bd. 2 (1929) S. 185.

⁸⁾ Chem. techn. Übersicht Bd. 52 (1928) S. 189.

⁹⁾ Z. f. ang. Chem. Bd. 41 (1928) S. 710.

¹⁰⁾ Pharm. Ztg. Bd. 74 (1929) S. 501.

¹¹⁾ Münch. med. Wochenschr. Bd. 75 (1928) S. 1583; Klin. Wochenschr. Bd. 7 (1928) S. 2467.

¹⁶⁾ Z. Bd. 73 (1929) Nr. 10 S. 347.

¹⁷⁾ Vergl. „Maschinenbau“ Bd. 7 (1928) S. 159.

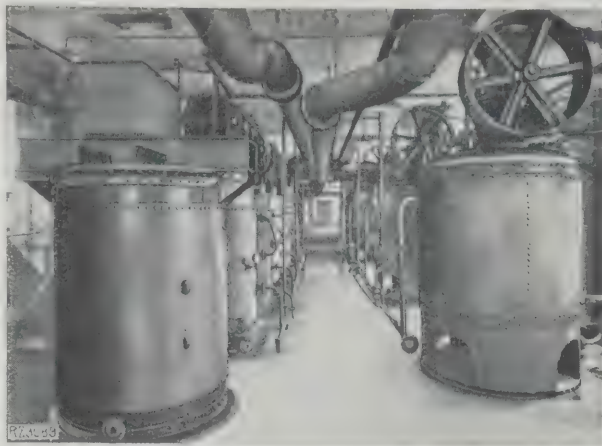
Verbindung von Novokain und Koffein, bildet ein erzstillendes Ersatzmittel für Morphin¹²). Vanillin aus dem in der Sulfitablaue enthaltenen Lignin dessen Oxydation und darauffolgendes Ansäuern stellt¹³).

Die technische Synthese des künstlichen Kautschuks wird gefördert durch die Polymerisation von Kautschuk mit Hilfe von sauerstoffabgebenden Mitteln und Metallen in einer Kohlensäureatmosphäre bei Gegenwart einer anorganischen Hydroxylverbindung¹⁴). Die Umgestaltung des Viskose-Verfahrens nach dem Sulfid-Patent (Engl. P. 281 351) läßt sich Viskose in vorangegangene Reifung verspinnen, und eine Seide von hoher Reißfestigkeit erzielen¹⁵). Ein einfaches Verfahren farbige Filme herzustellen, beruht darauf, daß in das Objektiv eine dreifarbige Blende eingelegt wird und auf der Zelluloidseite des Films präprägte, mikroskopisch feine linsenähnliche Elemente abgebildet in drei farbige Teile zerlegen und auf die Platte photographieren. Das so erhaltene Negativ wird in besonderem Verfahren auf dem Aufnahmefilm selbst umgekehrt und gibt durch dreifarbige Blenden projiziert ein farbiges Gesamtbild¹⁶). Pinakryptolgrün wirkt auf empfindliche Schichten desensibilisierend und ermöglicht die Entwicklung bei Tageslicht¹⁷). Aus Gasöl hergestelltes Blaugas hat infolge seiner Eignung als Kesselstoff für Luftschiffe eine erhöhte technische und wirtschaftliche Bedeutung erhalten¹⁸).

Der Äthylester der Abietinsäure hat sich als Weichungsmittel für die Lackherstellung wegen seiner hellen Farbe, Nichtflüchtigkeit und völligen Mischbarkeit mit den üblichen Lösungsmitteln als besonders geeignet erwiesen¹⁹). Hochwertige Schmieröle und Transformatoröle werden aus aromatischen Kohlenwasserstoffen, z. B. Naphthalin, mit Aluminiumchlorid als Katalysator hergestellt²⁰). Zur Aktivierung von Holzschutzmitteln werden neuerdings an Stelle von Chlorzink ein Gemisch aus Chlorzink und Chlorkalzium (DRP 407 368), die Sulfate (DRP 400 461), Nitrate (DRP 405 312) gasförmige Stoffe (DRP 412 508 und 438 817) verwendet²¹). Fluolin, eine Fassadentünche in acht Farben, ermöglicht einen lichtbeständigen, wetterfesten und zugleich wasserabstoßenden Anstrich von Putz- und Metallflächen²²). Mit dem wasserlöslichen Kühlstoff Gelyol, hauptsächlich aus Methanol bestehend, können Automaten schon mit Leitungswasser von 1,6 atm. betrieben werden²³). Soligen-Trockenstoffe sind Legierungen von Kobalt, Mangan und Blei; sie ermöglichen schon bei Zusatz von $\frac{1}{4}$ bis $\frac{1}{2}$ vH eine beschleunigte Trocknung von Leinöl²⁴).

Organisch-chemische Industrie

Die Wasserernte mit Katadynsilber beruht auf der oligodynamischen Wirkung sehr dünner Silberpartikel²⁵). Eine erhöhte Aufmerksamkeit wird neuerdings den kegelförmigen Diorbleikammern geschenkt; sie ermöglichen eine tangentielle Führung des Gases und haben eine verhältnismäßig große Bleioberfläche bei gesteigertem Wirkungsgrad (R. 358 020)²⁶). Durch teilweises Niederschlagen und folgende Absorption von Koksofengas kann Wasserstoff billiger hergestellt werden (DRP 470 429)²⁷). Neuerdings wird das Methan im Koksofengas bei niedrigen Temperaturen mit Wasserdampf behandelt²⁸) und dadurch



Der Mischerraum einer Kunstseidenfabrik mit Rührwerken und Rohrleitungen

der H-Gehalt im Koksofenwassergas auf 75 vH gesteigert. Die Durchführung von Gasreaktionen im heißen Raum ermöglicht bei Anwendung geeigneter Absorptionsmittel die Herstellung von Zyanwasserstoff und Azetylen aus Methan²⁹). Ein neuer Sicherheitssprengstoff besteht aus Ammonnitrat und Magnesiumnitrat; das Gemisch wird bei 100° in seinem Kristallwasser geschmolzen, und Sägespäne werden damit getränkt³⁰). Kalkstickstoff wird durch Erhitzen von Kalziumkarbonat in einem Gasgemisch von Ammoniak und Kohlenoxyd unter Verwendung von Katalysatoren erhalten (DRP 467 479)³¹). Das sogenannte Ringverfahren zur Herstellung von Ätznatron und Soda beruht auf der Umsetzung von Kalkmilch mit Natriumfluorid; das als Nebenerzeugnis entstehende Kalziumfluorid geht wieder in den Kreislauf des Verfahrens³²). Reines Molybdän-Metall wird durch Erhitzen von Molybdänoxid mit feinen Kalziumspänen gewonnen³³). Kalziummolybdat wird in dieser Form als Zusatz zum Stahl mehr und mehr angewandt und gewinnt dadurch erhöhte wirtschaftliche Bedeutung³⁴). Kadmium hat sich als wirksames Rostschutzmittel erwiesen³⁵). Es ist gelungen, durch Elektrolyse Beryllium in Stücken von über 1 kg Gewicht und von großer Reinheit zu erhalten; Berylliumbronzen geben einen ausgezeichneten Werkstoff für hochbeanspruchte Konstruktionsteile³⁶). Rostschutzfarben mit Kautschukzusatz (Thermoprenen) haben sich beim Anstrich von Kühltürmen und in Salzbergwerken bewährt³⁷). Durch ein abgekürztes Verfahren ist es gelungen, das schon lange bekannte Sulfopon (Kalziumsulfat und Zinksulfid) auch technisch herzustellen³⁸).

Wirtschaftliches

Die Welterzeugung von Stickstoffverbindungen wird 1928 auf 1,84 Mill. t N geschätzt, die deutsche auf 0,74 Mill. t N; der Weltstickstoffverbrauch im Düngjahr 1927/28 betrug 1,82 Mill. t, der deutsche 0,39 Mill. t. Die Welterzeugung von Superphosphat überstieg 1928 14 Mill. t, die deutsche 0,74 Mill. t; im Düngjahr 1927/28 erreichte der deutsche Superphosphatverbrauch 0,725 Mill. t, d. i. annähernd die Hälfte der Vorkriegshöhe. Die Welterzeugung von Kunstseidengarn ist 1928 um 25 vH gegen 1927 gestiegen und erreichte rd. 170 Mill. kg; daran war Deutschland mit rd. 24 Mill. kg beteiligt (Steigerung gegen 1927 um 31,4 vH). Die deutsche Erzeugung von Motortreibstoffen beträgt etwa 320 000 t Benzol, 70 000 t synthetisches Benzin und 15 000 t Motorsprit. In Deutschland werden insgesamt etwa 1,5 Mill. t Steinkohlenteer erzeugt; davon entfallen 0,3 Mill. t auf Gaswerke. [B 3089] Schaub

¹² Münch. med. Wochenschr. Bd. 75 (1928) S. 1284; Pharmaz. Bd. 69 (1928) S. 687.

¹³ Chem. Ztg. Bd. 52 (1928) S. 766.

¹⁴ Chem. Fabr. Bd. 1 (1928) S. 386.

¹⁵ „Kunststoffe“ Bd. 5 (1929) S. 108.

¹⁶ Chem. Ztg. Bd. 52 (1928) S. 924; Z. f. ang. Chem. Bd. 42 (1929) S. 31.

¹⁷ Pharm. Zentralh. Bd. 70 (1929) S. 305.

¹⁸ Chem. Ztg. Bd. 52 (1928) S. 1001; Z. f. ang. Chem. Bd. 42 (1929)

¹⁹ Z. f. ang. Chem. Bd. 41 (1928) S. 269.

²⁰ Z. f. ang. Chem. Bd. 41 (1928) S. 626.

²¹ Z. f. ang. Chem. Bd. 41 (1928) S. 536.

²² Chem. Ind. Bd. 52 (1929) S. 514.

²³ Chem. Fabr. Bd. 1 (1929) S. 209.

²⁴ Chem. Ztg. Bd. 52 (1928) S. 859.

²⁵ Chem. Ztg. Bd. 53 (1929) S. 285.

²⁶ Chem. Ztg. Bd. 53 (1929) S. 230.

²⁷ Chem. techn. Übers. Bd. 53 (1929) S. 43; Z. f. ang. Chem. Bd. 42

²⁸ Metallbörse Bd. 19 (1929) S. 734.

²⁹ Chem. Ztg. Bd. 52 (1928) S. 942.

³⁰ Metallbörse Bd. 18 (1928) S. 2697.

³¹ Metallbörse Bd. 18 (1928) S. 2637.

³² Chem. Ztg. Bd. 53 (1929) S. 145.

³³ Z. f. ang. Chem. Bd. 42 (1929) S. 2.

³⁴ Z. f. ang. Chem. Bd. 42 (1929) S. 2.

³⁵ Z. f. ang. Chem. Bd. 41 (1928) S. 435.

³⁶ Chem. Ztg. Bd. 53 (1929) S. 417.

³⁷ Chem. Fabr. Bd. 1 (1928) S. 382.

³⁸ Chem. Ztg. Bd. 52 (1928) S. 785.

Faserstoffindustrie

Zellstoff

Die dauernde Steigerung des Zellstoffverbrauchs für die Herstellung von Papier und Kunstseide rechtfertigt die Ausschau nach Ersatzstoffen. Hierbei kommen u. a. verschiedene Grasarten in Betracht (die schon fabrikmäßig verarbeitet werden¹⁾). Eine neuere Zellstoff-Entwässerungsmaschine mit filzlosen Pressen liefert sehr günstige Ergebnisse²⁾. Die Ausscheidung der organischen Stoffe aus der bei Herstellung von Sulfizellstoff anfallenden Ablauge ist bis jetzt noch nicht in befriedigender Weise gelöst³⁾. Beim Bau der Laugentürme ist ein wesentlicher Fortschritt zu verzeichnen⁴⁾.

Textilrohstoffe

Während im Jahr 1913 insgesamt 27 000 t Rohseide und 10 000 t Kunstseide verbraucht wurden, betragen die entsprechenden Zahlen vom Jahr 1927 schätzungsweise 42 000 t Rohseide und 130 000 t Kunstseide; davon sind etwa 88 vH Viskoseseide. Eine neuere Art der letzteren, die „Lilienfeldseide“, zeigt hervorragende Festigkeitseigenschaften⁵⁾. Die aus England stammenden Nachrichten über „künstliche Baumwolle“ haben die Fachwelt stark interessiert. Die bisherigen Veröffentlichungen geben leider noch kein klares Bild⁶⁾.

Spinnerei

Ein neuer, leicht verstellbarer Rost für Crighton-Öffner⁷⁾ bietet wesentliche Vorteile. In der Jutespinnerei führt sich das Einkardensystem mehr und mehr ein⁸⁾. Das gleiche gilt für den elektrischen Spinnflügelantrieb in der Bastfaserspinnerei⁹⁾. Für die Überwachung der hohen Spindeldrehzahlen werden zeitsparende Geräte von verschiedenen Firmen hergestellt¹⁰⁾. Der schon bekannte Kammstapelzieher für Baumwolle ist wesentlich verbessert worden¹¹⁾.

Weberei

Verbesserungen sind namentlich bei den Spulmaschinen zu verzeichnen¹²⁾. Die revolverartige Lagerung der Haspel bei einer spindellosen Wind-

maschine¹³⁾ ist beachtenswert. Die abgebildete, von deutschen Firma gebaute Höchstleistungs-Zettelmaschine ermöglicht eine Arbeitsgeschwindigkeit von 40 500 m/min, wie sie bisher nur von einer amerikanischen Ausführung bekannt war.

Zu den bisher gebauten Schützenautomaten ist eine neue Ausführung hinzugekommen. Die Gablemaschine, deren Verwendung für Herstellung von namageweben sich als besonders vorteilhaft erwiesen ist in einfachster Weise zum Buntautomaten ausgebaut worden. Das Nicolet-Webverfahren und der Jacquard Rundwebstuhl erregen berechtigtes Interesse. Über zuletzt genannten Neuerungen hat der Verfasser auf dem im November 1928 in Stuttgart abgehaltenen Textilkongress berichtet¹⁴⁾, die eine Fülle von Anregungen bot.

Die Bestrebungen, die Einzelteile des Webstuhls zu verbessern, kommen in einem Vorschlag zur Herstellung genau richtiger Schlagexzenterflächen zum Ausdruck. Die Frage des Antriebes von zwei oder vier Webstühlen durch einen Motor wurde auf eine neue, einfachere Weise gelöst¹⁵⁾. Für die Musterung und namentlich die Fadenzusammensetzung wird ein zweckentsprechendes optisches Gerät gute Dienste leisten¹⁷⁾.

Strickerei und Wirkerei

Die Herstellung von Modestrickwaren mit leger- oder Intarsienmustern erforderte neue Strickmaschinen mit nur einem Nadelbett. Die Musterung erfolgt durch Einlegen des Fadens mit der Hand, es geschieht neuerdings mehr und mehr mechanische Verstellung der Fadenzuführungsapparate, so daß die Bedienung einfacher und die Leistung gesteigert wird. Die Rundstrickmaschinen werden jetzt auch mit Jacquardeinrichtung versehen. Die Maschenränder der Rundwirkstühle wurden bezüglich der Führung der Nadeln und der Stellung der Führungskurve wesentlich verbessert, so daß die Stühle ebenfalls leistungsfähiger sind. Die Nachteile der Maschinenwaren, insbesondere das Verziehen, soll durch den Kettenwirk-Webstuhl vermieden werden, der fortlaufend Web- und Maschenware erzeugt.

Ausrüstung

Für die Kunstseidenfärberei wird eine Spritzvorrichtung versehene Färbemaschine gebaut, die nach dem Färben auch zum Spülen sowie zum Waschen und Griffigmachen (Avivieren) benutzt werden kann.

- ¹⁾ Z. Bd. 72 (1928) S. 93.
- ²⁾ „Wochenblatt für Papierfabrikation“ Bd. 59 (1928) S. 91.
- ³⁾ Desgl. S. 85.
- ⁴⁾ Sondernummer 23 A. S. 76.
- ⁵⁾ „Seide“ 33. Jahrg. (1928) S. 298.
- ⁶⁾ Zeitschrift für die gesamte Textilindustrie (Z. f. d. g. T.) Bd. 31 (1928) S. 890 und Nr. 51. S. 10.
- ⁷⁾ „Der Spinner und Weber“ (Sp. u. W.) Bd. 46 (1928) Nr. 19 S. 1.
- ⁸⁾ Desgl. Nr. 31 S. 1.
- ⁹⁾ „Leipziger Monatsschrift für Textilindustrie“ (L. M. f. T.) Bd. 43 (1928) S. 139.
- ¹⁰⁾ „Melliand Textilberichte“ (Mell. Textilb.) Bd. 9 (1928) S. 535 u. 903 sowie L. M. f. T. Bd. 43 (1928) S. 297.
- ¹¹⁾ L. M. f. T. Bd. 43 (1928) S. 453.
- ¹²⁾ L. M. f. T. Bd. 43 (1928) S. 240, 285, 372 und Fachheft III S. 138.

¹³⁾ Mell. Textilb. Bd. 9 (1928) S. 18.

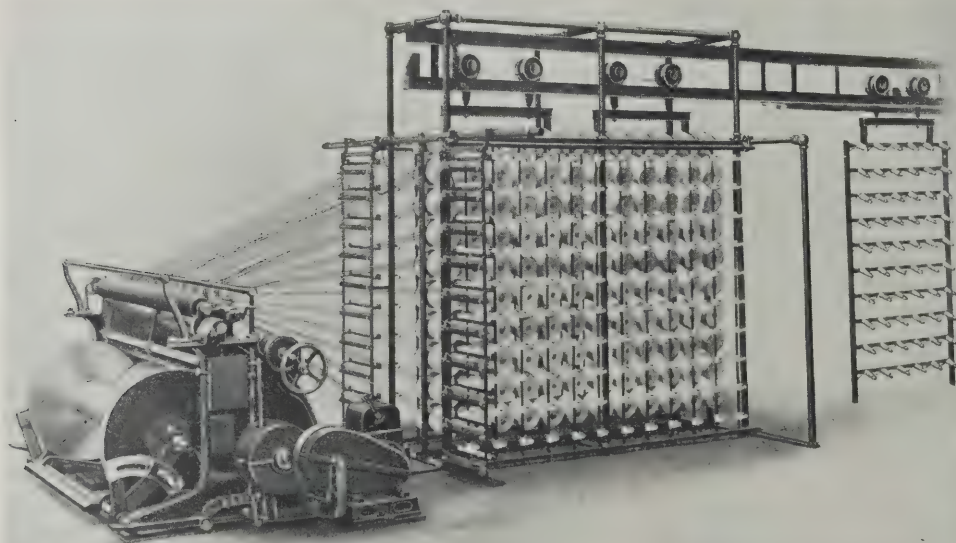
¹⁴⁾ Z. Bd. 73 (1929) S. 285.

¹⁵⁾ Sp. u. W. 46. Jahrg. (1928) Nr. 20 S. 3.

¹⁶⁾ L. M. f. T. Bd. 43 (1928) S. 505.

¹⁷⁾ Desgl. Fachheft 1 S. 19.

¹⁸⁾ Mell. Textilb. Bd. 9 (1928) S. 828.



Höchstleistungs-Zettelmaschine; erbaut von der Maschinenfabrik W. Schlafhorst & Co. München-Gladbach. Arbeitsgeschwindigkeit bis 500 m/min.

die Arbeit wesentlich einfacher wird¹⁹⁾. Ein Werkstoff ermöglicht die Herstellung fugenfreier, fester Behälter in einem Stück²⁰⁾.

(Die Vorteile des elektrischen Einzelantriebes²¹⁾ zeichnen sich ganz besonders bei Zentrifugen, die jetzt mit Druckknopfsteuerung, Zeitschaltung und elektrisch betriebener Bremse ausgeführt werden²²⁾. Neuere Kenmaschinen zeichnen sich durch kleinen Platz- und Materialbedarf bei großer Leistung aus²³⁾. Eine neuartige Maschine liefert Längsstreifen- oder Wellenstreifen²⁴⁾).

E. Mauz

- ¹⁹⁾ „Seide“ Bd. 33 (1928) S. 89.
²⁰⁾ Mell. Textilb. Bd. 9 (1928) S. 418.
²¹⁾ Z. Bd. 73 (1929) Nr. 9 S. 313.
²²⁾ Mell. Textilb. Bd. 9 (1928) S. 650.
²³⁾ Desgl. S. 210, 355, 729 und 904.
²⁴⁾ Desgl. S. 205.

ingenieurwesen

Brücken und Baukonstruktionen

Lebendes und Hochbau

Das Bauwesen leidet nach wie vor unter der wirtschaftlichen Gesamtlage, die nicht als besonders hoffnungsvoll gelten kann. Dazu kommt, daß der ungewöhnlich kalte Winter 1929 die Besserung durch den milden Herbst wieder vernichtet hat. Wegen Absatzmangels haben mehrere Zementfabriken jetzt sogar ihren Betrieb einstellen müssen. Der Baubetrieb hat erst zwei Monate für als gewöhnlich eingesetzt. Ende Februar waren die Angaben des Instituts für Konjunkturforschung nur für die Bauarbeiter beschäftigt.

Immerhin ist der Wohnungsbau aussichtsreicher als Industrie- und Tiefbau. Es lagen 1928 mehr Planungen im Vorjahre vor und private und öffentliche Mittel waren dafür einigermaßen verfügbar. Die Baufinanzierung leidet damit, daß bei verringertem Geldbedarf der industriellen Erzeugung infolge ihrer schlechten Lage sich die Aussichten für sie bessern, indem sich die Finanzmittel mehr dem Wohnungsbau zuwenden werden während Sparkassen und Versicherungsgesellschaften zurückhalten. In der gewerblichen Bautätigkeit gehen die Aufträge zurückgehen, wenn auch in der ersten Hälfte 1928 die Bauvorhaben über der Vorjahreshälfte gestanden haben, auch sogar noch Anfang 1929. Dagegen sind die öffentlichen Bauten infolge der gespannten Finanzlage der öffentlichen Körperschaften im Rückgang. Auch ist der Auftragbestand der Tiefbauunternehmen befriedigend, aber die Aussichten sind ungünstig.

Im Hochbauwesen ist die im vorjährigen Bericht erwähnte Reichsforschungsgesellschaft an der Arbeit, die Baukonstruktionen und deren Ausführung zu verbessern und zu verbilligen. Sie ist nach kurzer Arbeit durch eine Tagung in Berlin schon an die breiteste Öffentlichkeit getreten, um die ganze Fachwelt zur Mitwirkung heranzuziehen. Ingenieurtechnisch und volkswirtschaftlich kann man noch keinen Erfolg feststellen. Die wissenschaftliche Durchdringung des ganzen Hochbauwesens ist eine Forderung der Zeit, um die schädliche, auf Erfahrungen beruhende Tätigkeit der Vergangenheit in bessere Bahnen zu lenken. Dazu ist ein besonderes Forschungsinstitut notwendig.

Bauwesen

In wirtschaftlicher Hinsicht ist ein nicht unerheblicher Rückgang gegen 1927/28 festzustellen, da bei der Krise erwähnten Zurückhaltung der Großindustrie und öffentlichen Behörden, besonders aber der Reichsbahn, der Auftragsbestand abnimmt. Auch die Preisstellung ist im allgemeinen niedrig. Einige der 1928/29 in Angriff genommenen oder vollendeten Bauwerke sind: Thomasschlacken-Anlage und Stahlwerk für die Mannesmann-Röhren-Fabrik in Hückingen; Straßenbahn-Wagenhalle in Berlin-Mitte; Löttenburg; Gießhalle für das Stahlwerk Heesling; Ortsumfahrung; Großgarage Wertheim, Berlin; Umbau am Bahnhof Kottbuscher Tor, Berlin; Kaufhaus Wertheim, Berlin. In Angriff genommen ist unter meiner Mitwirkung der Neubau des Großkraftwerkes Westwerk an der

Unterspreewähe bei Siemensstadt in etwa gleicher Größe wie das im Osten Berlins gelegene Werk Klingenberg. Der Stahlbedarf für die Baukonstruktionen beträgt über 15 000 t.

Aus dem Brückenbau: Die Straßenbrücke Köln-Mülheim, s. Bildbl. 7, ist in Angriff genommen, die Erbauung einer Straßenbrücke über die Elbe bei Tangermünde steht bevor. Als große Stahlbauausführungen im Auslande sind solche für die Indische Staatsbahn, für Jugoslawien, Indochina und Holland erwähnenswert.

Eisenbetonbau

Eine Reihe bemerkenswerter Bauten wurde auch in diesem Berichtsjahre ausgeführt oder vollendet. Im Brückenbau stellt die Lechbrücke bei Augsburg-Hochzoll mit ihren Kastenrippenbogen von 77 m Spannweite und nur 1/12 Pfeil einen erfreulichen Fortschritt dar. Die wohl durch französische Bauten angeregte, theoretische Entwicklung der Massivbogenkonstruktionen ist hier mit Erfolg in die Praxis umgesetzt worden. Von den Brücken altbewährter Art seien erwähnt die Streckbrücke in Pirmasens, die bereits im vorigen Bericht¹⁾ als in der Ausführung begriffen aufgeführt wurde. Sie ist mit einem eingespannten Eisenbetongewölbe von 81 m Stützweite eine der weitestgespannten deutschen Massivbrücken. Ferner ist die Saalebrücke Könnern mit 71 m Stützweite als Vertreterin der Rippenbogen mit angehängter Fahrbahn und schließlich die neue Nagoldbrücke in Pforzheim, bei der eine Balkenstützweite von 44,4 m durch Anordnung eines Gegengewichtes erreicht wurde, erwähnenswert.

Im Hochbau sind wiederum einige Hochhäuser mit Eisenbetongerippe entstanden, und zwar in Breslau, Bremen, Leipzig und Stuttgart. Der neue Hafenspeicher in Stettin²⁾ hat die wohl bisher umfangreichste Ausführung von Pilzdecken in Deutschland (50 000 m²). Bei der Errichtung mehrerer Zentralkokereien³⁾ im rheinisch-westfälischen Industriegebiet wurde der Eisenbetonbau nach den günstigen Erfahrungen in älteren Anlagen wieder ausgedehnt angewendet. Ein Kohlenbunker bei Arenberg erhielt das bisher für Deutschland höchste Fassungsvermögen von 10 000 t. Die Schalenbauweise Zeiß-Dywidag wurde in Theorie und Ausführung weiterentwickelt. In den Großmarkthallen Frankfurt a. M. und Leipzig⁴⁾ finden wir zwei bedeutende Beispiele dafür. Die bereits im vorjährigen Bericht erwähnte Frankfurter Halle wurde 1928 dem Verkehr übergeben. Mit einer frei überdeckten Hallenfläche von 220 × 50 m² ist sie eine der größten Hallen im Massivbau. In Leipzig konnte inzwischen die erste der drei 75 m überspannenden Kuppeln, der weitestgespannten Massivkuppeln der Welt, ausgerüstet werden, s. Bildbl. 7.

Auch im Auslande konnten deutsche Unternehmungen den hohen Stand der Beton- und Eisenbetonindustrie zur Geltung bringen. Erwähnt seien die Hafen- und Kraftwerksanlagen in Buenos Aires⁵⁾ und das Shannonwerk in Irland⁶⁾. [B 3036]

Karl Bernhard

¹⁾ Z. Bd. 72 (1928) S. 798.

²⁾ Hierüber erscheint demnächst ein Aufsatz in dieser Zeitschrift.

³⁾ Vergl. a. Z. Bd. 72 (1928) S. 1821.

⁴⁾ Über beide Hallen erscheint hier demnächst je ein Aufsatz.

⁵⁾ Vergl. a. Z. Bd. 73 (1929) Nr. 21 S. 735.

⁶⁾ Vergl. a. Z. Bd. 72 (1928) S. 1381 u. 1901.

Erd- und Wasserbau

Erschwernisse

Der deutsche Wasserbau befindet sich zur Zeit in einer Art Krise. Es zeigt sich ein mit Hindernissen belastetes Bauwesen, veranlaßt vor allem durch die geldliche Bedrücktheit Deutschlands, durch die Abneigung vieler wirtschaftlicher Kreise gegen den Bau von Kanälen und durch den Wettbewerb anderer Verkehrsmittel, besonders der Eisenbahnen. Einige der großen wasserbaulichen und Schiffsahrtsunternehmungen sind dadurch ganz zum Stillstand gekommen, z. B. der Masurische Seikanal, bei anderen, wie bei der Neckarkanalisation, haben angefangene Bauabschnitte jahrelang stillgelegen, noch andere ziehen sich ins Ungewisse hin.

Im Jahre 1928 waren die von der Reichsregierung zur Verfügung gestellten Geldmittel mit 75,35 Mill. RM für den ordentlichen und 54,38 Mill. RM für den außerordentlichen

lichen Haushalt für die Binnen- und Seewasserstraßen wesentlich kleiner als im Vorjahr, und der gegenwärtige Haushalt 1929 hat eine weitere Einschränkung und Lähmung gebracht. So nimmt der Bau des Mittellandkanales, des Donau-Main-Kanales und der Neckarkanalisierung nur einen schleppenden Fortgang. Das Schiffsbauwerk von Nieder-Finow¹⁾, das nach jahrzehntelangen Vorbereitungen zu einem der ganz großen Ingenieurwerke heranzureifen sich bemüht, droht in seinen Gründungen stecken zu bleiben.

Bauten für den Verkehr

Immerhin hat der Lebens- und Schaffungswille der deutschen Ingenieure und der Bauverwaltungen einige Bauanlagen im letzten Jahre weiter- oder zum Abschluß gebracht: die bedeutende Binnenschiffahrtsschleuse bei Anderten²⁾ (Hindenburgschleuse, s. Bildbl. 7), die Schaffung von 8 m tiefem Fahrwasser im Königsberger und im Stettin-Swinemünder Seekanal, den Hindenburgdamm zur Anschließung der Insel Sylt an das Festland³⁾, der als Beweis seiner Festigkeit die schweren Sturmfluten vom November 1928 gut überstanden hat. Das Kachlet-Kraftwerk in der Donau⁴⁾ ist in Betrieb genommen und hat die Eisgefahren des letzten harten Winters ohne Schaden ausgehalten. Die Erweiterungsbauten am Oder-Spree-Kanal und der Kanal Wesel-Datteln sind im wesentlichen fertiggestellt. Begonnen ist der Bau des Staubeckens von Ottmachau⁵⁾ usw.

Die Seehäfen wurden erweitert in Harburg-Wilhelmsburg durch Ausbau einer Kali-Umschlaganlage⁶⁾, in Hamburg durch neue Hafenbecken und Schuppenbauten. In Bremerhaven legte man den Grundstein zu der 350 m langen Nordschleuse für die Aufnahme der neuen Ozean-schnelldampfer „Bremen“ und „Europa“. Ein bedeutender organisatorischer Vorgang des letzten Jahres ist der Zusammenschluß von Preußen und Hamburg zu einer Hafengemeinschaft für den Ausbau des Gebietes der unteren Elbe bei Hamburg für Verkehrszwecke der Seeschiffahrt, woraus das beste für die zukünftige Entwicklung unseres großen Nordseehafens zu erwarten ist.

Anlagen für Wasserkraftnutzung

Die ertragversprechenden Werke der Wasserkraftwirtschaft sind, wie naturgemäß, stärker gefördert worden als die in privatwirtschaftlichem Sinn überwiegend mit Zuschuß arbeitenden Betriebe des Wasserstraßenverkehrs. Eine Reihe von Werken ist ins Leben gerufen und ihre Verwirklichung begonnen oder gefördert. Im Elbe- und Harzgebiet sind u. a. die großen Sperren an der oberen Saale zu nennen, deren endgültige Finanzierung gesichert erscheint, der Söse-Staudamm im Südwestharz (50 m Höhe), die eigenartige Pumpspeicheranlage von Niederwartha bei Dresden (Staudamm 42 m hoch) für die Spitzendeckung der Überlandversorgung in Sachsen.

Aus dem Wesergebiet sei erwähnt das Pumpspeicherkraftwerk an der Edertalsperre. Im Ruhrgebiet schreitet der Bau des Sorpedammes (57 m hoch) ebenso wie die vereinigte Anlage für Pumpspeicherung und Flußklärung von Hengstey rüstig fort, und die Stauweiheranlage an der Stever für das nordwestfälische Wasserwerk zu Gelsenkirchen nähert sich der Vervollendung.

Im Schwarzwald ist das Schluchseewerk zur Ergänzung der Rheinkraft in Angriff genommen, und der Bau des Großkraftwerkes Ryburg-Schwörstadt⁷⁾ auf der deutsch-schweizerischen Rheingrenze wurde fortgesetzt. Das gleiche gilt von den bayerischen Werken, u. a. dem weiteren Ausbau der Mittleren Isar⁸⁾ und der Erweiterung der Leitzachwerke. In der Nordeifel sind an der Rur große Speichereinrichtungen für Wasserversorgung, Landeskultur und Kraftgewinn der Verwirklichung nähergebracht⁹⁾. Das Kraftwerk Steinhelle (Westfalen) mit 77 m Gefälle und zwei Tagesweihern kam in Betrieb.

¹⁾ Z. Bd. 71 (1927) S. 787; vergl. Z. Bd. 73 (1929) Nr. 13 S. 417.

²⁾ Z. Bd. 72 (1928) S. 1457. ³⁾ Z. Bd. 72 (1928) S. 48.

⁴⁾ Z. Bd. 72 (1928) S. 1137.

⁵⁾ „Bautechnik“ Bd. 7. (1929) Nr. 5 S. 61 u. f.

⁶⁾ Z. Bd. 72 (1928) S. 1286. ⁷⁾ Z. Bd. 72 (1928) S. 801.

⁸⁾ VDI-Nachrichten 1928 Nr. 3, Wasserkraftjahrbuch 1927/28 S. 8.

⁹⁾ Zentralbl. d. Bauverw. Bd. 49, (1929) Nr. 16 S. 255.

Straßenbau

Unter dem Schicksal einer starken Einschränkung seiner Unternehmungen leidet bedauerlicherweise auch der deutsche Straßenbau, dessen großartige Pläne auf den Ausbau eines Kraftwagen-Straßennetzes Pläne von höchster Verkehrsbedeutung — nicht wenig über einzelne Versuchsstrecken und die Untersuchung von Bauverfahren, Baustoffen und Maschinen hinweggekommen sind¹⁰⁾.

Das wissenschaftliche Versuchswesen

Weist einen erfreulichen Fortschritt auf. Zur weiteren Klärung, u. a. über die Formgebung der Querschnitte inneren Spannungen, die zulässige Baustoffanstrengung und viele Einzelheiten ist ein Talsperrenauschuß des Deutschen Nationalen Komitee der Weltkraftkonferenz aus Vertretern des Reiches, der Länder und des Deutschen Wasserwirtschafts- und Wasserkraftverbandes gegründet worden¹¹⁾. Ein weiterer Schritt auf diesem Gebiet ist die gegenwärtige Umarbeitung der „Preußischen Anleitung für Bau und Betrieb von Sammelbecken“, die im Jahre 1907 erlassen wurde. Die Erfahrung einer langen starken Entwicklung in aller Welt ist darin zum Niederschlag gebracht worden.

Bisher hat man im Wasserbau wie im Erdbau viel allein nach Erfahrung gearbeitet. Es scheint, daß gegenwärtig neue wissenschaftliche Grundlagen geschaffen werden, auf denen sich möglicherweise andere Bauverfahren entwickeln werden. Im Erdbau werden durch die Erforschung der physikalischen und chemischen Eigenschaften des Bodens und der Wasserbewegung im Untergrund, in Rohrleitungen und in Rohrabschlüssen Erkenntnisse gewonnen für die Errichtung von Erdbauwerken, insbesondere von Staudämmen von bisher bei uns unbekannter Höhe, und für die Beurteilung der Standsicherheit von Böschungen, in tiefen Einschnitten und an hochliegenden Dämmen. Dadurch wird auch die bisher von manchen Seiten als nicht durchführbar bezeichnete Berechnung der Querschnitte solcher hohen Dämme auf Stand- und Betriebssicherheit verlässlicher. Es ist dies ein großes Feld für die Versuchsanstalten der Staaten und der Technischen Hochschulen.

Neuerdings ist vom Reich in Verbindung mit Preußen und der Deutschen Reichsbahngesellschaft eine „Deutsche Versuchsgesellschaft für Bodenmechanik“ begründet worden. So sehr dies auch an sich zu begrüßen ist, sollte man sich doch davor hüten, daß nicht durch Neugründungen einanderwirken zu vieler gleichartiger Anstalten zu einer Zersplitterung eintritt und doppelte Arbeit geleistet wird, unter der wir ja in Deutschland schon genügend leiden.

Im Seebau sind es die Strömungen des Meeres, die auf die Umgestaltung der Küste einwirken, z. B. der Bau von Anlagen von Häfen, Einpolderungen usw., und im Flußbau die Einwirkung der fließenden Welle auf die Bildung der Betten für die Niedrigwasserregelung, die man durch Versuche erforscht. Der Schiffbau beschäftigt sich mit neuen wirtschaftlichen Formen für den Bau der Seeschiffe, die Vereinheitlichung der Binnenschiffe¹²⁾.

Ausland

Das Ausland, das nicht unter den Einwirkungen eines unglücklichen Krieges steht und zum Teil im Besitz großer Geldmittel ist oder aus unsern Tributleistungen schöpfen kann, entfaltet ein umfangreiches wirtschaftliches Schaffen im Bauwesen. Es seien nur einige besonders hervorragende Unternehmungen und wichtige Vorgänge erwähnt; ein Anspruch auf Vollständigkeit kann mangels Raum nicht erhoben werden.

Im benachbarten Holland sei der Reguleringsdienst an der Unteren Maas und des Durchstiches des Rhein bei Nymwegen gedacht, die das neu erschlossene Kohlengrundgebiet in Limburg über Rotterdam an den Verkehr und an den Rhein anschließen. Der Hafen von Amsterdam wird gefördert durch den Bau der neuen Seeschleuse bei Ymuiden¹³⁾, die in diesem Jahre fertig-

¹⁰⁾ Z. Bd. 72 (1928) Nr. 19, Fachheft Straßenbau, ferner S. 280.

¹¹⁾ Zentralbl. d. Bauverw. Bd. 49 (1929) Nr. 3 S. 45.

¹²⁾ Zentralbl. d. Bauverw. Bd. 49 (1929) Nr. 20 S. 324.

¹³⁾ Z. Bd. 73 (1929) Nr. 22 S. 741.

Jahresschau der Technik 1928/29



Innenansicht einer Kuppel der Zentralmarkthalle Leipzig.

Hängebrücke Köln-Mülheim.
Harkort, MAN, Union-Dortmund
Bauzeit 1928/29.



Luftbildaufnahme der Hindenburg-Schleuse.

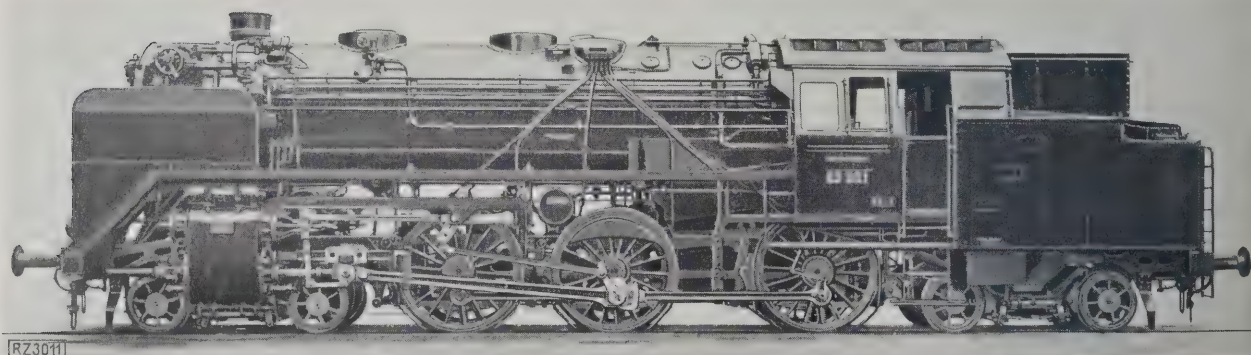
Jahresschau der Technik 1928/29



Das Luftschiff LZ 127 „Graf Zeppelin“.



Das Großflugboot
„Rohrbach-Romar“.



2 C 2-Tenderlokomotive Reihe 62 der Deutschen Reichsbahn-Gesellschaft.
Erbaut von Henschel & Sohn, Kassel.



Doppelschrauben-Motorschiff „St. Louis“ für 1183 Fahrgäste und 10.000 t Ladung.
Erbaut vom Bremer Vulkan, Vegesack, für die Hamburg-Amerika-Linie.



Die neue Eisen-
brücke über
die Norderelbe.

stellt werden soll, und von Kanälen nach dem Rhein.
Trockenlegung der Zuidersee¹⁴⁾, dieses Kulturwerkes
ersten Ranges, schreitet fort.

Im Elsaß wird der große Rhein-Seitenkanal mit
Bau des Kraftwerks Kembs¹⁵⁾ unterhalb Basel be-
gnen. Bedeutende Wasserkraften in den Pyrenäen sind
den elektrischen Betrieb der französischen Südbahn
gebaut¹⁶⁾. Der neuere französische Talsperrenbau
die Monopolstellung der Schwergewichtsmauer, die
in Frankreich bisher inne hat, beseitigen und
(Bogenform fördern¹⁷⁾). In Spanien sind große mit
Anlagen verbundene Talsperren in Angriff ge-
men, von denen die Speicherung von 350 Mill. m³ im
Alula (Guadalquivir) und das Kraftwerk Millares am
ar (80 000 PS) hervorgehoben seien¹⁸⁾.

Von neuen schweizerischen Werken seien
nt: Klosters Koblis¹⁹⁾ bei Davos (85 000 PS) und
(Grimsel-Talsperre mit 106 m Gefälle, 100 Mill. m³/s
Wassermenge, Vollausbau auf 250 000 PS — kühn im Bau
in seiner Wirtschaft. In Tirol ist das Gampadell-
k an der Ill fertiggestellt und das Vermunt-Werk in
arlberg für 700 m Gefälle, 90 000 kW, mit 50 m hoher
perre, zurzeit im Bau²⁰⁾. Bedeutende Planungen sind
e im Gange, u. a. von der AEG in Verbindung mit
Landesregierung des Landes Salzburg: ein Kraft-
k in den Hohen Tauern mit Talsperren, das 6,6 Mil-
aren kWh im Jahr liefern soll. Das Absatzgebiet dieser
serreichen Werke wird überwiegend in
tschland liegen.

Italien und die skandinavischen Länder ent-
keln eine lebhaftige Tätigkeit auf dem Gebiet der
Wasserwirtschaft. In Italien sind aus der letzten Zeit
erwähnen die Werke Liro Inferio (100 000 kW), Po-
al am Gardasee (Jahresleistung bis 250 Millionen
), ferner am Reno in Mittel- und im Silagebiet in
talien. Landeskulturarbeiten sind am Po und Tessin
ange²¹⁾.

Das Wasserkraftwerk Wolchowstroi bei Leningrad
ußland (80 000 PS) konnte 1927 zum Teil in Be-
i genommen werden²²⁾. Der Bau des Kraftwerkes
Dnjepr, das als das größte Europas bezeichnet wird,
il fortgesetzt. Als ein bedeutsamer Plan ist die
salverbindung zwischen Wolga und Don der Öffent-
keit bekanntgegeben. Dieser für Schifffahrt und
Wasserkraftgewinnung vorgesehene Kanal wird den
apischen See an die große Weltstraße anschließen.

Auch in Amerika ist man im Talsperrenbau be-
t, die Bogenform im vermehrten Umfange zu ver-

wenden²³⁾. Von der großen Fülle der Neuschöpfungen
sei nur wenig erwähnt. Die Pumpenspeicherung für
Spitzenstromerzeugung gewinnt auch dort größere Be-
deutung. Von der Versuchstalsperre liegen einige
weitere Ergebnisse vor²⁴⁾. Es ist erfreulich, daß auch
deutsche Unternehmungen in Amerika ein Feld der Be-
tätigung finden. So ist im Jahre 1928 das von der AEG
errichtete Kraftwerk Electriona der Compania Nacional
Hydro-Elctrica (Costa Rica) mit fast 80 m Gefälle in
Betrieb gekommen. [B 3084] *E. Mattern*

²³⁾ Zentralbl. d. Bauverw. Bd. 49 (1929) Nr. 3 S. 43 u. Nr. 8 S. 119.
²⁴⁾ Z. Bd. 73 (1929) Nr. 14 S. 474.

Verkehrswesen

Eisenbahnwesen — Bau und Betrieb

Allgemeine Lage

Das Jahr 1928 war für den Bau und Betrieb der
Eisenbahnen Deutschlands ein Jahr der ruhigen Fort-
entwicklung: Theoretisch wurde fleißig weitergear-
beitet, namentlich auf den Gebieten des Oberbaues und
der Brücken, der Sicherungsanlagen und der Bahnhöfe,
ferner der Betriebs- und Verkehrsabwicklung und der
Wirtschaftsführung. Praktisch konnte aber leider nicht
das geleistet werden, was notwendig gewesen wäre, da
es hierzu an Geld fehlte. Die Folgen der Belastung der
Reichsbahn mit politischen Ausgaben zeigen sich immer
stärker. Hierzu kommt der Wettbewerb der anderen Ver-
kehrsmittel, die überdies unmittelbar und mittelbar Zu-
schüsse der öffentlichen Hand erhalten. Wettbewerb ist
notwendig, aber auf gleicher Grundlage, und vor-
handenes Lebensfähiges muß erhalten werden (wobei
hauptsächlich an die Binnenschifffahrt zu denken ist).
Zuschüsse sind nur für den Luftverkehr zulässig und
diesem müssen sie gewährt werden.

Unter- und Oberbau

Die baulichen Anlagen der Reichsbahn konnten
wegen Mangel an Mitteln leider nicht so erhalten und
erneuert werden, wie es im wirtschaftlichen Interesse not-
wendig gewesen wäre; im allgemeinen mußte man sich
auf die Erhaltung der Betriebssicherheit beschränken.
Beim Oberbau konnten leider nur 3100 km durchgehender
Hauptgleise vollständig erneuert werden. Das entspricht
aber nur dem normalen Umfang; es sind also keine Rück-
stände aus dem Krieg aufgearbeitet worden. Für die
Strecken der FD-Züge ist mit der Einführung der 30 m-
Schiene und dem Schweißen der Stöße begonnen worden.
Mit der Erneuerung der Weichen wurde etwas zurück-
gehalten, weil die neuen Reichsbahnweichen noch nicht
in genügender Zahl zur Verfügung standen.

Auch bei den Brücken mußte mit der Erneuerung
leider stark zurückgehalten werden; kleine eiserne
Brücken wurden vielfach durch Walzträgerdecken er-
setzt; der Rostschutz wurde verbessert, dem hochwertigen

¹⁴⁾ VDI-Nachrichten 1928 Nr. 4, Zentralbl. d. Bauverw. Bd. 49 (1928)
S. 163. Eine ausführliche Veröffentlichung über das Zuiderseewerk
erscheint demnächst auch in dieser Zeitschrift.

¹⁵⁾ Zentralbl. d. Bauverw. Bd. 49 (1928) Nr. 15 S. 243.

¹⁶⁾ „Deutsche Wasserwirtschaft“ Bd. 23 (1928) S. 188.

¹⁷⁾ Zentralbl. d. Bauverw. Bd. 49 (1929) Nr. 3 S. 42.

¹⁸⁾ „Wasserkraft und Wasserwirtschaft“ Bd. 23 (1928) S. 307.

¹⁹⁾ Schweiz. Bauz. Bd. 92 (1928) S. 275.

²⁰⁾ Z. Bd. 73 (1929) Nr. 24 S. 827.

²¹⁾ „Deutsche Wasserwirtschaft“ Bd. 23 (1928) S. 178, „Bautechnik“
(1928) S. 623 und Zentralbl. d. Bauverw. Bd. 46 (1926) S. 52.

²²⁾ ETZ Bd. 49 (1928) S. 1144.

Baustahl wurde besondere Aufmerksamkeit gewidmet. Bei Steinbrücken und den Widerlagern wurde von Spritzbeton und Ausspritzungen Gebrauch gemacht. Der Umbau der drei Rheinbrücken bei Ludwigshafen, Speyer und Germersheim wurde vorbereitet.

Neubauten

Größere Neubauten konnten infolge des Kapitalmangels kaum in Angriff genommen werden; der Ausbau der Rhein-Ruhr-Bahnen hat nur an den dringlichsten Stellen begonnen. Die schon im Gang befindlichen Strecken- und Bahnhofbauten hat man, soweit die Mittel es gestatteten, weitergeführt; die wichtigsten neu eröffneten Strecken sind: Mikultschütz-Bryunek (Oberschlesische Grenzbahn), Verden-Rothenburg, ferner Preußen-Münster (Fortsetzung der Strecke Dortmund-Preußen bis nach Münster), und Klosterreichenbach-Raumünzach. Dazu ist hier die vollständige Durchführung des elektrischen Betriebes der Berliner Stadt- und Ringbahn zu erwähnen.

Sicherungsanlagen

Die Signal- und Sicherungseinrichtungen wurden verbessert und ergänzt; auf den Bahnhöfen, die noch keine Stellwerke für Weichen und Signale haben, wurden die Umbauten begonnen. Auf der Berliner Stadtbahn wurde ein neues selbsttätiges Signalsystem eingeführt, und zwar mit Licht-Taglichtsignalen¹⁾. Die Versuche mit den Fahrsperrern zur Verhütung des Überfahrens von Haltesignalen wurden fortgesetzt. Selbsttätige Stellwerke, die den Verschiebedienst wesentlich beschleunigen, wurden mehrfach hergestellt. Überwege in Schienenhöhe wurden mit den neuerdings vorgeschriebenen Warnkreuzen ausgerüstet.

Insgesamt ein Jahr tüchtigster Arbeit, die aber überall infolge der Geldknappheit gelähmt wurde! Wann wird man endlich — zum Segen des deutschen Volkes! — der Deutschen Reichsbahn die drückenden „politischen Lasten“ abnehmen? [B 1310] *Blum*

¹⁾ Vergl. Z. Bd. 72 (1928) S. 894.

Eisenbahnfahrzeuge

Die Lage der deutschen Lokomotivindustrie ist im Laufe der Jahre immer schwieriger geworden. Der Lokomotivbedarf aller Staaten der ganzen Welt ist wesentlich kleiner als die Leistungsfähigkeit der Bauanstalten. So sind in den Vereinigten Staaten von Amerika in einem seit Jahrzehnten nicht erreichten Tiefstand 1928 nur 603 Lokomotiven bestellt worden. Unserer Industrie fehlt es deshalb an Auslandsaufträgen zum Ausgleich für die fehlenden Bestellungen der Deutschen Reichsbahn. Diese selbst hat mehr Güterzuglokomotiven als nötig und verbraucht die geringen verfügbaren Mittel zur Verstärkung des Oberbaues und der Brücken.

Neue Dampflokomotiven des In- und Auslands

Die neuen Baumuster der Reichsbahn sind nur in geringer Zahl erschienen. Es sind das die 2 C 2-Tenderlokomotive Reihe 62¹⁾, die drei- und vierachsigen Verschiebelokomotiven Reihe 80 und 81 und die 1 D 1-Tenderlokomotive Reihe 86. Mit den früheren Reihen 01, 02, 43, 44, 87 hat die Reichsbahn zehn vereinheitlichte Lokomotivgattungen, die in einer Weise aus festgelegten Konstruktionsteilen aufgebaut sind, wie es früher noch niemals geschehen ist.

Von großen Dampflokomotiven des Auslandes sind ferner neu und bemerkenswert: eine 2 D 2-Tenderlokomotive der Paris-Lyon-Mittelmeerbahn für den Vorortverkehr von Paris und Nizza, eine 2 D 2-Personenzuglokomotive der New York-Central-Bahn, bei der Nord-Pacific-Bahn eine 1 D + 2 D-Vierlings-Malletlokomotive von 323 t Dienstgewicht und auf der Südafrikanischen Staatsbahn auf 1067 Spur eine 2 D 1 + 1 D 2-Garrattlokomotive und 2 D 1-Drillingslokomotive. Die London-Midland-Schottland-Bahn hat in dem Ehrgeiz, von London bis Edinburgh (640 km) ohne Aufenthalt zu fahren, einige Tender mit Durchgang für die während der Fahrt abzulösende Mannschaft versehen.

Die Turbolokomotive von Maffei steht auf bayrischen Strecken im regelmäßigen Dienst. Nydquist & Holm haben

eine Ljungström-Turbolokomotive nach Argentinien geliefert. Die Maschinenfabrik Winterthur hat eine Hochdruck-Kolbenlokomotive von 60 at ohne Kondensator herausgebracht.

Diesel- und elektrische Lokomotiven

Die bisher stärkste Diesellokomotive aus zweifacher Achsanordnung 2 D 1, von je 1330 PS hat die badische Landesbahn in Dienst gestellt. Die Kraft, wie fast in ganz Amerika, elektrisch übertragen, was aber nicht geschlossen werden darf, daß damit die gültigste Form gefunden ist.

Im Bau von Elektromotiven hat die Deutsche Reichsbahn gegenüber dem Vorjahre keine neueren Bauwerke herausgebracht²⁾. Bemerkenswert ist die große 1 Co + Güterzuglokomotive Reihe 201 der Lötschbergbahn, sechs Treibachsen je von einem waagrecht angeordneten Zwillingsmotor angetrieben werden. Ihre Gesamtleistung beträgt rd. 4500 PS. [B 3011] *F. Meier*

²⁾ Ausführlich über den Stand der elektrischen Zugförderung in- und Ausland berichtet Heft 20 dieser Zeitschrift vom 18. März 1929, das als Fachheft elektrische Bahnen erschienen ist.

Kraftfahrzeuge

Wirtschaftslage

Für die deutsche Automobilindustrie war das 1928 im ganzen wenig ersprießlich, wie man an dem schätlichen Niedergang der großen deutschen Fabrikanten erkennt. Die zweifellos vorhandenen technischen Schritte haben eben die Einbußen nicht wettmachen können, die der Absatz durch den Wettbewerb des Auslandes auf dem Weltmarkt und namentlich auch im Inland erlitten hat und noch weiter erleidet. Das gilt streng genommen, nur für Personenkraftwagen, der Bau und die Verwendung von schweren Lastwagen, Omnibussen und namentlich Motorfahrrädern heute in Deutschland noch nicht so großen Umfang erreicht, daß diese Zweige das wirtschaftliche Ergehen der gesamten deutschen Automobilindustrie entscheidend beeinflussen könnten. Mit der Überlegenheit der amerikanischen Personenkraftwagen infolge der vorteilhaften Erzeugungsbedingungen amerikanischer Fabriken, die man bei uns auch fernerhin zu rechnen haben wird, ist das Erkenntnis ist es wohl in erster Linie zuzuschreiben, daß sich die Firma Opel entschlossen hat, ihr Unternehmen an die General Motors Corp. zu verkaufen¹⁾. Eine Senkung der Lage der deutschen Automobilindustrie daher nur zu erwarten, wenn es gelingt, die noch den gebliebenen Unternehmungen unter einheitliche Leitung mit beschränktem Programm der Großerzeugung zu bringen oder unter Abbau der Erzeugung von Personenkraftwagen die noch lebensfähigen übrigen Zweige auf ein Mehrfaches ihres heutigen Umfanges zu entwickeln.

Ausstellungen

Daß die unbefriedigende Lage der deutschen Kraftwagenindustrie in der Tat nur durch wirtschaftliche Ursachen bedingt ist, konnte am besten gelegentlich der Internationalen Automobilausstellung Berlin 1928 erkennen, wohl das bemerkenswerteste Ereignis des Jahres darstellend²⁾. Diese Ausstellung bot eine treffliche Gelegenheit, deutsche Erzeugnisse der Automobilindustrie zahlreich vorhandenen ausländischen zu vergleichen und lieferte den Beweis dafür, daß die deutschen Konstruktionen von Personenkraftwagen hinsichtlich der technischen Anforderungen, die an sie gestellt werden, den Vergleichen mit entsprechenden Konstruktionen des Auslandes durchaus aufnehmen können. Darüber hinaus haben sich die Gebieten der Lastkraftwagen, Omnibusse und Motorfahrräder deutsche Konstruktionen solchen des Auslandes, soweit sie vertreten waren, sogar als überlegen erwiesen. Die internationalen Ausstellungen im Ausland, bei denen einzelne deutsche Firmen vertreten waren, haben, wie Berichte auch in ausländischen Fachschriften zeigten, dieses Urteil voll bestätigt.

¹⁾ VDI-Nachrichten Nr. 12 vom 20. März 1929.

²⁾ VDI-Nachrichten Nr. 45 vom 7. November 1928.

¹⁾ s. Bildbl. 8.

Personenkraftwagen

Als wichtigste Neuerung des Jahres 1928 ergibt sich der Übergang vieler Fabriken, darunter auch der der Benz-A.-G., zum Bau von Achtzylindermotoren für Leistungen, bei denen man sich vormals mit Sechszylindermotoren begnügt hatte. Diesem geht nach Vermehrung der Zylinder entspricht das Verdrängen des Sechszylindermotors in das Gebiet bis zu 21 Gesamthubraum, das bislang vom Vierzylinder ausschließlich beherrscht wurde. Diese Entwicklung, mit der die Horchwerke schon im Jahre 1927 begonnen hatten, ist durch ähnliche Fortschritte des Auslandes bedingt und bedeutet ohne Zweifel eine Verbesserung der Fahrzeuge infolge des ruhigeren Laufens und des gleichförmigeren Drehmoments der Motoren mit der Zylinderzahl. Vielleicht ist aber gerade dieses, es in bezug auf technische Vollkommenheit des Personenzuges dem Auslande gleichzutun mit seinem ständigen Wechsel der Bauarten und den hohen Kosten der Versuche der Grund für die geschäftliche Bedrückung der deutschen Kraftwagenindustrie. Das gleiche könnte man sagen mit Bezug auf die Ausrüstung der Motoren mit Zubehör, wie Öl- und Luftreiniger, Temperaturregler usw., die zwar sehr zweckmäßig sind, aber die Preise steigern, also nicht absatzfördernd wirken.

Zur langumstrittenen Frage der Leichtmetall-Verfahren hat kürzlich eine Schrift von G. Becker³⁾ einen Beitrag gebracht, worin auf Grund von Messungen über den Einfluß der Wärmeausdehnung auf das Kolbenspiel berichtet und festgestellt wird, daß nur Leichtmetall-Verfahren mit Einlagen aus hochhaltigem Nickelstahl (Nicon-Invar-Kolben) die Bedingung erfüllen, daß das Ausspiel von 0,05 mm bei allen Belastungen des Motors gleich bleibt. Allerdings erstrecken sich die Messungen nur auf wenige Bauarten von Kolben aus Gußeisen und Leichtmetall. Ihr größter Wert liegt somit in der Angabe eines verlässlichen Meßverfahrens und in der Anregung, die Untersuchungen auch auf andere Bauarten auszudehnen.

Beachtung verdient der Fortschritt, den die kleinen, viertaktigen Zweitaktmotoren ihrer Verbindung mit den Fahrzeugen verdanken. Nach den Ergebnissen, die jetzt die Anwendung des Zweitaktmotors bei den Personenkraftwagen der Zschopauer Motorenwerke geliefert hat, scheint die Möglichkeit nicht ausgeschlossen, auf dem Wege zu einem verhältnismäßig leistungsfähigen und billigen herstellbaren Motor zu gelangen, dessen Lebensdauer auch mittleren Ansprüchen genügen könnte.

Schwere Kraftwagen

Der Verkehr mit Kraftomnibussen auf Landstraßen hat heute einen so großen Umfang erlangt, daß dieser Wettbewerb den Eisenbahnen fühlbar wird. Dieser Fortschritt des Kraftverkehrs ist neben der Verbesserung der Landstraßen in hohem Maß auch der Verbesserung der Fahrzeuge zu verdanken, unter denen die Anwendung der Luftreifen und der Bau der Wagenkasten aus Stahl die wichtigsten sind. Diese Merkmale insbesondere haben es möglich gemacht, die Geschwindigkeiten auf der Strecke ohne Beschwerne für die Insassen und die Gefahr für die Lebensdauer der Fahrzeuge erheblich zu steigern. Im Zusammenhang hiermit hat sich auch die sonstige Bauart des Fahrgestells erheblich der Bauart der Personenkraftwagen genähert.

Nach den vorliegenden Erfahrungen beschränkt sich die Verwendbarkeit geeigneter Kraftomnibusse durchaus auf kurze Strecken, die den Verkehr den Haltestellen der Eisenbahnen zuleiten. Vielmehr steigt die Länge der Linien, die 100 km und mehr Länge haben und die vorhandener guter Eisenbahnverbindungen mit Geleisen betrieben werden.

Dieses Ergebnis kann man nicht ausschließlich durch die Vorliebe der Fahrgäste für das neuartige Fahrzeug erklären; es liefert vielmehr den Beweis dafür, daß der Kraftomnibus auch im Fernverkehr gegenüber der Eisenbahn Vorteile bieten kann. Aus dieser Erkenntnis

folgt aber die zwingende Notwendigkeit, dem Kraftomnibus im Rahmen derjenigen Verkehrsaufgaben den gebührenden Platz einzuräumen, die bis jetzt ausschließlich den Eisenbahnen vorbehalten waren. Dies kann geschehen, ohne den Ertrag der vorhandenen Eisenbahnen zu schmälern; denn es ist lange bekannt, daß die Beförderung von Personen für die Eisenbahnen bei weitem nicht so gewinnbringend ist, wie die Beförderung von Gütern.

Von den baulichen Neuerungen des vergangenen Jahres auf diesem Gebiet verdient das Wiederaufleben der Versuche in der Anwendung des Vorderachs-antriebes⁴⁾ hervorgehoben zu werden. Diese Versuche verdanken ihr Entstehen hauptsächlich dem Wunsch, das Fahrgestell von Teilen des Antriebes möglichst frei zu machen, tief durchgekröpfte, feste Hinterachsen verwenden und dementsprechend tiefgebaute Wagenkasten aufsetzen zu können. Dies erhöht die Bequemlichkeit der Fahrgäste beim Ein- und Aussteigen und verbessert die Kippsicherheit bei hohen Geschwindigkeiten. Auch bei Lastkraftwagen und namentlich bei allerhand Nutzfahrzeugen kann es Vorteile bieten.

Weitere Fortschritte baulicher Art sind der Einführung von Schneckengetrieben⁵⁾ bei Dreiachsfahrzeugen zu verdanken, die sich allmählich auch in Deutschland zu bewähren scheinen. Verbesserte Abfederung verspricht ferner die Verwendung von Schwingachsen bei solchen Fahrzeugen, die auch schon mehrfach versucht worden ist.

In der Erwägung, daß das Gewicht eines Kraftwagens in noch viel höherem Maße als bei Schienenfahrzeugen die Fahreigenschaften verschlechtert, kann man den Schluß ziehen, daß das Ziel der baulichen Entwicklung der Kraftomnibusse die organische Verbindung des Fahrgestells mit dem Wagenkasten sein dürfte, derart, daß der aus Stahl hergestellte Wagenkasten die Stelle des Rahmens der üblichen Fahrzeuge übernimmt und alle Teile des Antriebes unmittelbar am Wagenkasten angebracht werden. Von solchen Bauarten, die man in Amerika bereits versucht hat, kann man eine erhebliche Ersparnis an Fahrzeuggewicht, berechnet auf den Sitzplatz, erwarten.

Auf der andern Seite deuten die Erfahrungen des Auslandes darauf hin, daß sich das Schergewicht der Erzeugung von Lastkraftwagen immer mehr nach der Seite der schnellfahrenden Lieferwagen für 1,5 bis 2,5 t Nutzlast hin verschieben dürfte, deren Fahrgestelle fast vollständig aus Teilen von Personenzugwagen zusammengesetzt werden können. Das erklärt sich daraus, daß die Voraussetzungen für die Ausnutzung eines kleineren Lieferwagens viel häufiger eintreten als Betriebsverhältnisse, die Lastkraftwagen von 4 bis 6 t Nutzlast wirtschaftlich zu verwenden gestatten. [B 3154]

A. Heller

⁴⁾ Z. Bd. 73 (1929) Nr. 3 S. 85.

⁵⁾ Z. Bd. 72 (1928) S. 527.

Schiff- und Schiffsmaschinenbau

Schiffbau

In der Formgebung des Schiffskörpers sind im vergangenen Jahre keine Neuerungen zu verzeichnen gewesen, abgesehen von der Ausführung des bulbörmigen Vorstevers der beiden für den Norddeutschen Lloyd im Bau befindlichen Schnelldampfer „Bremen“ und „Europa“. Durch Versuche in der Schleppe ist festgestellt worden, daß der Widerstand des Schiffes durch diese Bulbform nicht verringert wird, dagegen dürfte das Vorschiff bei schwerem Wetter auf dem Nordatlantik und bei der großen Durchschnittsgeschwindigkeit, mit der das Schiff fahren soll, weniger tief eintauchen. Die Ergebnisse der ersten Schiffe mit der *Maier*-Form dürften in Kürze vorliegen.

Schiffsmaschinenbau

Auch auf diesem Gebiete sind im vergangenen Jahre keine grundlegenden Neuerungen zu verzeichnen gewesen. Bei Dampfanlagen geht man allgemein zu höheren Drücken über, so hat z. B. der kürzlich in

Leichtmetallkolben. Berlin 1929. M. Krayn. 48 S. m. 26 Abb. 12 P.

Dienst gestellte Dampfer der Holland-Amerika-Linie „Statendam“ Babcock- und Wilcox-Kessel mit 28 at Betriebsdruck erhalten. Ebenso werden die vier Schiffe der Albert-Ballin-Klasse der Hamburg-Amerika-Linie bei ihrem Umbau mit Wasserrohrkesseln mit engen Rohren und oberen und unteren Trommeln für 28 at Betriebsdruck ausgerüstet. Die Speisewasservorwärmung treibt man stufenweise durch Abdampf der Hilfsmaschinen und Anzapfdampf von den Hauptmaschinen bis zur Höhe der Kesselwassertemperatur. Die Luftvorwärmung durch Abgase hat durch Verwendung der neuen Plattenluftwärmer eine erhebliche Steigerung erfahren. In Verbindung mit diesen werden im Schornstein Saugzuggebläse, durch Turbinen oder elektrisch angetrieben, angeordnet. Die früher allein üblich gewesenen Gebläsemaschinen dienen jetzt nur dazu, die Luft durch die Plattenvorwärmer bis in die Feuerung zu bringen, so daß über dem Rost, bei Ölfeuerung in der Feuerung, ein schwacher Unterdruck herrscht.

Für die Verbrennung von Kohlen hat die mechanische Feuerung, Bauart Deutsche Werft-Azer, nicht den gehegten Erwartungen entsprochen. Nach den vorliegenden Erfahrungen ist diese Art Feuerung nur bei kleinen Schiffen angebracht, die Kessel mit zwei Flammrohren haben, die sämtlich in einer Reihe liegen. Bei solchen Kesselanlagen wird diese Feuerung noch vorteilhaft verwendet werden können, und es werden auch Heizer zu sparen sein. Auf holländischen Schiffen wurden Unterschubroste (underfeed stokers) eingebaut, doch sind diese nur dort verwendbar, wo immer dieselbe, für diese Art Feuerungseinrichtung besonders geeignete Kohlenart an Bord genommen werden kann. Der Raupenrost wird gegenwärtig auf einem Schiff des Norddeutschen Lloyd versuchsweise eingebaut. Weitere Versuche an Bord dürften demnächst folgen.

Die Kohlenstaubfeuerung ist im vergangenen Jahr auch auf zwei englischen Schiffen eingebaut worden, und es scheint, als ob das System *Buel-Howden* auf D. „Hororata“ sich bisher am besten bewährt hat. Auf diesem Schiff sind zwei Kesselräume vorhanden, die mit je drei Kesseln mit insgesamt zwölf Feuern ausgerüstet sind; hiervon sind zunächst die Kessel des einen Raumes mit Kohlenstaubfeuerung versehen worden. Die Berichte über den Betrieb mit dieser Feuerung lauten so gut, daß in Aussicht genommen worden ist, auch den zweiten Kesselraum mit Kohlenstaubfeuerung zu versehen. Es soll auch auf einem Schiff des Norddeutschen Lloyd ein Kessel versuchsweise für Kohlenstaubfeuerung, System AEG-Clarke, Chapman & Co., eingerichtet werden, um weitere Erfahrungen mit dieser zu sammeln; ebenso plant die Hamburg-Amerika-Linie den Einbau einer Versuchsanlage auf einem größeren Dampfer.

Im übrigen werden die Versuche zur Verbesserung der Wirtschaftlichkeit bei Dampfanlagen fortgesetzt. Brown, Boveri & Cie. haben eine neue Anordnung von Abdampfturbinen, die zusätzlich zu Kolbenmaschinen verwendet werden können, herausgebracht; ebenso beschäftigen sich die Howaldtswerke, Kiel, mit dieser Frage. In Schweden und neuerdings auch in Deutschland wird zu dem genannten Zweck ein Verfahren angewendet, das als „Simplex“-Hochleistungsverfahren bezeichnet wird. Dieses wird bei den vorhandenen Anlagen mit schlechtem Wirkungsgrad benutzt und besteht in der Hauptsache darin, daß in die Zylinderkessel Bleche eingebaut werden, die einen zwangsläufigen Wasserumlauf und eine bessere Wärmeübertragung ermöglichen. Die Dampfverbraucher erhalten meistens einen neuen Hochdruckzylinder mit Ventilsteuerung, dem ziemlich am Hubende Anzapfdampf zur Vorwärmung des Speisewassers entnommen wird. Es sollen mit diesem an sich einfachen und für den Einbau wenig Kosten verursachenden Verfahren Brennstoffersparnisse bis zu 20 vH erzielt worden sein.

Im vergangenen Jahre sind die ersten großen doppeltwirkenden Schiffsdieselmotoren mit kompressorloser Einspritzung in Dienst gekommen, die bereits im Jahre vorher bei der AEG aus-

gearbeitet waren¹⁾. Ganz neuerdings ist man auch dazu übergegangen, schnellaufende Dieseldynamom 1000 U/min versuchsweise an Bord einzubauen.

Im Hilfsmaschinenbetrieb bürgert auch bei Dampfschiffen der elektrische Antrieb mehr ein, und man geht neuerdings hierbei so weit, im Hafen die Kesselanlage gänzlich abgestellt und gesamte Hilfsmaschinen- und Schiffsbetrieb, gespeist durch Dieseldynamos, elektrisch betrieben wird. [B 28]

¹⁾ s. Z. Bd. 72 (1928) S. 1693.

Luftfahrt

Politische Einflüsse

Das Jahr 1928 brachte keine politischen Ereignisse, die die deutsche Luftfahrt nachhaltig beeinflusst haben. Wirtschaftspolitisch sind die 19te Tagung der Internationalen Air Traffic Association (IATA) in Warschau und die in Berlin abgehaltene 26. Internationale Luftfahrt-Konferenz erwähnenswert. Auf der ersteren stand der zwischen Deutschen Reichsbahn und der Deutschen Luft-Hansa abgeschlossene Vertrag über den vereinigten Flug-Eisenbahnverkehr im Mittelpunkt der Beachtung. Die zweite Konferenz befaßte sich mit Fragen des praktischen Luftverkehrs, des Funk- und Wetterdienstes.

Kurz nach dem Todessturz des französischen Hubschraubers, dem auch die Luftfahrt unterstand, wurde Frankreich im September ein selbständiges Luftministerium und folgte damit dem Beispiel Englands und Italiens.

Luftfahrzeugbau

Die Entwicklung des deutschen Verkehrsflugzeugbaus war durch weitere Steigerung der Flugleistungen und durch die Bequemlichkeit der Fluggastunterbringung gekennzeichnet. Das Flugzeug BFW-M 20 der Bayerischen Flugzeugwerke A.-G., Augsburg, mit 500/750 PS Antriebsleistung, 4,5 t Fluggewicht sowie das Flugboot Romar der Rohde Metallflugzeugbau-G. m. b. H., Berlin, mit 1500/2000 PS Antriebsleistung und 19 t Fluggewicht wurden in 1928 fertiggestellt¹⁾.

Das Junkers-Flugzeugwerk, A.-G., Dessau, feierte im Frühjahr die Vollendung seines 1000sten Flugzeuges. Im Bau befindliche Baumuster J 38 des gleichen Werkes, das mit 2500 PS Antriebsleistung, auf vier Motoren verbaulich und bei voraussichtlich 18 t Fluggewicht 30 Flugstunden über weite Strecken befördern soll, wird im Laufe des Jahres 1929 fertiggestellt.

Bei der Dornier-Metallbauten-G. m. b. H., Friedrichshafen, wurde der Bau des mit etwa 5500 PS Antriebsleistung, auf 12 Motoren verteilt, und etwa 50 t Fluggewicht zur Zeit größten Flugbootes der Welt weitergeführt. Die Fertigstellung ist ebenfalls in diesem Jahre zu erwarten.

An der 11. Internationalen Luftfahrt-Ausstellung in Berlin nahm die deutsche Luftfahrt-Industrie zum ersten Male teil²⁾. Dieser Ausstellung folgte im Oktober in Berlin die Internationale Luftfahrt-Ausstellung. Hier legte der deutsche Flugzeugbau Zeugnis seines Fortschritts ab. Das Ausland hatte die Illa gut beschickt. Laien und Fachleute bot die Ausstellung viel Wissenswertes, zumal der deutsche Metallflugzeugbau vorbildliche Entwicklungsdarstellungen für seine Erzeugnisse geliefert hatte. Sorgfältiges Eindringen in die technischen Details gaben des Flugzeug- und Motorenbaus führte zu dem Erkenntnis, daß das reiche Ausland mit seinen großen Mitteln nach vielen Richtungen Deutschland voranziehen. Diejenigen, die es angeht, werden hieraus ihre Folgerungen ziehen haben.

In den Vereinigten Staaten von Nordamerika wird die Entwicklung der Luftfahrzeug-Industrie eine ungeahnte Vervielfachung.

Luftschiffahrt

Das im Spätsommer fertiggestellte Luftschiff L 1 „Graf Zeppelin“, bestand bei seiner ersten Amerika-Reise vom 11. bis 15. Oktober 1928 in stürmischem Wetter eine

¹⁾ Z. Bd. 73 (1929) Nr. 18 S. 597.

²⁾ Z. Bd. 72 (1928) S. 1409.

tungsprobe. Die Rückfahrt ging zum Teil unter ungünstigen Bedingungen vonstatten.

In England nähert sich der Bau der beiden großen Luftschiffe R100 und R101 seinem Abschluß. Die Schiffe erhalten einen etwa 1½mal größeren Gasballast als das Luftschiff LZ 127. Die ersten Fahrten sind in der Mitte des Jahres 1929 zu erwarten.

Durch einen Fehler in der Schiffsführung strandete im Frühjahr bei Spitzbergen das italienische halbstarre Luftschiff „Italia“. Mehrere Mitglieder der Besatzung sowie die Bergungsmannschaften (Amundsen) verloren bei dem Rettungsversuch ihr Leben. Flugzeuge deutscher Bauart beteiligten sich erfolgreich am Rettungswerk.

Motorbau

Dem Junkers-Motorenbau, G. m. b. H., Dessau, gelang es, den die Wirtschaftlichkeit und Betriebssicherheit des Luftverkehrs steigernden Schwerölmotor nach längerer Arbeit zur Vornahme von Flugversuchen zu machen. Die ersten Flüge wurden zu Beginn des Jahres 1929 durchgeführt. Erfolge in dieser Richtung hatte auch die Packard Co., eine der größten Motorenfabriken der Vereinigten Staaten von Amerika, in Zusammenarbeit des deutschen Flugzeugbauers Dipl.-Ing. H. G. H. H. H.

Der Bau starker luftgekühlter Motoren wurde sowohl von Siemens & Halske, A.-G., Flugmotorenwerk Spanningen nach bewährtem französischen Muster, als auch von den bayerischen Motoren-Werken, A.-G., München, nach erfolgreichen amerikanischen Motorenmustern aufgenommen. Diese Schritte sind zu begrüßen, da es in den Zeiten des Darniederliegens der deutschen Luftfahrt unmöglich war, diese bereits bewährte Richtung der Motorenentwicklung zu verfolgen.

Luftverkehr

Die Ergebnisse des deutschen Luftverkehrs erfuhren eine weitere Steigerung. Bei einer Jahresleistung von über 100 Mill. km wurden im ganzen über 110 000 Fluggäste, 100 t Güter und 485 t Post befördert.

Als Vorarbeiten zu weitspannenden Luftverkehrsnetzen wurden zahlreiche Weitflüge durchgeführt. Den Männern Köhl, Fitzmaurice und v. Hünefeld gelang es, den Junkers-Flugzeug W 33 mit einem 280 PS leistenden Junkers-Motor am 12. und 13. April 1928 die erste Ostsee-Überquerung des Atlantischen Ozeans¹⁾. Planmäßige Vorbereitungen verhalf diesem Wagnis unter staussichtslosen Witterungsbedingungen zum Erfolg. In gleicher Zeit beendeten die französischen Flieger Buisson und Le Brix ihren gegen Ende des Jahres 1927 begonnenen Flug um die Welt. In 348 Flugstunden und 100 000 Meilen hatten sie 58 410 km zurückgelegt.

Wenige Tage nach Durchführung des deutschen Ostsee-Fluges überquerten die Amerikaner Wilkins und Gann von Alaska kommend den Nordpool und landeten bei Spitzbergen. Ferner konnten Amerika und Australien sich die erste Überquerung des Stillen Ozeans für sich ansprechen. Die Australier Kingsford-Smith und Gurnea und die Amerikaner Lyon und Warner legten in einem einmotorigen Fokker-Flugzeug die 12 350 km betragende Distanz zwischen Nordamerika und Australien in drei Etappen innerhalb einer Woche zurück.

Eine Höchstleistung im Weitflug vollbrachten die Italiener Ferrarin und del Prete, die 7666 km in ununterbrochenem Flug von Rom nach Brasilien zurücklegten. Der zuvor von ihnen aufgestellte Rekord im Dauerflug (mit Nutzlast) von 58 h 37 min konnte mit 65 h 25 min in Deutschland gebracht werden.

Die für den Weitstrecken-Luftverkehr wichtige Betriebsübernahme in der Luft wurde besonders in den Vereinigten Staaten von Amerika weiter entwickelt. In Europa wurde Belgien auf diesem Gebiet eine Welthöchstleistung mit einem Flug von über 60 h auf.

Der Italiener De Bernardi konnte seine im Jahre 1927 festgestellte Geschwindigkeitshöchstleistung auf 512 km/h steigern.

¹⁾ Z. Bd. 72 (1928) S. 575 und 1435.

Segelflug

Im Rhön-Segelflug-Wettbewerb des Jahres 1928 wurde erneut gezeigt, wie außer dem durch Bodenerhebungen bedingten Aufwind die durch thermische Einflüsse hervorgerufenen Luftströmungen überlegt ausgenutzt werden können⁴⁾. Nehring trieb die Welthöchstleistung im Streckenflug auf 72 km, Dittmar erhob sich 775 m über die Abflugstelle. [B 3120]

Hoff

⁴⁾ Z. Bd. 72 (1928) S. 1879.

Elektrisches Nachrichtenwesen

Fernsprech- und Telegraphenwesen

Die Umwandlung der Handfernsprechämter in vollselbständige Fernsprechämter, namentlich in Berlin, ist wesentlich fortgeschritten. Am 10. August 1928 wurde der Fernsprechverkehr Deutschland-Spanien eröffnet. Im September 1928 tagte in Brüssel die Welttelegraphenkonferenz, die sich u. a. mit der Vereinheitlichung des Telegraphenschlüssels befaßte¹⁾, der seither die Worte mit je 10 und 5 Buchstaben umfaßt. Es wurde eine Teilregelung erzielt, indem man sich vorläufig auf zwei Klassen einigte, eine Klasse A, die 10-Buchstaben-Wörter mit voller Normalgebühr, und eine Klasse B, die 5-Buchstaben-Wörter mit zwei Drittel der Normalgebühr umfaßt. Am 1. Januar 1929 trat in Deutschland das Gesetz über das Fernmeldewesen in Kraft, das der neuen Entwicklung Rechnung trägt. Das Gesetz enthält vor allem verschärfte Bestimmungen über die Störung des Fernsprech-, Telegraphen- und Funkbetriebes.

Die Bildtelegraphie wurde auf der Linie Berlin-Wien aufgenommen. Die Übernahme auf andere internationale Linien wurde vorbereitet²⁾. In England ist der Kampf zwischen „Draht“ und „Drahtlos“ entbrannt und führte zur Bildung des Marconi-Kabeltrustes mit der Eastern Telegraph Co.³⁾. Damit gehen die Staatskabel in Privatbesitz über, während die englische Regierung die Marconi-Strahlsender dem Trust auf 25 Jahre vermietet.

Funkwesen

Im November 1928 trat in Washington die internationale Funk-Weltkonferenz zusammen, um die Funk-sender nunmehr endgültig abzuschaffen und eine internationale Welleneinteilung vorzunehmen. Als besonders bemerkenswert ist zu verzeichnen, daß nunmehr auch den Kurzwellenliebhabern bestimmte Wellenlängen international zugewiesen wurden. Der im Mai und Juni 1928 in Lausanne tagende Weltrundfunkverein nahm eine Reihe neuer europäischer Sendergesellschaften und eine afrikanische auf und teilte den Langwellen-Rundfunk-sendern neue Wellenlängen zu. Im April 1929 hielten 27 europäische und 3 außereuropäische Staaten, 8 Welttelegraphengesellschaften, die Union Internationale de Radiophonie und die Internationale Flugkommission in Prag eine Tagung ab, als deren wichtigstes Ergebnis auf dem Funkgebiet eine neue Wellenverteilung angenommen wurde, die den Abstand der Telephoniesender von 9000 Hertz beibehält, aber eine Einschränkung der Sendezahl (Verweis auf Gleichwellenbetrieb!)⁴⁾ vorsieht.

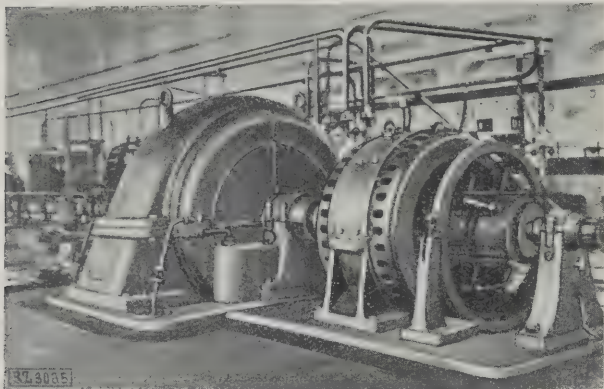
Auf dem Gebiet der Funktelegraphie und -telephonie sind neue internationale Verkehrsverbindungen, besonders in den Vereinigten Staaten von Amerika, aber auch in Europa mit dem Fernen Osten geschaffen worden. In fast allen Kulturstaaten wurden Kurzwellensender höchster Wellenkonstanz (Quarkristall- und Frequenzwandleranlagen) mit bemerkenswerten Leistungen (bis zu 20 kW mit wassergekühlten Röhren) für Telephonie und Telegraphie gebaut. Von Holland aus konnte einwandfreier Fernsprechtbetrieb mit Java aufgenommen werden. Am 29. April 1928 wurde versuchsweise, am 21. Dezember öffentlich der drahtlose

¹⁾ „Der Funker“ Bd. 8 (1929) Nr. 3 S. 57.

²⁾ Dr. P. Arendt, Bildtelegraphenbetrieb über Leitungen, Siemens & Halske, A.-G., — A. Neuburger, „Sendung“ Bd. 6 (1929) Nr. 19 S. 299. — Fr. Turcek, Bildtelegraphie nach dem System Siemens-Karolus-Telefunken, Mittlg. aus d. Zentrallabor. Siemens & Halske.

³⁾ „Der Funker“ Bd. 8 (1929) Nr. 3 S. 58.

⁴⁾ Noack, Radio-Woche, Wien, 6. Bd. (1928) S. 137.



650 kW-Hochfrequenzmaschine in Nagoya (Japan).
Gebaut von Telefunken.

Telephonieverkehr Deutschland – Argentinien eingeführt. Der Strahlfunkverkehr, der von Marconi⁵⁾ in England stark gefördert worden war, wurde auch in Deutschland eingeführt, u. zw. mit Paralleldrahtantennen, die mit 90° Phasenverschiebung arbeiten (z. B. in Nauen).

Auf dem Gebiet der Ultrakurzwellen gelang es Esau⁶⁾, Faßbender, Kohl⁷⁾ und amerikanischen Forschern mittels 3 m langen Wellen medizinische Heilerfolge und eine starke Bodenstrahlung zu erzielen, so daß vielleicht diesen Wellen eine große Bedeutung zukommt. Faßbender⁸⁾ untersuchte die Eignung der Ultrakurzwellen für den Nachrichtenverkehr mit Flugzeugen.

Die Internationale Luftfahrtausstellung (Ila) zeigte die Entwicklung der funkentelegraphischen Nachrichtenübermittlung im Luftverkehr, wo der Kurzwellensender Eingang gefunden hat. In Deutschland wurde eine Zentralstelle für Flugsicherung geschaffen, die dem Verkehrsministerium unmittelbar unterstellt wurde und die u. a. die sehr wichtige Aufgabe hat, den gesamten Nachrichtenbetrieb im Luftverkehr zu leiten.

Im Schiffsfunk hat man sich u. a. mit der Durchbildung selbsttätiger Notrufempfänger⁹⁾ befaßt.

Der Bildfunk als solcher hat noch nicht den Eingang gefunden, den man erwartet hatte. Das liegt nicht daran, daß die Bildfunkgeräte selbst noch nicht den nötigen Reifegrad erreicht haben, sondern daran, daß nur Kurzwellen zur Bildübermittlung in Betracht kommen und deren Betriebsverhältnisse noch nicht so geklärt sind, daß ein einwandfreier drahtloser Bilddienst möglich ist. Höchstens im Rundfunk war mit starken Sendern ein völlig befriedigendes Ergebnis zu erzielen. In Deutschland, Österreich, Frankreich, Polen, Italien, England und Dänemark wurde, z. T. noch versuchsweise, der Bildfunk eingeführt nach dem Fultograph-Verfahren.

Das Jahr 1928 hat das „Fernsehen“ gebracht, wenn auch von einer Vollkommenheit noch keine Rede sein konnte. In Europa machten hauptsächlich drei Verfahren von sich reden: Das des Engländers Baird¹⁰⁾, des Ungarn v. Mihaly¹¹⁾ und des Deutschen Prof. Karolus (Telefunken)¹²⁾. Doch arbeitet man auch in Frankreich (Bélin^{12a)}) auf diesem Gebiet mit Erfolg.

Im Rundfunk hat die Rundfunkhörerzahl überall zugenommen, und zwar — soweit es sich feststellen ließ — in Deutschland um 37,5 vH; England um 8,5 vH; Schweden um 16,2 vH; Österreich um 11,6 vH; Dänemark um 34 vH; Tschechoslowakei um 6,8 vH; Ungarn um 102 vH; Polen um 60 vH; Finnland um 104 vH; Schweiz

um 19 vH; Norwegen um 0 vH; Italien um 24 vH; Lettland um 42,7 vH; Estland um 55 vH; Litauen um 113 vH. Die Gesamthörerzahl ist in Europa um 21 von 5 897 000 auf 7 163 000, gestiegen. In den Bändern gewinnt der Rundfunk langsam an Ausdehnung, auch in den afrikanischen Ländern gewinnt er Einfluß.

An technischen Neuerungen für den Rundfunk brachte das Jahr 1928 u. a. die End-Lautsprecher Wechselstrom- und Schirmgitterröhren, Neutrodynfänger mit Einknopfbedienung, die man durch aperturartige Vorröhren-Antennenkopplung erreichte; hochfrequente elektromagnetische (Exponential- und Sektorphonomen) und elektrostatische (Differential-) sowie elektrodynamische Lautsprecher, ferner die Abstrahlwand, die den Lautsprecherbetrieb zur Verhinderung des Zerschlagens der Tonwellen tiefer Frequenzen. [B 30 Noack]

¹³⁾ Noack, Z. Bd. 73 (1929) Nr. 3 S. 95.

Gesundheitsingenieurwesen

Kommunale Technik

Die ausschlaggebende Bedeutung des Gesundheitsingenieurwesens für die Gestaltung des öffentlichen Lebens hat sich im Bewußtsein der Allgemeinheit vielfach in erfreulichem Maße durchgesetzt und unter anderem in großen Fachausstellungen „Die technische Stadt“ (Dresden¹⁾ und neuerdings „Gas und Wasser“ in Berlin) ihren beredten Ausdruck gefunden.

Wasserversorgung

Der Wasserbedarf²⁾ ist weiter gestiegen, so daß zahlreiche Erweiterungen bestehender Anlagen vorgenommen werden mußten. So hat z. B. in Barmen vorjährige Wassermangel zur Erweiterung des Wasserwerkes geführt. Die Erweiterung der Hamburger Wasserwerke durch die Inbetriebnahme des Curslack-Wasserwerkes Curslack ist ein weiterer Schritt zur Lösung der Hamburger Wasserversorgung von der Elbe. Viele Städte haben mit großen Schwierigkeiten in der Wasserversorgung ihrer Bevölkerung zu kämpfen. Die grimmige Kälte und der starke Frost sowie verringerten Zuflüsse waren zum Teil die Ursachen der Schwierigkeiten. Chemnitz (Talsperrenversorgung Altona, Magdeburg — beide mit Elbwasserversorgung) ferner Delitzsch, litten sehr darunter. Die Verfahren des Auftauens vereister Wasserleitungen wurden sehr verbessert. Bemerkenswert sind die Vorarbeiten der Stadt Paris für eine großzügige Erweiterung ihrer Wasserversorgung. Die Entwicklung der Gruppenwasserversorgung³⁾ schreitet fort. Bemerkenswert sind die städtischen Pläne von Gruppenwasserversorgungen, insbesondere auf der Grundlage von Talsperrenwasserversorgung. Talsperre Lehmühle wird eine große Anzahl sächsischer Ortschaften mit Wasser versorgen und den Städten Dresden und Freiberg die Möglichkeit der Deckung ihres sich mehr und mehr steigenden Verbrauches geben. Die Städte Merseburg, Leipzig und Halle lassen die Planung einer mitteldeutschen Wasserversorgung stellen. Die Kenntnis über die Grundwasserbildung und die Ergiebigkeit der Grundwasserfassungen wurde durch wertvolle Veröffentlichungen bereichert⁴⁾. Die zunehmende Verwendung von Oberflächenwasser zur Vervollkommenung der Wasserreinigung⁴⁾. Der Bau einer Trinkwasserleitung in Eisenbeton und eines Düsenwehrs durch die Elbe für die Sicherung der Wasserversorgung von Dresden sind sehr beachtlich.

In vielen Fällen hat sich eine Vorchlorung des Wassers und eine geringe Nachchlorung des Reinswassers als zweckmäßig eingeführt. Auch bei der Abwasserreinigung wird das Chlorieren in steigendem Maße erfolgreich angewandt zur Beseitigung von Geruchsbelästigungen, zum Verzegern der Fäulnis und zum Keimen des Abwassers.

⁵⁾ The Marconi Short Wave Beam System, Pamphlet Nr. 242, Marconi's Wireless Tel. Comp. Ltd, London.

⁶⁾ Noack, Z. Bd. 72 (1928) S. 1645.

⁷⁾ Kohl, „Forschungen und Fortschritte“, Bd. 5 (1929) Nr. 13 S. 148.

⁸⁾ Eisner, Faßbender und Kurlbaum, Z. f. Hochfrequenztechnik Bd. 31 (1928) S. 109 u. Bd. 31 S. 141.

⁹⁾ Noack, „Forschungen u. Fortsch.“ 4. Jahrg. Nr. 34 (1928) S. 362.

¹⁰⁾ Television, London: Bd. 1 (1928) Nr. 2 S. 19; Nr. 3 S. 34; Nr. 4 S. 9; Nr. 5 S. 5 u. 20; Nr. 6 S. 9 u. Nr. 7 S. 20.

¹¹⁾ Schlesinger, Funkschau 4. Märzheft 1929 S. 89 u. 90 u. Noack, Radio-Umschau (1929) Nr. 15 S. 11.

¹²⁾ Neuburger, Television-London Bd. 1 (1928) Nr. 8. — Noack, Deutscher Rundfunk in der Tschechoslowakei Bd. 4 (1929) Nr. 20 S. 2.

^{12a)} Z. Bd. 72 (1928) S. 1555.

¹⁾ Vergl. a. VDI-Nachrichten Nr. 21 vom 23. Mai 1928.

²⁾ Vergl. a. VDI-Nachrichten Nr. 13 vom 27. März 1929.

³⁾ Vergl. a. Z. Bd. 73 (1929) Nr. 16 S. 548.

⁴⁾ Vergl. a. Z. Bd. 73 (1929) Nr. 16 S. 553.

Badeswesen

Auf dem Gebiete des Badewesens hat sich der außerordentlich hohe praktische Wert der Verbindung von Bädern mit Fernheizwerken bestätigt. Gerade in der Verbindung kann ein wirtschaftlich sehr bedeutender Spitzenausgleich in der Leistung herbeigeführt werden. Während z. B. in den Nachtstunden der Wärmebedarf der an das Fernheizwerk angeschlossenen Zentralheizungen in der Hauptsache ruht, kann die zur Erhaltung des Badewassers erforderliche Wärmerückgewinnung und billig in den Dampfkesseln erzeugt werden. In den frühen Morgenstunden der Bedarf der Zentralheizungen ein, so kann die Wärme diesen zugeführt werden. Da der Hauptwärmebedarf in den meisten Bädern erst in den Nachmittagsstunden einsetzt, der Wärmebedarf der Zentralheizungen zu dieser Zeit aber abfallende Kurve aufweist, so kann auch hierdurch die Wirtschaftlichkeit günstig beeinflusst werden.

Neben den Hallenschwimmbädern hat sich auch die Zahl der Freiluftbäder noch wesentlich vermehrt. In Berlin soll das im Bau befindliche Volksbad Gartenstadt das größte Schwimmbecken in Europa erhalten. In allen Freiluftbädern hat sich die Chlorung des Badewassers zur Vermeidung von Ansteckungen durchgesetzt.

Abwasserreinigung

Die Lehrmeinungen über das Ausfallen von Abwässerschlämme wurden durch wertvolle Untersuchungen entwickelt. Auch die Gewinnung und Verwertung von Faulgasen weist Fortschritte auf. Neben einigen Anlagen der Emscher Genossenschaft und des Ruhrverbandes sind jetzt die Kläranlagen in Halle und Stuttgart mit Gasgewinnungsanlagen vollständig versehen. Die Faulgasgewinnung in Nürnberg ist im Bau. Versuchsversuche haben Berlin und München auf einem Teil der Kläranlagen die Faulgasgewinnung eingerichtet. Das Kammerbelebungsverfahren hat weite Verbreitung gefunden. Erwähnt seien die Anlagen Berlin-Waßmannsdorf⁶⁾, Leipzig, Stuttgart, Waldenburg (Sachsen), Tauchkörperanlagen sind an verschiedenen Stellen mehr oder weniger teilweise in Betrieb. Die Schwierigkeiten bei der Wahl der Füllstoffe sind noch nicht überwunden. Die Verwertung des Abwassers und des Abwässerschlammes sowie der übrigen organischen Abfallstoffe zeigt keine Fortschritte.

Die Fortschritte im Kanalbetrieb sind durch verstärkte Verwendung von Maschinen und Motorfahrzeugen, insbesondere Elektrokarren an Stelle der Handarbeit gekennzeichnet. Diese Entwicklung ist noch nicht abgeschlossen.

⁶⁾ Vergl. a. Z. Bd. 72 (1928) S. 75.

Straßenreinigung und Müllbeseitigung

Bei fortschreitender Mechanisierung haben sich unter den Motorfahrzeugen bestimmte auf den Verwendungszweck zugeschnittene Bauarten weiterentwickelt. Das Aufsammeln des Straßenkehrichts wird künftig in starkem Maße eingeschränkt werden durch Verwendung der hier abgebildeten selbstaufnehmenden Kehrschneidemaschine⁶⁾, die sich in mehreren Bauarten eingeführt hat, u. a. in Berlin, Wien, Köln und Halle. Bei den Sprengwagen sind Versuche mit neuen Düsenformen im Gange. Auf dem Gebiete der Schneeabfuhr sind die Versuche mit Schneeschmelzmaschinen mit gutem Erfolg fortgeführt worden. Für den Sandstreudienst haben sich besondere Selbstfahrer und Kleinfahrzeuge herausgebildet.

Im Müllabfuhrwesen macht sich die Neigung bemerkbar, eine Verbindung des Wechsel- und Umleertonnenverfahrens anzuwenden. Dies vereinigt mit den gesundheitlichen Vorzügen der Abholung der geschlossenen Wechseltonnen aus dem Stadtinnern die billigere Abholung durch Umleerfahrzeuge in den Außenbezirken, wo die Fahrtstrecken zwischen den einzelnen Abholungsstellen länger sind. Die Umleerfahrzeuge sind wesentlich verbessert. Schwierig wird die Müllbeseitigung dort, wo mit zunehmender Ausfüllung der Ablagerungsmöglichkeiten die Ablagerungsplätze zu weit aus dem Stadtgebiet hinausrücken. Eine glückliche Lösung bietet hier oft die Verwendung der Müllverbrennung mit der Städteheizung, wofür die neue Züricher Anlage ein gutes Beispiel bietet. Diese Verbindung wird auch an solchen Stellen noch vorteilhaft durchführbar sein, wo der Wärmewert des Mülls ungünstiger als in Zürich ist. Man wird hier mit geeignetem Zusatzstoff das Fehlende ersetzen und die Erzeugung von Kunststeinen vorteilhaft betreiben können. Die neue Müllverbrennungsanlage der Stadt Köln ist bereits im Betriebe. Sie arbeitet ohne die erwähnte Verbindung mit einem Fernheizwerk.

Bekämpfung von Staub und Abgasen

Die Maßnahmen zur Staubbekämpfung⁷⁾ gehen mehr und mehr dahin, durch geeignete Wahl der Werkstoffe die Entstehung des Staubes zu verhüten, oder ihn doch mindestens sofort bei der Entstehung zu beseitigen. Das Verfahren, den Staub abzusaugen, hat sich vom größten Industriebetrieb bis in den kleinsten Haushalt allgemein durchgesetzt. Die Wahl von Baustoffen, die eine Staubbildung nicht in Erscheinung treten lassen, hat vor allem im Straßenbau steigende Bedeutung erlangt. Hier finden neben Betonstraßen steigende Verbreitung Fugen-

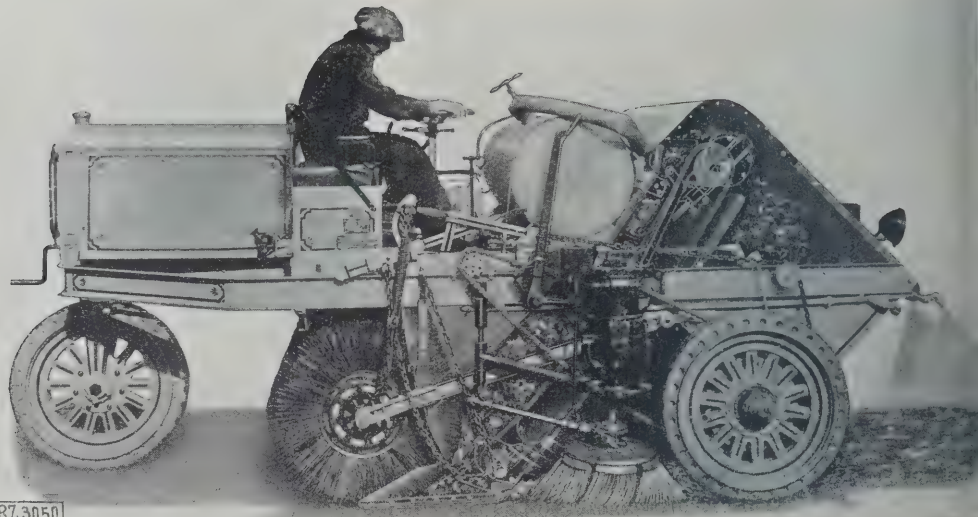
⁶⁾ Hierüber erscheint demnächst ein Aufsatz in dieser Zeitschrift.

⁷⁾ Vergl. a. Z. Bd. 72 (1928) S. 1385 und 1924.



Wasserturm
Lutherplatz,
Halle a. d. Saale.
Erbaut 1928.

Eisenbeton-
Wasserbehälter
von 2000 m³
Wasserinhalt bei
12 m Wassertiefe.
Außenwand:
Ziegelmauerwerk
mit Klinker-
verkleidung.



Selbstaufnehmende
Kehrmachine.
Bauart Elgin.

RZ 3050

ausgüsse und bituminöse Beläge, vor allem Walzasphalt, Kaltasphalt, Teerungen und Straßenölungen, denen man sogar eine gewisse Bindekraft fremden Staubes zusprechen kann. Die Waschbarkeit der meisten dieser Straßendecken unterstützt die Staubbekämpfung wesentlich. Daneben benutzt man auch Sprengmittel, wie z. B. Laugen. Der Zwang zur Einführung von Gummi- und Luftbereifungen für schwere Kraftfahrzeuge und Anhänger trägt zur Staubbekämpfung und Verringerung des Straßenlärms bei.

Zur vollen Wirksamkeit gelangen die staubfeindlichen Straßenbeläge erst dann, wenn sie in ganzen Wohnvierteln in ununterbrochener Kette durchgeführt sind und nicht dazwischenliegende wassergebundene Schotter- oder fugenoffene Pflasterstrecken ihre Wirksamkeit beeinträchtigen. Schließlich trägt auch das Flächenaufteilungsverfahren, das den Industrie- und Gewerbebetrieben besonders zur Windrichtung günstig gelegene Stadtteile zuweist, dazu bei, neben den Grünvierteln auch die Wohnviertel wenigstens vom gewerblichen Staub, von Rauch und Ruß freizuhalten.

Infolge der ständig wachsenden Zunahme der Verbrennungsmotoren einerseits und infolge der starken allgemeinen Industrialisierung andererseits wurden die Forderungen nach Verringerung der Schädigungen durch Abgase immer lebhafter und berechtigter. Die Vergasung von erheblichen Teilen der Stadt Halle durch die Abgase einer vor ihren Toren liegenden Braunkohlenschwelerei hat die Beachtung weiter Kreise gefunden. Den Bemühungen der Landesanstalt für Wasser-, Boden- und Lufthygiene ist es zu danken, daß die Feststellungen über das Vorhandensein von schädlichen Gasen mehr noch als bisher auf wissenschaftlicher Grundlage aufgebaut werden.

Die immer stärker werdende Einführung des elektrischen Betriebes hat die Reinhaltung der Luft ebenso gefördert wie die Zusammenfassung der Verbrennungsstellen durch Zentralheizungen, Fernheizwerke, Städteheizungen und die Gasfernversorgung aus Großgasereien. Die Fortschritte beruhen einmal auf Verbesserungen in der Verbrennungstechnik, die bei der Zusammenfassung in großen Werken in weit höherem Maß anwendbar sind als bei Einzelfeuerungen, zum andern in der Verlegung der Brennstellen in minder dicht besiedelte Gebiete. Aus dem Gebiet der Abgasreinigung hat besonders das Abfangen feinsten Teilchen aus den Abgasen mittels Elektrizität Fortschritte zu verzeichnen.

Stadtheizung

Der vergangene, außerordentlich strenge Winter hat die Vorteile und Nachteile der Stadtheizung deutlich erkennen lassen. Entsteht der im Fernheizwerk verfeuerte Brennstoff der näheren Umgebung, so konnte mit Sicher-

heit auf eine günstige Brennstoffversorgung gerechnet werden, und es zeigte sich, daß die Stadtheizung der Koks befeuerten Einzelheizung vorzuziehen war. Vor allem aber größere Entfernungen für den in der Fernheizung verfeuernden Brennstoff zu überwinden waren, so ganz meistens auch hier die Brennstoffversorgung infolge des durch den Schneefall erschwerten Beförderungsverhältnisses ins Stocken.

Die viel umstrittene Frage, ob Frischdampf, Abdampf oder Wasser als Wärmeträger zu wählen ist, ist in der allgemeinen Klärung noch nicht nähergekommen. Es wird immer noch von Fall zu Fall entschieden mühsam. Nach Unabhängigkeit der Wärmelieferung von Anlage für andre Betriebszwecke, z. B. elektrischer Stromerzeugung wird man nach den Erfahrungen des letzten Winters in der wieder bis zu weiten Grenzen streben müssen. Neubaue oder Erweiterungen von Fernheizwerken waren u. a. in Dresden, Halle, Leipzig, Mannheim, Forst i. d. Lausitz. [B 3050]

Heilmann

Gemeinsame Arbeitsgebiete

Physikalisch-technische Forschung

Die Grenzen der technischen Physik sind besonders in der heutigen Zeit schwer anzugeben, in der einerseits an der Klärung der Grundlagen der Quantenmechanik eifrig gearbeitet und dabei die Hilfsmittel der reinen Mathematik z. B. die Matrizenrechnung¹⁾, in weitgehendem Maße genutzt werden (Wellenmechanik von de Broglie und Schrödinger, die als übereinstimmend mit der Heisenbergschen Matrizenmechanik erkannt ist) und andererseits die theoretischen Ergebnisse in Ingenieurlaboratorien geprüft werden²⁾. Welche Rolle die Elektronenphysik auf vielen Gebieten der technischen Physik in der Messtechnik³⁾ spielen, ist bekannt. Aber beschränkt man sich auch auf die physikalische und technische Mechanik, so ist das jetzt erscheinende Handbuch von Auerbach und Hoffmann⁴⁾ wie ungeheuer dieses Gebiet heute angeschwollen ist, allem deshalb, weil die mechanische Weltanschauung alle physikalischen und angrenzenden Gebiete⁵⁾ übergriffen hat. Bei dieser Sachlage sollen im folgenden nur einige neuere Arbeiten herausgegriffen werden, die für den Ingenieur besonders wichtig zu sein scheinen.

¹⁾ Vergl. Lehrbuch der Algebra, von H. Fricke, unter Benutzung von H. Webers gleichnam. Buch. Braunschweig, 1. Bd. 1924, 2. Bd. 1925.

²⁾ Vergl. M. Planck: Aus der neuen Physik. Z. Bd. 73 (1929), S. 353. Ein Aufsatz von E. Rupp über das Wesen des Elektrons erscheint demnächst in dieser Zeitschrift.

³⁾ J. Zenneck, Z. Bd. 73 (1929) Nr. 17 S. 565, und H. T. Z. Bd. 73 (1929) Nr. 19 S. 639.

⁴⁾ Leipzig 1927, 1928.

⁵⁾ Vergl. Jellinek, Lehrb. d. physikal. Chemie, Stuttgart

Strömungsforschung

Für den Maschinenbau hat die Strömungsform in verschiedener Hinsicht Bedeutung gewonnen, ein- bei der Theorie der Lagerreibung⁶⁾, die *Boswall* zusammenfassend behandelt hat, ferner bei der Ausbildung Ventilen nach strömungswissenschaftlichen Gesichtspunkten — Rhei-Ventil⁷⁾ — und schließlich bei Flüssigkeitsgetrieben — *Föttinger*- und *Vulcan*-Getriebe —, die heute Verbindung mit schnellaufenden Dieselmotoren auf Handels- und Kriegsschiffen (Panzerschiff Ersatz „Preußen“) auch als Kupplung zwischen Turbine und Pumpe bei Speicherspeichereinrichtungen vorgesehen werden.

Auf dem Gebiete des Wasserbaues werden Strömungsversuche mit Fluß- und Kanalmodellen in zunehmendem Maße vorgenommen. *Rehbock*⁸⁾ hat für solche Verhältnisse eine neue Gleichung für die Bestimmungen der Zuhilfenahme aus den Wehrabmessungen angegeben. Die mathematische Strömungslehre hat *W. Müller*^{9a)} im Zusammenhange behandelt, wobei er auch Theorien des Tragflügel, des Propellers sowie der Kreisel- und Turbinen-Strömungen gebracht hat.

Die Bedeutung der Strömungsforschung für die Technik ist von Jahr zu Jahr mehr erkannt. Ein Beispiel hierfür auf dem Gebiete des Schiffbaues sind die verschiedenen Ausführungen der von *Wagner* erfundenen Leitbleche für die Schiffsschraube, des sogen. Kontrapropellers, der heute bei mehr als 500 Schiffen angewandt ist. Hinsichtlich der Abschätzung des Schiffswiderstandes ist man noch auf Modellversuche angewiesen. Um hierbei die Berechnung zu verbessern, hat *Kempf* Reibungsversuche am fahrenden Schiff und an geschleppten Schwimmkörpern durchgeführt. *Telfer* hat eine Analyse der Übertragung von Modellversuchen auf Schiffe geliefert. Die Klärung der Druckverteilung am Schiff sollen langjährige Widerstandsmessungen der Versuchsanstalt in Charlottenburg an entrindeten Zylindern vorbereiten, über die *Eisner* berichtet hat; er geht dabei auch auf neuere Theorien über die Vorgänge im Kielwasser von *Oseen-Zeilon* ein, die eine besondere Beachtung gefunden haben⁹⁾. Die Vorgänge über den Wirkungsgrad von Schiffsschrauben und Wasserpropellern sehr beeinträchtigenden Hohlraumbildung (Kavitation) sucht man in Göttingen u. a. durch Zeitlupenversuche weiter zu erforschen.

Wärmeforschung

Auf diesem Gebiete liegt eine große Anzahl Arbeiten vor, die sich mit dem Wärmeübergang sowie hiermit im Zusammenhang stehenden Fragen befassen. Den Temperaturverlauf und die Wärmeströmungen in periodisch erzwungenen Körpern hat *Gröber*^{9a)} für einige einfache Körper berechnet. Den Wärmeübergang, das Temperatur- und Geschwindigkeitsfeld an einer senkrechten, geheizten Platte hat *Nußelt* und *Jürgens*¹⁰⁾ sowie *E. Schmidt*¹¹⁾ untersucht, die Sachlage bei zwei Platten in Abhängigkeit vom Abstand (Rippenheizkörper) und am schmelzenden Eisblock hat *E. Schmidt* und seine Mitarbeiter geklärt. Als Beitrag zur Frage, wie sich der Wärmeübergang aus der Wärmeleitung, Strahlung und Konvektion zusammensetzt, hat im Kaiser-Wilhelm-Institut, Düsseldorf, Versuche zur Ermittlung der Gesamtstrahlung von polierten Blechen ausgeführt worden. *E. Schmidt* hat die Wärmestrahlung technischer Oberflächen und *Keller* den Strahlungsverlust durch Öffnungen untersucht. *Nußelt* hat festgestellt, daß im Einklang mit Untersuchungen von *v. Smoluchowski* die Wärmeübergangszahl pulverförmiger Körper mit verschiedener Gasfüllung mit dem Drucke steigt. Den Wärmeübergang an und in Rohren haben *Reiher*, *Sell* und *Koch* sowie *Schiller* in *Burbach*^{12a)} bei verschiedener Rohrform und Neigung untersucht. Ein Rechenverfahren für die Wärmeaufnahme verheizter Heizflächen hat *Seibert* angegeben.

Eine Sonderstellung hinsichtlich des Wärmeüberganges nimmt der Dampf ein: Hierbei haben *Jakob* und *Erk*^{12b)} gefunden, daß sich die übergehende Wärmemenge mit der Wandtemperatur auch beim Übergang vom Sattdampf- ins Heißdampfgebiet stetig ändert, womit auch in diesem Falle die Wasserhauttheorie von *Nußelt* bestätigt wird, die allerdings noch weiter ausgebaut werden mußte. Hiernach ist die übergehende Wassermenge bei Heißdampf größer als bei Sattdampf, worauf *Stender* zuerst hingewiesen hat. Feststellungen der Praxis, die hiermit in Widerspruch stehen, sind auf Verkrustungen der Oberflächen zurückzuführen, deren Einfluß aus Versuchen von *Eberle*¹³⁾ über die Wärmeleitfähigkeit von Kesselstein verschiedener Dicke und Zusammensetzung hervorgeht.

Diese und andre Forschungen haben für die Heizungstechnik große Bedeutung gewonnen. An Forschungen auf diesem Sondergebiete sind zu nennen: Versuche über die Wärmeabgabe von Glühöfen und Heizkörpern des Münchener Laboratoriums, über die Luftdurchlässigkeit und den Wärmeverlust bei Fenstern (*Reisch*, *Eberle*), über den Wärmeschutz beim Stahlhaus (*Baltrusch*), über Strahlung bei niedriger Temperatur (Industrial Fatigue Research Board), über die Wärmeabgabe von Radiatoren (*Thomas*), über Wärmeverluste in Rohrleitungselementen (*Hottinger*). Wichtig sind vor allem die umfangreichen Versuche von *E. Schulze* über die Wärmeübergangszahl von Luft- und Rauchgas in technischen Rohren, nach denen dem Rohrdurchmesser eine besondere Bedeutung zukommt.

Außer in der Heizungstechnik ist die Klärung des Wärmeüberganges bei Verbrennungskraftmaschinen wichtig. *Nägel* hat ihn an einer Gleichstrom-Dampfmaschine bereits vor dem Krieg untersucht, die Ergebnisse aber erst letzthin veröffentlicht¹⁴⁾, *Eichelberg* hat Versuche mit Dieselmotoren rechnerisch ausgewertet¹⁵⁾. Zu beachten ist, daß auch bei den Dampfmaschinenversuchen sowie bei der Berechnung des Wärmeüberganges in Verbrennungskraftmaschinen die *Nußeltschen* Anschauungen und Formeln bestätigt worden sind.

Mit Rücksicht auf den großen Wärmeverbrauch in der Hüttentechnik ist eine ganze Reihe Untersuchungen über die Vorgänge in Winderhitzern, Schmelz- und Glühöfen von *Hausen*, *Heiligenstadt*, *Nußelt*, *Rummel*, *Schmeidler* und der Rombacher Hütte ausgeführt worden.

Dämpfe

Die Forschungsarbeiten auf diesem Gebiet behandeln vorwiegend die Eigenschaften des Hochdruckdampfes sowie die Dampfmengenmessung. Zur Erweiterung der Dampftafeln sind in München (*Knoblauch*) die spezifischen Wärmen bis 120 at und 450 °C¹⁶⁾ und in der Physikalisch-Technischen Reichsanstalt (*Jakob*) die Verdampfungswärmen des Wassers sowie das Volumen des Sattdampfes bis 40 at und 250 °C bestimmt worden¹⁷⁾. Auch in andern Ländern werden Parallelversuche mit meist noch größeren Mitteln ausgeführt, so in der Tschechoslowakei (*Havlíček*), in England (*Callendar*, der auch die kritische Temperatur neu bestimmt hat) und vor allem in Amerika. Damit scheint eine allgemeine Normung der Dampftafeln am Platze zu sein.

Diagramme für andre Dämpfe, wie z. B. Kohlensäure haben *R. Plank* und für verschiedene Zweistoffgemische *Merkel* ausgearbeitet. Dieser Forscher arbeitet zusammen mit *K. G. Fischer* weiter an der Klärung des Verdunstungsvorganges. Für die Dampfmengenmessung hat der einfache Stauraum große Bedeutung gewonnen. Seine Durchflussszahlen haben *Jakob* und *Kretzschmer*¹⁸⁾, *Pflaum*¹⁹⁾ und *Witte*²⁰⁾ gemessen und veröffentlicht. Neue Versuche laufen im Göttinger Institut und bei der Kaliforschungsanstalt in Staffort. *Josse* hat Versuche mit der von *Forner* angegebenen Düse bei Dampfturbinen benutzt und dessen Gleichung bestätigt gefunden.

⁶⁾ Vergl. a. *Wolff*, Forschungsarb. d. V. d. I. Nr. 308. Grundsätzlich andere Ansichten über den Schmiervorgang werden neuerdings von anderen Forschern vertreten, vergl. *Karplus*, „Petroleum“ Bd. 25 (1929) S. 6.

⁷⁾ *Maschinenbau* Bd. 8 (1929) Nr. 5 S. 143.

⁸⁾ *Z. Bd. 73* (1929) Nr. 24 S. 817.

^{9a)} *W. Müller*: Mathematische Strömungslehre, Berlin 1928.

^{9b)} *Oseen-Zeilon*: Neuere Methoden und Ergebnisse der Hydrodynamik, Leipzig 1927.

¹⁰⁾ Forschungsarbeiten d. V. D. I. Heft 300.

¹¹⁾ *Z. Bd. 72* (1928) S. 597. ^{12b)} *Z. Bd. 72* (1928) S. 1165.

^{13a)} *Z. Bd. 72* (1928) S. 1195.

^{12b)} Forschungsarb. d. V. d. I. Nr. 310.

^{13b)} *Z. Bd. 72* (1928) S. 1549 u. Arch. f. Wärmew. Bd. 9 (1928) S. 171.

¹⁴⁾ Forschungsarb. d. V. d. I. Nr. 300.

¹⁵⁾ *Z. Bd. 72* (1928) S. 463.

¹⁶⁾ *Z. Bd. 72* (1928) S. 1733.

¹⁷⁾ *Z. Bd. 73* (1929) Nr. 19 S. 629.

¹⁸⁾ Forschungsarb. d. V. d. I. Nr. 311.

¹⁹⁾ Forschungsarb. d. V. d. I. Nr. 298.

²⁰⁾ *Z. Bd. 72* (1928) S. 1493.

Kinematik

Auf diesem Gebiete ist von neueren Arbeiten ein Werk von R. Beyer²¹⁾ zu nennen, in dem die wichtigsten Formeln ebener Getriebe und die Eigenschaften ihrer Bahnkurven an der Hand zahlreicher Beispiele erläutert werden, Raumgetriebe haben Federhofer²²⁾ und Alt²³⁾, den sphärischen Kurventrieb und verwandte Mechanismen hat F. O. Müller²⁴⁾ behandelt. [B 2930] W. Schmidt.

²¹⁾ Leipzig 1928.

²²⁾ Berlin und Wien 1928 u. Z. Bd. 72 (1928) S. 1933.

²³⁾ Z. Bd. 73 (1929) Nr. 6 S. 188. ²⁴⁾ Z. Bd. 73 (1929) Nr. 4 S. 117.

Die deutsche Normung

Im folgenden wird, ohne das Gesamtgebiet zu erschöpfen, über den jetzigen Stand der deutschen Normungsarbeiten kurz berichtet.

Verschiedene Gebiete

Die Normen für den allgemeinen Maschinenbau können als abgeschlossen angesehen werden. Im Rohrleitungsbau ist die Normung der Flanschen bis Nenndruck 100 kg/cm² im vergangenen Jahr fertiggestellt worden; eine Gesamtübersicht über die Flanscharten und ihre Verwendungsbereiche für die einzelnen Druckstufen bietet das Normblatt DIN 2500. Aus dem Armaturenbau sind die Normen für Durchgangs- und Auslaufventile für Nenndruck 10 kg/cm² anzuführen. Im April dieses Jahres wurde ein Fachnormenausschuß für Heizungen gegründet.

Für das Bauwesen sind die Gütevorschriften für Holzhäuser, die Normen für Dachpappen, für Hausbrandöfen, für Schienen von 65/7 bis 134/33, für Wasserinstallation (Klosetts), Kleinlastenaufzüge und Umlaufaufzüge für ein und zwei Personen mit den Abmessungen für den Maschinenraum unter und über Schacht zu erwähnen, ferner die Schachtabdeckungen für Fahr- und Gehbahn und Straßenabläufe. Für den Bergbau sind endgültige Normen für Luftleitungen, für Berieselungsanlagen, Förderwagen mit 750, 875 und 1000 Liter Inhalt und deren Einzelteile, für elektrische Grubenbahnen von 900 mm Spur sowie für Drahtseile und Gezähe herausgegeben worden.

Textilindustrie

Die im April dieses Jahres in Chemnitz stattgefundene Tagung des Ausschusses „Einführung der Normen in die Praxis“ hat gezeigt, daß die Normung im Textilmaschinenbau und Textil-Veredlungsmaschinenbau gute Fortschritte macht. Die außerordentliche Vielfältigkeit der Erzeugnisse des Textilmaschinenbaues machte eine Vereinheitlichung dringend notwendig, um die Fertigung in größerer Stückzahl, sowie die Austauschbarkeit der Einzelteile an Maschinen verschiedener Herkunft zu ermöglichen. Es wurde zu diesem Zweck eine Zweckgemeinschaft der Textilindustrie und des Textilmaschinenbaues, der Fachnormenausschuß „Textilnorm“ ins Leben gerufen; bis jetzt sind rd. 35 endgültige Normblätter herausgegeben worden, und zwar für Spinnerei: Normung der handelsüblichen Nummern, Qualitäten, Lieferart und Drehung für Garne und Zwirne; für Weberei: Normung der Garn-

art, Garnnummer, Kett- und Schußfadenzahl von bereiterzeugnissen; technische Grundnormen und ähnliche Anschlußmaße von Einzelteilen für den Textilmaschinenbau sind erschienen für Spinnerei, Weberei und Textilveredlungsmaschinen.

Landmaschinenindustrie, Hauswirtschaft u. dergl.

Man ist damit beschäftigt, die wichtigsten, Abnutzung besonders unterworfenen Teile der Maschinen und Geräte zu vereinheitlichen und bis jetzt Normen für Klingen, Finger und Platten für Mähmaschinen geschaffen. Von Gläsern sind Milchflaschen und verschiedene chemischen Laboratoriumsbetrieb erfordert Gefäße vereinheitlicht worden.

In Gemeinschaft mit den Hausfrauen- und Gastwirtsverbänden sind Einkochgläser und Porzellangeschirr genormt worden. Die Krankenhäuser und Ärzte sind eifrige Anhänger der Normung geworden und haben Normen für Betten, Bettfahrer, Nistische, Stühle und Krankenwagen geschaffen und arbeiten zur Zeit an der Normung zahlreicher chirurgischer Instrumente. Im Februar dieses Jahres wurde ein Fachnormenausschuß für Atmungsgeräte gegründet.

Feinmechanik und Handwerk

Verschiedene Zweige der Feinmechanik haben sich in den letzten Jahren zur Normung bekannt. Der Fahrradbau, die Näh- und Schreibmaschinenindustrie haben Fachnormenausschüsse gegründet, bereits eine größere Anzahl Normen aufgestellt und weitere in Arbeit haben.

Vom Handwerk sind die Ofensetzerei, Druckereigewerbe und die Wasser- und Elektroinstallation zu nennen. Normen für Handwerkzeuge, Schlosser, Hufschmiede und Tischler sind teils bereits bezugfertig, teils noch in Bearbeitung. Von den Erzeugnissen der Kleiseisenindustrie werden Schlösser, Türen, Möbel und Klaviere genormt.

Normung und Rationalisierung

Daß die Verwendung genormter Arbeitsmittel als geeigneter Weg zur Arbeitserleichterung erkannt wird, geht daraus hervor, daß der genormte Geschäftsbrief und das Format DIN A 4 für Zeitschriften sich immer mehr einführen und die Bücher nach Einführung von Ordnungsleisten an Zeitschriften und nach Normung der Vordrucke anstreben. Normung ist eine Rationalisierungsmaßnahme, deren Erfolge sich häufig nicht von heute auf morgen einstellen; das erklärt sich einmal durch die oft recht lange Lebensdauer gewisser Maschinengattungen, für die viele Jahre nach Aufstellung von Normen ungenutzte Ersatzteile gebraucht werden.

Zusammenfassend kann aber gesagt werden, daß der Normungsgedanke in Deutschland immer mehr meingut der Wirtschaft wird, da die Vorteile, die die Normung den Herstellern, Händlern und Verbrauchern bietet, bereits auf so zahlreichen Gebieten erkannt und erwiesen worden sind, so daß ihre weitere Ausdehnung auf andre Industrie- und Gewerbegebiete weiter Widerstand findet als vor 10 Jahren. [B 303]

Bärn

DAS GESCHÄFTSJAHR ZWISCHEN DEN HAUPTVERSAMMLUNGEN 1928/29

Wenngleich die Fülle des wissenschaftlichen Inhaltes der heutigen technischen Schaffen von einer Organisation nicht mehr restlos aufgenommen werden kann, so lassen doch die das technisch-wissenschaftliche Leben ebenfalls tragenden Tendenzen merkbare Spuren in das Eigenschaftsbild einer die gesamte Technik umfassenden Körperschaft wie des Vereines deutscher Ingenieure einfließen und sich in seinem Geschäftsbericht widerspiegeln.

Betrachtet man nicht nur die fachlichen Zusammenhänge, sondern vor allem die geistige Einstellung der Gegenwart, so ist bemerkenswert, ja auffallend, das beschleunigte Schrittmaß des Eindringens ingenieurmäßigen Denkens in den Berufs- und Lebenskreis des täglichen Lebens. Kennzeichnend ist hierbei, daß die Initiative der Ingenieure geringer als die Bereitschaft zur Aufnahme ihres geistigen Einflusses. Die Sachlichkeit löst sich aus dem Behagen des Stillsitzens und wird zur lebendigen Forderung unter den harten Notwendigkeiten des Tages; nur das politische Engagement erscheint hiervon noch völlig unberührt.

Der Verbraucher der Ware räumt ihrer technischen Möglichkeit im Urteil und Gebrauch einen steigenden Einfluß ein. Der Gütegedanke sucht Stütze in eindeutigen Merkmalen und stärkt den Zwang zur Qualität. Die Auswirkung der Werkstofftagung in den Arbeiten des Vereines im Berichtsjahr ist unverkennbar.

Exaktes Maß verdrängt die subjektive Wertung. Die Regeln für Leistungsversuche an Maschinen und Geräten, von jeher ein wichtiges Arbeitsgebiet des Vereines, werden in neuen Industriezweigen heimisch. In gleicher Weise steigt das Bedürfnis nach Gütevorschriften.

Das technische Gewissen wird stärker als die Freude am Schmuck. Der Architekt beklagt die Mängel veralteter Erziehung und überholter Tradition und muß zunehmend das Feld dem Bauingenieur räumen; dieser fühlt immer schärfer seine innere Verbundenheit mit dem Maschineningenieur und verstärkt daher zwangsläufig seinen Einfluß auch im Mitglied- und Aufgabenkreis des Vereines.

Erfahrung und Überlieferung erkennen die Grenzen der Leistungsfähigkeit und die Notwendigkeit stärkeren ingenieurmäßigen Einschlages. Schweißtechnik, Schmiedetechnik, Anstrichtechnik, Saubertechnik, verspannende und spanlose Formung suchen und finden im Verein geistige Pflegetstätten in besonderen Fachausschüssen; Sprechabende über Fragen aus diesen Gebieten gewinnen steigende Bedeutung auch in handwerklichen Kreisen. Selbst auf dem ureigensten Gebiet subjektiven Schaltens, dem Hauswesen, begrüßt man die Technik als Helferin in den Verlegenheiten, die aus der soziologischen Entwicklung erwachsen: eine Fachgruppe für hauswirtschaftliche Technik erscheint auf dem Plan.

Noch spricht man hierbei von Grenzgebieten und hat recht insofern, als die Vertreter der Technik selbst in der unwürdigen Verkenntnis ihres Einflusses, der das gesamte Gefüge der Volksgemeinschaft durchdringt, noch vor kurzem ihre Grenzen an den Vorgängen der Kraftmaschine,

bestenfalls der Arbeitsmaschine gesehen haben. Die Lehre von der Fertigung mußte sich erst einen Stoßtrupp in der Arbeitsgemeinschaft deutscher Betriebsingenieure schaffen. Ohne verständlichen Grund wurde in der Ingenieurtechnik der Begriff der Gütererzeugung auf das industrielle Schaffen eingeeengt: Technik in der Landwirtschaft bedurfte einer Betonung durch eine besondere Arbeitsgemeinschaft.

Heute haben beide Fachgruppen im Verein volles und unbestrittenes Heimatrecht, und es ist reizvoll, zu beobachten, daß durch das Gestrüpp der Vorurteile in den eigenen Reihen und außerhalb wiederum mühevoll Richtwege geschlagen werden müssen für zwei weitere selbstverständliche Notwendigkeiten: die ingenieurmäßige Ausbildung der Technik des industriellen Kostenwesens und des Vertriebes. Eine Bilanz in Kalorien ist dem Ingenieur geläufig, in Geldwerten aber noch manchen recht ungewohnt. Der im Betrieb stehende Fachgenosse darf für sich in Anspruch nehmen, Planung, Vorbereitung und Durchführung der Arbeit aus der Erfahrung in die systematische Behandlung überführt zu haben; für die im Dienste des Vertriebes stehenden zahlreichen Ingenieure soll nach eigenem und fremdem Urteil die Empirie unüberwindbar sein, und doch ist die Verlegenheit, zu vertreiben, heute größer als die, Waren zu erzeugen. Die Fachausschüsse für industrielles Kostenwesen und für Vertriebstechnik im Verein konnten im Berichtsjahr erweisen, daß sie gewillt sind, dem Ingenieur Schritt für Schritt Boden zu erobern.

In der Regel schlägt das Pendel zu weit aus. Der starke Anstoß, den die in Lehre und Forschung zurückgebliebene Fertigung gegen Kriegsbeginn erhielt, drängte das gestaltende Können über Gebühr in den Hintergrund, bereitete aber gleichzeitig den Boden, auf dem heute formgebendes Schaffen entwickelt werden muß. Kurse über werkstattgerechtes Konstruieren im Rahmen der Arbeitsgemeinschaft deutscher Betriebsingenieure sind bemüht, bestehenden Mängeln abzuhelfen.

Die Umschichtung im Gefüge der Ingenieurwissenschaft tritt immer deutlicher hervor. Neben den bislang beherrschenden Anforderungen, die sich im wesentlichen aus den Rücksichten auf die Festigkeit ergaben, verlangen die anderen Bedingungen, die in erster Linie nicht von den auftretenden Arbeitskräften, sondern von der Wahl und Behandlung des Werkstoffes, den zufälligen Beanspruchungen beim Gebrauch und vor allem einem wirtschaftlichen Fertigungsverfahren abhängen, volle Gleichberechtigung. An die Seite der Maschinenelemente, in der klassischen Darstellung von *Bach* bislang das grundlegende Buch für jeden Ingenieur, treten die Bauelemente der Feinmechanik.

Es ist nur zu natürlich, daß der Wellenschlag dieser Bewegungen auch die Lehre lebhaft umspült, die sich gleichzeitig mit der recht bedenklichen Entwicklung im gesamten Schulwesen auseinandersetzen muß. Ein von Staat und Wirtschaft kritiklos gefördertes Bildungswesen hat zu einer krankhaften Überschätzung des Schulwesens geführt, die den Verein zu einer klaren und eindeutigen Stellungnahme gegen die Pläne für neue Hochschulen zwang.

Die ausführliche Aussprache auf der Hochschultagung, im November vorigen Jahres in Gemeinschaft mit dem Deutschen Verband technisch-wissenschaftlicher Vereine und dem Deutschen Ausschuß für Technisches Schulwesen veranstaltet, ließ erkennen, welche umfangreiche Kleinarbeit noch zu tun ist, um in der schulmäßigen Ausbildung des Nachwuchses den neuen Anforderungen entsprechen zu können. Die Vorherrschaft vertiefter wissenschaftlicher Grundlagen gegenüber dem rein gedächtnismäßig aneignbaren Stoff kann als einstimmige Ansicht aller Beteiligten festgestellt werden. Um so notwendiger und bedeutungsvoller wird die Fortbildung der im Berufe stehenden Fachgenossen. Vom Vorstand berufene Fachleute, die in Lehre und Wirtschaft an führender Stelle wirken, haben sich in den Dienst des planmäßigen Ausbaues eines Ingenieurfortbildungswesens gestellt.

Alles in allem: die heutige Zeit ist für die Technik selbst sehr bewegt, wenngleich dieser Zustand durch die bedrängte Wirtschaftslage in vielem verschleiert sein mag. Die weitgehende Unabhängigkeit der Technik von Landesgrenzen erklärt, daß diese Erscheinung nicht auf die inländische Ingenieurarbeit beschränkt ist. Das industrielle Ausland muß sich fast durchweg mit den gleichen Problemen befassen. Auch hier eine zunehmende Verschärfung des technischen Gewissens, die — mehr oder weniger noch im Unterbewußtsein — überall ihre Wirkungen auslöst. Die Wortverbindung „Weltkraft“ enthält im Kern ein Bekenntnis des Gefühls der Verantwortung für die sinnvolle Auswertung des Energievorrates der Erde. Deutschland empfängt 1930 die Weltkraftkonferenz, deren Vorbereitung die deutschen Fachkreise schon jetzt stark beschäftigt. Auch in den Arbeiten des Vereines, dessen Vorsitzender der Präsident dieser bedeutungsvollen internationalen Konferenz im Jahre 1930 ist, kommen die wissenschaftlichen Vorarbeiten hierfür schon jetzt stark zum Ausdruck.

Die Technik jeden Landes steht im Zwange ihrer internationalen Verbundenheit. Die Pflege der Auslandsbeziehungen ist daher für den Verein unabwiesbare Pflicht, die von Jahr zu Jahr stärkere Anforderungen stellt, nachdem es gelungen ist, die große internationale Gemeinschaftsarbeit wieder aufzubauen. Der Verein steht in engsten Beziehungen zu den Fachkreisen in den Vereinigten Staaten und England, in Südamerika, Japan und Spanien, in Skandinavien, Rußland und Holland, dessen Ingenieurverein uns für den Juni 1929 zu einem Besuch nach Holland eingeladen hat. Einen wichtigen Teil dieser Auslandspflege bildet der Literaturtausch, dessen Ausbau der Verein mit allen verfügbaren Mitteln anstrebt.

Die Kenntnis der Dinge im Auslande und namentlich der Ergebnisse seiner technisch-wissenschaftlichen Arbeit ist heute ein nicht auszuschaltender Bestandteil der Ingenieurbildung. Der Verein ist bemüht, diese Auslandskunde, gesehen mit den Augen des Ingenieurs, zu entwickeln und den deutschen Fachgenossen zu vermitteln. Im Rahmen dieser Aufgabe wird die Herausgabe von technisch-wirtschaftlichen Auslandsmonographien vorbereitet.

Die Vertreter der Geistesrichtung, die bislang wähten, daß die Pflege der Kultur ausschließlich ihnen vorbehalten sei, empfinden stark das Hineinwachsen der Technik in alle Lebensbeziehungen. Mag sein, daß die Technik zu gewaltsam Platz begehrt und altgewohnte Formen zu

schnell zertrümmert. Stets aber waren die Formen warbar, und keine Philosophie und Ästhetik kann sich unabwiesbaren Vermählung von Kultur und Technik gegenstemmen. Sicherlich wird eine von der Kultur jahre Technik andere Wesenszüge aufweisen als heute, die Wahrscheinlichkeit spricht dafür, daß die Technik hierbei keine anderen Wege gehen wird, als sonstige menschliche Tun. Die Aufnahme der Technik in das Gut der Allgemeinbildung wird sich dem gleichen Schrittmaß vollziehen, in dem die Technik jeweils den kulturellen Inhalt ihrer Zeit in sich aufnimmt. Ehrfurcht vor dem, was die Menschheit an bleibendem Wert auf anderen Gebieten schafft, und im eigenen Handeln Achtung vor den großen Leistungen der Fachgenossen, die uns vorangingen, sind Forderungen, die auf dem Wege zur kulturellen Berufung der Technik liegen. Pflege der Geschichte der Technik in diesem Zusammenhang ist eine Aufgabe, die der Verein vor vielen Jahren bewußt aufgenommen hat und planmäßig ausbauen bestrebt ist.

Der große Leitgedanke, um den sich die vielseitige Tätigkeit im Verein rankt, ist die ehrenamtliche Leistung im Dienste der Allgemeinheit. Geht es um die Millionen Werten, mit denen diese ehrenamtliche Tätigkeit eingeschätzt werden muß, verschwinden die Mittel, die sich im Haushaltplan unseres Vereines Regiekosten vorfinden. Im Vorstand des Gesamtvereines in den Vorständen der Bezirksvereine und ihren Ausschüssen, in den Arbeitsgemeinschaften und Fachgruppen arbeiten nicht weniger als rd. 700 Fachgenossen ehrenamtlich für die großen Ziele des Vereines. In unseren Zeitschriften und Büchern stellten im Berichtsjahre nicht weniger als rd. 1600 Fachleute ihr Wissen für die Allgemeinheit zur Verfügung. Es tut not, auf dieses in den Arbeiten des Vereines zum Ausdruck kommende Bekenntnis zum Idealismus der Tat hinzuweisen, der heute leider im allgemeinen niedrig im Kurs steht, dem aber Deutschland allein seine Größe verdankt.

Die Ergebnisse der technisch-wissenschaftlichen Arbeiten unseres Vereines und der Arbeiten unserer vielen Mitarbeiter müssen durch Wort und Schrift weitesten Kreisen zur Kenntnis gebracht werden. Im Rahmen des Berichtsjahres sind in rd. 80 Städten rd. 1200 Vorträge gehalten worden, über die in den Zeitschriften des Vereines in den Mitteilungen seiner Bezirksvereine berichtet wurde. Hinzu kommen die Berichte über Besprechungen in verschiedenen Ausschüssen sowohl des Gesamtvereines als auch der Bezirksvereine. Allein von den Direktoren und Mitarbeitern der Geschäftsstelle waren in einem Berichtsjahre nicht weniger als rd. 260 Dienstreisen auszuführen, denen 182 Städte besucht wurden. Ebenso bedeutsam ist noch weiter reicht die Einwirkung durch das gedruckte Wort. Ein Jahressammelband der Zeitschriften des Vereines würde 8124 Seiten umfassen, d. h. in jedem Monat wird ein Band von 677 Seiten geliefert. Es gehen also nicht 3 500 000 Einzelhefte der Zeitschriften hinaus, das ist kennzeichnend für die weitreichenden Auslandsbeziehungen, allein mehr als 500 000 ins Ausland. Hier kommen die in kleinerer Auflage erscheinenden technischen Forschungsarbeiten und die Erzeugnisse unseres Verlags.

Die Tätigkeit im einzelnen sollen die folgenden Darstellungen veranschaulichen; der Tätigkeit der Bezirksvereine ist der besondere Bericht auf S. 909 gewidmet.

LITERARISCHE ARBEITEN

Zeitschrift des Vereines deutscher Ingenieure

Die Zeitschrift, die jetzt im 73. Jahrgang erscheint, verfolgt das Ziel, ihre Leser über das ganze Gebiet der Technik zu unterrichten. Grundlegende wissenschaftliche Aufsätze und Berichte behandeln den neuesten Stand der Forschungen und der technischen Entwicklung und vermitteln den Ingenieuren das Rüstzeug für die Lösung technischer Aufgaben. Daneben hat die Zeitschrift das Bestreben, in übersichtlichen Aufsätzen ihren Lesern, die in den verschiedenartigsten Fachrichtungen tätig sind, auch die Entwicklung der Nachbargebiete mit zu bringen in der Erkenntnis, daß der Austausch von Fortschritten und Erfahrungen auch zwischen Fachgebiets, die einander fern liegen, wertvolle Kenntnisse und Anregungen vermittelt.

Mit der Entwicklung der Technik, die nicht nur in der Tiefe, sondern auch sehr in die Breite gegangen ist, hat sich in gleicher Weise das Arbeitsgebiet der Zeitschrift des Vereines deutscher Ingenieure gegen früher wesentlich vergrößert. Die Verteilung des Inhaltes der Zeitschrift auf die einzelnen Fachgebiete im Jahrgang 1928 zeigt Abb. 1. Aus den Gebieten, die schon seit langem zum Arbeitsfeld des Ingenieurs gehören, sind bemerkenswerte Veröffentlichungen die Fachhefte „Straßenbau“, „Luftfahrt“, „Kraftfahrwesen“ und „Feinmechanik“ zu nennen; ein Fachheft zur Leipziger Frühherbstmesse 1928 behandelte hauptsächlich Werkzeugmaschinen, Bearbeitungsfragen und Baumaschinen, das Hauptversammlungsheft war in erster Linie dem rheinisch-westfälischen Industriegebiet gewidmet.

In Einzelveröffentlichungen wurden wichtige Fragen der Hochdruck-Dampftechnik und des Verkehrswesens, Funktechnik und die Herstellung von Hochspannungselektronen, neuere Festigkeitsforschungen, die Ferngasverteilung u. a. m. behandelt. Zu diesen Arbeitsgebieten des Ingenieurs sind in immer größerem Umfange Sondergebiete getreten, in die der Ingenieur und die technische Wissenschaft erst in letzter Zeit mehr und mehr Eingang gefunden haben, ja, die z. T. erst im Begriff sind, sich vom Handwerk zur wissenschaftlichen Technik zu entwickeln. Die Zeitschrift des Vereines deutscher Ingenieure hat, um diese Entwicklung zu fördern, die Erfahrungen und die für den Fortschritt maßgebenden Gesichtspunkte in zahlreichen Aufsätzen zusammengefaßt. Behandelt wurden u. a. das Mollerei- und Wäschereiwesen, die Herstellung von Leder, Papier und Textilwaren, Keramik, Glas- und Emailleindustrie, Anstrich- und Schweißtechnik, Spültechnik, die Nahrungsmittelindustrie, die Druckerei- und die photographische Technik. Der Feinmechanik und ihren verschiedenartigen Erzeugnissen wie Meßgeräten, Bureaumaschinen usw. war ein besonderes Fachheft gewidmet. An Grenzgebieten mit wissenschaftlicher und allgemeiner Bedeutung wurden u. a. die Geschichte der Technik, Schulfragen und das Verhältnis zwischen Kunst und Technik sowie Naturwissenschaft und Technik behandelt.

Im laufenden 73. Jahrgang sind bislang die Fachhefte „Textiltechnik“, „Gas und Wasser“ und „Elektrische Bahnen“ erschienen. An größeren Einzelarbeiten sind solche über elektrische Schweißmaschinen, Kreiselpumpen, Getriebe, Bumaschinen und Bautechnik sowie aus der Nahrungsmitteltechnik hervorzuheben.

Über den Umfang der Zeitschrift des Vereines deutscher Ingenieure seit

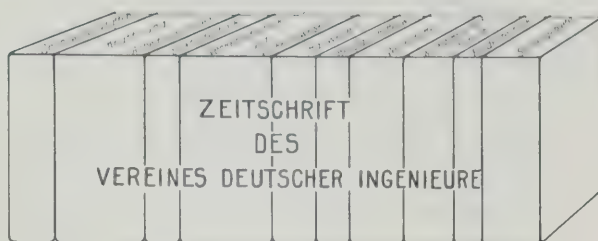


Abb. 1

Fachliche Inhaltsgliederung der VDI-Zeitschrift 1928.

dem Jahre 1910 gibt Abb. 2 Auskunft. Da die im Jahre 1921 geschaffenen VDI-Nachrichten die Veröffentlichungen aus dem Vereinsleben und andere, rasch zu veröffentlichende Mitteilungen übernommen haben, ist der jetzige Umfang der der Zeitschrift verbliebenen Arbeitsgebiete auch im Vergleich zu den Jahren vor dem Kriege gestiegen.

Die Erweiterung des Arbeitsgebietes brachte auch eine Vergrößerung der Mitarbeiterzahl mit sich: Die 260 Aufsätze des Jahrgangs 1928 hatten 208 verschiedene Verfasser geliefert, von denen 140 zum erstenmal an der Zeitschrift mitarbeiteten; die rd. 800 kürzeren Beiträge haben 287 Verfasser geliefert, von denen fast die Hälfte zum erstenmal mitarbeitete.

Bei der Ausgestaltung des Textteiles wurde das Ziel verfolgt, den zeitarmeren Lesern den Inhalt der Aufsätze in möglichst knapper, verständlicher und übersichtlicher Form zu bieten. Die Verfasser kamen diesem Bestreben durch kurze Fassung der Aufsätze unter Weglassung alles Entbehrlichen zumeist verständnisvoll entgegen. Durch vorangestellte Inhaltsangaben und Zusammenfassungen soll dem Leser Gelegenheit gegeben werden, sich von vornherein zu unterrichten, was ihm der betreffende Aufsatz an Wissenswertem bietet und zu welchen Ergebnissen der Verfasser gekommen ist. Diese Einrichtungen des Textteiles, die der Zeitersparnis der Leser dienen, werden ständig ausgebaut. Dadurch, wie durch sorgfältige Auswahl der Veröffentlichungen, wird es trotz

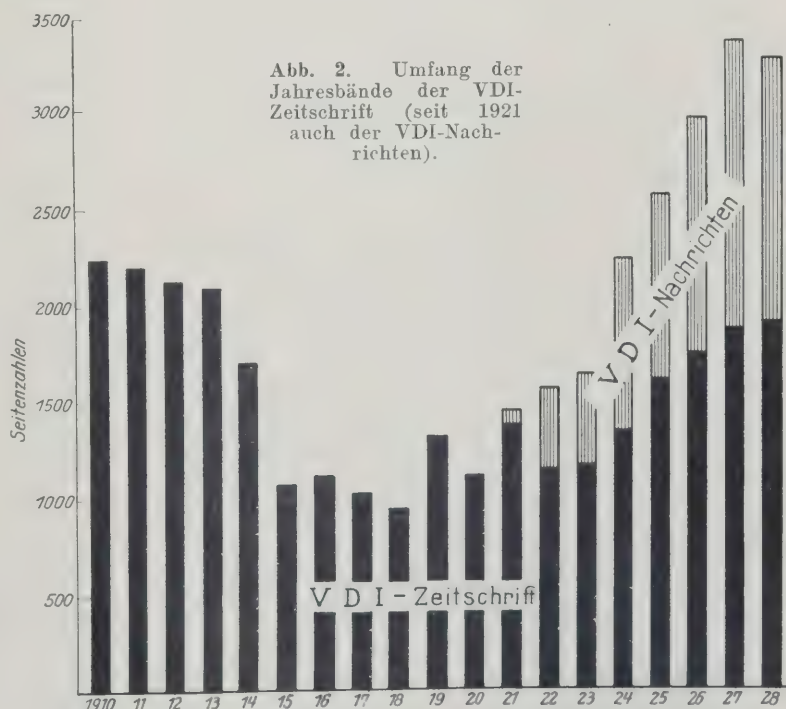


Abb. 2. Umfang der Jahresbände der VDI-Zeitschrift (seit 1921 auch der VDI-Nachrichten).

des ständigen Wachsens des Arbeitsgebietes auch weiterhin möglich sein, in der Zeitschrift des Vereines deutscher Ingenieure die wichtigsten Fortschritte der gesamten Technik zu behandeln.

Der Jahrgang 1928 umfaßte: 52 Hefte mit 1938 Seiten,

davon 6 Fachhefte:
„Technische Messe Leipzig“,
„Straßenbau“,
„Hauptversammlung Essen 1928“,
„Luftfahrt“,
„Kraftfahrwesen“,
„Feinmechanik“.

Es entfielen auf:

Aufsätze	1410	Seiten,
Rundschau	361	„
Bücherschau	118	„
Verschiedenes	49	„

Der Jahrgang enthielt:

rd. 260 Aufsätze,	4000	Abbildungen,
800 kürzere Beiträge,	47	Bildblätter,
260 Buchbesprechungen,	10	Tafeln.

VDI-Nachrichten

Die VDI-Nachrichten haben als Mitteilungsblatt des Vereines deutscher Ingenieure und als Organ des Deutschen Verbandes Technisch-Wissenschaftlicher Vereine die Aufgabe, schnellste Berichterstattung aus dem Gesamtgebiet der Technik und namentlich der technisch-wissenschaftlichen Gemeinschaftsarbeit zu pflegen. Um das Blickfeld des Ingenieurs planmäßig zu erweitern, wenden sie ihre besondere Aufmerksamkeit den Grenzgebieten der Technik zu, wobei Fragen der geschichtlichen und kulturellen Entwicklung und der Volks- und Weltwirtschaft im Vordergrund stehen. Darstellungen der technisch-wirtschaftlichen Entwicklungsgeschichte der verschiedenen Landschaften und bodenständigen Gewerbe unsres Vaterlandes, die in der kommenden Zeit in noch größerer Zahl veröffentlicht werden sollen, bilden die Anfänge einer „Industriellen Heimatkunde“. Daneben ist es eine gleich wichtige Aufgabe, bei den Ingenieuren und Industriellen ein zutreffendes technisch-wissenschaftliches Weltbild zu schaffen; mit Unterstützung zahlreicher Mitarbeiter in den europäischen Ländern und in Übersee konnte auch im letzten Berichtsjahr die Entwicklung von Technik und Wirtschaft in der Welt behandelt werden.

Die in freier Folge erscheinenden Fachbeilagen ermöglichen, über den sonst einzuhaltenden knappen Rahmen hinaus besonders wichtige Gegenstände eingehender in der allgemeinen Betrachtungsweise der VDI-Nachrichten darzustellen. Im Berichtsjahr wurden als solche Fachgebiete namentlich „Hauswirtschaftliche Technik“, „Vertrieb“ und „Technik und Recht“ bearbeitet. Außerdem erschienen vier Fachbeilagen, in denen die literarischen Neuerscheinungen auf den verschiedenen Gebieten der Technik fachlich zusammengefaßt und gewürdigt wurden.

Die wirtschaftlichen Beiträge des Hauptteiles wurden ergänzt durch den Textinhalt der Beilage „Wirtschaft“ mit ihrer schnell zusammenfassenden Berichterstattung über alle Tagesfragen der industriellen Wirtschaft. Von Beginn des Jahres 1929 an werden hier die von der Fachgruppe „Vertriebsingenieure“ aufgestellten monatlichen Marktnoten und Wirtschaftskurven veröffentlicht.

Der Leserkreis umfaßt außer den Mitgliedern des V.d.I. alle größeren Unternehmungen des Inlandes und nimmt auch unverkennbar im Ausland in immer stärkerem Maße zu. Hier wie dort hat sich aus der Reihe der Leser selbst ein fester Stamm ständiger Mitarbeiter gebildet, die der Schriftleitung laufend aktuelles Nachrichten- und Bildmaterial zuleiten. Entsprechend ihrer wesentlichen Be-

stimmung, die Mitglieder über die Arbeiten des Vereines zu unterrichten, beziehen die VDI-Nachrichten einen erheblichen Teil ihrer Beiträge von den wissenschaftlichen Mitarbeitern der Geschäftsstelle.

Der Jahrgang 1928 umfaßte: 52 Nummern (Zeitungsformat) mit 525 Seiten

Er enthielt:

897	Beiträge,
807	„Kurze Nachrichten“,
494	Abbildungen,
168	Zeichnungen.

Dazu: 52 regelmäßige Beilagen „Wirtschaft“ mit 658 Aufsätzen, 375 kurzen Wirtschaftsnachrichten, 119 graphischen Darstellungen; und 52 regelmäßige Beilagen „Mitteilungen Vereines deutscher Ingenieure“ mit 444 Ankündigungen, 243 Berichten über Veranstaltungen V.d.I., seiner Bezirksvereine, Ausschüsse und Arbeitsgemeinschaften

18 Fachbeilagen:
„Technische Literatur“ (4),
„Kunst und Technik“ (3),
„Hauswirtschaftliche Technik“ (3),
„Vertrieb“ (2),
„Technik und Recht“ (2),
„Bau- und Werkstoffe“ (1),
„Industrielles Rechnungswesen“ (1),
„Die technische Anzeige“ (1),
„Das deutsche Museum“ (1).

Zeitschrift „Technik und Wirtschaft“

Unter den Arbeitsgebieten von „Technik und Wirtschaft“ haben im verflossenen Jahre zum ersten einen größeren Umfang die Vertriebsfragen genommen, zu deren eingehender wissenschaftlicher Behandlung im Anschluß an die Fachtagung „Vertrieb“ der Hauptversammlung des Vereines in Essen eine besondere „Fachgruppe Vertriebsingenieure“ beim V.d.I. gegründet wurde. Zwei Fachhefte waren ausschließlich diesem Fragenkreis gewidmet, dem in Zukunft ein größerer Raum gegeben werden wird. Vom Jahre 1929 wird der Schluß jedes Heftes von „Technik und Wirtschaft“ ausführliche Mitteilungen über die Tätigkeiten dieser Fachgruppe bringen.

Auch Fragen des industriellen Rechnungswesens (Buchführung, Bilanz und Abschreibung, Kostenwesen, der Büroorganisation sowie des Versicherungswesens) (Fachheft) traten im verflossenen Jahre stärker hervor, womit einem oft aus Mitgliederkreisen geäußerten Wunsche nach eingehender Unterrichtung über wirtschaftliche Fragen von unmittelbarer praktischer Bedeutung entsprochen wurde.

Trotzdem sind die Gebiete der Gütererzeugung, allem die Betriebsfragen, nicht vernachlässigt worden, stehen an Umfang nach wie vor an der Spitze. Die Berichterstattung der Weltkraftkonferenz, die im Herbst in London stattfand, gab Anlaß zur Herausgabe eines Fachheftes „Deutschlands Brennstoffwirtschaft“.

Die äußere Ausstattung von „Technik und Wirtschaft“ erfuhr im verflossenen Jahr insofern eine Ausbesserung, als nunmehr die gesamte Umschlagseite graphisch und textlich dem Hauptinhalt des jeweiligen Heftes angepaßt wird.

Der Jahrgang 1928 umfaßte: 12 Hefte mit 348 Seiten

davon 4 Fachhefte:
„Ingenieur und Vertrieb“,
„Deutschlands Brennstoffwirtschaft“,
„Vertrieb“,
„Technik und Versicherung“.

Der Jahrgang enthielt: 58 Aufsätze, 132 kürzere Beiträge, 185 Abbildungen

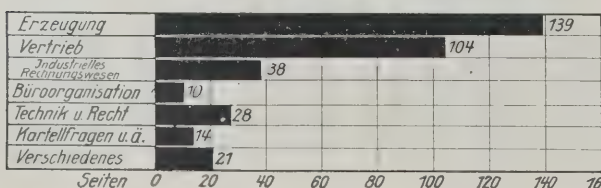


Abb. 3. Inhaltsgliederung der Zeitschrift „Technik und Wirtschaft“.

Zeitschrift „Maschinenbau“

Der technische Teil der Zeitschrift, seit 1. Januar 1929 wieder unter der Überschrift „Der Betrieb“ zusammengefaßt, verfolgt im besondern die Entwicklung der Betriebstechnik. Normung, Fabrikorganisation, Arbeitsvorbereitung, Förderwesen, Meßtechnik und Maschinenantrieb sind einige ihrer wichtigsten Arbeitsgebiete. Regelmäßige Veröffentlichungen über Arbeitsverfahren, Werkzeugmaschinen, Werkzeuge, Vorrichtungen und Betriebsmittel unterrichten über den neuesten Stand der Arbeitsmittel des Maschinenbaues. Auf konstruktivem Gebiet verfolgt die Zeitschrift im besondern die Grundlinien der konstruktiven Entwicklung von Maschinen und Maschinenteilen unter besonderer Berücksichtigung der Werkstoffkunde, Werkstoffprüfung und Fertigung. Im wirtschaftlichen Teil, für dessen Inhalt der Verein Deutscher Maschinenbau-Anstalten verantwortlich zeichnet, wurden Fragen des Absatzes und der Marktforschung, Wirtschaftspolitik, Zoll- und Steuerwesen, industrielles Kostenwesen u. a. behandelt. Der Inhalt jedes Hefes bringt unter der Überschrift „ADB-Mitteilungen“ und „DIN-Mitteilungen“ die regelmäßigen Veröffentlichungen der Arbeitsgemeinschaft deutscher Betriebsingenieure und des Deutschen Normenausschusses.

Die Leser des „Maschinenbaues“ sind hauptsächlich die Betriebsleiter, Betriebsingenieure und Konstrukteure der mechanischen Industrie. Sie gehören größtenteils den Berufsgruppen der Arbeitsgemeinschaft deutscher Betriebsingenieure an, mit denen ein reger gegenseitiger Gedankenaustausch gepflegt wird. Das Bemühen, wissenschaftlich einwandfrei, dabei doch für den durchschnittlich vorgebildeten, im Betriebe stehenden Ingenieur verständlich zu berichten, hat sowohl in den Kreisen der Praxis wie auch bei den technischen Mittel- und Hochschulen lebhaften Anklang gefunden.

Die Mitarbeiter entstammen zum größten Teil der Praxis. Daneben zeigen Lehrer und Forscher die Wege der wissenschaftlichen und systematischen Arbeit zur Förderung betriebstechnischer und konstruktiver Aufgaben. Unter den besonders stark berücksichtigten Frage- und Fachgebieten seien genannt:

Einfluß der Herstellungsbedingungen auf die Konstruktion,
stetige und unstetige Getriebe,
Kleineisen-Industrie.

Der Jahrgang 1928 umfaßte:
24 Hefte mit 1196 Seiten.

davon 2 Fachhefte:

„Werkzeuge und Werkzeugmaschinen“,
„Kleineisen, Stahlwaren, Werkzeuge“.

Es entfielen auf:

Gestaltung und Betrieb	588	Seiten,
Wirtschaft	288	„ „
ADB-Mitteilungen	96	„ „
DIN-Mitteilungen	224	„ „

Der Jahrgang enthielt:

180 Aufsätze (außer ADB- u. DIN-Mitteilungen),
183 Rundschaubeiträge, 98 Buchbesprechungen,
1923 Abbildungen, 2 Bildblätter, 1 Tafel.

Außerhalb des Jahrgangs erschien:

1 Sonderheft „Getriebe“.

Archiv für Wärmewirtschaft und Dampfkesselwesen

Das Ziel der Zeitschrift ist die Hebung der Wirtschaftlichkeit von Wärme- und Kraftbetrieben durch Bekanntgabe von grundlegenden wärmetech- nischen Erkenntnissen, von Beispielen ihrer richtigen Anwendung und von Erfahrungen aus dem Betrieb. Der Zusatz: „Zeitschrift für Energiewirtschaft“, den das Archiv 1929 erhielt, kennzeichnet jetzt auch nach der Erweiterung des Aufgabenkreises, den sich die Schriftleitung in der letzten Zeit schon seit Jahren gestellt hat. Die Kraft-

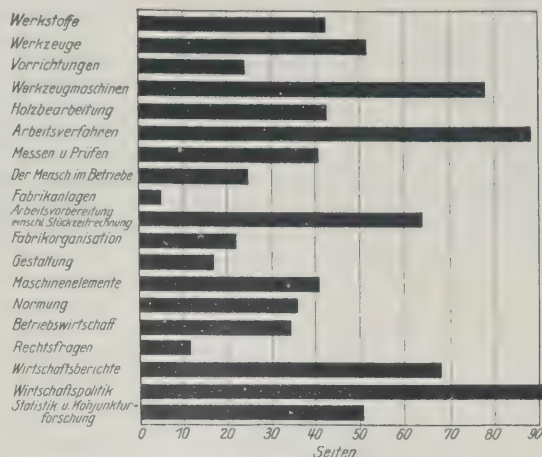


Abb. 4. Fachliche Inhaltsgliederung der Zeitschrift „Maschinenbau“.

und Wärmewirtschaft in den verschiedenen Zweigen der mechanischen und chemischen Technologie sind in ihn einbezogen.

Erfreulicherweise hat die Zahl der Mitarbeiter aus den Reihen der Ingenieure, die mit dem Betrieb und der Wartung von Wärme- und Kraftanlagen zu tun haben, in letzter Zeit zugenommen. Die Förderung der Erkenntnis in diesen Kreisen ist eines der wichtigsten Ziele der Schriftleitung.

Unter den Aufsätzen des Jahrganges 1928 stehen nach Zahl und Umfang die aus den Gebieten des Dampfkessel- und des Feuerungswesens an erster Stelle. Von bemerkenswerten neuen Dampfkraftwerken wurden ausführliche Beschreibungen und Betriebsergebnisse veröffentlicht. Großen Raum nahmen ferner ein die Arbeiten über die Vorbereitung der Brennstoffe, vor allem die Kohlenstaubherstellung, sodann über die Wasserreinigung, die Wirtschaftlichkeit von Dampfturbinen unter verschiedenen Betriebsverhältnissen, über Heizungsanlagen usw.

Der Jahrgang 1928 umfaßte:

12 Hefte mit 410 Seiten.

Es entfielen auf:

Aufsätze	315	Seiten,
Auslandsberichte	38	„ „
Buchbesprechungen	22	„ „

Der Jahrgang enthielt:

107 Aufsätze,
79 kürzere Beiträge,
18 Berichte über Arbeiten des V. d. I.,
40 Berichte über sonstige Verbände,
65 Buchbesprechungen,
710 Abbildungen.

Zeitschrift für Metallkunde

Die „Zeitschrift für Metallkunde“ will als Organ der Deutschen Gesellschaft für Metallkunde das Wissen von den Nichteisenmetallen fördern und die gewonnenen wissenschaftlichen und technologischen Erkenntnisse allen interessierten Kreisen in auswertbarer Form zugänglich machen. Da sie sowohl das Gießen der Metalle, wie auch sämtliche Vorgänge der Weiterverarbeitung bis zum fertigen Werkstück oder Gebrauchsgegenstand erfaßt, wendet sie sich gleichermaßen an Hersteller wie Verbraucher. Traten im vergangenen Jahrzehnt Aluminium und Kupfer sowie ihre Legierungen entsprechend ihrer immer wachsenden technischen Bedeutung unverkennbar stark in den Vordergrund, so werden in den letzten Jahren auch die Edelmetalle häufiger in den Kreis der Betrachtungen gezogen. Andere Werkstoffe, wie Blei, Zink, Zinn werden künftig erhöhte Aufmerksamkeit finden. Durch zahlreiche Beiträge der staatlichen und industriellen Forschungsanstalten wird die Zeitschrift zu einem wichtigen Bindeglied zwischen Wissenschaft und Praxis und bietet insbesondere in ihrer

Rundschau durch die Berichterstattung über englische und amerikanische Arbeiten ein getreues Spiegelbild vom Stande der ausländischen Metallkunde.

In Anpassung an die gegenwärtigen Bedürfnisse der Praxis wurden im Berichtsjahr die Ermüdungserscheinungen, die Untersuchungen der Werkstoffbeschaffenheit mittels Röntgenstrahlen und der elektrischen Leitfähigkeit in ihrer Beziehung zu den Festigkeitseigenschaften eingehend behandelt. Mit besonderer Aufmerksamkeit wurden ferner die Arbeiten des Kaiser Wilhelm-Instituts für Metallforschung und des Institute of Metals verfolgt.

Der Jahrgang 1928 umfaßte:

12 Hefte mit 452 Seiten,

davon 2 Fachhefte:

„Dauerbruch“, „Röntgenforschung“.

Der Jahrgang enthielt:

65 Aufsätze,	978 Abbildungen,
73 Rundschaubeiträge,	173 Zahlentafeln,
54 Buchbesprechungen,	3 Bildtafeln.

Zeitschrift „Technik in der Landwirtschaft“

Als ein Organ, das sich an Landwirte, Ingenieure und Wissenschaftler wendet, erscheint die Zeitschrift in hohem Maße dazu berufen, den Erfahrungsaustausch zwischen industrieller und landwirtschaftlicher Technik zu fördern und die Bestrebungen der Arbeitsgemeinschaft Technik in der Landwirtschaft durch das gedruckte Wort wirksam zu unterstützen. Indem sie die Möglichkeit schafft, bei dem gebildeten Landwirt tieferes Verständnis für die Technik zu wecken, indem sie dem Wissenschaftler Gelegenheit bietet, Ergebnisse seiner Forschungsarbeiten weitesten Kreisen bekanntzugeben und indem sie den Techniker über die neuesten Probleme des landwirtschaftlichen Maschinenbaues, insbesondere auch die im Ausland erzielten Erfolge, laufend unterrichtet, wird sie immer mehr zum Bindeglied zwischen allen an der Vervollkommnung der landwirtschaftlichen Technik interessierten Stellen.

Mit dem Jahrgang 1929 ist die Schriftleitung von Ziv.-Ing. Zander auf Prof. Dr. Vormfelde und Dr. Schlaabach übergegangen. Der 4½-jährigen Tätigkeit des Hrn. Zander als Schriftleiter verdankt die „Technik in der Landwirtschaft“ eine Entwicklung, die ihren Ruf als hochstehende wissenschaftliche Zeitschrift gefestigt hat; die Wahl seiner Nachfolger bürgt dafür, daß die bewährte Tendenz der Zeitschrift weiterhin beibehalten wird.

Die „Technik in der Landwirtschaft“ ist nunmehr das Organ folgender Körperschaften: Arbeitsgemeinschaft Technik in der Landwirtschaft, Reichskuratorium für Technik in der Landwirtschaft, Fachnormenausschuß für landwirtschaftliche Maschinen und Geräte, Verband landwirtschaftlicher Maschinenprüfungs-Anstalten, der Geräteabteilung der Deutschen Landwirtschafts-Gesellschaft für wissenschaftlich-technische Prüfungsberichte und Motorflugüberwachung G. m. b. H.

Mit dieser Zusammenfassung ist erreicht, daß die Fachwelt über die gesamte deutsche Gemeinschaftsarbeit auf diesem Gebiet an einer Stelle auf dem Laufenden gehalten wird.

Die Arbeiten im Berichtsjahr bezogen sich vorzugsweise auf das Gebiet der Motorschlepper und Mährescher sowie auf Werkstofffragen im Landmaschinenbau. Besondere Beachtung verdienen die Untersuchungen über Heu- und Strohgebläse, über Vorrichtungen zur Grabenreinigung und die ausführlichen Berichte über französische und englische Landmaschinenausstellungen. Die Zeitschrift brachte die Veröffentlichung sämtlicher neuen Entwürfe des Fachnormenausschusses für landwirtschaftliche Maschinen und Geräte und ließ naturgemäß der Tätigkeit der Arbeitsgemeinschaft „Technik in der Landwirtschaft“ eingehende Berücksichtigung zuteil werden.

Der Jahrgang 1928 umfaßte 12 Hefte mit 294 Seiten.

Es entfielen auf:

allgemeine Mechanisierungsfragen	rd. 180 S
Versuchs- und Forschungswesen	rd. 70
Berichte über Neuerungen usw.	rd. 44

Dazu Beilagen:

„Mitteilungen des Verbandes landwirtschaftl. Maschinenprüfanstalten“	84
„Archiv des Landmaschinenwesens“	120

Der Jahrgang enthielt:

85 große Aufsätze,	
60 kürzere Beiträge,	
48 Prüfungsberichte d. Mitteilungen des V. des landwirtschaftl. Maschinenprüfanst.	
955 Fachzeitschriftenreferate im „Archiv Landmaschinenwesens“,	
325 Abbildungen,	
92 graphische Darstellungen	

Zeitschrift für angewandte Mathematik und Mechanik

In noch etwas höherem Maße als in den Vorjahren häufte sich im Berichtsjahre das Angebot an wissenschaftlichen Originalarbeiten. Immer mehr zwingt der Rückgang der Abnahme von Aufsätzen, deren Veröffentlichung nicht wertlos wäre, und zu weitgehender Kürzung der eingesandten Arbeiten. Für einen großen Teil des Jahres ist der verfügbare Raum schon belegt. In der Teilung des Stoffes über die verschiedenen Gebiete der Technik hat sich nichts Wesentliches geändert.

Aus dem Inhalt der Zeitschrift sei besonders an die Wiedergabe von Auszügen aus den auf der Hamburger Jahresversammlung der Gesellschaft für angewandte Mathematik und Mechanik gehaltenen Vorträge im letzten des Jahrgangs verwiesen.

Der Jahrgang 1928 umfaßte:

6 Hefte mit 504 S

Der Jahrgang enthielt:

30 Aufsätze,	
10 kleinere wissenschaftliche Mitteilungen,	
92 Buchbesprechungen, Nachrichten, Zuschriften dergl.	

Technische Zeitschriftenschau

Der letzte Jahrgang der „Technischen Zeitschriftenschau“ ist ein besonders bemerkenswertes Beispiel der technisch-wissenschaftlichen Gemeinschaftsarbeit, von den großen technischen Vereinen zum Besten der Fachgenossen geleistet wird. Der ursprüngliche Herausgeber, der Verein deutscher Ingenieure, ist in Arbeitsgemeinschaft mit dem Verband Deutscher Elektrotechniker getreten, der im Jahrgang 1928 zu den 6195 Referaten des Vereines 4980 aus dem Gebiete der Elektrotechnik beigetragen hat.

Die Anordnung der Fachgruppen, die schon im letzten Vorjahre unter dem Gesichtspunkt entwickelt wurden, zusammengehörige Fachgebiete möglichst hintereinander aufzuführen, hat sich bewährt und wurde beibehalten. Neuerungen ist die Einführung von Bezugswerten am Ende der einzelnen Fachgruppen zu erwähnen. Diese Zahlen, die dem Benutzer die Arbeit beim Suchen von Literaturberichten erleichtern sollen, beziehen sich auf Berichte in anderen Gruppen unter derselben Nummer eingefügt, aber außerdem noch das Fachgebiet berühren, an dem sie stehen.

Der Leserkreis der „Technischen Zeitschriftenschau“ setzt sich vorwiegend aus solchen Ingenieuren zusammen, denen es berufliche Anforderungen nahelegen, sich einen Überblick über das gesamte Gebiet der Technik zu verschaffen, wie z. B. Patentanwälte, beratende Ingenieure, Zeitschriftenbibliotheken, ferner aus technischen Bibliotheken und Hörsälen. Hierzu kommen die Kreise der Elektrotechnik, deren Belangen durch die weitgehende Ausdehnung elektrotechnischen Teiles auf 8 Seiten je Heft besonders gesprochen ist.

Der Jahrgang 1928 umfaßte 24 Hefte mit 524 Seiten. Er enthielt 11 175 Referate.

Technische Auslandzeitschriften

Die Technischen Auslandzeitschriften „Engineering Press“ und „El Progreso de la Ingenieria“, an deren Ausgabe der Verein deutscher Eisenhüttenleute und der Verein Deutscher Elektrotechniker beteiligt sind, sollen den Ingenieuren in den englisch und spanisch sprechenden Ländern von den neuesten Leistungen der deutschen Technik und Industrie Kenntnis geben, zugleich aber auch die Verbreitung des Ansehens der deutschen technischen Leistungen im Ausland dienen. Die Berichterstattung umfaßt das gesamte Gebiet der deutschen Technik.

Es handelt sich in der Mehrzahl der Fälle um Originalarbeiten, jedoch sind auch einige Aufsätze von besonderem Interesse aus den deutschen technisch-wissenschaftlichen Zeitschriften übernommen und durch redaktionelle Überarbeitung der Eigenart der Auslandzeitschriften angepaßt worden. Das ist notwendig, da diese Zeitschriften sich an einen Leserkreis wenden, der sich, ohne tief in die theoretischen Zusammenhänge einzudringen, an der Hand von klaren Abbildungen und kurzem beschreibenden Text über den Stand der deutschen Technik und ihre Erzeugnisse orientieren will. Daß die Zeitschriften in der Tat diesem Zweck entgegenkommen und sich immer mehr zu aktuellen Berichterstattungsorganen der deutschen Technik und Industrie im Ausland entwickeln, beweist der Umstand, daß die in den enthaltenen Aufsätzen in immer steigendem Maße Einblicke in die Fach- und Tagespresse des Auslandes gefunden werden.

Der Jahrgang 1928 umfaßte in jeder Sprache:
12 Hefte mit 348 Seiten,
davon ein Sonderheft:
„Großkraftwerk Klingenberg“.
Der Jahrgang enthielt:
13 Aufsätze und zahlreiche kleinere Beiträge,
73 Abbildungen, 2 Tafeln.

Stromkraftanlagen
Verbrennungskraftmaschinen
Strömungstechnik und Hebezeuge
Werkzeugmaschinen u. Werkstoffbearbeitung
Eisen- u. Stahlbau
Maschinenbau
Elektrotechnik
Chemische Technik
Luft- u. Raumfahrt
Metallhüttenwesen
Verarbeitende Industrien
Ingenieurwesen
Wirtschaftswesen
Arbeitsingenieurwesen
Verschiedenes

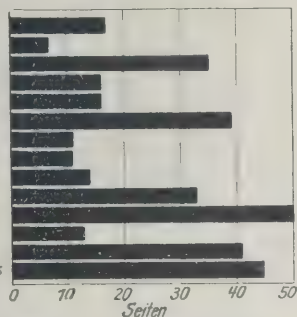


Abb. 5. Fachliche Inhaltsgliederung der Technischen Auslandzeitschriften.

Technisch-geschichtliche Arbeiten

Die langjährige, gerade auf dem Gebiet technisch-geschichtlicher Arbeiten, besonders naheliegende und enge Zusammenarbeit zwischen dem Verein und dem Deutschen Museum führte im Berichtsjahr zum Abschluß eines Abkommens, wonach künftighin in der Schriftenreihe „Deutsches Museum, Abhandlungen und Berichte“, im VDI-Verlag jährlich bis zu sechs Hefte erscheinen sollen, die das Deutsche Museum seinen Mitgliedern zusendet. Die Schriftleitung des Vereins nunmehr zwanglos herauszugebende Folge wurde dem Deutschen Museum Geh. Reg.-Rat Prof. Dr. J. Zenneck und Prof. Dr.-Ing. E. h. C. Matschoß übertragen.

Im Dezember 1928 erschien der 18. Band des Jahrbuch des Vereines deutscher Ingenieure „Beiträge zur Geschichte der Technik und Industrie“. Er widmet einen besonderen Raum den technischen Kulturdenkmälern, nimmt insbesondere Bezug auf die im Berichtsjahr erfolgte Gründung der „Deutschen Arbeitsgemeinschaft zur Erhaltung technischer Kulturdenkmäler“ durch das Deutsche Museum, den Deutschen Bund Heimatschutz und den Verein deutscher Ingenieure und gibt die von ihren Vorständen genehmigten Leitsätze zur Kenntnis. In seiner Literaturschau ist er zum erstenmal die Gliederung nach biographischen und sachlichen Gesichtspunkten auf.

Der Band umfaßte 189 Seiten.

Er enthielt:

17 größere Aufsätze, 209 Textabbildungen,
20 kleinere Beiträge, 17 Bildnisse.

Die Fertigstellung der neuen deutschen Ausgabe von Agricolas Bergwerksbuch „De Re Metallica“ ermöglichte es, beim 25jährigen Jubiläum des Deutschen Museums am 6. Mai 1928 bereits die ersten Exemplare vorzulegen. Die sehr beifällige Aufnahme der Neuauflage erhellt aus der Tatsache, daß jetzt schon drei Viertel der Gesamtauflage abgesetzt sind.

Von technisch-geschichtlichen Werken erschienen:

In den Jahren 1909 bis 1927:

Geschichte des Vereines deutscher Ingenieure, von Th. Peters.
Jahrbuch des Vereines deutscher Ingenieure, Beiträge zur Geschichte der Technik und Industrie, Band 1 bis 17.
Männer der Technik. Ein biographisches Handbuch.
Das Deutsche Museum, Geschichte, Aufgaben, Ziele. 1. Auflage.
Grashof, ein Führer der deutschen Ingenieure 1826 bis 1893, von Paul Wentzcke.
Vereine deutscher Ingenieure 1856 bis 1926.
Schriftenreihe Deutsches Museum: „Josef von Fraunhofer“, von J. Zenneck.

Im Jahre 1928:

Georgius Agricola: „De Re Metallica“, herausgegeben von der Agricola-Gesellschaft beim Deutschen Museum, München.
Das Geschütz im Mittelalter, von Bernhard Rathgen.
Schriftenreihe Deutsches Museum: „Die Entwicklung des deutschen Bergbaues“, von A. Schwemann, „Ludwig Franzius“, von G. de Thierry.
Jahrbuch des Vereines deutscher Ingenieure, Beiträge zur Geschichte der Technik und Industrie, Band 18.

In Bearbeitung sind:

Jahrbuch des Vereines deutscher Ingenieure, Beiträge zur Geschichte der Technik und Industrie, Band 19.
Das Deutsche Museum, Geschichte, Aufgaben, Ziele, 2. Auflage.
Schriftenreihe Deutsches Museum: „Wege und Ziele des Deutschen Museums“, von Walter von Dyck, „Heinrich Hertz“, von J. Zenneck, „Die Bibliothek des Deutschen Museums in München“, von Ludwig Hartmann, „Der Weg des Geistes in der Technik“, von Ludwig Erhard, „Deutsche Meisterwerke bergmännischer Kunst“, von Emil Treptow, „Der Ehrensaal des Deutschen Museums“, von Wilhelm Exner.
Geschichte der Gesellschaft für Lindes Eismaschinen A.-G., „50 Jahre Kältetechnik“.

Forschungsarbeiten auf dem Gebiete des Ingenieurwesens

Die seit den letzten Jahren erfreulicherweise wieder in stärkerem Maße verfügbaren Mittel haben der Forschungstätigkeit einen merkbaren Auftrieb verliehen, und auch den Wissenschaftlichen Beirat in die Lage versetzt, auf dem Wege über seine zahlreichen Ausschüsse die Durchführung wichtiger Untersuchungen zu fördern; viele ihrer Ergebnisse sind in den „Forschungsarbeiten auf dem Gebiete des Ingenieurwesens“ niedergelegt, von denen im Jahre 1928 14 Hefte erschienen. Für ihre Richtung ist kennzeichnend, daß ein großer Teil sich mit Fragen der Werkstoffkunde und mit Untersuchungen aus dem Verbrennungskraftmaschinenbau befaßt.

Im Jahre 1928 wurden folgende Arbeiten veröffentlicht:

Statische und dynamische Untersuchung von Mündungsdampfmessern.
Beitrag zur Mengenmessung strömenden Dampfes mittels Stauringen.
Der Zündverzöger bei flüssigen Brennstoffen.
Wärmedurchgang bei einfachen Körpern und Maschinen.
Beitrag zur Beurteilung von Temperaturfeld und Wärmespannungen in mechanisch abgebrachten Scheiben.
Versuche mit freiaufliegenden rechteckigen Platten unter Einzelkraftbelastung.
Der Einfluß der mittleren Hauptspannung auf das Fließen der Metalle.
Dauerversuche zur Bestimmung der Festigkeitseigenschaften, Beziehungen zwischen Baustoffdämpfung und Verformungsgeschwindigkeit.
Über die Festigkeit einwandiger kegelförmiger Kolben.
Über die Spannungsverteilung in Stangenköpfen.
Das Förderhöhenverhältnis der Kreiselpumpen für die ideale und wirkliche Flüssigkeit.
Über die Schmierschicht in Gleitlagern und ihre Messung durch Interferenz.
Untersuchungen an der Dieselmachine. Untersuchungen zur Dynamik des Zündvorganges.
Untersuchung der von Spritzvergassern gelieferten Zerstäubung.

Buchwerke

Für die Buchveröffentlichungen des VDI-Verlages blieb auch im Berichtsjahr der Grundsatz weitgehender Beschränkung auf Arbeiten, die mehr oder weniger in unmittelbarem Zusammenhang mit der Tätigkeit des Vereines stehen, maßgebend. Die Zahl der Forschungshäfte hat sich gegenüber dem Vorjahr verdoppelt.

Ein in der Lehre unserer Hoch- und Mittelschulen noch wenig gepflegtes Gebiet behandelt das Buch von Richter und v. Voß über „Baulemente der Feinmechanik“.

in der dieser wichtige Zweig der Gestaltungslehre zum erstenmal systematisch durchgearbeitet wurde; es ist das ergänzende Lehrbuch zu dem Atlas „Konstruktionselemente der feinmechanischen Technik“, mit dessen Herausgabe sich der Verein „Fachschule für feinmechanische Technik“ ein großes Verdienst erworben hat.

Im Berichtsjahr konnte ferner die langerwartete zweite Auflage des Bandes II „Elektrotechnik“ der „Illustrierten Technischen Wörterbücher in sechs Sprachen“ von A. Schlo-mann erscheinen; ihm folgte das ebenfalls von A. Schlo-mann herausgegebene „Technologische Handbuch der Elektrotechnik und Elektrochemie“. Es wird leider von den deutschen fachlichen und industriellen Kreisen noch viel zu wenig gewürdigt, welche hohe nationale Bedeutung außer ihrem fachlichen Wert diesen beiden Werken zukommt; ihr Erscheinen war nur möglich dank einer bewundernswerten Zähigkeit und opferwilligen Arbeitsfreudigkeit des Herausgebers, der sich hierbei der weitestgehenden Unterstützung der Elektrotechnik, namentlich des Verbandes deutscher Elektrotechniker erfreuen konnte. Der V. d. I. ist stolz darauf, daß er den beiden Werken über die letzten Schwierigkeiten hinweghelfen konnte.

Einen mutigen Vorstoß gegen die Überheblichkeit der sogenannten Geisteswissenschaften unternimmt das Buch „Bildungswerte der Technik“ von Weinreich, der für die Auswertung der in der Technik liegenden erzieherischen Möglichkeiten für die Allgemeinbildung unseres Volkes kämpft und damit die kulturelle Wertung der Ingenieur-tätigkeit festigen hilft.

In Gebiete, die für den Ingenieur heute noch etwas abseits liegen, führen zwei Bücher über das Problem „Technik im Heim“.

Aus dem Kerngebiet der Vereinstätigkeit seinen dem noch nachstehende Veröffentlichungen hervorgehoben: „Dampfkesselwesen in den Vereinigten Staaten“ von Münzinger, „Industrieöfen“, von Trinks. „Kühlen Schmierer bei der Metallbearbeitung“, von Gottwein. „Verwendbarkeit der Röntgenverfahren in der Technik“, von Kantner-Herr. „Mechanische Schwingungen“, von Stauding. „Handbuch für Flugzeugführer“, von Bo-

Aus dem technisch-wirtschaftlichen Gebiet sei genannt: „Die Technik der Betriebsrechnung“, von „Grundplan der wissenschaftlichen Betriebsführung“, von Bergbau, von Sieben. „Die Besteuerung der Kraft- zeuge und Kraftstoffe“, von Wiskott. „Frachtver- nisse und Frachtlage der amerikanischen Eisenindu- von Haniel.

Von den technisch-geschichtlichen Werken ist dem 18. Bande der jährlich erscheinenden „Beiträge zur Geschichte der Technik und Industrie“, von C. Ma- beachtenswert das Buch von Rathgen: „Das Geschicht- Mittelalter“. Mit der Vollendung der deutschen An- von Georgius Agricola: „De Re metallica“ ist fer- ein Werk zum Abschluß gekommen, das nach Inhal- fang und Ausstattung eine der bedeutendsten Neue- nungen der technisch-geschichtlichen Literatur der Jahre darstellt. Die in Pergamenteinband ausgeführt- gabe wurde durch einige ledergebundene Exempla- gänzt, von denen je eines dem Reichspräsidenten und Präsidenten der Vereinigten Staaten, Hoover, in An- nung seiner Verdienste um die Herausgabe des V in englischer Sprache vom Deutschen Museum über- wurde.

TECHNISCH-WISSENSCHAFTLICHE ARBEITEN

WISSENSCHAFTLICHER BEIRAT

Der Wissenschaftliche Beirat hat die Aufgabe, den Vorstand des Vereines bei der Durchführung wissen- schaftlicher Gemeinschaftsarbeiten und bei Bereitstellung von Geldmitteln zur Unterstützung von Forschungen zu beraten. Er besteht zur Zeit aus 12 Personen; in seinem Rahmen wirken rd. 200 ehrenamtlich tätige Ausschußmit- arbeiter; den Vorsitz führt der Kurator des Vereins.

Im Berichtsjahr wurden 126 Forschungen unterstützt, darunter 75 auch von anderer Seite, z. B. vom Reichs- kuratorium für Wirtschaftlichkeit. Seit 1914 konnten für Forschungen rd. $\frac{1}{4}$ Mill. RM zur Verfügung gestellt werden. Der Beirat hielt seine Hauptsitzung am 12. März in Berlin ab¹⁾, die Ausschüsse tagten 26 mal, wobei 138 Vorträge gehalten wurden.

Wärmeforschung

Der Ausschuß für Wärmeforschung (gegr. 1924; Obm.: Hr. Jakob, Charlottenburg) faßt die auf dem Gebiete der Wärmestrahlung, der Wärmeleitung und des Wärmeüber- ganges führenden Forscher zusammen, die in seinen Sitzungen über ihre Arbeiten berichten. Seine Tätigkeit im Jahre 1928 galt vorwiegend folgenden Aufgaben:

Wärmeübertragung ohne Zustandsänderung
durch natürliche Konvektion,

„ künstliche Konvektion;

Wärmeübertragung mit Zustandsänderung
durch Wärmeleitung,

„ künstliche Konvektion;

Wärmestrahlung:

Gesamtstrahlung,

spektrale Verteilung;

Thermische Eigenschaften einfacher und zusammen- gesetzter Stoffe:

Eigenschaften des Wassers und des Wasserdampfes,
Wärmediagramme für feste, flüssige und gasförmige
Kohlensäure,

spezifische Wärme von Lösungen,

Wärmeleitung pulverförmiger Körper;

Thermodynamische Vorgänge:

Verbrennungsvorgänge,

Verdampfen und Verdunsten,

Neuere thermodynamische Fragen des I- turbinenbaues.

Die Jahressitzung des Ausschusses fand als V- tagung in Verbindung mit einer Zeuner-Feier am- zember 1928 in Dresden statt.

Veröffentlichungen der Ausschüßarbeiten br- außer den VDI-Zeitschriften und andern Fachzeits- die Forschungshefte 297, 298, 299, 300, 309, 310, 31-

Im Berichtsjahr bearbeitete Forschungsaufgaben:

„Verdampfungswärme des Wassers bei Drücken oberhalb 10
„Wärmeübertragung strömender heißer Luft an Rohre und
bündel.“

„Wärmeübertragung an Luftschichten durch Konvektion.“

„Einfluß des Wärmeüberganges auf die Temperaturmessung.“

„Spezifische Wärme höchstgespannten Dampfes.“

„Zerstäubung schwerer Brennstoffe.“

„Literaturübersicht der Wärmeforschung.“

„Umformung schwieriger Rechnungen in Schaubilder.“

„Wärmeleitung feuerfester Steine oberhalb 500°.“

„Gesamtstrahlung von Kohlensäure und Wasserdampf bei hohen
peratur.“

„Wärmeverteilung über dem Rost.“

„Wärmeleitfähigkeit von Metallen.“

„Strahlung feuerfester Baustoffe.“

„Verbrennungsvorgänge auf dem Rost bei Dampfkesselfeuerung.“

„Wasserumlauf in Dampfkesseln.“

„Verhalten feuerfester Stoffe bei hohen Temperaturen.“

„Spezifische Wärme von Gasen bei konstantem Volumen.“

„Einfluß des Speisewassers auf das Kesselblech.“

„Rechnungsunterlagen für wirtschaftlichste Isolierdicke.“

„Kondensation von heißem Satteldampf.“

„Messung großer Gasströme.“

„Ursachen für das Klopfen von Vergasermaschinen.“

„Wärmeübergang aus einem mit Dampf geheizten wägerechten
ruhesendes kaltes Wasser.“

„Abhängigkeit des Ausflußkoeffizienten von der Mündungsform
Dampfmeser.“

„Wärmeübergang von Rohrleitungen an Flüssigkeiten hoher Zäh-
verhalten von Düsen und Stauringen bei Messung zäher Flüssig-
stoffe.“

„Kritik der Verfahren zur Güteprüfung fester mineralischer
stoffe.“

„Untersuchung der thermischen Eigenschaften von Flüssig-
gemischen.“

Vorträge auf der Tagung Dresden, 1. Dezember 1928:

Prof. Dr.-Ing. Nußelt, München: „Die Wärmeleitung von
förmigen Körpern“.

Prof. Dr.-Ing. E. Schmidt, Danzig: „Über den Verdampfungsvor-
Siederohren“.

Prof. Dr.-Ing. Jakob, Charlottenburg: „Die Verdampfungswär-
Wassers bei Temperaturen bis 250°“.

¹⁾ Vergl. den ausführlichen Bericht, Z. Bd. 73 (1929) Nr. 24 S. 834.

Die Tätigkeit des Fachausschusses für Schweißtechnik (gegr. Febr. 1925; Obm.: Hr. *Füchsel*) hat das Ziel, auf der Grundlage gemeinsamer Arbeit von Wissenschaftlern mit Fachleuten aus der erzeugenden und verwendenden Industrie die schweißtechnische Forschung zu fördern und die gewonnenen Erkenntnisse der Praxis unmittelbar nutzbar zu machen. Seine Aufgabe ist demgemäß die Sammlung der verstreuten Erfahrungen der Industrie und der Er-

gebnisse einzelner Forscher, sowie die Förderung und Auswertung technisch-wissenschaftlicher Untersuchungen. Der Arbeitsplan des Ausschusses umfaßt insbesondere:

- die Prüfung der für Schweißungen in Betracht kommenden Geräte und Stoffe;
- die Maßnahmen zur Unfallverhütung und Vorbeugung gegen Berufskrankheiten;
- die Untersuchung konstruktiver und wirtschaftlicher Fragen;
- die Aufstellung einheitlicher Zeichen und Bezeichnungen.

Der Forschungsplan umfaßte nach dem Stand vom 1. Januar 1929 38 Aufgaben; davon waren im Berichtsjahr in Arbeit: Untersuchungen über Vorgänge in Gaserzeugern, Brennern und im Schweißlichtbogen; Richtlinien für Ansprüche an Elektroschweißgeräte; Prüfverfahren; Ermittlungen über die Festigkeitseigenschaften geschweißter Konstruktionen u. a. m.

Zum Abschluß gelangten Untersuchungen über Schweißlichtbogen, Schweißstäbe, über die Wirtschaftlichkeit von Schweißungen, sowie Arbeiten über die Durchführung von Schweißkursen.

Der Fachausschuß veranstaltete im Berichtsjahr sieben geschäftliche Sitzungen und vier Sprechabende und Tagungen.

Die Arbeitsergebnisse des Ausschusses sind außer in den Zeitschriften des V. d. I. sowie der Fach- und Tagespresse in Normblättern, Lehrtafeln und den „Zwanglosen Mitteilungen des Fachausschusses für Schweißtechnik“ bekanntgegeben. Weitere Veröffentlichungen erscheinen:

- im Sonderheft „Schweißtechnik II“ der Zeitschrift „Elektrotechnik und Maschinenbau“;
- im Forschungsheft (*Rimarsky-Streb*): Einfluß der Verunreinigung von Sauerstoff und Acetylen auf die Wirtschaftlichkeit und Güte des Schnittes bzw. der Schweißnaht,
- in dem Buch von *Kantner* und *Herr* (VDI-Verlag 1928): Die Verwendbarkeit der Röntgenverfahren in der Technik.

Im Berichtsjahr bearbeitete Forschungsaufgaben:

- „Versuche zum Schweißen von Stahl mit hohem Kohlenstoffgehalt“.
- „Herstellung und Eichung eines elektro-dynamischen Meßwerkzeuges für Lichtbogenschweißung vermittelt Gleichstrom unter Benutzung leihweise überlassener Apparate“.
- „Genaue Messung der Temperatur der Azetylen-Sauerstoff-Schweißflamme“.
- „Untersuchungen über Materialtransport und physikalische Eigenschaften des Schweißlichtbogens“.
- „Beziehungen zwischen dem Reinheitsgrade des Azetylens und des Sauerstoffs bei Verwendung in Schweiß- und Schneidbrennern und der Wirtschaftlichkeit und Güte der Schweißnaht bzw. des Schnittes“.
- „Aufstellung von Richtlinien für die Beurteilung der blanken Schweißstäbe“.
- „Einfluß der Umwickelungen der Schweißstäbe auf Güte und Wirtschaftlichkeit der Schweißung“.
- „Untersuchung der möglichen Ersparnis an Löhnen, Gewicht und Profilsorten beim vollständigen Schweißen eines 200 t-Ölleichters“.
- „Vergleichsversuche mit genieteten und geschweißten Trägern hinsichtlich Kosten an Lohn und Werkstoff“.
- „Aufstellung von Richtlinien für die einheitliche Durchführung von Schweißkursen“.

Vorträge auf Sprechabenden und Fachtagungen:

- Fachtagung Wien, 16. bis 19. Februar 1928:
- Prof. Dr.-Ing. Schimpke, Chemnitz: „Wirtschaftlichkeitsfragen der gesamten Schweißtechnik“.
- Dr.-Ing. Strelow, Hamburg: „Werkstoffübergang im Schweißlichtbogen“.
- Dr.-Ing. Strelow, Hamburg: „Ersparnis an Löhnen, Gewicht- und Profilsorten beim vollständigen Schweißen eines 200 t-Ölleichters“.
- Ing. Titscher, Linz: „Über blanke und ummantelte Stäbe, Einfluß der Ummantelung auf die Güte und Wirtschaftlichkeit der Schweißung“.
- Ing. Schwarz, Wien: „Vorschlag für Richtlinien zur Beurteilung bzw. Kennzeichnung eines elektrischen Schweißgerätes“.
- Dr.-Ing. Rosenberg, Weiz: „Automatische Auftrags- und Nahtschweißung mit Hilfe des elektrischen Lichtbogens“.
- Ob.-Reg.-Rat Dr. Rimarski, Berlin: „Verwendung von Dissoziasgas oder Entwickelergas. Verfahren und Einrichtungen zur Prüfung der porösen Massen für Stahlflaschen (Dissoziasgas)“.
- Ing. Brendler: „Neueste Werkzeuge in der Gasschmelzschweißung“.
- Prof. Dr.-Ing. Hilpert, Berlin: „Rückwirkung der Schweißtechnik auf die Gestaltung der Erzeugnisse“.
- Reichsbahnrat Kantner, Wittenberge: „Neueste Versuche mit Röntgenstrahlen in der Schweißtechnik“.
- Ob.-Baurat Bardtke, Wittenberge: „Schweißung von Nichteisenmetallen, Kupfer und seinen Legierungen, Aluminium und seinen Legierungen“.
- Ing. Fuchs, Kapfenberg: „Abnahmeversuche für Schweißdrähte, Vorschlag für Richtlinien zur Beurteilung von Schweißdrähten“.
- Dir. Vignier, Halle: „Die deutschen Bauvorschriften für Landdampfkessel und die Bewertung der Schweißnähte“.
- Ing. Oswald, Wien: „Erfahrungen über Unfälle in der Gas- und elektrischen Schweißung“.

Fachtagung Essen, 8. Juni 1928:

- Prof. Dr. Henning, Berlin: „Die Temperatur der Azetylen-Sauerstoff-Flamme“.
- Prof. Keel, Basel: „Fortschritte der Gasschweißverfahren“.
- Dr.-Ing. Strelow, Hamburg: „Untersuchung des Materialtransportes und der physikalischen Eigenschaften des Schweißlichtbogens“.
- Ing. Bung, Köln: „Untersuchung des Werkstoffüberganges und der physikalischen Eigenschaften des Schweißlichtbogens“.
- Dipl.-Ing. Herr, Berlin: „Untersuchungen von Schweißungsröntgenstrahlen“.
- Sprechabend Saarbrücken, 9. November 1928:
- Dir. Haselbacher, Frankfurt a. Main: „Das Anwendungsgebiet der Gasschmelzschweißung in Industrie und Handwerk“.
- Dipl.-Ing. Falk, Charlottenburg: „Neuere Erforschung der Vorgänge im Schweißlichtbogen“.
- Sprechabend Stuttgart, 19. Dezember 1928:
- Dr. Pothmann, Frankfurt a. Main: „Über das Schweißen von Eisenmetallen“.
- Prof. Dr.-Ing. Hilpert, Berlin: „Neuere Untersuchungen am elektrischen Schweißlichtbogen“ (Mit Lichtbildern und Filmen).

Anstrichtechnik

Der Fachausschuß für Anstrichtechnik (gegr. Obm.: Hr. *Ellerbeck*, Berlin), bezweckt den Zusammenführenden Fachleute aus Erzeuger- und Verbraucherkreisen sowie aus Kreisen der Wissenschaft zur Förderung der Nutzbarmachung wissenschaftlicher Bestrebungen auf Gebieten des Anstrichs, zur Entwicklung des mechanischen Streichens und zur Verbreitung anstrichtechnischer Kenntnisse in den weitesten Kreisen der Allgemeinheit. Der wirtschaftlichen Neutralität entsprechend gehören ihm Ingenieure, Chemiker, Verwaltungsbeamte und Handwerker als Mitglieder an. Sein Arbeitsplan umfaßt insbesondere:

- die Anstrichstoffe und Werkstoffprüfungen;
- die Anstrichtechnik als solche, wie Arbeitsvorbereitung durch Entrosten, Aufrauen, Holztrocknung u. dgl.,
- die Anstrichgeräte, sowohl handwerkliche als auch neuzeitliche mechanische Geräte; die Anstrichverfahren, z. B. die Spritzlackierung, Werkstatttrockeneinrichtungen für Schnelllackierung u. dgl.,
- allgemeine Fragen des Anstrichgebietes unter Berücksichtigung auch der ästhetischen Bedeutung der Anstrichgebung.

Der Forschungsplan umfaßt nach dem Stand vom 1. Januar 1929 36 Aufgaben, davon waren im Berichtsjahr in Arbeit: Untersuchungen über Lacke, Farbenmischungen, Bindemittel, über Verfahren des Rostschutzes, Entrostung, der Trocknung und Schnellprüfung sowie die Ausbildung von Spritzpistolen und die Unterschiede zwischen gestrichenen und gespritzten Farben.

Zum Abschluß gelangten Arbeiten über das Verhalten von Ölfarben, über Mittel zur Erzielung einer Wetterbeständigkeit von Lithoponen, über die Wirkung von Kreidezusätzen bei Buntfarben sowie über die Einflüsse der Niederschlagfeuchtigkeit auf die Haltbarkeit von Anstrichen.

Der Fachausschuß veranstaltete im Jahre 1928 (31. Dezember 1928) sechs geschäftliche Sitzungen und 13 wissenschaftliche Sprechabende und Tagungen; 4. Farbentagung in München am 17. und 18. Februar 1929 war er als Mitveranstalter beteiligt.

Die Arbeitsergebnisse des Ausschusses sind, außer in den Zeitschriften des V. d. I., der Fach- und Tagespresse in den „Zwanglosen Mitteilungen des Fachausschusses für Anstrichtechnik“ und in einer besondern Schrift veröffentlicht, in der bisher erschienen:

- Heft 1: Dr.-Ing. *Nettmann*: „Vergleichende Versuche mit Farbspritzpistolen“.
- Heft 2: Dr. *Droste*: „Seifenbildung im Anstrich“.
- Im Druck ist die Schrift von Dr. *H. Wolff*: „Einfluß der Nitrozellulose-Lacke für Holzanstriche“.

Im Berichtsjahr bearbeitete Forschungsaufgaben:

- „Untersuchung der für Rostschutzfarben zweckmäßigsten Bindemittel und Wechselwirkung zwischen Körperfarben und Bindemitteln und deren Einfluß auf die Haltbarkeit der Anstriche bei:
 - a) Zinkfarben,
 - b) Bleifarben,
 - c) Titanfarben.“
- „Untersuchungen über Verlängerung der Lebensdauer von Überzügen aus Holzöl. Verwendungsunterschiede von Leinöl und Holzölen und deren Mischungen als Farbenbindemittel.“
- „Einfluß der Pigmente auf die technologischen Eigenschaften der Lacke aus Leinöl, Holzöl und deren Mischungen unter Berücksichtigung der Verdünnungsmittel.“

Untersuchungen über die Haltbarkeit von Nitrolacken auf Edelhölzern.
Fragen über die Brauchbarkeit von Zellulose-Kombinationslacken mit den gebräunlichen Lacken.
Untersuchung der Entrostung mittels Stahlsand sowie der Möglichkeit, benutzten Stahlschrott zurückzugewinnen und aufzubereiten.
Vorteilhaft, ein Chromgrün oder Chromgelb mit Zinkweiß zu setzen und ein Zinkgrün oder Zinkgelb mit Bleiweiß? Schadet derartige Mischung? Wie verhalten sich solche Mischungen Rostschutzfarben?
Wirkung eines Saugkörpers in der Spritzzone des Farbenzerstäubers. Wirkung der Strömungsverteilung qualitativ und quantitativ.
Wirkung der Luftmenge an der Saugseite des Ventilators. Ausbildung des Saugrüssels zu wirtschaftlichen Arbeiten. Messung der Leistung des Saugventilators der Nebelsauganlage. Prüfung des Wirkungsmaßes bei festlegender Spritzpistole. Untersuchung der günstigsten Arbeitsweise einer Pinselpistole.
Unterschiede in der Haltbarkeit von Farben, die gestrichen und solchen, die gespritzt werden, insbesondere bei Brücken und Holzbohlen.
Untersuchung der Möglichkeit, das Quellen von Leinölfilmen sowie Trabselzen, daß sie den entsprechenden Holzfällen ebenbürtig werden.
Besonderen Anforderungen sind an ein Schnellprüfverfahren für Rostschutzziele Grundanstriche zu stellen und welche Form seiner Anwendung wird vorgeschlagen?
Chemische Untersuchungen der Vorgänge beim Trocknen von Farben.
Untersuchungen über Rostschutz von Bauwerken und Geräten.
Untersuchungen über Rostschutz von Luft- und Kraftfahrzeugen.
Photographie der Buntfarben.
Untersuchung des Belichtungsverlaufs der wichtigsten Körperfarben einschließlich Abmischung mit verschiedenen Substraten und Anreicherung mit verschiedenen Bindemitteln.
Verschiedene Untersuchungen von Trockenstoffen.

Geschlossene Arbeiten:

Untersuchungen über das nebellose Spritzen von Ölfarben, Wirkung des Farbenzerstäubers auf eine ebene Fläche, hierbei notwendige hygienische Einrichtungen bei Verwendung von Bleifarben.
Welche Wege bieten Aussicht, eine Wetterbeständigkeit von Lithopone zu erreichen?
Wirkung eines Zusatzes von Kreide bei Buntfarben für Anstrichzwecke?

Vorträge auf Sprechabenden und Fachtagungen:

Sprechabend Leipzig, 3. Februar 1928:
Dr. Scheiber, Leipzig: „Die Bindemittel für Anstrichstoffe.“
Sprechabend Köln, 15. Februar 1928:
Dr. Haquin, Köln: „Neuzeitliche Spritzlackierung.“
Sprechabend Karlsruhe, 3. April 1928:
Dr. Meß, Karlsruhe: „Die Bewertung der Anstrichstoffe durch das Malerhandwerk.“
Sprechabend Erfurt, 28. April 1928:
Dr. Hollmann, Meiningen: „Anstrichstoffe und ihre verschiedenartige Verwendung für Industriezwecke.“
Dr. Kettmann, Charlottenburg: „Neuere Entwicklung des Sandstrahlblases als Arbeitsvorbereitung des Anstrichs und Kabinen zur vollständigen Ausführung des Spritzens.“
Sprechabend Breslau, 21. Mai 1928:
Dr. Urth, Schlebusch: „Die Normung der Anstrichstoffe als wesentliches Hilfsmittel zur Förderung der Anstrichtechnik.“
Sprechabend Braunschweig, 9. Juli 1928:
Dr. v. Erdmann, Magdeburg: „Moderne Anstrichtechnik in der Maschinenindustrie.“
Sprechabend Saarbrücken, 30. Juli 1928:
Dr. v. Faber, Charlottenburg: „Neue vergleichende Versuche mit Spritzpistolen.“ (Mit Lichtbildern.)
Dr. Bratke, Berlin: „Wissenschaftliche Gemeinschaftsarbeit im Anstrichgewerbe.“
Sprechabend Frankfurt a. M., 14. September 1928:
Dr. Kettmann, Charlottenburg: „Neueste vergleichende Versuche mit Spritzpistolen.“
Dr. Grün, Düsseldorf: „Schutz von Beton durch Bitumenanstriche.“
Sprechabend Danzig, 1. Oktober 1928:
Dr. v. Wolff, Berlin: „Anstrichtechnische Fragen des Schiffbaues.“
Sprechabend Königsberg, 2. Oktober 1928:
Dr. v. Wömpner, Spandau: „Anstrichtechnische Fragen in der Landwirtschaft.“ Mitberichterstatte Prof. Foedisch, Königsberg.
Dr. v. Sauer, Hamburg: „Anstrichtechnische Fragen im Schiffbau.“
Dr. v. Lorenz: „Neuere Arbeiten im mechanischen Anstreichen der Schienenbahn.“
Sprechabend Dresden, 12. November 1928:
Dr. Krüger, Dresden: „Die Möglichkeit einer Normung der Farben und die Frage ihrer Zweckmäßigkeit für die Praxis des fachlich geschulten Handwerks.“
Dr. Urth, Schlebusch: „Die Möglichkeit einer Normung der Anstrichstoffe und die Frage ihrer Zweckmäßigkeit für die Praxis des fachlich geschulten Handwerks.“
Sprechabend Stuttgart, 4. Dezember 1928:
Dr. v. Heile, Heidelberg: „Die Lagerung der Anstrichstoffe im Winter und die hierbei eintretende Veränderung.“
Dr. v. Wagner, Stuttgart: „Emulsionsbindemittel.“
Dr. v. Wagner, Stuttgart: „Wirkung der Witterung auf Holzanstriche.“
Sprechabend Essen, Juni 1928:
Dr. v. Luther, Berlin: „Die technische Vorbereitung für Anstriche.“
Dr. v. König, Magdeburg: „Bewahrung der verschiedenen Anstriche an Eisenbahnfahrzeugen.“
Dr. v. Roese, Leverkusen: „Seifenbildung im Anstrich.“

Staubtechnik

Der Fachausschuß für Staubtechnik (gegr. Febr. 1928; Obm.: Hr. Barkow, Berlin) bezweckt den Zusammenschluß von führenden Fachleuten wie Ingenieuren, Ärzten, Gewerberäten u. a. zur Förderung und Nutzbarmachung wissenschaftlicher Bestrebungen auf dem Gebiete der Staubtechnik. Sein Arbeitsplan erstreckt sich auf die Bekämpfung ungewollten Staubes, die gewollte Staubbewertung und -verwertung und die Staubmeßtechnik.

Die Arbeiten im Berichtsjahr galten vorwiegend Fragen der Meßtechnik, der Explosionen, des gewerblichen Arbeiterschutzes, sowie Filterstoffuntersuchungen. Sie werden in den Untergruppen des Arbeitsausschusses durchberaten.

Der Fachausschuß veranstaltete im Jahre 1928 vier Sitzungen in Berlin, auf denen vorwiegend die Fragen des Straßen- und Industriestaubes, Staubexplosionen, der Staubbewertungen und der Filterstoffe behandelt wurden.

Die Arbeitsergebnisse des Ausschusses sind außer in Zeitschriften in den „Zwanglosen Mitteilungen des Ausschusses für Staubtechnik“ veröffentlicht.

Vorträge auf Sitzungen:

Patentanwalt Dr.-Ing. Meldau: „Literatursammlung.“
Dr.-Ing. Förderreuther, Dr. Dr.-Ing. Schulte: „Kohlenstaub-Fragen.“
Gewerberat Dr. Bender, Reg.-Rat Dr. Engel: „Staubfragen in Industriebetrieben.“
Mag.-Oberbaurat Bree: „Straßenstaub.“
Ob.-Ing. Loch: „Staubexplosionen.“
Patentanwalt Dr.-Ing. Meldau: „Untersuchung von Filterstoffen.“
Patentanwalt Dr.-Ing. Meldau: „Stand und Aufgabe der Meßtechnik.“
Dr.-Ing. Förderreuther: „Kohlenstaubmeßwesen.“

Dampfkesselwesen

Der Ausschuß für Dampfkesselwesen (gegr. 1921; Obm.: Hr. Eberle, Darmstadt) bildet die Sammelstelle für alle Fragen des Dampfkesselwesens, die in Gemeinschaftsarbeit von Wissenschaft und Praxis, von Erzeugern und Verbrauchern geklärt werden müssen. Zur praktischen Behandlung von Einzelfragen sowie zur Durchführung der die Forschung ergänzenden Versuche bestehen Unterausschüsse für:

Dampfkesselfeuerung (gegr. 1925; Obm.: Hr. Schulte, Essen).

Untersuchungen über die Erhöhung der spezifischen Rostleistung, sowie über die Anpassungsfähigkeit an den wechselnden Betrieb für Steinkohle.

Speisewasser (gegr. 1925; Obm.: Hr. Eberle, Darmstadt).

Abschluß von Untersuchungen über:

- die Einwirkung bestimmter Säuren und Laugen auf den Kesselwerkstoff und die Mittel zur Behebung dieser Einwirkung;
- die Bildung und Zusammensetzung des Kesselsteins und seine Wärmeleitfähigkeit;
- den Einfluß Kaliendlauge enthaltenden Speisewassers in modernen Kesselanlagen.

Weiterführung von Untersuchungen über:

- die Dampfleistung als Funktion des Dampfdruckes eines Heizkessels;
- die Abhängigkeit des korrodierenden Einflusses der Laugen von der Werkstoffbeanspruchung;
- die Einwirkung von Säuren und Laugen auf den Werkstoff.

Veröffentlichung der Untersuchungsergebnisse in der VDI-Zeitschrift und im Archiv für Wärmewirtschaft und Dampfkesselwesen, sowie Herausgabe von Sonderheften als „Zwanglose Mitteilungen des Speisewasser-ausschusses“.

Vorwärmer (gegr. 1923; Obm.: Hr. Bauer, Berlin-Dahlem).

Herausgabe von Richtlinien über die Anforderungen, die für die Wahl des Werkstoffes und die Bauausführung des Rauchgasvorwärmers maßgebend sind.

Regeln für Leistungsversuche

Die Regeln verfolgen den Zweck, einheitliche Vergleichsgrundlagen für die Ermittlung der Leistung zu schaffen und geeignete Verfahren zur Nachprüfung der Gewährleistungen Erzeugern und Verbrauchern an die Hand zu geben. Sie erfassen heute bereits alle wesentlichen Kraft- und Arbeitsmaschinengattungen. Aufgebaut in gemeinsamer Arbeit der herstellenden und verbrauchenden Industrie und unterstützt von Vertretern der Wissenschaft und der Behörden, bilden sie von allen beteiligten Kreisen anerkannte und empfohlene Richtlinien zur Vermeidung von Schwierigkeiten bei der Abnahme.

Für das Berichtsjahr kennzeichnend waren besonders die Bemühungen um eine zwischenstaatliche Angleichung und gegenseitige Anerkennung der nach Landesregeln festgesetzten Abnahmeversuche. Diese Aufgabe hat für das gesamte Gebiet der Antriebsmaschinen zur Stromerzeugung die Internationale Elektrotechnische Commission (I.E.C.) übernommen, deren Deutsches Nationales Komitee die Vertretung der deutschen Interessen dem V.d.I. übertragen hat.

Der Stand der Arbeiten bei den einzelnen zur Festsetzung der Regeln eingesetzten Ausschüssen war folgender:

- Ventilatoren und Kompressoren (gegr. 1907; Obm.: Hr. *Stach*, Bochum). Weiterführung der Untersuchungen an kleinen Gebläsen zur Bewetterung von Nebestrecken unter Tage.
- Dampfkraftanlagen (gegr. 1896; Obm.: Hr. *Dörfel*, Prag). Fertigstellung bzw. Weiterbearbeitung der Erläuterungen über Brennstoffuntersuchungen, der Richtlinien für die Ausarbeitung von Feuerungsuntersuchungen und der Formblätter (Vordrucke) für Abnahmeversuche an Dampfkesseln, Dampfmaschinen und Dampfturbinen.
- Dampfturbinen (gegr. 1928; Obm.: Hr. *Josse*, Berlin). Ausarbeitung eines deutschen Entwurfs als Beratungsunterlage für die zwischenstaatlichen Richtlinien für die Abnahmeprüfung von Dampfturbinen und Vorlegung des Entwurfs auf der ersten internationalen Tagung der I.E.C. für Dampfturbinen im Haag (20. bis 25. Mai).
- Kaminkühler (gegr. 1917; Obm.: Hr. *Hübscher*, Dortmund). Vollständige Neubearbeitung der Regeln um einwandfreie Kühlerprüfungen zu ermöglichen. Aufnahme von Meßgeräten und Verfahren sowie von durchgerechneten Musterbeispielen.
- Verbrennungsmotoren (gegr. 1904; Obm.: Hr. *Nägel*, Dresden). Überarbeitung und Ergänzung der bestehenden Regeln durch Abschnitte über Vergasermotoren und Abwärmeverwerter.
- Kreiselpumpen (gegr. 1925; Obm.: Hr. *Pfleiderer*, Braunschweig). Erste Ausgabe der „Regeln für Leistungsversuche an Kreiselpumpen, 1928“.
- Wasserkraftmaschinen (gegr. 1925; Obm.: Hr. *Galland*, Berlin). Umbildung des früheren Ausschusses in den Deutschen Hydraulik-Ausschuß. Völlige Umarbeitung der bestehenden Regeln nach Maßgabe der zwischenstaatlichen Abmachungen im Rahmen der I.E.C. und Erweiterung durch Anhänge über die Art der Wassermessungen, der Gefällebestimmungen, des Wirkungsgrades usw.
- Schätzung der Rohwasserkräfte (gegr. 1928; Obm.: Hr. *Gähns*, Berlin). Ausarbeitung eines Gutachtens zur Festlegung des deutschen Standpunktes in einigen zur internationalen Erörterung gestellten Fragen über geeignete Verfahren zur Schätzung der Rohwasserkräfte; die Möglichkeit eines zwischenstaatlichen Übereinkommens.
- Wärme- und Kälteschutzanlagen (gegr. 1927; Obm.: Hr. *Hencky*, Leverkusen). Durchberatung eines Entwurfs zur eindeutigen Bestimmung der Berechnungsgrundlagen für die Ermittlung der Wärmeverluste, und Angaben über die Art und den Wert der

verschiedenen Gewährleistungen, sowie über die fahren zu ihrer Nachprüfung.

- Lieferbedingungen für Isolierstoffe (gegr. 1929; Obm.: Hr. *Hencky*, Leverkusen). Ziel der Tätigkeit ist Aufstellung einheitlicher von Herstellern und Verbrauchern anerkannter Lieferbedingungen Ausarbeitung eines einheitlichen Angebotvordruckes.
- Lastenkettens (gegr. 1928; Obm.: Hr. *Görke*, Halle). Vorbereitung von Entwürfen über die Anforderungen an den Werkstoff, die Prüfverfahren und Überwachungsmaßnahmen im Betrieb.
- Strömungsmesser (gegr. 1928; Obm.: Hr. *W. Berlin*). Aufgabe ist, in engster Fühlung mit dem Fluid Meter Committee bei der American Society of Mechanical Engineers für das Meßgerät eine Norm zu schaffen, die für möglichst alle in der kommenden Mittel eine konstante Durchflußzahl gibt.

Drahtseilforschung

Der Ausschuß für Drahtseilforschung (gegr. 1928; Obm.: Hr. *Woernle*, Stuttgart) bezweckt die Förderung wissenschaftlicher Arbeiten über Drahtseile.

Auf der im November 1928 in Stuttgart abgehaltene Sitzung berichtete Hr. *Woernle* über seine planmäßigen Untersuchungen der Einflüsse auf die Lebensdauer von Drahtseilen. Die Arbeiten galten vorwiegend Ermittlungen über die Bedeutung der Schlagart, der Anzahl der Umdrehungen im Seil, des Drahtdurchmessers, des Rollendurchmessers der Schmierung u. dergl. Die Forschungsergebnisse ließen erkennen, daß die Einflüsse verschiedener Faktoren auf die Lebensdauer bislang vielfach unzutreffend beurteilt worden sind und sich Hersteller wie Verwender der Seile in wesentlichen Punkten neue Erkenntnisse eigen machen müssen. Nähere Ausführungen hierzu enthält die VDI-Zeitschrift 1929 Nr. 12.

Textiltechnik

Die deutsche Textiltechnik entbehrt bislang noch einer wissenschaftlichen Zusammenfassung ihrer sehr verschiedenen Teilgebiete. Ohne hier in die wertvolle Einzelarbeit einzugehen, will der auf die mehrfach an der Tagung des VDI-Vereins ergangene Anregung im Berichtsjahr gegründete Fachausschuß für Textiltechnik (Obm.: Hr. *Meißner*, Dresden) auf dem Wege zwangloser Aussprache strittige Fragen — z.B. der Materialprüfung oder der günstigsten Verarbeitung in Spinnerei, Weberei usw. — sowie durch kritische Berichterstattung über Fortschritte auf den verschiedenen Gebieten des Textilwesens in Deutschland und Auslande die wissenschaftlichen Erkenntnisse in eine Zusammenfassung vertiefen und für ihre praktische Wertung reif machen.

Die erste Tagung der Fachgruppe am 17. und 18. November 1928 in Stuttgart gab mit 12 Vorträgen bereits einen Eindruck von der Vielseitigkeit der Aufgaben, die heute dem Textilingenieur naheliegen und eine eingehende Behandlung erfordern. Neben rein technischen und wirtschaftlichen Fragen kamen hierbei auch die hygienischen Gesichtspunkte wie Staub- und Geräuschbekämpfung in Textilmotoren zum Ausdruck.

Die zusammenfassende Veröffentlichung der auf der Stuttgarter Tagung gehaltenen Vorträge enthält das 1. Heft „Textiltechnik“ der VDI-Zeitschrift 1929 Nr. 9.

- Vorträge auf der Fachtagung, Stuttgart, 17. u. 18. November 1928:
 - Prof. Dr.-Ing. Johannsen, Reutlingen: „Über einige textile Ratgeberfragen“.
 - Dr.-Ing. Gminder, Reutlingen: „Neue Aufbereitungsmaschinen für Bastfasern“.
 - Dir. Birkhofer, Crefeld: „Tagesfragen im Bau von Webstühlen zur Vorbereitungsmaschinen; Bedürfnisse, Wünsche und Anregungen aus der Seidenweberei“.
 - Prof. Dr.-Ing. Meister, Dresden: „Bedeutung der Luftbefeuchtung in Baumwollspinnereien und Baumwollwebereien“.
 - Dr.-Ing. Meldau, Berlin: „Staubbeseitigung in Textilbetrieben“.
 - Ing.-Chem. Schmidt, Stuttgart: „Tagesfragen des Maschinenbaus in der Ausrüstungsindustrie“.
 - Dr. Hempel, Teichwolframsdorf i. Sa.: „Verbesserungen an Kammkrempeln“.
 - Ob.-Reg.-Rat Denker, Frankfurt a. O.: „Geräuschverhütung in Textilmotoren“.

aus Reutlingen: „Neuere Webverfahren (Gabler, Nicolet, Rundstuhl von Jaboulez-Diederichs)“.
g. Toennissen, Tübingen: „Der Stand der Walzenstreckwerke in der Baumwollspinnerei“.
rtel, Charlottenburg: „Geschwindigkeitsregelung von Ringspinnmaschinen“.
se, Chemnitz: „Der heutige Stand der Ausrüstungsmaschinen Kunstseide“.

Rechnungswesen

Das industrielle Rechnungswesen ist heute ein unerlässlicher Bestandteil der beruflichen Ausbildung und Tätigkeit des Ingenieurs. Der Ausschuß für Kostenwesen, im Frühjahr 1927 gegründet, will in Fortbildung des Grundplanes der Selbstkostenberechnung die wissenschaftlichen Grundlagen dieses Fachgebietes für den Ingenieur vertiefen und in die für schaffende Praxis bestgeeignete Form bringen. Er schenkt hierbei besonderen Wert auf engstes Zusammenwirken mit den wirtschaftlichen Verbänden. Die Fühlungnahme mit einer Reihe führender Körperschaften wie dem Verein Deutscher Maschinenbau-Anstalten, dem Ausschuß für wirtschaftliche Verwaltung und der wissenschaftlichen Abteilung des Österreichischen Vereines deutscher Ingenieure kommt diesen Bestrebungen sehr zugute.

Die Arbeiten des Ausschusses erstrecken sich auf die Abhaltung von Vorträgen und Vortragsreihen, die Herausgabe von einschlägigen Schriften, Veröffentlichungen in der Fachpresse, den Ausbau einer Schrifttumskartei sowie die Beobachtung und Förderung der betriebswirtschaftlichen Ausbildung des Ingenieurs an technischen Hoch- und Mittelschulen.

Der Ausschuß veranstaltete im Berichtsjahr:

- 10 Ausschußsitzungen,
- 9 Vorträge,
- 2 Vortragsreihen,
- 1 Versuchslehrgang

Neben Doppelstunden zur Erprobung der günstigsten Voraussetzungen für einen geplanten seminaristischen Lehrgang über „Abrechnungswesen im Industriebetriebe“.

Die Schrifttumskartei enthält zur Zeit rd. 700 Quellenangaben; eine Lichtbildsammlung und die Einrichtung einer Schrifttumskartei für Vortragszwecke wurde begonnen.

Veröffentlichungen:

Fachbeilage „Industrielles Rechnungswesen“ der VDI-Nachrichten 1928 Nr. 41;

Aufsatz „Betriebsüberwachung durch Plankostenrechnung“ in VDI-Zeitschrift 1928 Nr. 36 und 38;

Aufsätze in „Technik und Wirtschaft“ und Beiträge in den ADB-Mitteilungen.

Schriften: Merkblatt 1:

Übersicht über Arbeitsgebiete des vorbereitenden Ausschusses“ (bereits erschienen).

Die Merkblätter über industrielles Rechnungswesen sind im Vorentwurf abgeschlossen und stehen vor der Drucklegung.

Vertriebstechnik

Die Erkenntnis, daß der Vertrieb unserer Erzeugnisse der gleichen tiefgründigen Durchbildung bedarf wie die Herstellung, gewinnt gerade bei unserer heutigen wirtschaftslage steigende Bedeutung. Obwohl die Bedeutung der Arbeit einer großen Anzahl von Fachgenossen dem Vertrieb gewidmet ist, geschah bisher im Verein deutscher Ingenieure für die fachliche Fortbildung und die regelmäßige Pflege der wissenschaftlichen Belange dieser Interessierten Gruppe wenig. Es ist für unsere Industrie von lebenswichtiger Bedeutung, daß sie über einen Stab gut vorgebildeter Vertriebsingenieure verfügt, die in der Lage sind, mit dem Rüstzeug exakter Wissenschaft in die Zusammenhänge des in- und ausländischen Absatzes hineinzuleuchten und für die Ausnutzung vorhandener Absatzmöglichkeiten die besten Mittel anzuwenden. Absatzpflege ist heute nicht mehr nur eine Angelegenheit geschickter mündlicher und

schriftlicher Darstellung; sie verlangt vertiefte Kenntnis aller Zusammenhänge, die zwischen fabrikfertigem Erzeugnis und Bedarfsdeckung bestehen. Die landläufige Auffassung, die dem Vertriebsingenieur im wesentlichen nur die Werbung und den Verkehr mit den Kunden zuzweist, ist der Industrie und der Bewertung dieses wichtigen Berufsstandes abträglich.

Die Gründung der Fachgruppe „Vertriebsingenieure“ im Anschluß an die vorjährige Hauptversammlung fand daher einen unerwartet starken Widerhall. Die Fachgruppe soll in der gleichen Weise, wie es die Arbeitsgemeinschaft deutscher Betriebsingenieure für die Fertigung ist, der geistige Mittelpunkt für die im Vertrieb stehenden Ingenieure werden; sie steht in enger Fühlung mit wirtschaftlichen Industrieverbänden, dem Reichsamt für Statistik, dem Preussischen Handelsministerium, dem Reichsverband für Groß- und Überseehandel u. a.

Ihre Tätigkeit erstreckt sich auf die Abhaltung von Vorträgen, die Herausgabe von Schriften und Veröffentlichungen in der Literatur, sowie die Schaffung von Anschauungsstoff. Nach Maßgabe der grundsätzlichen Arbeitsteilung im Vertrieb bestehen bei der Fachgruppe fünf Einzelausschüsse für:

- Marktanalyse,
- Vertriebsorganisation,
- Vertriebskosten,
- Bürotechnik im Vertrieb,
- Verkehr und Verpackung.

Im Berichtsjahr befaßte sich die Fachgruppe vorwiegend mit:

- Ermittlung von Absatzreichweiten auf Grund der Frachtgrundlage für Nadelholz, Laubholz, Zucker und Kohle;
- Zusammenstellung von Beispielen durchgeführter Marktanalysen für Landmaschinen, Motorschlepper und Sägewerkmaschinen;
- Bearbeitung eines Handbuches für Überseemarktkunde;
- Bearbeitung eines Vertriebshandbuches.

Die Fachgruppe veranstaltete im Jahre 1928:

- 1 Fachtagung, 4 Vortragsabende,
- 2 Vollsitzungen und 1 Teilausschußsitzung,
- ferner 1 Wanderschau „Der Vertriebsingenieur“ mit Einzeldarstellungen über Marktanalyse, Vergleiche über Vertriebskosten und Umsatzentwicklung, Kaufkraftuntersuchungen.

Die Schau wurde gezeigt in:

- Essen, anläßlich der Hauptversammlung des V.d.I. (9. bis 11. Juni 1928),
- Berlin, im Ausstellungsraum „Sinnarbeit“ des V.d.I. (Juni bis August 1928) und anläßlich der Hauptausschußsitzung des Reichsverbandes der deutschen Industrie (14. September 1928),
- Amsterdam, auf der Tagung des Nederlandsch Instituut voor Efficiency (18. bis 24. Dezember 1928),
- Stuttgart (25. Januar bis 12. Februar 1929),
- Leipzig, anläßlich der Techn. Frühjahrsmesse (21. Februar bis 12. März 1929).

Veröffentlichungen:

- VDI-Nachrichten 1928 Nr. 22.
- VDI-Nachrichten 1928 Nr. 37.
- VDI-Nachrichten vom 1. Januar 1929 ab: monatliche Marktberichte im Wirtschaftsteil.
- Technik und Wirtschaft 1928 Heft 6,
- Technik und Wirtschaft 1928 Heft 8,
- Technik und Wirtschaft ist vom 1. Januar 1929 ab Berichtsorgan der Fachgruppe,
- ADB-Mitteilungen.

Schriften:

- 11 Merkblätter über Vertriebsarbeiten,
- Schriftenreihe „Wirtschaftlicher Vertrieb“ (Schriften zur Arbeitsplanung und -vorbereitung im Vertrieb), Heft 1: Statistischer Quellennachweis für Marktanalysen.

Hauswirtschaftliche Technik

Die wachsende Erkenntnis von der volkswirtschaftlichen Bedeutung des Einzelhaushalts, die allmählich auch der hauswirtschaftlichen Technik immer wichtigere Aufgaben zuzuweisen beginnt, veranlaßte den Verein, diesem Gebiet gesteigerte Aufmerksamkeit zuzuwenden und in seinem Arbeitsprogramm einen besondern Platz einzuräumen. Die im Berichtsjahr für diese Zwecke beim Verein geschaffene Stelle sieht das Ziel ihres Wirkens darin, mit allen ihr zu Gebote stehenden Mitteln die Entwicklung fördern zu helfen, die unabweisbar die maßgebende Mitarbeit der wissenschaftlichen Technik an der Gestaltung und Führung des Haushalts verlangt. Die Technik muß ihre Bestimmung, das Leben des Menschen behaglicher und leichter zu machen, gerade dort erweisen, wo sie dem Menschen am unmittelbarsten entgegentritt: im eignen Heim.

In Angriff genommen wurden während des Jahres 1928 Richtlinien für die Konstruktion von Haushaltmaschinen und -geräten unter Beachtung leichter und gründlicher Reinigung, der Unverlierbarkeit und Austauschbarkeit der Einzelteile, bequemer Befestigung und Aufbewahrung. Auf besondern Wunsch erfahrener Hausfrauen soll dem vielfach festgestellten Mangel an wirklich brauchbaren und verständlichen Gebrauchsanweisungen für hauswirtschaftliche Maschinen und Geräte durch die Herausgabe von Mustergebrauchsanweisungen begegnet werden. Von Sonderfragen ist das Gebiet der Waschmaschinen in Bearbeitung.

Um die Notwendigkeit und Möglichkeit einer Bessergestaltung des Haushaltes durch die Technik weiten Kreisen anschaulich und gemeinverständlich vorzuführen, hat der Verein eine Wanderausstellung „Technik im Heim“ ins Leben gerufen, die vom 6. April bis 9. Mai 1929 in Essen zum erstenmal gezeigt wurde; sie soll helfen, den großen Gedanken, dem München in seiner Ausstellung „Heim und Technik“ im Jahre 1928 Ausdruck verlieh, weiter zu pflegen und zu entwickeln. An der Veranstaltung sind beteiligt: Der Reichsverband Deutscher Hausfrauenvereine, der Reichsverband landwirtschaftlicher Hausfrauenvereine, das Reichskuratorium für Wirtschaftlichkeit, die Reichsforschungsgesellschaft für Wirtschaftlichkeit im Bau- und Wohnungswesen, der Deutsche Normenausschuß, der Reichsverein Volksernährung und der Lette-Verein.

Technik und Recht

An den Verein ist im vergangenen Jahre von leitenden Fachgenossen die Anregung ergangen, dem Ingenieur von Zeit zu Zeit einen Überblick über rechtliche Grundlagen und die wichtigsten rechtlichen Zusammenhänge zu geben, die für die Tätigkeit des Ingenieurs in der Industrie von Bedeutung sind. Um diesen angesichts der steigenden Mannigfaltigkeit der Gesetzgebung berechtigten Wünschen nachzukommen, wurde vom Rechtsausschuß des Berliner Bezirksvereins im Frühjahr 1929 eine Vortragswoche über industrielle Rechtsfragen veranstaltet.

Es wurden Vorträge gehalten über die Stellung des Ingenieurs als Staatsbürger, über den Aufbau des öffentlichen und privaten Rechts, über die Gründung und Leitung eines Unternehmens, über Handelsgeschäfte, Entstehung und Erfüllung von Lieferverträgen, ferner über die für einen industriellen Betrieb wichtigen sozialen Gesetze und über gewerblichen Rechtsschutz, Urheberrecht, Verbands-, Kartell- und Schiedsgerichtswesen.

Arbeitsgemeinschaft deutscher Betriebsingenieure

Die Arbeitsgemeinschaft (ADB), in der im Jahre 1920 die bei 19 Bezirksvereinen bestehenden Unterausschüsse für Betriebsorganisation zusammengefaßt wurden, zählte am Ende des Jahres 1928 37 Ortsgruppen mit rd. 3000 Mitarbeitern. Während die Ortsgruppen Stettin und Mainz wegen schwieriger Verhältnisse in der dortigen Industrie ihre Tätigkeit einstellen mußten, konnte die Ortsgruppe Essen ihre Arbeiten nach mehrjähriger Unterbrechung

wieder aufnehmen. Daß es mehrfach geglückt ist, nötige finanzielle Unterstützung durch Bildung Kuratoriums oder durch Sicherstellung fester Zusage der Industrie zu erreichen, darf als erfreulicher Beleg dafür gelten, daß führende Wirtschaftskreise die Tätigkeit der ADB in steigendem Maße für notwendig achten.

Als Nachfolger von Hr. Köttgen, der am 1. Januar den Vorsitz im Gesamtverein übernahm, trat Hr. Luecke, Berlin, an die Spitze des Hauptausschusses der Arbeitsgemeinschaft.

Für die Bearbeitung der allgemeinen betriebswirtschaftlichen Aufgaben sind zur Zeit in den Ortsgruppen 50 Unterausschüsse auf folgenden Gebieten tätig:

Werkstoffbehandlung	Holzbearbeitung
Normung	Arbeitszeitermittlung
Vorrichtungs- und Bau	Sinnbilder für Werkzeugmaschinen
Stanzereitechnik	Fließarbeit
Stückzeitermittlung	Ausbildungswesen und Psychotechnik
Unfallverhütung	Allgemeine betriebswirtschaftliche Fragen.
Organisation	
Maschinenarbeit	
Schmiedetechnik	

Von den beim V. d. I. bestehenden Fachausschüssen, deren Federführung bei der ADB liegt, stellte der Fachausschuß für Schmiedetechnik im Berichtsjahr Konstruktionsregeln für Schmiedestücke auf. Gewürdigt ist er mit der Ermittlung von Stückzeiten für Schmiedearbeiten beschäftigt.

Der Fachausschuß für Maschinenarbeit verfolgt und fördert die Forschungen auf dem Gebiet der Formgebung durch Maschinen. Von seiner Durchführung der Arbeiten betrauten Einzelschüsse läßt der Ausschuß für Fräsen gegenwärtig fünf Großbetrieben planmäßige Versuche anstellen.

Der Fachausschuß für Werkstoffe hat die Obliegenheiten des anlässlich der Werkstofftagung 1928 gegründeten Beirats der Verbraucher übernommen. Er faßt Vertreter von Behörden und Großverbrauchern steht in enger Zusammenarbeit mit dem Werkstoffschuß der Arbeitsgemeinschaft der eisenverarbeitenden Industrien.

Die Arbeiten des Berichtsjahres erhielten noch besonderes Kennzeichen dadurch, daß neben den reichen fachlichen Aufgaben der Betriebswirtschaft schaffenden Menschen in seiner entscheidenden Bedeutung für die Weiterentwicklung der Fertigungsverfahren gesteigerte Aufmerksamkeit zugewendet wurde. So wurden die Fragen der Auslese und Ausbildung, der Gestaltung des Arbeitsplatzes, der Abwehr von Gesundheits- und Fallschäden und der Zusammenarbeit in den Betrieben eingehend behandelt.

Als Mittel zur Verbreitung betriebs technischer Kenntnisse dienten zahlreiche Veröffentlichungen in Zeitschriften, ferner Vorträge, Sprechabende und Kurse. Zahl ist gegenüber dem Vorjahr erheblich gestiegen, zwar die der Vorträge von 150 auf rd. 250, der Sprechabende von 70 auf rd. 100 und die der Kurse von 25 auf rd. 50.

Die Arbeitsgemeinschaft hielt im Jahre 1928 folgende Sonderveranstaltungen ab:

Betriebstechnische Tagung anlässlich der Leipziger Jahresmesse am 13. und 14. März 1928,

ADB-Tagung Südwest in Saarbrücken am 6. Mai 1928, Tagung der ADB-Ortsgruppen in Rheinland-Westfalen in Köln am 2. Juni 1928,

Obmännerversammlung in Essen am 10. Juni 1928.

Fachsitzung Betriebstechnik während der Hauptversammlung des V. d. I. in Essen am 9. Juni 1928.

Im Jahre 1929 fand während der Leipziger Messe Betriebstechnische Tagung am 11. und 12. März statt.

Das Organ der Arbeitsgemeinschaft ist die Zeitschrift „Maschinenbau“, der vom 1. Januar 1928 ab regelmäßige ADB-Mitteilungen angefügt sind.

An sonstigen Veröffentlichungen erschienen:

B-Schriftenreihe Bd. 5: „Schlosserei und Montage-arbeitszeitermittlung“, herausgegeben von K. Gottwein.

B-Schriftenreihe Bd. 6: „Was muß der Maschineningenieur von der Eisengießerei wissen?“, herausgegeben von A. Lischka †.

B-Werkzeugmaschinenblätter, bearbeitet von E. Tous-saint.

Der gegen Ende des vorigen Jahres unternommene Versuch, der Fortbildung der Konstrukteure Maßnahmen der ADB eine planmäßige Pflege angedeihen lassen, darf als glücklich angesehen werden. Die regelmäßige Teilnahme, die diese Arbeiten gefunden haben, zeugt vom Fortschreiten der Erkenntnis, daß die Konstruktion für die Steigerung der Wirtschaftlichkeit der Erzeugung nur unter den Voraussetzungen schaffen wird, wenn der Konstrukteur durch enge Zusammenarbeit mit dem Betriebsingenieur laufend die Entwicklung auf dem Gebiet der Fertigung verfolgen kann. Dem ersten im Vorjahre in Berlin abgehaltenen Konstrukteurkursus folgten im Winter 1928/29 zwei weitere über „Gußeisen als Konstruktionsmittel“ und „Geschmiedete Teile als Konstruktionsmittel“. In Düsseldorf und Köln wurde je ein Kursus für Konstrukteure durchgeführt. In Anlehnung an die Berlin-ADB-Ortsgruppe wurde im Herbst 1928 eine bessere Gruppe „Konstruktion“ gebildet.

Als erste Veröffentlichung erscheint:

„Verkstattgerechtes Konstruieren“, 1. Abschnitt: Gießen, Teil „Gußeisen“. Herausgegeben von A. Erkens, bearb. von W. Heinze und K. Laudien.

Vorläufige auf Tagungen:

Betriebstechnische Tagung Leipzig, 13. und 14. März 1928:

Lehrstuhl: Dr. A. Hofmann, Berlin: „Werkstoffe und Härtefragen im Werkzeugbau“; Dr. E. Dolt, Friedrichshafen: „Härteprobleme im Kraftfahrzeug-triebbau“.

Bearbeitung: Dr. Beck, München: „Aufgaben des Holzbearbeitungsmaschinenbaus“; Dr. Voigt, Berlin: „Sperrholz und seine Anwendungsmöglichkeiten“.

Bearbeitung: Dr. Markau, Berlin: „Die Güte der Bleche für Massenfertigung“; Dr. E. Schönberr, Ostersbach: „Bekleidungsbleche im Fahrzeugbau, Ansprüche und Eigenschaften“.

Tagung der ADB-Ortsgruppen in Köln, 2. Juni 1928: Dr. Dipl.-Ing. Meyenberg, Braunschweig: „Der Mensch im Fabrikbetrieb“; Dr. Bmstr. a. D. Kothe, Berlin: „Werkzeug und Maschine im Fabrikbetrieb“.

Tagung „Betriebstechnik“ Essen, 9. Juni 1928: Dr. Rummel, Düsseldorf: „Betriebswirtschaft in Eisenhüttenwerken“; Dr. Voigt, Wetzlar: „Betriebswirtschaft in Instandsetzungswerkstätten“; Dr. Dr.-Ing. Aumund, Berlin: „Lagerung umladeempfindlicher Schüttgüter“.

Betriebstechnische Tagung Leipzig, 11. und 12. März 1929:

Welche bringt die Technische Messe dem Betriebsingenieur Neues? Dr. Behrens, Danzig: „Werkzeugmaschinen“; Dr. Damm, Hannover: „Werkzeuge und Vorrichtungen“; Dr. Meller, Berlin: „Elektrische Werkstattausrüstung“; Dr. Dr.-Ing. Aumund, Berlin: „Fördereinrichtungen für die Werkstatt“.

Oberflächenschutz: Dr. Schob, Berlin: „Oberflächenschutz durch Anstrichstoffe“; Dr. M. Schlöter, Berlin: „Oberflächenschutz durch galvanisch und feuerflüssig aufgetragene Überzüge“; Dr. Rackwitz, Berlin: „Oberflächenschutz durch aufgewalzte und aufgeschweißte Überzüge, anodische Oxydation“; Dr. G. Kutscher, Berlin: „Oberflächenschutz durch aufgespritzte metallische Überzüge“.

Konstrukteurkursus in Berlin: „Gußeisen als Konstruktionsmittel“.

Januar 1929: Obering. Mehrrens: „Die für den Konstrukteur wichtigsten Festigkeits- und sonstigen Eigenschaften des Gußeisens, unter Berücksichtigung der neuesten Erfahrung“.

Februar 1929: Dipl.-Ing. Stiebler: „Die Konstruktion eines Gußstückes mit Rücksicht auf die Formverfahren“.

Februar 1929: Dr. Scharlibbe: „Die Konstruktion eines Gußstückes mit Rücksicht auf die Gießtechnik und Eigenarten des zu verarbeitenden Materials“.

Konstrukteurkursus in Berlin: „Geschmiedete Teile als Konstruktionsmittel“.

Februar 1929: Dipl.-Ing. Korschmann: „Baustoffe für Schmiedeteile“.

Februar 1929: Prof. Schwerin: „Berechnung von geschmiedeten Teilen“.

April 1929: Obering. Heinze: „Vergleich zwischen geschmiedeten, gegossenen und geschweißten Teilen“.

Arbeitsgemeinschaft Technik in der Landwirtschaft

Die Arbeitsgemeinschaft, vor 10 Jahren ins Leben gerufen, um durch Zusammenwirken von Landwirt und Ingenieur die mannigfachen Fortschritte der industriellen Technik in der Landwirtschaft allen in Frage kommenden, insbesondere den bauerlichen Kreisen nahezubringen und dadurch die Ernährung des deutschen Volkes aus eigener Scholle fördern zu helfen, fand im Berichtsjahr ein besonders reiches Feld der Tätigkeit. Denn mehr als je wies in dieser Zeit die überaus drückende Notlage der Landwirtschaft auf eine durchgreifende Betriebsrationalisierung hin. Bei der gegenwärtigen Lohn- und Preisentwicklung wird sie schlechthin zu einer Lebensfrage für die Landwirtschaft und kann nur durch die Errungenschaften neuzeitlicher Technik im Sinne einer Verbilligung, Vermehrung und Verbesserung der landwirtschaftlichen Erzeugung verwirklicht werden.

Bei der Arbeitsgemeinschaft bestehen:

- ein Hauptausschuß, Obm.: Hr. Ruths, Berlin;
- ein Arbeitsausschuß, Obm.: Hr. Ruths, Berlin;
- ein Unterrichtsausschuß, Obm.: Hr. Fischer, Berlin.

In das Berichtsjahr fielen folgende größere Veranstaltungen der Hauptstelle und der Ortsgruppen:

- ATL-Jahrestagung, am 30. Januar 1928 in Berlin,
- ATL-Ernährungstagung, am 22. Juni 1928 in Berlin,
- ATL-Fachtagung (Hauptversammlung des V. d. L.), am 10. Juni 1928 in Essen,
- Motorflugtagung, am 28. Juli 1928 in Bartenstein (gemeinsam mit der Deulakraft und der Motorflugüberwachung),
- Motorflugtagung, am 28. März in Kiel (gemeinsam mit der Deulakraft),
- Vortragsreihe für Ortsgruppenmitglieder, am 29. und 30. November 1928 in Kiel,
- Motorflugtagung, am 17. September 1928 in Breslau (gemeinsam mit der Deulakraft),
- Werbetagung, am 9. Januar 1928 in Wien,
- Gemeinsame Tagung mit der Deutsch-Österr. Arbeitsgemeinschaft am 6. September 1928 in Wien.

Die Ortsgruppen veranstalteten ferner im Berichtsjahr:

- 11 Sitzungen, Mitglieder- und Werbeversammlungen,
- 9 Besichtigungen und Studienfahrten,
- 17 Kurse mit 121 Vorträgen und praktischen Übungen, davon 10 Kurse zur Fortbildung von Landwirten bei den Ortsgruppen

- Ostpreußen (1), Leipzig, bzw. Landesgr.
- Schleswig-Holstein (1), Sachsen (3),
- Niederrhein (1), Nordharz und Umgebung (2),
- Helmstedt (2).

4 Lehrgänge zur Fortbildung von Landwirtschaftslehrern bei den Ortsgruppen:

- Ostpreußen, Breslau,
- Niederrhein, bzw. Rheinland, Bayern (Landesgruppe).

3 Lehrgänge für ländliche Handwerker bei den Ortsgruppen:

- Ostpreußen, Schleswig-Holstein, Nordharz und Umgebung.

Durch Beschickung bedeutender Ausstellungen und Messen wie der „Grünen Woche 1928“, der VDI-Ausstellung Essen, der Ausstellung „Die Ernährung“ und der Ostmesse Königsberg sowie durch Veranstaltung kleinerer Lehrmittelausstellungen in Verbindung mit Unterrichts- und Fortbildungskursen wurde mit sichtbarem Erfolg angestrebt, die Ergebnisse der ATL-Arbeiten der Öffentlichkeit anschaulich vorzuführen und das Wissen über die Errungenschaften der Technik in der Landwirtschaft zu fördern.

An neuen Veröffentlichungen erschienen im Berichtsjahr:

3 ATL-Schriften:

- Heft 3, „Grundzüge der Entwicklung der Feldberegnung in Deutschland“ von Dr.-Ing. Th. Oehler, Berlin-Lichterfelde.

Heft 7, „Radtypen in der Landwirtschaft“ von Dipl.-Ing. *Bruno Victor*, Berlin.

Heft 8, „Praktische Erfahrungen mit Bindemähmaschinen“ (Winke zur Beseitigung von Arbeitsstörungen) von Obering. *Hans Luce*, Düsseldorf.

5 Betriebsmerkbblätter:

St 1 B, Bau und Einrichtung von Rindviehställen (bearbeitet von Baumeister *Küntzel*, Berlin).

St 2 B, Bau und Einrichtung von Pferdeställen (bearbeitet von Baumeister *Küntzel*, Berlin).

Er 3 B, Bindemäher (bearbeitet von Dipl.-Ing. *Erich Quäsching*, Steinhöfel).

Er 4 B, Heubearbeitungsmaschinen (bearbeitet von Dipl.-Ing. *Gallwitz*, Königsberg Pr.).

Mi 1 B, Handmilchschleudern (bearbeitet von Prof. Dr. *Martiny*, Halle).

9 Lehrbildtafeln.

125 Lichtbilder.

32 Beiträge in der Tages- und Fachpresse, sowie Aufsätze und Berichte im Organ der Arbeitsgemeinschaft, der Monatsschrift „Technik in der Landwirtschaft“.

Vorträge auf Tagungen:

ATL-Jahrestagung Berlin, 30. Januar 1928:

Dir. Petri, Stettin: „Zeitrauen der ländlichen Stromversorgung“.

Obering. Riefstahl, Berlin: „Stand und Anwendung der Elektrizität in landwirtschaftlichen Außenbetrieb“.

Frau Conrad, Augsthoft: „Die Elektrizität als Helferin der Landrau“.

Dr. Riede, Bonn, Prof. Dr. Koernicke, Bonn: „Elektrizität und Pflanzenwachstum“.

ATL-Ernährungstagung Berlin, 22. Juni 1928:

Dr. Winkel, Berlin: „Technik und Volksernährung“.

Oek.-Rat Keiser, Berlin: „Fleischversorgung und -verarbeitung“.

Prof. Dr. Mohs, Berlin: „Getreideverarbeitung, Müllerei, Brotversorgung“.

ATL-Fachtagung Essen, 10. Juni 1928:

Prof. Dr.-Ing. Vormfelde, Bonn: „Entwicklungstendenzen im deutschen Landmaschinenbau und in den Weststaaten“.

E. vom Scheidt, Düsseldorf-Rath: „Die Landwirtschaft des Industriegebietes und ihre Forderungen an die Technik“.

Dipl.-Ing. Feustel, Essen: „Die Bedeutung des rheinisch-westfälischen Industriebezirkes für den Landmaschinenbau“.

Motorpflugtagung Bartenstein, 28. Juli 1928:

Dipl.-Ing. Gallwitz: „Wirtschaftliche Benutzung des Motorpfluges“.

Dipl.-Landw. Seidler: „Der Motorpflug und sein Führer“.

Dipl.-Landw. Dr. v. Below: „Ziele der Motorwacht“.

Fortbildungstagung für Ortsgruppenmitglieder Kiel, 29. November 1928:

Dipl.-Ing. Dörfel, Berlin: „Normung an Landmaschinen“.

Dr.-Ing. Marks, Kiel: „Moderne Maschinen zur Futterbereitung“.

Motorpflugtagung Breslau, 17. September 1928:

Frhr. v. Richthofen-Boguslawitz: „Die betriebswirtschaftliche Stellung der motorischen Kraftmaschinen in der Landwirtschaft“.

Gemeinsame Tagung mit der Deutsch-Österreichischen Arbeitsgemeinschaft, Wien, 6. September 1928:

Dipl.-Ing. Dörfel, Berlin, Dir. Barta, Wien: „Entwicklung und Stand der Normung im Landmaschinenwesen“.

Dr. Schlabach, Berlin, Sektionschef Dr. Haager, Wien: „Maßnahmen und Einrichtungen zur planmäßigen Förderung und Entwicklung der Technik in der Landwirtschaft“.

SONSTIGE ARBEITEN UND EINRICHTUNGEN

Ausbildungswesen

Die Erkenntnis, daß die deutsche Technik sich bei dem raschen Tempo der Weiterentwicklung auf allen Gebieten im scharfen Wettbewerb auf dem Weltmarkt nur behaupten kann, wenn ihr ein vorzüglich ausgebildeter und über die neuesten Errungenschaften der Wissenschaft laufend unterrichteter Ingenieurstand zur Verfügung steht, ist für den Verein von jeher bestimmend gewesen, sich allen Fragen der Vor- und Ausbildung auf den Lehranstalten wie der Fortbildung im Beruf mit allem Eifer anzunehmen.

Um die gegenwärtige Lage des mittleren technischen Schulwesens näher zu untersuchen und eine Reihe noch offener Probleme ihrer Lösung näherzuführen, wurde auf Antrag *Volk*, Berlin, die Einsetzung eines fünfgliedrigen Ausschusses beschlossen und zu seiner Vorbereitung am 9. Oktober 1928 eine Aussprache zwischen Vertretern der Regierungen und Behörden, der technischen Mittelschulen, der Industrie, des Deutschen Ausschusses für Technisches Schulwesen und des Vereines deutscher Ingenieure herbeigeführt. Die hierbei erstatteten Berichte von *Volk*, Berlin, über „Die heutige Lage der maschinen-technischen Lehranstalten“, *Vetter*, Nürnberg, über „Die praktische Vorbildung für die maschinentechnischen Lehranstalten“ und *Schultz-Balluf*, Köln-Deutz, über „Die Verwendung der Absolventen der maschinentechnischen Lehranstalten in der Industrie“ wiesen bereits die Richtung für die nächsten Arbeiten des Ausschusses, als deren Grundlage eine von *Hrn. Volk* verfaßte Denkschrift dienen soll.

Das Bedürfnis nach Klärung der vielen, auf die Ingenieurausbildung an Technischen Hochschulen bezüglichen Fragen war Veranlassung, nach längerer Pause führende Vertreter der Industrie und Wissenschaft zu einer Hochschultagung in Dresden einzuladen. Der Verein deutscher Ingenieure war neben dem Deutschen Verband Technisch-Wissenschaftlicher Vereine und dem Deutschen Ausschuß für Technisches Schulwesen als Mitveranstalter an der Tagung und ihren Vorbereitungen maßgebend beteiligt und wird auch in der beim Deutschen Verband Technisch-Wissenschaftlicher Vereine zu schaffenden Stelle mitarbeiten, die den auf der Hochschultagung angeschnittenen Fragen weiter nachgehen soll. (Näheres ist aus dem Bericht des Deutschen Verbandes Technisch-Wissenschaftlicher Vereine auf S. 904 zu ersehen.)

Die rege Anteilnahme der breiten Öffentlichkeit an der

Frage der Neugründung von Technischen Hochschulen legte es dem Vorstand des Vereines nahe, zu der überaus wichtigen Angelegenheit in einer unter dem Titel „Neue Technische Hochschulen?“ herausgegebenen ausführlichen Denkschrift Stellung zu nehmen. Gestützt auf die Ergebnisse der Statistik und einer Umfrage bei Behörden und Industriefirmen bringt sie zum Ausdruck, daß der übermäßige Zudrang zu den Technischen Hochschulen keineswegs durch einen entsprechenden Bedarf an akademisch gebildeten Ingenieuren, sondern durch eine ungesunde Überschätzung der akademischen Bildung veranlaßt sei und darum zu einem Überangebot an Diplomingenieuren geführt habe. Da die Wirkung der Aufklärung über die Aussichten im Beruf, ganz besonders aber der Geburtenausfall während des Krieges sich voraussichtlich nach Ablauf der nächsten vier Jahre bereits in einer auffälligen Nachlassen des Zudrangs zum technischen Studium bemerkbar machen dürfte, kommt der Vorstand zu der Folgerung, das Bedürfnis nach Gründung neuer Technischer Hochschulen in der heutigen Zeit zu verneinen. Darüber hinaus richtet er an die in Technik und Industrie führenden Männer die Bitte, „sich dafür einzusetzen, die schweren Schäden, die sich durch die Überspannung des Berechtigungswesens heute schon zeigen, zurückgedämmt werden“. Die Denkschrift ist an die Regierungen, Parlamente, Hochschulen, wirtschaftlichen und wissenschaftlichen Verbände, sowie die Presse und sonstige interessierte Stellen versandt worden und hat, wie zahlreiche Äußerungen beweisen, ein ungemein lebhaftes Echo und die Zustimmung weitester Kreise gefunden.

Um die Fortbildung der im Beruf stehenden Ingenieure planmäßig zu fördern, setzte der Vorstand des Vereines am 21. Januar 1928 einen dreigliedrigen Ausschuß ein. Dieser begann im Berichtsjahr mit der Ausstellung eines Fortbildungsplanes, nach dem die zukünftigen Fortbildungskurse sowohl auf die einzelnen Fachgebiete als auch auf die verschiedenen Orte zweckmäßig und den Bedürfnissen entsprechend verteilt werden sollen. Abgesehen von den im großen Umfange durchgeführten Tagungen und Vorträgen, die neben den zahlreichen Veröffentlichungen in Zeitschriften der praktischen Ingenieurfortbildung dienen, nahm der Verein mit der Veranstaltung eines Hochschulkurses in Verbindung mit der Technischen Hochschule Darmstadt eine bereits vor dem Kriege geschaffene Einrichtung erstmalig wieder auf. Der Kursus war

n 153 Ingenieuren besucht und behandelte in neun Vortragsreihen die heute wichtigsten Fragen auf dem Gebiete der Energieerzeugung und -fortleitung.

Vortragsreihen im Hochschulkursus Darmstadt, 2. bis 11. April 1929.

- of. Wälde: „Einige neuere Fragen aus dem Gebiet der Wärmekraftmaschinen“.
- of. Dr. Berl: „Chemische Energieträger“.
- of. Eberle: „Die Entwicklung der Dampferzeugung im letzten Jahrzehnt“.
- of. Dr. Thum: „Werkstofffragen im Kraftmaschinenbau“.
- of. Dr.-Ing. Blaess: „Über praktische Probleme der technischen Mechanik (Festigkeit, Strömung, Schwingung)“.
- of. Schneider: „Über Kupplungsfragen elektrischer Verteilungsnetze“.
- of. Dr.-Ing. Koehler: „Über Förderanlagen“.
- of. Dr.-Ing. Heidebroek: „Neuere Ausführungen mechanischer Kraftübertragung“.
- of. Dr.-Ing. Petersen und Prof. Dr.-Ing. Hueter: „Einzelfragen der elektrischen Kraft'erzeugung und -anwendung in industriellen Werken“.

Vortragswesen

Im Hinblick darauf, daß eine planmäßige Durchbildung des Vortragswesens eine unentbehrliche Voraussetzung für die berufliche Fortentwicklung des Ingenieurstandes ist, sind die beim Verein deutscher Ingenieure bestehenden Einrichtungen zur Unterstützung der Bezirksvereine bei der Aufstellung von Vortragsprogrammen und der Auswahl von Vortragenden im abgelaufenen Geschäftsjahr stark ausgebaut worden.

Eine ausführliche Namenkartei und eine nach 71 verschiedenen Teilgebieten der Technik gegliederte Sachkartei gestatten es, jederzeit und auf schnellstem Wege Vortragende nachzuweisen, die nach den eingeholten Auskünften den von den Bezirksvereinen zu stellenden Anträgen entsprechen. Da insbesondere den kleineren Ortsgruppen nicht immer in gewünschtem Umfange Mittel zur Durchführung eines großzügigen Vortragsprogramms zur Verfügung stehen, ist damit begonnen, Unterlagen für Vorträge aus sämtlichen Gebieten der Technik zu sammeln und zum Ausleihen zur Verfügung zu halten. Die Sammlung umfaßt Schrifttum aller Art, Lichtbilder in beschränktem Umfang auch schon Handschriften von Vorträgen. Auf diese Weise ist den Bezirksvereinen in den Ortsgruppen die Möglichkeit geboten, unter Bezeichnung der genannten Unterlagen und gegebenenfalls der umfassenden Lichtbildsammlung der Technisch-wissenschaftlichen Lehrmittelzentrale, von jüngeren Ingenieuren aus dem Kreis ihrer Mitglieder Vorträge über ausgewählte Gebiete der Technik halten zu lassen. Außerdem sind sämtliche in der Geschäftsstelle tätigen Ingenieure bereit, über Themen, die ihrem Arbeitsgebiet naheliegen, den Bezirksvereinen zu berichten.

Ein Übersichtsplan, der sich im Ingenieurhaus Berlin befindet und in zeitlicher und sachlicher Anordnung über die gesamten gegenwärtigen und bevorstehenden Veranstaltungen in den Bezirksvereinen Aufschluß gibt, erleichtert die Beratung in allen Fragen des Vortragswesens. Es wäre zu begrüßen, wenn diese Einrichtungen möglichst weitem Umfange durch rege Inanspruchnahme genutzt würden.

Berufsfragen

In den letzten Jahren mehrfach geäußerte Vorschläge für eine stärkere Berücksichtigung des Technikers in der Verwaltung veranlaßten den Verein, einen früheren Anträge zugunsten der wissenschaftlichen und verwaltungswissenschaftlich vorgebildeten Diplom-Ingenieure zu wiederholen. Im August 1928 wurde dem Preussischen Ministerpräsidenten und dem Landtag eine Eingabe überbreitet, Diplom-Ingenieure, die durch den Aufbau des Studienganges und ihrer sonstigen beruflichen Ausbildung die wissenschaftlichen Voraussetzungen für die Verwaltungslaufbahn erfüllen, in gleicher Weise, wie es seit dem Erlaß des preussischen Gesetzes von 1906 und entsprechender Gesetze in anderen Ländern ausschließlich für Juristen möglich ist, zur Ausbildung als Regierungsreferendare der höheren Verwaltung in einer ihrer Vordienststellung angepaßten Form zuzulassen. Eine endgültige Antwort ist weder vom Landtag noch vom Ministerpräsidenten bisher eingegangen.

Der Gesetzentwurf zur Änderung der Gewerbeordnung (Handwerksnovelle) entspricht hinsichtlich der

Abgrenzung zwischen ingenieur- und handwerkmäßigen Betrieben nur wenig den Wünschen des Vereins; indessen besteht Aussicht, daß in den Ausführungsbestimmungen die Belange der Ingenieure in befriedigendem Maße berücksichtigt werden.

Die Gebührenordnung der Ingenieure ist im letzten Jahre unverändert geblieben. Die Gebührenordnung für Abschätzung industrieller Betriebseinrichtungen hat dagegen seit 1. Februar 1929 eine etwas geänderte Fassung. Die gerichtlichen Anerkennungen der Gebührenordnung, die auch für die Vergütung bei außergerichtlichen Arbeiten von Wichtigkeit sind, haben dank den ständigen Bemühungen des Vereines im laufenden Jahre zugenommen. Ein von der Geschäftsstelle aufgestelltes Verzeichnis weist 65 solcher Anerkennungen auf. Gleichwohl ist dieses Ergebnis noch keineswegs befriedigend, zumal gerade in neuester Zeit Fälle festzustellen sind, in denen die Gerichte oft aus wenig zutreffenden Gründen heraus eine Anwendung der Gebührenordnung der Ingenieure ablehnen. Da an der gesetzlichen Grundlage in diesem Punkte zur Zeit nichts zu ändern ist, wird versucht werden, durch mittelbare Maßnahmen dem erstrebten Ziel näherzukommen. Im Berichtsjahr wurde der Verein von seinen Mitgliedern in 178 Fällen zu schriftlichen Beratungen und Auskünften in der Frage der Gebührenordnung herangezogen.

Der Sachverständigennachweis wurde im Jahre 1928 in 160 Fällen in Anspruch genommen. Diese verhältnismäßig niedrige Zahl beweist, daß die Kenntnis von der Nachweismöglichkeit technischer Sachverständiger noch keineswegs in alle Kreise gedrungen ist; sie läßt es geboten erscheinen, im Interesse der Ingenieure wie der Allgemeinheit mit allen Mitteln für eine stärkere Benutzung des Nachweises zu werben.

Dem Ausschuß für Prüflingenieure für Statik lagen im Jahre 1928 18 neue Bewerbungen auf Zulassung zum Prüflingenieur für Statik vor. In dieser Zeit konnten, da zahlreiche Anträge noch auf die Vorjahre zurückgehen, 63 Prüflingenieure ernannt werden; über zehn weitere Anträge ist die endgültige Entscheidung noch nicht getroffen. Da außerhalb Preußens die Einrichtung der Prüflingenieure bisher keine Nachahmung gefunden hat, sind demgemäß auch keine außerhalb Preußens wohnenden Ingenieure als Prüflingenieure für Preußen zugelassen worden. Die Kenntnis von der Einrichtung der Prüflingenieure beginnt sich allmählich in den baulichen Kreisen durchzusetzen, während die Baupolizeibehörden der Einrichtung noch in überwiegender Maße ablehnend gegenüberzustehen und ihr erst in allerletzter Zeit einige Aufmerksamkeit entgegenzubringen scheinen.

Patentwesen

Der vom Herrn Reichsminister der Justiz im Laufe des Jahres an den Reichsrat und den Vorläufigen Reichswirtschaftsrat zur Stellungnahme gegebene Gesetzentwurf zur Abänderung der Gesetze über den gewerblichen Rechtsschutz trägt den vom Verein deutscher Ingenieure in den Vorjahren gemachten Vorschlägen Rechnung. Zur Erörterung weiterer Änderungswünsche, die vom Verein für wichtig gehalten werden, im Entwurf aber nicht berücksichtigt waren, hat der Vorsitzende des Patentausschusses, Hr. Kulemannn, an der Hand einer Denkschrift mit dem Reichsjustizministerium und einer Anzahl hervorragender Parlamentarier Fühlung genommen. Der Gesetzentwurf wurde aber vom alten Reichstag, entsprechend einer Anregung des Vereines deutscher Ingenieure, nicht mehr verabschiedet.

Die in Form eines Gutachtens vorgelegte Äußerung des Vorläufigen Reichswirtschaftsrates zum Gesetzentwurf veranlaßte den Patentausschuß zu eingehender Stellungnahme. Sie wurde vom Vorstand mit Begründung den Bezirksvereinen zur Beratung zugeleitet. Deren Ergebnis bildete eine wertvolle Unterlage für die Arbeiten des Patentausschusses, die zu einer abschließenden Stellungnahme des Vorstandes führten. Außerdem sind die Bezirksvereine zur Äußerung über die Beschlüsse herangezogen worden, die der Patentausschuß zu einigen durch das Gutachten des Vorläufigen Reichswirtschaftsrates nicht berührten Fragen

gefaßt hat. Es handelt sich um die Präklusivfrist, den Begehr der Prioritätssicherung außerhalb Berlins und die Löschungsklage gegen das Gebrauchsmuster.

Da das schon im Vorjahr an die Bezirksvereine gestellte Ersuchen um Überlassung nachprüfbarer Unterlagen in der Frage der Zuvielpatentierung nicht den gewünschten Erfolg gehabt hat, wurde ein neues Rundschreiben erlassen, dessen Ergebnis durch einen besonders dazu eingesetzten „Kleinen Ausschuß“ ausgewertet worden ist.

Ein zweiter Unterausschuß, dessen Arbeiten noch nicht abgeschlossen sind, wurde zur Prüfung der Frage des Urheberrechtes der Technik eingesetzt.

Innerhalb der Deutsch-Österreichischen Arbeitsgemeinschaft, die eine Rechtsvereinheitlichung in Deutschland und Österreich erstrebt, hat sich der Patentausschuß in der letzten Hälfte des Jahres auch mit der Rechtsangleichung auf dem Gebiete des gewerblichen Rechtsschutzes zwischen dem Deutschen Reich und Österreich befaßt, um unter Ausschaltung der Erörterungen über die prozessuale Zuständigkeit in den Fragen des materiellen Rechtes die Unterschiede zwischen dem deutschen und österreichischen Gesetz festzustellen.

Filmnachweis

Die Filmkartei des Vereines konnte auf Grund der Ergänzungen, die von allen in ihr vertretenen Filmherstellern und Industriefirmen auf ein Rundschreiben hin eingingen, vollständig neu aufgestellt werden. Nach ihr wurde ein Verzeichnis gedruckt, das im ganzen 561 technische Filme und 82 Schleifen- und Gewerbefilme umfaßt.

Den Bezirksvereinen, Schulen und Einzelpersonen wurden insgesamt 178 Filme vermittelt.

Auskunftstelle

Die ständig wachsende Zahl von Anfragen, die aus den Kreisen der Technik und Industrie an die Geschäftsstelle gerichtet werden, machte am Anfang des Berichtsjahres erforderlich, eine besondere Auskunftstelle beim Verein zu schaffen. Nach Bekanntwerden der Neueinrichtung häuften sich die Anfragen bald in überraschendem Maße und überstiegen die im Vorjahre eingeholten Erkundigungen weit um das Doppelte.

Sie bezogen sich schlechthin auf alle Gebiete des technischen Schaffens, insbesondere auf Benennung von Lieferfirmen für Maschinen und Geräte, auf technisch-wissenschaftliche und wirtschaftliche Organisationen, auf Veranstaltungen und Erscheinungen des technischen Schrifttums. Auskünfte über Literatur werden gemeinsam mit der Beratungsstelle für technische Literatur oder der Schriftleitung der „Technischen Zeitschriftenschau“ bearbeitet.

An Auskünften wurden im Jahre 1928 erteilt:

persönlich	1421
durch Fernsprecher .	1956
schriftlich	1998
insgesamt	5375 (im Vorjahr 2397).

Pressestelle

Um sowohl weiteste Kreise der Fachwelt, wie auch die breite Öffentlichkeit über das rege geistige Leben innerhalb des Vereines, über seine wissenschaftlichen und literarischen Leistungen, sowie über seine Veranstaltungen laufend zu unterrichten, wurde im Mai 1928 der Geschäftsstelle eine besondere Pressestelle angegliedert. Sie hat die Aufgabe, die Fühlung mit der Tages- und Fachpresse aufrecht zu erhalten, ihr in regelmäßiger Folge Nachrichten über die Arbeiten des Vereines und der ihm verbundenen Körperschaften zuzuleiten, die Veröffentlichungen in Zeitungen und Zeitschriften zu verfolgen und auszuwerten. Darüber hinaus dehnt sie auch ihre Berichtstätigkeit auf andere, an den Arbeiten des Vereines interessierte Stellen wie Verbände, Behörden, technische Lehranstalten u. dergl. aus.

Die Kartei der Pressestelle umfaßt zur Zeit etwa 1200 Anschriften von Tages- und Fachzeitsungen, Korrespondenzbüros und Berichterstatern, die mit Nach-

richtenmaterial versehen werden. Außer für den Verein deutscher Ingenieure ist die Pressestelle auch für andere Körperschaften des Deutschen Verbandes Technische Wissenschaftlicher Vereine, insbesondere für das Deutsche Nationale Komitee der Weltkraftkonferenz tätig.

Auslandstelle

In der Anbahnung, Pflege und Vertiefung der Verbindungen des Vereines zur ausländischen Ingenieurwelt fand die Auslandstelle im vergangenen Jahr ein weites Arbeitsfeld und konnte insbesondere den Schulleitungen, den wissenschaftlichen Fachabteilungen und den an den Verein angeschlossenen Körperschaften durch Vermittlung wertvoller Beziehungen Dienste leisten. Die enge Fühlung mit den Vertretern der Technik im Ausland ermöglichte es, den dorthin reisenden deutschen Fachgenossen durch Einführungsschreiben an ausländische Ingenieure und Ingenieurverbände die Wege zu ebenermaßen umgekehrt war die Auslandstelle ebensooft in der Lage, ausländischen Ingenieuren auf ihre Bitte die Bekanntschaft mit deutschen Forschern und Fachgenossen, sowie die Besichtigung von Industrieanlagen zu ermöglichen.

Soweit diesem Wunsche nicht durch unmittelbare persönliche Einführungen oder fernmündliche Vermittlungen entsprochen werden konnte, wurden die Besuche durch Empfehlungsschreiben in ihren Bemühungen unterstützt. Darüber hinaus wurden in besonderen Fällen Besichtigungsreisen innerhalb Deutschlands zusammengestellt. So wirkte der Verein u. a. bei der Ausarbeitung des Programms der großen Deutschlandfahrt von Ingenieur-Studenten der Universität Kapstadt maßgebend mit. Die Bezirksvereine in den von der Reise berührten Orten nahmen die Gäste herzlich auf und die Geschäftsstelle in Berlin veranstaltete eine eindrucksvolle Begrüßung im Ingenieurhaus. Sie empfing außer diesen 35 südafrikanischen Studenten, 9 amerikanischen Ingenieure der „International Power Tour“, 15 Teilnehmer vom „Fachausschuß für Maschinenbau und Elektrotechnik des Clubs Chinesischer Studenten“ und 112 Einzelpersonen.

Die Mehrzahl der ausländischen Fachgenossen stammte aus den Vereinigten Staaten von Nord-Amerika, England und Japan; es besuchten uns weiterhin Ingenieure aus Frankreich, Rußland, Indien, Holland, Spanien, Südamerika, Kanada, Ägypten, Australien, China, Dänemark, Java, Italien, Rumänien und der Tschechoslowakei.

Die Anknüpfung internationaler Beziehungen während auch den Arbeiten der Weltkraftkonferenz zugute kommen, deren nächste Volltagung im Juni 1930 eine außerordentlich große Zahl von Ingenieuren aller Länder in Berlin vereinigen wird.

Bücherei und Lesesaal

Das Bestreben, den Benutzern der Bücherei und des Lesesaals nicht nur ein immer umfangreicheres Schrifttum zur Verfügung zu stellen, sondern auch die Auswertung des Schrifttums nach Möglichkeit zu erleichtern, war maßgebend dafür, daß neben der bereits bestehenden Kartei der „Technischen Zeitschriftenschau“ und der Kartei der Buchbesprechungen eine Übersicht über Bücher mit umfangreicheren Literaturnachweisen und eine Übersicht nach geographischen Gesichtspunkten neu begonnen wurde. Die eifrige Benutzung der vorhandenen Einrichtungen zum Nachweis von Literatur besteht am besten das Bedürfnis nach ihrem weiteren Ausbau.

Im Jahre 1928 hat der Bestand der Bücherei um

1 995 Bücher und
151 Zeitschriftenbände, zusammen

2 146 Bände (Gesamtwert 22 782 RM) zugenommen, so daß er zur Zeit insgesamt

16 644 Bücher und
3 827 Zeitschriftenbände, zusammen

20 471 Bände, dazu ungefähr
4 000 Dissertationen

außerdem zahlreiche Firmenkataloge umfaßt. Eine größere Anzahl von Werken wurde dankenswerterweise den Mitgliedern des Vereines und Benutzern der Bibliothek als Geschenk überlassen. 687 Zeitschriften, darunter 241 ausländische, gingen laufend ein; der durchschnittliche Wocheneingang betrug 900. Von diesen gingen ständig 210 im Lesesaal aus, die übrigen können auf Wunsch sofort vorgelegt werden.

Der Besuch des Lesesaals steigerte sich von 9960 Personen im Jahre 1927 auf 10520 Personen im Jahre 1928. Die Öffnungszeiten blieben unverändert: Montag, Dienstag, Donnerstag 9 bis 7; Mittwoch, Freitag 9 bis 9; Samstagabend 9 bis 1 Uhr.

DI-Buchhandlung und Bücherstube

Der weitere Ausbau der VDI-Buchhandlung brachte im Jahre 1928 eine Inanspruchnahme, die in der Überbreitung der Zahl der vorjährigen Aufträge um nahezu 100 zum Ausdruck kam. Wesentlich trug zu diesem Erlange die planmäßige Ausbildung von Hilfsmitteln zur vielfachen Unterrichtung über Neuerscheinungen der technischen Literatur, wie Buchkarten, Literaturübersichten, Literaturführer usw. bei.

Die VDI-Bücherstube hat einen gegen die Vorjahre wesentlich gesteigerten Besuch zu verzeichnen. Das große Interesse, das in immer wachsendem Maße den Abendveranstaltungen entgegengebracht wird und oft noch den verfügbaren Raum weit übersteigende Zahl von Gästen dem Ingenieurhaus zuführt, beweist, daß die einfache Form und der ansprechende Rahmen, in dem die Vortrags- und Diskussionsabende stattfinden, ihren Eindruck auf die Besucher nicht verfehlen. Die Themen der Vorträge des Winters 1928/29 waren:

- Leistungssteigerung im Vertrieb,
- Bildungswerte der Technik,
- Gedenkfeier für Max Eyth,
- Im Fluge durch die Sternenhwelt,
- Beziehungen der zeitgenössischen Kunst zum Reiche der Technik.

Literaturberatung

Die „Beratungsstelle für technische Literatur“, durch deren Tätigkeit nicht nur den Mitgliedern des Vereines, sondern der Gesamtheit der Fachgenossen ein wirksames Mittel an die Hand gegeben ist, sich jederzeit einen Überblick über die technische Fachliteratur zu verschaffen und den Weg durch die Papierflut des Schrift-

tums zu erleichtern, ist im Berichtsjahr zu rd. 6000 Auskünften unmittelbar herangezogen worden. Sie konnten bei der engen Zusammenarbeit der Beratungsstelle mit den Schriftleitungen des Vereines und bei dem umfangreichen Material, das ihr in der Kartei der „Technischen Zeitschriftenschau“ zur Verfügung steht, in kürzester Zeit und ausführlichster Form erledigt werden. Die regelmäßig in den VDI-Nachrichten veröffentlichten und als Karteikarten auch unmittelbar versandten „BTL-Übersichten“ über die bemerkenswertesten Neuerscheinungen auf bestimmten literarischen Fachgebieten haben die praktische Schrifttumauswertung wesentlich gefördert. Neu herausgegeben wurden die Literaturzusammenstellungen: „Der Betrieb“, „Die Werkstatt“, „Neue Bücher der Technik“, „Die Wegweiser zum technischen Fachbuch“.

Anzeigenberatung

Je mehr die Bedeutung des Anzeigenteils für die Bewertung einer Zeitschrift im allgemeinen gewürdigt wird, um so mehr macht sich das Bestreben geltend, die technische Anzeige nicht allein nach graphischen Gesichtspunkten zu entwickeln, sondern in ihrer inhaltlichen und textlichen Gestaltung auch die technische Note klar und wirksam zum Ausdruck zu bringen. Ein in diesem Sinne guter Anzeigenteil stellt eine ungemein wertvolle Ergänzung der Textausführungen dar und ist für die Beurteilung der Güte einer Zeitschrift von wesentlichem Einfluß.

Im Jahre 1928 unterstützte die Anzeigenberatung rd. 150 Industriefirmen erfolgreich bei der Ausarbeitung von Anzeigenentwürfen. Um geeignete Unterlagen über die Werbekraft technischer Anzeigen zu gewinnen, veranstaltete sie unter den Lesern der VDI-Zeitschrift eine Umfrage, deren Ergebnis ein Urteil über die Wirkung der in einem bestimmten Heft enthaltenen Anzeigen ermöglichen sollte. Den Entwerfern der hiernach am günstigsten beurteilten Ausführungen wurden Geldpreise zugewiesen. Dieser Wettbewerb führte zur Abgabe von rund 1100 Äußerungen, darunter etwa 100 aus dem Ausland, die in der Fachbeilage „Die technische Anzeige“ der VDI-Nachrichten 1928 Nr. 39 ausgewertet wurden. In einer gelegentlich der Hauptversammlung Essen veranstalteten Sonderausstellung „Die technische Anzeige als Werbemittel“ machte die Anzeigenberatung ihre Tätigkeit und ihre Erfahrungen einem größeren Kreis bekannt.

67. HAUPTVERSAMMLUNG, ESSEN 1928

Zum erstenmal seit Bestehen des Vereines fand die Hauptversammlung im verflossenen Jahre vom 9. bis 11. Juni im Zentrum des Ruhrbergbaues und der rheinisch-westfälischen Industrie, in Essen, statt. Bei der unerkennbar starken Anziehungskraft des „Reviere“ auf die Ingenieurwelt erlebte sie einen Besuch, der mit einer Teilnehmerzahl von 2500 Personen bis dahin noch nicht erreicht worden ist.

Die Hauptversammlung erhielt ihre besondere Note durch die vom Verein deutscher Ingenieure in Gemeinschaft mit der Stadt Essen veranstaltete Ausstellung „Kunst und Technik“, die den Teilnehmern und darüber hinaus der weiteren Öffentlichkeit zum erstenmal im größeren und geschlossenen Rahmen die engen kulturellen Beziehungen zwischen der Berufsarbeit des Ingenieurs und des Künstlers vor Augen führen sollte. Die Ausstellung war zweifellos ein großer Erfolg, da sie nicht nur während der Dauer ihres Bestehens, sondern auch für die Folgezeit die allgemeine Aufmerksamkeit auf das in ihr behandelte Problem gelenkt und zu einer Reihe weiterer Veranstaltungen ähnlicher Art angeregt hat. Eindrucksvoll und nachhaltig hat durch sie das Thema „Kunst und Technik“ in den Vordergrund des Interesses gerückt worden.

Es war auch der Gegenstand eines auf der wissenschaftlichen Tagung der Hauptversammlung von Geh.

Reg.-Rat Prof. R. Riemerschmidt, Köln, gehaltenen tiefdurchdachten Vortrages, der in den Ausführungen von Prof. Dr.-Ing. Plank, Karlsruhe, über „Naturwissenschaft und Technik“ eine wertvolle Ergänzung fand und weit über die Fachkreise hinaus beachtet wurde.

Diese beiden Hauptvorträge wurden umrahmt von neun Fachsitzungen, auf denen die verschiedenen, vom Wissenschaftlichen Beirat des Vereines deutscher Ingenieure gepflegten Forschungsgebiete:

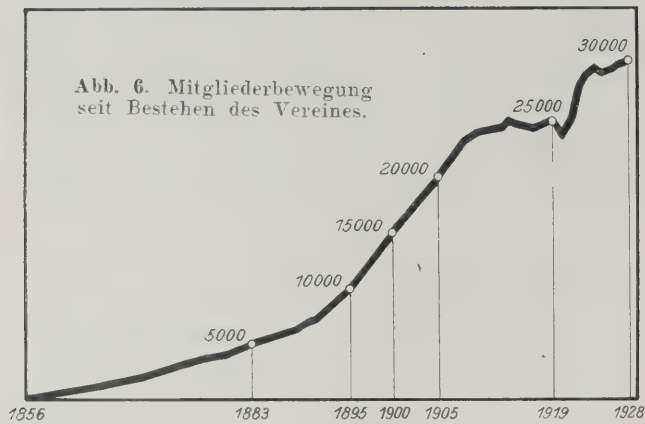
Dampftechnik, Schweißtechnik, Verbrennungsmotoren, Betriebstechnik, Metallkunde, Vertrieb, Ausbildungswesen, Landwirtschaftstechnik und Anstrichtechnik behandelt wurden. Die Deutsche Gesellschaft für Bauingenieurwesen hielt im Rahmen der Hauptversammlung des Vereines ihre Mitgliederversammlung ab.

Die Grashof-Denkmünze wurde im Jahre 1928 an Geh. Hofrat Prof. Dr. phil. Dr.-Ing. E. h. Mollier, Dresden, in Würdigung seiner weltbekannten Verdienste um die Entwicklung der technischen Wärmelehre verliehen.

Die vom Ruhr-Bezirksverein eingesetzten Ausschüsse gestalteten die aufs sorgfältigste vorbereitete Hauptversammlung in wissenschaftlicher und gesellschaftlicher Hinsicht zu einer glänzenden Kundgebung des Vereines deutscher Ingenieure.

MITGLIEDER UND VEREINSVERWALTUNG

Mitgliederbewegung



Die Mitgliederzahl, die im Laufe der letzten Jahre wiederholt infolge der Austrittserklärungen und Löschungen am Jahresschluß um 30 000 pendelte, zeigte am Schluß des Jahres 1928 einen Bestand von 30 220. Einem Zugang von 1311 ordentlichen und 200 besuchenden Mitgliedern steht ein Abgang von 887 ordentlichen und 47 besuchenden Mitgliedern gegenüber. Das ergibt einen Zuwachs von 577 neuen Mitgliedern (gegen 229 im Vorjahr).

Durch den Tod verlor der Verein 335 Mitglieder. Von ihnen seien genannt:

- Baumann, Richard*, Prof. Dr.-Ing. E. h., Prof. d. Techn. Hochschule, Vorst. des Materialprüfungsamtes Stuttgart, Stuttgart.
- Bilfinger, Paul*, Kgl. Baurat, Gen.-Dir., Dr.-Ing. E. h., Leiter der Firma Grün & Bilfinger, Mannheim.
- Bobaricoff, Johann*, Professor für Baumechanik, Moskau.
- Bothmann, Fritz*, Kom.-Rat, Seniorchef der Waggon- und Maschinenfabrik Fritz Bothmann, Gotha.
- Busley, Karl*, Geh. Reg.-Rat, Prof. Dr.-Ing. E. h., Vorsitzender der Schiffbautechnischen Gesellschaft, Berlin.
- Deutsch, Felix*, Dir., Geh. Kom.-Rat, Dr.-Ing. E. h., Generaldirektor der AEG, Berlin.
- Dräger, Bernhard*, Dr.-Ing. E. h., Mitbegründer und Leiter der Drägerwerke, Lübeck.
- Ehrhardt, Heinr.*, Geh. Baurat, Dr.-Ing. E. h., Begründer der Rheinischen Metallwaren- und Maschinenfabrik und Erfinder des nach ihm benannten Walzverfahrens (Ehrenmitglied des Mittelthüringer B.-V.), Zella-Mehlis.
- Kautny, Theodor*, Ing., Senior der Deutschen Schweißtechnik, Düsseldorf-Grafenberg.
- Keller, Karl*, Geh. Rat, Dr.-Ing. E. h., Dr. phil., Dr. phil. nat. h. c., Dozent für Eisenbahnwesen an der Technischen Hochschule Karlsruhe. München.
- Krey, Hans Detlef*, O.-Reg.-Baurat, Dr.-Ing. E. h., Leiter der Versuchsanstalt für Wasserbau und Schiffbau, Berlin.
- Krüger, Willy*, Kom.-Rat, Gen.-Dir., Dr.-Ing. E. h., Direktor der Firma Richard Hartmann, Chemnitz.
- Müller, Adolph*, Direktor, Dr.-Ing. E. h., Direktor der Akkumulatorenfabrik A.-G., Berlin.
- Pfeil, R.*, Reg.-Baumstr., Dir., Dr.-Ing. E. h., Mitglied des Vorstandes der Firma Siemens & Halske A.-G., Berlin-Grünewald.
- Raschig, F.*, Dr., Chemiker, M. d. R., Ludwigshafen a. Rh.
- Roeßler, G.*, Geh. Reg.-Rat, Prof. Dr. phil., Dr.-Ing. E. h., Professor der Elektrotechnik an der Technischen Hochschule, Danzig-Langfuhr.

- Sorge, Kurt*, Dr.-Ing. E. h., Dr. rer. pol. h. c., Ehrenpräsident des Reichsverbandes der Deutschen Industriellen, Berlin-Nikolassee.
- Schroedter, Emil*, Dr.-Ing. E. h., Geschäftsführer des Vereins deutscher Eisenhüttenleute, Mehlem a. Rh.
- Schwab, Max*, Generaldirektor, Düsseldorf, Vorstand Rheinischen Bahn-Gesellschaft.
- Zetzmann, Ernst*, Gen.-Dir., Schiffbau-Direktor der Hamburg-Amerika-Linie (Ehrenmitglied des Brem. B.-V.), Wandsbek.

Von dem bedeutenden, sich von Jahr zu Jahr steigenden Umfang der zur Abwicklung der Mitgliedsgeschäfte erforderlichen Arbeiten erhält man bereits einen hinreichenden Begriff aus der Größe des Posteinganges, der im Berichtsjahr rd. 19 000 Briefe und Karten betrug, während sich der Postausgang auf rd. 20 000 Briefe und Karten belief. Außerdem gelangten 35 000 Zahlungen zur Verbuchung. Weitgehende Rationalisierung des Bürobetriebes durch Einführung maschineller Einrichtungen ermöglichte es, die gesteigerte Arbeitsleistung ohne Erhöhung der Angestelltenzahl zu bewältigen.

Nach dreijähriger Pause erschien im Jahre 1928 wieder in stattlichem Umfang ein neues Mitgliederverzeichnis, das, nach Bezirksvereinen geordnet, einen bequemen Überblick über sämtliche Mitglieder, Vorstände und Ausschüsse des Vereines gewährt.

Mitgliederbewegung 1928.

	ordentliche Mitglieder	besuchende Mitglieder	Gesamt Mitglieder
Bestand 31. 12. 1927	28 780	863	29 643
Zugänge:			
Neuaufnahmen	1 165	200	1 365
Wiederaufnahmen	146	—	146
Übertritte z. ordtl. Mitgliedern	166 =	— =	200
	30 257	1 063	31 320
Abgänge:			
Verstorben	331	4	335
Ausgeschieden	293	26	319
Gelöscht	263	17	280
Übertritte z. ordl. Mitgliedern	— =	166 =	213
Bestand 31. 12. 1928	29 370	850	30 220
Gesamtbestand am 31. 12. 1928			30 220
" " 31. 12. 1927			29 643
Zuwachs 1928			577

Mitgliederaufnahme

Von verschiedenen technischen Mittelschulen lagen Anträge vor um Aufnahme ihrer Absolventen als ordentliche Mitglieder nach Leitsatz 3, d. h. nach mindestens 5jähriger Ingenieurstätigkeit. Dem bereits längere Zeit vorliegenden und vom Ausschuß für Berufsfragen gründlich bearbeiteten Antrag auf Anerkennung der Ingenieurschule Zwickau im erwähnten Sinne wurde stattgegeben. Zur Zeit schweben Anträge der Gauß-Schule in Berlin und der Höheren Technischen Lehranstalt der Stadt Augsburg.

Über den Antrag einer älteren privaten Lehranstalt konnte trotz weitgehender Bemühungen noch keine Entscheidung erzielt werden, weil es bisher nicht gelungen ist innerhalb des Ausschusses für Berufsfragen zu einem eindeutigen abschließenden Urteil über die Stellungnahme zu rein privaten Lehranstalten zu gelangen. In ähnlicher Lage befindet sich der Gutachterausschuß beim Reichsministerium des Innern, der mittlere Lehranstalten hinsichtlich der Zulassung ihrer Absolventen zum mittleren Staatsdienst bewerten soll.

Posteingänge der Geschäftsstelle

Die Gesamtzahl der eingegangenen Postsachen (ohne Umschriften, Pakete und Drucksachen) betrug im abgelaufenen Jahr 77 079 Stück, gegenüber 70 406 Stück im Jahre 1927, 64 180 im Jahre 1926, 59 166 im Jahre 1925 und 54 373 im Jahre 1924.

Ingenieurhilfe

Die Ingenieurhilfe ist im vergangenen Jahre außerordentlich stark in Anspruch genommen worden. Die Ursache hierfür liegt nach wie vor in der großen Stellungsgierigkeit der älteren Ingenieure, für die nur wenig Aussicht auf Unterkommen in der Industrie besteht. Zur Behebung geeigneter Maßnahmen zum Herbeischaffen der für Unterstützungen erforderlichen Mittel fand gelegentlich der Hauptversammlung des Vereines deutscher Ingenieure 1928 in Essen zum ersten Mal eine Aussprache des Kuratoriums mit den Vertrauensmännern der Bezirksvereine statt, in der beschlossen wurde, einen Werbeplan mit Hilfe der Bezirksvereine durchzuführen. Die Ergebnisse der Sammlungen der Bezirksvereine sind zur Zeit noch nicht abgeschlossen. Bis jetzt sind von 13 Bezirksvereinen insgesamt 9064,72 RM bei der Ingenieurhilfe eingegangen.

Die Ingenieurhilfe hat aus den Mitteln der Hilfskasse im Berichtsjahr in 265 Fällen insgesamt 500 RM an Unterstützungen gewährt. Die Leistungen in den Vorjahren waren folgende:

Jahr	Hilfskasse		Nothilfskasse		Rückzahlungen RM
	Unterstützungsfälle	Unterstützungen RM	Unterstützungsfälle	Unterstützungen RM	
1924	188	20 014	—	—	171
1925	266	37 150	—	—	494
1926	299	35 883	270	43 400	651
1927	163	27 425	238	48 600	1414,90
1928	265	56 500	—	—	1743,50

Allen Spendern, die der Hilfskasse wieder Beiträge zur Verfügung gestellt haben, sei an dieser Stelle nochmals herzlichst gedankt!

Der Stellennachweis der Ingenieurhilfe wurde unter den obwaltenden Umständen außerordentlich stark in Anspruch genommen. In zahlreichen Fällen veröffentlichten die VDI-Nachrichten besonders für ältere notleidende Mitglieder kostenfrei Stellengesuchanzeigen. Im Berichtsjahr betrug die Zahl der Stellengesuche 333, der Stellenangebote 286, der vermittelten Stellen 162.

Auf Antrag der Ingenieurhilfe sind aus Mitteln der Reichsanstalt für Arbeitsvermittlung und Arbeitslosenversicherung dem Verein deutscher Ingenieure 94 500 RM zur Verfügung gestellt und auf diese Weise im Berichtsjahre 6 erwerbslose Ingenieure während je 6 Monaten mit der Durchführung von Forschungsarbeiten beschäftigt worden. Diese Hilfsmaßnahme hat, soweit mit den wissenschaftlichen Arbeiten am 1. November 1928 begonnen werden konnte, am 30. April 1929 ihr Ende erreicht.

Ehrensold

Der vom Verein verwaltete Ehrensold der Industrie, V., der in Not geratenen, um die Naturwissenschaften und Technik besonders verdienten Männern für ihr eigenes Alter oder für ihre näheren Angehörigen einen angemessenen Lebensunterhalt sichern soll, hat im abgelaufenen Jahr in neun Fällen laufende monatliche Unterstützungen gewährt. Da die Anforderungen an den Ehrensold im Berichtsjahr gestiegen sind, veranstaltete der Verwaltungsrat bei einigen Firmen und Verbänden, die bereits früher dem Ehrensold einen Beitrag gestiftet hatten, und neuer bei einigen größeren Industriefirmen eine Werbung, die ein befriedigendes Ergebnis hatte. Weiter wird damit gerechnet, daß die von einer Reihe von Firmen seit 1924 gezahlten jährlichen Beiträge, die letztmalig für 1929 zugesagt sind, auch für die folgenden drei Jahre dem Ehrensold wieder zur Verfügung stehen werden. Die Auszahlung

der vom Verwaltungsrat bewilligten Renten dürfte dann für die nächsten fünf Jahre als gesichert gelten, wenn nicht außergewöhnliche Anforderungen an den Ehrensold gestellt werden.

Stiftungen

Die Georg-Klingenberg-Stiftung, im Jahre 1927 von der Gattin des verstorbenen Geh. Baurates Prof. Dr. phil. Dr.-Ing. E. h. Georg Klingenberg errichtet, um befähigte Studierende der deutschen Technischen Hochschulen durch Zuschüsse in ihrem Berufsstudium zu fördern, konnte im Berichtsjahr zwei Stipendien in Höhe von je 600 RM vergeben. 27 Bewerbungen lagen vor.

Die C. Bach-Stiftung zur Förderung technisch-wissenschaftlicher Versuche vergab im Jahre 1928 kein Stipendium.

Rechnung des Jahres 1928

Die Ausgaben übersteigen die Einnahmen um rd. 56 000 RM, die dem Vortrag aus den Jahren 1926 und 1927 entnommen wurden. Die verbleibenden 28 366,86 RM wurden für das Jahr 1929 vorgetragen.

Eingaben

10. Juli 1928. An das Reichsjustizministerium betr. mündliche Verhandlungen des Reichsjustizministeriums mit den Fachverbänden über den Entwurf eines Gesetzes zur Abänderung der Gesetze über den gewerblichen Rechtsschutz.
22. Oktober 1928. An das Reichsjustizministerium betr. Stellungnahme des Patentausschusses zu dem Gutachten des Vorläufigen Reichswirtschaftsrates über den Entwurf eines Gesetzes zur Abänderung der Gesetze über den gewerblichen Rechtsschutz.
23. November 1928. An das Reichsjustizministerium betr. Auskunft über den Geschäftsgang beim Reichspatentamt.
3. und 26. Juli, 14. September, 3. November 1928. An das Reichsverkehrsministerium betr. Ausführungsbestimmungen zum Luftverkehrsgesetz.
25. August 1928. An den Preußischen Herrn Ministerpräsidenten betr. Vorbildung der Ingenieure zum höheren Verwaltungsdienst.
25. August 1928. An den Preußischen Landtag betr. Vorbildung der Ingenieure zum höheren Verwaltungsdienst.

VDI-Verlag G. m. b. H.

Wenn in einer Zeit, in der die allgemeine ungünstige Wirtschaftslage und die abnehmende Neigung der Ingenieure, sich in die Fachliteratur zu vertiefen, der Entwicklung im Zeitschriftenverlag besonders abträglich sind, gleichwohl der Bezieherstand der VDI-Zeitschriften einen Jahreszuwachs von etwa 7 vH aufweisen kann, so darf das zweifellos als beachtenswerter Erfolg gedeutet werden. Rund 3 500 000 Hefte gehen jetzt jährlich durch die Auslieferung des VDI-Verlages.

Die Spitzenleistungen des VDI-Verlages in der Ausstattung seiner Zeitschriften sind unbestritten. Der Textteil der VDI-Zeitschrift konnte im letzten Jahr reich mit Bildtafeln ausgestattet werden; er gehört mit 1938 Seiten zu den umfangreichsten bisher erschienenen Jahrbänden. Besondere Pflege ließ der VDI-Verlag auch im abgelaufenen Jahr der weiteren Vervollkommen des für den Anzeigenteil der VDI-Zeitschrift eingeführten Offsetdrucks andeuten; durch eine enge Gemeinschaftsarbeit mit den Druckereien, Papierfabriken und Ätzanstalten konnten hier wiederum sichtbare Fortschritte erreicht werden.

Um vielfachen Wünschen aus dem Leserkreis gerecht zu werden, wurden mit Beginn des Jahrganges 1929 in

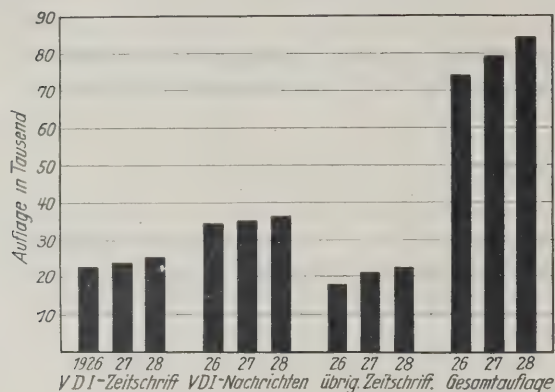


Abb. 7. Auflagenhöhe der VDI-Zeitschriften.

der Zeitschrift „Maschinenbau“ die wirtschaftlichen Aufsätze in einem besonderen, leicht abtrennbaren Teil unter der Überschrift „Maschinenbau, wirtschaftlicher Teil“ zusammengefaßt. Die technischen Aufsätze dieser Zeitschrift erhielten die zusammenfassende Bezeichnung „Der Betrieb“. Hiermit wird auch äußerlich zum Ausdruck gebracht, daß die der Zeitschrift bei ihrer Gründung mitgegebene Tendenz weiterhin beibehalten werden soll.

Die Entwicklung in der Auflagenhöhe der VDI-Zeitschriften in den letzten drei Jahren zeigt das obenstehende Bild.

Beuth-Verlag

Der Beuth-Verlag als gemeinsame Vertriebsstelle für die Ergebnisse der Gemeinschaftsarbeit, soweit sie technische Vereinbarungen vorbereitet und in Normen, Lieferbedingungen, Regeln und Vorschriften zum Niederschlag bringt, ist in seiner Entwicklung natürlich von dem Fortschritt dieser Arbeiten in den einzelnen Körperschaften abhängig. Es zeigt sich immer mehr, daß es für die schaffende Technik eine außerordentliche Erleichterung bedeutet, alle Veröffentlichungen dieser Art von einer Stelle beziehen zu können, die gleichzeitig verbindlich über den Stand dieser auf Selbstverwaltung beruhenden „technischen Gesetzgebung“ Auskunft gibt. Der Beuth-Verlag hat hierdurch eine über den unmittelbaren Vertrieb hinaus-

gehende Bedeutung im planmäßigen Aufbau der technischen Selbstverwaltung.

Im Jahre 1928 veröffentlichten:

Deutscher Normenausschuß (DNA)

- 682 Normenblätter, davon 541 neu, 8 erweitert, 133 geändert
- DIN-Taschenbuch 1 „Grundnormen“ in 3. Auflage
- DIN-Taschenbuch 2 „Schaltzeichen und Schaltbilder“ in 2. Auflage
- DIN-Taschenbuch 4 „Werkstoffnormen“ in 3. Auflage
- DIN-Taschenbuch 6 „Werkzeuge“ in Neuausgabe
- DIN-Taschenbuch 7 „Elektrotechnik, Maschinen, Transformatoren und Apparate“ in 2. Auflage
- DIN-Taschenbuch 9 „Normalprofile“ in 2. Auflage
- DIN-Taschenbuch 11 „Lehren“ in Neuausgabe
- Beuth-Heft 1 „Werkstoffnormen Stahl und Eisen“ in 4. Auflage
- Nachtrag zum Normblatt-Verzeichnis Herbst 1927

Ausschuß für wirtschaftliche Fertigung (AWF)

- 6 Betriebsblätter
- 7 Maschinenkarten und 1 Anleitung hierzu
- 22 Getriebeblätter
- 1 Buch „Getriebe und Getriebemodelle“
- 4 Beobachtungsbogen
- 7 Blätter über Stanzertechnik
- 10 Merkhefte

Ausschuß für wirtschaftliche Verwaltung (AWV)

- 1 „ABC-Regeln“ (Wandtafel)
- 1 Buch „Richtlinien für die Behandlung der Geschäftspost“

Reichsausschuß für Lieferbedingungen (RAL)

- 8 Blätter über Lieferbedingungen
- 2 Farbtafeln

Reichsausschuß für Arbeitszeitermittlung (Refa)

- 1 Refa-Buch „Einführung in die Arbeitszeitermittlung“

Unfallverhütungsbild GmbH

- 42 Unfallbilder
- 1 Nachtrag zum Unfallbild-Verzeichnis

Arbeitsgemeinschaft deutscher Betriebsingenieure (ADB)

- 1 Mappe Werkzeugmaschinenblätter (Vervollständigung der 1 erschienenen 23 Blätter)

Reichsforschungsgesellschaft (RFG)

- 1 Sonderheft „Kleinwohnungsgrundrisse“
- 1 Sonderheft „Die Küche“

Arbeitsgemeinschaft Technik in der Landwirtschaft (ATL)

- 7 ATL-Lehrbildtafeln
- 3 ATL-Schriften
- 4 ATL-Betriebsmerkblätter

Reichskuratorium Technik in der Landwirtschaft (RKTL)

- RKTL-Heft 1 „Untersuchungen an Gebläseförderanlagen für Pflanzensaat und Stroh“
- RKTL-Heft 2 „Beiträge zur Kenntnis des Sortiervorganges bei Sichtung von Saatgetreide durch Windströme“

Beuth-Verlag

- „Der technische Zeichner“ von L. J. Kaiser, Berlin
- Richtlinien für die Mitarbeiter
- Richtlinien für die Vorarbeiter
- Richtlinien für Meisterkursus und Meisterprüfung

von Prof. Friedrich
Karlsruhe

Verein deutscher Ingenieure (V.d.I.)

- Richtlinien für die Anforderung für den Bau von Rauchgaswärmern

Deutscher Dampfkessel-Ausschuß (DDA)

- Werkstoff- und Bauvorschriften für Schiffsdampfkessel
- Werkstoff- und Bauvorschriften für Landdampfkessel

TÄTIGKEIT DER MIT DEM VEREIN ENG ZUSAMMENARBEITENDEN KÖRPERSCHAFTEN

Deutscher Verband Technisch-Wissenschaftlicher Vereine

Nach Aufnahme der Gesellschaft für angewandte Mathematik und Mechanik und des Verbandes für autogene Metallbearbeitung gehörten am Ende des Jahres 1928 dem Deutschen Verband 38 Körperschaften als Mitglieder an.

Unter den Ausschüßarbeiten nahmen im Berichtsjahr die des Deutschen Nationalen Komitees der Weltkraftkonferenz den weitaus größten Raum ein. An der letzten Tagung der Weltkraftkonferenz, die als Brennstofftagung in der Zeit vom 24. September bis 6. Oktober 1928 in London stattfand, hat die gesamte technische Welt lebhaftesten Anteil genommen. Deutschland hatte von rd. 170 Berichten, die der Versammlung vorgelegt wurden, 17 geliefert und war durch 70 von insgesamt 1500 Teilnehmern auf der Tagung vertreten. Eine ausführliche Würdigung der Veranstaltung, ihres Verlaufs und ihrer Ergebnisse brachten — abgesehen von den überaus zahlreichen Berichten der in- und ausländischen Tages- und Fachpresse — die VDI-Nachrichten 1928 Nr. 40 und die VDI-Zeitschrift 1929 Nr. 1.

Die Teilkonferenz in Barcelona, die vom 15. bis 23. Mai ds. Js. stattfand und der Gesamtausnutzung der Wasserkraft gewidmet war, hat sich sowohl mit allgemeinen technischen, wirtschaftlichen und finanziellen Problemen der Wasserkraftwirtschaft, als auch mit

gesetzlichen Aufgaben und den Maßnahmen des Wasserschutzes befaßt. Von deutscher Seite waren für diese Tagung vier Beiträge angemeldet.

An den Vorbereitungen zum Weltingenieurkongreß in Tokio, mit dem in der Zeit vom 29. Oktober bis 7. November wiederum eine Teiltagung der Weltkraftkonferenz verbunden sein wird, nehmen weiteste Kreise der Ingenieurwelt, der Wirtschaft und Wissenschaft allen Ländern, besonders in Amerika, regen Anteil. Diesem ersten Einladungs des Fernen Ostens zu einer internationalen technisch-wissenschaftlichen Veranstaltung werden voraussichtlich etwa 330 auswärtige, davon 36 deutsche Teilnehmer Folge leisten. Rd. 60 Anmeldungen von Beiträgen liegen bereits jetzt aus Deutschland vor.

Die Vorarbeiten für die vom 16. bis 25. Juni 1930 in Berlin stattfindende Zweite Vollkonferenz der Weltkraftkonferenz haben naturgemäß die Tätigkeit des Deutschen Verbandes im Berichtsjahr am stärksten beeinflusst. Das vorläufige technische Programm der Konferenz, in der Exz. Oskar von Miller das Ehrenpräsidium und Generaldirektor Dr.-Ing. E. h. Kötting den Vorsitz übernommen haben, ist bereits in vielen tausend Exemplaren in deutscher, französischer und englischer Sprache in der ganzen Welt verbreitet worden und hat lebhaften Widerhall gefunden. Zur Bearbeitung der einzelnen Teilgebiete: feste Brennstoffe, flüssige Brennstoffe, gasförmige Brennstoffe, Dampfkraftanlagen, Verbrennungskraft-

agen, Wasserkraftanlagen, mechanische Energieleitung, Elektrizität, Allgemeines (Statistik, Rechtsfragen, Ausbildung, Normung) sind neun Fachausschüsse gebildet worden, in denen 300 führende deutsche Fachleute als tätige Mitarbeiter vertreten sind. Das wesentliche Ziel der Ausübungstätigkeit ist zunächst, für die Erörterung vor der Konferenz geeignete Themen in Vorschlag zu bringen und Länder zu benennen, mit deren Nationalen Komitees Deutschland in Verbindung treten könnte, um Berichte über bedeutenden Persönlichkeiten zu erbitten. Sodann werden die Fachausschüsse bei der Aufstellung des endgültigen technischen Programms wertvolle Arbeit zu leisten haben, während es den noch zur Zeit in Bildung begriffenen Geschäftsausschüssen obliegt, sich mit den Finanzen, der Abklärung der Berichte, der Werbung und dem Verkehr, der gesellschaftlichen Veranstaltungen und Besichtigungen zu befassen. Bereits der augenblickliche Stand der Arbeiten gewährleistet, daß die bevorstehende Vollkonferenz der Weltkraftkonferenz als erste große internationale technisch-wissenschaftliche Tagung, die nach dem Kriege in Deutschland stattfindet, mit der Sorgfalt vorbereitet wird, die man erwartet.

In der Sammlung der Illustrierten Technischen Wörterbücher konnte im Berichtsjahr das technologische Handbuch der Elektrotechnik und Elektromotoren dem Buchhandel übergeben werden. Band 1 der „Maschinenelemente“ wird gegenwärtig neu bearbeitet, der Fachband „Luftfahrt“ ist vollkommen satzfertig. Große Beachtung, die nicht nur in den Kreisen der Industrie, sondern auch der Behörden, Konsulate u. dergl. den Illustrierten Technischen Wörterbüchern geschenkt wird, läßt darauf schließen, daß ihre Bedeutung über den Kreis der gesamten Technik hinaus auch für die Förderung der zwischenstaatlichen Handelsbeziehungen an einer wichtiger Stelle richtig eingeschätzt wird. Gleichwohl läßt sich zu wünschen, daß diese Erkenntnis recht bald Gelegenheit aller Schichten von Technik und Wirtschaft nutzen möchte.

Das als erstes Arbeitsergebnis des im Vorjahre gegründeten Ausschusses für Technisches Schrifttum vorgelegte „Merkblatt für technisch-wissenschaftliche Veröffentlichungen“ ist bereits in 2. Auflage erschienen, nachdem die erste Auflage von 10 000 Stück in wenigen Monaten vergriffen war. Inzwischen sind auch die vom Ausschuß aufgestellten „Richtlinien für Vorträge technisch-wissenschaftlichen Inhalts“, sowie die „Richtlinien für die Gestaltung von Vortragsräumen“ der Öffentlichkeit übergeben. Bezüglich der schon seit längerer Zeit erteilten Errichtung eines technisch-wissenschaftlichen Vortragsnachweises hat der Ausschuß für technisches Schrifttum eine Umfrage in mehr als 2000 Stück an öffentliche in Frage kommenden Behörden, technisch-wissenschaftlichen Vereine und Organisationen, an die Industrie und sonstige interessierte Stellen des gesamten deutschen Sprachgebietes einschließlich Deutsch-Österreichs und der Schweiz gesandt. Sie ergab, daß weit über 100 Stellen für ziemlich alle Gebiete der Technik einen Vortragsnachweis besitzen und daß die Errichtung einer Vortragszentrale von diesen Stellen lebhaft begrüßt werden würde. Die Unterkommission wurde mit der Beratung von Einzelvorträgen betraut.

Der Deutsche Ausschuß für das Schiedsgerichtsverfahren wurde während des Berichtsjahres in 38 Fällen zur Entscheidung bei Streitigkeiten herangezogen, die im Schiedsgerichtsverfahren durch die Ernennung oder Abberufung eines Schiedsrichters bzw. Obmannes veranlaßt wurden. Die Nachfrage nach der Schiedsgerichtsordnung ist zum 31. Dezember 1928 seit der Herausgabe ihrer letzten Fassung im Jahre 1925 sind fast 4000 Exemplare verkauft worden. Ihre Anerkennung wird wesentlich dadurch gefördert, daß die Schiedsverbindungsordnung für Bauleistungen, die von einer großen Zahl deutscher Städte bereits angenommen ist, die Schiedsgerichtsordnung des Deutschen Ausschusses als bindend vorsieht, sofern nicht ausdrücklich ein Verfahren vor einem ordentlichen Gericht vereinbart ist.

Im Rahmen des vor etwa Jahresfrist ins Leben gerufenen Auslandsdienstes wurden besonders enge Be-

ziehungen mit den technisch-wissenschaftlichen Kreisen Rußlands dadurch unterhalten, daß der Deutsche Verband sich als korrespondierende Stelle der in Rußland gegründeten Deutsch-Russischen Gesellschaft „Kultur und Technik“ zur Verfügung stellte. Er hat in Zusammenarbeit mit seinen Mitgliedervereinen nach Rußland wiederholt Auskünfte über technisch-wissenschaftliche Veröffentlichungen erteilt, Sachverständige für verschiedene Gebiete namhaft gemacht, den Besuch von Büchereien vermittelt und insbesondere das Zustandekommen der „Woche deutscher Technik“ gefördert. Sie fand vom 8. bis 15. Januar 1929 in Moskau statt. Deutschland war hierbei vertreten durch die Herren: Geh. Reg.-Rat Prof. Dr. Fischer, Dr.-Ing. E. h. Gminder, Prof. Dr. Heß, Prof. Dr.-Ing. E. h. Matschoß, Exzellenz v. Miller, Prof. Dr.-Ing. Probst, Prof. Dr. Ries, Architekt B D A Taut, Dr.-Ing. Wendt, Zivilingenieur Zander, Dr. Zoerner. Die ungewöhnlich herzliche Aufnahme der deutschen Delegation und die rege Beteiligung der russischen Öffentlichkeit an den Veranstaltungen, insbesondere den Vorträgen, ließen die „Woche deutscher Technik“ zu einer eindrucksvollen Kundgebung für die Anbahnung einer Erfolg versprechenden technisch-wissenschaftlichen Gemeinschaftsarbeit zwischen den beiden Ländern werden.

Die „Siemens-Ring-Stiftung“ beschloß in ihrer Sitzung am 13. Dezember 1928, als neue Ehrung für bedeutende Männer der Technik ihr Andenken durch Überweisung von jährlich 100 wertvollen Bildnissen an Volks- und Mittelschulen in den Kreisen der heranwachsenden Jugend festzuhalten.

Das Bedürfnis nach eingehender Erörterung der Fragen, nach welchen allgemeinen Richtlinien sich die Ingenieurausbildung an den Technischen Hochschulen bei der ständig wachsenden Fülle und Vielseitigkeit des Stoffes und den sich dauernd steigenden Anforderungen der Industrie entwickeln soll, führte im Berichtsjahr erneut zur Abhaltung einer Hochschultagung. Sie fand am 29. November 1928 in Dresden statt und vereinigte rd. 180 Vertreter der Reichs- und Staatsbehörden, aus Industrie und Wissenschaft. Sechs einleitenden Berichten der Herren Nügel, Matschoß, Probst, Zenneck, Heidebroek, Neumann folgte eine eingehende Aussprache, in deren Verlauf angeregt wurde, beim Deutschen Verband Technisch-Wissenschaftlicher Vereine in Zusammenarbeit mit dem Deutschen Ausschuß für Technisches Schulwesen und dem V. d. I. eine Stelle zu schaffen, in der Vertreter der Industrie, der Hochschulen und Behörden, sowie der jeweils interessierten Kreise in gemeinsamer Beratung grundlegende Einzelfragen der Hochschulausbildung bearbeiten sollen. Der Inhalt der Vorträge, sowie die Ergebnisse der Aussprache werden in einer besondern Druckschrift niedergelegt. Eine ausführliche Veröffentlichung über den Tagungsverlauf brachten die VDI-Nachrichten 1928, Nr. 49.

Die Nachfrage nach den Lehrmitteln der Technisch-Wissenschaftlichen Lehrmittellzentrale (TWL) hat im Jahre 1928 bedeutend zugenommen. Käuflich und leihweise wurden rd. 48 000 Diapositive (gegenüber 34 500 im Vorjahre) sowie 33 000 Papierabzüge für episkopische Projektion und zum Verteilen an die Hörer in Vorträgen abgegeben. Zahlreiche neue Lichtbildreihen mit rd. 2400 Diapositiven wurden neu angefertigt. Gemeinsam mit der Staatlichen Hauptstelle für den naturwissenschaftlichen Unterricht war schon im vorigen Berichtsjahr die Schaffung geeigneter Unterlagen für die Berücksichtigung der Technik im Unterricht der allgemeinbildenden Schulen in Angriff genommen worden. (Drucksache N 24). Die hierfür gewählten Darstellungen fanden nicht nur als Diapositive, sondern in größerem Umfange auch als Illustrationen physikalischer und chemischer Lehrbücher Verwendung.

Mit Behörden und gemeinnützigen Körperschaften arbeitete die TWL im Berichtsjahr eng zusammen. U. a. wurde gemeinsam mit der Arbeitsgemeinschaft deutscher Betriebsingenieure die Herausgabe einer Lehrmittelsammlung „Werkstattgerechtes Konstruieren“, eine auf Anregung von Hrn. Kötting unternommene Arbeit, wesentlich gefördert.

Deutscher Verband für die Materialprüfungen der Technik

Die ständige Erweiterung und Vervollkommnung der Materialprüfverfahren und die wachsenden Anforderungen an die Genauigkeit der Untersuchungen drängen immer mehr dazu, durch zweckmäßige und rechtzeitige Bekanntgabe vorliegender Ergebnisse den Erfahrungsaustausch zwischen allen mit der Pflege des Prüfwesens betrauten Stellen zu fördern und die Bestrebungen um Vereinheitlichung der Prüfverfahren wirksam zu unterstützen.

Durch Überführung der Normen für Prüfverfahren und der Stoffnormen in das Normensammelwerk, durch Ausarbeitung einheitlicher, als DVM-Richtlinien gekennzeichnete Prüfverfahren und durch laufende Berichte über seine Ausschubarbeiten in Form von Zwanglosen Mitteilungen und Druckschriften ist der Deutsche Verband für die Materialprüfungen der Technik (DVM) bemüht, an der Weiterentwicklung des Prüfwesens erfolgreich mitzuwirken.

Gleichgerichtete Interessen legten eine enge Zusammenarbeit mit dem Deutschen Normenausschuß nahe; stoffkundliche Forschungsarbeiten größeren Umfangs wurden durch den Wissenschaftlichen Beirat des Vereines deutscher Ingenieure unterstützt, mit dessen Fachausschüssen der DVM dauernd in Verbindung steht.

Mit dem Österr. Verband für die Materialprüfungen der Technik (ÖVM) ist durch gemeinsame Herausgabe von Zwanglosen Mitteilungen, durch Vertretung des ÖVM in den Ausschüssen des DVM und durch gemeinsame Führung einzelner Ausschüsse ein fester Zusammenhang geschaffen, und im Neuen Internationalen Verband für die Materialprüfungen, der seine Arbeiten im Jahre 1928 aufnahm, ist der DVM mit über 300 Mitgliedern vertreten. Für die Vorbereitung des nächsten internationalen Kongresses für Materialprüfungen hat der DVM 20 Berichte angemeldet.

Arbeitsergebnisse des Jahres 1928, veröffentlicht in Normblättern (DIN, DVM), Druckschriften (Dr) oder in den Zwanglosen Mitteilungen (ZwM):

Natürliche Gesteine (Probeentnahme und petrographische Untersuchung, Kantenfestigkeit, Schlagfestigkeit [DIN DVM 2101, 2106, 2107, ZwM Nr. 11, 14]).
Schmiermittel (Toleranzen, Wassergehalt, Aschegehalt, Säurezahl, Verseifungszahl, Probeentnahme, Stockpunkt, Tropfpunkt der Fette, feste Brennstoffe [ZwM Nr. 11, 12]).
Kerbschlagprobe (Versuche a. d. Techn. Hochschule Dresden, Vorbereitung der Normung der Probenform [ZwM Nr. 14]).
Härteprüfung (Änderung des Blattes DIN 1605, Neuere Verfahren, Härte Schneidhärte [ZwM Nr. 12], Herausgabe von Umrechnungstabellen für Brinellhärte [Dr]).
Traß (Neubearbeitung der Normen, Sieben-Tage-Probe, Kieselsäuregehalt [ZwM Nr. 11, 13, DIN 1043]).
Anstrichstoffe (Begriffe und Benennungen, Analyse der Anstrichstoffe, Hausanstriche, Schnellprüfungen [ZwM Nr. 12, DIN DVM 3210]).
Verschleißwiderstand (Vergleichende Untersuchungen von Maschinen und Werkstoffen [ZwM Nr. 12]).
Streckgrenze (Vergleichende Untersuchungen über Beeinflussung der Streckgrenzenlage [ZwM Nr. 14]).
Leimprüfung (Prüfung von Lederleimen [ZwM Nr. 13]).
Drahtseilprüfung (Normen für Prüfverfahren [ZwM Nr. 7, DIN DVM 1201]).
Holzprüfung (Entwurf für Prüfverfahren [ZwM Nr. 14]).
Fußbodenbeläge (Prüfung von Steinholz und von Mosaikplatten [ZwM Nr. 14]).
Dachdeckstoffe (Normen für Bitumenpappen, Rohpappen, Klebemassen, Dachanstrichstoffe [DIN DVM 2117/2137]).
Textilien (Prüfverfahren von allgemeiner Bedeutung für Fasern, Gespinste und Gewebe, Prüfung von Flachgespinsten, roh und gebleicht [ZwM Nr. 14]).
Prüfung von Schreibinte (Untersuchungen von Tinten [ZwM Nr. 14]).
Brennstoffe (Feste Brennstoffe — Probeentnahme, Koksrückstand und flüchtige Bestandteile, Chemische Prüfung, Kalorimetrische Prüfung — Flüssige Brennstoffe — Gasförmige Brennstoffe [ZwM Nr. 13]).

Deutsche Gesellschaft für Bauingenieurwesen

Entsprechend den größeren Aufgaben, die während des Berichtsjahres dem Bauingenieurwesen im allgemeinen erwachsen, kann die Deutsche Gesellschaft für Bauingenieurwesen eine Aufwärtsentwicklung ihrer Tätigkeit vermerken, wenn auch die günstigen Auswirkungen sich erst allmählich zeigen können. Regere Anteilnahme der Fachkreise, insbesondere an den Ausschubarbeiten, könnte viel dazu beitragen, diese ihrem Abschluß schneller entgegenzuführen.

Der Ausschuß für die Erforschung des Windeinflusses auf Bauwerke konnte durch die Beihilfe des Wissenschaftlichen Beirates des Vereines

deutscher Ingenieure seine im Vorjahre begonnenen Versuche mit offenen Gebäudemodellen fortsetzen; sie wurden wiederum von der Aerodynamischen Versuchsanstalt Universität Göttingen durchgeführt. Die Sammlung Beobachtungen außergewöhnlicher Windwirkungen vervollständigt worden.

Der Deutsche Ausschuß für Baugrunderforschung hat auf den Entwurf eines Merkblattes die Entnahme und Behandlung von Bodenproben nach 100 Zuschriften erhalten, die in den Abänderungsschlägen zum vorläufigen Merkblatt verarbeitet wurden. Ferner wurden die gebräuchlichen Bezeichnungen Bodenarten zusammengestellt. Die Zusammenarbeit der vom Reichsverkehrsministerium und der Deutschen Reichsbahn gegründeten Deutschen Forschungsgesellschaft für Bodenmechanik an der Technischen Hochschule Berlin ist gesichert.

Der Arbeitsausschuß für das Garagenwesen befaßte sich, einem Wunsche des Reichsverkehrsministeriums folgend, mit der Frage einer etwaigen Vereinheitlichung der Länderverordnungen über Garagenwesen.

Der Ausschuß für die Berufsausbildung des akademischen Bauingenieurs, die Antworten auf den im Vorjahre von ihm ausgesandten Fragebogen über das Verhältnis zwischen fachwissenschaftlichem und wirtschaftlichem Lehrstoff zusammengestellt und veröffentlicht. Nunmehr werden die statistischen Ermittlungen der Technischen Hochschule Berlin über das Praktikantenwesen verfolgt und ausgewertet.

Die Gesellschaft hielt im Jahre 1928 ihre ordentliche Mitgliederversammlung gleichzeitig mit der Hauptversammlung des Vereines deutscher Ingenieure in Essen eine Herbsttagung in Berlin und eine Bauwissenschaftliche Tagung mit anschließender Besichtigung der Maschinen in Leipzig ab. Einschließlich der Veranstaltungen in Ortsgruppen fanden im Berichtsjahr insgesamt 16 Vorträge und 12 Besichtigungen statt, über die im Organ der Gesellschaft, der Zeitschrift „Der Bauingenieur“, auch an anderen Stellen ausführlich berichtet wurde.

An den mit Unterstützung des Reichskuratoriums für Wirtschaftlichkeit von Prof. Dr. Garbotz angeregten durchgeführten Versuchen zur Feststellung der günstigsten Betonmischungen war die Gesellschaft beteiligt. Der Literaturnachweis der Gesellschaft wurde 190 Fällen in Anspruch genommen.

Deutsche Gesellschaft für Metallkunde

Die überaus rege Anteilnahme in den Kreisen der Metallverbraucher an allen Fragen der Werkstoffkunde insbesondere an der Entwicklung der Leichtmetalle neben den wissenschaftlichen Arbeiten der Gesellschaft im Rahmen ihrer Fachausschußsitzungen vor allem nach außen gerichteten Veranstaltungen, die Fachtagungen, zu besonderer Bedeutung gelangen. Sie sind wertvollen Mittlern metallkundlicher Kenntnisse und Maschinenbauern und Betriebsfachleuten geworden. Erfreuten sich im Berichtsjahr eines sehr guten Besuchs. Um ihren Arbeiten eine möglichst breite Grundlage zu geben, unterhält die Gesellschaft Beziehungen auch nach außen, ihrem Schaffensgebiet nahestehenden in- und ausländischen Körperschaften.

So wurde von den beiden in Berlin abgehaltenen Fachtagungen des Jahres 1928, „Röntgenforschung“ und „Metalle im Kraftwagen- und Flugzeugbau“, die letztere in Verbindung mit dem Reichsverband der Automobilindustrie und in Anlehnung an die beiden großen internationalen Berliner Ausstellungen für Flugzeuge und Kraftwagen durchgeführt. Die zur Hauptversammlung der Gesellschaft in Dortmund (Juni 1928) gebotene gleichfalls auf einen weiten Zuhörererkreis abgestimmte Vortragsreihe „Gase in Metallen“ wurde unter Beteiligung des Vereines deutscher Eisenhüttenleute veranstaltet.

Mit dem Verband Deutscher Elektrotechniker steht die Gesellschaft durch ihre Ausschubarbeiten in enger und ständiger Fühlung, und die guten Beziehungen zu den Institute of Metals werden im Jahre 1929 auch äußerlich

rin zum Ausdruck kommen, daß kurz nach der Hauptversammlung der deutschen die der englischen Gesellschaft für Metallkunde in Düsseldorf stattfindet.

Die in regelmäßigen Abständen angesetzten Vorgesandte behandelten u. a. „Elektrisch geheizte Glühbirnen“, die in Amerika seit längerer Zeit im Gebrauch, die Herstellung hochwertiger Ware jetzt auch in Deutschland mehr und mehr Bedeutung gewinnen.

Die Metallfachabende in Berlin und Stuttgart boten eine Reihe von Veranstaltungen, die neben der sachlichen Aussprache im engeren Kreise auch der Gewöhnung der jüngeren Fachleute an den öffentlichen Vortrag und dem Meinungsaustausch dienten.

In den Fachausschüssen hat sich, nachdem im Vorjahre die Vorbereitungen zur Werkstoffschau vorübergehend einen Rückgang in der Betätigung zur Folge hatten, nunmehr wieder ein reges Leben entfaltet. Im Ausschuß für Aluminium und Leichtlegierungen sind in dem Unterausschuß planmäßige Untersuchungen über Ermüdungsfestigkeit bei vergütbaren Aluminiumlegierungen in Angriff genommen, in einem andern werden die bisher noch mangelhaften Unterlagen für die Kennzeichnung von Aluminiumguß-Legierungen gesammelt bzw. erstellt. Der Unterausschuß für Aluminiumleitungen hat den neuen Bericht über die Bewährung von Aluminiumleitungen für Starkstrom bei den deutschen Elektrizitätswerken herausgegeben und im Anschluß daran der Kommission für Starkstrom-Freileitungen beim Verband Deutscher Elektrotechniker Vorschläge für die Verbesserung der Armaturen bei Aluminiumleitungen unterbreitet. Der mit dem Verband Deutscher Elektrotechniker zusammenarbeitende Unterausschuß für Aluminiumleitungsnormen stellte einen Entwurf auf, der bei der nächsten Sitzung der Internationalen Elektrotechnischen Commission in Paris teilweise angenommen worden ist. Auch der auf Antrag des Verbandes Deutscher Elektrotechniker bei der Gesellschaft ins Leben geführte Unterausschuß für Kupferleitungsnormen hat inzwischen einen Normungsentwurf verfaßt.

Aus dem Zusammenarbeiten mit dem Verband Deutscher Elektrotechniker ergab sich ferner die Durchführung von Versuchen über die Dauerstandfestigkeit von Werkstoffen für Starkstromfreileitungen. Drähte aus Aluminium, vergütbarem Aluminium, Kupfer und Bronze werden unter Aufsicht eines von der Gesellschaft und dem Verband Deutscher Elektrotechniker gebildeten Ausschusses im Metallwerk der Siemens-Schuckertwerke einer einjährigen Dauerbelastungsprobe unterworfen, wodurch Unterlagen für die Zulassung dieser und ähnlicher Werkstoffe als „normale“ Baustoffe für Freileitungen gewonnen werden sollen.

Im Rahmen des Ausschusses für Großzahlforschung im Anschluß an die Herausgabe des Normblattes für gerostete Metalle eine Umfrage über die Verwendung von Lagermetallen veranstaltet worden, die bereits wertvolle Aufschlüsse über die Benutzung bleihaltiger Lagermetalle mit niedrigem Zinngehalt brachte und zur Zeit noch fortgesetzt wird. Der Walzwerk Ausschuß hat nach längerer Pause seine Tätigkeit wieder aufgenommen und Versuche über den Kraftbedarf an Vierwalzengerüsten vorbereitet.

Weitere Arbeiten der Gesellschaft bezogen sich auf die Herstellung von Sauerstoffflaschen aus Leichtmetall, Ausarbeitung von Vorschriften für die Herstellung von Dampfzylindern aus Nichteisenmetallen und andere Aufgaben, um deren Übernahme Behörden und Industrie gebeten hatten.

Der Fachnormenausschuß für Nichteisenmetalle, der mit der Gesellschaft in der Geschäftsführung verbunden ist, hat im Berichtsjahr die Normblätter Bronze und Rotguss verabschiedet und die restlichen Arbeiten für die Normung der Kupferlegierungen soweit gefördert, daß im Anfang 1929 abgeschlossen werden konnten. Die Arbeiten für die Normung von Kupfer, Zink, Neusilber, Aluminiumlegierungen und Edelmetallen sind mit Erfolg fortgesetzt worden.

Das Organ der Gesellschaft, die „Zeitschrift für Metallkunde“ faßte in den beiden Fachheften „Dauerbruch“

und „Röntgenforschung“ den Inhalt der wichtigsten auf den Fachtagungen der Gesellschaft gehaltenen Vorträge zusammen. Es erschienen an bemerkenswerten Veröffentlichungen ferner eine Mappe mit den verkleinerten Wandtafeln der Werkstoffschau 1927, Gruppe Metalle. Die einmalige Auflage ist nahezu vergriffen, ebenso der erste Neudruck des Werkstoffhandbuches. Kurz vor dem Erscheinen steht ein für den Verbraucher bestimmtes handliches Buch über Aluminium und Leichtlegierungen.

Deutscher Ausschuß für Technisches Schulwesen

Die Entwicklung der letzten Jahre hat die Fragen des Technischen Schulwesens stark in den Vordergrund gerückt und läßt ihre vertiefte Behandlung, insbesondere durch Ausbau aller die Ausbildung des Ingenieurstandes fördernden Einrichtungen als ein dringendes Gebot unserer Zeit erscheinen. Demzufolge ist auch der Aufgabenkreis des Deutschen Ausschusses für Technisches Schulwesen (DATSCH) im 20. Jahre seines Bestehens bedeutend gewachsen.

Der DATSCH umfaßt gegenwärtig 44 technische Vereine und Verbände, die — gemäß einem im Vorjahre gefaßten Beschluß — wieder stärker zur Bearbeitung dringlicher Zeitfragen herangezogen werden konnten. Unter diesen spielten u. a. die Ausbildung der Gewerbelehrer eine wichtige Rolle. Eine viel beachtete Eingabe des Ausschusses an den Preussischen Minister für Handel und Gewerbe und an den Preussischen Landtag im Juli 1928 nahm gegen die beabsichtigte Akademisierung des Gewerbelehrerstandes sowie gegen die Verlängerung des Berufsstudiums Stellung und trat für die stärkere Heranziehung des aus dem gewerblichen Leben stammenden Praktikers ein. Das gleiche Ziel hatten entsprechende Eingaben maßgeblicher angeschlossener Körperschaften und der Mehrzahl der wirtschaftlichen Spitzenverbände. Im Zusammenhang hiermit griff der Deutsche Ausschuß, mit dankenswerter Unterstützung des Preussischen Handelsministeriums, die Gepflogenheit des Besuches der zur Behandlung stehenden Unterrichtsstätten durch eine Studienfahrt zu den preussischen berufspädagogischen Instituten in Frankfurt a. Main und Köln wieder auf, wodurch das Studium der Gewerbelehrerfrage wesentlich vertieft werden konnte.

Von den im Jahre 1928 unter Mitwirkung des DATSCH veranstalteten Tagungen vermittelte die Fachsitzung „Ausbildungswesen“ auf der Hauptversammlung des V. d. I. in Essen einen Überblick über die vielseitigen vom V. d. I. geschaffenen Einrichtungen zur Ingenieurfortbildung, sowie über die Möglichkeit einer zeitgemäßen Erziehung der Konstrukteure auf den Hochschulen und ihrer Weiterbildung in der Praxis. Die Hochschultagung in Dresden, vom V. d. I., dem DATSCH und dem Deutschen Verband Technisch-Wissenschaftlicher Vereine am 29. November 1928 einberufen, ist in ihren Zielen und Ergebnissen bereits an anderer Stelle (im Bericht des Deutschen Verbandes Technisch-Wissenschaftlicher Vereine auf S. 905) gewürdigt worden.

Um weitere Kreise der Öffentlichkeit mit seinen Bestrebungen, insbesondere mit seinen neuzeitlichen Lehrmittelarbeiten, bekanntzumachen, veranstaltete der DATSCH rd. 40 Ausstellungen an verschiedenen Orten des In- und Auslandes. Sie fanden zugleich mit Tagungen und Kursen des V. d. I., sowie führender Handwerks- und Schulverbände statt.

Die Lehrmittelarbeiten, die der Berufsausbildung sowohl der Facharbeiter, Handwerker und Angelernten, als auch der Techniker und Ingenieure dienen, konnten durch zahlreiche Neuerscheinungen bereichert werden. So kamen zu den vorhandenen Lehrgängen solche für Feinmechaniker, Werkzeugmacher, Klempner, Bohrer und Fräser hinzu. Erstmals wurde das Gebiet des Baugewerbes bearbeitet; die bisher erschienenen Teillieferungen für Maurer und Zimmerer fanden günstige Aufnahme. Auch auf den Gebieten der Fachkunde und der Gemeinschaftskunde wurden zahlreiche Tafeln und Erläuterungsblätter herausgebracht, z. B. über Werkstoffe, Dampfkesselwesen, Gasschmelz- und elektrische Schweißung, Veranschlagen. Mit

den Lehrtafeln über den Zahlungsverkehr wurde die Verbindung mit den Handelsschulen aufgenommen. Aus der Reihe der sonstigen Arbeiten seien eine Druckschrift „Der Mensch im Kreislauf des Stoffes“, einige Tafeln „Technik im Haushalt“, der Jugendkalender „Technik voran!“ und der „Lehrplan für den Unterricht der Maschinenschlosserlehrlinge und verwandter Berufe an Berufs- und Werk-schulen“ hervorgehoben.

Das Organ des DATSCH ist die mit dem Arbeitsaus-schuß für Berufsausbildung herausgegebene Zeitschrift „Die Technische Erziehung“. Sie enthält außer den Berichten über die Tätigkeit der beiden Ausschüsse zahlreiche Veröffentlichungen führender Fachleute über die Zeitfragen des gesamten technischen Ausbildungswesens, so z. B. über das Problem der Anlernung, die Berufsstatistiken, die Gewerbelehrerfrage und über die Fortbildung der Konstruk-teure. Neu aufgenommen wurde das Mitteilungsblatt des Reichsvereins der Werkschulen (R. d. W.), das als Viertel-jahrsbeilage der „Technischen Erziehung“ beigefügt wird.

Durch die halbjährliche Versendung von rd. 25 000 Lehrmittelverzeichnissen an technische Schulen, Industrie, Buchhandlungen usw. wurde eine erhöhte Werbung durch-geführt, derzufolge sich auch die Umsätze an Lehrmitteln gegenüber früher merkbar steigerten. Ihre Verbreitung konnte durch die vorerwähnten Ausstellungen und die zahl-reichen Auslagestellen des DATSCH im In- und Auslande gefördert werden. Immerhin bleiben noch manche Kreise der Industrie, des Handwerks und der Schulen den Lehr-mitteln das nötige Interesse schuldig, und es wird daher der regsten Mitarbeit der dem DATSCH angeschlossenen Verbände und der seinen Bestrebungen nahestehenden Kreise bedürfen, um ihnen die verdiente Beachtung zu sichern.

Deutscher Normenausschuß

In seiner fast 12jährigen Tätigkeit hat der Deutsche Normenausschuß etwa 2800 bezugsfertige Normblätter herausgegeben. Die Darstellung der Verteilung der erschie-nenen Normblätter auf die einzelnen Fachgebiete läßt er-kennen, daß die Normung im Lokomotivbau, im allgemei-nen Maschinenbau, im Bauwesen und im Kraftfahrzeug-bau am weitesten durchgeführt ist. Die Arbeiten des Be-richtsjahres machten vorwiegend im Kraftfahrzeugbau, Bergbau, Bauwesen und in der Textilindustrie Fortschritte.

Im Jahre 1928 wurden herausgebracht rd. 800 Norm-blattentwürfe, 632 Normblätter; ferner Dintaschenbuch 6: Werkzeuge, Dintaschenbuch 11: Lehren.

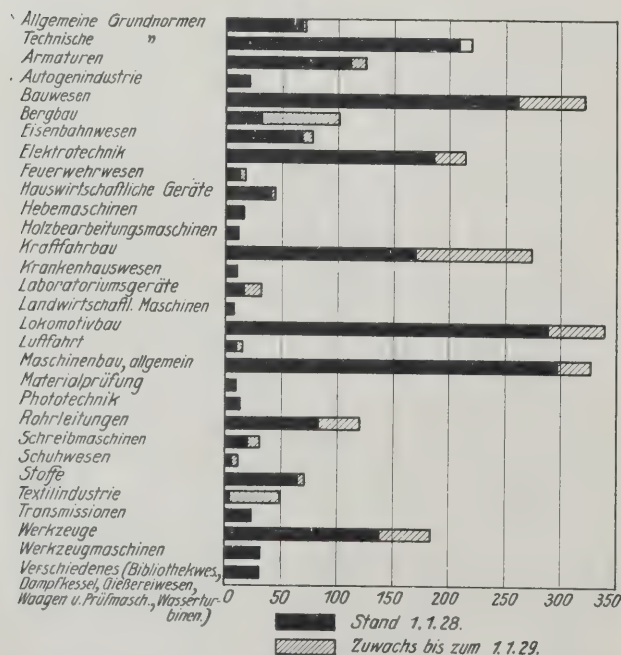


Abb. 8. Zahl der bis zum 1. 1. 1929 erschienenen Normblätter.

Neu aufgenommene Arbeiten:

Gütevorschriften für bituminöse Straßenbaustoffe,
Gütevorschriften für Linoleum,
Gütevorschriften für Stahlhäuser,
Lieferbedingungen für blanke Schrauben,
Lieferbedingungen für Ringschrauben,
Lieferbedingungen für Schraubenschlüssel,
Normen für Gewindezapfenschlüsse ortsfester Tankanlagen,
Normen für Glüh-, Härte- und Einsatzgefäße,
Normen für technisches Zeichengerät,
Normen und Gütevorschriften für Geräte, Handwerkzeuge und verwandte Gebiete,
Normung von Atmungsgeräten,
Normung von Fleischereimaschinen,
Normung von Piano-, Flügel- und Möbelschlössern,
Normung von Sandstrahlröhren,
Röntgennormung,
Technische Lieferbedingungen für gezogenen Stahl,
Technische Vorschriften für Benzinabscheider,
Technische Vorschriften für Einbau von Leitungen in Straßen,
Gründung eines Fachnormenausschusses für Heizungen.

Reichsausschuß für Arbeitszeitermittlung

Die Einsetzung von vier neuen Kuratorien Reichsausschusses während des Berichtsjahres darf Beweis dafür gelten, daß die Erkenntnis von der Bedeutung einer gründlichen und einheitlichen Ausbildung den Verfahren der Arbeitszeitermittlung in immer weitere Kreise dringt. Mit den Gründungen in Bochum, Dortmund, Duisburg und Gelsenkirchen haben die stehenden Refa-Kuratorien sich auf 25 erhöht und Bestrebungen gerade in einem an der Fortentwicklung der deutschen Technik besonders stark beteiligten Bereich eine wertvolle Stärkung erfahren.

Wie es in der eigentlichen Aufgabe des für die Arbeitszeitermittlung bestimmten Ausschusses begründet ist, liegt das Schwergewicht seiner Tätigkeit in der Abhaltung von Lehrkursen. Sofern in den an der Durchführung interessierten Orten nicht eigene Refa-Kuratorien bestehen oder benachbarte Kuratorien einen Teil ihrer Lehrkräfte für Kurse freigeben konnten, sind andere Stellen mit verwandten Bestrebungen für die Veranstaltung von Unterrichtsgängen gewonnen worden. So übernahm in Saarbrücken die Anstalt für Arbeitskunde der Saarindustrie E. V. die Abhaltung des ersten dortigen Refa-Kursus, während in Oberschlesien die Eisenhütte Oberschlesien sich für den gleichen Zweck zur Verfügung stellte.

In der Mehrzahl der Fälle sind die einmal ins Leben gerufenen Kurse zu einer ständigen Einrichtung geworden; vereinzelt allerdings mußte wegen Mangels geeigneter Lehrkräfte ihre Weiterführung vertagt werden. In Frankfurt a. M. und Görlitz gelang es nach anfänglichen Schwierigkeiten dieser Art, die Lehrgänge wiederholen. Insgesamt fanden in 19 Städten 29 Kurse statt, die von rd. 1150 Teilnehmern besucht waren.

Das allen Kursen hauptsächlich zugrunde liegende Material vom Reichsausschuß herausgegebene Unterrichtsmaterial mußte bei dem raschen Schrittmaß der technischen Entwicklung neu bearbeitet werden, so die im Juni 1928 erschienene „Refa-Mappe für spanabhebende Formung“ wie auch die Ende 1926 erschienene „Ergänzungsmappe“ und die „Refa-Mappe für Gießereiwesen“. Der mit diesen Aufgaben betraute Arbeitsausschuß zur Neubearbeitung der Refa-Lehrmittel konnte im Oktober 1928 das zur Einführung in die Arbeitszeitermittlung bestimmte, sehr günstig aufgenommene „Refa-Buch“ herausbringen, in dem zusammen ein neues Verzeichnis der Refa-Drucksachen erschien.

Während der Reichsausschuß die früheren, zuletzt nicht weitergeführten Arbeiten für die Arbeitszeitermittlung in der Holzindustrie im Berichtsjahr wieder aufgriffen und an der Vervollständigung der Unterlagen für Stückzeitbestimmung von Gießereiarbeiten weitergearbeitet hat, konnte durch Fühlungnahme mit dem Verein deutscher Eisenhüttenleute und der Vereinigung der deutschen Dampfkessel- und Apparate-Industrie auch die erfolgreiche Erschließung neuer Arbeitsgebiete für den Refa angebahnt werden. Eine Jahressitzung des Ausschusses hat im abgelaufenen Jahr nicht stattgefunden.

Mai 1929.

C. Matschoß. W. Hellmich.

DIE TÄTIGKEIT DER BEZIRKSVEREINE IM JAHRE 1928/29

Während derjenige Teil der Tätigkeit des Vereines, sich auf die Mitarbeit an großen, durch Gemeinschaftsarbeit zu behandelnden Aufgaben und auf die Erörterung der vielen, für den Ingenieur wichtigen Fragen der Erziehung und seiner Stellung in Wirtschaft und Leben erstreckt, sich mehr innerhalb der dafür eingesetzten Ausschüsse abspielt, sind die von den Bezirksvereinen veranstalteten Vorträge nach wie vor ihr eigentliches Tätigkeitsfeld.

Im Vortragsprogramm der Bezirksvereine spiegelt sich bei der Zusammenstellung am Jahresschluß in sehr ähnlicher Weise wieder, welche Gebiete jeweils von besonderer Bedeutung sind. Es darf als ein günstiges Zeichen für den Fortschritt des Vortragwesens in den Bezirksvereinen angesehen werden, daß in der Tat ihre Vortragsprogramme mit sehr geringer Nacheilung den dringenden Aufgaben der Gegenwart folgen, ja vielfach sogar weitgehend vorangehen.

Bei Durchsicht des letzten Jahres erscheint zunächst bemerkenswert, daß die Grundwissenschaften, besonders Physik und Chemie, stärker als bislang behandelt worden sind. Daneben sind Maschinenelemente und die Getriebelehre sehr häufig zum Gegenstand der Erörterung gemacht worden. Diese stärkere Betonung der Grundlage unserer technischen Wissenschaften ist zweifellos eine Auswirkung der Erkenntnis, daß wir uns mit der weit getriebenen Auflösung unsres Wissens in Randgebiete allein auf einen unrichtigen Weg begeben haben, und daß es an der Zeit ist, die Grundlagen technischer Bildung mehr in den Vordergrund zu rücken.

Werkstofffragen, die im vorigen Jahre, veranlaßt durch die Werkstofftagung und Werkstoffschau, von bemerkenswert hohem Maße den Gegenstand der Behandlung gebildet hatten, traten im Berichtsjahre wieder etwas zurück; nur wurde nach wie vor den so überaus wichtigen Nichteisenmetallen besonderes Interesse entgegengebracht. Bei den Brennstoffen stand naturgemäß die Frage der Kohlenverflüssigung und der Herstellung und Behandlung des Kohlenstaubes in erster Linie.

Wenn auch im abgelaufenen Jahre die Anregung, von einer so großen Veranstaltung ausging, wie es die Werkstoffschau war, fehlte, so fand doch die Tätigkeit der Ausschüsse des Gesamtvereines in den Bezirksvereinen zum Teil ein recht lebhaftes Echo. Insbesondere waren es die Gebiete der Anstrichtechnik und der Schweißtechnik, also vorwiegend die technologischen Arbeiten auf dem Randgebiete der Ingenieurwissenschaft, die in den Bezirksvereinen in eigenen Verhandlungen oder in gemeinsamen Veranstaltungen in den betreffenden Ausschüssen gepflegt wurden. Es ist erfreulich, festzustellen, daß bei diesen Sonderveranstaltungen die Bezirksvereine auch die am Orte vorhandenen übrigen technisch-wissenschaftlichen Vereine, z. B. der Chemiker, einschlägigen Behörden und auch die Handwerker erfolgreich herangezogen werden konnten. Besonders zu erwähnen ist, daß die Bezirksvereine im Grenzland gerade in dieser Hinsicht sehr erfolgreich arbeiteten. Es sind hier zu erwähnen: der Pfalz-Saarbrücker Bezirksverein, der Westpreußische Bezirksverein, der Ostpreußische Bezirksverein und der Österreichische Bezirksverein deutscher Ingenieure. Die innige Zusammenarbeit der beiden Ausschüsse mit den Bezirksvereinen ist besonders wertvoll zur Erreichung des Hauptzieles der Fachausschüsse, nämlich Zusammenschluß führender Fachleute aus Erzeugungs- und Verbraucherkreisen mit Vertretern der einschlägigen Wissenschaften zur Förderung und Nutzbarmachung wissenschaftlicher Bestrebungen und zur Verbreitung technischer Gedanken in weitesten Kreisen der Allgemeinheit. Bisher haben die beiden Ausschüsse gemein-

sam in den Bezirksvereinen 14 Sprechabende veranstaltet, auf denen über die Fachausschüßarbeiten vorgetragen wurde.

Unvermindert starker Berücksichtigung erfreut sich das Gebiet der Krafterzeugung und -verteilung. Von allgemeinen wirtschaftlichen Fragen abgesehen, wurden besonders die in der Neuzeit so bedeutungsvolle Frage der Hochdruckdampftechnik und weiterhin die sich durch das Fortschreiten der Elektrotechnik ergebenden Aufgaben behandelt.

Während diese Fragen in früheren Jahrzehnten 50 vH und mehr aller Vorträge für sich in Anspruch nahmen, hat sich in der Nachkriegszeit die Aufmerksamkeit sehr stark allen Fragen der Fertigung, also der Betriebstechnik, zugewandt. Bei 38 unserer 51 Bezirksvereine sind als besondere Fachgruppen für Betriebstechnik die Ortsgruppen der Arbeitsgemeinschaft Deutscher Betriebsingenieure eingerichtet, und es zeigt sich, daß die Bezirksvereine selbst immer stärker an den Arbeiten ihrer ADB-Ortsgruppen tätigen Anteil nehmen. Die Bezirksvereine haben mit Recht erkannt, daß durch die ADB-Ortsgruppen die eigene Arbeit in sehr wirkungsvoller Weise ergänzt wird und daß vor allem die Möglichkeit besteht, mit der Verbreitung wichtigster betriebstechnischer Kenntnisse auch an Kreise heranzukommen, die zwar keine Mitglieder des Vereines stellen, deren Aufklärung und Weiterbildung aber in außerordentlichem Maße segensbringend für die Industrie sein muß. So hat sich gerade im abgelaufenen Jahre gezeigt, daß verschiedene Bezirksvereine bei Schwierigkeiten innerhalb ihrer ADB-Ortsgruppen sich kraftvoll für deren Fortbestehen eingesetzt und durch Unterstützung in moralischer und finanzieller Beziehung ihr Ziel auch erreicht haben.

Daß Maschine und Werkzeug allein einen guten Betrieb nicht ausmachen, sondern daß bei allen Fragen der Mensch selbst im Mittelpunkt steht, wird von allen einsichtigen Ingenieuren anerkannt, und doch ist sicherlich in den letzten Jahren vielfach der Mensch bei den Erörterungen über wichtige technische Fragen unserer Betriebe zu kurz gekommen. Auch hier ist ein sehr bemerkenswerter Ansatz zur Besserung festzustellen. Über Erziehung und Ausbildung, über die Stellung des Menschen zur Technik und über alle Fragen des Arbeitsplatzes, der Unfallverhütung und der Gewerbehygiene ist in vielen Bezirksvereinen im letzten Jahre vorgetragen worden.

Von den technischen Einzelgebieten steht ganz bedeutsam im Vordergrund die Verkehrstechnik. Daß in unseren Zeiten des ungeahnten starken Anschwells im städtischen Verkehr der Ingenieur den Wunsch hat, sich über die Zusammenhänge zwischen Kraftwagen- und Straßenbahnverkehr, in Großstädten auch über Hochbahnen und staatliche Vorortbahnen zu unterrichten, ist nur zu natürlich. Als ein günstiges Zeichen ist daneben zu werten, daß trotz der hemmenden Bestimmungen, die lange auf uns gelastet haben, die Bezirksvereine in ganz besonders starkem Ausmaß Fragen des Luftverkehrs behandeln ließen. Auch das Nachrichtenwesen war in verschiedenen Vorträgen vertreten.

Die von berufener Stelle vor Jahresfrist ausgesprochene Mahnung, der Ingenieur möge sich hinfert nicht nur mit dem eigentlichen Maschinenbau beschäftigen, sondern sich auch der Gewerbe annehmen, die dem Menschen Nahrung, Kleidung und Behausung liefern, scheint auf einen fruchtbaren Boden gefallen zu sein. Auf allen drei Gebieten finden wir eine Fülle der verschiedenartigsten Themen, die behandelt worden sind. Im Wohnwesen sehen wir, daß durch das rasche Wachstum der Großstädte bedingt, Fragen der Bebauungs- und

Siedlungspläne, daneben die heute so wichtige Frage der Gasfernversorgung und endlich die in manchen unsrer Großstädte immer dringender werdende Frage der Wasserversorgung immer wieder in den Vortragsprogrammen auftauchen.

Aus der Gruppe der Grenzgebiete und der allgemeinen Wissenschaften mögen noch zwei Gegenstände herausgehoben sein, die auch sicher nicht zufällig in erster Reihe erscheinen. Einmal ist es die Geschichte der Technik, die nach wie vor unsere Fachgenossen fesselt, wobei gelegentliche Abschweifungen auf das benachbarte Gebiet der Kunst in gleicher Richtung liegen. Jeder, der sich mit der Geschichte der Technik befaßt, wird immer wieder staunend feststellen müssen, daß frühere Geschlechter vor gleichen Aufgaben standen wie die heutigen, und daß vielfach die gleichen Mittel vorgeschlagen und angewandt worden sind. Wenn wir wirtschaftlich arbeiten wollen, ist es notwendig, sich die Erfahrungen früherer Geschlechter zunutze zu machen.

Endlich seien in dieser Aufzählung erwähnt die überaus zahlreichen Auslandsberichte, die in fast allen Bezirksvereinen im Laufe des Jahres erstattet worden sind, teils von eigenen Mitgliedern, die von Reisen ins Ausland zurückkehrten, teils von Ausländern, die als

Gäste auf unserm Boden weilten. Gerade in unsern gegenwärtigen mißlichen Lage erscheint es dringend schenswert, daß der deutsche Ingenieur sich mögliche genaue Kenntnis des Auslandes erwirbt, wenn es durch Tätigkeit im Auslande oder durch Reisen, aber durch eifriges Verfolgen des Schrifttums und Anhören von Berichten. In diesem Lichte gesehen, die vielen in dieser Richtung liegenden Veranstaltungen unserer Bezirksvereine von ganz besonderer Bedeutung.

Verschiedene Bezirksvereine haben sich in der wertvollen Weise in den Dienst der vom Verein deutscher Ingenieure aufgenommenen Arbeiten auf dem Gebiet hauswirtschaftlichen Technik gestellt, die steigendem Maß Bedeutung für den Ingenieur gewinnen. Wenn es möglich war, die Wanderausstellung „Technik Heim“ in Essen vom 6. April bis 5. Mai erstmalig der Öffentlichkeit vorzuführen, so ist dies zum großen Teil Verdienst des Ruhr-Bezirksvereines, der die Wanderausstellung in ausgezeichnete Weise vorbereitet und eine neue Pionierleistung vollbracht hat.

Außer den Vorträgen fanden im abgelaufenen Jahre 133 Besichtigungen und 31 Erörterungsabende statt, besonders bemerkenswerten Veranstaltungen traten bei der Pfalz-Saarbrücker Bezirksverein mit neun Erörterungs-

Übersicht über die Bezirksvereine und ihre Tätigkeit im Jahre 1928/29

Bezirksverein	Zahl der Mitglieder			Versammlungen		Mittlere Besucherzahl einschließlich Gäste	Anzahl der Vorträge	Anzahl der Besichtigungen	Kurse und Vortragsreihen	Anzahl der geselligen Veranstaltungen	Bemerkungen
	ordentliche	besuchende	insgesamt	ordentliche	außerordentliche						
Aachen	284	9	293	10	—	52	10	—	—	2	
Augsburg	299	4	303	5	—	50	8	3	—	2	
Bayern	672	8	680	12	1	50	12	5	—	2	
Berg	378	13	391	11	—	28	10	2	—	1	
Berlin	4485	153	4638	9	2	320	17	11	5 Vortragsreihen (21 Vorträge) m. and. Vereinen u. 4 Vorträge der ATL-Ortsgruppe	2	
Bochum (Ortsgr. Witten)	403	11	414	8	—	—	7	2	—	2	2 Erörterungsabende
Bodensee	363	7	370	9	—	—	20	4	—	2	
Braunschweig	264	7	271	7	1	—	9	3	—	1	
Bremen (Ortsgr. Emden, Wilhelmshafen, Oldenburg)	527	27	554	7	3	80	10	1	12 Fortbildungskurse für Ingenieure	3	
Breslau (Ortsgr. Waldenburg)	665	7	672	8	1	—	8	1	—	2	1 Sprechabend (zus. m. ADB)
Chemnitz	516	27	543	12	9 (zus. mit ADB)	80	15 (+ 9 zus. m. ADB)	3	2 Härtekurse (zus. mit ADB Ortsgr. u. Gewerbeakadem.)	3	Vertreter zu wissenschaftl. Kongressen entsandt
Dresden	650	21	671	10	—	140	16	5	—	2	
Elbing	74	9	83	2	1	—	8	1	—	—	Filmvorführ.
Emscher	184	3	187	2	—	—	6	2	—	1	
Franken-Oberpfalz (Ortsgr. Bamberg)	768	21	789	7	—	132	8	4	—	2	
Frankfurt (Ortsgr. Darmstadt)	873	6	879	10	—	88	11 (+ 1 mit anderen Techn. Vereinen)	5 (+ 1 mit anderen Techn. Verein.)	—	3	
Hamburg	1126	26	1152	7	2	60	14	1	2 Vorträge im Rahmen der Fachgruppe f. Verkehrstechnik	2	Zwanglose Fachgruppe für Verkehrstechnik gegründet
Hannover	764	5	769	29	—	90	32	4	—	1	
Hessen	262	4	266	10	—	49	10	4	—	2	
Karlsruhe	327	6	333	9	5	97	13	1	—	1	1 Erörterungsabend
Köln (Ortsgr. Gummersbach)	1066	18	1084	11	—	—	10 (zus. mit anderen techn. Vereinen u. d. ADB)	2	Schweißkurse gem. m. d. Masch.-Bauschule, Vortr. u. Kurse d. Ges. f. techn.-wissensch. Fortb.	1	
Lausitz (Ortsgr. Bautzen, Zittau)	337	8	345	8	1	im allgemeinen gut bes.	9	1	—	1	

(Fortsetzung)

Bezirksverein	Zahl der Mitglieder			Versammlungen		Mittlere Besucherzahl einschließlich Gäste	Anzahl der Vorträge	Anzahl der Besichtigungen	Kurse und Vortragsreihen	Anzahl der geselligen Veranstaltungen	Bemerkungen
	ordentliche	besuchende	insgesamt	ordentliche	außerordentliche						
g (Ortsgr.)	800	37	837	10	1	—	10 (+ 2 im Verbandsd. techn.-wissenschaftl. Vereine Mitteldeutschl.)	3	Technisches Vorlesungswesen, ADB-Vorträge	3	1 Erörterungsabend
g	342	70	412	8	—	60	8	6	Abendkurse zur Fortbildung v. Industriefacharbeitern	3	
ck (Ortsgr.)	247	15	262	7	—	46	10	—	—	1	1 Erörterungsabend
stock, Wismar) (Ortsgr. Kottbus, Guben)	242	3	245	6	—	32	4	3	—	4	Ortsgruppe Guben gegr.
ieburg	471	13	484	15	—	90	18	—	—	2	
heim	800	13	813	11	—	120	27 (davon 18 d.ADB-Ortsgr.)	3	1 Hochschulkurs. anschl. m. 6tägiger Übung z. Weiterbildg. v. Ingenieuren	3	1 Erörterungsabend
lrhein	148	2	150	4	—	—	10	7	—	1	
lthüringen	463	12	475	11	—	50	11	—	—	1	
l	94	8	102	10	—	—	10	2	—	1	
errhein (Ortsgr. efeld-Ürdingen, Gladbach, Leydt, Neuß)	1195	43	1238	10	1	220	10	1	—	1	
schlesien	392	1	393	10	—	125	9	1	—	1	
reich. Verein (Ortsgr. Steyr)	640	7	647	7	—	220	16	12	—	2	10 Erörterungsabende
brück	146	2	148	8	—	Besuch war befriedigend	9	—	—	—	
reußen	148	4	152	7	—	—	5	6	—	2	1 Sprechabend über Anstrichtechnik
-Saarbrücken (Ortsgr. Zweifeln, Kaiserslautern)	402	11	413	10	—	142	14	4	1 Härtekursus	3	2 Sprechabende, Anstrichtechnik u. Schweißtechnik
nern	320	15	335	9	—	45	9	1	—	4	
ngau	268	3	271	11	—	47	11	2	—	2	
.	1062	17	1079	10	—	—	10	18 einschl. Hauptvers.	—	—	„Haus der Technik“ u. seine Vortr. unterstützt. Hauptvers. d. V.d.I.-Ausstellung Kunst u. Technik
sen-Anhalt (Ortsgr. Köthen, Naumburg, Pöhlitz, Pöhlitzschall)	327	18	345	8	—	80	8	1	—	1	
swig-Holstein	308	28	336	11	—	70	11	2	—	2	
n	172	1	173	11	—	—	9	1	—	2	
burg	174	6	180	7	1	40	7	1	—	2	
ingen	486	11	497	9	1	85	9	1	Refa-Kursus	4	
rfranken (Ortsgr. Schweinfurt)	189	19	208	14	—	42	12	3	—	4	
rweser	119	2	121	8	—	38	9	—	—	2	
falen (Ortsgr.)	731	26	757	10	2	140	12	4	—	2	
mn. Münster)	150	5	155	10	—	39	10	—	—	3	
preußen	1354	40	1394	13	—	92	11	6	3 Fortbildungskurse für Ingenieure	—	
temberg (Ortsgr. Reutlingen, Heilbronn, Weidenheim, Ulm)	236	7	243	9	—	im allgemeinen gut besucht	9	—	—	1	
au	61	1	62	—	—	25	4	—	—	3	
atinien	53	—	53	9	—	—	6	1	—	1	1 Erörterungsabend, Bildung eines Normenausschusses

abenden, die unter dem Titel: „Was den Ingenieur interessiert — Rückschau und Ausblick“, die neuesten Ergebnisse in Technik und Wirtschaft behandelten, und einem Härtekursus; der Berliner Bezirksverein mit technisch-wissenschaftlichen Veranstaltungen, die er zusammen mit dem Außeninstitut der Technischen Hochschule, mit dem Ausschuß für wirtschaftliche Fertigung, dem Verein zur Beförderung des Gewerbefleißes und der Arbeitsgemeinschaft Deutscher Betriebsingenieure durchführte; der Bremer Bezirksverein mit einem Fortbildungslehrgang für Ingenieure; der Chemnitzer Bezirksverein mit zwei Härtekursen und Beteiligung an dem technischen Vorlesungswesen zusammen mit der ADB-Ortsgruppe Chemnitz und der Gewerbeakademie; der Hamburger Bezirksverein mit zwei Vorträgen im Rahmen seiner Fachgruppe für Verkehrstechnik; der Lenne-Bezirksverein mit Abendkursen zur Fortbildung von Industriefacharbeitern (Abendschule); der Mannheimer Bezirksverein mit einem Hochschulkursus und sechstägigen Übungen zur weiteren Unterweisung von Ingenieuren über Eigenschaften der Werkstoffe nach dem Stand der neuesten Forschung; der Württembergische Bezirksverein mit drei Kursen für Konstrukteure, Betriebsingenieure und Wärmetechniker; der Kölner Bezirksverein mit Schweißkursen, gemeinsam mit der Maschinenbauschule; der Ruhr-Bezirksverein durch Beteiligung an den Vorträgen des „Hauses der Technik“.

Im einzelnen umfaßten die Vorträge in den Bezirksvereinen folgende Fachgebiete (in Klammern die Zahlen von 1927/1928): Arbeitsmaschinen 12 (8), Astronomie 2 (4), Auslandsfragen 16 (19), Bauwesen 17 (16), Berg- und Hüttenwesen 14 (12), Betriebstechnik und Betriebswissenschaft 38 (30), Brennstoffe 9 (5), Dampfkessel und Feuerungen 5 (16), Dampfmaschinen und Turbinen 10 (3), Elektrotechnik (Stark- und Schwachstrom) 16 (18), Förderwesen 11 (14), Gas- und Wasserversorgung 14 (8), Geschichte 16 (9), Gesundheitstechnik 5 (3), Ingenieursfragen 13 (5), Kältetechnik 5 (2), Kraftmaschinen und Kraftanlagen 19 (9), Landwirtschaft 1 (2), Lichttechnik 8 (1), Maschinenelemente und Getriebe 11 (8), Mathematik und Mechanik 5 (9), Meßtechnik 4 (8), Nachrichtentechnik 1 (5), Normung und Vereinheitlichung 4 (9), Psychotechnik — (1), Recht und Verwaltung 10 (11), Schiffbau 3 (4), Schweißtechnik — (11), Selbstkostenwesen 12 (3), Soziales 4 (2), Technik in der Landwirt-

schaft 5 (—), Technische Physik und Chemie 15 (—), Technologie 20 (—), Textilindustrie 5 (2), Unfallhütung — (1), Unterricht und Erziehung 15 (3), arbeitende Industrien — (8), Verkehrswesen (Eisenbahn, Kraftwagen, Straßenbahn, Luftfahrt, Schiffe) 43 (46), Verschiedenes 82 (43), Wirtschaft 12 (—), Wasserwirtschaft 3 (5), Werkstoffkunde 20 (37), Werkstoffprüfung 7 (—), Wirtschaft 9 (14).

Im Laufe des Jahres erhielten die Bezirksvereine 20 Rundschreiben vom Gesamtverein, die zum großen Teil Vorlagen zur Beratung in den Mitgliederversammlungen enthielten. In der Hauptsache betrafen die Rundschreiben: Besuchende Mitglieder, Richtlinien der Altmitgliedschaft, Vereinsabzeichen, den gesetzlichen Schutz der Berufsbezeichnung „Ingenieur“, mittleres Schulwesen, Fragen des Patentwesens.

Im Mittel haben sich auf diese Rundschreiben 51 Bezirksvereine 35, oder rd. 70 vH, geäußert.

Einige Rundschreiben, die den Bezirksvereinen zur Kenntnis und Bekanntgabe in den Mitgliederversammlungen zugesandt waren, betrafen: Ingenieurarbeit außerhalb der Maschinenindustrie, Buchereien, Bezirksvereine, Satzungen der Bezirksvereine, Industrielles Rechnungswesen, Hochschultagung 1928.

Von den Bezirksvereinen sind Anträge zur Beratung in allen Bezirksvereinen nicht eingereicht worden.

Auf Antrag des Vorstandes des Gesamtvereines sind die §§ 3, 16 und 64 der Satzung geändert.

Der Anregung des Mittelrheinischen Bezirksvereines auf Schaffung eines neuen Vereinsabzeichens, das den Mitgliedern dauernd getragen werden kann, stimmte der Vorstandsrat zu.

Die Ortsgruppe Kottbus des Märkischen Bezirksvereines und die Ortsgruppe Waldenburg des Breslauer Bezirksvereines wurden in selbständige Bezirksvereine umgewandelt, so daß die Anzahl der Bezirksvereine am Schluß des Berichtsjahres 53 beträgt mit 28 Ortsgruppen.

Daneben bestehen noch die Vereine in Argentinien und China.

Der Emscher-Bezirksverein und der Unterweseler Bezirksverein feierten das Jubiläum ihres 25jährigen Bestehens.

Die Übersicht auf S. 910 und 911 faßt die Mitgliederbewegung und die Tätigkeit in den Bezirksvereinen zahlenmäßig zusammen. [V 2862]

Schluß des Textteiles

I N H A L T :

	Seite		Seite
Ostpreußen und seine deutsche Mission im Osten. Von P. Blunk	841	Verkehrswesen (Eisenbahnwesen — Bau und Betrieb, Eisenbahnfahrzeuge, Kraftfahrzeuge, Schiff- und Schiffsmaschinenbau, Luftfahrt, Elektrisches Nachrichtenwesen)	8
Die ostpreußische Elektrizitätsversorgung. Von O. Jahncke	849	Gesundheitsingenieurwesen (Kommunale Technik)	8
Jahresschau der Technik 1928/29. (Mit Bildblatt 5 bis 8)	853	Gemeinsame Arbeitsgebiete (Physikalisch-technische Forschung, Die deutsche Normung)	8
Energie (Wärmekraftmaschinen, Wasserkraftmaschinen und -anlagen, Elektrotechnik)	853	Bericht über das Geschäftsjahr zwischen den Hauptversammlungen 1928/29	8
Arbeitsmaschinen (Hebezeuge und Förderanlagen, Pumpen und Kompressoren, Landmaschinen)	858	Literarische Arbeiten	8
Rohstoffgewinnung und -verarbeitung (Bergbau und Brennstoffe, Hüttenwesen, Gasindustrie, Stoffkunde)	861	Technisch-wissenschaftliche Arbeiten	8
Verarbeitende Betriebe (Organisation und Werkzeugmaschinen, Chemische Industrie, Faserstoffindustrie)	866	Sonstige Arbeiten und Einrichtungen	8
Bauingenieurwesen (Brücken und Baukonstruktionen, Erd- und Wasserbau)	871	67. Hauptversammlung, Essen 1928	9
		Mitglieder und Vereinsverwaltung	9
		Tätigkeit der mit dem Verein eng zusammenarbeitenden Körperschaften	9
		Die Tätigkeit der Bezirksvereine im Jahre 1928/29	9

ZEITSCHRIFT DES VEREINES DEUTSCHER INGENIEURE

SCHRIFTFÜHRER: C. MATSCHOSS



73

SONNABEND, 29. JUNI 1929

Nr. 26

Die 100 at-Anlage des Großkraftwerkes Mannheim

Von Dr.-Ing. F. MARGUERRE, Mannheim

Es werden zunächst die Gründe, die zur Wahl eines Druckes von 100 at geführt haben, erläutert und die allgemeine thermische Arbeitsweise des Werkes geschildert. Anschließend hieran werden die einzelnen Teile der Anlage wie Kessel, Turbinen, Pumpen, Speicher, Rohrleitungen, Regleranlage und Wärmekontrolleinrichtungen beschrieben.

Die Gesichtspunkte höchster Wirtschaftlichkeit in der Stromerzeugung, die für alle Kraftwerke maßgebend sind, führen, je nach den besonderen Verhältnissen, in jedem Werk zu verschiedenen Lösungen. Maßgebend sind hierfür Standort, Kohlenpreis, Kühlwasserverhältnisse, Größe, voraussichtliche Steigerung des Verbrauchs, Bindung durch bereits bestehende Anlagen und schließlich rein örtliche Verhältnisse, wie z. B. Grundstücksgröße und Bodenbeschaffenheit.

Es soll im folgenden zunächst erläutert werden, wie aus dem Zusammenwirken dieser Umstände der Entschluß entstand, bei einer Erweiterung nicht nur die Druck- und Dampferhöhung vorzunehmen, sondern zu dem, mindestens für Kondensationsanlagen, noch ungewöhnlichen Druck von 100 at überzugehen.

Gründe für die Wahl des Betriebsdruckes

Zunächst war natürlich der unbestreitbare Vorteil maßgebend, daß bei Steigerung des Druckes über den üblichen letzten Jahre (rd. 35 at) und gleichzeitiger Steigerung der Überhitzung, die bei gleicher Wandtemperatur der Dampferhitzer wegen der besseren Kühlwirkung des dichten Dampfes höher getrieben werden kann, noch erhebliche wirtschaftliche Gewinne zu erwarten sind; oberhalb 70 bis 80 at werden sie allerdings gering. Die geplante Neuanlage mußte mit den vorhandenen Einrichtungen in einen gewissen Einklang gebracht werden: Das bestehende Werk hatte drei noch ziemlich neue Einzeldampferhäuse-Turbinen von je 12500 kW und eine ganz neue Dreieinhaus-Turbine für 20000 kW, alle für 35 at und 350°C.

Da die Zunahme des Stromverbrauchs im Verteilungsnetz nicht so rasch vor sich geht, daß die Aufstellung einer vollständigen Neuanlage mit Hochdruckturbinen einschließlich Reserve gerechtfertigt erschien, vielmehr die Turbinenleistung schon größer als die Kesselleistung war, mußte man sein Augenmerk auf Beibehaltung und Erhöhung der Wirtschaftlichkeit der bestehenden Maschinenanlage richten. Dies führte dazu, Vorschaltturbinen, deren Abdampf mit dem Frischdampf aus der bestehenden 20 at-Kesselanlage gemischt werden sollte, ins Auge zu fassen.

Da nach der zu erwartenden Zunahme des Stromverbrauches die neue Kesselanlage keine sehr großen Dampfmenngen zu liefern hatte, würde die Wahl eines höheren Druckes für die Vorschaltturbinen, z. B. 35 at, bei der gegebenen Dampfmenge zu sehr kleinen Einparungen mit entsprechend hohen spezifischen Anlagekosten für Maschinen und Gebäude geführt haben; diese Nachteile vermindern sich mit zunehmendem Druck. Die Zunahme des Druckes notwendig werdende Zwischenüberhitzung schien nicht bedenklich, wenn sie durch Frischdampf durchgeführt wurde. Die in England und Amerika mehrfach verwendete Methode der Zwischenüberhitzung durch Rückführen des Zwischen-

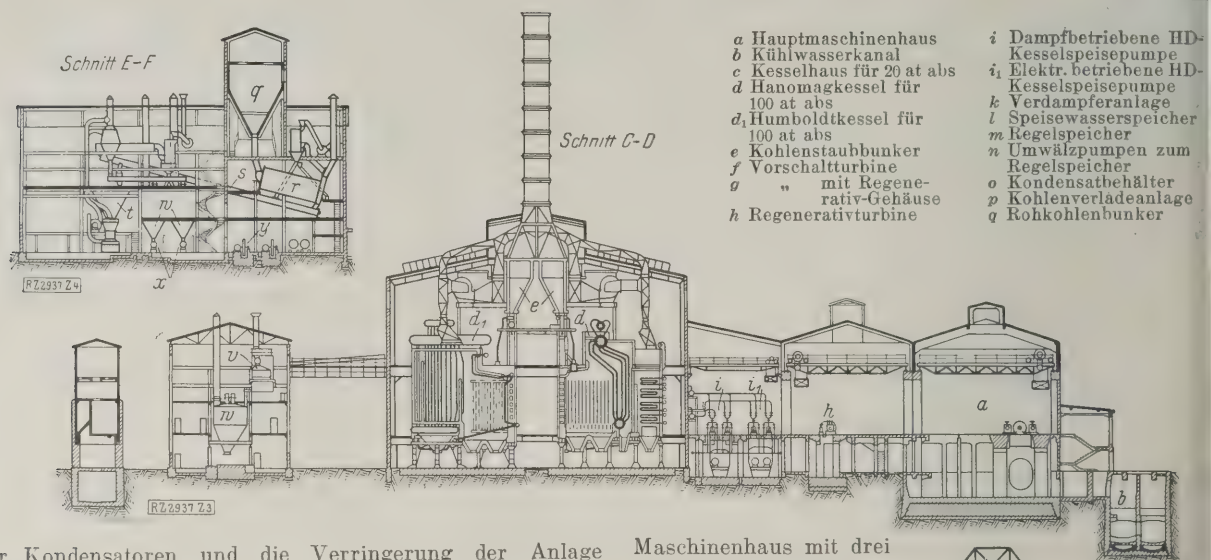
dampfes in den Kessel wird bei uns mit Recht als betrieblich bedenklich abgelehnt und führt außerdem zu erheblichen Anlagekosten, Druck- und Temperaturverlusten. Zwischenüberhitzung mit Frischdampf ist ihrerseits zwar in der Höhe beschränkt und daher weniger wirksam; dies gleicht sich aber durch Fortfall der oben erwähnten Verluste wieder aus; betrieblich ist sie denkbar einfach. Sie wird mit zunehmendem Druck wirksamer, da die Satttdampftemperatur des zur Zwischenüberhitzung verwendeten Dampfes steigt.

Hiermit lagen bereits mehrere Gründe vor, die auf einen besonders hohen Druck hinwiesen. Dazu kam als weiterer die Absicht, später auch Dampf an umliegende Industriewerke zu verteilen. Die Vorteile des hohen Anfangsdruckes für diesen Fall brauchen nicht erläutert zu werden.

Schließlich kam noch die Erwägung hinzu, daß für mittlere Drücke von 60 bis 80 at, auf die man unter Berücksichtigung der bisher gegebenen Gesichtspunkte noch hätte kommen können, die neueren Hochdruck-Dampferzeuger von *Benson* und *Löffler* nicht mehr in Betracht kommen. Wählte man dagegen 100 at, so war es immer noch möglich, falls sich im Laufe der Zeit herausstellen würde, daß diese Verfahren wirtschaftliche Vorteile aufweisen, dazu überzugehen, ohne wieder innerhalb eines gegebenen Kraftwerkes eine weitere Druckstufe einführen zu müssen. Zur Zeit der Entscheidung über die Wahl des Druckes waren allerdings diese Sonderbauarten noch im Versuch; es kamen daher nur Kessel der üblichen Bauart in Frage.

Gegenüber diesen Gründen, die für einen hohen Dampfdruck sprachen, mußte geprüft werden, ob nicht erhöhte Anlagekosten die wirtschaftlichen Vorteile wieder vernichten oder technische Schwierigkeiten die Betriebssicherheit in Frage stellen würden. Bezüglich der Höhe der Anlagekosten kann allgemein folgendes gesagt werden: Die Kosten der Kessel, Überhitzer und Vorwärmer steigen natürlich mit dem Druck rasch an, aber schon die Preise der Feuerungen und des ganzen übrigen Kesselzubehörs sind vom Druck unabhängig. Gebäude, Bunker und Kohlenförderung haben mit dem Druck zunächst nichts zu tun; wenn aber durch Erhöhung von Druck und Temperatur der Kohlenverbrauch z. B. um 15 vH herabgedrückt wird und daher ein Kessel mit dem gleichen Kohlenverbrauch 15 vH mehr Leistung in kW ergibt, so ist klar, daß sich die Kosten der zuletzt genannten Teile, bezogen auf 1 kW Maschinenleistung, um 15 vH senken. Hierdurch werden die Mehrkosten der Kessel, die, gerechnet auf 1 kW, auch erheblich weniger steigen als auf 1 t Dampf, zum großen Teil ausgeglichen.

Speisepumpen und Speiseleitungen werden natürlich mit zunehmendem Druck erheblich teurer, während dies bei Dampfleitungen wegen der kleineren Querschnitte nicht zutrifft. Bei Turbinen besteht keine wesentliche Preissteigerung mit Zunahme des Druckes; die Verkleinerung



der Kondensatoren und die Verringerung der Anlage zur Kühlwasserbeschaffung und ihre höhere Leistungsfähigkeit in kW bildet hier ein ausgleichendes Moment. Im vorliegenden Falle wurden die Vorschaltturbinen, da sie bei höherem Druck erheblich größere Leistungen bekamen, auf 1 kW sogar billiger als Turbinen für niedrigeren Druck. So zeigte das Ergebnis der Rechnung keine irgendwie ins Gewicht fallende erhöhte Kapitalbelastung infolge der Druckerhöhung.

Die Frage der technischen Schwierigkeiten war natürlich, trotz sorgfältigen Studiums, nicht restlos zu übersehen, und es mußte mit Anfangsschwierigkeiten gerechnet werden. Die zu erwartenden wirtschaftlichen Vorteile ließen es aber durchaus gerechtfertigt scheinen, gewisse vorübergehende Schwierigkeiten in den Kauf zu nehmen.

Wahl der Feuerung

Bei der Beschreibung der einzelnen Anlageteile wird auf die in Betracht kommenden technischen Gesichtspunkte noch eingegangen werden. Von grundsätzlicher Wichtigkeit schien im Hinblick auf den Druck die Art der Feuerung. Kessel für sehr hohen Druck werden notgedrungen Kessel mit sehr kleinem Wassergehalt. Bei solchen Kesseln ist es wichtig, daß für den Fall eines Versagens der Speisung, was trotz aller Sorgfalt einmal vorkommen kann, ein Ausglühen der Kessel mit Sicherheit vermieden wird.

Hierin scheint die Kohlenstaubfeuerung, die überhaupt keine in Betracht kommenden Kohlendrucke im Feuerraum hat, allen andern Feuerungsarten wesentlich überlegen. Beim Versagen der Speisung kann durch Druck auf einen Knopf die Feuerung im Augenblick abgestellt werden und nur die strahlende Wärme des Mauerwerkes bedroht den Kessel. Bei jeder andern Feuerung sind noch große Kohlenmengen auf dem Rost vorhanden, die die aufgespeicherte Wärmemenge erheblich vergrößern; durch Abstellen des Unterwindes kann man allerdings eine solche glühende Kohlschicht ziemlich schnell mit einer kälteren Kruste bedecken; doch kann der Unterschied von einigen Minuten von entscheidender Bedeutung sein. Es wurde daher Kohlenstaubfeuerung gewählt, wofür auch bei der Kohlenmarktlage gewisse wirtschaftliche Gründe sprachen.

Die vorstehenden Ausführungen zeigen, wie man aus besonderen Gründen dazu kam, zum erstenmal in Europa für eine große Betriebsanlage zu 100 at überzugehen, was immerhin ein Wagnis scheinen konnte; in Zukunft werden sich, nach der Überzeugung des Verfassers, auch ohne Vorhandensein solcher besonderer Gründe die hohen Drücke durchsetzen.

Allgemeine Anordnung des Werkes

Abb. 1 bis 5 zeigen die allgemeine Anordnung des Werkes. Diese erklärt sich aus der ursprünglich vorhandenen Anlage und aus den sehr beschränkten Raumverhältnissen. Ursprünglich hatte das Werk ein

Maschinenhaus mit drei

Turbinen und ein mit senkrechter Achse dazu stehendes Kesselhaus mit 16 Kesseln von je 600 m². Die Aufgabe, auf dem in der Richtung der Maschinenhausachse sehr beschränkten Raum eine möglichst große Leistung unterzubringen und doch zu einer übersichtlichen Anlage mit nicht zu langen Dampfleitungen zu kommen, führte dazu, parallel zum vorhandenen verlängerten Hauptmaschinenhaus ein zweites Haus die Vorschaltturbinen einzurichten. Das neue Kesselhaus wurde, da die vorgesehenen Großkessel gegenüber früheren Kesseln viel weniger Grundfläche brauchen, wiederum parallelachsig zu den Maschinenhäusern geordnet und zwischen den Maschinenhäusern und dem Kesselhaus wurden die Speisepumpen, Verdampfer usw. angeordnet. So entstand ein verhältnismäßig kurzer Weg für Speisewasser von den Kondensatoren zum Kessel und der Dampf vom Kesselhaus in das Hochdruck-Maschinenhaus und von dort in das Hauptmaschinenhaus.

Die zentrale Kohlenmahlanlage wurde mit Zwischenraum wiederum parallel zum Kesselhaus gelegt; der Zwischenraum war im Hinblick auf die behördlichen Bestimmungen und auf gute Licht- und Luftzuführung zum Kesselhaus notwendig. Der Raum zwischen dem alten und dem neuen Kesselhaus wurde zur Aufstellung des Regelspeichers benutzt.

Das allgemeine Wärmeflußbild der Anlage, Abb. 6, zeigt in vereinfachter Form das Zusammenwirken der 20- und der 100 at-Anlage und dürfte sich selbst erklären. Einige Worte sind nur dem hier angewandten Gleichdruckspeicher (Verdrängungsspeicher) und der Zwischenüberhitzung zu widmen. Die Wirkungsweise des Speichers ist derart, daß durch Steuern selbsttätig Ventile mittels der Umwälzpumpe entweder durch Anzapfvorwärmer erwärmtes Wasser von oben oder kaltes Wasser von unten in den Speicher eintritt, während das heiße Kesselspeisewasser oben entnommen wird. Bei Kraftmangel wird kein Wasser durch den Vorwärmer geschickt, sondern das kalte Wasser fließt in den unteren Teil des Speichers, wodurch der Anzapfdampf, der sonst auf 20, 9½ und 4½ at abs expandiert, bis in die Kondensation hinein ausgenutzt werden kann; ohne die Kesseldampfmenge zu ändern kann man also eine wesentliche Mehrleistung erzeugen. Umgekehrt wird bei geringer Last durch volles Öffnen der Ventile mittels der Umwälzpumpe eine große Wassermenge durch die Vorwärmer geschickt als die Kesselspeisewassermenge entspricht und dadurch wird mehr Dampf niedergeschlagen. Dieses überschüssige Wasser kommt von oben in den Speicher und füllt ihn von oben nach unten mit heißem Wasser; entsprechend dem verminderten Wärmegefälle gibt die gleiche Kesseldampfmenge eine verminderte Leistung her. Bei den vor-

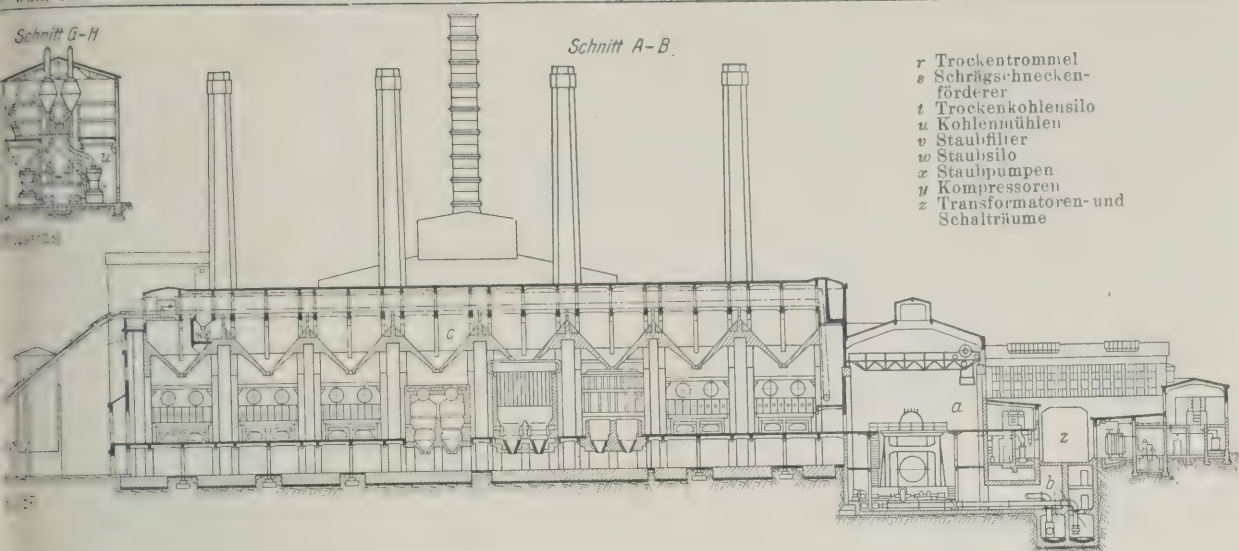
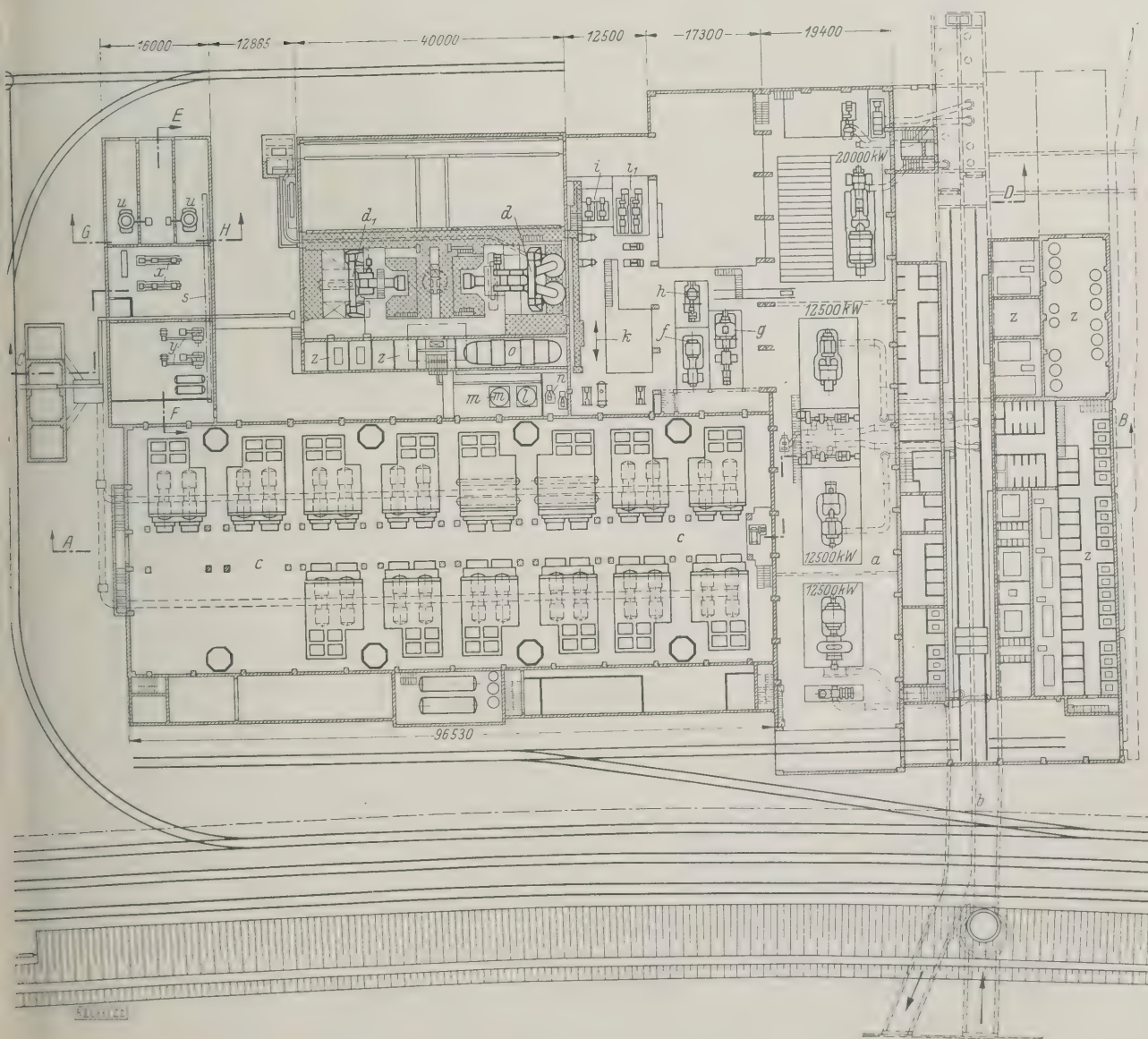


Abb. 1 bis 5. Großkraftwerk Mannheim. Allgemeine Anordnung des Werkes.



liegenden Verhältnissen kann die Last etwa zwischen 60 und 100 vH schwanken, ohne daß eine Änderung an der Feuerführung der Kessel notwendig ist. Der Hauptvorteil der Anlage liegt in der erheblichen Verbilligung gegenüber einer entsprechenden Vergrößerung der Kesselanlage; bei zweistündigen Spitzen (Dreieckform), für die der Speicher bemessen ist, kostet der Speicher nur etwa ein Fünftel dessen, was eine Vergrößerung des Kesselhauses gekostet haben würde.

Die Zwischenüberhitzung mit Dampf, die grundsätzlich sehr einfach ist, wurde infolge des Zwanges der bestehenden Verhältnisse etwas verwickelt. In einer neuen Anlage würde man den Dampf bei etwa 10 bis 12 at mit kondensiertem Frischdampf auf 300° überhitzen. Hier mußte die Zwischenüberhitzung in die bestehende Zwischenstufe von 18 bis 20 at eingeschaltet und wegen der bestehenden Kesselanlage auf etwa 350° getrieben werden. Wie aus dem Wärme flußbild ersichtlich, ist daher die Zwischenüberhitzung zweistufig ausgeführt. Der aus der Vorschaltturbine austretende Dampf wird zunächst in einer mit kondensierendem 100 at-Dampf geheizten Stufe auf rd. 300° erwärmt und tritt dann in eine zweite Stufe, durch welche der gesamte, in die Vorschaltturbine gehende Frischdampf strömt. Letzterer wird hierbei um etwa 25 bis 30° abgekühlt und tritt normalerweise mit 425° in die Turbine. Der austretende Dampf, wovon der zur Speisewasservorwärmung dienende vorher abgezweigt ist, erwärmt sich um 40 bis 45°, was dadurch möglich wird, daß, wie erwähnt, seine Menge geringer und außerdem die spezifische Wärme des überhitzten Dampfes beim höheren Druck größer ist. Der ganze Zwischenüberhitzer konnte unter dem Hochdruckteil der Vorschaltturbine untergebracht werden.

Einzelteile der Anlage

Bei der Beschreibung der einzelnen Anlageteile folgen wir dem Wege von der Kohle zum Dampf und zur Elektrizität. Die Kohlenaufbereitung sei nur mit einigen Worten gestreift. Die Frage, ob man für jeden Kessel Einzelmöhlen oder eine Zentralspeichelanlage aufstellen sollte, wurde im vorliegenden Fall zu Gunsten der letzten entschieden, hauptsächlich aus zwei Gründen: erstens, weil man von dem Kohlenlieferer keine Gewähr dafür bekommen konnte, daß die Kohle nicht mehr als 10 vH Feuchtigkeit enthalten würde und die Hersteller von Einzelmöhlen damals nicht in der Lage waren, ausreichende Gewähr für das Verhalten der Möhlen bei

höherem Feuchtigkeitsgehalt der Kohle als 10 vH zu bieten. Zweitens wird zwar der Hochdruckanlage eine Grundbelastung zugewiesen werden, doch sind infolge des Zusammenarbeitens mit Laufwasserkraften starke Ungleichförmigkeiten in der Belastung bei Tag und Nacht zu erwarten; daher schien eine Anlage mit Einzelmöhlen in bezug auf ihre Regelbarkeit und auf den Kraftverbrauch bei Teilbelastungen ungünstiger.

Ferner kann eine Zentralspeichelanlage durch Abstellen der Trockner und Möhlen während der eigentlichen Lastspitze oder durch Verlegen des Aufbereitungsbetriebes in die Nachtschicht noch einen gewissen Ausgleich der Last herbeiführen. Das Trocknen der Kohle mittels Dampf bietet noch gewisse, wenn auch kleine thermodynamische Vorteile. Die Anlage, wurde von C. v. Grueber auf Grund der Erfahrungen der letzten Jahre entworfen und ausgeführt und bietet gegenüber anderen Ausführungen keine hervorstechenden Besonderheiten. einen Schnitt durch die Mühle gibt Abb. 7.

Der schwierigste Teil der ganzen Anlage war zweifellos die Kessel; denn hier tauchten eine Menge neuer Probleme bezüglich der Beanspruchung der Werkstoffe usw. auf. Zunächst war über das Kesselsystem zu entscheiden. Wie oben dargelegt, kamen nur Kessel der üblichen Bauart in Frage, die den besonderen Verhältnissen des Hochdruckbetriebes in technischer und wirtschaftlicher Beziehung angepaßt werden mußten. In Betracht gezogen wurden Steilrohr- und Teilkammerkessel und wenn schließlich zwei Steilrohrkessel verschiedener Bauart zur Aufstellung kamen, so waren hierfür keine Gründe prinzipieller Natur maßgebend.

Bei den Steilrohrkesseln mußte in erster Linie Rücksicht auf einwandfreien Wasserumlauf maßgebend sein. Die Verhältnisse liegen in dieser Beziehung günstiger beim Zweitrommelkessel als bei Viertrommelkesseln, die auch, da die Trommeln den teuersten Teil darstellen, wesentlich kostspieliger werden. Bei der ganzen Bemessung der Kessel mußte aber auch die große Verschiebung im Verhältnis von Verdampfungswärme zu Gesamtwärme gegenüber den üblichen Verhältnissen Rücksicht genommen werden. Während bei 20 at noch bei einer Gesamtwärme von 668,7 kcal/kg die Verdampfungswärme 452,9 kcal/kg beträgt, lauten die entsprechenden Zahlen bei 100 at 640,5 und 311,8 kcal/kg. Diese Eigenschaft muß man sich beim Bau von Hochdruckkesseln zunutze machen, um den teuersten Teil des eigentlichen Kessel mit Trommeln, nach Möglichkeit

zu verkleinern. Obwohl das Speisewasser bis auf 200° vorgewärmt wird, wurde daher der Einbau eines Rauchgasvorwärmers, der das Kesselwasser noch auf 260 bis 270° weitererwärmt, vorgesehen. Die Restabkühlung der Gas erfolgt in einem entsprechenden großen Lufterhitzer, der die Luft auf 250 bis 300° erwärmen soll. Auf diese Weise war es möglich, die teure Kesselheizfläche selbst verhältnismäßig sehr klein zu halten. Die sich aus der Kesselheizfläche ergebenden mittleren Beanspruchungen von nur 100 kg/m² h brauchen dabei nicht als besonders hoch angesehen zu werden, da sie nicht durch stärkere Beanspruchung der vorderen Rohrreihe, sondern lediglich durch Fortfall der schlechter auszunutzen hinteren Rohrreihe erzielt werden.

Die Beanspruchung der Trommeln mußte einer eingehenden Prüfung unterzogen werden, da es selbstver-

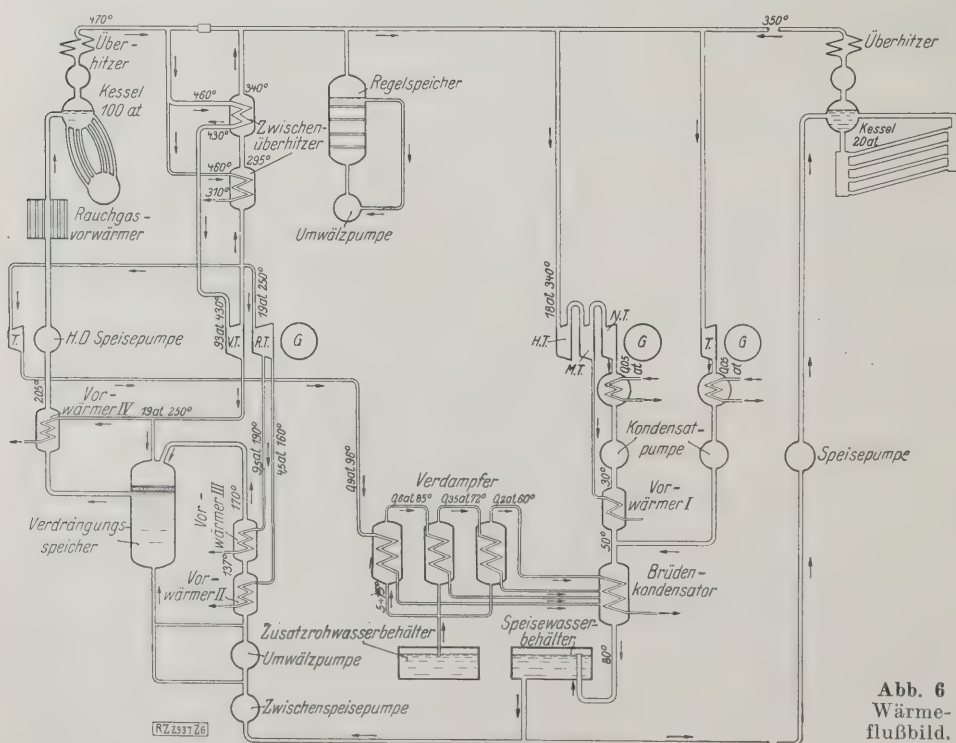


Abb. 6
Wärme-
flußbild.

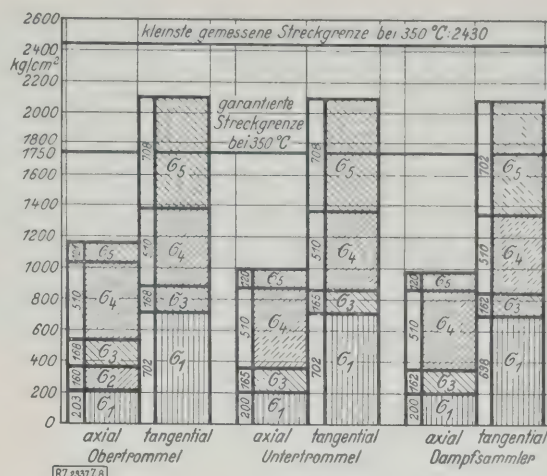
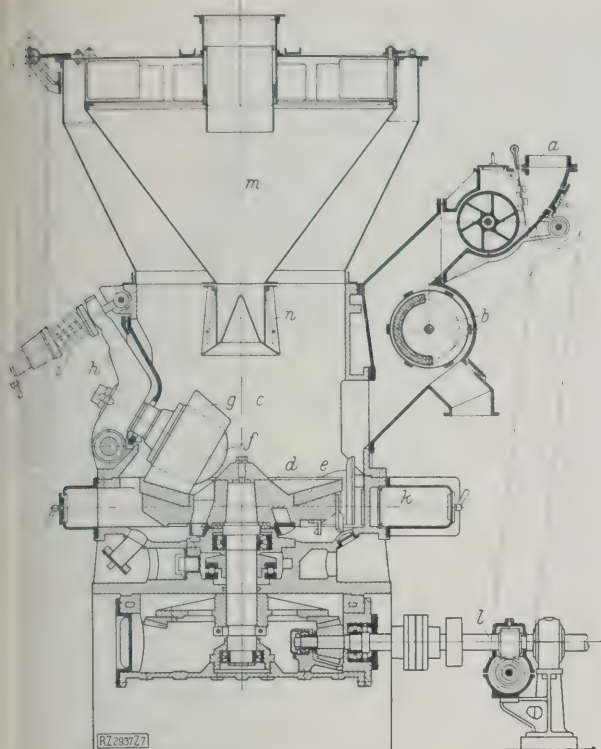


Abb. 8
Beanspruchungen der Kesseltrommeln unter Berücksichtigung der Nebenkräfte.

σ_1 Spannung durch Innendruck
 σ_2 " " Biegung
 σ_3 " " Beheizung
 σ_4 Spannung durch Walzung
 σ_5 Spannungserhöhung am Lochrand

Abb. 7
Kohlenmühle von Curt von Grueber, Maschinenbau-A.-G.

a Aufgabe b Magnetscheider c Mahlraum d Mahlschüssel
e Mahlring f Mahlwalze g Walzenmantel h Schwenghebel
i Anpreßfeder k Rückluftkanal l Antriebwelle
m Windsichter n Rückschlagklappen

endlich ausgeschlossen war, die gesetzliche Formel, die für niedrigere Drücke entwickelt ist, einfach auf die neuen Verhältnisse zu übertragen. Zunächst mußte berücksichtigt werden, daß die Werkstoffeigenschaften bei einer Sattdampftemperatur von 312° schon sehr wesentlich von denjenigen bei gewöhnlicher Temperatur abweichen. Die zusätzliche Beanspruchungen infolge des Wärmeübergangs durch große Wanddicken mußten mindestens untersucht werden, obwohl ein weitgehender Schutz der Trommeln gegen Wärmestrahlung vorgesehen war. Bei der Länge der Trommeln konnten die Biegebeanspruchungen nicht außer Betracht gelassen werden. Schließlich mußten die zusätzlichen Beanspruchungen infolge der Trommeldurchbohrung für die Rohre und infolge des Einwalzens nach dem derzeitigen Stande der Theorie Berücksichtigung finden.

Alle diese Beanspruchungen wurden rechnerisch ermittelt; obgleich auf ausreichenden Abstand der Rohre voneinander sehr gesehen wurde, zeigte es sich, daß an den ungünstigsten Stellen Beanspruchungen auftraten, die weit über das hinausgehen, womit man gewöhnlich zu rechnen pflegt. Abb. 8 veranschaulicht die einzelnen Beanspruchungen. Nach der gesetzlichen Formel hätte die Wanddicke der Trommeln 79 mm betragen. Tatsächlich wurde die Wanddicke mit 111 mm gewählt, während die Rechnung ergab, daß sogar diese Wanddicke gegenüber der gewährleisteten Streckgrenze von 17,5 kg/mm², eigentlich gar keine Sicherheit mehr bildet. Allerdings gibt diese Garantie für die Temperatur von 350° und sie außerdem bei den Materialprüfungen wesentlich überschritten worden. Die Rechnungen berücksichtigen offenbar nicht gewisse Ausgleicherscheinungen innerhalb des Werkstoffs, da sonst alle praktisch ausgeführten Kessel einen erschreckend geringen Sicherheitsgrad aufweisen müßten. Es schien jedoch geraten, die nicht sehr erheblichen Kosten für größere Wanddicken der beschriebenen Trommel in den Kauf zu nehmen, da die Verhältnisse in dicken Wandungen unter Umständen weniger günstig liegen können als in dünneren Blechen.

Als Werkstoff für die Trommeln wurde vergüteter Nickelstahl, Marke F, mit 1,5 vH Nickelgehalt, von Krupp gewählt. Dieser Werkstoff führte gerade bei hohen Temperaturen zu erheblich geringeren Wanddicken und wogten als gewöhnlicher Kohlenstoffstahl und bietet sich wegen seiner größeren Härte eine gewisse Sicherheit gegen das Verformen der Einwalzstellen der Rohre, die bei den sehr großen Wanddicken dieser Rohre unter

Umständen befürchtet werden müßte. Die Wahl fiel auf diesen Nickelstahl und nicht auf den mit 5 vH Nickelgehalt, weil der erste infolge besonderer Wärmebehandlung fast die gleichen Festigkeitseigenschaften hat wie der zweite, aber viel geringere Bedenken wegen möglicher elektrolytischer Wirkungen zwischen dem in Aussicht genommenen Kohlenstoffstahl der Rohre und dem Trommelwerkstoff erregte und auch billiger ist.

Untersuchungen der Technischen Hochschule Karlsruhe in dieser Beziehung zeigten, daß die elektrolytischen Wirkungen ziemlich proportional dem Nickelgehalt sind und daß unter gewissen Umständen Korrosionen infolge Elektrolyse bei verschiedenartigem Werkstoff zu befürchten sind. Die Untersuchungen ergaben allerdings kein eindeutiges Bild, da Nebenumstände aller Art gleichfalls zur Entstehung von elektrischen Spannungen führen. Im bisherigen Betrieb hat sich noch nichts gezeigt, was Bedenken in bezug auf elektrolytische Wirkung bei dem gewählten Nickelstahl von 1,5 vH gerechtfertigt hätte.

Als Werkstoff für die Kesselrohre kam wegen des Einwalzens und wegen des Preises nach dem damaligen Stande der Technik nur unlegierter Stahl in Frage. Die größere Wanddicke konnte hier in den Kauf genommen werden, obschon natürlich die inneren Beanspruchungen der Rohre infolge des Wärmedurchganges mit zunehmender Wanddicke erheblich wachsen. Sie dürften jedoch auch in der Brennkammer, bei nicht übermäßig hohen Belastungen, immer noch mit genügender Sicherheit unterhalb der Streckgrenze bleiben, so lange kein Kesselstein vorhanden ist; sobald sich aber Ablagerungen bilden, wird hier die Wärmestauung so groß, daß die Wanddicke der Rohre bedeutungslos wird.

Das Einwalzen der Rohre wurde zum Gegenstand eines besonderen Studiums gemacht; bei den ausführenden Firmen wurde eine größere Anzahl von Versuchen durchgeführt. Die Ergebnisse einer Versuchsreihe sind in Zahlentafel 1 zusammengestellt.

Aus Zahlentafel 1 sind die Einflüsse der Stärke des Einwalzens, des Vorhandenseins einer Walzrille und des Rohrdurchmessers ersichtlich. Die Sicherheiten gegen Herausreißen mögen bei dem ganz großen Rohrdurchmesser nicht mehr sehr reichlich erscheinen, doch ist zu beachten, daß das Herausdrücken vor dem Umbördeln des Rohrendes erfolgte; dieses erhöht die Sicherheit noch wesentlich. Die Dichtheit der Walzverbindung machte,



Abb. 9
Geringe Eindringtiefe der Einwalzwirkung bei dickwandigem Rohr (Abblättern infolge von Einschlüssen).

wenn sie mechanisch einwandfrei durchgeführt war, keine Schwierigkeiten; sie widerstand wesentlich höherem Druck. Auf der Baustelle wurden dann noch Probeinwalzungen durch die Richtmeister vorgenommen, die die Arbeit auszuführen hatten; die Stücke wurden dann bei einer Materialprüfanstalt untersucht. Es schien ferner zweifelhaft, ob das Einwalzen sehr starker Rohre nicht zu unzulässigen Quetschungen des Werkstoffes führt; das Schliffbild, Abb. 9, zeigt, daß, obwohl an der Innenwand noch ein Materialfehler vorhanden war, die Kaltreckung des Werkstoffes, wenigstens bei sorgfältiger Walzarbeit, nur ganz wenig von der Innenseite aus eindringt.

Für die Überhitzer ergaben sich insofern besondere Verhältnisse, als die sehr hohe Überhitzungstemperatur von 470°, bei Schwankungen im Betrieb, zu Temperaturen der Rohrwand führte, die bereits in der Gegend der wenig bekannten niedrigen Dauerstandfestigkeit des Werkstoffes liegen; hier schien die Verwendung von legiertem Stahl doch ratsam. Der Überhitzer wurde in zwei Teile zerlegt; der kältere erhielt Nickelstahl-Sammelkästen und gewöhnliche Stahlrohre, der heißere Nickelstahlrohre und Chromnickelstahl-Sammelkästen. Zwischen beide Überhitzerhälften wurde ein Einspritzkörper, Bauart *Hencky*, mit selbsttätigem Temperaturregler eingebaut. Auf diese Weise soll der Überhitzer

nach Möglichkeit gegen Temperaturschwankungen geschützt werden, während die Beanspruchung in Nickelstahlrohren, die etwa 3 kg/mm² beträgt, sicherlich auch bei 500° unter der Dauerstandfestigkeit liegt.

Bei den hohen Anforderungen an die Werkstoffe waren sorgfältige Prüfung und Abnahme eine Selbstverständlichkeit. Alle Werkstoffe wurden nach den Bedingungen der Vereinigung der Großkesselbesitzer, die in einzelnen Punkten etwas verschärft waren, abgenommen. Insbesondere wurden eine größere Anzahl von Heißzerreißversuchen ausgeführt, um auch die Eigenschaften der Werkstoffe in den hohen Temperaturgebieten zu prüfen. Die Abweichungen der Festigkeit gegenüber den Normaltemperaturen bewegten sich nur wenig in den bekannten Größen.

Es kamen zwei Kessel zur Aufstellung, von denen einer eine von der Hanomag, Hannover, mit Brennkammer und Kohlenstaubeuerung der Kohlen-Scheidungs-Gesellschaft (Lopulco), der andere von der Maschinenbauanstalt Humboldt, Köln, mit Brennkammer der AEG geliefert wurde. Die Hauptgrößen der Kessel betragen:

	Hanomag	Humboldt
Dampfleistung, im Mittel . . . t/h	63	63
Dampfleistung, höchstens . . . „	70	70
Kesselheizfläche m²	835	716
Überhitzerheizfläche „	453	700
Heizfläche des Rauchgasvorwärmers „	668	500
Heizfläche des Lufterhitzers „	3 400	3 400
Bauart „	Platten	Röhren
Gewährleisteter Wirkungsgrad bei Vollast vH	88,0	88,0

Von der Kesselheizfläche liegen beim ersten Kessel etwa 200 m² in der Brennkammer; zieht man die unstrahlenden Rückseiten ab, so kann man mit etwa 128 m² wirksamer Fläche rechnen; beim zweiten Kessel kann man bei 210 m² in der Brennkammer rd. 100 m² als wirksam annehmen.

Bauart der Dampfkessel

Bezüglich der Ausführung der Kessel sei im wesentlichen auf Abb. 10 bis 15 verwiesen. Bei beiden Kesseln ist die Obertrommel im Kesselgerüst und der ganze Kessel an den Rohren aufgehängt. Die Unterstützung der einzelnen Kesselteile erfolgt so, daß die Wärmedehnung

Zahlentafel 1. Einwalzversuche auf der Baustelle. Kessel B.

Rohrdurchmesser mm	54			70			95			108		
	1	2	3	4	5	6	7	8	9	10	11	12
Versuch Nr.												
Art der Walzstelle	mit einer Rille			mit einer Rille			mit einer Rille			mit einer Rille		
Walzlänge. mm	55	55	55	55	55	55	55	55	55	55	55	55
Lochdurchmesser vor dem Walzen. „	56,0	56,0	55,8	71,9	71,9	71,9	96,7	96,9	96,9	109,5	109,7	109,7
Rohr-Außendurchmesser v.d. Walzen „	53,4	53,5	53,6	69,4	69,4	69,7	95,0	94,1	94,0	107,5	107,5	107,5
Rohr-Innendurchmesser v.d. Walzen „	42,2	41,8	42,1	52,1	54,8	53,8	72,7	73,2	73,1	87,3	89,1	88,8
Rohr-Innendurchm. nach d. Walzen „	45,8	45,8	46,1	55,4	59,0	57,7	77,4	77,4	76,4	91,3	91,5	91,5
Walzdauer min, s	9' 15"	—	10' 0"	11' 30"	4' 0"	5' 30"	5' 50"	6' 20"	5' 10"	6' 30"	8' 0"	7' 3"
Druck zum Herausdrücken . . . kg	28 900	24 500	25 500	43 600	44 100	40 300	55 000	48 000	28 000*	55 000	53 000	56 500
Haftfläche cm²	97	97	96	124	124	124	167	168	168	189	189	189
Haftdruck kg/cm²	298	253	266	352	356	325	328	386	167*	290	280	290
bei 100 at: Druck zum Herausdrücken kg	2550	2550	2550	4200	4200	4200	7600	7600	7600	9700	9700	9700
Sicherheit gegen 100 at	11,3	9,6	10,0	10,4	10,5	9,6	7,2	6,3	3,7*	5,7	5,5	5,5

Bemerkung: * mit Absicht schwächer gewalzt.

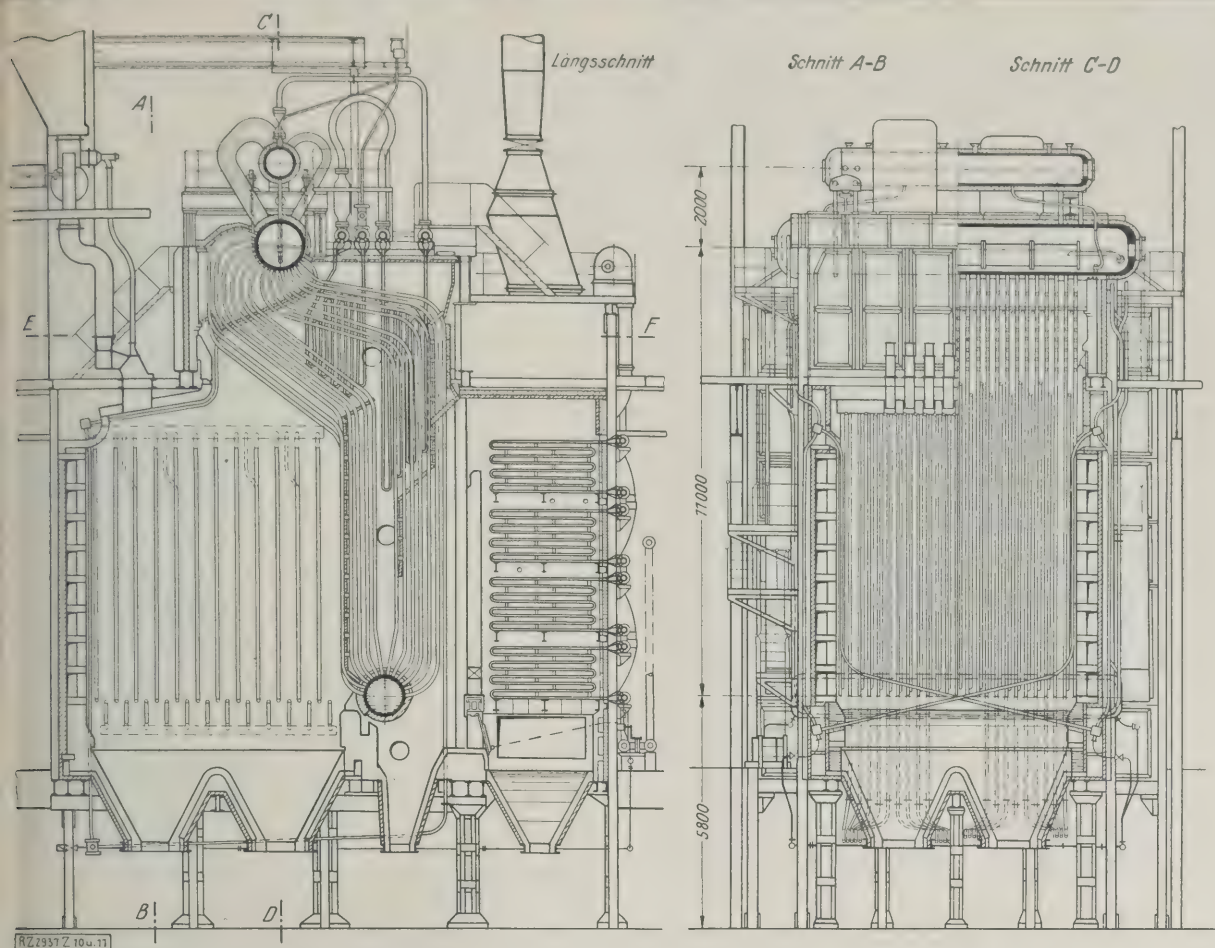


Abb. 10 bis 12

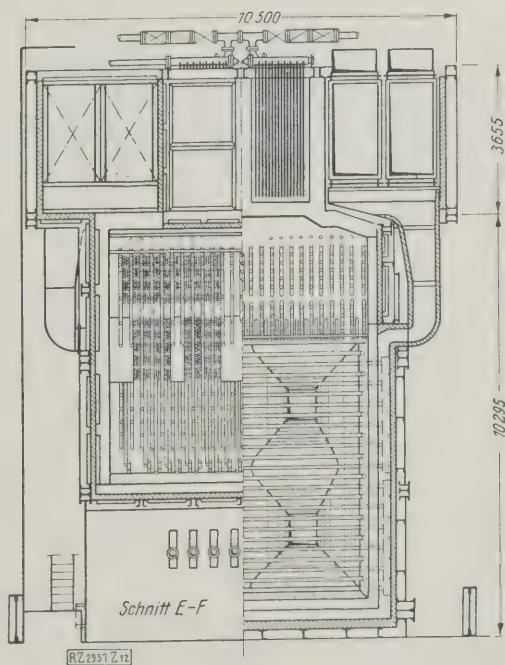
Hanomag-Kessel mit Brennkammer und Kohlenstaubfeuerung der Kohlen-Scheidungs-Ges.

an den gebogenen Rohren aufgenommen werden können. Von der in Amerika üblichen Aufhängung des Kessels am Kesselhausgerüst wurde abgesehen, da diese geringe Ersparnisse, dagegen aber eine Abhängigkeit zwischen Kesselhaus und Kesselkonstruktion mit sich bringt, die später den Einbau anderer Kessel stark behindern würde.

Der Hanomag-Kessel hat einen mehrfach geteilten Wasserumlauf: zunächst sind die Rohre der vorletzten Reihe zum größten Teil den Heizgasen überhaupt entzogen; sie dienen als Fallrohre für die Untertrommel, durch die das Wasser durch die vorderen Rohrreihen wieder aufsteigt. Die Brennkammer hat einen davon getrennten Umlauf. Für die Vorderwand- und Deckenheizung bildet die letzte Rohrreihe des Kessels den Zulauf zur Verbindung mit dem übrigen System. Ähnlich verhält es sich mit dem Kühlrost, der mit den beiden Seitenenden der Brennkammer in Verbindung steht.

Diese vollständige Trennung der Kreisläufe hat zwar gewisse Vorteile, doch bedingt ihre konstruktive Durchföhrung Schwierigkeiten; die Betriebserfahrungen haben sich dazu geführt, sie für einen neu bestellten Kessel nicht mehr beizubehalten. Insbesondere muß darauf geachtet werden, daß sich bei hoch beanspruchten Kesseln kein eintretende Speisewasser stets mit dem vorhandenen Kesselinhalt mischt, da sonst bei dem Vorhandensein einer Resthärte, die häufig nicht zu vermeiden ist, das Wasser eine gewisse Alkalität im Kesselwasser, wenigstens für den Teil, der fast unmittelbar in die Fallrohre der Sonderkreisläufe einläuft, zwecklos ist.

Die Brennkammer ist nur auf etwa 15 vH mit Wasser gefüllt, die vor dem Mauerwerk liegen, ausgekleidet, weil die beabsichtigte Verwendung von Magerkohle trotz der vorgesehenen Temperatur von 250 bis 300°C kein genügend gutes Ausbrennen erwarten ließ.



Es waren ohnedies besondere Maßnahmen notwendig, um ein ausreichendes Ausbrennen bei einem Brennstoff mit 8 bis 10 vH flüchtigen Bestandteilen zu erreichen; die Versuche hierüber sind noch nicht ganz abgeschlossen.

Der Überhitzer ist zwischen die Rohre gehängt und noch teilweise der Strahlung ausgesetzt; der vordere Teil besteht aus Nickelstahlrohr von 3 vH Nickelgehalt.

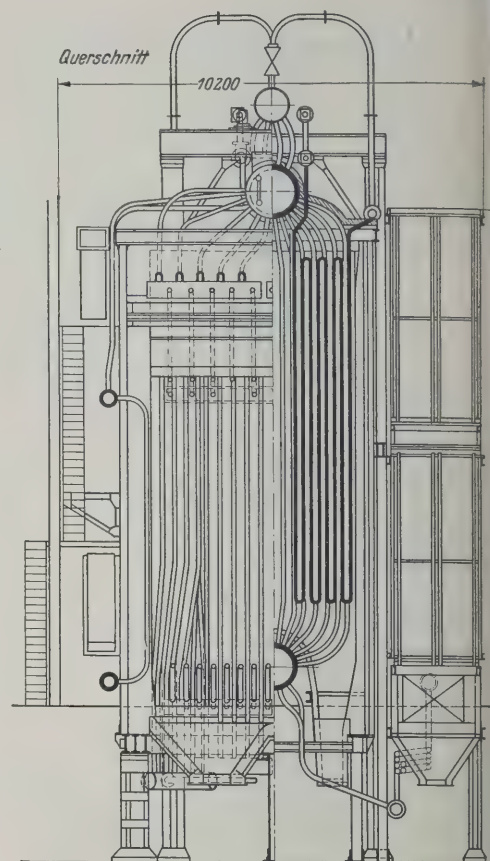
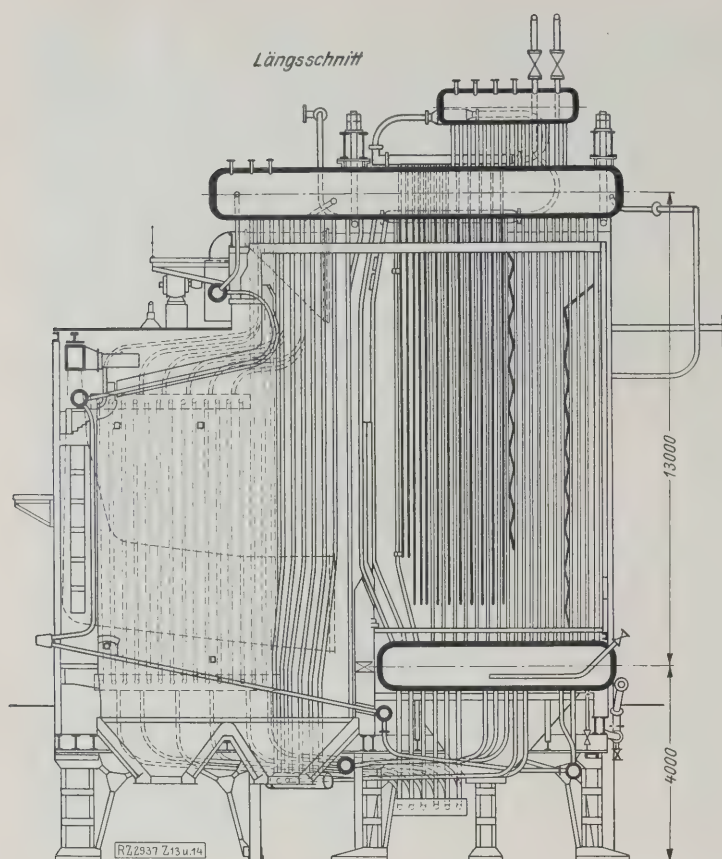
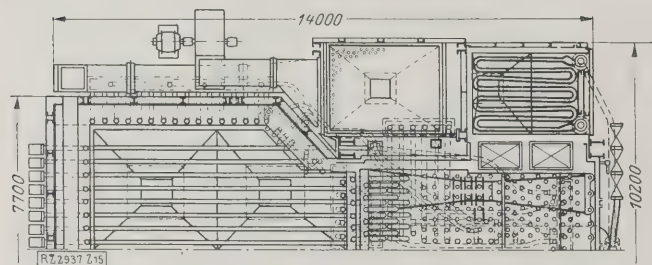


Abb. 13 bis 15
Kessel der Maschinenbauanstalt Humboldt mit
Brennkammer der AEG.



Die Dampfgeschwindigkeit im Überhitzer beträgt rd. 9 m/s und der Druckabfall rd. 3 at bei Vollast. Das Regeln der Überhitzung durch Einspritzen von Wasser zwischen beide Hälften des Überhitzers hat sich grundsätzlich bewährt; allerdings ist es bei hohen Temperaturen ein Mangel, daß die Temperatur im Überhitzer von der Belastung stark abhängt; denn, wenn man die Temperatur bis hinunter zu 30 bis 40 vH Belastung auf rd. 460° erhalten will, so steigt die Temperatur bei Vollast über 500° und ein Versagen der Einspritzung bedeutet immerhin eine gewisse Gefährdung des Überhitzers.

Es wäre sehr erwünscht, wenn weitere Erfahrungen mit dem noch umstrittenen Strahlungsüberhitzer gemacht werden könnten, da bekanntlich die Verbindung von Strahlungs- und Berührungsüberhitzer zu günstigerem Verlauf der Temperaturen führt.

Der Rauchgasvorwärmer besteht aus schmiedeeisernen Rohren, die in Sammelkörper eingewalzt sind, und ist so angeordnet, daß das Wasser in ihm dauernd ansteigt und sich keine Dampfsäcke bilden können. Es darf also auch gelegentlich eine Dampfbildung im Vorwärmer ohne Schaden zugelassen werden; die Speiseregelventile befinden sich vor dem Vorwärmer. Korrosionen im Vorwärmer dürften nicht zu befürchten sein, da das Wasser entlüftet und außerdem bereits mit 200° erwärmt eintritt. Der Lufterhitzer nach der Plattenbauart weist keine besondere Eigentümlichkeit auf. Die Beschreibung der von der Kohlen-

Scheidungs-Gesellschaft, Berlin, gelieferten Lopulco-Fertigung erübrigt sich.

Der Humboldt-Kessel unterscheidet sich äußerlich vom Hanomag-Kessel durch die Querlage der Trommel und hat im Gegensatz zu diesem sämtliche Wasserröhr an die Untertrommel angeschlossen. Die von der AEG gelieferte Brennkammer für Kohlenstaubeuerung hat nur 10 vH ihrer Flächen mit Rohren verkleidet, und zwar gleichfalls im Hinblick auf die Verwendung von Magdalenkohle. Ein Teil der Rohre liegt innerhalb des Mauerwerkes der Brennkammer, durch die im übrigen, wie bei der KSG-Feuerung, die erwärmte Zweitluft strömt.

Die Querlage der Trommeln bedingt eine Verengung der Brennkammer da, wo der eigentliche Kessel beginnt, wodurch sich eine verhältnismäßig günstige Anordnung der Vorwärmer, der Lufterhitzer und der Warmwasserzuführung ermöglichen ließ. Der Überhitzer hängt wiederum zwischen den Kesselrohren und besteht auch aus zwei Teilen; die Rohre sind in die aus dem Vollen gewalzten Chromnickelstahl-Sammelkörper eingewalzt. Der Kessel ist, abweichend von dem des ersten Kessels mit senkrecht liegenden Sammelkörpern versehen und der Lufterhitzer als Röhrenlufterhitzer ausgebildet.

Die Aschenbeseitigung erfolgt für die sich bildende Schlacke und die unten anfallende Asche hydraulisch ebenso für die aus den Gasen mittels Zyklonen entfernte Asche. Die von Telex, Apparatebau-Gesellschaft, Frankfurt a. M., gelieferten Zyklone besonders Bauart haben nach dem eine vorher eingebaute Naßentstaubung trotz günstigerer Wirkung wegen der entstehenden Anfrischung ausgebaut werden mußte, immerhin etwa 70 vH der Asche ausgeschieden, so daß bei der gewählten Schornsteinhöhe von 60 m und der Feinheit des noch entweichenden Staubes keine Belästigung der Nachbarschaft in höherem Maße zu befürchten ist, als mit jeder Industrieanlage verknüpft ist. [B 2937] (Schluß folgt.)

Fortschritte im Bau elektrischer Lokomotiven

Von Dr.-Ing. K. SACHS, Baden (Schweiz)

Schluß von S. 695.

Teile der elektrischen Ausrüstung wie Stromabnehmer, Hauptschalter, Transformator und die Steuerung in ihrer letzten Entwicklung werden behandelt. Die verschiedenen Schaltungen zur elektrischen Bremsung und die Sicherheits-einrichtungen für einmännige Fahrzeugführung.

Elektrische Ausrüstung³³⁾

Stromabnehmer

In der bei Lokomotiven für Fahrdrähtoberleitung vorherrschenden Storchschnabelbauart hat der Stromabnehmer schon vor dem Krieg einen hohen Grad von Vollkommenheit erreicht. Er zeigte eigentlich nur den Nachteil, zu schwer zu sein, was sich gelegentlich in Verbindung mit einer ungenügenden Dämpfung beim Hoch- oder Niedergehen in mehr oder weniger starken Schlägen auf die Fahrdrähtanlage und Untergestell des Stromabnehmers auswirkte.

Einen sehr bemerkenswerten Fortschritt stellt in dieser Richtung der von den Siemens-Schuckertwerken entworfene Einheitsstromabnehmer der Deutschen Reichsbahn, Abb. 69 dar. Das zur Überwindung des Gewichtmomentes aus Schere und Schleifbügel und zur Erzeugung des Anpreßdruckes erforderliche Gegendrehmoment an den beiden Stromabnehmerrollen *e* wird von den beiden Zugfedern *l* und die Zusatzfeder *m* erzeugt. Je eine Zugfeder ist auf beiden Seiten des Stromabnehmers zwischen den Wellen *e* angeordnet, während die Zusatzfeder *m* dicht neben einer der Zugfedern *l* liegt. Das eine Ende der Zusatzfeder greift wie die Zugfedern an einer Kurvenscheibe *n* an, während ihr anderes Ende an der Kolbenstange des Druckluftzylinders befestigt ist. Die beiden Zugfedern *l* tragen den größten Teil (etwa zwei Drittel) des Eigengewichts der Schere mit Schleifbügel aus, während die mit dem Luftzylinder verbundene Zusatzfeder *m* in gespanntem Zustande den Rest des Eigengewichtes übernimmt und den Anpreßdruck erzeugt. Infolge der Form der Kurvenscheiben wird der Hebelarm, an dem die Federn angreifen, derart geändert, daß trotz des veränderlichen Gewichtmomentes der Schere und der veränderlichen Federspannung der Anpreßdruck des Schleifbügels in jeder Höhe praktisch gleich ist.

Bemerkenswert ist der Abschalter *d*, der den niedergelegten Stromabnehmer selbsttätig von der zwischen den beiden Stromabnehmern angeordneten Verbindungsleitung abschaltet; der niedergelegte Stromabnehmer ist also spannungslos, auch wenn der zweite Stromabnehmer des Fahrzeuges noch am Fahrdraht anliegt.

Das Gesamtgewicht dieses Stromabnehmers beträgt nur 375 kg.

Abb. 70 zeigt den von der S.A. des Ateliers de Sécheron in Genf entwickelten Stromabnehmer, der sich ebenfalls durch geringes Gewicht und Verwendung von nur zwei Zugfedern auszeichnet.

Bei dem vor kurzem von der A.-G. Brown Boveri & Cie. neu entwickelten Stromabnehmer, Abb. 71, ist das statisch überbestimmte und daher leicht Klemmungen verursachende, gelenkige Gebilde unter weiterer Gewichtsverminderung durch ein statisch einfach bestimmtes Gebilde ersetzt, indem die oberen Scheren nur aus den beiden seitlichen Rohren und einer mit ihnen beidseitig gelenkig verbundenen Schrägstrebe bestehen^{33a)}. Sonstige Querverbindungen sind nicht vorhanden. Die statische Steifigkeit wird hier von den biegezugsfesten unteren Scherarmen und von den unteren Querwellen, die gegen Verdrehung sichern und besonders kräftig ausgebildet sind, übernommen. Wie beim vorerwähnten

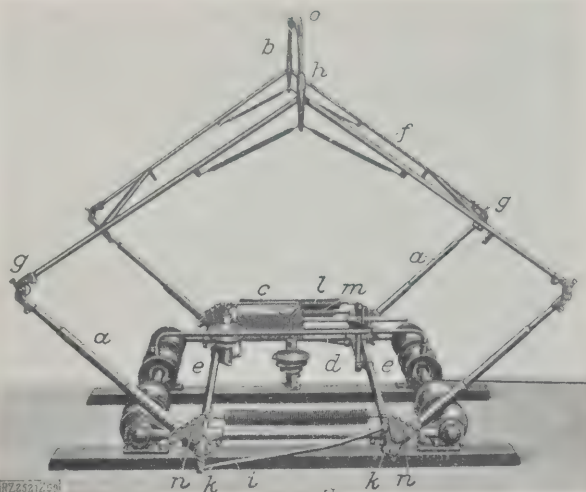


Abb. 69. Einheitsstromabnehmer der Deutschen Reichsbahn-Gesellschaft (Siemens-Schuckertwerke, A.-G.).

- | | |
|---|--|
| a Schere mit Federung | k Hebel |
| b Schleifbügel (Peitsche) | l Zugfeder |
| c Druckluftantrieb | m Zusatzfeder, mit Luftzylinder verbunden |
| d Abschalter | n Kurvenscheiben |
| e Hauptwellen | o Aluminiumschleifstück mit Fettschmierung |
| f, g, h oberer Rohrrahmen mit Gelenk und Gabeln | |
| i Kuppelstange | |

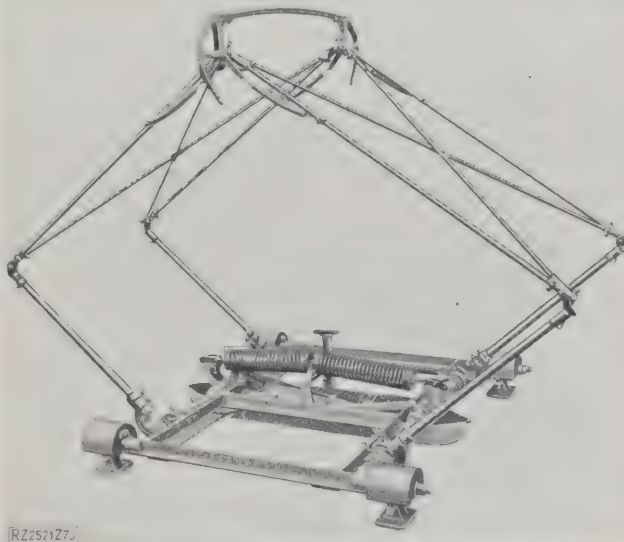


Abb. 70. Stromabnehmer, Bauart Sécheron.

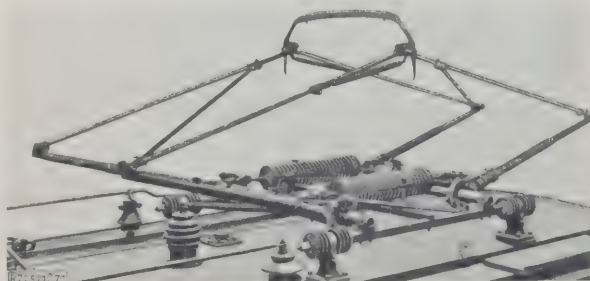


Abb. 71. Stromabnehmer, Bauart BBC.

³³⁾ Die Lokomotivmotoren sind bereits im ersten Teile des Aufsatzes im Fachheft „Elektrische Bahnen“, Z. Nr. 20 vom 18. Mai 1929, behandelt worden.

^{33a)} DfP angem. A 50 940 (A.-G. Brown, Boveri & Cie. — Dr. A. Cuvenhoven).

Stromabnehmer sind auch hier nur zwei Hauptfedern vorhanden. Die Vorrichtung zum Spannen dieser Federn ist so ausgebildet, daß sich die Bügeldrücke unabhängig voneinander im obern und untern Arbeitsbereich verändern lassen. Neuartig ist ferner die bei diesem Stromabnehmer angewendete Klemmverbindung³⁴⁾ der Rohre mit den Gelenkstücken.

Hauptschalter

Der als Ölschalter gebaute Hauptschalter der Einphasenlokomotiven unterschied sich in der Zeit vor dem Kriege nicht grundsätzlich von den damaligen Ölschaltern für ortsfeste Anlagen. Erst das Entstehen größerer, aus mehreren Kraftwerken oder Unterwerken versorgten Bahnnetze in der Nachkriegszeit legte die Notwendigkeit nahe, den Hauptschalter für eine im Verhältnis zur Lokomotivleistung wesentlich höhere Abschaltleistung zu bauen. Dieser infolge der beengten Raumverhältnisse auf der Lokomotive erschwerten Forderung genügten die in Abb. 72 und 73 dargestellten Schalter, die mit Mehrfachunterbrechung arbeiten und in einen am Lokomotivdach angebrachten, druckfesten Kübel eintauchen. Der entsprechend schwächer ausgebildete Schalterdeckel bildet einen Teil des Lokomotivdaches. Schalterexplosionen oder auch nur die harmlosen Begleiterscheinungen schwerer Abschaltungen (Ölauswurf, Rauchentwicklung) kommen also nur nach außen zur Auswirkung.

Abb. 72 stellt den von der A.-G. Brown Boveri & Cie. entwickelten, bei den Lokomotiven der Deutschen Reichsbahn-Gesellschaft und jenen der Schweizerischen Bundesbahnen gebrauchten Einheitsölschalter dar. Der Unterschied zwischen den bei den beiden Verwaltungen benutzten Bauarten besteht nur darin, daß in der Schweiz der Schalterdeckel mit dem Lokomotivdach fest verschraubt ist, so daß zwecks Untersuchung der Ölkübel heruntergelassen werden muß, während in Deutschland der die ganze Schaltereinrichtung tragende Deckel hochgekurbelt wird. Abb. 73 zeigt einen Lokomotivölschalter ähnlicher Bauart, der gemeinsam von den Siemens-Schuckertwerken und der Allgemeinen Elektrizitäts-Gesellschaft ausgebildet wurde.

Wenn auch heute Ölschalter neuzeitlicher Bauart mit den hier in Frage kommenden Abmessungen Abschaltleistungen von reichlich mehr als 100 000 kVA zu bewältigen imstande sind, so schien doch bei der stets

³⁴⁾ DRP Nr. 469 297 (A.-G. Brown, Boveri & Cie. — Dr. A. Couwenhoven).

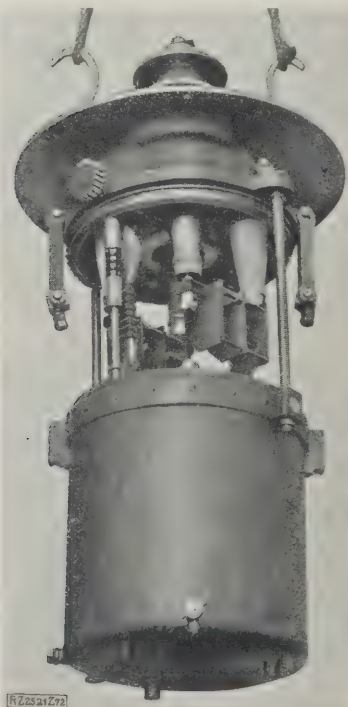


Abb. 72
Einheitsölschalter der
Deutschen Reichsbahn-Gesellschaft
und der
Schweizerischen Bundesbahnen
(Bauart BBC).

enger werdenden Vermaschung der elektrischen Bahnen empfehlenswert, wenigstens primäre Kurzschlüsse von den Unterwerkschaltern abschalten zu lassen, was den Schweizerischen Bundesbahnen mittels Einstellung der Höchststromrelais des Zugheizungs- und Triebmotorstromkreises auf Augenblicksauslösung, des Hochspannungsrelais auf Zeitauslösung für zwei bis drei Sekunden und durch Anordnung eines Blockierrelais erreicht wird. Dieses unterbricht im Augenblick, in dem ein heftiger Kurzschluß auf der Primärseite einsetzt, den (Gleichstrom) Auslösestromkreis des Nullspannungs- und Höchststromrelais, so daß das Nullspannungsrelais den Lokomotivölschalter erst nach Verschwinden des Kurzschlußstroms — also nach dessen Ausschaltung durch das Unterwerk und Freigabe des Auslösestromkreises — auslöst.

Bei den Lokomotiven der Reichsbahn, bei den Wechselstrom einer bestimmten Transformatoranzapfung als Steuerstrom dient, bürgert sich folgende Schaltung für den gleichen Zweck ein: Das Höchststromrelais schließt bei Überschreitung der zulässigen Stromstärke zwei Kontaktpaare. Das erste schließt einen Stromkreis von der Steuerstromanzapfung des Haupttransformators über einen Auslöser am Hauptschalter zur Erde. Bei Überlastung der Lokomotive und bei leichten Kurzschlüssen wirkt die Einrichtung in gewöhnlicher Weise als unmittelbare Höchststromauslösung. Bei schweren Kurzschlüssen, namentlich auf der Überspannungsseite, geht die Spannung auf der Lokomotive bis auf null zurück, es fließt kein Strom durch den Steuerstromkreis und der Auslöser am Hauptschalter, der nun nicht zur Auslösung kommt. Das zweite Kontaktpaar am Höchststromrelais schließt einen Gleichstromkreis, der von der Beleuchtungsbatterie gespeist wird und je einen Fallklappenauslöser an den beiden Führerständen betätigt, die dem Führer anzeigen, daß das Höchststromrelais angesprochen hat und ihn verhindern, den Hauptschalter wiederholt einzulegen.

Sehr bemerkenswert ist der Versuch, den Hauptölschalter durch einen Luftschalter mit Prellluftlöschung zu ersetzen. Abb. 74 und 75 zeigen von den Siemens-Schuckertwerken auf Grund einer Reihe von Versuchsausführungen entworfenen Schalter, wie er die 1 Do 1-Schnellzuglokomotive (Reihe E 16 101) der Deutschen Reichsbahn eingebaut wurde. Ein derartiger Schalter fällt natürlich wesentlich größer aus als ein Ölschalter.

Für Gleichstromlokomotiven hoher Spannung ist ein Luftschalter entwickelt worden, bei dem die Abreißelektroden, die zeitlich nach der Hauptkontaktbürste öffnen sich der Form der Blasspule anschmiegen, Abb. 76. Wenn hier die Fußpunkte des Abschaltlichtbogens längs der Abreißelektroden zurückwandern, verlängert sich der Lichtbogen in einem Blasfeld annähernd gleichbleibende und zwar größter Stärke und kommt dadurch rasch zum Verlöschen.

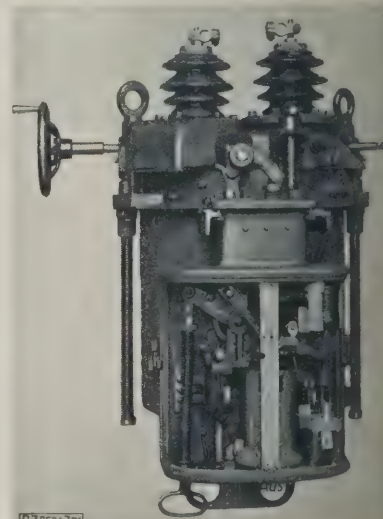


Abb. 73
Lokomotivölschalter,
Bauart „Wasseg“
(AEG und SSW).

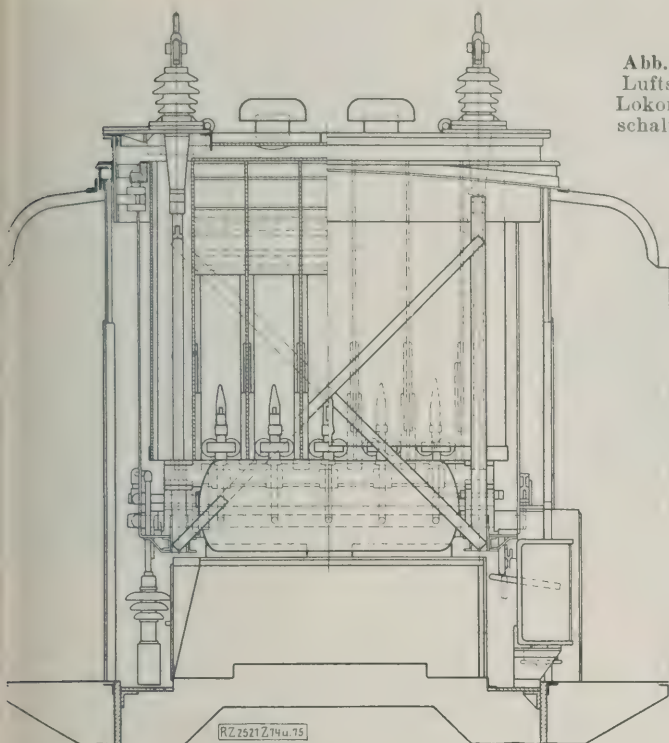
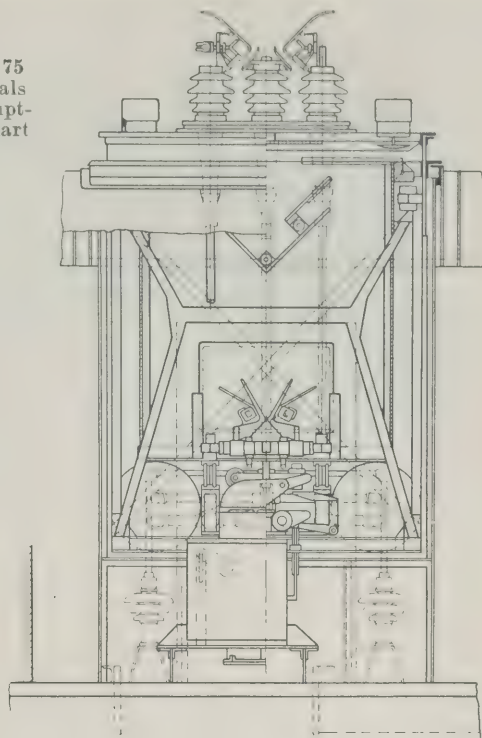


Abb. 74 und 75
Luftschalter als
Lokomotivhaupt-
schalter (Bauart
SSW).



Transformatoren

Die Neuerungen auf diesem Gebiete betreffen vor allem die Kühlung bei der nach dem Kriege vorwiegend ausgeführten Bauart mit glattem, genietetem oder geweißtem Ölkübel, nachdem sich der Wellblechkasten, dessen Oberfläche zur Abfuhr der Verlustwärme allenfalls ausreichen mochte, den Erschütterungen des Bahntriebes nicht gewachsen erwiesen hatte. Gemeinsam ist diesen Kühlarten der besondere Ölkühler, bestehend aus Rohrschlangen, die von dem zu kühlenden Öl durchflossen werden. Gibt man diesen Kühlern eine genügend große Oberfläche, d. h. genügend große Länge, dann reicht der bei der Fahrt entstehende Luftzug für die Kühlung aus. Die Anordnung der unter Vermittlung einer Pumpe im Öl durchflossenen Kühlrohrschlangen an den Lokomotivseitenwänden ergibt sich dabei als zwangloseste Lösung. Rohre mit kleiner Oberfläche und damit kleiner Länge werden mittels eines besonderen Lüfters gekühlt. Solche Kühler können zunächst in Form von Rohren ausgebildet sein, die henkelartig an den Transformator angeschlossen sind, Abb. 77, und in einen künstlich betriebenen Schacht hineinragen. In den Henkelrohren kreist das Öl von oben nach unten lediglich unter Einwirkung

des sich einstellenden Temperaturgefälles zwischen der obersten und untersten Ölschicht im Kübel, also ohne Zuhilfenahme einer Ölpumpe. Bei einer andern Ausführung werden die Kühlrohre zu einem besonderen Röhrenkühler vereinigt, der entweder unter Vermeidung langer Rohrleitungen an den Transformator unmittelbar angebaut wird, Abb. 78, und zwar samt den zugehörigen Lüftern, oder mit diesen zu einer besonderen Gruppe vereinigt wird, wobei ein Motor Lüfter und Ölpumpe gemeinsam antreibt, Abb. 79.

Eine sehr beachtenswerte, hiervon abweichende Form der Ölkühlung zeigt Abb. 80²⁵⁾. Das Öl wird hier im Kübel von luftdurchströmten Röhrenbündeln gekühlt. Öldurchflossene Kühlrohre, die umständlich zu reinigen und auf die Dauer schwierig dicht zu halten sind, sind hier vollkommen vermieden.

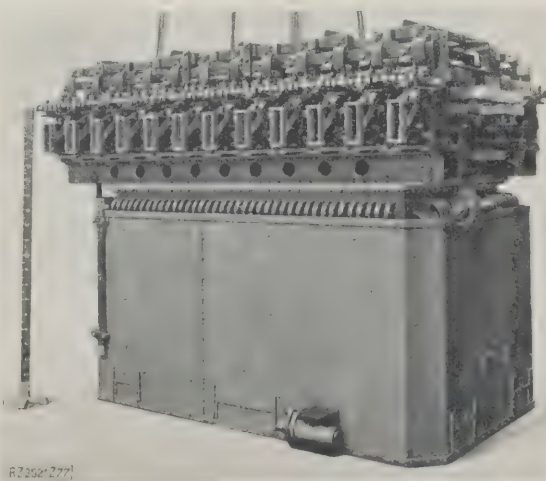
In Deutschland scheint man sich neuerdings wieder mehr dem Trockentransformator, Abb. 81, zuzuwenden, der heute, im Gegensatz zur Zeit vor dem Kriege, für

²⁵⁾ Ausgeführt von der S. A. des Ateliers de Sécheron in Genf bei den Lokomotiven der Achsfolge 1Co1, 2Co1 und 1Bo1-Bo1 der Reihen 10 201, 10 261 und 12 501 der Schweizerischen Bundesbahnen und bei den 1Co-Co1-Lokomotiven Reihe 201 der Löttschbergbahn, ferner von der „Ellin“ A.-G. in Wien bei den Bo-Bo-Lokomotiven Reihe 1170 der Österreichischen Bundesbahnen.



Abb. 76
Hauptschalter
für Gleichstrom-
lokomotiven hoher
Spannung

Abb. 77
Lokomotiv-
Öltransformator
mit Kühlung
durch Henkelrohre
(Ausführung SSW).



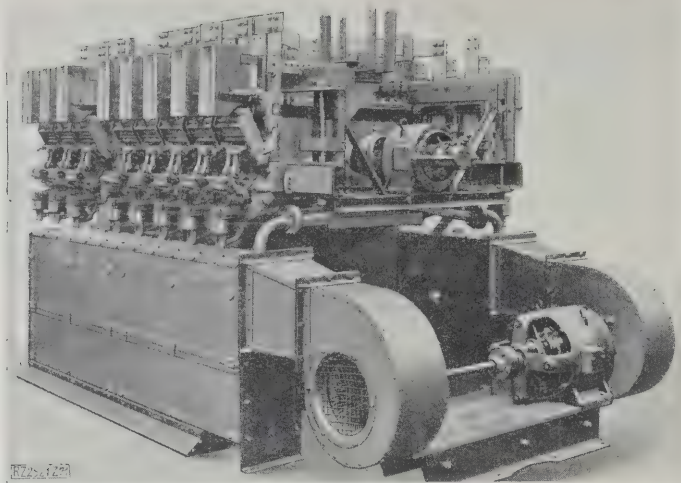


Abb. 78
Lokomotiv-Öltransformator mit unmittelbar
angebautem, künstlich belüftetem Röhrenkühler
(Bergmann-Elektrizitäts-Werke A.-G.).

15 kV Oberspannung betriebsicher gebaut werden kann, wenn für peinliche Reinigung der Kühlluft durch eingebaute Filter gesorgt wird. Allerdings weist der Trockentransformator nicht die Überlastungsfähigkeit des Öltransformators auf und schließt im Fall örtlicher Übererwärmungen Brandgefahr in höherem Maße in sich als der Öltransformator, dessen Ölfüllung im Bahnbetrieb gefährliche Temperaturen kaum erreicht und daher nur selten einer Erneuerung bedarf, die zugegebenermaßen umständlich ist.

Steuerung

Die zum Zwecke der Geschwindigkeitsregelung zur Bedienung der einzelnen Stufen des Anfahrwiderstandes oder des Transformators dienenden Einzelschalter oder Schützen wurden in beiden Bauformen als elektromagnetisch- und elektrisch-druckluftbetätigte Vorrichtungen ausgebildet, die zuverlässig und den Anforderungen des Bahnbetriebes gewachsen sind. Der Vorteil der Schützensteuerung liegt darin, daß sich die verschiedensten Schaltungen und allenfalls Motorgruppierungen leicht durchführen lassen, da sich jegliche Art von Schaltfolge

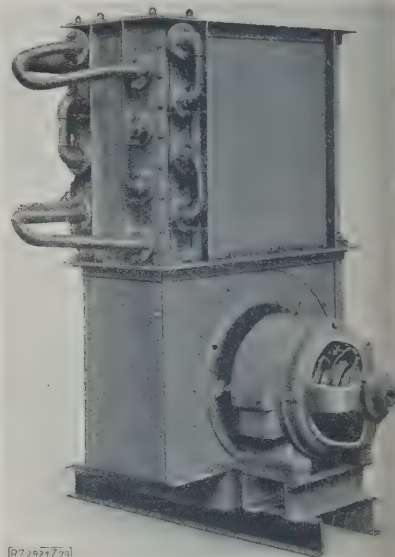


Abb. 79
Ölkühlergruppe für einen Lokomotiv-
transformator bei getrennter Auf-
stellung (Bauart BBC).

mittels entsprechender Ausbildung der Abwicklung der Führerstandwalze mühelos erreichen läßt, wenn man zugleich dafür sorgt, daß das gleichzeitige Einschalten einer Anzahl feindlicher Schützen mittels entsprechender Verriegelungskontakte und deren Verbindungsleitungen verhindert wird.

In der Notwendigkeit dieser Wartung und Instandhaltung erfordernden Verriegelungskontakte und -leitungen liegt ein gewisser Nachteil der Schützensteuerung schlechtweg, und es hat nicht an Bemühungen gefehlt, wenigstens deren Zahl zu vermindern. In schöner Weise ist dies der Pöge-Elektrizitätsgesellschaft A.-G., Chemnitz, bei den 2 D 1-Güterzuglokomotiven der Reihe E 7901 der Deutschen Reichsbahn gelungen, deren Steuerstromkreise Abb. 82 zeigt. Die Führerstandwalze arbeitet in der Weise, daß der Steuerstrom auf zwei Gleitschienen zugeführt wird, die über Kontaktschleifen. Die eine Gleitschiene, die Magnetfingerwalze leitet den Strom zu den Magnetspulen der einzelnen

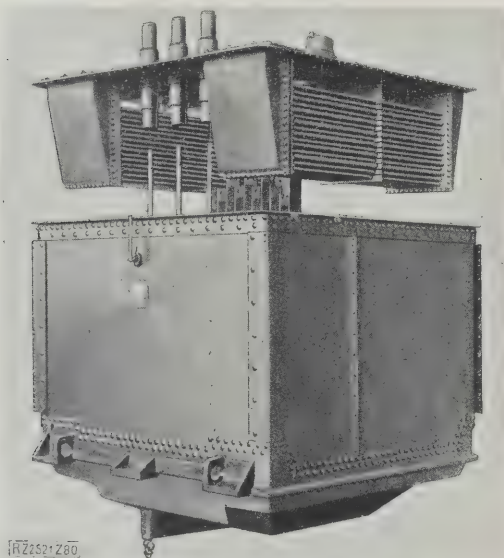


Abb. 80
Lokomotiv-Öltransformator mit eingebautem luft-
durchströmten Kühlrohrbündel (Bauart S. A. des
Ateliers de Sécheron).

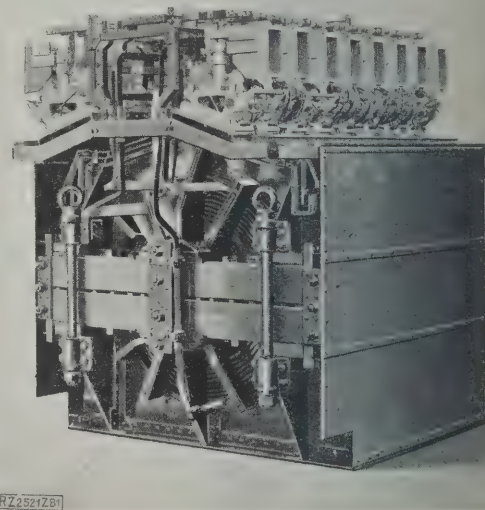


Abb. 81
Lokomotiv-Trockentransformator der 2 D 1-Schnell-
zuglokomotiven, Reihe E 2101 der Deutschen Reichs-
bahn-Gesellschaft (Bauart AEG).

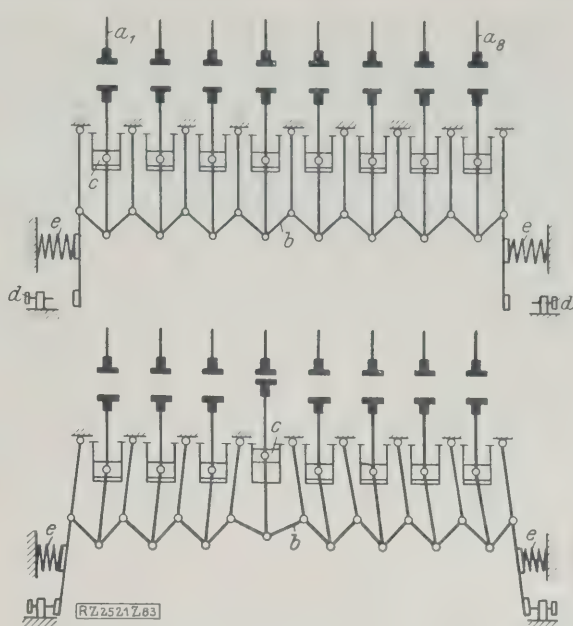
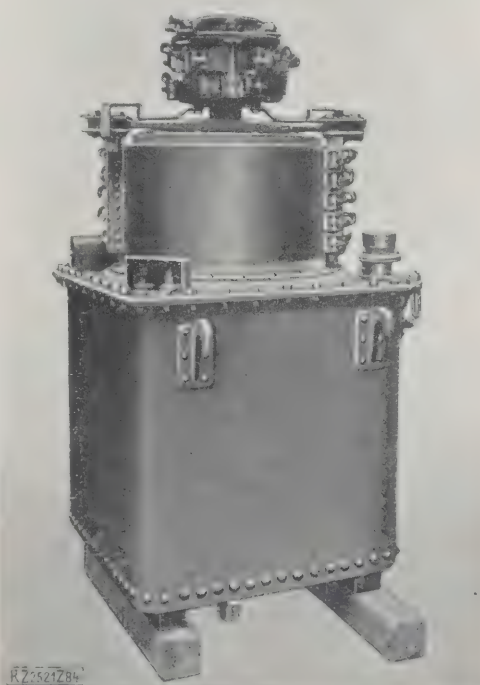


Abb. 83 und 83 a. Mechanische Schützenverriegelung der 1 Do 1-Schnellzuglokomotiven, Reihe 1570 der Österr. Bundesbahnen (Österr. Siemens-Schuckert-Werke).

- a_1 bis a_8 durch Druckluft betriebene Schützen
b Gelenkkette
c Ventilkolben
d Anschläge
e Ausschaltfedern

Bei der in Abb. 83 und 84 dargestellten Anordnung (err. Siemens-Schuckert-Werke) sind Verriegelungs-
akte und -leitungen vollständig vermieden³⁸⁾. Je
e, druckluftbetätigte Schützen a_1 bis a_8 sind hier
mechanisch untereinander so verriegelt, daß immer
t eine einzige eingeschaltet sein kann, und zwar
eibt die Verriegelung auf dem Grundsatz, daß
e eine Gelenkkette b nur um ein bestimmtes
d. (entsprechend dem Hub eines Ventilkolbens c)
zwischen zwei Anschlägen d strecken läßt. Die
entschaltfedern e wirken für alle acht Schützen ge-
einsam auf die Gelenkkette. Ein besonderer Vorteil der

Eine eigentümliche Lösung der Aufgabe, die durch die Anzapfungen am Haupttransformator bestimmten Span-



²⁰⁾ Österr. Patent Nr. 102 450 (Österr. Siemens-Schuckertwerke).

nungssprünge mehr oder wenig stetig zu überbrücken, um eine möglichst feinstufige Regelung der Motoren zu erzielen, stellt

der Kommutatorregler³⁹⁾ von Döry, Abb. 84, dar. Seinem mechanischen Aufbau nach ist dieser Regler ein Öl-Kerntransformator mit ringförmigem Eisenkern. Die innere, auf diesem sitzende Wicklung ist die vom Haupttransformator gespeiste Primärwicklung. Die Windungen der außenliegenden Sekundärwicklung sind an die Lamellen eines außerhalb des Ölkessels auf dem Deckel liegenden, feststehenden Kommutators angeschlossen. Von zwei beliebig drehbaren, gegeneinander elektrisch um 180° versetzten Bürstensätsen kann über zwei Schleifringe eine nach Größe und Richtung wechselnde Spannung abgenommen werden, die der Zusatzwicklung des zwischen die Spannungsmittelpunkte zweier Spannungsteiler geschalteten Schalttransformators aufgedrückt wird und damit Größe wie Richtung des in letzterem vorhandenen Kraftflusses bestimmt. Dieser legt seinerseits wie die den Fahrmotoren aufzudrückende Klemmenspannung zwangsläufig fest.

Auch auf dem Gebiete der

Nockenfahrtschalter,

die aus der mechanischen Vereinigung von Schützen zu einer konstruktiven Einheit mit gemeinsamer zwangsläufig folgerichtiger Betätigung mittels einer Nockenwelle entstanden sind, sind bemerkenswerte Neuerungen geschaffen worden.

Wirkt die Nocken- oder Exzenterwelle unmittelbar auf die beweglichen Kontakte der einzelnen Schaltelemente, dann sind bei unmittelbarem Handantrieb beträchtliche Verstellkräfte erforderlich, und der Servomotor-Antrieb (s. u.) wird bevorzugt. Um diesen noch zu vermeiden, kann man mit Hilfe der Exzenterwelle die Betätigungstromkreise der elektromagnetisch- oder druckluftbetätigten

³⁹⁾ DRP Nr. 386 389 und Nr. 424 785 (Pöge-Elektrizitäts-A.-G.).

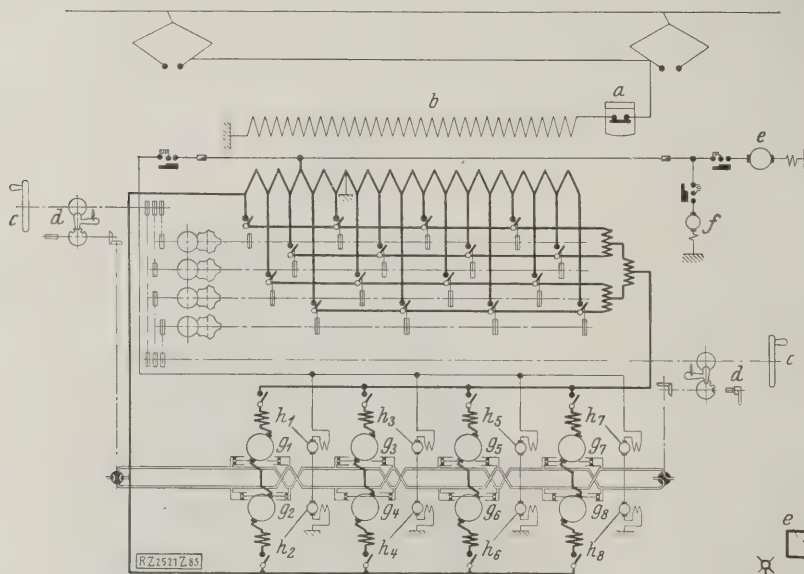


Abb. 85

Schaltbild der 2 Do 1-Schnellzuglokomotive, Reihe E 2151 der Deutschen Reichsbahn-Gesellschaft (Bergmann-Elektrizitäts-Werke A.-G.).

- | | |
|--------------------|---|
| a Hauptschalter | f Motor des Transformator-Kühlers |
| b Transformator | g1 bis g8 Fahrmotoren |
| c Fahrtschalter | h1 bis h8 Motoren der Fahrmotorenlüfter |
| d Fahrtwendesalter | |
| e Kompressormotor | |

Abb. 86 (rechts)

Elektrisch gesteuerter Druckluftantrieb einer Nockenschaltwalze (BBC — Dr. A. Couwenhoven).

- | | |
|------------------------------|---|
| a Nockenschaltwalze | i, k Klinkenhebel |
| b, c Druckluftzylinder | m, n Hilfsdruckluftzylinder |
| d Zahnstangenantrieb | o, p Steuerhebel |
| e, g Druckluft-Doppelventile | q, r Druckluftventile |
| f Spannfeder | s, t Elektromagnete zur Steuerung der Ventile |
| h Rastscheibe | |

Schützen steuern⁴⁰⁾ oder aber die Ventile der luftbetätigten Schützen unmittelbar umstellen⁴¹⁾, eine Ausführung, namentlich von der S. A. des Ateliers de Sécheron in (zu hoher Vollkommenheit entwickelt worden ist. Bei F-schaltung der Schützenkontakte (Hängenbleiben) wird Exzenterwelle mittels eines an allen Exzenterseiben gebrachten Sperrkranzes in der Weise an der Weibewegung gehindert, daß ein je von der Ventilkolbestange aus betätigter Sperrriegel mit diesem Sperrriegel in Anschlag kommt.

In ähnlicher Weise ist die in Abb. 85 dargestellte von den Bergmann-Elektrizitätswerken, A.-G., für 2 Do 1-Schnellzuglokomotive Reihe E 2151 entwickelte Steuerung durchgebildet.

Den einfachsten servomotorischen Antrieb der Nockenschaltwalze bildet der elektrisch gesteuerte Luftmotor, dem mehr oder weniger Vorzug gegeben wird, nachdem es gelungen ist, die elastische Nachwirkung der in den Zylindern eingeschlossenen Luftmengen auszuschalten, so daß die einzelnen Schaltstellungen ebenso genau festliegen wie elektrischem Servomotor oder Schaltmagnet. Abb. 86 zeigt schematisch einen elektrisch-druckluftbetätigten Antrieb⁴²⁾ dieser Art, bei dem die Bewegung des Druckluftmotors b, c mittels einer Sperrklinke k begründet wird, die selbst zugleich die Steuerventile e, g betätigt und den Druckluftmotor gleichzeitig zum Stillstand bringt, indem sie in die Rastscheibe h einfällt.

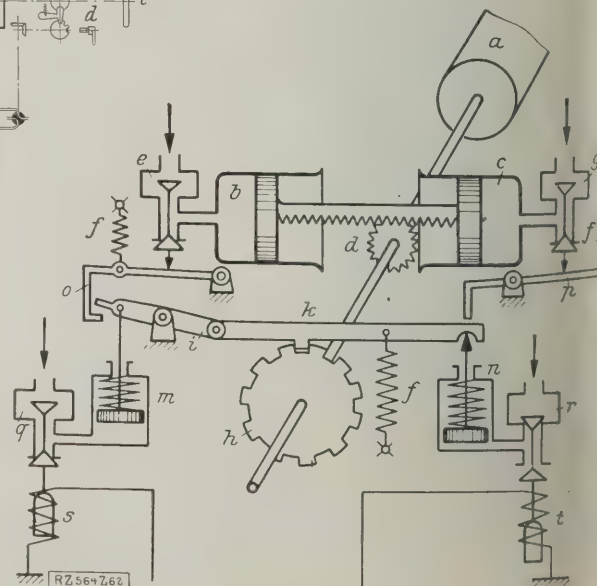
Abb. 87 zeigt die von den Bergmann-Elektrizitätswerken, A.-G., gemeinsam mit den Maffei-Schwartzkopff-Werken für die Triebwagen der Berliner Stadtbahn entwickelte elektrisch-druckluftbetätigte Steuerung⁴³⁾. Nockenwelle a wird von Stufe zu Stufe mittels eines in Steigrad b eingreifenden Klinkenwerks c gedreht, das von einem Kolben des Arbeitszylinders d angetrieben wird, während ein zweiter Druckluftzylinder e, der Rückzugzylinder, Schaltwalze rasch in die Nullstellung zurückdreht, wenn der Triebwagenführer den Druckknopf g an der Fahrerkurbel f losläßt. Die Druckluft gelangt in den Arbeits-

⁴⁰⁾ Französisches Patent Nr. 586 376 (Forstmann & Co., Ateliers de Constructions Electriques de Jeumont).

⁴¹⁾ DRP Nr. 426 426 (S. A. des Ateliers de Sécheron). — Ausgeführt bei den 1Co-Co-Güterlokomotiven (Reihe 201) der Lötzbahn, s. Abb. 25 in Heft 20 S. 684/5 und bei der Bo-Bo-Lokomotive Nr. 82 der Bernina-Bahn.

⁴²⁾ DRP Nr. 432 041 (A.-G. Brown Boveri & Co., Dr. A. Couwenhoven). — Die Bo-Bo-Lokomotiven (Gruppe E 625.004 bis 625.007) der Ital. St. bahn, die 1Do1-Lokomotiven (Reihe E 465) der Tschechoslowakischen Staatsbahnen, die 2Co2-Lokomotive Nr. 4002 der Great Indian Peninsula Railway, die 1Do1-Lokomotive Nr. 231 der Paulista-Bahn, die 2Co-Co2-Lokomotiven (Reihe 7201) der Span. N. bahn sind hiermit ausgerüstet.

⁴³⁾ DRP Nr. 398 982 (Bergmann-Elektrizitätswerke, A.-G.).



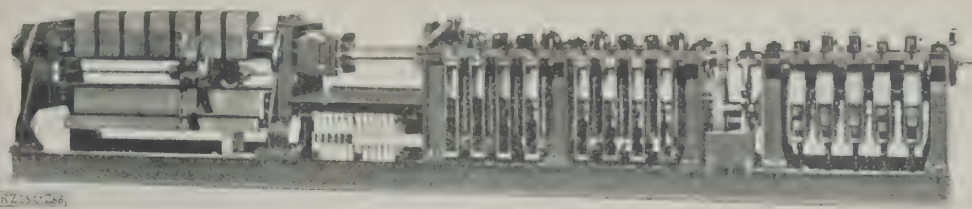


Abb. 88
Stufenschalter
mit gestreckter
Kontaktbahn, mit
Nockenfahrtschalter
vereinigt (BBC).

zylinder jeweils bei Erregung des zugehörigen elektrisch gesteuerten Ventils *h*, das seine Erregung am Ende der durch bewirkten Vorwärtsbewegung des Arbeitskolbens selbstständig wieder verliert, worauf die Feder *i* den Kolben in die Anfangstellung zurückführt. Das Spiel wiederholt sich solange, bis die bei Beginn der Anfahrt eingestellte Schaltstufe erreicht ist und solange dabei der Motorstrom unter einem bestimmten Grenzwert bleibt. Wird dieser überschritten, so zieht das Fortschaltrelais *k* seinen Anker und öffnet damit einen Hilfskontakt im Stromkreis des Ventils des Arbeitszylinders, so daß dieser nicht weiter schalten kann. Sinkt der Motorstrom wieder unter den Grenzwert, so fällt der Anker wieder ab und schließt den Hilfskontakt, so daß das Klinkwerk weiterschaltet.

Beim Stufenschalter mit gestreckter Kontaktbahn⁴⁴⁾,

bei Schliittenschalter genannt, bei dem jegliche Art von Verriegelungsleitungen in Wegfall kommen, hat man durch die Verminderung der Verstellkräfte bei unmittelbarem Antrieb zwischen die das Kontaktpaar tragende Wandermutter und die Spindel Kugeln gelagert⁴⁵⁾; hierdurch sind die Drehmomente mittels einer auf der Schalterspindel angebrachten Gegenexzentrerscheibe aus-

geglichen worden. Die Form der Scheibe ist derart, daß die zur Drehung aufgewendeten oder abgegebenen Momente den in den Exzentrern der Funkenschalter erzeugten Momenten in allen Stellungen annähernd gleich und entgegengesetzt sind⁴⁶⁾.

Abb. 88 zeigt einen Stufenschalter dieser Art, der mit einem Nockenfahrtschalter zusammenarbeitet, wobei an Stelle der Spindel eine nachstellbare Kette benutzt wird. Der Nockenfahrtschalter dient, wie das Schaltschema, Abb. 89, zeigt, dazu, einen Hilfstransformator zusätzlich oder vermindern zwischen die Stufen des Haupttransformators zu schalten; diese werden von dem Schlittenschalter bedient und ihre Zahl konnte infolgedessen bei insgesamt 21 Fahrstufen auf sieben beschränkt werden.

Der für Stufenschalter dieser Art von Dr. A. Couwenhoven für Vielfachsteuerung entwickelte und vielbenutzte elektro-servomotorische Antrieb (DRP Nr. 316 598, 374 373) erscheint hier in der Weise abgeändert, daß der Rückmeldeschalter, dem die Aufgabe zufällt, den Strom

⁴⁴⁾ DRP Nr. 432 871 (A.-G. Brown Boveri & Cie. — Dr. A. Wichert). Angewendet bei den 1 Cl-Lokomotiven (Reihe E 3206) und 1 Do1-Lokomotiven (Reihe E 1601) der Deutschen Reichsbahn.

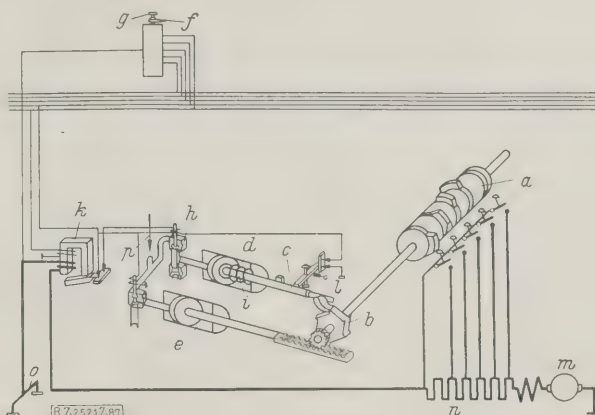


Abb. 89 (links)
Motor- und Stufenschalter-Steuersystem der 2 Do1-Schnellzuglokomotive, Reihe 10 901, der Schweizerischen Bundesbahnen (BBC).

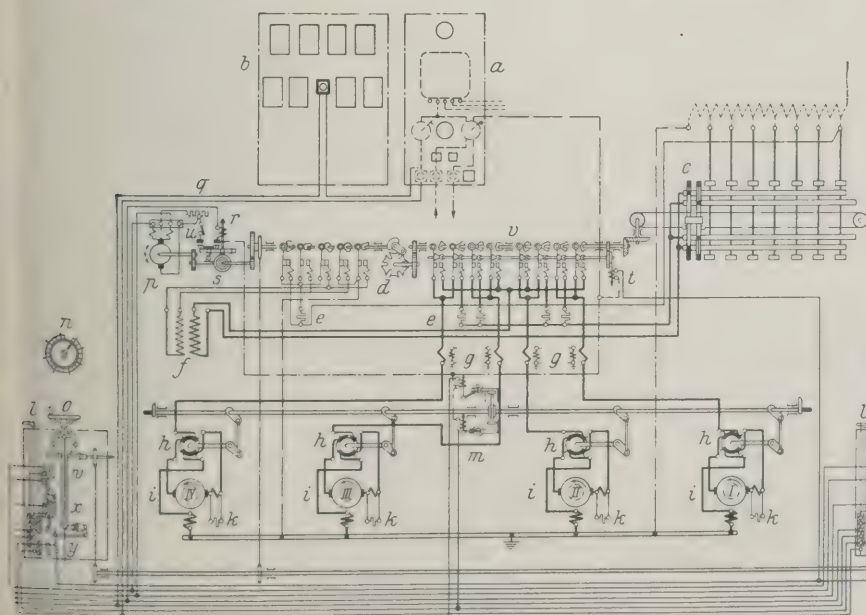
- a Schalttafel für Gleichstrom
- b Steuerstrom
- c Stufenschalter
- d Schalter für Zusatzstufen
- e Dämpfungswiderstände
- f Hilfstransformator
- g Stromwandler f. d. Fahrmotor
- h Wendeschalter
- i Fahrmotoren
- k Ohmscher Widerstand
- l Fernschalter für die Wendeschalter
- m Druckluft-elektrischer Antrieb
- n Fernbetätigung des Stufenschalters
- p Steuerschalter
- o Steuermotor
- q Widerstand f. d. Steuermotor
- r Sperrmagnet f. d. Steuermotor
- s Rutschkupplung, Sperrad, Klinke
- t Magnet für Momentaustauschaltung der Fahrmotoren
- u Verriegelung f. d. Steuermotor
- v Funkenlöschschalter
- w Umschalter für den Stufenschaltermotor
- x Schalter für Sperrmagnet
- y Einschaltkontakt für t

⁴⁵⁾ Von Brown-Boveri entwickelt und in großem Maßstab bei Eisen-Lokomotiven benutzt.

⁴⁶⁾ DRGM Nr. 925 071 (A.-G. Brown-Boveri & Cie.). — Angewendet bei den 1 Cl-Lokomotiven (Reihe E 3206) und 1 Do1-Lokomotiven (Reihe E 1601) der Deutschen Reichsbahn.

Abb. 87 (rechts)
Vollselbsttätige elektrisch - druckluftbetätigte Steuerung mit Nockenschaltwalze (Bergmann-Elektrizitäts-Werke A.-G. — Maffei-Schwartzkopff-Werke A.-G.).

- a Nockenwelle
- b Steigrad
- c Klinkwerk
- d Arbeitszylinder
- e Rückzugzylinder
- f Fahrkurbel
- g Druckknopf
- h Elektrisch gesteuertes Druckluftventil
- i Feder
- k Fortschaltrelais
- l Hilfskontakt
- m Fahrmotor
- n Anfahrwiderstand
- o Stromabnehmer
- p Druckluftleitung



Nocken d und eine Mitnehmerscheibe e aufgekeilt. Bei geschlossenen Funkenschaltern hält der Anschlag m der Auslöseklinke l die Mitnehmerscheibe fest, die Gabeln c am Nockenschalter sind geschlossen. Dieser Zustand ist in Abb. 91 dargestellt.

Zur Einleitung der Schnellabschaltung wird das Rad des Steuerkontrollers über die Nullstellung hinaus in die Stellung null-null gebracht, wodurch der im Steuerkontroller eingebaute Kontaktgeber, s. Abb. 89 und 90, den Stromkreis zum Magnet q schließt; der Anschlag m der Klinke l kommt außer Eingriff. Infolge der Wirkung der gespannten Feder p dreht sich die Mitnehmerscheibe e mit Hilfsweile b im Sinne des Uhrzeigers, es auf der Hilfsweile aufgekeilten Nocken d bewirken das Öffnen der Gabel c und damit auch das Öffnen der in den Gabeln freigegebenen und sich infolge ihres Eigengewichtes nach unten bewegenden Funkenhämmer. Infolge werden die vier Triebmotoren sofort, also bevor der Stufenschalter seine Nullstellung erreicht hat, vom Transformator abgetrennt. Ein erneutes Aufschalten ist erst möglich, nachdem der Stufenschalter auf die Nullstellung zurückgelaufen ist.

Bei dem folgenden Wiederaufschalten treibt die vom Feuermotor angetriebene Welle a über ein Ritzel den auf der Mitnehmerscheibe lose sitzenden Zahnkranz h entgegen dem Sinne des Uhrzeigers an. Der Anschlag i des Zahnkranzes stößt gegen die Mitnehmerklinke g , die Hilfsweile und die Nocken drehen sich ebenfalls entgegen dem Uhrzeigersinn, mit den Gabeln schließen sich die Funkenhämmer, die Feder p ist wieder gespannt.

Beim Weiterdrehen des Zahnkranzes wird die Mitnehmerklinke g vom Anschlag o der Auslöseklinke abgedrückt, so daß die unter Federzug stehende Mitnehmerscheibe sich wieder am Anschlag m der Auslöseklinke festsetzt, die Funkenschalter sind geschlossen, die Schnellabschaltung ist wieder betriebsbereit.

Elektrische Bremsung

Bemerkenswerte Schaltungen sind angegeben und ausgeführt worden, um elektrische Lokomotiven samt den angehängten Zuggewicht bei Fahrt im Gefälle zur Vermeidung der Radreifen, Bremsklötze und Schienen elektrisch zu bremsen, wobei die von den Radachsen angetriebenen Motoren als Stromerzeuger arbeiten und die erzeugte elektrische Energie entweder in Widerständen auf der Lokomotive vernichtet, d. h. in Wärme umgesetzt, oder nutzbar an die Fahrdrähte zurückgegeben wird (Nutzbremsung oder Bremsung mit Stromrückgewinnung).

Erstere Art der Bremsung ist in Form der Widerstand- oder Kurzschlußbremsung an den Triebwagen der Straßen- und Überlandbahnen auf Gleichstrom⁴⁹⁾ und Wechselstromlokomotiven übertragen worden, wenn auch der sicheren Regelmöglichkeit wegen unter Umschaltung auf Fremderregung. Diese erfolgt bei ein für allemal unveränderlichem Bremswiderstand von einer besonderen Umformergruppe aus der sekundärer Niederspannungs-Gleichstrommaschine, wobei bei Wechselstromlokomotiven die Fahrmotoren für die Dauer der Bremsung zu fremderregten Gleichstromerzeugern werden⁵⁰⁾. Bei Wechselstromlokomotiven ist

⁴⁹⁾ z. B. bei den 1Do1-Schnellzuglokomotiven (Reihe 3001) der Niederösterreichischen Staatsbahnen.

⁵⁰⁾ u. a. bei den C-C-Lokomotiven Reihe 401 der Rhätischen Bahn, Güterzuglokomotiven Reihe 1080. 100 der Österr. Bundesbahnen.

allerdings auch einfache Fremderregung vom Netz her über den Haupttransformator möglich und ausgeführt worden, wobei mit der gleichen Steuervorrichtung gebremst und die Fahrt geregelt wird und die Motoren wieder während der Bremsung zu fremderregten Kommutator-Wechselstromerzeugern werden⁵¹⁾.

Bei großen Zuggewichten, die ganz oder zum großen Teil elektrisch gebremst werden sollen, tritt an Stelle der Widerstandbremsung, die wegen der Schwierigkeit der Unterbringung der Widerstände und der Abfuhr der in ihnen während der Bremsung erzeugten Wärme unmöglich wird.

die Nutzbremsung.

Abb. 93 zeigt (auf einen Motor bezogen) die heute bei Gleichstromlokomotiven meist gebräuchliche Schaltung für Nutzbremsung⁵²⁾. Hierbei ist der Anker der Erregermaschine a mit der Feldwicklung c des stromliefernden Fahrmotors b in Reihe geschaltet, der selbst als Reihenschlußmotor geschaltet bleibt. Parallel zum Erregeranker und zur Motorfeldwicklung ist ein Ohmscher Widerstand d geschaltet, der bei Änderung der Netzspannung die Änderung des Netzstromes in kleinen Grenzen hält.

Nachteilig ist bei dieser Schaltung allenfalls eine bei schnellen Änderungen der Netzspannung eintretende Überregulierung infolge der starken Verschiedenheit der Scheinwiderstände der beiden für den Netzstrom parallelen Zweige. Die Folge können Stromstöße im Erregerkreis sein, die sich in Bremsmomentstößen auswirken. Es ist daher vorgeschlagen worden, an Stelle des Ohmschen Stabilisierungswiderstandes auf der gleichen Welle wie die Erregermaschine und deren Antriebsmotor einen Gleichstrom-Reihenschlußmotor als Hilfsmotor zu verwenden, Abb. 94, dessen Blindwiderstand man durch geringe Sättigung möglich hoch zu halten sucht⁵³⁾.

Gegenüber den in Abb. 93 und 94 dargestellten Anordnungen tritt die für Nutzbremsung mögliche Nebenschlußumschaltung der Fahrmotoren⁵⁴⁾, sowie die Umschaltung auf völlig unabhängige Fremderregung⁵⁵⁾ an Bedeutung zurück.

In jüngster Zeit sind schließlich noch die Nutzbrems-schaltungen von G. Somajni und A. Della Riccia bekannt geworden. Erstere⁵⁶⁾ besteht im wesentlichen aus zwei Motoren mit Nebenschluß-Reihenschlußerregung und einem Spannungsteiler, der durch einen Anker mit drei getrennten Wicklungen und Kommutatoren dargestellt ist. Die drei Wicklungen liegen in Reihe an der Netz-

⁵¹⁾ Bei den 1Co-Co1-Güterzuglokomotiven Reihe 201 der Lötzbahn, den Bo-Bo-Lokomotiven Reihe 1170 der Österr. Bundesbahnen und den C-C-Lokomotiven Reihe E 9181 der Deutschen Reichsbahn.

⁵²⁾ Patente der Vereinigten Staaten von Amerika Nr. 1 298 706, 1 298 943 (R. E. Hellmund). — Angewendet z. B. bei den Co-Co- und Bo-Bo-Lokomotiven (Reihe 214 und 212) der Paulista-Bahn, den 1Co-Co1- und Co-Co-Lokomotiven Reihe 2801 und 2001 der Chilenischen Staatsbahnen, der 2Do2-Lokomotive Nr. 502 der Paris-Orléans-Bahn, der 1Co-Co1-Lokomotive Nr. 161. DE der Französischen Mittelmeerbahn, den Bo-Bo-Lokomotiven Gruppe E 626 und E 625.001 bis 625.003 sowie E 625.008 der Ital. Staatsbahnen, u. a.

⁵³⁾ DRP Nr. 400 074 (A. G. Brown Boveri & Cie. — F. Prandtl). — Ausgeführt bei den Bo-Bo-Güterzuglokomotiven (Gruppe E 625.004 bis 625.007) der Ital. Staatsbahnen, bei den 2Co-Co2-Lokomotiven Reihe 7201 der Spanischen Nordbahn und bei der 1Do1-Lokomotive Nr. 231 der Paulista-Bahn.

⁵⁴⁾ DRP Nr. 436 355 (A. G. Brown Boveri & Cie. — F. Prandtl). — Benutzt bei den Triebwagen der Bahn Biella-Orapa.

⁵⁵⁾ Angewendet bei den Bo-Bo-Lokomotiven Reihe E 4001 der Chemins de Fer du Midi sowie bei den Bo-Bo-Lokomotiven der Südafrikanischen Regierungsbahnen.

⁵⁶⁾ DRP Nr. 459 982, 461 841 (G. Somajni).

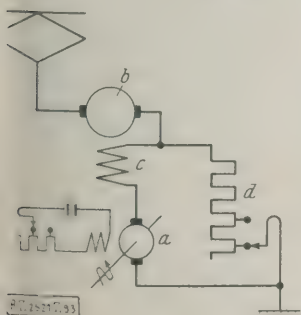
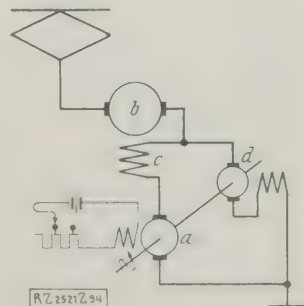


Abb. 93
Nutzbremsschaltung für Gleichstromlokomotiven mit fremderregtem Fahrmotor und Stabilisierungswiderstand (Westinghouse El. & Mfg. Co. — R. E. Hellmund).

a Anker der Erregermaschine
 b Anker des Fahrmotors
 c Feldwicklung des Fahrmotors
 d Stabilisierungswiderstand

Abb. 94
Nutzbremsschaltung für Gleichstromlokomotiven mit fremderregtem Fahrmotor und Stabilisierungsmotor (BBC — F. Prandtl).

a Anker der Erregermaschine
 b Anker des Fahrmotors
 c Feldwicklung des Fahrmotors
 d Stabilisierungsmotor



spannung. Die Spannung der beiden an den Netzpolen liegenden Wicklungen beträgt je ein Viertel und die der mittleren Wicklung die Hälfte der Netzspannung. Zusammen mit der Reihen-Nebenschlußschaltung der Motoren erhält man durch Anlegen der Motoren an die drei Wicklungen acht Stufen mit einem Spannungssprung von je ein Achtel der Netzspannung. Die Nebenschlußerregung der Motoren wird von einer Wicklung mit Viertelspannung abgezweigt. Da diese Schaltung kein stoßfreies Anfahren und Bremsen ermöglicht, wurden jedem Motor Vorschaltwiderstände beigegeben, die mittels eines Relais kurzgeschlossen werden, wenn der Ankerstrom unter einen gewissen Wert sinkt. Das Relais trägt zwei entgegengesetzt wirkende Spulen und zwei Kontakte, die die Vorschaltwiderstände bei den Motoren kurzschließen. Überwiegt der Einfluß der Spule, die an der Spannung der Umformerwicklung liegt und zur Nebenschlußerregung der Motoren dient, so sind die Widerstände eingeschaltet.

Auf der Welle des Fahr Schalters sitzt ein Sperrrad, dessen Klinke von einer Feder normal offen gehalten wird. Falls man nach dem Herausfallen des selbsttätigen Hauptschalters zu schnell in die Nullstellung zurückschaltete, könnte die Spannung am Spannungsteiler zu stark anwachsen. Ein Magnet, dessen Spule an diese Spannung angeschlossen ist, bringt die Klinke zum Eingriff und verhindert so das Zurückschalten so lange, wie die Spannung nicht unter einen gewissen Wert gesunken ist. Angefahren und gebremst wird halbselbsttätig, indem während des Überganges von einer Stellung in die andere das Widerstand-Umschaltrelais in Tätigkeit tritt. Vergleichsmessungen, die mit dieser Schaltung vorgenommen wurden, ergaben auf einer Strecke einen um über 26 vH geringeren Stromverbrauch als ein Wagen mit Widerstandanfahrt und ohne Nutzbremse. Dieser Gewinn verteilt sich ziemlich gleich auf die Rückgewinnung und auf die Verminderung der Anfahrverluste.

A. Della Riccia⁵⁷⁾ benutzt einen Spannungsteiler, aus vier gleichen Ankern besteht. Davon können die Pluspol und am Minuspol liegenden, sowie die beiden mittleren Wicklungen je zu einem Doppelkommutatorank zusammengefaßt werden. Auf der gleichen Welle sitzt die Erregermaschine für die Motorfelderregung beim Bremsen. Die Spannungsteilermaschinen sind sehr schwach gesteuert. Die Felder der beiden äußeren und beiden inneren Anker sind vereinigt. Ein gemeinsamer Feldregler wirkt, daß eine Feldverstärkung einer Feldergruppe entsprechende Schwächung bei der anderen Gruppe hervorruft, wobei der Mittelpunkt des Systems immer auf halber Netzspannung bleibt. Die Anordnung hat den Vorteil, daß sich zwei Dauerstufen erreichen lassen, d. h. zwei Stufen, bei denen der Umformer leer läuft und die Fahrmotoren in üblicher Weise einmal in Reihenschaltung, das andere Mal in Parallelschaltung ohne Zwischenglied arbeiten.

Bei Einphasenlokomotiven ergibt bei Nutzbremse die Fremderregung der Motoren die günstigeren Verhältnisse, da hierbei die Spannung der Stromerzeuger arbeitenden Fahrmotoren nahezu in Gegenphase zur Netzspannung gebracht werden kann, so daß Widerstand und Streuung der Motoren genügen, um den Strom zu begrenzen. Die Fremderregung kann nun von einem besonderen vom Netz her erregten Phasenumformer, einer Zweiphasen-Asynchronmaschine mit Käfiganker, erfolgen, während die Motoranker regelbar auf den Haupttransformator geschlossen werden. Die einzelnen Schaltvorgänge werden in der gewünschten Zeitfolge von einem servomotorisch betätigten Umschalter⁵⁸⁾ ausgeführt. Abb. 95.

⁵⁷⁾ DRP Nr. 468 086 (A. Della Riccia).

⁵⁸⁾ DRP Nr. 470 646 (Brown Boveri & Cie.). — Angewendet bei den IC-C1-Lokomotiven Reihe 2033 der Norwegischen Staatsbahnen und bei den IC-C1-Lokomotiven Nr. 14 201 der Schweizerischen Bundesbahnen.

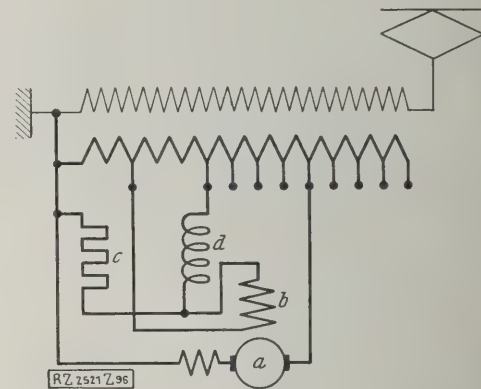
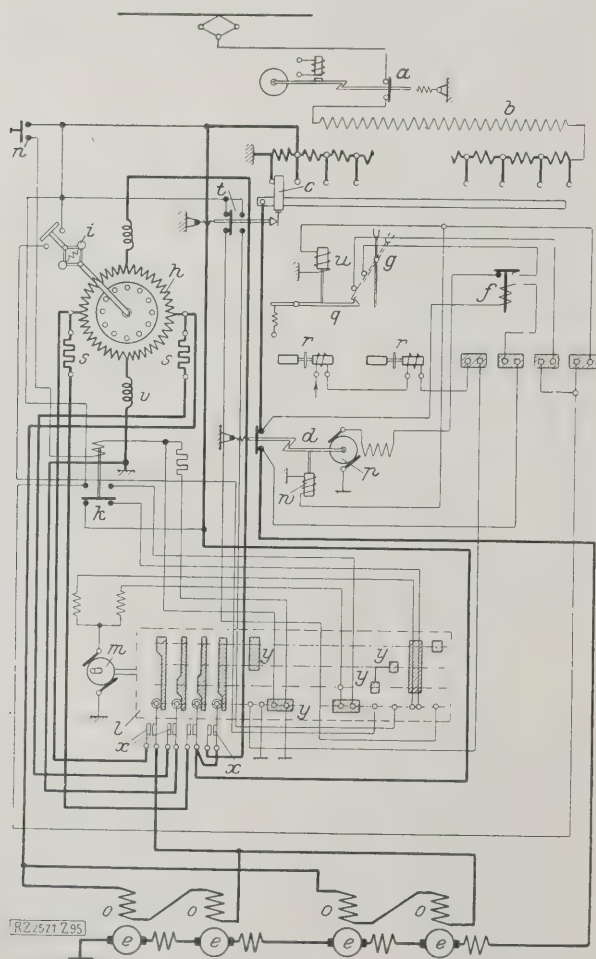


Abb. 96.
Nutzbremsschaltung für Einphasenlokomotiven
mit Fremderregung (SSW).

a Fahrmotoranker c Ohmscher Widerstand
b Fahrmotorfeldwicklung d Drosselspule

Abb. 95 (links)
Nutzbremsschaltung für Einphasenlokomotiven
mit Phasenumformer (BBC).

a Hauptschalter
b Haupttransformator
c Stufenschalter
d Fahrmotorenschalter
e Anker der Fahrmotoren
f Parallelschaltrelais
g Kontakteinrichtung zu f
h Phasenumformer
i Fliehkraftschalter
k Nullspannungsrelais
l Anlaß- und Umschalter für den Phasenumformer
m Servomotor für den Anlaßschalter
n Druckknopfschalter
o Feldwicklungen der Fahrmotoren
p Steuermotor zum Schalter d

q Falle für Kontakteinrichtung
g Steuerrelais für den (nicht gekennzeichneten) Antriebsmotor des Stufenschalters
c Ohmsche Widerstände für Anlauf des Phasenumformers
t Verriegelungsschalter
u Relais
v Drosselspule für Anlauf des Phasenumformers
w Relais
x Kontakte des Anlaß- und Umschalters
y Kontaktbeläge des Anlaß- und Umschalters
z Kontaktbeläge

att-durch einen umlaufenden Phasenumformer kann ssende Phasenverschiebung des Erregerstromes und jene der Rückarbeitspannung mittels einer Ver- von Ohmschem Widerstand und Selbstinduktion regerkreis ausgeführt werden⁵⁹⁾. Bei der in Abb. 96 stellten, wieder auf einen Motor bezogenen ung⁶⁰⁾, ist die Motorfeldwicklung b mit einem Ohm- Widerstand c und einem induktiven Widerstand d rn geschaltet und die freien Enden der beiden letz- sind regelbar auf den Haupttransformator ge- sen.

ei der reinen Nebenschlußschaltung, die aschinenfabrik Oerlikon (Dr. Behn-Eschenburg) zu- n Vorschlag gebracht hat⁶¹⁾, ist die Spannung des romeerzeuger arbeitenden Motors gegen die Netzspan- um wenig mehr als 90° verschoben. Das Span- gleichgewicht muß daher zur Ergänzung des Span- abfalles in der Maschine mit Hilfe einer strombe-

⁵⁹⁾ Schweiz. Patent Nr. 97 204 (SSW).
⁶⁰⁾ Schweiz. Patent Nr. 96 373, 123 111 (SSW). — Ausgeführt bei den okomotiven Reihe 2025 der Norwegischen Staatsbahnen.
⁶¹⁾ DRP Nr. 336 551 (MFO).

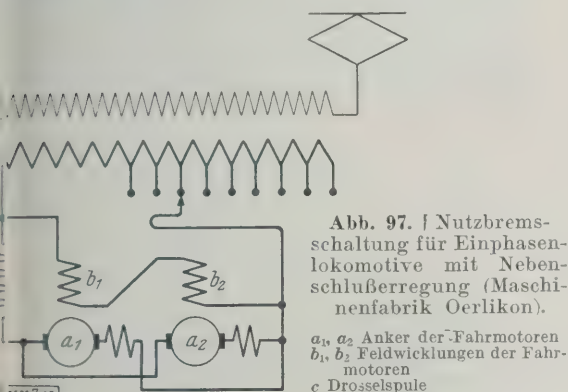


Abb. 97. Nutzbremsschaltung für Einphasenlokomotive mit Nebenschlußerregung (Maschinenfabrik Oerlikon).
 a_1, a_2 Anker der Fahrmotoren
 b_1, b_2 Feldwicklungen der Fahrmotoren
 c Drosselspule

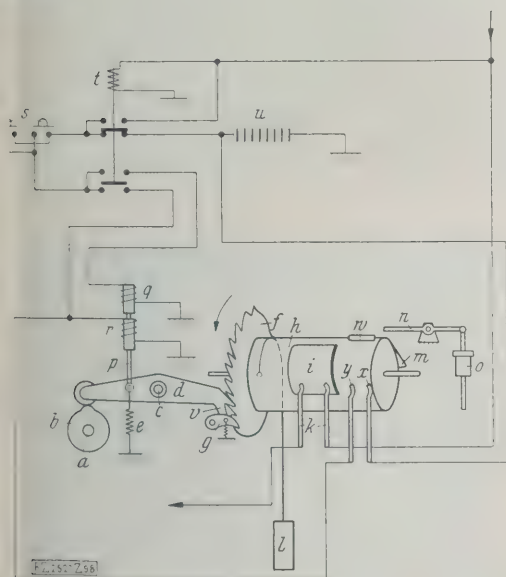


Abb. 98

Sicherheitseinrichtung für einmännige Lokomotivführung (AEG).

- | | |
|----------------------------|----------------------|
| a Welle | n Hebel |
| b Nocken | o Bremsventil |
| c Drehpunkt von d | p Gestänge |
| d Klinkenhebel | q Spule |
| e Feder | r |
| f Zahnscheibe | s Druckknopf |
| g Klinke | t Spule |
| h Walze | u Batterie |
| i Kontaktbelag | v Ansatz |
| k Kontaktfinger | w Kontaktbelag |
| l Gewicht | x, y Kontaktfinger |
| m Vorsprung an Walze h | |

grenzenden Drosselspule wieder hergestellt werden. Um nun das Bremsmoment ähnlich wie bei der Schaltung mit Fremderregung mit der Geschwindigkeit rasch ansteigen zu lassen, wird die Schaltung von der Maschinenfabrik Oerlikon gemäß Abb. 97 ausgeführt, wobei die Feldwicklungen b_1 und b_2 von mindestens zwei Lokomotivmotoren in Reihe und gemeinsam mit den parallelgeschalteten Ankern a_1 und a_2 und der hierzu in Reihe geschalteten, strombegrenzenden Drosselspule c geregelt werden⁶²⁾.

Schließlich seien hier noch die neueren Sicherheitsvorrichtungen erwähnt, die aus dem Bedürfnis nach einmänniger Führung elektrischer Lokomotiven entstanden sind. Ihre Aufgabe ist, den Hauptstrom mit Einleitung der Bremsung mit einer gewissen Zeitverzögerung zu unterbrechen, sobald der Führer den Kurbeldruckknopf losläßt. Die Verzögerung vermeidet das sehr ermüdende dauernde Niederdrücken des Knopfes und gestattet dem Führer, z. B. beim Verschiebedienst sich aus dem Führerstand seitlich hinauszulehnen, um die Signale und die Weisungen des Personals zu beobachten.

Brown, Boveri & Cie. haben eine Einrichtung dieser Art⁶³⁾ ausgeführt, die aus den in jedem Führerstand angeordneten Druckknopfkontakten mit parallelgeschalteten Fußkontakten und dem eigentlichen Sicherheitsapparat besteht⁶⁴⁾.

Nach einem ähnlichen Verfahren arbeitet die von der AEG entwickelte Sicherheitsvorrichtung⁶⁵⁾, Abb. 98. Der Führer hält mittels Totmannknopfes die Kontakte s geschlossen. Dadurch wird ein Stromkreis geschlossen gehalten, der von der Batterie u über die Spule r zur Erde fließt. Der abgehobene Spulenkern hält mittels des Gestänges p den Hebel d in einer solchen Lage, daß der Nocken b ihn nicht berühren kann. Werden die Kontakte s geöffnet, so wird die Spule r stromlos und der Hebel d gelangt in die dargestellte Lage. Da sich die Welle a mit dem Nocken b fortwährend dreht, wird der Klinkenhebel d in Tätigkeit gesetzt, so daß die Zahnscheibe f und mit ihr die Walze h Zahn um Zahn in der gekennzeichneten Richtung langsam gedreht werden. Das Gewicht l wird hierbei gehoben. Werden die Kontakte an den Schaltern s nicht erneut geschlossen, so gelangt die Walze h schließlich in eine Stellung, in der sie die Kontakte k trennt und dadurch den Steuerstrom unterbricht oder den Hauptschalter zum Ansprechen bringt. Gleichzeitig wird das Bremsventil o von dem Vorsprung m und dem Hebel n betätigt. Wird jedoch einer der Kontakte s vor vollständigem Leerlauf der Klinken- vorrichtung wieder geschlossen, so wird der Hebel d angezogen. Dadurch wird zunächst die Walze h in der Pfeilrichtung um so viel weiterbewegt, daß die Klinke d und unter dem Einfluß des Ansatzes v auch die Klinke g mit dem Klinkenrad außer Eingriff kommt. In diesem Augenblick kehrt die Walze h unter dem Einfluß des Gewichtes l in die Anfangslage zurück. Die Vorrichtung ist damit für ein erneutes Spiel bereit. [B 2521]

Berichtigung

Im ersten Teil des Aufsatzes, Z. Bd. 73 (1929) Nr. 20, muß es heißen: S. 681 1029/500 statt 1029/500, desgl. in den Anmerkungen 11 und 15 242. BE, 262. AE und 242. AE statt 242/BE, 262/AE und 242/AE, ferner in der Buchstaben- erklärung zu Abb. 15 „Waagerechte Drehkraftkomponente“ statt „Wagen-Drehkraftkomponente“, S. 683 „quill-drive“ oder „Federstern-Antrieb“ statt „quill-drive“, der Feder- sternantrieb. In Anmerkung 18 fehlt die Angabe DRP 475 865, in Anmerkung 17 hinter DRP der Zusatz „angem.“ und Buch- stabe B. Die angegebene Nummer 126 369 bedeutet also nur die Anmelde- und nicht die Patentnummer. Es heißt also richtig: DRP angem. B 126 369. In Anmerkung 24 ist hinter DRP ebenfalls „angem.“ einzufügen. S. 691 im Text und in der Legende zu Abb. 54 und 55 muß es Adamsachse statt Adamachse heißen. [N 3183]

⁶²⁾ Schweiz. Patent Nr. 87 276 (MFO). — Angewendet bei den 1C-C1- Lokomotiven Reihe 14 251 und 14 301 der Schweizerischen Bundesbahnen und bei den 1D1-Lokomotiven Reihe 353 der Rhätischen Bahn.

⁶³⁾ DRP Nr. 455 747 (A. G. Brown Boveri & Cie. — H. Rüegg).

⁶⁴⁾ Die Einzelheiten und Wirkungsweise dieser Einrichtung sind in Z. Bd. 72 (1928) S. 1168 beschrieben.

⁶⁵⁾ DRP Nr. 440 010, 440 810, 441 499 (AEG).

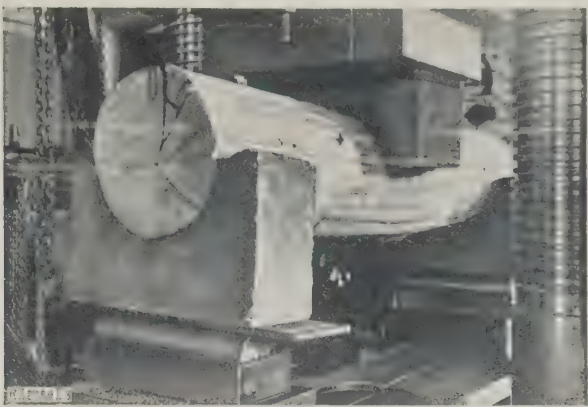


Abb. 3
Schubzerstörung am Rundholz durch Biegung.

Abb. 4
Die Stirnseite des Rundholzes mit dem deutlich sichtbaren waagerechten Schubriß.

st aber die Druckfläche, in der die Querkraft Q das Holz einwirkt, verhältnismäßig groß und die Oberfläche klein, so bewirken richtige Schubspannungen das Holz die Zerstörung, ohne daß die Schubfläche durch Formänderung wesentlich verkleinert wird. Der Zusammenhang löst sich, wenn die Querkraft parallel zur Faser wirkt, plötzlich, indem sich der losgetrennte Holzteil andern parallel zur Querkraft vorbeischiebt.

Im Wesen des Scherens liegt also fortgesetzte Verformung der Scherfläche durch große Formänderungen allmähliche Zerstörung des Zusammenhanges ohne Einsetzen der Querkraft. Im Wesen des Schubes liegt die plötzliche Zerstörung des Zusammenhanges ohne vorhergehende Verkleinerung der Schubfläche durch Ansetzen der Querkraft. Diese Schubzerstörung zeigt sich am besten am kurzen gedrunghenen Biegekörper, wie er z. B. in Abb. 3 und 4 dargestellt ist. Zwei aus dem ganzen Fichtenstamm herausgedrehte Rundhölzer, einer mit 21, das andre mit 19 cm Dmr., wurden mit einer Last von nur 88 cm auf einer 50 t-Pressen gebogen. Die Zerstörung trat durch Abschieben längs einer horizontalen Ebene ein, Abb. 3 und 4. Die Schubspannungen am getränkten Fichtenholz betrugen beim Bruch:

Holz — Fichte	Nr.	1	2
mittlere Schubspannung (zimmergelagert) . . . vH		15	15
mittlere Schubspannung cm		21	19
Querkraft kg		9950	9600
Druckspannung kg/cm ²		38	45

Die mittlere Schubspannung beim Bruch betrug 15 vH/cm². Die Probe wurde plötzlich mit einem knisternden Krachen zerstört.

Bei richtig entworfenen Holzbauten ist nur diese Schubbeanspruchung üblich. Wenn man über genügend große Versuchsproben verfügt, werden sich die Ergebnisse für die Schubfestigkeit sicherlich am besten erhalten mit verhältnismäßig großer Trägerhöhe erhalten, bei dem die Fasern in einer neutralen Achse voneinander vorbeigeschoben werden. Sehr häufig sind die verfügbaren Proben so klein, daß man richtige Schubkörper kleinsten Abmessungen zum Versuch verwenden muß.

Die bisherigen Versuchskörper

Lang gibt in seinem vorzüglichen Buche: „Holz als Baustoff“¹⁾, die hierher gehörigen Forderungen des Internationalen Verbandes für die Materialprüfungen der

Technik, wie sie im Jahre 1906 in Brüssel aufgestellt wurden, wieder:

1. Der Versuch soll einschnittig und an vierkantigen Proben erfolgen.
2. Das Holz soll parallel zur Faser so geschoren werden, daß die Scherfläche einmal senkrecht zu den Jahresringen, also radial, Abb. 15, das andre Mal tangential, Abb. 14, zu den Jahresringen liegt.
3. Die Querkraft soll vom Hirn aus wirken.
4. Die Scherbacken aus Stahl sollen nicht über 1 cm breit sein.
5. Die Scherfläche soll beim Spiegelschnitt nicht über 5, beim Fladenschnitt nicht über 3 cm breit sein.
6. Die Länge der Scherfläche, in der Krafrichtung gemessen, sei gleich der vierfachen Breite. $l = 4d$.
7. Die Scherspannung wird auf die ursprüngliche Scherfläche bezogen.

Entgegen diesen Bestimmungen schlägt aber Lang selbst den zweischnittigen Scherversuch vor, Abb. 5 und 6, der auf den Erfahrungen des auch längere Zeit in meiner Versuchsanstalt tätig gewesenen Prof. Dr.-Ing. Quickmeyer beruht. Der einschnittige Versuch, den einige Handbücher²⁾ in Anlehnung an die Richtlinien des Weltverbandes vorschlagen, Abb. 7 bis 11, entspricht der vorhin erklärten Scherbeanspruchung des Holzes. Auch die Versuchsanordnung von Lang kann die unerwünschten, die Zerstörung begünstigenden Biegespannungen nicht auf das wünschenswerte Maß herabdrücken.

Neue Schubkörper

Nach langen Versuchen fanden wir einen Schubkörper, Abb. 12, bei dem diese Biegespannungen praktisch beim Schubversuch vermieden und die Verhältnisse des reinen Schubes weitgehend hergestellt werden. Die Spannungen hängen von den Formänderungen ab. Biegespannungen können also vermieden werden, wenn man die Durchbiegungen verhindert. Aus diesem Grunde wurde der abzuschreibende Teil des zweischnittigen Versuchskörpers im Verhältnis zu seiner Breite A_1A_2 sehr hoch gemacht, gleich der Strecke A_1G_2 . Die beiden Schubflächen erhielten jedoch nur die Länge $l = A_1G_1$ und A_2H_1 . Der auf drei Seiten von den Schlitten G_1G_2 , G_2H_2 und H_1H_2 begrenzte Teil des Schubkörpers wird ferner bei der durch die Druckkraft hervorgerufenen Verschiebung dadurch genau parallel der Kraft geführt, daß in den beiden lotrechten Schlitten unten genau passende Glasplättchen eingesetzt werden, die praktisch

¹⁾ Wiesbaden 1915.
²⁾ Wawrzyniak, Handbuch des Materialprüfungswesens, Berlin 1923; Memmler, Das Materialprüfungswesen, Stuttgart 1924.

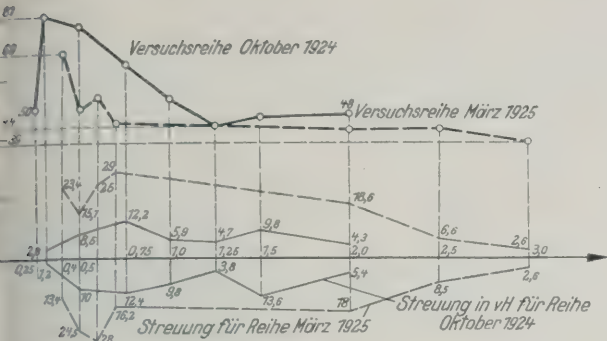


Abb. 16
Werte der Schubfestigkeit aus zwei Versuchsreihen mit den neuen Normalkörpern aus Fichtenholz.

einer, so steigt die Schubfestigkeit an. Dieser Grenzwert von $\frac{l}{d} = 2$, bei dem die Schubfestigkeit praktisch unabhängig von der Schublänge wird, gibt beim Zusammenlegen der beiden Schubflächen einen einheitlichen quadratischen Querschnitt, Abb. 17 bis 23. Auf Grund dieses Ergebnisses werden die Schubkörper in der Versuchsanstalt in Karlsruhe immer mit $l = 2d$, d. h. mit einer Schublänge gleich der doppelten Holzdicke hergestellt. Kleinere Schublängen ergeben große Streuungen, vgl. Abb. 16. Bei größeren Schublängen wird die spezifische Druckspannung in der Fläche A_1A_2 , Abb. 12, zu groß. Es treten dann die früher beschriebenen Einfressen des Stahlplättchens in das Holz auf, wodurch sich die Längen A_1B_1 und A_2B_2 der beiden Schubflächen bei einer Formänderung verkleinern und an Stelle der Schubspannungen erzeugt werden. Im vorliegenden Fall ist bei dem 2 cm breiten Stahlplättchen

die Druckspannung $\sigma = \frac{P}{2d}$,
die Druckspannung $\tau = \frac{P}{2dl}$,
also ist $\frac{\sigma}{\tau} = l$, $\sigma = \tau l$.

Je länger l ist, desto größer wird σ . Will man ein Bruch verhindern, so muß man die Länge l und damit auch σ klein halten. Beim untersuchten Fichtenholz mit rd.

Die Durchflüßzahlen von Normaldüsen und Normalstauränder für Rohrdurchmesser von 100 bis 1000 mm

Von M. JAKOB und FR. KRETZSCHMER
(Mitteilung aus der Physikalisch-Technischen Reichsanstalt)

In den Röhrlingschen Eisen- und Stahlwerken in Völklingen a. d. Saar ausgeführte Messungen, bei denen Luftmengen bis über 10 000 m³/h durch Normaldüsen und Normalstauränder strömten, werden im Anschluß an eine ausführliche Veröffentlichung, s. Forschungsarbeiten Heft 311 (1928), kurz beschrieben. Im Bereich der Versuche nimmt die Durchflüßzahl der Düsen mit der Reynoldsschen Zahl zu, die der Stauränder mit dem Öffnungsverhältnis und der Reynoldsschen Zahl zu, mit wachsendem Rohrdurchmesser aber ab. Die Genauigkeit der angegebenen Durchflüßzahlen für Düsen wird auf ± 1 vH, die für Stauränder auf ± 2 vH geschätzt. Darüber hinausgehende Unterschiede gegenüber den von Witte bei der J. G.-Farbenindustrie ermittelten Werten, s. Z. Bd. 72 (1928) S. 1493, werden auf Verschiedenheit der Düsenform, der Rohr-Rauhigkeit und der strömenden Stoffe zurückgeführt.

Der Verein deutscher Ingenieure und der Verein deutscher Maschinenbau-Anstalten haben im Jahre 1912 eine in Prandtl und Regener ausgearbeitete Normaldüse eingeführt¹⁾, deren Profil und Hauptmaße für alle Größenometrisch ähnlich sind und deren Durchflüßzahl α , definiert durch die Gleichung²⁾

$$V = \alpha F \sqrt{\frac{2g(p_1 - p_2)}{\gamma}} \quad (1),$$

¹⁾ Regeln für Leistungsversuche an Ventilatoren und Kompressoren. Vorläufiger Entwurf (1912), 1. Auflage (1925), 2. Auflage (1926).
²⁾ V Volumen des in der Zeiteinheit hindurchströmenden Gases, F lichte Weite der Düse, $p_1 - p_2$ = Druckunterschied in der Düse, γ = Dichte des strömenden Gases.

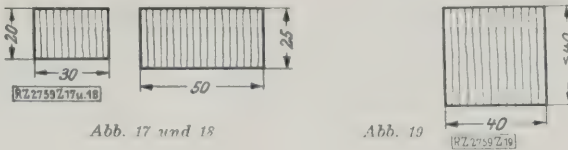


Abb. 17 und 18
Abb. 19

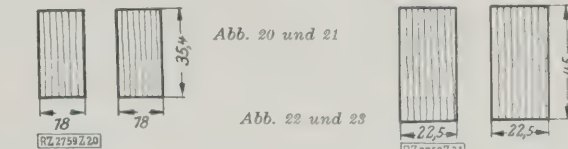


Abb. 20 und 21
Abb. 22 und 23

Abb. 17 bis 19
Grenzquerschnitte für den einschnittigen Holzscherversuch:

Abb. 17 und 18. Nach Memmler.
Abb. 19. Nach Waurziniok.

Abb. 20 bis 23
Grenzquerschnitte für den zweischnittigen Holzscherversuch:

Abb. 20 und 21. Nach Lang.
Abb. 22 und 23. Nach Gaber.

45 kg/cm² Schubfestigkeit und $l = 4,5$ cm betrug die Druckspannung parallel zur Faser $\sigma = 4,5 \times 45 \sim 200$ kg/cm². Sie hielt sich also in den Grenzen, innerhalb deren unangenehme Formänderungen noch nicht auftreten, denn das Einfressen tritt erst bei etwa 400 kg/cm² auf.

Zusammenfassung

An der Hand einiger Beispiele zeigt sich der grundlegende Unterschied zwischen der Beanspruchung auf Schub und auf Scheren. Das Abscheren bringt eine allmähliche Zerstörung des Zusammenhanges durch fortgesetzte Verkleinerung der Scherfläche auch bei gleichbleibender Scherkraft. Der Schub jedoch bringt eine plötzliche Zerstörung nur durch Anwachsen der Querkraft ohne vorherige Abnahme der Schubfläche.

Die Schubfestigkeit ermittelt man am besten am Biegebalken. Sie beträgt z. B. bei getränktem Fichtenholz von 15 vH Feuchtigkeit 42 kg/cm².

Reicht das Holz jedoch für Biegekörper nicht aus, so wird vorgeschlagen, die Versuchskörper nach Abb. 12 anzufertigen. Als Schubfestigkeit ergaben sich dabei für gewöhnliches Fichtenholz rd. 45 kg/cm². [B 2759]

nach vorläufigen Messungen in der Gutehoffnungshütte in Oberhausen zu 0,97 bis 0,995 angegeben wurde.

Jakob und Erk³⁾ haben dann durch Messungen mit Luft bei Reynoldsschen Zahlen⁴⁾ $R = \frac{w d}{\nu} = 70\,000$ bis 300 000 die Durchflüßzahl $\alpha = 0,96$ gefunden. Eine kleine Berichtigung ihrer Berechnung durch Jakob und Fritz⁵⁾ ergibt aber im Bereich $R = 100\,000$ bis 300 000 einen Anstieg von α um $\frac{1}{2}$ vH.

Da die Normaldüse sich zum Betriebsgerät nur schlecht eignet, haben die beiden genannten Vereine im Jahre 1925 auch Normalstauränder eingeführt¹⁾, und zwar nach einer von Brandis vorgeschlagenen, von Kretzschmer konstruktiv und meßtechnisch verbesserten Form.

An solchen Normaldüsen und Normalstaurändern haben wir auf Anregung des Vereines deutscher Ingenieure und des Vereines deutscher Eisenhüttenleute umfangreiche Versuche ausgeführt. Aus dem bereits veröffentlichten ausführlichen Bericht⁶⁾ hierüber soll auch hier einiges mitgeteilt werden.

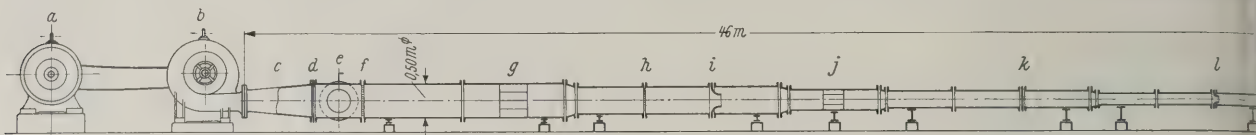
Die Messungen, für die der Verein deutscher Ingenieure in dankenswerter Weise Mittel zur Verfügung stellte, wurden im Versuchsfeld für Strömungsmessungen der Röhrlingschen Eisen- und Stahlwerke in Völklingen a. d. Saar ausgeführt. Dieser Firma sei auch hier für die großzügige Unterstützung unserer Arbeiten gedankt.

³⁾ M. Jakob u. S. Erk, Forschungsarbeiten Heft 267 (1924) und Z. Bd. 68 (1924) S. 581.

⁴⁾ w mittlere Geschwindigkeit im engsten Düsenquerschnitt, d = lichte Weite der Düse, ν = kinematische Zähigkeitszahl des strömenden Gases.

⁵⁾ M. Jakob u. W. Fritz, Z. Bd. 72 (1928) S. 116.

⁶⁾ M. Jakob u. Fr. Kretzschmer, Forschungsarbeiten Heft 311 (1928).

Abb. 1
Versuchsanordnunga Motor
b Ventilator
c Diffusord Schlitz für Drosselscheiben
e Rohrstück mit Drosselklappe
f Siebg Blechkreuz
h Sieb
i Düsej Blechkreuz
k Staurand
l Düse

Meßverfahren.

Den weitaus meisten unserer Messungen liegt der Vergleich der Druckabfälle zu Grunde, die an zwei in einer Rohrleitung hintereinandergeschalteten Düsen und Staurändern beim Hindurchströmen von Luft entstehen. Die Versuchsanlage ist in Abb. 1 wiedergegeben. Ein elektrisch angetriebener Ventilator blies Luft in eine Rohrleitung, in die Siebe, Blechkreuze zum Gleichrichten der Strömung, Düsen und Stauränder eingebaut waren. Die Rohrleitung bestand aus gut erhaltenen und nicht außergewöhnlich rauen, gußeisernen und gezogenen Röhren des Hüttenbetriebes, die verschieden zusammengesetzt wurden. Die Luftmenge konnte durch Regeln der Motordrehzahl und durch Einlegen von drosselnden Blechscheiben in weiten Grenzen verändert werden. Der Druckabfall in den Düsen und Staurändern und der Überdruck vor ihnen wurden mit Alkohol-Manometern gemessen, die Temperatur der strömenden Luft vor den Meßstellen mit Quecksilberthermometern.

Bezeichnet man mit den Zeigern 1 und 2 die Stellen unmittelbar vor und hinter dem zuerst von der Luft durchströmten Meßgerät (z. B. i in Abb. 1), mit den Zeigern 3 und 4 die entsprechenden Stellen vor und hinter dem zweiten Meßgerät (z. B. k in Abb. 1); so gilt, wie in unserer ausführlichen Abhandlung abgeleitet ist, für nicht zu große Druckabfälle

$$\frac{\alpha_{12}}{\alpha_{34}} = \frac{F_4}{F_2} \sqrt{\frac{A_{12} T_1 p_4}{A_{34} T_2 p_2}} \sqrt{\frac{p_3 - p_4}{p_1 - p_2}} \quad (2).$$

Hierin sind F_2 und F_4 die engsten lichten Querschnitte der beiden Meßgeräte, p und T der Druck und die Temperatur an den durch die Indizes bezeichneten Stellen, A_{12} und A_{34} zwei von 2,0 um wenige Tausendstel abweichende Faktoren, die der Zustandsänderung der Luft beim Durchströmen der Meßgeräte Rechnung tragen, α_{12} und α_{34} die Durchflßzahlen der beiden Meßgeräte. Ist die eine davon bekannt, so kann die andere aus Gl. (2) berechnet werden.

Nach diesem Verfahren wurden zunächst acht in Völklingen hergestellte Normaldüsen für Rohre von 125 bis 1000 mm l. W. an zwei früher von Jakob und Erk⁵⁾ gezeichnete Normaldüsen angeschlossen. Da sich deren Eichung nur bis zur Reynoldsschen Zahl $R = 300\,000$ erstreckte, wurde außerdem die Durchflßzahl einer Völklinger Düse bei $R = 900\,000$ unmittelbar bestimmt, indem in einem an diese Düse angeschlossenen Rohr mit Staurohren die Geschwindigkeitsverteilung in zwei senkrecht zueinander stehenden Durchmessern des Querschnittes gemessen wurde.

Die Durchflßzahlen von Normaldüsen.

Da die Durchflßzahl α nach den Messungen von Jakob und Erk im Bereich von $R = 100\,000$ bis $R = 300\,000$, auch nach Vornahme der von Jakob und Fritz angegebenen Berichtigung⁶⁾, nur um rd. $\frac{1}{2}$ vH zunimmt, nach unseren soeben erwähnten Messungen bei $R = 900\,000$ aber um rd. 3 vH höher liegt als nach Jakob und Erk für $R = 100\,000$, so kommt man bei der Darstellung der Abhängigkeit von α und R zu einer S-förmigen Linie, Abb. 2. Innerhalb der Grenzen der Meßgenauigkeit könnte aber die Kurve ebenso wohl mit zunehmendem R beständig schwächer ansteigen, also keine Wendepunkt haben, oder im Gegensatz hierzu für $R < 100\,000$ mit abnehmendem R wieder ansteigen, also ein Minimum haben.

Jakobs, Erks und unsre Messungen werden am besten durch die in Abb. 2 gezeichnete Kurve wiedergegeben. Von dieser mittleren Kurve, die durch ein ziemlich verwickeltes Ausgleichverfahren bestimmt worden ist, weichen die Kurven

für die einzelnen von uns untersuchten Düsen mit völlig richtigem Profil höchstens um ± 1 vH, im allgemeinen aber um rd. $\pm \frac{1}{2}$ vH ab. Düsen mit zu stark konvergentem Auslauf, die wir ebenfalls untersucht haben, haben eine niedrigere, solche mit zu schwach konvergentem Auslauf eine höhere Durchflßzahl.

Inzwischen hat Witte⁷⁾ u. a. auch Durchflßzahlen mitgeteilt, die an zwei Normaldüsen für 100 und 300 mm Rohrdurchmesser durch unmittelbare Messung hindurchströmender Öl-, Wasser- und Dampfmenngen gewonnen wurden.

Witte hat in seiner Arbeit, Abb. 51, die von ihm gemittelten Durchflßzahlen abhängig von der Reynoldsschen Zahl $R_0 = \frac{W D}{\nu}$ aufgetragen, die auf die Rohrweite D und

die mittlere Geschwindigkeit W im Rohr bezogen ist. I bei den Normaldüsen $\frac{d}{D} = 0,4$ und somit $\frac{W}{w} = \left(\frac{d}{D}\right)^2 = 0,16$, gilt $R_0 = 0,4 \frac{w d}{\nu} = 0,4 R$. Berücksichtigt man diesen Unterschied im Abszissenmaßstab unserer Abb. 2 und Witte's Abb. 51, so erkennt man, daß im Bereich $100\,000 < R < 500\,000$ Witte's Durchflßzahlen höher, für $R > 500\,000$ aber kleiner sind als die unsrigen; die Abweichung liegt jedoch durchweg innerhalb der von uns angegebenen Grenzen von ± 1 vH.

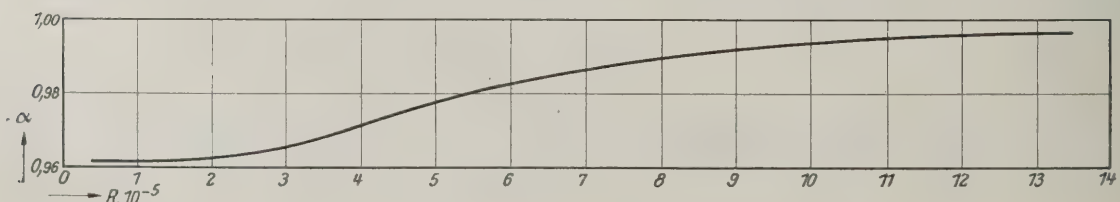
Nach Witte nimmt α mit steigendem R dauernd und immer schwächer (also ohne Wendepunkt der Kurve) zu. Da, wie erwähnt, die S-Form unserer Kurve bei der von uns beanspruchten Toleranz nicht sichergestellt ist, legen wir auf den Unterschied in der Kurvenform keinen entscheidenden Wert. Der Unterschied in den Durchflßzahlen aber kann zum Teil durch die Verschiedenheit der verwendeten strömenden Stoffe bedingt sein; nach Witte's Abb. 4 scheint nämlich im Bereich von Jakob und Erks Messungen die Eichung mit Luft niedrigere Werte zu ergeben als die mit Wasser. Auch ein kleiner Unterschied der Düsenprofile kann die Ergebnisse beeinflussen. Unsere Düsen haben nämlich noch nicht das kurze zylindrische Endstück, das erst im Jahre 1925 bei den Normaldüsen eingeführt worden ist¹⁾, während Witte's Düsen diese Neuerung haben.

Die Durchflßzahlen von Normalstaurändern.

Nach dem beschriebenen Vergleichsverfahren wurde ferner die Durchflßzahlen von 35 Normalstaurändern in Rohren von 125 bis 1000 mm l. W. und mit Öffnungsverhältnissen $m = 0,05$ bis 0,85 bestimmt. Dabei wurden die Durchflßzahlen der jeweils benutzten Bezugsdüse nicht aus Abb. 2, sondern den in Forschungsarbeiten Heft 31 mitgeteilten Kurven für die einzelnen Düsen entnommen. Das Ergebnis der Messungen ist in Abb. 3 wiedergegeben.

Außer dem bekannten Anstieg der Durchflßzahl mit dem Öffnungsverhältnis, der im wesentlichen durch die Durchströmungsgeschwindigkeit im Rohr bedingt ist, zeigt Abb. 2 eine Abnahme der Durchflßzahl α mit steigendem Rohrdurchmesser und eine Zunahme von α mit der Reynoldsschen Zahl. Der auch schon von Spitzglas beobachtete Durchflßmessereinfluß rührt, wie wir in der ausführlichen Veröffentlichung nachgewiesen haben, wahrscheinlich in der Hauptsache von Unterschieden der relativen Rauigkeit der verschiedenen weiten Rohre her; demnach bezieht sich Abb. 3 auf Betriebsrohre von mittlerer Rauigkeit; die tiefsten Linien aber wären annähernd Grenzkurven für ideal glatte Rohre von beliebigem Durchmesser. Eine Zu-

7) R. Witte, Z. Bd. 72 (1928) S. 1493.

Abb. 2
Mittlere Kurve
der Durchflß-
zahlen von Nor-
maldüsen.

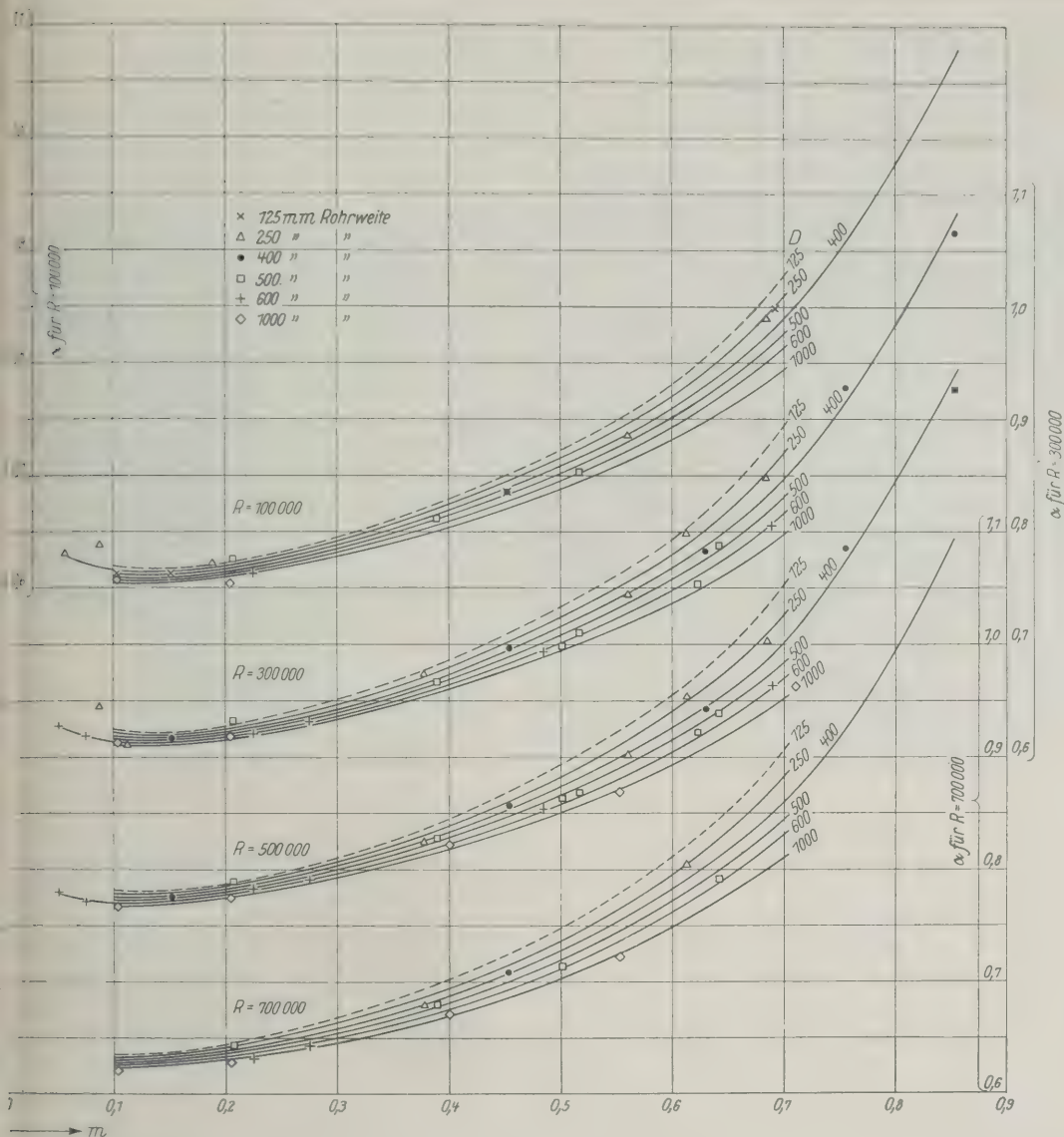


Abb. 3
Durchflußzahlen von
Normalstaurändern
(nach den Reynoldsschen
Zahlen
 $R = \frac{w d}{\nu}$ geordnet).

von α mit der Reynoldsschen Zahl haben auch Odqvist sowie Hodgson bei Versuchen mit Dampf und verschiedenen Flüssigkeiten gefunden. Sie wäre der Zunahme der Düsen analog.

Zum Zwecke bequemer Interpolation von α haben wir in Abb. 3 einerseits für konstante Reynoldssche Zahlen R veränderliche Rohrdurchmesser und andererseits für konstante Rohrdurchmesser und veränderliche Reynoldssche Zahlen R konstante Öffnungsverhältnisse entwickelt. Wir haben α abhängig von der nicht auf die Staudrüseweite, sondern auf die Rohrweite bezogenen Reynoldsschen Zahl dargestellt und schließlich eine zuerst von uns vorgeschlagene graphische Darstellung gebracht, die für die Berechnung von Staurändern für gegebene Rohrleitung und Strömung besonders geeignet ist. Bezüglich all dieser Darstellungen sei auf die ausführliche Veröffentlichung verwiesen, ebenso bezüglich unserer Messungen des Druckrückgewinnes hinter Staurändern. Nach diesem gilt für die Berechnungen die von Kretschmer angegebene bequeme Merkgel: Der Druckrückgewinn hinter dem Staurand ist numerisch gleich seinem Öffnungsverhältnis. Diese Feststellung hat sich auch bei Messungen, die Schütt⁶⁾ mit Wasser an Düsen ausgeführt hat, bestätigt.

Witte⁷⁾ hat auch Durchflußzahlen von Staurändern gemessen und einen ähnlichen Einfluß des Rohrdurchmessers gefunden wie wir, dagegen keine Zunahme von α mit der Reynoldsschen Zahl. Seine Durchflußzahlen steigen ferner mit dem Öffnungsverhältnis schwächer an als die unsrigen und liegen daher im allgemeinen tiefer als diese, bei den größten Öffnungsverhältnissen um 5 vH und mehr. Wir

⁶⁾ H. Schütt, Mitt. d. Hydraul. Instituts der Techn. Hochschule München, Heft 1 (1926) S. 42.

nehmen an, daß diese Unterschiede zum großen Teil davon herrühren, daß wir relativ rauhere Rohre hatten, was sich besonders bei großen Öffnungsverhältnissen geltend machen muß. Aber auch ein Einfluß des strömenden Mittels (Luft bei unseren, Wasser und Wasserdampf bei Wittes Versuchen) ist wohl denkbar; wir verweisen hierzu auf die Untersuchung von Odqvist.

Dafür, daß bei größerem Öffnungsverhältnis die Durchflußzahlen für Luft höher liegen als für Wasser und Dampf, spricht auch, daß die von Witte in seiner Abb. 40 angezeichnete Kurve der Durchflußzahl nach Seiferheld, die aus zahlreichen Luftmengenmessungen mittels eines Gasbehälters an 800 und 1000 mm weiten Rohren gefunden sein soll, in ihrem ganzen Bereich von $m = 0,25$ bis $m = 0,6$ mit sämtlichen Kurven für 1000 mm Rohrweite unserer Abb. 3 im Rahmen der von uns für Stauränder beanspruchten Toleranz der Durchflußzahlen von ± 2 vH übereinstimmt.

Es muß weiteren planmäßigen Versuchen vorbehalten bleiben, die Einflüsse der Rohrrauigkeit und der Art des strömenden Stoffes auf die Durchflußzahlen von Düsen und Staurändern genauer festzustellen. Bis dahin wird man unsere aus Versuchen mit Luft und betriebsrauen Rohren ermittelten Durchflußzahlen mit den angegebenen Toleranzen wohl auch für andere Gase, für Rohrdurchmesser von mehr als 1000 mm l. W. und für Reynoldssche Zahlen $R > 1000000$ verwenden können. Dagegen dürfen sie nicht auf $R < 50000$ extrapoliert werden. [M 2917]

Zur Frage der Düsen- und Staurandmessung sind weitere Beiträge von Dr. R. Witte, Ludwigshafen sowie von Dr.-Ing. H. Mueller und Dipl.-Ing. H. Peters, Göttingen, bei der Schriftleitung eingegangen, die im nächsten Heft erscheinen werden.



Abb. 1. Kohlenverladeanlage für das neue Elektrizitätswerk von Buenos Aires.

R U N D S C H A U

Fördertechnik

Kohlenverladung im Hafen von Buenos Aires

Über die neuen Hafenanlagen von Buenos Aires, die ausschließlich mit Hebezeugen deutscher Herkunft ausgerüstet sind, wurde bereits in den VDI-Nachrichten kurz berichtet¹⁾. Kürzlich ist nun auch das neue Elektrizitätswerk von Buenos Aires in Betrieb genommen worden; es ist mit einer nach neuzeitlichen Gesichtspunkten erstellten Kohlenverladeanlage ausgerüstet, die gleichfalls aus deutschen Werkstätten hervorgegangen ist. Diese Anlage stellt eine geschickte Vereinigung von Hubförderern und stetigen Förderern dar, bei der die Vorteile beider Fördermittel voll zur Geltung kommen, Abb. 1. Sie besteht aus zwei am Kai fahrenden Verladekränen mit Drehlaufraketen, zwei den Lagerplatz überspannenden Verladebrücken von je 75 m Spannweite und einer umfangreichen Förderbandanlage mit insgesamt 1000 m Förderlänge.

Die beiden Uferkrane fördern die Kohlen aus den Schiffen auf zwei parallel zum Ufer verlegte Förderbänder. Zwei weitere Bänder fördern sie weiter quer über den 100 000 t fassenden Lagerplatz unmittelbar zur Brechanlage, Abb. 2. In der Brechanlage werden die Kohlen zerkleinert; sie gelangen dann über ein ansteigendes Band, in das eine selbsttätige Waage eingebaut ist, zu einem Magnetscheider und von diesem in die Kohlenmahlanlage. Wenn der Lagerplatz beschickt werden soll, werden die Kohlen von den Querbändern auf die in den Brücken liegenden Bänder übergeführt und von diesen an beliebiger Stelle auf den Lagerplatz gestürzt. Sollen die Kohlen vom Platz aufgegriffen und der Mahlanlage zugeführt werden, so treten die auf den Brücken fahrenden Greiferdrehkrane in Tätigkeit. Sie fördern die Kohle in die Brückenbunker, die sie wieder mit Hilfe einer Aufgebevorrichtung den Brückenbändern zuführen. Diese leiten sie den zur Brechanlage und weiter über die Waage und Magnetscheider zur Mahlanlage führenden Bändern zu.

Die Mahlanlage kann mit mindestens 200 t/h Kohlen beschickt werden. Auf eine spätere Erweiterung auf die doppelte Leistung und doppelte Lagerplatzgröße ist Rücksicht genommen. [M 2634]

¹⁾ VDI-Nachrichten (1928) Nr. 31 S. 3.

Metallhüttenwesen

Das neue Kupferwalzwerk im Kabelwerk Oberspree

Im Kabelwerk Oberspree der Allgemeinen Elektrizitäts-Gesellschaft, Berlin, in dem etwa ein Sechstel des gesamten Kupferverbrauchs in Deutschland verarbeitet wird, ist ein neues Kupferwalzwerk, Abb. 3, in Betrieb genommen worden¹⁾. Vom Glühofen bis zur Fertigstraße arbeitet das Walzwerk vollkommen selbsttätig; es kann im Jahr bei Dreischichtbetrieb etwa 180 000 t Kupfer verarbeiten. Die Kupferbarren werden vom Lagerplatz auf dem Hof vor dem Fabrikgebäude mittels eines Kranes zu der Einschmelzöffnung des Ofens gebracht und durchwandern den nach der Auslaufseite geneigten, mit Gas gefeuerten Ofen. Im Ofen befinden sich dauernd etwa 150 Barren, so daß die Anwartszeit für die Barren bei 15 m Ofenlänge rd. $\frac{3}{4}$ h beträgt. Die Ofentemperatur wird durch Pyrometer fortlaufend überwacht.

Die Drahtstraße besteht aus einer Vorstraße, einer Mittelstraße und der Fertigstraße. In der Vorstraße sind zwei 450er Gerüsten, denen drei Flachwalzgerüste

¹⁾ Z. f. Metallk. Bd. 21 (1929) Heft 4 S. 113.

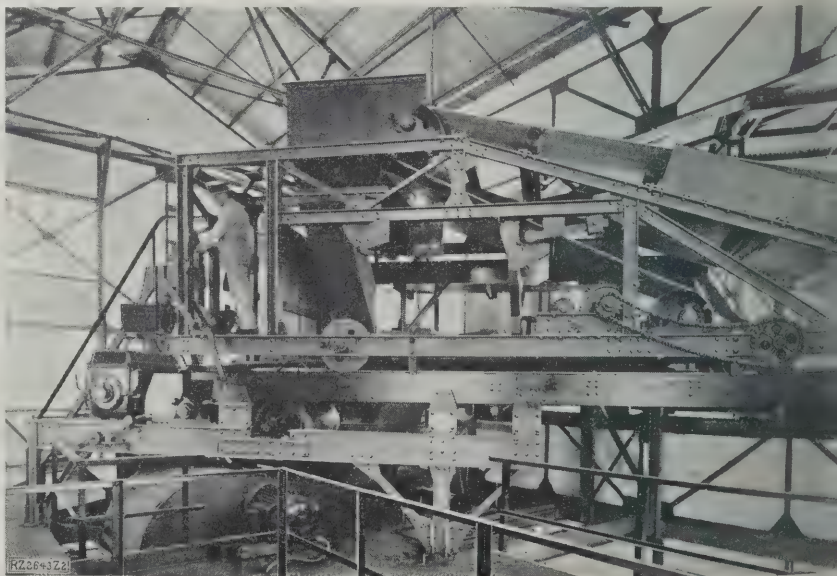


Abb. 2. Abwurfanlage des Gurtförderers 4 im Brecherhaus.

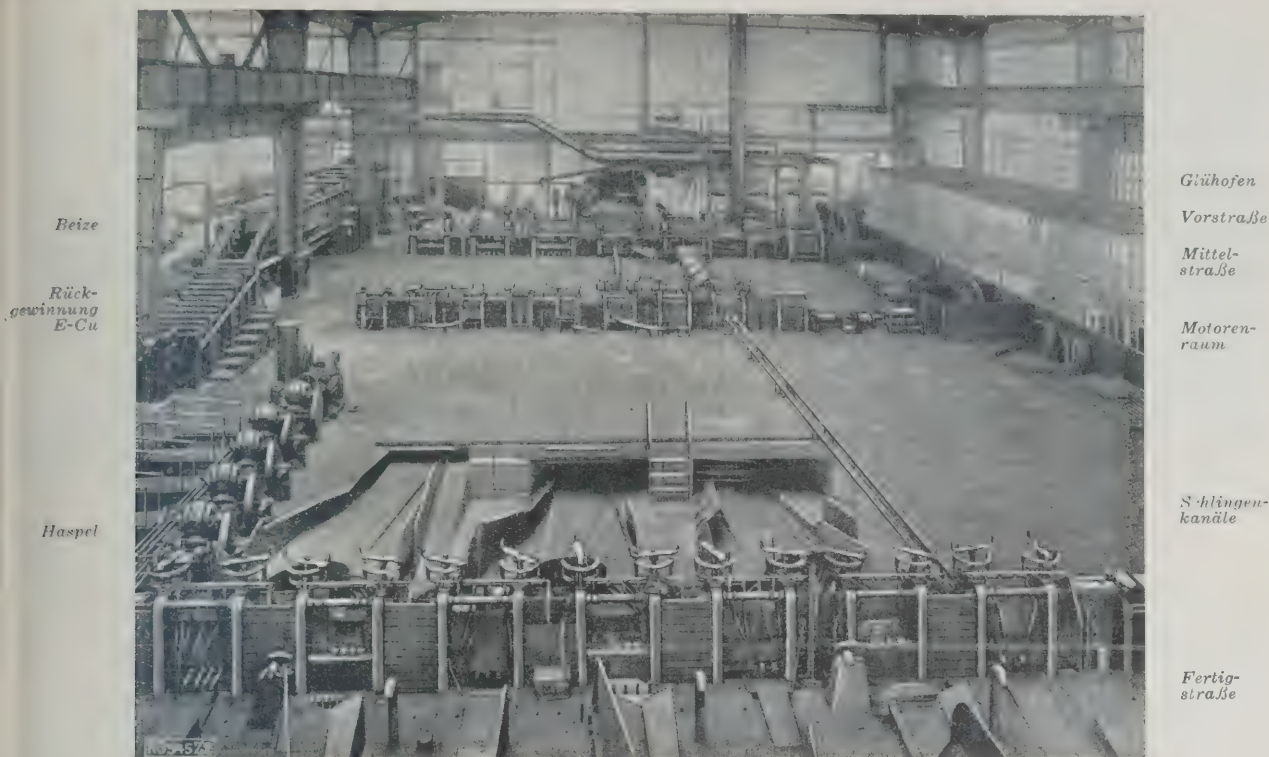


Abb. 3
Das neue Kupferwalzwerk im Kabelwerk Oberspree der AEG.

ungegliedert sind, wird der Barren, der zur Vorwalze mittels eines Rollganges befördert wird, auf einen ovalen Querschnitt von $43 \times 14 \text{ mm}^2$ umgeformt. Die Walzarbeit wird unter Verwendung von Wipptisch, Umführungen und Kantvorrichtungen fast selbsttätig durchgeführt. Von der Vorstraße gelangt das Walzgut in einer Laufrinne zur Mittelstraße, von wo es ebenfalls mittels einer Laufrinne zur Fertigstraße weiterbefördert wird. Die Fertigstraße besteht aus acht Gerüsten von 250 bis 290 mm Walzendurchmesser. Im allgemeinen laufen vier Drähte, höchstens sechs Drähte, gleichzeitig durch das letzte Gerüst. Sechs Edenborn-Haspel mit elektrischem Einzelantrieb nehmen den fertigen Draht auf. Der fertige Ring wird auf eine Fördervorrichtung geschoben und wandert unmittelbar zum Lagerplatz oder zur Beize. Die Beförderung der Drahtringe zur Beize und auch zum Lager ist vollständig mechanisiert.

Die Schlingenkanäle auf der Quadratseite der Fertigstraße sind 32 m, auf der Seite für ovalen Querschnitt 42 m lang. In den Schlingenkanälen befinden sich Schrotthaspel, so daß bei Störungen der Schrott nach unten gezogen und gebündelt werden kann. Das Walzwerk wird elektrisch angetrieben. Die Motoren haben einen reichlich stark gewählt, um den Anforderungen einer steigenden Belastung gewachsen zu sein. Die Vorstraße wird durch einen 736 kW-Motor mit 120 U/min angetrieben. Die Mittelstraße hat einen 736 kW-Motor für 320 U/min. Diese Drehstrommotoren sind für 6000 V gewickelt; zur Verbesserung des Leistungsfaktors sind an diese Motoren Phasenschieber angeschlossen. Die Fertigstraße wird durch einen unmittelbar gekuppelten 1000 kW-Motor ohne Phasenschieber mit 190 U/min angetrieben. [M 3003]

Gw.

Lichtbildtechnik

Neuer Schwingständer für photographische Kammern

Das Lichtbildwesen ist mit seinen verschiedenen Verfahren für die Illustrations- und Drucktechnik ein unentbehrliches Hilfsmittel geworden. Es gewinnt jedoch auch in der allgemeinen Technik und den ihr verwandten Ge-

bieten immer mehr an Bedeutung. Nach außen hin tritt diese Bedeutung dadurch in die Erscheinung, daß die Industrie heute dazu übergeht, das Lichtbild in größerem Umfang als Werbemittel für ihre Erzeugnisse zu verwenden.

Andererseits ist das Lichtbild und im besonderen die Reproduktionstechnik geeignet, zeitraubende, umständliche und kostspielige Verfahren zu ersetzen. Das Umzeichnen einer Zeichnung oder eines Planes auf kleineren oder größeren Maßstab, das Abschreiben eines seltenen Buches, eines wichtigen Dokumentes oder einer Handschrift und ähnliche Arbeiten können meist einfacher, billiger und schneller photographisch ausgeführt werden.

Die für die Lichtbildtechnik erforderlichen Vorrichtungen werden deshalb heute sehr beachtet. Das in Abb. 4 dargestellte Aufnahmegerät ist mit einem neuartigen Schwingständer ausgerüstet. Die bisher übliche Verwendung eines auf Federn ruhenden zweiholmigen Holzrahmens für den Aufbau von Kammer und Aufnahmebrett hat man hier aufgegeben und durch eine Eisenkonstruktion ersetzt. Auf zwei Böcken *a* ruht unter Zwischenschaltung je einer kräftigen Schraubenfeder *b* ein in Dreieckskonstruktion ausgebildetes Einholmsystem *c*, auf dem in drei Schienen die verschiebbare Aufnahmekammer *d* geführt wird.

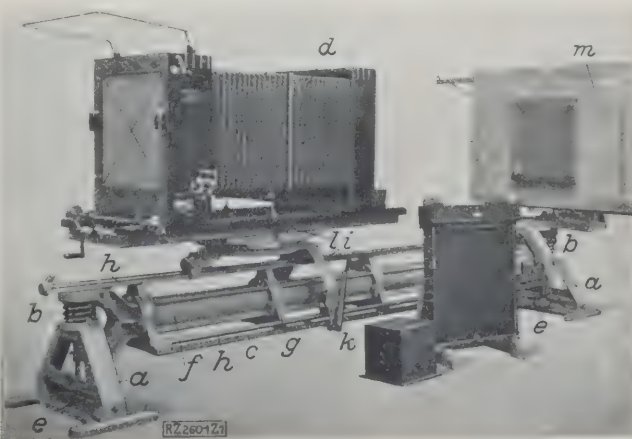


Abb. 4
Photographisches Aufnahmegerät mit eisernem Schwingständer von Hoh & Hahne, Leipzig.

- | | |
|-------------------|---------------------------|
| a Böcke | g Dreieckstück |
| b Schraubenfedern | h Wagenführungen |
| c Traghalm | i Wagen |
| d Aufnahmekammer | k Feststellung des Wagens |
| e Schraubenfedern | l Feststellung der Kammer |
| f Rohr | m Aufnahmebrett |

Werkstoffprüfung

Über Drahtseile

Dr.-Ing. A. Pomp und Dipl.-Ing. W. Knackstedt berichten¹⁾ über Versuche mit Stahldrähten, aus denen hervorgeht, daß sich im Bereich von 0,35 bis 0,84 vH C die mechanischen Eigenschaften der Stahldrähte durch Erhöhung des Kohlen-

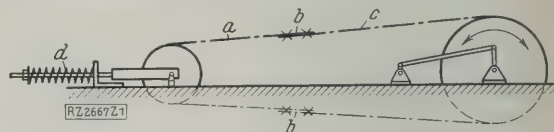


Abb. 6

Schematische Darstellung der Seilprüfmaschine.

a das zu prüfende Seil b Seilschlösser c Treibseil
d Feder für die Erzeugung der Seilspannung

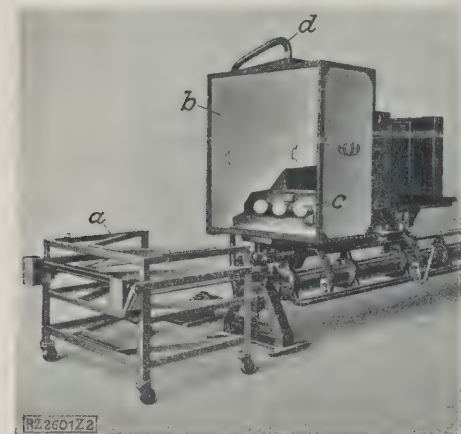


Abb. 5
Lichtkasten in Verbindung mit einem Reproduktions-
gerät auf eisernem Schwingständer.

Zur Dämpfung etwaiger Schwingungen um die waagerechte Längsachse des Trägers sind im Unterteil der beiden Endböcke a je zwei Federn e angebracht. Die beiden Federn fassen gemeinsam das untere Ende eines senkrechten Bolzens, der in dem gabelförmig ausgebildeten Ende des Tragholmes sitzt. Der Tragholm selbst besteht aus einzelnen mit Längsrippen und Flanschen versehenen Rohren f, die unter Zwischenlage je eines Dreieckstückes g an den Flanschen verschraubt sind. Die Dreieckstücke tragen zur Versteifung des Systems Längsstreben und die zur Wagenführung dienenden Schienen h.

Die vorliegende Ständerausführung läßt darauf schließen, daß man versucht, von den gerade hier oft unangenehm bemerkbaren Eigenschaften des Holzes wie Verziehen usw. wenigstens teilweise unabhängig zu werden. Andererseits zeigt der Ständeraufbau, daß man beginnt, bewährte Konstruktionselemente des allgemeinen Maschinenbaus auch in der lichtbildtechnischen Industrie nutzbar zu machen und bestrebt ist, von der kostspieligen Einzelanfertigung frei zu werden. Der Ständer kann den verschiedenen Kammergrößen und Verwendungszwecken angepaßt, durch Anflanschen einzelner Rohrstücke verlängert werden und stellt ein bemerkenswertes Beispiel dar, wie man durch Aufbau von Normteilen die Herstellung vereinfachen und verbilligen kann.

Das durch den Ständer mit der Kammer starr verbundene Aufnahmebrett m kann durch einen Segmenttrieb und sechs auf der Rückseite des Brettes sitzende Einstellschrauben planparallel zur Mattscheibenfläche ausgerichtet werden. Genaue Planparallelität ist dann notwendig, wenn man mit Objektiven von kurzer Brennweite arbeitet, da hierbei der Abstand zwischen Objektiv und Aufnahmebrett gering wird. Auf dem Aufnahmebrett ist ein Rahmen befestigt, in dem kleinere Zeichnungen oder Bilder hinter einer Glasseiche aufgenommen werden können.

Bei Anfertigung von seitenrichtigen, verkleinerten oder vergrößerten Aufnahmen von Zeichnungen, Bildern oder Schriftstücken unmittelbar auf lichtempfindliches Papier schwenkt man die Kammer wie üblich um 90° und versieht sie mit einem Umkehrprisma oder Metallumkehrspiegel.

Zur Herstellung von Vergrößerungen wird mit Hilfe eines fahrbaren Gestelles a, Abb. 5, der Lichtkasten b an die Kammer herangeschoben, aufgesetzt und an Stelle der Mattscheibe mit dem Kammerbalg verbunden. Der Kasten besteht aus einem Eisenrahmen, der mit Aluminiumblechfüllungen versehen und innen mit Asbest ausgeschlagen ist.

Die der Kammer zugewandete Kastenwand zeigt einen Ausschnitt, in den die zu vergrößernden Negative eingesetzt werden. Der durch das Negativ nicht ausgefüllte Teil des Ausschnittes wird durch je zwei senkrecht und waagrecht verschiebbare Blenden abgedeckt. Um den Ausschnitt sind 16 Nitalampen c mit einer Gesamtlichtstärke von 13 600 Kerzen gleichmäßig verteilt angeordnet. Das Licht fällt auf die körnig-mattweiß gestrichene, mit einer Gummi-Asbest-Mischung abgedeckte Rückwand des Lichtkastens, von wo es als diffuses Licht durch das Negativ und Objektiv auf das Aufnahmebrett geworfen wird. Bei Verwendung des Lichtkastens muß der Aufnahmeraum verdunkelt werden. Die über dem Lichtkasten sichtbare Rohrleitung d dient zum Absaugen der erwärmten Luft.

Berlin [M 2601]

O. Hollbach

stoffgehaltes sowie der Ziehtemperatur (bis 300°) hinsichtlich der Zugfestigkeit, Streckgrenze und besonders hinsichtlich des Elastizitätsmaßes verbessern lassen.

Weitere Versuchsergebnisse, die für die Herstellung von Drahtseilen wichtig sind, findet man in einem Bericht²⁾ über englische Versuche mit Drahtseilen von 25 mm Dmr. und verschiedener Ausbildung, die vom Drahtseil-Untersuchungsausschuß der Institution of Mechanical Engineers ausgeführt worden sind. Gemessen wurde die Zahl der Biegungen bis zum Bruch, wenn ein Seil bei verschiedener Seilspannung über eine Scheibe vom Durchmesser D hin und her bewegt wird, Abb. 6. Es wurden verschiedene Scheiben benutzt, die die Durchmesser D = 152, 254, 355 und 457 mm hatten. Am besten war im Versuchsbereich ein im Längsschlag aus saurem Siemens-Martinstahl hergestelltes Seil (Nr. 11 des Versuchsberichtes), bestehend aus 6 Litzen mit 12 Drähten von 0,5 mm Dmr. und einer Hanfeinlage in jeder Litze. Die Zahl n der Biegungen bis zum Bruch läßt sich, wie ich mit Hilfe der Abb. 7 festgestellt habe, in diesem Fall ziemlich genau durch die Gleichung

$$n = 230 \left(\frac{D^2}{p} \right)^{1,43}$$

wiedergeben. Hierbei bedeutet p die Seilspannung in kg beim Versuch.

Ein andres im Längsschlag hergestelltes Seil (Nr. 13 des Versuchsberichtes) aus 6 Litzen, jedoch mit 19 Drähten von 0,5 mm Dmr. in jeder Litze (12 als Außenlage, 6 als Mittel- und 1 Draht als Innenlage) war wegen der Drahteinlage steifer und ergab daher nur etwa 2/3 der Biegungen bis zum Bruch. Es gilt also hierfür angenähert die Gleichung

$$n = 153 \left(\frac{D^2}{p} \right)^{1,43}$$

¹⁾ „Stahl und Eisen“ Bd. 48 (1928), S. 1706.

²⁾ Ebenda S. 1717.

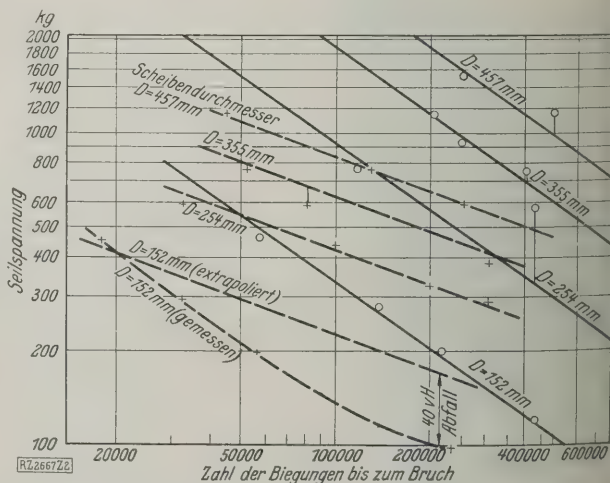


Abb. 7

Abhängigkeit der Dauerbiegezahl n von der Belastung p bei verschiedenen Scheibendurchmessern, dargestellt mit Hilfe logarithmischer Koordinaten.

— Seil Nr. 11, in Längsschlag ausgeführt
--- Seil Nr. 12, in Kreuzschlag ausgeführt

Ein im Kreuzschlag hergestelltes Seil (Nr. 12) mit Hanfeinlage, im übrigen wie das beste Seil der Versuchssreihe (Nr. 11), ergab besonders bei höheren Seilspannungen und kleinen Scheibendurchmessern kleinere Biegezahlen als das im Längsschlag hergestellte Seil Nr. 11, Abb. 7. Die im Kreuzschlag hergestellten Seile haben jedoch gegenüber den im Längsschlag hergestellten den Vorteil, daß sie bei Verdrehungen nicht so sehr zu bleibenden Erwindungen neigen; mit dieser Steifigkeit steht die Erscheinung einer geringeren Dauerbiegefestigkeit bei kleinen Scheibendurchmessern und hohen Belastungen offenbar im Zusammenhang. Die Versuchsergebnisse des im Kreuzschlag hergestellten Seiles Nr. 12 lassen sich für die Scheibendurchmesser von 254, 355 und 457 (152 mm Dmr. fällt heraus) durch die Gleichung

$$n = 52000 \left(\frac{D^{1,136}}{p} \right)^{2,75}$$

angenähert wiedergeben. Jedenfalls gibt die von mir für Abb. 7 gewählte logarithmische Auftragung eine gute Übersicht über das Verhalten der verschiedenen Seile.

Die Ermittlung solcher Gleichungen aus Logarithmischen Darstellungen, wie Abb. 7, soll im folgenden kurz erläutert werden: Wegen der logarithmischen Teilung gilt

$$\log p = \log f(D) - m \log n$$

oder

$$\log n = \frac{1}{m} [\log f(D) - \log p].$$

In dieser Gleichung sind n und p aus den Versuchen bekannt und m erhält man aus der Neigung der Parallelen in Abb. 7, so daß man Werte für $\log f(D)$ berechnen kann. Ergeben diese, wenn man sie über $\log D$ aufträgt, auch eine Gerade, so gilt

$$\log f(D) = \log C + r \log D$$

oder

$$f(D) = C D^r.$$

Damit wird

$$n = C^{\frac{1}{m}} \left(\frac{D^r}{p} \right)^{\frac{1}{m}}$$

$$\text{oder mit } C^{\frac{1}{m}} = a$$

$$n = a \left(\frac{D^r}{p} \right)^{\frac{1}{m}}$$

Berlin

[M 2667]

W. Schmidt

Kleine Mitteilungen

Hochdruck-Dampfkraftwerke in Amerika

In einer Sitzung des Bezirksvereins Philadelphia der American Society of Mechanical Engineers teilte P. W. Swain eine Zusammenstellung von fertigen oder noch im Bau befindlichen Industrie-Dampfkraftwerken in den Vereinigten Staaten und Kanada mit, die mit Dampfdrücken von mehr als 21 at arbeiten. Danach haben 68 Kraftwerke Dampfdrücke von 21 bis 28 at, 67 von 28 bis 42 at, 6 von 42 bis 70 at und 5 von 70 at und mehr. Den höchsten Dampfdruck von 126 at findet man bei dem noch im Bau befindlichen Kraftwerk der Philip Carey Mfg. Co., Lockland, Ohio, das mit zwei Dreifach-Expansions-Dampfmaschinen der Firma A. Borsig, Berlin-Tegel, ausgerüstet werden soll¹⁾.

Die Anzahl der Dampfkraftwerke für die öffentliche Stromversorgung mit mehr als 28 at Dampfdruck, die seit 1924 in den Vereinigten Staaten gebaut oder entworfen wurden, beträgt 41. Davon haben 25 Kraftwerke bis 42 at, 9 bis 85 at und 7 85 at und mehr. Die höchste Dampftemperatur dieser Werke beträgt rd. 400°. Die Detroit Edison Co. hat jedoch kürzlich in England für das Kraftwerk Delray eine zweigehäusige Dampfturbine bestellt, die Dampf von 25,6 at und rd. 550° verarbeiten soll. („Power“ 28. Mai 1929 S. 854, 858 und 909*) [N 3201 a] Le.

¹⁾ Vergl. VDI-Nachrichten Bd. 8 (1928) Nr. 47.

Staudamm in Nord-Carolina

In Nord-Carolina ist ein großes Wasserkraftwerk im Entstehen. Die Anlage besteht aus einem Staudamm, einem 46 km langen Stollen, der das Staubecken mit dem Krafthaus verbindet, und einem Kraftwerk bei Waterville von 100 000 kW Leistung.

Der in einer engen Felsschlucht am Pigeonfluß gelegene Staudamm mit einer freien Fallhöhe von rd. 55 m ist in Halbkreisform mit rd. 92 m Halbmesser erbaut. Seine Bauhöhe beträgt vom Fuß bis Oberkante Torpfeiler 61 m, seine Dicke am Fuß 12,3 m, am Kopf 4,9 m. 14 elektrisch be-

triebene Torschleusen regeln den Wasserabfluß. Die Bauverhältnisse waren besonders schwierig, weil das Gebirge dort fast unersteigbar ist, außerdem kein Sand zur Verfügung stand und man als Baustoff eine Mischung von Zement mit verschiedenen fein zerstoßenem Fels verwenden mußte. Der Staudamm ist nunmehr fertiggestellt und man beabsichtigt, die Anlage in der zweiten Hälfte des Jahres in Betrieb zu nehmen. („Engineering News-Record“ 6. Juni 1929 S. 894*) [N 3201 b] Bl.

Neue Vorortstrecken der englischen Südbahn mit elektrischem Betrieb

Die englische Südbahn-Gesellschaft hat ein umfangreiches Bauprogramm beschlossen. So werden insgesamt rd. 80 km Gleislänge ihrer Vorortbahnen auf elektrischen Betrieb umgestellt werden. Es sind dies die Strecken Hounslow – Windsor, Dartford – Gravesend und Wimbledon – West Craydon. Die Kosten dieses Umbaus, der bereits im Sommer 1930 ausgeführt sein soll, betragen rd. 20 Mill. Nach der Fertigstellung werden 1300 km Gleislänge der Vorortbahnen der Südbahn-Gesellschaft elektrisch betrieben sein. („The Engineer“ 14. Juni 1929 S. 643) [N 3201 c] Ro.

Gegossene Rahmen für Kraftwagen

In Frankreich stellt die Firma Fonderies et Forges de Crans für die Firma de Lavaud aus einer Aluminiumlegierung mit 13 vH Si gegossene Rahmen für Kraftwagen her. Der in Abb. 1 von unten gezeigte Rahmen wiegt 165 kg und ist 3696 mm lang und 1143 mm breit. Die Wanddicke des Gußstückes beträgt rd. 5 bis 10 mm. Bei einer Belastung des Rahmens mit 3 t betrug die Durchbiegung rd. 5 mm. Die metallische Legierung wird nach Veredelung durch Zusatz eines Alkalimetalles in grünen Formen vergossen. In Deutschland hat die Metallgesellschaft, Frankfurt a. M., ähnliche Gußstücke aus Silumin hergestellt¹⁾. („The Foundry“ 1. Juni 1929 S. 461*) [N 3201 d] Gw.

¹⁾ Z. f. Metallk. Bd. 19 (1927) S. 14.

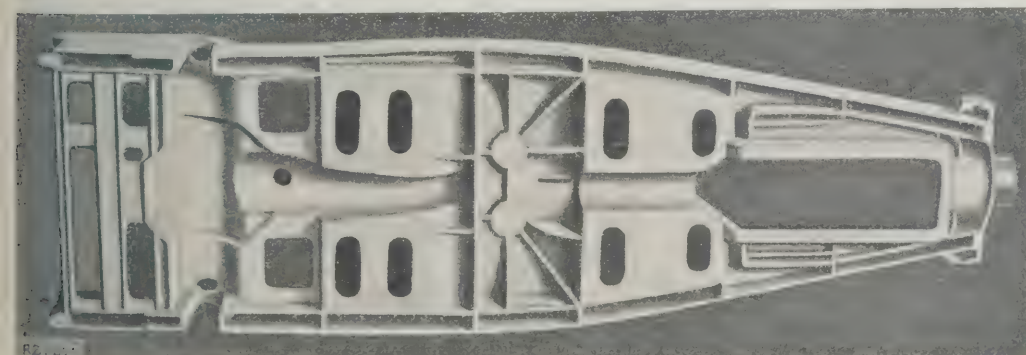


Abb. 1
Aus einer Aluminium-
legierung gegossener
Rahmen für Kraftwagen

Kabelstörungen

Die Commonwealth Edison Co., Chicago, hat die Ursachen und die Häufigkeit der Störungen an Starkstromkabeln in Amerika eingehend untersucht. Danach hatte das Jahr 1926 die größte Zahl von Störungen, nämlich rd. 17 auf je 160 km Kabellänge; im Jahre 1928 ist diese Zahl zwar auf 12 gesunken, aber immer noch recht hoch. Für hohe Spannungen bevorzugt man in neuerer Zeit Einleiter- und ölgefüllte Kabel; allgemein zieht man die H-Kabel¹⁾ vor. Im Jahre 1928 war die Zahl der Störungen auf je 160 km Kabellänge bei Einleiterkabeln um 30 vH niedriger als bei verselten Dreileiterkabeln. („Electrical World“ 1. Juni 1929 S. 1093*) [N 3201 e] Pa.

¹⁾ Vergl. Z. Bd. 72 (1928) S. 847.

Drehrohrofen mit neuartiger Klinkerkühlung

Die Firma Vickers-Armstrong baut einen Drehrohrofen mit einem Rekuperator, der die früher übliche, unter dem Drehrohrofen liegende Kühltrommel für die Klinker entbehrlich macht und so den Aufbau der Anlage auf hohe Fundamente vermeidet. Der Klinker fällt durch die Öffnungen b, Abb. 2, in 12 oder mehr um das Hauptrohr a ange-

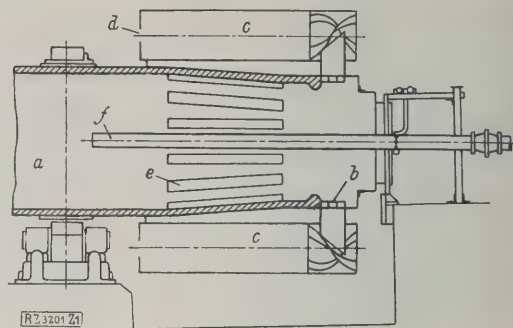


Abb. 2. Schnitt durch einen Drehrohrofen.

a Drehrohrofen c Kühltrommel e Leitschaukeln
b Bodenöffnungen d Auslauf von c f Brenndüse

ordnete Zylinder c, wo er im Gegenstrom durch Frischluft gekühlt wird. Die so vorgewärmte Luft dient als Verbrennungsluft im Ofen. („The Engineer“ 14. Juni 1929 S. 654*) [N 3201 f] Schr.

BÜCHERSCHAU

Bücher und Zeitschriften des In- und Auslandes, auch solche nichttechnischen Inhaltes, liefert die VDI-Buchhandlung, Berlin NW7, Ingenieurhaus (Telegrammanschrift: Ingenieurverlag Berlin; Fernspr.: Zentrum 15204).

Junkers. Festschrift Hugo Junkers zum 70. Geburtstage. Gewidmet von A. Berson, A. Gramberg, A. Kessner, O. Mader, A. Nägel und seinen Mitarbeitern. Überreicht vom Verein deutscher Ingenieure. Berlin 1929, VDI-Verlag. 99 S. m. Abb. Preis 6 RM, für Mitglieder des V. d. I. 5,40 RM.

Persönlichkeit und Werk sind bei *Hugo Junkers*, der als Siebzigjähriger (3. Februar 1929) jugendfrisch, kampfesmutig und vorwärtsdrängend lebt und wirkt, untrennbar miteinander verbunden. Dem deutschen Ingenieur ein Beispiel zu geben von deutscher Wesensart, Werte zu schaffen, ist Zweck dieses Buches, wie C. Matschoß in dem Vorwort ausführt. *Junkers* Mitarbeiter, berufene Männer, schildern in eindrucksvoller Form die Gebiete, auf denen dieser schöpferische Ingenieur, Forscher und Wirtschaftler bahnbrechend gearbeitet hat. Die einzelnen Abschnitte behandeln den Schwerölmotor, die wärmetechnischen Arbeiten, und zwar die Entwicklung der Kalorimeter, der Warmwasserbereitungs-, der Heiz- und Lüftgeräte, Beispiele des Zusammenwirkens zwischen Konstruktion, Werkstoffwahl und Betrieb, die einen Einblick in die Forschungsarbeiten von *Junkers* geben, die Entwicklung des Ganzmetallflugzeuges und die Luftfahrt, in der sich das Flugzeug als Verkehrsmittel völkerverbindend auswirkt. Das Buch wird jedem vorwärtstrebenden Ingenieur wertvoll sein. [E 3007] Gw.

Handbuch für Luftfahrt und Luftfahrt-Industrie. Herausgeg. *Erich Mehne*. 3. Aufl. Berlin 1929, Luftfahrt-Verlag. 360 S. m. Abb. Preis 5,80 RM.

Von dem Handbuch ist innerhalb ganz kurzer Zeit die dritte erweiterte Auflage erschienen. Bekannte Persönlichkeiten der Luftfahrt geben hier in leicht faßlicher Darstellung einen Überblick über das gesamte Gebiet mit Ausnahme der Militärluftfahrt und der ausländischen Zivilluftfahrt; diese wird in einer späteren Auflage aufgenommen. Zahlreiche Einzelberichte behandeln folgende Hauptabschnitte: Organisation, Luftpolitik, Wirtschaft und Technik des Luftverkehrs, Luftfahrtindustrie, Flugsport und Sondergebiete der Luftfahrt, Industrie und Verkehr im Dienste der Luftfahrt. [E 3006] Gw.

Handbuch des Grubenrettungswesens. Von *Gustav Ryba*. 1. Bd.: Brände und Grubenexplosionen. Leipzig 1929, Arthur Felix. 302 S. mit 147 Abb. Preis 24 RM.

Der vorliegende erste Band, der sich mit Bränden und Grubenexplosionen befaßt, ist in der Hauptsache auf den Erfahrungen aufgebaut, die Verfasser im böhmischen Braunkohlenbergbau sammeln konnte. Die gebrachten Forderungen sind daher nicht in allen Fällen ohne weiteres auf die für Deutschland besonders interessierenden Verhältnisse im westfälischen Bergbau zutreffend. So ist z. B. die für Schlagwettergruben geforderte grenzläufige Wetterführung trotz ihrer Vorteile wegen der hohen Kosten besonderer Wetterschächte an der Ruhr kaum zu finden. Das Buch enthält eine Reihe von Wiederholungen und bringt verschiedentlich nicht unmittelbar zum Thema ge-

hörige Erörterungen. Z. B. scheinen Angaben über Feuerlöcher für Flugzeuge in einem Buch über Grubenrettungswesen überflüssig. In den Zahlentafeln VII und VIII sind Entzündungstemperaturen und Grenzen der Explosionsfähigkeit von Äther, Alkohol usw. angegeben, die besonders interessierenden entsprechenden Werte für Methan dagegen fehlen. Die auf S. 36 gebrachten Unterschiede zwischen Schwefeldioxyd und schwefliger Säure sind nicht zutreffend.

Für die deutschen Leser liegt der Wert des Buches darin, daß es eine Übersicht gibt über technische Neuerungen und Einzelheiten auf dem Gebiete der Feuerlöschgeräte sowie auf dem der Schlagwetter- und Kohlenoxydanzeiger. [E 3034] Pr.

Das Erdöl. Begründet von C. Engler und H. Höfer. 2. Aufl. Herausgeg. von J. Tauß. 3. Bd., 2. T.: Lagerung und Transport des Erdöls und seiner Produkte zu Lande. Von *Julius Swoboda*. Leipzig 1929, S. Hirzel. 256 S. m. 179 Abb. und 13 Taf. Preis 28 RM.

Als Teil des allgemeinen Werks „Das Erdöl“ gibt das reich ausgestattete Buch einen umfassenden Überblick über das Lagern in großen Behältern, das Versenden in Wagen, Fässern und Blechgefäßen, das Fördern in Leitungen und das Abzapfen an Straßen und auf Flugplätzen. Dabei erstreckt sich die Darstellung auf die Anlagen sämtlicher Länder, auf die Erdbehälter des Auslands und das ausgedehnte amerikanische Rohrleitungsnetz. Die eisernen Behälter mit den neuzeitlichen Vorrichtungen gegen Verdunstungsverluste und den Vorkehrungen gegen Brandgefahr, die auch in Deutschland ausgeführt werden, sind eingehend behandelt. Wesentlich kürzeren Raum nehmen die Straßenzapfstellen ein, besonders diejenigen ohne Verwendung von Schutzgas, die wegen der großen Zahl der Ausführungen wohl eine eingehendere Besprechung verdient hätten. Dagegen sind wieder sehr ausführlich die Angaben über Herstellung der Fässer und Blechgefäße gehalten, die in diesem Buch wohl kaum vermutet werden. Den Schluß bilden die amtlichen Sicherheitsvorschriften. [E 3077] R. Walther

Nobel. Dynamit, Petroleum, Pazifismus. Herausgeg. von H. Schück und R. Sohlman. Übers. von W. H. v. d. Mülbe. Leipzig 1928, Paul List. 334 S. m. vielen Bildtaf. Preis 10 RM.

Alfred Nobel, der sein Lebenswerk durch die großzügigste aller Stiftungen krönte, der als Erfinder neuer und heute noch maßgebender Sprengstoffe dem Kriegshandwerk neue Vernichtungsmöglichkeiten gegeben hat, war Pazifist. Wer die Schilderung seines arbeitsreichen Lebens liest, lernt ihn nicht nur als Erfinder auf vielen Gebieten, als überlegenden Rechner, sondern auch als Menschen und Dichter kennen, durchlebt das selten reiche Leben dieses Mannes, der neben seinen 345 Patenten ein Vermögen von 33 Millionen hinterließ. Zahlreiche Beilagen (Patentaufzählungen, Briefwechsel, amtliche Protokolle, erste Be-

beibung der Nitroglyzerinherstellung, Aufzählung der
Preissträger bis einschließlich 1927) machen auch
Forscher das Nobel-Buch wertvoll.

E. Stenger

Ausstellung München 1927 „Das Bayerische Handwerk“.
ntlicher Bericht der Ausstellungsleitung. München
28, Verlag Deukula. 37 S. m. vielen Abb. Preis 8 RM.
Es liegt im Wesen der Ausstellung, daß sich ihre Wir-
kt, mag sie auch noch so tief gewesen sein, nicht
und gleichwertig festhalten läßt. Der vorliegende amt-
liche Bericht der Ausstellungsleitung über die Ausstellung
München 1927 „Das Bayerische Handwerk“ gibt noch
mal einen Überblick über die Entstehung, Organisation
Durchführung dieser Ausstellung. Dem knappgefaßten
folgen viele Abbildungen, die einen Überblick geben
die bauliche und künstlerische Gestaltung der Werk-
betriebe in der Ausstellung und auch einzelne Aus-
stellungsstücke wiedergeben.

Das Heft wird nicht nur für die alle, die mit der Aus-
stellung zu tun haben, wertvolle Anregungen geben, son-
dern auch den Besuchern der Ausstellung ein erfreuliches
Denkmal an diese sein. [E 3095]

Ha.

Schriftenbuch des Verbandes Deutscher Elektrotech-
niker. 16. Aufl. Herausgeg. durch das Generalsekretariat
des VDE. Berlin 1929, Julius Springer. 910 S. Preis
3 RM.

Schriftenbuch für elektrische Eisenbahn-Beleuchtungsanlagen.
Auftrage der Deutschen Reichsbahn-Gesellschaft ver-
faßt von Edmund Schütz und Gustav Wagner. Berlin
1929, Verkehrswissenschaftliche Lehrmittelgesellschaft bei
der Deutschen Reichsbahn. 110 S. m. 32 Abb. Preis 4 RM.
Veröffentlichungen der BEWAG. 2. Reihe 8. Bd.: Jahr-
bericht der Verkehrsdirektion 1928. Herausgeg. von Berliner
Verkehrswissenschaftlichen Elektrizitätswerke, A.-G. Berlin 1929. 118 S.
m. 70 Abb. Nicht im Buchhandel.

Wissenschaftliche Veröffentlichungen aus dem Siemens-
Konzern. 7. Bd. 2. H. Herausgeg. von der Zentralstelle
für wissenschaftlich-technische Forschungsarbeiten des
Siemens-Konzerns. Berlin 1929, Julius Springer. 322 S.
m. 11 Abb. Preis 30 RM.

Preis-Verband für die Materialprüfungen der Technik.
1. Bericht: Normen für die Herstellung von Zement-
röhren. Aufgestellt von der Kommission zur Prüfung
des Verhaltens von Zementröhren in Meliorationsböden.
Verdruck aus der „Schweizerischen Zeitschrift für
Bauwesen“ Jg. 1929. Zürich 1928, Eidgenössische
Materialprüfungsanstalt an der E. T. H. 109 S. m. 60 Abb.
Preis 7,50 Fr.

Glocken-Ideal. Von Hugo Löbmann. Berlin 1928, Ver-
lag der Germania A.-G. 118 S. Preis 3 RM.

Sammlung Vieweg. 97. H.: Röntgenographische Werkstoff-
Prüfung. Von Karl Becker. Braunschweig 1929, Friedr.
Vieweg & Sohn. 100 S. m. 76 Abb. Preis 7 RM.

Ubbelohdes Handbuch der Chemie und Technologie der Öle
und Fette. 2. Aufl., 3. Bd., 1. T.: Chemie, Analyse, Tech-
nologie der Fettsäuren, des Glycerins und der Türkisch-
rotöle. Herausgeg. von Hans Heller. Leipzig 1929,
S. Hirzel. 392 S. m. 127 Abb. und 8 Taf. Preis 42 RM.

The Bituminous sands of Alberta. Von K. A. Clark und
S. M. Blair. Report Nr. 18 des Scientific and Industrial
Research Council of Alberta. 1. T.: Occurrence. 74 S. m.
11 Abb. — 2. T.: Separation. 36 S. m. 7 Abb. Edmonton
1927, University of Alberta.

Atlas der letzten Linien der wichtigsten Elemente. Von
Fritz Löwe. Dresden und Leipzig 1928, Theodor Stein-
kopff. 44 S. m. 2 Abb. und 16 Taf. Preis 12 RM.

Neue Architektur der Großstädte. Herausgeg. von Leopold
Zahn. 1. Bd.: Berliner Architektur der Nachkriegszeit.
Von E. M. Hajos und L. Zahn. Mit einer Einführung
von E. Redtlob. Berlin 1928, Albertus-Verlag. 131 S.
m. 157 Abb. Preis 16 RM.

Glas im Bau und als Gebrauchsgegenstand. Von Arthur
Korn. Berlin 1929, Ernst Pollak. 254 S. m. 187 Abb.
Preis 30 RM.

Der moderne Kraftwagen. Von M. Peter. 9. Aufl. Berlin
1929, Richard Carl Schmidt & Co. 888 S. m. 896 Abb.
u. 3 Taf. Preis 20 RM.

Berichtigungen

Fünfzig Jahre elektrische Eisenbahn

In obigem Aufsatz in Z. Bd. 73 (1929) Nr. 20 S. 661
sind infolge von Druckfehlern falsche Zeitangaben ent-
standen. Es muß heißen: „Am 31. Mai vor 50 Jahren konn-
ten . . .“ statt „Am 1. Mai . . .“; ferner „Am 9. Juni 1879
hielt Werner von Siemens . . .“ statt „Am 9. Mai . . .“.
[N 3185]

Neuere elektrische Lokomotiven der Deutschen Reichsbahn

In Z. Bd. 73 (1929) Nr. 20 S. 673 ist bei Erwähnung
der Krauß-Helmholtz-Gestelle auf Abb. 53 S. 690 des glei-
chen Heftes verwiesen. Dieser Hinweis trifft nicht zu, da
diese Abbildung kein Krauß-Helmholtz-Drehgestell, son-
dern eine von diesem grundsätzlich verschiedene Bauart
darstellt. [N 3184]

Neue Gefäßförderanlage bei der Ilseder Hütte

Die in dem Bericht in Z. Bd. 73 (1929) Heft 22 S. 770
beschriebene Anlage ist von der Skip Co. A.-G., Essen, ent-
worfen worden. [N 3219]

ANGELEGENHEITEN DES VEREINES

Wahlen und Beschlüsse der Versammlung des Vorstandsrates am 22. Juni 1929 in Königsberg i. Pr.

Wahlen

Neuwahl des Kurators

An Stelle des Herrn Lippart, der sein Amt als Kurator
aus Gesundheitsrücksichten mit Ablauf dieses Jahres
verlegt, wählte der Vorstandsrat den Beigeordneten
Vorstand Herrn Nügel, Dresden, zum Kurator des Ver-
bandes deutscher Ingenieure vom 1. Januar 1930 ab.

Weitere Wahlen zum Vorstand

Der Vorstandsrat wählte als Vorsitzenden-Stellvertreter
für die Jahre 1930, 1931 und 1932 Herrn Strombaudirektor
Ing. E. h. Otto Konz, Stuttgart; als Beigeordnete im
Vorstand für die Jahre 1930, 1931 und 1932 die Herren:
Verkehrsdirektor Dr.-Ing. E. h. H. Lwowski, Essen, und
Leiter Ewald Moeller, Osnabrück; als Beigeordneten im
Vorstand für die Jahre 1930 und 1931 Herrn Baurat
F. J. Müller, München.

Wahlausschuß

Als Mitglieder des Wahlausschusses für das Jahr von
der Hauptversammlung 1929 bis zur Hauptversammlung
1930 wurden gewählt die Herren: Dopp, Berlin; Fischer,
München; Foedisch, Ostpreußen; Fröber, Mannheim; Hart-
mann, Hannover; Kloth, Köln; Titz, Breslau;
als stellvertretende Mitglieder die Herren: Awe, Teuto-
nia; Hemprich, Westpreußen; Oeser, Lenne; Schwiering,

Märk. B.-V.; Thomas, Berg; Trost, Leipzig; Vetter, Fran-
ken-Oberpfalz.

Der Vorstandsrat bestätigte die Zusammensetzung der
ständigen Ausschüsse wie folgt:

Ausschuß für Berufsfragen

Blaum, Bremen	bis Ende 1930	Petersen, Düsseldorf	bis Ende 1932
Lwowski, Essen		Schirp, Berlin	
Probst, Weimar		Claussen, Hagen	
Fröber, Mannheim		v. Bonin, Berlin	
Lohse, Hamburg,	bis Ende 1931	Haas, Rheinfelden	bis Ende 1933
Vorsitzender		Klein, Offenbach	
Jachmann, Wetzlar		Lind, Stuttgart	
Roser, Cannstatt		Rosdeck, Düsseldorf	
Krug, Spandau		Volk, Berlin	

Patentausschuß

Kuhlemann, Bochum, Vorsitzender; Aumund, Berlin;
Baer, Breslau; Berger, Berlin; Brandt, Berlin; Free, Berlin;
Fritze, Berlin; Frölich, Berlin; Gehne, Berlin; Goel-
ler, Stuttgart; Hammer, Augsburg; Hartmann, Berlin;
Magnus, Berlin; Neumann, Berlin; Neumann, Köln-Deutz;
Offenbacher, Nürnberg; Stein, Berlin; Treptow, Berlin;
Weihe, Frankfurt a. M.; Wirth, Frankfurt a. M.

Wissenschaftlicher Beirat

<i>Petersen</i> , Berlin	} bis Ende 1930	<i>Möring</i> , Berlin	} bis Ende 1932
<i>Köttgen</i> , Berlin		<i>Plank</i> , Karlsruhe	
<i>Föttinger</i> , Berlin	} bis Ende 1931	<i>Prandtl</i> , Göttingen	
<i>Goerens</i> , Eessen		<i>Schlesinger</i> , Berlin	
<i>Knoblauch</i> , München			
<i>Scholz</i> , Hamburg			

Dem Wissenschaftlichen Beirat gehören ferner an Herr *v. Bach* als lebenslängliches Mitglied und der jeweilige Kurator als Vorsitzender.

Anträge

Antrag des Westfälischen B.-V. auf Änderung von Nr. 2 der Geschäftsordnung betr. Prüfung der Aufnahmegesuche durch die Geschäftsstelle des Gesamtvereines

Der Vorstandsrat beschloß, Nr. 2 der Geschäftsordnung es folgt zu ändern:

Absatz 3 erhält folgenden Wortlaut:

„Jede bei einem Bezirksverein erfolgende Anmeldung wird nach Prüfung der Unterlagen vom Vorstände des Bezirksvereines dessen Mitgliedern und der Geschäftsstelle, letzterer durch Zusendung der 2. Ausfertigung des Anmeldebogens, mitgeteilt. Mit der Mitteilung an die Mitglieder und die Geschäftsstelle sind die Namen der das Aufnahmegesuch unterstützenden Mitglieder bekanntzugeben. Die Geschäftsstelle hat sich innerhalb drei Wochen zu dem Antrag zu äußern. Bei den unter § 9b benannten Personen ist vorher die Zustimmung des Vorstandes des Gesamtvereines einzuholen. Erfolgt innerhalb 4 Wochen kein Einspruch, so beschließt der Vorstand des Bezirksvereines über die Aufnahme. Die Aufnahme wird bekanntgegeben, wenn die Geschäftsstelle dem Bezirksverein mitgeteilt hat, daß der Aufgenommene Eintrittsgeld und Beitrag bezahlt hat.“

Wahlen und Beschlüsse der 68. Hauptversammlung in Königsberg am 23. Juni 1929

Ehrungen

Herr Geh. Baurat Dr.-Ing. E. h. *G. Lippart*, München, wurde zum Ehrenmitglied des Gesamtvereines ernannt.

Herrn Prof. Dr. phil. Dr.-Ing. E. h. *Ludwig Prandtl*, Göttingen, wurde die Grashof-Denkminze verliehen.

Bericht der Rechnungsprüfer — Genehmigung der Rechnung des Jahres 1928 — Entlastung des Vorstandes

Die Hauptversammlung genehmigte die Rechnung des Jahres 1928 und erteilte dem Vorstand und den Direktoren Entlastung.

Schluß des Textteiles

Absatz 4 wird gestrichen.

In Absatz 7 werden die Worte: „unter Einsendung des Anmeldebogens“ gestrichen.

Beschlußfassung über den Fortbestand der Ingenieurhilfe

Der Vorstandsrat beschloß, die Ingenieurhilfe bestehen zu lassen und § 13 der Satzung der Ingenieurhilfe dahin zu ändern, daß eine erneute Beschlußfassung über den Fortbestand der Ingenieurhilfe erst nach je 10 Vereinsjahren erfolgen soll.

Ehrenzeichen

Der Vorstandsrat beschloß, von neuen Formen Auszeichnungen seitens des Gesamtvereines abzusehen den Bezirksvereinen, die ihrerseits besondere Ehrenzeichen einzuführen wünschen, nahezu legen, in erster Linie dienste um den Bezirksverein und nicht nur die Dauer Mitgliedschaft zu berücksichtigen.

Geschäftliches

Festsetzung des Beitrages 1930 für die in Deutschland wohnenden Mitglieder

Der Vorstandsrat setzte den Beitrag 1930 für die in Deutschland wohnenden Mitglieder in der gleichen Höhe fest wie für 1929.

Haushaltplan

Der vorgelegte Haushaltplan wurde genehmigt.

Ort der Hauptversammlung 1930

Als Ort der Hauptversammlung 1930 wurde Venedig gewählt.

In Anbetracht der im Juni nächsten Jahres in Berlin stattfindenden Weltkraftkonferenz soll die nächste Hauptversammlung erst im Herbst stattfinden.

Außerhalb der Tagesordnung

Der Vorstandsrat beschloß, den scheidenden Kurator Herrn *Lippart*, als Ehrengast zu den Versammlungen des Vorstandsrates ständig einzuladen.

Wahl zweier Rechnungsprüfer und ihrer Stellvertreter für die Rechnung des Jahres 1929

Die Hauptversammlung wählte nach dem Vorschlag des Vorstandsrates zu Rechnungsprüfern die Herren: *Anting*, Düsseldorf, und *Lind*, Stuttgart; zu Stellvertretern der Rechnungsprüfer die Herren: *Wildegans*, Lübeck, und *Wolff*, Hamburg.

Entgegennahme und Besprechung des Berichtes über Verhandlungen, Wahlen und Beschlüsse des Vorstandes

Eine Zurückverweisung der Beschlüsse des Vorstandes erfolgte nicht. Die Beschlüsse des Vorstandes sind daher als endgültig anzusehen.

I N H A L T:

	Seite		Seite
Die 100 at-Anlage des Großkraftwerkes Mannheim. Von <i>F. Marguerre</i>	913	Bücherschau: Junkers — Handbuch für Luftfahrt und Luftfahrt-Industrie. Von <i>E. Mehne</i> — Handbuch des Grubenrettungswesens. Von <i>G. Ryba</i> — Lagerung und Transport des Erdöls und seiner Produkte zu Lande. Von <i>J. Svoboda</i> — Nobel. Von <i>H. Schück</i> und <i>R. Sohlman</i> — Ausstellung München 1927 „Das Bayerische Handwerk“ — Eingänge	
Fortschritte im Bau elektrischer Lokomotiven. Von <i>K. Sachs</i> . (Schluß von S. 695)	921	Berichtigungen: Fünfzig Jahre elektrische Eisenbahn — Neuere elektrische Lokomotiven der Deutschen Reichsbahn — Neue Gefäßförderanlage bei der Ilseder Hütte	
Versuche über die Schubfestigkeit von Holz. Von <i>E. Gaber</i>	932	Angelegenheiten des Vereines: Wahlen und Beschlüsse der Versammlung des Vorstandsrates am 22. Juni 1929 und Beschlüsse der 68. Hauptversammlung in Königsberg am 23. Juni 1929	
Die Durchflußzahlen von Normaldüsen und Normalstaurändern für Rohrdurchmesser von 100 bis 1000 mm. Von <i>M. Jakob</i> und <i>F. Kretschmer</i>	935		
Rundschau: Kohlenverladung im Hafen von Buenos Aires — Das neue Kupferwalzwerk im Kabelwerk Oberspree — Neuer Schwingständer für photographische Kammern — Über Drahtseile — Kleine Mitteilungen	938		

Blockscheren mit direktem elektrischen Arbeitsreglerantrieb.

Mitteilung der AEG.

Fortschritte, welche die AEG auf dem Gebiete der Umkehr-Schützensteuerungen und der selbsttätigen Motorregelung erzielt hat, ermöglichten es, Scheren mit hin- und hergehender Bewegung der Messer ohne Kurbel-Exzenter oder Kniehebel-Getriebe und ohne Schwungrad zu bauen.

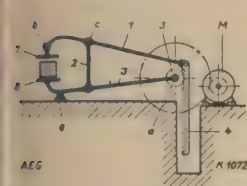


Bild 1. Blockschere Bauart Kalmag-Friederici, Anfangsstellung.

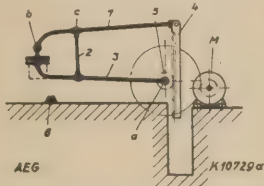


Bild 2. Blockschere Bauart Kalmag-Friederici, Endstellung.

Der Messerhub von Scheren dieser Art ist beliebig einstellbar. Trotzdem ein Schwungrad fehlt, wird doch mit einem geringen Spitzenstromverbrauch gearbeitet, so daß in den meisten Fällen direkter Netzanschluß zur Anwendung kommt. Durch Wegfall des Kurbel- oder Exzentergetriebes und des Schwungrades wird eine unbedingte Bruchsicherheit erreicht. Außerdem fällt die Mitnehmerkupplung weg, die besonders bei großen Maschinen geringe Betriebssicherheit hat und umständlich zu bedienen ist.

Der Antriebsmotor wird für jeden Schnitt durch die selbsttätige Druckknopf-Schützensteuerung aus der Ruhe angelassen, am Schnittende selbsttätig umgesteuert und in der Anfangsstellung der Schere selbsttätig stillgesetzt. Die Wirtschaftlichkeit dieses Antriebes ist offenbar, da kein Leerlauf möglich ist, vielmehr die zugeführte Leistung unmittelbar durch das einfache Getriebe in Schnittleistung umgesetzt wird. Dabei ist aber die Ausführung des Schnittes ebenso elastisch wie bei Scheren mit dampf- oder preßhydraulischem Treibmittel, weil die Schnittgeschwindigkeit nicht wie bei Schwungradscheren aufgezungen, sondern von dem jeweiligen Schnittwiderstand selbst bestimmt wird. Ist dieser gering, so ist die Schnittgeschwindigkeit groß; bei größerem Widerstand sinkt die Geschwindigkeit auf $\frac{1}{4}$, bei Überlastung auf Null, d. h. der Motor bleibt stehen.

Dieser Geschwindigkeits-Ausgleich ersetzt gleichzeitig hinsichtlich der erforderlichen Motorleistung einen Schwungradmassen-Ausgleich, denn durch das Herabsinken der Schnittgeschwindigkeit auf $\frac{1}{4}$ bei dem größten Widerstand sinkt auch die erforderliche Spitzenleistung im gleichen Verhältnis. Der damit verbundene Zeitverlust wird durch größere Rücklaufgeschwindigkeit, durch das selbsttätig schnellere Arbeiten bei geringerem Schnittwiderstand, den einstellbaren Hub und durch die griffzeitlose Druckknopfbedienung vollständig ausgeglichen.

Das Getriebe einer schweren Warmblockschere in dieser Ausführung mit direktem Gleichstromanschluß



Bild 3. Kalmag-Blockschere 400x400 mm mit AEG-Antrieb, Teilansicht.

ist schematisch in den Bildern 1 und 2 dargestellt. und 3 sind darin doppelarmige Hebel, an deren kürzeren Armen die Messer 7 und 8 angebracht sind. Die beiden Hebel sind durch die Gelenkstange 2 miteinander verbunden. An dem Hebel 1 ist die Zahnstange 4 angelenkt, die in das Ritzel 5 eingreift.

An der Achse des Ritzels 5 befindet sich auch der feste Drehpunkt a des Hebels 3. Wird zwischen die Messer 7 und 8 ein Block eingeführt und das Ritzel 5 durch den Motor M so gedreht, daß die Zahnstange 4 gehoben wird, so setzt sich zunächst das Obermesser 7 auf den Block auf, wodurch das Gelenk b fester Drehpunkt für den Hebel 1 wird. Bei Weiterbewegung der Zahnstange 4 zieht der Hebel 1 durch die Zugstange 2 den Hebel 3 hoch, womit das Durchschneiden des Blockes von unten nach oben ausgeführt wird. Wenn sich die beiden Messer überschneiden (Bild 2), wird der Motor selbsttätig reversiert, die Zahnstange 4 bewegt sich nach unten. Der Hebel 3 wird so lange gesenkt, bis er auf den Stützpunkt 6 zur Auflage kommt; dadurch wird der Punkt c zum Drehpunkt für den Hebel 1, und das Obermesser 7 wird angehoben, bis das Scherenmaul vollständig geöffnet bzw. die Anfangsstellung wieder erreicht ist (Bild 1). Bei kleineren Blockhöhen wird die Anfangsstellung des Obermessers entsprechend niedriger eingestellt, so daß der Hub und mithin die Dauer des Hubes geringer wird. Die Einstellung des Hubes geschieht sehr einfach mit der Schaltscheibe, die in Bild 3 sichtbar ist. Von den darauf verstellbaren Anschlägen wird der Grenzscharter für die Anfangsstellung und der Umscharter für die Schnittende-stellung (Bild 2) betätigt.

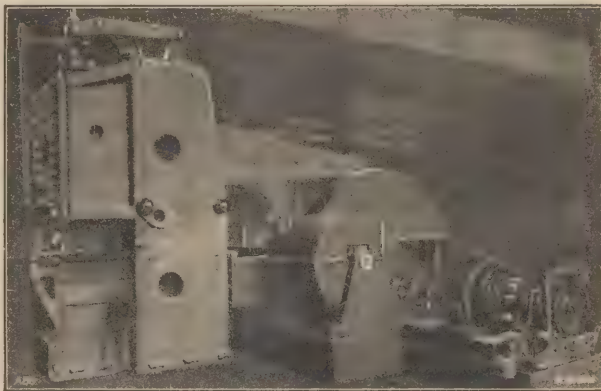


Bild 4. Kalmag-Blockschere 400x400 mm mit schwungradlosem direkten AEG-Wenderegulier-Motorantrieb.

Der in Bild 4 sichtbare Wenderegulier-Motor treibt eine solche Schere für Blöcke von 400×400 mm bei 1200 t Schnittdruck. Der Motor hat Kompensationswicklung, 163 PS Dauerleistung bei 250 bis 1000 U/min und 400 PS Spitzenleistung. Die Schere leistet drei Schnitte je min in Blöcken von 400×400 mm, fünf Schnitte in Brammen von 800×200 mm und 11 bis 12 Schnitte in Blöcken von 160×160 mm.

Die Bedienung beschränkt sich auf das Drücken eines Fußdruckknopfes, der auf die selbsttätige Schützensteuerung einwirkt. Eine dynamische Bremsung wirkt selbsttätig zwischen dem Richtungswechsel und beim Ausschalten. Außerdem ist noch eine Elektromagnetbremse vorgesehen, die als Haltebremse wirkt, weil die Scherenteile nicht durch Gegengewichte — die eine unerwünschte Vermehrung der Massen bringen würden — ausgeglichen sind. Der Anlauf des Motors erfolgt sehr rasch, ebenso das Bremsen, was durch besondere Einrichtungen der Steuerung erreicht wird. Die selbsttätige Regelung der Motordrehzahl erfolgt durch einen fast trägheitslos wirkenden Arbeitsregler. Zur Begrenzung des Motordrehmomentes ist ein Drehmomentauslöser und als Motorschutz eine thermische Auslösung vorgesehen.

Durch Druckknöpfe kann die Schere in jeder Stellung stillgesetzt oder reversiert werden. Erfolgt die Auslösung selbsttätig infolge Überlastung, beispielsweise durch einen zu kalten Block, so wird dann die Schere in entgegengesetzter Richtung eingeschaltet und der dadurch freigewordene Block wieder ausgefahren. Irgendeine Betriebsstörung ist damit nicht verbunden.

BEZUGSQUELLEN-NACHWEIS



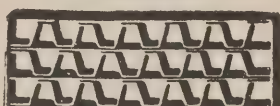
ABAS ABDAMPF-AUSNUTZUNG

Abdampf-Lufterhitzer ::
Abgas-Saugzug-Anlagen ::
Abgas-Economiser
Abgas-Lufterhitzer ::

Abwärme-Ausnutzung u. Saugzug
G. m. b. H. „ABAS“, Berlin W 57

ABDECKPLATTEN

Lichtschachtglitter
Fußreiniger



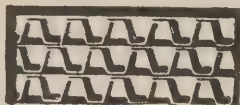
Schnellste Lieferung ab Lager

Tezett-Werk

Berlin-Tempelhof 111
Größtes und ältestes Spezialwerk

ABDECKUNGSROSTE

Fußreiniger



Fr. Engelmann, Jena-Au
Liste B 27 gratis



ANSTREICH-MASCHINE TVG

für Öl- und Wasser-
• farben

Technische
Verkaufsgesellschaft
Duisburg

ARMATUREN

für Wasser-, Gas-, Dampf-, Säure-
u. sonstige Rohrleitungen, Patent-
ventile für Hoch- und Nieder-
druckleitungen, Kondenswasser-
abscheider und Kondensstöpfe.

Spezialfabrikation
seit mehr als 50 Jahren.

Bopp & Reuther
G. m. b. H.
Mannheim-Waldhof



ARMATUREN

Dampf-
ventile
aller
Art



Höchst-
druck-
ventile
bis 100 at.

Klein, Schanzlin & Becker
A.-G., Frankenthal (Pfalz)



ARMATUREN

für
Hochdruck u. Heißdampf

— Parallel-Schieber —
— Geschmiedete Ventile —

Rheinische
Armaturen- und Maschinenfabrik
vorm. Keuth & Zenner G. m. b. H.
Saarbrücken

Kein Zoll!

ARMATUREN

Spezialität:
Armaturen und Schmierapparate
sowie Zubehör
in den verschiedenst. Ausführungen
und für jeden Verwendungszweck.

Otto Schaaf
Armaturen- und Metallwarenfabrik,
Metallgießerei
Böhlitz-Ehrenberg

AUFZÜGE



Gegr

1861

AUFZUGSWERKE
Schmitt & Sohn
MÜNCHEN-NÜRNBERG-ESSEN
FACHFABRIKEN FÜR AUFZÜGE

AUFZÜGE

BRACKER

Aufzüge
jeder
Betriebsart
und Größe

G. D. Bracker Söhne
Maschinenbau-Aktiengesellschaft
Hanau a. M.

AUFZÜGE

Hebezeuge,
Fahrtreppen, Elektromotoren

CARL **Flohr** A.-G.
Berlin N 4, Chausseestraße 35.

Größte deutsche Aufzugsfabrik.
Bisher über 30000 Anlagen geliefert.
Reparaturen und Revisionen
aller Systeme im Abonnement.

AUFZÜGE

Elektrische
AUFZÜGE
System
SCHINDLER



Elektrische
Steuerungen
und
Apparate für
AUFZÜGE
Bremsmotoren
Bremsmagnete
Komplette
Aufzugs-
Winden

Hebezeug- u. Motorenfabrik A.-G.
Karlsruhe-Bulach

AUFZÜGE

**Original
Kühnscherf-Söhne
Aufzüge**

Aug. Kühnscherf & Söhne
Dresden-A. 1. V.

AUFZÜGE



jeder Art und Größe
Gustav Linse
Spezialfabrik für Aufzüge
Erfurt

AUFZÜGE

für Personen und
Lasten
Paternoster-Werke
Losenhausenwerk
Düsseldorf. Gegr. 1880



AUFZÜGE

jeder Art
und
Größe



Schindler Aufzügefabrik
G. m. b. H.
Berlin SW 29, Kopischstr. 1

AUFZÜGE



jeder
Art,
Verdunkelungen
für
Hörsäle

Schmidt, Kranz & Co.
Nordhäuser Maschinenfabrik A.-G.
Nordhausen a. H.

Dieser Raum
(30 mm Höhe)
kostet
bei Jahresabschluß
(52 Anzeigen)
Mk. 15,12 pro Aufnahme



Personen- u. Lasten-
**AUFZÜGE
STAHL**
Paternoster

Elektrozüge
R. Stahl, A.-G.
Stuttgart



BELEUCHTUNG



BESEG-LICHT

Unübertroffen
für
Industrie-Großbeleuchtung
Beseg-Sonnen
Beseg-Werkstattleuchten
Beseg-Tiefreihstrahler
Beseg-Sicherheitsleuchten
Beseg-Scheinwerfer

Fordern Sie
unsere unverbindlichen Vorschläge
Berliner Spar-
Elektrizitäts-Gesellschaft m. b. H.
Bln.-Wilmsdorf, Babelsbergerstr.
Fernruf: Pfalzburg 2359-54
Draht: Beseglicht

BLECH-BIEGEMASCHINEN

Blechrichtemaschinen

bis zu den größten Abmessungen
in stets neuesten Konstruktionen
bauen
M. A. G. vorm. Beck & Henkel
Kassel

BRUNNENBAU

Tiefbohrungen, Rohrfiterbrunnen
Wasserwerksbau

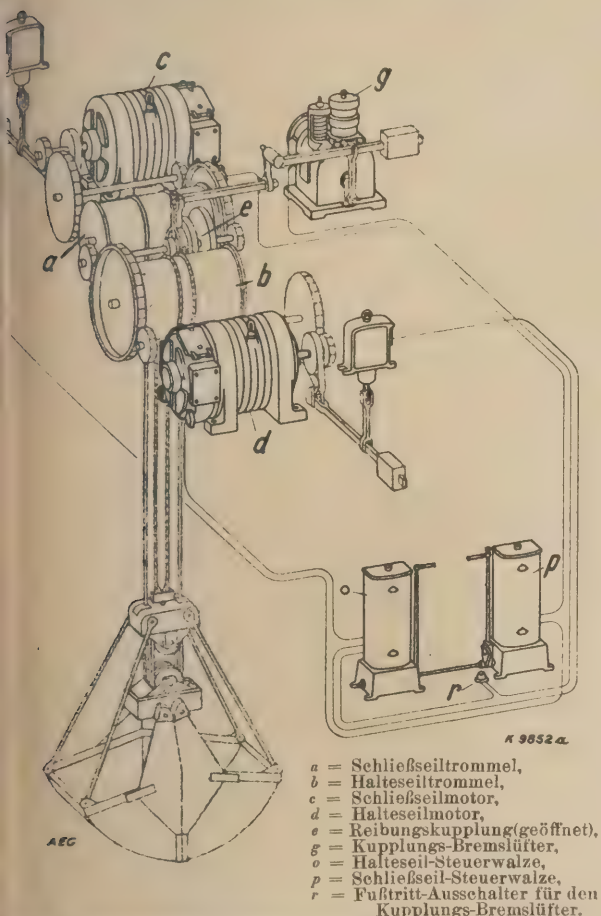
Reuther Tiefbau G. m. b. H.
Mannheim-Waldhof 7

BEZUGSQUELLEN-NACHWEIS

AEG-Zweimotoren-Steuerung für Greiferhubwerke.

Mitteilung der AEG.

Der Umschlag von Massengut im See- und Binnen-
den erfolgt zum weitaus größten Teil durch Kübel und
weiselgreifer. Für die Höhe der Umschlagkosten und
e Förderleistung ist die Wahl der geeigneten Greifer-
nerung von erheblicher Bedeutung. Im nachstehen-
en wird eine Zweimotoren-Greifersteuerung der AEG
schrieben, die sich für Greiferkranne mit mittleren
motorleistungen bis zu 2×60 PS bestens bewährt
ist und für die genannten Motorleistungen eine
sonders einfache und billige Lösung darstellt.



- a = Schließseiltrommel,
- b = Halteseiltrommel,
- c = Schließseilmotor,
- d = Halteseilmotor,
- e = Reibungskupplung (geöffnet),
- g = Kupplungs-Bremslüfter,
- o = Halteseil-Steuerwalze,
- p = Schließseil-Steuerwalze,
- r = Fußtritt-Ausschalter für den
Kupplungs-Bremslüfter.

Bild 1. Zweimotoren-Greifersteuerung für kleinere Leistungen.

Zum Verständnis der Beschreibung sei kurz die
Verknüpfung des Zweiselgreifers geschildert. Greifer-
hubwerke für Zweiselgreifer haben zwei Winden-
trommeln. Auf der einen Trommel wird das Halte-
seil aufgewunden, das mit dem Greiferkopf fest ver-
bunden ist; auf der anderen Trommel läuft das so-
genannte Schließseil, das den im Greifer zum Schließen
der Greiferschalen untergebrachten Flaschenzug be-
triebt. Eine gemeinsame gleichläufige Bewegung der
Trommeln bewirkt das Heben und Senken, eine
gegengesetzte Bewegung der Schließseiltrommel bei still-
stehender oder gegenläufiger Halteseiltrommel das
Schließen und Öffnen des Greifers. Bei gefülltem Greifer
muß das Schließseil stets straff sein, da sonst ein
Einsetzen eintreten würde. Der offene Greifer hängt da-
von stets am Halteseil.

Bei der AEG-Zweimotorensteuerung (Bild 1) er-
halten Schließseil- und Halteseilmotor je eine Steuer-
walze (Schließseil-Steuerwalze p und Halteseil-Steuer-
walze o), einen Widerstand und einen Bremsmagnet
dieser Bauart. Jeder Motor ist für die halbe Vollast-
leistung bemessen. Beide Walzen erhalten bis etwa
60 PS Obersteuerung, d. h. oben auf die Deckplatte
der beiden Steuerwalzen aufgebaute Hebel (Bild 2),
für größere Leistungen Untersteuerung mit seitlichem
Hebel. Bei beiden Steuerungsarten sind die Hebel

durch eine Welle miteinander verbunden. Diese Welle
kuppelt beide Steuerwalzen mechanisch miteinander
in der Weise, daß beide Walzen auch für Schalten mit
einem der beiden Steuerhebel allein bewegt werden
können, dabei aber stets gleiche Kontakte einschalten.

Der Hebel der Schließseil-Steuerwalze p (Bild 1) ist
durch einen lösbaren Stift mit der Welle im Eingriff.
Durch einen Druckknopf an dem Handgriff der Schließ-
seil-Steuerwalze kann diese Verbindung der beiden
Walzen mechanisch gelöst werden. Beim Schließen
und Öffnen schaltet der Führer die Schließseil-Steuer-
walze unter gleichzeitigem Niederdrücken des Druck-
knopfes ein. Er löst also die Verbindung der Steuer-
walzen und schaltet den Schließseilmotor c allein
unabhängig von der Stellung der Halteseil-Steuer-
walze o. Beim Heben und Senken gibt der Führer
den Druckknopf frei und steuert mit einer oder auch
beiden Händen die beiden Walzen, nachdem er sie
durch Führen auf gleiche Kontaktstellung in Eingriff
gebracht hat. Das Kuppeln der Steuerhebel erfolgt
durch Einschnappen des lösbaren Stiftes selbsttätig,
sobald der Führer beide Walzen auf gleiche Stellungen
gebracht hat.

Um bei allen Hub- und Senkbewegungen einen
Gleichlauf der Greiferseile zu erhalten, wird zwischen
Schließseil- und Halteseilmotor eine Reibungskupplung
(Lamellenkupplung) eingebaut. Die Kupplung e
wird beim Heben und Senken eingerückt und durch
einen Bremslüfter g betätigt. Der Bremslüfter wird als
Kupplungs-Bremslüfter benutzt, d. h. der Brems-
lüfter schließt die Kupplung zwischen den beiden
Trommeln a und b beim Anziehen (Einschalten). Der
Kupplungs-Bremslüfter wird mit dem Bremslüfter des
Halteseilmotors parallel geschaltet. Damit der Kran-
führer beim Übergang von Greifen auf Heben einen Seil-
ausgleich bewirken kann, ist ein Fußtrittschalter r
vorgesehen, durch dessen Betätigung der Kupplungs-
Bremslüfter zum Abfallen gebracht und damit die
Kupplung der Trommeln aufgehoben werden kann,
auch wenn die Halteseil-Steuerwalze eingelegt ist.
Die beiden Steuerwalzen werden rechts und links
von dem Kranführer aufgestellt. Die Halteseil-
Steuerwalze kann bei Obersteuerung mit der Dreh-
oder Fahrsteuerwalze durch Universalsteuerung (Bild 2)
vereinigt werden.

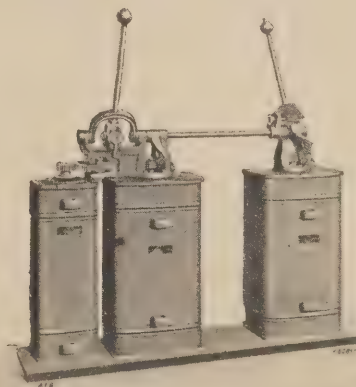


Bild 2.

Schließseil- und Halteseil-Steuerwalze mit Dreh- oder Fahrsteuer-
walze für eine Zweimotoren-Greifersteuerung für kleinere Leistungen.

Die Steuerung kann für Drehstrom und Gleich-
strom ausgeführt werden. Bei Drehstrom wird die
übersynchrone Senkschaltung benutzt. Bei Gleich-
stromanlagen erhalten die Steuerwalzen Senkbrem-
schaltung. Für den Kupplungs-Bremslüfter werden bei
Drehstrom Bremslüftermotoren, die durch ihre Arbeits-
weise für diesen Zweck besonders geeignet sind, bei
Gleichstrom Nebenschluß-Bremslüftermagnete gewählt.
Bei Gleichstrom kann, wenn mit Kübelbetrieb nicht
zu rechnen ist, die mechanische Kupplung durch
Schließ- und Halteseiltrommel beim Heben und Senken
durch eine elektrische Kupplung ersetzt werden.

BEZUGSQUELLEN-NACHWEIS



ABAS ABDAMPF-AUSNUTZUNG

Abdampf-Lufterhitzer ::
Abgas-Saugzug-Anlagen ::
Abgas-Economiser
Abgas-Lufterhitzer ::

Abwärme-Ausnutzung u. Saugzug
G. m. b. H. „ABAS“, Berlin W 57

ABDAMPF-ENTÖLER PRESSLUFT-ENTÖLER D.R.P.

„BÜHRING“ D.R.P.
mit Ölrückgewinnung



Bühring A.-G.
Landsberg (Bz. Halle)

ABDAMPF-ENTÖLER

Max Dreyer & Co., Magdeburg-S.

ABDAMPF-ENTÖLER

Sack & Kiesselbach
Maschinenfabrik G. m. b. H.
Düsseldorf-Rath

ABDAMPF-ENTÖLER

Th. Wipperf, Huss & Co.
Kommandit-Gesellschaft
Maschinenfabrik
Bremen

ABDECKPLATTEN Lichtsachtgitter Fußreiniger



Schnellste Lieferung ab Lager

Tezett-Werk

Berlin-Tempelhof 14

Größtes und ältestes Spezialwerk

ABDECKUNGSRÖSTE

Fußreiniger



Fr. Engelmann, Jena-Au
Liste B 27 gratis



ANSTREICH- MASCHINE TVG

für Öl- und Wasser-
farben

Technische
Verkaufsgesellschaft
Duisburg

ARMATUREN

für Wasser-, Gas-, Dampf-, Säure-
u. sonstige Rohrleitungen, Patent-
ventile für Hoch- und Nieder-
druckleitungen, Kondenswasser-
abscheider und Kondensstöpfe.

Spezialfabrikation
seit mehr als 50 Jahren.

Bopp & Reuther
G. m. b. H.
Mannheim-Waldhof



ARMATUREN

für alle Zwecke

Heinrich ter Jung, Metallwaren-
und Maschinenfabrik G. m. b. H.,
Mülheim-Ruhr.



ARMATUREN

für

Hochdruck u. Heißdampf

— Parallel-Schieber —
— Geschmiedete Ventile —

Rheinische
Armaturen- und Maschinenfabrik
vorm. Keuth & Zenner G. m. b. H.
Saarbrücken
Kein Zoll!

ARMATUREN

Spezialität:
Armaturen und Schmierapparate
sowie Zubehör
in den verschiedensten Ausführungen
und für jeden Verwendungszweck.

Otto Schaaf
Armaturen- und Metallwarenfabrik,
Metallgießerei
Böhlitz-Ehrenberg

AUFZÜGE



Gegr 1861

AUFZUGSWERKE
Schmitt & Sohn
MÜNCHEN-NÜRNBERG-ESSEN
FACHFABRIKEN FÜR AUFZÜGE

AUFZÜGE

BRACKER

Aufzüge
Jeder
Betriebsart
und Größe

G. D. Bracker Söhne
Maschinenbau-Aktiengesellschaft
Hanau a. M.

AUFZÜGE Hebezeuge, Fahrtreppen, Elektromotoren

CARL Flohr A.-G.
Berlin N4, Chausseestraße 35.

Größte deutsche Aufzugsfabrik.
Bisher über 30000 Anlagen geliefert.
Reparaturen und Revisionen
aller Systeme im Abonnement.

AUFZÜGE

Elektrische
AUFZÜGE
System
SCHINDLER



Elektrische
Steuerungen
und
Apparate für
AUFZÜGE
Bremsmotoren
Bremsmagnete
Komplette
Aufzugs-
Winden

Hebezeug- u. Motorenfabrik A.-G.
Karlsruhe-Bulach

AUFZÜGE

für Personen, Lasten, Speisen,
Akten



Heime & Hans Herzfeld
Maschinen- u.
Apparate-Fabrik
Halle (Saale)

AUFZÜGE

Personen- und Lastenaufzüge
mit und ohne Feineinstellung

Paternosteraufzüge
für Personen oder Waren

Maschinenfabrik
Gustav Ad. Koch
Hamburg 39

AUFZÜGE

Original Kühnscherf & Söhne Aufzüge

Aug. Kühnscherf & Söhne
Dresden-A. 1. V.

AUFZÜGE



jeder Art und Größe

Gustav Linse
Spezialfabrik für Aufzüge
Erlurt

Bei Erteilung

eines
Jahresauftrages
(52 Anzeigen)
kostet

dieser Raum (35 mm)
Mk. 17,64 netto
pro Einschaltung

AUFZÜGE

für Personen und
Lasten
Paternoster-Werke
Losenhausenwerk
Düsseldorf. Gegr. 1880



AUFZÜGE

Paternoster-
Aufzüge
Personen-Aufzüge
mit
Feineinstellung
Lasten-Aufzüge



**Mannheimer Maschinenfabrik
Mohr & Federhaff, Mannheim**

AUFZÜGE

Original-Dreistern
von höchst-Sicherheit u. dem neu-
Stand der Technik entspreche
Maschinenfabrik MUHLEISS
Elberfeld-Son.



AUFZÜGE

jeder Art
und
Größe

Schindler Aufzugsfabrik
G. m. b. H.
Berlin SW 29, Kopischstr. 1

BEZUGSQUELLEN-NACHWEIS

AEG-Ruderantrieb.

Mitteilung der AEG.

Es ist bekannt, daß der Seemann zäh am Althergebrachten hängt, und es ist daher begreiflich, daß der elektrische Antrieb der Rudermaschine (Bild 1), eines der ihm vertrautesten und zugleich für die Sicherheit des Schiffes wichtigsten Organes an Bord, sich erst lange Zeit nach der Elektrifizierung der anderen Hilfsmaschinen durchsetzen konnte. Diese konservative Einstellung des Seemannes zwang den Konstrukteur dazu, die von der Dampfmaschine her gewohnte Steuerungsart, bei welcher der Rudergänger gleichsam die Empfindung hat, durch Drehen seines Steuerrades das Ruder unmittelbar von Hand zu legen, auch beim elektrischen Antrieb beizubehalten. Auch die „sympathische Rudersteuerung“ der AEG behält diese Steuerungsart grundsätzlich bei und erfüllt so neben der Forderung größter Betriebssicherheit auch die Forderung, daß der nicht technisch vorgebildete Seemann mit der Handhabung der Anlage vertraut ist.

Die wichtigsten gebräuchlichen Steuerungsarten sind die folgenden:

1. Telemotorsteuerung,
2. elektrische Fernsteuerung.

Bei den Telemotoranlagen folgt, infolge der unvermeidlichen Undichtigkeiten in den Kolben, Packungen, anderen Rohrleitungen und Ventilen, das Ruder kleinen Verstellwinkeln am Rudergebersteuerstand überhaupt nicht; es ist vielmehr immer mehr oder weniger totgerang zu überwinden, bevor das Ruder reagiert, und dies führt zu dauernden größeren Abweichungen vom Kurs. Der Steuermann hat nämlich das Ruder nicht empfindlich in der Hand und die Erfahrung hat gezeigt, daß die Kursabweichungen bei den durch Telemotor gesteuerten Schiffen vier- bis fünfmal so groß sind, wie bei den Steuerungen mit AEG-Ruderantrieb. Es liegt in dem System dieser elektrischen Fernsteuerung begründet, daß das Ruder jeder Verstellung des Steuerrades um 1° unbedingt und zwangsläufig folgen muß. Wiederholt gemachte Aufnahmen mittels Kursschreibers ergaben bei Kursfahrten Abweichungen von nur $\pm 0,6^\circ$ im Mittel, einen Wert, der bei Telemotorsteuerungen auf

einige Reedereien zum Einbau des Sperry- oder Anschütz-Selbststeuers und gerade im Zusammenarbeiten der sympathischen AEG-Rudersteuerung mit dem Kreiselkompaß-Selbststeuer zeigen sich die überragenden Vorteile dieser Steuerung gegenüber der Wheatstone'schen Brückensteuerung und der Telemotorsteuerung, bei denen der unvermeidlich vorhandene tote Gang die Vorteile des Selbststeuers wieder aufhebt.

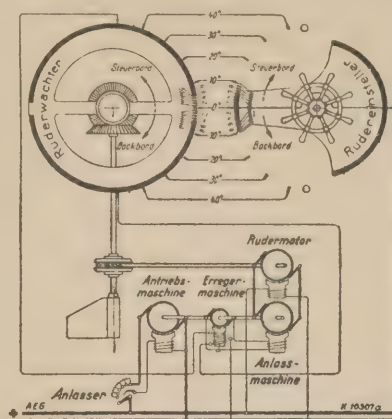


Bild 2.

Rudereinsteller und Ruderrwächter in Nullstellung.

Kurs- und Ruderregistrierungen, die u. a. auf dem italienischen MS „Viminale“ bei nicht beladenem, also sehr beweglichem Schiff mit Anschütz-Selbststeuer in Verbindung mit der AEG-Steuerung gemacht wurden, haben die überraschend geringe Kursungenaugkeit von etwa $\pm 0,4^\circ$ im Mittel gezeigt, bei Ruderlagewinkel von $\pm 4^\circ$. Es ist völlig ausgeschlossen, so günstige Ergebnisse mit einer anderen Steuerung auch nur annähernd zu erzielen.

Bild 2 ist ein Schema der Ruderanlage. Sie besteht aus:

Rudermotor	} im Ruderraum
Leonard-Aggregat	
Anlasser	} auf der Brücke
Ruderrwächter	
Rudereinsteller	

Es ist nicht allzu schwierig, eine Ruderanlage zu bauen, die beim Kurssteuern auf hoher See betriebssicher arbeitet; schwieriger ist es schon, sie bei diesem Kurssteuern wirtschaftlich für die Hauptmaschine zu gestalten, d. h. geringe Kursabweichungen zu erzielen. Die höchste Anforderung an die Ruderanlage tritt aber in Gefahrmomenten und bei Fahrten im Revier auf. Hier muß unbedingt höchste Betriebssicherheit verlangt werden; die Anlage muß unter allen Umständen betriebsklar bleiben. Die dann auftretenden hohen Belastungen der Maschinen und die bei einigen Ruderarten sich zeigenden stoßweisen hohen Stromentnahmen aus dem Netz sind bei dem AEG-Ruderantrieb zielbewußt durch Verwendung von Motoren mit Spezialwicklungen und Einfügen des Leonard-Aggregates vermieden; diese Tatsache ist eines der wesentlichsten Merkmale, auf dem die außerordentliche Betriebssicherheit des AEG-Steuers bei allen Fahrt- und Wetterverhältnissen beruht. Dadurch, daß die Spannung im Leonard-Stromkreis bei wachsendem Strom bzw. wachsender Ruderbelastung sinkt, wird die Endleistung des Rudermotors und damit auch des Aggregates begrenzt und schließlich erreicht, daß der Motor unter einem vom Konstrukteur vorher festgelegten Rudermoment so lange stehen bleibt, bis der Ruderdruck nachläßt. Der Motor läuft dann augenblicklich wieder an. Jede Überlastung und damit Unterbrechung des Betriebes durch Ansprechen von Automaten, Sicherungen und ähnlichen Apparaten ist ohne Apparat und ohne die geringste Gefährdung irgendwelcher elektrischer Anlagenteile vermieden.

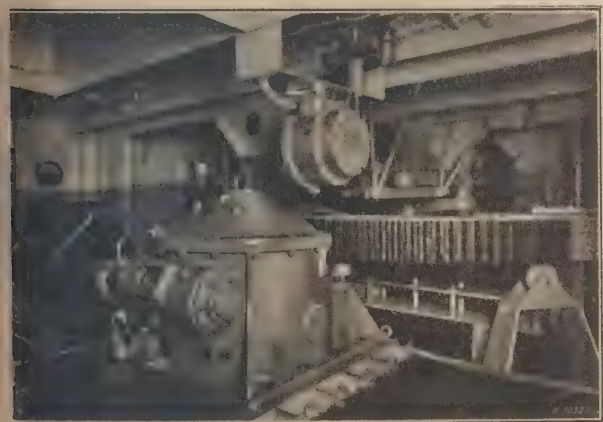


Bild 1.

AEG-Ruderanlage auf Motorschiff „Viminale“.

5° und mehr ansteigt. Die oben erwähnte Tatsache, daß das Ruder bei Telemotoranlagen nicht sofort folgt, ist zunächst der Schiffsleitung nicht unangenehm auf, aber sie ist für den Reeder schwererwiegender, als es auf den ersten Blick erscheint. Ein Kurssteuern mit geringen Abweichungen vom Kurs ist mit einem System dieser Art nicht möglich und die Folge davon ist eine recht unwesentliche Erhöhung des Ölverbrauches der Hauptmaschine, da doch alle Kursänderungen unter dem Ruderdrucke Fahrtverluste bedeuten bzw. den Reiseweg verlängern.

Die klar erkannten wirtschaftlichen Nachteile schlechter Kursbeständigkeit der Schiffe veranlassen

BEZUGSQUELLEN-NACHWEIS



ABAS ABDAMPF-AUSNUTZUNG

Abdampf-Lufterhitzer ::
Abgas-Saugzug-Anlagen ::
Abgas-Economiser
Abgas-Lufterhitzer ::

Abwärme-Ausnutzung u. Saugzug
G. m. b. H. „ABAS“, Berlin W 57

ABDECKPLATTEN



Schnellste Lieferung ab Lager

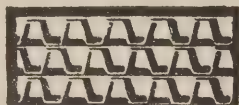
Tezett-Werk

Berlin-Tempelhof 14

Größtes und Ältestes Spezialwerk

ABDECKUNGSROSTE

Fußreiniger



Fr. Engelmann, Jena-Au

Listé B 27 gratis

ANSTREICH-MASCHINE TVG



für Öl- und Wasserfarben

Technische
Verkaufsgesellschaft
Duisburg

ARMATUREN

für Wasser-, Gas-, Dampf-, Säure- u. sonstige Rohrleitungen, Patentventile für Hoch- und Niederdruckleitungen, Kondenswasserabscheider und Kondensstöpfe.

Spezialfabrikation
seit mehr als 50 Jahren.

Bopp & Reuther
G. m. b. H.
Mannheim-Waldhof



ARMATUREN

Dampfventile aller Art



Höchst-
druck-
ventile
bis 100 at.

Klein, Schanzlin & Becker
A.-G., Frankenthal (Pfalz)



ARMATUREN

für

Hochdruck u. Heißdampf

— Parallel-Schieber —

— Geschmiedete Ventile —

Rheinische
Armaturen- und Maschinenfabrik
vorm. Keuth & Zenner G. m. b. H.
Saarbrücken
Kein Zoll!

ARMATUREN

Spezialität:
Armaturen und Schmierapparate
sowie Zubehör
in den verschiedensten Ausführungen
und für jeden Verwendungszweck.

Otto Schaaf
Armaturen- und Metallwarenfabrik,
Metallgießerei
Böhlitz-Ehrenberg

AUFZÜGE



Gegr

1861

AUFZUGSWERKE
Schmitt & Sohn
MÜNCHEN-NÜRNBERG-ESSEN
FACHFABRIKEN FÜR AUFZÜGE

AUFZÜGE

BRACKER

Aufzüge
jeder
Betriebsart
und Größe

G. D. Bracker Söhne
Maschinenbau-Aktiengesellschaft
Hanau a. M.

AUFZÜGE Hebezeuge,
Fahrtreppen, Elektromotoren

CARL Flohr A.-G.
Berlin N 4, Chausseestraße 35.

Größte deutsche Aufzugsfabrik.
Bisher über 30000 Anlagen geliefert.
Reparaturen und Revisionen
aller Systeme im Abonnement.

AUFZÜGE

Elektrische
AUFZÜGE
System
SCHINDLER



Elektrische
Steuerungen
und
Apparate für
AUFZÜGE
Bremsmotoren
Bremsmagnete
Komplette
Aufzugs-
Winden

Hebezeug- u. Motorenfabrik A.-G.
Karlsruhe-Bulach

AUFZÜGE

**Original
Kühnscherf-Söhne
Aufzüge**

Aug. Kühnscherf & Söhne
Dresden-A. 1. V.

AUFZÜGE

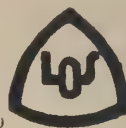


jeder Art und Größe

Gustav Linse
Spezialfabrik für Aufzüge
Erfurt

AUFZÜGE

für Personen und
Lasten
Paternoster-Werke
Losenhausenwerk
Düsseldorf. Gegr. 1880



AUFZÜGE

jeder Art
und
Größe

Schindler Aufzugsfabrik
G. m. b. H.
Berlin SW 29, Kopischstr. 1

AUFZÜGE



jeder
Art,
Verdunkelungen
für
Hörsäle

Schmidt, Kranz & Co.
Nordhäuser Maschinenfabrik A.-G.
Nordhausen a. H.

Bei Erteilung
eines
Jahresauftrages
(52 Anzeigen)
kostet
dieser Raum (35 mm)
Mk. 17,64 netto
pro Einschaltung



Personen- u. Lasten-
**AUFZÜGE
STAHL**
Paternoster

Elektrozüge
R. Stahl, A.-G.
Stuttgart

AUTOGENE

Schweiß- und Schneid-Anlagen
mit sämtlichem Zubehör

Gaswerkzeuge
für alle Gasarten



Heime & Hans Herzle
Maschinen- u.
Apparate-Fabrik
Halle (Saale)



BELEUCHTUNG



BESEG-LICHT

Unübertroffen
für

Industrie-Großbeleuchtung
Beseg-Soannen
Beseg-Werkstattleuchten
Beseg-Tiefreistrahler
Beseg-Sicherheitsleuchten
Beseg-Scheinwerfer

Fordern Sie
unsere unverbindlichen Vorschläge

**Berliner Spar-
Elektrizitäts-Gesellschaft m. b. H.**
Bln.-Wilmsdorf, Babelsbergerstr.
Fernruf: Pfalzburg 2353-54
Draht: Beseglicht

**BLECH-
BIEGEMASCHINEN
Blechrichtemaschinen**

bis zu den größten Abmessungen
in stets neuesten Konstruktion
bauen
M. A. G. vorm. Beck & Henke
Kassel

BEZUGSQUELLEN-NACHWEIS

Planmäßige Elektrokarrenförderung.

Mitteilung der AEG.

In den ausgedehnten Anlagen großer Werke sind laufend Transporte auszuführen, die den Unkosten sehr belasten, da hierfür zumeist ein Bote, bzw. ein oder mehrere Arbeiter be-

nötigt werden. Auch haben die Betriebsbeamten, Monteure u. a. oft weite Wege zurückzulegen, wodurch sie ihrer eigentlichen produktiven Tätigkeit entzogen werden. Es wird daher allgemein begrüßt, wenn für diese Transporte und Beförderungen der Elektrokarren in Anspruch genommen werden kann. Die Organisation eines derartigen Transportdienstes soll nachstehend beschrieben werden.

Für die gedachte Beförderungsart ist grundsätzlich zu unterscheiden zwischen Material- und Personenbeförderung. Die Materialbeförderung bedingt längere Warte- und Beladezeiten und kann daher zumeist nicht an einen genau einzuhaltenden, zeitlich festgelegten Fahrplan gebunden werden. Trotzdem ist die Festlegung einer planmäßigen Materialrundfahrt erwünscht. Die Wahl der hierfür zu verwendenden

Es hat sich vielfach zur schnelleren Abfertigung als praktisch erwiesen, in den einzelnen Betriebsabteilungen Sammelstellen (Bild 1) einzurichten, an denen der Elektrokarrnfahrer die mit einer Leitkarte versehenen Transportgüter abstellt, bzw. aufnimmt.

In den meisten Fällen wird sich für diese Arbeitsleistung der Elektrokarren für 1500 kg Tragkraft mit Führerstand (Bild 2) eignen.

Sind jedoch größere Mengen von einer Sendestelle zur anderen zu befördern, so daß durch das Be- und Entladen der Elektrokarren längere Zeit dem eigentlichen Fahrbetriebe entzogen wird, so ist der mit einer Hubeinrichtung versehene Elektrokarrnfahrer besser geeignet. In diesem Falle sind die Ladebänke nur auf-



Bild 1. Sammelstelle für die Materialrundfahrt mittels Elektrokarren.



Bild 2. Elektrokarrnfahrer EK 1502 für die Materialrundfahrt.

zunehmen und am Bestimmungsorte wieder abzusetzen, wofür nur wenig Zeit benötigt wird.

Es ist empfehlenswert, die Materialrundfahrt als Richtungsverkehr auszubilden, und es genügt, wenn den Betriebsabteilungen bekannt ist, daß in gewissen Zeitabständen der Elektrokarrnfahrer die Sammelstelle berührt.

Zur Vermeidung von Zeitverlusten durch die Benutzer muß die Personenrundfahrt

fahrplanmäßig eingerichtet werden, damit die Fahrzeuge die gekennzeichneten Haltestellen pünktlich berühren. Das zur Verwendung kommende Fahrzeug muß dem Fahrer, der den Karrnfahrer an den Haltestellen nicht zu verlassen braucht, eine bequeme Sitzmöglichkeit bieten. Ein für diese Zwecke bestens bewährtes Fahrzeug zeigt Bild 3. Mit diesem können gleichzeitig 10 Personen befördert werden; außerdem ist neben dem Führersitz noch für einen Begleiter oder die Beförderung der Post, der Zeichnungen usw. zu und von den Betriebsabteilungen genügend Platz vorhanden.

Die Vorteile liegen in der zentralen Erfassung, Ausführung und wesentlichen Beschleunigung aller Transporte und der damit verbundenen großen Verbilligung.

Die einzelnen, jeder Kontrolle entzogenen Transportarbeiter oder Kolonnen werden überflüssig. Wenn auch die durch die Personenrundfahrt erzielbaren wirtschaftlichen Vorteile nicht ohne weiteres zu erfassen sind, so ist doch die damit verbundene Beschleunigung zweifellos von unschätzbarem Werte.



Bild 3. Elektroführersitzkarrnfahrer EKF 1502 für die Personenrundfahrt.

Elektrokarrnbauart hängt von der Art der zu befördernden Güter ab. Zumeist wird es sich um die Beförderung von Schmiermitteln, Reinigungsmitteln, Ersatzteilen usw. von den Zentrallagern zu den einzelnen Werksabteilungen handeln; natürlich können auch Werkzeuge, Werkstücke usw. befördert werden.

BEZUGSQUELLEN-NACHWEIS



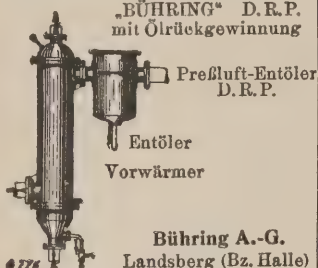
ABAS ABDAMPF-AUSNUTZUNG

Abdampf-Luftreither ::
Abgas-Saugzug-Anlagen ::
Abgas-Economiser
Abgas-Luftreither ::

Abwärme-Ausnutzung u. Saugzug
G. m. b. H. „ABAS“, Berlin W 57

ABDAMPF-ENTÖLER PRESSLUFT-ENTÖLER D.R.P.

„BÜHRING“ D.R.P.
mit Ölrückgewinnung



Entöler
Vorwärmer

Bühring A.-G.
Landsberg (Bz. Halle)

ABDAMPF-ENTÖLER

Max Dreyer & Co., Magdeburg-S.

ABDAMPF-ENTÖLER

Sack & Kiesselbach
Maschinenfabrik G. m. b. H.
Düsseldorf-Rath

ABDAMPF-ENTÖLER

Th. Wippert, Huss & Co.
Kommandit-Gesellschaft
Maschinenfabrik
Bremen

ABDECKPLATTEN



Schnellste Lieferung ab Lager

Tezett-Werk

Berlin-Tempelhof 14
Größtes und ältestes Spezialwerk

ABDECKUNGSROSTE

Fußreiniger



Fr. Engelmann, Jena-Au
Liste B 27 gratis



ANSTREICH-MASCHINE TVG

für Öl- und Wasser-
farben

Technische
Verkaufsgesellschaft
Duisburg

ARMATUREN

für Wasser-, Gas-, Dampf-, Säure-
u. sonstige Rohrleitungen, Patent-
ventile für Hoch- und Nieder-
druckleitungen, Kondenswasser-
abscheider und Kondensstöpfe.

Spezialfabrikation
seit mehr als 50 Jahren.

Bopp & Reuther
G. m. b. H.
Mannheim-Waldhof



ARMATUREN

für alle Zwecke

Heinrich ter Jung, Metallwaren-
und Maschinenfabrik G. m. b. H.,
Mülheim-Ruhr.



ARMATUREN

für

Hochdruck u. Heißdampf

— Parallel-Schieber —
— Geschmiedete Ventile —

Rheinische
Armaturen- und Maschinenfabrik
vorm. Keuth & Zenner G. m. b. H.
Saarbrücken
Kein Zoll!

ARMATUREN

Spezialität:
Armaturen und Schmierapparate
sowie Zubehör
in den verschiedenst. Ausführungen
und für jeden Verwendungszweck.

Otto Schaaf
Armaturen- und Metallwarenfabrik,
Metallgießerei
Böhlitz-Ehrenberg

AUFZÜGE



Gegr

1861

AUFZUGSWERKE
Schmitt & Sohn
MÜNCHEN-NÜRNBERG-ESSEN
FACHFABRIKEN FÜR AUFZÜGE

AUFZÜGE

BRACKER

Aufzüge
jeder
Betriebsart
und Größe

G. D. Bracker Söhne
Maschinenbau-Aktiengesellschaft
Hanau a. M.

AUFZÜGE Hebezeuge, Fahrtreppen, Elektromotoren

CARL **Flohr** A.-G.
Berlin N 4, Chausseestraße 35.

Größte deutsche Aufzugsfabrik.
Bisher über 30000 Anlagen geliefert.
Reparaturen und Revisionen
aller Systeme im Abonnement.

AUFZÜGE

Elektrische
AUFZÜGE
System
SCHINDLER



Elektrische
Steuerungen
und
Apparate für
AUFZÜGE
Bremsmotoren
Bremsmagnete
Komplette
Aufzugs-
Winden

Hebezeug- u. Motorenfabrik A.-G.
Karlsruhe-Bulach

AUFZÜGE

Personen- und Lastenaufzüge
mit und ohne Feineinstellung

Paternosteraufzüge
für Personen oder Waren

Maschinenfabrik
Gustav Ad. Koch
Hamburg 39

AUFZÜGE

Original
Kühnscherf-Söhne
Aufzüge

Aug. Kühnscherf & Söhne
Dresden-A. I. V.

AUFZÜGE



jeder Art und Größe

Gustav Linse
Spezialfabrik für Aufzüge
Erfurt

AUFZÜGE

für Personen und
Lasten
Paternoster-Werke
Losenhausenwerk
Düsseldorf. Gegr. 1889



Bei Erteilung
eines Jahresauftrages
(52 Anzeigen)

kostet dieser Raum (25 mm
Mk. 12,60 netto pro Einschalt)

AUFZÜGE

Original-Dreistern
von höchst. Sicherheit u. dem neu-
Stand der Technik entspreche
Maschinenfabrik MÜHLEISSIG
Elberfeld-Son.

AUFZÜGE

jeder
Art,
Verdunkelung
für
Hörsäle



Schmidt, Kranz & Co.
Nordhäuser Maschinenfabrik A.-G.
Nordhausen a. H.

AUFZÜGE

für Lasten und Personen



Elektro-
Züge
150-5000 kg
Tragkraft
Krane
Winden
aller Art



Fr. Schüle & Co.,
Aufzugs- und Hebezeugfabrik
Feldkirchen b. München



AUFZÜGE

jeder Art
und
Größe

Schindler Aufzügefabrik
G. m. b. H.
Beflin SW 29, Kopischstr. 1

BEZUGSQUELLEN-NACHWEIS

Vollautomatische Schaltwalzen-Anlasser.

Mitteilung der AEG.

Die fortschreitende Entwicklung von elektrischen Antrieben und die mit der Entwicklung Hand in Hand gehenden Rationalisierungsbestrebungen haben dahin geführt, aus den handbedienten sogenannten Regulieranlassern eine mit Hilfe von ferngesteuerten Stellmotoren betätigte Reguliervorrichtung zu schaffen.

Der Vorteil dieser Fernsteuerung besteht darin, daß man alle Arbeitsvorgänge in unmittelbarer Nähe des Arbeitsbezirkes bei dauernder Beobachtung desselben einleiten kann unter Ersparnis eines bis her noch erforderlichen Mannes für die Bedienung der Steuerwalzen.

Die AEG ist deshalb dazu übergegangen, vollautomatische Regulieranlasser für die verschiedensten Antriebe zu entwickeln.

Bilder 1 und 2 zeigen einen derartigen Anlasser in offener und geschlossener Ausführung. In der bisher üblichen Form wurden vollautomatische Anlasser durch Druckknöpfe gesteuert. Der Umstand, daß der

Druckknopf so lange niedergedrückt werden mußte, bis der Stellmotor die Walze in die verlangte Stellung gedreht hatte, fällt jetzt fort. Stand der Anlasser in einem anderen Raum oder in größerer Entfernung von der Bedienungsstelle, so war es nur unter Zuhilfenahme von Anzeigevorrichtungen möglich, eine genaue Einstellung der Schaltwalze auf die verlangte Stellung zu erreichen. Eine bedeutende Verbesserung ist die nachstehend beschriebene Steuerung für eine Leistung von 160 kW, die für eine Brikettpressen-Ausrüstung geliefert wurde, und bei der an Stelle von Druckknöpfen ein sogenannter Stellungsschalter verwendet wird.

Der Anlasser hat ein Gehäuse mit fester Rückwand und besitzt zwei in Serie geschaltete Walzen mit insgesamt 16 Widerstandsstufen. Das Kontaktmaterial ist modern und kräftig ausgeführt und genügt auch stärksten Beanspruchungen. Der motorische Antrieb des Anlassers ist übersichtlich und in allen Teilen leicht zugänglich auf einer besonderen Grundplatte angeordnet. Der Stellmotor hat eine Leistung von etwa 220 Watt und eine synchrone Drehzahl von 1500 U/min. Neben dem Stellmotor sitzen zwei Steuerstrom-Relais, dieselben werden durch den vorerwähnten Stellungsschalter betätigt und steuern den Stellmotor. Falls gewünscht, kann natürlich der Stellungsschalter auch durch Druckknöpfe ersetzt werden. Durch Einschalten des einen oder anderen Relais wird die Drehrichtung des Stellmotors umgekehrt und der Anlasser wird ein- bzw. ausgeschaltet.

Die Drehzahl des Stellmotors wird durch ein doppeltes Schneckenrad-Vorgelege und ein weiteres Stirnräderpaar auf die horizontale liegende Stirnradwelle und von hier durch Kegelräder und Mitnehmerscheiben auf die senkrechten Anlasserwellen übertragen.

Die Mitnehmerscheiben ihrerseits übertragen die Bewegung auf Mitnehmerbügel der Walzen. Zunächst wird durch den Mitnehmer die Walze I gedreht. Die Mitnehmerscheibe der Walze II bewegt sich gleichzeitig, ist jedoch mit dem Mitnehmerbügel nicht im Eingriff, da die obere Rolle des Mitnehmers in einer Aussparung des Kreisringes ruht und hierdurch festgehalten wird. Die Endlage der Walze I wird durch einen auf dem Kreisring sitzenden Anschlag, durch welchen der Drehweg der oberen Rolle des Mitnehmers begrenzt wird, fixiert.

Für Notbetrieb kann der Anlasser durch Aufstecken eines Steuerrades auf die horizontale Stirnradwelle auch von Hand bedient werden. Hierbei ist der motorische Antrieb durch Betätigung einer einfachen Stiftkupplung auszurücken. Um auch beim Schalten von Hand die einzelnen Stellungen des Anlassers kenntlich zu machen, besitzt letzterer eine Anzeige-Vorrichtung mit Skala und Zeiger.

In der Ausschaltstellung des Anlassers bleibt der Läuferkreis des Motors über den Anlaßwiderstand geschlossen. Um ein Anlaufen des Motors in dieser Stellung beim Einlegen des Ständerschalters zu vermeiden, ist die erste Widerstandsstufe mit hoher Ohmzahl ausgeführt.

Wie vorerwähnt, wird für das Anlassen, Regulieren und Ausschalten des vollautomatischen Anlassers ein Stellungsschalter benutzt. Jede Stellung dieses Schalters entspricht einer bestimmten sinngemäßen Stellung der Hauptwalzen des Schaltwalzen-Anlassers. Durch Drehen des Schalters z. B. auf Stellung 11 wird die Spule des Vorwärtsrelais an Spannung gelegt. Das Relais springt an und der Stellmotor wird eingeschaltet. Die Anlasserwalzen werden jetzt von Stellung zu Stellung gedreht, wodurch der Läufer des angeschlossenen Arbeitsmotors entsprechend beschleunigt wird. In der Stellung 11 verläßt der Steuerstrom-

Kontaktfinger das betreffende

Segment der Hauptwalze. Der Stromkreis der Spule wird hierdurch unterbrochen, das Vorwärts-Relais fällt ab und der Stellmotor bleibt stehen. Stellt man den Schalter auf Null zurück, so drehen sich die

Anlasserwalzen ebenfalls bis in die Ausschaltstellung. Um beim Festkleben der Relais-Kontakte ein Festfahren der Anlasserwalze in der Null- bzw. Endstellung zu verhüten, ist der Stromkreis zweier Phasen des Stellmotors in Hintereinanderschaltung mit den Relaiskontakten über Kontakte der Hauptwalzen geführt, die den Stellmotor in den genannten Stellungen abschalten. Durch Montage von Hilfskontakten am selbsttätigen Netzschalter ist zu erreichen, daß beim Auslösen des letzteren die Anlasserwalzen automatisch in die Ausschaltstellung zurückgedreht werden.

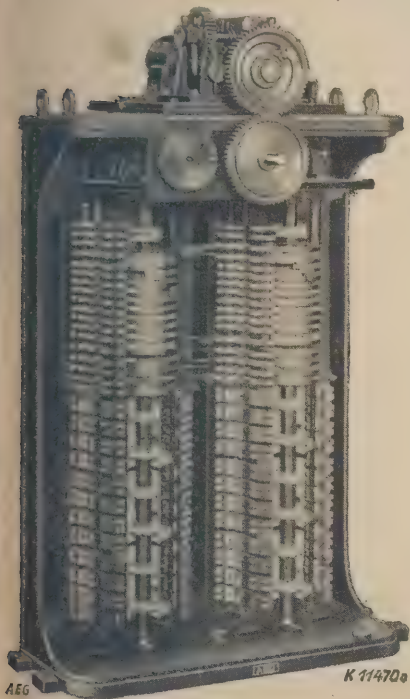


Bild 1. Schaltwalzen-Anlasser DS VI spez. 103, offen.



Bild 2. Schaltwalzen-Anlasser DS VI spez. 103, geschlossen.

BEZUGSQUELLEN-NACHWEIS

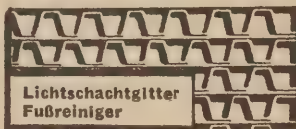


ABAS ABDAMPF-AUSNUTZUNG

Abdampf-Lufterhitzer ::
Abgas-Saugzug-Anlagen ::
Abgas-Economiser
Abgas-Lufterhitzer ::

Abwärme-Ausnutzung u. Saugzug
G. m. b. H. „ABAS“, Berlin W 57

ABDECKPLATTEN



Schnellste Lieferung ab Lager

Tezett-Werk

Berlin-Tempelhof 14

Größtes und ältestes Spezialwerk

ABDECKUNGSROSTE

Fußreiniger



Fr. Engelmann, Jena-Au
Liste B 27 gratis

ANSTREICH-MASCHINE TVG



für Öl- und Wasser-
farben

Technische
Verkaufsgesellschaft
Duisburg

Bei Erteilung
eines Jahresauftrages
(52 Anzeigen)

kostet dieser Raum (25 mm)
Mk. 12,60 netto pro Einschaltung

ARMATUREN

für Wasser-, Gas-, Dampf-, Säure-
u. sonstige Rohrleitungen, Patent-
ventile für Hoch- und Nieder-
druckleitungen, Kondenswasser-
abscheider und Kondensstöpfe.

Spezialfabrikation
seit mehr als 50 Jahren.

Bopp & Reuther
G. m. b. H.
Mannheim-Waldhof



ARMATUREN

für

Hochdruck u. Heißdampf

— Parallel-Schieber —
— Geschmiedete Ventile —

Rheinische
Armaturen- und Maschinenfabrik
vorm. Keuth & Zenner G. m. b. H.
Saarbrücken
Kein Zoll!

ARMATUREN

Spezialität:
Armaturen und Schmierapparate
sowie Zubehör
in den verschiedenst. Ausführungen
und für jeden Verwendungszweck.

Otto Schaaf
Armaturen- und Metallwarenfabrik,
Metallgießerei
Böhlitz-Ehrenberg

AUFZÜGE



Gegr

1861

AUFZUGSWERKE
Schmitt & Sohn
MÜNCHEN-NÜRNBERG-ESSEN
FACHFABRIKEN FÜR AUFZÜGE

AUFZÜGE

BRACKER

Aufzüge
jeder
Betriebsart
und Größe

G. D. Bracker Söhne
Maschinenbau-Aktiengesellschaft
Hanau a. M.

AUFZÜGE Hebezeuge,
Fahrtreppen, Elektromotoren

Carl Flohr A.-G.

Berlin N4, Chausseestraße 35.

Größte deutsche Aufzugsfabrik.
Bisher über 30000 Anlagen geliefert.
Reparaturen und Revisionen
aller Systeme im Abonnement.

AUFZÜGE

Elektrische
AUFZÜGE
System
SCHINDLER



Elektrische
Steuerungen
und
Apparate für
AUFZÜGE
Bremsmotoren
Bremsmagnete
Komplette
Aufzugs-
Winden

Hebezeug- u. Motorenfabrik A.-G.
Karlsruhe-Bulach

AUFZÜGE

für Personen, Lasten, Speisen,
Akten



Heime & Hans Herzfeld
Maschinen- u.
Apparate-Fabrik
Halle (Saale)

AUFZÜGE

**Original
Kühnscherf-Söhne
Aufzüge**

Aug. Kühnscherf & Söhne
Dresden-A. 1. V.

AUFZÜGE



jeder Art und Größe

Gustav Linse
Spezialfabrik für Aufzüge
Erfurt

AUFZÜGE

Paternoster-
Aufzüge
Personen-Aufzüge
mit
Feineinstellung
Lasten-Aufzüge

Mannheimer Maschinenfabrik
Mohr & Federhaff, Mannheim



AUFZÜGE

jeder Art
und
Größe

Schindler Aufzugsfabrik
G. m. b. H.
Berlin SW 29, Kopischstr. 1

Der
Bezugsquellen-Nachweis
die
Zentralstelle
technischer Angebote

AUFZÜGE



jeder
Art,
Verdunkelung
für
Hörsäle

Schmidt, Kranz & Co.
Nordhäuser Maschinenfabrik A.
Nordhausen a. H.

AUFZÜGE

für Lasten und Personen



Elektro-
Züge
150-5000 kg
Tragkraft
Krane
Winden
aller Art



Fr. Schüle & Co.,
Aufzugs- und Hebezeugfabrik
Feldkirchen b. München

Personen- u. Lasten-

AUFZÜGE

STAHL

Paternoster

Elektrozüge
R. Stahl, A.-G.
Stuttgart



BELEUCHTUNG



BESEG-LICHT

Unübertroffen
für
Industrie-Großbeleuchtung
Beseg-Sonnen
Beseg-Werkstattleuchten
Beseg-Tiefreistrahler
Beseg-Sicherheitsleuchten
Beseg-Scheinwerfer
Fordern Sie
unsere unverbindlichen Vorschläge
Berliner Spar-
Elektrizitäts-Gesellschaft m. b. H.
Bln.-Wilmerdorf, Babelsbergerstr.
Fernruf: Pfalzburg 2363-54
Draht: Beseglicht

BEZUGSQUELLEN-NACHWEIS

Turbospisepumpen für niedrige und mittlere Kesseldrücke.

Mitteilung der AEG.

Wenngleich in der heutigen Kraftwirtschaft oft hohe Dampfspannungen angewendet werden, gibt es doch eine große Reihe von Werken, bei denen die Einführung des Hochdruckes nicht als vorteilhaft gelten kann, sei es, weil ein geringer Kohlenpreis oder ein schlechter Belastungsfaktor die Errichtung einer wirtschaftlichen, aber teuren Hochdruckanlage nicht rechtfertigen, oder weil man eine vorhandene MD- oder ND-Anlage in nur geringem Umfange erweitern will und die Einheitlichkeit aufrechterhalten bleiben soll. Fabriken mit Kesselanlagen für mittlere oder niedrige Kesseldrücke werden für die nächste Zukunft noch die Mehrzahl bilden. Es ist daher selbstverständlich, daß man auch die Bauart der Pumpen, die in diesen Fällen der Förderung des Kesselspeisewassers dienen, ständig verbessert hat. Die neueste Konstruktion der von der AEG gebauten einstufigen Turbospisepumpe ist im Bild dargestellt.

Die AEG sieht diese einstufige Pumpe bei kleinen und mittleren Förderhöhen bis zu 250 m vor. Die Maschine zeichnet sich dadurch aus, daß alle Konstruktions-Einzelheiten mit Rücksicht auf die größte Betriebssicherheit ausgebildet sind. Gerade in den Kraftwerken, für welche die einstufige Pumpe vorwiegend in Frage kommt, also in kleinen, vielfach veralteten Anlagen oder in Fabriken, die über nur wenig geschultes Personal verfügen, ist die Überwachung und Wartung oft mangelhaft. Komplizierte Teile sind daher vermieden und die Regelorgane besonders sorgfältig ausgebildet. Aus dem gleichen Grunde ist die Maschine so gebaut, daß alle Bedienungstellen leicht zugänglich sind.

Konstruktiv stellen Antriebsturbine und Pumpe eine geschlossene Maschineneinheit dar. Das Aufstellen des Satzes erfordert, besonders im Gegensatz zur Kolbenpumpe, wenig Raum. Mit der Grundplatte bilden das vordere und hintere Turbinenlager ein gemeinsames Guß-Stück; die Lager sind mit Nocken versehen, auf die sich die Turbine stützt. Infolge dieser hängenden Anordnung kann sich der Dampfteil ohne Änderung der gegenseitigen Lage von Gehäuse und Läufer radial frei ausdehnen. Man ermöglicht hierdurch insbesondere ein schnelles Anfahren ohne vorheriges Anwärmen.

Der Läufer der Turbine ist ein dreikrängiges Curtisrad. Die Verwendung des Curtisrades hat zunächst eine geringe Baulänge der Maschine zur Folge. Außerdem arbeitet die Turbine bei Teillasten, um die es sich bei der Kesselspeisung fast ausschließlich handelt, wirtschaftlich, da der Wirkungsgrad des Geschwindigkeitsrades beim Absinken der Belastung nur wenig fällt. Zur Erzielung eines ruhigen Ganges der Maschine und demgemäß einer hohen Betriebssicherheit wird das Laufrad vor dem Einbau sowohl statisch als auch dynamisch ausbalanciert.

Das Pumpengehäuse ist mit einem kräftigen Flansch an der Außenseite des pumpenseitigen Turbinenlagers befestigt. Diese fliegende Anordnung erspart die Stopfbuchse an der Saugseite; die Möglichkeit, daß

Luft in das Pumpeninnere dringt, wird hierdurch verringert. Auch braucht das Fundament nur so lang zu sein, wie es der Größe der Turbinengrundplatte entspricht; der Raum unterhalb der Pumpe kann zum Anschluß der Rohrleitungen benutzt werden. Das einseitig beaufschlagte Kieselrad, das ebenso wie der Turbinenläufer ausgewuchtet wird, besteht aus Sonder-Phosphorbronze. Die Umsetzung der Wassergeschwindigkeit in Druck bewirken der im Gehäuse angebrachte ringförmige Leitapparat und der als spiralförmiger Diffusor ausgebildete Druckraum des Gehäuses.

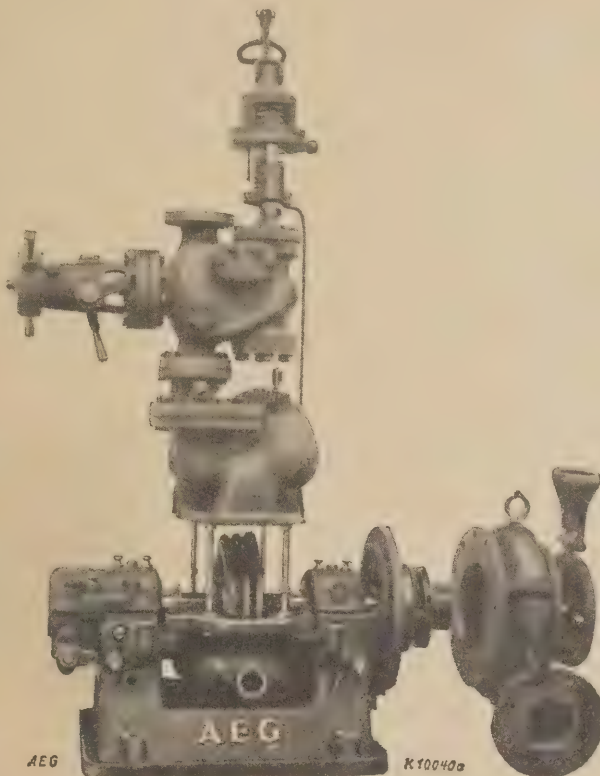
Die aus hochwertigem Stahl geschmiedete Maschinenwelle ruht in Lagern mit Ringschmierung.

Die Lager lassen sich auch für Wasserkühlung einrichten. An den beiden Austrittsstellen seitlich des Turbinengehäuses wird die Welle durch austauschbare Labyrinthstopfbuchsen abgedichtet, die in die Gehäusebohrung so eingesetzt sind, daß sie sich nach allen Seiten ausdehnen können und dabei die zentrische Lage beibehalten. Ihre besondere Konstruktion läßt ein etwaiges Abschleifen nur an den Labyrinthspitzen, also nur von Linien, nicht von Flächen, zu. Die Stopfbuchse, welche die Pumpe abschließt, hat nur untergeordnete Bedeutung, da sie weder einen Saug- noch einen Druckraum abdichten hat, sondern nur das Durchfließen von Wasser an der Welle verhindern soll. Diese einfache Aufgabe der Stopfbuchse ist als ein Vorteil der Bauart anzusehen.

Mit Rücksicht auf den oft rauen Betrieb sind vor allem die Regulierorgane der Maschine sorgsam durchkonstruiert und mit besonderen Sicherheitsvorrichtungen ausgestattet. Das Regelventil der Turbine, das den Dampf einläßt und die

Belastungsschwankungen auszugleichen hat, wird von einem hierfür eigens von der AEG ausgebildeten Federregulierapparat gesteuert. Ein an dem Apparat angebrachter Kolben, der teils unter dem Einfluß einer auf den gewünschten Enddruck eingestellten Feder steht, teils in Abhängigkeit von dem jeweiligen Druck des Förderwassers arbeitet, schließt den Dampfzutritt bei steigendem und öffnet ihn bei sinkendem Druck. Reißt aus irgend einem Grunde die Wassersäule ab, oder bleibt die Regulierung hängen, wodurch die Gefahr entsteht, daß die Maschine durchgeht, so wird beim Überschreiten der zulässigen Höchstdrehzahl ein unabhängiger Schnellschlußregler ausgelöst, der die Pumpe sofort außer Betrieb setzt. Selbst für den Fall, daß der Schnellschluß, infolge unsachgemäßer Wartung verschmutzt, nicht ansprechen sollte, ist durch das Eingreifen eines zweiten Kolbens des Federregulierapparates, der in diesem Augenblick durch das Abfallen des Pumpendruckes das Dampfventil unmittelbar schließt, eine zweite Sicherheitsmaßnahme getroffen.

Die kleinste von der AEG hergestellte Turbokesselspeisepumpe fördert etwa 20 m³/h; dieser Menge entspricht ungefähr die Leistung, von der ab eine Turbine wirtschaftlich ist. Unter Verwendung einer großen Zahl von Zwischengrößen baut die AEG die einstufige Pumpe bis zu den höchsten Leistungen.



Einstufige Gegendruckturbine mit Kesselspeisepumpe für Förderhöhen bis 250 m.

BEZUGSQUELLEN-NACHWEIS



ABAS ABDAMPF-AUSNUTZUNG

Abdampf-Lufterhitzer ::
Abgas-Saugzug-Anlagen
:: Abgas-Economiser
Abgas-Lufterhitzer ::

Abwärme-Ausnutzung u. Saugzug
G. m. b. H. „ABAS“, Berlin W 57

ABDAMPF-ENTÖLER PRESSLUFT-ENTÖLER D.R.P.

„BÜHRING“ D.R.P.
mit Ölrückgewinnung



Bühning A.-G.
Landsberg (Bz. Halle)

ABDAMPF-ENTÖLER

Max Dreyer & Co., Magdeburg-S.

ABDAMPF-ENTÖLER

Sack & Kiesselbach
Maschinenfabrik G. m. b. H.
Düsseldorf-Rath

ABDAMPF-ENTÖLER

Th. Wippert, Huss & Co.
Kommandit-Gesellschaft
Maschinenfabrik
Bremen

ABDECKPLATTEN

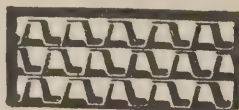


Schnellste Lieferung ab Lager

Tezett-Werk
Berlin-Tempelhof 14
Größtes und Ältestes Spezialwerk

ABDECKUNGSRÖSTE

Fußreiniger



Fr. Engelmann, Jena-Au
Liste B 27 gratis



ANSTREICH- MASCHINE TVG

für Oel- und Wasser-
farben

Technische
Verkaufsgesellschaft
Duisburg

ARMATUREN

für Wasser-, Gas-, Dampf-, Säure-
u. sonstige Rohrleitungen, Patent-
ventile für Hoch- und Nieder-
druckleitungen, Kondenswasser-
abscheider und Kondensstöpfe.

Spezialfabrikation
seit mehr als 50 Jahren.

Bopp & Reuther
G. m. b. H.
Mannheim-Waldhof



ARMATUREN

für alle Zwecke

Heinrich ter Jung, Metallwaren-
und Maschinenfabrik G. m. b. H.,
Mülheim-Ruhr.



ARMATUREN

für

Hochdruck u. Heißdampf

— Parallel-Schieber —
— Geschmiedete Ventile —

Rheinische
Armaturen- und Maschinenfabrik
vorm. Keuth & Zenner G. m. b. H.
Saarbrücken
Kein Zoll!

ARMATUREN

Spezialität:
Armaturen und Schmierapparate
sowie Zubehör
in den verschiedenst. Ausführungen
und für jeden Verwendungszweck.

Otto Schaaß
Armaturen- und Metallwarenfabrik,
Metallgießerei
Böhlitz-Ehrenberg

AUFZÜGE



Gegr

1861

AUFZUGSWERKE
Schmitt & Sohn
MÜNCHEN-NÜRNBERG-ESSEN
FACHFABRIKEN FÜR AUFZÜGE

AUFZÜGE

BRACKER

Aufzüge
jeder
Betriebsart
und Größe

G. D. Bracker Söhne
Maschinenbau-Aktiengesellschaft
Hanau a. M.

AUFZÜGE Hebezeuge,
Fahrtreppen, Elektromotoren

CARL Flohr A.-G.
Berlin N 4, Chausseestraße 35.

Größte deutsche Aufzugsfabrik.
Bisher über 30000 Anlagen geliefert.
Reparaturen und Revisionen
aller Systeme im Abonnement.

AUFZÜGE

Elektrische
AUFZÜGE
System
SCHINDLER



Elektrische
Steuerungen
und
Apparate für
AUFZÜGE
Bremsmotoren
Bremsmagnete
Komplette
Aufzugs-
Winden

Hebezeug- u. Motorenfabrik A.-G.
Karlsruhe-Bulach

AUFZÜGE

Personen- und Lastenaufzüge
mit und ohne Feineinstellung

Paternosteraufzüge
für Personen oder Waren

Maschinenfabrik
Gustav Ad. Koch
Hamburg 39

AUFZÜGE

**Original
Kühnscherf-Söhne
Aufzüge**

Aug. Kühnscherf & Söhne
Dresden-A. 1. V.

AUFZÜGE



jeder Art und Größe
Gustav Linse
Spezialfabrik für Aufzüge
Erfurt

AUFZÜGE

Original-Dreistern
von höchst. Sicherheit u. dem neu-
Stand der Technik entsprechen
Maschinenfabrik MÜHLEISS
Elberfeld-Son.

Bei Erteilung
eines

Jahresauftrages

(52 Anzeigen)

kostet

dieser Raum (65 mm)

Mk. 32,76 netto

pro Einschaltung

AUFZÜGE



jeder
Art,
Verdunkelung
für
Hörsäle

Schmidt, Kranz & Co.
Nordhäuser Maschinenfabrik
Nordhausen a. H.

AUFZÜGE



jeder Art
und
Größe

Schindler Aufzugsfabrik
G. m. b. H.
Berlin SW 29, Kopischstr. 1

BEZUGSQUELLEN-NACHWEIS

Elektrokarren im Dienste der Deutschen Reichsbahn-Gesellschaft.

Mitteilung der AEG.

Nach kürzlich erfolgten Mitteilungen des Reichsbahn-Zentralamtes hatte die Deutsche Reichsbahn-Gesellschaft im Herbst 1928 im Güterboden- und Gepäckdienst 468 Elektrokarren in Betrieb, die nach Absetzung aller Unkosten, Abschreibungen usw. eine jährliche Ersparnis von 1 288 000 RM brachten.



Bild 1.

Elektrokarren EK 1504 mit Anhängewagen im Gepäck-Umlade-Verkehr

Diese Zahl gibt einen Hinweis für die Wirtschaftlichkeit des Betriebes und sollte Veranlassung geben, überall da Elektrokarren einzusetzen, wo jetzt noch der Landbetrieb vorherrscht.

Die AEG stellt seit 15 Jahren Elektrokarren her und verfügt daher über große Erfahrungen; für alle Verwendungszwecke sind Bauarten entwickelt und sofort lieferbar.

Im Gepäck-Umlade-Verkehr der Personenhöfe bewährt sich am besten der Elektrokarren mit einer Plattform für 1500 kg Tragkraft; er wird hier, wie Bild 1 zeigt, vielfach in Verbindung mit den auf den Bahnhöfen vorhandenen Anhängewagen verwendet, die mit einer entsprechenden Kupplungseinrichtung versehen werden müssen. Während sich früher mehrere Bahnbeamte mit den beladenen Gepäckwagen abmühen mußten,



Bild 2. Elektrokarren EK 1504 mit aufgesetzter Ladepritsche und Anhängewagen im Expresgut-Verkehr.

erleichtert der Elektrokarren-Fahrer diese Arbeit ohne Anstrengung. Der für die Ent- und Beladung der Fahrzeuge am Zugpackwagen notwendige Begleiter kann während der Fahrt die Beaufsichtigung des Fördergutes übernehmen. Auch das Überqueren der Gleise, um von einem Bahnsteig zum anderen zu kommen, bereitet keinerlei Schwierigkeiten. Die große Bodenhöhe des AEG-Elektrokarrens macht sich hierbei sehr angenehm bemerkbar, da auch bei großer Unebenheit der Fahrbahn

ein Aufstoßen der Batterie unmöglich ist. Durch Aufsetzen von Ladepritschen kann die Plattformhöhe vergrößert werden (Bild 2), so daß ein leichtes Überladen vom Karren zum Eisenbahnwagen und umgekehrt gewährleistet ist.

Die Erfahrung hat gelehrt, daß eine Belästigung oder Gefährdung des Publikums auf den Bahnsteigen mit der Verwendung von Elektrokarren keinesfalls verbunden ist, da dieses sich sehr schnell an das Fahrzeug gewöhnt und auf Grund der Glockensignale die Fahrbahn freigibt. Durch die außerordentlich starke Steigerung des Expresgut-Verkehrs in letzter Zeit werden die Elektrokarren in diesem Verkehrszweige heute sehr viel besser ausgenutzt als früher. Ein Bild von der Leistungsfähigkeit gibt das nachstehend geschilderte Beispiel.

Auf zwei ziemlich gleichartigen und gleich großen westdeutschen Bahnhöfen ist der Expres- und Eilgut-



Bild 3. Elektrokarren EK 752 im Güterumladedienst.

verkehr sehr stark gestiegen. Während bei einem Bahnhof, auf dem noch keine Elektrokarren im Betrieb waren, sich eine Mehreinstellung von 30 Arbeitern erforderlich machte, konnten die vorhandenen Elektrokarren des anderen Bahnhofes die Mehrleistung ohne weiteres bewältigen.

Im Güterumschlag-Verkehr haben sich die Elektrokarren besonders auf den großen Güterumladehallen eingeführt und auch bestens bewährt. Entsprechend den Größenverhältnissen der Bahnhöfe werden hier Elektrokarren für 1500 kg Tragkraft mit Vierradlenkung oder solche für 750 kg mit Zweiradlenkung verwendet (Bild 3). Auch hier wird die Ausnutzung der Fahrzeuge durch Verwendung von Anhängewagen bedeutend verbessert. Für diese wird von den Dienststellen die denkbar geringste Bauhöhe gefordert. Dieser Forderung kann natürlich nur bis zu einem gewissen Grade Folge geleistet werden, da der Fahrwiderstand, insbesondere auf Fahrbahnen aus Holz, stark wächst und Motor und Batterie des Elektrokarrens leicht überanstrengt. Es sollte daher ein Laufgrad-Durchmesser von 200 mm möglichst nicht unterschritten werden.

BEZUGSQUELLEN-NACHWEIS



ABAS ABDAMPF- AUSNUTZUNG

Abdampf-Lufterhitzer ::
Abgas-Saugzug-Anlagen
:: Abgas-Economiser
Abgas-Lufterhitzer ::

Abwärme-Ausnutzung u. Saugzug
G. m. b. H. „ABAS“, Berlin W 57

ABDECKPLATTEN



Schnellste Lieferung ab Lager

Tezett-Werk
Berlin-Tempelhof 14

Größtes und Ältestes Spezialwerk

ABDECKUNGSROSTE

Fußreiniger



Fr. Engelmann, Jena-Au
Liste B 27 gratis



ANSTREICH- MASCHINE TVG

für Öl- und Wasser-
farben

Technische
Verkaufsgesellschaft
Duisburg.

ARMATUREN

für Wasser-, Gas-, Dampf-, Säure-
u. sonstige Rohrleitungen, Patent-
ventile für Hoch- und Nieder-
druckleitungen, Kondenswasser-
abscheider und Kondensstöpfe.

Spezialfabrikation
seit mehr als 50 Jahren.

Bopp & Reuther
G. m. b. H.
Mannheim-Waldhof



ARMATUREN

für

Hochdruck u. Heißdampf

— Parallel-Schieber —
— Geschmiedete Ventile —

Rheinische
Armaturen- und Maschinenfabrik
vorm. Keuth & Zenner G. m. b. H.
Saarbrücken

Kein Zoll!

AUFZÜGE



AUFZUGSWERKE
Schmitt & Sohn
MÜNCHEN-NÜRNBERG-ESSEN
FACHFABRIKEN FÜR AUFZÜGE

AUFZÜGE

BRACKER

Aufzüge
jeder
Betriebsart
und Größe

G. D. Bracker Söhne
Maschinenbau-Aktiengesellschaft
Hanau a. M.

AUFZÜGE Hebezeuge,
Fahrtreppen, Elektromotoren

CARL Flohr A-G
Berlin N4, Chausseestraße 35.

Größte deutsche Aufzugsfabrik.
Bisher über 30000 Anlagen geliefert.
Reparaturen und Revisionen
aller Systeme im Abonnement.

AUFZÜGE

Elektrische
AUFZÜGE
System
SCHINDLER



Elektrische
Steuerungen
und
Apparate für
AUFZÜGE
Bremsmotoren
Bremsmagnete
Komplette
Aufzugs-
Winden

Hebezeug- u. Motorenfabrik A.-G.
Karlsruhe-Bulach

AUFZÜGE

**Original
Kühnscherf-Söhne
Aufzüge**

Aug. Kühnscherf & Söhne
Dresden-A. 1. V.

AUFZÜGE



jeder Art und Größe

Gustav Linse
Spezialfabrik für Aufzüge
Erfurt

AUFZÜGE



jeder Art
und
Größe

Schindler Aufzugsfabrik
G. m. b. H.
Berlin SW 29, Kopischstr. 1

AUFZÜGE



jeder
Art,
Verdunkelungen
für
Hörsäle

Schmidt, Kranz & Co.
Nordhäuser Maschinenfabrik A.-G.
Nordhausen a. H.

Bei Erteilung
eines Jahresauftrages
(52 Anzeigen)
kostet dieser Raum
(30 mm)
Mk. 15.12 netto
pro Einschaltung

AUFZÜGE

für Lasten und Personen



Elektro-
Züge
150-5000 kg
Tragkraft

Krane
Winden
aller Art

Fr. Schüle & Co.,
Aufzugs- und Hebezeugfabrik
Feldkirchen b. München



Personen- u. Lasten-
AUFZÜGE
STAHL
Paternoster

Elektrozüge
R. Stahl, A.-G.
Stuttgart



BELEUCHTUNG



BESEG-LICH

Unübertroffen
für

Industrie-Großbeleucht

Beseg-Sonnen

Beseg-Werkstattleuchten

Beseg-Tiefbreitstrahler

Beseg-Sicherheitsleuchten

Beseg-Scheinwerfer

Fordern Sie

unsere unverbindlichen Vorsch

Berliner Spar-

Elektrizitäts-Gesellschaft m.

Bln.-Wilmsdorf, Babelsberger

Fernruf: Pfalzburg 2353-54

Draht: Beseglicht

BEZUGSQUELLEN-NACHWEIS

Kokslöschlokomotiven.

Mitteilung der AEG.

Auf neuzeitlichen Kokereien werden zur Beförderung des Kokslöschwagens zwischen Ofenbatterie, Löschurm und Entladerampe heute fast ausschließlich elektrische Lokomotiven verwendet. Wirtschaftliche Vorteile, bedingt durch die einfache Bedienung und Wartung, kurze Instandsetzungszeiten und die Möglichkeit, den vorhandenen Drehstrom unmittelbar zu verwenden, sicherten der elektrischen Lokomotive dieses Arbeitsgebiet.

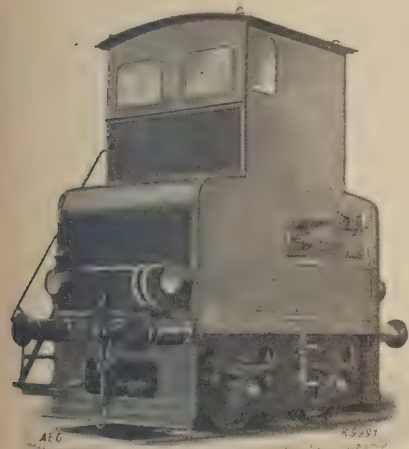


Bild 1. Kokslöschlokomotive für Gleichstrom.

blicken kann. Die Höhe des Führerstandes muß daher in jedem Fall der Höhe der Ofensohle angepaßt werden.

Der Rahmen der Lokomotiven besteht aus Flußstahlblechen oder aus Walzeisen. An seinen Enden sind Zug- und Stoßvorrichtungen nach den Normen der Reichsbahn mit Hülsenpuffern angebracht. Gegen die Achsen ist der Rahmen durch Blatt- oder Spiralfedern abgedefert. Die Achslager sind bei Drehstromlokomotiven als Innenlager, bei Gleichstromlokomotiven als Außenlager ausgebildet.

Die Achsen sind aus SM-Stahl von etwa 60 kg/mm² Festigkeit hergestellt. Die Stahlgußräder haben warm aufgezoogene Radreifen aus SM-Stahl von 80 bis 90 kg/mm² Festigkeit.

Über die ganze Länge des Rahmens ist der Maschinenraum aus Eisenblech aufgebaut; über seiner Mitte erhebt sich der Führerstand mit seitlicher Plattform, die durch eine Treppe zugänglich ist. In dem Maschinenraum sind der Motorkompressor mit Zubehör, die Luftbehälter, die Anfahrwiderstände, Leistungsschütze u. a. untergebracht. Damit diese Teile leicht überwacht und auch ausgebaut werden können, sind die Seitenwände an geeigneter Stelle mit Klappen versehen.

Gebremst wird die Lokomotive durch eine von Hand und durch Druckluft zu betätigende vierklötzige Bremse. Gebrauchsbremse ist die Druckluftbremse Bauart Knorr.

Der Motorkompressor hat eine Leistung von 52 m³/h angesaugter Luftmenge gegen 7 atü. Ein einstellbarer Druckregler mit Schütz sorgt stets dafür, daß der Druck in den Luftbehältern 6 bis 7 atü nicht überschreitet und nicht unter 4 bis 5 atü sinkt. Die Luftbehälter liefern auch die für die Betätigung der Entladeklappen des Kokslöschwagens notwendige Druckluft, ihr Inhalt wird deshalb von Fall zu Fall dem Luftbedarf des Wagens angepaßt.

Die Sandstreuer, das Läutewerk und die Signalleuchte der Lokomotive werden ebenfalls durch Druckluft betätigt.

Der Antrieb der Kokslöschlokomotiven erfolgt bei Gleichstrom in der bei Straßen- und Werkbahnen üblichen Weise durch vollständig geschlossene Tatzen-

Die von der AEG in größerer Zahl gelieferten Kokslöschlokomotiven sind durchweg zweiachsrig und haben ein Dienstgewicht von 15 bis 17 t. Kennzeichnend für diese Art von Lokomotiven ist das hochgelegene Führerhaus (Bilder 1 u. 2). Die außergewöhnliche Höhe ist nötig, damit der Führer die Ofensohle und den Kokslösch-

wagen gut über-

lagermotoren über Stirnrädervorgelege. Dieser Antrieb bewährt sich auch im Kokereibetrieb ausgezeichnet, doch bleibt er auf die Fälle beschränkt, in denen auf der Zeche Gleichstrom zur Verfügung steht. Bild 1 zeigt eine Gleichstromlokomotive von etwa 65 kW Stundenleistung.

In den weitaus meisten Fällen wird der vorhandene niedergespannte Drehstrom unmittelbar zum Antrieb der Lokomotiven benutzt. Schwierigkeiten bestehen für die Stromabnahme nicht, da die Strecken meist vollkommen gerade und ohne Weichen und Kreuzungen verlegt sind.

Zum Antrieb der Drehstromlokomotiven verwendet die AEG vollständig geschlossene, normale Krannmotoren, wie sie auf den Kokereien für andere Zwecke, z. B. für die Koksaustrückmaschinen, Verwendung finden.

Der Motor ruht zwischen den Achsen der Lokomotive auf einer Wiege, die sich auf der einen Seite mit Tatzenlagern auf die angetriebene Achse stützt, während sie auf der andern Seite federnd aufgehängt ist. Der Antrieb erfolgt über ein doppeltes Stirnrädervorgelege, dessen Übersetzung den Betriebsverhältnissen leicht angepaßt werden kann. Das Getriebe ist in der bei Bahnmotoren üblichen Weise von staubdichtschließenden Stahlblechschutzhäusen umkleidet.

Die Achsen der Lokomotive sind durch Kuppelstangen verbunden (Bild 2). Die Stangenlager sind so ausgebildet, daß das Eindringen von Staub und Koksenteilen mit Sicherheit vermieden wird.

Die Drehstromlokomotiven werden für Leistungen von 38, 45, 53 und 72 kW Stundenleistung gebaut. In allen Fällen wird die gleiche Lokomotivbauart verwendet, lediglich Vorgelege, Führerstandhöhe und Stromabnehmer-Anordnung werden den jeweiligen Betriebsverhältnissen angepaßt.

Gesteuert werden die Gleichstromlokomotiven durch einen Fahrshalter mit Reihen- und Parallelschaltung, mit dem in der üblichen Weise Widerstände in den Motorstromkreis geschaltet werden. Bei Drehstromlokomotiven ist ein Steuerschalter mit Leistungsschutz vorgesehen, der mehr

oder weniger Widerstand in den Rotorstromkreis schaltet.

Die Stromabnahme erfolgt bei Gleichstrom durch einen oder zwei, bei

Drehstrom durch drei neben- oder übereinander angeordnete Stromabnehmer. Hinter den Stromabnehmern liegen Blitzableiter mit Drosselspulen, welche die elektrische Einrichtung vor Überspannungen

schützen. Zum Schutz gegen dauernde Überlastungen sind Sicherungen, zur Begrenzung unzulässiger Stromstöße Überstromausschalter bzw. Höchststromauslöser vorgesehen, die auf ein Leistungsschütz wirken.

Die Belastung der Motoren kann an Amperemetern beobachtet werden. Die Anordnung und Beleuchtung der Apparate im Führerhaus ist so getroffen, daß der Führer sie leicht überwachen und bedienen kann.

Sämtliche Teile sind gegen die Einwirkung von Hitze und Dämpfen gut geschützt.



Bild 2. Kokslöschlokomotive für Drehstrom.

BEZUGSQUELLEN-NACHWEIS



ABAS ABDAMPF-AUSNUTZUNG

Abdampf-Lufterhitzer ::
Abgas-Saugzug-Anlagen ::
Abgas-Economiser
Abgas-Lufterhitzer ::

Abwärme-Ausnutzung u. Saugzug
G. m. b. H. „ABAS“, Berlin W 57

ABDAMPF-ENTÖLER PRESSLUFT-ENTÖLER D.R.P.

„BÜHRING“ D.R.P.
mit Ölrückgewinnung



Entöler
Vorwärmer

Bühring A.-G.
Landsberg (Bz. Halle)

ABDAMPF-ENTÖLER

Max Dreyer & Co., Magdeburg-S.

ABDAMPF-ENTÖLER

Sack & Kiesselbach
Maschinenfabrik G. m. b. H.
Düsseldorf-Rath

ABDAMPF-ENTÖLER

Th. Wipern, Huss & Co.
Kommandit-Gesellschaft
Maschinenfabrik
Bremen

ABDECKPLATTEN



Schnellste Lieferung ab Lager

Tezett-Werk

Berlin-Tempelhof 14
Größtes und ältestes Spezialwerk

ABDECKUNGSROSTE

Fußreiniger



Fr. Engelmann, Jena-Au
Liste B 27 gratis



ANSTREICH- MASCHINE TVG

für Oel- und Wasser-
farben

Technische
Verkaufsgesellschaft
Duisburg

ARMATUREN

für Wasser-, Gas-, Dampf-, Säure-
u. sonstige Rohrleitungen, Patent-
ventile für Hoch- und Nieder-
druckleitungen, Kondenswasser-
abscheider und Kondensstöpfe.

Spezialfabrikation
seit mehr als 50 Jahren.

Bopp & Reuther
G. m. b. H.
Mannheim-Waldhof



ARMATUREN

für alle Zwecke

Heinrich ter Jung, Metallwaren-
und Maschinenfabrik G. m. b. H.,
Mülheim-Ruhr.



ARMATUREN

für
Hochdruck u. Heißdampf

— Parallel-Schieber —
— Geschmiedete Ventile —

Rheinische
Armaturen- und Maschinenfabrik
vorm. Keuth & Zenner G. m. b. H.
Saarbrücken

Kein Zoll!

AUFZÜGE

BRACKER

Aufzüge
jeder
Betriebsart
und Größe

G. D. Bracker Söhne
Maschinenbau-Aktiengesellschaft
Hanau a. M.

AUFZÜGE Hebezeuge,
Fahrtreppen, Elektromotoren

Carl Flohr A.-G.

Berlin N 4, Chausseestraße 35.

Größte deutsche Aufzugsfabrik.
Bisher über 30000 Anlagen geliefert.
Reparaturen und Revisionen
aller Systeme im Abonnement.

AUFZÜGE

Elektrische
AUFZÜGE
System
SCHINDLER



Elektrische
Steuerungen
und
Apparate für
AUFZÜGE
Bremsmotoren
Bremsmagnet
Komplette
Aufzugs-
Winden

Hebezeug- u. Motorenfabrik A.-G.
Karlsruhe-Bulach

AUFZÜGE

für Personen, Lasten, Speisen,
Akten



Heime & Hans Herzfeld
Maschinen- u.
Apparate-Fabrik
Halle (Saale)

AUFZÜGE

Personen- und Lastenaufzüge
mit und ohne Feineinstellung

Paternosteraufzüge
für Personen oder Waren

Maschinenfabrik
Gustav Ad. Koch
Hamburg 39

AUFZÜGE

**Original
Kühnscherf-Söhne
Aufzüge**

Aug. Kühnscherf & Söhne
Dresden-A. 1. V.

AUFZÜGE



jeder Art und Größe

Gustav Linse
Spezialfabrik für Aufzüge
Erfurt

AUFZÜGE

Paternoster-
Aufzüge
Personen-Aufzüge
mit
Feineinstellung
Lasten-Aufzüge



Mannheimer Maschinenfabrik
Mohr & Federhaff, Mannheim

Bei Erteilung

eines Jahresauftrages

(52 Anzeigen)

kostet dieser Raum (35 mm)

Mk. 17,64 netto pro Einschaltung

AUFZÜGE

Original-Dreistern
von höchst. Sicherheit u. dem neuest.
Stand der Technik entsprechend.
Maschinenfabrik MUHLEISSEN
Elberfeld-Son.

AUFZÜGE

für Lasten und Personen



Elektro-
Züge
150-5000 kg
Tragkraft

Krane
Winden
aller Art



Fr. Schüle & Co.,
Aufzugs- und Hebezeugfabrik
Feldkirchen b. München

AUFZÜGE



jeder
Art,
Verdunkelungen
für
Hörstille

Schmidt, Kranz & Co.
Nordhäuser Maschinenfabrik A.-G.
Nordhausen a. H.

AUFZÜGE



Gegr

1861

AUFZUGSWERKE
Schmitt & Sohn
MÜNCHEN-NÜRNBERG-ESSEN
FACHFABRIKEN FÜR AUFZÜGE

AUFZÜGE



jeder Art
und
Größe

Schindler Aufzügefabrik
G. m. b. H.
Berlin SW 29, Kopischstr. 1

BEZUGSQUELLEN-NACHWEIS

Schleifringgehäuse mit Fremdbelüftung für langsamlaufende Drehstrommotoren in explosionsgefährlichen Räumen (DRGM).

Mitteilung der AEG.

Große Kolbenkompressoren werden bei elektrischem Antrieb von etwa 300 PS an direkt angetrieben, d. h. der Motor sitzt in bekannter Weise unmittelbar auf der Welle, die ebenso wie die Lager vom Erbauer des Kompressors hergestellt werden, während die Elektrizitätsfirma nur den eigentlichen Motor mit Schleifringen liefert.

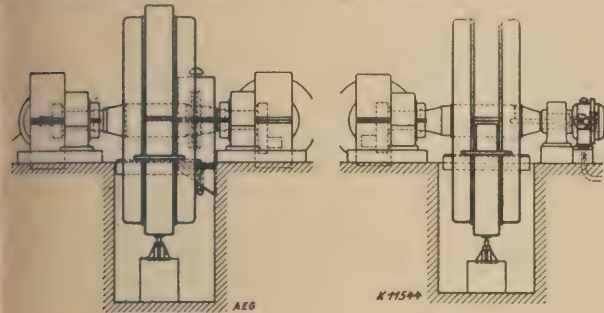


Bild 1a.

Bild 1b.

Schleifringe innenliegend
Anordnung von Schleifringgehäusen mit Fremdbelüftung.

Schleifringe außenliegend
Anordnung von Schleifringgehäusen mit Fremdbelüftung.

Für die neuen Zentralkokereien, Gasfernversorungen und Stickstoffwerke sind große Kompressoren erforderlich geworden, die im Gegensatz zu Kompressoren für die Verdichtung von Luft in gashaltigen bzw. explosionsgefährlichen Räumen aufgestellt werden.

Die Berufsgenossenschaft der Gas- und Wasserwerke hat für die Elektromotoren in gashaltigen Räumen in erster Linie die schlagwettergeschützte Bauart vorgeschrieben. Bei direkt angetriebenen Kompressoren ist diese mit Erfolg nur bei einkurbeliger Bauart verwendbar, weil die Schleifringe auf der über das Außenlager hinaus verlängerten Kurbelwelle aufgesetzt werden und so bei geringem Durchmesser eine zuverlässige druckfeste Kapselung erhalten können; allerdings muß hierbei die Welle axial durchbohrt und zwischen Außenlager und Rotornabe mit drei radialen Durchbohrungen versehen werden, um die Rotorleitungen von den Schleifringen zu der Rotorwicklung durchzuführen. Die Schleifringkapseln sind für einen Explosionsdruck von 8 atü zu bemessen; die dem Außenlager zugewendete Stirnseite der Kapsel muß für den Durchtritt der Welle eine Öffnung mit 50 mm langer Metaldurchführung erhalten, zwischen deren Bohrung und der Welle nur ein Luftspalt von 0,25 mm vorhanden sein darf, damit sich die Zündflamme auf dem Wege aus der Kapsel abkühlt. Wegen der Durchbiegung der Kurbelwelle und Lagerabnutzung kann die Einhaltung des geringen Luftspaltes natürlich in Frage gestellt sein.

Die genannte Berufsgenossenschaft hat, da bei Anlagen über Tage Frischluft vorhanden ist, auch die Durchzugstypen zugelassen, die sie wie folgt kennzeichnet: „Durchzugstypen sind Motoren, die gegen den Raum, in dem sie arbeiten, vollständig abgeschlossen sind und so gelüftet werden, daß sich im gekapselten Motorraum Gase nicht ansammeln können; sowohl das Zuführungs- als auch das Abführungsrohr für die Kühlluft müssen ins Freie geführt werden.“ Hierbei ist an Motoren gedacht, die auf ihrer Welle einen Ventilator haben, der selbst die Luft ansaugt und durch den Motor hindurch nach außen drückt. Stillschweigende Voraussetzung ist hierbei, daß die Luftrohre ebenfalls dicht sind, damit sich nicht Gase in ihnen ansammeln, die beim Anlassen des Motors, also gerade in dem Augenblick, in dem Funken auftreten können, mit angesaugt und vielleicht entzündet werden.

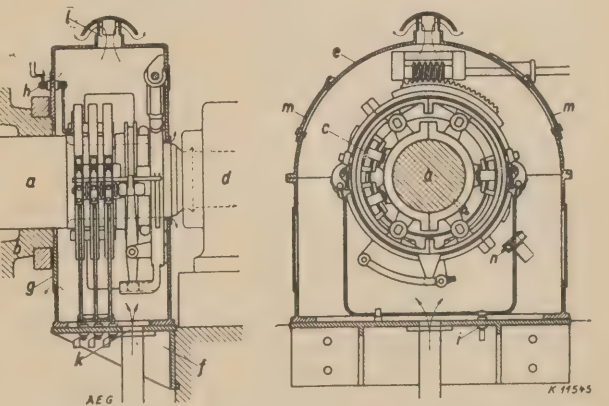
Bei den in Frage stehenden großen Motoren wäre es verfehlt, den ganzen Motor zu kapseln; deshalb hat die AEG ein besonderes System (DRGM) entwickelt. Der Grundgedanke ist der, daß es nicht notwendig ist, den ganzen Motor zu lüften, sondern nur den Raum, in dem sich die Schleifringe befinden, da ja nur in diesem Funken auftreten können. Zur Lüftung dient ein kleiner

elektrisch betriebener Ventilator, der reine Luft von außen ansaugt und in Betrieb gesetzt werden muß, bevor der Hauptmotor eingeschaltet werden kann; das Schleifringgehäuse ist also bereits durchlüftet, bevor die Funken an den Schleifringen auftreten können.

Das vorstehend angegebene System findet in erster Linie bei zweikurbeligen Kompressoren Anwendung (Bild 1a), jedoch ist es mit Rücksicht auf seine Betriebssicherheit auch bei einkurbeligen Kompressoren mit außenliegenden Schleifringen (Bild 1b) empfehlenswert.

Bild 2 zeigt ein nach diesem System entworfenes und wiederholt ausgeführtes Schleifringgehäuse mit Schleifringkörper.

Der zweiteilige Schleifringkörper *c* sitzt in der üblichen Weise auf der Kurbelwelle *a* zwischen dem Rotor *b* und einem der beiden Lager *d* (s. auch Bild 1a). Er ist von einem zweiteiligen Gehäuse *e* umgeben, das für sich mittels eines Konsols *f* am Fundament befestigt wird. An der Rotornabe ist eine zweiteilige Abschlussscheibe *g* angeschraubt, in der drei um 120° versetzte Kabel-Durchführungsbolzen befestigt sind. An diese Bolzen werden die zum Rotor bzw. zu den Schleifringen führenden Leiter gelegt. Zwischen Scheibe und Gehäuse bzw. Welle und Gehäuse ist genügend Spielraum, damit trotz Wellendurchbiegung und Wellenverschiebung, hervorgerufen durch Rotorgewicht und Kolbendrucke, das Gehäuse nicht streifen kann. Das Konsol, welches das Gehäuse nach unten abschließt, hat eine Öffnung *k*. Durch diese fördert während des Betriebes der kleine von einem Kurzschlußmotor angetriebene Ventilator reine Luft von geringem Überdruck in das Gehäuse, so daß aus den vorerwähnten Spielräumen, sowie sonstigen Öffnungen wohl Luft aus-, aber nicht eintreten kann. Die obere Öffnung *l* ist angeordnet, damit die während des Stillstandes eingedrungenen Gase vor dem Anlassen des großen Motors mittels des Ventilators leicht austreten können. Eine geeignete elektrische Verriegelung ist vorzusehen, um zu verhüten, daß der Hauptmotor eingeschaltet wird, bevor der Elektroventilator angelassen und eine bestimmte Zeit gelaufen ist. Die verschließbaren Klappen *m* ermöglichen eine Revision der Bürsten und Schleifringe. An die geschützt angeordneten Durchführungsbolzen *i* werden die zum Anlasser führenden Leitungen gelegt. Im Innern des Gehäuses wird auf Wunsch ein Verriegelungskontakt *n* eingebaut, so daß nur bei aufliegenden Bürsten und geöffneter Kurzschlußvorrichtung der Stator einschaltbar ist.



- | | | |
|-----------------------|-------------------------|--------------------------|
| a = Kurbelwelle | f = Konsol | k = Lufteintrittsöffnung |
| b = Rotor | g = Abschlussscheibe | l = Luftaustrittsöffnung |
| c = Schleifringkörper | h = Durchführungsbolzen | m = Revisionsklappen |
| d = Kurbellenlager | i = Anschlußbolzen | n = Verriegelungskontakt |
| e = Gehäuse | | |

Bild 2.
Schleifringgehäuse mit Fremdbelüftung DRGM.

Die AEG verwendet grundsätzlich bei direktem Drehstromantrieb ein- und zweikurbeliger Kompressoren die beschriebene Bauart der Schleifringe, da sie den sichersten Schutz gegen Explosionsgefahr bietet.

BEZUGSQUELLEN-NACHWEIS



ABAS ABDAMPF-AUSNUTZUNG

Abdampf-Lufterhitzer ::
Abgas-Saugzug-Anlagen ::
Abgas-Economiser
Abgas-Lufterhitzer ::

Abwärme-Ausnutzung u. Saugzug
G. m. b. H. „ABAS“, Berlin W 57

ABDECKPLATTEN



Schnellste Lieferung ab Lager

Tetzelt-Werk

Berlin-Tempelhof 14

Größtes und ältestes Spezialwerk

ABDECKUNGSRÖSTE

Fußreiniger



Fr. Engelmann, Jena-Au

Liste B 27 gratis

ANSTREICH-MASCHINE TVG



für Öl- und Wasserfarben

Technische
Verkaufsgesellschaft
Duisburg

ARMATUREN

für Wasser-, Gas-, Dampf-, Säure- u. sonstige Rohrleitungen, Patentventile für Hoch- und Niederdruckleitungen, Kondenswasserabscheider und Kondensstöpfe.

Spezialfabrikation
seit mehr als 50 Jahren.

Bopp & Reuther
G. m. b. H.
Mannheim-Waldhof



ARMATUREN

für

Hochdruck u. Heißdampf

— Parallel-Schieber —
— Geschmiedete Ventile —

Rheinische
Armaturen- und Maschinenfabrik
vorm. Keuth & Zenner G. m. b. H.
Saarbrücken

Kein Zoll!

AUFZÜGE

BRACKER

Aufzüge
jeder
Betriebsart
und Größe

G. D. Bracker Söhne
Maschinenbau-Aktiengesellschaft
Hanau a. M.

AUFZÜGE Hebezeuge,
Fahrtreppen, Elektromotoren

CARL Flohr A.-G.

Berlin N 4, Chausseestraße 35.

Größte deutsche Aufzugsfabrik.
Bisher über 30000 Anlagen geliefert.
Reparaturen und Revisionen
aller Systeme im Abonnement.

AUFZÜGE

Elektrische
AUFZÜGE
System
SCHINDLER



Elektrische
Steuerungen
und
Apparate für
AUFZÜGE
Bremsmotoren
Bremsmagnete
Komplette
Aufzugs-
Winden

Hebezeug- u. Motorenfabrik A.-G.
Karlsruhe-Bulach

AUFZÜGE

Original Kühnscherf Söhne Aufzüge

Aug. Kühnscherf & Söhne
Dresden-A. 1. V.

AUFZÜGE



jeder Art und Größe

Gustav Linse
Spezialfabrik für Aufzüge
Erfurt

AUFZÜGE



jeder Art
und
Größe

Schindler Aufzügefabrik
G. m. b. H.
Berlin SW 29, Kopischstr. 1

AUFZÜGE



jeder
Art,
Verdunkelungen
für
Hörsäle

Schmidt, Kranz & Co.
Nordhäuser Maschinenfabrik A.-G.
Nordhausen a. H.

Bei Erteilung
eines Jahresauftrages
(52 Anzeigen)

kostet dieser Raum (25 mm)
Mk. 12,60 netto pro Einschaltung

AUFZÜGE



Gegr

1861

AUFZUGSWERKE
Schmitt & Sohn
MÜNCHEN-NÜRNBERG-ESSEN
FACHFABRIKEN FÜR AUFZÜGE

AUFZÜGE

für Lasten und Personen



Elektro-
Züge
150-5000 kg
Tragkraft

Krane
Winden
aller Art



Fr. Schüle & Co.,
Aufzugs- und Hebezeugfabrik
Feldkirchen b. München

Personen- u. Lasten-

AUFZÜGE

STAHL

Paternoster

Elektrozüge
R. Stahl, A.-G.
Stuttgart



AUFZÜGE

aller Art — Feineinstellung

Personenpaternoster

KRANE

Transportband-Anlagen

Gebrüder Weismüller

Frankfurt a. M.-West

AUTOGENE

Schweiß- und Schneid-Anlage
mit sämtlichem Zubehör

Gaswerkzeuge
für alle Gasarten.



Heime & Hans Herzl

Maschinen- u.

Apparate-Fabrik

Halle (Saale)



BELEUCHTUNG



BESEG-LICH

Unübertroffen

für

Industrie-Großbeleuchtung

Beseg-Sonnen

Beseg-Werkstattheuchten

Beseg-Tiefbreitstrahler

Beseg-Sicherheitsleuchten

Beseg-Scheinwerfer

Fordern Sie

unsere unverblühten Vorschläge

Berliner Spar-

Elektrizitäts-Gesellschaft m. b.

Bln.-Wilmsdorf, Babelsbergerstr.

Fernruf: Pfalzburg 2353-54

Draht: Beseglicht

BLECH-

BIEGEMASCHINEN

Blechrichtemaschinen

bis zu den größten Abmessungen

in stets neuesten Konstruktion

bauen

M. A. G. vorm. Beck & Henke

Kassel

BRUNNENBAU

Tiefbohrungen, Rohrfilterbrunnen
Wasserwerksbau

Reuther Tiefbau G. m. b. H.
Mannheim-Waldhof 7



DAMPF- DRUCKVERMINDERER

Gebr. Poensgen A.-G.
Maschinenfabrik
Düsseldorf-Rath 71

BEZUGSQUELLEN-NACHWEIS

Flüssigkeitsanlasser.

Mitteilung der AEG.

Zum Anlassen von Gleichstrommotoren sowie zum Anlassen und Regeln von Drehstrom-Schleifringmotoren bis zu den größten Leistungen werden die Flüssigkeitsanlasser den Metallanlassern vielfach vorgezogen, weil sie nicht den Motorleistungen genau entsprechend ausgelegt sein müssen und außerdem bei Drehstrommotoren ohne Rücksicht auf die Läuferdaten verwendet werden können.

Die Flüssigkeitsanlasser ermöglichen stoßfreies Anlassen und können außerdem durch Änderung des Sodazusatzes leicht den verschiedenartigsten Anlaufbedingungen angepaßt werden. Sie sind daher als Reserveanlasser für Motoren verschiedener Größe besonders geeignet. Bei größeren Leistungen kommt noch

Für noch größere Leistungen werden die Anlasser mit Kühlvorrichtung ausgeführt (Bild 3). Der Kasten hat keine Durchführungsöffnungen, so daß Leckschäden nicht vorkommen können. Die Stromzuführungen werden außen am Anlasser hochgeführt. Die Zuführung der Kühlwasserleitungen erfolgt ebenfalls von oben. Der ganze Einbau kann nach Lösen von drei Verbindungsschrauben an den Stromschienen und vier Befestigungsschrauben am oberen Kastenrand herausgehoben und leicht untersucht werden ohne daß die Flüssigkeit abgelassen werden muß. Nach Lösen weniger Halteschrauben können die Tonrohre entfernt werden, um die am stärksten der Abnutzung unterworfenen Elektroden vollkommen frei zu legen, daß diese so eingehend untersucht und schnell ausgetauscht werden können (Bild 4).

Das Material der Elektroden — Nickelblech — gewährleistet lange Haltbarkeit. Das zum Kühlen der Flüssigkeit dienende Rohrsystem kann ebenfalls nach Lösen weniger Schrauben und der Rohranschlüsse herausgehoben werden. Die Ausführung dieser Anlasser erfolgt in verschiedenen Größen, für Motorleistungen bis 4000 kW und mit Kühleinrichtung zur dauernden Abführung von 20% der für die einzelnen Größen geltenden Motorleistungen. Bild 3 zeigt außerdem eine Sonderausführung als Schlupfregler (mit aufgebautem Regelmotor und Regelwiderstand) zum Konstanthalten der Leistung von Umformer- und Walzwerksmotoren, die mit Schwungmassen zur Aufnahme der periodisch auftretenden höheren Maximalleistung verbunden sind.

Sämtliche Anlasser können mit motorischen Fernantrieben versehen werden, so daß die Bedienung von beliebiger Stelle aus durch Druckknopf oder Hilfschalter erfolgen kann.

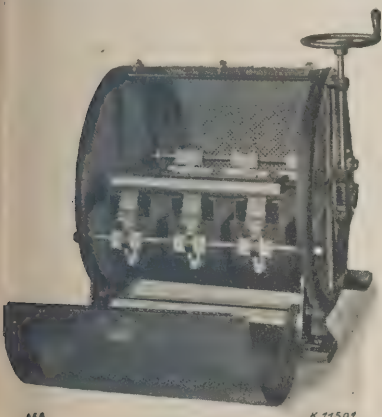


Bild 1.

Flüssigkeitsanlasser für 150 kW Vollastanlauf. hinzu, daß ihre Abmessungen kleiner und die Anschaffungskosten geringer als die der Metallanlasser sind. Sie genügen den schwersten Anforderungen der Hütten-, Walz- und Bergwerke für Pumpen, Gebläse-, Walzen- und Umformerantriebe. Die Verwendung eingebauter Kühlvorrichtungen gestattet weiterhin die Abführung großer Energiemengen, wie sie besonders beim Fördermaschinenantrieb in Frage kommen.

Die kleinen Anlasser bis 150 kW Vollastanlauf (Bild 1) bestehen aus Gestellen mit gußeisernen Seitenteilen, zwischen denen innen verbleite Blechgefäße zur Aufnahme der Flüssigkeit aufgehängt sind. Die schiffelförmigen, ebenfalls verbleiten Eintauchbleche sind durch je einen Tragarm an einer Welle befestigt und werden mittels einer selbsthemmenden Schneckenradübersetzung langsam in die Flüssigkeit gesenkt.

Schnecke mit Antriebswelle und Handrad können nach Bedarfsenkrech oder waagrecht angeordnet werden. In der Endstellung werden die Anlasser durch besondere Fingerkontakte metallisch kurzgeschlossen. Bei Gleichstrom wird das Feld durch angebaute metallene Schalter geschaltet.

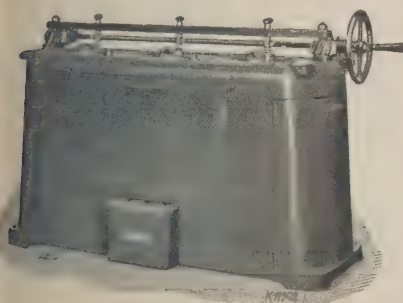


Bild 2.

Flüssigkeitsanlasser für 1175 kW Vollastanlauf. angebaute metallene Schalter geschaltet.

Die größeren Anlasser bis 1175 kW Vollastanlauf (Bild 2) haben als Elektrodengefäße Tonröhren mit isoliert auf dem Gestell befestigten Elektrodenböden. Die pilzförmigen Elektroden sind an einem Querhaupt aufgehängt. Beim Einschalten werden die Elektroden mittels zweier selbsthemmender Schraubenspindeln, deren Muttern durch Schnecken angetrieben werden, langsam gesenkt. Die Kurzschlußkontakte bestehen aus Schaltmessern, welche die federnden festen Kontakte miteinander verbinden; bei Gleichstrom ist ein besonderer Feldschalter erforderlich.

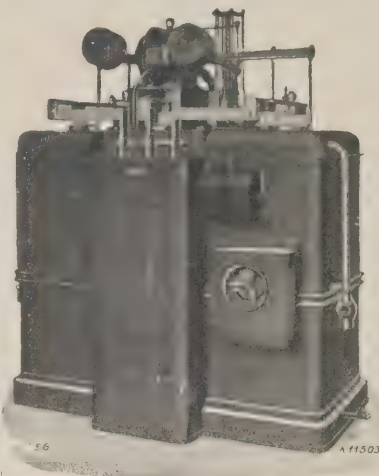


Bild 3.

Flüssigkeitsanlasser für 4000 kW Vollastanlauf.

Flüssigkeitsanlasser für 4000 kW Vollastanlauf. muß. Nach Lösen weniger Halteschrauben können die Tonrohre entfernt werden, um die am stärksten der Abnutzung unterworfenen Elektroden vollkommen frei zu legen, daß diese so eingehend untersucht und schnell ausgetauscht werden können (Bild 4).

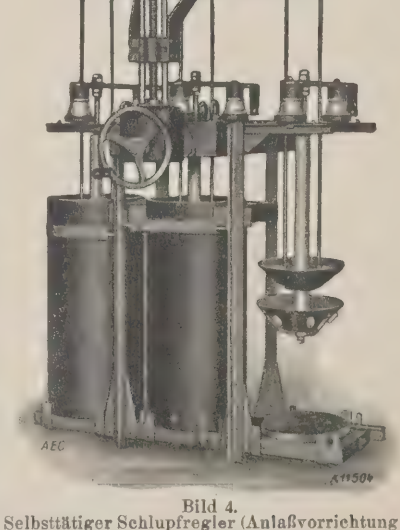


Bild 4.

Selbsttätiger Schlupfregler (Anlaßvorrichtung herausgehoben, eine Elektrode freigelegt). halten der Leistung von Umformer- und Walzwerksmotoren, die mit Schwungmassen zur Aufnahme der periodisch auftretenden höheren Maximalleistung verbunden sind.

Sämtliche Anlasser können mit motorischen Fernantrieben versehen werden, so daß die Bedienung von beliebiger Stelle aus durch Druckknopf oder Hilfschalter erfolgen kann.

BEZUGSQUELLEN-NACHWEIS



ABAS ABDAMPF-AUSNUTZUNG

Abdampf-Lufterhitzer ::
Abgas-Saugzug-Anlagen ::
Abgas-Economiser ::
Abgas-Lufterhitzer ::

Abwärme-Ausnutzung u. Saugzug
G. m. b. H. „ABAS“, Berlin W 57

ABDAMPFENTÖLER

Dampftrockner, Reiniger



Julius Wilisch
Wurzen Sa.

ABDECKPLATTEN



Schnellste Lieferung ab Lager

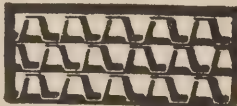
Tezett-Werk

Berlin-Tempelhof 14

Größtes und ältestes Spezialwerk

ABDECKUNGSROSTE

Fußreiniger



Fr. Engelmann, Jena-Au
Liste B 27 gratis

ANSTREICH-MASCHINE TVG



für Öl- und Wasserfarben

Technische
Verkaufsgesellschaft
Duisburg

ARMATUREN

für Wasser-, Gas-, Dampf-, Säure-
u. sonstige Rohrleitungen, Patent-
ventile für Hoch- und Nieder-
druckleitungen, Kondenswasser-
abscheider und Kondensstöpfe.

Spezialfabrikation
seit mehr als 50 Jahren.

Bopp & Reuther
G. m. b. H.
Mannheim-Waldhof



ARMATUREN

für

Hochdruck u. Heißdampf

— Parallel-Schieber —
— Geschmiedete Ventile —

Rheinische
Armaturen- und Maschinenfabrik
vorm. Keuth & Zenner G. m. b. H.
Saarbrücken

Kein Zoll!

AUFZÜGE



Aufzüge
jeder
Betriebsart
und Größe

G. D. Bracker Söhne
Maschinenbau-Aktiengesellschaft
Hanau a. M.

AUFZÜGE Hebezeuge,
Fahrtreppen, Elektromotoren

CARL Flohr A-G
Berlin N 4, Chausseestraße 35.

(Größte deutsche Aufzugsfabrik.
Bisher über 30000 Anlagen geliefert.
Reparaturen und Revisionen
aller Systeme im Abonnement.

AUFZÜGE

Elektrische
AUFZÜGE
System
SCHINDLER



Elektrische
Steuerungen
und
Apparate für
AUFZÜGE
Bremsmotoren
Bremsmagnete
Komplette
Aufzugs-
Winden

Hebezeug- u. Motorenfabrik A.-G.
Karlsruhe-Bulach

AUFZÜGE

für Personen, Lasten, Speisen,
Akten



Heime & Hans Herzfeld
Maschinen- u.
Apparate-Fabrik
Halle (Saale)

AUFZÜGE

**Original
Kühnscherf-Söhne
Aufzüge**

Aug. Kühnscherf & Söhne
Dresden-A. 1. V.

AUFZÜGE



jeder Art und Größe
Gustav Linse
Spezialfabrik für Aufzüge
Erfurt

Dieser Raum

(40 mm Höhe)

kostet

bei Jahresabschluß

(52 Anzeigen)

Mk. 20,16 pro Aufnahme

AUFZÜGE

Paternoster-
Aufzüge
Personen-Aufzüge
mit
Feineinstellung
Lasten-Aufzüge



Mannheimer Maschinenfabrik
Mohr & Federhaff, Mannheim

AUFZÜGE



jeder
Art,
Verdunkelungen
für
Hörsäle

Schmidt, Kranz & Co.
Nordhäuser Maschinenfabrik A.-G.
Nordhausen a. H.

AUFZÜGE



Gegr

1861

AUFZUGSWERKE
Schmitt & Sohn
MÜNCHEN-NÜRNBERG-ESSEN
FACHFABRIKEN FÜR AUFZÜGE



AUFZÜGE

jeder Art
und
Größe

Schindler Aufzügefabrik G. m. b. H.
Berlin SW 29, Kopischstr. 1

AUFZÜGE

für Lasten und Personen



Elektro-
Züge
150-5000 kg
Tragkraft

Krane
Winden
aller Art



Fr. Schüle & Co.,
Aufzugs- und Hebezeugfabrik
Feldkirchen b. München

Personen- u. Lasten-

AUFZÜGE

STAHL

Paternoster

Elektrozüge
R. Stahl, A.-G.
Stuttgart

AUFZÜGE

aller Art — Feineinstellung

Personenpaternoster

KRANE

Transportband-Anlagen

Gebrüder Weismüller

Frankfurt a. M.-West



BELEUCHTUNG



BESEG-LICH

Unübertroffen
für

Industrie-Großbeleuchtung

Beseg-Sonnen
Beseg-Werkstattleuchten
Beseg-Tiefbreitstrahler
Beseg-Sicherheitsleuchten
Beseg-Scheinwerfer

Fordern Sie
unsere unverbindlichen Vorschläge

Berliner Spar-

Elektrizitäts-Gesellschaft m. b. H.
Bln.-Wilmerdorf, Babelsbergers
Fernruf: Pfalzburg 2353-54
Draht: Beseglicht

BEZUGSQUELLEN-NACHWEIS

Schwungradloser Drehstromantrieb für Scheren usw.

Mitteilung der AEG.

Während man bei Verwendung von selbsttätig regulierten Gleichstrommotoren für schwungradlose Scheren die Schwungradwirkung durch den erzielten Geschwindigkeitsausgleich vollwertig und verlustlos ersetzen kann, ist dies bei gewöhnlichen Drehstrommotoren nur im geringen Maße durch einen Schlupf-widerstand möglich. Bei schwungradlosem Drehstromantrieb muß also die Stromquelle den größten Teil der aus dem höchsten Drehmoment der Arbeitsmaschine sich ergebenden Spitzenleistung decken können. Damit ist aber nicht gesagt, daß die Spitzenbelastung der Stromquelle bei dem schwungradlosen Drehstromantrieb wesentlich größer sein muß als mit Schwungrad, und zwar aus folgenden Gründen: Bei Schwungradscheren ist eine Kupplung vorhanden, die für jeden Schnitt eingerückt werden muß. Dies erfordert einen Kraftaufwand, vor allem aber Zeit. Außerdem greift die Kupplung nicht immer sofort ein, wodurch ein weiterer Zeitverlust entsteht.

Um diese Zeitverluste auszugleichen, wird mit hohen Schnittgeschwindigkeiten bzw. großen Schnittzahlen je Minute gearbeitet. Man rechnet aber keineswegs damit, daß diese Schnitt- bzw. Hubzahlen auch ausgenützt werden; die ausnützbare Hubzahl ist vielmehr nur $\frac{1}{4}$ bis höchstens $\frac{1}{2}$ der rechnerischen. Durch die der rechnerischen Hubzahl entsprechende Schnittgeschwindigkeit ist aber die erforderliche Motorleistung gegeben.

Bei dem schwungradlosen Antrieb mit Druckknopfsteuerung entfällt dagegen die Griffzeit, auch gibt es dabei nur ausgenützte Hübe. Infolgedessen kann die Schnittgeschwindigkeit ermäßigt und die aus dem Produkt Schnittdruck mal Schnittgeschwindigkeit hervorgehende Spitzenleistung geringer sein als bei Schwungradantrieben, so daß auch ohne Schwungradausgleich die sich ergebende wirkliche Spitzenleistung nicht oder jedenfalls nicht viel höher sein muß. Der Stromverbrauch der schwungradlosen Schere wird dagegen — auch wenn aus besonderen Gründen die Motorspitzenleistung wesentlich höher sein sollte — bedeutend geringer sein als der Stromverbrauch der Schwungradschere. Der Unterschied ist um so größer, je weniger von den zur Verfügung stehenden Hüben im Tagesdurchschnitt ausgenützt werden. Ein weiterer Vorteil ist die Möglichkeit, den Schnitt in jedem Moment aufhalten und das Messer zurücklaufen lassen zu können, was besonders wichtig ist wegen der Schwierigkeit, die das genaue Einhalten der Schnittlinie bei Tafelscheren bietet.

Ferner kann man mit dem schwungradlosen Antrieb auch Teilhübe ausführen und mit pendelnd bewegtem Messer arbeiten. Endlich entfällt die große Gefahr, die das aufgeladene Schwungrad für die Bruchsicherheit der Schere oder Presse bildet. Maschinen mit schwungradlosem Antrieb haben daher eine weitaus höhere Bruchsicherheit, und können sogar vollkommen bruchsicher hergestellt werden.

Bei dem schwungradlosen Drehstromantrieb wird ein Motor mit Schleifringanker und besonders hohem

Anzugs- und Kippdrehmoment verwendet. Die Überlastungsfähigkeit des Motors wird je nach der durchschnittlichen Tageshubzahl mehr oder weniger ausgenützt. Bei starker Ausnützung der Überlastungsfähigkeit kann ein kleinerer Motor gewählt werden; die Spitzenstromstärke ist aber bei einer gegebenen Maschine und Hubzahl in beiden Fällen gleich. Wenn die Stromquelle außerdem noch den etwa dreifachen Wert des Nennstromes als Anlaufstrom zuläßt, so ist nicht einmal ein selbsttätiger Anlasser nötig, sondern der vorgesehene Schlupfwiderstand genügt allein, um den Anlaufstrom in dieser Grenze zu halten. Die Steuerung besteht dann bloß aus dem Motor, dem festen Schlupf-

widerstand, einem Bremslüfter, zwei Schützen für Rechts- und Linkslauf, die in Funkensperrung geschaltet sind (DRP.), den Druckknopftafeln mit den Kommandos „Schnitt“, „Rücklauf“, „Durchlauf“ und „Halt“, einem Grenzscharter, der durch die Kurbel bzw. Exzenter welle betätigt wird, und einem Motorschutzschalter mit Stromzeiger. Das Rücklaufschütz und der zugehörige Druckknopf können zur weiteren Vereinfachung ebenfalls wegfallen, wodurch aber die Bedienung umständlicher wird, weil für den Rücklauf dann ein besonderer Handschalter bedient werden muß. Beim Drücken des Knopfes „Schnitt“ läuft der Motor in normaler Drehrichtung schnell an; beim Ausüben des größten Drehmomentes sinkt seine Drehzahl im Verhältnis zu dem Schlupf-widerstand beim Rücklauf des Obermessers beschleunigt sich der Motor wieder, bis er, bevor das Obermesser wieder seine Anfangslage erreicht, durch den Grenzscharter ausgeschaltet und durch die einfallende Bremse stillgesetzt wird. Der Knopf „Rücklauf“ kann in jedem Moment gedrückt werden, worauf sich die Bewegung sofort umkehrt, ebenso kann durch den Halteknopf in jedem Moment stillgesetzt werden. Mit dem „Durchlaufknopf“ wird der selbsttätig arbeitende Grenzscharter unwirksam gemacht, so daß, solange dieser Knopf gedrückt oder festgestellt wird, die Hübe ohne Unterbrechung folgen. Die Druckknöpfe können auch für Fußbetätigung ausgeführt werden, so daß der Bedienende beide Hände für die Werkstücke frei hat. Durch die Druckknopfbedienung wird gewöhnlich ein zweiter Mann erspart.

Das Bild zeigt eine Trenn-, Saum- und Spaltschere 2500 × 25 mm mit dem schwungradlosen Drehstromantrieb und mit Anlaß-Schützensteuerung, durch welche nicht nur der Anlaufstrom, sondern auch die Verluste im Schlupfwiderstand wesentlich vermindert werden. In diesem Falle sind alle Apparate, also auch der Hauptscharter, die thermische Motorschutzvorrichtung, Sicherungen, Umkehr- und Anlaß-Schützen, Stromwächter, Stromzeiger und dergl. in einem Schaltschrank vereinigt, der an einem der Scherenständer befestigt wird. Außer den Druckknopftafeln an beiden Ständern ist noch ein beweglicher Druckknopf mit dem Kommando „Schnitt“ für Fußbetätigung vorhanden.



Blechtrenn-, Saum- und Spaltschere 25 × 2050 mm mit schwungradlosem Drehstrom-Druckknopfsteuerungs-Antrieb (90 PS) — Wagner & Co., Dortmund.

BEZUGSQUELLEN-NACHWEIS



ABAS ABDAMPF-AUSNUTZUNG

Abdampf-Lufterhitzer ::
Abgas-Saugzug-Anlagen
:: Abgas-Economiser
Abgas-Lufterhitzer ::

Abwärme-Ausnutzung u. Saugzug
G. m. b. H. „ABAS“, Berlin W 57

ABDAMPF-ENTÖLER PRESSLUFT-ENTÖLER D.R.P.

„BÜHRING“ D.R.P.
mit Ölrückgewinnung



Preßluft-Entöler
D.R.P.

Entöler
Vorwärmer

Bühring A.-G.
Landsberg (Bz. Halle)

ABDAMPF-ENTÖLER

Max Dreyer & Co., Magdeburg-S.

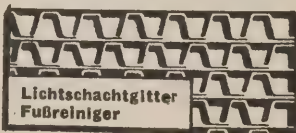
ABDAMPF-ENTÖLER

Sack & Kiesselbach
Maschinenfabrik G. m. b. H.
Düsseldorf-Rath

ABDAMPF-ENTÖLER

Th. Wipperf, Huss & Co.
Kommandit-Gesellschaft
Maschinenfabrik
Bremen

ABDECKPLATTEN



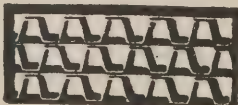
Schnellste Lieferung ab Lager

Tezett-Werk

Berlin-Tempelhof 14
Größtes und ältestes Spezialwerk

ABDECKUNGSRÖSTE

Fußreiniger



Fr. Engelmann, Jena-Au
Liste B 27 gratis



ANSTREICH- MASCHINE TVG

für Öl- und Wasser-
farben

Technische
Verkaufsgesellschaft
Duisburg

ARMATUREN

für Wasser-, Gas-, Dampf-, Säure-
u. sonstige Rohrleitungen, Patent-
ventile für Hoch- und Nieder-
druckleitungen, Kondenswasser-
abscheider und Kondensstöpsel.

Spezialfabrikation
seit mehr als 50 Jahren.

Bopp & Reuther
G. m. b. H.
Mannheim-Waldhof



ARMATUREN

für alle Zwecke

Heinrich ter Jung, Metallwaren-
und Maschinenfabrik G. m. b. H.,
Mülheim-Ruhr.



ARMATUREN

für

Hochdruck u. Heißdampf

— Parallel-Schieber —
— Geschmiedete Ventile —

Rheinische
Armaturen- und Maschinenfabrik
vorm. Keuth & Zenner G. m. b. H.
Saarbrücken
Kein Zoll!

AUFZÜGE

BRACKER

Aufzüge

jeder
Betriebsart
und Größe

G. D. Bracker Söhne
Maschinenbau-Aktiengesellschaft
Hanau a. M.

AUFZÜGE Hebezeuge, Fahrtreppen, Elektromotoren

CARL **Flohr** A-G
Berlin N 4, Chausseestraße 35.

Größte deutsche Aufzugsfabrik.
Bisher über 30000 Anlagen geliefert.
Reparaturen und Revisionen
aller Systeme im Abonnement.

AUFZÜGE

Elektrische
AUFZÜGE
System
SCHINDLER



Elektrische
Steuerungen
und
Apparate für
AUFZÜGE
Bremsmotoren
Bremsmagnete
Komplette
Aufzugs-
Winden

Hebezeug- u. Motorenfabrik A.-G.
Karlsruhe-Bulach

AUFZÜGE

Personen- und Lastenaufzüge
mit und ohne Feineinstellung

Paternosteraufzüge
für Personen oder Waren

Maschinenfabrik
Gustav Ad. Koch
Hamburg 39

AUFZÜGE

Original Kühnscherf-Söhne Aufzüge

Aug. Kühnscherf & Söhne
Dresden-A. 1. V.

AUFZÜGE



jeder Art und Größe

Gustav Linse
Spezialfabrik für Aufzüge
Erfurt

AUFZÜGE

Original-Dreistern
von höchst. Sicherheit u. dem newest.
Stand der Technik entsprechend.
Maschinenfabrik MÜHLEISSEN
Elberfeld-Son.



AUFZÜGE

jeder Art
und
Größe

Schindler Aufzugsfabrik G. m. b. H.
Berlin SW 29, Kopischstr. 1

Dieser Raum
(40 mm Höhe)
kostet

bei Jahresabschluß
(52 Anzeigen)
Mk. 20,16 pro Aufnahme

AUFZÜGE



jeder
Art,
Verdunkelung
für
Hörsäle

Schmidt, Kranz & Co.
Nordhäuser Maschinenfabrik A.
Nordhausen a. H.

AUFZÜGE



Gegr

186

AUFZUGSWERKE
Schmitt & Sohn
MÜNCHEN-NÜRNBERG-ESSEN
FACHFABRIKEN FÜR AUFZÜGE

AUFZÜGE

für Lasten und Personen



Elektro-
Züge
150-5000 kg
Tragkraft

Krane
Winden
aller Art



Fr. Schüle & Co.,
Aufzugs- und Hebezeugfabrik
Feldkirchen b. München

Personen- u. Lasten-

AUFZÜGE

STAHL

Paternoster

Elektrozüge
R. Stahl, A.-G.
Stuttgart



BEZUGSQUELLEN-NACHWEIS

AEG-Getriebe-Dampfturbopumpen in der Wasserversorgung Groß-Berlins

Mitteilung der AEG.

Die Bildung der neuen Stadtgemeinde Berlin und das außerordentlich schnelle Anwachsen des Wasser- verbrauches seit dem Jahre 1925 veranlaßte die Berliner Städtische Wasserwerke A.-G. und die Charlottenburger Wasser- und Industriewerke A.-G., die sich beide in die Wasserversorgung Groß-Berlins teilen, zu umfangreichen Erweiterungen ihrer Maschinenanlagen. Zu gleicher Zeit hatte die AEG ihre Getriebe-Dampfturbopumpen vervollkommenet, d. h. Wasserwerks- maschinen geschaffen, bei denen Dampfturbine und Hauptkreislumpumpe durch ein Rädergetriebe verbunden sind, eine Anordnung, die es gestattet, stets für

1928 das Förderwerk Stolpe mit 3 Maschinensätzen ausgerüstet. Bei der Charlottenburger Wasser- und Industriewerke A.-G. kam im Förderwerk Johannisthal im Jahre 1926 und im Förderwerk Tiefwerder im Jahre 1928 je ein Maschinensatz mit einer größeren Turbinenleistung in Betrieb. Die Zahlentafel gibt eine Übersicht über die Leistungsdaten der genannten Förderwerke mit den bei den Garantievorsuchen erzielten Resultaten im Dampfverbrauch.

Die Bilder 1 und 2 gewähren einen Einblick in den Maschinenraum der beiden Förderwerke Stolpe und Lichtenberg. Die darin aufgestellten Maschi-



Bild 1. Förderwerk Stolpe.

	Förderwerk	Pumpen- leistung in m³/h	Förder- höhe in m _{max}	Arbeit in in Wasser- PS etwa	U/min		Dampf-		Bei der Abnahme erzielter Höchstwert der spez. Förderarbeit in tm/kg
					Turbine etwa	Pumpe etwa	Eintritts- spannung in atfl	Tempe- ratur °C	
Berliner Städt. Wasser- werke A.-G.	Tegel.....	2000	40 bis 60	295 bis 445	7400 bis 8200	700 bis 770	14	350	54,6 bei H=50 m
	Lichtenberg	5000	20 bis 32	370 bis 590	4650 bis 5470	605 bis 710	15	350	62,5 bei H=82 m
	Stolpe.....	2900	60 bis 90	445 bis 665	4760 bis 5460	680 bis 780	15	350	60,1 bei H=90 m
Charlotten- burger Wasser- und Industrie- Werke A.-G.	Johannisthal.....	3000	65 bis 95	720 bis 1055	2870 bis 3230	560 bis 640	11	350	56,9 bei H=95 m
	Tiefwerder.....	3000	65 bis 95	720 bis 1055	3000 bis 3400	585 bis 665	22	350	60,2 bei H=95 m

Übersicht der für die Wasserversorgung von Groß-Berlin gelieferten AEG-Dampfturbo-Getriebepumpen,

beide Maschinen die günstigsten Drehzahlen zu wählen, mithin den höchsten Wirkungsgrad zu erreichen. Im Dampfverbrauch kommen solche neuzeitlichen AEG-Getriebe-Dampfturbopumpen den besten Dampfkolbenpumpen gleich. Dieser Umstand im Verein mit den übrigen bekannten Vorzügen der Dampfturbopumpen gab bei den Neuanschaffungen in Berlin den Ausschlag zugunsten der AEG-Getriebe-Dampfturbopumpe, die auch für andere Groß-Wasserwerke mit Dampfbetrieb die zweckmäßigste Betriebsmaschine für Reinwasser darstellt.

Seitens der Berliner Städtische Wasserwerke A.-G. wurde das Förderwerk Tegel im Jahre 1926 mit 4 Maschinen, im Jahre 1927 das Förderwerk Lichtenberg mit ebenfalls 4 Maschinensätzen und im Jahre

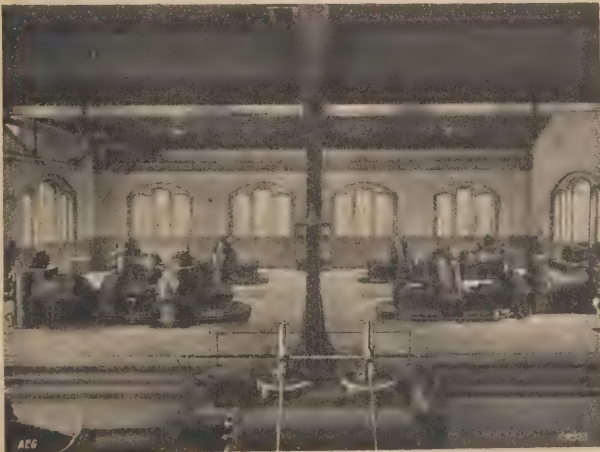


Bild 2. Förderwerk Lichtenberg.

nen lassen die bereits typisch gewordene Anordnung der AEG-Getriebe-Dampfturbopumpen erkennen, die samt ihrer mit Dampfstrahlpumpen arbeitenden Kondensation mehrfach beschrieben worden sind¹⁾. Für die Wasserversorgung von Groß-Berlin stehen nunmehr außer 4 älteren AEG-Dampf-Turbopumpen 13 neuzeitliche AEG-Getriebe-Dampfturbopumpen mit einer gesamten Fördermenge von rund 52 000 m³/h zur Verfügung, die den Hauptteil der gesamten Wasserversorgung Groß-Berlins bewältigen.

¹⁾ AEG-Mitteilungen 1925, Heft 4, S. 134. Die neue Dampfturbopumpenanlage des Wasserwerkes Tegel; AEG-Mitteilungen 1925, Heft 10, S. 319 und 11, S. 370. Die Entwicklung der Dampfturbopumpe als Wasserwerksmaschine; ZVDI, Band 70/1926, Nr. 46, S. 1521. Die Dampfturbopumpe als Wasserwerksmaschine.

BEZUGSQUELLEN-NACHWEIS



ABAS ABDAMPF-AUSNUTZUNG

Abdampf-Lufterhitzer ::
Abgas-Saugzug-Anlagen
Abgas-Economiser
Abgas-Lufterhitzer ::

Abwärme-Ausnutzung u. Saugzug
G. m. b. H. „ABAS“, Berlin W 57

ABDECKPLATTEN



Schnellste Lieferung ab Lager

Tezett-Werk

Berlin-Tempelhof 14

Größtes und ältestes Spezialwerk

ABDECKUNGSROSTE

Fußreiniger



Fr. Engelmann, Jena-Au
Liste B 27 gratis

ANSTREICH-MASCHINE TVG



für Öl- und Wasserfarben

Technische
Verkaufsgesellschaft
Duisburg

Der
Bezugsquellen-Nachweis
die
Zentralstelle
technischer Angebote

ARMATUREN

für Wasser-, Gas-, Dampf-, Säure-
u. sonstige Rohrleitungen, Patent-
ventile für Hoch- und Nieder-
druckleitungen, Kondenswasser-
abscheider und Kondensstöpfe.

Spezialfabrikation
seit mehr als 50 Jahren.

Bopp & Reuther
G. m. b. H.
Mannheim-Waldhof



ARMATUREN

für

Hochdruck u. Heißdampf

— Parallel-Schieber —
— Geschmiedete Ventile —

Rheinische
Armaturen- und Maschinenfabrik
vorm. Keuth & Zenner G. m. b. H.
Saarbrücken
Kein Zoll!

AUFZÜGE



Aufzüge
jeder
Betriebsart
und Größe

G. D. Bracker Söhne
Maschinenbau-Aktiengesellschaft
Hanau a. M.

AUFZÜGE Hebezeuge,
Fahrtreppen, Elektromotoren

CARL Flohr A-G
Berlin N 4, Chausseestraße 35.

Größte deutsche Aufzugsfabrik.
Bisher über 30000 Anlagen geliefert.
Reparaturen und Revisionen
aller Systeme im Abonnement.

AUFZÜGE

Elektrische
AUFZÜGE
System
SCHINDLER



Elektrische
Steuerungen
und
Apparate für
AUFZÜGE
Bremsmotoren
Bremsmagnete
Komplette
Aufzugs-
Winden

Hebezeug- u. Motorenfabrik A.-G.
Karlsruhe-Bulach

AUFZÜGE

**Original
Kühnscherf-Söhne
Aufzüge**

Aug. Kühnscherf & Söhne
Dresden-A. 1. V.

AUFZÜGE



jeder Art und Größe

Gustav Linse
Spezialfabrik für Aufzüge
Erfurt



AUFZÜGE

jeder Art
und
Größe

Schindler Aufzugsfabrik G. m. b. H.
Berlin SW 29, Kopischstr. 1

Bei Erteilung

eines Jahresauftrages

(52 Anzeigen)

kostet dieser Raum

(50 mm)

Mk. 25.20 netto

pro Einschaltung

AUFZÜGE



jeder
Art,
Verdunkelungen
für
Hörsäle

Schmidt, Kranz & Co.
Nordhäuser Maschinenfabrik A.-G.
Nordhausen a. H.

AUFZÜGE



Gegr

1861

AUFZUGSWERKE
Schmitt & Sohn
MÜNCHEN-NÜRNBERG-ESSEN
FACHFABRIKEN FÜR AUFZÜGE

AUFZÜGE für Lasten und Personen



Elektro-
Züge
150-5000 kg
Tragkraft

Krane
Winden
aller Art



Fr. Schüle & Co.,
Aufzugs- und Hebezeugfabrik
Feldkirchen b. München

Personen- u. Lasten-

AUFZÜGE STAHL

Paternoster

Elektrozüge
R. Stahl, A.-G.
Stuttgart

AUFZÜGE

aller Art — Feineinstellung

Personenpaternoster

KRANE

Transportband-Anlagen

Gebrüder Weismüller

Frankfurt a. M.-West



BELEUCHTUNG



BESEG-LICHT

Unübertroffene
für

Industrie-Großbeleuchtung

Beseg-Sonnen
Beseg-Werkstattleuchten
Beseg-Tiefbreitstrahler
Beseg-Sicherheitsleuchten
Beseg-Scheinwerfer

Fordern Sie
unsere unverbindlichen Vorschläge

Berliner Spar-
Elektrizitäts-Gesellschaft m. b. H.

Bln.-Wilmsdorf, Babelsbergerstr.

Fernruf: Pfalzburg 2353-54

Draht: Beseglicht

BLECH- BIEGEMASCHINEN

Blechrichtemaschinen

bis zu den größten Abmessungen
in stets neuesten Konstruktionen
bauen

M. A. G. vorm. Beck & Henkel
Kassel

BEZUGSQUELLEN-NACHWEIS

Neue Druckschalter für Hauswasseranlagen.

Mitteilung der AEG.

Druckschalter dienen zum Steuern von selbsttätigen Wasserversorgungsanlagen mit Druckwasserkessel. Der obere Teil des Kessels enthält bekanntlich Luft, die beim Vollpumpen zusammengepreßt wird und beim Öffnen eines Zapfhahnes das Wasser aus dem Druckwasserkessel herausdrückt. Außerdem betätigt die Druckluft

Anschlag begrenzt die Bewegung des Schalthebels nach oben. Wird dieser Anschlag tiefer eingestellt, dann liegt das rückwärtige Ende des Schalthebels entsprechend höher und die Rolle bewegt sich früher über die Schneide, so daß der Schalter erst bei höherem Druck wieder einschaltet.

Der Schalter wird in zwei Ausführungen lagermäßig hergestellt, die sich lediglich durch ihre Schaltgrenzen bzw. durch die Abmessungen der Hauptfeder unterscheiden. Bei der einen Ausführung sind die Grenzen normal 2 atü Einschalt- und 3,5 atü Ausschalt-druck, bei der anderen 1,0 bzw. 1,7 atü. Zwei Einstellschrauben *a* und *b* ermöglichen bei Bedarf jederzeit an Ort und Stelle weitgehende Verstellung der Schaltgrenzen (Bild 1). Mit Hilfe der Schraube *a* kann die Spannung der Hauptfeder geändert werden. Durch Rechtsdrehen dieser Schraube wird bewirkt, daß sowohl das Ein- als auch das Ausschalten bei höherem Druck erfolgt und umgekehrt; hierbei bleibt der

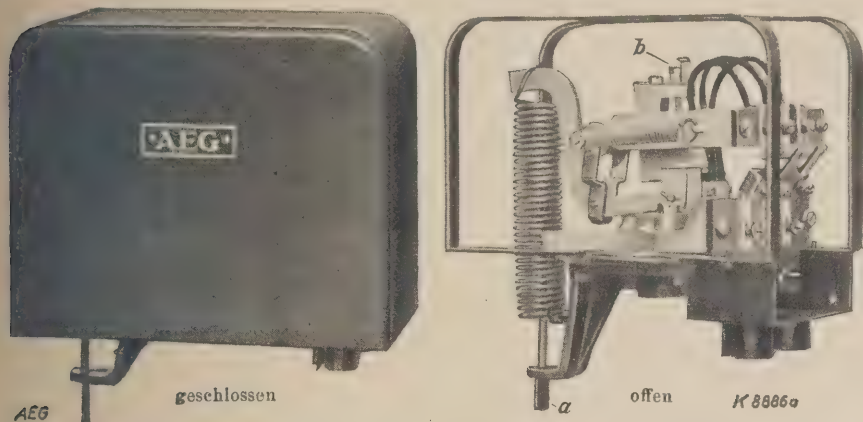


Bild 1. Druckschalter für Leistungen bis 1,5 kW.

den Druckschalter, der durch Ein- und Ausschalten des Pumpenmotors den Druck innerhalb der eingestellten Grenzen aufrecht erhält. Das Luftpolster ermöglicht die Entnahme kleinerer Wassermengen ohne jedesmaliges Anlaufen der Pumpe.

Ebenso wie der Anschluß an große Wasserleitungsanlagen bieten auch derartige Anlagen die Vorteile einfacher Entnahme von stets frischem Wasser nur durch Öffnen des Zapfhahnes sowie stete Betriebsbereitschaft.

Für die bei Hauswasseranlagen in Frage kommenden geringen Motorleistungen bis 1,5 kW hat die AEG einen neuen Druckschalter (Bild 1) entwickelt, der bei geringem Gewicht leichte Verstellbarkeit der Druckgrenzen und größte Betriebssicherheit aufweist.

Der Druck des Windkessels wirkt auf eine Membran, die durch beweglich angeordnete Bronzeblechsegmente gegen Deformierung geschützt ist. Hierdurch wird größte Beweglichkeit der Membran bei geringstem Energieverbrauch und langer Lebensdauer erreicht. Die Bewegung der Membran wird durch einen Hebel auf eine Rolle übertragen. Der Hebel wird durch die Hauptfeder belastet. Die Rolle bewegt sich über das dachartig ausgebildete rückwärtige Ende des Schalthebels und wird durch zwei Hilfsfedern angepreßt. Wenn die Rolle die Schneide des Schalthebels überschreitet, wird die Druckkomponente auf den Schalthebel in ihrer Richtung geändert und bewegt den Schalthebel in die andere Stellung. Da die Hilfsfedern beim Überschreiten der Schneide ihre größte Spannung erreicht haben, erfolgt die Bewegung des Schalthebels mit großer Kraft; da andererseits Klinken vermieden und überall die Reibungskräfte auf das geringste Maß beschränkt sind, sind gute Kontaktgabe und genaues und sicheres Schalten sowie größte Unempfindlichkeit gegen Erschütterungen und Verschmutzung gewährleistet. Ein verstellbarer

Unterschied zwischen Ein- und Ausschalt-druck fast unverändert. Durch Verstellen der Schraube *b* wird nur der Einschalt-druck höher oder tiefer eingestellt, der Druckunterschied also verkleinert oder vergrößert.

Aus Kurve I in Bild 2 sind die durch Verstellen der Feder zu erreichenden Ausschalt-Drücke, aus den Kurven II, III und IV die durch Verstellen der Einschalt-schraube zu erreichenden Einschalt-Drücke zu entnehmen.

Muß die Einstellung an Ort und Stelle geändert werden, so ist zuerst durch Veränderung der Feder-spannung der Ausschalt-druck, dann durch Verstellen der Einstellschraube *b* der Einschalt-druck einzustellen.

Die Kontakthanordnung ist dreipolig. Bei Gleichstrom sind zwei Kontaktpaare hintereinander zu schalten.

Eine am Druckschalter vorgesehene Doppelschelle ermöglicht den direkten Anschluß der Schutzrohre der elektrischen Leitungen (bis 16 mm Ø) an dem Schalter. Die sonst üblichen frei herumhängenden Leitungsspiralen fallen hierdurch fort.

Wegen seines geringen Gewichtes kann der Schalter ohne weitere Befestigung mit einem 1/2"-Rohrstutzen direkt auf dem Windkessel angeordnet werden.

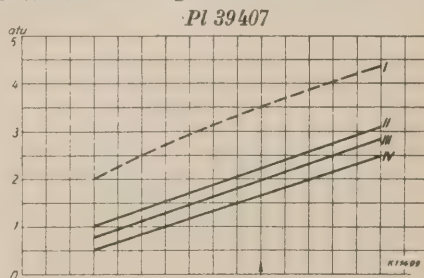
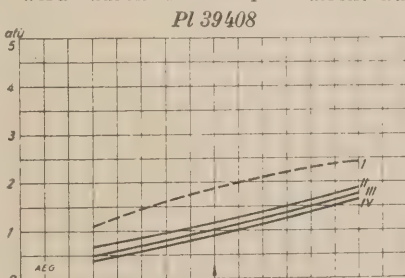


Bild 2. Einstellmöglichkeit der Druckschalter ohne Auswechslung der Federn.

Sämtliche Eisenteile sind rost-sicher ausgeführt; der Druckschalter selbst ist durch eine leicht abnehmbare Stahlschutzhaube gegen Tropfwasser geschützt.

Die Wartung beschränkt sich auf schwaches Einfetten der Kontakte und geringes Ölen der Drehpunkte in etwa halbjährlichen Pausen.

BEZUGSQUELLEN-NACHWEIS



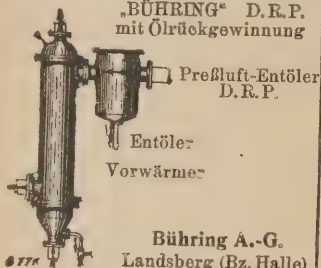
ABAS ABDAMPF- AUSNUTZUNG

Abdampf-Lufterhitzer ::
Abgas-Saugzug-Anlagen
:: Abgas-Economiser
Abgas-Lufterhitzer ::

Abwärme-Ausnutzung u. Saugzug
G. m. b. H. „ABAS“, Berlin W 57

ABDAMPF-ENTÖLER PRESSLUFT-ENTÖLER D.R.P.

„BÜHRING“ D. R. P.
mit Ölrückgewinnung



Bühning A.-G.
Landsberg (Bz. Halle)

ABDAMPF-ENTÖLER

Max Dreyer & Co., Magdeburg-S.

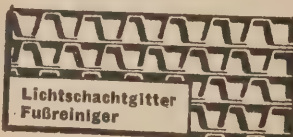
ABDAMPF-ENTÖLER

Sack & Kiesselbach
Maschinenfabrik G. m. b. H.
Düsseldorf-Rath

ABDAMPF-ENTÖLER

Th. Wippen, Huss & Co.
Kommandit-Gesellschaft
Maschinenfabrik
Bremen

ABDECKPLATTEN



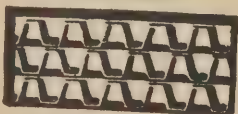
Schnellste Lieferung ab Lager

Tezett-Werk
Berlin-Tempelhof 14

Größtes und ältestes Spezialwerk

ABDECKUNGSRÖSTE

Fußreiniger



Fr. Engelmann, Jena-Au
Liste B 27 gratis



ANSTREICH- MASCHINE TVG

für Öl- und Wasser-
farben

Technische
Verkaufsgesellschaft
Duisburg

ARMATUREN

für Wasser-, Gas-, Dampf-, Säure-
u. sonstige Rohrleitungen, Patent-
ventile für Hoch- und Nieder-
druckleitungen, Kondenswasser-
abscheider und Kondensstöpfe.

Spezialfabrikation
seit mehr als 50 Jahren.

Bopp & Reuther
G. m. b. H.
Mannheim-Waldhof



ARMATUREN

für

Hochdruck u. Heißdampf

— Parallel-Schieber —

— Geschmiedete Ventile —

Rheinische
Armaturen- und Maschinenfabrik
vorm. Keuth & Zenner G. m. b. H.
Saarbrücken

Kein Zoll!

AUFZÜGE

BRACKER

Aufzüge
jeder
Betriebsart
und Größe

G. D. Bracker Söhne
Maschinenbau-Aktiengesellschaft
Hannau a. M.

AUFZÜGE Hebezeuge,
Fahrtreppen, Elektromotoren

CARL **Flohr** A.-G.

Berlin N4, Chausseestraße 35.

Größte deutsche Aufzugsfabrik.
Bisher über 30000 Anlagen geliefert.
Reparaturen und Revisionen
aller Systeme im Abonnement.

AUFZÜGE

Elektrische
AUFZÜGE
System
SCHINDLER



Elektrische
Steuerungen
und
Apparate für
AUFZÜGE
Bremsmotoren
Bremsmagnete
Komplette
Aufzugs-
Winden

Hebezeug- u. Motorenfabrik A.-G.
Karlsruhe-Bulach

AUFZÜGE

für Personen, Lasten, Speisen,
Aktien



Heime & Hans Herzfeld
Maschinen- u.
Apparate-Fabrik
Halle (Saale)

AUFZÜGE

Personen- und Lastenaufzüge
mit und ohne Feineinstellung

Paternosteraufzüge
für Personen oder Waren

Maschinenfabrik
Gustav Ad. Koch
Hamburg 39

AUFZÜGE

Aug. Kühnscherf
& Söhne

Dresden-A. 1. V.



Über
1/2 Jahrhundert
Aufzugbau

AUFZÜGE



jeder Art und Größe

Gustav Linse
Spezialfabrik für Aufzüge
Erlurt

Bei Erteilung
eines Jahresauftrages
(52 Anzeigen)
kostet dieser Raum
(50 mm)
Mk. 25.20 netto
pro Einschaltung

AUFZÜGE

Paternoster-
Aufzüge

Personen-Aufzüge
mit

Feineinstellung

Lasten-Aufzüge

Mannheimer Maschinenfabrik
Mohr & Federhaff, Mannheim

AUFZÜGE

Original-Dreistern
von höchster Sicherheit u. dem neuesten
Stand der Technik entsprechend.
Maschinenfabrik MUHLEISSEN
Elberfeld-Son.



AUFZÜGE

jeder Art
und
Größe

Schindler Aufzügefabrik G. m. b. H.
Berlin SW 29, Kopischstr. 1

AUFZÜGE



jeder
Art,
Verdunkelungen
für
Hörsäle

Schmidt, Kranz & Co.
Nordhäuser Maschinenfabrik A.-G.
Nordhausen a. H.

AUFZÜGE



Gegr

1861

AUFZUGSWERKE
Schmitt & Sohn
MÜNCHEN-NÜRNBERG-ESSEN
FACHFABRIKEN FÜR AUFZÜGE

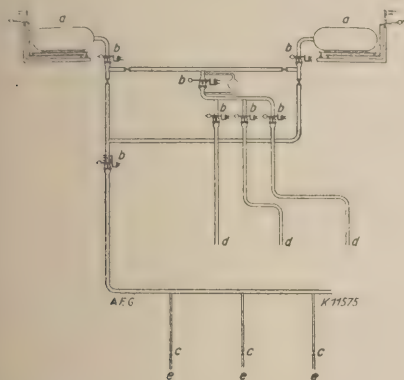
BEZUGSQUELLEN-NACHWEIS

Selbsttätige Kohlensäure-Löscheinrichtungen als Schutz gegen Brände von Generatoren und Transformatoren

Mitteilung der AEG.

Beim Kraftwerksbau der letzten Jahre wurde dem Schutz von Maschinen, Transformatoren und Schaltanlagen gegen Wicklungs- und Ölbrände erhöhte Beachtung geschenkt. Je größer die in unseren Werken aufgestellten Einheiten, um so empfindlicher wird der Unfall, der durch Zerstörung oder Beschädigung eintreten kann. Wenige Tage können hier unter Um-

der andere in Reserve steht. Die Behälter ruhen auf einer Waage, die eine ständige Überwachung des Inhalts gestattet. Wird dieser um ein bestimmtes Maß unterschritten, so zeigt eine selbsttätige Signaleinrichtung die Notwendigkeit der Nachfüllung an. Von dem Behälter führen Rohrleitungen *d* und *e* zu den Maschinen bzw. Transformatorenkammern. Die Zuleitung zu den Maschinen wird durch Fernbetätigung der elektrisch gesteuerten Ventile *b* geöffnet (Bild 2). Diese Öffnung erfolgt einmal selbsttätig in Abhängigkeit vom Ansprechen des Differentialschutzes der Maschinen, kann aber auch durch Fernhandbetätigung von verschiedenen Stellen des Kraftwerkes aus, z. B. der Hauptmaschinentafel und der Warte, erfolgen. Die Betätigung der Schutzeinrichtung für die Transformatoren erfolgt durch die Handventile *c*, die neben den Kammern angebracht sind. Beim Ansprechen der Schutzeinrichtung wird nun zunächst der volle Querschnitt der Rohrleitungen freigegeben, so daß sich der Raum in wenigen Augenblicken mit Kohlensäure füllt. Dabei findet die Verdampfung der Kohlensäure bereits in der Rohrleitung statt. Alsdann wird selbsttätig eines der Hauptventile *b* geschlossen und an Stelle des vollen Querschnittes eine schwächere Umgehungslleitung geöffnet, die ein langsames Nachfüllen bewirkt. Mehrere Versuche haben gezeigt, daß hierdurch die in den Kammern und Luftkanälen auftretenden Verluste hinreichend gedeckt werden.



a = CO₂-Behälter,
b = Steuerventile mit Fernbetätigung,
c = Handventile,

d = Zuleitungen zu den Maschinen,
e = Zuleitungen zu den Transformatoren.

Bild 1. Schema der CO₂-Löschanlage des Kraftwerkes Schulau.

ständen infolge Ausfalls an Stromlieferung weit größeren Verlust bringen, als die Gesamtanlagekosten unter Schutzeinrichtungen betragen. Es genügt nicht, Generatoren und Transformatoren mit Schutzeinrichtungen zu versehen, die einen beginnenden oder aufstehenden Fehler anzeigen bzw. abschalten. Ebenso wichtig ist die Anordnung begrenzender Schutzeinrichtungen, welche die in der Entwicklung begriffene Zerstörung gewissermaßen im Keime erstickt. Hierzu gehört vor allem eine Kohlensäure-Löschanlage, die bei rechtzeitigem Ansprechen und zweckmäßiger Anordnung die Entwicklung eines Brandes mit Sicherheit verhindert. Durch Einführung der Lufrückkühlung bei Generatoren wird der Zutritt von Frischluft und Sauerstoff in den Kühlluft-Kreislauf des Generators verhindert. Entsteht aber bei einem Kurzschluß ein Wicklungsbrand, so ist in den Kanälen immerhin eine nennenswerte Menge Sauerstoff vorhanden, die zu einer größeren Zerstörung der Maschine führen könnte. Auch läßt sich eine restlose Abdichtung der Kammern nur schwer erreichen, so daß der Zutritt von neuem Sauerstoff nicht gänzlich vermieden werden kann. Bei Anlage einer Kohlensäure-Löscheinrichtung wird mit dem Auftreten des Fehlers selbsttätig oder von Hand der gesamte Kühllufttraum unter Kohlensäure gesetzt, und zwar bis zu einem Prozentsatz, der die Entstehung der Fortführung eines Brandes unmöglich macht. Um eine Neuentwicklung eines Brandes etwa durch hochtemperaturerzeugte Metallteile oder dergl. zu verhüten, wird durch langsames Nachströmen von Kohlensäure der Sättigungsgrad im Raum etwa 30 min lang aufrechterhalten, wodurch jedes neue Aufleben des Brandes ausgeschlossen ist. Ähnlich arbeitet die Einrichtung bei Transformatoren und Schaltanlagen. An Stelle des Kühllufttraumes beim Generator treten hier Transformatorenkammern und Schaltzellen. Versuche haben gezeigt, daß diese Kammern auch dann genügend lange unter Kohlensäure gehalten werden können, wenn sie mit offenstehenden Belüftungsclappen versehen sind.

Als Beispiel einer CO₂-Schutzanlage möge das Schema des Bildes 1 dienen, das bei dem vor kurzem von der AEG für die Elektrizitätswerk Unterelbe A.-G. errichteten Kraftwerk Schulau zur Anwendung kam. Wie als Trommeln ausgebildete Behälter *a* enthalten etwa 250 kg flüssige Kohlensäure. Mit Hilfe der Ventile *b* wird hiervon jeweils nur ein Behälter auf die Maschinen und Transformatoren geschaltet, während

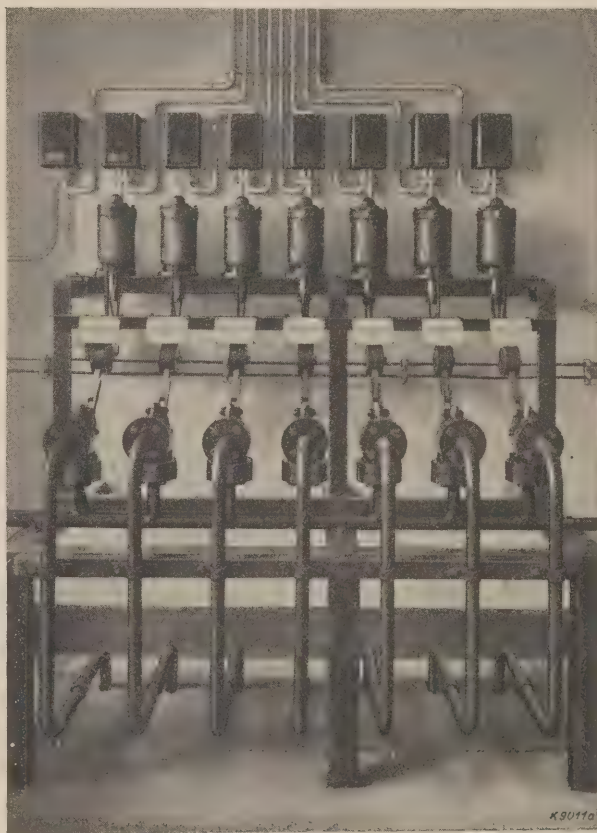


Bild 2. Anordnung der Steuerventile für die Verteilung.

Der Preis der Anlage steht in keinem Verhältnis zu dem erzielten Schutzwert der angeschlossenen Maschinen. Er liegt bei größeren Anlagen in der Höhe von etwa 1 bis 2 vH der Maschinenkosten. Ein Ausfall der Stromlieferung von 2 bis 3 Tagen deckt die gesamten Beschaffungskosten. Aus diesem Grunde ist allen größeren Kraftwerken der Einbau von Kohlensäure-Löschanlagen dringend zu empfehlen.

BEZUGSQUELLEN-NACHWEIS



ABAS ABDAMPF-AUSNUTZUNG

Abdampf-Lufterhitzer ::
Abgas-Saugzug-Anlagen ::
Abgas-Economiser ::
Abgas-Lufterhitzer ::

Abwärme-Ausnutzung u. Saugzug
G. m. b. H. „ABAS“, Berlin W 57

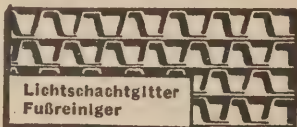
ABDAMPFENTÖLER

Dampftrockner, Reiniger



Julius Wilisch
Wurzen Sa.

ABDECKPLATTEN



Schnellste Lieferung ab Lager

Tezett-Werk

Berlin-Tempelhof 14

Größtes und ältestes Spezialwerk

ABDECKUNGSRÖSTE

Fußreiniger



Fr. Engelmann, Jena-Au
Liste B 27 gratis

ANSTREICH-MASCHINE TVG



für Öl- und Wasserfarben

Technische
Verkaufsgesellschaft
Duisburg

ARMATUREN

für Wasser-, Gas-, Dampf-, Säure-
u. sonstige Rohrleitungen, Patent-
ventile für Hoch- und Nieder-
druckleitungen, Kondenswasser-
abscheider und Kondensstöpfe.

Spezialfabrikation
seit mehr als 50 Jahren.

Bopp & Reuther
G. m. b. H.
Mannheim-Waldhof



ARMATUREN

für

Hochdruck u. Heißdampf

— Parallel-Schieber —
— Geschmiedete Ventile —

Rheinische
Armaturen- und Maschinenfabrik
vorm. Keuth & Zenner G. m. b. H.
Saarbrücken
Kein Zoll!

AUFZÜGE

BRACKER

Aufzüge
jeder
Betriebsart
und Größe

G. D. Bracker Söhne
Maschinenbau-Aktiengesellschaft
Hanau a. M.

AUFZÜGE Hebezeuge,
Fahrtreppen, Elektromotoren

CARL Flohr A-G
Berlin N 4, Chausseestraße 85.

Größte deutsche Aufzugsfabrik.
Bisher über 30000 Anlagen geliefert.
Reparaturen und Revisionen
aller Systeme im Abonnement.

AUFZÜGE

Elektrische
AUFZÜGE
System
SCHINDLER



Elektrische
Steuerungen
und
Apparate für
AUFZÜGE
Bremsmotoren
Bremsmagnete
Komplette
Aufzugs-
Winden

Hebezeug- u. Motorenfabrik A.-G.
Karlsruhe-Bulach

Der

Bezugsquellen-Nachweis

die

Zentralstelle

technischer Angebote

AUFZÜGE

Aug. Kühnscherf
& Söhne
Dresden-A. 1. V.



Über
1/2 Jahrhundert
Aufzugsbau

AUFZÜGE

für alle Zwecke und jeder Größe
mit und ohne Treibscheiben sowie
Feineinstellung

Gustav Linse

Spezialfabrik für Aufzüge
Erfurt
Fernruf 2452

Bei Erteilung
eines Jahresauftrages
(52 Anzeigen)
kostet dieser Raum
(40 mm)
Mk. 20.16 netto
pro Einschaltung

AUFZÜGE



jeder
Art,
Verdunkelungen
für
Hörsäle

Schmidt, Kranz & Co.
Nordhäuser Maschinenfabrik A.-G.
Nordhausen a. H.

AUFZÜGE



Gegr

1861

AUFZUGSWERKE
Schmitt & Sohn
MÜNCHEN-NÜRNBERG-ESSEN
FACHFABRIKEN FÜR AUFZÜGE



AUFZÜGE

jeder Art
und
Größe

Schindler Aufzügefabrik G. m. b. H.
Berlin SW 29, Kopischstr. 1

AUFZÜGE

für Lasten
und Personen

Elektro-
Züge
150-5000 kg
Tragkraft

Krane
Winden
aller Art

Fr. Schüle & Co.

Aufzugs- und Hebezeugfabrik
Feldkirchen b. München

Personen- u. Lasten-

AUFZÜGE

STAHL

Paternoster

Elektrozüge
R. Stahl, A.-G.
Stuttgart

AUFZÜGE

aller Art — Feineinstellung

Personenpaternoster

KRANE

Transportband-Anlagen

Gebrüder Weismüller

Frankfurt a. M.-West

AUTOGENE

Schweiß- und Schneid-Anlagen
mit sämtlichem Zubehör

Gaswerkzeuge
für alle Gasarten.



Heime & Hans Herzog
Maschinen- u.
Apparate-Fabrik
Halle (Saale)



BLECH-BIEGEMASCHINEN

Blechrichtemaschinen

bis zu den größten Abmessungen
in stets neuesten Konstruktion

bauen

M. A. G. vorm. Beck & Henke
Kassel

BEZUGSQUELLEN-NACHWEIS

Elektrokarren in der Braunkohlenindustrie.

Mitteilung der AEG.

Es hat zwar den Anschein, als ob in Braunkohlenwerken Elektrokarren keine Verwendung finden könnten, da die Kohle aus der Grube durchweg in Spezialwagen, die durch elektrische Lokomotiven gezogen werden, befördert wird. Untersuchungen und Versuche haben jedoch ergeben, daß sich auch hier eine vorteilhafte Verwendungsmöglichkeit für Elektrokarren bietet.

In den Reparatur-Werkstätten usw., die entsprechend der Größe der Grube sowie dem Lokomotiv-

Fahrzeug ist entsprechend den Vorschriften der Verordnung über den Kraftfahrzeugverkehr ausgerüstet, hat Handradsteuerung, Beleuchtung und eine entsprechend große Batterie, die seitlich herausfahrbar ist; diese Anordnung ist besonders vorteilhaft, da während der Ladung der Batterie der Aufbau nicht abgenommen zu werden braucht. Für den genannten Sonderzweck ist auf den Karren eine Mulde gesetzt, die durch eine Teleskopwinde nach hinten kipp- und entleerbar ist.



Bild 1. Elektrokarren EK 1504 für den Materialtransport.

und Wagenpark von bedeutender Ausdehnung sein können, finden — ähnlich wie in der Maschinenindustrie — Elektrokarren mit fester sowie mit heb- und senkbarer Plattform Verwendung. Hier ist es hauptsächlich der Karren für eine Tragkraft von 1500 kg, der sich den Verwendungszwecken am besten anpaßt, und der auch die Beförderung der Matrizen von und zu den Brikettpressen übernimmt. Bild 1 zeigt, wie mit diesem Karren die Beförderung der Betriebsmaterialien durchgeführt wird.

Durch den Aufbau einer einfachen Mulde, deren schräger Boden die Entladung erleichtert, kann das Fahrzeug auch für den Briketttransport Verwendung finden und die einzelnen Betriebshäuser mit Brennstoffen versorgen. Eine praktische Ausführung hierfür zeigt Bild 2. Dieser Elektrokarren wird nur zeitweise für den Kohlentransport benutzt; der Aufbau ist daher leicht abnehmbar eingerichtet.

Da die Kohlengruben ihren Angestellten und Arbeitern zumeist die für den eigenen Hausbrand benötig-



Bild 3. Elektroführersitzkarren EKF 1502 mit Hinterkippmulde für Hausbrandzustellung.

Der gesamte Aufbau ist leicht abnehmbar und nur in den Rungenösen eingesetzt und befestigt.

Da in den heißen Sommertagen die Staubeentwicklung in den Braunkohlengebieten unangenehm empfunden wird, sind diese bestrebt, ihre Werkstraßen durch entsprechend starke Besprengung möglichst staubfrei zu halten. Wie Bild 4 erkennen läßt, wird der oben beschriebene Führersitzkarren mit einem Spezialaufbau versehen, der mit und ohne Drucksprengung lieferbar ist und dessen Brauseköpfe eine Sprengweite bis zu 14 m zulassen.

Der in den Bildern 3 und 4 gezeigte Elektroführersitzkarren kann natürlich auch Fahrten zur Bahnstation sowie zur Post übernehmen, wodurch die Ausnutzung erhöht wird.

Die Ladung der Batterie erfolgt praktischerweise während der Nachtzeit, so daß während der hauptsächlichsten Betriebsstunden die Fahrbereitschaft der Elektrokarren gewährleistet ist.



Bild 2. Elektrokarren EK 1502 für 1500 kg Tragkraft mit aufgesetzter Mulde für Briketttransport.

ten Kohlen zu einem ermäßigten Preise überlassen und auch zustellen, ist schnelle und billige Beförderung sehr erwünscht. Diesen Zwecken wird das in Bild 3 gezeigte Fahrzeug im besonderen Maße gerecht. Der hier verwendete Elektrokarren ist mit Führersitz und großen Rädern ausgerüstet, um weite Strecken ohne Überanstrengung des Fahrers zurücklegen und auch weniger gute Fahrstraßen befahren zu können. Das



Bild 4. Elektroführersitzkarren EKF 1502 mit Sprengaufbau für Straßensprengung.

Die gezeigten Beispiele erschöpfen keineswegs die Verwendungsmöglichkeit in den Betrieben der Braunkohlenindustrie; bei Einführung der Elektrokarrenförderung in einem Betriebe werden sich vielmehr dauernd weitere Verwendungsmöglichkeiten ergeben. Die Betriebs- und Unterhaltungskosten sind nachweislich außerordentlich gering und die Wirtschaftlichkeit des Elektrokarrenbetriebes daher eine sehr gute.

BEZUGSQUELLEN-NACHWEIS



ABAS ABDAMPF-AUSNUTZUNG

Abdampf-Lufterhitzer ::
Abgas-Saugzug-Anlagen ::
Abgas-Economiser
Abgas-Lufterhitzer ::

Abwärme-Ausnutzung u. Saugzug
G. m. b. H. „ABAS“, Berlin W 57

ABDAMPF-ENTÖLER PRESSLUFT-ENTÖLER D.R.P.



„BÜHRING“ D. R. P.
mit Ölrückgewinnung

Preßluft-Entöler
D. R. P.

Entöler
Vorwärmer

Bühning A.-G.
Landsberg (Bz. Halle)

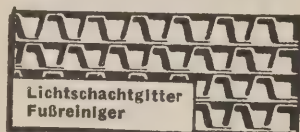
ABDAMPF-ENTÖLER

Max Dreyer & Co., Magdeburg-S.

ABDAMPF-ENTÖLER

Sack & Kiesselbach
Maschinenfabrik G. m. b. H.
Düsseldorf-Rath

ABDECKPLATTEN



Lichtschachtglitter
Fußreiniger

Schnellste Lieferung ab Lager

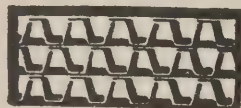
Tezett-Werk

Berlin-Tempelhof 14

Größtes und ältestes Spezialwerk

ABDECKUNGSRÖSTE

Fußreiniger



Fr. Engelmann, Jena-Au
Liste B 27 gratis

ANSTREICH- MASCHINE TVG

für Öl- und Wasser-
farben

Technische
Verkaufsgesellschaft
Duisburg

ARMATUREN

für Wasser-, Gas-, Dampf-, Säure-
u. sonstige Rohrleitungen, Patent-
ventile für Hoch- und Nieder-
druckleitungen, Kondenswasser-
abscheider und Kondensstöpfe.

Spezialfabrikation
seit mehr als 50 Jahren.

Bopp & Reuther
G. m. b. H.
Mannheim-Waldhof



ARMATUREN

für

Hochdruck u. Heißdampf

— Parallel-Schieber —
— Geschmiedete Ventile —

Rheinische
Armaturen- und Maschinenfabrik
vorm. Keuth & Zenner G. m. b. H.
Saarbrücken

Kein Zoll!

AUFZÜGE

BRACKER

Aufzüge
jeder
Betriebsart
und Größe

Patentsteuerung für
hydraulische Hebezeuge

G. D. Bracker Söhne
Maschinenbau-Aktiengesellschaft
Hanau a. M.

AUFZÜGE Hebezeuge,
Fahrtreppen, Elektromotoren

CARL Flohr A.-G.
Berlin N 4, Chausseestraße 35.

Größte deutsche Aufzugsfabrik.
Bisher über 30000 Anlagen geliefert.
Reparaturen und Revisionen
aller Systeme im Abonnement.

AUFZÜGE

Elektrische
AUFZÜGE
System
SCHINDLER



Elektrische
Steuerungen
und
Apparate für
AUFZÜGE
Bremsmotoren
Bremsmagnete
Komplette
Aufzugs-
Winden

Hebezeug- u. Motorenfabrik A.-G.
Karlsruhe-Bulach

AUFZÜGE

Personen- und Lastenaufzüge
mit und ohne Feineinstellung

Paternosteraufzüge
für Personen oder Waren

Maschinenfabrik
Gustav Ad. Koch
Hamburg 39

AUFZÜGE

Aug. Kühnscherf
& Söhne

Dresden-A. 1. V.



Über
1/2 Jahrhundert
Aufzugsbau

Bei Erteilung

eines Jahresauftrages

(52 Anzeigen)

kostet dieser Raum

(60 mm)

Mk. 30.24 netto

pro Einschaltung

AUFZÜGE

für alle Zwecke und jeder Größe
mit und ohne Treibscheiben sowie
Feineinstellung

Gustav Linse

Spezialfabrik für Aufzüge

Erfurt

Fernruf 2452

AUFZÜGE

Original-Dreistern
von höchster Sicherheit u. dem newest.
Stand der Technik entsprechend.
Maschinenfabrik MÜHLEISSEN
Elberfeld-Son.



AUFZÜGE

jeder Art
und
Größe

Schindler Aufzugsfabrik G. m. b. H.
Berlin SW 29, Kopischstr. 1

AUFZÜGE



jeder
Art,
Verdunkelung
für
Hörsäle

Schmidt, Kranz & Co.
Nordhäuser Maschinenfabrik A.-G.
Nordhausen a. H.

AUFZÜGE



Gegr

1861

AUFZUGSWERKE

Schmitt & Sohn

MÜNCHEN-NÜRNBERG-ESSEN
FACHFABRIKEN FÜR AUFZÜGE

AUFZÜGE

für Lasten
und Personen

Elektro-
Züge
150-5000 kg
Tragkraft

Krane
Winden
aller Art

Fr. Schüle & Co.

Aufzugs- und Hebezeugfabrik
Feldkirchen b. München

Personen- u. Lasten- AUFZÜGE

STAHL

Paternoster

Elektrozüge

R. Stahl, A.-G.
Stuttgart

AUFZÜGE

aller Art — Feineinstellung

Personenpaternoster

KRANE

Transportband-Anlagen

Gebrüder Weismüller

Frankfurt a. M.-West

BEZUGSQUELLEN-NACHWEIS

Elektrische Kleinschiffbeleuchtung.

Mitteilung der AEG.

Auf den kleinen Dampfschiffen herrscht das Petroleum mit seinem sehr dürrtigen und übelriechenden Licht noch immer vor und gestaltet den Aufenthalt in den meist engen und niedrigen Räumen wenig angenehm, ganz abgesehen von der Brandgefahr. Auch auf



Abb. 1.

Deck macht sich der Mangel an einer starken und guten, auch durch das schwerste Wetter nicht beeinflussbaren Lichtquelle in der Dunkelheit und bei diesigem Wetter stark fühlbar.

Diese Mängel haben viele Schiffseigner veranlaßt, die von der AEG gebauten Kleinturbogeneratoren zur Beleuchtung kleiner Dampfschiffe zu benutzen (Abb. 1). Diese kleinen Lichtmaschinen stellen eine geradezu ideale Stromquelle für Dampfschiffe dar. Sie sind widerstandsfähig und anspruchlos. Nur das elektrische Licht erfüllt alle Bedingungen, die man an eine tadellose Schiffsbeleuchtung stellen kann. Es ist geruchlos, gefahrlos und sauber und gestattet das einfache Anbringen von weitreichenden Scheinwerfern.

Besondere Sorgfalt ist der Dampfsteuerung der Lichtmaschinen gewidmet worden. Ein federbelasteter, unmittelbar wirkender Fliehkraftregler überträgt seine Ausschläge ohne Zwischenschaltung von Hebeln oder dgl. auf eine Scheibe aus nichtrostendem Stahl. Die Stahlscheibe liegt gegen eine harte Kohlscheibe, die durch den Regulatorschieber geführt und durch eine Zusatzfeder in axialer Richtung an die Spurscheibe gepreßt wird. Durch die große mechanische Festigkeit der dampfsteuernden Organe und durch deren einfachen Aufbau wird der Regler außerordentlich zuverlässig. Dabei reguliert er sehr empfindlich, so daß die Umdrehungszahl praktisch unabhängig vom Dampfdruck und von der Belastung ist.

Die Verwendung des Kohlespurlagers und von schneiden als Lagerstellen bringt es mit sich, daß der Regler nicht geschmiert zu werden braucht. Die beiden den Läufer tragenden Kugellager sind die einzigen Teile des Maschinensatzes, die geschmiert werden müssen. Sie sind in Fettkammern eingeschlossen, so

daß sie jährlich nur einmal zu fetten sind. Hierdurch werden die Unterhaltung und Pflege der Maschine auf ein Mindestmaß beschränkt und Fehler und Störungen, wie sie oft durch falsche Schmierung entstehen, werden vermieden.

In vielen Fällen wird man neben dem Turbogenerator noch eine Batterie vorsehen, welche die Stromlieferung übernimmt, wenn der Kessel kalt ist (Abb. 2). Es ist nicht zu empfehlen, den Sammler einfach als Pufferbatterie an das Netz zu legen. Eine solche Schaltung zeigt schwerwiegende Nachteile. Meist wird hierbei die Batterie nicht genügend aufgeladen und ihre Lebensdauer ist daher sehr gering. Setzt man aber die Maschinenspannung so hoch, daß eine ausreichende Ladespannung erreicht wird, so müssen die Lampen durch vorgeschaltete Widerstände geschützt werden. Da die Ladespannung etwa 2,75 V je Zelle betragen muß, müssen die Widerstände über 25 vH der Lichtenergie vernichten.

Die AEG hat eine Schaltung entwickelt, welche diese Nachteile vermeidet, verlustlos arbeitet und die Bedienung auf ein Mindestmaß beschränkt. Die Aufladung geschieht hier zeitlich vollkommen getrennt vom Lichtbetrieb. Bei Tage, wenn kein Licht benötigt wird, arbeitet der Generator des Maschinensatzes als reine Nebenschlußmaschine mit entsprechend erhöhter Spannung. Wenn Beleuchtung verlangt wird, wird der Maschinenschalter auf „Licht“ gestellt. Der Generator arbeitet nun als Verbundmaschine mit genauer Lichtspannung. Wird der Turbogenerator stillgesetzt, so übernimmt die Batterie sofort und selbsttätig die Beleuchtung. Die Bedienung der Anlage ist somit sehr einfach. Sie besteht nur darin, daß der Maschinenschalter je nach Bedarf auf Licht- oder Ladebetrieb gestellt wird und das Dampfventil geöffnet oder geschlossen wird. Alles andere geschieht selbsttätig.

Es sei noch erwähnt, daß derartige Anlagen, besonders wenn sie in Verbindung mit einer Batterie be-

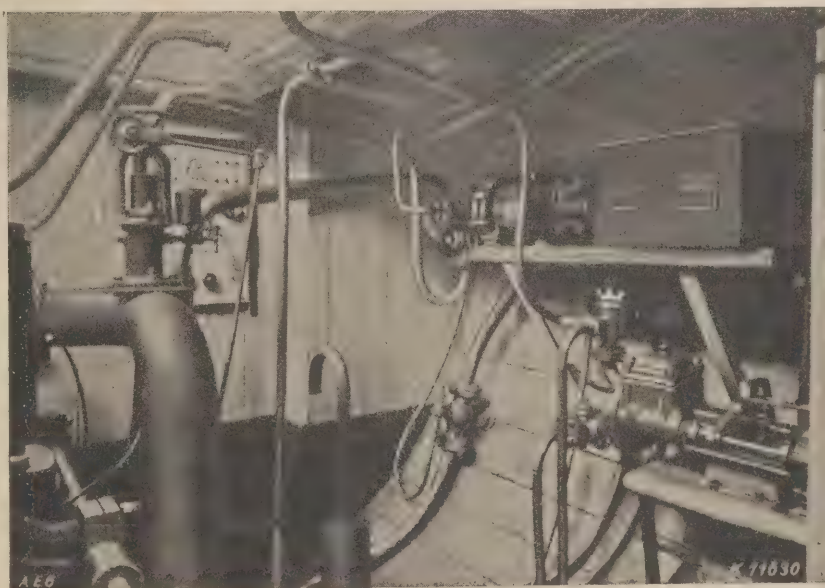


Abb. 2.

trieben werden, auch sehr gut geeignet sind, drahtlose Telegraphie- und Telephoniestationen zu speisen.

Den Besitzern kleiner Dampfschiffe ist mit dem geschilderten Aggregat ein Mittel gegeben, ihre Schiffe gut, billig und gefahrlos zu beleuchten und den Aufenthalt auf ihnen angenehm zu gestalten.

BEZUGSQUELLEN-NACHWEIS



ABAS ABDAMPF-AUSNUTZUNG

Abdampf-Lufterhitzer ::
Abgas-Saugzug-Anlagen ::
Abgas-Economiser ::
Abgas-Lufterhitzer ::

Abwärme-Ausnutzung u. Saugzug
G. m. b. H. „ABAS“, Berlin W 57

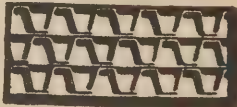
ABDECKPLATTEN



Schnellste Lieferung ab Lager
Tezett-Werk
Berlin - Tempelhof 14
Größtes und ältestes Spezialwerk

ABDECKUNGSROSTE

Fußreiniger



Fr. Engelmann, Jena-Au
Liste B 27 gratis



ANSTREICH-MASCHINE TVG

für Öl- und Wasserfarben

Technische
Verkaufsgesellschaft
Duisburg

Der
Bezugsquellen-Nachweis
die
Zentralstelle
technischer Angebote

ARMATUREN

für Wasser-, Gas-, Dampf-, Säure-
u. sonstige Rohrleitungen, Patent-
ventile für Hoch- und Nieder-
druckleitungen, Kondenswasser-
abscheider und Kondensstöpfe.

Spezialfabrikation
seit mehr als 50 Jahren.

Bopp & Reuther
G. m. b. H.
Mannheim-Waldhof



ARMATUREN

für
Hochdruck u. Heißdampf

— Parallel-Schieber —
— Geschmiedete Ventile —

Rheinische
Armaturen- und Maschinenfabrik
vorm. Keuth & Zenner G. m. b. H.
Saarbrücken

Kein Zoll!

AUFZÜGE

BRACKER

Aufzüge
jeder
Betriebsart
und Größe
Patentsteuerung für
hydraulische Hebezeuge

G. D. Bracker Söhne
Maschinenbau-Aktiengesellschaft
Hanau a. M.

AUFZÜGE Hebezeuge,
Fahrtreppen, Elektromotoren

CARL Flohr A-G
Berlin N 4, Chausseestraße 35.

Größte deutsche Aufzugsfabrik.
Bisher über 30000 Anlagen geliefert.
Reparaturen und Revisionen
aller Systeme im Abonnement.

AUFZÜGE

Elektrische
AUFZÜGE
System
SCHINDLER



Elektrische
Steuerungen
und
Apparate für
AUFZÜGE
Bremsmotoren
Bremsmagnete
Komplette
Aufzugs-
Winden

Hebezeug- u. Motorenfabrik A.-G.
Karlsruhe-Bulach

AUFZÜGE

für Personen, Lasten, Speisen,
Akten



Heime & Hans Herzfeld
Maschinen- u.
Apparate-Fabrik
Halle (Saale)

AUFZÜGE

Aug. Kühnscherf
& Söhne
Dresden-A. 1. V.



Über
1/2 Jahrhundert
Aufzugbau

AUFZÜGE

für alle Zwecke und jeder Größe
mit und ohne Treibscheiben sowie
Feineinstellung

Gustav Linse
Spezialfabrik für Aufzüge
Erfurt
Fernruf 2452

Bei Erteilung
eines Jahresauftrages
(52 Anzeigen)

kostet dieser Raum (40 mm)
Mk. 20,16 netto pro Einschaltung

AUFZÜGE

Paternoster-
Aufzüge
Personen-Aufzüge
mit
Feineinstellung
Lasten-Aufzüge

Mannheimer Maschinenfabrik
Mohr & Federhaff, Mannheim

AUFZÜGE



jeder
Art,
Verdunkelungen
für
Hörsäle

Schmidt, Kranz & Co.
Nordhäuser Maschinenfabrik A.-G.
Nordhausen a. H.



Schindler Aufzügefabrik G.
Berlin SW 29, Kopischke

AUFZÜGE



Gegr

AUFZUGSWERKE
Schmitt & Sohn
MÜNCHEN-NÜRNBERG-ES
FACHFABRIKEN FÜR AUFZÜGE

AUFZÜGE

für Lasten
und Personen

Elektro-
Züge
150-5000 kg
Tragkraft
Kranne
Winden
aller Art



Fr. Schüle & Co.
Aufzugs- und Hebezeugfabrik
Feldkirchen b. München



Personen- u. Lasten-

AUFZÜGE STAHL

Paternoster

Elektrozüge
R. Stahl, A.-G.
Stuttgart

AUFZÜGE

aller Art — Feineinstellung
Personenpaternoster

KRANE

Transportband-Anlagen

Gebrüder Weismüller

Frankfurt a. M.-West



BRUNNENBAU

Tiefbohrungen, Rohrfilterbrun-
nen, Wasserwerksbau

Reuther Tiefbau G. m. b. H.
Mannheim-Waldhof 7

BEZUGSQUELLEN-NACHWEIS

AEG-Zweimotorensteuerung für Kübel-Greiferhubwerke.

Mitteilung der AEG.

Für den Umschlag von Massengut ist der Zweiseilgreifer das gebräuchlichste Fördermittel. Häufig werden aber die Greiferwindwerke so eingerichtet, daß an Stelle des Zweiseilgreifers ein Klappkübel eingeschert werden kann. Dieser bietet für den Transport von besonders schonungsbedürftigem Fördergut, wie z. B. Koks, im Gaswerk Vorteile. Es wird daher häufig an Greiferhubwerke die Forderung gestellt, daß sie für Greifer- und Kübelbetrieb geeignet sein müssen. Für diesen Anwendungszweck ist die nachstehend beschriebene Zweimotorensteuerung besonders geeignet.

Diese der AEG durch DRP geschützte Kübelgreifersteuerung für zwei Motoren wird sowohl für Drehstrom wie für Gleichstrom ausgeführt. Sie erfordert zwei Steuerwalzen, die Hubsteuerwalze *k* und die Schließsteuerwalze *l* (s. Bild). Die Schließseiltrommel *a* und die Halteseiltrommel *b* werden durch je einen Motor angetrieben, von denen jeder für die halbe Vollastleistung bemessen ist. Der Schließseilmotor *c* und der Halteseilmotor *d* werden beim Heben und Senken durch die Hubsteuerwalze *k* eingeschaltet. Beim Schließen und Öffnen des Greifers wird die Schließsteuerwalze *l* geschaltet. Lediglich wenn zwei Greiferbewegungen gleichzeitig ausgeführt werden sollen, z. B. Schließen und Heben, Öffnen und Senken, müssen beide Steuerwalzen bewegt werden. Um den Gleichlauf der Greiferseile zu erzwingen, werden Schließseil- und Halteseilmotor durch eine Reibungskupplung *e* (Lamellenkuppung) miteinander verbunden. Diese bei Kübelbetrieb nicht vermeidbare Kupplung wird von einem Bremslüfter betätigt, der an die Schließsteuerwalze angeschlossen ist. Der Bremslüfter *f* entfernt die Kupplungshälften beim Einschalten voneinander, also durch Lüften des Bremsgewichtes, und wird daher als „Entkupplungs-Bremslüfter“ bezeichnet.

Durch Einlegen der Hubsteuerwalze auf „Heben“ oder „Senken“ werden beide Motoren, Schließseil- und Halteseilmotor, gleichzeitig im gleichen Drehsinne eingeschaltet. Auf jeder Walzenstellung werden den Motoren gleiche Widerstandswerte vorgeschaltet, so daß sich beide an der Übernahme der Lastgröße gleichmäßig beteiligen, sobald die Seile gestrafft sind. Eine Überlastung des einen Motors bei gleichzeitiger Überlastung des anderen durch Vorschalten verschiedener Widerstände ist also unmöglich gemacht.

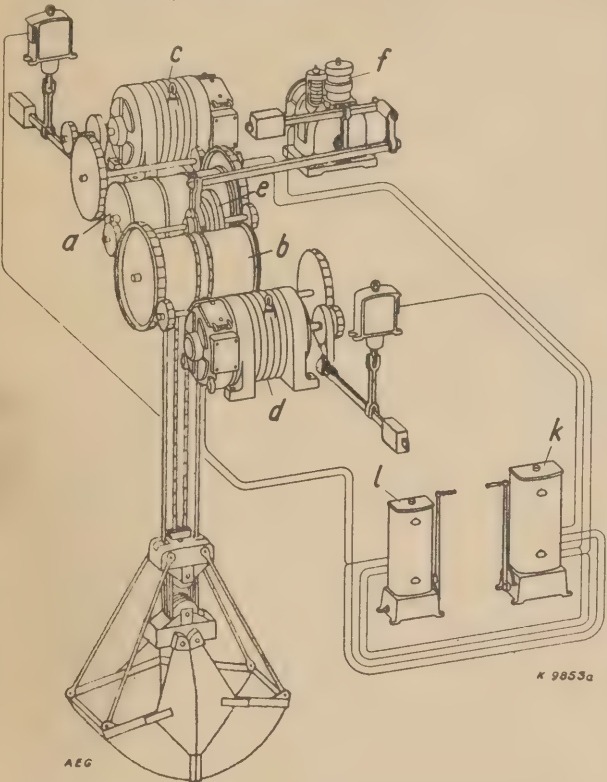
Die Kupplung zwischen Schließseil- und Halteseilmotor ist beim Heben und Senken geschlossen und sorgt für einen gleichmäßigen Ablauf beider Seile. Ein ungewolltes Öffnen des gefüllten Greifers unter Materialverlust oder ein Schließen des geöffneten Greifers während des Hebens oder Senkens kann nicht eintreten. Lediglich auf den ersten beiden Hubstellungen wird

zum Zwecke des Seilausgleiches durch einen entsprechenden Kontakt in der Hubsteuerwalze der Entkupplungs-Bremslüfter vorübergehend gelüftet. Während des Greifens ist das Halteseil schlaff, um das Eingraben des Greifers in das Fördergut zu ermöglichen. Es ist nun erwünscht, nach dem Greifen das Halteseil ebenfalls zu spannen, damit beim Heben Schließseil und Halteseil gleichmäßig beansprucht werden. Das Straffen des Halteseiles ist außerdem notwendig, damit nach dem Heben ein stoßfreies Öffnen des Greifers gewährleistet wird. Beim Einlegen der Hubsteuerwalze auf Heben laufen die Motoren also zunächst nicht gekuppelt an, und der Halteseilmotor hat Gelegenheit, das schlaffe Halteseil zu straffen, da er infolge der geringeren Belastung eine höhere Drehzahl annimmt als der Schließseilmotor. Sobald die Seile gestrafft sind, schaltet der Führer auf den Kontakt 3 und rückt damit die Kupplung ein. Eine Relativbewegung beider Seile kann beim Weiterschalten also nicht mehr eintreten, und die Straffung beider Seile wird während des restlichen Hubweges dauernd aufrechterhalten.

Die Schließsteuerwalze wird nur beim Schließen und Öffnen eingelegt und schaltet den Schließseilmotor. Da der Schließseilmotor auch von der Hubsteuerwalze geschaltet werden kann, so ist eine elektrische Verriegelung erforderlich, die einen Kurzschluß bei gegenläufiger Bewegung beider Steuerwalzen verhindert. Bei Drehstrom wird dies sehr einfach durch die Lichtbogensperrung (DRP) der Ständerschützen, bei Gleichstrom durch eine zwangsläufig betätigte Umschaltwalze erreicht. Da beim Schließen und Öffnen die Schließseiltrommel allein bewegt werden muß,

so erhält die Schließsteuerwalze Kontakte, die gleichzeitig mit dem Einschalten des Schließseilmotors ein Lüften des Entkupplungs-Bremslüfters bewirken.

Bei Drehstrom wird für kleine Leistungen eine Hubsteuerwalze mit Fahrschaltung (übersynchrone Senkschaltung) benutzt; für größere Leistungen wird die Hubsteuerwalze mit Gegenstromsenkbrems- und Schnellsenk-schaltung ausgeführt. Diese Steuerung erlaubt in Verbindung mit den AEG-Einheits-Kranmotoren DNK mit Rollenlagern eine erhebliche Steigerung der Förderleistung. Man kann mit dem in Druckschrift G II 219 beschriebenen Doppelkranmotor für 600/1000 Umdrehungen mittels einer Sondersteuerung den leeren Kübel und Greifer mit der 1,66 fachen Geschwindigkeit heben und senken. Bei großen Hubhöhen kann man die Senkgeschwindigkeit bis zum 2,5fachen steigern. Bei Gleichstromanlagen wird für die Hubsteuerwalze Senkbrems-schaltung benutzt. Für die Schließsteuerwalze ist sowohl bei Drehstrom wie Gleichstrom Fahrschaltung anzuwenden.



α = Schließseiltrommel
β = Halteseiltrommel
γ = Schließseilmotor
δ = Halteseilmotor
ε = Reibungskupplung (geschlossen)
ζ = Entkupplungs-Bremslüfter
κ = Hubsteuerwalze
λ = Schließsteuerwalze
Kübel-Greifersteuerung für 2 Motoren.

BEZUGSQUELLEN-NACHWEIS



ABAS ABDAMPF-AUSNUTZUNG

Abdampf-Lufterhitzer ::
Abgas-Saugzug-Anlagen
Abgas-Economiser
Abgas-Lufterhitzer ::

Abwärme-Ausnutzung u. Saugzug
G. m. b. H. „ABAS“, Berlin W 57

ABDAMPFENTÖLER

Dampftrockner, Reiniger

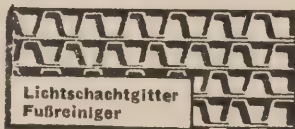


Julius Wilisch
Wurzen Sa.

ABDAMPF-ENTÖLER

Th. Wipperf, Huss & Co.
Kommandit-Gesellschaft
Maschinenfabrik
Bremen

ABDECKPLATTEN



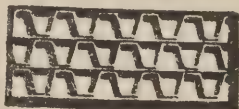
Schnellste Lieferung ab Lager

Tezett-Werk

Berlin-Tempelhof 14
Größtes und ältestes Spezialwerk

ABDECKUNGSRÖSTE

Fußreiniger



Fr. Engelmann, Jena-Au
Liste B 27 gratis

ANSTREICH-MASCHINE TVG



für Öl- und Wasser-
farben

Technische
Verkaufsgesellschaft
Duisburg

ARMATUREN

für Wasser-, Gas-, Dampf-, Säure-
u. sonstige Rohrleitungen, Patent-
ventile für Hoch- und Nieder-
druckleitungen, Kondenswasser-
abscheider und Kondensstöpfe.

Spezialfabrikation
seit mehr als 50 Jahren.

Bopp & Reuther
G. m. b. H.
Mannheim-Waldhof



ARMATUREN

für

Hochdruck u. Heißdampf

- Parallel-Schieber —
- Geschmiedete Ventile —

Rheinische
Armaturen- und Maschinenfabrik
vorm. Keuth & Zenner G. m. b. H.
Saarbrücken
Kein Zoll!

AUFZÜGE

BRACKER

Aufzüge
jeder
Betriebsart
und Größe
Patentsteuerung für
hydraulische Hebezeuge

G. D. Bracker Söhne
Maschinenbau-Aktiengesellschaft
Hanau a. M.

AUFZÜGE Hebezeuge,
Fahrtreppen, Elektromotoren

CARL Flohr & G
Berlin N 4, Chausseestraße 35.

Größte deutsche Aufzugsfabrik.
Bisher über 30000 Anlagen geliefert.
Reparaturen und Revisionen
aller Systeme im Abonnement.

AUFZÜGE

Elektrische
AUFZÜGE
System
SCHINDLER



Elektrische
Steuerungen
und
Apparate für
AUFZÜGE
Bremsmotoren
Bremsmagnete
Komplette
Aufzugs-
Winden

Hebezeug- u. Motorenfabrik A.-G.
Karlsruhe-Bulach

AUFZÜGE

Aug. Kühnscherf
& Söhne

Dresden-A. 1. V.



Über
1/2 Jahrhundert
Aufzugsbau

AUFZÜGE

für alle Zwecke und jeder Größe
mit und ohne Treibscheiben sowie
Feineinstellung

Gustav Linse

Spezialfabrik für Aufzüge

Erfurt

Fernruf 2452



AUFZÜGE

jeder Art
und
Größe

Schindler Aufzugsfabrik G. m. b. H.
Berlin SW 29, Kopischstr. 1

Bei Erteilung
eines

Jahresauftrages
(52 Anzeigen)

kostet

dieser Raum (45 mm)

Mk. 22,68 netto

pro Einschaltung

AUFZÜGE

Gegr



1861

AUFZUGSWERKE
Schmitt & Sohn
MÜNCHEN-NÜRNBERG-ESSEN
FACHFABRIKEN FÜR AUFZÜGE

AUFZÜGE

für Lasten
und Personen

Elektro-
Züge
150-5000 kg
Tragkraft

Krane
Winden
aller Art

Fr. Schüle & Co.

Aufzugs- und Hebezeugfabrik
Feldkirchen b. München



Personen- u. Lasten-
AUFZÜGE

STAHL

Paternoster

Elektrozüge

R. Stahl, A.-G.
Stuttgart



AUFZÜGE

aller Art — Feineinstellung

Personenpaternoster

KRANE

Transportband-Anlagen

Gebrüder Weismüller

Frankfurt a. M.-West



BRUNNENBAU

Tiefbohrungen, Rohrfilterbrunnen,
Wasserwerksbau

Reuther Tiefbau G. m. b. H.
Mannheim-Waldhof 7



DAMPF-DRUCKVERMINDERER

Gebr. Poensgen A.-G.
Maschinenfabrik
Düsseldorf-Rath 71

DAMPFENTÖLER

Sack & Kiesselbach
Maschinenfabrik G. m. b. H.
Düsseldorf-Rath

BEZUGSQUELLEN-NACHWEIS

Elektrische Bahnen.

Mittellung der AEG.

Die Deutsche Reichsbahn-Gesellschaft gab in den letzten Jahren eine große Zahl von elektrischen Lokomotiven mit Einzelachsantrieb in Auftrag. Von diesen Aufträgen führte die AEG Güterzuglokomotiven der Bauart 1 C₀ + C₀ 1 mit Tatzenlagermotoren (Bild 1) und Schnellzuglokomotiven der Bauart 1 D₀ 1 mit AEG-Federantrieb (Bild 2) aus.

Die 1 C₀ + C₀ 1-Güterzuglokomotiven waren zur Beförderung von Güterzügen von 2200 t auf der Flachland-Strecke Breslau — Liegnitz bestimmt. Da die Elektrisierung dieser Strecke auf unbestimmte Zeit zurückgestellt wurde, versehen diese Lokomotiven ihren Dienst jetzt auf der schlesischen Gebirgsstrecke von Dittersbach bis Görlitz. Die Höchstgeschwindigkeit der Lokomotive beträgt 65 km/h, so daß sie außer zur Beförderung von Güterzügen von 1400 t Anhängelast auch im Personenzugdienst nutzbringend verwendet wird. Die Lokomotiven sind aus zwei gleichen kurzgekuppelten Halblokomotiven hergestellt. Jede Halblokomotive ist mit 3 Tatzenlagermotoren von je 325 kW dauernd bei 60% der Höchstgeschwindigkeit ausgerüstet, die durch ein gemeinsames Lüfteraggregat gelüftet wurden. Vor jedem Führerstand ist ein Öltransformator mit den darauf befindlichen Stufenschützen, dem Lüfteraggregat und der Ölumlaufpumpe in einem schmalen Vorbau untergebracht. Eine dieser Lokomotiven ist zur Schonung der Bremsklötze versuchsweise für Widerstandsbremung mit Fremderregung aus dem Netz ausgerüstet. In Bild 3 sind die Kilometerleistungen dieser Lokomotiven im Jahre 1928 angegeben. Hieraus ist ersichtlich, daß die Lokomotiven regelmäßig ohne Anstände ihren Dienst versehen haben.

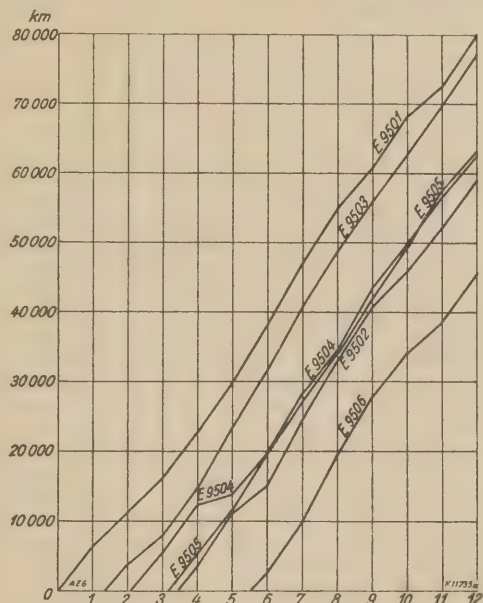
Die Schnellzuglokomotiven der Bauart 1 D₀ 1 mit AEG-Federantrieb sind für die Beförderung von Schnell- und Personenzügen auf den von München auslaufenden Strecken, den schlesischen Gebirgsstrecken und der Strecke Magdeburg—Halle—Leipzig bestimmt. Ihre Höchstgeschwindigkeit beträgt 110 km/h. Die Lokomotiven sind mit 4 Doppelmotoren von je 500 kW/dd bei 70% der Höchstgeschwindigkeit ausgerüstet. Je zwei Doppelmotoren werden durch ein gemeinsames Lüfteraggregat gekühlt. In der Mitte des Maschinenraumes ist ein luftgekühlter Trockentransformator aufgestellt.

Die äußeren Triebachsen sind mit den benachbarten Laufachsen zu je einem Lenkgestell der Bauart AEG ausgebildet.

Das AEG-Lenkgestell unterscheidet sich vom Krauss-Gestell im wesentlichen dadurch, daß das eine Deichselende nicht unmittelbar an der Triebachse, sondern an einem um die Treibräder herumgeführten Bügel angreift, der auf den beiden verlängerten Achszapfen der Triebachse kugelig gelagert ist. Bei einem Ausschlag der Laufachse wird die Triebachse durch die Deichsel, die an einem im Rahmen befestigten


Bild 2. 1 D₀ 1-Schnellzuglokomotive.

Drehzapfen federnd gelagert ist, mittels des erwähnten Bügels ebenfalls seitlich verschoben. Die Rückstellung des Lenkgestells geschieht durch eine zwischen dem


Bild 3. Kilometer-Leistungen der 1 C₀ + C₀ 1 Lokomotiven im Jahre 1928.

Drehzapfenlager und der Laufachse quer liegende Blattfeder.

Der Längsrahmen ist — wie bei den ersten Versuchslokomotiven der Bauart 2 D₀ 1 — aus 50 mm starken Blechen hergestellt, die so ausgeschnitten sind, daß ein Fachwerkträger übrig geblieben ist. Er ist so bemessen, daß auch nach Ausbau der Achsgabelstege ein tragfähiges System übrigbleibt.

Die Übertragung des Drehmomentes erfolgt von den Ankern über einseitig angeordnete Ritzel auf das zugehörige gemeinsame Zahnrad der Hohlwelle und von hier durch Übertragungsfedern auf die Triebachse.

Die Geschwindigkeitsregelung erfolgt durch Stufenschütze und Fahrshalter mit 21 Stufen. Für den Fahrtrichtungswechsel sind für je zwei Doppelmotoren elektropneumatische Fahrwender vorgesehen.

Die Lokomotiven werden mit Sicherheitsschaltvorrichtung nach Patenten der AEG ausgerüstet.


Bild 1. 1 C₀ + C₀ 1-Güterzuglokomotive

BEZUGSQUELLEN-NACHWEIS



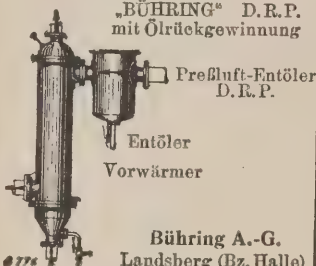
ABAS ABDAMPF- AUSNUTZUNG

Abdampf-Luftreither ::
Abgas-Saugzug-Anlagen
:: Abgas-Economiser
Abgas-Luftreither ::

Abwärme-Ausnutzung u. Saugzug
G. m. b. H. „ABAS“, Berlin W 57

ABDAMPF-ENTÖLER PRESSLUFT-ENTÖLER D.R.P.

„BÜHRING“ D.R.P.
mit Ölrückgewinnung



Preßluft-Entöler
D.R.P.

Entöler
Vorwärmer

Bühning A.-G.
Landsberg (Bz. Halle)

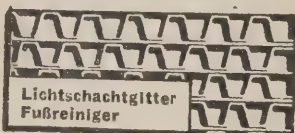
ABDAMPF-ENTÖLER

Max Dreyer & Co., Magdeburg-S.

ABDAMPF-ENTÖLER

Sack & Kieselbach
Maschinenfabrik G. m. b. H.
Düsseldorf-Rath

ABDECKPLATTEN



Lichtschachtgitter
Fußreiniger

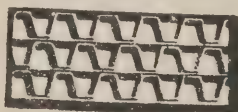
Schnellste Lieferung ab Lager

Tezett-Werk

Berlin-Tempelhof 14
Größtes und ältestes Spezialwerk

ABDECKUNGSROSTE

Fußreiniger



Fr. Engelmann, Jena-Au
Liste B 27 gratis

ARMATUREN

für Wasser-, Gas-, Dampf-, Säure-
u. sonstige Rohrleitungen, Patent-
ventile für Hoch- und Nieder-
druckleitungen, Kondenswasser-
abscheider und Kondensstöpfe.

Spezialfabrikation
seit mehr als 50 Jahren.



Bopp & Reuther
G. m. b. H.
Mannheim-Waldhof



ARMATUREN

für

Hochdruck u. Heißdampf

— Parallel-Schieber —
— Geschmiedete Ventile —

Rheinische
Armaturen- und Maschinenfabrik
vorm. Keuth & Zenner G. m. b. H.
Saarbrücken
Kein Zoll!

AUFZÜGE

BRACKER

Aufzüge
jeder
Betriebsart
und Größe

Patentsteuerung für
hydraulische Hebezeuge

G. D. Bracker Söhne
Maschinenbau-Aktiengesellschaft
Hanau a. M.

AUFZÜGE Hebezeuge,
Fahrtreppen, Elektromotoren

CARL Flohr A-G
Berlin N4, Chausseestraße 35.

Größte deutsche Aufzugsfabrik.
Bisher über 30000 Anlagen geliefert.
Reparaturen und Revisionen
aller Systeme im Abonnement.

AUFZÜGE

Elektrische
AUFZÜGE
System
SCHINDLER



Elektrische
Steuerungen
und
Apparate für
AUFZÜGE
Bremsmotoren
Bremsmagnete
Komplette
Aufzugs-
Winden

Hebezeug- u. Motorenfabrik A.-G.
Karlsruhe-Bulach

AUFZÜGE

für Personen, Lasten, Speisen,
Akten



Heime & Hans Herzfeld
Maschinen- u.
Apparate-Fabrik
Halle (Saale)

AUFZÜGE

Personen- und Lastenaufzüge
mit und ohne Feineinstellung

Paternosteraufzüge
für Personen oder Waren

Maschinenfabrik
Gustav Ad. Koch
Hamburg 39

AUFZÜGE

Aug. Kühnscherf
& Söhne

Dresden-A. 1. V.



Original
Kühnscherf
Söhne
Aufzüge

Über
1/2 Jahrhundert
Aufzugbau

Bei Erteilung
eines Jahresauftrages
(52 Anzeigen)
kostet dieser Raum
(35 mm)
Mk. 17.64 netto
pro Einschaltung

AUFZÜGE

für alle Zwecke und jeder Größe
mit und ohne Treibscheiben sowie
Feineinstellung

Gustav Linse
Spezialfabrik für Aufzüge
Erfurt
Fernruf 2452

AUFZÜGE

Paternoster-
Aufzüge
Personen-Aufzüge
mit
Feineinstellung
Lasten-Aufzüge



Mannheimer Maschinenfabrik
Mohr & Federhaff, Mannheim

AUFZÜGE

Original-Dreistern
von höchster Sicherheit u. dem neuesten
Stand der Technik entsprechend.
Maschinenfabrik MÜHLEISSEN
Elberfeld-Son.



AUFZÜGE

jeder Art
und
Größe

Schindler Aufzugsfabrik G. m. b. H.
Berlin SW 29, Kopischstr. 1

AUFZÜGE



Gegr

1861

AUFZUGSWERKE
Schmitt & Sohn
MÜNCHEN-NÜRNBERG-ESSEN
FACHFABRIKEN FÜR AUFZÜGE

AUFZÜGE

für Lasten
und Personen

Elektro-
Züge
150-5000 kg
Tragkraft

Krane
Winden
aller Art



Fr. Schüle & Co.
Aufzugs- und Hebezeugfabrik
Feldkirchen b. München

Personen- u. Lasten-

AUFZÜGE STAHL

Paternoster

Elektrozüge
R. Stahl, A.-G.
Stuttgart



AUFZÜGE

aller Art — Feineinstellung

Personenpaternoster
KRANE

Transportband-Anlagen

Gebrüder Weismüller
Frankfurt a. M.-West

BEZUGSQUELLEN-NACHWEIS

Lebensdauer von Glaskörpern in Bahngleichrichteranlagen.

Mitteilung der AEG.

In kleineren und mittleren Betrieben hat der Glasgleichrichter (Abb. 1) große Vorteile: hoher Wirkungsgrad auch bei Teillast, geringe Leerlaufverluste, Unempfindlichkeit gegen starke Überlastungsschläge sowie



Abb. 1. Großglasgleichrichter mit geöffneter Tür und herausgefahrenem Glaskörper.

Frequenzschwankungen im Hochspannungsnetz, einfache Gestaltung der Schalteinrichtung für ferngesteuerte oder vollkommen selbsttätige Stationen, einfache Inbetriebsetzung, keine Wartung, leichte Parallelschaltung, Wegfall von kostspieligen Fundamenten, leichte Unterbringungsmöglichkeit, geräuschloser Betrieb, Fortfall von Wasserkühlung und Luftpumpe. Hierdurch ist der Glasgleichrichter nicht nur umlaufenden Umformern, sondern auch dem Eisen-Gleichrichter überlegen. Bei der Entscheidung, ob Glas- oder Eisengleichrichter gewählt werden sollen, spielen aber nicht nur die vorstehend aufgeführten Eigenschaften der Glasgleichrichter, sondern auch die Lebensdauer der Glaskörper eine wichtige Rolle, weil hiervon die Wirtschaftlichkeit der Anlage abhängen kann. Es besteht zwar bei manchen Ingenieuren eine gewisse Voreingenommenheit gegenüber Glas als Baustoff im Apparatebau. Die Praxis hat jedoch bewiesen, daß die Glaskörper eine genügend große Lebensdauer haben, um die Wirtschaftlichkeit der Anlage sicherzustellen.

Durch Garantien allein kann die Frage der Wirtschaftlichkeit nicht entschieden werden, weil die Gewährleistung genau so wie bei Maschinen immer nur für eine verhältnismäßig kurze Zeit gelten kann. Man muß diese Frage vielmehr an Hand von tatsächlichen Betriebsergebnissen beantworten.

Die AEG hat zu diesem Zweck an verschiedene größere von ihr mit Glasgleichrichtern belieferte Bahnbetriebe (Abb. 2) eine Rundfrage gerichtet, um möglichst genaue Angaben zu erhalten. Diese Rundfrage wurde nur an Betriebe geleitet, die Glaskörper seit wenigstens einem Jahr in Betrieb haben und somit über entsprechende Erfahrungen verfügen. Die Anfrage wurde von insgesamt 19 Betrieben mit 46 Gestellen beantwortet und ergab:

Am Stichtag, dem 1. 7. 1928, waren von zusammen 63 Glaskörpern noch 34 = 54% seit Errichtung im Betrieb und erst 16 Stück = 24% zerstört, während die restlichen 13 Stück = 21% als Ersatz für die letztgenannten arbeiteten.

Von den 34 noch im Betrieb befindlichen Glaskörpern hatten 2 Stück am 1. 7. 1928 bereits eine Betriebszeit von über 25 000, 5 von 20 000 bis 25 000, 18 von 10 000 bis 20 000 und 9 von unter 10 000 Stunden erreicht. Für diese 34 Glaskörper ergab sich dabei bis zum Stichtag eine mittlere Betriebsdauer von rund 13 400 Stunden; die wirkliche bis zum Versagen zu erzielende Betriebszeit wird ganz erheblich höher liegen.

Von den 16 zerstörten Glaskörpern hatten 9 eine Betriebsdauer von unter 2000, 4 von 2000 bis 4000 und 3 von 4000 bis 7000 Stunden erzielt, während sie für alle 16 zerstörten Glaskörper im Mittel 2300 Stunden betrug. Selbstverständlich darf man diese Werte nicht für sich allein, sondern nur in Verbindung mit den noch im Betrieb befindlichen Glaskörpern betrachten. Sie zeigen nur, daß nicht einwandfreie Glaskörper nach verhältnismäßig kurzer Zeit zerstört und somit von selbst ausgeschieden werden.

Die restlichen 13 Ersatz-Glaskörper arbeiten zum Teil erst kurze Zeit, so daß hierüber noch keine Angaben vorliegen.

Wenngleich sich die tatsächlich mit den Glaskörpern zu erzielende Betriebsdauer aus der Rundfrage nicht feststellen läßt, weil man dann mit dieser noch ziemlich lange hätte warten müssen, so ergibt sich doch eine Grenze nach unten und damit auch für den Betriebsleiter ein sicherer Anhalt für die Beurteilung der Glaskörperfrage. Die mittlere Betriebsdauer der $34 + 16 = 50$ Glaskörper betrug bis zum 1. 7. 1928 rund 10 000 Stunden, die tatsächlich erzielte wird also ganz erheblich höher liegen, weil es praktisch ausgeschlossen ist, daß die 34 am Stichtag noch betriebsfähigen Glaskörper bald darauf zerstört wurden. Man kann deshalb in Bahnbetrieben mit großer Sicherheit eine mittlere Betriebsdauer von mindestens 10 000 Stunden als untere Grenze angeben.

Von Wichtigkeit ist noch die mittlere Tagesbelastung der einzelnen Glaskörper, weil manchmal die Ansicht vertreten wird, daß geringe Beanspruchung auf die Lebensdauer von günstigem Einfluß ist. Ab-

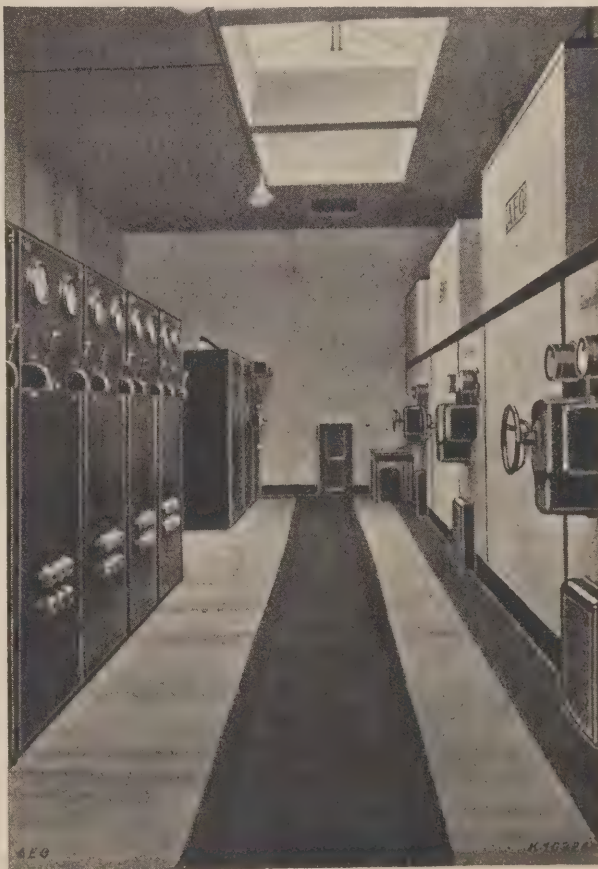


Abb. 2. Gleichrichterraum im Unterwerk Nellingen der Straßenbahn Esslingen-Nellingen-Denkendorf.

gesehen von 6 Glaskörpern ohne nähere Angabe betrug die mittlere Tagesbelastung bei 28 Stück unter 50%, bei 14 Stück 51 bis 70% und bei 15 Stück 71 bis 85% der vorgesehenen Vollast. Diese Werte sind nur als annähernd zu betrachten, da sie auf Schätzung beruhen.

BEZUGSQUELLEN-NACHWEIS



ABAS ABDAMPF-AUSNUTZUNG

Abdampf-Lufterhitzer ::
Abgas-Saugzug-Anlagen
Abgas-Economiser
Abgas-Lufterhitzer ::

Abwärme-Ausnutzung u. Saugzug
G. m. b. H. „ABAS“, Berlin W 57

ABDAMPF-ENTÖLER

Th. Wipperf, Huss & Co.
Kommandit-Gesellschaft
Maschinenfabrik
Bremen

ABDECKPLATTEN



Schnellste Lieferung ab Lager

Tezett-Werk

Berlin-Tempelhof 14

Größtes und ältestes Spezialwerk

ARMATUREN

für Wasser-, Gas-, Dampf-, Säure-
u. sonstige Rohrleitungen, Patent-
ventile für Hoch- und Nieder-
druckleitungen, Kondenswasser-
abscheider und Kondensstöpfe.

Spezialfabrikation
seit mehr als 50 Jahren.

Bopp & Reuther
G. m. b. H.
Mannheim-Waldhof



ARMATUREN

für
Hochdruck u. Heißdampf

— Parallel-Schieber —
— Geschmiedete Ventile —

Rheinische
Armaturen- und Maschinenfabrik
vorm. Keuth & Zenner G. m. b. H.
Saarbrücken

Kein Zoll!



ARMATUREN

für Wasser-, Gas-
und sonstige Rohrleitungen,
wie Absperrschieber,
Hydranten, Ventilbrunnen,
Ventilrohrschellen,
Dampfabsperrschieber,
Heißgasschieber.

Vereinigte
Armaturen-Gesellschaft m. b. H.
Mannheim
Verkaufsgesellschaft.

AUFZÜGE

BRACKER

Aufzüge
jeder
Betriebsart
und Größe

Patentsteuerung für
hydraulische Hebezeuge

G. D. Bracker Söhne
Maschinenbau-Aktiengesellschaft
Hanau a. M.

Der

Bezugsquellen-Nachweis
die
Zentralstelle
technischer Angebote

AUFZÜGE Hebezeuge,
Fahrtreppen, Elektromotoren

CARL Flohr & Co.
Berlin N 4, Chausseestraße 35.

Größte deutsche Aufzugsfabrik.
Bisher über 30000 Anlagen geliefert.
Reparaturen und Revisionen
aller Systeme im Abonnement.

AUFZÜGE

Elektrische
AUFZÜGE
System
SCHINDLER



Elektrische
Steuerungen
und
Apparate für
AUFZÜGE
Bremsmotoren
Bremsmagnete
Komplette
Aufzugs-
Winden

Hebezeug- u. Motorenfabrik A.-G.
Karlsruhe-Bulach

AUFZÜGE

Aug. Kühnscherf
& Söhne

Dresden-A. 1. V.



Über
1/2 Jahrhundert
Aufzugbau

AUFZÜGE

für alle Zwecke und jeder Größe
mit und ohne Treibscheiben sowie
Feineinstellung

Gustav Linse

Spezialfabrik für Aufzüge
Erfurt

Fernruf 2452



AUFZÜGE

jeder Art
und
Größe

Schindler Aufzugsfabrik G. m. b. H.
Berlin SW 29, Kopischstr. 1

Bei Erteilung
eines Jahresauftrages
(52 Anzeigen)
kostet dieser Raum
(35 mm)
Mk. 17.64 netto
pro Einschaltung

AUFZÜGE



Gegr

1861

AUFZUGSWERKE
Schmitt & Sohn
MÜNCHEN-NÜRNBERG-ESSEN
FACHFABRIKEN FÜR AUFZÜGE

AUFZÜGE

für Lasten
und Personen

Elektro-
Züge
150-5000 kg
Tragkraft
Krane
Winden
aller Art



Fr. Schüle & Co.

Aufzugs- und Hebezeugfabrik
Feldkirchen b. München

Personen- u. Lasten-

AUFZÜGE STAHL

Paternoster

Elektrozüge
R. Stahl, A.-G.
Stuttgart

AUFZÜGE

aller Art — Feineinstellung
Personenpaternoster

KRANE

Transportband-Anlagen

Gebrüder Weismüller

Frankfurt a. M.-West

AUTOGENE

Schweiß- und Schneid-Anlagen
mit sämtlichem Zubehör

Gaswerkzeuge
für alle Gasarten.

Heime & Hans Herzfeld
Maschinen- u.
Apparate-Fabrik
Halle (Saale)



BRUNNENBAU

Tiefbohrungen, Rohrfilterbrunnen,
Wasserwerksbau

Reuther Tiefbau G. m. b. H.
Mannheim-Waldhof 7



DAMPF- DRUCKVERMINDERER

Gebr. Poensgen A.-G.
Maschinenfabrik
Düsseldorf-Rath 71

BEZUGSQUELLEN-NACHWEIS

AEG-Seilfahrtschaltung bei in Leonardschaltung gesteuerten Hauptschacht-Fördermaschinen.

Mitteilung der AEG.

Seitens der Bergbehörde sind für Hauptschacht-Fördermaschinen besondere Vorschriften über die zulässige Höhe der Seilfahrtgeschwindigkeit bei den verschiedenen Antriebsarten vorgeschrieben.

Diese Vorschriften lassen bei den in Leonardschaltung gesteuerten Fördermaschinen eine höhere Seilfahrtgeschwindigkeit zu als bei jeder anderen Antriebsart.

Bei der hohen Betriebssicherheit der in Leonardschaltung gesteuerten Fördermaschinen, in Verbindung mit den besonderen die Steuerung verbessernden und den Betrieb überwachenden Einrichtungen bestehen jedoch keine Bedenken, eine wesentlich höhere als die bisher zugelassene Seilfahrtgeschwindigkeit zu genehmigen, wenn gleichzeitig die Beschleunigung und Verzögerung auf einen zulässigen Wert, z. B. $0,7 \text{ m/s}^2$ beschränkt und durch vorhandene Einrichtungen zwangsläufig eingehalten wird.

Es ist bekanntlich bei keiner derartigen Bewegung die Geschwindigkeit selbst, die störend wirkt (gute Schachtverhältnisse vorausgesetzt), sondern immer nur die Änderung der Geschwindigkeit, die unangenehm empfunden wird bzw. zu Schädigungen Veranlassung geben kann.

Eine Seilfahrt mit 6 m/s Fördergeschwindigkeit und $1,2 \text{ m/s}^2$ Beschleunigung bzw. Verzögerung wird zweifellos unangenehm empfunden werden, als eine Seilfahrt mit 15 m/s Fördergeschwindigkeit und nur $0,7 \text{ m/s}^2$ Beschleunigung bzw. Verzögerung.

Weiter ist bei dem verminderten Verzögerungswert eine erhöhte Gewähr für richtiges Stillsetzen an der Hängebank gewährleistet und bei Treibscheiben eine verminderte Gleitgefahr des Seiles vorhanden.

Die verschiedenen Seilfahrtschaltungen bezwecken nun, die Geschwindigkeit während der Seilfahrtperiode zwangsläufig auf einen zulässigen Wert zu begrenzen.

Da die Fördergeschwindigkeit bei Leonardschaltung fast dem Steuerhebelausschlag entspricht, so könnte durch einen Sperr-Riegel eine zu weite Auslage des Steuerhebels bei Seilfahrt verhindert werden. Hierbei würde jedoch infolge der Abhängigkeit der Steuerhebelauslage vom zurückgelegten Förderweg, die durch die Anfahrkurven und Verzögerungskurven am Teufenzeiger bedingt ist, die gleich hohe Geschwindigkeitsänderung wie bei der Lastfahrt vorhanden sein.

Obleich nun seitens der Bergbehörde keinerlei Vorschriften über die für Seilfahrt zulässigen Beschleunigungs- und Verzögerungswerte herausgegeben sind und auch bisher noch keine Feststellungen darüber ge-

macht sind, welche Geschwindigkeitsänderungen das Gefühl eines Unbehagens bei den Fahrenden hervorrufen, hat die AEG bei der Entwicklung ihrer Seilfahrtschaltung diesem Gedanken doch dadurch Rechnung getragen, daß jeder beliebige Beschleunigungs- und Verzögerungswert zwangsläufig eingestellt werden kann.

Bei der im Bild dargestellten Seilfahrtschaltung (DRP) wird deshalb ein Teil der Hauptfeldwicklung des Steuergenerators abgeschaltet und durch einen Widerstand von gleichem Ohmwert ersetzt, derart, daß z. B. das verbleibende Feld bei voller Steuerhebelaus-

lage die zugelassene Seilfahrtgeschwindigkeit ergibt. Es stehen dann bei der Seilfahrt die gleichen Anfahr- und Verzögerungswege zur Verfügung wie bei Lastfahrt; bei der kleineren Seilfahrtgeschwindigkeit also auch eine entsprechend kleinere Beschleunigung und Verzögerung.

In Fällen, in denen die Geschwindigkeitsunterschiede bei Seilfahrt und Lastfahrt die Beschleunigungs- und Verzögerungsperioden zu

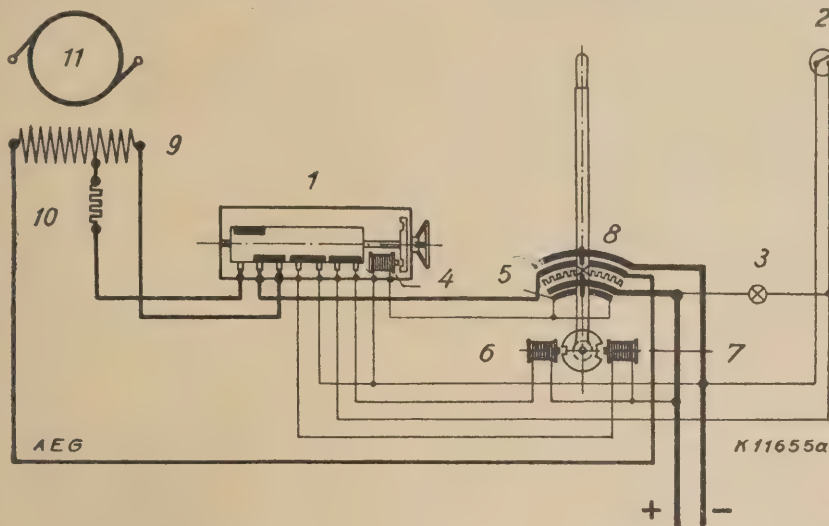
lang werden lassen, wird durch Anwendung dieser Schaltung und einer gleichzeitigen entsprechenden Sperrung des Steuerhebelausschlages das gewünschte Verhältnis eingestellt.

Es kann also bei dieser Schaltung jeder beliebige Beschleunigungs- und Verzögerungswert gewählt werden. Der zur Umschaltung auf Seilfahrtgeschwindigkeit erforderliche Umschalter 1 wird in der Nähe des Fördermaschinisten-Standes angeordnet. Eine Umschaltung dieses Schalters ist nur in der Mittelstellung des Steuerhebels, also bei unerregtem Steuermaschinenfeld möglich. Ein weiterer Schalter 2 ist an der Hängebank vorgesehen. Wird mit dem Weitergeben des Seilfahrtsignals dieser Schalter eingeschaltet, so ist der Steuerhebel so lange in der Mittelstellung gesperrt, bis vom Maschinisten der Seilfahrtschalter am Führerstand im richtigen Sinne geschaltet ist.

Die AEG hat davon abgesehen, diese Schaltung auf Seilfahrt vom Anschläger direkt ausführen zu lassen, um nicht dem Fördermaschinisten die Verantwortung für die Einhaltung der vorgeschriebenen Seilfahrtgeschwindigkeit zu nehmen.

Gleichzeitig mit der Betätigung des Schalters an der Hängebank erhält der Maschinist durch ein während der ganzen Dauer der Seilfahrt eingeschaltetes optisches Signal 3 von der vorgenommenen Schaltung Kenntnis.

Als Umschalter für die Seilfahrt kommt gußgekap seltes Material in kräftiger Ausführung zur Verwendung.



- 1 = Seilfahrt-Umschalter,
- 2 = Seilfahrt-Signalschalter,
- 3 = Seilfahrt-Signallampe,
- 4 = Sperrmagnet im Seilfahrt-Umschalter,
- 5 = Sperrkontakte im Steuerschalter,

Seilfahrt-Schaltung.

- 6 = Verriegelungs-Magnet für den Steuerhebel,
- 7 = Sperrmagnet für Geschwindigkeits-Begrenzung,
- 8 = Steuerschalter,
- 9 = Anlaßgenerator-Feld,
- 10 = Feld-Ersatzwiderstand,
- 11 = Anlaßgenerator-Anker.

BEZUGSQUELLEN - NACHWEIS



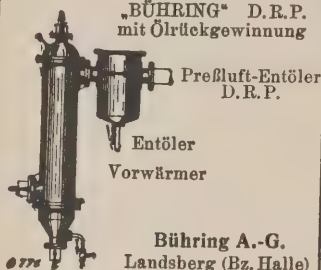
ABAS ABDAMPF-AUSNUTZUNG

Abdampf-Lufterhitzer ::
Abgas-Saugzug-Anlagen ::
Abgas-Economiser ::
Abgas-Lufterhitzer ::

Abwärme-Ausnutzung u. Saugzug
G. m. b. H. „ABAS“, Berlin W 57

ABDAMPF-ENTÖLER PRESSLUFT-ENTÖLER D.R.P.

„BÜHRING“ D.R.P.
mit Ölrückgewinnung



Entöler
Vorwärmer

Bühring A.-G.
Landsberg (Bz. Halle)

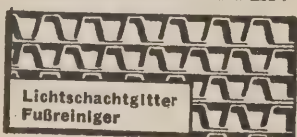
ABDAMPF-ENTÖLER

Max Dreyer & Co., Magdeburg-S.

ABDAMPF-ENTÖLER

Sack & Kiesselbach
Maschinenfabrik G. m. b. H.
Düsseldorf-Rath

ABDECKPLATTEN



Schnellste Lieferung ab Lager

Tezett-Werk

Berlin-Tempelhof 14

Größtes und ältestes Spezialwerk

ARMATUREN

für Wasser-, Gas-, Dampf-, Säure-
u. sonstige Rohrleitungen, Patent-
ventile für Hoch- und Nieder-
druckleitungen, Kondenswasser-
abscheider und Kondensstöpfe.

Spezialfabrikation
seit mehr als 50 Jahren.

Bopp & Reuther
G. m. b. H.
Mannheim-Waldhof



ARMATUREN

für
Hochdruck u. Heißdampf

— Parallel-Schieber —
— Geschmiedete Ventile —

Rheinische
Armaturen- und Maschinenfabrik
vorm. Keuth & Zenner G. m. b. H.
Saarbrücken

Kein Zoll!



ARMATUREN

für Wasser-, Gas-
und sonstige Rohrleitungen,
wie Absperrschieber,
Hydranten, Ventilbrunnen,
Ventilrohrschellen,
Dampfabsperrschieber,
Heißgasschieber.

Vereinigte
Armaturen-Gesellschaft m. b. H.
Mannheim
Verkaufsgesellschaft

Der
Bezugsquellen-Nachweis
die
Zentralstelle
technischer Angebote

AUFZÜGE

BRACKER

Aufzüge
jeder
Betriebsart
und Größe

Patentsteuerung für
hydraulische Hebezeuge

G. D. Bracker Söhne
Maschinenbau-Aktiengesellschaft
Hanau a. M.

AUFZÜGE Hebezeuge,
Fahrtreppen, Elektromotoren

CARL Flohr A.-G.

Berlin N 4, Chausseestraße 35.

Größte deutsche Aufzugsfabrik.
Bisher über 30000 Anlagen geliefert.
Reparaturen und Revisionen
aller Systeme im Abonnement.

AUFZÜGE

Elektrische
AUFZÜGE
System
SCHINDLER



Elektrische
Steuerungen
und
Apparate für
AUFZÜGE
Bremsmotoren
Bremsmagnete
Komplette
Aufzugs-
Winden

Hebezeug- u. Motorenfabrik A.-G.
Karlsruhe-Bulach

AUFZÜGE

Aug. Kühnscherf
& Söhne

Dresden-A. 1. V.



Über
1/2 Jahrhundert
Aufzugsbau

AUFZÜGE

für alle Zwecke und jeder Größe
mit und ohne Treibscheiben sowie
Feineinstellung

Gustav Linse

Spezialfabrik für Aufzüge

Erfurt

Fernruf 2452

AUFZÜGE

Original-Dreistern
von höchst. Sicherheit u. dem newest.
Stand der Technik entsprechend.
Maschinenfabrik **MUHLEISSEN**
Elberfeld-Son.



AUFZÜGE

jeder Art
und
Größe

Schindler Aufzügefabrik G. m. b. H.
Berlin SW 29, Kopischstr. 1

Bei Erteilung
eines Jahresauftrages
(52 Anzeigen)
kostet dieser Raum
(35 mm)
Mk. 17.64 netto
pro Einschaltung

AUFZÜGE



Gegr

1861

AUFZUGSWERKE

Schmitt & Sohn
MÜNCHEN-NÜRNBERG-ESSEN
FACHFABRIKEN FÜR AUFZÜGE

AUFZÜGE

für Lasten
und Personen

Elektro-
Züge
150-5000 kg
Tragkraft

Krane
Winden
aller Art

Fr. Schüle & Co.

Aufzugs- und Hebezeugfabrik
Feldkirchen b. München

Personen- u. Lasten-

AUFZÜGE

STAHL

Paternoster

Elektrozüge

R. Stahl, A.-G.
Stuttgart

AUFZÜGE

aller Art — Feineinstellung

Personenpaternoster

KRANE

Transportband-Anlagen

Gebrüder Weismüller

Frankfurt a. M.-West



BRUNNENBAU

Tiefbohrungen, Rohrfilterbrunnen,
Wasserwerksbau

Reuther Tiefbau G. m. b. H.
Mannheim-Waldhof 7

BEZUGSQUELLEN - NACHWEIS

Elektrische Lokomotiven und Schleppzeuge in Gaswerken.

Mitteilung der AEG.

Für die Beförderung von Zügen auf den Anschlußgleisen und für den Verschiebedienst in Gaswerken werden vorteilhaft elektrische Lokomotiven benutzt. Die allbekannten Vorzüge — Einfachheit in Bedienung und Unterhaltung, stete Betriebsbereitschaft und geringe Betriebskosten — machen sie dazu besonders geeignet. Für leichteren Dienst und für den Verkehr auf den Schmalspurgleisen sind Schleppzeuge und die für Sonderzwecke gebauten elektrisch betriebenen Wagen besonders empfehlenswert.

Die Lokomotiven werden in der Regel für Oberleitungsbetrieb ausgeführt. Wo die Anbringung einer Fahrleitung der Krananlagen wegen unerwünscht ist, verwendet man Akkumulatoren-Lokomotiven. Zuweilen ist eine Verbindung beider Betriebsarten am Platze, d. h. die Verwendung einer Lokomotive für gemischten Betrieb. Die Hauptgleise, insbesondere am Übergabebahnhof, werden mit Fahrleitung versehen, und nur dort, wo kein Fahrdrat verlegt werden kann, benutzt die Lokomotive die eingebaute Batterie, die nachher wieder aus der Oberleitung aufgeladen wird.

Für den Betrieb der Lokomotiven kommt im allgemeinen nur Gleichstrom in Frage, der nötigenfalls durch einen besonderen Gleichrichter oder Einankerumformer erzeugt wird.

Die Größe der Lokomotive richtet sich nach den Betriebsverhältnissen.

Die in Abb. 1 dargestellte elektrische Lokomotive für Oberleitungsbetrieb ist mit zwei ganz geschlossenen Motoren ausgerüstet, die zusammen eine Stundenleistung von 100 kW bei einer Fahrdratspannung von 500 V haben. Die Lokomotive wiegt rund 22 t und ist imstande, beim Anfahren eine Zugkraft von 5000 kg am Laufradumfang auszuüben, d. h. sie kann bis zu 450 t Anhängelast auf wagerechter Strecke befördern. Die Fahrgeschwindigkeit beträgt durchschnittlich 12 km/h.

Für die Kohlen- und Koksbeeförderung dienen bei Benutzung der Schmalspurgleise elektrische

Ein vollkommen gekapselter Gleichstrommotor von 2 kW Stundenleistung bei 80 V treibt eine Achse des Fahrzeuges über ein doppeltes Stirnradvorgelege an.



Abb. 2
Schleppzeug für Schmalspur.

Die zweite Achse ist mit der vom Motor angetriebenen durch eine Kette gekuppelt. Die Großoberflächenbatterie, die auswechselbar ist, besteht aus 40 Zellen, deren Kapazität je nach der erforderlichen Schichtleistung zu 48 bis 72 Ah gewählt wird. Das Gleisschleppzeug wiegt 2000 kg. Die Anhängelast, die bei wagerechter Gleisanlage geschleppt werden kann, darf bis zu 25 t betragen. Als Beispiel sei angegeben, daß bei einer mittleren Anhängelast von 10 t mit einer Batterieladung ein Gesamtfahrweg von rund 17 km zurückgelegt werden kann. Die Fahrgeschwindigkeit beträgt hierbei 5,3 km stündlich. Mit 10 t Anhängelast können noch Steigungen bis zu 20 ‰ befahren werden. Der Fahrzeugführer steht wie bei den Elektrokarren auf einer kleinen, an einem Ende des Rahmens angeordneten Plattform und betätigt mit dem Fuß die mechanische Bremse. Verläßt der Führer die Plattform, so wird das Fahrzeug sofort selbsttätig gebremst.

Für die Koksbeeförderung, bei der das Schleppzeug unter den Fülltrichtern der Öfen hindurchfahren muß, erhält es eine einfache Sperrvorrichtung, mit welcher der Bremsantrieb am Führerstand verriegelt wird. Der Führer kann dann beim Unterfahren der Öfen absteigen, das Fahrzeug allein fahren lassen und es auf der anderen Seite der Fülltrichter wieder erwarten. Da die Fahrgeschwindigkeit nur etwa 5 km/h beträgt, kann der Führer neben dem Fahrzeug hergehend dieses leicht bedienen.

Für den Aschetransport benutzt man Gleisplattformwagen mit aufgebauter Kippmulde, die von Hand gekippt wird. Der Motor für den Fahrtrieb leistet 2 kW. Auch dieser Wagen hat selbsttätige Bremse, die beim Verlassen des Führerstandes anspricht.



Abb. 1
Oberleitungslokomotive für Regelspur.

Schleppzeuge nach Abb. 2. Es sind dies Akkumulatoren-Fahrzeuge, die nach Art der bekannten gleislosen Elektrokarren gebaut und für alle Spurweiten zwischen 500 und 800 mm ausgeführt werden.

BEZUGSQUELLEN-NACHWEIS



ABAS ABDAMPF-AUSNUTZUNG

Abdampf-Lufterhitzer ::
Abgas-Saugzug-Anlagen
:: Abgas-Economiser
Abgas-Lufterhitzer ::

Abwärme-Ausnutzung u. Saugzug
G. m. b. H. „ABAS“, Berlin W 57

ABDAMPFENTÖLER

Dampftrockner, Reiniger



Julius Wilisch
Wurzen Sa.

ABDAMPF-ENTÖLER

Th. Wipperf, Huss & Co.
Kommandit-Gesellschaft
Maschinenfabrik
Bremen

ABDECKPLATTEN



Lichtschachtgitter
Fußreiniger

Schnellste Lieferung ab Lager

Tezett-Werk

Berlin-Tempelhof 14

Größtes und ältestes Spezialwerk

ARMATUREN

für Wasser-, Gas-, Dampf-, Säure-
u. sonstige Rohrleitungen, Patent-
ventile für Hoch- und Nieder-
druckleitungen, Kondenswasser-
abscheider und Kondensstöpfe.

Spezialfabrikation
seit mehr als 50 Jahren.

Bopp & Reuther
G. m. b. H.
Mannheim-Waldhof



ARMATUREN

für

Hochdruck u. Heißdampf

— Parallel-Schieber —
— Geschmiedete Ventile —

Rheinische
Armaturen- und Maschinenfabrik
vorm. Keuth & Zenner G. m. b. H.
Saarbrücken

Kein Zoll!



ARMATUREN

für Wasser-, Gas-
und sonstige Rohrleitungen,
wie Absperrschieber,
Hydranten, Ventilbrunnen,
Ventilrohrschellen,
Dampfabsperrschieber,
Heißgasschieber.

Vereinigte
Armaturen-Gesellschaft m. b. H.
Mannheim
Verkaufsgesellschaft.

AUFZÜGE

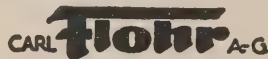
BRACKER

Aufzüge
jeder
Betriebsart
und Größe

Patentsteuerung für
hydraulische Hebezeuge

G. D. Bracker Söhne
Maschinenbau-Aktiengesellschaft
Hanau a. M.

AUFZÜGE Hebezeuge,
Fahrtreppen, Elektromotoren



CARL Flohr A-G

Berlin N 4, Chausseestraße 35.
Größte deutsche Aufzugsfabrik.
Bisher über 30000 Anlagen geliefert.
Reparaturen und Revisionen
aller Systeme im Abonnement.

AUFZÜGE

Elektrische
AUFZÜGE
System
SCHINDLER



Elektrische
Steuerungen
und
Apparate für
AUFZÜGE
Bremsmotoren
Bremsmagnete
Komplette
Aufzugs-
Winden

Hebezeug- u. Motorenfabrik A.-G.
Karlsruhe-Bulach

AUFZÜGE

für Personen, Lasten, Speisen,
Akten



Heime & Hans Herzfeld
Maschinen- u.
Apparate-Fabrik
Halle (Saale)

AUFZÜGE

Aug. Kühnsherf
& Söhne

Dresden-A. 1. V.



Original
Kühnsherf-
Söhne
Aufzüge

Über
1/2 Jahrhundert
Aufzugbau

AUFZÜGE

für alle Zwecke und jeder Größe
mit und ohne Treibscheiben sowie
Feineinstellung

Gustav Linse

Spezialfabrik für Aufzüge

Erfurt

Fernruf 2452

AUFZÜGE

Paternoster-
Aufzüge
Personen-Aufzüge
mit
Feineinstellung
Lasten-Aufzüge



**Mannheimer Maschinenfabrik
Mohr & Federhaff, Mannheim**



AUFZÜGE

jeder Art
und
Größe

Schindler Aufzugsfabrik G. m. b. H.
Berlin SW 29, Kopischstr. 1

AUFZÜGE

für Lasten
und Personen

Elektro-
Züge
150-5000 kg
Tragkraft

Krane
Winden
aller Art



Fr. Schüle & Co.

Aufzugs- und Hebezeugfabrik
Feldkirchen b. München



Personen- u. Lasten-

AUFZÜGE

STAHL

Paternoster

Elektrozüge

R. Stahl, A.-G.
Stuttgart

AUFZÜGE

aller Art — Feineinstellung

Personenpaternoster

KRANE

Transportband-Anlagen

Gebrüder Weismüller

Frankfurt a. M.-West



BRUNNENBAU

Tiefbohrungen, Rohrfilterbrunnen,
Wasserwerksbau

Reuther Tiefbau G. m. b. H.
Mannheim-Waldhof 7



DAMPF-

DRUCKVERMINDERER

Gebr. Poensgen A.-G.
Maschinenfabrik
Düsseldorf-Rath 71

DAMPFENTÖLER

Sack & Kiesselbach
Maschinenfabrik G. m. b. H.
Düsseldorf-Rath

AUFZÜGE



Gegr

1861

AUFZUGSWERKE

Schmitt & Sohn

MÜNCHEN-NÜRNBERG-ESSEN
FACHFABRIKEN FÜR AUFZÜGE

BEZUGSQUELLEN-NACHWEIS

Elektrokarren in der Lederindustrie.

Mitteilung der AEG.

In den neueren Werken der Lederindustrie, in denen die mit Rohfellen beladenen Eisenbahnwagen bis in die Lager fahren, beherrscht der Elektrohubkarren (Abb. 1) in Verbindung mit Ladebänken das

In den Gerbereien, Fellwäschereien usw. werden die Felle auf Wagen mit bockartigem Aufsatz befördert, die dann längere Zeit stehen, damit die Flüssigkeit von den Fellen ablaufen kann. Die Bewegung dieser



Abb. 1. AEG-Elektrohubkarren EH 1504 mit Ladebank für den Transport von Rohfellen.



Abb. 3. AEG-Elektrokarren EK 752 mit Bockanhänger.

Feld. Hier rechnet man je nach dem Beschäftigungsgrade mit 50 bis 100 Ladebänken für einen Hubkarren. Diese Ladebänke sind entsprechend den Erfordernissen des Betriebes einzurichten und werden z. B. für den Transport der Rohfelle mit einem kastenartigen Aufbau versehen. Es ist auch möglich, die Ladebänke mit 2 oder 4 Laufrädern auszurüsten, um ein leichtes Verschieben von Hand zu ermöglichen. Bei fortschreitender Entladung der Waggons finden die Ladebänke innerhalb der Waggons Aufstellung. Der Elektrohubkarren, der infolge seiner Vierradlenkung außerordentlich wendig ist und somit auch in den Waggon hineinfahren kann, nimmt die dort abgesetzte Bank auf und fährt dann über eine Waage, auf der ohne Absetzen der Ladung die Nutzlast festgestellt wird. Nach Weitertransport werden die Ladebänke in Fellspeichern nebeneinander aufgestellt, im kontinuierlichen Betriebe von dem Karren wieder aufgenommen und nach dem Sortiersaal gebracht. Dort wandern die Felle über den Sortiertisch (Abb. 2) hinweg auf andere bereitstehende Ladebänke und gehen dann mittels Hubkarren — nötigenfalls über Aufzüge und den Fabrikhof — in die weitere Fabrikation. Der Abtransport der Felle erfolgt größtenteils ebenfalls durch Elektrohubkarren. Entsprechend den steigenden Anforderungen an Elektrohubkarren können diese jetzt auch für eine Tragkraft von 1800 bzw. 2000 kg geliefert werden.

Wagen erfolgt praktischerweise durch Elektrokarren oder Elektroschlepper, wie Abb. 3 erkennen läßt. Die Beförderung der Chemikalien und sonstigen Fabrikationsmaterialien innerhalb des Betriebes, der Fertigfabrikate von den Werkstätten zu den Lagern bzw. zu den Versandstellen übernehmen in stets zunehmender Zahl Elektrokarren jeder Bauart. Auch die Verwendung von Anhängewagen ist, wenn die Platzverhältnisse dies gestatten, möglich, wie Abb. 4 zeigt.

Bekanntlich werden in den Lederfabriken alle Eisenteile außerordentlich durch die den Fellen anhaftenden Salze angegriffen, und es bestand daher zunächst die Befürchtung, die Lebensdauer der Elektrokarren würde nur eine sehr kurze sein. Die Farbenindustrie hat jedoch schützende Anstrichmittel herausgebracht, so daß diese Befürchtungen gegenstandslos sind. Die AEG hat an Lederfabriken Elektrokarren geliefert, die seit etwa 7 Jahren unausgesetzt im Betrieb sind, sich bestens bewährt haben und voraussichtlich auch noch lange Zeit in Betrieb bleiben können; über das normale Maß hinausgehende Abnutzungen konnten bisher nicht festgestellt werden.

Die Wirtschaftlichkeit des Elektrokarrenbetriebes in Lederfabriken steht außer Zweifel. Die Ersparnismöglichkeiten werden bewiesen durch die Angabe einer Lederfabrik, die nach Einstellung von 3 AEG-Elektrohubkarren die Transportleistung steigern und trotzdem



Abb. 2. AEG-Elektrohubkarren EH 1504 in einem Sortiersaal.

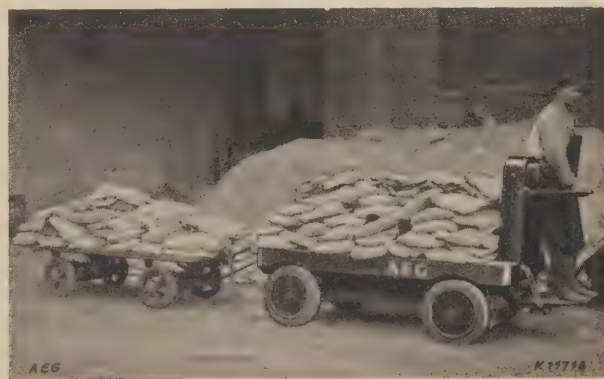


Abb. 4. AEG-Elektrokarren EK 1502 mit Anhängewagen in einer Lederfabrik.

Aber auch in den übrigen Betriebsabteilungen der Lederfabriken werden Elektrokarren vielseitig verwendet.

noch 20 Arbeiter, die bisher beim Transport der Felle mittels Handkarren benötigt wurden, einer produktiveren Arbeit zuführen konnte.

BEZUGSQUELLEN-NACHWEIS



ABAS ABDAMPF-AUSNUTZUNG

Abdampf-Lufterhitzer ::
Abgas-Saugzug-Anlagen ::
Abgas-Economiser
Abgas-Lufterhitzer ::

Abwärme-Ausnutzung u. Saugzug
G. m. b. H. „ABAS“, Berlin W 57

ABDAMPF-ENTÖLER PRESSLUFT-ENTÖLER D.R.P.

„BÜHRING“ D.R.P.
mit Ölrückgewinnung



Entöler
Vorwärmer

Bühring A.-G.
Landsberg (Bz. Halle)

ABDAMPF-ENTÖLER

Max Dreyer & Co., Magdeburg-S.

ABDAMPF-ENTÖLER

Sack & Kiesselbach
Maschinenfabrik G. m. b. H.
Düsseldorf-Rath

ABDECKPLATTEN



Lichtschachtgitter
Fußreiniger

Schnellste Lieferung ab Lager

Tezett-Werk
Berlin-Tempelhof 14
Größtes und ältestes Spezialwerk

ARMATUREN

für Wasser-, Gas-, Dampf-, Säure-
u. sonstige Rohrleitungen, Patent-
ventile für Hoch- und Nieder-
druckleitungen, Kondenswasser-
abscheider und Kondensstöpfe.

Spezialfabrikation
seit mehr als 50 Jahren.

Bopp & Reuther
G. m. b. H.
Mannheim-Waldhof



ARMATUREN

für

Hochdruck u. Heißdampf

— Parallel-Schieber —
— Geschmiedete Ventile —

Rheinische
Armaturen- und Maschinenfabrik
vorm. Keuth & Zenner G. m. b. H.
Saarbrücken
Kein Zoll!



ARMATUREN

für Wasser-, Gas-
und sonstige Rohrleitungen,
wie Absperrschieber,
Hydranten, Ventilbrunnen,
Ventilrohrschellen,
Dampfabsperrschieber,
Heißgasschieber.

Vereinigte
Armaturen-Gesellschaft m. b. H.
Mannheim
Verkaufsgesellschaft.

Der
Bezugsquellen-Nachweis
die
Zentralstelle
technischer Angebote

AUFZÜGE

BRACKER

Aufzüge
jeder
Betriebsart
und Größe

Patentsteuerung für
hydraulische Hebezeuge

G. D. Bracker Söhne
Maschinenbau-Aktiengesellschaft
Hanau a. M.

AUFZÜGE Hebezeuge, Fahrtreppen, Elektromotoren

CARL Flohr A.-G.
Berlin N 4, Chausseestraße 35.

Größte deutsche Aufzugsfabrik.
Bisher über 30000 Anlagen geliefert.
Reparaturen und Revisionen
aller Systeme im Abonnement.

AUFZÜGE

Elektrische
AUFZÜGE
System
SCHINDLER



Elektrische
Steuerungen
und
Apparate für
AUFZÜGE
Bremsmotoren
Bremsmagnete
Komplette
Aufzugs-
Winden

Hebezeug- u. Motorenfabrik A.-G.
Karlsruhe-Bulach

AUFZÜGE

Aug. Kühnscherf
& Söhne
Dresden-A. 1. V.



Original
Kühnscherf-
Söhne
Aufzüge

Über
1/2 Jahrhundert
Aufzugbau

AUFZÜGE

für alle Zwecke und jeder Größe
mit und ohne Treibscheiben sowie
Feineinstellung

Gustav Linse
Spezialfabrik für Aufzüge
Erfurt
Fernruf 2452

AUFZÜGE

Original-Dreistern
von höchster Sicherheit u. dem newest.
Stand der Technik entsprechend.
Maschinenfabrik MÜHLEISSEN
Elberfeld-Son.



AUFZÜGE

jeder Art
und
Größe

Schindler Aufzugsfabrik G. m. b. H.
Berlin SW 29, Kopischstr. 1

AUFZÜGE



Gegr

1861

AUFZUGSWERKE
Schmitt & Sohn
MÜNCHEN-NÜRNBERG-ESSEN
FACHFABRIKEN FÜR AUFZÜGE

AUFZÜGE

für Lasten
und Personen

Elektro-
Züge
150-5000 kg
Tragkraft

Krane
Winden
aller Art

Fr. Schüle & Co.
Aufzugs- und Hebezeugfabrik
Feldkirchen b. München



Personen- u. Lasten-
AUFZÜGE
STAHL
Paternoster

Elektrozüge
R. Stahl, A.-G.
Stuttgart

AUFZÜGE

aller Art — Feineinstellung
Personenpaternoster
KRANE

Transportband-Anlagen
Gebrüder Weismüller
Frankfurt a. M.-West

AUTOGENE

Schweiß- und Schneid-Anlagen
mit sämtlichem Zubehör

Gaswerkzeuge
für alle Gasarten.

Heime & Hans Herzfeld
Maschinen- u.
Apparate-Fabrik
Halle (Saale)



AUTOWERKZEUGE

F. D. N. Weltmarke

Paul F. Dick, Esslingen a. N.
Stahlwaren- und Werkzeugfabrik

BEZUGSQUELLEN-NACHWEIS

Wirtschaftlicher Elektro-Antrieb für Holzbearbeitungsmaschinen

Mitteilung der AEG.

Der direkte Elektro-Antrieb an Holzbearbeitungsmaschinen gestattet eine richtige Anordnung der Maschinen für die Fließfabrikation und gewährleistet, neben guter Ausnutzung und Übersichtlichkeit der Arbeitsräume, störungsfreien Transport der meist sperrigen Arbeitsstücke.

Neben diesen betriebstechnischen Vorteilen fallen bei dem direkten Elektro-Antrieb durch den Verzicht auf Übertragungs-

räder, Riemen und Ketten, die große Wirtschaftlichkeit und Betriebssicherheit ins Gewicht, da neben den auftretenden Reibungsverlusten auch alle Reparaturen an diesen Getrieben in Portfall kommen.

Die schnelllaufenden Riemen bei den bisherigen Antrieben geben sehr häufig zu Betriebsstörungen Veranlassung und verursachen außerdem starke Erschütterungen und hohe Lagerbeanspruchungen. Die Wellen der direkt elektrisch betriebenen Maschinen laufen vollkommen gleichmäßig und mit gleich starker Durchzugkraft, was sich in einer Leistungssteigerung der Maschine und in der Güte des Erzeugnisses auswirkt.

Zur Verwendung kommen Drehstrom-Kurzschlußmotoren bzw. AEG-Doppelnutmotoren. Das Fehlen von Teilen, die einer Abnutzung unterworfen sind, macht den in die Arbeitsmaschine eingebauten Motor im Betrieb geradezu unverwundlich.

Die Doppelnutmotoren der AEG haben einen gegossenen Käfig und keinerlei Läufersolation; ihr Vorteil gegenüber den Kurzschlußmotoren besteht in dem geringen Anlaufstrom und dem konstanten Anzugmoment, durch das ein ruhiger,

stoßfreier Anlauf erzielt wird. Die AEG hat außer den normalen Einbaumotoren, die aus dem Ständer und Läufer (Abb. 1) der üblichen Drehstrommotoren bestehen, noch Spezial-Einbaumotoren (Abb. 2) ausgebildet. Diese unterscheiden sich von den erstgenannten Einbaumotoren durch kleineren Durchmesser und entsprechend größere Breite und Läuferbohrung. Diese Einbaumotoren haben einen Rohrmantel und eine Läuferbuchse.

In welcher einfacher Weise der Einbau der Motoren vorgenommen wird, zeigt der Antrieb einer Bandsäge (Abb. 3). Auf das freie Wellenende der Rollenwelle ist der Läufer des Einbaumotors aufgesetzt, während der Ständer an dem als Lagerschild ausgebildeten Maschinenteil der Bandsäge angeflanscht ist.

Abb. 4 zeigt den direkten Elektroantrieb, und zwar als Zweimotorenantrieb an einer Abriecht- und Dikthobelmaschine. In der oben beschriebenen Weise ist der Antriebsmotor, in diesem Falle mit Doppelnutläufer, auf die Messerwelle aufgesetzt. Der darunter liegende Vorschubmotor ist polumschaltbar ausgeführt und gestattet die Einstellung von zwei verschiedenen Vorschubgeschwindigkeiten.

Ein Zweimotorenantrieb, bei dem durch ein Bedienungselement die vier Geschwindigkeiten 500 / 750 / 1000 / 1500 U/min bei vorhandenem Drehstrom 50 Per eingestellt werden, ist nach Abb. 5 an einer automatischen Zuschneide- und Besäumkreissäge angewandt. Der Hauptmotor mit Doppelnutläufer sitzt direkt auf der Kreissägenwelle. Der Vorschub erfolgt durch eine endlose Gliederkette, deren Trommel durch den polumschaltbaren Einbaumotor ohne Zwischenschaltung weiterer Wechselgetriebe direkt angetrieben wird. Bei dieser Maschine ist durch in den Maschinenständer eingebaute Relais eine Abhängigkeit des Vorschubes von dem Hauptantrieb derart vorgesehen, daß der Vorschubmotor nur arbeiten kann, wenn der Hauptmotor eingeschaltet ist.

Ferner wird bei Überlastung des Hauptantriebsmotors der Vorschubmotor stillgesetzt. Erst wenn der Hauptmotor wieder seine normale Stromstärke aufnimmt, schalten die Relais den Vorschub selbsttätig wieder ein.

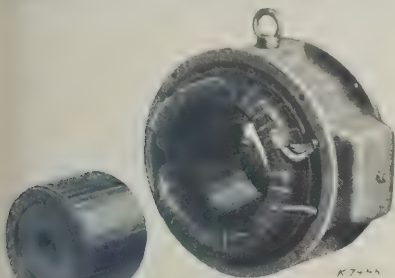


Abb. 1. Normaler AEG-Einbaumotor.

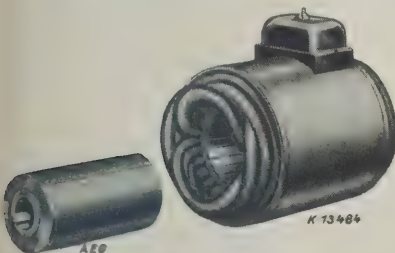


Abb. 2. Spezial-AEG-Einbaumotor.

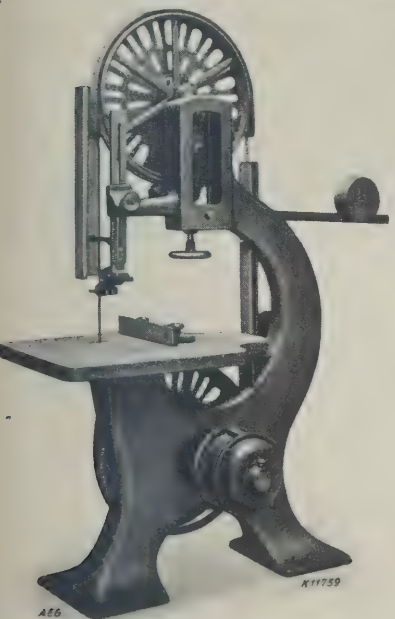


Abb. 3. Bandsäge Bachmann & Ladewig A.-G., Chemnitz, mit eingebautem AEG-Motor.

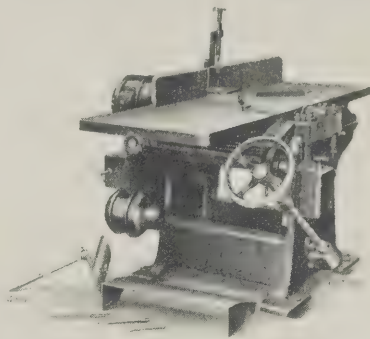


Abb. 4. Abriecht-, Füge-, Kehl- und Dikthobelmaschine, Bachmann & Ladewig, A.-G., Chemnitz mit zwei AEG-Einbaumotoren.

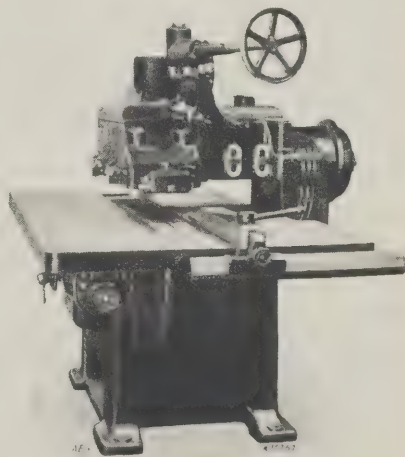


Abb. 5. Automatische Zuschneide- und Besäumkreissäge, Kieffling A.-G., Leipzig, mit Doppelnutläufermotor und Vorschubmotor mit 4 Geschwindigkeiten.

Der Hauptkatalog über rheinische Bimsbaustoffe

Der vom Verkaufsbüro der Bimsbaustoffwerke Paul Dahm & „Glückauf“ G. m. b. H., Neuwied a. Rh. herausgegebene Hauptkatalog stellt nach Inhalt und Ausstattung eine anerkennenswerte Leistung dar. Seine technischen Ausführungen, unterstützt durch wichtiges Tabellenmaterial und Gutachten und Prüfungsergebnisse, machen ihn zu einem belehrenden und aufklärenden Nachschlagewerk, gleich wertvoll für Theorie und Praxis. Die vorzüglich ausgeführten Reproduktionen der Bimsbaustoffwerke Paul Dahm, Neuwied und „Glückauf“, Weißenthurm, veranschaulichen die Größe der Unternehmen, wie auch die Leistungsfähigkeit der einzelnen Abteilungen, so der Abteilung für automatische Herstellung von Zementschwemmsteinen, Bimszementdielen und der Spezialabteilungen automatische Herstellung von Hohlblocksteinen, automatische Herstellung von Deckenhohlsteinen, Abteilung Stegdielenfabrikation, Bimsbetonstegdielen- und Kassettenplatten-Lager, Gehwegplattenfabrikation, Konstruktion und Anwendung der Spezialerzeugnisse wird am einzelnen Stein, sowie an fertigen und im Bau befindlichen Wohnhäusern, Fabrikgebäuden, Halleneindeckungen usw. gezeigt. Unter anderm seien erwähnt die Neubauten Dornier Flugzeugwerke, Altenrhein, Montagehalle der Kruppwerke München, Flugzeughalle Fürth i. B., Großkraftwerke Friemersdorf. Eine Übersicht über die Abteilung Kunststeine, Hartbasalt-Gehwegplatten, rheinischer Traß, sowie eine Umsatzstatistik mit graphischen Darstellungen bringen den Hauptkatalog zum Abschluß.

Die Ostpreußenwerk Aktiengesellschaft

versorgt mit ihren Kraftwerken

Elbing, Friedland und Groß Wohnsdorf
etwa $\frac{7}{8}$ der Provinz Ostpreußen mit elektrischer Energie

ANSCHLUSS

von landwirtschaftlichen, gewerblichen u. Industriebetrieben
hoch- und niederspannungsseitig
(220/380 bzw. 15000 V)

Stromversorgung von Städten und Gemeinden

Belieferung von Schöpfwerken

Kreiselpumpen für Kondensationsanlagen.

Mitteilung der AEG.

Kreiselpumpen verlangen ganz allgemein hohe Drehzahlen. Da hohe Drehzahlen zu kleinen Abmessungen führen, beanspruchen Kreiselpumpen bei niedrigen Herstellungskosten nur geringen Raum und können durch kleine Maschinen mit hoher Drehzahl angetrieben werden. Diese Eigenschaften der Kreiselpumpe sind für ihre Verwendung als Hilfsmaschinen in Kraftanlagen außerordentlich wertvoll.

Kühlwasser-, Aufschlagwasser- und Kondensatpumpen baut die AEG mit doppelseitigem Wassereinlauf. Da hier beide Radhälften vollkommen gleich ausgeführt werden, und demnach auch ihre Dichtungsdurchmesser übereinstimmen, hebt sich der Axialschub bei gleicher Druckfläche und gleichem Druck auf. Für geringe Abweichungen, die ein Verschieben des Pumpenläufers hervorrufen könnten, genügt im allgemeinen ein einfacher Anlaufbund.

Wie allgemein üblich, verwendet die AEG zur Abdichtung der Stopfbuchsen eine Weichpackung. Die notwendige Kühlung der Welle an der Packung besorgt das Undichtheitswasser, das tropfenweise durch den Überdruck im Ringraum aus der Stopfbuchse herausgepreßt

sattring, dessen radiale Höhe sich dem jeweiligen Laufraddurchmesser anpaßt.

Eine Kühlwasserpumpe, die mit der Aufschlagwasser- und Kondensatpumpe unmittelbar gekuppelt ist und über ein Zahnradvorgelege von einer Kleinturbine angetrieben wird, zeigt Abb. 2. Diese Einwellenanordnung für die drei Kondensationspumpen wählt die AEG im allgemeinen bei kleineren Anlagen, bei denen ein unterteilter Antrieb der Pumpen sich nicht mehr lohnt. Die Drehzahlen dieser Ausführung liegen bis zu etwa 75 vH höher als die der normalen Bauart, für die eine einfache doppelflutige Ausbildung die günstigsten Betriebsbedingungen ergibt. Das Gehäuse hat wie die normale Type für jedes Laufrad einen spiralförmigen Auslauf, ist aber der wagerechten Mittelebene geteilt. Saug- und Druckstutzen sind an der unteren Gehäusehälfte angebracht, so daß die obere Hälfte bei einer Prüfung der inneren Teile ohne Abnahme vor Rohrleitungen abgehoben werden kann.

Nach den gleichen Grundsätzen wie die Kühlwasserpumpe sind die beiden kleineren Pumpen, die

Kondensat- und die Aufschlagwasserpumpe, gebaut. Während die Kühlwasserpumpe je nach der Antriebsart bei Einwellen- oder Mehrwellenanordnung verschiedene Modelle benötigt, benutzt man für die Aufschlagwasser- und Kondensatpumpe in einem größeren Leistungsbereich das gleiche Pumpenmodell. Da die Aufschlagwasserpumpe stets gegen den gleichen Überdruck fördern soll, paßt man die Umfangsgeschwindigkeit des Laufrades den verschiedenen Drehzahlen durch entsprechendes Abdrehen des Läufers an. Verschiedene Fördermengen bewältigt man in einem gewissen Be-

reich durch verschieden breite Laufräder und entsprechende Einsatzringe im Gehäuse. Die etwas höheren Betriebskosten gleichen sich durch die geringen Anschaffungskosten wieder aus. Die Kondensatpumpen werden im allgemeinen so reichlich ausgelegt, daß auch hier ein unverändertes Pumpenmodell die Anforderungen hinsichtlich Förderhöhe und -menge für die verschiedenen Drehzahlen erfüllen kann, die durch die Antriebsart bedingt werden.

Hat die AEG somit ihre Kondensations-Hilfsmaschinen weitgehend vereinheitlicht, so vervollständigt erst der gemeinsame Antrieb der drei Pumpen in den

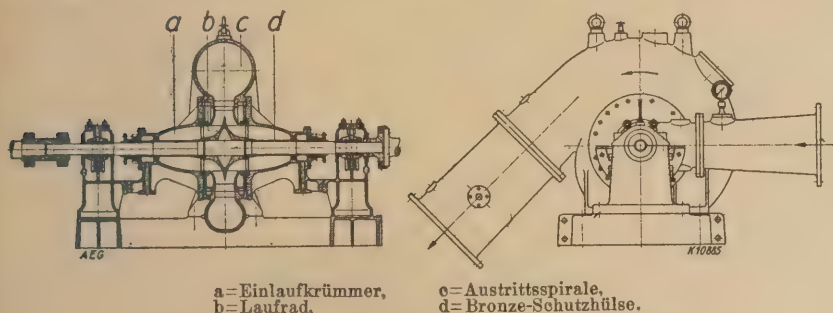


Abb. 1. Kühlwasserpumpe, einfache Bauart mit einem Laufrad.

wird. Zur Lagerung der Läuferwellen genügen einfache Ringschmierlager, die infolge ihrer selbsttätigen Schmierung eine besondere zentrale Ölversorgung überflüssig machen.

Von den Hilfsmaschinen, die eine Kondensationsanlage verlangt, verbraucht die Kühlwasserpumpe den größten Teil der Leistung. Der Verbrauch der Aufschlagwasser- und vor allem der kleinen Kondensatpumpen spielen eine weniger wichtige Rolle. Für die Kühlwasserpumpe sind also mit besonderer Sorgfalt Herstellungs- und Betriebskosten gegeneinander abzuwägen, damit die Gesamtkosten möglichst klein werden.

Je nach der Größe der Anlage und der Anordnung der einzelnen Pumpen zueinander baut die AEG zwei Arten von Kühlwasserpumpen. In dem Fall, der heute, soweit es die Wirtschaftlichkeit der Anlage gestattet, von der AEG bei allen größeren Anlagen angestrebt wird, werden die drei Hilfspumpen über ein Zahnradvorgelege von einer gemeinsamen Antriebsmaschine aus angetrieben und laufen jede in ihrem günstigsten Drehzahlbereich. Die Kühlwasserpumpe nimmt dann die Form an, die Abb. 1 veranschaulicht. Verschiedene Förderhöhen werden mit einem Pumpenmodell erreicht, indem man den Durchmesser des Laufrades durch Abdrehen entsprechend verändert. Wird dadurch der Pumpenwirkungsgrad auch etwas beeinträchtigt, so sinkt die Leistung bei kleineren Höhen doch so erheblich, daß die geringe Verschlechterung ohne weiteres in Kauf genommen werden kann. Den Übergang zum Spiralrohr des Auslaufstutzens vermittelt ein Ein-

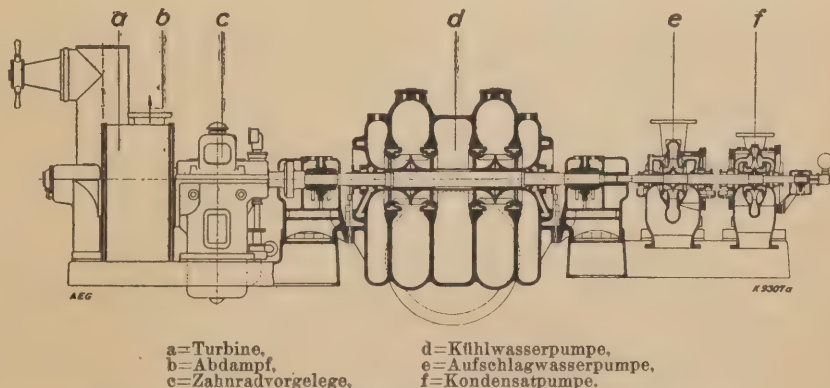


Abb. 2. Kondensationspumpen-Gruppe, angetrieben durch eine Kleinturbine mit Zahnradvorgelege; $n=7500/1250$ U./min.

bekannten AEG-Kondensationspumpen-Gruppen den Erfolg, der in einem unbedingt zuverlässigen und außerordentlich übersichtlichen Betrieb der Kondensationsanlagen besteht.

BEZUGSQUELLEN-NACHWEIS



ABAS ABDAMPF-AUSNUTZUNG

Abdampf-Lufterhitzer ::
Abgas-Saugzug-Anlagen ::
Abgas-Economiser ::
Abgas-Lufterhitzer ::

Abwärme-Ausnutzung u. Saugzug
G. m. b. H. „ABAS“, Berlin W 57

ABDAMPF-ENTÖLER PRESSLUFT-ENTÖLER D.R.P.

„BÜHRING“ D.R.P.
mit Ölrückgewinnung



Bühning A.-G.
Landsberg (Bz. Halle)

ABDAMPF-ENTÖLER

Max Dreyer & Co., Magdeburg-S.

ABDAMPF-ENTÖLER

Sack & Kiesselbach
Maschinenfabrik G. m. b. H.
Düsseldorf-Rath

ABDECKPLATTEN



Schnellste Lieferung ab Lager

Tezett-Werk

Berlin-Tempelhof 14

Größtes und Ältestes Spezialwerk

ARMATUREN

für Wasser-, Gas-, Dampf-, Säure-
u. sonstige Rohrleitungen, Patent-
ventile für Hoch- und Nieder-
druckleitungen, Kondenswasser-
abscheider und Kondensstöpfe.

Spezialfabrikation
seit mehr als 50 Jahren.

Bopp & Reuther
G. m. b. H.
Mannheim-Waldhof



GESCHMIEDETE ARMATUREN

für höchste Drücke
und chemische Werke

Rheinische
Armaturen- und Maschinenfabrik
vorm. Keuth & Zenner G. m. b. H.
Saarbrücken
Kein Zoll!



KAG ARMATUREN

für Wasser-, Gas-
und sonstige Rohrleitungen,
wie Absperrschieber,
Hydranten, Ventilbrunnen,
Ventilrohrschellen,
Dampfabsperrschieber,
Heißgasschieber.

Vereinigte
Armaturen-Gesellschaft m. b. H.
Mannheim
Verkaufsgesellschaft.

Bei Erteilung
eines Jahresauftrages
(52 Anzeigen)
kostet dieser Raum
(30 mm)
Mk. 15.12 netto
pro Einschaltung

AUFZÜGE

BRACKER

Aufzüge
jeder
Betriebsart
und Größe

Patentsteuerung für
hydraulische Hebezeuge

G. D. Bracker Söhne
Maschinenbau-Aktiengesellschaft
Hanau a. M.

AUFZÜGE Hebezeuge,
Fahrtreppen, Elektromotoren

CARL Flohr A-G
Berlin N4, Chausseestraße 35.

Größte deutsche Aufzugsfabrik.
Bisher über 30000 Anlagen geliefert.
Reparaturen und Revisionen
aller Systeme im Abonnement.

AUFZÜGE

Elektrische
AUFZÜGE
System
SCHINDLER



Elektrische
Steuerungen
und
Apparate für
AUFZÜGE
Bremsmotoren
Bremsmagnete
Komplette
Aufzugs-
Winden

Hebezeug- u. Motorenfabrik A.-G.
Karlsruhe-Bulach

AUFZÜGE

für Personen, Lasten, Speisen,
Akten



Heime & Hans Herzfeld
Maschinen- u.
Apparate-Fabrik
Halle (Saale)

AUFZÜGE

Aug. Kühnscherf
& Söhne
Dresden-A. 1. V.



Über
1/3 Jahrhundert
Aufzugbau

AUFZÜGE

für alle Zwecke und jeder Größe
mit und ohne Treibscheiben sowie
Feineinstellung

Gustav Linse

Spezialfabrik für Aufzüge

Erfurt

Fernruf 2452

AUFZÜGE

Paternoster-
Aufzüge

Personen-Aufzüge
mit
Feineinstellung
Lasten-Aufzüge



Mannheimer Maschinenfabrik
Mohr & Federhaff, Mannheim

AUFZÜGE

Original-Dreistern
von höchst. Sicherheit u. dem neuesten
Stand der Technik entsprechend
Maschinenfabrik MUHLEISSEN
Elberfeld-Son.

AUFZÜGE



Gegr

1861

AUFZUGSWERKE

Schmitt & Sohn
MÜNCHEN-NÜRNBERG-ESSEN
FACHFABRIKEN FÜR AUFZÜGE

AUFZÜGE

für Lasten
und Personen

Elektro-
Züge
150-5000 kg
Tragkraft

Krane
Winden
aller Art



Fr. Schüle & Co.

Aufzugs- und Hebezeugfabrik
Feldkirchen b. München



AUFZÜGE

jeder Art
und
Größe

Schindler Aufzugsfabrik G. m. b. H.
Berlin SW 29, Kopischstr. 1

AUFZÜGE

aller Art — Feineinstellung

Personenpaternoster

KRANE

Transportband-Anlagen

Gebrüder Weismüller

Frankfurt a. M.-West



Personen- u. Lasten-

AUFZÜGE

STAHL

Paternoster

Elektrozüge

R. Stahl, A.-G.
Stuttgart



BEZUGSQUELLEN-NACHWEIS

V D I

ZEITSCHRIFT DES VEREINES DEUTSCHER INGENIEURE

Bd. 73

Berlin, 29. Juni 1929

Nr. 26

Aus dem Inhalt ★ Großkraftwerk Mannheim / Elektrische Loko- ★ **Seite 913 bis 944**
 otiven / Schubfestigkeit von Holz / Durchflußzahlen von Normaldüsen / Kohlenverladung / Kupferwalzwerk /
 hwingständer für photographische Kammern / Drahtseile. (Vollständiges Inhaltsverzeichnis S. 944 des Textteils)



LURGI ELEKTROFILTER

sind das Ergebnis der
größten Erfahrungen auf
dem Gebiete der

Elektro - Reinigung u. Entstaubung.

Mehrere 1000 Einzel-
filter sind in über 550 An-
lagen in allen Industrien
im Gebrauch.



LURGI-ELEKTRO-FILTER zur Elektro-Entstaubung
der Abgase einer Kohle-Trocknungs-Anlage

AUG 7 - 1929

UNIVERSITY OF ILLINOIS

LURGI

**APPARATEBAU-GESELLSCHAFT
M. B. H. FRANKFURT AM MAIN**

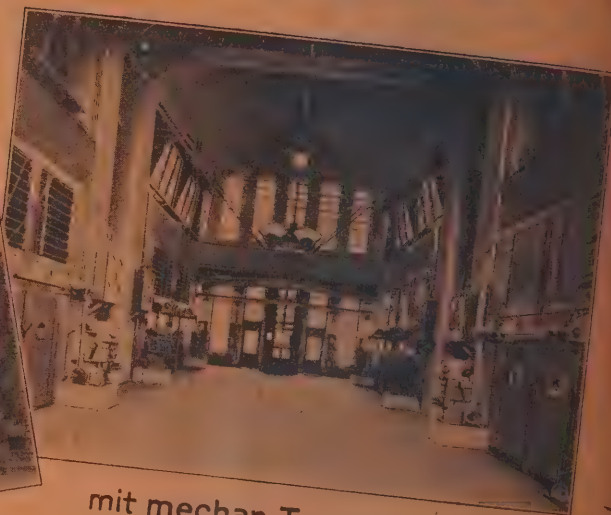
Bezugsbedingungen, Anzeigenpreise, Anschriften, Nachweis der angekündigten Erzeugnisse und
Beilagenverzeichnis siehe Seite 46 und 47.

Die Bezugsgebühr für das 3. Vierteljahr 1929 ist am 1. Juli fällig.

DREI MODERNE KESSELANLAGEN



mit Wanderrosten für Steinkohle



mit mechan. Treppenrosten
für Rohbraunkohle

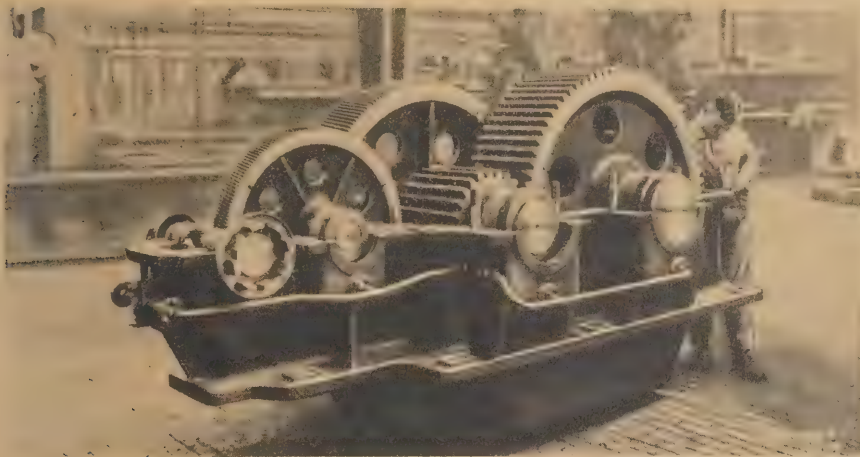
mit Kohlenstaub-
feuerungen für
rostschwierige
Brennstoffe



**KOMPLETT
ERSTELLT DURCH
BABCOCK**
BABCOCKWERKE OBERHAUSEN-RHL

Zahnradgetriebe

für alle Zwecke, auf modernsten Maschinen aus besten Werkstoffen hergestellt. Daher höchste Betriebsicherheit, lange Lebensdauer, hoher Wirkungsgrad.



Dreistufiges Zahnradgetriebe für einen Drehofen
N=60 PS $n=645/4,2$

Kegelradgetriebe

je nach der verlangten Geschwindigkeit mit Grad-, Schräg- oder Spiralverzahnung. Für die Zahnräder verwenden wir unsere hochwertigen Sonderwerkstoffe.



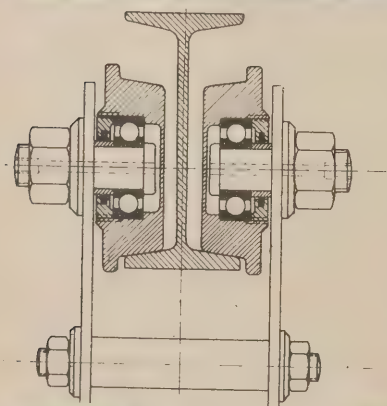
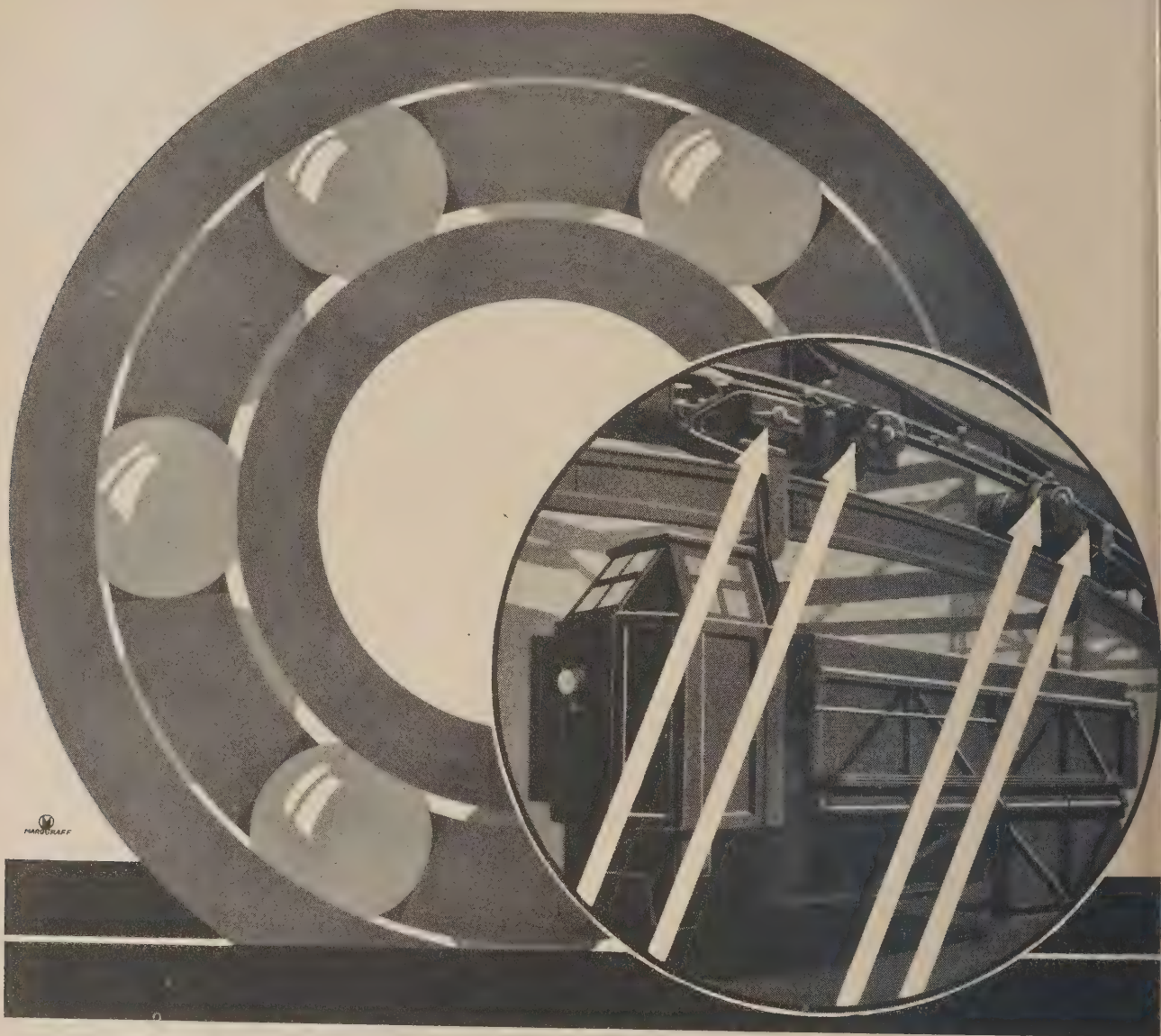
Kegelradgetriebe zwischen Elektromotor und Pumpe
N=125 PS $n=970/237$



Anfragen erbeten an:

KRUPP

Fried. Krupp Aktiengesellschaft, Essen, Abteilung Getriebebau



FÜR HÄNGEBAHNEN SIND F & S WÄLZLAGER UNENTBEHRLICH,

wenn folgende Vorteile erreicht werden sollen: Sofortiges leichtes Anfahren und leichter gleichmäßiger Lauf, Ersparnis an Kraft, Schmiermaterial und Wartung, Gewähr einer unbedingten Betriebssicherheit, Vermeidung von Heißläufern und Reparaturen infolge von Lagerschalenabnutzung, leichter Ein- und Ausbau ganzer Maschinenaggregate und endlich Vermeiden des Herabtropfens von Schmiermaterial. Man wähle je nach Belastungs-Größe und -Art, nach jeweiliger Betriebsbedingung für jede Lagerstelle die geeignete Lagertypen: F & S Kugellager, F & S Zylinderrollenlager, F & S Schrägrollenlager, F & S Federrollenlager.

Auch auf allen anderen Gebieten des Maschinenbaues gewährleisten F & S Wälzlager bedeutende Vorteile. Unsere Druckschriften, die ausführlich hierüber berichten, stellen wir gern auf Wunsch zur Verfügung.

F & S WÄLZLAGER

FICHTEL & SACHS A.G. SCHWEINFURT A/M

Stahlgußstücke

jeder Qualität bis zu den größten Abmessungen und Gewichten, wie Ankernaben, Magnetgehäuse, Armsterne, Rotorringe, Turbinengehäuse, Preßzylinder usw.

Schmiedestücke

vor- u. fertigbearbeitet wie Kurbelwellen, Pleuelstangen, Achsen, Schubstangen, nahtlose Getrieberinge usw.

Entaschungs- Anlagen

mittels Druckwasser (System Schichau)

Staubfreie Entfernung von Rost- und Flugasche durch Spezial-Ejektoren. Fortspülen auf weitere Entfernungen auch auf höheres Niveau durch geschlossene Rohrleitungen. Geringer Wasserverbrauch sowie einfache, übersichtliche und betriebssichere Handhabung. Die größten Kraftwerke Deutschlands verwenden unsere Bauart.

Kostenlose Angebote mit kurzen Lieferzeiten
stehen zu Ihrer Verfügung.

F. Schichau G.m.
b.H. **Elbing**
Maschinenfabrik • Eisen- und Stahlgießerei



LOPULCO

SPEZIALKESSEL UND STAUBFEUERUNGEN
IN ALLER WELT

KOHLN SCHEIDUNGS-GESELLSCHAFT MBH
BERLIN - NW 7 FRIEDRICHSTR. 100

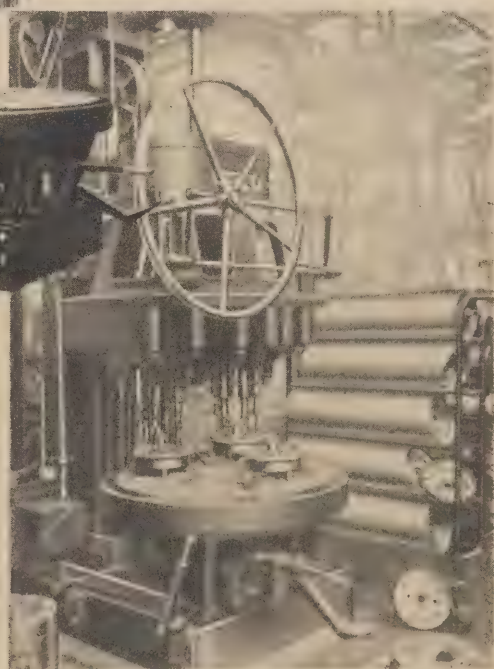
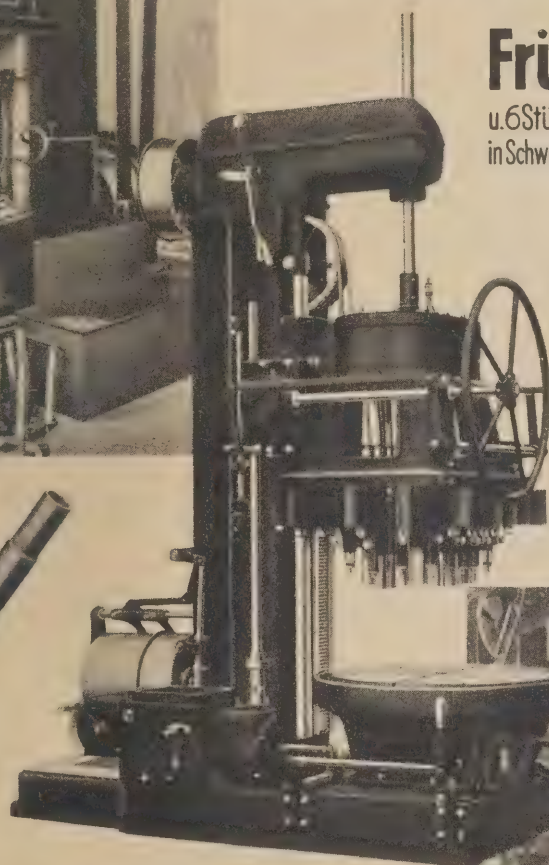
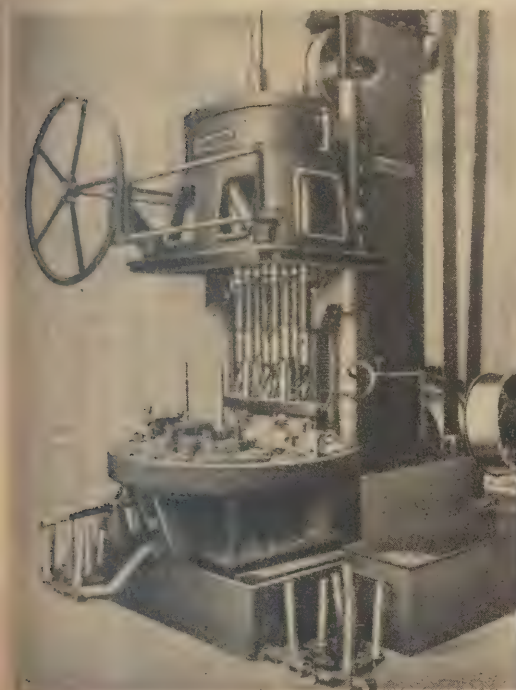
WANDERER

VIELSPINDEL- BOHRMASCHINEN

Früher brauchte man zum Bohren
der 12 Löcher (6 Stück 20 mm Ø
u. 6 Stück 9 mm Ø)
in Schwungscheiben **27 Minuten**

Jetzt bohren wir diese
Löcher in
3 Minuten
auf unserer 12 spindligen
Bohrmaschine

Auch Sie können Ihre Produktionskosten stark
herabsetzen! Senden Sie uns Zeichnungen Ihrer
Werkstücke und wir werden Ihnen zeigen, welche
bedeutenden Ersparnisse Sie mit der Wanderer-
Vielspindel-Bohrmaschine erzielen können



Zum Bohren der Federlaschen brauchte man

früher 13 Minuten

Jetzt bohren wir diese in
2 1/2 Minuten

auf unserer 12 spindligen Bohrmaschine

WANDERER-WERKE A.G. SCHÖNAU BEI CHEMNITZ



JAGENBERG-WERKE AKT.-GES. **Maschinenfabrik Düsseldorf**

Zweigwerke: Chemnitz-Siegmар und Rotterdam

17 eigene Verkaufsniederlassungen im In- u. Ausland, ca. 1400 Arbeiter u. Angestellte
35000 qm Arbeitsraum

Wir bauen gestützt auf 50 jährige Erfahrungen:

Automatische Verpackungs- und Einwickel-Maschinen, automatische Dosier-, Füll-, Schließ- und Etikettier-Maschinen, automatische Maschinen für Zigarettenverpackung, Banderoliermaschinen, automatische Flaschen- und Konservenbüchsen-Etikettier-Maschinen usw.

Ferner Spezial-Maschinen

Für Papier-, Karton- und Pappenfabriken

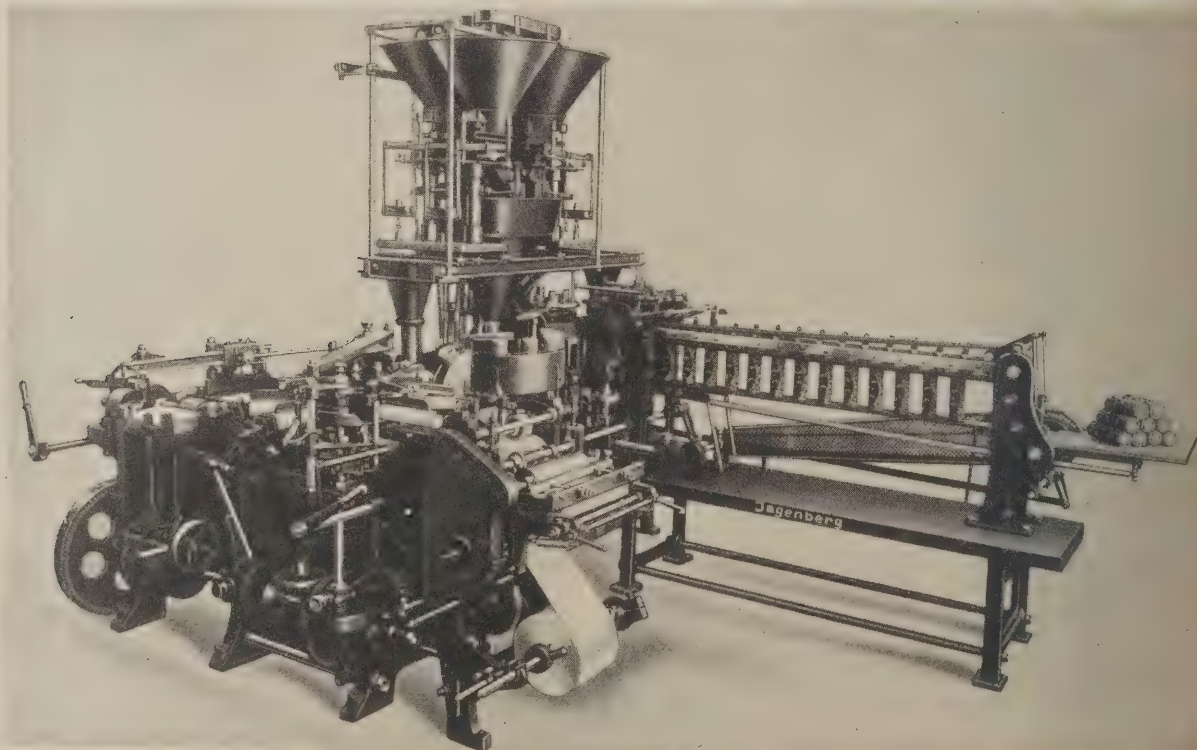
Für Kartonnagen- und Papierwarenfabriken

Für Buchbindereien

Für Kunst-, Gummier-, Lackier- u. Kaschier-Anstalten u. Druckereien

Aus dem Bauprogramm: Gruppe Verpackungsmaschinen

Automatische Jagenberg-Verpackungs-Anlage für Kaffee



für die Herstellung von Paketen aus doppeltem Papier

Die Anlage ist mit 4 automatischen Jagenberg-Waagen ausgerüstet

Jagenberg-Werke Akt.-Ges. Maschinenfabrik Düsseldorf



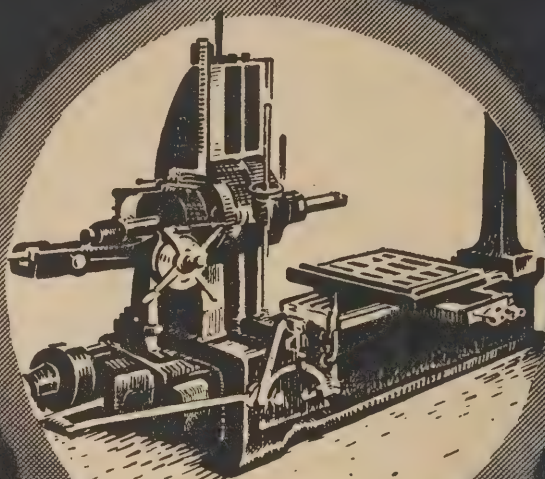
DEMAG - Wippkrane

Die Hauptmerkmale dieser Kran-Sonderbauart sind große Leistungsfähigkeit und Betriebssicherheit, einfache Bedienung und Wartung sowie geringer Kraftverbrauch. Wir haben von diesen Kranen mehrere Systeme ausgebildet, so daß wir in der Lage sind, für jeden Zweck die geeignete Bauart anzubieten. DEMAG-Wippkrane arbeiten in Deutschland, Holland, Dänemark, Schweden, Frankreich, Polen, Argentinien, Brasilien, China, Japan usw.

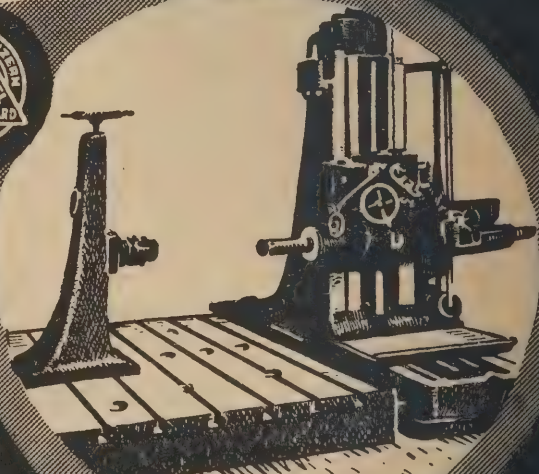
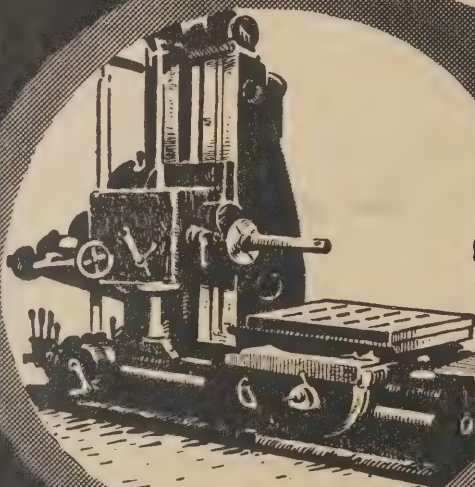
DEMAG D DUISBURG

BOHRWERKE

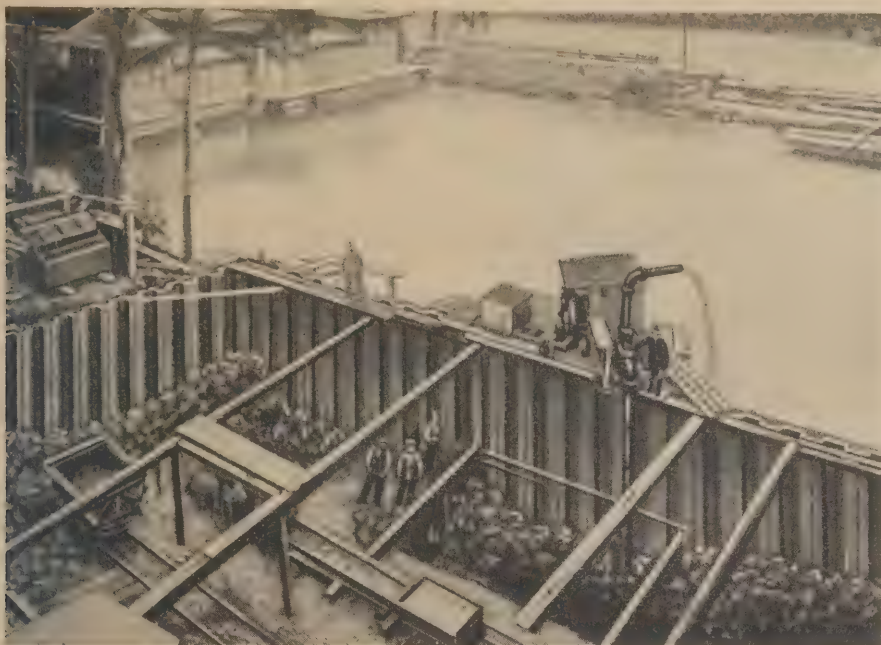
UNION



CHEMNITZ
vormals DIEHL



KARL WETZEL, COLLET & ENGELHARD
GERA - REUSS OFFENBACH / M



Die Eisenspundwand **HOESCH**

läßt sich selbst in steinigen Boden ausgezeichnet rammen. Die obige Photographie zeigt die Gründungsarbeiten für die Brückenpfeiler der neuen Kornhausbrücke über die Limmat in Zürich mit der Eisenspundwand Hoesch. Trotz ungünstigster Bodenverhältnisse (Findlinge) wurden die Arbeiten ohne besondere Schwierigkeiten durchgeführt, ein Beweis also für die leichte Anwendungsmöglichkeit der Eisenspundwand Hoesch.

✱

Kostenlose Projektbearbeitung und Ingenieur-Besuch durch das technische Büro der Spundwand-Abteilung.

HOESCH

D O R T M U N D



Ausstellung „Bauten der Technik“ in Danzig, Stand 17

ALPHA CODE

INTERNATIONALER INDUSTRIE- UND HANDELSCODE

im Auftrag der Siemens & Halske A.-G., der Siemens-Schuckertwerke A.-G., der Gesellschaft für drahtlose Telegraphie m.b.H. (Telefunken), der Vereinigte Stahlwerke A.-G. und der Fried. Krupp A.-G., bearbeitet von

PAUL MUDRA

Die int. Telegraphen-Konferenz (Brüssel 1928) hat grundlegende Änderungen hinsichtlich der Zusammensetzung der Codewörter beschlossen, die am 1. Okt. d. J. in Kraft treten. Im Zusammenwirken der obigen Konzerne mit dem Verlag Scherl ist ein auf die Bedürfnisse der Industrie und des Handels zugeschnittenes neues mehrbändiges Codewerk (Alpha-Code) entstanden. Das Werk bringt durch die Eigenart seines Aufbaues außerordentliche Kürzungsmöglichkeiten und bei übersichtlichster Anordnung einen den weitestgehenden Anforderungen entsprechenden Phrasenschatz für den internationalen Codeverkehr von Handel und Industrie. Im Gegensatz zu anderen Codes sind — was erst auf Grund der neuen internationalen Codebestimmungen möglich geworden ist — in den verschiedenen Bänden des Alpha-Codes sämtliche Schlüsselwörter in einem einzigen fortlaufenden Alphabet angeordnet. Diese Tatsache gewährleistet denkbar einfachste Handhabung.

Der ALPHA-CODE besteht — vorläufig — aus 4 in sich abgeschlossenen und einzeln verwendbaren Teilen, von denen jeder allein käuflich ist. Weitere Teile sind geplant.

ALPHA-CODE I. Teil: **ALLGEMEINE PHRASEN** (2 Bände) Preis unbestimmt

ALPHA-CODE II. Teil: **ELEKTROTECHNIK** (1 Band) **SOEBEN ERSCHIENEN!**
enthält 20000 Phrasen, Spezial-Ausdrücke u. Codierungen
aus dem Gebiete der Elektro-Industrie Preis: **50 RM**

ALPHA-CODE III. Teil: **HÜTTENWESEN** (1 Band) Preis: **50 RM**

ALPHA-CODE IV. Teil: **MASCHINENBAU** (1 Band) Preis unbestimmt

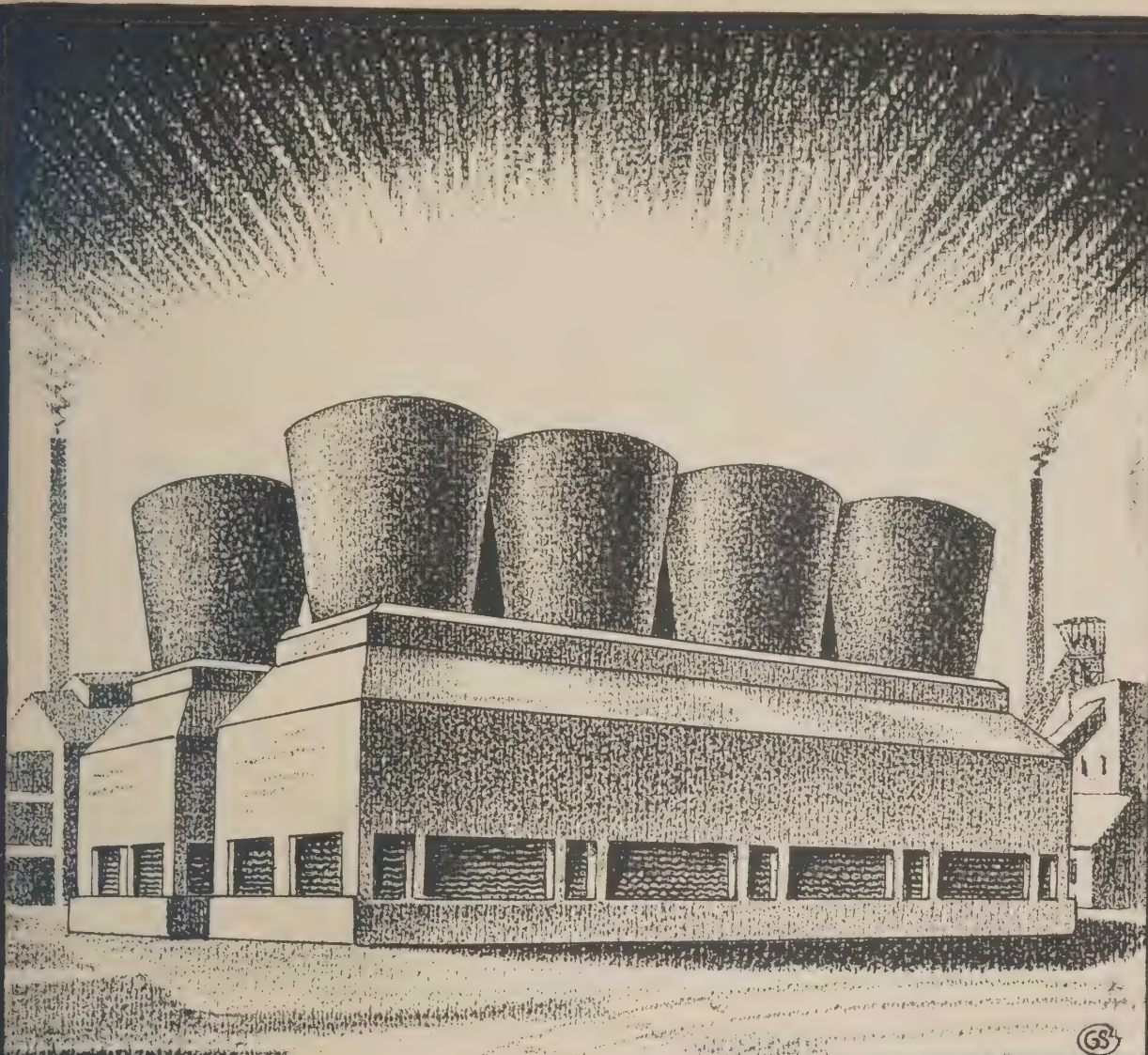
Die Teile I u. III erscheinen in Kürze — Teil IV ist in Vorbereitung

Der ALPHA-CODE ersetzt kostspielige **Privat-Codes** weitgehend bzw. macht sie überflüssig

**Verlangen Sie kostenlos unsere Aufklärungs-Broschüre: „Was ihre Verkaufs-
abteilungen von den neuen Telegraphen-Bestimmungen wissen müssen“**

Der ALPHA-CODE ist durch alle Buchhandlungen zu beziehen

VERLAG SCHERL / BERLIN SW 68



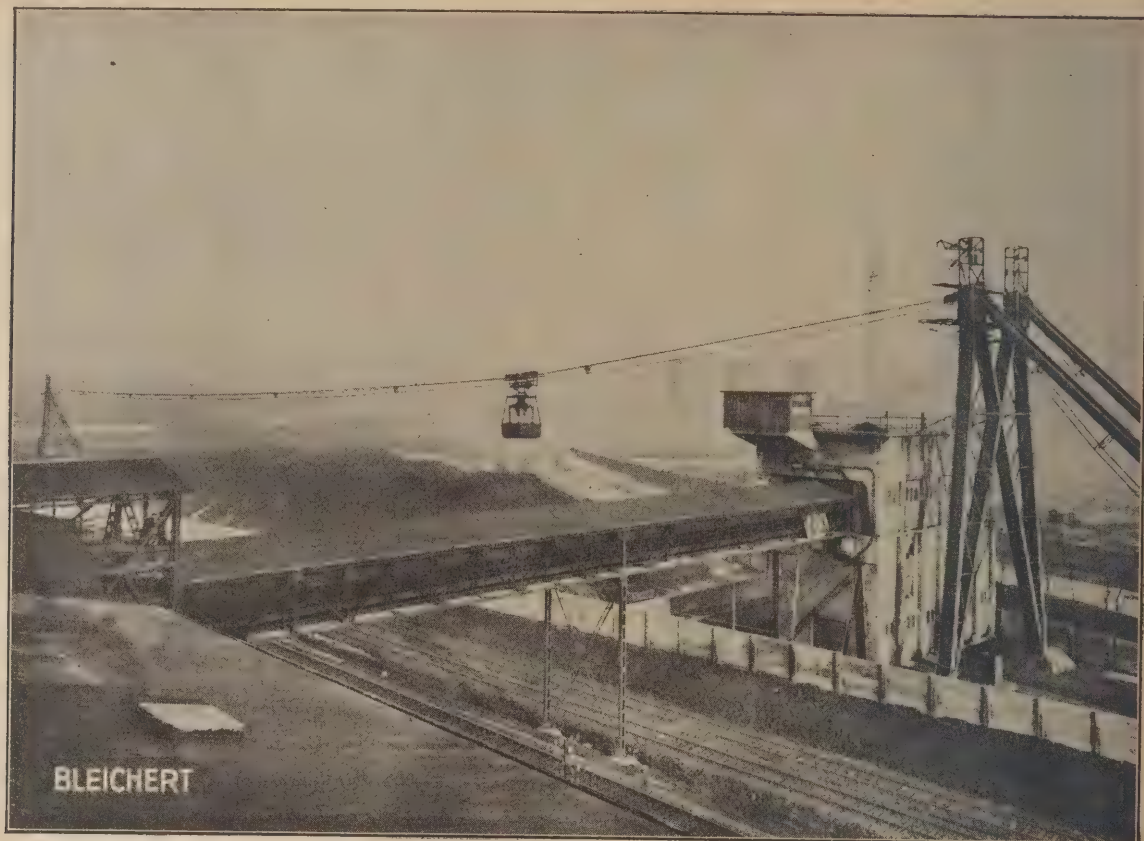
Ventilator-Kühler

Patent Balcke-Sorge

Größte Leistung auf kleinstem Raum

MASCHINENBAU - AKTIENGESELLSCHAFT

BALCKE BOCHUM



BLEICHERT

Kabelkrane für Lagerplatzbedienung mit Schiffs- und Eisenbahnumschlag erfreuen sich infolge ihrer Anpassungsfähigkeit und Wirtschaftlichkeit immer größerer Beliebtheit. Besonders für größere Spannweiten haben sie die Verladebrücken vollständig ersetzt, da sie bekanntlich praktisch an keine Grenze für Spannweite und Hubhöhe gebunden sind. Auch in Bezug auf die Leistungen stehen sie heute den Verladebrücken nicht mehr nach. Nutzlasten von 13 000 kg und Stundenleistungen bis 250 t sind durchaus erreichbar, ohne daß damit eine obere Grenze genannt wäre. Wir haben weitaus die Mehrzahl aller in Europa gebauten Kabelkrane ausgeführt und daher auch die größte Erfahrung.

ADOLF BLEICHERT & CO. A.-G. LEIPZIG

DRAHTSEILBAHNEN · KABELKRANE · NAHFÖRDERMITTEL

B A U S

Besuchen Sie unseren Stand Nr. 20 auf der Ausstellung «Bauten der Technik», Danzig

Stufenlose Drehzahl-Regelung durch **Ketten-Getriebe**

P.I.V.

Die

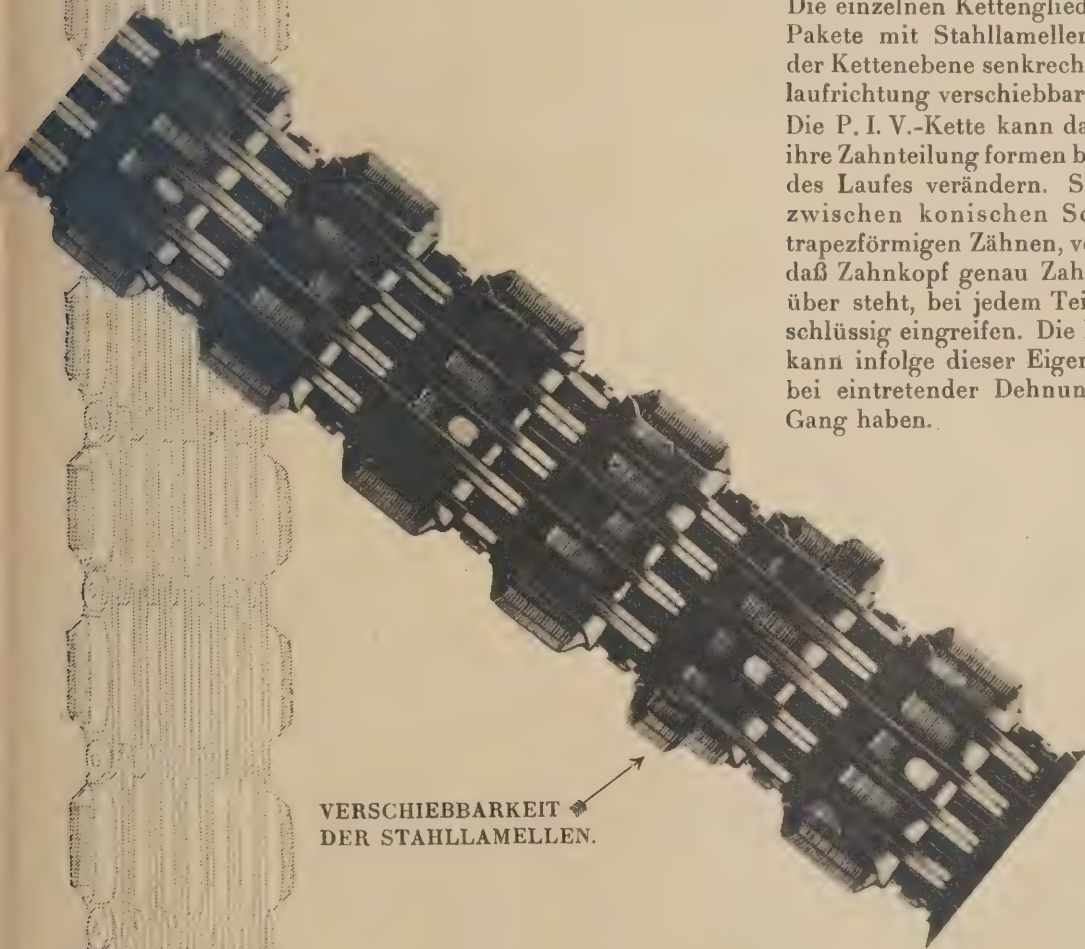
P. I. V. - KETTE

ist infolge der veränderlichen Teilbarkeit ihrer Zähne

ein neues Maschinenelement.

Die einzelnen Kettenglieder enthalten Pakete mit Stahllamellen, welche in der Kettenebene senkrecht zur Kettenaufrichtung verschiebbar sind.

Die P. I. V.-Kette kann daher beliebig ihre Zahnteilung formen bzw. während des Laufes verändern. Sie kann also zwischen konischen Scheiben mit trapezförmigen Zähnen, vorausgesetzt, daß Zahnkopf genau Zahnfuß gegenüber steht, bei jedem Teilkreis formschlüssig eingreifen. Die P. I. V.-Kette kann infolge dieser Eigenschaft auch bei eintretender Dehnung nie toten Gang haben.



VERSCHIEBBARKEIT
DER STAHLLAMELLEN.

P. I. V. Ketten u. Getriebe G.m.b. H.
Bad Homburg v.d. Höhe, Industriestraße 3

REMA

RHEINISCHE MASCHINENFABRIK AG., NEUSS A. RH.

baut die beste

Kohlenstaubmühle

Das Rema- Mahl- und
Sichtverfahren D.R.P.

ist unübertroffen
in Verbindung mit

kurzer
Rohrmühle

und

Pneumatischem Schnelltrockner

System Rema-Rosin D.R.P.

Über 50 Rema-Mühlen, darunter solche bis zu 15 t/h finden Verwendung in folgenden Elektrizitäts - Werken

A.-G. Sächsische Werke,	Böhlen b. Leipzig	Hamburger E.-W.,	Hamburg
E.-W. Artem,	Artem Rußland	Kommunales E.-W. Mark,	Hagen i. W.
Zentrale Bergb. A.-G. Zeche Lothringen,	Bochum i. W.	S.S.W. Heizkraftwerk Kabelwerk,	Berlin-Gartenfeld
Zentrale Gewerkschaft Mont-Cenis,	Sodingen	Städtisches E.-W. Dresden,	Dresden
Zentrale Hefrag,	Frankfurt a. M.	Städtisches E.-W. Duisburg,	Duisburg
Zentrale Uralmet,	Sdatousst Rußland	Städtisches E.-W. Mainz,	Mainz
E.-W. Langerbrügge,	Langerbrügge Bel.	Städtisches E.-W. Stuttgart,	Stuttgart
Erstes Staatl. E.-W. Leningrad,	Leningrad	Städtisches Licht- u. Wasserwerk Kiel,	Kiel
Großkraftwerk Hannover,	Hannover	Västeras Kraftwerk	Västeras Schweden

Über 150 Rema-Mühlen sind in Anwendung bei Staubfeuerungen für andere Kesselanlagen und Industrieöfen.

In nachstehenden Ländern erteilen folgende Lizenznehmer oder Vertreter Angebote:

Belgien, S. A. d'Ougrée-Marhay, Ougrée
Chile, Guillermo Klawitter, Santiago
Deutschland, Österreich u. Polen, Kohlenauswertung
G. m. b. H., Düsseldorf
Deutschland, Österreich u. Polen, Babcockwerke,
Oberhausen

England und Kolonien, British-Rema, Halifax
Holland und Kolonien, N. V. „Vamico“ 's-Gravenhage
Italien und Kolonien, Carlo Ehinger, Mailand
Skandinavien und Finnland, Friedrich Siemens A.-G.,
Berlin
Rußland, Hans Barthelmeß, Berlin

In allen anderen Ländern erfolgt Angebot durch

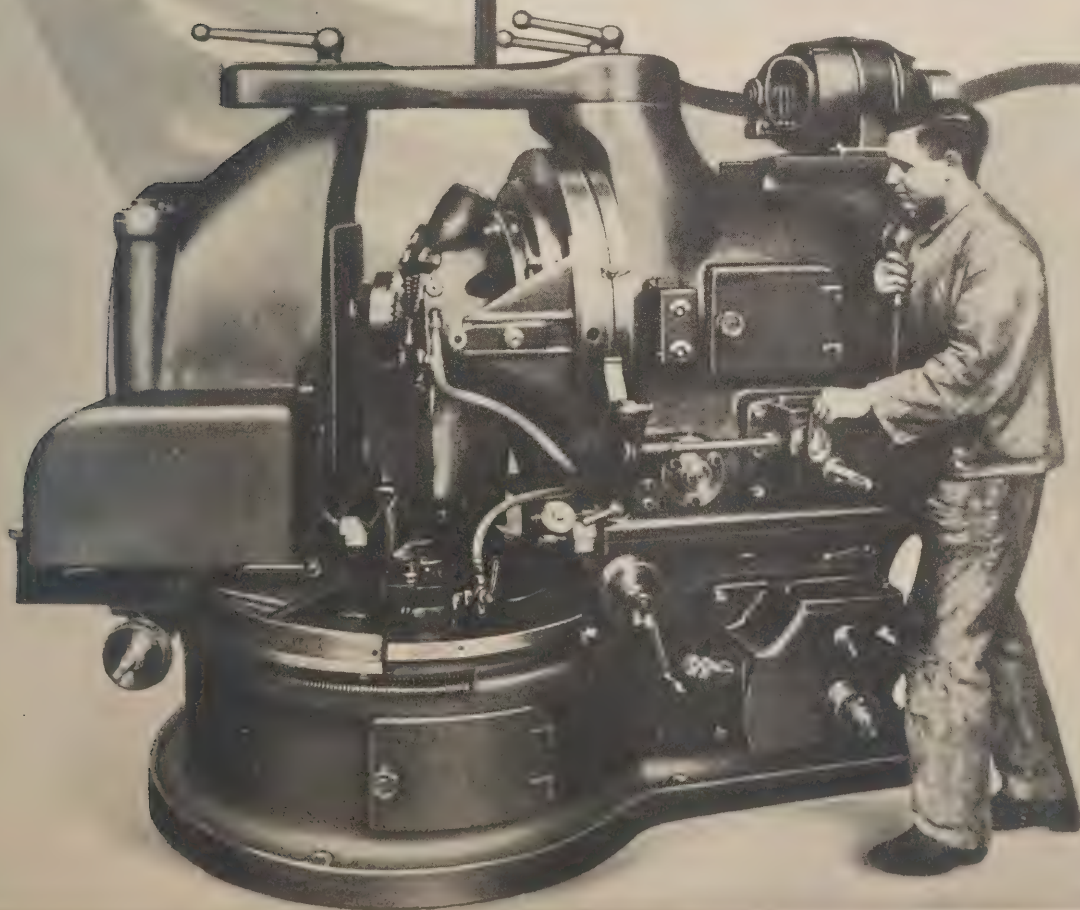
REMA Rheinische Maschinenfabrik A.-G., Neuss^a/Rh.

Mitarbeit

Verlangen Sie von uns „Dienst am Kunden“ und — benutzen Sie deutsche Maschinen. Mit den Erfindungen der Ingenieure Schicht-Preis ist die Verzahnungstechnik der Kegelräder vom Ausland unabhängig gemacht worden. Es gibt heute auf dem Weltmarkt keine Maschine, die auch nur annähernd in so kurzen Arbeitszeiten bei so einfacher Einstellung und Bedienung, selbst in kleinsten Mengen, so wirtschaftlich ruhig laufende Spiralkegelräder herstellt, wie die neuesten Typen der Klingelberg-Starrwälzautomaten. — Wir erzeugen außerdem für die Fertigbearbeitung von Kegelrädern (auch anderer Systeme) sämtliche Zubehörmaschinen, wie Prüf-, hydraulische Härte-, Flankenlapp- und Poliermaschinen. — Wir übernehmen kostenlos die Beratung über Konstruktion und Herstellung in allen Kegelradfragen. — Wir richten für jeden Bedarfsfall die vollständige Fabrikation betriebsfertig ein. — Verlangen Sie unsere Druckschriften und Fachaufsätze von Professor Wallichs und Dr. Otto.

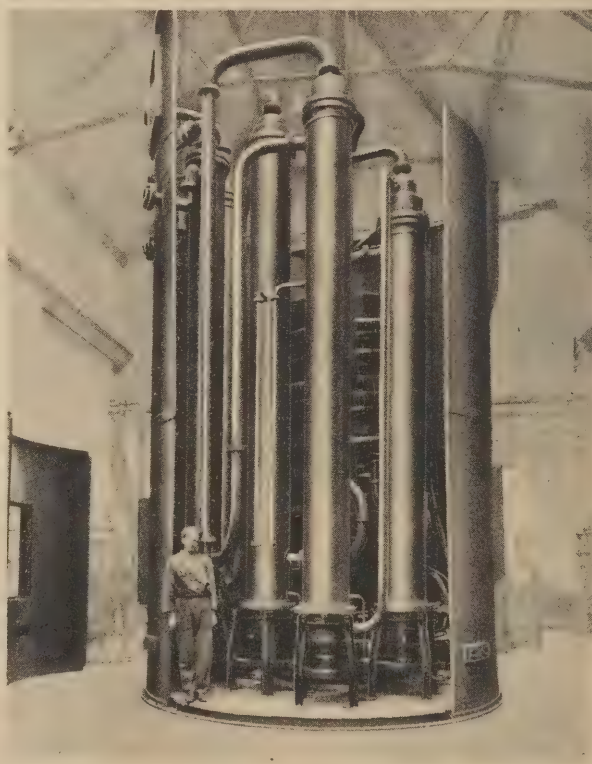
KLINGELBERG

W. Ferd. Klingelberg Söhne, G. m. b. H., Remscheid, Berlin, Breslau, Chemnitz, Düsseldorf, Frankfurt a. M., Hagen i. W., Hamburg, Hannover, Köln, Leipzig, Mannheim, Stuttgart, Barcelona, Brüssel, Paris, Prag, Rotterdam, Zürich, Klingelberg-Uebersee-Handelsgesellschaft m. b. H., Hamburg 1, Shanghai.



Linde

Anlagen zur Gewinnung von
Sauerstoff und **Stickstoff**
aus atmosphärischer Luft von
Wasserstoff
durch Zerlegung von Kokereigas u. a.

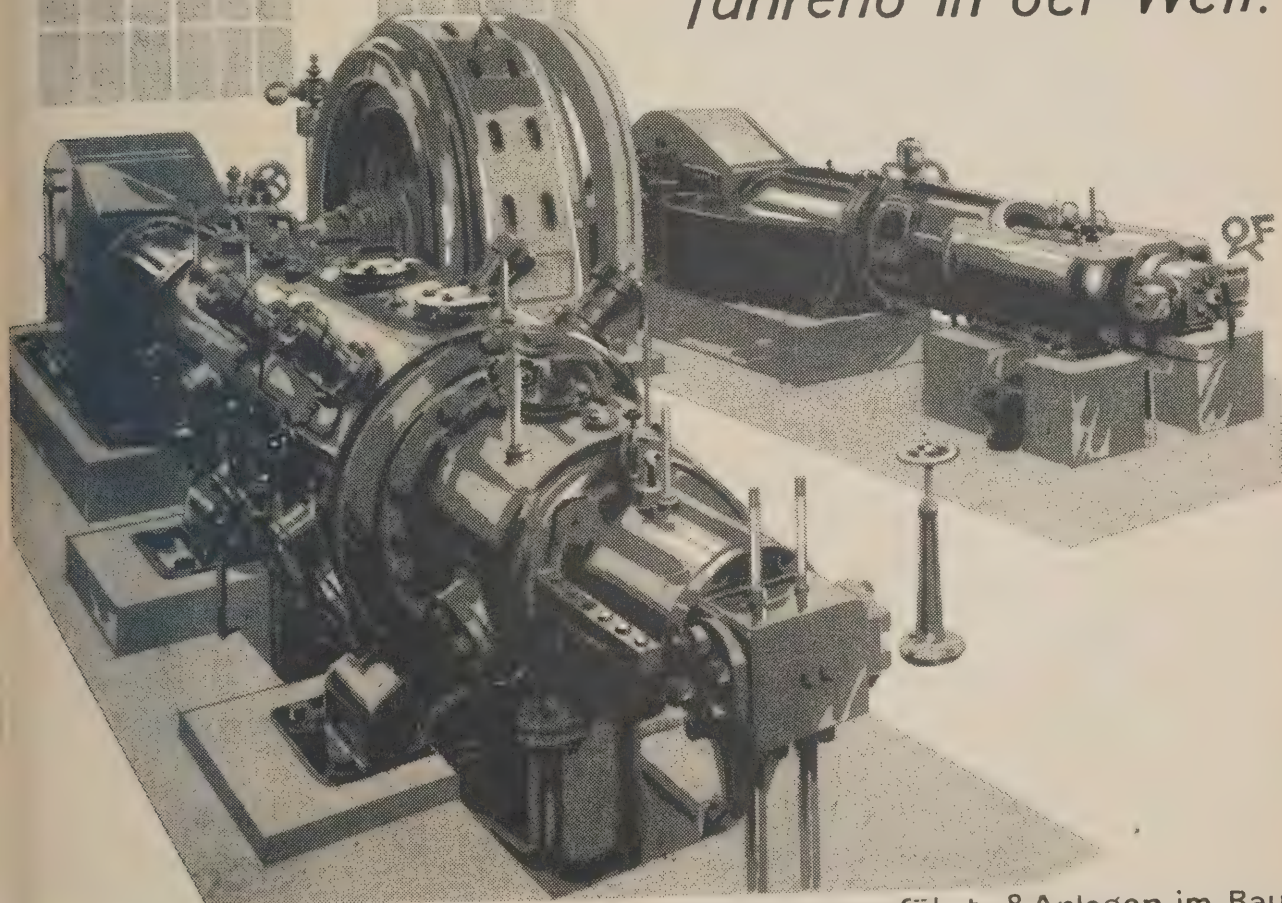


Apparat zur Gewinnung von 3800 cbm/h Wasserstoff
aus Kokereigas.

Gesellschaft für Linde's Eismaschinen ^AG
Abteilung Gasverflüssigung
Höllriegelskreuth b. München

M E S

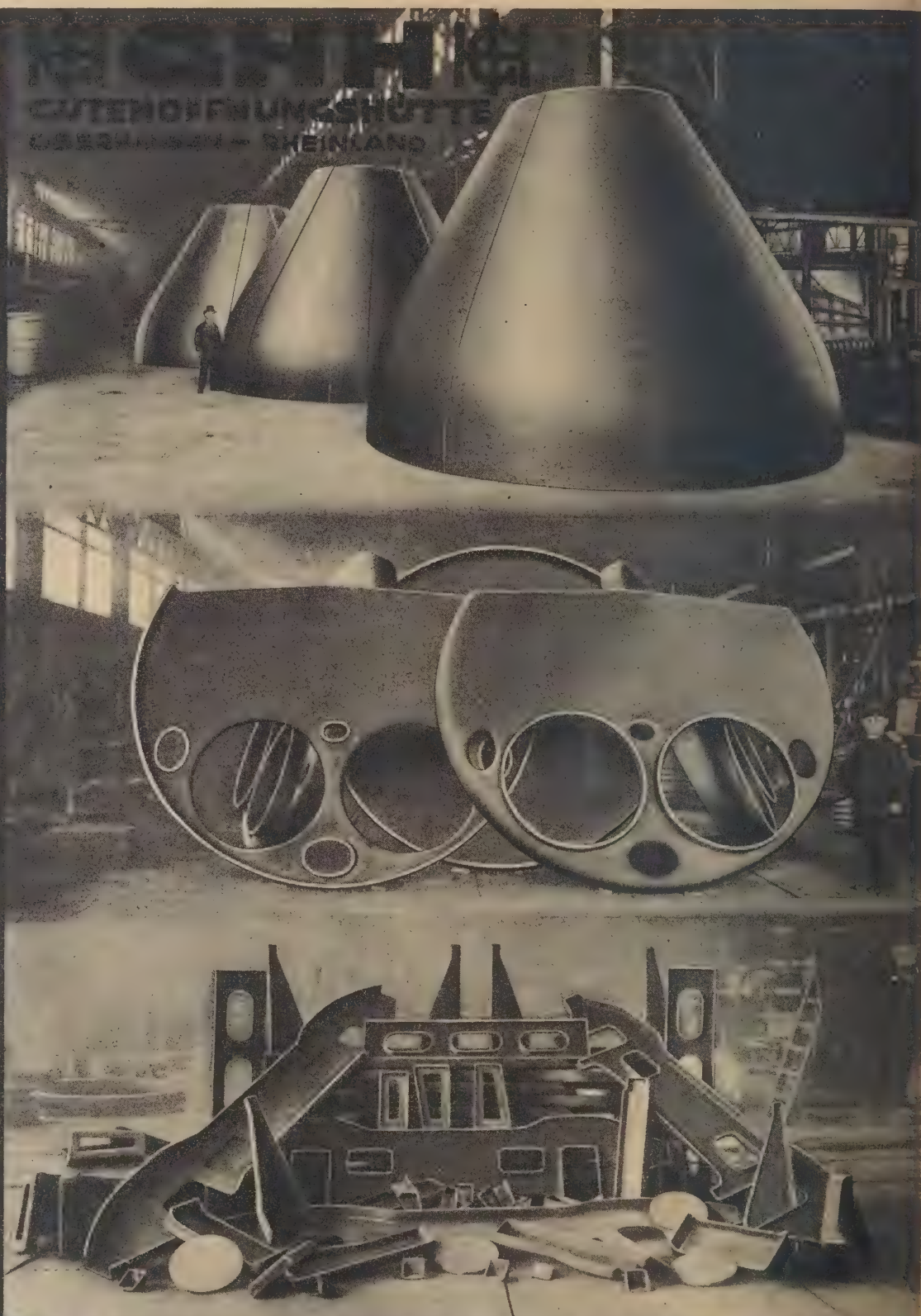
Hoch- u. Niederdruck
Kompressoren
Hyperkompressoren
führend in der Welt.



Hyperkompressor für 1000 at. 7 Anlagen ausgeführt, 8 Anlagen im Bau.
Lizenznehmer in verschiedenen Ländern.

MASCHINENBAU-AKTIENGESELLSCHAFT VORMALS
EHRHARDT & SEHMER
SAARBRÜCKEN

ERZEUGNISSE DES PRESSWERKES



BÖDEN UND SONDERPRESSTEILE

für Land-, Schiff- und Lokomotivkessel x Teller- und Blasenböden
Diffusorhauben und -böden x Gehobelte, gebogene u. gekümpelte
Bleche für Kessel, Kocher, Behälter u.s.w.

Tonnen- und Buckelbleche für den Brückenbau

Preßteile für den Eisenbahnwagen- und Förderwagenbau &
Schmiedeeiserne Hochofenarmaturen u.s.w.

M A N

STOCKHOLM

JÄRE

M A N

SÖDER

DÖBBERN

CONSTANZ

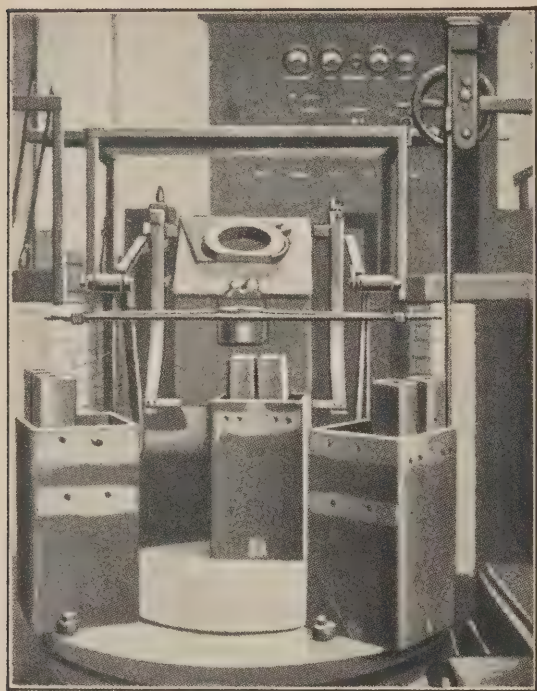
STRASSENBAHNWAGEN

neue sache 25

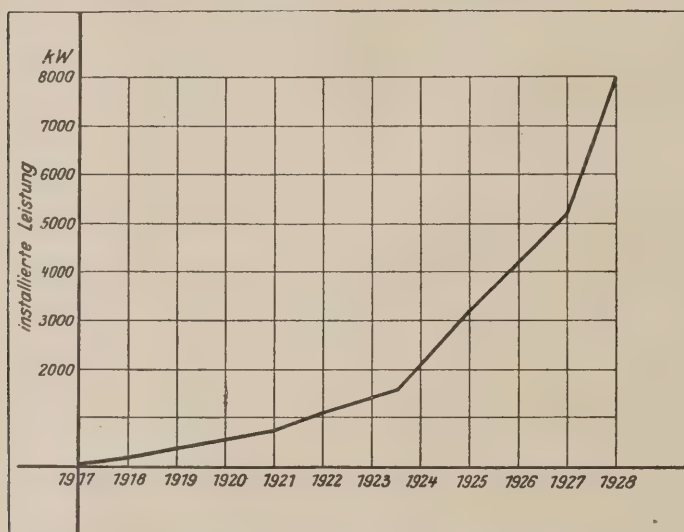
Unsere
reichhaltige Druck-

M·A·N-Straßenbahnwagen

mit 98 Bildern und Ausführungen über
Untergestelle, Wagenkasten, Triebwagen,
Beiwagen, elektrische Kleinbahnen, Loko-
motiven und Sonderwagen steht ernst-
haften Interessenten kostenlos zur Ver-
fügung. Schreiben Sie an Werk Nürnberg.



150-kW-Hochfrequenzanlage in Sheffield
(mit Genehmigung der Electric Furnace Co., London)



Verbreitung des Hochfrequenzofens seit 1917

3. **Der Hochfrequenzofen hat keine qualitätsschädlichen Heizgase**, die vom Schmelzbad aufgenommen werden könnten. Vielmehr ist das Schmelzen unter Luftabschluß, Vacuum, oder in Gegenwart beliebiger neutraler Atmosphären, und zwar bei den höchsten Temperaturen, möglich.
4. **Der Hochfrequenzofen braucht keine Elektroden.**
5. **Der Hochfrequenzofen hat keinen höheren Kraftverbrauch** als große Hochleistungs-Lichtbogenöfen.
6. **Der Hochfrequenzofen braucht keine Schmelztiegel**; der Schmelzherd wird im Ofen selbst durch Induktionserhitzung hergestellt und sind dessen Kosten je Tonne Stahl nicht höher als bei Lichtbogenöfen.

Die elektrische Ausrüstung

für unsere Hochfrequenzöfen wird von der A.E.G., Berlin, geliefert.

Eine Umwälzung auf dem Gebiete der Edelstahlerzeugung. Der Hochfrequenz- ofen

Nach den Patenten von Dr. Ed. F. Northrup, Trenton

Das Schmelzen von legiertem Edel- und Sonderstahl jeglichen Verwendungszweckes erfolgt im Hochfrequenzofen mit anerkannter Betriebssicherheit. Die Gründe hierfür sind:

1. **Der Hochfrequenzofen erzeugt stets einen Guß von überaus gleichmäßiger Zusammensetzung.** Infolge der durch elektrodynamische Wirkungen hervorgerufenen Badbewegungen mischt sich das Schmelzgut selbsttätig, so daß außerdem Schlacke- und Legierungszusätze auf das Schmelzbad schnellstens einwirken.

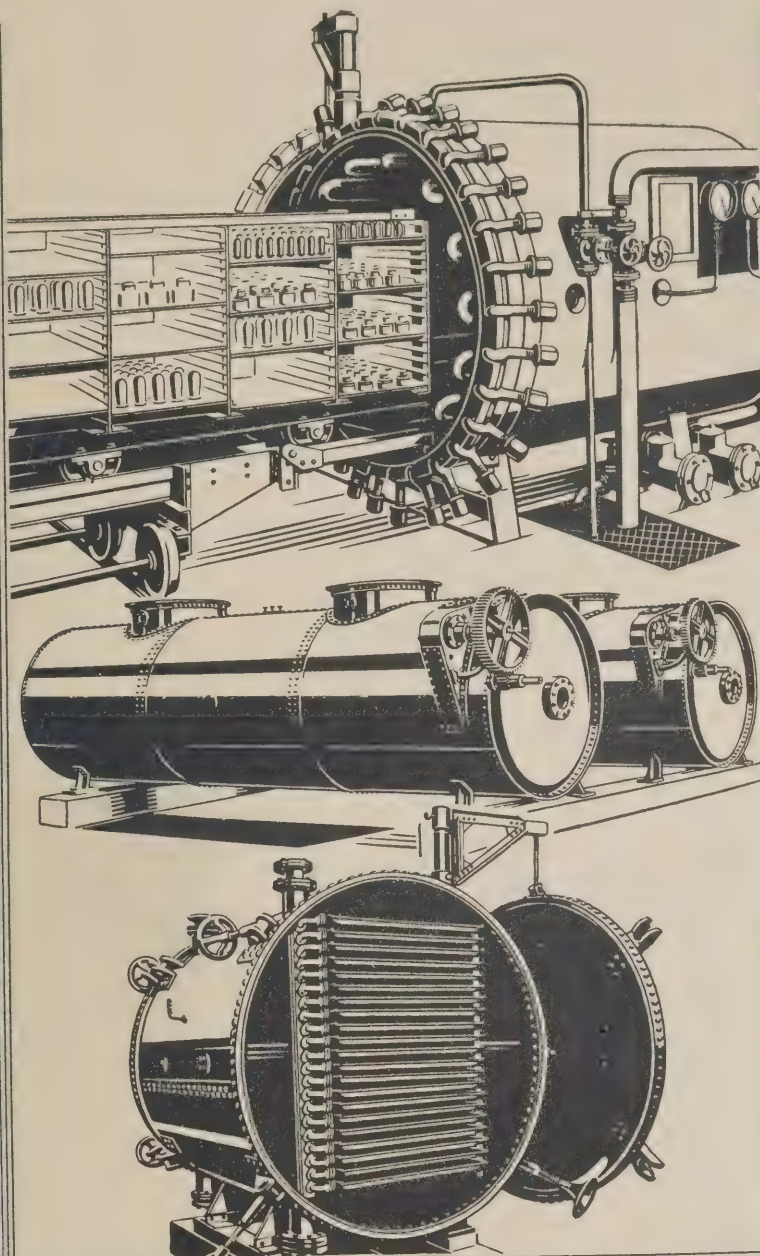
2. **Der Hochfrequenzofen gestattet die genaue Regelung der Temperaturen** während sämtlicher Phasen des Schmelzvorganges. Schädliche Überhitzung, hoher Abbrandverlust, Gaseinschlüsse und andere Nachteile jeder unkontrollierbaren Erhitzungsart werden somit vermieden.

Hirsch, Kupfer- u. Messingwerke

Abteilung Elektroofenbau

Finow (Mark)

A.G.

**BuA**

APPARATE FÜR DIE
CHEMISCHE INDUSTRIE
U. VERWANDTE BETRIEBE

BEHÄLTER-UND APPARATEBAU

H E N N I G S D O R F b B E R L I N

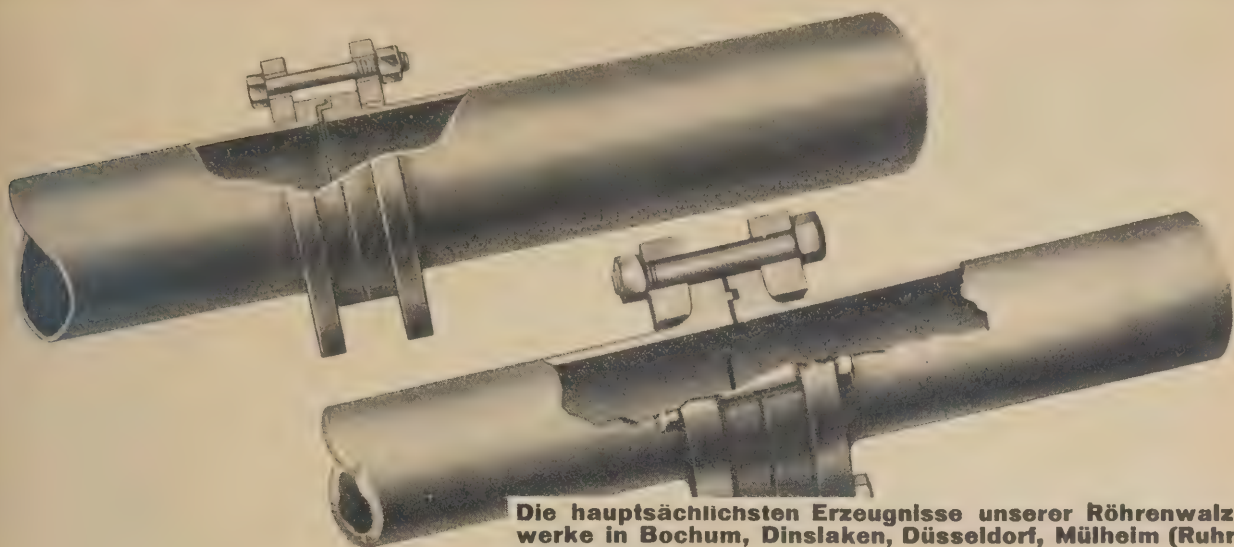
HUMBOLDT



ERZ-AUFBEREITUNGEN

nach naßmechanischen, elektromagnetischen und Schwimm-Verfahren, insbesondere mit selektiver Flotation. Zerkleinerungs-, Misch- und Probenentnahme-Anlagen vollendetster Ausführung.

MASCHINENBAU-ANSTALT HUMBOLDT, KÖLN-KALK



Die hauptsächlichsten Erzeugnisse unserer Röhrenwalzwerke in Bochum, Dinslaken, Düsseldorf, Mülheim (Ruhr) sind folgende:

Stahlröhren

nahtlos, bis 20" I. W., stumpfgeschweißt bis 2" I. W.

Gas-, Wasser- und Dampfrohre
bis 2" Nennweite stumpfgeschweißt oder nahtlos, je nach Wunsch, über 2" Nennweite nur nahtlos.

Nahtlose Stahlrohre bis einschließlich 20" Innendurchmesser und zwar:

Stahlmuffenröhren und Formstücke,
Kabelschutzröhren,
Bohrrohre, Rammrohre, Gestängeröhre und Zubehörteile,
Gefrierrohre und Fallrohre,
Ölpumpenröhre und Ölleitungsröhre,
Brunnenröhre,
Siederöhre für Lokomotiv-, Schiffs- und andere Dampfkessel, sowie für Vorwärmer, Überhitzer, Dampfleitungen, Dampfheizungen und Apparate,
Rauchrohre für Überhitzer, Bauart Schmidt,
Dampfein- und Ausströmröhre, sowie Regierrohre für Lokomotiven,
Bremsleitungsröhre,
Weichengestängeröhre,
Preßdruckleitungsröhre,
Perkinsröhre,
Backofenröhre,
Kernspindelröhre,
Flanschenröhre und Verbindungsstücke,
Rohrpostrohre,
Rohrluppen.

Erzeugnisse aus nahtlosen Stahlröhren:

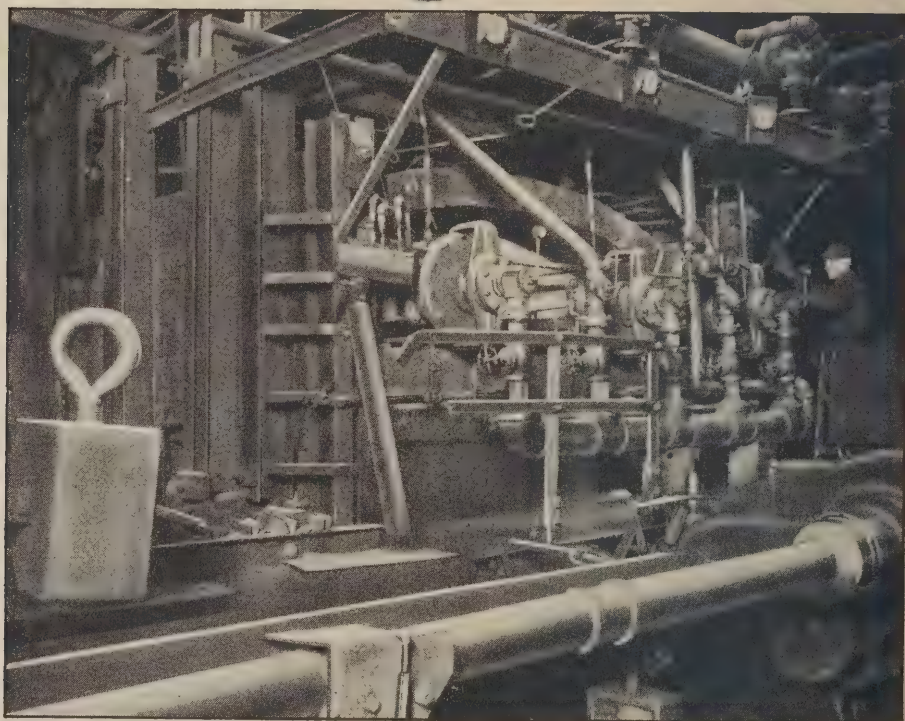
kaltgezogene Präzisionsstahlrohre,
Stahlrohrmasten für Straßenbeleuchtung und Stromleitung,
Telegrafen- und Fahnenstangen, Telefon- und Telegrafenständerröhre, Maste, Ladebäume, Ausleger, Gaffeln, Rahen, Stengen, Spieren und Davits für Schiffe, auf Verlangen auch aus gekupferten Material,
Stahlflaschen für den Verkehr mit verflüssigten und verdichteten Gasen,
Druckluftbehälter für Dieselmotoren, Grubenlokomotiven usw.,
Rohrschlangen für Überhitzer, Heiz- und Kühlanlagen,
Elemente für Rauchrohre-Überhitzer, Bauart Schmidt,
Rippenrohre für Heiz- und Kühlanlagen,
Grubenstempel.



VEREINIGTE STAHLWERKE

AKTIENGESellschaft
VERKAUF STAHLRÖHREN
D Ü S S E L D O R F

Schilde Industrie-Öfen



bei

industrieller Fließarbeit

muß das wärmebehandelte Produkt
in stets genau gleichen Zeitabständen
und mit durchaus gleichmäßiger
Temperatur und Güte anfallen.

Diese Leistung erfüllen verbürgt und
ohne jede Schwierigkeit die

Schilde-Industrieöfen

mit flammenloser Gasbeheizung
und selbsttätiger
Gasluftgemischregelung
D. R. P. u. A. P.

Unterrichten Sie sich näher aus der Drucksache
V 667

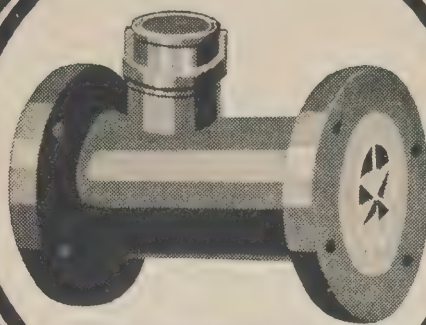


**BENNO SCHILDE
MASCHINENBAU A.G.
HERSFELD H.N.**

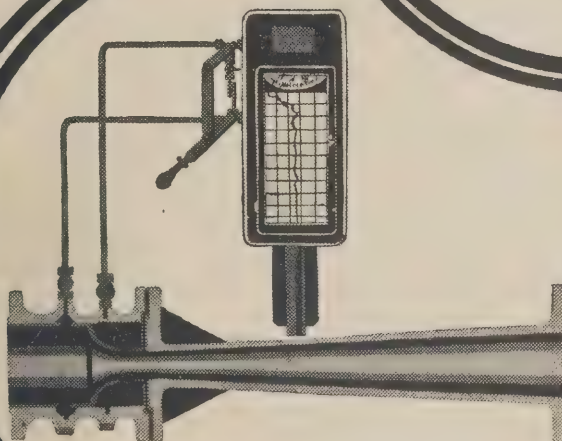
REUTHER MESSAPPARATE

für die Betriebskontrolle unentbehrlich

**SONDERAUSFÜHRUNGEN
FÜR HEISSWASSER, DAMPF,
PRESSLUFT, SOOLE, OEL,
LAUGE USW.**

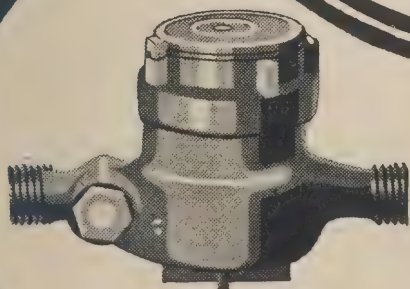


WOLTMANN-MESSER



HEINZ NEEMANN

VENTURI-MESSER UND APPARATE
D. R. P.



OPTIMA-MESSER D.R.P.

**REGISTRIER-APPARATE
D. R. P.**

FÜR MECHAN. REGISTRIERUNG
FÜR ELEKTR. FERNANZEIGE
UND FERNREGISTRIERUNG

BOPP & REUTHER G.M. MANNHEIM- -WALDHOF B.H.

Gegründet 1872



Man verlange neuen Prospekt 127 Ba

A Z E T.

ELEKTRO
=ZÜGE

AUFZÜGE

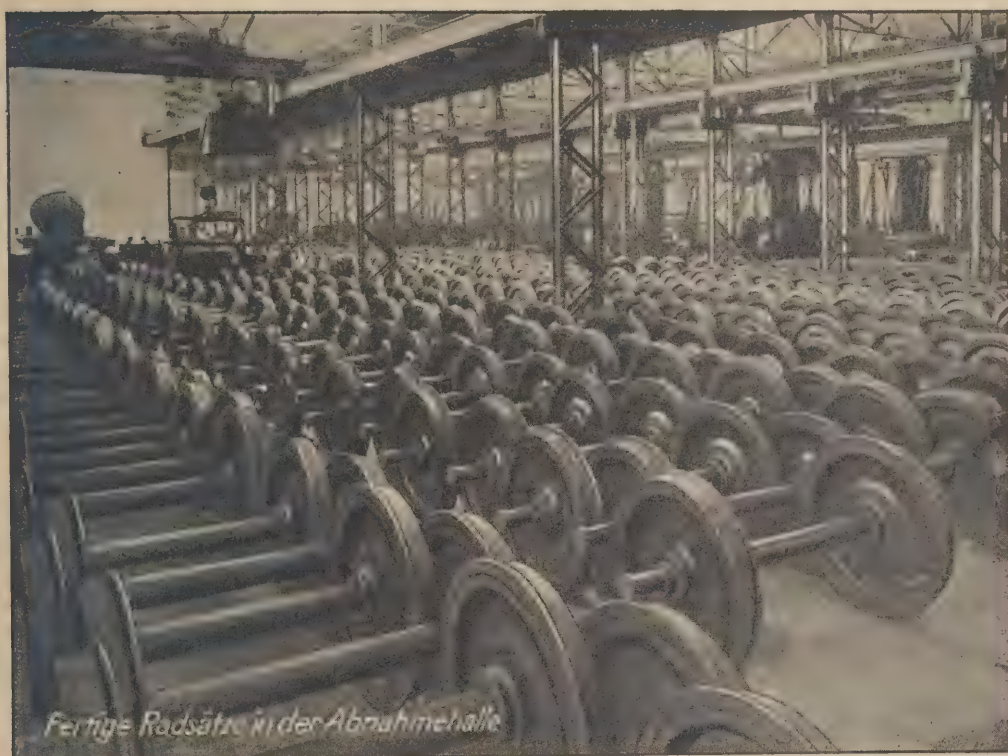


ADOLF ZÄISER

AUFZUGFABRIK
STUTTGART



PRESSWALZWERK REISHOLZ



Fertige Radsätze in der Abnahmehalle

Abteilung OBERBILKER STAHLWERK
liefert als langjährige Spezialität

ROLLENDES EISENBAHNMATERIAL

RADSÄTZE

RADREIFEN

RADSCHEIBEN

ACHSEN

für Voll-, Klein- und

Straßenbahnen

PRESS-U.WALZWERK A.G.
REISHOLZ b. DÜSSELDORF

WOTZKOW

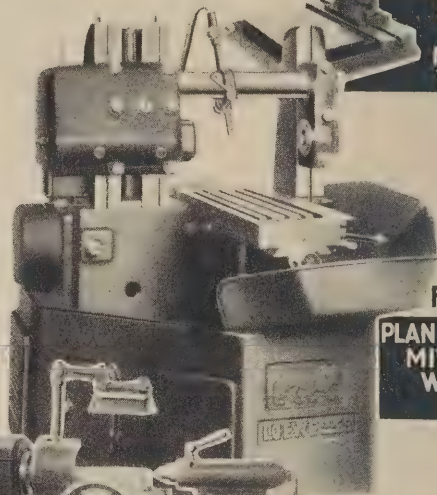


Arbeitsbeschleunigung
und Arbeitskraftersparnis
durch automatische
Arbeitsgänge an neuen
Loewe-Maschinen.



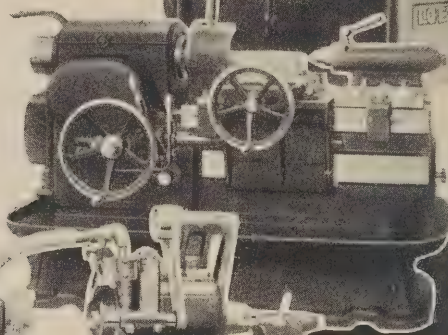
BS 11 NA

SCHNELLAUF -
BOHRMASCHINE
MIT AUTOMATISCHEM
VORSCHUB D.R.P.A



FP 5 FW

PLAN-STABILFRÄSMASCHINE
MIT AUTOMATISCHEM
WECHSELVORSCHÜBEN
UND EILGÄNGEN



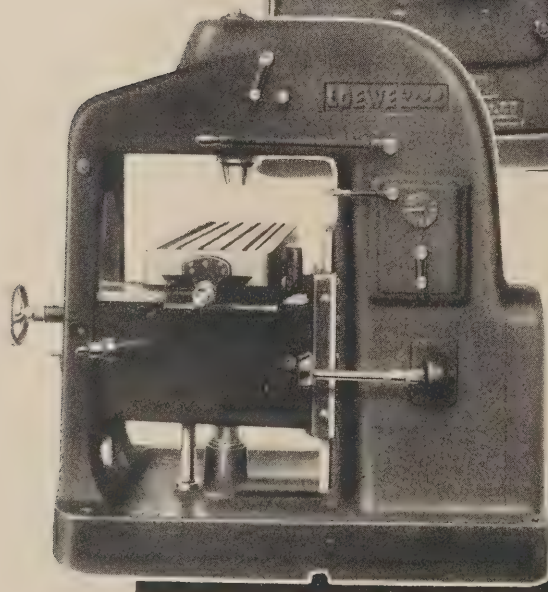
DX 304 F

VIELSTAHL DREHBANK FÜR DAS
ANSCHLAGDREHEN IM LANG-
UND PLANZUG GLEICHZEITIG
MIT BIS ZU 12-14 STAHLN.



SU 106 FH

UNIVERSAL-RUNDSCHLEIFMASCHINE
MIT HYDRAULISCHER TISCH- UND
WERKSTÜCKBEWEGUNG UND HYDRAU-
LISCHER ZUSTELLUNG D. SCHLEIFSCHEIBE



FV 6 FW

VERTIKAL-STABILFRÄSMASCHINE
VON STARRER BAUART FÜR SCHWERE
SCHRUPP- U. SAUBERSTE SCHLICHTARBEIT
MIT EINHEBELSCHALTUNG D. ARBEITSBEWEGUNGEN

LUDW. LOEWE & CO. A.G. BERLIN NW 87

D. R. P. a.

Steinmüller Luftvorwärmer

Ersparen Kohlen

1. durch Ausnutzen der Abgase von Kesselanlagen zum Erwärmen von Frischluft. Die vorgewärmte Luft erhöht die Verbrennungstemperatur und damit den Wirkungsgrad der Feuerung.
2. durch Verwertung der Abwärme von Industrieöfen für Heiz-, Trocknungs- und Entnebelungszwecke.

Sonderbauart des Steinmüller- Luftvorwärmers

Lufterhitzer unterliegen der Gefahr der Anrostung dadurch, daß die Gase durch die kalte Luft unter den Taupunkt abgekühlt werden. Bei dem Steinmüller-Lufterhitzer ist diese Gefahr vermieden: Ein Teil der erwärmten Luft wird zurückgeführt, um die kalte Luft vorzuwärmen. (D. R. P. a.)

Die Ergebnisse

einer mehrjährigen Praxis im Luft-Erhitzerbau gewährleisten konstruktive und wärme-wirtschaftliche Vorteile: Hohe Leistung, Wirtschaftlichkeit, Betriebssicherheit, einfache zweckentsprechende Konstruktion, leichtes Auswechseln der Teile.

Anlagen ausgeführt bis 3000 m² je Luftvorwärmer

Sehr gute Empfehlungen.

Verlangen Sie fachmännische Beratung!
Prospekt L 61.

L. & C. STEINMÜLLER

GUMMERSBACH

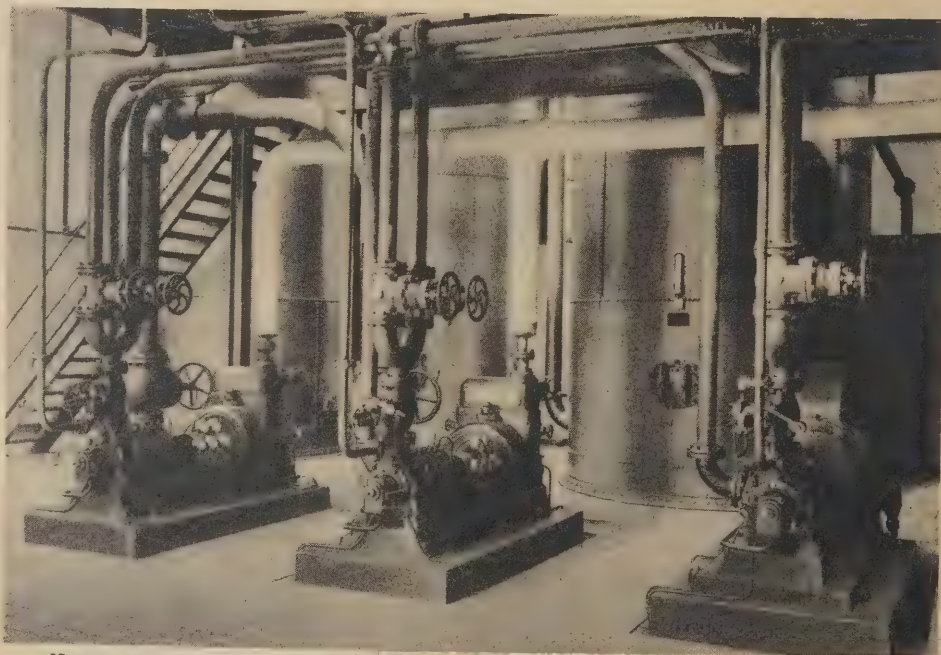
Restlose Ausnützung des Arbeitsdampfes und gleichzeitige Entnahme von Nutzdampf mit zweierlei Spannung ermöglicht nur unsere



Zweistufige Zweidruck-Entnahme- Dampfmaschine

Erste Brünner Maschinenfabriks-Gesellschaft, Brünn (ČSR.)

Kreiselpumpen seit 1903



Dampfturbinen seit 1919

Zweigniederlassungen:

Aachen
Amsterdam
Berlin
Breslau
Dortmund
Dresden
Düsseldorf
Frankfurt
Hamburg
Hannover
Madrid
Mailand
München
Stuttgart

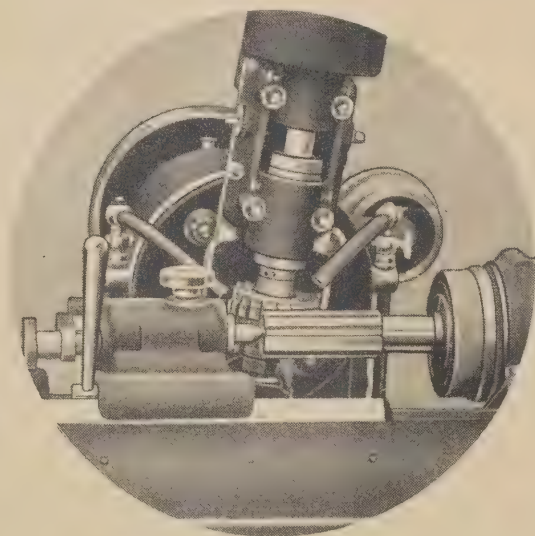
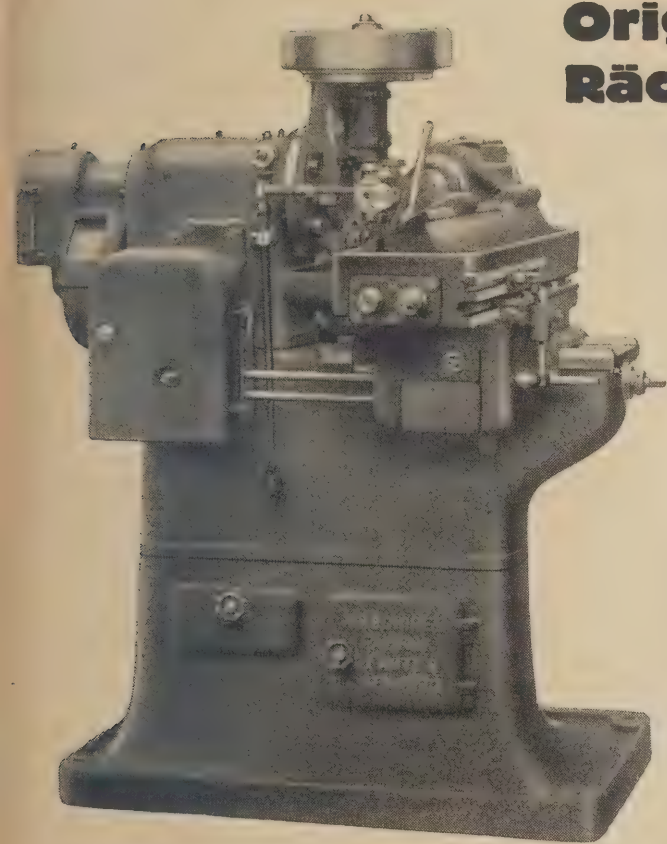
Kesselspeise-Anlage der holländischen Staatsgruben, Grube M., bestehend aus 2 Turbo-Speisepumpen je 50 cbm/stdl. heißes Wasser gegen 35 at., mit Dampfturbinen eigener Bauart; sowie einer Elektropumpe für gleiche Leistung, mit Drehstrom-Kurzschlußanker-Motor.

Weise Söhne, Halle S.

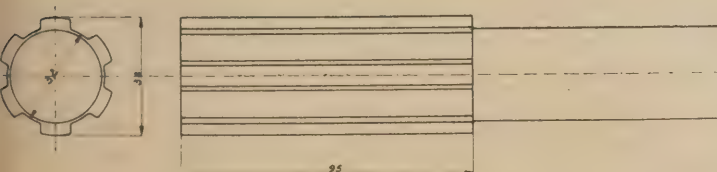
PFAUTER

Original-Pfauter- Räderfräsautomat R10

Ist besonders geeignet
zum Fräsen von Schraubgetrieben
hoher Steigungen und
Keilwellen im Abwälzverfahren



Der Räderfräsautomat R10 ist die leistungsfähigste **Keilwellen-Fräsmaschine** der Gegenwart. Das starke Frässpindellager mit Schwungscheibe und Innenzahnkranz, die besondere Tischkonstruktion, der Teilkopf mit geschliffener Schnecke und Spindel, der abklappbare Reitstock, der Einscheibenantrieb sind wichtige Merkmale der Maschine, die zu ihrer hohen Leistung beitragen.



Keilnuten 6 Nuten, Chr. Ni. Stahl.
Fräszeit: 6 1/2 Min.

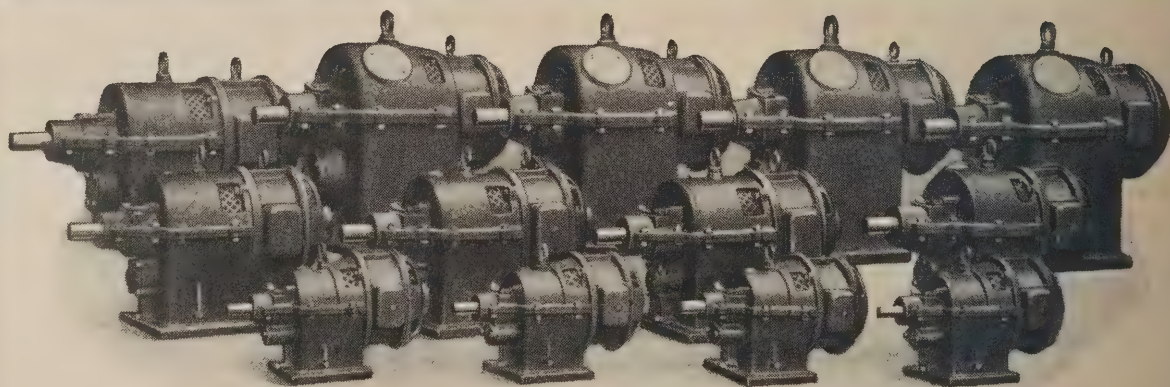
CHEMNITZ

E. ZWIETUSCH & CO

G. M. B. H.
CHARLOTTENBURG 2

ROHRPOST-
SEILPOST-
UND FÖRDERBAND-
ANLAGEN

SIND
UNENTBEHRLICH
IN NEUZEITLICHEN
BETRIEBEN



D.R.G.M.

Eine Lieferung Heuergetriebe mit angeflanschten Motoren.

D.R.G.M.

Heuergetriebe mit angeflanschem Motor

ist der idealste direkte Antrieb für langsamlaufende Maschinen; sie sind lieferbar für jede niedrige Drehzahl und für jede Leistung, Stromart und Spannung

Die neue Preisliste Nr. 22 ist erschienen

Saxoniawerk Paul Heuer Dresden 16v

FRANZ SEIFFERT & CO A.G.

ABT. APPARATEBAU

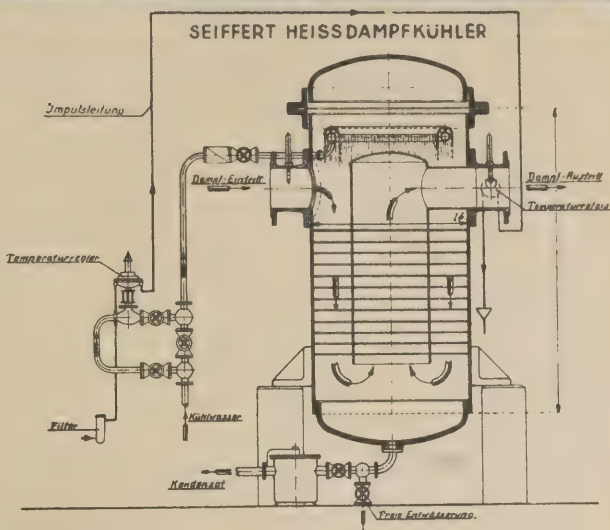
BERLIN C.19

EBERSWALDE

Wasserreinigungs-
Filter -

Verdampfungs-
Anlagen,
Dampfkühler

D. R. P. a.



Genaue Temperatur-Regulierung

MACKENSEN TRANSPORT



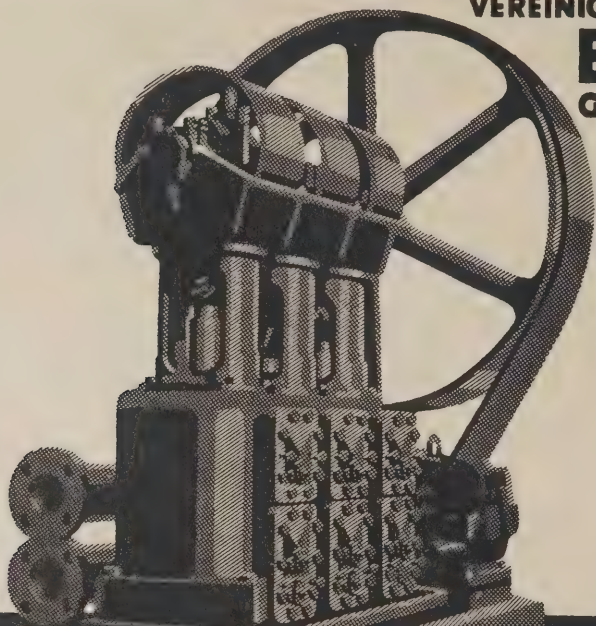
MACKENSEN
Schiffsentlade-Anlage
für Braunkohle mittels Becherwerk und Förderband

ANLAGEN

A.W. MACKENSEN G.M.B.H. MAGDEBURG

Das Produkt wissenschaftlicher Versuche
und praktischer Auswertung von über
60 jährigen Erfahrungen unserer Werke

VEREINIGUNG DEUTSCHER PUMPENFABRIKEN
BORSIG-HALL
G.M.B.H.



DREI-PLUNGERPUMPEN

BERLIN.W9
HAUS HALL
LINKSTR.19



MERCEDES-BENZ DIESELMOTOREN

**2-4 und 6-Zylinder Leistung
20—100 PS.**

600-1000 Umdrehungen/Minute

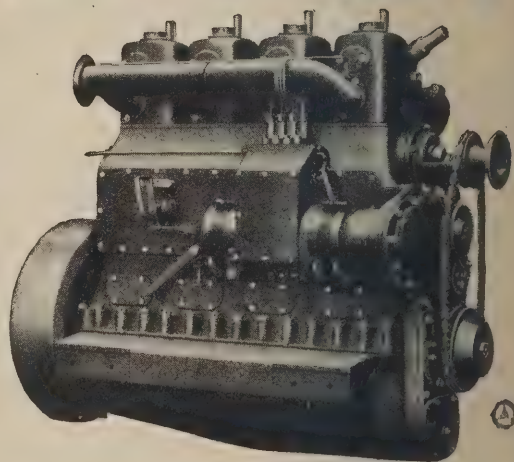
**Für fahrbare und stationäre
Anlagen**

Leichtes Gewicht

Einfacher Betrieb

Niedrige Unterhaltungskosten

Ausführliche Angebote durch

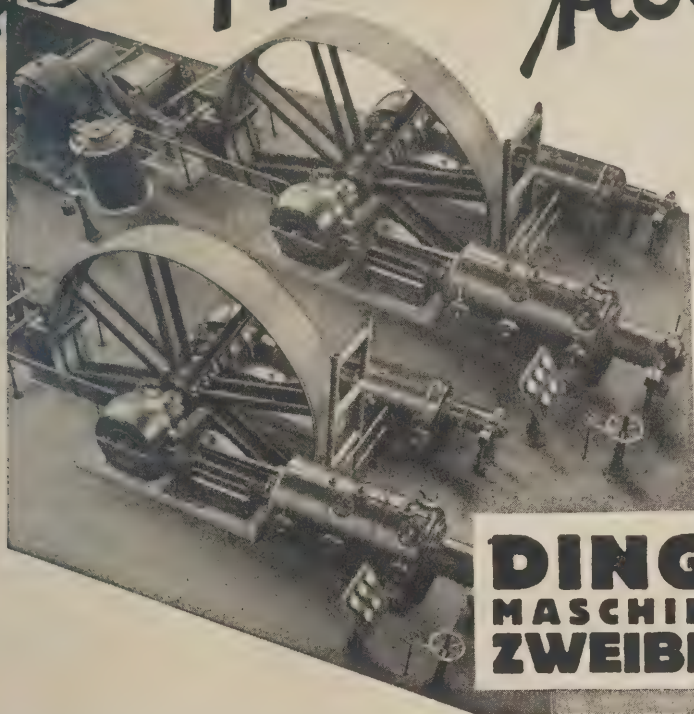


Typ V/64 PS

DAIMLER-BENZ A.-G.

Mannheim, Postschließfach 197

Dingler Hochdruck-Kompressoren



jeder Größe und Antriebsart für Drücke bis 300 atü und mehr zur Verdichtung von Luft und Gasen in bestens bewährter Spezialausführung.

**DINGLER'SCHE
MASCHINENFABRIK A.-G.
ZWEIBRÜCKEN/PFALZ**

Wir stellten bisher über **6 Millionen Aluminium- Spritzgußteile**

in den verschiedensten Aluminium-Legierungen her für die **Elektro-, Auto- und Fahrzeug-, Photo-, Telefon-, Staubsauger-, Ofen- und Herd-Industrie** usw. für **Haushaltungs- u. Landwirtschaftsmaschinen**.



Getriebegehäuse mit 3 eingespritzten Messingbuchsen u. 1 eingespritzten Stahllachse. **Bisherige Herstellungskosten RM 6.-**, jetzt in Aluminium-Spritzguß RM 3.50. ●

Außerdem umfaßt unsere Fabrikation: **Aluminium-Kokillenguß** aus Original-Hütten-Aluminium-Legierungen und **Zink-Spritzguß** aus Feinzink-Legierungen, so daß jedem Interessenten die Gewähr für die zweckmäßige Gußart geboten ist.

ASW

Aluminium-Spritzgußwerke G.m.b.H. NÜRNBERG

Der Abdampf von

**54000 Kondens-
Masch. PS**

wird durch die regullerbare

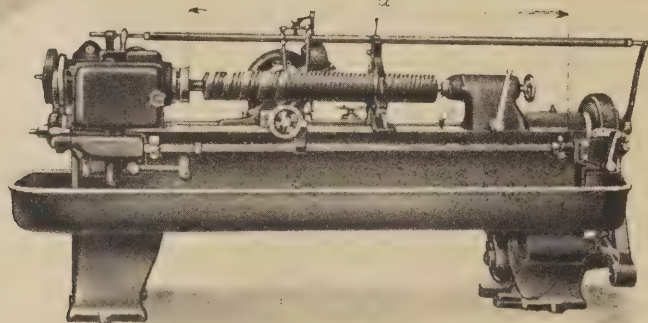
Wagner-Vacuum-Heizung

ausgenützt für Heizung, Trocknung und Wasser-
Erwärmung und erhält der deutschen Wirtschaft

1½ Millionen Goldmark jährlich

Prospekte, Beratung, Ing.-Besuch kostenlos durch

Franz Wagner A.-G., Crimmitschau



Universal-Gewindefräsmaschine Modell B 2
175x1200mm, mit direktem elektrischen Antrieb.

SCHUTTOFF
AKTIENGESELLSCHAFT
CHEMNITZ



Bahnhof und Hafen im Kabelwerk der Siemenswerke



Verlegung eines Erdkabels

Siemens-Kabel für den Fernsprech-Weitverkehr

werden auf Grund langjähriger Erfahrungen, unter genauester Kontrolle während und nach der Verarbeitung nach neuzeitlichen Fabrikationsverfahren, allen Anforderungen der Fernkabeltechnik. entsprechend, hergestellt. Sie bieten große Sicherheit gegen Störungen jeglicher Art. Durch Pupinisierung und Einbau von Verstärkern ist es möglich, auch im zwischenstaatlichen Fernsprechverkehr über sehr weite Entfernungen eine einwandfreie Sprechverständigung zu erzielen. Für die sorgfältige Ausführung der Kabelverlegung und der Montagearbeiten bürgt langjährig geschultes Personal.

Nähere Auskunft auf Wunsch!

SIEMENS & HALSKE A.-G.

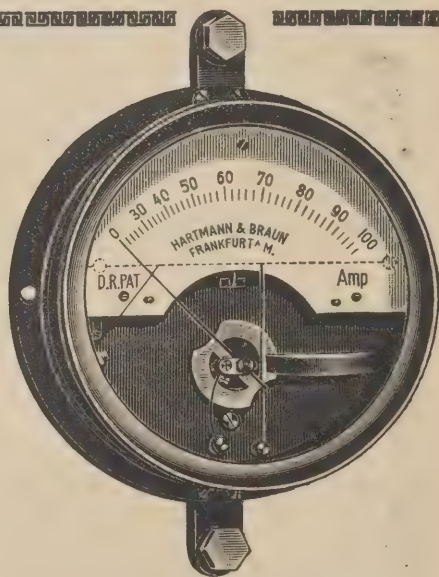
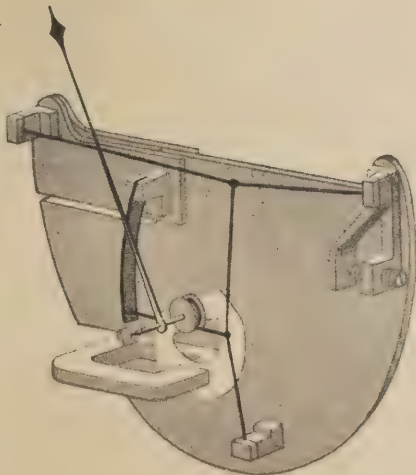
Abt. für Schwachstromkabel (SK 2) • Berlin-Siemensstadt (Gartenfeld)

50

JAHRE

**ELEKTRISCHE
MESSGERÄTE**

1879 1929



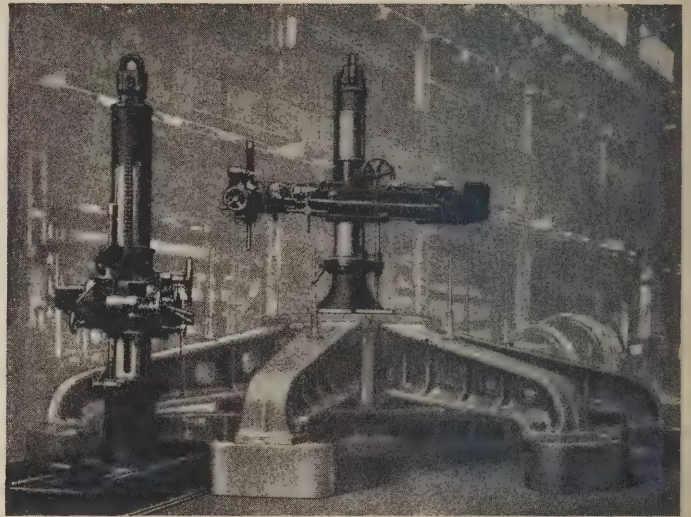
Das Hydrazin-Gerät, 1891 von uns geschaffen und auf den Markt gebracht, beruht auf der Durchbiegung eines vom Strom erwärmten Edelmetalldrahtes. Die Durchbiegung wird auf das Zeigerwerk übertragen. Das Schalttafel-Gerät in Dosenform wurde weltbekannt als Schöpfung von Hartmann & Braun; es ist gleich gut verwendbar bei Gleichstrom und Wechselstrom, dabei unabhängig von Fremdfeldern.

HARTMANN & BRAUN
A-G
FRANKFURT A.M.

Vermeiden Sie teure Transporte sperriger Arbeitsstücke

durch

Universal- Radial- Bohrmaschinen



COLLET & ENGELHARD
OFFENBACH-MAIN

CARLSHÜTTE

**ACTION-GESELLSCHAFT FÜR
EISENGIESSEREI u. MASCHINENBAU**

Unsere Kabelkrane und Nahfördermittel

sichern

Zeit, Kraft und
Geld sparenden

Transport



WALDENBURG-ALTWASSER
PREUSSISCH-SCHLESSEN

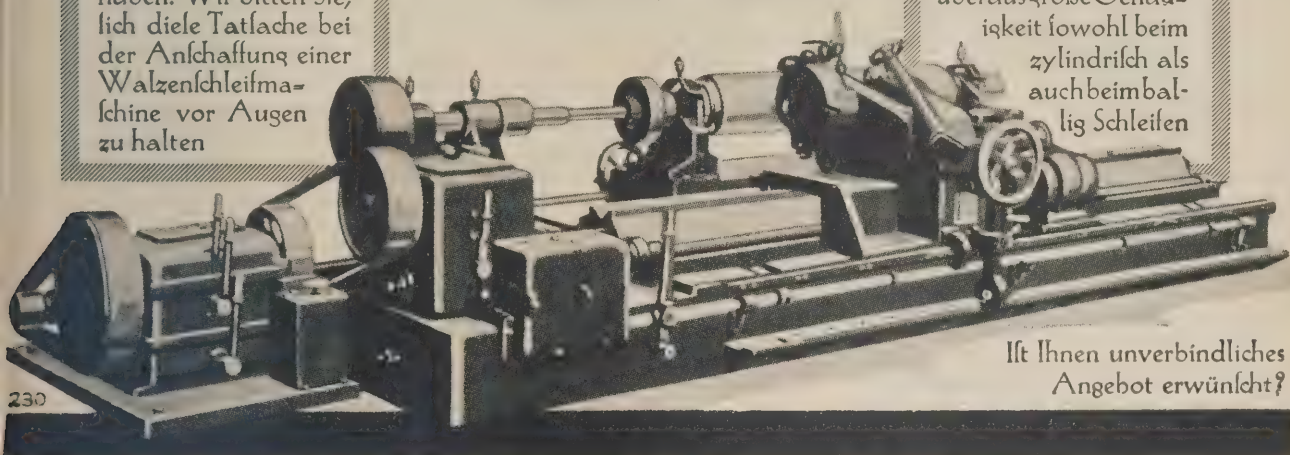
Beim Bau unserer neuen Walzen- u. Zylinder-Schleifmaschine werten wir Erfahrungen aus, die wir seit Jahrzehnten in der Herstellung und Verarbeitung von Tausenden von Walzen u. Zylindern für unsere gelieferten Kalander, Walzwerke usw. gesammelt haben. Wir bitten Sie, sich diese Tatsache bei der Anschaffung einer Walzenschleifmaschine vor Augen zu halten

Haubold

Walzen-Schleifmaschine

für Blech-
und Metallwalzwerke,
Kalander usw.

VORZÜGE:
Geschliffene Walzen
haben größere Lebens-
dauer als nachgedrehte
Sie sind lauberer u. zu-
verlässig genau bear-
beitet. Relativ geringe
Betriebskosten, leichte
u. sichere Betriebsführg.
(a. W. Druckknopfsteuerung.)
Einfache Wartung u.
überaus große Genau-
igkeit sowohl beim
zylindrisch als
auch beim bal-
lig Schleifen



Ist Ihnen unverbindliches
Angebot erwünscht?

C. G. HAUBOLD A.-G. CHEMNITZ

WESSELMANN

Unsere
WERKZEUGE
verbürgen
außergewöhnliche
LEISTUNGEN U.
LEBENSDAUER

Wir fabrizieren:

SPIRALBOHRER

WERKZEUGE für die METALL-
BEARBEITUNG nach DIN

SPEZIALWERKZEUGE für
LEICHTMETALLE und sonstige
Werkstoffe

DREHBANKFUTTER

HOCHLEISTUNGS-BOHRMASCHINEN
BOHRPRESSE „WESSELMANN“



Eingetragenes
Warenzeichen

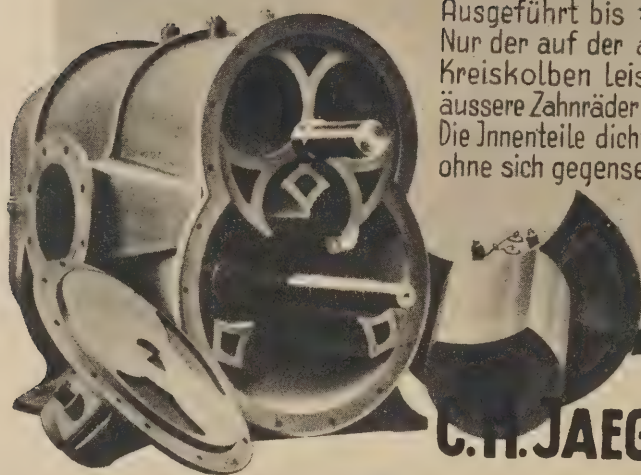


WESSELMANN-BOHRER-CO., A.-G. GERA-ZWÖTZEN

JAEGER



Kreiskolbengebläse für Luft oder Gas, Druck und Vakuum.



Ausgeführt bis zu den grössten Einzelleistungen. Nur der auf der angetriebenen Welle befindliche Kreiskolben leistet die Arbeit; der andere, durch äussere Zahnräder bewegte Kolben dient als Steuerorgan. Die Innenteile dichten durch breite metallische Flächen, ohne sich gegenseitig oder das Gehäuse zu berühren.

Keine innere Verzahnung oder Abwicklung,
keine innere Reibung, daher kein Verschleiss.
Unübertreffliche Haltbarkeit.
Garantiert ölfreie Pressluft.

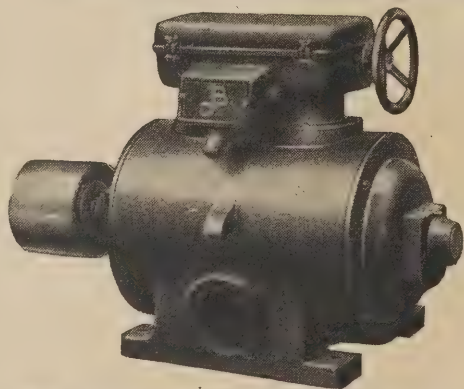
C. H. JAEGER & Co., LEIPZIG W. 31.

Bruncken-Doka-Motor

ohne Schleifringe bis 150 PS Leistung (D. R. P.)

**Der einzige Käfiganker-Motor
mit Schleifringanker-Charakteristik**

Anlauf durchschnittlich bis zum dreifachen des normalen Drehmomentes



Lieferbar in

gekapselter Ausführung
(Durchzugstype)

mantelgekühlter Ausführung
explosionssicherer Ausführung
mit

aufgebautem Anlauf-Kontroller oder Selbstanlasser

Cölner Elektromotorenfabrik Johannes Bruncken

Telefon Amt Köln:
Sammelnummer West 58 341

CÖLN-BICKENDORF 5

Gegründet 1907

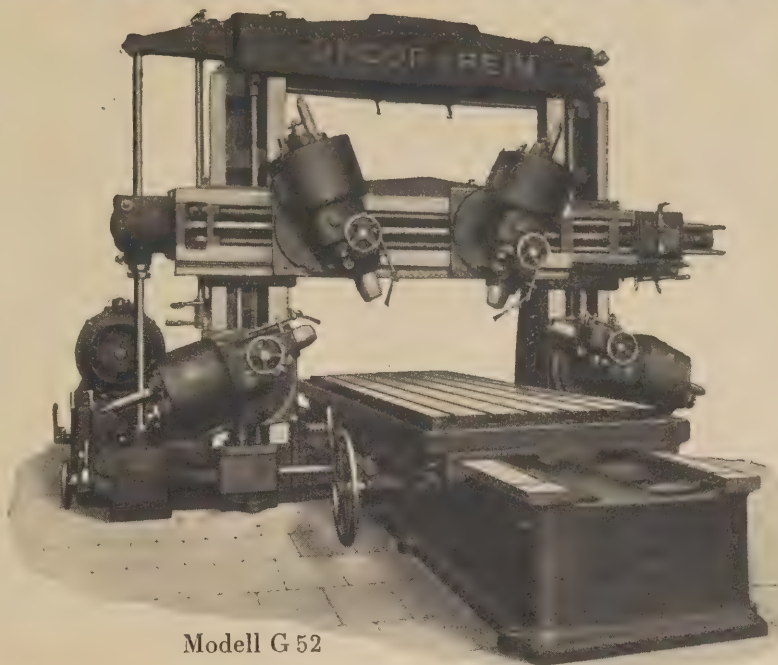
Portal-Fräsmaschinen

mit senkrechten und wagerechten Spindeln und allen Einrichtungen zum schnellen und genauen Bearbeiten von Rahmen, Gestellwänden, Gehäusen und dergl. Für 800—2000 mm Tischbreite

Gemeinschaftlicher oder getrennter Antrieb der einzelnen Spindeln durch Elektromotor
Schwenkbare oder feststehende Anordnung der Spindeln

Eilbewegung des Tisches nach beiden Richtungen

Sprungvorschub zur Verringerung der Leerlaufzeiten



Modell G 52

Droop & Rein Werkzeugmaschinen - **Bielefeld**
fabrik u. Eisengießerei

RIV

AUSSER KONVENTION

KUGELLAGER ROLLENLAGER



DEUTSCHE

RIV A*G

BERLIN*HAUS DER TECHNIK

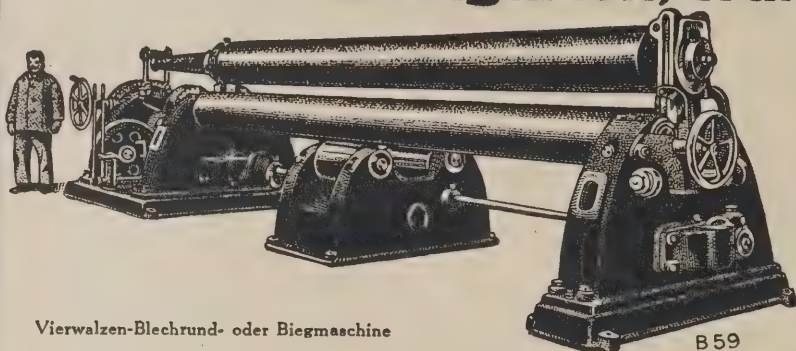
FRIEDRICHSTR. 110-112 · FERNRUF: NORDEN 3634-35



Maschinenfabrik Weingarten

vorm. Hch. Schatz, A.-G.

Weingarten, Württbg.



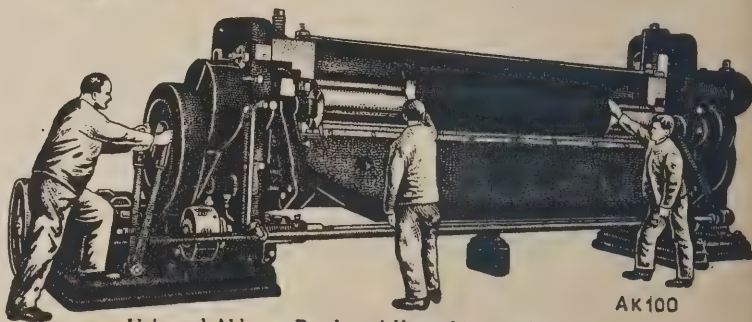
Vierwalzen-Blech- und Biegemaschine

Blechscheren	Excenterpressen
Profilblechscheren	Kurbelpressen
Kurbeltafelscheren	Nietpressen
Kreisscheren	Ziehpressen
Figurscheren	Friktionspressen
Schrotscheren	Blechbiegmaschinen
Stabeisenscheren	Blechrichtmaschinen
Lochmaschinen	Abkantmaschinen
Ausklinkmaschinen	

Hochleistungs-Stanzautomaten für Bandfabrikation von Stator- und Rotorscheiben

Spezialmaschinen für den Automobil- und Karosseriebau

B 59

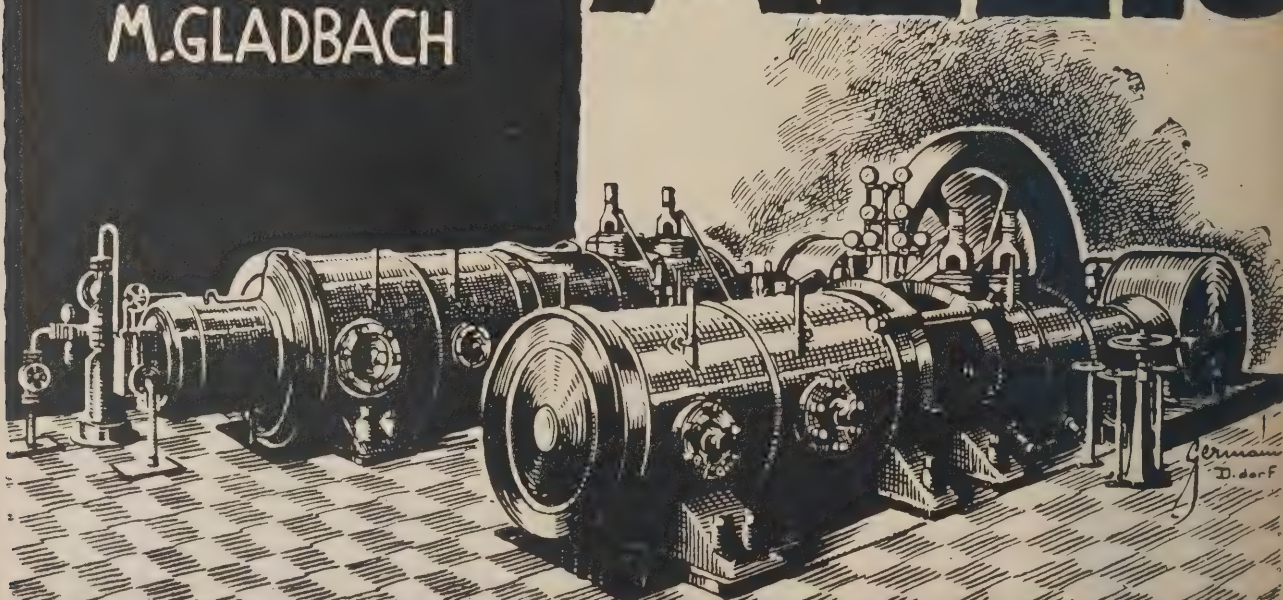


Universal-Abkant-, Rund- und Kastenbiegemaschine

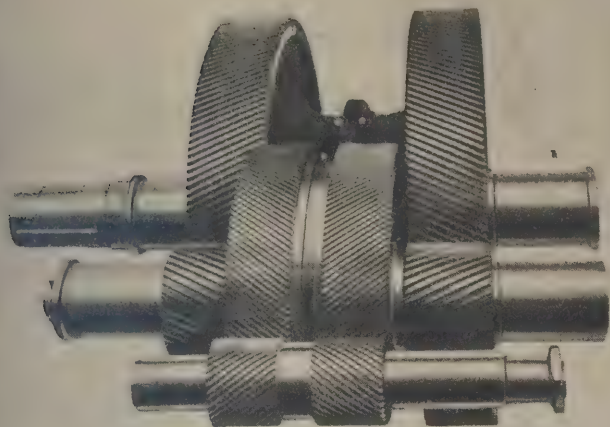
AK 100

MASCHINENFABRIK MEER
Aktiengesellschaft
M. GLADBACH

MEER



HOCHDRUCK-KOMPRESSOREN
KOMPRESSOREN **DAMPF-MASCHINEN**



Rotierende Teile für ein Getriebe zwischen Dampfturbine und Grubenventilator
N=1900 PS n/n=4800/223



PRÄZISIONS ZAHNRAD GETRIEBE

Für alle Leistungen
Für höchste Drehzahlen
Für große Drehmomente
Für jede Übersetzung



Man verlange bei Bedarf Sonderprospekte
Auskunft und Beratung durch Fachingenieure kostenfrei

Deutsche Werke Kiel Aktiengesellschaft

Anschrift: Kiel, Postschließfach ♦ Drahtanschrift: Deweka Kiel ♦ Fernruf: Kiel 6300-6314

VERLADEANLAGEN U. KRANE



Mannheimer Maschinenfabrik

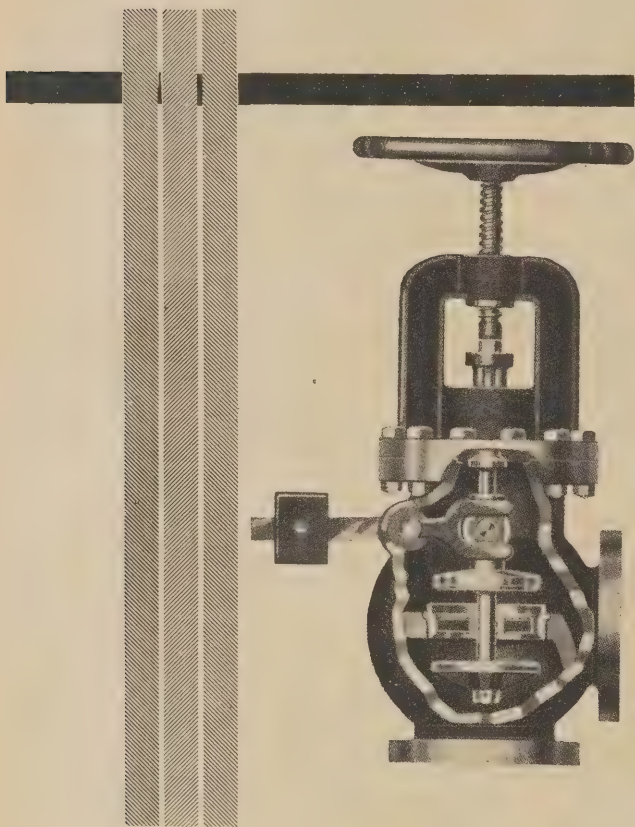
MOHR & FEDERHAFF

Mannheim

Monel-Metall

im Armaturenbau

wird von überhitztem Dampf nicht angegriffen, korrodiert nicht und hat fast den gleichen Ausdehnungskoeffizienten wie Stahlguß. Sitze, Spindeln etc. sollten daher aus M.M. angefertigt werden



Monel-Metall verwendet man zur Herstellung aller Maschinen und Maschinenteile, die der Korrosion, hoher Temperatur und starkem Druck ausgesetzt sind. Es wird in allen handelsüblichen Formen geliefert

Verlangen Sie unsere Broschüre M M 1

Monel-Metall

Gesellschaft m. b. H.

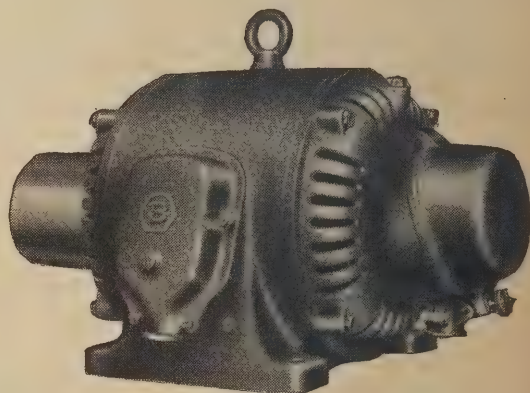
Frankfurt a. M., Junghofstraße 1

BERGMANN



NEUE DREHSTROM-MOTOREN MIT WÄLZLAGERN

FÜR ALLE ANTRIEBE IN
GEWERBE, INDUSTRIE UND
LANDWIRTSCHAFT



SPANNUNGFÜHRENDE
TEILE ABGEDECKT

AUFKLAPPBARE SCHLEIF-
RINGKAPSEL

GERINGER PLATZBEDARF

JAHRELANG KEINE NACH-
SCHMIERUNG

DAHER GERINGE WARTUNG

**BERGMANN-ELEKTRICITÄTS-WERKE
AKTIENGESellschaft, BERLIN**

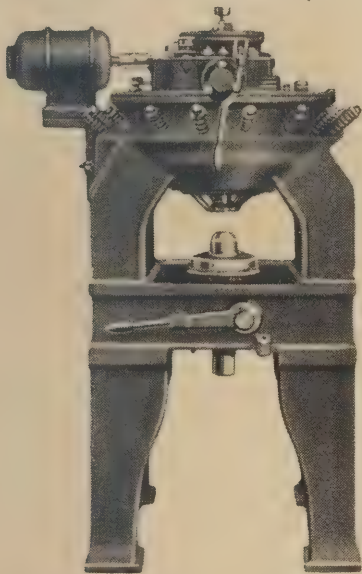


Mehrspindel-Bohrköpfe

Getriebe staubdicht verschlossen in Öl laufend, mit festen oder verstellbaren Spindeln, beliebige Anordnung, normal und schnell laufend.

Mehrspindel-Gewindeschneidköpfe

Getriebe in Öl laufend. Selbsttät. Umsteuerung im Kopf, mit festen oder verstellbaren Spindeln, auch für Gewinde verschiedener Steigungen.



Vielspindel-Sonderbohrmaschinen

Spindeln in vertikaler, horizontaler radialer od. jeder beliebigen Richtung gleichzeitig arbeitend.

Spezial-Werkzeugmaschinen

Vorrichtungen.

für alle Zwecke rationeller Metall-Bearbeitung.

PRÄZISIONSWERK
G. M. B. H.
OFFENBACH A.M.

Zehbinder

Ausser küh
Innen



Magnesia Schalen-Mann

der LÜNEBURGER ISOLIER-
MITTEL+CHEMISCHE FABR-
IKT-GESELLSCHAFT LÜNEBURG.

A. Bezugsbedingungen

I. Für Bezieher, die nicht dem V. d. I. angehören

(Zuschriften und Zahlungen an den Verlag*) erbeten.)

Die VDI-Zeitschrift erscheint wöchentlich und wird nur vierteljährlich (Ausland ganzjährig) abgegeben. Die Bestellung läuft stillschweigend weiter, wenn nicht 4 Wochen vor Quartal- bzw. Jahresschluß eine Abbestellung erfolgt. Die VDI-Zeitschrift kann durch den Verlag, durch die Post und durch den Buchhandel bezogen werden.

Die Bezugsgebühren betragen:

Inland (einschließlich Danzig, Memel- und Saargebiet): Jährlich RM 40.—, vierteljährlich RM 10.—. Einzelheftpreis: RM 1.75, für Mitglieder RM 1.50 zuzüglich RM 0.30 Porto.

Ausland mit vollem Drucksachenporto (Vereinigte Staaten von Amerika, Australischer Bund, Bolivien, Britisch-Indien, China, Dänemark, Großbritannien, Italien, Japan, Kanada, Niederländisch-Indien, Norwegen, Peru, Polen, Schweden, Schweiz): Jährlich RM 59.— einschl. der Portokosten.

Übriges Ausland mit ermäßigtem Drucksachenporto: Jährlich RM 50.40 einschl. der Portokosten.

Postscheckkonten: Berlin 102373, Wien 174499, Prag 77829

Auf Wunsch wird den Bezieher die zu jedem Heft in Form von Karteikarten erscheinende Literaturübersicht kostenlos geliefert. Erfüllungsort: Berlin, Gerichtsstand: Amtsgericht Berlin-Mitte. — Notwendig werdende Nachforderungen vorbehalten.

II. Für Mitglieder des V. d. I.

(Zuschriften und Zahlungen an den Verein**) erbeten.)

Die Bezugsgebühr für die VDI-Zeitschrift ist in dem Mitgliedbeitrag eingeschlossen. Er beträgt

a) Inland: RM 30.—, b) Ausland: RM 37.50 einschließlich Portoanteil.

Für diesen Beitrag werden außerdem die VDI-Nachrichten kostenlos geliefert.

Beitragszahlungen sind nur an den Verein** zu richten. Die Lieferung wird erst nach Entrichtung des Beitrages aufgenommen, der satzungsgemäß vor Beginn jedes neuen Vereinsjahres zu entrichten ist.

Bestellungen auf Einzelhefte sind an den Verlag* zu richten. (Einzelheft für Mitglieder RM 1.50 zuzügl. 30 Pf. Porto.)

Auf Wunsch wird den Mitgliedern die zu jedem Heft in Form von Karteikarten erscheinende Literaturübersicht kostenlos geliefert

B. Anzeigenpreise (Zuschriften und Zahlungen an den Verlag*) erbeten.)

Es gelten die Bedingungen der Arbeitsgemeinschaft technisch-wissenschaftlicher Zeitschriften-Verleger ATZ, der folgende Verleger angehören: VDI-Verlag G. m. b. H., Berlin NW 7, Verlag Stahlreisen m. b. H., Düsseldorf, Verlag Glückauf m. b. H., Essen, Verlag Chemie G. m. b. H., Berlin.

a) Empfehlungsanzeigen

$\frac{1}{4}$	$\frac{1}{2}$	$\frac{1}{4}$	$\frac{1}{8}$	$\frac{1}{16}$	Seite	Nachlaß:	bei 6	13	26	52	Aufnahmen im Jahr
490.—	290.—	120.—	65.—	35.—	RM		5	10	20	90	vH

Annahme von Prospekt-Beilagen nur von Inserenten zum Preise von RM 20.— je 1000 Stück.

b) Bezugsquellennachweis. Eintragungen im Bezugsquellennachweis werden mit RM 0,72 für die einspaltige Millimeterhöhe berechnet. Angenommen werden nur Jahresaufträge über 52 Einschaltungen mit 30 v. H. Nachlaß. Mindestmaß: 19 mm, Höchstmaß: 60 mm.

c) Kleine Anzeigen, Stellenangebote, Vertreteranzeigen, An- und Verkäufe werden je mm Höhe der 27 mm breiten Spalte mit RM 0,36 berechnet, Stellengesuche für Mitglieder mit RM 0,20, sofern die Bestellung direkt erfolgt, für Nichtmitglieder mit RM 0,30.

Erscheinungstag: Jeden Sonnabend; Annahmeschluß für Empfehlungsanzeigen 12, für kleine Anzeigen 6 Arbeitstage vor Erscheinen des Heftes.

Der Verlag behält sich vor, die Aufnahme von Anzeigen und Beilagen ohne Angabe von Gründen abzulehnen und laufende Aufträge einzustellen. Erfüllungsort: Berlin, Gerichtsstand: Amtsgericht Berlin-Mitte.

*) VDI-Verlag G. m. b. H.,

Berlin NW 7, Dorotheenstr. 40.

Fernsprecher: Merkur 3126, 3127, 4483, 4484, 5460, 6104, 6171, 7454.

Postscheckkonto: Berlin 102 373. Drahtanschrift: Ingenieurverlag.

Bankkonto: Dresdner Bank, Dep.-Kasse F, Spittelmarkt.

Geschäftszeit: 8 bis 4½ Uhr, Sonnabends bis 1 Uhr.

**) Verein deutscher Ingenieure

Berlin NW 7, Ingenieurhaus.

Fernsprecher: Zentrum 152 00 bis 152 18, 152 24.

Postscheckkonto: Berlin 6535. Drahtanschrift: Ingenieurverein.

Bankkonto: Deutsche Bank, Dep.-Kasse A, Mauerstraße.

Geschäftszeit: 7½ bis 4½ Uhr, Sonnabends bis 1 Uhr.

NACHWEIS

DER IM ANZEIGENTEIL ANGEKÜNDIGTEN ERZEUGNISSE

Zur besseren Übersicht und schnelleren Orientierung sind nachstehend die Erzeugnisse aufgeführt, die in den Anzeigen des vorliegenden Heftes angekündigt werden.

Die Zahlen hinter den Stichwörtern benennen die Seiten mit den betreffenden Anzeigen.

Anzeigen und Firmen wechseln zum Teil. Es empfiehlt sich deshalb, im Bedarfsfalle immer mehrere aufeinanderfolgende Hefte durchzusehen.

Abdampfausnutzungs-Apparate	50	Braunkohlen und Briketts	4. U.-S.	Economiser	4. U.-S., 51
Abdampf-Entöler	50	Bremsberge	74	Einbaumotoren	3. U.-S.
Abdeckgitter	50	Brunnenbauten	51	Einständer-Hobelmaschinen	58
Abdeckplatten	50	Buchdruckereien	76	Eisen- und Blechbearbeitungsmaschinen	42
Abschlammstieber	72	Bunkerstandanzeiger	4	Eisenspundwände	9
Achsen für Voll-, Klein- und Straßenbahnen	27			Eis- und Kälte-Anlagen	52, 75
Admoslegierungen	54	Codes	10	Elektr. Gasreinigungsanlagen	T.-S.
Aluminium-Spritzguß	35			Elektrische Meßgeräte	37
Antriebe	71	Dampfdruckverminderungsventile	51	Elektrofilter	T.-S.
Apparate für chem. Industrien	21	Dampfkessel	75, 79	Elektro-Hängebahnen	80
Arbeitszähler	80	Dampfkühler	33, 74	Elektro-Hebezeuge	71
Armaturen 25, 50, 63 71, 72, 74, 80		Dampf-Lokomotiven	75	Elektrokarren und -Anhänger	76
Aufzüge 26, 50		Dampfmaschinen 30, 42, 75		Elektromagnet. Kupplungen	63
Automaten	31	Dampfmesser 51, 77		Elektro-Motoren 3. U.-S., 40, 44, 61, 62	
Automatischer Kistenverschluß	77	Dampfmaschinen 51, 77		Elektro-Oefen 26, 51	
Automatische Verpackungs- und Einwickelmaschinen	6	Dampfpreisner 3. U.-S.		Elektrozüge	72
Azetylen-Anlagen	69	Dampftrockner 51		Elevatordränder	72
		Dampfturbinen 51		Elevatoren	77
Be- und Entlüftungen	71	Dampfüberhitzer 51		Entschungsanlagen	3
Beleuchtungsanlagen	51	Dichtung 69, 79		Entlader	72
Betriebsüberwachungsanlagen	37	Diesel-Lokomotiven 34, 59, 64		Entöler	63
Blechbearbeitungsmaschinen	60	Dieselmotoren 12, 74		Entstaubungsanlagen T.-S., 3. U.-S.	
Blechbiegemaschinen	42	Drahte, Drahtwaren, Drahtseile	65	Erz-Aufbereitungsanlagen	22
Bleche, Blechfabrikate	18	Drahtseilbahnen 28, 69		Etikettermaschinen	6
Blechrichtemaschinen	62	Drehbänke 28, 69		Exzentripressen	42
Bohrer 39, 64		Drehbankfutter 39			
Bohrköpfe	45	Drehscheiben 55		Fabrikanlagen für die chem. Industrie	51
Bohrmaschinen 5, 28, 38, 39, 45		Drehstrommotoren 44		Fachliteratur 56, 62, vorl. w. S.	
Bohrpressen	39	Düsen zur Verteilung und Zustandsänderung von Flüssigkeiten	63	Farbspritz-Anlagen	51, 54
Bohrwerke	8			Federband-Reibungs-Kupplungen	79
				Federn jeder Art	51

Feilen und Raspeln	79	Leichtmetallguß	44, 57	Schmutzfänger für Saugleitungen	71
Feilkloben	51	Lichtpausentwicklungsmaschine	78	Schmitte, Stänzen, Ziehwerkzeuge	54, 65
Fernthermometer	54, 80	Lokomotiven	75	Schornsteinbauten	80
Feuerungen	60	Lokomotiv-Indikatoren	80	Schrauben, Muttern, Nieten, Fassontelle	79
Filterpressen	80	Luftfilter	4. U.-S., 4, 70	Schraubenschlüssel	76, 79
Filz	51	Luftfördern	3. U.-S., 52	Schraubensicherungen	77
Flaschenzüge	71	Luftfördern	67, 69	Schraubstriche	65
Förderanlagen	77	Lufthämmer	74	Schutzmagnete	63, 66
Förderbänder	32	Luftheizungsanlagen	52	Schweiß-Dynamos	54
Fräsmaschinen	28, 41, 61, 69	Luft-Rückkühler	52	Schweißanlagen	4
		Luftvorwärmer	29, 52	Schwingungsmesser	80
Gallische Gelenkketten	67			Seil- und Kettenförderungen	74
Gassauger	70, 72	Magnet-Apparat für Verbrennungs-Motoren	68	Seilwinden	78
Gebläse	40, 70, 72, 74	Magnet-Separatoren und -Trommeln	66	Spannungsmaschinen	67, 69
Gelochte Bleche	79	Magnet-Spannplatten und -Spannfutter	66	Spezialmaschinen für den Automobil- und Karosseriebau	80
Gesenkschmiedestücke	76, 77	Maschinen für Schloß- und Scharnier-Fabrikation	76	Spezialmaschinen für Papier-, Karton-, Spiralsäge- und Pappenfabriken	6
Getriebe	1, 13, 32, 43, 64	Materialprüfmaschinen	53, 80	Spritzpistolen	39
Gewindefräsmaschinen	36	Mechanische Treppenroste	2. U.-S., 53, 80	Stahlband-Antriebe	51, 54
Gewindeschneidköpfe	45	Meßapparate	25, 53, 80	Stahlformguß	3, 62
Gewindeschneidmaschinen	69, 75	Meßgeräte für die Wärmetechnik	37	Stahlrohre	23
Glasdächer, kittlose	51	Metallpackungen	73, 77	Stahlrohrmaste	23
Glüh- und Härtekästen	79	Metallsägen	79	Starrwälzautomaten	15
Graphit	51	Metallschrauben	53, 69	Staubpumpen	66
Graviermaschinen	51	Mittelstopfbüchsenpackungen	62	Stellringe	54
		Mischanlagen und -Maschinen	80	Stoffstoff-Erzeugungsanlagen	16
Hängebahnen	69, 77, 80	Mitteldruck-Indikator	44	Stoßdämpfende Federblätter	77
Hängedecken	4	Monel-Metall	64, 68 l.w. 4	Straßenbahnen	19
Hebezeuge	66, 69, 71, 73	Motoren 3. U.-S., 34, 40, 44, 59, 61, 62, 64, 68 l.w. 4			
Heizungsanlagen	36	Mühlen		Tachographen	54
Heuergetriebe	32	Nahförderanlagen	12, 38	Tachometer	54, 64, 80
Hobelmaschinen	58	Oefen für Industrie	20, 24	Tankanlagen	78
Hoch- und Niederdruck-Kompressoren	17, 35, 42	Oeler	28	Temperatur-Fernmeßanlagen	37
Hochfrequenz-Oefen	20	Oelpumpen	56	Temperaturregler	54, 71, 76, 78
Hochofen-Armaturen	18			Thermometer	54, 71, 80
Hohlnieten	52	Packungen	53, 69, 78	Tiefbohrungen	54
Holzmodelle	52	Portal-Fräsmaschinen	41	Torsigraphen	80
Holzrohre	52	Portalkrane	65	Torsionsindikatoren	80
Hydranten, Brunnen	74	Präzisions-Reißzeuge	53	Transmissionen	54
Hydraul. Akkumulatoren	52	Präzisions-Reläts	53	Transportanlagen	12, 26, 33, 38, 54, 66
Hydr. Pressen	52, 75	Präzisions-Reiniger	53	Transportgeräte	54
Hydr. Preßpumpen	52, 53	Preß-Oeler	68	Trittschufen, ausgleitsichere	75
		Preß- und Ziehstücke	18	Trocknungsanlagen	54
Indikatoren	75, 80	Pumpen 30, 34, 49, 52, 53, 56, 58, 59, 66, 67, 72, 76, 78, 80		Turbinen	30
Industrie-Oefen	20, 24, 52	Pumpenanlagen	53	Ueberhitzer	57, 74, 79
Isolierschläuche	73	Pyrometer	71	Unterlegscheiben	76
Isolierung für Wärme und Kälte	45, 68	Radialbohrmaschinen	38	Vakuum-Heizung	36
Isolierungen gegen Schall und Erschütterungen	52	Räderfräsmaschinen	31	Ventilatoren	54, 74
Kabelkrane	12, 38, 74	Räder, Radsätze	27	Ventilator-Kühler	11
Kabel und Leitungen	37	Rangieranlagen	55, 74	Venturimeter	25
Käfiganker-Motoren	40, 61	Reichenschieber	53	Verdampf-Apparate	33, 54
Kältemaschine	52	Reduzierventile	53, 74	Verladeanlagen	43, 52, 65
Kalorifere	4. U.-S., 75	Registrierapparate	25, 80	Verpackungsanlagen	6
Kaltsägemaschinen	75	Regler	76, 78	Vielspindel-Bohrmaschinen	5
Kaminkühler	11, 52	Regulatoren	53	Vielstahl-Drehbänke	28
Karusselldrehbänke	69	Rippenrohr-Economiser	4. U.-S., 73	Vorwärmer	54, 74
Kegelradgetriebe	1	Rippenrohre, schmiedeeiserne	23, 70		
Kesselsbauten	80	Rohbraunkohlen-Feuerungsanlagen	60	Waagen aller Art	55
Kesselhausanlagen	2. U.-S., 30, 59	Rohre aller Art und Form	23, 79	Wälzautomaten	15
Kesselspeisepumpen	76	Rohrleitungen	54, 57, 65, 76, 79	Wälzlager	2
Kettenbiegemaschinen	13	Rohrschlangen	23	Wärmeaustauscher	74
Ketten-Getriebe	67, 78	Rohr- und Seilpostanlagen	32	Wärmezähler	71
Ketten, Kettenräder, Kettenachsen	68	Rollenbahnen	77	Wäschereianlagen und Einrichtungen	55
Kieselgur-Wärmeschutzmassen	76	Rollendes Eisenbahnmaterial	27	Walzenschleifmaschinen	39
Klischeeanstalten	66	Rollenlager	2, 41	Wanderoste	2. U.-S., 63
Kohlenstaubfeuerungen 2. U.-S., 4, 52, 66		Rostschutzfarben	65	Wasserscheider	63
Kohlenstaubmühlen	14, 66	Rotationskompressoren	58	Wasser-Enteisenung, Filtration u. a.	33, 55
Kohlenstaub-Spezialkessel	4	Rotationspumpen	72	Wassermesser	55
Kokskühlung, Anlagen zur trockenen	40	Rübelbronzen	54	Wasserreinigungs-Anlagen	33, 55, 78, 80
Kolbengebläse	52, 69	Rundschleifmaschinen	28	Wasserspül-Einschungen	3
Kolbenringe	48	Sägeblätter	75, 77	Wasserstands-Fernanzeiger	70
Kommandoanlagen	52, 69	Sägeblatt-Schleifmaschinen	73	Wasserstoff-Erzeugungsanlagen	16
Kompressoren	17, 35, 42, 58	Sägen	16	Weichguß-Fittings	55
Kompressorlose Dieselmotoren	64	Sauerstoff-Erzeugungsanlagen	42, 60, 72, 74	Weißmetall	79
Kompressorlose Zweitaktmotoren	l.w. S., 52, 71	Scheren, Stänzen, Pressen		Werkzeuge für die Metalbearbeitung	39
Kondensstöpfe	71, 74	Schieber		Werkzeugmaschinen	5, 8, 15, 28, 31, 36, 38, 39, 41, 45, 61, 67, 71
Kondenswasserableiter	73	Schlenenschleifmaschinen		Winden aller Art	79
Kran-Anlagen	78	Schiffsentlade-Anlagen		Winkel- und Flachseisenringe	7
Krane	7, 12, 38, 43, 52, 65, 74, 78	Schilder		Wippkrane	
Kreiselpumpen	30, 49, 67, 76	Schleifmaschinen	28, 68		
Kreiselpumpen	40	Schleifmotoren	68	Zähler	54, 55, 80
Kreissägen	73	Schleifscheiben	70	Zahnradgetriebe	1, 32, 43, 64
Kreistransporteur	77	Schmelzöfen	51	Zahnradpumpen	78
Kugellager	2, 41	Schmiedestücke	3	Zahnräder	55, 62, 64, 76
Kupplungen	62, 63, 79	Schmierapparate	54	Zeichenmaschinen	55
				Zerkleinerungs-Maschinen und -Anlagen	22
Lagermetall	73			Zweitänder-Hobelmaschinen	58
Lampen	51			Zwischendampf-Ueberhitzer	78, 79
Lasthebe-Magnete	63, 66				
Laufkatzen	71, 78				
Leichtmetallguß	44, 57				

Dieses Heft enthält Prospektbeilagen von:

Emil Hennig, Düsseldorf 12

Hydraulik G. m. b. H., Duisburg a. Rh.

Kalle & Co., A.-G., Wiesbaden-Biebrich

Mannheimer Maschinenfabrik Mohr & Federhaff, Mannheim

Albert Nestler A.-G., Lahr i. B.

SKF-Norma G. m. b. H., Berlin W 8

Vereinigte Stahlwerke, A.-G., Dortmund



Für Kraftwerke

sind Einrichtungen vorteilhaft, mit denen man dem Maschinenwärter vom Schaltraum aus klar, deutlich und ohne Zeitverlust Anweisungen geben kann. Wir haben für diesen Zweck

Kommando-Anlagen

geschaffen, die schnell und sicher die erforderlichen Kommandos übermitteln. Die Anlagen kann man direkt mit Netzstrom (Gleich- oder Wechselstrom) betreiben. Als Geber und Empfänger dienen Zeigertelegraphen oder Lichttableaus, die mit einer Quittierungseinrichtung versehen werden können. Wir liefern die Apparate für Schalttafeleinbau, für Montage an der Wand oder auf Säule.

SIEMENS & HALSKE A-G.
 Wernerwerk, Berlin-Siemensstadt

BEZUGSQUELLEN-NACHWEIS



BELEUCHTUNG



BESEG-LICHT

Unübertroffen
für
Industrie-Großbeleuchtung

Beseg-Sonnen
Beseg-Werkstattleuchten
Beseg-Tiefstrahlstrahler
Beseg-Sicherheitsleuchten
Beseg-Scheinwerfer

Fordern Sie
unsere unverbindlichen Vorschläge.

Berliner Spar-

Elektrizitäts-Gesellschaft m. b. H.
Bln.-Wilmsdorf, Babelsbergerstr. 52
Fernruf: Pfalzburg 2353-54
Draht: Beseglicht

BRUNNENBAU

Tiefbohrungen, Rohrfilterbrunnen,
Wasserwerksbau

Reuther Tiefbau G. m. b. H.
Mannheim-Waldhof 7



**DAMPF-
DRUCKVER-
MINDERUNGSVENTILE**

auch f. Preßluft, Gas usw. geeignet,
ohne Quecksilber u. ohne Membrane.
D. R. P. und Ausl.-Pat. angem.

Robel & Co., München S 50

DAMPFHÄMMER

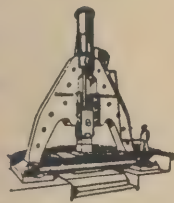
bis 20000 kg Fallgewicht

Lufthämmer,

Rein-
u. dampfhydr.
Schmiede-
pressen,
Akkumulatoren
usw.

Ganze
Walzwerks-
einrichtungen

Adjustage-
maschinen usw.



J. Banning, A.-G., Hamm i. W.

DAMPFMESSE

Reuther Dampfuhren,
Venturi-Anzeige-, Registrier- und
Summierungsapparate D. R. P.,
elektrische Fernübertragungen,
Kesselspeise-Heißwasser-
messer u. Preßluftmesser



Bopp & Reuther
G. m. b. H.
Mannheim-Waldhof

DAMPFMESSE



Belastungsmesser, Rauchgasprüfer,
Wassermesser, Trommelflüssig-
keitsmesser
Luftmengenmesser, Zugmesser,
Thermometer, Manometer, Vacuum-
meter, anzeigend u. schreibend, a. m.
ablauf. Streifen u. elektr. Fernanzeige
elektr. Temperatur-Meßgeräte.

J. C. Eckardt A.-G.
Stuttgart-Cannstatt

DAMPFMESSE

Wasser-, Gas-,
Luft- und Inhaltsmesser
mit Schreiber und Zähler
Kesselschilder
und Kontrollstationen

ELEKTROFLO

Berlin W 95 Tel.: Kurfürst 6919

DAMPFMESSE

System „Klinkhoff-Zelenka“
mit dem patentierten

Wälzhebelpaar

in jeder Bauart, für jeden Stoff
von Vakuum bis 150 atü



Klinkhoff-Apparatebau-G. m. b. H.
Berlin SW 48, Wilhelmstr. 30-31
Prag — Wien — Mailand

PONDO-

DAMPFMESSE

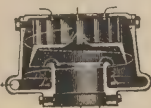
mit automatischer
Druckberücksichtigung D. R. P.
elektr. Fern-Dampfzähler
elektr. Fern-Dampfuhren
Wärmezähler D. R. P.

Otto Wagner

Volumenmeßapparate
Berlin-Lankwitz 3

Tangential

DAMPF-TROCKNER



und
Reiniger
D. R. P.

Th. Wipperf, Huss & Co.
Kommandit-Gesellschaft
Maschinenfabrik Bremen

DAMPFÜBERHITZER

„HERING“

Economiser
Trockenanlagen

AKT-GES. A. HERING

N O R N B E R G



ECONOMISER

Glatt- und Rippenrohr
50jährige Spezialität

Vereinigte Kölner-Welter-Hebe-
zeug und Eisenwerk Heerdt A. G.
Düsseldorf-Heerdt 26

ELEKTROZÜGE



Adolf Langhammer
Maschinenfabrik
Gerweiler bei Saarbrücken



**FABRIK-
ANLAGEN**

für chem. Großindustrie
Transport-, Zerkleinerungs-,
Trocken-, Verdampf-Apparate



G. Sauerbrey Maschinenfabrik,
Aktiengesellschaft Staßfurt

**FARBSPRITZ-
ANLAGEN**



Für Oel-, Leim-
und Lackfarben

Ortsfest
und fahrbar

Vertreter gesucht!

E. Haberkorn, Zwickau Sa. 40
Armaturen- u. Maschinenfabrik

FEDERN

Spiral-
und Plattfedern
aller Art

Hermann Vogt

G. m. b. H.
Reutlingen Gegr. 1869

FEILKLOBEN



verfeinerte Qualität

Paul F. Dick, Esslingen a. N.
Stahlwaren- und Werkzeugfabrik.



FILZ

für

alle Zwecke

Vertriebsgesellschaft techn. Filze
m. b. H. Leipzig C 1



Kittlose
GLASDÄCHER

Gitterroste
Ankerschienen



J. EBERSPÄCHER
Glasdachfabrik
G. m. b. H.
Esslingen
a. N.

„FORTUNA“



Kittlose
GLASDÄCHER
und
STAHL-FENSTER

G. Zimmermann, Stuttgart

GRAPHIT

aus eigenen Gruben
für alle Zwecke der Industrie



Deutsche Graphit-Werke
G. m. b. H., Dohna

GRAVIERMASCHINEN

F. Deckel, München 25/o

BEZUGSQUELLEN-NACHWEIS

BEZUGSQUELLEN-NACHWEIS



HOHLNIETEN



ÖSEN und andere Massen-Artikel in jeder gewünschten Abmessung und aus den verschiedensten Metallen. Maschinen zum Einsetzen der Niete.

LUX A.-G.
Bad Liebenstein
(Thüringen)

HOLZMODELLE



Zur Anfertigung preiswerter Holzmodelle für die gesamte Metallindustrie, nach Zeichnungen und Gußstücken empfiehlt sich

Leipziger Modell-Fabrik
Carl Carius Nachf.,
Leipzig W 33, Kanzlerstr. 31
Fernruf 43238

HOLZROHRE



von 100—8000 mm
bis 10 atm

Steinbeis & Cons.
Rosenheim 8 (Bayern)

HYDRAULIK

BRACKER

Pressen
Presspumpen
Akkumulatoren
Druckübersetzer
Steuerventile
und Steuerungen D.R.P.
Hebezeuge

G. D. Bracker Söhne
Maschinenbau-Aktiengesellschaft
Hanau a. M.



INDUSTRIEÖFEN

Schilde

INDUSTRIEÖFEN

überall da
wo Qualitätsarbeit verlangt wird

Benno Schilde
Maschinenbau Akt.-Ges.
Hersfeld H.N.

ISOLIERUNGEN

gegen

Schall u. Erschütterung

durch
Vibro-Dämpfer und
Korfund D.R.P.

Prospekt 9 gratis

A.-G. EMIL ZORN
BERLIN S 14



KAMINKÜHLER



Kühler- u. Luftfilterbau
Stillich & Schmöcker
Berlin SW 11, Schöneberger Str. 13

KOHLNSTAUB- FEUERUNGEN

Fuller-Mühle
Fuller-Staubpumpe D.R.P.
Fuller-Brenner

Claudius Peters, Hamburg 1

KOLBENRINGE

aus



SPEZIAL-STAHLMANGAN-GUSS

mit

pat. Spezialfederung

Klauber & Simon, Dresden-N. 15

KOLBENRINGE

für alle Zwecke



Monopol-Kolbenring-Fabrik Atmer & Kaufhold, Berlin W 57, Potsdamer Str. 76 E. Älteste Spezialfabrik

KOLBENRINGE

Sack & Kiesselbach

Maschinenfabrik G. m. b. H.
Düsseldorf-Rath

KOLBENRINGE

aus Spezial-Stahl-Mangan-Guß der eigenen



Gießerei
lieferbar v.
20-1000 mm
Durchmess.

Alfred Teves, Frankfurt a. M.
Maschinen- u. Armaturenfabrik
G. m. b. H.
Fleischstraße 23/27



KOLBENRINGE

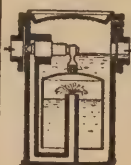
bis 1000 atü Druck bewährt
VAG Vakuumanlagen-
u. Kolbenring-Aktiengesellschaft Frankfurt a. M.-W. 3.

KONDENSTÖPFE „OKULI“



mit Schauglas
D.R.P.
Bührling-Kondenswasser
Rückleitungs-
Anlagen

Bührling A.-G. Landsberg (Bz. Halle)



KONDENS- TOPF

MERIDIAN D.R.P.
für beliebigen Druck,
Topf selbst drucklos

A. Knoevenagel
Hannover-Hainholz

KRANE

Elektr. Drehkrane,
Laufkrane und Verladeanlagen
für Werkstätten-, Lager- und
Hafenbetriebe
Winden- und Slipanlagen

Maschinenfabrik
Gustav Ad. Koch
Hamburg 39

KRANE aller Art Verladeanlagen

Vereinigte Kölner-Welter Hebezeug und Eisenwerk Heerd A.G.
Düsseldorf-Heerd 26

KÜHL- UND EIS- ERZEUGUNGS- ANLAGEN

mit NH₃
Hochleistungs-
Kompressoren



Maschinenbaugesellschaft
Karlsruhe



LUFTFILTER



W. Bartel GmbH
Berlin-Steglitz
Menckenstraße 23

LUFTFILTER

Alfred Budil
G. m. b. H.
Berlin-Tempelhof



DELBAG- VISCIN-LUFTFILTER



Deutsche Luftfilter-Baugesellschaft
mit beschränkter Haftung
Berlin-Halensee, Schweidnitzerstr. 12



LUFTFILTER drehbare

A. Schirp GmbH, Essen
Fernspr. 25681 Telegr.-Adr. Reinluft

LUFTHEIZUNGS- ANLAGEN

Schilde

THERMON-LUFTHEIZER
der zweckmäßige Heizapparat
für Fabrikationsräume

Benno Schilde
Maschinenbau Akt.-Ges.
Hersfeld H.N.



LUFT- RÜCKKÜHLER

für elektr. Maschinen

K. & Th. Möller, G. m. b. H., Brackwede

LUFTVORWÄRMER



Luftvorwärmer G. m. b. H.,
Berlin W 50, Tauentzienstr. 7.

BEZUGSQUELLEN-NACHWEIS

BEZUGSQUELLEN-NACHWEIS



MATERIAL-PRÜFMASCHINEN

Vereinigte Kölner-Welter-Hebe-
zeug und Eisenwerk Heerdt A.G.
Düsseldorf-Heerdt 26

MESSAPPARATE

nach dem Differenzdruckprinzip
für Wasser und sonstige Flüssig-
keiten, Dampf, Preßluft usw.,
Mechanische
und elektrische Anzeige-,
Registrier-
und Summierungs-
Apparate.



Bopp & Reuther
G.m.b.H.
Mannheim-Waldhof

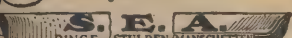
METALL-STOPFBÜCHSEN

insbes. gußeis. Federringpackungen
zum Abdichten
gegen Dampf, Luft und Gas

Sack & Kiesselbach
Maschinenfabrik G.m.b.H.
Düsseldorf-Rath



Automatische Weich-
PACKUNG
für jeden Zweck:



wirken anders als Knet-, Zopf-,
Gummi-, Leder- oder starre Metall-
Dichtungen. 20 Jahre Welttruf!
„TIBAL“ Vertrieb Berlin W 15
Vertretungen überall zu vergeben!

PRÄZISIONS-REISSZEUGE



Clemens Riefler
Fabrik mathem. Instrumente
Nesselwang u. München O2

PRESSLUFT-REINIGER

Maschinenfabrik
Th. Wippert, Huss & Co.
Kommandit-Gesellschaft
Bremen

PRESSLUFT-WERKZEUGE



und Anlagen
für jeden
Verwendungs-
zweck.
Größtes
Arbeits-
programm
sämtl. Preßluft-
Werkz.-Fabr.
Deutschlands

Internationale Preßluft-
und Elektrizitäts-Ges. m. b. H.
Berlin-Britz

Hydraulische PRESSPUMPEN

für schwersten Dauerbetrieb und
in allen Ausführungen und Größen
fertigt

Richard Horst & Co.,
Urach 1 (Wtbg.)

PUMPEN



Kreiselpumpen,
Kurbelpumpen,
Kompressoren,
Säure-Pumpen und Armaturen
Selbstansaugende
Patent-Kreiselpumpen
für Hoch- und Niederdruck.
Patent-Feuerlöschpumpen,
Hydraulische Preßpumpen

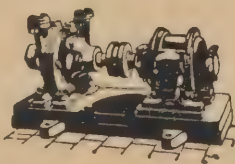
Amag-Hilpert-Pegnitzhütte
Nürnberg.

PUMPEN

Kolben-, Plunger-, Säure-
Simplexspeisepumpen,
Preßpumpen, Schieberluftpumpen
auch für Hochvakuum,
Ventilkompressoren.

A. L. G. Dehne, Halle-S.

HESSE-PUMPEN



Wasserring-Luftpumpen
und Kompressoren
Carl Hesse, Chemnitz 36
Spezialfabrik moderner Pumpen



PUMPEN

Kreiselpumpen für alle Zwecke
Kesselspeisepumpen
Kolbenpumpen
Preßpumpen
Motorfeuerspritzen

Maschinenbau-Akt.-Ges. Balcke
Frankenthal/Pfalz

PUMPEN



Kreiselpumpen für alle Zwecke
mit Patent-Verschraubung bis zu
den größten Leistungen
garantieren

10% Kraftersparnis
höchste Lebensdauer

Vertikal-Tiefbrunnen-Schlamm-
und Abwasserpumpen, Kessel-
speisepumpen, Wasserhaltungen
Be- und Entwässerungen usw.

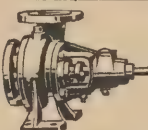
Maschinenbau-Anstalt Wernert
Mülheim-Ruhr-Styrum



PUMPEN

für große Saug- und
Druckhöhen,
viel-
tausend-
fach
bewährt

Pumpen- und Maschinenbau
Fr. Schmidt, Altona (Hamburg)
Turnstraße 44



PUMPEN

Kreiselpumpen
für alle
Leistungen

Rotierende Kolbenpumpen
für dickflüssige Stoffe
wie Teer, Lack, Leim, Melasse
Bitumen usw.

Gebr. Ritz & Schweizer
Schwäb.-Gmünd a. R.

SCHWADE-PUMPEN

für jeden Zweck u. jede Leistung



Otto Schwade & Co., Erfurt
Fernruf 487 u. 289 Tel.-Adr.: Automat

SIHI-PUMPEN

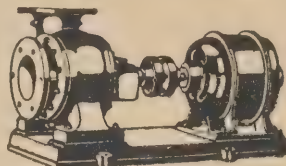
Hauswasserpumpen
Feuerlöschpumpen
Brennstoffpumpen
Luftpumpen

selbst ansaugende Kreiselpumpen

Siemen & Hirsch, Itzehoe 11
(Holstein)

WEISE-PUMPEN

WEISE & MONSKI, HALLE/S
seit 1872 Duplex-Dampfpumpen,
Kurbelpumpen, Luftkompressoren,
Tiefbrunnen-Pumpwerke



WEISE SÖHNE, HALLE/S
Spez. seit 1904 Kreiselpumpen,
Speisep. mit eig. Dampfurbinen,
Myria-Schraubenpumpen D.R.P.,
Hauswasserpumpen

PUMPENANLAGEN

für jeden Zweck und jede Lei-
stung, besonders für automatischen
Betrieb. Wechsellumpwerke,
Druckwellenschaltung D. R. P.,
Hauswasserwerke „Hausquell“.

August & Jean Hilpert
Nürnberg, Bergauerplatz



REDUZIER-VENTILE

Fernventil-
und Fernklappenstellanlagen
Gesellschaft für selbsttätige
Temperaturregelung G.m.b.H.
Berlin-Wilmersdorf, Kaiserallee 41

REGULATOREN

für
Kraftmaschinen
HARTUNG, KUHN & Co.
Maschinenfabrik A.-G.
Düsseldorf

REKLAME-RECHENSCHIEBER

Prospekte gratis
Dr. Ing. Seehase, Berlin SO 36

BEZUGSQUELLEN-NACHWEIS

BEZUGSQUELLEN-NACHWEIS

ROHRLEITUNGEN



für Hochdruck- u. überhitzten Dampf
Abdampfverwertung

Findeisen & Thost
Fabrik für Rohrleitungsbau
Zwickau i. Sa.

ROHRLEITUNGEN

Gegenstromvorwärmer
Warmwasserbereiter
Heizungsanlagen
Apparatebau

Richard Schubert G. m. b. H.
Chemnitz, Alchemnitzer Str. 23

RÜBELBRONZEN UND ADAMOSLEGIERUNGEN

D. R. P. und Auslandspatente

seewasser-, säure-
und heißdampfbeständig,
von höchster Festigkeit,
Dehnung und Härte.

Allgemeines
Deutsches Metallwerk G. m. b. H.
Berlin-Oberschöneide.



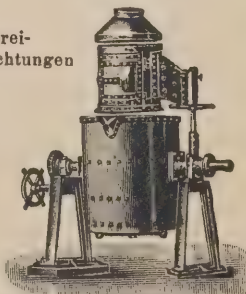
SCHILDER

jeder Art und für jeden Zweck
Warnungsschilder nach V. d. E.
A. Schüfftan, Berlin SW 19
Jerusalemmer Straße 63 J.

SCHMELZÖFEN

für Eisen- und Metallguß
mit Koks- oder Ölföhrung

Gießerei-
Einrichtungen



A. H. Hammelrath G. m. b. H.
Köln-Lindenthal

SCHMIER-APPARATE

System „Balmung“
insbes. als Zentral-Fett-Hochdruck-
Schmierapparat unerreicht
Fordern Sie unsere
ZJZ-Druckschriften
Balmung-Ges., Berlin SW 48
Friedrich-Straße 20

SCHNITTE / STANZEN PRÄGE- u. ZIEHWERKZEUGE



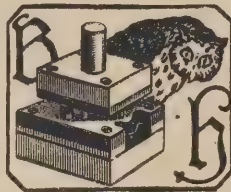
Spezialwerkzeuge u. Vorrichtungen
für Automobil- und Karosseriebau

Vollständige Einrichtungen
für Blech- und Metallbearbeitung
in Qualitätsausführung

Erzgebirgische Schnittwerkzeug-
und Maschinenfabrik G. m. b. H.
Schwarzenberg i. S. S.

Größte Spezialfabrik der Branche.

SCHNITTE - STANZEN ZIEHWERKZEUGE



Gegr. 1892.

Bernhard Hiltmann, Aue i. Erzgeb.

Spezialfabrik
für Schnitt- und Stanz-Werkzeuge.

SCHNITTE / STANZEN

für alle Metalle, Pappe u. Papier
Kombinierte Werkzeuge
Stanzerei und Apparatebau.

Müller & Korte, Berlin-Pankow.

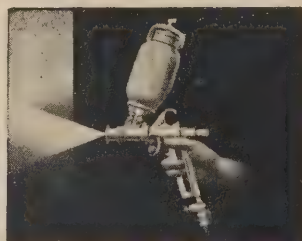
SCHWEISS-DYNAMOS

Schweiß-Elektroden

Kjellberg Elektroden & Maschinen

G. m. b. H. Berlin SW 68

FARBEN- und LACK- SPRITZ-APPARATE



Kompl. fahrbare u. station. Anlagen
Luftkompressoren - Ventilatoren
Sandstrahlgebläse

A. Krautzberger & Co., G. m. b. H.,
Holzhausen 340 bei Leipzig

STELLRINGE



Carl Böhme, Zittau 2. Sa.
Stellringwerk



TACHOMETER

Tachographen, Zähler

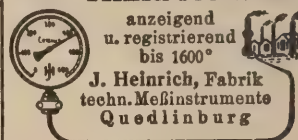
I. Bundschuh G. m. b. H.
Tachometerfabrik
Magdeburg-W 3, Bakestr. 31

TEMPERATURREGLER

für Dampf, Gas, Warmluft,
W. Wasser und Druckregler

Gesellschaft für selbsttätige
Temperaturregelung G. m. b. H.,
Berlin-Wilmersdorf

FERN-THERMOMETER



FERN-THERMOMETER



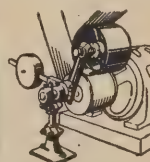
bis 100 m. Länge,
mit und ohne
Registrierung.

Paul Wegener
Ballenstedt-Ost

TIEFBOHRUNGEN

Brunnenbauten
Grundwasserabsenkungen
Wasserversorgungsanlagen
Gebr. Rich. & Max Schmidt
Tiefbohr- u. Brunnenbau-Ges. m. b. H.
Hohenthurm b. Halle a. S. Gegr. 1898

TRANSMISSIONEN



Spannrollen

Rittershaus
& Blecher,
Barmen 41

Maschinenfabrik u. Eisengießerei

TRANSPORTANLAGEN

Hand- und Elektrohängebahnen,
Elevatoren, Transportbänder
und sonstige Nahfördermittel
Otto & Co., G. m. b. H.,
Maschinenfabrik,
Sehkeuditz 3 bei Leipzig.

TRANSPORTGERÄTE



„SCHILDKRÜTE“
HUBTRANSPORTSYSTEM
Ernst Wagner Apparatebau
Reutlingen

TROCKNER



TROCKNER

ausgeführt und bewährt
für alle Materialien

Benno Schilde
Maschinenbau Akt.-Ges.
Hersfeld H. N.



VENTILATOREN



Gebläse bis
2000 mm WS.
Absaugung
Lüftung



Paul Poltrich & Co., G. m. b. H.
Ventilatoren- und Maschinenfabrik
Düsseldorf, Schließbach 240

VENTILATOREN

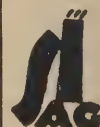


VENTILATOREN

geräuschlos,
gut und billig

Benno Schilde
Maschinenbau Akt.-Ges.
Hersfeld H. N.

VERDAMPF-APPARATE VORWÄRMER



G. Sauerbrey
Maschinenfabrik,
Aktiengesellschaft
Staßfurt

BEZUGSQUELLEN-NACHWEIS

BEZUGSQUELLEN-NACHWEIS



WAAGEN

Gleis-, Fuhrwerks-, Kran- und Laufgewichtswaagen
Anhaltische Waagenfabrik
Friedr. Otto Müller, Bernburg 1

WAAGEN

Arbeitsgemeinschaft
Carl Schenck Erich Dinse
G.m.b.H. & Carl Schenck
Darmstadt Waagenfabrik
Berlin-Nieder-
schönhausen

Herstellung selbsttätiger Neigungswaagen größerer Tragfähigkeit

WAAGEN

Waggon- u. Schmalspurgleiswagen, Lokomotiv- und Bunkerwagen, Fuhrwerks- und Lastautowaagen, automatische Waagen, Mischwaagen, Koksofenfüllwagen D.R.G.M., Neigungswaagen, Waagen für jeden Spezialzweck, Drehscheiben, Rangieranlagen, Achsanlagen.

August Böhmer & Co., Magdeburg.

WAAGEN

Waggon- u. Doppelwaggonwaagen, Automobil- und Fuhrwerkswaagen, Schmalspurbahn-Lagerhaus-, Laufgewicht- und Dezimalwaagen, Hängebahn- und Kranwaagen, Hütten- und Gattierungswaagen.

Neuzeitliche Sicherheits-Schnellwaagen für jeden Verwendungszweck. Automatische Waagen für Rollbahnen, Hängebahnen, Förderbänder, Conveyor usw., Spezialkonstruktionen für alle Bedürfnisse.

Düsseldorfer Waagen- und Maschinenfabrik
Ed. Schmitt & Cie., G.m.b.H.,
Düsseldorf-Eller.

WAAGEN

Waggonwaagen
Auto- und Fuhrwerkswaagen
Erzzubringerwagen
Koksofenfüllwagen
Lagerhauswaagen
Eichfah. autom. Waagen
für Erz, Kohle, Kali
usw.

A. Spies, G.m.b.H.,
Siegen i. Westf.

WAAGEN

Eisenbahn- Gleiswaagen
Fuhrwerks- Waagen
Laufgewichts- Waagen

Ludwig Vogt
Waagenfabrik
Leipzig N.21 a. Gegr. 1847.

WÄSCHEREI-ANLAGEN

Engelhardt & Förster G.m.b.H.
Wäschereimasch.-Fabrik Bremen
Waschmaschinen, Zentrifugen,
Absaugmangeln

WÄSCHEREIANLAGEN UND EINRICHTUNGEN

Gehr. Poensgen A.-G.
Maschinenfabrik
Düsseldorf-Rath 71

Bei Erteilung

eines

Jahresauftrages

(52 Anzeigen)

kostet

dieser Raum (45 mm)

Mk. 22,68 netto

pro Einschaltung

WASSERMESSE

Flügelradmesser „Optima“ D.R.P.,
Volumen- und Woltmannmesser,
Venturimeter mit Anzeige-,
Registrier- und Summierungs-
apparate D.R.P., Sonder-
ausführungen für Heiß-
wasser und sonstige
Flüssigkeiten.

Bopp & Reuther
G.m.b.H.
Mannheim-Waldhof



WASSERMESSE

für alle Betriebsverhältnisse und
alle Verwendungszwecke

Hydrometer A.-G., Breslau III

WASSERREINIGUNG

Filterung, Klärung, Enthärtung,
Entkeimung, Entgasung,
Enteisung, Entsäuerung,
Entmanganung

Paul Martiny & Co., Dresden A 55

WASSERREINIGUNG

verbessertes Verfahren
mit Kalkwasserbereiter D.R.P.
Masch.-Fabrik Carl Morgenstern
Stuttgart.

WASSERREINIGUNG

Enthärtung
durch

PERMUTIT

auf gar. Null Grad mittels
automatischer Filtration

Enteisung
Entmanganung
Mechanische Filtration

Völlige Entgasung des Kessel-
speisewassers zur Vermeidung
aller Anfressungen

PERMUTIT
Aktiengesellschaft
Berlin NW 6 IV

WASSERREINIGUNG

Enteisung
und
Enthärtung

Robert Reichling & Co.
Krefeld-Königshof

WASSERREINIGUNGS-ANLAGEN

Enteisung, Filtration
Halvor Breda A.-G.
Berlin-Tempelhof, Ringbahnstr.40

WASSERREINIGUNG UND AUFBEREITUNG

Filterung · Enthärtung
Entgasung
VERDAMPFER
Bühning A.-G. Landsberg (Bz.Halle)

WEICHGUSS-FITTINGS



mit und ohne Rand.
Schwarz und bestens feuerverzinkt
Gußstahlwerk Wittmann Akt.-Ges.
Haspe i.Wf.



ZÄHLER

Umdrehungs-,
Hub- und Meter-
Zähler
für
Handgebrauch
und zum Anbau an Maschinen.
J. Hengstler K.-G., Zählerfabrik
Aldingen b. Spaichingen

ZAHNRÄDER

jeder Art
Zahnstangen
Verzahnungen eingesandter Radkörper

Breukel & Co., G.m.b.H.
Zahnradfabrik
Düsseldorf Telefon 11526

ZEICHENMASCHINEN

modernster Konstruktion
Sämtliche Zeichenartikel,
Prospekte und Kataloge kostenlos

E. Heckendorff, Berlin SO 36
Reichenberger Straße 30c

ZENTRIFUGEN

für industrielle
und gewerbliche Zwecke



C.G. Haubold & Co.
CHEMNITZ

Der

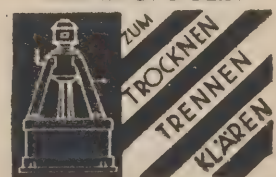
Bezugsquellen-Nachweis

die

Zentralstelle

technischer Angebote

ZENTRIFUGEN



Gebr. Heine, Viersen (Rhld.)

BEZUGSQUELLEN-NACHWEIS

Abgeschlossen

von allen technischen Hilfsmitteln, noch unter schwierigsten Verhältnissen willige Helfer:

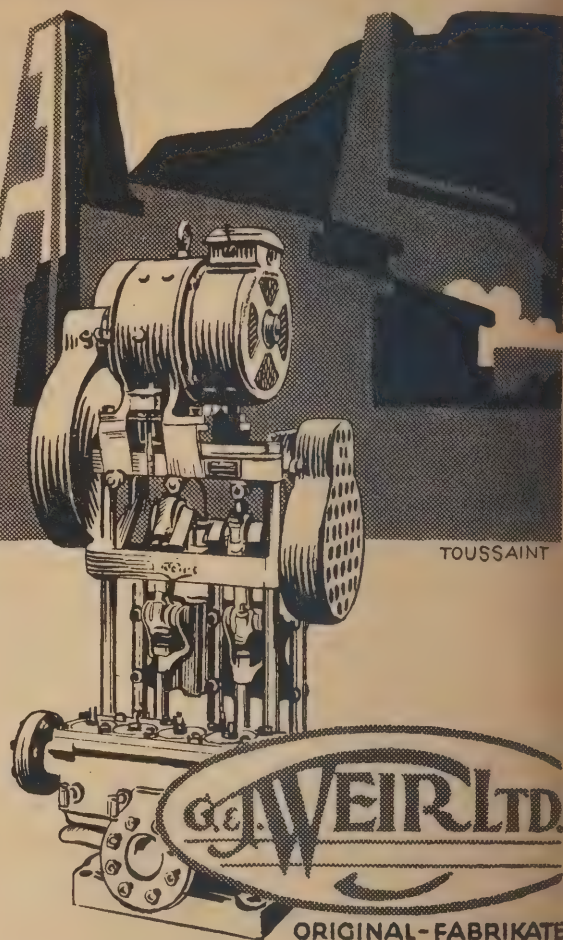
WEIR

FÖRDER U. LADE ÖL PUMPEN

Sie eignen sich zur Förderung sämtlicher Ölsorten vom Schweröl bis zu den leichtesten Brennstoffen und bedürfen kaum nennenswerter Instandhaltung.

Einzelauskünfte bereitwilligst durch

BRUNO G. LINKER HAMBURG 11
SCHAARTOR 13 INH. D. H. BOKELMANN



ORIGINAL-FABRIKATE

Die Stückzeitberechnung für Holzbearbeitungsmaschinen

Von Dr.-Ing. **Oswald Beck**

Din A5, VIII/164 Seiten mit 146 Abbildungen u. 1 Zahlentafel/1926
Broschiert RM 8.80 (für VDI-Mitglieder RM 8.—)

Das Buch, das für jeden maschinellen Holzbearbeitungsbetrieb von Bedeutung ist, enthält Versuchsreihen über alle wichtigen Maschinen. In besonderen Abschnitten sind noch die Größen der Einrichtezeiten und regelmäßigen Verlustzeiten, sowie die unregelmäßigen Verlustzeiten und Zuschläge behandelt. Auch wird durch zahlreiche Beispiele und durch ein vereinfachtes Schema die Anleitung zum Kalkulieren genau gegeben.

Zu beziehen durch jede Buchhandlung!



VDI-VERLAG G.M.B.H., Berlin NW7, Dorotheenstr. 40

Leichtmetall billiger als Messing!

Unsere hochfesten rostfreien Leichtmetalle VLW haben die Festigkeit guten Flußstahls, teilweise noch darüber: Legierungen bis zu 60 kg/qmm Zugfestigkeit, bis 25 % Dehnung und bis 150 Brinellhärte sind lieferbar. Sie sind nur $\frac{1}{3}$ so schwer wie Eisen oder Messing.

Die Bearbeitbarkeit unserer hochfesten rostfreien Leichtlegierungen VLW ist ungemein leicht: Schnittgeschwindigkeiten wie bei der Holzbearbeitung (und darüber) sind anwendbar. Sie lassen sich vorzüglich prägen, pressen, treiben, lackieren, färben.

Lieferbar sind unsere hochfesten rostfreien Leichtmetalle VLW als Stangen, Rohre, Profile, Bleche, Bänder, Draht, Schrauben, Schmiedestücke; Bezugsquellen für Leichtguß sowie leistungsfähige Gießereien weisen wir nach.

Unsere Leichtmetalle VLW sind nicht allein rostfrei, auch ihre Beständigkeit gegen viele chemische Agentien ist gut. — Ihre Wärmeleitfähigkeit ist bemerkenswert hoch.

Das spezifische Gewicht unserer hochfesten, rostfreien Leichtmetalle ist ca. 2,8; deshalb ist durchweg unser

Leichtmetall billiger als Messing!

Drucksachen sowie Besuch durch Fachleute auf Wunsch unverbindlich zu Diensten.

Vereinigte Leichtmetallwerke ^{G.m.b.H.} Bonn-Rh.

GIEßING

Schmidt-Überhitzer

mit S-H-G-Elementen
D · R · P.

*für ortsfeste
Anlagen*

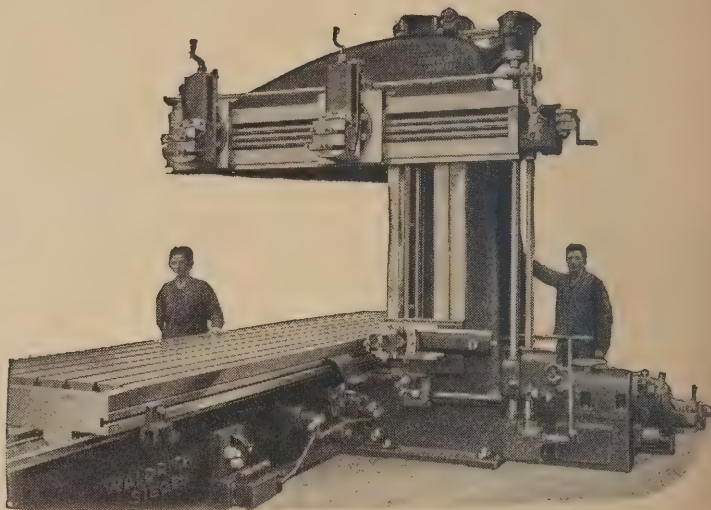


E. OTTO DIETRICH
ROHRLEITUNGSBAU-AKTIE-GESELLSCHAFT
BITTERFELD

Zweigbüro: Düsseldorf, Berger Ufer 1 b

H A WALDRICH

Siegen in Westfalen



Ein- und Zweiständer-Ausführung
von 1250 mm aufwärts bis zu den größten Abmessungen

DIE UNMITTELBARE KUPPLUNG

mit dem Antriebsmotor und der Fortfall von Windkesseln begünstigen Aufstellung des bewährten Wittig-Rotations-Kompressors auf kleinstem Raum. Zugute kommt ihm dabei, daß er keine besondern Steuerorgane, Ventile usw., nötig hat und daß er daher der sonst erforderlichen sorgfältigen Betriebsüberwachung nicht bedarf. 2800 Wittig-Rotationskompressoren arbeiten täglich zur vollen Zufriedenheit in Industrie, Kleingewerbe und Landwirtschaft.

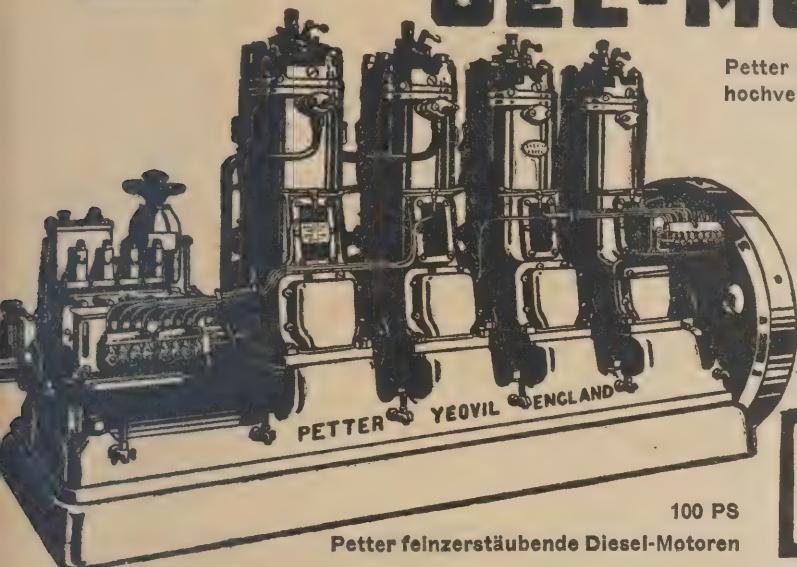
Drucksachen und Referenzen auf Anforderung kostenlos.



KARL WITTIG-ZELLI.W.2

PETTER

ÖL-MOTOREN



100 PS

Petter feinzerstäubende Diesel-Motoren

Zu den Petter Bauarten gehören auch kleine Benzin- oder Petroleummotoren mit Magnetzündung, sowie Ölmotoren mit Glühkopfzündung für Brennölbetrieb in Leistungsgrößen bis zu 36 PS.

Petter Diesel-Motoren, äußerst fein zerstäubend, hochverdichtend, kalt anlaufend.

Leistungsgrößen: 25 bis 260 PS

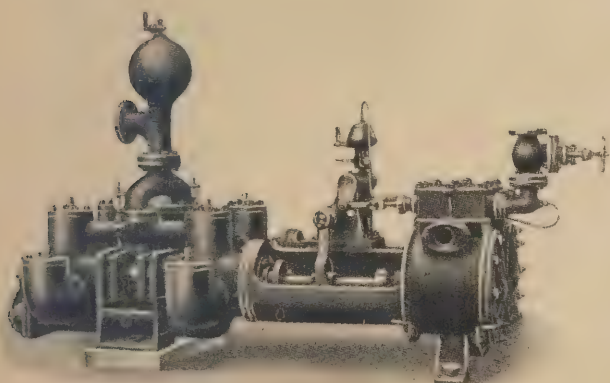
Zweitakt, ventillose Bauart. Luftlose Einspritzung mit offener Düse; ohne besondere Luftspülpumpe; ohne Hochdruck-Luftverdichter. Äußerst geringer Brennstoffverbrauch.

Die einfache Bauart und die geringe Anzahl arbeitender Teile setzen die Betriebs- und Unterhaltungskosten auf ein Mindestmaß herab.

PETTERS

LIMITED, YEOVIL, ENGLAND

Vertrieb gesucht in Ländern, in denen noch keine Vertretungen eingerichtet sind.



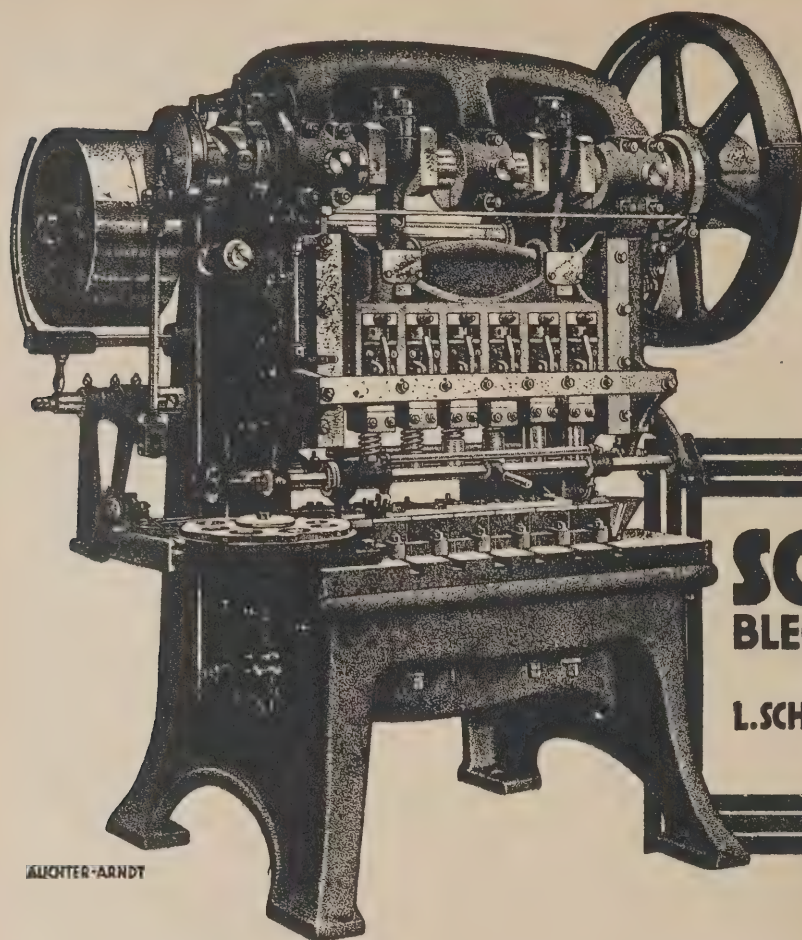
Abteilung II:

Duplex-Dampfpumpen

zur Kesselspeisung
f. Drücke von 15-150 atü

Spezialität seit 1872
Pumpen

**WEISE u.
MONSKI
HALLE
(SAALE)**



AUCHTER-ARNDT

Selbsttätige Stufenpressen

für Kraftbetrieb

für 4, 6 oder 8 hintereinander
arbeitende Werkzeuge, vorzüg-
lich geeignet zur Massenher-
stellung von Teilen aller Art.

SCHULER
BLECHBEARBEITUNGS-
MASCHINEN
L. SCHULER A.G. GÖPPINGEN 8
WÜRTTEMBERG

An

**einfacher Bauart;
leichter Bedienung;
hoher Leistungsfähigkeit
guter Wirtschaftlichkeit
steht unsere neue Feuerung an der Spitze!**

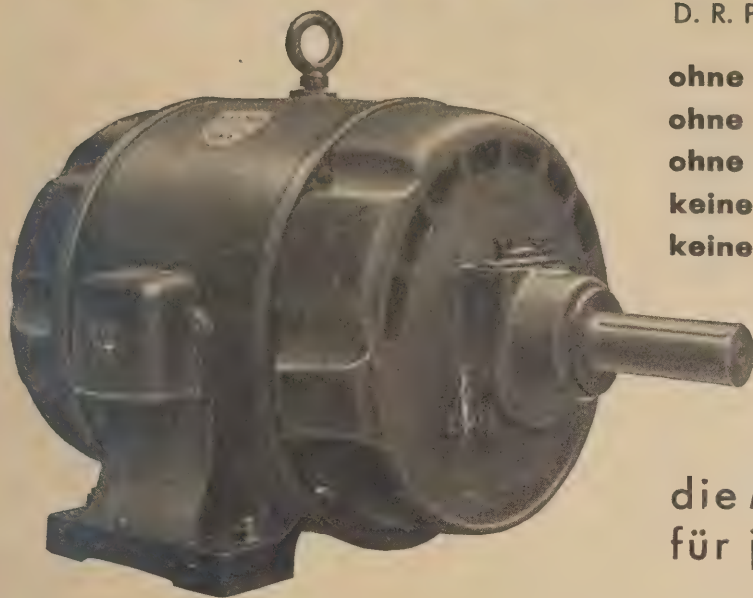
Rohbraunkohlen-Feuerungsbau

Keilmann & Völcker

G. m. b. H.

Bernburg

SKA-MOTOREN



D. R. P.

ohne Bürsten

ohne Kontakte

ohne Schleifringe

keine Fliehkraftscheiben

keine Isolation im Läufer

die Motoren
für jeden Betrieb

HEEMAF S.K.A. Motorenwerk A.-G., Dortmund

Der Fräsmaschinen-
Serienbau von

Biernatzki & Co., Chemnitz

FÜR KRAFTÜBER-
TRAGUNG,
WECHSEL-
GETRIEBE.

FLUID-KUPPLUNG

ÜBERHOLUNGS-,
RUTSCH-,
EINSCHLEIßEN-
KUPPLUNGEN.

FRITZ TRAPPMANN & Co., Dortmund

KÄMPER- MOTOREN

FÜR KRAFTPFLÜGE • SCHLEPPER
BOOTE • LOKOMOTIVEN • KOM-
PRESSOREN • HEBEZEUGE U.S.W.



ZEITGEMÄSSE
REIHENHERSTELLUNG
NIEDRIGE PREISE

**HEINRICH KÄMPER
MOTORENFABRIK &
BERLIN-MARIENFELDE**

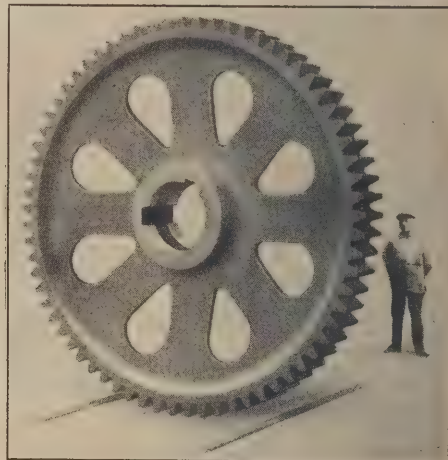
Stahlwerk **OEKING** Akt.-Ges.
DÜSSELDORF

Stahlformguß

für alle Verwendungszwecke bis 30 Tonnen
Stückgewicht, roh und fertig bearbeitet

Zahnräder

mit gegossenen und gefrästen geraden Zähnen



Abteilung Maschinenfabrik:
Scheren, Stanzen, Pressen

für Kraft- und Handbetrieb

In bewährter **STAHLGUSS**-Ausführung
Ständiges großes Lager in gangbaren Modellen

Haben
Sie
unsere
Literatur-
Führer
schon?

Illustriertes Verzeichnis
im Hauptversammlungsheft
Nr. 25 auf Seite 359

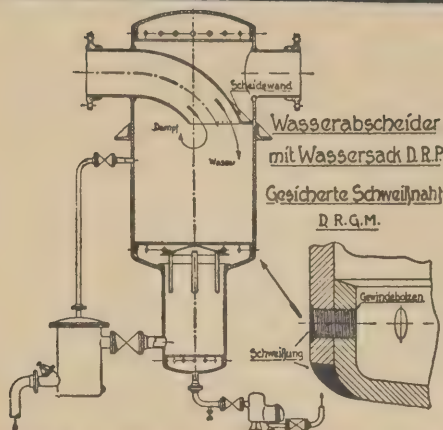
VDI-Buchhandlung
Berlin NW7, Ingenieurhaus

Allgemeine Rohrleitung Aktiengesellschaft Düsseldorf

Komplette Rohrleitungen

Herweg A.G. Düsseldorf Schließfach 100

Entöler
Armaturen



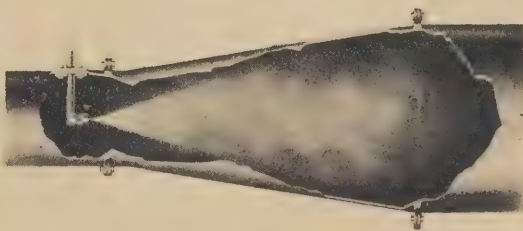
Wir liefern:

Elektromagnet-Kupplungen
Elektromagnet-Spannplatten
Elektromagnet-Scheider
Elektro-Schutzmagnete
Elektro-Lasthebemagnete
Magnetisier-Apparate
Entmagnetisier-Apparate
Späne-Zerkleinerer

Magnet-Werk Eisenach

Schlickdüsen D. R. P. u. Ausl.-Pat.

sind einfache Apparate in reicher Art zur Verteilung und Zustandsänderung von Flüssigkeiten



Sie verkürzen den Verlauf von Reaktionen, dienen zu Absorption von Gasen, zur Gaswäsche, zum Kühlen der Roststäbe und Verbesserung der Brennluft. Sättigen von überhitztem Dampf, Senken der Kühlzone, Staubbekämpfung, zum direkten oder indirekten Feuchten oder Trocknen von Luft und Waren, zur Enteisung u. a. m.



Mit Schlickdüsen lassen sich aus unter Druck stehenden Lösungen hochdisperse Suspensionen herstellen, die in strömender Luft fein verteilt, in diesem vorübergehenden Zustande ähnlich wie Kontaktstoffe beschleunigend wirken

Gustav Schlick, Dresden 46. N 6

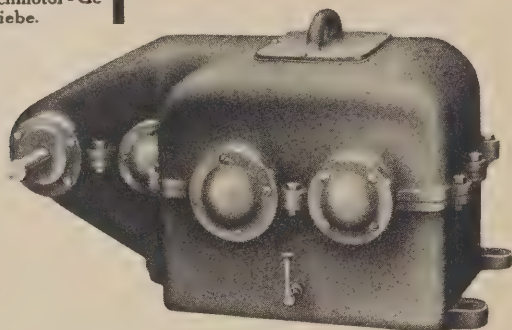


Feine Zahnarbeit

erhöht den Wirkungsgrad und die Lebensdauer meiner Zahnradgetriebe.

Ich liefere:

Gefräste Zahnräder und Schnecken, gehobelte Kegelräder, gefräste Zahnstangen, Schneckengetriebe, Reduziergetriebe, Stufengetriebe, Flanschmotor-Getriebe.



Stufengetriebe.

WAGNER KIRSCHAU & S.
C. AUGUST MASCHINEN- U. ZAHNRÄDERFABRIK, GEGR. 1887

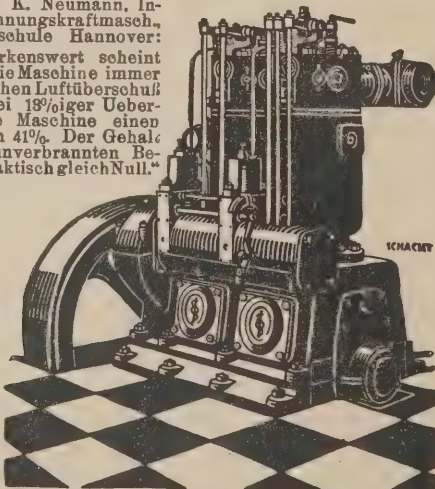


5-120 P.S. 4 TAKT. 1-6 ZYL.
KOMPRESSORLOS

B·U·B·DIESEL

Professor Dr.-Ing. K. Neumann, Institut für Verbrennungskraftmasch., Technische Hochschule Hannover:

„Besonders bemerkenswert scheint die Tatsache, daß die Maschine immer mit einem erheblichen Luftüberschuß arbeitet. Noch bei 18%iger Ueberlastung zeigt die Maschine einen Luftüberschuß von 41%. Der Gehalt der Abgase an unverbrannten Bestandteilen war praktisch gleich Null.“



ZU
JEDER ZEIT
BETRIEBS-
BEREIT

Bohns & Söhne AG Kiel
MOTOREN- UND MASCHINENFABRIK

VERTRETERBESUCH, PROSPEKTE D.S. KOSTENLOS

DER NEUE SASSE-BOHRER

„VELOX“

FÜR JEDE TIEFE
OHNE VORZUBOHREN

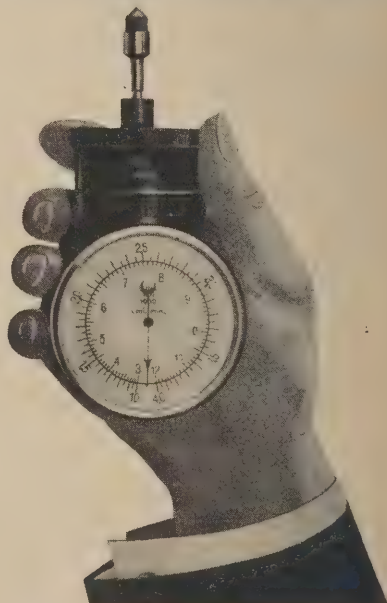


D. R. P.



WILHELM SASSE
WERKZEUG- MASCHINEN- FABRIK
BERLIN - SPANDAU

Das neue Morell-Handtachometer



Vorteile: geringes Gewicht, hohe Meßgenauigkeit, vereinfachte Umschaltung der einzelnen Meßbereiche, lange Lebensdauer.

WILHELM MORELL
TACHOMETERFABRIK
LEIPZIG C1

Gegründet 1902

Ardeltwerke Eberswalde

Krane

portal-

und Verlade- Anlagen



für alle Zwecke



VERLETZUNGEN

durch gebrochene Drähte
bei gewöhnlichen
Drahtseilen
unvermeidlich!
Beim Gebrauch
der vorgeformten
durch Deutsche Reichspatente
und Auslandpatente geschützten

TRU-LAY-NEPTUN DRAHTSEILE

sind Verletzungen
so gut wie
ausgeschlossen
Vorzüge:

Längere Lebensdauer,
Grössere Sicherheit
Leichtere Handhabung
Gebrochene Drähte
springen nicht heraus,
sondern behalten ihre
ursprüngliche Lage bei.



Fellen & Guillaume
Carlswerk Act.-Ges.
Köln-Mülheim

Älteste Drahtseilfabrik des Kontinents

Bisher (in 2 1/2 Jahren) wurden
2 Millionen kg. „TRU-LAY-NEPTUN“-Seile verkauft.



Gegründet
1882

Schnitte/Stanzen Ziehwerkzeuge Blockschnitte

in allen Größen und Formen

Vollständige Einrichtungen
für die gesamte Metallindustrie

Bohr- und Fräsvorrichtungen
Warmpreßgesenke
Gravierungen

7

BERNHARD HILTMANN, AUE I. ERZGEB.
SPEZIALFABRIK FÜR SCHNITT-UND STANZ-WERKZEUGE

Rost frisst



Eisen

DER EINZIGE DAUERHAFTESCHUTZ
BLEIWEISS AUF
MENNIGE

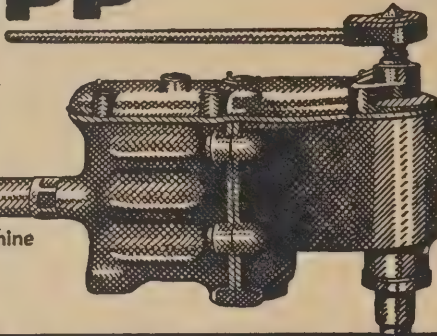


Zu beziehen durch jede Farbenhandlung.
Man achte auf die Schutzmarke!

Verein
Deutscher Bleifarbenfabrikanten
Düsseldorf • Reichsstr. 37-39.

KRUPP

Eckenbohrmaschine

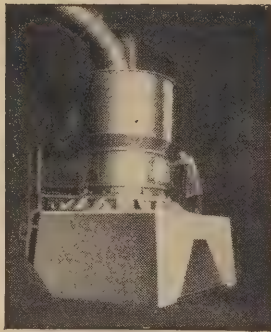


*Frei Blüht =
Macht zwingen*

für alle Zwecke
in unübertroffener Ausführung.

Probewerkzeuge stehen auf
Wunsch für einige Zeit unver-
bindlich zur Verfügung. 526

KRUPP-KRAFTWERKZEUG-VERTRIEB G.M.B.H., DÜSSELDORF.

FULLER.FULLER-MÖHLE
mit Windsichtung**Kohlenstaubfeuerungen**

für Dampfkessel und Industrieöfen aller Art

Kinyon Staubpumpen

Auslandspatente und D. R. P. a.

Mühlen D. R. P.**CLAUDIUS PETERS
HAMBURG I**

Glockengießerwall 2

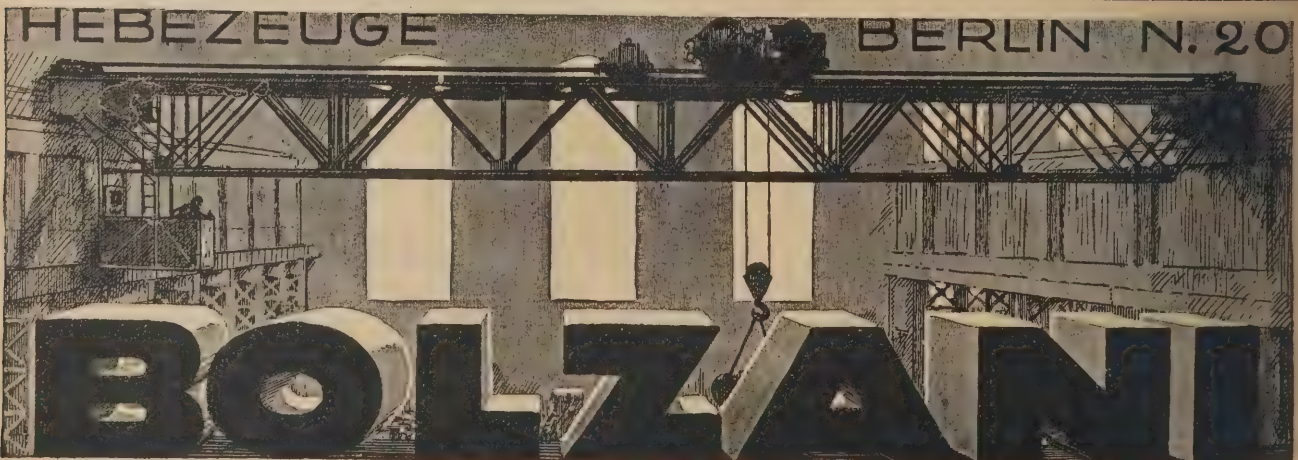
Telegramm-Adresse: FULLERPETERS HAMBURG

5 Spezialitäten

Magnet-
Separatoren u. Trommeln
bis zu den größten Abmessungen
Lasthebe-Magnete
wasserdicht u. mit Luftkühlung
Schutz-Magnete
Magnet-Spannplatten
und Spannfutter
Schienen-Schleifmaschinen

Steinert
Köln-Bickendorf

Kostenlose Beratung durch Spezial-Ingenieure



Hochleistungs-
Shaping =
Maschinen

Friedrich Klopp, Wald (Rheinland)

Tel.: Solingen 4545 und 4546

Größtes, leistungsfähigstes

Sonderwerk Europas für

Shapingmaschinen

Einscheibenantrieb, 250—900 mm Hub

Zweigbüros und Ausstellungslokale:

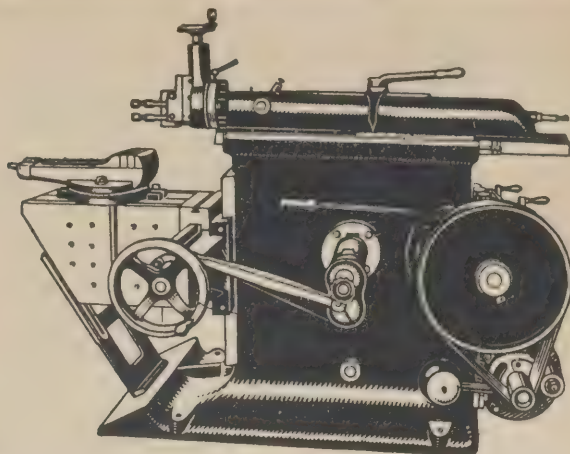
Leipzig S 3

Kaiser-Wilhelm-Str. 63 — Tel.: 38605

Berlin NW 87

Klopstockstr. 51 — Tel.: Hansa 1712

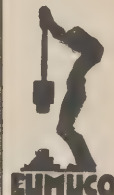
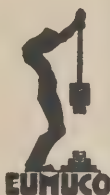
Vertretungen und Lager an allen größeren Plätzen



Größte Spezialfabrik für
Gall'sche Gelenkketten
Transmissions-Treibketten
Förderketten, Transport-Ketten
Kettenräder, Kettenachsen
OTTO KÖTTER GES. MBH. BARMEN
ERRICHTET 1884

EUMUCO

baut



Lufthämmer

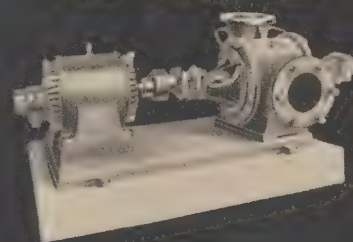
von 175—3000 kg Fallgewicht
in allen Arten und für alle Zwecke

Tausende von Maschinen
in allermodernsten Werken im Betrieb

EUMUCO Aktiengesellschaft für Maschinenbau
Schlebusch-Manfort b. Köln a. Rhein

Oddesse

PUMPEN



Niederdruck-Kreiselpumpe

MASCHINENFABRIK **ODDESSE** OSCHERSLEBEN
GMBH (BODE)

Wärme- und Kälteschutz

ISOLIERUNGEN

MITTELS
Expansitfortstein-
platten und -schalen

D. R. P.

Diatomitsteinen
und -schalen

Rieselgur-
Wärmeschutz-
massen

Ausführung durch
geschulte Monteure.
Kostenlose fachmännische
Beratung auf Grund
50 jähriger Erfahrungen.

-N-

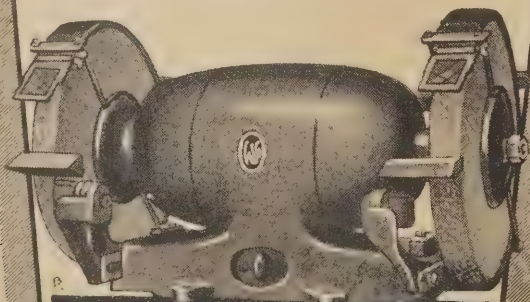
GRÜNZWEIG & HARTMANN GM. B.H.
LUDWIGSHAFEN A. RH.

NIEDERLASSUNGEN: BERLIN * CASSEL * DRESDEN * DÜSSELDORF
FRANKFURT A. M. * HAMBURG * LEIPZIG * MÜNCHEN
MÜNBERG * STUTTGART

Die ideale Form

unserer

We-Si-Schleifmotore vermeiden alle vorspringenden Teile, an denen sich der gefährliche Schmirgelstaub festsetzen kann. Mit vorbildlichen Schutzvorrichtungen versehen, gewährleistet der unwürstliche und stabile We-Si größte Sicherheit des Schleifbetriebes.



**Schleifmaschinen.
Schleifmotoren.**
Stabile Konstruktion
mit Kugellagerung.
Wilhelm Simon
Maschinenfabrik
Frankfurt a.M.-Ost 3

UH

Magnet-Apparate

für Verbrennungs - Motoren sind weltbekannt



**Spezial-Typen für leichtes
Anlassen**

Unterberg & Helmle

Karlsruhe (Baden), Ritterstr. 13-17

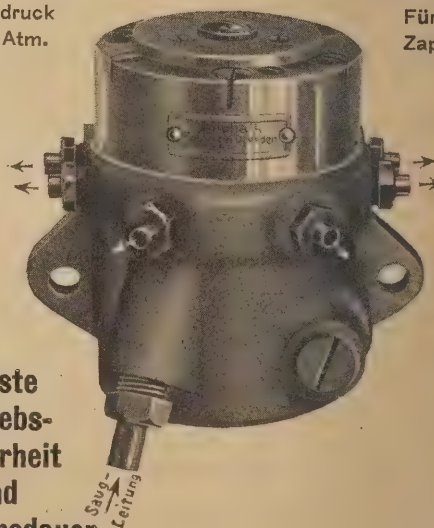
Filiale: Berlin SO 16, Köpenicker Str. 127

Michalk

Umlauf-Preßöler

Gegendruck
bis 12 Atm.

Für 1 bis 6
Zapfstellen



**Höchste
Betriebs-
sicherheit
und
Lebensdauer**

auch bei hohen
Tourenzahlen, da
jede Schmierstelle
ihren eigenen
Pumpenkolben hat

Für Rechts- und Linksgang eingerichtet.
Jede Zapfstelle regulierbar.

Sächsische Armaturenfabrik
W. Michalk & Sohn
Freital-Dresden L

KRANBECKER

HEBEMASCHINEN



Hängebahnen

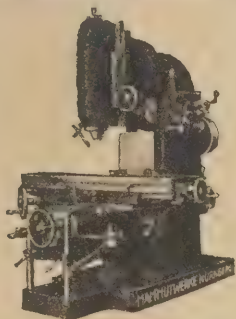
für
alle Industriezweige

E. BECKER

Maschinenfabrik
Berlin-Reinickendorf-Ost 6



Wir fabrizieren
serienweise:



Horizontal- und Universal-Fräsmaschinen
Horizontal-Starr-Fräsmaschinen
Vertikal-Fräsmaschinen
Horiz.-Bohr- und Fräsmaschinen
Karussell-Drehbänke
Universal-Stehbolzen-Drehbänke
Shaping-Maschinen
Gewindeschneidmaschinen
Luftdruckhämmer

Fordern Sie unverbindliches Angebot

MANNUTWERKE

Werkzeugmaschinenfabrik Berner & Co

NÜRNBERG

Seit über 40 Jahren:

Metall: Dichtungen

aller Art für Rohrleitungen, Dampfkessel,
Verschraubungen, für höchsten Druck
und höchste Temperatur.

Metall: Packungen

für Stopfbüchsen jeder Art und Größe
an Dieselmotoren, Großgasmaschinen,
Dampfmaschinen, Eismaschinen, Kom-
pressoren etc.

Präzisions: Kolbenringe

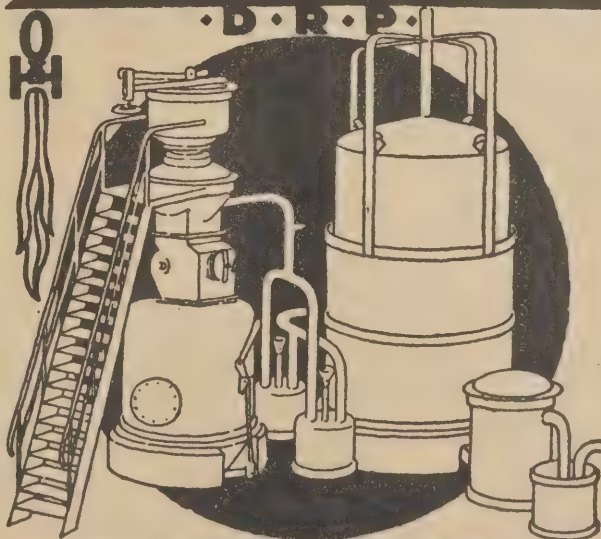
aus Special-Gußeisen, Stahl und Bronze
in den Abmessungen von 50-2500 mm ϕ
Eigene Giesserei.



Friedrich Goetze
Aktien-Gesellschaft
Burscheid b. Köln/Rh

ORTSEESTE

ACETYLEN-ANLAGEN

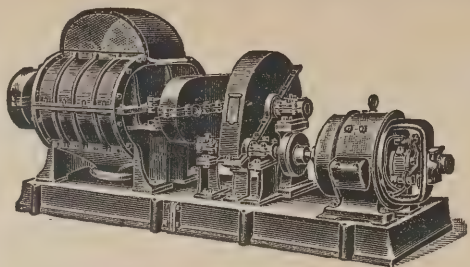


„GRIESOGEN“

**GRIESHEIMER AUTOGEN
VERKAUFS-G.M.B.H.**

FRANKFURT A.M. - GRIESHEIM

SPELLNA

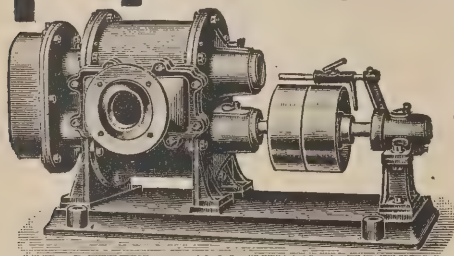


Präzisions-Hochdruck-Gebläse und Gassauger

Für jede Leistung u. für alle möglichen Zwecke, für

Pressungen bis 6000 mm Wassersäule

Vorzüge: Höchster Nutzeffekt bei ruhigem Gang! Keine Schmierung der Flügel! Trockene, ölfreie Luft! Bequeme Reinigung bei teerhaltigen Gasen! Solideste Bauart!



Etwa 30.000
Gebläse geliefert!
Gegründet 1865

H. Spelleken Nachf. Inh. G.O. Pfarr

Draht-Adr.: Spellna Barmen-Nächstehreck Barmen-Rittershausen J

JGEMA

Wasserstands-Fernanzeiger



bringt den Kesselwasserstand, der an hohen Wasserrohr- oder Steilrohrkesseln nur schlecht oder gar nicht zu erkennen ist, in den Gesichtskreis des Heizers. Übertragung erfolgt nur durch das Kesselwasser selbst, also ohne Verwendung mechanischer Hilfsmittel.

Anordnung kann beliebig weit vom Kessel erfolgen.

Anzeige ist auf größte Entfernung genau erkennbar.

J.G. Merckens A.-G.
Aachen-B.
Apparatebau · Armaturenfabrik · Metallgiesserei



gehören Scheiben von gleichmäßiger Härte, die eine unegale Abnutzung und damit Schlagen der Scheiben verhindern.

„STELLA“-Schleifscheiben

sind für Naß- und Trockenschliff geeignet und zeichnen sich besonders durch ihre poröse und griffige Beschaffenheit aus. Rationelle Arbeitsweise ist dadurch gewährleistet.

Unsere Qualitätsbezeichnungen sind: „Elcorund A“ „Elcorund Extra“ „Silcarbo“

GEBR. GÜNTHER

„STELLA“-Schleifscheiben-Fabrik

Inhaber: Robert Buchner

MARKTREDWITZ 32 BAYERN

Rheinische Schweisswerke Sieglar

G. m. b. H.



Sieglar 5 bei Köln



Schmiedeeiserne

Rippenrohre

und



„Sieglar“

Lufterhitzer

Weltreichendste Wirkung bei geringstem Kraftbedarf, geräuschlosen Lauf und billigsten Preisen.

Kurze Lieferzeit.




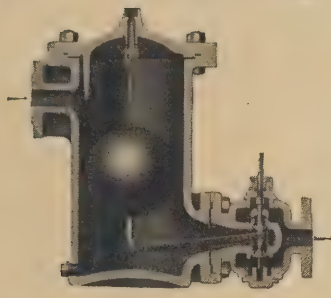
SAMSON

APPARATEBAU - A. - G.
FRANKFURT AM MAIN
Telefon: Carolus 424 71. / Postschließfach 550

**Gesolei 1926:
Goldene Medaille**

Wir liefern folgende durch D.R.P., D.R.G.M. und Auslandspatente geschützte Apparate: Raum- u. Wasser-temperaturregler, Motorkühlschleusen, Kondensatöge, Dampfwasserablässe, Kondenswasserregler für alle Fabrikzeuge, Hera- u. Ent- und Belüfter, Druckminderer für Dampf, Gas, Wasser und Luft, Kompensatoren, Thermometer, Zugregler für Heizkessel, Schmutzfänger, Wärmehäbber, Kondenswassermesser, Schmutzfänger, Drosselklappen, Heizpatronen „Erno“, elektr. Temperaturregler.

**Spezial-
ausführungen
auf Anfrage**



Radiatorentleerer
Fig. 13a

Kondensschleuse mit
selbsttätiger Entlüftung

STG

Sandviken Transportband-Gesellschaft

mit beschränkter Haftung

Abteilung II: Stahlband-Antriebe
Charlottenburg 5, Windscheidstr. 18

Drahtwort: Sandvikantrieb Berlin
Fernruf: C 4 Wilhelm Nr. 6500



STAHLBAND-ANTRIEBE

Beste Antriebsweise
für Haupttransmissionen und schwere Einzelantriebe

Bedeutende Kraftersparnis
besonders durch

Umwandlung von Seiltrieben
unter Beibehaltung vorhandener Seilscheiben

NUR MIT



„Optix“

ist punktweise Temperaturmessung des flüssigen oder glühenden Eisens, sowie auch kleiner Körper, überhaupt jeglicher Glühentemperaturen selbst bei größerem Abstand möglich. Keine Nebenapparate erforderlich! Gewicht nur 1,4 kg.

PYRO-WERK

DR. RUDOLF HASE
HANNOVER 33

Spezialfabrik für Pyrometerbau

Hebezeuge



ORIGINAL-LUDERS-
FLASCHENZUGE
LAUFKATZEN
WINDEN
ELEKTRO-
HEBEZEUGE

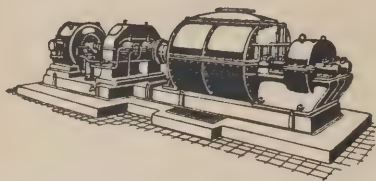
F. Piechatzek

Berlin · N · 65

Gebläse · Gassauger

Spezialkonstruktionen für ätzende Gase

Rotationspumpen

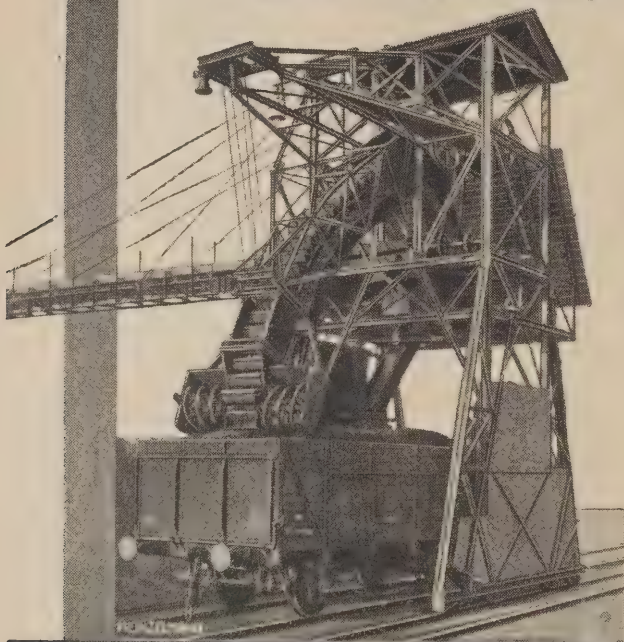


für Wasser, klare, dicke und unreine Flüssigkeiten, Spezialkonstruktionen für ätzende Flüssigkeiten

Aerzener Maschinenfabrik G. m. b. H.

Aerzen (Hannover) gegr. 1864

HEINZELMANN- ENTLADER

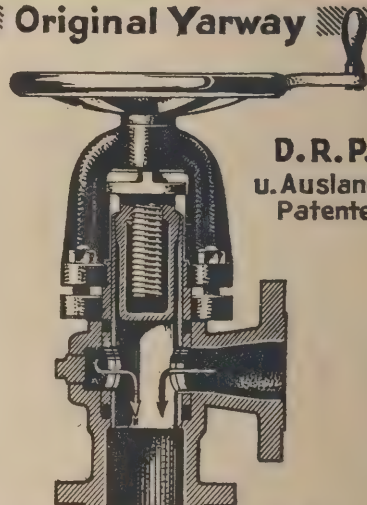


Heinzelmännchen & Sparmberg

MASCHINENFABRIK
HANNOVER

Hochdruck- Abschlammsschieber

Original Yarway



D. R. P.
u. Auslands-
Patente.

RHEINISCHE ARMATUREN-UND
MASCHINENFABRIK u. EISENGIEßEREI

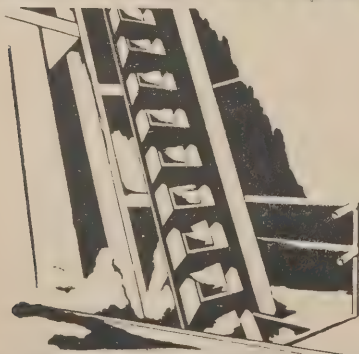
ALB. SEMPELL

M. GLADBACH

Eigene Stahlgießerei

Drucksachen auf Wunsch.

ELEVATORBÄNDER



Goodyear Elevatorbänder arbeiten, wo andere versagen. Konsultieren Sie den G.T.M. (Goodyear Technical Man) — er wird Ihre Probleme lösen

GOODYEAR

Berlin-Wilmersdorf

Hohenzollerndamm 157

JDECK

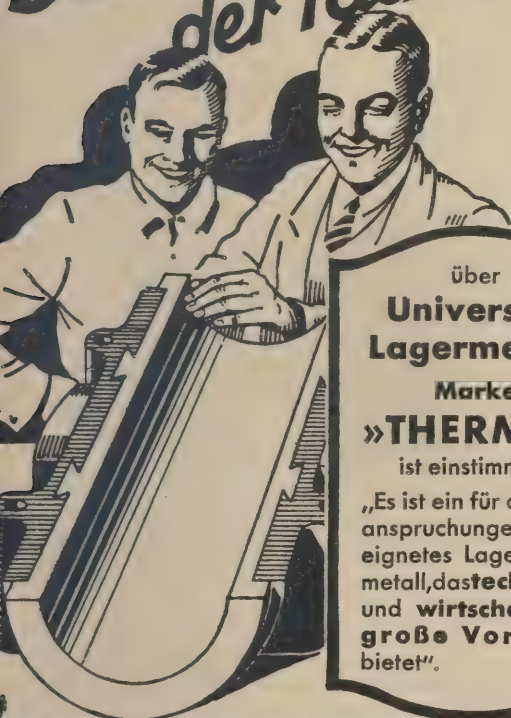


Krananlagen
D.R.P.
mit feinstufig regelbarer
Hub- und Senkgeschwindigkeit

Das Ideal-Windwerk
ist für jeden Betrieb
verwendbar, seine Wirt-
schaftlichkeit und fein-
stufige Regulierung hat
sich bestens bewährt
Erste Referenzen von
Behörden und Privaten

JDEAL-HEBEZEUG-FABRIK R. ECK G.M.B.H. PIRNA a.d. ELBE 2

*Das Urteil
der Fachleute*



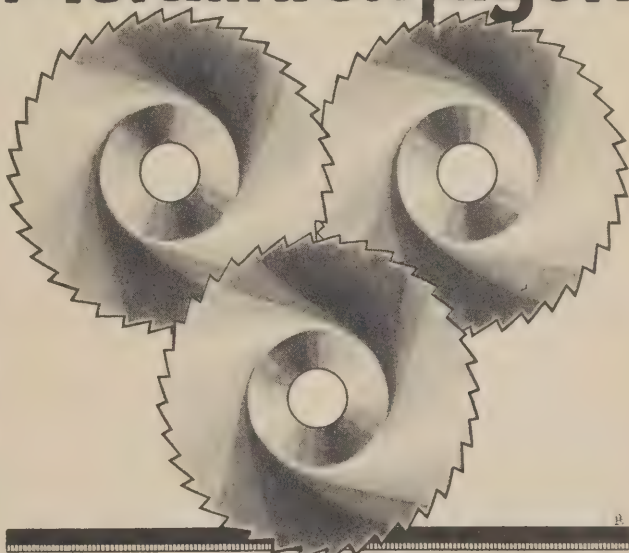
über
**Universal-
Lagermetall**
Marke
»THERMIT«

ist einstimmig:

„Es ist ein für alle Be-
anspruchungen ge-
eignetes Lagerweiß-
metall, das **technisch**
und **wirtschaftlich**
große Vorteile
bietet“.

TEGO HANDELSGES. M.B.H. ESSEN

Metallkreisfägen



Friedr. Schuler
Mühlacker Wttbg.

Metallkreisfägen & Formfräsefabrik
Tel. № 48 Telegr.-Adr.: Sägenschuler



„OMNIA“

ISOLIERSCHLAUCH

Deutsches Reichs-Patent und Auslandspatente

Lieferbar in Längen von 100 m in den Farben gelb,
rot, schwarz, grün und blau.

Hohe Isolierfähigkeit – Glänzender Lacküberzug
Hochflexibel – Billigste Berechnung.

ELEKTRO-ISOLIER-INDUSTRIE MBH
WAHN/RHLD.



der Dreherei
in der Dreherei
werten

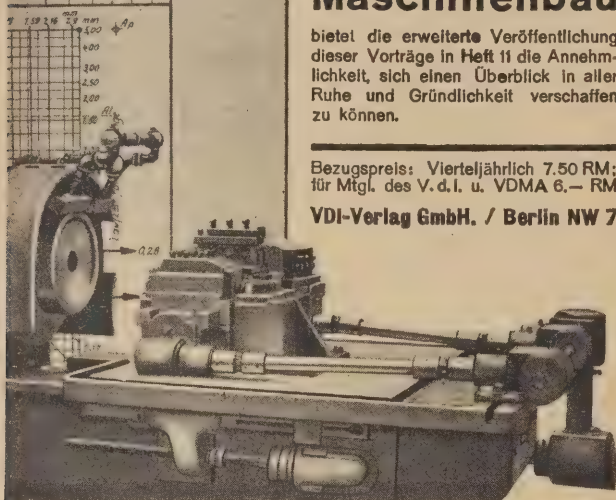
VIII Die Gesetze der Formung IV-1

Tafeln VIII Dr IV 6 10.

kelt und Vorschub auf die an
re mit Hilfe der Maschinenkarte.

Die in mm für 1 Umdrehung

W-Breite	1	2	3	4	5	6	7	8	9	10	11	12	13	14	15	16	17	18	19	20	21	22	23	24	25	26	27	28	29	30
W-Breite	1	2	3	4	5	6	7	8	9	10	11	12	13	14	15	16	17	18	19	20	21	22	23	24	25	26	27	28	29	30
Schneid- geschw.	1	2	3	4	5	6	7	8	9	10	11	12	13	14	15	16	17	18	19	20	21	22	23	24	25	26	27	28	29	30
W-Breite	1	2	3	4	5	6	7	8	9	10	11	12	13	14	15	16	17	18	19	20	21	22	23	24	25	26	27	28	29	30
Schneid- geschw.	1	2	3	4	5	6	7	8	9	10	11	12	13	14	15	16	17	18	19	20	21	22	23	24	25	26	27	28	29	30
W-Breite	1	2	3	4	5	6	7	8	9	10	11	12	13	14	15	16	17	18	19	20	21	22	23	24	25	26	27	28	29	30
Schneid- geschw.	1	2	3	4	5	6	7	8	9	10	11	12	13	14	15	16	17	18	19	20	21	22	23	24	25	26	27	28	29	30



beim Arbeitsvorgang der Werkzeugmaschine zu beherrschen, ist heute für jeden Betriebsmann Voraussetzung erfolgreicher Tätigkeit. Die Hilfsmittel kennenzulernen, die ihm die Werkzeugmaschinen- und Werkzeugindustrie hierbei zur Verfügung zu stellen vermag, ist eine Frage des Selbststudiums, deren Lösung dem einzelnen vielleicht nicht immer ganz leicht fällt. Aus diesem Grunde haben ADB und AWF aus Anlaß der Technischen Frühjahrsmesse eine Vortragsreihe unter dem Titel: „Was bringt die Technische Messe dem Betriebsingenieur Neues?“ veranstaltet. Für die Leser der Zeitschrift

Maschinenbau

bietet die erweiterte Veröffentlichung dieser Vorträge in Heft 11 die Annehmlichkeit, sich einen Überblick in aller Ruhe und Gründlichkeit verschaffen zu können.

Bezugspreis: Vierteljährlich 7.50 RM; für Mgl. des V. d. I. u. VDMA 6.— RM

VDI-Verlag GmbH. / Berlin NW 7

Curt Rudolph



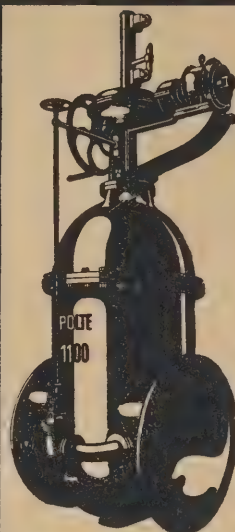
Drahtseilbahnen

Kabelkrane, Rangieranlagen,
Ketten- u. Seilförderungen,
Schrägaufzüge, Bremsberge,

Telefon
13352

Leipzig

Carolinenstr.
22.



Schieber mit elektr. Antrieb

POLTE

ARMATURENFABRIK

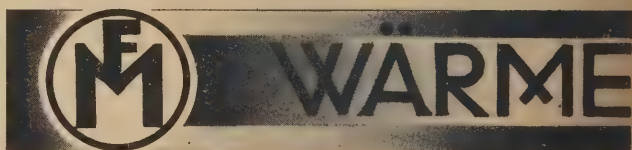
GEGR. 1885 MAGDEBURG POLTESTR.

SCHIEBER HYDRANTEN ROHRSCHELLEN BRUNNEN

Armaturen jeder Art
für Wasserleitungen,
Schieber nach DIN,
Ventile, Hähne für Gas, Wasser,
Dampf, Preßluft, Öl, Benzin,
Ammoniak, Säuren, Laugen u.
für alle industriellen Zwecke



**Zur Deutschen Ausstellung
Gas und Wasser, Berlin:
Halle IV, Stand 417.**



AUSTAUSCHER

Spisewasser-Vorwärmer
Sonderausführung für hohe Dampftem-
peraturen und Höchstdruck

Wärmeaustauscher
für beliebige Flüssigkeiten

Heißdampfkühler
mit Oberflächen- oder Einspritzkühlung

Zwischenüberhitzer

Speisewasser-Destillierapparate

Frama-Kondenswasser-Ableiter

Präzisions-Reduzierventile

Lufttheizapparate, Gebläse

Ventilatoren

F. MATTICK, DRESDEN A24c

Maschinenfabrik u. Eisengießerei in Pulsnitz i. Sa.
Zweibüros: Berlin N 65, Düsseldorf, Hamburg 22

NUR FLÄCHE ?

Keineswegs! Die Diagrammfläche ist nur ein Maß der Leistung. Sie sollen in erster Linie wissen, wie diese Leistung zustande kommt. Sie müssen deshalb die Diagrammform qualitativ auswerten! Alsdann liefert die beste Maschine Überraschungen. Sie lernen die Ursachen der hohen Reparaturkosten und des unmäßigen Dampfverbrauches bei der Wurzel fassen.

Lesen Sie
„Praktisches
über das Indizieren der Maschinen“

Sie erhalten Schrift Nr. 170 kostenlos. Qualitätsmessungen sind naturgemäß nur bei einwandfreien Diagrammen zu erreichen. Die Voraussetzung für solche ist ein zuverlässiger

MAIHAK - INDIKATOR

Wir wissen, worauf es ankommt, denn wir liefern weit über

17000 Stück

- für Dampfmaschinen
- für Dieselmotoren
- für Explosionsmotoren
- für Kompressoren

Einzeldiagramme bis 2500 Umdrehungen per Minute

H. MAIHAK HAMBURG 39

AKTIENGESELLSCHAFT GEIBELSTRASSE 56

Vertreter: U.S.A.: Bacharach Industrial Instrument Co.,
Pittsburgh. Pa. 7000—6 Bennett Street, Homewood Station

Ausgleitssichere Trittsstufen

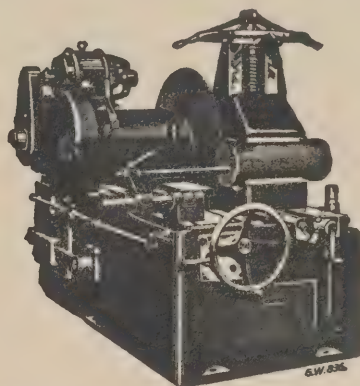


Stabilität u. leichte Montage sind die ersten Bedingungen f. einen modernen Betrieb. Ich liefere Trittsstufen und Umgänge aus geprägten Blechen mit Kanten-Abbug nach oben oder unten. Daher ist das Anieten von Winkel- oder U-Eisen zur Versteifung od. Einfassung überflüssig

**Ernst Meck
Nürnberg**

Preß- & Stanzwerk-Fabrik für gelochte,
gepreßte und gehämmerte Bleche
DIN - Stufen

**Kaltsägemaschinen
„Rapid“-Sägeblätter
Sägeblattschärfmaschinen
Gewindeschneidmaschinen**



GUSTAV WAGNER
MASCHINENFABRIK REUTLINGEN

**Dampflokomotiven
Diesellokomotiven**

**Dampfmaschinen
Dampfkessel**

**hydr. Pressen
Behälter**

**Eis- und Kühl-
Anlagen**

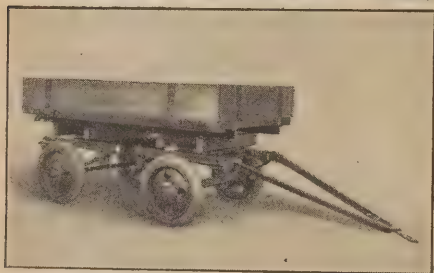


**MASCHINENBAU-GESELLSCHAFT
KARLSRUHE**

Labisch Labisch Labisch
Klischee Offset-übertragung Druck

RICHARD LABISCH & CO.
 GRAPHISCHE KUNSTANSTALT G.M.B.H.
 BERLIN-SCHÖNEBERG FEURIG STR. 59

Anhänger für Elektrokarren



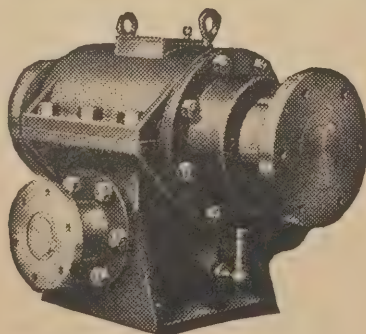
mit Drehschemel oder Zweiachslenkung und Spezialaufbauten sowie
Hubwagen
 D.R.P.
 50 jährige Erfahrung im Transportgerätebau

Spezialfabrik für Transportgeräte
C. Tobler, Berlin - Borsigwalde

DIN
 liefern
Krumm & Co. m.b.H.
 Reimscheid-Vieringh

Zahnradfabrik Altona/Elbe

Hans Meyer, Kdt.-Ges.
Altona - Bahrendfeld
 Schützenstraße 239
 Tel. D 9 1687
 D 9 3162



Oeldicht gekapselte
Rädervorgelege
Stirnräder
Schraubenräder
Zahnstangen
Schneckenräder
Kegelräder
Verzähnen
von eingesandten
Radkörpern

Deutsche Steinzeugwarenfabrik

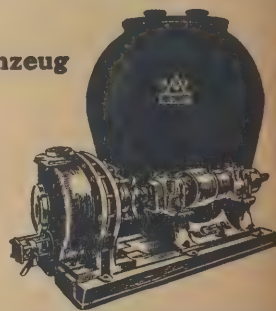
Friedrichsfeld 1. Baden

AUS
 säurebeständigem Steinzeug

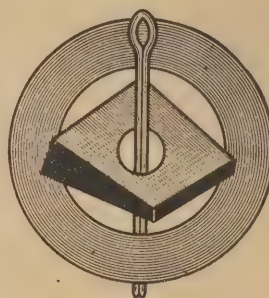
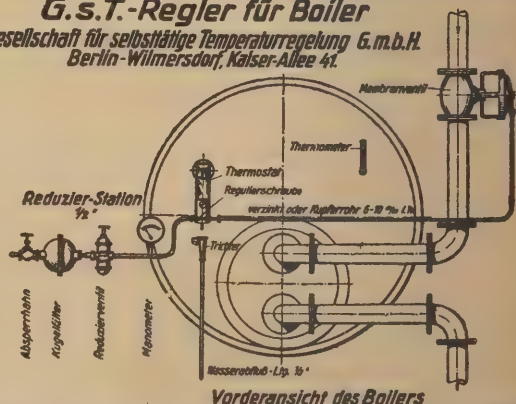
Kreiselpumpen
 gepanzert

Rohrleitungen,
Hähne, Wannen,
Gefäße, Anlagen

zur Lagerung von
 Säuren, Laugen etc.



G.s.T.-Regler für Boiler
 Gesellschaft für selbsttätige Temperaturregelung G.m.b.H.
 Berlin-Wilmersdorf, Kaiser-Allee 41.



Werk Grafweg:

Unterlegscheiben, gedreht
 in Eisen, Kupfer, Messing.
 Unterlegscheiben, rohe
 in Eisen, Kupfer, Messing.
 Unterlegscheiben, konisch
 n/DIN. 434 und 435.
 Sicherungsbleche n/DIN.
 93 und 432.

SPLINTe in Eisen
 Kupfer und Messing.

Werk Österhammer:

Gesenkschmiedestücke für
 alle Zweige der Industrie.

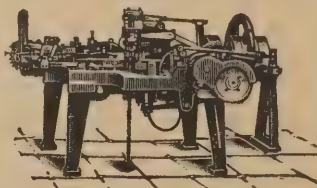
J. Rempel, Plettenberg i. Westf.

Telefon 20 und 251

Maschinenfabrik Meyer, Roth & Pastor

KÖLN-RADERBERG

fertigen als Spezialität: Maschinen zur Anfertigung von elektr. zu schweißend. Ketten, Elektr. Kettenschweißmaschinen, Schnallen in allen Sorten, Sohlen- und Absatznägeln, Drahtstiften, Dachpappstiften, Nieten, Splinten, Kettengliedern, Kisten- und Sarggriffen, Haken und Augen zu Hosen, Militärmänteln und Damenkleidern, Krampen, Haken-Ahnen, Absatzstiften, Klavierstiften, Schloßnägeln, Schiffsnägeln, Schraubaugen, Schubriegeln, Panzer- und Bandketten, Fahrrad- und Automobilspitzen, Riemen- u. Stimmstiften, Bleinieten, Koffernieten etc. Drahtstifte, Scheiben- u. Nietenpress. etc.



Kettenblegemaschine

Alle Maschinen
für die Scharnier-,
Fitschen- und
Schloßfabrikation

Auch der schönste und mit allen Bequemlichkeiten ausgerüstete Wagen kann Ihnen das Reisen nicht zu einem Genuß machen, wenn er nicht gut gefedert ist. Auf schlechten, holprigen Wegen werden Sie beständig gestoßen und geschüttelt: auch die viel angepriesenen Stoßdämpfer helfen wenig.

Wollen Sie sanft und stossfrei fahren, dann verbessern Sie Ihre Federn mit den

stossdämpfenden Federblättern

D. R. G. M. Nr. 952511.

aus Pouplier-Dauer-Federstahl

D. R. P. a.

Sie haben alsdann eine wunderbare Federung, um die Sie jeder beneidet.

Erschütterungen und heftige Stöße werden aufgefangen und verschluckt.

Diese Federblätter sind rasch und ohne grosse Kosten einzubauen. Kein Ärger und Verdruss mehr über schlechte Strassen! Verlangen Sie heute noch Aufklärung und Prospekt.

Stahlwerk Kabel C. Pouplier jun.

Gußstahlfabrik — Kaltwalzwerke — Präzisionszieherelen — Hammerwerke.

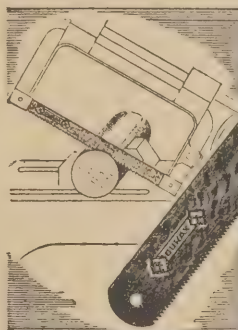
Kabel bei Hagen in Westfalen.

Elektroflo-Dampfmesser

mit Anzeige-, Schreibgerät und Dampfzähler

Durch eine in der Dampfleitung eingebaute Stauscheibe wird ein Druckunterschied erzeugt, der von einem Spezialmanometer in eine elektrische Größe umgewandelt wird. Die an das Differentialmanometer angeschlossenen Anzeige- und Schreibgeräte sind als Strommesser ausgebildet und geben die Dampfmenge in kg/h oder t/h an. Zur Zählung der Dampfmenge dient ein spannungs- und frequenzunabhängiger Zähler. Der einfache Aufbau der Gesamtanlage ermöglicht ein sicheres und genaues Messen. Elektroflo-Dampfmesser sollten in keinem modernen Betrieb fehlen.

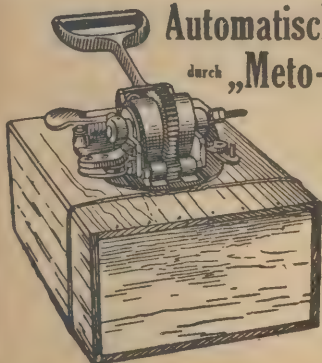
Elektroflo, Berlin W 35, Potsdamer Str. 119B



DURAX
Metall-
Sägeblätter
DURAX-
2-iks
für Hochleistungsmaschinen

Robert Röntgen, Remscheid
METALLSÄGEN-FABRIK

Automatischer Kistenverschluß durch „Meto-Stahldrahtspanner“

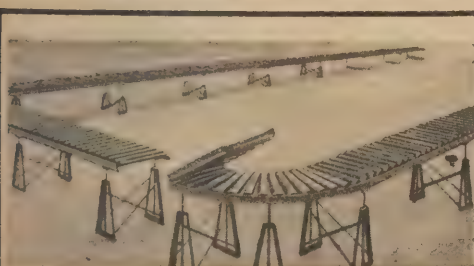


Eine vollständige Umreifung erfordert 8–10 Sekunden und ergibt dreifache Verstärkung der Kisten. Aufnageln der Deckel überflüssig. — Keine besonderen Verschlußstücke erforderlich, die Drahtenden werden automatisch unlösbar ineinander verdrillt. — Ueber 200000 Apparate in allen Teilen der Welt im Gebrauch. — Auf Wunsch kostenlose und unverbindliche Probeflieferung. Kistenumfang angeben.

Meto G.m.b.H., Köln Industriehof 51



Wilhelm Hedtmann G.m.b.H. Kabel i.W.
Fabrik für Schraubensicherungen
Stanzwerk · Drahtzieherei



Rollenbahnen-
Band- Ketten- und
Kreistrans-
porture, Stand-
und Hängebahnen
Becherwerke,
Elevatoren
Kurze Lieferzeit

FÖRDERANLAGEN

Rudolf Geisel, Fabrik mod. Transportanlagen
Mannheim-Rheinau 2

Gegr. 1903



Gegr. 1881
Gesens Schmiedestücke
jeder Art
fabrizieren
BUDDE & STEINBECK
GESENSCHMIEDEREI
PLETTENBERG I/W. Postfach 25

Einschneidende Betriebskostensenkungen

können Sie nur dadurch erreichen, daß an allen Stellen gespart wird. Ihre ungesicherte, äußerst unzweckmäßige Lagerung feuergefährlicher Flüssigkeiten bringt Ihnen fortgesetzt große Verluste und ist eine sehr ernste Gefahr für Ihren Betrieb. Sie sollten sich deshalb noch heute von uns unverbindliche Vorschläge machen lassen, wie Sie durch unsere zahlreich gelieferte, beliebte, zuverlässige Prometheus-Tankanlage die Explosionsgefahr ohne Schutzgas selbsttätig beseitigen und laufend große Ersparnisse machen können.

Prometheus-Werke A. G. Abteilung F. N. Hannover-Hrh.

LICHTPAUS- MASCHINEN

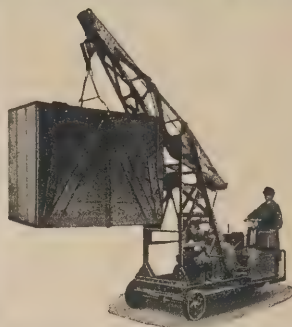
sind **leistungsfähiger**
und arbeiten **rationeller**
als andere elektrische Licht-
pausapparate

Einfache **zeitsparende** Bedienung
Prospekte mit Abbildungen kostenfrei

OTTO PHILIPP

BERLIN SW 68, CHARLOTTENSTR. 6

Elektrische Krane



Sellwinden
Laufkatzen

usw.

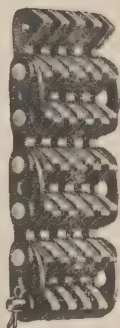
Alfred Gese

G. m. b. H.

Bremen

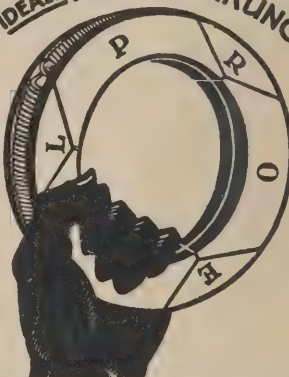
AUTOK-

Präzisions-Ketten
und Kettenräder
für jeden Industriezweig



AUTOK A.-G.
Fabrik für Triebketten
Berlin-Adlershof
Tel.-Adr.: Autoketten
Teleph.: Adlershof 207/208

DIE IDEALE METALLPACKUNG



Proell - Packung

D. R. P.
Beste Höchstdruck-Packung

Alleinige Bezugsquelle

Man verlange Kataloge und
Offerten von

Dr. R. Proell, Dresden-A. 14

Tel. - Adr. Regulator-Dresden.
Tel. 42104

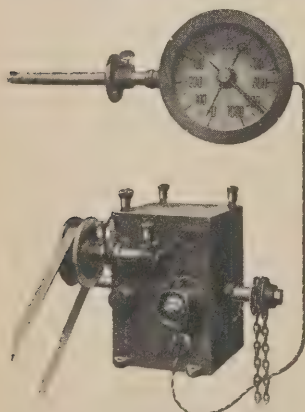
Weitere Spezialität:
Achsenregler aller Art
Tourenverstellung in wei-
testen Grenzen

SOCIUS- REGLER

für
Druck
Menge
Temperatur

Fordern Sie Angebot von
Steinle & Hartung
G. m. b. H.

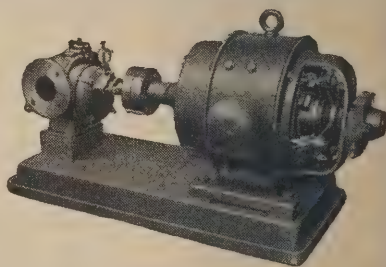
Quedlinburg-R.



Vier Typen für alle Zwecke

Gerberich-
Präzisions-
Zahnradpumpen
(mehrfach patentaml.
gesch.)

ca. 800 Normalausfüh-
rungen und jede ge-
wünschte Sonderbau-
art für alle Flüssig-
keiten, Drehzahlen u.
Drücke bei garantiert
geräuschlosem Lauf
lieferbar.



Gerberich & Cie.
Mannheim



Rhein. Maschinenbau- und
Handels-Gesellschaft m. b. H.

Rufnummer 29337 Telegr. Gestechnik

WASSERREINIGER

ROBERT REICHLING u. CO.
KÖNIGSHOF - KREFELD

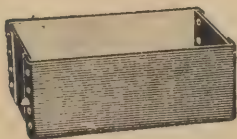
REICHLING

Zwischendampf-Überhitzer

Patente Langen und Szamatolski — Regulierbar und ohne Druckverluste
HUGO SZAMATOLSKI Berlin-Reinickendorf West 3a

Schmiedeeiserne

Glüh- und Härte-Kästen



Robert Wagner, Chemnitz-Vd.
 Eisenwarenfabrik

Ringschrauben u. Ringmuttern



nach Din

Friedrich Zapp & Cie., Bickenbach
 Bezirk Oöln

Wir offerieren Ihnen
**Universal
 Wolfram-Weißmetall**

Marke Falke, D.R.P.,
 für **Dampfmaschinen,
 Lokomotiven, Dynamos,
 Walzengänge.**

Sie haben nur eine Qualität im
 Betriebe nötig. Verwechslungen
 können nicht vorkommen.
 Der Preis ist pro % Kilo M.200
 niedriger als für eine 86%ige
 Zinnlegierung, aber gleich-
 wertig, wenn nicht noch
 besser.

Wolfram-Weißmetall-Werke
 Gustav Carl Falkenberg, G.m.b.H.
 Weetzen b. Hannover-Linden
 Vertreter gesucht



Beziehen Sie sich bitte
 bei allen

**Anfragen
 und
 Bestellungen**

auf die

VDI-Zeitschrift

Brief- und

Schaubstahl

Telegrammadresse

Rohrleitungen
 genietet und geschweißt

Dampfkessel
 Spezialität: Stehende Quer-
 siedler- u. Röhrendampfkessel
 jed. Größe, Druckluftbehälter

Gelochte Bleche
 in allen Metallen

Komplette Sieb- und Teerscheidertrommeln

Albert Schaub-Eberh. Stahlschmidt G.m.b.H.

Tel. 14 und 50

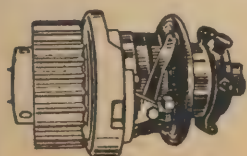
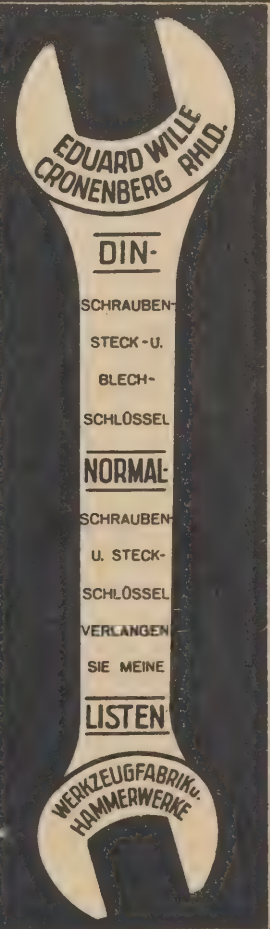
Kreuztal i.W. 9

Gegr. 1864

Spezialität:
 Hartstahl- u. Manganstahlsiebe

Filterrohre
 in jeder Größe

**Winkel- und
 Flacheisenringe**
 geschweißt, bearbeitet und
 unbearbeitet



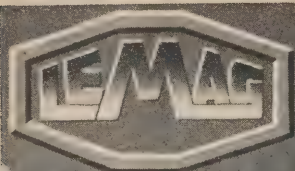
ARNDT

**Federband-Reibungs-
 Kupplungen**

Eisenwerk Gebrüder Arndt G.m.b.H.
 Berlin N 39, Fennstr. 21



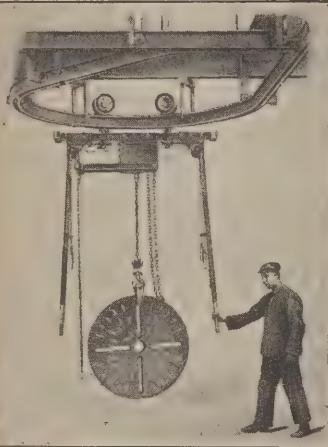
HOCHLEISTUNGS-FEILEN
RENNERWERKE G.M.B.H.
 FEILENFABRIK
 HUCKESWAGEN (Rhd.)



INDIKATOREN

die Präzisionsinstrumente höchster Vollkommenheit
auf der ganzen Welt verbreitet

LEHMANN & MICHEL HAMBURG-
ALTONA



Hänge- Bahnen

Bauart Thoma
liefern

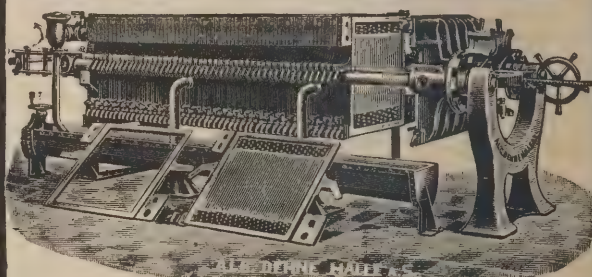
Gebrüder Rühle
m. b. H.

Köln-Sülz

Beste Referenzen

Dehne-Filterpressen

Pumpen, Armaturen für Säuren und Laugen, Wasserreinigung



A.L.G. Dehne, Maschinenfabrik, Halle a.S.

Blitzschutz



Fachgeschäft seit 1875

Kesseleinbau

Quecksilber-Zeigerthermometer

auch als Fernthermometer und mit Schreibvorrichtung
fertigen seit über 50 Jahren

Zabel & Co. Quedlinburg-S

Handbuch für Lehrlinge der allgemeinen Feinmechanik

Dritte, neubearbeitete Auflage.

Herausgegeben von der Robert Bosch A.-G., Stuttgart.

Zwei Teile: I. (Text): Din A 4, XVI/110 Seiten. II. (Abbildungen): Din A 4, IV/88 Seiten / 1927.

Preis beider Teile einzeln gebunden RM 15.—, für VDI-Mitglieder RM 13.50.

In einfacher Sprache und knapper, übersichtlicher Form gibt das Handbuch die an der Werkbank und an der Werkzeugmaschine erteilte Anleitung zur Handhabung der Werkzeuge und zur Bedienung der Werkzeugmaschine wieder. Der Text wird durch zahlreiche Abbildungen ergänzt, die auf besonderen Tafeln angeordnet sind und die nicht nur ein schnelles Nachschlagen ermöglichen, sondern auch durch „falsche und richtige Beispiele“ außerordentlich eindringlich belehren.

Das Handbuch, das als Lehrmittel für die Lehrwerkstätten gedacht ist und sowohl zur Wiederholung und Befestigung der dort erhaltenen Unterweisung als auch zur Richtschnur für den Unterricht dient, wird in seiner neuen Auflage von den Lehrlingen und dem Lehrpersonal gern zu Rate gezogen werden.

Zu beziehen durch jede Buchhandlung!

VDI-Verlag, G. m. b. H., Berlin NW 7, Dorotheenstr. 40

VDI

STELLENGESUCHE

VDI

Diplom-Ingenieur (VDI)

7 Jahre Praxis in Konstr.-Büro, Betrieb, Montage und Betriebskontrolle mit vielseitigen Erfahrungen, sucht, obwohl in ungek. Stellung, sich baldigst zu verändern. Es wird nur auf gehobene Stellung als Betriebsleiter oder Dir.-Assistent reflektiert. **Süddeutschland bevorzugt.** Allenfalls kann Kapitaleinlage gegeben werden. Firmen, die Wert darauf legen, einen arbeits- und verantwortungsfreudigen Mitarbeiter zu bekommen, wollen Angebote unter W. 5952 an den Verlag dieser Zeitschrift richten. (10 047)

Ing.-Kaufmann

Akad. 8 Jahre techn. u. kaufm. Praxis, guter Verkäufer und Organisator, Österreich, Nachfolgestaaten u. Balkan eingeführt, mit Sprachkenntnissen, erfahren in Korrespondenz, Projektierung, Montage u. Kalkulation, sucht ausbaufähige Stellung in größerer Firma od. als Filialleiter ev. Vertretung. Referenzen führender Industriekreise. Angebote erb. unter „Motorenbau“ S. 5948 an d. Verlag dies. Zeitschr. (c1699)

Leitender Betriebs-Oberingenieur

37 Jahre (verh.), erstkl. Konstruktions- u. Betriebserfahrungen auf den Gebieten: Dieselmotoren, Dampfturbinen, Dampfmaschinen, Schiffsmaschinen, Getriebe, Pumpen- u. Apparatebau, Eis- und Kühlmaschinen, Kennntn. f. Textilbau; firm im Vorrichtungsbau, Vorkalk. (Syst. „Refa“), Terminwesen, verantwortl. Werkstättenchef von Betrieben über 1200 Arb. u. Beamten, **sucht sich als**

Betriebs-Direktor

in der Maschinen erzeugenden oder verwertenden Industrie zu **verändern.** Nachweisbare Befähigung zur selbst. Urganisation, Große Schaffensfreude. Gewandt im Verkehr mit den Auftraggebern. Sicherheit bei Verhandl. mit den Arbeitnehmern in Lohnfragen. 1a Referenzen. Zuschriften an den Verlag d. Ztschr. unt. E. 5913. (10 017)

BETRIEBS-INGENIEUR

28 Jahre ledig, mehrjährige Werkstattpraxis, 5 Jahre Betriebsführung in modernsten Betrieben, bestens vertraut mit Kraft- und Wärmewirtschaft, Kalkulation, Akkord- und Fließarbeit, Leitung von Rep.-Werkstätten, Projektierung von Neuanlagen, Konstruktionsarbeiten, kaufmännisch versiert, bautechnische Kenntnisse, sehr gute Umgangsformen, resp. Erscheinung, unermüdete Arbeitskraft, Auto-Führerschein, sucht, gestützt auf erstklassige Zeugnisse und beste Referenzen, neue aussichtsreiche Dauerstellung. Angebote erbeten unter A. 5931 an d. Verlag dieser Zeitschrift. (10 033)

Kaufmännischer Direktor allererste Kraft

der Maschinen-Industrie, Anfang 40er, (in ungekündigter Stellung), mit großen Beziehungen zur Industrie und vielseitigen kaufmännischen und technischen Erfahrungen auf allen Gebieten moderner Betriebsführung, sowie in der Reorganisation und wirtschaftlichen veralteter Betriebe,

sucht

sich gelegentlich in gleiche und führende Stellung zu verändern. Offerten unter J. W. 6888 an Rudolf Mosse, Berlin SW 100, erbeten. (10 039)

Kohlenstaub-Feuerung

Jg. selbständiger

Konstrukteur

4 Jhr. Maschb., 3 Jhr. Staubfeurg. Weltfirm., Proj. u. Ausführung, ungek., sucht entw.-fähig Wirkgskr., auch Ausland. Angeb. a. d. Verlag d. Ztschr. unter G. 5915. (c. 1687)

INGENIEUR

1. Hebezeugbau, Transportanlagen, allgem. Maschinenbau, Hydraulik mit 8jähr. Werkstatt- u. 7jähr. Büropraxis, perfekt in Englisch u. Spanisch, gute Vorkenntn. in Franz., 6 Jahre Auslandstätigkeit, Alter 34 J., ledig, sucht Stellung f. Reise, Montage oder Vertretung. Anscr. erb. u. „A 36“/R. 5880 an den Verlag d. Ztschr. (c. 1679)

Dipl. Masch. Ing. München

mit Sprachkenntnissen, 8 Jahre Betriebsleiter, sucht Stellung im Büro oder Betrieb, per sofort oder später. (10018) Off. u. B. N. L. 8905 an Aia-Haasenstein & Vogler, Berlin W 35.

Betriebs-Ingenieur

31 J. alt, Absolv. einer höheren techn. Lehranstalt, 3jähr. Werkstattpr. im Lokomotivbau, langjähr. Berufspraxis i. Büro u. Betrieb, firm i. d. Ueberwachung von Dampfkessel- u. Maschinenanlagen, Profluftwirtschaft, Wärme- und Feuerungstechnik u. gute Konstruktionspraxis i. allgem. Maschinenbau, sucht sich sof. zu veränd. Gefl. Angeb. unt. A. 5954 an d. Verlag dies. Zeitschr. (c. 1694)

Schiffs-Ingenieur

mit Oberklasse, Obersekundarstufe, 28 J. alt, sucht z. z. 1. Juli 1929 oder später passende **Landstellung**, wenn mögl. im Betrieb, 13 Jahre Betriebspraxis, kaufm. Veranlagung. (9972) Off. unter A. J. 3994 an **Heinr. Eisler, Aitona/E.**

DIPLOM-INGENIEUR

28 Jahre, 3jährige vielseitige Praxis, sucht selbständige, verantwortungreiche

Dauerstellung im In- oder Ausland.

Gründliche wissenschaftliche und praktische Kenntnisse:

im Vorrichtungsbau, Kalkulation u. Materialprüfung einer Automobilfabrik,

in der Herstellung von Nicht-Eisen-Metalllegierungen und deren Verarbeitung zu Halbfabrikaten,

im Gießereilabor., Materialprüfung u. Abnahme eines großen Metallwerkes, mit konstruktiver Begabung, auf Verhandl. im Auslande erweiterten Sprachkenntnissen, engl., franz., span., rede- und schriftgewandt.

Angebote unter B. 5955 an den Verlag dieser Zeitschrift. (c. 1692)

Fabrikationsingenieur

reiferen Alters, VDI-Mitglied,

Werkzeug-fachmann

für spanabhebende wie formgebende Werkzeuge, Schnittbau,

Presswerkzeuge für Kunstharze

Unterhaltung, Beschaffung, Kontrolle wie Zentralisierung der Werkzeuge; gute prakt. u. theoret. Erfahrungen im Werkzeugmaschinenbau, zweckentsprechender Konstruktion, Herstellung von Vorrichtungen; weitgehende Erfahrungen in rationeller Arbeitsweise u. Fabrikorganisation, sucht **leitende Position**. Angeb. unt. O. 5922 an den Verlag d. Zeitschrift. (c. 1689)

Pumpenbau

Ingenieur mit langjähr. Erfahrung in Berechnung, Konstruktion u. Projektierung, vertraut mit Kalkulation u. Offertwesen, sowie Betriebstechnik u. Werkstattorganisation, versiert im Verkehr mit der Kundschaft, sucht passenden Wirkungskreis. Gefl. Zuschr. unt. J. 5829 an den Verlag d. Zeitschr. (9956)

WERBE-INGENIEUR

junger Dipl.-Ingenieur des Maschinen-Baus, z. Zt. im Verlag einer Großzeitung tätig, mit gewandtem Brief- und Aufsatzstil, franz. und engl. Sprachkenntnissen (Aufenthalt in USA), erfolgreich als Reklamzeichner

sucht geeigneten, ausbaufähigen Posten in der Industrie, Angebote unter A 5909 an den Verlag dieser Zeitschrift. (c. 1685)

Technischer Direktor

sucht neuen Wirkungskreis bzw. zusammenpassende Werkstättenleitung. 44 Jahre alt, schweiz. Staatsbürger, Masch.-Ingenieur. Bisher tätig gewesen in England, Belgien, Frankreich, Italien, Österreich. Zuletzt 8 Jahre in Weltunternehmen der Masch.-Industrie in der Tschechoslovakei.

Persönliche Praxis: Gießerei, Zieherei, Feinwalzwerk, Schmiedearbeiten, Stanzereibetrieb der Metallindustrie, Massenherstellung von Metalldrehteilen, Erzeugnisse in der Weißblech verarbeitenden Industrie, Apparatebau, Werkzeugbau, Beherrschung neuzeitlicher Arbeitsmethoden, Fließarbeit und Fabrikorganisation.

In Betracht kommen nur Groß-Betriebe. Eintritt kann evtl. schnellstens erfolgen. Gefl. ausführliche Angebote erbeten unter: „Energisch und erfahren/P. Z. 2393“ durch **Rudolf Mosse, Berlin SW 100.** (9993)

Stellengesuche und -angebote sowie An- und Verkäufe auch in den VDI-Nachrichten.

Maschinen-Ingenieur

29 Jahre, ledig, deutscher Nationalität, Auslandspraxis, Erfahrung im allgemeinen Maschinenbau, Pumpen, Kompressoren u. Transportanlagen, Gewandtheit im Verkehr mit Arbeitern, vertraut mit modernster Betriebsführung, guter Konstrukteur, sucht aussichtsreichen Posten. Zuletzt leitende Stelle in großem nordamerikanischen Konzern in Südamerika. Beherrscht perfekt die englische und spanische Sprache. Beste Referenzen. Angebote unter S. 5881 an den Verlag dieser Zeitschrift. (c. 1680)

**Diplom-Ingenieur
Holzfachmann**

Techn. Direktor einer großen Möbelfabrik, guter Organisator, vertraut mit den modernsten Arbeitsmethoden, sucht anderen Wirkungskreis. Angebote unter Z. 5864 an den Verlag dieser Zeitschrift erbeten. (9966)

Norw. Ingenieur

Ausbild.: Elektrotechn. Friedrichs Polytechn. Köthen, geübter Zeichner, 3½ Jahre Praxis, 1½ Jahr kaufm. Praxis, wünscht passende Anstellung. (9989)
Angebote an „6967“ Ohmes Bureau, Oslo.

**Verpackungs-
Maschinen**

Dipl.-Ing., seit Jahren in leitender Stellung, mit gediegenen Kenntnissen und erfolgreicher Praxis, insbesondere auf dem Gebiet der selbsttätigen Verpackungsmaschinen, wünscht sich in verantwortungsvolle Stellung auf verwandtem Gebiet zu verändern. Mitteilungen unter M. 5943 an den Verlag dieser Zeitschrift erbeten. (10 036)

Langjähriger Betriebsleiter

mit reichen Erfahrungen und Kenntnissen der Einzel-Serien- u. Massenf., 40 J., energisch und zuverlässig, erste Kraft, langjährige Tätigkeit bei Weltfirmen, beste prakt. Erf. d. neuzeitl. rationalen, wirtschaftlichen Fertigung, firm i. allen Ver- u. Bearbeitungsfragen, der auch die unrentabelsten Betriebe zur Rentabilität bringt, sucht Stellung. Spezialist: Apparatbau, Massenartikel aller Art und Motorradbau. (c. 1688)
Zuschrift. unt. F. 5914 an den Verl. dieser Zeitschr.

**BETRIEBS-
INGENIEUR**

Anfang 30, umfassende Erfahrungen im allg. Maschinenbau, spez. Dieselmot., Lokomotiv- u. Kranbau, mit allen Methoden neuzeitl. Fabrikation vertraut, firm in Akkord- und Terminwesen, sucht Stellung.

Angeb. unter P. 5901 a. d. Verlag d. Zeitschrift. (c. 1682)

VDI**STELLENANGEBOTE****VDI**

Wir suchen

1 evtl. auch 2 gewandte, selbständige

Konstrukteure

für den Bau von Blechbearbeitungsmaschinen.

Bewerber mit nur erstklassigen Referenzen kommen in Frage. Die Stellen sind dauernd und gut bezahlt.

Schöne Dienstwohnungen sind vorhanden. (10 022)

Maschinenfabrik Weingarten

vorm. Hch. Schatz A.-G.,
Weingarten i. Wtbg.

**Für die kaufmännische
Leitung**

eines modernen Großbetriebes, bestehend aus Bearbeitungswerkstätten für Stahl, Grauguß, Metalle und den zugehör. Gießereien

wird ein in Organisation u.
Verkauf bewandelter Herr
gesucht.

Angebote unter Beifügung des Lebenslaufes und der Gehaltsansprüche unter O. 5878 erbeten an den Verlag d. Zeitschr. Originalzeugnisse verbeten. (9976)

Großes Werk am Niederrhein sucht für das technische Büro der Kesselschmiede

einen

Konstrukteur

mit guten theoretischen Kenntnissen und mehrjähriger Büroerfahrung als **Gruppenführer** für Behälterbau und schwere Blecharbeiten. Es wollen sich nur Herren melden, die imstande sind, größere Bauwerke auf dem genannten Sondergebiet von der Anfrage bis zur Inbetriebsetzung selbständig zu bearbeiten.

Angebote mit Lebenslauf, Zeugnisabschriften und Lichtbild sowie Angabe von Empfehlungen, der Gehaltsansprüche und des Eintrittstages werden unter K. 5852 an den Verlag dieser Zeitschrift erbeten. (9962)

Wir suchen zum baldigen Eintritt einen

Kalkulator,

der in der Lage ist, die Akkorde der Reparaturabteilung nach wissenschaftlichen Kalkulationsmethoden zu berechnen, eine gute Vorbildung und mindestens 10jährige Praxis als Schlosser einer Reparaturabteilung besitzt.

Bewerber i. Alter von etwa 35 Jahren müssen den Nachweis erbringen, daß sie bereits als Kalkulator tätig gewesen sind.

Angebote mit Lebenslauf, Zeugnisabschriften, Lichtbild und Angabe der Referenzen und Gehaltsansprüchen erbeten an die Personalabteilung der **Schnellpressenfabrik Frankenthal, Albert & Cie., Akt.-Ges., Frankenthal, Pfalz.** (10 045)

Wir suchen für das Verkaufsbüro unserer Abteilung Dieselmotorenbau

**einen jüngeren
kaufmännisch gebildeten
Ingenieur**

mit guten englischen und französischen Sprachkenntnissen.

Bewerbungen von Herren, die nachweislich längere Zeit in der Motorenbranche tätig waren, unter Beifügung des Lebenslaufes, der Zeugnisabschriften, Angabe der Gehaltsansprüche und des frühesten Eintrittstermins erbeten unter B. U. 2961 an die **Ata, Anzeigen-Aktiengesellschaft, Berlin W 35.** (10 019)

Wir suchen:

tüchtige Konstrukteure

mit guter Erfahrung im

Hebezeugbau

Offerten mit Lebenslauf, Zeugnisabschriften, Gehaltsansprüchen, sowie Angabe des frühesten Eintrittstermins erbeten an: **Etablissements Paul Wurth, Luxemburg.** (9922)

Aufbereitungsfirma mittlerer Größe sucht

einen erfahrenen, selbständigen und

einen jüngeren

KONSTRUKTEUR

der aber auf obigem Gebiet ebenfalls einige Jahre gearbeitet hat. Auf schnellsten Eintritt wird besonderer Wert gelegt.

Angebote mit Gehaltsansprüchen und frühestem Eintrittstermin unter W. 5885 an den Verlag dieser Zeitschrift.

**Gesucht nach Süddeutschland
zu sofortigem Eintritt**

Jüngerer Ingenieur

mit etwa 2—3 Jahren Konstruktionspraxis für Großanlagen in Ventilation und Heizung. Angebote unter M. 5920 an den Verlag d. Zeitschrift. (10 025)

STAHLBAU

Wir suchen

mehrere

Konstrukteure

die an selbständiges Arbeiten gewöhnt sind, mehrjährige Erfahrungen in der Durcharbeitung von Brücken und Hochbauten besitzen und die erforderlichen Verhandlungen mit Behörden und Privatkundschaft führen können. Ferner müssen sie in der Lage sein, statische Berechnungen statisch bestimmter Systeme ausführen zu können.

Ausführliche Angebote erbeten an

H. C. E. Eggers & Co.

G. m. b. H.,

Billstedt, Postfach 29. (9955)

Stellengesuche und -angebote sowie An- und Verkäufe auch in den VDI-Nachrichten.

Maschinenfabrik sucht selbständig arbeitende

Konstrukteure für den Bau von Adjustagemaschinen

Es wollen sich nur Herren mit ausgesprochenem Konstruktionstalent melden, die in der Lage sind, Neuerungen gewissenhaft durchzuarbeiten und denen an einer Dauerstellung gelegen ist.

Ausführlich gehaltene Bewerbungen mit Gehaltsansprüchen erbeten unter D. 5945 a. d. Verl. d. Ztschr. (10 040)

BETRIEBS- INGENIEUR

nicht über 35 Jahre alt, mit guter technischer Bildung, möglichst Hochschule, der Organisationstalent besitzt, mit dem Akkordwesen vertraut ist, energisch ist und die

neuzeitliche Zieh- und Stanzereitechnik

beherrscht, in dauernde, aussichtsreiche Stellung für den umfangreichen Stanzereibetrieb einer größeren Metallwarenfabrik gesucht. Es wollen sich nur Herren mit Spezialerfahrungen auf genanntem Gebiete melden. Offerten mit Lebenslauf, Zeugnisabschriften, Gehaltsansprüchen, frühestem Antrittstermin erbeten an den Verlag d. Zeitschrift unter D. 5912. (10 014)

Dringende Bitte

an die

Stellen ausschreibenden Firmen!

Die Klagen der Stellensuchenden, daß ihre Bewerbungsunterlagen gar nicht oder erst nach Monaten zurückgesandt werden, hören nicht auf. Die Not der stellensuchenden Fachgenossen veranlaßt uns, die ausschreibenden Stellen dringend um Beachtung folgender Punkte zu bitten:

1. Fassen Sie Ihre Anzeige stets genau, damit sich nur die bewerben, die dafür in Frage kommen.
2. Prüfen Sie das eingehende Bewerbungsmaterial und antworten Sie den Bewerbern so bald als möglich.
3. Senden Sie die Unterlagen, wie Zeugnisabschriften, Photographien usw., möglichst unter Nennung Ihres Namens oder wenigstens mit dem fraglichen Ziffern-Zeichen sofort frankiert an die Nichtberücksichtigten zurück.
4. Halten Sie darauf, daß die Bewerbungsunterlagen in einem Zustande zurückgelangen, der ihre weitere Verwendung zuläßt. Sie ersparen dadurch den Einsendern die Kosten für Neuanschaffungen.

VDI-Verlag
G. m. b. H.



Berlin NW 7
Dorotheenstr. 40

Diplom-Ingenieur der Werkzeugmaschinen-Branche

mit gründlichen praktischen Erfahrungen in Konstruktion und Fabrikation kleinerer Präzisions-Werkzeugmaschinen zur Unterstützung des Betriebsdirektors gesucht. Es kommen nur Herren mit Werkstatt-Erfahrung in Frage, die erfolgreiche Tätigk. als Fabrikations-Ingenieur oder in ähnlicher Position in einem modernen Betriebe nachweisen können. Es handelt sich um eine gut bezahlte, bei entsprechenden Leistungen aussichtsreiche Stellung. Ausführlich gehaltene Bewerbungen von Herren im Alter von 30–35 Jahren an unser Direktions-Sekretariat erbeten. (10 030)

Gebr. Thiel,

Gesellschaft mit beschränkter Haftung,

Ruhla i. Thür.

Bedeutende Werkzeugmaschinenfabrik Sachsens sucht

für ihre Abteilung Fräsmaschinen diverser Art und andere Werkzeugmaschinen mittlerer Größe, die teils in Serien, zum Teil in Einzelbau herzustellen sind,

einen tüchtigen

Betriebs-Ingenieur

der dispositionsfähig und absolut terminsicher ist.

Offerten mit Angabe der Gehaltsansprüche und des Antrittstermins erbeten unter T. 5882 an den Verlag dies. Zeitschr. (9980)

Von größerer rheinischer Maschinenfabrik

selbständige und Hilfs-Konstrukteure

für Lauf- und Drehkrane möglichst zum sofortigen Eintritt gesucht. Erstere müssen eine erfolgreiche Tätigkeit in ähnlichen Stellungen nachweisen können.

Angebote mit Lebenslauf, Zeugnisabschriften und Gehaltsansprüchen unter S. 5903 an den Verlag d. Ztschr. (10 011)

Jüngerer Ingenieur

mit guter technischer Bildung für Konstruktion von selbsttätigen Arbeitsmaschinen per sofort für Berlin gesucht, etwas Werkstattpraxis erwünscht. Angebote nebst Zeugnisabschriften, Lebenslauf, Gehaltsansprüchen usw. unter C. 5911 an den Verlag d. Ztschr. (10 013)

Große Aufzugfabrik in Berlin sucht für ihr Montagebüro einen erstklassigen, gewandten

MONTAGE- INGENIEUR

der den gesamten modernen Aufzugbau vollkommen beherrscht.

Nur langjährige Spezialisten werden berücksichtigt.

Angebote mit Lichtbild, Lebenslauf, Zeugnisabschriften erbeten unter B. N. A. 8873 an Ala-Haasenstein & Vogler, Berlin W 35. (9984)

Zum möglichst baldigen Eintritt werden

erstklassige Konstrukteure

für die Konstruktion von Horizontal-Bohrwerken gesucht. Herren, welche auf diesem Spezialgebiet nachweislich längere Zeit erfolgreich tätig sind, erhalten den Vorzug. (9995)

Ausführliche Bewerbungen mit Lichtbild erbeten unter M. A. 4781 an die Ala, Haasenstein & Vogler, Berlin.

Gesucht

wird für sofort oder später

als technischer Aufsichtsbeamter junger Dipl.-Ingenieur

der sich über praktische Tätigkeit im Betrieb, Kenntnis der Holzbearbeitungsmaschinen, Gewandtheit im persönlichen und schriftlichen Verkehr ausweisen kann und über körperliche Rüstigkeit verfügt. Geboten wird nach einjähriger Probezeit: Anstellung nach Dienstvertrag, Besoldung n. Gruppe III der Reichsbesoldungsordnung. (9994)

Bewerbungen unter Beifügung von Zeugnissen sind an den Vorstand der Sächsischen Holz-Berufsgenossenschaft, Dresden-N. 6, Theresienstraße 4, zu richten.

Jüngerer

DIPLOM- INGENIEUR

des Maschinenbaufaches
für den Betrieb eines Werkes der
chemischen Großindustrie

zum baldigen Eintritt gesucht. —

Angebote mit Lebenslauf, Zeugnisabschriften, Referenzen und Gehaltsforderung erbeten unter OE 1565 an Ala Haasenstein & Vogler, Köln. (9981)

Die
Schichau G.m.b.H. in Elbing
sucht für
Konstruktion und Bau
von Ziegeleimaschinen
einen durchaus erfahrenen
Konstrukteur

Nur Herren mit langjähriger Praxis bei ersten Firmen wollen ihr Angebot mit Lichtbild u. unter Angabe von Referenzen, Gehaltsansprüchen und frühestem Eintrittstermin an uns einreichen.

(10031)

Betriebsingenieur

zur Leitung der Werkstätten von Elektromotorenfabrik gesucht. Gedeigene Vorbildung, reiche Erfahrung im Serien- und Genauigkeitsbau und wirtschaftlichsten Produktionsmethoden, vollkommene Beherrschung des Akkord- und Lohnwesens, überhaupt moderner Betriebsorganisation, sind Bedingungen. Vorpraxis im Elektromaschinenbau erwünscht, nebenbei solche im Werkzeugmaschinen- oder Automobilbau bevorzugt. (9977)

Nur zielbewußte, energische Herren wollen streng sachliche, dabei ausführliche Offerte mit Lebenslauf, Zeugnisabschriften, Lichtbild, Referenzen, Gehaltsansprüchen und frühesten Eintrittstermin unter „Mito“ J. S. 12 939 an Rudolf Mosse, Berlin SW 100, richten.

Wir suchen einen älteren

INGENIEUR

für unser

Maschinenlaboratorium und Prüffeld

mit Erfahrungen auf dem Gebiete des modernen Spezialmaschinenbaues der Feinmechanik oder Textilmaschinenbranche, möglichst auch mit elektrotechnischen Kenntnissen.

Bewerbungen mit ausführl. Lebenslauf, Zeugnisabschriften, Gehaltsansprüchen und Angaben über frühesten Eintrittstermin sind zu richten an [10 004]

OSRAM G. m. b. H.; Kommanditgesellschaft

Fabrik D Personalstelle,
Berlin O 17, Rotherstr. 20/23.

Große Maschinenfabrik sucht

einige jüngere

Reise-Ingenieure

Dauerstellung

Bewerber, welche Erfahrungen in Hochdruckkollern besitzen, werd. bevorzugt.

Ausführliche Angebote unter Beifügung v. Zeugnisabschriften u. Lichtbild, Angabe v. Referenzen, des früh. Eintrittstermines sowie der Gehaltsansprüche werden unter F. 5848 durch den Verlag dieser Zeitschrift befördert

(9960)

Von einem Werk der chem. Großindustrie im Rheinland wird tüchtiger, erfahrener, jüngerer

INGENIEUR

als Assistent für die Abteilung Wärmewirtschaft und Betriebswissenschaft, Versuchswesen, Zeitstudien, Arbeitsanalysen, gesucht.

Erwünscht: Hochschulbildung.

Erforderlich: Gute Kenntnisse in der Kraft- und Wärmewirtschaft, sowie in allgemeinen betriebstechnischen Untersuchungen.

Bedingung: Umsichtigkeit und Selbständigkeit bei der Arbeitserledigung.

Bewerbungen mit Angabe des Werdeganges, bisheriger Stellungen, frühesten Eintritt, Lichtbild und Gehaltsanspr. unter J. 5873 an den Verlag d. Ztschr. (9970)

Erfahrener Betriebsingenieur

der größeren Betrieb selbständig leiten kann, als technischer Leiter für Luftfahrtunternehmen gesucht. Bewerbungen mit Gehaltsansprüchen unter Beifügung von Lebenslauf, Bild, Zeugnissen und Angabe von Referenzen. [10 005]

Angeb. unter Z. 5908 an den Verlag d. Zeitschrift.

Konstrukteure für Baumaschinen

Betonmischmaschinen, Winden, Aufzüge, Gußbetonanlagen, Hartzerkleinerung

per sofort von erster Maschinenfabrik gesucht

Die Bewerber müssen sicher im Entwurf von Einzelmaschinen und Anlagen, vollkommen selbständig in Berechnung, Kalkulation und vertraut mit modernen Ausführungen sein. Bisherige Leistungen sind nachzuweisen. Alter nicht unter 30 Jahren. Nur erste Kräfte.

Ausführliche Bewerbungen mit lückenlosem Lebenslauf, Zeugnisabschriften, Gehaltsansprüchen und Lichtbild, ferner Referenzen wollen eingereicht werden unter N. 5921 an den Verlag d. Zeitschr. (10023)

Ingenieur-Kaufmann

Diplomingenieur

mit Auslandserfahrungen
und Sprachkenntnissen für
Verwendung in Uebersee
von bedeutender Maschi-
nenfabrik Deutschlands

gesucht.

Angebote erbeten unter W. 5907 an den Verlag
dieser Zeitschrift. (10006)

Die

Schichau G.m.b.H. Elbing

sucht für Ihre Abteilung

Patentwesen u. Literaturforschung

einen mit dieser Materie durchaus vertrauten

Diplomingenieur

(10016)

Wir suchen

3 ledige, jüngere Ingenieure oder Techniker

(österr. Staatsb.), und zwar:

2 Herren für unsere Konstruktionsbüros

mit möglichst vielseitigen Kenntnissen im allgemeinen
Maschinen- und Vorrichtungsbau. Dieselben sollen über
ausgesprochen konstruktive Begabung und mindestens
2 Jahre Praxis verfügen.

Ferner 1 Herrn als Übernahmsingenieur und Betriebsassistent

für Lieferungskontrolle in unserer Abteilung Apparatebau.
Angebote mit Lebenslauf, Gehaltsansprüchen, Referen-
zen sind einzusenden an die (10 042)

Berndorfer Metallwarenfabrik Arthur Krupp A.-G.

Berndorf, Nieder-Osterreich.

Bedeutende Spezial-Maschinenfabrik

(Buchbinderei- und Kartonnagen-Maschinen)
sucht zur Unterstützung und jeweil. völligen Vertret.
d. techn. Direktors **hervorragend tüchtigen, betriebs-
wirtschaftl. durchgebildeten** und im Bau von Serien-
maschinen der Papierverarbeitungsbranche erfahrenen

INGENIEUR

der sich bereits in verantwortungsvoller leitender
Stellung befunden hat.

Bewerbungen, die streng vertraulich behandelt
werden, sind mit ausführlicher Schilderung des
Werdegangs einzureichen unter V. E. 514/T. 5949 an
den Verlag d. Ztschr. (10 043)

Erstklassiger Konstrukteur

mit langjährigen Erfahrungen im Bau von
Turbokompressoren u.-Gebläsen
für frühesten Eintrittstermin

gesucht

Bewerbungen mit Lichtbild, Lebenslauf,
Zeugnisabschriften und Referenzen erbeten
an die

Demag Aktiengesellschaft

Personalabteilung,
Duisburg.

(9991)

Von bedeutender Nähmaschinen- und Fahrräder
Fabrik wird ein in modernster Fabrikation, Vorrich-
tungs- und Werkzeugkonstruktion, Arbeitsvorbereitung
und Vorkalkulation erfahrener, energischer

Fabrikationsingenieur

gesucht, der sich in ähnlichen Unternehmungen nach-
weisbar bewährt hat, und dem bei entsprechenden Lei-
stungen die Leitung dieses Büros übertragen wird.

Angebote mit Lebenslauf, Zeugnisabschriften, Licht
bild, Gehaltsansprüchen u. frühestem Eintrittstermin er-
beten unter C. 5889 an den Verlag dieser Ztschr. (9999)

Für unsere

Verkaufsabteilung

werden technisch gebildete Kauf-
leute im Alter von 25 bis 40 Jahren
zum baldmöglichsten Eintritt ge-
sucht.

Herren, die langjährige Praxis in
bedeutenden Werken der Groß-
Maschinenindustrie nachweisen
können, werden gebeten, Bewer-
bungen mit selbstgeschriebenem,
lückenlosen Lebenslauf, Zeugnis-
abschriften, Lichtbild und Aufgabe
von Referenzen zu richten an

**F. SCHICHAU, G.M.B.H.,
ELBING.**

Bewerbungen, die vorstehend. Bedingungen
nicht genügen, bleiben unberücksichtigt.

Innerhalb von 2 Wochen nicht beantwort.
Bewerbungen gelten als abgelehnt. (10015)

Jüngerer Ingenieur von rheinischer Kalanderbauanstalt

zur sofortigen Einstellung gesucht. Es ist Gelegenheit geboten, eine selbständige Tätigkeit und Betriebsleitung bei zufriedenstellenden Leistungen zu erreichen.

Angebote mit Gehaltsansprüchen usw.
u. U. 5950 a. d. Verl. d. Ztschr. (10 044)

Gesucht für baldigen Eintritt jüngerer Dipl.-Ing. als

Assistent

des Leiters unserer

Werkstoffprüfungsstelle

in Berlin.

Erforderlich: gutes Können i. Metallographie, Werkstoffkunde und technischer Mechanik. Bewerbungen unter R. 5947 an den Verlag dieser Zeitschrift. (c. 1691)

Größere Autoteile-Fabrik sucht

einen mit der
Massenfertigung
vertrauten

tüchtigen Betriebs-Ingenieur

zum baldigen Eintritt. Nur mit neuen Arbeitsmethoden vertrauter Fachmann, der einer modern geführten Abteilung vorstehen kann, kommt in Betracht.

Angebote m. Ang. d. seith. Tätigkeit, d. Alters, d. Geh.-Anspr., Referenzen u. Zeugn.-Abschr. erbeten unter V. 5951 an d. Verl. d. Ztschr. (10 046)

Schaerer

Wir suchen

einen tüchtigen, selbständigen

Werkzeug- maschinen- Konstrukteur

für Konstruktion von Spezial-Werkzeugmaschinen. Erforderlich: abgeschlossene Fachschulbildung u. mehrjährige, erfolgreiche Tätigkeit bei ersten Werkzeugmaschinenfirmen.

Handschriftliche Bewerbungen mit Werdegang, Zeugnisabschrift, u. Lichtbild sowie mit Angabe der Gehaltsansprüche bitten wir an unser Sekretariat zu richten.

Schaerer-Werk

Spezialfabrik
der Schaerer-Schnelldrehbänke
Karlsruhe in Baden.

(9990)

Maschinenfabrik und Kesselschmiede in Schlesien sucht für ihre Autogen- u. Elektroschweißstätte jüngeren, praktisch und theoretisch erfahrenen

Schweiß- techniker

der imstande ist, schwierige Schweißarbeiten zu überwachen und auszuführen, außerdem nach Angaben die Schweißerei weiter zu entwickeln.

Angebote mit Lebenslauf, Zeugnisabschriften, Angabe von Referenzen und Gehaltsansprüchen erbeten u. W. R. 2963 an Ala, Haasenstein & Vogler, Breslau I. (10 021)

Vorkalkulator

in allen Sparten des Automobil- und Karosseriebaues vollkommen beschlagen, befähigt, auf Grund fachmännischer Erfahrungen, Fertigungszubehör grundlegend und als Preisbasis für den Einkauf zu kalkulieren und Vorschläge zur Verbilligung zu machen,

gesucht

Bewerbungen m. Lebenslauf, Zeugnisabschriften, Gehaltsansprüchen und Lichtbild zu senden an:

ADAM OPEL

Aktiengesellschaft
Personalabteilung
Rüsselsheim a. M. (10 037)

Großfirma der Mineralölbranche sucht für ihr Berliner Büro einen jüngeren MASCHINEN-INGENIEUR

für Projektierung und Beschaffung von größeren Tankanlagen, zum sofortigen Eintritt. Praktische Kenntnisse des Einbaues von Kesseln und Rohrleitungen unbedingt erforderlich.

Offerten mit Lichtbild und Zeugnisabschriften unter E. 5891 an den Verlag dieser Zeitschrift. (9997)

Ingenieur

für Konstruktion und Herstellung von

Flüssigkeitsgetrieben

per sofort oder später gesucht. Es wollen sich nur solche Herren mit Ang. bish. Tätigkeit, Gehaltsanspr., Eintrittstermin usw., melden, welche reiche Erfahrungen auf vorstehendem Gebiete haben und gleiche Stellungen schon inne hatten.

Angab. unter Z. 5930 an den Verlag dieser Zeitschrift. (10 029)

Erfahrener, selbständiger

Konstrukteur

für Dampfmaschinen gesucht. Akademische Bildung und längere Tätigkeit im neuzeitlichen Kraftmaschinenbau erwünscht.

Bewerbungen mit lückenlosem Lebenslauf u. Zeugnisabschriften unter Angabe der Gehaltsansprüche und des Eintrittstermines erbeten an (10 026)

Schäffer & Budenberg

G. m. b. H.

Magdeburg-Buckau, Direktion.

Edelstahlwerk

sucht erfahrene Härtefachleute für europäisches Ausland. Herren mit Sprachkenntnissen in französisch und italienisch bevorzugt. Offerten mit Lebenslauf unter B. N. M. 8862 an Ala-Haasenstein & Vogler, Berlin W 35. (9988)

5 Gesichtspunkte
die jeder
Stellensuchende
in seinem eigenen Interesse
beachten sollte:

1. **Bewerben Sie** sich nur auf solche Angebote hin, denen Ihre Fachkenntnisse entsprechen.
2. **Legen Sie** Ihren Bewerbungen nur die Abschriften der wichtigsten Unterlagen bei; Originale nur dann, wenn sie gefordert werden.
3. **Geben Sie** bei Zifferanzeigen das genaue Kennwort an. Dadurch vermeiden Sie zeitraubende Rückfragen und unnötige Verzögerungen in der Zustellung an die ausschreibenden Firmen
4. **Achten Sie** auf klare und deutliche Schrift und richtige Frankierung Ihrer Bewerbungsschreiben.
5. **Bedienen Sie** sich für Ihre Bewerbung möglichst der DIN-Formate A 4 (210 × 297) oder A 5 (148 × 210).

Lassen Sie diese Punkte außer acht, so tragen Sie selbst Schuld, wenn Sie Ihre Bewerbungsunterlagen gar nicht oder verspätet zurückerhalten.

VDI-VERLAG G. m. b. H.

Stellengesuche und -angebote sowie An- und Verkäufe auch in den VDI-Nachrichten.

Erfahrener Konstrukteur, der mindestens 6—8 Jahre Praxis in Kohlenaufbereitung, Transportanlagen, Wagenumläufen nachweisen kann, als

Gruppenführer und Vertreter des Bürochefs

für westf. Industriebezirk

gesucht. Schriftliche Angebote mit Lichtbild, Zeugnisabschrift, Angabe der Gehaltsansprüche und des frühesten Eintrittstermins u. C. 5955 an den Verlag dieser Zeitschrift. (10012)

Betriebsleiter

für Feinmechanik und Feinmaschinenbau gesucht. Herren, die gründliche und praktische Erfahrungen mit guter Schulung haben, wollen ihre ausführliche Offerte mit Gehaltsansprüchen abgeben. Anfänger ausgeschlossen. Herren von Zählerfabriken bevorzugt. Offerten unter D. U. 617 bef. Rudolf Mosse, Dresden. (10 009)

Kl. Fabrik (Bau v. Spezialelektromotoren u. Schaltapp.) sucht inf. Todesfalls mögl. sof. selbständig arbeitenden

Ingenieur

f. Berechnung u. Konstruktion. Befriedigendstellender Leistung entwicklungsfähige Dauerstellung. Ausführl. Angebote m. Lebenslauf, Zeugnisabschr., Gehaltsanspr. u. Eintrittstermin unt. T. 5904 an d. Verlag d. Ztschr. (10 010)

Wir suchen für das technische Büro unserer Abteilung Brückenbau in Sterkrade

mehrere Konstrukteure

mit guten theoretischen Kenntnissen und mehrjähriger Büroerfahrung im Stahlbrückenbau.

Bewerbungen erbitten wir unter Beifügung von Lebenslauf, Lichtbild, Zeugnisabschriften und Empfehlungen, sowie mit Angabe der Gehaltsansprüche und des frühesten Eintrittstages unter St. B. 45. (9961)

Guthoffnungshütte

Oberhausen Aktiengesellschaft
Oberhausen/Rheinland.

Gesucht wird

jüngerer Ingenieur

(Tiefbau, Maschinenbau oder Elektrotechnik), der möglichst schon bei Straßenbahnbauten beschäftigt war, zu Vermessungs- und Projektarbeiten für Bahn-Neubauten. Alter nicht über 32 Jahre; möglichst unverheiratet. Beschäftigungsdauer 2—3 Jahre. (9974)

Bewerbungen mit Lebenslauf, Zeugnisabschriften und Gehaltsansprüchen erbeten an

Straßen- u. Kleinbahn A.-G.
Neunkirchen-Saar.

Metallwarenfabrik in Kassel sucht zu baldigem Eintritt einen jüngeren

Maschinen- Ingenieur

für den Bau von Spezial- Werkzeugmaschinen u. Vorrichtungen. Ausführl. Angeb. m. Gehaltsanspr., Lichtbild usw. unt. F.C. 4293 durch Rudolf Mosse, Kassel. (9966)

Zeugnisabschrift

i Seite 20 30 50<
korrekt l., 1.50, 2.- M.

M. GEY, Dresden 6/5
Königsbrücker Str. 64

Für unsere Abteilg.

Kranbau suchen wir einen er- fahrenen Offert- ingenieur

stiltgewandter Korrespondent, mit französischen Sprachkenntnissen.

Zuschriften mit Gehaltsansprüchen, Eintrittstermin, Zeugnisabschriften an (9937)

NOMAG

Hamborn a. Rhein.

Rohrleitungs- Ingenieur

zu möglichst baldigem Antritt von Spezialfirma für Büro- und Außendienst gesucht. (9968)

Nur Herren mit entsprechenden Erfahrungen in Projekten und Ausführungen werden gebeten, ausführlich gehaltene Angebote einzureichen unter H. 5872 an den Verlag dieser Zeitschr.

Jüngerer, nur sehr befähigter

Konstrukteur

mit Vorpraxis im Vorrichtungsbau für Elektromotorenbau gesucht. (9971)

Offerten mit Lebenslauf, Zeugnisabschriften, Lichtbild, Gehaltsansprüchen und frühestem Eintrittstermin unter L. 5875 an den Verlag d. Ztschr.

Ihr eigenes Interesse erfordert

Bewerbungen auf Zifferanzeigen mit dem genauen Kennwort auszeichnen, um kostspielige Rückfragen zu vermeiden und Verzögerungen in der Zustellung an die ausschreibenden Firmen auszuschalten

VDI-VERLAG, BERLIN NW 7

Für Zeitstudien

Arbeitsvorbereitung. Vorkalkulation nach neuesten Grundsätzen suchen wir eine durchaus erstklassige Kraft für dauernde, gut bezahlte Stellung.

Angebote mit Bild, Lebenslauf, Gehaltsforderung und Zeugnisabschriften erbeten unter B. 5932 an den Verlag dieser Zeitschrift. (10 034)

Größere elektrotechnische Fabrik Westdeutschlands sucht

mehrere Betriebsassistenten

für
Arbeitsvorbereitungen und Terminwesen
für
Accordzeitermittlung und Arbeitsuntersuchung
für
Werkstattkontrolle
und

KONSTRUKTEURE

für den Dynamobau

Bewerber mit guter praktischer und theoretischer Ausbildung müssen Erfahrungen nachweisen können. Nur vollständige Bewerbungen mit Lichtbild, Zeugnisabschriften, Referenzen, Lebenslauf und bestimmten Gehaltsansprüchen sind einzureichen unter L. 5897 an den Verlag der Zeitschrift. (10 001)

Stellengesuche und -angebote sowie An- und Verkäufe auch in den VDI-Nachrichten.

Für Industrie-Gasfeuerungen
wird zum möglichst baldigen Antritt jüngerer

Ingenieur

gesucht.

Verlangt wird Beherrschung wärmetechnischer Berechnungen für industrielle Gasfeuerungsanlagen, flüssiger Stil für Offert-Korrespondenz-erledigung und die Fähigkeit, auch konstruktiv auf diesem Gebiete tätig zu sein.

Geboten wird eine entwicklungs- und z. Dauerposition ausbaufähige Stellung. Offerten sind mit Lebenslauf, Gehaltsansprüchen und Referenzen einzureichen.

Ferner werden gesucht:

In- u. Auslands-Vertreter

die möglichst auf dem Gebiete der Industrie-Gasverwendung bewandert sind, für verschiedene Bezirke. (10 024)

Pharos Feuerstätten Ges.m.b.H., Hamburg 15

BETRIEBS-INGENIEUR

selbständiger Konstrukteur, mit Erfahrungen der Massenfertigung, energisch, gewandt im Verkehr mit der Belegschaft, von Metallwarenfabrik (Präzisionsstanzerei) in mittlerer Stadt Nordbayerns zum sofortigen Eintritt gesucht.

Nur Herren, die diesen Anforderungen entsprechen und mit neuzeitlichen Kalkulations- und Arbeitsmethoden vertraut sind und auf eine Dauerstellung reflektieren, wollen sich bewerben. Den handgeschriebenen Bewerbungen sind Zeugnisabschriften, Lebenslauf und Lichtbild beizufügen. Schriftl. Angeb. unter C. 5845 an den Verlag dieser Zeitschrift erbeten. (9959)

Wir suchen zum sofortigen Eintritt

mehrere tüchtige Eisenkonstrukteure

mit langjährigen Erfahrungen; ferner
mehrere Spezialkonstrukteure
für unsere Abteilung Drahtseilbahnen.

Gesellschaft für Förderanlagen

Ernst Heckel m. b. H.

(9967)

Saarbrücken 3, Graf Johannstr. 27 - 29.

Große Schiffswerft Ostdeutschlands
sucht

je einen ganz erstklassigen

Betriebsingenieur

und

Kalkulator

Nur Herren mit langjähriger Praxis bei ersten Firmen wollen ihr Angebot mit Lichtbild und unter Angabe von Referenzen, Gehaltsansprüchen und frühestem Eintrittstermin unter C. 5937 bei dem Verlag dieser Zeitschrift einreichen. (10032)

Ingenieur

im

allgem. Maschinen- u. Apparatebau

bewandert, für Büro und Reise gesucht. (9973)

Ausführl. Angeb. u. M. 5876 an den Verlag dieser Zeitschrift.

Es empfiehlt sich:

Geldsendungen

nicht mit gewöhnlichem
Briefe, sondern stets
nur durch

Postanweisung

oder Zahlkarte*)

zu überweisen

Nur dadurch schützen Sie sich vor Verlust

DER VERLAG

*) Postscheckkonto Nr. 102373 Berlin NW7

Jüngerer Diplom- Ingenieur

mit einiger Praxis i. d. Warmwirtschaft, bes. in der Projektierung großer Dampfkraftanlagen v. Hochschul-Professor als Privat-Assistent z. bald. Eintritt gesucht. Selbstgeschrieb. Lebenslauf, Zeugnisabschr. u. Gehaltsanspr. u. N. 5944 an den Verlag dieser Zeitschrift. (10 038)

Vertretungen

Wir suchen für eine erste bestbewährte Neuerung in der

Armaturen- branche

Vertreter

an allen Plätzen.

Gebr. Herrmann
Köln-Bayenthal.

(9975)

VDI

VERTRETUNGEN

VDI

Leistungsfähiges, bedeutendes

Baumaschinen- Werk

Im In- und Auslande bekannt, sucht für den Vertrieb seiner zum größten Teil patent. Erzeugn. (Betonmischer, Gußbetonanlagen, Förderbänder usw.) einige geeign. Herren mit besten Beziehungen zur Baukundschaft. Es wollen sich nur solche Herren melden, die an ein intensives und zielbewußtes Arbeiten gewohnt sind und an Hand bisheriger Umsätze den Nachweis erbringen können, daß sie erfolgreich in dieser Branche tätig waren. (9983)

Ausführl. Bewerb. sind zu richten unter V. 5884 an den Verlag d. Ztschr.

GROSSE MASCHINENFABRIK

s u c h t



tüchtigen

für die Bezirke

Berlin · Hamburg

Sachsen · Ostpreußen

Rhein · Westfäl. Industriegebiet

INGENIEUR-VERTRETER

Große Erfahrung in Hochdruckölen ist Bedingung!

Angebote unter Angabe von Referenzen und der bisherigen Tätigkeit werden unter G 5805 an den Verlag dieser Zeitschrift erbeten. (9983)

VDI

AN-UND VERKÄUFE

VDI

Hydraulische Pressen!

Wegen Dispositionsänderungen haben wir zu günstigen Preisen zu verkaufen:

1 Schnellschmiedepresse, 2000 t Preßdruck, für Dampf- u. lufthydraul. Betrieb;

1 Schmiedehammer (Brückenhammer), 5500 kg Fallgewicht, für Dampf- und Preßluftbetrieb; Entfernung von Mitte bis Mitte Säule 5000 mm, lichte Höhe unter dem Träger 2000 mm;

1 Bandagen-Zentrierpresse, hydraul., mit Tisch von ca. 3300 mm Durchm.

1 hydraul. Presse zum Stempeln von Bandagen;

1 Hebetisch zum Einsetzen der vorgeschmiedeten Bandagen;

1 hydraul. Drehkran für eine Nutzlast von 1000 kg, 7 m Ausladung;

1 Fallwerk zum Proben von Bandagen.

Die einzelnen Objekte sind neuester und bester Konstruktion, ungebraucht und können bei uns besichtigt werden. Ernsthaften Reflektanten stehen auf Wunsch auch Zeichnungen zur Verfügung.

DEMAG Aktiengesellschaft DUISBURG

Stellengesuche und -angebote sowie An- und Verkäufe auch in den VDI-Nachrichten.

(10028)

25

Jahre alte Praxis

eines berat. Ingenieurs, gerichtet, vereidigt. Sachverständig. v. d. Feuervers.-Ges. anerkannten Revisors elektr. Anlagen, Gegend Frankfurt-Rheingau, Sterbefalls halber zu verkaufen. Nur ernstgem. Angebote unter F. W. 4067 an Rudolf Mosse, Wiesbaden.

Tschechoslowakei

Kl. Maschinenfabrik, Peripherie Prags,

729 m² bebaute Fläche, Einfahrt, Licht, zu verkaufen. Da billige Löhne, Filialerzeugung des hohen Zolles wegen rentabel. Geeignet für Kühl-, Fleischeret., Lüftungs-, Elektromaschinen usw. Wohnung 3 Zimmer u. Büros vorhanden. Prima Lage. Preis 55 000 RM. Anfragen an den Verlag d. Ztschr. u. E. 5958. (c. 1683)

Eine wertvolle schwedische Erfindung auf dem Dampfkesselgebiete LIZENZEN

zur Ausführung des deutschen Patentes Nr. 434 102 des schwedischen Ingenieurs J. G. Sandwall, betr. Dampfkessel für hohe Drucke und große Dampfmenge, werden zu günstigen Bedingungen vergeben. Der fragliche Kessel ist u. a. bei den bekannten großen schwedischen Zündholzfabriken in Jönköping im Betrieb und hat sich dabei sehr gut bewährt. Interessenten wollen sich gefl. wenden an Patentanwalt Mossig, Berlin SW 29. (10 002)

Zu kaufen gesucht!

gut erhaltene

Friktions-spindelpresse

möglichst Kieserling & Albrecht, Modell EPA 9, Spindeldurchm. 230 mm, Lichte Weite zw. d. Ständern 650 mm, Druckleistung ca. 300 t. Angebot unter Beifügung einer ausführlichen Beschreibung und Foto erbeten unter K. 5896 an den Verlag d. Zeitschrift. (10 000)

An- u. Verkaufs-Anzeigen

haben den größten Erfolg
in der

VDI-ZEITSCHRIFT

SCHALTAFEL

AEG-Fabrikat, moderne Ausführung, fabrikneu, komplett für einen Turbogenerator 1500 kVA, 3000 V, Drehstrom, 50 Per./sec., best. aus acht Paneelen: 1 für Generator und Erregermaschine, 1 für Erdschlußprüfung und Tirrill und 6 für je einen Abzweig, original verpackt, in Berlin lagernd, preiswert zu verkaufen. Angebote u. Z. 5886 an den Verlag dieser Zeitschrift. (9987)

Gelegenheitskauf!

FEDERHAMMER

noch in Fabrik stehend

30 und 60 kg. Bär billig abzugeben. Anfragen unter R. 5946 an den Verlag dieser Zeitschrift. (10041)

1 hydraulische Ziehpresse

f. 300—350 t Preßdruck u. 4—4,5 m Hubhöhe für Preßwasser v. 200 atü

zu kaufen gesucht

Angebote mit vollständigen Unterlagen u. Angabe des Standortes der Presse erbeten unter D. 5890 an den Verlag dieser Zeitschrift. (9998)

Die Rechte aus DRP. 419 625 betr.

„Kurbelwellen-lagerung für Verbrennungs-Kraftmaschinen“

sollen an deutsche Fabrikanten durch Kauf oder Lizenzabgabe abgetreten werden.

Angeb. erbet. unter U. 5883 an den Verlag dieser Zeitschr. (9982)

Hand-hängebahn

Fabr. ATG, ca. 160 lfdm. m. Tragkonstruktion, 5 Laufkatzen, m. Hubwerk f. 750 kg Tragkraft und Traggehänge, sowie 5 Kippkühel, 0,2 cbm, aus Stahlblech.

fabrikneu,
zu verkaufen.

Offerten unter W. 5929 an den Verlag dieser Zeitschrift. (10027)

Der Inhaber des D. R.-Patents 430 896, betreffend: „Elektrische Zwangsfernsteuerung“, sucht Interessenten zur Übernahme der Fabrikation, eventl. Lizenznehmer. Anfragen an Patentanwalt Kleinschmidt, Berlin, Waterloo-Ufer Nr. 17. (10 020)

Für D. R. P. 433 817 „Verzögerungsvorrichtung für Maschinengewehre“ Käufer oder Lizenznehmer gesucht unter U. 5905 a. d. Verlag d. Ztschr. (10 008)

Zu kaufen gesucht

Steil- oder Schrägrohrkessel

gebraucht, jedoch in gut., garantiert betriebsf. Zustd. 150 qm Heizfl. 16 atü Dampfdruck m. Überhitzer f. 350°. Angeb. m. Angabe d. Herst., d. genauen Bauart, d. Alters u. m. Skizze, Größenabm. d. Kessels in eingemauertem Zustand, auß. Preis unter P. 5879 an den Verl. d. Ztschr. (9978)

D. Rechte aus DRP. 418 401 betr. „Vierradbremse, insbesondere für Kraftfahrzeuge“, sollen an deutsche Fabrikanten d. Kauf od. Lizenzabgabe abgetreten werden. Angeb. erb. a. d. Verlag d. Ztschr. u. O. 5900. (10003)

Die Inhaberin des deutschen Patentes Nr. 418 334, betreffend: „Einrichtung zur Verbrennung staubförmiger, fester Brennstoffe“ ist bereit, dieses Patent zu verkaufen oder darauf Lizenzen zu erteilen. (9996)
Etwaige Anfragen u. F. 5892 an den Verlag dieser Ztschr. erbeten.

Alte Jahrgänge der V.D.I.-Zeitschrift
1921 — 1929 (10 048)
teilweise gebunden, preiswert z. verkaufen.
Angeb. unt. Z. 5953 an den Verlag d. Ztschr.

Die Inhaber des deutsch. Patentes Nr. 415 224, betreffend

„Hydraulische Steuerung für die Einlassventile von Dampfmaschinen“

sind bereit, dieses Patent zu verkaufen oder darauf Lizenzen zu erteilen.
Etwaige Anfragen unter D. 5768 an den Verlag dieser Zeitschrift erbeten. (9896)

ENGLISCHER MARKT

Londoner Ingen. m. ausged. Geschäftsverb. u. techn. Fachkenntn. sucht maschinentechn. u. elektr. Produkte zwecks Einführung a. d. engl. Markt. Kommissionsab. Großer Abs. f. geeign. Artikel. Einzelh. u. d. angeb. Waren und Beding. erb. u. „E. L. H. 4132“ an Rudolf Mosse Ltd., 125 Strand, London W. C. 2 (9969)

Wegen Dispositionsänderung abzugeben auf unserem Stahlwerk in Hückingen b. Duisburg

9 tadellose

Drehrost-generatoren

gebrauchsfertig, 2500 l W, Durchsatz 8—10 To. in 24 St. Besichtigung nach vorheriger Anmeldung in Hückingen. Interessenten werden gebeten, sich mit uns in Verbindung zu setzen.

Mannesmannröhren-Werke

Sekretariat II, Düsseldorf. (9905)

Alte Jahrgänge

der

Zeitschrift für angewandte Mathematik und Mechanik

kauft zurück

VDI-VERLAG G.M.B.H.
Berlin NW 7

VERSCHIEDENES

„DER PRAKTISCHE KALKULATOR“

v. Ed. Ghrist, Verlag Dornseiffer, Weidenau (Sieg). Preis 4.— RM Handbuch für Eisen- u. Blechkonstruktionswerkstätten, Kesselschmied u. verwandte Betriebe z. Vorausbestimmung d. Lohnes bezw. der Arbeitszeit v. fast all. vorkomm. Arbeiten. (9900)

Trocken-Apparate

übernimmt in Lizenz-Herstellung bekannte Spezial-Fabrik Angeb. unter R. 2074 an d. Verl. d. Zeitschr. (9907)

Privatschule:

Theoret. Ausbildung durch Fern-Unterricht, mathemat., maschinentechn. u. elektrotechn. Berechnungen.

Ingenieur H. Issle
Berlin-Schmargendorf/K

Patentanwalt
Dr. O. Arendt
Berlin W 15
Kurfürstendamm 179

PATENTANWALT
Dipl. Ing. A. Kuhn
Berlin SW 61
Gitschiner Straße 106a

INGENIEUR-TEILHABER

Gesucht wird ein Herr, welcher den vollständigen Aufbau meines Patentes technisch wie wirtschaftlich in die Hand nimmt.
Das Patent ist erprobt auch bei der Eisenbahn seit über zwei Jahren.
Kapitaleinlage nicht unter 10 000 RM erforderlich.
Möglichst Herren aus dem Schwach-eisenfach u. Tübenbau.
Zuschriften unter B. 5910 an den Verlag d. Zeitschrift. (c. 1686)

Zwei Neuerscheinungen anläßlich der »Lehrschau Holz«

Das Holz

Gemeinfaßliche Darstellung seiner Erzeugung, Gewinnung u. Verwendung

Herausgegeben im Auftrage des Vereines deutscher Ingenieure in Gemeinschaft mit dem Deutschen Forstverein von Dr. J. A. von Monroy.

Din B 5, XII/318 Seiten mit 288 Abbildungen und 20 Tabellen.

In Leinen gebunden RM 19.50 (für VDI-Mitglieder RM 17.50).

Um der zunehmenden Bedeutung des Holzes als Werkstoff für den Ingenieur gerecht zu werden, ist vom Verein deutscher Ingenieure in Gemeinschaft mit dem Deutschen Forstverein eine gemeinfaßliche Darstellung der Erzeugung, Gewinnung und Verwendung des Holzes geschaffen worden, die in den Beiträgen maßgebender Männer der Forstwirtschaft und holzverarbeitenden Industrie einen Schnitt durch das Holzgewerbe gibt.

Jeder, dessen Arbeit irgendwie mit dem Holze zusammenhängt, kann sich an Hand dieses Buches, das ein erster Versuch einer solchen umfassenden Darstellung ist, schnell und zuverlässig über den Werdegang des Holzes von der Erzeugung bis zur Verwendung unterrichten, um so von seiner Stelle aus den rückwärtigen und nachfolgenden Verarbeitungsstufen Anregungen aus den eigenen Beobachtungen und Erfahrungen zu vermitteln.

Aus dem Inhalt:

- I: Erzeugung des Holzes
- II: Gewinnung des Holzes
- III: Veredelung des Holzes
 - A. Das Holz und seine Eigenschaften. B. Prüfung des Holzes als Werkstoff. C. Holzschutz. D. Dämpfen, Trocknen, Biegen, Pressen und Färben des Holzes.
- IV: Verwendung des Holzes
 - A. Holz als Bau- und Werkstoff. B. Holz als chemischer Grundstoff. C. Holz als Brennstoff.
- V: Vom organisatorischen Aufbau der Forst- und Holzwirtschaft in Deutschland.

Das künstliche Holztrocknen

Deutsche Bearbeitung des Werkes „The Kiln Drying of Lumber“ von A. Koehler und R. Thelen von Dipl.-Ing. P. Warlimont.

Din A 5, XII/142 Seiten mit 60 Abbildungen und 13 Tafeln.

In Leinen gebunden RM 12.— (für VDI-Mitglieder RM 10.80).

Das Buch ist in erster Linie für den Praktiker bestimmt und bringt in seinem Hauptteil eingehende Erläuterungen der Aufgaben, die Wärme, Feuchtigkeit und Bewegung der Luft im Trockenöfen zu erfüllen haben. Es lehrt einen Trockenvorgang beurteilen und leiten und gibt dem Praktiker Richtlinien an die Hand, die gute Trocknungsergebnisse erzielen lassen. Es folgen Beschreibungen der verschiedenen Arten von Holztrockenanlagen unter kritischer Würdigung ihrer Vorzüge und Nachteile. Das Buch ist auf das beste geeignet, das Verständnis für das Holztrocknen zu fördern, und kann geradezu als Lehrbuch des Holztrocknens bezeichnet werden.

Aus dem Inhalt:

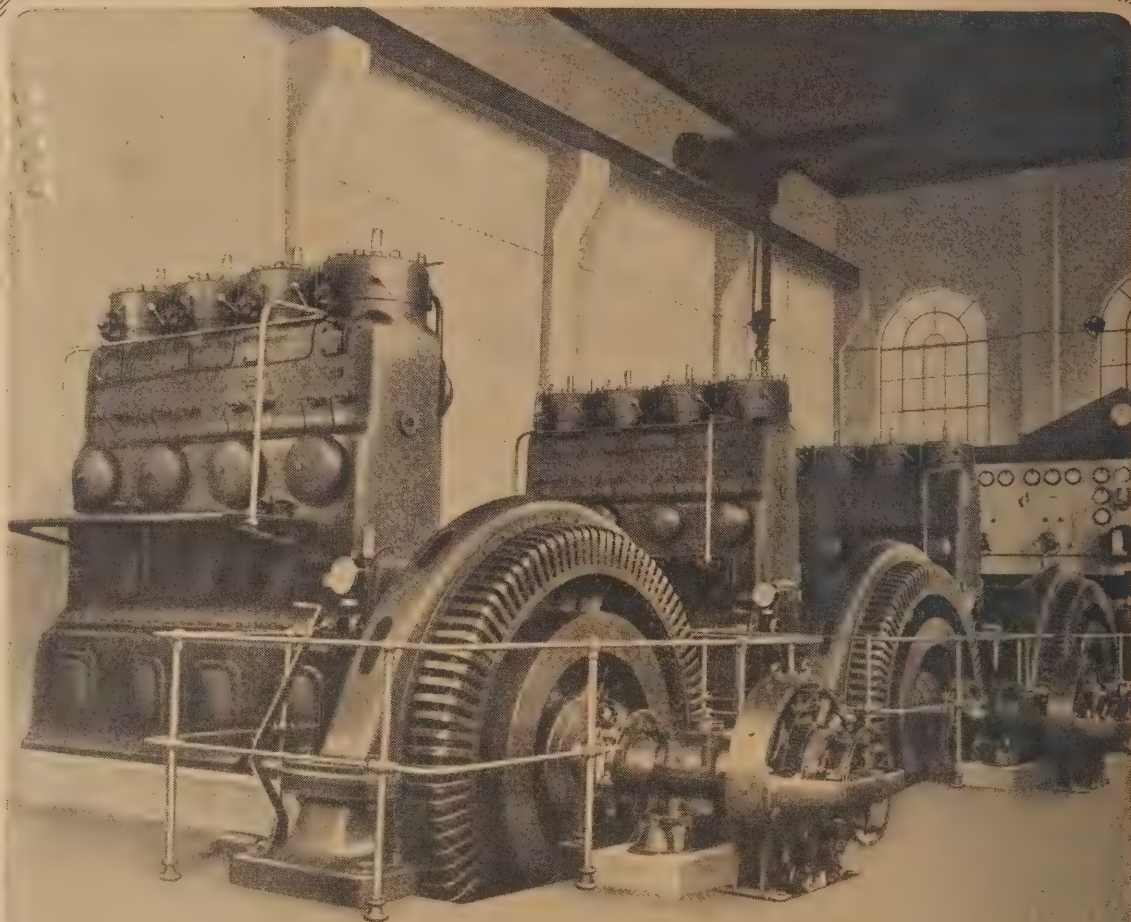
Grundlagen / Der Aufbau des Holzes unter besonderer Berücksichtigung des Trocknens / Die Feuchtigkeit im Holz, der Saft / Das Arbeiten des Holzes und seine Folgen / Die Trockenöfen / Die Wärme / Luftfeuchtigkeit und Verdunstung / Die Luftbewegung im Trockenofen und das Stapeln des Holzes / Auswahl der Ofenart, Anlagen von Trockenöfen / Trockenvorschriften / Allgemeines.

Zu beziehen durch jede Buchhandlung!



VDI-Verlag G.m.b.H., Berlin NW 7, Dorotheenstr.40

Sulzer



KOMPRESSORLOSE
SULZER-ZWEITAKTMOTOREN

DIE EINFACHSTEN SCHWERÖLMOTOREN DER GEGENWART

GEBRÜDER SULZER
AKTIENGESELLSCHAFT
WINTERTHUR (SCHWEIZ)

GEBRÜDER SULZER
AKTIENGESELLSCHAFT
LUDWIGSHAFEN A. RH.



Für
Lokomotiven

„PANTEX“

DAMPFREINIGER

Patente Dr. Ing. Friedrich



ROHNER & TUDSEN · HAMBURG 8

Luftförderanlagen

für Nuß-, Gries-, Staubkohle,
getrocknete Braunkohle, Brikettabrieb,
Kleinkoks, Schwelkoks,
Asche, Schlacke, Flugasche,
auch mit Spülung, ortsfest oder fahrbar.

Ferner für Salze, Sulfate, Soda,
Gichtstaub, Tonerde, Abbrände,
Holzstoff, Zellstoff, gekochte Äste,
gekollerten oder zerfaserten
Papierausschuß,
Weißzucker, nasse und getrocknete
Rübenschnitzel,
Getreide, alle Saaten usw.

Entstaubungsanlagen

für Brikettfabriken, Zechen, Mahl-
anlagen, Hüttenwerke, Rauchgas-
kühlanlagen.

Hartmann A.G., Offenbach

am Main

KÖHL

Elektromotorenwerke A.-G.

SAARBRÜCKEN

Elektromotoren

Flanschmotoren

Vertikalmotoren

Vorgelegemotoren

Einbaumotoren

für

Werkzeugmaschinen

jeder Art

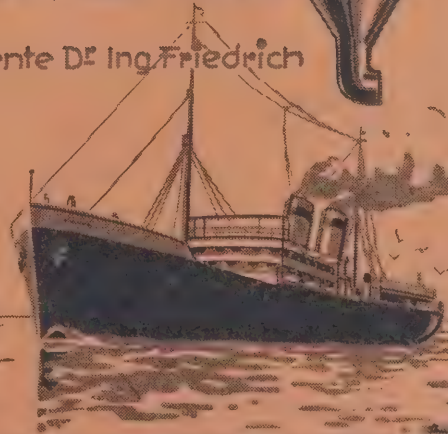
Kurzfristig lieferbar
in hervorragender Ausführung

Für
Dampfschiffe

„PANTEX“

DAMPFREINIGER

Patente Dr. Ing. Friedrich



ROHNER & TUDSEN · HAMBURG 8

FÖGE

Rippenrohr- Economiser

D. R. P. Ausl.-Pat.

LUFT- ERHITZER

mit
gasdichter
Luftkammer

CALORIFERE

WÄRMEFANG HANNOVER



Braunkohlen- Briketts

verbrennen mit langer, gleichmäßig milder Flamme rauchlos, rußlos, schlackenlos, schonen die Feuerung und hinterlassen wenig gutartige Asche. Sie sind für alle Arten industrieller Feuerungen sowie für die Generatoren der Hüttenindustrie

der sauberste, beste u. billigste Brennstoff

Auskunft erteilen gern kostenlos die Syndikate

Mitteldeutsches Braunkohlen-Syndikat von 1927

G.m.b.H.

Leipzig C 1, Nordplatz 11/12

Ostelbisches Braunkohlensyndikat 1928

G.m.b.H.

Berlin NW 7, Bunsenstr. 2

Rheinisches Braunkohlen-Syndikat

G.m.b.H.

Köln a/Rh., Apostelnkloster 21/25

UNIVERSITY OF ILLINOIS-URBANA



3 0112 061153307